Comuni di Monteroni d'Arbia e Buonconvento Prov. di Siena

PROGETTO:

Intervento di ripristino funzionale del ponte sul torrente Sorra in località Ponte d'Arbia a confine tra i Comuni di Buonconvento e Monteroni d'Arbia (Codice CIG Z591B7E23C)

Ponte sul torrente Sorra, Località Ponte d'Arbia (SI)

D1- FASCICOLO DEI CALCOLI
MODELLO DI CALCOLO FASE TRANSITORIA

GETTO

INTEGRAZIONI

I TECNICI : Dott.Ing. Min. Gaetano Zanchi

Dott. Ing. Andrea Pannini

Dott. Ing. Claudio Lombardi

Dott. Ing. Giacomo Taliani

Dott. Geol. Duccio Notari





Data : Maggio 2017

Oggetto: INTEGRAZIONI FASCICOLO DI CALCOLO T_{getto}

Sommario

Introduzione 3
Sistemi di riferimento 3
Rotazioni e momenti 3
Normativa di riferimento 3
Unità di misura 4
Geometria 4
Elenco vincoli nodi 4
Elenco costanti elastiche nodali 4
Elenco nodi 4
Elenco materiali 13
Elenco sezioni aste 13
Elenco vincoli aste 14
Elenco aste 15
Elenco tipi elementi bidimensionali 31
Elenco elementi bidimensionali 31
Elenco tipi plinti/pali 48
Elenco plinti/pali 49
Carichi 49
Condizioni di carico elementari 49
Elenco carichi nodi Condizione di carico n. 11: Schema 2 q3 tandem mezz Carichi concentrati 50
Elenco carichi nodi Condizione di carico n. 12: Schema 2 q3 tandemdx Carichi concentrati 50
Elenco carichi nodi Condizione di carico n. 13: Schema 2 q3 tandem sx Carichi concentrati 50
Elenco carichi nodi Condizione di carico n. 16: q8 Veicolo in svio Carichi concentrati 50
Elenco carichi aste Condizione di carico n. 1: G1 Elenco peso proprio aste 50
Elenco carichi aste Condizione di carico n. 2: G2 + terreno Carichi distribuiti 50
Elenco carichi aste Condizione di carico n. 16: q8 Veicolo in svio Carichi distribuiti 51
Elenco carichi aste Condizione di carico n. 17: Ecc - Onda di Piena Carichi distribuiti 51
Elenco peso proprio elementi bidimensionali 52
Elenco carichi elementi bidimensionali Condizione di carico n. 2: G2 + terreno Carichi uniformi 52
Elenco carichi elementi bidimensionali Condizione di carico n. 2: G2 + terreno Carichi idrostatici 63
Elenco carichi elementi bidimensionali Condizione di carico n. 3: Schema 1 q1tandem mezz Carichi uniformi 65
Elenco carichi elementi bidimensionali Condizione di carico n. 4: Schema 1 q1tandem dx Carichi uniformi 65
Elenco carichi elementi bidimensionali Condizione di carico n. 5: Schema 1 q1tandem sx Carichi uniformi 66
Elenco carichi elementi bidimensionali Condizione di carico n. 6: Schema 1 q1dist Carichi uniformi 66
Elenco carichi elementi bidimensionali Condizione di carico n. 7: Schema 2 q1tandem mezz Carichi uniformi 74
Elenco carichi elementi bidimensionali Condizione di carico n. 8: Schema 2 q1tandem dx Carichi uniformi 75
Elenco carichi elementi bidimensionali Condizione di carico n. 9: Schema 2 q1tandem sx Carichi uniformi 75
Elenco carichi elementi bidimensionali Condizione di carico n. 10: Schema 2 q1dis mezz Carichi uniformi 75
Elenco carichi elementi bidimensionali Condizione di carico n. 14: Schema 1 q1dist Carichi uniformi 83
Elenco carichi elementi bidimensionali Condizione di carico n. 15: q var neve Carichi uniformi 90
Analisi dei carichi da vento 101
Analisi dei carichi da neve 102
Risultati del calcolo 103
Parametri di calcolo 103
Figura numero 1: Spettro SLD 105
Figura numero 2: Spettro SLD Z 106
Figura numero 3: Spettro SLV 106
Figura numero 4: Spettro SLV Z 106
Spostamenti dei nodi allo stato limite ultimo 116
Reazioni vincolari 167
Tensioni sul terreno 173
Sollecitazioni aste 174
Sollecitazioni elementi bidimensionali 235
Criteri di progetto utilizzati 336
Aste in acciaio 336
Plinti/Pali 338
Pareti 342
Solette/Platee 344
Nodi in acciaio 346
Verifiche e armature pareti 347
Figura numero 5: Riferimenti sezione 348
Parete n. 106 348
Parete n. 107 349
Parete n. 206 349
Parete n. 207 349
Parete n. 208 349
Parete n. 209 350
Parete n. 306 350
Parete n. 307 350

Introduzione

Sistemi di riferimento

Le coordinate, i carichi concentrati, i cedimenti, le reazioni vincolari e gli spostamenti dei NODI sono riferiti ad una terna destra cartesiana globale con l'asse Z verticale rivolto verso l'alto.
I carichi in coordinate locali e le sollecitazioni delle ASTE sono riferite ad una terna destra cartesiana locale così definita:
- origine nel nodo iniziale dell'asta;
- asse X coincidente con l'asse dell'asta e con verso dal nodo iniziale al nodo finale;
- immaginando la trave a sezione rettangolare l'asse Y è parallelo alla base e l'asse Z è parallelo all'altezza. La rotazione dell'asta comporta quindi una rotazione di tutta la terna locale.

Si può immaginare la terna locale di un'asta comunque disposta nello spazio come derivante da quella globale dopo una serie di trasformazioni:
- una rotazione intorno all'asse Z che porti l'asse X a coincidere con la proiezione dell'asse dell'asta sul piano orizzontale;
- una traslazione lungo il nuovo asse X così definito in modo da portare l'origine a coincidere con la proiezione del nodo iniziale dell'asta sul piano orizzontale;
- una traslazione lungo l'asse Z che porti l'origine a coincidere con il nodo iniziale dell'asta;
- una rotazione intorno all'asse Y così definito che porti l'asse X a coincidere con l'asse dell'asta;
- una rotazione intorno all'asse X così definito pari alla rotazione dell'asta.

In pratica le travi prive di rotazione avranno sempre l'asse Z rivolto verso l'alto e l'asse Y nel piano del solaio, mentre i pilastri privi di rotazione avranno l'asse Y parallelo all'asse Y globale e l'asse Z parallelo ma controverso all'asse X globale. Da notare quindi che per i pilastri la "base" è il lato parallelo a Y.

Le sollecitazioni ed i carichi in coordinate locali negli ELEMENTI BIDIMENSIONALI e nei MURI sono riferiti ad una terna destra cartesiana locale così definita:
- origine nel primo nodo dell'elemento;
- asse X coincidente con la congiungente il primo ed il secondo nodo dell'elemento;
- asse Y definito come prodotto vettoriale fra il versore dell'asse X e il versore della congiungente il primo e il quarto nodo. Asse Z a formare con gli altri due una terna destrorsa.

Praticamente un elemento verticale con l'asse X locale coincidente con l'asse X globale ha anche gli altri assi locali coincidenti con quelli globali.

Rotazioni e momenti

Seguendo il principio adottato per tutti i carichi che sono positivi se CONTROVERSI agli assi, anche i momenti concentrati e le rotazioni impresse in coordinate globali risultano positivi se CONTROVERSI al segno positivo delle rotazioni. Il segno positivo dei momenti e delle rotazioni è quello orario per l'osservatore posto nell'origine: X ruota su Y, Y ruota su Z, Z ruota su X. In pratica è sufficiente adottare la regola della mano destra: col pollice rivolto nella direzione dell'asse, la rotazione che porta a chiudere il palmo della mano corrisponde al segno positivo.

Normativa di riferimento

La normativa di riferimento è la seguente:
- Legge n. 64 del 2/2/1974 - Provvedimenti per le costruzioni con particolari prescrizioni per le zone sismiche.

- D.M. del 24/1/1986 - Norme tecniche relative alle costruzioni sismiche.

- Legge n. 1086 del 5/11/1971 - Norme per la disciplina delle opere di conglomerato cementizio armato, normale e precompresso ed a struttura metallica.

- D.M. del 14/2/1992 - Norme tecniche per l'esecuzione delle opere in c.a. normale e precompresso e per le strutture metalliche.

- D.M. del 9/1/1996 - Norme tecniche per l'esecuzione delle opere in c.a. normale e precompresso e per le strutture metalliche.

- D.M. del 16/1/1996 - Norme tecniche per le costruzioni in zone sismiche.

- Circolare n. 21745 del 30/7/1981 - Legge n. 219 del 14/5/1981 - Art. 10 - Istruzioni relative al rafforzamento degli edifici in muratura danneggiati dal sisma.

- Regione Autonoma Friuli Venezia Giulia - Legge Regionale n. 30 del 20/6/1977 - Documentazione tecnica per la progettazione e direzione delle opere di riparazione degli edifici - Documento Tecnico n. 2 - Raccomandazioni per la riparazione strutturale degli edifici in muratura.

- D.M. del 20/11/1987 - Norme Tecniche per la progettazione, esecuzione e collaudo degli edifici in muratura e per il loro consolidamento.

- Norme Tecniche C.N.R. n. 10011-85 del 18/4/1985 - Costruzioni di acciaio - Istruzioni per il calcolo, l'esecuzione, il collaudo e la manutenzione.

- Norme Tecniche C.N.R. n. 10025-84 del 14/12/1984 - Istruzioni per il progetto, l'esecuzione ed il controllo delle strutture prefabbricate in conglomerato cementizio e per le strutture costruite con sistemi industrializzati di acciaio

- Istruzioni per il calcolo, l'esecuzione, il collaudo e la manutenzione.

- Circolare n. 65 del 10/4/1997 - Istruzioni per l'applicazione delle "Norme tecniche per le costruzioni in zone sismiche" di cui al D.M. del 16/1/1996.

- Eurocodice 5 - Progettazione delle strutture di legno.

- DIN 1052 - Metodi di verifica per il legno.

- D.M. del 14/1/2008 - Norme tecniche per le costruzioni. Le verifiche degli elementi di fondazione sono eseguite utilizzando l'Approccio 2.

- Circolare n. 617 del 2/2/2009 - Istruzioni per l'applicazione delle "Nuove norme tecniche per le costruzioni" di cui al D.M. del 14/1/2008.

- Documento Tecnico CNR-DT 200 R1/2012 - Istruzioni per la Progettazione, l'Esecuzione ed il Controllo di Interventi di Consolidamento Statico mediante l'utilizzo di Compositi Fibrorinforzati.

- Eurocodice 3 - Progettazione delle strutture in acciaio.

Unità di misura

Le unità di misura adottate sono le seguenti:
- lunghezze : m
- forze : daN
- masse : kg
- temperature : gradi centigradi
- angoli : gradi sessadecimali o radianti

Geometria

Elenco vincoli nodi

Simbologia
Vn = Numero del vincolo nodo
Comm. = Commento
TV = Tipo vincolo se valutato da stratigrafia
SP = Plinto senza pali
CP = Palo o plinto con pali
Sx = Spostamento in dir. X (L=libero, B=bloccato, E=elastico)
Sy = Spostamento in dir. Y (L=libero, B=bloccato, E=elastico)
Sz = Spostamento in dir. Z (L=libero, B=bloccato, E=elastico)
Rx = Rotazione intorno all'asse X (L=libera, B=bloccata, E=elastica)
Ry = Rotazione intorno all'asse Y (L=libera, B=bloccata, E=elastica)
Rz = Rotazione intorno all'asse Z (L=libera, B=bloccata, E=elastica)
RL = Rotazione libera
Ly = Lunghezza (dir. Y locale)
Lz = Larghezza (dir. Z locale)
Kt = Coeff. di sottofondo su suolo elastico alla Winkler

Vn	Comm.	TV	Sx	Sy	Sz	Rx	Ry	Rz	RL	Ly <m>	Lz <m>	Kt <daN/cmc>
1	Libero		L	L	L	L	L	L				
3	El. sew 110001		B	B	L	L	L	B				
5	PALO	CP	E	E	E	E	E	B				f(strat.)
5	PALO	SP	B	B	E	B	B	B				f(strat.)

Elenco costanti elastiche nodali

Simbologia
Nodo = Numero del nodo
Kx = Costante elastica in dir. X
Ky = Costante elastica in dir. Y
Kz = Costante elastica in dir. Z
KRx = Costante elastica intorno all'asse X
KRy = Costante elastica intorno all'asse Y

Nodo	Kx <daN/cm>	Ky <daN/cm>	Kz <daN/cm>	KRx <daNm/rad>	KRy <daNm/rad>
-183	11253.20	11253.20	54883.30	2331060.00	2331060.00
-137	11247.10	11247.10	29784.30	2329590.00	2329590.00
-132	11253.20	11253.20	54883.30	2331060.00	2331060.00
-115	11247.10	11247.10	29784.30	2329590.00	2329590.00
-110	11253.20	11253.20	54883.30	2331060.00	2331060.00
-93	11247.10	11247.10	29784.30	2329590.00	2329590.00
-88	11253.20	11253.20	54883.30	2331060.00	2331060.00
-45	11253.20	11253.20	54883.30	2331060.00	2331060.00

Nodo	Kx <daN/cm>	Ky <daN/cm>	Kz <daN/cm>	KRx <daNm/rad>	KRy <daNm/rad>
-178	11253.20	11253.20	54883.30	2331060.00	2331060.00
-135	11253.20	11253.20	54883.30	2331060.00	2331060.00
-130	11247.10	11247.10	29784.30	2329590.00	2329590.00
-113	11253.20	11253.20	54883.30	2331060.00	2331060.00
-108	11247.10	11247.10	29784.30	2329590.00	2329590.00
-91	11253.20	11253.20	54883.30	2331060.00	2331060.00
-86	11247.10	11247.10	29784.30	2329590.00	2329590.00
-40	11253.20	11253.20	54883.30	2331060.00	2331060.00

Elenco nodi

Simbologia
Nodo = Numero del nodo
X = Coordinata X del nodo
Y = Coordinata Y del nodo
Z = Coordinata Z del nodo
Imp. = Numero dell'impalcato
Vn = Numero del vincolo nodo

Nodo	X <m>	Y <m>	Z <m>	Imp.	Vn
-2220	1.71	3.84	3.42	0	1
-2217	7.70	3.84	3.42	0	1
-2214	9.70	3.84	3.42	0	1
-2211	12.50	3.84	3.42	0	1
-2208	13.69	3.84	3.42	0	1
-2205	14.49	3.84	3.42	0	1
-2202	11.30	3.84	3.42	0	1
-2199	10.50	3.84	3.42	0	1
-2196	8.90	3.84	3.42	0	1
-2193	7.50	3.84	3.42	0	1
-2190	6.90	3.84	3.42	0	1
-2187	6.10	3.84	3.42	0	1
-2184	4.50	3.84	3.42	0	1
-2181	2.90	3.84	3.42	0	1
-2178	2.10	3.84	3.42	0	1
-2175	0.51	3.84	3.42	0	1
-2172	14.49	0.24	3.42	0	1
-2169	13.29	0.24	3.42	0	1
-2166	12.30	0.24	3.42	0	1
-2163	11.30	0.24	3.42	0	1
-2160	10.50	0.24	3.42	0	1
-2157	9.30	0.24	3.42	0	1
-2154	8.30	0.24	3.42	0	1
-2151	7.70	0.24	3.42	0	1
-2148	7.10	0.24	3.42	0	1
-2145	6.50	0.24	3.42	0	1
-2142	5.30	0.24	3.42	0	1
-2139	4.10	0.24	3.42	0	1
-2136	3.30	0.24	3.42	0	1
-2133	2.50	0.24	3.42	0	1
-2130	1.31	0.24	3.42	0	1
-2127	0.11	0.24	3.42	0	1
-2124	7.90	-0.07	3.42	0	1
-2121	7.10	4.13	3.42	0	1
-2118	7.90	4.13	3.42	0	1
-2115	6.70	4.04	3.42	0	1
-2112	7.10	3.64	3.42	0	1
-2109	7.90	3.51	3.42	0	1
-2106	6.70	3.51	3.42	0	1
-2103	7.10	3.04	3.42	0	1
-2100	7.90	2.04	3.42	0	1
-2097	7.90	0.58	3.42	0	1
-2094	8.30	0.44	3.42	0	1
-2091	7.90	0.04	3.42	0	1
-2088	6.70	0.44	3.42	0	1
-2085	7.90	0.84	3.42	0	1
-2082	7.10	2.44	3.42	0	1
-2079	6.70	2.84	3.42	0	1
-2076	7.90	1.24	3.42	0	1
-2073	7.90	1.04	3.42	0	1
-2070	7.10	1.24	3.42	0	1
-2067	5.70	4.04	3.42	0	1
-2064	7.10	1.64	3.42	0	1
-2061	6.70	0.84	3.42	0	1
-2058	3.90	-0.07	3.42	0	1
-2055	4.10	-0.07	3.42	0	1
-2052	5.30	-0.07	3.42	0	1
-2049	6.50	-0.07	3.42	0	1
-2046	7.70	-0.07	3.42	0	1
-2043	8.90	-0.07	3.42	0	1
-2040	10.10	-0.07	3.42	0	1
-2037	11.30	-0.07	3.42	0	1
-2034	12.50	-0.07	3.42	0	1
-2031	13.69	-0.07	3.42	0	1
-2028	0.11	-0.07	3.42	0	1
-2025	1.31	-0.07	3.42	0	1
-2022	2.50	-0.07	3.42	0	1
-2019	7.50	-0.07	3.42	0	1
-2016	11.10	4.13	3.42	0	1
-2013	3.70	4.13	3.42	0	1

Nodo	X <m>	Y <m>	Z <m>	Imp.	Vn
-2219	3.70	3.84	3.42	0	1
-2216	8.10	3.84	3.42	0	1
-2213	12.10	3.84	3.42	0	1
-2210	12.90	3.84	3.42	0	1
-2207	14.09	3.84	3.42	0	1
-2204	11.70	3.84	3.42	0	1
-2201	11.10	3.84	3.42	0	1
-2198	10.10	3.84	3.42	0	1
-2195	8.50	3.84	3.42	0	1
-2192	7.30	3.84	3.42	0	1
-2189	6.70	3.84	3.42	0	1
-2186	5.30	3.84	3.42	0	1
-2183	4.10	3.84	3.42	0	1
-2180	2.70	3.84	3.42	0	1
-2177	1.31	3.84	3.42	0	1
-2174	0.11	3.84	3.42	0	1
-2171	14.09	0.24	3.42	0	1
-2168	12.90	0.24	3.42	0	1
-2165	12.10	0.24	3.42	0	1
-2162	11.10	0.24	3.42	0	1
-2159	10.10	0.24	3.42	0	1
-2156	8.90	0.24	3.42	0	1
-2153	8.10	0.24	3.42	0	1
-2150	7.50	0.24	3.42	0	1
-2147	6.90	0.24	3.42	0	1
-2144	6.10	0.24	3.42	0	1
-2141	4.90	0.24	3.42	0	1
-2138	3.90	0.24	3.42	0	1
-2135	2.90	0.24	3.42	0	1
-2132	2.10	0.24	3.42	0	1
-2129	0.91	0.24	3.42	0	1
-2126	6.70	-0.07	3.42	0	1
-2123	8.30	-0.07	3.42	0	1
-2120	8.30	4.13	3.42	0	1
-2117	7.90	4.04	3.42	0	1
-2114	8.30	3.64	3.42	0	1
-2111	6.70	3.64	3.42	0	1
-2108	7.10	3.51	3.42	0	1
-2105	6.70	3.24	3.42	0	1
-2102	6.70	2.04	3.42	0	1
-2099	8.30	2.04	3.42	0	1
-2096	7.10	0.58	3.42	0	1
-2093	8.30	0.04	3.42	0	1
-2090	7.10	0.44	3.42	0	1
-2087	6.70	0.04	3.42	0	1
-2084	7.10	0.84	3.42	0	1
-2081	7.10	2.84	3.42	0	1
-2078	8.30	1.24	3.42	0	1
-2075	7.90	1.64	3.42	0	1
-2072	7.10	1.04	3.42	0	1
-2069	3.70	4.04	3.42	0	1
-2066	6.70	1.24	3.42	0	1
-2063	9.70	4.04	3.42	0	1
-2060	12.30	-0.07	3.42	0	1
-2057	2.70	-0.07	3.42	0	1
-2054	4.50	-0.07	3.42	0	1
-2051	5.70	-0.07	3.42	0	1
-2048	6.90	-0.07	3.42	0	1
-2045	8.10	-0.07	3.42	0	1
-2042	9.30	-0.07	3.42	0	1
-2039	10.50	-0.07	3.42	0	1
-2036	11.70	-0.07	3.42	0	1
-2033	12.90	-0.07	3.42	0	1
-2030	14.09	-0.07	3.42	0	1
-2027	0.51	-0.07	3.42	0	1
-2024	1.71	-0.07	3.42	0	1
-2021	2.90	-0.07	3.42	0	1
-2018	14.89	-0.07	3.42	0	1
-2015	3.90	4.13	3.42	0	1
-2012	4.10	4.13	3.42	0	1

Nodo	X <m>	Y <m>	Z <m>	Imp.	Vn
-2218	5.70	3.84	3.42	0	1
-2215	7.90	3.84	3.42	0	1
-2212	12.30	3.84	3.42	0	1
-2209	13.29	3.84	3.42	0	1
-2206	14.89	3.84	3.42	0	1
-2203	3.30	3.84	3.42	0	1
-2200	10.90	3.84	3.42	0	1
-2197	9.30	3.84	3.42	0	1
-2194	8.30	3.84	3.42	0	1
-2191	7.10	3.84	3.42	0	1
-2188	6.50	3.84	3.42	0	1
-2185	4.90	3.84	3.42	0	1
-2182	3.90	3.84	3.42	0	1
-2179	2.50	3.84	3.42	0	1
-2176	0.91	3.84	3.42	0	1
-2173	14.89	0.24	3.42	0	1
-2170	13.69	0.24	3.42	0	1
-2167	12.50	0.24	3.42	0	1
-2164	11.70	0.24	3.42	0	1
-2161	10.90	0.24	3.42	0	1
-2158	9.70	0.24	3.42	0	1
-2155	8.50	0.24	3.42	0	1
-2152	7.90	0.24	3.42	0	1
-2149	7.30	0.24	3.42	0	1
-2146	6.70	0.24	3.42	0	1
-2143	5.70	0.24	3.42	0	1
-2140	4.50	0.24	3.42	0	1
-2137	3.70	0.24	3.42	0	1
-2134	2.70	0.24	3.42	0	1
-2131	1.71	0.24	3.42	0	1
-2128	0.51	0.24	3.42	0	1
-2125	7.10	-0.07	3.42	0	1
-2122	6.70	4.13	3.42	0	1
-2119	8.30	4.04	3.42	0	1
-2116	7.10	4.04	3.42	0	1
-2113	7.90	3.64	3.42	0	1
-2110	8.30	3.51	3.42	0	1
-2107	7.10	3.24	3.42	0	1
-2104	6.70	3.04	3.42	0	1
-2101	7.10	2.04	3.42	0	1
-2098	8.30	0.58	3.42	0	1
-2095	6.70	0.58	3.42	0	1
-2092	7.90	0.44	3.42	0	1
-2089	7.10	0.04	3.42	0	1
-2086	8.30	0.84	3.42	0	1
-2083	7.90	2.84	3.42	0	1
-2080	6.70	2.44	3.42	0	1
-2077	8.30	1.64	3.42	0	1
-2074	8.30	1.04	3.42	0	1
-2071	1.71	4.04	3.42	0	1
-2068	6.70	1.04	3.42	0	1
-2065	7.70	4.04	3.42	0	1
-2062	6.70	1.64	3.42	0	1
-2059	11.10	-0.07	3.42	0	1
-2056	3.70	-0.07	3.42	0	1
-2053	4.90	-0.07	3.42	0	1
-2050	6.10	-0.07	3.42	0	1
-2047	7.30	-0.07	3.42	0	1
-2044	8.50	-0.07	3.42	0	1
-2041	9.70	-0.07	3.42	0	1
-2038	10.90	-0.07	3.42	0	1
-2035	12.10	-0.07	3.42	0	1
-2032	13.29	-0.07	3.42	0	1
-2029	14.49	-0.07	3.42	0	1
-2026	0.91	-0.07	3.42	0	1
-2023	2.10	-0.07	3.42	0	1
-2020	3.30	-0.07	3.42	0	1
-2017	12.30	4.13	3.42	0	1
-2014	2.70	4.13	3.42	0	1
-2011	4.50	4.13	3.42	0	1

-2010	4.90	4.13	3.42	0	1	-2009	5.30	4.13	3.42	0	1	-2008	5.70	4.13	3.42	0	1
-2007	6.10	4.13	3.42	0	1	-2006	6.50	4.13	3.42	0	1	-2005	6.90	4.13	3.42	0	1
-2004	7.30	4.13	3.42	0	1	-2003	7.70	4.13	3.42	0	1	-2002	8.10	4.13	3.42	0	1
-2001	8.50	4.13	3.42	0	1	-2000	8.90	4.13	3.42	0	1	-1999	9.30	4.13	3.42	0	1
-1998	9.70	4.13	3.42	0	1	-1997	10.10	4.13	3.42	0	1	-1996	10.50	4.13	3.42	0	1
-1995	10.90	4.13	3.42	0	1	-1994	11.30	4.13	3.42	0	1	-1993	7.50	4.13	3.42	0	1
-1992	11.70	4.13	3.42	0	1	-1991	12.10	4.13	3.42	0	1	-1990	12.50	4.13	3.42	0	1
-1989	12.90	4.13	3.42	0	1	-1988	13.29	4.13	3.42	0	1	-1987	13.69	4.13	3.42	0	1
-1986	14.09	4.13	3.42	0	1	-1985	14.49	4.13	3.42	0	1	-1984	0.11	4.13	3.42	0	1
-1983	0.51	4.13	3.42	0	1	-1982	0.91	4.13	3.42	0	1	-1981	1.31	4.13	3.42	0	1
-1980	1.71	4.13	3.42	0	1	-1979	2.10	4.13	3.42	0	1	-1978	2.50	4.13	3.42	0	1
-1977	2.90	4.13	3.42	0	1	-1976	3.30	4.13	3.42	0	1	-1975	14.89	4.13	3.42	0	1
-1974	8.30	3.04	3.42	0	1	-1973	8.30	3.24	3.42	0	1	-1972	12.30	3.04	3.42	0	1
-1971	12.30	1.64	3.42	0	1	-1970	12.30	1.24	3.42	0	1	-1969	12.30	1.04	3.42	0	1
-1968	12.30	2.84	3.42	0	1	-1967	12.30	2.44	3.42	0	1	-1966	12.30	2.04	3.42	0	1
-1965	12.30	3.24	3.42	0	1	-1964	12.30	4.04	3.42	0	1	-1963	12.30	3.64	3.42	0	1
-1962	12.30	3.51	3.42	0	1	-1961	12.30	0.04	3.42	0	1	-1960	12.30	0.44	3.42	0	1
-1959	12.30	0.84	3.42	0	1	-1958	12.30	0.58	3.42	0	1	-1957	11.10	4.04	3.42	0	1
-1956	11.10	3.64	3.42	0	1	-1955	11.10	3.51	3.42	0	1	-1954	11.10	2.84	3.42	0	1
-1953	11.10	2.44	3.42	0	1	-1952	11.10	0.58	3.42	0	1	-1951	11.10	0.44	3.42	0	1
-1950	11.10	0.04	3.42	0	1	-1949	11.10	2.04	3.42	0	1	-1948	11.10	0.84	3.42	0	1
-1947	11.10	1.04	3.42	0	1	-1946	11.10	1.64	3.42	0	1	-1945	11.10	1.24	3.42	0	1
-1944	11.10	3.24	3.42	0	1	-1943	11.10	3.04	3.42	0	1	-1942	3.90	4.04	3.42	0	1
-1941	3.90	3.64	3.42	0	1	-1940	3.90	3.51	3.42	0	1	-1939	3.90	3.24	3.42	0	1
-1938	3.90	3.04	3.42	0	1	-1937	3.90	2.04	3.42	0	1	-1936	3.90	0.58	3.42	0	1
-1935	3.90	0.44	3.42	0	1	-1934	3.90	0.04	3.42	0	1	-1933	2.70	0.04	3.42	0	1
-1932	2.70	0.44	3.42	0	1	-1931	2.70	0.58	3.42	0	1	-1930	2.70	0.84	3.42	0	1
-1929	2.70	1.64	3.42	0	1	-1928	2.70	2.84	3.42	0	1	-1927	2.70	2.44	3.42	0	1
-1926	2.70	2.04	3.42	0	1	-1925	2.70	3.51	3.42	0	1	-1924	3.90	0.84	3.42	0	1
-1923	3.90	1.64	3.42	0	1	-1922	2.70	4.04	3.42	0	1	-1921	2.70	3.64	3.42	0	1
-1920	3.90	1.24	3.42	0	1	-1919	3.90	1.04	3.42	0	1	-1918	3.90	2.84	3.42	0	1
-1917	3.90	2.44	3.42	0	1	-1916	2.70	1.24	3.42	0	1	-1915	2.70	1.04	3.42	0	1
-1914	2.70	3.24	3.42	0	1	-1913	2.70	3.04	3.42	0	1	-1912	7.90	3.24	3.42	0	1
-1911	7.90	3.04	3.42	0	1	-1910	12.10	3.04	3.42	0	1	-1909	12.50	3.04	3.42	0	1
-1908	12.90	3.04	3.42	0	1	-1907	13.29	3.04	3.42	0	1	-1906	13.69	3.04	3.42	0	1
-1905	14.09	3.04	3.42	0	1	-1904	14.49	3.04	3.42	0	1	-1903	14.89	3.04	3.42	0	1
-1902	14.89	1.04	3.42	0	1	-1901	14.49	1.04	3.42	0	1	-1900	14.09	1.04	3.42	0	1
-1899	13.69	1.04	3.42	0	1	-1898	13.29	1.04	3.42	0	1	-1897	12.90	1.04	3.42	0	1
-1896	12.50	1.04	3.42	0	1	-1895	12.10	1.04	3.42	0	1	-1894	3.70	3.04	3.42	0	1
-1893	4.10	3.04	3.42	0	1	-1892	4.50	3.04	3.42	0	1	-1891	4.90	3.04	3.42	0	1
-1890	5.30	3.04	3.42	0	1	-1889	5.70	3.04	3.42	0	1	-1888	6.10	3.04	3.42	0	1
-1887	6.50	3.04	3.42	0	1	-1886	6.90	3.04	3.42	0	1	-1885	7.30	3.04	3.42	0	1
-1884	7.50	3.04	3.42	0	1	-1883	7.70	3.04	3.42	0	1	-1882	8.10	3.04	3.42	0	1
-1881	8.50	3.04	3.42	0	1	-1880	8.90	3.04	3.42	0	1	-1879	9.30	3.04	3.42	0	1
-1878	9.70	3.04	3.42	0	1	-1877	10.10	3.04	3.42	0	1	-1876	10.50	3.04	3.42	0	1
-1875	10.90	3.04	3.42	0	1	-1874	11.70	3.04	3.42	0	1	-1873	11.30	3.04	3.42	0	1
-1872	0.11	3.04	3.42	0	1	-1871	0.51	3.04	3.42	0	1	-1870	0.91	3.04	3.42	0	1
-1869	1.31	3.04	3.42	0	1	-1868	1.71	3.04	3.42	0	1	-1867	7.50	2.84	3.42	0	1
-1866	7.70	0.84	3.42	0	1	-1865	8.10	0.84	3.42	0	1	-1864	8.50	0.84	3.42	0	1
-1863	11.70	1.64	3.42	0	1	-1862	7.50	0.84	3.42	0	1	-1861	8.90	0.84	3.42	0	1
-1860	1.71	0.44	3.42	0	1	-1859	11.70	2.44	3.42	0	1	-1858	5.70	0.84	3.42	0	1
-1857	9.30	0.84	3.42	0	1	-1856	6.10	0.84	3.42	0	1	-1855	2.10	0.44	3.42	0	1
-1854	2.50	0.44	3.42	0	1	-1853	4.50	0.84	3.42	0	1	-1852	4.90	0.84	3.42	0	1
-1851	5.30	0.84	3.42	0	1	-1850	11.70	0.84	3.42	0	1	-1849	7.50	1.24	3.42	0	1
-1848	11.70	3.24	3.42	0	1	-1847	7.50	3.64	3.42	0	1	-1846	7.50	2.04	3.42	0	1
-1845	9.70	0.84	3.42	0	1	-1844	10.10	0.84	3.42	0	1	-1843	10.50	0.84	3.42	0	1
-1842	7.50	3.24	3.42	0	1	-1841	2.90	0.44	3.42	0	1	-1840	0.51	0.84	3.42	0	1
-1839	10.90	0.84	3.42	0	1	-1838	3.70	0.84	3.42	0	1	-1837	4.10	0.84	3.42	0	1
-1836	11.30	0.84	3.42	0	1	-1835	6.50	2.44	3.42	0	1	-1834	6.90	2.44	3.42	0	1
-1833	7.30	2.44	3.42	0	1	-1832	7.70	2.44	3.42	0	1	-1831	8.10	2.44	3.42	0	1
-1830	8.50	2.44	3.42	0	1	-1829	8.90	2.44	3.42	0	1	-1828	9.30	2.44	3.42	0	1
-1827	9.70	2.44	3.42	0	1	-1826	10.10	2.44	3.42	0	1	-1825	10.50	2.44	3.42	0	1
-1824	10.90	2.44	3.42	0	1	-1823	11.30	2.44	3.42	0	1	-1822	3.70	0.04	3.42	0	1
-1821	4.10	0.04	3.42	0	1	-1820	4.50	0.04	3.42	0	1	-1819	4.90	0.04	3.42	0	1
-1818	5.30	0.04	3.42	0	1	-1817	5.70	0.04	3.42	0	1	-1816	6.10	0.04	3.42	0	1
-1815	6.50	0.04	3.42	0	1	-1814	6.90	0.04	3.42	0	1	-1813	7.30	0.04	3.42	0	1
-1812	7.70	0.04	3.42	0	1	-1811	8.10	0.04	3.42	0	1	-1810	8.50	0.04	3.42	0	1
-1809	8.90	0.04	3.42	0	1	-1808	9.30	0.04	3.42	0	1	-1807	9.70	0.04	3.42	0	1
-1806	10.10	0.04	3.42	0	1	-1805	10.50	0.04	3.42	0	1	-1804	10.90	0.04	3.42	0	1
-1803	11.30	0.04	3.42	0	1	-1802	3.70	1.64	3.42	0	1	-1801	4.10	1.64	3.42	0	1
-1800	4.50	1.64	3.42	0	1	-1799	4.90	1.64	3.42	0	1	-1798	5.30	1.64	3.42	0	1
-1797	5.70	1.64	3.42	0	1	-1796	6.10	1.64	3.42	0	1	-1795	6.50	1.64	3.42	0	1
-1794	6.90	1.64	3.42	0	1	-1793	7.30	1.64	3.42	0	1	-1792	7.70	1.64	3.42	0	1
-1791	8.10	1.64	3.42	0	1	-1790	8.50	1.64	3.42	0	1	-1789	8.90	1.64	3.42	0	1
-1788	9.30	1.64	3.42	0	1	-1787	9.70	1.64	3.42	0	1	-1786	10.10	1.64	3.42	0	1
-1785	10.50	1.64	3.42	0	1	-1784	10.90	1.64	3.42	0	1	-1783	11.30	1.64	3.42	0	1
-1782	3.70	0.44	3.42	0	1	-1781	4.10	0.44	3.42	0	1	-1780	4.50	0.44	3.42	0	1
-1779	4.90	0.44	3.42	0	1	-1778	5.30	0.44	3.42	0	1	-1777	5.70	0.44	3.42	0	1
-1776	6.10	0.44	3.42	0	1	-1775	6.50	0.44	3.42	0	1	-1774	6.90	0.44	3.42	0	1

-1773	7.30	0.44	3.42	0	1
-1770	8.50	0.44	3.42	0	1
-1767	9.70	0.44	3.42	0	1
-1764	10.90	0.44	3.42	0	1
-1761	4.10	4.04	3.42	0	1
-1758	5.30	4.04	3.42	0	1
-1755	6.90	4.04	3.42	0	1
-1752	8.50	4.04	3.42	0	1
-1749	10.10	4.04	3.42	0	1
-1746	11.30	4.04	3.42	0	1
-1743	4.50	3.64	3.42	0	1
-1740	5.70	3.64	3.42	0	1
-1737	6.90	3.64	3.42	0	1
-1734	8.10	3.64	3.42	0	1
-1731	9.30	3.64	3.42	0	1
-1728	10.50	3.64	3.42	0	1
-1725	3.70	1.24	3.42	0	1
-1722	4.90	1.24	3.42	0	1
-1719	6.10	1.24	3.42	0	1
-1716	7.30	1.24	3.42	0	1
-1713	8.50	1.24	3.42	0	1
-1710	9.70	1.24	3.42	0	1
-1707	10.90	1.24	3.42	0	1
-1704	4.10	3.24	3.42	0	1
-1701	5.30	3.24	3.42	0	1
-1698	3.70	2.44	3.42	0	1
-1695	6.50	0.84	3.42	0	1
-1692	4.10	2.44	3.42	0	1
-1689	7.50	4.04	3.42	0	1
-1686	11.70	4.04	3.42	0	1
-1683	14.09	0.44	3.42	0	1
-1680	12.50	4.04	3.42	0	1
-1677	13.69	4.04	3.42	0	1
-1674	12.10	2.04	3.42	0	1
-1671	13.29	2.04	3.42	0	1
-1668	14.49	2.04	3.42	0	1
-1665	12.90	1.24	3.42	0	1
-1662	14.09	1.24	3.42	0	1
-1659	12.50	3.64	3.42	0	1
-1656	13.69	3.64	3.42	0	1
-1653	12.10	3.24	3.42	0	1
-1650	13.29	3.24	3.42	0	1
-1647	14.49	3.24	3.42	0	1
-1644	12.90	2.84	3.42	0	1
-1641	14.09	2.84	3.42	0	1
-1638	12.50	2.44	3.42	0	1
-1635	13.69	2.44	3.42	0	1
-1632	12.10	1.64	3.42	0	1
-1629	13.29	1.64	3.42	0	1
-1626	14.49	1.64	3.42	0	1
-1623	12.90	0.04	3.42	0	1
-1620	14.09	0.04	3.42	0	1
-1617	0.11	0.04	3.42	0	1
-1614	0.11	2.84	3.42	0	1
-1611	0.11	1.24	3.42	0	1
-1608	0.11	0.44	3.42	0	1
-1605	0.91	0.04	3.42	0	1
-1602	2.10	0.04	3.42	0	1
-1599	0.51	1.64	3.42	0	1
-1596	1.71	1.64	3.42	0	1
-1593	2.90	1.64	3.42	0	1
-1590	1.31	2.44	3.42	0	1
-1587	2.50	2.44	3.42	0	1
-1584	0.91	2.84	3.42	0	1
-1581	2.10	2.84	3.42	0	1
-1578	0.51	3.24	3.42	0	1
-1575	1.71	3.24	3.42	0	1
-1572	2.90	3.24	3.42	0	1
-1569	1.31	3.64	3.42	0	1
-1566	2.50	3.64	3.42	0	1
-1563	0.91	1.24	3.42	0	1
-1560	2.10	1.24	3.42	0	1
-1557	0.51	2.04	3.42	0	1
-1554	1.71	2.04	3.42	0	1
-1551	2.90	2.04	3.42	0	1
-1548	1.31	4.04	3.42	0	1
-1545	2.50	4.04	3.42	0	1
-1542	0.91	0.44	3.42	0	1
-1539	3.30	0.04	3.42	0	1

-1772	7.70	0.44	3.42	0	1
-1769	8.90	0.44	3.42	0	1
-1766	10.10	0.44	3.42	0	1
-1763	11.30	0.44	3.42	0	1
-1760	4.50	4.04	3.42	0	1
-1757	6.10	4.04	3.42	0	1
-1754	7.30	4.04	3.42	0	1
-1751	8.90	4.04	3.42	0	1
-1748	10.50	4.04	3.42	0	1
-1745	3.70	3.64	3.42	0	1
-1742	4.90	3.64	3.42	0	1
-1739	6.10	3.64	3.42	0	1
-1736	7.30	3.64	3.42	0	1
-1733	8.50	3.64	3.42	0	1
-1730	9.70	3.64	3.42	0	1
-1727	10.90	3.64	3.42	0	1
-1724	4.10	1.24	3.42	0	1
-1721	5.30	1.24	3.42	0	1
-1718	6.50	1.24	3.42	0	1
-1715	7.70	1.24	3.42	0	1
-1712	8.90	1.24	3.42	0	1
-1709	10.10	1.24	3.42	0	1
-1706	11.30	1.24	3.42	0	1
-1703	4.50	3.24	3.42	0	1
-1700	5.70	3.24	3.42	0	1
-1697	0.91	0.84	3.42	0	1
-1694	6.90	0.84	3.42	0	1
-1691	4.50	2.44	3.42	0	1
-1688	4.90	2.44	3.42	0	1
-1685	2.10	0.84	3.42	0	1
-1682	14.49	0.44	3.42	0	1
-1679	12.90	4.04	3.42	0	1
-1676	14.09	4.04	3.42	0	1
-1673	12.50	2.04	3.42	0	1
-1670	13.69	2.04	3.42	0	1
-1667	12.10	1.24	3.42	0	1
-1664	13.29	1.24	3.42	0	1
-1661	14.49	1.24	3.42	0	1
-1658	12.90	3.64	3.42	0	1
-1655	14.09	3.64	3.42	0	1
-1652	12.50	3.24	3.42	0	1
-1649	13.69	3.24	3.42	0	1
-1646	12.10	2.84	3.42	0	1
-1643	13.29	2.84	3.42	0	1
-1640	14.49	2.84	3.42	0	1
-1637	12.90	2.44	3.42	0	1
-1634	14.09	2.44	3.42	0	1
-1631	12.50	1.64	3.42	0	1
-1628	13.69	1.64	3.42	0	1
-1625	12.10	0.04	3.42	0	1
-1622	13.29	0.04	3.42	0	1
-1619	14.49	0.04	3.42	0	1
-1616	0.11	1.64	3.42	0	1
-1613	0.11	3.24	3.42	0	1
-1610	0.11	2.04	3.42	0	1
-1607	0.11	0.84	3.42	0	1
-1604	1.31	0.04	3.42	0	1
-1601	2.50	0.04	3.42	0	1
-1598	0.91	1.64	3.42	0	1
-1595	2.10	1.64	3.42	0	1
-1592	0.51	2.44	3.42	0	1
-1589	1.71	2.44	3.42	0	1
-1586	2.90	2.44	3.42	0	1
-1583	1.31	2.84	3.42	0	1
-1580	2.50	2.84	3.42	0	1
-1577	0.91	3.24	3.42	0	1
-1574	2.10	3.24	3.42	0	1
-1571	0.51	3.64	3.42	0	1
-1568	1.71	3.64	3.42	0	1
-1565	2.90	3.64	3.42	0	1
-1562	1.31	1.24	3.42	0	1
-1559	2.50	1.24	3.42	0	1
-1556	0.91	2.04	3.42	0	1
-1553	2.10	2.04	3.42	0	1
-1550	0.51	4.04	3.42	0	1
-1547	7.90	2.44	3.42	0	1
-1544	2.90	4.04	3.42	0	1
-1541	1.31	0.44	3.42	0	1
-1538	13.29	0.58	3.42	0	1

-1771	8.10	0.44	3.42	0	1
-1768	9.30	0.44	3.42	0	1
-1765	10.50	0.44	3.42	0	1
-1762	8.30	2.84	3.42	0	1
-1759	4.90	4.04	3.42	0	1
-1756	6.50	4.04	3.42	0	1
-1753	8.10	4.04	3.42	0	1
-1750	9.30	4.04	3.42	0	1
-1747	10.90	4.04	3.42	0	1
-1744	4.10	3.64	3.42	0	1
-1741	5.30	3.64	3.42	0	1
-1738	6.50	3.64	3.42	0	1
-1735	7.70	3.64	3.42	0	1
-1732	8.90	3.64	3.42	0	1
-1729	10.10	3.64	3.42	0	1
-1726	11.30	3.64	3.42	0	1
-1723	4.50	1.24	3.42	0	1
-1720	5.70	1.24	3.42	0	1
-1717	6.90	1.24	3.42	0	1
-1714	8.10	1.24	3.42	0	1
-1711	9.30	1.24	3.42	0	1
-1708	10.50	1.24	3.42	0	1
-1705	3.70	3.24	3.42	0	1
-1702	4.90	3.24	3.42	0	1
-1699	8.30	2.44	3.42	0	1
-1696	1.31	0.84	3.42	0	1
-1693	7.30	0.84	3.42	0	1
-1690	1.71	0.84	3.42	0	1
-1687	11.70	0.04	3.42	0	1
-1684	13.69	0.44	3.42	0	1
-1681	12.10	4.04	3.42	0	1
-1678	13.29	4.04	3.42	0	1
-1675	14.49	4.04	3.42	0	1
-1672	12.90	2.04	3.42	0	1
-1669	14.09	2.04	3.42	0	1
-1666	12.50	1.24	3.42	0	1
-1663	13.69	1.24	3.42	0	1
-1660	12.10	3.64	3.42	0	1
-1657	13.29	3.64	3.42	0	1
-1654	14.49	3.64	3.42	0	1
-1651	12.90	3.24	3.42	0	1
-1648	14.09	3.24	3.42	0	1
-1645	12.50	2.84	3.42	0	1
-1642	13.69	2.84	3.42	0	1
-1639	12.10	2.44	3.42	0	1
-1636	13.29	2.44	3.42	0	1
-1633	14.49	2.44	3.42	0	1
-1630	12.90	1.64	3.42	0	1
-1627	14.09	1.64	3.42	0	1
-1624	12.50	0.04	3.42	0	1
-1621	13.69	0.04	3.42	0	1
-1618	2.90	0.84	3.42	0	1
-1615	0.11	2.44	3.42	0	1
-1612	0.11	3.64	3.42	0	1
-1609	0.11	4.04	3.42	0	1
-1606	0.51	0.04	3.42	0	1
-1603	1.71	0.04	3.42	0	1
-1600	2.90	0.04	3.42	0	1
-1597	1.31	1.64	3.42	0	1
-1594	2.50	1.64	3.42	0	1
-1591	0.91	2.44	3.42	0	1
-1588	2.10	2.44	3.42	0	1
-1585	0.51	2.84	3.42	0	1
-1582	1.71	2.84	3.42	0	1
-1579	2.90	2.84	3.42	0	1
-1576	1.31	3.24	3.42	0	1
-1573	2.50	3.24	3.42	0	1
-1570	0.91	3.64	3.42	0	1
-1567	2.10	3.64	3.42	0	1
-1564	0.51	1.24	3.42	0	1
-1561	1.71	1.24	3.42	0	1
-1558	2.90	1.24	3.42	0	1
-1555	1.31	2.04	3.42	0	1
-1552	2.50	2.04	3.42	0	1
-1549	0.91	4.04	3.42	0	1
-1546	2.10	4.04	3.42	0	1
-1543	0.51	0.44	3.42	0	1
-1540	3.30	4.04	3.42	0	1
-1537	3.30	3.24	3.42	0	1

-1536	3.30	0.84	3.42	0	1
-1533	7.50	0.04	3.42	0	1
-1530	12.50	0.58	3.42	0	1
-1527	14.49	0.58	3.42	0	1
-1524	13.29	3.51	3.42	0	1
-1521	12.10	3.51	3.42	0	1
-1518	14.09	3.51	3.42	0	1
-1515	2.50	3.51	3.42	0	1
-1512	1.31	3.51	3.42	0	1
-1509	0.11	3.51	3.42	0	1
-1506	10.50	3.51	3.42	0	1
-1503	9.30	3.51	3.42	0	1
-1500	8.10	3.51	3.42	0	1
-1497	6.10	3.24	3.42	0	1
-1494	7.30	3.24	3.42	0	1
-1491	8.50	3.24	3.42	0	1
-1488	6.50	3.51	3.42	0	1
-1485	5.30	3.51	3.42	0	1
-1482	8.90	3.24	3.42	0	1
-1479	10.10	3.24	3.42	0	1
-1476	11.30	3.24	3.42	0	1
-1473	4.50	2.84	3.42	0	1
-1470	5.70	2.84	3.42	0	1
-1467	6.90	2.84	3.42	0	1
-1464	8.10	2.84	3.42	0	1
-1461	4.10	3.51	3.42	0	1
-1458	3.70	3.51	3.42	0	1
-1455	10.50	2.84	3.42	0	1
-1452	3.70	2.04	3.42	0	1
-1449	4.50	2.04	3.42	0	1
-1446	5.30	2.04	3.42	0	1
-1443	6.10	2.04	3.42	0	1
-1440	1.71	0.58	3.42	0	1
-1437	1.31	0.58	3.42	0	1
-1434	8.90	2.04	3.42	0	1
-1431	10.10	2.04	3.42	0	1
-1428	11.30	2.04	3.42	0	1
-1425	14.89	4.04	3.42	0	1
-1422	14.89	3.64	3.42	0	1
-1419	14.89	2.44	3.42	0	1
-1416	12.10	0.84	3.42	0	1
-1413	7.50	0.44	3.42	0	1
-1410	5.70	2.44	3.42	0	1
-1407	0.11	0.58	3.42	0	1
-1404	10.50	0.58	3.42	0	1
-1401	9.30	0.58	3.42	0	1
-1398	8.10	0.58	3.42	0	1
-1395	6.90	0.58	3.42	0	1
-1392	5.70	0.58	3.42	0	1
-1389	4.50	0.58	3.42	0	1
-1386	7.50	0.58	3.42	0	1
-1383	4.10	1.04	3.42	0	1
-1380	5.30	1.04	3.42	0	1
-1377	6.50	1.04	3.42	0	1
-1374	7.50	1.04	3.42	0	1
-1371	8.50	1.04	3.42	0	1
-1368	9.70	1.04	3.42	0	1
-1365	13.69	0.84	3.42	0	1
-1362	12.10	0.44	3.42	0	1
-1359	10.90	1.04	3.42	0	1
-1356	12.50	0.44	3.42	0	1
-1353	0.51	1.04	3.42	0	1
-1350	1.31	1.04	3.42	0	1
-1347	2.50	1.04	3.42	0	1
-1344	3.30	3.04	3.42	0	1
-1334	8.30	4.04	3.20	0	1
-1330	6.70	4.04	3.20	0	1
-1327	7.10	3.64	3.20	0	1
-1320	6.70	3.24	3.20	0	1
-1315	7.90	2.04	3.20	0	1
-1308	8.30	0.04	3.20	0	1
-1305	7.10	0.44	3.20	0	1
-1302	6.70	0.04	3.20	0	1
-1299	7.10	0.84	3.20	0	1
-1296	7.10	1.64	3.20	0	1
-1289	7.90	1.64	3.20	0	1
-1286	8.30	1.24	3.20	0	1
-1283	7.10	2.84	3.20	0	1
-1280	7.90	2.44	3.20	0	1

-1535	7.50	1.64	3.42	0	1
-1532	7.50	2.44	3.42	0	1
-1529	12.10	0.58	3.42	0	1
-1526	14.09	0.58	3.42	0	1
-1523	12.90	3.51	3.42	0	1
-1520	14.89	3.51	3.42	0	1
-1517	13.69	3.51	3.42	0	1
-1514	2.10	3.51	3.42	0	1
-1511	0.91	3.51	3.42	0	1
-1508	11.30	3.51	3.42	0	1
-1505	10.10	3.51	3.42	0	1
-1502	8.90	3.51	3.42	0	1
-1499	7.70	3.51	3.42	0	1
-1496	6.50	3.24	3.42	0	1
-1493	7.70	3.24	3.42	0	1
-1490	12.90	0.58	3.42	0	1
-1487	6.10	3.51	3.42	0	1
-1484	4.90	3.51	3.42	0	1
-1481	9.30	3.24	3.42	0	1
-1478	10.50	3.24	3.42	0	1
-1475	3.70	2.84	3.42	0	1
-1472	4.90	2.84	3.42	0	1
-1469	6.10	2.84	3.42	0	1
-1466	7.30	2.84	3.42	0	1
-1463	8.50	2.84	3.42	0	1
-1460	9.30	2.84	3.42	0	1
-1457	7.50	3.51	3.42	0	1
-1454	10.90	2.84	3.42	0	1
-1451	2.90	0.58	3.42	0	1
-1448	4.90	2.04	3.42	0	1
-1445	5.70	2.04	3.42	0	1
-1442	6.50	2.04	3.42	0	1
-1439	7.30	2.04	3.42	0	1
-1436	8.10	2.04	3.42	0	1
-1433	9.30	2.04	3.42	0	1
-1430	10.50	2.04	3.42	0	1
-1427	14.89	0.84	3.42	0	1
-1424	14.89	2.04	3.42	0	1
-1421	14.89	3.24	3.42	0	1
-1418	14.89	1.64	3.42	0	1
-1415	12.50	0.84	3.42	0	1
-1412	6.10	2.44	3.42	0	1
-1409	0.91	0.58	3.42	0	1
-1406	11.30	0.58	3.42	0	1
-1403	10.10	0.58	3.42	0	1
-1400	8.90	0.58	3.42	0	1
-1397	7.70	0.58	3.42	0	1
-1394	6.50	0.58	3.42	0	1
-1391	5.30	0.58	3.42	0	1
-1388	4.10	0.58	3.42	0	1
-1385	3.30	1.04	3.42	0	1
-1382	4.50	1.04	3.42	0	1
-1379	5.70	1.04	3.42	0	1
-1376	6.90	1.04	3.42	0	1
-1373	7.70	1.04	3.42	0	1
-1370	8.90	1.04	3.42	0	1
-1367	12.90	0.84	3.42	0	1
-1364	14.09	0.84	3.42	0	1
-1361	10.10	1.04	3.42	0	1
-1358	11.30	1.04	3.42	0	1
-1355	12.90	0.44	3.42	0	1
-1352	13.29	0.44	3.42	0	1
-1349	1.71	1.04	3.42	0	1
-1346	2.90	1.04	3.42	0	1
-1343	2.50	3.04	3.42	0	1
-1332	7.90	4.04	3.20	0	1
-1329	8.30	3.64	3.20	0	1
-1326	6.70	3.64	3.20	0	1
-1317	6.70	2.04	3.20	0	1
-1314	8.30	2.04	3.20	0	1
-1307	7.90	0.44	3.20	0	1
-1304	7.10	0.04	3.20	0	1
-1301	8.30	0.84	3.20	0	1
-1298	6.70	0.84	3.20	0	1
-1295	6.70	1.24	3.20	0	1
-1288	7.90	1.24	3.20	0	1
-1285	6.70	2.84	3.20	0	1
-1282	7.10	2.44	3.20	0	1
-1279	8.30	2.84	3.20	0	1

-1534	3.30	2.44	3.42	0	1
-1531	3.30	1.64	3.42	0	1
-1528	14.89	0.58	3.42	0	1
-1525	13.69	0.58	3.42	0	1
-1522	12.50	3.51	3.42	0	1
-1519	14.49	3.51	3.42	0	1
-1516	2.90	3.51	3.42	0	1
-1513	1.71	3.51	3.42	0	1
-1510	0.51	3.51	3.42	0	1
-1507	10.90	3.51	3.42	0	1
-1504	9.70	3.51	3.42	0	1
-1501	8.50	3.51	3.42	0	1
-1498	7.30	3.51	3.42	0	1
-1495	6.90	3.24	3.42	0	1
-1492	8.10	3.24	3.42	0	1
-1489	6.90	3.51	3.42	0	1
-1486	5.70	3.51	3.42	0	1
-1483	4.50	3.51	3.42	0	1
-1480	9.70	3.24	3.42	0	1
-1477	10.90	3.24	3.42	0	1
-1474	4.10	2.84	3.42	0	1
-1471	5.30	2.84	3.42	0	1
-1468	6.50	2.84	3.42	0	1
-1465	7.70	2.84	3.42	0	1
-1462	8.90	2.84	3.42	0	1
-1459	9.70	2.84	3.42	0	1
-1456	10.10	2.84	3.42	0	1
-1453	11.30	2.84	3.42	0	1
-1450	4.10	2.04	3.42	0	1
-1447	2.50	0.58	3.42	0	1
-1444	2.10	0.58	3.42	0	1
-1441	6.90	2.04	3.42	0	1
-1438	7.70	2.04	3.42	0	1
-1435	8.50	2.04	3.42	0	1
-1432	9.70	2.04	3.42	0	1
-1429	10.90	2.04	3.42	0	1
-1426	14.89	0.44	3.42	0	1
-1423	14.89	1.24	3.42	0	1
-1420	14.89	2.84	3.42	0	1
-1417	14.89	0.04	3.42	0	1
-1414	2.50	0.84	3.42	0	1
-1411	5.30	2.44	3.42	0	1
-1408	0.51	0.58	3.42	0	1
-1405	10.90	0.58	3.42	0	1
-1402	9.70	0.58	3.42	0	1
-1399	8.50	0.58	3.42	0	1
-1396	7.30	0.58	3.42	0	1
-1393	6.10	0.58	3.42	0	1
-1390	4.90	0.58	3.42	0	1
-1387	3.70	0.58	3.42	0	1
-1384	3.70	1.04	3.42	0	1
-1381	4.90	1.04	3.42	0	1
-1378	6.10	1.04	3.42	0	1
-1375	7.30	1.04	3.42	0	1
-1372	8.10	1.04	3.42	0	1
-1369	9.30	1.04	3.42	0	1
-1366	13.29	0.84	3.42	0	1
-1363	14.49	0.84	3.42	0	1
-1360	10.50	1.04	3.42	0	1
-1357	11.70	1.04	3.42	0	1
-1354	0.11	1.04	3.42	0	1
-1351	0.91	1.04	3.42	0	1
-1348	2.10	1.04	3.42	0	1
-1345	2.90	3.04	3.42	0	1
-1342	2.10	3.04	3.42	0	1
-1331	7.10	4.04	3.20	0	1
-1328	7.90	3.64	3.20	0	1
-1322	7.10	3.24	3.20	0	1
-1316	7.10	2.04	3.20	0	1
-1309	8.30	0.44	3.20	0	1
-1306	7.90	0.04	3.20	0	1
-1303	6.70	0.44	3.20	0	1
-1300	7.90	0.84	3.20	0	1
-1297	6.70	1.64	3.20	0	1
-1293	7.10	1.24	3.20	0	1
-1287	8.30	1.64	3.20	0	1
-1284	6.70	2.44	3.20	0	1
-1281	7.90	2.84	3.20	0	1
-1278	8.30	2.44	3.20	0	1

-1277	8.30	3.24	3.20	0	1	-1275	7.90	3.24	3.20	0	1	-1273	7.75	0.04	4.70	0	1
-1272	7.25	0.04	4.70	0	1	-1271	15.20	4.29	3.20	0	1	-1270	-0.20	4.29	3.20	0	1
-1269	15.20	4.13	3.20	0	1	-1225	-0.20	4.13	3.20	0	1	-1224	14.89	4.04	3.20	0	1
-1223	14.49	4.04	3.20	0	1	-1222	14.09	4.04	3.20	0	1	-1221	13.69	4.04	3.20	0	1
-1220	12.90	4.04	3.20	0	1	-1219	12.50	4.04	3.20	0	1	-1218	12.30	4.04	3.20	0	1
-1217	12.10	4.04	3.20	0	1	-1216	11.70	4.04	3.20	0	1	-1215	11.10	4.04	3.20	0	1
-1214	10.90	4.04	3.20	0	1	-1213	10.50	4.04	3.20	0	1	-1212	10.10	4.04	3.20	0	1
-1211	9.70	4.04	3.20	0	1	-1210	8.90	4.04	3.20	0	1	-1209	8.50	4.04	3.20	0	1
-1208	8.10	4.04	3.20	0	1	-1207	7.70	4.04	3.20	0	1	-1206	7.30	4.04	3.20	0	1
-1205	6.90	4.04	3.20	0	1	-1204	6.50	4.04	3.20	0	1	-1203	6.10	4.04	3.20	0	1
-1202	5.30	4.04	3.20	0	1	-1201	4.90	4.04	3.20	0	1	-1200	4.50	4.04	3.20	0	1
-1199	4.10	4.04	3.20	0	1	-1198	3.90	4.04	3.20	0	1	-1197	3.30	4.04	3.20	0	1
-1196	2.90	4.04	3.20	0	1	-1195	2.70	4.04	3.20	0	1	-1194	2.50	4.04	3.20	0	1
-1193	2.10	4.04	3.20	0	1	-1192	1.31	4.04	3.20	0	1	-1191	0.91	4.04	3.20	0	1
-1190	0.51	4.04	3.20	0	1	-1189	0.11	4.04	3.20	0	1	-1188	15.20	3.64	3.20	0	1
-1187	14.89	3.64	3.20	0	1	-1186	14.49	3.64	3.20	0	1	-1185	14.09	3.64	3.20	0	1
-1184	13.69	3.64	3.20	0	1	-1183	13.29	3.64	3.20	0	1	-1182	12.90	3.64	3.20	0	1
-1181	12.50	3.64	3.20	0	1	-1180	12.30	3.64	3.20	0	1	-1179	12.10	3.64	3.20	0	1
-1178	11.30	3.64	3.20	0	1	-1177	11.10	3.64	3.20	0	1	-1176	10.90	3.64	3.20	0	1
-1175	10.50	3.64	3.20	0	1	-1174	10.10	3.64	3.20	0	1	-1173	9.70	3.64	3.20	0	1
-1172	9.30	3.64	3.20	0	1	-1171	8.90	3.64	3.20	0	1	-1170	8.50	3.64	3.20	0	1
-1169	8.10	3.64	3.20	0	1	-1168	7.70	3.64	3.20	0	1	-1167	7.50	3.64	3.20	0	1
-1166	7.30	3.64	3.20	0	1	-1165	6.90	3.64	3.20	0	1	-1164	6.50	3.64	3.20	0	1
-1163	6.10	3.64	3.20	0	1	-1162	5.70	3.64	3.20	0	1	-1161	5.30	3.64	3.20	0	1
-1160	4.90	3.64	3.20	0	1	-1159	4.50	3.64	3.20	0	1	-1158	4.10	3.64	3.20	0	1
-1157	3.90	3.64	3.20	0	1	-1156	3.70	3.64	3.20	0	1	-1155	2.90	3.64	3.20	0	1
-1154	2.70	3.64	3.20	0	1	-1153	2.50	3.64	3.20	0	1	-1152	2.10	3.64	3.20	0	1
-1151	1.71	3.64	3.20	0	1	-1150	1.31	3.64	3.20	0	1	-1149	0.91	3.64	3.20	0	1
-1148	0.51	3.64	3.20	0	1	-1147	0.11	3.64	3.20	0	1	-1146	-0.20	3.64	3.20	0	1
-1145	15.20	3.51	3.20	0	1	-1103	-0.20	3.51	3.20	0	1	-1102	15.20	3.24	3.20	0	1
-1101	14.89	3.24	3.20	0	1	-1100	14.49	3.24	3.20	0	1	-1099	14.09	3.24	3.20	0	1
-1098	13.69	3.24	3.20	0	1	-1097	13.29	3.24	3.20	0	1	-1096	12.90	3.24	3.20	0	1
-1095	12.50	3.24	3.20	0	1	-1094	12.30	3.24	3.20	0	1	-1093	12.10	3.24	3.20	0	1
-1092	11.70	3.24	3.20	0	1	-1091	11.30	3.24	3.20	0	1	-1090	11.10	3.24	3.20	0	1
-1089	10.90	3.24	3.20	0	1	-1088	10.50	3.24	3.20	0	1	-1087	10.10	3.24	3.20	0	1
-1086	9.70	3.24	3.20	0	1	-1085	9.30	3.24	3.20	0	1	-1084	8.90	3.24	3.20	0	1
-1083	8.50	3.24	3.20	0	1	-1082	8.10	3.24	3.20	0	1	-1081	7.70	3.24	3.20	0	1
-1080	7.50	3.24	3.20	0	1	-1079	7.30	3.24	3.20	0	1	-1078	6.90	3.24	3.20	0	1
-1077	6.50	3.24	3.20	0	1	-1076	6.10	3.24	3.20	0	1	-1075	5.70	3.24	3.20	0	1
-1074	5.30	3.24	3.20	0	1	-1073	4.90	3.24	3.20	0	1	-1072	4.50	3.24	3.20	0	1
-1071	4.10	3.24	3.20	0	1	-1070	3.90	3.24	3.20	0	1	-1069	3.70	3.24	3.20	0	1
-1068	3.30	3.24	3.20	0	1	-1067	2.90	3.24	3.20	0	1	-1066	2.70	3.24	3.20	0	1
-1065	2.50	3.24	3.20	0	1	-1064	2.10	3.24	3.20	0	1	-1063	1.71	3.24	3.20	0	1
-1062	1.31	3.24	3.20	0	1	-1061	0.91	3.24	3.20	0	1	-1060	0.51	3.24	3.20	0	1
-1059	0.11	3.24	3.20	0	1	-1058	-0.20	3.24	3.20	0	1	-1057	15.20	3.04	3.20	0	1
-1047	11.70	3.04	3.20	0	1	-1023	3.30	3.04	3.20	0	1	-1013	-0.20	3.04	3.20	0	1
-1012	15.20	2.84	3.20	0	1	-1011	14.89	2.84	3.20	0	1	-1010	14.49	2.84	3.20	0	1
-1009	14.09	2.84	3.20	0	1	-1008	13.69	2.84	3.20	0	1	-1007	13.29	2.84	3.20	0	1
-1006	12.90	2.84	3.20	0	1	-1005	12.50	2.84	3.20	0	1	-1004	12.30	2.84	3.20	0	1
-1003	12.10	2.84	3.20	0	1	-1002	11.30	2.84	3.20	0	1	-1001	11.10	2.84	3.20	0	1
-1000	10.90	2.84	3.20	0	1	-999	10.50	2.84	3.20	0	1	-998	10.10	2.84	3.20	0	1
-997	9.70	2.84	3.20	0	1	-996	9.30	2.84	3.20	0	1	-995	8.90	2.84	3.20	0	1
-994	8.50	2.84	3.20	0	1	-993	8.10	2.84	3.20	0	1	-992	7.70	2.84	3.20	0	1
-991	7.50	2.84	3.20	0	1	-990	7.30	2.84	3.20	0	1	-989	6.90	2.84	3.20	0	1
-988	6.50	2.84	3.20	0	1	-987	6.10	2.84	3.20	0	1	-986	5.70	2.84	3.20	0	1
-985	5.30	2.84	3.20	0	1	-984	4.90	2.84	3.20	0	1	-983	4.50	2.84	3.20	0	1
-982	4.10	2.84	3.20	0	1	-981	3.90	2.84	3.20	0	1	-980	3.70	2.84	3.20	0	1
-979	2.90	2.84	3.20	0	1	-978	2.70	2.84	3.20	0	1	-977	2.50	2.84	3.20	0	1
-976	2.10	2.84	3.20	0	1	-975	1.71	2.84	3.20	0	1	-974	1.31	2.84	3.20	0	1
-973	0.91	2.84	3.20	0	1	-972	0.51	2.84	3.20	0	1	-971	0.11	2.84	3.20	0	1
-970	-0.20	2.84	3.20	0	1	-969	15.20	2.44	3.20	0	1	-968	14.89	2.44	3.20	0	1
-967	14.49	2.44	3.20	0	1	-966	14.09	2.44	3.20	0	1	-965	13.69	2.44	3.20	0	1
-964	13.29	2.44	3.20	0	1	-963	12.90	2.44	3.20	0	1	-962	12.50	2.44	3.20	0	1
-961	12.30	2.44	3.20	0	1	-960	12.10	2.44	3.20	0	1	-959	11.70	2.44	3.20	0	1
-958	11.30	2.44	3.20	0	1	-957	11.10	2.44	3.20	0	1	-956	10.90	2.44	3.20	0	1
-955	10.50	2.44	3.20	0	1	-954	10.10	2.44	3.20	0	1	-953	9.70	2.44	3.20	0	1
-952	9.30	2.44	3.20	0	1	-951	8.90	2.44	3.20	0	1	-950	8.50	2.44	3.20	0	1
-949	8.10	2.44	3.20	0	1	-948	7.70	2.44	3.20	0	1	-947	7.50	2.44	3.20	0	1
-946	7.30	2.44	3.20	0	1	-945	6.90	2.44	3.20	0	1	-944	6.50	2.44	3.20	0	1
-943	6.10	2.44	3.20	0	1	-942	5.70	2.44	3.20	0	1	-941	5.30	2.44	3.20	0	1
-940	4.90	2.44	3.20	0	1	-939	4.50	2.44	3.20	0	1	-938	4.10	2.44	3.20	0	1
-937	3.90	2.44	3.20	0	1	-936	3.70	2.44	3.20	0	1	-935	3.30	2.44	3.20	0	1
-934	2.90	2.44	3.20	0	1	-933	2.70	2.44	3.20	0	1	-932	2.50	2.44	3.20	0	1
-931	2.10	2.44	3.20	0	1	-930	1.71	2.44	3.20	0	1	-929	1.31	2.44	3.20	0	1
-928	0.91	2.44	3.20	0	1	-927	0.51	2.44	3.20	0	1	-926	0.11	2.44	3.20	0	1
-925	-0.20	2.44	3.20	0	1	-924	15.20	2.04	3.20	0	1	-923	14.89	2.04	3.20	0	1
-922	14.49	2.04	3.20	0	1	-921	14.09	2.04	3.20	0	1	-920	13.69	2.04	3.20	0	1
-919	13.29	2.04	3.20	0	1	-918	12.90	2.04	3.20	0	1	-917	12.50	2.04	3.20	0	1
-916	12.30	2.04	3.20	0	1	-915	12.10	2.04	3.20	0	1	-914	11.30	2.04	3.20	0	1

-913	11.10	2.04	3.20	0	1	-912	10.90	2.04	3.20	0	1	-911	10.50	2.04	3.20	0	1
-910	10.10	2.04	3.20	0	1	-909	9.70	2.04	3.20	0	1	-908	9.30	2.04	3.20	0	1
-907	8.90	2.04	3.20	0	1	-906	8.50	2.04	3.20	0	1	-905	8.10	2.04	3.20	0	1
-904	7.70	2.04	3.20	0	1	-903	7.50	2.04	3.20	0	1	-902	7.30	2.04	3.20	0	1
-901	6.90	2.04	3.20	0	1	-900	6.50	2.04	3.20	0	1	-899	6.10	2.04	3.20	0	1
-898	5.70	2.04	3.20	0	1	-897	5.30	2.04	3.20	0	1	-896	4.90	2.04	3.20	0	1
-895	4.50	2.04	3.20	0	1	-894	4.10	2.04	3.20	0	1	-893	3.90	2.04	3.20	0	1
-892	3.70	2.04	3.20	0	1	-891	2.90	2.04	3.20	0	1	-890	2.70	2.04	3.20	0	1
-889	2.50	2.04	3.20	0	1	-888	2.10	2.04	3.20	0	1	-887	1.71	2.04	3.20	0	1
-886	1.31	2.04	3.20	0	1	-885	0.91	2.04	3.20	0	1	-884	0.51	2.04	3.20	0	1
-883	0.11	2.04	3.20	0	1	-882	-0.20	2.04	3.20	0	1	-881	15.20	1.64	3.20	0	1
-880	14.89	1.64	3.20	0	1	-879	14.49	1.64	3.20	0	1	-878	14.09	1.64	3.20	0	1
-877	13.69	1.64	3.20	0	1	-876	13.29	1.64	3.20	0	1	-875	12.90	1.64	3.20	0	1
-874	12.50	1.64	3.20	0	1	-873	12.30	1.64	3.20	0	1	-872	12.10	1.64	3.20	0	1
-871	11.70	1.64	3.20	0	1	-870	11.30	1.64	3.20	0	1	-869	11.10	1.64	3.20	0	1
-868	10.90	1.64	3.20	0	1	-867	10.50	1.64	3.20	0	1	-866	10.10	1.64	3.20	0	1
-865	9.70	1.64	3.20	0	1	-864	9.30	1.64	3.20	0	1	-863	8.90	1.64	3.20	0	1
-862	8.50	1.64	3.20	0	1	-861	8.10	1.64	3.20	0	1	-860	7.70	1.64	3.20	0	1
-859	7.50	1.64	3.20	0	1	-858	7.30	1.64	3.20	0	1	-857	6.90	1.64	3.20	0	1
-856	6.50	1.64	3.20	0	1	-855	6.10	1.64	3.20	0	1	-854	5.70	1.64	3.20	0	1
-853	5.30	1.64	3.20	0	1	-852	4.90	1.64	3.20	0	1	-851	4.50	1.64	3.20	0	1
-850	4.10	1.64	3.20	0	1	-849	3.90	1.64	3.20	0	1	-848	3.70	1.64	3.20	0	1
-847	3.30	1.64	3.20	0	1	-846	2.90	1.64	3.20	0	1	-845	2.70	1.64	3.20	0	1
-844	2.50	1.64	3.20	0	1	-843	2.10	1.64	3.20	0	1	-842	1.71	1.64	3.20	0	1
-841	1.31	1.64	3.20	0	1	-840	0.91	1.64	3.20	0	1	-839	0.51	1.64	3.20	0	1
-838	0.11	1.64	3.20	0	1	-837	-0.20	1.64	3.20	0	1	-836	15.20	1.24	3.20	0	1
-835	14.89	1.24	3.20	0	1	-834	14.49	1.24	3.20	0	1	-833	14.09	1.24	3.20	0	1
-832	13.69	1.24	3.20	0	1	-831	13.29	1.24	3.20	0	1	-830	12.90	1.24	3.20	0	1
-829	12.50	1.24	3.20	0	1	-828	12.30	1.24	3.20	0	1	-827	12.10	1.24	3.20	0	1
-826	11.30	1.24	3.20	0	1	-825	11.10	1.24	3.20	0	1	-824	10.90	1.24	3.20	0	1
-823	10.50	1.24	3.20	0	1	-822	10.10	1.24	3.20	0	1	-821	9.70	1.24	3.20	0	1
-820	9.30	1.24	3.20	0	1	-819	8.90	1.24	3.20	0	1	-818	8.50	1.24	3.20	0	1
-817	8.10	1.24	3.20	0	1	-816	7.70	1.24	3.20	0	1	-815	7.50	1.24	3.20	0	1
-814	7.30	1.24	3.20	0	1	-813	6.90	1.24	3.20	0	1	-812	6.50	1.24	3.20	0	1
-811	6.10	1.24	3.20	0	1	-810	5.70	1.24	3.20	0	1	-809	5.30	1.24	3.20	0	1
-808	4.90	1.24	3.20	0	1	-807	4.50	1.24	3.20	0	1	-806	4.10	1.24	3.20	0	1
-805	3.90	1.24	3.20	0	1	-804	3.70	1.24	3.20	0	1	-803	2.90	1.24	3.20	0	1
-802	2.70	1.24	3.20	0	1	-801	2.50	1.24	3.20	0	1	-800	2.10	1.24	3.20	0	1
-799	1.71	1.24	3.20	0	1	-798	1.31	1.24	3.20	0	1	-797	0.91	1.24	3.20	0	1
-796	0.51	1.24	3.20	0	1	-795	0.11	1.24	3.20	0	1	-794	-0.20	1.24	3.20	0	1
-793	15.20	1.04	3.20	0	1	-783	11.70	1.04	3.20	0	1	-759	3.30	1.04	3.20	0	1
-749	-0.20	1.04	3.20	0	1	-748	15.20	0.84	3.20	0	1	-747	14.89	0.84	3.20	0	1
-746	14.49	0.84	3.20	0	1	-745	14.09	0.84	3.20	0	1	-744	13.69	0.84	3.20	0	1
-743	13.29	0.84	3.20	0	1	-742	12.90	0.84	3.20	0	1	-741	12.50	0.84	3.20	0	1
-740	12.30	0.84	3.20	0	1	-739	12.10	0.84	3.20	0	1	-738	11.70	0.84	3.20	0	1
-737	11.30	0.84	3.20	0	1	-736	11.10	0.84	3.20	0	1	-735	10.90	0.84	3.20	0	1
-734	10.50	0.84	3.20	0	1	-733	10.10	0.84	3.20	0	1	-732	9.70	0.84	3.20	0	1
-731	9.30	0.84	3.20	0	1	-730	8.90	0.84	3.20	0	1	-729	8.50	0.84	3.20	0	1
-728	8.10	0.84	3.20	0	1	-727	7.70	0.84	3.20	0	1	-726	7.50	0.84	3.20	0	1
-725	7.30	0.84	3.20	0	1	-724	6.90	0.84	3.20	0	1	-723	6.50	0.84	3.20	0	1
-722	6.10	0.84	3.20	0	1	-721	5.70	0.84	3.20	0	1	-720	5.30	0.84	3.20	0	1
-719	4.90	0.84	3.20	0	1	-718	4.50	0.84	3.20	0	1	-717	4.10	0.84	3.20	0	1
-716	3.90	0.84	3.20	0	1	-715	3.70	0.84	3.20	0	1	-714	3.30	0.84	3.20	0	1
-713	2.90	0.84	3.20	0	1	-712	2.70	0.84	3.20	0	1	-711	2.50	0.84	3.20	0	1
-710	2.10	0.84	3.20	0	1	-709	1.71	0.84	3.20	0	1	-708	1.31	0.84	3.20	0	1
-707	0.91	0.84	3.20	0	1	-706	0.51	0.84	3.20	0	1	-705	0.11	0.84	3.20	0	1
-704	-0.20	0.84	3.20	0	1	-703	15.20	0.58	3.20	0	1	-661	-0.20	0.58	3.20	0	1
-660	15.20	0.44	3.20	0	1	-659	14.89	0.44	3.20	0	1	-658	14.49	0.44	3.20	0	1
-657	14.09	0.44	3.20	0	1	-656	13.69	0.44	3.20	0	1	-655	13.29	0.44	3.20	0	1
-654	12.90	0.44	3.20	0	1	-653	12.50	0.44	3.20	0	1	-652	12.30	0.44	3.20	0	1
-651	12.10	0.44	3.20	0	1	-650	11.30	0.44	3.20	0	1	-649	11.10	0.44	3.20	0	1
-648	10.90	0.44	3.20	0	1	-647	10.50	0.44	3.20	0	1	-646	10.10	0.44	3.20	0	1
-645	9.70	0.44	3.20	0	1	-644	9.30	0.44	3.20	0	1	-643	8.90	0.44	3.20	0	1
-642	8.50	0.44	3.20	0	1	-641	8.10	0.44	3.20	0	1	-640	7.70	0.44	3.20	0	1
-639	7.50	0.44	3.20	0	1	-638	7.30	0.44	3.20	0	1	-637	6.90	0.44	3.20	0	1
-636	6.50	0.44	3.20	0	1	-635	6.10	0.44	3.20	0	1	-634	5.70	0.44	3.20	0	1
-633	5.30	0.44	3.20	0	1	-632	4.90	0.44	3.20	0	1	-631	4.50	0.44	3.20	0	1
-630	4.10	0.44	3.20	0	1	-629	3.90	0.44	3.20	0	1	-628	3.70	0.44	3.20	0	1
-627	2.90	0.44	3.20	0	1	-626	2.70	0.44	3.20	0	1	-625	2.50	0.44	3.20	0	1
-624	2.10	0.44	3.20	0	1	-623	1.71	0.44	3.20	0	1	-622	1.31	0.44	3.20	0	1
-621	0.91	0.44	3.20	0	1	-620	0.51	0.44	3.20	0	1	-619	0.11	0.44	3.20	0	1
-618	-0.20	0.44	3.20	0	1	-617	14.89	0.04	3.20	0	1	-616	14.49	0.04	3.20	0	1
-615	14.09	0.04	3.20	0	1	-614	13.69	0.04	3.20	0	1	-613	12.90	0.04	3.20	0	1
-612	12.50	0.04	3.20	0	1	-611	12.30	0.04	3.20	0	1	-610	12.10	0.04	3.20	0	1
-609	11.70	0.04	3.20	0	1	-608	11.10	0.04	3.20	0	1	-607	10.90	0.04	3.20	0	1
-606	10.50	0.04	3.20	0	1	-605	10.10	0.04	3.20	0	1	-604	9.70	0.04	3.20	0	1
-603	8.90	0.04	3.20	0	1	-602	8.50	0.04	3.20	0	1	-601	8.10	0.04	3.20	0	1
-600	7.70	0.04	3.20	0	1	-599	7.30	0.04	3.20	0	1	-598	6.90	0.04	3.20	0	1
-597	6.50	0.04	3.20	0	1	-596	6.10	0.04	3.20	0	1	-595	5.30	0.04	3.20	0	1

-594	4.90	0.04	3.20	0	1
-591	3.90	0.04	3.20	0	1
-588	2.70	0.04	3.20	0	1
-585	1.31	0.04	3.20	0	1
-582	0.11	0.04	3.20	0	1
-536	15.20	-0.21	3.20	0	1
-533	-0.20	4.29	3.00	0	1
-530	15.20	4.04	3.00	0	1
-527	-0.20	3.64	3.00	0	1
-524	15.20	3.24	3.00	0	1
-521	-0.20	3.04	3.00	0	1
-518	15.20	2.44	3.00	0	1
-515	-0.20	2.04	3.00	0	1
-512	15.20	1.24	3.00	0	1
-509	-0.20	1.04	3.00	0	1
-506	15.20	0.58	3.00	0	1
-503	-0.20	0.44	3.00	0	1
-500	15.20	-0.07	3.00	0	1
-497	-0.20	-0.21	3.00	0	1
-494	15.20	4.13	2.50	0	1
-491	-0.20	4.04	2.50	0	1
-488	15.20	3.51	2.50	0	1
-485	-0.20	3.24	2.50	0	1
-482	15.20	2.84	2.50	0	1
-479	-0.20	2.44	2.50	0	1
-476	15.20	1.64	2.50	0	1
-473	-0.20	1.24	2.50	0	1
-470	15.20	0.84	2.50	0	1
-467	-0.20	0.58	2.50	0	1
-464	15.20	0.04	2.50	0	1
-461	-0.20	-0.07	2.50	0	1
-458	15.20	4.29	2.20	2	1
-455	-0.20	4.13	2.20	2	1
-452	15.20	3.64	2.20	2	1
-449	-0.20	3.51	2.20	2	1
-446	15.20	3.04	2.20	2	1
-443	-0.20	2.84	2.20	2	1
-440	15.20	2.04	2.20	2	1
-437	-0.20	1.64	2.20	2	1
-434	15.20	1.04	2.20	2	1
-431	-0.20	0.84	2.20	2	1
-428	15.20	0.44	2.20	2	1
-425	-0.20	0.04	2.20	2	1
-422	15.20	-0.21	2.20	2	1
-419	-0.20	4.29	1.70	0	1
-416	15.20	4.04	1.70	0	1
-413	-0.20	3.64	1.70	0	1
-410	15.20	3.24	1.70	0	1
-407	-0.20	3.04	1.70	0	1
-404	15.20	2.44	1.70	0	1
-401	-0.20	1.64	1.70	0	1
-398	15.20	1.04	1.70	0	1
-395	-0.20	0.84	1.70	0	1
-392	15.20	0.44	1.70	0	1
-389	-0.20	0.04	1.70	0	1
-386	15.20	-0.21	1.70	0	1
-383	1.55	3.64	1.50	0	1
-380	13.45	2.04	1.50	0	1
-377	1.55	1.24	1.50	0	1
-374	15.20	4.29	1.30	1	1
-371	-0.20	4.13	1.30	1	1
-368	15.20	3.64	1.30	1	1
-365	-0.20	3.51	1.30	1	1
-362	15.20	3.04	1.30	1	1
-359	-0.20	2.84	1.30	1	1
-356	15.20	2.04	1.30	1	1
-353	-0.20	1.64	1.30	1	1
-350	15.20	1.04	1.30	1	1
-347	-0.20	0.84	1.30	1	1
-344	15.20	0.44	1.30	1	1
-341	-0.20	0.04	1.30	1	1
-338	15.20	-0.21	1.30	1	1
-335	-0.20	4.29	1.00	0	1
-332	15.20	4.04	1.00	0	1
-329	-0.20	3.64	1.00	0	1
-326	15.20	3.24	1.00	0	1
-323	-0.20	3.04	1.00	0	1
-320	15.20	2.44	1.00	0	1
-317	-0.20	2.04	1.00	0	1

-593	4.50	0.04	3.20	0	1
-590	3.30	0.04	3.20	0	1
-587	2.50	0.04	3.20	0	1
-584	0.91	0.04	3.20	0	1
-581	15.20	-0.07	3.20	0	1
-535	-0.20	-0.21	3.20	0	1
-532	15.20	4.13	3.00	0	1
-529	-0.20	4.04	3.00	0	1
-526	15.20	3.51	3.00	0	1
-523	-0.20	3.24	3.00	0	1
-520	15.20	2.84	3.00	0	1
-517	-0.20	2.44	3.00	0	1
-514	15.20	1.64	3.00	0	1
-511	-0.20	1.24	3.00	0	1
-508	15.20	0.84	3.00	0	1
-505	-0.20	0.58	3.00	0	1
-502	15.20	0.04	3.00	0	1
-499	-0.20	-0.07	3.00	0	1
-496	15.20	4.29	2.50	0	1
-493	-0.20	4.13	2.50	0	1
-490	15.20	3.64	2.50	0	1
-487	-0.20	3.51	2.50	0	1
-484	15.20	3.04	2.50	0	1
-481	-0.20	2.84	2.50	0	1
-478	15.20	2.04	2.50	0	1
-475	-0.20	1.64	2.50	0	1
-472	15.20	1.04	2.50	0	1
-469	-0.20	0.84	2.50	0	1
-466	15.20	0.44	2.50	0	1
-463	-0.20	0.04	2.50	0	1
-460	15.20	-0.21	2.50	0	1
-457	-0.20	4.29	2.20	2	1
-454	15.20	4.04	2.20	2	1
-451	-0.20	3.64	2.20	2	1
-448	15.20	3.24	2.20	2	1
-445	-0.20	3.04	2.20	2	1
-442	15.20	2.44	2.20	2	1
-439	-0.20	2.04	2.20	2	1
-436	15.20	1.24	2.20	2	1
-433	-0.20	1.04	2.20	2	1
-430	15.20	0.58	2.20	2	1
-427	-0.20	0.44	2.20	2	1
-424	15.20	-0.07	2.20	2	1
-421	-0.20	-0.21	2.20	2	1
-418	15.20	4.13	1.70	0	1
-415	-0.20	4.04	1.70	0	1
-412	15.20	3.51	1.70	0	1
-409	-0.20	3.24	1.70	0	1
-406	15.20	2.84	1.70	0	1
-403	-0.20	2.44	1.70	0	1
-400	15.20	1.24	1.70	0	1
-397	-0.20	1.04	1.70	0	1
-394	15.20	0.58	1.70	0	1
-391	-0.20	0.44	1.70	0	1
-388	15.20	-0.07	1.70	0	1
-385	-0.20	-0.21	1.70	0	1
-382	13.45	2.84	1.50	0	1
-379	1.55	2.04	1.50	0	1
-376	13.45	0.44	1.50	0	1
-373	-0.20	4.29	1.30	1	1
-370	15.20	4.04	1.30	1	1
-367	-0.20	3.64	1.30	1	1
-364	15.20	3.24	1.30	1	1
-361	-0.20	3.04	1.30	1	1
-358	15.20	2.44	1.30	1	1
-355	-0.20	2.04	1.30	1	1
-352	15.20	1.24	1.30	1	1
-349	-0.20	1.04	1.30	1	1
-346	15.20	0.58	1.30	1	1
-343	-0.20	0.44	1.30	1	1
-340	15.20	-0.07	1.30	1	1
-337	-0.20	-0.21	1.30	1	1
-334	15.20	4.13	1.00	0	1
-331	-0.20	4.04	1.00	0	1
-328	15.20	3.51	1.00	0	1
-325	-0.20	3.24	1.00	0	1
-322	15.20	2.84	1.00	0	1
-319	-0.20	2.44	1.00	0	1
-316	15.20	1.64	1.00	0	1

-592	4.10	0.04	3.20	0	1
-589	2.90	0.04	3.20	0	1
-586	2.10	0.04	3.20	0	1
-583	0.51	0.04	3.20	0	1
-537	-0.20	-0.07	3.20	0	1
-534	15.20	4.29	3.00	0	1
-531	-0.20	4.13	3.00	0	1
-528	15.20	3.64	3.00	0	1
-525	-0.20	3.51	3.00	0	1
-522	15.20	3.04	3.00	0	1
-519	-0.20	2.84	3.00	0	1
-516	15.20	2.04	3.00	0	1
-513	-0.20	1.64	3.00	0	1
-510	15.20	1.04	3.00	0	1
-507	-0.20	0.84	3.00	0	1
-504	15.20	0.44	3.00	0	1
-501	-0.20	0.04	3.00	0	1
-498	15.20	-0.21	3.00	0	1
-495	-0.20	4.29	2.50	0	1
-492	15.20	4.04	2.50	0	1
-489	-0.20	3.64	2.50	0	1
-486	15.20	3.24	2.50	0	1
-483	-0.20	3.04	2.50	0	1
-480	15.20	2.44	2.50	0	1
-477	-0.20	2.04	2.50	0	1
-474	15.20	1.24	2.50	0	1
-471	-0.20	1.04	2.50	0	1
-468	15.20	0.58	2.50	0	1
-465	-0.20	0.44	2.50	0	1
-462	15.20	-0.07	2.50	0	1
-459	-0.20	-0.21	2.50	0	1
-456	15.20	4.13	2.20	2	1
-453	-0.20	4.04	2.20	2	1
-450	15.20	3.51	2.20	2	1
-447	-0.20	3.24	2.20	2	1
-444	15.20	2.84	2.20	2	1
-441	-0.20	2.44	2.20	2	1
-438	15.20	1.64	2.20	2	1
-435	-0.20	1.24	2.20	2	1
-432	15.20	0.84	2.20	2	1
-429	-0.20	0.58	2.20	2	1
-426	15.20	0.04	2.20	2	1
-423	-0.20	-0.07	2.20	2	1
-420	15.20	4.29	1.70	0	1
-417	-0.20	4.13	1.70	0	1
-414	15.20	3.64	1.70	0	1
-411	-0.20	3.51	1.70	0	1
-408	15.20	3.04	1.70	0	1
-405	-0.20	2.84	1.70	0	1
-402	15.20	1.64	1.70	0	1
-399	-0.20	1.24	1.70	0	1
-396	15.20	0.84	1.70	0	1
-393	-0.20	0.58	1.70	0	1
-390	15.20	0.04	1.70	0	1
-387	-0.20	-0.07	1.70	0	1
-384	13.45	3.64	1.50	0	1
-381	1.55	2.84	1.50	0	1
-378	13.45	1.24	1.50	0	1
-375	1.55	0.44	1.50	0	1
-372	15.20	4.13	1.30	1	1
-369	-0.20	4.04	1.30	1	1
-366	15.20	3.51	1.30	1	1
-363	-0.20	3.24	1.30	1	1
-360	15.20	2.84	1.30	1	1
-357	-0.20	2.44	1.30	1	1
-354	15.20	1.64	1.30	1	1
-351	-0.20	1.24	1.30	1	1
-348	15.20	0.84	1.30	1	1
-345	-0.20	0.58	1.30	1	1
-342	15.20	0.04	1.30	1	1
-339	-0.20	-0.07	1.30	1	1
-336	15.20	4.29	1.00	0	1
-333	-0.20	4.13	1.00	0	1
-330	15.20	3.64	1.00	0	1
-327	-0.20	3.51	1.00	0	1
-324	15.20	3.04	1.00	0	1
-321	-0.20	2.84	1.00	0	1
-318	15.20	2.04	1.00	0	1
-315	-0.20	1.64	1.00	0	1

-314	15.20	1.24	1.00	0	1	-313	-0.20	1.24	1.00	0	1	-312	15.20	1.04	1.00	0	1
-311	-0.20	1.04	1.00	0	1	-310	15.20	0.84	1.00	0	1	-309	-0.20	0.84	1.00	0	1
-308	15.20	0.58	1.00	0	1	-307	-0.20	0.58	1.00	0	1	-306	15.20	0.44	1.00	0	1
-305	-0.20	0.44	1.00	0	1	-304	15.20	0.04	1.00	0	1	-303	-0.20	0.04	1.00	0	1
-302	15.20	-0.07	1.00	0	1	-301	-0.20	-0.07	1.00	0	1	-300	15.20	-0.21	1.00	0	1
-299	-0.20	-0.21	1.00	0	1	-298	15.20	4.29	0.80	0	1	-297	-0.20	4.29	0.80	0	1
-296	15.20	4.13	0.80	0	1	-295	-0.20	4.13	0.80	0	1	-294	15.20	4.04	0.80	0	1
-293	-0.20	4.04	0.80	0	1	-292	15.20	3.64	0.80	0	1	-291	-0.20	3.64	0.80	0	1
-290	15.20	3.51	0.80	0	1	-289	-0.20	3.51	0.80	0	1	-288	15.20	3.24	0.80	0	1
-287	-0.20	3.24	0.80	0	1	-286	15.20	3.04	0.80	0	1	-285	-0.20	3.04	0.80	0	1
-284	15.20	2.84	0.80	0	1	-283	-0.20	2.84	0.80	0	1	-282	15.20	2.44	0.80	0	1
-281	-0.20	2.44	0.80	0	1	-280	15.20	2.04	0.80	0	1	-279	-0.20	2.04	0.80	0	1
-278	15.20	1.64	0.80	0	1	-277	-0.20	1.64	0.80	0	1	-276	15.20	1.24	0.80	0	1
-275	-0.20	1.24	0.80	0	1	-274	15.20	1.04	0.80	0	1	-273	-0.20	1.04	0.80	0	1
-272	15.20	0.84	0.80	0	1	-271	-0.20	0.84	0.80	0	1	-270	15.20	0.58	0.80	0	1
-269	-0.20	0.58	0.80	0	1	-268	15.20	0.44	0.80	0	1	-267	-0.20	0.44	0.80	0	1
-266	15.20	0.04	0.80	0	1	-265	-0.20	0.04	0.80	0	1	-264	15.20	-0.07	0.80	0	1
-263	-0.20	-0.07	0.80	0	1	-262	15.20	-0.21	0.80	0	1	-261	-0.20	-0.21	0.80	0	1
-260	15.20	4.29	0.40	0	1	-259	-0.20	4.29	0.40	0	1	-258	15.20	4.13	0.40	0	1
-257	-0.20	4.13	0.40	0	1	-256	15.20	4.04	0.40	0	1	-255	-0.20	4.04	0.40	0	1
-254	15.20	3.64	0.40	0	1	-253	-0.20	3.64	0.40	0	1	-252	15.20	3.51	0.40	0	1
-251	-0.20	3.51	0.40	0	1	-250	15.20	3.24	0.40	0	1	-249	-0.20	3.24	0.40	0	1
-248	15.20	3.04	0.40	0	1	-247	-0.20	3.04	0.40	0	1	-246	15.20	2.84	0.40	0	1
-245	-0.20	2.84	0.40	0	1	-244	15.20	2.44	0.40	0	1	-243	-0.20	2.44	0.40	0	1
-242	15.20	2.04	0.40	0	1	-241	-0.20	2.04	0.40	0	1	-240	15.20	1.64	0.40	0	1
-239	-0.20	1.64	0.40	0	1	-238	15.20	1.24	0.40	0	1	-237	-0.20	1.24	0.40	0	1
-236	15.20	1.04	0.40	0	1	-235	-0.20	1.04	0.40	0	1	-234	15.20	0.84	0.40	0	1
-233	-0.20	0.84	0.40	0	1	-232	15.20	0.58	0.40	0	1	-231	-0.20	0.58	0.40	0	1
-230	15.20	0.44	0.40	0	1	-229	-0.20	0.44	0.40	0	1	-228	15.20	0.04	0.40	0	1
-227	-0.20	0.04	0.40	0	1	-226	15.20	-0.07	0.40	0	1	-225	-0.20	-0.07	0.40	0	1
-224	15.20	-0.21	0.40	0	1	-223	-0.20	-0.21	0.40	0	1	-222	16.70	4.29	0.00	0	3
-221	16.20	4.29	0.00	0	3	-220	15.70	4.29	0.00	0	3	-219	15.30	4.29	0.00	0	3
-218	15.20	4.29	0.00	0	3	-217	14.80	4.29	0.00	0	3	-216	0.20	4.29	0.00	0	3
-215	-0.20	4.29	0.00	0	3	-214	-0.30	4.29	0.00	0	3	-213	-0.70	4.29	0.00	0	3
-212	-1.20	4.29	0.00	0	3	-211	-1.70	4.29	0.00	0	3	-210	16.70	4.13	0.00	0	3
-209	16.20	4.13	0.00	0	3	-208	15.70	4.13	0.00	0	3	-207	15.30	4.13	0.00	0	3
-206	15.20	4.13	0.00	0	3	-205	14.80	4.13	0.00	0	3	-204	0.20	4.13	0.00	0	3
-203	-0.20	4.13	0.00	0	3	-202	-0.30	4.13	0.00	0	3	-201	-0.70	4.13	0.00	0	3
-200	-1.20	4.13	0.00	0	3	-199	-1.70	4.13	0.00	0	3	-198	16.70	4.04	0.00	0	3
-197	16.20	4.04	0.00	0	3	-196	15.70	4.04	0.00	0	3	-195	15.30	4.04	0.00	0	3
-194	15.20	4.04	0.00	0	3	-193	14.80	4.04	0.00	0	3	-192	0.20	4.04	0.00	0	3
-191	-0.20	4.04	0.00	0	3	-190	-0.30	4.04	0.00	0	3	-189	-0.70	4.04	0.00	0	3
-188	-1.20	4.04	0.00	0	3	-187	-1.70	4.04	0.00	0	3	-186	16.70	3.64	0.00	0	3
-185	16.20	3.64	0.00	0	3	-184	15.70	3.64	0.00	0	3	-183	15.30	3.64	0.00	0	5
-182	15.20	3.64	0.00	0	3	-181	14.80	3.64	0.00	0	3	-180	0.20	3.64	0.00	0	3
-179	-0.20	3.64	0.00	0	3	-178	-0.30	3.64	0.00	0	5	-177	-0.70	3.64	0.00	0	3
-176	-1.20	3.64	0.00	0	3	-175	-1.70	3.64	0.00	0	3	-174	16.70	3.51	0.00	0	3
-173	16.20	3.51	0.00	0	3	-172	15.70	3.51	0.00	0	3	-171	15.30	3.51	0.00	0	3
-170	15.20	3.51	0.00	0	3	-169	14.80	3.51	0.00	0	3	-168	0.20	3.51	0.00	0	3
-167	-0.20	3.51	0.00	0	3	-166	-0.30	3.51	0.00	0	3	-165	-0.70	3.51	0.00	0	3
-164	-1.20	3.51	0.00	0	3	-163	-1.70	3.51	0.00	0	3	-162	16.70	3.24	0.00	0	3
-161	16.20	3.24	0.00	0	3	-160	15.70	3.24	0.00	0	3	-159	15.30	3.24	0.00	0	3
-158	15.20	3.24	0.00	0	3	-157	14.80	3.24	0.00	0	3	-156	0.20	3.24	0.00	0	3
-155	-0.20	3.24	0.00	0	3	-154	-0.30	3.24	0.00	0	3	-153	-0.70	3.24	0.00	0	3
-152	-1.20	3.24	0.00	0	3	-151	-1.70	3.24	0.00	0	3	-150	16.70	3.04	0.00	0	3
-149	16.20	3.04	0.00	0	3	-148	15.70	3.04	0.00	0	3	-147	15.30	3.04	0.00	0	3
-146	15.20	3.04	0.00	0	3	-145	14.80	3.04	0.00	0	3	-144	0.20	3.04	0.00	0	3
-143	-0.20	3.04	0.00	0	3	-142	-0.30	3.04	0.00	0	3	-141	-0.70	3.04	0.00	0	3
-140	-1.20	3.04	0.00	0	3	-139	-1.70	3.04	0.00	0	3	-138	16.70	2.84	0.00	0	3
-137	16.20	2.84	0.00	0	5	-136	15.70	2.84	0.00	0	3	-135	15.30	2.84	0.00	0	5
-134	14.80	2.84	0.00	0	3	-133	0.20	2.84	0.00	0	3	-132	-0.30	2.84	0.00	0	5
-131	-0.70	2.84	0.00	0	3	-130	-1.20	2.84	0.00	0	5	-129	-1.70	2.84	0.00	0	3
-128	16.70	2.44	0.00	0	3	-127	16.20	2.44	0.00	0	3	-126	15.70	2.44	0.00	0	3
-125	15.30	2.44	0.00	0	3	-124	15.20	2.44	0.00	0	3	-123	14.80	2.44	0.00	0	3
-122	0.20	2.44	0.00	0	3	-121	-0.20	2.44	0.00	0	3	-120	-0.30	2.44	0.00	0	3
-119	-0.70	2.44	0.00	0	3	-118	-1.20	2.44	0.00	0	3	-117	-1.70	2.44	0.00	0	3
-116	16.70	2.04	0.00	0	3	-115	16.20	2.04	0.00	0	5	-114	15.70	2.04	0.00	0	3
-113	15.30	2.04	0.00	0	5	-112	14.80	2.04	0.00	0	3	-111	0.20	2.04	0.00	0	3
-110	-0.30	2.04	0.00	0	5	-109	-0.70	2.04	0.00	0	3	-108	-1.20	2.04	0.00	0	5
-107	-1.70	2.04	0.00	0	3	-106	16.70	1.64	0.00	0	3	-105	16.20	1.64	0.00	0	3
-104	15.70	1.64	0.00	0	3	-103	15.30	1.64	0.00	0	3	-102	15.20	1.64	0.00	0	3
-101	14.80	1.64	0.00	0	3	-100	0.20	1.64	0.00	0	3	-99	-0.20	1.64	0.00	0	3
-98	-0.30	1.64	0.00	0	3	-97	-0.70	1.64	0.00	0	3	-96	-1.20	1.64	0.00	0	3
-95	-1.70	1.64	0.00	0	3	-94	16.70	1.24	0.00	0	3	-93	16.20	1.24	0.00	0	5
-92	15.70	1.24	0.00	0	3	-91	15.30	1.24	0.00	0	5	-90	14.80	1.24	0.00	0	3
-89	0.20	1.24	0.00	0	3	-88	-0.30	1.24	0.00	0	5	-87	-0.70	1.24	0.00	0	3
-86	-1.20	1.24	0.00	0	5	-85	-1.70	1.24	0.00	0	3	-84	16.70	1.04	0.00	0	3
-83	16.20	1.04	0.00	0	3	-82	15.70	1.04	0.00	0	3	-81	15.30	1.04	0.00	0	3
-80	15.20	1.04	0.00	0	3	-79	14.80	1.04	0.00	0	3	-78	0.20	1.04	0.00	0	3

-77	-0.20	1.04	0.00	0	3
-74	-1.20	1.04	0.00	0	3
-71	16.20	0.84	0.00	0	3
-68	15.20	0.84	0.00	0	3
-65	-0.20	0.84	0.00	0	3
-62	-1.20	0.84	0.00	0	3
-59	16.20	0.58	0.00	0	3
-56	15.20	0.58	0.00	0	3
-53	-0.20	0.58	0.00	0	3
-50	-1.20	0.58	0.00	0	3
-47	16.20	0.44	0.00	0	3
-44	15.20	0.44	0.00	0	3
-41	-0.20	0.44	0.00	0	3
-38	-1.20	0.44	0.00	0	3
-35	16.20	0.04	0.00	0	3
-32	15.20	0.04	0.00	0	3
-29	-0.20	0.04	0.00	0	3
-26	-1.20	0.04	0.00	0	3
-23	16.20	-0.07	0.00	0	3
-20	15.20	-0.07	0.00	0	3
-17	-0.20	-0.07	0.00	0	3
-14	-1.20	-0.07	0.00	0	3
-11	16.20	-0.21	0.00	0	3
-8	15.20	-0.21	0.00	0	3
-5	-0.20	-0.21	0.00	0	3
-2	-1.20	-0.21	0.00	0	3
11	11.70	0.44	3.00	0	1
14	3.30	2.04	3.00	0	1
17	11.70	2.84	3.00	0	1
20	-0.20	1.24	0.00	0	3
23	15.20	2.04	0.00	0	3
301	-0.20	0.04	3.20	0	1
304	5.70	0.04	3.20	0	1
307	11.30	0.04	3.20	0	1
310	3.30	0.44	3.20	0	1
313	11.70	1.24	3.20	0	1
316	3.30	2.84	3.20	0	1
319	11.70	3.64	3.20	0	1
322	3.70	4.04	3.20	0	1
325	9.30	4.04	3.20	0	1
328	15.20	4.04	3.20	0	1
331	3.30	3.51	3.20	0	1
402	1.71	0.04	4.70	0	1
405	7.50	0.04	4.70	0	1
408	13.29	0.04	4.70	0	1
421	1.71	4.04	4.70	0	1
424	7.50	4.04	4.70	0	1
427	13.29	4.04	4.70	0	1
430	3.30	2.04	3.42	0	1
433	3.30	2.84	3.42	0	1
436	11.70	0.44	3.42	0	1
439	11.70	2.84	3.42	0	1
442	11.70	1.24	3.42	0	1

-76	-0.30	1.04	0.00	0	3
-73	-1.70	1.04	0.00	0	3
-70	15.70	0.84	0.00	0	3
-67	14.80	0.84	0.00	0	3
-64	-0.30	0.84	0.00	0	3
-61	-1.70	0.84	0.00	0	3
-58	15.70	0.58	0.00	0	3
-55	14.80	0.58	0.00	0	3
-52	-0.30	0.58	0.00	0	3
-49	-1.70	0.58	0.00	0	3
-46	15.70	0.44	0.00	0	3
-43	14.80	0.44	0.00	0	3
-40	-0.30	0.44	0.00	0	5
-37	-1.70	0.44	0.00	0	3
-34	15.70	0.04	0.00	0	3
-31	14.80	0.04	0.00	0	3
-28	-0.30	0.04	0.00	0	3
-25	-1.70	0.04	0.00	0	3
-22	15.70	-0.07	0.00	0	3
-19	14.80	-0.07	0.00	0	3
-16	-0.30	-0.07	0.00	0	3
-13	-1.70	-0.07	0.00	0	3
-10	15.70	-0.21	0.00	0	3
-7	14.80	-0.21	0.00	0	3
-4	-0.30	-0.21	0.00	0	3
-1	-1.70	-0.21	0.00	0	3
12	3.30	1.24	3.00	0	1
15	11.70	2.04	3.00	0	1
18	3.30	3.64	3.00	0	1
21	15.20	1.24	0.00	0	3
24	-0.20	2.84	0.00	0	3
302	1.71	0.04	3.20	0	1
305	7.50	0.04	3.20	0	1
308	13.29	0.04	3.20	0	1
311	11.70	0.44	3.20	0	1
314	3.30	2.04	3.20	0	1
317	11.70	2.84	3.20	0	1
320	-0.20	4.04	3.20	0	1
323	5.70	4.04	3.20	0	1
326	11.30	4.04	3.20	0	1
329	3.30	0.58	3.20	0	1
332	11.70	3.51	3.20	0	1
403	3.70	0.04	4.70	0	1
406	9.30	0.04	4.70	0	1
409	15.20	0.04	4.70	0	1
422	3.70	4.04	4.70	0	1
425	9.30	4.04	4.70	0	1
428	15.20	4.04	4.70	0	1
431	3.30	0.44	3.42	0	1
434	11.70	3.64	3.42	0	1
437	3.30	3.51	3.42	0	1
440	3.30	1.24	3.42	0	1

-75	-0.70	1.04	0.00	0	3
-72	16.70	0.84	0.00	0	3
-69	15.30	0.84	0.00	0	3
-66	0.20	0.84	0.00	0	3
-63	-0.70	0.84	0.00	0	3
-60	16.70	0.58	0.00	0	3
-57	15.30	0.58	0.00	0	3
-54	0.20	0.58	0.00	0	3
-51	-0.70	0.58	0.00	0	3
-48	16.70	0.44	0.00	0	3
-45	15.30	0.44	0.00	0	5
-42	0.20	0.44	0.00	0	3
-39	-0.70	0.44	0.00	0	3
-36	16.70	0.04	0.00	0	3
-33	15.30	0.04	0.00	0	3
-30	0.20	0.04	0.00	0	3
-27	-0.70	0.04	0.00	0	3
-24	16.70	-0.07	0.00	0	3
-21	15.30	-0.07	0.00	0	3
-18	0.20	-0.07	0.00	0	3
-15	-0.70	-0.07	0.00	0	3
-12	16.70	-0.21	0.00	0	3
-9	15.30	-0.21	0.00	0	3
-6	0.20	-0.21	0.00	0	3
-3	-0.70	-0.21	0.00	0	3
10	3.30	0.44	3.00	0	1
13	11.70	1.24	3.00	0	1
16	3.30	2.84	3.00	0	1
19	11.70	3.64	3.00	0	1
22	-0.20	2.04	0.00	0	3
25	15.20	2.84	0.00	0	3
303	3.70	0.04	3.20	0	1
306	9.30	0.04	3.20	0	1
309	15.20	0.04	3.20	0	1
312	3.30	1.24	3.20	0	1
315	11.70	2.04	3.20	0	1
318	3.30	3.64	3.20	0	1
321	1.71	4.04	3.20	0	1
324	7.50	4.04	3.20	0	1
327	13.29	4.04	3.20	0	1
330	11.70	0.58	3.20	0	1
401	-0.20	0.04	4.70	0	1
404	5.70	0.04	4.70	0	1
407	11.30	0.04	4.70	0	1
420	-0.20	4.04	4.70	0	1
423	5.70	4.04	4.70	0	1
426	11.30	4.04	4.70	0	1
429	11.70	0.58	3.42	0	1
432	3.30	3.64	3.42	0	1
435	11.70	3.51	3.42	0	1
438	3.30	0.58	3.42	0	1
441	11.70	2.04	3.42	0	1

Elenco materiali

Simbologia
Mat. = Numero del materiale
Comm. = Commento
P = Peso specifico
E = Modulo elastico
G = Modulo elastico tangenziale
ν = Coeff. di Poisson
α = Coeff. di dilatazione termica

Mat.	Comm.	P <daN/mc>	E <daN/cmq>	G <daN/cmq>	ν	α
1	Calcestruzzo 28/35 tgetto	2500	0.00	0.00	0.1	1.000000E-05
2	Acciaio	7850	2100000.00	800000.00	0.3	1.000000E-05
7	Calcestruzzo 32/40	2500	336420.00	130000.00	0.1	1.000000E-05

Elenco sezioni aste

Simbologia
Sez. = Numero della sezione
Comm. = Commento
Tipo = Tipologia
2C = Doppia C lato labbri
2Cdx = Doppia C lato costola

2I = Doppia I
2L = Doppia L lato labbri
2Ldx = Doppia L lato costole
C = C
Cdx = C destra
Cir. = Circolare
Cir.c = Circolare cava
I = I
L = L
Ldx = L destra
Om. = Omega
Pg = Pi greco
Pr = Poligono regolare
Prc = Poligono regolare cavo
Pc = Per coordinate
Ia = Inerzie assegnate
R = Rettangolare
Rc = Rettangolare cava
T = T
U = U
Ur = U rovescia
V = V
Vr = V rovescia
Z = Z
Zdx = Z destra
Ts = T stondata
Ls = L stondata
Cs = C stondata
Is = I stondata
Dis. = Disegnata

Me = Membratura
G = Generica
T = Trave
P = Pilastro

Ver. = Verifica prevista
N = Nessuna
C = Cemento armato
A = Acciaio
L = Legno

B = Base
H = Altezza
s = Spessore ala
a = Spessore anima
r = Raggio raccordo anima-ala
r1 = Raggio in testa ala
R = Raggio
Ma = Numero del materiale
C = Numero del criterio di progetto
Crit. col. ini. = Numero del criterio di progetto collegamento iniziale
Crit. col. fin. = Numero del criterio di progetto collegamento finale

Sez.	Comm.	Tipo	Me	Ver.	B <cm>	H <cm>	s <cm>	a <cm>	r <cm>	r1 <cm>	R <cm>	Ma	C	Crit. col. ini.	Crit. col. fin.
1	IPE240 iimpalcato	Is	T	A	12.00	24.00	0.98	0.62	1.50	0.00		2	1	1	1
2	U160x8.5	Cs	T	A	6.60	16.00	0.85	1.05	1.05	0.55		2	1	10	10
3	HEB140	Is	T	A	14.00	14.00	1.20	0.70	1.20	0.00		2	1	10	10
4	IPE120	Is	T	A	6.40	12.00	0.63	0.44	0.70	0.00		2	10	1	1
5	HEA100 sez. generica	Is	G	A	10.00	9.60	0.80	0.50	1.20	0.00		2	10	10	10
6	HEB140 sicurvia	Is	G	N	14.00	14.00	1.20	0.70	1.20	0.00		2			
8	HEA120 comparato a lamina tre onde	Is	G	N	12.00	11.40	0.80	0.50	1.20	0.00		2			
10	BIELLA FITTIZIA	Cir.	G	N							1.50	2			

Elenco vincoli aste

Simbologia

Va = Numero del vincolo asta
Comm. = Commento
Tipo = Tipologia
SVI = Definizione di vincolamenti interni
ELA = Vincolo su suolo elastico alla Winkler
BIE-RTC = Biella resistente a trazione e a compressione
BIE-RC = Biella resistente solo a compressione
BIE-RT = Biella resistente solo a trazione
Ni = Sforzo normale nodo iniziale (0=sbloccato, 1=bloccato)
Tyi = Taglio in dir. Y locale nodo iniziale (0=sbloccato, 1=bloccato)
Tzi = Taglio in dir. Z locale nodo iniziale (0=sbloccato, 1=bloccato)
Mxi = Momento intorno all'asse X locale nodo iniziale (0=sbloccato, 1=bloccato)
Myi = Momento intorno all'asse Y locale nodo iniziale (0=sbloccato, 1=bloccato)
Mzi = Momento intorno all'asse Z locale nodo iniziale (0=sbloccato, 1=bloccato)
Nf = Sforzo normale nodo finale (0=sbloccato, 1=bloccato)
Tyf = Taglio in dir. Y locale nodo finale (0=sbloccato, 1=bloccato)
Tzf = Taglio in dir. Z locale nodo finale (0=sbloccato, 1=bloccato)
Mxf = Momento intorno all'asse X locale nodo finale (0=sbloccato, 1=bloccato)
Myf = Momento intorno all'asse Y locale nodo finale (0=sbloccato, 1=bloccato)

Mzf = Momento intorno all'asse Z locale nodo finale (0=sbloccato, 1=bloccato)
Kt = Coeff. di sottofondo su suolo elastico alla Winkler

Va	Comm.	Tipo	Ni	Tyi	Tzi	Mxi	Myi	Mzi	Nf	Tyf	Tzf	Mxf	Myf	Mzf	Kt <daN/cmc>
1	Inc+Inc	SVI	1	1	1	1	1	1	1	1	1	1	1	1	
5	Inc+CerY	SVI	1	1	1	1	1	1	1	1	1	1	0	1	
6	CerY+Inc	SVI	1	1	1	1	0	1	1	1	1	1	1	1	
7	CerY+CerY	SVI	1	1	1	1	0	1	1	1	1	1	0	1	
30	carr-inc	SVI	0	1	1	1	0	1	1	1	1	1	1	1	
31	inc-carr	SVI	1	1	1	1	1	1	0	1	1	1	0	1	

Elenco aste

Simbologia
Asta = Numero dell'asta
N1 = Nodo iniziale
N2 = Nodo finale
Sez. = Numero della sezione
Va = Numero del vincolo asta
Par. = Numero dei parametri aggiuntivi
Rot. = Rotazione
FF = Filo fisso
Dy1 = Scost. filo fisso Y1
Dy2 = Scost. filo fisso Y2
Dz1 = Scost. filo fisso Z1
Dz2 = Scost. filo fisso Z2
TC1 = Tipo collegamento iniziale
TC2 = Tipo collegamento finale
Kt = Coeff. di sottofondo su suolo elastico alla Winkler

Asta	N1	N2	Sez.	Va	Par.	Rot. <grad>	FF	Dy1 <cm>	Dy2 <cm>	Dz1 <cm>	Dz2 <cm>	TC1	TC2	Kt <daN/cmc>
0	-4	-16		1		0.00	22	0.00	0.00	0.00	0.00	ND	ND	
0	-16	-28		1		0.00	22	0.00	0.00	0.00	0.00	ND	ND	
0	-28	-40		1		0.00	22	0.00	0.00	0.00	0.00	ND	ND	
0	-40	-52		1		0.00	22	0.00	0.00	0.00	0.00	ND	ND	
0	-52	-64		1		0.00	22	0.00	0.00	0.00	0.00	ND	ND	
0	-64	-76		1		0.00	22	0.00	0.00	0.00	0.00	ND	ND	
0	-76	-88		1		0.00	22	0.00	0.00	0.00	0.00	ND	ND	
0	-337	-339		1		0.00	11	0.00	0.00	0.00	0.00	ND	ND	
0	-339	-341		1		0.00	11	0.00	0.00	0.00	0.00	ND	ND	
0	-88	-98		1		0.00	22	0.00	0.00	0.00	0.00	ND	ND	
0	-341	-343		1		0.00	11	0.00	0.00	0.00	0.00	ND	ND	
0	-343	-345		1		0.00	11	0.00	0.00	0.00	0.00	ND	ND	
0	-98	-110		1		0.00	22	0.00	0.00	0.00	0.00	ND	ND	
0	-345	-347		1		0.00	11	0.00	0.00	0.00	0.00	ND	ND	
0	-421	-423		1		0.00	11	0.00	0.00	0.00	0.00	ND	ND	
0	-423	-425		1		0.00	11	0.00	0.00	0.00	0.00	ND	ND	
0	-347	-349		1		0.00	11	0.00	0.00	0.00	0.00	ND	ND	
0	-110	-120		1		0.00	22	0.00	0.00	0.00	0.00	ND	ND	
0	-349	-351		1		0.00	11	0.00	0.00	0.00	0.00	ND	ND	
0	-425	-427		1		0.00	11	0.00	0.00	0.00	0.00	ND	ND	
0	-120	-132		1		0.00	22	0.00	0.00	0.00	0.00	ND	ND	
0	-427	-429		1		0.00	11	0.00	0.00	0.00	0.00	ND	ND	
0	-351	-353		1		0.00	11	0.00	0.00	0.00	0.00	ND	ND	
0	-429	-431		1		0.00	11	0.00	0.00	0.00	0.00	ND	ND	
0	-132	-142		1		0.00	22	0.00	0.00	0.00	0.00	ND	ND	
0	-142	-154		1		0.00	22	0.00	0.00	0.00	0.00	ND	ND	
0	-431	-433		1		0.00	11	0.00	0.00	0.00	0.00	ND	ND	
0	-353	-355		1		0.00	11	0.00	0.00	0.00	0.00	ND	ND	
0	-433	-435		1		0.00	11	0.00	0.00	0.00	0.00	ND	ND	
0	-582	-1617	10	1		0.00	11	0.00	0.00	0.00	0.00	ND	ND	
0	-154	-166		1		0.00	22	0.00	0.00	0.00	0.00	ND	ND	
0	-1617	-1606		1		0.00	11	0.00	0.00	0.00	0.00	ND	ND	
0	-583	-1606	10	1		0.00	11	0.00	0.00	0.00	0.00	ND	ND	
0	-355	-357		1		0.00	11	0.00	0.00	0.00	0.00	ND	ND	
0	-435	-437		1		0.00	11	0.00	0.00	0.00	0.00	ND	ND	
0	-619	-1608	10	1		0.00	11	0.00	0.00	0.00	0.00	ND	ND	
0	401	301	6	1		90.00	55	0.00	0.00	0.00	0.00	ND	ND	
0	-1606	-1605		1		0.00	11	0.00	0.00	0.00	0.00	ND	ND	
0	-584	-1605	10	1		0.00	11	0.00	0.00	0.00	0.00	ND	ND	
0	-620	-1543	10	1		0.00	11	0.00	0.00	0.00	0.00	ND	ND	
0	-1605	-1604		1		0.00	11	0.00	0.00	0.00	0.00	ND	ND	
0	-585	-1604	10	1		0.00	11	0.00	0.00	0.00	0.00	ND	ND	
0	-166	-178		1		0.00	22	0.00	0.00	0.00	0.00	ND	ND	
0	-705	-1607	10	1		0.00	11	0.00	0.00	0.00	0.00	ND	ND	
0	-621	-1542	10	1		0.00	11	0.00	0.00	0.00	0.00	ND	ND	
0	-706	-1840	10	1		0.00	11	0.00	0.00	0.00	0.00	ND	ND	
0	-1604	-1603		1		0.00	11	0.00	0.00	0.00	0.00	ND	ND	

0	-437	-439		1		0.00	11	0.00	0.00	0.00	0.00	ND	ND	
0	-795	-1611	10	1		0.00	11	0.00	0.00	0.00	0.00	ND	ND	
0	-622	-1541	10	1		0.00	11	0.00	0.00	0.00	0.00	ND	ND	
0	-707	-1697	10	1		0.00	11	0.00	0.00	0.00	0.00	ND	ND	
0	-1603	-1602		1		0.00	11	0.00	0.00	0.00	0.00	ND	ND	
0	-586	-1602	10	1		0.00	11	0.00	0.00	0.00	0.00	ND	ND	
0	-357	-359		1		0.00	11	0.00	0.00	0.00	0.00	ND	ND	
0	-624	-1855	10	1		0.00	11	0.00	0.00	0.00	0.00	ND	ND	
0	402	-1603	6	1		90.00	55	0.00	0.00	0.00	0.00	ND	ND	
0	-708	-1696	10	1		0.00	11	0.00	0.00	0.00	0.00	ND	ND	
0	-359	-361		1		0.00	11	0.00	0.00	0.00	0.00	ND	ND	
0	-361	-363		1		0.00	11	0.00	0.00	0.00	0.00	ND	ND	
0	-439	-441		1		0.00	11	0.00	0.00	0.00	0.00	ND	ND	
0	-796	-1564	10	1		0.00	11	0.00	0.00	0.00	0.00	ND	ND	
0	401	402	8	1		90.00	55	0.00	0.00	0.00	0.00	ND	ND	
0	-838	-1616	10	1		0.00	11	0.00	0.00	0.00	0.00	ND	ND	
0	-623	-1860	10	1		0.00	11	0.00	0.00	0.00	0.00	ND	ND	
0	-797	-1563	10	1		0.00	11	0.00	0.00	0.00	0.00	ND	ND	
0	-1602	-1601		1		0.00	11	0.00	0.00	0.00	0.00	ND	ND	
0	-587	-1601	10	1		0.00	11	0.00	0.00	0.00	0.00	ND	ND	
0	-589	-1600	10	1		0.00	11	0.00	0.00	0.00	0.00	ND	ND	
0	-625	-1854	10	1		0.00	11	0.00	0.00	0.00	0.00	ND	ND	
0	-178	-190		1		0.00	22	0.00	0.00	0.00	0.00	ND	ND	
0	-709	-1690	10	1		0.00	11	0.00	0.00	0.00	0.00	ND	ND	
0	-202	-214		1		0.00	22	0.00	0.00	0.00	0.00	ND	ND	
0	-363	-365		1		0.00	11	0.00	0.00	0.00	0.00	ND	ND	
0	-441	-443		1		0.00	11	0.00	0.00	0.00	0.00	ND	ND	
0	-839	-1599	10	1		0.00	11	0.00	0.00	0.00	0.00	ND	ND	
0	-840	-1598	10	1		0.00	11	0.00	0.00	0.00	0.00	ND	ND	
0	-1601	-1933		1		0.00	11	0.00	0.00	0.00	0.00	ND	ND	
0	-443	-445		1		0.00	11	0.00	0.00	0.00	0.00	ND	ND	
0	-445	-447		1		0.00	11	0.00	0.00	0.00	0.00	ND	ND	
0	-883	-1610	10	1		0.00	11	0.00	0.00	0.00	0.00	ND	ND	
0	-798	-1562	10	1		0.00	11	0.00	0.00	0.00	0.00	ND	ND	
0	-926	-1615	10	1		0.00	11	0.00	0.00	0.00	0.00	ND	ND	
0	-1933	-1600		1		0.00	11	0.00	0.00	0.00	0.00	ND	ND	
0	-710	-1685	10	1		0.00	11	0.00	0.00	0.00	0.00	ND	ND	
0	-799	-1561	10	1		0.00	11	0.00	0.00	0.00	0.00	ND	ND	
0	-1600	-1539		1		0.00	11	0.00	0.00	0.00	0.00	ND	ND	
0	-590	-1539	10	1		0.00	11	0.00	0.00	0.00	0.00	ND	ND	
0	-190	-202		1		0.00	22	0.00	0.00	0.00	0.00	ND	ND	
0	-365	-367		1		0.00	11	0.00	0.00	0.00	0.00	SA	SA	
0	-841	-1597	10	1		0.00	11	0.00	0.00	0.00	0.00	ND	ND	
0	-885	-1556	10	1		0.00	11	0.00	0.00	0.00	0.00	ND	ND	
0	-1539	-1822		1		0.00	11	0.00	0.00	0.00	0.00	ND	ND	
0	-367	-369		1		0.00	11	0.00	0.00	0.00	0.00	ND	ND	
0	-884	-1557	10	1		0.00	11	0.00	0.00	0.00	0.00	ND	ND	
0	-371	-373		1		0.00	11	0.00	0.00	0.00	0.00	ND	ND	
0	-447	-449		1		0.00	11	0.00	0.00	0.00	0.00	ND	ND	
0	-927	-1592	10	1		0.00	11	0.00	0.00	0.00	0.00	ND	ND	
0	-971	-1614	10	1		0.00	11	0.00	0.00	0.00	0.00	ND	ND	
0	-627	-1841	10	1		0.00	11	0.00	0.00	0.00	0.00	ND	ND	
0	-711	-1414	10	1		0.00	11	0.00	0.00	0.00	0.00	ND	ND	
0	-800	-1560	10	1		0.00	11	0.00	0.00	0.00	0.00	ND	ND	
0	-842	-1596	10	1		0.00	11	0.00	0.00	0.00	0.00	ND	ND	
0	-928	-1591	10	1		0.00	11	0.00	0.00	0.00	0.00	ND	ND	
0	-972	-1585	10	1		0.00	11	0.00	0.00	0.00	0.00	ND	ND	
0	-886	-1555	10	1		0.00	11	0.00	0.00	0.00	0.00	ND	ND	
0	310	431	10	1		0.00	11	0.00	0.00	0.00	0.00	ND	ND	
0	-713	-1618	10	1		0.00	11	0.00	0.00	0.00	0.00	ND	ND	
0	402	403	8	1		90.00	55	0.00	0.00	0.00	0.00	ND	ND	
0	-449	-451		1		0.00	11	0.00	0.00	0.00	0.00	ND	ND	
0	403	-1822	6	1		90.00	55	0.00	0.00	0.00	0.00	ND	ND	
0	-369	-371		1		0.00	11	0.00	0.00	0.00	0.00	ND	ND	
0	-451	-453		1		0.00	11	0.00	0.00	0.00	0.00	ND	ND	
0	-1059	-1613	10	1		0.00	11	0.00	0.00	0.00	0.00	ND	ND	
0	-801	-1559	10	1		0.00	11	0.00	0.00	0.00	0.00	ND	ND	
0	-843	-1595	10	1		0.00	11	0.00	0.00	0.00	0.00	ND	ND	
0	-929	-1590	10	1		0.00	11	0.00	0.00	0.00	0.00	ND	ND	
0	-973	-1584	10	1		0.00	11	0.00	0.00	0.00	0.00	ND	ND	
0	-887	-1554	10	1		0.00	11	0.00	0.00	0.00	0.00	ND	ND	
0	-1822	-1934		1		0.00	11	0.00	0.00	0.00	0.00	ND	ND	
0	-453	-455		1		0.00	11	0.00	0.00	0.00	0.00	ND	ND	
0	-455	-457		1		0.00	11	0.00	0.00	0.00	0.00	ND	ND	
0	-1060	-1578	10	1		0.00	11	0.00	0.00	0.00	0.00	ND	ND	
0	-1147	-1612	10	1		0.00	11	0.00	0.00	0.00	0.00	ND	ND	
0	420	320	6	1		90.00	55	0.00	0.00	0.00	0.00	ND	ND	
0	-592	-1821	10	1		0.00	11	0.00	0.00	0.00	0.00	ND	ND	
0	-1934	-1821		1		0.00	11	0.00	0.00	0.00	0.00	ND	ND	

0	-628	-1782	10	1		0.00	11	0.00	0.00	0.00	0.00	ND	ND	
0	-714	-1536	10	1		0.00	11	0.00	0.00	0.00	0.00	ND	ND	
0	-803	-1558	10	1		0.00	11	0.00	0.00	0.00	0.00	ND	ND	
0	-844	-1594	10	1		0.00	11	0.00	0.00	0.00	0.00	ND	ND	
0	-930	-1589	10	1		0.00	11	0.00	0.00	0.00	0.00	ND	ND	
0	-974	-1583	10	1		0.00	11	0.00	0.00	0.00	0.00	ND	ND	
0	-1061	-1577	10	1		0.00	11	0.00	0.00	0.00	0.00	ND	ND	
0	-888	-1553	10	1		0.00	11	0.00	0.00	0.00	0.00	ND	ND	
0	-1148	-1571	10	1		0.00	11	0.00	0.00	0.00	0.00	ND	ND	
0	-1189	-1609	10	1		0.00	11	0.00	0.00	0.00	0.00	ND	ND	
0	-1821	-1820		1		0.00	11	0.00	0.00	0.00	0.00	ND	ND	
0	-1609	-1550		1		0.00	11	0.00	0.00	0.00	0.00	ND	ND	
0	-630	-1781	10	1		0.00	11	0.00	0.00	0.00	0.00	ND	ND	
0	-593	-1820	10	1		0.00	11	0.00	0.00	0.00	0.00	ND	ND	
0	-715	-1838	10	1		0.00	11	0.00	0.00	0.00	0.00	ND	ND	
0	312	440	10	1		0.00	11	0.00	0.00	0.00	0.00	ND	ND	
0	-846	-1593	10	1		0.00	11	0.00	0.00	0.00	0.00	ND	ND	
0	-931	-1588	10	1		0.00	11	0.00	0.00	0.00	0.00	ND	ND	
0	-975	-1582	10	1		0.00	11	0.00	0.00	0.00	0.00	ND	ND	
0	-1062	-1576	10	1		0.00	11	0.00	0.00	0.00	0.00	ND	ND	
0	-889	-1552	10	1		0.00	11	0.00	0.00	0.00	0.00	ND	ND	
0	-1149	-1570	10	1		0.00	11	0.00	0.00	0.00	0.00	ND	ND	
0	-1190	-1550	10	1		0.00	11	0.00	0.00	0.00	0.00	ND	ND	
0	-1820	-1819		1		0.00	11	0.00	0.00	0.00	0.00	ND	ND	
0	-1550	-1549		1		0.00	11	0.00	0.00	0.00	0.00	ND	ND	
0	-717	-1837	10	1		0.00	11	0.00	0.00	0.00	0.00	ND	ND	
0	-847	-1531	10	1		0.00	11	0.00	0.00	0.00	0.00	ND	ND	
0	-594	-1819	10	1		0.00	11	0.00	0.00	0.00	0.00	ND	ND	
0	-804	-1725	10	1		0.00	11	0.00	0.00	0.00	0.00	ND	ND	
0	-631	-1780	10	1		0.00	11	0.00	0.00	0.00	0.00	ND	ND	
0	-932	-1587	10	1		0.00	11	0.00	0.00	0.00	0.00	ND	ND	
0	-976	-1581	10	1		0.00	11	0.00	0.00	0.00	0.00	ND	ND	
0	-1063	-1575	10	1		0.00	11	0.00	0.00	0.00	0.00	ND	ND	
0	-891	-1551	10	1		0.00	11	0.00	0.00	0.00	0.00	ND	ND	
0	-1150	-1569	10	1		0.00	11	0.00	0.00	0.00	0.00	ND	ND	
0	-1191	-1549	10	1		0.00	11	0.00	0.00	0.00	0.00	ND	ND	
0	-1819	-1818		1		0.00	11	0.00	0.00	0.00	0.00	ND	ND	
0	-1549	-1548		1		0.00	11	0.00	0.00	0.00	0.00	ND	ND	
0	-718	-1853	10	1		0.00	11	0.00	0.00	0.00	0.00	ND	ND	
0	-632	-1779	10	1		0.00	11	0.00	0.00	0.00	0.00	ND	ND	
0	-595	-1818	10	1		0.00	11	0.00	0.00	0.00	0.00	ND	ND	
0	-848	-1802	10	1		0.00	11	0.00	0.00	0.00	0.00	ND	ND	
0	-806	-1724	10	1		0.00	11	0.00	0.00	0.00	0.00	ND	ND	
0	403	404	8	1		90.00	55	0.00	0.00	0.00	0.00	ND	ND	
0	-934	-1586	10	1		0.00	11	0.00	0.00	0.00	0.00	ND	ND	
0	-977	-1580	10	1		0.00	11	0.00	0.00	0.00	0.00	ND	ND	
0	-1064	-1574	10	1		0.00	11	0.00	0.00	0.00	0.00	ND	ND	
0	314	430	10	1		0.00	11	0.00	0.00	0.00	0.00	ND	ND	
0	-1151	-1568	10	1		0.00	11	0.00	0.00	0.00	0.00	ND	ND	
0	-1192	-1548	10	1		0.00	11	0.00	0.00	0.00	0.00	ND	ND	
0	-1818	-1817		1		0.00	11	0.00	0.00	0.00	0.00	ND	ND	
0	-1548	-2071		1		0.00	11	0.00	0.00	0.00	0.00	ND	ND	
0	420	421	8	1		90.00	55	0.00	0.00	0.00	0.00	ND	ND	
0	-850	-1801	10	1		0.00	11	0.00	0.00	0.00	0.00	ND	ND	
0	-719	-1852	10	1		0.00	11	0.00	0.00	0.00	0.00	ND	ND	
0	-807	-1723	10	1		0.00	11	0.00	0.00	0.00	0.00	ND	ND	
0	-935	-1534	10	1		0.00	11	0.00	0.00	0.00	0.00	ND	ND	
0	-633	-1778	10	1		0.00	11	0.00	0.00	0.00	0.00	ND	ND	
0	-979	-1579	10	1		0.00	11	0.00	0.00	0.00	0.00	ND	ND	
0	-1065	-1573	10	1		0.00	11	0.00	0.00	0.00	0.00	ND	ND	
0	-1152	-1567	10	1		0.00	11	0.00	0.00	0.00	0.00	ND	ND	
0	321	-2071	10	1		0.00	11	0.00	0.00	0.00	0.00	ND	ND	
0	-2071	-1546		1		0.00	11	0.00	0.00	0.00	0.00	ND	ND	
0	421	-2071	6	1		90.00	55	0.00	0.00	0.00	0.00	ND	ND	
0	-1817	-1816		1		0.00	11	0.00	0.00	0.00	0.00	ND	ND	
0	-596	-1816	10	1		0.00	11	0.00	0.00	0.00	0.00	ND	ND	
0	-634	-1777	10	1		0.00	11	0.00	0.00	0.00	0.00	ND	ND	
0	404	-1817	6	1		90.00	55	0.00	0.00	0.00	0.00	ND	ND	
0	-892	-1452	10	1		0.00	11	0.00	0.00	0.00	0.00	ND	ND	
0	316	433	10	1		0.00	11	0.00	0.00	0.00	0.00	ND	ND	
0	-851	-1800	10	1		0.00	11	0.00	0.00	0.00	0.00	ND	ND	
0	-720	-1851	10	1		0.00	11	0.00	0.00	0.00	0.00	ND	ND	
0	-936	-1698	10	1		0.00	11	0.00	0.00	0.00	0.00	ND	ND	
0	-808	-1722	10	1		0.00	11	0.00	0.00	0.00	0.00	ND	ND	
0	-1067	-1572	10	1		0.00	11	0.00	0.00	0.00	0.00	ND	ND	
0	-1153	-1566	10	1		0.00	11	0.00	0.00	0.00	0.00	ND	ND	
0	-1193	-1546	10	1		0.00	11	0.00	0.00	0.00	0.00	ND	ND	
0	-894	-1450	10	1		0.00	11	0.00	0.00	0.00	0.00	ND	ND	
0	-1816	-1815		1		0.00	11	0.00	0.00	0.00	0.00	ND	ND	

0	-1546	-1545		1		0.00	11	0.00	0.00	0.00	0.00	ND	ND	
0	-809	-1721	10	1		0.00	11	0.00	0.00	0.00	0.00	ND	ND	
0	-1068	-1537	10	1		0.00	11	0.00	0.00	0.00	0.00	ND	ND	
0	-597	-1815	10	1		0.00	11	0.00	0.00	0.00	0.00	ND	ND	
0	-938	-1692	10	1		0.00	11	0.00	0.00	0.00	0.00	ND	ND	
0	-980	-1475	10	1		0.00	11	0.00	0.00	0.00	0.00	ND	ND	
0	-635	-1776	10	1		0.00	11	0.00	0.00	0.00	0.00	ND	ND	
0	-852	-1799	10	1		0.00	11	0.00	0.00	0.00	0.00	ND	ND	
0	-721	-1858	10	1		0.00	11	0.00	0.00	0.00	0.00	ND	ND	
0	-1155	-1565	10	1		0.00	11	0.00	0.00	0.00	0.00	ND	ND	
0	-1194	-1545	10	1		0.00	11	0.00	0.00	0.00	0.00	ND	ND	
0	-895	-1449	10	1		0.00	11	0.00	0.00	0.00	0.00	ND	ND	
0	-1815	-2087		1		0.00	11	0.00	0.00	0.00	0.00	ND	ND	
0	-1545	-1922		1		0.00	11	0.00	0.00	0.00	0.00	ND	ND	
0	-598	-1814	10	1		0.00	11	0.00	0.00	0.00	0.00	ND	ND	
0	-2087	-1814		1		0.00	11	0.00	0.00	0.00	0.00	ND	ND	
0	-722	-1856	10	1		0.00	11	0.00	0.00	0.00	0.00	ND	ND	
0	-982	-1474	10	1		0.00	11	0.00	0.00	0.00	0.00	ND	ND	
0	-810	-1720	10	1		0.00	11	0.00	0.00	0.00	0.00	ND	ND	
0	-636	-1775	10	1		0.00	11	0.00	0.00	0.00	0.00	ND	ND	
0	404	-1272	8	1		90.00	55	0.00	0.00	0.00	0.00	ND	ND	
0	-1922	-1544		1		0.00	11	0.00	0.00	0.00	0.00	ND	ND	
0	318	432	10	1		0.00	11	0.00	0.00	0.00	0.00	ND	ND	
0	-939	-1691	10	1		0.00	11	0.00	0.00	0.00	0.00	ND	ND	
0	-853	-1798	10	1		0.00	11	0.00	0.00	0.00	0.00	ND	ND	
0	-1069	-1705	10	1		0.00	11	0.00	0.00	0.00	0.00	ND	ND	
0	-1196	-1544	10	1		0.00	11	0.00	0.00	0.00	0.00	ND	ND	
0	-896	-1448	10	1		0.00	11	0.00	0.00	0.00	0.00	ND	ND	
0	-1544	-1540		1		0.00	11	0.00	0.00	0.00	0.00	ND	ND	
0	-599	-1813	10	1		0.00	11	0.00	0.00	0.00	0.00	ND	ND	
0	-1156	-1745	10	1		0.00	11	0.00	0.00	0.00	0.00	ND	ND	
0	421	422	8	1		90.00	55	0.00	0.00	0.00	0.00	ND	ND	
0	-1814	-2089		1		0.00	11	0.00	0.00	0.00	0.00	ND	ND	
0	-2089	-1813		1		0.00	11	0.00	0.00	0.00	0.00	ND	ND	
0	-983	-1473	10	1		0.00	11	0.00	0.00	0.00	0.00	ND	ND	
0	-811	-1719	10	1		0.00	11	0.00	0.00	0.00	0.00	ND	ND	
0	-723	-1695	10	1		0.00	11	0.00	0.00	0.00	0.00	ND	ND	
0	-1071	-1704	10	1		0.00	11	0.00	0.00	0.00	0.00	ND	ND	
0	-940	-1688	10	1		0.00	11	0.00	0.00	0.00	0.00	ND	ND	
0	-637	-1774	10	1		0.00	11	0.00	0.00	0.00	0.00	ND	ND	
0	-854	-1797	10	1		0.00	11	0.00	0.00	0.00	0.00	ND	ND	
0	-1197	-1540	10	1		0.00	11	0.00	0.00	0.00	0.00	ND	ND	
0	-897	-1446	10	1		0.00	11	0.00	0.00	0.00	0.00	ND	ND	
0	-1813	-1533		1		0.00	11	0.00	0.00	0.00	0.00	ND	ND	
0	-1540	-2069		1		0.00	11	0.00	0.00	0.00	0.00	ND	ND	
0	-600	-1812	10	1		0.00	11	0.00	0.00	0.00	0.00	ND	ND	
0	-1533	-1812		1		0.00	11	0.00	0.00	0.00	0.00	ND	ND	
0	-1072	-1703	10	1		0.00	11	0.00	0.00	0.00	0.00	ND	ND	
0	-984	-1472	10	1		0.00	11	0.00	0.00	0.00	0.00	ND	ND	
0	-638	-1773	10	1		0.00	11	0.00	0.00	0.00	0.00	ND	ND	
0	322	-2069	10	1		0.00	11	0.00	0.00	0.00	0.00	ND	ND	
0	-724	-1694	10	1		0.00	11	0.00	0.00	0.00	0.00	ND	ND	
0	-812	-1718	10	1		0.00	11	0.00	0.00	0.00	0.00	ND	ND	
0	-1158	-1744	10	1		0.00	11	0.00	0.00	0.00	0.00	ND	ND	
0	-855	-1796	10	1		0.00	11	0.00	0.00	0.00	0.00	ND	ND	
0	-941	-1411	10	1		0.00	11	0.00	0.00	0.00	0.00	ND	ND	
0	-898	-1445	10	1		0.00	11	0.00	0.00	0.00	0.00	ND	ND	
0	-2069	-1942		1		0.00	11	0.00	0.00	0.00	0.00	ND	ND	
0	-1812	-2091		1		0.00	11	0.00	0.00	0.00	0.00	ND	ND	
0	-1942	-1761		1		0.00	11	0.00	0.00	0.00	0.00	ND	ND	
0	422	-2069	6	1		90.00	55	0.00	0.00	0.00	0.00	ND	ND	
0	-601	-1811	10	1		0.00	11	0.00	0.00	0.00	0.00	ND	ND	
0	-2091	-1811		1		0.00	11	0.00	0.00	0.00	0.00	ND	ND	
0	-1159	-1743	10	1		0.00	11	0.00	0.00	0.00	0.00	ND	ND	
0	-640	-1772	10	1		0.00	11	0.00	0.00	0.00	0.00	ND	ND	
0	405	-1533	6	1		90.00	55	0.00	0.00	0.00	0.00	ND	ND	
0	-1199	-1761	10	1		0.00	11	0.00	0.00	0.00	0.00	ND	ND	
0	-813	-1717	10	1		0.00	11	0.00	0.00	0.00	0.00	ND	ND	
0	-1073	-1702	10	1		0.00	11	0.00	0.00	0.00	0.00	ND	ND	
0	-856	-1795	10	1		0.00	11	0.00	0.00	0.00	0.00	ND	ND	
0	-985	-1471	10	1		0.00	11	0.00	0.00	0.00	0.00	ND	ND	
0	-942	-1410	10	1		0.00	11	0.00	0.00	0.00	0.00	ND	ND	
0	-725	-1693	10	1		0.00	11	0.00	0.00	0.00	0.00	ND	ND	
0	-1811	-2093		1		0.00	11	0.00	0.00	0.00	0.00	ND	ND	
0	-1761	-1760		1		0.00	11	0.00	0.00	0.00	0.00	ND	ND	
0	-1160	-1742	10	1		0.00	11	0.00	0.00	0.00	0.00	ND	ND	
0	-641	-1771	10	1		0.00	11	0.00	0.00	0.00	0.00	ND	ND	
0	-986	-1470	10	1		0.00	11	0.00	0.00	0.00	0.00	ND	ND	
0	-602	-1810	10	1		0.00	11	0.00	0.00	0.00	0.00	ND	ND	

0	-1272	405	8	1		90.00	55	0.00	0.00	0.00	0.00	ND	ND	
0	-899	-1443	10	1		0.00	11	0.00	0.00	0.00	0.00	ND	ND	
0	-2093	-1810		1		0.00	11	0.00	0.00	0.00	0.00	ND	ND	
0	-1074	-1701	10	1		0.00	11	0.00	0.00	0.00	0.00	ND	ND	
0	-814	-1716	10	1		0.00	11	0.00	0.00	0.00	0.00	ND	ND	
0	-943	-1412	10	1		0.00	11	0.00	0.00	0.00	0.00	ND	ND	
0	-727	-1866	10	1		0.00	11	0.00	0.00	0.00	0.00	ND	ND	
0	-857	-1794	10	1		0.00	11	0.00	0.00	0.00	0.00	ND	ND	
0	-1200	-1760	10	1		0.00	11	0.00	0.00	0.00	0.00	ND	ND	
0	-900	-1442	10	1		0.00	11	0.00	0.00	0.00	0.00	ND	ND	
0	-1810	-1809		1		0.00	11	0.00	0.00	0.00	0.00	ND	ND	
0	-1760	-1759		1		0.00	11	0.00	0.00	0.00	0.00	ND	ND	
0	-1075	-1700	10	1		0.00	11	0.00	0.00	0.00	0.00	ND	ND	
0	-603	-1809	10	1		0.00	11	0.00	0.00	0.00	0.00	ND	ND	
0	-1201	-1759	10	1		0.00	11	0.00	0.00	0.00	0.00	ND	ND	
0	-944	-1835	10	1		0.00	11	0.00	0.00	0.00	0.00	ND	ND	
0	-816	-1715	10	1		0.00	11	0.00	0.00	0.00	0.00	ND	ND	
0	-1161	-1741	10	1		0.00	11	0.00	0.00	0.00	0.00	ND	ND	
0	422	423	8	1		90.00	55	0.00	0.00	0.00	0.00	ND	ND	
0	-858	-1793	10	1		0.00	11	0.00	0.00	0.00	0.00	ND	ND	
0	-987	-1469	10	1		0.00	11	0.00	0.00	0.00	0.00	ND	ND	
0	-642	-1770	10	1		0.00	11	0.00	0.00	0.00	0.00	ND	ND	
0	-728	-1865	10	1		0.00	11	0.00	0.00	0.00	0.00	ND	ND	
0	-901	-1441	10	1		0.00	11	0.00	0.00	0.00	0.00	ND	ND	
0	-1809	-1808		1		0.00	11	0.00	0.00	0.00	0.00	ND	ND	
0	-1759	-1758		1		0.00	11	0.00	0.00	0.00	0.00	ND	ND	
0	-643	-1769	10	1		0.00	11	0.00	0.00	0.00	0.00	ND	ND	
0	-817	-1714	10	1		0.00	11	0.00	0.00	0.00	0.00	ND	ND	
0	-729	-1864	10	1		0.00	11	0.00	0.00	0.00	0.00	ND	ND	
0	405	-1273	8	1		90.00	55	0.00	0.00	0.00	0.00	ND	ND	
0	-1273	406	8	1		90.00	55	0.00	0.00	0.00	0.00	ND	ND	
0	-1162	-1740	10	1		0.00	11	0.00	0.00	0.00	0.00	ND	ND	
0	-1076	-1497	10	1		0.00	11	0.00	0.00	0.00	0.00	ND	ND	
0	-945	-1834	10	1		0.00	11	0.00	0.00	0.00	0.00	ND	ND	
0	-988	-1468	10	1		0.00	11	0.00	0.00	0.00	0.00	ND	ND	
0	-1202	-1758	10	1		0.00	11	0.00	0.00	0.00	0.00	ND	ND	
0	-860	-1792	10	1		0.00	11	0.00	0.00	0.00	0.00	ND	ND	
0	-902	-1439	10	1		0.00	11	0.00	0.00	0.00	0.00	ND	ND	
0	-1758	-2067		1		0.00	11	0.00	0.00	0.00	0.00	ND	ND	
0	-1808	-1807		1		0.00	11	0.00	0.00	0.00	0.00	ND	ND	
0	-861	-1791	10	1		0.00	11	0.00	0.00	0.00	0.00	ND	ND	
0	-604	-1807	10	1		0.00	11	0.00	0.00	0.00	0.00	ND	ND	
0	323	-2067	10	1		0.00	11	0.00	0.00	0.00	0.00	ND	ND	
0	-818	-1713	10	1		0.00	11	0.00	0.00	0.00	0.00	ND	ND	
0	-989	-1467	10	1		0.00	11	0.00	0.00	0.00	0.00	ND	ND	
0	-644	-1768	10	1		0.00	11	0.00	0.00	0.00	0.00	ND	ND	
0	-946	-1833	10	1		0.00	11	0.00	0.00	0.00	0.00	ND	ND	
0	-1807	-1806		1		0.00	11	0.00	0.00	0.00	0.00	ND	ND	
0	406	-1808	6	1		90.00	55	0.00	0.00	0.00	0.00	ND	ND	
0	-730	-1861	10	1		0.00	11	0.00	0.00	0.00	0.00	ND	ND	
0	-1077	-1496	10	1		0.00	11	0.00	0.00	0.00	0.00	ND	ND	
0	-1163	-1739	10	1		0.00	11	0.00	0.00	0.00	0.00	ND	ND	
0	-904	-1438	10	1		0.00	11	0.00	0.00	0.00	0.00	ND	ND	
0	-2067	-1757		1		0.00	11	0.00	0.00	0.00	0.00	ND	ND	
0	-1203	-1757	10	1		0.00	11	0.00	0.00	0.00	0.00	ND	ND	
0	423	-2067	6	1		90.00	55	0.00	0.00	0.00	0.00	ND	ND	
0	-1164	-1738	10	1		0.00	11	0.00	0.00	0.00	0.00	ND	ND	
0	-645	-1767	10	1		0.00	11	0.00	0.00	0.00	0.00	ND	ND	
0	-862	-1790	10	1		0.00	11	0.00	0.00	0.00	0.00	ND	ND	
0	-819	-1712	10	1		0.00	11	0.00	0.00	0.00	0.00	ND	ND	
0	-605	-1806	10	1		0.00	11	0.00	0.00	0.00	0.00	ND	ND	
0	-731	-1857	10	1		0.00	11	0.00	0.00	0.00	0.00	ND	ND	
0	-948	-1832	10	1		0.00	11	0.00	0.00	0.00	0.00	ND	ND	
0	-990	-1466	10	1		0.00	11	0.00	0.00	0.00	0.00	ND	ND	
0	-1078	-1495	10	1		0.00	11	0.00	0.00	0.00	0.00	ND	ND	
0	-905	-1436	10	1		0.00	11	0.00	0.00	0.00	0.00	ND	ND	
0	-1757	-1756		1		0.00	11	0.00	0.00	0.00	0.00	ND	ND	
0	-1806	-1805		1		0.00	11	0.00	0.00	0.00	0.00	ND	ND	
0	-863	-1789	10	1		0.00	11	0.00	0.00	0.00	0.00	ND	ND	
0	-646	-1766	10	1		0.00	11	0.00	0.00	0.00	0.00	ND	ND	
0	-949	-1831	10	1		0.00	11	0.00	0.00	0.00	0.00	ND	ND	
0	-820	-1711	10	1		0.00	11	0.00	0.00	0.00	0.00	ND	ND	
0	-606	-1805	10	1		0.00	11	0.00	0.00	0.00	0.00	ND	ND	
0	-732	-1845	10	1		0.00	11	0.00	0.00	0.00	0.00	ND	ND	
0	406	407	8	1		90.00	55	0.00	0.00	0.00	0.00	ND	ND	
0	-1165	-1737	10	1		0.00	11	0.00	0.00	0.00	0.00	ND	ND	
0	-1079	-1494	10	1		0.00	11	0.00	0.00	0.00	0.00	ND	ND	
0	-1204	-1756	10	1		0.00	11	0.00	0.00	0.00	0.00	ND	ND	
0	-992	-1465	10	1		0.00	11	0.00	0.00	0.00	0.00	ND	ND	

0	-906	-1435	10	1		0.00	11	0.00	0.00	0.00	0.00	ND	ND	
0	-1756	-2115		1		0.00	11	0.00	0.00	0.00	0.00	ND	ND	
0	-1205	-1755	10	1		0.00	11	0.00	0.00	0.00	0.00	ND	ND	
0	-2115	-1755		1		0.00	11	0.00	0.00	0.00	0.00	ND	ND	
0	423	424	8	1		90.00	55	0.00	0.00	0.00	0.00	ND	ND	
0	-1805	-1804		1		0.00	11	0.00	0.00	0.00	0.00	ND	ND	
0	-1166	-1736	10	1		0.00	11	0.00	0.00	0.00	0.00	ND	ND	
0	-864	-1788	10	1		0.00	11	0.00	0.00	0.00	0.00	ND	ND	
0	-950	-1830	10	1		0.00	11	0.00	0.00	0.00	0.00	ND	ND	
0	-607	-1804	10	1		0.00	11	0.00	0.00	0.00	0.00	ND	ND	
0	-1081	-1493	10	1		0.00	11	0.00	0.00	0.00	0.00	ND	ND	
0	-733	-1844	10	1		0.00	11	0.00	0.00	0.00	0.00	ND	ND	
0	-821	-1710	10	1		0.00	11	0.00	0.00	0.00	0.00	ND	ND	
0	-647	-1765	10	1		0.00	11	0.00	0.00	0.00	0.00	ND	ND	
0	-993	-1464	10	1		0.00	11	0.00	0.00	0.00	0.00	ND	ND	
0	-907	-1434	10	1		0.00	11	0.00	0.00	0.00	0.00	ND	ND	
0	-1755	-2116		1		0.00	11	0.00	0.00	0.00	0.00	ND	ND	
0	-1804	-1950		1		0.00	11	0.00	0.00	0.00	0.00	ND	ND	
0	-1950	-1803		1		0.00	11	0.00	0.00	0.00	0.00	ND	ND	
0	-1206	-1754	10	1		0.00	11	0.00	0.00	0.00	0.00	ND	ND	
0	-2116	-1754		1		0.00	11	0.00	0.00	0.00	0.00	ND	ND	
0	-1082	-1492	10	1		0.00	11	0.00	0.00	0.00	0.00	ND	ND	
0	-734	-1843	10	1		0.00	11	0.00	0.00	0.00	0.00	ND	ND	
0	-822	-1709	10	1		0.00	11	0.00	0.00	0.00	0.00	ND	ND	
0	-1168	-1735	10	1		0.00	11	0.00	0.00	0.00	0.00	ND	ND	
0	-951	-1829	10	1		0.00	11	0.00	0.00	0.00	0.00	ND	ND	
0	-994	-1463	10	1		0.00	11	0.00	0.00	0.00	0.00	ND	ND	
0	-865	-1787	10	1		0.00	11	0.00	0.00	0.00	0.00	ND	ND	
0	-648	-1764	10	1		0.00	11	0.00	0.00	0.00	0.00	ND	ND	
0	-908	-1433	10	1		0.00	11	0.00	0.00	0.00	0.00	ND	ND	
0	-1803	-1687		1		0.00	11	0.00	0.00	0.00	0.00	ND	ND	
0	407	-1803	6	1		90.00	55	0.00	0.00	0.00	0.00	ND	ND	
0	-1754	-1689		1		0.00	11	0.00	0.00	0.00	0.00	ND	ND	
0	-1169	-1734	10	1		0.00	11	0.00	0.00	0.00	0.00	ND	ND	
0	-1207	-2065	10	1		0.00	11	0.00	0.00	0.00	0.00	ND	ND	
0	-1689	-2065		1		0.00	11	0.00	0.00	0.00	0.00	ND	ND	
0	-952	-1828	10	1		0.00	11	0.00	0.00	0.00	0.00	ND	ND	
0	-995	-1462	10	1		0.00	11	0.00	0.00	0.00	0.00	ND	ND	
0	-650	-1763	10	1		0.00	11	0.00	0.00	0.00	0.00	ND	ND	
0	-1083	-1491	10	1		0.00	11	0.00	0.00	0.00	0.00	ND	ND	
0	-2065	-2117		1		0.00	11	0.00	0.00	0.00	0.00	ND	ND	
0	-1208	-1753	10	1		0.00	11	0.00	0.00	0.00	0.00	ND	ND	
0	424	-1689	6	1		90.00	55	0.00	0.00	0.00	0.00	ND	ND	
0	-823	-1708	10	1		0.00	11	0.00	0.00	0.00	0.00	ND	ND	
0	-609	-1687	10	1		0.00	11	0.00	0.00	0.00	0.00	ND	ND	
0	-735	-1839	10	1		0.00	11	0.00	0.00	0.00	0.00	ND	ND	
0	-866	-1786	10	1		0.00	11	0.00	0.00	0.00	0.00	ND	ND	
0	-909	-1432	10	1		0.00	11	0.00	0.00	0.00	0.00	ND	ND	
0	-1687	-1625		1		0.00	11	0.00	0.00	0.00	0.00	ND	ND	
0	-2117	-1753		1		0.00	11	0.00	0.00	0.00	0.00	ND	ND	
0	-610	-1625	10	1		0.00	11	0.00	0.00	0.00	0.00	ND	ND	
0	-737	-1836	10	1		0.00	11	0.00	0.00	0.00	0.00	ND	ND	
0	-996	-1460	10	1		0.00	11	0.00	0.00	0.00	0.00	ND	ND	
0	-867	-1785	10	1		0.00	11	0.00	0.00	0.00	0.00	ND	ND	
0	-1170	-1733	10	1		0.00	11	0.00	0.00	0.00	0.00	ND	ND	
0	-824	-1707	10	1		0.00	11	0.00	0.00	0.00	0.00	ND	ND	
0	-953	-1827	10	1		0.00	11	0.00	0.00	0.00	0.00	ND	ND	
0	-1084	-1482	10	1		0.00	11	0.00	0.00	0.00	0.00	ND	ND	
0	311	436	10	1		0.00	11	0.00	0.00	0.00	0.00	ND	ND	
0	-910	-1431	10	1		0.00	11	0.00	0.00	0.00	0.00	ND	ND	
0	-1625	-1961		1		0.00	11	0.00	0.00	0.00	0.00	ND	ND	
0	-1753	-2119		1		0.00	11	0.00	0.00	0.00	0.00	ND	ND	
0	-1961	-1624		1		0.00	11	0.00	0.00	0.00	0.00	ND	ND	
0	407	408	8	1		90.00	55	0.00	0.00	0.00	0.00	ND	ND	
0	-1209	-1752	10	1		0.00	11	0.00	0.00	0.00	0.00	ND	ND	
0	-2119	-1752		1		0.00	11	0.00	0.00	0.00	0.00	ND	ND	
0	-651	-1362	10	1		0.00	11	0.00	0.00	0.00	0.00	ND	ND	
0	-1171	-1732	10	1		0.00	11	0.00	0.00	0.00	0.00	ND	ND	
0	-1085	-1481	10	1		0.00	11	0.00	0.00	0.00	0.00	ND	ND	
0	424	425	8	1		90.00	55	0.00	0.00	0.00	0.00	ND	ND	
0	-612	-1624	10	1		0.00	11	0.00	0.00	0.00	0.00	ND	ND	
0	-954	-1826	10	1		0.00	11	0.00	0.00	0.00	0.00	ND	ND	
0	-738	-1850	10	1		0.00	11	0.00	0.00	0.00	0.00	ND	ND	
0	-997	-1459	10	1		0.00	11	0.00	0.00	0.00	0.00	ND	ND	
0	-826	-1706	10	1		0.00	11	0.00	0.00	0.00	0.00	ND	ND	
0	-868	-1784	10	1		0.00	11	0.00	0.00	0.00	0.00	ND	ND	
0	-911	-1430	10	1		0.00	11	0.00	0.00	0.00	0.00	ND	ND	
0	-1624	-1623		1		0.00	11	0.00	0.00	0.00	0.00	ND	ND	
0	-1752	-1751		1		0.00	11	0.00	0.00	0.00	0.00	ND	ND	

0	-613	-1623	10	1		0.00	11	0.00	0.00	0.00	0.00	ND	ND	
0	-653	-1356	10	1		0.00	11	0.00	0.00	0.00	0.00	ND	ND	
0	-739	-1416	10	1		0.00	11	0.00	0.00	0.00	0.00	ND	ND	
0	-870	-1783	10	1		0.00	11	0.00	0.00	0.00	0.00	ND	ND	
0	-955	-1825	10	1		0.00	11	0.00	0.00	0.00	0.00	ND	ND	
0	-1172	-1731	10	1		0.00	11	0.00	0.00	0.00	0.00	ND	ND	
0	-1086	-1480	10	1		0.00	11	0.00	0.00	0.00	0.00	ND	ND	
0	-998	-1456	10	1		0.00	11	0.00	0.00	0.00	0.00	ND	ND	
0	-1210	-1751	10	1		0.00	11	0.00	0.00	0.00	0.00	ND	ND	
0	313	442	10	1		0.00	11	0.00	0.00	0.00	0.00	ND	ND	
0	-912	-1429	10	1		0.00	11	0.00	0.00	0.00	0.00	ND	ND	
0	-1623	-1622		1		0.00	11	0.00	0.00	0.00	0.00	ND	ND	
0	-1751	-1750		1		0.00	11	0.00	0.00	0.00	0.00	ND	ND	
0	-654	-1355	10	1		0.00	11	0.00	0.00	0.00	0.00	ND	ND	
0	408	-1622	6	1		90.00	55	0.00	0.00	0.00	0.00	ND	ND	
0	-741	-1415	10	1		0.00	11	0.00	0.00	0.00	0.00	ND	ND	
0	-827	-1667	10	1		0.00	11	0.00	0.00	0.00	0.00	ND	ND	
0	-1173	-1730	10	1		0.00	11	0.00	0.00	0.00	0.00	ND	ND	
0	-1087	-1479	10	1		0.00	11	0.00	0.00	0.00	0.00	ND	ND	
0	-871	-1863	10	1		0.00	11	0.00	0.00	0.00	0.00	ND	ND	
0	-956	-1824	10	1		0.00	11	0.00	0.00	0.00	0.00	ND	ND	
0	-999	-1455	10	1		0.00	11	0.00	0.00	0.00	0.00	ND	ND	
0	325	-1750	10	1		0.00	11	0.00	0.00	0.00	0.00	ND	ND	
0	-914	-1428	10	1		0.00	11	0.00	0.00	0.00	0.00	ND	ND	
0	-1622	-1621		1		0.00	11	0.00	0.00	0.00	0.00	ND	ND	
0	-1750	-2063		1		0.00	11	0.00	0.00	0.00	0.00	ND	ND	
0	-614	-1621	10	1		0.00	11	0.00	0.00	0.00	0.00	ND	ND	
0	-655	-1352	10	1		0.00	11	0.00	0.00	0.00	0.00	ND	ND	
0	-742	-1367	10	1		0.00	11	0.00	0.00	0.00	0.00	ND	ND	
0	-829	-1666	10	1		0.00	11	0.00	0.00	0.00	0.00	ND	ND	
0	-872	-1632	10	1		0.00	11	0.00	0.00	0.00	0.00	ND	ND	
0	-1211	-2063	10	1		0.00	11	0.00	0.00	0.00	0.00	ND	ND	
0	-958	-1823	10	1		0.00	11	0.00	0.00	0.00	0.00	ND	ND	
0	-1000	-1454	10	1		0.00	11	0.00	0.00	0.00	0.00	ND	ND	
0	-1174	-1729	10	1		0.00	11	0.00	0.00	0.00	0.00	ND	ND	
0	-2063	-1749		1		0.00	11	0.00	0.00	0.00	0.00	ND	ND	
0	425	-1750	6	1		90.00	55	0.00	0.00	0.00	0.00	ND	ND	
0	-1088	-1478	10	1		0.00	11	0.00	0.00	0.00	0.00	ND	ND	
0	315	441	10	1		0.00	11	0.00	0.00	0.00	0.00	ND	ND	
0	-1621	-1620		1		0.00	11	0.00	0.00	0.00	0.00	ND	ND	
0	-615	-1620	10	1		0.00	11	0.00	0.00	0.00	0.00	ND	ND	
0	-656	-1684	10	1		0.00	11	0.00	0.00	0.00	0.00	ND	ND	
0	-743	-1366	10	1		0.00	11	0.00	0.00	0.00	0.00	ND	ND	
0	-830	-1665	10	1		0.00	11	0.00	0.00	0.00	0.00	ND	ND	
0	-874	-1631	10	1		0.00	11	0.00	0.00	0.00	0.00	ND	ND	
0	-1212	-1749	10	1		0.00	11	0.00	0.00	0.00	0.00	ND	ND	
0	-1089	-1477	10	1		0.00	11	0.00	0.00	0.00	0.00	ND	ND	
0	-1175	-1728	10	1		0.00	11	0.00	0.00	0.00	0.00	ND	ND	
0	-1002	-1453	10	1		0.00	11	0.00	0.00	0.00	0.00	ND	ND	
0	-959	-1859	10	1		0.00	11	0.00	0.00	0.00	0.00	ND	ND	
0	-915	-1674	10	1		0.00	11	0.00	0.00	0.00	0.00	ND	ND	
0	-1749	-1748		1		0.00	11	0.00	0.00	0.00	0.00	ND	ND	
0	-1176	-1727	10	1		0.00	11	0.00	0.00	0.00	0.00	ND	ND	
0	425	426	8	1		90.00	55	0.00	0.00	0.00	0.00	ND	ND	
0	-338	-340		1		0.00	11	0.00	0.00	0.00	0.00	ND	ND	
0	-342	-344		1		0.00	11	0.00	0.00	0.00	0.00	ND	ND	
0	-344	-346		1		0.00	11	0.00	0.00	0.00	0.00	ND	ND	
0	-616	-1619	10	1		0.00	11	0.00	0.00	0.00	0.00	ND	ND	
0	-744	-1365	10	1		0.00	11	0.00	0.00	0.00	0.00	ND	ND	
0	-960	-1639	10	1		0.00	11	0.00	0.00	0.00	0.00	ND	ND	
0	-1213	-1748	10	1		0.00	11	0.00	0.00	0.00	0.00	ND	ND	
0	-346	-348		1		0.00	11	0.00	0.00	0.00	0.00	ND	ND	
0	-1620	-1619		1		0.00	11	0.00	0.00	0.00	0.00	ND	ND	
0	-657	-1683	10	1		0.00	11	0.00	0.00	0.00	0.00	ND	ND	
0	-831	-1664	10	1		0.00	11	0.00	0.00	0.00	0.00	ND	ND	
0	-875	-1630	10	1		0.00	11	0.00	0.00	0.00	0.00	ND	ND	
0	317	439	10	1		0.00	11	0.00	0.00	0.00	0.00	ND	ND	
0	-1091	-1476	10	1		0.00	11	0.00	0.00	0.00	0.00	ND	ND	
0	-917	-1673	10	1		0.00	11	0.00	0.00	0.00	0.00	ND	ND	
0	-1619	-1417		1		0.00	11	0.00	0.00	0.00	0.00	ND	ND	
0	-1748	-1747		1		0.00	11	0.00	0.00	0.00	0.00	ND	ND	
0	-658	-1682	10	1		0.00	11	0.00	0.00	0.00	0.00	ND	ND	
0	-876	-1629	10	1		0.00	11	0.00	0.00	0.00	0.00	ND	ND	
0	-962	-1638	10	1		0.00	11	0.00	0.00	0.00	0.00	ND	ND	
0	-1003	-1646	10	1		0.00	11	0.00	0.00	0.00	0.00	ND	ND	
0	-1178	-1726	10	1		0.00	11	0.00	0.00	0.00	0.00	ND	ND	
0	-1214	-1747	10	1		0.00	11	0.00	0.00	0.00	0.00	ND	ND	
0	-340	-342		1		0.00	11	0.00	0.00	0.00	0.00	ND	ND	
0	-617	-1417	10	1		0.00	11	0.00	0.00	0.00	0.00	ND	ND	

0	-832	-1663	10	1		0.00	11	0.00	0.00	0.00	0.00	ND	ND	
0	-1092	-1848	10	1		0.00	11	0.00	0.00	0.00	0.00	ND	ND	
0	-918	-1672	10	1		0.00	11	0.00	0.00	0.00	0.00	ND	ND	
0	-1747	-1957		1		0.00	11	0.00	0.00	0.00	0.00	ND	ND	
0	-422	-424		1		0.00	11	0.00	0.00	0.00	0.00	ND	ND	
0	-424	-426		1		0.00	11	0.00	0.00	0.00	0.00	ND	ND	
0	-536	-581		1		0.00	11	0.00	0.00	0.00	0.00	ND	ND	
0	-1957	-1746		1		0.00	11	0.00	0.00	0.00	0.00	ND	ND	
0	-659	-1426	10	1		0.00	11	0.00	0.00	0.00	0.00	ND	ND	
0	409	309	6	1		90.00	55	0.00	0.00	0.00	0.00	ND	ND	
0	-746	-1363	10	1		0.00	11	0.00	0.00	0.00	0.00	ND	ND	
0	-833	-1662	10	1		0.00	11	0.00	0.00	0.00	0.00	ND	ND	
0	-877	-1628	10	1		0.00	11	0.00	0.00	0.00	0.00	ND	ND	
0	-963	-1637	10	1		0.00	11	0.00	0.00	0.00	0.00	ND	ND	
0	-1005	-1645	10	1		0.00	11	0.00	0.00	0.00	0.00	ND	ND	
0	-1093	-1653	10	1		0.00	11	0.00	0.00	0.00	0.00	ND	ND	
0	-919	-1671	10	1		0.00	11	0.00	0.00	0.00	0.00	ND	ND	
0	319	434	10	1		0.00	11	0.00	0.00	0.00	0.00	ND	ND	
0	326	-1746	10	1		0.00	11	0.00	0.00	0.00	0.00	ND	ND	
0	-1746	-1686		1		0.00	11	0.00	0.00	0.00	0.00	ND	ND	
0	426	-1746	6	1		90.00	55	0.00	0.00	0.00	0.00	ND	ND	
0	-426	-428		1		0.00	11	0.00	0.00	0.00	0.00	ND	ND	
0	-1006	-1644	10	1		0.00	11	0.00	0.00	0.00	0.00	ND	ND	
0	-1095	-1652	10	1		0.00	11	0.00	0.00	0.00	0.00	ND	ND	
0	-1179	-1660	10	1		0.00	11	0.00	0.00	0.00	0.00	ND	ND	
0	-348	-350		1		0.00	11	0.00	0.00	0.00	0.00	ND	ND	
0	-428	-430		1		0.00	11	0.00	0.00	0.00	0.00	ND	ND	
0	-1686	-1681		1		0.00	11	0.00	0.00	0.00	0.00	ND	ND	
0	-1217	-1681	10	1		0.00	11	0.00	0.00	0.00	0.00	ND	ND	
0	-352	-354		1		0.00	11	0.00	0.00	0.00	0.00	ND	ND	
0	-430	-432		1		0.00	11	0.00	0.00	0.00	0.00	ND	ND	
0	-432	-434		1		0.00	11	0.00	0.00	0.00	0.00	ND	ND	
0	-581	309		1		0.00	11	0.00	0.00	0.00	0.00	ND	ND	
0	309	-660		1		0.00	11	0.00	0.00	0.00	0.00	ND	ND	
0	-660	-703		1		0.00	11	0.00	0.00	0.00	0.00	ND	ND	
0	-920	-1670	10	1		0.00	11	0.00	0.00	0.00	0.00	ND	ND	
0	-1096	-1651	10	1		0.00	11	0.00	0.00	0.00	0.00	ND	ND	
0	-1181	-1659	10	1		0.00	11	0.00	0.00	0.00	0.00	ND	ND	
0	-350	-352		1		0.00	11	0.00	0.00	0.00	0.00	ND	ND	
0	-1182	-1658	10	1		0.00	11	0.00	0.00	0.00	0.00	ND	ND	
0	-354	-356		1		0.00	11	0.00	0.00	0.00	0.00	ND	ND	
0	-434	-436		1		0.00	11	0.00	0.00	0.00	0.00	ND	ND	
0	-436	-438		1		0.00	11	0.00	0.00	0.00	0.00	ND	ND	
0	-745	-1364	10	1		0.00	11	0.00	0.00	0.00	0.00	ND	ND	
0	-747	-1427	10	1		0.00	11	0.00	0.00	0.00	0.00	ND	ND	
0	-878	-1627	10	1		0.00	11	0.00	0.00	0.00	0.00	ND	ND	
0	-1216	-1686	10	1		0.00	11	0.00	0.00	0.00	0.00	ND	ND	
0	-1680	-1679		1		0.00	11	0.00	0.00	0.00	0.00	ND	ND	
0	-1220	-1679	10	1		0.00	11	0.00	0.00	0.00	0.00	ND	ND	
0	-356	-358		1		0.00	11	0.00	0.00	0.00	0.00	ND	ND	
0	-358	-360		1		0.00	11	0.00	0.00	0.00	0.00	ND	ND	
0	-362	-364		1		0.00	11	0.00	0.00	0.00	0.00	ND	ND	
0	-440	-442		1		0.00	11	0.00	0.00	0.00	0.00	ND	ND	
0	-834	-1661	10	1		0.00	11	0.00	0.00	0.00	0.00	ND	ND	
0	-703	-748		1		0.00	11	0.00	0.00	0.00	0.00	ND	ND	
0	-438	-440		1		0.00	11	0.00	0.00	0.00	0.00	ND	ND	
0	-360	-362		1		0.00	11	0.00	0.00	0.00	0.00	ND	ND	
0	-835	-1423	10	1		0.00	11	0.00	0.00	0.00	0.00	ND	ND	
0	408	409	8	1		90.00	55	0.00	0.00	0.00	0.00	ND	ND	
0	-879	-1626	10	1		0.00	11	0.00	0.00	0.00	0.00	ND	ND	
0	-965	-1635	10	1		0.00	11	0.00	0.00	0.00	0.00	ND	ND	
0	-1007	-1643	10	1		0.00	11	0.00	0.00	0.00	0.00	ND	ND	
0	-748	-793		1		0.00	11	0.00	0.00	0.00	0.00	ND	ND	
0	-1681	-1964		1		0.00	11	0.00	0.00	0.00	0.00	ND	ND	
0	-1219	-1680	10	1		0.00	11	0.00	0.00	0.00	0.00	ND	ND	
0	-1964	-1680		1		0.00	11	0.00	0.00	0.00	0.00	ND	ND	
0	-364	-366		7		130.00	55	0.00	0.00	0.00	0.00	ND	ND	
0	-442	-444		1		0.00	11	0.00	0.00	0.00	0.00	ND	ND	
0	-366	-368		1		0.00	11	0.00	0.00	0.00	0.00	ND	ND	
0	-368	-370		1		0.00	11	0.00	0.00	0.00	0.00	ND	ND	
0	-370	-372		1		0.00	11	0.00	0.00	0.00	0.00	ND	ND	
0	-964	-1636	10	1		0.00	11	0.00	0.00	0.00	0.00	ND	ND	
0	-446	-448		1		0.00	11	0.00	0.00	0.00	0.00	ND	ND	
0	-921	-1669	10	1		0.00	11	0.00	0.00	0.00	0.00	ND	ND	
0	-372	-374		1		0.00	11	0.00	0.00	0.00	0.00	ND	ND	
0	-966	-1634	10	1		0.00	11	0.00	0.00	0.00	0.00	ND	ND	
0	-1008	-1642	10	1		0.00	11	0.00	0.00	0.00	0.00	ND	ND	
0	-1097	-1650	10	1		0.00	11	0.00	0.00	0.00	0.00	ND	ND	
0	-1183	-1657	10	1		0.00	11	0.00	0.00	0.00	0.00	ND	ND	

0	426	427	8	1		90.00	55	0.00	0.00	0.00	0.00	ND	ND	
0	-793	-836		1		0.00	11	0.00	0.00	0.00	0.00	ND	ND	
0	-880	-1418	10	1		0.00	11	0.00	0.00	0.00	0.00	ND	ND	
0	-922	-1668	10	1		0.00	11	0.00	0.00	0.00	0.00	ND	ND	
0	-967	-1633	10	1		0.00	11	0.00	0.00	0.00	0.00	ND	ND	
0	-1009	-1641	10	1		0.00	11	0.00	0.00	0.00	0.00	ND	ND	
0	-1098	-1649	10	1		0.00	11	0.00	0.00	0.00	0.00	ND	ND	
0	-923	-1424	10	1		0.00	11	0.00	0.00	0.00	0.00	ND	ND	
0	-881	-924		1		0.00	11	0.00	0.00	0.00	0.00	ND	ND	
0	-1679	-1678		1		0.00	11	0.00	0.00	0.00	0.00	ND	ND	
0	-968	-1419	10	1		0.00	11	0.00	0.00	0.00	0.00	ND	ND	
0	-1010	-1640	10	1		0.00	11	0.00	0.00	0.00	0.00	ND	ND	
0	-1099	-1648	10	1		0.00	11	0.00	0.00	0.00	0.00	ND	ND	
0	-1184	-1656	10	1		0.00	11	0.00	0.00	0.00	0.00	ND	ND	
0	327	-1678	10	1		0.00	11	0.00	0.00	0.00	0.00	ND	ND	
0	-1678	-1677		1		0.00	11	0.00	0.00	0.00	0.00	ND	ND	
0	427	-1678	6	1		90.00	55	0.00	0.00	0.00	0.00	ND	ND	
0	-924	-969		1		0.00	11	0.00	0.00	0.00	0.00	ND	ND	
0	-1100	-1647	10	1		0.00	11	0.00	0.00	0.00	0.00	ND	ND	
0	-1221	-1677	10	1		0.00	11	0.00	0.00	0.00	0.00	ND	ND	
0	-1677	-1676		1		0.00	11	0.00	0.00	0.00	0.00	ND	ND	
0	-444	-446		1		0.00	11	0.00	0.00	0.00	0.00	ND	ND	
0	-448	-450		1		0.00	11	0.00	0.00	0.00	0.00	ND	ND	
0	-450	-452		1		0.00	11	0.00	0.00	0.00	0.00	ND	ND	
0	-1011	-1420	10	1		0.00	11	0.00	0.00	0.00	0.00	ND	ND	
0	-969	-1012		1		0.00	11	0.00	0.00	0.00	0.00	ND	ND	
0	-452	-454		1		0.00	11	0.00	0.00	0.00	0.00	ND	ND	
0	-1186	-1654	10	1		0.00	11	0.00	0.00	0.00	0.00	ND	ND	
0	-1012	-1057		1		0.00	11	0.00	0.00	0.00	0.00	ND	ND	
0	-454	-456		1		0.00	11	0.00	0.00	0.00	0.00	ND	ND	
0	-1057	-1102		1		0.00	11	0.00	0.00	0.00	0.00	ND	ND	
0	-456	-458		1		0.00	11	0.00	0.00	0.00	0.00	ND	ND	
0	-1185	-1655	10	1		0.00	11	0.00	0.00	0.00	0.00	ND	ND	
0	-1101	-1421	10	1		0.00	11	0.00	0.00	0.00	0.00	ND	ND	
0	-1222	-1676	10	1		0.00	11	0.00	0.00	0.00	0.00	ND	ND	
0	-1676	-1675		1		0.00	11	0.00	0.00	0.00	0.00	ND	ND	
0	-1187	-1422	10	1		0.00	11	0.00	0.00	0.00	0.00	ND	ND	
0	-1223	-1675	10	1		0.00	11	0.00	0.00	0.00	0.00	ND	ND	
0	-1102	-1145		1		0.00	11	0.00	0.00	0.00	0.00	ND	ND	
0	-1675	-1425		1		0.00	11	0.00	0.00	0.00	0.00	ND	ND	
0	-1145	-1188		1		0.00	11	0.00	0.00	0.00	0.00	ND	ND	
0	-1224	-1425	10	1		0.00	11	0.00	0.00	0.00	0.00	ND	ND	
0	-1188	328		1		0.00	11	0.00	0.00	0.00	0.00	ND	ND	
0	328	-1269		1		0.00	11	0.00	0.00	0.00	0.00	ND	ND	
0	-1269	-1271		1		0.00	11	0.00	0.00	0.00	0.00	ND	ND	
0	427	428	8	1		90.00	55	0.00	0.00	0.00	0.00	ND	ND	
0	428	328	6	1		90.00	55	0.00	0.00	0.00	0.00	ND	ND	
2	-1603	302	10	1		90.00	55	0.00	0.00	0.00	0.00	ND	ND	
3	-1822	303	10	1		90.00	55	0.00	0.00	0.00	0.00	ND	ND	
4	-1817	304	10	1		90.00	55	0.00	0.00	0.00	0.00	ND	ND	
5	-1533	305	10	1		90.00	55	0.00	0.00	0.00	0.00	ND	ND	
6	-1808	306	10	1		90.00	55	0.00	0.00	0.00	0.00	ND	ND	
7	-1803	307	10	1		90.00	55	0.00	0.00	0.00	0.00	ND	ND	
8	-1622	308	10	1		90.00	55	0.00	0.00	0.00	0.00	ND	ND	
10	10	310	5	5		0.00	22	0.00	0.00	0.00	0.00	ND	ND	
11	11	311	5	5		0.00	88	0.00	0.00	0.00	0.00	ND	ND	
12	12	312	5	5		0.00	22	0.00	0.00	0.00	0.00	ND	ND	
13	13	313	5	5		0.00	88	0.00	0.00	0.00	0.00	ND	ND	
14	14	314	5	5		0.00	22	0.00	0.00	0.00	0.00	ND	ND	
15	15	315	5	5		0.00	88	0.00	0.00	0.00	0.00	ND	ND	
16	16	316	5	5		0.00	22	0.00	0.00	0.00	0.00	ND	ND	
17	17	317	5	5		0.00	88	0.00	0.00	0.00	0.00	ND	ND	
18	18	318	5	5		0.00	22	0.00	0.00	0.00	0.00	ND	ND	
19	19	319	5	5		0.00	88	0.00	0.00	0.00	0.00	ND	ND	
24	-1689	324	10	1		90.00	55	0.00	0.00	0.00	0.00	ND	ND	
301	301	-582	1	30		0.00	88	0.00	0.00	0.00	0.00	ND	ND	
301	-582	-583	1	1		0.00	88	0.00	0.00	0.00	0.00	ND	ND	
301	-583	-584	1	1		0.00	88	0.00	0.00	0.00	0.00	ND	ND	
301	-584	-585	1	1		0.00	88	0.00	0.00	0.00	0.00	ND	ND	
301	-585	302	1	1		0.00	88	0.00	0.00	0.00	0.00	ND	ND	
301	302	-586	1	1		0.00	88	0.00	0.00	0.00	0.00	ND	ND	
301	-586	-587	1	1		0.00	88	0.00	0.00	0.00	0.00	ND	ND	
301	-587	-588	1	1		0.00	88	0.00	0.00	0.00	0.00	ND	ND	
301	-588	-589	1	1		0.00	88	0.00	0.00	0.00	0.00	ND	ND	
301	-589	-590	1	1		0.00	88	0.00	0.00	0.00	0.00	ND	ND	
301	-590	303	1	1		0.00	88	0.00	0.00	0.00	0.00	ND	ND	
301	303	-591	1	1		0.00	88	0.00	0.00	0.00	0.00	ND	ND	
301	-591	-592	1	1		0.00	88	0.00	0.00	0.00	0.00	ND	ND	
301	-592	-593	1	1		0.00	88	0.00	0.00	0.00	0.00	ND	ND	

301	-593	-594	1	1		0.00	88	0.00	0.00	0.00	0.00	ND	CC	
301	-594	-595	1	1		0.00	88	0.00	0.00	0.00	0.00	CC	ND	
301	-595	304	1	1		0.00	88	0.00	0.00	0.00	0.00	ND	ND	
301	304	-596	1	1		0.00	88	0.00	0.00	0.00	0.00	ND	ND	
301	-596	-597	1	1		0.00	88	0.00	0.00	0.00	0.00	ND	ND	
301	-597	-1302	1	1		0.00	88	0.00	0.00	0.00	0.00	ND	ND	
301	-1302	-598	1	1		0.00	88	0.00	0.00	0.00	0.00	ND	ND	
301	-598	-1304	1	1		0.00	88	0.00	0.00	0.00	0.00	ND	ND	
301	-1304	-599	1	1		0.00	88	0.00	0.00	0.00	0.00	ND	ND	
301	-599	305	1	1		0.00	88	0.00	0.00	0.00	0.00	ND	ND	
301	305	-600	1	1		0.00	88	0.00	0.00	0.00	0.00	ND	ND	
301	-600	-1306	1	1		0.00	88	0.00	0.00	0.00	0.00	ND	ND	
301	-1306	-601	1	1		0.00	88	0.00	0.00	0.00	0.00	ND	ND	
301	-601	-1308	1	1		0.00	88	0.00	0.00	0.00	0.00	ND	ND	
301	-1308	-602	1	1		0.00	88	0.00	0.00	0.00	0.00	ND	ND	
301	-602	-603	1	1		0.00	88	0.00	0.00	0.00	0.00	ND	ND	
301	-603	306	1	1		0.00	88	0.00	0.00	0.00	0.00	ND	ND	
301	306	-604	1	1		0.00	88	0.00	0.00	0.00	0.00	ND	ND	
301	-604	-605	1	1		0.00	88	0.00	0.00	0.00	0.00	ND	CC	
301	-605	-606	1	1		0.00	88	0.00	0.00	0.00	0.00	CC	ND	
301	-606	-607	1	1		0.00	88	0.00	0.00	0.00	0.00	ND	ND	
301	-607	-608	1	1		0.00	88	0.00	0.00	0.00	0.00	ND	ND	
301	-608	307	1	1		0.00	88	0.00	0.00	0.00	0.00	ND	ND	
301	307	-609	1	1		0.00	88	0.00	0.00	0.00	0.00	ND	ND	
301	-609	-610	1	1		0.00	88	0.00	0.00	0.00	0.00	ND	ND	
301	-610	-611	1	1		0.00	88	0.00	0.00	0.00	0.00	ND	ND	
301	-611	-612	1	1		0.00	88	0.00	0.00	0.00	0.00	ND	ND	
301	-612	-613	1	1		0.00	88	0.00	0.00	0.00	0.00	ND	ND	
301	-613	308	1	1		0.00	88	0.00	0.00	0.00	0.00	ND	ND	
301	308	-614	1	1		0.00	88	0.00	0.00	0.00	0.00	ND	ND	
301	-614	-615	1	1		0.00	88	0.00	0.00	0.00	0.00	ND	ND	
301	-615	-616	1	1		0.00	88	0.00	0.00	0.00	0.00	ND	ND	
301	-616	-617	1	1		0.00	88	0.00	0.00	0.00	0.00	ND	ND	
301	-617	309	1	31		0.00	88	0.00	0.00	0.00	0.00	ND	ND	
302	-618	-619	1	30		0.00	88	0.00	0.00	0.00	0.00	ND	ND	
302	-619	-620	1	1		0.00	88	0.00	0.00	0.00	0.00	ND	ND	
302	-620	-621	1	1		0.00	88	0.00	0.00	0.00	0.00	ND	ND	
302	-621	-622	1	1		0.00	88	0.00	0.00	0.00	0.00	ND	ND	
302	-622	-623	1	1		0.00	88	0.00	0.00	0.00	0.00	ND	ND	
302	-623	-624	1	1		0.00	88	0.00	0.00	0.00	0.00	ND	ND	
302	-624	-625	1	1		0.00	88	0.00	0.00	0.00	0.00	ND	ND	
302	-625	-626	1	1		0.00	88	0.00	0.00	0.00	0.00	ND	ND	
302	-626	-627	1	1		0.00	88	0.00	0.00	0.00	0.00	ND	ND	
302	-627	310	1	1		0.00	88	0.00	0.00	0.00	0.00	ND	ND	
302	310	-628	1	1		0.00	88	0.00	0.00	0.00	0.00	ND	ND	
302	-628	-629	1	1		0.00	88	0.00	0.00	0.00	0.00	ND	ND	
302	-629	-630	1	1		0.00	88	0.00	0.00	0.00	0.00	ND	ND	
302	-630	-631	1	1		0.00	88	0.00	0.00	0.00	0.00	ND	ND	
302	-631	-632	1	1		0.00	88	0.00	0.00	0.00	0.00	ND	CC	
302	-632	-633	1	1		0.00	88	0.00	0.00	0.00	0.00	CC	ND	
302	-633	-634	1	1		0.00	88	0.00	0.00	0.00	0.00	ND	ND	
302	-634	-635	1	1		0.00	88	0.00	0.00	0.00	0.00	ND	ND	
302	-635	-636	1	1		0.00	88	0.00	0.00	0.00	0.00	ND	ND	
302	-636	-1303	1	1		0.00	88	0.00	0.00	0.00	0.00	ND	ND	
302	-1303	-637	1	1		0.00	88	0.00	0.00	0.00	0.00	ND	ND	
302	-637	-1305	1	1		0.00	88	0.00	0.00	0.00	0.00	ND	ND	
302	-1305	-638	1	1		0.00	88	0.00	0.00	0.00	0.00	ND	ND	
302	-638	-639	1	1		0.00	88	0.00	0.00	0.00	0.00	ND	ND	
302	-639	-640	1	1		0.00	88	0.00	0.00	0.00	0.00	ND	ND	
302	-640	-1307	1	1		0.00	88	0.00	0.00	0.00	0.00	ND	ND	
302	-1307	-641	1	1		0.00	88	0.00	0.00	0.00	0.00	ND	ND	
302	-641	-1309	1	1		0.00	88	0.00	0.00	0.00	0.00	ND	ND	
302	-1309	-642	1	1		0.00	88	0.00	0.00	0.00	0.00	ND	ND	
302	-642	-643	1	1		0.00	88	0.00	0.00	0.00	0.00	ND	ND	
302	-643	-644	1	1		0.00	88	0.00	0.00	0.00	0.00	ND	ND	
302	-644	-645	1	1		0.00	88	0.00	0.00	0.00	0.00	ND	ND	
302	-645	-646	1	1		0.00	88	0.00	0.00	0.00	0.00	ND	CC	
302	-646	-647	1	1		0.00	88	0.00	0.00	0.00	0.00	CC	ND	
302	-647	-648	1	1		0.00	88	0.00	0.00	0.00	0.00	ND	ND	
302	-648	-649	1	1		0.00	88	0.00	0.00	0.00	0.00	ND	ND	
302	-649	-650	1	1		0.00	88	0.00	0.00	0.00	0.00	ND	ND	
302	-650	311	1	1		0.00	88	0.00	0.00	0.00	0.00	ND	ND	
302	311	-651	1	1		0.00	88	0.00	0.00	0.00	0.00	ND	ND	
302	-651	-652	1	1		0.00	88	0.00	0.00	0.00	0.00	ND	ND	
302	-652	-653	1	1		0.00	88	0.00	0.00	0.00	0.00	ND	ND	
302	-653	-654	1	1		0.00	88	0.00	0.00	0.00	0.00	ND	ND	
302	-654	-655	1	1		0.00	88	0.00	0.00	0.00	0.00	ND	ND	
302	-655	-656	1	1		0.00	88	0.00	0.00	0.00	0.00	ND	ND	
302	-656	-657	1	1		0.00	88	0.00	0.00	0.00	0.00	ND	ND	

302	-657	-658	1	1		0.00	88	0.00	0.00	0.00	0.00	ND	ND	
302	-658	-659	1	1		0.00	88	0.00	0.00	0.00	0.00	ND	ND	
302	-659	-660	1	31		0.00	88	0.00	0.00	0.00	0.00	ND	ND	
303	-704	-705	1	30		0.00	88	0.00	0.00	0.00	0.00	ND	ND	
303	-705	-706	1	1		0.00	88	0.00	0.00	0.00	0.00	ND	ND	
303	-706	-707	1	1		0.00	88	0.00	0.00	0.00	0.00	ND	ND	
303	-707	-708	1	1		0.00	88	0.00	0.00	0.00	0.00	ND	ND	
303	-708	-709	1	1		0.00	88	0.00	0.00	0.00	0.00	ND	ND	
303	-709	-710	1	1		0.00	88	0.00	0.00	0.00	0.00	ND	ND	
303	-710	-711	1	1		0.00	88	0.00	0.00	0.00	0.00	ND	ND	
303	-711	-712	1	1		0.00	88	0.00	0.00	0.00	0.00	ND	ND	
303	-712	-713	1	1		0.00	88	0.00	0.00	0.00	0.00	ND	ND	
303	-713	-714	1	1		0.00	88	0.00	0.00	0.00	0.00	ND	ND	
303	-714	-715	1	1		0.00	88	0.00	0.00	0.00	0.00	ND	ND	
303	-715	-716	1	1		0.00	88	0.00	0.00	0.00	0.00	ND	ND	
303	-716	-717	1	1		0.00	88	0.00	0.00	0.00	0.00	ND	ND	
303	-717	-718	1	1		0.00	88	0.00	0.00	0.00	0.00	ND	ND	
303	-718	-719	1	1		0.00	88	0.00	0.00	0.00	0.00	ND	CC	
303	-719	-720	1	1		0.00	88	0.00	0.00	0.00	0.00	CC	ND	
303	-720	-721	1	1		0.00	88	0.00	0.00	0.00	0.00	ND	ND	
303	-721	-722	1	1		0.00	88	0.00	0.00	0.00	0.00	ND	ND	
303	-722	-723	1	1		0.00	88	0.00	0.00	0.00	0.00	ND	ND	
303	-723	-1298	1	1		0.00	88	0.00	0.00	0.00	0.00	ND	ND	
303	-1298	-724	1	1		0.00	88	0.00	0.00	0.00	0.00	ND	ND	
303	-724	-1299	1	1		0.00	88	0.00	0.00	0.00	0.00	ND	ND	
303	-1299	-725	1	1		0.00	88	0.00	0.00	0.00	0.00	ND	ND	
303	-725	-726	1	1		0.00	88	0.00	0.00	0.00	0.00	ND	ND	
303	-726	-727	1	1		0.00	88	0.00	0.00	0.00	0.00	ND	ND	
303	-727	-1300	1	1		0.00	88	0.00	0.00	0.00	0.00	ND	ND	
303	-1300	-728	1	1		0.00	88	0.00	0.00	0.00	0.00	ND	ND	
303	-728	-1301	1	1		0.00	88	0.00	0.00	0.00	0.00	ND	ND	
303	-1301	-729	1	1		0.00	88	0.00	0.00	0.00	0.00	ND	ND	
303	-729	-730	1	1		0.00	88	0.00	0.00	0.00	0.00	ND	ND	
303	-730	-731	1	1		0.00	88	0.00	0.00	0.00	0.00	ND	ND	
303	-731	-732	1	1		0.00	88	0.00	0.00	0.00	0.00	ND	ND	
303	-732	-733	1	1		0.00	88	0.00	0.00	0.00	0.00	ND	CC	
303	-733	-734	1	1		0.00	88	0.00	0.00	0.00	0.00	CC	ND	
303	-734	-735	1	1		0.00	88	0.00	0.00	0.00	0.00	ND	ND	
303	-735	-736	1	1		0.00	88	0.00	0.00	0.00	0.00	ND	ND	
303	-736	-737	1	1		0.00	88	0.00	0.00	0.00	0.00	ND	ND	
303	-737	-738	1	1		0.00	88	0.00	0.00	0.00	0.00	ND	ND	
303	-738	-739	1	1		0.00	88	0.00	0.00	0.00	0.00	ND	ND	
303	-739	-740	1	1		0.00	88	0.00	0.00	0.00	0.00	ND	ND	
303	-740	-741	1	1		0.00	88	0.00	0.00	0.00	0.00	ND	ND	
303	-741	-742	1	1		0.00	88	0.00	0.00	0.00	0.00	ND	ND	
303	-742	-743	1	1		0.00	88	0.00	0.00	0.00	0.00	ND	ND	
303	-743	-744	1	1		0.00	88	0.00	0.00	0.00	0.00	ND	ND	
303	-744	-745	1	1		0.00	88	0.00	0.00	0.00	0.00	ND	ND	
303	-745	-746	1	1		0.00	88	0.00	0.00	0.00	0.00	ND	ND	
303	-746	-747	1	1		0.00	88	0.00	0.00	0.00	0.00	ND	ND	
303	-747	-748	1	31		0.00	88	0.00	0.00	0.00	0.00	ND	ND	
304	-794	-795	1	30		0.00	88	0.00	0.00	0.00	0.00	ND	ND	
304	-795	-796	1	1		0.00	88	0.00	0.00	0.00	0.00	ND	ND	
304	-796	-797	1	1		0.00	88	0.00	0.00	0.00	0.00	ND	ND	
304	-797	-798	1	1		0.00	88	0.00	0.00	0.00	0.00	ND	ND	
304	-798	-799	1	1		0.00	88	0.00	0.00	0.00	0.00	ND	ND	
304	-799	-800	1	1		0.00	88	0.00	0.00	0.00	0.00	ND	ND	
304	-800	-801	1	1		0.00	88	0.00	0.00	0.00	0.00	ND	ND	
304	-801	-802	1	1		0.00	88	0.00	0.00	0.00	0.00	ND	ND	
304	-802	-803	1	1		0.00	88	0.00	0.00	0.00	0.00	ND	ND	
304	-803	312	1	1		0.00	88	0.00	0.00	0.00	0.00	ND	ND	
304	312	-804	1	1		0.00	88	0.00	0.00	0.00	0.00	ND	ND	
304	-804	-805	1	1		0.00	88	0.00	0.00	0.00	0.00	ND	ND	
304	-805	-806	1	1		0.00	88	0.00	0.00	0.00	0.00	ND	ND	
304	-806	-807	1	1		0.00	88	0.00	0.00	0.00	0.00	ND	ND	
304	-807	-808	1	1		0.00	88	0.00	0.00	0.00	0.00	ND	CC	
304	-808	-809	1	1		0.00	88	0.00	0.00	0.00	0.00	CC	ND	
304	-809	-810	1	1		0.00	88	0.00	0.00	0.00	0.00	ND	ND	
304	-810	-811	1	1		0.00	88	0.00	0.00	0.00	0.00	ND	ND	
304	-811	-812	1	1		0.00	88	0.00	0.00	0.00	0.00	ND	ND	
304	-812	-1295	1	1		0.00	88	0.00	0.00	0.00	0.00	ND	ND	
304	-1295	-813	1	1		0.00	88	0.00	0.00	0.00	0.00	ND	ND	
304	-813	-1293	1	1		0.00	88	0.00	0.00	0.00	0.00	ND	ND	
304	-1293	-814	1	1		0.00	88	0.00	0.00	0.00	0.00	ND	ND	
304	-814	-815	1	1		0.00	88	0.00	0.00	0.00	0.00	ND	ND	
304	-815	-816	1	1		0.00	88	0.00	0.00	0.00	0.00	ND	ND	
304	-816	-1288	1	1		0.00	88	0.00	0.00	0.00	0.00	ND	ND	
304	-1288	-817	1	1		0.00	88	0.00	0.00	0.00	0.00	ND	ND	
304	-817	-1286	1	1		0.00	88	0.00	0.00	0.00	0.00	ND	ND	

304	-1286	-818	1	1		0.00	88	0.00	0.00	0.00	0.00	ND	ND	
304	-818	-819	1	1		0.00	88	0.00	0.00	0.00	0.00	ND	ND	
304	-819	-820	1	1		0.00	88	0.00	0.00	0.00	0.00	ND	ND	
304	-820	-821	1	1		0.00	88	0.00	0.00	0.00	0.00	ND	ND	
304	-821	-822	1	1		0.00	88	0.00	0.00	0.00	0.00	ND	CC	
304	-822	-823	1	1		0.00	88	0.00	0.00	0.00	0.00	CC	ND	
304	-823	-824	1	1		0.00	88	0.00	0.00	0.00	0.00	ND	ND	
304	-824	-825	1	1		0.00	88	0.00	0.00	0.00	0.00	ND	ND	
304	-825	-826	1	1		0.00	88	0.00	0.00	0.00	0.00	ND	ND	
304	-826	313	1	1		0.00	88	0.00	0.00	0.00	0.00	ND	ND	
304	313	-827	1	1		0.00	88	0.00	0.00	0.00	0.00	ND	ND	
304	-827	-828	1	1		0.00	88	0.00	0.00	0.00	0.00	ND	ND	
304	-828	-829	1	1		0.00	88	0.00	0.00	0.00	0.00	ND	ND	
304	-829	-830	1	1		0.00	88	0.00	0.00	0.00	0.00	ND	ND	
304	-830	-831	1	1		0.00	88	0.00	0.00	0.00	0.00	ND	ND	
304	-831	-832	1	1		0.00	88	0.00	0.00	0.00	0.00	ND	ND	
304	-832	-833	1	1		0.00	88	0.00	0.00	0.00	0.00	ND	ND	
304	-833	-834	1	1		0.00	88	0.00	0.00	0.00	0.00	ND	ND	
304	-834	-835	1	1		0.00	88	0.00	0.00	0.00	0.00	ND	ND	
304	-835	-836	1	31		0.00	88	0.00	0.00	0.00	0.00	ND	ND	
305	-837	-838	1	30		0.00	88	0.00	0.00	0.00	0.00	ND	ND	
305	-838	-839	1	1		0.00	88	0.00	0.00	0.00	0.00	ND	ND	
305	-839	-840	1	1		0.00	88	0.00	0.00	0.00	0.00	ND	ND	
305	-840	-841	1	1		0.00	88	0.00	0.00	0.00	0.00	ND	ND	
305	-841	-842	1	1		0.00	88	0.00	0.00	0.00	0.00	ND	ND	
305	-842	-843	1	1		0.00	88	0.00	0.00	0.00	0.00	ND	ND	
305	-843	-844	1	1		0.00	88	0.00	0.00	0.00	0.00	ND	ND	
305	-844	-845	1	1		0.00	88	0.00	0.00	0.00	0.00	ND	ND	
305	-845	-846	1	1		0.00	88	0.00	0.00	0.00	0.00	ND	ND	
305	-846	-847	1	1		0.00	88	0.00	0.00	0.00	0.00	ND	ND	
305	-847	-848	1	1		0.00	88	0.00	0.00	0.00	0.00	ND	ND	
305	-848	-849	1	1		0.00	88	0.00	0.00	0.00	0.00	ND	ND	
305	-849	-850	1	1		0.00	88	0.00	0.00	0.00	0.00	ND	ND	
305	-850	-851	1	1		0.00	88	0.00	0.00	0.00	0.00	ND	ND	
305	-851	-852	1	1		0.00	88	0.00	0.00	0.00	0.00	ND	CC	
305	-852	-853	1	1		0.00	88	0.00	0.00	0.00	0.00	CC	ND	
305	-853	-854	1	1		0.00	88	0.00	0.00	0.00	0.00	ND	ND	
305	-854	-855	1	1		0.00	88	0.00	0.00	0.00	0.00	ND	ND	
305	-855	-856	1	1		0.00	88	0.00	0.00	0.00	0.00	ND	ND	
305	-856	-1297	1	1		0.00	88	0.00	0.00	0.00	0.00	ND	ND	
305	-1297	-857	1	1		0.00	88	0.00	0.00	0.00	0.00	ND	ND	
305	-857	-1296	1	1		0.00	88	0.00	0.00	0.00	0.00	ND	ND	
305	-1296	-858	1	1		0.00	88	0.00	0.00	0.00	0.00	ND	ND	
305	-858	-859	1	1		0.00	88	0.00	0.00	0.00	0.00	ND	ND	
305	-859	-860	1	1		0.00	88	0.00	0.00	0.00	0.00	ND	ND	
305	-860	-1289	1	1		0.00	88	0.00	0.00	0.00	0.00	ND	ND	
305	-1289	-861	1	1		0.00	88	0.00	0.00	0.00	0.00	ND	ND	
305	-861	-1287	1	1		0.00	88	0.00	0.00	0.00	0.00	ND	ND	
305	-1287	-862	1	1		0.00	88	0.00	0.00	0.00	0.00	ND	ND	
305	-862	-863	1	1		0.00	88	0.00	0.00	0.00	0.00	ND	ND	
305	-863	-864	1	1		0.00	88	0.00	0.00	0.00	0.00	ND	ND	
305	-864	-865	1	1		0.00	88	0.00	0.00	0.00	0.00	ND	ND	
305	-865	-866	1	1		0.00	88	0.00	0.00	0.00	0.00	ND	CC	
305	-866	-867	1	1		0.00	88	0.00	0.00	0.00	0.00	CC	ND	
305	-867	-868	1	1		0.00	88	0.00	0.00	0.00	0.00	ND	ND	
305	-868	-869	1	1		0.00	88	0.00	0.00	0.00	0.00	ND	ND	
305	-869	-870	1	1		0.00	88	0.00	0.00	0.00	0.00	ND	ND	
305	-870	-871	1	1		0.00	88	0.00	0.00	0.00	0.00	ND	ND	
305	-871	-872	1	1		0.00	88	0.00	0.00	0.00	0.00	ND	ND	
305	-872	-873	1	1		0.00	88	0.00	0.00	0.00	0.00	ND	ND	
305	-873	-874	1	1		0.00	88	0.00	0.00	0.00	0.00	ND	ND	
305	-874	-875	1	1		0.00	88	0.00	0.00	0.00	0.00	ND	ND	
305	-875	-876	1	1		0.00	88	0.00	0.00	0.00	0.00	ND	ND	
305	-876	-877	1	1		0.00	88	0.00	0.00	0.00	0.00	ND	ND	
305	-877	-878	1	1		0.00	88	0.00	0.00	0.00	0.00	ND	ND	
305	-878	-879	1	1		0.00	88	0.00	0.00	0.00	0.00	ND	ND	
305	-879	-880	1	1		0.00	88	0.00	0.00	0.00	0.00	ND	ND	
305	-880	-881	1	31		0.00	88	0.00	0.00	0.00	0.00	ND	ND	
306	-882	-883	1	30		0.00	88	0.00	0.00	0.00	0.00	ND	ND	
306	-883	-884	1	1		0.00	88	0.00	0.00	0.00	0.00	ND	ND	
306	-884	-885	1	1		0.00	88	0.00	0.00	0.00	0.00	ND	ND	
306	-885	-886	1	1		0.00	88	0.00	0.00	0.00	0.00	ND	ND	
306	-886	-887	1	1		0.00	88	0.00	0.00	0.00	0.00	ND	ND	
306	-887	-888	1	1		0.00	88	0.00	0.00	0.00	0.00	ND	ND	
306	-888	-889	1	1		0.00	88	0.00	0.00	0.00	0.00	ND	ND	
306	-889	-890	1	1		0.00	88	0.00	0.00	0.00	0.00	ND	ND	
306	-890	-891	1	1		0.00	88	0.00	0.00	0.00	0.00	ND	ND	
306	-891	314	1	1		0.00	88	0.00	0.00	0.00	0.00	ND	ND	
306	314	-892	1	1		0.00	88	0.00	0.00	0.00	0.00	ND	ND	

306	-892	-893	1	1		0.00	88	0.00	0.00	0.00	0.00	ND	ND	
306	-893	-894	1	1		0.00	88	0.00	0.00	0.00	0.00	ND	ND	
306	-894	-895	1	1		0.00	88	0.00	0.00	0.00	0.00	ND	ND	
306	-895	-896	1	1		0.00	88	0.00	0.00	0.00	0.00	ND	CC	
306	-896	-897	1	1		0.00	88	0.00	0.00	0.00	0.00	CC	ND	
306	-897	-898	1	1		0.00	88	0.00	0.00	0.00	0.00	ND	ND	
306	-898	-899	1	1		0.00	88	0.00	0.00	0.00	0.00	ND	ND	
306	-899	-900	1	1		0.00	88	0.00	0.00	0.00	0.00	ND	ND	
306	-900	-1317	1	1		0.00	88	0.00	0.00	0.00	0.00	ND	ND	
306	-1317	-901	1	1		0.00	88	0.00	0.00	0.00	0.00	ND	ND	
306	-901	-1316	1	1		0.00	88	0.00	0.00	0.00	0.00	ND	ND	
306	-1316	-902	1	1		0.00	88	0.00	0.00	0.00	0.00	ND	ND	
306	-902	-903	1	1		0.00	88	0.00	0.00	0.00	0.00	ND	ND	
306	-903	-904	1	1		0.00	88	0.00	0.00	0.00	0.00	ND	ND	
306	-904	-1315	1	1		0.00	88	0.00	0.00	0.00	0.00	ND	ND	
306	-1315	-905	1	1		0.00	88	0.00	0.00	0.00	0.00	ND	ND	
306	-905	-1314	1	1		0.00	88	0.00	0.00	0.00	0.00	ND	ND	
306	-1314	-906	1	1		0.00	88	0.00	0.00	0.00	0.00	ND	ND	
306	-906	-907	1	1		0.00	88	0.00	0.00	0.00	0.00	ND	ND	
306	-907	-908	1	1		0.00	88	0.00	0.00	0.00	0.00	ND	ND	
306	-908	-909	1	1		0.00	88	0.00	0.00	0.00	0.00	ND	ND	
306	-909	-910	1	1		0.00	88	0.00	0.00	0.00	0.00	ND	CC	
306	-910	-911	1	1		0.00	88	0.00	0.00	0.00	0.00	CC	ND	
306	-911	-912	1	1		0.00	88	0.00	0.00	0.00	0.00	ND	ND	
306	-912	-913	1	1		0.00	88	0.00	0.00	0.00	0.00	ND	ND	
306	-913	-914	1	1		0.00	88	0.00	0.00	0.00	0.00	ND	ND	
306	-914	315	1	1		0.00	88	0.00	0.00	0.00	0.00	ND	ND	
306	315	-915	1	1		0.00	88	0.00	0.00	0.00	0.00	ND	ND	
306	-915	-916	1	1		0.00	88	0.00	0.00	0.00	0.00	ND	ND	
306	-916	-917	1	1		0.00	88	0.00	0.00	0.00	0.00	ND	ND	
306	-917	-918	1	1		0.00	88	0.00	0.00	0.00	0.00	ND	ND	
306	-918	-919	1	1		0.00	88	0.00	0.00	0.00	0.00	ND	ND	
306	-919	-920	1	1		0.00	88	0.00	0.00	0.00	0.00	ND	ND	
306	-920	-921	1	1		0.00	88	0.00	0.00	0.00	0.00	ND	ND	
306	-921	-922	1	1		0.00	88	0.00	0.00	0.00	0.00	ND	ND	
306	-922	-923	1	1		0.00	88	0.00	0.00	0.00	0.00	ND	ND	
306	-923	-924	1	31		0.00	88	0.00	0.00	0.00	0.00	ND	ND	
307	-925	-926	1	30		0.00	88	0.00	0.00	0.00	0.00	ND	ND	
307	-926	-927	1	1		0.00	88	0.00	0.00	0.00	0.00	ND	ND	
307	-927	-928	1	1		0.00	88	0.00	0.00	0.00	0.00	ND	ND	
307	-928	-929	1	1		0.00	88	0.00	0.00	0.00	0.00	ND	ND	
307	-929	-930	1	1		0.00	88	0.00	0.00	0.00	0.00	ND	ND	
307	-930	-931	1	1		0.00	88	0.00	0.00	0.00	0.00	ND	ND	
307	-931	-932	1	1		0.00	88	0.00	0.00	0.00	0.00	ND	ND	
307	-932	-933	1	1		0.00	88	0.00	0.00	0.00	0.00	ND	ND	
307	-933	-934	1	1		0.00	88	0.00	0.00	0.00	0.00	ND	ND	
307	-934	-935	1	1		0.00	88	0.00	0.00	0.00	0.00	ND	ND	
307	-935	-936	1	1		0.00	88	0.00	0.00	0.00	0.00	ND	ND	
307	-936	-937	1	1		0.00	88	0.00	0.00	0.00	0.00	ND	ND	
307	-937	-938	1	1		0.00	88	0.00	0.00	0.00	0.00	ND	ND	
307	-938	-939	1	1		0.00	88	0.00	0.00	0.00	0.00	ND	ND	
307	-939	-940	1	1		0.00	88	0.00	0.00	0.00	0.00	ND	CC	
307	-940	-941	1	1		0.00	88	0.00	0.00	0.00	0.00	CC	ND	
307	-941	-942	1	1		0.00	88	0.00	0.00	0.00	0.00	ND	ND	
307	-942	-943	1	1		0.00	88	0.00	0.00	0.00	0.00	ND	ND	
307	-943	-944	1	1		0.00	88	0.00	0.00	0.00	0.00	ND	ND	
307	-944	-1284	1	1		0.00	88	0.00	0.00	0.00	0.00	ND	ND	
307	-1284	-945	1	1		0.00	88	0.00	0.00	0.00	0.00	ND	ND	
307	-945	-1282	1	1		0.00	88	0.00	0.00	0.00	0.00	ND	ND	
307	-1282	-946	1	1		0.00	88	0.00	0.00	0.00	0.00	ND	ND	
307	-946	-947	1	1		0.00	88	0.00	0.00	0.00	0.00	ND	ND	
307	-947	-948	1	1		0.00	88	0.00	0.00	0.00	0.00	ND	ND	
307	-948	-1280	1	1		0.00	88	0.00	0.00	0.00	0.00	ND	ND	
307	-1280	-949	1	1		0.00	88	0.00	0.00	0.00	0.00	ND	ND	
307	-949	-1278	1	1		0.00	88	0.00	0.00	0.00	0.00	ND	ND	
307	-1278	-950	1	1		0.00	88	0.00	0.00	0.00	0.00	ND	ND	
307	-950	-951	1	1		0.00	88	0.00	0.00	0.00	0.00	ND	ND	
307	-951	-952	1	1		0.00	88	0.00	0.00	0.00	0.00	ND	ND	
307	-952	-953	1	1		0.00	88	0.00	0.00	0.00	0.00	ND	ND	
307	-953	-954	1	1		0.00	88	0.00	0.00	0.00	0.00	ND	CC	
307	-954	-955	1	1		0.00	88	0.00	0.00	0.00	0.00	CC	ND	
307	-955	-956	1	1		0.00	88	0.00	0.00	0.00	0.00	ND	ND	
307	-956	-957	1	1		0.00	88	0.00	0.00	0.00	0.00	ND	ND	
307	-957	-958	1	1		0.00	88	0.00	0.00	0.00	0.00	ND	ND	
307	-958	-959	1	1		0.00	88	0.00	0.00	0.00	0.00	ND	ND	
307	-959	-960	1	1		0.00	88	0.00	0.00	0.00	0.00	ND	ND	
307	-960	-961	1	1		0.00	88	0.00	0.00	0.00	0.00	ND	ND	
307	-961	-962	1	1		0.00	88	0.00	0.00	0.00	0.00	ND	ND	
307	-962	-963	1	1		0.00	88	0.00	0.00	0.00	0.00	ND	ND	

307	-963	-964	1	1		0.00	88	0.00	0.00	0.00	0.00	ND	ND	
307	-964	-965	1	1		0.00	88	0.00	0.00	0.00	0.00	ND	ND	
307	-965	-966	1	1		0.00	88	0.00	0.00	0.00	0.00	ND	ND	
307	-966	-967	1	1		0.00	88	0.00	0.00	0.00	0.00	ND	ND	
307	-967	-968	1	1		0.00	88	0.00	0.00	0.00	0.00	ND	ND	
307	-968	-969	1	31		0.00	88	0.00	0.00	0.00	0.00	ND	ND	
308	-970	-971	1	30		0.00	88	0.00	0.00	0.00	0.00	ND	ND	
308	-971	-972	1	1		0.00	88	0.00	0.00	0.00	0.00	ND	ND	
308	-972	-973	1	1		0.00	88	0.00	0.00	0.00	0.00	ND	ND	
308	-973	-974	1	1		0.00	88	0.00	0.00	0.00	0.00	ND	ND	
308	-974	-975	1	1		0.00	88	0.00	0.00	0.00	0.00	ND	ND	
308	-975	-976	1	1		0.00	88	0.00	0.00	0.00	0.00	ND	ND	
308	-976	-977	1	1		0.00	88	0.00	0.00	0.00	0.00	ND	ND	
308	-977	-978	1	1		0.00	88	0.00	0.00	0.00	0.00	ND	ND	
308	-978	-979	1	1		0.00	88	0.00	0.00	0.00	0.00	ND	ND	
308	-979	316	1	1		0.00	88	0.00	0.00	0.00	0.00	ND	ND	
308	316	-980	1	1		0.00	88	0.00	0.00	0.00	0.00	ND	ND	
308	-980	-981	1	1		0.00	88	0.00	0.00	0.00	0.00	ND	ND	
308	-981	-982	1	1		0.00	88	0.00	0.00	0.00	0.00	ND	ND	
308	-982	-983	1	1		0.00	88	0.00	0.00	0.00	0.00	ND	ND	
308	-983	-984	1	1		0.00	88	0.00	0.00	0.00	0.00	ND	CC	
308	-984	-985	1	1		0.00	88	0.00	0.00	0.00	0.00	CC	ND	
308	-985	-986	1	1		0.00	88	0.00	0.00	0.00	0.00	ND	ND	
308	-986	-987	1	1		0.00	88	0.00	0.00	0.00	0.00	ND	ND	
308	-987	-988	1	1		0.00	88	0.00	0.00	0.00	0.00	ND	ND	
308	-988	-1285	1	1		0.00	88	0.00	0.00	0.00	0.00	ND	ND	
308	-1285	-989	1	1		0.00	88	0.00	0.00	0.00	0.00	ND	ND	
308	-989	-1283	1	1		0.00	88	0.00	0.00	0.00	0.00	ND	ND	
308	-1283	-990	1	1		0.00	88	0.00	0.00	0.00	0.00	ND	ND	
308	-990	-991	1	1		0.00	88	0.00	0.00	0.00	0.00	ND	ND	
308	-991	-992	1	1		0.00	88	0.00	0.00	0.00	0.00	ND	ND	
308	-992	-1281	1	1		0.00	88	0.00	0.00	0.00	0.00	ND	ND	
308	-1281	-993	1	1		0.00	88	0.00	0.00	0.00	0.00	ND	ND	
308	-993	-1279	1	1		0.00	88	0.00	0.00	0.00	0.00	ND	ND	
308	-1279	-994	1	1		0.00	88	0.00	0.00	0.00	0.00	ND	ND	
308	-994	-995	1	1		0.00	88	0.00	0.00	0.00	0.00	ND	ND	
308	-995	-996	1	1		0.00	88	0.00	0.00	0.00	0.00	ND	ND	
308	-996	-997	1	1		0.00	88	0.00	0.00	0.00	0.00	ND	ND	
308	-997	-998	1	1		0.00	88	0.00	0.00	0.00	0.00	ND	CC	
308	-998	-999	1	1		0.00	88	0.00	0.00	0.00	0.00	CC	ND	
308	-999	-1000	1	1		0.00	88	0.00	0.00	0.00	0.00	ND	ND	
308	-1000	-1001	1	1		0.00	88	0.00	0.00	0.00	0.00	ND	ND	
308	-1001	-1002	1	1		0.00	88	0.00	0.00	0.00	0.00	ND	ND	
308	-1002	317	1	1		0.00	88	0.00	0.00	0.00	0.00	ND	ND	
308	317	-1003	1	1		0.00	88	0.00	0.00	0.00	0.00	ND	ND	
308	-1003	-1004	1	1		0.00	88	0.00	0.00	0.00	0.00	ND	ND	
308	-1004	-1005	1	1		0.00	88	0.00	0.00	0.00	0.00	ND	ND	
308	-1005	-1006	1	1		0.00	88	0.00	0.00	0.00	0.00	ND	ND	
308	-1006	-1007	1	1		0.00	88	0.00	0.00	0.00	0.00	ND	ND	
308	-1007	-1008	1	1		0.00	88	0.00	0.00	0.00	0.00	ND	ND	
308	-1008	-1009	1	1		0.00	88	0.00	0.00	0.00	0.00	ND	ND	
308	-1009	-1010	1	1		0.00	88	0.00	0.00	0.00	0.00	ND	ND	
308	-1010	-1011	1	1		0.00	88	0.00	0.00	0.00	0.00	ND	ND	
308	-1011	-1012	1	31		0.00	88	0.00	0.00	0.00	0.00	ND	ND	
309	-1058	-1059	1	30		0.00	88	0.00	0.00	0.00	0.00	ND	ND	
309	-1059	-1060	1	1		0.00	88	0.00	0.00	0.00	0.00	ND	ND	
309	-1060	-1061	1	1		0.00	88	0.00	0.00	0.00	0.00	ND	ND	
309	-1061	-1062	1	1		0.00	88	0.00	0.00	0.00	0.00	ND	ND	
309	-1062	-1063	1	1		0.00	88	0.00	0.00	0.00	0.00	ND	ND	
309	-1063	-1064	1	1		0.00	88	0.00	0.00	0.00	0.00	ND	ND	
309	-1064	-1065	1	1		0.00	88	0.00	0.00	0.00	0.00	ND	ND	
309	-1065	-1066	1	1		0.00	88	0.00	0.00	0.00	0.00	ND	ND	
309	-1066	-1067	1	1		0.00	88	0.00	0.00	0.00	0.00	ND	ND	
309	-1067	-1068	1	1		0.00	88	0.00	0.00	0.00	0.00	ND	ND	
309	-1068	-1069	1	1		0.00	88	0.00	0.00	0.00	0.00	ND	ND	
309	-1069	-1070	1	1		0.00	88	0.00	0.00	0.00	0.00	ND	ND	
309	-1070	-1071	1	1		0.00	88	0.00	0.00	0.00	0.00	ND	ND	
309	-1071	-1072	1	1		0.00	88	0.00	0.00	0.00	0.00	ND	ND	
309	-1072	-1073	1	1		0.00	88	0.00	0.00	0.00	0.00	ND	CC	
309	-1073	-1074	1	1		0.00	88	0.00	0.00	0.00	0.00	CC	ND	
309	-1074	-1075	1	1		0.00	88	0.00	0.00	0.00	0.00	ND	ND	
309	-1075	-1076	1	1		0.00	88	0.00	0.00	0.00	0.00	ND	ND	
309	-1076	-1077	1	1		0.00	88	0.00	0.00	0.00	0.00	ND	ND	
309	-1077	-1320	1	1		0.00	88	0.00	0.00	0.00	0.00	ND	ND	
309	-1320	-1078	1	1		0.00	88	0.00	0.00	0.00	0.00	ND	ND	
309	-1078	-1322	1	1		0.00	88	0.00	0.00	0.00	0.00	ND	ND	
309	-1322	-1079	1	1		0.00	88	0.00	0.00	0.00	0.00	ND	ND	
309	-1079	-1080	1	1		0.00	88	0.00	0.00	0.00	0.00	ND	ND	
309	-1080	-1081	1	1		0.00	88	0.00	0.00	0.00	0.00	ND	ND	

309	-1081	-1275	1	1		0.00	88	0.00	0.00	0.00	0.00	ND	ND	
309	-1275	-1082	1	1		0.00	88	0.00	0.00	0.00	0.00	ND	ND	
309	-1082	-1277	1	1		0.00	88	0.00	0.00	0.00	0.00	ND	ND	
309	-1277	-1083	1	1		0.00	88	0.00	0.00	0.00	0.00	ND	ND	
309	-1083	-1084	1	1		0.00	88	0.00	0.00	0.00	0.00	ND	ND	
309	-1084	-1085	1	1		0.00	88	0.00	0.00	0.00	0.00	ND	ND	
309	-1085	-1086	1	1		0.00	88	0.00	0.00	0.00	0.00	ND	ND	
309	-1086	-1087	1	1		0.00	88	0.00	0.00	0.00	0.00	ND	CC	
309	-1087	-1088	1	1		0.00	88	0.00	0.00	0.00	0.00	CC	ND	
309	-1088	-1089	1	1		0.00	88	0.00	0.00	0.00	0.00	ND	ND	
309	-1089	-1090	1	1		0.00	88	0.00	0.00	0.00	0.00	ND	ND	
309	-1090	-1091	1	1		0.00	88	0.00	0.00	0.00	0.00	ND	ND	
309	-1091	-1092	1	1		0.00	88	0.00	0.00	0.00	0.00	ND	ND	
309	-1092	-1093	1	1		0.00	88	0.00	0.00	0.00	0.00	ND	ND	
309	-1093	-1094	1	1		0.00	88	0.00	0.00	0.00	0.00	ND	ND	
309	-1094	-1095	1	1		0.00	88	0.00	0.00	0.00	0.00	ND	ND	
309	-1095	-1096	1	1		0.00	88	0.00	0.00	0.00	0.00	ND	ND	
309	-1096	-1097	1	1		0.00	88	0.00	0.00	0.00	0.00	ND	ND	
309	-1097	-1098	1	1		0.00	88	0.00	0.00	0.00	0.00	ND	ND	
309	-1098	-1099	1	1		0.00	88	0.00	0.00	0.00	0.00	ND	ND	
309	-1099	-1100	1	1		0.00	88	0.00	0.00	0.00	0.00	ND	ND	
309	-1100	-1101	1	1		0.00	88	0.00	0.00	0.00	0.00	ND	ND	
309	-1101	-1102	1	31		0.00	88	0.00	0.00	0.00	0.00	ND	ND	
310	-1146	-1147	1	30		0.00	88	0.00	0.00	0.00	0.00	ND	ND	
310	-1147	-1148	1	1		0.00	88	0.00	0.00	0.00	0.00	ND	ND	
310	-1148	-1149	1	1		0.00	88	0.00	0.00	0.00	0.00	ND	ND	
310	-1149	-1150	1	1		0.00	88	0.00	0.00	0.00	0.00	ND	ND	
310	-1150	-1151	1	1		0.00	88	0.00	0.00	0.00	0.00	ND	ND	
310	-1151	-1152	1	1		0.00	88	0.00	0.00	0.00	0.00	ND	ND	
310	-1152	-1153	1	1		0.00	88	0.00	0.00	0.00	0.00	ND	ND	
310	-1153	-1154	1	1		0.00	88	0.00	0.00	0.00	0.00	ND	ND	
310	-1154	-1155	1	1		0.00	88	0.00	0.00	0.00	0.00	ND	ND	
310	-1155	318	1	1		0.00	88	0.00	0.00	0.00	0.00	ND	ND	
310	318	-1156	1	1		0.00	88	0.00	0.00	0.00	0.00	ND	ND	
310	-1156	-1157	1	1		0.00	88	0.00	0.00	0.00	0.00	ND	ND	
310	-1157	-1158	1	1		0.00	88	0.00	0.00	0.00	0.00	ND	ND	
310	-1158	-1159	1	1		0.00	88	0.00	0.00	0.00	0.00	ND	ND	
310	-1159	-1160	1	1		0.00	88	0.00	0.00	0.00	0.00	ND	CC	
310	-1160	-1161	1	1		0.00	88	0.00	0.00	0.00	0.00	CC	ND	
310	-1161	-1162	1	1		0.00	88	0.00	0.00	0.00	0.00	ND	ND	
310	-1162	-1163	1	1		0.00	88	0.00	0.00	0.00	0.00	ND	ND	
310	-1163	-1164	1	1		0.00	88	0.00	0.00	0.00	0.00	ND	ND	
310	-1164	-1326	1	1		0.00	88	0.00	0.00	0.00	0.00	ND	ND	
310	-1326	-1165	1	1		0.00	88	0.00	0.00	0.00	0.00	ND	ND	
310	-1165	-1327	1	1		0.00	88	0.00	0.00	0.00	0.00	ND	ND	
310	-1327	-1166	1	1		0.00	88	0.00	0.00	0.00	0.00	ND	ND	
310	-1166	-1167	1	1		0.00	88	0.00	0.00	0.00	0.00	ND	ND	
310	-1167	-1168	1	1		0.00	88	0.00	0.00	0.00	0.00	ND	ND	
310	-1168	-1328	1	1		0.00	88	0.00	0.00	0.00	0.00	ND	ND	
310	-1328	-1169	1	1		0.00	88	0.00	0.00	0.00	0.00	ND	ND	
310	-1169	-1329	1	1		0.00	88	0.00	0.00	0.00	0.00	ND	ND	
310	-1329	-1170	1	1		0.00	88	0.00	0.00	0.00	0.00	ND	ND	
310	-1170	-1171	1	1		0.00	88	0.00	0.00	0.00	0.00	ND	ND	
310	-1171	-1172	1	1		0.00	88	0.00	0.00	0.00	0.00	ND	ND	
310	-1172	-1173	1	1		0.00	88	0.00	0.00	0.00	0.00	ND	ND	
310	-1173	-1174	1	1		0.00	88	0.00	0.00	0.00	0.00	ND	CC	
310	-1174	-1175	1	1		0.00	88	0.00	0.00	0.00	0.00	CC	ND	
310	-1175	-1176	1	1		0.00	88	0.00	0.00	0.00	0.00	ND	ND	
310	-1176	-1177	1	1		0.00	88	0.00	0.00	0.00	0.00	ND	ND	
310	-1177	-1178	1	1		0.00	88	0.00	0.00	0.00	0.00	ND	ND	
310	-1178	319	1	1		0.00	88	0.00	0.00	0.00	0.00	ND	ND	
310	319	-1179	1	1		0.00	88	0.00	0.00	0.00	0.00	ND	ND	
310	-1179	-1180	1	1		0.00	88	0.00	0.00	0.00	0.00	ND	ND	
310	-1180	-1181	1	1		0.00	88	0.00	0.00	0.00	0.00	ND	ND	
310	-1181	-1182	1	1		0.00	88	0.00	0.00	0.00	0.00	ND	ND	
310	-1182	-1183	1	1		0.00	88	0.00	0.00	0.00	0.00	ND	ND	
310	-1183	-1184	1	1		0.00	88	0.00	0.00	0.00	0.00	ND	ND	
310	-1184	-1185	1	1		0.00	88	0.00	0.00	0.00	0.00	ND	ND	
310	-1185	-1186	1	1		0.00	88	0.00	0.00	0.00	0.00	ND	ND	
310	-1186	-1187	1	1		0.00	88	0.00	0.00	0.00	0.00	ND	ND	
310	-1187	-1188	1	31		0.00	88	0.00	0.00	0.00	0.00	ND	ND	
311	320	-1189	1	30		0.00	88	0.00	0.00	0.00	0.00	ND	ND	
311	-1189	-1190	1	1		0.00	88	0.00	0.00	0.00	0.00	ND	ND	
311	-1190	-1191	1	1		0.00	88	0.00	0.00	0.00	0.00	ND	ND	
311	-1191	-1192	1	1		0.00	88	0.00	0.00	0.00	0.00	ND	ND	
311	-1192	321	1	1		0.00	88	0.00	0.00	0.00	0.00	ND	ND	
311	321	-1193	1	1		0.00	88	0.00	0.00	0.00	0.00	ND	ND	
311	-1193	-1194	1	1		0.00	88	0.00	0.00	0.00	0.00	ND	ND	
311	-1194	-1195	1	1		0.00	88	0.00	0.00	0.00	0.00	ND	ND	

311	-1195	-1196	1	1		0.00	88	0.00	0.00	0.00	0.00	ND	ND	
311	-1196	-1197	1	1		0.00	88	0.00	0.00	0.00	0.00	ND	ND	
311	-1197	322	1	1		0.00	88	0.00	0.00	0.00	0.00	ND	ND	
311	322	-1198	1	1		0.00	88	0.00	0.00	0.00	0.00	ND	ND	
311	-1198	-1199	1	1		0.00	88	0.00	0.00	0.00	0.00	ND	ND	
311	-1199	-1200	1	1		0.00	88	0.00	0.00	0.00	0.00	ND	ND	
311	-1200	-1201	1	1		0.00	88	0.00	0.00	0.00	0.00	ND	CC	
311	-1201	-1202	1	1		0.00	88	0.00	0.00	0.00	0.00	CC	ND	
311	-1202	323	1	1		0.00	88	0.00	0.00	0.00	0.00	ND	ND	
311	323	-1203	1	1		0.00	88	0.00	0.00	0.00	0.00	ND	ND	
311	-1203	-1204	1	1		0.00	88	0.00	0.00	0.00	0.00	ND	ND	
311	-1204	-1330	1	1		0.00	88	0.00	0.00	0.00	0.00	ND	ND	
311	-1330	-1205	1	1		0.00	88	0.00	0.00	0.00	0.00	ND	ND	
311	-1205	-1331	1	1		0.00	88	0.00	0.00	0.00	0.00	ND	ND	
311	-1331	-1206	1	1		0.00	88	0.00	0.00	0.00	0.00	ND	ND	
311	-1206	324	1	1		0.00	88	0.00	0.00	0.00	0.00	ND	ND	
311	324	-1207	1	1		0.00	88	0.00	0.00	0.00	0.00	ND	ND	
311	-1207	-1332	1	1		0.00	88	0.00	0.00	0.00	0.00	ND	ND	
311	-1332	-1208	1	1		0.00	88	0.00	0.00	0.00	0.00	ND	ND	
311	-1208	-1334	1	1		0.00	88	0.00	0.00	0.00	0.00	ND	ND	
311	-1334	-1209	1	1		0.00	88	0.00	0.00	0.00	0.00	ND	ND	
311	-1209	-1210	1	1		0.00	88	0.00	0.00	0.00	0.00	ND	ND	
311	-1210	325	1	1		0.00	88	0.00	0.00	0.00	0.00	ND	ND	
311	325	-1211	1	1		0.00	88	0.00	0.00	0.00	0.00	ND	ND	
311	-1211	-1212	1	1		0.00	88	0.00	0.00	0.00	0.00	ND	CC	
311	-1212	-1213	1	1		0.00	88	0.00	0.00	0.00	0.00	CC	ND	
311	-1213	-1214	1	1		0.00	88	0.00	0.00	0.00	0.00	ND	ND	
311	-1214	-1215	1	1		0.00	88	0.00	0.00	0.00	0.00	ND	ND	
311	-1215	326	1	1		0.00	88	0.00	0.00	0.00	0.00	ND	ND	
311	326	-1216	1	1		0.00	88	0.00	0.00	0.00	0.00	ND	ND	
311	-1216	-1217	1	1		0.00	88	0.00	0.00	0.00	0.00	ND	ND	
311	-1217	-1218	1	1		0.00	88	0.00	0.00	0.00	0.00	ND	ND	
311	-1218	-1219	1	1		0.00	88	0.00	0.00	0.00	0.00	ND	ND	
311	-1219	-1220	1	1		0.00	88	0.00	0.00	0.00	0.00	ND	ND	
311	-1220	327	1	1		0.00	88	0.00	0.00	0.00	0.00	ND	ND	
311	327	-1221	1	1		0.00	88	0.00	0.00	0.00	0.00	ND	ND	
311	-1221	-1222	1	1		0.00	88	0.00	0.00	0.00	0.00	ND	ND	
311	-1222	-1223	1	1		0.00	88	0.00	0.00	0.00	0.00	ND	ND	
311	-1223	-1224	1	1		0.00	88	0.00	0.00	0.00	0.00	ND	ND	
311	-1224	328	1	31		0.00	88	0.00	0.00	0.00	0.00	ND	ND	
313	-590	310	4	1		0.00	33	0.00	0.00	0.00	0.00	ND	ND	
313	310	329	4	1		0.00	33	0.00	0.00	0.00	0.00	ND	ND	
313	329	-714	4	1		0.00	33	0.00	0.00	0.00	0.00	ND	ND	
313	-714	-759	4	1		0.00	33	0.00	0.00	0.00	0.00	ND	ND	
313	-759	312	4	1		0.00	33	0.00	0.00	0.00	0.00	ND	ND	
313	312	-847	4	1		0.00	33	0.00	0.00	0.00	0.00	ND	ND	
313	-847	314	4	1		0.00	33	0.00	0.00	0.00	0.00	ND	ND	
313	314	-935	4	1		0.00	33	0.00	0.00	0.00	0.00	ND	ND	
313	-935	316	4	1		0.00	33	0.00	0.00	0.00	0.00	ND	ND	
313	316	-1023	4	1		0.00	33	0.00	0.00	0.00	0.00	ND	ND	
313	-1023	-1068	4	1		0.00	33	0.00	0.00	0.00	0.00	ND	ND	
313	-1068	331	4	1		0.00	33	0.00	0.00	0.00	0.00	ND	ND	
313	331	318	4	1		0.00	33	0.00	0.00	0.00	0.00	ND	ND	
313	318	-1197	4	1		0.00	33	0.00	0.00	0.00	0.00	ND	ND	
314	-609	311	4	1		0.00	11	0.00	0.00	0.00	0.00	ND	ND	
314	311	330	4	1		0.00	11	0.00	0.00	0.00	0.00	ND	ND	
314	330	-738	4	1		0.00	11	0.00	0.00	0.00	0.00	ND	ND	
314	-738	-783	4	1		0.00	11	0.00	0.00	0.00	0.00	ND	ND	
314	-783	313	4	1		0.00	11	0.00	0.00	0.00	0.00	ND	ND	
314	313	-871	4	1		0.00	11	0.00	0.00	0.00	0.00	ND	ND	
314	-871	315	4	1		0.00	11	0.00	0.00	0.00	0.00	ND	ND	
314	315	-959	4	1		0.00	11	0.00	0.00	0.00	0.00	ND	ND	
314	-959	317	4	1		0.00	11	0.00	0.00	0.00	0.00	ND	ND	
314	317	-1047	4	1		0.00	11	0.00	0.00	0.00	0.00	ND	ND	
314	-1047	-1092	4	1		0.00	11	0.00	0.00	0.00	0.00	ND	ND	
314	-1092	332	4	1		0.00	11	0.00	0.00	0.00	0.00	ND	ND	
314	332	319	4	1		0.00	11	0.00	0.00	0.00	0.00	ND	ND	
314	319	-1216	4	1		0.00	11	0.00	0.00	0.00	0.00	ND	ND	
602	-503	-375	3	7		0.00	55	0.00	0.00	0.00	0.00	SA	SA	
604	-511	-377	3	7		0.00	55	0.00	0.00	0.00	0.00	SA	SA	
606	-515	-379	3	7		0.00	55	0.00	0.00	0.00	0.00	SA	SA	
608	-519	-381	3	7		0.00	55	0.00	0.00	0.00	0.00	SA	SA	
610	-527	-383	3	7		0.00	55	0.00	0.00	0.00	0.00	SA	SA	
612	-375	-377	2	7		230.00	44	0.00	0.00	0.00	0.00	ND	ND	
612	-377	-379	2	7		230.00	44	0.00	0.00	0.00	0.00	ND	ND	
612	-379	-381	2	7		230.00	44	0.00	0.00	0.00	0.00	ND	ND	
612	-381	-383	2	7		230.00	44	0.00	0.00	0.00	0.00	ND	ND	
615	-378	-376	2	7		230.00	44	0.00	0.00	0.00	0.00	ND	ND	
615	-380	-378	2	7		230.00	44	0.00	0.00	0.00	0.00	ND	ND	

615	-382	-380	2	7		230.00	44	0.00	0.00	0.00	0.00	ND	ND	
615	-384	-382	2	7		230.00	44	0.00	0.00	0.00	0.00	ND	ND	
617	-41	-375	3	6		0.00	55	0.00	0.00	0.00	0.00	PF	ND	
617	-375	10	3	5		0.00	55	0.00	0.00	0.00	0.00	ND	SAR	
619	12	-511	3	7		0.00	55	0.00	0.00	0.00	0.00	SAR	PF3	
621	22	-379	3	6		0.00	55	0.00	0.00	0.00	0.00	PF	ND	
621	-379	14	3	5		0.00	55	0.00	0.00	0.00	0.00	ND	ND	
623	16	-519	3	7		0.00	55	0.00	0.00	0.00	0.00	SAR	PF3	
625	-179	-383	3	6		0.00	55	0.00	0.00	0.00	0.00	PF	ND	
625	-383	18	3	5		0.00	55	0.00	0.00	0.00	0.00	ND	ND	
632	10	-503	3	7		0.00	55	0.00	0.00	0.00	0.00	SAR	PF3	
634	20	-377	3	6		0.00	55	0.00	0.00	0.00	0.00	PF	ND	
634	-377	12	3	5		0.00	55	0.00	0.00	0.00	0.00	ND	ND	
636	14	-515	3	7		0.00	55	0.00	0.00	0.00	0.00	SAR	PF3	
638	24	-381	3	6		0.00	55	0.00	0.00	0.00	0.00	PF	ND	
638	-381	16	3	5		0.00	55	0.00	0.00	0.00	0.00	ND	ND	
640	18	-527	3	7		0.00	55	0.00	0.00	0.00	0.00	SAR	PF3	
647	11	-504	3	7		0.00	55	0.00	0.00	0.00	0.00	SAR	PF3	
649	13	-512	3	7		0.00	55	0.00	0.00	0.00	0.00	SAR	PF3	
651	-380	15	3	5		0.00	55	0.00	0.00	0.00	0.00	ND	ND	
651	23	-380	3	6		0.00	55	0.00	0.00	0.00	0.00	PF	ND	
653	17	-520	3	7		0.00	55	0.00	0.00	0.00	0.00	SAR	PF3	
655	-384	19	3	5		0.00	55	0.00	0.00	0.00	0.00	ND	ND	
655	-182	-384	3	6		0.00	55	0.00	0.00	0.00	0.00	PF	ND	
662	-376	11	3	5		0.00	55	0.00	0.00	0.00	0.00	ND	ND	
662	-44	-376	3	6		0.00	55	0.00	0.00	0.00	0.00	PF	ND	
664	-378	13	3	5		0.00	55	0.00	0.00	0.00	0.00	ND	ND	
664	21	-378	3	6		0.00	55	0.00	0.00	0.00	0.00	PF	ND	
666	15	-516	3	7		0.00	55	0.00	0.00	0.00	0.00	SAR	PF3	
668	-382	17	3	5		0.00	55	0.00	0.00	0.00	0.00	ND	ND	
668	25	-382	3	6		0.00	55	0.00	0.00	0.00	0.00	PF	ND	
670	19	-528	3	7		0.00	55	0.00	0.00	0.00	0.00	SAR	PF3	
677	-376	-504	3	7		0.00	55	0.00	0.00	0.00	0.00	SA	SA	
679	-378	-512	3	7		0.00	55	0.00	0.00	0.00	0.00	SA	SA	
681	-380	-516	3	7		0.00	55	0.00	0.00	0.00	0.00	SA	SA	
683	-382	-520	3	7		0.00	55	0.00	0.00	0.00	0.00	SA	SA	
685	-384	-528	3	7		0.00	55	0.00	0.00	0.00	0.00	SA	SA	

Elenco tipi elementi bidimensionali

Simbologia

Tb = Numero del tipo muro/elemento bidimensionale
Comm. = Commento
Tipo = Tipologia
F = Membranale e Flessionale
M = Membranale
W-RC = Winkler resistente solo a compressione
W-RTC = Winkler resistente a trazione e a compressione
Uso = Utilizzo
G = Generico
P = Parete
S = Soletta/Platea
N = Nucleo
M = Muratura ordinaria
L = Pilastro
MA = Muratura armata
X = Pannello X-LAM
Mat. = Numero del materiale
Crit. = Numero del criterio di progetto
Spess. = Spessore
Kt = Coeff. di sottofondo su suolo elastico alla Winkler

Tb	Comm.	Tipo	Uso	Mat.	Crit.	Spess. <cm>	Kt <daN/cmc>
1	Soletta cls 15cm	F	S		1	15.00	
2	Soletta cls 12cm Cordolo laterale	F	S		1	15.00	
4	Calcestruzzo 70cm	F	P	7	1	70.00	
5	Soletta fondazione 90cm	W-RTC	S	7	1	90.00	f(strat.)
6	Calcestruzzo 50cm	F	P	7	1	50.00	

Elenco elementi bidimensionali

Simbologia

Bid. = Numero del muro/elemento bidimensionale
Tb = Numero del tipo muro/elemento bidimensionale
FF = Filo fisso
Dy1 = Scost. filo fisso Y1
Dy2 = Scost. filo fisso Y2
Kt = Coeff. di sottofondo su suolo elastico alla Winkler
NN = Nodi

Bid.	Tb	FF	Dy1 <cm>	Dy2 <cm>	Kt <daN/cmc>	NN
0	1	11	0.00	0.00		-1532 -1833 -1466 -1867
0	1	11	0.00	0.00		-1832 -1532 -1867 -1465
0	1	11	0.00	0.00		-1831 -1547 -2083 -1464
0	1	11	0.00	0.00		-1830 -1699 -1762 -1463
0	1	11	0.00	0.00		-1829 -1830 -1463 -1462
0	1	11	0.00	0.00		-1828 -1829 -1462 -1460
0	1	11	0.00	0.00		-1875 -1876 -1478 -1477
0	1	11	0.00	0.00		-1876 -1877 -1479 -1478
0	1	11	0.00	0.00		-1877 -1878 -1480 -1479
0	1	11	0.00	0.00		-1878 -1879 -1481 -1480
0	1	11	0.00	0.00		-1879 -1880 -1482 -1481
0	1	11	0.00	0.00		-1880 -1881 -1491 -1482
0	1	11	0.00	0.00		-1881 -1974 -1973 -1491
0	1	11	0.00	0.00		-1882 -1911 -1912 -1492
0	1	11	0.00	0.00		-1834 -2080 -2079 -1467
0	1	11	0.00	0.00		-1348 -1349 -1561 -1560
0	1	11	0.00	0.00		-1347 -1348 -1560 -1559
0	1	11	0.00	0.00		-1346 -1915 -1916 -1558
0	1	11	0.00	0.00		-1385 -1346 -1558 440
0	1	11	0.00	0.00		-1344 -1345 -1572 -1537
0	1	11	0.00	0.00		-1345 -1913 -1914 -1572
0	1	11	0.00	0.00		-1343 -1342 -1574 -1573
0	1	11	0.00	0.00		-1342 -1868 -1575 -1574
0	1	11	0.00	0.00		-1868 -1869 -1576 -1575
0	1	11	0.00	0.00		-1869 -1870 -1577 -1576
0	1	11	0.00	0.00		-1870 -1871 -1578 -1577
0	1	11	0.00	0.00		-1871 -1872 -1613 -1578
0	1	11	0.00	0.00		-1874 -1873 -1476 -1848
0	1	11	0.00	0.00		-1858 -1851 -1380 -1379
0	1	11	0.00	0.00		-1856 -1858 -1379 -1378
0	1	11	0.00	0.00		-1695 -1856 -1378 -1377
0	1	11	0.00	0.00		-1694 -2061 -2068 -1376
0	1	11	0.00	0.00		-1693 -2084 -2072 -1375
0	1	11	0.00	0.00		-1862 -1693 -1375 -1374
0	1	11	0.00	0.00		-1866 -1862 -1374 -1373
0	1	11	0.00	0.00		-1865 -2085 -2073 -1372
0	1	11	0.00	0.00		-1864 -2086 -2074 -1371
0	1	11	0.00	0.00		-1861 -1864 -1371 -1370
0	1	11	0.00	0.00		-1857 -1861 -1370 -1369
0	1	11	0.00	0.00		-1845 -1857 -1369 -1368
0	1	11	0.00	0.00		-1844 -1845 -1368 -1361
0	1	11	0.00	0.00		-1843 -1844 -1361 -1360
0	1	11	0.00	0.00		-1839 -1843 -1360 -1359
0	1	11	0.00	0.00		-1836 -1948 -1947 -1358
0	1	11	0.00	0.00		-1850 -1836 -1358 -1357
0	1	11	0.00	0.00		-1863 -1783 -1428 441
0	1	11	0.00	0.00		-1783 -1946 -1949 -1428
0	1	11	0.00	0.00		-1784 -1785 -1430 -1429
0	1	11	0.00	0.00		-1512 -1511 -1570 -1569
0	1	11	0.00	0.00		-1513 -1512 -1569 -1568
0	1	11	0.00	0.00		-1514 -1513 -1568 -1567
0	1	11	0.00	0.00		-1515 -1514 -1567 -1566
0	1	11	0.00	0.00		-1516 -1925 -1921 -1565
0	1	11	0.00	0.00		-1578 -1613 -1509 -1510
0	1	11	0.00	0.00		-1577 -1578 -1510 -1511
0	1	11	0.00	0.00		-1576 -1577 -1511 -1512
0	1	11	0.00	0.00		-1575 -1576 -1512 -1513
0	1	11	0.00	0.00		-1574 -1575 -1513 -1514
0	1	11	0.00	0.00		-1573 -1574 -1514 -1515
0	1	11	0.00	0.00		-1572 -1914 -1925 -1516
0	1	11	0.00	0.00		430 -1551 -1586 -1534
0	1	11	0.00	0.00		-1551 -1926 -1927 -1586
0	1	11	0.00	0.00		-1552 -1553 -1588 -1587
0	1	11	0.00	0.00		-1553 -1554 -1589 -1588
0	1	11	0.00	0.00		-1554 -1555 -1590 -1589
0	1	11	0.00	0.00		-1555 -1556 -1591 -1590
0	1	11	0.00	0.00		-1556 -1557 -1592 -1591
0	1	11	0.00	0.00		-1557 -1610 -1615 -1592
0	1	11	0.00	0.00		-1534 -1586 -1579 433
0	1	11	0.00	0.00		-1586 -1927 -1928 -1579
0	1	11	0.00	0.00		-1587 -1588 -1581 -1580
0	1	11	0.00	0.00		-1588 -1589 -1582 -1581
0	1	11	0.00	0.00		-1589 -1590 -1583 -1582
0	1	11	0.00	0.00		-1590 -1591 -1584 -1583
0	1	11	0.00	0.00		-1591 -1592 -1585 -1584
0	1	11	0.00	0.00		-1592 -1615 -1614 -1585

0	1	11	0.00	0.00		440 -1558 -1593 -1531
0	1	11	0.00	0.00		-1558 -1916 -1929 -1593
0	1	11	0.00	0.00		-1559 -1560 -1595 -1594
0	1	11	0.00	0.00		-1560 -1561 -1596 -1595
0	1	11	0.00	0.00		-1561 -1562 -1597 -1596
0	1	11	0.00	0.00		-1562 -1563 -1598 -1597
0	1	11	0.00	0.00		-1563 -1564 -1599 -1598
0	1	11	0.00	0.00		-1564 -1611 -1616 -1599
0	1	11	0.00	0.00		-1840 -1607 -1354 -1353
0	1	11	0.00	0.00		-1697 -1840 -1353 -1351
0	1	11	0.00	0.00		-1696 -1697 -1351 -1350
0	1	11	0.00	0.00		-1690 -1696 -1350 -1349
0	1	11	0.00	0.00		-1685 -1690 -1349 -1348
0	1	11	0.00	0.00		-1414 -1685 -1348 -1347
0	1	11	0.00	0.00		-1618 -1930 -1915 -1346
0	1	11	0.00	0.00		-1536 -1618 -1346 -1385
0	1	11	0.00	0.00		433 -1579 -1345 -1344
0	1	11	0.00	0.00		-1579 -1928 -1913 -1345
0	1	11	0.00	0.00		-1580 -1581 -1342 -1343
0	1	11	0.00	0.00		-1581 -1582 -1868 -1342
0	1	11	0.00	0.00		-1582 -1583 -1869 -1868
0	1	11	0.00	0.00		-1583 -1584 -1870 -1869
0	1	11	0.00	0.00		-1584 -1585 -1871 -1870
0	1	11	0.00	0.00		-1585 -1614 -1872 -1871
0	1	11	0.00	0.00		-1531 -1593 -1551 430
0	1	11	0.00	0.00		-1593 -1929 -1926 -1551
0	1	11	0.00	0.00		-1594 -1595 -1553 -1552
0	1	11	0.00	0.00		-1595 -1596 -1554 -1553
0	1	11	0.00	0.00		-1596 -1597 -1555 -1554
0	1	11	0.00	0.00		-1597 -1598 -1556 -1555
0	1	11	0.00	0.00		-1598 -1599 -1557 -1556
0	1	11	0.00	0.00		-1599 -1616 -1610 -1557
0	1	11	0.00	0.00		-1408 -1407 -1607 -1840
0	1	11	0.00	0.00		-1409 -1408 -1840 -1697
0	1	11	0.00	0.00		-1437 -1409 -1697 -1696
0	1	11	0.00	0.00		-1440 -1437 -1696 -1690
0	1	11	0.00	0.00		-1444 -1440 -1690 -1685
0	1	11	0.00	0.00		-1447 -1444 -1685 -1414
0	1	11	0.00	0.00		-1451 -1931 -1930 -1618
0	1	11	0.00	0.00		-1543 -1608 -1407 -1408
0	1	11	0.00	0.00		-1542 -1543 -1408 -1409
0	1	11	0.00	0.00		-1541 -1542 -1409 -1437
0	1	11	0.00	0.00		-1860 -1541 -1437 -1440
0	1	11	0.00	0.00		-1855 -1860 -1440 -1444
0	1	11	0.00	0.00		-1854 -1855 -1444 -1447
0	1	11	0.00	0.00		-1841 -1932 -1931 -1451
0	2	11	0.00	0.00		-1606 -1617 -2127 -2128
0	2	11	0.00	0.00		-1605 -1606 -2128 -2129
0	2	11	0.00	0.00		-1604 -1605 -2129 -2130
0	2	11	0.00	0.00		-1603 -1604 -2130 -2131
0	2	11	0.00	0.00		-1602 -1603 -2131 -2132
0	2	11	0.00	0.00		-1601 -1602 -2132 -2133
0	2	11	0.00	0.00		-1600 -1933 -2134 -2135
0	2	11	0.00	0.00		-1822 -1539 -2136 -2137
0	2	11	0.00	0.00		-1821 -1934 -2138 -2139
0	2	11	0.00	0.00		-1820 -1821 -2139 -2140
0	2	11	0.00	0.00		-1819 -1820 -2140 -2141
0	2	11	0.00	0.00		-1818 -1819 -2141 -2142
0	2	11	0.00	0.00		-1817 -1818 -2142 -2143
0	2	11	0.00	0.00		-1816 -1817 -2143 -2144
0	2	11	0.00	0.00		-1815 -1816 -2144 -2145
0	2	11	0.00	0.00		-1814 -2087 -2146 -2147
0	2	11	0.00	0.00		-1813 -2089 -2148 -2149
0	2	11	0.00	0.00		-1533 -1813 -2149 -2150
0	2	11	0.00	0.00		-1812 -1533 -2150 -2151
0	2	11	0.00	0.00		-1811 -2091 -2152 -2153
0	2	11	0.00	0.00		-1810 -2093 -2154 -2155
0	2	11	0.00	0.00		-1809 -1810 -2155 -2156
0	2	11	0.00	0.00		-1808 -1809 -2156 -2157
0	2	11	0.00	0.00		-1807 -1808 -2157 -2158
0	2	11	0.00	0.00		-1806 -1807 -2158 -2159
0	2	11	0.00	0.00		-1805 -1806 -2159 -2160
0	2	11	0.00	0.00		-1804 -1805 -2160 -2161
0	2	11	0.00	0.00		-1803 -1950 -2162 -2163
0	1	11	0.00	0.00		-1782 431 438 -1387
0	1	11	0.00	0.00		-1781 -1935 -1936 -1388
0	1	11	0.00	0.00		-1780 -1781 -1388 -1389
0	1	11	0.00	0.00		-1779 -1780 -1389 -1390
0	1	11	0.00	0.00		-1778 -1779 -1390 -1391

0	1	11	0.00	0.00		-1777 -1778 -1391 -1392
0	1	11	0.00	0.00		-1776 -1777 -1392 -1393
0	1	11	0.00	0.00		-1775 -1776 -1393 -1394
0	1	11	0.00	0.00		-1774 -2088 -2095 -1395
0	1	11	0.00	0.00		-1773 -2090 -2096 -1396
0	1	11	0.00	0.00		-1413 -1773 -1396 -1386
0	1	11	0.00	0.00		-1772 -1413 -1386 -1397
0	1	11	0.00	0.00		-1771 -2092 -2097 -1398
0	1	11	0.00	0.00		-1770 -2094 -2098 -1399
0	1	11	0.00	0.00		-1769 -1770 -1399 -1400
0	1	11	0.00	0.00		-1768 -1769 -1400 -1401
0	1	11	0.00	0.00		-1767 -1768 -1401 -1402
0	1	11	0.00	0.00		-1766 -1767 -1402 -1403
0	1	11	0.00	0.00		-1765 -1766 -1403 -1404
0	1	11	0.00	0.00		-1764 -1765 -1404 -1405
0	1	11	0.00	0.00		-1763 -1951 -1952 -1406
0	1	11	0.00	0.00		-1387 438 -1536 -1838
0	1	11	0.00	0.00		-1388 -1936 -1924 -1837
0	1	11	0.00	0.00		-1389 -1388 -1837 -1853
0	1	11	0.00	0.00		-1390 -1389 -1853 -1852
0	1	11	0.00	0.00		-1391 -1390 -1852 -1851
0	1	11	0.00	0.00		-1392 -1391 -1851 -1858
0	1	11	0.00	0.00		-1393 -1392 -1858 -1856
0	1	11	0.00	0.00		-1394 -1393 -1856 -1695
0	1	11	0.00	0.00		-1395 -2095 -2061 -1694
0	1	11	0.00	0.00		-1396 -2096 -2084 -1693
0	1	11	0.00	0.00		-1386 -1396 -1693 -1862
0	1	11	0.00	0.00		-1397 -1386 -1862 -1866
0	1	11	0.00	0.00		-1398 -2097 -2085 -1865
0	1	11	0.00	0.00		-1399 -2098 -2086 -1864
0	1	11	0.00	0.00		-1400 -1399 -1864 -1861
0	1	11	0.00	0.00		-1401 -1400 -1861 -1857
0	1	11	0.00	0.00		-1402 -1401 -1857 -1845
0	1	11	0.00	0.00		-1403 -1402 -1845 -1844
0	1	11	0.00	0.00		-1404 -1403 -1844 -1843
0	1	11	0.00	0.00		-1405 -1404 -1843 -1839
0	1	11	0.00	0.00		-1406 -1952 -1948 -1836
0	1	11	0.00	0.00		441 -1428 -1823 -1859
0	1	11	0.00	0.00		-1428 -1949 -1953 -1823
0	1	11	0.00	0.00		-1429 -1430 -1825 -1824
0	1	11	0.00	0.00		-1430 -1431 -1826 -1825
0	1	11	0.00	0.00		-1431 -1432 -1827 -1826
0	1	11	0.00	0.00		-1432 -1433 -1828 -1827
0	1	11	0.00	0.00		-1433 -1434 -1829 -1828
0	1	11	0.00	0.00		-1434 -1435 -1830 -1829
0	1	11	0.00	0.00		-1435 -2099 -1699 -1830
0	1	11	0.00	0.00		-1436 -2100 -1547 -1831
0	1	11	0.00	0.00		-1438 -1846 -1532 -1832
0	1	11	0.00	0.00		-1846 -1439 -1833 -1532
0	1	11	0.00	0.00		-1439 -2101 -2082 -1833
0	1	11	0.00	0.00		-1441 -2102 -2080 -1834
0	1	11	0.00	0.00		-1442 -1443 -1412 -1835
0	1	11	0.00	0.00		-1443 -1445 -1410 -1412
0	1	11	0.00	0.00		-1445 -1446 -1411 -1410
0	1	11	0.00	0.00		-1446 -1448 -1688 -1411
0	1	11	0.00	0.00		-1448 -1449 -1691 -1688
0	1	11	0.00	0.00		-1449 -1450 -1692 -1691
0	1	11	0.00	0.00		-1450 -1937 -1917 -1692
0	1	11	0.00	0.00		-1452 430 -1534 -1698
0	1	11	0.00	0.00		439 -1453 -1873 -1874
0	1	11	0.00	0.00		-1453 -1954 -1943 -1873
0	1	11	0.00	0.00		-1454 -1455 -1876 -1875
0	1	11	0.00	0.00		-1455 -1456 -1877 -1876
0	1	11	0.00	0.00		-1456 -1459 -1878 -1877
0	1	11	0.00	0.00		-1459 -1460 -1879 -1878
0	1	11	0.00	0.00		-1460 -1462 -1880 -1879
0	1	11	0.00	0.00		-1462 -1463 -1881 -1880
0	1	11	0.00	0.00		-1463 -1762 -1974 -1881
0	1	11	0.00	0.00		-1464 -2083 -1911 -1882
0	1	11	0.00	0.00		-1465 -1867 -1884 -1883
0	1	11	0.00	0.00		-1867 -1466 -1885 -1884
0	1	11	0.00	0.00		-1466 -2081 -2103 -1885
0	1	11	0.00	0.00		-1467 -2079 -2104 -1886
0	1	11	0.00	0.00		-1468 -1469 -1888 -1887
0	1	11	0.00	0.00		-1469 -1470 -1889 -1888
0	1	11	0.00	0.00		-1470 -1471 -1890 -1889
0	1	11	0.00	0.00		-1471 -1472 -1891 -1890
0	1	11	0.00	0.00		-1472 -1473 -1892 -1891
0	1	11	0.00	0.00		-1473 -1474 -1893 -1892

0	1	11	0.00	0.00		-1474 -1918 -1938 -1893
0	1	11	0.00	0.00		-1475 433 -1344 -1894
0	1	11	0.00	0.00		-1859 -1823 -1453 439
0	1	11	0.00	0.00		-1823 -1953 -1954 -1453
0	1	11	0.00	0.00		-1824 -1825 -1455 -1454
0	1	11	0.00	0.00		-1825 -1826 -1456 -1455
0	1	11	0.00	0.00		-1826 -1827 -1459 -1456
0	1	11	0.00	0.00		-1827 -1828 -1460 -1459
0	1	11	0.00	0.00		-1785 -1786 -1431 -1430
0	1	11	0.00	0.00		-1786 -1787 -1432 -1431
0	1	11	0.00	0.00		-1787 -1788 -1433 -1432
0	1	11	0.00	0.00		-1788 -1789 -1434 -1433
0	1	11	0.00	0.00		-1789 -1790 -1435 -1434
0	1	11	0.00	0.00		-1790 -2077 -2099 -1435
0	1	11	0.00	0.00		-1791 -2075 -2100 -1436
0	1	11	0.00	0.00		-1792 -1535 -1846 -1438
0	1	11	0.00	0.00		-1535 -1793 -1439 -1846
0	1	11	0.00	0.00		-1793 -2064 -2101 -1439
0	1	11	0.00	0.00		-1794 -2062 -2102 -1441
0	1	11	0.00	0.00		-1795 -1796 -1443 -1442
0	1	11	0.00	0.00		-1796 -1797 -1445 -1443
0	1	11	0.00	0.00		-1797 -1798 -1446 -1445
0	1	11	0.00	0.00		-1798 -1799 -1448 -1446
0	1	11	0.00	0.00		-1799 -1800 -1449 -1448
0	1	11	0.00	0.00		-1800 -1801 -1450 -1449
0	1	11	0.00	0.00		-1801 -1923 -1937 -1450
0	1	11	0.00	0.00		-1705 -1537 437 -1458
0	1	11	0.00	0.00		-1704 -1939 -1940 -1461
0	1	11	0.00	0.00		-1703 -1704 -1461 -1483
0	1	11	0.00	0.00		-1702 -1703 -1483 -1484
0	1	11	0.00	0.00		-1701 -1702 -1484 -1485
0	1	11	0.00	0.00		-1700 -1701 -1485 -1486
0	1	11	0.00	0.00		-1497 -1700 -1486 -1487
0	1	11	0.00	0.00		-1496 -1497 -1487 -1488
0	1	11	0.00	0.00		-1495 -2105 -2106 -1489
0	1	11	0.00	0.00		-1494 -2107 -2108 -1498
0	1	11	0.00	0.00		-1842 -1494 -1498 -1457
0	1	11	0.00	0.00		-1493 -1842 -1457 -1499
0	1	11	0.00	0.00		-1492 -1912 -2109 -1500
0	1	11	0.00	0.00		-1491 -1973 -2110 -1501
0	1	11	0.00	0.00		-1482 -1491 -1501 -1502
0	1	11	0.00	0.00		-1481 -1482 -1502 -1503
0	1	11	0.00	0.00		-1480 -1481 -1503 -1504
0	1	11	0.00	0.00		-1479 -1480 -1504 -1505
0	1	11	0.00	0.00		-1478 -1479 -1505 -1506
0	1	11	0.00	0.00		-1477 -1478 -1506 -1507
0	1	11	0.00	0.00		-1476 -1944 -1955 -1508
0	1	11	0.00	0.00		-1458 437 432 -1745
0	1	11	0.00	0.00		-1461 -1940 -1941 -1744
0	1	11	0.00	0.00		-1483 -1461 -1744 -1743
0	1	11	0.00	0.00		-1484 -1483 -1743 -1742
0	1	11	0.00	0.00		-1485 -1484 -1742 -1741
0	1	11	0.00	0.00		-1486 -1485 -1741 -1740
0	1	11	0.00	0.00		-1487 -1486 -1740 -1739
0	1	11	0.00	0.00		-1488 -1487 -1739 -1738
0	1	11	0.00	0.00		-1489 -2106 -2111 -1737
0	1	11	0.00	0.00		-1498 -2108 -2112 -1736
0	1	11	0.00	0.00		-1457 -1498 -1736 -1847
0	1	11	0.00	0.00		-1499 -1457 -1847 -1735
0	1	11	0.00	0.00		-1500 -2109 -2113 -1734
0	1	11	0.00	0.00		-1501 -2110 -2114 -1733
0	1	11	0.00	0.00		-1502 -1501 -1733 -1732
0	1	11	0.00	0.00		-1503 -1502 -1732 -1731
0	1	11	0.00	0.00		-1504 -1503 -1731 -1730
0	1	11	0.00	0.00		-1505 -1504 -1730 -1729
0	1	11	0.00	0.00		-1506 -1505 -1729 -1728
0	1	11	0.00	0.00		-1507 -1506 -1728 -1727
0	1	11	0.00	0.00		-1508 -1955 -1956 -1726
0	2	11	0.00	0.00		-2069 -1540 -1976 -2013
0	2	11	0.00	0.00		-1744 -1941 -2182 -2183
0	2	11	0.00	0.00		-1743 -1744 -2183 -2184
0	2	11	0.00	0.00		-1742 -1743 -2184 -2185
0	2	11	0.00	0.00		-1741 -1742 -2185 -2186
0	2	11	0.00	0.00		-2067 -1758 -2009 -2008
0	2	11	0.00	0.00		-1757 -2067 -2008 -2007
0	2	11	0.00	0.00		-1738 -1739 -2187 -2188
0	2	11	0.00	0.00		-1737 -2111 -2189 -2190
0	2	11	0.00	0.00		-1736 -2112 -2191 -2192
0	2	11	0.00	0.00		-1847 -1736 -2192 -2193

0	2	11	0.00	0.00		-2065 -1689 -1993 -2003
0	2	11	0.00	0.00		-1753 -2117 -2118 -2002
0	2	11	0.00	0.00		-1733 -2114 -2194 -2195
0	2	11	0.00	0.00		-1732 -1733 -2195 -2196
0	2	11	0.00	0.00		-1731 -1732 -2196 -2197
0	2	11	0.00	0.00		-2063 -1750 -1999 -1998
0	2	11	0.00	0.00		-1749 -2063 -1998 -1997
0	2	11	0.00	0.00		-1728 -1729 -2198 -2199
0	2	11	0.00	0.00		-1727 -1728 -2199 -2200
0	2	11	0.00	0.00		-1726 -1956 -2201 -2202
0	2	11	0.00	0.00		-1539 -1600 -2135 -2136
0	2	11	0.00	0.00		-1687 -1803 -2163 -2164
0	1	11	0.00	0.00		438 -1451 -1618 -1536
0	1	11	0.00	0.00		431 -1841 -1451 438
0	1	11	0.00	0.00		436 -1763 -1406 429
0	1	11	0.00	0.00		429 -1406 -1836 -1850
0	1	11	0.00	0.00		-1802 -1531 430 -1452
0	1	11	0.00	0.00		-1537 -1572 -1516 437
0	1	11	0.00	0.00		-1848 -1476 -1508 435
0	1	11	0.00	0.00		437 -1516 -1565 432
0	1	11	0.00	0.00		435 -1508 -1726 434
0	2	11	0.00	0.00		432 -1565 -2181 -2203
0	2	11	0.00	0.00		434 -1726 -2202 -2204
0	1	11	0.00	0.00		-1529 429 -1850 -1416
0	1	11	0.00	0.00		-1530 -1958 -1959 -1415
0	1	11	0.00	0.00		-1490 -1530 -1415 -1367
0	1	11	0.00	0.00		-1538 -1490 -1367 -1366
0	1	11	0.00	0.00		-1525 -1538 -1366 -1365
0	1	11	0.00	0.00		-1526 -1525 -1365 -1364
0	1	11	0.00	0.00		-1527 -1526 -1364 -1363
0	1	11	0.00	0.00		-1528 -1527 -1363 -1427
0	1	11	0.00	0.00		-1362 436 429 -1529
0	1	11	0.00	0.00		-1356 -1960 -1958 -1530
0	1	11	0.00	0.00		-1355 -1356 -1530 -1490
0	1	11	0.00	0.00		-1352 -1355 -1490 -1538
0	1	11	0.00	0.00		-1684 -1352 -1538 -1525
0	1	11	0.00	0.00		-1683 -1684 -1525 -1526
0	1	11	0.00	0.00		-1682 -1683 -1526 -1527
0	1	11	0.00	0.00		-1426 -1682 -1527 -1528
0	2	11	0.00	0.00		-1625 -1687 -2164 -2165
0	2	11	0.00	0.00		-1624 -1961 -2166 -2167
0	2	11	0.00	0.00		-1623 -1624 -2167 -2168
0	2	11	0.00	0.00		-1622 -1623 -2168 -2169
0	2	11	0.00	0.00		-1621 -1622 -2169 -2170
0	2	11	0.00	0.00		-1620 -1621 -2170 -2171
0	2	11	0.00	0.00		-1619 -1620 -2171 -2172
0	2	11	0.00	0.00		-1417 -1619 -2172 -2173
0	1	11	0.00	0.00		-1521 435 434 -1660
0	1	11	0.00	0.00		-1522 -1962 -1963 -1659
0	1	11	0.00	0.00		-1523 -1522 -1659 -1658
0	1	11	0.00	0.00		-1524 -1523 -1658 -1657
0	1	11	0.00	0.00		-1517 -1524 -1657 -1656
0	1	11	0.00	0.00		-1518 -1517 -1656 -1655
0	1	11	0.00	0.00		-1519 -1518 -1655 -1654
0	1	11	0.00	0.00		-1520 -1519 -1654 -1422
0	2	11	0.00	0.00		-1422 -1654 -2205 -2206
0	2	11	0.00	0.00		-1654 -1655 -2207 -2205
0	2	11	0.00	0.00		-1655 -1656 -2208 -2207
0	2	11	0.00	0.00		-1656 -1657 -2209 -2208
0	2	11	0.00	0.00		-1657 -1658 -2210 -2209
0	2	11	0.00	0.00		-1658 -1659 -2211 -2210
0	2	11	0.00	0.00		-1659 -1963 -2212 -2211
0	1	11	0.00	0.00		-1653 -1848 435 -1521
0	1	11	0.00	0.00		-1652 -1965 -1962 -1522
0	1	11	0.00	0.00		-1651 -1652 -1522 -1523
0	1	11	0.00	0.00		-1650 -1651 -1523 -1524
0	1	11	0.00	0.00		-1649 -1650 -1524 -1517
0	1	11	0.00	0.00		-1648 -1649 -1517 -1518
0	1	11	0.00	0.00		-1647 -1648 -1518 -1519
0	1	11	0.00	0.00		-1421 -1647 -1519 -1520
0	1	11	0.00	0.00		-1424 -1668 -1633 -1419
0	1	11	0.00	0.00		-1668 -1669 -1634 -1633
0	1	11	0.00	0.00		-1669 -1670 -1635 -1634
0	1	11	0.00	0.00		-1670 -1671 -1636 -1635
0	1	11	0.00	0.00		-1671 -1672 -1637 -1636
0	1	11	0.00	0.00		-1672 -1673 -1638 -1637
0	1	11	0.00	0.00		-1673 -1966 -1967 -1638
0	1	11	0.00	0.00		-1674 441 -1859 -1639
0	1	11	0.00	0.00		-1419 -1633 -1640 -1420

0	1	11	0.00	0.00		-1633 -1634 -1641 -1640
0	1	11	0.00	0.00		-1634 -1635 -1642 -1641
0	1	11	0.00	0.00		-1635 -1636 -1643 -1642
0	1	11	0.00	0.00		-1636 -1637 -1644 -1643
0	1	11	0.00	0.00		-1637 -1638 -1645 -1644
0	1	11	0.00	0.00		-1638 -1967 -1968 -1645
0	1	11	0.00	0.00		-1639 -1859 439 -1646
0	1	11	0.00	0.00		-1416 -1850 -1357 -1895
0	1	11	0.00	0.00		-1415 -1959 -1969 -1896
0	1	11	0.00	0.00		-1367 -1415 -1896 -1897
0	1	11	0.00	0.00		-1366 -1367 -1897 -1898
0	1	11	0.00	0.00		-1365 -1366 -1898 -1899
0	1	11	0.00	0.00		-1364 -1365 -1899 -1900
0	1	11	0.00	0.00		-1363 -1364 -1900 -1901
0	1	11	0.00	0.00		-1427 -1363 -1901 -1902
0	1	11	0.00	0.00		-1423 -1661 -1626 -1418
0	1	11	0.00	0.00		-1661 -1662 -1627 -1626
0	1	11	0.00	0.00		-1662 -1663 -1628 -1627
0	1	11	0.00	0.00		-1663 -1664 -1629 -1628
0	1	11	0.00	0.00		-1664 -1665 -1630 -1629
0	1	11	0.00	0.00		-1665 -1666 -1631 -1630
0	1	11	0.00	0.00		-1666 -1970 -1971 -1631
0	1	11	0.00	0.00		-1667 442 -1863 -1632
0	1	11	0.00	0.00		-1420 -1640 -1904 -1903
0	1	11	0.00	0.00		-1640 -1641 -1905 -1904
0	1	11	0.00	0.00		-1641 -1642 -1906 -1905
0	1	11	0.00	0.00		-1642 -1643 -1907 -1906
0	1	11	0.00	0.00		-1643 -1644 -1908 -1907
0	1	11	0.00	0.00		-1644 -1645 -1909 -1908
0	1	11	0.00	0.00		-1645 -1968 -1972 -1909
0	1	11	0.00	0.00		-1646 439 -1874 -1910
0	1	11	0.00	0.00		-1418 -1626 -1668 -1424
0	1	11	0.00	0.00		-1626 -1627 -1669 -1668
0	1	11	0.00	0.00		-1627 -1628 -1670 -1669
0	1	11	0.00	0.00		-1628 -1629 -1671 -1670
0	1	11	0.00	0.00		-1629 -1630 -1672 -1671
0	1	11	0.00	0.00		-1630 -1631 -1673 -1672
0	1	11	0.00	0.00		-1631 -1971 -1966 -1673
0	2	11	0.00	0.00		-1660 434 -2204 -2213
0	1	11	0.00	0.00		-1632 -1863 441 -1674
0	1	11	0.00	0.00		-1885 -2103 -2107 -1494
0	1	11	0.00	0.00		-1886 -2104 -2105 -1495
0	1	11	0.00	0.00		-1887 -1888 -1497 -1496
0	1	11	0.00	0.00		-1888 -1889 -1700 -1497
0	1	11	0.00	0.00		-1889 -1890 -1701 -1700
0	1	11	0.00	0.00		-1890 -1891 -1702 -1701
0	1	11	0.00	0.00		-1891 -1892 -1703 -1702
0	1	11	0.00	0.00		-1892 -1893 -1704 -1703
0	1	11	0.00	0.00		-1893 -1938 -1939 -1704
0	1	11	0.00	0.00		-1894 -1344 -1537 -1705
0	1	11	0.00	0.00		-1895 -1357 442 -1667
0	1	11	0.00	0.00		-1896 -1969 -1970 -1666
0	1	11	0.00	0.00		-1897 -1896 -1666 -1665
0	1	11	0.00	0.00		-1898 -1897 -1665 -1664
0	1	11	0.00	0.00		-1899 -1898 -1664 -1663
0	1	11	0.00	0.00		-1900 -1899 -1663 -1662
0	1	11	0.00	0.00		-1901 -1900 -1662 -1661
0	1	11	0.00	0.00		-1902 -1901 -1661 -1423
0	1	11	0.00	0.00		-1903 -1904 -1647 -1421
0	1	11	0.00	0.00		-1904 -1905 -1648 -1647
0	1	11	0.00	0.00		-1905 -1906 -1649 -1648
0	1	11	0.00	0.00		-1906 -1907 -1650 -1649
0	1	11	0.00	0.00		-1907 -1908 -1651 -1650
0	1	11	0.00	0.00		-1908 -1909 -1652 -1651
0	1	11	0.00	0.00		-1909 -1972 -1965 -1652
0	1	11	0.00	0.00		-1910 -1874 -1848 -1653
0	1	11	0.00	0.00		-1547 -1832 -1465 -2083
0	1	11	0.00	0.00		-1699 -1831 -1464 -1762
0	1	11	0.00	0.00		-1974 -1882 -1492 -1973
0	1	11	0.00	0.00		-1911 -1883 -1493 -1912
0	1	11	0.00	0.00		-2076 -1715 -1792 -2075
0	1	11	0.00	0.00		-2078 -1714 -1791 -2077
0	1	11	0.00	0.00		-2080 -1835 -1468 -2079
0	1	11	0.00	0.00		-2082 -1834 -1467 -2081
0	1	11	0.00	0.00		-1913 -1343 -1573 -1914
0	1	11	0.00	0.00		-1915 -1347 -1559 -1916
0	1	11	0.00	0.00		-1917 -1698 -1475 -1918
0	1	11	0.00	0.00		-1919 -1384 -1725 -1920
0	2	11	0.00	0.00		-1921 -1566 -2179 -2180

0	1	11	0.00	0.00		-1920 -1725 -1802 -1923
0	1	11	0.00	0.00		-1924 -1838 -1384 -1919
0	1	11	0.00	0.00		-1925 -1515 -1566 -1921
0	1	11	0.00	0.00		-1914 -1573 -1515 -1925
0	1	11	0.00	0.00		-1926 -1552 -1587 -1927
0	1	11	0.00	0.00		-1927 -1587 -1580 -1928
0	1	11	0.00	0.00		-1916 -1559 -1594 -1929
0	1	11	0.00	0.00		-1930 -1414 -1347 -1915
0	1	11	0.00	0.00		-1928 -1580 -1343 -1913
0	1	11	0.00	0.00		-1929 -1594 -1552 -1926
0	1	11	0.00	0.00		-1931 -1447 -1414 -1930
0	1	11	0.00	0.00		-1932 -1854 -1447 -1931
0	2	11	0.00	0.00		-1933 -1601 -2133 -2134
0	2	11	0.00	0.00		-1934 -1822 -2137 -2138
0	1	11	0.00	0.00		-1935 -1782 -1387 -1936
0	1	11	0.00	0.00		-1936 -1387 -1838 -1924
0	1	11	0.00	0.00		-1937 -1452 -1698 -1917
0	1	11	0.00	0.00		-1918 -1475 -1894 -1938
0	1	11	0.00	0.00		-1923 -1802 -1452 -1937
0	1	11	0.00	0.00		-1939 -1705 -1458 -1940
0	1	11	0.00	0.00		-1940 -1458 -1745 -1941
0	2	11	0.00	0.00		-1942 -2069 -2013 -2015
0	1	11	0.00	0.00		-1938 -1894 -1705 -1939
0	1	11	0.00	0.00		-1943 -1875 -1477 -1944
0	1	11	0.00	0.00		-1945 -1707 -1784 -1946
0	1	11	0.00	0.00		-1947 -1359 -1707 -1945
0	1	11	0.00	0.00		-1948 -1839 -1359 -1947
0	1	11	0.00	0.00		-1946 -1784 -1429 -1949
0	2	11	0.00	0.00		-1950 -1804 -2161 -2162
0	1	11	0.00	0.00		-1951 -1764 -1405 -1952
0	1	11	0.00	0.00		-1952 -1405 -1839 -1948
0	1	11	0.00	0.00		-1949 -1429 -1824 -1953
0	1	11	0.00	0.00		-1954 -1454 -1875 -1943
0	1	11	0.00	0.00		-1953 -1824 -1454 -1954
0	1	11	0.00	0.00		-1944 -1477 -1507 -1955
0	1	11	0.00	0.00		-1955 -1507 -1727 -1956
0	2	11	0.00	0.00		-1956 -1727 -2200 -2201
0	1	11	0.00	0.00		-1958 -1529 -1416 -1959
0	1	11	0.00	0.00		-1960 -1362 -1529 -1958
0	2	11	0.00	0.00		-1961 -1625 -2165 -2166
0	1	11	0.00	0.00		-1962 -1521 -1660 -1963
0	2	11	0.00	0.00		-1963 -1660 -2213 -2212
0	1	11	0.00	0.00		-1965 -1653 -1521 -1962
0	1	11	0.00	0.00		-1966 -1674 -1639 -1967
0	1	11	0.00	0.00		-1967 -1639 -1646 -1968
0	1	11	0.00	0.00		-1959 -1416 -1895 -1969
0	1	11	0.00	0.00		-1970 -1667 -1632 -1971
0	1	11	0.00	0.00		-1968 -1646 -1910 -1972
0	1	11	0.00	0.00		-1971 -1632 -1674 -1966
0	1	11	0.00	0.00		-1969 -1895 -1667 -1970
0	1	11	0.00	0.00		-1972 -1910 -1653 -1965
0	2	11	0.00	0.00		-2036 -2037 -1803 -1687
0	2	11	0.00	0.00		-2020 -2021 -1600 -1539
0	1	11	0.00	0.00		-1883 -1884 -1842 -1493
0	1	11	0.00	0.00		-1873 -1943 -1944 -1476
0	1	11	0.00	0.00		-1833 -2082 -2081 -1466
0	1	11	0.00	0.00		-1884 -1885 -1494 -1842
0	2	11	0.00	0.00		-2215 -2217 -2065 -2117
0	2	11	0.00	0.00		-2194 -2216 -1753 -2119
0	2	11	0.00	0.00		-2191 -2190 -1755 -2116
0	2	11	0.00	0.00		-2189 -2188 -1756 -2115
0	2	11	0.00	0.00		-2220 -2177 -1548 -2071
0	2	11	0.00	0.00		-2178 -2220 -2071 -1546
0	2	11	0.00	0.00		-2219 -2203 -1540 -2069
0	2	11	0.00	0.00		-2182 -2219 -2069 -1942
0	2	11	0.00	0.00		-2218 -2186 -1758 -2067
0	2	11	0.00	0.00		-2187 -2218 -2067 -1757
0	2	11	0.00	0.00		-2217 -2193 -1689 -2065
0	2	11	0.00	0.00		-2216 -2215 -2117 -1753
0	2	11	0.00	0.00		-2214 -2197 -1750 -2063
0	2	11	0.00	0.00		-2198 -2214 -2063 -1749
0	2	11	0.00	0.00		-2212 -2213 -1681 -1964
0	2	11	0.00	0.00		-2201 -2200 -1747 -1957
0	2	11	0.00	0.00		-2180 -2179 -1545 -1922
0	2	11	0.00	0.00		-2213 -2204 -1686 -1681
0	2	11	0.00	0.00		-2211 -2212 -1964 -1680
0	2	11	0.00	0.00		-2210 -2211 -1680 -1679
0	2	11	0.00	0.00		-2209 -2210 -1679 -1678
0	2	11	0.00	0.00		-2208 -2209 -1678 -1677

0	2	11	0.00	0.00		-2207 -2208 -1677 -1676
0	2	11	0.00	0.00		-2205 -2207 -1676 -1675
0	2	11	0.00	0.00		-2206 -2205 -1675 -1425
0	2	11	0.00	0.00		-2204 -2202 -1746 -1686
0	2	11	0.00	0.00		-2203 -2181 -1544 -1540
0	2	11	0.00	0.00		-2202 -2201 -1957 -1746
0	2	11	0.00	0.00		-2200 -2199 -1748 -1747
0	2	11	0.00	0.00		-2199 -2198 -1749 -1748
0	2	11	0.00	0.00		-2197 -2196 -1751 -1750
0	2	11	0.00	0.00		-2196 -2195 -1752 -1751
0	2	11	0.00	0.00		-2195 -2194 -2119 -1752
0	2	11	0.00	0.00		-2193 -2192 -1754 -1689
0	2	11	0.00	0.00		-2192 -2191 -2116 -1754
0	2	11	0.00	0.00		-2190 -2189 -2115 -1755
0	2	11	0.00	0.00		-2188 -2187 -1757 -1756
0	2	11	0.00	0.00		-2186 -2185 -1759 -1758
0	2	11	0.00	0.00		-2185 -2184 -1760 -1759
0	2	11	0.00	0.00		-2184 -2183 -1761 -1760
0	2	11	0.00	0.00		-2183 -2182 -1942 -1761
0	2	11	0.00	0.00		-2181 -2180 -1922 -1544
0	2	11	0.00	0.00		-2179 -2178 -1546 -1545
0	2	11	0.00	0.00		-2177 -2176 -1549 -1548
0	2	11	0.00	0.00		-2176 -2175 -1550 -1549
0	2	11	0.00	0.00		-2175 -2174 -1609 -1550
0	2	11	0.00	0.00		-2154 -2153 -1771 -2094
0	2	11	0.00	0.00		-2152 -2151 -1772 -2092
0	2	11	0.00	0.00		-2148 -2147 -1774 -2090
0	2	11	0.00	0.00		-2146 -2145 -1775 -2088
0	2	11	0.00	0.00		-2166 -2165 -1362 -1960
0	2	11	0.00	0.00		-2162 -2161 -1764 -1951
0	2	11	0.00	0.00		-2138 -2137 -1782 -1935
0	2	11	0.00	0.00		-2134 -2133 -1854 -1932
0	2	11	0.00	0.00		-2173 -2172 -1682 -1426
0	2	11	0.00	0.00		-2172 -2171 -1683 -1682
0	2	11	0.00	0.00		-2171 -2170 -1684 -1683
0	2	11	0.00	0.00		-2170 -2169 -1352 -1684
0	2	11	0.00	0.00		-2169 -2168 -1355 -1352
0	2	11	0.00	0.00		-2168 -2167 -1356 -1355
0	2	11	0.00	0.00		-2167 -2166 -1960 -1356
0	2	11	0.00	0.00		-2165 -2164 436 -1362
0	2	11	0.00	0.00		-2164 -2163 -1763 436
0	2	11	0.00	0.00		-2136 -2135 -1841 431
0	2	11	0.00	0.00		-2163 -2162 -1951 -1763
0	2	11	0.00	0.00		-2161 -2160 -1765 -1764
0	2	11	0.00	0.00		-2160 -2159 -1766 -1765
0	2	11	0.00	0.00		-2159 -2158 -1767 -1766
0	2	11	0.00	0.00		-2158 -2157 -1768 -1767
0	2	11	0.00	0.00		-2157 -2156 -1769 -1768
0	2	11	0.00	0.00		-2156 -2155 -1770 -1769
0	2	11	0.00	0.00		-2155 -2154 -2094 -1770
0	2	11	0.00	0.00		-2153 -2152 -2092 -1771
0	2	11	0.00	0.00		-2151 -2150 -1413 -1772
0	2	11	0.00	0.00		-2150 -2149 -1773 -1413
0	2	11	0.00	0.00		-2149 -2148 -2090 -1773
0	2	11	0.00	0.00		-2147 -2146 -2088 -1774
0	2	11	0.00	0.00		-2145 -2144 -1776 -1775
0	2	11	0.00	0.00		-2144 -2143 -1777 -1776
0	2	11	0.00	0.00		-2143 -2142 -1778 -1777
0	2	11	0.00	0.00		-2142 -2141 -1779 -1778
0	2	11	0.00	0.00		-2141 -2140 -1780 -1779
0	2	11	0.00	0.00		-2140 -2139 -1781 -1780
0	2	11	0.00	0.00		-2139 -2138 -1935 -1781
0	2	11	0.00	0.00		-2137 -2136 431 -1782
0	2	11	0.00	0.00		-2135 -2134 -1932 -1841
0	2	11	0.00	0.00		-2133 -2132 -1855 -1854
0	2	11	0.00	0.00		-2132 -2131 -1860 -1855
0	2	11	0.00	0.00		-2131 -2130 -1541 -1860
0	2	11	0.00	0.00		-2130 -2129 -1542 -1541
0	2	11	0.00	0.00		-2129 -2128 -1543 -1542
0	2	11	0.00	0.00		-2128 -2127 -1608 -1543
0	1	11	0.00	0.00		-1835 -1412 -1469 -1468
0	1	11	0.00	0.00		-1412 -1410 -1470 -1469
0	1	11	0.00	0.00		-1410 -1411 -1471 -1470
0	1	11	0.00	0.00		-1411 -1688 -1472 -1471
0	1	11	0.00	0.00		-1688 -1691 -1473 -1472
0	1	11	0.00	0.00		-1691 -1692 -1474 -1473
0	1	11	0.00	0.00		-1692 -1917 -1918 -1474
0	1	11	0.00	0.00		-1698 -1534 433 -1475
0	1	11	0.00	0.00		442 -1706 -1783 -1863

0	1	11	0.00	0.00		-1706 -1945 -1946 -1783
0	1	11	0.00	0.00		-1707 -1708 -1785 -1784
0	1	11	0.00	0.00		-1708 -1709 -1786 -1785
0	1	11	0.00	0.00		-1709 -1710 -1787 -1786
0	1	11	0.00	0.00		-1710 -1711 -1788 -1787
0	1	11	0.00	0.00		-1711 -1712 -1789 -1788
0	1	11	0.00	0.00		-1712 -1713 -1790 -1789
0	1	11	0.00	0.00		-1713 -2078 -2077 -1790
0	1	11	0.00	0.00		-1714 -2076 -2075 -1791
0	1	11	0.00	0.00		-1715 -1849 -1535 -1792
0	1	11	0.00	0.00		-1849 -1716 -1793 -1535
0	1	11	0.00	0.00		-1349 -1350 -1562 -1561
0	1	11	0.00	0.00		-1350 -1351 -1563 -1562
0	1	11	0.00	0.00		-1351 -1353 -1564 -1563
0	1	11	0.00	0.00		-1353 -1354 -1611 -1564
0	1	11	0.00	0.00		-1357 -1358 -1706 442
0	1	11	0.00	0.00		-1358 -1947 -1945 -1706
0	1	11	0.00	0.00		-1359 -1360 -1708 -1707
0	1	11	0.00	0.00		-1360 -1361 -1709 -1708
0	1	11	0.00	0.00		-1361 -1368 -1710 -1709
0	1	11	0.00	0.00		-1368 -1369 -1711 -1710
0	1	11	0.00	0.00		-1369 -1370 -1712 -1711
0	1	11	0.00	0.00		-1370 -1371 -1713 -1712
0	1	11	0.00	0.00		-1371 -2074 -2078 -1713
0	1	11	0.00	0.00		-1372 -2073 -2076 -1714
0	1	11	0.00	0.00		-1373 -1374 -1849 -1715
0	1	11	0.00	0.00		-1374 -1375 -1716 -1849
0	1	11	0.00	0.00		-1375 -2072 -2070 -1716
0	1	11	0.00	0.00		-1376 -2068 -2066 -1717
0	1	11	0.00	0.00		-1377 -1378 -1719 -1718
0	1	11	0.00	0.00		-1378 -1379 -1720 -1719
0	1	11	0.00	0.00		-1379 -1380 -1721 -1720
0	1	11	0.00	0.00		-1380 -1381 -1722 -1721
0	1	11	0.00	0.00		-1381 -1382 -1723 -1722
0	1	11	0.00	0.00		-1382 -1383 -1724 -1723
0	1	11	0.00	0.00		-1383 -1919 -1920 -1724
0	1	11	0.00	0.00		-1384 -1385 440 -1725
0	2	11	0.00	0.00		-1571 -1612 -2174 -2175
0	2	11	0.00	0.00		-1570 -1571 -2175 -2176
0	2	11	0.00	0.00		-1569 -1570 -2176 -2177
0	2	11	0.00	0.00		-2071 -1548 -1981 -1980
0	2	11	0.00	0.00		-1546 -2071 -1980 -1979
0	2	11	0.00	0.00		-1566 -1567 -2178 -2179
0	2	11	0.00	0.00		-1565 -1921 -2180 -2181
0	1	11	0.00	0.00		-1510 -1509 -1612 -1571
0	1	11	0.00	0.00		-1511 -1510 -1571 -1570
0	1	11	0.00	0.00		-1716 -2070 -2064 -1793
0	1	11	0.00	0.00		-1717 -2066 -2062 -1794
0	1	11	0.00	0.00		-1718 -1719 -1796 -1795
0	1	11	0.00	0.00		-1719 -1720 -1797 -1796
0	1	11	0.00	0.00		-1720 -1721 -1798 -1797
0	1	11	0.00	0.00		-1721 -1722 -1799 -1798
0	1	11	0.00	0.00		-1722 -1723 -1800 -1799
0	1	11	0.00	0.00		-1723 -1724 -1801 -1800
0	1	11	0.00	0.00		-1724 -1920 -1923 -1801
0	1	11	0.00	0.00		-1725 440 -1531 -1802
0	1	11	0.00	0.00		-1838 -1536 -1385 -1384
0	1	11	0.00	0.00		-1837 -1924 -1919 -1383
0	1	11	0.00	0.00		-1853 -1837 -1383 -1382
0	1	11	0.00	0.00		-1852 -1853 -1382 -1381
0	1	11	0.00	0.00		-1851 -1852 -1381 -1380
0	2	11	0.00	0.00		-1686 -1746 -1994 -1992
0	2	11	0.00	0.00		-1746 -1957 -2016 -1994
0	2	11	0.00	0.00		-1957 -1747 -1995 -2016
0	2	11	0.00	0.00		-1747 -1748 -1996 -1995
0	2	11	0.00	0.00		-1748 -1749 -1997 -1996
0	2	11	0.00	0.00		-1729 -1730 -2214 -2198
0	2	11	0.00	0.00		-1730 -1731 -2197 -2214
0	2	11	0.00	0.00		-1750 -1751 -2000 -1999
0	2	11	0.00	0.00		-1751 -1752 -2001 -2000
0	2	11	0.00	0.00		-1752 -2119 -2120 -2001
0	2	11	0.00	0.00		-1734 -2113 -2215 -2216
0	2	11	0.00	0.00		-1735 -1847 -2193 -2217
0	2	11	0.00	0.00		-1689 -1754 -2004 -1993
0	2	11	0.00	0.00		-1754 -2116 -2121 -2004
0	2	11	0.00	0.00		-1755 -2115 -2122 -2005
0	2	11	0.00	0.00		-1756 -1757 -2007 -2006
0	2	11	0.00	0.00		-1739 -1740 -2218 -2187
0	2	11	0.00	0.00		-1740 -1741 -2186 -2218

0	2	11	0.00	0.00		-1758 -1759 -2010 -2009
0	2	11	0.00	0.00		-1759 -1760 -2011 -2010
0	2	11	0.00	0.00		-1760 -1761 -2012 -2011
0	2	11	0.00	0.00		-1761 -1942 -2015 -2012
0	2	11	0.00	0.00		-1941 -1745 -2219 -2182
0	2	11	0.00	0.00		-1745 432 -2203 -2219
0	2	11	0.00	0.00		-1540 -1544 -1977 -1976
0	2	11	0.00	0.00		-1544 -1922 -2014 -1977
0	2	11	0.00	0.00		-1922 -1545 -1978 -2014
0	2	11	0.00	0.00		-1545 -1546 -1979 -1978
0	2	11	0.00	0.00		-1567 -1568 -2220 -2178
0	2	11	0.00	0.00		-1568 -1569 -2177 -2220
0	2	11	0.00	0.00		-1548 -1549 -1982 -1981
0	2	11	0.00	0.00		-1549 -1550 -1983 -1982
0	2	11	0.00	0.00		-1550 -1609 -1984 -1983
0	2	11	0.00	0.00		-1425 -1675 -1985 -1975
0	2	11	0.00	0.00		-1675 -1676 -1986 -1985
0	2	11	0.00	0.00		-1676 -1677 -1987 -1986
0	2	11	0.00	0.00		-1677 -1678 -1988 -1987
0	2	11	0.00	0.00		-1678 -1679 -1989 -1988
0	2	11	0.00	0.00		-1679 -1680 -1990 -1989
0	2	11	0.00	0.00		-1680 -1964 -2017 -1990
0	2	11	0.00	0.00		-1964 -1681 -1991 -2017
0	2	11	0.00	0.00		-1681 -1686 -1992 -1991
0	2	11	0.00	0.00		-2018 -2029 -1619 -1417
0	2	11	0.00	0.00		-2029 -2030 -1620 -1619
0	2	11	0.00	0.00		-2030 -2031 -1621 -1620
0	2	11	0.00	0.00		-2031 -2032 -1622 -1621
0	2	11	0.00	0.00		-2032 -2033 -1623 -1622
0	2	11	0.00	0.00		-2033 -2034 -1624 -1623
0	2	11	0.00	0.00		-2034 -2060 -1961 -1624
0	2	11	0.00	0.00		-2060 -2035 -1625 -1961
0	2	11	0.00	0.00		-2035 -2036 -1687 -1625
0	2	11	0.00	0.00		-2037 -2059 -1950 -1803
0	2	11	0.00	0.00		-2059 -2038 -1804 -1950
0	2	11	0.00	0.00		-2038 -2039 -1805 -1804
0	2	11	0.00	0.00		-2039 -2040 -1806 -1805
0	2	11	0.00	0.00		-2040 -2041 -1807 -1806
0	2	11	0.00	0.00		-2041 -2042 -1808 -1807
0	2	11	0.00	0.00		-2042 -2043 -1809 -1808
0	2	11	0.00	0.00		-2043 -2044 -1810 -1809
0	2	11	0.00	0.00		-2044 -2123 -2093 -1810
0	2	11	0.00	0.00		-2045 -2124 -2091 -1811
0	2	11	0.00	0.00		-2046 -2019 -1533 -1812
0	2	11	0.00	0.00		-2019 -2047 -1813 -1533
0	2	11	0.00	0.00		-2047 -2125 -2089 -1813
0	2	11	0.00	0.00		-2048 -2126 -2087 -1814
0	2	11	0.00	0.00		-2049 -2050 -1816 -1815
0	2	11	0.00	0.00		-2050 -2051 -1817 -1816
0	2	11	0.00	0.00		-2051 -2052 -1818 -1817
0	2	11	0.00	0.00		-2052 -2053 -1819 -1818
0	2	11	0.00	0.00		-2053 -2054 -1820 -1819
0	2	11	0.00	0.00		-2054 -2055 -1821 -1820
0	2	11	0.00	0.00		-2055 -2058 -1934 -1821
0	2	11	0.00	0.00		-2058 -2056 -1822 -1934
0	2	11	0.00	0.00		-2056 -2020 -1539 -1822
0	2	11	0.00	0.00		-2021 -2057 -1933 -1600
0	2	11	0.00	0.00		-2057 -2022 -1601 -1933
0	2	11	0.00	0.00		-2022 -2023 -1602 -1601
0	2	11	0.00	0.00		-2023 -2024 -1603 -1602
0	2	11	0.00	0.00		-2024 -2025 -1604 -1603
0	2	11	0.00	0.00		-2025 -2026 -1605 -1604
0	2	11	0.00	0.00		-2026 -2027 -1606 -1605
0	2	11	0.00	0.00		-2027 -2028 -1617 -1606
0	1	11	0.00	0.00		-2074 -1372 -1714 -2078
0	1	11	0.00	0.00		-2073 -1373 -1715 -2076
0	1	11	0.00	0.00		-2072 -1376 -1717 -2070
0	1	11	0.00	0.00		-2068 -1377 -1718 -2066
0	1	11	0.00	0.00		-2070 -1717 -1794 -2064
0	1	11	0.00	0.00		-2066 -1718 -1795 -2062
0	1	11	0.00	0.00		-2061 -1695 -1377 -2068
0	1	11	0.00	0.00		-2084 -1694 -1376 -2072
0	1	11	0.00	0.00		-2085 -1866 -1373 -2073
0	1	11	0.00	0.00		-2086 -1865 -1372 -2074
0	2	11	0.00	0.00		-2087 -1815 -2145 -2146
0	2	11	0.00	0.00		-2089 -1814 -2147 -2148
0	2	11	0.00	0.00		-2091 -1812 -2151 -2152
0	2	11	0.00	0.00		-2093 -1811 -2153 -2154
0	1	11	0.00	0.00		-2088 -1775 -1394 -2095

0	1	11	0.00	0.00		-2090 -1774 -1395 -2096
0	1	11	0.00	0.00		-2092 -1772 -1397 -2097
0	1	11	0.00	0.00		-2094 -1771 -1398 -2098
0	1	11	0.00	0.00		-2095 -1394 -1695 -2061
0	1	11	0.00	0.00		-2096 -1395 -1694 -2084
0	1	11	0.00	0.00		-2097 -1397 -1866 -2085
0	1	11	0.00	0.00		-2098 -1398 -1865 -2086
0	1	11	0.00	0.00		-2099 -1436 -1831 -1699
0	1	11	0.00	0.00		-2100 -1438 -1832 -1547
0	1	11	0.00	0.00		-2101 -1441 -1834 -2082
0	1	11	0.00	0.00		-2102 -1442 -1835 -2080
0	1	11	0.00	0.00		-1762 -1464 -1882 -1974
0	1	11	0.00	0.00		-2083 -1465 -1883 -1911
0	1	11	0.00	0.00		-2081 -1467 -1886 -2103
0	1	11	0.00	0.00		-2079 -1468 -1887 -2104
0	1	11	0.00	0.00		-2077 -1791 -1436 -2099
0	1	11	0.00	0.00		-2075 -1792 -1438 -2100
0	1	11	0.00	0.00		-2064 -1794 -1441 -2101
0	1	11	0.00	0.00		-2062 -1795 -1442 -2102
0	1	11	0.00	0.00		-2105 -1496 -1488 -2106
0	1	11	0.00	0.00		-2107 -1495 -1489 -2108
0	1	11	0.00	0.00		-1912 -1493 -1499 -2109
0	1	11	0.00	0.00		-1973 -1492 -1500 -2110
0	1	11	0.00	0.00		-2106 -1488 -1738 -2111
0	1	11	0.00	0.00		-2108 -1489 -1737 -2112
0	1	11	0.00	0.00		-2109 -1499 -1735 -2113
0	1	11	0.00	0.00		-2110 -1500 -1734 -2114
0	2	11	0.00	0.00		-2111 -1738 -2188 -2189
0	2	11	0.00	0.00		-2112 -1737 -2190 -2191
0	2	11	0.00	0.00		-2117 -2065 -2003 -2118
0	2	11	0.00	0.00		-2114 -1734 -2216 -2194
0	1	11	0.00	0.00		-2103 -1886 -1495 -2107
0	1	11	0.00	0.00		-2104 -1887 -1496 -2105
0	2	11	0.00	0.00		-2119 -1753 -2002 -2120
0	2	11	0.00	0.00		-2113 -1735 -2217 -2215
0	2	11	0.00	0.00		-2116 -1755 -2005 -2121
0	2	11	0.00	0.00		-2115 -1756 -2006 -2122
0	2	11	0.00	0.00		-2123 -2045 -1811 -2093
0	2	11	0.00	0.00		-2124 -2046 -1812 -2091
0	2	11	0.00	0.00		-2125 -2048 -1814 -2089
0	2	11	0.00	0.00		-2126 -2049 -1815 -2087
106	4	33	0.00	0.00		-203 -191 -255 -257
106	4	33	0.00	0.00		-179 -167 -251 -253
106	4	33	0.00	0.00		-237 -235 -273 -275
106	4	33	0.00	0.00		-333 -331 -369 -371
106	4	33	0.00	0.00		-255 -253 -291 -293
106	4	33	0.00	0.00		-329 -327 -365 -367
106	4	33	0.00	0.00		-155 -143 -247 -249
106	4	33	0.00	0.00		-143 24 -245 -247
106	4	33	0.00	0.00		-249 -247 -285 -287
106	4	33	0.00	0.00		-247 -245 -283 -285
106	4	33	0.00	0.00		-243 -241 -279 -281
106	4	33	0.00	0.00		-239 -237 -275 -277
106	4	33	0.00	0.00		-229 -227 -265 -267
106	4	33	0.00	0.00		-235 -233 -271 -273
106	4	33	0.00	0.00		-325 -323 -361 -363
106	4	33	0.00	0.00		-323 -321 -359 -361
106	4	33	0.00	0.00		-121 22 -241 -243
106	4	33	0.00	0.00		-295 -293 -331 -333
106	4	33	0.00	0.00		-301 -299 -337 -339
106	4	33	0.00	0.00		-311 -309 -347 -349
106	4	33	0.00	0.00		-319 -317 -355 -357
106	4	33	0.00	0.00		-257 -255 -293 -295
106	4	33	0.00	0.00		-315 -313 -351 -353
106	4	33	0.00	0.00		-327 -325 -363 -365
106	4	33	0.00	0.00		-313 -311 -349 -351
106	4	33	0.00	0.00		-307 -305 -343 -345
106	4	33	0.00	0.00		-41 -29 -227 -229
106	4	33	0.00	0.00		-167 -155 -249 -251
106	4	33	0.00	0.00		24 -121 -243 -245
106	4	33	0.00	0.00		22 -99 -239 -241
106	4	33	0.00	0.00		20 -77 -235 -237
106	4	33	0.00	0.00		-215 -203 -257 -259
106	4	33	0.00	0.00		-191 -179 -253 -255
106	4	33	0.00	0.00		-53 -41 -229 -231
106	4	33	0.00	0.00		-29 -17 -225 -227
106	4	33	0.00	0.00		-317 -315 -353 -355
106	4	33	0.00	0.00		-271 -269 -307 -309
106	4	33	0.00	0.00		-227 -225 -263 -265

106	4	33	0.00	0.00		-253 -251 -289 -291
106	4	33	0.00	0.00		-303 -301 -339 -341
106	4	33	0.00	0.00		-251 -249 -287 -289
106	4	33	0.00	0.00		-245 -243 -281 -283
106	4	33	0.00	0.00		-241 -239 -277 -279
106	4	33	0.00	0.00		-321 -319 -357 -359
106	4	33	0.00	0.00		-259 -257 -295 -297
106	4	33	0.00	0.00		-225 -223 -261 -263
106	4	33	0.00	0.00		-231 -229 -267 -269
106	4	33	0.00	0.00		-331 -329 -367 -369
106	4	33	0.00	0.00		-335 -333 -371 -373
106	4	33	0.00	0.00		-265 -263 -301 -303
106	4	33	0.00	0.00		-287 -285 -323 -325
106	4	33	0.00	0.00		-285 -283 -321 -323
106	4	33	0.00	0.00		-281 -279 -317 -319
106	4	33	0.00	0.00		-277 -275 -313 -315
106	4	33	0.00	0.00		-17 -5 -223 -225
106	4	33	0.00	0.00		-233 -231 -269 -271
106	4	33	0.00	0.00		-293 -291 -329 -331
106	4	33	0.00	0.00		-297 -295 -333 -335
106	4	33	0.00	0.00		-269 -267 -305 -307
106	4	33	0.00	0.00		-275 -273 -311 -313
106	4	33	0.00	0.00		-291 -289 -327 -329
106	4	33	0.00	0.00		-289 -287 -325 -327
106	4	33	0.00	0.00		-283 -281 -319 -321
106	4	33	0.00	0.00		-99 20 -237 -239
106	4	33	0.00	0.00		-267 -265 -303 -305
106	4	33	0.00	0.00		-279 -277 -315 -317
106	4	33	0.00	0.00		-309 -307 -345 -347
106	4	33	0.00	0.00		-305 -303 -341 -343
106	4	33	0.00	0.00		-77 -65 -233 -235
106	4	33	0.00	0.00		-263 -261 -299 -301
106	4	33	0.00	0.00		-273 -271 -309 -311
106	4	33	0.00	0.00		-65 -53 -231 -233
107	4	11	0.00	0.00		-316 -314 -352 -354
107	4	11	0.00	0.00		-330 -328 -366 -368
107	4	11	0.00	0.00		-328 -326 -364 -366
107	4	11	0.00	0.00		-236 -234 -272 -274
107	4	11	0.00	0.00		-228 -226 -264 -266
107	4	11	0.00	0.00		-230 -228 -266 -268
107	4	11	0.00	0.00		-314 -312 -350 -352
107	4	11	0.00	0.00		-158 -146 -248 -250
107	4	11	0.00	0.00		-308 -306 -344 -346
107	4	11	0.00	0.00		-334 -332 -370 -372
107	4	11	0.00	0.00		-304 -302 -340 -342
107	4	11	0.00	0.00		-288 -286 -324 -326
107	4	11	0.00	0.00		-234 -232 -270 -272
107	4	11	0.00	0.00		-282 -280 -318 -320
107	4	11	0.00	0.00		-286 -284 -322 -324
107	4	11	0.00	0.00		-322 -320 -358 -360
107	4	11	0.00	0.00		-290 -288 -326 -328
107	4	11	0.00	0.00		-264 -262 -300 -302
107	4	11	0.00	0.00		-318 -316 -354 -356
107	4	11	0.00	0.00		-326 -324 -362 -364
107	4	11	0.00	0.00		-256 -254 -292 -294
107	4	11	0.00	0.00		-260 -258 -296 -298
107	4	11	0.00	0.00		-272 -270 -308 -310
107	4	11	0.00	0.00		-312 -310 -348 -350
107	4	11	0.00	0.00		-182 -170 -252 -254
107	4	11	0.00	0.00		-320 -318 -356 -358
107	4	11	0.00	0.00		-102 21 -238 -240
107	4	11	0.00	0.00		-232 -230 -268 -270
107	4	11	0.00	0.00		-32 -20 -226 -228
107	4	11	0.00	0.00		-280 -278 -316 -318
107	4	11	0.00	0.00		-146 25 -246 -248
107	4	11	0.00	0.00		-292 -290 -328 -330
107	4	11	0.00	0.00		-336 -334 -372 -374
107	4	11	0.00	0.00		-270 -268 -306 -308
107	4	11	0.00	0.00		-242 -240 -278 -280
107	4	11	0.00	0.00		-206 -194 -256 -258
107	4	11	0.00	0.00		-268 -266 -304 -306
107	4	11	0.00	0.00		-274 -272 -310 -312
107	4	11	0.00	0.00		-248 -246 -284 -286
107	4	11	0.00	0.00		-250 -248 -286 -288
107	4	11	0.00	0.00		-20 -8 -224 -226
107	4	11	0.00	0.00		-252 -250 -288 -290
107	4	11	0.00	0.00		-124 23 -242 -244
107	4	11	0.00	0.00		-302 -300 -338 -340
107	4	11	0.00	0.00		21 -80 -236 -238

107	4	11	0.00	0.00		-310 -308 -346 -348
107	4	11	0.00	0.00		-194 -182 -254 -256
107	4	11	0.00	0.00		-56 -44 -230 -232
107	4	11	0.00	0.00		-278 -276 -314 -316
107	4	11	0.00	0.00		-68 -56 -232 -234
107	4	11	0.00	0.00		-332 -330 -368 -370
107	4	11	0.00	0.00		-170 -158 -250 -252
107	4	11	0.00	0.00		25 -124 -244 -246
107	4	11	0.00	0.00		23 -102 -240 -242
107	4	11	0.00	0.00		-294 -292 -330 -332
107	4	11	0.00	0.00		-218 -206 -258 -260
107	4	11	0.00	0.00		-244 -242 -280 -282
107	4	11	0.00	0.00		-246 -244 -282 -284
107	4	11	0.00	0.00		-254 -252 -290 -292
107	4	11	0.00	0.00		-276 -274 -312 -314
107	4	11	0.00	0.00		-284 -282 -320 -322
107	4	11	0.00	0.00		-238 -236 -274 -276
107	4	11	0.00	0.00		-324 -322 -360 -362
107	4	11	0.00	0.00		-258 -256 -294 -296
107	4	11	0.00	0.00		-306 -304 -342 -344
107	4	11	0.00	0.00		-80 -68 -234 -236
107	4	11	0.00	0.00		-266 -264 -302 -304
107	4	11	0.00	0.00		-226 -224 -262 -264
107	4	11	0.00	0.00		-240 -238 -276 -278
107	4	11	0.00	0.00		-44 -32 -228 -230
107	4	11	0.00	0.00		-296 -294 -332 -334
107	4	11	0.00	0.00		-298 -296 -334 -336
206	6	33	0.00	0.00		-339 -337 -385 -387
206	6	33	0.00	0.00		-389 -387 -423 -425
206	6	33	0.00	0.00		-345 -343 -391 -393
206	6	33	0.00	0.00		-393 -391 -427 -429
206	6	33	0.00	0.00		-401 -399 -435 -437
206	6	33	0.00	0.00		-391 -389 -425 -427
206	6	33	0.00	0.00		-353 -351 -399 -401
206	6	33	0.00	0.00		-399 -397 -433 -435
206	6	33	0.00	0.00		-387 -385 -421 -423
206	6	33	0.00	0.00		-395 -393 -429 -431
206	6	33	0.00	0.00		-397 -395 -431 -433
206	6	33	0.00	0.00		-351 -349 -397 -399
206	6	33	0.00	0.00		-341 -339 -387 -389
206	6	33	0.00	0.00		-349 -347 -395 -397
206	6	33	0.00	0.00		-343 -341 -389 -391
206	6	33	0.00	0.00		-347 -345 -393 -395
207	6	33	0.00	0.00		-367 -365 -411 -413
207	6	33	0.00	0.00		-409 -407 -445 -447
207	6	33	0.00	0.00		-363 -361 -407 -409
207	6	33	0.00	0.00		-419 -417 -455 -457
207	6	33	0.00	0.00		-371 -369 -415 -417
207	6	33	0.00	0.00		-369 -367 -413 -415
207	6	33	0.00	0.00		-411 -409 -447 -449
207	6	33	0.00	0.00		-365 -363 -409 -411
207	6	33	0.00	0.00		-417 -415 -453 -455
207	6	33	0.00	0.00		-413 -411 -449 -451
207	6	33	0.00	0.00		-361 -359 -405 -407
207	6	33	0.00	0.00		-359 -357 -403 -405
207	6	33	0.00	0.00		-405 -403 -441 -443
207	6	33	0.00	0.00		-407 -405 -443 -445
207	6	33	0.00	0.00		-373 -371 -417 -419
207	6	33	0.00	0.00		-415 -413 -451 -453
208	6	11	0.00	0.00		-374 -372 -418 -420
208	6	11	0.00	0.00		-406 -404 -442 -444
208	6	11	0.00	0.00		-418 -416 -454 -456
208	6	11	0.00	0.00		-372 -370 -416 -418
208	6	11	0.00	0.00		-420 -418 -456 -458
208	6	11	0.00	0.00		-416 -414 -452 -454
208	6	11	0.00	0.00		-362 -360 -406 -408
208	6	11	0.00	0.00		-360 -358 -404 -406
208	6	11	0.00	0.00		-412 -410 -448 -450
208	6	11	0.00	0.00		-410 -408 -446 -448
208	6	11	0.00	0.00		-414 -412 -450 -452
208	6	11	0.00	0.00		-408 -406 -444 -446
208	6	11	0.00	0.00		-364 -362 -408 -410
208	6	11	0.00	0.00		-370 -368 -414 -416
208	6	11	0.00	0.00		-366 -364 -410 -412
208	6	11	0.00	0.00		-368 -366 -412 -414
209	6	11	0.00	0.00		-390 -388 -424 -426
209	6	11	0.00	0.00		-354 -352 -400 -402
209	6	11	0.00	0.00		-352 -350 -398 -400
209	6	11	0.00	0.00		-392 -390 -426 -428

209	6	11	0.00	0.00		-350 -348 -396 -398
209	6	11	0.00	0.00		-398 -396 -432 -434
209	6	11	0.00	0.00		-342 -340 -388 -390
209	6	11	0.00	0.00		-400 -398 -434 -436
209	6	11	0.00	0.00		-348 -346 -394 -396
209	6	11	0.00	0.00		-344 -342 -390 -392
209	6	11	0.00	0.00		-402 -400 -436 -438
209	6	11	0.00	0.00		-340 -338 -386 -388
209	6	11	0.00	0.00		-394 -392 -428 -430
209	6	11	0.00	0.00		-388 -386 -422 -424
209	6	11	0.00	0.00		-396 -394 -430 -432
209	6	11	0.00	0.00		-346 -344 -392 -394
306	6	33	0.00	0.00		-467 -465 -503 -505
306	6	33	0.00	0.00		-517 -515 -882 -925
306	6	33	0.00	0.00		-501 -499 -537 301
306	6	33	0.00	0.00		-463 -461 -499 -501
306	6	33	0.00	0.00		-469 -467 -505 -507
306	6	33	0.00	0.00		-533 -531 -1225 -1270
306	6	33	0.00	0.00		-507 -505 -661 -704
306	6	33	0.00	0.00		-443 -441 -479 -481
306	6	33	0.00	0.00		-481 -479 -517 -519
306	6	33	0.00	0.00		-487 -485 -523 -525
306	6	33	0.00	0.00		-433 -431 -469 -471
306	6	33	0.00	0.00		-499 -497 -535 -537
306	6	33	0.00	0.00		-473 -471 -509 -511
306	6	33	0.00	0.00		-477 -475 -513 -515
306	6	33	0.00	0.00		-491 -489 -527 -529
306	6	33	0.00	0.00		-509 -507 -704 -749
306	6	33	0.00	0.00		-485 -483 -521 -523
306	6	33	0.00	0.00		-427 -425 -463 -465
306	6	33	0.00	0.00		-423 -421 -459 -461
306	6	33	0.00	0.00		-489 -487 -525 -527
306	6	33	0.00	0.00		-455 -453 -491 -493
306	6	33	0.00	0.00		-437 -435 -473 -475
306	6	33	0.00	0.00		-451 -449 -487 -489
306	6	33	0.00	0.00		-425 -423 -461 -463
306	6	33	0.00	0.00		-431 -429 -467 -469
306	6	33	0.00	0.00		-511 -509 -749 -794
306	6	33	0.00	0.00		-515 -513 -837 -882
306	6	33	0.00	0.00		-521 -519 -970 -1013
306	6	33	0.00	0.00		-513 -511 -794 -837
306	6	33	0.00	0.00		-439 -437 -475 -477
306	6	33	0.00	0.00		-529 -527 -1146 320
306	6	33	0.00	0.00		-447 -445 -483 -485
306	6	33	0.00	0.00		-525 -523 -1058 -1103
306	6	33	0.00	0.00		-457 -455 -493 -495
306	6	33	0.00	0.00		-495 -493 -531 -533
306	6	33	0.00	0.00		-531 -529 320 -1225
306	6	33	0.00	0.00		-471 -469 -507 -509
306	6	33	0.00	0.00		-449 -447 -485 -487
306	6	33	0.00	0.00		-441 -439 -477 -479
306	6	33	0.00	0.00		-503 -501 301 -618
306	6	33	0.00	0.00		-475 -473 -511 -513
306	6	33	0.00	0.00		-453 -451 -489 -491
306	6	33	0.00	0.00		-461 -459 -497 -499
306	6	33	0.00	0.00		-479 -477 -515 -517
306	6	33	0.00	0.00		-519 -517 -925 -970
306	6	33	0.00	0.00		-523 -521 -1013 -1058
306	6	33	0.00	0.00		-483 -481 -519 -521
306	6	33	0.00	0.00		-527 -525 -1103 -1146
306	6	33	0.00	0.00		-505 -503 -618 -661
306	6	33	0.00	0.00		-465 -463 -501 -503
306	6	33	0.00	0.00		-445 -443 -481 -483
306	6	33	0.00	0.00		-429 -427 -465 -467
306	6	33	0.00	0.00		-435 -433 -471 -473
306	6	33	0.00	0.00		-493 -491 -529 -531
307	6	11	0.00	0.00		-486 -484 -522 -524
307	6	11	0.00	0.00		-510 -508 -748 -793
307	6	11	0.00	0.00		-516 -514 -881 -924
307	6	11	0.00	0.00		-506 -504 -660 -703
307	6	11	0.00	0.00		-532 -530 328 -1269
307	6	11	0.00	0.00		-502 -500 -581 309
307	6	11	0.00	0.00		-434 -432 -470 -472
307	6	11	0.00	0.00		-440 -438 -476 -478
307	6	11	0.00	0.00		-512 -510 -793 -836
307	6	11	0.00	0.00		-476 -474 -512 -514
307	6	11	0.00	0.00		-526 -524 -1102 -1145
307	6	11	0.00	0.00		-446 -444 -482 -484
307	6	11	0.00	0.00		-518 -516 -924 -969

307	6	11	0.00	0.00		-508 -506 -703 -748
307	6	11	0.00	0.00		-500 -498 -536 -581
307	6	11	0.00	0.00		-478 -476 -514 -516
307	6	11	0.00	0.00		-514 -512 -836 -881
307	6	11	0.00	0.00		-490 -488 -526 -528
307	6	11	0.00	0.00		-534 -532 -1269 -1271
307	6	11	0.00	0.00		-442 -440 -478 -480
307	6	11	0.00	0.00		-426 -424 -462 -464
307	6	11	0.00	0.00		-528 -526 -1145 -1188
307	6	11	0.00	0.00		-484 -482 -520 -522
307	6	11	0.00	0.00		-488 -486 -524 -526
307	6	11	0.00	0.00		-472 -470 -508 -510
307	6	11	0.00	0.00		-432 -430 -468 -470
307	6	11	0.00	0.00		-456 -454 -492 -494
307	6	11	0.00	0.00		-464 -462 -500 -502
307	6	11	0.00	0.00		-480 -478 -516 -518
307	6	11	0.00	0.00		-504 -502 309 -660
307	6	11	0.00	0.00		-530 -528 -1188 328
307	6	11	0.00	0.00		-454 -452 -490 -492
307	6	11	0.00	0.00		-482 -480 -518 -520
307	6	11	0.00	0.00		-458 -456 -494 -496
307	6	11	0.00	0.00		-466 -464 -502 -504
307	6	11	0.00	0.00		-474 -472 -510 -512
307	6	11	0.00	0.00		-496 -494 -532 -534
307	6	11	0.00	0.00		-492 -490 -528 -530
307	6	11	0.00	0.00		-424 -422 -460 -462
307	6	11	0.00	0.00		-522 -520 -1012 -1057
307	6	11	0.00	0.00		-430 -428 -466 -468
307	6	11	0.00	0.00		-468 -466 -504 -506
307	6	11	0.00	0.00		-428 -426 -464 -466
307	6	11	0.00	0.00		-524 -522 -1057 -1102
307	6	11	0.00	0.00		-448 -446 -484 -486
307	6	11	0.00	0.00		-462 -460 -498 -500
307	6	11	0.00	0.00		-444 -442 -480 -482
307	6	11	0.00	0.00		-450 -448 -486 -488
307	6	11	0.00	0.00		-436 -434 -472 -474
307	6	11	0.00	0.00		-470 -468 -506 -508
307	6	11	0.00	0.00		-494 -492 -530 -532
307	6	11	0.00	0.00		-520 -518 -969 -1012
307	6	11	0.00	0.00		-452 -450 -488 -490
307	6	11	0.00	0.00		-438 -436 -474 -476
605	5	33	0.00	0.00	0.91	-154 -142 -141 -153
605	5	33	0.00	0.00	0.91	-98 -88 -87 -97
605	5	33	0.00	0.00	0.91	-119 -109 -108 -118
605	5	33	0.00	0.00	0.91	-39 -27 -26 -38
605	5	33	0.00	0.00	0.91	-50 -38 -37 -49
605	5	33	0.00	0.00	0.91	-166 -154 -153 -165
605	5	33	0.00	0.00	0.91	-14 -2 -1 -13
605	5	33	0.00	0.00	0.91	-152 -140 -139 -151
605	5	33	0.00	0.00	0.91	-131 -119 -118 -130
605	5	33	0.00	0.00	0.91	-26 -14 -13 -25
605	5	33	0.00	0.00	0.91	-178 -166 -165 -177
605	5	33	0.00	0.00	0.91	-120 -110 -109 -119
605	5	33	0.00	0.00	0.91	-52 -40 -39 -51
605	5	33	0.00	0.00	0.91	-74 -62 -61 -73
605	5	33	0.00	0.00	0.91	-176 -164 -163 -175
605	5	33	0.00	0.00	0.91	-38 -26 -25 -37
605	5	33	0.00	0.00	0.91	-203 -191 -190 -202
605	5	33	0.00	0.00	0.91	-201 -189 -188 -200
605	5	33	0.00	0.00	0.91	-75 -63 -62 -74
605	5	33	0.00	0.00	0.91	-202 -190 -189 -201
605	5	33	0.00	0.00	0.91	-97 -87 -86 -96
605	5	33	0.00	0.00	0.91	-141 -131 -130 -140
605	5	33	0.00	0.00	0.91	-63 -51 -50 -62
605	5	33	0.00	0.00	0.91	-177 -165 -164 -176
605	5	33	0.00	0.00	0.91	-132 -120 -119 -131
605	5	33	0.00	0.00	0.91	-27 -15 -14 -26
605	5	33	0.00	0.00	0.91	-51 -39 -38 -50
605	5	33	0.00	0.00	0.91	-87 -75 -74 -86
605	5	33	0.00	0.00	0.91	-109 -97 -96 -108
605	5	33	0.00	0.00	0.91	-16 -4 -3 -15
605	5	33	0.00	0.00	0.91	-53 -41 -40 -52
605	5	33	0.00	0.00	0.91	-40 -28 -27 -39
605	5	33	0.00	0.00	0.91	-153 -141 -140 -152
605	5	33	0.00	0.00	0.91	-62 -50 -49 -61
605	5	33	0.00	0.00	0.91	-76 -64 -63 -75
605	5	33	0.00	0.00	0.91	-64 -52 -51 -63
605	5	33	0.00	0.00	0.91	-200 -188 -187 -199
605	5	33	0.00	0.00	0.91	-28 -16 -15 -27

605	5	33	0.00	0.00	0.91	-18 -6 -5 -17
605	5	33	0.00	0.00	0.91	-17 -5 -4 -16
605	5	33	0.00	0.00	0.91	-88 -76 -75 -87
605	5	33	0.00	0.00	0.91	-110 -98 -97 -109
605	5	33	0.00	0.00	0.91	-54 -42 -41 -53
605	5	33	0.00	0.00	0.91	-89 -78 -77 20
605	5	33	0.00	0.00	0.91	-142 -132 -131 -141
605	5	33	0.00	0.00	0.91	-86 -74 -73 -85
605	5	33	0.00	0.00	0.91	-66 -54 -53 -65
605	5	33	0.00	0.00	0.91	-190 -178 -177 -189
605	5	33	0.00	0.00	0.91	-214 -202 -201 -213
605	5	33	0.00	0.00	0.91	-29 -17 -16 -28
605	5	33	0.00	0.00	0.91	-42 -30 -29 -41
605	5	33	0.00	0.00	0.91	20 -77 -76 -88
605	5	33	0.00	0.00	0.91	-100 -89 20 -99
605	5	33	0.00	0.00	0.91	-99 20 -88 -98
605	5	33	0.00	0.00	0.91	-121 22 -110 -120
605	5	33	0.00	0.00	0.91	-15 -3 -2 -14
605	5	33	0.00	0.00	0.91	-204 -192 -191 -203
605	5	33	0.00	0.00	0.91	-156 -144 -143 -155
605	5	33	0.00	0.00	0.91	-96 -86 -85 -95
605	5	33	0.00	0.00	0.91	-118 -108 -107 -117
605	5	33	0.00	0.00	0.91	-140 -130 -129 -139
605	5	33	0.00	0.00	0.91	-179 -167 -166 -178
605	5	33	0.00	0.00	0.91	-30 -18 -17 -29
605	5	33	0.00	0.00	0.91	-213 -201 -200 -212
605	5	33	0.00	0.00	0.91	-122 -111 22 -121
605	5	33	0.00	0.00	0.91	24 -121 -120 -132
605	5	33	0.00	0.00	0.91	-108 -96 -95 -107
605	5	33	0.00	0.00	0.91	-130 -118 -117 -129
605	5	33	0.00	0.00	0.91	-164 -152 -151 -163
605	5	33	0.00	0.00	0.91	-188 -176 -175 -187
605	5	33	0.00	0.00	0.91	-212 -200 -199 -211
605	5	33	0.00	0.00	0.91	-165 -153 -152 -164
605	5	33	0.00	0.00	0.91	-189 -177 -176 -188
605	5	33	0.00	0.00	0.91	-78 -66 -65 -77
605	5	33	0.00	0.00	0.91	22 -99 -98 -110
605	5	33	0.00	0.00	0.91	-155 -143 -142 -154
605	5	33	0.00	0.00	0.91	-144 -133 24 -143
605	5	33	0.00	0.00	0.91	-215 -203 -202 -214
605	5	33	0.00	0.00	0.91	-168 -156 -155 -167
605	5	33	0.00	0.00	0.91	-143 24 -132 -142
605	5	33	0.00	0.00	0.91	-77 -65 -64 -76
605	5	33	0.00	0.00	0.91	-180 -168 -167 -179
605	5	33	0.00	0.00	0.91	-41 -29 -28 -40
605	5	33	0.00	0.00	0.91	-216 -204 -203 -215
605	5	33	0.00	0.00	0.91	-65 -53 -52 -64
605	5	33	0.00	0.00	0.91	-133 -122 -121 24
605	5	33	0.00	0.00	0.91	-111 -100 -99 22
605	5	33	0.00	0.00	0.91	-192 -180 -179 -191
605	5	33	0.00	0.00	0.91	-191 -179 -178 -190
605	5	33	0.00	0.00	0.91	-167 -155 -154 -166
606	5	11	0.00	0.00	0.91	-57 -45 -46 -58
606	5	11	0.00	0.00	0.91	-79 -67 -68 -80
606	5	11	0.00	0.00	0.91	-159 -147 -148 -160
606	5	11	0.00	0.00	0.91	-221 -209 -210 -222
606	5	11	0.00	0.00	0.91	-67 -55 -56 -68
606	5	11	0.00	0.00	0.91	-183 -171 -172 -184
606	5	11	0.00	0.00	0.91	-81 -69 -70 -82
606	5	11	0.00	0.00	0.91	-209 -197 -198 -210
606	5	11	0.00	0.00	0.91	-146 25 -135 -147
606	5	11	0.00	0.00	0.91	-33 -21 -22 -34
606	5	11	0.00	0.00	0.91	-137 -127 -128 -138
606	5	11	0.00	0.00	0.91	-207 -195 -196 -208
606	5	11	0.00	0.00	0.91	-80 -68 -69 -81
606	5	11	0.00	0.00	0.91	-68 -56 -57 -69
606	5	11	0.00	0.00	0.91	-206 -194 -195 -207
606	5	11	0.00	0.00	0.91	-205 -193 -194 -206
606	5	11	0.00	0.00	0.91	-124 23 -113 -125
606	5	11	0.00	0.00	0.91	-147 -135 -136 -148
606	5	11	0.00	0.00	0.91	-93 -83 -84 -94
606	5	11	0.00	0.00	0.91	-157 -145 -146 -158
606	5	11	0.00	0.00	0.91	-145 -134 25 -146
606	5	11	0.00	0.00	0.91	-182 -170 -171 -183
606	5	11	0.00	0.00	0.91	-208 -196 -197 -209
606	5	11	0.00	0.00	0.91	-181 -169 -170 -182
606	5	11	0.00	0.00	0.91	-197 -185 -186 -198
606	5	11	0.00	0.00	0.91	-173 -161 -162 -174
606	5	11	0.00	0.00	0.91	-44 -32 -33 -45

606	5	11	0.00	0.00	0.91	-115 -105 -106 -116
606	5	11	0.00	0.00	0.91	-158 -146 -147 -159
606	5	11	0.00	0.00	0.91	-219 -207 -208 -220
606	5	11	0.00	0.00	0.91	-195 -183 -184 -196
606	5	11	0.00	0.00	0.91	-171 -159 -160 -172
606	5	11	0.00	0.00	0.91	-135 -125 -126 -136
606	5	11	0.00	0.00	0.91	-113 -103 -104 -114
606	5	11	0.00	0.00	0.91	-91 -81 -82 -92
606	5	11	0.00	0.00	0.91	-220 -208 -209 -221
606	5	11	0.00	0.00	0.91	-196 -184 -185 -197
606	5	11	0.00	0.00	0.91	-172 -160 -161 -173
606	5	11	0.00	0.00	0.91	-123 -112 23 -124
606	5	11	0.00	0.00	0.91	-125 -113 -114 -126
606	5	11	0.00	0.00	0.91	-103 -91 -92 -104
606	5	11	0.00	0.00	0.91	-45 -33 -34 -46
606	5	11	0.00	0.00	0.91	-34 -22 -23 -35
606	5	11	0.00	0.00	0.91	-69 -57 -58 -70
606	5	11	0.00	0.00	0.91	-102 21 -91 -103
606	5	11	0.00	0.00	0.91	-101 -90 21 -102
606	5	11	0.00	0.00	0.91	-126 -114 -115 -127
606	5	11	0.00	0.00	0.91	-104 -92 -93 -105
606	5	11	0.00	0.00	0.91	-43 -31 -32 -44
606	5	11	0.00	0.00	0.91	-82 -70 -71 -83
606	5	11	0.00	0.00	0.91	-70 -58 -59 -71
606	5	11	0.00	0.00	0.91	-59 -47 -48 -60
606	5	11	0.00	0.00	0.91	-35 -23 -24 -36
606	5	11	0.00	0.00	0.91	-185 -173 -174 -186
606	5	11	0.00	0.00	0.91	-161 -149 -150 -162
606	5	11	0.00	0.00	0.91	-149 -137 -138 -150
606	5	11	0.00	0.00	0.91	-127 -115 -116 -128
606	5	11	0.00	0.00	0.91	-105 -93 -94 -106
606	5	11	0.00	0.00	0.91	-47 -35 -36 -48
606	5	11	0.00	0.00	0.91	-83 -71 -72 -84
606	5	11	0.00	0.00	0.91	-71 -59 -60 -72
606	5	11	0.00	0.00	0.91	-218 -206 -207 -219
606	5	11	0.00	0.00	0.91	-194 -182 -183 -195
606	5	11	0.00	0.00	0.91	-170 -158 -159 -171
606	5	11	0.00	0.00	0.91	25 -124 -125 -135
606	5	11	0.00	0.00	0.91	23 -102 -103 -113
606	5	11	0.00	0.00	0.91	21 -80 -81 -91
606	5	11	0.00	0.00	0.91	-56 -44 -45 -57
606	5	11	0.00	0.00	0.91	-32 -20 -21 -33
606	5	11	0.00	0.00	0.91	-217 -205 -206 -218
606	5	11	0.00	0.00	0.91	-193 -181 -182 -194
606	5	11	0.00	0.00	0.91	-169 -157 -158 -170
606	5	11	0.00	0.00	0.91	-134 -123 -124 25
606	5	11	0.00	0.00	0.91	-112 -101 -102 23
606	5	11	0.00	0.00	0.91	-90 -79 -80 21
606	5	11	0.00	0.00	0.91	-55 -43 -44 -56
606	5	11	0.00	0.00	0.91	-31 -19 -20 -32
606	5	11	0.00	0.00	0.91	-20 -8 -9 -21
606	5	11	0.00	0.00	0.91	-19 -7 -8 -20
606	5	11	0.00	0.00	0.91	-136 -126 -127 -137
606	5	11	0.00	0.00	0.91	-114 -104 -105 -115
606	5	11	0.00	0.00	0.91	-92 -82 -83 -93
606	5	11	0.00	0.00	0.91	-58 -46 -47 -59
606	5	11	0.00	0.00	0.91	-22 -10 -11 -23
606	5	11	0.00	0.00	0.91	-184 -172 -173 -185
606	5	11	0.00	0.00	0.91	-160 -148 -149 -161
606	5	11	0.00	0.00	0.91	-148 -136 -137 -149
606	5	11	0.00	0.00	0.91	-21 -9 -10 -22
606	5	11	0.00	0.00	0.91	-23 -11 -12 -24
606	5	11	0.00	0.00	0.91	-46 -34 -35 -47

Elenco tipi plinti/pali

Simbologia

Tl = Numero del tipo plinto/palo
Tipo = Tipologia
- Gra = Gradoni
- Pir = Piramidale
- P = Palo
- T3 = Triangolare 3 pali
- T3B = Triangolare 3 pali + bicchiere
- R = Rettangolare
- RB = Rettangolare + bicchiere
- R1 = Rettangolare 1 palo
- R1B = Rettangolare 1 palo + bicchiere
- R2x = Rettangolare 2 pali dir. X
- R2xB = Rettangolare 2 pali dir. X + bicchiere

R2y = Rettangolare 2 pali dir. Y
R2B = Rettangolare 2 pali dir. Y + bicchiere
R4 = Rettangolare 4 pali
R4B = Rettangolare 4 pali + bicchiere
P5 = Pentagonale 5 pali
P5B = Pentagonale 5 pali + bicchiere
E6 = Esagonale 6 pali
E6B = Esagonale 6 pali + bicchiere
Tp = Tipo palo
ND = Non definito
BP = Battuto prefabbricato
BGO = Battuto gettato in opera
T = Trivellato
TEC = Trivellato con elica continua
MP = Micropalo
Comm. = Commento
Lp = Lunghezza pali
R = Rotazione testa
B = Bloccata
L = Libera
Dp = Diametro pali
Crit. = Numero del criterio di progetto

Tl	Tipo	Tp	Comm.	Lp <m>	R	Dp <m>	Crit.
1	P	T	Palo d400 dietro	8.50	L	0.40	1
2	P	T	Palo d400 davanti	9.50	L	0.40	1

Elenco plinti/pali

Simbologia
PL = Plinto/Palo
Tl = Numero del tipo plinto/palo
Nodo = Nodo plinto/palo
Kt = Coeff. di sottofondo su suolo elastico alla Winkler

PL	Tl	Nodo	Kt <daN/cmc>	PL	Tl	Nodo	Kt <daN/cmc>	PL	Tl	Nodo	Kt <daN/cmc>	PL	Tl	Nodo	Kt <daN/cmc>
1	2	-183	---	2	2	-40	---	3	1	-137	---	4	1	-93	---
5	1	-115	---	6	2	-135	---	7	2	-113	---	8	2	-91	---
9	2	-45	---	10	1	-130	---	11	1	-108	---	12	1	-86	---
13	2	-88	---	14	2	-110	---	15	2	-132	---	16	2	-178	---

Carichi

Condizioni di carico elementari

Simbologia
CCE = Numero della condizione di carico elementare
Comm. = Commento
Mx = Moltiplicatore della massa in dir. X
My = Moltiplicatore della massa in dir. Y
Mz = Moltiplicatore della massa in dir. Z
Jpx = Moltiplicatore del momento d'inerzia intorno all'asse X
Jpy = Moltiplicatore del momento d'inerzia intorno all'asse Y
Jpz = Moltiplicatore del momento d'inerzia intorno all'asse Z
Tipo CCE = Tipo di CCE per calcolo agli stati limite
Sicurezza = Contributo alla sicurezza
F = a favore
S = a sfavore
A = ambigua
Variabilità = Tipo di variabilità
B = di base
I = indipendente
A = ambigua

CCE	Comm.	Mx	My	Mz	Jpx	Jpy	Jpz	Tipo CCE	Sicurezza	Variabilità
1	G1	1.00	1.00	1.00	0.00	0.00	1.00	20 DM 08 PONTI Permanenti	S	--
2	G2 + terreno	1.00	1.00	1.00	0.00	0.00	1.00	21 DM 08 PONTI Perm non strutt	S	--
3	Schema 1 q1tandem mezz	1.00	1.00	0.00	0.00	0.00	1.00	22 DM 08 PONTI Variabili S1 Tandem	S	B
4	Schema 1 q1tandem dx	1.00	1.00	0.00	0.00	0.00	1.00	22 DM 08 PONTI Variabili S1 Tandem	S	B
5	Schema 1 q1tandem sx	1.00	1.00	0.00	0.00	0.00	1.00	22 DM 08 PONTI Variabili S1 Tandem	S	B
6	Schema 1 q1dist	1.00	1.00	0.00	0.00	0.00	1.00	23 DM 08 PONTI Var S1,5 e 6 Distr	S	B
7	Schema 2 q1tandem mezz	1.00	1.00	0.00	0.00	0.00	1.00	24 DM 08 PONTI Var S2	S	B
8	Schema 2 q1tandem dx	1.00	1.00	0.00	0.00	0.00	1.00	24 DM 08 PONTI Var S2	S	B
9	Schema 2 q1tandem sx	1.00	1.00	0.00	0.00	0.00	1.00	24 DM 08 PONTI Var S2	S	B
10	Schema 2 q1dis mezz	1.00	1.00	0.00	0.00	0.00	1.00	24 DM 08 PONTI Var S2	S	B
11	Schema 2 q3 tandem mezz	1.00	1.00	0.00	0.00	0.00	1.00	24 DM 08 PONTI Var S2	S	B
12	Schema 2 q3 tandemdx	1.00	1.00	0.00	0.00	0.00	1.00	24 DM 08 PONTI Var S2	S	B
13	Schema 2 q3 tandem sx	1.00	1.00	0.00	0.00	0.00	1.00	24 DM 08 PONTI Var S2	S	B
14	Schema 1 q1dist	1.00	1.00	0.00	0.00	0.00	1.00	23 DM 08 PONTI Var S1,5 e 6 Distr	S	B
15	q var neve	1.00	1.00	0.00	0.00	0.00	1.00	25 DM 08 PONTI Neve SLU-SLE	S	B
16	q8 Veicolo in svio	1.00	1.00	0.00	0.00	0.00	1.00	28 DM 08 PONTI Eccezionali schema 2	S	B
17	Ecc - Onda di Piena	1.00	1.00	0.00	0.00	0.00	1.00	28 DM 08 PONTI Eccezionali schema 2	S	B

Elenco carichi nodi
Condizione di carico n. 11: Schema 2 q3 tandem mezz
Carichi concentrati

Simbologia
Nodo = Numero del nodo
Px = Componente X della forza applicata
Py = Componente Y della forza applicata
Pz = Componente Z della forza applicata
Mx = Momento intorno all'asse X
My = Momento intorno all'asse Y
Mz = Momento intorno all'asse Z

Nodo	Px <daN>	Py <daN>	Pz <daN>	Mx <daNm>	My <daNm>	Mz <daNm>
-1886	7200.00	0.00	0.00	0.00	0.00	0.00
-1376	7200.00	0.00	0.00	0.00	0.00	0.00

Nodo	Px <daN>	Py <daN>	Pz <daN>	Mx <daNm>	My <daNm>	Mz <daNm>
-1882	7200.00	0.00	0.00	0.00	0.00	0.00
-1372	7200.00	0.00	0.00	0.00	0.00	0.00

Elenco carichi nodi
Condizione di carico n. 12: Schema 2 q3 tandemdx
Carichi concentrati

Nodo	Px <daN>	Py <daN>	Pz <daN>	Mx <daNm>	My <daNm>	Mz <daNm>
-1938	7200.00	0.00	0.00	0.00	0.00	0.00
-1915	7200.00	0.00	0.00	0.00	0.00	0.00

Nodo	Px <daN>	Py <daN>	Pz <daN>	Mx <daNm>	My <daNm>	Mz <daNm>
-1919	7200.00	0.00	0.00	0.00	0.00	0.00
-1913	7200.00	0.00	0.00	0.00	0.00	0.00

Elenco carichi nodi
Condizione di carico n. 13: Schema 2 q3 tandem sx
Carichi concentrati

Nodo	Px <daN>	Py <daN>	Pz <daN>	Mx <daNm>	My <daNm>	Mz <daNm>
-1972	7200.00	0.00	0.00	0.00	0.00	0.00
-1947	7200.00	0.00	0.00	0.00	0.00	0.00

Nodo	Px <daN>	Py <daN>	Pz <daN>	Mx <daNm>	My <daNm>	Mz <daNm>
-1969	7200.00	0.00	0.00	0.00	0.00	0.00
-1943	7200.00	0.00	0.00	0.00	0.00	0.00

Elenco carichi nodi
Condizione di carico n. 16: q8 Veicolo in svio
Carichi concentrati

Nodo	Px <daN>	Py <daN>	Pz <daN>	Mx <daNm>	My <daNm>	Mz <daNm>
-1832	0.00	0.00	20000.00	0.00	0.00	0.00

Nodo	Px <daN>	Py <daN>	Pz <daN>	Mx <daNm>	My <daNm>	Mz <daNm>
-1772	0.00	0.00	20000.00	0.00	0.00	0.00

Elenco carichi aste
Condizione di carico n. 1: G1
Elenco peso proprio aste

Simbologia
Sez. = Numero della sezione
Comm. = Commento
A = Area
Mat. = Materiale
P = Peso specifico
PL = Peso specifico a metro lineare

Sez.	Comm.	A <cmq>	Mat.	P <daN/mc>	PL <daN/m>
1	IPE240 iimpalcato	39.117500	Acciaio	7850.00	30.71
2	U160x8.5	26.578500	Acciaio	7850.00	20.86
3	HEB140	42.956800	Acciaio	7850.00	33.72
4	IPE120	13.210500	Acciaio	7850.00	10.37
5	HEA100 sez. generica	21.236900	Acciaio	7850.00	16.67
6	HEB140 sicurvia	42.956800	Acciaio	7850.00	33.72
8	HEA120 comparato a lamina tre onde	25.336900	Acciaio	7850.00	19.89
10	BIELLA FITTIZIA	7.068580	Acciaio	7850.00	5.55

Elenco carichi aste
Condizione di carico n. 2: G2 + terreno
Carichi distribuiti

Simbologia
Asta = Numero dell'asta
N1 = Nodo iniziale
N2 = Nodo finale
E = Elemento provenienza del carico
S = Solaio

T = Tamponatura
NE = Numero elemento di provenienza del carico
T = Tipo di carico
QA = Primo carico accidentale
QA2 = Secondo carico accidentale
QA3 = Terzo carico accidentale
QPS = Carico permanente strutturale
QPN = Carico permanente non strutturale
M = Manuale
DC = Direzione del carico
XG,YG,ZG = secondo gli assi globali
XL,YL,ZL = secondo gli assi locali
Xi = Distanza iniziale
Qi = Carico iniziale
Xf = Distanza finale
Qf = Carico finale

Asta	N1	N2	E	NE	T	DC	Xi <m>	Qi <daN/m>	Xf <m>	Qf <daN/m>
0	-1617	-1606	S	--	M	ZG	0.00	150.00	0.40	150.00
0	-1605	-1604	S	--	M	ZG	0.00	150.00	0.40	150.00
0	-1603	-1602	S	--	M	ZG	0.00	150.00	0.40	150.00
0	-1601	-1933	S	--	M	ZG	0.00	150.00	0.20	150.00
0	-1600	-1539	S	--	M	ZG	0.00	150.00	0.40	150.00
0	-1822	-1934	S	--	M	ZG	0.00	150.00	0.20	150.00
0	-1821	-1820	S	--	M	ZG	0.00	150.00	0.40	150.00
0	-1820	-1819	S	--	M	ZG	0.00	150.00	0.40	150.00
0	-1819	-1818	S	--	M	ZG	0.00	150.00	0.40	150.00
0	-1818	-1817	S	--	M	ZG	0.00	150.00	0.40	150.00
0	-2071	-1546	S	--	M	ZG	0.00	150.00	0.40	150.00
0	-1816	-1815	S	--	M	ZG	0.00	150.00	0.40	150.00
0	-1815	-2087	S	--	M	ZG	0.00	150.00	0.20	150.00
0	-2087	-1814	S	--	M	ZG	0.00	150.00	0.20	150.00
0	-1544	-1540	S	--	M	ZG	0.00	150.00	0.40	150.00
0	-2089	-1813	S	--	M	ZG	0.00	150.00	0.20	150.00
0	-1540	-2069	S	--	M	ZG	0.00	150.00	0.40	150.00
0	-2069	-1942	S	--	M	ZG	0.00	150.00	0.20	150.00
0	-1942	-1761	S	--	M	ZG	0.00	150.00	0.20	150.00
0	-1811	-2093	S	--	M	ZG	0.00	150.00	0.20	150.00
0	-2093	-1810	S	--	M	ZG	0.00	150.00	0.20	150.00
0	-1760	-1759	S	--	M	ZG	0.00	150.00	0.40	150.00
0	-1759	-1758	S	--	M	ZG	0.00	150.00	0.40	150.00
0	-1808	-1807	S	--	M	ZG	0.00	150.00	0.40	150.00
0	-2067	-1757	S	--	M	ZG	0.00	150.00	0.40	150.00
0	-1806	-1805	S	--	M	ZG	0.00	150.00	0.40	150.00
0	-2115	-1755	S	--	M	ZG	0.00	150.00	0.20	150.00
0	-1755	-2116	S	--	M	ZG	0.00	150.00	0.20	150.00
0	-1950	-1803	S	--	M	ZG	0.00	150.00	0.20	150.00
0	-1803	-1687	S	--	M	ZG	0.00	150.00	0.40	150.00
0	-1689	-2065	S	--	M	ZG	0.00	150.00	0.20	150.00
0	-1687	-1625	S	--	M	ZG	0.00	150.00	0.40	150.00
0	-1625	-1961	S	--	M	ZG	0.00	150.00	0.20	150.00
0	-1961	-1624	S	--	M	ZG	0.00	150.00	0.20	150.00
0	-1624	-1623	S	--	M	ZG	0.00	150.00	0.40	150.00
0	-1623	-1622	S	--	M	ZG	0.00	150.00	0.40	150.00
0	-1622	-1621	S	--	M	ZG	0.00	150.00	0.40	150.00
0	-2063	-1749	S	--	M	ZG	0.00	150.00	0.40	150.00
0	-1749	-1748	S	--	M	ZG	0.00	150.00	0.40	150.00
0	-1619	-1417	S	--	M	ZG	0.00	150.00	0.40	150.00
0	-1747	-1957	S	--	M	ZG	0.00	150.00	0.20	150.00
0	-1746	-1686	S	--	M	ZG	0.00	150.00	0.40	150.00
0	-1680	-1679	S	--	M	ZG	0.00	150.00	0.40	150.00
0	-1964	-1680	S	--	M	ZG	0.00	150.00	0.20	150.00
0	-1678	-1677	S	--	M	ZG	0.00	150.00	0.40	150.00
0	-1676	-1675	S	--	M	ZG	0.00	150.00	0.40	150.00

Asta	N1	N2	E	NE	T	DC	Xi <m>	Qi <daN/m>	Xf <m>	Qf <daN/m>
0	-1606	-1605	S	--	M	ZG	0.00	150.00	0.40	150.00
0	-1604	-1603	S	--	M	ZG	0.00	150.00	0.40	150.00
0	-1602	-1601	S	--	M	ZG	0.00	150.00	0.40	150.00
0	-1933	-1600	S	--	M	ZG	0.00	150.00	0.20	150.00
0	-1539	-1822	S	--	M	ZG	0.00	150.00	0.40	150.00
0	-1934	-1821	S	--	M	ZG	0.00	150.00	0.20	150.00
0	-1609	-1550	S	--	M	ZG	0.00	150.00	0.40	150.00
0	-1550	-1549	S	--	M	ZG	0.00	150.00	0.40	150.00
0	-1549	-1548	S	--	M	ZG	0.00	150.00	0.40	150.00
0	-1548	-2071	S	--	M	ZG	0.00	150.00	0.40	150.00
0	-1817	-1816	S	--	M	ZG	0.00	150.00	0.40	150.00
0	-1546	-1545	S	--	M	ZG	0.00	150.00	0.40	150.00
0	-1545	-1922	S	--	M	ZG	0.00	150.00	0.20	150.00
0	-1922	-1544	S	--	M	ZG	0.00	150.00	0.20	150.00
0	-1814	-2089	S	--	M	ZG	0.00	150.00	0.20	150.00
0	-1813	-1533	S	--	M	ZG	0.00	150.00	0.20	150.00
0	-1533	-1812	S	--	M	ZG	0.00	150.00	0.20	150.00
0	-1812	-2091	S	--	M	ZG	0.00	150.00	0.20	150.00
0	-2091	-1811	S	--	M	ZG	0.00	150.00	0.20	150.00
0	-1761	-1760	S	--	M	ZG	0.00	150.00	0.40	150.00
0	-1810	-1809	S	--	M	ZG	0.00	150.00	0.40	150.00
0	-1809	-1808	S	--	M	ZG	0.00	150.00	0.40	150.00
0	-1758	-2067	S	--	M	ZG	0.00	150.00	0.40	150.00
0	-1807	-1806	S	--	M	ZG	0.00	150.00	0.40	150.00
0	-1757	-1756	S	--	M	ZG	0.00	150.00	0.40	150.00
0	-1756	-2115	S	--	M	ZG	0.00	150.00	0.20	150.00
0	-1805	-1804	S	--	M	ZG	0.00	150.00	0.40	150.00
0	-1804	-1950	S	--	M	ZG	0.00	150.00	0.20	150.00
0	-2116	-1754	S	--	M	ZG	0.00	150.00	0.20	150.00
0	-1754	-1689	S	--	M	ZG	0.00	150.00	0.20	150.00
0	-2065	-2117	S	--	M	ZG	0.00	150.00	0.20	150.00
0	-2117	-1753	S	--	M	ZG	0.00	150.00	0.20	150.00
0	-1753	-2119	S	--	M	ZG	0.00	150.00	0.20	150.00
0	-2119	-1752	S	--	M	ZG	0.00	150.00	0.20	150.00
0	-1752	-1751	S	--	M	ZG	0.00	150.00	0.40	150.00
0	-1751	-1750	S	--	M	ZG	0.00	150.00	0.40	150.00
0	-1750	-2063	S	--	M	ZG	0.00	150.00	0.40	150.00
0	-1621	-1620	S	--	M	ZG	0.00	150.00	0.40	150.00
0	-1620	-1619	S	--	M	ZG	0.00	150.00	0.40	150.00
0	-1748	-1747	S	--	M	ZG	0.00	150.00	0.40	150.00
0	-1957	-1746	S	--	M	ZG	0.00	150.00	0.20	150.00
0	-1686	-1681	S	--	M	ZG	0.00	150.00	0.40	150.00
0	-1681	-1964	S	--	M	ZG	0.00	150.00	0.20	150.00
0	-1679	-1678	S	--	M	ZG	0.00	150.00	0.40	150.00
0	-1677	-1676	S	--	M	ZG	0.00	150.00	0.40	150.00
0	-1675	-1425	S	--	M	ZG	0.00	150.00	0.40	150.00

Elenco carichi aste
Condizione di carico n. 16: q8 Veicolo in svio
Carichi distribuiti

Asta	N1	N2	E	NE	T	DC	Xi <m>	Qi <daN/m>	Xf <m>	Qf <daN/m>
0	-1272	405	S	--	M	YG	0.00	6250.00	0.25	6250.00

Asta	N1	N2	E	NE	T	DC	Xi <m>	Qi <daN/m>	Xf <m>	Qf <daN/m>
0	405	-1273	S	--	M	YG	0.00	6250.00	0.25	6250.00

Elenco carichi aste
Condizione di carico n. 17: Ecc - Onda di Piena
Carichi distribuiti

Asta	N1	N2	E	NE	T	DC	Xi <m>	Qi <daN/m>	Xf <m>	Qf <daN/m>

Asta	N1	N2	E	NE	T	DC	Xi <m>	Qi <daN/m>	Xf <m>	Qf <daN/m>

0	401	402	S	--	M	YG	0.00	-472.20	1.91	-472.20
0	403	404	S	--	M	YG	0.00	-472.20	2.00	-472.20
0	-1272	405	S	--	M	YG	0.00	-472.20	0.25	-472.20
0	-1273	406	S	--	M	YG	0.00	-472.20	1.55	-472.20
0	407	408	S	--	M	YG	0.00	-472.20	2.00	-472.20
301	301	-582	S	--	M	YG	0.00	-661.08	0.31	-661.08
301	-583	-584	S	--	M	YG	0.00	-661.08	0.40	-661.08
301	-585	302	S	--	M	YG	0.00	-661.08	0.40	-661.08
301	-586	-587	S	--	M	YG	0.00	-661.08	0.40	-661.08
301	-588	-589	S	--	M	YG	0.00	-661.08	0.20	-661.08
301	-590	303	S	--	M	YG	0.00	-661.08	0.40	-661.08
301	-591	-592	S	--	M	YG	0.00	-661.08	0.20	-661.08
301	-593	-594	S	--	M	YG	0.00	-661.08	0.40	-661.08
301	-595	304	S	--	M	YG	0.00	-661.08	0.40	-661.08
301	-596	-597	S	--	M	YG	0.00	-661.08	0.40	-661.08
301	-1302	-598	S	--	M	YG	0.00	-661.08	0.20	-661.08
301	-1304	-599	S	--	M	YG	0.00	-661.08	0.20	-661.08
301	305	-600	S	--	M	YG	0.00	-661.08	0.20	-661.08
301	-1306	-601	S	--	M	YG	0.00	-661.08	0.20	-661.08
301	-1308	-602	S	--	M	YG	0.00	-661.08	0.20	-661.08
301	-603	306	S	--	M	YG	0.00	-661.08	0.40	-661.08
301	-604	-605	S	--	M	YG	0.00	-661.08	0.40	-661.08
301	-606	-607	S	--	M	YG	0.00	-661.08	0.40	-661.08
301	-608	307	S	--	M	YG	0.00	-661.08	0.20	-661.08
301	-609	-610	S	--	M	YG	0.00	-661.08	0.40	-661.08
301	-611	-612	S	--	M	YG	0.00	-661.08	0.20	-661.08
301	-613	308	S	--	M	YG	0.00	-661.08	0.40	-661.08
301	-614	-615	S	--	M	YG	0.00	-661.08	0.40	-661.08
301	-616	-617	S	--	M	YG	0.00	-661.08	0.40	-661.08

0	402	403	S	--	M	YG	0.00	-472.20	2.00	-472.20
0	404	-1272	S	--	M	YG	0.00	-472.20	1.55	-472.20
0	405	-1273	S	--	M	YG	0.00	-472.20	0.25	-472.20
0	406	407	S	--	M	YG	0.00	-472.20	2.00	-472.20
0	408	409	S	--	M	YG	0.00	-472.20	1.91	-472.20
301	-582	-583	S	--	M	YG	0.00	-661.08	0.40	-661.08
301	-584	-585	S	--	M	YG	0.00	-661.08	0.40	-661.08
301	302	-586	S	--	M	YG	0.00	-661.08	0.40	-661.08
301	-587	-588	S	--	M	YG	0.00	-661.08	0.20	-661.08
301	-589	-590	S	--	M	YG	0.00	-661.08	0.40	-661.08
301	303	-591	S	--	M	YG	0.00	-661.08	0.20	-661.08
301	-592	-593	S	--	M	YG	0.00	-661.08	0.40	-661.08
301	-594	-595	S	--	M	YG	0.00	-661.08	0.40	-661.08
301	304	-596	S	--	M	YG	0.00	-661.08	0.40	-661.08
301	-597	-1302	S	--	M	YG	0.00	-661.08	0.20	-661.08
301	-598	-1304	S	--	M	YG	0.00	-661.08	0.20	-661.08
301	-599	305	S	--	M	YG	0.00	-661.08	0.20	-661.08
301	-600	-1306	S	--	M	YG	0.00	-661.08	0.20	-661.08
301	-601	-1308	S	--	M	YG	0.00	-661.08	0.20	-661.08
301	-602	-603	S	--	M	YG	0.00	-661.08	0.40	-661.08
301	306	-604	S	--	M	YG	0.00	-661.08	0.40	-661.08
301	-605	-606	S	--	M	YG	0.00	-661.08	0.40	-661.08
301	-607	-608	S	--	M	YG	0.00	-661.08	0.20	-661.08
301	307	-609	S	--	M	YG	0.00	-661.08	0.40	-661.08
301	-610	-611	S	--	M	YG	0.00	-661.08	0.20	-661.08
301	-612	-613	S	--	M	YG	0.00	-661.08	0.40	-661.08
301	308	-614	S	--	M	YG	0.00	-661.08	0.40	-661.08
301	-615	-616	S	--	M	YG	0.00	-661.08	0.40	-661.08
301	-617	309	S	--	M	YG	0.00	-661.08	0.31	-661.08

Elenco peso proprio elementi bidimensionali

Simbologia
Tb = Numero del tipo muro/elemento bidimensionale
Comm. = Commento
Spess. = Spessore
Mat. = Materiale
P = Peso specifico
PQ = Peso specifico per unità di superficie

Tb	Comm.	Spess. <cm>	Mat.	P <daN/mc>	PQ <daN/mq>
1	Soletta cls 15cm	15.00	Calcestruzzo 28/35 tgetto	2500.00	375.00
2	Soletta cls 12cm Cordolo laterale	15.00	Calcestruzzo 28/35 tgetto	2500.00	375.00
4	Calcestruzzo 70cm	70.00	Calcestruzzo 32/40	2500.00	1750.00
5	Soletta fondazione 90cm	90.00	Calcestruzzo 32/40	2500.00	2250.00
6	Calcestruzzo 50cm	50.00	Calcestruzzo 32/40	2500.00	1250.00

Elenco carichi elementi bidimensionali
Condizione di carico n. 2: G2 + terreno
Carichi uniformi

Simbologia
Bid. = Numero del muro/elemento bidimensionale
N1 = Nodo1
N2 = Nodo2
N3 = Nodo3
N4 = Nodo4
T = Tipo di carico
PP = Peso proprio
M = Manuale
DC = Direzione del carico
G = secondo gli assi globali
L = secondo gli assi locali
Qx = Carico in dir. X
Qy = Carico in dir. Y
Qz = Carico in dir. Z

Bid.	N1	N2	N3	N4	T	DC	Qx <daN/mq>	Qy <daN/mq>	Qz <daN/mq>
0	-1532	-1833	-1466	-1867	M	G	0.00	0.00	216.00
0	-1832	-1532	-1867	-1465	M	G	0.00	0.00	216.00
0	-1831	-1547	-2083	-1464	M	G	0.00	0.00	216.00
0	-1830	-1699	-1762	-1463	M	G	0.00	0.00	216.00
0	-1829	-1830	-1463	-1462	M	G	0.00	0.00	216.00
0	-1828	-1829	-1462	-1460	M	G	0.00	0.00	216.00
0	-1875	-1876	-1478	-1477	M	G	0.00	0.00	216.00
0	-1876	-1877	-1479	-1478	M	G	0.00	0.00	216.00

0	-1877	-1878	-1480	-1479	M	G	0.00	0.00	216.00
0	-1878	-1879	-1481	-1480	M	G	0.00	0.00	216.00
0	-1879	-1880	-1482	-1481	M	G	0.00	0.00	216.00
0	-1880	-1881	-1491	-1482	M	G	0.00	0.00	216.00
0	-1881	-1974	-1973	-1491	M	G	0.00	0.00	216.00
0	-1882	-1911	-1912	-1492	M	G	0.00	0.00	216.00
0	-1834	-2080	-2079	-1467	M	G	0.00	0.00	216.00
0	-1348	-1349	-1561	-1560	M	G	0.00	0.00	216.00
0	-1347	-1348	-1560	-1559	M	G	0.00	0.00	216.00
0	-1346	-1915	-1916	-1558	M	G	0.00	0.00	216.00
0	-1385	-1346	-1558	440	M	G	0.00	0.00	216.00
0	-1344	-1345	-1572	-1537	M	G	0.00	0.00	216.00
0	-1345	-1913	-1914	-1572	M	G	0.00	0.00	216.00
0	-1343	-1342	-1574	-1573	M	G	0.00	0.00	216.00
0	-1342	-1868	-1575	-1574	M	G	0.00	0.00	216.00
0	-1868	-1869	-1576	-1575	M	G	0.00	0.00	216.00
0	-1869	-1870	-1577	-1576	M	G	0.00	0.00	216.00
0	-1870	-1871	-1578	-1577	M	G	0.00	0.00	216.00
0	-1871	-1872	-1613	-1578	M	G	0.00	0.00	216.00
0	-1874	-1873	-1476	-1848	M	G	0.00	0.00	216.00
0	-1858	-1851	-1380	-1379	M	G	0.00	0.00	216.00
0	-1856	-1858	-1379	-1378	M	G	0.00	0.00	216.00
0	-1695	-1856	-1378	-1377	M	G	0.00	0.00	216.00
0	-1694	-2061	-2068	-1376	M	G	0.00	0.00	216.00
0	-1693	-2084	-2072	-1375	M	G	0.00	0.00	216.00
0	-1862	-1693	-1375	-1374	M	G	0.00	0.00	216.00
0	-1866	-1862	-1374	-1373	M	G	0.00	0.00	216.00
0	-1865	-2085	-2073	-1372	M	G	0.00	0.00	216.00
0	-1864	-2086	-2074	-1371	M	G	0.00	0.00	216.00
0	-1861	-1864	-1371	-1370	M	G	0.00	0.00	216.00
0	-1857	-1861	-1370	-1369	M	G	0.00	0.00	216.00
0	-1845	-1857	-1369	-1368	M	G	0.00	0.00	216.00
0	-1844	-1845	-1368	-1361	M	G	0.00	0.00	216.00
0	-1843	-1844	-1361	-1360	M	G	0.00	0.00	216.00
0	-1839	-1843	-1360	-1359	M	G	0.00	0.00	216.00
0	-1836	-1948	-1947	-1358	M	G	0.00	0.00	216.00
0	-1850	-1836	-1358	-1357	M	G	0.00	0.00	216.00
0	-1863	-1783	-1428	441	M	G	0.00	0.00	216.00
0	-1783	-1946	-1949	-1428	M	G	0.00	0.00	216.00
0	-1784	-1785	-1430	-1429	M	G	0.00	0.00	216.00
0	-1512	-1511	-1570	-1569	M	G	0.00	0.00	216.00
0	-1513	-1512	-1569	-1568	M	G	0.00	0.00	216.00
0	-1514	-1513	-1568	-1567	M	G	0.00	0.00	216.00
0	-1515	-1514	-1567	-1566	M	G	0.00	0.00	216.00
0	-1516	-1925	-1921	-1565	M	G	0.00	0.00	216.00
0	-1578	-1613	-1509	-1510	M	G	0.00	0.00	216.00
0	-1577	-1578	-1510	-1511	M	G	0.00	0.00	216.00
0	-1576	-1577	-1511	-1512	M	G	0.00	0.00	216.00
0	-1575	-1576	-1512	-1513	M	G	0.00	0.00	216.00
0	-1574	-1575	-1513	-1514	M	G	0.00	0.00	216.00
0	-1573	-1574	-1514	-1515	M	G	0.00	0.00	216.00
0	-1572	-1914	-1925	-1516	M	G	0.00	0.00	216.00
0	430	-1551	-1586	-1534	M	G	0.00	0.00	216.00
0	-1551	-1926	-1927	-1586	M	G	0.00	0.00	216.00
0	-1552	-1553	-1588	-1587	M	G	0.00	0.00	216.00
0	-1553	-1554	-1589	-1588	M	G	0.00	0.00	216.00
0	-1554	-1555	-1590	-1589	M	G	0.00	0.00	216.00
0	-1555	-1556	-1591	-1590	M	G	0.00	0.00	216.00
0	-1556	-1557	-1592	-1591	M	G	0.00	0.00	216.00
0	-1557	-1610	-1615	-1592	M	G	0.00	0.00	216.00
0	-1534	-1586	-1579	433	M	G	0.00	0.00	216.00
0	-1586	-1927	-1928	-1579	M	G	0.00	0.00	216.00
0	-1587	-1588	-1581	-1580	M	G	0.00	0.00	216.00
0	-1588	-1589	-1582	-1581	M	G	0.00	0.00	216.00
0	-1589	-1590	-1583	-1582	M	G	0.00	0.00	216.00
0	-1590	-1591	-1584	-1583	M	G	0.00	0.00	216.00
0	-1591	-1592	-1585	-1584	M	G	0.00	0.00	216.00
0	-1592	-1615	-1614	-1585	M	G	0.00	0.00	216.00
0	440	-1558	-1593	-1531	M	G	0.00	0.00	216.00
0	-1558	-1916	-1929	-1593	M	G	0.00	0.00	216.00
0	-1559	-1560	-1595	-1594	M	G	0.00	0.00	216.00
0	-1560	-1561	-1596	-1595	M	G	0.00	0.00	216.00
0	-1561	-1562	-1597	-1596	M	G	0.00	0.00	216.00
0	-1562	-1563	-1598	-1597	M	G	0.00	0.00	216.00
0	-1563	-1564	-1599	-1598	M	G	0.00	0.00	216.00
0	-1564	-1611	-1616	-1599	M	G	0.00	0.00	216.00
0	-1840	-1607	-1354	-1353	M	G	0.00	0.00	216.00
0	-1697	-1840	-1353	-1351	M	G	0.00	0.00	216.00
0	-1696	-1697	-1351	-1350	M	G	0.00	0.00	216.00

0	-1690	-1696	-1350	-1349	M	G	0.00	0.00	216.00
0	-1685	-1690	-1349	-1348	M	G	0.00	0.00	216.00
0	-1414	-1685	-1348	-1347	M	G	0.00	0.00	216.00
0	-1618	-1930	-1915	-1346	M	G	0.00	0.00	216.00
0	-1536	-1618	-1346	-1385	M	G	0.00	0.00	216.00
0	433	-1579	-1345	-1344	M	G	0.00	0.00	216.00
0	-1579	-1928	-1913	-1345	M	G	0.00	0.00	216.00
0	-1580	-1581	-1342	-1343	M	G	0.00	0.00	216.00
0	-1581	-1582	-1868	-1342	M	G	0.00	0.00	216.00
0	-1582	-1583	-1869	-1868	M	G	0.00	0.00	216.00
0	-1583	-1584	-1870	-1869	M	G	0.00	0.00	216.00
0	-1584	-1585	-1871	-1870	M	G	0.00	0.00	216.00
0	-1585	-1614	-1872	-1871	M	G	0.00	0.00	216.00
0	-1531	-1593	-1551	430	M	G	0.00	0.00	216.00
0	-1593	-1929	-1926	-1551	M	G	0.00	0.00	216.00
0	-1594	-1595	-1553	-1552	M	G	0.00	0.00	216.00
0	-1595	-1596	-1554	-1553	M	G	0.00	0.00	216.00
0	-1596	-1597	-1555	-1554	M	G	0.00	0.00	216.00
0	-1597	-1598	-1556	-1555	M	G	0.00	0.00	216.00
0	-1598	-1599	-1557	-1556	M	G	0.00	0.00	216.00
0	-1599	-1616	-1610	-1557	M	G	0.00	0.00	216.00
0	-1408	-1407	-1607	-1840	M	G	0.00	0.00	216.00
0	-1409	-1408	-1840	-1697	M	G	0.00	0.00	216.00
0	-1437	-1409	-1697	-1696	M	G	0.00	0.00	216.00
0	-1440	-1437	-1696	-1690	M	G	0.00	0.00	216.00
0	-1444	-1440	-1690	-1685	M	G	0.00	0.00	216.00
0	-1447	-1444	-1685	-1414	M	G	0.00	0.00	216.00
0	-1451	-1931	-1930	-1618	M	G	0.00	0.00	216.00
0	-1543	-1608	-1407	-1408	M	G	0.00	0.00	216.00
0	-1542	-1543	-1408	-1409	M	G	0.00	0.00	216.00
0	-1541	-1542	-1409	-1437	M	G	0.00	0.00	216.00
0	-1860	-1541	-1437	-1440	M	G	0.00	0.00	216.00
0	-1855	-1860	-1440	-1444	M	G	0.00	0.00	216.00
0	-1854	-1855	-1444	-1447	M	G	0.00	0.00	216.00
0	-1841	-1932	-1931	-1451	M	G	0.00	0.00	216.00
0	-1606	-1617	-2127	-2128	M	G	0.00	0.00	400.00
0	-1605	-1606	-2128	-2129	M	G	0.00	0.00	400.00
0	-1604	-1605	-2129	-2130	M	G	0.00	0.00	400.00
0	-1603	-1604	-2130	-2131	M	G	0.00	0.00	400.00
0	-1602	-1603	-2131	-2132	M	G	0.00	0.00	400.00
0	-1601	-1602	-2132	-2133	M	G	0.00	0.00	400.00
0	-1600	-1933	-2134	-2135	M	G	0.00	0.00	400.00
0	-1822	-1539	-2136	-2137	M	G	0.00	0.00	400.00
0	-1821	-1934	-2138	-2139	M	G	0.00	0.00	400.00
0	-1820	-1821	-2139	-2140	M	G	0.00	0.00	400.00
0	-1819	-1820	-2140	-2141	M	G	0.00	0.00	400.00
0	-1818	-1819	-2141	-2142	M	G	0.00	0.00	400.00
0	-1817	-1818	-2142	-2143	M	G	0.00	0.00	400.00
0	-1816	-1817	-2143	-2144	M	G	0.00	0.00	400.00
0	-1815	-1816	-2144	-2145	M	G	0.00	0.00	400.00
0	-1814	-2087	-2146	-2147	M	G	0.00	0.00	400.00
0	-1813	-2089	-2148	-2149	M	G	0.00	0.00	400.00
0	-1533	-1813	-2149	-2150	M	G	0.00	0.00	400.00
0	-1812	-1533	-2150	-2151	M	G	0.00	0.00	400.00
0	-1811	-2091	-2152	-2153	M	G	0.00	0.00	400.00
0	-1810	-2093	-2154	-2155	M	G	0.00	0.00	400.00
0	-1809	-1810	-2155	-2156	M	G	0.00	0.00	400.00
0	-1808	-1809	-2156	-2157	M	G	0.00	0.00	400.00
0	-1807	-1808	-2157	-2158	M	G	0.00	0.00	400.00
0	-1806	-1807	-2158	-2159	M	G	0.00	0.00	400.00
0	-1805	-1806	-2159	-2160	M	G	0.00	0.00	400.00
0	-1804	-1805	-2160	-2161	M	G	0.00	0.00	400.00
0	-1803	-1950	-2162	-2163	M	G	0.00	0.00	400.00
0	-1782	431	438	-1387	M	G	0.00	0.00	216.00
0	-1781	-1935	-1936	-1388	M	G	0.00	0.00	216.00
0	-1780	-1781	-1388	-1389	M	G	0.00	0.00	216.00
0	-1779	-1780	-1389	-1390	M	G	0.00	0.00	216.00
0	-1778	-1779	-1390	-1391	M	G	0.00	0.00	216.00
0	-1777	-1778	-1391	-1392	M	G	0.00	0.00	216.00
0	-1776	-1777	-1392	-1393	M	G	0.00	0.00	216.00
0	-1775	-1776	-1393	-1394	M	G	0.00	0.00	216.00
0	-1774	-2088	-2095	-1395	M	G	0.00	0.00	216.00
0	-1773	-2090	-2096	-1396	M	G	0.00	0.00	216.00
0	-1413	-1773	-1396	-1386	M	G	0.00	0.00	216.00
0	-1772	-1413	-1386	-1397	M	G	0.00	0.00	216.00
0	-1771	-2092	-2097	-1398	M	G	0.00	0.00	216.00
0	-1770	-2094	-2098	-1399	M	G	0.00	0.00	216.00
0	-1769	-1770	-1399	-1400	M	G	0.00	0.00	216.00
0	-1768	-1769	-1400	-1401	M	G	0.00	0.00	216.00

0	-1767	-1768	-1401	-1402	M	G	0.00	0.00	216.00
0	-1766	-1767	-1402	-1403	M	G	0.00	0.00	216.00
0	-1765	-1766	-1403	-1404	M	G	0.00	0.00	216.00
0	-1764	-1765	-1404	-1405	M	G	0.00	0.00	216.00
0	-1763	-1951	-1952	-1406	M	G	0.00	0.00	216.00
0	-1387	438	-1536	-1838	M	G	0.00	0.00	216.00
0	-1388	-1936	-1924	-1837	M	G	0.00	0.00	216.00
0	-1389	-1388	-1837	-1853	M	G	0.00	0.00	216.00
0	-1390	-1389	-1853	-1852	M	G	0.00	0.00	216.00
0	-1391	-1390	-1852	-1851	M	G	0.00	0.00	216.00
0	-1392	-1391	-1851	-1858	M	G	0.00	0.00	216.00
0	-1393	-1392	-1858	-1856	M	G	0.00	0.00	216.00
0	-1394	-1393	-1856	-1695	M	G	0.00	0.00	216.00
0	-1395	-2095	-2061	-1694	M	G	0.00	0.00	216.00
0	-1396	-2096	-2084	-1693	M	G	0.00	0.00	216.00
0	-1386	-1396	-1693	-1862	M	G	0.00	0.00	216.00
0	-1397	-1386	-1862	-1866	M	G	0.00	0.00	216.00
0	-1398	-2097	-2085	-1865	M	G	0.00	0.00	216.00
0	-1399	-2098	-2086	-1864	M	G	0.00	0.00	216.00
0	-1400	-1399	-1864	-1861	M	G	0.00	0.00	216.00
0	-1401	-1400	-1861	-1857	M	G	0.00	0.00	216.00
0	-1402	-1401	-1857	-1845	M	G	0.00	0.00	216.00
0	-1403	-1402	-1845	-1844	M	G	0.00	0.00	216.00
0	-1404	-1403	-1844	-1843	M	G	0.00	0.00	216.00
0	-1405	-1404	-1843	-1839	M	G	0.00	0.00	216.00
0	-1406	-1952	-1948	-1836	M	G	0.00	0.00	216.00
0	441	-1428	-1823	-1859	M	G	0.00	0.00	216.00
0	-1428	-1949	-1953	-1823	M	G	0.00	0.00	216.00
0	-1429	-1430	-1825	-1824	M	G	0.00	0.00	216.00
0	-1430	-1431	-1826	-1825	M	G	0.00	0.00	216.00
0	-1431	-1432	-1827	-1826	M	G	0.00	0.00	216.00
0	-1432	-1433	-1828	-1827	M	G	0.00	0.00	216.00
0	-1433	-1434	-1829	-1828	M	G	0.00	0.00	216.00
0	-1434	-1435	-1830	-1829	M	G	0.00	0.00	216.00
0	-1435	-2099	-1699	-1830	M	G	0.00	0.00	216.00
0	-1436	-2100	-1547	-1831	M	G	0.00	0.00	216.00
0	-1438	-1846	-1532	-1832	M	G	0.00	0.00	216.00
0	-1846	-1439	-1833	-1532	M	G	0.00	0.00	216.00
0	-1439	-2101	-2082	-1833	M	G	0.00	0.00	216.00
0	-1441	-2102	-2080	-1834	M	G	0.00	0.00	216.00
0	-1442	-1443	-1412	-1835	M	G	0.00	0.00	216.00
0	-1443	-1445	-1410	-1412	M	G	0.00	0.00	216.00
0	-1445	-1446	-1411	-1410	M	G	0.00	0.00	216.00
0	-1446	-1448	-1688	-1411	M	G	0.00	0.00	216.00
0	-1448	-1449	-1691	-1688	M	G	0.00	0.00	216.00
0	-1449	-1450	-1692	-1691	M	G	0.00	0.00	216.00
0	-1450	-1937	-1917	-1692	M	G	0.00	0.00	216.00
0	-1452	430	-1534	-1698	M	G	0.00	0.00	216.00
0	439	-1453	-1873	-1874	M	G	0.00	0.00	216.00
0	-1453	-1954	-1943	-1873	M	G	0.00	0.00	216.00
0	-1454	-1455	-1876	-1875	M	G	0.00	0.00	216.00
0	-1455	-1456	-1877	-1876	M	G	0.00	0.00	216.00
0	-1456	-1459	-1878	-1877	M	G	0.00	0.00	216.00
0	-1459	-1460	-1879	-1878	M	G	0.00	0.00	216.00
0	-1460	-1462	-1880	-1879	M	G	0.00	0.00	216.00
0	-1462	-1463	-1881	-1880	M	G	0.00	0.00	216.00
0	-1463	-1762	-1974	-1881	M	G	0.00	0.00	216.00
0	-1464	-2083	-1911	-1882	M	G	0.00	0.00	216.00
0	-1465	-1867	-1884	-1883	M	G	0.00	0.00	216.00
0	-1867	-1466	-1885	-1884	M	G	0.00	0.00	216.00
0	-1466	-2081	-2103	-1885	M	G	0.00	0.00	216.00
0	-1467	-2079	-2104	-1886	M	G	0.00	0.00	216.00
0	-1468	-1469	-1888	-1887	M	G	0.00	0.00	216.00
0	-1469	-1470	-1889	-1888	M	G	0.00	0.00	216.00
0	-1470	-1471	-1890	-1889	M	G	0.00	0.00	216.00
0	-1471	-1472	-1891	-1890	M	G	0.00	0.00	216.00
0	-1472	-1473	-1892	-1891	M	G	0.00	0.00	216.00
0	-1473	-1474	-1893	-1892	M	G	0.00	0.00	216.00
0	-1474	-1918	-1938	-1893	M	G	0.00	0.00	216.00
0	-1475	433	-1344	-1894	M	G	0.00	0.00	216.00
0	-1859	-1823	-1453	439	M	G	0.00	0.00	216.00
0	-1823	-1953	-1954	-1453	M	G	0.00	0.00	216.00
0	-1824	-1825	-1455	-1454	M	G	0.00	0.00	216.00
0	-1825	-1826	-1456	-1455	M	G	0.00	0.00	216.00
0	-1826	-1827	-1459	-1456	M	G	0.00	0.00	216.00
0	-1827	-1828	-1460	-1459	M	G	0.00	0.00	216.00
0	-1785	-1786	-1431	-1430	M	G	0.00	0.00	216.00
0	-1786	-1787	-1432	-1431	M	G	0.00	0.00	216.00
0	-1787	-1788	-1433	-1432	M	G	0.00	0.00	216.00

0	-1788	-1789	-1434	-1433	M	G	0.00	0.00	216.00
0	-1789	-1790	-1435	-1434	M	G	0.00	0.00	216.00
0	-1790	-2077	-2099	-1435	M	G	0.00	0.00	216.00
0	-1791	-2075	-2100	-1436	M	G	0.00	0.00	216.00
0	-1792	-1535	-1846	-1438	M	G	0.00	0.00	216.00
0	-1535	-1793	-1439	-1846	M	G	0.00	0.00	216.00
0	-1793	-2064	-2101	-1439	M	G	0.00	0.00	216.00
0	-1794	-2062	-2102	-1441	M	G	0.00	0.00	216.00
0	-1795	-1796	-1443	-1442	M	G	0.00	0.00	216.00
0	-1796	-1797	-1445	-1443	M	G	0.00	0.00	216.00
0	-1797	-1798	-1446	-1445	M	G	0.00	0.00	216.00
0	-1798	-1799	-1448	-1446	M	G	0.00	0.00	216.00
0	-1799	-1800	-1449	-1448	M	G	0.00	0.00	216.00
0	-1800	-1801	-1450	-1449	M	G	0.00	0.00	216.00
0	-1801	-1923	-1937	-1450	M	G	0.00	0.00	216.00
0	-1705	-1537	437	-1458	M	G	0.00	0.00	216.00
0	-1704	-1939	-1940	-1461	M	G	0.00	0.00	216.00
0	-1703	-1704	-1461	-1483	M	G	0.00	0.00	216.00
0	-1702	-1703	-1483	-1484	M	G	0.00	0.00	216.00
0	-1701	-1702	-1484	-1485	M	G	0.00	0.00	216.00
0	-1700	-1701	-1485	-1486	M	G	0.00	0.00	216.00
0	-1497	-1700	-1486	-1487	M	G	0.00	0.00	216.00
0	-1496	-1497	-1487	-1488	M	G	0.00	0.00	216.00
0	-1495	-2105	-2106	-1489	M	G	0.00	0.00	216.00
0	-1494	-2107	-2108	-1498	M	G	0.00	0.00	216.00
0	-1842	-1494	-1498	-1457	M	G	0.00	0.00	216.00
0	-1493	-1842	-1457	-1499	M	G	0.00	0.00	216.00
0	-1492	-1912	-2109	-1500	M	G	0.00	0.00	216.00
0	-1491	-1973	-2110	-1501	M	G	0.00	0.00	216.00
0	-1482	-1491	-1501	-1502	M	G	0.00	0.00	216.00
0	-1481	-1482	-1502	-1503	M	G	0.00	0.00	216.00
0	-1480	-1481	-1503	-1504	M	G	0.00	0.00	216.00
0	-1479	-1480	-1504	-1505	M	G	0.00	0.00	216.00
0	-1478	-1479	-1505	-1506	M	G	0.00	0.00	216.00
0	-1477	-1478	-1506	-1507	M	G	0.00	0.00	216.00
0	-1476	-1944	-1955	-1508	M	G	0.00	0.00	216.00
0	-1458	437	432	-1745	M	G	0.00	0.00	216.00
0	-1461	-1940	-1941	-1744	M	G	0.00	0.00	216.00
0	-1483	-1461	-1744	-1743	M	G	0.00	0.00	216.00
0	-1484	-1483	-1743	-1742	M	G	0.00	0.00	216.00
0	-1485	-1484	-1742	-1741	M	G	0.00	0.00	216.00
0	-1486	-1485	-1741	-1740	M	G	0.00	0.00	216.00
0	-1487	-1486	-1740	-1739	M	G	0.00	0.00	216.00
0	-1488	-1487	-1739	-1738	M	G	0.00	0.00	216.00
0	-1489	-2106	-2111	-1737	M	G	0.00	0.00	216.00
0	-1498	-2108	-2112	-1736	M	G	0.00	0.00	216.00
0	-1457	-1498	-1736	-1847	M	G	0.00	0.00	216.00
0	-1499	-1457	-1847	-1735	M	G	0.00	0.00	216.00
0	-1500	-2109	-2113	-1734	M	G	0.00	0.00	216.00
0	-1501	-2110	-2114	-1733	M	G	0.00	0.00	216.00
0	-1502	-1501	-1733	-1732	M	G	0.00	0.00	216.00
0	-1503	-1502	-1732	-1731	M	G	0.00	0.00	216.00
0	-1504	-1503	-1731	-1730	M	G	0.00	0.00	216.00
0	-1505	-1504	-1730	-1729	M	G	0.00	0.00	216.00
0	-1506	-1505	-1729	-1728	M	G	0.00	0.00	216.00
0	-1507	-1506	-1728	-1727	M	G	0.00	0.00	216.00
0	-1508	-1955	-1956	-1726	M	G	0.00	0.00	216.00
0	-2069	-1540	-1976	-2013	M	G	0.00	0.00	400.00
0	-1744	-1941	-2182	-2183	M	G	0.00	0.00	400.00
0	-1743	-1744	-2183	-2184	M	G	0.00	0.00	400.00
0	-1742	-1743	-2184	-2185	M	G	0.00	0.00	400.00
0	-1741	-1742	-2185	-2186	M	G	0.00	0.00	400.00
0	-2067	-1758	-2009	-2008	M	G	0.00	0.00	400.00
0	-1757	-2067	-2008	-2007	M	G	0.00	0.00	400.00
0	-1738	-1739	-2187	-2188	M	G	0.00	0.00	400.00
0	-1737	-2111	-2189	-2190	M	G	0.00	0.00	400.00
0	-1736	-2112	-2191	-2192	M	G	0.00	0.00	400.00
0	-1847	-1736	-2192	-2193	M	G	0.00	0.00	400.00
0	-2065	-1689	-1993	-2003	M	G	0.00	0.00	400.00
0	-1753	-2117	-2118	-2002	M	G	0.00	0.00	400.00
0	-1733	-2114	-2194	-2195	M	G	0.00	0.00	400.00
0	-1732	-1733	-2195	-2196	M	G	0.00	0.00	400.00
0	-1731	-1732	-2196	-2197	M	G	0.00	0.00	400.00
0	-2063	-1750	-1999	-1998	M	G	0.00	0.00	400.00
0	-1749	-2063	-1998	-1997	M	G	0.00	0.00	400.00
0	-1728	-1729	-2198	-2199	M	G	0.00	0.00	400.00
0	-1727	-1728	-2199	-2200	M	G	0.00	0.00	400.00
0	-1726	-1956	-2201	-2202	M	G	0.00	0.00	400.00
0	-1539	-1600	-2135	-2136	M	G	0.00	0.00	400.00

0	-1687	-1803	-2163	-2164	M	G	0.00	0.00	400.00
0	438	-1451	-1618	-1536	M	G	0.00	0.00	216.00
0	431	-1841	-1451	438	M	G	0.00	0.00	216.00
0	436	-1763	-1406	429	M	G	0.00	0.00	216.00
0	429	-1406	-1836	-1850	M	G	0.00	0.00	216.00
0	-1802	-1531	430	-1452	M	G	0.00	0.00	216.00
0	-1537	-1572	-1516	437	M	G	0.00	0.00	216.00
0	-1848	-1476	-1508	435	M	G	0.00	0.00	216.00
0	437	-1516	-1565	432	M	G	0.00	0.00	216.00
0	435	-1508	-1726	434	M	G	0.00	0.00	216.00
0	432	-1565	-2181	-2203	M	G	0.00	0.00	400.00
0	434	-1726	-2202	-2204	M	G	0.00	0.00	400.00
0	-1529	429	-1850	-1416	M	G	0.00	0.00	216.00
0	-1530	-1958	-1959	-1415	M	G	0.00	0.00	216.00
0	-1490	-1530	-1415	-1367	M	G	0.00	0.00	216.00
0	-1538	-1490	-1367	-1366	M	G	0.00	0.00	216.00
0	-1525	-1538	-1366	-1365	M	G	0.00	0.00	216.00
0	-1526	-1525	-1365	-1364	M	G	0.00	0.00	216.00
0	-1527	-1526	-1364	-1363	M	G	0.00	0.00	216.00
0	-1528	-1527	-1363	-1427	M	G	0.00	0.00	216.00
0	-1362	436	429	-1529	M	G	0.00	0.00	216.00
0	-1356	-1960	-1958	-1530	M	G	0.00	0.00	216.00
0	-1355	-1356	-1530	-1490	M	G	0.00	0.00	216.00
0	-1352	-1355	-1490	-1538	M	G	0.00	0.00	216.00
0	-1684	-1352	-1538	-1525	M	G	0.00	0.00	216.00
0	-1683	-1684	-1525	-1526	M	G	0.00	0.00	216.00
0	-1682	-1683	-1526	-1527	M	G	0.00	0.00	216.00
0	-1426	-1682	-1527	-1528	M	G	0.00	0.00	216.00
0	-1625	-1687	-2164	-2165	M	G	0.00	0.00	400.00
0	-1624	-1961	-2166	-2167	M	G	0.00	0.00	400.00
0	-1623	-1624	-2167	-2168	M	G	0.00	0.00	400.00
0	-1622	-1623	-2168	-2169	M	G	0.00	0.00	400.00
0	-1621	-1622	-2169	-2170	M	G	0.00	0.00	400.00
0	-1620	-1621	-2170	-2171	M	G	0.00	0.00	400.00
0	-1619	-1620	-2171	-2172	M	G	0.00	0.00	400.00
0	-1417	-1619	-2172	-2173	M	G	0.00	0.00	400.00
0	-1521	435	434	-1660	M	G	0.00	0.00	216.00
0	-1522	-1962	-1963	-1659	M	G	0.00	0.00	216.00
0	-1523	-1522	-1659	-1658	M	G	0.00	0.00	216.00
0	-1524	-1523	-1658	-1657	M	G	0.00	0.00	216.00
0	-1517	-1524	-1657	-1656	M	G	0.00	0.00	216.00
0	-1518	-1517	-1656	-1655	M	G	0.00	0.00	216.00
0	-1519	-1518	-1655	-1654	M	G	0.00	0.00	216.00
0	-1520	-1519	-1654	-1422	M	G	0.00	0.00	216.00
0	-1422	-1654	-2205	-2206	M	G	0.00	0.00	400.00
0	-1654	-1655	-2207	-2205	M	G	0.00	0.00	400.00
0	-1655	-1656	-2208	-2207	M	G	0.00	0.00	400.00
0	-1656	-1657	-2209	-2208	M	G	0.00	0.00	400.00
0	-1657	-1658	-2210	-2209	M	G	0.00	0.00	400.00
0	-1658	-1659	-2211	-2210	M	G	0.00	0.00	400.00
0	-1659	-1963	-2212	-2211	M	G	0.00	0.00	400.00
0	-1653	-1848	435	-1521	M	G	0.00	0.00	216.00
0	-1652	-1965	-1962	-1522	M	G	0.00	0.00	216.00
0	-1651	-1652	-1522	-1523	M	G	0.00	0.00	216.00
0	-1650	-1651	-1523	-1524	M	G	0.00	0.00	216.00
0	-1649	-1650	-1524	-1517	M	G	0.00	0.00	216.00
0	-1648	-1649	-1517	-1518	M	G	0.00	0.00	216.00
0	-1647	-1648	-1518	-1519	M	G	0.00	0.00	216.00
0	-1421	-1647	-1519	-1520	M	G	0.00	0.00	216.00
0	-1424	-1668	-1633	-1419	M	G	0.00	0.00	216.00
0	-1668	-1669	-1634	-1633	M	G	0.00	0.00	216.00
0	-1669	-1670	-1635	-1634	M	G	0.00	0.00	216.00
0	-1670	-1671	-1636	-1635	M	G	0.00	0.00	216.00
0	-1671	-1672	-1637	-1636	M	G	0.00	0.00	216.00
0	-1672	-1673	-1638	-1637	M	G	0.00	0.00	216.00
0	-1673	-1966	-1967	-1638	M	G	0.00	0.00	216.00
0	-1674	441	-1859	-1639	M	G	0.00	0.00	216.00
0	-1419	-1633	-1640	-1420	M	G	0.00	0.00	216.00
0	-1633	-1634	-1641	-1640	M	G	0.00	0.00	216.00
0	-1634	-1635	-1642	-1641	M	G	0.00	0.00	216.00
0	-1635	-1636	-1643	-1642	M	G	0.00	0.00	216.00
0	-1636	-1637	-1644	-1643	M	G	0.00	0.00	216.00
0	-1637	-1638	-1645	-1644	M	G	0.00	0.00	216.00
0	-1638	-1967	-1968	-1645	M	G	0.00	0.00	216.00
0	-1639	-1859	439	-1646	M	G	0.00	0.00	216.00
0	-1416	-1850	-1357	-1895	M	G	0.00	0.00	216.00
0	-1415	-1959	-1969	-1896	M	G	0.00	0.00	216.00
0	-1367	-1415	-1896	-1897	M	G	0.00	0.00	216.00
0	-1366	-1367	-1897	-1898	M	G	0.00	0.00	216.00

0	-1365	-1366	-1898	-1899	M	G	0.00	0.00	216.00
0	-1364	-1365	-1899	-1900	M	G	0.00	0.00	216.00
0	-1363	-1364	-1900	-1901	M	G	0.00	0.00	216.00
0	-1427	-1363	-1901	-1902	M	G	0.00	0.00	216.00
0	-1423	-1661	-1626	-1418	M	G	0.00	0.00	216.00
0	-1661	-1662	-1627	-1626	M	G	0.00	0.00	216.00
0	-1662	-1663	-1628	-1627	M	G	0.00	0.00	216.00
0	-1663	-1664	-1629	-1628	M	G	0.00	0.00	216.00
0	-1664	-1665	-1630	-1629	M	G	0.00	0.00	216.00
0	-1665	-1666	-1631	-1630	M	G	0.00	0.00	216.00
0	-1666	-1970	-1971	-1631	M	G	0.00	0.00	216.00
0	-1667	442	-1863	-1632	M	G	0.00	0.00	216.00
0	-1420	-1640	-1904	-1903	M	G	0.00	0.00	216.00
0	-1640	-1641	-1905	-1904	M	G	0.00	0.00	216.00
0	-1641	-1642	-1906	-1905	M	G	0.00	0.00	216.00
0	-1642	-1643	-1907	-1906	M	G	0.00	0.00	216.00
0	-1643	-1644	-1908	-1907	M	G	0.00	0.00	216.00
0	-1644	-1645	-1909	-1908	M	G	0.00	0.00	216.00
0	-1645	-1968	-1972	-1909	M	G	0.00	0.00	216.00
0	-1646	439	-1874	-1910	M	G	0.00	0.00	216.00
0	-1418	-1626	-1668	-1424	M	G	0.00	0.00	216.00
0	-1626	-1627	-1669	-1668	M	G	0.00	0.00	216.00
0	-1627	-1628	-1670	-1669	M	G	0.00	0.00	216.00
0	-1628	-1629	-1671	-1670	M	G	0.00	0.00	216.00
0	-1629	-1630	-1672	-1671	M	G	0.00	0.00	216.00
0	-1630	-1631	-1673	-1672	M	G	0.00	0.00	216.00
0	-1631	-1971	-1966	-1673	M	G	0.00	0.00	216.00
0	-1660	434	-2204	-2213	M	G	0.00	0.00	400.00
0	-1632	-1863	441	-1674	M	G	0.00	0.00	216.00
0	-1885	-2103	-2107	-1494	M	G	0.00	0.00	216.00
0	-1886	-2104	-2105	-1495	M	G	0.00	0.00	216.00
0	-1887	-1888	-1497	-1496	M	G	0.00	0.00	216.00
0	-1888	-1889	-1700	-1497	M	G	0.00	0.00	216.00
0	-1889	-1890	-1701	-1700	M	G	0.00	0.00	216.00
0	-1890	-1891	-1702	-1701	M	G	0.00	0.00	216.00
0	-1891	-1892	-1703	-1702	M	G	0.00	0.00	216.00
0	-1892	-1893	-1704	-1703	M	G	0.00	0.00	216.00
0	-1893	-1938	-1939	-1704	M	G	0.00	0.00	216.00
0	-1894	-1344	-1537	-1705	M	G	0.00	0.00	216.00
0	-1895	-1357	442	-1667	M	G	0.00	0.00	216.00
0	-1896	-1969	-1970	-1666	M	G	0.00	0.00	216.00
0	-1897	-1896	-1666	-1665	M	G	0.00	0.00	216.00
0	-1898	-1897	-1665	-1664	M	G	0.00	0.00	216.00
0	-1899	-1898	-1664	-1663	M	G	0.00	0.00	216.00
0	-1900	-1899	-1663	-1662	M	G	0.00	0.00	216.00
0	-1901	-1900	-1662	-1661	M	G	0.00	0.00	216.00
0	-1902	-1901	-1661	-1423	M	G	0.00	0.00	216.00
0	-1903	-1904	-1647	-1421	M	G	0.00	0.00	216.00
0	-1904	-1905	-1648	-1647	M	G	0.00	0.00	216.00
0	-1905	-1906	-1649	-1648	M	G	0.00	0.00	216.00
0	-1906	-1907	-1650	-1649	M	G	0.00	0.00	216.00
0	-1907	-1908	-1651	-1650	M	G	0.00	0.00	216.00
0	-1908	-1909	-1652	-1651	M	G	0.00	0.00	216.00
0	-1909	-1972	-1965	-1652	M	G	0.00	0.00	216.00
0	-1910	-1874	-1848	-1653	M	G	0.00	0.00	216.00
0	-1547	-1832	-1465	-2083	M	G	0.00	0.00	216.00
0	-1699	-1831	-1464	-1762	M	G	0.00	0.00	216.00
0	-1974	-1882	-1492	-1973	M	G	0.00	0.00	216.00
0	-1911	-1883	-1493	-1912	M	G	0.00	0.00	216.00
0	-2076	-1715	-1792	-2075	M	G	0.00	0.00	216.00
0	-2078	-1714	-1791	-2077	M	G	0.00	0.00	216.00
0	-2080	-1835	-1468	-2079	M	G	0.00	0.00	216.00
0	-2082	-1834	-1467	-2081	M	G	0.00	0.00	216.00
0	-1913	-1343	-1573	-1914	M	G	0.00	0.00	216.00
0	-1915	-1347	-1559	-1916	M	G	0.00	0.00	216.00
0	-1917	-1698	-1475	-1918	M	G	0.00	0.00	216.00
0	-1919	-1384	-1725	-1920	M	G	0.00	0.00	216.00
0	-1921	-1566	-2179	-2180	M	G	0.00	0.00	400.00
0	-1920	-1725	-1802	-1923	M	G	0.00	0.00	216.00
0	-1924	-1838	-1384	-1919	M	G	0.00	0.00	216.00
0	-1925	-1515	-1566	-1921	M	G	0.00	0.00	216.00
0	-1914	-1573	-1515	-1925	M	G	0.00	0.00	216.00
0	-1926	-1552	-1587	-1927	M	G	0.00	0.00	216.00
0	-1927	-1587	-1580	-1928	M	G	0.00	0.00	216.00
0	-1916	-1559	-1594	-1929	M	G	0.00	0.00	216.00
0	-1930	-1414	-1347	-1915	M	G	0.00	0.00	216.00
0	-1928	-1580	-1343	-1913	M	G	0.00	0.00	216.00
0	-1929	-1594	-1552	-1926	M	G	0.00	0.00	216.00
0	-1931	-1447	-1414	-1930	M	G	0.00	0.00	216.00

0	-1932	-1854	-1447	-1931	M	G	0.00	0.00	216.00
0	-1933	-1601	-2133	-2134	M	G	0.00	0.00	400.00
0	-1934	-1822	-2137	-2138	M	G	0.00	0.00	400.00
0	-1935	-1782	-1387	-1936	M	G	0.00	0.00	216.00
0	-1936	-1387	-1838	-1924	M	G	0.00	0.00	216.00
0	-1937	-1452	-1698	-1917	M	G	0.00	0.00	216.00
0	-1918	-1475	-1894	-1938	M	G	0.00	0.00	216.00
0	-1923	-1802	-1452	-1937	M	G	0.00	0.00	216.00
0	-1939	-1705	-1458	-1940	M	G	0.00	0.00	216.00
0	-1940	-1458	-1745	-1941	M	G	0.00	0.00	216.00
0	-1942	-2069	-2013	-2015	M	G	0.00	0.00	400.00
0	-1938	-1894	-1705	-1939	M	G	0.00	0.00	216.00
0	-1943	-1875	-1477	-1944	M	G	0.00	0.00	216.00
0	-1945	-1707	-1784	-1946	M	G	0.00	0.00	216.00
0	-1947	-1359	-1707	-1945	M	G	0.00	0.00	216.00
0	-1948	-1839	-1359	-1947	M	G	0.00	0.00	216.00
0	-1946	-1784	-1429	-1949	M	G	0.00	0.00	216.00
0	-1950	-1804	-2161	-2162	M	G	0.00	0.00	400.00
0	-1951	-1764	-1405	-1952	M	G	0.00	0.00	216.00
0	-1952	-1405	-1839	-1948	M	G	0.00	0.00	216.00
0	-1949	-1429	-1824	-1953	M	G	0.00	0.00	216.00
0	-1954	-1454	-1875	-1943	M	G	0.00	0.00	216.00
0	-1953	-1824	-1454	-1954	M	G	0.00	0.00	216.00
0	-1944	-1477	-1507	-1955	M	G	0.00	0.00	216.00
0	-1955	-1507	-1727	-1956	M	G	0.00	0.00	216.00
0	-1956	-1727	-2200	-2201	M	G	0.00	0.00	400.00
0	-1958	-1529	-1416	-1959	M	G	0.00	0.00	216.00
0	-1960	-1362	-1529	-1958	M	G	0.00	0.00	216.00
0	-1961	-1625	-2165	-2166	M	G	0.00	0.00	400.00
0	-1962	-1521	-1660	-1963	M	G	0.00	0.00	216.00
0	-1963	-1660	-2213	-2212	M	G	0.00	0.00	400.00
0	-1965	-1653	-1521	-1962	M	G	0.00	0.00	216.00
0	-1966	-1674	-1639	-1967	M	G	0.00	0.00	216.00
0	-1967	-1639	-1646	-1968	M	G	0.00	0.00	216.00
0	-1959	-1416	-1895	-1969	M	G	0.00	0.00	216.00
0	-1970	-1667	-1632	-1971	M	G	0.00	0.00	216.00
0	-1968	-1646	-1910	-1972	M	G	0.00	0.00	216.00
0	-1971	-1632	-1674	-1966	M	G	0.00	0.00	216.00
0	-1969	-1895	-1667	-1970	M	G	0.00	0.00	216.00
0	-1972	-1910	-1653	-1965	M	G	0.00	0.00	216.00
0	-2036	-2037	-1803	-1687	M	G	0.00	0.00	400.00
0	-2020	-2021	-1600	-1539	M	G	0.00	0.00	400.00
0	-1883	-1884	-1842	-1493	M	G	0.00	0.00	216.00
0	-1873	-1943	-1944	-1476	M	G	0.00	0.00	216.00
0	-1833	-2082	-2081	-1466	M	G	0.00	0.00	216.00
0	-1884	-1885	-1494	-1842	M	G	0.00	0.00	216.00
0	-2215	-2217	-2065	-2117	M	G	0.00	0.00	400.00
0	-2194	-2216	-1753	-2119	M	G	0.00	0.00	400.00
0	-2191	-2190	-1755	-2116	M	G	0.00	0.00	400.00
0	-2189	-2188	-1756	-2115	M	G	0.00	0.00	400.00
0	-2220	-2177	-1548	-2071	M	G	0.00	0.00	400.00
0	-2178	-2220	-2071	-1546	M	G	0.00	0.00	400.00
0	-2219	-2203	-1540	-2069	M	G	0.00	0.00	400.00
0	-2182	-2219	-2069	-1942	M	G	0.00	0.00	400.00
0	-2218	-2186	-1758	-2067	M	G	0.00	0.00	400.00
0	-2187	-2218	-2067	-1757	M	G	0.00	0.00	400.00
0	-2217	-2193	-1689	-2065	M	G	0.00	0.00	400.00
0	-2216	-2215	-2117	-1753	M	G	0.00	0.00	400.00
0	-2214	-2197	-1750	-2063	M	G	0.00	0.00	400.00
0	-2198	-2214	-2063	-1749	M	G	0.00	0.00	400.00
0	-2212	-2213	-1681	-1964	M	G	0.00	0.00	400.00
0	-2201	-2200	-1747	-1957	M	G	0.00	0.00	400.00
0	-2180	-2179	-1545	-1922	M	G	0.00	0.00	400.00
0	-2213	-2204	-1686	-1681	M	G	0.00	0.00	400.00
0	-2211	-2212	-1964	-1680	M	G	0.00	0.00	400.00
0	-2210	-2211	-1680	-1679	M	G	0.00	0.00	400.00
0	-2209	-2210	-1679	-1678	M	G	0.00	0.00	400.00
0	-2208	-2209	-1678	-1677	M	G	0.00	0.00	400.00
0	-2207	-2208	-1677	-1676	M	G	0.00	0.00	400.00
0	-2205	-2207	-1676	-1675	M	G	0.00	0.00	400.00
0	-2206	-2205	-1675	-1425	M	G	0.00	0.00	400.00
0	-2204	-2202	-1746	-1686	M	G	0.00	0.00	400.00
0	-2203	-2181	-1544	-1540	M	G	0.00	0.00	400.00
0	-2202	-2201	-1957	-1746	M	G	0.00	0.00	400.00
0	-2200	-2199	-1748	-1747	M	G	0.00	0.00	400.00
0	-2199	-2198	-1749	-1748	M	G	0.00	0.00	400.00
0	-2197	-2196	-1751	-1750	M	G	0.00	0.00	400.00
0	-2196	-2195	-1752	-1751	M	G	0.00	0.00	400.00
0	-2195	-2194	-2119	-1752	M	G	0.00	0.00	400.00

0	-2193	-2192	-1754	-1689	M	G	0.00	0.00	400.00
0	-2192	-2191	-2116	-1754	M	G	0.00	0.00	400.00
0	-2190	-2189	-2115	-1755	M	G	0.00	0.00	400.00
0	-2188	-2187	-1757	-1756	M	G	0.00	0.00	400.00
0	-2186	-2185	-1759	-1758	M	G	0.00	0.00	400.00
0	-2185	-2184	-1760	-1759	M	G	0.00	0.00	400.00
0	-2184	-2183	-1761	-1760	M	G	0.00	0.00	400.00
0	-2183	-2182	-1942	-1761	M	G	0.00	0.00	400.00
0	-2181	-2180	-1922	-1544	M	G	0.00	0.00	400.00
0	-2179	-2178	-1546	-1545	M	G	0.00	0.00	400.00
0	-2177	-2176	-1549	-1548	M	G	0.00	0.00	400.00
0	-2176	-2175	-1550	-1549	M	G	0.00	0.00	400.00
0	-2175	-2174	-1609	-1550	M	G	0.00	0.00	400.00
0	-2154	-2153	-1771	-2094	M	G	0.00	0.00	400.00
0	-2152	-2151	-1772	-2092	M	G	0.00	0.00	400.00
0	-2148	-2147	-1774	-2090	M	G	0.00	0.00	400.00
0	-2146	-2145	-1775	-2088	M	G	0.00	0.00	400.00
0	-2166	-2165	-1362	-1960	M	G	0.00	0.00	400.00
0	-2162	-2161	-1764	-1951	M	G	0.00	0.00	400.00
0	-2138	-2137	-1782	-1935	M	G	0.00	0.00	400.00
0	-2134	-2133	-1854	-1932	M	G	0.00	0.00	400.00
0	-2173	-2172	-1682	-1426	M	G	0.00	0.00	400.00
0	-2172	-2171	-1683	-1682	M	G	0.00	0.00	400.00
0	-2171	-2170	-1684	-1683	M	G	0.00	0.00	400.00
0	-2170	-2169	-1352	-1684	M	G	0.00	0.00	400.00
0	-2169	-2168	-1355	-1352	M	G	0.00	0.00	400.00
0	-2168	-2167	-1356	-1355	M	G	0.00	0.00	400.00
0	-2167	-2166	-1960	-1356	M	G	0.00	0.00	400.00
0	-2165	-2164	436	-1362	M	G	0.00	0.00	400.00
0	-2164	-2163	-1763	436	M	G	0.00	0.00	400.00
0	-2136	-2135	-1841	431	M	G	0.00	0.00	400.00
0	-2163	-2162	-1951	-1763	M	G	0.00	0.00	400.00
0	-2161	-2160	-1765	-1764	M	G	0.00	0.00	400.00
0	-2160	-2159	-1766	-1765	M	G	0.00	0.00	400.00
0	-2159	-2158	-1767	-1766	M	G	0.00	0.00	400.00
0	-2158	-2157	-1768	-1767	M	G	0.00	0.00	400.00
0	-2157	-2156	-1769	-1768	M	G	0.00	0.00	400.00
0	-2156	-2155	-1770	-1769	M	G	0.00	0.00	400.00
0	-2155	-2154	-2094	-1770	M	G	0.00	0.00	400.00
0	-2153	-2152	-2092	-1771	M	G	0.00	0.00	400.00
0	-2151	-2150	-1413	-1772	M	G	0.00	0.00	400.00
0	-2150	-2149	-1773	-1413	M	G	0.00	0.00	400.00
0	-2149	-2148	-2090	-1773	M	G	0.00	0.00	400.00
0	-2147	-2146	-2088	-1774	M	G	0.00	0.00	400.00
0	-2145	-2144	-1776	-1775	M	G	0.00	0.00	400.00
0	-2144	-2143	-1777	-1776	M	G	0.00	0.00	400.00
0	-2143	-2142	-1778	-1777	M	G	0.00	0.00	400.00
0	-2142	-2141	-1779	-1778	M	G	0.00	0.00	400.00
0	-2141	-2140	-1780	-1779	M	G	0.00	0.00	400.00
0	-2140	-2139	-1781	-1780	M	G	0.00	0.00	400.00
0	-2139	-2138	-1935	-1781	M	G	0.00	0.00	400.00
0	-2137	-2136	431	-1782	M	G	0.00	0.00	400.00
0	-2135	-2134	-1932	-1841	M	G	0.00	0.00	400.00
0	-2133	-2132	-1855	-1854	M	G	0.00	0.00	400.00
0	-2132	-2131	-1860	-1855	M	G	0.00	0.00	400.00
0	-2131	-2130	-1541	-1860	M	G	0.00	0.00	400.00
0	-2130	-2129	-1542	-1541	M	G	0.00	0.00	400.00
0	-2129	-2128	-1543	-1542	M	G	0.00	0.00	400.00
0	-2128	-2127	-1608	-1543	M	G	0.00	0.00	400.00
0	-1835	-1412	-1469	-1468	M	G	0.00	0.00	216.00
0	-1412	-1410	-1470	-1469	M	G	0.00	0.00	216.00
0	-1410	-1411	-1471	-1470	M	G	0.00	0.00	216.00
0	-1411	-1688	-1472	-1471	M	G	0.00	0.00	216.00
0	-1688	-1691	-1473	-1472	M	G	0.00	0.00	216.00
0	-1691	-1692	-1474	-1473	M	G	0.00	0.00	216.00
0	-1692	-1917	-1918	-1474	M	G	0.00	0.00	216.00
0	-1698	-1534	433	-1475	M	G	0.00	0.00	216.00
0	442	-1706	-1783	-1863	M	G	0.00	0.00	216.00
0	-1706	-1945	-1946	-1783	M	G	0.00	0.00	216.00
0	-1707	-1708	-1785	-1784	M	G	0.00	0.00	216.00
0	-1708	-1709	-1786	-1785	M	G	0.00	0.00	216.00
0	-1709	-1710	-1787	-1786	M	G	0.00	0.00	216.00
0	-1710	-1711	-1788	-1787	M	G	0.00	0.00	216.00
0	-1711	-1712	-1789	-1788	M	G	0.00	0.00	216.00
0	-1712	-1713	-1790	-1789	M	G	0.00	0.00	216.00
0	-1713	-2078	-2077	-1790	M	G	0.00	0.00	216.00
0	-1714	-2076	-2075	-1791	M	G	0.00	0.00	216.00
0	-1715	-1849	-1535	-1792	M	G	0.00	0.00	216.00
0	-1849	-1716	-1793	-1535	M	G	0.00	0.00	216.00

0	-1349	-1350	-1562	-1561	M	G	0.00	0.00	216.00
0	-1350	-1351	-1563	-1562	M	G	0.00	0.00	216.00
0	-1351	-1353	-1564	-1563	M	G	0.00	0.00	216.00
0	-1353	-1354	-1611	-1564	M	G	0.00	0.00	216.00
0	-1357	-1358	-1706	442	M	G	0.00	0.00	216.00
0	-1358	-1947	-1945	-1706	M	G	0.00	0.00	216.00
0	-1359	-1360	-1708	-1707	M	G	0.00	0.00	216.00
0	-1360	-1361	-1709	-1708	M	G	0.00	0.00	216.00
0	-1361	-1368	-1710	-1709	M	G	0.00	0.00	216.00
0	-1368	-1369	-1711	-1710	M	G	0.00	0.00	216.00
0	-1369	-1370	-1712	-1711	M	G	0.00	0.00	216.00
0	-1370	-1371	-1713	-1712	M	G	0.00	0.00	216.00
0	-1371	-2074	-2078	-1713	M	G	0.00	0.00	216.00
0	-1372	-2073	-2076	-1714	M	G	0.00	0.00	216.00
0	-1373	-1374	-1849	-1715	M	G	0.00	0.00	216.00
0	-1374	-1375	-1716	-1849	M	G	0.00	0.00	216.00
0	-1375	-2072	-2070	-1716	M	G	0.00	0.00	216.00
0	-1376	-2068	-2066	-1717	M	G	0.00	0.00	216.00
0	-1377	-1378	-1719	-1718	M	G	0.00	0.00	216.00
0	-1378	-1379	-1720	-1719	M	G	0.00	0.00	216.00
0	-1379	-1380	-1721	-1720	M	G	0.00	0.00	216.00
0	-1380	-1381	-1722	-1721	M	G	0.00	0.00	216.00
0	-1381	-1382	-1723	-1722	M	G	0.00	0.00	216.00
0	-1382	-1383	-1724	-1723	M	G	0.00	0.00	216.00
0	-1383	-1919	-1920	-1724	M	G	0.00	0.00	216.00
0	-1384	-1385	440	-1725	M	G	0.00	0.00	216.00
0	-1571	-1612	-2174	-2175	M	G	0.00	0.00	400.00
0	-1570	-1571	-2175	-2176	M	G	0.00	0.00	400.00
0	-1569	-1570	-2176	-2177	M	G	0.00	0.00	400.00
0	-2071	-1548	-1981	-1980	M	G	0.00	0.00	400.00
0	-1546	-2071	-1980	-1979	M	G	0.00	0.00	400.00
0	-1566	-1567	-2178	-2179	M	G	0.00	0.00	400.00
0	-1565	-1921	-2180	-2181	M	G	0.00	0.00	400.00
0	-1510	-1509	-1612	-1571	M	G	0.00	0.00	216.00
0	-1511	-1510	-1571	-1570	M	G	0.00	0.00	216.00
0	-1716	-2070	-2064	-1793	M	G	0.00	0.00	216.00
0	-1717	-2066	-2062	-1794	M	G	0.00	0.00	216.00
0	-1718	-1719	-1796	-1795	M	G	0.00	0.00	216.00
0	-1719	-1720	-1797	-1796	M	G	0.00	0.00	216.00
0	-1720	-1721	-1798	-1797	M	G	0.00	0.00	216.00
0	-1721	-1722	-1799	-1798	M	G	0.00	0.00	216.00
0	-1722	-1723	-1800	-1799	M	G	0.00	0.00	216.00
0	-1723	-1724	-1801	-1800	M	G	0.00	0.00	216.00
0	-1724	-1920	-1923	-1801	M	G	0.00	0.00	216.00
0	-1725	440	-1531	-1802	M	G	0.00	0.00	216.00
0	-1838	-1536	-1385	-1384	M	G	0.00	0.00	216.00
0	-1837	-1924	-1919	-1383	M	G	0.00	0.00	216.00
0	-1853	-1837	-1383	-1382	M	G	0.00	0.00	216.00
0	-1852	-1853	-1382	-1381	M	G	0.00	0.00	216.00
0	-1851	-1852	-1381	-1380	M	G	0.00	0.00	216.00
0	-1686	-1746	-1994	-1992	M	G	0.00	0.00	400.00
0	-1746	-1957	-2016	-1994	M	G	0.00	0.00	400.00
0	-1957	-1747	-1995	-2016	M	G	0.00	0.00	400.00
0	-1747	-1748	-1996	-1995	M	G	0.00	0.00	400.00
0	-1748	-1749	-1997	-1996	M	G	0.00	0.00	400.00
0	-1729	-1730	-2214	-2198	M	G	0.00	0.00	400.00
0	-1730	-1731	-2197	-2214	M	G	0.00	0.00	400.00
0	-1750	-1751	-2000	-1999	M	G	0.00	0.00	400.00
0	-1751	-1752	-2001	-2000	M	G	0.00	0.00	400.00
0	-1752	-2119	-2120	-2001	M	G	0.00	0.00	400.00
0	-1734	-2113	-2215	-2216	M	G	0.00	0.00	400.00
0	-1735	-1847	-2193	-2217	M	G	0.00	0.00	400.00
0	-1689	-1754	-2004	-1993	M	G	0.00	0.00	400.00
0	-1754	-2116	-2121	-2004	M	G	0.00	0.00	400.00
0	-1755	-2115	-2122	-2005	M	G	0.00	0.00	400.00
0	-1756	-1757	-2007	-2006	M	G	0.00	0.00	400.00
0	-1739	-1740	-2218	-2187	M	G	0.00	0.00	400.00
0	-1740	-1741	-2186	-2218	M	G	0.00	0.00	400.00
0	-1758	-1759	-2010	-2009	M	G	0.00	0.00	400.00
0	-1759	-1760	-2011	-2010	M	G	0.00	0.00	400.00
0	-1760	-1761	-2012	-2011	M	G	0.00	0.00	400.00
0	-1761	-1942	-2015	-2012	M	G	0.00	0.00	400.00
0	-1941	-1745	-2219	-2182	M	G	0.00	0.00	400.00
0	-1745	432	-2203	-2219	M	G	0.00	0.00	400.00
0	-1540	-1544	-1977	-1976	M	G	0.00	0.00	400.00
0	-1544	-1922	-2014	-1977	M	G	0.00	0.00	400.00
0	-1922	-1545	-1978	-2014	M	G	0.00	0.00	400.00
0	-1545	-1546	-1979	-1978	M	G	0.00	0.00	400.00
0	-1567	-1568	-2220	-2178	M	G	0.00	0.00	400.00

0	-1568	-1569	-2177	-2220	M	G	0.00	0.00	400.00
0	-1548	-1549	-1982	-1981	M	G	0.00	0.00	400.00
0	-1549	-1550	-1983	-1982	M	G	0.00	0.00	400.00
0	-1550	-1609	-1984	-1983	M	G	0.00	0.00	400.00
0	-1425	-1675	-1985	-1975	M	G	0.00	0.00	400.00
0	-1675	-1676	-1986	-1985	M	G	0.00	0.00	400.00
0	-1676	-1677	-1987	-1986	M	G	0.00	0.00	400.00
0	-1677	-1678	-1988	-1987	M	G	0.00	0.00	400.00
0	-1678	-1679	-1989	-1988	M	G	0.00	0.00	400.00
0	-1679	-1680	-1990	-1989	M	G	0.00	0.00	400.00
0	-1680	-1964	-2017	-1990	M	G	0.00	0.00	400.00
0	-1964	-1681	-1991	-2017	M	G	0.00	0.00	400.00
0	-1681	-1686	-1992	-1991	M	G	0.00	0.00	400.00
0	-2018	-2029	-1619	-1417	M	G	0.00	0.00	400.00
0	-2029	-2030	-1620	-1619	M	G	0.00	0.00	400.00
0	-2030	-2031	-1621	-1620	M	G	0.00	0.00	400.00
0	-2031	-2032	-1622	-1621	M	G	0.00	0.00	400.00
0	-2032	-2033	-1623	-1622	M	G	0.00	0.00	400.00
0	-2033	-2034	-1624	-1623	M	G	0.00	0.00	400.00
0	-2034	-2060	-1961	-1624	M	G	0.00	0.00	400.00
0	-2060	-2035	-1625	-1961	M	G	0.00	0.00	400.00
0	-2035	-2036	-1687	-1625	M	G	0.00	0.00	400.00
0	-2037	-2059	-1950	-1803	M	G	0.00	0.00	400.00
0	-2059	-2038	-1804	-1950	M	G	0.00	0.00	400.00
0	-2038	-2039	-1805	-1804	M	G	0.00	0.00	400.00
0	-2039	-2040	-1806	-1805	M	G	0.00	0.00	400.00
0	-2040	-2041	-1807	-1806	M	G	0.00	0.00	400.00
0	-2041	-2042	-1808	-1807	M	G	0.00	0.00	400.00
0	-2042	-2043	-1809	-1808	M	G	0.00	0.00	400.00
0	-2043	-2044	-1810	-1809	M	G	0.00	0.00	400.00
0	-2044	-2123	-2093	-1810	M	G	0.00	0.00	400.00
0	-2045	-2124	-2091	-1811	M	G	0.00	0.00	400.00
0	-2046	-2019	-1533	-1812	M	G	0.00	0.00	400.00
0	-2019	-2047	-1813	-1533	M	G	0.00	0.00	400.00
0	-2047	-2125	-2089	-1813	M	G	0.00	0.00	400.00
0	-2048	-2126	-2087	-1814	M	G	0.00	0.00	400.00
0	-2049	-2050	-1816	-1815	M	G	0.00	0.00	400.00
0	-2050	-2051	-1817	-1816	M	G	0.00	0.00	400.00
0	-2051	-2052	-1818	-1817	M	G	0.00	0.00	400.00
0	-2052	-2053	-1819	-1818	M	G	0.00	0.00	400.00
0	-2053	-2054	-1820	-1819	M	G	0.00	0.00	400.00
0	-2054	-2055	-1821	-1820	M	G	0.00	0.00	400.00
0	-2055	-2058	-1934	-1821	M	G	0.00	0.00	400.00
0	-2058	-2056	-1822	-1934	M	G	0.00	0.00	400.00
0	-2056	-2020	-1539	-1822	M	G	0.00	0.00	400.00
0	-2021	-2057	-1933	-1600	M	G	0.00	0.00	400.00
0	-2057	-2022	-1601	-1933	M	G	0.00	0.00	400.00
0	-2022	-2023	-1602	-1601	M	G	0.00	0.00	400.00
0	-2023	-2024	-1603	-1602	M	G	0.00	0.00	400.00
0	-2024	-2025	-1604	-1603	M	G	0.00	0.00	400.00
0	-2025	-2026	-1605	-1604	M	G	0.00	0.00	400.00
0	-2026	-2027	-1606	-1605	M	G	0.00	0.00	400.00
0	-2027	-2028	-1617	-1606	M	G	0.00	0.00	400.00
0	-2074	-1372	-1714	-2078	M	G	0.00	0.00	216.00
0	-2073	-1373	-1715	-2076	M	G	0.00	0.00	216.00
0	-2072	-1376	-1717	-2070	M	G	0.00	0.00	216.00
0	-2068	-1377	-1718	-2066	M	G	0.00	0.00	216.00
0	-2070	-1717	-1794	-2064	M	G	0.00	0.00	216.00
0	-2066	-1718	-1795	-2062	M	G	0.00	0.00	216.00
0	-2061	-1695	-1377	-2068	M	G	0.00	0.00	216.00
0	-2084	-1694	-1376	-2072	M	G	0.00	0.00	216.00
0	-2085	-1866	-1373	-2073	M	G	0.00	0.00	216.00
0	-2086	-1865	-1372	-2074	M	G	0.00	0.00	216.00
0	-2087	-1815	-2145	-2146	M	G	0.00	0.00	400.00
0	-2089	-1814	-2147	-2148	M	G	0.00	0.00	400.00
0	-2091	-1812	-2151	-2152	M	G	0.00	0.00	400.00
0	-2093	-1811	-2153	-2154	M	G	0.00	0.00	400.00
0	-2088	-1775	-1394	-2095	M	G	0.00	0.00	216.00
0	-2090	-1774	-1395	-2096	M	G	0.00	0.00	216.00
0	-2092	-1772	-1397	-2097	M	G	0.00	0.00	216.00
0	-2094	-1771	-1398	-2098	M	G	0.00	0.00	216.00
0	-2095	-1394	-1695	-2061	M	G	0.00	0.00	216.00
0	-2096	-1395	-1694	-2084	M	G	0.00	0.00	216.00
0	-2097	-1397	-1866	-2085	M	G	0.00	0.00	216.00
0	-2098	-1398	-1865	-2086	M	G	0.00	0.00	216.00
0	-2099	-1436	-1831	-1699	M	G	0.00	0.00	216.00
0	-2100	-1438	-1832	-1547	M	G	0.00	0.00	216.00
0	-2101	-1441	-1834	-2082	M	G	0.00	0.00	216.00
0	-2102	-1442	-1835	-2080	M	G	0.00	0.00	216.00

0	-1762	-1464	-1882	-1974	M	G	0.00	0.00	216.00
0	-2083	-1465	-1883	-1911	M	G	0.00	0.00	216.00
0	-2081	-1467	-1886	-2103	M	G	0.00	0.00	216.00
0	-2079	-1468	-1887	-2104	M	G	0.00	0.00	216.00
0	-2077	-1791	-1436	-2099	M	G	0.00	0.00	216.00
0	-2075	-1792	-1438	-2100	M	G	0.00	0.00	216.00
0	-2064	-1794	-1441	-2101	M	G	0.00	0.00	216.00
0	-2062	-1795	-1442	-2102	M	G	0.00	0.00	216.00
0	-2105	-1496	-1488	-2106	M	G	0.00	0.00	216.00
0	-2107	-1495	-1489	-2108	M	G	0.00	0.00	216.00
0	-1912	-1493	-1499	-2109	M	G	0.00	0.00	216.00
0	-1973	-1492	-1500	-2110	M	G	0.00	0.00	216.00
0	-2106	-1488	-1738	-2111	M	G	0.00	0.00	216.00
0	-2108	-1489	-1737	-2112	M	G	0.00	0.00	216.00
0	-2109	-1499	-1735	-2113	M	G	0.00	0.00	216.00
0	-2110	-1500	-1734	-2114	M	G	0.00	0.00	216.00
0	-2111	-1738	-2188	-2189	M	G	0.00	0.00	400.00
0	-2112	-1737	-2190	-2191	M	G	0.00	0.00	400.00
0	-2117	-2065	-2003	-2118	M	G	0.00	0.00	400.00
0	-2114	-1734	-2216	-2194	M	G	0.00	0.00	400.00
0	-2103	-1886	-1495	-2107	M	G	0.00	0.00	216.00
0	-2104	-1887	-1496	-2105	M	G	0.00	0.00	216.00
0	-2119	-1753	-2002	-2120	M	G	0.00	0.00	400.00
0	-2113	-1735	-2217	-2215	M	G	0.00	0.00	400.00
0	-2116	-1755	-2005	-2121	M	G	0.00	0.00	400.00
0	-2115	-1756	-2006	-2122	M	G	0.00	0.00	400.00
0	-2123	-2045	-1811	-2093	M	G	0.00	0.00	400.00
0	-2124	-2046	-1812	-2091	M	G	0.00	0.00	400.00
0	-2125	-2048	-1814	-2089	M	G	0.00	0.00	400.00
0	-2126	-2049	-1815	-2087	M	G	0.00	0.00	400.00

Elenco carichi elementi bidimensionali
Condizione di carico n. 2: G2 + terreno
Carichi idrostatici

Simbologia

Bid. = Numero del muro/elemento bidimensionale
N1 = Nodo1
N2 = Nodo2
N3 = Nodo3
N4 = Nodo4
Zi = Coordinata Z globale d'inizio carico
QYi = Componente iniziale del carico in direzione Y locale dell'elemento bidimensionale
MY = Coordinata Z globale di fine carico
QYf = Componente finale del carico in direzione Y locale dell'elemento bidimensionale

Bid.	N1	N2	N3	N4	Zi <m>	QYi <daN/m>	MY <m>	QYf <daN/m>
106	-203	-191	-255	-257	3.20	0.00	0.00	-2814.44
106	-237	-235	-273	-275	3.20	0.00	0.00	-2814.44
106	-255	-253	-291	-293	3.20	0.00	0.00	-2814.44
106	-155	-143	-247	-249	3.20	0.00	0.00	-2814.44
106	-249	-247	-285	-287	3.20	0.00	0.00	-2814.44
106	-243	-241	-279	-281	3.20	0.00	0.00	-2814.44
106	-229	-227	-265	-267	3.20	0.00	0.00	-2814.44
106	-325	-323	-361	-363	3.20	0.00	0.00	-2814.44
106	-121	22	-241	-243	3.20	0.00	0.00	-2814.44
106	-301	-299	-337	-339	3.20	0.00	0.00	-2814.44
106	-319	-317	-355	-357	3.20	0.00	0.00	-2814.44
106	-315	-313	-351	-353	3.20	0.00	0.00	-2814.44
106	-313	-311	-349	-351	3.20	0.00	0.00	-2814.44
106	-41	-29	-227	-229	3.20	0.00	0.00	-2814.44
106	24	-121	-243	-245	3.20	0.00	0.00	-2814.44
106	20	-77	-235	-237	3.20	0.00	0.00	-2814.44
106	-191	-179	-253	-255	3.20	0.00	0.00	-2814.44
106	-29	-17	-225	-227	3.20	0.00	0.00	-2814.44
106	-271	-269	-307	-309	3.20	0.00	0.00	-2814.44
106	-253	-251	-289	-291	3.20	0.00	0.00	-2814.44
106	-251	-249	-287	-289	3.20	0.00	0.00	-2814.44
106	-241	-239	-277	-279	3.20	0.00	0.00	-2814.44
106	-259	-257	-295	-297	3.20	0.00	0.00	-2814.44
106	-231	-229	-267	-269	3.20	0.00	0.00	-2814.44
106	-335	-333	-371	-373	3.20	0.00	0.00	-2814.44
106	-287	-285	-323	-325	3.20	0.00	0.00	-2814.44
106	-281	-279	-317	-319	3.20	0.00	0.00	-2814.44
106	-17	-5	-223	-225	3.20	0.00	0.00	-2814.44
106	-293	-291	-329	-331	3.20	0.00	0.00	-2814.44
106	-269	-267	-305	-307	3.20	0.00	0.00	-2814.44

Bid.	N1	N2	N3	N4	Zi <m>	QYi <daN/m>	MY <m>	QYf <daN/m>
106	-179	-167	-251	-253	3.20	0.00	0.00	-2814.44
106	-333	-331	-369	-371	3.20	0.00	0.00	-2814.44
106	-329	-327	-365	-367	3.20	0.00	0.00	-2814.44
106	-143	24	-245	-247	3.20	0.00	0.00	-2814.44
106	-247	-245	-283	-285	3.20	0.00	0.00	-2814.44
106	-239	-237	-275	-277	3.20	0.00	0.00	-2814.44
106	-235	-233	-271	-273	3.20	0.00	0.00	-2814.44
106	-323	-321	-359	-361	3.20	0.00	0.00	-2814.44
106	-295	-293	-331	-333	3.20	0.00	0.00	-2814.44
106	-311	-309	-347	-349	3.20	0.00	0.00	-2814.44
106	-257	-255	-293	-295	3.20	0.00	0.00	-2814.44
106	-327	-325	-363	-365	3.20	0.00	0.00	-2814.44
106	-307	-305	-343	-345	3.20	0.00	0.00	-2814.44
106	-167	-155	-249	-251	3.20	0.00	0.00	-2814.44
106	22	-99	-239	-241	3.20	0.00	0.00	-2814.44
106	-215	-203	-257	-259	3.20	0.00	0.00	-2814.44
106	-53	-41	-229	-231	3.20	0.00	0.00	-2814.44
106	-317	-315	-353	-355	3.20	0.00	0.00	-2814.44
106	-227	-225	-263	-265	3.20	0.00	0.00	-2814.44
106	-303	-301	-339	-341	3.20	0.00	0.00	-2814.44
106	-245	-243	-281	-283	3.20	0.00	0.00	-2814.44
106	-321	-319	-357	-359	3.20	0.00	0.00	-2814.44
106	-225	-223	-261	-263	3.20	0.00	0.00	-2814.44
106	-331	-329	-367	-369	3.20	0.00	0.00	-2814.44
106	-265	-263	-301	-303	3.20	0.00	0.00	-2814.44
106	-285	-283	-321	-323	3.20	0.00	0.00	-2814.44
106	-277	-275	-313	-315	3.20	0.00	0.00	-2814.44
106	-233	-231	-269	-271	3.20	0.00	0.00	-2814.44
106	-297	-295	-333	-335	3.20	0.00	0.00	-2814.44
106	-275	-273	-311	-313	3.20	0.00	0.00	-2814.44

106	-291	-289	-327	-329	3.20	0.00	0.00	-2814.44
106	-283	-281	-319	-321	3.20	0.00	0.00	-2814.44
106	-267	-265	-303	-305	3.20	0.00	0.00	-2814.44
106	-309	-307	-345	-347	3.20	0.00	0.00	-2814.44
106	-77	-65	-233	-235	3.20	0.00	0.00	-2814.44
106	-273	-271	-309	-311	3.20	0.00	0.00	-2814.44
107	-316	-314	-352	-354	3.20	0.00	0.00	2814.44
107	-328	-326	-364	-366	3.20	0.00	0.00	2814.44
107	-228	-226	-264	-266	3.20	0.00	0.00	2814.44
107	-314	-312	-350	-352	3.20	0.00	0.00	2814.44
107	-308	-306	-344	-346	3.20	0.00	0.00	2814.44
107	-304	-302	-340	-342	3.20	0.00	0.00	2814.44
107	-234	-232	-270	-272	3.20	0.00	0.00	2814.44
107	-286	-284	-322	-324	3.20	0.00	0.00	2814.44
107	-290	-288	-326	-328	3.20	0.00	0.00	2814.44
107	-318	-316	-354	-356	3.20	0.00	0.00	2814.44
107	-256	-254	-292	-294	3.20	0.00	0.00	2814.44
107	-272	-270	-308	-310	3.20	0.00	0.00	2814.44
107	-182	-170	-252	-254	3.20	0.00	0.00	2814.44
107	-102	21	-238	-240	3.20	0.00	0.00	2814.44
107	-32	-20	-226	-228	3.20	0.00	0.00	2814.44
107	-146	25	-246	-248	3.20	0.00	0.00	2814.44
107	-336	-334	-372	-374	3.20	0.00	0.00	2814.44
107	-242	-240	-278	-280	3.20	0.00	0.00	2814.44
107	-268	-266	-304	-306	3.20	0.00	0.00	2814.44
107	-248	-246	-284	-286	3.20	0.00	0.00	2814.44
107	-20	-8	-224	-226	3.20	0.00	0.00	2814.44
107	-124	23	-242	-244	3.20	0.00	0.00	2814.44
107	21	-80	-236	-238	3.20	0.00	0.00	2814.44
107	-194	-182	-254	-256	3.20	0.00	0.00	2814.44
107	-278	-276	-314	-316	3.20	0.00	0.00	2814.44
107	-332	-330	-368	-370	3.20	0.00	0.00	2814.44
107	25	-124	-244	-246	3.20	0.00	0.00	2814.44
107	-294	-292	-330	-332	3.20	0.00	0.00	2814.44
107	-244	-242	-280	-282	3.20	0.00	0.00	2814.44
107	-254	-252	-290	-292	3.20	0.00	0.00	2814.44
107	-284	-282	-320	-322	3.20	0.00	0.00	2814.44
107	-324	-322	-360	-362	3.20	0.00	0.00	2814.44
107	-306	-304	-342	-344	3.20	0.00	0.00	2814.44
107	-266	-264	-302	-304	3.20	0.00	0.00	2814.44
107	-240	-238	-276	-278	3.20	0.00	0.00	2814.44
107	-296	-294	-332	-334	3.20	0.00	0.00	2814.44
206	-339	-337	-385	-387	3.20	0.00	0.00	-2814.44
206	-345	-343	-391	-393	3.20	0.00	0.00	-2814.44
206	-391	-389	-425	-427	3.20	0.00	0.00	-2814.44
206	-387	-385	-421	-423	3.20	0.00	0.00	-2814.44
206	-397	-395	-431	-433	3.20	0.00	0.00	-2814.44
206	-341	-339	-387	-389	3.20	0.00	0.00	-2814.44
206	-343	-341	-389	-391	3.20	0.00	0.00	-2814.44
207	-367	-365	-411	-413	3.20	0.00	0.00	-2814.44
207	-363	-361	-407	-409	3.20	0.00	0.00	-2814.44
207	-371	-369	-415	-417	3.20	0.00	0.00	-2814.44
207	-411	-409	-447	-449	3.20	0.00	0.00	-2814.44
207	-417	-415	-453	-455	3.20	0.00	0.00	-2814.44
207	-361	-359	-405	-407	3.20	0.00	0.00	-2814.44
207	-405	-403	-441	-443	3.20	0.00	0.00	-2814.44
207	-373	-371	-417	-419	3.20	0.00	0.00	-2814.44
208	-374	-372	-418	-420	3.20	0.00	0.00	2814.44
208	-418	-416	-454	-456	3.20	0.00	0.00	2814.44
208	-420	-418	-456	-458	3.20	0.00	0.00	2814.44
208	-362	-360	-406	-408	3.20	0.00	0.00	2814.44
208	-412	-410	-448	-450	3.20	0.00	0.00	2814.44
208	-414	-412	-450	-452	3.20	0.00	0.00	2814.44
208	-364	-362	-408	-410	3.20	0.00	0.00	2814.44
208	-366	-364	-410	-412	3.20	0.00	0.00	2814.44
209	-390	-388	-424	-426	3.20	0.00	0.00	2814.44
209	-392	-390	-426	-428	3.20	0.00	0.00	2814.44
209	-398	-396	-432	-434	3.20	0.00	0.00	2814.44
209	-400	-398	-434	-436	3.20	0.00	0.00	2814.44
209	-344	-342	-390	-392	3.20	0.00	0.00	2814.44
209	-394	-392	-428	-430	3.20	0.00	0.00	2814.44
209	-396	-394	-430	-432	3.20	0.00	0.00	2814.44
306	-467	-465	-503	-505	3.20	0.00	0.00	-2814.44
306	-501	-499	-537	301	3.20	0.00	0.00	-2814.44
306	-469	-467	-505	-507	3.20	0.00	0.00	-2814.44
306	-507	-505	-661	-704	3.20	0.00	0.00	-2814.44
306	-481	-479	-517	-519	3.20	0.00	0.00	-2814.44
306	-433	-431	-469	-471	3.20	0.00	0.00	-2814.44
306	-473	-471	-509	-511	3.20	0.00	0.00	-2814.44

106	-289	-287	-325	-327	3.20	0.00	0.00	-2814.44
106	-99	20	-237	-239	3.20	0.00	0.00	-2814.44
106	-279	-277	-315	-317	3.20	0.00	0.00	-2814.44
106	-305	-303	-341	-343	3.20	0.00	0.00	-2814.44
106	-263	-261	-299	-301	3.20	0.00	0.00	-2814.44
106	-65	-53	-231	-233	3.20	0.00	0.00	-2814.44
107	-330	-328	-366	-368	3.20	0.00	0.00	2814.44
107	-236	-234	-272	-274	3.20	0.00	0.00	2814.44
107	-230	-228	-266	-268	3.20	0.00	0.00	2814.44
107	-158	-146	-248	-250	3.20	0.00	0.00	2814.44
107	-334	-332	-370	-372	3.20	0.00	0.00	2814.44
107	-288	-286	-324	-326	3.20	0.00	0.00	2814.44
107	-282	-280	-318	-320	3.20	0.00	0.00	2814.44
107	-322	-320	-358	-360	3.20	0.00	0.00	2814.44
107	-264	-262	-300	-302	3.20	0.00	0.00	2814.44
107	-326	-324	-362	-364	3.20	0.00	0.00	2814.44
107	-260	-258	-296	-298	3.20	0.00	0.00	2814.44
107	-312	-310	-348	-350	3.20	0.00	0.00	2814.44
107	-320	-318	-356	-358	3.20	0.00	0.00	2814.44
107	-232	-230	-268	-270	3.20	0.00	0.00	2814.44
107	-280	-278	-316	-318	3.20	0.00	0.00	2814.44
107	-292	-290	-328	-330	3.20	0.00	0.00	2814.44
107	-270	-268	-306	-308	3.20	0.00	0.00	2814.44
107	-206	-194	-256	-258	3.20	0.00	0.00	2814.44
107	-274	-272	-310	-312	3.20	0.00	0.00	2814.44
107	-250	-248	-286	-288	3.20	0.00	0.00	2814.44
107	-252	-250	-288	-290	3.20	0.00	0.00	2814.44
107	-302	-300	-338	-340	3.20	0.00	0.00	2814.44
107	-310	-308	-346	-348	3.20	0.00	0.00	2814.44
107	-56	-44	-230	-232	3.20	0.00	0.00	2814.44
107	-68	-56	-232	-234	3.20	0.00	0.00	2814.44
107	-170	-158	-250	-252	3.20	0.00	0.00	2814.44
107	23	-102	-240	-242	3.20	0.00	0.00	2814.44
107	-218	-206	-258	-260	3.20	0.00	0.00	2814.44
107	-246	-244	-282	-284	3.20	0.00	0.00	2814.44
107	-276	-274	-312	-314	3.20	0.00	0.00	2814.44
107	-238	-236	-274	-276	3.20	0.00	0.00	2814.44
107	-258	-256	-294	-296	3.20	0.00	0.00	2814.44
107	-80	-68	-234	-236	3.20	0.00	0.00	2814.44
107	-226	-224	-262	-264	3.20	0.00	0.00	2814.44
107	-44	-32	-228	-230	3.20	0.00	0.00	2814.44
107	-298	-296	-334	-336	3.20	0.00	0.00	2814.44
206	-389	-387	-423	-425	3.20	0.00	0.00	-2814.44
206	-393	-391	-427	-429	3.20	0.00	0.00	-2814.44
206	-399	-397	-433	-435	3.20	0.00	0.00	-2814.44
206	-395	-393	-429	-431	3.20	0.00	0.00	-2814.44
206	-351	-349	-397	-399	3.20	0.00	0.00	-2814.44
206	-349	-347	-395	-397	3.20	0.00	0.00	-2814.44
206	-347	-345	-393	-395	3.20	0.00	0.00	-2814.44
207	-409	-407	-445	-447	3.20	0.00	0.00	-2814.44
207	-419	-417	-455	-457	3.20	0.00	0.00	-2814.44
207	-369	-367	-413	-415	3.20	0.00	0.00	-2814.44
207	-365	-363	-409	-411	3.20	0.00	0.00	-2814.44
207	-413	-411	-449	-451	3.20	0.00	0.00	-2814.44
207	-359	-357	-403	-405	3.20	0.00	0.00	-2814.44
207	-407	-405	-443	-445	3.20	0.00	0.00	-2814.44
207	-415	-413	-451	-453	3.20	0.00	0.00	-2814.44
208	-406	-404	-442	-444	3.20	0.00	0.00	2814.44
208	-372	-370	-416	-418	3.20	0.00	0.00	2814.44
208	-416	-414	-452	-454	3.20	0.00	0.00	2814.44
208	-360	-358	-404	-406	3.20	0.00	0.00	2814.44
208	-410	-408	-446	-448	3.20	0.00	0.00	2814.44
208	-408	-406	-444	-446	3.20	0.00	0.00	2814.44
208	-370	-368	-414	-416	3.20	0.00	0.00	2814.44
208	-368	-366	-412	-414	3.20	0.00	0.00	2814.44
209	-352	-350	-398	-400	3.20	0.00	0.00	2814.44
209	-350	-348	-396	-398	3.20	0.00	0.00	2814.44
209	-342	-340	-388	-390	3.20	0.00	0.00	2814.44
209	-348	-346	-394	-396	3.20	0.00	0.00	2814.44
209	-340	-338	-386	-388	3.20	0.00	0.00	2814.44
209	-388	-386	-422	-424	3.20	0.00	0.00	2814.44
209	-346	-344	-392	-394	3.20	0.00	0.00	2814.44
306	-517	-515	-882	-925	3.20	0.00	0.00	-2814.44
306	-463	-461	-499	-501	3.20	0.00	0.00	-2814.44
306	-533	-531	-1225	-1270	3.20	0.00	0.00	-2814.44
306	-443	-441	-479	-481	3.20	0.00	0.00	-2814.44
306	-487	-485	-523	-525	3.20	0.00	0.00	-2814.44
306	-499	-497	-535	-537	3.20	0.00	0.00	-2814.44
306	-477	-475	-513	-515	3.20	0.00	0.00	-2814.44

306	-491	-489	-527	-529	3.20	0.00	0.00	-2814.44
306	-485	-483	-521	-523	3.20	0.00	0.00	-2814.44
306	-423	-421	-459	-461	3.20	0.00	0.00	-2814.44
306	-455	-453	-491	-493	3.20	0.00	0.00	-2814.44
306	-451	-449	-487	-489	3.20	0.00	0.00	-2814.44
306	-431	-429	-467	-469	3.20	0.00	0.00	-2814.44
306	-515	-513	-837	-882	3.20	0.00	0.00	-2814.44
306	-513	-511	-794	-837	3.20	0.00	0.00	-2814.44
306	-529	-527	-1146	320	3.20	0.00	0.00	-2814.44
306	-525	-523	-1058	-1103	3.20	0.00	0.00	-2814.44
306	-495	-493	-531	-533	3.20	0.00	0.00	-2814.44
306	-471	-469	-507	-509	3.20	0.00	0.00	-2814.44
306	-441	-439	-477	-479	3.20	0.00	0.00	-2814.44
306	-475	-473	-511	-513	3.20	0.00	0.00	-2814.44
306	-461	-459	-497	-499	3.20	0.00	0.00	-2814.44
306	-519	-517	-925	-970	3.20	0.00	0.00	-2814.44
306	-483	-481	-519	-521	3.20	0.00	0.00	-2814.44
306	-505	-503	-618	-661	3.20	0.00	0.00	-2814.44
306	-445	-443	-481	-483	3.20	0.00	0.00	-2814.44
306	-435	-433	-471	-473	3.20	0.00	0.00	-2814.44
307	-486	-484	-522	-524	3.20	0.00	0.00	2814.44
307	-516	-514	-881	-924	3.20	0.00	0.00	2814.44
307	-532	-530	328	-1269	3.20	0.00	0.00	2814.44
307	-434	-432	-470	-472	3.20	0.00	0.00	2814.44
307	-512	-510	-793	-836	3.20	0.00	0.00	2814.44
307	-526	-524	-1102	-1145	3.20	0.00	0.00	2814.44
307	-518	-516	-924	-969	3.20	0.00	0.00	2814.44
307	-500	-498	-536	-581	3.20	0.00	0.00	2814.44
307	-514	-512	-836	-881	3.20	0.00	0.00	2814.44
307	-534	-532	-1269	-1271	3.20	0.00	0.00	2814.44
307	-426	-424	-462	-464	3.20	0.00	0.00	2814.44
307	-484	-482	-520	-522	3.20	0.00	0.00	2814.44
307	-472	-470	-508	-510	3.20	0.00	0.00	2814.44
307	-456	-454	-492	-494	3.20	0.00	0.00	2814.44
307	-480	-478	-516	-518	3.20	0.00	0.00	2814.44
307	-530	-528	-1188	328	3.20	0.00	0.00	2814.44
307	-482	-480	-518	-520	3.20	0.00	0.00	2814.44
307	-466	-464	-502	-504	3.20	0.00	0.00	2814.44
307	-496	-494	-532	-534	3.20	0.00	0.00	2814.44
307	-424	-422	-460	-462	3.20	0.00	0.00	2814.44
307	-430	-428	-466	-468	3.20	0.00	0.00	2814.44
307	-428	-426	-464	-466	3.20	0.00	0.00	2814.44
307	-448	-446	-484	-486	3.20	0.00	0.00	2814.44
307	-444	-442	-480	-482	3.20	0.00	0.00	2814.44
307	-436	-434	-472	-474	3.20	0.00	0.00	2814.44
307	-494	-492	-530	-532	3.20	0.00	0.00	2814.44
307	-452	-450	-488	-490	3.20	0.00	0.00	2814.44

306	-509	-507	-704	-749	3.20	0.00	0.00	-2814.44
306	-427	-425	-463	-465	3.20	0.00	0.00	-2814.44
306	-489	-487	-525	-527	3.20	0.00	0.00	-2814.44
306	-437	-435	-473	-475	3.20	0.00	0.00	-2814.44
306	-425	-423	-461	-463	3.20	0.00	0.00	-2814.44
306	-511	-509	-749	-794	3.20	0.00	0.00	-2814.44
306	-521	-519	-970	-1013	3.20	0.00	0.00	-2814.44
306	-439	-437	-475	-477	3.20	0.00	0.00	-2814.44
306	-447	-445	-483	-485	3.20	0.00	0.00	-2814.44
306	-457	-455	-493	-495	3.20	0.00	0.00	-2814.44
306	-531	-529	320	-1225	3.20	0.00	0.00	-2814.44
306	-449	-447	-485	-487	3.20	0.00	0.00	-2814.44
306	-503	-501	301	-618	3.20	0.00	0.00	-2814.44
306	-453	-451	-489	-491	3.20	0.00	0.00	-2814.44
306	-479	-477	-515	-517	3.20	0.00	0.00	-2814.44
306	-523	-521	-1013	-1058	3.20	0.00	0.00	-2814.44
306	-527	-525	-1103	-1146	3.20	0.00	0.00	-2814.44
306	-465	-463	-501	-503	3.20	0.00	0.00	-2814.44
306	-429	-427	-465	-467	3.20	0.00	0.00	-2814.44
306	-493	-491	-529	-531	3.20	0.00	0.00	-2814.44
307	-510	-508	-748	-793	3.20	0.00	0.00	2814.44
307	-506	-504	-660	-703	3.20	0.00	0.00	2814.44
307	-502	-500	-581	309	3.20	0.00	0.00	2814.44
307	-440	-438	-476	-478	3.20	0.00	0.00	2814.44
307	-476	-474	-512	-514	3.20	0.00	0.00	2814.44
307	-446	-444	-482	-484	3.20	0.00	0.00	2814.44
307	-508	-506	-703	-748	3.20	0.00	0.00	2814.44
307	-478	-476	-514	-516	3.20	0.00	0.00	2814.44
307	-490	-488	-526	-528	3.20	0.00	0.00	2814.44
307	-442	-440	-478	-480	3.20	0.00	0.00	2814.44
307	-528	-526	-1145	-1188	3.20	0.00	0.00	2814.44
307	-488	-486	-524	-526	3.20	0.00	0.00	2814.44
307	-432	-430	-468	-470	3.20	0.00	0.00	2814.44
307	-464	-462	-500	-502	3.20	0.00	0.00	2814.44
307	-504	-502	309	-660	3.20	0.00	0.00	2814.44
307	-454	-452	-490	-492	3.20	0.00	0.00	2814.44
307	-458	-456	-494	-496	3.20	0.00	0.00	2814.44
307	-474	-472	-510	-512	3.20	0.00	0.00	2814.44
307	-492	-490	-528	-530	3.20	0.00	0.00	2814.44
307	-522	-520	-1012	-1057	3.20	0.00	0.00	2814.44
307	-468	-466	-504	-506	3.20	0.00	0.00	2814.44
307	-524	-522	-1057	-1102	3.20	0.00	0.00	2814.44
307	-462	-460	-498	-500	3.20	0.00	0.00	2814.44
307	-450	-448	-486	-488	3.20	0.00	0.00	2814.44
307	-470	-468	-506	-508	3.20	0.00	0.00	2814.44
307	-520	-518	-969	-1012	3.20	0.00	0.00	2814.44
307	-438	-436	-474	-476	3.20	0.00	0.00	2814.44

Elenco carichi elementi bidimensionali
Condizione di carico n. 3: Schema 1 q1tandem mezz
Carichi uniformi

Bid.	N1	N2	N3	N4	T	DC	Qx <daN/mq>	Qy <daN/mq>	Qz <daN/mq>
0	-1882	-1911	-1912	-1492	M	G	0.00	0.00	75000.00
0	-1694	-2061	-2068	-1376	M	G	0.00	0.00	75000.00
0	-1865	-2085	-2073	-1372	M	G	0.00	0.00	75000.00
0	-1464	-2083	-1911	-1882	M	G	0.00	0.00	75000.00
0	-1467	-2079	-2104	-1886	M	G	0.00	0.00	75000.00
0	-1886	-2104	-2105	-1495	M	G	0.00	0.00	75000.00
0	-1974	-1882	-1492	-1973	M	G	0.00	0.00	75000.00
0	-1372	-2073	-2076	-1714	M	G	0.00	0.00	75000.00
0	-1376	-2068	-2066	-1717	M	G	0.00	0.00	75000.00
0	-2074	-1372	-1714	-2078	M	G	0.00	0.00	75000.00
0	-2072	-1376	-1717	-2070	M	G	0.00	0.00	75000.00
0	-2084	-1694	-1376	-2072	M	G	0.00	0.00	75000.00
0	-2086	-1865	-1372	-2074	M	G	0.00	0.00	75000.00
0	-1762	-1464	-1882	-1974	M	G	0.00	0.00	75000.00
0	-2081	-1467	-1886	-2103	M	G	0.00	0.00	75000.00
0	-2103	-1886	-1495	-2107	M	G	0.00	0.00	75000.00

Elenco carichi elementi bidimensionali
Condizione di carico n. 4: Schema 1 q1tandem dx
Carichi uniformi

Bid.	N1	N2	N3	N4	T	DC	Qx <daN/mq>	Qy <daN/mq>	Qz <daN/mq>
0	-1346	-1915	-1916	-1558	M	G	0.00	0.00	75000.00
0	-1345	-1913	-1914	-1572	M	G	0.00	0.00	75000.00

0	-1618	-1930	-1915	-1346	M	G	0.00	0.00	75000.00
0	-1579	-1928	-1913	-1345	M	G	0.00	0.00	75000.00
0	-1474	-1918	-1938	-1893	M	G	0.00	0.00	75000.00
0	-1893	-1938	-1939	-1704	M	G	0.00	0.00	75000.00
0	-1913	-1343	-1573	-1914	M	G	0.00	0.00	75000.00
0	-1915	-1347	-1559	-1916	M	G	0.00	0.00	75000.00
0	-1919	-1384	-1725	-1920	M	G	0.00	0.00	75000.00
0	-1924	-1838	-1384	-1919	M	G	0.00	0.00	75000.00
0	-1930	-1414	-1347	-1915	M	G	0.00	0.00	75000.00
0	-1928	-1580	-1343	-1913	M	G	0.00	0.00	75000.00
0	-1918	-1475	-1894	-1938	M	G	0.00	0.00	75000.00
0	-1938	-1894	-1705	-1939	M	G	0.00	0.00	75000.00
0	-1383	-1919	-1920	-1724	M	G	0.00	0.00	75000.00
0	-1837	-1924	-1919	-1383	M	G	0.00	0.00	75000.00

Elenco carichi elementi bidimensionali
Condizione di carico n. 5: Schema 1 q1tandem sx
Carichi uniformi

Bid.	N1	N2	N3	N4	T	DC	Qx <daN/mq>	Qy <daN/mq>	Qz <daN/mq>
0	-1836	-1948	-1947	-1358	M	G	0.00	0.00	75000.00
0	-1453	-1954	-1943	-1873	M	G	0.00	0.00	75000.00
0	-1415	-1959	-1969	-1896	M	G	0.00	0.00	75000.00
0	-1645	-1968	-1972	-1909	M	G	0.00	0.00	75000.00
0	-1896	-1969	-1970	-1666	M	G	0.00	0.00	75000.00
0	-1909	-1972	-1965	-1652	M	G	0.00	0.00	75000.00
0	-1943	-1875	-1477	-1944	M	G	0.00	0.00	75000.00
0	-1947	-1359	-1707	-1945	M	G	0.00	0.00	75000.00
0	-1948	-1839	-1359	-1947	M	G	0.00	0.00	75000.00
0	-1954	-1454	-1875	-1943	M	G	0.00	0.00	75000.00
0	-1959	-1416	-1895	-1969	M	G	0.00	0.00	75000.00
0	-1968	-1646	-1910	-1972	M	G	0.00	0.00	75000.00
0	-1969	-1895	-1667	-1970	M	G	0.00	0.00	75000.00
0	-1972	-1910	-1653	-1965	M	G	0.00	0.00	75000.00
0	-1873	-1943	-1944	-1476	M	G	0.00	0.00	75000.00
0	-1358	-1947	-1945	-1706	M	G	0.00	0.00	75000.00

Elenco carichi elementi bidimensionali
Condizione di carico n. 6: Schema 1 q1dist
Carichi uniformi

Bid.	N1	N2	N3	N4	T	DC	Qx <daN/mq>	Qy <daN/mq>	Qz <daN/mq>
0	-1532	-1833	-1466	-1867	M	G	0.00	0.00	720.00
0	-1832	-1532	-1867	-1465	M	G	0.00	0.00	720.00
0	-1831	-1547	-2083	-1464	M	G	0.00	0.00	720.00
0	-1830	-1699	-1762	-1463	M	G	0.00	0.00	720.00
0	-1829	-1830	-1463	-1462	M	G	0.00	0.00	720.00
0	-1828	-1829	-1462	-1460	M	G	0.00	0.00	720.00
0	-1875	-1876	-1478	-1477	M	G	0.00	0.00	720.00
0	-1876	-1877	-1479	-1478	M	G	0.00	0.00	720.00
0	-1877	-1878	-1480	-1479	M	G	0.00	0.00	720.00
0	-1878	-1879	-1481	-1480	M	G	0.00	0.00	720.00
0	-1879	-1880	-1482	-1481	M	G	0.00	0.00	720.00
0	-1880	-1881	-1491	-1482	M	G	0.00	0.00	720.00
0	-1881	-1974	-1973	-1491	M	G	0.00	0.00	720.00
0	-1882	-1911	-1912	-1492	M	G	0.00	0.00	720.00
0	-1834	-2080	-2079	-1467	M	G	0.00	0.00	720.00
0	-1348	-1349	-1561	-1560	M	G	0.00	0.00	720.00
0	-1347	-1348	-1560	-1559	M	G	0.00	0.00	720.00
0	-1346	-1915	-1916	-1558	M	G	0.00	0.00	720.00
0	-1385	-1346	-1558	440	M	G	0.00	0.00	720.00
0	-1344	-1345	-1572	-1537	M	G	0.00	0.00	720.00
0	-1345	-1913	-1914	-1572	M	G	0.00	0.00	720.00
0	-1343	-1342	-1574	-1573	M	G	0.00	0.00	720.00
0	-1342	-1868	-1575	-1574	M	G	0.00	0.00	720.00
0	-1868	-1869	-1576	-1575	M	G	0.00	0.00	720.00
0	-1869	-1870	-1577	-1576	M	G	0.00	0.00	720.00
0	-1870	-1871	-1578	-1577	M	G	0.00	0.00	720.00
0	-1871	-1872	-1613	-1578	M	G	0.00	0.00	720.00
0	-1874	-1873	-1476	-1848	M	G	0.00	0.00	720.00
0	-1858	-1851	-1380	-1379	M	G	0.00	0.00	720.00
0	-1856	-1858	-1379	-1378	M	G	0.00	0.00	720.00
0	-1695	-1856	-1378	-1377	M	G	0.00	0.00	720.00
0	-1694	-2061	-2068	-1376	M	G	0.00	0.00	720.00
0	-1693	-2084	-2072	-1375	M	G	0.00	0.00	720.00
0	-1862	-1693	-1375	-1374	M	G	0.00	0.00	720.00
0	-1866	-1862	-1374	-1373	M	G	0.00	0.00	720.00

0	-1865	-2085	-2073	-1372	M	G	0.00	0.00	720.00
0	-1864	-2086	-2074	-1371	M	G	0.00	0.00	720.00
0	-1861	-1864	-1371	-1370	M	G	0.00	0.00	720.00
0	-1857	-1861	-1370	-1369	M	G	0.00	0.00	720.00
0	-1845	-1857	-1369	-1368	M	G	0.00	0.00	720.00
0	-1844	-1845	-1368	-1361	M	G	0.00	0.00	720.00
0	-1843	-1844	-1361	-1360	M	G	0.00	0.00	720.00
0	-1839	-1843	-1360	-1359	M	G	0.00	0.00	720.00
0	-1836	-1948	-1947	-1358	M	G	0.00	0.00	720.00
0	-1850	-1836	-1358	-1357	M	G	0.00	0.00	720.00
0	-1863	-1783	-1428	441	M	G	0.00	0.00	720.00
0	-1783	-1946	-1949	-1428	M	G	0.00	0.00	720.00
0	-1784	-1785	-1430	-1429	M	G	0.00	0.00	720.00
0	-1512	-1511	-1570	-1569	M	G	0.00	0.00	720.00
0	-1513	-1512	-1569	-1568	M	G	0.00	0.00	720.00
0	-1514	-1513	-1568	-1567	M	G	0.00	0.00	720.00
0	-1515	-1514	-1567	-1566	M	G	0.00	0.00	720.00
0	-1516	-1925	-1921	-1565	M	G	0.00	0.00	720.00
0	-1578	-1613	-1509	-1510	M	G	0.00	0.00	720.00
0	-1577	-1578	-1510	-1511	M	G	0.00	0.00	720.00
0	-1576	-1577	-1511	-1512	M	G	0.00	0.00	720.00
0	-1575	-1576	-1512	-1513	M	G	0.00	0.00	720.00
0	-1574	-1575	-1513	-1514	M	G	0.00	0.00	720.00
0	-1573	-1574	-1514	-1515	M	G	0.00	0.00	720.00
0	-1572	-1914	-1925	-1516	M	G	0.00	0.00	720.00
0	430	-1551	-1586	-1534	M	G	0.00	0.00	720.00
0	-1551	-1926	-1927	-1586	M	G	0.00	0.00	720.00
0	-1552	-1553	-1588	-1587	M	G	0.00	0.00	720.00
0	-1553	-1554	-1589	-1588	M	G	0.00	0.00	720.00
0	-1554	-1555	-1590	-1589	M	G	0.00	0.00	720.00
0	-1555	-1556	-1591	-1590	M	G	0.00	0.00	720.00
0	-1556	-1557	-1592	-1591	M	G	0.00	0.00	720.00
0	-1557	-1610	-1615	-1592	M	G	0.00	0.00	720.00
0	-1534	-1586	-1579	433	M	G	0.00	0.00	720.00
0	-1586	-1927	-1928	-1579	M	G	0.00	0.00	720.00
0	-1587	-1588	-1581	-1580	M	G	0.00	0.00	720.00
0	-1588	-1589	-1582	-1581	M	G	0.00	0.00	720.00
0	-1589	-1590	-1583	-1582	M	G	0.00	0.00	720.00
0	-1590	-1591	-1584	-1583	M	G	0.00	0.00	720.00
0	-1591	-1592	-1585	-1584	M	G	0.00	0.00	720.00
0	-1592	-1615	-1614	-1585	M	G	0.00	0.00	720.00
0	440	-1558	-1593	-1531	M	G	0.00	0.00	720.00
0	-1558	-1916	-1929	-1593	M	G	0.00	0.00	720.00
0	-1559	-1560	-1595	-1594	M	G	0.00	0.00	720.00
0	-1560	-1561	-1596	-1595	M	G	0.00	0.00	720.00
0	-1561	-1562	-1597	-1596	M	G	0.00	0.00	720.00
0	-1562	-1563	-1598	-1597	M	G	0.00	0.00	720.00
0	-1563	-1564	-1599	-1598	M	G	0.00	0.00	720.00
0	-1564	-1611	-1616	-1599	M	G	0.00	0.00	720.00
0	-1840	-1607	-1354	-1353	M	G	0.00	0.00	720.00
0	-1697	-1840	-1353	-1351	M	G	0.00	0.00	720.00
0	-1696	-1697	-1351	-1350	M	G	0.00	0.00	720.00
0	-1690	-1696	-1350	-1349	M	G	0.00	0.00	720.00
0	-1685	-1690	-1349	-1348	M	G	0.00	0.00	720.00
0	-1414	-1685	-1348	-1347	M	G	0.00	0.00	720.00
0	-1618	-1930	-1915	-1346	M	G	0.00	0.00	720.00
0	-1536	-1618	-1346	-1385	M	G	0.00	0.00	720.00
0	433	-1579	-1345	-1344	M	G	0.00	0.00	720.00
0	-1579	-1928	-1913	-1345	M	G	0.00	0.00	720.00
0	-1580	-1581	-1342	-1343	M	G	0.00	0.00	720.00
0	-1581	-1582	-1868	-1342	M	G	0.00	0.00	720.00
0	-1582	-1583	-1869	-1868	M	G	0.00	0.00	720.00
0	-1583	-1584	-1870	-1869	M	G	0.00	0.00	720.00
0	-1584	-1585	-1871	-1870	M	G	0.00	0.00	720.00
0	-1585	-1614	-1872	-1871	M	G	0.00	0.00	720.00
0	-1531	-1593	-1551	430	M	G	0.00	0.00	720.00
0	-1593	-1929	-1926	-1551	M	G	0.00	0.00	720.00
0	-1594	-1595	-1553	-1552	M	G	0.00	0.00	720.00
0	-1595	-1596	-1554	-1553	M	G	0.00	0.00	720.00
0	-1596	-1597	-1555	-1554	M	G	0.00	0.00	720.00
0	-1597	-1598	-1556	-1555	M	G	0.00	0.00	720.00
0	-1598	-1599	-1557	-1556	M	G	0.00	0.00	720.00
0	-1599	-1616	-1610	-1557	M	G	0.00	0.00	720.00
0	-1408	-1407	-1607	-1840	M	G	0.00	0.00	720.00
0	-1409	-1408	-1840	-1697	M	G	0.00	0.00	720.00
0	-1437	-1409	-1697	-1696	M	G	0.00	0.00	720.00
0	-1440	-1437	-1696	-1690	M	G	0.00	0.00	720.00
0	-1444	-1440	-1690	-1685	M	G	0.00	0.00	720.00
0	-1447	-1444	-1685	-1414	M	G	0.00	0.00	720.00

0	-1451	-1931	-1930	-1618	M	G	0.00	0.00	720.00
0	-1543	-1608	-1407	-1408	M	G	0.00	0.00	720.00
0	-1542	-1543	-1408	-1409	M	G	0.00	0.00	720.00
0	-1541	-1542	-1409	-1437	M	G	0.00	0.00	720.00
0	-1860	-1541	-1437	-1440	M	G	0.00	0.00	720.00
0	-1855	-1860	-1440	-1444	M	G	0.00	0.00	720.00
0	-1854	-1855	-1444	-1447	M	G	0.00	0.00	720.00
0	-1841	-1932	-1931	-1451	M	G	0.00	0.00	720.00
0	-1782	431	438	-1387	M	G	0.00	0.00	720.00
0	-1781	-1935	-1936	-1388	M	G	0.00	0.00	720.00
0	-1780	-1781	-1388	-1389	M	G	0.00	0.00	720.00
0	-1779	-1780	-1389	-1390	M	G	0.00	0.00	720.00
0	-1778	-1779	-1390	-1391	M	G	0.00	0.00	720.00
0	-1777	-1778	-1391	-1392	M	G	0.00	0.00	720.00
0	-1776	-1777	-1392	-1393	M	G	0.00	0.00	720.00
0	-1775	-1776	-1393	-1394	M	G	0.00	0.00	720.00
0	-1774	-2088	-2095	-1395	M	G	0.00	0.00	720.00
0	-1773	-2090	-2096	-1396	M	G	0.00	0.00	720.00
0	-1413	-1773	-1396	-1386	M	G	0.00	0.00	720.00
0	-1772	-1413	-1386	-1397	M	G	0.00	0.00	720.00
0	-1771	-2092	-2097	-1398	M	G	0.00	0.00	720.00
0	-1770	-2094	-2098	-1399	M	G	0.00	0.00	720.00
0	-1769	-1770	-1399	-1400	M	G	0.00	0.00	720.00
0	-1768	-1769	-1400	-1401	M	G	0.00	0.00	720.00
0	-1767	-1768	-1401	-1402	M	G	0.00	0.00	720.00
0	-1766	-1767	-1402	-1403	M	G	0.00	0.00	720.00
0	-1765	-1766	-1403	-1404	M	G	0.00	0.00	720.00
0	-1764	-1765	-1404	-1405	M	G	0.00	0.00	720.00
0	-1763	-1951	-1952	-1406	M	G	0.00	0.00	720.00
0	-1387	438	-1536	-1838	M	G	0.00	0.00	720.00
0	-1388	-1936	-1924	-1837	M	G	0.00	0.00	720.00
0	-1389	-1388	-1837	-1853	M	G	0.00	0.00	720.00
0	-1390	-1389	-1853	-1852	M	G	0.00	0.00	720.00
0	-1391	-1390	-1852	-1851	M	G	0.00	0.00	720.00
0	-1392	-1391	-1851	-1858	M	G	0.00	0.00	720.00
0	-1393	-1392	-1858	-1856	M	G	0.00	0.00	720.00
0	-1394	-1393	-1856	-1695	M	G	0.00	0.00	720.00
0	-1395	-2095	-2061	-1694	M	G	0.00	0.00	720.00
0	-1396	-2096	-2084	-1693	M	G	0.00	0.00	720.00
0	-1386	-1396	-1693	-1862	M	G	0.00	0.00	720.00
0	-1397	-1386	-1862	-1866	M	G	0.00	0.00	720.00
0	-1398	-2097	-2085	-1865	M	G	0.00	0.00	720.00
0	-1399	-2098	-2086	-1864	M	G	0.00	0.00	720.00
0	-1400	-1399	-1864	-1861	M	G	0.00	0.00	720.00
0	-1401	-1400	-1861	-1857	M	G	0.00	0.00	720.00
0	-1402	-1401	-1857	-1845	M	G	0.00	0.00	720.00
0	-1403	-1402	-1845	-1844	M	G	0.00	0.00	720.00
0	-1404	-1403	-1844	-1843	M	G	0.00	0.00	720.00
0	-1405	-1404	-1843	-1839	M	G	0.00	0.00	720.00
0	-1406	-1952	-1948	-1836	M	G	0.00	0.00	720.00
0	441	-1428	-1823	-1859	M	G	0.00	0.00	720.00
0	-1428	-1949	-1953	-1823	M	G	0.00	0.00	720.00
0	-1429	-1430	-1825	-1824	M	G	0.00	0.00	720.00
0	-1430	-1431	-1826	-1825	M	G	0.00	0.00	720.00
0	-1431	-1432	-1827	-1826	M	G	0.00	0.00	720.00
0	-1432	-1433	-1828	-1827	M	G	0.00	0.00	720.00
0	-1433	-1434	-1829	-1828	M	G	0.00	0.00	720.00
0	-1434	-1435	-1830	-1829	M	G	0.00	0.00	720.00
0	-1435	-2099	-1699	-1830	M	G	0.00	0.00	720.00
0	-1436	-2100	-1547	-1831	M	G	0.00	0.00	720.00
0	-1438	-1846	-1532	-1832	M	G	0.00	0.00	720.00
0	-1846	-1439	-1833	-1532	M	G	0.00	0.00	720.00
0	-1439	-2101	-2082	-1833	M	G	0.00	0.00	720.00
0	-1441	-2102	-2080	-1834	M	G	0.00	0.00	720.00
0	-1442	-1443	-1412	-1835	M	G	0.00	0.00	720.00
0	-1443	-1445	-1410	-1412	M	G	0.00	0.00	720.00
0	-1445	-1446	-1411	-1410	M	G	0.00	0.00	720.00
0	-1446	-1448	-1688	-1411	M	G	0.00	0.00	720.00
0	-1448	-1449	-1691	-1688	M	G	0.00	0.00	720.00
0	-1449	-1450	-1692	-1691	M	G	0.00	0.00	720.00
0	-1450	-1937	-1917	-1692	M	G	0.00	0.00	720.00
0	-1452	430	-1534	-1698	M	G	0.00	0.00	720.00
0	439	-1453	-1873	-1874	M	G	0.00	0.00	720.00
0	-1453	-1954	-1943	-1873	M	G	0.00	0.00	720.00
0	-1454	-1455	-1876	-1875	M	G	0.00	0.00	720.00
0	-1455	-1456	-1877	-1876	M	G	0.00	0.00	720.00
0	-1456	-1459	-1878	-1877	M	G	0.00	0.00	720.00
0	-1459	-1460	-1879	-1878	M	G	0.00	0.00	720.00
0	-1460	-1462	-1880	-1879	M	G	0.00	0.00	720.00

0	-1462	-1463	-1881	-1880	M	G	0.00	0.00	720.00
0	-1463	-1762	-1974	-1881	M	G	0.00	0.00	720.00
0	-1464	-2083	-1911	-1882	M	G	0.00	0.00	720.00
0	-1465	-1867	-1884	-1883	M	G	0.00	0.00	720.00
0	-1867	-1466	-1885	-1884	M	G	0.00	0.00	720.00
0	-1466	-2081	-2103	-1885	M	G	0.00	0.00	720.00
0	-1467	-2079	-2104	-1886	M	G	0.00	0.00	720.00
0	-1468	-1469	-1888	-1887	M	G	0.00	0.00	720.00
0	-1469	-1470	-1889	-1888	M	G	0.00	0.00	720.00
0	-1470	-1471	-1890	-1889	M	G	0.00	0.00	720.00
0	-1471	-1472	-1891	-1890	M	G	0.00	0.00	720.00
0	-1472	-1473	-1892	-1891	M	G	0.00	0.00	720.00
0	-1473	-1474	-1893	-1892	M	G	0.00	0.00	720.00
0	-1474	-1918	-1938	-1893	M	G	0.00	0.00	720.00
0	-1475	433	-1344	-1894	M	G	0.00	0.00	720.00
0	-1859	-1823	-1453	439	M	G	0.00	0.00	720.00
0	-1823	-1953	-1954	-1453	M	G	0.00	0.00	720.00
0	-1824	-1825	-1455	-1454	M	G	0.00	0.00	720.00
0	-1825	-1826	-1456	-1455	M	G	0.00	0.00	720.00
0	-1826	-1827	-1459	-1456	M	G	0.00	0.00	720.00
0	-1827	-1828	-1460	-1459	M	G	0.00	0.00	720.00
0	-1785	-1786	-1431	-1430	M	G	0.00	0.00	720.00
0	-1786	-1787	-1432	-1431	M	G	0.00	0.00	720.00
0	-1787	-1788	-1433	-1432	M	G	0.00	0.00	720.00
0	-1788	-1789	-1434	-1433	M	G	0.00	0.00	720.00
0	-1789	-1790	-1435	-1434	M	G	0.00	0.00	720.00
0	-1790	-2077	-2099	-1435	M	G	0.00	0.00	720.00
0	-1791	-2075	-2100	-1436	M	G	0.00	0.00	720.00
0	-1792	-1535	-1846	-1438	M	G	0.00	0.00	720.00
0	-1535	-1793	-1439	-1846	M	G	0.00	0.00	720.00
0	-1793	-2064	-2101	-1439	M	G	0.00	0.00	720.00
0	-1794	-2062	-2102	-1441	M	G	0.00	0.00	720.00
0	-1795	-1796	-1443	-1442	M	G	0.00	0.00	720.00
0	-1796	-1797	-1445	-1443	M	G	0.00	0.00	720.00
0	-1797	-1798	-1446	-1445	M	G	0.00	0.00	720.00
0	-1798	-1799	-1448	-1446	M	G	0.00	0.00	720.00
0	-1799	-1800	-1449	-1448	M	G	0.00	0.00	720.00
0	-1800	-1801	-1450	-1449	M	G	0.00	0.00	720.00
0	-1801	-1923	-1937	-1450	M	G	0.00	0.00	720.00
0	-1705	-1537	437	-1458	M	G	0.00	0.00	720.00
0	-1704	-1939	-1940	-1461	M	G	0.00	0.00	720.00
0	-1703	-1704	-1461	-1483	M	G	0.00	0.00	720.00
0	-1702	-1703	-1483	-1484	M	G	0.00	0.00	720.00
0	-1701	-1702	-1484	-1485	M	G	0.00	0.00	720.00
0	-1700	-1701	-1485	-1486	M	G	0.00	0.00	720.00
0	-1497	-1700	-1486	-1487	M	G	0.00	0.00	720.00
0	-1496	-1497	-1487	-1488	M	G	0.00	0.00	720.00
0	-1495	-2105	-2106	-1489	M	G	0.00	0.00	720.00
0	-1494	-2107	-2108	-1498	M	G	0.00	0.00	720.00
0	-1842	-1494	-1498	-1457	M	G	0.00	0.00	720.00
0	-1493	-1842	-1457	-1499	M	G	0.00	0.00	720.00
0	-1492	-1912	-2109	-1500	M	G	0.00	0.00	720.00
0	-1491	-1973	-2110	-1501	M	G	0.00	0.00	720.00
0	-1482	-1491	-1501	-1502	M	G	0.00	0.00	720.00
0	-1481	-1482	-1502	-1503	M	G	0.00	0.00	720.00
0	-1480	-1481	-1503	-1504	M	G	0.00	0.00	720.00
0	-1479	-1480	-1504	-1505	M	G	0.00	0.00	720.00
0	-1478	-1479	-1505	-1506	M	G	0.00	0.00	720.00
0	-1477	-1478	-1506	-1507	M	G	0.00	0.00	720.00
0	-1476	-1944	-1955	-1508	M	G	0.00	0.00	720.00
0	-1458	437	432	-1745	M	G	0.00	0.00	720.00
0	-1461	-1940	-1941	-1744	M	G	0.00	0.00	720.00
0	-1483	-1461	-1744	-1743	M	G	0.00	0.00	720.00
0	-1484	-1483	-1743	-1742	M	G	0.00	0.00	720.00
0	-1485	-1484	-1742	-1741	M	G	0.00	0.00	720.00
0	-1486	-1485	-1741	-1740	M	G	0.00	0.00	720.00
0	-1487	-1486	-1740	-1739	M	G	0.00	0.00	720.00
0	-1488	-1487	-1739	-1738	M	G	0.00	0.00	720.00
0	-1489	-2106	-2111	-1737	M	G	0.00	0.00	720.00
0	-1498	-2108	-2112	-1736	M	G	0.00	0.00	720.00
0	-1457	-1498	-1736	-1847	M	G	0.00	0.00	720.00
0	-1499	-1457	-1847	-1735	M	G	0.00	0.00	720.00
0	-1500	-2109	-2113	-1734	M	G	0.00	0.00	720.00
0	-1501	-2110	-2114	-1733	M	G	0.00	0.00	720.00
0	-1502	-1501	-1733	-1732	M	G	0.00	0.00	720.00
0	-1503	-1502	-1732	-1731	M	G	0.00	0.00	720.00
0	-1504	-1503	-1731	-1730	M	G	0.00	0.00	720.00
0	-1505	-1504	-1730	-1729	M	G	0.00	0.00	720.00
0	-1506	-1505	-1729	-1728	M	G	0.00	0.00	720.00

0	-1507	-1506	-1728	-1727	M	G	0.00	0.00	720.00
0	-1508	-1955	-1956	-1726	M	G	0.00	0.00	720.00
0	-1744	-1941	-2182	-2183	M	G	0.00	0.00	250.00
0	-1743	-1744	-2183	-2184	M	G	0.00	0.00	250.00
0	-1742	-1743	-2184	-2185	M	G	0.00	0.00	250.00
0	-1741	-1742	-2185	-2186	M	G	0.00	0.00	250.00
0	-1738	-1739	-2187	-2188	M	G	0.00	0.00	250.00
0	-1737	-2111	-2189	-2190	M	G	0.00	0.00	250.00
0	-1736	-2112	-2191	-2192	M	G	0.00	0.00	250.00
0	-1847	-1736	-2192	-2193	M	G	0.00	0.00	250.00
0	-1733	-2114	-2194	-2195	M	G	0.00	0.00	250.00
0	-1732	-1733	-2195	-2196	M	G	0.00	0.00	250.00
0	-1731	-1732	-2196	-2197	M	G	0.00	0.00	250.00
0	-1728	-1729	-2198	-2199	M	G	0.00	0.00	250.00
0	-1727	-1728	-2199	-2200	M	G	0.00	0.00	250.00
0	-1726	-1956	-2201	-2202	M	G	0.00	0.00	250.00
0	438	-1451	-1618	-1536	M	G	0.00	0.00	720.00
0	431	-1841	-1451	438	M	G	0.00	0.00	720.00
0	436	-1763	-1406	429	M	G	0.00	0.00	720.00
0	429	-1406	-1836	-1850	M	G	0.00	0.00	720.00
0	-1802	-1531	430	-1452	M	G	0.00	0.00	720.00
0	-1537	-1572	-1516	437	M	G	0.00	0.00	720.00
0	-1848	-1476	-1508	435	M	G	0.00	0.00	720.00
0	437	-1516	-1565	432	M	G	0.00	0.00	720.00
0	435	-1508	-1726	434	M	G	0.00	0.00	720.00
0	432	-1565	-2181	-2203	M	G	0.00	0.00	250.00
0	434	-1726	-2202	-2204	M	G	0.00	0.00	250.00
0	-1529	429	-1850	-1416	M	G	0.00	0.00	720.00
0	-1530	-1958	-1959	-1415	M	G	0.00	0.00	720.00
0	-1490	-1530	-1415	-1367	M	G	0.00	0.00	720.00
0	-1538	-1490	-1367	-1366	M	G	0.00	0.00	720.00
0	-1525	-1538	-1366	-1365	M	G	0.00	0.00	720.00
0	-1526	-1525	-1365	-1364	M	G	0.00	0.00	720.00
0	-1527	-1526	-1364	-1363	M	G	0.00	0.00	720.00
0	-1528	-1527	-1363	-1427	M	G	0.00	0.00	720.00
0	-1362	436	429	-1529	M	G	0.00	0.00	720.00
0	-1356	-1960	-1958	-1530	M	G	0.00	0.00	720.00
0	-1355	-1356	-1530	-1490	M	G	0.00	0.00	720.00
0	-1352	-1355	-1490	-1538	M	G	0.00	0.00	720.00
0	-1684	-1352	-1538	-1525	M	G	0.00	0.00	720.00
0	-1683	-1684	-1525	-1526	M	G	0.00	0.00	720.00
0	-1682	-1683	-1526	-1527	M	G	0.00	0.00	720.00
0	-1426	-1682	-1527	-1528	M	G	0.00	0.00	720.00
0	-1521	435	434	-1660	M	G	0.00	0.00	720.00
0	-1522	-1962	-1963	-1659	M	G	0.00	0.00	720.00
0	-1523	-1522	-1659	-1658	M	G	0.00	0.00	720.00
0	-1524	-1523	-1658	-1657	M	G	0.00	0.00	720.00
0	-1517	-1524	-1657	-1656	M	G	0.00	0.00	720.00
0	-1518	-1517	-1656	-1655	M	G	0.00	0.00	720.00
0	-1519	-1518	-1655	-1654	M	G	0.00	0.00	720.00
0	-1520	-1519	-1654	-1422	M	G	0.00	0.00	720.00
0	-1422	-1654	-2205	-2206	M	G	0.00	0.00	250.00
0	-1654	-1655	-2207	-2205	M	G	0.00	0.00	250.00
0	-1655	-1656	-2208	-2207	M	G	0.00	0.00	250.00
0	-1656	-1657	-2209	-2208	M	G	0.00	0.00	250.00
0	-1657	-1658	-2210	-2209	M	G	0.00	0.00	250.00
0	-1658	-1659	-2211	-2210	M	G	0.00	0.00	250.00
0	-1659	-1963	-2212	-2211	M	G	0.00	0.00	250.00
0	-1653	-1848	435	-1521	M	G	0.00	0.00	720.00
0	-1652	-1965	-1962	-1522	M	G	0.00	0.00	720.00
0	-1651	-1652	-1522	-1523	M	G	0.00	0.00	720.00
0	-1650	-1651	-1523	-1524	M	G	0.00	0.00	720.00
0	-1649	-1650	-1524	-1517	M	G	0.00	0.00	720.00
0	-1648	-1649	-1517	-1518	M	G	0.00	0.00	720.00
0	-1647	-1648	-1518	-1519	M	G	0.00	0.00	720.00
0	-1421	-1647	-1519	-1520	M	G	0.00	0.00	720.00
0	-1424	-1668	-1633	-1419	M	G	0.00	0.00	720.00
0	-1668	-1669	-1634	-1633	M	G	0.00	0.00	720.00
0	-1669	-1670	-1635	-1634	M	G	0.00	0.00	720.00
0	-1670	-1671	-1636	-1635	M	G	0.00	0.00	720.00
0	-1671	-1672	-1637	-1636	M	G	0.00	0.00	720.00
0	-1672	-1673	-1638	-1637	M	G	0.00	0.00	720.00
0	-1673	-1966	-1967	-1638	M	G	0.00	0.00	720.00
0	-1674	441	-1859	-1639	M	G	0.00	0.00	720.00
0	-1419	-1633	-1640	-1420	M	G	0.00	0.00	720.00
0	-1633	-1634	-1641	-1640	M	G	0.00	0.00	720.00
0	-1634	-1635	-1642	-1641	M	G	0.00	0.00	720.00
0	-1635	-1636	-1643	-1642	M	G	0.00	0.00	720.00
0	-1636	-1637	-1644	-1643	M	G	0.00	0.00	720.00

0	-1637	-1638	-1645	-1644	M	G	0.00	0.00	720.00
0	-1638	-1967	-1968	-1645	M	G	0.00	0.00	720.00
0	-1639	-1859	439	-1646	M	G	0.00	0.00	720.00
0	-1416	-1850	-1357	-1895	M	G	0.00	0.00	720.00
0	-1415	-1959	-1969	-1896	M	G	0.00	0.00	720.00
0	-1367	-1415	-1896	-1897	M	G	0.00	0.00	720.00
0	-1366	-1367	-1897	-1898	M	G	0.00	0.00	720.00
0	-1365	-1366	-1898	-1899	M	G	0.00	0.00	720.00
0	-1364	-1365	-1899	-1900	M	G	0.00	0.00	720.00
0	-1363	-1364	-1900	-1901	M	G	0.00	0.00	720.00
0	-1427	-1363	-1901	-1902	M	G	0.00	0.00	720.00
0	-1423	-1661	-1626	-1418	M	G	0.00	0.00	720.00
0	-1661	-1662	-1627	-1626	M	G	0.00	0.00	720.00
0	-1662	-1663	-1628	-1627	M	G	0.00	0.00	720.00
0	-1663	-1664	-1629	-1628	M	G	0.00	0.00	720.00
0	-1664	-1665	-1630	-1629	M	G	0.00	0.00	720.00
0	-1665	-1666	-1631	-1630	M	G	0.00	0.00	720.00
0	-1666	-1970	-1971	-1631	M	G	0.00	0.00	720.00
0	-1667	442	-1863	-1632	M	G	0.00	0.00	720.00
0	-1420	-1640	-1904	-1903	M	G	0.00	0.00	720.00
0	-1640	-1641	-1905	-1904	M	G	0.00	0.00	720.00
0	-1641	-1642	-1906	-1905	M	G	0.00	0.00	720.00
0	-1642	-1643	-1907	-1906	M	G	0.00	0.00	720.00
0	-1643	-1644	-1908	-1907	M	G	0.00	0.00	720.00
0	-1644	-1645	-1909	-1908	M	G	0.00	0.00	720.00
0	-1645	-1968	-1972	-1909	M	G	0.00	0.00	720.00
0	-1646	439	-1874	-1910	M	G	0.00	0.00	720.00
0	-1418	-1626	-1668	-1424	M	G	0.00	0.00	720.00
0	-1626	-1627	-1669	-1668	M	G	0.00	0.00	720.00
0	-1627	-1628	-1670	-1669	M	G	0.00	0.00	720.00
0	-1628	-1629	-1671	-1670	M	G	0.00	0.00	720.00
0	-1629	-1630	-1672	-1671	M	G	0.00	0.00	720.00
0	-1630	-1631	-1673	-1672	M	G	0.00	0.00	720.00
0	-1631	-1971	-1966	-1673	M	G	0.00	0.00	720.00
0	-1660	434	-2204	-2213	M	G	0.00	0.00	250.00
0	-1632	-1863	441	-1674	M	G	0.00	0.00	720.00
0	-1885	-2103	-2107	-1494	M	G	0.00	0.00	720.00
0	-1886	-2104	-2105	-1495	M	G	0.00	0.00	720.00
0	-1887	-1888	-1497	-1496	M	G	0.00	0.00	720.00
0	-1888	-1889	-1700	-1497	M	G	0.00	0.00	720.00
0	-1889	-1890	-1701	-1700	M	G	0.00	0.00	720.00
0	-1890	-1891	-1702	-1701	M	G	0.00	0.00	720.00
0	-1891	-1892	-1703	-1702	M	G	0.00	0.00	720.00
0	-1892	-1893	-1704	-1703	M	G	0.00	0.00	720.00
0	-1893	-1938	-1939	-1704	M	G	0.00	0.00	720.00
0	-1894	-1344	-1537	-1705	M	G	0.00	0.00	720.00
0	-1895	-1357	442	-1667	M	G	0.00	0.00	720.00
0	-1896	-1969	-1970	-1666	M	G	0.00	0.00	720.00
0	-1897	-1896	-1666	-1665	M	G	0.00	0.00	720.00
0	-1898	-1897	-1665	-1664	M	G	0.00	0.00	720.00
0	-1899	-1898	-1664	-1663	M	G	0.00	0.00	720.00
0	-1900	-1899	-1663	-1662	M	G	0.00	0.00	720.00
0	-1901	-1900	-1662	-1661	M	G	0.00	0.00	720.00
0	-1902	-1901	-1661	-1423	M	G	0.00	0.00	720.00
0	-1903	-1904	-1647	-1421	M	G	0.00	0.00	720.00
0	-1904	-1905	-1648	-1647	M	G	0.00	0.00	720.00
0	-1905	-1906	-1649	-1648	M	G	0.00	0.00	720.00
0	-1906	-1907	-1650	-1649	M	G	0.00	0.00	720.00
0	-1907	-1908	-1651	-1650	M	G	0.00	0.00	720.00
0	-1908	-1909	-1652	-1651	M	G	0.00	0.00	720.00
0	-1909	-1972	-1965	-1652	M	G	0.00	0.00	720.00
0	-1910	-1874	-1848	-1653	M	G	0.00	0.00	720.00
0	-1547	-1832	-1465	-2083	M	G	0.00	0.00	720.00
0	-1699	-1831	-1464	-1762	M	G	0.00	0.00	720.00
0	-1974	-1882	-1492	-1973	M	G	0.00	0.00	720.00
0	-1911	-1883	-1493	-1912	M	G	0.00	0.00	720.00
0	-2076	-1715	-1792	-2075	M	G	0.00	0.00	720.00
0	-2078	-1714	-1791	-2077	M	G	0.00	0.00	720.00
0	-2080	-1835	-1468	-2079	M	G	0.00	0.00	720.00
0	-2082	-1834	-1467	-2081	M	G	0.00	0.00	720.00
0	-1913	-1343	-1573	-1914	M	G	0.00	0.00	720.00
0	-1915	-1347	-1559	-1916	M	G	0.00	0.00	720.00
0	-1917	-1698	-1475	-1918	M	G	0.00	0.00	720.00
0	-1919	-1384	-1725	-1920	M	G	0.00	0.00	720.00
0	-1921	-1566	-2179	-2180	M	G	0.00	0.00	250.00
0	-1920	-1725	-1802	-1923	M	G	0.00	0.00	720.00
0	-1924	-1838	-1384	-1919	M	G	0.00	0.00	720.00
0	-1925	-1515	-1566	-1921	M	G	0.00	0.00	720.00
0	-1914	-1573	-1515	-1925	M	G	0.00	0.00	720.00

0	-1926	-1552	-1587	-1927	M	G	0.00	0.00	720.00
0	-1927	-1587	-1580	-1928	M	G	0.00	0.00	720.00
0	-1916	-1559	-1594	-1929	M	G	0.00	0.00	720.00
0	-1930	-1414	-1347	-1915	M	G	0.00	0.00	720.00
0	-1928	-1580	-1343	-1913	M	G	0.00	0.00	720.00
0	-1929	-1594	-1552	-1926	M	G	0.00	0.00	720.00
0	-1931	-1447	-1414	-1930	M	G	0.00	0.00	720.00
0	-1932	-1854	-1447	-1931	M	G	0.00	0.00	720.00
0	-1935	-1782	-1387	-1936	M	G	0.00	0.00	720.00
0	-1936	-1387	-1838	-1924	M	G	0.00	0.00	720.00
0	-1937	-1452	-1698	-1917	M	G	0.00	0.00	720.00
0	-1918	-1475	-1894	-1938	M	G	0.00	0.00	720.00
0	-1923	-1802	-1452	-1937	M	G	0.00	0.00	720.00
0	-1939	-1705	-1458	-1940	M	G	0.00	0.00	720.00
0	-1940	-1458	-1745	-1941	M	G	0.00	0.00	720.00
0	-1938	-1894	-1705	-1939	M	G	0.00	0.00	720.00
0	-1943	-1875	-1477	-1944	M	G	0.00	0.00	720.00
0	-1945	-1707	-1784	-1946	M	G	0.00	0.00	720.00
0	-1947	-1359	-1707	-1945	M	G	0.00	0.00	720.00
0	-1948	-1839	-1359	-1947	M	G	0.00	0.00	720.00
0	-1946	-1784	-1429	-1949	M	G	0.00	0.00	720.00
0	-1951	-1764	-1405	-1952	M	G	0.00	0.00	720.00
0	-1952	-1405	-1839	-1948	M	G	0.00	0.00	720.00
0	-1949	-1429	-1824	-1953	M	G	0.00	0.00	720.00
0	-1954	-1454	-1875	-1943	M	G	0.00	0.00	720.00
0	-1953	-1824	-1454	-1954	M	G	0.00	0.00	720.00
0	-1944	-1477	-1507	-1955	M	G	0.00	0.00	720.00
0	-1955	-1507	-1727	-1956	M	G	0.00	0.00	720.00
0	-1956	-1727	-2200	-2201	M	G	0.00	0.00	250.00
0	-1958	-1529	-1416	-1959	M	G	0.00	0.00	720.00
0	-1960	-1362	-1529	-1958	M	G	0.00	0.00	720.00
0	-1962	-1521	-1660	-1963	M	G	0.00	0.00	720.00
0	-1963	-1660	-2213	-2212	M	G	0.00	0.00	250.00
0	-1965	-1653	-1521	-1962	M	G	0.00	0.00	720.00
0	-1966	-1674	-1639	-1967	M	G	0.00	0.00	720.00
0	-1967	-1639	-1646	-1968	M	G	0.00	0.00	720.00
0	-1959	-1416	-1895	-1969	M	G	0.00	0.00	720.00
0	-1970	-1667	-1632	-1971	M	G	0.00	0.00	720.00
0	-1968	-1646	-1910	-1972	M	G	0.00	0.00	720.00
0	-1971	-1632	-1674	-1966	M	G	0.00	0.00	720.00
0	-1969	-1895	-1667	-1970	M	G	0.00	0.00	720.00
0	-1972	-1910	-1653	-1965	M	G	0.00	0.00	720.00
0	-1883	-1884	-1842	-1493	M	G	0.00	0.00	720.00
0	-1873	-1943	-1944	-1476	M	G	0.00	0.00	720.00
0	-1833	-2082	-2081	-1466	M	G	0.00	0.00	720.00
0	-1884	-1885	-1494	-1842	M	G	0.00	0.00	720.00
0	-2154	-2153	-1771	-2094	M	G	0.00	0.00	250.00
0	-2152	-2151	-1772	-2092	M	G	0.00	0.00	250.00
0	-2148	-2147	-1774	-2090	M	G	0.00	0.00	250.00
0	-2146	-2145	-1775	-2088	M	G	0.00	0.00	250.00
0	-2166	-2165	-1362	-1960	M	G	0.00	0.00	250.00
0	-2162	-2161	-1764	-1951	M	G	0.00	0.00	250.00
0	-2138	-2137	-1782	-1935	M	G	0.00	0.00	250.00
0	-2134	-2133	-1854	-1932	M	G	0.00	0.00	250.00
0	-2173	-2172	-1682	-1426	M	G	0.00	0.00	250.00
0	-2172	-2171	-1683	-1682	M	G	0.00	0.00	250.00
0	-2171	-2170	-1684	-1683	M	G	0.00	0.00	250.00
0	-2170	-2169	-1352	-1684	M	G	0.00	0.00	250.00
0	-2169	-2168	-1355	-1352	M	G	0.00	0.00	250.00
0	-2168	-2167	-1356	-1355	M	G	0.00	0.00	250.00
0	-2167	-2166	-1960	-1356	M	G	0.00	0.00	250.00
0	-2165	-2164	436	-1362	M	G	0.00	0.00	250.00
0	-2164	-2163	-1763	436	M	G	0.00	0.00	250.00
0	-2136	-2135	-1841	431	M	G	0.00	0.00	250.00
0	-2163	-2162	-1951	-1763	M	G	0.00	0.00	250.00
0	-2161	-2160	-1765	-1764	M	G	0.00	0.00	250.00
0	-2160	-2159	-1766	-1765	M	G	0.00	0.00	250.00
0	-2159	-2158	-1767	-1766	M	G	0.00	0.00	250.00
0	-2158	-2157	-1768	-1767	M	G	0.00	0.00	250.00
0	-2157	-2156	-1769	-1768	M	G	0.00	0.00	250.00
0	-2156	-2155	-1770	-1769	M	G	0.00	0.00	250.00
0	-2155	-2154	-2094	-1770	M	G	0.00	0.00	250.00
0	-2153	-2152	-2092	-1771	M	G	0.00	0.00	250.00
0	-2151	-2150	-1413	-1772	M	G	0.00	0.00	250.00
0	-2150	-2149	-1773	-1413	M	G	0.00	0.00	250.00
0	-2149	-2148	-2090	-1773	M	G	0.00	0.00	250.00
0	-2147	-2146	-2088	-1774	M	G	0.00	0.00	250.00
0	-2145	-2144	-1776	-1775	M	G	0.00	0.00	250.00
0	-2144	-2143	-1777	-1776	M	G	0.00	0.00	250.00

0	-2143	-2142	-1778	-1777	M	G	0.00	0.00	250.00
0	-2142	-2141	-1779	-1778	M	G	0.00	0.00	250.00
0	-2141	-2140	-1780	-1779	M	G	0.00	0.00	250.00
0	-2140	-2139	-1781	-1780	M	G	0.00	0.00	250.00
0	-2139	-2138	-1935	-1781	M	G	0.00	0.00	250.00
0	-2137	-2136	431	-1782	M	G	0.00	0.00	250.00
0	-2135	-2134	-1932	-1841	M	G	0.00	0.00	250.00
0	-2133	-2132	-1855	-1854	M	G	0.00	0.00	250.00
0	-2132	-2131	-1860	-1855	M	G	0.00	0.00	250.00
0	-2131	-2130	-1541	-1860	M	G	0.00	0.00	250.00
0	-2130	-2129	-1542	-1541	M	G	0.00	0.00	250.00
0	-2129	-2128	-1543	-1542	M	G	0.00	0.00	250.00
0	-2128	-2127	-1608	-1543	M	G	0.00	0.00	250.00
0	-1835	-1412	-1469	-1468	M	G	0.00	0.00	720.00
0	-1412	-1410	-1470	-1469	M	G	0.00	0.00	720.00
0	-1410	-1411	-1471	-1470	M	G	0.00	0.00	720.00
0	-1411	-1688	-1472	-1471	M	G	0.00	0.00	720.00
0	-1688	-1691	-1473	-1472	M	G	0.00	0.00	720.00
0	-1691	-1692	-1474	-1473	M	G	0.00	0.00	720.00
0	-1692	-1917	-1918	-1474	M	G	0.00	0.00	720.00
0	-1698	-1534	433	-1475	M	G	0.00	0.00	720.00
0	442	-1706	-1783	-1863	M	G	0.00	0.00	720.00
0	-1706	-1945	-1946	-1783	M	G	0.00	0.00	720.00
0	-1707	-1708	-1785	-1784	M	G	0.00	0.00	720.00
0	-1708	-1709	-1786	-1785	M	G	0.00	0.00	720.00
0	-1709	-1710	-1787	-1786	M	G	0.00	0.00	720.00
0	-1710	-1711	-1788	-1787	M	G	0.00	0.00	720.00
0	-1711	-1712	-1789	-1788	M	G	0.00	0.00	720.00
0	-1712	-1713	-1790	-1789	M	G	0.00	0.00	720.00
0	-1713	-2078	-2077	-1790	M	G	0.00	0.00	720.00
0	-1714	-2076	-2075	-1791	M	G	0.00	0.00	720.00
0	-1715	-1849	-1535	-1792	M	G	0.00	0.00	720.00
0	-1849	-1716	-1793	-1535	M	G	0.00	0.00	720.00
0	-1349	-1350	-1562	-1561	M	G	0.00	0.00	720.00
0	-1350	-1351	-1563	-1562	M	G	0.00	0.00	720.00
0	-1351	-1353	-1564	-1563	M	G	0.00	0.00	720.00
0	-1353	-1354	-1611	-1564	M	G	0.00	0.00	720.00
0	-1357	-1358	-1706	442	M	G	0.00	0.00	720.00
0	-1358	-1947	-1945	-1706	M	G	0.00	0.00	720.00
0	-1359	-1360	-1708	-1707	M	G	0.00	0.00	720.00
0	-1360	-1361	-1709	-1708	M	G	0.00	0.00	720.00
0	-1361	-1368	-1710	-1709	M	G	0.00	0.00	720.00
0	-1368	-1369	-1711	-1710	M	G	0.00	0.00	720.00
0	-1369	-1370	-1712	-1711	M	G	0.00	0.00	720.00
0	-1370	-1371	-1713	-1712	M	G	0.00	0.00	720.00
0	-1371	-2074	-2078	-1713	M	G	0.00	0.00	720.00
0	-1372	-2073	-2076	-1714	M	G	0.00	0.00	720.00
0	-1373	-1374	-1849	-1715	M	G	0.00	0.00	720.00
0	-1374	-1375	-1716	-1849	M	G	0.00	0.00	720.00
0	-1375	-2072	-2070	-1716	M	G	0.00	0.00	720.00
0	-1376	-2068	-2066	-1717	M	G	0.00	0.00	720.00
0	-1377	-1378	-1719	-1718	M	G	0.00	0.00	720.00
0	-1378	-1379	-1720	-1719	M	G	0.00	0.00	720.00
0	-1379	-1380	-1721	-1720	M	G	0.00	0.00	720.00
0	-1380	-1381	-1722	-1721	M	G	0.00	0.00	720.00
0	-1381	-1382	-1723	-1722	M	G	0.00	0.00	720.00
0	-1382	-1383	-1724	-1723	M	G	0.00	0.00	720.00
0	-1383	-1919	-1920	-1724	M	G	0.00	0.00	720.00
0	-1384	-1385	440	-1725	M	G	0.00	0.00	720.00
0	-1571	-1612	-2174	-2175	M	G	0.00	0.00	250.00
0	-1570	-1571	-2175	-2176	M	G	0.00	0.00	250.00
0	-1569	-1570	-2176	-2177	M	G	0.00	0.00	250.00
0	-1566	-1567	-2178	-2179	M	G	0.00	0.00	250.00
0	-1565	-1921	-2180	-2181	M	G	0.00	0.00	250.00
0	-1510	-1509	-1612	-1571	M	G	0.00	0.00	720.00
0	-1511	-1510	-1571	-1570	M	G	0.00	0.00	720.00
0	-1716	-2070	-2064	-1793	M	G	0.00	0.00	720.00
0	-1717	-2066	-2062	-1794	M	G	0.00	0.00	720.00
0	-1718	-1719	-1796	-1795	M	G	0.00	0.00	720.00
0	-1719	-1720	-1797	-1796	M	G	0.00	0.00	720.00
0	-1720	-1721	-1798	-1797	M	G	0.00	0.00	720.00
0	-1721	-1722	-1799	-1798	M	G	0.00	0.00	720.00
0	-1722	-1723	-1800	-1799	M	G	0.00	0.00	720.00
0	-1723	-1724	-1801	-1800	M	G	0.00	0.00	720.00
0	-1724	-1920	-1923	-1801	M	G	0.00	0.00	720.00
0	-1725	440	-1531	-1802	M	G	0.00	0.00	720.00
0	-1838	-1536	-1385	-1384	M	G	0.00	0.00	720.00
0	-1837	-1924	-1919	-1383	M	G	0.00	0.00	720.00
0	-1853	-1837	-1383	-1382	M	G	0.00	0.00	720.00

0	-1852	-1853	-1382	-1381	M	G	0.00	0.00	720.00
0	-1851	-1852	-1381	-1380	M	G	0.00	0.00	720.00
0	-1729	-1730	-2214	-2198	M	G	0.00	0.00	250.00
0	-1730	-1731	-2197	-2214	M	G	0.00	0.00	250.00
0	-1734	-2113	-2215	-2216	M	G	0.00	0.00	250.00
0	-1735	-1847	-2193	-2217	M	G	0.00	0.00	250.00
0	-1739	-1740	-2218	-2187	M	G	0.00	0.00	250.00
0	-1740	-1741	-2186	-2218	M	G	0.00	0.00	250.00
0	-1941	-1745	-2219	-2182	M	G	0.00	0.00	250.00
0	-1745	432	-2203	-2219	M	G	0.00	0.00	250.00
0	-1567	-1568	-2220	-2178	M	G	0.00	0.00	250.00
0	-1568	-1569	-2177	-2220	M	G	0.00	0.00	250.00
0	-2074	-1372	-1714	-2078	M	G	0.00	0.00	720.00
0	-2073	-1373	-1715	-2076	M	G	0.00	0.00	720.00
0	-2072	-1376	-1717	-2070	M	G	0.00	0.00	720.00
0	-2068	-1377	-1718	-2066	M	G	0.00	0.00	720.00
0	-2070	-1717	-1794	-2064	M	G	0.00	0.00	720.00
0	-2066	-1718	-1795	-2062	M	G	0.00	0.00	720.00
0	-2061	-1695	-1377	-2068	M	G	0.00	0.00	720.00
0	-2084	-1694	-1376	-2072	M	G	0.00	0.00	720.00
0	-2085	-1866	-1373	-2073	M	G	0.00	0.00	720.00
0	-2086	-1865	-1372	-2074	M	G	0.00	0.00	720.00
0	-2088	-1775	-1394	-2095	M	G	0.00	0.00	720.00
0	-2090	-1774	-1395	-2096	M	G	0.00	0.00	720.00
0	-2092	-1772	-1397	-2097	M	G	0.00	0.00	720.00
0	-2094	-1771	-1398	-2098	M	G	0.00	0.00	720.00
0	-2095	-1394	-1695	-2061	M	G	0.00	0.00	720.00
0	-2096	-1395	-1694	-2084	M	G	0.00	0.00	720.00
0	-2097	-1397	-1866	-2085	M	G	0.00	0.00	720.00
0	-2098	-1398	-1865	-2086	M	G	0.00	0.00	720.00
0	-2099	-1436	-1831	-1699	M	G	0.00	0.00	720.00
0	-2100	-1438	-1832	-1547	M	G	0.00	0.00	720.00
0	-2101	-1441	-1834	-2082	M	G	0.00	0.00	720.00
0	-2102	-1442	-1835	-2080	M	G	0.00	0.00	720.00
0	-1762	-1464	-1882	-1974	M	G	0.00	0.00	720.00
0	-2083	-1465	-1883	-1911	M	G	0.00	0.00	720.00
0	-2081	-1467	-1886	-2103	M	G	0.00	0.00	720.00
0	-2079	-1468	-1887	-2104	M	G	0.00	0.00	720.00
0	-2077	-1791	-1436	-2099	M	G	0.00	0.00	720.00
0	-2075	-1792	-1438	-2100	M	G	0.00	0.00	720.00
0	-2064	-1794	-1441	-2101	M	G	0.00	0.00	720.00
0	-2062	-1795	-1442	-2102	M	G	0.00	0.00	720.00
0	-2105	-1496	-1488	-2106	M	G	0.00	0.00	720.00
0	-2107	-1495	-1489	-2108	M	G	0.00	0.00	720.00
0	-1912	-1493	-1499	-2109	M	G	0.00	0.00	720.00
0	-1973	-1492	-1500	-2110	M	G	0.00	0.00	720.00
0	-2106	-1488	-1738	-2111	M	G	0.00	0.00	720.00
0	-2108	-1489	-1737	-2112	M	G	0.00	0.00	720.00
0	-2109	-1499	-1735	-2113	M	G	0.00	0.00	720.00
0	-2110	-1500	-1734	-2114	M	G	0.00	0.00	720.00
0	-2111	-1738	-2188	-2189	M	G	0.00	0.00	250.00
0	-2112	-1737	-2190	-2191	M	G	0.00	0.00	250.00
0	-2114	-1734	-2216	-2194	M	G	0.00	0.00	250.00
0	-2103	-1886	-1495	-2107	M	G	0.00	0.00	720.00
0	-2104	-1887	-1496	-2105	M	G	0.00	0.00	720.00
0	-2113	-1735	-2217	-2215	M	G	0.00	0.00	250.00

Elenco carichi elementi bidimensionali
Condizione di carico n. 7: Schema 2 q1tandem mezz
Carichi uniformi

Bid.	N1	N2	N3	N4	T	DC	Qx <daN/mq>	Qy <daN/mq>	Qz <daN/mq>
0	-1882	-1911	-1912	-1492	M	G	0.00	0.00	75000.00
0	-1694	-2061	-2068	-1376	M	G	0.00	0.00	75000.00
0	-1865	-2085	-2073	-1372	M	G	0.00	0.00	75000.00
0	-1464	-2083	-1911	-1882	M	G	0.00	0.00	75000.00
0	-1467	-2079	-2104	-1886	M	G	0.00	0.00	75000.00
0	-1886	-2104	-2105	-1495	M	G	0.00	0.00	75000.00
0	-1974	-1882	-1492	-1973	M	G	0.00	0.00	75000.00
0	-1372	-2073	-2076	-1714	M	G	0.00	0.00	75000.00
0	-1376	-2068	-2066	-1717	M	G	0.00	0.00	75000.00
0	-2074	-1372	-1714	-2078	M	G	0.00	0.00	75000.00
0	-2072	-1376	-1717	-2070	M	G	0.00	0.00	75000.00
0	-2084	-1694	-1376	-2072	M	G	0.00	0.00	75000.00
0	-2086	-1865	-1372	-2074	M	G	0.00	0.00	75000.00
0	-1762	-1464	-1882	-1974	M	G	0.00	0.00	75000.00
0	-2081	-1467	-1886	-2103	M	G	0.00	0.00	75000.00
0	-2103	-1886	-1495	-2107	M	G	0.00	0.00	75000.00

Elenco carichi elementi bidimensionali
Condizione di carico n. 8: Schema 2 q1tandem dx
Carichi uniformi

Bid.	N1	N2	N3	N4	T	DC	Qx <daN/mq>	Qy <daN/mq>	Qz <daN/mq>
0	-1346	-1915	-1916	-1558	M	G	0.00	0.00	75000.00
0	-1345	-1913	-1914	-1572	M	G	0.00	0.00	75000.00
0	-1618	-1930	-1915	-1346	M	G	0.00	0.00	75000.00
0	-1579	-1928	-1913	-1345	M	G	0.00	0.00	75000.00
0	-1474	-1918	-1938	-1893	M	G	0.00	0.00	75000.00
0	-1893	-1938	-1939	-1704	M	G	0.00	0.00	75000.00
0	-1913	-1343	-1573	-1914	M	G	0.00	0.00	75000.00
0	-1915	-1347	-1559	-1916	M	G	0.00	0.00	75000.00
0	-1919	-1384	-1725	-1920	M	G	0.00	0.00	75000.00
0	-1924	-1838	-1384	-1919	M	G	0.00	0.00	75000.00
0	-1930	-1414	-1347	-1915	M	G	0.00	0.00	75000.00
0	-1928	-1580	-1343	-1913	M	G	0.00	0.00	75000.00
0	-1918	-1475	-1894	-1938	M	G	0.00	0.00	75000.00
0	-1938	-1894	-1705	-1939	M	G	0.00	0.00	75000.00
0	-1383	-1919	-1920	-1724	M	G	0.00	0.00	75000.00
0	-1837	-1924	-1919	-1383	M	G	0.00	0.00	75000.00

Elenco carichi elementi bidimensionali
Condizione di carico n. 9: Schema 2 q1tandem sx
Carichi uniformi

Bid.	N1	N2	N3	N4	T	DC	Qx <daN/mq>	Qy <daN/mq>	Qz <daN/mq>
0	-1836	-1948	-1947	-1358	M	G	0.00	0.00	75000.00
0	-1453	-1954	-1943	-1873	M	G	0.00	0.00	75000.00
0	-1415	-1959	-1969	-1896	M	G	0.00	0.00	75000.00
0	-1645	-1968	-1972	-1909	M	G	0.00	0.00	75000.00
0	-1896	-1969	-1970	-1666	M	G	0.00	0.00	75000.00
0	-1909	-1972	-1965	-1652	M	G	0.00	0.00	75000.00
0	-1943	-1875	-1477	-1944	M	G	0.00	0.00	75000.00
0	-1947	-1359	-1707	-1945	M	G	0.00	0.00	75000.00
0	-1948	-1839	-1359	-1947	M	G	0.00	0.00	75000.00
0	-1954	-1454	-1875	-1943	M	G	0.00	0.00	75000.00
0	-1959	-1416	-1895	-1969	M	G	0.00	0.00	75000.00
0	-1968	-1646	-1910	-1972	M	G	0.00	0.00	75000.00
0	-1969	-1895	-1667	-1970	M	G	0.00	0.00	75000.00
0	-1972	-1910	-1653	-1965	M	G	0.00	0.00	75000.00
0	-1873	-1943	-1944	-1476	M	G	0.00	0.00	75000.00
0	-1358	-1947	-1945	-1706	M	G	0.00	0.00	75000.00

Elenco carichi elementi bidimensionali
Condizione di carico n. 10: Schema 2 q1dis mezz
Carichi uniformi

Bid.	N1	N2	N3	N4	T	DC	Qx <daN/mq>	Qy <daN/mq>	Qz <daN/mq>
0	-1532	-1833	-1466	-1867	M	G	0.00	0.00	720.00
0	-1832	-1532	-1867	-1465	M	G	0.00	0.00	720.00
0	-1831	-1547	-2083	-1464	M	G	0.00	0.00	720.00
0	-1830	-1699	-1762	-1463	M	G	0.00	0.00	720.00
0	-1829	-1830	-1463	-1462	M	G	0.00	0.00	720.00
0	-1828	-1829	-1462	-1460	M	G	0.00	0.00	720.00
0	-1875	-1876	-1478	-1477	M	G	0.00	0.00	720.00
0	-1876	-1877	-1479	-1478	M	G	0.00	0.00	720.00
0	-1877	-1878	-1480	-1479	M	G	0.00	0.00	720.00
0	-1878	-1879	-1481	-1480	M	G	0.00	0.00	720.00
0	-1879	-1880	-1482	-1481	M	G	0.00	0.00	720.00
0	-1880	-1881	-1491	-1482	M	G	0.00	0.00	720.00
0	-1881	-1974	-1973	-1491	M	G	0.00	0.00	720.00
0	-1882	-1911	-1912	-1492	M	G	0.00	0.00	720.00
0	-1834	-2080	-2079	-1467	M	G	0.00	0.00	720.00
0	-1348	-1349	-1561	-1560	M	G	0.00	0.00	720.00
0	-1347	-1348	-1560	-1559	M	G	0.00	0.00	720.00
0	-1346	-1915	-1916	-1558	M	G	0.00	0.00	720.00
0	-1385	-1346	-1558	440	M	G	0.00	0.00	720.00
0	-1344	-1345	-1572	-1537	M	G	0.00	0.00	720.00
0	-1345	-1913	-1914	-1572	M	G	0.00	0.00	720.00
0	-1343	-1342	-1574	-1573	M	G	0.00	0.00	720.00
0	-1342	-1868	-1575	-1574	M	G	0.00	0.00	720.00
0	-1868	-1869	-1576	-1575	M	G	0.00	0.00	720.00
0	-1869	-1870	-1577	-1576	M	G	0.00	0.00	720.00
0	-1870	-1871	-1578	-1577	M	G	0.00	0.00	720.00

0	-1871	-1872	-1613	-1578	M	G	0.00	0.00	720.00
0	-1874	-1873	-1476	-1848	M	G	0.00	0.00	720.00
0	-1858	-1851	-1380	-1379	M	G	0.00	0.00	720.00
0	-1856	-1858	-1379	-1378	M	G	0.00	0.00	720.00
0	-1695	-1856	-1378	-1377	M	G	0.00	0.00	720.00
0	-1694	-2061	-2068	-1376	M	G	0.00	0.00	720.00
0	-1693	-2084	-2072	-1375	M	G	0.00	0.00	720.00
0	-1862	-1693	-1375	-1374	M	G	0.00	0.00	720.00
0	-1866	-1862	-1374	-1373	M	G	0.00	0.00	720.00
0	-1865	-2085	-2073	-1372	M	G	0.00	0.00	720.00
0	-1864	-2086	-2074	-1371	M	G	0.00	0.00	720.00
0	-1861	-1864	-1371	-1370	M	G	0.00	0.00	720.00
0	-1857	-1861	-1370	-1369	M	G	0.00	0.00	720.00
0	-1845	-1857	-1369	-1368	M	G	0.00	0.00	720.00
0	-1844	-1845	-1368	-1361	M	G	0.00	0.00	720.00
0	-1843	-1844	-1361	-1360	M	G	0.00	0.00	720.00
0	-1839	-1843	-1360	-1359	M	G	0.00	0.00	720.00
0	-1836	-1948	-1947	-1358	M	G	0.00	0.00	720.00
0	-1850	-1836	-1358	-1357	M	G	0.00	0.00	720.00
0	-1863	-1783	-1428	441	M	G	0.00	0.00	720.00
0	-1783	-1946	-1949	-1428	M	G	0.00	0.00	720.00
0	-1784	-1785	-1430	-1429	M	G	0.00	0.00	720.00
0	-1512	-1511	-1570	-1569	M	G	0.00	0.00	720.00
0	-1513	-1512	-1569	-1568	M	G	0.00	0.00	720.00
0	-1514	-1513	-1568	-1567	M	G	0.00	0.00	720.00
0	-1515	-1514	-1567	-1566	M	G	0.00	0.00	720.00
0	-1516	-1925	-1921	-1565	M	G	0.00	0.00	720.00
0	-1578	-1613	-1509	-1510	M	G	0.00	0.00	720.00
0	-1577	-1578	-1510	-1511	M	G	0.00	0.00	720.00
0	-1576	-1577	-1511	-1512	M	G	0.00	0.00	720.00
0	-1575	-1576	-1512	-1513	M	G	0.00	0.00	720.00
0	-1574	-1575	-1513	-1514	M	G	0.00	0.00	720.00
0	-1573	-1574	-1514	-1515	M	G	0.00	0.00	720.00
0	-1572	-1914	-1925	-1516	M	G	0.00	0.00	720.00
0	430	-1551	-1586	-1534	M	G	0.00	0.00	720.00
0	-1551	-1926	-1927	-1586	M	G	0.00	0.00	720.00
0	-1552	-1553	-1588	-1587	M	G	0.00	0.00	720.00
0	-1553	-1554	-1589	-1588	M	G	0.00	0.00	720.00
0	-1554	-1555	-1590	-1589	M	G	0.00	0.00	720.00
0	-1555	-1556	-1591	-1590	M	G	0.00	0.00	720.00
0	-1556	-1557	-1592	-1591	M	G	0.00	0.00	720.00
0	-1557	-1610	-1615	-1592	M	G	0.00	0.00	720.00
0	-1534	-1586	-1579	433	M	G	0.00	0.00	720.00
0	-1586	-1927	-1928	-1579	M	G	0.00	0.00	720.00
0	-1587	-1588	-1581	-1580	M	G	0.00	0.00	720.00
0	-1588	-1589	-1582	-1581	M	G	0.00	0.00	720.00
0	-1589	-1590	-1583	-1582	M	G	0.00	0.00	720.00
0	-1590	-1591	-1584	-1583	M	G	0.00	0.00	720.00
0	-1591	-1592	-1585	-1584	M	G	0.00	0.00	720.00
0	-1592	-1615	-1614	-1585	M	G	0.00	0.00	720.00
0	440	-1558	-1593	-1531	M	G	0.00	0.00	720.00
0	-1558	-1916	-1929	-1593	M	G	0.00	0.00	720.00
0	-1559	-1560	-1595	-1594	M	G	0.00	0.00	720.00
0	-1560	-1561	-1596	-1595	M	G	0.00	0.00	720.00
0	-1561	-1562	-1597	-1596	M	G	0.00	0.00	720.00
0	-1562	-1563	-1598	-1597	M	G	0.00	0.00	720.00
0	-1563	-1564	-1599	-1598	M	G	0.00	0.00	720.00
0	-1564	-1611	-1616	-1599	M	G	0.00	0.00	720.00
0	-1840	-1607	-1354	-1353	M	G	0.00	0.00	720.00
0	-1697	-1840	-1353	-1351	M	G	0.00	0.00	720.00
0	-1696	-1697	-1351	-1350	M	G	0.00	0.00	720.00
0	-1690	-1696	-1350	-1349	M	G	0.00	0.00	720.00
0	-1685	-1690	-1349	-1348	M	G	0.00	0.00	720.00
0	-1414	-1685	-1348	-1347	M	G	0.00	0.00	720.00
0	-1618	-1930	-1915	-1346	M	G	0.00	0.00	720.00
0	-1536	-1618	-1346	-1385	M	G	0.00	0.00	720.00
0	433	-1579	-1345	-1344	M	G	0.00	0.00	720.00
0	-1579	-1928	-1913	-1345	M	G	0.00	0.00	720.00
0	-1580	-1581	-1342	-1343	M	G	0.00	0.00	720.00
0	-1581	-1582	-1868	-1342	M	G	0.00	0.00	720.00
0	-1582	-1583	-1869	-1868	M	G	0.00	0.00	720.00
0	-1583	-1584	-1870	-1869	M	G	0.00	0.00	720.00
0	-1584	-1585	-1871	-1870	M	G	0.00	0.00	720.00
0	-1585	-1614	-1872	-1871	M	G	0.00	0.00	720.00
0	-1531	-1593	-1551	430	M	G	0.00	0.00	720.00
0	-1593	-1929	-1926	-1551	M	G	0.00	0.00	720.00
0	-1594	-1595	-1553	-1552	M	G	0.00	0.00	720.00
0	-1595	-1596	-1554	-1553	M	G	0.00	0.00	720.00
0	-1596	-1597	-1555	-1554	M	G	0.00	0.00	720.00

0	-1597	-1598	-1556	-1555	M	G	0.00	0.00	720.00
0	-1598	-1599	-1557	-1556	M	G	0.00	0.00	720.00
0	-1599	-1616	-1610	-1557	M	G	0.00	0.00	720.00
0	-1408	-1407	-1607	-1840	M	G	0.00	0.00	720.00
0	-1409	-1408	-1840	-1697	M	G	0.00	0.00	720.00
0	-1437	-1409	-1697	-1696	M	G	0.00	0.00	720.00
0	-1440	-1437	-1696	-1690	M	G	0.00	0.00	720.00
0	-1444	-1440	-1690	-1685	M	G	0.00	0.00	720.00
0	-1447	-1444	-1685	-1414	M	G	0.00	0.00	720.00
0	-1451	-1931	-1930	-1618	M	G	0.00	0.00	720.00
0	-1543	-1608	-1407	-1408	M	G	0.00	0.00	720.00
0	-1542	-1543	-1408	-1409	M	G	0.00	0.00	720.00
0	-1541	-1542	-1409	-1437	M	G	0.00	0.00	720.00
0	-1860	-1541	-1437	-1440	M	G	0.00	0.00	720.00
0	-1855	-1860	-1440	-1444	M	G	0.00	0.00	720.00
0	-1854	-1855	-1444	-1447	M	G	0.00	0.00	720.00
0	-1841	-1932	-1931	-1451	M	G	0.00	0.00	720.00
0	-1782	431	438	-1387	M	G	0.00	0.00	720.00
0	-1781	-1935	-1936	-1388	M	G	0.00	0.00	720.00
0	-1780	-1781	-1388	-1389	M	G	0.00	0.00	720.00
0	-1779	-1780	-1389	-1390	M	G	0.00	0.00	720.00
0	-1778	-1779	-1390	-1391	M	G	0.00	0.00	720.00
0	-1777	-1778	-1391	-1392	M	G	0.00	0.00	720.00
0	-1776	-1777	-1392	-1393	M	G	0.00	0.00	720.00
0	-1775	-1776	-1393	-1394	M	G	0.00	0.00	720.00
0	-1774	-2088	-2095	-1395	M	G	0.00	0.00	720.00
0	-1773	-2090	-2096	-1396	M	G	0.00	0.00	720.00
0	-1413	-1773	-1396	-1386	M	G	0.00	0.00	720.00
0	-1772	-1413	-1386	-1397	M	G	0.00	0.00	720.00
0	-1771	-2092	-2097	-1398	M	G	0.00	0.00	720.00
0	-1770	-2094	-2098	-1399	M	G	0.00	0.00	720.00
0	-1769	-1770	-1399	-1400	M	G	0.00	0.00	720.00
0	-1768	-1769	-1400	-1401	M	G	0.00	0.00	720.00
0	-1767	-1768	-1401	-1402	M	G	0.00	0.00	720.00
0	-1766	-1767	-1402	-1403	M	G	0.00	0.00	720.00
0	-1765	-1766	-1403	-1404	M	G	0.00	0.00	720.00
0	-1764	-1765	-1404	-1405	M	G	0.00	0.00	720.00
0	-1763	-1951	-1952	-1406	M	G	0.00	0.00	720.00
0	-1387	438	-1536	-1838	M	G	0.00	0.00	720.00
0	-1388	-1936	-1924	-1837	M	G	0.00	0.00	720.00
0	-1389	-1388	-1837	-1853	M	G	0.00	0.00	720.00
0	-1390	-1389	-1853	-1852	M	G	0.00	0.00	720.00
0	-1391	-1390	-1852	-1851	M	G	0.00	0.00	720.00
0	-1392	-1391	-1851	-1858	M	G	0.00	0.00	720.00
0	-1393	-1392	-1858	-1856	M	G	0.00	0.00	720.00
0	-1394	-1393	-1856	-1695	M	G	0.00	0.00	720.00
0	-1395	-2095	-2061	-1694	M	G	0.00	0.00	720.00
0	-1396	-2096	-2084	-1693	M	G	0.00	0.00	720.00
0	-1386	-1396	-1693	-1862	M	G	0.00	0.00	720.00
0	-1397	-1386	-1862	-1866	M	G	0.00	0.00	720.00
0	-1398	-2097	-2085	-1865	M	G	0.00	0.00	720.00
0	-1399	-2098	-2086	-1864	M	G	0.00	0.00	720.00
0	-1400	-1399	-1864	-1861	M	G	0.00	0.00	720.00
0	-1401	-1400	-1861	-1857	M	G	0.00	0.00	720.00
0	-1402	-1401	-1857	-1845	M	G	0.00	0.00	720.00
0	-1403	-1402	-1845	-1844	M	G	0.00	0.00	720.00
0	-1404	-1403	-1844	-1843	M	G	0.00	0.00	720.00
0	-1405	-1404	-1843	-1839	M	G	0.00	0.00	720.00
0	-1406	-1952	-1948	-1836	M	G	0.00	0.00	720.00
0	441	-1428	-1823	-1859	M	G	0.00	0.00	720.00
0	-1428	-1949	-1953	-1823	M	G	0.00	0.00	720.00
0	-1429	-1430	-1825	-1824	M	G	0.00	0.00	720.00
0	-1430	-1431	-1826	-1825	M	G	0.00	0.00	720.00
0	-1431	-1432	-1827	-1826	M	G	0.00	0.00	720.00
0	-1432	-1433	-1828	-1827	M	G	0.00	0.00	720.00
0	-1433	-1434	-1829	-1828	M	G	0.00	0.00	720.00
0	-1434	-1435	-1830	-1829	M	G	0.00	0.00	720.00
0	-1435	-2099	-1699	-1830	M	G	0.00	0.00	720.00
0	-1436	-2100	-1547	-1831	M	G	0.00	0.00	720.00
0	-1438	-1846	-1532	-1832	M	G	0.00	0.00	720.00
0	-1846	-1439	-1833	-1532	M	G	0.00	0.00	720.00
0	-1439	-2101	-2082	-1833	M	G	0.00	0.00	720.00
0	-1441	-2102	-2080	-1834	M	G	0.00	0.00	720.00
0	-1442	-1443	-1412	-1835	M	G	0.00	0.00	720.00
0	-1443	-1445	-1410	-1412	M	G	0.00	0.00	720.00
0	-1445	-1446	-1411	-1410	M	G	0.00	0.00	720.00
0	-1446	-1448	-1688	-1411	M	G	0.00	0.00	720.00
0	-1448	-1449	-1691	-1688	M	G	0.00	0.00	720.00
0	-1449	-1450	-1692	-1691	M	G	0.00	0.00	720.00

0	-1450	-1937	-1917	-1692	M	G	0.00	0.00	720.00
0	-1452	430	-1534	-1698	M	G	0.00	0.00	720.00
0	439	-1453	-1873	-1874	M	G	0.00	0.00	720.00
0	-1453	-1954	-1943	-1873	M	G	0.00	0.00	720.00
0	-1454	-1455	-1876	-1875	M	G	0.00	0.00	720.00
0	-1455	-1456	-1877	-1876	M	G	0.00	0.00	720.00
0	-1456	-1459	-1878	-1877	M	G	0.00	0.00	720.00
0	-1459	-1460	-1879	-1878	M	G	0.00	0.00	720.00
0	-1460	-1462	-1880	-1879	M	G	0.00	0.00	720.00
0	-1462	-1463	-1881	-1880	M	G	0.00	0.00	720.00
0	-1463	-1762	-1974	-1881	M	G	0.00	0.00	720.00
0	-1464	-2083	-1911	-1882	M	G	0.00	0.00	720.00
0	-1465	-1867	-1884	-1883	M	G	0.00	0.00	720.00
0	-1867	-1466	-1885	-1884	M	G	0.00	0.00	720.00
0	-1466	-2081	-2103	-1885	M	G	0.00	0.00	720.00
0	-1467	-2079	-2104	-1886	M	G	0.00	0.00	720.00
0	-1468	-1469	-1888	-1887	M	G	0.00	0.00	720.00
0	-1469	-1470	-1889	-1888	M	G	0.00	0.00	720.00
0	-1470	-1471	-1890	-1889	M	G	0.00	0.00	720.00
0	-1471	-1472	-1891	-1890	M	G	0.00	0.00	720.00
0	-1472	-1473	-1892	-1891	M	G	0.00	0.00	720.00
0	-1473	-1474	-1893	-1892	M	G	0.00	0.00	720.00
0	-1474	-1918	-1938	-1893	M	G	0.00	0.00	720.00
0	-1475	433	-1344	-1894	M	G	0.00	0.00	720.00
0	-1859	-1823	-1453	439	M	G	0.00	0.00	720.00
0	-1823	-1953	-1954	-1453	M	G	0.00	0.00	720.00
0	-1824	-1825	-1455	-1454	M	G	0.00	0.00	720.00
0	-1825	-1826	-1456	-1455	M	G	0.00	0.00	720.00
0	-1826	-1827	-1459	-1456	M	G	0.00	0.00	720.00
0	-1827	-1828	-1460	-1459	M	G	0.00	0.00	720.00
0	-1785	-1786	-1431	-1430	M	G	0.00	0.00	720.00
0	-1786	-1787	-1432	-1431	M	G	0.00	0.00	720.00
0	-1787	-1788	-1433	-1432	M	G	0.00	0.00	720.00
0	-1788	-1789	-1434	-1433	M	G	0.00	0.00	720.00
0	-1789	-1790	-1435	-1434	M	G	0.00	0.00	720.00
0	-1790	-2077	-2099	-1435	M	G	0.00	0.00	720.00
0	-1791	-2075	-2100	-1436	M	G	0.00	0.00	720.00
0	-1792	-1535	-1846	-1438	M	G	0.00	0.00	720.00
0	-1535	-1793	-1439	-1846	M	G	0.00	0.00	720.00
0	-1793	-2064	-2101	-1439	M	G	0.00	0.00	720.00
0	-1794	-2062	-2102	-1441	M	G	0.00	0.00	720.00
0	-1795	-1796	-1443	-1442	M	G	0.00	0.00	720.00
0	-1796	-1797	-1445	-1443	M	G	0.00	0.00	720.00
0	-1797	-1798	-1446	-1445	M	G	0.00	0.00	720.00
0	-1798	-1799	-1448	-1446	M	G	0.00	0.00	720.00
0	-1799	-1800	-1449	-1448	M	G	0.00	0.00	720.00
0	-1800	-1801	-1450	-1449	M	G	0.00	0.00	720.00
0	-1801	-1923	-1937	-1450	M	G	0.00	0.00	720.00
0	-1705	-1537	437	-1458	M	G	0.00	0.00	720.00
0	-1704	-1939	-1940	-1461	M	G	0.00	0.00	720.00
0	-1703	-1704	-1461	-1483	M	G	0.00	0.00	720.00
0	-1702	-1703	-1483	-1484	M	G	0.00	0.00	720.00
0	-1701	-1702	-1484	-1485	M	G	0.00	0.00	720.00
0	-1700	-1701	-1485	-1486	M	G	0.00	0.00	720.00
0	-1497	-1700	-1486	-1487	M	G	0.00	0.00	720.00
0	-1496	-1497	-1487	-1488	M	G	0.00	0.00	720.00
0	-1495	-2105	-2106	-1489	M	G	0.00	0.00	720.00
0	-1494	-2107	-2108	-1498	M	G	0.00	0.00	720.00
0	-1842	-1494	-1498	-1457	M	G	0.00	0.00	720.00
0	-1493	-1842	-1457	-1499	M	G	0.00	0.00	720.00
0	-1492	-1912	-2109	-1500	M	G	0.00	0.00	720.00
0	-1491	-1973	-2110	-1501	M	G	0.00	0.00	720.00
0	-1482	-1491	-1501	-1502	M	G	0.00	0.00	720.00
0	-1481	-1482	-1502	-1503	M	G	0.00	0.00	720.00
0	-1480	-1481	-1503	-1504	M	G	0.00	0.00	720.00
0	-1479	-1480	-1504	-1505	M	G	0.00	0.00	720.00
0	-1478	-1479	-1505	-1506	M	G	0.00	0.00	720.00
0	-1477	-1478	-1506	-1507	M	G	0.00	0.00	720.00
0	-1476	-1944	-1955	-1508	M	G	0.00	0.00	720.00
0	-1458	437	432	-1745	M	G	0.00	0.00	720.00
0	-1461	-1940	-1941	-1744	M	G	0.00	0.00	720.00
0	-1483	-1461	-1744	-1743	M	G	0.00	0.00	720.00
0	-1484	-1483	-1743	-1742	M	G	0.00	0.00	720.00
0	-1485	-1484	-1742	-1741	M	G	0.00	0.00	720.00
0	-1486	-1485	-1741	-1740	M	G	0.00	0.00	720.00
0	-1487	-1486	-1740	-1739	M	G	0.00	0.00	720.00
0	-1488	-1487	-1739	-1738	M	G	0.00	0.00	720.00
0	-1489	-2106	-2111	-1737	M	G	0.00	0.00	720.00
0	-1498	-2108	-2112	-1736	M	G	0.00	0.00	720.00

0	-1457	-1498	-1736	-1847	M	G	0.00	0.00	720.00
0	-1499	-1457	-1847	-1735	M	G	0.00	0.00	720.00
0	-1500	-2109	-2113	-1734	M	G	0.00	0.00	720.00
0	-1501	-2110	-2114	-1733	M	G	0.00	0.00	720.00
0	-1502	-1501	-1733	-1732	M	G	0.00	0.00	720.00
0	-1503	-1502	-1732	-1731	M	G	0.00	0.00	720.00
0	-1504	-1503	-1731	-1730	M	G	0.00	0.00	720.00
0	-1505	-1504	-1730	-1729	M	G	0.00	0.00	720.00
0	-1506	-1505	-1729	-1728	M	G	0.00	0.00	720.00
0	-1507	-1506	-1728	-1727	M	G	0.00	0.00	720.00
0	-1508	-1955	-1956	-1726	M	G	0.00	0.00	720.00
0	-1744	-1941	-2182	-2183	M	G	0.00	0.00	250.00
0	-1743	-1744	-2183	-2184	M	G	0.00	0.00	250.00
0	-1742	-1743	-2184	-2185	M	G	0.00	0.00	250.00
0	-1741	-1742	-2185	-2186	M	G	0.00	0.00	250.00
0	-1738	-1739	-2187	-2188	M	G	0.00	0.00	250.00
0	-1737	-2111	-2189	-2190	M	G	0.00	0.00	250.00
0	-1736	-2112	-2191	-2192	M	G	0.00	0.00	250.00
0	-1847	-1736	-2192	-2193	M	G	0.00	0.00	250.00
0	-1733	-2114	-2194	-2195	M	G	0.00	0.00	250.00
0	-1732	-1733	-2195	-2196	M	G	0.00	0.00	250.00
0	-1731	-1732	-2196	-2197	M	G	0.00	0.00	250.00
0	-1728	-1729	-2198	-2199	M	G	0.00	0.00	250.00
0	-1727	-1728	-2199	-2200	M	G	0.00	0.00	250.00
0	-1726	-1956	-2201	-2202	M	G	0.00	0.00	250.00
0	438	-1451	-1618	-1536	M	G	0.00	0.00	720.00
0	431	-1841	-1451	438	M	G	0.00	0.00	720.00
0	436	-1763	-1406	429	M	G	0.00	0.00	720.00
0	429	-1406	-1836	-1850	M	G	0.00	0.00	720.00
0	-1802	-1531	430	-1452	M	G	0.00	0.00	720.00
0	-1537	-1572	-1516	437	M	G	0.00	0.00	720.00
0	-1848	-1476	-1508	435	M	G	0.00	0.00	720.00
0	437	-1516	-1565	432	M	G	0.00	0.00	720.00
0	435	-1508	-1726	434	M	G	0.00	0.00	720.00
0	432	-1565	-2181	-2203	M	G	0.00	0.00	250.00
0	434	-1726	-2202	-2204	M	G	0.00	0.00	250.00
0	-1529	429	-1850	-1416	M	G	0.00	0.00	720.00
0	-1530	-1958	-1959	-1415	M	G	0.00	0.00	720.00
0	-1490	-1530	-1415	-1367	M	G	0.00	0.00	720.00
0	-1538	-1490	-1367	-1366	M	G	0.00	0.00	720.00
0	-1525	-1538	-1366	-1365	M	G	0.00	0.00	720.00
0	-1526	-1525	-1365	-1364	M	G	0.00	0.00	720.00
0	-1527	-1526	-1364	-1363	M	G	0.00	0.00	720.00
0	-1528	-1527	-1363	-1427	M	G	0.00	0.00	720.00
0	-1362	436	429	-1529	M	G	0.00	0.00	720.00
0	-1356	-1960	-1958	-1530	M	G	0.00	0.00	720.00
0	-1355	-1356	-1530	-1490	M	G	0.00	0.00	720.00
0	-1352	-1355	-1490	-1538	M	G	0.00	0.00	720.00
0	-1684	-1352	-1538	-1525	M	G	0.00	0.00	720.00
0	-1683	-1684	-1525	-1526	M	G	0.00	0.00	720.00
0	-1682	-1683	-1526	-1527	M	G	0.00	0.00	720.00
0	-1426	-1682	-1527	-1528	M	G	0.00	0.00	720.00
0	-1521	435	434	-1660	M	G	0.00	0.00	720.00
0	-1522	-1962	-1963	-1659	M	G	0.00	0.00	720.00
0	-1523	-1522	-1659	-1658	M	G	0.00	0.00	720.00
0	-1524	-1523	-1658	-1657	M	G	0.00	0.00	720.00
0	-1517	-1524	-1657	-1656	M	G	0.00	0.00	720.00
0	-1518	-1517	-1656	-1655	M	G	0.00	0.00	720.00
0	-1519	-1518	-1655	-1654	M	G	0.00	0.00	720.00
0	-1520	-1519	-1654	-1422	M	G	0.00	0.00	720.00
0	-1422	-1654	-2205	-2206	M	G	0.00	0.00	250.00
0	-1654	-1655	-2207	-2205	M	G	0.00	0.00	250.00
0	-1655	-1656	-2208	-2207	M	G	0.00	0.00	250.00
0	-1656	-1657	-2209	-2208	M	G	0.00	0.00	250.00
0	-1657	-1658	-2210	-2209	M	G	0.00	0.00	250.00
0	-1658	-1659	-2211	-2210	M	G	0.00	0.00	250.00
0	-1659	-1963	-2212	-2211	M	G	0.00	0.00	250.00
0	-1653	-1848	435	-1521	M	G	0.00	0.00	720.00
0	-1652	-1965	-1962	-1522	M	G	0.00	0.00	720.00
0	-1651	-1652	-1522	-1523	M	G	0.00	0.00	720.00
0	-1650	-1651	-1523	-1524	M	G	0.00	0.00	720.00
0	-1649	-1650	-1524	-1517	M	G	0.00	0.00	720.00
0	-1648	-1649	-1517	-1518	M	G	0.00	0.00	720.00
0	-1647	-1648	-1518	-1519	M	G	0.00	0.00	720.00
0	-1421	-1647	-1519	-1520	M	G	0.00	0.00	720.00
0	-1424	-1668	-1633	-1419	M	G	0.00	0.00	720.00
0	-1668	-1669	-1634	-1633	M	G	0.00	0.00	720.00
0	-1669	-1670	-1635	-1634	M	G	0.00	0.00	720.00
0	-1670	-1671	-1636	-1635	M	G	0.00	0.00	720.00

0	-1671	-1672	-1637	-1636	M	G	0.00	0.00	720.00
0	-1672	-1673	-1638	-1637	M	G	0.00	0.00	720.00
0	-1673	-1966	-1967	-1638	M	G	0.00	0.00	720.00
0	-1674	441	-1859	-1639	M	G	0.00	0.00	720.00
0	-1419	-1633	-1640	-1420	M	G	0.00	0.00	720.00
0	-1633	-1634	-1641	-1640	M	G	0.00	0.00	720.00
0	-1634	-1635	-1642	-1641	M	G	0.00	0.00	720.00
0	-1635	-1636	-1643	-1642	M	G	0.00	0.00	720.00
0	-1636	-1637	-1644	-1643	M	G	0.00	0.00	720.00
0	-1637	-1638	-1645	-1644	M	G	0.00	0.00	720.00
0	-1638	-1967	-1968	-1645	M	G	0.00	0.00	720.00
0	-1639	-1859	439	-1646	M	G	0.00	0.00	720.00
0	-1416	-1850	-1357	-1895	M	G	0.00	0.00	720.00
0	-1415	-1959	-1969	-1896	M	G	0.00	0.00	720.00
0	-1367	-1415	-1896	-1897	M	G	0.00	0.00	720.00
0	-1366	-1367	-1897	-1898	M	G	0.00	0.00	720.00
0	-1365	-1366	-1898	-1899	M	G	0.00	0.00	720.00
0	-1364	-1365	-1899	-1900	M	G	0.00	0.00	720.00
0	-1363	-1364	-1900	-1901	M	G	0.00	0.00	720.00
0	-1427	-1363	-1901	-1902	M	G	0.00	0.00	720.00
0	-1423	-1661	-1626	-1418	M	G	0.00	0.00	720.00
0	-1661	-1662	-1627	-1626	M	G	0.00	0.00	720.00
0	-1662	-1663	-1628	-1627	M	G	0.00	0.00	720.00
0	-1663	-1664	-1629	-1628	M	G	0.00	0.00	720.00
0	-1664	-1665	-1630	-1629	M	G	0.00	0.00	720.00
0	-1665	-1666	-1631	-1630	M	G	0.00	0.00	720.00
0	-1666	-1970	-1971	-1631	M	G	0.00	0.00	720.00
0	-1667	442	-1863	-1632	M	G	0.00	0.00	720.00
0	-1420	-1640	-1904	-1903	M	G	0.00	0.00	720.00
0	-1640	-1641	-1905	-1904	M	G	0.00	0.00	720.00
0	-1641	-1642	-1906	-1905	M	G	0.00	0.00	720.00
0	-1642	-1643	-1907	-1906	M	G	0.00	0.00	720.00
0	-1643	-1644	-1908	-1907	M	G	0.00	0.00	720.00
0	-1644	-1645	-1909	-1908	M	G	0.00	0.00	720.00
0	-1645	-1968	-1972	-1909	M	G	0.00	0.00	720.00
0	-1646	439	-1874	-1910	M	G	0.00	0.00	720.00
0	-1418	-1626	-1668	-1424	M	G	0.00	0.00	720.00
0	-1626	-1627	-1669	-1668	M	G	0.00	0.00	720.00
0	-1627	-1628	-1670	-1669	M	G	0.00	0.00	720.00
0	-1628	-1629	-1671	-1670	M	G	0.00	0.00	720.00
0	-1629	-1630	-1672	-1671	M	G	0.00	0.00	720.00
0	-1630	-1631	-1673	-1672	M	G	0.00	0.00	720.00
0	-1631	-1971	-1966	-1673	M	G	0.00	0.00	720.00
0	-1660	434	-2204	-2213	M	G	0.00	0.00	250.00
0	-1632	-1863	441	-1674	M	G	0.00	0.00	720.00
0	-1885	-2103	-2107	-1494	M	G	0.00	0.00	720.00
0	-1886	-2104	-2105	-1495	M	G	0.00	0.00	720.00
0	-1887	-1888	-1497	-1496	M	G	0.00	0.00	720.00
0	-1888	-1889	-1700	-1497	M	G	0.00	0.00	720.00
0	-1889	-1890	-1701	-1700	M	G	0.00	0.00	720.00
0	-1890	-1891	-1702	-1701	M	G	0.00	0.00	720.00
0	-1891	-1892	-1703	-1702	M	G	0.00	0.00	720.00
0	-1892	-1893	-1704	-1703	M	G	0.00	0.00	720.00
0	-1893	-1938	-1939	-1704	M	G	0.00	0.00	720.00
0	-1894	-1344	-1537	-1705	M	G	0.00	0.00	720.00
0	-1895	-1357	442	-1667	M	G	0.00	0.00	720.00
0	-1896	-1969	-1970	-1666	M	G	0.00	0.00	720.00
0	-1897	-1896	-1666	-1665	M	G	0.00	0.00	720.00
0	-1898	-1897	-1665	-1664	M	G	0.00	0.00	720.00
0	-1899	-1898	-1664	-1663	M	G	0.00	0.00	720.00
0	-1900	-1899	-1663	-1662	M	G	0.00	0.00	720.00
0	-1901	-1900	-1662	-1661	M	G	0.00	0.00	720.00
0	-1902	-1901	-1661	-1423	M	G	0.00	0.00	720.00
0	-1903	-1904	-1647	-1421	M	G	0.00	0.00	720.00
0	-1904	-1905	-1648	-1647	M	G	0.00	0.00	720.00
0	-1905	-1906	-1649	-1648	M	G	0.00	0.00	720.00
0	-1906	-1907	-1650	-1649	M	G	0.00	0.00	720.00
0	-1907	-1908	-1651	-1650	M	G	0.00	0.00	720.00
0	-1908	-1909	-1652	-1651	M	G	0.00	0.00	720.00
0	-1909	-1972	-1965	-1652	M	G	0.00	0.00	720.00
0	-1910	-1874	-1848	-1653	M	G	0.00	0.00	720.00
0	-1547	-1832	-1465	-2083	M	G	0.00	0.00	720.00
0	-1699	-1831	-1464	-1762	M	G	0.00	0.00	720.00
0	-1974	-1882	-1492	-1973	M	G	0.00	0.00	720.00
0	-1911	-1883	-1493	-1912	M	G	0.00	0.00	720.00
0	-2076	-1715	-1792	-2075	M	G	0.00	0.00	720.00
0	-2078	-1714	-1791	-2077	M	G	0.00	0.00	720.00
0	-2080	-1835	-1468	-2079	M	G	0.00	0.00	720.00
0	-2082	-1834	-1467	-2081	M	G	0.00	0.00	720.00

0	-1913	-1343	-1573	-1914	M	G	0.00	0.00	720.00
0	-1915	-1347	-1559	-1916	M	G	0.00	0.00	720.00
0	-1917	-1698	-1475	-1918	M	G	0.00	0.00	720.00
0	-1919	-1384	-1725	-1920	M	G	0.00	0.00	720.00
0	-1921	-1566	-2179	-2180	M	G	0.00	0.00	250.00
0	-1920	-1725	-1802	-1923	M	G	0.00	0.00	720.00
0	-1924	-1838	-1384	-1919	M	G	0.00	0.00	720.00
0	-1925	-1515	-1566	-1921	M	G	0.00	0.00	720.00
0	-1914	-1573	-1515	-1925	M	G	0.00	0.00	720.00
0	-1926	-1552	-1587	-1927	M	G	0.00	0.00	720.00
0	-1927	-1587	-1580	-1928	M	G	0.00	0.00	720.00
0	-1916	-1559	-1594	-1929	M	G	0.00	0.00	720.00
0	-1930	-1414	-1347	-1915	M	G	0.00	0.00	720.00
0	-1928	-1580	-1343	-1913	M	G	0.00	0.00	720.00
0	-1929	-1594	-1552	-1926	M	G	0.00	0.00	720.00
0	-1931	-1447	-1414	-1930	M	G	0.00	0.00	720.00
0	-1932	-1854	-1447	-1931	M	G	0.00	0.00	720.00
0	-1935	-1782	-1387	-1936	M	G	0.00	0.00	720.00
0	-1936	-1387	-1838	-1924	M	G	0.00	0.00	720.00
0	-1937	-1452	-1698	-1917	M	G	0.00	0.00	720.00
0	-1918	-1475	-1894	-1938	M	G	0.00	0.00	720.00
0	-1923	-1802	-1452	-1937	M	G	0.00	0.00	720.00
0	-1939	-1705	-1458	-1940	M	G	0.00	0.00	720.00
0	-1940	-1458	-1745	-1941	M	G	0.00	0.00	720.00
0	-1938	-1894	-1705	-1939	M	G	0.00	0.00	720.00
0	-1943	-1875	-1477	-1944	M	G	0.00	0.00	720.00
0	-1945	-1707	-1784	-1946	M	G	0.00	0.00	720.00
0	-1947	-1359	-1707	-1945	M	G	0.00	0.00	720.00
0	-1948	-1839	-1359	-1947	M	G	0.00	0.00	720.00
0	-1946	-1784	-1429	-1949	M	G	0.00	0.00	720.00
0	-1951	-1764	-1405	-1952	M	G	0.00	0.00	720.00
0	-1952	-1405	-1839	-1948	M	G	0.00	0.00	720.00
0	-1949	-1429	-1824	-1953	M	G	0.00	0.00	720.00
0	-1954	-1454	-1875	-1943	M	G	0.00	0.00	720.00
0	-1953	-1824	-1454	-1954	M	G	0.00	0.00	720.00
0	-1944	-1477	-1507	-1955	M	G	0.00	0.00	720.00
0	-1955	-1507	-1727	-1956	M	G	0.00	0.00	720.00
0	-1956	-1727	-2200	-2201	M	G	0.00	0.00	250.00
0	-1958	-1529	-1416	-1959	M	G	0.00	0.00	720.00
0	-1960	-1362	-1529	-1958	M	G	0.00	0.00	720.00
0	-1962	-1521	-1660	-1963	M	G	0.00	0.00	720.00
0	-1963	-1660	-2213	-2212	M	G	0.00	0.00	250.00
0	-1965	-1653	-1521	-1962	M	G	0.00	0.00	720.00
0	-1966	-1674	-1639	-1967	M	G	0.00	0.00	720.00
0	-1967	-1639	-1646	-1968	M	G	0.00	0.00	720.00
0	-1959	-1416	-1895	-1969	M	G	0.00	0.00	720.00
0	-1970	-1667	-1632	-1971	M	G	0.00	0.00	720.00
0	-1968	-1646	-1910	-1972	M	G	0.00	0.00	720.00
0	-1971	-1632	-1674	-1966	M	G	0.00	0.00	720.00
0	-1969	-1895	-1667	-1970	M	G	0.00	0.00	720.00
0	-1972	-1910	-1653	-1965	M	G	0.00	0.00	720.00
0	-1883	-1884	-1842	-1493	M	G	0.00	0.00	720.00
0	-1873	-1943	-1944	-1476	M	G	0.00	0.00	720.00
0	-1833	-2082	-2081	-1466	M	G	0.00	0.00	720.00
0	-1884	-1885	-1494	-1842	M	G	0.00	0.00	720.00
0	-2154	-2153	-1771	-2094	M	G	0.00	0.00	250.00
0	-2152	-2151	-1772	-2092	M	G	0.00	0.00	250.00
0	-2148	-2147	-1774	-2090	M	G	0.00	0.00	250.00
0	-2146	-2145	-1775	-2088	M	G	0.00	0.00	250.00
0	-2166	-2165	-1362	-1960	M	G	0.00	0.00	250.00
0	-2162	-2161	-1764	-1951	M	G	0.00	0.00	250.00
0	-2138	-2137	-1782	-1935	M	G	0.00	0.00	250.00
0	-2134	-2133	-1854	-1932	M	G	0.00	0.00	250.00
0	-2173	-2172	-1682	-1426	M	G	0.00	0.00	250.00
0	-2172	-2171	-1683	-1682	M	G	0.00	0.00	250.00
0	-2171	-2170	-1684	-1683	M	G	0.00	0.00	250.00
0	-2170	-2169	-1352	-1684	M	G	0.00	0.00	250.00
0	-2169	-2168	-1355	-1352	M	G	0.00	0.00	250.00
0	-2168	-2167	-1356	-1355	M	G	0.00	0.00	250.00
0	-2167	-2166	-1960	-1356	M	G	0.00	0.00	250.00
0	-2165	-2164	436	-1362	M	G	0.00	0.00	250.00
0	-2164	-2163	-1763	436	M	G	0.00	0.00	250.00
0	-2136	-2135	-1841	431	M	G	0.00	0.00	250.00
0	-2163	-2162	-1951	-1763	M	G	0.00	0.00	250.00
0	-2161	-2160	-1765	-1764	M	G	0.00	0.00	250.00
0	-2160	-2159	-1766	-1765	M	G	0.00	0.00	250.00
0	-2159	-2158	-1767	-1766	M	G	0.00	0.00	250.00
0	-2158	-2157	-1768	-1767	M	G	0.00	0.00	250.00
0	-2157	-2156	-1769	-1768	M	G	0.00	0.00	250.00

0	-2156	-2155	-1770	-1769	M	G	0.00	0.00	250.00
0	-2155	-2154	-2094	-1770	M	G	0.00	0.00	250.00
0	-2153	-2152	-2092	-1771	M	G	0.00	0.00	250.00
0	-2151	-2150	-1413	-1772	M	G	0.00	0.00	250.00
0	-2150	-2149	-1773	-1413	M	G	0.00	0.00	250.00
0	-2149	-2148	-2090	-1773	M	G	0.00	0.00	250.00
0	-2147	-2146	-2088	-1774	M	G	0.00	0.00	250.00
0	-2145	-2144	-1776	-1775	M	G	0.00	0.00	250.00
0	-2144	-2143	-1777	-1776	M	G	0.00	0.00	250.00
0	-2143	-2142	-1778	-1777	M	G	0.00	0.00	250.00
0	-2142	-2141	-1779	-1778	M	G	0.00	0.00	250.00
0	-2141	-2140	-1780	-1779	M	G	0.00	0.00	250.00
0	-2140	-2139	-1781	-1780	M	G	0.00	0.00	250.00
0	-2139	-2138	-1935	-1781	M	G	0.00	0.00	250.00
0	-2137	-2136	431	-1782	M	G	0.00	0.00	250.00
0	-2135	-2134	-1932	-1841	M	G	0.00	0.00	250.00
0	-2133	-2132	-1855	-1854	M	G	0.00	0.00	250.00
0	-2132	-2131	-1860	-1855	M	G	0.00	0.00	250.00
0	-2131	-2130	-1541	-1860	M	G	0.00	0.00	250.00
0	-2130	-2129	-1542	-1541	M	G	0.00	0.00	250.00
0	-2129	-2128	-1543	-1542	M	G	0.00	0.00	250.00
0	-2128	-2127	-1608	-1543	M	G	0.00	0.00	250.00
0	-1835	-1412	-1469	-1468	M	G	0.00	0.00	720.00
0	-1412	-1410	-1470	-1469	M	G	0.00	0.00	720.00
0	-1410	-1411	-1471	-1470	M	G	0.00	0.00	720.00
0	-1411	-1688	-1472	-1471	M	G	0.00	0.00	720.00
0	-1688	-1691	-1473	-1472	M	G	0.00	0.00	720.00
0	-1691	-1692	-1474	-1473	M	G	0.00	0.00	720.00
0	-1692	-1917	-1918	-1474	M	G	0.00	0.00	720.00
0	-1698	-1534	433	-1475	M	G	0.00	0.00	720.00
0	442	-1706	-1783	-1863	M	G	0.00	0.00	720.00
0	-1706	-1945	-1946	-1783	M	G	0.00	0.00	720.00
0	-1707	-1708	-1785	-1784	M	G	0.00	0.00	720.00
0	-1708	-1709	-1786	-1785	M	G	0.00	0.00	720.00
0	-1709	-1710	-1787	-1786	M	G	0.00	0.00	720.00
0	-1710	-1711	-1788	-1787	M	G	0.00	0.00	720.00
0	-1711	-1712	-1789	-1788	M	G	0.00	0.00	720.00
0	-1712	-1713	-1790	-1789	M	G	0.00	0.00	720.00
0	-1713	-2078	-2077	-1790	M	G	0.00	0.00	720.00
0	-1714	-2076	-2075	-1791	M	G	0.00	0.00	720.00
0	-1715	-1849	-1535	-1792	M	G	0.00	0.00	720.00
0	-1849	-1716	-1793	-1535	M	G	0.00	0.00	720.00
0	-1349	-1350	-1562	-1561	M	G	0.00	0.00	720.00
0	-1350	-1351	-1563	-1562	M	G	0.00	0.00	720.00
0	-1351	-1353	-1564	-1563	M	G	0.00	0.00	720.00
0	-1353	-1354	-1611	-1564	M	G	0.00	0.00	720.00
0	-1357	-1358	-1706	442	M	G	0.00	0.00	720.00
0	-1358	-1947	-1945	-1706	M	G	0.00	0.00	720.00
0	-1359	-1360	-1708	-1707	M	G	0.00	0.00	720.00
0	-1360	-1361	-1709	-1708	M	G	0.00	0.00	720.00
0	-1361	-1368	-1710	-1709	M	G	0.00	0.00	720.00
0	-1368	-1369	-1711	-1710	M	G	0.00	0.00	720.00
0	-1369	-1370	-1712	-1711	M	G	0.00	0.00	720.00
0	-1370	-1371	-1713	-1712	M	G	0.00	0.00	720.00
0	-1371	-2074	-2078	-1713	M	G	0.00	0.00	720.00
0	-1372	-2073	-2076	-1714	M	G	0.00	0.00	720.00
0	-1373	-1374	-1849	-1715	M	G	0.00	0.00	720.00
0	-1374	-1375	-1716	-1849	M	G	0.00	0.00	720.00
0	-1375	-2072	-2070	-1716	M	G	0.00	0.00	720.00
0	-1376	-2068	-2066	-1717	M	G	0.00	0.00	720.00
0	-1377	-1378	-1719	-1718	M	G	0.00	0.00	720.00
0	-1378	-1379	-1720	-1719	M	G	0.00	0.00	720.00
0	-1379	-1380	-1721	-1720	M	G	0.00	0.00	720.00
0	-1380	-1381	-1722	-1721	M	G	0.00	0.00	720.00
0	-1381	-1382	-1723	-1722	M	G	0.00	0.00	720.00
0	-1382	-1383	-1724	-1723	M	G	0.00	0.00	720.00
0	-1383	-1919	-1920	-1724	M	G	0.00	0.00	720.00
0	-1384	-1385	440	-1725	M	G	0.00	0.00	720.00
0	-1571	-1612	-2174	-2175	M	G	0.00	0.00	250.00
0	-1570	-1571	-2175	-2176	M	G	0.00	0.00	250.00
0	-1569	-1570	-2176	-2177	M	G	0.00	0.00	250.00
0	-1566	-1567	-2178	-2179	M	G	0.00	0.00	250.00
0	-1565	-1921	-2180	-2181	M	G	0.00	0.00	250.00
0	-1510	-1509	-1612	-1571	M	G	0.00	0.00	720.00
0	-1511	-1510	-1571	-1570	M	G	0.00	0.00	720.00
0	-1716	-2070	-2064	-1793	M	G	0.00	0.00	720.00
0	-1717	-2066	-2062	-1794	M	G	0.00	0.00	720.00
0	-1718	-1719	-1796	-1795	M	G	0.00	0.00	720.00
0	-1719	-1720	-1797	-1796	M	G	0.00	0.00	720.00

0	-1720	-1721	-1798	-1797	M	G	0.00	0.00	720.00
0	-1721	-1722	-1799	-1798	M	G	0.00	0.00	720.00
0	-1722	-1723	-1800	-1799	M	G	0.00	0.00	720.00
0	-1723	-1724	-1801	-1800	M	G	0.00	0.00	720.00
0	-1724	-1920	-1923	-1801	M	G	0.00	0.00	720.00
0	-1725	440	-1531	-1802	M	G	0.00	0.00	720.00
0	-1838	-1536	-1385	-1384	M	G	0.00	0.00	720.00
0	-1837	-1924	-1919	-1383	M	G	0.00	0.00	720.00
0	-1853	-1837	-1383	-1382	M	G	0.00	0.00	720.00
0	-1852	-1853	-1382	-1381	M	G	0.00	0.00	720.00
0	-1851	-1852	-1381	-1380	M	G	0.00	0.00	720.00
0	-1729	-1730	-2214	-2198	M	G	0.00	0.00	250.00
0	-1730	-1731	-2197	-2214	M	G	0.00	0.00	250.00
0	-1734	-2113	-2215	-2216	M	G	0.00	0.00	250.00
0	-1735	-1847	-2193	-2217	M	G	0.00	0.00	250.00
0	-1739	-1740	-2218	-2187	M	G	0.00	0.00	250.00
0	-1740	-1741	-2186	-2218	M	G	0.00	0.00	250.00
0	-1941	-1745	-2219	-2182	M	G	0.00	0.00	250.00
0	-1745	432	-2203	-2219	M	G	0.00	0.00	250.00
0	-1567	-1568	-2220	-2178	M	G	0.00	0.00	250.00
0	-1568	-1569	-2177	-2220	M	G	0.00	0.00	250.00
0	-2074	-1372	-1714	-2078	M	G	0.00	0.00	720.00
0	-2073	-1373	-1715	-2076	M	G	0.00	0.00	720.00
0	-2072	-1376	-1717	-2070	M	G	0.00	0.00	720.00
0	-2068	-1377	-1718	-2066	M	G	0.00	0.00	720.00
0	-2070	-1717	-1794	-2064	M	G	0.00	0.00	720.00
0	-2066	-1718	-1795	-2062	M	G	0.00	0.00	720.00
0	-2061	-1695	-1377	-2068	M	G	0.00	0.00	720.00
0	-2084	-1694	-1376	-2072	M	G	0.00	0.00	720.00
0	-2085	-1866	-1373	-2073	M	G	0.00	0.00	720.00
0	-2086	-1865	-1372	-2074	M	G	0.00	0.00	720.00
0	-2088	-1775	-1394	-2095	M	G	0.00	0.00	720.00
0	-2090	-1774	-1395	-2096	M	G	0.00	0.00	720.00
0	-2092	-1772	-1397	-2097	M	G	0.00	0.00	720.00
0	-2094	-1771	-1398	-2098	M	G	0.00	0.00	720.00
0	-2095	-1394	-1695	-2061	M	G	0.00	0.00	720.00
0	-2096	-1395	-1694	-2084	M	G	0.00	0.00	720.00
0	-2097	-1397	-1866	-2085	M	G	0.00	0.00	720.00
0	-2098	-1398	-1865	-2086	M	G	0.00	0.00	720.00
0	-2099	-1436	-1831	-1699	M	G	0.00	0.00	720.00
0	-2100	-1438	-1832	-1547	M	G	0.00	0.00	720.00
0	-2101	-1441	-1834	-2082	M	G	0.00	0.00	720.00
0	-2102	-1442	-1835	-2080	M	G	0.00	0.00	720.00
0	-1762	-1464	-1882	-1974	M	G	0.00	0.00	720.00
0	-2083	-1465	-1883	-1911	M	G	0.00	0.00	720.00
0	-2081	-1467	-1886	-2103	M	G	0.00	0.00	720.00
0	-2079	-1468	-1887	-2104	M	G	0.00	0.00	720.00
0	-2077	-1791	-1436	-2099	M	G	0.00	0.00	720.00
0	-2075	-1792	-1438	-2100	M	G	0.00	0.00	720.00
0	-2064	-1794	-1441	-2101	M	G	0.00	0.00	720.00
0	-2062	-1795	-1442	-2102	M	G	0.00	0.00	720.00
0	-2105	-1496	-1488	-2106	M	G	0.00	0.00	720.00
0	-2107	-1495	-1489	-2108	M	G	0.00	0.00	720.00
0	-1912	-1493	-1499	-2109	M	G	0.00	0.00	720.00
0	-1973	-1492	-1500	-2110	M	G	0.00	0.00	720.00
0	-2106	-1488	-1738	-2111	M	G	0.00	0.00	720.00
0	-2108	-1489	-1737	-2112	M	G	0.00	0.00	720.00
0	-2109	-1499	-1735	-2113	M	G	0.00	0.00	720.00
0	-2110	-1500	-1734	-2114	M	G	0.00	0.00	720.00
0	-2111	-1738	-2188	-2189	M	G	0.00	0.00	250.00
0	-2112	-1737	-2190	-2191	M	G	0.00	0.00	250.00
0	-2114	-1734	-2216	-2194	M	G	0.00	0.00	250.00
0	-2103	-1886	-1495	-2107	M	G	0.00	0.00	720.00
0	-2104	-1887	-1496	-2105	M	G	0.00	0.00	720.00
0	-2113	-1735	-2217	-2215	M	G	0.00	0.00	250.00

Elenco carichi elementi bidimensionali
Condizione di carico n. 14: Schema 1 q1dist
Carichi uniformi

Bid.	N1	N2	N3	N4	T	DC	Qx <daN/mq>	Qy <daN/mq>	Qz <daN/mq>
0	-1532	-1833	-1466	-1867	M	G	72.00	0.00	0.00
0	-1832	-1532	-1867	-1465	M	G	72.00	0.00	0.00
0	-1831	-1547	-2083	-1464	M	G	72.00	0.00	0.00
0	-1830	-1699	-1762	-1463	M	G	72.00	0.00	0.00
0	-1829	-1830	-1463	-1462	M	G	72.00	0.00	0.00
0	-1828	-1829	-1462	-1460	M	G	72.00	0.00	0.00
0	-1875	-1876	-1478	-1477	M	G	72.00	0.00	0.00

0	-1876	-1877	-1479	-1478	M	G	72.00	0.00	0.00
0	-1877	-1878	-1480	-1479	M	G	72.00	0.00	0.00
0	-1878	-1879	-1481	-1480	M	G	72.00	0.00	0.00
0	-1879	-1880	-1482	-1481	M	G	72.00	0.00	0.00
0	-1880	-1881	-1491	-1482	M	G	72.00	0.00	0.00
0	-1881	-1974	-1973	-1491	M	G	72.00	0.00	0.00
0	-1882	-1911	-1912	-1492	M	G	72.00	0.00	0.00
0	-1834	-2080	-2079	-1467	M	G	72.00	0.00	0.00
0	-1348	-1349	-1561	-1560	M	G	72.00	0.00	0.00
0	-1347	-1348	-1560	-1559	M	G	72.00	0.00	0.00
0	-1346	-1915	-1916	-1558	M	G	72.00	0.00	0.00
0	-1385	-1346	-1558	440	M	G	72.00	0.00	0.00
0	-1344	-1345	-1572	-1537	M	G	72.00	0.00	0.00
0	-1345	-1913	-1914	-1572	M	G	72.00	0.00	0.00
0	-1343	-1342	-1574	-1573	M	G	72.00	0.00	0.00
0	-1342	-1868	-1575	-1574	M	G	72.00	0.00	0.00
0	-1868	-1869	-1576	-1575	M	G	72.00	0.00	0.00
0	-1869	-1870	-1577	-1576	M	G	72.00	0.00	0.00
0	-1870	-1871	-1578	-1577	M	G	72.00	0.00	0.00
0	-1871	-1872	-1613	-1578	M	G	72.00	0.00	0.00
0	-1874	-1873	-1476	-1848	M	G	72.00	0.00	0.00
0	-1858	-1851	-1380	-1379	M	G	72.00	0.00	0.00
0	-1856	-1858	-1379	-1378	M	G	72.00	0.00	0.00
0	-1695	-1856	-1378	-1377	M	G	72.00	0.00	0.00
0	-1694	-2061	-2068	-1376	M	G	72.00	0.00	0.00
0	-1693	-2084	-2072	-1375	M	G	72.00	0.00	0.00
0	-1862	-1693	-1375	-1374	M	G	72.00	0.00	0.00
0	-1866	-1862	-1374	-1373	M	G	72.00	0.00	0.00
0	-1865	-2085	-2073	-1372	M	G	72.00	0.00	0.00
0	-1864	-2086	-2074	-1371	M	G	72.00	0.00	0.00
0	-1861	-1864	-1371	-1370	M	G	72.00	0.00	0.00
0	-1857	-1861	-1370	-1369	M	G	72.00	0.00	0.00
0	-1845	-1857	-1369	-1368	M	G	72.00	0.00	0.00
0	-1844	-1845	-1368	-1361	M	G	72.00	0.00	0.00
0	-1843	-1844	-1361	-1360	M	G	72.00	0.00	0.00
0	-1839	-1843	-1360	-1359	M	G	72.00	0.00	0.00
0	-1836	-1948	-1947	-1358	M	G	72.00	0.00	0.00
0	-1850	-1836	-1358	-1357	M	G	72.00	0.00	0.00
0	-1863	-1783	-1428	441	M	G	72.00	0.00	0.00
0	-1783	-1946	-1949	-1428	M	G	72.00	0.00	0.00
0	-1784	-1785	-1430	-1429	M	G	72.00	0.00	0.00
0	-1512	-1511	-1570	-1569	M	G	72.00	0.00	0.00
0	-1513	-1512	-1569	-1568	M	G	72.00	0.00	0.00
0	-1514	-1513	-1568	-1567	M	G	72.00	0.00	0.00
0	-1515	-1514	-1567	-1566	M	G	72.00	0.00	0.00
0	-1516	-1925	-1921	-1565	M	G	72.00	0.00	0.00
0	-1578	-1613	-1509	-1510	M	G	72.00	0.00	0.00
0	-1577	-1578	-1510	-1511	M	G	72.00	0.00	0.00
0	-1576	-1577	-1511	-1512	M	G	72.00	0.00	0.00
0	-1575	-1576	-1512	-1513	M	G	72.00	0.00	0.00
0	-1574	-1575	-1513	-1514	M	G	72.00	0.00	0.00
0	-1573	-1574	-1514	-1515	M	G	72.00	0.00	0.00
0	-1572	-1914	-1925	-1516	M	G	72.00	0.00	0.00
0	430	-1551	-1586	-1534	M	G	72.00	0.00	0.00
0	-1551	-1926	-1927	-1586	M	G	72.00	0.00	0.00
0	-1552	-1553	-1588	-1587	M	G	72.00	0.00	0.00
0	-1553	-1554	-1589	-1588	M	G	72.00	0.00	0.00
0	-1554	-1555	-1590	-1589	M	G	72.00	0.00	0.00
0	-1555	-1556	-1591	-1590	M	G	72.00	0.00	0.00
0	-1556	-1557	-1592	-1591	M	G	72.00	0.00	0.00
0	-1557	-1610	-1615	-1592	M	G	72.00	0.00	0.00
0	-1534	-1586	-1579	433	M	G	72.00	0.00	0.00
0	-1586	-1927	-1928	-1579	M	G	72.00	0.00	0.00
0	-1587	-1588	-1581	-1580	M	G	72.00	0.00	0.00
0	-1588	-1589	-1582	-1581	M	G	72.00	0.00	0.00
0	-1589	-1590	-1583	-1582	M	G	72.00	0.00	0.00
0	-1590	-1591	-1584	-1583	M	G	72.00	0.00	0.00
0	-1591	-1592	-1585	-1584	M	G	72.00	0.00	0.00
0	-1592	-1615	-1614	-1585	M	G	72.00	0.00	0.00
0	440	-1558	-1593	-1531	M	G	72.00	0.00	0.00
0	-1558	-1916	-1929	-1593	M	G	72.00	0.00	0.00
0	-1559	-1560	-1595	-1594	M	G	72.00	0.00	0.00
0	-1560	-1561	-1596	-1595	M	G	72.00	0.00	0.00
0	-1561	-1562	-1597	-1596	M	G	72.00	0.00	0.00
0	-1562	-1563	-1598	-1597	M	G	72.00	0.00	0.00
0	-1563	-1564	-1599	-1598	M	G	72.00	0.00	0.00
0	-1564	-1611	-1616	-1599	M	G	72.00	0.00	0.00
0	-1840	-1607	-1354	-1353	M	G	72.00	0.00	0.00
0	-1697	-1840	-1353	-1351	M	G	72.00	0.00	0.00

0	-1696	-1697	-1351	-1350	M	G	72.00	0.00	0.00
0	-1690	-1696	-1350	-1349	M	G	72.00	0.00	0.00
0	-1685	-1690	-1349	-1348	M	G	72.00	0.00	0.00
0	-1414	-1685	-1348	-1347	M	G	72.00	0.00	0.00
0	-1618	-1930	-1915	-1346	M	G	72.00	0.00	0.00
0	-1536	-1618	-1346	-1385	M	G	72.00	0.00	0.00
0	433	-1579	-1345	-1344	M	G	72.00	0.00	0.00
0	-1579	-1928	-1913	-1345	M	G	72.00	0.00	0.00
0	-1580	-1581	-1342	-1343	M	G	72.00	0.00	0.00
0	-1581	-1582	-1868	-1342	M	G	72.00	0.00	0.00
0	-1582	-1583	-1869	-1868	M	G	72.00	0.00	0.00
0	-1583	-1584	-1870	-1869	M	G	72.00	0.00	0.00
0	-1584	-1585	-1871	-1870	M	G	72.00	0.00	0.00
0	-1585	-1614	-1872	-1871	M	G	72.00	0.00	0.00
0	-1531	-1593	-1551	430	M	G	72.00	0.00	0.00
0	-1593	-1929	-1926	-1551	M	G	72.00	0.00	0.00
0	-1594	-1595	-1553	-1552	M	G	72.00	0.00	0.00
0	-1595	-1596	-1554	-1553	M	G	72.00	0.00	0.00
0	-1596	-1597	-1555	-1554	M	G	72.00	0.00	0.00
0	-1597	-1598	-1556	-1555	M	G	72.00	0.00	0.00
0	-1598	-1599	-1557	-1556	M	G	72.00	0.00	0.00
0	-1599	-1616	-1610	-1557	M	G	72.00	0.00	0.00
0	-1408	-1407	-1607	-1840	M	G	72.00	0.00	0.00
0	-1409	-1408	-1840	-1697	M	G	72.00	0.00	0.00
0	-1437	-1409	-1697	-1696	M	G	72.00	0.00	0.00
0	-1440	-1437	-1696	-1690	M	G	72.00	0.00	0.00
0	-1444	-1440	-1690	-1685	M	G	72.00	0.00	0.00
0	-1447	-1444	-1685	-1414	M	G	72.00	0.00	0.00
0	-1451	-1931	-1930	-1618	M	G	72.00	0.00	0.00
0	-1543	-1608	-1407	-1408	M	G	72.00	0.00	0.00
0	-1542	-1543	-1408	-1409	M	G	72.00	0.00	0.00
0	-1541	-1542	-1409	-1437	M	G	72.00	0.00	0.00
0	-1860	-1541	-1437	-1440	M	G	72.00	0.00	0.00
0	-1855	-1860	-1440	-1444	M	G	72.00	0.00	0.00
0	-1854	-1855	-1444	-1447	M	G	72.00	0.00	0.00
0	-1841	-1932	-1931	-1451	M	G	72.00	0.00	0.00
0	-1782	431	438	-1387	M	G	72.00	0.00	0.00
0	-1781	-1935	-1936	-1388	M	G	72.00	0.00	0.00
0	-1780	-1781	-1388	-1389	M	G	72.00	0.00	0.00
0	-1779	-1780	-1389	-1390	M	G	72.00	0.00	0.00
0	-1778	-1779	-1390	-1391	M	G	72.00	0.00	0.00
0	-1777	-1778	-1391	-1392	M	G	72.00	0.00	0.00
0	-1776	-1777	-1392	-1393	M	G	72.00	0.00	0.00
0	-1775	-1776	-1393	-1394	M	G	72.00	0.00	0.00
0	-1774	-2088	-2095	-1395	M	G	72.00	0.00	0.00
0	-1773	-2090	-2096	-1396	M	G	72.00	0.00	0.00
0	-1413	-1773	-1396	-1386	M	G	72.00	0.00	0.00
0	-1772	-1413	-1386	-1397	M	G	72.00	0.00	0.00
0	-1771	-2092	-2097	-1398	M	G	72.00	0.00	0.00
0	-1770	-2094	-2098	-1399	M	G	72.00	0.00	0.00
0	-1769	-1770	-1399	-1400	M	G	72.00	0.00	0.00
0	-1768	-1769	-1400	-1401	M	G	72.00	0.00	0.00
0	-1767	-1768	-1401	-1402	M	G	72.00	0.00	0.00
0	-1766	-1767	-1402	-1403	M	G	72.00	0.00	0.00
0	-1765	-1766	-1403	-1404	M	G	72.00	0.00	0.00
0	-1764	-1765	-1404	-1405	M	G	72.00	0.00	0.00
0	-1763	-1951	-1952	-1406	M	G	72.00	0.00	0.00
0	-1387	438	-1536	-1838	M	G	72.00	0.00	0.00
0	-1388	-1936	-1924	-1837	M	G	72.00	0.00	0.00
0	-1389	-1388	-1837	-1853	M	G	72.00	0.00	0.00
0	-1390	-1389	-1853	-1852	M	G	72.00	0.00	0.00
0	-1391	-1390	-1852	-1851	M	G	72.00	0.00	0.00
0	-1392	-1391	-1851	-1858	M	G	72.00	0.00	0.00
0	-1393	-1392	-1858	-1856	M	G	72.00	0.00	0.00
0	-1394	-1393	-1856	-1695	M	G	72.00	0.00	0.00
0	-1395	-2095	-2061	-1694	M	G	72.00	0.00	0.00
0	-1396	-2096	-2084	-1693	M	G	72.00	0.00	0.00
0	-1386	-1396	-1693	-1862	M	G	72.00	0.00	0.00
0	-1397	-1386	-1862	-1866	M	G	72.00	0.00	0.00
0	-1398	-2097	-2085	-1865	M	G	72.00	0.00	0.00
0	-1399	-2098	-2086	-1864	M	G	72.00	0.00	0.00
0	-1400	-1399	-1864	-1861	M	G	72.00	0.00	0.00
0	-1401	-1400	-1861	-1857	M	G	72.00	0.00	0.00
0	-1402	-1401	-1857	-1845	M	G	72.00	0.00	0.00
0	-1403	-1402	-1845	-1844	M	G	72.00	0.00	0.00
0	-1404	-1403	-1844	-1843	M	G	72.00	0.00	0.00
0	-1405	-1404	-1843	-1839	M	G	72.00	0.00	0.00
0	-1406	-1952	-1948	-1836	M	G	72.00	0.00	0.00
0	441	-1428	-1823	-1859	M	G	72.00	0.00	0.00

0	-1428	-1949	-1953	-1823	M	G	72.00	0.00	0.00
0	-1429	-1430	-1825	-1824	M	G	72.00	0.00	0.00
0	-1430	-1431	-1826	-1825	M	G	72.00	0.00	0.00
0	-1431	-1432	-1827	-1826	M	G	72.00	0.00	0.00
0	-1432	-1433	-1828	-1827	M	G	72.00	0.00	0.00
0	-1433	-1434	-1829	-1828	M	G	72.00	0.00	0.00
0	-1434	-1435	-1830	-1829	M	G	72.00	0.00	0.00
0	-1435	-2099	-1699	-1830	M	G	72.00	0.00	0.00
0	-1436	-2100	-1547	-1831	M	G	72.00	0.00	0.00
0	-1438	-1846	-1532	-1832	M	G	72.00	0.00	0.00
0	-1846	-1439	-1833	-1532	M	G	72.00	0.00	0.00
0	-1439	-2101	-2082	-1833	M	G	72.00	0.00	0.00
0	-1441	-2102	-2080	-1834	M	G	72.00	0.00	0.00
0	-1442	-1443	-1412	-1835	M	G	72.00	0.00	0.00
0	-1443	-1445	-1410	-1412	M	G	72.00	0.00	0.00
0	-1445	-1446	-1411	-1410	M	G	72.00	0.00	0.00
0	-1446	-1448	-1688	-1411	M	G	72.00	0.00	0.00
0	-1448	-1449	-1691	-1688	M	G	72.00	0.00	0.00
0	-1449	-1450	-1692	-1691	M	G	72.00	0.00	0.00
0	-1450	-1937	-1917	-1692	M	G	72.00	0.00	0.00
0	-1452	430	-1534	-1698	M	G	72.00	0.00	0.00
0	439	-1453	-1873	-1874	M	G	72.00	0.00	0.00
0	-1453	-1954	-1943	-1873	M	G	72.00	0.00	0.00
0	-1454	-1455	-1876	-1875	M	G	72.00	0.00	0.00
0	-1455	-1456	-1877	-1876	M	G	72.00	0.00	0.00
0	-1456	-1459	-1878	-1877	M	G	72.00	0.00	0.00
0	-1459	-1460	-1879	-1878	M	G	72.00	0.00	0.00
0	-1460	-1462	-1880	-1879	M	G	72.00	0.00	0.00
0	-1462	-1463	-1881	-1880	M	G	72.00	0.00	0.00
0	-1463	-1762	-1974	-1881	M	G	72.00	0.00	0.00
0	-1464	-2083	-1911	-1882	M	G	72.00	0.00	0.00
0	-1465	-1867	-1884	-1883	M	G	72.00	0.00	0.00
0	-1867	-1466	-1885	-1884	M	G	72.00	0.00	0.00
0	-1466	-2081	-2103	-1885	M	G	72.00	0.00	0.00
0	-1467	-2079	-2104	-1886	M	G	72.00	0.00	0.00
0	-1468	-1469	-1888	-1887	M	G	72.00	0.00	0.00
0	-1469	-1470	-1889	-1888	M	G	72.00	0.00	0.00
0	-1470	-1471	-1890	-1889	M	G	72.00	0.00	0.00
0	-1471	-1472	-1891	-1890	M	G	72.00	0.00	0.00
0	-1472	-1473	-1892	-1891	M	G	72.00	0.00	0.00
0	-1473	-1474	-1893	-1892	M	G	72.00	0.00	0.00
0	-1474	-1918	-1938	-1893	M	G	72.00	0.00	0.00
0	-1475	433	-1344	-1894	M	G	72.00	0.00	0.00
0	-1859	-1823	-1453	439	M	G	72.00	0.00	0.00
0	-1823	-1953	-1954	-1453	M	G	72.00	0.00	0.00
0	-1824	-1825	-1455	-1454	M	G	72.00	0.00	0.00
0	-1825	-1826	-1456	-1455	M	G	72.00	0.00	0.00
0	-1826	-1827	-1459	-1456	M	G	72.00	0.00	0.00
0	-1827	-1828	-1460	-1459	M	G	72.00	0.00	0.00
0	-1785	-1786	-1431	-1430	M	G	72.00	0.00	0.00
0	-1786	-1787	-1432	-1431	M	G	72.00	0.00	0.00
0	-1787	-1788	-1433	-1432	M	G	72.00	0.00	0.00
0	-1788	-1789	-1434	-1433	M	G	72.00	0.00	0.00
0	-1789	-1790	-1435	-1434	M	G	72.00	0.00	0.00
0	-1790	-2077	-2099	-1435	M	G	72.00	0.00	0.00
0	-1791	-2075	-2100	-1436	M	G	72.00	0.00	0.00
0	-1792	-1535	-1846	-1438	M	G	72.00	0.00	0.00
0	-1535	-1793	-1439	-1846	M	G	72.00	0.00	0.00
0	-1793	-2064	-2101	-1439	M	G	72.00	0.00	0.00
0	-1794	-2062	-2102	-1441	M	G	72.00	0.00	0.00
0	-1795	-1796	-1443	-1442	M	G	72.00	0.00	0.00
0	-1796	-1797	-1445	-1443	M	G	72.00	0.00	0.00
0	-1797	-1798	-1446	-1445	M	G	72.00	0.00	0.00
0	-1798	-1799	-1448	-1446	M	G	72.00	0.00	0.00
0	-1799	-1800	-1449	-1448	M	G	72.00	0.00	0.00
0	-1800	-1801	-1450	-1449	M	G	72.00	0.00	0.00
0	-1801	-1923	-1937	-1450	M	G	72.00	0.00	0.00
0	-1705	-1537	437	-1458	M	G	72.00	0.00	0.00
0	-1704	-1939	-1940	-1461	M	G	72.00	0.00	0.00
0	-1703	-1704	-1461	-1483	M	G	72.00	0.00	0.00
0	-1702	-1703	-1483	-1484	M	G	72.00	0.00	0.00
0	-1701	-1702	-1484	-1485	M	G	72.00	0.00	0.00
0	-1700	-1701	-1485	-1486	M	G	72.00	0.00	0.00
0	-1497	-1700	-1486	-1487	M	G	72.00	0.00	0.00
0	-1496	-1497	-1487	-1488	M	G	72.00	0.00	0.00
0	-1495	-2105	-2106	-1489	M	G	72.00	0.00	0.00
0	-1494	-2107	-2108	-1498	M	G	72.00	0.00	0.00
0	-1842	-1494	-1498	-1457	M	G	72.00	0.00	0.00
0	-1493	-1842	-1457	-1499	M	G	72.00	0.00	0.00

0	-1492	-1912	-2109	-1500	M	G	72.00	0.00	0.00
0	-1491	-1973	-2110	-1501	M	G	72.00	0.00	0.00
0	-1482	-1491	-1501	-1502	M	G	72.00	0.00	0.00
0	-1481	-1482	-1502	-1503	M	G	72.00	0.00	0.00
0	-1480	-1481	-1503	-1504	M	G	72.00	0.00	0.00
0	-1479	-1480	-1504	-1505	M	G	72.00	0.00	0.00
0	-1478	-1479	-1505	-1506	M	G	72.00	0.00	0.00
0	-1477	-1478	-1506	-1507	M	G	72.00	0.00	0.00
0	-1476	-1944	-1955	-1508	M	G	72.00	0.00	0.00
0	-1458	437	432	-1745	M	G	72.00	0.00	0.00
0	-1461	-1940	-1941	-1744	M	G	72.00	0.00	0.00
0	-1483	-1461	-1744	-1743	M	G	72.00	0.00	0.00
0	-1484	-1483	-1743	-1742	M	G	72.00	0.00	0.00
0	-1485	-1484	-1742	-1741	M	G	72.00	0.00	0.00
0	-1486	-1485	-1741	-1740	M	G	72.00	0.00	0.00
0	-1487	-1486	-1740	-1739	M	G	72.00	0.00	0.00
0	-1488	-1487	-1739	-1738	M	G	72.00	0.00	0.00
0	-1489	-2106	-2111	-1737	M	G	72.00	0.00	0.00
0	-1498	-2108	-2112	-1736	M	G	72.00	0.00	0.00
0	-1457	-1498	-1736	-1847	M	G	72.00	0.00	0.00
0	-1499	-1457	-1847	-1735	M	G	72.00	0.00	0.00
0	-1500	-2109	-2113	-1734	M	G	72.00	0.00	0.00
0	-1501	-2110	-2114	-1733	M	G	72.00	0.00	0.00
0	-1502	-1501	-1733	-1732	M	G	72.00	0.00	0.00
0	-1503	-1502	-1732	-1731	M	G	72.00	0.00	0.00
0	-1504	-1503	-1731	-1730	M	G	72.00	0.00	0.00
0	-1505	-1504	-1730	-1729	M	G	72.00	0.00	0.00
0	-1506	-1505	-1729	-1728	M	G	72.00	0.00	0.00
0	-1507	-1506	-1728	-1727	M	G	72.00	0.00	0.00
0	-1508	-1955	-1956	-1726	M	G	72.00	0.00	0.00
0	438	-1451	-1618	-1536	M	G	72.00	0.00	0.00
0	431	-1841	-1451	438	M	G	72.00	0.00	0.00
0	436	-1763	-1406	429	M	G	72.00	0.00	0.00
0	429	-1406	-1836	-1850	M	G	72.00	0.00	0.00
0	-1802	-1531	430	-1452	M	G	72.00	0.00	0.00
0	-1537	-1572	-1516	437	M	G	72.00	0.00	0.00
0	-1848	-1476	-1508	435	M	G	72.00	0.00	0.00
0	437	-1516	-1565	432	M	G	72.00	0.00	0.00
0	435	-1508	-1726	434	M	G	72.00	0.00	0.00
0	-1529	429	-1850	-1416	M	G	72.00	0.00	0.00
0	-1530	-1958	-1959	-1415	M	G	72.00	0.00	0.00
0	-1490	-1530	-1415	-1367	M	G	72.00	0.00	0.00
0	-1538	-1490	-1367	-1366	M	G	72.00	0.00	0.00
0	-1525	-1538	-1366	-1365	M	G	72.00	0.00	0.00
0	-1526	-1525	-1365	-1364	M	G	72.00	0.00	0.00
0	-1527	-1526	-1364	-1363	M	G	72.00	0.00	0.00
0	-1528	-1527	-1363	-1427	M	G	72.00	0.00	0.00
0	-1362	436	429	-1529	M	G	72.00	0.00	0.00
0	-1356	-1960	-1958	-1530	M	G	72.00	0.00	0.00
0	-1355	-1356	-1530	-1490	M	G	72.00	0.00	0.00
0	-1352	-1355	-1490	-1538	M	G	72.00	0.00	0.00
0	-1684	-1352	-1538	-1525	M	G	72.00	0.00	0.00
0	-1683	-1684	-1525	-1526	M	G	72.00	0.00	0.00
0	-1682	-1683	-1526	-1527	M	G	72.00	0.00	0.00
0	-1426	-1682	-1527	-1528	M	G	72.00	0.00	0.00
0	-1521	435	434	-1660	M	G	72.00	0.00	0.00
0	-1522	-1962	-1963	-1659	M	G	72.00	0.00	0.00
0	-1523	-1522	-1659	-1658	M	G	72.00	0.00	0.00
0	-1524	-1523	-1658	-1657	M	G	72.00	0.00	0.00
0	-1517	-1524	-1657	-1656	M	G	72.00	0.00	0.00
0	-1518	-1517	-1656	-1655	M	G	72.00	0.00	0.00
0	-1519	-1518	-1655	-1654	M	G	72.00	0.00	0.00
0	-1520	-1519	-1654	-1422	M	G	72.00	0.00	0.00
0	-1653	-1848	435	-1521	M	G	72.00	0.00	0.00
0	-1652	-1965	-1962	-1522	M	G	72.00	0.00	0.00
0	-1651	-1652	-1522	-1523	M	G	72.00	0.00	0.00
0	-1650	-1651	-1523	-1524	M	G	72.00	0.00	0.00
0	-1649	-1650	-1524	-1517	M	G	72.00	0.00	0.00
0	-1648	-1649	-1517	-1518	M	G	72.00	0.00	0.00
0	-1647	-1648	-1518	-1519	M	G	72.00	0.00	0.00
0	-1421	-1647	-1519	-1520	M	G	72.00	0.00	0.00
0	-1424	-1668	-1633	-1419	M	G	72.00	0.00	0.00
0	-1668	-1669	-1634	-1633	M	G	72.00	0.00	0.00
0	-1669	-1670	-1635	-1634	M	G	72.00	0.00	0.00
0	-1670	-1671	-1636	-1635	M	G	72.00	0.00	0.00
0	-1671	-1672	-1637	-1636	M	G	72.00	0.00	0.00
0	-1672	-1673	-1638	-1637	M	G	72.00	0.00	0.00
0	-1673	-1966	-1967	-1638	M	G	72.00	0.00	0.00
0	-1674	441	-1859	-1639	M	G	72.00	0.00	0.00

0	-1419	-1633	-1640	-1420	M	G	72.00	0.00	0.00
0	-1633	-1634	-1641	-1640	M	G	72.00	0.00	0.00
0	-1634	-1635	-1642	-1641	M	G	72.00	0.00	0.00
0	-1635	-1636	-1643	-1642	M	G	72.00	0.00	0.00
0	-1636	-1637	-1644	-1643	M	G	72.00	0.00	0.00
0	-1637	-1638	-1645	-1644	M	G	72.00	0.00	0.00
0	-1638	-1967	-1968	-1645	M	G	72.00	0.00	0.00
0	-1639	-1859	439	-1646	M	G	72.00	0.00	0.00
0	-1416	-1850	-1357	-1895	M	G	72.00	0.00	0.00
0	-1415	-1959	-1969	-1896	M	G	72.00	0.00	0.00
0	-1367	-1415	-1896	-1897	M	G	72.00	0.00	0.00
0	-1366	-1367	-1897	-1898	M	G	72.00	0.00	0.00
0	-1365	-1366	-1898	-1899	M	G	72.00	0.00	0.00
0	-1364	-1365	-1899	-1900	M	G	72.00	0.00	0.00
0	-1363	-1364	-1900	-1901	M	G	72.00	0.00	0.00
0	-1427	-1363	-1901	-1902	M	G	72.00	0.00	0.00
0	-1423	-1661	-1626	-1418	M	G	72.00	0.00	0.00
0	-1661	-1662	-1627	-1626	M	G	72.00	0.00	0.00
0	-1662	-1663	-1628	-1627	M	G	72.00	0.00	0.00
0	-1663	-1664	-1629	-1628	M	G	72.00	0.00	0.00
0	-1664	-1665	-1630	-1629	M	G	72.00	0.00	0.00
0	-1665	-1666	-1631	-1630	M	G	72.00	0.00	0.00
0	-1666	-1970	-1971	-1631	M	G	72.00	0.00	0.00
0	-1667	442	-1863	-1632	M	G	72.00	0.00	0.00
0	-1420	-1640	-1904	-1903	M	G	72.00	0.00	0.00
0	-1640	-1641	-1905	-1904	M	G	72.00	0.00	0.00
0	-1641	-1642	-1906	-1905	M	G	72.00	0.00	0.00
0	-1642	-1643	-1907	-1906	M	G	72.00	0.00	0.00
0	-1643	-1644	-1908	-1907	M	G	72.00	0.00	0.00
0	-1644	-1645	-1909	-1908	M	G	72.00	0.00	0.00
0	-1645	-1968	-1972	-1909	M	G	72.00	0.00	0.00
0	-1646	439	-1874	-1910	M	G	72.00	0.00	0.00
0	-1418	-1626	-1668	-1424	M	G	72.00	0.00	0.00
0	-1626	-1627	-1669	-1668	M	G	72.00	0.00	0.00
0	-1627	-1628	-1670	-1669	M	G	72.00	0.00	0.00
0	-1628	-1629	-1671	-1670	M	G	72.00	0.00	0.00
0	-1629	-1630	-1672	-1671	M	G	72.00	0.00	0.00
0	-1630	-1631	-1673	-1672	M	G	72.00	0.00	0.00
0	-1631	-1971	-1966	-1673	M	G	72.00	0.00	0.00
0	-1632	-1863	441	-1674	M	G	72.00	0.00	0.00
0	-1885	-2103	-2107	-1494	M	G	72.00	0.00	0.00
0	-1886	-2104	-2105	-1495	M	G	72.00	0.00	0.00
0	-1887	-1888	-1497	-1496	M	G	72.00	0.00	0.00
0	-1888	-1889	-1700	-1497	M	G	72.00	0.00	0.00
0	-1889	-1890	-1701	-1700	M	G	72.00	0.00	0.00
0	-1890	-1891	-1702	-1701	M	G	72.00	0.00	0.00
0	-1891	-1892	-1703	-1702	M	G	72.00	0.00	0.00
0	-1892	-1893	-1704	-1703	M	G	72.00	0.00	0.00
0	-1893	-1938	-1939	-1704	M	G	72.00	0.00	0.00
0	-1894	-1344	-1537	-1705	M	G	72.00	0.00	0.00
0	-1895	-1357	442	-1667	M	G	72.00	0.00	0.00
0	-1896	-1969	-1970	-1666	M	G	72.00	0.00	0.00
0	-1897	-1896	-1666	-1665	M	G	72.00	0.00	0.00
0	-1898	-1897	-1665	-1664	M	G	72.00	0.00	0.00
0	-1899	-1898	-1664	-1663	M	G	72.00	0.00	0.00
0	-1900	-1899	-1663	-1662	M	G	72.00	0.00	0.00
0	-1901	-1900	-1662	-1661	M	G	72.00	0.00	0.00
0	-1902	-1901	-1661	-1423	M	G	72.00	0.00	0.00
0	-1903	-1904	-1647	-1421	M	G	72.00	0.00	0.00
0	-1904	-1905	-1648	-1647	M	G	72.00	0.00	0.00
0	-1905	-1906	-1649	-1648	M	G	72.00	0.00	0.00
0	-1906	-1907	-1650	-1649	M	G	72.00	0.00	0.00
0	-1907	-1908	-1651	-1650	M	G	72.00	0.00	0.00
0	-1908	-1909	-1652	-1651	M	G	72.00	0.00	0.00
0	-1909	-1972	-1965	-1652	M	G	72.00	0.00	0.00
0	-1910	-1874	-1848	-1653	M	G	72.00	0.00	0.00
0	-1547	-1832	-1465	-2083	M	G	72.00	0.00	0.00
0	-1699	-1831	-1464	-1762	M	G	72.00	0.00	0.00
0	-1974	-1882	-1492	-1973	M	G	72.00	0.00	0.00
0	-1911	-1883	-1493	-1912	M	G	72.00	0.00	0.00
0	-2076	-1715	-1792	-2075	M	G	72.00	0.00	0.00
0	-2078	-1714	-1791	-2077	M	G	72.00	0.00	0.00
0	-2080	-1835	-1468	-2079	M	G	72.00	0.00	0.00
0	-2082	-1834	-1467	-2081	M	G	72.00	0.00	0.00
0	-1913	-1343	-1573	-1914	M	G	72.00	0.00	0.00
0	-1915	-1347	-1559	-1916	M	G	72.00	0.00	0.00
0	-1917	-1698	-1475	-1918	M	G	72.00	0.00	0.00
0	-1919	-1384	-1725	-1920	M	G	72.00	0.00	0.00
0	-1920	-1725	-1802	-1923	M	G	72.00	0.00	0.00

0	-1924	-1838	-1384	-1919	M	G	72.00	0.00	0.00
0	-1925	-1515	-1566	-1921	M	G	72.00	0.00	0.00
0	-1914	-1573	-1515	-1925	M	G	72.00	0.00	0.00
0	-1926	-1552	-1587	-1927	M	G	72.00	0.00	0.00
0	-1927	-1587	-1580	-1928	M	G	72.00	0.00	0.00
0	-1916	-1559	-1594	-1929	M	G	72.00	0.00	0.00
0	-1930	-1414	-1347	-1915	M	G	72.00	0.00	0.00
0	-1928	-1580	-1343	-1913	M	G	72.00	0.00	0.00
0	-1929	-1594	-1552	-1926	M	G	72.00	0.00	0.00
0	-1931	-1447	-1414	-1930	M	G	72.00	0.00	0.00
0	-1932	-1854	-1447	-1931	M	G	72.00	0.00	0.00
0	-1935	-1782	-1387	-1936	M	G	72.00	0.00	0.00
0	-1936	-1387	-1838	-1924	M	G	72.00	0.00	0.00
0	-1937	-1452	-1698	-1917	M	G	72.00	0.00	0.00
0	-1918	-1475	-1894	-1938	M	G	72.00	0.00	0.00
0	-1923	-1802	-1452	-1937	M	G	72.00	0.00	0.00
0	-1939	-1705	-1458	-1940	M	G	72.00	0.00	0.00
0	-1940	-1458	-1745	-1941	M	G	72.00	0.00	0.00
0	-1938	-1894	-1705	-1939	M	G	72.00	0.00	0.00
0	-1943	-1875	-1477	-1944	M	G	72.00	0.00	0.00
0	-1945	-1707	-1784	-1946	M	G	72.00	0.00	0.00
0	-1947	-1359	-1707	-1945	M	G	72.00	0.00	0.00
0	-1948	-1839	-1359	-1947	M	G	72.00	0.00	0.00
0	-1946	-1784	-1429	-1949	M	G	72.00	0.00	0.00
0	-1951	-1764	-1405	-1952	M	G	72.00	0.00	0.00
0	-1952	-1405	-1839	-1948	M	G	72.00	0.00	0.00
0	-1949	-1429	-1824	-1953	M	G	72.00	0.00	0.00
0	-1954	-1454	-1875	-1943	M	G	72.00	0.00	0.00
0	-1953	-1824	-1454	-1954	M	G	72.00	0.00	0.00
0	-1944	-1477	-1507	-1955	M	G	72.00	0.00	0.00
0	-1955	-1507	-1727	-1956	M	G	72.00	0.00	0.00
0	-1958	-1529	-1416	-1959	M	G	72.00	0.00	0.00
0	-1960	-1362	-1529	-1958	M	G	72.00	0.00	0.00
0	-1962	-1521	-1660	-1963	M	G	72.00	0.00	0.00
0	-1965	-1653	-1521	-1962	M	G	72.00	0.00	0.00
0	-1966	-1674	-1639	-1967	M	G	72.00	0.00	0.00
0	-1967	-1639	-1646	-1968	M	G	72.00	0.00	0.00
0	-1959	-1416	-1895	-1969	M	G	72.00	0.00	0.00
0	-1970	-1667	-1632	-1971	M	G	72.00	0.00	0.00
0	-1968	-1646	-1910	-1972	M	G	72.00	0.00	0.00
0	-1971	-1632	-1674	-1966	M	G	72.00	0.00	0.00
0	-1969	-1895	-1667	-1970	M	G	72.00	0.00	0.00
0	-1972	-1910	-1653	-1965	M	G	72.00	0.00	0.00
0	-1883	-1884	-1842	-1493	M	G	72.00	0.00	0.00
0	-1873	-1943	-1944	-1476	M	G	72.00	0.00	0.00
0	-1833	-2082	-2081	-1466	M	G	72.00	0.00	0.00
0	-1884	-1885	-1494	-1842	M	G	72.00	0.00	0.00
0	-1835	-1412	-1469	-1468	M	G	72.00	0.00	0.00
0	-1412	-1410	-1470	-1469	M	G	72.00	0.00	0.00
0	-1410	-1411	-1471	-1470	M	G	72.00	0.00	0.00
0	-1411	-1688	-1472	-1471	M	G	72.00	0.00	0.00
0	-1688	-1691	-1473	-1472	M	G	72.00	0.00	0.00
0	-1691	-1692	-1474	-1473	M	G	72.00	0.00	0.00
0	-1692	-1917	-1918	-1474	M	G	72.00	0.00	0.00
0	-1698	-1534	433	-1475	M	G	72.00	0.00	0.00
0	442	-1706	-1783	-1863	M	G	72.00	0.00	0.00
0	-1706	-1945	-1946	-1783	M	G	72.00	0.00	0.00
0	-1707	-1708	-1785	-1784	M	G	72.00	0.00	0.00
0	-1708	-1709	-1786	-1785	M	G	72.00	0.00	0.00
0	-1709	-1710	-1787	-1786	M	G	72.00	0.00	0.00
0	-1710	-1711	-1788	-1787	M	G	72.00	0.00	0.00
0	-1711	-1712	-1789	-1788	M	G	72.00	0.00	0.00
0	-1712	-1713	-1790	-1789	M	G	72.00	0.00	0.00
0	-1713	-2078	-2077	-1790	M	G	72.00	0.00	0.00
0	-1714	-2076	-2075	-1791	M	G	72.00	0.00	0.00
0	-1715	-1849	-1535	-1792	M	G	72.00	0.00	0.00
0	-1849	-1716	-1793	-1535	M	G	72.00	0.00	0.00
0	-1349	-1350	-1562	-1561	M	G	72.00	0.00	0.00
0	-1350	-1351	-1563	-1562	M	G	72.00	0.00	0.00
0	-1351	-1353	-1564	-1563	M	G	72.00	0.00	0.00
0	-1353	-1354	-1611	-1564	M	G	72.00	0.00	0.00
0	-1357	-1358	-1706	442	M	G	72.00	0.00	0.00
0	-1358	-1947	-1945	-1706	M	G	72.00	0.00	0.00
0	-1359	-1360	-1708	-1707	M	G	72.00	0.00	0.00
0	-1360	-1361	-1709	-1708	M	G	72.00	0.00	0.00
0	-1361	-1368	-1710	-1709	M	G	72.00	0.00	0.00
0	-1368	-1369	-1711	-1710	M	G	72.00	0.00	0.00
0	-1369	-1370	-1712	-1711	M	G	72.00	0.00	0.00
0	-1370	-1371	-1713	-1712	M	G	72.00	0.00	0.00

0	-1371	-2074	-2078	-1713	M	G	72.00	0.00	0.00
0	-1372	-2073	-2076	-1714	M	G	72.00	0.00	0.00
0	-1373	-1374	-1849	-1715	M	G	72.00	0.00	0.00
0	-1374	-1375	-1716	-1849	M	G	72.00	0.00	0.00
0	-1375	-2072	-2070	-1716	M	G	72.00	0.00	0.00
0	-1376	-2068	-2066	-1717	M	G	72.00	0.00	0.00
0	-1377	-1378	-1719	-1718	M	G	72.00	0.00	0.00
0	-1378	-1379	-1720	-1719	M	G	72.00	0.00	0.00
0	-1379	-1380	-1721	-1720	M	G	72.00	0.00	0.00
0	-1380	-1381	-1722	-1721	M	G	72.00	0.00	0.00
0	-1381	-1382	-1723	-1722	M	G	72.00	0.00	0.00
0	-1382	-1383	-1724	-1723	M	G	72.00	0.00	0.00
0	-1383	-1919	-1920	-1724	M	G	72.00	0.00	0.00
0	-1384	-1385	440	-1725	M	G	72.00	0.00	0.00
0	-1510	-1509	-1612	-1571	M	G	72.00	0.00	0.00
0	-1511	-1510	-1571	-1570	M	G	72.00	0.00	0.00
0	-1716	-2070	-2064	-1793	M	G	72.00	0.00	0.00
0	-1717	-2066	-2062	-1794	M	G	72.00	0.00	0.00
0	-1718	-1719	-1796	-1795	M	G	72.00	0.00	0.00
0	-1719	-1720	-1797	-1796	M	G	72.00	0.00	0.00
0	-1720	-1721	-1798	-1797	M	G	72.00	0.00	0.00
0	-1721	-1722	-1799	-1798	M	G	72.00	0.00	0.00
0	-1722	-1723	-1800	-1799	M	G	72.00	0.00	0.00
0	-1723	-1724	-1801	-1800	M	G	72.00	0.00	0.00
0	-1724	-1920	-1923	-1801	M	G	72.00	0.00	0.00
0	-1725	440	-1531	-1802	M	G	72.00	0.00	0.00
0	-1838	-1536	-1385	-1384	M	G	72.00	0.00	0.00
0	-1837	-1924	-1919	-1383	M	G	72.00	0.00	0.00
0	-1853	-1837	-1383	-1382	M	G	72.00	0.00	0.00
0	-1852	-1853	-1382	-1381	M	G	72.00	0.00	0.00
0	-1851	-1852	-1381	-1380	M	G	72.00	0.00	0.00
0	-2074	-1372	-1714	-2078	M	G	72.00	0.00	0.00
0	-2073	-1373	-1715	-2076	M	G	72.00	0.00	0.00
0	-2072	-1376	-1717	-2070	M	G	72.00	0.00	0.00
0	-2068	-1377	-1718	-2066	M	G	72.00	0.00	0.00
0	-2070	-1717	-1794	-2064	M	G	72.00	0.00	0.00
0	-2066	-1718	-1795	-2062	M	G	72.00	0.00	0.00
0	-2061	-1695	-1377	-2068	M	G	72.00	0.00	0.00
0	-2084	-1694	-1376	-2072	M	G	72.00	0.00	0.00
0	-2085	-1866	-1373	-2073	M	G	72.00	0.00	0.00
0	-2086	-1865	-1372	-2074	M	G	72.00	0.00	0.00
0	-2088	-1775	-1394	-2095	M	G	72.00	0.00	0.00
0	-2090	-1774	-1395	-2096	M	G	72.00	0.00	0.00
0	-2092	-1772	-1397	-2097	M	G	72.00	0.00	0.00
0	-2094	-1771	-1398	-2098	M	G	72.00	0.00	0.00
0	-2095	-1394	-1695	-2061	M	G	72.00	0.00	0.00
0	-2096	-1395	-1694	-2084	M	G	72.00	0.00	0.00
0	-2097	-1397	-1866	-2085	M	G	72.00	0.00	0.00
0	-2098	-1398	-1865	-2086	M	G	72.00	0.00	0.00
0	-2099	-1436	-1831	-1699	M	G	72.00	0.00	0.00
0	-2100	-1438	-1832	-1547	M	G	72.00	0.00	0.00
0	-2101	-1441	-1834	-2082	M	G	72.00	0.00	0.00
0	-2102	-1442	-1835	-2080	M	G	72.00	0.00	0.00
0	-1762	-1464	-1882	-1974	M	G	72.00	0.00	0.00
0	-2083	-1465	-1883	-1911	M	G	72.00	0.00	0.00
0	-2081	-1467	-1886	-2103	M	G	72.00	0.00	0.00
0	-2079	-1468	-1887	-2104	M	G	72.00	0.00	0.00
0	-2077	-1791	-1436	-2099	M	G	72.00	0.00	0.00
0	-2075	-1792	-1438	-2100	M	G	72.00	0.00	0.00
0	-2064	-1794	-1441	-2101	M	G	72.00	0.00	0.00
0	-2062	-1795	-1442	-2102	M	G	72.00	0.00	0.00
0	-2105	-1496	-1488	-2106	M	G	72.00	0.00	0.00
0	-2107	-1495	-1489	-2108	M	G	72.00	0.00	0.00
0	-1912	-1493	-1499	-2109	M	G	72.00	0.00	0.00
0	-1973	-1492	-1500	-2110	M	G	72.00	0.00	0.00
0	-2106	-1488	-1738	-2111	M	G	72.00	0.00	0.00
0	-2108	-1489	-1737	-2112	M	G	72.00	0.00	0.00
0	-2109	-1499	-1735	-2113	M	G	72.00	0.00	0.00
0	-2110	-1500	-1734	-2114	M	G	72.00	0.00	0.00
0	-2103	-1886	-1495	-2107	M	G	72.00	0.00	0.00
0	-2104	-1887	-1496	-2105	M	G	72.00	0.00	0.00

Elenco carichi elementi bidimensionali
Condizione di carico n. 15: q var neve
Carichi uniformi

Bid.	N1	N2	N3	N4	T	DC	Qx <daN/mq>	Qy <daN/mq>	Qz <daN/mq>
0	-1532	-1833	-1466	-1867	M	G	0.00	0.00	48.00

0	-1832	-1532	-1867	-1465	M	G	0.00	0.00	48.00
0	-1831	-1547	-2083	-1464	M	G	0.00	0.00	48.00
0	-1830	-1699	-1762	-1463	M	G	0.00	0.00	48.00
0	-1829	-1830	-1463	-1462	M	G	0.00	0.00	48.00
0	-1828	-1829	-1462	-1460	M	G	0.00	0.00	48.00
0	-1875	-1876	-1478	-1477	M	G	0.00	0.00	48.00
0	-1876	-1877	-1479	-1478	M	G	0.00	0.00	48.00
0	-1877	-1878	-1480	-1479	M	G	0.00	0.00	48.00
0	-1878	-1879	-1481	-1480	M	G	0.00	0.00	48.00
0	-1879	-1880	-1482	-1481	M	G	0.00	0.00	48.00
0	-1880	-1881	-1491	-1482	M	G	0.00	0.00	48.00
0	-1881	-1974	-1973	-1491	M	G	0.00	0.00	48.00
0	-1882	-1911	-1912	-1492	M	G	0.00	0.00	48.00
0	-1834	-2080	-2079	-1467	M	G	0.00	0.00	48.00
0	-1348	-1349	-1561	-1560	M	G	0.00	0.00	48.00
0	-1347	-1348	-1560	-1559	M	G	0.00	0.00	48.00
0	-1346	-1915	-1916	-1558	M	G	0.00	0.00	48.00
0	-1385	-1346	-1558	440	M	G	0.00	0.00	48.00
0	-1344	-1345	-1572	-1537	M	G	0.00	0.00	48.00
0	-1345	-1913	-1914	-1572	M	G	0.00	0.00	48.00
0	-1343	-1342	-1574	-1573	M	G	0.00	0.00	48.00
0	-1342	-1868	-1575	-1574	M	G	0.00	0.00	48.00
0	-1868	-1869	-1576	-1575	M	G	0.00	0.00	48.00
0	-1869	-1870	-1577	-1576	M	G	0.00	0.00	48.00
0	-1870	-1871	-1578	-1577	M	G	0.00	0.00	48.00
0	-1871	-1872	-1613	-1578	M	G	0.00	0.00	48.00
0	-1874	-1873	-1476	-1848	M	G	0.00	0.00	48.00
0	-1858	-1851	-1380	-1379	M	G	0.00	0.00	48.00
0	-1856	-1858	-1379	-1378	M	G	0.00	0.00	48.00
0	-1695	-1856	-1378	-1377	M	G	0.00	0.00	48.00
0	-1694	-2061	-2068	-1376	M	G	0.00	0.00	48.00
0	-1693	-2084	-2072	-1375	M	G	0.00	0.00	48.00
0	-1862	-1693	-1375	-1374	M	G	0.00	0.00	48.00
0	-1866	-1862	-1374	-1373	M	G	0.00	0.00	48.00
0	-1865	-2085	-2073	-1372	M	G	0.00	0.00	48.00
0	-1864	-2086	-2074	-1371	M	G	0.00	0.00	48.00
0	-1861	-1864	-1371	-1370	M	G	0.00	0.00	48.00
0	-1857	-1861	-1370	-1369	M	G	0.00	0.00	48.00
0	-1845	-1857	-1369	-1368	M	G	0.00	0.00	48.00
0	-1844	-1845	-1368	-1361	M	G	0.00	0.00	48.00
0	-1843	-1844	-1361	-1360	M	G	0.00	0.00	48.00
0	-1839	-1843	-1360	-1359	M	G	0.00	0.00	48.00
0	-1836	-1948	-1947	-1358	M	G	0.00	0.00	48.00
0	-1850	-1836	-1358	-1357	M	G	0.00	0.00	48.00
0	-1863	-1783	-1428	441	M	G	0.00	0.00	48.00
0	-1783	-1946	-1949	-1428	M	G	0.00	0.00	48.00
0	-1784	-1785	-1430	-1429	M	G	0.00	0.00	48.00
0	-1512	-1511	-1570	-1569	M	G	0.00	0.00	48.00
0	-1513	-1512	-1569	-1568	M	G	0.00	0.00	48.00
0	-1514	-1513	-1568	-1567	M	G	0.00	0.00	48.00
0	-1515	-1514	-1567	-1566	M	G	0.00	0.00	48.00
0	-1516	-1925	-1921	-1565	M	G	0.00	0.00	48.00
0	-1578	-1613	-1509	-1510	M	G	0.00	0.00	48.00
0	-1577	-1578	-1510	-1511	M	G	0.00	0.00	48.00
0	-1576	-1577	-1511	-1512	M	G	0.00	0.00	48.00
0	-1575	-1576	-1512	-1513	M	G	0.00	0.00	48.00
0	-1574	-1575	-1513	-1514	M	G	0.00	0.00	48.00
0	-1573	-1574	-1514	-1515	M	G	0.00	0.00	48.00
0	-1572	-1914	-1925	-1516	M	G	0.00	0.00	48.00
0	430	-1551	-1586	-1534	M	G	0.00	0.00	48.00
0	-1551	-1926	-1927	-1586	M	G	0.00	0.00	48.00
0	-1552	-1553	-1588	-1587	M	G	0.00	0.00	48.00
0	-1553	-1554	-1589	-1588	M	G	0.00	0.00	48.00
0	-1554	-1555	-1590	-1589	M	G	0.00	0.00	48.00
0	-1555	-1556	-1591	-1590	M	G	0.00	0.00	48.00
0	-1556	-1557	-1592	-1591	M	G	0.00	0.00	48.00
0	-1557	-1610	-1615	-1592	M	G	0.00	0.00	48.00
0	-1534	-1586	-1579	433	M	G	0.00	0.00	48.00
0	-1586	-1927	-1928	-1579	M	G	0.00	0.00	48.00
0	-1587	-1588	-1581	-1580	M	G	0.00	0.00	48.00
0	-1588	-1589	-1582	-1581	M	G	0.00	0.00	48.00
0	-1589	-1590	-1583	-1582	M	G	0.00	0.00	48.00
0	-1590	-1591	-1584	-1583	M	G	0.00	0.00	48.00
0	-1591	-1592	-1585	-1584	M	G	0.00	0.00	48.00
0	-1592	-1615	-1614	-1585	M	G	0.00	0.00	48.00
0	440	-1558	-1593	-1531	M	G	0.00	0.00	48.00
0	-1558	-1916	-1929	-1593	M	G	0.00	0.00	48.00
0	-1559	-1560	-1595	-1594	M	G	0.00	0.00	48.00
0	-1560	-1561	-1596	-1595	M	G	0.00	0.00	48.00

0	-1561	-1562	-1597	-1596	M	G	0.00	0.00	48.00
0	-1562	-1563	-1598	-1597	M	G	0.00	0.00	48.00
0	-1563	-1564	-1599	-1598	M	G	0.00	0.00	48.00
0	-1564	-1611	-1616	-1599	M	G	0.00	0.00	48.00
0	-1840	-1607	-1354	-1353	M	G	0.00	0.00	48.00
0	-1697	-1840	-1353	-1351	M	G	0.00	0.00	48.00
0	-1696	-1697	-1351	-1350	M	G	0.00	0.00	48.00
0	-1690	-1696	-1350	-1349	M	G	0.00	0.00	48.00
0	-1685	-1690	-1349	-1348	M	G	0.00	0.00	48.00
0	-1414	-1685	-1348	-1347	M	G	0.00	0.00	48.00
0	-1618	-1930	-1915	-1346	M	G	0.00	0.00	48.00
0	-1536	-1618	-1346	-1385	M	G	0.00	0.00	48.00
0	433	-1579	-1345	-1344	M	G	0.00	0.00	48.00
0	-1579	-1928	-1913	-1345	M	G	0.00	0.00	48.00
0	-1580	-1581	-1342	-1343	M	G	0.00	0.00	48.00
0	-1581	-1582	-1868	-1342	M	G	0.00	0.00	48.00
0	-1582	-1583	-1869	-1868	M	G	0.00	0.00	48.00
0	-1583	-1584	-1870	-1869	M	G	0.00	0.00	48.00
0	-1584	-1585	-1871	-1870	M	G	0.00	0.00	48.00
0	-1585	-1614	-1872	-1871	M	G	0.00	0.00	48.00
0	-1531	-1593	-1551	430	M	G	0.00	0.00	48.00
0	-1593	-1929	-1926	-1551	M	G	0.00	0.00	48.00
0	-1594	-1595	-1553	-1552	M	G	0.00	0.00	48.00
0	-1595	-1596	-1554	-1553	M	G	0.00	0.00	48.00
0	-1596	-1597	-1555	-1554	M	G	0.00	0.00	48.00
0	-1597	-1598	-1556	-1555	M	G	0.00	0.00	48.00
0	-1598	-1599	-1557	-1556	M	G	0.00	0.00	48.00
0	-1599	-1616	-1610	-1557	M	G	0.00	0.00	48.00
0	-1408	-1407	-1607	-1840	M	G	0.00	0.00	48.00
0	-1409	-1408	-1840	-1697	M	G	0.00	0.00	48.00
0	-1437	-1409	-1697	-1696	M	G	0.00	0.00	48.00
0	-1440	-1437	-1696	-1690	M	G	0.00	0.00	48.00
0	-1444	-1440	-1690	-1685	M	G	0.00	0.00	48.00
0	-1447	-1444	-1685	-1414	M	G	0.00	0.00	48.00
0	-1451	-1931	-1930	-1618	M	G	0.00	0.00	48.00
0	-1543	-1608	-1407	-1408	M	G	0.00	0.00	48.00
0	-1542	-1543	-1408	-1409	M	G	0.00	0.00	48.00
0	-1541	-1542	-1409	-1437	M	G	0.00	0.00	48.00
0	-1860	-1541	-1437	-1440	M	G	0.00	0.00	48.00
0	-1855	-1860	-1440	-1444	M	G	0.00	0.00	48.00
0	-1854	-1855	-1444	-1447	M	G	0.00	0.00	48.00
0	-1841	-1932	-1931	-1451	M	G	0.00	0.00	48.00
0	-1606	-1617	-2127	-2128	M	G	0.00	0.00	48.00
0	-1605	-1606	-2128	-2129	M	G	0.00	0.00	48.00
0	-1604	-1605	-2129	-2130	M	G	0.00	0.00	48.00
0	-1603	-1604	-2130	-2131	M	G	0.00	0.00	48.00
0	-1602	-1603	-2131	-2132	M	G	0.00	0.00	48.00
0	-1601	-1602	-2132	-2133	M	G	0.00	0.00	48.00
0	-1600	-1933	-2134	-2135	M	G	0.00	0.00	48.00
0	-1822	-1539	-2136	-2137	M	G	0.00	0.00	48.00
0	-1821	-1934	-2138	-2139	M	G	0.00	0.00	48.00
0	-1820	-1821	-2139	-2140	M	G	0.00	0.00	48.00
0	-1819	-1820	-2140	-2141	M	G	0.00	0.00	48.00
0	-1818	-1819	-2141	-2142	M	G	0.00	0.00	48.00
0	-1817	-1818	-2142	-2143	M	G	0.00	0.00	48.00
0	-1816	-1817	-2143	-2144	M	G	0.00	0.00	48.00
0	-1815	-1816	-2144	-2145	M	G	0.00	0.00	48.00
0	-1814	-2087	-2146	-2147	M	G	0.00	0.00	48.00
0	-1813	-2089	-2148	-2149	M	G	0.00	0.00	48.00
0	-1533	-1813	-2149	-2150	M	G	0.00	0.00	48.00
0	-1812	-1533	-2150	-2151	M	G	0.00	0.00	48.00
0	-1811	-2091	-2152	-2153	M	G	0.00	0.00	48.00
0	-1810	-2093	-2154	-2155	M	G	0.00	0.00	48.00
0	-1809	-1810	-2155	-2156	M	G	0.00	0.00	48.00
0	-1808	-1809	-2156	-2157	M	G	0.00	0.00	48.00
0	-1807	-1808	-2157	-2158	M	G	0.00	0.00	48.00
0	-1806	-1807	-2158	-2159	M	G	0.00	0.00	48.00
0	-1805	-1806	-2159	-2160	M	G	0.00	0.00	48.00
0	-1804	-1805	-2160	-2161	M	G	0.00	0.00	48.00
0	-1803	-1950	-2162	-2163	M	G	0.00	0.00	48.00
0	-1782	431	438	-1387	M	G	0.00	0.00	48.00
0	-1781	-1935	-1936	-1388	M	G	0.00	0.00	48.00
0	-1780	-1781	-1388	-1389	M	G	0.00	0.00	48.00
0	-1779	-1780	-1389	-1390	M	G	0.00	0.00	48.00
0	-1778	-1779	-1390	-1391	M	G	0.00	0.00	48.00
0	-1777	-1778	-1391	-1392	M	G	0.00	0.00	48.00
0	-1776	-1777	-1392	-1393	M	G	0.00	0.00	48.00
0	-1775	-1776	-1393	-1394	M	G	0.00	0.00	48.00
0	-1774	-2088	-2095	-1395	M	G	0.00	0.00	48.00

0	-1773	-2090	-2096	-1396	M	G	0.00	0.00	48.00
0	-1413	-1773	-1396	-1386	M	G	0.00	0.00	48.00
0	-1772	-1413	-1386	-1397	M	G	0.00	0.00	48.00
0	-1771	-2092	-2097	-1398	M	G	0.00	0.00	48.00
0	-1770	-2094	-2098	-1399	M	G	0.00	0.00	48.00
0	-1769	-1770	-1399	-1400	M	G	0.00	0.00	48.00
0	-1768	-1769	-1400	-1401	M	G	0.00	0.00	48.00
0	-1767	-1768	-1401	-1402	M	G	0.00	0.00	48.00
0	-1766	-1767	-1402	-1403	M	G	0.00	0.00	48.00
0	-1765	-1766	-1403	-1404	M	G	0.00	0.00	48.00
0	-1764	-1765	-1404	-1405	M	G	0.00	0.00	48.00
0	-1763	-1951	-1952	-1406	M	G	0.00	0.00	48.00
0	-1387	438	-1536	-1838	M	G	0.00	0.00	48.00
0	-1388	-1936	-1924	-1837	M	G	0.00	0.00	48.00
0	-1389	-1388	-1837	-1853	M	G	0.00	0.00	48.00
0	-1390	-1389	-1853	-1852	M	G	0.00	0.00	48.00
0	-1391	-1390	-1852	-1851	M	G	0.00	0.00	48.00
0	-1392	-1391	-1851	-1858	M	G	0.00	0.00	48.00
0	-1393	-1392	-1858	-1856	M	G	0.00	0.00	48.00
0	-1394	-1393	-1856	-1695	M	G	0.00	0.00	48.00
0	-1395	-2095	-2061	-1694	M	G	0.00	0.00	48.00
0	-1396	-2096	-2084	-1693	M	G	0.00	0.00	48.00
0	-1386	-1396	-1693	-1862	M	G	0.00	0.00	48.00
0	-1397	-1386	-1862	-1866	M	G	0.00	0.00	48.00
0	-1398	-2097	-2085	-1865	M	G	0.00	0.00	48.00
0	-1399	-2098	-2086	-1864	M	G	0.00	0.00	48.00
0	-1400	-1399	-1864	-1861	M	G	0.00	0.00	48.00
0	-1401	-1400	-1861	-1857	M	G	0.00	0.00	48.00
0	-1402	-1401	-1857	-1845	M	G	0.00	0.00	48.00
0	-1403	-1402	-1845	-1844	M	G	0.00	0.00	48.00
0	-1404	-1403	-1844	-1843	M	G	0.00	0.00	48.00
0	-1405	-1404	-1843	-1839	M	G	0.00	0.00	48.00
0	-1406	-1952	-1948	-1836	M	G	0.00	0.00	48.00
0	441	-1428	-1823	-1859	M	G	0.00	0.00	48.00
0	-1428	-1949	-1953	-1823	M	G	0.00	0.00	48.00
0	-1429	-1430	-1825	-1824	M	G	0.00	0.00	48.00
0	-1430	-1431	-1826	-1825	M	G	0.00	0.00	48.00
0	-1431	-1432	-1827	-1826	M	G	0.00	0.00	48.00
0	-1432	-1433	-1828	-1827	M	G	0.00	0.00	48.00
0	-1433	-1434	-1829	-1828	M	G	0.00	0.00	48.00
0	-1434	-1435	-1830	-1829	M	G	0.00	0.00	48.00
0	-1435	-2099	-1699	-1830	M	G	0.00	0.00	48.00
0	-1436	-2100	-1547	-1831	M	G	0.00	0.00	48.00
0	-1438	-1846	-1532	-1832	M	G	0.00	0.00	48.00
0	-1846	-1439	-1833	-1532	M	G	0.00	0.00	48.00
0	-1439	-2101	-2082	-1833	M	G	0.00	0.00	48.00
0	-1441	-2102	-2080	-1834	M	G	0.00	0.00	48.00
0	-1442	-1443	-1412	-1835	M	G	0.00	0.00	48.00
0	-1443	-1445	-1410	-1412	M	G	0.00	0.00	48.00
0	-1445	-1446	-1411	-1410	M	G	0.00	0.00	48.00
0	-1446	-1448	-1688	-1411	M	G	0.00	0.00	48.00
0	-1448	-1449	-1691	-1688	M	G	0.00	0.00	48.00
0	-1449	-1450	-1692	-1691	M	G	0.00	0.00	48.00
0	-1450	-1937	-1917	-1692	M	G	0.00	0.00	48.00
0	-1452	430	-1534	-1698	M	G	0.00	0.00	48.00
0	439	-1453	-1873	-1874	M	G	0.00	0.00	48.00
0	-1453	-1954	-1943	-1873	M	G	0.00	0.00	48.00
0	-1454	-1455	-1876	-1875	M	G	0.00	0.00	48.00
0	-1455	-1456	-1877	-1876	M	G	0.00	0.00	48.00
0	-1456	-1459	-1878	-1877	M	G	0.00	0.00	48.00
0	-1459	-1460	-1879	-1878	M	G	0.00	0.00	48.00
0	-1460	-1462	-1880	-1879	M	G	0.00	0.00	48.00
0	-1462	-1463	-1881	-1880	M	G	0.00	0.00	48.00
0	-1463	-1762	-1974	-1881	M	G	0.00	0.00	48.00
0	-1464	-2083	-1911	-1882	M	G	0.00	0.00	48.00
0	-1465	-1867	-1884	-1883	M	G	0.00	0.00	48.00
0	-1867	-1466	-1885	-1884	M	G	0.00	0.00	48.00
0	-1466	-2081	-2103	-1885	M	G	0.00	0.00	48.00
0	-1467	-2079	-2104	-1886	M	G	0.00	0.00	48.00
0	-1468	-1469	-1888	-1887	M	G	0.00	0.00	48.00
0	-1469	-1470	-1889	-1888	M	G	0.00	0.00	48.00
0	-1470	-1471	-1890	-1889	M	G	0.00	0.00	48.00
0	-1471	-1472	-1891	-1890	M	G	0.00	0.00	48.00
0	-1472	-1473	-1892	-1891	M	G	0.00	0.00	48.00
0	-1473	-1474	-1893	-1892	M	G	0.00	0.00	48.00
0	-1474	-1918	-1938	-1893	M	G	0.00	0.00	48.00
0	-1475	433	-1344	-1894	M	G	0.00	0.00	48.00
0	-1859	-1823	-1453	439	M	G	0.00	0.00	48.00
0	-1823	-1953	-1954	-1453	M	G	0.00	0.00	48.00

0	-1824	-1825	-1455	-1454	M	G	0.00	0.00	48.00
0	-1825	-1826	-1456	-1455	M	G	0.00	0.00	48.00
0	-1826	-1827	-1459	-1456	M	G	0.00	0.00	48.00
0	-1827	-1828	-1460	-1459	M	G	0.00	0.00	48.00
0	-1785	-1786	-1431	-1430	M	G	0.00	0.00	48.00
0	-1786	-1787	-1432	-1431	M	G	0.00	0.00	48.00
0	-1787	-1788	-1433	-1432	M	G	0.00	0.00	48.00
0	-1788	-1789	-1434	-1433	M	G	0.00	0.00	48.00
0	-1789	-1790	-1435	-1434	M	G	0.00	0.00	48.00
0	-1790	-2077	-2099	-1435	M	G	0.00	0.00	48.00
0	-1791	-2075	-2100	-1436	M	G	0.00	0.00	48.00
0	-1792	-1535	-1846	-1438	M	G	0.00	0.00	48.00
0	-1535	-1793	-1439	-1846	M	G	0.00	0.00	48.00
0	-1793	-2064	-2101	-1439	M	G	0.00	0.00	48.00
0	-1794	-2062	-2102	-1441	M	G	0.00	0.00	48.00
0	-1795	-1796	-1443	-1442	M	G	0.00	0.00	48.00
0	-1796	-1797	-1445	-1443	M	G	0.00	0.00	48.00
0	-1797	-1798	-1446	-1445	M	G	0.00	0.00	48.00
0	-1798	-1799	-1448	-1446	M	G	0.00	0.00	48.00
0	-1799	-1800	-1449	-1448	M	G	0.00	0.00	48.00
0	-1800	-1801	-1450	-1449	M	G	0.00	0.00	48.00
0	-1801	-1923	-1937	-1450	M	G	0.00	0.00	48.00
0	-1705	-1537	437	-1458	M	G	0.00	0.00	48.00
0	-1704	-1939	-1940	-1461	M	G	0.00	0.00	48.00
0	-1703	-1704	-1461	-1483	M	G	0.00	0.00	48.00
0	-1702	-1703	-1483	-1484	M	G	0.00	0.00	48.00
0	-1701	-1702	-1484	-1485	M	G	0.00	0.00	48.00
0	-1700	-1701	-1485	-1486	M	G	0.00	0.00	48.00
0	-1497	-1700	-1486	-1487	M	G	0.00	0.00	48.00
0	-1496	-1497	-1487	-1488	M	G	0.00	0.00	48.00
0	-1495	-2105	-2106	-1489	M	G	0.00	0.00	48.00
0	-1494	-2107	-2108	-1498	M	G	0.00	0.00	48.00
0	-1842	-1494	-1498	-1457	M	G	0.00	0.00	48.00
0	-1493	-1842	-1457	-1499	M	G	0.00	0.00	48.00
0	-1492	-1912	-2109	-1500	M	G	0.00	0.00	48.00
0	-1491	-1973	-2110	-1501	M	G	0.00	0.00	48.00
0	-1482	-1491	-1501	-1502	M	G	0.00	0.00	48.00
0	-1481	-1482	-1502	-1503	M	G	0.00	0.00	48.00
0	-1480	-1481	-1503	-1504	M	G	0.00	0.00	48.00
0	-1479	-1480	-1504	-1505	M	G	0.00	0.00	48.00
0	-1478	-1479	-1505	-1506	M	G	0.00	0.00	48.00
0	-1477	-1478	-1506	-1507	M	G	0.00	0.00	48.00
0	-1476	-1944	-1955	-1508	M	G	0.00	0.00	48.00
0	-1458	437	432	-1745	M	G	0.00	0.00	48.00
0	-1461	-1940	-1941	-1744	M	G	0.00	0.00	48.00
0	-1483	-1461	-1744	-1743	M	G	0.00	0.00	48.00
0	-1484	-1483	-1743	-1742	M	G	0.00	0.00	48.00
0	-1485	-1484	-1742	-1741	M	G	0.00	0.00	48.00
0	-1486	-1485	-1741	-1740	M	G	0.00	0.00	48.00
0	-1487	-1486	-1740	-1739	M	G	0.00	0.00	48.00
0	-1488	-1487	-1739	-1738	M	G	0.00	0.00	48.00
0	-1489	-2106	-2111	-1737	M	G	0.00	0.00	48.00
0	-1498	-2108	-2112	-1736	M	G	0.00	0.00	48.00
0	-1457	-1498	-1736	-1847	M	G	0.00	0.00	48.00
0	-1499	-1457	-1847	-1735	M	G	0.00	0.00	48.00
0	-1500	-2109	-2113	-1734	M	G	0.00	0.00	48.00
0	-1501	-2110	-2114	-1733	M	G	0.00	0.00	48.00
0	-1502	-1501	-1733	-1732	M	G	0.00	0.00	48.00
0	-1503	-1502	-1732	-1731	M	G	0.00	0.00	48.00
0	-1504	-1503	-1731	-1730	M	G	0.00	0.00	48.00
0	-1505	-1504	-1730	-1729	M	G	0.00	0.00	48.00
0	-1506	-1505	-1729	-1728	M	G	0.00	0.00	48.00
0	-1507	-1506	-1728	-1727	M	G	0.00	0.00	48.00
0	-1508	-1955	-1956	-1726	M	G	0.00	0.00	48.00
0	-2069	-1540	-1976	-2013	M	G	0.00	0.00	48.00
0	-1744	-1941	-2182	-2183	M	G	0.00	0.00	48.00
0	-1743	-1744	-2183	-2184	M	G	0.00	0.00	48.00
0	-1742	-1743	-2184	-2185	M	G	0.00	0.00	48.00
0	-1741	-1742	-2185	-2186	M	G	0.00	0.00	48.00
0	-2067	-1758	-2009	-2008	M	G	0.00	0.00	48.00
0	-1757	-2067	-2008	-2007	M	G	0.00	0.00	48.00
0	-1738	-1739	-2187	-2188	M	G	0.00	0.00	48.00
0	-1737	-2111	-2189	-2190	M	G	0.00	0.00	48.00
0	-1736	-2112	-2191	-2192	M	G	0.00	0.00	48.00
0	-1847	-1736	-2192	-2193	M	G	0.00	0.00	48.00
0	-2065	-1689	-1993	-2003	M	G	0.00	0.00	48.00
0	-1753	-2117	-2118	-2002	M	G	0.00	0.00	48.00
0	-1733	-2114	-2194	-2195	M	G	0.00	0.00	48.00
0	-1732	-1733	-2195	-2196	M	G	0.00	0.00	48.00

0	-1731	-1732	-2196	-2197	M	G	0.00	0.00	48.00
0	-2063	-1750	-1999	-1998	M	G	0.00	0.00	48.00
0	-1749	-2063	-1998	-1997	M	G	0.00	0.00	48.00
0	-1728	-1729	-2198	-2199	M	G	0.00	0.00	48.00
0	-1727	-1728	-2199	-2200	M	G	0.00	0.00	48.00
0	-1726	-1956	-2201	-2202	M	G	0.00	0.00	48.00
0	-1539	-1600	-2135	-2136	M	G	0.00	0.00	48.00
0	-1687	-1803	-2163	-2164	M	G	0.00	0.00	48.00
0	438	-1451	-1618	-1536	M	G	0.00	0.00	48.00
0	431	-1841	-1451	438	M	G	0.00	0.00	48.00
0	436	-1763	-1406	429	M	G	0.00	0.00	48.00
0	429	-1406	-1836	-1850	M	G	0.00	0.00	48.00
0	-1802	-1531	430	-1452	M	G	0.00	0.00	48.00
0	-1537	-1572	-1516	437	M	G	0.00	0.00	48.00
0	-1848	-1476	-1508	435	M	G	0.00	0.00	48.00
0	437	-1516	-1565	432	M	G	0.00	0.00	48.00
0	435	-1508	-1726	434	M	G	0.00	0.00	48.00
0	432	-1565	-2181	-2203	M	G	0.00	0.00	48.00
0	434	-1726	-2202	-2204	M	G	0.00	0.00	48.00
0	-1529	429	-1850	-1416	M	G	0.00	0.00	48.00
0	-1530	-1958	-1959	-1415	M	G	0.00	0.00	48.00
0	-1490	-1530	-1415	-1367	M	G	0.00	0.00	48.00
0	-1538	-1490	-1367	-1366	M	G	0.00	0.00	48.00
0	-1525	-1538	-1366	-1365	M	G	0.00	0.00	48.00
0	-1526	-1525	-1365	-1364	M	G	0.00	0.00	48.00
0	-1527	-1526	-1364	-1363	M	G	0.00	0.00	48.00
0	-1528	-1527	-1363	-1427	M	G	0.00	0.00	48.00
0	-1362	436	429	-1529	M	G	0.00	0.00	48.00
0	-1356	-1960	-1958	-1530	M	G	0.00	0.00	48.00
0	-1355	-1356	-1530	-1490	M	G	0.00	0.00	48.00
0	-1352	-1355	-1490	-1538	M	G	0.00	0.00	48.00
0	-1684	-1352	-1538	-1525	M	G	0.00	0.00	48.00
0	-1683	-1684	-1525	-1526	M	G	0.00	0.00	48.00
0	-1682	-1683	-1526	-1527	M	G	0.00	0.00	48.00
0	-1426	-1682	-1527	-1528	M	G	0.00	0.00	48.00
0	-1625	-1687	-2164	-2165	M	G	0.00	0.00	48.00
0	-1624	-1961	-2166	-2167	M	G	0.00	0.00	48.00
0	-1623	-1624	-2167	-2168	M	G	0.00	0.00	48.00
0	-1622	-1623	-2168	-2169	M	G	0.00	0.00	48.00
0	-1621	-1622	-2169	-2170	M	G	0.00	0.00	48.00
0	-1620	-1621	-2170	-2171	M	G	0.00	0.00	48.00
0	-1619	-1620	-2171	-2172	M	G	0.00	0.00	48.00
0	-1417	-1619	-2172	-2173	M	G	0.00	0.00	48.00
0	-1521	435	434	-1660	M	G	0.00	0.00	48.00
0	-1522	-1962	-1963	-1659	M	G	0.00	0.00	48.00
0	-1523	-1522	-1659	-1658	M	G	0.00	0.00	48.00
0	-1524	-1523	-1658	-1657	M	G	0.00	0.00	48.00
0	-1517	-1524	-1657	-1656	M	G	0.00	0.00	48.00
0	-1518	-1517	-1656	-1655	M	G	0.00	0.00	48.00
0	-1519	-1518	-1655	-1654	M	G	0.00	0.00	48.00
0	-1520	-1519	-1654	-1422	M	G	0.00	0.00	48.00
0	-1422	-1654	-2205	-2206	M	G	0.00	0.00	48.00
0	-1654	-1655	-2207	-2205	M	G	0.00	0.00	48.00
0	-1655	-1656	-2208	-2207	M	G	0.00	0.00	48.00
0	-1656	-1657	-2209	-2208	M	G	0.00	0.00	48.00
0	-1657	-1658	-2210	-2209	M	G	0.00	0.00	48.00
0	-1658	-1659	-2211	-2210	M	G	0.00	0.00	48.00
0	-1659	-1963	-2212	-2211	M	G	0.00	0.00	48.00
0	-1653	-1848	435	-1521	M	G	0.00	0.00	48.00
0	-1652	-1965	-1962	-1522	M	G	0.00	0.00	48.00
0	-1651	-1652	-1522	-1523	M	G	0.00	0.00	48.00
0	-1650	-1651	-1523	-1524	M	G	0.00	0.00	48.00
0	-1649	-1650	-1524	-1517	M	G	0.00	0.00	48.00
0	-1648	-1649	-1517	-1518	M	G	0.00	0.00	48.00
0	-1647	-1648	-1518	-1519	M	G	0.00	0.00	48.00
0	-1421	-1647	-1519	-1520	M	G	0.00	0.00	48.00
0	-1424	-1668	-1633	-1419	M	G	0.00	0.00	48.00
0	-1668	-1669	-1634	-1633	M	G	0.00	0.00	48.00
0	-1669	-1670	-1635	-1634	M	G	0.00	0.00	48.00
0	-1670	-1671	-1636	-1635	M	G	0.00	0.00	48.00
0	-1671	-1672	-1637	-1636	M	G	0.00	0.00	48.00
0	-1672	-1673	-1638	-1637	M	G	0.00	0.00	48.00
0	-1673	-1966	-1967	-1638	M	G	0.00	0.00	48.00
0	-1674	441	-1859	-1639	M	G	0.00	0.00	48.00
0	-1419	-1633	-1640	-1420	M	G	0.00	0.00	48.00
0	-1633	-1634	-1641	-1640	M	G	0.00	0.00	48.00
0	-1634	-1635	-1642	-1641	M	G	0.00	0.00	48.00
0	-1635	-1636	-1643	-1642	M	G	0.00	0.00	48.00
0	-1636	-1637	-1644	-1643	M	G	0.00	0.00	48.00

0	-1637	-1638	-1645	-1644	M	G	0.00	0.00	48.00
0	-1638	-1967	-1968	-1645	M	G	0.00	0.00	48.00
0	-1639	-1859	439	-1646	M	G	0.00	0.00	48.00
0	-1416	-1850	-1357	-1895	M	G	0.00	0.00	48.00
0	-1415	-1959	-1969	-1896	M	G	0.00	0.00	48.00
0	-1367	-1415	-1896	-1897	M	G	0.00	0.00	48.00
0	-1366	-1367	-1897	-1898	M	G	0.00	0.00	48.00
0	-1365	-1366	-1898	-1899	M	G	0.00	0.00	48.00
0	-1364	-1365	-1899	-1900	M	G	0.00	0.00	48.00
0	-1363	-1364	-1900	-1901	M	G	0.00	0.00	48.00
0	-1427	-1363	-1901	-1902	M	G	0.00	0.00	48.00
0	-1423	-1661	-1626	-1418	M	G	0.00	0.00	48.00
0	-1661	-1662	-1627	-1626	M	G	0.00	0.00	48.00
0	-1662	-1663	-1628	-1627	M	G	0.00	0.00	48.00
0	-1663	-1664	-1629	-1628	M	G	0.00	0.00	48.00
0	-1664	-1665	-1630	-1629	M	G	0.00	0.00	48.00
0	-1665	-1666	-1631	-1630	M	G	0.00	0.00	48.00
0	-1666	-1970	-1971	-1631	M	G	0.00	0.00	48.00
0	-1667	442	-1863	-1632	M	G	0.00	0.00	48.00
0	-1420	-1640	-1904	-1903	M	G	0.00	0.00	48.00
0	-1640	-1641	-1905	-1904	M	G	0.00	0.00	48.00
0	-1641	-1642	-1906	-1905	M	G	0.00	0.00	48.00
0	-1642	-1643	-1907	-1906	M	G	0.00	0.00	48.00
0	-1643	-1644	-1908	-1907	M	G	0.00	0.00	48.00
0	-1644	-1645	-1909	-1908	M	G	0.00	0.00	48.00
0	-1645	-1968	-1972	-1909	M	G	0.00	0.00	48.00
0	-1646	439	-1874	-1910	M	G	0.00	0.00	48.00
0	-1418	-1626	-1668	-1424	M	G	0.00	0.00	48.00
0	-1626	-1627	-1669	-1668	M	G	0.00	0.00	48.00
0	-1627	-1628	-1670	-1669	M	G	0.00	0.00	48.00
0	-1628	-1629	-1671	-1670	M	G	0.00	0.00	48.00
0	-1629	-1630	-1672	-1671	M	G	0.00	0.00	48.00
0	-1630	-1631	-1673	-1672	M	G	0.00	0.00	48.00
0	-1631	-1971	-1966	-1673	M	G	0.00	0.00	48.00
0	-1660	434	-2204	-2213	M	G	0.00	0.00	48.00
0	-1632	-1863	441	-1674	M	G	0.00	0.00	48.00
0	-1885	-2103	-2107	-1494	M	G	0.00	0.00	48.00
0	-1886	-2104	-2105	-1495	M	G	0.00	0.00	48.00
0	-1887	-1888	-1497	-1496	M	G	0.00	0.00	48.00
0	-1888	-1889	-1700	-1497	M	G	0.00	0.00	48.00
0	-1889	-1890	-1701	-1700	M	G	0.00	0.00	48.00
0	-1890	-1891	-1702	-1701	M	G	0.00	0.00	48.00
0	-1891	-1892	-1703	-1702	M	G	0.00	0.00	48.00
0	-1892	-1893	-1704	-1703	M	G	0.00	0.00	48.00
0	-1893	-1938	-1939	-1704	M	G	0.00	0.00	48.00
0	-1894	-1344	-1537	-1705	M	G	0.00	0.00	48.00
0	-1895	-1357	442	-1667	M	G	0.00	0.00	48.00
0	-1896	-1969	-1970	-1666	M	G	0.00	0.00	48.00
0	-1897	-1896	-1666	-1665	M	G	0.00	0.00	48.00
0	-1898	-1897	-1665	-1664	M	G	0.00	0.00	48.00
0	-1899	-1898	-1664	-1663	M	G	0.00	0.00	48.00
0	-1900	-1899	-1663	-1662	M	G	0.00	0.00	48.00
0	-1901	-1900	-1662	-1661	M	G	0.00	0.00	48.00
0	-1902	-1901	-1661	-1423	M	G	0.00	0.00	48.00
0	-1903	-1904	-1647	-1421	M	G	0.00	0.00	48.00
0	-1904	-1905	-1648	-1647	M	G	0.00	0.00	48.00
0	-1905	-1906	-1649	-1648	M	G	0.00	0.00	48.00
0	-1906	-1907	-1650	-1649	M	G	0.00	0.00	48.00
0	-1907	-1908	-1651	-1650	M	G	0.00	0.00	48.00
0	-1908	-1909	-1652	-1651	M	G	0.00	0.00	48.00
0	-1909	-1972	-1965	-1652	M	G	0.00	0.00	48.00
0	-1910	-1874	-1848	-1653	M	G	0.00	0.00	48.00
0	-1547	-1832	-1465	-2083	M	G	0.00	0.00	48.00
0	-1699	-1831	-1464	-1762	M	G	0.00	0.00	48.00
0	-1974	-1882	-1492	-1973	M	G	0.00	0.00	48.00
0	-1911	-1883	-1493	-1912	M	G	0.00	0.00	48.00
0	-2076	-1715	-1792	-2075	M	G	0.00	0.00	48.00
0	-2078	-1714	-1791	-2077	M	G	0.00	0.00	48.00
0	-2080	-1835	-1468	-2079	M	G	0.00	0.00	48.00
0	-2082	-1834	-1467	-2081	M	G	0.00	0.00	48.00
0	-1913	-1343	-1573	-1914	M	G	0.00	0.00	48.00
0	-1915	-1347	-1559	-1916	M	G	0.00	0.00	48.00
0	-1917	-1698	-1475	-1918	M	G	0.00	0.00	48.00
0	-1919	-1384	-1725	-1920	M	G	0.00	0.00	48.00
0	-1921	-1566	-2179	-2180	M	G	0.00	0.00	48.00
0	-1920	-1725	-1802	-1923	M	G	0.00	0.00	48.00
0	-1924	-1838	-1384	-1919	M	G	0.00	0.00	48.00
0	-1925	-1515	-1566	-1921	M	G	0.00	0.00	48.00
0	-1914	-1573	-1515	-1925	M	G	0.00	0.00	48.00

0	-1926	-1552	-1587	-1927	M	G	0.00	0.00	48.00
0	-1927	-1587	-1580	-1928	M	G	0.00	0.00	48.00
0	-1916	-1559	-1594	-1929	M	G	0.00	0.00	48.00
0	-1930	-1414	-1347	-1915	M	G	0.00	0.00	48.00
0	-1928	-1580	-1343	-1913	M	G	0.00	0.00	48.00
0	-1929	-1594	-1552	-1926	M	G	0.00	0.00	48.00
0	-1931	-1447	-1414	-1930	M	G	0.00	0.00	48.00
0	-1932	-1854	-1447	-1931	M	G	0.00	0.00	48.00
0	-1933	-1601	-2133	-2134	M	G	0.00	0.00	48.00
0	-1934	-1822	-2137	-2138	M	G	0.00	0.00	48.00
0	-1935	-1782	-1387	-1936	M	G	0.00	0.00	48.00
0	-1936	-1387	-1838	-1924	M	G	0.00	0.00	48.00
0	-1937	-1452	-1698	-1917	M	G	0.00	0.00	48.00
0	-1918	-1475	-1894	-1938	M	G	0.00	0.00	48.00
0	-1923	-1802	-1452	-1937	M	G	0.00	0.00	48.00
0	-1939	-1705	-1458	-1940	M	G	0.00	0.00	48.00
0	-1940	-1458	-1745	-1941	M	G	0.00	0.00	48.00
0	-1942	-2069	-2013	-2015	M	G	0.00	0.00	48.00
0	-1938	-1894	-1705	-1939	M	G	0.00	0.00	48.00
0	-1943	-1875	-1477	-1944	M	G	0.00	0.00	48.00
0	-1945	-1707	-1784	-1946	M	G	0.00	0.00	48.00
0	-1947	-1359	-1707	-1945	M	G	0.00	0.00	48.00
0	-1948	-1839	-1359	-1947	M	G	0.00	0.00	48.00
0	-1946	-1784	-1429	-1949	M	G	0.00	0.00	48.00
0	-1950	-1804	-2161	-2162	M	G	0.00	0.00	48.00
0	-1951	-1764	-1405	-1952	M	G	0.00	0.00	48.00
0	-1952	-1405	-1839	-1948	M	G	0.00	0.00	48.00
0	-1949	-1429	-1824	-1953	M	G	0.00	0.00	48.00
0	-1954	-1454	-1875	-1943	M	G	0.00	0.00	48.00
0	-1953	-1824	-1454	-1954	M	G	0.00	0.00	48.00
0	-1944	-1477	-1507	-1955	M	G	0.00	0.00	48.00
0	-1955	-1507	-1727	-1956	M	G	0.00	0.00	48.00
0	-1956	-1727	-2200	-2201	M	G	0.00	0.00	48.00
0	-1958	-1529	-1416	-1959	M	G	0.00	0.00	48.00
0	-1960	-1362	-1529	-1958	M	G	0.00	0.00	48.00
0	-1961	-1625	-2165	-2166	M	G	0.00	0.00	48.00
0	-1962	-1521	-1660	-1963	M	G	0.00	0.00	48.00
0	-1963	-1660	-2213	-2212	M	G	0.00	0.00	48.00
0	-1965	-1653	-1521	-1962	M	G	0.00	0.00	48.00
0	-1966	-1674	-1639	-1967	M	G	0.00	0.00	48.00
0	-1967	-1639	-1646	-1968	M	G	0.00	0.00	48.00
0	-1959	-1416	-1895	-1969	M	G	0.00	0.00	48.00
0	-1970	-1667	-1632	-1971	M	G	0.00	0.00	48.00
0	-1968	-1646	-1910	-1972	M	G	0.00	0.00	48.00
0	-1971	-1632	-1674	-1966	M	G	0.00	0.00	48.00
0	-1969	-1895	-1667	-1970	M	G	0.00	0.00	48.00
0	-1972	-1910	-1653	-1965	M	G	0.00	0.00	48.00
0	-2036	-2037	-1803	-1687	M	G	0.00	0.00	48.00
0	-2020	-2021	-1600	-1539	M	G	0.00	0.00	48.00
0	-1883	-1884	-1842	-1493	M	G	0.00	0.00	48.00
0	-1873	-1943	-1944	-1476	M	G	0.00	0.00	48.00
0	-1833	-2082	-2081	-1466	M	G	0.00	0.00	48.00
0	-1884	-1885	-1494	-1842	M	G	0.00	0.00	48.00
0	-2215	-2217	-2065	-2117	M	G	0.00	0.00	48.00
0	-2194	-2216	-1753	-2119	M	G	0.00	0.00	48.00
0	-2191	-2190	-1755	-2116	M	G	0.00	0.00	48.00
0	-2189	-2188	-1756	-2115	M	G	0.00	0.00	48.00
0	-2220	-2177	-1548	-2071	M	G	0.00	0.00	48.00
0	-2178	-2220	-2071	-1546	M	G	0.00	0.00	48.00
0	-2219	-2203	-1540	-2069	M	G	0.00	0.00	48.00
0	-2182	-2219	-2069	-1942	M	G	0.00	0.00	48.00
0	-2218	-2186	-1758	-2067	M	G	0.00	0.00	48.00
0	-2187	-2218	-2067	-1757	M	G	0.00	0.00	48.00
0	-2217	-2193	-1689	-2065	M	G	0.00	0.00	48.00
0	-2216	-2215	-2117	-1753	M	G	0.00	0.00	48.00
0	-2214	-2197	-1750	-2063	M	G	0.00	0.00	48.00
0	-2198	-2214	-2063	-1749	M	G	0.00	0.00	48.00
0	-2212	-2213	-1681	-1964	M	G	0.00	0.00	48.00
0	-2201	-2200	-1747	-1957	M	G	0.00	0.00	48.00
0	-2180	-2179	-1545	-1922	M	G	0.00	0.00	48.00
0	-2213	-2204	-1686	-1681	M	G	0.00	0.00	48.00
0	-2211	-2212	-1964	-1680	M	G	0.00	0.00	48.00
0	-2210	-2211	-1680	-1679	M	G	0.00	0.00	48.00
0	-2209	-2210	-1679	-1678	M	G	0.00	0.00	48.00
0	-2208	-2209	-1678	-1677	M	G	0.00	0.00	48.00
0	-2207	-2208	-1677	-1676	M	G	0.00	0.00	48.00
0	-2205	-2207	-1676	-1675	M	G	0.00	0.00	48.00
0	-2206	-2205	-1675	-1425	M	G	0.00	0.00	48.00
0	-2204	-2202	-1746	-1686	M	G	0.00	0.00	48.00

0	-2203	-2181	-1544	-1540	M	G	0.00	0.00	48.00
0	-2202	-2201	-1957	-1746	M	G	0.00	0.00	48.00
0	-2200	-2199	-1748	-1747	M	G	0.00	0.00	48.00
0	-2199	-2198	-1749	-1748	M	G	0.00	0.00	48.00
0	-2197	-2196	-1751	-1750	M	G	0.00	0.00	48.00
0	-2196	-2195	-1752	-1751	M	G	0.00	0.00	48.00
0	-2195	-2194	-2119	-1752	M	G	0.00	0.00	48.00
0	-2193	-2192	-1754	-1689	M	G	0.00	0.00	48.00
0	-2192	-2191	-2116	-1754	M	G	0.00	0.00	48.00
0	-2190	-2189	-2115	-1755	M	G	0.00	0.00	48.00
0	-2188	-2187	-1757	-1756	M	G	0.00	0.00	48.00
0	-2186	-2185	-1759	-1758	M	G	0.00	0.00	48.00
0	-2185	-2184	-1760	-1759	M	G	0.00	0.00	48.00
0	-2184	-2183	-1761	-1760	M	G	0.00	0.00	48.00
0	-2183	-2182	-1942	-1761	M	G	0.00	0.00	48.00
0	-2181	-2180	-1922	-1544	M	G	0.00	0.00	48.00
0	-2179	-2178	-1546	-1545	M	G	0.00	0.00	48.00
0	-2177	-2176	-1549	-1548	M	G	0.00	0.00	48.00
0	-2176	-2175	-1550	-1549	M	G	0.00	0.00	48.00
0	-2175	-2174	-1609	-1550	M	G	0.00	0.00	48.00
0	-2154	-2153	-1771	-2094	M	G	0.00	0.00	48.00
0	-2152	-2151	-1772	-2092	M	G	0.00	0.00	48.00
0	-2148	-2147	-1774	-2090	M	G	0.00	0.00	48.00
0	-2146	-2145	-1775	-2088	M	G	0.00	0.00	48.00
0	-2166	-2165	-1362	-1960	M	G	0.00	0.00	48.00
0	-2162	-2161	-1764	-1951	M	G	0.00	0.00	48.00
0	-2138	-2137	-1782	-1935	M	G	0.00	0.00	48.00
0	-2134	-2133	-1854	-1932	M	G	0.00	0.00	48.00
0	-2173	-2172	-1682	-1426	M	G	0.00	0.00	48.00
0	-2172	-2171	-1683	-1682	M	G	0.00	0.00	48.00
0	-2171	-2170	-1684	-1683	M	G	0.00	0.00	48.00
0	-2170	-2169	-1352	-1684	M	G	0.00	0.00	48.00
0	-2169	-2168	-1355	-1352	M	G	0.00	0.00	48.00
0	-2168	-2167	-1356	-1355	M	G	0.00	0.00	48.00
0	-2167	-2166	-1960	-1356	M	G	0.00	0.00	48.00
0	-2165	-2164	436	-1362	M	G	0.00	0.00	48.00
0	-2164	-2163	-1763	436	M	G	0.00	0.00	48.00
0	-2136	-2135	-1841	431	M	G	0.00	0.00	48.00
0	-2163	-2162	-1951	-1763	M	G	0.00	0.00	48.00
0	-2161	-2160	-1765	-1764	M	G	0.00	0.00	48.00
0	-2160	-2159	-1766	-1765	M	G	0.00	0.00	48.00
0	-2159	-2158	-1767	-1766	M	G	0.00	0.00	48.00
0	-2158	-2157	-1768	-1767	M	G	0.00	0.00	48.00
0	-2157	-2156	-1769	-1768	M	G	0.00	0.00	48.00
0	-2156	-2155	-1770	-1769	M	G	0.00	0.00	48.00
0	-2155	-2154	-2094	-1770	M	G	0.00	0.00	48.00
0	-2153	-2152	-2092	-1771	M	G	0.00	0.00	48.00
0	-2151	-2150	-1413	-1772	M	G	0.00	0.00	48.00
0	-2150	-2149	-1773	-1413	M	G	0.00	0.00	48.00
0	-2149	-2148	-2090	-1773	M	G	0.00	0.00	48.00
0	-2147	-2146	-2088	-1774	M	G	0.00	0.00	48.00
0	-2145	-2144	-1776	-1775	M	G	0.00	0.00	48.00
0	-2144	-2143	-1777	-1776	M	G	0.00	0.00	48.00
0	-2143	-2142	-1778	-1777	M	G	0.00	0.00	48.00
0	-2142	-2141	-1779	-1778	M	G	0.00	0.00	48.00
0	-2141	-2140	-1780	-1779	M	G	0.00	0.00	48.00
0	-2140	-2139	-1781	-1780	M	G	0.00	0.00	48.00
0	-2139	-2138	-1935	-1781	M	G	0.00	0.00	48.00
0	-2137	-2136	431	-1782	M	G	0.00	0.00	48.00
0	-2135	-2134	-1932	-1841	M	G	0.00	0.00	48.00
0	-2133	-2132	-1855	-1854	M	G	0.00	0.00	48.00
0	-2132	-2131	-1860	-1855	M	G	0.00	0.00	48.00
0	-2131	-2130	-1541	-1860	M	G	0.00	0.00	48.00
0	-2130	-2129	-1542	-1541	M	G	0.00	0.00	48.00
0	-2129	-2128	-1543	-1542	M	G	0.00	0.00	48.00
0	-2128	-2127	-1608	-1543	M	G	0.00	0.00	48.00
0	-1835	-1412	-1469	-1468	M	G	0.00	0.00	48.00
0	-1412	-1410	-1470	-1469	M	G	0.00	0.00	48.00
0	-1410	-1411	-1471	-1470	M	G	0.00	0.00	48.00
0	-1411	-1688	-1472	-1471	M	G	0.00	0.00	48.00
0	-1688	-1691	-1473	-1472	M	G	0.00	0.00	48.00
0	-1691	-1692	-1474	-1473	M	G	0.00	0.00	48.00
0	-1692	-1917	-1918	-1474	M	G	0.00	0.00	48.00
0	-1698	-1534	433	-1475	M	G	0.00	0.00	48.00
0	442	-1706	-1783	-1863	M	G	0.00	0.00	48.00
0	-1706	-1945	-1946	-1783	M	G	0.00	0.00	48.00
0	-1707	-1708	-1785	-1784	M	G	0.00	0.00	48.00
0	-1708	-1709	-1786	-1785	M	G	0.00	0.00	48.00
0	-1709	-1710	-1787	-1786	M	G	0.00	0.00	48.00

0	-1710	-1711	-1788	-1787	M	G	0.00	0.00	48.00
0	-1711	-1712	-1789	-1788	M	G	0.00	0.00	48.00
0	-1712	-1713	-1790	-1789	M	G	0.00	0.00	48.00
0	-1713	-2078	-2077	-1790	M	G	0.00	0.00	48.00
0	-1714	-2076	-2075	-1791	M	G	0.00	0.00	48.00
0	-1715	-1849	-1535	-1792	M	G	0.00	0.00	48.00
0	-1849	-1716	-1793	-1535	M	G	0.00	0.00	48.00
0	-1349	-1350	-1562	-1561	M	G	0.00	0.00	48.00
0	-1350	-1351	-1563	-1562	M	G	0.00	0.00	48.00
0	-1351	-1353	-1564	-1563	M	G	0.00	0.00	48.00
0	-1353	-1354	-1611	-1564	M	G	0.00	0.00	48.00
0	-1357	-1358	-1706	442	M	G	0.00	0.00	48.00
0	-1358	-1947	-1945	-1706	M	G	0.00	0.00	48.00
0	-1359	-1360	-1708	-1707	M	G	0.00	0.00	48.00
0	-1360	-1361	-1709	-1708	M	G	0.00	0.00	48.00
0	-1361	-1368	-1710	-1709	M	G	0.00	0.00	48.00
0	-1368	-1369	-1711	-1710	M	G	0.00	0.00	48.00
0	-1369	-1370	-1712	-1711	M	G	0.00	0.00	48.00
0	-1370	-1371	-1713	-1712	M	G	0.00	0.00	48.00
0	-1371	-2074	-2078	-1713	M	G	0.00	0.00	48.00
0	-1372	-2073	-2076	-1714	M	G	0.00	0.00	48.00
0	-1373	-1374	-1849	-1715	M	G	0.00	0.00	48.00
0	-1374	-1375	-1716	-1849	M	G	0.00	0.00	48.00
0	-1375	-2072	-2070	-1716	M	G	0.00	0.00	48.00
0	-1376	-2068	-2066	-1717	M	G	0.00	0.00	48.00
0	-1377	-1378	-1719	-1718	M	G	0.00	0.00	48.00
0	-1378	-1379	-1720	-1719	M	G	0.00	0.00	48.00
0	-1379	-1380	-1721	-1720	M	G	0.00	0.00	48.00
0	-1380	-1381	-1722	-1721	M	G	0.00	0.00	48.00
0	-1381	-1382	-1723	-1722	M	G	0.00	0.00	48.00
0	-1382	-1383	-1724	-1723	M	G	0.00	0.00	48.00
0	-1383	-1919	-1920	-1724	M	G	0.00	0.00	48.00
0	-1384	-1385	440	-1725	M	G	0.00	0.00	48.00
0	-1571	-1612	-2174	-2175	M	G	0.00	0.00	48.00
0	-1570	-1571	-2175	-2176	M	G	0.00	0.00	48.00
0	-1569	-1570	-2176	-2177	M	G	0.00	0.00	48.00
0	-2071	-1548	-1981	-1980	M	G	0.00	0.00	48.00
0	-1546	-2071	-1980	-1979	M	G	0.00	0.00	48.00
0	-1566	-1567	-2178	-2179	M	G	0.00	0.00	48.00
0	-1565	-1921	-2180	-2181	M	G	0.00	0.00	48.00
0	-1510	-1509	-1612	-1571	M	G	0.00	0.00	48.00
0	-1511	-1510	-1571	-1570	M	G	0.00	0.00	48.00
0	-1716	-2070	-2064	-1793	M	G	0.00	0.00	48.00
0	-1717	-2066	-2062	-1794	M	G	0.00	0.00	48.00
0	-1718	-1719	-1796	-1795	M	G	0.00	0.00	48.00
0	-1719	-1720	-1797	-1796	M	G	0.00	0.00	48.00
0	-1720	-1721	-1798	-1797	M	G	0.00	0.00	48.00
0	-1721	-1722	-1799	-1798	M	G	0.00	0.00	48.00
0	-1722	-1723	-1800	-1799	M	G	0.00	0.00	48.00
0	-1723	-1724	-1801	-1800	M	G	0.00	0.00	48.00
0	-1724	-1920	-1923	-1801	M	G	0.00	0.00	48.00
0	-1725	440	-1531	-1802	M	G	0.00	0.00	48.00
0	-1838	-1536	-1385	-1384	M	G	0.00	0.00	48.00
0	-1837	-1924	-1919	-1383	M	G	0.00	0.00	48.00
0	-1853	-1837	-1383	-1382	M	G	0.00	0.00	48.00
0	-1852	-1853	-1382	-1381	M	G	0.00	0.00	48.00
0	-1851	-1852	-1381	-1380	M	G	0.00	0.00	48.00
0	-1686	-1746	-1994	-1992	M	G	0.00	0.00	48.00
0	-1746	-1957	-2016	-1994	M	G	0.00	0.00	48.00
0	-1957	-1747	-1995	-2016	M	G	0.00	0.00	48.00
0	-1747	-1748	-1996	-1995	M	G	0.00	0.00	48.00
0	-1748	-1749	-1997	-1996	M	G	0.00	0.00	48.00
0	-1729	-1730	-2214	-2198	M	G	0.00	0.00	48.00
0	-1730	-1731	-2197	-2214	M	G	0.00	0.00	48.00
0	-1750	-1751	-2000	-1999	M	G	0.00	0.00	48.00
0	-1751	-1752	-2001	-2000	M	G	0.00	0.00	48.00
0	-1752	-2119	-2120	-2001	M	G	0.00	0.00	48.00
0	-1734	-2113	-2215	-2216	M	G	0.00	0.00	48.00
0	-1735	-1847	-2193	-2217	M	G	0.00	0.00	48.00
0	-1689	-1754	-2004	-1993	M	G	0.00	0.00	48.00
0	-1754	-2116	-2121	-2004	M	G	0.00	0.00	48.00
0	-1755	-2115	-2122	-2005	M	G	0.00	0.00	48.00
0	-1756	-1757	-2007	-2006	M	G	0.00	0.00	48.00
0	-1739	-1740	-2218	-2187	M	G	0.00	0.00	48.00
0	-1740	-1741	-2186	-2218	M	G	0.00	0.00	48.00
0	-1758	-1759	-2010	-2009	M	G	0.00	0.00	48.00
0	-1759	-1760	-2011	-2010	M	G	0.00	0.00	48.00
0	-1760	-1761	-2012	-2011	M	G	0.00	0.00	48.00
0	-1761	-1942	-2015	-2012	M	G	0.00	0.00	48.00

0	-1941	-1745	-2219	-2182	M	G	0.00	0.00	48.00
0	-1745	432	-2203	-2219	M	G	0.00	0.00	48.00
0	-1540	-1544	-1977	-1976	M	G	0.00	0.00	48.00
0	-1544	-1922	-2014	-1977	M	G	0.00	0.00	48.00
0	-1922	-1545	-1978	-2014	M	G	0.00	0.00	48.00
0	-1545	-1546	-1979	-1978	M	G	0.00	0.00	48.00
0	-1567	-1568	-2220	-2178	M	G	0.00	0.00	48.00
0	-1568	-1569	-2177	-2220	M	G	0.00	0.00	48.00
0	-1548	-1549	-1982	-1981	M	G	0.00	0.00	48.00
0	-1549	-1550	-1983	-1982	M	G	0.00	0.00	48.00
0	-1550	-1609	-1984	-1983	M	G	0.00	0.00	48.00
0	-1425	-1675	-1985	-1975	M	G	0.00	0.00	48.00
0	-1675	-1676	-1986	-1985	M	G	0.00	0.00	48.00
0	-1676	-1677	-1987	-1986	M	G	0.00	0.00	48.00
0	-1677	-1678	-1988	-1987	M	G	0.00	0.00	48.00
0	-1678	-1679	-1989	-1988	M	G	0.00	0.00	48.00
0	-1679	-1680	-1990	-1989	M	G	0.00	0.00	48.00
0	-1680	-1964	-2017	-1990	M	G	0.00	0.00	48.00
0	-1964	-1681	-1991	-2017	M	G	0.00	0.00	48.00
0	-1681	-1686	-1992	-1991	M	G	0.00	0.00	48.00
0	-2018	-2029	-1619	-1417	M	G	0.00	0.00	48.00
0	-2029	-2030	-1620	-1619	M	G	0.00	0.00	48.00
0	-2030	-2031	-1621	-1620	M	G	0.00	0.00	48.00
0	-2031	-2032	-1622	-1621	M	G	0.00	0.00	48.00
0	-2032	-2033	-1623	-1622	M	G	0.00	0.00	48.00
0	-2033	-2034	-1624	-1623	M	G	0.00	0.00	48.00
0	-2034	-2060	-1961	-1624	M	G	0.00	0.00	48.00
0	-2060	-2035	-1625	-1961	M	G	0.00	0.00	48.00
0	-2035	-2036	-1687	-1625	M	G	0.00	0.00	48.00
0	-2037	-2059	-1950	-1803	M	G	0.00	0.00	48.00
0	-2059	-2038	-1804	-1950	M	G	0.00	0.00	48.00
0	-2038	-2039	-1805	-1804	M	G	0.00	0.00	48.00
0	-2039	-2040	-1806	-1805	M	G	0.00	0.00	48.00
0	-2040	-2041	-1807	-1806	M	G	0.00	0.00	48.00
0	-2041	-2042	-1808	-1807	M	G	0.00	0.00	48.00
0	-2042	-2043	-1809	-1808	M	G	0.00	0.00	48.00
0	-2043	-2044	-1810	-1809	M	G	0.00	0.00	48.00
0	-2044	-2123	-2093	-1810	M	G	0.00	0.00	48.00
0	-2045	-2124	-2091	-1811	M	G	0.00	0.00	48.00
0	-2046	-2019	-1533	-1812	M	G	0.00	0.00	48.00
0	-2019	-2047	-1813	-1533	M	G	0.00	0.00	48.00
0	-2047	-2125	-2089	-1813	M	G	0.00	0.00	48.00
0	-2048	-2126	-2087	-1814	M	G	0.00	0.00	48.00
0	-2049	-2050	-1816	-1815	M	G	0.00	0.00	48.00
0	-2050	-2051	-1817	-1816	M	G	0.00	0.00	48.00
0	-2051	-2052	-1818	-1817	M	G	0.00	0.00	48.00
0	-2052	-2053	-1819	-1818	M	G	0.00	0.00	48.00
0	-2053	-2054	-1820	-1819	M	G	0.00	0.00	48.00
0	-2054	-2055	-1821	-1820	M	G	0.00	0.00	48.00
0	-2055	-2058	-1934	-1821	M	G	0.00	0.00	48.00
0	-2058	-2056	-1822	-1934	M	G	0.00	0.00	48.00
0	-2056	-2020	-1539	-1822	M	G	0.00	0.00	48.00
0	-2021	-2057	-1933	-1600	M	G	0.00	0.00	48.00
0	-2057	-2022	-1601	-1933	M	G	0.00	0.00	48.00
0	-2022	-2023	-1602	-1601	M	G	0.00	0.00	48.00
0	-2023	-2024	-1603	-1602	M	G	0.00	0.00	48.00
0	-2024	-2025	-1604	-1603	M	G	0.00	0.00	48.00
0	-2025	-2026	-1605	-1604	M	G	0.00	0.00	48.00
0	-2026	-2027	-1606	-1605	M	G	0.00	0.00	48.00
0	-2027	-2028	-1617	-1606	M	G	0.00	0.00	48.00
0	-2074	-1372	-1714	-2078	M	G	0.00	0.00	48.00
0	-2073	-1373	-1715	-2076	M	G	0.00	0.00	48.00
0	-2072	-1376	-1717	-2070	M	G	0.00	0.00	48.00
0	-2068	-1377	-1718	-2066	M	G	0.00	0.00	48.00
0	-2070	-1717	-1794	-2064	M	G	0.00	0.00	48.00
0	-2066	-1718	-1795	-2062	M	G	0.00	0.00	48.00
0	-2061	-1695	-1377	-2068	M	G	0.00	0.00	48.00
0	-2084	-1694	-1376	-2072	M	G	0.00	0.00	48.00
0	-2085	-1866	-1373	-2073	M	G	0.00	0.00	48.00
0	-2086	-1865	-1372	-2074	M	G	0.00	0.00	48.00
0	-2087	-1815	-2145	-2146	M	G	0.00	0.00	48.00
0	-2089	-1814	-2147	-2148	M	G	0.00	0.00	48.00
0	-2091	-1812	-2151	-2152	M	G	0.00	0.00	48.00
0	-2093	-1811	-2153	-2154	M	G	0.00	0.00	48.00
0	-2088	-1775	-1394	-2095	M	G	0.00	0.00	48.00
0	-2090	-1774	-1395	-2096	M	G	0.00	0.00	48.00
0	-2092	-1772	-1397	-2097	M	G	0.00	0.00	48.00
0	-2094	-1771	-1398	-2098	M	G	0.00	0.00	48.00
0	-2095	-1394	-1695	-2061	M	G	0.00	0.00	48.00

0	-2096	-1395	-1694	-2084	M	G	0.00	0.00	48.00
0	-2097	-1397	-1866	-2085	M	G	0.00	0.00	48.00
0	-2098	-1398	-1865	-2086	M	G	0.00	0.00	48.00
0	-2099	-1436	-1831	-1699	M	G	0.00	0.00	48.00
0	-2100	-1438	-1832	-1547	M	G	0.00	0.00	48.00
0	-2101	-1441	-1834	-2082	M	G	0.00	0.00	48.00
0	-2102	-1442	-1835	-2080	M	G	0.00	0.00	48.00
0	-1762	-1464	-1882	-1974	M	G	0.00	0.00	48.00
0	-2083	-1465	-1883	-1911	M	G	0.00	0.00	48.00
0	-2081	-1467	-1886	-2103	M	G	0.00	0.00	48.00
0	-2079	-1468	-1887	-2104	M	G	0.00	0.00	48.00
0	-2077	-1791	-1436	-2099	M	G	0.00	0.00	48.00
0	-2075	-1792	-1438	-2100	M	G	0.00	0.00	48.00
0	-2064	-1794	-1441	-2101	M	G	0.00	0.00	48.00
0	-2062	-1795	-1442	-2102	M	G	0.00	0.00	48.00
0	-2105	-1496	-1488	-2106	M	G	0.00	0.00	48.00
0	-2107	-1495	-1489	-2108	M	G	0.00	0.00	48.00
0	-1912	-1493	-1499	-2109	M	G	0.00	0.00	48.00
0	-1973	-1492	-1500	-2110	M	G	0.00	0.00	48.00
0	-2106	-1488	-1738	-2111	M	G	0.00	0.00	48.00
0	-2108	-1489	-1737	-2112	M	G	0.00	0.00	48.00
0	-2109	-1499	-1735	-2113	M	G	0.00	0.00	48.00
0	-2110	-1500	-1734	-2114	M	G	0.00	0.00	48.00
0	-2111	-1738	-2188	-2189	M	G	0.00	0.00	48.00
0	-2112	-1737	-2190	-2191	M	G	0.00	0.00	48.00
0	-2117	-2065	-2003	-2118	M	G	0.00	0.00	48.00
0	-2114	-1734	-2216	-2194	M	G	0.00	0.00	48.00
0	-2103	-1886	-1495	-2107	M	G	0.00	0.00	48.00
0	-2104	-1887	-1496	-2105	M	G	0.00	0.00	48.00
0	-2119	-1753	-2002	-2120	M	G	0.00	0.00	48.00
0	-2113	-1735	-2217	-2215	M	G	0.00	0.00	48.00
0	-2116	-1755	-2005	-2121	M	G	0.00	0.00	48.00
0	-2115	-1756	-2006	-2122	M	G	0.00	0.00	48.00
0	-2123	-2045	-1811	-2093	M	G	0.00	0.00	48.00
0	-2124	-2046	-1812	-2091	M	G	0.00	0.00	48.00
0	-2125	-2048	-1814	-2089	M	G	0.00	0.00	48.00
0	-2126	-2049	-1815	-2087	M	G	0.00	0.00	48.00
306	-517	-515	-882	-925	M	G	0.00	0.00	48.00
306	-501	-499	-537	301	M	G	0.00	0.00	48.00
306	-533	-531	-1225	-1270	M	G	0.00	0.00	48.00
306	-507	-505	-661	-704	M	G	0.00	0.00	48.00
306	-499	-497	-535	-537	M	G	0.00	0.00	48.00
306	-509	-507	-704	-749	M	G	0.00	0.00	48.00
306	-511	-509	-749	-794	M	G	0.00	0.00	48.00
306	-515	-513	-837	-882	M	G	0.00	0.00	48.00
306	-521	-519	-970	-1013	M	G	0.00	0.00	48.00
306	-513	-511	-794	-837	M	G	0.00	0.00	48.00
306	-529	-527	-1146	320	M	G	0.00	0.00	48.00
306	-525	-523	-1058	-1103	M	G	0.00	0.00	48.00
306	-531	-529	320	-1225	M	G	0.00	0.00	48.00
306	-503	-501	301	-618	M	G	0.00	0.00	48.00
306	-519	-517	-925	-970	M	G	0.00	0.00	48.00
306	-523	-521	-1013	-1058	M	G	0.00	0.00	48.00
306	-527	-525	-1103	-1146	M	G	0.00	0.00	48.00
306	-505	-503	-618	-661	M	G	0.00	0.00	48.00
307	-510	-508	-748	-793	M	G	0.00	0.00	48.00
307	-516	-514	-881	-924	M	G	0.00	0.00	48.00
307	-506	-504	-660	-703	M	G	0.00	0.00	48.00
307	-532	-530	328	-1269	M	G	0.00	0.00	48.00
307	-502	-500	-581	309	M	G	0.00	0.00	48.00
307	-512	-510	-793	-836	M	G	0.00	0.00	48.00
307	-526	-524	-1102	-1145	M	G	0.00	0.00	48.00
307	-518	-516	-924	-969	M	G	0.00	0.00	48.00
307	-508	-506	-703	-748	M	G	0.00	0.00	48.00
307	-500	-498	-536	-581	M	G	0.00	0.00	48.00
307	-514	-512	-836	-881	M	G	0.00	0.00	48.00
307	-534	-532	-1269	-1271	M	G	0.00	0.00	48.00
307	-528	-526	-1145	-1188	M	G	0.00	0.00	48.00
307	-504	-502	309	-660	M	G	0.00	0.00	48.00
307	-530	-528	-1188	328	M	G	0.00	0.00	48.00
307	-522	-520	-1012	-1057	M	G	0.00	0.00	48.00
307	-524	-522	-1057	-1102	M	G	0.00	0.00	48.00
307	-520	-518	-969	-1012	M	G	0.00	0.00	48.00

Analisi dei carichi da vento

Ponte

Calcolo delle azioni del vento

Normativa di riferimento:
Norme tecniche per le costruzioni D.M. 14 gennaio 2008 e Circolare 2 febbraio 2009, n. 617 del Ministero delle Infrastrutture e dei Trasporti

Area di ubicazione dell'edificio: Area 3
Toscana, Marche, Umbria, Lazio, Abruzzo, Molise, Puglia, Campania, Basilicata, Calabria(esclusa la Provincia di Reggio Calabria)

Tempo di ritorno 50 <anni>

Altitudine sul livello del mare: 147 <m>

Altezza dell'edificio: 3 <m>

Parametri derivati dall'area di ubicazione (tab. 3.3.I):
Vb,0 (Velocità media del vento): 27 <m/sec>
a0 (Altitudine media): 500 <m>
Ka: 0.020 <1/sec>

Velocità di riferimento: 27.00 <m/sec>

Classificazione della costruzione: Pianta rettangolare con coperture piane, a falde, inclinate o curve

Categoria di esposizione del sito: II

Parametri derivati dalla categoria di esposizione del sito (tab. 3.3.II):
kr: 0.19 <m>
z0: 0.05 <m>
zmin: 4 <m>

Classe di rugosità del terreno: D
Aree prive di ostacoli (aperta campagna, aeroporti, aree agricole, pascoli zone paludose o sabbiose, superfici innevate o ghiacciate, mari, laghi, ...)

Angolo alfa: 0.0 <grad>

Pressione del vento = qb*ce*cp*cd
qb (Pressione cinetica di riferimento): 45.56 <daN/mq>
ct (Coefficiente topografico): 1.00
ce (Coefficiente di esposizione): 1.80
cd (Coefficiente dinamico): 1.00

Tipologia di superficie:
Una parete con aperture di superficie minore di 1/3 di quella totale

Coefficiente di forma o aerodinamico interno cpi: 0.20
Coefficienti di forma o aerodinamici esterni cpe:
sopravento: 0.80 sopravento su falda: -0.40 sottovento su falda: -0.40 sottovento: -0.40

Pressione interna: 16.41 <daN/mq>
Pressioni esterne:
sopravento: 65.63 <daN/mq> sopravento su falda: -32.81 <daN/mq> sottovento su falda: -32.81 <daN/mq> sottovento: -32.81 <daN/mq>

Analisi dei carichi da neve

Ponte d'Arbia
Calcolo delle azioni della neve

Normativa di riferimento:
Norme tecniche per le costruzioni D.M. 14 gennaio 2008 e Circolare 2 febbraio 2009, n. 617 del Ministero delle Infrastrutture e dei Trasporti

Area di ubicazione dell'edificio: Area 3
Agrigento, Avellino, Benevento, Brindisi, Cagliari, Caltanisetta, Carbonia-Iglesias, Caserta, Catania, Catanzaro, Cosenza, Crotone, Enna, Frosinone, Grosseto, L 'Aquila, Latina, Lecce, Livorno, Matera, Medio Campidano, Messina, Napoli, Nuoro, Ogliastra, Olbia Tempio, Oristano, Palermo, Pisa, Potenza, Ragusa, Reggio Calabria, Rieti, Roma, Salerno, Sassari, Siena, Siracusa, Taranto, Terni, Trapani, Vibo Valentia, Viterbo

Altitudine sul livello del mare: 147 <m>

Tipologia di copertura: Ad una falda
Barriera o parapetto presente

Pressione della neve ps = μ1*qsk*Ce*Ct

Parametri d'input ed intermedi:
Categoria del coefficiente d'esposizione: Normale

Ce (Coefficiente d'esposizione): 1.0
Ct (Coefficiente termico): 1.0
Angolo d'inclinazione della falda: 0.0 <grad>
μ1 (Coefficiente di forma della copertura): 0.80

Carichi agenti:
qsk (Valore di riferimento del carico neve al suolo): 60.00 <daN/mq>
qss (Carico provocato dalla neve sulle coperture): 48.00 <daN/mq>

Risultati del calcolo

Parametri di calcolo

La modellazione della struttura e la rielaborazione dei risultati del calcolo sono stati effettuati con:
ModeSt ver. 8.12, prodotto da Tecnisoft s.a.s. - Prato

La struttura è stata calcolata utilizzando come solutore agli elementi finiti:
Xfinest ver. 2016, prodotto da Ce.A.S. S.r.l. - Milano

Tipo di normativa: stati limite D.M. 08
Tipo di calcolo: analisi sismica dinamica
Vincoli esterni: Considera sempre vincoli assegnati in modellazione
Schematizzazione piani rigidi: metodo Master-Slave
Modalità di recupero masse secondarie: trasferire all'impalcato più vicino con modifica XY baricentro

Generazione combinazioni

- Lineari: si
- Valuta spostamenti e non sollecitazioni: no
- Buckling: no

Opzioni di calcolo

- Sono state considerate infinitamente rigide le zone di connessione fra travi, pilastri ed elementi bidimensionali con una riduzione del 20%
- Calcolo con offset rigidi dai nodi: no
- Uniformare i carichi variabili: no
- Massimizzare i carichi variabili: no
- Minimo carico da considerare: 0.00 <daN/m>
- Recupero carichi zone rigide: taglio e momento flettente
- Modalità di combinazione momento torcente: disaccoppiare le azioni

Opzioni del solutore

- Tipo di elemento bidimensionale: QF46
- Calcolo sforzo nei nodi: No
- Trascura deformabilità a taglio delle aste: No
- Analisi dinamica con metodo di Lanczos: Sì
- Check sequenza di Sturm: Sì
- Soluzione matrice con metodo ver. 5.1: No
- Analisi non lineare con Newton modificato: No
- Usa formulazione secante per buckling: No
- Trascura buckling torsionale: No

Dati struttura

- Zona sismica: zona 2
- Sito di costruzione: Via del Magistrato, 194, 53014 Ponte D'arbia SI, Italia LON. 11.46250 LAT. 43.16360
  Contenuto tra ID reticolo: 22725 22726 22947 22948

Simbologia
TCC = Tipo di combinazione di carico
SLU = Stato limite ultimo
SLU S = Stato limite ultimo (azione sismica)
SLE R = Stato limite d'esercizio, combinazione rara
SLE F = Stato limite d'esercizio, combinazione frequente
SLE Q = Stato limite d'esercizio, combinazione quasi permanente
SLD = Stato limite di danno
SLV = Stato limite di salvaguardia della vita
SLC = Stato limite di prevenzione del collasso
SLO = Stato limite di operatività
SLU I = Stato limite di resistenza al fuoco
T_R = Periodo di ritorno <anni>
Ag = Accelerazione orizzontale massima al sito
FO = Valore massimo del fattore di amplificazione dello spettro in accelerazione orizzontale
TC* = Periodo di inizio del tratto a velocità costante dello spettro in accelerazione orizzontale <sec>
S_S = Coefficiente di amplificazione stratigrafica
C_C = Coefficiente funzione della categoria del suolo

TCC	T_R	Ag <g>	FO	TC*	S_S	C_C

SLD	75	0.0716	2.51	0.26	1.50	1.64
SLV	712	0.1605	2.51	0.28	1.46	1.60

- Edificio esistente: no
- Tipo di opera: Opera ordinaria
- Vita nominale V_N: 50.00
- Classe d'uso: Classe III
- SL Esercizio: SLO-Pvr no, SLD-Pvr 63.00
- SL Ultimi: SLV-Pvr 10.00, SLC-Pvr no
- Classe di duttilità: Classe B
- Quota di riferimento: 0.00 <m>
- Altezza della struttura: 4.70 <m>
- Numero piani edificio: 2
- Coefficiente θ: 0.00
- Edificio regolare in altezza: no
- Edificio regolare in pianta: si
- Forze orizzontali convenzionali per stati limite non sismici: 1.00%
- Genera stati limite per verifiche di resistenza al fuoco: no

Dati di piano

Simbologia
Imp. = Numero dell'impalcato
Lx = Dimensione del piano in dir. X
Ly = Dimensione del piano in dir. Y
Ex = Eccentricità in dir. X
Ey = Eccentricità in dir. Y
Ea = Eccentricità complessiva

Imp.	Lx <m>	Ly <m>	Ex <m>	Ey <m>	Ea <m>
1	15.40	4.50	0.77	0.23	0.80
2	15.40	4.50	0.77	0.23	0.80

Dati di calcolo

- Categoria del suolo di fondazione: C
- Tipologia edificio: c.a. o prefabbricato a telaio a più piani e più campate

Coeff. C_1: 0.075
Periodo T_1: 0.23941
Coeff. λ SLD: 1.00
Coeff. λ SLV: 1.00
Rapporto di sovraresistenza (α_u/α_1): 1.30
Valore di riferimento del fattore di struttura (q_0): 1.00
Fattore riduttivo (K_w): 1.00
Fattore riduttivo regolarità in altezza (KR): 0.80
Fattore di struttura (q): 1.00

- Categoria topografica: T1 - Superficie pianeggiante, pendii e rilievi isolati con inclinazione media i<=15°
- Coeff. amplificazione topografica S_T: 1.00
- Fattore di struttura per sisma verticale (qv): 1.00
- Modalità di calcolo modi di vibrare: Autovalori
- Numero modi: 6
- Modi da considerare: Tali da movimentare una percentuale di massa pari a 85.00%
- Trascura modi con massa movimentata minore di: no
- Smorzamento spettro: 5.00%

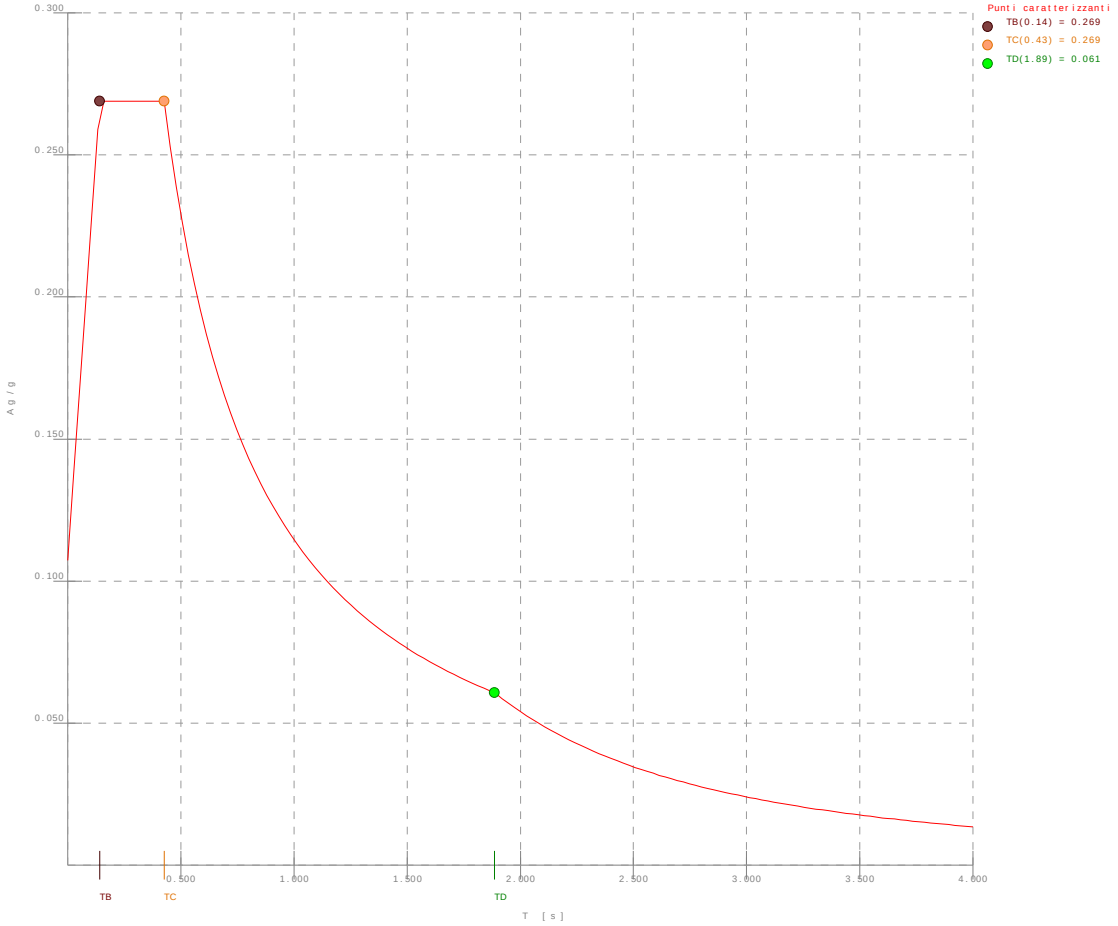


Figura numero 1: Spettro SLD

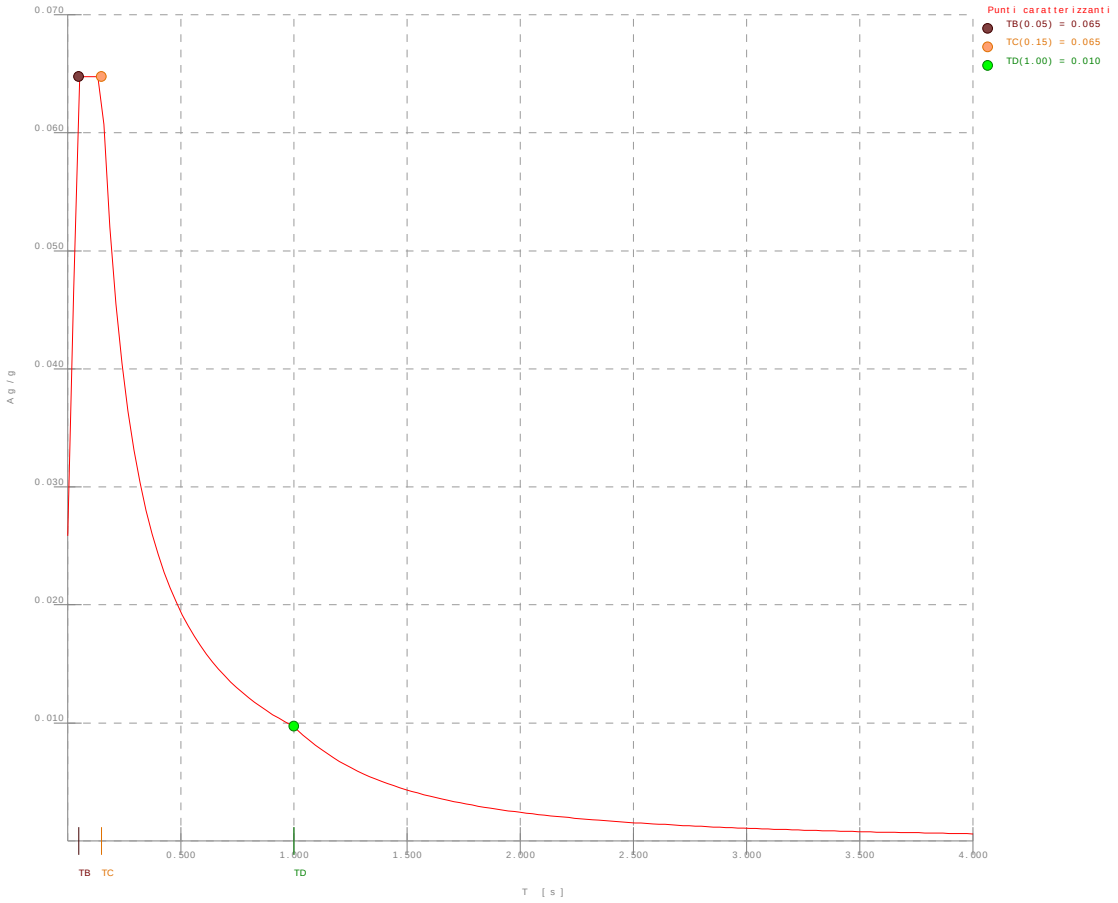


Figura numero 2: Spettro SLD Z

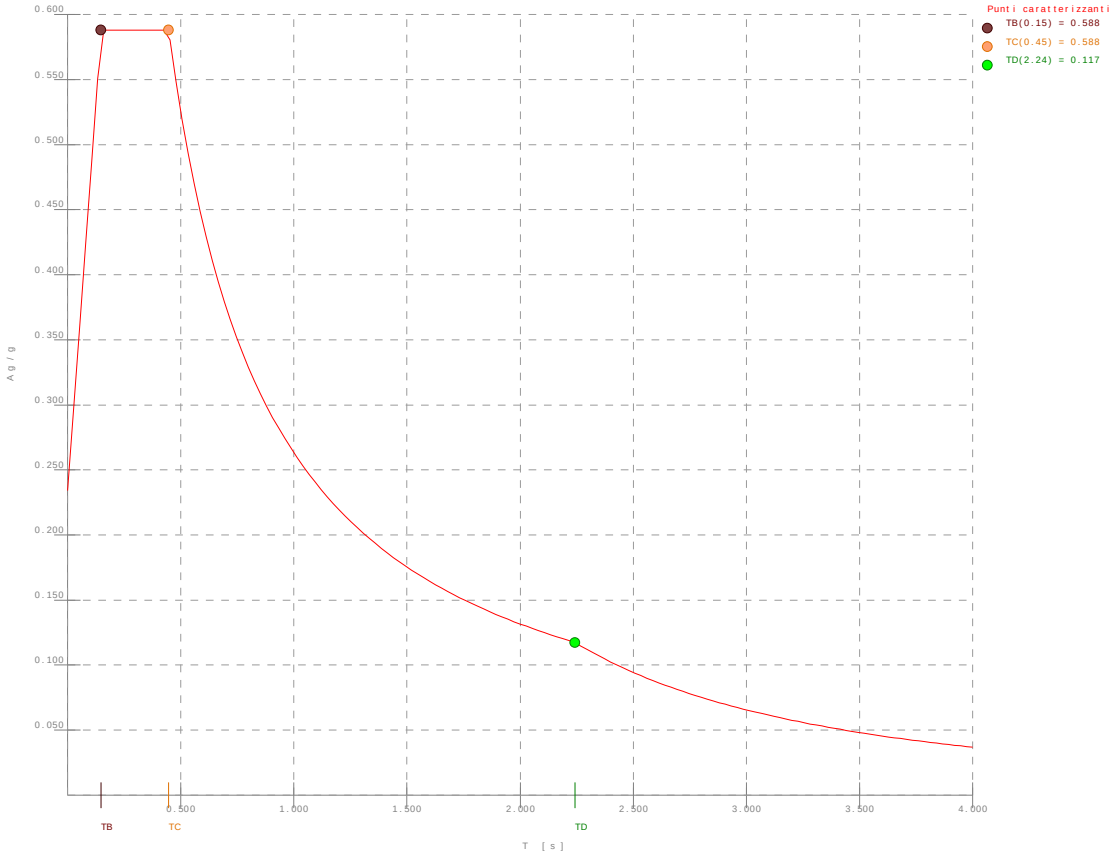


Figura numero 3: Spettro SLV

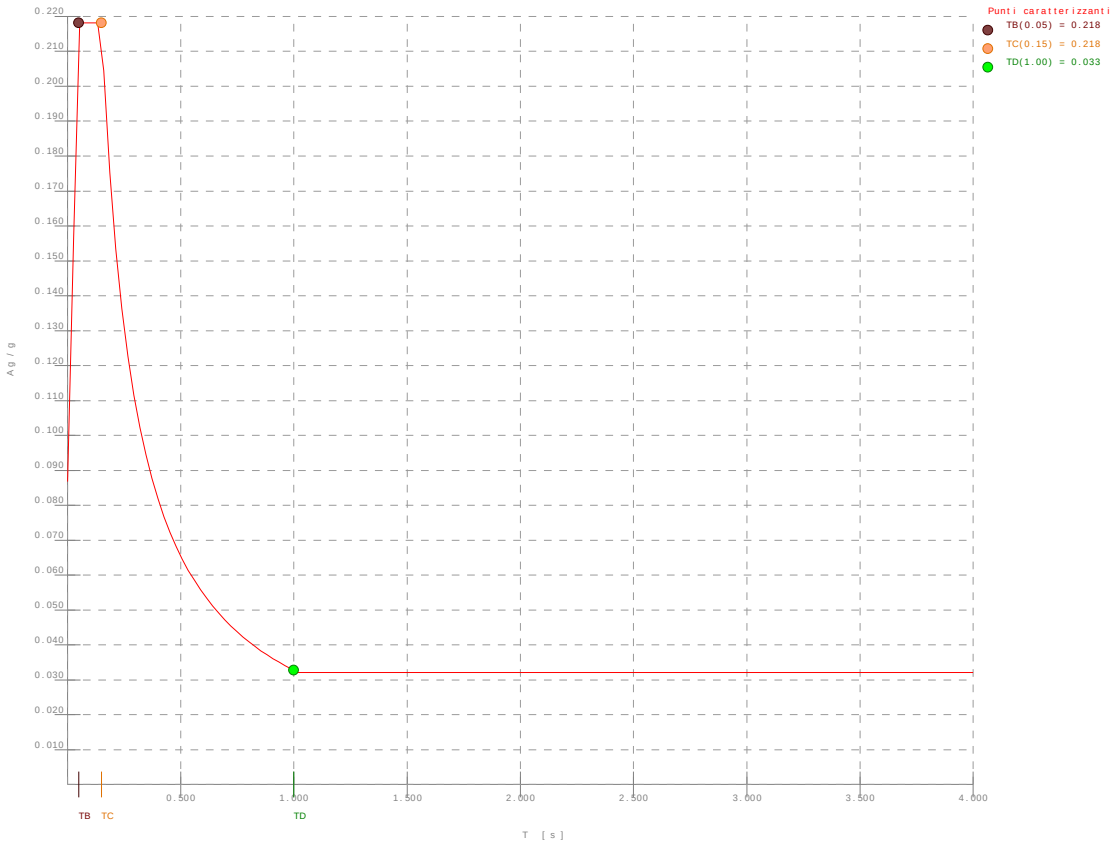


Figura numero 4: Spettro SLV Z

- Angolo di ingresso del sisma: 0.00 <grad>

Condizioni di carico elementari

Simbologia

CCE = Numero della condizione di carico elementare
Comm. = Commento
Mx = Moltiplicatore della massa in dir. X
My = Moltiplicatore della massa in dir. Y
Mz = Moltiplicatore della massa in dir. Z
Jpx = Moltiplicatore del momento d'inerzia intorno all'asse X
Jpy = Moltiplicatore del momento d'inerzia intorno all'asse Y
Jpz = Moltiplicatore del momento d'inerzia intorno all'asse Z
Tipo CCE = Tipo di CCE per calcolo agli stati limite
Sicurezza = Contributo alla sicurezza
F = a favore
S = a sfavore
A = ambigua
Variabilità = Tipo di variabilità
B = di base
I = indipendente
A = ambigua

CCE	Comm.	Mx	My	Mz	Jpx	Jpy	Jpz	Tipo CCE	Sicurezza	Variabilità
1	G1	1.00	1.00	1.00	0.00	0.00	1.00	20	S	--
2	G2 + terreno	1.00	1.00	1.00	0.00	0.00	1.00	21	S	--
3	Schema 1 q1tandem mezz	1.00	1.00	0.00	0.00	0.00	1.00	22	S	B
4	Schema 1 q1tandem dx	1.00	1.00	0.00	0.00	0.00	1.00	22	S	B
5	Schema 1 q1tandem sx	1.00	1.00	0.00	0.00	0.00	1.00	22	S	B
6	Schema 1 q1dist	1.00	1.00	0.00	0.00	0.00	1.00	23	S	B
7	Schema 2 q1tandem mezz	1.00	1.00	0.00	0.00	0.00	1.00	24	S	B
8	Schema 2 q1tandem dx	1.00	1.00	0.00	0.00	0.00	1.00	24	S	B
9	Schema 2 q1tandem sx	1.00	1.00	0.00	0.00	0.00	1.00	24	S	B
10	Schema 2 q1dis mezz	1.00	1.00	0.00	0.00	0.00	1.00	24	S	B
11	Schema 2 q3 tandem mezz	1.00	1.00	0.00	0.00	0.00	1.00	24	S	B
12	Schema 2 q3 tandemdx	1.00	1.00	0.00	0.00	0.00	1.00	24	S	B
13	Schema 2 q3 tandem sx	1.00	1.00	0.00	0.00	0.00	1.00	24	S	B
14	Schema 1 q1dist	1.00	1.00	0.00	0.00	0.00	1.00	23	S	B
15	q var neve	1.00	1.00	0.00	0.00	0.00	1.00	25	S	B
16	q8 Veicolo in svio	1.00	1.00	0.00	0.00	0.00	1.00	28	S	B
17	Ecc - Onda di Piena	1.00	1.00	0.00	0.00	0.00	1.00	28	S	B

Elenco tipi cce definiti

Simbologia

Tipo CCE = Tipo condizione di carico elementare
Comm. = Commento
Tipo = Tipologia
G = Permanente
Q = Variabile
I = Da ignorare
A = Azione eccezionale
P = Precompressione
Durata = Durata del carico
N = Non definita
P = Permanente
L = Lunga
M = Media
B = Breve
I = Istantanea
γ min. = Coeff. $\gamma_{min.}$
γ max = Coeff. γ_{max}
ψ_0 = Coeff. ψ_0
ψ_1 = Coeff. ψ_1
ψ_2 = Coeff. ψ_2
$\psi_{0,s}$ = Coeff. ψ_0 sismico (D.M. 96)

Tipo CCE	Comm.	Tipo	Durata	γ min.	γ max	ψ_0	ψ_1	ψ_2	$\psi_{0,s}$
24	DM 08 PONTI Var S2	Q	N	0.00	1.35	0.00	0.75	0.00	0.00
20	DM 08 PONTI Permanenti	G	N	1.00	1.35				
21	DM 08 PONTI Perm non strutt	G	N	0.00	1.50				
22	DM 08 PONTI Variabili S1 Tandem	Q	N	0.00	1.35	0.75	0.75	0.00	0.00
23	DM 08 PONTI Var S1,5 e 6 Distr	Q	N	0.00	1.35	0.40	0.40	0.00	0.00
25	DM 08 PONTI Neve SLU-SLE	Q	N	0.00	1.50	0.00	0.00	0.00	0.00
28	DM 08 PONTI Eccezionali schema 2	Q	N	0.00	1.35	0.00	0.75	0.00	0.00

Ambienti di carico

Simbologia

N Numero
Comm. Commento
1 G1
2 G2 + terreno
3 Schema 1 q1tandem mezz
4 Schema 1 q1tandem dx
5 Schema 1 q1tandem sx
6 Schema 1 q1dist
7 Schema 2 q1tandem mezz
8 Schema 2 q1tandem dx
9 Schema 2 q1tandem sx
10 Schema 2 q1dis mezz
11 Schema 2 q3 tandem mezz
12 Schema 2 q3 tandemdx
13 Schema 2 q3 tandem sx
14 Schema 1 q1dist
15 q var neve
16 q8 Veicolo in svio
17 Ecc - Onda di Piena
F azioni orizzontali convenzionali
SLU Stato limite ultimo
SLR Stato limite per combinazioni rare
SLF Stato limite per combinazioni frequenti
SLQ\D Stato limite per combinazioni quasi permanenti o di danno

N	Comm.	1	2	3	4	5	6	7	8	9	10	11	12	13	14	15	16	17	F	S	SLU	SLR	SLF	SLQ
1	Calcolo sismico	si	si	si	si	si	si	si	si	si	si	si	si	si	si	si	si	si	no	si	si	no	no	no
2	Calcolo statico	si	si	si	si	si	si	si	si	si	si	si	si	si	si	si	si	si	si	no	si	si	si	si

Elenco combinazioni di carico simboliche

Simbologia
CC = Numero della combinazione delle condizioni di carico elementari
Comm. = Commento
TCC = Tipo di combinazione di carico
SLU = Stato limite ultimo
SLU S = Stato limite ultimo (azione sismica)
SLE R = Stato limite d'esercizio, combinazione rara
SLE F = Stato limite d'esercizio, combinazione frequente
SLE Q = Stato limite d'esercizio, combinazione quasi permanente
SLD = Stato limite di danno
SLV = Stato limite di salvaguardia della vita
SLC = Stato limite di prevenzione del collasso
SLO = Stato limite di operatività
SLU I = Stato limite di resistenza al fuoco

CC	Comm.	TCC	1	2	3	4	5	6	7	8	9	10	11	12	13	14	15	16	17	F	S
1	Amb. 1 (Sisma)	SLU S	1	1	ψ_2	ψ_2	ψ_2	ψ_2	ψ_2	ψ_2	ψ_2	ψ_2	ψ_2	ψ_2	ψ_2	ψ_2	ψ_2	ψ_2	ψ_2	-----	1
2	Amb. 2 (SLU)	SLU	γ max	γ max	γ max	γ max	γ max	γ max	γ max	γ max	γ max	γ max	γ max	γ max	γ max	γ max	γ max	γ max	γ max	1	-----
3	Amb. 2 (SLE R)	SLE R	1	1	1	1	1	1	1	1	1	1	1	1	1	1	1	1	1	1	-----
4	Amb. 2 (SLE F)	SLE F	1	1	ψ_1	ψ_1	ψ_1	ψ_1	ψ_1	ψ_1	ψ_1	ψ_1	ψ_1	ψ_1	ψ_1	ψ_1	ψ_1	ψ_1	ψ_1	1	-----
5	Amb. 2 (SLE Q)	SLE Q	1	1	ψ_2	ψ_2	ψ_2	ψ_2	ψ_2	ψ_2	ψ_2	ψ_2	ψ_2	ψ_2	ψ_2	ψ_2	ψ_2	ψ_2	ψ_2	1	-----

Genera le combinazioni con un solo carico di tipo variabile come di base: no

Considera sollecitazioni dinamiche con segno dei modi principali: no

Combinazioni delle cce

Simbologia
CC = Numero della combinazione delle condizioni di carico elementari
Comm. = Commento
TCC = Tipo di combinazione di carico
SLU = Stato limite ultimo
SLU S = Stato limite ultimo (azione sismica)
SLE R = Stato limite d'esercizio, combinazione rara
SLE F = Stato limite d'esercizio, combinazione frequente
SLE Q = Stato limite d'esercizio, combinazione quasi permanente
SLD = Stato limite di danno
SLV = Stato limite di salvaguardia della vita
SLC = Stato limite di prevenzione del collasso
SLO = Stato limite di operatività
SLU I = Stato limite di resistenza al fuoco
An. = Tipo di analisi
L = Lineare
NL = Non lineare
Bk = Buckling
S = Si
N = No

CC	Comm.	TCC	An.	Bk	1	2	3	4	5	6	7	8	9	10	11	12	13	14	15	16	17	F X	F Y	Mt	±S X

1	CC 1 - Amb. 1 (SLU S) S Mt+X+0.3Y+0.3Z	SLV	L	N	1.00	1.00	0.00	0.00	0.00	0.00	0.00	0.00	0.00	0.00	0.00	0.00	0.00	0.00	0.00	0.00	0.00	0.00	1.00	1.00
2	CC 2 - Amb. 1 (SLE) S Mt+X+0.3Y+0.3Z	SLD	L	N	1.00	1.00	0.00	0.00	0.00	0.00	0.00	0.00	0.00	0.00	0.00	0.00	0.00	0.00	0.00	0.00	0.00	0.00	1.00	1.00
3	CC 1 - Amb. 1 (SLU S) S Mt+X+0.3Y-0.3Z	SLV	L	N	1.00	1.00	0.00	0.00	0.00	0.00	0.00	0.00	0.00	0.00	0.00	0.00	0.00	0.00	0.00	0.00	0.00	0.00	1.00	1.00
4	CC 2 - Amb. 1 (SLE) S Mt+X+0.3Y-0.3Z	SLD	L	N	1.00	1.00	0.00	0.00	0.00	0.00	0.00	0.00	0.00	0.00	0.00	0.00	0.00	0.00	0.00	0.00	0.00	0.00	1.00	1.00
5	CC 3 - Amb. 1 (SLU S) S Mt+X-0.3Y+0.3Z	SLV	L	N	1.00	1.00	0.00	0.00	0.00	0.00	0.00	0.00	0.00	0.00	0.00	0.00	0.00	0.00	0.00	0.00	0.00	0.00	1.00	1.00
6	CC 4 - Amb. 1 (SLE) S Mt+X-0.3Y+0.3Z	SLD	L	N	1.00	1.00	0.00	0.00	0.00	0.00	0.00	0.00	0.00	0.00	0.00	0.00	0.00	0.00	0.00	0.00	0.00	0.00	1.00	1.00
7	CC 3 - Amb. 1 (SLU S) S Mt+X-0.3Y-0.3Z	SLV	L	N	1.00	1.00	0.00	0.00	0.00	0.00	0.00	0.00	0.00	0.00	0.00	0.00	0.00	0.00	0.00	0.00	0.00	0.00	1.00	1.00
8	CC 4 - Amb. 1 (SLE) S Mt+X-0.3Y-0.3Z	SLD	L	N	1.00	1.00	0.00	0.00	0.00	0.00	0.00	0.00	0.00	0.00	0.00	0.00	0.00	0.00	0.00	0.00	0.00	0.00	1.00	1.00
9	CC 5 - Amb. 1 (SLU S) S Mt-X+0.3Y+0.3Z	SLV	L	N	1.00	1.00	0.00	0.00	0.00	0.00	0.00	0.00	0.00	0.00	0.00	0.00	0.00	0.00	0.00	0.00	0.00	0.00	1.00	-1.00
10	CC 6 - Amb. 1 (SLE) S Mt-X+0.3Y+0.3Z	SLD	L	N	1.00	1.00	0.00	0.00	0.00	0.00	0.00	0.00	0.00	0.00	0.00	0.00	0.00	0.00	0.00	0.00	0.00	0.00	1.00	-1.00
11	CC 5 - Amb. 1 (SLU S) S Mt-X+0.3Y-0.3Z	SLV	L	N	1.00	1.00	0.00	0.00	0.00	0.00	0.00	0.00	0.00	0.00	0.00	0.00	0.00	0.00	0.00	0.00	0.00	0.00	1.00	-1.00
12	CC 6 - Amb. 1 (SLE) S Mt-X+0.3Y-0.3Z	SLD	L	N	1.00	1.00	0.00	0.00	0.00	0.00	0.00	0.00	0.00	0.00	0.00	0.00	0.00	0.00	0.00	0.00	0.00	0.00	1.00	-1.00
13	CC 7 - Amb. 1 (SLU S) S Mt-X-0.3Y+0.3Z	SLV	L	N	1.00	1.00	0.00	0.00	0.00	0.00	0.00	0.00	0.00	0.00	0.00	0.00	0.00	0.00	0.00	0.00	0.00	0.00	1.00	-1.00
14	CC 8 - Amb. 1 (SLE) S Mt-X-0.3Y+0.3Z	SLD	L	N	1.00	1.00	0.00	0.00	0.00	0.00	0.00	0.00	0.00	0.00	0.00	0.00	0.00	0.00	0.00	0.00	0.00	0.00	1.00	-1.00
15	CC 7 - Amb. 1 (SLU S) S Mt-X-0.3Y-0.3Z	SLV	L	N	1.00	1.00	0.00	0.00	0.00	0.00	0.00	0.00	0.00	0.00	0.00	0.00	0.00	0.00	0.00	0.00	0.00	0.00	1.00	-1.00
16	CC 8 - Amb. 1 (SLE) S Mt-X-0.3Y-0.3Z	SLD	L	N	1.00	1.00	0.00	0.00	0.00	0.00	0.00	0.00	0.00	0.00	0.00	0.00	0.00	0.00	0.00	0.00	0.00	0.00	1.00	-1.00
17	CC 9 - Amb. 1 (SLU S) S Mt+0.3X+Y+0.3Z	SLV	L	N	1.00	1.00	0.00	0.00	0.00	0.00	0.00	0.00	0.00	0.00	0.00	0.00	0.00	0.00	0.00	0.00	0.00	0.00	1.00	0.30
18	CC 10 - Amb. 1 (SLE) S Mt+0.3X+Y+0.3Z	SLD	L	N	1.00	1.00	0.00	0.00	0.00	0.00	0.00	0.00	0.00	0.00	0.00	0.00	0.00	0.00	0.00	0.00	0.00	0.00	1.00	0.30
19	CC 9 - Amb. 1 (SLU S) S Mt+0.3X+Y-0.3Z	SLV	L	N	1.00	1.00	0.00	0.00	0.00	0.00	0.00	0.00	0.00	0.00	0.00	0.00	0.00	0.00	0.00	0.00	0.00	0.00	1.00	0.30
20	CC 10 - Amb. 1 (SLE) S Mt+0.3X+Y-0.3Z	SLD	L	N	1.00	1.00	0.00	0.00	0.00	0.00	0.00	0.00	0.00	0.00	0.00	0.00	0.00	0.00	0.00	0.00	0.00	0.00	1.00	0.30
21	CC 11 - Amb. 1 (SLU S) S Mt-0.3X+Y+0.3Z	SLV	L	N	1.00	1.00	0.00	0.00	0.00	0.00	0.00	0.00	0.00	0.00	0.00	0.00	0.00	0.00	0.00	0.00	0.00	0.00	1.00	-0.30
22	CC 12 - Amb. 1 (SLE) S Mt-0.3X+Y+0.3Z	SLD	L	N	1.00	1.00	0.00	0.00	0.00	0.00	0.00	0.00	0.00	0.00	0.00	0.00	0.00	0.00	0.00	0.00	0.00	0.00	1.00	-0.30
23	CC 11 - Amb. 1 (SLU S) S Mt-0.3X+Y-0.3Z	SLV	L	N	1.00	1.00	0.00	0.00	0.00	0.00	0.00	0.00	0.00	0.00	0.00	0.00	0.00	0.00	0.00	0.00	0.00	0.00	1.00	-0.30
24	CC 12 - Amb. 1 (SLE) S Mt-0.3X+Y-0.3Z	SLD	L	N	1.00	1.00	0.00	0.00	0.00	0.00	0.00	0.00	0.00	0.00	0.00	0.00	0.00	0.00	0.00	0.00	0.00	0.00	1.00	-0.30
25	CC 13 - Amb. 1 (SLU S) S Mt+0.3X-Y+0.3Z	SLV	L	N	1.00	1.00	0.00	0.00	0.00	0.00	0.00	0.00	0.00	0.00	0.00	0.00	0.00	0.00	0.00	0.00	0.00	0.00	1.00	0.30
26	CC 14 - Amb. 1 (SLE) S Mt+0.3X-Y+0.3Z	SLD	L	N	1.00	1.00	0.00	0.00	0.00	0.00	0.00	0.00	0.00	0.00	0.00	0.00	0.00	0.00	0.00	0.00	0.00	0.00	1.00	0.30
27	CC 13 - Amb. 1 (SLU S) S Mt+0.3X-Y-0.3Z	SLV	L	N	1.00	1.00	0.00	0.00	0.00	0.00	0.00	0.00	0.00	0.00	0.00	0.00	0.00	0.00	0.00	0.00	0.00	0.00	1.00	0.30
28	CC 14 - Amb. 1 (SLE) S Mt+0.3X-Y-0.3Z	SLD	L	N	1.00	1.00	0.00	0.00	0.00	0.00	0.00	0.00	0.00	0.00	0.00	0.00	0.00	0.00	0.00	0.00	0.00	0.00	1.00	0.30
29	CC 15 - Amb. 1 (SLU S) S Mt-0.3X-Y+0.3Z	SLV	L	N	1.00	1.00	0.00	0.00	0.00	0.00	0.00	0.00	0.00	0.00	0.00	0.00	0.00	0.00	0.00	0.00	0.00	0.00	1.00	-0.30
30	CC 16 - Amb. 1 (SLE) S Mt-0.3X-Y+0.3Z	SLD	L	N	1.00	1.00	0.00	0.00	0.00	0.00	0.00	0.00	0.00	0.00	0.00	0.00	0.00	0.00	0.00	0.00	0.00	0.00	1.00	-0.30
31	CC 15 - Amb. 1 (SLU S) S Mt-0.3X-Y-0.3Z	SLV	L	N	1.00	1.00	0.00	0.00	0.00	0.00	0.00	0.00	0.00	0.00	0.00	0.00	0.00	0.00	0.00	0.00	0.00	0.00	1.00	-0.30
32	CC 16 - Amb. 1 (SLE) S Mt-0.3X-Y-0.3Z	SLD	L	N	1.00	1.00	0.00	0.00	0.00	0.00	0.00	0.00	0.00	0.00	0.00	0.00	0.00	0.00	0.00	0.00	0.00	0.00	1.00	-0.30
33	CC 1 - Amb. 1 (SLU S) S Mt+0.3X+0.3Y+Z	SLV	L	N	1.00	1.00	0.00	0.00	0.00	0.00	0.00	0.00	0.00	0.00	0.00	0.00	0.00	0.00	0.00	0.00	0.00	0.00	1.00	0.30
34	CC 2 - Amb. 1 (SLE) S Mt+0.3X+0.3Y+Z	SLD	L	N	1.00	1.00	0.00	0.00	0.00	0.00	0.00	0.00	0.00	0.00	0.00	0.00	0.00	0.00	0.00	0.00	0.00	0.00	1.00	0.30
35	CC 1 - Amb. 1 (SLU S) S Mt+0.3X-0.3Y+Z	SLV	L	N	1.00	1.00	0.00	0.00	0.00	0.00	0.00	0.00	0.00	0.00	0.00	0.00	0.00	0.00	0.00	0.00	0.00	0.00	1.00	0.30
36	CC 2 - Amb. 1 (SLE) S Mt+0.3X-0.3Y+Z	SLD	L	N	1.00	1.00	0.00	0.00	0.00	0.00	0.00	0.00	0.00	0.00	0.00	0.00	0.00	0.00	0.00	0.00	0.00	0.00	1.00	0.30

37	CC 3 - Amb. 1 (SLU S) S Mt-0.3X-0.3Y+Z	SLV	L	N	1.00	1.00	0.00	0.00	0.00	0.00	0.00	0.00	0.00	0.00	0.00	0.00	0.00	0.00	0.00	0.00	0.00	0.00	1.00	-0.30
38	CC 4 - Amb. 1 (SLE) S Mt-0.3X-0.3Y+Z	SLD	L	N	1.00	1.00	0.00	0.00	0.00	0.00	0.00	0.00	0.00	0.00	0.00	0.00	0.00	0.00	0.00	0.00	0.00	0.00	1.00	-0.30
39	CC 3 - Amb. 1 (SLU S) S Mt-0.3X+0.3Y+Z	SLV	L	N	1.00	1.00	0.00	0.00	0.00	0.00	0.00	0.00	0.00	0.00	0.00	0.00	0.00	0.00	0.00	0.00	0.00	0.00	1.00	-0.30
40	CC 4 - Amb. 1 (SLE) S Mt-0.3X+0.3Y+Z	SLD	L	N	1.00	1.00	0.00	0.00	0.00	0.00	0.00	0.00	0.00	0.00	0.00	0.00	0.00	0.00	0.00	0.00	0.00	0.00	1.00	-0.30
41	CC 1 - Amb. 1 (SLU S) S Mt+0.3X+0.3Y-Z	SLV	L	N	1.00	1.00	0.00	0.00	0.00	0.00	0.00	0.00	0.00	0.00	0.00	0.00	0.00	0.00	0.00	0.00	0.00	0.00	1.00	0.30
42	CC 2 - Amb. 1 (SLE) S Mt+0.3X+0.3Y-Z	SLD	L	N	1.00	1.00	0.00	0.00	0.00	0.00	0.00	0.00	0.00	0.00	0.00	0.00	0.00	0.00	0.00	0.00	0.00	0.00	1.00	0.30
43	CC 1 - Amb. 1 (SLU S) S Mt+0.3X-0.3Y-Z	SLV	L	N	1.00	1.00	0.00	0.00	0.00	0.00	0.00	0.00	0.00	0.00	0.00	0.00	0.00	0.00	0.00	0.00	0.00	0.00	1.00	0.30
44	CC 2 - Amb. 1 (SLE) S Mt+0.3X-0.3Y-Z	SLD	L	N	1.00	1.00	0.00	0.00	0.00	0.00	0.00	0.00	0.00	0.00	0.00	0.00	0.00	0.00	0.00	0.00	0.00	0.00	1.00	0.30
45	CC 3 - Amb. 1 (SLU S) S Mt-0.3X-0.3Y-Z	SLV	L	N	1.00	1.00	0.00	0.00	0.00	0.00	0.00	0.00	0.00	0.00	0.00	0.00	0.00	0.00	0.00	0.00	0.00	0.00	1.00	-0.30
46	CC 4 - Amb. 1 (SLE) S Mt-0.3X-0.3Y-Z	SLD	L	N	1.00	1.00	0.00	0.00	0.00	0.00	0.00	0.00	0.00	0.00	0.00	0.00	0.00	0.00	0.00	0.00	0.00	0.00	1.00	-0.30
47	CC 3 - Amb. 1 (SLU S) S Mt-0.3X+0.3Y-Z	SLV	L	N	1.00	1.00	0.00	0.00	0.00	0.00	0.00	0.00	0.00	0.00	0.00	0.00	0.00	0.00	0.00	0.00	0.00	0.00	1.00	-0.30
48	CC 4 - Amb. 1 (SLE) S Mt-0.3X+0.3Y-Z	SLD	L	N	1.00	1.00	0.00	0.00	0.00	0.00	0.00	0.00	0.00	0.00	0.00	0.00	0.00	0.00	0.00	0.00	0.00	0.00	1.00	-0.30
49	CC 17 - Amb. 1 (SLU S) S -Mt+X+0.3Y+0.3Z	SLV	L	N	1.00	1.00	0.00	0.00	0.00	0.00	0.00	0.00	0.00	0.00	0.00	0.00	0.00	0.00	0.00	0.00	0.00	0.00	-1.00	1.00
50	CC 18 - Amb. 1 (SLE) S -Mt+X+0.3Y+0.3Z	SLD	L	N	1.00	1.00	0.00	0.00	0.00	0.00	0.00	0.00	0.00	0.00	0.00	0.00	0.00	0.00	0.00	0.00	0.00	0.00	-1.00	1.00
51	CC 17 - Amb. 1 (SLU S) S -Mt+X+0.3Y-0.3Z	SLV	L	N	1.00	1.00	0.00	0.00	0.00	0.00	0.00	0.00	0.00	0.00	0.00	0.00	0.00	0.00	0.00	0.00	0.00	0.00	-1.00	1.00
52	CC 18 - Amb. 1 (SLE) S -Mt+X+0.3Y-0.3Z	SLD	L	N	1.00	1.00	0.00	0.00	0.00	0.00	0.00	0.00	0.00	0.00	0.00	0.00	0.00	0.00	0.00	0.00	0.00	0.00	-1.00	1.00
53	CC 19 - Amb. 1 (SLU S) S -Mt+X-0.3Y+0.3Z	SLV	L	N	1.00	1.00	0.00	0.00	0.00	0.00	0.00	0.00	0.00	0.00	0.00	0.00	0.00	0.00	0.00	0.00	0.00	0.00	-1.00	1.00
54	CC 20 - Amb. 1 (SLE) S -Mt+X-0.3Y+0.3Z	SLD	L	N	1.00	1.00	0.00	0.00	0.00	0.00	0.00	0.00	0.00	0.00	0.00	0.00	0.00	0.00	0.00	0.00	0.00	0.00	-1.00	1.00
55	CC 19 - Amb. 1 (SLU S) S -Mt+X-0.3Y-0.3Z	SLV	L	N	1.00	1.00	0.00	0.00	0.00	0.00	0.00	0.00	0.00	0.00	0.00	0.00	0.00	0.00	0.00	0.00	0.00	0.00	-1.00	1.00
56	CC 20 - Amb. 1 (SLE) S -Mt+X-0.3Y-0.3Z	SLD	L	N	1.00	1.00	0.00	0.00	0.00	0.00	0.00	0.00	0.00	0.00	0.00	0.00	0.00	0.00	0.00	0.00	0.00	0.00	-1.00	1.00
57	CC 21 - Amb. 1 (SLU S) S -Mt-X+0.3Y+0.3Z	SLV	L	N	1.00	1.00	0.00	0.00	0.00	0.00	0.00	0.00	0.00	0.00	0.00	0.00	0.00	0.00	0.00	0.00	0.00	0.00	-1.00	-1.00
58	CC 22 - Amb. 1 (SLE) S -Mt-X+0.3Y+0.3Z	SLD	L	N	1.00	1.00	0.00	0.00	0.00	0.00	0.00	0.00	0.00	0.00	0.00	0.00	0.00	0.00	0.00	0.00	0.00	0.00	-1.00	-1.00
59	CC 21 - Amb. 1 (SLU S) S -Mt-X+0.3Y-0.3Z	SLV	L	N	1.00	1.00	0.00	0.00	0.00	0.00	0.00	0.00	0.00	0.00	0.00	0.00	0.00	0.00	0.00	0.00	0.00	0.00	-1.00	-1.00
60	CC 22 - Amb. 1 (SLE) S -Mt-X+0.3Y-0.3Z	SLD	L	N	1.00	1.00	0.00	0.00	0.00	0.00	0.00	0.00	0.00	0.00	0.00	0.00	0.00	0.00	0.00	0.00	0.00	0.00	-1.00	-1.00
61	CC 23 - Amb. 1 (SLU S) S -Mt-X-0.3Y+0.3Z	SLV	L	N	1.00	1.00	0.00	0.00	0.00	0.00	0.00	0.00	0.00	0.00	0.00	0.00	0.00	0.00	0.00	0.00	0.00	0.00	-1.00	-1.00
62	CC 24 - Amb. 1 (SLE) S -Mt-X-0.3Y+0.3Z	SLD	L	N	1.00	1.00	0.00	0.00	0.00	0.00	0.00	0.00	0.00	0.00	0.00	0.00	0.00	0.00	0.00	0.00	0.00	0.00	-1.00	-1.00
63	CC 23 - Amb. 1 (SLU S) S -Mt-X-0.3Y-0.3Z	SLV	L	N	1.00	1.00	0.00	0.00	0.00	0.00	0.00	0.00	0.00	0.00	0.00	0.00	0.00	0.00	0.00	0.00	0.00	0.00	-1.00	-1.00
64	CC 24 - Amb. 1 (SLE) S -Mt-X-0.3Y-0.3Z	SLD	L	N	1.00	1.00	0.00	0.00	0.00	0.00	0.00	0.00	0.00	0.00	0.00	0.00	0.00	0.00	0.00	0.00	0.00	0.00	-1.00	-1.00
65	CC 25 - Amb. 1 (SLU S) S -Mt+0.3X+Y+0.3Z	SLV	L	N	1.00	1.00	0.00	0.00	0.00	0.00	0.00	0.00	0.00	0.00	0.00	0.00	0.00	0.00	0.00	0.00	0.00	0.00	-1.00	0.30
66	CC 26 - Amb. 1 (SLE) S -Mt+0.3X+Y+0.3Z	SLD	L	N	1.00	1.00	0.00	0.00	0.00	0.00	0.00	0.00	0.00	0.00	0.00	0.00	0.00	0.00	0.00	0.00	0.00	0.00	-1.00	0.30
67	CC 25 - Amb. 1 (SLU S) S -Mt+0.3X+Y-0.3Z	SLV	L	N	1.00	1.00	0.00	0.00	0.00	0.00	0.00	0.00	0.00	0.00	0.00	0.00	0.00	0.00	0.00	0.00	0.00	0.00	-1.00	0.30
68	CC 26 - Amb. 1 (SLE) S -Mt+0.3X+Y-0.3Z	SLD	L	N	1.00	1.00	0.00	0.00	0.00	0.00	0.00	0.00	0.00	0.00	0.00	0.00	0.00	0.00	0.00	0.00	0.00	0.00	-1.00	0.30
69	CC 27 - Amb. 1 (SLU S) S -Mt-0.3X+Y+0.3Z	SLV	L	N	1.00	1.00	0.00	0.00	0.00	0.00	0.00	0.00	0.00	0.00	0.00	0.00	0.00	0.00	0.00	0.00	0.00	0.00	-1.00	-0.30
70	CC 28 - Amb. 1 (SLE) S -Mt-0.3X+Y+0.3Z	SLD	L	N	1.00	1.00	0.00	0.00	0.00	0.00	0.00	0.00	0.00	0.00	0.00	0.00	0.00	0.00	0.00	0.00	0.00	0.00	-1.00	-0.30
71	CC 27 - Amb. 1 (SLU S) S -Mt-0.3X+Y-0.3Z	SLV	L	N	1.00	1.00	0.00	0.00	0.00	0.00	0.00	0.00	0.00	0.00	0.00	0.00	0.00	0.00	0.00	0.00	0.00	0.00	-1.00	-0.30
72	CC 28 - Amb. 1 (SLE) S -Mt-0.3X+Y-0.3Z	SLD	L	N	1.00	1.00	0.00	0.00	0.00	0.00	0.00	0.00	0.00	0.00	0.00	0.00	0.00	0.00	0.00	0.00	0.00	0.00	-1.00	-0.30

73	CC 29 - Amb. 1 (SLU S) S -Mt+0.3X-Y+0.3Z	SLV	L	N	1.00	1.00	0.00	0.00	0.00	0.00	0.00	0.00	0.00	0.00	0.00	0.00	0.00	0.00	0.00	0.00	0.00	0.00	-1.00	0.30
74	CC 30 - Amb. 1 (SLE) S -Mt+0.3X-Y+0.3Z	SLD	L	N	1.00	1.00	0.00	0.00	0.00	0.00	0.00	0.00	0.00	0.00	0.00	0.00	0.00	0.00	0.00	0.00	0.00	0.00	-1.00	0.30
75	CC 29 - Amb. 1 (SLU S) S -Mt+0.3X-Y-0.3Z	SLV	L	N	1.00	1.00	0.00	0.00	0.00	0.00	0.00	0.00	0.00	0.00	0.00	0.00	0.00	0.00	0.00	0.00	0.00	0.00	-1.00	0.30
76	CC 30 - Amb. 1 (SLE) S -Mt+0.3X-Y-0.3Z	SLD	L	N	1.00	1.00	0.00	0.00	0.00	0.00	0.00	0.00	0.00	0.00	0.00	0.00	0.00	0.00	0.00	0.00	0.00	0.00	-1.00	0.30
77	CC 31 - Amb. 1 (SLU S) S -Mt-0.3X-Y+0.3Z	SLV	L	N	1.00	1.00	0.00	0.00	0.00	0.00	0.00	0.00	0.00	0.00	0.00	0.00	0.00	0.00	0.00	0.00	0.00	0.00	-1.00	-0.30
78	CC 32 - Amb. 1 (SLE) S -Mt-0.3X-Y+0.3Z	SLD	L	N	1.00	1.00	0.00	0.00	0.00	0.00	0.00	0.00	0.00	0.00	0.00	0.00	0.00	0.00	0.00	0.00	0.00	0.00	-1.00	-0.30
79	CC 31 - Amb. 1 (SLU S) S -Mt-0.3X-Y-0.3Z	SLV	L	N	1.00	1.00	0.00	0.00	0.00	0.00	0.00	0.00	0.00	0.00	0.00	0.00	0.00	0.00	0.00	0.00	0.00	0.00	-1.00	-0.30
80	CC 32 - Amb. 1 (SLE) S -Mt-0.3X-Y-0.3Z	SLD	L	N	1.00	1.00	0.00	0.00	0.00	0.00	0.00	0.00	0.00	0.00	0.00	0.00	0.00	0.00	0.00	0.00	0.00	0.00	-1.00	-0.30
81	CC 1 - Amb. 1 (SLU S) S -Mt+0.3X+0.3Y+Z	SLV	L	N	1.00	1.00	0.00	0.00	0.00	0.00	0.00	0.00	0.00	0.00	0.00	0.00	0.00	0.00	0.00	0.00	0.00	0.00	1.00	0.30
82	CC 2 - Amb. 1 (SLE) S -Mt+0.3X+0.3Y+Z	SLD	L	N	1.00	1.00	0.00	0.00	0.00	0.00	0.00	0.00	0.00	0.00	0.00	0.00	0.00	0.00	0.00	0.00	0.00	0.00	1.00	0.30
83	CC 1 - Amb. 1 (SLU S) S -Mt+0.3X-0.3Y+Z	SLV	L	N	1.00	1.00	0.00	0.00	0.00	0.00	0.00	0.00	0.00	0.00	0.00	0.00	0.00	0.00	0.00	0.00	0.00	0.00	1.00	0.30
84	CC 2 - Amb. 1 (SLE) S -Mt+0.3X-0.3Y+Z	SLD	L	N	1.00	1.00	0.00	0.00	0.00	0.00	0.00	0.00	0.00	0.00	0.00	0.00	0.00	0.00	0.00	0.00	0.00	0.00	1.00	0.30
85	CC 3 - Amb. 1 (SLU S) S -Mt-0.3X-0.3Y+Z	SLV	L	N	1.00	1.00	0.00	0.00	0.00	0.00	0.00	0.00	0.00	0.00	0.00	0.00	0.00	0.00	0.00	0.00	0.00	0.00	1.00	-0.30
86	CC 4 - Amb. 1 (SLE) S -Mt-0.3X-0.3Y+Z	SLD	L	N	1.00	1.00	0.00	0.00	0.00	0.00	0.00	0.00	0.00	0.00	0.00	0.00	0.00	0.00	0.00	0.00	0.00	0.00	1.00	-0.30
87	CC 3 - Amb. 1 (SLU S) S -Mt-0.3X+0.3Y+Z	SLV	L	N	1.00	1.00	0.00	0.00	0.00	0.00	0.00	0.00	0.00	0.00	0.00	0.00	0.00	0.00	0.00	0.00	0.00	0.00	1.00	-0.30
88	CC 4 - Amb. 1 (SLE) S -Mt-0.3X+0.3Y+Z	SLD	L	N	1.00	1.00	0.00	0.00	0.00	0.00	0.00	0.00	0.00	0.00	0.00	0.00	0.00	0.00	0.00	0.00	0.00	0.00	1.00	-0.30
89	CC 1 - Amb. 1 (SLU S) S -Mt+0.3X+0.3Y-Z	SLV	L	N	1.00	1.00	0.00	0.00	0.00	0.00	0.00	0.00	0.00	0.00	0.00	0.00	0.00	0.00	0.00	0.00	0.00	0.00	1.00	0.30
90	CC 2 - Amb. 1 (SLE) S -Mt+0.3X+0.3Y-Z	SLD	L	N	1.00	1.00	0.00	0.00	0.00	0.00	0.00	0.00	0.00	0.00	0.00	0.00	0.00	0.00	0.00	0.00	0.00	0.00	1.00	0.30
91	CC 1 - Amb. 1 (SLU S) S -Mt+0.3X-0.3Y-Z	SLV	L	N	1.00	1.00	0.00	0.00	0.00	0.00	0.00	0.00	0.00	0.00	0.00	0.00	0.00	0.00	0.00	0.00	0.00	0.00	1.00	0.30
92	CC 2 - Amb. 1 (SLE) S -Mt+0.3X-0.3Y-Z	SLD	L	N	1.00	1.00	0.00	0.00	0.00	0.00	0.00	0.00	0.00	0.00	0.00	0.00	0.00	0.00	0.00	0.00	0.00	0.00	1.00	0.30
93	CC 3 - Amb. 1 (SLU S) S -Mt-0.3X-0.3Y-Z	SLV	L	N	1.00	1.00	0.00	0.00	0.00	0.00	0.00	0.00	0.00	0.00	0.00	0.00	0.00	0.00	0.00	0.00	0.00	0.00	1.00	-0.30
94	CC 4 - Amb. 1 (SLE) S -Mt-0.3X-0.3Y-Z	SLD	L	N	1.00	1.00	0.00	0.00	0.00	0.00	0.00	0.00	0.00	0.00	0.00	0.00	0.00	0.00	0.00	0.00	0.00	0.00	1.00	-0.30
95	CC 3 - Amb. 1 (SLU S) S -Mt-0.3X+0.3Y-Z	SLV	L	N	1.00	1.00	0.00	0.00	0.00	0.00	0.00	0.00	0.00	0.00	0.00	0.00	0.00	0.00	0.00	0.00	0.00	0.00	1.00	-0.30
96	CC 4 - Amb. 1 (SLE) S -Mt-0.3X+0.3Y-Z	SLD	L	N	1.00	1.00	0.00	0.00	0.00	0.00	0.00	0.00	0.00	0.00	0.00	0.00	0.00	0.00	0.00	0.00	0.00	0.00	1.00	-0.30
97	SLU	SLU	L	N	1.35	1.50	0.00	0.00	0.00	0.00	0.00	0.00	0.00	0.00	0.00	0.00	0.00	0.00	0.00	0.00	0.00	1.00	0.00	0.00	0.00
98	SLU	SLU	L	N	1.35	1.50	0.00	0.00	0.00	0.00	0.00	0.00	0.00	0.00	0.00	0.00	0.00	0.00	0.00	0.00	0.00	-1.00	0.00	0.00	0.00
99	SLU	SLU	L	N	1.35	1.50	0.00	0.00	0.00	0.00	0.00	0.00	0.00	0.00	0.00	0.00	0.00	0.00	0.00	0.00	0.00	0.00	1.00	0.00	0.00
100	SLU	SLU	L	N	1.35	1.50	0.00	0.00	0.00	0.00	0.00	0.00	0.00	0.00	0.00	0.00	0.00	0.00	0.00	0.00	0.00	0.00	-1.00	0.00	0.00
101	SLE	SLE F	L	N	1.00	1.00	0.00	0.00	0.00	0.00	0.00	0.00	0.00	0.00	0.00	0.00	0.00	0.00	0.00	0.00	0.00	1.00	0.00	0.00	0.00
102	SLE	SLE F	L	N	1.00	1.00	0.00	0.00	0.00	0.00	0.00	0.00	0.00	0.00	0.00	0.00	0.00	0.00	0.00	0.00	0.00	-1.00	0.00	0.00	0.00
103	SLE	SLE F	L	N	1.00	1.00	0.00	0.00	0.00	0.00	0.00	0.00	0.00	0.00	0.00	0.00	0.00	0.00	0.00	0.00	0.00	1.00	0.00	0.00	0.00
104	SLE	SLE F	L	N	1.00	1.00	0.00	0.00	0.00	0.00	0.00	0.00	0.00	0.00	0.00	0.00	0.00	0.00	0.00	0.00	0.00	0.00	-1.00	0.00	0.00

Elenco baricentri e masse impalcati

Simbologia

Imp. = Numero dell'impalcato
X = Coordinata X
Y = Coordinata Y
Z = Coordinata Z
Mo = Massa orizzontale
Jpz = Momento d'inerzia polare intorno all'asse Z

Imp.	X <m>	Y <m>	Z <m>	Mo <kg>	Jpz <kg*mq>
1	7.50	2.04	1.30	19546.40	1192890.00

Imp.	X <m>	Y <m>	Z <m>	Mo <kg>	Jpz <kg*mq>
2	7.50	2.04	2.20	73474.00	2296250.00

Totali masse impalcati

Mo <kg>	Jpz <kg*mq>
93020.40	3489140.00

Elenco masse nodi

Simbologia
Nodo = Numero del nodo
Mz = Massa in dir. Z

Nodo	Mz <kg>	Nodo	Mz <kg>	Nodo	Mz <kg>	Nodo	Mz <kg>	Nodo	Mz <kg>	Nodo	Mz <kg>	Nodo	Mz <kg>	Nodo	Mz <kg>
-2220	63.00	-2219	47.40	-2218	63.20	-2217	31.60	-2216	31.60	-2215	31.60	-2214	63.20	-2213	47.25
-2212	31.50	-2211	47.25	-2210	63.00	-2209	63.00	-2208	63.00	-2207	63.00	-2206	31.50	-2205	63.00
-2204	63.10	-2203	63.10	-2202	47.40	-2201	31.60	-2200	47.40	-2199	63.20	-2198	63.20	-2197	63.20
-2196	63.20	-2195	47.40	-2194	31.60	-2193	31.60	-2192	31.60	-2191	31.60	-2190	31.60	-2189	31.60
-2188	47.40	-2187	63.20	-2186	63.20	-2185	63.20	-2184	63.20	-2183	47.40	-2182	31.60	-2181	47.25
-2180	31.50	-2179	47.25	-2178	63.00	-2177	63.00	-2176	63.00	-2175	63.00	-2174	31.50	-2173	31.50
-2172	63.00	-2171	63.00	-2170	63.00	-2169	63.00	-2168	63.00	-2167	47.25	-2166	31.50	-2165	47.25
-2164	63.10	-2163	47.40	-2162	31.60	-2161	47.40	-2160	63.20	-2159	63.20	-2158	63.20	-2157	63.20
-2156	63.20	-2155	47.40	-2154	31.60	-2153	31.60	-2152	31.60	-2151	31.60	-2150	31.60	-2149	31.60
-2148	31.60	-2147	31.60	-2146	31.60	-2145	47.40	-2144	63.20	-2143	63.20	-2142	63.20	-2141	63.20
-2140	63.20	-2139	47.40	-2138	31.60	-2137	47.40	-2136	63.10	-2135	47.25	-2134	31.50	-2133	47.25
-2132	63.00	-2131	63.00	-2130	63.00	-2129	63.00	-2128	63.00	-2127	31.50	-2126	8.30	-2125	8.30
-2124	8.30	-2123	8.30	-2122	7.51	-2121	7.51	-2120	7.51	-2119	53.89	-2118	7.51	-2117	53.89
-2116	53.89	-2115	53.89	-2114	23.92	-2113	23.92	-2112	23.92	-2111	23.92	-2110	24.10	-2109	24.10
-2108	24.10	-2107	28.03	-2106	24.10	-2105	28.03	-2104	24.10	-2103	24.10	-2102	48.20	-2101	48.20
-2100	48.20	-2099	48.20	-2098	24.10	-2097	24.10	-2096	24.10	-2095	24.10	-2094	24.49	-2093	54.68
-2092	24.49	-2091	54.68	-2090	24.49	-2089	54.68	-2088	24.49	-2087	54.68	-2086	27.46	-2085	27.46
-2084	27.46	-2083	36.15	-2082	47.91	-2081	36.15	-2080	47.91	-2079	36.15	-2078	36.15	-2077	48.48
-2076	36.15	-2075	48.48	-2074	24.10	-2073	24.10	-2072	24.10	-2071	130.01	-2070	36.15	-2069	103.41
-2068	24.10	-2067	130.35	-2066	36.15	-2065	54.52	-2064	48.48	-2063	108.40	-2062	48.48	-2061	27.46
-2060	8.27	-2059	8.30	-2058	8.30	-2057	8.27	-2056	12.44	-2055	12.44	-2054	16.59	-2053	16.59
-2052	16.59	-2051	16.59	-2050	16.59	-2049	12.44	-2048	8.30	-2047	8.30	-2046	8.30	-2045	8.30
-2044	12.44	-2043	16.59	-2042	16.59	-2041	16.59	-2040	16.59	-2039	16.59	-2038	12.44	-2037	12.44
-2036	16.56	-2035	12.40	-2034	12.40	-2033	16.54	-2032	16.54	-2031	16.54	-2030	16.54	-2029	16.54
-2028	8.27	-2027	16.54	-2026	16.54	-2025	16.54	-2024	16.54	-2023	16.54	-2022	12.40	-2021	12.40
-2020	16.56	-2019	8.30	-2018	8.27	-2017	7.48	-2016	7.51	-2015	7.51	-2014	7.48	-2013	11.26
-2012	11.26	-2011	15.01	-2010	15.01	-2009	15.01	-2008	15.01	-2007	15.01	-2006	11.26	-2005	7.51
-2004	7.51	-2003	7.51	-2002	7.51	-2001	11.26	-2000	15.01	-1999	15.01	-1998	15.01	-1997	15.01
-1996	15.01	-1995	11.26	-1994	11.26	-1993	7.51	-1992	14.99	-1991	11.22	-1990	11.22	-1989	14.96
-1988	14.96	-1987	14.96	-1986	14.96	-1985	14.96	-1984	7.48	-1983	14.96	-1982	14.96	-1981	14.96
-1980	14.96	-1979	14.96	-1978	11.22	-1977	11.22	-1976	14.99	-1975	7.48	-1974	24.10	-1973	28.03
-1972	24.02	-1971	48.33	-1970	36.03	-1969	24.02	-1968	36.03	-1967	47.76	-1966	48.05	-1965	27.94
-1964	53.72	-1963	23.85	-1962	24.02	-1961	54.51	-1960	24.41	-1959	27.37	-1958	24.02	-1957	53.89
-1956	23.92	-1955	24.10	-1954	36.15	-1953	47.91	-1952	24.10	-1951	24.49	-1950	54.68	-1949	48.20
-1948	27.46	-1947	24.10	-1946	48.48	-1945	36.15	-1944	28.03	-1943	24.10	-1942	53.89	-1941	23.92
-1940	24.10	-1939	28.03	-1938	24.10	-1937	48.20	-1936	24.10	-1935	24.49	-1934	54.68	-1933	54.51
-1932	24.41	-1931	24.02	-1930	27.37	-1929	48.33	-1928	36.03	-1927	47.76	-1926	48.05	-1925	24.02
-1924	27.46	-1923	48.48	-1922	53.72	-1921	23.85	-1920	36.15	-1919	24.10	-1918	36.15	-1917	47.91
-1916	36.03	-1915	24.02	-1914	27.94	-1913	24.02	-1912	28.03	-1911	24.10	-1910	36.03	-1909	36.03
-1908	48.05	-1907	48.05	-1906	48.05	-1905	48.05	-1904	48.05	-1903	24.02	-1902	24.02	-1901	48.05
-1900	48.05	-1899	48.05	-1898	48.05	-1897	48.05	-1896	36.03	-1895	36.03	-1894	36.15	-1893	36.15
-1892	48.20	-1891	48.20	-1890	48.20	-1889	48.20	-1888	48.20	-1887	36.15	-1886	24.10	-1885	24.10
-1884	24.10	-1883	24.10	-1882	24.10	-1881	36.15	-1880	48.20	-1879	48.20	-1878	48.20	-1877	48.20
-1876	48.20	-1875	36.15	-1874	48.12	-1873	36.15	-1872	24.02	-1871	48.05	-1870	48.05	-1869	48.05
-1868	48.05	-1867	36.15	-1866	28.09	-1865	28.09	-1864	41.82	-1863	97.44	-1862	27.46	-1861	55.55
-1860	49.45	-1859	96.31	-1858	55.55	-1857	55.55	-1856	55.55	-1855	49.45	-1854	37.25	-1853	55.55
-1852	55.55	-1851	55.55	-1850	55.46	-1849	36.15	-1848	56.59	-1847	23.92	-1846	48.20	-1845	55.55
-1844	55.55	-1843	55.55	-1842	28.03	-1841	37.25	-1840	55.38	-1839	41.82	-1838	41.82	-1837	41.82
-1836	41.82	-1835	72.50	-1834	48.54	-1833	48.54	-1832	48.54	-1831	48.54	-1830	72.50	-1829	96.46
-1828	96.46	-1827	96.46	-1826	96.46	-1825	96.46	-1824	72.50	-1823	72.50	-1822	104.59	-1821	82.65
-1820	109.98	-1819	109.98	-1818	109.98	-1817	131.93	-1816	109.98	-1815	82.65	-1814	55.31	-1813	55.31
-1812	55.31	-1811	55.31	-1810	82.65	-1809	109.98	-1808	131.93	-1807	109.98	-1806	109.98	-1805	109.98
-1804	82.65	-1803	104.59	-1802	73.35	-1801	73.35	-1800	97.59	-1799	97.59	-1798	97.59	-1797	97.59
-1796	97.59	-1795	73.35	-1794	49.11	-1793	49.11	-1792	49.11	-1791	49.11	-1790	73.35	-1789	97.59
-1788	97.59	-1787	97.59	-1786	97.59	-1785	97.59	-1784	73.35	-1783	73.35	-1782	37.36	-1781	37.36
-1780	49.61	-1779	49.61	-1778	49.61	-1777	49.61	-1776	49.61	-1775	37.36	-1774	25.12	-1773	25.12
-1772	25.12	-1771	25.12	-1770	37.36	-1769	49.61	-1768	49.61	-1767	49.61	-1766	49.61	-1765	49.61
-1764	37.36	-1763	37.36	-1762	36.15	-1761	81.46	-1760	108.40	-1759	108.40	-1758	108.40	-1757	108.40
-1756	81.46	-1755	54.52	-1754	54.52	-1753	54.52	-1752	81.46	-1751	108.40	-1750	130.35	-1749	108.40
-1748	108.40	-1747	81.46	-1746	103.41	-1745	36.51	-1744	36.51	-1743	48.47	-1742	48.47	-1741	48.47
-1740	48.47	-1739	48.47	-1738	36.51	-1737	24.55	-1736	24.55	-1735	24.55	-1734	24.55	-1733	36.51
-1732	48.47	-1731	48.47	-1730	48.47	-1729	48.47	-1728	48.47	-1727	36.51	-1726	36.51	-1725	54.85
-1724	54.85	-1723	72.92	-1722	72.92	-1721	72.92	-1720	72.92	-1719	72.92	-1718	54.85	-1717	36.78
-1716	36.78	-1715	36.78	-1714	36.78	-1713	54.85	-1712	72.92	-1711	72.92	-1710	72.92	-1709	72.92
-1708	72.92	-1707	54.85	-1706	54.85	-1705	42.67	-1704	42.67	-1703	56.68	-1702	56.68	-1701	56.68
-1700	56.68	-1699	47.91	-1698	72.50	-1697	55.38	-1696	55.38	-1695	41.82	-1694	28.09	-1693	28.09
-1692	72.50	-1691	96.46	-1690	55.38	-1689	76.46	-1688	96.46	-1687	109.81	-1686	108.23	-1685	55.38
-1684	49.45	-1683	49.45	-1682	49.45	-1681	81.21	-1680	81.21	-1679	108.07	-1678	130.01	-1677	108.07
-1676	108.07	-1675	108.07	-1674	72.70	-1673	72.70	-1672	96.72	-1671	96.72	-1670	96.72	-1669	96.72
-1668	96.72	-1667	54.68	-1666	54.68	-1665	72.70	-1664	72.70	-1663	72.70	-1662	72.70	-1661	72.70

-1660	36.40	-1659	36.40	-1658	48.32	-1657	48.32	-1656	48.32	-1655	48.32	-1654	48.32	-1653	42.54
-1652	42.54	-1651	56.51	-1650	56.51	-1649	56.51	-1648	56.51	-1647	56.51	-1646	54.68	-1645	54.68
-1644	72.70	-1643	72.70	-1642	72.70	-1641	72.70	-1640	72.70	-1639	72.27	-1638	72.28	-1637	96.16
-1636	96.16	-1635	96.16	-1634	96.16	-1633	96.16	-1632	73.12	-1631	73.12	-1630	97.29	-1629	97.29
-1628	97.29	-1627	97.29	-1626	97.29	-1625	82.39	-1624	82.39	-1623	109.64	-1622	131.59	-1621	109.64
-1620	109.64	-1619	109.64	-1618	41.69	-1617	55.14	-1616	48.96	-1615	48.39	-1614	36.66	-1613	28.57
-1612	24.48	-1611	36.66	-1610	48.68	-1609	54.35	-1608	25.04	-1607	28.00	-1606	109.64	-1605	109.64
-1604	109.64	-1603	131.59	-1602	109.64	-1601	82.39	-1600	82.39	-1599	97.29	-1598	97.29	-1597	97.29
-1596	97.29	-1595	97.29	-1594	73.12	-1593	73.12	-1592	96.16	-1591	96.16	-1590	96.16	-1589	96.16
-1588	96.16	-1587	72.27	-1586	72.27	-1585	72.70	-1584	72.70	-1583	72.70	-1582	72.70	-1581	72.70
-1580	54.68	-1579	54.68	-1578	56.51	-1577	56.51	-1576	56.51	-1575	56.51	-1574	56.51	-1573	42.54
-1572	42.54	-1571	48.32	-1570	48.32	-1569	48.32	-1568	48.32	-1567	48.32	-1566	36.40	-1565	36.40
-1564	72.70	-1563	72.70	-1562	72.70	-1561	72.70	-1560	72.70	-1559	54.68	-1558	54.68	-1557	96.72
-1556	96.72	-1555	96.72	-1554	96.72	-1553	96.72	-1552	72.70	-1551	72.70	-1550	108.07	-1549	108.07
-1548	108.07	-1547	47.91	-1546	108.07	-1545	81.21	-1544	81.21	-1543	49.45	-1542	49.45	-1541	49.45
-1540	108.23	-1539	109.81	-1538	48.05	-1537	56.59	-1536	55.46	-1535	48.48	-1534	96.31	-1533	77.25
-1532	47.91	-1531	97.44	-1530	36.03	-1529	36.03	-1528	24.02	-1527	48.05	-1526	48.05	-1525	48.05
-1524	48.05	-1523	48.05	-1522	36.03	-1521	36.03	-1520	24.02	-1519	48.05	-1518	48.05	-1517	48.05
-1516	36.03	-1515	36.03	-1514	48.05	-1513	48.05	-1512	48.05	-1511	48.05	-1510	48.05	-1509	24.02
-1508	36.15	-1507	36.15	-1506	48.20	-1505	48.20	-1504	48.20	-1503	48.20	-1502	48.20	-1501	36.15
-1500	24.10	-1499	24.10	-1498	24.10	-1497	56.68	-1496	42.67	-1495	28.66	-1494	28.66	-1493	28.66
-1492	28.66	-1491	42.67	-1490	48.05	-1489	24.10	-1488	36.15	-1487	48.20	-1486	48.20	-1485	48.20
-1484	48.20	-1483	48.20	-1482	56.68	-1481	56.68	-1480	56.68	-1479	56.68	-1478	56.68	-1477	42.67
-1476	42.67	-1475	54.85	-1474	54.85	-1473	72.92	-1472	72.92	-1471	72.92	-1470	72.92	-1469	72.92
-1468	54.85	-1467	36.78	-1466	36.78	-1465	36.78	-1464	36.78	-1463	54.85	-1462	72.92	-1461	36.15
-1460	72.92	-1459	72.92	-1458	36.15	-1457	24.10	-1456	72.92	-1455	72.92	-1454	54.85	-1453	54.85
-1452	72.92	-1451	36.03	-1450	72.92	-1449	97.02	-1448	97.02	-1447	36.03	-1446	97.02	-1445	97.02
-1444	48.05	-1443	97.02	-1442	72.92	-1441	48.83	-1440	48.05	-1439	48.83	-1438	48.83	-1437	48.05
-1436	48.83	-1435	72.92	-1434	97.02	-1433	97.02	-1432	97.02	-1431	97.02	-1430	97.02	-1429	72.92
-1428	72.92	-1427	28.00	-1426	25.04	-1425	54.35	-1424	48.68	-1423	36.66	-1422	24.48	-1421	28.57
-1420	36.66	-1419	48.39	-1418	48.96	-1417	55.14	-1416	41.69	-1415	41.69	-1414	41.69	-1413	24.49
-1412	96.46	-1411	96.46	-1410	96.46	-1409	48.05	-1408	48.05	-1407	24.02	-1406	36.15	-1405	36.15
-1404	48.20	-1403	48.20	-1402	48.20	-1401	48.20	-1400	48.20	-1399	36.15	-1398	24.10	-1397	24.10
-1396	24.10	-1395	24.10	-1394	36.15	-1393	48.20	-1392	48.20	-1391	48.20	-1390	48.20	-1389	48.20
-1388	36.15	-1387	36.15	-1386	24.10	-1385	48.12	-1384	36.15	-1383	36.15	-1382	48.20	-1381	48.20
-1380	48.20	-1379	48.20	-1378	48.20	-1377	36.15	-1376	24.10	-1375	24.10	-1374	24.10	-1373	24.10
-1372	24.10	-1371	36.15	-1370	48.20	-1369	48.20	-1368	48.20	-1367	55.38	-1366	55.38	-1365	55.38
-1364	55.38	-1363	55.38	-1362	37.25	-1361	48.20	-1360	48.20	-1359	36.15	-1358	36.15	-1357	48.12
-1356	37.25	-1355	49.45	-1354	24.02	-1353	48.05	-1352	49.45	-1351	48.05	-1350	48.05	-1349	48.05
-1348	48.05	-1347	36.03	-1346	36.03	-1345	36.03	-1344	48.12	-1343	36.03	-1342	48.05	-1334	6.26
-1332	6.26	-1331	6.26	-1330	6.26	-1329	6.26	-1328	6.26	-1327	6.26	-1326	6.26	-1322	6.26
-1320	6.26	-1317	6.26	-1316	6.26	-1315	6.26	-1314	6.26	-1309	6.26	-1308	6.26	-1307	6.26
-1306	6.26	-1305	6.26	-1304	6.26	-1303	6.26	-1302	6.26	-1301	6.26	-1300	6.26	-1299	6.26
-1298	6.26	-1297	6.26	-1296	6.26	-1295	6.26	-1293	6.26	-1289	6.26	-1288	6.26	-1287	6.26
-1286	6.26	-1285	6.26	-1284	6.26	-1283	6.26	-1282	6.26	-1281	6.26	-1280	6.26	-1279	6.26
-1278	6.26	-1277	6.26	-1275	6.26	-1273	18.25	-1272	18.25	-1271	9.88	-1270	9.88	-1269	15.93
-1225	15.93	-1224	11.72	-1223	13.11	-1222	13.11	-1221	13.11	-1220	13.11	-1219	9.99	-1218	6.24
-1217	9.99	-1216	15.25	-1215	6.26	-1214	10.02	-1213	13.15	-1212	13.15	-1211	13.15	-1210	13.15
-1209	10.02	-1208	6.89	-1207	6.89	-1206	6.89	-1205	6.89	-1204	10.02	-1203	13.15	-1202	13.15
-1201	13.15	-1200	13.15	-1199	10.02	-1198	6.26	-1197	15.25	-1196	9.99	-1195	6.24	-1194	9.99
-1193	13.11	-1192	13.11	-1191	13.11	-1190	13.11	-1189	11.72	-1188	38.92	-1187	11.72	-1186	13.11
-1185	13.11	-1184	13.11	-1183	13.11	-1182	13.11	-1181	9.99	-1180	6.24	-1179	9.99	-1178	10.02
-1177	6.26	-1176	10.02	-1175	13.15	-1174	13.15	-1173	13.15	-1172	13.15	-1171	13.15	-1170	10.02
-1169	6.89	-1168	6.89	-1167	6.26	-1166	6.89	-1165	6.89	-1164	10.02	-1163	13.15	-1162	13.15
-1161	13.15	-1160	13.15	-1159	13.15	-1158	10.02	-1157	6.26	-1156	10.02	-1155	9.99	-1154	6.24
-1153	9.99	-1152	13.11	-1151	13.11	-1150	13.11	-1149	13.11	-1148	13.11	-1147	11.72	-1146	38.92
-1145	25.48	-1103	25.48	-1102	34.49	-1101	11.72	-1100	13.11	-1099	13.11	-1098	13.11	-1097	13.11
-1096	13.11	-1095	9.99	-1094	6.24	-1093	9.99	-1092	15.59	-1091	10.02	-1090	6.26	-1089	10.02
-1088	13.15	-1087	13.15	-1086	13.15	-1085	13.15	-1084	13.15	-1083	10.02	-1082	6.89	-1081	6.89
-1080	6.26	-1079	6.89	-1078	6.89	-1077	10.02	-1076	13.15	-1075	13.15	-1074	13.15	-1073	13.15
-1072	13.15	-1071	10.02	-1070	6.26	-1069	10.02	-1068	15.59	-1067	9.99	-1066	6.24	-1065	9.99
-1064	13.11	-1063	13.11	-1062	13.11	-1061	13.11	-1060	13.11	-1059	11.72	-1058	34.49	-1057	25.48
-1047	2.11	-1023	2.11	-1013	25.48	-1012	43.08	-1011	11.72	-1010	13.11	-1009	13.11	-1008	13.11
-1007	13.11	-1006	13.11	-1005	9.99	-1004	6.24	-1003	9.99	-1002	10.02	-1001	6.26	-1000	10.02
-999	13.15	-998	13.15	-997	13.15	-996	13.15	-995	13.15	-994	10.02	-993	6.89	-992	6.89
-991	6.26	-990	6.89	-989	6.89	-988	10.02	-987	13.15	-986	13.15	-985	13.15	-984	13.15
-983	13.15	-982	10.02	-981	6.26	-980	10.02	-979	9.99	-978	6.24	-977	9.99	-976	13.11
-975	13.11	-974	13.11	-973	13.11	-972	13.11	-971	11.72	-970	43.08	-969	55.52	-968	11.72
-967	13.11	-966	13.11	-965	13.11	-964	13.11	-963	13.11	-962	9.99	-961	6.24	-960	9.99
-959	17.34	-958	10.02	-957	6.26	-956	10.02	-955	13.15	-954	13.15	-953	13.15	-952	13.15
-951	13.15	-950	10.02	-949	6.89	-948	6.89	-947	6.26	-946	6.89	-945	6.89	-944	10.02
-943	13.15	-942	13.15	-941	13.15	-940	13.15	-939	13.15	-938	10.02	-937	6.26	-936	10.02
-935	17.34	-934	9.99	-933	6.24	-932	9.99	-931	13.11	-930	13.11	-929	13.11	-928	13.11
-927	13.11	-926	11.72	-925	55.52	-924	55.82	-923	11.72	-922	13.11	-921	13.11	-920	13.11
-919	13.11	-918	13.11	-917	9.99	-916	6.24	-915	9.99	-914	10.02	-913	6.26	-912	10.02
-911	13.15	-910	13.15	-909	13.15	-908	13.15	-907	13.15	-906	10.02	-905	6.89	-904	6.89
-903	6.26	-902	6.89	-901	6.89	-900	10.02	-899	13.15	-898	13.15	-897	13.15	-896	13.15
-895	13.15	-894	10.02	-893	6.26	-892	10.02	-891	9.99	-890	6.24	-889	9.99	-888	13.11
-887	13.11	-886	13.11	-885	13.11	-884	13.11	-883	11.72	-882	55.82	-881	56.12	-880	11.72

-879	13.11	-878	13.11	-877	13.11	-876	13.11	-875	13.11	-874	9.99	-873	6.24	-872	9.99
-871	17.39	-870	10.02	-869	6.26	-868	10.02	-867	13.15	-866	13.15	-865	13.15	-864	13.15
-863	13.15	-862	10.02	-861	6.89	-860	6.89	-859	6.26	-858	6.89	-857	6.89	-856	10.02
-855	13.15	-854	13.15	-853	13.15	-852	13.15	-851	13.15	-850	10.02	-849	6.26	-848	10.02
-847	17.39	-846	9.99	-845	6.24	-844	9.99	-843	13.11	-842	13.11	-841	13.11	-840	13.11
-839	13.11	-838	11.72	-837	56.12	-836	43.08	-835	11.72	-834	13.11	-833	13.11	-832	13.11
-831	13.11	-830	13.11	-829	9.99	-828	6.24	-827	9.99	-826	10.02	-825	6.26	-824	10.02
-823	13.15	-822	13.15	-821	13.15	-820	13.15	-819	13.15	-818	10.02	-817	6.89	-816	6.89
-815	6.26	-814	6.89	-813	6.89	-812	10.02	-811	13.15	-810	13.15	-809	13.15	-808	13.15
-807	13.15	-806	10.02	-805	6.26	-804	10.02	-803	9.99	-802	6.24	-801	9.99	-800	13.11
-799	13.11	-798	13.11	-797	13.11	-796	13.11	-795	11.72	-794	43.08	-793	25.48	-783	2.11
-759	2.11	-749	25.48	-748	33.89	-747	11.72	-746	13.11	-745	13.11	-744	13.11	-743	13.11
-742	13.11	-741	9.99	-740	6.24	-739	9.99	-738	15.54	-737	10.02	-736	6.26	-735	10.02
-734	13.15	-733	13.15	-732	13.15	-731	13.15	-730	13.15	-729	10.02	-728	6.89	-727	6.89
-726	6.26	-725	6.89	-724	6.89	-723	10.02	-722	13.15	-721	13.15	-720	13.15	-719	13.15
-718	13.15	-717	10.02	-716	6.26	-715	10.02	-714	15.54	-713	9.99	-712	6.24	-711	9.99
-710	13.11	-709	13.11	-708	13.11	-707	13.11	-706	13.11	-705	11.72	-704	33.89	-703	25.48
-661	25.48	-660	39.52	-659	11.72	-658	13.11	-657	13.11	-656	13.11	-655	13.11	-654	13.11
-653	9.99	-652	6.24	-651	9.99	-650	10.02	-649	6.26	-648	10.02	-647	13.15	-646	13.15
-645	13.15	-644	13.15	-643	13.15	-642	10.02	-641	6.89	-640	6.89	-639	6.26	-638	6.89
-637	6.89	-636	10.02	-635	13.15	-634	13.15	-633	13.15	-632	13.15	-631	13.15	-630	10.02
-629	6.26	-628	10.02	-627	9.99	-626	6.24	-625	9.99	-624	13.11	-623	13.11	-622	13.11
-621	13.11	-620	13.11	-619	11.72	-618	39.52	-617	11.72	-616	13.11	-615	13.11	-614	13.11
-613	13.11	-612	9.99	-611	6.24	-610	9.99	-609	15.25	-608	6.26	-607	10.02	-606	13.15
-605	13.15	-604	13.15	-603	13.15	-602	10.02	-601	6.89	-600	6.89	-599	6.89	-598	6.89
-597	10.02	-596	13.15	-595	13.15	-594	13.15	-593	13.15	-592	10.02	-591	6.26	-590	15.25
-589	9.99	-588	6.24	-587	9.99	-586	13.11	-585	13.11	-584	13.11	-583	13.11	-582	11.72
-581	15.93	-537	15.93	-536	9.24	-535	9.24	-534	34.56	-533	34.56	-532	55.75	-531	55.75
-530	110.38	-529	110.38	-528	219.02	-527	219.02	-526	89.19	-525	89.19	-524	103.73	-523	103.73
-522	89.19	-521	89.19	-520	233.56	-519	233.56	-518	177.34	-517	177.34	-516	278.16	-515	278.16
-514	179.44	-513	179.44	-512	233.56	-511	233.56	-510	89.19	-509	89.19	-508	101.64	-507	101.64
-506	89.19	-505	89.19	-504	221.12	-503	221.12	-502	112.61	-501	112.61	-500	55.75	-499	55.75
-498	32.33	-497	32.33	-496	39.50	-495	39.50	-494	63.71	-493	63.71	-492	126.15	-491	126.15
-490	136.29	-489	136.29	-488	101.94	-487	101.94	-486	118.55	-485	118.55	-484	101.94	-483	101.94
-482	152.91	-481	152.91	-480	202.68	-479	202.68	-478	203.87	-477	203.87	-476	205.07	-475	205.07
-474	152.91	-473	152.91	-472	101.94	-471	101.94	-470	116.16	-469	116.16	-468	101.94	-467	101.94
-466	138.69	-465	138.69	-464	128.69	-463	128.69	-462	63.71	-461	63.71	-460	36.95	-459	36.95
-420	44.44	-419	44.44	-418	71.67	-417	71.67	-416	141.91	-415	141.91	-414	153.33	-413	153.33
-412	114.68	-411	114.68	-410	133.37	-409	133.37	-408	114.68	-407	114.68	-406	172.02	-405	172.02
-404	114.68	-403	114.68	-402	114.68	-401	114.68	-400	172.02	-399	172.02	-398	114.68	-397	114.68
-396	130.68	-395	130.68	-394	114.68	-393	114.68	-392	156.02	-391	156.02	-390	144.78	-389	144.78
-388	71.67	-387	71.67	-386	41.57	-385	41.57	-384	127.35	-383	127.35	-382	135.81	-381	135.81
-380	135.86	-379	135.86	-378	135.91	-377	135.91	-376	127.35	-375	127.35	-336	34.56	-335	34.56
-334	55.75	-333	55.75	-332	110.38	-331	110.38	-330	119.25	-329	119.25	-328	89.19	-327	89.19
-326	103.73	-325	103.73	-324	89.19	-323	89.19	-322	133.79	-321	133.79	-320	177.34	-319	177.34
-318	178.39	-317	178.39	-316	179.44	-315	179.44	-314	133.79	-313	133.79	-312	89.19	-311	89.19
-310	101.64	-309	101.64	-308	89.19	-307	89.19	-306	121.35	-305	121.35	-304	112.61	-303	112.61
-302	55.75	-301	55.75	-300	32.33	-299	32.33	-298	41.48	-297	41.48	-296	66.90	-295	66.90
-294	132.45	-293	132.45	-292	143.10	-291	143.10	-290	107.03	-289	107.03	-288	124.48	-287	124.48
-286	107.03	-285	107.03	-284	160.55	-283	160.55	-282	212.81	-281	212.81	-280	214.07	-279	214.07
-278	215.32	-277	215.32	-276	160.55	-275	160.55	-274	107.03	-273	107.03	-272	121.97	-271	121.97
-270	107.03	-269	107.03	-268	145.62	-267	145.62	-266	135.13	-265	135.13	-264	66.90	-263	66.90
-262	38.80	-261	38.80	-260	55.30	-259	55.30	-258	89.19	-257	89.19	-256	176.61	-255	176.61
-254	190.81	-253	190.81	-252	142.71	-251	142.71	-250	165.97	-249	165.97	-248	142.71	-247	142.71
-246	214.07	-245	214.07	-244	283.75	-243	283.75	-242	285.42	-241	285.42	-240	287.10	-239	287.10
-238	214.07	-237	214.07	-236	142.71	-235	142.71	-234	162.62	-233	162.62	-232	142.71	-231	142.71
-230	194.16	-229	194.16	-228	180.17	-227	180.17	-226	89.19	-225	89.19	-224	51.73	-223	51.73
10	101.47	11	101.47	12	101.47	13	101.47	14	101.47	15	101.47	16	101.47	17	101.47
18	101.47	19	101.47	301	62.81	302	13.11	303	10.02	304	13.15	305	6.89	306	13.15
307	10.02	308	13.11	309	62.81	310	17.71	311	17.71	312	18.00	313	18.00	314	19.06
315	19.06	316	18.00	317	18.00	318	17.66	319	17.66	320	62.17	321	13.11	322	10.02
323	13.15	324	6.89	325	13.15	326	10.02	327	13.11	328	62.17	329	2.11	330	2.11
331	2.11	332	2.11	401	45.09	402	61.48	403	62.45	404	57.94	405	27.02	406	57.94
407	62.45	408	61.48	409	45.09	420	45.09	421	61.48	422	62.45	423	60.47	424	58.44
425	60.47	426	62.45	427	61.48	428	45.09	429	48.12	430	96.87	431	49.53	432	48.40
433	72.81	434	48.40	435	48.12	436	49.53	437	48.12	438	48.12	439	72.81	440	72.81
441	96.87	442	72.81												

Totali masse nodi

Mz <kg>
84647.90

Elenco forze sismiche di impalcato allo SLD

Simbologia

Imp. = Numero dell'impalcato
cx = Coeff. c in dir. X
cy = Coeff. c in dir. Y

Mz = Momento intorno all'asse Z

Imp.	cx	cy	Mz <daNm>
1	0.14	0.14	2674.89
2	0.86	0.86	17015.80

Totali forze sismiche

Mz <daNm>
19690.70

Elenco forze sismiche di impalcato allo SLV

Imp.	cx	cy	Mz <daNm>
1	0.14	0.14	5848.06
2	0.86	0.86	37201.40

Totali forze sismiche

Mz <daNm>
43049.50

Elenco pesi e forze fittizie impalcati

Simbologia
Imp. = Numero dell'impalcato
Peso = Peso
Fx = Forza in dir. X
Fy = Forza in dir. Y

Imp.	Peso <daN>	Fx <daN>	Fy <daN>
1	19175.00	191.75	191.75
2	473906.00	4739.06	4739.06

Elenco modi di vibrare, masse partecipanti e coefficienti di partecipazione

Simbologia
Modo = Numero del modo di vibrare
C = * indica che il modo è stato considerato
Per. = Periodo
Diff. = Minima differenza percentuale dagli altri periodi
Φx = Coefficiente di partecipazione in dir. X
Φy = Coefficiente di partecipazione in dir. Y
Φz = Coefficiente di partecipazione in dir. Z
%Mx = Percentuale massa partecipante in dir. X
%My = Percentuale massa partecipante in dir. Y
%Mz = Percentuale massa partecipante in dir. Z
%Jpz = Percentuale momento d'inerzia polare partecipante intorno all'asse Z

Modo	C	Per.	Diff.	Φx	Φy	Φz	%Mx	%My	%Mz	%Jpz
1	*	567.73	0.04	0.00	0.00	7.39	0.00	0.00	0.65	0.00
2	*	567.49	0.04	-0.00	-0.00	-0.00	0.00	0.00	0.00	0.00
3	*	566.14	0.04	0.00	-0.00	7.35	0.00	0.00	0.64	0.00
4	*	565.93	0.04	0.00	-0.00	0.00	0.00	0.00	0.00	0.00
5	*	556.53	0.00	0.00	-0.00	-5.02	0.00	0.00	0.30	0.00
6	*	556.52	0.00	0.00	0.00	5.00	0.00	0.00	0.30	0.00
Tot.cons.							0.00	0.00	1.88	0.00

Elenco coefficienti di risposta

Simbologia
Modo = Numero del modo di vibrare
Sx = Coefficiente di risposta (moltiplicato per 100) in dir. X
Sy = Coefficiente di risposta (moltiplicato per 100) in dir. Y
Sz = Coefficiente di risposta (moltiplicato per 100) in dir. Z

Stato limite di danno

Modo	Sx	Sy	Sz
1	0.00	0.00	0.00
2	0.00	0.00	0.00

3	0.00	0.00	0.00
4	0.00	0.00	0.00
5	0.00	0.00	0.00
6	0.00	0.00	0.00

Stato limite di salvaguardia della vita

Modo	Sx	Sy	Sz
1	3.21	3.21	3.21
2	3.21	3.21	3.21
3	3.21	3.21	3.21
4	3.21	3.21	3.21
5	3.21	3.21	3.21
6	3.21	3.21	3.21

Spostamenti dei nodi allo stato limite ultimo

Simbologia
Nodo = Numero del nodo
Sx = Spostamento in dir. X
CC = Numero della combinazione delle condizioni di carico elementari
Sy = Spostamento in dir. Y
Sz = Spostamento in dir. Z
Rx = Rotazione intorno all'asse X
Ry = Rotazione intorno all'asse Y
Rz = Rotazione intorno all'asse Z

Nodo		Sx <cm>	CC	Sy <cm>	CC	Sz <cm>	CC	Rx <rad>	CC	Ry <rad>	CC	Rz <rad>	CC
-2220	Max	0.09	97	0.13	99	-2858010.00	33	-384.98	33	-78.28	33	0.00	98
-2220	Min.	-0.07	102	0.04	104	-4081430.00	97	-589.24	98	-112.17	98	0.00	49
-2219	Max	0.12	97	0.18	99	-4933840.00	33	-7431.87	33	268391.00	97	-0.00	33
-2219	Min.	-0.04	102	0.08	104	-7074200.00	97	-11380.50	97	186157.00	33	-0.00	98
-2218	Max	0.12	97	0.41	99	-2844950.00	33	-392.96	33	2704.62	98	0.00	97
-2218	Min.	-0.04	102	0.23	104	-4077330.00	97	-652.98	98	1106.75	33	0.00	49
-2217	Max	0.08	97	0.36	99	-6084730.00	33	11433.60	97	208092.00	97	0.00	98
-2217	Min.	-0.07	102	0.20	104	-8866660.00	97	7986.36	33	135263.00	33	0.00	49
-2216	Max	0.05	101	0.40	99	-7813020.00	33	-15607.50	33	-4504.11	33	0.00	97
-2216	Min.	-0.11	98	0.23	104	-11528100.00	97	-26680.70	97	-8890.69	97	0.00	49
-2215	Max	0.06	101	0.41	99	-6471170.00	33	-80358.10	33	35033.40	97	0.00	33
-2215	Min.	-0.09	98	0.23	104	-9542850.00	97	-132410.00	97	22473.60	33	0.00	97
-2214	Max	0.02	101	0.35	99	-2694560.00	33	284.88	98	617.72	33	0.00	33
-2214	Min.	-0.15	98	0.19	104	-3846240.00	97	178.29	33	-606.10	33	0.00	98
-2213	Max	0.04	101	0.19	99	-4930830.00	33	-7426.92	33	266518.00	97	0.00	33
-2213	Min.	-0.14	98	0.09	104	-7069080.00	97	-11368.70	97	184899.00	33	-0.00	97
-2212	Max	0.04	101	0.17	99	-6314480.00	33	-87445.40	33	-4258.85	33	0.00	97
-2212	Min.	-0.14	98	0.07	104	-9061970.00	97	-132307.00	97	-6144.53	97	0.00	49
-2211	Max	0.04	101	0.16	99	-4770480.00	33	-6968.56	33	-184657.00	33	0.00	97
-2211	Min.	-0.14	98	0.07	104	-6837770.00	97	-10666.00	97	-266162.00	97	0.00	49
-2210	Max	0.06	101	0.15	99	-2142080.00	33	2506.48	97	45980.30	97	0.00	33
-2210	Min.	-0.11	98	0.06	104	-3049790.00	97	1637.60	33	31896.30	33	0.00	97
-2209	Max	0.07	101	0.13	99	-2857960.00	33	-384.91	33	115.19	97	0.00	33
-2209	Min.	-0.09	98	0.04	104	-4081360.00	97	-589.14	97	80.39	33	0.00	97
-2208	Max	0.07	101	0.09	99	-2712020.00	33	138.50	98	-3163.30	33	0.00	33
-2208	Min.	-0.09	98	0.02	104	-3870970.00	97	90.49	33	-4560.38	97	0.00	97
-2207	Max	0.07	101	0.07	99	-2724390.00	33	-21.33	33	2583.92	97	0.00	33
-2207	Min.	-0.09	98	0.00	104	-3888820.00	97	-32.65	99	1792.27	33	0.00	98
-2206	Max	0.08	97	0.05	99	-2725600.00	33	-2.35	33	476.21	97	0.00	97
-2206	Min.	-0.08	102	-0.01	104	-3890550.00	97	-3.60	99	330.13	33	0.00	49
-2205	Max	0.08	101	0.05	99	-2731520.00	33	8.07	100	-753.18	33	0.00	33
-2205	Min.	-0.08	98	-0.01	104	-3899080.00	97	5.27	33	-1085.66	98	0.00	98
-2204	Max	0.05	101	0.21	99	-1545020.00	33	5068.86	97	959.53	97	0.00	97
-2204	Min.	-0.11	98	0.10	104	-2189980.00	97	3310.75	33	660.88	33	0.00	49
-2203	Max	0.11	97	0.21	99	-1544950.00	33	5068.47	97	-654.01	33	0.00	33
-2203	Min.	-0.05	102	0.10	104	-2189880.00	97	3310.49	33	-949.67	97	-0.00	98
-2202	Max	0.04	101	0.18	99	-4933810.00	33	-7431.98	33	-186159.00	33	0.00	97
-2202	Min.	-0.12	98	0.08	104	-7074160.00	97	-11380.70	97	-268393.00	97	0.00	49
-2201	Max	0.05	101	0.20	99	-6343160.00	33	-87882.40	33	6202.12	97	0.00	33
-2201	Min.	-0.11	98	0.09	104	-9105010.00	97	-133027.00	97	4288.23	33	0.00	97
-2200	Max	0.05	101	0.22	99	-4772640.00	33	-6975.93	33	268062.00	97	0.00	33
-2200	Min.	-0.10	98	0.11	104	-6842640.00	97	-10681.60	97	185922.00	33	-0.00	97
-2199	Max	0.02	101	0.27	99	-2140570.00	33	2520.18	98	-33151.10	33	0.00	33
-2199	Min.	-0.15	98	0.14	104	-3050040.00	97	1646.26	33	-47871.10	97	0.00	98
-2198	Max	0.01	101	0.31	99	-2854070.00	33	-407.01	33	2760.47	97	0.00	33
-2198	Min.	-0.16	98	0.16	104	-4078930.00	97	-625.25	97	1639.62	33	0.00	97
-2197	Max	0.04	101	0.41	99	-2844950.00	33	-392.96	33	-1106.75	33	0.00	33
-2197	Min.	-0.12	98	0.23	104	-4077330.00	97	-652.98	97	-2704.62	97	0.00	98
-2196	Max	0.04	101	0.43	99	-2107820.00	33	2644.57	97	47391.80	97	0.00	33
-2196	Min.	-0.12	98	0.24	104	-3056120.00	97	1584.65	33	32390.70	33	0.00	98
-2195	Max	-0.01	101	0.41	99	-4677030.00	33	-6716.63	33	-178685.00	33	0.00	98
-2195	Min.	-0.19	98	0.24	104	-6824330.00	97	-11212.00	97	-265961.00	97	0.00	49

-2194	Max	0.03	101	0.40	99	-6276940.00	33	-79114.00	33	-50653.70	33	0.00	33
-2194	Min.	-0.13	98	0.23	104	-9208080.00	97	-128180.00	97	-75994.30	97	0.00	97
-2193	Max	0.07	97	0.34	99	-3787170.00	33	269245.00	97	0.01	33	0.00	97
-2193	Min.	-0.07	102	0.19	104	-5405620.00	97	187485.00	33	-0.01	33	0.00	98
-2192	Max	0.07	101	0.36	99	-6084730.00	33	11433.60	97	-135263.00	33	-0.00	33
-2192	Min.	-0.08	98	0.20	104	-8866660.00	97	7986.37	33	-208092.00	97	-0.00	97
-2191	Max	0.09	97	0.41	99	-6471170.00	33	-80358.10	33	-22473.60	33	0.00	98
-2191	Min.	-0.06	102	0.23	104	-9542850.00	97	-132410.00	97	-35033.40	97	0.00	49
-2190	Max	0.11	97	0.40	99	-7813020.00	33	-15607.50	33	8890.69	97	0.00	33
-2190	Min.	-0.05	102	0.23	104	-11528100.00	97	-26680.70	97	4504.11	33	0.00	98
-2189	Max	0.13	97	0.40	99	-6276940.00	33	-79114.00	33	75994.30	97	0.00	98
-2189	Min.	-0.03	102	0.23	104	-9208080.00	97	-128180.00	97	50653.70	33	0.00	49
-2188	Max	0.19	97	0.41	99	-4677030.00	33	-6716.63	33	265961.00	97	0.00	33
-2188	Min.	0.01	102	0.24	104	-6824330.00	97	-11212.00	97	178685.00	33	-0.00	97
-2187	Max	0.12	97	0.43	99	-2107820.00	33	2644.57	97	-32390.70	33	0.00	97
-2187	Min.	-0.04	102	0.24	104	-3056120.00	97	1584.65	33	-47391.80	97	0.00	49
-2186	Max	0.15	97	0.35	99	-2694560.00	33	284.88	97	606.10	33	0.00	97
-2186	Min.	-0.02	102	0.19	104	-3846240.00	97	178.29	33	-617.72	33	0.00	49
-2185	Max	0.16	97	0.31	99	-2854070.00	33	-407.01	33	-1639.62	33	0.00	98
-2185	Min.	-0.01	102	0.16	104	-4078930.00	97	-625.25	98	-2760.47	97	0.00	49
-2184	Max	0.15	97	0.27	99	-2140570.00	33	2520.17	97	47871.00	97	0.00	97
-2184	Min.	-0.02	102	0.14	104	-3050040.00	97	1646.25	33	33151.10	33	0.00	49
-2183	Max	0.10	97	0.22	99	-4772640.00	33	-6975.89	33	-185922.00	33	0.00	98
-2183	Min.	-0.05	102	0.11	104	-6842640.00	97	-10681.60	97	-268062.00	97	0.00	49
-2182	Max	0.11	97	0.20	99	-6343160.00	33	-87882.00	33	-4288.67	33	0.00	98
-2182	Min.	-0.05	102	0.09	104	-9105010.00	97	-133026.00	97	-6202.76	97	0.00	49
-2181	Max	0.14	97	0.19	99	-4930920.00	33	-7426.11	33	-184948.00	33	0.00	98
-2181	Min.	-0.04	102	0.09	104	-7069210.00	97	-11367.50	97	-266590.00	97	0.00	49
-2180	Max	0.14	97	0.17	99	-6315620.00	33	-87453.00	33	6199.78	97	0.00	33
-2180	Min.	-0.04	102	0.07	104	-9063600.00	97	-132319.00	97	4297.18	33	0.00	98
-2179	Max	0.14	97	0.16	99	-4770890.00	33	-6969.05	33	266225.00	97	0.00	33
-2179	Min.	-0.04	102	0.07	104	-6838360.00	97	-10666.70	97	184701.00	33	0.00	98
-2178	Max	0.11	97	0.15	99	-2141880.00	33	2507.00	97	-31916.90	33	0.00	98
-2178	Min.	-0.06	102	0.06	104	-3049500.00	97	1637.93	33	-46010.00	97	0.00	49
-2177	Max	0.09	97	0.09	99	-2712020.00	33	138.50	97	4560.96	97	0.00	98
-2177	Min.	-0.07	102	0.02	104	-3870960.00	97	90.49	33	3163.70	33	0.00	49
-2176	Max	0.09	97	0.07	99	-2724400.00	33	-21.33	33	-1792.71	33	0.00	97
-2176	Min.	-0.07	102	0.00	104	-3888820.00	97	-32.65	99	-2584.56	98	0.00	49
-2175	Max	0.08	97	0.05	99	-2731520.00	33	8.07	100	1085.86	97	0.00	97
-2175	Min.	-0.08	102	-0.01	104	-3899080.00	97	5.27	33	753.32	33	0.00	49
-2174	Max	0.08	101	0.05	99	-2725600.00	33	-2.35	33	-330.25	33	0.00	33
-2174	Min.	-0.08	98	-0.01	104	-3890550.00	97	-3.60	99	-476.39	98	-0.00	98
-2173	Max	0.08	97	0.01	103	-2723620.00	33	3.74	100	474.73	97	0.00	33
-2173	Min.	-0.08	102	-0.06	100	-3890580.00	97	2.28	33	211.41	33	-0.00	97
-2172	Max	0.08	101	0.00	103	-2729190.00	33	-5.11	33	-691.10	33	0.00	98
-2172	Min.	-0.09	98	-0.06	100	-3899020.00	97	-8.39	99	-1078.65	98	0.00	49
-2171	Max	0.07	101	-0.01	103	-2721840.00	33	33.95	100	2560.16	97	0.00	98
-2171	Min.	-0.09	98	-0.08	100	-3888970.00	97	20.68	33	1468.21	33	0.00	49
-2170	Max	0.07	101	-0.02	103	-2711450.00	33	-87.74	33	-2427.29	33	0.00	33
-2170	Min.	-0.09	98	-0.10	100	-3870710.00	97	-144.01	98	-4492.49	97	0.00	49
-2169	Max	0.07	101	-0.05	103	-2846410.00	33	612.60	97	835.83	33	0.00	97
-2169	Min.	-0.09	98	-0.13	100	-4081260.00	97	373.24	33	-882.97	33	0.00	49
-2168	Max	0.06	101	-0.06	103	-2101780.00	33	-1587.94	33	46144.60	97	0.00	97
-2168	Min.	-0.11	98	-0.16	100	-3053010.00	97	-2606.32	97	31494.70	33	0.00	49
-2167	Max	0.04	101	-0.07	103	-4667850.00	33	11090.80	97	-177963.00	33	0.00	33
-2167	Min.	-0.14	98	-0.17	100	-6820290.00	97	6757.25	33	-265579.00	97	0.00	97
-2166	Max	0.04	101	-0.08	103	-6113420.00	33	133891.00	97	-3664.21	33	0.00	33
-2166	Min.	-0.14	98	-0.18	100	-8990850.00	97	83106.80	33	-6111.84	97	0.00	97
-2165	Max	0.03	101	-0.09	103	-4813620.00	33	11817.60	97	265781.00	97	0.00	97
-2165	Min.	-0.14	98	-0.20	100	-7051460.00	97	7195.30	33	177100.00	33	0.00	49
-2164	Max	0.05	101	-0.10	103	-1458590.00	33	-3193.35	33	956.40	97	0.00	33
-2164	Min.	-0.11	98	-0.22	100	-2196430.00	97	-5268.44	97	593.18	33	-0.00	97
-2163	Max	0.04	101	-0.09	103	-4807640.00	33	11827.60	97	-177751.00	33	-0.00	33
-2163	Min.	-0.12	98	-0.19	100	-7056660.00	97	7136.85	33	-267657.00	97	-0.00	97
-2162	Max	0.05	101	-0.10	103	-6126540.00	33	134634.00	97	6168.32	97	0.00	97
-2162	Min.	-0.12	98	-0.21	100	-9034000.00	97	82823.00	33	3747.81	33	0.00	49
-2161	Max	0.05	101	-0.11	103	-4660670.00	33	11104.60	97	267479.00	97	0.00	97
-2161	Min.	-0.11	98	-0.23	100	-6825310.00	97	6696.65	33	178530.00	33	0.00	49
-2160	Max	0.02	101	-0.14	103	-2097720.00	33	-1580.12	33	-32673.00	33	0.00	98
-2160	Min.	-0.16	98	-0.28	100	-3053160.00	97	-2620.11	98	-48023.10	97	0.00	49
-2159	Max	0.01	101	-0.17	103	-2845080.00	33	650.60	97	2876.75	97	0.00	97
-2159	Min.	-0.16	98	-0.32	100	-4079030.00	97	392.61	33	1248.61	33	0.00	49
-2158	Max	0.02	101	-0.19	103	-2693810.00	33	-180.72	33	419.88	33	0.00	98
-2158	Min.	-0.15	98	-0.35	100	-3845660.00	97	-298.69	98	-377.76	33	0.00	49
-2157	Max	0.04	101	-0.23	103	-2847440.00	33	689.59	97	-1510.54	33	0.00	98
-2157	Min.	-0.12	98	-0.41	100	-4077350.00	97	416.28	33	-2877.22	97	0.00	49
-2156	Max	0.04	101	-0.24	103	-2113020.00	33	-1686.36	33	47600.50	97	0.00	98
-2156	Min.	-0.12	98	-0.42	100	-3060300.00	97	-2795.03	97	32464.70	33	0.00	49
-2155	Max	-0.01	101	-0.23	103	-4663030.00	33	11850.40	97	-178242.00	33	0.00	33

-2155	Min.	-0.19	98	-0.41	100	-6801340.00	97	7149.63	33	-265195.00	97	0.00	98
-2154	Max	0.03	101	-0.23	103	-6211500.00	33	129742.00	97	-49889.70	33	0.00	97
-2154	Min.	-0.13	98	-0.40	100	-9110040.00	97	80157.30	33	-74884.70	97	0.00	49
-2153	Max	0.05	101	-0.23	103	-7773170.00	33	28053.50	97	-4336.68	33	0.00	33
-2153	Min.	-0.11	98	-0.40	100	-11468000.00	97	16548.40	33	-8685.27	97	0.00	97
-2152	Max	0.06	101	-0.23	103	-6397150.00	33	134027.00	97	34268.30	97	0.00	97
-2152	Min.	-0.09	98	-0.41	100	-9433710.00	97	81428.60	33	21977.40	33	0.00	49
-2151	Max	0.08	97	-0.20	103	-6052690.00	33	-7216.82	33	208039.00	97	-0.00	33
-2151	Min.	-0.07	102	-0.37	100	-8819240.00	97	-10392.20	97	135272.00	33	-0.00	98
-2150	Max	0.07	97	-0.19	103	-3760380.00	33	-185599.00	33	0.04	33	0.00	98
-2150	Min.	-0.07	102	-0.34	100	-5368380.00	97	-266529.00	97	-0.04	33	0.00	97
-2149	Max	0.07	101	-0.20	103	-6052690.00	33	-7216.83	33	-135272.00	33	0.00	97
-2149	Min.	-0.08	98	-0.37	100	-8819240.00	97	-10392.20	97	-208039.00	97	0.00	49
-2148	Max	0.09	97	-0.23	103	-6397150.00	33	134027.00	97	-21977.40	33	0.00	33
-2148	Min.	-0.06	102	-0.41	100	-9433710.00	97	81428.80	33	-34268.30	97	0.00	98
-2147	Max	0.11	97	-0.23	103	-7773180.00	33	28053.50	97	8685.27	97	0.00	98
-2147	Min.	-0.05	102	-0.40	100	-11468000.00	97	16548.40	33	4336.90	33	0.00	49
-2146	Max	0.13	97	-0.23	103	-6211490.00	33	129742.00	97	74884.70	97	0.00	33
-2146	Min.	-0.03	102	-0.40	100	-9110040.00	97	80157.20	33	49889.70	33	0.00	98
-2145	Max	0.19	97	-0.23	103	-4663030.00	33	11850.40	97	265195.00	97	0.00	97
-2145	Min.	0.01	102	-0.41	100	-6801340.00	97	7149.63	33	178242.00	33	0.00	49
-2144	Max	0.12	97	-0.24	103	-2113020.00	33	-1686.36	33	-32464.80	33	0.00	33
-2144	Min.	-0.04	102	-0.42	100	-3060300.00	97	-2795.03	97	-47600.50	97	0.00	97
-2143	Max	0.12	97	-0.23	103	-2847440.00	33	689.59	98	2877.22	98	0.00	33
-2143	Min.	-0.04	102	-0.41	100	-4077350.00	97	416.28	33	1510.44	33	0.00	97
-2142	Max	0.15	97	-0.19	103	-2693820.00	33	-180.73	33	377.06	33	0.00	33
-2142	Min.	-0.02	102	-0.35	100	-3845660.00	97	-298.69	97	-419.18	33	0.00	97
-2141	Max	0.16	97	-0.17	103	-2845100.00	33	650.60	98	-1249.60	33	0.00	33
-2141	Min.	-0.01	102	-0.32	100	-4079030.00	97	392.63	33	-2876.75	97	0.00	98
-2140	Max	0.16	97	-0.14	103	-2097770.00	33	-1580.24	33	48023.10	97	0.00	33
-2140	Min.	-0.02	102	-0.28	100	-3053160.00	97	-2620.10	97	32673.30	33	0.00	97
-2139	Max	0.11	97	-0.11	103	-4660760.00	33	11104.60	97	-178535.00	33	0.00	33
-2139	Min.	-0.05	102	-0.23	100	-6825300.00	97	6697.16	33	-267479.00	97	-0.00	98
-2138	Max	0.12	97	-0.10	103	-6126670.00	33	134634.00	97	-3747.72	33	0.00	33
-2138	Min.	-0.05	102	-0.21	100	-9034000.00	97	82828.50	33	-6168.96	97	0.00	98
-2137	Max	0.12	97	-0.09	103	-4807740.00	33	11827.50	97	267655.00	97	0.00	98
-2137	Min.	-0.04	102	-0.19	100	-7056700.00	97	7137.25	33	177754.00	33	0.00	49
-2136	Max	0.11	97	-0.10	103	-1458520.00	33	-3193.07	33	-587.61	33	0.00	98
-2136	Min.	-0.05	102	-0.22	100	-2196330.00	97	-5268.04	97	-946.58	97	0.00	49
-2135	Max	0.14	97	-0.09	103	-4813640.00	33	11816.30	97	-177143.00	33	0.00	33
-2135	Min.	-0.03	102	-0.20	100	-7051600.00	97	7193.84	33	-265853.00	97	-0.00	98
-2134	Max	0.14	97	-0.08	103	-6114390.00	33	133904.00	97	6167.05	97	0.00	98
-2134	Min.	-0.04	102	-0.18	100	-8992480.00	97	83107.00	33	3702.17	33	0.00	49
-2133	Max	0.14	97	-0.07	103	-4668140.00	33	11091.60	97	265642.00	97	0.00	98
-2133	Min.	-0.04	102	-0.17	100	-6820880.00	97	6757.01	33	177999.00	33	0.00	49
-2132	Max	0.11	97	-0.06	103	-2101520.00	33	-1588.10	33	-31514.40	33	0.00	33
-2132	Min.	-0.06	102	-0.16	100	-3052720.00	97	-2606.86	97	-46174.30	97	0.00	98
-2131	Max	0.09	97	-0.05	103	-2846450.00	33	612.71	98	886.26	33	0.00	33
-2131	Min.	-0.07	102	-0.13	100	-4081330.00	97	373.26	33	-834.94	33	0.00	98
-2130	Max	0.09	97	-0.02	103	-2711440.00	33	-87.74	33	4493.08	97	0.00	33
-2130	Min.	-0.07	102	-0.10	100	-3870700.00	97	-144.02	97	2426.82	33	0.00	49
-2129	Max	0.09	97	-0.01	103	-2721840.00	33	33.95	100	-1468.27	33	0.00	33
-2129	Min.	-0.07	102	-0.08	100	-3888970.00	97	20.68	33	-2560.80	98	0.00	97
-2128	Max	0.09	97	0.00	103	-2729190.00	33	-5.11	33	1078.85	97	0.00	33
-2128	Min.	-0.08	102	-0.06	100	-3899020.00	97	-8.39	99	691.19	33	0.00	97
-2127	Max	0.08	101	0.01	103	-2723610.00	33	3.74	100	-211.42	33	0.00	98
-2127	Min.	-0.08	98	-0.06	100	-3890580.00	97	2.28	33	-474.92	98	0.00	49
-2126	Max	0.12	97	-0.12	103	-5854260.00	33	-178471.00	33	11138.00	97	0.00	98
-2126	Min.	-0.04	102	-0.25	100	-8821930.00	97	-265960.00	97	7103.08	33	0.00	49
-2125	Max	0.09	97	-0.12	103	-5953180.00	33	-187815.00	33	16054.00	97	-0.00	102
-2125	Min.	-0.06	102	-0.25	100	-9066730.00	97	-280042.00	97	10921.70	33	-0.00	97
-2124	Max	0.06	101	-0.12	103	-5953170.00	33	-187815.00	33	-10921.70	33	0.00	98
-2124	Min.	-0.09	98	-0.25	100	-9066730.00	97	-280042.00	97	-16054.00	97	0.00	101
-2123	Max	0.04	101	-0.12	103	-5854260.00	33	-178471.00	33	-7103.09	33	-0.00	33
-2123	Min.	-0.12	98	-0.25	100	-8821930.00	97	-265960.00	97	-11138.00	97	-0.00	97
-2122	Max	0.12	97	0.25	99	-5835930.00	33	280043.00	97	2474.03	98	-0.00	33
-2122	Min.	-0.04	102	0.12	104	-8813870.00	97	189133.00	33	1486.20	33	-0.00	98
-2121	Max	0.09	97	0.25	99	-5916890.00	33	298297.00	97	24697.80	97	0.00	97
-2121	Min.	-0.06	102	0.12	104	-9032720.00	97	201486.00	33	16581.70	33	0.00	102
-2120	Max	0.04	101	0.25	99	-5835930.00	33	280043.00	97	-1486.20	33	0.00	97
-2120	Min.	-0.12	98	0.12	104	-8813870.00	97	189133.00	33	-2474.03	97	0.00	49
-2119	Max	0.04	101	0.33	99	-8809930.00	33	118141.00	97	-29014.20	33	0.00	33
-2119	Min.	-0.12	98	0.18	104	-13261300.00	97	84567.40	33	-43977.30	97	0.00	98
-2118	Max	0.06	101	0.25	99	-5916890.00	33	298297.00	97	-16581.70	33	-0.00	101
-2118	Min.	-0.09	98	0.12	104	-9032720.00	97	201486.00	33	-24697.80	97	-0.00	98
-2117	Max	0.05	101	0.33	99	-9060980.00	33	138434.00	97	31867.90	97	0.00	97
-2117	Min.	-0.10	98	0.18	104	-13737200.00	97	98290.10	33	20853.80	33	0.00	49
-2116	Max	0.10	97	0.33	99	-9060980.00	33	138434.00	97	-20853.80	33	0.00	33
-2116	Min.	-0.05	102	0.18	104	-13737200.00	97	98290.10	33	-31867.90	97	0.00	98

-2115	Max	0.12	97	0.33	99	-8809930.00	33	118141.00	97	43977.30	97	0.00	97
-2115	Min.	-0.04	102	0.18	104	-13261300.00	97	84567.40	33	29014.20	33	0.00	49
-2114	Max	0.05	101	0.38	99	-5969780.00	33	-84033.90	33	-21729.00	33	0.00	98
-2114	Min.	-0.10	98	0.21	104	-8560810.00	97	-131090.00	97	-31937.40	97	0.00	49
-2113	Max	0.06	101	0.38	99	-6367680.00	33	-82194.50	33	12461.60	97	0.00	98
-2113	Min.	-0.08	98	0.22	104	-9141650.00	97	-129841.00	97	8107.20	33	0.00	49
-2112	Max	0.08	97	0.38	99	-6367680.00	33	-82194.50	33	-8107.20	33	0.00	33
-2112	Min.	-0.06	102	0.22	104	-9141650.00	97	-129841.00	97	-12461.60	97	0.00	97
-2111	Max	0.10	97	0.38	99	-5969780.00	33	-84033.90	33	31937.40	97	0.00	33
-2111	Min.	-0.05	102	0.21	104	-8560810.00	97	-131090.00	97	21729.00	33	-0.00	97
-2110	Max	0.06	101	0.46	99	-4069310.00	33	-44732.70	33	-29658.40	33	0.00	97
-2110	Min.	-0.09	98	0.27	104	-5745240.00	97	-67604.40	97	-41968.80	97	0.00	49
-2109	Max	0.06	101	0.46	99	-4106210.00	33	-46035.30	33	-979.44	33	0.00	97
-2109	Min.	-0.09	98	0.27	104	-5801710.00	97	-69856.70	97	-1459.38	97	0.00	49
-2108	Max	0.09	97	0.46	99	-4106210.00	33	-46035.30	33	1459.38	98	0.00	33
-2108	Min.	-0.06	102	0.27	104	-5801710.00	97	-69856.70	97	979.44	33	0.00	98
-2107	Max	0.09	97	0.64	99	-4744790.00	33	20088.40	97	-112.36	33	0.00	97
-2107	Min.	-0.06	102	0.40	104	-6664170.00	97	14127.10	33	-195.35	97	0.00	49
-2106	Max	0.09	97	0.46	99	-4069310.00	33	-44732.70	33	41968.80	97	-0.00	33
-2106	Min.	-0.06	102	0.27	104	-5745240.00	97	-67604.40	97	29658.40	33	-0.00	98
-2105	Max	0.12	97	0.64	99	-4452020.00	33	22796.70	97	16057.70	97	0.00	97
-2105	Min.	-0.04	102	0.40	104	-6253070.00	97	15962.80	33	11339.60	33	0.00	49
-2104	Max	0.14	97	0.72	99	-4026100.00	33	-20492.70	33	39836.70	97	0.00	33
-2104	Min.	-0.03	102	0.46	104	-5656610.00	97	-28792.50	97	28352.60	33	0.00	49
-2103	Max	0.09	97	0.73	99	-4067510.00	33	-21475.70	33	-290.08	33	0.00	33
-2103	Min.	-0.06	102	0.47	104	-5714770.00	97	-30165.50	97	-411.87	97	0.00	49
-2102	Max	0.11	97	0.03	99	-2218560.00	33	331.04	100	696.08	98	0.00	33
-2102	Min.	-0.05	102	-0.02	104	-3116710.00	97	235.53	33	495.38	33	0.00	49
-2101	Max	0.09	97	0.03	99	-2241500.00	33	397.47	100	-3.00	33	0.00	33
-2101	Min.	-0.06	102	-0.02	104	-3148950.00	97	282.73	33	-4.32	97	0.00	49
-2100	Max	0.06	101	0.03	99	-2241500.00	33	397.47	100	4.32	98	0.00	33
-2100	Min.	-0.09	98	-0.02	104	-3148950.00	97	282.73	33	3.00	33	0.00	49
-2099	Max	0.05	101	0.03	99	-2218560.00	33	331.04	100	-495.38	33	0.00	33
-2099	Min.	-0.11	98	-0.02	104	-3116710.00	97	235.53	33	-696.08	97	0.00	49
-2098	Max	0.06	101	-0.27	103	-4086940.00	33	58882.70	97	-30259.60	33	-0.00	33
-2098	Min.	-0.09	98	-0.46	100	-5763520.00	97	38857.50	33	-42771.70	97	-0.00	97
-2097	Max	0.06	101	-0.27	103	-4128030.00	33	60729.00	97	-1063.33	33	0.00	33
-2097	Min.	-0.09	98	-0.47	100	-5825200.00	97	39887.60	33	-1569.76	97	0.00	97
-2096	Max	0.09	97	-0.27	103	-4128030.00	33	60729.00	97	1569.76	98	0.00	98
-2096	Min.	-0.06	102	-0.47	100	-5825200.00	97	39887.60	33	1063.33	33	0.00	49
-2095	Max	0.09	97	-0.27	103	-4086940.00	33	58882.70	97	42771.70	97	0.00	98
-2095	Min.	-0.06	102	-0.46	100	-5763520.00	97	38857.50	33	30259.60	33	0.00	49
-2094	Max	0.05	101	-0.22	103	-5930940.00	33	122532.00	97	-21174.00	33	0.00	33
-2094	Min.	-0.10	98	-0.38	100	-8501510.00	97	78093.80	33	-31130.00	97	-0.00	98
-2093	Max	0.04	101	-0.18	103	-8903100.00	33	-62934.10	33	-30375.50	33	0.00	98
-2093	Min.	-0.12	98	-0.33	100	-13395900.00	97	-88437.10	97	-46121.60	97	0.00	49
-2092	Max	0.06	101	-0.22	103	-6322060.00	33	120276.00	97	12338.40	97	0.00	33
-2092	Min.	-0.08	98	-0.39	100	-9072890.00	97	75511.00	33	8033.18	33	0.00	98
-2091	Max	0.05	101	-0.18	103	-9154430.00	33	-75215.00	33	34407.30	97	0.00	33
-2091	Min.	-0.10	98	-0.33	100	-13873200.00	97	-106619.00	97	22498.80	33	-0.00	97
-2090	Max	0.08	97	-0.22	103	-6322070.00	33	120276.00	97	-8033.17	33	0.00	97
-2090	Min.	-0.06	102	-0.39	100	-9072890.00	97	75511.00	33	-12338.40	97	0.00	49
-2089	Max	0.10	97	-0.18	103	-9154430.00	33	-75215.10	33	-22498.70	33	0.00	98
-2089	Min.	-0.05	102	-0.33	100	-13873200.00	97	-106619.00	97	-34407.30	97	0.00	49
-2088	Max	0.10	97	-0.22	103	-5930940.00	33	122532.00	97	31130.00	97	0.00	97
-2088	Min.	-0.05	102	-0.38	100	-8501510.00	97	78093.70	33	21174.00	33	0.00	49
-2087	Max	0.12	97	-0.18	103	-8903100.00	33	-62934.10	33	46121.60	97	0.00	33
-2087	Min.	-0.04	102	-0.33	100	-13395900.00	97	-88437.10	97	30375.60	33	0.00	97
-2086	Max	0.04	101	-0.41	103	-4519640.00	33	-12375.50	33	-11544.20	33	0.00	98
-2086	Min.	-0.12	98	-0.65	100	-6347930.00	97	-17748.90	97	-16344.10	97	0.00	49
-2085	Max	0.06	101	-0.41	103	-4820430.00	33	-10257.00	33	236.86	98	0.00	98
-2085	Min.	-0.09	98	-0.64	100	-6770260.00	97	-14654.40	97	141.19	33	0.00	49
-2084	Max	0.09	97	-0.41	103	-4820430.00	33	-10257.00	33	-141.19	33	0.00	33
-2084	Min.	-0.06	102	-0.64	100	-6770260.00	97	-14654.40	97	-236.86	97	0.00	97
-2083	Max	0.06	101	0.71	99	-3288650.00	33	-113473.00	33	40.48	98	0.00	97
-2083	Min.	-0.09	98	0.46	104	-4620150.00	97	-159432.00	97	28.20	33	0.00	49
-2082	Max	0.09	97	0.46	99	-1715070.00	33	31071.70	97	10.03	98	0.00	33
-2082	Min.	-0.06	102	0.28	104	-2409410.00	97	22114.00	33	6.98	33	0.00	98
-2081	Max	0.09	97	0.71	99	-3288650.00	33	-113473.00	33	-28.20	33	0.00	33
-2081	Min.	-0.06	102	0.46	104	-4620150.00	97	-159432.00	97	-40.48	97	0.00	98
-2080	Max	0.11	97	0.45	99	-1758870.00	33	26089.40	97	-1112.37	33	0.00	33
-2080	Min.	-0.04	102	0.28	104	-2470880.00	97	18567.30	33	-1562.96	97	0.00	49
-2079	Max	0.12	97	0.69	99	-3168320.00	33	-98844.70	33	6287.43	97	-0.00	33
-2079	Min.	-0.03	102	0.44	104	-4451060.00	97	-138880.00	97	4474.83	33	-0.00	98
-2078	Max	0.04	101	-0.45	103	-3167800.00	33	138761.00	97	-4505.92	33	-0.00	33
-2078	Min.	-0.12	98	-0.70	100	-4450300.00	97	98761.90	33	-6331.79	97	-0.00	97
-2077	Max	0.04	101	-0.27	103	-1761320.00	33	-18541.40	33	1560.06	98	0.00	33
-2077	Min.	-0.11	98	-0.45	100	-2474320.00	97	-26052.60	97	1110.20	33	0.00	49
-2076	Max	0.06	101	-0.46	103	-3288550.00	33	159397.00	97	37.80	98	0.00	33

-2076	Min.	-0.09	98	-0.71	100	-4619910.00	97	113456.00	33	26.13	33	0.00	98
-2075	Max	0.06	101	-0.28	103	-1717740.00	33	-22104.60	33	-6.47	33	0.00	33
-2075	Min.	-0.09	98	-0.46	100	-2413100.00	97	-31056.70	97	-9.35	97	0.00	97
-2074	Max	0.03	101	-0.47	103	-4029250.00	33	30544.70	97	-28461.20	33	0.00	98
-2074	Min.	-0.13	98	-0.73	100	-5660860.00	97	21745.50	33	-39985.60	97	0.00	49
-2073	Max	0.06	101	-0.48	103	-4071260.00	33	32072.30	97	388.51	98	0.00	33
-2073	Min.	-0.09	98	-0.75	100	-5719700.00	97	22839.20	33	273.90	33	0.00	49
-2072	Max	0.09	97	-0.48	103	-4071260.00	33	32072.30	97	-273.90	33	0.00	33
-2072	Min.	-0.06	102	-0.75	100	-5719700.00	97	22839.20	33	-388.51	97	0.00	49
-2071	Max	0.07	101	0.01	103	-0.32	102	0.00	100	0.00	102	0.00	33
-2071	Min.	-0.09	98	-0.04	100	-0.53	97	0.00	103	0.00	97	0.00	97
-2070	Max	0.09	97	-0.46	103	-3288550.00	33	159397.00	97	-26.13	33	0.00	97
-2070	Min.	-0.06	102	-0.71	100	-4619910.00	97	113456.00	33	-37.80	97	0.00	49
-2069	Max	0.07	101	0.04	99	-0.68	102	0.00	100	0.00	102	0.00	33
-2069	Min.	-0.08	98	-0.02	104	-1.08	97	0.00	103	0.00	97	0.00	49
-2068	Max	0.13	97	-0.47	103	-4029250.00	33	30544.70	97	39985.60	97	0.00	33
-2068	Min.	-0.03	102	-0.73	100	-5660860.00	97	21745.50	33	28461.20	33	0.00	97
-2067	Max	0.07	101	0.03	99	-1.41	102	0.00	100	0.00	102	0.00	97
-2067	Min.	-0.09	98	-0.03	104	-2.08	97	0.00	103	0.00	97	0.00	49
-2066	Max	0.12	97	-0.45	103	-3167800.00	33	138761.00	97	6331.79	97	0.00	98
-2066	Min.	-0.04	102	-0.70	100	-4450300.00	97	98761.90	33	4505.92	33	0.00	49
-2065	Max	0.07	97	0.01	103	-1.70	104	0.01	100	0.00	98	0.00	33
-2065	Min.	-0.07	102	-0.05	100	-2.47	99	0.00	103	0.00	101	0.00	49
-2064	Max	0.09	97	-0.28	103	-1717740.00	33	-22104.60	33	9.35	98	0.00	98
-2064	Min.	-0.06	102	-0.46	100	-2413100.00	97	-31056.70	97	6.47	33	0.00	49
-2063	Max	0.00	101	-0.01	103	-1.28	101	0.01	100	-0.00	102	0.00	33
-2063	Min.	-0.18	98	-0.08	100	-1.91	98	0.00	103	-0.00	97	0.00	98
-2062	Max	0.11	97	-0.27	103	-1761320.00	33	-18541.40	33	-1110.20	33	0.00	33
-2062	Min.	-0.04	102	-0.45	100	-2474320.00	97	-26052.60	97	-1560.06	97	0.00	49
-2061	Max	0.12	97	-0.41	103	-4519640.00	33	-12375.50	33	16344.10	97	0.00	33
-2061	Min.	-0.04	102	-0.65	100	-6347930.00	97	-17748.90	97	11544.20	33	-0.00	97
-2060	Max	0.06	101	-0.07	103	-5841270.00	33	-169054.00	33	332.32	97	0.00	97
-2060	Min.	-0.11	98	-0.17	100	-8782220.00	97	-253232.00	97	143.39	33	0.00	49
-2059	Max	0.04	101	-0.05	103	-5853720.00	33	-168979.00	33	-121.04	33	0.00	97
-2059	Min.	-0.12	98	-0.14	100	-8841450.00	97	-253839.00	97	-285.26	97	0.00	49
-2058	Max	0.12	97	-0.05	103	-5853910.00	33	-168984.00	33	285.47	98	-0.00	33
-2058	Min.	-0.04	102	-0.14	100	-8841440.00	97	-253839.00	97	121.11	33	-0.00	98
-2057	Max	0.11	97	-0.07	103	-5842300.00	33	-169062.00	33	-105.25	33	0.00	33
-2057	Min.	-0.06	102	-0.17	100	-8784160.00	97	-253249.00	97	-289.06	33	0.00	98
-2056	Max	0.11	97	-0.02	103	-2720670.00	33	241376.00	97	256477.00	97	-0.00	33
-2056	Min.	-0.05	102	-0.09	100	-4047410.00	97	162341.00	33	168983.00	33	-0.00	97
-2055	Max	0.20	97	0.01	103	-2586860.00	33	235269.00	97	-184321.00	33	0.01	98
-2055	Min.	0.01	102	-0.06	100	-3840840.00	97	158501.00	33	-279334.00	97	0.00	49
-2054	Max	0.19	97	0.03	99	-721038.00	33	86642.40	97	76917.40	97	0.00	98
-2054	Min.	0.01	102	-0.02	104	-1050510.00	97	59898.10	33	50915.70	33	0.00	49
-2053	Max	0.19	97	0.05	99	-1285470.00	33	118063.00	97	-13027.10	33	0.00	98
-2053	Min.	0.01	102	-0.01	104	-1850050.00	97	82275.80	33	-19562.60	97	0.00	49
-2052	Max	0.15	97	0.04	99	-1095820.00	33	110879.00	97	81.76	98	0.00	97
-2052	Min.	-0.02	102	-0.01	104	-1568060.00	97	77555.00	33	24.78	33	0.00	49
-2051	Max	0.09	97	0.01	103	-1289140.00	33	117764.00	97	19522.60	97	0.00	97
-2051	Min.	-0.07	102	-0.05	100	-1854620.00	97	82103.90	33	13066.40	33	0.00	49
-2050	Max	0.15	97	0.04	99	-708660.00	33	87682.00	97	-51765.70	33	0.00	97
-2050	Min.	-0.02	102	-0.02	104	-1030370.00	97	60742.90	33	-77846.00	97	0.00	49
-2049	Max	0.07	101	0.01	103	-2643220.00	33	231924.00	97	285380.00	97	-0.01	33
-2049	Min.	-0.08	98	-0.05	100	-3919840.00	97	156463.00	33	189088.00	33	-0.01	97
-2048	Max	0.11	97	-0.03	103	-4979240.00	33	418187.00	97	7806.17	97	0.00	98
-2048	Min.	-0.04	102	-0.11	100	-7502900.00	97	276754.00	33	3223.41	33	0.00	101
-2047	Max	0.15	97	-0.00	103	-3072600.00	33	241980.00	97	-240528.00	33	0.01	97
-2047	Min.	-0.02	102	-0.07	100	-4596680.00	97	161812.00	33	-366230.00	97	0.01	33
-2046	Max	0.02	101	-0.00	103	-3072590.00	33	241980.00	97	366230.00	97	-0.01	33
-2046	Min.	-0.15	98	-0.07	100	-4596680.00	97	161812.00	33	240528.00	33	-0.01	98
-2045	Max	0.04	101	-0.03	103	-4979240.00	33	418187.00	97	-3223.12	33	0.00	102
-2045	Min.	-0.11	98	-0.11	100	-7502900.00	97	276754.00	33	-7806.17	97	-0.00	97
-2044	Max	0.08	97	0.01	103	-2643220.00	33	231924.00	97	-189088.00	33	0.01	98
-2044	Min.	-0.07	102	-0.05	100	-3919840.00	97	156463.00	33	-285380.00	97	0.01	33
-2043	Max	0.02	101	0.04	99	-708660.00	33	87682.00	97	77846.00	97	0.00	33
-2043	Min.	-0.15	98	-0.02	104	-1030370.00	97	60743.00	33	51765.70	33	0.00	98
-2042	Max	0.07	101	0.01	103	-1289140.00	33	117764.00	97	-13066.40	33	0.00	33
-2042	Min.	-0.09	98	-0.05	100	-1854620.00	97	82103.90	33	-19522.60	97	-0.00	98
-2041	Max	0.02	101	0.04	99	-1095820.00	33	110879.00	97	-24.74	33	0.00	33
-2041	Min.	-0.15	98	-0.01	104	-1568060.00	97	77555.00	33	-81.76	97	0.00	98
-2040	Max	-0.01	101	0.05	99	-1285460.00	33	118063.00	97	19562.60	97	-0.00	33
-2040	Min.	-0.19	98	-0.01	104	-1850050.00	97	82275.50	33	13026.80	33	-0.00	97
-2039	Max	-0.01	101	0.03	99	-721015.00	33	86642.30	97	-50914.00	33	-0.00	33
-2039	Min.	-0.19	98	-0.02	104	-1050510.00	97	59896.90	33	-76917.50	97	-0.00	97
-2038	Max	-0.01	101	0.01	103	-2586800.00	33	235269.00	97	279334.00	97	-0.00	33
-2038	Min.	-0.20	98	-0.06	100	-3840850.00	97	158497.00	33	184314.00	33	-0.01	97
-2037	Max	0.05	101	-0.02	103	-2720610.00	33	241376.00	97	-168977.00	33	0.00	98
-2037	Min.	-0.11	98	-0.09	100	-4047400.00	97	162338.00	33	-256480.00	97	0.00	101

-2036	Max	0.01	101	-0.15	103	-278177.00	33	60850.10	97	773.21	97	0.00	98
-2036	Min.	-0.16	98	-0.28	100	-436190.00	98	41162.50	33	290.21	33	0.00	101
-2035	Max	0.06	101	-0.09	103	-2725290.00	33	240948.00	97	254953.00	97	0.00	97
-2035	Min.	-0.10	98	-0.20	100	-4043660.00	97	162519.00	33	168870.00	33	0.00	49
-2034	Max	0.06	101	-0.04	103	-2590750.00	33	234794.00	97	-184418.00	33	0.00	97
-2034	Min.	-0.11	98	-0.12	100	-3834490.00	97	158692.00	33	-278191.00	97	0.00	49
-2033	Max	0.06	101	0.00	103	-728137.00	33	86828.10	97	76626.80	97	0.00	98
-2033	Min.	-0.10	98	-0.06	100	-1056600.00	97	60177.50	33	50960.00	33	0.00	49
-2032	Max	0.09	97	0.03	99	-1276670.00	33	117887.00	97	-13880.00	33	0.00	98
-2032	Min.	-0.07	102	-0.02	104	-1835310.00	97	82210.40	33	-20705.60	97	0.00	49
-2031	Max	0.07	101	0.06	99	-1132550.00	33	111779.00	97	5618.94	97	0.00	98
-2031	Min.	-0.09	98	0.00	104	-1618450.00	97	78249.10	33	3825.05	33	0.00	49
-2030	Max	0.06	101	0.08	99	-1172940.00	33	112759.00	97	-1424.57	33	0.00	33
-2030	Min.	-0.11	98	0.01	104	-1675250.00	97	78976.40	33	-2069.70	98	0.00	98
-2029	Max	0.05	101	0.08	99	-1167860.00	33	112835.00	97	2451.91	97	0.00	33
-2029	Min.	-0.11	98	0.01	104	-1667150.00	97	79045.30	33	1701.45	33	0.00	98
-2028	Max	0.12	97	0.05	99	-1162620.00	33	112654.00	97	5957.16	97	0.00	97
-2028	Min.	-0.05	102	-0.01	104	-1659650.00	97	78921.10	33	4160.02	33	0.00	102
-2027	Max	0.11	97	0.08	99	-1167860.00	33	112835.00	97	-1701.52	33	0.00	97
-2027	Min.	-0.05	102	0.01	104	-1667150.00	97	79045.30	33	-2452.04	98	0.00	49
-2026	Max	0.11	97	0.08	99	-1172950.00	33	112759.00	97	2069.96	97	0.00	97
-2026	Min.	-0.06	102	0.01	104	-1675260.00	97	78976.40	33	1424.73	33	0.00	49
-2025	Max	0.09	97	0.06	99	-1132540.00	33	111779.00	97	-3825.32	33	0.00	33
-2025	Min.	-0.07	102	0.00	104	-1618440.00	97	78248.90	33	-5619.37	97	0.00	97
-2024	Max	0.07	101	0.03	99	-1276690.00	33	117888.00	97	20711.00	97	0.00	33
-2024	Min.	-0.09	98	-0.02	104	-1835360.00	97	82211.00	33	13883.20	33	0.00	97
-2023	Max	0.10	97	0.00	103	-727982.00	33	86818.30	97	-50976.10	33	0.00	33
-2023	Min.	-0.06	102	-0.06	100	-1056420.00	97	60168.90	33	-76654.00	97	0.00	97
-2022	Max	0.11	97	-0.04	103	-2590930.00	33	234820.00	97	278240.00	97	0.00	33
-2022	Min.	-0.06	102	-0.12	100	-3834860.00	97	158705.00	33	184442.00	33	0.00	98
-2021	Max	0.10	97	-0.09	103	-2725230.00	33	240955.00	97	-168898.00	33	0.00	33
-2021	Min.	-0.06	102	-0.20	100	-4043670.00	97	162520.00	33	-255008.00	97	-0.00	98
-2020	Max	0.16	97	-0.15	103	-278156.00	33	60849.60	97	-289.77	33	0.00	33
-2020	Min.	-0.01	102	-0.28	100	-436166.00	97	41161.90	33	-766.73	97	0.00	97
-2019	Max	0.07	97	0.01	103	-440273.00	33	121420.00	97	0.01	33	0.00	97
-2019	Min.	-0.07	102	-0.05	100	-659897.00	97	84802.60	33	-0.01	33	0.00	102
-2018	Max	0.05	101	0.05	99	-1162620.00	33	112654.00	97	-4160.31	33	0.00	101
-2018	Min.	-0.12	98	-0.01	104	-1659650.00	97	78921.10	33	-5957.55	97	-0.00	98
-2017	Max	0.06	101	0.16	99	-6064910.00	33	258352.00	97	1213.35	97	0.00	33
-2017	Min.	-0.11	98	0.07	104	-8838160.00	97	178422.00	33	839.41	33	0.00	97
-2016	Max	0.04	101	0.13	99	-6105650.00	33	258704.00	97	-797.52	33	-0.00	33
-2016	Min.	-0.12	98	0.04	104	-8899670.00	97	178637.00	33	-1153.88	97	-0.00	97
-2015	Max	0.12	97	0.13	99	-6105630.00	33	258704.00	97	1154.12	97	0.00	98
-2015	Min.	-0.04	102	0.04	104	-8899650.00	97	178637.00	33	797.69	33	0.00	49
-2014	Max	0.11	97	0.16	99	-6066270.00	33	258363.00	97	-804.49	33	0.00	98
-2014	Min.	-0.06	102	0.07	104	-8840140.00	97	178431.00	33	-1162.52	97	0.00	49
-2013	Max	0.11	97	0.06	99	-2299000.00	33	-132359.00	33	241689.00	97	0.00	97
-2013	Min.	-0.05	102	-0.00	104	-3329060.00	97	-191713.00	97	165852.00	33	0.00	102
-2012	Max	0.21	97	0.03	99	-2172070.00	33	-128659.00	33	-182304.00	33	-0.00	33
-2012	Min.	0.02	102	-0.03	104	-3143900.00	97	-186296.00	97	-265613.00	97	-0.01	98
-2011	Max	0.19	97	-0.01	103	-525188.00	33	-43360.20	33	75513.60	97	-0.00	33
-2011	Min.	0.01	102	-0.07	100	-737935.00	97	-61344.80	97	51868.20	33	-0.00	98
-2010	Max	0.19	97	-0.02	103	-1006670.00	33	-61629.60	33	-13618.60	33	-0.00	33
-2010	Min.	0.01	102	-0.09	100	-1441020.00	97	-88104.20	97	-19833.00	97	-0.00	98
-2009	Max	0.15	97	-0.01	103	-830424.00	33	-57317.60	33	95.52	33	0.00	33
-2009	Min.	-0.02	102	-0.08	100	-1185930.00	97	-81855.70	97	-81.77	33	0.00	97
-2008	Max	0.08	97	0.02	99	-1004890.00	33	-61231.10	33	19995.30	97	0.00	33
-2008	Min.	-0.07	102	-0.03	104	-1445980.00	97	-87836.70	97	13329.90	33	-0.00	98
-2007	Max	0.16	97	-0.00	103	-493071.00	33	-43185.80	33	-51113.70	33	0.00	98
-2007	Min.	-0.01	102	-0.07	100	-717193.00	97	-62287.50	97	-76894.20	97	0.00	49
-2006	Max	0.07	101	0.01	103	-2171130.00	33	-123427.00	33	272681.00	97	0.01	97
-2006	Min.	-0.08	98	-0.04	100	-3222630.00	97	-183251.00	97	180807.00	33	0.01	33
-2005	Max	0.11	97	0.07	99	-4224830.00	33	-227771.00	33	7090.53	97	0.00	101
-2005	Min.	-0.04	102	0.00	104	-6368690.00	97	-344698.00	97	2908.99	33	-0.00	98
-2004	Max	0.15	97	0.04	99	-2599240.00	33	-130486.00	33	-232032.00	33	-0.01	33
-2004	Min.	-0.02	102	-0.02	104	-3894950.00	97	-195747.00	97	-352894.00	97	-0.01	97
-2003	Max	0.02	101	0.04	99	-2599240.00	33	-130486.00	33	352894.00	97	0.01	98
-2003	Min.	-0.15	98	-0.02	104	-3894950.00	97	-195747.00	97	232032.00	33	0.01	33
-2002	Max	0.04	101	0.07	99	-4224830.00	33	-227771.00	33	-2908.98	33	0.00	97
-2002	Min.	-0.11	98	0.00	104	-6368690.00	97	-344698.00	97	-7090.53	97	0.00	102
-2001	Max	0.08	97	0.01	103	-2171130.00	33	-123427.00	33	-180807.00	33	-0.01	33
-2001	Min.	-0.07	102	-0.04	100	-3222630.00	97	-183251.00	97	-272681.00	97	-0.01	98
-2000	Max	0.01	101	-0.00	103	-493071.00	33	-43185.80	33	76894.20	97	0.00	33
-2000	Min.	-0.16	98	-0.07	100	-717193.00	97	-62287.50	97	51113.70	33	0.00	97
-1999	Max	0.07	101	0.02	99	-1004890.00	33	-61231.10	33	-13329.90	33	0.00	97
-1999	Min.	-0.08	98	-0.03	104	-1445980.00	97	-87836.70	97	-19995.30	97	0.00	49
-1998	Max	0.02	101	-0.01	103	-830424.00	33	-57317.60	33	81.77	33	0.00	98
-1998	Min.	-0.15	98	-0.08	100	-1185930.00	97	-81855.70	97	-95.52	33	0.00	49
-1997	Max	-0.01	101	-0.02	103	-1006670.00	33	-61629.60	33	19833.10	97	0.00	97

-1997	Min.	-0.19	98	-0.09	100	-1441020.00	97	-88104.20	97	13618.60	33	0.00	49
-1996	Max	-0.01	101	-0.01	103	-525188.00	33	-43360.10	33	-51868.20	33	0.00	97
-1996	Min.	-0.19	98	-0.07	100	-737935.00	98	-61344.70	97	-75513.70	97	0.00	49
-1995	Max	-0.02	101	0.03	99	-2172070.00	33	-128659.00	33	265613.00	97	0.01	97
-1995	Min.	-0.21	98	-0.03	104	-3143900.00	97	-186296.00	97	182305.00	33	0.00	49
-1994	Max	0.05	101	0.06	99	-2299000.00	33	-132359.00	33	-165853.00	33	-0.00	33
-1994	Min.	-0.11	98	-0.00	104	-3329060.00	97	-191713.00	97	-241692.00	97	-0.00	98
-1993	Max	0.07	97	0.03	99	-162771.00	33	-59088.30	33	0.00	33	0.00	102
-1993	Min.	-0.07	102	-0.02	104	-261739.00	99	-84823.50	97	-0.00	33	0.00	97
-1992	Max	0.01	101	0.27	99	-156600.00	33	-28293.30	33	700.81	97	0.00	33
-1992	Min.	-0.16	98	0.14	104	-200237.00	98	-39291.00	97	468.43	33	0.00	98
-1991	Max	0.06	101	0.18	99	-2297400.00	33	-132146.00	33	240315.00	97	0.00	33
-1991	Min.	-0.10	98	0.08	104	-3326300.00	97	-191377.00	97	164956.00	33	-0.00	97
-1990	Max	0.06	101	0.10	99	-2168840.00	33	-128423.00	33	-181688.00	33	0.00	33
-1990	Min.	-0.11	98	0.03	104	-3138750.00	97	-185923.00	97	-264654.00	97	-0.00	97
-1989	Max	0.06	101	0.04	99	-528920.00	33	-43461.80	33	75406.70	97	0.00	33
-1989	Min.	-0.10	98	-0.02	104	-743386.00	98	-61489.80	97	51807.00	33	0.00	98
-1988	Max	0.09	97	0.01	103	-997612.00	33	-61535.90	33	-14609.50	33	0.00	33
-1988	Min.	-0.07	102	-0.05	100	-1427250.00	97	-87950.50	97	-21247.70	97	0.00	97
-1987	Max	0.07	101	-0.02	103	-863743.00	33	-57908.90	33	6023.78	97	0.00	33
-1987	Min.	-0.09	98	-0.09	100	-1232050.00	97	-82639.60	97	4147.01	33	0.00	98
-1986	Max	0.06	101	-0.03	103	-900647.00	33	-58540.70	33	-1455.09	33	0.00	98
-1986	Min.	-0.11	98	-0.10	100	-1285850.00	97	-83565.40	97	-2103.96	98	0.00	49
-1985	Max	0.05	101	-0.02	103	-893166.00	33	-58502.90	33	1960.53	97	0.00	98
-1985	Min.	-0.11	98	-0.10	100	-1274860.00	97	-83508.10	97	1368.56	33	0.00	49
-1984	Max	0.12	97	0.00	103	-891615.00	33	-58499.30	33	4432.31	97	-0.00	102
-1984	Min.	-0.05	102	-0.06	100	-1272740.00	97	-83502.90	97	3103.60	33	-0.00	97
-1983	Max	0.11	97	-0.02	103	-893166.00	33	-58502.90	33	-1368.64	33	0.00	33
-1983	Min.	-0.05	102	-0.10	100	-1274850.00	97	-83508.10	97	-1960.63	98	-0.00	97
-1982	Max	0.11	97	-0.03	103	-900649.00	33	-58540.70	33	2104.29	97	0.00	33
-1982	Min.	-0.06	102	-0.10	100	-1285850.00	97	-83565.40	97	1455.32	33	0.00	97
-1981	Max	0.09	97	-0.02	103	-863739.00	33	-57908.80	33	-4147.36	33	0.00	97
-1981	Min.	-0.07	102	-0.09	100	-1232040.00	97	-82639.50	97	-6024.29	97	0.00	49
-1980	Max	0.07	101	0.01	103	-997641.00	33	-61536.80	33	21253.10	97	0.00	98
-1980	Min.	-0.09	98	-0.05	100	-1427290.00	97	-87951.90	97	14613.20	33	0.00	49
-1979	Max	0.10	97	0.04	99	-528818.00	33	-43456.20	33	-51824.40	33	0.00	97
-1979	Min.	-0.06	102	-0.02	104	-743237.00	97	-61481.70	97	-75432.00	97	0.00	49
-1978	Max	0.11	97	0.10	99	-2169050.00	33	-128437.00	33	264698.00	97	0.00	98
-1978	Min.	-0.06	102	0.03	104	-3139060.00	97	-185944.00	97	181719.00	33	0.00	49
-1977	Max	0.10	97	0.18	99	-2297400.00	33	-132150.00	33	-164991.00	33	0.00	98
-1977	Min.	-0.06	102	0.08	104	-3326290.00	97	-191382.00	97	-240365.00	97	0.00	49
-1976	Max	0.16	97	0.27	99	-156589.00	33	-28293.20	33	-464.52	33	0.00	97
-1976	Min.	-0.01	102	0.14	104	-200221.00	97	-39290.80	97	-695.22	97	0.00	102
-1975	Max	0.05	101	0.00	103	-891615.00	33	-58499.30	33	-3103.80	33	0.00	98
-1975	Min.	-0.12	98	-0.06	100	-1272740.00	97	-83502.90	97	-4432.59	97	0.00	101
-1974	Max	0.03	101	0.72	99	-4026100.00	33	-20492.70	33	-28352.60	33	0.00	33
-1974	Min.	-0.14	98	0.46	104	-5656610.00	97	-28792.50	97	-39836.70	97	0.00	49
-1973	Max	0.04	101	0.64	99	-4452020.00	33	22796.70	97	-11339.60	33	0.00	33
-1973	Min.	-0.12	98	0.40	104	-6253070.00	97	15962.80	33	-16057.70	97	-0.00	98
-1972	Max	0.05	101	0.12	99	-3982420.00	33	-19688.10	33	-2299.82	33	0.00	98
-1972	Min.	-0.12	98	0.04	104	-5595030.00	97	-27639.30	97	-3230.28	97	0.00	49
-1971	Max	0.06	101	-0.00	103	-1788920.00	33	-15192.50	33	67.77	97	0.00	97
-1971	Min.	-0.10	98	-0.07	100	-2513110.00	97	-21349.50	97	48.23	33	0.00	49
-1970	Max	0.06	101	-0.03	103	-3040400.00	33	119306.00	97	-195.68	33	0.00	100
-1970	Min.	-0.10	98	-0.11	100	-4271320.00	97	84910.50	33	-274.98	98	0.00	49
-1969	Max	0.05	101	-0.04	103	-3985300.00	33	29251.20	97	-2310.54	33	0.00	33
-1969	Min.	-0.12	98	-0.12	100	-5599250.00	97	20826.40	33	-3246.41	97	0.00	98
-1968	Max	0.06	101	0.10	99	-3041210.00	33	-85047.80	33	-194.26	33	0.00	33
-1968	Min.	-0.10	98	0.03	104	-4272420.00	97	-119494.00	97	-272.89	98	0.00	99
-1967	Max	0.06	101	0.07	99	-1786690.00	33	21406.60	97	67.86	97	0.00	33
-1967	Min.	-0.10	98	0.00	104	-2509940.00	97	15234.10	33	48.30	33	0.00	97
-1966	Max	0.06	101	0.03	103	-2183570.00	33	267.87	100	-21.52	33	0.00	33
-1966	Min.	-0.10	98	-0.03	100	-3067570.00	97	190.57	33	-30.24	98	0.00	49
-1965	Max	0.05	101	0.13	99	-4174600.00	33	23205.00	97	-542.71	33	0.00	98
-1965	Min.	-0.11	98	0.05	104	-5862100.00	97	16298.30	33	-765.41	98	0.00	49
-1964	Max	0.05	101	0.17	99	-8615500.00	33	106764.00	97	-1552.31	33	0.00	97
-1964	Min.	-0.12	98	0.07	104	-12549300.00	97	76421.00	33	-2253.26	97	0.00	49
-1963	Max	0.05	101	0.14	99	-5533980.00	33	-74255.20	33	-1037.77	33	0.00	33
-1963	Min.	-0.12	98	0.05	104	-7847960.00	97	-109612.00	97	-1484.48	98	-0.00	97
-1962	Max	0.06	101	0.14	99	-4052700.00	33	-41686.90	33	-2593.49	33	0.00	98
-1962	Min.	-0.10	98	0.05	104	-5704840.00	97	-60704.30	97	-3656.70	97	0.00	49
-1961	Max	0.04	101	-0.08	103	-8417800.00	33	-60617.90	33	-1491.70	33	0.00	33
-1961	Min.	-0.12	98	-0.18	100	-12655600.00	97	-85098.70	97	-2314.29	97	0.00	97
-1960	Max	0.05	101	-0.06	103	-5446830.00	33	102713.00	97	-956.81	33	0.00	97
-1960	Min.	-0.12	98	-0.15	100	-7804470.00	97	65231.70	33	-1436.02	98	0.00	49
-1959	Max	0.05	101	-0.05	103	-4233310.00	33	-13021.20	33	-541.65	33	0.00	33
-1959	Min.	-0.11	98	-0.14	100	-5945670.00	97	-18669.40	97	-769.85	98	-0.00	98
-1958	Max	0.06	101	-0.06	103	-4057600.00	33	53193.10	97	-2600.95	33	0.00	33
-1958	Min.	-0.10	98	-0.15	100	-5725010.00	97	35004.40	33	-3716.23	97	0.00	98

-1957	Max	0.04	101	0.17	99	-8658010.00	33	106427.00	97	2238.52	97	-0.00	33
-1957	Min.	-0.12	98	0.07	104	-12614000.00	97	76190.10	33	1541.44	33	-0.00	98
-1956	Max	0.02	101	0.18	99	-5560680.00	33	-74516.60	33	1489.57	97	0.00	98
-1956	Min.	-0.15	98	0.08	104	-7886530.00	97	-110055.00	97	1039.91	33	0.00	49
-1955	Max	0.01	101	0.21	99	-4072410.00	33	-41854.30	33	3677.44	97	-0.00	33
-1955	Min.	-0.17	98	0.10	104	-5732790.00	97	-60972.80	97	2608.39	33	-0.00	98
-1954	Max	0.03	101	0.22	99	-3058710.00	33	-85179.30	33	274.40	98	0.00	98
-1954	Min.	-0.14	98	0.11	104	-4297020.00	97	-119678.00	97	195.33	33	0.00	49
-1953	Max	0.01	101	0.14	99	-1799500.00	33	21357.10	97	-48.56	33	0.00	97
-1953	Min.	-0.16	98	0.06	104	-2527940.00	97	15198.80	33	-68.22	97	0.00	49
-1952	Max	0.01	101	-0.10	103	-4076390.00	33	53437.80	97	3739.07	97	0.00	98
-1952	Min.	-0.17	98	-0.21	100	-5752630.00	97	35023.30	33	2619.41	33	0.00	49
-1951	Max	0.02	101	-0.08	103	-5468590.00	33	103155.00	97	1441.26	97	-0.00	33
-1951	Min.	-0.15	98	-0.19	100	-7843010.00	97	65081.40	33	963.57	33	-0.00	98
-1950	Max	0.04	101	-0.08	103	-8426170.00	33	-60581.10	33	2299.45	97	0.00	98
-1950	Min.	-0.13	98	-0.18	100	-12720500.00	97	-84835.80	97	1491.53	33	0.00	49
-1949	Max	0.02	101	0.03	99	-2196950.00	33	268.20	100	30.38	98	0.00	33
-1949	Min.	-0.15	98	-0.03	104	-3086360.00	97	190.78	33	21.63	33	0.00	49
-1948	Max	0.03	101	-0.13	103	-4255160.00	33	-12983.70	33	772.89	98	0.00	98
-1948	Min.	-0.13	98	-0.25	100	-5976580.00	97	-18640.80	97	544.09	33	0.00	49
-1947	Max	0.06	101	-0.13	103	-4001580.00	33	29440.10	97	3273.55	97	0.00	98
-1947	Min.	-0.10	98	-0.24	100	-5622130.00	97	20958.90	33	2329.96	33	0.00	49
-1946	Max	0.01	101	-0.06	103	-1801740.00	33	-15158.30	33	-48.48	33	-0.00	33
-1946	Min.	-0.16	98	-0.14	100	-2531110.00	97	-21301.80	97	-68.13	97	-0.00	97
-1945	Max	0.03	101	-0.11	103	-3057890.00	33	119493.00	97	276.50	98	-0.00	33
-1945	Min.	-0.14	98	-0.22	100	-4295910.00	97	85042.50	33	196.76	33	-0.00	98
-1944	Max	0.03	101	0.24	99	-4196400.00	33	23177.40	97	768.14	98	-0.00	33
-1944	Min.	-0.13	98	0.12	104	-5892720.00	97	16277.70	33	544.61	33	-0.00	98
-1943	Max	0.06	101	0.24	99	-3998630.00	33	-19815.50	33	3257.41	97	0.00	33
-1943	Min.	-0.09	98	0.12	104	-5617800.00	97	-27817.60	97	2319.11	33	0.00	98
-1942	Max	0.12	97	0.17	99	-8658000.00	33	106428.00	97	-1541.60	33	0.00	97
-1942	Min.	-0.04	102	0.07	104	-12614000.00	97	76190.50	33	-2238.74	97	0.00	49
-1941	Max	0.15	97	0.18	99	-5560680.00	33	-74516.70	33	-1040.09	33	-0.00	33
-1941	Min.	-0.02	102	0.08	104	-7886530.00	97	-110055.00	97	-1489.83	97	-0.00	97
-1940	Max	0.17	97	0.21	99	-4072420.00	33	-41854.40	33	-2608.75	33	0.00	97
-1940	Min.	-0.01	102	0.10	104	-5732790.00	97	-60972.80	97	-3677.95	97	0.00	49
-1939	Max	0.13	97	0.24	99	-4196400.00	33	23177.40	97	-544.72	33	0.00	97
-1939	Min.	-0.03	102	0.12	104	-5892720.00	97	16277.70	33	-768.29	97	0.00	49
-1938	Max	0.09	97	0.24	99	-3998630.00	33	-19815.50	33	-2319.43	33	0.00	97
-1938	Min.	-0.06	102	0.12	104	-5617800.00	97	-27817.70	97	-3257.86	97	0.00	49
-1937	Max	0.15	97	0.03	99	-2196950.00	33	268.20	100	-21.63	33	0.00	33
-1937	Min.	-0.02	102	-0.03	104	-3086360.00	97	190.78	33	-30.39	97	0.00	49
-1936	Max	0.17	97	-0.10	103	-4076390.00	33	53437.80	97	-2619.75	33	-0.00	33
-1936	Min.	-0.01	102	-0.21	100	-5752630.00	97	35024.40	33	-3739.60	97	-0.00	97
-1935	Max	0.15	97	-0.08	103	-5468640.00	33	103155.00	97	-963.70	33	0.00	97
-1935	Min.	-0.02	102	-0.19	100	-7843010.00	97	65085.10	33	-1441.51	97	0.00	49
-1934	Max	0.13	97	-0.08	103	-8426440.00	33	-60580.80	33	-1491.59	33	0.00	33
-1934	Min.	-0.04	102	-0.18	100	-12720500.00	97	-84836.30	97	-2299.69	97	-0.00	97
-1933	Max	0.12	97	-0.08	103	-8418830.00	33	-60619.30	33	2319.18	97	0.00	98
-1933	Min.	-0.04	102	-0.18	100	-12657600.00	97	-85097.20	97	1495.19	33	0.00	49
-1932	Max	0.12	97	-0.06	103	-5447910.00	33	102731.00	97	1439.71	97	0.00	33
-1932	Min.	-0.05	102	-0.15	100	-7806080.00	97	65239.40	33	959.45	33	-0.00	98
-1931	Max	0.10	97	-0.06	103	-4058380.00	33	53203.70	97	3751.88	97	0.00	97
-1931	Min.	-0.06	102	-0.15	100	-5726130.00	97	35010.00	33	2626.10	33	0.00	49
-1930	Max	0.11	97	-0.05	103	-4234210.00	33	-13020.00	33	771.88	97	0.00	97
-1930	Min.	-0.05	102	-0.14	100	-5946930.00	97	-18668.10	97	543.09	33	0.00	49
-1929	Max	0.10	97	-0.00	103	-1789410.00	33	-15191.60	33	-48.35	33	0.00	33
-1929	Min.	-0.06	102	-0.07	100	-2513790.00	97	-21348.20	97	-67.94	98	0.00	98
-1928	Max	0.10	97	0.10	99	-3041900.00	33	-85054.80	33	273.59	97	0.00	99
-1928	Min.	-0.06	102	0.03	104	-4273400.00	97	-119503.00	97	194.76	33	0.00	49
-1927	Max	0.10	97	0.07	99	-1787170.00	33	21405.20	97	-48.43	33	0.00	98
-1927	Min.	-0.06	102	0.00	104	-2510620.00	97	15233.10	33	-68.03	98	0.00	49
-1926	Max	0.10	97	0.03	103	-2184090.00	33	267.89	100	30.32	97	0.00	33
-1926	Min.	-0.06	102	-0.03	100	-3068290.00	97	190.58	33	21.58	33	0.00	49
-1925	Max	0.10	97	0.14	99	-4053500.00	33	-41694.80	33	3692.37	97	0.00	33
-1925	Min.	-0.06	102	0.05	104	-5705970.00	97	-60716.00	97	2618.76	33	-0.00	97
-1924	Max	0.13	97	-0.13	103	-4255160.00	33	-12983.80	33	-544.20	33	-0.00	33
-1924	Min.	-0.03	102	-0.25	100	-5976580.00	97	-18640.70	97	-773.05	97	-0.00	97
-1923	Max	0.16	97	-0.06	103	-1801740.00	33	-15158.30	33	68.14	98	0.00	98
-1923	Min.	-0.01	102	-0.14	100	-2531110.00	97	-21301.80	97	48.49	33	0.00	49
-1922	Max	0.12	97	0.17	99	-8616890.00	33	106761.00	97	2258.38	97	0.00	33
-1922	Min.	-0.05	102	0.07	104	-12551300.00	97	76420.00	33	1555.85	33	0.00	98
-1921	Max	0.12	97	0.14	99	-5535120.00	33	-74267.70	33	1488.30	97	0.00	98
-1921	Min.	-0.05	102	0.05	104	-7849570.00	97	-109630.00	97	1040.45	33	0.00	49
-1920	Max	0.14	97	-0.11	103	-3057890.00	33	119493.00	97	-196.80	33	0.00	97
-1920	Min.	-0.03	102	-0.22	100	-4295910.00	97	85042.70	33	-276.56	97	0.00	49
-1919	Max	0.10	97	-0.13	103	-4001580.00	33	29440.10	97	-2330.27	33	0.00	33
-1919	Min.	-0.06	102	-0.24	100	-5622130.00	97	20959.00	33	-3274.00	97	0.00	97
-1918	Max	0.14	97	0.22	99	-3058720.00	33	-85179.40	33	-195.37	33	-0.00	33

-1918	Min.	-0.03	102	0.11	104	-4297020.00	97	-119678.00	97	-274.46	97	-0.00	97
-1917	Max	0.16	97	0.14	99	-1799500.00	33	21357.10	97	68.23	98	-0.00	33
-1917	Min.	-0.01	102	0.06	104	-2527940.00	97	15198.90	33	48.57	33	-0.00	98
-1916	Max	0.10	97	-0.03	103	-3041090.00	33	119316.00	97	275.69	97	0.00	33
-1916	Min.	-0.06	102	-0.11	100	-4272300.00	97	84917.60	33	196.18	33	0.00	100
-1915	Max	0.12	97	-0.04	103	-3985960.00	33	29259.10	97	3274.59	97	0.00	97
-1915	Min.	-0.05	102	-0.12	100	-5600170.00	97	20832.00	33	2330.61	33	0.00	49
-1914	Max	0.11	97	0.13	99	-4175480.00	33	23203.70	97	767.41	97	0.00	33
-1914	Min.	-0.05	102	0.05	104	-5863350.00	97	16297.40	33	544.13	33	-0.00	97
-1913	Max	0.12	97	0.12	99	-3983070.00	33	-19693.40	33	3258.30	97	0.00	33
-1913	Min.	-0.05	102	0.04	104	-5595940.00	97	-27646.70	97	2319.76	33	0.00	97
-1912	Max	0.06	101	0.64	99	-4744790.00	33	20088.40	97	195.35	98	0.00	33
-1912	Min.	-0.09	98	0.40	104	-6664170.00	97	14127.10	33	112.36	33	0.00	98
-1911	Max	0.06	101	0.73	99	-4067510.00	33	-21475.70	33	411.87	98	0.00	33
-1911	Min.	-0.09	98	0.47	104	-5714770.00	97	-30165.50	97	290.08	33	0.00	49
-1910	Max	0.05	101	0.09	99	-3226680.00	33	-3147.81	33	134300.00	97	0.00	97
-1910	Min.	-0.11	98	0.02	104	-4532870.00	97	-4414.16	97	95608.50	33	0.00	49
-1909	Max	0.04	101	0.13	99	-3144400.00	33	-2959.89	33	-95344.50	33	0.00	98
-1909	Min.	-0.13	98	0.05	104	-4417300.00	97	-4150.82	97	-133928.00	97	0.00	49
-1908	Max	0.06	101	0.16	99	-1776730.00	33	975.44	100	22810.30	97	0.00	97
-1908	Min.	-0.10	98	0.07	104	-2496020.00	97	695.57	33	16241.20	33	0.00	49
-1907	Max	0.08	101	0.17	99	-2147170.00	1	-163.49	49	241.22	97	0.00	33
-1907	Min.	-0.08	98	0.08	104	-3016380.00	97	-229.27	99	170.45	33	0.00	49
-1906	Max	0.08	97	0.17	99	-2072340.00	1	53.90	100	-1683.84	33	0.00	33
-1906	Min.	-0.08	102	0.07	104	-2911270.00	97	38.44	33	-2365.94	98	0.00	49
-1905	Max	0.09	97	0.15	99	-2078340.00	1	-9.06	104	1322.46	97	0.00	33
-1905	Min.	-0.07	102	0.06	104	-2919700.00	97	-12.70	99	941.32	33	0.00	97
-1904	Max	0.10	97	0.12	99	-2082180.00	1	3.14	100	-392.93	33	0.00	33
-1904	Min.	-0.07	102	0.04	104	-2925100.00	97	2.24	103	-551.99	98	0.00	97
-1903	Max	0.11	97	0.08	99	-2079060.00	1	-1.00	104	240.16	97	0.00	97
-1903	Min.	-0.06	102	0.02	104	-2920710.00	97	-1.40	99	170.97	102	0.00	49
-1902	Max	0.11	97	-0.02	103	-2079060.00	1	1.47	100	241.52	97	0.00	33
-1902	Min.	-0.06	102	-0.09	100	-2920710.00	97	1.05	33	171.92	33	-0.00	97
-1901	Max	0.10	97	-0.04	103	-2082190.00	1	-2.36	33	-394.61	33	0.00	97
-1901	Min.	-0.07	102	-0.12	100	-2925110.00	97	-3.31	99	-554.39	98	0.00	49
-1900	Max	0.09	97	-0.06	103	-2078350.00	33	13.36	100	1326.83	97	0.00	97
-1900	Min.	-0.07	102	-0.15	100	-2919710.00	97	9.52	33	944.38	33	0.00	49
-1899	Max	0.08	97	-0.08	103	-2072240.00	33	-40.41	33	-1685.79	33	0.00	33
-1899	Min.	-0.08	102	-0.17	100	-2911140.00	97	-56.71	99	-2368.70	98	0.00	49
-1898	Max	0.08	101	-0.08	103	-2147610.00	33	241.20	100	213.08	97	0.00	33
-1898	Min.	-0.08	98	-0.18	100	-3017000.00	97	171.87	33	150.33	33	0.00	49
-1897	Max	0.06	101	-0.07	103	-1775090.00	33	-731.22	33	23000.50	97	0.00	33
-1897	Min.	-0.10	98	-0.16	100	-2493720.00	97	-1026.23	99	16375.10	33	0.00	97
-1896	Max	0.04	101	-0.05	103	-3149240.00	33	4366.92	97	-95914.80	33	0.00	33
-1896	Min.	-0.13	98	-0.14	100	-4424120.00	97	3111.59	33	-134735.00	97	0.00	98
-1895	Max	0.05	101	-0.02	103	-3232050.00	33	4645.11	97	135080.00	97	-0.00	33
-1895	Min.	-0.11	98	-0.09	100	-4540450.00	97	3309.69	33	96159.00	33	-0.00	97
-1894	Max	0.12	97	0.17	99	-3228850.00	33	-3144.45	33	135292.00	97	0.00	98
-1894	Min.	-0.04	102	0.08	104	-4535920.00	97	-4409.43	97	96314.40	33	0.00	49
-1893	Max	0.07	101	0.30	99	-3146500.00	33	-2957.48	33	-96059.50	33	0.00	97
-1893	Min.	-0.08	98	0.17	104	-4420250.00	97	-4147.42	97	-134932.00	97	0.00	49
-1892	Max	0.11	97	0.42	99	-1776740.00	33	979.04	100	23773.80	97	0.00	98
-1892	Min.	-0.05	102	0.25	104	-2496030.00	97	698.14	33	16927.00	33	0.00	49
-1891	Max	0.12	97	0.51	99	-2146180.00	33	-174.71	33	-870.90	33	0.00	33
-1891	Min.	-0.04	102	0.32	104	-3014990.00	97	-245.01	99	-1222.27	97	0.00	49
-1890	Max	0.12	97	0.60	99	-2063910.00	33	120.22	100	-3.58	33	0.00	98
-1890	Min.	-0.04	102	0.38	104	-2899440.00	97	85.69	33	-6.42	97	0.00	49
-1889	Max	0.12	97	0.67	99	-2144820.00	33	-209.72	33	1143.76	98	0.00	97
-1889	Min.	-0.04	102	0.43	104	-3013090.00	97	-294.32	99	814.00	33	0.00	49
-1888	Max	0.11	97	0.72	99	-1781680.00	33	1200.30	100	-16510.00	33	0.00	97
-1888	Min.	-0.04	102	0.46	104	-2503070.00	97	855.25	33	-23189.90	97	0.00	49
-1887	Max	0.24	97	0.73	99	-3131640.00	33	-3627.28	33	132463.00	97	-0.00	33
-1887	Min.	0.05	102	0.47	104	-4399570.00	97	-5090.74	97	94290.50	33	-0.00	97
-1886	Max	0.11	97	0.72	99	-4761850.00	33	-9625.55	33	-1481.66	33	0.00	33
-1886	Min.	-0.05	102	0.47	104	-6689820.00	97	-13511.20	97	-2083.21	97	0.00	49
-1885	Max	0.08	97	0.73	99	-4742160.00	33	-10706.50	33	89.80	98	0.00	33
-1885	Min.	-0.07	102	0.47	104	-6662160.00	97	-15026.40	97	64.30	33	0.00	49
-1884	Max	0.07	97	0.74	99	-4060310.00	33	-21179.20	33	0.00	98	0.00	33
-1884	Min.	-0.07	102	0.48	104	-5704870.00	97	-29732.90	97	0.00	101	0.00	49
-1883	Max	0.07	101	0.73	99	-4742160.00	33	-10706.50	33	-64.30	33	0.00	33
-1883	Min.	-0.08	98	0.47	104	-6662160.00	97	-15026.40	97	-89.80	97	0.00	49
-1882	Max	0.05	101	0.72	99	-4761850.00	33	-9625.55	33	2083.21	98	0.00	33
-1882	Min.	-0.11	98	0.47	104	-6689820.00	97	-13511.20	97	1481.66	33	0.00	49
-1881	Max	-0.05	101	0.73	99	-3131640.00	33	-3627.28	33	-94290.50	33	0.00	98
-1881	Min.	-0.24	98	0.47	104	-4399570.00	97	-5090.74	97	-132463.00	97	0.00	49
-1880	Max	0.04	101	0.72	99	-1781680.00	33	1200.30	100	23189.90	97	0.00	33
-1880	Min.	-0.11	98	0.46	104	-2503070.00	97	855.25	33	16510.00	33	0.00	98
-1879	Max	0.04	101	0.67	99	-2144820.00	33	-209.72	33	-814.00	33	0.00	33
-1879	Min.	-0.12	98	0.43	104	-3013090.00	97	-294.32	99	-1143.76	97	0.00	98

-1878	Max	0.04	101	0.60	99	-2063910.00	33	120.22	100	6.42	98	0.00	33
-1878	Min.	-0.12	98	0.38	104	-2899440.00	97	85.69	33	3.58	33	0.00	97
-1877	Max	0.04	101	0.51	99	-2146180.00	33	-174.71	33	1222.27	98	0.00	33
-1877	Min.	-0.12	98	0.32	104	-3014990.00	97	-245.01	99	870.90	33	0.00	49
-1876	Max	0.05	101	0.42	99	-1776740.00	33	979.04	100	-16927.00	33	0.00	33
-1876	Min.	-0.11	98	0.25	104	-2496030.00	97	698.14	33	-23773.80	97	0.00	97
-1875	Max	0.08	97	0.30	99	-3146500.00	33	-2957.47	33	134932.00	97	0.00	33
-1875	Min.	-0.07	102	0.17	104	-4420250.00	97	-4147.41	97	96059.50	33	0.00	98
-1874	Max	0.05	101	0.06	99	-1467470.00	33	1966.01	100	492.22	97	0.00	33
-1874	Min.	-0.11	98	0.00	104	-2061590.00	97	1402.00	33	350.42	33	0.00	97
-1873	Max	0.04	101	0.17	99	-3228840.00	33	-3144.47	33	-96315.10	33	-0.00	33
-1873	Min.	-0.12	98	0.08	104	-4535900.00	97	-4409.45	97	-135293.00	97	-0.00	97
-1872	Max	0.06	101	0.08	99	-2079060.00	1	-1.00	104	-171.04	101	0.00	33
-1872	Min.	-0.11	98	0.02	104	-2920710.00	97	-1.40	99	-240.26	98	-0.00	98
-1871	Max	0.07	101	0.12	99	-2082190.00	1	3.14	100	552.11	97	0.00	98
-1871	Min.	-0.10	98	0.04	104	-2925100.00	97	2.24	103	393.01	33	0.00	49
-1870	Max	0.07	101	0.15	99	-2078340.00	1	-9.06	104	-941.58	33	0.00	98
-1870	Min.	-0.09	98	0.06	104	-2919700.00	97	-12.70	99	-1322.83	98	0.00	49
-1869	Max	0.08	101	0.17	99	-2072330.00	1	53.91	100	2366.30	97	0.00	33
-1869	Min.	-0.08	98	0.07	104	-2911260.00	97	38.44	49	1684.10	33	0.00	49
-1868	Max	0.08	97	0.17	99	-2147200.00	1	-163.53	33	-169.35	33	0.00	33
-1868	Min.	-0.08	102	0.08	104	-3016410.00	97	-229.32	99	-239.68	98	0.00	49
-1867	Max	0.07	97	0.71	99	-3286760.00	33	-113113.00	33	0.00	98	0.00	33
-1867	Min.	-0.07	102	0.46	104	-4617600.00	97	-158937.00	97	0.00	101	0.00	49
-1866	Max	0.07	101	0.06	99	-0.98	103	0.00	104	0.00	102	0.00	33
-1866	Min.	-0.08	98	-0.00	104	-1.39	100	-0.00	99	0.00	97	0.00	49
-1865	Max	0.05	101	0.06	99	-0.96	101	0.00	104	0.00	102	0.00	33
-1865	Min.	-0.10	98	-0.00	104	-1.36	98	-0.00	99	-0.00	97	0.00	49
-1864	Max	0.04	101	0.06	99	-0.91	101	-0.00	104	-0.00	102	0.00	33
-1864	Min.	-0.12	98	-0.00	104	-1.31	98	-0.00	99	-0.00	97	0.00	49
-1863	Max	0.04	101	0.03	99	-0.19	101	0.00	49	-0.00	101	0.00	33
-1863	Min.	-0.12	98	-0.02	104	-0.39	98	0.00	99	-0.00	98	0.00	49
-1862	Max	0.07	97	-0.41	103	-4831660.00	33	-6895.56	33	0.00	33	0.00	33
-1862	Min.	-0.07	102	-0.65	100	-6786660.00	97	-9964.79	97	0.00	33	0.00	49
-1861	Max	0.03	101	0.06	99	-0.84	101	-0.00	104	-0.00	102	0.00	33
-1861	Min.	-0.13	98	-0.00	104	-1.23	98	-0.00	99	-0.00	97	0.00	49
-1860	Max	0.09	97	-0.12	103	-0.13	102	0.01	100	0.00	97	0.00	33
-1860	Min.	-0.07	102	-0.24	100	-0.27	97	0.01	103	0.00	102	0.00	49
-1859	Max	0.04	101	0.02	103	-0.19	101	0.00	100	-0.00	101	0.00	33
-1859	Min.	-0.12	98	-0.03	100	-0.39	98	0.00	33	-0.00	98	0.00	49
-1858	Max	0.14	97	0.06	99	-0.75	102	-0.00	104	0.00	98	0.00	33
-1858	Min.	-0.03	102	-0.00	104	-1.13	97	-0.00	99	0.00	101	0.00	49
-1857	Max	0.03	101	0.06	99	-0.75	101	-0.00	104	-0.00	102	0.00	33
-1857	Min.	-0.14	98	-0.00	104	-1.13	98	-0.00	99	-0.00	97	0.00	49
-1856	Max	0.13	97	0.06	99	-0.84	102	-0.00	104	0.00	98	0.00	33
-1856	Min.	-0.03	102	-0.00	104	-1.23	97	-0.00	99	0.00	101	0.00	49
-1855	Max	0.09	97	-0.13	103	-0.14	102	0.01	100	0.00	97	0.00	33
-1855	Min.	-0.07	102	-0.25	100	-0.29	97	0.01	103	0.00	102	0.00	49
-1854	Max	0.11	97	-0.12	103	-0.16	102	0.01	100	0.00	97	0.00	33
-1854	Min.	-0.05	102	-0.24	100	-0.33	97	0.01	49	0.00	102	0.00	49
-1853	Max	0.15	97	0.04	99	-0.45	102	0.00	104	0.00	98	0.00	33
-1853	Min.	-0.02	102	-0.02	104	-0.73	97	0.00	99	0.00	101	0.00	49
-1852	Max	0.15	97	0.05	99	-0.55	102	0.00	104	0.00	98	0.00	33
-1852	Min.	-0.02	102	-0.01	104	-0.87	97	-0.00	99	0.00	101	0.00	49
-1851	Max	0.15	97	0.05	99	-0.66	102	0.00	104	0.00	98	0.00	33
-1851	Min.	-0.02	102	-0.01	104	-1.01	97	-0.00	99	0.00	101	0.00	49
-1850	Max	0.04	101	0.01	103	-0.17	101	0.00	100	-0.00	101	0.00	33
-1850	Min.	-0.12	98	-0.05	100	-0.36	98	0.00	33	-0.00	98	0.00	49
-1849	Max	0.07	97	-0.47	103	-3286730.00	33	158942.00	97	0.00	98	0.00	33
-1849	Min.	-0.07	102	-0.72	100	-4617460.00	97	113123.00	33	0.00	101	0.00	49
-1848	Max	0.04	101	0.05	99	-0.17	101	0.00	49	-0.00	101	0.00	33
-1848	Min.	-0.12	98	-0.01	104	-0.36	98	-0.00	99	-0.00	98	0.00	49
-1847	Max	0.07	97	0.36	99	-6272280.00	33	-48915.20	33	0.00	33	0.00	33
-1847	Min.	-0.07	102	0.20	104	-8940090.00	97	-76560.20	97	-0.00	33	0.00	49
-1846	Max	0.07	97	0.03	99	-2240880.00	33	400.29	100	0.00	102	0.00	33
-1846	Min.	-0.07	102	-0.02	104	-3148120.00	97	284.68	33	0.00	97	0.00	49
-1845	Max	0.02	101	0.05	99	-0.66	101	0.00	104	-0.00	102	0.00	33
-1845	Min.	-0.15	98	-0.01	104	-1.01	98	-0.00	99	-0.00	97	0.00	49
-1844	Max	0.02	101	0.05	99	-0.55	101	0.00	104	-0.00	102	0.00	33
-1844	Min.	-0.15	98	-0.01	104	-0.87	98	-0.00	99	-0.00	97	0.00	49
-1843	Max	0.02	101	0.04	99	-0.45	101	0.00	104	-0.00	102	0.00	33
-1843	Min.	-0.15	98	-0.02	104	-0.73	98	0.00	99	-0.00	97	0.00	49
-1842	Max	0.07	97	0.64	99	-4758950.00	33	14789.80	97	0.00	102	0.00	33
-1842	Min.	-0.07	102	0.40	104	-6684060.00	97	10299.40	33	0.00	97	0.00	49
-1841	Max	0.11	97	-0.11	103	-0.19	102	0.01	100	0.00	97	0.00	33
-1841	Min.	-0.06	102	-0.22	100	-0.38	97	0.01	49	0.00	102	0.00	49
-1840	Max	0.08	101	0.03	99	-0.13	102	0.00	104	0.00	101	0.00	33
-1840	Min.	-0.08	98	-0.02	104	-0.22	97	0.00	99	0.00	98	0.00	49
-1839	Max	0.03	101	0.03	103	-0.34	101	0.00	100	-0.00	102	0.00	33

-1839	Min.	-0.14	98	-0.03	100	-0.60	98	0.00	33	-0.00	97	0.00	49
-1838	Max	0.15	97	0.02	103	-0.25	102	0.00	100	0.00	98	0.00	33
-1838	Min.	-0.02	102	-0.04	100	-0.47	97	0.00	103	0.00	101	0.00	49
-1837	Max	0.14	97	0.03	103	-0.34	102	0.00	100	0.00	98	0.00	33
-1837	Min.	-0.03	102	-0.03	100	-0.60	97	0.00	103	0.00	101	0.00	49
-1836	Max	0.02	101	0.02	103	-0.25	101	0.00	100	-0.00	102	0.00	33
-1836	Min.	-0.15	98	-0.04	100	-0.47	98	0.00	33	-0.00	97	0.00	49
-1835	Max	0.12	97	0.03	99	-0.93	102	0.00	104	0.00	98	0.00	33
-1835	Min.	-0.04	102	-0.02	104	-1.34	97	0.00	99	0.00	101	0.00	49
-1834	Max	0.10	97	0.03	99	-0.98	102	0.00	104	0.00	98	0.00	33
-1834	Min.	-0.05	102	-0.02	104	-1.39	97	0.00	99	0.00	101	0.00	49
-1833	Max	0.08	97	0.03	99	-1.01	102	0.00	104	0.00	98	0.00	33
-1833	Min.	-0.07	102	-0.02	104	-1.41	97	0.00	99	0.00	101	0.00	49
-1832	Max	0.07	101	0.03	99	-1.01	101	0.00	104	0.00	102	0.00	33
-1832	Min.	-0.08	98	-0.02	104	-1.41	98	0.00	99	0.00	97	0.00	49
-1831	Max	0.05	101	0.03	99	-0.98	101	0.00	104	0.00	102	0.00	33
-1831	Min.	-0.10	98	-0.02	104	-1.39	98	0.00	99	-0.00	97	0.00	49
-1830	Max	0.04	101	0.03	99	-0.93	101	0.00	104	-0.00	102	0.00	33
-1830	Min.	-0.12	98	-0.02	104	-1.34	98	0.00	99	-0.00	97	0.00	49
-1829	Max	0.03	101	0.03	99	-0.86	101	0.00	104	-0.00	102	0.00	33
-1829	Min.	-0.13	98	-0.03	104	-1.26	98	0.00	99	-0.00	97	0.00	49
-1828	Max	0.03	101	0.03	103	-0.78	101	0.00	100	-0.00	102	0.00	33
-1828	Min.	-0.14	98	-0.03	100	-1.16	98	0.00	103	-0.00	97	0.00	49
-1827	Max	0.02	101	0.03	103	-0.68	101	0.00	100	-0.00	102	0.00	33
-1827	Min.	-0.15	98	-0.03	100	-1.04	98	0.00	103	-0.00	97	0.00	49
-1826	Max	0.02	101	0.03	103	-0.57	101	0.00	100	-0.00	102	0.00	33
-1826	Min.	-0.15	98	-0.03	100	-0.90	98	0.00	103	-0.00	97	0.00	49
-1825	Max	0.02	101	0.02	103	-0.47	101	0.00	100	-0.00	102	0.00	33
-1825	Min.	-0.15	98	-0.03	100	-0.76	98	0.00	103	-0.00	97	0.00	49
-1824	Max	0.03	101	0.02	103	-0.36	101	0.00	100	-0.00	102	0.00	33
-1824	Min.	-0.14	98	-0.03	100	-0.62	98	0.00	103	-0.00	97	0.00	49
-1823	Max	0.02	101	0.02	103	-0.27	101	0.00	100	-0.00	102	0.00	33
-1823	Min.	-0.15	98	-0.03	100	-0.50	98	0.00	103	-0.00	97	0.00	49
-1822	Max	0.07	101	0.00	103	-0.69	102	0.00	104	0.00	102	0.00	33
-1822	Min.	-0.08	98	-0.06	100	-1.10	97	0.00	99	0.00	97	0.00	49
-1821	Max	0.18	97	0.01	103	-0.84	102	0.00	100	0.00	98	0.00	33
-1821	Min.	-0.00	102	-0.05	100	-1.30	97	0.00	103	0.00	101	0.00	97
-1820	Max	0.19	97	0.04	99	-0.99	102	-0.00	104	0.01	98	0.00	33
-1820	Min.	0.01	102	-0.01	104	-1.52	97	-0.00	99	0.00	101	0.00	97
-1819	Max	0.19	97	0.05	99	-1.15	102	-0.00	104	0.01	98	0.00	33
-1819	Min.	0.01	102	-0.01	104	-1.73	97	-0.00	99	0.00	101	0.00	97
-1818	Max	0.18	97	0.05	99	-1.30	102	-0.00	104	0.00	98	0.00	33
-1818	Min.	0.00	102	-0.01	104	-1.94	97	-0.00	99	0.00	101	0.00	99
-1817	Max	0.07	101	0.01	103	-1.43	102	0.00	104	0.00	102	0.00	33
-1817	Min.	-0.09	98	-0.05	100	-2.12	97	0.00	99	0.00	97	0.00	97
-1816	Max	0.15	97	0.04	99	-1.55	102	-0.00	104	0.00	98	0.00	33
-1816	Min.	-0.02	102	-0.01	104	-2.27	97	-0.00	99	0.00	101	0.00	98
-1815	Max	0.14	97	0.05	99	-1.64	102	-0.00	104	0.00	98	0.00	33
-1815	Min.	-0.03	102	-0.01	104	-2.38	97	-0.00	99	0.00	101	0.00	98
-1814	Max	0.11	97	0.04	99	-1.70	103	-0.00	104	0.00	98	0.00	33
-1814	Min.	-0.05	102	-0.02	104	-2.47	100	-0.00	99	0.00	101	0.00	98
-1813	Max	0.07	101	0.03	103	-1.73	103	-0.00	104	0.00	102	0.00	33
-1813	Min.	-0.07	98	-0.03	100	-2.51	100	-0.00	99	0.00	97	0.00	49
-1812	Max	0.07	97	0.03	103	-1.73	103	-0.00	104	0.00	98	0.00	33
-1812	Min.	-0.07	102	-0.03	100	-2.51	100	-0.00	99	0.00	101	0.00	49
-1811	Max	0.05	101	0.04	99	-1.70	103	-0.00	104	0.00	102	0.00	97
-1811	Min.	-0.11	98	-0.02	104	-2.47	100	-0.00	99	-0.00	97	0.00	49
-1810	Max	0.03	101	0.05	99	-1.64	101	-0.00	104	-0.00	102	0.00	97
-1810	Min.	-0.14	98	-0.01	104	-2.38	98	-0.00	99	-0.00	97	0.00	49
-1809	Max	0.02	101	0.04	99	-1.55	101	-0.00	104	-0.00	102	0.00	97
-1809	Min.	-0.15	98	-0.01	104	-2.27	98	-0.00	99	-0.00	97	0.00	49
-1808	Max	0.09	97	0.01	103	-1.43	101	0.00	104	0.00	98	0.00	98
-1808	Min.	-0.07	102	-0.05	100	-2.12	98	0.00	99	0.00	101	0.00	49
-1807	Max	0.00	101	0.05	99	-1.30	101	-0.00	104	-0.00	102	0.00	99
-1807	Min.	-0.18	98	-0.01	104	-1.94	98	-0.00	99	-0.00	97	0.00	49
-1806	Max	-0.01	101	0.05	99	-1.15	101	-0.00	104	-0.00	102	0.00	98
-1806	Min.	-0.19	98	-0.01	104	-1.73	98	-0.00	99	-0.01	97	0.00	49
-1805	Max	-0.01	101	0.04	99	-0.99	101	-0.00	104	-0.00	102	0.00	98
-1805	Min.	-0.19	98	-0.01	104	-1.52	98	-0.00	99	-0.01	97	0.00	49
-1804	Max	0.00	101	0.01	103	-0.84	101	0.00	100	-0.00	102	0.00	98
-1804	Min.	-0.18	98	-0.05	100	-1.30	98	0.00	103	-0.00	97	0.00	49
-1803	Max	0.08	97	0.00	103	-0.69	101	0.00	104	0.00	98	0.00	33
-1803	Min.	-0.07	102	-0.06	100	-1.10	98	0.00	99	0.00	101	0.00	49
-1802	Max	0.15	97	0.03	99	-0.27	102	0.00	104	0.00	98	0.00	33
-1802	Min.	-0.02	102	-0.02	104	-0.50	97	0.00	99	0.00	101	0.00	49
-1801	Max	0.14	97	0.03	99	-0.37	102	0.00	104	0.00	98	0.00	33
-1801	Min.	-0.03	102	-0.02	104	-0.63	97	0.00	99	0.00	101	0.00	49
-1800	Max	0.15	97	0.03	99	-0.47	102	0.00	104	0.00	98	0.00	33
-1800	Min.	-0.02	102	-0.02	104	-0.77	97	0.00	99	0.00	101	0.00	49

-1799	Max	0.15	97	0.03	99	-0.58	102	0.00	104	0.00	98	0.00	33
-1799	Min.	-0.02	102	-0.03	104	-0.91	97	0.00	99	0.00	101	0.00	49
-1798	Max	0.15	97	0.03	99	-0.69	102	0.00	104	0.00	98	0.00	33
-1798	Min.	-0.02	102	-0.03	104	-1.05	97	0.00	99	0.00	101	0.00	49
-1797	Max	0.14	97	0.03	99	-0.78	102	0.00	104	0.00	98	0.00	33
-1797	Min.	-0.03	102	-0.03	104	-1.17	97	0.00	99	0.00	101	0.00	49
-1796	Max	0.13	97	0.03	103	-0.87	102	0.00	100	0.00	98	0.00	33
-1796	Min.	-0.03	102	-0.03	100	-1.27	97	0.00	103	0.00	101	0.00	49
-1795	Max	0.12	97	0.02	103	-0.94	102	0.00	100	0.00	98	0.00	33
-1795	Min.	-0.04	102	-0.03	100	-1.35	97	0.00	103	0.00	101	0.00	49
-1794	Max	0.10	97	0.02	103	-0.99	102	0.00	100	0.00	98	0.00	33
-1794	Min.	-0.05	102	-0.03	100	-1.40	97	0.00	103	0.00	101	0.00	49
-1793	Max	0.08	97	0.02	103	-1.02	102	0.00	100	0.00	98	0.00	33
-1793	Min.	-0.07	102	-0.03	100	-1.43	97	0.00	103	0.00	101	0.00	49
-1792	Max	0.07	101	0.02	103	-1.02	101	0.00	100	0.00	102	0.00	33
-1792	Min.	-0.08	98	-0.03	100	-1.43	98	0.00	103	0.00	97	0.00	49
-1791	Max	0.05	101	0.02	103	-0.99	101	0.00	100	0.00	102	0.00	33
-1791	Min.	-0.10	98	-0.03	100	-1.40	98	0.00	103	-0.00	97	0.00	49
-1790	Max	0.04	101	0.02	103	-0.94	101	0.00	100	-0.00	102	0.00	33
-1790	Min.	-0.12	98	-0.03	100	-1.35	98	0.00	103	-0.00	97	0.00	49
-1789	Max	0.03	101	0.03	103	-0.87	101	0.00	100	-0.00	102	0.00	33
-1789	Min.	-0.13	98	-0.03	100	-1.27	98	0.00	103	-0.00	97	0.00	49
-1788	Max	0.03	101	0.03	99	-0.78	101	0.00	104	-0.00	102	0.00	33
-1788	Min.	-0.14	98	-0.03	104	-1.17	98	0.00	99	-0.00	97	0.00	49
-1787	Max	0.02	101	0.03	99	-0.69	101	0.00	104	-0.00	102	0.00	33
-1787	Min.	-0.15	98	-0.03	104	-1.05	98	0.00	99	-0.00	97	0.00	49
-1786	Max	0.02	101	0.03	99	-0.58	101	0.00	104	-0.00	102	0.00	33
-1786	Min.	-0.15	98	-0.03	104	-0.91	98	0.00	99	-0.00	97	0.00	49
-1785	Max	0.02	101	0.03	99	-0.47	101	0.00	104	-0.00	102	0.00	33
-1785	Min.	-0.15	98	-0.02	104	-0.77	98	0.00	99	-0.00	97	0.00	49
-1784	Max	0.03	101	0.03	99	-0.37	101	0.00	104	-0.00	102	0.00	33
-1784	Min.	-0.14	98	-0.02	104	-0.63	98	0.00	99	-0.00	97	0.00	49
-1783	Max	0.02	101	0.03	99	-0.27	101	0.00	104	-0.00	102	0.00	33
-1783	Min.	-0.15	98	-0.02	104	-0.50	98	0.00	99	-0.00	97	0.00	49
-1782	Max	0.16	97	-0.17	103	-0.34	102	0.01	100	0.00	98	0.00	33
-1782	Min.	-0.01	102	-0.32	100	-0.60	97	0.01	49	0.00	33	0.00	49
-1781	Max	0.15	97	-0.25	103	-0.45	102	0.02	100	0.00	98	0.00	33
-1781	Min.	-0.02	102	-0.44	100	-0.75	97	0.01	33	0.00	101	0.00	49
-1780	Max	0.17	97	-0.32	103	-0.57	102	0.02	100	0.00	98	0.00	33
-1780	Min.	-0.01	102	-0.54	100	-0.91	97	0.02	33	0.00	101	0.00	49
-1779	Max	0.17	97	-0.38	103	-0.70	102	0.03	100	0.00	98	0.00	33
-1779	Min.	-0.01	102	-0.63	100	-1.08	97	0.02	33	0.00	101	0.00	49
-1778	Max	0.16	97	-0.44	103	-0.82	102	0.03	100	0.00	98	0.00	33
-1778	Min.	-0.01	102	-0.71	100	-1.24	97	0.02	33	0.00	101	0.00	49
-1777	Max	0.15	97	-0.48	103	-0.93	102	0.03	100	0.00	98	0.00	33
-1777	Min.	-0.02	102	-0.77	100	-1.38	97	0.02	33	0.00	101	0.00	49
-1776	Max	0.13	97	-0.51	103	-1.03	102	0.04	100	0.00	98	0.00	33
-1776	Min.	-0.03	102	-0.82	100	-1.50	97	0.02	33	0.00	101	0.00	49
-1775	Max	0.13	97	-0.54	103	-1.10	102	0.04	100	0.00	98	0.00	33
-1775	Min.	-0.03	102	-0.86	100	-1.60	97	0.02	33	0.00	101	0.00	49
-1774	Max	0.10	97	-0.55	103	-1.16	103	0.04	100	0.00	98	0.00	33
-1774	Min.	-0.05	102	-0.88	100	-1.66	100	0.03	33	0.00	101	0.00	49
-1773	Max	0.08	97	-0.55	103	-1.18	103	0.04	100	0.00	98	0.00	33
-1773	Min.	-0.06	102	-0.89	100	-1.70	100	0.03	33	0.00	101	0.00	49
-1772	Max	0.06	101	-0.55	103	-1.18	103	0.04	100	0.00	102	0.00	33
-1772	Min.	-0.08	98	-0.89	100	-1.70	100	0.03	33	0.00	97	0.00	49
-1771	Max	0.05	101	-0.55	103	-1.16	103	0.04	100	0.00	102	0.00	33
-1771	Min.	-0.10	98	-0.88	100	-1.66	100	0.03	33	-0.00	97	0.00	49
-1770	Max	0.03	101	-0.54	103	-1.10	101	0.04	100	-0.00	102	0.00	33
-1770	Min.	-0.13	98	-0.86	100	-1.60	98	0.02	33	-0.00	97	0.00	49
-1769	Max	0.03	101	-0.51	103	-1.03	101	0.04	100	-0.00	102	0.00	33
-1769	Min.	-0.13	98	-0.82	100	-1.50	98	0.02	33	-0.00	97	0.00	49
-1768	Max	0.02	101	-0.48	103	-0.93	101	0.03	100	-0.00	102	0.00	33
-1768	Min.	-0.15	98	-0.77	100	-1.38	98	0.02	33	-0.00	97	0.00	49
-1767	Max	0.01	101	-0.44	103	-0.82	101	0.03	100	-0.00	102	0.00	33
-1767	Min.	-0.16	98	-0.71	100	-1.24	98	0.02	33	-0.00	97	0.00	49
-1766	Max	0.01	101	-0.38	103	-0.70	101	0.03	100	-0.00	102	0.00	33
-1766	Min.	-0.17	98	-0.63	100	-1.08	98	0.02	33	-0.00	97	0.00	49
-1765	Max	0.01	101	-0.32	103	-0.57	101	0.02	100	-0.00	102	0.00	33
-1765	Min.	-0.17	98	-0.54	100	-0.91	98	0.02	33	-0.00	97	0.00	49
-1764	Max	0.02	101	-0.25	103	-0.45	101	0.02	100	-0.00	102	0.00	33
-1764	Min.	-0.15	98	-0.44	100	-0.75	98	0.01	33	-0.00	97	0.00	49
-1763	Max	0.01	101	-0.17	103	-0.34	101	0.01	100	-0.00	102	0.00	33
-1763	Min.	-0.16	98	-0.32	100	-0.60	98	0.01	33	-0.00	97	0.00	49
-1762	Max	0.03	101	0.69	99	-3168320.00	33	-98844.70	33	-4474.83	33	0.00	97
-1762	Min.	-0.12	98	0.44	104	-4451060.00	97	-138880.00	97	-6287.43	97	0.00	49
-1761	Max	0.17	97	0.02	103	-0.82	102	0.00	100	0.00	98	0.00	97
-1761	Min.	-0.00	102	-0.04	100	-1.28	97	0.00	103	0.00	101	0.00	49
-1760	Max	0.19	97	-0.01	103	-0.98	102	0.00	100	0.01	98	0.00	97

-1760	Min.	0.01	102	-0.08	100	-1.50	97	0.00	103	0.00	101	0.00	49
-1759	Max	0.19	97	-0.02	103	-1.13	102	0.01	100	0.01	98	0.00	97
-1759	Min.	0.00	102	-0.09	100	-1.71	97	0.00	103	0.00	101	0.00	49
-1758	Max	0.18	97	-0.01	103	-1.28	102	0.01	100	0.00	98	0.00	97
-1758	Min.	0.00	102	-0.08	100	-1.91	97	0.00	103	0.00	101	0.00	49
-1757	Max	0.15	97	-0.01	103	-1.52	102	0.01	100	0.00	98	0.00	98
-1757	Min.	-0.02	102	-0.08	100	-2.23	97	0.00	103	0.00	101	0.00	49
-1756	Max	0.14	97	-0.02	103	-1.61	102	0.01	100	0.00	98	0.00	98
-1756	Min.	-0.03	102	-0.08	100	-2.35	97	0.00	103	0.00	101	0.00	49
-1755	Max	0.11	97	-0.01	103	-1.67	104	0.01	100	0.00	98	0.00	98
-1755	Min.	-0.05	102	-0.07	100	-2.43	99	0.00	103	0.00	101	0.00	49
-1754	Max	0.07	101	0.01	103	-1.70	104	0.01	100	0.00	102	0.00	33
-1754	Min.	-0.07	98	-0.05	100	-2.47	99	0.00	103	0.00	97	0.00	49
-1753	Max	0.05	101	-0.01	103	-1.67	104	0.01	100	0.00	102	0.00	33
-1753	Min.	-0.11	98	-0.07	100	-2.43	99	0.00	103	-0.00	97	0.00	97
-1752	Max	0.03	101	-0.02	103	-1.61	101	0.01	100	-0.00	102	0.00	33
-1752	Min.	-0.14	98	-0.08	100	-2.35	98	0.00	103	-0.00	97	0.00	97
-1751	Max	0.02	101	-0.01	103	-1.52	101	0.01	100	-0.00	102	0.00	33
-1751	Min.	-0.15	98	-0.08	100	-2.23	98	0.00	103	-0.00	97	0.00	97
-1750	Max	0.09	97	0.03	99	-1.41	101	0.00	100	0.00	98	0.00	33
-1750	Min.	-0.07	102	-0.03	104	-2.08	98	0.00	103	0.00	101	0.00	98
-1749	Max	-0.00	101	-0.02	103	-1.13	101	0.01	100	-0.00	102	0.00	33
-1749	Min.	-0.19	98	-0.09	100	-1.71	98	0.00	103	-0.01	97	0.00	98
-1748	Max	-0.01	101	-0.01	103	-0.98	101	0.00	100	-0.00	102	0.00	33
-1748	Min.	-0.19	98	-0.08	100	-1.50	98	0.00	103	-0.01	97	0.00	98
-1747	Max	0.00	101	0.02	103	-0.82	101	0.00	100	-0.00	102	0.00	33
-1747	Min.	-0.17	98	-0.04	100	-1.28	98	0.00	103	-0.00	97	0.00	98
-1746	Max	0.08	97	0.04	99	-0.68	101	0.00	100	0.00	98	0.00	33
-1746	Min.	-0.07	102	-0.02	104	-1.08	98	0.00	103	0.00	101	0.00	49
-1745	Max	0.16	97	0.32	99	-0.34	102	-0.01	33	0.00	98	0.00	33
-1745	Min.	-0.01	102	0.18	104	-0.59	97	-0.01	99	0.00	101	0.00	49
-1744	Max	0.15	97	0.45	99	-0.45	102	-0.01	33	0.00	98	0.00	33
-1744	Min.	-0.02	102	0.26	104	-0.75	97	-0.02	99	0.00	101	0.00	49
-1743	Max	0.17	97	0.56	99	-0.57	102	-0.02	33	0.00	98	0.00	33
-1743	Min.	-0.01	102	0.34	104	-0.91	97	-0.02	99	0.00	101	0.00	49
-1742	Max	0.17	97	0.66	99	-0.69	102	-0.02	33	0.00	98	0.00	33
-1742	Min.	-0.01	102	0.40	104	-1.08	97	-0.03	99	0.00	101	0.00	49
-1741	Max	0.16	97	0.74	99	-0.81	102	-0.02	33	0.00	98	0.00	33
-1741	Min.	-0.01	102	0.46	104	-1.24	97	-0.03	99	0.00	101	0.00	49
-1740	Max	0.15	97	0.81	99	-0.93	102	-0.02	33	0.00	98	0.00	33
-1740	Min.	-0.02	102	0.50	104	-1.38	97	-0.04	99	0.00	101	0.00	49
-1739	Max	0.13	97	0.86	99	-1.02	102	-0.03	33	0.00	98	0.00	33
-1739	Min.	-0.03	102	0.54	104	-1.50	97	-0.04	99	0.00	101	0.00	49
-1738	Max	0.13	97	0.90	99	-1.10	102	-0.03	33	0.00	98	0.00	33
-1738	Min.	-0.03	102	0.57	104	-1.59	97	-0.04	99	0.00	101	0.00	49
-1737	Max	0.10	97	0.93	99	-1.16	104	-0.03	33	0.00	98	0.00	33
-1737	Min.	-0.05	102	0.58	104	-1.66	99	-0.04	99	0.00	101	0.00	49
-1736	Max	0.08	97	0.93	99	-1.18	104	-0.03	33	0.00	98	0.00	33
-1736	Min.	-0.06	102	0.58	104	-1.69	99	-0.04	99	0.00	101	0.00	49
-1735	Max	0.06	101	0.93	99	-1.18	104	-0.03	33	0.00	102	0.00	33
-1735	Min.	-0.08	98	0.58	104	-1.69	99	-0.04	99	0.00	97	0.00	49
-1734	Max	0.05	101	0.93	99	-1.16	104	-0.03	33	0.00	102	0.00	33
-1734	Min.	-0.10	98	0.58	104	-1.66	99	-0.04	99	-0.00	97	0.00	49
-1733	Max	0.03	101	0.90	99	-1.10	101	-0.03	33	-0.00	102	0.00	33
-1733	Min.	-0.13	98	0.57	104	-1.59	98	-0.04	99	-0.00	97	0.00	49
-1732	Max	0.03	101	0.86	99	-1.02	101	-0.03	33	-0.00	102	0.00	33
-1732	Min.	-0.13	98	0.54	104	-1.50	98	-0.04	99	-0.00	97	0.00	49
-1731	Max	0.02	101	0.81	99	-0.93	101	-0.02	33	-0.00	102	0.00	33
-1731	Min.	-0.15	98	0.50	104	-1.38	98	-0.04	99	-0.00	97	0.00	49
-1730	Max	0.01	101	0.74	99	-0.81	101	-0.02	33	-0.00	102	0.00	33
-1730	Min.	-0.16	98	0.46	104	-1.24	98	-0.03	99	-0.00	97	0.00	49
-1729	Max	0.01	101	0.66	99	-0.69	101	-0.02	33	-0.00	102	0.00	33
-1729	Min.	-0.17	98	0.40	104	-1.08	98	-0.03	99	-0.00	97	0.00	49
-1728	Max	0.01	101	0.56	99	-0.57	101	-0.02	33	-0.00	102	0.00	33
-1728	Min.	-0.17	98	0.34	104	-0.91	98	-0.02	99	-0.00	97	0.00	49
-1727	Max	0.02	101	0.45	99	-0.45	101	-0.01	49	-0.00	102	0.00	33
-1727	Min.	-0.15	98	0.26	104	-0.75	98	-0.02	99	-0.00	97	0.00	49
-1726	Max	0.01	101	0.32	99	-0.34	101	-0.01	104	-0.00	33	0.00	33
-1726	Min.	-0.16	98	0.18	104	-0.59	98	-0.01	99	-0.00	97	0.00	49
-1725	Max	0.15	97	-0.19	103	-0.24	102	0.01	100	0.00	98	0.00	33
-1725	Min.	-0.02	102	-0.33	100	-0.45	97	0.01	103	0.00	101	0.00	49
-1724	Max	0.14	97	-0.38	103	-0.33	102	0.03	100	0.00	98	0.00	33
-1724	Min.	-0.03	102	-0.60	100	-0.58	97	0.02	103	0.00	101	0.00	49
-1723	Max	0.15	97	-0.55	103	-0.44	102	0.04	100	0.00	98	0.00	33
-1723	Min.	-0.02	102	-0.84	100	-0.72	97	0.03	103	0.00	101	0.00	49
-1722	Max	0.15	97	-0.70	103	-0.54	102	0.05	100	0.00	98	0.00	33
-1722	Min.	-0.02	102	-1.05	100	-0.86	97	0.03	103	0.00	101	0.00	49
-1721	Max	0.15	97	-0.83	103	-0.65	102	0.05	100	0.00	98	0.00	33
-1721	Min.	-0.02	102	-1.23	100	-0.99	97	0.04	103	0.00	101	0.00	49

-1720	Max	0.14	97	-0.93	103	-0.74	102	0.06	100	0.00	98	0.00	33
-1720	Min.	-0.03	102	-1.37	100	-1.11	97	0.04	103	0.00	101	0.00	49
-1719	Max	0.13	97	-1.01	103	-0.83	102	0.07	100	0.00	98	0.00	33
-1719	Min.	-0.03	102	-1.48	100	-1.21	97	0.05	103	0.00	101	0.00	49
-1718	Max	0.12	97	-1.06	103	-0.89	102	0.07	100	0.00	98	0.00	33
-1718	Min.	-0.04	102	-1.56	100	-1.29	97	0.05	103	0.00	101	0.00	49
-1717	Max	0.10	97	-1.10	103	-0.94	102	0.07	100	0.00	98	0.00	33
-1717	Min.	-0.05	102	-1.61	100	-1.34	97	0.05	103	0.00	101	0.00	49
-1716	Max	0.08	97	-1.12	103	-0.97	103	0.07	100	0.00	98	0.00	33
-1716	Min.	-0.07	102	-1.63	100	-1.37	100	0.05	103	0.00	101	0.00	49
-1715	Max	0.07	101	-1.12	103	-0.97	103	0.07	100	0.00	102	0.00	33
-1715	Min.	-0.08	98	-1.63	100	-1.37	100	0.05	103	0.00	97	0.00	49
-1714	Max	0.05	101	-1.10	103	-0.94	101	0.07	100	0.00	102	0.00	33
-1714	Min.	-0.10	98	-1.61	100	-1.34	98	0.05	103	-0.00	97	0.00	49
-1713	Max	0.04	101	-1.06	103	-0.89	101	0.07	100	-0.00	102	0.00	33
-1713	Min.	-0.12	98	-1.56	100	-1.29	98	0.05	103	-0.00	97	0.00	49
-1712	Max	0.03	101	-1.01	103	-0.83	101	0.07	100	-0.00	102	0.00	33
-1712	Min.	-0.13	98	-1.48	100	-1.21	98	0.05	103	-0.00	97	0.00	49
-1711	Max	0.03	101	-0.93	103	-0.74	101	0.06	100	-0.00	102	0.00	33
-1711	Min.	-0.14	98	-1.37	100	-1.11	98	0.04	103	-0.00	97	0.00	49
-1710	Max	0.02	101	-0.83	103	-0.65	101	0.05	100	-0.00	102	0.00	33
-1710	Min.	-0.15	98	-1.23	100	-0.99	98	0.04	103	-0.00	97	0.00	49
-1709	Max	0.02	101	-0.70	103	-0.54	101	0.05	100	-0.00	102	0.00	33
-1709	Min.	-0.15	98	-1.05	100	-0.86	98	0.03	103	-0.00	97	0.00	49
-1708	Max	0.02	101	-0.55	103	-0.44	101	0.04	100	-0.00	102	0.00	33
-1708	Min.	-0.15	98	-0.84	100	-0.72	98	0.03	103	-0.00	97	0.00	49
-1707	Max	0.03	101	-0.38	103	-0.33	101	0.03	100	-0.00	102	0.00	33
-1707	Min.	-0.14	98	-0.60	100	-0.58	98	0.02	103	-0.00	97	0.00	49
-1706	Max	0.02	101	-0.19	103	-0.24	101	0.01	100	-0.00	102	0.00	33
-1706	Min.	-0.15	98	-0.33	100	-0.45	98	0.01	103	-0.00	97	0.00	49
-1705	Max	0.15	97	0.03	99	-0.25	102	0.00	33	0.00	98	0.00	33
-1705	Min.	-0.02	102	-0.02	104	-0.47	97	0.00	99	0.00	101	0.00	49
-1704	Max	0.14	97	0.01	103	-0.34	102	0.00	100	0.00	98	0.00	33
-1704	Min.	-0.03	102	-0.04	100	-0.60	97	0.00	103	0.00	101	0.00	49
-1703	Max	0.15	97	0.00	103	-0.45	102	0.00	100	0.00	98	0.00	33
-1703	Min.	-0.02	102	-0.06	100	-0.73	97	0.00	103	0.00	101	0.00	49
-1702	Max	0.15	97	-0.01	103	-0.55	102	0.00	100	0.00	98	0.00	33
-1702	Min.	-0.02	102	-0.07	100	-0.87	97	0.00	103	0.00	101	0.00	49
-1701	Max	0.15	97	-0.02	103	-0.66	102	0.00	100	0.00	98	0.00	33
-1701	Min.	-0.02	102	-0.09	100	-1.01	97	0.00	103	0.00	101	0.00	49
-1700	Max	0.14	97	-0.02	103	-0.76	102	0.00	100	0.00	98	0.00	33
-1700	Min.	-0.03	102	-0.09	100	-1.13	97	0.00	103	0.00	101	0.00	49
-1699	Max	0.04	101	0.45	99	-1758870.00	33	26089.40	97	1562.96	98	0.00	33
-1699	Min.	-0.11	98	0.28	104	-2470880.00	97	18567.30	33	1112.37	33	0.00	49
-1698	Max	0.15	97	0.02	103	-0.27	102	0.00	100	0.00	98	0.00	33
-1698	Min.	-0.02	102	-0.03	100	-0.50	97	0.00	103	0.00	101	0.00	49
-1697	Max	0.08	101	0.04	99	-0.11	102	0.00	104	0.00	101	0.00	33
-1697	Min.	-0.08	98	-0.02	104	-0.22	97	0.00	99	0.00	98	0.00	49
-1696	Max	0.08	101	0.04	99	-0.10	102	0.00	104	0.00	101	0.00	33
-1696	Min.	-0.08	98	-0.02	104	-0.22	97	0.00	99	0.00	98	0.00	49
-1695	Max	0.12	97	0.06	99	-0.91	102	-0.00	104	0.00	98	0.00	33
-1695	Min.	-0.04	102	-0.00	104	-1.31	97	-0.00	99	0.00	101	0.00	49
-1694	Max	0.10	97	0.06	99	-0.96	102	0.00	104	0.00	98	0.00	33
-1694	Min.	-0.05	102	-0.00	104	-1.36	97	-0.00	99	0.00	101	0.00	49
-1693	Max	0.08	97	0.06	99	-0.98	103	0.00	104	0.00	98	0.00	33
-1693	Min.	-0.07	102	-0.00	104	-1.39	100	-0.00	99	0.00	101	0.00	49
-1692	Max	0.14	97	0.02	103	-0.36	102	0.00	100	0.00	98	0.00	33
-1692	Min.	-0.03	102	-0.03	100	-0.62	97	0.00	103	0.00	101	0.00	49
-1691	Max	0.15	97	0.02	103	-0.47	102	0.00	100	0.00	98	0.00	33
-1691	Min.	-0.02	102	-0.03	100	-0.76	97	0.00	103	0.00	101	0.00	49
-1690	Max	0.08	97	0.03	99	-0.10	102	0.00	104	0.00	97	0.00	33
-1690	Min.	-0.08	102	-0.02	104	-0.22	97	0.00	99	0.00	102	0.00	49
-1689	Max	0.08	97	0.04	99	-1.70	104	0.00	100	0.00	102	0.00	33
-1689	Min.	-0.08	102	-0.02	104	-2.47	99	0.00	103	0.00	97	0.00	49
-1688	Max	0.15	97	0.03	103	-0.57	102	0.00	100	0.00	98	0.00	33
-1688	Min.	-0.02	102	-0.03	100	-0.90	97	0.00	103	0.00	101	0.00	49
-1687	Max	0.02	101	-0.15	103	-0.56	101	0.01	97	-0.00	49	0.00	98
-1687	Min.	-0.16	98	-0.29	100	-0.91	98	0.01	102	-0.00	98	0.00	49
-1686	Max	0.02	101	0.28	99	-0.56	101	-0.01	102	-0.00	33	0.00	33
-1686	Min.	-0.16	98	0.15	104	-0.90	98	-0.01	97	-0.00	98	0.00	98
-1685	Max	0.09	97	0.03	103	-0.10	102	0.00	104	0.00	97	0.00	33
-1685	Min.	-0.07	102	-0.03	100	-0.23	97	0.00	99	0.00	102	0.00	49
-1684	Max	0.08	101	-0.11	103	-0.13	101	0.01	100	0.00	101	0.00	33
-1684	Min.	-0.08	98	-0.22	100	-0.26	98	0.01	33	0.00	98	0.00	49
-1683	Max	0.08	101	-0.08	103	-0.13	101	0.01	100	0.00	101	0.00	33
-1683	Min.	-0.08	98	-0.19	100	-0.24	98	0.00	33	0.00	98	0.00	49
-1682	Max	0.08	101	-0.05	103	-0.14	101	0.01	100	0.00	101	0.00	33
-1682	Min.	-0.08	98	-0.14	100	-0.23	98	0.00	103	0.00	98	0.00	49
-1681	Max	0.04	101	0.18	99	-0.47	101	-0.00	102	-0.00	101	0.00	33

-1681	Min.	-0.12	98	0.08	104	-0.77	98	-0.01	97	-0.00	98	0.00	49
-1680	Max	0.04	101	0.10	99	-0.41	101	-0.00	102	-0.00	101	0.00	33
-1680	Min.	-0.13	98	0.02	104	-0.68	98	-0.00	97	-0.00	98	0.00	49
-1679	Max	0.05	101	0.04	99	-0.36	101	0.00	104	-0.00	101	0.00	33
-1679	Min.	-0.11	98	-0.02	104	-0.60	98	0.00	99	-0.00	98	0.00	49
-1678	Max	0.09	97	0.01	103	-0.32	101	0.00	100	0.00	98	0.00	98
-1678	Min.	-0.07	102	-0.04	100	-0.53	98	0.00	103	0.00	101	0.00	49
-1677	Max	0.06	101	-0.02	103	-0.29	101	0.00	100	0.00	101	0.00	33
-1677	Min.	-0.11	98	-0.09	100	-0.47	98	0.00	103	-0.00	98	0.00	49
-1676	Max	0.06	101	-0.03	103	-0.25	101	0.00	100	0.00	101	0.00	33
-1676	Min.	-0.11	98	-0.11	100	-0.41	98	0.00	103	-0.00	98	0.00	49
-1675	Max	0.06	101	-0.02	103	-0.22	101	0.00	100	0.00	101	0.00	33
-1675	Min.	-0.11	98	-0.10	100	-0.34	98	0.00	103	-0.00	98	0.00	49
-1674	Max	0.06	101	0.03	103	-0.14	101	0.00	100	0.00	101	0.00	33
-1674	Min.	-0.10	98	-0.03	100	-0.31	98	0.00	33	0.00	98	0.00	49
-1673	Max	0.06	101	0.03	103	-0.11	101	0.00	100	-0.00	101	0.00	33
-1673	Min.	-0.10	98	-0.03	100	-0.27	98	0.00	103	-0.00	98	0.00	49
-1672	Max	0.07	101	0.03	103	-0.10	101	0.00	100	0.00	101	0.00	33
-1672	Min.	-0.09	98	-0.03	100	-0.24	98	0.00	103	0.00	98	0.00	49
-1671	Max	0.08	101	0.03	103	-0.10	101	0.00	100	0.00	101	0.00	33
-1671	Min.	-0.08	98	-0.03	100	-0.23	98	0.00	103	0.00	98	0.00	49
-1670	Max	0.08	97	0.03	103	-0.11	101	0.00	100	0.00	97	0.00	33
-1670	Min.	-0.08	102	-0.03	100	-0.22	98	0.00	103	0.00	102	0.00	49
-1669	Max	0.08	97	0.03	103	-0.12	101	0.00	100	0.00	97	0.00	33
-1669	Min.	-0.08	102	-0.03	100	-0.22	98	0.00	103	0.00	102	0.00	49
-1668	Max	0.08	97	0.03	103	-0.13	101	0.00	100	0.00	97	0.00	33
-1668	Min.	-0.08	102	-0.03	100	-0.22	98	0.00	103	0.00	102	0.00	49
-1667	Max	0.06	101	-0.06	103	-0.12	101	0.01	100	0.00	101	0.00	33
-1667	Min.	-0.10	98	-0.15	100	-0.29	98	0.00	33	0.00	98	0.00	49
-1666	Max	0.06	101	-0.13	103	-0.10	101	0.01	100	0.00	101	0.00	33
-1666	Min.	-0.10	98	-0.24	100	-0.25	98	0.01	103	-0.00	98	0.00	49
-1665	Max	0.07	101	-0.17	103	-0.09	101	0.01	100	0.00	101	0.00	33
-1665	Min.	-0.09	98	-0.30	100	-0.22	98	0.01	103	0.00	98	0.00	49
-1664	Max	0.08	101	-0.19	103	-0.09	101	0.01	100	0.00	101	0.00	33
-1664	Min.	-0.08	98	-0.33	100	-0.21	98	0.01	103	0.00	98	0.00	49
-1663	Max	0.08	97	-0.19	103	-0.10	101	0.01	100	0.00	97	0.00	33
-1663	Min.	-0.08	102	-0.33	100	-0.21	98	0.01	103	0.00	102	0.00	49
-1662	Max	0.08	97	-0.17	103	-0.11	101	0.01	100	0.00	97	0.00	33
-1662	Min.	-0.08	102	-0.30	100	-0.21	98	0.01	103	0.00	102	0.00	49
-1661	Max	0.08	97	-0.12	103	-0.12	101	0.01	100	0.00	97	0.00	33
-1661	Min.	-0.08	102	-0.23	100	-0.21	98	0.01	103	0.00	102	0.00	49
-1660	Max	0.06	101	0.22	99	-0.19	101	-0.01	104	0.00	101	0.00	33
-1660	Min.	-0.11	98	0.11	104	-0.38	98	-0.01	99	-0.00	98	0.00	49
-1659	Max	0.05	101	0.24	99	-0.15	101	-0.01	104	-0.00	101	0.00	33
-1659	Min.	-0.11	98	0.12	104	-0.33	98	-0.01	99	-0.00	98	0.00	49
-1658	Max	0.07	101	0.25	99	-0.14	101	-0.01	104	0.00	101	0.00	33
-1658	Min.	-0.09	98	0.13	104	-0.29	98	-0.01	99	0.00	98	0.00	49
-1657	Max	0.07	101	0.25	99	-0.13	101	-0.01	104	0.00	101	0.00	33
-1657	Min.	-0.09	98	0.12	104	-0.27	98	-0.01	99	0.00	98	0.00	49
-1656	Max	0.08	101	0.23	99	-0.13	101	-0.01	104	0.00	101	0.00	33
-1656	Min.	-0.08	98	0.11	104	-0.25	98	-0.01	99	0.00	98	0.00	49
-1655	Max	0.08	101	0.19	99	-0.13	101	-0.01	104	0.00	101	0.00	33
-1655	Min.	-0.08	98	0.09	104	-0.24	98	-0.01	99	0.00	98	0.00	49
-1654	Max	0.08	101	0.15	99	-0.14	101	-0.00	104	0.00	101	0.00	33
-1654	Min.	-0.08	98	0.06	104	-0.23	98	-0.01	99	0.00	98	0.00	49
-1653	Max	0.06	101	0.04	99	-0.13	101	0.00	104	0.00	101	0.00	33
-1653	Min.	-0.10	98	-0.02	104	-0.30	98	0.00	99	0.00	98	0.00	49
-1652	Max	0.06	101	0.03	99	-0.10	101	0.00	104	0.00	101	0.00	33
-1652	Min.	-0.10	98	-0.03	104	-0.26	98	0.00	99	-0.00	98	0.00	49
-1651	Max	0.07	101	0.02	103	-0.10	101	0.00	100	0.00	101	0.00	33
-1651	Min.	-0.09	98	-0.04	100	-0.23	98	0.00	103	0.00	98	0.00	49
-1650	Max	0.08	101	0.01	103	-0.10	101	0.00	100	0.00	101	0.00	33
-1650	Min.	-0.08	98	-0.04	100	-0.22	98	0.00	103	0.00	98	0.00	49
-1649	Max	0.08	97	0.01	103	-0.10	101	0.00	100	0.00	97	0.00	33
-1649	Min.	-0.08	102	-0.05	100	-0.22	98	0.00	103	0.00	102	0.00	49
-1648	Max	0.08	97	0.01	103	-0.11	101	0.00	100	0.00	97	0.00	33
-1648	Min.	-0.08	102	-0.05	100	-0.22	98	0.00	103	0.00	102	0.00	49
-1647	Max	0.08	97	0.01	103	-0.13	101	0.00	100	0.00	97	0.00	33
-1647	Min.	-0.08	102	-0.04	100	-0.22	98	0.00	103	0.00	102	0.00	49
-1646	Max	0.06	101	0.15	99	-0.12	101	-0.00	49	0.00	101	0.00	33
-1646	Min.	-0.10	98	0.06	104	-0.29	98	-0.01	99	0.00	98	0.00	49
-1645	Max	0.06	101	0.24	99	-0.10	101	-0.01	104	0.00	101	0.00	33
-1645	Min.	-0.10	98	0.13	104	-0.25	98	-0.01	99	-0.00	98	0.00	49
-1644	Max	0.07	101	0.30	99	-0.09	101	-0.01	104	0.00	101	0.00	33
-1644	Min.	-0.09	98	0.17	104	-0.22	98	-0.01	99	0.00	98	0.00	49
-1643	Max	0.08	101	0.33	99	-0.09	101	-0.01	104	0.00	101	0.00	33
-1643	Min.	-0.08	98	0.19	104	-0.21	98	-0.01	99	0.00	98	0.00	49
-1642	Max	0.08	97	0.33	99	-0.10	101	-0.01	104	0.00	97	0.00	33
-1642	Min.	-0.08	102	0.19	104	-0.21	98	-0.01	99	0.00	102	0.00	49

-1641	Max	0.08	97	0.29	99	-0.11	101	-0.01	104	0.00	97	0.00	33
-1641	Min.	-0.08	102	0.16	104	-0.21	98	-0.01	99	0.00	102	0.00	49
-1640	Max	0.08	97	0.23	99	-0.12	101	-0.01	104	0.00	97	0.00	33
-1640	Min.	-0.08	102	0.12	104	-0.21	98	-0.01	99	0.00	102	0.00	49
-1639	Max	0.06	101	0.02	103	-0.15	101	0.00	100	0.00	101	0.00	33
-1639	Min.	-0.10	98	-0.03	100	-0.32	98	0.00	33	0.00	98	0.00	49
-1638	Max	0.06	101	0.02	103	-0.12	101	0.00	100	-0.00	101	0.00	33
-1638	Min.	-0.11	98	-0.03	100	-0.28	98	0.00	33	-0.00	98	0.00	49
-1637	Max	0.07	101	0.02	103	-0.11	101	0.00	100	0.00	101	0.00	33
-1637	Min.	-0.09	98	-0.03	100	-0.25	98	0.00	103	0.00	98	0.00	49
-1636	Max	0.08	101	0.02	103	-0.11	101	0.00	100	0.00	101	0.00	33
-1636	Min.	-0.08	98	-0.03	100	-0.24	98	0.00	103	0.00	98	0.00	49
-1635	Max	0.08	101	0.02	103	-0.11	101	0.00	100	0.00	101	0.00	33
-1635	Min.	-0.08	98	-0.03	100	-0.23	98	0.00	103	0.00	98	0.00	49
-1634	Max	0.08	97	0.02	103	-0.12	101	0.00	100	0.00	97	0.00	33
-1634	Min.	-0.08	102	-0.03	100	-0.23	98	0.00	103	0.00	102	0.00	49
-1633	Max	0.08	97	0.02	103	-0.13	101	0.00	100	0.00	97	0.00	33
-1633	Min.	-0.08	102	-0.03	100	-0.22	98	0.00	103	0.00	102	0.00	49
-1632	Max	0.06	101	0.03	99	-0.15	101	0.00	49	0.00	101	0.00	33
-1632	Min.	-0.10	98	-0.02	104	-0.32	98	0.00	99	0.00	98	0.00	49
-1631	Max	0.06	101	0.03	99	-0.12	101	0.00	104	-0.00	101	0.00	33
-1631	Min.	-0.11	98	-0.02	104	-0.28	98	0.00	99	-0.00	98	0.00	49
-1630	Max	0.07	101	0.03	99	-0.11	101	0.00	104	0.00	101	0.00	33
-1630	Min.	-0.09	98	-0.02	104	-0.25	98	0.00	99	0.00	98	0.00	49
-1629	Max	0.08	101	0.03	99	-0.11	101	0.00	104	0.00	101	0.00	33
-1629	Min.	-0.08	98	-0.02	104	-0.24	98	0.00	99	0.00	98	0.00	49
-1628	Max	0.08	101	0.03	99	-0.11	101	0.00	104	0.00	101	0.00	33
-1628	Min.	-0.08	98	-0.03	104	-0.23	98	0.00	99	0.00	98	0.00	49
-1627	Max	0.08	97	0.03	99	-0.12	101	0.00	104	0.00	97	0.00	33
-1627	Min.	-0.08	102	-0.03	104	-0.23	98	0.00	99	0.00	102	0.00	49
-1626	Max	0.08	97	0.03	103	-0.13	101	0.00	104	0.00	97	0.00	33
-1626	Min.	-0.08	102	-0.03	100	-0.22	98	0.00	99	0.00	102	0.00	49
-1625	Max	0.04	101	-0.09	103	-0.48	101	0.01	97	-0.00	101	0.00	33
-1625	Min.	-0.12	98	-0.20	100	-0.78	98	0.01	102	-0.00	98	0.00	49
-1624	Max	0.04	101	-0.04	103	-0.41	101	0.00	97	-0.00	101	0.00	33
-1624	Min.	-0.13	98	-0.12	100	-0.69	98	0.00	102	-0.00	98	0.00	49
-1623	Max	0.05	101	0.00	103	-0.36	101	0.00	100	-0.00	101	0.00	33
-1623	Min.	-0.11	98	-0.06	100	-0.61	98	0.00	103	-0.00	98	0.00	49
-1622	Max	0.09	97	0.03	99	-0.32	101	0.00	104	0.00	98	0.00	33
-1622	Min.	-0.06	102	-0.02	104	-0.54	98	0.00	99	0.00	101	0.00	49
-1621	Max	0.06	101	0.07	99	-0.29	101	-0.00	104	0.00	101	0.00	33
-1621	Min.	-0.11	98	0.00	104	-0.48	98	-0.00	99	-0.00	98	0.00	49
-1620	Max	0.06	101	0.08	99	-0.25	101	-0.00	104	0.00	101	0.00	33
-1620	Min.	-0.11	98	0.01	104	-0.41	98	-0.00	99	-0.00	98	0.00	49
-1619	Max	0.06	101	0.08	99	-0.22	101	-0.00	104	0.00	101	0.00	33
-1619	Min.	-0.11	98	0.01	104	-0.34	98	-0.00	99	-0.00	98	0.00	49
-1618	Max	0.10	97	0.01	103	-0.13	102	0.00	100	0.00	97	0.00	33
-1618	Min.	-0.06	102	-0.04	100	-0.30	97	0.00	103	0.00	102	0.00	49
-1617	Max	0.11	97	0.05	99	-0.17	103	0.00	104	0.00	97	0.00	33
-1617	Min.	-0.06	102	-0.01	104	-0.28	100	-0.00	99	0.00	102	0.00	49
-1616	Max	0.08	101	0.03	103	-0.14	102	0.00	104	0.00	101	0.00	33
-1616	Min.	-0.08	98	-0.03	100	-0.22	97	0.00	99	0.00	98	0.00	49
-1615	Max	0.08	101	0.03	103	-0.14	102	0.00	100	0.00	101	0.00	33
-1615	Min.	-0.08	98	-0.03	100	-0.22	97	0.00	103	0.00	98	0.00	49
-1614	Max	0.08	101	0.12	99	-0.14	102	-0.00	104	0.00	101	0.00	33
-1614	Min.	-0.08	98	0.04	104	-0.21	97	-0.00	99	0.00	98	0.00	49
-1613	Max	0.08	101	0.02	103	-0.14	102	0.00	100	0.00	101	0.00	33
-1613	Min.	-0.08	98	-0.03	100	-0.21	97	0.00	103	0.00	98	0.00	49
-1612	Max	0.08	97	0.08	99	-0.14	104	-0.00	104	0.00	97	0.00	33
-1612	Min.	-0.08	102	0.01	104	-0.22	99	-0.00	99	0.00	102	0.00	49
-1611	Max	0.08	101	-0.04	103	-0.14	102	0.00	100	0.00	101	0.00	33
-1611	Min.	-0.08	98	-0.12	100	-0.21	97	0.00	103	0.00	98	0.00	49
-1610	Max	0.08	101	0.03	103	-0.14	102	0.00	100	0.00	101	0.00	33
-1610	Min.	-0.08	98	-0.03	100	-0.22	97	0.00	103	0.00	98	0.00	49
-1609	Max	0.11	97	0.00	103	-0.17	104	0.00	100	0.00	97	0.00	33
-1609	Min.	-0.06	102	-0.06	100	-0.28	99	0.00	103	0.00	102	0.00	49
-1608	Max	0.08	97	-0.01	103	-0.14	103	0.00	100	0.00	97	0.00	33
-1608	Min.	-0.08	102	-0.08	100	-0.23	100	0.00	103	0.00	102	0.00	49
-1607	Max	0.08	101	0.03	99	-0.14	102	0.00	104	0.00	101	0.00	33
-1607	Min.	-0.08	98	-0.02	104	-0.22	97	0.00	99	0.00	98	0.00	49
-1606	Max	0.11	97	0.08	99	-0.22	102	-0.00	104	0.00	97	0.00	33
-1606	Min.	-0.06	102	0.01	104	-0.34	97	-0.00	99	0.00	102	0.00	49
-1605	Max	0.11	97	0.08	99	-0.25	102	-0.00	104	0.00	97	0.00	33
-1605	Min.	-0.06	102	0.01	104	-0.41	97	-0.00	99	0.00	102	0.00	49
-1604	Max	0.11	97	0.07	99	-0.29	102	-0.00	104	0.00	97	0.00	33
-1604	Min.	-0.06	102	0.00	104	-0.48	97	-0.00	99	0.00	102	0.00	49
-1603	Max	0.06	101	0.03	99	-0.32	102	0.00	104	0.00	102	0.00	33
-1603	Min.	-0.09	98	-0.02	104	-0.54	97	0.00	99	0.00	97	0.00	49
-1602	Max	0.11	97	0.00	103	-0.36	102	0.00	100	0.00	97	0.00	33

-1602	Min.	-0.05	102	-0.06	100	-0.61	97	0.00	103	0.00	102	0.00	49
-1601	Max	0.13	97	-0.04	103	-0.41	102	0.00	98	0.00	97	0.00	33
-1601	Min.	-0.04	102	-0.12	100	-0.69	97	0.00	101	0.00	102	0.00	49
-1600	Max	0.12	97	-0.09	103	-0.48	102	0.01	98	0.00	97	0.00	33
-1600	Min.	-0.04	102	-0.20	100	-0.78	97	0.01	101	0.00	102	0.00	49
-1599	Max	0.08	101	0.03	103	-0.13	102	0.00	104	0.00	101	0.00	33
-1599	Min.	-0.08	98	-0.03	100	-0.22	97	0.00	99	0.00	98	0.00	49
-1598	Max	0.08	101	0.03	99	-0.12	102	0.00	104	0.00	101	0.00	33
-1598	Min.	-0.08	98	-0.03	104	-0.23	97	0.00	99	0.00	98	0.00	49
-1597	Max	0.08	97	0.03	99	-0.11	102	0.00	104	0.00	97	0.00	33
-1597	Min.	-0.08	102	-0.03	104	-0.23	97	0.00	99	0.00	102	0.00	49
-1596	Max	0.08	97	0.03	99	-0.11	102	0.00	104	0.00	97	0.00	33
-1596	Min.	-0.08	102	-0.02	104	-0.24	97	0.00	99	0.00	102	0.00	49
-1595	Max	0.09	97	0.03	99	-0.11	102	0.00	104	0.00	97	0.00	33
-1595	Min.	-0.07	102	-0.02	104	-0.25	97	0.00	99	0.00	102	0.00	49
-1594	Max	0.11	97	0.03	99	-0.12	102	0.00	33	0.00	97	0.00	33
-1594	Min.	-0.06	102	-0.02	104	-0.28	97	0.00	99	0.00	102	0.00	49
-1593	Max	0.10	97	0.03	99	-0.15	102	0.00	33	0.00	97	0.00	33
-1593	Min.	-0.06	102	-0.02	104	-0.32	97	0.00	99	0.00	102	0.00	49
-1592	Max	0.08	101	0.02	103	-0.13	102	0.00	100	0.00	101	0.00	33
-1592	Min.	-0.08	98	-0.03	100	-0.22	97	0.00	103	0.00	98	0.00	49
-1591	Max	0.08	101	0.02	103	-0.12	102	0.00	100	0.00	101	0.00	33
-1591	Min.	-0.08	98	-0.03	100	-0.23	97	0.00	103	0.00	98	0.00	49
-1590	Max	0.08	97	0.02	103	-0.11	102	0.00	100	0.00	97	0.00	33
-1590	Min.	-0.08	102	-0.03	100	-0.23	97	0.00	103	0.00	102	0.00	49
-1589	Max	0.08	97	0.02	103	-0.11	102	0.00	100	0.00	97	0.00	33
-1589	Min.	-0.08	102	-0.03	100	-0.24	97	0.00	103	0.00	102	0.00	49
-1588	Max	0.09	97	0.02	103	-0.11	102	0.00	100	0.00	97	0.00	33
-1588	Min.	-0.07	102	-0.03	100	-0.25	97	0.00	103	0.00	102	0.00	49
-1587	Max	0.11	97	0.02	103	-0.12	102	0.00	100	0.00	97	0.00	33
-1587	Min.	-0.06	102	-0.03	100	-0.28	97	0.00	103	0.00	102	0.00	49
-1586	Max	0.10	97	0.02	103	-0.15	102	0.00	100	0.00	97	0.00	33
-1586	Min.	-0.06	102	-0.03	100	-0.32	97	0.00	49	0.00	102	0.00	49
-1585	Max	0.08	101	0.23	99	-0.12	102	-0.01	104	0.00	101	0.00	33
-1585	Min.	-0.08	98	0.12	104	-0.21	97	-0.01	99	0.00	98	0.00	49
-1584	Max	0.08	101	0.29	99	-0.11	102	-0.01	104	0.00	101	0.00	33
-1584	Min.	-0.08	98	0.16	104	-0.21	97	-0.01	99	0.00	98	0.00	49
-1583	Max	0.08	101	0.33	99	-0.10	102	-0.01	104	0.00	101	0.00	33
-1583	Min.	-0.08	98	0.19	104	-0.21	97	-0.01	99	0.00	98	0.00	49
-1582	Max	0.08	97	0.33	99	-0.09	102	-0.01	104	0.00	97	0.00	33
-1582	Min.	-0.08	102	0.19	104	-0.21	97	-0.01	99	0.00	102	0.00	49
-1581	Max	0.09	97	0.30	99	-0.09	102	-0.01	104	0.00	97	0.00	33
-1581	Min.	-0.07	102	0.17	104	-0.22	97	-0.01	99	0.00	102	0.00	49
-1580	Max	0.10	97	0.24	99	-0.10	102	-0.01	104	0.00	97	0.00	33
-1580	Min.	-0.06	102	0.13	104	-0.25	97	-0.01	99	0.00	102	0.00	49
-1579	Max	0.10	97	0.15	99	-0.12	102	-0.00	33	0.00	97	0.00	33
-1579	Min.	-0.06	102	0.06	104	-0.29	97	-0.01	99	0.00	102	0.00	49
-1578	Max	0.08	101	0.01	103	-0.13	102	0.00	100	0.00	101	0.00	33
-1578	Min.	-0.08	98	-0.04	100	-0.22	97	0.00	103	0.00	98	0.00	49
-1577	Max	0.08	101	0.01	103	-0.11	102	0.00	100	0.00	101	0.00	33
-1577	Min.	-0.08	98	-0.05	100	-0.22	97	0.00	103	0.00	98	0.00	49
-1576	Max	0.08	101	0.01	103	-0.10	102	0.00	100	0.00	101	0.00	33
-1576	Min.	-0.08	98	-0.05	100	-0.22	97	0.00	103	0.00	98	0.00	49
-1575	Max	0.08	97	0.01	103	-0.10	102	0.00	100	0.00	97	0.00	33
-1575	Min.	-0.08	102	-0.04	100	-0.22	97	0.00	103	0.00	102	0.00	49
-1574	Max	0.09	97	0.02	103	-0.10	102	0.00	100	0.00	97	0.00	33
-1574	Min.	-0.07	102	-0.04	100	-0.23	97	0.00	103	0.00	102	0.00	49
-1573	Max	0.10	97	0.03	99	-0.10	102	0.00	104	0.00	97	0.00	33
-1573	Min.	-0.06	102	-0.03	104	-0.26	97	0.00	99	0.00	102	0.00	49
-1572	Max	0.10	97	0.04	99	-0.13	102	0.00	33	0.00	97	0.00	33
-1572	Min.	-0.06	102	-0.02	104	-0.30	97	0.00	99	0.00	102	0.00	49
-1571	Max	0.08	97	0.15	99	-0.14	102	-0.00	104	0.00	97	0.00	33
-1571	Min.	-0.08	102	0.06	104	-0.23	97	-0.01	99	0.00	102	0.00	49
-1570	Max	0.08	97	0.19	99	-0.13	102	-0.01	104	0.00	97	0.00	33
-1570	Min.	-0.08	102	0.09	104	-0.24	97	-0.01	99	0.00	102	0.00	49
-1569	Max	0.08	97	0.23	99	-0.13	102	-0.01	104	0.00	97	0.00	33
-1569	Min.	-0.08	102	0.11	104	-0.25	97	-0.01	99	0.00	102	0.00	49
-1568	Max	0.09	97	0.25	99	-0.13	102	-0.01	104	0.00	97	0.00	33
-1568	Min.	-0.07	102	0.12	104	-0.27	97	-0.01	99	0.00	102	0.00	49
-1567	Max	0.09	97	0.25	99	-0.14	102	-0.01	104	0.00	97	0.00	33
-1567	Min.	-0.07	102	0.13	104	-0.29	97	-0.01	99	0.00	102	0.00	49
-1566	Max	0.11	97	0.24	99	-0.15	102	-0.01	104	0.00	97	0.00	33
-1566	Min.	-0.05	102	0.12	104	-0.33	97	-0.01	99	0.00	102	0.00	49
-1565	Max	0.11	97	0.22	99	-0.19	102	-0.01	104	0.00	97	0.00	33
-1565	Min.	-0.06	102	0.11	104	-0.38	97	-0.01	99	0.00	102	0.00	49
-1564	Max	0.08	101	-0.12	103	-0.12	102	0.01	100	0.00	101	0.00	33
-1564	Min.	-0.08	98	-0.23	100	-0.21	97	0.01	103	0.00	98	0.00	49
-1563	Max	0.08	101	-0.17	103	-0.11	102	0.01	100	0.00	101	0.00	33
-1563	Min.	-0.08	98	-0.30	100	-0.21	97	0.01	103	0.00	98	0.00	49

-1562	Max	0.08	101	-0.19	103	-0.10	102	0.01	100	0.00	101	0.00	33
-1562	Min.	-0.08	98	-0.33	100	-0.21	97	0.01	103	0.00	98	0.00	49
-1561	Max	0.08	97	-0.19	103	-0.09	102	0.01	100	0.00	97	0.00	33
-1561	Min.	-0.08	102	-0.33	100	-0.21	97	0.01	103	0.00	102	0.00	49
-1560	Max	0.09	97	-0.17	103	-0.09	102	0.01	100	0.00	97	0.00	33
-1560	Min.	-0.07	102	-0.30	100	-0.22	97	0.01	103	0.00	102	0.00	49
-1559	Max	0.10	97	-0.13	103	-0.10	102	0.01	100	0.00	97	0.00	33
-1559	Min.	-0.06	102	-0.24	100	-0.25	97	0.01	103	0.00	102	0.00	49
-1558	Max	0.10	97	-0.06	103	-0.12	102	0.01	100	0.00	97	0.00	33
-1558	Min.	-0.06	102	-0.15	100	-0.29	97	0.00	49	0.00	102	0.00	49
-1557	Max	0.08	101	0.03	103	-0.13	102	0.00	100	0.00	101	0.00	33
-1557	Min.	-0.08	98	-0.03	100	-0.22	97	0.00	103	0.00	98	0.00	49
-1556	Max	0.08	101	0.03	103	-0.12	102	0.00	100	0.00	101	0.00	33
-1556	Min.	-0.08	98	-0.03	100	-0.22	97	0.00	103	0.00	98	0.00	49
-1555	Max	0.08	101	0.03	103	-0.11	102	0.00	100	0.00	101	0.00	33
-1555	Min.	-0.08	98	-0.03	100	-0.22	97	0.00	103	0.00	98	0.00	49
-1554	Max	0.08	97	0.03	103	-0.10	102	0.00	100	0.00	97	0.00	33
-1554	Min.	-0.08	102	-0.03	100	-0.23	97	0.00	103	0.00	102	0.00	49
-1553	Max	0.09	97	0.03	103	-0.10	102	0.00	100	0.00	97	0.00	33
-1553	Min.	-0.07	102	-0.03	100	-0.24	97	0.00	103	0.00	102	0.00	49
-1552	Max	0.10	97	0.03	103	-0.11	102	0.00	100	0.00	97	0.00	33
-1552	Min.	-0.06	102	-0.03	100	-0.27	97	0.00	103	0.00	102	0.00	49
-1551	Max	0.10	97	0.03	103	-0.14	102	0.00	100	0.00	97	0.00	33
-1551	Min.	-0.06	102	-0.03	100	-0.31	97	0.00	49	0.00	102	0.00	49
-1550	Max	0.11	97	-0.02	103	-0.22	102	0.00	100	0.00	97	0.00	33
-1550	Min.	-0.06	102	-0.10	100	-0.34	97	0.00	103	0.00	102	0.00	49
-1549	Max	0.11	97	-0.03	103	-0.25	102	0.00	100	0.00	97	0.00	33
-1549	Min.	-0.06	102	-0.11	100	-0.41	97	0.00	103	0.00	102	0.00	49
-1548	Max	0.11	97	-0.02	103	-0.29	102	0.00	100	0.00	97	0.00	33
-1548	Min.	-0.06	102	-0.09	100	-0.47	97	0.00	103	0.00	102	0.00	49
-1547	Max	0.06	101	0.46	99	-1715070.00	33	31071.70	97	-6.98	33	0.00	97
-1547	Min.	-0.09	98	0.28	104	-2409410.00	97	22114.00	33	-10.03	97	0.00	49
-1546	Max	0.11	97	0.04	99	-0.36	102	0.00	104	0.00	97	0.00	33
-1546	Min.	-0.05	102	-0.02	104	-0.60	97	0.00	99	0.00	102	0.00	49
-1545	Max	0.13	97	0.10	99	-0.41	102	-0.00	101	0.00	97	0.00	33
-1545	Min.	-0.04	102	0.02	104	-0.68	97	-0.00	98	0.00	102	0.00	49
-1544	Max	0.12	97	0.18	99	-0.47	102	-0.00	101	0.00	97	0.00	33
-1544	Min.	-0.04	102	0.08	104	-0.77	97	-0.01	98	0.00	102	0.00	49
-1543	Max	0.08	97	-0.05	103	-0.14	102	0.01	100	0.00	97	0.00	33
-1543	Min.	-0.08	102	-0.14	100	-0.23	97	0.00	103	0.00	102	0.00	49
-1542	Max	0.08	97	-0.08	103	-0.13	102	0.01	100	0.00	97	0.00	33
-1542	Min.	-0.08	102	-0.19	100	-0.24	97	0.00	103	0.00	102	0.00	49
-1541	Max	0.08	97	-0.11	103	-0.13	102	0.01	100	0.00	97	0.00	33
-1541	Min.	-0.08	102	-0.22	100	-0.26	97	0.01	103	0.00	102	0.00	49
-1540	Max	0.16	97	0.28	99	-0.56	102	-0.01	101	0.00	97	0.00	97
-1540	Min.	-0.02	102	0.15	104	-0.90	97	-0.01	98	0.00	49	0.00	49
-1539	Max	0.16	97	-0.15	103	-0.56	102	0.01	98	0.00	97	0.00	33
-1539	Min.	-0.02	102	-0.29	100	-0.91	97	0.01	101	0.00	33	0.00	97
-1538	Max	0.07	101	-0.07	103	-2005930.00	33	286.56	100	-1682.02	33	0.00	97
-1538	Min.	-0.09	98	-0.16	100	-2819930.00	97	185.67	33	-2419.17	98	0.00	49
-1537	Max	0.12	97	0.05	99	-0.17	102	0.00	33	0.00	97	0.00	33
-1537	Min.	-0.04	102	-0.01	104	-0.36	97	-0.00	99	0.00	102	0.00	49
-1536	Max	0.12	97	0.01	103	-0.17	102	0.00	100	0.00	97	0.00	33
-1536	Min.	-0.04	102	-0.05	100	-0.36	97	0.00	49	0.00	102	0.00	49
-1535	Max	0.07	97	-0.28	103	-1718540.00	33	-22006.40	33	0.00	102	0.00	33
-1535	Min.	-0.07	102	-0.46	100	-2414340.00	97	-30921.90	97	0.00	97	0.00	49
-1534	Max	0.12	97	0.02	103	-0.19	102	0.00	100	0.00	97	0.00	33
-1534	Min.	-0.04	102	-0.03	100	-0.39	97	0.00	49	0.00	102	0.00	49
-1533	Max	0.08	97	0.00	103	-1.73	103	0.00	104	0.00	102	0.00	33
-1533	Min.	-0.08	102	-0.06	100	-2.51	100	-0.00	99	0.00	97	0.00	49
-1532	Max	0.07	97	0.46	99	-1715950.00	33	30920.70	97	0.00	102	0.00	33
-1532	Min.	-0.07	102	0.28	104	-2410730.00	97	22004.60	33	0.00	97	0.00	49
-1531	Max	0.12	97	0.03	99	-0.19	102	0.00	33	0.00	97	0.00	33
-1531	Min.	-0.04	102	-0.02	104	-0.39	97	0.00	99	0.00	102	0.00	49
-1530	Max	0.07	101	-0.07	103	-3136240.00	33	5150.74	97	-120078.00	33	0.00	33
-1530	Min.	-0.09	98	-0.17	100	-4421130.00	97	3337.35	33	-170407.00	97	-0.00	98
-1529	Max	0.04	101	-0.06	103	-3244340.00	33	5478.69	97	168099.00	97	0.00	33
-1529	Min.	-0.12	98	-0.16	100	-4575510.00	97	3549.49	33	118441.00	33	0.00	49
-1528	Max	0.07	101	-0.00	103	-1917190.00	33	1.77	100	315.01	97	0.00	97
-1528	Min.	-0.09	98	-0.07	100	-2693380.00	97	1.15	33	222.65	33	0.00	49
-1527	Max	0.07	101	-0.02	103	-1919840.00	33	-2.57	33	-434.61	33	0.00	97
-1527	Min.	-0.09	98	-0.10	100	-2697120.00	97	-3.97	99	-621.59	98	0.00	49
-1526	Max	0.08	101	-0.04	103	-1918040.00	33	15.99	100	1332.58	97	0.00	97
-1526	Min.	-0.09	98	-0.13	100	-2694600.00	97	10.36	33	929.41	33	0.00	49
-1525	Max	0.07	101	-0.06	103	-1903670.00	33	-43.81	33	-1322.62	33	0.00	97
-1525	Min.	-0.09	98	-0.15	100	-2674400.00	97	-67.61	99	-1899.15	98	0.00	49
-1524	Max	0.07	101	0.17	99	-1948300.00	33	-211.24	33	-2034.44	33	0.00	33
-1524	Min.	-0.09	98	0.07	104	-2737630.00	97	-309.44	99	-2895.31	98	0.00	97
-1523	Max	0.07	101	0.17	99	-1496230.00	33	1309.91	100	34250.70	97	0.00	98

-1523	Min.	-0.09	98	0.07	104	-2099880.00	97	894.22	33	24239.80	33	0.00	49
-1522	Max	0.07	101	0.17	99	-3066520.00	33	-3786.12	33	-120841.00	33	0.00	98
-1522	Min.	-0.09	98	0.07	104	-4313840.00	97	-5546.19	97	-170536.00	97	0.00	49
-1521	Max	0.05	101	0.16	99	-3176660.00	33	-4027.84	33	167743.00	97	0.00	33
-1521	Min.	-0.12	98	0.06	104	-4469350.00	97	-5900.73	97	118880.00	33	0.00	97
-1520	Max	0.07	101	0.07	99	-1858180.00	33	-1.32	33	318.10	97	0.00	33
-1520	Min.	-0.09	98	0.00	104	-2610420.00	97	-1.93	99	225.53	33	0.00	97
-1519	Max	0.07	101	0.10	99	-1860560.00	33	4.31	100	-429.92	33	0.00	33
-1519	Min.	-0.09	98	0.02	104	-2613760.00	97	2.94	33	-605.85	98	-0.00	97
-1518	Max	0.07	101	0.13	99	-1859390.00	33	-11.82	33	1264.55	97	0.00	33
-1518	Min.	-0.09	98	0.04	104	-2612140.00	97	-17.32	99	898.25	33	0.00	97
-1517	Max	0.07	101	0.15	99	-1843840.00	33	73.11	100	-1206.01	33	0.00	33
-1517	Min.	-0.09	98	0.06	104	-2590120.00	97	49.91	33	-1692.43	98	0.00	97
-1516	Max	0.12	97	0.16	99	-3176760.00	33	-4027.70	33	-118916.00	33	0.00	98
-1516	Min.	-0.05	102	0.06	104	-4469490.00	97	-5900.54	97	-167794.00	97	0.00	49
-1515	Max	0.09	97	0.17	99	-3066810.00	33	-3786.72	33	170581.00	97	0.00	33
-1515	Min.	-0.07	102	0.07	104	-4314240.00	97	-5547.07	97	120873.00	33	-0.00	97
-1514	Max	0.09	97	0.17	99	-1496100.00	33	1310.30	100	-24254.20	33	0.00	33
-1514	Min.	-0.07	102	0.07	104	-2099700.00	97	894.48	33	-34271.10	97	0.00	97
-1513	Max	0.09	97	0.17	99	-1948340.00	33	-211.29	33	2897.73	97	0.00	98
-1513	Min.	-0.07	102	0.07	104	-2737680.00	97	-309.52	99	2036.15	33	0.00	49
-1512	Max	0.09	97	0.15	99	-1843830.00	33	73.12	100	1692.82	97	0.00	98
-1512	Min.	-0.07	102	0.06	104	-2590120.00	97	49.92	33	1206.28	33	0.00	49
-1511	Max	0.09	97	0.13	99	-1859390.00	33	-11.83	33	-898.52	33	0.00	98
-1511	Min.	-0.07	102	0.04	104	-2612140.00	97	-17.33	99	-1264.93	98	0.00	49
-1510	Max	0.09	97	0.10	99	-1860560.00	33	4.31	100	606.00	97	0.00	98
-1510	Min.	-0.07	102	0.02	104	-2613760.00	97	2.94	33	430.02	33	0.00	49
-1509	Max	0.09	97	0.07	99	-1858180.00	33	-1.32	33	-225.61	33	0.00	98
-1509	Min.	-0.07	102	0.00	104	-2610420.00	97	-1.93	99	-318.22	98	0.00	49
-1508	Max	0.03	101	0.22	99	-3178830.00	33	-4023.41	33	-119723.00	33	0.00	33
-1508	Min.	-0.14	98	0.11	104	-4472480.00	97	-5896.62	97	-168940.00	97	0.00	98
-1507	Max	-0.01	101	0.30	99	-3068830.00	33	-3783.10	33	171739.00	97	-0.00	33
-1507	Min.	-0.20	98	0.16	104	-4317230.00	97	-5544.08	97	121690.00	33	-0.00	97
-1506	Max	0.00	101	0.36	99	-1495560.00	33	1315.50	100	-25022.20	33	-0.00	33
-1506	Min.	-0.17	98	0.20	104	-2099030.00	97	897.81	33	-35359.30	97	-0.00	98
-1505	Max	0.00	101	0.43	99	-1949540.00	33	-225.89	33	4357.07	97	0.00	33
-1505	Min.	-0.17	98	0.24	104	-2739460.00	97	-331.65	99	3056.46	33	-0.00	98
-1504	Max	0.01	101	0.48	99	-1827450.00	33	165.74	100	15.63	33	0.00	33
-1504	Min.	-0.16	98	0.28	104	-2567190.00	97	110.39	33	-38.35	33	0.00	98
-1503	Max	0.02	101	0.52	99	-1948640.00	33	-267.22	33	-3038.51	33	0.00	33
-1503	Min.	-0.15	98	0.30	104	-2739580.00	97	-408.69	99	-4323.35	97	0.00	49
-1502	Max	0.02	101	0.55	99	-1491940.00	33	1659.62	100	35340.90	97	0.00	97
-1502	Min.	-0.14	98	0.32	104	-2098130.00	97	1083.09	33	24841.00	33	0.00	49
-1501	Max	0.11	97	0.58	99	-3065050.00	33	-4570.46	33	-121061.00	33	0.01	97
-1501	Min.	-0.05	102	0.35	104	-4321510.00	97	-7004.06	97	-171930.00	97	0.00	33
-1500	Max	0.06	101	0.61	99	-4991020.00	33	-11264.00	33	262.14	33	0.00	97
-1500	Min.	-0.09	98	0.37	104	-7054350.00	97	-17307.10	97	-12.12	33	0.00	49
-1499	Max	0.07	101	0.60	99	-5013560.00	33	-11660.70	33	816.66	33	0.00	97
-1499	Min.	-0.08	98	0.37	104	-7079460.00	97	-17769.70	97	-355.22	33	0.00	49
-1498	Max	0.08	97	0.60	99	-5013560.00	33	-11660.70	33	355.22	33	0.00	33
-1498	Min.	-0.07	102	0.37	104	-7079460.00	97	-17769.70	97	-816.66	33	0.00	98
-1497	Max	0.13	97	-0.03	103	-0.84	102	0.00	100	0.00	98	0.00	33
-1497	Min.	-0.03	102	-0.10	100	-1.23	97	0.00	103	0.00	101	0.00	49
-1496	Max	0.12	97	-0.03	103	-0.91	102	0.00	100	0.00	98	0.00	33
-1496	Min.	-0.04	102	-0.10	100	-1.31	97	0.00	103	0.00	101	0.00	49
-1495	Max	0.10	97	-0.02	103	-0.96	102	0.00	100	0.00	98	0.00	33
-1495	Min.	-0.05	102	-0.10	100	-1.36	97	0.00	103	0.00	101	0.00	49
-1494	Max	0.08	97	-0.02	103	-0.98	104	0.00	100	0.00	98	0.00	33
-1494	Min.	-0.07	102	-0.10	100	-1.39	99	0.00	103	0.00	101	0.00	49
-1493	Max	0.07	101	-0.02	103	-0.98	104	0.00	100	0.00	102	0.00	33
-1493	Min.	-0.08	98	-0.10	100	-1.39	99	0.00	103	0.00	97	0.00	49
-1492	Max	0.05	101	-0.02	103	-0.96	101	0.00	100	0.00	102	0.00	33
-1492	Min.	-0.10	98	-0.10	100	-1.36	98	0.00	103	-0.00	97	0.00	49
-1491	Max	0.04	101	-0.03	103	-0.91	101	0.00	100	-0.00	102	0.00	33
-1491	Min.	-0.12	98	-0.10	100	-1.31	98	0.00	103	-0.00	97	0.00	49
-1490	Max	0.07	101	-0.07	103	-1548920.00	33	-787.11	33	33521.40	97	0.00	33
-1490	Min.	-0.09	98	-0.17	100	-2178370.00	97	-1214.79	99	23586.60	33	0.00	98
-1489	Max	0.09	97	0.61	99	-4991020.00	33	-11264.00	33	12.12	33	0.00	33
-1489	Min.	-0.06	102	0.37	104	-7054350.00	97	-17307.10	97	-262.14	33	0.00	98
-1488	Max	0.05	101	0.58	99	-3065050.00	33	-4570.46	33	171930.00	97	-0.00	33
-1488	Min.	-0.11	98	0.35	104	-4321510.00	97	-7004.06	97	121061.00	33	-0.01	98
-1487	Max	0.14	97	0.55	99	-1491940.00	33	1659.62	100	-24841.00	33	-0.00	33
-1487	Min.	-0.02	102	0.32	104	-2098130.00	97	1083.09	33	-35340.90	97	-0.00	98
-1486	Max	0.15	97	0.52	99	-1948640.00	33	-267.22	33	4323.35	97	0.00	33
-1486	Min.	-0.02	102	0.30	104	-2739580.00	97	-408.69	99	3038.51	33	0.00	49
-1485	Max	0.16	97	0.48	99	-1827450.00	33	165.74	100	38.35	33	0.00	97
-1485	Min.	-0.01	102	0.28	104	-2567190.00	97	110.39	33	-15.63	33	0.00	49
-1484	Max	0.17	97	0.43	99	-1949540.00	33	-225.89	33	-3056.46	33	0.00	97
-1484	Min.	-0.00	102	0.24	104	-2739460.00	97	-331.65	99	-4357.07	97	0.00	49

-1483	Max	0.17	97	0.36	99	-1495560.00	33	1315.50	100	35359.40	97	0.00	97
-1483	Min.	-0.00	102	0.20	104	-2099030.00	97	897.81	33	25022.20	33	0.00	49
-1482	Max	0.03	101	-0.03	103	-0.84	101	0.00	100	-0.00	102	0.00	33
-1482	Min.	-0.13	98	-0.10	100	-1.23	98	0.00	103	-0.00	97	0.00	49
-1481	Max	0.03	101	-0.02	103	-0.76	101	0.00	100	-0.00	102	0.00	33
-1481	Min.	-0.14	98	-0.09	100	-1.13	98	0.00	103	-0.00	97	0.00	49
-1480	Max	0.02	101	-0.02	103	-0.66	101	0.00	100	-0.00	102	0.00	33
-1480	Min.	-0.15	98	-0.09	100	-1.01	98	0.00	103	-0.00	97	0.00	49
-1479	Max	0.02	101	-0.01	103	-0.55	101	0.00	100	-0.00	102	0.00	33
-1479	Min.	-0.15	98	-0.07	100	-0.87	98	0.00	103	-0.00	97	0.00	49
-1478	Max	0.02	101	0.00	103	-0.45	101	0.00	100	-0.00	102	0.00	33
-1478	Min.	-0.15	98	-0.06	100	-0.73	98	0.00	103	-0.00	97	0.00	49
-1477	Max	0.03	101	0.01	103	-0.34	101	0.00	100	-0.00	102	0.00	33
-1477	Min.	-0.14	98	-0.04	100	-0.60	98	0.00	103	-0.00	97	0.00	49
-1476	Max	0.02	101	0.03	99	-0.25	101	0.00	104	-0.00	102	0.00	33
-1476	Min.	-0.15	98	-0.02	104	-0.47	98	0.00	99	-0.00	97	0.00	49
-1475	Max	0.15	97	0.33	99	-0.24	102	-0.01	104	0.00	98	0.00	33
-1475	Min.	-0.02	102	0.19	104	-0.45	97	-0.01	99	0.00	101	0.00	49
-1474	Max	0.14	97	0.60	99	-0.33	102	-0.02	104	0.00	98	0.00	33
-1474	Min.	-0.03	102	0.38	104	-0.58	97	-0.03	99	0.00	101	0.00	49
-1473	Max	0.15	97	0.84	99	-0.43	102	-0.03	104	0.00	98	0.00	33
-1473	Min.	-0.02	102	0.55	104	-0.72	97	-0.04	99	0.00	101	0.00	49
-1472	Max	0.15	97	1.05	99	-0.54	102	-0.03	104	0.00	98	0.00	33
-1472	Min.	-0.02	102	0.70	104	-0.86	97	-0.05	99	0.00	101	0.00	49
-1471	Max	0.15	97	1.23	99	-0.65	102	-0.04	104	0.00	98	0.00	33
-1471	Min.	-0.02	102	0.83	104	-0.99	97	-0.05	99	0.00	101	0.00	49
-1470	Max	0.14	97	1.37	99	-0.74	102	-0.04	104	0.00	98	0.00	33
-1470	Min.	-0.03	102	0.93	104	-1.11	97	-0.06	99	0.00	101	0.00	49
-1469	Max	0.13	97	1.48	99	-0.83	102	-0.05	104	0.00	98	0.00	33
-1469	Min.	-0.03	102	1.01	104	-1.21	97	-0.07	99	0.00	101	0.00	49
-1468	Max	0.12	97	1.56	99	-0.89	102	-0.05	104	0.00	98	0.00	33
-1468	Min.	-0.04	102	1.06	104	-1.29	97	-0.07	99	0.00	101	0.00	49
-1467	Max	0.10	97	1.60	99	-0.94	102	-0.05	104	0.00	98	0.00	33
-1467	Min.	-0.05	102	1.10	104	-1.34	97	-0.07	99	0.00	101	0.00	49
-1466	Max	0.08	97	1.63	99	-0.97	104	-0.05	104	0.00	98	0.00	33
-1466	Min.	-0.07	102	1.11	104	-1.37	99	-0.07	99	0.00	101	0.00	49
-1465	Max	0.07	101	1.63	99	-0.97	104	-0.05	104	0.00	102	0.00	33
-1465	Min.	-0.08	98	1.11	104	-1.37	99	-0.07	99	0.00	97	0.00	49
-1464	Max	0.05	101	1.60	99	-0.94	101	-0.05	104	0.00	102	0.00	33
-1464	Min.	-0.10	98	1.10	104	-1.34	98	-0.07	99	-0.00	97	0.00	49
-1463	Max	0.04	101	1.56	99	-0.89	101	-0.05	104	-0.00	102	0.00	33
-1463	Min.	-0.12	98	1.06	104	-1.29	98	-0.07	99	-0.00	97	0.00	49
-1462	Max	0.03	101	1.48	99	-0.83	101	-0.05	104	-0.00	102	0.00	33
-1462	Min.	-0.13	98	1.01	104	-1.21	98	-0.07	99	-0.00	97	0.00	49
-1461	Max	0.20	97	0.30	99	-3068830.00	33	-3783.10	33	-121690.00	33	0.00	98
-1461	Min.	0.01	102	0.16	104	-4317230.00	97	-5544.09	97	-171739.00	97	0.00	49
-1460	Max	0.03	101	1.37	99	-0.74	101	-0.04	104	-0.00	102	0.00	33
-1460	Min.	-0.14	98	0.93	104	-1.11	98	-0.06	99	-0.00	97	0.00	49
-1459	Max	0.02	101	1.23	99	-0.65	101	-0.04	104	-0.00	102	0.00	33
-1459	Min.	-0.15	98	0.83	104	-0.99	98	-0.05	99	-0.00	97	0.00	49
-1458	Max	0.14	97	0.22	99	-3178850.00	33	-4023.39	33	168939.00	97	0.00	97
-1458	Min.	-0.03	102	0.11	104	-4472510.00	97	-5896.60	97	119722.00	33	0.00	49
-1457	Max	0.07	97	0.45	99	-4174810.00	33	-41929.80	33	0.00	33	0.00	33
-1457	Min.	-0.07	102	0.26	104	-5886370.00	97	-62068.70	97	0.00	33	0.00	49
-1456	Max	0.02	101	1.05	99	-0.54	101	-0.03	104	-0.00	102	0.00	33
-1456	Min.	-0.15	98	0.70	104	-0.86	98	-0.05	99	-0.00	97	0.00	49
-1455	Max	0.02	101	0.84	99	-0.43	101	-0.03	104	-0.00	102	0.00	33
-1455	Min.	-0.15	98	0.55	104	-0.72	98	-0.04	99	-0.00	97	0.00	49
-1454	Max	0.03	101	0.60	99	-0.33	101	-0.02	104	-0.00	102	0.00	33
-1454	Min.	-0.14	98	0.38	104	-0.58	98	-0.03	99	-0.00	97	0.00	49
-1453	Max	0.02	101	0.33	99	-0.24	101	-0.01	104	-0.00	102	0.00	33
-1453	Min.	-0.15	98	0.19	104	-0.45	98	-0.01	99	-0.00	97	0.00	49
-1452	Max	0.15	97	0.03	103	-0.26	102	0.00	100	0.00	98	0.00	33
-1452	Min.	-0.02	102	-0.03	100	-0.48	97	0.00	103	0.00	101	0.00	49
-1451	Max	0.12	97	-0.06	103	-3244430.00	33	5478.54	97	-118476.00	33	0.00	33
-1451	Min.	-0.04	102	-0.16	100	-4575640.00	97	3549.25	33	-168150.00	97	0.00	49
-1450	Max	0.14	97	0.03	103	-0.35	102	0.00	100	0.00	98	0.00	33
-1450	Min.	-0.03	102	-0.03	100	-0.61	97	0.00	103	0.00	101	0.00	49
-1449	Max	0.15	97	0.03	103	-0.45	102	0.00	100	0.00	98	0.00	33
-1449	Min.	-0.02	102	-0.03	100	-0.75	97	0.00	103	0.00	101	0.00	49
-1448	Max	0.15	97	0.03	103	-0.56	102	0.00	100	0.00	98	0.00	33
-1448	Min.	-0.02	102	-0.03	100	-0.89	97	0.00	103	0.00	101	0.00	49
-1447	Max	0.09	97	-0.07	103	-3136530.00	33	5151.59	97	170452.00	97	0.00	97
-1447	Min.	-0.07	102	-0.17	100	-4421540.00	97	3337.75	33	120109.00	33	0.00	49
-1446	Max	0.15	97	0.03	103	-0.67	102	0.00	100	0.00	98	0.00	33
-1446	Min.	-0.02	102	-0.03	100	-1.02	97	0.00	103	0.00	101	0.00	49
-1445	Max	0.14	97	0.03	103	-0.76	102	0.00	100	0.00	98	0.00	33
-1445	Min.	-0.03	102	-0.03	100	-1.14	97	0.00	103	0.00	101	0.00	49
-1444	Max	0.09	97	-0.07	103	-1548790.00	33	-787.31	33	-23600.80	33	0.00	97

-1444	Min.	-0.07	102	-0.17	100	-2178180.00	97	-1215.16	99	-33541.80	97	0.00	49
-1443	Max	0.13	97	0.03	103	-0.85	102	0.00	100	0.00	98	0.00	33
-1443	Min.	-0.03	102	-0.03	100	-1.24	97	0.00	103	0.00	101	0.00	49
-1442	Max	0.12	97	0.03	103	-0.92	102	0.00	100	0.00	98	0.00	33
-1442	Min.	-0.04	102	-0.03	100	-1.32	97	0.00	103	0.00	101	0.00	49
-1441	Max	0.10	97	0.03	103	-0.96	102	0.00	100	0.00	98	0.00	33
-1441	Min.	-0.05	102	-0.03	100	-1.37	97	0.00	103	0.00	101	0.00	49
-1440	Max	0.09	97	-0.07	103	-2005960.00	33	286.64	100	2421.49	97	0.00	33
-1440	Min.	-0.07	102	-0.16	100	-2819980.00	97	185.71	33	1683.65	33	0.00	98
-1439	Max	0.08	97	0.03	103	-0.99	102	0.00	100	0.00	98	0.00	33
-1439	Min.	-0.07	102	-0.03	100	-1.39	97	0.00	103	0.00	101	0.00	49
-1438	Max	0.07	101	0.03	103	-0.99	101	0.00	100	0.00	102	0.00	33
-1438	Min.	-0.08	98	-0.03	100	-1.39	98	0.00	103	0.00	97	0.00	49
-1437	Max	0.09	97	-0.06	103	-1903670.00	33	-43.81	33	1899.57	97	0.00	33
-1437	Min.	-0.07	102	-0.15	100	-2674390.00	97	-67.62	99	1322.88	33	0.00	98
-1436	Max	0.05	101	0.03	103	-0.96	101	0.00	100	0.00	102	0.00	33
-1436	Min.	-0.10	98	-0.03	100	-1.37	98	0.00	103	-0.00	97	0.00	49
-1435	Max	0.04	101	0.03	103	-0.92	101	0.00	100	-0.00	102	0.00	33
-1435	Min.	-0.12	98	-0.03	100	-1.32	98	0.00	103	-0.00	97	0.00	49
-1434	Max	0.03	101	0.03	103	-0.85	101	0.00	100	-0.00	102	0.00	33
-1434	Min.	-0.13	98	-0.03	100	-1.24	98	0.00	103	-0.00	97	0.00	49
-1433	Max	0.03	101	0.03	103	-0.76	101	0.00	100	-0.00	102	0.00	33
-1433	Min.	-0.14	98	-0.03	100	-1.14	98	0.00	103	-0.00	97	0.00	49
-1432	Max	0.02	101	0.03	103	-0.67	101	0.00	100	-0.00	102	0.00	33
-1432	Min.	-0.15	98	-0.03	100	-1.02	98	0.00	103	-0.00	97	0.00	49
-1431	Max	0.02	101	0.03	103	-0.56	101	0.00	100	-0.00	102	0.00	33
-1431	Min.	-0.15	98	-0.03	100	-0.89	98	0.00	103	-0.00	97	0.00	49
-1430	Max	0.02	101	0.03	103	-0.45	101	0.00	100	-0.00	102	0.00	33
-1430	Min.	-0.15	98	-0.03	100	-0.75	98	0.00	103	-0.00	97	0.00	49
-1429	Max	0.03	101	0.03	103	-0.35	101	0.00	100	-0.00	102	0.00	33
-1429	Min.	-0.14	98	-0.03	100	-0.61	98	0.00	103	-0.00	97	0.00	49
-1428	Max	0.02	101	0.03	103	-0.26	101	0.00	100	-0.00	102	0.00	33
-1428	Min.	-0.15	98	-0.03	100	-0.48	98	0.00	103	-0.00	97	0.00	49
-1427	Max	0.08	97	0.03	99	-0.14	101	0.00	104	0.00	97	0.00	33
-1427	Min.	-0.08	102	-0.02	104	-0.22	98	0.00	99	0.00	102	0.00	49
-1426	Max	0.08	101	-0.01	103	-0.14	103	0.00	100	0.00	101	0.00	33
-1426	Min.	-0.08	98	-0.08	100	-0.23	100	0.00	103	0.00	98	0.00	49
-1425	Max	0.06	101	0.00	103	-0.17	104	0.00	100	0.00	101	0.00	33
-1425	Min.	-0.11	98	-0.06	100	-0.28	99	0.00	103	-0.00	98	0.00	49
-1424	Max	0.08	97	0.03	103	-0.14	101	0.00	100	0.00	97	0.00	33
-1424	Min.	-0.08	102	-0.03	100	-0.22	98	0.00	103	0.00	102	0.00	49
-1423	Max	0.08	97	-0.04	103	-0.14	101	0.00	100	0.00	97	0.00	33
-1423	Min.	-0.08	102	-0.12	100	-0.21	98	0.00	103	0.00	102	0.00	49
-1422	Max	0.08	101	0.08	99	-0.14	104	-0.00	104	0.00	101	0.00	33
-1422	Min.	-0.08	98	0.01	104	-0.22	99	-0.00	99	0.00	98	0.00	49
-1421	Max	0.08	97	0.02	103	-0.14	101	0.00	100	0.00	97	0.00	33
-1421	Min.	-0.08	102	-0.03	100	-0.21	98	0.00	103	0.00	102	0.00	49
-1420	Max	0.08	97	0.12	99	-0.14	101	-0.00	104	0.00	97	0.00	33
-1420	Min.	-0.08	102	0.04	104	-0.21	98	-0.00	99	0.00	102	0.00	49
-1419	Max	0.08	97	0.03	103	-0.14	101	0.00	100	0.00	97	0.00	33
-1419	Min.	-0.08	102	-0.03	100	-0.22	98	0.00	103	0.00	102	0.00	49
-1418	Max	0.08	97	0.03	103	-0.14	101	0.00	104	0.00	97	0.00	33
-1418	Min.	-0.08	102	-0.03	100	-0.22	98	0.00	99	0.00	102	0.00	49
-1417	Max	0.06	101	0.05	99	-0.17	103	0.00	104	0.00	101	0.00	33
-1417	Min.	-0.11	98	-0.01	104	-0.28	100	-0.00	99	-0.00	98	0.00	49
-1416	Max	0.06	101	0.01	103	-0.13	101	0.00	100	0.00	101	0.00	33
-1416	Min.	-0.10	98	-0.04	100	-0.30	98	0.00	33	0.00	98	0.00	49
-1415	Max	0.06	101	0.02	103	-0.10	101	0.00	100	0.00	101	0.00	33
-1415	Min.	-0.10	98	-0.03	100	-0.26	98	0.00	33	-0.00	98	0.00	49
-1414	Max	0.10	97	0.02	103	-0.10	102	0.00	100	0.00	97	0.00	33
-1414	Min.	-0.06	102	-0.03	100	-0.26	97	0.00	103	0.00	102	0.00	49
-1413	Max	0.07	97	-0.21	103	-6231190.00	33	69312.30	97	0.01	33	0.00	33
-1413	Min.	-0.07	102	-0.37	100	-8879840.00	97	43789.70	33	-0.01	33	0.00	49
-1412	Max	0.13	97	0.03	99	-0.86	102	0.00	104	0.00	98	0.00	33
-1412	Min.	-0.03	102	-0.03	104	-1.26	97	0.00	99	0.00	101	0.00	49
-1411	Max	0.15	97	0.03	103	-0.68	102	0.00	100	0.00	98	0.00	33
-1411	Min.	-0.02	102	-0.03	100	-1.04	97	0.00	103	0.00	101	0.00	49
-1410	Max	0.14	97	0.03	103	-0.78	102	0.00	100	0.00	98	0.00	33
-1410	Min.	-0.03	102	-0.03	100	-1.16	97	0.00	103	0.00	101	0.00	49
-1409	Max	0.09	97	-0.04	103	-1918040.00	33	16.00	100	-929.67	33	0.00	33
-1409	Min.	-0.08	102	-0.13	100	-2694600.00	97	10.37	33	-1332.98	98	0.00	98
-1408	Max	0.09	97	-0.02	103	-1919840.00	33	-2.57	33	621.74	97	0.00	33
-1408	Min.	-0.07	102	-0.10	100	-2697120.00	97	-3.97	99	434.71	33	-0.00	98
-1407	Max	0.09	97	-0.00	103	-1917190.00	33	1.78	100	-222.74	33	0.00	33
-1407	Min.	-0.07	102	-0.07	100	-2693380.00	97	1.15	33	-315.13	98	0.00	98
-1406	Max	0.03	101	-0.10	103	-3246190.00	33	5475.59	97	-119232.00	33	0.00	98
-1406	Min.	-0.13	98	-0.22	100	-4578750.00	97	3532.11	33	-169300.00	97	0.00	49
-1405	Max	-0.01	101	-0.15	103	-3138140.00	33	5149.55	97	171616.00	97	0.00	97
-1405	Min.	-0.19	98	-0.29	100	-4424570.00	97	3320.23	33	120873.00	33	0.00	49

-1404	Max	0.00	101	-0.19	103	-1548200.00	33	-786.74	33	-24366.00	33	0.00	98
-1404	Min.	-0.17	98	-0.35	100	-2177670.00	97	-1220.13	99	-34647.40	97	0.00	49
-1403	Max	0.00	101	-0.23	103	-2006740.00	33	307.06	100	3944.17	97	0.00	98
-1403	Min.	-0.17	98	-0.40	100	-2821190.00	97	198.18	33	2772.06	33	0.00	49
-1402	Max	0.01	101	-0.26	103	-1888080.00	33	-99.33	33	15.61	33	0.00	98
-1402	Min.	-0.16	98	-0.45	100	-2652570.00	97	-153.03	99	-18.41	33	0.00	49
-1401	Max	0.02	101	-0.28	103	-2006910.00	33	377.35	100	-2763.58	33	0.00	33
-1401	Min.	-0.15	98	-0.49	100	-2821250.00	97	245.40	33	-3945.88	97	0.00	97
-1400	Max	0.02	101	-0.30	103	-1548630.00	33	-997.95	33	34664.60	97	-0.00	33
-1400	Min.	-0.14	98	-0.52	100	-2177440.00	97	-1534.47	99	24374.00	33	-0.00	97
-1399	Max	0.11	97	-0.33	103	-3139760.00	33	6485.04	97	-120982.00	33	-0.00	33
-1399	Min.	-0.05	102	-0.55	100	-4425300.00	97	4217.61	33	-171695.00	97	-0.00	97
-1398	Max	0.06	101	-0.35	103	-5085270.00	33	15943.80	97	208.53	33	0.00	33
-1398	Min.	-0.09	98	-0.58	100	-7183870.00	97	10337.30	33	-59.95	33	0.00	97
-1397	Max	0.07	101	-0.35	103	-5105830.00	33	16428.00	97	676.62	33	0.00	33
-1397	Min.	-0.08	98	-0.58	100	-7206810.00	97	10740.00	33	-399.28	33	0.00	97
-1396	Max	0.08	97	-0.35	103	-5105830.00	33	16428.00	97	399.27	33	0.00	98
-1396	Min.	-0.07	102	-0.58	100	-7206810.00	97	10740.00	33	-676.61	33	0.00	49
-1395	Max	0.09	97	-0.35	103	-5085270.00	33	15943.80	97	59.93	33	0.00	98
-1395	Min.	-0.06	102	-0.58	100	-7183870.00	97	10337.30	33	-208.50	33	0.00	49
-1394	Max	0.05	101	-0.33	103	-3139760.00	33	6485.04	97	171695.00	97	0.00	98
-1394	Min.	-0.11	98	-0.55	100	-4425300.00	97	4217.60	33	120982.00	33	0.00	33
-1393	Max	0.14	97	-0.30	103	-1548630.00	33	-997.95	33	-24374.00	33	0.00	98
-1393	Min.	-0.02	102	-0.52	100	-2177440.00	97	-1534.47	99	-34664.60	97	0.00	49
-1392	Max	0.15	97	-0.28	103	-2006910.00	33	377.35	100	3945.88	98	0.00	33
-1392	Min.	-0.02	102	-0.49	100	-2821250.00	97	245.40	33	2763.60	33	0.00	49
-1391	Max	0.16	97	-0.26	103	-1888080.00	33	-99.33	33	18.39	33	0.00	33
-1391	Min.	-0.01	102	-0.45	100	-2652570.00	97	-153.03	99	-15.58	33	0.00	97
-1390	Max	0.17	97	-0.23	103	-2006740.00	33	307.06	100	-2772.07	33	0.00	33
-1390	Min.	-0.00	102	-0.40	100	-2821190.00	97	198.18	33	-3944.17	97	-0.00	97
-1389	Max	0.17	97	-0.19	103	-1548210.00	33	-786.77	33	34647.50	97	-0.00	33
-1389	Min.	-0.00	102	-0.35	100	-2177670.00	97	-1220.13	99	24366.10	33	-0.00	97
-1388	Max	0.19	97	-0.15	103	-3138150.00	33	5149.56	97	-120874.00	33	-0.00	33
-1388	Min.	0.01	102	-0.29	100	-4424570.00	97	3320.37	33	-171616.00	97	-0.00	98
-1387	Max	0.13	97	-0.10	103	-3246210.00	33	5475.57	97	169298.00	97	0.00	33
-1387	Min.	-0.03	102	-0.22	100	-4578780.00	97	3532.23	33	119231.00	33	0.00	97
-1386	Max	0.07	97	-0.27	103	-4196630.00	33	54925.40	97	0.00	33	0.00	33
-1386	Min.	-0.07	102	-0.46	100	-5912940.00	97	37020.50	33	-0.00	33	0.00	49
-1385	Max	0.11	97	0.00	103	-1464110.00	33	-1473.93	33	-347.66	33	0.00	33
-1385	Min.	-0.05	102	-0.07	100	-2056880.00	97	-2068.78	97	-488.75	98	0.00	98
-1384	Max	0.12	97	-0.08	103	-3234230.00	33	4640.07	97	136076.00	97	-0.00	33
-1384	Min.	-0.04	102	-0.18	100	-4543520.00	97	3305.68	33	96867.10	33	-0.00	98
-1383	Max	0.07	101	-0.17	103	-3151340.00	33	4363.29	97	-96632.10	33	0.00	33
-1383	Min.	-0.08	98	-0.31	100	-4427090.00	97	3108.54	33	-135744.00	97	0.00	97
-1382	Max	0.11	97	-0.26	103	-1775090.00	33	-733.80	33	23968.60	97	0.00	33
-1382	Min.	-0.05	102	-0.43	100	-2493730.00	97	-1030.00	99	17064.00	33	0.00	98
-1381	Max	0.12	97	-0.33	103	-2146640.00	33	257.73	100	-894.82	33	0.00	33
-1381	Min.	-0.04	102	-0.53	100	-3015640.00	97	183.62	33	-1255.93	97	0.00	49
-1380	Max	0.12	97	-0.39	103	-2063720.00	33	-90.03	33	-3.98	33	0.00	33
-1380	Min.	-0.04	102	-0.61	100	-2899170.00	97	-126.37	99	-6.14	97	0.00	98
-1379	Max	0.12	97	-0.44	103	-2145320.00	33	309.17	100	1178.93	98	0.00	33
-1379	Min.	-0.04	102	-0.68	100	-3013790.00	97	220.28	33	839.68	33	0.00	98
-1378	Max	0.11	97	-0.48	103	-1779960.00	33	-898.27	33	-16658.20	33	0.00	33
-1378	Min.	-0.04	102	-0.74	100	-2500600.00	97	-1260.77	99	-23398.00	97	-0.00	97
-1377	Max	0.23	97	-0.48	103	-3136960.00	33	5347.19	97	133334.00	97	0.00	97
-1377	Min.	0.04	102	-0.74	100	-4406930.00	97	3809.77	33	94915.60	33	0.00	49
-1376	Max	0.11	97	-0.48	103	-4776310.00	33	14203.50	97	-1425.65	33	0.00	33
-1376	Min.	-0.05	102	-0.74	100	-6709860.00	97	10118.30	33	-2005.82	97	0.00	49
-1375	Max	0.08	97	-0.48	103	-4757260.00	33	15760.10	97	71.30	98	0.00	33
-1375	Min.	-0.07	102	-0.74	100	-6683160.00	97	11226.10	33	48.01	33	0.00	49
-1374	Max	0.07	97	-0.49	103	-4064660.00	33	31629.80	97	0.00	98	0.00	33
-1374	Min.	-0.07	102	-0.75	100	-5710790.00	97	22529.00	33	0.00	101	0.00	49
-1373	Max	0.07	101	-0.48	103	-4757260.00	33	15760.10	97	-48.01	33	0.00	33
-1373	Min.	-0.08	98	-0.74	100	-6683160.00	97	11226.10	33	-71.30	97	0.00	49
-1372	Max	0.05	101	-0.48	103	-4776310.00	33	14203.50	97	2005.82	98	0.00	33
-1372	Min.	-0.11	98	-0.74	100	-6709860.00	97	10118.30	33	1425.65	33	0.00	49
-1371	Max	-0.04	101	-0.48	103	-3136960.00	33	5347.19	97	-94915.60	33	-0.00	33
-1371	Min.	-0.23	98	-0.74	100	-4406930.00	97	3809.77	33	-133334.00	97	-0.00	98
-1370	Max	0.04	101	-0.48	103	-1779960.00	33	-898.27	33	23398.00	97	0.00	98
-1370	Min.	-0.11	98	-0.74	100	-2500600.00	97	-1260.77	99	16658.20	33	0.00	49
-1369	Max	0.04	101	-0.44	103	-2145320.00	33	309.17	100	-839.68	33	0.00	97
-1369	Min.	-0.12	98	-0.68	100	-3013790.00	97	220.28	33	-1178.93	97	0.00	49
-1368	Max	0.04	101	-0.39	103	-2063720.00	33	-90.03	33	6.14	98	0.00	97
-1368	Min.	-0.12	98	-0.61	100	-2899170.00	97	-126.37	99	3.98	33	0.00	49
-1367	Max	0.07	101	0.03	103	-0.10	101	0.00	104	0.00	101	0.00	33
-1367	Min.	-0.09	98	-0.03	100	-0.23	98	0.00	99	0.00	98	0.00	49
-1366	Max	0.08	101	0.03	99	-0.10	101	0.00	104	0.00	101	0.00	33
-1366	Min.	-0.08	98	-0.02	104	-0.22	98	0.00	99	0.00	98	0.00	49
-1365	Max	0.08	97	0.04	99	-0.10	101	0.00	104	0.00	97	0.00	33

-1365	Min.	-0.08	102	-0.02	104	-0.22	98	0.00	99	0.00	102	0.00	49
-1364	Max	0.08	97	0.04	99	-0.11	101	0.00	104	0.00	97	0.00	33
-1364	Min.	-0.08	102	-0.02	104	-0.22	98	0.00	99	0.00	102	0.00	49
-1363	Max	0.08	97	0.03	99	-0.13	101	0.00	104	0.00	97	0.00	33
-1363	Min.	-0.08	102	-0.02	104	-0.22	98	0.00	99	0.00	102	0.00	49
-1362	Max	0.06	101	-0.11	103	-0.19	101	0.01	100	0.00	101	0.00	33
-1362	Min.	-0.11	98	-0.22	100	-0.38	98	0.01	33	-0.00	98	0.00	49
-1361	Max	0.04	101	-0.33	103	-2146640.00	33	257.73	100	1255.92	98	0.00	33
-1361	Min.	-0.12	98	-0.53	100	-3015640.00	97	183.62	33	894.82	33	0.00	49
-1360	Max	0.05	101	-0.26	103	-1775090.00	33	-733.80	33	-17063.90	33	0.00	97
-1360	Min.	-0.11	98	-0.43	100	-2493730.00	97	-1029.99	99	-23968.60	97	0.00	49
-1359	Max	0.08	97	-0.17	103	-3151340.00	33	4363.28	97	135744.00	97	0.00	98
-1359	Min.	-0.07	102	-0.31	100	-4427090.00	97	3108.53	33	96632.10	33	0.00	49
-1358	Max	0.04	101	-0.08	103	-3234210.00	33	4640.09	97	-96867.80	33	0.00	97
-1358	Min.	-0.12	98	-0.18	100	-4543500.00	97	3305.69	33	-136077.00	97	0.00	49
-1357	Max	0.05	101	0.00	103	-1464150.00	33	-1473.99	33	494.72	97	0.00	97
-1357	Min.	-0.11	98	-0.07	100	-2056950.00	97	-2068.86	97	351.91	33	0.00	49
-1356	Max	0.05	101	-0.12	103	-0.16	101	0.01	100	-0.00	101	0.00	33
-1356	Min.	-0.11	98	-0.24	100	-0.33	98	0.01	33	-0.00	98	0.00	49
-1355	Max	0.07	101	-0.13	103	-0.14	101	0.01	100	0.00	101	0.00	33
-1355	Min.	-0.09	98	-0.25	100	-0.29	98	0.01	33	0.00	98	0.00	49
-1354	Max	0.06	101	-0.02	103	-2079060.00	1	1.47	100	-171.99	33	0.00	98
-1354	Min.	-0.11	98	-0.09	100	-2920700.00	97	1.05	33	-241.62	98	0.00	49
-1353	Max	0.07	101	-0.04	103	-2082190.00	1	-2.36	33	554.51	97	0.00	33
-1353	Min.	-0.10	98	-0.12	100	-2925110.00	97	-3.31	99	394.69	33	0.00	98
-1352	Max	0.07	101	-0.12	103	-0.13	101	0.01	100	0.00	101	0.00	33
-1352	Min.	-0.09	98	-0.24	100	-0.27	98	0.01	33	0.00	98	0.00	49
-1351	Max	0.07	101	-0.06	103	-2078350.00	33	13.37	100	-944.65	33	0.00	33
-1351	Min.	-0.09	98	-0.15	100	-2919710.00	97	9.52	33	-1327.20	98	0.00	98
-1350	Max	0.08	101	-0.08	103	-2072240.00	33	-40.41	33	2369.07	97	0.00	33
-1350	Min.	-0.08	98	-0.17	100	-2911140.00	97	-56.72	99	1686.05	33	0.00	49
-1349	Max	0.08	97	-0.08	103	-2147640.00	33	241.26	100	-149.23	33	0.00	33
-1349	Min.	-0.08	102	-0.18	100	-3017040.00	97	171.91	33	-211.54	98	0.00	49
-1348	Max	0.10	97	-0.07	103	-1774970.00	33	-731.42	33	-16386.50	33	0.00	98
-1348	Min.	-0.06	102	-0.16	100	-2493550.00	97	-1026.51	99	-23016.40	97	0.00	49
-1347	Max	0.13	97	-0.05	103	-3149490.00	33	4367.55	97	134772.00	97	0.00	97
-1347	Min.	-0.04	102	-0.14	100	-4424470.00	97	3112.03	33	95941.00	33	0.00	49
-1346	Max	0.11	97	-0.02	103	-3232130.00	33	4644.89	97	-96188.50	33	0.00	98
-1346	Min.	-0.05	102	-0.09	100	-4540570.00	97	3309.52	33	-135121.00	97	0.00	49
-1345	Max	0.11	97	0.09	99	-3226760.00	33	-3147.66	33	-95637.80	33	-0.00	33
-1345	Min.	-0.05	102	0.02	104	-4532980.00	97	-4413.95	97	-134342.00	97	-0.00	98
-1344	Max	0.11	97	0.06	99	-1467420.00	33	1965.93	100	-346.19	33	0.00	98
-1344	Min.	-0.05	102	0.00	104	-2061520.00	97	1401.94	33	-486.27	98	0.00	49
-1343	Max	0.13	97	0.13	99	-3144660.00	33	-2960.32	33	133964.00	97	0.00	33
-1343	Min.	-0.04	102	0.05	104	-4417660.00	97	-4151.42	97	95370.60	33	0.00	97
-1342	Max	0.10	97	0.16	99	-1776610.00	33	975.71	100	-16252.50	33	0.00	33
-1342	Min.	-0.06	102	0.07	104	-2495850.00	97	695.77	49	-22826.20	97	0.00	98
-1334	Max	0.08	97	0.11	99	-1.64	104	0.01	100	-0.00	102	0.00	33
-1334	Min.	-0.07	102	0.03	104	-2.39	99	0.00	103	-0.00	97	0.00	97
-1332	Max	0.08	97	0.11	99	-1.69	104	0.01	100	0.00	102	0.00	33
-1332	Min.	-0.08	102	0.04	104	-2.45	99	0.00	103	-0.00	97	0.00	49
-1331	Max	0.08	101	0.11	99	-1.69	104	0.01	100	0.00	98	0.00	33
-1331	Min.	-0.08	98	0.04	104	-2.45	99	0.00	103	0.00	101	0.00	49
-1330	Max	0.07	101	0.11	99	-1.64	104	0.01	100	0.00	98	0.00	98
-1330	Min.	-0.08	98	0.03	104	-2.39	99	0.00	103	0.00	101	0.00	49
-1329	Max	0.08	97	0.02	99	-1.13	101	-0.03	33	-0.00	102	0.00	33
-1329	Min.	-0.08	102	-0.02	104	-1.63	98	-0.04	99	-0.00	97	0.00	49
-1328	Max	0.08	97	0.02	99	-1.17	104	-0.03	33	0.00	102	0.00	33
-1328	Min.	-0.08	102	-0.02	104	-1.68	99	-0.04	99	-0.00	97	0.00	49
-1327	Max	0.08	101	0.02	99	-1.17	104	-0.03	33	0.00	98	0.00	33
-1327	Min.	-0.08	98	-0.02	104	-1.68	99	-0.04	99	0.00	101	0.00	49
-1326	Max	0.08	101	0.02	99	-1.13	102	-0.03	33	0.00	98	0.00	33
-1326	Min.	-0.08	98	-0.02	104	-1.63	97	-0.04	99	0.00	101	0.00	49
-1322	Max	0.08	101	0.03	99	-0.97	104	0.00	100	0.00	98	0.00	33
-1322	Min.	-0.08	98	-0.02	104	-1.38	99	0.00	103	0.00	101	0.00	49
-1320	Max	0.08	101	0.03	99	-0.94	102	0.00	100	0.00	98	0.00	33
-1320	Min.	-0.08	98	-0.02	104	-1.34	97	0.00	103	0.00	101	0.00	49
-1317	Max	0.08	97	0.02	103	-0.94	102	0.00	100	0.00	98	0.00	33
-1317	Min.	-0.08	102	-0.02	100	-1.35	97	0.00	103	0.00	101	0.00	49
-1316	Max	0.08	97	0.02	103	-0.98	102	0.00	100	0.00	98	0.00	33
-1316	Min.	-0.08	102	-0.02	100	-1.39	97	0.00	103	0.00	101	0.00	49
-1315	Max	0.08	97	0.02	103	-0.98	101	0.00	100	0.00	102	0.00	33
-1315	Min.	-0.08	102	-0.02	100	-1.39	98	0.00	103	0.00	97	0.00	49
-1314	Max	0.08	97	0.02	103	-0.94	101	0.00	100	0.00	102	0.00	33
-1314	Min.	-0.08	102	-0.02	100	-1.35	98	0.00	103	-0.00	97	0.00	49
-1309	Max	0.08	97	0.02	103	-1.13	101	0.04	100	-0.00	102	0.00	33
-1309	Min.	-0.08	102	-0.03	100	-1.63	98	0.02	33	-0.00	97	0.00	49
-1308	Max	0.08	97	-0.02	103	-1.67	103	-0.00	104	-0.00	102	0.00	97
-1308	Min.	-0.07	102	-0.09	100	-2.43	100	-0.00	99	-0.00	97	0.00	49

-1307	Max	0.08	97	0.02	103	-1.17	103	0.04	100	0.00	102	0.00	33
-1307	Min.	-0.08	102	-0.03	100	-1.68	100	0.03	33	-0.00	97	0.00	49
-1306	Max	0.08	97	-0.03	103	-1.71	103	-0.00	104	0.00	102	0.00	33
-1306	Min.	-0.08	102	-0.10	100	-2.49	100	-0.00	99	-0.00	97	0.00	49
-1305	Max	0.08	101	0.02	103	-1.17	103	0.04	100	0.00	98	0.00	33
-1305	Min.	-0.08	98	-0.03	100	-1.68	100	0.03	33	0.00	101	0.00	49
-1304	Max	0.08	101	-0.03	103	-1.71	103	-0.00	104	0.00	98	0.00	33
-1304	Min.	-0.08	98	-0.10	100	-2.49	100	-0.00	99	0.00	101	0.00	49
-1303	Max	0.08	101	0.02	103	-1.13	102	0.04	100	0.00	98	0.00	33
-1303	Min.	-0.08	98	-0.03	100	-1.63	97	0.02	33	0.00	101	0.00	49
-1302	Max	0.07	101	-0.02	103	-1.67	103	-0.00	104	0.00	98	0.00	33
-1302	Min.	-0.08	98	-0.09	100	-2.43	100	-0.00	99	0.00	101	0.00	98
-1301	Max	0.08	97	0.02	103	-0.93	101	0.00	104	0.00	102	0.00	33
-1301	Min.	-0.08	102	-0.03	100	-1.34	98	-0.00	99	-0.00	97	0.00	49
-1300	Max	0.08	97	0.02	103	-0.97	103	0.00	104	0.00	102	0.00	33
-1300	Min.	-0.08	102	-0.03	100	-1.38	100	-0.00	99	0.00	97	0.00	49
-1299	Max	0.08	101	0.02	103	-0.97	103	0.00	104	0.00	98	0.00	33
-1299	Min.	-0.08	98	-0.03	100	-1.38	100	-0.00	99	0.00	101	0.00	49
-1298	Max	0.08	101	0.02	103	-0.93	102	0.00	104	0.00	98	0.00	33
-1298	Min.	-0.08	98	-0.03	100	-1.34	97	-0.00	99	0.00	101	0.00	49
-1297	Max	0.08	97	0.02	103	-0.96	102	0.00	100	0.00	98	0.00	33
-1297	Min.	-0.08	102	-0.02	100	-1.38	97	0.00	103	0.00	101	0.00	49
-1296	Max	0.08	97	0.02	103	-1.00	102	0.00	100	0.00	98	0.00	33
-1296	Min.	-0.08	102	-0.02	100	-1.42	97	0.00	103	0.00	101	0.00	49
-1295	Max	0.08	97	0.02	103	-0.92	102	0.07	100	0.00	98	0.00	33
-1295	Min.	-0.08	102	-0.03	100	-1.32	97	0.05	103	0.00	101	0.00	49
-1293	Max	0.08	97	0.02	103	-0.96	102	0.07	100	0.00	98	0.00	33
-1293	Min.	-0.08	102	-0.03	100	-1.36	97	0.05	103	0.00	101	0.00	49
-1289	Max	0.08	97	0.02	103	-1.00	101	0.00	100	0.00	102	0.00	33
-1289	Min.	-0.08	102	-0.02	100	-1.42	98	0.00	103	0.00	97	0.00	49
-1288	Max	0.08	97	0.02	103	-0.96	101	0.07	100	0.00	102	0.00	33
-1288	Min.	-0.08	102	-0.03	100	-1.36	98	0.05	103	0.00	97	0.00	49
-1287	Max	0.08	97	0.02	103	-0.96	101	0.00	100	0.00	102	0.00	33
-1287	Min.	-0.08	102	-0.02	100	-1.38	98	0.00	103	-0.00	97	0.00	49
-1286	Max	0.08	101	0.02	103	-0.92	101	0.07	100	0.00	102	0.00	33
-1286	Min.	-0.08	98	-0.03	100	-1.32	98	0.05	103	-0.00	97	0.00	49
-1285	Max	0.08	97	0.03	99	-0.92	102	-0.05	104	0.00	98	0.00	33
-1285	Min.	-0.08	102	-0.02	104	-1.32	97	-0.07	99	0.00	101	0.00	49
-1284	Max	0.08	97	0.02	103	-0.96	102	0.00	104	0.00	98	0.00	33
-1284	Min.	-0.08	102	-0.02	100	-1.37	97	0.00	99	0.00	101	0.00	49
-1283	Max	0.08	97	0.03	99	-0.96	102	-0.05	104	0.00	98	0.00	33
-1283	Min.	-0.08	102	-0.02	104	-1.36	97	-0.07	99	0.00	101	0.00	49
-1282	Max	0.08	97	0.02	103	-0.99	102	0.00	104	0.00	98	0.00	33
-1282	Min.	-0.08	102	-0.02	100	-1.40	97	0.00	99	0.00	101	0.00	49
-1281	Max	0.08	97	0.03	99	-0.96	101	-0.05	104	0.00	102	0.00	33
-1281	Min.	-0.08	102	-0.02	104	-1.36	98	-0.07	99	0.00	97	0.00	49
-1280	Max	0.08	97	0.02	103	-0.99	101	0.00	104	0.00	102	0.00	33
-1280	Min.	-0.08	102	-0.02	100	-1.40	98	0.00	99	0.00	97	0.00	49
-1279	Max	0.08	101	0.03	99	-0.92	101	-0.05	104	0.00	102	0.00	33
-1279	Min.	-0.08	98	-0.02	104	-1.32	98	-0.07	99	-0.00	97	0.00	49
-1278	Max	0.08	97	0.02	103	-0.96	101	0.00	104	0.00	102	0.00	33
-1278	Min.	-0.08	102	-0.02	100	-1.37	98	0.00	99	-0.00	97	0.00	49
-1277	Max	0.08	97	0.03	99	-0.94	101	0.00	100	0.00	102	0.00	33
-1277	Min.	-0.08	102	-0.02	104	-1.34	98	0.00	103	-0.00	97	0.00	49
-1275	Max	0.08	97	0.03	99	-0.97	104	0.00	100	0.00	102	0.00	33
-1275	Min.	-0.08	102	-0.02	104	-1.38	99	0.00	103	0.00	97	0.00	49
-1273	Max	0.07	101	0.12	99	-1.72	103	0.00	104	0.00	102	0.00	33
-1273	Min.	-0.07	98	0.03	104	-2.50	100	0.00	99	-0.00	97	0.00	49
-1272	Max	0.07	97	0.12	99	-1.72	103	0.00	104	0.00	98	0.00	33
-1272	Min.	-0.07	102	0.03	104	-2.50	100	0.00	99	0.00	101	0.00	49
-1271	Max	0.04	101	0.02	103	-0.13	104	0.00	104	0.00	101	0.00	33
-1271	Min.	-0.06	98	-0.03	100	-0.23	99	0.00	99	0.00	98	0.00	49
-1270	Max	0.06	97	0.02	103	-0.13	104	0.00	104	0.00	97	0.00	33
-1270	Min.	-0.04	102	-0.03	100	-0.23	99	0.00	99	0.00	102	0.00	49
-1269	Max	0.03	101	0.02	103	-0.14	104	0.00	100	0.00	101	0.00	33
-1269	Min.	-0.06	98	-0.03	100	-0.22	99	0.00	103	0.00	98	0.00	49
-1225	Max	0.06	97	0.02	103	-0.14	104	0.00	100	0.00	97	0.00	33
-1225	Min.	-0.03	102	-0.03	100	-0.22	99	0.00	103	0.00	102	0.00	49
-1224	Max	0.08	97	0.02	103	-0.17	104	0.00	100	0.00	101	0.00	33
-1224	Min.	-0.07	102	-0.03	100	-0.28	99	0.00	103	-0.00	98	0.00	49
-1223	Max	0.08	97	0.02	103	-0.22	101	0.00	100	0.00	101	0.00	33
-1223	Min.	-0.07	102	-0.03	100	-0.34	98	0.00	103	-0.00	98	0.00	49
-1222	Max	0.08	97	0.02	103	-0.25	101	0.00	100	0.00	101	0.00	33
-1222	Min.	-0.07	102	-0.03	100	-0.41	98	0.00	103	-0.00	98	0.00	49
-1221	Max	0.08	97	0.02	103	-0.29	101	0.00	100	0.00	101	0.00	33
-1221	Min.	-0.07	102	-0.03	100	-0.47	98	0.00	103	-0.00	98	0.00	49
-1220	Max	0.08	97	0.02	103	-0.36	101	0.00	104	-0.00	101	0.00	33
-1220	Min.	-0.07	102	-0.03	100	-0.60	98	-0.00	99	-0.00	98	0.00	49
-1219	Max	0.08	97	0.02	103	-0.41	101	-0.00	102	-0.00	101	0.00	33

-1219	Min.	-0.07	102	-0.03	100	-0.68	98	-0.00	97	-0.00	98	0.00	49
-1218	Max	0.08	97	0.02	103	-0.43	101	-0.00	102	-0.00	101	0.00	33
-1218	Min.	-0.07	102	-0.03	100	-0.72	98	-0.01	97	-0.00	98	0.00	49
-1217	Max	0.08	97	0.02	103	-0.47	101	-0.00	102	-0.00	101	0.00	33
-1217	Min.	-0.07	102	-0.03	100	-0.77	98	-0.01	97	-0.00	98	0.00	49
-1216	Max	0.08	97	0.02	99	-0.55	101	-0.01	102	-0.00	33	0.00	33
-1216	Min.	-0.07	102	-0.02	104	-0.90	98	-0.01	97	-0.00	98	0.00	98
-1215	Max	0.08	97	0.04	99	-0.75	101	0.00	104	-0.00	102	0.00	33
-1215	Min.	-0.07	102	-0.02	104	-1.18	98	0.00	99	-0.01	97	0.00	98
-1214	Max	0.08	97	0.04	99	-0.82	101	0.00	100	-0.00	102	0.00	33
-1214	Min.	-0.07	102	-0.01	104	-1.28	98	0.00	103	-0.01	97	0.00	98
-1213	Max	0.08	97	0.05	99	-0.98	101	0.00	100	-0.00	102	0.00	33
-1213	Min.	-0.07	102	-0.01	104	-1.50	98	0.00	103	-0.01	97	0.00	98
-1212	Max	0.08	97	0.06	99	-1.13	101	0.00	100	-0.00	102	0.00	33
-1212	Min.	-0.07	102	0.00	104	-1.71	98	0.00	103	-0.01	97	0.00	98
-1211	Max	0.08	97	0.08	99	-1.28	101	0.00	100	-0.00	102	0.00	33
-1211	Min.	-0.07	102	0.01	104	-1.91	98	0.00	103	-0.00	97	0.00	98
-1210	Max	0.08	97	0.10	99	-1.52	101	0.01	100	-0.00	102	0.00	33
-1210	Min.	-0.07	102	0.03	104	-2.23	98	0.00	103	-0.00	97	0.00	97
-1209	Max	0.08	97	0.10	99	-1.61	101	0.01	100	-0.00	102	0.00	33
-1209	Min.	-0.07	102	0.03	104	-2.35	98	0.00	103	-0.00	97	0.00	97
-1208	Max	0.08	97	0.11	99	-1.67	104	0.01	100	0.00	102	0.00	33
-1208	Min.	-0.08	102	0.03	104	-2.43	99	0.00	103	-0.00	97	0.00	97
-1207	Max	0.08	97	0.11	99	-1.70	104	0.00	100	0.00	102	0.00	33
-1207	Min.	-0.08	102	0.04	104	-2.47	99	0.00	103	0.00	97	0.00	49
-1206	Max	0.08	101	0.11	99	-1.70	104	0.00	100	0.00	98	0.00	33
-1206	Min.	-0.08	98	0.04	104	-2.47	99	0.00	103	0.00	101	0.00	49
-1205	Max	0.08	101	0.11	99	-1.67	104	0.01	100	0.00	98	0.00	98
-1205	Min.	-0.08	98	0.03	104	-2.43	99	0.00	103	0.00	101	0.00	49
-1204	Max	0.07	101	0.10	99	-1.61	102	0.01	100	0.00	98	0.00	98
-1204	Min.	-0.08	98	0.03	104	-2.35	97	0.00	103	0.00	101	0.00	49
-1203	Max	0.07	101	0.10	99	-1.52	102	0.01	100	0.00	98	0.00	98
-1203	Min.	-0.08	98	0.03	104	-2.23	97	0.00	103	0.00	101	0.00	49
-1202	Max	0.07	101	0.08	99	-1.28	102	0.00	100	0.00	98	0.00	97
-1202	Min.	-0.08	98	0.01	104	-1.91	97	0.00	103	0.00	101	0.00	49
-1201	Max	0.07	101	0.06	99	-1.13	102	0.00	100	0.01	98	0.00	97
-1201	Min.	-0.08	98	0.00	104	-1.71	97	0.00	103	0.00	101	0.00	49
-1200	Max	0.07	101	0.05	99	-0.98	102	0.00	100	0.01	98	0.00	97
-1200	Min.	-0.08	98	-0.01	104	-1.50	97	0.00	103	0.00	101	0.00	49
-1199	Max	0.07	101	0.04	99	-0.82	102	0.00	100	0.01	98	0.00	97
-1199	Min.	-0.08	98	-0.01	104	-1.28	97	0.00	103	0.00	101	0.00	49
-1198	Max	0.07	101	0.04	99	-0.75	102	0.00	104	0.01	98	0.00	97
-1198	Min.	-0.08	98	-0.02	104	-1.18	97	0.00	99	0.00	101	0.00	49
-1197	Max	0.07	101	0.02	99	-0.55	102	-0.01	101	0.00	97	0.00	97
-1197	Min.	-0.08	98	-0.02	104	-0.90	97	-0.01	98	0.00	49	0.00	49
-1196	Max	0.07	101	0.02	103	-0.47	102	-0.00	101	0.00	97	0.00	33
-1196	Min.	-0.08	98	-0.03	100	-0.77	97	-0.01	98	0.00	102	0.00	49
-1195	Max	0.07	101	0.02	103	-0.43	102	-0.00	101	0.00	97	0.00	33
-1195	Min.	-0.08	98	-0.03	100	-0.72	97	-0.01	98	0.00	102	0.00	49
-1194	Max	0.07	101	0.02	103	-0.41	102	-0.00	101	0.00	97	0.00	33
-1194	Min.	-0.08	98	-0.03	100	-0.68	97	-0.00	98	0.00	102	0.00	49
-1193	Max	0.07	101	0.02	103	-0.36	102	0.00	104	0.00	97	0.00	33
-1193	Min.	-0.08	98	-0.03	100	-0.60	97	-0.00	99	0.00	102	0.00	49
-1192	Max	0.07	101	0.02	103	-0.29	102	0.00	100	0.00	97	0.00	33
-1192	Min.	-0.08	98	-0.03	100	-0.47	97	0.00	103	0.00	102	0.00	49
-1191	Max	0.07	101	0.02	103	-0.25	102	0.00	100	0.00	97	0.00	33
-1191	Min.	-0.08	98	-0.03	100	-0.41	97	0.00	103	0.00	102	0.00	49
-1190	Max	0.07	101	0.02	103	-0.22	102	0.00	100	0.00	97	0.00	33
-1190	Min.	-0.08	98	-0.03	100	-0.34	97	0.00	103	0.00	102	0.00	49
-1189	Max	0.07	101	0.02	103	-0.17	104	0.00	100	0.00	97	0.00	33
-1189	Min.	-0.08	98	-0.03	100	-0.28	99	0.00	103	0.00	102	0.00	49
-1188	Max	0.03	101	0.02	103	-0.14	104	0.00	100	0.00	101	0.00	33
-1188	Min.	-0.06	98	-0.03	100	-0.22	99	0.00	103	0.00	98	0.00	49
-1187	Max	0.08	97	0.02	103	-0.14	104	-0.00	104	0.00	101	0.00	33
-1187	Min.	-0.08	102	-0.03	100	-0.22	99	-0.00	99	0.00	98	0.00	49
-1186	Max	0.08	97	0.02	103	-0.14	101	-0.00	104	0.00	101	0.00	33
-1186	Min.	-0.08	102	-0.02	100	-0.23	98	-0.01	99	0.00	98	0.00	49
-1185	Max	0.08	97	0.02	103	-0.13	101	-0.00	104	0.00	101	0.00	33
-1185	Min.	-0.08	102	-0.02	100	-0.24	98	-0.01	99	0.00	98	0.00	49
-1184	Max	0.08	97	0.02	99	-0.13	101	-0.01	104	0.00	101	0.00	33
-1184	Min.	-0.08	102	-0.02	104	-0.25	98	-0.01	99	0.00	98	0.00	49
-1183	Max	0.08	97	0.02	99	-0.13	101	-0.01	104	0.00	101	0.00	33
-1183	Min.	-0.08	102	-0.02	104	-0.27	98	-0.01	99	0.00	98	0.00	49
-1182	Max	0.08	97	0.03	99	-0.14	101	-0.01	104	0.00	101	0.00	33
-1182	Min.	-0.08	102	-0.02	104	-0.29	98	-0.01	99	0.00	98	0.00	49
-1181	Max	0.08	97	0.03	99	-0.15	101	-0.01	104	0.00	101	0.00	33
-1181	Min.	-0.08	102	-0.02	104	-0.33	98	-0.01	99	-0.00	98	0.00	49
-1180	Max	0.08	97	0.03	99	-0.17	101	-0.01	104	0.00	101	0.00	33
-1180	Min.	-0.08	102	-0.02	104	-0.35	98	-0.01	99	-0.00	98	0.00	49

-1179	Max	0.08	97	0.03	99	-0.19	101	-0.01	104	-0.00	101	0.00	33
-1179	Min.	-0.08	102	-0.02	104	-0.38	98	-0.01	99	-0.00	98	0.00	49
-1178	Max	0.08	97	0.02	99	-0.34	101	-0.01	104	-0.00	33	0.00	33
-1178	Min.	-0.08	102	-0.02	104	-0.59	98	-0.01	99	-0.00	97	0.00	49
-1177	Max	0.08	97	0.02	99	-0.39	101	-0.01	49	-0.00	102	0.00	33
-1177	Min.	-0.08	102	-0.02	104	-0.67	98	-0.02	99	-0.00	97	0.00	49
-1176	Max	0.08	97	0.02	99	-0.45	101	-0.01	49	-0.00	102	0.00	33
-1176	Min.	-0.08	102	-0.02	104	-0.75	98	-0.02	99	-0.00	97	0.00	49
-1175	Max	0.08	97	0.02	99	-0.57	101	-0.02	33	-0.00	102	0.00	33
-1175	Min.	-0.08	102	-0.02	104	-0.91	98	-0.02	99	-0.00	97	0.00	49
-1174	Max	0.08	97	0.02	99	-0.69	101	-0.02	33	-0.00	102	0.00	33
-1174	Min.	-0.08	102	-0.02	104	-1.08	98	-0.03	99	-0.00	97	0.00	49
-1173	Max	0.08	97	0.02	99	-0.81	101	-0.02	33	-0.00	102	0.00	33
-1173	Min.	-0.08	102	-0.02	104	-1.24	98	-0.03	99	-0.00	97	0.00	49
-1172	Max	0.08	97	0.02	99	-0.93	101	-0.02	33	-0.00	102	0.00	33
-1172	Min.	-0.08	102	-0.02	104	-1.38	98	-0.03	99	-0.00	97	0.00	49
-1171	Max	0.08	97	0.02	99	-1.02	101	-0.02	33	-0.00	102	0.00	33
-1171	Min.	-0.08	102	-0.02	104	-1.50	98	-0.04	99	-0.00	97	0.00	49
-1170	Max	0.08	97	0.02	99	-1.10	101	-0.03	33	-0.00	102	0.00	33
-1170	Min.	-0.08	102	-0.02	104	-1.59	98	-0.04	99	-0.00	97	0.00	49
-1169	Max	0.08	97	0.02	99	-1.16	104	-0.03	33	0.00	102	0.00	33
-1169	Min.	-0.08	102	-0.02	104	-1.66	99	-0.04	99	-0.00	97	0.00	49
-1168	Max	0.08	97	0.02	99	-1.18	104	-0.03	33	0.00	102	0.00	33
-1168	Min.	-0.08	102	-0.02	104	-1.69	99	-0.04	99	0.00	97	0.00	49
-1167	Max	0.08	97	0.02	99	-1.18	104	-0.03	33	0.00	102	0.00	33
-1167	Min.	-0.08	102	-0.02	104	-1.70	99	-0.04	99	0.00	97	0.00	49
-1166	Max	0.08	101	0.02	99	-1.18	104	-0.03	33	0.00	98	0.00	33
-1166	Min.	-0.08	98	-0.02	104	-1.69	99	-0.04	99	0.00	101	0.00	49
-1165	Max	0.08	101	0.02	99	-1.16	104	-0.03	33	0.00	98	0.00	33
-1165	Min.	-0.08	98	-0.02	104	-1.66	99	-0.04	99	0.00	101	0.00	49
-1164	Max	0.08	101	0.02	99	-1.10	102	-0.03	33	0.00	98	0.00	33
-1164	Min.	-0.08	98	-0.02	104	-1.59	97	-0.04	99	0.00	101	0.00	49
-1163	Max	0.08	101	0.02	99	-1.02	102	-0.02	33	0.00	98	0.00	33
-1163	Min.	-0.08	98	-0.02	104	-1.50	97	-0.04	99	0.00	101	0.00	49
-1162	Max	0.08	101	0.02	99	-0.93	102	-0.02	33	0.00	98	0.00	33
-1162	Min.	-0.08	98	-0.02	104	-1.38	97	-0.03	99	0.00	101	0.00	49
-1161	Max	0.08	101	0.02	99	-0.81	102	-0.02	33	0.00	98	0.00	33
-1161	Min.	-0.08	98	-0.02	104	-1.24	97	-0.03	99	0.00	101	0.00	49
-1160	Max	0.08	101	0.02	99	-0.69	102	-0.02	33	0.00	98	0.00	33
-1160	Min.	-0.08	98	-0.02	104	-1.08	97	-0.03	99	0.00	101	0.00	49
-1159	Max	0.08	101	0.02	99	-0.57	102	-0.02	33	0.00	98	0.00	33
-1159	Min.	-0.08	98	-0.02	104	-0.91	97	-0.02	99	0.00	101	0.00	49
-1158	Max	0.08	101	0.02	99	-0.45	102	-0.01	33	0.00	98	0.00	33
-1158	Min.	-0.08	98	-0.02	104	-0.75	97	-0.02	99	0.00	101	0.00	49
-1157	Max	0.08	101	0.02	99	-0.39	102	-0.01	33	0.00	98	0.00	33
-1157	Min.	-0.08	98	-0.02	104	-0.67	97	-0.02	99	0.00	101	0.00	49
-1156	Max	0.08	101	0.02	99	-0.34	102	-0.01	33	0.00	98	0.00	33
-1156	Min.	-0.08	98	-0.02	104	-0.59	97	-0.01	99	0.00	101	0.00	49
-1155	Max	0.08	101	0.03	99	-0.19	102	-0.01	104	0.00	97	0.00	33
-1155	Min.	-0.08	98	-0.02	104	-0.38	97	-0.01	99	0.00	102	0.00	49
-1154	Max	0.08	101	0.03	99	-0.17	102	-0.01	104	0.00	97	0.00	33
-1154	Min.	-0.08	98	-0.02	104	-0.35	97	-0.01	99	0.00	102	0.00	49
-1153	Max	0.08	101	0.03	99	-0.15	102	-0.01	104	0.00	97	0.00	33
-1153	Min.	-0.08	98	-0.02	104	-0.33	97	-0.01	99	0.00	102	0.00	49
-1152	Max	0.08	101	0.03	99	-0.14	102	-0.01	104	0.00	97	0.00	33
-1152	Min.	-0.08	98	-0.02	104	-0.29	97	-0.01	99	0.00	102	0.00	49
-1151	Max	0.08	101	0.02	99	-0.13	102	-0.01	104	0.00	97	0.00	33
-1151	Min.	-0.08	98	-0.02	104	-0.27	97	-0.01	99	0.00	102	0.00	49
-1150	Max	0.08	101	0.02	99	-0.13	102	-0.01	104	0.00	97	0.00	33
-1150	Min.	-0.08	98	-0.02	104	-0.25	97	-0.01	99	0.00	102	0.00	49
-1149	Max	0.08	101	0.02	103	-0.13	102	-0.00	104	0.00	97	0.00	33
-1149	Min.	-0.08	98	-0.02	100	-0.24	97	-0.01	99	0.00	102	0.00	49
-1148	Max	0.08	101	0.02	103	-0.14	102	-0.00	104	0.00	97	0.00	33
-1148	Min.	-0.08	98	-0.02	100	-0.23	97	-0.01	99	0.00	102	0.00	49
-1147	Max	0.08	101	0.02	103	-0.14	104	-0.00	104	0.00	97	0.00	33
-1147	Min.	-0.08	98	-0.03	100	-0.22	99	-0.00	99	0.00	102	0.00	49
-1146	Max	0.06	97	0.02	103	-0.14	104	0.00	100	0.00	97	0.00	33
-1146	Min.	-0.03	102	-0.03	100	-0.22	99	0.00	103	0.00	102	0.00	49
-1145	Max	0.03	101	0.02	103	-0.14	104	0.00	104	0.00	101	0.00	33
-1145	Min.	-0.06	98	-0.03	100	-0.22	99	0.00	99	0.00	98	0.00	49
-1103	Max	0.06	97	0.02	103	-0.14	104	0.00	104	0.00	97	0.00	33
-1103	Min.	-0.03	102	-0.03	100	-0.22	99	0.00	99	0.00	102	0.00	49
-1102	Max	0.03	101	0.02	103	-0.14	104	0.00	100	0.00	101	0.00	33
-1102	Min.	-0.06	98	-0.03	100	-0.22	99	0.00	103	0.00	98	0.00	49
-1101	Max	0.08	97	0.02	103	-0.14	101	0.00	100	0.00	97	0.00	33
-1101	Min.	-0.08	102	-0.03	100	-0.21	98	0.00	103	0.00	102	0.00	49
-1100	Max	0.08	97	0.02	103	-0.13	101	0.00	100	0.00	97	0.00	33
-1100	Min.	-0.08	102	-0.03	100	-0.22	98	0.00	103	0.00	102	0.00	49
-1099	Max	0.08	97	0.02	103	-0.11	101	0.00	100	0.00	97	0.00	33

-1099	Min.	-0.08	102	-0.03	100	-0.22	98	0.00	103	0.00	102	0.00	49
-1098	Max	0.08	97	0.02	103	-0.10	101	0.00	100	0.00	97	0.00	33
-1098	Min.	-0.08	102	-0.03	100	-0.22	98	0.00	103	0.00	102	0.00	49
-1097	Max	0.08	97	0.02	103	-0.10	101	0.00	100	0.00	101	0.00	33
-1097	Min.	-0.08	102	-0.03	100	-0.22	98	0.00	103	0.00	98	0.00	49
-1096	Max	0.08	97	0.02	103	-0.09	101	0.00	100	0.00	101	0.00	33
-1096	Min.	-0.08	102	-0.02	100	-0.23	98	0.00	103	0.00	98	0.00	49
-1095	Max	0.08	97	0.02	103	-0.10	101	0.00	104	0.00	101	0.00	33
-1095	Min.	-0.08	102	-0.02	100	-0.26	98	0.00	99	0.00	98	0.00	49
-1094	Max	0.08	97	0.02	99	-0.11	101	0.00	104	0.00	101	0.00	33
-1094	Min.	-0.08	102	-0.02	104	-0.27	98	0.00	99	-0.00	98	0.00	49
-1093	Max	0.08	97	0.02	99	-0.13	101	0.00	104	0.00	101	0.00	33
-1093	Min.	-0.08	102	-0.02	104	-0.30	98	0.00	99	-0.00	98	0.00	49
-1092	Max	0.08	97	0.02	99	-0.17	101	0.00	49	-0.00	101	0.00	33
-1092	Min.	-0.08	102	-0.02	104	-0.36	98	-0.00	99	-0.00	98	0.00	49
-1091	Max	0.08	97	0.02	99	-0.25	101	0.00	104	-0.00	102	0.00	33
-1091	Min.	-0.08	102	-0.02	104	-0.47	98	0.00	99	-0.00	97	0.00	49
-1090	Max	0.08	97	0.02	99	-0.29	101	0.00	100	-0.00	102	0.00	33
-1090	Min.	-0.08	102	-0.02	104	-0.53	98	0.00	103	-0.00	97	0.00	49
-1089	Max	0.08	97	0.02	99	-0.34	101	0.00	100	-0.00	102	0.00	33
-1089	Min.	-0.08	102	-0.02	104	-0.59	98	0.00	103	-0.00	97	0.00	49
-1088	Max	0.08	97	0.03	99	-0.45	101	0.00	100	-0.00	102	0.00	33
-1088	Min.	-0.08	102	-0.02	104	-0.73	98	0.00	103	-0.00	97	0.00	49
-1087	Max	0.08	97	0.03	99	-0.55	101	0.00	100	-0.00	102	0.00	33
-1087	Min.	-0.08	102	-0.02	104	-0.87	98	0.00	103	-0.00	97	0.00	49
-1086	Max	0.08	97	0.03	99	-0.66	101	0.00	100	-0.00	102	0.00	33
-1086	Min.	-0.08	102	-0.02	104	-1.01	98	0.00	103	-0.00	97	0.00	49
-1085	Max	0.08	97	0.03	99	-0.76	101	0.00	100	-0.00	102	0.00	33
-1085	Min.	-0.08	102	-0.02	104	-1.13	98	0.00	103	-0.00	97	0.00	49
-1084	Max	0.08	97	0.03	99	-0.84	101	0.00	100	-0.00	102	0.00	33
-1084	Min.	-0.08	102	-0.02	104	-1.23	98	0.00	103	-0.00	97	0.00	49
-1083	Max	0.08	97	0.03	99	-0.91	101	0.00	100	-0.00	102	0.00	33
-1083	Min.	-0.08	102	-0.02	104	-1.31	98	0.00	103	-0.00	97	0.00	49
-1082	Max	0.08	97	0.03	99	-0.96	101	0.00	100	0.00	102	0.00	33
-1082	Min.	-0.08	102	-0.02	104	-1.36	98	0.00	103	-0.00	97	0.00	49
-1081	Max	0.08	97	0.03	99	-0.98	104	0.00	100	0.00	102	0.00	33
-1081	Min.	-0.08	102	-0.02	104	-1.39	99	0.00	103	0.00	97	0.00	49
-1080	Max	0.08	97	0.03	99	-0.98	104	0.00	100	0.00	102	0.00	33
-1080	Min.	-0.08	102	-0.02	104	-1.39	99	0.00	103	0.00	97	0.00	49
-1079	Max	0.08	97	0.03	99	-0.98	104	0.00	100	0.00	98	0.00	33
-1079	Min.	-0.08	102	-0.02	104	-1.39	99	0.00	103	0.00	101	0.00	49
-1078	Max	0.08	101	0.03	99	-0.96	102	0.00	100	0.00	98	0.00	33
-1078	Min.	-0.08	98	-0.02	104	-1.36	97	0.00	103	0.00	101	0.00	49
-1077	Max	0.08	101	0.03	99	-0.91	102	0.00	100	0.00	98	0.00	33
-1077	Min.	-0.08	98	-0.02	104	-1.31	97	0.00	103	0.00	101	0.00	49
-1076	Max	0.08	101	0.03	99	-0.84	102	0.00	100	0.00	98	0.00	33
-1076	Min.	-0.08	98	-0.02	104	-1.23	97	0.00	103	0.00	101	0.00	49
-1075	Max	0.08	101	0.03	99	-0.76	102	0.00	100	0.00	98	0.00	33
-1075	Min.	-0.08	98	-0.02	104	-1.13	97	0.00	103	0.00	101	0.00	49
-1074	Max	0.08	101	0.03	99	-0.66	102	0.00	100	0.00	98	0.00	33
-1074	Min.	-0.08	98	-0.02	104	-1.01	97	0.00	103	0.00	101	0.00	49
-1073	Max	0.08	101	0.03	99	-0.55	102	0.00	100	0.00	98	0.00	33
-1073	Min.	-0.08	98	-0.02	104	-0.87	97	0.00	103	0.00	101	0.00	49
-1072	Max	0.08	101	0.03	99	-0.45	102	0.00	100	0.00	98	0.00	33
-1072	Min.	-0.08	98	-0.02	104	-0.73	97	0.00	103	0.00	101	0.00	49
-1071	Max	0.08	101	0.02	99	-0.34	102	0.00	100	0.00	98	0.00	33
-1071	Min.	-0.08	98	-0.02	104	-0.59	97	0.00	103	0.00	101	0.00	49
-1070	Max	0.08	101	0.02	99	-0.29	102	0.00	100	0.00	98	0.00	33
-1070	Min.	-0.08	98	-0.02	104	-0.53	97	0.00	103	0.00	101	0.00	49
-1069	Max	0.08	101	0.02	99	-0.25	102	0.00	33	0.00	98	0.00	33
-1069	Min.	-0.08	98	-0.02	104	-0.47	97	0.00	99	0.00	101	0.00	49
-1068	Max	0.08	101	0.02	99	-0.17	102	0.00	33	0.00	97	0.00	33
-1068	Min.	-0.08	98	-0.02	104	-0.36	97	-0.00	99	0.00	102	0.00	49
-1067	Max	0.08	101	0.02	99	-0.13	102	0.00	33	0.00	97	0.00	33
-1067	Min.	-0.08	98	-0.02	104	-0.30	97	0.00	99	0.00	102	0.00	49
-1066	Max	0.08	101	0.02	99	-0.11	102	0.00	104	0.00	97	0.00	33
-1066	Min.	-0.08	98	-0.02	104	-0.27	97	0.00	99	0.00	102	0.00	49
-1065	Max	0.08	101	0.02	103	-0.10	102	0.00	104	0.00	97	0.00	33
-1065	Min.	-0.08	98	-0.02	100	-0.26	97	0.00	99	0.00	102	0.00	49
-1064	Max	0.08	101	0.02	103	-0.09	102	0.00	100	0.00	97	0.00	33
-1064	Min.	-0.08	98	-0.02	100	-0.23	97	0.00	103	0.00	102	0.00	49
-1063	Max	0.08	101	0.02	103	-0.10	102	0.00	100	0.00	97	0.00	33
-1063	Min.	-0.08	98	-0.03	100	-0.22	97	0.00	103	0.00	102	0.00	49
-1062	Max	0.08	101	0.02	103	-0.10	102	0.00	100	0.00	101	0.00	33
-1062	Min.	-0.08	98	-0.03	100	-0.22	97	0.00	103	0.00	98	0.00	49
-1061	Max	0.08	101	0.02	103	-0.11	102	0.00	100	0.00	101	0.00	33
-1061	Min.	-0.08	98	-0.03	100	-0.22	97	0.00	103	0.00	98	0.00	49
-1060	Max	0.08	101	0.02	103	-0.13	102	0.00	100	0.00	101	0.00	33
-1060	Min.	-0.08	98	-0.03	100	-0.22	97	0.00	103	0.00	98	0.00	49

-1059	Max	0.08	101	0.02	103	-0.14	102	0.00	100	0.00	101	0.00	33
-1059	Min.	-0.08	98	-0.03	100	-0.21	97	0.00	103	0.00	98	0.00	49
-1058	Max	0.06	97	0.02	103	-0.14	104	0.00	100	0.00	97	0.00	33
-1058	Min.	-0.03	102	-0.03	100	-0.22	99	0.00	103	0.00	102	0.00	49
-1057	Max	0.03	101	0.02	103	-0.14	104	0.00	100	0.00	101	0.00	33
-1057	Min.	-0.06	98	-0.03	100	-0.22	99	0.00	103	0.00	98	0.00	49
-1047	Max	0.08	97	0.02	99	-0.16	101	0.00	49	-0.00	101	0.00	33
-1047	Min.	-0.08	102	-0.02	104	-0.35	98	0.00	99	-0.00	98	0.00	49
-1023	Max	0.08	97	0.02	99	-0.16	102	0.00	33	0.00	97	0.00	33
-1023	Min.	-0.08	102	-0.02	104	-0.35	97	0.00	99	0.00	102	0.00	49
-1013	Max	0.06	97	0.02	103	-0.14	104	0.00	100	0.00	97	0.00	33
-1013	Min.	-0.03	102	-0.03	100	-0.22	99	0.00	103	0.00	102	0.00	49
-1012	Max	0.03	101	0.02	103	-0.15	104	0.00	104	0.00	101	0.00	33
-1012	Min.	-0.06	98	-0.03	100	-0.22	99	0.00	99	0.00	98	0.00	49
-1011	Max	0.08	101	0.02	103	-0.14	101	-0.00	104	0.00	97	0.00	33
-1011	Min.	-0.08	98	-0.03	100	-0.21	98	-0.00	99	0.00	102	0.00	49
-1010	Max	0.08	101	0.02	103	-0.12	101	-0.01	104	0.00	97	0.00	33
-1010	Min.	-0.08	98	-0.03	100	-0.21	98	-0.01	99	0.00	102	0.00	49
-1009	Max	0.08	101	0.02	103	-0.11	101	-0.01	104	0.00	97	0.00	33
-1009	Min.	-0.08	98	-0.03	100	-0.21	98	-0.01	99	0.00	102	0.00	49
-1008	Max	0.08	101	0.02	103	-0.10	101	-0.01	104	0.00	97	0.00	33
-1008	Min.	-0.08	98	-0.03	100	-0.21	98	-0.01	99	0.00	102	0.00	49
-1007	Max	0.08	101	0.02	103	-0.09	101	-0.01	104	0.00	101	0.00	33
-1007	Min.	-0.08	98	-0.02	100	-0.21	98	-0.01	99	0.00	98	0.00	49
-1006	Max	0.08	101	0.02	103	-0.09	101	-0.01	104	0.00	101	0.00	33
-1006	Min.	-0.08	98	-0.02	100	-0.22	98	-0.01	99	0.00	98	0.00	49
-1005	Max	0.08	101	0.02	103	-0.10	101	-0.01	104	0.00	101	0.00	33
-1005	Min.	-0.08	98	-0.02	100	-0.25	98	-0.01	99	0.00	98	0.00	49
-1004	Max	0.08	101	0.02	103	-0.11	101	-0.00	104	0.00	101	0.00	33
-1004	Min.	-0.08	98	-0.02	100	-0.26	98	-0.01	99	-0.00	98	0.00	49
-1003	Max	0.08	101	0.02	103	-0.12	101	-0.00	49	0.00	101	0.00	33
-1003	Min.	-0.08	98	-0.02	100	-0.29	98	-0.01	99	-0.00	98	0.00	49
-1002	Max	0.08	101	0.02	99	-0.24	101	-0.01	104	-0.00	102	0.00	33
-1002	Min.	-0.08	98	-0.02	104	-0.45	98	-0.01	99	-0.00	97	0.00	49
-1001	Max	0.08	101	0.02	99	-0.28	101	-0.01	104	-0.00	102	0.00	33
-1001	Min.	-0.08	98	-0.02	104	-0.51	98	-0.02	99	-0.00	97	0.00	49
-1000	Max	0.08	101	0.02	99	-0.33	101	-0.02	104	-0.00	102	0.00	33
-1000	Min.	-0.08	98	-0.02	104	-0.58	98	-0.03	99	-0.00	97	0.00	49
-999	Max	0.08	101	0.02	99	-0.43	101	-0.03	104	-0.00	102	0.00	33
-999	Min.	-0.08	98	-0.02	104	-0.72	98	-0.04	99	-0.00	97	0.00	49
-998	Max	0.08	101	0.02	99	-0.54	101	-0.03	104	-0.00	102	0.00	33
-998	Min.	-0.08	98	-0.02	104	-0.86	98	-0.05	99	-0.00	97	0.00	49
-997	Max	0.08	101	0.02	99	-0.65	101	-0.04	104	-0.00	102	0.00	33
-997	Min.	-0.08	98	-0.02	104	-0.99	98	-0.05	99	-0.00	97	0.00	49
-996	Max	0.08	101	0.02	99	-0.74	101	-0.04	104	-0.00	102	0.00	33
-996	Min.	-0.08	98	-0.02	104	-1.11	98	-0.06	99	-0.00	97	0.00	49
-995	Max	0.08	101	0.02	99	-0.83	101	-0.05	104	-0.00	102	0.00	33
-995	Min.	-0.08	98	-0.02	104	-1.21	98	-0.06	99	-0.00	97	0.00	49
-994	Max	0.08	101	0.03	99	-0.89	101	-0.05	104	-0.00	102	0.00	33
-994	Min.	-0.08	98	-0.02	104	-1.29	98	-0.07	99	-0.00	97	0.00	49
-993	Max	0.08	97	0.03	99	-0.94	101	-0.05	104	0.00	102	0.00	33
-993	Min.	-0.08	102	-0.02	104	-1.34	98	-0.07	99	-0.00	97	0.00	49
-992	Max	0.08	97	0.03	99	-0.97	104	-0.05	104	0.00	102	0.00	33
-992	Min.	-0.08	102	-0.02	104	-1.37	99	-0.07	99	0.00	97	0.00	49
-991	Max	0.08	97	0.03	99	-0.97	104	-0.05	104	0.00	102	0.00	33
-991	Min.	-0.08	102	-0.02	104	-1.37	99	-0.07	99	0.00	97	0.00	49
-990	Max	0.08	97	0.03	99	-0.97	104	-0.05	104	0.00	98	0.00	33
-990	Min.	-0.08	102	-0.02	104	-1.37	99	-0.07	99	0.00	101	0.00	49
-989	Max	0.08	97	0.03	99	-0.94	102	-0.05	104	0.00	98	0.00	33
-989	Min.	-0.08	102	-0.02	104	-1.34	97	-0.07	99	0.00	101	0.00	49
-988	Max	0.08	97	0.03	99	-0.89	102	-0.05	104	0.00	98	0.00	33
-988	Min.	-0.08	102	-0.02	104	-1.29	97	-0.07	99	0.00	101	0.00	49
-987	Max	0.08	97	0.02	99	-0.83	102	-0.05	104	0.00	98	0.00	33
-987	Min.	-0.08	102	-0.02	104	-1.21	97	-0.06	99	0.00	101	0.00	49
-986	Max	0.08	97	0.02	99	-0.74	102	-0.04	104	0.00	98	0.00	33
-986	Min.	-0.08	102	-0.02	104	-1.11	97	-0.06	99	0.00	101	0.00	49
-985	Max	0.08	97	0.02	99	-0.65	102	-0.04	104	0.00	98	0.00	33
-985	Min.	-0.08	102	-0.02	104	-0.99	97	-0.05	99	0.00	101	0.00	49
-984	Max	0.08	97	0.02	99	-0.54	102	-0.03	104	0.00	98	0.00	33
-984	Min.	-0.08	102	-0.02	104	-0.86	97	-0.05	99	0.00	101	0.00	49
-983	Max	0.08	97	0.02	99	-0.43	102	-0.03	104	0.00	98	0.00	33
-983	Min.	-0.08	102	-0.02	104	-0.72	97	-0.04	99	0.00	101	0.00	49
-982	Max	0.08	97	0.02	99	-0.33	102	-0.02	104	0.00	98	0.00	33
-982	Min.	-0.08	102	-0.02	104	-0.58	97	-0.03	99	0.00	101	0.00	49
-981	Max	0.08	97	0.02	99	-0.28	102	-0.01	104	0.00	98	0.00	33
-981	Min.	-0.08	102	-0.02	104	-0.51	97	-0.02	99	0.00	101	0.00	49
-980	Max	0.08	97	0.02	99	-0.24	102	-0.01	104	0.00	98	0.00	33
-980	Min.	-0.08	102	-0.02	104	-0.45	97	-0.01	99	0.00	101	0.00	49
-979	Max	0.08	97	0.02	103	-0.12	102	-0.00	33	0.00	97	0.00	33

-979	Min.	-0.08	102	-0.02	100	-0.29	97	-0.01	99	0.00	102	0.00	49
-978	Max	0.08	97	0.02	103	-0.11	102	-0.00	104	0.00	97	0.00	33
-978	Min.	-0.08	102	-0.02	100	-0.26	97	-0.01	99	0.00	102	0.00	49
-977	Max	0.08	97	0.02	103	-0.10	102	-0.01	104	0.00	97	0.00	33
-977	Min.	-0.08	102	-0.02	100	-0.25	97	-0.01	99	0.00	102	0.00	49
-976	Max	0.08	97	0.02	103	-0.09	102	-0.01	104	0.00	97	0.00	33
-976	Min.	-0.08	102	-0.02	100	-0.22	97	-0.01	99	0.00	102	0.00	49
-975	Max	0.08	97	0.02	103	-0.09	102	-0.01	104	0.00	97	0.00	33
-975	Min.	-0.08	102	-0.02	100	-0.21	97	-0.01	99	0.00	102	0.00	49
-974	Max	0.08	97	0.02	103	-0.10	102	-0.01	104	0.00	101	0.00	33
-974	Min.	-0.08	102	-0.03	100	-0.21	97	-0.01	99	0.00	98	0.00	49
-973	Max	0.08	97	0.02	103	-0.11	102	-0.01	104	0.00	101	0.00	33
-973	Min.	-0.08	102	-0.03	100	-0.21	97	-0.01	99	0.00	98	0.00	49
-972	Max	0.08	97	0.02	103	-0.12	102	-0.01	104	0.00	101	0.00	33
-972	Min.	-0.08	102	-0.03	100	-0.21	97	-0.01	99	0.00	98	0.00	49
-971	Max	0.08	97	0.02	103	-0.14	102	-0.00	104	0.00	101	0.00	33
-971	Min.	-0.08	102	-0.03	100	-0.21	97	-0.00	99	0.00	98	0.00	49
-970	Max	0.06	97	0.02	103	-0.15	104	0.00	104	0.00	97	0.00	33
-970	Min.	-0.03	102	-0.03	100	-0.22	99	0.00	99	0.00	102	0.00	49
-969	Max	0.03	101	0.02	103	-0.15	101	0.00	100	0.00	101	0.00	33
-969	Min.	-0.06	98	-0.03	100	-0.21	98	0.00	103	0.00	98	0.00	49
-968	Max	0.08	101	0.02	103	-0.14	101	0.00	100	0.00	97	0.00	33
-968	Min.	-0.08	98	-0.03	100	-0.22	98	0.00	103	0.00	102	0.00	49
-967	Max	0.08	101	0.02	103	-0.13	101	0.00	100	0.00	97	0.00	33
-967	Min.	-0.08	98	-0.03	100	-0.22	98	0.00	103	0.00	102	0.00	49
-966	Max	0.08	101	0.02	103	-0.12	101	0.00	100	0.00	97	0.00	33
-966	Min.	-0.08	98	-0.03	100	-0.23	98	0.00	103	0.00	102	0.00	49
-965	Max	0.08	101	0.02	103	-0.11	101	0.00	100	0.00	101	0.00	33
-965	Min.	-0.08	98	-0.03	100	-0.23	98	0.00	103	0.00	98	0.00	49
-964	Max	0.08	101	0.02	103	-0.11	101	0.00	100	0.00	101	0.00	33
-964	Min.	-0.08	98	-0.02	100	-0.24	98	0.00	103	0.00	98	0.00	49
-963	Max	0.08	101	0.02	103	-0.11	101	0.00	100	0.00	101	0.00	33
-963	Min.	-0.08	98	-0.02	100	-0.25	98	0.00	103	0.00	98	0.00	49
-962	Max	0.08	101	0.02	103	-0.12	101	0.00	100	0.00	101	0.00	33
-962	Min.	-0.08	98	-0.02	100	-0.28	98	0.00	33	0.00	98	0.00	49
-961	Max	0.08	101	0.02	103	-0.13	101	0.00	100	0.00	101	0.00	33
-961	Min.	-0.08	98	-0.02	100	-0.30	98	0.00	33	-0.00	98	0.00	49
-960	Max	0.08	101	0.02	103	-0.15	101	0.00	100	0.00	101	0.00	33
-960	Min.	-0.08	98	-0.02	100	-0.32	98	0.00	33	-0.00	98	0.00	49
-959	Max	0.08	101	0.02	103	-0.19	101	0.00	100	-0.00	101	0.00	33
-959	Min.	-0.08	98	-0.02	100	-0.39	98	0.00	33	-0.00	98	0.00	49
-958	Max	0.08	101	0.02	103	-0.27	101	0.00	100	-0.00	102	0.00	33
-958	Min.	-0.08	98	-0.02	100	-0.50	98	0.00	103	-0.00	97	0.00	49
-957	Max	0.08	101	0.02	103	-0.31	101	0.00	100	-0.00	102	0.00	33
-957	Min.	-0.08	98	-0.02	100	-0.56	98	0.00	103	-0.00	97	0.00	49
-956	Max	0.08	101	0.02	103	-0.36	101	0.00	100	-0.00	102	0.00	33
-956	Min.	-0.08	98	-0.02	100	-0.62	98	0.00	103	-0.00	97	0.00	49
-955	Max	0.08	101	0.02	103	-0.47	101	0.00	100	-0.00	102	0.00	33
-955	Min.	-0.08	98	-0.02	100	-0.76	98	0.00	103	-0.00	97	0.00	49
-954	Max	0.08	101	0.02	103	-0.57	101	0.00	100	-0.00	102	0.00	33
-954	Min.	-0.08	98	-0.02	100	-0.90	98	0.00	103	-0.00	97	0.00	49
-953	Max	0.08	101	0.02	103	-0.68	101	0.00	100	-0.00	102	0.00	33
-953	Min.	-0.08	98	-0.02	100	-1.04	98	0.00	103	-0.00	97	0.00	49
-952	Max	0.08	101	0.02	103	-0.78	101	0.00	100	-0.00	102	0.00	33
-952	Min.	-0.08	98	-0.02	100	-1.16	98	0.00	103	-0.00	97	0.00	49
-951	Max	0.08	101	0.02	103	-0.86	101	0.00	104	-0.00	102	0.00	33
-951	Min.	-0.08	98	-0.02	100	-1.26	98	0.00	99	-0.00	97	0.00	49
-950	Max	0.08	97	0.02	103	-0.93	101	0.00	104	-0.00	102	0.00	33
-950	Min.	-0.08	102	-0.02	100	-1.34	98	0.00	99	-0.00	97	0.00	49
-949	Max	0.08	97	0.02	103	-0.98	101	0.00	104	0.00	102	0.00	33
-949	Min.	-0.08	102	-0.02	100	-1.39	98	0.00	99	-0.00	97	0.00	49
-948	Max	0.08	97	0.02	103	-1.01	101	0.00	104	0.00	102	0.00	33
-948	Min.	-0.08	102	-0.02	100	-1.41	98	0.00	99	0.00	97	0.00	49
-947	Max	0.08	97	0.02	103	-1.01	104	0.00	104	0.00	102	0.00	33
-947	Min.	-0.08	102	-0.02	100	-1.42	99	0.00	99	0.00	97	0.00	49
-946	Max	0.08	97	0.02	103	-1.01	102	0.00	104	0.00	98	0.00	33
-946	Min.	-0.08	102	-0.02	100	-1.41	97	0.00	99	0.00	101	0.00	49
-945	Max	0.08	97	0.02	103	-0.98	102	0.00	104	0.00	98	0.00	33
-945	Min.	-0.08	102	-0.02	100	-1.39	97	0.00	99	0.00	101	0.00	49
-944	Max	0.08	97	0.02	103	-0.93	102	0.00	104	0.00	98	0.00	33
-944	Min.	-0.08	102	-0.02	100	-1.34	97	0.00	99	0.00	101	0.00	49
-943	Max	0.08	97	0.02	103	-0.86	102	0.00	104	0.00	98	0.00	33
-943	Min.	-0.08	102	-0.02	100	-1.26	97	0.00	99	0.00	101	0.00	49
-942	Max	0.08	97	0.02	103	-0.78	102	0.00	100	0.00	98	0.00	33
-942	Min.	-0.08	102	-0.02	100	-1.16	97	0.00	103	0.00	101	0.00	49
-941	Max	0.08	97	0.02	103	-0.68	102	0.00	100	0.00	98	0.00	33
-941	Min.	-0.08	102	-0.02	100	-1.04	97	0.00	103	0.00	101	0.00	49
-940	Max	0.08	97	0.02	103	-0.57	102	0.00	100	0.00	98	0.00	33
-940	Min.	-0.08	102	-0.02	100	-0.90	97	0.00	103	0.00	101	0.00	49

-939	Max	0.08	97	0.02	103	-0.47	102	0.00	100	0.00	98	0.00	33
-939	Min.	-0.08	102	-0.02	100	-0.76	97	0.00	103	0.00	101	0.00	49
-938	Max	0.08	97	0.02	103	-0.36	102	0.00	100	0.00	98	0.00	33
-938	Min.	-0.08	102	-0.02	100	-0.62	97	0.00	103	0.00	101	0.00	49
-937	Max	0.08	97	0.02	103	-0.31	102	0.00	100	0.00	98	0.00	33
-937	Min.	-0.08	102	-0.02	100	-0.56	97	0.00	103	0.00	101	0.00	49
-936	Max	0.08	97	0.02	103	-0.27	102	0.00	100	0.00	98	0.00	33
-936	Min.	-0.08	102	-0.02	100	-0.50	97	0.00	103	0.00	101	0.00	49
-935	Max	0.08	97	0.02	103	-0.19	102	0.00	100	0.00	97	0.00	33
-935	Min.	-0.08	102	-0.02	100	-0.39	97	0.00	49	0.00	102	0.00	49
-934	Max	0.08	97	0.02	103	-0.15	102	0.00	100	0.00	97	0.00	33
-934	Min.	-0.08	102	-0.02	100	-0.32	97	0.00	49	0.00	102	0.00	49
-933	Max	0.08	97	0.02	103	-0.13	102	0.00	100	0.00	97	0.00	33
-933	Min.	-0.08	102	-0.02	100	-0.30	97	0.00	49	0.00	102	0.00	49
-932	Max	0.08	97	0.02	103	-0.12	102	0.00	100	0.00	97	0.00	33
-932	Min.	-0.08	102	-0.02	100	-0.28	97	0.00	103	0.00	102	0.00	49
-931	Max	0.08	97	0.02	103	-0.11	102	0.00	100	0.00	97	0.00	33
-931	Min.	-0.08	102	-0.02	100	-0.25	97	0.00	103	0.00	102	0.00	49
-930	Max	0.08	97	0.02	103	-0.11	102	0.00	100	0.00	97	0.00	33
-930	Min.	-0.08	102	-0.02	100	-0.24	97	0.00	103	0.00	102	0.00	49
-929	Max	0.08	97	0.02	103	-0.11	102	0.00	100	0.00	97	0.00	33
-929	Min.	-0.08	102	-0.03	100	-0.23	97	0.00	103	0.00	102	0.00	49
-928	Max	0.08	97	0.02	103	-0.12	102	0.00	100	0.00	101	0.00	33
-928	Min.	-0.08	102	-0.03	100	-0.23	97	0.00	103	0.00	98	0.00	49
-927	Max	0.08	97	0.02	103	-0.13	102	0.00	100	0.00	101	0.00	33
-927	Min.	-0.08	102	-0.03	100	-0.22	97	0.00	103	0.00	98	0.00	49
-926	Max	0.08	97	0.02	103	-0.14	102	0.00	100	0.00	101	0.00	33
-926	Min.	-0.08	102	-0.03	100	-0.22	97	0.00	103	0.00	98	0.00	49
-925	Max	0.06	97	0.02	103	-0.15	102	0.00	100	0.00	97	0.00	33
-925	Min.	-0.03	102	-0.03	100	-0.21	97	0.00	103	0.00	102	0.00	49
-924	Max	0.03	101	0.02	103	-0.15	101	0.00	100	0.00	101	0.00	33
-924	Min.	-0.06	98	-0.03	100	-0.21	98	0.00	103	0.00	98	0.00	49
-923	Max	0.08	97	0.02	103	-0.14	101	0.00	100	0.00	97	0.00	33
-923	Min.	-0.08	102	-0.03	100	-0.22	98	0.00	103	0.00	102	0.00	49
-922	Max	0.08	97	0.02	103	-0.13	101	0.00	100	0.00	97	0.00	33
-922	Min.	-0.08	102	-0.03	100	-0.22	98	0.00	103	0.00	102	0.00	49
-921	Max	0.08	97	0.02	103	-0.12	101	0.00	100	0.00	97	0.00	33
-921	Min.	-0.08	102	-0.03	100	-0.22	98	0.00	103	0.00	102	0.00	49
-920	Max	0.08	97	0.02	103	-0.11	101	0.00	100	0.00	97	0.00	33
-920	Min.	-0.08	102	-0.03	100	-0.22	98	0.00	103	0.00	102	0.00	49
-919	Max	0.08	97	0.02	103	-0.10	101	0.00	100	0.00	101	0.00	33
-919	Min.	-0.08	102	-0.03	100	-0.23	98	0.00	103	0.00	98	0.00	49
-918	Max	0.08	97	0.02	103	-0.10	101	0.00	100	0.00	101	0.00	33
-918	Min.	-0.08	102	-0.03	100	-0.24	98	0.00	103	0.00	98	0.00	49
-917	Max	0.08	97	0.02	103	-0.11	101	0.00	100	0.00	101	0.00	33
-917	Min.	-0.08	102	-0.03	100	-0.27	98	0.00	103	0.00	98	0.00	49
-916	Max	0.08	97	0.02	103	-0.12	101	0.00	100	0.00	101	0.00	33
-916	Min.	-0.08	102	-0.03	100	-0.28	98	0.00	103	-0.00	98	0.00	49
-915	Max	0.08	97	0.02	103	-0.14	101	0.00	100	0.00	101	0.00	33
-915	Min.	-0.08	102	-0.02	100	-0.31	98	0.00	33	-0.00	98	0.00	49
-914	Max	0.08	97	0.02	103	-0.26	101	0.00	100	-0.00	102	0.00	33
-914	Min.	-0.08	102	-0.02	100	-0.48	98	0.00	103	-0.00	97	0.00	49
-913	Max	0.08	97	0.02	103	-0.30	101	0.00	100	-0.00	102	0.00	33
-913	Min.	-0.08	102	-0.02	100	-0.54	98	0.00	103	-0.00	97	0.00	49
-912	Max	0.08	97	0.02	103	-0.35	101	0.00	100	-0.00	102	0.00	33
-912	Min.	-0.08	102	-0.02	100	-0.61	98	0.00	103	-0.00	97	0.00	49
-911	Max	0.08	97	0.02	103	-0.45	101	0.00	100	-0.00	102	0.00	33
-911	Min.	-0.08	102	-0.02	100	-0.75	98	0.00	103	-0.00	97	0.00	49
-910	Max	0.08	97	0.02	103	-0.56	101	0.00	100	-0.00	102	0.00	33
-910	Min.	-0.08	102	-0.02	100	-0.89	98	0.00	103	-0.00	97	0.00	49
-909	Max	0.08	97	0.02	103	-0.67	101	0.00	100	-0.00	102	0.00	33
-909	Min.	-0.08	102	-0.02	100	-1.02	98	0.00	103	-0.00	97	0.00	49
-908	Max	0.08	97	0.02	103	-0.76	101	0.00	100	-0.00	102	0.00	33
-908	Min.	-0.08	102	-0.02	100	-1.14	98	0.00	103	-0.00	97	0.00	49
-907	Max	0.08	97	0.02	103	-0.85	101	0.00	100	-0.00	102	0.00	33
-907	Min.	-0.08	102	-0.02	100	-1.24	98	0.00	103	-0.00	97	0.00	49
-906	Max	0.08	97	0.02	103	-0.91	101	0.00	100	-0.00	102	0.00	33
-906	Min.	-0.08	102	-0.02	100	-1.32	98	0.00	103	-0.00	97	0.00	49
-905	Max	0.08	97	0.02	103	-0.96	101	0.00	100	0.00	102	0.00	33
-905	Min.	-0.08	102	-0.02	100	-1.37	98	0.00	103	-0.00	97	0.00	49
-904	Max	0.08	97	0.02	103	-0.99	101	0.00	100	0.00	102	0.00	33
-904	Min.	-0.08	102	-0.02	100	-1.39	98	0.00	103	0.00	97	0.00	49
-903	Max	0.08	97	0.02	103	-1.00	33	0.00	100	0.00	102	0.00	33
-903	Min.	-0.08	102	-0.02	100	-1.39	99	0.00	103	0.00	97	0.00	49
-902	Max	0.08	97	0.02	103	-0.99	102	0.00	100	0.00	98	0.00	33
-902	Min.	-0.08	102	-0.02	100	-1.39	97	0.00	103	0.00	101	0.00	49
-901	Max	0.08	97	0.02	103	-0.96	102	0.00	100	0.00	98	0.00	33
-901	Min.	-0.08	102	-0.02	100	-1.37	97	0.00	103	0.00	101	0.00	49
-900	Max	0.08	101	0.02	103	-0.91	102	0.00	100	0.00	98	0.00	33

-900	Min.	-0.08	98	-0.02	100	-1.32	97	0.00	103	0.00	101	0.00	49
-899	Max	0.08	101	0.02	103	-0.85	102	0.00	100	0.00	98	0.00	33
-899	Min.	-0.08	98	-0.02	100	-1.24	97	0.00	103	0.00	101	0.00	49
-898	Max	0.08	101	0.02	103	-0.76	102	0.00	100	0.00	98	0.00	33
-898	Min.	-0.08	98	-0.02	100	-1.14	97	0.00	103	0.00	101	0.00	49
-897	Max	0.08	101	0.02	103	-0.67	102	0.00	100	0.00	98	0.00	33
-897	Min.	-0.08	98	-0.02	100	-1.02	97	0.00	103	0.00	101	0.00	49
-896	Max	0.08	101	0.02	103	-0.56	102	0.00	100	0.00	98	0.00	33
-896	Min.	-0.08	98	-0.02	100	-0.89	97	0.00	103	0.00	101	0.00	49
-895	Max	0.08	101	0.02	103	-0.45	102	0.00	100	0.00	98	0.00	33
-895	Min.	-0.08	98	-0.02	100	-0.75	97	0.00	103	0.00	101	0.00	49
-894	Max	0.08	101	0.02	103	-0.35	102	0.00	100	0.00	98	0.00	33
-894	Min.	-0.08	98	-0.02	100	-0.61	97	0.00	103	0.00	101	0.00	49
-893	Max	0.08	101	0.02	103	-0.30	102	0.00	100	0.00	98	0.00	33
-893	Min.	-0.08	98	-0.02	100	-0.54	97	0.00	103	0.00	101	0.00	49
-892	Max	0.08	101	0.02	103	-0.26	102	0.00	100	0.00	98	0.00	33
-892	Min.	-0.08	98	-0.02	100	-0.48	97	0.00	103	0.00	101	0.00	49
-891	Max	0.08	101	0.02	103	-0.14	102	0.00	100	0.00	97	0.00	33
-891	Min.	-0.08	98	-0.02	100	-0.31	97	0.00	49	0.00	102	0.00	49
-890	Max	0.08	101	0.02	103	-0.12	102	0.00	100	0.00	97	0.00	33
-890	Min.	-0.08	98	-0.03	100	-0.28	97	0.00	103	0.00	102	0.00	49
-889	Max	0.08	101	0.02	103	-0.11	102	0.00	100	0.00	97	0.00	33
-889	Min.	-0.08	98	-0.03	100	-0.27	97	0.00	103	0.00	102	0.00	49
-888	Max	0.08	101	0.02	103	-0.10	102	0.00	100	0.00	97	0.00	33
-888	Min.	-0.08	98	-0.03	100	-0.24	97	0.00	103	0.00	102	0.00	49
-887	Max	0.08	101	0.02	103	-0.10	102	0.00	100	0.00	97	0.00	33
-887	Min.	-0.08	98	-0.03	100	-0.23	97	0.00	103	0.00	102	0.00	49
-886	Max	0.08	101	0.02	103	-0.11	102	0.00	100	0.00	101	0.00	33
-886	Min.	-0.08	98	-0.03	100	-0.22	97	0.00	103	0.00	98	0.00	49
-885	Max	0.08	101	0.02	103	-0.12	102	0.00	100	0.00	101	0.00	33
-885	Min.	-0.08	98	-0.03	100	-0.22	97	0.00	103	0.00	98	0.00	49
-884	Max	0.08	101	0.02	103	-0.13	102	0.00	100	0.00	101	0.00	33
-884	Min.	-0.08	98	-0.03	100	-0.22	97	0.00	103	0.00	98	0.00	49
-883	Max	0.08	101	0.02	103	-0.14	102	0.00	100	0.00	101	0.00	33
-883	Min.	-0.08	98	-0.03	100	-0.22	97	0.00	103	0.00	98	0.00	49
-882	Max	0.06	97	0.02	103	-0.15	102	0.00	100	0.00	97	0.00	33
-882	Min.	-0.03	102	-0.03	100	-0.21	97	0.00	103	0.00	102	0.00	49
-881	Max	0.03	101	0.02	103	-0.15	101	0.00	100	0.00	101	0.00	33
-881	Min.	-0.06	98	-0.03	100	-0.21	98	0.00	103	0.00	98	0.00	49
-880	Max	0.08	101	0.02	103	-0.14	101	0.00	104	0.00	97	0.00	33
-880	Min.	-0.08	98	-0.03	100	-0.22	98	0.00	99	0.00	102	0.00	49
-879	Max	0.08	101	0.02	103	-0.13	101	0.00	104	0.00	97	0.00	33
-879	Min.	-0.08	98	-0.03	100	-0.22	98	0.00	99	0.00	102	0.00	49
-878	Max	0.08	101	0.02	103	-0.12	101	0.00	104	0.00	97	0.00	33
-878	Min.	-0.08	98	-0.03	100	-0.23	98	0.00	99	0.00	102	0.00	49
-877	Max	0.08	101	0.02	103	-0.11	101	0.00	104	0.00	101	0.00	33
-877	Min.	-0.08	98	-0.03	100	-0.23	98	0.00	99	0.00	98	0.00	49
-876	Max	0.08	101	0.02	103	-0.11	101	0.00	104	0.00	101	0.00	33
-876	Min.	-0.08	98	-0.03	100	-0.24	98	0.00	99	0.00	98	0.00	49
-875	Max	0.08	101	0.02	103	-0.11	101	0.00	104	0.00	101	0.00	33
-875	Min.	-0.08	98	-0.03	100	-0.25	98	0.00	99	0.00	98	0.00	49
-874	Max	0.08	101	0.02	103	-0.12	101	0.00	104	0.00	101	0.00	33
-874	Min.	-0.08	98	-0.03	100	-0.28	98	0.00	99	0.00	98	0.00	49
-873	Max	0.08	101	0.02	103	-0.13	101	0.00	49	0.00	101	0.00	33
-873	Min.	-0.08	98	-0.03	100	-0.30	98	0.00	99	-0.00	98	0.00	49
-872	Max	0.08	101	0.02	103	-0.15	101	0.00	49	0.00	101	0.00	33
-872	Min.	-0.08	98	-0.03	100	-0.32	98	0.00	99	-0.00	98	0.00	49
-871	Max	0.08	101	0.02	103	-0.19	101	0.00	49	-0.00	101	0.00	33
-871	Min.	-0.08	98	-0.03	100	-0.39	98	0.00	99	-0.00	98	0.00	49
-870	Max	0.08	101	0.02	103	-0.27	101	0.00	104	-0.00	102	0.00	33
-870	Min.	-0.08	98	-0.03	100	-0.50	98	0.00	99	-0.00	97	0.00	49
-869	Max	0.08	101	0.02	103	-0.32	101	0.00	104	-0.00	102	0.00	33
-869	Min.	-0.08	98	-0.02	100	-0.56	98	0.00	99	-0.00	97	0.00	49
-868	Max	0.08	101	0.02	103	-0.37	101	0.00	104	-0.00	102	0.00	33
-868	Min.	-0.08	98	-0.02	100	-0.63	98	0.00	99	-0.00	97	0.00	49
-867	Max	0.08	101	0.02	103	-0.47	101	0.00	104	-0.00	102	0.00	33
-867	Min.	-0.08	98	-0.02	100	-0.77	98	0.00	99	-0.00	97	0.00	49
-866	Max	0.08	101	0.02	103	-0.58	101	0.00	104	-0.00	102	0.00	33
-866	Min.	-0.08	98	-0.02	100	-0.91	98	0.00	99	-0.00	97	0.00	49
-865	Max	0.08	101	0.02	103	-0.69	101	0.00	104	-0.00	102	0.00	33
-865	Min.	-0.08	98	-0.02	100	-1.05	98	0.00	99	-0.00	97	0.00	49
-864	Max	0.08	101	0.02	103	-0.78	101	0.00	104	-0.00	102	0.00	33
-864	Min.	-0.08	98	-0.02	100	-1.17	98	0.00	99	-0.00	97	0.00	49
-863	Max	0.08	101	0.02	103	-0.87	101	0.00	100	-0.00	102	0.00	33
-863	Min.	-0.08	98	-0.02	100	-1.27	98	0.00	103	-0.00	97	0.00	49
-862	Max	0.08	97	0.02	103	-0.94	101	0.00	100	-0.00	102	0.00	33
-862	Min.	-0.08	102	-0.02	100	-1.35	98	0.00	103	-0.00	97	0.00	49
-861	Max	0.08	97	0.02	103	-0.99	101	0.00	100	0.00	102	0.00	33
-861	Min.	-0.08	102	-0.02	100	-1.40	98	0.00	103	-0.00	97	0.00	49

-860	Max	0.08	97	0.02	103	-1.02	101	0.00	100	0.00	102	0.00	33
-860	Min.	-0.08	102	-0.02	100	-1.43	98	0.00	103	0.00	97	0.00	49
-859	Max	0.08	97	0.02	103	-1.02	103	0.00	100	0.00	102	0.00	33
-859	Min.	-0.08	102	-0.02	100	-1.43	100	0.00	103	0.00	97	0.00	49
-858	Max	0.08	97	0.02	103	-1.02	102	0.00	100	0.00	98	0.00	33
-858	Min.	-0.08	102	-0.02	100	-1.43	97	0.00	103	0.00	101	0.00	49
-857	Max	0.08	97	0.02	103	-0.99	102	0.00	100	0.00	98	0.00	33
-857	Min.	-0.08	102	-0.02	100	-1.40	97	0.00	103	0.00	101	0.00	49
-856	Max	0.08	97	0.02	103	-0.94	102	0.00	100	0.00	98	0.00	33
-856	Min.	-0.08	102	-0.02	100	-1.35	97	0.00	103	0.00	101	0.00	49
-855	Max	0.08	97	0.02	103	-0.87	102	0.00	100	0.00	98	0.00	33
-855	Min.	-0.08	102	-0.02	100	-1.27	97	0.00	103	0.00	101	0.00	49
-854	Max	0.08	97	0.02	103	-0.78	102	0.00	104	0.00	98	0.00	33
-854	Min.	-0.08	102	-0.02	100	-1.17	97	0.00	99	0.00	101	0.00	49
-853	Max	0.08	97	0.02	103	-0.69	102	0.00	104	0.00	98	0.00	33
-853	Min.	-0.08	102	-0.02	100	-1.05	97	0.00	99	0.00	101	0.00	49
-852	Max	0.08	97	0.02	103	-0.58	102	0.00	104	0.00	98	0.00	33
-852	Min.	-0.08	102	-0.02	100	-0.91	97	0.00	99	0.00	101	0.00	49
-851	Max	0.08	97	0.02	103	-0.47	102	0.00	104	0.00	98	0.00	33
-851	Min.	-0.08	102	-0.02	100	-0.77	97	0.00	99	0.00	101	0.00	49
-850	Max	0.08	97	0.02	103	-0.37	102	0.00	104	0.00	98	0.00	33
-850	Min.	-0.08	102	-0.02	100	-0.63	97	0.00	99	0.00	101	0.00	49
-849	Max	0.08	97	0.02	103	-0.32	102	0.00	104	0.00	98	0.00	33
-849	Min.	-0.08	102	-0.02	100	-0.56	97	0.00	99	0.00	101	0.00	49
-848	Max	0.08	97	0.02	103	-0.27	102	0.00	104	0.00	98	0.00	33
-848	Min.	-0.08	102	-0.03	100	-0.50	97	0.00	99	0.00	101	0.00	49
-847	Max	0.08	97	0.02	103	-0.19	102	0.00	33	0.00	97	0.00	33
-847	Min.	-0.08	102	-0.03	100	-0.39	97	0.00	99	0.00	102	0.00	49
-846	Max	0.08	97	0.02	103	-0.15	102	0.00	33	0.00	97	0.00	33
-846	Min.	-0.08	102	-0.03	100	-0.32	97	0.00	99	0.00	102	0.00	49
-845	Max	0.08	97	0.02	103	-0.13	102	0.00	33	0.00	97	0.00	33
-845	Min.	-0.08	102	-0.03	100	-0.30	97	0.00	99	0.00	102	0.00	49
-844	Max	0.08	97	0.02	103	-0.12	102	0.00	33	0.00	97	0.00	33
-844	Min.	-0.08	102	-0.03	100	-0.28	97	0.00	99	0.00	102	0.00	49
-843	Max	0.08	97	0.02	103	-0.11	102	0.00	104	0.00	97	0.00	33
-843	Min.	-0.08	102	-0.03	100	-0.25	97	0.00	99	0.00	102	0.00	49
-842	Max	0.08	97	0.02	103	-0.11	102	0.00	104	0.00	97	0.00	33
-842	Min.	-0.08	102	-0.03	100	-0.24	97	0.00	99	0.00	102	0.00	49
-841	Max	0.08	97	0.02	103	-0.11	102	0.00	104	0.00	97	0.00	33
-841	Min.	-0.08	102	-0.03	100	-0.23	97	0.00	99	0.00	102	0.00	49
-840	Max	0.08	97	0.02	103	-0.12	102	0.00	104	0.00	101	0.00	33
-840	Min.	-0.08	102	-0.03	100	-0.23	97	0.00	99	0.00	98	0.00	49
-839	Max	0.08	97	0.02	103	-0.13	102	0.00	104	0.00	101	0.00	33
-839	Min.	-0.08	102	-0.03	100	-0.22	97	0.00	99	0.00	98	0.00	49
-838	Max	0.08	97	0.02	103	-0.14	102	0.00	104	0.00	101	0.00	33
-838	Min.	-0.08	102	-0.03	100	-0.22	97	0.00	99	0.00	98	0.00	49
-837	Max	0.06	97	0.02	103	-0.15	102	0.00	100	0.00	97	0.00	33
-837	Min.	-0.03	102	-0.03	100	-0.21	97	0.00	103	0.00	102	0.00	49
-836	Max	0.03	101	0.02	103	-0.15	103	0.00	100	0.00	101	0.00	33
-836	Min.	-0.06	98	-0.03	100	-0.22	100	0.00	103	0.00	98	0.00	49
-835	Max	0.08	101	0.02	103	-0.14	101	0.00	100	0.00	97	0.00	33
-835	Min.	-0.08	98	-0.03	100	-0.21	98	0.00	103	0.00	102	0.00	49
-834	Max	0.08	101	0.02	103	-0.12	101	0.01	100	0.00	97	0.00	33
-834	Min.	-0.08	98	-0.03	100	-0.21	98	0.01	103	0.00	102	0.00	49
-833	Max	0.08	101	0.02	103	-0.11	101	0.01	100	0.00	97	0.00	33
-833	Min.	-0.08	98	-0.03	100	-0.21	98	0.01	103	0.00	102	0.00	49
-832	Max	0.08	101	0.02	103	-0.10	101	0.01	100	0.00	97	0.00	33
-832	Min.	-0.08	98	-0.03	100	-0.21	98	0.01	103	0.00	102	0.00	49
-831	Max	0.08	101	0.02	103	-0.09	101	0.01	100	0.00	101	0.00	33
-831	Min.	-0.08	98	-0.03	100	-0.21	98	0.01	103	0.00	98	0.00	49
-830	Max	0.08	101	0.02	103	-0.09	101	0.01	100	0.00	101	0.00	33
-830	Min.	-0.08	98	-0.03	100	-0.22	98	0.01	103	0.00	98	0.00	49
-829	Max	0.08	101	0.02	103	-0.10	101	0.01	100	0.00	101	0.00	33
-829	Min.	-0.08	98	-0.03	100	-0.25	98	0.01	103	0.00	98	0.00	49
-828	Max	0.08	101	0.02	103	-0.11	101	0.01	100	0.00	101	0.00	33
-828	Min.	-0.08	98	-0.03	100	-0.26	98	0.00	103	-0.00	98	0.00	49
-827	Max	0.08	101	0.02	103	-0.12	101	0.01	100	0.00	101	0.00	33
-827	Min.	-0.08	98	-0.03	100	-0.29	98	0.00	33	-0.00	98	0.00	49
-826	Max	0.08	101	0.02	103	-0.24	101	0.01	100	-0.00	102	0.00	33
-826	Min.	-0.08	98	-0.03	100	-0.45	98	0.01	103	-0.00	97	0.00	49
-825	Max	0.08	101	0.02	103	-0.28	101	0.02	100	-0.00	102	0.00	33
-825	Min.	-0.08	98	-0.03	100	-0.52	98	0.01	103	-0.00	97	0.00	49
-824	Max	0.08	101	0.02	103	-0.33	101	0.03	100	-0.00	102	0.00	33
-824	Min.	-0.08	98	-0.03	100	-0.58	98	0.02	103	-0.00	97	0.00	49
-823	Max	0.08	101	0.02	103	-0.43	101	0.04	100	-0.00	102	0.00	33
-823	Min.	-0.08	98	-0.03	100	-0.72	98	0.03	103	-0.00	97	0.00	49
-822	Max	0.08	101	0.02	103	-0.54	101	0.05	100	-0.00	102	0.00	33
-822	Min.	-0.08	98	-0.03	100	-0.86	98	0.03	103	-0.00	97	0.00	49
-821	Max	0.08	101	0.02	103	-0.65	101	0.05	100	-0.00	102	0.00	33

-821	Min.	-0.08	98	-0.03	100	-0.99	98	0.04	103	-0.00	97	0.00	49
-820	Max	0.08	101	0.02	103	-0.74	101	0.06	100	-0.00	102	0.00	33
-820	Min.	-0.08	98	-0.03	100	-1.11	98	0.04	103	-0.00	97	0.00	49
-819	Max	0.08	101	0.02	103	-0.83	101	0.06	100	-0.00	102	0.00	33
-819	Min.	-0.08	98	-0.03	100	-1.21	98	0.05	103	-0.00	97	0.00	49
-818	Max	0.08	101	0.02	103	-0.89	101	0.07	100	-0.00	102	0.00	33
-818	Min.	-0.08	98	-0.03	100	-1.29	98	0.05	103	-0.00	97	0.00	49
-817	Max	0.08	97	0.02	103	-0.94	101	0.07	100	0.00	102	0.00	33
-817	Min.	-0.08	102	-0.03	100	-1.34	98	0.05	103	-0.00	97	0.00	49
-816	Max	0.08	97	0.02	103	-0.97	103	0.07	100	0.00	102	0.00	33
-816	Min.	-0.08	102	-0.03	100	-1.37	100	0.05	103	0.00	97	0.00	49
-815	Max	0.08	97	0.02	103	-0.97	103	0.07	100	0.00	102	0.00	33
-815	Min.	-0.08	102	-0.03	100	-1.37	100	0.05	103	0.00	97	0.00	49
-814	Max	0.08	97	0.02	103	-0.97	103	0.07	100	0.00	98	0.00	33
-814	Min.	-0.08	102	-0.03	100	-1.37	100	0.05	103	0.00	101	0.00	49
-813	Max	0.08	97	0.02	103	-0.94	102	0.07	100	0.00	98	0.00	33
-813	Min.	-0.08	102	-0.03	100	-1.34	97	0.05	103	0.00	101	0.00	49
-812	Max	0.08	97	0.02	103	-0.89	102	0.07	100	0.00	98	0.00	33
-812	Min.	-0.08	102	-0.03	100	-1.29	97	0.05	103	0.00	101	0.00	49
-811	Max	0.08	97	0.02	103	-0.83	102	0.06	100	0.00	98	0.00	33
-811	Min.	-0.08	102	-0.03	100	-1.21	97	0.05	103	0.00	101	0.00	49
-810	Max	0.08	97	0.02	103	-0.74	102	0.06	100	0.00	98	0.00	33
-810	Min.	-0.08	102	-0.03	100	-1.11	97	0.04	103	0.00	101	0.00	49
-809	Max	0.08	97	0.02	103	-0.65	102	0.05	100	0.00	98	0.00	33
-809	Min.	-0.08	102	-0.03	100	-0.99	97	0.04	103	0.00	101	0.00	49
-808	Max	0.08	97	0.02	103	-0.54	102	0.05	100	0.00	98	0.00	33
-808	Min.	-0.08	102	-0.03	100	-0.86	97	0.03	103	0.00	101	0.00	49
-807	Max	0.08	97	0.02	103	-0.43	102	0.04	100	0.00	98	0.00	33
-807	Min.	-0.08	102	-0.03	100	-0.72	97	0.03	103	0.00	101	0.00	49
-806	Max	0.08	97	0.02	103	-0.33	102	0.03	100	0.00	98	0.00	33
-806	Min.	-0.08	102	-0.03	100	-0.58	97	0.02	103	0.00	101	0.00	49
-805	Max	0.08	97	0.02	103	-0.28	102	0.02	100	0.00	98	0.00	33
-805	Min.	-0.08	102	-0.03	100	-0.52	97	0.01	103	0.00	101	0.00	49
-804	Max	0.08	97	0.02	103	-0.24	102	0.01	100	0.00	98	0.00	33
-804	Min.	-0.08	102	-0.03	100	-0.45	97	0.01	103	0.00	101	0.00	49
-803	Max	0.08	97	0.02	103	-0.12	102	0.01	100	0.00	97	0.00	33
-803	Min.	-0.08	102	-0.03	100	-0.29	97	0.00	49	0.00	102	0.00	49
-802	Max	0.08	97	0.02	103	-0.11	102	0.01	100	0.00	97	0.00	33
-802	Min.	-0.08	102	-0.03	100	-0.26	97	0.00	103	0.00	102	0.00	49
-801	Max	0.08	97	0.02	103	-0.10	102	0.01	100	0.00	97	0.00	33
-801	Min.	-0.08	102	-0.03	100	-0.25	97	0.01	103	0.00	102	0.00	49
-800	Max	0.08	97	0.02	103	-0.09	102	0.01	100	0.00	97	0.00	33
-800	Min.	-0.08	102	-0.03	100	-0.22	97	0.01	103	0.00	102	0.00	49
-799	Max	0.08	97	0.02	103	-0.09	102	0.01	100	0.00	97	0.00	33
-799	Min.	-0.08	102	-0.03	100	-0.21	97	0.01	103	0.00	102	0.00	49
-798	Max	0.08	97	0.02	103	-0.10	102	0.01	100	0.00	101	0.00	33
-798	Min.	-0.08	102	-0.03	100	-0.21	97	0.01	103	0.00	98	0.00	49
-797	Max	0.08	97	0.02	103	-0.11	102	0.01	100	0.00	101	0.00	33
-797	Min.	-0.08	102	-0.03	100	-0.21	97	0.01	103	0.00	98	0.00	49
-796	Max	0.08	97	0.02	103	-0.12	102	0.01	100	0.00	101	0.00	33
-796	Min.	-0.08	102	-0.03	100	-0.21	97	0.01	103	0.00	98	0.00	49
-795	Max	0.08	97	0.02	103	-0.14	102	0.00	100	0.00	101	0.00	33
-795	Min.	-0.08	102	-0.03	100	-0.21	97	0.00	103	0.00	98	0.00	49
-794	Max	0.06	97	0.02	103	-0.15	103	0.00	100	0.00	97	0.00	33
-794	Min.	-0.03	102	-0.03	100	-0.22	100	0.00	103	0.00	102	0.00	49
-793	Max	0.03	101	0.02	103	-0.15	103	0.00	100	0.00	101	0.00	33
-793	Min.	-0.06	98	-0.03	100	-0.22	100	0.00	103	0.00	98	0.00	49
-783	Max	0.08	97	0.02	103	-0.16	101	0.00	100	-0.00	101	0.00	33
-783	Min.	-0.08	102	-0.03	100	-0.35	98	0.00	33	-0.00	98	0.00	49
-759	Max	0.08	101	0.02	103	-0.16	102	0.00	100	0.00	97	0.00	33
-759	Min.	-0.08	98	-0.03	100	-0.35	97	0.00	49	0.00	102	0.00	49
-749	Max	0.06	97	0.02	103	-0.15	103	0.00	100	0.00	97	0.00	33
-749	Min.	-0.03	102	-0.03	100	-0.22	100	0.00	103	0.00	102	0.00	49
-748	Max	0.03	101	0.02	103	-0.14	103	0.00	100	0.00	101	0.00	33
-748	Min.	-0.06	98	-0.03	100	-0.22	100	0.00	103	0.00	98	0.00	49
-747	Max	0.08	97	0.02	103	-0.14	101	0.00	104	0.00	97	0.00	33
-747	Min.	-0.08	102	-0.03	100	-0.22	98	0.00	99	0.00	102	0.00	49
-746	Max	0.08	97	0.02	103	-0.13	101	0.00	104	0.00	97	0.00	33
-746	Min.	-0.08	102	-0.03	100	-0.22	98	0.00	99	0.00	102	0.00	49
-745	Max	0.08	97	0.02	103	-0.11	101	0.00	104	0.00	97	0.00	33
-745	Min.	-0.08	102	-0.03	100	-0.22	98	0.00	99	0.00	102	0.00	49
-744	Max	0.08	97	0.02	103	-0.10	101	0.00	104	0.00	97	0.00	33
-744	Min.	-0.08	102	-0.03	100	-0.22	98	0.00	99	0.00	102	0.00	49
-743	Max	0.08	97	0.02	103	-0.10	101	0.00	104	0.00	101	0.00	33
-743	Min.	-0.08	102	-0.03	100	-0.22	98	0.00	99	0.00	98	0.00	49
-742	Max	0.08	97	0.02	103	-0.10	101	0.00	100	0.00	101	0.00	33
-742	Min.	-0.08	102	-0.03	100	-0.23	98	0.00	103	0.00	98	0.00	49
-741	Max	0.08	97	0.02	103	-0.10	101	0.00	100	0.00	101	0.00	33
-741	Min.	-0.08	102	-0.03	100	-0.26	98	0.00	33	0.00	98	0.00	49

-740	Max	0.08	97	0.02	103	-0.11	101	0.00	100	0.00	101	0.00	33
-740	Min.	-0.08	102	-0.03	100	-0.27	98	0.00	33	-0.00	98	0.00	49
-739	Max	0.08	97	0.02	103	-0.13	101	0.00	100	0.00	101	0.00	33
-739	Min.	-0.08	102	-0.03	100	-0.30	98	0.00	33	-0.00	98	0.00	49
-738	Max	0.08	97	0.02	103	-0.17	101	0.00	100	-0.00	101	0.00	33
-738	Min.	-0.08	102	-0.03	100	-0.36	98	0.00	33	-0.00	98	0.00	49
-737	Max	0.08	97	0.02	103	-0.25	101	0.00	100	-0.00	102	0.00	33
-737	Min.	-0.08	102	-0.03	100	-0.47	98	0.00	33	-0.00	97	0.00	49
-736	Max	0.08	97	0.02	103	-0.29	101	0.00	100	-0.00	102	0.00	33
-736	Min.	-0.08	102	-0.03	100	-0.53	98	0.00	33	-0.00	97	0.00	49
-735	Max	0.08	97	0.02	103	-0.34	101	0.00	100	-0.00	102	0.00	33
-735	Min.	-0.08	102	-0.03	100	-0.59	98	0.00	33	-0.00	97	0.00	49
-734	Max	0.08	97	0.02	103	-0.45	101	0.00	104	-0.00	102	0.00	33
-734	Min.	-0.08	102	-0.03	100	-0.73	98	0.00	99	-0.00	97	0.00	49
-733	Max	0.08	97	0.02	103	-0.55	101	0.00	104	-0.00	102	0.00	33
-733	Min.	-0.08	102	-0.03	100	-0.87	98	-0.00	99	-0.00	97	0.00	49
-732	Max	0.08	97	0.02	103	-0.66	101	0.00	104	-0.00	102	0.00	33
-732	Min.	-0.08	102	-0.03	100	-1.01	98	-0.00	99	-0.00	97	0.00	49
-731	Max	0.08	97	0.02	103	-0.75	101	0.00	104	-0.00	102	0.00	33
-731	Min.	-0.08	102	-0.03	100	-1.13	98	-0.00	99	-0.00	97	0.00	49
-730	Max	0.08	97	0.02	103	-0.84	101	-0.00	104	-0.00	102	0.00	33
-730	Min.	-0.08	102	-0.03	100	-1.23	98	-0.00	99	-0.00	97	0.00	49
-729	Max	0.08	97	0.02	103	-0.91	101	-0.00	104	-0.00	102	0.00	33
-729	Min.	-0.08	102	-0.03	100	-1.31	98	-0.00	99	-0.00	97	0.00	49
-728	Max	0.08	97	0.02	103	-0.96	101	0.00	104	0.00	102	0.00	33
-728	Min.	-0.08	102	-0.03	100	-1.36	98	-0.00	99	-0.00	97	0.00	49
-727	Max	0.08	97	0.02	103	-0.98	103	0.00	104	0.00	102	0.00	33
-727	Min.	-0.08	102	-0.03	100	-1.39	100	-0.00	99	0.00	97	0.00	49
-726	Max	0.08	97	0.02	103	-0.98	103	0.00	104	0.00	102	0.00	33
-726	Min.	-0.08	102	-0.03	100	-1.39	100	-0.00	99	0.00	97	0.00	49
-725	Max	0.08	97	0.02	103	-0.98	103	0.00	104	0.00	98	0.00	33
-725	Min.	-0.08	102	-0.03	100	-1.39	100	-0.00	99	0.00	101	0.00	49
-724	Max	0.08	101	0.02	103	-0.96	102	0.00	104	0.00	98	0.00	33
-724	Min.	-0.08	98	-0.03	100	-1.36	97	-0.00	99	0.00	101	0.00	49
-723	Max	0.08	101	0.02	103	-0.91	102	-0.00	104	0.00	98	0.00	33
-723	Min.	-0.08	98	-0.03	100	-1.31	97	-0.00	99	0.00	101	0.00	49
-722	Max	0.08	101	0.02	103	-0.84	102	-0.00	104	0.00	98	0.00	33
-722	Min.	-0.08	98	-0.03	100	-1.23	97	-0.00	99	0.00	101	0.00	49
-721	Max	0.08	101	0.02	103	-0.75	102	0.00	104	0.00	98	0.00	33
-721	Min.	-0.08	98	-0.03	100	-1.13	97	-0.00	99	0.00	101	0.00	49
-720	Max	0.08	101	0.02	103	-0.66	102	0.00	104	0.00	98	0.00	33
-720	Min.	-0.08	98	-0.03	100	-1.01	97	-0.00	99	0.00	101	0.00	49
-719	Max	0.08	101	0.02	103	-0.55	102	0.00	104	0.00	98	0.00	33
-719	Min.	-0.08	98	-0.03	100	-0.87	97	-0.00	99	0.00	101	0.00	49
-718	Max	0.08	101	0.02	103	-0.45	102	0.00	104	0.00	98	0.00	33
-718	Min.	-0.08	98	-0.03	100	-0.73	97	0.00	99	0.00	101	0.00	49
-717	Max	0.08	101	0.02	103	-0.34	102	0.00	100	0.00	98	0.00	33
-717	Min.	-0.08	98	-0.03	100	-0.59	97	0.00	103	0.00	101	0.00	49
-716	Max	0.08	101	0.02	103	-0.29	102	0.00	100	0.00	98	0.00	33
-716	Min.	-0.08	98	-0.03	100	-0.53	97	0.00	103	0.00	101	0.00	49
-715	Max	0.08	101	0.02	103	-0.25	102	0.00	100	0.00	98	0.00	33
-715	Min.	-0.08	98	-0.03	100	-0.47	97	0.00	103	0.00	101	0.00	49
-714	Max	0.08	101	0.02	103	-0.17	102	0.00	100	0.00	97	0.00	33
-714	Min.	-0.08	98	-0.03	100	-0.36	97	0.00	49	0.00	102	0.00	49
-713	Max	0.08	101	0.02	103	-0.13	102	0.00	100	0.00	97	0.00	33
-713	Min.	-0.08	98	-0.03	100	-0.30	97	0.00	103	0.00	102	0.00	49
-712	Max	0.08	101	0.02	103	-0.11	102	0.00	100	0.00	97	0.00	33
-712	Min.	-0.08	98	-0.03	100	-0.27	97	0.00	103	0.00	102	0.00	49
-711	Max	0.08	101	0.02	103	-0.10	102	0.00	100	0.00	97	0.00	33
-711	Min.	-0.08	98	-0.03	100	-0.26	97	0.00	103	0.00	102	0.00	49
-710	Max	0.08	101	0.02	103	-0.10	102	0.00	100	0.00	97	0.00	33
-710	Min.	-0.08	98	-0.03	100	-0.23	97	0.00	103	0.00	102	0.00	65
-709	Max	0.08	101	0.02	103	-0.10	102	0.00	104	0.00	97	0.00	33
-709	Min.	-0.08	98	-0.03	100	-0.22	97	0.00	99	0.00	102	0.00	49
-708	Max	0.08	101	0.02	103	-0.10	102	0.00	104	0.00	101	0.00	33
-708	Min.	-0.08	98	-0.03	100	-0.22	97	0.00	99	0.00	98	0.00	49
-707	Max	0.08	101	0.02	103	-0.11	102	0.00	104	0.00	101	0.00	33
-707	Min.	-0.08	98	-0.03	100	-0.22	97	0.00	99	0.00	98	0.00	49
-706	Max	0.08	101	0.02	103	-0.13	102	0.00	104	0.00	101	0.00	33
-706	Min.	-0.08	98	-0.03	100	-0.22	97	0.00	99	0.00	98	0.00	49
-705	Max	0.08	101	0.02	103	-0.14	102	0.00	104	0.00	101	0.00	33
-705	Min.	-0.08	98	-0.03	100	-0.22	97	0.00	99	0.00	98	0.00	49
-704	Max	0.06	97	0.02	103	-0.14	103	0.00	100	0.00	97	0.00	33
-704	Min.	-0.03	102	-0.03	100	-0.22	100	0.00	103	0.00	102	0.00	49
-703	Max	0.03	101	0.02	103	-0.14	103	0.00	100	0.00	101	0.00	33
-703	Min.	-0.06	98	-0.03	100	-0.22	100	0.00	103	0.00	98	0.00	49
-661	Max	0.06	97	0.02	103	-0.14	103	0.00	100	0.00	97	0.00	33
-661	Min.	-0.03	102	-0.03	100	-0.22	100	0.00	103	0.00	102	0.00	49
-660	Max	0.03	101	0.02	103	-0.14	103	0.00	100	0.00	101	0.00	33

-660	Min.	-0.06	98	-0.03	100	-0.22	100	0.00	103	0.00	98	0.00	49
-659	Max	0.08	97	0.02	103	-0.14	103	0.00	100	0.00	101	0.00	33
-659	Min.	-0.08	102	-0.03	100	-0.23	100	0.00	103	0.00	98	0.00	49
-658	Max	0.08	97	0.02	103	-0.14	101	0.01	100	0.00	101	0.00	33
-658	Min.	-0.08	102	-0.03	100	-0.23	98	0.00	103	0.00	98	0.00	49
-657	Max	0.08	97	0.02	103	-0.13	101	0.01	100	0.00	101	0.00	33
-657	Min.	-0.08	102	-0.03	100	-0.24	98	0.00	33	0.00	98	0.00	49
-656	Max	0.08	97	0.02	103	-0.13	101	0.01	100	0.00	101	0.00	33
-656	Min.	-0.08	102	-0.03	100	-0.26	98	0.01	33	0.00	98	0.00	49
-655	Max	0.08	97	0.02	103	-0.13	101	0.01	100	0.00	101	0.00	33
-655	Min.	-0.08	102	-0.03	100	-0.27	98	0.01	33	0.00	98	0.00	49
-654	Max	0.08	97	0.02	103	-0.14	101	0.01	100	0.00	101	0.00	33
-654	Min.	-0.08	102	-0.03	100	-0.29	98	0.01	33	0.00	98	0.00	49
-653	Max	0.08	97	0.02	103	-0.16	101	0.01	100	0.00	101	0.00	33
-653	Min.	-0.08	102	-0.03	100	-0.33	98	0.01	33	-0.00	98	0.00	49
-652	Max	0.08	97	0.02	103	-0.17	101	0.01	100	0.00	101	0.00	33
-652	Min.	-0.08	102	-0.03	100	-0.35	98	0.01	33	-0.00	98	0.00	49
-651	Max	0.08	97	0.02	103	-0.19	101	0.01	100	-0.00	101	0.00	33
-651	Min.	-0.08	102	-0.03	100	-0.38	98	0.01	33	-0.00	98	0.00	49
-650	Max	0.08	97	0.02	103	-0.34	101	0.01	100	-0.00	102	0.00	33
-650	Min.	-0.08	102	-0.03	100	-0.60	98	0.01	33	-0.00	97	0.00	49
-649	Max	0.08	97	0.02	103	-0.39	101	0.02	100	-0.00	102	0.00	33
-649	Min.	-0.08	102	-0.03	100	-0.67	98	0.01	33	-0.00	97	0.00	49
-648	Max	0.08	97	0.02	103	-0.45	101	0.02	100	-0.00	102	0.00	33
-648	Min.	-0.08	102	-0.03	100	-0.75	98	0.01	33	-0.00	97	0.00	49
-647	Max	0.08	97	0.02	103	-0.57	101	0.02	100	-0.00	102	0.00	33
-647	Min.	-0.08	102	-0.03	100	-0.91	98	0.02	33	-0.00	97	0.00	49
-646	Max	0.08	97	0.02	103	-0.70	101	0.03	100	-0.00	102	0.00	33
-646	Min.	-0.08	102	-0.03	100	-1.08	98	0.02	33	-0.00	97	0.00	49
-645	Max	0.08	97	0.02	103	-0.82	101	0.03	100	-0.00	102	0.00	33
-645	Min.	-0.08	102	-0.03	100	-1.24	98	0.02	33	-0.00	97	0.00	49
-644	Max	0.08	97	0.02	103	-0.93	101	0.03	100	-0.00	102	0.00	33
-644	Min.	-0.08	102	-0.03	100	-1.38	98	0.02	33	-0.00	97	0.00	49
-643	Max	0.08	97	0.02	103	-1.02	101	0.04	100	-0.00	102	0.00	33
-643	Min.	-0.08	102	-0.03	100	-1.50	98	0.02	33	-0.00	97	0.00	49
-642	Max	0.08	97	0.02	103	-1.10	101	0.04	100	-0.00	102	0.00	33
-642	Min.	-0.08	102	-0.03	100	-1.60	98	0.02	33	-0.00	97	0.00	49
-641	Max	0.08	97	0.02	103	-1.16	103	0.04	100	0.00	102	0.00	33
-641	Min.	-0.08	102	-0.03	100	-1.66	100	0.03	33	-0.00	97	0.00	49
-640	Max	0.08	97	0.02	103	-1.18	103	0.04	100	0.00	102	0.00	33
-640	Min.	-0.08	102	-0.03	100	-1.70	100	0.03	33	0.00	97	0.00	49
-639	Max	0.08	97	0.02	103	-1.19	103	0.04	100	0.00	102	0.00	33
-639	Min.	-0.08	102	-0.03	100	-1.70	100	0.03	33	0.00	97	0.00	49
-638	Max	0.08	101	0.02	103	-1.18	103	0.04	100	0.00	98	0.00	33
-638	Min.	-0.08	98	-0.03	100	-1.70	100	0.03	33	0.00	101	0.00	49
-637	Max	0.08	101	0.02	103	-1.16	103	0.04	100	0.00	98	0.00	33
-637	Min.	-0.08	98	-0.03	100	-1.66	100	0.03	33	0.00	101	0.00	49
-636	Max	0.08	101	0.02	103	-1.10	102	0.04	100	0.00	98	0.00	33
-636	Min.	-0.08	98	-0.03	100	-1.60	97	0.02	33	0.00	101	0.00	49
-635	Max	0.08	101	0.02	103	-1.02	102	0.04	100	0.00	98	0.00	33
-635	Min.	-0.08	98	-0.03	100	-1.50	97	0.02	33	0.00	101	0.00	49
-634	Max	0.08	101	0.02	103	-0.93	102	0.03	100	0.00	98	0.00	33
-634	Min.	-0.08	98	-0.03	100	-1.38	97	0.02	33	0.00	101	0.00	49
-633	Max	0.08	101	0.02	103	-0.82	102	0.03	100	0.00	98	0.00	33
-633	Min.	-0.08	98	-0.03	100	-1.24	97	0.02	33	0.00	101	0.00	49
-632	Max	0.08	101	0.02	103	-0.70	102	0.03	100	0.00	98	0.00	33
-632	Min.	-0.08	98	-0.03	100	-1.08	97	0.02	33	0.00	101	0.00	49
-631	Max	0.08	101	0.02	103	-0.57	102	0.02	100	0.00	98	0.00	33
-631	Min.	-0.08	98	-0.03	100	-0.91	97	0.02	33	0.00	101	0.00	49
-630	Max	0.08	101	0.02	103	-0.45	102	0.02	100	0.00	98	0.00	33
-630	Min.	-0.08	98	-0.03	100	-0.75	97	0.01	33	0.00	101	0.00	49
-629	Max	0.08	101	0.02	103	-0.39	102	0.02	100	0.00	98	0.00	33
-629	Min.	-0.08	98	-0.03	100	-0.67	97	0.01	33	0.00	101	0.00	49
-628	Max	0.08	101	0.02	103	-0.34	102	0.01	100	0.00	98	0.00	33
-628	Min.	-0.08	98	-0.03	100	-0.60	97	0.01	49	0.00	33	0.00	49
-627	Max	0.08	101	0.02	103	-0.19	102	0.01	100	0.00	97	0.00	33
-627	Min.	-0.08	98	-0.03	100	-0.38	97	0.01	103	0.00	102	0.00	49
-626	Max	0.08	101	0.02	103	-0.17	102	0.01	100	0.00	97	0.00	33
-626	Min.	-0.08	98	-0.03	100	-0.35	97	0.01	103	0.00	102	0.00	49
-625	Max	0.08	101	0.02	103	-0.16	102	0.01	100	0.00	97	0.00	33
-625	Min.	-0.08	98	-0.03	100	-0.33	97	0.01	103	0.00	102	0.00	49
-624	Max	0.08	101	0.02	103	-0.14	102	0.01	100	0.00	97	0.00	33
-624	Min.	-0.08	98	-0.03	100	-0.29	97	0.01	103	0.00	102	0.00	49
-623	Max	0.08	101	0.02	103	-0.13	102	0.01	100	0.00	97	0.00	33
-623	Min.	-0.08	98	-0.03	100	-0.27	97	0.01	103	0.00	102	0.00	49
-622	Max	0.08	101	0.02	103	-0.13	102	0.01	100	0.00	97	0.00	33
-622	Min.	-0.08	98	-0.03	100	-0.26	97	0.01	103	0.00	102	0.00	49
-621	Max	0.08	101	0.02	103	-0.13	102	0.01	100	0.00	97	0.00	33
-621	Min.	-0.08	98	-0.03	100	-0.24	97	0.00	103	0.00	102	0.00	49

-620	Max	0.08	101	0.02	103	-0.14	102	0.01	100	0.00	97	0.00	33
-620	Min.	-0.08	98	-0.03	100	-0.23	97	0.00	103	0.00	102	0.00	49
-619	Max	0.08	101	0.02	103	-0.14	103	0.00	100	0.00	97	0.00	33
-619	Min.	-0.08	98	-0.03	100	-0.23	100	0.00	103	0.00	102	0.00	49
-618	Max	0.06	97	0.02	103	-0.14	103	0.00	100	0.00	97	0.00	33
-618	Min.	-0.03	102	-0.03	100	-0.22	100	0.00	103	0.00	102	0.00	49
-617	Max	0.08	97	0.02	103	-0.17	103	0.00	104	0.00	101	0.00	33
-617	Min.	-0.07	102	-0.03	100	-0.28	100	-0.00	99	-0.00	98	0.00	49
-616	Max	0.08	97	0.02	103	-0.22	101	-0.00	104	0.00	101	0.00	33
-616	Min.	-0.07	102	-0.03	100	-0.34	98	-0.00	99	-0.00	98	0.00	49
-615	Max	0.08	97	0.02	103	-0.25	101	-0.00	104	0.00	101	0.00	33
-615	Min.	-0.07	102	-0.03	100	-0.41	98	-0.00	99	-0.00	98	0.00	49
-614	Max	0.08	97	0.03	99	-0.29	101	-0.00	104	0.00	101	0.00	33
-614	Min.	-0.07	102	-0.02	104	-0.48	98	-0.00	99	-0.00	98	0.00	49
-613	Max	0.08	97	0.03	99	-0.36	101	0.00	100	-0.00	101	0.00	33
-613	Min.	-0.07	102	-0.02	104	-0.61	98	0.00	103	-0.00	98	0.00	49
-612	Max	0.08	97	0.03	99	-0.41	101	0.00	97	-0.00	101	0.00	33
-612	Min.	-0.07	102	-0.02	104	-0.69	98	0.00	102	-0.00	98	0.00	49
-611	Max	0.08	97	0.03	99	-0.44	101	0.01	97	-0.00	101	0.00	33
-611	Min.	-0.07	102	-0.02	104	-0.73	98	0.00	102	-0.00	98	0.00	49
-610	Max	0.08	97	0.03	99	-0.48	101	0.01	97	-0.00	101	0.00	33
-610	Min.	-0.07	102	-0.02	104	-0.78	98	0.01	102	-0.00	98	0.00	49
-609	Max	0.08	97	0.02	103	-0.56	101	0.01	97	-0.00	49	0.00	98
-609	Min.	-0.07	102	-0.03	100	-0.91	98	0.01	102	-0.00	98	0.00	49
-608	Max	0.08	97	0.02	103	-0.76	101	0.00	100	-0.00	102	0.00	98
-608	Min.	-0.07	102	-0.03	100	-1.20	98	0.00	103	-0.01	97	0.00	49
-607	Max	0.08	97	0.01	103	-0.84	101	0.00	100	-0.00	102	0.00	98
-607	Min.	-0.07	102	-0.04	100	-1.30	98	0.00	103	-0.01	97	0.00	49
-606	Max	0.08	97	0.01	103	-0.99	101	0.00	104	-0.00	102	0.00	98
-606	Min.	-0.07	102	-0.05	100	-1.52	98	-0.00	99	-0.01	97	0.00	49
-605	Max	0.08	97	0.00	103	-1.15	101	-0.00	104	-0.00	102	0.00	98
-605	Min.	-0.07	102	-0.06	100	-1.73	98	-0.00	99	-0.01	97	0.00	49
-604	Max	0.08	97	-0.01	103	-1.30	101	-0.00	104	-0.00	102	0.00	99
-604	Min.	-0.07	102	-0.07	100	-1.94	98	-0.00	99	-0.00	97	0.00	49
-603	Max	0.08	97	-0.02	103	-1.55	101	-0.00	104	-0.00	102	0.00	97
-603	Min.	-0.07	102	-0.08	100	-2.27	98	-0.00	99	-0.00	97	0.00	49
-602	Max	0.08	97	-0.02	103	-1.64	101	-0.00	104	-0.00	102	0.00	97
-602	Min.	-0.07	102	-0.09	100	-2.38	98	-0.00	99	-0.00	97	0.00	49
-601	Max	0.08	97	-0.02	103	-1.70	103	-0.00	104	0.00	102	0.00	97
-601	Min.	-0.08	102	-0.09	100	-2.47	100	-0.00	99	-0.00	97	0.00	49
-600	Max	0.08	97	-0.03	103	-1.73	103	-0.00	104	0.00	102	0.00	33
-600	Min.	-0.08	102	-0.10	100	-2.51	100	-0.00	99	0.00	97	0.00	49
-599	Max	0.08	101	-0.03	103	-1.73	103	-0.00	104	0.00	98	0.00	33
-599	Min.	-0.08	98	-0.10	100	-2.51	100	-0.00	99	0.00	101	0.00	49
-598	Max	0.08	101	-0.02	103	-1.70	103	-0.00	104	0.00	98	0.00	33
-598	Min.	-0.08	98	-0.09	100	-2.47	100	-0.00	99	0.00	101	0.00	98
-597	Max	0.07	101	-0.02	103	-1.64	102	-0.00	104	0.00	98	0.00	33
-597	Min.	-0.08	98	-0.09	100	-2.38	97	-0.00	99	0.00	101	0.00	98
-596	Max	0.07	101	-0.02	103	-1.55	102	-0.00	104	0.00	98	0.00	33
-596	Min.	-0.08	98	-0.08	100	-2.27	97	-0.00	99	0.00	101	0.00	98
-595	Max	0.07	101	-0.01	103	-1.30	102	-0.00	104	0.00	98	0.00	33
-595	Min.	-0.08	98	-0.07	100	-1.94	97	-0.00	99	0.00	101	0.00	99
-594	Max	0.07	101	0.00	103	-1.15	102	-0.00	104	0.01	98	0.00	33
-594	Min.	-0.08	98	-0.06	100	-1.73	97	-0.00	99	0.00	101	0.00	97
-593	Max	0.07	101	0.01	103	-0.99	102	0.00	104	0.01	98	0.00	33
-593	Min.	-0.08	98	-0.05	100	-1.52	97	-0.00	99	0.00	101	0.00	97
-592	Max	0.07	101	0.01	103	-0.84	102	0.00	100	0.01	98	0.00	33
-592	Min.	-0.08	98	-0.04	100	-1.30	97	0.00	103	0.00	101	0.00	97
-591	Max	0.07	101	0.02	103	-0.76	102	0.00	100	0.01	98	0.00	33
-591	Min.	-0.08	98	-0.03	100	-1.20	97	0.00	103	0.00	101	0.00	97
-590	Max	0.07	101	0.02	103	-0.56	102	0.01	98	0.00	97	0.00	33
-590	Min.	-0.08	98	-0.03	100	-0.91	97	0.01	101	0.00	33	0.00	97
-589	Max	0.07	101	0.03	99	-0.48	102	0.01	98	0.00	97	0.00	33
-589	Min.	-0.08	98	-0.02	104	-0.78	97	0.01	101	0.00	102	0.00	49
-588	Max	0.07	101	0.03	99	-0.44	102	0.01	98	0.00	97	0.00	33
-588	Min.	-0.08	98	-0.02	104	-0.73	97	0.00	101	0.00	102	0.00	49
-587	Max	0.07	101	0.03	99	-0.41	102	0.00	98	0.00	97	0.00	33
-587	Min.	-0.08	98	-0.02	104	-0.69	97	0.00	101	0.00	102	0.00	49
-586	Max	0.07	101	0.03	99	-0.36	102	0.00	100	0.00	97	0.00	33
-586	Min.	-0.08	98	-0.02	104	-0.61	97	0.00	103	0.00	102	0.00	49
-585	Max	0.07	101	0.03	99	-0.29	102	-0.00	104	0.00	97	0.00	33
-585	Min.	-0.08	98	-0.02	104	-0.48	97	-0.00	99	0.00	102	0.00	49
-584	Max	0.07	101	0.02	103	-0.25	102	-0.00	104	0.00	97	0.00	33
-584	Min.	-0.08	98	-0.03	100	-0.41	97	-0.00	99	0.00	102	0.00	49
-583	Max	0.07	101	0.02	103	-0.22	102	-0.00	104	0.00	97	0.00	33
-583	Min.	-0.08	98	-0.03	100	-0.34	97	-0.00	99	0.00	102	0.00	49
-582	Max	0.07	101	0.02	103	-0.17	103	0.00	104	0.00	97	0.00	33
-582	Min.	-0.08	98	-0.03	100	-0.28	100	-0.00	99	0.00	102	0.00	49
-581	Max	0.03	101	0.02	103	-0.14	103	0.00	100	0.00	101	0.00	33

-581	Min.	-0.06	98	-0.03	100	-0.23	100	0.00	103	0.00	98	0.00	49
-537	Max	0.06	97	0.02	103	-0.14	103	0.00	100	0.00	97	0.00	33
-537	Min.	-0.03	102	-0.03	100	-0.23	100	0.00	103	0.00	102	0.00	49
-536	Max	0.04	101	0.02	103	-0.14	103	0.00	100	0.00	101	0.00	33
-536	Min.	-0.06	98	-0.03	100	-0.23	100	0.00	103	0.00	98	0.00	49
-535	Max	0.06	97	0.02	103	-0.14	103	0.00	100	0.00	97	0.00	33
-535	Min.	-0.04	102	-0.03	100	-0.23	100	0.00	103	0.00	102	0.00	49
-534	Max	0.03	101	0.02	103	-0.13	104	0.00	104	0.00	101	0.00	33
-534	Min.	-0.05	98	-0.02	100	-0.23	99	0.00	99	0.00	98	0.00	49
-533	Max	0.05	97	0.02	103	-0.13	104	0.00	104	0.00	97	0.00	33
-533	Min.	-0.03	102	-0.02	100	-0.23	99	0.00	99	0.00	102	0.00	49
-532	Max	0.03	101	0.02	103	-0.14	104	0.00	100	0.00	101	0.00	33
-532	Min.	-0.05	98	-0.02	100	-0.22	99	0.00	103	0.00	98	0.00	49
-531	Max	0.05	97	0.02	103	-0.14	104	0.00	100	0.00	97	0.00	33
-531	Min.	-0.03	102	-0.02	100	-0.22	99	0.00	103	0.00	102	0.00	49
-530	Max	0.03	101	0.02	103	-0.14	104	0.00	104	0.00	101	0.00	33
-530	Min.	-0.05	98	-0.02	100	-0.22	99	0.00	99	0.00	98	0.00	49
-529	Max	0.05	97	0.02	103	-0.14	104	0.00	104	0.00	97	0.00	33
-529	Min.	-0.03	102	-0.02	100	-0.22	99	0.00	99	0.00	102	0.00	49
-528	Max	0.03	101	0.02	103	-0.14	104	0.00	100	0.00	101	0.00	33
-528	Min.	-0.06	98	-0.02	100	-0.22	99	0.00	103	0.00	98	0.00	49
-527	Max	0.06	97	0.02	103	-0.14	104	0.00	100	0.00	97	0.00	33
-527	Min.	-0.03	102	-0.02	100	-0.22	99	0.00	103	0.00	102	0.00	49
-526	Max	0.03	101	0.02	103	-0.14	104	0.00	104	0.00	101	0.00	33
-526	Min.	-0.06	98	-0.02	100	-0.22	99	0.00	99	0.00	98	0.00	49
-525	Max	0.06	97	0.02	103	-0.14	104	0.00	104	0.00	97	0.00	33
-525	Min.	-0.03	102	-0.02	100	-0.22	99	0.00	99	0.00	102	0.00	49
-524	Max	0.03	101	0.02	103	-0.14	104	0.00	100	0.00	101	0.00	33
-524	Min.	-0.06	98	-0.02	100	-0.22	99	0.00	103	0.00	98	0.00	49
-523	Max	0.06	97	0.02	103	-0.14	104	0.00	100	0.00	97	0.00	33
-523	Min.	-0.03	102	-0.02	100	-0.22	99	0.00	103	0.00	102	0.00	49
-522	Max	0.03	101	0.02	103	-0.14	104	0.00	100	0.00	101	0.00	33
-522	Min.	-0.06	98	-0.02	100	-0.22	99	0.00	103	0.00	98	0.00	49
-521	Max	0.06	97	0.02	103	-0.14	104	0.00	100	0.00	97	0.00	33
-521	Min.	-0.03	102	-0.02	100	-0.22	99	0.00	103	0.00	102	0.00	49
-520	Max	0.03	101	0.02	103	-0.15	104	0.00	100	0.00	101	0.00	33
-520	Min.	-0.06	98	-0.02	100	-0.22	99	0.00	103	0.00	98	0.00	49
-519	Max	0.06	97	0.02	103	-0.15	104	0.00	100	0.00	97	0.00	33
-519	Min.	-0.03	102	-0.02	100	-0.22	99	0.00	103	0.00	102	0.00	49
-518	Max	0.03	101	0.02	103	-0.15	101	0.00	100	0.00	101	0.00	33
-518	Min.	-0.06	98	-0.02	100	-0.21	98	0.00	103	0.00	98	0.00	49
-517	Max	0.06	97	0.02	103	-0.15	102	0.00	100	0.00	97	0.00	33
-517	Min.	-0.03	102	-0.02	100	-0.21	97	0.00	103	0.00	102	0.00	49
-516	Max	0.03	101	0.02	103	-0.15	101	0.00	100	0.00	101	0.00	33
-516	Min.	-0.06	98	-0.02	100	-0.21	98	0.00	103	0.00	98	0.00	49
-515	Max	0.06	97	0.02	103	-0.15	102	0.00	100	0.00	97	0.00	33
-515	Min.	-0.03	102	-0.02	100	-0.21	97	0.00	103	0.00	102	0.00	49
-514	Max	0.03	101	0.02	103	-0.15	101	0.00	100	0.00	101	0.00	33
-514	Min.	-0.06	98	-0.02	100	-0.21	98	0.00	103	0.00	98	0.00	49
-513	Max	0.06	97	0.02	103	-0.15	102	0.00	100	0.00	97	0.00	33
-513	Min.	-0.03	102	-0.02	100	-0.21	97	0.00	103	0.00	102	0.00	49
-512	Max	0.03	101	0.02	103	-0.15	103	0.00	100	0.00	101	0.00	33
-512	Min.	-0.06	98	-0.02	100	-0.22	100	0.00	103	0.00	98	0.00	49
-511	Max	0.06	97	0.02	103	-0.15	103	0.00	100	0.00	97	0.00	33
-511	Min.	-0.03	102	-0.02	100	-0.22	100	0.00	103	0.00	102	0.00	49
-510	Max	0.03	101	0.02	103	-0.15	103	0.00	100	0.00	101	0.00	33
-510	Min.	-0.06	98	-0.02	100	-0.22	100	0.00	103	0.00	98	0.00	49
-509	Max	0.06	97	0.02	103	-0.15	103	0.00	100	0.00	97	0.00	33
-509	Min.	-0.03	102	-0.02	100	-0.22	100	0.00	103	0.00	102	0.00	49
-508	Max	0.03	101	0.02	103	-0.14	103	0.00	100	0.00	101	0.00	33
-508	Min.	-0.06	98	-0.02	100	-0.22	100	0.00	103	0.00	98	0.00	49
-507	Max	0.06	97	0.02	103	-0.14	103	0.00	100	0.00	97	0.00	33
-507	Min.	-0.03	102	-0.02	100	-0.22	100	0.00	103	0.00	102	0.00	49
-506	Max	0.03	101	0.02	103	-0.14	103	0.00	100	0.00	101	0.00	33
-506	Min.	-0.06	98	-0.02	100	-0.22	100	0.00	103	0.00	98	0.00	49
-505	Max	0.06	97	0.02	103	-0.14	103	0.00	100	0.00	97	0.00	33
-505	Min.	-0.03	102	-0.02	100	-0.22	100	0.00	103	0.00	102	0.00	49
-504	Max	0.03	101	0.02	103	-0.14	103	0.00	100	0.00	101	0.00	33
-504	Min.	-0.06	98	-0.02	100	-0.22	100	0.00	103	0.00	98	0.00	49
-503	Max	0.06	97	0.02	103	-0.14	103	0.00	100	0.00	97	0.00	33
-503	Min.	-0.03	102	-0.02	100	-0.22	100	0.00	103	0.00	102	0.00	49
-502	Max	0.03	101	0.02	103	-0.14	103	0.00	100	0.00	101	0.00	33
-502	Min.	-0.05	98	-0.02	100	-0.23	100	0.00	103	0.00	98	0.00	49
-501	Max	0.05	97	0.02	103	-0.14	103	0.00	100	0.00	97	0.00	33
-501	Min.	-0.03	102	-0.02	100	-0.23	100	0.00	103	0.00	102	0.00	49
-500	Max	0.03	101	0.02	103	-0.14	103	0.00	100	0.00	101	0.00	33
-500	Min.	-0.05	98	-0.02	100	-0.23	100	0.00	103	0.00	98	0.00	49
-499	Max	0.05	97	0.02	103	-0.14	103	0.00	100	0.00	97	0.00	33
-499	Min.	-0.03	102	-0.02	100	-0.23	100	0.00	103	0.00	102	0.00	49

-498	Max	0.03	101	0.02	103	-0.14	103	0.00	100	0.00	101	0.00	33
-498	Min.	-0.05	98	-0.02	100	-0.23	100	0.00	103	0.00	98	0.00	49
-497	Max	0.05	97	0.02	103	-0.14	103	0.00	100	0.00	97	0.00	33
-497	Min.	-0.03	102	-0.02	100	-0.23	100	0.00	103	0.00	102	0.00	49
-496	Max	0.03	101	0.02	103	-0.13	104	0.00	104	0.00	101	0.00	33
-496	Min.	-0.04	98	-0.02	100	-0.23	99	0.00	99	0.00	98	0.00	49
-495	Max	0.04	97	0.02	103	-0.13	104	0.00	104	0.00	97	0.00	33
-495	Min.	-0.03	102	-0.02	100	-0.23	99	0.00	99	0.00	102	0.00	49
-494	Max	0.03	101	0.02	103	-0.14	104	0.00	100	0.00	101	0.00	33
-494	Min.	-0.04	98	-0.02	100	-0.22	99	0.00	103	0.00	98	0.00	49
-493	Max	0.04	97	0.02	103	-0.14	104	0.00	100	0.00	97	0.00	33
-493	Min.	-0.03	102	-0.02	100	-0.22	99	0.00	103	0.00	102	0.00	49
-492	Max	0.03	101	0.02	103	-0.14	104	0.00	100	0.00	101	0.00	33
-492	Min.	-0.04	98	-0.02	100	-0.22	99	0.00	103	0.00	98	0.00	49
-491	Max	0.04	97	0.02	103	-0.14	104	0.00	100	0.00	97	0.00	33
-491	Min.	-0.03	102	-0.02	100	-0.22	99	0.00	103	0.00	102	0.00	49
-490	Max	0.03	101	0.02	103	-0.14	104	0.00	100	0.00	101	0.00	33
-490	Min.	-0.04	98	-0.02	100	-0.22	99	0.00	103	0.00	98	0.00	49
-489	Max	0.04	97	0.02	103	-0.14	104	0.00	100	0.00	97	0.00	33
-489	Min.	-0.03	102	-0.02	100	-0.22	99	0.00	103	0.00	102	0.00	49
-488	Max	0.03	101	0.02	103	-0.14	104	0.00	104	0.00	101	0.00	33
-488	Min.	-0.04	98	-0.02	100	-0.22	99	0.00	99	0.00	98	0.00	49
-487	Max	0.04	97	0.02	103	-0.14	104	0.00	104	0.00	97	0.00	33
-487	Min.	-0.03	102	-0.02	100	-0.22	99	0.00	99	0.00	102	0.00	49
-486	Max	0.03	101	0.02	103	-0.14	104	0.00	100	0.00	101	0.00	33
-486	Min.	-0.04	98	-0.02	100	-0.22	99	0.00	103	0.00	98	0.00	49
-485	Max	0.04	97	0.02	103	-0.14	104	0.00	100	0.00	97	0.00	33
-485	Min.	-0.03	102	-0.02	100	-0.22	99	0.00	103	0.00	102	0.00	49
-484	Max	0.03	101	0.02	103	-0.14	104	0.00	100	0.00	101	0.00	33
-484	Min.	-0.04	98	-0.02	100	-0.22	99	0.00	103	0.00	98	0.00	49
-483	Max	0.04	97	0.02	103	-0.14	104	0.00	100	0.00	97	0.00	33
-483	Min.	-0.03	102	-0.02	100	-0.22	99	0.00	103	0.00	102	0.00	49
-482	Max	0.03	101	0.02	103	-0.15	104	0.00	100	0.00	101	0.00	33
-482	Min.	-0.04	98	-0.02	100	-0.22	99	0.00	103	0.00	98	0.00	49
-481	Max	0.04	97	0.02	103	-0.15	104	0.00	100	0.00	97	0.00	33
-481	Min.	-0.03	102	-0.02	100	-0.22	99	0.00	103	0.00	102	0.00	49
-480	Max	0.03	101	0.02	103	-0.15	101	0.00	100	0.00	101	0.00	33
-480	Min.	-0.04	98	-0.02	100	-0.21	98	0.00	103	0.00	98	0.00	49
-479	Max	0.04	97	0.02	103	-0.15	102	0.00	100	0.00	97	0.00	33
-479	Min.	-0.03	102	-0.02	100	-0.21	97	0.00	103	0.00	102	0.00	49
-478	Max	0.03	101	0.02	103	-0.15	101	0.00	100	0.00	101	0.00	33
-478	Min.	-0.04	98	-0.02	100	-0.21	98	0.00	103	0.00	98	0.00	49
-477	Max	0.04	97	0.02	103	-0.15	102	0.00	100	0.00	97	0.00	33
-477	Min.	-0.03	102	-0.02	100	-0.21	97	0.00	103	0.00	102	0.00	49
-476	Max	0.03	101	0.02	103	-0.15	101	0.00	100	0.00	101	0.00	33
-476	Min.	-0.04	98	-0.02	100	-0.21	98	0.00	103	0.00	98	0.00	49
-475	Max	0.04	97	0.02	103	-0.15	102	0.00	100	0.00	97	0.00	33
-475	Min.	-0.03	102	-0.02	100	-0.21	97	0.00	103	0.00	102	0.00	49
-474	Max	0.03	101	0.02	103	-0.15	103	0.00	100	0.00	101	0.00	33
-474	Min.	-0.04	98	-0.02	100	-0.22	100	0.00	103	0.00	98	0.00	49
-473	Max	0.04	97	0.02	103	-0.15	103	0.00	100	0.00	97	0.00	33
-473	Min.	-0.03	102	-0.02	100	-0.22	100	0.00	103	0.00	102	0.00	49
-472	Max	0.03	101	0.02	103	-0.15	103	0.00	100	0.00	101	0.00	33
-472	Min.	-0.04	98	-0.02	100	-0.22	100	0.00	103	0.00	98	0.00	49
-471	Max	0.04	97	0.02	103	-0.15	103	0.00	100	0.00	97	0.00	33
-471	Min.	-0.03	102	-0.02	100	-0.22	100	0.00	103	0.00	102	0.00	49
-470	Max	0.03	101	0.02	103	-0.14	103	0.00	100	0.00	101	0.00	33
-470	Min.	-0.04	98	-0.02	100	-0.22	100	0.00	103	0.00	98	0.00	49
-469	Max	0.04	97	0.02	103	-0.14	103	0.00	100	0.00	97	0.00	33
-469	Min.	-0.03	102	-0.02	100	-0.22	100	0.00	103	0.00	102	0.00	49
-468	Max	0.03	101	0.02	103	-0.14	103	0.00	100	0.00	101	0.00	33
-468	Min.	-0.04	98	-0.02	100	-0.22	100	0.00	103	0.00	98	0.00	49
-467	Max	0.04	97	0.02	103	-0.14	103	0.00	100	0.00	97	0.00	33
-467	Min.	-0.03	102	-0.02	100	-0.22	100	0.00	103	0.00	102	0.00	49
-466	Max	0.03	101	0.02	103	-0.14	103	0.00	100	0.00	101	0.00	33
-466	Min.	-0.04	98	-0.02	100	-0.22	100	0.00	103	0.00	98	0.00	49
-465	Max	0.04	97	0.02	103	-0.14	103	0.00	100	0.00	97	0.00	33
-465	Min.	-0.03	102	-0.02	100	-0.22	100	0.00	103	0.00	102	0.00	49
-464	Max	0.03	101	0.02	103	-0.14	103	0.00	100	0.00	101	0.00	33
-464	Min.	-0.04	98	-0.02	100	-0.23	100	0.00	103	0.00	98	0.00	49
-463	Max	0.04	97	0.02	103	-0.14	103	0.00	100	0.00	97	0.00	33
-463	Min.	-0.03	102	-0.02	100	-0.23	100	0.00	103	0.00	102	0.00	49
-462	Max	0.03	101	0.02	103	-0.14	103	0.00	100	0.00	101	0.00	33
-462	Min.	-0.04	98	-0.02	100	-0.23	100	0.00	103	0.00	98	0.00	49
-461	Max	0.04	97	0.02	103	-0.14	103	0.00	100	0.00	97	0.00	33
-461	Min.	-0.03	102	-0.02	100	-0.23	100	0.00	103	0.00	102	0.00	49
-460	Max	0.03	101	0.02	103	-0.14	103	0.00	100	0.00	101	0.00	33
-460	Min.	-0.04	98	-0.02	100	-0.23	100	0.00	103	0.00	98	0.00	49
-459	Max	0.04	97	0.02	103	-0.14	103	0.00	100	0.00	97	0.00	33

-459	Min.	-0.03	102	-0.02	100	-0.23	100	0.00	103	0.00	102	0.00	49
-458	Max	0.03	97	0.02	103	-0.13	104	0.00	100	0.00	101	0.00	33
-458	Min.	-0.03	102	-0.02	100	-0.23	99	0.00	103	0.00	98	0.00	49
-457	Max	0.03	97	0.02	103	-0.13	104	0.00	100	0.00	97	0.00	33
-457	Min.	-0.03	102	-0.02	100	-0.23	99	0.00	103	0.00	102	0.00	49
-456	Max	0.03	97	0.02	103	-0.14	104	0.00	100	0.00	101	0.00	33
-456	Min.	-0.03	102	-0.02	100	-0.22	99	0.00	103	0.00	98	0.00	49
-455	Max	0.03	97	0.02	103	-0.14	104	0.00	100	0.00	97	0.00	33
-455	Min.	-0.03	102	-0.02	100	-0.22	99	0.00	103	0.00	102	0.00	49
-454	Max	0.03	97	0.02	103	-0.14	104	0.00	100	0.00	101	0.00	33
-454	Min.	-0.03	102	-0.02	100	-0.22	99	0.00	103	0.00	98	0.00	49
-453	Max	0.03	97	0.02	103	-0.14	104	0.00	100	0.00	97	0.00	33
-453	Min.	-0.03	102	-0.02	100	-0.22	99	0.00	103	0.00	102	0.00	49
-452	Max	0.03	97	0.02	103	-0.14	104	0.00	100	0.00	101	0.00	33
-452	Min.	-0.03	102	-0.02	100	-0.22	99	0.00	103	0.00	98	0.00	49
-451	Max	0.03	97	0.02	103	-0.14	104	0.00	100	0.00	97	0.00	33
-451	Min.	-0.03	102	-0.02	100	-0.22	99	0.00	103	0.00	102	0.00	49
-450	Max	0.03	97	0.02	103	-0.14	104	0.00	100	0.00	101	0.00	33
-450	Min.	-0.03	102	-0.02	100	-0.22	99	0.00	103	0.00	98	0.00	49
-449	Max	0.03	97	0.02	103	-0.14	104	0.00	100	0.00	97	0.00	33
-449	Min.	-0.03	102	-0.02	100	-0.22	99	0.00	103	0.00	102	0.00	49
-448	Max	0.03	97	0.02	103	-0.14	104	0.00	100	0.00	101	0.00	33
-448	Min.	-0.03	102	-0.02	100	-0.22	99	0.00	103	0.00	98	0.00	49
-447	Max	0.03	97	0.02	103	-0.14	104	0.00	100	0.00	97	0.00	33
-447	Min.	-0.03	102	-0.02	100	-0.22	99	0.00	103	0.00	102	0.00	49
-446	Max	0.03	97	0.02	103	-0.14	104	0.00	100	0.00	101	0.00	33
-446	Min.	-0.03	102	-0.02	100	-0.22	99	0.00	103	0.00	98	0.00	49
-445	Max	0.03	97	0.02	103	-0.14	104	0.00	100	0.00	97	0.00	33
-445	Min.	-0.03	102	-0.02	100	-0.22	99	0.00	103	0.00	102	0.00	49
-444	Max	0.03	97	0.02	103	-0.15	104	0.00	100	0.00	101	0.00	33
-444	Min.	-0.03	102	-0.02	100	-0.22	99	0.00	103	0.00	98	0.00	49
-443	Max	0.03	97	0.02	103	-0.15	104	0.00	100	0.00	97	0.00	33
-443	Min.	-0.03	102	-0.02	100	-0.22	99	0.00	103	0.00	102	0.00	49
-442	Max	0.03	97	0.02	103	-0.15	101	0.00	100	0.00	101	0.00	33
-442	Min.	-0.03	102	-0.02	100	-0.21	98	0.00	103	0.00	98	0.00	49
-441	Max	0.03	97	0.02	103	-0.15	102	0.00	100	0.00	97	0.00	33
-441	Min.	-0.03	102	-0.02	100	-0.21	97	0.00	103	0.00	102	0.00	49
-440	Max	0.03	97	0.02	103	-0.15	101	0.00	100	0.00	101	0.00	33
-440	Min.	-0.03	102	-0.02	100	-0.21	98	0.00	103	0.00	98	0.00	49
-439	Max	0.03	97	0.02	103	-0.15	102	0.00	100	0.00	97	0.00	33
-439	Min.	-0.03	102	-0.02	100	-0.21	97	0.00	103	0.00	102	0.00	49
-438	Max	0.03	97	0.02	103	-0.15	101	0.00	100	0.00	101	0.00	33
-438	Min.	-0.03	102	-0.02	100	-0.21	98	0.00	103	0.00	98	0.00	49
-437	Max	0.03	97	0.02	103	-0.15	102	0.00	100	0.00	97	0.00	33
-437	Min.	-0.03	102	-0.02	100	-0.21	97	0.00	103	0.00	102	0.00	49
-436	Max	0.03	97	0.02	103	-0.15	103	0.00	100	0.00	101	0.00	33
-436	Min.	-0.03	102	-0.02	100	-0.22	100	0.00	103	0.00	98	0.00	49
-435	Max	0.03	97	0.02	103	-0.15	103	0.00	100	0.00	97	0.00	33
-435	Min.	-0.03	102	-0.02	100	-0.22	100	0.00	103	0.00	102	0.00	49
-434	Max	0.03	97	0.02	103	-0.15	103	0.00	100	0.00	101	0.00	33
-434	Min.	-0.03	102	-0.02	100	-0.22	100	0.00	103	0.00	98	0.00	49
-433	Max	0.03	97	0.02	103	-0.15	103	0.00	100	0.00	97	0.00	33
-433	Min.	-0.03	102	-0.02	100	-0.22	100	0.00	103	0.00	102	0.00	49
-432	Max	0.03	97	0.02	103	-0.14	103	0.00	100	0.00	101	0.00	33
-432	Min.	-0.03	102	-0.02	100	-0.22	100	0.00	103	0.00	98	0.00	49
-431	Max	0.03	97	0.02	103	-0.14	103	0.00	100	0.00	97	0.00	33
-431	Min.	-0.03	102	-0.02	100	-0.22	100	0.00	103	0.00	102	0.00	49
-430	Max	0.03	97	0.02	103	-0.14	103	0.00	100	0.00	101	0.00	33
-430	Min.	-0.03	102	-0.02	100	-0.22	100	0.00	103	0.00	98	0.00	49
-429	Max	0.03	97	0.02	103	-0.14	103	0.00	100	0.00	97	0.00	33
-429	Min.	-0.03	102	-0.02	100	-0.22	100	0.00	103	0.00	102	0.00	49
-428	Max	0.03	97	0.02	103	-0.14	103	0.00	100	0.00	101	0.00	33
-428	Min.	-0.03	102	-0.02	100	-0.22	100	0.00	103	0.00	98	0.00	49
-427	Max	0.03	97	0.02	103	-0.14	103	0.00	100	0.00	97	0.00	33
-427	Min.	-0.03	102	-0.02	100	-0.22	100	0.00	103	0.00	102	0.00	49
-426	Max	0.03	97	0.02	103	-0.14	103	0.00	100	0.00	101	0.00	33
-426	Min.	-0.03	102	-0.02	100	-0.23	100	0.00	103	0.00	98	0.00	49
-425	Max	0.03	97	0.02	103	-0.14	103	0.00	100	0.00	97	0.00	33
-425	Min.	-0.03	102	-0.02	100	-0.23	100	0.00	103	0.00	102	0.00	49
-424	Max	0.03	97	0.02	103	-0.14	103	0.00	100	0.00	101	0.00	33
-424	Min.	-0.03	102	-0.02	100	-0.23	100	0.00	103	0.00	98	0.00	49
-423	Max	0.03	97	0.02	103	-0.14	103	0.00	100	0.00	97	0.00	33
-423	Min.	-0.03	102	-0.02	100	-0.23	100	0.00	103	0.00	102	0.00	49
-422	Max	0.03	97	0.02	103	-0.14	103	0.00	100	0.00	101	0.00	33
-422	Min.	-0.03	102	-0.02	100	-0.23	100	0.00	103	0.00	98	0.00	49
-421	Max	0.03	97	0.02	103	-0.14	103	0.00	100	0.00	97	0.00	33
-421	Min.	-0.03	102	-0.02	100	-0.23	100	0.00	103	0.00	102	0.00	49
-420	Max	0.02	97	0.01	103	-0.13	104	0.00	100	0.00	97	0.00	33
-420	Min.	-0.02	102	-0.01	100	-0.23	99	0.00	103	0.00	102	0.00	49

-419	Max	0.02	101	0.01	103	-0.13	104	0.00	100	0.00	101	0.00	33
-419	Min.	-0.02	98	-0.01	100	-0.23	99	0.00	103	0.00	98	0.00	49
-418	Max	0.02	97	0.01	103	-0.14	104	0.00	100	0.00	97	0.00	33
-418	Min.	-0.02	102	-0.01	100	-0.22	99	0.00	103	0.00	102	0.00	49
-417	Max	0.02	101	0.01	103	-0.14	104	0.00	100	0.00	101	0.00	33
-417	Min.	-0.02	98	-0.01	100	-0.22	99	0.00	103	0.00	98	0.00	49
-416	Max	0.02	97	0.01	103	-0.14	104	0.00	100	0.00	97	0.00	33
-416	Min.	-0.02	102	-0.01	100	-0.22	99	0.00	103	0.00	102	0.00	49
-415	Max	0.02	101	0.01	103	-0.14	104	0.00	100	0.00	101	0.00	33
-415	Min.	-0.02	98	-0.01	100	-0.22	99	0.00	103	0.00	98	0.00	49
-414	Max	0.02	97	0.01	103	-0.14	104	0.00	100	0.00	97	0.00	33
-414	Min.	-0.02	102	-0.01	100	-0.22	99	0.00	103	0.00	102	0.00	49
-413	Max	0.02	101	0.01	103	-0.14	104	0.00	100	0.00	101	0.00	33
-413	Min.	-0.02	98	-0.01	100	-0.22	99	0.00	103	0.00	98	0.00	49
-412	Max	0.02	97	0.01	103	-0.14	104	0.00	104	0.00	97	0.00	33
-412	Min.	-0.02	102	-0.01	100	-0.22	99	0.00	99	0.00	102	0.00	49
-411	Max	0.02	101	0.01	103	-0.14	104	0.00	104	0.00	101	0.00	33
-411	Min.	-0.02	98	-0.01	100	-0.22	99	0.00	99	0.00	98	0.00	49
-410	Max	0.02	97	0.01	103	-0.14	104	0.00	100	0.00	97	0.00	33
-410	Min.	-0.02	102	-0.01	100	-0.22	99	0.00	103	0.00	102	0.00	49
-409	Max	0.02	101	0.01	103	-0.14	104	0.00	100	0.00	101	0.00	33
-409	Min.	-0.02	98	-0.01	100	-0.22	99	0.00	103	0.00	98	0.00	49
-408	Max	0.02	97	0.01	103	-0.14	104	0.00	100	0.00	97	0.00	33
-408	Min.	-0.02	102	-0.01	100	-0.22	99	0.00	103	0.00	102	0.00	49
-407	Max	0.02	101	0.01	103	-0.14	104	0.00	100	0.00	101	0.00	33
-407	Min.	-0.02	98	-0.01	100	-0.22	99	0.00	103	0.00	98	0.00	49
-406	Max	0.02	97	0.01	103	-0.15	104	0.00	100	0.00	97	0.00	33
-406	Min.	-0.02	102	-0.01	100	-0.22	99	0.00	103	0.00	102	0.00	49
-405	Max	0.02	101	0.01	103	-0.15	104	0.00	100	0.00	101	0.00	33
-405	Min.	-0.02	98	-0.01	100	-0.22	99	0.00	103	0.00	98	0.00	49
-404	Max	0.02	97	0.01	103	-0.15	101	0.00	100	0.00	97	0.00	33
-404	Min.	-0.02	102	-0.01	100	-0.21	98	0.00	103	0.00	102	0.00	49
-403	Max	0.02	101	0.01	103	-0.15	102	0.00	100	0.00	101	0.00	33
-403	Min.	-0.02	98	-0.01	100	-0.21	97	0.00	103	0.00	98	0.00	49
-402	Max	0.02	97	0.01	103	-0.15	101	0.00	100	0.00	97	0.00	33
-402	Min.	-0.02	102	-0.01	100	-0.21	98	0.00	103	0.00	102	0.00	49
-401	Max	0.02	101	0.01	103	-0.15	102	0.00	100	0.00	101	0.00	33
-401	Min.	-0.02	98	-0.01	100	-0.21	97	0.00	103	0.00	98	0.00	49
-400	Max	0.02	97	0.01	103	-0.15	103	0.00	100	0.00	97	0.00	33
-400	Min.	-0.02	102	-0.01	100	-0.22	100	0.00	103	0.00	102	0.00	49
-399	Max	0.02	101	0.01	103	-0.15	103	0.00	100	0.00	101	0.00	33
-399	Min.	-0.02	98	-0.01	100	-0.22	100	0.00	103	0.00	98	0.00	49
-398	Max	0.02	97	0.01	103	-0.15	103	0.00	100	0.00	97	0.00	33
-398	Min.	-0.02	102	-0.01	100	-0.22	100	0.00	103	0.00	102	0.00	49
-397	Max	0.02	101	0.01	103	-0.15	103	0.00	100	0.00	101	0.00	33
-397	Min.	-0.02	98	-0.01	100	-0.22	100	0.00	103	0.00	98	0.00	49
-396	Max	0.02	97	0.01	103	-0.14	103	0.00	100	0.00	97	0.00	33
-396	Min.	-0.02	102	-0.01	100	-0.22	100	0.00	103	0.00	102	0.00	49
-395	Max	0.02	101	0.01	103	-0.14	103	0.00	100	0.00	101	0.00	33
-395	Min.	-0.02	98	-0.01	100	-0.22	100	0.00	103	0.00	98	0.00	49
-394	Max	0.02	97	0.01	103	-0.14	103	0.00	100	0.00	97	0.00	33
-394	Min.	-0.02	102	-0.01	100	-0.22	100	0.00	103	0.00	102	0.00	49
-393	Max	0.02	101	0.01	103	-0.14	103	0.00	100	0.00	101	0.00	33
-393	Min.	-0.02	98	-0.01	100	-0.22	100	0.00	103	0.00	98	0.00	49
-392	Max	0.02	97	0.01	103	-0.14	103	0.00	100	0.00	97	0.00	33
-392	Min.	-0.02	102	-0.01	100	-0.22	100	0.00	103	0.00	102	0.00	49
-391	Max	0.02	101	0.01	103	-0.14	103	0.00	100	0.00	101	0.00	33
-391	Min.	-0.02	98	-0.01	100	-0.22	100	0.00	103	0.00	98	0.00	49
-390	Max	0.02	97	0.01	103	-0.14	103	0.00	100	0.00	97	0.00	33
-390	Min.	-0.02	102	-0.01	100	-0.23	100	0.00	103	0.00	102	0.00	49
-389	Max	0.02	101	0.01	103	-0.14	103	0.00	100	0.00	101	0.00	33
-389	Min.	-0.02	98	-0.01	100	-0.23	100	0.00	103	0.00	98	0.00	49
-388	Max	0.02	97	0.01	103	-0.14	103	0.00	100	0.00	97	0.00	33
-388	Min.	-0.02	102	-0.01	100	-0.23	100	0.00	103	0.00	102	0.00	49
-387	Max	0.02	101	0.01	103	-0.14	103	0.00	100	0.00	101	0.00	33
-387	Min.	-0.02	98	-0.01	100	-0.23	100	0.00	103	0.00	98	0.00	49
-386	Max	0.02	97	0.01	103	-0.14	103	0.00	100	0.00	97	0.00	33
-386	Min.	-0.02	102	-0.01	100	-0.23	100	0.00	103	0.00	102	0.00	49
-385	Max	0.02	101	0.01	103	-0.14	103	0.00	100	0.00	101	0.00	33
-385	Min.	-0.02	98	-0.01	100	-0.23	100	0.00	103	0.00	98	0.00	49
-384	Max	0.04	97	0.01	103	-0.15	101	0.00	100	0.00	101	0.00	97
-384	Min.	-0.01	102	-0.01	100	-0.28	98	0.00	103	0.00	98	0.00	49
-383	Max	0.01	101	0.01	103	-0.15	102	0.00	100	0.00	97	0.00	33
-383	Min.	-0.04	98	-0.01	100	-0.28	97	0.00	103	0.00	102	0.00	98
-382	Max	0.02	97	0.01	103	-0.14	101	0.00	104	0.00	101	0.00	33
-382	Min.	-0.02	102	-0.01	100	-0.26	98	0.00	99	0.00	98	0.00	49
-381	Max	0.02	101	0.01	103	-0.14	102	0.00	104	0.00	97	0.00	33
-381	Min.	-0.02	98	-0.01	100	-0.26	97	0.00	99	0.00	102	0.00	49
-380	Max	0.03	97	0.01	99	-0.14	101	0.00	100	0.00	101	0.00	33

-380	Min.	-0.02	102	-0.01	104	-0.26	98	0.00	103	0.00	98	0.00	49
-379	Max	0.02	101	0.01	99	-0.14	102	0.00	100	0.00	97	0.00	33
-379	Min.	-0.03	98	-0.01	104	-0.26	97	0.00	103	0.00	102	0.00	49
-378	Max	0.02	97	0.01	99	-0.14	101	0.00	100	0.00	101	0.00	33
-378	Min.	-0.02	102	-0.01	104	-0.26	98	0.00	103	0.00	98	0.00	49
-377	Max	0.02	101	0.01	99	-0.14	102	0.00	100	0.00	97	0.00	33
-377	Min.	-0.02	98	-0.01	104	-0.26	97	0.00	103	0.00	102	0.00	49
-376	Max	0.04	97	0.01	99	-0.15	101	0.00	104	0.00	101	0.00	33
-376	Min.	-0.01	102	-0.01	104	-0.28	98	0.00	99	0.00	98	0.00	97
-375	Max	0.01	101	0.01	99	-0.15	102	0.00	104	0.00	97	0.00	98
-375	Min.	-0.04	98	-0.01	104	-0.28	97	0.00	99	0.00	102	0.00	49
-374	Max	0.02	97	0.01	103	-0.13	104	0.00	100	0.00	97	0.00	33
-374	Min.	-0.02	102	-0.01	100	-0.23	99	0.00	103	0.00	102	0.00	49
-373	Max	0.02	97	0.01	103	-0.13	104	0.00	100	0.00	101	0.00	33
-373	Min.	-0.02	102	-0.01	100	-0.23	99	0.00	103	0.00	98	0.00	49
-372	Max	0.02	97	0.01	103	-0.14	104	0.00	100	0.00	97	0.00	33
-372	Min.	-0.02	102	-0.01	100	-0.22	99	0.00	103	0.00	102	0.00	49
-371	Max	0.02	97	0.01	103	-0.14	104	0.00	100	0.00	101	0.00	33
-371	Min.	-0.02	102	-0.01	100	-0.22	99	0.00	103	0.00	98	0.00	49
-370	Max	0.02	97	0.01	103	-0.14	104	0.00	100	0.00	97	0.00	33
-370	Min.	-0.02	102	-0.01	100	-0.22	99	0.00	103	0.00	102	0.00	49
-369	Max	0.02	97	0.01	103	-0.14	104	0.00	100	0.00	101	0.00	33
-369	Min.	-0.02	102	-0.01	100	-0.22	99	0.00	103	0.00	98	0.00	49
-368	Max	0.02	97	0.01	103	-0.14	104	0.00	100	0.00	97	0.00	33
-368	Min.	-0.02	102	-0.01	100	-0.22	99	0.00	103	0.00	102	0.00	49
-367	Max	0.02	97	0.01	103	-0.14	104	0.00	100	0.00	101	0.00	33
-367	Min.	-0.02	102	-0.01	100	-0.22	99	0.00	103	0.00	98	0.00	49
-366	Max	0.02	97	0.01	103	-0.14	104	0.00	104	0.00	97	0.00	33
-366	Min.	-0.02	102	-0.01	100	-0.22	99	0.00	99	0.00	102	0.00	49
-365	Max	0.02	97	0.01	103	-0.14	104	0.00	104	0.00	101	0.00	33
-365	Min.	-0.02	102	-0.01	100	-0.22	99	0.00	99	0.00	98	0.00	49
-364	Max	0.02	97	0.01	103	-0.14	104	0.00	104	0.00	97	0.00	33
-364	Min.	-0.02	102	-0.01	100	-0.22	99	0.00	99	0.00	102	0.00	49
-363	Max	0.02	97	0.01	103	-0.14	104	0.00	104	0.00	101	0.00	33
-363	Min.	-0.02	102	-0.01	100	-0.22	99	0.00	99	0.00	98	0.00	49
-362	Max	0.02	97	0.01	103	-0.14	104	0.00	104	0.00	97	0.00	33
-362	Min.	-0.02	102	-0.01	100	-0.22	99	0.00	99	0.00	102	0.00	49
-361	Max	0.02	97	0.01	103	-0.14	104	0.00	104	0.00	101	0.00	33
-361	Min.	-0.02	102	-0.01	100	-0.22	99	0.00	99	0.00	98	0.00	49
-360	Max	0.02	97	0.01	103	-0.15	104	0.00	100	0.00	97	0.00	33
-360	Min.	-0.02	102	-0.01	100	-0.21	99	0.00	103	0.00	102	0.00	49
-359	Max	0.02	97	0.01	103	-0.15	104	0.00	100	0.00	101	0.00	33
-359	Min.	-0.02	102	-0.01	100	-0.21	99	0.00	103	0.00	98	0.00	49
-358	Max	0.02	97	0.01	103	-0.15	101	0.00	104	0.00	97	0.00	33
-358	Min.	-0.02	102	-0.01	100	-0.21	98	0.00	99	0.00	102	0.00	49
-357	Max	0.02	97	0.01	103	-0.15	102	0.00	104	0.00	101	0.00	33
-357	Min.	-0.02	102	-0.01	100	-0.21	97	0.00	99	0.00	98	0.00	49
-356	Max	0.02	97	0.01	103	-0.15	101	0.00	100	0.00	97	0.00	33
-356	Min.	-0.02	102	-0.01	100	-0.21	98	0.00	103	0.00	102	0.00	49
-355	Max	0.02	97	0.01	103	-0.15	102	0.00	100	0.00	101	0.00	33
-355	Min.	-0.02	102	-0.01	100	-0.21	97	0.00	103	0.00	98	0.00	49
-354	Max	0.02	97	0.01	103	-0.15	101	0.00	100	0.00	97	0.00	33
-354	Min.	-0.02	102	-0.01	100	-0.21	98	0.00	103	0.00	102	0.00	49
-353	Max	0.02	97	0.01	103	-0.15	102	0.00	100	0.00	101	0.00	33
-353	Min.	-0.02	102	-0.01	100	-0.21	97	0.00	103	0.00	98	0.00	49
-352	Max	0.02	97	0.01	103	-0.15	103	0.00	100	0.00	97	0.00	33
-352	Min.	-0.02	102	-0.01	100	-0.22	100	0.00	103	0.00	102	0.00	49
-351	Max	0.02	97	0.01	103	-0.15	103	0.00	100	0.00	101	0.00	33
-351	Min.	-0.02	102	-0.01	100	-0.22	100	0.00	103	0.00	98	0.00	49
-350	Max	0.02	97	0.01	103	-0.14	103	0.00	100	0.00	97	0.00	33
-350	Min.	-0.02	102	-0.01	100	-0.22	100	0.00	103	0.00	102	0.00	49
-349	Max	0.02	97	0.01	103	-0.14	103	0.00	100	0.00	101	0.00	33
-349	Min.	-0.02	102	-0.01	100	-0.22	100	0.00	103	0.00	98	0.00	49
-348	Max	0.02	97	0.01	103	-0.14	103	0.00	100	0.00	97	0.00	33
-348	Min.	-0.02	102	-0.01	100	-0.22	100	0.00	103	0.00	102	0.00	49
-347	Max	0.02	97	0.01	103	-0.14	103	0.00	100	0.00	101	0.00	33
-347	Min.	-0.02	102	-0.01	100	-0.22	100	0.00	103	0.00	98	0.00	49
-346	Max	0.02	97	0.01	103	-0.14	103	0.00	100	0.00	97	0.00	33
-346	Min.	-0.02	102	-0.01	100	-0.22	100	0.00	103	0.00	102	0.00	49
-345	Max	0.02	97	0.01	103	-0.14	103	0.00	100	0.00	101	0.00	33
-345	Min.	-0.02	102	-0.01	100	-0.22	100	0.00	103	0.00	98	0.00	49
-344	Max	0.02	97	0.01	103	-0.14	103	0.00	100	0.00	97	0.00	33
-344	Min.	-0.02	102	-0.01	100	-0.22	100	0.00	103	0.00	102	0.00	49
-343	Max	0.02	97	0.01	103	-0.14	103	0.00	100	0.00	101	0.00	33
-343	Min.	-0.02	102	-0.01	100	-0.22	100	0.00	103	0.00	98	0.00	49
-342	Max	0.02	97	0.01	103	-0.14	103	0.00	100	0.00	97	0.00	33
-342	Min.	-0.02	102	-0.01	100	-0.23	100	0.00	103	0.00	102	0.00	49
-341	Max	0.02	97	0.01	103	-0.14	103	0.00	100	0.00	101	0.00	33
-341	Min.	-0.02	102	-0.01	100	-0.23	100	0.00	103	0.00	98	0.00	49

-340	Max	0.02	97	0.01	103	-0.14	103	0.00	100	0.00	97	0.00	33
-340	Min.	-0.02	102	-0.01	100	-0.23	100	0.00	103	0.00	102	0.00	49
-339	Max	0.02	97	0.01	103	-0.14	103	0.00	100	0.00	101	0.00	33
-339	Min.	-0.02	102	-0.01	100	-0.23	100	0.00	103	0.00	98	0.00	49
-338	Max	0.02	97	0.01	103	-0.14	103	0.00	100	0.00	97	0.00	33
-338	Min.	-0.02	102	-0.01	100	-0.23	100	0.00	103	0.00	102	0.00	49
-337	Max	0.02	97	0.01	103	-0.14	103	0.00	100	0.00	101	0.00	33
-337	Min.	-0.02	102	-0.01	100	-0.23	100	0.00	103	0.00	98	0.00	49
-336	Max	0.01	101	0.01	103	-0.13	104	0.00	100	0.00	97	0.00	33
-336	Min.	-0.01	98	-0.01	100	-0.23	99	0.00	103	0.00	102	0.00	49
-335	Max	0.01	97	0.01	103	-0.13	104	0.00	100	0.00	101	0.00	33
-335	Min.	-0.01	102	-0.01	100	-0.23	99	0.00	103	0.00	98	0.00	49
-334	Max	0.01	101	0.01	103	-0.14	104	0.00	100	0.00	97	0.00	33
-334	Min.	-0.01	98	-0.01	100	-0.22	99	0.00	103	0.00	102	0.00	49
-333	Max	0.01	97	0.01	103	-0.14	104	0.00	100	0.00	101	0.00	33
-333	Min.	-0.01	102	-0.01	100	-0.22	99	0.00	103	0.00	98	0.00	49
-332	Max	0.01	101	0.01	103	-0.14	104	0.00	100	0.00	97	0.00	33
-332	Min.	-0.01	98	-0.01	100	-0.22	99	0.00	103	0.00	102	0.00	49
-331	Max	0.01	97	0.01	103	-0.14	104	0.00	100	0.00	101	0.00	33
-331	Min.	-0.01	102	-0.01	100	-0.22	99	0.00	103	0.00	98	0.00	49
-330	Max	0.01	101	0.01	103	-0.14	104	0.00	104	0.00	97	0.00	33
-330	Min.	-0.01	98	-0.01	100	-0.22	99	0.00	99	0.00	102	0.00	49
-329	Max	0.01	97	0.01	103	-0.14	104	0.00	104	0.00	101	0.00	33
-329	Min.	-0.01	102	-0.01	100	-0.22	99	0.00	99	0.00	98	0.00	49
-328	Max	0.01	101	0.01	103	-0.14	104	0.00	104	0.00	97	0.00	33
-328	Min.	-0.01	98	-0.01	100	-0.22	99	0.00	99	0.00	102	0.00	49
-327	Max	0.01	97	0.01	103	-0.14	104	0.00	104	0.00	101	0.00	33
-327	Min.	-0.01	102	-0.01	100	-0.22	99	0.00	99	0.00	98	0.00	49
-326	Max	0.01	101	0.01	103	-0.14	104	0.00	104	0.00	97	0.00	33
-326	Min.	-0.01	98	-0.01	100	-0.22	99	0.00	99	0.00	102	0.00	49
-325	Max	0.01	97	0.01	103	-0.14	104	0.00	104	0.00	101	0.00	33
-325	Min.	-0.01	102	-0.01	100	-0.22	99	0.00	99	0.00	98	0.00	49
-324	Max	0.01	101	0.01	103	-0.14	104	0.00	104	0.00	97	0.00	33
-324	Min.	-0.01	98	-0.01	100	-0.22	99	0.00	99	0.00	102	0.00	49
-323	Max	0.01	97	0.01	103	-0.14	104	0.00	104	0.00	101	0.00	33
-323	Min.	-0.01	102	-0.01	100	-0.22	99	0.00	99	0.00	98	0.00	49
-322	Max	0.01	101	0.01	103	-0.15	104	0.00	104	0.00	97	0.00	33
-322	Min.	-0.01	98	-0.01	100	-0.21	99	0.00	99	0.00	102	0.00	49
-321	Max	0.01	97	0.01	103	-0.15	104	0.00	104	0.00	101	0.00	33
-321	Min.	-0.01	102	-0.01	100	-0.21	99	0.00	99	0.00	98	0.00	49
-320	Max	0.01	101	0.01	103	-0.15	101	0.00	100	0.00	97	0.00	33
-320	Min.	-0.01	98	-0.01	100	-0.21	98	0.00	103	0.00	102	0.00	49
-319	Max	0.01	97	0.01	103	-0.15	102	0.00	100	0.00	101	0.00	33
-319	Min.	-0.01	102	-0.01	100	-0.21	97	0.00	103	0.00	98	0.00	49
-318	Max	0.01	101	0.01	103	-0.15	101	0.00	100	0.00	97	0.00	33
-318	Min.	-0.01	98	-0.01	100	-0.21	98	0.00	103	0.00	102	0.00	49
-317	Max	0.01	97	0.01	103	-0.15	102	0.00	100	0.00	101	0.00	33
-317	Min.	-0.01	102	-0.01	100	-0.21	97	0.00	103	0.00	98	0.00	49
-316	Max	0.01	101	0.01	103	-0.15	101	0.00	100	0.00	97	0.00	33
-316	Min.	-0.01	98	-0.01	100	-0.21	98	0.00	103	0.00	102	0.00	49
-315	Max	0.01	97	0.01	103	-0.15	102	0.00	100	0.00	101	0.00	33
-315	Min.	-0.01	102	-0.01	100	-0.21	97	0.00	103	0.00	98	0.00	49
-314	Max	0.01	101	0.01	103	-0.15	103	0.00	100	0.00	97	0.00	33
-314	Min.	-0.01	98	-0.01	100	-0.22	100	0.00	103	0.00	102	0.00	49
-313	Max	0.01	97	0.01	103	-0.15	103	0.00	100	0.00	101	0.00	33
-313	Min.	-0.01	102	-0.01	100	-0.22	100	0.00	103	0.00	98	0.00	49
-312	Max	0.01	101	0.01	103	-0.14	103	0.00	100	0.00	97	0.00	33
-312	Min.	-0.01	98	-0.01	100	-0.22	100	0.00	103	0.00	102	0.00	49
-311	Max	0.01	97	0.01	103	-0.14	103	0.00	100	0.00	101	0.00	33
-311	Min.	-0.01	102	-0.01	100	-0.22	100	0.00	103	0.00	98	0.00	49
-310	Max	0.01	101	0.01	103	-0.14	103	0.00	100	0.00	97	0.00	33
-310	Min.	-0.01	98	-0.01	100	-0.22	100	0.00	103	0.00	102	0.00	49
-309	Max	0.01	97	0.01	103	-0.14	103	0.00	100	0.00	101	0.00	33
-309	Min.	-0.01	102	-0.01	100	-0.22	100	0.00	103	0.00	98	0.00	49
-308	Max	0.01	101	0.01	103	-0.14	103	0.00	100	0.00	97	0.00	33
-308	Min.	-0.01	98	-0.01	100	-0.22	100	0.00	103	0.00	102	0.00	49
-307	Max	0.01	97	0.01	103	-0.14	103	0.00	100	0.00	101	0.00	33
-307	Min.	-0.01	102	-0.01	100	-0.22	100	0.00	103	0.00	98	0.00	49
-306	Max	0.01	101	0.01	103	-0.14	103	0.00	100	0.00	97	0.00	33
-306	Min.	-0.01	98	-0.01	100	-0.22	100	0.00	103	0.00	102	0.00	49
-305	Max	0.01	97	0.01	103	-0.14	103	0.00	100	0.00	101	0.00	33
-305	Min.	-0.01	102	-0.01	100	-0.22	100	0.00	103	0.00	98	0.00	49
-304	Max	0.01	101	0.01	103	-0.14	103	0.00	100	0.00	97	0.00	33
-304	Min.	-0.01	98	-0.01	100	-0.23	100	0.00	103	0.00	102	0.00	49
-303	Max	0.01	97	0.01	103	-0.14	103	0.00	100	0.00	101	0.00	33
-303	Min.	-0.01	102	-0.01	100	-0.23	100	0.00	103	0.00	98	0.00	49
-302	Max	0.01	101	0.01	103	-0.14	103	0.00	100	0.00	97	0.00	33
-302	Min.	-0.01	98	-0.01	100	-0.23	100	0.00	103	0.00	102	0.00	49
-301	Max	0.01	97	0.01	103	-0.14	103	0.00	100	0.00	101	0.00	33

-301	Min.	-0.01	102	-0.01	100	-0.23	100	0.00	103	0.00	98	0.00	49
-300	Max	0.01	101	0.01	103	-0.14	103	0.00	100	0.00	97	0.00	33
-300	Min.	-0.01	98	-0.01	100	-0.23	100	0.00	103	0.00	102	0.00	49
-299	Max	0.01	97	0.01	103	-0.14	103	0.00	100	0.00	101	0.00	33
-299	Min.	-0.01	102	-0.01	100	-0.23	100	0.00	103	0.00	98	0.00	49
-298	Max	0.01	101	0.01	103	-0.13	104	0.00	100	0.00	97	0.00	33
-298	Min.	-0.01	98	-0.01	100	-0.23	99	0.00	103	0.00	102	0.00	49
-297	Max	0.01	97	0.01	103	-0.13	104	0.00	100	0.00	101	0.00	33
-297	Min.	-0.01	102	-0.01	100	-0.23	99	0.00	103	0.00	98	0.00	49
-296	Max	0.01	101	0.01	103	-0.14	104	0.00	100	0.00	97	0.00	33
-296	Min.	-0.01	98	-0.01	100	-0.22	99	0.00	103	0.00	102	0.00	49
-295	Max	0.01	97	0.01	103	-0.14	104	0.00	100	0.00	101	0.00	33
-295	Min.	-0.01	102	-0.01	100	-0.22	99	0.00	103	0.00	98	0.00	49
-294	Max	0.01	101	0.01	103	-0.14	104	0.00	100	0.00	97	0.00	33
-294	Min.	-0.01	98	-0.01	100	-0.22	99	0.00	103	0.00	102	0.00	49
-293	Max	0.01	97	0.01	103	-0.14	104	0.00	100	0.00	101	0.00	33
-293	Min.	-0.01	102	-0.01	100	-0.22	99	0.00	103	0.00	98	0.00	49
-292	Max	0.01	101	0.01	103	-0.14	104	0.00	100	0.00	97	0.00	33
-292	Min.	-0.01	98	-0.01	100	-0.22	99	0.00	103	0.00	102	0.00	49
-291	Max	0.01	97	0.01	103	-0.14	104	0.00	100	0.00	101	0.00	33
-291	Min.	-0.01	102	-0.01	100	-0.22	99	0.00	103	0.00	98	0.00	49
-290	Max	0.01	101	0.01	103	-0.14	104	0.00	104	0.00	97	0.00	33
-290	Min.	-0.01	98	-0.01	100	-0.22	99	0.00	99	0.00	102	0.00	49
-289	Max	0.01	97	0.01	103	-0.14	104	0.00	104	0.00	101	0.00	33
-289	Min.	-0.01	102	-0.01	100	-0.22	99	0.00	99	0.00	98	0.00	49
-288	Max	0.01	101	0.01	103	-0.14	104	0.00	100	0.00	97	0.00	33
-288	Min.	-0.01	98	-0.01	100	-0.22	99	0.00	103	0.00	102	0.00	49
-287	Max	0.01	97	0.01	103	-0.14	104	0.00	100	0.00	101	0.00	33
-287	Min.	-0.01	102	-0.01	100	-0.22	99	0.00	103	0.00	98	0.00	49
-286	Max	0.01	101	0.01	103	-0.14	104	0.00	100	0.00	97	0.00	33
-286	Min.	-0.01	98	-0.01	100	-0.22	99	0.00	103	0.00	102	0.00	49
-285	Max	0.01	97	0.01	103	-0.14	104	0.00	100	0.00	101	0.00	33
-285	Min.	-0.01	102	-0.01	100	-0.22	99	0.00	103	0.00	98	0.00	49
-284	Max	0.01	101	0.01	103	-0.15	104	0.00	104	0.00	97	0.00	33
-284	Min.	-0.01	98	-0.01	100	-0.21	99	0.00	99	0.00	102	0.00	49
-283	Max	0.01	97	0.01	103	-0.15	104	0.00	104	0.00	101	0.00	33
-283	Min.	-0.01	102	-0.01	100	-0.21	99	0.00	99	0.00	98	0.00	49
-282	Max	0.01	101	0.01	103	-0.15	101	0.00	100	0.00	97	0.00	33
-282	Min.	-0.01	98	-0.01	100	-0.21	98	0.00	103	0.00	102	0.00	49
-281	Max	0.01	97	0.01	103	-0.15	102	0.00	100	0.00	101	0.00	33
-281	Min.	-0.01	102	-0.01	100	-0.21	97	0.00	103	0.00	98	0.00	49
-280	Max	0.01	101	0.01	103	-0.15	101	0.00	100	0.00	97	0.00	33
-280	Min.	-0.01	98	-0.01	100	-0.21	98	0.00	103	0.00	102	0.00	49
-279	Max	0.01	97	0.01	103	-0.15	102	0.00	100	0.00	101	0.00	33
-279	Min.	-0.01	102	-0.01	100	-0.21	97	0.00	103	0.00	98	0.00	49
-278	Max	0.01	101	0.01	103	-0.15	101	0.00	100	0.00	97	0.00	33
-278	Min.	-0.01	98	-0.01	100	-0.21	98	0.00	103	0.00	102	0.00	49
-277	Max	0.01	97	0.01	103	-0.15	102	0.00	100	0.00	101	0.00	33
-277	Min.	-0.01	102	-0.01	100	-0.21	97	0.00	103	0.00	98	0.00	49
-276	Max	0.01	101	0.01	103	-0.15	103	0.00	100	0.00	97	0.00	33
-276	Min.	-0.01	98	-0.01	100	-0.22	100	0.00	103	0.00	102	0.00	49
-275	Max	0.01	97	0.01	103	-0.15	103	0.00	100	0.00	101	0.00	33
-275	Min.	-0.01	102	-0.01	100	-0.22	100	0.00	103	0.00	98	0.00	49
-274	Max	0.01	101	0.01	103	-0.14	103	0.00	100	0.00	97	0.00	33
-274	Min.	-0.01	98	-0.01	100	-0.22	100	0.00	103	0.00	102	0.00	49
-273	Max	0.01	97	0.01	103	-0.14	103	0.00	100	0.00	101	0.00	33
-273	Min.	-0.01	102	-0.01	100	-0.22	100	0.00	103	0.00	98	0.00	49
-272	Max	0.01	101	0.01	103	-0.14	103	0.00	100	0.00	97	0.00	33
-272	Min.	-0.01	98	-0.01	100	-0.22	100	0.00	103	0.00	102	0.00	49
-271	Max	0.01	97	0.01	103	-0.14	103	0.00	100	0.00	101	0.00	33
-271	Min.	-0.01	102	-0.01	100	-0.22	100	0.00	103	0.00	98	0.00	49
-270	Max	0.01	101	0.01	103	-0.14	103	0.00	100	0.00	97	0.00	33
-270	Min.	-0.01	98	-0.01	100	-0.22	100	0.00	103	0.00	102	0.00	49
-269	Max	0.01	97	0.01	103	-0.14	103	0.00	100	0.00	101	0.00	33
-269	Min.	-0.01	102	-0.01	100	-0.22	100	0.00	103	0.00	98	0.00	49
-268	Max	0.01	101	0.01	103	-0.14	103	0.00	100	0.00	97	0.00	33
-268	Min.	-0.01	98	-0.01	100	-0.22	100	0.00	103	0.00	102	0.00	49
-267	Max	0.01	97	0.01	103	-0.14	103	0.00	100	0.00	101	0.00	33
-267	Min.	-0.01	102	-0.01	100	-0.22	100	0.00	103	0.00	98	0.00	49
-266	Max	0.01	101	0.01	103	-0.14	103	0.00	100	0.00	97	0.00	33
-266	Min.	-0.01	98	-0.01	100	-0.23	100	0.00	103	0.00	102	0.00	49
-265	Max	0.01	97	0.01	103	-0.14	103	0.00	100	0.00	101	0.00	33
-265	Min.	-0.01	102	-0.01	100	-0.23	100	0.00	103	0.00	98	0.00	49
-264	Max	0.01	101	0.01	103	-0.14	103	0.00	100	0.00	97	0.00	33
-264	Min.	-0.01	98	-0.01	100	-0.23	100	0.00	103	0.00	102	0.00	49
-263	Max	0.01	97	0.01	103	-0.14	103	0.00	100	0.00	101	0.00	33
-263	Min.	-0.01	102	-0.01	100	-0.23	100	0.00	103	0.00	98	0.00	49
-262	Max	0.01	101	0.01	103	-0.14	103	0.00	100	0.00	97	0.00	33
-262	Min.	-0.01	98	-0.01	100	-0.23	100	0.00	103	0.00	102	0.00	49

-261	Max	0.01	97	0.01	103	-0.14	103	0.00	100	0.00	101	0.00	33
-261	Min.	-0.01	102	-0.01	100	-0.23	100	0.00	103	0.00	98	0.00	49
-260	Max	0.00	101	0.00	103	-0.13	104	0.00	100	0.00	101	0.00	33
-260	Min.	-0.01	98	-0.00	100	-0.23	99	0.00	103	0.00	98	0.00	49
-259	Max	0.01	97	0.00	103	-0.13	104	0.00	100	0.00	97	0.00	33
-259	Min.	-0.00	102	-0.00	100	-0.23	99	0.00	103	0.00	102	0.00	49
-258	Max	0.00	101	0.00	103	-0.14	104	0.00	100	0.00	101	0.00	33
-258	Min.	-0.01	98	-0.00	100	-0.22	99	0.00	103	0.00	98	0.00	49
-257	Max	0.01	97	0.00	103	-0.14	104	0.00	100	0.00	97	0.00	33
-257	Min.	-0.00	102	-0.00	100	-0.22	99	0.00	103	0.00	102	0.00	49
-256	Max	0.00	101	0.00	103	-0.14	104	0.00	100	0.00	101	0.00	33
-256	Min.	-0.01	98	-0.00	100	-0.22	99	0.00	103	0.00	98	0.00	49
-255	Max	0.01	97	0.00	103	-0.14	104	0.00	100	0.00	97	0.00	33
-255	Min.	-0.00	102	-0.00	100	-0.22	99	0.00	103	0.00	102	0.00	49
-254	Max	0.00	101	0.00	103	-0.14	104	0.00	104	0.00	101	0.00	33
-254	Min.	-0.01	98	-0.00	100	-0.22	99	0.00	99	0.00	98	0.00	49
-253	Max	0.01	97	0.00	103	-0.14	104	0.00	104	0.00	97	0.00	33
-253	Min.	-0.00	102	-0.00	100	-0.22	99	0.00	99	0.00	102	0.00	49
-252	Max	0.00	101	0.00	103	-0.14	104	0.00	104	0.00	101	0.00	33
-252	Min.	-0.01	98	-0.00	100	-0.22	99	0.00	99	0.00	98	0.00	49
-251	Max	0.01	97	0.00	103	-0.14	104	0.00	104	0.00	97	0.00	33
-251	Min.	-0.00	102	-0.00	100	-0.22	99	0.00	99	0.00	102	0.00	49
-250	Max	0.00	101	0.00	103	-0.14	104	0.00	104	0.00	101	0.00	33
-250	Min.	-0.01	98	-0.00	100	-0.22	99	0.00	99	0.00	98	0.00	49
-249	Max	0.01	97	0.00	103	-0.14	104	0.00	104	0.00	97	0.00	33
-249	Min.	-0.00	102	-0.00	100	-0.22	99	0.00	99	0.00	102	0.00	49
-248	Max	0.00	101	0.00	103	-0.14	104	0.00	104	0.00	101	0.00	33
-248	Min.	-0.01	98	-0.00	100	-0.22	99	0.00	99	0.00	98	0.00	49
-247	Max	0.01	97	0.00	103	-0.14	104	0.00	104	0.00	97	0.00	33
-247	Min.	-0.00	102	-0.00	100	-0.22	99	0.00	99	0.00	102	0.00	49
-246	Max	0.00	101	0.00	103	-0.15	104	0.00	104	0.00	101	0.00	33
-246	Min.	-0.01	98	-0.00	100	-0.21	99	0.00	99	0.00	98	0.00	49
-245	Max	0.01	97	0.00	103	-0.15	104	0.00	104	0.00	97	0.00	33
-245	Min.	-0.00	102	-0.00	100	-0.21	99	0.00	99	0.00	102	0.00	49
-244	Max	0.00	101	0.00	103	-0.15	101	0.00	100	0.00	101	0.00	33
-244	Min.	-0.01	98	-0.00	100	-0.21	98	0.00	103	0.00	98	0.00	49
-243	Max	0.01	97	0.00	103	-0.15	102	0.00	100	0.00	97	0.00	33
-243	Min.	-0.00	102	-0.00	100	-0.21	97	0.00	103	0.00	102	0.00	49
-242	Max	0.00	101	0.00	103	-0.15	101	0.00	100	0.00	101	0.00	33
-242	Min.	-0.01	98	-0.00	100	-0.21	98	0.00	103	0.00	98	0.00	49
-241	Max	0.01	97	0.00	103	-0.15	102	0.00	100	0.00	97	0.00	33
-241	Min.	-0.00	102	-0.00	100	-0.21	97	0.00	103	0.00	102	0.00	49
-240	Max	0.00	101	0.00	103	-0.15	101	0.00	100	0.00	101	0.00	33
-240	Min.	-0.01	98	-0.00	100	-0.21	98	0.00	103	0.00	98	0.00	49
-239	Max	0.01	97	0.00	103	-0.15	102	0.00	100	0.00	97	0.00	33
-239	Min.	-0.00	102	-0.00	100	-0.21	97	0.00	103	0.00	102	0.00	49
-238	Max	0.00	101	0.00	103	-0.15	103	0.00	100	0.00	101	0.00	33
-238	Min.	-0.01	98	-0.00	100	-0.22	100	0.00	103	0.00	98	0.00	49
-237	Max	0.01	97	0.00	103	-0.15	103	0.00	100	0.00	97	0.00	33
-237	Min.	-0.00	102	-0.00	100	-0.22	100	0.00	103	0.00	102	0.00	49
-236	Max	0.00	101	0.00	103	-0.14	103	0.00	100	0.00	101	0.00	33
-236	Min.	-0.01	98	-0.00	100	-0.22	100	0.00	103	0.00	98	0.00	49
-235	Max	0.01	97	0.00	103	-0.14	103	0.00	100	0.00	97	0.00	33
-235	Min.	-0.00	102	-0.00	100	-0.22	100	0.00	103	0.00	102	0.00	49
-234	Max	0.00	101	0.00	103	-0.14	103	0.00	100	0.00	101	0.00	33
-234	Min.	-0.01	98	-0.00	100	-0.22	100	0.00	103	0.00	98	0.00	49
-233	Max	0.01	97	0.00	103	-0.14	103	0.00	100	0.00	97	0.00	33
-233	Min.	-0.00	102	-0.00	100	-0.22	100	0.00	103	0.00	102	0.00	49
-232	Max	0.00	101	0.00	103	-0.14	103	0.00	100	0.00	101	0.00	33
-232	Min.	-0.01	98	-0.00	100	-0.22	100	0.00	103	0.00	98	0.00	49
-231	Max	0.01	97	0.00	103	-0.14	103	0.00	100	0.00	97	0.00	33
-231	Min.	-0.00	102	-0.00	100	-0.22	100	0.00	103	0.00	102	0.00	49
-230	Max	0.00	101	0.00	103	-0.14	103	0.00	100	0.00	101	0.00	33
-230	Min.	-0.01	98	-0.00	100	-0.22	100	0.00	103	0.00	98	0.00	49
-229	Max	0.01	97	0.00	103	-0.14	103	0.00	100	0.00	97	0.00	33
-229	Min.	-0.00	102	-0.00	100	-0.22	100	0.00	103	0.00	102	0.00	49
-228	Max	0.00	101	0.00	103	-0.14	103	0.00	100	0.00	101	0.00	33
-228	Min.	-0.01	98	-0.00	100	-0.23	100	0.00	103	0.00	98	0.00	49
-227	Max	0.01	97	0.00	103	-0.14	103	0.00	100	0.00	97	0.00	33
-227	Min.	-0.00	102	-0.00	100	-0.23	100	0.00	103	0.00	102	0.00	49
-226	Max	0.00	101	0.00	103	-0.14	103	0.00	100	0.00	101	0.00	33
-226	Min.	-0.01	98	-0.00	100	-0.23	100	0.00	103	0.00	98	0.00	49
-225	Max	0.01	97	0.00	103	-0.14	103	0.00	100	0.00	97	0.00	33
-225	Min.	-0.00	102	-0.00	100	-0.23	100	0.00	103	0.00	102	0.00	49
-224	Max	0.00	101	0.00	103	-0.14	103	0.00	100	0.00	101	0.00	33
-224	Min.	-0.01	98	-0.00	100	-0.23	100	0.00	103	0.00	98	0.00	49
-223	Max	0.01	97	0.00	103	-0.14	103	0.00	100	0.00	97	0.00	33
-223	Min.	-0.00	102	-0.00	100	-0.23	100	0.00	103	0.00	102	0.00	49
-222	Max	0.00	1	0.00	1	-0.13	104	0.00	104	0.00	101	0.00	1

-222	Min.	0.00	1	0.00	1	-0.22	99	0.00	99	0.00	98	0.00	1
-221	Max	0.00	1	0.00	1	-0.13	104	0.00	104	0.00	101	0.00	1
-221	Min.	0.00	1	0.00	1	-0.22	99	0.00	99	0.00	98	0.00	1
-220	Max	0.00	1	0.00	1	-0.13	104	0.00	104	0.00	101	0.00	1
-220	Min.	0.00	1	0.00	1	-0.22	99	0.00	99	0.00	98	0.00	1
-219	Max	0.00	1	0.00	1	-0.13	104	0.00	104	0.00	101	0.00	1
-219	Min.	0.00	1	0.00	1	-0.23	99	0.00	99	0.00	98	0.00	1
-218	Max	0.00	1	0.00	1	-0.13	104	0.00	104	0.00	101	0.00	1
-218	Min.	0.00	1	0.00	1	-0.23	99	0.00	99	0.00	98	0.00	1
-217	Max	0.00	1	0.00	1	-0.14	104	0.00	104	0.00	101	0.00	1
-217	Min.	0.00	1	0.00	1	-0.23	99	0.00	99	0.00	98	0.00	1
-216	Max	0.00	1	0.00	1	-0.14	104	0.00	104	0.00	97	0.00	1
-216	Min.	0.00	1	0.00	1	-0.23	99	0.00	99	0.00	102	0.00	1
-215	Max	0.00	1	0.00	1	-0.13	104	0.00	104	0.00	97	0.00	1
-215	Min.	0.00	1	0.00	1	-0.23	99	0.00	99	0.00	102	0.00	1
-214	Max	0.00	1	0.00	1	-0.13	104	0.00	104	0.00	97	0.00	1
-214	Min.	0.00	1	0.00	1	-0.23	99	0.00	99	0.00	102	0.00	1
-213	Max	0.00	1	0.00	1	-0.13	104	0.00	104	0.00	97	0.00	1
-213	Min.	0.00	1	0.00	1	-0.22	99	0.00	99	0.00	102	0.00	1
-212	Max	0.00	1	0.00	1	-0.13	104	0.00	104	0.00	97	0.00	1
-212	Min.	0.00	1	0.00	1	-0.22	99	0.00	99	0.00	102	0.00	1
-211	Max	0.00	1	0.00	1	-0.13	104	0.00	104	0.00	97	0.00	1
-211	Min.	0.00	1	0.00	1	-0.22	99	0.00	99	0.00	102	0.00	1
-210	Max	0.00	1	0.00	1	-0.13	104	0.00	104	0.00	101	0.00	1
-210	Min.	0.00	1	0.00	1	-0.22	99	0.00	99	0.00	98	0.00	1
-209	Max	0.00	1	0.00	1	-0.13	104	0.00	104	0.00	101	0.00	1
-209	Min.	0.00	1	0.00	1	-0.22	99	0.00	99	0.00	98	0.00	1
-208	Max	0.00	1	0.00	1	-0.14	104	0.00	104	0.00	101	0.00	1
-208	Min.	0.00	1	0.00	1	-0.22	99	0.00	99	0.00	98	0.00	1
-207	Max	0.00	1	0.00	1	-0.14	104	0.00	104	0.00	101	0.00	1
-207	Min.	0.00	1	0.00	1	-0.22	99	0.00	99	0.00	98	0.00	1
-206	Max	0.00	1	0.00	1	-0.14	104	0.00	104	0.00	101	0.00	1
-206	Min.	0.00	1	0.00	1	-0.22	99	0.00	99	0.00	98	0.00	1
-205	Max	0.00	1	0.00	1	-0.14	104	0.00	104	0.00	101	0.00	1
-205	Min.	0.00	1	0.00	1	-0.23	99	0.00	99	0.00	98	0.00	1
-204	Max	0.00	1	0.00	1	-0.14	104	0.00	104	0.00	97	0.00	1
-204	Min.	0.00	1	0.00	1	-0.23	99	0.00	99	0.00	102	0.00	1
-203	Max	0.00	1	0.00	1	-0.14	104	0.00	104	0.00	97	0.00	1
-203	Min.	0.00	1	0.00	1	-0.22	99	0.00	99	0.00	102	0.00	1
-202	Max	0.00	1	0.00	1	-0.14	104	0.00	104	0.00	97	0.00	1
-202	Min.	0.00	1	0.00	1	-0.22	99	0.00	99	0.00	102	0.00	1
-201	Max	0.00	1	0.00	1	-0.14	104	0.00	104	0.00	97	0.00	1
-201	Min.	0.00	1	0.00	1	-0.22	99	0.00	99	0.00	102	0.00	1
-200	Max	0.00	1	0.00	1	-0.13	104	0.00	104	0.00	97	0.00	1
-200	Min.	0.00	1	0.00	1	-0.22	99	0.00	99	0.00	102	0.00	1
-199	Max	0.00	1	0.00	1	-0.13	104	0.00	104	0.00	97	0.00	1
-199	Min.	0.00	1	0.00	1	-0.22	99	0.00	99	0.00	102	0.00	1
-198	Max	0.00	1	0.00	1	-0.13	102	0.00	104	0.00	101	0.00	1
-198	Min.	0.00	1	0.00	1	-0.22	97	0.00	99	0.00	98	0.00	1
-197	Max	0.00	1	0.00	1	-0.13	104	0.00	104	0.00	101	0.00	1
-197	Min.	0.00	1	0.00	1	-0.22	99	0.00	99	0.00	98	0.00	1
-196	Max	0.00	1	0.00	1	-0.14	104	0.00	104	0.00	101	0.00	1
-196	Min.	0.00	1	0.00	1	-0.22	99	0.00	99	0.00	98	0.00	1
-195	Max	0.00	1	0.00	1	-0.14	104	0.00	104	0.00	101	0.00	1
-195	Min.	0.00	1	0.00	1	-0.22	99	0.00	99	0.00	98	0.00	1
-194	Max	0.00	1	0.00	1	-0.14	104	0.00	104	0.00	101	0.00	1
-194	Min.	0.00	1	0.00	1	-0.22	99	0.00	99	0.00	98	0.00	1
-193	Max	0.00	1	0.00	1	-0.14	104	0.00	104	0.00	101	0.00	1
-193	Min.	0.00	1	0.00	1	-0.22	99	0.00	99	0.00	98	0.00	1
-192	Max	0.00	1	0.00	1	-0.14	104	0.00	104	0.00	97	0.00	1
-192	Min.	0.00	1	0.00	1	-0.22	99	0.00	99	0.00	102	0.00	1
-191	Max	0.00	1	0.00	1	-0.14	104	0.00	104	0.00	97	0.00	1
-191	Min.	0.00	1	0.00	1	-0.22	99	0.00	99	0.00	102	0.00	1
-190	Max	0.00	1	0.00	1	-0.14	104	0.00	104	0.00	97	0.00	1
-190	Min.	0.00	1	0.00	1	-0.22	99	0.00	99	0.00	102	0.00	1
-189	Max	0.00	1	0.00	1	-0.14	104	0.00	104	0.00	97	0.00	1
-189	Min.	0.00	1	0.00	1	-0.22	99	0.00	99	0.00	102	0.00	1
-188	Max	0.00	1	0.00	1	-0.13	104	0.00	104	0.00	97	0.00	1
-188	Min.	0.00	1	0.00	1	-0.22	99	0.00	99	0.00	102	0.00	1
-187	Max	0.00	1	0.00	1	-0.13	101	0.00	104	0.00	97	0.00	1
-187	Min.	0.00	1	0.00	1	-0.22	98	0.00	99	0.00	102	0.00	1
-186	Max	0.00	1	0.00	1	-0.13	102	0.00	104	0.00	101	0.00	1
-186	Min.	0.00	1	0.00	1	-0.22	97	0.00	99	0.00	98	0.00	1
-185	Max	0.00	1	0.00	1	-0.14	104	0.00	104	0.00	101	0.00	1
-185	Min.	0.00	1	0.00	1	-0.22	99	0.00	99	0.00	98	0.00	1
-184	Max	0.00	1	0.00	1	-0.14	104	0.00	104	0.00	101	0.00	1
-184	Min.	0.00	1	0.00	1	-0.22	99	0.00	99	0.00	98	0.00	1
-182	Max	0.00	1	0.00	1	-0.14	104	0.00	104	0.00	101	0.00	1
-182	Min.	0.00	1	0.00	1	-0.22	99	0.00	99	0.00	98	0.00	1

-181	Max	0.00	1	0.00	1	-0.14	104	0.00	104	0.00	101	0.00	1
-181	Min.	0.00	1	0.00	1	-0.22	99	0.00	99	0.00	98	0.00	1
-180	Max	0.00	1	0.00	1	-0.14	104	0.00	104	0.00	97	0.00	1
-180	Min.	0.00	1	0.00	1	-0.22	99	0.00	99	0.00	102	0.00	1
-179	Max	0.00	1	0.00	1	-0.14	104	0.00	104	0.00	97	0.00	1
-179	Min.	0.00	1	0.00	1	-0.22	99	0.00	99	0.00	102	0.00	1
-177	Max	0.00	1	0.00	1	-0.14	104	0.00	104	0.00	97	0.00	1
-177	Min.	0.00	1	0.00	1	-0.22	99	0.00	99	0.00	102	0.00	1
-176	Max	0.00	1	0.00	1	-0.14	104	0.00	104	0.00	97	0.00	1
-176	Min.	0.00	1	0.00	1	-0.22	99	0.00	99	0.00	102	0.00	1
-175	Max	0.00	1	0.00	1	-0.13	101	0.00	104	0.00	97	0.00	1
-175	Min.	0.00	1	0.00	1	-0.22	98	0.00	99	0.00	102	0.00	1
-174	Max	0.00	1	0.00	1	-0.13	102	0.00	104	0.00	101	0.00	1
-174	Min.	0.00	1	0.00	1	-0.22	97	0.00	99	0.00	98	0.00	1
-173	Max	0.00	1	0.00	1	-0.14	104	0.00	104	0.00	101	0.00	1
-173	Min.	0.00	1	0.00	1	-0.22	99	0.00	99	0.00	98	0.00	1
-172	Max	0.00	1	0.00	1	-0.14	104	0.00	104	0.00	101	0.00	1
-172	Min.	0.00	1	0.00	1	-0.22	99	0.00	99	0.00	98	0.00	1
-171	Max	0.00	1	0.00	1	-0.14	104	0.00	104	0.00	101	0.00	1
-171	Min.	0.00	1	0.00	1	-0.22	99	0.00	99	0.00	98	0.00	1
-170	Max	0.00	1	0.00	1	-0.14	104	0.00	104	0.00	101	0.00	1
-170	Min.	0.00	1	0.00	1	-0.22	99	0.00	99	0.00	98	0.00	1
-169	Max	0.00	1	0.00	1	-0.14	104	0.00	104	0.00	101	0.00	1
-169	Min.	0.00	1	0.00	1	-0.22	99	0.00	99	0.00	98	0.00	1
-168	Max	0.00	1	0.00	1	-0.14	104	0.00	104	0.00	97	0.00	1
-168	Min.	0.00	1	0.00	1	-0.22	99	0.00	99	0.00	102	0.00	1
-167	Max	0.00	1	0.00	1	-0.14	104	0.00	104	0.00	97	0.00	1
-167	Min.	0.00	1	0.00	1	-0.22	99	0.00	99	0.00	102	0.00	1
-166	Max	0.00	1	0.00	1	-0.14	104	0.00	104	0.00	97	0.00	1
-166	Min.	0.00	1	0.00	1	-0.22	99	0.00	99	0.00	102	0.00	1
-165	Max	0.00	1	0.00	1	-0.14	104	0.00	104	0.00	97	0.00	1
-165	Min.	0.00	1	0.00	1	-0.22	99	0.00	99	0.00	102	0.00	1
-164	Max	0.00	1	0.00	1	-0.14	104	0.00	104	0.00	97	0.00	1
-164	Min.	0.00	1	0.00	1	-0.22	99	0.00	99	0.00	102	0.00	1
-163	Max	0.00	1	0.00	1	-0.13	101	0.00	104	0.00	97	0.00	1
-163	Min.	0.00	1	0.00	1	-0.22	98	0.00	99	0.00	102	0.00	1
-162	Max	0.00	1	0.00	1	-0.13	102	0.00	104	0.00	101	0.00	1
-162	Min.	0.00	1	0.00	1	-0.22	97	0.00	99	0.00	98	0.00	1
-161	Max	0.00	1	0.00	1	-0.14	104	0.00	104	0.00	101	0.00	1
-161	Min.	0.00	1	0.00	1	-0.21	99	0.00	99	0.00	98	0.00	1
-160	Max	0.00	1	0.00	1	-0.14	104	0.00	104	0.00	101	0.00	1
-160	Min.	0.00	1	0.00	1	-0.22	99	0.00	99	0.00	98	0.00	1
-159	Max	0.00	1	0.00	1	-0.14	104	0.00	104	0.00	101	0.00	1
-159	Min.	0.00	1	0.00	1	-0.22	99	0.00	99	0.00	98	0.00	1
-158	Max	0.00	1	0.00	1	-0.14	104	0.00	104	0.00	101	0.00	1
-158	Min.	0.00	1	0.00	1	-0.22	99	0.00	99	0.00	98	0.00	1
-157	Max	0.00	1	0.00	1	-0.14	101	0.00	104	0.00	101	0.00	1
-157	Min.	0.00	1	0.00	1	-0.22	98	0.00	99	0.00	98	0.00	1
-156	Max	0.00	1	0.00	1	-0.14	102	0.00	104	0.00	97	0.00	1
-156	Min.	0.00	1	0.00	1	-0.22	97	0.00	99	0.00	102	0.00	1
-155	Max	0.00	1	0.00	1	-0.14	104	0.00	104	0.00	97	0.00	1
-155	Min.	0.00	1	0.00	1	-0.22	99	0.00	99	0.00	102	0.00	1
-154	Max	0.00	1	0.00	1	-0.14	104	0.00	104	0.00	97	0.00	1
-154	Min.	0.00	1	0.00	1	-0.22	99	0.00	99	0.00	102	0.00	1
-153	Max	0.00	1	0.00	1	-0.14	104	0.00	104	0.00	97	0.00	1
-153	Min.	0.00	1	0.00	1	-0.22	99	0.00	99	0.00	102	0.00	1
-152	Max	0.00	1	0.00	1	-0.14	104	0.00	104	0.00	97	0.00	1
-152	Min.	0.00	1	0.00	1	-0.21	99	0.00	99	0.00	102	0.00	1
-151	Max	0.00	1	0.00	1	-0.13	101	0.00	104	0.00	97	0.00	1
-151	Min.	0.00	1	0.00	1	-0.22	98	0.00	99	0.00	102	0.00	1
-150	Max	0.00	1	0.00	1	-0.13	102	0.00	104	0.00	101	0.00	1
-150	Min.	0.00	1	0.00	1	-0.22	97	0.00	99	0.00	98	0.00	1
-149	Max	0.00	1	0.00	1	-0.14	102	0.00	104	0.00	101	0.00	1
-149	Min.	0.00	1	0.00	1	-0.21	97	0.00	99	0.00	98	0.00	1
-148	Max	0.00	1	0.00	1	-0.14	104	0.00	104	0.00	101	0.00	1
-148	Min.	0.00	1	0.00	1	-0.21	99	0.00	99	0.00	98	0.00	1
-147	Max	0.00	1	0.00	1	-0.14	104	0.00	104	0.00	101	0.00	1
-147	Min.	0.00	1	0.00	1	-0.22	99	0.00	99	0.00	98	0.00	1
-146	Max	0.00	1	0.00	1	-0.14	104	0.00	104	0.00	101	0.00	1
-146	Min.	0.00	1	0.00	1	-0.22	99	0.00	99	0.00	98	0.00	1
-145	Max	0.00	1	0.00	1	-0.14	101	0.00	104	0.00	101	0.00	1
-145	Min.	0.00	1	0.00	1	-0.22	98	0.00	99	0.00	98	0.00	1
-144	Max	0.00	1	0.00	1	-0.14	102	0.00	104	0.00	97	0.00	1
-144	Min.	0.00	1	0.00	1	-0.22	97	0.00	99	0.00	102	0.00	1
-143	Max	0.00	1	0.00	1	-0.14	104	0.00	104	0.00	97	0.00	1
-143	Min.	0.00	1	0.00	1	-0.22	99	0.00	99	0.00	102	0.00	1
-142	Max	0.00	1	0.00	1	-0.14	104	0.00	104	0.00	97	0.00	1
-142	Min.	0.00	1	0.00	1	-0.22	99	0.00	99	0.00	102	0.00	1
-141	Max	0.00	1	0.00	1	-0.14	104	0.00	104	0.00	97	0.00	1

-141	Min.	0.00	1	0.00	1	-0.21	99	0.00	99	0.00	102	0.00	1
-140	Max	0.00	1	0.00	1	-0.14	101	0.00	104	0.00	97	0.00	1
-140	Min.	0.00	1	0.00	1	-0.21	98	0.00	99	0.00	102	0.00	1
-139	Max	0.00	1	0.00	1	-0.13	101	0.00	104	0.00	97	0.00	1
-139	Min.	0.00	1	0.00	1	-0.22	98	0.00	99	0.00	102	0.00	1
-138	Max	0.00	1	0.00	1	-0.13	102	0.00	104	0.00	101	0.00	1
-138	Min.	0.00	1	0.00	1	-0.22	97	0.00	99	0.00	98	0.00	1
-136	Max	0.00	1	0.00	1	-0.14	104	0.00	104	0.00	101	0.00	1
-136	Min.	0.00	1	0.00	1	-0.21	99	0.00	99	0.00	98	0.00	1
-134	Max	0.00	1	0.00	1	-0.14	101	0.00	104	0.00	101	0.00	1
-134	Min.	0.00	1	0.00	1	-0.22	98	0.00	99	0.00	98	0.00	1
-133	Max	0.00	1	0.00	1	-0.14	102	0.00	104	0.00	97	0.00	1
-133	Min.	0.00	1	0.00	1	-0.22	97	0.00	99	0.00	102	0.00	1
-131	Max	0.00	1	0.00	1	-0.14	104	0.00	104	0.00	97	0.00	1
-131	Min.	0.00	1	0.00	1	-0.21	99	0.00	99	0.00	102	0.00	1
-129	Max	0.00	1	0.00	1	-0.13	101	0.00	104	0.00	97	0.00	1
-129	Min.	0.00	1	0.00	1	-0.22	98	0.00	99	0.00	102	0.00	1
-128	Max	0.00	1	0.00	1	-0.13	102	0.00	100	0.00	101	0.00	1
-128	Min.	0.00	1	0.00	1	-0.22	97	0.00	103	0.00	98	0.00	1
-127	Max	0.00	1	0.00	1	-0.14	102	0.00	100	0.00	101	0.00	1
-127	Min.	0.00	1	0.00	1	-0.21	97	0.00	103	0.00	98	0.00	1
-126	Max	0.00	1	0.00	1	-0.15	104	0.00	100	0.00	101	0.00	1
-126	Min.	0.00	1	0.00	1	-0.21	99	0.00	103	0.00	98	0.00	1
-125	Max	0.00	1	0.00	1	-0.15	104	0.00	100	0.00	101	0.00	1
-125	Min.	0.00	1	0.00	1	-0.21	99	0.00	103	0.00	98	0.00	1
-124	Max	0.00	1	0.00	1	-0.15	101	0.00	100	0.00	101	0.00	1
-124	Min.	0.00	1	0.00	1	-0.21	98	0.00	103	0.00	98	0.00	1
-123	Max	0.00	1	0.00	1	-0.14	101	0.00	100	0.00	101	0.00	1
-123	Min.	0.00	1	0.00	1	-0.22	98	0.00	103	0.00	98	0.00	1
-122	Max	0.00	1	0.00	1	-0.14	102	0.00	100	0.00	97	0.00	1
-122	Min.	0.00	1	0.00	1	-0.22	97	0.00	103	0.00	102	0.00	1
-121	Max	0.00	1	0.00	1	-0.15	102	0.00	100	0.00	97	0.00	1
-121	Min.	0.00	1	0.00	1	-0.21	97	0.00	103	0.00	102	0.00	1
-120	Max	0.00	1	0.00	1	-0.15	104	0.00	100	0.00	97	0.00	1
-120	Min.	0.00	1	0.00	1	-0.21	99	0.00	103	0.00	102	0.00	1
-119	Max	0.00	1	0.00	1	-0.15	104	0.00	100	0.00	97	0.00	1
-119	Min.	0.00	1	0.00	1	-0.21	99	0.00	103	0.00	102	0.00	1
-118	Max	0.00	1	0.00	1	-0.14	101	0.00	100	0.00	97	0.00	1
-118	Min.	0.00	1	0.00	1	-0.21	98	0.00	103	0.00	102	0.00	1
-117	Max	0.00	1	0.00	1	-0.13	101	0.00	100	0.00	97	0.00	1
-117	Min.	0.00	1	0.00	1	-0.22	98	0.00	103	0.00	102	0.00	1
-116	Max	0.00	1	0.00	1	-0.13	102	0.00	100	0.00	101	0.00	1
-116	Min.	0.00	1	0.00	1	-0.22	97	0.00	103	0.00	98	0.00	1
-114	Max	0.00	1	0.00	1	-0.15	102	0.00	100	0.00	101	0.00	1
-114	Min.	0.00	1	0.00	1	-0.21	97	0.00	103	0.00	98	0.00	1
-112	Max	0.00	1	0.00	1	-0.14	101	0.00	100	0.00	101	0.00	1
-112	Min.	0.00	1	0.00	1	-0.22	98	0.00	103	0.00	98	0.00	1
-111	Max	0.00	1	0.00	1	-0.14	102	0.00	100	0.00	97	0.00	1
-111	Min.	0.00	1	0.00	1	-0.22	97	0.00	103	0.00	102	0.00	1
-109	Max	0.00	1	0.00	1	-0.15	101	0.00	100	0.00	97	0.00	1
-109	Min.	0.00	1	0.00	1	-0.21	98	0.00	103	0.00	102	0.00	1
-107	Max	0.00	1	0.00	1	-0.13	101	0.00	100	0.00	97	0.00	1
-107	Min.	0.00	1	0.00	1	-0.22	98	0.00	103	0.00	102	0.00	1
-106	Max	0.00	1	0.00	1	-0.13	102	0.00	100	0.00	101	0.00	1
-106	Min.	0.00	1	0.00	1	-0.22	97	0.00	103	0.00	98	0.00	1
-105	Max	0.00	1	0.00	1	-0.14	102	0.00	100	0.00	101	0.00	1
-105	Min.	0.00	1	0.00	1	-0.21	97	0.00	103	0.00	98	0.00	1
-104	Max	0.00	1	0.00	1	-0.15	103	0.00	100	0.00	101	0.00	1
-104	Min.	0.00	1	0.00	1	-0.21	100	0.00	103	0.00	98	0.00	1
-103	Max	0.00	1	0.00	1	-0.15	103	0.00	100	0.00	101	0.00	1
-103	Min.	0.00	1	0.00	1	-0.21	100	0.00	103	0.00	98	0.00	1
-102	Max	0.00	1	0.00	1	-0.15	101	0.00	100	0.00	101	0.00	1
-102	Min.	0.00	1	0.00	1	-0.21	98	0.00	103	0.00	98	0.00	1
-101	Max	0.00	1	0.00	1	-0.14	101	0.00	100	0.00	101	0.00	1
-101	Min.	0.00	1	0.00	1	-0.22	98	0.00	103	0.00	98	0.00	1
-100	Max	0.00	1	0.00	1	-0.14	102	0.00	100	0.00	97	0.00	1
-100	Min.	0.00	1	0.00	1	-0.22	97	0.00	103	0.00	102	0.00	1
-99	Max	0.00	1	0.00	1	-0.15	102	0.00	100	0.00	97	0.00	1
-99	Min.	0.00	1	0.00	1	-0.21	97	0.00	103	0.00	102	0.00	1
-98	Max	0.00	1	0.00	1	-0.15	103	0.00	100	0.00	97	0.00	1
-98	Min.	0.00	1	0.00	1	-0.21	100	0.00	103	0.00	102	0.00	1
-97	Max	0.00	1	0.00	1	-0.15	103	0.00	100	0.00	97	0.00	1
-97	Min.	0.00	1	0.00	1	-0.21	100	0.00	103	0.00	102	0.00	1
-96	Max	0.00	1	0.00	1	-0.14	101	0.00	100	0.00	97	0.00	1
-96	Min.	0.00	1	0.00	1	-0.21	98	0.00	103	0.00	102	0.00	1
-95	Max	0.00	1	0.00	1	-0.13	101	0.00	100	0.00	97	0.00	1
-95	Min.	0.00	1	0.00	1	-0.22	98	0.00	103	0.00	102	0.00	1
-94	Max	0.00	1	0.00	1	-0.13	102	0.00	100	0.00	101	0.00	1
-94	Min.	0.00	1	0.00	1	-0.22	97	0.00	103	0.00	98	0.00	1

-92	Max	0.00	1	0.00	1	-0.14	103	0.00	100	0.00	101	0.00	1
-92	Min.	0.00	1	0.00	1	-0.21	100	0.00	103	0.00	98	0.00	1
-90	Max	0.00	1	0.00	1	-0.14	101	0.00	100	0.00	101	0.00	1
-90	Min.	0.00	1	0.00	1	-0.22	98	0.00	103	0.00	98	0.00	1
-89	Max	0.00	1	0.00	1	-0.14	102	0.00	100	0.00	97	0.00	1
-89	Min.	0.00	1	0.00	1	-0.22	97	0.00	103	0.00	102	0.00	1
-87	Max	0.00	1	0.00	1	-0.14	103	0.00	100	0.00	97	0.00	1
-87	Min.	0.00	1	0.00	1	-0.21	100	0.00	103	0.00	102	0.00	1
-85	Max	0.00	1	0.00	1	-0.13	101	0.00	100	0.00	97	0.00	1
-85	Min.	0.00	1	0.00	1	-0.22	98	0.00	103	0.00	102	0.00	1
-84	Max	0.00	1	0.00	1	-0.13	102	0.00	100	0.00	101	0.00	1
-84	Min.	0.00	1	0.00	1	-0.22	97	0.00	103	0.00	98	0.00	1
-83	Max	0.00	1	0.00	1	-0.14	102	0.00	100	0.00	101	0.00	1
-83	Min.	0.00	1	0.00	1	-0.21	97	0.00	103	0.00	98	0.00	1
-82	Max	0.00	1	0.00	1	-0.14	103	0.00	100	0.00	101	0.00	1
-82	Min.	0.00	1	0.00	1	-0.21	100	0.00	103	0.00	98	0.00	1
-81	Max	0.00	1	0.00	1	-0.14	103	0.00	100	0.00	101	0.00	1
-81	Min.	0.00	1	0.00	1	-0.22	100	0.00	103	0.00	98	0.00	1
-80	Max	0.00	1	0.00	1	-0.14	103	0.00	100	0.00	101	0.00	1
-80	Min.	0.00	1	0.00	1	-0.22	100	0.00	103	0.00	98	0.00	1
-79	Max	0.00	1	0.00	1	-0.14	101	0.00	100	0.00	101	0.00	1
-79	Min.	0.00	1	0.00	1	-0.22	98	0.00	103	0.00	98	0.00	1
-78	Max	0.00	1	0.00	1	-0.14	102	0.00	100	0.00	97	0.00	1
-78	Min.	0.00	1	0.00	1	-0.22	97	0.00	103	0.00	102	0.00	1
-77	Max	0.00	1	0.00	1	-0.14	103	0.00	100	0.00	97	0.00	1
-77	Min.	0.00	1	0.00	1	-0.22	100	0.00	103	0.00	102	0.00	1
-76	Max	0.00	1	0.00	1	-0.14	103	0.00	100	0.00	97	0.00	1
-76	Min.	0.00	1	0.00	1	-0.22	100	0.00	103	0.00	102	0.00	1
-75	Max	0.00	1	0.00	1	-0.14	103	0.00	100	0.00	97	0.00	1
-75	Min.	0.00	1	0.00	1	-0.21	100	0.00	103	0.00	102	0.00	1
-74	Max	0.00	1	0.00	1	-0.14	101	0.00	100	0.00	97	0.00	1
-74	Min.	0.00	1	0.00	1	-0.21	98	0.00	103	0.00	102	0.00	1
-73	Max	0.00	1	0.00	1	-0.13	101	0.00	100	0.00	97	0.00	1
-73	Min.	0.00	1	0.00	1	-0.22	98	0.00	103	0.00	102	0.00	1
-72	Max	0.00	1	0.00	1	-0.13	102	0.00	100	0.00	101	0.00	1
-72	Min.	0.00	1	0.00	1	-0.22	97	0.00	103	0.00	98	0.00	1
-71	Max	0.00	1	0.00	1	-0.14	103	0.00	100	0.00	101	0.00	1
-71	Min.	0.00	1	0.00	1	-0.21	100	0.00	103	0.00	98	0.00	1
-70	Max	0.00	1	0.00	1	-0.14	103	0.00	100	0.00	101	0.00	1
-70	Min.	0.00	1	0.00	1	-0.22	100	0.00	103	0.00	98	0.00	1
-69	Max	0.00	1	0.00	1	-0.14	103	0.00	100	0.00	101	0.00	1
-69	Min.	0.00	1	0.00	1	-0.22	100	0.00	103	0.00	98	0.00	1
-68	Max	0.00	1	0.00	1	-0.14	103	0.00	100	0.00	101	0.00	1
-68	Min.	0.00	1	0.00	1	-0.22	100	0.00	103	0.00	98	0.00	1
-67	Max	0.00	1	0.00	1	-0.14	101	0.00	100	0.00	101	0.00	1
-67	Min.	0.00	1	0.00	1	-0.22	98	0.00	103	0.00	98	0.00	1
-66	Max	0.00	1	0.00	1	-0.14	102	0.00	100	0.00	97	0.00	1
-66	Min.	0.00	1	0.00	1	-0.22	97	0.00	103	0.00	102	0.00	1
-65	Max	0.00	1	0.00	1	-0.14	103	0.00	100	0.00	97	0.00	1
-65	Min.	0.00	1	0.00	1	-0.22	100	0.00	103	0.00	102	0.00	1
-64	Max	0.00	1	0.00	1	-0.14	103	0.00	100	0.00	97	0.00	1
-64	Min.	0.00	1	0.00	1	-0.22	100	0.00	103	0.00	102	0.00	1
-63	Max	0.00	1	0.00	1	-0.14	103	0.00	100	0.00	97	0.00	1
-63	Min.	0.00	1	0.00	1	-0.22	100	0.00	103	0.00	102	0.00	1
-62	Max	0.00	1	0.00	1	-0.14	103	0.00	100	0.00	97	0.00	1
-62	Min.	0.00	1	0.00	1	-0.21	100	0.00	103	0.00	102	0.00	1
-61	Max	0.00	1	0.00	1	-0.13	101	0.00	100	0.00	97	0.00	1
-61	Min.	0.00	1	0.00	1	-0.22	98	0.00	103	0.00	102	0.00	1
-60	Max	0.00	1	0.00	1	-0.13	102	0.00	100	0.00	101	0.00	1
-60	Min.	0.00	1	0.00	1	-0.22	97	0.00	103	0.00	98	0.00	1
-59	Max	0.00	1	0.00	1	-0.14	103	0.00	100	0.00	101	0.00	1
-59	Min.	0.00	1	0.00	1	-0.22	100	0.00	103	0.00	98	0.00	1
-58	Max	0.00	1	0.00	1	-0.14	103	0.00	100	0.00	101	0.00	1
-58	Min.	0.00	1	0.00	1	-0.22	100	0.00	103	0.00	98	0.00	1
-57	Max	0.00	1	0.00	1	-0.14	103	0.00	100	0.00	101	0.00	1
-57	Min.	0.00	1	0.00	1	-0.22	100	0.00	103	0.00	98	0.00	1
-56	Max	0.00	1	0.00	1	-0.14	103	0.00	100	0.00	101	0.00	1
-56	Min.	0.00	1	0.00	1	-0.22	100	0.00	103	0.00	98	0.00	1
-55	Max	0.00	1	0.00	1	-0.14	103	0.00	100	0.00	101	0.00	1
-55	Min.	0.00	1	0.00	1	-0.22	100	0.00	103	0.00	98	0.00	1
-54	Max	0.00	1	0.00	1	-0.14	103	0.00	100	0.00	97	0.00	1
-54	Min.	0.00	1	0.00	1	-0.22	100	0.00	103	0.00	102	0.00	1
-53	Max	0.00	1	0.00	1	-0.14	103	0.00	100	0.00	97	0.00	1
-53	Min.	0.00	1	0.00	1	-0.22	100	0.00	103	0.00	102	0.00	1
-52	Max	0.00	1	0.00	1	-0.14	103	0.00	100	0.00	97	0.00	1
-52	Min.	0.00	1	0.00	1	-0.22	100	0.00	103	0.00	102	0.00	1
-51	Max	0.00	1	0.00	1	-0.14	103	0.00	100	0.00	97	0.00	1
-51	Min.	0.00	1	0.00	1	-0.22	100	0.00	103	0.00	102	0.00	1
-50	Max	0.00	1	0.00	1	-0.14	103	0.00	100	0.00	97	0.00	1

-50	Min.	0.00	1	0.00	1	-0.22	100	0.00	103	0.00	102	0.00	1
-49	Max	0.00	1	0.00	1	-0.13	101	0.00	100	0.00	97	0.00	1
-49	Min.	0.00	1	0.00	1	-0.22	98	0.00	103	0.00	102	0.00	1
-48	Max	0.00	1	0.00	1	-0.13	102	0.00	100	0.00	101	0.00	1
-48	Min.	0.00	1	0.00	1	-0.22	97	0.00	103	0.00	98	0.00	1
-47	Max	0.00	1	0.00	1	-0.14	103	0.00	100	0.00	101	0.00	1
-47	Min.	0.00	1	0.00	1	-0.22	100	0.00	103	0.00	98	0.00	1
-46	Max	0.00	1	0.00	1	-0.14	103	0.00	100	0.00	101	0.00	1
-46	Min.	0.00	1	0.00	1	-0.22	100	0.00	103	0.00	98	0.00	1
-44	Max	0.00	1	0.00	1	-0.14	103	0.00	100	0.00	101	0.00	1
-44	Min.	0.00	1	0.00	1	-0.22	100	0.00	103	0.00	98	0.00	1
-43	Max	0.00	1	0.00	1	-0.14	103	0.00	100	0.00	101	0.00	1
-43	Min.	0.00	1	0.00	1	-0.22	100	0.00	103	0.00	98	0.00	1
-42	Max	0.00	1	0.00	1	-0.14	103	0.00	100	0.00	97	0.00	1
-42	Min.	0.00	1	0.00	1	-0.22	100	0.00	103	0.00	102	0.00	1
-41	Max	0.00	1	0.00	1	-0.14	103	0.00	100	0.00	97	0.00	1
-41	Min.	0.00	1	0.00	1	-0.22	100	0.00	103	0.00	102	0.00	1
-39	Max	0.00	1	0.00	1	-0.14	103	0.00	100	0.00	97	0.00	1
-39	Min.	0.00	1	0.00	1	-0.22	100	0.00	103	0.00	102	0.00	1
-38	Max	0.00	1	0.00	1	-0.14	103	0.00	100	0.00	97	0.00	1
-38	Min.	0.00	1	0.00	1	-0.22	100	0.00	103	0.00	102	0.00	1
-37	Max	0.00	1	0.00	1	-0.13	101	0.00	100	0.00	97	0.00	1
-37	Min.	0.00	1	0.00	1	-0.22	98	0.00	103	0.00	102	0.00	1
-36	Max	0.00	1	0.00	1	-0.13	102	0.00	100	0.00	101	0.00	1
-36	Min.	0.00	1	0.00	1	-0.22	97	0.00	103	0.00	98	0.00	1
-35	Max	0.00	1	0.00	1	-0.14	103	0.00	100	0.00	101	0.00	1
-35	Min.	0.00	1	0.00	1	-0.22	100	0.00	103	0.00	98	0.00	1
-34	Max	0.00	1	0.00	1	-0.14	103	0.00	100	0.00	101	0.00	1
-34	Min.	0.00	1	0.00	1	-0.22	100	0.00	103	0.00	98	0.00	1
-33	Max	0.00	1	0.00	1	-0.14	103	0.00	100	0.00	101	0.00	1
-33	Min.	0.00	1	0.00	1	-0.22	100	0.00	103	0.00	98	0.00	1
-32	Max	0.00	1	0.00	1	-0.14	103	0.00	100	0.00	101	0.00	1
-32	Min.	0.00	1	0.00	1	-0.23	100	0.00	103	0.00	98	0.00	1
-31	Max	0.00	1	0.00	1	-0.14	103	0.00	100	0.00	101	0.00	1
-31	Min.	0.00	1	0.00	1	-0.23	100	0.00	103	0.00	98	0.00	1
-30	Max	0.00	1	0.00	1	-0.14	103	0.00	100	0.00	97	0.00	1
-30	Min.	0.00	1	0.00	1	-0.23	100	0.00	103	0.00	102	0.00	1
-29	Max	0.00	1	0.00	1	-0.14	103	0.00	100	0.00	97	0.00	1
-29	Min.	0.00	1	0.00	1	-0.23	100	0.00	103	0.00	102	0.00	1
-28	Max	0.00	1	0.00	1	-0.14	103	0.00	100	0.00	97	0.00	1
-28	Min.	0.00	1	0.00	1	-0.22	100	0.00	103	0.00	102	0.00	1
-27	Max	0.00	1	0.00	1	-0.14	103	0.00	100	0.00	97	0.00	1
-27	Min.	0.00	1	0.00	1	-0.22	100	0.00	103	0.00	102	0.00	1
-26	Max	0.00	1	0.00	1	-0.14	103	0.00	100	0.00	97	0.00	1
-26	Min.	0.00	1	0.00	1	-0.22	100	0.00	103	0.00	102	0.00	1
-25	Max	0.00	1	0.00	1	-0.13	101	0.00	100	0.00	97	0.00	1
-25	Min.	0.00	1	0.00	1	-0.22	98	0.00	103	0.00	102	0.00	1
-24	Max	0.00	1	0.00	1	-0.13	103	0.00	100	0.00	101	0.00	1
-24	Min.	0.00	1	0.00	1	-0.22	100	0.00	103	0.00	98	0.00	1
-23	Max	0.00	1	0.00	1	-0.14	103	0.00	100	0.00	101	0.00	1
-23	Min.	0.00	1	0.00	1	-0.22	100	0.00	103	0.00	98	0.00	1
-22	Max	0.00	1	0.00	1	-0.14	103	0.00	100	0.00	101	0.00	1
-22	Min.	0.00	1	0.00	1	-0.22	100	0.00	103	0.00	98	0.00	1
-21	Max	0.00	1	0.00	1	-0.14	103	0.00	100	0.00	101	0.00	1
-21	Min.	0.00	1	0.00	1	-0.23	100	0.00	103	0.00	98	0.00	1
-20	Max	0.00	1	0.00	1	-0.14	103	0.00	100	0.00	101	0.00	1
-20	Min.	0.00	1	0.00	1	-0.23	100	0.00	103	0.00	98	0.00	1
-19	Max	0.00	1	0.00	1	-0.14	103	0.00	100	0.00	101	0.00	1
-19	Min.	0.00	1	0.00	1	-0.23	100	0.00	103	0.00	98	0.00	1
-18	Max	0.00	1	0.00	1	-0.14	103	0.00	100	0.00	97	0.00	1
-18	Min.	0.00	1	0.00	1	-0.23	100	0.00	103	0.00	102	0.00	1
-17	Max	0.00	1	0.00	1	-0.14	103	0.00	100	0.00	97	0.00	1
-17	Min.	0.00	1	0.00	1	-0.23	100	0.00	103	0.00	102	0.00	1
-16	Max	0.00	1	0.00	1	-0.14	103	0.00	100	0.00	97	0.00	1
-16	Min.	0.00	1	0.00	1	-0.23	100	0.00	103	0.00	102	0.00	1
-15	Max	0.00	1	0.00	1	-0.14	103	0.00	100	0.00	97	0.00	1
-15	Min.	0.00	1	0.00	1	-0.22	100	0.00	103	0.00	102	0.00	1
-14	Max	0.00	1	0.00	1	-0.14	103	0.00	100	0.00	97	0.00	1
-14	Min.	0.00	1	0.00	1	-0.22	100	0.00	103	0.00	102	0.00	1
-13	Max	0.00	1	0.00	1	-0.13	103	0.00	100	0.00	97	0.00	1
-13	Min.	0.00	1	0.00	1	-0.22	100	0.00	103	0.00	102	0.00	1
-12	Max	0.00	1	0.00	1	-0.13	103	0.00	100	0.00	101	0.00	1
-12	Min.	0.00	1	0.00	1	-0.22	100	0.00	103	0.00	98	0.00	1
-11	Max	0.00	1	0.00	1	-0.13	103	0.00	100	0.00	101	0.00	1
-11	Min.	0.00	1	0.00	1	-0.22	100	0.00	103	0.00	98	0.00	1
-10	Max	0.00	1	0.00	1	-0.14	103	0.00	100	0.00	101	0.00	1
-10	Min.	0.00	1	0.00	1	-0.23	100	0.00	103	0.00	98	0.00	1
-9	Max	0.00	1	0.00	1	-0.14	103	0.00	100	0.00	101	0.00	1
-9	Min.	0.00	1	0.00	1	-0.23	100	0.00	103	0.00	98	0.00	1

-8	Max	0.00	1	0.00	1	-0.14	103	0.00	100	0.00	101	0.00	1
-8	Min.	0.00	1	0.00	1	-0.23	100	0.00	103	0.00	98	0.00	1
-7	Max	0.00	1	0.00	1	-0.14	103	0.00	100	0.00	101	0.00	1
-7	Min.	0.00	1	0.00	1	-0.23	100	0.00	103	0.00	98	0.00	1
-6	Max	0.00	1	0.00	1	-0.14	103	0.00	100	0.00	97	0.00	1
-6	Min.	0.00	1	0.00	1	-0.23	100	0.00	103	0.00	102	0.00	1
-5	Max	0.00	1	0.00	1	-0.14	103	0.00	100	0.00	97	0.00	1
-5	Min.	0.00	1	0.00	1	-0.23	100	0.00	103	0.00	102	0.00	1
-4	Max	0.00	1	0.00	1	-0.14	103	0.00	100	0.00	97	0.00	1
-4	Min.	0.00	1	0.00	1	-0.23	100	0.00	103	0.00	102	0.00	1
-3	Max	0.00	1	0.00	1	-0.14	103	0.00	100	0.00	97	0.00	1
-3	Min.	0.00	1	0.00	1	-0.23	100	0.00	103	0.00	102	0.00	1
-2	Max	0.00	1	0.00	1	-0.13	103	0.00	100	0.00	97	0.00	1
-2	Min.	0.00	1	0.00	1	-0.22	100	0.00	103	0.00	102	0.00	1
-1	Max	0.00	1	0.00	1	-0.13	103	0.00	100	0.00	97	0.00	1
-1	Min.	0.00	1	0.00	1	-0.22	100	0.00	103	0.00	102	0.00	1
10	Max	0.10	97	0.14	99	-0.24	102	0.01	100	0.00	101	0.00	98
10	Min.	0.00	102	0.06	104	-0.46	97	0.00	103	-0.00	98	0.00	101
11	Max	-0.00	101	0.14	99	-0.24	101	0.01	100	0.00	97	-0.00	33
11	Min.	-0.10	98	0.06	104	-0.46	98	0.00	33	0.00	102	-0.00	97
12	Max	0.07	97	0.02	103	-0.16	102	0.00	104	0.00	101	0.00	33
12	Min.	-0.02	102	-0.03	100	-0.35	97	0.00	99	-0.00	98	0.00	98
13	Max	0.02	101	0.02	103	-0.16	101	0.00	104	0.00	97	0.00	97
13	Min.	-0.07	98	-0.03	100	-0.35	98	0.00	99	0.00	102	0.00	49
14	Max	0.08	97	0.02	99	-0.18	102	0.00	100	0.00	101	0.00	33
14	Min.	-0.01	102	-0.02	104	-0.37	97	0.00	103	-0.00	98	0.00	49
15	Max	0.01	101	0.02	99	-0.18	101	0.00	100	0.00	97	0.00	33
15	Min.	-0.08	98	-0.02	104	-0.37	98	0.00	103	0.00	102	0.00	49
16	Max	0.07	97	0.03	99	-0.16	102	0.00	100	0.00	101	0.00	98
16	Min.	-0.02	102	-0.02	104	-0.35	97	0.00	103	-0.00	98	0.00	49
17	Max	0.02	101	0.03	99	-0.16	101	0.00	100	0.00	97	0.00	33
17	Min.	-0.07	98	-0.02	104	-0.35	98	0.00	103	0.00	102	0.00	97
18	Max	0.10	97	-0.06	103	-0.24	102	-0.00	104	0.00	101	-0.00	33
18	Min.	0.00	102	-0.14	100	-0.46	97	-0.00	99	-0.00	98	-0.00	98
19	Max	-0.00	101	-0.06	103	-0.24	101	-0.00	104	0.00	97	0.00	97
19	Min.	-0.10	98	-0.14	100	-0.46	98	-0.00	99	0.00	102	0.00	102
20	Max	0.00	1	0.00	1	-0.15	103	0.00	100	0.00	97	0.00	1
20	Min.	0.00	1	0.00	1	-0.22	100	0.00	103	0.00	102	0.00	1
21	Max	0.00	1	0.00	1	-0.15	103	0.00	100	0.00	101	0.00	1
21	Min.	0.00	1	0.00	1	-0.22	100	0.00	103	0.00	98	0.00	1
22	Max	0.00	1	0.00	1	-0.15	102	0.00	100	0.00	97	0.00	1
22	Min.	0.00	1	0.00	1	-0.21	97	0.00	103	0.00	102	0.00	1
23	Max	0.00	1	0.00	1	-0.15	101	0.00	100	0.00	101	0.00	1
23	Min.	0.00	1	0.00	1	-0.21	98	0.00	103	0.00	98	0.00	1
24	Max	0.00	1	0.00	1	-0.15	104	0.00	100	0.00	97	0.00	1
24	Min.	0.00	1	0.00	1	-0.21	99	0.00	103	0.00	102	0.00	1
25	Max	0.00	1	0.00	1	-0.15	104	0.00	100	0.00	101	0.00	1
25	Min.	0.00	1	0.00	1	-0.21	99	0.00	103	0.00	98	0.00	1
301	Max	0.06	97	0.02	103	-0.14	103	0.00	100	0.00	97	0.00	33
301	Min.	-0.03	102	-0.03	100	-0.23	100	0.00	103	0.00	102	0.00	49
302	Max	0.07	101	0.03	99	-0.32	102	0.00	100	0.00	97	0.00	33
302	Min.	-0.08	98	-0.02	104	-0.54	97	0.00	103	0.00	102	0.00	49
303	Max	0.07	101	0.02	103	-0.69	102	0.00	100	0.00	98	0.00	33
303	Min.	-0.08	98	-0.03	100	-1.09	97	0.00	103	0.00	33	0.00	97
304	Max	0.07	101	-0.01	103	-1.43	102	-0.00	104	0.00	98	0.00	33
304	Min.	-0.08	98	-0.08	100	-2.12	97	-0.00	99	0.00	101	0.00	98
305	Max	0.08	97	-0.03	103	-1.73	103	-0.00	104	0.00	102	0.00	33
305	Min.	-0.08	102	-0.10	100	-2.51	100	-0.00	99	0.00	97	0.00	49
306	Max	0.08	97	-0.01	103	-1.43	101	-0.00	104	-0.00	102	0.00	97
306	Min.	-0.07	102	-0.08	100	-2.12	98	-0.00	99	-0.00	97	0.00	49
307	Max	0.08	97	0.02	103	-0.69	101	0.00	100	-0.00	102	0.00	98
307	Min.	-0.07	102	-0.03	100	-1.09	98	0.00	103	-0.00	97	0.00	49
308	Max	0.08	97	0.03	99	-0.32	101	0.00	100	0.00	101	0.00	33
308	Min.	-0.07	102	-0.02	104	-0.54	98	0.00	103	-0.00	98	0.00	49
309	Max	0.03	101	0.02	103	-0.14	103	0.00	100	0.00	101	0.00	33
309	Min.	-0.06	98	-0.03	100	-0.23	100	0.00	103	0.00	98	0.00	49
310	Max	0.08	101	0.02	103	-0.25	102	0.01	100	0.00	97	0.00	33
310	Min.	-0.08	98	-0.03	100	-0.47	97	0.00	103	0.00	102	0.00	49
311	Max	0.08	97	0.02	103	-0.25	101	0.01	100	-0.00	101	0.00	33
311	Min.	-0.08	102	-0.03	100	-0.47	98	0.00	33	-0.00	98	0.00	49
312	Max	0.08	97	0.02	103	-0.16	102	0.00	33	0.00	97	0.00	33
312	Min.	-0.08	102	-0.03	100	-0.35	97	0.00	99	0.00	102	0.00	49
313	Max	0.08	101	0.02	103	-0.16	101	0.00	49	-0.00	101	0.00	33
313	Min.	-0.08	98	-0.03	100	-0.35	98	0.00	99	-0.00	98	0.00	49
314	Max	0.08	101	0.02	103	-0.18	102	0.00	100	0.00	97	0.00	33
314	Min.	-0.08	98	-0.02	100	-0.37	97	0.00	49	0.00	102	0.00	49
315	Max	0.08	97	0.02	103	-0.18	101	0.00	100	-0.00	101	0.00	33
315	Min.	-0.08	102	-0.02	100	-0.37	98	0.00	33	-0.00	98	0.00	49
316	Max	0.08	97	0.02	99	-0.16	102	0.00	100	0.00	97	0.00	33

316	Min.	-0.08	102	-0.02	104	-0.35	97	0.00	49	0.00	102	0.00	49
317	Max	0.08	101	0.02	99	-0.16	101	0.00	100	-0.00	101	0.00	33
317	Min.	-0.08	98	-0.02	104	-0.35	98	0.00	33	-0.00	98	0.00	49
318	Max	0.08	101	0.02	99	-0.24	102	-0.00	104	0.00	97	0.00	33
318	Min.	-0.08	98	-0.02	104	-0.46	97	-0.01	99	0.00	102	0.00	49
319	Max	0.08	97	0.02	99	-0.24	101	-0.00	104	-0.00	101	0.00	33
319	Min.	-0.08	102	-0.02	104	-0.46	98	-0.01	99	-0.00	98	0.00	49
320	Max	0.06	97	0.02	103	-0.14	104	0.00	104	0.00	97	0.00	33
320	Min.	-0.03	102	-0.03	100	-0.22	99	0.00	99	0.00	102	0.00	49
321	Max	0.07	101	0.02	103	-0.32	102	0.00	100	0.00	97	0.00	33
321	Min.	-0.08	98	-0.03	100	-0.53	97	0.00	103	0.00	102	0.00	49
322	Max	0.07	101	0.03	99	-0.68	102	-0.00	104	0.00	98	0.00	97
322	Min.	-0.08	98	-0.02	104	-1.08	97	-0.00	99	0.00	101	0.00	49
323	Max	0.07	101	0.09	99	-1.41	102	0.00	100	0.00	98	0.00	98
323	Min.	-0.08	98	0.02	104	-2.08	97	0.00	103	0.00	101	0.00	49
324	Max	0.08	97	0.11	99	-1.70	104	0.00	100	0.00	102	0.00	33
324	Min.	-0.08	102	0.04	104	-2.47	99	0.00	103	0.00	97	0.00	49
325	Max	0.08	97	0.09	99	-1.41	101	0.00	100	-0.00	102	0.00	33
325	Min.	-0.07	102	0.02	104	-2.08	98	0.00	103	-0.00	97	0.00	97
326	Max	0.08	97	0.03	99	-0.68	101	-0.00	104	-0.00	33	0.00	33
326	Min.	-0.07	102	-0.02	104	-1.08	98	-0.00	99	-0.00	97	0.00	98
327	Max	0.08	97	0.02	103	-0.32	101	0.00	100	0.00	101	0.00	33
327	Min.	-0.07	102	-0.03	100	-0.53	98	0.00	103	-0.00	98	0.00	49
328	Max	0.03	101	0.02	103	-0.14	104	0.00	104	0.00	101	0.00	33
328	Min.	-0.06	98	-0.03	100	-0.22	99	0.00	99	0.00	98	0.00	49
329	Max	0.08	101	0.02	103	-0.20	102	0.00	100	0.00	97	0.00	33
329	Min.	-0.08	98	-0.03	100	-0.40	97	0.00	103	0.00	102	0.00	49
330	Max	0.08	97	0.02	103	-0.20	101	0.00	100	-0.00	101	0.00	33
330	Min.	-0.08	102	-0.03	100	-0.40	98	0.00	33	-0.00	98	0.00	49
331	Max	0.08	101	0.02	99	-0.20	102	-0.00	33	0.00	97	0.00	33
331	Min.	-0.08	98	-0.02	104	-0.40	97	-0.00	99	0.00	102	0.00	49
332	Max	0.08	97	0.02	99	-0.20	101	-0.00	104	-0.00	101	0.00	33
332	Min.	-0.08	102	-0.02	104	-0.40	98	-0.00	99	-0.00	98	0.00	49
401	Max	0.08	97	0.03	103	-0.14	103	0.00	100	0.00	97	0.00	33
401	Min.	-0.06	102	-0.04	100	-0.23	100	0.00	103	0.00	102	0.00	65
402	Max	0.08	97	0.05	99	-0.32	102	0.00	104	0.00	97	0.00	33
402	Min.	-0.06	102	-0.02	104	-0.54	97	0.00	99	0.00	102	0.00	49
403	Max	0.08	97	0.07	99	-0.69	102	0.00	104	0.00	98	0.00	33
403	Min.	-0.06	102	-0.00	104	-1.10	97	0.00	99	0.00	101	0.00	49
404	Max	0.07	97	0.11	99	-1.43	102	0.00	104	0.00	98	0.00	98
404	Min.	-0.07	102	0.02	104	-2.12	97	0.00	99	0.00	101	0.00	49
405	Max	0.07	97	0.12	99	-1.73	103	0.00	104	0.00	102	0.00	33
405	Min.	-0.07	102	0.03	104	-2.51	100	-0.00	99	0.00	97	0.00	49
406	Max	0.07	101	0.11	99	-1.43	101	0.00	104	-0.00	102	0.00	33
406	Min.	-0.07	98	0.02	104	-2.12	98	0.00	99	-0.00	97	0.00	97
407	Max	0.06	101	0.07	99	-0.69	101	0.00	104	-0.00	102	0.00	33
407	Min.	-0.08	98	-0.00	104	-1.10	98	0.00	99	-0.00	97	0.00	49
408	Max	0.06	101	0.05	99	-0.32	101	0.00	104	0.00	101	0.00	33
408	Min.	-0.08	98	-0.02	104	-0.54	98	0.00	99	-0.00	98	0.00	49
409	Max	0.06	101	0.03	103	-0.14	103	0.00	100	0.00	101	0.00	33
409	Min.	-0.08	98	-0.04	100	-0.23	100	0.00	103	0.00	98	0.00	49
420	Max	0.08	97	0.04	103	-0.14	104	0.00	100	0.00	97	0.00	33
420	Min.	-0.06	102	-0.04	100	-0.22	99	0.00	103	0.00	102	0.00	97
421	Max	0.08	97	-0.03	103	-0.32	102	0.00	100	0.00	97	0.00	33
421	Min.	-0.06	102	-0.13	100	-0.53	97	0.00	103	0.00	102	0.00	97
422	Max	0.08	97	-0.10	103	-0.68	102	0.00	100	0.00	98	0.00	33
422	Min.	-0.06	102	-0.23	100	-1.08	97	0.00	103	0.00	101	0.00	98
423	Max	0.07	97	-0.16	103	-1.41	102	0.00	100	0.00	98	0.00	33
423	Min.	-0.07	102	-0.30	100	-2.08	97	0.00	103	0.00	101	0.00	98
424	Max	0.07	97	-0.18	103	-1.70	104	0.00	100	0.00	102	0.00	33
424	Min.	-0.07	102	-0.33	100	-2.47	99	0.00	103	0.00	97	0.00	49
425	Max	0.07	101	-0.16	103	-1.41	101	0.00	100	-0.00	102	0.00	97
425	Min.	-0.07	98	-0.30	100	-2.08	98	0.00	103	-0.00	97	0.00	49
426	Max	0.06	101	-0.10	103	-0.68	101	0.00	100	-0.00	102	0.00	97
426	Min.	-0.08	98	-0.23	100	-1.08	98	0.00	103	-0.00	97	0.00	49
427	Max	0.06	101	-0.03	103	-0.32	101	0.00	100	0.00	101	0.00	98
427	Min.	-0.08	98	-0.13	100	-0.53	98	0.00	103	-0.00	98	0.00	49
428	Max	0.06	101	0.04	103	-0.14	104	0.00	100	0.00	101	0.00	98
428	Min.	-0.08	98	-0.04	100	-0.22	99	0.00	103	0.00	98	0.00	49
429	Max	0.03	101	-0.05	103	-1171790.00	33	-1582.95	33	608.58	97	0.00	97
429	Min.	-0.14	98	-0.14	100	-1651430.00	97	-2448.61	97	416.68	33	0.00	49
430	Max	0.12	97	0.03	103	-0.18	102	0.00	100	0.00	97	0.00	33
430	Min.	-0.04	102	-0.03	100	-0.37	97	0.00	49	0.00	102	0.00	49
431	Max	0.13	97	-0.08	103	-0.25	102	0.01	100	0.00	97	0.00	33
431	Min.	-0.03	102	-0.18	100	-0.47	97	0.00	103	0.00	102	0.00	49
432	Max	0.13	97	0.18	99	-0.24	102	-0.00	104	0.00	97	0.00	33
432	Min.	-0.03	102	0.08	104	-0.46	97	-0.01	99	0.00	102	0.00	49
433	Max	0.12	97	0.03	99	-0.16	102	0.00	33	0.00	97	0.00	33
433	Min.	-0.04	102	-0.03	104	-0.35	97	0.00	99	0.00	102	0.00	49

434	Max	0.03	101	0.18	99	-0.24	101	-0.00	104	-0.00	101	0.00	33
434	Min.	-0.13	98	0.08	104	-0.46	98	-0.01	99	-0.00	98	0.00	49
435	Max	0.03	101	0.14	99	-1125790.00	33	2640.40	97	607.90	97	0.00	33
435	Min.	-0.14	98	0.05	104	-1577430.00	98	1801.97	33	429.54	33	0.00	97
436	Max	0.03	101	-0.08	103	-0.25	101	0.01	100	-0.00	101	0.00	33
436	Min.	-0.13	98	-0.18	100	-0.47	98	0.00	33	-0.00	98	0.00	49
437	Max	0.14	97	0.14	99	-1125740.00	33	2640.31	97	-424.32	33	0.00	98
437	Min.	-0.03	102	0.05	104	-1577350.00	97	1801.91	33	-600.55	97	0.00	49
438	Max	0.14	97	-0.05	103	-1171730.00	33	-1582.89	33	-411.75	33	0.00	33
438	Min.	-0.03	102	-0.14	100	-1651350.00	97	-2448.54	97	-601.28	97	0.00	98
439	Max	0.04	101	0.03	99	-0.16	101	0.00	49	-0.00	101	0.00	33
439	Min.	-0.12	98	-0.03	104	-0.35	98	0.00	99	-0.00	98	0.00	49
440	Max	0.12	97	0.02	103	-0.16	102	0.00	100	0.00	97	0.00	33
440	Min.	-0.04	102	-0.03	100	-0.35	97	0.00	49	0.00	102	0.00	49
441	Max	0.04	101	0.03	103	-0.18	101	0.00	100	-0.00	101	0.00	33
441	Min.	-0.12	98	-0.03	100	-0.37	98	0.00	33	-0.00	98	0.00	49
442	Max	0.04	101	0.02	103	-0.16	101	0.00	100	-0.00	101	0.00	33
442	Min.	-0.12	98	-0.03	100	-0.35	98	0.00	33	-0.00	98	0.00	49

Min = -13873200.00
Max = 1.63

Reazioni vincolari

Simbologia
Nodo = Numero del nodo
Rx = Reazione vincolare (forza) in dir. X
CC = Numero della combinazione delle condizioni di carico elementari
Ry = Reazione vincolare (forza) in dir. Y
Rz = Reazione vincolare (forza) in dir. Z
Mx = Reazione vincolare (momento) intorno all'asse X
My = Reazione vincolare (momento) intorno all'asse Y
Mz = Reazione vincolare (momento) intorno all'asse Z

Nodo		Rx <daN>	CC	Ry <daN>	CC	Rz <daN>	CC	Mx <daNm>	CC	My <daNm>	CC	Mz <daNm>	CC
-222	Max	0.00	1	0.00	1	0.00	33	0.00	104	0.00	97	0.00	1
-222	Min.	0.00	1	0.00	1	0.00	97	0.00	99	0.00	102	0.00	1
-221	Max	0.00	1	0.00	1	0.00	104	0.00	103	0.00	101	0.00	1
-221	Min.	0.00	1	0.00	1	0.00	99	0.00	100	0.00	98	0.00	1
-220	Max	0.00	1	0.00	1	0.00	33	0.00	97	0.00	102	0.00	1
-220	Min.	0.00	1	0.00	1	0.00	100	0.00	49	0.00	97	0.00	1
-219	Max	0.00	1	0.00	1	0.00	99	0.00	104	0.00	97	0.00	1
-219	Min.	0.00	1	0.00	1	0.00	104	0.00	99	0.00	102	0.00	1
-218	Max	316.27	33	254.37	100	0.00	33	0.00	104	0.00	104	-29.53	102
-218	Min.	-186.51	49	116.82	33	0.00	99	0.00	99	0.00	99	-65.58	97
-217	Max	0.00	1	0.00	1	0.00	101	0.00	99	0.00	101	0.00	1
-217	Min.	0.00	1	0.00	1	0.00	98	0.00	104	0.00	98	0.00	1
-216	Max	0.00	1	0.00	1	0.00	103	0.00	99	0.00	101	0.00	1
-216	Min.	0.00	1	0.00	1	0.00	100	0.00	104	0.00	98	0.00	1
-215	Max	186.52	33	254.37	100	0.00	103	0.00	100	0.00	98	65.58	98
-215	Min.	-316.26	49	116.96	49	0.00	100	0.00	103	0.00	101	29.53	101
-214	Max	0.00	1	0.00	1	0.00	33	0.00	98	0.00	97	0.00	1
-214	Min.	0.00	1	0.00	1	0.00	100	0.00	101	0.00	102	0.00	1
-213	Max	0.00	1	0.00	1	0.00	99	0.00	98	0.00	97	0.00	1
-213	Min.	0.00	1	0.00	1	0.00	33	0.00	33	0.00	102	0.00	1
-212	Max	0.00	1	0.00	1	0.00	102	0.00	103	0.00	101	0.00	1
-212	Min.	0.00	1	0.00	1	0.00	97	0.00	100	0.00	98	0.00	1
-211	Max	0.00	1	0.00	1	0.00	99	0.00	97	0.00	104	0.00	1
-211	Min.	0.00	1	0.00	1	0.00	104	0.00	102	0.00	99	0.00	1
-210	Max	0.00	1	0.00	1	0.00	104	0.00	99	0.00	97	0.00	1
-210	Min.	0.00	1	0.00	1	0.00	99	0.00	104	0.00	102	0.00	1
-209	Max	0.00	1	0.00	1	0.00	100	0.00	99	0.00	98	0.00	1
-209	Min.	0.00	1	0.00	1	0.00	33	0.00	49	0.00	101	0.00	1
-208	Max	0.00	1	0.00	1	0.00	98	0.00	104	0.00	101	0.00	1
-208	Min.	0.00	1	0.00	1	0.00	49	0.00	99	0.00	98	0.00	1
-207	Max	0.00	1	0.00	1	0.00	99	0.00	103	0.00	97	0.00	1
-207	Min.	0.00	1	0.00	1	0.00	104	0.00	100	0.00	102	0.00	1
-206	Max	419.02	33	237.48	100	0.00	49	0.00	103	0.00	98	15.68	49
-206	Min.	-257.45	49	131.93	33	0.00	100	0.00	100	0.00	101	-39.73	33
-205	Max	0.00	1	0.00	1	0.00	104	0.00	100	0.00	102	0.00	1
-205	Min.	0.00	1	0.00	1	0.00	99	0.00	103	0.00	97	0.00	1
-204	Max	0.00	1	0.00	1	0.00	103	0.00	99	0.00	101	0.00	1
-204	Min.	0.00	1	0.00	1	0.00	100	0.00	104	0.00	98	0.00	1
-203	Max	257.45	33	237.48	100	0.00	103	0.00	99	0.00	102	39.72	49
-203	Min.	-419.01	49	132.04	49	0.00	100	0.00	104	0.00	97	-15.69	33
-202	Max	0.00	1	0.00	1	0.00	33	0.00	104	0.00	102	0.00	1
-202	Min.	0.00	1	0.00	1	0.00	97	0.00	99	0.00	97	0.00	1
-201	Max	0.00	1	0.00	1	0.00	100	0.00	99	0.00	98	0.00	1
-201	Min.	0.00	1	0.00	1	0.00	103	0.00	104	0.00	101	0.00	1

-200	Max	0.00	1	0.00	1	0.00	99	0.00	99	0.00	97	0.00	1
-200	Min.	0.00	1	0.00	1	0.00	49	0.00	33	0.00	102	0.00	1
-199	Max	0.00	1	0.00	1	0.00	33	0.00	104	0.00	101	0.00	1
-199	Min.	0.00	1	0.00	1	0.00	99	0.00	99	0.00	98	0.00	1
-198	Max	0.00	1	0.00	1	0.00	99	0.00	99	0.00	98	0.00	1
-198	Min.	0.00	1	0.00	1	0.00	104	0.00	104	0.00	101	0.00	1
-197	Max	0.00	1	0.00	1	0.00	33	0.00	49	0.00	97	0.00	1
-197	Min.	0.00	1	0.00	1	0.00	49	0.00	100	0.00	102	0.00	1
-196	Max	0.00	1	0.00	1	0.00	99	0.00	98	0.00	98	0.00	1
-196	Min.	0.00	1	0.00	1	0.00	33	0.00	101	0.00	101	0.00	1
-195	Max	0.00	1	0.00	1	0.00	100	0.00	33	0.00	101	0.00	1
-195	Min.	0.00	1	0.00	1	0.00	33	0.00	98	0.00	98	0.00	1
-194	Max	545.48	33	242.70	100	0.00	100	0.00	99	0.00	101	96.67	49
-194	Min.	-367.68	49	111.56	33	0.00	49	0.00	33	0.00	98	-103.50	33
-193	Max	0.00	1	0.00	1	0.00	100	0.00	104	0.00	49	0.00	1
-193	Min.	0.00	1	0.00	1	0.00	103	0.00	99	0.00	100	0.00	1
-192	Max	0.00	1	0.00	1	0.00	33	0.00	99	0.00	98	0.00	1
-192	Min.	0.00	1	0.00	1	0.00	99	0.00	104	0.00	101	0.00	1
-191	Max	367.71	33	242.70	100	0.00	98	0.00	33	0.00	102	103.49	49
-191	Min.	-545.45	49	111.73	49	0.00	49	0.00	99	0.00	97	-96.67	33
-190	Max	0.00	1	0.00	1	0.00	100	0.00	49	0.00	98	0.00	1
-190	Min.	0.00	1	0.00	1	0.00	49	0.00	100	0.00	101	0.00	1
-189	Max	0.00	1	0.00	1	0.00	49	0.00	49	0.00	102	0.00	1
-189	Min.	0.00	1	0.00	1	0.00	100	0.00	97	0.00	97	0.00	1
-188	Max	0.00	1	0.00	1	0.00	97	0.00	33	0.00	97	0.00	1
-188	Min.	0.00	1	0.00	1	0.00	33	0.00	100	0.00	102	0.00	1
-187	Max	0.00	1	0.00	1	0.00	49	0.00	103	0.00	101	0.00	1
-187	Min.	0.00	1	0.00	1	0.00	100	0.00	100	0.00	98	0.00	1
-186	Max	0.00	1	0.00	1	0.00	102	0.00	99	0.00	101	0.00	1
-186	Min.	0.00	1	0.00	1	0.00	97	0.00	104	0.00	98	0.00	1
-185	Max	0.00	1	0.00	1	0.00	49	0.00	49	0.00	98	0.00	1
-185	Min.	0.00	1	0.00	1	0.00	98	0.00	97	0.00	33	0.00	1
-184	Max	0.00	1	0.00	1	0.00	100	0.00	49	0.00	97	0.00	1
-184	Min.	0.00	1	0.00	1	0.00	103	0.00	99	0.00	102	0.00	1
-183	Max	0.00	1	0.00	1	12079.60	99	181.98	99	369.54	98	0.00	1
-183	Min.	0.00	1	0.00	1	7647.13	104	-171.78	104	-267.16	101	0.00	1
-182	Max	-8376.62	33	499.06	100	0.00	98	0.00	104	0.00	102	163.37	49
-182	Min.	-12715.00	97	268.35	103	0.00	101	0.00	99	0.00	97	-80.79	33
-181	Max	0.00	1	0.00	1	0.00	97	0.00	103	0.00	98	0.00	1
-181	Min.	0.00	1	0.00	1	0.00	102	0.00	100	0.00	101	0.00	1
-180	Max	0.00	1	0.00	1	0.00	97	0.00	99	0.00	103	0.00	1
-180	Min.	0.00	1	0.00	1	0.00	102	0.00	104	0.00	100	0.00	1
-179	Max	12715.00	98	499.06	100	0.00	104	0.00	103	0.00	97	80.69	49
-179	Min.	8388.74	49	268.35	103	0.00	99	0.00	100	0.00	102	-163.47	33
-178	Max	0.00	1	0.00	1	12079.60	99	181.98	99	267.16	102	0.00	1
-178	Min.	0.00	1	0.00	1	7647.13	104	-171.78	104	-369.54	97	0.00	1
-177	Max	0.00	1	0.00	1	0.00	99	0.00	104	0.00	97	0.00	1
-177	Min.	0.00	1	0.00	1	0.00	104	0.00	99	0.00	102	0.00	1
-176	Max	0.00	1	0.00	1	0.00	104	0.00	49	0.00	97	0.00	1
-176	Min.	0.00	1	0.00	1	0.00	99	0.00	97	0.00	102	0.00	1
-175	Max	0.00	1	0.00	1	0.00	33	0.00	100	0.00	103	0.00	1
-175	Min.	0.00	1	0.00	1	0.00	97	0.00	49	0.00	100	0.00	1
-174	Max	0.00	1	0.00	1	0.00	100	0.00	49	0.00	102	0.00	1
-174	Min.	0.00	1	0.00	1	0.00	49	0.00	97	0.00	97	0.00	1
-173	Max	0.00	1	0.00	1	0.00	103	0.00	99	0.00	100	0.00	1
-173	Min.	0.00	1	0.00	1	0.00	100	0.00	104	0.00	103	0.00	1
-172	Max	0.00	1	0.00	1	0.00	100	0.00	99	0.00	97	0.00	1
-172	Min.	0.00	1	0.00	1	0.00	103	0.00	104	0.00	102	0.00	1
-171	Max	0.00	1	0.00	1	0.00	99	0.00	99	0.00	98	0.00	1
-171	Min.	0.00	1	0.00	1	0.00	49	0.00	104	0.00	101	0.00	1
-170	Max	169.61	33	1097.49	100	0.00	99	0.00	100	0.00	102	110.29	49
-170	Min.	-157.70	49	599.29	103	0.00	104	0.00	103	0.00	97	-91.90	33
-169	Max	0.00	1	0.00	1	0.00	99	0.00	99	0.00	101	0.00	1
-169	Min.	0.00	1	0.00	1	0.00	104	0.00	104	0.00	98	0.00	1
-168	Max	0.00	1	0.00	1	0.00	103	0.00	98	0.00	97	0.00	1
-168	Min.	0.00	1	0.00	1	0.00	100	0.00	33	0.00	102	0.00	1
-167	Max	157.75	33	1097.49	100	0.00	49	0.00	100	0.00	101	91.90	49
-167	Min.	-169.56	49	599.29	103	0.00	99	0.00	103	0.00	98	-110.30	33
-166	Max	0.00	1	0.00	1	0.00	98	0.00	100	0.00	101	0.00	1
-166	Min.	0.00	1	0.00	1	0.00	49	0.00	103	0.00	98	0.00	1
-165	Max	0.00	1	0.00	1	0.00	99	0.00	100	0.00	97	0.00	1
-165	Min.	0.00	1	0.00	1	0.00	104	0.00	103	0.00	102	0.00	1
-164	Max	0.00	1	0.00	1	0.00	101	0.00	99	0.00	101	0.00	1
-164	Min.	0.00	1	0.00	1	0.00	98	0.00	104	0.00	98	0.00	1
-163	Max	0.00	1	0.00	1	0.00	98	0.00	99	0.00	101	0.00	1
-163	Min.	0.00	1	0.00	1	0.00	101	0.00	33	0.00	98	0.00	1
-162	Max	0.00	1	0.00	1	0.00	99	0.00	103	0.00	102	0.00	1
-162	Min.	0.00	1	0.00	1	0.00	104	0.00	100	0.00	97	0.00	1
-161	Max	0.00	1	0.00	1	0.00	99	0.00	33	0.00	101	0.00	1

-161	Min.	0.00	1	0.00	1	0.00	104	0.00	49	0.00	98	0.00	1
-160	Max	0.00	1	0.00	1	0.00	99	0.00	100	0.00	49	0.00	1
-160	Min.	0.00	1	0.00	1	0.00	49	0.00	49	0.00	98	0.00	1
-159	Max	0.00	1	0.00	1	0.00	100	0.00	104	0.00	104	0.00	1
-159	Min.	0.00	1	0.00	1	0.00	49	0.00	99	0.00	99	0.00	1
-158	Max	137.14	33	1060.75	100	0.00	99	0.00	49	0.00	102	133.96	49
-158	Min.	-153.82	49	563.94	103	0.00	104	0.00	100	0.00	97	-105.18	33
-157	Max	0.00	1	0.00	1	0.00	33	0.00	97	0.00	104	0.00	1
-157	Min.	0.00	1	0.00	1	0.00	100	0.00	49	0.00	99	0.00	1
-156	Max	0.00	1	0.00	1	0.00	103	0.00	103	0.00	102	0.00	1
-156	Min.	0.00	1	0.00	1	0.00	100	0.00	100	0.00	97	0.00	1
-155	Max	153.90	33	1060.75	100	0.00	103	0.00	49	0.00	104	105.18	49
-155	Min.	-137.06	49	563.94	103	0.00	100	0.00	98	0.00	99	-133.96	33
-154	Max	0.00	1	0.00	1	0.00	49	0.00	99	0.00	98	0.00	1
-154	Min.	0.00	1	0.00	1	0.00	100	0.00	104	0.00	101	0.00	1
-153	Max	0.00	1	0.00	1	0.00	33	0.00	100	0.00	101	0.00	1
-153	Min.	0.00	1	0.00	1	0.00	99	0.00	103	0.00	98	0.00	1
-152	Max	0.00	1	0.00	1	0.00	98	0.00	104	0.00	97	0.00	1
-152	Min.	0.00	1	0.00	1	0.00	49	0.00	99	0.00	102	0.00	1
-151	Max	0.00	1	0.00	1	0.00	101	0.00	101	0.00	102	0.00	1
-151	Min.	0.00	1	0.00	1	0.00	98	0.00	98	0.00	97	0.00	1
-150	Max	0.00	1	0.00	1	0.00	101	0.00	104	0.00	102	0.00	1
-150	Min.	0.00	1	0.00	1	0.00	98	0.00	99	0.00	97	0.00	1
-149	Max	0.00	1	0.00	1	0.00	102	0.00	49	0.00	102	0.00	1
-149	Min.	0.00	1	0.00	1	0.00	97	0.00	33	0.00	97	0.00	1
-148	Max	0.00	1	0.00	1	0.00	100	0.00	99	0.00	97	0.00	1
-148	Min.	0.00	1	0.00	1	0.00	103	0.00	104	0.00	102	0.00	1
-147	Max	0.00	1	0.00	1	0.00	99	0.00	99	0.00	97	0.00	1
-147	Min.	0.00	1	0.00	1	0.00	49	0.00	49	0.00	102	0.00	1
-146	Max	74.38	98	820.76	100	0.00	103	0.00	49	0.00	98	118.31	49
-146	Min.	-126.97	49	400.31	103	0.00	100	0.00	33	0.00	101	-89.39	33
-145	Max	0.00	1	0.00	1	0.00	98	0.00	103	0.00	98	0.00	1
-145	Min.	0.00	1	0.00	1	0.00	101	0.00	100	0.00	101	0.00	1
-144	Max	0.00	1	0.00	1	0.00	97	0.00	103	0.00	102	0.00	1
-144	Min.	0.00	1	0.00	1	0.00	102	0.00	100	0.00	97	0.00	1
-143	Max	127.06	33	820.76	100	0.00	98	0.00	99	0.00	99	89.39	49
-143	Min.	-74.38	97	400.31	103	0.00	49	0.00	33	0.00	104	-118.31	33
-142	Max	0.00	1	0.00	1	0.00	104	0.00	33	0.00	101	0.00	1
-142	Min.	0.00	1	0.00	1	0.00	99	0.00	99	0.00	98	0.00	1
-141	Max	0.00	1	0.00	1	0.00	104	0.00	104	0.00	97	0.00	1
-141	Min.	0.00	1	0.00	1	0.00	99	0.00	99	0.00	33	0.00	1
-140	Max	0.00	1	0.00	1	0.00	104	0.00	104	0.00	99	0.00	1
-140	Min.	0.00	1	0.00	1	0.00	99	0.00	99	0.00	104	0.00	1
-139	Max	0.00	1	0.00	1	0.00	102	0.00	33	0.00	101	0.00	1
-139	Min.	0.00	1	0.00	1	0.00	97	0.00	100	0.00	98	0.00	1
-138	Max	0.00	1	0.00	1	0.00	101	0.00	98	0.00	97	0.00	1
-138	Min.	0.00	1	0.00	1	0.00	98	0.00	101	0.00	102	0.00	1
-137	Max	0.00	1	0.00	1	6363.08	97	182.09	99	382.97	98	0.00	1
-137	Min.	0.00	1	0.00	1	4175.14	102	-168.87	104	-249.78	101	0.00	1
-136	Max	0.00	1	0.00	1	0.00	33	0.00	104	0.00	101	0.00	1
-136	Min.	0.00	1	0.00	1	0.00	99	0.00	99	0.00	98	0.00	1
-135	Max	0.00	1	0.00	1	11735.60	99	176.46	99	374.51	98	0.00	1
-135	Min.	0.00	1	0.00	1	7972.87	104	-174.70	104	-262.66	101	0.00	1
-134	Max	0.00	1	0.00	1	0.00	97	0.00	103	0.00	98	0.00	1
-134	Min.	0.00	1	0.00	1	0.00	102	0.00	100	0.00	101	0.00	1
-133	Max	0.00	1	0.00	1	0.00	97	0.00	100	0.00	102	0.00	1
-133	Min.	0.00	1	0.00	1	0.00	102	0.00	103	0.00	97	0.00	1
-132	Max	0.00	1	0.00	1	11735.60	99	176.46	99	262.66	102	0.00	1
-132	Min.	0.00	1	0.00	1	7972.87	104	-174.70	104	-374.51	97	0.00	1
-131	Max	0.00	1	0.00	1	0.00	104	0.00	33	0.00	104	0.00	1
-131	Min.	0.00	1	0.00	1	0.00	99	0.00	49	0.00	99	0.00	1
-130	Max	0.00	1	0.00	1	6363.08	98	182.09	99	249.78	102	0.00	1
-130	Min.	0.00	1	0.00	1	4175.14	101	-168.87	104	-382.97	97	0.00	1
-129	Max	0.00	1	0.00	1	0.00	102	0.00	100	0.00	104	0.00	1
-129	Min.	0.00	1	0.00	1	0.00	97	0.00	103	0.00	99	0.00	1
-128	Max	0.00	1	0.00	1	0.00	49	0.00	99	0.00	102	0.00	1
-128	Min.	0.00	1	0.00	1	0.00	98	0.00	104	0.00	97	0.00	1
-127	Max	0.00	1	0.00	1	0.00	98	0.00	101	0.00	102	0.00	1
-127	Min.	0.00	1	0.00	1	0.00	101	0.00	98	0.00	97	0.00	1
-126	Max	0.00	1	0.00	1	0.00	97	0.00	103	0.00	97	0.00	1
-126	Min.	0.00	1	0.00	1	0.00	102	0.00	100	0.00	102	0.00	1
-125	Max	0.00	1	0.00	1	0.00	101	0.00	33	0.00	97	0.00	1
-125	Min.	0.00	1	0.00	1	0.00	98	0.00	99	0.00	102	0.00	1
-124	Max	28.93	98	858.00	100	0.00	98	0.00	99	0.00	102	218.67	49
-124	Min.	-367.40	101	28.88	103	0.00	101	0.00	104	0.00	97	-199.03	33
-123	Max	0.00	1	0.00	1	0.00	97	0.00	33	0.00	98	0.00	1
-123	Min.	0.00	1	0.00	1	0.00	102	0.00	100	0.00	101	0.00	1
-122	Max	0.00	1	0.00	1	0.00	102	0.00	100	0.00	101	0.00	1
-122	Min.	0.00	1	0.00	1	0.00	97	0.00	103	0.00	98	0.00	1

-121	Max	367.40	102	858.00	100	0.00	104	0.00	104	0.00	98	199.02	49
-121	Min.	-28.93	97	28.88	103	0.00	99	0.00	99	0.00	101	-218.68	33
-120	Max	0.00	1	0.00	1	0.00	104	0.00	49	0.00	101	0.00	1
-120	Min.	0.00	1	0.00	1	0.00	99	0.00	33	0.00	98	0.00	1
-119	Max	0.00	1	0.00	1	0.00	100	0.00	103	0.00	101	0.00	1
-119	Min.	0.00	1	0.00	1	0.00	103	0.00	100	0.00	98	0.00	1
-118	Max	0.00	1	0.00	1	0.00	101	0.00	33	0.00	97	0.00	1
-118	Min.	0.00	1	0.00	1	0.00	98	0.00	49	0.00	102	0.00	1
-117	Max	0.00	1	0.00	1	0.00	102	0.00	98	0.00	98	0.00	1
-117	Min.	0.00	1	0.00	1	0.00	97	0.00	101	0.00	101	0.00	1
-116	Max	0.00	1	0.00	1	0.00	101	0.00	100	0.00	98	0.00	1
-116	Min.	0.00	1	0.00	1	0.00	98	0.00	103	0.00	101	0.00	1
-115	Max	0.00	1	0.00	1	6361.53	97	168.24	103	385.50	98	0.00	1
-115	Min.	0.00	1	0.00	1	4174.86	102	-182.11	100	-247.36	101	0.00	1
-114	Max	0.00	1	0.00	1	0.00	99	0.00	99	0.00	97	0.00	1
-114	Min.	0.00	1	0.00	1	0.00	104	0.00	104	0.00	102	0.00	1
-113	Max	0.00	1	0.00	1	11574.40	98	169.40	103	377.12	98	0.00	1
-113	Min.	0.00	1	0.00	1	8149.26	101	-183.41	100	-260.66	101	0.00	1
-112	Max	0.00	1	0.00	1	0.00	98	0.00	100	0.00	98	0.00	1
-112	Min.	0.00	1	0.00	1	0.00	101	0.00	103	0.00	101	0.00	1
-111	Max	0.00	1	0.00	1	0.00	102	0.00	103	0.00	98	0.00	1
-111	Min.	0.00	1	0.00	1	0.00	97	0.00	100	0.00	101	0.00	1
-110	Max	0.00	1	0.00	1	11574.40	97	169.40	103	260.66	102	0.00	1
-110	Min.	0.00	1	0.00	1	8149.26	102	-183.41	100	-377.12	97	0.00	1
-109	Max	0.00	1	0.00	1	0.00	101	0.00	100	0.00	98	0.00	1
-109	Min.	0.00	1	0.00	1	0.00	98	0.00	103	0.00	101	0.00	1
-108	Max	0.00	1	0.00	1	6361.53	98	168.24	103	247.36	102	0.00	1
-108	Min.	0.00	1	0.00	1	4174.86	101	-182.11	100	-385.50	97	0.00	1
-107	Max	0.00	1	0.00	1	0.00	97	0.00	99	0.00	103	0.00	1
-107	Min.	0.00	1	0.00	1	0.00	102	0.00	104	0.00	100	0.00	1
-106	Max	0.00	1	0.00	1	0.00	97	0.00	103	0.00	97	0.00	1
-106	Min.	0.00	1	0.00	1	0.00	102	0.00	100	0.00	102	0.00	1
-105	Max	0.00	1	0.00	1	0.00	101	0.00	99	0.00	98	0.00	1
-105	Min.	0.00	1	0.00	1	0.00	98	0.00	33	0.00	101	0.00	1
-104	Max	0.00	1	0.00	1	0.00	97	0.00	98	0.00	102	0.00	1
-104	Min.	0.00	1	0.00	1	0.00	102	0.00	49	0.00	97	0.00	1
-103	Max	0.00	1	0.00	1	0.00	97	0.00	104	0.00	101	0.00	1
-103	Min.	0.00	1	0.00	1	0.00	102	0.00	99	0.00	98	0.00	1
-102	Max	33.23	98	-26.98	104	0.00	49	0.00	49	0.00	98	202.22	49
-102	Min.	-368.18	101	-865.11	99	0.00	33	0.00	100	0.00	101	-220.47	33
-101	Max	0.00	1	0.00	1	0.00	101	0.00	100	0.00	100	0.00	1
-101	Min.	0.00	1	0.00	1	0.00	98	0.00	103	0.00	49	0.00	1
-100	Max	0.00	1	0.00	1	0.00	101	0.00	101	0.00	97	0.00	1
-100	Min.	0.00	1	0.00	1	0.00	98	0.00	98	0.00	102	0.00	1
-99	Max	368.18	102	-26.98	104	0.00	98	0.00	97	0.00	98	220.44	49
-99	Min.	-33.23	97	-865.11	99	0.00	101	0.00	49	0.00	101	-202.25	33
-98	Max	0.00	1	0.00	1	0.00	101	0.00	100	0.00	98	0.00	1
-98	Min.	0.00	1	0.00	1	0.00	98	0.00	33	0.00	101	0.00	1
-97	Max	0.00	1	0.00	1	0.00	103	0.00	99	0.00	97	0.00	1
-97	Min.	0.00	1	0.00	1	0.00	100	0.00	104	0.00	102	0.00	1
-96	Max	0.00	1	0.00	1	0.00	98	0.00	100	0.00	102	0.00	1
-96	Min.	0.00	1	0.00	1	0.00	101	0.00	103	0.00	97	0.00	1
-95	Max	0.00	1	0.00	1	0.00	100	0.00	100	0.00	49	0.00	1
-95	Min.	0.00	1	0.00	1	0.00	103	0.00	103	0.00	99	0.00	1
-94	Max	0.00	1	0.00	1	0.00	97	0.00	104	0.00	98	0.00	1
-94	Min.	0.00	1	0.00	1	0.00	102	0.00	99	0.00	101	0.00	1
-93	Max	0.00	1	0.00	1	6379.86	97	157.28	103	383.06	98	0.00	1
-93	Min.	0.00	1	0.00	1	4187.18	102	-198.44	100	-249.74	101	0.00	1
-92	Max	0.00	1	0.00	1	0.00	104	0.00	100	0.00	97	0.00	1
-92	Min.	0.00	1	0.00	1	0.00	99	0.00	33	0.00	102	0.00	1
-91	Max	0.00	1	0.00	1	11767.50	100	163.07	103	374.58	98	0.00	1
-91	Min.	0.00	1	0.00	1	7994.23	103	-192.87	100	-262.63	101	0.00	1
-90	Max	0.00	1	0.00	1	0.00	103	0.00	99	0.00	97	0.00	1
-90	Min.	0.00	1	0.00	1	0.00	100	0.00	104	0.00	102	0.00	1
-89	Max	0.00	1	0.00	1	0.00	103	0.00	33	0.00	97	0.00	1
-89	Min.	0.00	1	0.00	1	0.00	100	0.00	97	0.00	102	0.00	1
-88	Max	0.00	1	0.00	1	11767.50	100	163.07	103	262.63	102	0.00	1
-88	Min.	0.00	1	0.00	1	7994.23	103	-192.87	100	-374.59	97	0.00	1
-87	Max	0.00	1	0.00	1	0.00	49	0.00	99	0.00	97	0.00	1
-87	Min.	0.00	1	0.00	1	0.00	100	0.00	33	0.00	102	0.00	1
-86	Max	0.00	1	0.00	1	6379.85	98	157.28	103	249.74	102	0.00	1
-86	Min.	0.00	1	0.00	1	4187.18	101	-198.44	100	-383.06	97	0.00	1
-85	Max	0.00	1	0.00	1	0.00	98	0.00	104	0.00	99	0.00	1
-85	Min.	0.00	1	0.00	1	0.00	101	0.00	99	0.00	33	0.00	1
-84	Max	0.00	1	0.00	1	0.00	102	0.00	103	0.00	97	0.00	1
-84	Min.	0.00	1	0.00	1	0.00	97	0.00	100	0.00	102	0.00	1
-83	Max	0.00	1	0.00	1	0.00	97	0.00	33	0.00	102	0.00	1
-83	Min.	0.00	1	0.00	1	0.00	102	0.00	99	0.00	97	0.00	1
-82	Max	0.00	1	0.00	1	0.00	99	0.00	99	0.00	102	0.00	1

-82	Min.	0.00	1	0.00	1	0.00	104	0.00	104	0.00	97	0.00	1
-81	Max	0.00	1	0.00	1	0.00	99	0.00	100	0.00	101	0.00	1
-81	Min.	0.00	1	0.00	1	0.00	33	0.00	103	0.00	98	0.00	1
-80	Max	77.25	98	-402.29	104	0.00	97	0.00	49	0.00	97	89.58	49
-80	Min.	-125.18	33	-823.69	99	0.00	102	0.00	100	0.00	102	-118.12	33
-79	Max	0.00	1	0.00	1	0.00	100	0.00	100	0.00	101	0.00	1
-79	Min.	0.00	1	0.00	1	0.00	103	0.00	103	0.00	98	0.00	1
-78	Max	0.00	1	0.00	1	0.00	103	0.00	99	0.00	98	0.00	1
-78	Min.	0.00	1	0.00	1	0.00	100	0.00	104	0.00	101	0.00	1
-77	Max	125.08	49	-402.29	104	0.00	102	0.00	103	0.00	98	118.11	49
-77	Min.	-77.25	97	-823.69	99	0.00	97	0.00	100	0.00	101	-89.60	33
-76	Max	0.00	1	0.00	1	0.00	101	0.00	103	0.00	101	0.00	1
-76	Min.	0.00	1	0.00	1	0.00	98	0.00	100	0.00	98	0.00	1
-75	Max	0.00	1	0.00	1	0.00	99	0.00	104	0.00	98	0.00	1
-75	Min.	0.00	1	0.00	1	0.00	104	0.00	99	0.00	101	0.00	1
-74	Max	0.00	1	0.00	1	0.00	102	0.00	33	0.00	97	0.00	1
-74	Min.	0.00	1	0.00	1	0.00	97	0.00	98	0.00	102	0.00	1
-73	Max	0.00	1	0.00	1	0.00	104	0.00	100	0.00	100	0.00	1
-73	Min.	0.00	1	0.00	1	0.00	99	0.00	103	0.00	103	0.00	1
-72	Max	0.00	1	0.00	1	0.00	102	0.00	100	0.00	98	0.00	1
-72	Min.	0.00	1	0.00	1	0.00	97	0.00	103	0.00	101	0.00	1
-71	Max	0.00	1	0.00	1	0.00	102	0.00	104	0.00	97	0.00	1
-71	Min.	0.00	1	0.00	1	0.00	97	0.00	99	0.00	102	0.00	1
-70	Max	0.00	1	0.00	1	0.00	49	0.00	103	0.00	103	0.00	1
-70	Min.	0.00	1	0.00	1	0.00	100	0.00	100	0.00	100	0.00	1
-69	Max	0.00	1	0.00	1	0.00	99	0.00	33	0.00	97	0.00	1
-69	Min.	0.00	1	0.00	1	0.00	104	0.00	100	0.00	102	0.00	1
-68	Max	135.12	49	-550.00	104	0.00	100	0.00	100	0.00	97	103.19	49
-68	Min.	-148.67	33	-1035.95	99	0.00	103	0.00	49	0.00	102	-131.24	33
-67	Max	0.00	1	0.00	1	0.00	100	0.00	104	0.00	100	0.00	1
-67	Min.	0.00	1	0.00	1	0.00	103	0.00	99	0.00	103	0.00	1
-66	Max	0.00	1	0.00	1	0.00	102	0.00	100	0.00	102	0.00	1
-66	Min.	0.00	1	0.00	1	0.00	97	0.00	103	0.00	97	0.00	1
-65	Max	148.57	49	-550.00	104	0.00	49	0.00	49	0.00	97	131.23	49
-65	Min.	-135.22	33	-1035.95	99	0.00	97	0.00	33	0.00	102	-103.21	33
-64	Max	0.00	1	0.00	1	0.00	104	0.00	103	0.00	102	0.00	1
-64	Min.	0.00	1	0.00	1	0.00	99	0.00	100	0.00	97	0.00	1
-63	Max	0.00	1	0.00	1	0.00	100	0.00	33	0.00	101	0.00	1
-63	Min.	0.00	1	0.00	1	0.00	33	0.00	99	0.00	98	0.00	1
-62	Max	0.00	1	0.00	1	0.00	102	0.00	99	0.00	97	0.00	1
-62	Min.	0.00	1	0.00	1	0.00	97	0.00	104	0.00	102	0.00	1
-61	Max	0.00	1	0.00	1	0.00	102	0.00	100	0.00	97	0.00	1
-61	Min.	0.00	1	0.00	1	0.00	97	0.00	103	0.00	102	0.00	1
-60	Max	0.00	1	0.00	1	0.00	49	0.00	103	0.00	102	0.00	1
-60	Min.	0.00	1	0.00	1	0.00	97	0.00	100	0.00	97	0.00	1
-59	Max	0.00	1	0.00	1	0.00	97	0.00	103	0.00	97	0.00	1
-59	Min.	0.00	1	0.00	1	0.00	33	0.00	100	0.00	102	0.00	1
-58	Max	0.00	1	0.00	1	0.00	103	0.00	49	0.00	98	0.00	1
-58	Min.	0.00	1	0.00	1	0.00	100	0.00	100	0.00	101	0.00	1
-57	Max	0.00	1	0.00	1	0.00	99	0.00	33	0.00	97	0.00	1
-57	Min.	0.00	1	0.00	1	0.00	49	0.00	100	0.00	102	0.00	1
-56	Max	169.81	49	-602.62	104	0.00	104	0.00	98	0.00	98	91.98	49
-56	Min.	-156.09	33	-1099.58	99	0.00	99	0.00	33	0.00	101	-110.23	33
-55	Max	0.00	1	0.00	1	0.00	100	0.00	49	0.00	102	0.00	1
-55	Min.	0.00	1	0.00	1	0.00	33	0.00	100	0.00	97	0.00	1
-54	Max	0.00	1	0.00	1	0.00	99	0.00	104	0.00	104	0.00	1
-54	Min.	0.00	1	0.00	1	0.00	104	0.00	99	0.00	99	0.00	1
-53	Max	156.00	49	-602.62	104	0.00	103	0.00	100	0.00	97	110.22	49
-53	Min.	-169.90	33	-1099.58	99	0.00	100	0.00	103	0.00	102	-91.99	33
-52	Max	0.00	1	0.00	1	0.00	99	0.00	99	0.00	97	0.00	1
-52	Min.	0.00	1	0.00	1	0.00	49	0.00	104	0.00	102	0.00	1
-51	Max	0.00	1	0.00	1	0.00	103	0.00	33	0.00	101	0.00	1
-51	Min.	0.00	1	0.00	1	0.00	100	0.00	49	0.00	98	0.00	1
-50	Max	0.00	1	0.00	1	0.00	100	0.00	101	0.00	98	0.00	1
-50	Min.	0.00	1	0.00	1	0.00	103	0.00	98	0.00	101	0.00	1
-49	Max	0.00	1	0.00	1	0.00	97	0.00	103	0.00	98	0.00	1
-49	Min.	0.00	1	0.00	1	0.00	102	0.00	100	0.00	101	0.00	1
-48	Max	0.00	1	0.00	1	0.00	103	0.00	49	0.00	103	0.00	1
-48	Min.	0.00	1	0.00	1	0.00	100	0.00	99	0.00	100	0.00	1
-47	Max	0.00	1	0.00	1	0.00	49	0.00	104	0.00	102	0.00	1
-47	Min.	0.00	1	0.00	1	0.00	98	0.00	99	0.00	97	0.00	1
-46	Max	0.00	1	0.00	1	0.00	104	0.00	99	0.00	97	0.00	1
-46	Min.	0.00	1	0.00	1	0.00	99	0.00	104	0.00	102	0.00	1
-45	Max	0.00	1	0.00	1	12142.80	100	160.15	103	369.70	98	0.00	1
-45	Min.	0.00	1	0.00	1	7690.61	103	-198.40	100	-267.09	101	0.00	1
-44	Max	-8467.79	49	-278.27	104	0.00	103	0.00	99	0.00	98	82.83	49
-44	Min.	-12840.40	97	-521.07	99	0.00	100	0.00	104	0.00	101	-165.95	33
-43	Max	0.00	1	0.00	1	0.00	100	0.00	33	0.00	101	0.00	1
-43	Min.	0.00	1	0.00	1	0.00	103	0.00	99	0.00	98	0.00	1

-42	Max	0.00	1	0.00	1	0.00	103	0.00	104	0.00	103	0.00	1
-42	Min.	0.00	1	0.00	1	0.00	100	0.00	99	0.00	100	0.00	1
-41	Max	12840.40	98	-278.27	104	0.00	102	0.00	99	0.00	98	165.85	49
-41	Min.	8448.03	33	-521.07	99	0.00	97	0.00	104	0.00	101	-82.93	33
-40	Max	0.00	1	0.00	1	12142.80	100	160.15	103	267.09	102	0.00	1
-40	Min.	0.00	1	0.00	1	7690.61	103	-198.40	100	-369.70	97	0.00	1
-39	Max	0.00	1	0.00	1	0.00	103	0.00	33	0.00	103	0.00	1
-39	Min.	0.00	1	0.00	1	0.00	100	0.00	100	0.00	100	0.00	1
-38	Max	0.00	1	0.00	1	0.00	102	0.00	99	0.00	101	0.00	1
-38	Min.	0.00	1	0.00	1	0.00	97	0.00	104	0.00	98	0.00	1
-37	Max	0.00	1	0.00	1	0.00	33	0.00	100	0.00	99	0.00	1
-37	Min.	0.00	1	0.00	1	0.00	97	0.00	103	0.00	49	0.00	1
-36	Max	0.00	1	0.00	1	0.00	99	0.00	100	0.00	100	0.00	1
-36	Min.	0.00	1	0.00	1	0.00	104	0.00	103	0.00	33	0.00	1
-35	Max	0.00	1	0.00	1	0.00	100	0.00	99	0.00	97	0.00	1
-35	Min.	0.00	1	0.00	1	0.00	103	0.00	49	0.00	49	0.00	1
-34	Max	0.00	1	0.00	1	0.00	100	0.00	33	0.00	102	0.00	1
-34	Min.	0.00	1	0.00	1	0.00	103	0.00	99	0.00	97	0.00	1
-33	Max	0.00	1	0.00	1	0.00	99	0.00	103	0.00	101	0.00	1
-33	Min.	0.00	1	0.00	1	0.00	104	0.00	100	0.00	98	0.00	1
-32	Max	561.44	49	-114.49	49	0.00	103	0.00	103	0.00	97	105.23	49
-32	Min.	-376.57	33	-247.32	99	0.00	100	0.00	100	0.00	102	-97.46	33
-31	Max	0.00	1	0.00	1	0.00	98	0.00	100	0.00	98	0.00	1
-31	Min.	0.00	1	0.00	1	0.00	49	0.00	103	0.00	101	0.00	1
-30	Max	0.00	1	0.00	1	0.00	99	0.00	103	0.00	98	0.00	1
-30	Min.	0.00	1	0.00	1	0.00	104	0.00	100	0.00	101	0.00	1
-29	Max	376.52	49	-114.05	33	0.00	33	0.00	49	0.00	101	97.44	49
-29	Min.	-561.49	33	-247.32	99	0.00	98	0.00	33	0.00	98	-105.25	33
-28	Max	0.00	1	0.00	1	0.00	100	0.00	103	0.00	101	0.00	1
-28	Min.	0.00	1	0.00	1	0.00	103	0.00	100	0.00	98	0.00	1
-27	Max	0.00	1	0.00	1	0.00	103	0.00	100	0.00	104	0.00	1
-27	Min.	0.00	1	0.00	1	0.00	100	0.00	103	0.00	99	0.00	1
-26	Max	0.00	1	0.00	1	0.00	99	0.00	99	0.00	101	0.00	1
-26	Min.	0.00	1	0.00	1	0.00	104	0.00	104	0.00	98	0.00	1
-25	Max	0.00	1	0.00	1	0.00	98	0.00	104	0.00	104	0.00	1
-25	Min.	0.00	1	0.00	1	0.00	101	0.00	99	0.00	99	0.00	1
-24	Max	0.00	1	0.00	1	0.00	97	0.00	100	0.00	101	0.00	1
-24	Min.	0.00	1	0.00	1	0.00	102	0.00	49	0.00	98	0.00	1
-23	Max	0.00	1	0.00	1	0.00	100	0.00	99	0.00	102	0.00	1
-23	Min.	0.00	1	0.00	1	0.00	33	0.00	104	0.00	97	0.00	1
-22	Max	0.00	1	0.00	1	0.00	99	0.00	100	0.00	102	0.00	1
-22	Min.	0.00	1	0.00	1	0.00	104	0.00	33	0.00	97	0.00	1
-21	Max	0.00	1	0.00	1	0.00	103	0.00	104	0.00	101	0.00	1
-21	Min.	0.00	1	0.00	1	0.00	100	0.00	99	0.00	98	0.00	1
-20	Max	422.20	49	-132.91	49	0.00	104	0.00	103	0.00	101	39.71	49
-20	Min.	-258.63	33	-241.81	99	0.00	99	0.00	100	0.00	98	-15.41	33
-19	Max	0.00	1	0.00	1	0.00	99	0.00	104	0.00	103	0.00	1
-19	Min.	0.00	1	0.00	1	0.00	104	0.00	99	0.00	100	0.00	1
-18	Max	0.00	1	0.00	1	0.00	100	0.00	33	0.00	97	0.00	1
-18	Min.	0.00	1	0.00	1	0.00	103	0.00	49	0.00	102	0.00	1
-17	Max	258.63	49	-132.82	33	0.00	49	0.00	33	0.00	98	15.39	49
-17	Min.	-422.21	33	-241.81	99	0.00	100	0.00	99	0.00	101	-39.72	33
-16	Max	0.00	1	0.00	1	0.00	33	0.00	99	0.00	98	0.00	1
-16	Min.	0.00	1	0.00	1	0.00	99	0.00	104	0.00	33	0.00	1
-15	Max	0.00	1	0.00	1	0.00	98	0.00	33	0.00	102	0.00	1
-15	Min.	0.00	1	0.00	1	0.00	33	0.00	99	0.00	97	0.00	1
-14	Max	0.00	1	0.00	1	0.00	98	0.00	103	0.00	100	0.00	1
-14	Min.	0.00	1	0.00	1	0.00	101	0.00	100	0.00	49	0.00	1
-13	Max	0.00	1	0.00	1	0.00	103	0.00	100	0.00	98	0.00	1
-13	Min.	0.00	1	0.00	1	0.00	100	0.00	103	0.00	101	0.00	1
-12	Max	0.00	1	0.00	1	0.00	102	0.00	104	0.00	103	0.00	1
-12	Min.	0.00	1	0.00	1	0.00	97	0.00	99	0.00	100	0.00	1
-11	Max	0.00	1	0.00	1	0.00	99	0.00	49	0.00	97	0.00	1
-11	Min.	0.00	1	0.00	1	0.00	104	0.00	33	0.00	102	0.00	1
-10	Max	0.00	1	0.00	1	0.00	104	0.00	103	0.00	101	0.00	1
-10	Min.	0.00	1	0.00	1	0.00	99	0.00	100	0.00	98	0.00	1
-9	Max	0.00	1	0.00	1	0.00	33	0.00	103	0.00	98	0.00	1
-9	Min.	0.00	1	0.00	1	0.00	49	0.00	100	0.00	101	0.00	1
-8	Max	298.02	49	-106.99	49	0.00	100	0.00	33	0.00	102	64.72	97
-8	Min.	-175.14	33	-236.51	99	0.00	103	0.00	98	0.00	97	29.16	102
-7	Max	0.00	1	0.00	1	0.00	33	0.00	99	0.00	102	0.00	1
-7	Min.	0.00	1	0.00	1	0.00	49	0.00	104	0.00	97	0.00	1
-6	Max	0.00	1	0.00	1	0.00	103	0.00	100	0.00	98	0.00	1
-6	Min.	0.00	1	0.00	1	0.00	100	0.00	49	0.00	101	0.00	1
-5	Max	175.13	49	-106.91	33	0.00	103	0.00	104	0.00	98	-29.16	101
-5	Min.	-298.03	33	-236.51	99	0.00	100	0.00	99	0.00	101	-64.72	98
-4	Max	0.00	1	0.00	1	0.00	103	0.00	33	0.00	102	0.00	1
-4	Min.	0.00	1	0.00	1	0.00	100	0.00	99	0.00	97	0.00	1
-3	Max	0.00	1	0.00	1	0.00	49	0.00	104	0.00	102	0.00	1

-3	Min.	0.00	1	0.00	1	0.00	97	0.00	99	0.00	97	0.00	1
-2	Max	0.00	1	0.00	1	0.00	100	0.00	33	0.00	97	0.00	1
-2	Min.	0.00	1	0.00	1	0.00	103	0.00	49	0.00	102	0.00	1
-1	Max	0.00	1	0.00	1	0.00	104	0.00	104	0.00	100	0.00	1
-1	Min.	0.00	1	0.00	1	0.00	99	0.00	99	0.00	103	0.00	1
20	Max	5283.79	98	-260.95	104	0.00	49	0.00	103	0.00	97	166.70	49
20	Min.	3464.88	101	-919.87	99	0.00	100	0.00	100	0.00	102	-150.06	33
21	Max	-3464.88	102	-260.95	104	0.00	104	0.00	100	0.00	98	150.00	49
21	Min.	-5283.79	97	-919.87	99	0.00	99	0.00	33	0.00	101	-166.76	33
22	Max	7020.98	98	371.11	104	0.00	102	0.00	49	0.00	97	211.22	49
22	Min.	4539.27	101	-377.54	99	0.00	97	0.00	100	0.00	102	-212.51	33
23	Max	-4539.27	102	371.11	104	0.00	97	0.00	99	0.00	102	212.46	49
23	Min.	-7020.98	97	-377.54	99	0.00	102	0.00	49	0.00	97	-211.27	33
24	Max	5288.64	98	919.68	100	0.00	98	0.00	103	0.00	101	148.66	49
24	Min.	3467.84	101	261.08	103	0.00	101	0.00	100	0.00	98	-168.04	33
25	Max	-3467.84	102	919.68	100	0.00	49	0.00	100	0.00	98	168.02	49
25	Min.	-5288.64	97	261.08	103	0.00	99	0.00	33	0.00	101	-148.68	33

Tensioni sul terreno

Simbologia
Nodo = Numero del nodo
σ_t = Tensione sul terreno
CC = Numero della combinazione delle condizioni di carico elementari

Nodo		σ_t <daN/cmq>	CC	Nodo		σ_t <daN/cmq>	CC	Nodo		σ_t <daN/cmq>	CC	Nodo		σ_t <daN/cmq>	CC
-222	Max	0.20	99	-222	Min.	0.12	104	-221	Max	0.20	99	-221	Min.	0.12	104
-220	Max	0.20	99	-220	Min.	0.12	104	-219	Max	0.20	99	-219	Min.	0.12	104
-218	Max	0.20	99	-218	Min.	0.12	104	-217	Max	0.21	99	-217	Min.	0.12	104
-216	Max	0.21	99	-216	Min.	0.12	104	-215	Max	0.20	99	-215	Min.	0.12	104
-214	Max	0.20	99	-214	Min.	0.12	104	-213	Max	0.20	99	-213	Min.	0.12	104
-212	Max	0.20	99	-212	Min.	0.12	104	-211	Max	0.20	99	-211	Min.	0.12	104
-210	Max	0.20	99	-210	Min.	0.12	104	-209	Max	0.20	99	-209	Min.	0.12	104
-208	Max	0.20	99	-208	Min.	0.12	104	-207	Max	0.20	99	-207	Min.	0.12	104
-206	Max	0.20	99	-206	Min.	0.12	104	-205	Max	0.20	99	-205	Min.	0.12	104
-204	Max	0.20	99	-204	Min.	0.12	104	-203	Max	0.20	99	-203	Min.	0.12	104
-202	Max	0.20	99	-202	Min.	0.12	104	-201	Max	0.20	99	-201	Min.	0.12	104
-200	Max	0.20	99	-200	Min.	0.12	104	-199	Max	0.20	99	-199	Min.	0.12	104
-198	Max	0.20	97	-198	Min.	0.12	102	-197	Max	0.20	99	-197	Min.	0.12	104
-196	Max	0.20	99	-196	Min.	0.12	104	-195	Max	0.20	99	-195	Min.	0.12	104
-194	Max	0.20	99	-194	Min.	0.12	104	-193	Max	0.20	99	-193	Min.	0.12	104
-192	Max	0.20	99	-192	Min.	0.12	104	-191	Max	0.20	99	-191	Min.	0.12	104
-190	Max	0.20	99	-190	Min.	0.12	104	-189	Max	0.20	99	-189	Min.	0.12	104
-188	Max	0.20	99	-188	Min.	0.12	104	-187	Max	0.20	98	-187	Min.	0.12	101
-186	Max	0.20	97	-186	Min.	0.12	102	-185	Max	0.20	99	-185	Min.	0.12	104
-184	Max	0.20	99	-184	Min.	0.13	104	-183	Max	0.20	99	-183	Min.	0.13	104
-182	Max	0.20	99	-182	Min.	0.13	104	-181	Max	0.20	99	-181	Min.	0.13	104
-180	Max	0.20	99	-180	Min.	0.13	104	-179	Max	0.20	99	-179	Min.	0.13	104
-178	Max	0.20	99	-178	Min.	0.13	104	-177	Max	0.20	99	-177	Min.	0.13	104
-176	Max	0.20	99	-176	Min.	0.12	104	-175	Max	0.20	98	-175	Min.	0.12	101
-174	Max	0.20	97	-174	Min.	0.12	102	-173	Max	0.20	99	-173	Min.	0.13	104
-172	Max	0.20	99	-172	Min.	0.13	104	-171	Max	0.20	99	-171	Min.	0.13	104
-170	Max	0.20	99	-170	Min.	0.13	104	-169	Max	0.20	99	-169	Min.	0.13	104
-168	Max	0.20	99	-168	Min.	0.13	104	-167	Max	0.20	99	-167	Min.	0.13	104
-166	Max	0.20	99	-166	Min.	0.13	104	-165	Max	0.20	99	-165	Min.	0.13	104
-164	Max	0.20	99	-164	Min.	0.13	104	-163	Max	0.20	98	-163	Min.	0.12	101
-162	Max	0.20	97	-162	Min.	0.12	102	-161	Max	0.19	99	-161	Min.	0.13	104
-160	Max	0.20	99	-160	Min.	0.13	104	-159	Max	0.20	99	-159	Min.	0.13	104
-158	Max	0.20	99	-158	Min.	0.13	104	-157	Max	0.20	98	-157	Min.	0.13	101
-156	Max	0.20	97	-156	Min.	0.13	102	-155	Max	0.20	99	-155	Min.	0.13	104
-154	Max	0.20	99	-154	Min.	0.13	104	-153	Max	0.20	99	-153	Min.	0.13	104
-152	Max	0.19	99	-152	Min.	0.13	104	-151	Max	0.20	98	-151	Min.	0.12	101
-150	Max	0.20	97	-150	Min.	0.12	102	-149	Max	0.19	97	-149	Min.	0.13	102
-148	Max	0.19	99	-148	Min.	0.13	104	-147	Max	0.20	99	-147	Min.	0.13	104
-146	Max	0.20	99	-146	Min.	0.13	104	-145	Max	0.20	98	-145	Min.	0.13	101
-144	Max	0.20	97	-144	Min.	0.13	102	-143	Max	0.20	99	-143	Min.	0.13	104
-142	Max	0.20	99	-142	Min.	0.13	104	-141	Max	0.19	99	-141	Min.	0.13	104
-140	Max	0.19	98	-140	Min.	0.13	101	-139	Max	0.20	98	-139	Min.	0.12	101
-138	Max	0.20	97	-138	Min.	0.12	102	-137	Max	0.19	97	-137	Min.	0.13	102
-136	Max	0.19	99	-136	Min.	0.13	104	-135	Max	0.19	99	-135	Min.	0.13	104
-134	Max	0.20	98	-134	Min.	0.13	101	-133	Max	0.20	97	-133	Min.	0.13	102
-132	Max	0.19	99	-132	Min.	0.13	104	-131	Max	0.19	99	-131	Min.	0.13	104
-130	Max	0.19	98	-130	Min.	0.13	101	-129	Max	0.20	98	-129	Min.	0.12	101
-128	Max	0.20	97	-128	Min.	0.12	102	-127	Max	0.19	97	-127	Min.	0.13	102
-126	Max	0.19	99	-126	Min.	0.13	104	-125	Max	0.19	99	-125	Min.	0.13	104
-124	Max	0.19	98	-124	Min.	0.13	101	-123	Max	0.20	98	-123	Min.	0.13	101
-122	Max	0.20	97	-122	Min.	0.13	102	-121	Max	0.19	97	-121	Min.	0.13	102
-120	Max	0.19	99	-120	Min.	0.13	104	-119	Max	0.19	99	-119	Min.	0.13	104

-118	Max	0.19	98	-118	Min.	0.13	101	-117	Max	0.20	98	-117	Min.	0.12	101
-116	Max	0.20	97	-116	Min.	0.12	102	-115	Max	0.19	97	-115	Min.	0.13	102
-114	Max	0.19	97	-114	Min.	0.13	102	-113	Max	0.19	98	-113	Min.	0.13	101
-112	Max	0.20	98	-112	Min.	0.13	101	-111	Max	0.20	97	-111	Min.	0.13	102
-110	Max	0.19	97	-110	Min.	0.13	102	-109	Max	0.19	98	-109	Min.	0.13	101
-108	Max	0.19	98	-108	Min.	0.13	101	-107	Max	0.20	98	-107	Min.	0.12	101
-106	Max	0.20	97	-106	Min.	0.12	102	-105	Max	0.19	97	-105	Min.	0.13	102
-104	Max	0.19	100	-104	Min.	0.13	103	-103	Max	0.19	100	-103	Min.	0.13	103
-102	Max	0.19	98	-102	Min.	0.13	101	-101	Max	0.20	98	-101	Min.	0.13	101
-100	Max	0.20	97	-100	Min.	0.13	102	-99	Max	0.19	97	-99	Min.	0.13	102
-98	Max	0.19	100	-98	Min.	0.13	103	-97	Max	0.19	100	-97	Min.	0.13	103
-96	Max	0.19	98	-96	Min.	0.13	101	-95	Max	0.20	98	-95	Min.	0.12	101
-94	Max	0.20	97	-94	Min.	0.12	102	-93	Max	0.19	97	-93	Min.	0.13	102
-92	Max	0.19	100	-92	Min.	0.13	103	-91	Max	0.19	100	-91	Min.	0.13	103
-90	Max	0.20	98	-90	Min.	0.13	101	-89	Max	0.20	97	-89	Min.	0.13	102
-88	Max	0.19	100	-88	Min.	0.13	103	-87	Max	0.19	100	-87	Min.	0.13	103
-86	Max	0.19	98	-86	Min.	0.13	101	-85	Max	0.20	98	-85	Min.	0.12	101
-84	Max	0.20	97	-84	Min.	0.12	102	-83	Max	0.19	97	-83	Min.	0.13	102
-82	Max	0.19	100	-82	Min.	0.13	103	-81	Max	0.20	100	-81	Min.	0.13	103
-80	Max	0.20	100	-80	Min.	0.13	103	-79	Max	0.20	98	-79	Min.	0.13	101
-78	Max	0.20	97	-78	Min.	0.13	102	-77	Max	0.20	100	-77	Min.	0.13	103
-76	Max	0.20	100	-76	Min.	0.13	103	-75	Max	0.19	100	-75	Min.	0.13	103
-74	Max	0.19	98	-74	Min.	0.13	101	-73	Max	0.20	98	-73	Min.	0.12	101
-72	Max	0.20	97	-72	Min.	0.12	102	-71	Max	0.19	100	-71	Min.	0.13	103
-70	Max	0.20	100	-70	Min.	0.13	103	-69	Max	0.20	100	-69	Min.	0.13	103
-68	Max	0.20	100	-68	Min.	0.13	103	-67	Max	0.20	98	-67	Min.	0.13	101
-66	Max	0.20	97	-66	Min.	0.13	102	-65	Max	0.20	100	-65	Min.	0.13	103
-64	Max	0.20	100	-64	Min.	0.13	103	-63	Max	0.20	100	-63	Min.	0.13	103
-62	Max	0.19	100	-62	Min.	0.13	103	-61	Max	0.20	98	-61	Min.	0.12	101
-60	Max	0.20	97	-60	Min.	0.12	102	-59	Max	0.20	100	-59	Min.	0.13	103
-58	Max	0.20	100	-58	Min.	0.13	103	-57	Max	0.20	100	-57	Min.	0.13	103
-56	Max	0.20	100	-56	Min.	0.13	103	-55	Max	0.20	100	-55	Min.	0.13	103
-54	Max	0.20	100	-54	Min.	0.13	103	-53	Max	0.20	100	-53	Min.	0.13	103
-52	Max	0.20	100	-52	Min.	0.13	103	-51	Max	0.20	100	-51	Min.	0.13	103
-50	Max	0.20	100	-50	Min.	0.13	103	-49	Max	0.20	98	-49	Min.	0.12	101
-48	Max	0.20	97	-48	Min.	0.12	102	-47	Max	0.20	100	-47	Min.	0.13	103
-46	Max	0.20	100	-46	Min.	0.13	103	-45	Max	0.20	100	-45	Min.	0.13	103
-44	Max	0.20	100	-44	Min.	0.13	103	-43	Max	0.20	100	-43	Min.	0.13	103
-42	Max	0.20	100	-42	Min.	0.13	103	-41	Max	0.20	100	-41	Min.	0.13	103
-40	Max	0.20	100	-40	Min.	0.13	103	-39	Max	0.20	100	-39	Min.	0.13	103
-38	Max	0.20	100	-38	Min.	0.13	103	-37	Max	0.20	98	-37	Min.	0.12	101
-36	Max	0.20	97	-36	Min.	0.12	102	-35	Max	0.20	100	-35	Min.	0.12	103
-34	Max	0.20	100	-34	Min.	0.12	103	-33	Max	0.20	100	-33	Min.	0.12	103
-32	Max	0.20	100	-32	Min.	0.12	103	-31	Max	0.21	100	-31	Min.	0.13	103
-30	Max	0.21	100	-30	Min.	0.13	103	-29	Max	0.20	100	-29	Min.	0.12	103
-28	Max	0.20	100	-28	Min.	0.12	103	-27	Max	0.20	100	-27	Min.	0.12	103
-26	Max	0.20	100	-26	Min.	0.12	103	-25	Max	0.20	98	-25	Min.	0.12	101
-24	Max	0.20	100	-24	Min.	0.12	103	-23	Max	0.20	100	-23	Min.	0.12	103
-22	Max	0.20	100	-22	Min.	0.12	103	-21	Max	0.20	100	-21	Min.	0.12	103
-20	Max	0.20	100	-20	Min.	0.12	103	-19	Max	0.21	100	-19	Min.	0.12	103
-18	Max	0.21	100	-18	Min.	0.12	103	-17	Max	0.20	100	-17	Min.	0.12	103
-16	Max	0.20	100	-16	Min.	0.12	103	-15	Max	0.20	100	-15	Min.	0.12	103
-14	Max	0.20	100	-14	Min.	0.12	103	-13	Max	0.20	100	-13	Min.	0.12	103
-12	Max	0.20	100	-12	Min.	0.12	103	-11	Max	0.20	100	-11	Min.	0.12	103
-10	Max	0.20	100	-10	Min.	0.12	103	-9	Max	0.21	100	-9	Min.	0.12	103
-8	Max	0.21	100	-8	Min.	0.12	103	-7	Max	0.21	100	-7	Min.	0.12	103
-6	Max	0.21	100	-6	Min.	0.12	103	-5	Max	0.21	100	-5	Min.	0.12	103
-4	Max	0.21	100	-4	Min.	0.12	103	-3	Max	0.20	100	-3	Min.	0.12	103
-2	Max	0.20	100	-2	Min.	0.12	103	-1	Max	0.20	100	-1	Min.	0.12	103
20	Max	0.19	100	20	Min.	0.13	103	21	Max	0.19	100	21	Min.	0.13	103
22	Max	0.19	97	22	Min.	0.13	102	23	Max	0.19	98	23	Min.	0.13	101
24	Max	0.19	99	24	Min.	0.13	104	25	Max	0.19	99	25	Min.	0.13	104

Sollecitazioni aste

Simbologia

Asta = Numero dell'asta
N1 = Nodo1
N2 = Nodo2
X = Coordinata progressiva rispetto al nodo iniziale
N = Sforzo normale
CC = Numero della combinazione delle condizioni di carico elementari
Ty = Taglio in dir. Y
Mz = Momento flettente intorno all'asse Z
Tz = Taglio in dir. Z
My = Momento flettente intorno all'asse Y
Mx = Momento torcente intorno all'asse X

Asta	N1	N2		X <cm>	N <daN>	CC	Ty <daN>	CC	Mz <daNm>	CC	Tz <daN>	CC	My <daNm>	CC	Mx <daNm>	CC

0	-582	-1617	Max	0.00	-78.23	33	0.00	98	0.99	97	0.00	49	-0.01	33	0.00	49
0	-582	-1617	Max	10.80					0.69	33			-0.01	33		
0	-582	-1617	Max	22.30	-76.99	33	0.00	98	0.99	97	0.00	49	-0.01	33	0.00	49
0	-582	-1617	Min.	0.00	-113.75	97	0.00	49	0.69	33	0.00	98	-0.02	97	0.00	98
0	-582	-1617	Min.	22.02					0.99	97			-0.02	97		
0	-582	-1617	Min.	22.30	-112.08	97	0.00	49	0.69	33	0.00	98	-0.02	97	0.00	98
0	-583	-1606	Max	0.00	-155.36	33	0.00	98	1.98	97	0.00	49	0.00	98	0.00	33
0	-583	-1606	Max	12.82					1.98	98			0.00	98		
0	-583	-1606	Max	22.30	-154.12	33	0.00	98	1.98	97	0.00	49	0.00	98	0.00	33
0	-583	-1606	Min.	0.00	-226.02	97	0.00	49	1.39	33	0.00	98	0.00	33	0.00	97
0	-583	-1606	Min.	17.84					1.39	33			0.00	33		
0	-583	-1606	Min.	22.30	-224.35	97	0.00	49	1.39	33	0.00	98	0.00	33	0.00	97
0	-619	-1608	Max	0.00	-55.70	33	0.00	33	-0.46	33	0.00	98	0.00	33	0.00	98
0	-619	-1608	Max	22.30	-54.46	33	0.00	33	-0.46	33	0.00	98	0.00	33	0.00	98
0	-619	-1608	Min.	0.00	-78.88	97	0.00	100	-0.68	97	0.00	101	0.00	33	0.00	33
0	-619	-1608	Min.	22.30	-77.21	97	0.00	100	-0.68	97	0.00	101	0.00	33	0.00	33
0	401	301	Max	0.00	-97.30	102	-123.34	49	151.24	97	0.90	98	-0.02	49	0.12	33
0	401	301	Max	150.00	-147.88	102	-123.34	49	-81.39	101	0.90	98	1.33	98	0.12	33
0	401	301	Min.	0.00	-157.12	97	-178.98	99	99.84	102	0.36	101	-0.03	33	0.08	49
0	401	301	Min.	150.00	-225.40	97	-178.98	99	-124.03	98	0.36	101	0.52	101	0.08	49
0	-584	-1605	Max	0.00	-155.21	33	0.00	98	1.98	97	0.00	49	0.00	97	0.00	101
0	-584	-1605	Max	17.28					1.98	97			0.00	97		
0	-584	-1605	Max	22.30	-153.97	33	0.00	98	1.98	97	0.00	49	0.00	97	0.00	101
0	-584	-1605	Min.	0.00	-225.82	97	0.00	49	1.38	33	0.00	97	0.00	33	0.00	98
0	-584	-1605	Min.	21.18					1.38	33			0.00	33		
0	-584	-1605	Min.	22.30	-224.15	97	0.00	49	1.38	33	0.00	97	0.00	33	0.00	98
0	-620	-1543	Max	0.00	-110.21	33	0.00	101	-0.92	33	0.00	98	0.00	33	0.00	98
0	-620	-1543	Max	22.30	-108.97	33	0.00	101	-0.92	33	0.00	98	0.00	33	0.00	98
0	-620	-1543	Min.	0.00	-156.16	97	0.00	98	-1.36	97	0.00	101	-0.00	98	0.00	101
0	-620	-1543	Min.	22.30	-154.49	97	0.00	98	-1.36	97	0.00	101	-0.00	97	0.00	101
0	-705	-1607	Max	0.00	-48.37	33	0.00	98	0.13	97	0.00	102	0.00	33	0.00	49
0	-705	-1607	Max	21.74					0.09	33			0.00	33		
0	-705	-1607	Max	22.30	-47.13	33	0.00	98	0.13	97	0.00	102	0.00	33	0.00	49
0	-705	-1607	Min.	0.00	-67.88	97	0.00	49	0.09	33	0.00	97	0.00	98	0.00	98
0	-705	-1607	Min.	21.74					0.09	33			0.00	33		
0	-705	-1607	Min.	22.30	-66.21	97	0.00	49	0.09	33	0.00	97	0.00	97	0.00	98
0	-585	-1604	Max	0.00	-155.40	33	0.00	98	1.99	97	0.00	102	-0.01	33	0.00	97
0	-585	-1604	Max	19.72					1.40	33			-0.01	33		
0	-585	-1604	Max	22.30	-154.16	33	0.00	98	1.99	97	0.00	102	-0.01	33	0.00	97
0	-585	-1604	Min.	0.00	-226.11	97	0.00	101	1.39	33	0.00	97	-0.01	98	0.00	102
0	-585	-1604	Min.	19.72					1.39	33			-0.01	33		
0	-585	-1604	Min.	22.30	-224.44	97	0.00	101	1.39	33	0.00	97	-0.01	97	0.00	102
0	-621	-1542	Max	0.00	-110.03	33	0.00	101	-0.91	33	0.00	98	0.01	97	0.00	98
0	-621	-1542	Max	22.30	-108.80	33	0.00	101	-0.91	33	0.00	98	0.01	97	0.00	98
0	-621	-1542	Min.	0.00	-155.93	97	0.00	98	-1.36	97	0.00	101	0.00	33	0.00	49
0	-621	-1542	Min.	22.30	-154.26	97	0.00	98	-1.36	97	0.00	101	0.00	33	0.00	49
0	-706	-1840	Max	0.00	-95.53	33	0.00	98	0.26	97	0.00	102	0.00	33	0.00	33
0	-706	-1840	Max	21.74					0.26	98			0.00	98		
0	-706	-1840	Max	22.30	-94.29	33	0.00	98	0.26	97	0.00	102	0.00	33	0.00	33
0	-706	-1840	Min.	0.00	-134.13	97	0.00	33	0.18	33	0.00	97	0.00	98	0.00	98
0	-706	-1840	Min.	21.74					0.26	97			0.00	97		
0	-706	-1840	Min.	22.30	-132.46	97	0.00	33	0.18	33	0.00	97	0.00	97	0.00	98
0	-795	-1611	Max	0.00	-48.37	1	0.00	33	-1.18	1	0.00	98	0.00	33	0.00	97
0	-795	-1611	Max	22.30	-47.13	1	0.00	33	-1.18	1	0.00	98	0.00	33	0.00	97
0	-795	-1611	Min.	0.00	-67.88	97	0.00	97	-1.66	97	0.00	101	0.00	98	0.00	102
0	-795	-1611	Min.	22.30	-66.21	97	0.00	97	-1.66	97	0.00	101	0.00	97	0.00	102
0	-622	-1541	Max	0.00	-110.42	33	0.00	33	-0.92	33	0.00	98	-0.01	33	0.00	98
0	-622	-1541	Max	21.46					-0.92	33			-0.01	33		
0	-622	-1541	Max	22.30	-109.18	33	0.00	33	-0.92	33	0.00	98	-0.01	33	0.00	98
0	-622	-1541	Min.	0.00	-156.50	97	0.00	98	-1.37	97	0.00	101	-0.02	98	0.00	101
0	-622	-1541	Min.	21.46					-0.92	33			-0.01	33		
0	-622	-1541	Min.	22.30	-154.83	97	0.00	98	-1.37	97	0.00	101	-0.02	97	0.00	101
0	-707	-1697	Max	0.00	-95.42	33	0.00	98	0.26	97	0.00	98	0.00	97	0.00	33
0	-707	-1697	Max	16.73					0.26	98			0.00	98		
0	-707	-1697	Max	22.30	-94.18	33	0.00	98	0.26	97	0.00	98	0.00	97	0.00	33
0	-707	-1697	Min.	0.00	-133.98	97	0.00	33	0.18	33	0.00	101	0.00	33	0.00	98
0	-707	-1697	Min.	22.02					0.18	33			0.00	33		
0	-707	-1697	Min.	22.30	-132.31	97	0.00	33	0.18	33	0.00	101	0.00	33	0.00	98
0	-796	-1564	Max	0.00	-95.51	1	0.00	102	-2.36	1	0.00	102	0.00	33	0.00	97
0	-796	-1564	Max	22.30	-94.28	1	0.00	102	-2.36	1	0.00	102	0.00	33	0.00	97
0	-796	-1564	Min.	0.00	-134.11	97	0.00	97	-3.31	97	0.00	97	0.00	98	0.00	49
0	-796	-1564	Min.	22.30	-132.44	97	0.00	97	-3.31	97	0.00	97	0.00	97	0.00	49
0	-838	-1616	Max	0.00	-48.65	1	0.00	97	0.00	49	0.00	98	0.00	101	0.00	49
0	-838	-1616	Max	22.30	-47.41	1	0.00	97	0.00	99	0.00	98	0.00	102	0.00	49
0	-838	-1616	Min.	0.00	-68.27	97	0.00	49	0.00	97	0.00	101	0.00	98	0.00	100
0	-838	-1616	Min.	22.30	-66.60	97	0.00	49	0.00	33	0.00	101	0.00	97	0.00	100
0	-586	-1602	Max	0.00	-153.85	33	0.00	97	1.92	97	0.00	102	-0.06	33	0.00	98
0	-586	-1602	Max	19.51					1.36	33			-0.06	33		
0	-586	-1602	Max	22.30	-152.61	33	0.00	97	1.92	97	0.00	102	-0.06	33	0.00	98

0	-586	-1602	Min.	0.00	-224.06	97	0.00	49	1.34	33	0.00	97	-0.10	97	0.00	101
0	-586	-1602	Min.	15.26					1.92	97			-0.10	97		
0	-586	-1602	Min.	22.30	-222.39	97	0.00	49	1.34	33	0.00	97	-0.10	97	0.00	101
0	-623	-1860	Max	0.00	-109.85	33	0.00	101	-0.90	33	0.00	98	0.04	97	0.00	102
0	-623	-1860	Max	20.63					-1.34	97			0.04	97		
0	-623	-1860	Max	22.30	-108.61	33	0.00	101	-0.90	33	0.00	98	0.04	97	0.00	102
0	-623	-1860	Min.	0.00	-155.66	97	0.00	98	-1.34	97	0.00	101	0.03	33	0.00	97
0	-623	-1860	Min.	20.63					-0.90	33			0.03	33		
0	-623	-1860	Min.	22.30	-153.99	97	0.00	98	-1.34	97	0.00	101	0.03	33	0.00	97
0	402	-1603	Max	0.00	-53.94	33	-125.03	102	286.66	97	1.06	97	-0.05	33	0.07	33
0	402	-1603	Max	127.70	-97.00	33	-125.03	102	15.78	97	1.06	97	1.28	97	0.07	33
0	402	-1603	Min.	0.00	-76.49	98	-212.13	97	169.37	102	0.70	102	-0.08	98	0.04	49
0	402	-1603	Min.	127.70	-134.63	98	-212.13	97	9.70	102	0.70	102	0.84	102	0.04	49
0	-708	-1696	Max	0.00	-95.68	33	0.00	98	0.26	97	0.00	98	-0.01	33	0.00	33
0	-708	-1696	Max	21.74					0.26	97			-0.01	97		
0	-708	-1696	Max	22.30	-94.44	33	0.00	98	0.26	97	0.00	98	-0.01	33	0.00	33
0	-708	-1696	Min.	0.00	-134.34	97	0.00	33	0.18	33	0.00	101	-0.01	98	0.00	98
0	-708	-1696	Min.	21.74					0.26	97			-0.01	97		
0	-708	-1696	Min.	22.30	-132.67	97	0.00	33	0.18	33	0.00	101	-0.01	97	0.00	98
0	-797	-1563	Max	0.00	-95.46	1	0.00	102	-2.35	1	0.00	98	0.00	97	0.00	97
0	-797	-1563	Max	22.30	-94.22	1	0.00	102	-2.35	1	0.00	98	0.00	98	0.00	97
0	-797	-1563	Min.	0.00	-134.04	97	0.00	97	-3.31	97	0.00	101	0.00	33	0.00	102
0	-797	-1563	Min.	22.30	-132.37	97	0.00	97	-3.31	97	0.00	101	0.00	33	0.00	102
0	-883	-1610	Max	0.00	-48.37	1	0.00	33	0.00	49	0.00	98	0.00	101	0.00	49
0	-883	-1610	Max	22.30	-47.13	1	0.00	33	0.00	49	0.00	98	0.00	98	0.00	49
0	-883	-1610	Min.	0.00	-67.88	97	0.00	49	0.00	1	0.00	101	0.00	98	0.00	1
0	-883	-1610	Min.	22.30	-66.21	97	0.00	49	0.00	33	0.00	101	0.00	101	0.00	1
0	-624	-1855	Max	0.00	-109.04	33	0.00	101	-0.93	33	0.00	98	-0.06	33	0.00	101
0	-624	-1855	Max	22.02					-0.93	33			-0.06	33		
0	-624	-1855	Max	22.30	-107.80	33	0.00	101	-0.93	33	0.00	98	-0.06	33	0.00	101
0	-624	-1855	Min.	0.00	-154.66	97	0.00	98	-1.39	97	0.00	101	-0.08	97	0.00	98
0	-624	-1855	Min.	21.46					-1.39	97			-0.08	97		
0	-624	-1855	Min.	22.30	-152.99	97	0.00	98	-1.39	97	0.00	101	-0.08	97	0.00	98
0	-709	-1690	Max	0.00	-95.30	33	0.00	98	0.26	97	0.00	98	0.03	97	0.00	97
0	-709	-1690	Max	21.18					0.26	97			0.03	97		
0	-709	-1690	Max	22.30	-94.06	33	0.00	98	0.26	97	0.00	98	0.03	97	0.00	97
0	-709	-1690	Min.	0.00	-133.82	97	0.00	33	0.18	33	0.00	101	0.02	33	0.00	102
0	-709	-1690	Min.	22.02					0.18	33			0.02	33		
0	-709	-1690	Min.	22.30	-132.15	97	0.00	33	0.18	33	0.00	101	0.02	33	0.00	102
0	401	402	Max	0.00	-123.34	49	157.12	97	-99.84	102	-0.36	101	-0.08	49	-0.02	49
0	401	402	Max	190.50	-123.34	49	105.96	97	99.34	97	-0.36	101	-0.78	101	-0.02	49
0	401	402	Min.	0.00	-178.98	99	97.30	102	-151.24	97	-0.90	98	-0.12	33	-0.03	33
0	401	402	Min.	190.50	-178.98	99	59.41	102	49.42	102	-0.90	98	-1.83	98	-0.03	33
0	-839	-1599	Max	0.00	-96.06	1	0.00	100	0.00	49	0.00	98	0.00	101	0.00	1
0	-839	-1599	Max	22.30	-94.82	1	0.00	100	0.00	99	0.00	98	0.00	102	0.00	1
0	-839	-1599	Min.	0.00	-134.87	97	0.00	103	0.00	100	0.00	101	0.00	98	0.00	98
0	-839	-1599	Min.	22.30	-133.20	97	0.00	103	0.00	33	0.00	101	0.00	97	0.00	98
0	-587	-1601	Max	0.00	-153.62	33	0.00	97	1.49	97	0.00	49	-2.67	33	0.00	97
0	-587	-1601	Max	10.80					1.06	33			-2.67	33		
0	-587	-1601	Max	22.30	-152.38	33	0.00	97	1.49	97	0.00	49	-2.67	33	0.00	97
0	-587	-1601	Min.	0.00	-225.63	97	0.00	102	1.05	33	0.00	98	-4.03	97	0.00	49
0	-587	-1601	Min.	12.82					1.49	97			-4.03	97		
0	-587	-1601	Min.	22.30	-223.96	97	0.00	102	1.05	33	0.00	98	-4.03	97	0.00	49
0	-798	-1562	Max	0.00	-95.60	1	0.00	102	-2.36	1	0.00	98	-0.00	33	0.00	97
0	-798	-1562	Max	22.02					-2.36	33			-0.00	33		
0	-798	-1562	Max	22.30	-94.36	1	0.00	102	-2.36	1	0.00	98	-0.00	33	0.00	97
0	-798	-1562	Min.	0.00	-134.23	97	0.00	97	-3.32	97	0.00	101	-0.01	98	0.00	102
0	-798	-1562	Min.	22.02					-3.32	97			-0.01	97		
0	-798	-1562	Min.	22.30	-132.56	97	0.00	97	-3.32	97	0.00	101	-0.01	97	0.00	102
0	-840	-1598	Max	0.00	-96.06	1	0.00	100	0.00	49	0.00	98	0.00	101	0.00	1
0	-840	-1598	Max	22.30	-94.82	1	0.00	100	0.00	98	0.00	98	0.00	98	0.00	1
0	-840	-1598	Min.	0.00	-134.87	97	0.00	33	0.00	100	0.00	101	0.00	98	0.00	98
0	-840	-1598	Min.	22.30	-133.20	97	0.00	33	0.00	33	0.00	101	0.00	101	0.00	98
0	-926	-1615	Max	0.00	-48.09	1	0.00	33	0.00	97	0.00	98	0.00	101	0.00	99
0	-926	-1615	Max	22.30	-46.86	1	0.00	33	0.00	49	0.00	98	0.00	102	0.00	99
0	-926	-1615	Min.	0.00	-67.49	97	0.00	97	0.00	1	0.00	101	0.00	98	0.00	1
0	-926	-1615	Min.	22.30	-65.82	97	0.00	97	0.00	100	0.00	101	0.00	97	0.00	1
0	-884	-1557	Max	0.00	-95.50	1	0.00	33	0.00	49	0.00	98	0.00	101	0.00	98
0	-884	-1557	Max	22.30	-94.26	1	0.00	33	0.00	49	0.00	98	0.00	98	0.00	98
0	-884	-1557	Min.	0.00	-134.09	97	0.00	99	0.00	1	0.00	101	0.00	98	0.00	101
0	-884	-1557	Min.	22.30	-132.43	97	0.00	99	0.00	33	0.00	101	0.00	101	0.00	101
0	-589	-1600	Max	0.00	-153.56	33	0.00	97	1.47	97	0.00	33	4.08	97	0.00	98
0	-589	-1600	Max	22.30	-152.32	33	0.00	97	1.47	97	0.00	33	4.08	97	0.00	98
0	-589	-1600	Min.	0.00	-225.51	97	0.00	102	1.04	33	0.00	33	2.71	33	0.00	101
0	-589	-1600	Min.	22.30	-223.84	97	0.00	102	1.04	33	0.00	33	2.71	33	0.00	101
0	-625	-1854	Max	0.00	-112.17	33	0.00	33	-1.01	33	0.00	98	-1.89	33	0.00	33
0	-625	-1854	Max	22.30	-110.93	33	0.00	33	-1.01	33	0.00	98	-1.89	33	0.00	33
0	-625	-1854	Min.	0.00	-159.94	97	0.00	98	-1.57	97	0.00	101	-2.72	97	0.00	98
0	-625	-1854	Min.	22.30	-158.27	97	0.00	98	-1.57	97	0.00	101	-2.72	97	0.00	98

0	-710	-1685	Max	0.00	-94.83	33	0.00	98	0.26	97	0.00	98	-0.04	33	0.00	97
0	-710	-1685	Max	21.18					0.19	33			-0.04	33		
0	-710	-1685	Max	22.30	-93.59	33	0.00	98	0.26	97	0.00	98	-0.04	33	0.00	97
0	-710	-1685	Min.	0.00	-133.16	97	0.00	33	0.19	33	0.00	101	-0.05	97	0.00	102
0	-710	-1685	Min.	21.46					0.26	97			-0.05	97		
0	-710	-1685	Min.	22.30	-131.49	97	0.00	33	0.19	33	0.00	101	-0.05	97	0.00	102
0	-799	-1561	Max	0.00	-95.38	33	0.00	102	-2.34	33	0.00	98	0.01	97	0.00	101
0	-799	-1561	Max	22.02					-3.29	97			0.01	97		
0	-799	-1561	Max	22.30	-94.14	33	0.00	102	-2.34	33	0.00	98	0.01	97	0.00	101
0	-799	-1561	Min.	0.00	-133.92	97	0.00	97	-3.29	97	0.00	101	0.01	33	0.00	98
0	-799	-1561	Min.	22.02					-2.34	33			0.01	33		
0	-799	-1561	Min.	22.30	-132.25	97	0.00	97	-3.29	97	0.00	101	0.01	33	0.00	98
0	-927	-1592	Max	0.00	-94.95	1	0.00	104	0.00	99	0.00	98	0.00	1	0.00	97
0	-927	-1592	Max	22.30	-93.71	1	0.00	104	0.00	49	0.00	98	0.00	102	0.00	97
0	-927	-1592	Min.	0.00	-133.32	97	0.00	99	0.00	1	0.00	101	0.00	98	0.00	49
0	-927	-1592	Min.	22.30	-131.65	97	0.00	99	0.00	100	0.00	101	0.00	97	0.00	49
0	-971	-1614	Max	0.00	-48.37	1	0.00	97	1.66	97	0.00	102	0.00	101	0.00	102
0	-971	-1614	Max	19.72					1.18	33			0.00	33		
0	-971	-1614	Max	22.30	-47.13	1	0.00	97	1.66	97	0.00	102	0.00	33	0.00	102
0	-971	-1614	Min.	0.00	-67.88	97	0.00	49	1.18	1	0.00	97	0.00	98	0.00	97
0	-971	-1614	Min.	19.23					1.66	98			0.00	98		
0	-971	-1614	Min.	22.30	-66.21	97	0.00	49	1.18	1	0.00	97	0.00	97	0.00	97
0	-885	-1556	Max	0.00	-95.50	1	0.00	33	0.00	49	0.00	98	0.00	101	0.00	98
0	-885	-1556	Max	22.30	-94.26	1	0.00	33	0.00	49	0.00	98	0.00	98	0.00	98
0	-885	-1556	Min.	0.00	-134.09	97	0.00	99	0.00	1	0.00	101	0.00	98	0.00	101
0	-885	-1556	Min.	22.30	-132.43	97	0.00	99	0.00	33	0.00	101	0.00	101	0.00	101
0	-590	-1539	Max	0.00	-152.77	33	0.00	101	1.87	97	0.00	33	0.00	97	0.00	101
0	-590	-1539	Max	22.30	-151.53	33	0.00	101	1.87	97	0.00	33	0.00	98	0.00	101
0	-590	-1539	Min.	0.00	-222.76	97	0.00	98	1.29	33	0.00	97	0.00	33	0.00	98
0	-590	-1539	Min.	22.30	-221.09	97	0.00	98	1.29	33	0.00	97	0.00	33	0.00	98
0	-627	-1841	Max	0.00	-111.78	33	0.00	33	-1.00	33	0.00	98	2.77	97	0.00	98
0	-627	-1841	Max	15.89					-1.00	33			1.98	33		
0	-627	-1841	Max	22.30	-110.54	33	0.00	33	-1.00	33	0.00	98	2.77	97	0.00	98
0	-627	-1841	Min.	0.00	-159.34	97	0.00	98	-1.54	97	0.00	101	1.92	33	0.00	33
0	-627	-1841	Min.	15.89					-1.08	33			1.92	33		
0	-627	-1841	Min.	22.30	-157.66	97	0.00	98	-1.54	97	0.00	101	1.92	33	0.00	33
0	-711	-1414	Max	0.00	-96.50	33	0.00	98	0.08	97	0.00	98	-1.76	33	0.00	98
0	-711	-1414	Max	22.30	-95.27	33	0.00	98	0.08	97	0.00	98	-1.76	33	0.00	98
0	-711	-1414	Min.	0.00	-135.50	97	0.00	33	0.06	33	0.00	101	-2.47	97	0.00	33
0	-711	-1414	Min.	22.30	-133.83	97	0.00	33	0.06	33	0.00	101	-2.47	97	0.00	33
0	-800	-1560	Max	0.00	-95.25	33	0.00	102	-2.38	33	0.00	98	-0.02	33	0.00	101
0	-800	-1560	Max	21.74					-3.34	97			-0.03	97		
0	-800	-1560	Max	22.30	-94.02	33	0.00	102	-2.38	33	0.00	98	-0.02	33	0.00	101
0	-800	-1560	Min.	0.00	-133.75	97	0.00	97	-3.34	97	0.00	101	-0.03	97	0.00	98
0	-800	-1560	Min.	21.74					-3.34	97			-0.03	97		
0	-800	-1560	Min.	22.30	-132.08	97	0.00	97	-3.34	97	0.00	101	-0.03	97	0.00	98
0	-842	-1596	Max	0.00	-96.06	1	0.00	98	0.00	49	0.00	102	0.00	97	0.00	97
0	-842	-1596	Max	22.30	-94.82	1	0.00	98	0.00	98	0.00	102	0.00	98	0.00	97
0	-842	-1596	Min.	0.00	-134.87	97	0.00	33	0.00	100	0.00	97	0.00	102	0.00	49
0	-842	-1596	Min.	22.30	-133.20	97	0.00	33	0.00	33	0.00	97	0.00	101	0.00	49
0	-1059	-1613	Max	0.00	-48.37	1	0.00	33	-0.13	33	0.00	102	0.00	33	0.00	98
0	-1059	-1613	Max	22.30	-47.13	1	0.00	33	-0.13	33	0.00	102	0.00	33	0.00	98
0	-1059	-1613	Min.	0.00	-67.88	97	0.00	98	-0.18	97	0.00	97	0.00	98	0.00	101
0	-1059	-1613	Min.	22.30	-66.21	97	0.00	98	-0.18	97	0.00	97	0.00	97	0.00	101
0	-886	-1555	Max	0.00	-95.50	1	0.00	33	0.00	49	0.00	98	0.00	101	0.00	98
0	-886	-1555	Max	22.30	-94.26	1	0.00	33	0.00	49	0.00	98	0.00	98	0.00	98
0	-886	-1555	Min.	0.00	-134.10	97	0.00	99	0.00	1	0.00	101	0.00	98	0.00	101
0	-886	-1555	Min.	22.30	-132.43	97	0.00	99	0.00	33	0.00	101	0.00	101	0.00	101
0	-1147	-1612	Max	0.00	-55.70	33	0.00	99	0.73	97	0.00	98	0.00	33	0.00	101
0	-1147	-1612	Max	20.63					0.49	33			0.00	33		
0	-1147	-1612	Max	22.30	-54.46	33	0.00	99	0.73	97	0.00	98	0.00	33	0.00	101
0	-1147	-1612	Min.	0.00	-78.88	97	0.00	49	0.49	33	0.00	101	0.00	98	0.00	98
0	-1147	-1612	Min.	20.63					0.73	98			0.00	98		
0	-1147	-1612	Min.	22.30	-77.21	97	0.00	49	0.49	33	0.00	101	0.00	97	0.00	98
0	-628	-1782	Max	0.00	-112.07	33	0.00	33	-1.00	33	0.00	33	-1.93	33	0.00	33
0	-628	-1782	Max	22.30	-110.83	33	0.00	33	-1.00	33	0.00	33	-1.93	33	0.00	33
0	-628	-1782	Min.	0.00	-159.85	97	0.00	98	-1.55	97	0.00	98	-2.78	97	0.00	98
0	-628	-1782	Min.	22.30	-158.18	97	0.00	98	-1.55	97	0.00	98	-2.78	97	0.00	98
0	403	-1822	Max	0.00	-222.06	101	-286.74	102	554.13	97	-5.85	101	0.07	98	0.25	97
0	403	-1822	Max	127.70	-265.12	101	-286.74	102	20.96	97	-5.85	101	-7.42	101	0.25	97
0	403	-1822	Min.	0.00	-345.93	98	-417.52	97	380.48	102	-8.73	98	0.05	33	0.18	49
0	403	-1822	Min.	127.70	-404.06	98	-417.52	97	14.31	102	-8.73	98	-11.09	98	0.18	49
0	-713	-1618	Max	0.00	-96.23	33	0.00	98	0.08	97	0.00	98	2.51	97	0.00	33
0	-713	-1618	Max	20.91					0.08	97			2.51	97		
0	-713	-1618	Max	22.30	-95.00	33	0.00	98	0.08	97	0.00	98	2.51	97	0.00	33
0	-713	-1618	Min.	0.00	-135.12	97	0.00	33	0.06	33	0.00	101	1.78	33	0.00	98
0	-713	-1618	Min.	22.02					0.06	33			1.78	33		
0	-713	-1618	Min.	22.30	-133.45	97	0.00	33	0.06	33	0.00	101	1.78	33	0.00	98
0	-803	-1558	Max	0.00	-95.78	33	0.00	102	-2.13	33	0.00	98	2.95	97	0.00	97

0	-803	-1558	Max	22.30	-94.54	33	0.00	102	-2.13	33	0.00	98	2.95	97	0.00	97
0	-803	-1558	Min.	0.00	-134.49	97	0.00	97	-2.99	97	0.00	101	2.10	33	0.00	102
0	-803	-1558	Min.	22.30	-132.82	97	0.00	97	-2.99	97	0.00	101	2.10	33	0.00	102
0	402	403	Max	0.00	-250.40	102	182.40	97	-119.94	102	-1.14	101	-0.84	101	-0.07	49
0	402	403	Max	199.50	-250.40	102	128.84	97	123.14	97	-1.14	101	-3.10	101	-0.07	49
0	402	403	Min.	0.00	-391.10	97	114.98	102	-187.32	97	-1.89	98	-1.88	98	-0.10	97
0	402	403	Min.	199.50	-391.10	97	75.30	102	69.86	102	-1.89	98	-5.64	98	-0.10	97
0	-841	-1597	Max	0.00	-96.06	1	0.00	100	0.00	49	0.00	98	0.00	101	0.00	1
0	-841	-1597	Max	22.30	-94.82	1	0.00	100	0.00	98	0.00	98	0.00	98	0.00	1
0	-841	-1597	Min.	0.00	-134.87	97	0.00	33	0.00	100	0.00	101	0.00	98	0.00	98
0	-841	-1597	Min.	22.30	-133.20	97	0.00	33	0.00	33	0.00	101	0.00	101	0.00	98
0	-928	-1591	Max	0.00	-94.95	1	0.00	49	0.00	99	0.00	98	0.00	101	0.00	100
0	-928	-1591	Max	22.30	-93.71	1	0.00	49	0.00	49	0.00	98	0.00	98	0.00	100
0	-928	-1591	Min.	0.00	-133.32	97	0.00	99	0.00	1	0.00	101	0.00	98	0.00	49
0	-928	-1591	Min.	22.30	-131.65	97	0.00	99	0.00	98	0.00	101	0.00	101	0.00	49
0	-972	-1585	Max	0.00	-95.51	1	0.00	97	3.31	97	0.00	102	0.00	101	0.00	33
0	-972	-1585	Max	15.26					2.36	33			0.00	33		
0	-972	-1585	Max	22.30	-94.28	1	0.00	97	3.31	97	0.00	102	0.00	102	0.00	33
0	-972	-1585	Min.	0.00	-134.11	97	0.00	102	2.36	1	0.00	97	0.00	98	0.00	97
0	-972	-1585	Min.	19.23					3.31	97			0.00	97		
0	-972	-1585	Min.	22.30	-132.44	97	0.00	102	2.36	1	0.00	97	0.00	97	0.00	97
0	310	431	Max	0.00	-108.17	33	0.00	101	-0.94	33	0.00	33	0.00	97	0.00	98
0	310	431	Max	22.30	-106.94	33	0.00	101	-0.94	33	0.00	33	0.00	97	0.00	98
0	310	431	Min.	0.00	-153.61	97	0.00	98	-1.43	97	0.00	98	0.00	33	0.00	33
0	310	431	Min.	22.30	-151.94	97	0.00	98	-1.43	97	0.00	98	0.00	33	0.00	33
0	-801	-1559	Max	0.00	-95.94	33	0.00	102	-2.15	33	0.00	102	-2.09	33	0.00	102
0	-801	-1559	Max	22.30	-94.70	33	0.00	102	-2.15	33	0.00	102	-2.09	33	0.00	102
0	-801	-1559	Min.	0.00	-134.71	97	0.00	97	-3.01	97	0.00	97	-2.94	97	0.00	97
0	-801	-1559	Min.	22.30	-133.04	97	0.00	97	-3.01	97	0.00	97	-2.94	97	0.00	97
0	-843	-1595	Max	0.00	-96.06	1	0.00	98	0.00	49	0.00	102	0.00	97	0.00	97
0	-843	-1595	Max	22.30	-94.82	1	0.00	98	0.00	98	0.00	102	0.00	98	0.00	97
0	-843	-1595	Min.	0.00	-134.87	97	0.00	33	0.00	100	0.00	97	0.00	102	0.00	49
0	-843	-1595	Min.	22.30	-133.20	97	0.00	33	0.00	33	0.00	97	0.00	101	0.00	49
0	-929	-1590	Max	0.00	-94.95	1	0.00	49	0.00	99	0.00	98	0.00	101	0.00	100
0	-929	-1590	Max	22.30	-93.71	1	0.00	49	0.00	49	0.00	98	0.00	98	0.00	100
0	-929	-1590	Min.	0.00	-133.32	97	0.00	99	0.00	1	0.00	101	0.00	98	0.00	49
0	-929	-1590	Min.	22.30	-131.65	97	0.00	99	0.00	98	0.00	101	0.00	101	0.00	49
0	-973	-1584	Max	0.00	-95.46	1	0.00	97	3.31	97	0.00	98	0.00	97	0.00	102
0	-973	-1584	Max	20.35					3.31	98			0.00	98		
0	-973	-1584	Max	22.30	-94.22	1	0.00	97	3.31	97	0.00	98	0.00	98	0.00	102
0	-973	-1584	Min.	0.00	-134.04	97	0.00	102	2.35	1	0.00	101	0.00	33	0.00	97
0	-973	-1584	Min.	18.68					2.35	33			0.00	33		
0	-973	-1584	Min.	22.30	-132.37	97	0.00	102	2.35	1	0.00	101	0.00	33	0.00	97
0	-1060	-1578	Max	0.00	-95.53	1	0.00	101	-0.25	33	0.00	102	0.00	33	0.00	98
0	-1060	-1578	Max	22.30	-94.29	1	0.00	101	-0.25	33	0.00	102	0.00	33	0.00	98
0	-1060	-1578	Min.	0.00	-134.13	97	0.00	98	-0.35	97	0.00	97	0.00	98	0.00	49
0	-1060	-1578	Min.	22.30	-132.46	97	0.00	98	-0.35	97	0.00	97	0.00	97	0.00	49
0	-887	-1554	Max	0.00	-95.50	1	0.00	33	0.00	49	0.00	98	0.00	101	0.00	98
0	-887	-1554	Max	22.30	-94.26	1	0.00	33	0.00	49	0.00	98	0.00	98	0.00	98
0	-887	-1554	Min.	0.00	-134.09	97	0.00	99	0.00	1	0.00	101	0.00	98	0.00	101
0	-887	-1554	Min.	22.30	-132.43	97	0.00	99	0.00	33	0.00	101	0.00	101	0.00	101
0	-844	-1594	Max	0.00	-95.98	33	0.00	98	-0.02	33	0.00	102	-2.39	33	0.00	98
0	-844	-1594	Max	22.30	-94.74	33	0.00	98	-0.02	33	0.00	102	-2.39	33	0.00	98
0	-844	-1594	Min.	0.00	-134.77	97	0.00	33	-0.02	97	0.00	97	-3.36	97	0.00	33
0	-844	-1594	Min.	22.30	-133.10	97	0.00	33	-0.02	97	0.00	97	-3.36	97	0.00	33
0	-930	-1589	Max	0.00	-94.95	1	0.00	49	0.00	99	0.00	102	0.00	97	0.00	1
0	-930	-1589	Max	22.30	-93.71	1	0.00	49	0.00	49	0.00	102	0.00	98	0.00	1
0	-930	-1589	Min.	0.00	-133.32	97	0.00	98	0.00	1	0.00	97	0.00	102	0.00	99
0	-930	-1589	Min.	22.30	-131.65	97	0.00	98	0.00	98	0.00	97	0.00	101	0.00	99
0	-974	-1583	Max	0.00	-95.59	1	0.00	97	3.32	97	0.00	98	-0.00	33	0.00	102
0	-974	-1583	Max	22.02					2.36	33			-0.00	33		
0	-974	-1583	Max	22.30	-94.36	1	0.00	97	3.32	97	0.00	98	-0.00	33	0.00	102
0	-974	-1583	Min.	0.00	-134.23	97	0.00	102	2.36	1	0.00	101	-0.01	98	0.00	97
0	-974	-1583	Min.	20.91					3.32	97			-0.01	97		
0	-974	-1583	Min.	22.30	-132.56	97	0.00	102	2.36	1	0.00	101	-0.01	97	0.00	97
0	-888	-1553	Max	0.00	-95.50	1	0.00	33	0.00	49	0.00	98	0.00	101	0.00	98
0	-888	-1553	Max	22.30	-94.26	1	0.00	33	0.00	49	0.00	98	0.00	98	0.00	98
0	-888	-1553	Min.	0.00	-134.09	97	0.00	99	0.00	1	0.00	101	0.00	98	0.00	49
0	-888	-1553	Min.	22.30	-132.43	97	0.00	99	0.00	33	0.00	101	0.00	101	0.00	49
0	-1189	-1609	Max	0.00	-76.70	33	0.00	33	-0.85	33	0.00	33	-0.01	33	0.00	98
0	-1189	-1609	Max	22.30	-75.46	33	0.00	33	-0.85	33	0.00	33	-0.01	33	0.00	98
0	-1189	-1609	Min.	0.00	-111.56	97	0.00	98	-1.21	97	0.00	98	-0.02	97	0.00	101
0	-1189	-1609	Min.	22.30	-109.89	97	0.00	98	-1.21	97	0.00	98	-0.02	97	0.00	101
0	420	320	Max	0.00	-95.90	102	-121.75	33	149.01	97	1.82	97	0.14	97	-0.36	33
0	420	320	Max	150.00	-146.48	102	-121.75	33	-80.52	101	1.82	97	2.86	97	-0.36	33
0	420	320	Min.	0.00	-155.11	97	-176.66	100	98.28	102	1.23	102	0.10	33	-0.51	97
0	420	320	Min.	150.00	-223.39	97	-176.66	100	-122.79	98	1.23	102	1.95	102	-0.51	97
0	-592	-1821	Max	0.00	-153.92	33	0.00	98	1.49	97	0.00	33	4.05	97	0.00	33
0	-592	-1821	Max	19.23					1.49	97			4.05	97		

0	-592	-1821	Max	22.30	-152.68	33	0.00	98	1.49	97	0.00	33	4.05	97	0.00	33
0	-592	-1821	Min.	0.00	-226.34	97	0.00	33	1.05	33	0.00	97	2.67	33	0.00	98
0	-592	-1821	Min.	20.91					1.05	33			2.67	33		
0	-592	-1821	Min.	22.30	-224.67	97	0.00	33	1.05	33	0.00	97	2.67	33	0.00	98
0	-714	-1536	Max	0.00	-94.37	33	0.00	98	0.27	97	0.00	33	0.00	97	0.00	33
0	-714	-1536	Max	21.18					0.27	97			0.00	97		
0	-714	-1536	Max	22.30	-93.14	33	0.00	98	0.27	97	0.00	33	0.00	97	0.00	33
0	-714	-1536	Min.	0.00	-132.52	97	0.00	33	0.19	33	0.00	97	0.00	33	0.00	97
0	-714	-1536	Min.	22.02					0.19	33			0.00	33		
0	-714	-1536	Min.	22.30	-130.85	97	0.00	33	0.19	33	0.00	97	0.00	33	0.00	97
0	-1061	-1577	Max	0.00	-95.42	1	0.00	101	-0.25	33	0.00	98	0.00	97	0.00	98
0	-1061	-1577	Max	18.68					-0.35	97			0.00	97		
0	-1061	-1577	Max	22.30	-94.19	1	0.00	101	-0.25	33	0.00	98	0.00	97	0.00	98
0	-1061	-1577	Min.	0.00	-133.99	97	0.00	98	-0.35	97	0.00	101	0.00	33	0.00	101
0	-1061	-1577	Min.	2.16					-0.25	33			0.00	33		
0	-1061	-1577	Min.	22.30	-132.32	97	0.00	98	-0.35	97	0.00	101	0.00	33	0.00	101
0	-1148	-1571	Max	0.00	-110.21	33	0.00	98	1.45	97	0.00	98	-0.00	33	0.00	101
0	-1148	-1571	Max	22.30	-108.98	33	0.00	98	1.45	97	0.00	98	-0.00	33	0.00	101
0	-1148	-1571	Min.	0.00	-156.16	97	0.00	101	0.98	33	0.00	101	-0.00	98	0.00	98
0	-1148	-1571	Min.	22.30	-154.49	97	0.00	101	0.98	33	0.00	101	-0.00	97	0.00	98
0	-593	-1820	Max	0.00	-154.31	33	0.00	98	1.93	97	0.00	33	0.10	97	0.00	33
0	-593	-1820	Max	22.30	-153.07	33	0.00	98	1.93	97	0.00	33	0.10	97	0.00	33
0	-593	-1820	Min.	0.00	-224.76	97	0.00	33	1.34	33	0.00	97	0.06	33	0.00	98
0	-593	-1820	Min.	22.30	-223.09	97	0.00	33	1.34	33	0.00	97	0.06	33	0.00	98
0	312	440	Max	0.00	-95.18	33	0.00	102	-2.41	33	0.00	98	0.00	97	0.00	97
0	312	440	Max	22.30	-93.95	33	0.00	102	-2.41	33	0.00	98	0.00	97	0.00	97
0	312	440	Min.	0.00	-133.65	97	0.00	97	-3.38	97	0.00	33	0.00	33	0.00	33
0	312	440	Min.	22.30	-131.98	97	0.00	97	-3.38	97	0.00	33	0.00	33	0.00	33
0	-715	-1838	Max	0.00	-96.54	33	0.00	98	0.08	97	0.00	33	-1.79	33	0.00	98
0	-715	-1838	Max	22.30	-95.30	33	0.00	98	0.08	97	0.00	33	-1.79	33	0.00	98
0	-715	-1838	Min.	0.00	-135.55	97	0.00	33	0.06	33	0.00	98	-2.52	97	0.00	33
0	-715	-1838	Min.	22.30	-133.88	97	0.00	33	0.06	33	0.00	98	-2.52	97	0.00	33
0	-630	-1781	Max	0.00	-112.47	33	0.00	33	-1.01	33	0.00	33	2.73	97	0.00	98
0	-630	-1781	Max	22.30	-111.23	33	0.00	33	-1.01	33	0.00	33	2.73	97	0.00	98
0	-630	-1781	Min.	0.00	-160.46	97	0.00	98	-1.57	97	0.00	98	1.90	33	0.00	33
0	-630	-1781	Min.	22.30	-158.78	97	0.00	98	-1.57	97	0.00	98	1.90	33	0.00	33
0	-846	-1593	Max	0.00	-95.98	33	0.00	98	-0.02	33	0.00	98	3.36	97	0.00	33
0	-846	-1593	Max	22.30	-94.74	33	0.00	98	-0.02	33	0.00	98	3.36	97	0.00	33
0	-846	-1593	Min.	0.00	-134.77	97	0.00	33	-0.02	97	0.00	101	2.39	33	0.00	98
0	-846	-1593	Min.	22.30	-133.10	97	0.00	33	-0.02	97	0.00	101	2.39	33	0.00	98
0	-931	-1588	Max	0.00	-94.95	1	0.00	49	0.00	99	0.00	102	0.00	97	0.00	1
0	-931	-1588	Max	22.30	-93.71	1	0.00	49	0.00	49	0.00	102	0.00	98	0.00	1
0	-931	-1588	Min.	0.00	-133.32	97	0.00	98	0.00	1	0.00	97	0.00	102	0.00	99
0	-931	-1588	Min.	22.30	-131.65	97	0.00	98	0.00	98	0.00	97	0.00	101	0.00	99
0	-975	-1582	Max	0.00	-95.38	1	0.00	97	3.29	97	0.00	98	0.01	97	0.00	98
0	-975	-1582	Max	22.02					3.29	97			0.01	97		
0	-975	-1582	Max	22.30	-94.14	1	0.00	97	3.29	97	0.00	98	0.01	97	0.00	98
0	-975	-1582	Min.	0.00	-133.92	97	0.00	102	2.34	1	0.00	101	0.01	33	0.00	101
0	-975	-1582	Min.	20.63					2.34	33			0.01	33		
0	-975	-1582	Min.	22.30	-132.25	97	0.00	102	2.34	1	0.00	101	0.01	33	0.00	101
0	-1062	-1576	Max	0.00	-95.67	33	0.00	101	-0.25	33	0.00	98	-0.01	33	0.00	98
0	-1062	-1576	Max	22.30	-94.44	33	0.00	101	-0.25	33	0.00	98	-0.01	33	0.00	98
0	-1062	-1576	Min.	0.00	-134.34	97	0.00	98	-0.35	97	0.00	101	-0.01	98	0.00	101
0	-1062	-1576	Min.	22.30	-132.67	97	0.00	98	-0.35	97	0.00	101	-0.01	97	0.00	101
0	-889	-1552	Max	0.00	-95.24	33	0.00	104	0.00	33	0.00	102	-2.32	33	0.00	33
0	-889	-1552	Max	22.30	-94.01	33	0.00	104	0.00	33	0.00	102	-2.32	33	0.00	33
0	-889	-1552	Min.	0.00	-133.73	97	0.00	99	0.00	100	0.00	97	-3.26	97	0.00	99
0	-889	-1552	Min.	22.30	-132.06	97	0.00	99	0.00	97	0.00	97	-3.26	97	0.00	99
0	-1149	-1570	Max	0.00	-110.05	33	0.00	98	1.45	97	0.00	98	0.01	97	0.00	33
0	-1149	-1570	Max	22.02					1.45	97			0.01	97		
0	-1149	-1570	Max	22.30	-108.81	33	0.00	98	1.45	97	0.00	98	0.01	97	0.00	33
0	-1149	-1570	Min.	0.00	-155.93	97	0.00	101	0.98	33	0.00	101	0.00	33	0.00	98
0	-1149	-1570	Min.	22.02					0.98	33			0.00	33		
0	-1149	-1570	Min.	22.30	-154.26	97	0.00	101	0.98	33	0.00	101	0.00	33	0.00	98
0	-1190	-1550	Max	0.00	-152.26	33	0.00	33	-1.70	33	0.00	33	0.00	98	0.00	97
0	-1190	-1550	Max	22.30	-151.03	33	0.00	33	-1.70	33	0.00	33	0.00	98	0.00	97
0	-1190	-1550	Min.	0.00	-221.59	97	0.00	98	-2.42	97	0.00	98	0.00	33	0.00	102
0	-1190	-1550	Min.	22.30	-219.92	97	0.00	98	-2.42	97	0.00	98	0.00	33	0.00	102
0	-594	-1819	Max	0.00	-155.71	33	0.00	98	1.97	97	0.00	33	-0.02	33	0.00	33
0	-594	-1819	Max	21.74					1.38	33			-0.02	33		
0	-594	-1819	Max	22.30	-154.47	33	0.00	98	1.97	97	0.00	33	-0.02	33	0.00	33
0	-594	-1819	Min.	0.00	-226.54	97	0.00	33	1.38	33	0.00	98	-0.03	97	0.00	97
0	-594	-1819	Min.	21.74					1.97	97			-0.03	97		
0	-594	-1819	Min.	22.30	-224.87	97	0.00	33	1.38	33	0.00	98	-0.03	97	0.00	97
0	-631	-1780	Max	0.00	-109.38	33	-0.00	33	-0.93	33	0.00	101	0.08	97	0.00	97
0	-631	-1780	Max	22.30	-108.14	33	-0.00	33	-0.93	33	0.00	101	0.08	97	0.00	97
0	-631	-1780	Min.	0.00	-155.16	97	-0.00	98	-1.40	97	0.00	98	0.05	33	0.00	33
0	-631	-1780	Min.	22.30	-153.49	97	-0.00	98	-1.40	97	0.00	98	0.05	33	0.00	33
0	-717	-1837	Max	0.00	-96.81	33	0.00	98	0.08	97	0.00	33	2.49	97	0.00	33

0	-717	-1837	Max	22.30	-95.57	33	0.00	98	0.08	97	0.00	33	2.49	97	0.00	33
0	-717	-1837	Min.	0.00	-135.93	97	0.00	33	0.06	33	0.00	98	1.77	33	0.00	98
0	-717	-1837	Min.	22.30	-134.26	97	0.00	33	0.06	33	0.00	98	1.77	33	0.00	98
0	-847	-1531	Max	0.00	-96.20	1	0.00	98	0.00	1	0.00	98	0.00	1	0.00	49
0	-847	-1531	Max	22.30	-94.97	1	0.00	98	0.00	98	0.00	98	0.00	102	0.00	49
0	-847	-1531	Min.	0.00	-135.08	97	0.00	33	0.00	98	0.00	101	0.00	97	0.00	98
0	-847	-1531	Min.	22.30	-133.41	97	0.00	33	0.00	33	0.00	101	0.00	97	0.00	98
0	-804	-1725	Max	0.00	-96.08	33	0.00	102	-2.13	33	0.00	33	-2.12	33	0.00	102
0	-804	-1725	Max	22.30	-94.84	33	0.00	102	-2.13	33	0.00	33	-2.12	33	0.00	102
0	-804	-1725	Min.	0.00	-134.91	97	0.00	97	-3.00	97	0.00	98	-2.97	97	0.00	97
0	-804	-1725	Min.	22.30	-133.24	97	0.00	97	-3.00	97	0.00	98	-2.97	97	0.00	97
0	-932	-1587	Max	0.00	-94.88	1	0.00	49	0.02	97	0.00	102	-2.36	33	0.00	49
0	-932	-1587	Max	22.30	-93.64	1	0.00	49	0.02	97	0.00	102	-2.36	33	0.00	49
0	-932	-1587	Min.	0.00	-133.22	97	0.00	98	0.02	33	0.00	97	-3.32	97	0.00	98
0	-932	-1587	Min.	22.30	-131.55	97	0.00	98	0.02	33	0.00	97	-3.32	97	0.00	98
0	-976	-1581	Max	0.00	-95.26	1	0.00	97	3.34	97	0.00	98	-0.02	33	0.00	98
0	-976	-1581	Max	21.18					2.38	33			-0.02	33		
0	-976	-1581	Max	22.30	-94.02	1	0.00	97	3.34	97	0.00	98	-0.02	33	0.00	98
0	-976	-1581	Min.	0.00	-133.75	97	0.00	102	2.38	1	0.00	101	-0.03	97	0.00	101
0	-976	-1581	Min.	21.18					3.34	97			-0.03	97		
0	-976	-1581	Min.	22.30	-132.08	97	0.00	102	2.38	1	0.00	101	-0.03	97	0.00	101
0	-891	-1551	Max	0.00	-95.24	33	0.00	49	0.00	33	0.00	98	3.26	97	0.00	98
0	-891	-1551	Max	22.30	-94.00	33	0.00	49	0.00	33	0.00	98	3.26	97	0.00	98
0	-891	-1551	Min.	0.00	-133.73	97	0.00	98	0.00	97	0.00	101	2.32	33	0.00	101
0	-891	-1551	Min.	22.30	-132.06	97	0.00	98	0.00	97	0.00	101	2.32	33	0.00	101
0	-1150	-1569	Max	0.00	-110.45	33	0.00	98	1.46	97	0.00	98	-0.01	33	0.00	101
0	-1150	-1569	Max	21.74					0.99	33			-0.01	33		
0	-1150	-1569	Max	22.30	-109.21	33	0.00	98	1.46	97	0.00	98	-0.01	33	0.00	101
0	-1150	-1569	Min.	0.00	-156.50	97	0.00	101	0.99	33	0.00	101	-0.02	98	0.00	98
0	-1150	-1569	Min.	21.18					1.46	97			-0.02	97		
0	-1150	-1569	Min.	22.30	-154.83	97	0.00	101	0.99	33	0.00	101	-0.02	97	0.00	98
0	-718	-1853	Max	0.00	-95.13	33	0.00	98	0.26	97	0.00	33	0.05	97	0.00	33
0	-718	-1853	Max	22.30	-93.89	33	0.00	98	0.26	97	0.00	33	0.05	97	0.00	33
0	-718	-1853	Min.	0.00	-133.58	97	0.00	33	0.19	33	0.00	98	0.04	33	0.00	97
0	-718	-1853	Min.	22.30	-131.91	97	0.00	33	0.19	33	0.00	98	0.04	33	0.00	97
0	-806	-1724	Max	0.00	-96.23	33	-0.00	33	-2.15	33	0.00	97	2.96	97	0.00	97
0	-806	-1724	Max	22.30	-95.00	33	-0.00	33	-2.15	33	0.00	97	2.96	97	0.00	97
0	-806	-1724	Min.	0.00	-135.13	97	-0.00	97	-3.03	97	0.00	102	2.10	33	0.00	33
0	-806	-1724	Min.	22.30	-133.46	97	-0.00	97	-3.03	97	0.00	102	2.10	33	0.00	33
0	403	404	Max	0.00	-537.14	102	459.29	98	-298.32	101	6.85	98	-3.29	101	-0.03	49
0	403	404	Max	200.00	-537.14	102	405.58	98	421.58	98	6.85	98	8.07	97	-0.03	49
0	403	404	Min.	0.00	-808.62	97	312.83	101	-443.29	98	4.71	101	-5.90	98	-0.04	97
0	403	404	Min.	200.00	-808.62	97	273.06	101	287.57	101	4.71	101	5.81	33	-0.04	97
0	-1063	-1575	Max	0.00	-95.31	1	0.00	101	-0.25	33	0.00	98	0.03	97	0.00	102
0	-1063	-1575	Max	21.18					-0.35	97			0.03	97		
0	-1063	-1575	Max	22.30	-94.08	1	0.00	101	-0.25	33	0.00	98	0.03	97	0.00	102
0	-1063	-1575	Min.	0.00	-133.83	97	0.00	98	-0.35	97	0.00	101	0.02	33	0.00	97
0	-1063	-1575	Min.	21.18					-0.25	33			0.02	33		
0	-1063	-1575	Min.	22.30	-132.16	97	0.00	98	-0.35	97	0.00	101	0.02	33	0.00	97
0	-1191	-1549	Max	0.00	-152.15	33	0.00	101	-1.69	33	0.00	33	0.00	97	0.00	98
0	-1191	-1549	Max	22.30	-150.91	33	0.00	101	-1.69	33	0.00	33	0.00	97	0.00	98
0	-1191	-1549	Min.	0.00	-221.42	97	0.00	98	-2.42	97	0.00	97	0.00	33	0.00	101
0	-1191	-1549	Min.	22.30	-219.75	97	0.00	98	-2.42	97	0.00	97	0.00	33	0.00	101
0	-848	-1802	Max	0.00	-96.28	33	0.00	98	-0.02	33	0.00	97	-2.41	33	0.00	98
0	-848	-1802	Max	22.30	-95.04	33	0.00	98	-0.02	33	0.00	97	-2.41	33	0.00	98
0	-848	-1802	Min.	0.00	-135.19	97	0.00	33	-0.02	97	0.00	102	-3.38	97	0.00	33
0	-848	-1802	Min.	22.30	-133.52	97	0.00	33	-0.02	97	0.00	102	-3.38	97	0.00	33
0	-632	-1779	Max	0.00	-110.07	33	-0.00	33	-0.90	33	0.00	101	-0.02	33	0.00	97
0	-632	-1779	Max	22.30	-108.83	33	-0.00	33	-0.90	33	0.00	101	-0.02	33	0.00	97
0	-632	-1779	Min.	0.00	-155.99	97	-0.00	98	-1.34	97	0.00	98	-0.04	97	0.00	33
0	-632	-1779	Min.	22.30	-154.31	97	-0.00	98	-1.34	97	0.00	98	-0.04	97	0.00	33
0	-595	-1818	Max	0.00	-155.97	33	0.00	98	2.00	97	0.00	33	0.00	33	0.00	33
0	-595	-1818	Max	20.07					1.41	33			0.00	33		
0	-595	-1818	Max	22.30	-154.73	33	0.00	98	2.00	97	0.00	33	0.00	33	0.00	33
0	-595	-1818	Min.	0.00	-226.97	97	0.00	33	1.40	33	0.00	98	0.00	33	0.00	97
0	-595	-1818	Min.	20.07					1.40	33			0.00	33		
0	-595	-1818	Min.	22.30	-225.30	97	0.00	33	1.40	33	0.00	98	0.00	33	0.00	97
0	-934	-1586	Max	0.00	-94.88	1	0.00	49	0.02	97	0.00	98	3.32	97	0.00	98
0	-934	-1586	Max	22.30	-93.64	1	0.00	49	0.02	97	0.00	98	3.32	97	0.00	98
0	-934	-1586	Min.	0.00	-133.22	97	0.00	98	0.02	33	0.00	101	2.36	33	0.00	49
0	-934	-1586	Min.	22.30	-131.55	97	0.00	98	0.02	33	0.00	101	2.36	33	0.00	49
0	-977	-1580	Max	0.00	-95.93	1	0.00	97	3.01	97	0.00	102	-2.09	1	0.00	97
0	-977	-1580	Max	21.74					2.14	1			-2.09	1		
0	-977	-1580	Max	22.30	-94.70	1	0.00	97	3.01	97	0.00	102	-2.09	1	0.00	97
0	-977	-1580	Min.	0.00	-134.70	97	0.00	102	2.14	33	0.00	97	-2.94	97	0.00	102
0	-977	-1580	Min.	21.46					3.01	97			-2.94	97		
0	-977	-1580	Min.	22.30	-133.03	97	0.00	102	2.14	33	0.00	97	-2.94	97	0.00	102
0	-1064	-1574	Max	0.00	-94.82	33	0.00	101	-0.25	33	0.00	98	-0.04	33	0.00	102
0	-1064	-1574	Max	20.91					-0.25	33			-0.04	33		

0	-1064	-1574	Max	22.30	-93.59	33	0.00	101	-0.25	33	0.00	98	-0.04	33	0.00	102
0	-1064	-1574	Min.	0.00	-133.14	97	0.00	98	-0.36	97	0.00	101	-0.05	97	0.00	97
0	-1064	-1574	Min.	20.91					-0.36	97			-0.05	97		
0	-1064	-1574	Min.	22.30	-131.47	97	0.00	98	-0.36	97	0.00	101	-0.05	97	0.00	97
0	-1151	-1568	Max	0.00	-109.87	33	0.00	98	1.43	97	0.00	98	0.04	97	0.00	97
0	-1151	-1568	Max	20.63					1.43	97			0.04	97		
0	-1151	-1568	Max	22.30	-108.63	33	0.00	98	1.43	97	0.00	98	0.04	97	0.00	97
0	-1151	-1568	Min.	0.00	-155.67	97	0.00	101	0.97	33	0.00	101	0.03	33	0.00	102
0	-1151	-1568	Min.	20.63					0.97	33			0.03	33		
0	-1151	-1568	Min.	22.30	-154.00	97	0.00	101	0.97	33	0.00	101	0.03	33	0.00	102
0	-1192	-1548	Max	0.00	-152.33	33	0.00	101	-1.70	33	0.00	102	-0.01	33	0.00	102
0	-1192	-1548	Max	22.30	-151.09	33	0.00	101	-1.70	33	0.00	102	-0.01	33	0.00	102
0	-1192	-1548	Min.	0.00	-221.69	97	0.00	98	-2.43	97	0.00	97	-0.01	98	0.00	97
0	-1192	-1548	Min.	22.30	-220.01	97	0.00	98	-2.43	97	0.00	97	-0.01	97	0.00	97
0	-935	-1534	Max	0.00	-95.09	1	0.00	49	0.00	98	0.00	98	0.00	1	0.00	98
0	-935	-1534	Max	22.30	-93.86	1	0.00	49	0.00	49	0.00	98	0.00	102	0.00	98
0	-935	-1534	Min.	0.00	-133.52	97	0.00	98	0.00	49	0.00	101	0.00	97	0.00	1
0	-935	-1534	Min.	22.30	-131.85	97	0.00	98	0.00	98	0.00	101	0.00	97	0.00	1
0	-719	-1852	Max	0.00	-95.53	33	0.00	98	0.26	97	0.00	33	-0.02	33	0.00	33
0	-719	-1852	Max	22.30	-94.29	33	0.00	98	0.26	97	0.00	33	-0.02	33	0.00	33
0	-719	-1852	Min.	0.00	-134.13	97	0.00	33	0.18	33	0.00	98	-0.02	97	0.00	97
0	-719	-1852	Min.	22.30	-132.46	97	0.00	33	0.18	33	0.00	98	-0.02	97	0.00	97
0	-1152	-1567	Max	0.00	-109.14	33	0.00	98	1.49	97	0.00	98	-0.06	33	0.00	98
0	-1152	-1567	Max	21.18					1.01	33			-0.06	33		
0	-1152	-1567	Max	22.30	-107.90	33	0.00	98	1.49	97	0.00	98	-0.06	33	0.00	98
0	-1152	-1567	Min.	0.00	-154.62	97	0.00	101	1.01	33	0.00	101	-0.08	97	0.00	101
0	-1152	-1567	Min.	21.18					1.49	97			-0.08	97		
0	-1152	-1567	Min.	22.30	-152.95	97	0.00	101	1.01	33	0.00	101	-0.08	97	0.00	101
0	420	421	Max	0.00	-121.75	33	155.11	97	-98.28	102	-1.23	102	0.51	97	0.14	97
0	420	421	Max	190.50	-121.75	33	103.96	97	97.75	97	-1.23	102	-1.98	102	0.14	97
0	420	421	Min.	0.00	-176.66	100	95.90	102	-149.01	97	-1.82	97	0.36	33	0.10	33
0	420	421	Min.	190.50	-176.66	100	58.01	102	48.31	102	-1.82	97	-2.95	97	0.10	33
0	314	430	Max	0.00	-95.65	1	0.00	49	0.00	100	0.00	102	0.00	101	0.00	49
0	314	430	Max	22.30	-94.41	1	0.00	49	0.00	49	0.00	102	0.00	102	0.00	49
0	314	430	Min.	0.00	-134.30	97	0.00	98	0.00	49	0.00	97	0.00	98	0.00	1
0	314	430	Min.	22.30	-132.63	97	0.00	98	0.00	98	0.00	97	0.00	97	0.00	1
0	-807	-1723	Max	0.00	-95.55	33	-0.00	33	-2.39	33	0.00	101	0.03	97	0.00	98
0	-807	-1723	Max	22.30	-94.32	33	-0.00	33	-2.39	33	0.00	101	0.03	97	0.00	98
0	-807	-1723	Min.	0.00	-134.17	97	-0.00	97	-3.35	97	0.00	98	0.02	33	0.00	101
0	-807	-1723	Min.	22.30	-132.50	97	-0.00	97	-3.35	97	0.00	98	0.02	33	0.00	101
0	-633	-1778	Max	0.00	-111.00	33	-0.00	33	-0.93	33	0.00	101	0.00	33	0.00	97
0	-633	-1778	Max	22.30	-109.76	33	-0.00	33	-0.93	33	0.00	101	0.00	33	0.00	97
0	-633	-1778	Min.	0.00	-157.37	97	-0.00	98	-1.38	97	0.00	98	0.00	33	0.00	33
0	-633	-1778	Min.	22.30	-155.69	97	-0.00	98	-1.38	97	0.00	98	0.00	33	0.00	33
0	-850	-1801	Max	0.00	-96.28	33	0.00	98	-0.02	33	0.00	97	3.38	97	0.00	33
0	-850	-1801	Max	21.18					-0.02	97			3.38	97		
0	-850	-1801	Max	22.30	-95.04	33	0.00	98	-0.02	33	0.00	97	3.38	97	0.00	33
0	-850	-1801	Min.	0.00	-135.19	97	0.00	33	-0.02	97	0.00	102	2.41	33	0.00	98
0	-850	-1801	Min.	21.18					-0.02	33			2.41	33		
0	-850	-1801	Min.	22.30	-133.52	97	0.00	33	-0.02	97	0.00	102	2.41	33	0.00	98
0	-979	-1579	Max	0.00	-95.77	1	0.00	97	2.98	97	0.00	98	2.95	97	0.00	102
0	-979	-1579	Max	19.72					2.98	97			2.95	97		
0	-979	-1579	Max	22.30	-94.54	1	0.00	97	2.98	97	0.00	98	2.95	97	0.00	102
0	-979	-1579	Min.	0.00	-134.48	97	0.00	102	2.12	33	0.00	101	2.10	1	0.00	97
0	-979	-1579	Min.	15.26					2.12	1			2.10	1		
0	-979	-1579	Min.	22.30	-132.81	97	0.00	102	2.12	33	0.00	101	2.10	1	0.00	97
0	-1065	-1573	Max	0.00	-96.54	33	0.00	101	-0.11	33	0.00	98	-1.77	33	0.00	101
0	-1065	-1573	Max	22.30	-95.30	33	0.00	101	-0.11	33	0.00	98	-1.77	33	0.00	101
0	-1065	-1573	Min.	0.00	-135.54	97	0.00	98	-0.16	97	0.00	101	-2.49	97	0.00	98
0	-1065	-1573	Min.	22.30	-133.88	97	0.00	98	-0.16	97	0.00	101	-2.49	97	0.00	98
0	-892	-1452	Max	0.00	-95.53	33	0.00	33	0.00	33	0.00	97	-2.33	33	0.00	33
0	-892	-1452	Max	22.30	-94.30	33	0.00	33	0.00	33	0.00	97	-2.33	33	0.00	33
0	-892	-1452	Min.	0.00	-134.14	97	0.00	98	0.00	97	0.00	102	-3.28	97	0.00	98
0	-892	-1452	Min.	22.30	-132.47	97	0.00	98	0.00	97	0.00	102	-3.28	97	0.00	98
0	321	-2071	Max	0.00	-249.26	49	-1.29	102	0.39	97	-122.70	102	31.07	97	-0.26	33
0	321	-2071	Max	22.30	-248.03	49	-1.29	102	0.02	101	-122.70	102	-9.49	102	-0.26	33
0	321	-2071	Min.	0.00	-355.63	98	-1.91	97	0.20	102	-208.79	97	17.87	102	-0.37	97
0	321	-2071	Min.	22.30	-353.96	98	-1.91	97	-0.14	98	-208.79	97	-15.49	97	-0.37	97
0	316	433	Max	0.00	-95.19	1	0.00	97	3.38	97	0.00	98	0.00	97	0.00	49
0	316	433	Max	17.28					2.41	33			0.00	33		
0	316	433	Max	22.30	-93.95	1	0.00	97	3.38	97	0.00	98	0.00	97	0.00	49
0	316	433	Min.	0.00	-133.66	97	0.00	102	2.41	33	0.00	33	0.00	33	0.00	97
0	316	433	Min.	17.28					2.41	33			0.00	33		
0	316	433	Min.	22.30	-131.99	97	0.00	102	2.41	33	0.00	33	0.00	33	0.00	97
0	-808	-1722	Max	0.00	-95.64	33	-0.00	33	-2.35	33	0.00	101	-0.01	33	0.00	98
0	-808	-1722	Max	22.30	-94.40	33	-0.00	33	-2.35	33	0.00	101	-0.01	33	0.00	98
0	-808	-1722	Min.	0.00	-134.29	97	-0.00	97	-3.30	97	0.00	98	-0.01	97	0.00	101
0	-808	-1722	Min.	22.30	-132.62	97	-0.00	97	-3.30	97	0.00	98	-0.01	97	0.00	101
0	-596	-1816	Max	0.00	-154.36	33	0.00	98	1.93	97	0.00	33	-0.06	33	0.00	33

0	-596	-1816	Max	22.02					1.36	33			-0.06	33		
0	-596	-1816	Max	22.30	-153.12	33	0.00	98	1.93	97	0.00	33	-0.06	33	0.00	33
0	-596	-1816	Min.	0.00	-224.77	97	0.00	33	1.34	33	0.00	98	-0.10	97	0.00	97
0	-596	-1816	Min.	22.02					1.34	33			-0.07	33		
0	-596	-1816	Min.	22.30	-223.10	97	0.00	33	1.34	33	0.00	98	-0.10	97	0.00	97
0	-851	-1800	Max	0.00	-96.35	1	0.00	98	0.00	49	0.00	97	0.00	102	0.00	102
0	-851	-1800	Max	22.30	-95.12	1	0.00	98	0.00	98	0.00	97	0.00	101	0.00	102
0	-851	-1800	Min.	0.00	-135.29	97	0.00	33	0.00	98	0.00	102	0.00	97	0.00	97
0	-851	-1800	Min.	22.30	-133.62	97	0.00	33	0.00	33	0.00	102	0.00	98	0.00	97
0	-1067	-1572	Max	0.00	-96.28	33	0.00	101	-0.11	33	0.00	98	2.52	97	0.00	98
0	-1067	-1572	Max	22.30	-95.05	33	0.00	101	-0.11	33	0.00	98	2.52	97	0.00	98
0	-1067	-1572	Min.	0.00	-135.19	97	0.00	98	-0.16	97	0.00	101	1.79	33	0.00	101
0	-1067	-1572	Min.	22.30	-133.52	97	0.00	98	-0.16	97	0.00	101	1.79	33	0.00	101
0	-1193	-1546	Max	0.00	-150.92	33	0.00	33	-1.67	33	0.00	102	-0.05	33	0.00	33
0	-1193	-1546	Max	22.30	-149.68	33	0.00	33	-1.67	33	0.00	102	-0.05	33	0.00	33
0	-1193	-1546	Min.	0.00	-219.64	97	0.00	97	-2.38	97	0.00	97	-0.08	97	0.00	98
0	-1193	-1546	Min.	22.30	-217.97	97	0.00	97	-2.38	97	0.00	97	-0.08	97	0.00	98
0	421	-2071	Max	0.00	-53.99	49	-122.70	102	282.14	97	-1.29	102	0.07	98	-0.26	33
0	421	-2071	Max	127.70	-97.05	49	-122.70	102	15.52	97	-1.29	102	-1.60	102	-0.26	33
0	421	-2071	Min.	0.00	-75.98	98	-208.79	97	166.20	102	-1.91	97	0.05	49	-0.37	97
0	421	-2071	Min.	127.70	-134.11	98	-208.79	97	9.52	102	-1.91	97	-2.37	97	-0.37	97
0	-634	-1777	Max	0.00	-110.06	33	-0.00	33	-0.90	33	0.00	101	0.04	98	0.00	97
0	-634	-1777	Max	22.30	-108.83	33	-0.00	33	-0.90	33	0.00	101	0.04	97	0.00	97
0	-634	-1777	Min.	0.00	-155.99	97	-0.00	98	-1.34	97	0.00	98	0.02	33	0.00	33
0	-634	-1777	Min.	22.30	-154.32	97	-0.00	98	-1.34	97	0.00	98	0.02	33	0.00	33
0	-936	-1698	Max	0.00	-95.18	33	0.00	49	0.02	97	0.00	97	-2.38	33	0.00	49
0	-936	-1698	Max	22.30	-93.94	33	0.00	49	0.02	97	0.00	97	-2.38	33	0.00	49
0	-936	-1698	Min.	0.00	-133.64	97	0.00	98	0.02	33	0.00	102	-3.34	97	0.00	98
0	-936	-1698	Min.	22.30	-131.97	97	0.00	98	0.02	33	0.00	102	-3.34	97	0.00	98
0	-720	-1851	Max	0.00	-96.14	33	0.00	98	0.26	97	0.00	33	0.00	33	0.00	33
0	-720	-1851	Max	22.30	-94.91	33	0.00	98	0.26	97	0.00	33	0.00	33	0.00	33
0	-720	-1851	Min.	0.00	-135.00	97	0.00	33	0.18	33	0.00	98	0.00	33	0.00	97
0	-720	-1851	Min.	22.30	-133.33	97	0.00	33	0.18	33	0.00	98	0.00	33	0.00	97
0	-894	-1450	Max	0.00	-95.53	33	0.00	33	0.00	33	0.00	101	3.28	97	0.00	100
0	-894	-1450	Max	22.30	-94.30	33	0.00	33	0.00	33	0.00	101	3.28	97	0.00	100
0	-894	-1450	Min.	0.00	-134.14	97	0.00	98	0.00	97	0.00	98	2.33	33	0.00	33
0	-894	-1450	Min.	22.30	-132.47	97	0.00	98	0.00	97	0.00	98	2.33	33	0.00	33
0	-1068	-1537	Max	0.00	-94.36	33	0.00	101	-0.26	33	0.00	33	0.00	97	0.00	97
0	-1068	-1537	Max	22.30	-93.13	33	0.00	101	-0.26	33	0.00	33	0.00	97	0.00	97
0	-1068	-1537	Min.	0.00	-132.49	97	0.00	98	-0.36	97	0.00	97	0.00	33	0.00	33
0	-1068	-1537	Min.	22.30	-130.82	97	0.00	98	-0.36	97	0.00	97	0.00	33	0.00	33
0	-721	-1858	Max	0.00	-95.53	33	0.00	98	0.26	97	0.00	33	0.02	97	0.00	33
0	-721	-1858	Max	22.30	-94.29	33	0.00	98	0.26	97	0.00	33	0.02	97	0.00	33
0	-721	-1858	Min.	0.00	-134.13	97	0.00	33	0.18	33	0.00	98	0.02	33	0.00	97
0	-721	-1858	Min.	22.30	-132.46	97	0.00	33	0.18	33	0.00	98	0.02	33	0.00	97
0	-809	-1721	Max	0.00	-95.98	33	-0.00	33	-2.38	33	0.00	101	0.00	98	0.00	98
0	-809	-1721	Max	22.30	-94.74	33	-0.00	33	-2.38	33	0.00	101	0.00	97	0.00	98
0	-809	-1721	Min.	0.00	-134.77	97	-0.00	97	-3.34	97	0.00	98	0.00	33	0.00	101
0	-809	-1721	Min.	22.30	-133.10	97	-0.00	97	-3.34	97	0.00	98	0.00	33	0.00	101
0	-980	-1475	Max	0.00	-96.07	33	0.00	97	2.99	97	0.00	101	-2.12	1	0.00	97
0	-980	-1475	Max	19.51					2.13	1			-2.12	1		
0	-980	-1475	Max	22.30	-94.84	33	0.00	97	2.99	97	0.00	101	-2.12	1	0.00	97
0	-980	-1475	Min.	0.00	-134.90	97	0.00	102	2.13	33	0.00	98	-2.97	97	0.00	102
0	-980	-1475	Min.	15.26					2.99	97			-2.97	97		
0	-980	-1475	Min.	22.30	-133.23	97	0.00	102	2.13	33	0.00	98	-2.97	97	0.00	102
0	-635	-1776	Max	0.00	-109.42	33	-0.00	33	-0.93	33	0.00	101	-0.05	33	0.00	97
0	-635	-1776	Max	22.30	-108.19	33	-0.00	33	-0.93	33	0.00	101	-0.05	33	0.00	97
0	-635	-1776	Min.	0.00	-155.17	97	-0.00	98	-1.40	97	0.00	98	-0.08	97	0.00	33
0	-635	-1776	Min.	22.30	-153.50	97	-0.00	98	-1.40	97	0.00	98	-0.08	97	0.00	33
0	-597	-1815	Max	0.00	-153.53	33	0.00	98	1.48	97	0.00	33	-2.75	33	0.00	98
0	-597	-1815	Max	22.02					1.05	33			-2.75	33		
0	-597	-1815	Max	22.30	-152.29	33	0.00	98	1.48	97	0.00	33	-2.75	33	0.00	98
0	-597	-1815	Min.	0.00	-225.47	97	0.00	33	1.05	33	0.00	97	-4.15	97	0.00	33
0	-597	-1815	Min.	21.46					1.48	97			-4.15	97		
0	-597	-1815	Min.	22.30	-223.80	97	0.00	33	1.05	33	0.00	97	-4.15	97	0.00	33
0	-852	-1799	Max	0.00	-96.35	1	0.00	98	0.00	49	0.00	97	0.00	102	0.00	102
0	-852	-1799	Max	22.30	-95.12	1	0.00	98	0.00	98	0.00	97	0.00	101	0.00	102
0	-852	-1799	Min.	0.00	-135.29	97	0.00	33	0.00	97	0.00	102	0.00	97	0.00	97
0	-852	-1799	Min.	22.30	-133.62	97	0.00	33	0.00	33	0.00	102	0.00	98	0.00	97
0	-938	-1692	Max	0.00	-95.18	33	0.00	49	0.02	97	0.00	97	3.34	97	0.00	98
0	-938	-1692	Max	7.53					0.02	97			3.34	97		
0	-938	-1692	Max	22.30	-93.94	33	0.00	49	0.02	97	0.00	97	3.34	97	0.00	98
0	-938	-1692	Min.	0.00	-133.64	97	0.00	98	0.02	33	0.00	102	2.38	33	0.00	49
0	-938	-1692	Min.	21.18					0.02	33			2.38	33		
0	-938	-1692	Min.	22.30	-131.97	97	0.00	98	0.02	33	0.00	102	2.38	33	0.00	49
0	-1155	-1565	Max	0.00	-112.41	33	0.00	98	1.63	97	0.00	98	2.75	97	0.00	101
0	-1155	-1565	Max	19.72					1.63	97			2.75	97		
0	-1155	-1565	Max	22.30	-111.17	33	0.00	98	1.63	97	0.00	98	2.75	97	0.00	101
0	-1155	-1565	Min.	0.00	-159.40	97	0.00	101	1.10	33	0.00	101	1.94	33	0.00	98

0	-1155	-1565	Min.	19.72					1.10	33			1.94	33		
0	-1155	-1565	Min.	22.30	-157.73	97	0.00	101	1.10	33	0.00	101	1.94	33	0.00	98
0	-1194	-1545	Max	0.00	-151.99	33	0.00	102	-1.33	33	0.00	33	-2.72	33	0.00	33
0	-1194	-1545	Max	22.30	-150.76	33	0.00	102	-1.33	33	0.00	33	-2.72	33	0.00	33
0	-1194	-1545	Min.	0.00	-221.15	97	0.00	97	-1.89	97	0.00	98	-3.96	97	0.00	97
0	-1194	-1545	Min.	22.30	-219.47	97	0.00	97	-1.89	97	0.00	98	-3.96	97	0.00	97
0	-895	-1449	Max	0.00	-95.80	1	0.00	33	0.00	49	0.00	101	0.00	98	0.00	1
0	-895	-1449	Max	22.30	-94.56	1	0.00	33	0.00	49	0.00	101	0.00	101	0.00	1
0	-895	-1449	Min.	0.00	-134.51	97	0.00	98	0.00	1	0.00	98	0.00	101	0.00	98
0	-895	-1449	Min.	22.30	-132.84	97	0.00	98	0.00	98	0.00	98	0.00	98	0.00	98
0	-1069	-1705	Max	0.00	-96.59	33	0.00	101	-0.11	33	0.00	33	-1.80	33	0.00	101
0	-1069	-1705	Max	22.30	-95.35	33	0.00	101	-0.11	33	0.00	33	-1.80	33	0.00	101
0	-1069	-1705	Min.	0.00	-135.62	97	0.00	98	-0.16	97	0.00	98	-2.53	97	0.00	98
0	-1069	-1705	Min.	22.30	-133.94	97	0.00	98	-0.16	97	0.00	98	-2.53	97	0.00	98
0	-636	-1775	Max	0.00	-111.92	33	-0.00	33	-1.00	33	0.00	101	-2.00	33	0.00	33
0	-636	-1775	Max	22.30	-110.68	33	-0.00	33	-1.00	33	0.00	101	-2.00	33	0.00	33
0	-636	-1775	Min.	0.00	-159.45	97	-0.00	98	-1.54	97	0.00	98	-2.87	97	0.00	98
0	-636	-1775	Min.	22.30	-157.78	97	-0.00	98	-1.54	97	0.00	98	-2.87	97	0.00	98
0	-598	-1814	Max	0.00	-151.43	33	0.00	98	0.93	97	0.00	98	-0.06	33	0.00	102
0	-598	-1814	Max	22.02					0.68	33			-0.06	33		
0	-598	-1814	Max	22.30	-150.20	33	0.00	98	0.93	97	0.00	98	-0.06	33	0.00	102
0	-598	-1814	Min.	0.00	-225.06	97	0.00	33	0.67	33	0.00	33	-0.13	97	0.00	97
0	-598	-1814	Min.	22.02					0.93	97			-0.13	97		
0	-598	-1814	Min.	22.30	-223.39	97	0.00	33	0.67	33	0.00	33	-0.13	97	0.00	97
0	-853	-1798	Max	0.00	-96.35	1	0.00	98	0.00	49	0.00	97	0.00	102	0.00	102
0	-853	-1798	Max	22.30	-95.12	1	0.00	98	0.00	98	0.00	97	0.00	101	0.00	102
0	-853	-1798	Min.	0.00	-135.29	97	0.00	33	0.00	97	0.00	102	0.00	97	0.00	97
0	-853	-1798	Min.	22.30	-133.62	97	0.00	33	0.00	33	0.00	102	0.00	98	0.00	97
0	-724	-1694	Max	0.00	-96.70	33	0.00	98	-0.05	33	0.00	97	-0.09	33	0.00	33
0	-724	-1694	Max	10.80					-0.05	33			-0.09	33		
0	-724	-1694	Max	22.30	-95.46	33	0.00	98	-0.05	33	0.00	97	-0.09	33	0.00	33
0	-724	-1694	Min.	0.00	-135.74	97	0.00	33	-0.09	97	0.00	102	-0.13	97	0.00	97
0	-724	-1694	Min.	2.16					-0.09	97			-0.13	97		
0	-724	-1694	Min.	22.30	-134.07	97	0.00	33	-0.09	97	0.00	102	-0.13	97	0.00	97
0	-858	-1793	Max	0.00	-95.86	33	0.00	98	-0.03	33	0.00	97	0.00	33	0.00	97
0	-858	-1793	Max	22.30	-94.62	33	0.00	98	-0.03	33	0.00	97	0.00	33	0.00	97
0	-858	-1793	Min.	0.00	-134.60	97	0.00	33	-0.04	97	0.00	102	0.00	97	0.00	102
0	-858	-1793	Min.	22.30	-132.93	97	0.00	33	-0.04	97	0.00	102	0.00	98	0.00	102
0	404	-1817	Max	0.00	176.98	97	-276.03	101	562.57	98	4.45	97	-0.01	101	0.28	98
0	404	-1817	Max	127.70	118.84	97	-276.03	101	26.98	98	4.45	97	5.67	97	0.28	98
0	404	-1817	Min.	0.00	112.02	102	-419.41	98	370.24	101	3.12	102	-0.01	98	0.19	49
0	404	-1817	Min.	127.70	68.96	102	-419.41	98	17.76	101	3.12	102	3.97	102	0.19	49
0	-1153	-1566	Max	0.00	-112.83	33	0.00	98	1.66	97	0.00	98	-1.90	33	0.00	98
0	-1153	-1566	Max	21.46					1.12	33			-1.90	33		
0	-1153	-1566	Max	22.30	-111.59	33	0.00	98	1.66	97	0.00	98	-1.90	33	0.00	98
0	-1153	-1566	Min.	0.00	-159.99	97	0.00	101	1.12	33	0.00	101	-2.70	97	0.00	101
0	-1153	-1566	Min.	21.46					1.66	97			-2.70	97		
0	-1153	-1566	Min.	22.30	-158.32	97	0.00	101	1.12	33	0.00	101	-2.70	97	0.00	101
0	-722	-1856	Max	0.00	-95.14	33	0.00	98	0.26	97	0.00	97	-0.04	33	0.00	33
0	-722	-1856	Max	19.72					0.19	33			-0.04	33		
0	-722	-1856	Max	22.30	-93.90	33	0.00	98	0.26	97	0.00	97	-0.04	33	0.00	33
0	-722	-1856	Min.	0.00	-133.59	97	0.00	33	0.19	33	0.00	102	-0.05	97	0.00	97
0	-722	-1856	Min.	19.72					0.26	97			-0.05	97		
0	-722	-1856	Min.	22.30	-131.92	97	0.00	33	0.19	33	0.00	102	-0.05	97	0.00	97
0	-982	-1474	Max	0.00	-96.23	33	0.00	97	3.02	97	0.00	97	2.96	97	0.00	33
0	-982	-1474	Max	20.35					3.02	97			2.96	97		
0	-982	-1474	Max	22.30	-94.99	33	0.00	97	3.02	97	0.00	97	2.96	97	0.00	33
0	-982	-1474	Min.	0.00	-135.12	97	0.00	33	2.15	33	0.00	102	2.10	33	0.00	97
0	-982	-1474	Min.	20.35					2.15	33			2.10	33		
0	-982	-1474	Min.	22.30	-133.45	97	0.00	33	2.15	33	0.00	102	2.10	33	0.00	97
0	-810	-1720	Max	0.00	-95.64	33	-0.00	33	-2.35	33	0.00	101	0.01	97	0.00	98
0	-810	-1720	Max	22.30	-94.40	33	-0.00	33	-2.35	33	0.00	101	0.01	97	0.00	98
0	-810	-1720	Min.	0.00	-134.29	97	-0.00	97	-3.30	97	0.00	98	0.01	33	0.00	101
0	-810	-1720	Min.	22.30	-132.62	97	-0.00	97	-3.30	97	0.00	98	0.01	33	0.00	101
0	404	-1272	Max	0.00	-831.67	102	238.94	98	-82.67	101	2.41	98	7.79	97	-0.03	49
0	404	-1272	Max	155.00	-831.67	102	197.32	98	197.10	98	2.41	98	11.29	97	-0.03	49
0	404	-1272	Min.	0.00	-1209.53	97	150.71	101	-140.99	98	1.58	101	5.60	33	-0.05	98
0	404	-1272	Min.	155.00	-1209.53	97	119.88	101	127.03	101	1.58	101	8.19	33	-0.05	98
0	318	432	Max	0.00	-108.38	33	0.00	98	1.53	97	0.00	33	0.00	97	0.00	33
0	318	432	Max	20.07					1.53	97			0.00	97		
0	318	432	Max	22.30	-107.14	33	0.00	98	1.53	97	0.00	33	0.00	97	0.00	33
0	318	432	Min.	0.00	-153.54	97	0.00	101	1.03	33	0.00	98	0.00	33	0.00	98
0	318	432	Min.	22.02					1.03	33			0.00	33		
0	318	432	Min.	22.30	-151.87	97	0.00	101	1.03	33	0.00	98	0.00	33	0.00	98
0	-939	-1691	Max	0.00	-95.24	1	0.00	49	0.00	99	0.00	97	0.00	102	0.00	98
0	-939	-1691	Max	22.30	-94.00	1	0.00	49	0.00	49	0.00	97	0.00	101	0.00	98
0	-939	-1691	Min.	0.00	-133.73	97	-0.00	98	0.00	1	0.00	102	0.00	97	0.00	49
0	-939	-1691	Min.	22.30	-132.06	97	-0.00	98	0.00	98	0.00	102	0.00	98	0.00	49
0	-1196	-1544	Max	0.00	-151.92	33	0.00	102	-1.32	33	0.00	33	4.02	97	0.00	101

0	-1196	-1544	Max	22.30	-150.68	33	0.00	102	-1.32	33	0.00	33	4.02	97	0.00	101
0	-1196	-1544	Min.	0.00	-221.04	97	0.00	97	-1.87	97	0.00	98	2.76	33	0.00	98
0	-1196	-1544	Min.	22.30	-219.37	97	0.00	97	-1.87	97	0.00	98	2.76	33	0.00	98
0	-1156	-1745	Max	0.00	-112.77	33	0.00	98	1.63	97	0.00	101	-1.95	33	0.00	98
0	-1156	-1745	Max	21.46					1.10	33			-1.95	33		
0	-1156	-1745	Max	22.30	-111.53	33	0.00	98	1.63	97	0.00	101	-1.95	33	0.00	98
0	-1156	-1745	Min.	0.00	-159.91	97	0.00	33	1.10	33	0.00	98	-2.76	97	0.00	33
0	-1156	-1745	Min.	21.46					1.63	97			-2.76	97		
0	-1156	-1745	Min.	22.30	-158.24	97	0.00	33	1.10	33	0.00	98	-2.76	97	0.00	33
0	421	422	Max	0.00	-246.45	102	179.88	97	-117.89	102	0.20	98	-1.71	102	0.21	97
0	421	422	Max	199.50	-246.45	102	126.32	97	121.04	97	0.20	98	-1.59	102	0.21	97
0	421	422	Min.	0.00	-385.44	97	113.21	102	-184.39	97	-0.05	101	-2.58	97	0.15	33
0	421	422	Min.	199.50	-385.44	97	73.53	102	68.39	102	-0.05	101	-2.40	97	0.15	33
0	-896	-1448	Max	0.00	-95.80	1	0.00	33	0.00	49	0.00	101	0.00	98	0.00	1
0	-896	-1448	Max	22.30	-94.56	1	0.00	33	0.00	49	0.00	101	0.00	101	0.00	1
0	-896	-1448	Min.	0.00	-134.51	97	0.00	100	0.00	1	0.00	98	0.00	101	0.00	98
0	-896	-1448	Min.	22.30	-132.84	97	0.00	100	0.00	98	0.00	98	0.00	98	0.00	98
0	-599	-1813	Max	0.00	-113.55	33	0.00	97	1.55	97	0.00	97	4.05	97	0.00	33
0	-599	-1813	Max	21.74					1.55	97			4.05	97		
0	-599	-1813	Max	22.30	-112.31	33	0.00	97	1.55	97	0.00	97	4.05	97	0.00	33
0	-599	-1813	Min.	0.00	-167.48	97	0.00	33	1.10	33	0.00	102	2.66	33	0.00	97
0	-599	-1813	Min.	18.68					1.10	33			2.66	33		
0	-599	-1813	Min.	22.30	-165.81	97	0.00	33	1.10	33	0.00	102	2.66	33	0.00	97
0	-1071	-1704	Max	0.00	-96.84	33	0.00	33	-0.11	33	0.00	33	2.50	97	0.00	98
0	-1071	-1704	Max	22.30	-95.61	33	0.00	33	-0.11	33	0.00	33	2.50	97	0.00	98
0	-1071	-1704	Min.	0.00	-135.97	97	-0.00	98	-0.16	97	0.00	98	1.78	33	0.00	33
0	-1071	-1704	Min.	22.30	-134.30	97	-0.00	98	-0.16	97	0.00	98	1.78	33	0.00	33
0	-1197	-1540	Max	0.00	-150.00	33	0.00	98	-1.64	33	0.00	33	0.00	97	0.00	98
0	-1197	-1540	Max	20.00					-2.33	98			0.00	98		
0	-1197	-1540	Max	22.30	-148.76	33	0.00	98	-1.64	33	0.00	33	0.00	98	0.00	98
0	-1197	-1540	Min.	0.00	-218.32	97	0.00	101	-2.33	97	0.00	97	0.00	33	0.00	101
0	-1197	-1540	Min.	6.62					-1.64	33			0.00	33		
0	-1197	-1540	Min.	22.30	-216.65	97	0.00	101	-2.33	97	0.00	97	0.00	33	0.00	101
0	-723	-1695	Max	0.00	-96.43	33	0.00	98	0.09	97	0.00	97	-1.85	33	0.00	98
0	-723	-1695	Max	22.30	-95.19	33	0.00	98	0.09	97	0.00	97	-1.85	33	0.00	98
0	-723	-1695	Min.	0.00	-135.38	97	0.00	33	0.06	33	0.00	102	-2.59	97	0.00	33
0	-723	-1695	Min.	22.30	-133.71	97	0.00	33	0.06	33	0.00	102	-2.59	97	0.00	33
0	-811	-1719	Max	0.00	-95.56	33	-0.00	33	-2.39	33	0.00	97	-0.02	33	0.00	98
0	-811	-1719	Max	21.74					-2.39	33			-0.02	33		
0	-811	-1719	Max	22.30	-94.33	33	-0.00	33	-2.39	33	0.00	97	-0.02	33	0.00	98
0	-811	-1719	Min.	0.00	-134.18	97	-0.00	97	-3.35	97	0.00	102	-0.03	97	0.00	33
0	-811	-1719	Min.	21.74					-3.35	97			-0.03	97		
0	-811	-1719	Min.	22.30	-132.51	97	-0.00	97	-3.35	97	0.00	102	-0.03	97	0.00	33
0	-854	-1797	Max	0.00	-96.35	1	0.00	98	0.00	49	0.00	97	0.00	102	0.00	102
0	-854	-1797	Max	22.30	-95.12	1	0.00	98	0.00	98	0.00	97	0.00	101	0.00	102
0	-854	-1797	Min.	0.00	-135.29	97	0.00	33	0.00	97	0.00	102	0.00	97	0.00	97
0	-854	-1797	Min.	22.30	-133.62	97	0.00	33	0.00	33	0.00	102	0.00	98	0.00	97
0	-983	-1473	Max	0.00	-95.56	33	0.00	97	3.35	97	0.00	101	0.03	97	0.00	101
0	-983	-1473	Max	22.02					2.39	33			0.02	33		
0	-983	-1473	Max	22.30	-94.32	33	0.00	97	3.35	97	0.00	101	0.03	97	0.00	101
0	-983	-1473	Min.	0.00	-134.17	97	0.00	33	2.39	33	0.00	98	0.02	33	0.00	98
0	-983	-1473	Min.	22.02					2.39	33			0.02	33		
0	-983	-1473	Min.	22.30	-132.50	97	0.00	33	2.39	33	0.00	98	0.02	33	0.00	98
0	-940	-1688	Max	0.00	-95.24	1	-0.00	49	0.00	97	0.00	97	0.00	102	0.00	98
0	-940	-1688	Max	22.30	-94.00	1	-0.00	49	0.00	49	0.00	97	0.00	101	0.00	98
0	-940	-1688	Min.	0.00	-133.73	97	-0.00	98	0.00	1	0.00	102	0.00	97	0.00	49
0	-940	-1688	Min.	22.30	-132.06	97	-0.00	98	0.00	98	0.00	102	0.00	98	0.00	49
0	-637	-1774	Max	0.00	-113.09	33	0.00	33	-1.03	33	0.00	101	-0.10	33	0.00	97
0	-637	-1774	Max	22.30	-111.85	33	0.00	33	-1.03	33	0.00	101	-0.10	33	0.00	97
0	-637	-1774	Min.	0.00	-162.14	97	-0.00	98	-1.64	97	0.00	98	-0.15	97	0.00	33
0	-637	-1774	Min.	22.30	-160.47	97	-0.00	98	-1.64	97	0.00	98	-0.15	97	0.00	33
0	-897	-1446	Max	0.00	-95.80	1	0.00	33	0.00	49	0.00	101	0.00	98	0.00	1
0	-897	-1446	Max	22.30	-94.56	1	0.00	33	0.00	49	0.00	101	0.00	101	0.00	1
0	-897	-1446	Min.	0.00	-134.51	97	0.00	100	0.00	99	0.00	98	0.00	101	0.00	98
0	-897	-1446	Min.	22.30	-132.84	97	0.00	100	0.00	98	0.00	98	0.00	98	0.00	98
0	-638	-1773	Max	0.00	-107.00	33	0.00	33	-0.35	33	0.00	101	0.15	97	0.00	98
0	-638	-1773	Max	22.30	-105.77	33	0.00	33	-0.35	33	0.00	101	0.15	97	0.00	98
0	-638	-1773	Min.	0.00	-152.54	97	-0.00	98	-0.60	97	0.00	98	0.09	33	0.00	33
0	-638	-1773	Min.	22.30	-150.87	97	-0.00	98	-0.60	97	0.00	98	0.09	33	0.00	33
0	-1158	-1744	Max	0.00	-113.18	33	0.00	98	1.66	97	0.00	33	2.71	97	0.00	33
0	-1158	-1744	Max	22.30	-111.94	33	0.00	98	1.66	97	0.00	33	2.71	97	0.00	33
0	-1158	-1744	Min.	0.00	-160.51	97	0.00	33	1.12	33	0.00	98	1.91	33	0.00	98
0	-1158	-1744	Min.	22.30	-158.84	97	0.00	33	1.12	33	0.00	98	1.91	33	0.00	98
0	-600	-1812	Max	0.00	-113.55	33	0.00	98	1.55	97	0.00	101	-2.66	33	0.00	98
0	-600	-1812	Max	18.68					1.10	33			-2.66	33		
0	-600	-1812	Max	22.30	-112.31	33	0.00	98	1.55	97	0.00	101	-2.66	33	0.00	98
0	-600	-1812	Min.	0.00	-167.48	97	0.00	33	1.10	33	0.00	98	-4.05	97	0.00	33
0	-600	-1812	Min.	21.74					1.55	97			-4.05	97		
0	-600	-1812	Min.	22.30	-165.81	97	0.00	33	1.10	33	0.00	98	-4.05	97	0.00	33

0	405	-1533	Max	0.00	361.62	99	12.42	97	16.68	102	4.67	99	0.10	100	0.01	33
0	405	-1533	Max	127.70	303.49	99	12.42	97	0.82	102	4.67	99	6.07	100	0.01	33
0	405	-1533	Min.	0.00	247.22	33	-12.42	102	-16.68	97	3.30	33	0.07	33	-0.01	49
0	405	-1533	Min.	127.70	204.16	33	-12.42	102	-0.82	97	3.30	33	4.28	33	-0.01	49
0	-812	-1718	Max	0.00	-96.07	33	-0.00	33	-2.13	33	0.00	33	-2.15	33	0.00	33
0	-812	-1718	Max	22.30	-94.83	33	-0.00	33	-2.13	33	0.00	33	-2.15	33	0.00	33
0	-812	-1718	Min.	0.00	-134.89	97	-0.00	97	-3.00	97	0.00	98	-3.02	97	0.00	97
0	-812	-1718	Min.	22.30	-133.22	97	-0.00	97	-3.00	97	0.00	98	-3.02	97	0.00	97
0	-855	-1796	Max	0.00	-96.35	1	0.00	98	0.00	49	0.00	97	0.00	102	0.00	102
0	-855	-1796	Max	22.30	-95.12	1	0.00	98	0.00	98	0.00	97	0.00	97	0.00	102
0	-855	-1796	Min.	0.00	-135.29	97	0.00	33	0.00	97	0.00	102	0.00	97	0.00	97
0	-855	-1796	Min.	22.30	-133.62	97	0.00	33	0.00	33	0.00	102	0.00	102	0.00	97
0	322	-2069	Max	0.00	-414.24	101	8.71	98	-10.00	101	-281.82	102	66.89	97	-0.37	33
0	322	-2069	Max	22.30	-413.00	101	8.71	98	-8.70	101	-281.82	102	-16.84	102	-0.37	33
0	322	-2069	Min.	0.00	-621.11	98	5.83	101	-14.84	98	-410.51	97	46.01	102	-0.52	97
0	322	-2069	Min.	22.30	-619.44	98	5.83	101	-12.90	98	-410.51	97	-24.65	97	-0.52	97
0	-984	-1472	Max	0.00	-95.64	33	0.00	97	3.30	97	0.00	101	-0.01	33	0.00	101
0	-984	-1472	Max	21.18					2.35	33			-0.01	33		
0	-984	-1472	Max	22.30	-94.40	33	0.00	97	3.30	97	0.00	101	-0.01	33	0.00	101
0	-984	-1472	Min.	0.00	-134.29	97	0.00	33	2.35	33	0.00	98	-0.01	97	0.00	98
0	-984	-1472	Min.	22.02					3.30	97			-0.01	97		
0	-984	-1472	Min.	22.30	-132.62	97	0.00	33	2.35	33	0.00	98	-0.01	97	0.00	98
0	-1072	-1703	Max	0.00	-95.12	33	-0.00	33	-0.26	33	0.00	33	0.05	97	0.00	97
0	-1072	-1703	Max	22.30	-93.89	33	-0.00	33	-0.26	33	0.00	33	0.05	97	0.00	97
0	-1072	-1703	Min.	0.00	-133.56	97	-0.00	98	-0.36	97	0.00	98	0.03	33	0.00	33
0	-1072	-1703	Min.	22.30	-131.89	97	-0.00	98	-0.36	97	0.00	98	0.03	33	0.00	33
0	-941	-1411	Max	0.00	-95.24	1	-0.00	49	0.00	97	0.00	97	0.00	102	0.00	98
0	-941	-1411	Max	22.30	-94.00	1	-0.00	49	0.00	49	0.00	97	0.00	101	0.00	98
0	-941	-1411	Min.	0.00	-133.73	97	-0.00	98	0.00	1	0.00	102	0.00	97	0.00	1
0	-941	-1411	Min.	22.30	-132.06	97	-0.00	98	0.00	98	0.00	102	0.00	98	0.00	1
0	422	-2069	Max	0.00	-218.78	101	-281.82	102	544.83	97	8.71	98	-0.07	33	-0.37	33
0	422	-2069	Max	127.70	-261.84	101	-281.82	102	20.61	97	8.71	98	11.02	98	-0.37	33
0	422	-2069	Min.	0.00	-341.24	98	-410.51	97	373.95	102	5.83	101	-0.10	98	-0.52	97
0	422	-2069	Min.	127.70	-399.37	98	-410.51	97	14.07	102	5.83	101	7.37	101	-0.52	97
0	-898	-1445	Max	0.00	-95.80	1	0.00	33	0.00	49	0.00	101	0.00	98	0.00	1
0	-898	-1445	Max	22.30	-94.56	1	0.00	33	0.00	49	0.00	101	0.00	101	0.00	1
0	-898	-1445	Min.	0.00	-134.51	97	0.00	100	0.00	99	0.00	98	0.00	101	0.00	98
0	-898	-1445	Min.	22.30	-132.84	97	0.00	100	0.00	99	0.00	98	0.00	98	0.00	98
0	-985	-1471	Max	0.00	-95.98	33	0.00	97	3.34	97	0.00	101	0.00	98	0.00	101
0	-985	-1471	Max	22.30	-94.74	33	0.00	97	3.34	97	0.00	101	0.00	97	0.00	101
0	-985	-1471	Min.	0.00	-134.77	97	0.00	33	2.38	33	0.00	98	0.00	33	0.00	98
0	-985	-1471	Min.	22.30	-133.10	97	0.00	33	2.38	33	0.00	98	0.00	33	0.00	98
0	-601	-1811	Max	0.00	-151.43	33	0.00	97	0.93	97	0.00	102	0.13	97	0.00	98
0	-601	-1811	Max	21.74					0.68	33			0.11	33		
0	-601	-1811	Max	22.30	-150.20	33	0.00	97	0.93	97	0.00	102	0.13	97	0.00	98
0	-601	-1811	Min.	0.00	-225.06	97	0.00	33	0.67	33	0.00	97	0.06	33	0.00	101
0	-601	-1811	Min.	21.74					0.67	33			0.06	33		
0	-601	-1811	Min.	22.30	-223.39	97	0.00	33	0.67	33	0.00	97	0.06	33	0.00	101
0	-1159	-1743	Max	0.00	-109.48	33	0.00	98	1.49	97	0.00	101	0.08	97	0.00	33
0	-1159	-1743	Max	22.02					1.49	97			0.08	97		
0	-1159	-1743	Max	22.30	-108.25	33	0.00	98	1.49	97	0.00	101	0.08	97	0.00	33
0	-1159	-1743	Min.	0.00	-155.12	97	0.00	33	1.01	33	0.00	98	0.06	33	0.00	97
0	-1159	-1743	Min.	21.18					1.01	33			0.06	33		
0	-1159	-1743	Min.	22.30	-153.45	97	0.00	33	1.01	33	0.00	98	0.06	33	0.00	97
0	-942	-1410	Max	0.00	-95.24	1	-0.00	49	0.00	97	0.00	97	0.00	102	0.00	97
0	-942	-1410	Max	22.30	-94.00	1	-0.00	49	0.00	49	0.00	97	0.00	101	0.00	97
0	-942	-1410	Min.	0.00	-133.73	97	-0.00	98	0.00	1	0.00	102	0.00	97	0.00	1
0	-942	-1410	Min.	22.30	-132.06	97	-0.00	98	0.00	98	0.00	102	0.00	98	0.00	1
0	-725	-1693	Max	0.00	-96.69	33	0.00	100	-0.06	33	0.00	101	-0.01	33	0.00	97
0	-725	-1693	Max	22.30	-95.45	33	0.00	100	-0.06	33	0.00	101	-0.01	33	0.00	97
0	-725	-1693	Min.	0.00	-135.74	97	0.00	33	-0.09	97	0.00	98	-0.02	97	0.00	33
0	-725	-1693	Min.	22.30	-134.07	97	0.00	33	-0.09	97	0.00	98	-0.02	97	0.00	33
0	-856	-1795	Max	0.00	-96.18	33	0.00	98	-0.02	33	0.00	33	-2.41	33	0.00	98
0	-856	-1795	Max	22.30	-94.95	33	0.00	98	-0.02	33	0.00	33	-2.41	33	0.00	98
0	-856	-1795	Min.	0.00	-135.05	97	0.00	33	-0.02	97	0.00	98	-3.38	97	0.00	33
0	-856	-1795	Min.	22.30	-133.38	97	0.00	33	-0.02	97	0.00	98	-3.38	97	0.00	33
0	-813	-1717	Max	0.00	-96.15	33	-0.00	33	-1.77	33	0.00	97	-0.05	33	0.00	102
0	-813	-1717	Max	22.02					-1.77	33			-0.05	33		
0	-813	-1717	Max	22.30	-94.92	33	-0.00	33	-1.77	33	0.00	97	-0.05	33	0.00	102
0	-813	-1717	Min.	0.00	-135.01	97	-0.00	97	-2.48	97	0.00	102	-0.07	97	0.00	97
0	-813	-1717	Min.	21.18					-2.48	97			-0.07	97		
0	-813	-1717	Min.	22.30	-133.34	97	-0.00	97	-2.48	97	0.00	102	-0.07	97	0.00	97
0	-640	-1772	Max	0.00	-107.00	33	0.00	33	-0.35	33	0.00	97	-0.09	33	0.00	33
0	-640	-1772	Max	3.07					-0.35	33			-0.09	33		
0	-640	-1772	Max	22.30	-105.77	33	0.00	33	-0.35	33	0.00	97	-0.09	33	0.00	33
0	-640	-1772	Min.	0.00	-152.54	97	-0.00	97	-0.60	97	0.00	102	-0.15	97	0.00	97
0	-640	-1772	Min.	7.80					-0.60	97			-0.15	97		
0	-640	-1772	Min.	22.30	-150.87	97	-0.00	97	-0.60	97	0.00	102	-0.15	97	0.00	97
0	-1073	-1702	Max	0.00	-95.54	33	-0.00	33	-0.25	33	0.00	33	-0.02	33	0.00	97

0	-1073	-1702	Max	22.30	-94.30	33	-0.00	33	-0.25	33	0.00	33	-0.02	33	0.00	97
0	-1073	-1702	Min.	0.00	-134.15	97	-0.00	98	-0.35	97	0.00	98	-0.02	97	0.00	33
0	-1073	-1702	Min.	22.30	-132.48	97	-0.00	98	-0.35	97	0.00	98	-0.02	97	0.00	33
0	-602	-1810	Max	0.00	-153.53	33	0.00	97	1.48	97	0.00	98	4.15	97	0.00	33
0	-602	-1810	Max	21.46					1.48	97			4.15	97		
0	-602	-1810	Max	22.30	-152.29	33	0.00	97	1.48	97	0.00	98	4.15	97	0.00	33
0	-602	-1810	Min.	0.00	-225.47	97	0.00	33	1.05	33	0.00	33	2.75	33	0.00	97
0	-602	-1810	Min.	22.02					1.05	33			2.75	33		
0	-602	-1810	Min.	22.30	-223.80	97	0.00	33	1.05	33	0.00	33	2.75	33	0.00	97
0	-814	-1716	Max	0.00	-95.99	33	-0.00	33	-1.75	33	0.00	97	0.00	98	0.00	102
0	-814	-1716	Max	22.30	-94.76	33	-0.00	33	-1.75	33	0.00	97	0.00	97	0.00	102
0	-814	-1716	Min.	0.00	-134.79	97	-0.00	97	-2.46	97	0.00	102	0.00	33	0.00	97
0	-814	-1716	Min.	22.30	-133.12	97	-0.00	97	-2.46	97	0.00	102	0.00	33	0.00	97
0	-1160	-1742	Max	0.00	-110.08	33	0.00	98	1.43	97	0.00	101	-0.03	33	0.00	33
0	-1160	-1742	Max	22.02					0.97	33			-0.03	33		
0	-1160	-1742	Max	22.30	-108.85	33	0.00	98	1.43	97	0.00	101	-0.03	33	0.00	33
0	-1160	-1742	Min.	0.00	-156.00	97	0.00	33	0.97	33	0.00	98	-0.04	97	0.00	97
0	-1160	-1742	Min.	21.46					1.43	97			-0.04	97		
0	-1160	-1742	Min.	22.30	-154.32	97	0.00	33	0.97	33	0.00	98	-0.04	97	0.00	97
0	-727	-1866	Max	0.00	-96.69	33	0.00	100	-0.06	33	0.00	97	0.02	98	0.00	33
0	-727	-1866	Max	15.26					-0.09	97			0.02	97		
0	-727	-1866	Max	22.30	-95.45	33	0.00	100	-0.06	33	0.00	97	0.02	97	0.00	33
0	-727	-1866	Min.	0.00	-135.74	97	0.00	33	-0.09	97	0.00	102	0.01	33	0.00	98
0	-727	-1866	Min.	19.72					-0.07	33			0.01	33		
0	-727	-1866	Min.	22.30	-134.07	97	0.00	33	-0.09	97	0.00	102	0.01	33	0.00	98
0	-641	-1771	Max	0.00	-113.09	33	0.00	33	-1.03	33	0.00	97	0.15	97	0.00	33
0	-641	-1771	Max	20.91					-1.64	97			0.15	97		
0	-641	-1771	Max	22.30	-111.85	33	0.00	33	-1.03	33	0.00	97	0.15	97	0.00	33
0	-641	-1771	Min.	0.00	-162.14	97	-0.00	97	-1.64	97	0.00	102	0.10	33	0.00	98
0	-641	-1771	Min.	15.26					-1.18	33			0.10	33		
0	-641	-1771	Min.	22.30	-160.47	97	-0.00	97	-1.64	97	0.00	102	0.10	33	0.00	98
0	-1200	-1760	Max	0.00	-151.38	33	0.00	33	-1.67	33	0.00	33	0.07	97	0.00	98
0	-1200	-1760	Max	22.30	-150.14	33	0.00	33	-1.67	33	0.00	33	0.07	97	0.00	98
0	-1200	-1760	Min.	0.00	-220.32	97	0.00	98	-2.38	97	0.00	97	0.05	33	0.00	33
0	-1200	-1760	Min.	22.30	-218.65	97	0.00	98	-2.38	97	0.00	97	0.05	33	0.00	33
0	-1161	-1741	Max	0.00	-111.03	33	0.00	98	1.47	97	0.00	101	0.00	33	0.00	33
0	-1161	-1741	Max	21.74					1.00	33			0.00	33		
0	-1161	-1741	Max	22.30	-109.79	33	0.00	98	1.47	97	0.00	101	0.00	33	0.00	33
0	-1161	-1741	Min.	0.00	-157.36	97	0.00	33	1.00	33	0.00	98	0.00	33	0.00	97
0	-1161	-1741	Min.	21.74					1.00	33			0.00	33		
0	-1161	-1741	Min.	22.30	-155.69	97	0.00	33	1.00	33	0.00	98	0.00	33	0.00	97
0	-818	-1713	Max	0.00	-96.07	33	-0.00	33	-2.13	33	0.00	97	3.02	97	0.00	98
0	-818	-1713	Max	17.28					-2.13	33			2.15	33		
0	-818	-1713	Max	22.30	-94.83	33	-0.00	33	-2.13	33	0.00	97	3.02	97	0.00	98
0	-818	-1713	Min.	0.00	-134.89	97	-0.00	98	-3.00	97	0.00	33	2.15	33	0.00	33
0	-818	-1713	Min.	17.28					-2.13	33			2.15	33		
0	-818	-1713	Min.	22.30	-133.22	97	-0.00	98	-3.00	97	0.00	33	2.15	33	0.00	33
0	-1272	405	Max	0.00	-831.67	102	197.32	98	197.10	98	2.41	98	11.29	97	-0.03	49
0	-1272	405	Max	25.00	-831.67	102	190.60	98	245.59	98	2.41	98	11.86	98	-0.03	49
0	-1272	405	Min.	0.00	-1209.53	97	119.88	101	127.03	101	1.58	101	8.19	33	-0.05	98
0	-1272	405	Min.	25.00	-1209.53	97	114.91	101	156.38	101	1.58	101	8.60	33	-0.05	98
0	-1074	-1701	Max	0.00	-96.13	33	-0.00	33	-0.25	33	0.00	33	0.00	33	0.00	97
0	-1074	-1701	Max	22.30	-94.90	33	-0.00	33	-0.25	33	0.00	33	0.00	33	0.00	97
0	-1074	-1701	Min.	0.00	-134.99	97	-0.00	98	-0.35	97	0.00	98	0.00	33	0.00	33
0	-1074	-1701	Min.	22.30	-133.31	97	-0.00	98	-0.35	97	0.00	98	0.00	33	0.00	33
0	-857	-1794	Max	0.00	-95.96	33	0.00	98	-0.03	33	0.00	97	0.00	33	0.00	97
0	-857	-1794	Max	22.30	-94.72	33	0.00	98	-0.03	33	0.00	97	0.00	33	0.00	97
0	-857	-1794	Min.	0.00	-134.73	97	0.00	33	-0.04	97	0.00	102	0.00	97	0.00	33
0	-857	-1794	Min.	22.30	-133.06	97	0.00	33	-0.04	97	0.00	102	0.00	98	0.00	33
0	-986	-1470	Max	0.00	-95.64	33	0.00	97	3.30	97	0.00	101	0.01	97	0.00	101
0	-986	-1470	Max	21.74					3.30	97			0.01	97		
0	-986	-1470	Max	22.30	-94.40	33	0.00	97	3.30	97	0.00	101	0.01	97	0.00	101
0	-986	-1470	Min.	0.00	-134.29	97	0.00	33	2.35	33	0.00	98	0.01	33	0.00	98
0	-986	-1470	Min.	21.74					3.30	97			0.01	97		
0	-986	-1470	Min.	22.30	-132.62	97	0.00	33	2.35	33	0.00	98	0.01	33	0.00	98
0	-900	-1442	Max	0.00	-95.55	33	0.00	33	0.00	33	0.00	97	-2.33	33	0.00	97
0	-900	-1442	Max	10.80									-2.33	33		
0	-900	-1442	Max	22.30	-94.32	33	0.00	33	0.00	33	0.00	97	-2.33	33	0.00	97
0	-900	-1442	Min.	0.00	-134.17	97	0.00	100	0.00	99	0.00	102	-3.28	97	0.00	49
0	-900	-1442	Min.	10.80									-3.28	97		
0	-900	-1442	Min.	22.30	-132.50	97	0.00	100	0.00	97	0.00	102	-3.28	97	0.00	49
0	-816	-1715	Max	0.00	-95.99	33	-0.00	33	-1.75	33	0.00	101	-0.00	33	0.00	98
0	-816	-1715	Max	22.30	-94.76	33	-0.00	33	-1.75	33	0.00	101	-0.00	33	0.00	98
0	-816	-1715	Min.	0.00	-134.79	97	-0.00	98	-2.46	97	0.00	98	-0.00	97	0.00	101
0	-816	-1715	Min.	22.30	-133.12	97	-0.00	98	-2.46	97	0.00	98	-0.00	97	0.00	101
0	-1201	-1759	Max	0.00	-152.63	33	0.00	33	-1.69	33	0.00	33	-0.02	33	0.00	97
0	-1201	-1759	Max	22.30	-151.39	33	0.00	33	-1.69	33	0.00	33	-0.02	33	0.00	97
0	-1201	-1759	Min.	0.00	-222.14	97	-0.00	98	-2.41	97	0.00	98	-0.03	97	0.00	33
0	-1201	-1759	Min.	22.30	-220.47	97	-0.00	98	-2.41	97	0.00	98	-0.03	97	0.00	33

0	-987	-1469	Max	0.00	-95.57	33	0.00	97	3.35	97	0.00	97	-0.02	33	0.00	33
0	-987	-1469	Max	22.02					2.39	33			-0.02	33		
0	-987	-1469	Max	22.30	-94.33	33	0.00	97	3.35	97	0.00	97	-0.02	33	0.00	33
0	-987	-1469	Min.	0.00	-134.19	97	0.00	33	2.39	33	0.00	102	-0.03	97	0.00	98
0	-987	-1469	Min.	22.02					3.35	97			-0.03	97		
0	-987	-1469	Min.	22.30	-132.52	97	0.00	33	2.39	33	0.00	102	-0.03	97	0.00	98
0	-728	-1865	Max	0.00	-96.70	33	0.00	97	-0.05	33	0.00	101	0.13	97	0.00	98
0	-728	-1865	Max	22.30	-95.46	33	0.00	97	-0.05	33	0.00	101	0.13	97	0.00	98
0	-728	-1865	Min.	0.00	-135.74	97	0.00	33	-0.09	97	0.00	98	0.09	33	0.00	33
0	-728	-1865	Min.	22.30	-134.07	97	0.00	33	-0.09	97	0.00	98	0.09	33	0.00	33
0	-1075	-1700	Max	0.00	-95.54	33	-0.00	33	-0.25	33	0.00	33	0.02	97	0.00	97
0	-1075	-1700	Max	22.30	-94.30	33	-0.00	33	-0.25	33	0.00	33	0.02	97	0.00	97
0	-1075	-1700	Min.	0.00	-134.15	97	-0.00	98	-0.35	97	0.00	98	0.02	33	0.00	33
0	-1075	-1700	Min.	22.30	-132.48	97	-0.00	98	-0.35	97	0.00	98	0.02	33	0.00	33
0	422	423	Max	0.00	-528.27	102	452.08	98	-293.27	101	-5.87	101	-1.21	102	0.11	97
0	422	423	Max	200.00	-528.27	102	398.38	98	414.38	98	-5.87	101	-13.24	102	0.11	97
0	422	423	Min.	0.00	-795.94	97	307.79	101	-436.07	98	-8.51	98	-1.88	97	0.08	33
0	422	423	Min.	200.00	-795.94	97	268.01	101	282.53	101	-8.51	98	-18.62	97	0.08	33
0	-603	-1809	Max	0.00	-154.36	33	0.00	97	1.93	97	0.00	97	0.10	97	0.00	98
0	-603	-1809	Max	20.91					1.93	97			0.10	97		
0	-603	-1809	Max	22.30	-153.12	33	0.00	97	1.93	97	0.00	97	0.10	97	0.00	98
0	-603	-1809	Min.	0.00	-224.77	97	0.00	33	1.34	33	0.00	102	0.06	33	0.00	33
0	-603	-1809	Min.	22.02					1.34	33			0.06	33		
0	-603	-1809	Min.	22.30	-223.10	97	0.00	33	1.34	33	0.00	102	0.06	33	0.00	33
0	-944	-1835	Max	0.00	-95.08	33	-0.00	33	0.02	97	0.00	33	-2.38	33	0.00	33
0	-944	-1835	Max	22.30	-93.84	33	-0.00	33	0.02	97	0.00	33	-2.38	33	0.00	33
0	-944	-1835	Min.	0.00	-133.50	97	-0.00	98	0.02	33	0.00	98	-3.34	97	0.00	99
0	-944	-1835	Min.	22.30	-131.83	97	-0.00	98	0.02	33	0.00	98	-3.34	97	0.00	99
0	-642	-1770	Max	0.00	-111.92	33	-0.00	33	-1.00	33	0.00	97	2.87	97	0.00	97
0	-642	-1770	Max	19.72					-1.54	97			2.87	97		
0	-642	-1770	Max	22.30	-110.68	33	-0.00	33	-1.00	33	0.00	97	2.87	97	0.00	97
0	-642	-1770	Min.	0.00	-159.45	97	-0.00	97	-1.54	97	0.00	102	2.00	33	0.00	33
0	-642	-1770	Min.	19.72					-1.08	33			2.00	33		
0	-642	-1770	Min.	22.30	-157.78	97	-0.00	97	-1.54	97	0.00	102	2.00	33	0.00	33
0	-643	-1769	Max	0.00	-109.42	33	-0.00	33	-0.93	33	0.00	97	0.08	97	0.00	33
0	-643	-1769	Max	21.18					-1.40	97			0.08	97		
0	-643	-1769	Max	22.30	-108.19	33	-0.00	33	-0.93	33	0.00	97	0.08	97	0.00	33
0	-643	-1769	Min.	0.00	-155.17	97	-0.00	97	-1.40	97	0.00	102	0.05	33	0.00	98
0	-643	-1769	Min.	22.02					-0.95	33			0.05	33		
0	-643	-1769	Min.	22.30	-153.50	97	-0.00	97	-1.40	97	0.00	102	0.05	33	0.00	98
0	405	-1273	Max	0.00	-831.67	101	-114.91	102	245.59	97	-1.58	102	11.86	97	0.05	97
0	405	-1273	Max	25.00	-831.67	101	-119.88	102	197.10	97	-1.58	102	11.29	98	0.05	97
0	405	-1273	Min.	0.00	-1209.53	98	-190.60	97	156.38	102	-2.41	97	8.59	33	0.03	33
0	405	-1273	Min.	25.00	-1209.53	98	-197.32	97	127.03	102	-2.41	97	8.18	33	0.03	33
0	-1199	-1761	Max	0.00	-152.46	33	0.00	33	-1.34	33	0.00	33	3.99	97	0.00	98
0	-1199	-1761	Max	22.30	-151.22	33	0.00	33	-1.34	33	0.00	33	3.99	97	0.00	98
0	-1199	-1761	Min.	0.00	-221.84	97	0.00	98	-1.89	97	0.00	97	2.74	33	0.00	33
0	-1199	-1761	Min.	22.30	-220.17	97	0.00	98	-1.89	97	0.00	97	2.74	33	0.00	33
0	-899	-1443	Max	0.00	-95.80	1	0.00	33	0.00	49	0.00	97	0.00	102	0.00	97
0	-899	-1443	Max	22.30	-94.56	1	0.00	33	0.00	49	0.00	97	0.00	97	0.00	97
0	-899	-1443	Min.	0.00	-134.51	97	0.00	100	0.00	99	0.00	102	0.00	97	0.00	49
0	-899	-1443	Min.	22.30	-132.84	97	0.00	100	0.00	99	0.00	102	0.00	102	0.00	49
0	-943	-1412	Max	0.00	-95.24	1	-0.00	49	0.00	97	0.00	97	0.00	1	0.00	97
0	-943	-1412	Max	22.30	-94.00	1	-0.00	49	0.00	49	0.00	97	0.00	97	0.00	97
0	-943	-1412	Min.	0.00	-133.73	97	-0.00	98	0.00	1	0.00	102	0.00	97	0.00	1
0	-943	-1412	Min.	22.30	-132.06	97	-0.00	98	0.00	98	0.00	102	0.00	102	0.00	1
0	-901	-1441	Max	0.00	-95.31	33	0.00	33	0.00	33	0.00	97	0.00	98	0.00	97
0	-901	-1441	Max	22.30	-94.07	33	0.00	33	0.00	33	0.00	97	0.00	97	0.00	97
0	-901	-1441	Min.	0.00	-133.82	97	0.00	100	-0.00	97	0.00	102	0.00	33	0.00	65
0	-901	-1441	Min.	22.30	-132.15	97	0.00	100	-0.00	97	0.00	102	0.00	33	0.00	65
0	-1162	-1740	Max	0.00	-110.09	33	0.00	98	1.43	97	0.00	101	0.04	98	0.00	33
0	-1162	-1740	Max	2.23					1.43	97			0.04	97		
0	-1162	-1740	Max	22.30	-108.85	33	0.00	98	1.43	97	0.00	101	0.04	97	0.00	33
0	-1162	-1740	Min.	0.00	-155.99	97	0.00	33	0.97	33	0.00	98	0.02	33	0.00	97
0	-1162	-1740	Min.	22.02					0.97	33			0.02	33		
0	-1162	-1740	Min.	22.30	-154.32	97	0.00	33	0.97	33	0.00	98	0.02	33	0.00	97
0	-945	-1834	Max	0.00	-94.86	33	0.00	33	0.04	97	0.00	97	0.00	33	0.00	33
0	-945	-1834	Max	22.30	-93.62	33	0.00	33	0.04	97	0.00	97	0.00	33	0.00	33
0	-945	-1834	Min.	0.00	-133.19	97	-0.00	98	0.03	33	0.00	102	0.00	97	0.00	97
0	-945	-1834	Min.	22.30	-131.52	97	-0.00	98	0.03	33	0.00	102	0.00	98	0.00	97
0	-860	-1792	Max	0.00	-95.86	33	0.00	97	-0.03	33	0.00	101	0.00	98	0.00	101
0	-860	-1792	Max	22.30	-94.62	33	0.00	97	-0.03	33	0.00	101	0.00	97	0.00	101
0	-860	-1792	Min.	0.00	-134.60	97	0.00	33	-0.04	97	0.00	98	0.00	33	0.00	98
0	-860	-1792	Min.	22.30	-132.93	97	0.00	33	-0.04	97	0.00	98	0.00	33	0.00	98
0	-817	-1714	Max	0.00	-96.15	33	-0.00	33	-1.77	33	0.00	101	0.07	97	0.00	98
0	-817	-1714	Max	22.30	-94.92	33	-0.00	33	-1.77	33	0.00	101	0.07	97	0.00	98
0	-817	-1714	Min.	0.00	-135.01	97	-0.00	98	-2.48	97	0.00	98	0.05	33	0.00	101
0	-817	-1714	Min.	22.30	-133.34	97	-0.00	98	-2.48	97	0.00	98	0.05	33	0.00	101
0	-729	-1864	Max	0.00	-96.43	33	0.00	97	0.09	97	0.00	33	2.59	97	0.00	33

0	-729	-1864	Max	22.30	-95.19	33	0.00	97	0.09	97	0.00	33	2.59	97	0.00	33
0	-729	-1864	Min.	0.00	-135.38	97	0.00	33	0.06	33	0.00	98	1.85	33	0.00	97
0	-729	-1864	Min.	22.30	-133.71	97	0.00	33	0.06	33	0.00	98	1.85	33	0.00	97
0	-1202	-1758	Max	0.00	-152.88	33	0.00	33	-1.71	33	0.00	101	0.00	33	0.00	97
0	-1202	-1758	Max	22.30	-151.65	33	0.00	33	-1.71	33	0.00	101	0.00	33	0.00	97
0	-1202	-1758	Min.	0.00	-222.52	97	-0.00	98	-2.45	97	0.00	98	-0.00	33	0.00	33
0	-1202	-1758	Min.	22.30	-220.85	97	-0.00	98	-2.45	97	0.00	98	-0.00	33	0.00	33
0	-902	-1439	Max	0.00	-95.32	33	0.00	33	0.00	33	0.00	97	0.00	98	0.00	97
0	-902	-1439	Max	22.30	-94.09	33	0.00	33	0.00	33	0.00	97	0.00	97	0.00	97
0	-902	-1439	Min.	0.00	-133.85	97	0.00	100	-0.00	97	0.00	102	0.00	33	0.00	49
0	-902	-1439	Min.	22.30	-132.18	97	0.00	100	-0.00	97	0.00	102	0.00	33	0.00	49
0	-989	-1467	Max	0.00	-96.14	33	0.00	97	2.48	97	0.00	97	-0.05	33	0.00	97
0	-989	-1467	Max	21.74					1.76	33			-0.05	33		
0	-989	-1467	Max	22.30	-94.91	33	0.00	97	2.48	97	0.00	97	-0.05	33	0.00	97
0	-989	-1467	Min.	0.00	-135.00	97	0.00	33	1.76	33	0.00	102	-0.07	97	0.00	102
0	-989	-1467	Min.	20.91					2.48	97			-0.07	97		
0	-989	-1467	Min.	22.30	-133.33	97	0.00	33	1.76	33	0.00	102	-0.07	97	0.00	102
0	-1163	-1739	Max	0.00	-109.39	33	0.00	98	1.49	97	0.00	101	-0.05	33	0.00	33
0	-1163	-1739	Max	22.02					1.02	33			-0.05	33		
0	-1163	-1739	Max	22.30	-108.16	33	0.00	98	1.49	97	0.00	101	-0.05	33	0.00	33
0	-1163	-1739	Min.	0.00	-155.14	97	0.00	33	1.00	33	0.00	98	-0.08	97	0.00	97
0	-1163	-1739	Min.	22.02					1.49	97			-0.08	97		
0	-1163	-1739	Min.	22.30	-153.47	97	0.00	33	1.00	33	0.00	98	-0.08	97	0.00	97
0	-644	-1768	Max	0.00	-110.06	33	-0.00	33	-0.90	33	0.00	97	-0.02	33	0.00	33
0	-644	-1768	Max	21.74					-0.90	33			-0.02	33		
0	-644	-1768	Max	22.30	-108.83	33	-0.00	33	-0.90	33	0.00	97	-0.02	33	0.00	33
0	-644	-1768	Min.	0.00	-155.99	97	-0.00	97	-1.34	97	0.00	102	-0.04	97	0.00	98
0	-644	-1768	Min.	22.02					-1.34	97			-0.04	97		
0	-644	-1768	Min.	22.30	-154.32	97	-0.00	97	-1.34	97	0.00	102	-0.04	97	0.00	98
0	-1077	-1496	Max	0.00	-96.45	33	-0.00	33	-0.11	33	0.00	97	-1.85	33	0.00	33
0	-1077	-1496	Max	22.30	-95.22	33	-0.00	33	-0.11	33	0.00	97	-1.85	33	0.00	33
0	-1077	-1496	Min.	0.00	-135.42	97	-0.00	98	-0.16	97	0.00	102	-2.61	97	0.00	98
0	-1077	-1496	Min.	22.30	-133.75	97	-0.00	98	-0.16	97	0.00	102	-2.61	97	0.00	98
0	-946	-1833	Max	0.00	-94.76	33	0.00	33	0.05	97	0.00	97	0.00	33	0.00	102
0	-946	-1833	Max	22.30	-93.53	33	0.00	33	0.05	97	0.00	97	0.00	33	0.00	102
0	-946	-1833	Min.	0.00	-133.06	97	-0.00	98	0.03	33	0.00	102	0.00	97	0.00	97
0	-946	-1833	Min.	22.30	-131.39	97	-0.00	98	0.03	33	0.00	102	0.00	98	0.00	97
0	-861	-1791	Max	0.00	-95.96	33	0.00	97	-0.03	33	0.00	101	0.00	98	0.00	33
0	-861	-1791	Max	22.30	-94.72	33	0.00	97	-0.03	33	0.00	101	0.00	97	0.00	33
0	-861	-1791	Min.	0.00	-134.73	97	0.00	33	-0.04	97	0.00	98	0.00	33	0.00	98
0	-861	-1791	Min.	22.30	-133.06	97	0.00	33	-0.04	97	0.00	98	0.00	33	0.00	98
0	-730	-1861	Max	0.00	-95.14	33	0.00	97	0.26	97	0.00	33	0.05	97	0.00	98
0	-730	-1861	Max	22.30	-93.90	33	0.00	97	0.26	97	0.00	33	0.05	97	0.00	98
0	-730	-1861	Min.	0.00	-133.59	97	0.00	33	0.19	33	0.00	98	0.04	33	0.00	33
0	-730	-1861	Min.	22.30	-131.92	97	0.00	33	0.19	33	0.00	98	0.04	33	0.00	33
0	-904	-1438	Max	0.00	-95.32	33	0.00	103	0.00	33	0.00	101	0.00	33	0.00	33
0	-904	-1438	Max	22.30	-94.09	33	0.00	103	0.00	33	0.00	101	0.00	33	0.00	33
0	-904	-1438	Min.	0.00	-133.85	97	0.00	100	-0.00	97	0.00	98	0.00	97	0.00	98
0	-904	-1438	Min.	22.30	-132.18	97	0.00	100	-0.00	97	0.00	98	0.00	98	0.00	98
0	-948	-1832	Max	0.00	-94.76	33	0.00	33	0.05	97	0.00	101	0.00	98	0.00	98
0	-948	-1832	Max	22.30	-93.53	33	0.00	33	0.05	97	0.00	101	0.00	97	0.00	98
0	-948	-1832	Min.	0.00	-133.06	97	-0.00	97	0.03	33	0.00	98	0.00	33	0.00	101
0	-948	-1832	Min.	22.30	-131.39	97	-0.00	97	0.03	33	0.00	98	0.00	33	0.00	101
0	-645	-1767	Max	0.00	-111.00	33	-0.00	33	-0.93	33	0.00	97	0.00	33	0.00	33
0	-645	-1767	Max	22.30	-109.76	33	-0.00	33	-0.93	33	0.00	97	0.00	33	0.00	33
0	-645	-1767	Min.	0.00	-157.37	97	-0.00	97	-1.38	97	0.00	102	0.00	33	0.00	98
0	-645	-1767	Min.	22.30	-155.69	97	-0.00	97	-1.38	97	0.00	102	0.00	33	0.00	98
0	-821	-1710	Max	0.00	-95.98	33	-0.00	33	-2.38	33	0.00	97	0.00	33	0.00	102
0	-821	-1710	Max	22.30	-94.74	33	-0.00	33	-2.38	33	0.00	97	0.00	33	0.00	102
0	-821	-1710	Min.	0.00	-134.77	97	-0.00	98	-3.34	97	0.00	102	0.00	97	0.00	97
0	-821	-1710	Min.	22.30	-133.10	97	-0.00	98	-3.34	97	0.00	102	0.00	98	0.00	97
0	-1273	406	Max	0.00	-831.67	101	-119.88	102	197.10	97	-1.58	102	11.29	98	0.05	97
0	-1273	406	Max	155.00	-831.67	101	-150.71	102	-82.67	102	-1.58	102	7.79	98	0.05	97
0	-1273	406	Min.	0.00	-1209.53	98	-197.32	97	127.03	102	-2.41	97	8.18	33	0.03	33
0	-1273	406	Min.	155.00	-1209.53	98	-238.94	97	-140.99	97	-2.41	97	5.65	101	0.03	33
0	-1076	-1497	Max	0.00	-95.13	33	-0.00	33	-0.25	33	0.00	97	-0.03	33	0.00	97
0	-1076	-1497	Max	20.00					-0.25	33			-0.03	33		
0	-1076	-1497	Max	22.30	-93.89	33	-0.00	33	-0.25	33	0.00	97	-0.03	33	0.00	97
0	-1076	-1497	Min.	0.00	-133.58	97	-0.00	98	-0.36	97	0.00	33	-0.05	97	0.00	33
0	-1076	-1497	Min.	19.79					-0.36	97			-0.05	97		
0	-1076	-1497	Min.	22.30	-131.91	97	-0.00	98	-0.36	97	0.00	33	-0.05	97	0.00	33
0	-988	-1468	Max	0.00	-96.06	33	0.00	97	2.99	97	0.00	33	-2.15	33	0.00	97
0	-988	-1468	Max	21.74					2.99	97			-3.02	97		
0	-988	-1468	Max	22.30	-94.83	33	0.00	97	2.99	97	0.00	33	-2.15	33	0.00	97
0	-988	-1468	Min.	0.00	-134.89	97	0.00	33	2.13	33	0.00	98	-3.02	97	0.00	33
0	-988	-1468	Min.	21.74					2.99	97			-3.02	97		
0	-988	-1468	Min.	22.30	-133.22	97	0.00	33	2.13	33	0.00	98	-3.02	97	0.00	33
0	-604	-1807	Max	0.00	-155.97	33	0.00	97	2.00	97	0.00	97	0.00	33	0.00	98
0	-604	-1807	Max	20.07					1.41	33			0.00	33		

0	-604	-1807	Max	22.30	-154.73	33	0.00	97	2.00	97	0.00	97	0.00	33	0.00	98
0	-604	-1807	Min.	0.00	-226.97	97	0.00	33	1.40	33	0.00	102	0.00	33	0.00	33
0	-604	-1807	Min.	20.07					1.40	33			0.00	33		
0	-604	-1807	Min.	22.30	-225.30	97	0.00	33	1.40	33	0.00	102	0.00	33	0.00	33
0	423	-2067	Max	0.00	173.23	97	-271.18	101	553.27	98	-3.92	102	-0.02	102	-0.31	33
0	423	-2067	Max	127.70	115.09	97	-271.18	101	26.53	98	-3.92	102	-5.02	102	-0.31	33
0	423	-2067	Min.	0.00	109.39	102	-412.49	98	363.73	101	-5.59	97	-0.03	97	-0.45	98
0	423	-2067	Min.	127.70	66.33	102	-412.49	98	17.44	101	-5.59	97	-7.17	97	-0.45	98
0	-819	-1712	Max	0.00	-95.56	33	-0.00	33	-2.39	33	0.00	101	0.03	97	0.00	33
0	-819	-1712	Max	22.30	-94.33	33	-0.00	33	-2.39	33	0.00	101	0.03	97	0.00	33
0	-819	-1712	Min.	0.00	-134.18	97	-0.00	98	-3.35	97	0.00	98	0.02	33	0.00	97
0	-819	-1712	Min.	22.30	-132.51	97	-0.00	98	-3.35	97	0.00	98	0.02	33	0.00	97
0	-905	-1436	Max	0.00	-95.31	33	0.00	49	0.00	33	0.00	101	-0.00	33	0.00	33
0	-905	-1436	Max	22.30	-94.07	33	0.00	49	0.00	33	0.00	101	-0.00	33	0.00	33
0	-905	-1436	Min.	0.00	-133.82	97	0.00	100	-0.00	97	0.00	98	-0.00	97	0.00	98
0	-905	-1436	Min.	22.30	-132.15	97	0.00	100	-0.00	97	0.00	98	-0.00	97	0.00	98
0	-820	-1711	Max	0.00	-95.64	33	-0.00	33	-2.35	33	0.00	97	-0.01	33	0.00	102
0	-820	-1711	Max	21.18					-2.35	33			-0.01	33		
0	-820	-1711	Max	22.30	-94.40	33	-0.00	33	-2.35	33	0.00	97	-0.01	33	0.00	102
0	-820	-1711	Min.	0.00	-134.29	97	-0.00	98	-3.30	97	0.00	102	-0.01	97	0.00	97
0	-820	-1711	Min.	20.07					-3.30	97			-0.01	97		
0	-820	-1711	Min.	22.30	-132.62	97	-0.00	98	-3.30	97	0.00	102	-0.01	97	0.00	97
0	-733	-1844	Max	0.00	-95.53	33	0.00	97	0.26	97	0.00	97	0.02	97	0.00	98
0	-733	-1844	Max	22.02					0.18	33			0.02	33		
0	-733	-1844	Max	22.30	-94.29	33	0.00	97	0.26	97	0.00	97	0.02	97	0.00	98
0	-733	-1844	Min.	0.00	-134.13	97	0.00	33	0.18	33	0.00	33	0.02	33	0.00	33
0	-733	-1844	Min.	22.02					0.18	33			0.02	33		
0	-733	-1844	Min.	22.30	-132.46	97	0.00	33	0.18	33	0.00	33	0.02	33	0.00	33
0	406	-1808	Max	0.00	176.98	98	419.41	97	-370.24	102	4.45	98	-0.01	33	-0.19	33
0	406	-1808	Max	127.70	118.84	98	419.41	97	-17.76	102	4.45	98	5.67	98	-0.19	33
0	406	-1808	Min.	0.00	112.02	101	276.03	102	-562.57	97	3.12	101	-0.01	97	-0.28	97
0	406	-1808	Min.	127.70	68.96	101	276.03	102	-26.98	97	3.12	101	3.97	101	-0.28	97
0	323	-2067	Max	0.00	-75.98	101	-3.92	102	6.01	97	-271.18	101	65.48	98	-0.31	33
0	323	-2067	Max	22.30	-74.74	101	-3.92	102	4.76	97	-271.18	101	-17.42	101	-0.31	33
0	323	-2067	Min.	0.00	-117.37	98	-5.59	97	4.21	102	-412.49	98	43.05	101	-0.45	98
0	323	-2067	Min.	22.30	-115.70	98	-5.59	97	3.33	102	-412.49	98	-26.50	98	-0.45	98
0	-1164	-1738	Max	0.00	-111.96	33	0.00	98	1.63	97	0.00	101	-1.98	33	0.00	98
0	-1164	-1738	Max	22.02					1.14	33			-1.98	33		
0	-1164	-1738	Max	22.30	-110.72	33	0.00	98	1.63	97	0.00	101	-1.98	33	0.00	98
0	-1164	-1738	Min.	0.00	-159.54	97	0.00	33	1.06	33	0.00	98	-2.85	97	0.00	33
0	-1164	-1738	Min.	21.46					1.63	97			-2.85	97		
0	-1164	-1738	Min.	22.30	-157.87	97	0.00	33	1.06	33	0.00	98	-2.85	97	0.00	33
0	-731	-1857	Max	0.00	-95.53	33	0.00	97	0.26	97	0.00	97	-0.02	33	0.00	98
0	-731	-1857	Max	21.46					0.18	33			-0.02	33		
0	-731	-1857	Max	22.30	-94.29	33	0.00	97	0.26	97	0.00	97	-0.02	33	0.00	98
0	-731	-1857	Min.	0.00	-134.13	97	0.00	33	0.18	33	0.00	33	-0.02	97	0.00	33
0	-731	-1857	Min.	21.46					0.26	97			-0.02	97		
0	-731	-1857	Min.	22.30	-132.46	97	0.00	33	0.18	33	0.00	33	-0.02	97	0.00	33
0	-1078	-1495	Max	0.00	-96.77	33	-0.00	33	0.04	97	0.00	97	-0.09	33	0.00	97
0	-1078	-1495	Max	6.97					0.03	33			-0.09	33		
0	-1078	-1495	Max	22.30	-95.53	33	-0.00	33	0.04	97	0.00	97	-0.09	33	0.00	97
0	-1078	-1495	Min.	0.00	-135.85	97	-0.00	98	0.02	33	0.00	102	-0.13	97	0.00	33
0	-1078	-1495	Min.	20.91					0.04	97			-0.13	97		
0	-1078	-1495	Min.	22.30	-134.18	97	-0.00	98	0.02	33	0.00	102	-0.13	97	0.00	33
0	-990	-1466	Max	0.00	-95.98	33	0.00	97	2.45	97	0.00	97	0.00	98	0.00	97
0	-990	-1466	Max	22.02					2.45	97			0.00	97		
0	-990	-1466	Max	22.30	-94.75	33	0.00	97	2.45	97	0.00	97	0.00	97	0.00	97
0	-990	-1466	Min.	0.00	-134.78	97	0.00	33	1.74	33	0.00	102	0.00	33	0.00	102
0	-990	-1466	Min.	21.74					1.74	33			0.00	33		
0	-990	-1466	Min.	22.30	-133.11	97	0.00	33	1.74	33	0.00	102	0.00	33	0.00	102
0	-862	-1790	Max	0.00	-96.18	33	0.00	97	-0.02	33	0.00	97	3.38	97	0.00	33
0	-862	-1790	Max	20.35					-0.02	97			3.38	97		
0	-862	-1790	Max	22.30	-94.95	33	0.00	97	-0.02	33	0.00	97	3.38	97	0.00	33
0	-862	-1790	Min.	0.00	-135.05	97	0.00	33	-0.02	97	0.00	33	2.41	33	0.00	97
0	-862	-1790	Min.	20.35					-0.02	33			2.41	33		
0	-862	-1790	Min.	22.30	-133.38	97	0.00	33	-0.02	97	0.00	33	2.41	33	0.00	97
0	-1203	-1757	Max	0.00	-151.25	33	0.00	33	-1.66	33	0.00	101	-0.05	33	0.00	97
0	-1203	-1757	Max	22.30	-150.01	33	0.00	33	-1.66	33	0.00	101	-0.05	33	0.00	97
0	-1203	-1757	Min.	0.00	-220.33	97	-0.00	98	-2.38	97	0.00	98	-0.08	97	0.00	33
0	-1203	-1757	Min.	22.30	-218.66	97	-0.00	98	-2.38	97	0.00	98	-0.08	97	0.00	33
0	-605	-1806	Max	0.00	-155.71	33	0.00	97	1.97	97	0.00	97	0.03	97	0.00	98
0	-605	-1806	Max	21.74					1.97	97			0.03	97		
0	-605	-1806	Max	22.30	-154.47	33	0.00	97	1.97	97	0.00	97	0.03	97	0.00	98
0	-605	-1806	Min.	0.00	-226.54	97	0.00	33	1.38	33	0.00	33	0.02	33	0.00	33
0	-605	-1806	Min.	21.74					1.38	33			0.02	33		
0	-605	-1806	Min.	22.30	-224.87	97	0.00	33	1.38	33	0.00	33	0.02	33	0.00	33
0	-646	-1766	Max	0.00	-110.07	33	-0.00	33	-0.90	33	0.00	97	0.04	97	0.00	33
0	-646	-1766	Max	20.91					-1.34	97			0.04	97		
0	-646	-1766	Max	22.30	-108.83	33	-0.00	33	-0.90	33	0.00	97	0.04	97	0.00	33

0	-646	-1766	Min.	0.00	-155.99	97	-0.00	97	-1.34	97	0.00	102	0.02	33	0.00	98
0	-646	-1766	Min.	19.51					-0.91	33			0.02	33		
0	-646	-1766	Min.	22.30	-154.31	97	-0.00	97	-1.34	97	0.00	102	0.02	33	0.00	98
0	-732	-1845	Max	0.00	-96.14	33	0.00	97	0.26	97	0.00	97	0.00	33	0.00	98
0	-732	-1845	Max	22.30	-94.91	33	0.00	97	0.26	97	0.00	97	0.00	33	0.00	98
0	-732	-1845	Min.	0.00	-135.00	97	0.00	33	0.18	33	0.00	33	0.00	33	0.00	33
0	-732	-1845	Min.	22.30	-133.33	97	0.00	33	0.18	33	0.00	33	0.00	33	0.00	33
0	-1079	-1494	Max	0.00	-96.77	33	-0.00	33	0.05	97	0.00	101	-0.01	33	0.00	33
0	-1079	-1494	Max	22.30	-95.54	33	-0.00	33	0.05	97	0.00	101	-0.01	33	0.00	33
0	-1079	-1494	Min.	0.00	-135.86	97	-0.00	99	0.03	33	0.00	98	-0.02	97	0.00	97
0	-1079	-1494	Min.	22.30	-134.19	97	-0.00	99	0.03	33	0.00	98	-0.02	97	0.00	97
0	-606	-1805	Max	0.00	-154.31	33	0.00	97	1.93	97	0.00	98	-0.06	33	0.00	97
0	-606	-1805	Max	20.35					1.36	33			-0.06	33		
0	-606	-1805	Max	22.30	-153.07	33	0.00	97	1.93	97	0.00	98	-0.06	33	0.00	97
0	-606	-1805	Min.	0.00	-224.76	97	0.00	33	1.34	33	0.00	33	-0.10	97	0.00	33
0	-606	-1805	Min.	21.74					1.93	97			-0.10	97		
0	-606	-1805	Min.	22.30	-223.09	97	0.00	33	1.34	33	0.00	33	-0.10	97	0.00	33
0	406	407	Max	0.00	-537.14	101	-273.06	102	421.58	97	-4.71	102	8.07	98	0.04	98
0	406	407	Max	200.00	-537.14	101	-312.83	102	-298.32	102	-4.71	102	-3.29	102	0.04	98
0	406	407	Min.	0.00	-808.62	98	-405.58	97	287.57	102	-6.85	97	5.84	33	0.02	33
0	406	407	Min.	200.00	-808.62	98	-459.29	97	-443.29	97	-6.85	97	-5.90	97	0.02	33
0	-1204	-1756	Max	0.00	-150.42	33	0.00	33	-1.33	33	0.00	33	-2.70	33	0.00	33
0	-1204	-1756	Max	22.30	-149.18	33	0.00	33	-1.33	33	0.00	33	-2.70	33	0.00	33
0	-1204	-1756	Min.	0.00	-220.97	97	-0.00	98	-1.88	97	0.00	97	-4.08	97	0.00	98
0	-1204	-1756	Min.	22.30	-219.29	97	-0.00	98	-1.88	97	0.00	97	-4.08	97	0.00	98
0	-1165	-1737	Max	0.00	-113.13	33	0.00	98	1.71	97	0.00	101	-0.10	33	0.00	33
0	-1165	-1737	Max	22.30	-111.89	33	0.00	98	1.71	97	0.00	101	-0.10	33	0.00	33
0	-1165	-1737	Min.	0.00	-162.25	97	0.00	33	1.08	33	0.00	98	-0.15	97	0.00	97
0	-1165	-1737	Min.	22.30	-160.58	97	0.00	33	1.08	33	0.00	98	-0.15	97	0.00	97
0	-949	-1831	Max	0.00	-94.86	33	0.00	33	0.04	97	0.00	101	0.00	98	0.00	98
0	-949	-1831	Max	22.30	-93.62	33	0.00	33	0.04	97	0.00	101	0.00	97	0.00	98
0	-949	-1831	Min.	0.00	-133.19	97	-0.00	97	0.03	33	0.00	98	0.00	33	0.00	33
0	-949	-1831	Min.	22.30	-131.52	97	-0.00	97	0.03	33	0.00	98	0.00	33	0.00	33
0	-992	-1465	Max	0.00	-95.98	33	0.00	98	2.45	97	0.00	101	-0.00	33	0.00	101
0	-992	-1465	Max	22.02					1.74	33			-0.00	33		
0	-992	-1465	Max	22.30	-94.75	33	0.00	98	2.45	97	0.00	101	-0.00	33	0.00	101
0	-992	-1465	Min.	0.00	-134.78	97	0.00	33	1.74	33	0.00	98	-0.00	97	0.00	98
0	-992	-1465	Min.	22.02					1.74	33			-0.00	33		
0	-992	-1465	Min.	22.30	-133.11	97	0.00	33	1.74	33	0.00	98	-0.00	97	0.00	98
0	-863	-1789	Max	0.00	-96.35	1	0.00	97	0.00	1	0.00	101	0.00	98	0.00	98
0	-863	-1789	Max	22.30	-95.12	1	0.00	97	0.00	97	0.00	101	0.00	101	0.00	98
0	-863	-1789	Min.	0.00	-135.29	97	0.00	49	0.00	98	0.00	98	0.00	101	0.00	101
0	-863	-1789	Min.	22.30	-133.62	97	0.00	49	0.00	49	0.00	98	0.00	98	0.00	101
0	-906	-1435	Max	0.00	-95.55	33	0.00	49	0.00	33	0.00	101	3.28	97	0.00	33
0	-906	-1435	Max	22.30	-94.32	33	0.00	49	0.00	33	0.00	101	3.28	97	0.00	33
0	-906	-1435	Min.	0.00	-134.17	97	0.00	100	0.00	99	0.00	98	2.33	33	0.00	98
0	-906	-1435	Min.	22.30	-132.50	97	0.00	100	0.00	97	0.00	98	2.33	33	0.00	98
0	-1166	-1736	Max	0.00	-106.92	33	0.00	98	0.67	97	0.00	101	0.15	97	0.00	33
0	-1166	-1736	Max	22.30	-105.68	33	0.00	98	0.67	97	0.00	101	0.15	97	0.00	33
0	-1166	-1736	Min.	0.00	-152.46	97	0.00	33	0.40	33	0.00	98	0.09	33	0.00	98
0	-1166	-1736	Min.	22.30	-150.79	97	0.00	33	0.40	33	0.00	98	0.09	33	0.00	98
0	-607	-1804	Max	0.00	-153.91	33	0.00	97	1.49	97	0.00	98	-2.67	33	0.00	97
0	-607	-1804	Max	10.80					1.06	33			-2.67	33		
0	-607	-1804	Max	22.30	-152.68	33	0.00	97	1.49	97	0.00	98	-2.67	33	0.00	97
0	-607	-1804	Min.	0.00	-226.34	97	0.00	33	1.05	33	0.00	33	-4.05	97	0.00	33
0	-607	-1804	Min.	10.80					1.49	97			-4.05	97		
0	-607	-1804	Min.	22.30	-224.67	97	0.00	33	1.05	33	0.00	33	-4.05	97	0.00	33
0	-647	-1765	Max	0.00	-109.38	33	-0.00	33	-0.93	33	0.00	97	-0.05	33	0.00	33
0	-647	-1765	Max	19.23					-0.93	33			-0.05	33		
0	-647	-1765	Max	22.30	-108.14	33	-0.00	33	-0.93	33	0.00	97	-0.05	33	0.00	33
0	-647	-1765	Min.	0.00	-155.16	97	-0.00	97	-1.40	97	0.00	102	-0.08	97	0.00	98
0	-647	-1765	Min.	21.18					-1.40	97			-0.08	97		
0	-647	-1765	Min.	22.30	-153.49	97	-0.00	97	-1.40	97	0.00	102	-0.08	97	0.00	98
0	-950	-1830	Max	0.00	-95.08	33	-0.00	33	0.02	97	0.00	97	3.34	97	0.00	99
0	-950	-1830	Max	6.97					0.02	97			3.34	97		
0	-950	-1830	Max	22.30	-93.84	33	-0.00	33	0.02	97	0.00	97	3.34	97	0.00	99
0	-950	-1830	Min.	0.00	-133.50	97	-0.00	97	0.02	33	0.00	33	2.38	33	0.00	33
0	-950	-1830	Min.	19.72					0.02	33			2.38	33		
0	-950	-1830	Min.	22.30	-131.83	97	-0.00	97	0.02	33	0.00	33	2.38	33	0.00	33
0	-1081	-1493	Max	0.00	-96.77	33	-0.00	33	0.05	97	0.00	97	0.02	97	0.00	98
0	-1081	-1493	Max	18.68					0.05	97			0.02	97		
0	-1081	-1493	Max	22.30	-95.54	33	-0.00	33	0.05	97	0.00	97	0.02	97	0.00	98
0	-1081	-1493	Min.	0.00	-135.86	97	-0.00	99	0.03	33	0.00	102	0.01	33	0.00	33
0	-1081	-1493	Min.	22.02					0.03	33			0.01	33		
0	-1081	-1493	Min.	22.30	-134.19	97	-0.00	99	0.03	33	0.00	102	0.01	33	0.00	33
0	-1205	-1755	Max	0.00	-148.21	33	0.00	33	-0.88	33	0.00	98	-0.06	33	0.00	97
0	-1205	-1755	Max	20.00					-0.88	33			-0.06	33		
0	-1205	-1755	Max	22.30	-146.97	33	0.00	33	-0.88	33	0.00	98	-0.06	33	0.00	97
0	-1205	-1755	Min.	0.00	-220.31	97	0.00	98	-1.23	97	0.00	101	-0.12	97	0.00	102

0	-1205	-1755	Min.	20.00					-1.23	97			-0.12	97		
0	-1205	-1755	Min.	22.30	-218.64	97	0.00	98	-1.23	97	0.00	101	-0.12	97	0.00	102
0	-907	-1434	Max	0.00	-95.80	1	0.00	49	0.00	1	0.00	101	0.00	98	0.00	1
0	-907	-1434	Max	22.30	-94.56	1	0.00	49	0.00	33	0.00	101	0.00	101	0.00	1
0	-907	-1434	Min.	0.00	-134.51	97	0.00	100	0.00	99	0.00	98	0.00	101	0.00	98
0	-907	-1434	Min.	22.30	-132.84	97	0.00	100	0.00	99	0.00	98	0.00	98	0.00	98
0	-1206	-1754	Max	0.00	-111.45	33	0.00	33	-1.28	33	0.00	97	3.98	97	0.00	97
0	-1206	-1754	Max	22.30	-110.21	33	0.00	33	-1.28	33	0.00	97	3.98	97	0.00	97
0	-1206	-1754	Min.	0.00	-164.42	97	0.00	97	-1.82	97	0.00	102	2.61	33	0.00	33
0	-1206	-1754	Min.	22.30	-162.75	97	0.00	97	-1.82	97	0.00	102	2.61	33	0.00	33
0	-734	-1843	Max	0.00	-95.13	33	0.00	97	0.26	97	0.00	97	-0.04	33	0.00	98
0	-734	-1843	Max	22.30	-93.89	33	0.00	97	0.26	97	0.00	97	-0.04	33	0.00	98
0	-734	-1843	Min.	0.00	-133.58	97	0.00	33	0.19	33	0.00	33	-0.05	97	0.00	33
0	-734	-1843	Min.	22.30	-131.91	97	0.00	33	0.19	33	0.00	33	-0.05	97	0.00	33
0	-1168	-1735	Max	0.00	-106.92	33	0.00	97	0.67	97	0.00	97	-0.09	33	0.00	97
0	-1168	-1735	Max	15.26					0.47	33			-0.09	33		
0	-1168	-1735	Max	22.30	-105.68	33	0.00	97	0.67	97	0.00	97	-0.09	33	0.00	97
0	-1168	-1735	Min.	0.00	-152.46	97	0.00	33	0.40	33	0.00	102	-0.15	97	0.00	33
0	-1168	-1735	Min.	15.26					0.67	97			-0.15	97		
0	-1168	-1735	Min.	22.30	-150.79	97	0.00	33	0.40	33	0.00	102	-0.15	97	0.00	33
0	-1207	-2065	Max	0.00	-111.45	33	0.00	33	-1.28	33	0.00	101	-2.61	33	0.00	33
0	-1207	-2065	Max	22.30	-110.21	33	0.00	33	-1.28	33	0.00	101	-2.61	33	0.00	33
0	-1207	-2065	Min.	0.00	-164.42	97	0.00	98	-1.82	97	0.00	98	-3.98	97	0.00	98
0	-1207	-2065	Min.	22.30	-162.75	97	0.00	98	-1.82	97	0.00	98	-3.98	97	0.00	98
0	423	424	Max	0.00	-817.95	102	235.47	98	-81.21	101	-1.94	101	-12.92	102	0.08	98
0	423	424	Max	180.00	-817.95	102	187.14	98	241.47	98	-1.94	101	-16.63	33	0.08	98
0	423	424	Min.	0.00	-1189.93	97	148.29	101	-138.89	98	-2.94	98	-18.18	97	0.05	33
0	423	424	Min.	180.00	-1189.93	97	112.49	101	153.50	101	-2.94	98	-23.18	98	0.05	33
0	-993	-1464	Max	0.00	-96.14	33	0.00	98	2.48	97	0.00	101	0.07	97	0.00	101
0	-993	-1464	Max	21.46					2.48	97			0.07	97		
0	-993	-1464	Max	22.30	-94.91	33	0.00	98	2.48	97	0.00	101	0.07	97	0.00	101
0	-993	-1464	Min.	0.00	-135.00	97	0.00	33	1.76	33	0.00	98	0.05	33	0.00	98
0	-993	-1464	Min.	21.46					2.48	97			0.07	97		
0	-993	-1464	Min.	22.30	-133.33	97	0.00	33	1.76	33	0.00	98	0.05	33	0.00	98
0	-864	-1788	Max	0.00	-96.35	1	0.00	97	0.00	1	0.00	101	0.00	98	0.00	98
0	-864	-1788	Max	22.30	-95.12	1	0.00	97	0.00	97	0.00	101	0.00	97	0.00	98
0	-864	-1788	Min.	0.00	-135.29	97	0.00	49	0.00	98	0.00	98	0.00	101	0.00	101
0	-864	-1788	Min.	22.30	-133.62	97	0.00	49	0.00	49	0.00	98	0.00	102	0.00	101
0	-951	-1829	Max	0.00	-95.24	1	-0.00	33	0.00	98	0.00	101	0.00	98	0.00	49
0	-951	-1829	Max	22.30	-94.00	1	-0.00	33	0.00	33	0.00	101	0.00	101	0.00	49
0	-951	-1829	Min.	0.00	-133.73	97	-0.00	97	0.00	49	0.00	98	0.00	49	0.00	98
0	-951	-1829	Min.	22.30	-132.06	97	-0.00	97	0.00	97	0.00	98	0.00	98	0.00	98
0	-822	-1709	Max	0.00	-95.64	33	-0.00	33	-2.35	33	0.00	97	0.01	97	0.00	102
0	-822	-1709	Max	21.74					-3.30	97			0.01	97		
0	-822	-1709	Max	22.30	-94.40	33	-0.00	33	-2.35	33	0.00	97	0.01	97	0.00	102
0	-822	-1709	Min.	0.00	-134.29	97	-0.00	98	-3.30	97	0.00	102	0.01	33	0.00	97
0	-822	-1709	Min.	21.74					-2.35	33			0.01	33		
0	-822	-1709	Min.	22.30	-132.62	97	-0.00	98	-3.30	97	0.00	102	0.01	33	0.00	97
0	-1082	-1492	Max	0.00	-96.77	33	-0.00	33	0.04	97	0.00	101	0.13	97	0.00	33
0	-1082	-1492	Max	22.30	-95.53	33	-0.00	33	0.04	97	0.00	101	0.13	97	0.00	33
0	-1082	-1492	Min.	0.00	-135.85	97	-0.00	97	0.02	33	0.00	98	0.09	33	0.00	98
0	-1082	-1492	Min.	22.30	-134.18	97	-0.00	97	0.02	33	0.00	98	0.09	33	0.00	98
0	-865	-1787	Max	0.00	-96.35	1	0.00	97	0.00	1	0.00	101	0.00	98	0.00	98
0	-865	-1787	Max	22.30	-95.12	1	0.00	97	0.00	97	0.00	101	0.00	97	0.00	98
0	-865	-1787	Min.	0.00	-135.29	97	0.00	49	0.00	98	0.00	98	0.00	101	0.00	101
0	-865	-1787	Min.	22.30	-133.62	97	0.00	49	0.00	49	0.00	98	0.00	102	0.00	101
0	-648	-1764	Max	0.00	-112.47	33	0.00	33	-1.01	33	0.00	97	-1.90	33	0.00	33
0	-648	-1764	Max	22.30	-111.23	33	0.00	33	-1.01	33	0.00	97	-1.90	33	0.00	33
0	-648	-1764	Min.	0.00	-160.46	97	0.00	97	-1.57	97	0.00	102	-2.73	97	0.00	97
0	-648	-1764	Min.	22.30	-158.78	97	0.00	97	-1.57	97	0.00	102	-2.73	97	0.00	97
0	-994	-1463	Max	0.00	-96.06	33	0.00	98	2.99	97	0.00	97	3.02	97	0.00	33
0	-994	-1463	Max	17.84					2.99	97			3.02	97		
0	-994	-1463	Max	22.30	-94.83	33	0.00	98	2.99	97	0.00	97	3.02	97	0.00	33
0	-994	-1463	Min.	0.00	-134.89	97	0.00	33	2.13	33	0.00	33	2.15	33	0.00	98
0	-994	-1463	Min.	17.84					2.99	97			3.02	97		
0	-994	-1463	Min.	22.30	-133.22	97	0.00	33	2.13	33	0.00	33	2.15	33	0.00	98
0	-609	-1687	Max	0.00	-152.77	33	0.00	102	1.87	97	0.00	98	0.00	33	0.00	97
0	-609	-1687	Max	22.30	-151.54	33	0.00	102	1.87	97	0.00	98	0.00	33	0.00	97
0	-609	-1687	Min.	0.00	-222.77	97	0.00	97	1.29	33	0.00	33	-0.00	33	0.00	102
0	-609	-1687	Min.	22.30	-221.10	97	0.00	97	1.29	33	0.00	33	-0.00	33	0.00	102
0	407	-1803	Max	0.00	-222.06	102	417.52	98	-380.48	101	-5.85	102	0.07	97	-0.18	33
0	407	-1803	Max	127.70	-265.12	102	417.52	98	-14.31	101	-5.85	102	-7.42	102	-0.18	33
0	407	-1803	Min.	0.00	-345.93	97	286.74	101	-554.13	98	-8.73	97	0.05	33	-0.25	98
0	407	-1803	Min.	127.70	-404.06	97	286.74	101	-20.96	98	-8.73	97	-11.09	97	-0.25	98
0	-908	-1433	Max	0.00	-95.80	1	0.00	49	0.00	1	0.00	97	0.00	102	0.00	97
0	-908	-1433	Max	22.30	-94.56	1	0.00	49	0.00	33	0.00	97	0.00	97	0.00	97
0	-908	-1433	Min.	0.00	-134.51	97	0.00	100	0.00	99	0.00	102	0.00	97	0.00	49
0	-908	-1433	Min.	22.30	-132.84	97	0.00	100	0.00	99	0.00	102	0.00	102	0.00	49
0	-1169	-1734	Max	0.00	-113.13	33	0.00	97	1.71	97	0.00	97	0.15	97	0.00	98

0	-1169	-1734	Max	21.18					1.71	97			0.15	97		
0	-1169	-1734	Max	22.30	-111.89	33	0.00	97	1.71	97	0.00	97	0.15	97	0.00	98
0	-1169	-1734	Min.	0.00	-162.25	97	0.00	33	1.08	33	0.00	102	0.10	33	0.00	33
0	-1169	-1734	Min.	21.18					1.08	33			0.10	33		
0	-1169	-1734	Min.	22.30	-160.58	97	0.00	33	1.08	33	0.00	102	0.10	33	0.00	33
0	424	-1689	Max	0.00	354.70	100	12.41	97	16.67	102	-4.03	33	-0.11	33	0.01	33
0	424	-1689	Max	127.70	296.57	100	12.41	97	0.82	102	-4.03	33	-5.26	33	0.01	33
0	424	-1689	Min.	0.00	242.49	33	-12.41	102	-16.67	97	-5.71	100	-0.16	99	-0.01	49
0	424	-1689	Min.	127.70	199.43	33	-12.41	102	-0.82	97	-5.71	100	-7.45	99	-0.01	49
0	-952	-1828	Max	0.00	-95.24	1	-0.00	33	0.00	98	0.00	101	0.00	98	0.00	49
0	-952	-1828	Max	22.30	-94.00	1	-0.00	33	0.00	33	0.00	101	0.00	97	0.00	49
0	-952	-1828	Min.	0.00	-133.73	97	-0.00	97	0.00	49	0.00	98	0.00	101	0.00	98
0	-952	-1828	Min.	22.30	-132.06	97	-0.00	97	0.00	97	0.00	98	0.00	102	0.00	98
0	-735	-1839	Max	0.00	-96.81	33	0.00	97	0.08	97	0.00	97	-1.77	33	0.00	97
0	-735	-1839	Max	15.26					0.06	33			-1.77	33		
0	-735	-1839	Max	22.30	-95.57	33	0.00	97	0.08	97	0.00	97	-1.77	33	0.00	97
0	-735	-1839	Min.	0.00	-135.93	97	0.00	33	0.06	33	0.00	33	-2.49	97	0.00	33
0	-735	-1839	Min.	15.26					0.06	33			-1.77	33		
0	-735	-1839	Min.	22.30	-134.26	97	0.00	33	0.06	33	0.00	33	-2.49	97	0.00	33
0	-650	-1763	Max	0.00	-112.07	33	0.00	33	-1.00	33	0.00	97	2.78	97	0.00	97
0	-650	-1763	Max	18.68					-1.00	33			1.99	33		
0	-650	-1763	Max	22.30	-110.83	33	0.00	33	-1.00	33	0.00	97	2.78	97	0.00	97
0	-650	-1763	Min.	0.00	-159.85	97	0.00	97	-1.55	97	0.00	33	1.93	33	0.00	33
0	-650	-1763	Min.	18.68					-1.09	33			1.93	33		
0	-650	-1763	Min.	22.30	-158.18	97	0.00	97	-1.55	97	0.00	33	1.93	33	0.00	33
0	-866	-1786	Max	0.00	-96.35	1	0.00	97	0.00	1	0.00	101	0.00	98	0.00	98
0	-866	-1786	Max	22.30	-95.12	1	0.00	97	0.00	97	0.00	101	0.00	97	0.00	98
0	-866	-1786	Min.	0.00	-135.29	97	0.00	49	0.00	98	0.00	98	0.00	101	0.00	101
0	-866	-1786	Min.	22.30	-133.62	97	0.00	49	0.00	49	0.00	98	0.00	102	0.00	101
0	-995	-1462	Max	0.00	-95.57	33	0.00	98	3.35	97	0.00	101	0.03	97	0.00	97
0	-995	-1462	Max	22.02					3.35	97			0.03	97		
0	-995	-1462	Max	22.30	-94.33	33	0.00	98	3.35	97	0.00	101	0.03	97	0.00	97
0	-995	-1462	Min.	0.00	-134.19	97	0.00	33	2.39	33	0.00	98	0.02	33	0.00	33
0	-995	-1462	Min.	22.02					2.39	33			0.02	33		
0	-995	-1462	Min.	22.30	-132.52	97	0.00	33	2.39	33	0.00	98	0.02	33	0.00	33
0	-823	-1708	Max	0.00	-95.55	33	-0.00	33	-2.39	33	0.00	97	-0.02	33	0.00	102
0	-823	-1708	Max	22.30	-94.32	33	-0.00	33	-2.39	33	0.00	97	-0.02	33	0.00	102
0	-823	-1708	Min.	0.00	-134.17	97	-0.00	98	-3.35	97	0.00	102	-0.03	97	0.00	97
0	-823	-1708	Min.	22.30	-132.50	97	-0.00	98	-3.35	97	0.00	102	-0.03	97	0.00	97
0	-1083	-1491	Max	0.00	-96.45	33	-0.00	33	-0.11	33	0.00	101	2.61	97	0.00	97
0	-1083	-1491	Max	22.30	-95.22	33	-0.00	33	-0.11	33	0.00	101	2.61	97	0.00	97
0	-1083	-1491	Min.	0.00	-135.42	97	-0.00	97	-0.16	97	0.00	98	1.85	33	0.00	33
0	-1083	-1491	Min.	22.30	-133.75	97	-0.00	97	-0.16	97	0.00	98	1.85	33	0.00	33
0	-909	-1432	Max	0.00	-95.80	1	0.00	49	0.00	1	0.00	97	0.00	102	0.00	97
0	-909	-1432	Max	22.30	-94.56	1	0.00	49	0.00	33	0.00	97	0.00	97	0.00	97
0	-909	-1432	Min.	0.00	-134.51	97	0.00	100	0.00	99	0.00	102	0.00	97	0.00	49
0	-909	-1432	Min.	22.30	-132.84	97	0.00	100	0.00	97	0.00	102	0.00	102	0.00	49
0	-610	-1625	Max	0.00	-153.56	33	0.00	98	1.47	97	0.00	97	-2.71	33	0.00	102
0	-610	-1625	Max	22.30	-152.32	33	0.00	98	1.47	97	0.00	97	-2.71	33	0.00	102
0	-610	-1625	Min.	0.00	-225.51	97	0.00	101	1.04	33	0.00	33	-4.08	97	0.00	97
0	-610	-1625	Min.	22.30	-223.84	97	0.00	101	1.04	33	0.00	33	-4.08	97	0.00	97
0	-996	-1460	Max	0.00	-95.64	33	0.00	98	3.30	97	0.00	97	-0.01	33	0.00	97
0	-996	-1460	Max	22.02					2.35	33			-0.01	33		
0	-996	-1460	Max	22.30	-94.40	33	0.00	98	3.30	97	0.00	97	-0.01	33	0.00	97
0	-996	-1460	Min.	0.00	-134.29	97	0.00	33	2.35	33	0.00	102	-0.01	97	0.00	33
0	-996	-1460	Min.	21.74					3.30	97			-0.01	97		
0	-996	-1460	Min.	22.30	-132.62	97	0.00	33	2.35	33	0.00	102	-0.01	97	0.00	33
0	311	436	Max	0.00	-108.18	33	0.00	102	-0.94	33	0.00	97	0.00	33	0.00	33
0	311	436	Max	22.30	-106.94	33	0.00	102	-0.94	33	0.00	97	0.00	33	0.00	33
0	311	436	Min.	0.00	-153.62	97	0.00	97	-1.43	97	0.00	33	-0.00	97	0.00	97
0	311	436	Min.	22.30	-151.95	97	0.00	97	-1.43	97	0.00	33	-0.00	97	0.00	97
0	-1170	-1733	Max	0.00	-111.96	33	0.00	97	1.63	97	0.00	97	2.85	97	0.00	33
0	-1170	-1733	Max	21.46					1.63	97			2.85	97		
0	-1170	-1733	Max	22.30	-110.72	33	0.00	97	1.63	97	0.00	97	2.85	97	0.00	33
0	-1170	-1733	Min.	0.00	-159.54	97	0.00	33	1.06	33	0.00	102	1.98	33	0.00	97
0	-1170	-1733	Min.	22.02					1.06	33			1.98	33		
0	-1170	-1733	Min.	22.30	-157.87	97	0.00	33	1.06	33	0.00	102	1.98	33	0.00	97
0	-953	-1827	Max	0.00	-95.24	1	-0.00	33	0.00	98	0.00	101	0.00	98	0.00	49
0	-953	-1827	Max	22.30	-94.00	1	-0.00	33	0.00	33	0.00	101	0.00	97	0.00	49
0	-953	-1827	Min.	0.00	-133.73	97	-0.00	97	0.00	49	0.00	98	0.00	101	0.00	97
0	-953	-1827	Min.	22.30	-132.06	97	-0.00	97	0.00	97	0.00	98	0.00	102	0.00	97
0	-824	-1707	Max	0.00	-96.23	33	-0.00	33	-2.15	33	0.00	101	-2.10	33	0.00	33
0	-824	-1707	Max	22.30	-95.00	33	-0.00	33	-2.15	33	0.00	101	-2.10	33	0.00	33
0	-824	-1707	Min.	0.00	-135.13	97	-0.00	98	-3.03	97	0.00	98	-2.96	97	0.00	98
0	-824	-1707	Min.	22.30	-133.46	97	-0.00	98	-3.03	97	0.00	98	-2.96	97	0.00	98
0	-737	-1836	Max	0.00	-96.54	33	0.00	97	0.08	97	0.00	97	2.52	97	0.00	102
0	-737	-1836	Max	13.10					0.08	97			2.52	97		
0	-737	-1836	Max	22.30	-95.30	33	0.00	97	0.08	97	0.00	97	2.52	97	0.00	102
0	-737	-1836	Min.	0.00	-135.55	97	0.00	33	0.06	33	0.00	33	1.79	33	0.00	97

0	-737	-1836	Min.	13.10					0.06	33			1.79	33		
0	-737	-1836	Min.	22.30	-133.88	97	0.00	33	0.06	33	0.00	33	1.79	33	0.00	97
0	-1084	-1482	Max	0.00	-95.13	33	-0.00	33	-0.25	33	0.00	101	0.05	97	0.00	33
0	-1084	-1482	Max	22.30	-93.89	33	-0.00	33	-0.25	33	0.00	101	0.05	97	0.00	33
0	-1084	-1482	Min.	0.00	-133.58	97	-0.00	97	-0.36	97	0.00	98	0.03	33	0.00	98
0	-1084	-1482	Min.	22.30	-131.91	97	-0.00	97	-0.36	97	0.00	98	0.03	33	0.00	98
0	-867	-1785	Max	0.00	-96.35	1	0.00	97	0.00	1	0.00	101	0.00	98	0.00	98
0	-867	-1785	Max	22.30	-95.12	1	0.00	97	0.00	97	0.00	101	0.00	97	0.00	98
0	-867	-1785	Min.	0.00	-135.29	97	0.00	49	0.00	97	0.00	98	0.00	101	0.00	101
0	-867	-1785	Min.	22.30	-133.62	97	0.00	49	0.00	49	0.00	98	0.00	102	0.00	101
0	-1208	-1753	Max	0.00	-148.21	33	0.00	33	-0.88	33	0.00	33	0.12	97	0.00	101
0	-1208	-1753	Max	0.28					-0.88	33			0.11	33		
0	-1208	-1753	Max	22.30	-146.97	33	0.00	33	-0.88	33	0.00	33	0.12	97	0.00	101
0	-1208	-1753	Min.	0.00	-220.31	97	0.00	97	-1.23	97	0.00	97	0.06	33	0.00	98
0	-1208	-1753	Min.	0.28					-0.89	33			0.06	33		
0	-1208	-1753	Min.	22.30	-218.64	97	0.00	97	-1.23	97	0.00	97	0.06	33	0.00	98
0	-910	-1431	Max	0.00	-95.80	1	0.00	49	0.00	1	0.00	97	0.00	102	0.00	97
0	-910	-1431	Max	22.30	-94.56	1	0.00	49	0.00	33	0.00	97	0.00	97	0.00	97
0	-910	-1431	Min.	0.00	-134.51	97	0.00	100	0.00	49	0.00	102	0.00	97	0.00	49
0	-910	-1431	Min.	22.30	-132.84	97	0.00	100	0.00	97	0.00	102	0.00	102	0.00	49
0	-612	-1624	Max	0.00	-153.61	33	0.00	98	1.49	97	0.00	97	4.02	97	0.00	33
0	-612	-1624	Max	12.82					1.49	97			4.02	97		
0	-612	-1624	Max	22.30	-152.37	33	0.00	98	1.49	97	0.00	97	4.02	97	0.00	33
0	-612	-1624	Min.	0.00	-225.61	97	0.00	33	1.05	33	0.00	33	2.67	33	0.00	98
0	-612	-1624	Min.	12.82					1.05	33			2.67	33		
0	-612	-1624	Min.	22.30	-223.94	97	0.00	33	1.05	33	0.00	33	2.67	33	0.00	98
0	-651	-1362	Max	0.00	-111.78	33	0.00	33	-1.00	33	0.00	102	-1.92	33	0.00	33
0	-651	-1362	Max	22.30	-110.54	33	0.00	33	-1.00	33	0.00	102	-1.92	33	0.00	33
0	-651	-1362	Min.	0.00	-159.33	97	0.00	97	-1.54	97	0.00	97	-2.77	97	0.00	97
0	-651	-1362	Min.	22.30	-157.66	97	0.00	97	-1.54	97	0.00	97	-2.77	97	0.00	97
0	-826	-1706	Max	0.00	-96.08	33	0.00	33	-2.13	33	0.00	97	2.97	97	0.00	98
0	-826	-1706	Max	22.30	-94.84	33	0.00	33	-2.13	33	0.00	97	2.97	97	0.00	98
0	-826	-1706	Min.	0.00	-134.91	97	0.00	98	-3.00	97	0.00	102	2.12	33	0.00	101
0	-826	-1706	Min.	22.30	-133.24	97	0.00	98	-3.00	97	0.00	102	2.12	33	0.00	101
0	-997	-1459	Max	0.00	-95.98	33	0.00	98	3.34	97	0.00	97	0.00	33	0.00	97
0	-997	-1459	Max	22.30	-94.74	33	0.00	98	3.34	97	0.00	97	0.00	33	0.00	97
0	-997	-1459	Min.	0.00	-134.77	97	0.00	33	2.38	33	0.00	102	0.00	97	0.00	102
0	-997	-1459	Min.	22.30	-133.10	97	0.00	33	2.38	33	0.00	102	0.00	98	0.00	102
0	-954	-1826	Max	0.00	-95.24	1	-0.00	33	0.00	98	0.00	101	0.00	98	0.00	1
0	-954	-1826	Max	22.30	-94.00	1	-0.00	33	0.00	33	0.00	101	0.00	97	0.00	1
0	-954	-1826	Min.	0.00	-133.73	97	-0.00	97	0.00	49	0.00	98	0.00	101	0.00	97
0	-954	-1826	Min.	22.30	-132.06	97	-0.00	97	0.00	97	0.00	98	0.00	102	0.00	97
0	-1171	-1732	Max	0.00	-109.39	33	0.00	97	1.49	97	0.00	97	0.08	97	0.00	98
0	-1171	-1732	Max	22.02					1.49	97			0.08	97		
0	-1171	-1732	Max	22.30	-108.16	33	0.00	97	1.49	97	0.00	97	0.08	97	0.00	98
0	-1171	-1732	Min.	0.00	-155.14	97	0.00	33	1.00	33	0.00	102	0.05	33	0.00	33
0	-1171	-1732	Min.	21.46					1.00	33			0.05	33		
0	-1171	-1732	Min.	22.30	-153.47	97	0.00	33	1.00	33	0.00	102	0.05	33	0.00	33
0	-1209	-1752	Max	0.00	-150.42	33	0.00	33	-1.33	33	0.00	98	4.08	97	0.00	97
0	-1209	-1752	Max	22.30	-149.18	33	0.00	33	-1.33	33	0.00	98	4.08	97	0.00	97
0	-1209	-1752	Min.	0.00	-220.97	97	-0.00	97	-1.88	97	0.00	33	2.70	33	0.00	33
0	-1209	-1752	Min.	22.30	-219.29	97	-0.00	97	-1.88	97	0.00	33	2.70	33	0.00	33
0	-738	-1850	Max	0.00	-94.38	33	0.00	97	0.27	97	0.00	98	0.00	33	0.00	98
0	-738	-1850	Max	21.18					0.27	97			0.00	97		
0	-738	-1850	Max	22.30	-93.14	33	0.00	97	0.27	97	0.00	98	0.00	33	0.00	98
0	-738	-1850	Min.	0.00	-132.53	97	0.00	102	0.19	33	0.00	33	0.00	97	0.00	33
0	-738	-1850	Min.	21.18					0.27	97			0.00	97		
0	-738	-1850	Min.	22.30	-130.86	97	0.00	102	0.19	33	0.00	33	0.00	97	0.00	33
0	-1085	-1481	Max	0.00	-95.54	33	-0.00	33	-0.25	33	0.00	97	-0.02	33	0.00	33
0	-1085	-1481	Max	22.02					-0.25	33			-0.02	33		
0	-1085	-1481	Max	22.30	-94.30	33	-0.00	33	-0.25	33	0.00	97	-0.02	33	0.00	33
0	-1085	-1481	Min.	0.00	-134.15	97	-0.00	97	-0.35	97	0.00	33	-0.02	97	0.00	98
0	-1085	-1481	Min.	22.02					-0.25	33			-0.02	33		
0	-1085	-1481	Min.	22.30	-132.48	97	-0.00	97	-0.35	97	0.00	33	-0.02	97	0.00	98
0	-868	-1784	Max	0.00	-96.28	33	0.00	97	-0.02	33	0.00	101	-2.41	33	0.00	97
0	-868	-1784	Max	22.30	-95.04	33	0.00	97	-0.02	33	0.00	101	-2.41	33	0.00	97
0	-868	-1784	Min.	0.00	-135.19	97	0.00	49	-0.02	97	0.00	98	-3.38	97	0.00	49
0	-868	-1784	Min.	22.30	-133.52	97	0.00	49	-0.02	97	0.00	98	-3.38	97	0.00	49
0	-911	-1430	Max	0.00	-95.80	1	0.00	49	0.00	1	0.00	97	0.00	102	0.00	97
0	-911	-1430	Max	22.30	-94.56	1	0.00	49	0.00	33	0.00	97	0.00	97	0.00	97
0	-911	-1430	Min.	0.00	-134.51	97	0.00	97	0.00	49	0.00	102	0.00	97	0.00	49
0	-911	-1430	Min.	22.30	-132.84	97	0.00	97	0.00	97	0.00	102	0.00	102	0.00	49
0	-613	-1623	Max	0.00	-153.85	33	0.00	98	1.92	97	0.00	98	0.10	97	0.00	102
0	-613	-1623	Max	19.51					1.92	97			0.10	97		
0	-613	-1623	Max	22.30	-152.62	33	0.00	98	1.92	97	0.00	98	0.10	97	0.00	102
0	-613	-1623	Min.	0.00	-224.06	97	0.00	33	1.34	33	0.00	101	0.06	33	0.00	97
0	-613	-1623	Min.	15.26					1.34	33			0.06	33		
0	-613	-1623	Min.	22.30	-222.39	97	0.00	33	1.34	33	0.00	101	0.06	33	0.00	97
0	-653	-1356	Max	0.00	-112.16	33	0.00	33	-1.01	33	0.00	102	2.72	97	0.00	97

0	-653	-1356	Max	22.30	-110.92	33	0.00	33	-1.01	33	0.00	102	2.72	97	0.00	97
0	-653	-1356	Min.	0.00	-159.92	97	0.00	97	-1.57	97	0.00	97	1.89	33	0.00	33
0	-653	-1356	Min.	22.30	-158.25	97	0.00	97	-1.57	97	0.00	97	1.89	33	0.00	33
0	-739	-1416	Max	0.00	-96.23	33	0.00	97	0.08	97	0.00	102	-1.78	33	0.00	97
0	-739	-1416	Max	22.30	-95.00	33	0.00	97	0.08	97	0.00	102	-1.78	33	0.00	97
0	-739	-1416	Min.	0.00	-135.12	97	0.00	102	0.06	33	0.00	97	-2.51	97	0.00	102
0	-739	-1416	Min.	22.30	-133.45	97	0.00	102	0.06	33	0.00	97	-2.51	97	0.00	102
0	-1086	-1480	Max	0.00	-96.13	33	-0.00	33	-0.25	33	0.00	97	0.00	33	0.00	33
0	-1086	-1480	Max	22.30	-94.90	33	-0.00	33	-0.25	33	0.00	97	0.00	33	0.00	33
0	-1086	-1480	Min.	0.00	-134.99	97	-0.00	97	-0.35	97	0.00	33	0.00	33	0.00	98
0	-1086	-1480	Min.	22.30	-133.31	97	-0.00	97	-0.35	97	0.00	33	0.00	33	0.00	98
0	-998	-1456	Max	0.00	-95.64	33	0.00	98	3.30	97	0.00	97	0.01	97	0.00	97
0	-998	-1456	Max	22.02					3.30	97			0.01	97		
0	-998	-1456	Max	22.30	-94.40	33	0.00	98	3.30	97	0.00	97	0.01	97	0.00	97
0	-998	-1456	Min.	0.00	-134.29	97	0.00	33	2.35	33	0.00	102	0.01	33	0.00	33
0	-998	-1456	Min.	21.18					2.35	33			0.01	33		
0	-998	-1456	Min.	22.30	-132.62	97	0.00	33	2.35	33	0.00	102	0.01	33	0.00	33
0	313	442	Max	0.00	-95.19	33	0.00	101	-2.41	33	0.00	33	0.00	33	0.00	49
0	313	442	Max	22.30	-93.95	33	0.00	101	-2.41	33	0.00	33	0.00	33	0.00	49
0	313	442	Min.	0.00	-133.66	97	0.00	98	-3.38	97	0.00	97	0.00	98	0.00	98
0	313	442	Min.	22.30	-131.99	97	0.00	98	-3.38	97	0.00	97	0.00	97	0.00	98
0	-870	-1783	Max	0.00	-96.28	33	0.00	97	-0.02	33	0.00	101	3.38	97	0.00	49
0	-870	-1783	Max	22.30	-95.04	33	0.00	97	-0.02	33	0.00	101	3.38	97	0.00	49
0	-870	-1783	Min.	0.00	-135.19	97	0.00	49	-0.02	97	0.00	98	2.41	33	0.00	97
0	-870	-1783	Min.	22.30	-133.52	97	0.00	49	-0.02	97	0.00	98	2.41	33	0.00	97
0	-912	-1429	Max	0.00	-95.53	33	0.00	49	0.00	33	0.00	97	-2.33	33	0.00	49
0	-912	-1429	Max	22.30	-94.30	33	0.00	49	0.00	33	0.00	97	-2.33	33	0.00	49
0	-912	-1429	Min.	0.00	-134.14	97	0.00	97	0.00	97	0.00	102	-3.28	97	0.00	100
0	-912	-1429	Min.	22.30	-132.47	97	0.00	97	0.00	97	0.00	102	-3.28	97	0.00	100
0	-654	-1355	Max	0.00	-109.04	33	0.00	33	-0.93	33	0.00	102	0.08	97	0.00	97
0	-654	-1355	Max	22.30	-107.81	33	0.00	33	-0.93	33	0.00	102	0.08	97	0.00	97
0	-654	-1355	Min.	0.00	-154.66	97	0.00	97	-1.39	97	0.00	97	0.06	33	0.00	33
0	-654	-1355	Min.	22.30	-152.99	97	0.00	97	-1.39	97	0.00	97	0.06	33	0.00	33
0	-741	-1415	Max	0.00	-96.49	33	0.00	97	0.08	97	0.00	102	2.47	97	0.00	102
0	-741	-1415	Max	22.30	-95.25	33	0.00	97	0.08	97	0.00	102	2.47	97	0.00	102
0	-741	-1415	Min.	0.00	-135.49	97	0.00	102	0.06	33	0.00	97	1.76	33	0.00	97
0	-741	-1415	Min.	22.30	-133.81	97	0.00	102	0.06	33	0.00	97	1.76	33	0.00	97
0	-999	-1455	Max	0.00	-95.56	33	0.00	98	3.35	97	0.00	97	-0.02	33	0.00	97
0	-999	-1455	Max	21.74					2.39	33			-0.02	33		
0	-999	-1455	Max	22.30	-94.32	33	0.00	98	3.35	97	0.00	97	-0.02	33	0.00	97
0	-999	-1455	Min.	0.00	-134.17	97	0.00	33	2.39	33	0.00	102	-0.03	97	0.00	102
0	-999	-1455	Min.	21.74					2.39	33			-0.02	33		
0	-999	-1455	Min.	22.30	-132.50	97	0.00	33	2.39	33	0.00	102	-0.03	97	0.00	102
0	-655	-1352	Max	0.00	-109.86	33	0.00	33	-0.90	33	0.00	102	-0.03	33	0.00	98
0	-655	-1352	Max	22.30	-108.63	33	0.00	33	-0.90	33	0.00	102	-0.03	33	0.00	98
0	-655	-1352	Min.	0.00	-155.68	97	0.00	97	-1.34	97	0.00	97	-0.04	98	0.00	101
0	-655	-1352	Min.	22.30	-154.01	97	0.00	97	-1.34	97	0.00	97	-0.04	97	0.00	101
0	407	408	Max	0.00	-250.40	101	-75.30	101	123.14	98	1.89	97	-3.10	102	0.10	98
0	407	408	Max	199.50	-250.40	101	-114.98	101	-119.94	101	1.89	97	-0.84	102	0.10	98
0	407	408	Min.	0.00	-391.10	98	-128.84	98	69.86	101	1.14	102	-5.64	97	0.07	33
0	407	408	Min.	199.50	-391.10	98	-182.40	98	-187.32	98	1.14	102	-1.88	97	0.07	33
0	-1172	-1731	Max	0.00	-110.09	33	0.00	97	1.43	97	0.00	97	-0.02	33	0.00	98
0	-1172	-1731	Max	20.91					0.97	33			-0.02	33		
0	-1172	-1731	Max	22.30	-108.85	33	0.00	97	1.43	97	0.00	97	-0.02	33	0.00	98
0	-1172	-1731	Min.	0.00	-155.99	97	0.00	33	0.97	33	0.00	102	-0.04	97	0.00	33
0	-1172	-1731	Min.	18.95					1.43	97			-0.04	97		
0	-1172	-1731	Min.	22.30	-154.32	97	0.00	33	0.97	33	0.00	102	-0.04	97	0.00	33
0	-1210	-1751	Max	0.00	-151.25	33	0.00	33	-1.66	33	0.00	97	0.08	97	0.00	33
0	-1210	-1751	Max	20.35					-2.38	97			0.08	97		
0	-1210	-1751	Max	22.30	-150.01	33	0.00	33	-1.66	33	0.00	97	0.08	97	0.00	33
0	-1210	-1751	Min.	0.00	-220.33	97	-0.00	97	-2.38	97	0.00	33	0.05	33	0.00	98
0	-1210	-1751	Min.	21.46					-1.68	33			0.05	33		
0	-1210	-1751	Min.	22.30	-218.66	97	-0.00	97	-2.38	97	0.00	33	0.05	33	0.00	98
0	424	425	Max	0.00	-817.95	101	-112.49	102	241.47	97	2.94	97	-16.64	33	-0.05	49
0	424	425	Max	180.00	-817.95	101	-148.29	102	-81.21	102	2.94	97	-12.92	101	-0.05	49
0	424	425	Min.	0.00	-1189.93	98	-187.14	97	153.50	102	1.94	102	-23.18	97	-0.08	97
0	424	425	Min.	180.00	-1189.93	98	-235.47	97	-138.89	97	1.94	102	-18.18	98	-0.08	97
0	-955	-1825	Max	0.00	-95.24	1	0.00	33	0.00	99	0.00	101	0.00	98	0.00	1
0	-955	-1825	Max	22.30	-94.00	1	0.00	33	0.00	33	0.00	101	0.00	97	0.00	1
0	-955	-1825	Min.	0.00	-133.73	97	-0.00	97	0.00	49	0.00	98	0.00	101	0.00	97
0	-955	-1825	Min.	22.30	-132.06	97	-0.00	97	0.00	97	0.00	98	0.00	102	0.00	97
0	408	-1622	Max	0.00	-54.37	49	212.13	98	-169.37	101	1.06	98	-0.05	49	-0.04	33
0	408	-1622	Max	127.70	-97.43	49	212.13	98	-9.70	101	1.06	98	1.28	98	-0.04	33
0	408	-1622	Min.	0.00	-76.49	97	125.03	101	-286.66	98	0.70	101	-0.08	97	-0.06	49
0	408	-1622	Min.	127.70	-134.63	97	125.03	101	-15.78	98	0.70	101	0.84	101	-0.06	49
0	-827	-1667	Max	0.00	-95.78	33	0.00	101	-2.13	33	0.00	102	-2.10	33	0.00	101
0	-827	-1667	Max	22.30	-94.54	33	0.00	101	-2.13	33	0.00	102	-2.10	33	0.00	101
0	-827	-1667	Min.	0.00	-134.49	97	0.00	98	-2.99	97	0.00	97	-2.95	97	0.00	98
0	-827	-1667	Min.	22.30	-132.81	97	0.00	98	-2.99	97	0.00	97	-2.95	97	0.00	98

0	-1087	-1479	Max	0.00	-95.54	33	-0.00	33	-0.25	33	0.00	97	0.02	97	0.00	33
0	-1087	-1479	Max	22.02					-0.35	97			0.02	97		
0	-1087	-1479	Max	22.30	-94.30	33	-0.00	33	-0.25	33	0.00	97	0.02	97	0.00	33
0	-1087	-1479	Min.	0.00	-134.15	97	-0.00	97	-0.35	97	0.00	33	0.02	33	0.00	98
0	-1087	-1479	Min.	22.02					-0.25	33			0.02	33		
0	-1087	-1479	Min.	22.30	-132.48	97	-0.00	97	-0.35	97	0.00	33	0.02	33	0.00	98
0	-956	-1824	Max	0.00	-95.18	33	0.00	33	0.02	97	0.00	101	-2.38	33	0.00	33
0	-956	-1824	Max	22.30	-93.94	33	0.00	33	0.02	97	0.00	101	-2.38	33	0.00	33
0	-956	-1824	Min.	0.00	-133.64	97	0.00	97	0.02	33	0.00	98	-3.34	97	0.00	97
0	-956	-1824	Min.	22.30	-131.97	97	0.00	97	0.02	33	0.00	98	-3.34	97	0.00	97
0	325	-1750	Max	0.00	-75.98	102	-3.92	101	6.01	98	412.49	97	-43.05	102	0.45	97
0	325	-1750	Max	22.30	-74.74	102	-3.92	101	4.76	98	412.49	97	26.50	97	0.45	97
0	325	-1750	Min.	0.00	-117.37	97	-5.59	98	4.21	101	271.18	102	-65.48	97	0.31	49
0	325	-1750	Min.	22.30	-115.70	97	-5.59	98	3.33	101	271.18	102	17.42	102	0.31	49
0	-871	-1863	Max	0.00	-96.21	1	0.00	97	0.00	49	0.00	102	0.00	98	0.00	97
0	-871	-1863	Max	22.30	-94.97	1	0.00	97	0.00	97	0.00	102	0.00	98	0.00	97
0	-871	-1863	Min.	0.00	-135.09	97	0.00	49	0.00	97	0.00	97	0.00	49	0.00	1
0	-871	-1863	Min.	22.30	-133.42	97	0.00	49	0.00	49	0.00	97	0.00	101	0.00	1
0	-1173	-1730	Max	0.00	-111.03	33	0.00	97	1.47	97	0.00	97	0.00	33	0.00	98
0	-1173	-1730	Max	21.74					1.00	33			0.00	33		
0	-1173	-1730	Max	22.30	-109.79	33	0.00	97	1.47	97	0.00	97	0.00	33	0.00	98
0	-1173	-1730	Min.	0.00	-157.36	97	0.00	33	1.00	33	0.00	102	-0.00	33	0.00	33
0	-1173	-1730	Min.	21.74					1.00	33			-0.00	33		
0	-1173	-1730	Min.	22.30	-155.69	97	0.00	33	1.00	33	0.00	102	-0.00	33	0.00	33
0	-914	-1428	Max	0.00	-95.53	33	0.00	49	0.00	33	0.00	101	3.28	97	0.00	97
0	-914	-1428	Max	22.30	-94.30	33	0.00	49	0.00	33	0.00	101	3.28	97	0.00	97
0	-914	-1428	Min.	0.00	-134.14	97	0.00	97	0.00	97	0.00	98	2.33	33	0.00	49
0	-914	-1428	Min.	22.30	-132.47	97	0.00	97	0.00	97	0.00	98	2.33	33	0.00	49
0	-614	-1621	Max	0.00	-155.40	33	0.00	97	1.99	97	0.00	98	0.01	97	0.00	101
0	-614	-1621	Max	19.51					1.99	98			0.01	98		
0	-614	-1621	Max	22.30	-154.16	33	0.00	97	1.99	97	0.00	98	0.01	98	0.00	101
0	-614	-1621	Min.	0.00	-226.11	97	0.00	33	1.39	33	0.00	101	0.01	33	0.00	98
0	-614	-1621	Min.	19.72					1.39	33			0.01	33		
0	-614	-1621	Min.	22.30	-224.44	97	0.00	33	1.39	33	0.00	101	0.01	33	0.00	98
0	-742	-1367	Max	0.00	-94.83	33	0.00	97	0.26	97	0.00	102	0.05	97	0.00	33
0	-742	-1367	Max	22.30	-93.59	33	0.00	97	0.26	97	0.00	102	0.05	97	0.00	33
0	-742	-1367	Min.	0.00	-133.16	97	0.00	102	0.19	33	0.00	97	0.04	33	0.00	98
0	-742	-1367	Min.	22.30	-131.49	97	0.00	102	0.19	33	0.00	97	0.04	33	0.00	98
0	-829	-1666	Max	0.00	-95.92	33	0.00	101	-2.15	33	0.00	98	2.94	97	0.00	98
0	-829	-1666	Max	22.30	-94.69	33	0.00	101	-2.15	33	0.00	98	2.94	97	0.00	98
0	-829	-1666	Min.	0.00	-134.69	97	0.00	98	-3.01	97	0.00	101	2.09	33	0.00	101
0	-829	-1666	Min.	22.30	-133.02	97	0.00	98	-3.01	97	0.00	101	2.09	33	0.00	101
0	-872	-1632	Max	0.00	-95.98	33	0.00	97	-0.02	33	0.00	102	-2.39	33	0.00	97
0	-872	-1632	Max	22.30	-94.74	33	0.00	97	-0.02	33	0.00	102	-2.39	33	0.00	97
0	-872	-1632	Min.	0.00	-134.77	97	0.00	49	-0.02	97	0.00	97	-3.36	97	0.00	49
0	-872	-1632	Min.	22.30	-133.10	97	0.00	49	-0.02	97	0.00	97	-3.36	97	0.00	49
0	-1211	-2063	Max	0.00	-152.88	33	0.00	33	-1.71	33	0.00	97	0.00	33	0.00	33
0	-1211	-2063	Max	22.30	-151.65	33	0.00	33	-1.71	33	0.00	97	0.00	33	0.00	33
0	-1211	-2063	Min.	0.00	-222.52	97	-0.00	97	-2.45	97	0.00	33	-0.00	33	0.00	98
0	-1211	-2063	Min.	22.30	-220.85	97	-0.00	97	-2.45	97	0.00	33	-0.00	33	0.00	98
0	425	-1750	Max	0.00	173.23	98	412.49	97	-363.73	102	-3.92	101	-0.02	101	0.45	97
0	425	-1750	Max	127.70	115.09	98	412.49	97	-17.44	102	-3.92	101	-5.02	101	0.45	97
0	425	-1750	Min.	0.00	109.39	101	271.18	102	-553.27	97	-5.59	98	-0.03	98	0.31	49
0	425	-1750	Min.	127.70	66.33	101	271.18	102	-26.53	97	-5.59	98	-7.17	98	0.31	49
0	-1000	-1454	Max	0.00	-96.23	33	0.00	98	3.02	97	0.00	101	-2.10	33	0.00	98
0	-1000	-1454	Max	20.35					2.15	33			-2.10	33		
0	-1000	-1454	Max	22.30	-94.99	33	0.00	98	3.02	97	0.00	101	-2.10	33	0.00	98
0	-1000	-1454	Min.	0.00	-135.12	97	0.00	101	2.15	33	0.00	98	-2.96	97	0.00	33
0	-1000	-1454	Min.	20.35					3.02	97			-2.96	97		
0	-1000	-1454	Min.	22.30	-133.45	97	0.00	101	2.15	33	0.00	98	-2.96	97	0.00	33
0	-1088	-1478	Max	0.00	-95.12	33	-0.00	33	-0.26	33	0.00	97	-0.03	33	0.00	33
0	-1088	-1478	Max	22.02					-0.26	33			-0.03	33		
0	-1088	-1478	Max	22.30	-93.89	33	-0.00	33	-0.26	33	0.00	97	-0.03	33	0.00	33
0	-1088	-1478	Min.	0.00	-133.56	97	-0.00	97	-0.36	97	0.00	33	-0.05	97	0.00	98
0	-1088	-1478	Min.	22.02					-0.36	97			-0.05	97		
0	-1088	-1478	Min.	22.30	-131.89	97	-0.00	97	-0.36	97	0.00	33	-0.05	97	0.00	98
0	-958	-1823	Max	0.00	-95.18	33	0.00	33	0.02	97	0.00	101	3.34	97	0.00	97
0	-958	-1823	Max	22.30	-93.94	33	0.00	33	0.02	97	0.00	101	3.34	97	0.00	97
0	-958	-1823	Min.	0.00	-133.64	97	0.00	97	0.02	33	0.00	98	2.38	33	0.00	33
0	-958	-1823	Min.	22.30	-131.97	97	0.00	97	0.02	33	0.00	98	2.38	33	0.00	33
0	-1174	-1729	Max	0.00	-110.08	33	0.00	97	1.43	97	0.00	97	0.04	97	0.00	98
0	-1174	-1729	Max	20.35					1.43	97			0.04	97		
0	-1174	-1729	Max	22.30	-108.85	33	0.00	97	1.43	97	0.00	97	0.04	97	0.00	98
0	-1174	-1729	Min.	0.00	-156.00	97	0.00	33	0.97	33	0.00	102	0.03	33	0.00	33
0	-1174	-1729	Min.	20.35					0.97	33			0.03	33		
0	-1174	-1729	Min.	22.30	-154.32	97	0.00	33	0.97	33	0.00	102	0.03	33	0.00	33
0	315	441	Max	0.00	-95.66	1	0.00	33	0.00	100	0.00	98	0.00	97	0.00	49
0	315	441	Max	22.30	-94.42	1	0.00	33	0.00	33	0.00	98	0.00	98	0.00	49
0	315	441	Min.	0.00	-134.31	97	0.00	97	0.00	1	0.00	101	0.00	102	0.00	1

0	315	441	Min.	22.30	-132.64	97	0.00	97	0.00	97	0.00	101	0.00	101	0.00	1
0	-615	-1620	Max	0.00	-155.21	33	0.00	97	1.98	97	0.00	98	-0.00	33	0.00	97
0	-615	-1620	Max	21.18					1.39	33			-0.00	33		
0	-615	-1620	Max	22.30	-153.97	33	0.00	97	1.98	97	0.00	98	-0.00	33	0.00	97
0	-615	-1620	Min.	0.00	-225.82	97	0.00	33	1.38	33	0.00	33	-0.00	97	0.00	102
0	-615	-1620	Min.	17.28					1.98	97			-0.00	97		
0	-615	-1620	Min.	22.30	-224.15	97	0.00	33	1.38	33	0.00	33	-0.00	97	0.00	102
0	-656	-1684	Max	0.00	-110.42	33	0.00	33	-0.92	33	0.00	102	0.02	97	0.00	33
0	-656	-1684	Max	22.30	-109.18	33	0.00	33	-0.92	33	0.00	102	0.02	97	0.00	33
0	-656	-1684	Min.	0.00	-156.50	97	0.00	97	-1.37	97	0.00	97	0.01	33	0.00	97
0	-656	-1684	Min.	22.30	-154.83	97	0.00	97	-1.37	97	0.00	97	0.01	33	0.00	97
0	-743	-1366	Max	0.00	-95.31	33	0.00	97	0.26	97	0.00	102	-0.02	33	0.00	33
0	-743	-1366	Max	22.30	-94.08	33	0.00	97	0.26	97	0.00	102	-0.02	33	0.00	33
0	-743	-1366	Min.	0.00	-133.83	97	0.00	102	0.18	33	0.00	97	-0.03	97	0.00	98
0	-743	-1366	Min.	22.30	-132.16	97	0.00	102	0.18	33	0.00	97	-0.03	97	0.00	98
0	-830	-1665	Max	0.00	-95.25	33	0.00	101	-2.38	33	0.00	102	0.03	97	0.00	97
0	-830	-1665	Max	22.30	-94.02	33	0.00	101	-2.38	33	0.00	102	0.03	97	0.00	97
0	-830	-1665	Min.	0.00	-133.75	97	0.00	98	-3.34	97	0.00	97	0.02	33	0.00	102
0	-830	-1665	Min.	22.30	-132.08	97	0.00	98	-3.34	97	0.00	97	0.02	33	0.00	102
0	-874	-1631	Max	0.00	-95.97	33	0.00	97	-0.02	33	0.00	98	3.36	97	0.00	49
0	-874	-1631	Max	13.10					-0.02	97			3.36	97		
0	-874	-1631	Max	22.30	-94.73	33	0.00	97	-0.02	33	0.00	98	3.36	97	0.00	49
0	-874	-1631	Min.	0.00	-134.75	97	0.00	49	-0.02	97	0.00	101	2.39	33	0.00	97
0	-874	-1631	Min.	15.26					-0.02	33			2.39	33		
0	-874	-1631	Min.	22.30	-133.08	97	0.00	49	-0.02	97	0.00	101	2.39	33	0.00	97
0	-1175	-1728	Max	0.00	-109.48	33	0.00	97	1.49	97	0.00	97	-0.06	33	0.00	98
0	-1175	-1728	Max	17.56					1.01	33			-0.06	33		
0	-1175	-1728	Max	22.30	-108.25	33	0.00	97	1.49	97	0.00	97	-0.06	33	0.00	98
0	-1175	-1728	Min.	0.00	-155.12	97	0.00	33	1.01	33	0.00	102	-0.08	97	0.00	33
0	-1175	-1728	Min.	21.18					1.49	97			-0.08	97		
0	-1175	-1728	Min.	22.30	-153.45	97	0.00	33	1.01	33	0.00	102	-0.08	97	0.00	33
0	-1089	-1477	Max	0.00	-96.84	33	0.00	33	-0.11	33	0.00	97	-1.78	33	0.00	33
0	-1089	-1477	Max	15.26					-0.16	97			-2.50	97		
0	-1089	-1477	Max	22.30	-95.61	33	0.00	33	-0.11	33	0.00	97	-1.78	33	0.00	33
0	-1089	-1477	Min.	0.00	-135.97	97	-0.00	97	-0.16	97	0.00	33	-2.50	97	0.00	97
0	-1089	-1477	Min.	15.26					-0.16	97			-2.50	97		
0	-1089	-1477	Min.	22.30	-134.30	97	-0.00	97	-0.16	97	0.00	33	-2.50	97	0.00	97
0	-1002	-1453	Max	0.00	-96.07	33	0.00	98	2.99	97	0.00	97	2.97	97	0.00	101
0	-1002	-1453	Max	18.68					2.99	97			2.97	97		
0	-1002	-1453	Max	22.30	-94.84	33	0.00	98	2.99	97	0.00	97	2.97	97	0.00	101
0	-1002	-1453	Min.	0.00	-134.90	97	0.00	101	2.13	33	0.00	102	2.12	1	0.00	98
0	-1002	-1453	Min.	15.26					2.13	1			2.12	1		
0	-1002	-1453	Min.	22.30	-133.23	97	0.00	101	2.13	33	0.00	102	2.12	1	0.00	98
0	-1212	-1749	Max	0.00	-152.63	33	0.00	33	-1.69	33	0.00	97	0.03	97	0.00	33
0	-1212	-1749	Max	22.02					-2.41	97			0.03	97		
0	-1212	-1749	Max	22.30	-151.39	33	0.00	33	-1.69	33	0.00	97	0.03	97	0.00	33
0	-1212	-1749	Min.	0.00	-222.14	97	-0.00	97	-2.41	97	0.00	33	0.02	33	0.00	98
0	-1212	-1749	Min.	22.02					-2.41	97			0.03	97		
0	-1212	-1749	Min.	22.30	-220.47	97	-0.00	97	-2.41	97	0.00	33	0.02	33	0.00	98
0	-959	-1859	Max	0.00	-95.10	1	0.00	33	0.00	97	0.00	102	0.00	98	0.00	49
0	-959	-1859	Max	22.30	-93.86	1	0.00	33	0.00	33	0.00	102	0.00	98	0.00	49
0	-959	-1859	Min.	0.00	-133.53	97	0.00	97	0.00	1	0.00	97	0.00	49	0.00	97
0	-959	-1859	Min.	22.30	-131.86	97	0.00	97	0.00	97	0.00	97	0.00	101	0.00	97
0	-915	-1674	Max	0.00	-95.24	33	0.00	33	0.00	33	0.00	102	-2.32	33	0.00	102
0	-915	-1674	Max	22.30	-94.00	33	0.00	33	0.00	33	0.00	102	-2.32	33	0.00	102
0	-915	-1674	Min.	0.00	-133.73	97	0.00	97	0.00	97	0.00	97	-3.26	97	0.00	97
0	-915	-1674	Min.	22.30	-132.06	97	0.00	97	0.00	97	0.00	97	-3.26	97	0.00	97
0	425	426	Max	0.00	-528.27	101	-268.01	102	414.38	97	8.51	97	-13.24	101	-0.08	49
0	425	426	Max	200.00	-528.27	101	-307.79	102	-293.27	102	8.51	97	-1.21	101	-0.08	49
0	425	426	Min.	0.00	-795.94	98	-398.38	97	282.53	102	5.87	102	-18.62	98	-0.11	98
0	425	426	Min.	200.00	-795.94	98	-452.08	97	-436.07	97	5.87	102	-1.88	98	-0.11	98
0	-616	-1619	Max	0.00	-155.36	33	0.00	97	1.98	97	0.00	97	0.00	33	0.00	98
0	-616	-1619	Max	17.84					1.39	33			0.00	33		
0	-616	-1619	Max	22.30	-154.12	33	0.00	97	1.98	97	0.00	97	0.00	33	0.00	98
0	-616	-1619	Min.	0.00	-226.02	97	0.00	33	1.39	33	0.00	33	-0.00	97	0.00	33
0	-616	-1619	Min.	17.84					1.98	97			-0.00	97		
0	-616	-1619	Min.	22.30	-224.35	97	0.00	33	1.39	33	0.00	33	-0.00	97	0.00	33
0	-657	-1683	Max	0.00	-110.03	33	0.00	33	-0.91	33	0.00	102	-0.00	33	0.00	33
0	-657	-1683	Max	22.30	-108.80	33	0.00	33	-0.91	33	0.00	102	-0.00	33	0.00	33
0	-657	-1683	Min.	0.00	-155.93	97	0.00	97	-1.36	97	0.00	97	-0.01	98	0.00	97
0	-657	-1683	Min.	22.30	-154.26	97	0.00	97	-1.36	97	0.00	97	-0.01	97	0.00	97
0	-744	-1365	Max	0.00	-95.68	33	0.00	97	0.26	97	0.00	102	0.01	97	0.00	97
0	-744	-1365	Max	22.30	-94.44	33	0.00	97	0.26	97	0.00	102	0.01	97	0.00	97
0	-744	-1365	Min.	0.00	-134.34	97	0.00	102	0.18	33	0.00	97	0.01	33	0.00	102
0	-744	-1365	Min.	22.30	-132.67	97	0.00	102	0.18	33	0.00	97	0.01	33	0.00	102
0	-831	-1664	Max	0.00	-95.39	33	0.00	101	-2.34	33	0.00	102	-0.01	33	0.00	97
0	-831	-1664	Max	22.30	-94.15	33	0.00	101	-2.34	33	0.00	102	-0.01	33	0.00	97
0	-831	-1664	Min.	0.00	-133.94	97	0.00	98	-3.29	97	0.00	97	-0.01	97	0.00	102
0	-831	-1664	Min.	22.30	-132.27	97	0.00	98	-3.29	97	0.00	97	-0.01	97	0.00	102

0	-875	-1630	Max	0.00	-96.06	1	0.00	97	0.00	1	0.00	98	0.00	101	0.00	1
0	-875	-1630	Max	22.30	-94.82	1	0.00	97	0.00	97	0.00	98	0.00	102	0.00	1
0	-875	-1630	Min.	0.00	-134.87	97	0.00	49	0.00	100	0.00	101	0.00	98	0.00	98
0	-875	-1630	Min.	22.30	-133.20	97	0.00	49	0.00	49	0.00	101	0.00	97	0.00	98
0	-960	-1639	Max	0.00	-94.88	1	0.00	33	0.02	97	0.00	102	-2.36	33	0.00	33
0	-960	-1639	Max	22.30	-93.64	1	0.00	33	0.02	97	0.00	102	-2.36	33	0.00	33
0	-960	-1639	Min.	0.00	-133.22	97	0.00	97	0.02	33	0.00	97	-3.32	97	0.00	97
0	-960	-1639	Min.	22.30	-131.55	97	0.00	97	0.02	33	0.00	97	-3.32	97	0.00	97
0	-1091	-1476	Max	0.00	-96.59	33	0.00	33	-0.11	33	0.00	97	2.53	97	0.00	97
0	-1091	-1476	Max	13.38					-0.16	97			2.53	97		
0	-1091	-1476	Max	22.30	-95.35	33	0.00	33	-0.11	33	0.00	97	2.53	97	0.00	97
0	-1091	-1476	Min.	0.00	-135.62	97	0.00	97	-0.16	97	0.00	33	1.80	33	0.00	33
0	-1091	-1476	Min.	13.38					-0.16	97			2.53	97		
0	-1091	-1476	Min.	22.30	-133.94	97	0.00	97	-0.16	97	0.00	33	1.80	33	0.00	33
0	-1213	-1748	Max	0.00	-151.38	33	0.00	33	-1.67	33	0.00	98	-0.05	33	0.00	33
0	-1213	-1748	Max	22.02					-1.67	33			-0.05	33		
0	-1213	-1748	Max	22.30	-150.14	33	0.00	33	-1.67	33	0.00	98	-0.05	33	0.00	33
0	-1213	-1748	Min.	0.00	-220.32	97	0.00	97	-2.38	97	0.00	33	-0.07	97	0.00	97
0	-1213	-1748	Min.	22.02					-2.38	97			-0.07	97		
0	-1213	-1748	Min.	22.30	-218.65	97	0.00	97	-2.38	97	0.00	33	-0.07	97	0.00	97
0	-1176	-1727	Max	0.00	-113.18	33	0.00	97	1.66	97	0.00	97	-1.91	33	0.00	97
0	-1176	-1727	Max	21.18					1.12	33			-1.91	33		
0	-1176	-1727	Max	22.30	-111.94	33	0.00	97	1.66	97	0.00	97	-1.91	33	0.00	97
0	-1176	-1727	Min.	0.00	-160.51	97	0.00	33	1.12	33	0.00	33	-2.71	97	0.00	33
0	-1176	-1727	Min.	21.18					1.12	33			-1.91	33		
0	-1176	-1727	Min.	22.30	-158.84	97	0.00	33	1.12	33	0.00	33	-2.71	97	0.00	33
0	317	439	Max	0.00	-95.20	1	0.00	98	3.38	97	0.00	33	0.00	33	0.00	98
0	317	439	Max	17.28					3.38	97			0.00	97		
0	317	439	Max	22.30	-93.96	1	0.00	98	3.38	97	0.00	33	0.00	33	0.00	98
0	317	439	Min.	0.00	-133.67	97	0.00	101	2.41	33	0.00	97	0.00	98	0.00	33
0	317	439	Min.	17.28					3.38	97			0.00	97		
0	317	439	Min.	22.30	-132.00	97	0.00	101	2.41	33	0.00	97	0.00	97	0.00	33
0	-617	-1417	Max	0.00	-78.23	33	0.00	97	0.99	97	0.00	97	0.02	97	0.00	97
0	-617	-1417	Max	22.02					0.99	97			0.02	97		
0	-617	-1417	Max	22.30	-76.99	33	0.00	97	0.99	97	0.00	97	0.02	97	0.00	97
0	-617	-1417	Min.	0.00	-113.74	97	0.00	33	0.69	33	0.00	33	0.01	33	0.00	33
0	-617	-1417	Min.	15.89					0.69	33			0.01	33		
0	-617	-1417	Min.	22.30	-112.07	97	0.00	33	0.69	33	0.00	33	0.01	33	0.00	33
0	-658	-1682	Max	0.00	-110.21	33	0.00	33	-0.92	33	0.00	102	0.00	97	0.00	33
0	-658	-1682	Max	22.30	-108.97	33	0.00	33	-0.92	33	0.00	102	0.00	97	0.00	33
0	-658	-1682	Min.	0.00	-156.16	97	0.00	97	-1.36	97	0.00	97	0.00	33	0.00	97
0	-658	-1682	Min.	22.30	-154.49	97	0.00	97	-1.36	97	0.00	97	0.00	33	0.00	97
0	-745	-1364	Max	0.00	-95.42	33	0.00	97	0.26	97	0.00	102	-0.00	33	0.00	97
0	-745	-1364	Max	22.02					0.18	33			-0.00	33		
0	-745	-1364	Max	22.30	-94.18	33	0.00	97	0.26	97	0.00	102	-0.00	33	0.00	97
0	-745	-1364	Min.	0.00	-133.98	97	0.00	102	0.18	33	0.00	97	-0.00	98	0.00	102
0	-745	-1364	Min.	15.89					0.26	98			-0.00	98		
0	-745	-1364	Min.	22.30	-132.31	97	0.00	102	0.18	33	0.00	97	-0.00	97	0.00	102
0	-832	-1663	Max	0.00	-95.59	1	0.00	101	-2.36	1	0.00	102	0.01	97	0.00	101
0	-832	-1663	Max	22.30	-94.36	1	0.00	101	-2.36	1	0.00	102	0.01	97	0.00	101
0	-832	-1663	Min.	0.00	-134.23	97	0.00	98	-3.32	97	0.00	97	0.00	33	0.00	98
0	-832	-1663	Min.	22.30	-132.56	97	0.00	98	-3.32	97	0.00	97	0.00	33	0.00	98
0	408	409	Max	0.00	-123.18	33	-59.41	101	99.34	98	0.90	97	-0.78	102	0.03	49
0	408	409	Max	190.50	-123.18	33	-97.30	101	-99.84	101	0.90	97	-0.08	33	0.03	49
0	408	409	Min.	0.00	-178.98	99	-105.96	98	49.42	101	0.36	102	-1.83	97	0.02	33
0	408	409	Min.	190.50	-178.98	99	-157.12	98	-151.24	98	0.36	102	-0.12	98	0.02	33
0	-917	-1673	Max	0.00	-95.23	33	0.00	104	0.00	33	0.00	98	3.26	97	0.00	99
0	-917	-1673	Max	22.30	-93.99	33	0.00	104	0.00	33	0.00	98	3.26	97	0.00	99
0	-917	-1673	Min.	0.00	-133.72	97	0.00	99	0.00	100	0.00	101	2.32	33	0.00	49
0	-917	-1673	Min.	22.30	-132.04	97	0.00	99	0.00	97	0.00	101	2.32	33	0.00	49
0	-876	-1629	Max	0.00	-96.07	1	0.00	97	0.00	1	0.00	98	0.00	101	0.00	1
0	-876	-1629	Max	22.30	-94.83	1	0.00	97	0.00	97	0.00	98	0.00	102	0.00	1
0	-876	-1629	Min.	0.00	-134.89	97	0.00	49	0.00	100	0.00	101	0.00	98	0.00	98
0	-876	-1629	Min.	22.30	-133.22	97	0.00	49	0.00	49	0.00	101	0.00	97	0.00	98
0	-962	-1638	Max	0.00	-94.87	1	0.00	33	0.02	97	0.00	98	3.32	97	0.00	97
0	-962	-1638	Max	15.26					0.02	33			2.36	33		
0	-962	-1638	Max	22.30	-93.63	1	0.00	33	0.02	97	0.00	98	3.32	97	0.00	97
0	-962	-1638	Min.	0.00	-133.20	97	0.00	97	0.02	33	0.00	101	2.36	33	0.00	33
0	-962	-1638	Min.	15.26					0.02	33			2.36	33		
0	-962	-1638	Min.	22.30	-131.53	97	0.00	97	0.02	33	0.00	101	2.36	33	0.00	33
0	-1003	-1646	Max	0.00	-95.77	1	0.00	98	2.98	97	0.00	102	-2.10	1	0.00	98
0	-1003	-1646	Max	6.34					2.12	1			-2.10	1		
0	-1003	-1646	Max	22.30	-94.54	1	0.00	98	2.98	97	0.00	102	-2.10	1	0.00	98
0	-1003	-1646	Min.	0.00	-134.48	97	0.00	101	2.12	33	0.00	97	-2.95	97	0.00	101
0	-1003	-1646	Min.	15.26					2.98	97			-2.95	97		
0	-1003	-1646	Min.	22.30	-132.81	97	0.00	101	2.12	33	0.00	97	-2.95	97	0.00	101
0	-1092	-1848	Max	0.00	-94.37	33	0.00	102	-0.26	33	0.00	98	0.00	33	0.00	33
0	-1092	-1848	Max	22.30	-93.13	33	0.00	102	-0.26	33	0.00	98	0.00	33	0.00	33
0	-1092	-1848	Min.	0.00	-132.50	97	0.00	97	-0.36	97	0.00	33	0.00	97	0.00	98

0	-1092	-1848	Min.	22.30	-130.82	97	0.00	97	-0.36	97	0.00	33	0.00	97	0.00	98
0	-1178	-1726	Max	0.00	-112.77	33	0.00	97	1.63	97	0.00	97	2.76	97	0.00	33
0	-1178	-1726	Max	21.46					1.63	97			2.76	97		
0	-1178	-1726	Max	22.30	-111.53	33	0.00	97	1.63	97	0.00	97	2.76	97	0.00	33
0	-1178	-1726	Min.	0.00	-159.91	97	0.00	33	1.10	33	0.00	102	1.95	33	0.00	97
0	-1178	-1726	Min.	17.84					1.10	33			1.95	33		
0	-1178	-1726	Min.	22.30	-158.24	97	0.00	33	1.10	33	0.00	102	1.95	33	0.00	97
0	-1214	-1747	Max	0.00	-152.46	33	0.00	33	-1.34	33	0.00	98	-2.74	33	0.00	33
0	-1214	-1747	Max	11.08					-1.89	97			-3.99	97		
0	-1214	-1747	Max	22.30	-151.22	33	0.00	33	-1.34	33	0.00	98	-2.74	33	0.00	33
0	-1214	-1747	Min.	0.00	-221.84	97	0.00	97	-1.89	97	0.00	33	-3.99	97	0.00	97
0	-1214	-1747	Min.	11.08					-1.89	97			-3.99	97		
0	-1214	-1747	Min.	22.30	-220.17	97	0.00	97	-1.89	97	0.00	33	-3.99	97	0.00	97
0	-918	-1672	Max	0.00	-95.50	1	0.00	49	0.00	1	0.00	102	0.00	97	0.00	1
0	-918	-1672	Max	22.30	-94.26	1	0.00	49	0.00	33	0.00	102	0.00	102	0.00	1
0	-918	-1672	Min.	0.00	-134.09	97	0.00	99	0.00	49	0.00	97	0.00	102	0.00	97
0	-918	-1672	Min.	22.30	-132.43	97	0.00	99	0.00	49	0.00	97	0.00	97	0.00	97
0	-659	-1426	Max	0.00	-55.69	33	0.00	49	-0.46	33	0.00	102	0.00	33	0.00	102
0	-659	-1426	Max	22.30	-54.45	33	0.00	49	-0.46	33	0.00	102	0.00	33	0.00	102
0	-659	-1426	Min.	0.00	-78.87	97	0.00	100	-0.68	97	0.00	97	0.00	33	0.00	97
0	-659	-1426	Min.	22.30	-77.20	97	0.00	100	-0.68	97	0.00	97	0.00	33	0.00	97
0	409	309	Max	0.00	-97.30	101	178.98	99	-99.84	101	0.90	97	-0.02	33	-0.08	33
0	409	309	Max	150.00	-147.88	101	178.98	99	124.03	97	0.90	97	1.33	97	-0.08	33
0	409	309	Min.	0.00	-157.12	98	123.18	33	-151.24	98	0.36	102	-0.03	49	-0.12	98
0	409	309	Min.	150.00	-225.40	98	123.18	33	81.39	102	0.36	102	0.52	102	-0.12	98
0	-746	-1363	Max	0.00	-95.53	33	0.00	97	0.26	97	0.00	98	0.00	97	0.00	97
0	-746	-1363	Max	21.74					0.26	98			0.00	98		
0	-746	-1363	Max	22.30	-94.29	33	0.00	97	0.26	97	0.00	98	0.00	98	0.00	97
0	-746	-1363	Min.	0.00	-134.13	97	0.00	102	0.18	33	0.00	101	0.00	33	0.00	49
0	-746	-1363	Min.	21.74					0.26	97			0.00	97		
0	-746	-1363	Min.	22.30	-132.46	97	0.00	102	0.18	33	0.00	101	0.00	33	0.00	49
0	-833	-1662	Max	0.00	-95.46	1	0.00	101	-2.35	1	0.00	102	-0.00	33	0.00	101
0	-833	-1662	Max	22.30	-94.22	1	0.00	101	-2.35	1	0.00	102	-0.00	33	0.00	101
0	-833	-1662	Min.	0.00	-134.04	97	0.00	98	-3.31	97	0.00	97	-0.00	98	0.00	98
0	-833	-1662	Min.	22.30	-132.37	97	0.00	98	-3.31	97	0.00	97	-0.00	97	0.00	98
0	-877	-1628	Max	0.00	-96.06	1	0.00	100	0.00	1	0.00	102	0.00	97	0.00	97
0	-877	-1628	Max	22.30	-94.82	1	0.00	100	0.00	97	0.00	102	0.00	102	0.00	97
0	-877	-1628	Min.	0.00	-134.87	97	0.00	49	0.00	100	0.00	97	0.00	102	0.00	49
0	-877	-1628	Min.	22.30	-133.20	97	0.00	49	0.00	49	0.00	97	0.00	97	0.00	49
0	-963	-1637	Max	0.00	-94.95	1	0.00	33	0.00	99	0.00	98	0.00	101	0.00	99
0	-963	-1637	Max	22.30	-93.71	1	0.00	33	0.00	33	0.00	98	0.00	102	0.00	99
0	-963	-1637	Min.	0.00	-133.32	97	0.00	97	0.00	49	0.00	101	0.00	98	0.00	49
0	-963	-1637	Min.	22.30	-131.65	97	0.00	97	0.00	97	0.00	101	0.00	97	0.00	49
0	-1005	-1645	Max	0.00	-95.92	1	0.00	98	3.01	97	0.00	98	2.94	97	0.00	101
0	-1005	-1645	Max	21.46					3.01	97			2.94	97		
0	-1005	-1645	Max	22.30	-94.68	1	0.00	98	3.01	97	0.00	98	2.94	97	0.00	101
0	-1005	-1645	Min.	0.00	-134.69	97	0.00	101	2.14	33	0.00	101	2.09	1	0.00	98
0	-1005	-1645	Min.	21.74					2.14	1			2.09	1		
0	-1005	-1645	Min.	22.30	-133.01	97	0.00	101	2.14	33	0.00	101	2.09	1	0.00	98
0	-1093	-1653	Max	0.00	-96.28	33	0.00	102	-0.11	33	0.00	102	-1.79	33	0.00	102
0	-1093	-1653	Max	22.30	-95.05	33	0.00	102	-0.11	33	0.00	102	-1.79	33	0.00	102
0	-1093	-1653	Min.	0.00	-135.19	97	0.00	97	-0.16	97	0.00	97	-2.52	97	0.00	97
0	-1093	-1653	Min.	22.30	-133.52	97	0.00	97	-0.16	97	0.00	97	-2.52	97	0.00	97
0	-919	-1671	Max	0.00	-95.51	1	0.00	49	0.00	1	0.00	102	0.00	97	0.00	102
0	-919	-1671	Max	22.30	-94.28	1	0.00	49	0.00	33	0.00	102	0.00	102	0.00	102
0	-919	-1671	Min.	0.00	-134.11	97	0.00	99	0.00	49	0.00	97	0.00	102	0.00	97
0	-919	-1671	Min.	22.30	-132.44	97	0.00	99	0.00	49	0.00	97	0.00	97	0.00	97
0	319	434	Max	0.00	-108.39	33	0.00	97	1.53	97	0.00	97	0.00	33	0.00	97
0	319	434	Max	15.89					1.03	33			0.00	33		
0	319	434	Max	22.30	-107.15	33	0.00	97	1.53	97	0.00	97	0.00	33	0.00	97
0	319	434	Min.	0.00	-153.55	97	0.00	102	1.03	33	0.00	49	-0.00	97	0.00	33
0	319	434	Min.	22.02					1.53	97			-0.00	97		
0	319	434	Min.	22.30	-151.88	97	0.00	102	1.03	33	0.00	49	-0.00	97	0.00	33
0	326	-1746	Max	0.00	-414.24	102	8.71	97	-10.00	102	410.51	98	-46.01	101	0.52	98
0	326	-1746	Max	22.30	-413.00	102	8.71	97	-8.70	102	410.51	98	24.65	98	0.52	98
0	326	-1746	Min.	0.00	-621.11	97	5.83	102	-14.84	97	281.82	101	-66.89	98	0.37	49
0	326	-1746	Min.	22.30	-619.44	97	5.83	102	-12.90	97	281.82	101	16.84	101	0.37	49
0	426	-1746	Max	0.00	-218.78	102	410.51	98	-373.95	101	8.71	97	-0.07	49	0.52	98
0	426	-1746	Max	127.70	-261.84	102	410.51	98	-14.07	101	8.71	97	11.02	97	0.52	98
0	426	-1746	Min.	0.00	-341.24	97	281.82	101	-544.83	98	5.83	102	-0.10	97	0.37	49
0	426	-1746	Min.	127.70	-399.37	97	281.82	101	-20.61	98	5.83	102	7.37	102	0.37	49
0	-747	-1427	Max	0.00	-48.36	33	0.00	97	0.13	97	0.00	98	0.00	97	0.00	97
0	-747	-1427	Max	22.02					0.13	98			0.00	98		
0	-747	-1427	Max	22.30	-47.12	33	0.00	97	0.13	97	0.00	98	0.00	98	0.00	97
0	-747	-1427	Min.	0.00	-67.87	97	0.00	33	0.09	33	0.00	101	0.00	33	0.00	33
0	-747	-1427	Min.	21.74					0.09	33			0.00	33		
0	-747	-1427	Min.	22.30	-66.20	97	0.00	33	0.09	33	0.00	101	0.00	33	0.00	33
0	-834	-1661	Max	0.00	-95.51	1	0.00	101	-2.36	1	0.00	98	0.00	97	0.00	33
0	-834	-1661	Max	22.30	-94.28	1	0.00	101	-2.36	1	0.00	98	0.00	98	0.00	33

0	-834	-1661	Min.	0.00	-134.11	97	0.00	98	-3.31	97	0.00	101	0.00	33	0.00	98
0	-834	-1661	Min.	22.30	-132.44	97	0.00	98	-3.31	97	0.00	101	0.00	33	0.00	98
0	-878	-1627	Max	0.00	-96.06	1	0.00	100	0.00	1	0.00	102	0.00	97	0.00	97
0	-878	-1627	Max	22.30	-94.82	1	0.00	100	0.00	97	0.00	102	0.00	102	0.00	97
0	-878	-1627	Min.	0.00	-134.87	97	0.00	49	0.00	100	0.00	97	0.00	102	0.00	49
0	-878	-1627	Min.	22.30	-133.20	97	0.00	49	0.00	49	0.00	97	0.00	97	0.00	49
0	-964	-1636	Max	0.00	-94.96	1	0.00	33	0.00	99	0.00	98	0.00	101	0.00	99
0	-964	-1636	Max	22.30	-93.72	1	0.00	33	0.00	33	0.00	98	0.00	102	0.00	99
0	-964	-1636	Min.	0.00	-133.33	97	0.00	97	0.00	49	0.00	101	0.00	98	0.00	49
0	-964	-1636	Min.	22.30	-131.66	97	0.00	97	0.00	97	0.00	101	0.00	97	0.00	49
0	-1006	-1644	Max	0.00	-95.26	1	0.00	98	3.34	97	0.00	102	0.03	97	0.00	102
0	-1006	-1644	Max	19.72					3.34	97			0.03	97		
0	-1006	-1644	Max	22.30	-94.02	1	0.00	98	3.34	97	0.00	102	0.03	97	0.00	102
0	-1006	-1644	Min.	0.00	-133.75	97	0.00	101	2.38	1	0.00	97	0.02	33	0.00	97
0	-1006	-1644	Min.	19.79					2.38	33			0.02	33		
0	-1006	-1644	Min.	22.30	-132.08	97	0.00	101	2.38	1	0.00	97	0.02	33	0.00	97
0	-1095	-1652	Max	0.00	-96.53	33	0.00	102	-0.11	33	0.00	102	2.49	97	0.00	97
0	-1095	-1652	Max	22.30	-95.29	33	0.00	102	-0.11	33	0.00	102	2.49	97	0.00	97
0	-1095	-1652	Min.	0.00	-135.53	97	0.00	97	-0.16	97	0.00	97	1.77	33	0.00	102
0	-1095	-1652	Min.	22.30	-133.86	97	0.00	97	-0.16	97	0.00	97	1.77	33	0.00	102
0	-920	-1670	Max	0.00	-95.50	1	0.00	49	0.00	1	0.00	102	0.00	97	0.00	102
0	-920	-1670	Max	22.30	-94.26	1	0.00	49	0.00	33	0.00	102	0.00	102	0.00	102
0	-920	-1670	Min.	0.00	-134.09	97	0.00	99	0.00	49	0.00	97	0.00	102	0.00	97
0	-920	-1670	Min.	22.30	-132.43	97	0.00	99	0.00	49	0.00	97	0.00	97	0.00	97
0	-1179	-1660	Max	0.00	-112.41	33	0.00	97	1.63	97	0.00	102	-1.93	33	0.00	97
0	-1179	-1660	Max	19.72					1.10	33			-1.93	33		
0	-1179	-1660	Max	22.30	-111.17	33	0.00	97	1.63	97	0.00	102	-1.93	33	0.00	97
0	-1179	-1660	Min.	0.00	-159.40	97	0.00	102	1.10	33	0.00	97	-2.75	97	0.00	102
0	-1179	-1660	Min.	19.72					1.63	97			-2.75	97		
0	-1179	-1660	Min.	22.30	-157.72	97	0.00	102	1.10	33	0.00	97	-2.75	97	0.00	102
0	-1216	-1686	Max	0.00	-150.01	33	0.00	97	-1.64	33	0.00	98	-0.00	33	0.00	102
0	-1216	-1686	Max	10.80					-1.64	33			-0.00	33		
0	-1216	-1686	Max	22.30	-148.77	33	0.00	97	-1.64	33	0.00	98	-0.00	33	0.00	102
0	-1216	-1686	Min.	0.00	-218.33	97	0.00	102	-2.34	97	0.00	33	-0.00	98	0.00	97
0	-1216	-1686	Min.	6.62					-2.34	98			-0.00	98		
0	-1216	-1686	Min.	22.30	-216.66	97	0.00	102	-2.34	97	0.00	33	-0.00	97	0.00	97
0	-835	-1423	Max	0.00	-48.36	1	0.00	49	-1.18	1	0.00	102	0.00	97	0.00	101
0	-835	-1423	Max	22.30	-47.12	1	0.00	49	-1.18	1	0.00	102	0.00	98	0.00	101
0	-835	-1423	Min.	0.00	-67.87	97	0.00	98	-1.66	97	0.00	97	0.00	33	0.00	98
0	-835	-1423	Min.	22.30	-66.20	97	0.00	98	-1.66	97	0.00	97	0.00	33	0.00	98
0	-879	-1626	Max	0.00	-96.06	1	0.00	100	0.00	1	0.00	102	0.00	97	0.00	97
0	-879	-1626	Max	22.30	-94.82	1	0.00	100	0.00	99	0.00	102	0.00	98	0.00	97
0	-879	-1626	Min.	0.00	-134.87	97	0.00	103	0.00	100	0.00	97	0.00	102	0.00	49
0	-879	-1626	Min.	22.30	-133.20	97	0.00	103	0.00	49	0.00	97	0.00	101	0.00	49
0	-965	-1635	Max	0.00	-94.95	1	0.00	33	0.00	99	0.00	102	0.00	97	0.00	1
0	-965	-1635	Max	22.30	-93.71	1	0.00	33	0.00	33	0.00	102	0.00	102	0.00	1
0	-965	-1635	Min.	0.00	-133.32	97	0.00	99	0.00	49	0.00	97	0.00	102	0.00	100
0	-965	-1635	Min.	22.30	-131.65	97	0.00	99	0.00	97	0.00	97	0.00	97	0.00	100
0	-1007	-1643	Max	0.00	-95.39	1	0.00	98	3.29	97	0.00	102	-0.01	33	0.00	102
0	-1007	-1643	Max	20.63					2.34	33			-0.01	33		
0	-1007	-1643	Max	22.30	-94.15	1	0.00	98	3.29	97	0.00	102	-0.01	33	0.00	102
0	-1007	-1643	Min.	0.00	-133.94	97	0.00	101	2.34	1	0.00	97	-0.01	97	0.00	97
0	-1007	-1643	Min.	20.63					3.29	97			-0.01	97		
0	-1007	-1643	Min.	22.30	-132.27	97	0.00	101	2.34	1	0.00	97	-0.01	97	0.00	97
0	-1096	-1651	Max	0.00	-94.82	33	0.00	102	-0.25	33	0.00	102	0.05	97	0.00	98
0	-1096	-1651	Max	22.30	-93.59	33	0.00	102	-0.25	33	0.00	102	0.05	97	0.00	98
0	-1096	-1651	Min.	0.00	-133.14	97	0.00	97	-0.36	97	0.00	97	0.04	33	0.00	101
0	-1096	-1651	Min.	22.30	-131.47	97	0.00	97	-0.36	97	0.00	97	0.04	33	0.00	101
0	-921	-1669	Max	0.00	-95.50	1	0.00	49	0.00	1	0.00	102	0.00	97	0.00	102
0	-921	-1669	Max	22.30	-94.26	1	0.00	49	0.00	33	0.00	102	0.00	102	0.00	102
0	-921	-1669	Min.	0.00	-134.09	97	0.00	99	0.00	49	0.00	97	0.00	102	0.00	97
0	-921	-1669	Min.	22.30	-132.43	97	0.00	99	0.00	49	0.00	97	0.00	97	0.00	97
0	-1181	-1659	Max	0.00	-112.81	33	0.00	97	1.66	97	0.00	102	2.70	97	0.00	102
0	-1181	-1659	Max	21.46					1.66	97			2.70	97		
0	-1181	-1659	Max	22.30	-111.57	33	0.00	97	1.66	97	0.00	102	2.70	97	0.00	102
0	-1181	-1659	Min.	0.00	-159.97	97	0.00	102	1.12	33	0.00	97	1.90	33	0.00	97
0	-1181	-1659	Min.	21.46					1.12	33			1.90	33		
0	-1181	-1659	Min.	22.30	-158.30	97	0.00	102	1.12	33	0.00	97	1.90	33	0.00	97
0	-1217	-1681	Max	0.00	-151.92	33	0.00	101	-1.32	33	0.00	97	-2.76	33	0.00	97
0	-1217	-1681	Max	22.30	-150.69	33	0.00	101	-1.32	33	0.00	97	-2.76	33	0.00	97
0	-1217	-1681	Min.	0.00	-221.05	97	0.00	98	-1.87	97	0.00	102	-4.02	97	0.00	102
0	-1217	-1681	Min.	22.30	-219.38	97	0.00	98	-1.87	97	0.00	102	-4.02	97	0.00	102
0	426	427	Max	0.00	-246.45	101	-73.53	101	121.04	98	0.05	102	-1.59	101	-0.15	49
0	426	427	Max	199.50	-246.45	101	-113.21	101	-117.89	101	0.05	102	-1.71	101	-0.15	49
0	426	427	Min.	0.00	-385.44	98	-126.32	98	68.39	101	-0.20	97	-2.40	98	-0.21	98
0	426	427	Min.	199.50	-385.44	98	-179.88	98	-184.39	98	-0.20	97	-2.58	98	-0.21	98
0	-880	-1418	Max	0.00	-48.64	1	0.00	98	0.00	1	0.00	102	0.00	97	0.00	100
0	-880	-1418	Max	22.30	-47.40	1	0.00	98	0.00	99	0.00	102	0.00	98	0.00	100
0	-880	-1418	Min.	0.00	-68.26	97	0.00	33	0.00	98	0.00	97	0.00	102	0.00	1

0	-880	-1418	Min.	22.30	-66.59	97	0.00	33	0.00	49	0.00	97	0.00	101	0.00	1
0	-966	-1634	Max	0.00	-94.95	1	0.00	33	0.00	99	0.00	102	0.00	97	0.00	1
0	-966	-1634	Max	22.30	-93.71	1	0.00	33	0.00	33	0.00	102	0.00	102	0.00	1
0	-966	-1634	Min.	0.00	-133.32	97	0.00	99	0.00	49	0.00	97	0.00	102	0.00	100
0	-966	-1634	Min.	22.30	-131.65	97	0.00	99	0.00	97	0.00	97	0.00	97	0.00	100
0	-1008	-1642	Max	0.00	-95.59	1	0.00	98	3.32	97	0.00	102	0.01	97	0.00	98
0	-1008	-1642	Max	20.91					3.32	97			0.01	97		
0	-1008	-1642	Max	22.30	-94.36	1	0.00	98	3.32	97	0.00	102	0.01	97	0.00	98
0	-1008	-1642	Min.	0.00	-134.23	97	0.00	101	2.36	1	0.00	97	0.00	33	0.00	101
0	-1008	-1642	Min.	21.18					2.36	33			0.00	33		
0	-1008	-1642	Min.	22.30	-132.56	97	0.00	101	2.36	1	0.00	97	0.00	33	0.00	101
0	-1097	-1650	Max	0.00	-95.33	1	0.00	102	-0.25	33	0.00	102	-0.02	33	0.00	98
0	-1097	-1650	Max	22.30	-94.09	1	0.00	102	-0.25	33	0.00	102	-0.02	33	0.00	98
0	-1097	-1650	Min.	0.00	-133.85	97	0.00	97	-0.35	97	0.00	97	-0.03	97	0.00	101
0	-1097	-1650	Min.	22.30	-132.18	97	0.00	97	-0.35	97	0.00	97	-0.03	97	0.00	101
0	-922	-1668	Max	0.00	-95.50	1	0.00	49	0.00	1	0.00	102	0.00	97	0.00	102
0	-922	-1668	Max	22.30	-94.26	1	0.00	49	0.00	33	0.00	102	0.00	102	0.00	102
0	-922	-1668	Min.	0.00	-134.09	97	0.00	99	0.00	49	0.00	97	0.00	102	0.00	97
0	-922	-1668	Min.	22.30	-132.43	97	0.00	99	0.00	49	0.00	97	0.00	97	0.00	97
0	-1182	-1658	Max	0.00	-109.14	33	0.00	97	1.49	97	0.00	102	0.08	97	0.00	102
0	-1182	-1658	Max	21.18					1.49	97			0.08	97		
0	-1182	-1658	Max	22.30	-107.90	33	0.00	97	1.49	97	0.00	102	0.08	97	0.00	102
0	-1182	-1658	Min.	0.00	-154.62	97	0.00	102	1.01	33	0.00	97	0.06	33	0.00	97
0	-1182	-1658	Min.	21.18					1.01	33			0.06	33		
0	-1182	-1658	Min.	22.30	-152.95	97	0.00	102	1.01	33	0.00	97	0.06	33	0.00	97
0	-1219	-1680	Max	0.00	-151.98	33	0.00	101	-1.33	33	0.00	97	3.96	97	0.00	98
0	-1219	-1680	Max	22.30	-150.74	33	0.00	101	-1.33	33	0.00	97	3.96	97	0.00	98
0	-1219	-1680	Min.	0.00	-221.12	97	0.00	98	-1.89	97	0.00	49	2.72	33	0.00	49
0	-1219	-1680	Min.	22.30	-219.45	97	0.00	98	-1.89	97	0.00	49	2.72	33	0.00	49
0	-967	-1633	Max	0.00	-94.95	1	0.00	104	0.00	99	0.00	102	0.00	97	0.00	1
0	-967	-1633	Max	22.30	-93.71	1	0.00	104	0.00	33	0.00	102	0.00	98	0.00	1
0	-967	-1633	Min.	0.00	-133.32	97	0.00	99	0.00	49	0.00	97	0.00	49	0.00	98
0	-967	-1633	Min.	22.30	-131.65	97	0.00	99	0.00	100	0.00	97	0.00	101	0.00	98
0	-1009	-1641	Max	0.00	-95.46	1	0.00	98	3.31	97	0.00	102	-0.00	33	0.00	98
0	-1009	-1641	Max	20.35					2.35	33			-0.00	33		
0	-1009	-1641	Max	22.30	-94.22	1	0.00	98	3.31	97	0.00	102	-0.00	33	0.00	98
0	-1009	-1641	Min.	0.00	-134.04	97	0.00	101	2.35	1	0.00	97	-0.00	98	0.00	101
0	-1009	-1641	Min.	20.35					3.31	97			-0.00	97		
0	-1009	-1641	Min.	22.30	-132.37	97	0.00	101	2.35	1	0.00	97	-0.00	97	0.00	101
0	-1098	-1649	Max	0.00	-95.67	33	0.00	102	-0.25	33	0.00	102	0.01	97	0.00	102
0	-1098	-1649	Max	22.30	-94.44	33	0.00	102	-0.25	33	0.00	102	0.01	97	0.00	102
0	-1098	-1649	Min.	0.00	-134.34	97	0.00	97	-0.35	97	0.00	97	0.01	33	0.00	97
0	-1098	-1649	Min.	22.30	-132.67	97	0.00	97	-0.35	97	0.00	97	0.01	33	0.00	97
0	-923	-1424	Max	0.00	-48.36	1	0.00	49	0.00	1	0.00	102	0.00	97	0.00	49
0	-923	-1424	Max	22.30	-47.13	1	0.00	49	0.00	33	0.00	102	0.00	102	0.00	49
0	-923	-1424	Min.	0.00	-67.87	97	0.00	33	0.00	49	0.00	97	0.00	102	0.00	1
0	-923	-1424	Min.	22.30	-66.20	97	0.00	33	0.00	49	0.00	97	0.00	97	0.00	1
0	-1183	-1657	Max	0.00	-109.88	33	0.00	97	1.43	97	0.00	102	-0.03	33	0.00	101
0	-1183	-1657	Max	21.18					0.97	33			-0.03	33		
0	-1183	-1657	Max	22.30	-108.64	33	0.00	97	1.43	97	0.00	102	-0.03	33	0.00	101
0	-1183	-1657	Min.	0.00	-155.69	97	0.00	102	0.97	33	0.00	97	-0.04	98	0.00	98
0	-1183	-1657	Min.	21.18					1.43	97			-0.04	97		
0	-1183	-1657	Min.	22.30	-154.02	97	0.00	102	0.97	33	0.00	97	-0.04	97	0.00	98
0	-1220	-1679	Max	0.00	-150.92	33	0.00	49	-1.67	33	0.00	98	0.08	97	0.00	97
0	-1220	-1679	Max	19.23					-2.38	97			0.08	97		
0	-1220	-1679	Max	22.30	-149.68	33	0.00	49	-1.67	33	0.00	98	0.08	97	0.00	97
0	-1220	-1679	Min.	0.00	-219.65	97	0.00	98	-2.38	97	0.00	101	0.05	33	0.00	49
0	-1220	-1679	Min.	21.46					-1.67	33			0.05	33		
0	-1220	-1679	Min.	22.30	-217.97	97	0.00	98	-2.38	97	0.00	101	0.05	33	0.00	49
0	-968	-1419	Max	0.00	-48.09	1	0.00	49	0.00	98	0.00	102	0.00	97	0.00	49
0	-968	-1419	Max	22.30	-46.85	1	0.00	49	0.00	33	0.00	102	0.00	98	0.00	49
0	-968	-1419	Min.	0.00	-67.49	97	0.00	98	0.00	49	0.00	97	0.00	102	0.00	99
0	-968	-1419	Min.	22.30	-65.82	97	0.00	98	0.00	100	0.00	97	0.00	101	0.00	99
0	-1010	-1640	Max	0.00	-95.51	1	0.00	98	3.31	97	0.00	98	0.00	97	0.00	98
0	-1010	-1640	Max	20.91					3.31	98			0.00	98		
0	-1010	-1640	Max	22.30	-94.28	1	0.00	98	3.31	97	0.00	98	0.00	98	0.00	98
0	-1010	-1640	Min.	0.00	-134.11	97	0.00	101	2.36	1	0.00	101	0.00	102	0.00	49
0	-1010	-1640	Min.	19.72					2.36	33			0.00	33		
0	-1010	-1640	Min.	22.30	-132.44	97	0.00	101	2.36	1	0.00	101	0.00	101	0.00	49
0	-1099	-1648	Max	0.00	-95.42	1	0.00	102	-0.25	33	0.00	102	-0.00	33	0.00	102
0	-1099	-1648	Max	21.18					-0.25	33			-0.00	33		
0	-1099	-1648	Max	22.30	-94.19	1	0.00	102	-0.25	33	0.00	102	-0.00	33	0.00	102
0	-1099	-1648	Min.	0.00	-133.99	97	0.00	97	-0.35	97	0.00	97	-0.00	98	0.00	97
0	-1099	-1648	Min.	1.88					-0.35	98			-0.00	98		
0	-1099	-1648	Min.	22.30	-132.32	97	0.00	97	-0.35	97	0.00	97	-0.00	97	0.00	97
0	-1184	-1656	Max	0.00	-110.45	33	0.00	97	1.46	97	0.00	102	0.02	97	0.00	97
0	-1184	-1656	Max	22.02					1.46	97			0.02	97		
0	-1184	-1656	Max	22.30	-109.21	33	0.00	97	1.46	97	0.00	102	0.02	97	0.00	97
0	-1184	-1656	Min.	0.00	-156.50	97	0.00	102	0.99	33	0.00	97	0.01	33	0.00	102

0	-1184	-1656	Min.	21.18					0.99	33			0.01	33		
0	-1184	-1656	Min.	22.30	-154.83	97	0.00	102	0.99	33	0.00	97	0.01	33	0.00	102
0	327	-1678	Max	0.00	-248.80	33	-1.29	101	0.39	98	208.79	98	-17.87	101	0.37	98
0	327	-1678	Max	22.30	-247.56	33	-1.29	101	0.02	102	208.79	98	15.49	98	0.37	98
0	327	-1678	Min.	0.00	-355.65	97	-1.91	98	0.20	101	122.70	101	-31.07	98	0.26	49
0	327	-1678	Min.	22.30	-353.98	97	-1.91	98	-0.14	97	122.70	101	9.49	101	0.26	49
0	-1011	-1420	Max	0.00	-48.36	1	0.00	98	1.66	97	0.00	98	0.00	97	0.00	98
0	-1011	-1420	Max	19.72					1.66	98			0.00	98		
0	-1011	-1420	Max	22.30	-47.12	1	0.00	98	1.66	97	0.00	98	0.00	98	0.00	98
0	-1011	-1420	Min.	0.00	-67.87	97	0.00	33	1.18	1	0.00	101	0.00	33	0.00	101
0	-1011	-1420	Min.	17.00					1.18	33			0.00	33		
0	-1011	-1420	Min.	22.30	-66.20	97	0.00	33	1.18	1	0.00	101	0.00	33	0.00	101
0	-1100	-1647	Max	0.00	-95.53	1	0.00	102	-0.25	33	0.00	98	0.00	97	0.00	33
0	-1100	-1647	Max	22.30	-94.29	1	0.00	102	-0.25	33	0.00	98	0.00	98	0.00	33
0	-1100	-1647	Min.	0.00	-134.13	97	0.00	97	-0.35	97	0.00	101	0.00	33	0.00	97
0	-1100	-1647	Min.	22.30	-132.46	97	0.00	97	-0.35	97	0.00	101	0.00	33	0.00	97
0	-1185	-1655	Max	0.00	-110.05	33	0.00	97	1.45	97	0.00	102	-0.00	33	0.00	97
0	-1185	-1655	Max	22.02					0.98	33			-0.00	33		
0	-1185	-1655	Max	22.30	-108.81	33	0.00	97	1.45	97	0.00	102	-0.00	33	0.00	97
0	-1185	-1655	Min.	0.00	-155.93	97	0.00	102	0.98	33	0.00	97	-0.01	98	0.00	102
0	-1185	-1655	Min.	20.91					1.45	97			-0.01	97		
0	-1185	-1655	Min.	22.30	-154.26	97	0.00	102	0.98	33	0.00	97	-0.01	97	0.00	102
0	-1221	-1677	Max	0.00	-152.33	33	0.00	102	-1.70	33	0.00	98	0.01	97	0.00	98
0	-1221	-1677	Max	22.30	-151.09	33	0.00	102	-1.70	33	0.00	98	0.01	98	0.00	98
0	-1221	-1677	Min.	0.00	-221.69	97	0.00	97	-2.43	97	0.00	101	0.01	33	0.00	101
0	-1221	-1677	Min.	22.30	-220.01	97	0.00	97	-2.43	97	0.00	101	0.01	33	0.00	101
0	427	-1678	Max	0.00	-53.51	33	208.79	98	-166.20	101	-1.29	101	0.07	97	0.37	98
0	427	-1678	Max	127.70	-96.58	33	208.79	98	-9.52	101	-1.29	101	-1.60	101	0.37	98
0	427	-1678	Min.	0.00	-75.98	97	122.70	101	-282.14	98	-1.91	98	0.05	33	0.26	49
0	427	-1678	Min.	127.70	-134.11	97	122.70	101	-15.52	98	-1.91	98	-2.37	98	0.26	49
0	-1101	-1421	Max	0.00	-48.36	1	0.00	49	-0.13	33	0.00	98	0.00	97	0.00	102
0	-1101	-1421	Max	22.30	-47.12	1	0.00	49	-0.13	33	0.00	98	0.00	98	0.00	102
0	-1101	-1421	Min.	0.00	-67.87	97	0.00	97	-0.18	97	0.00	101	0.00	33	0.00	97
0	-1101	-1421	Min.	22.30	-66.20	97	0.00	97	-0.18	97	0.00	101	0.00	33	0.00	97
0	-1186	-1654	Max	0.00	-110.21	33	0.00	97	1.45	97	0.00	102	0.00	97	0.00	97
0	-1186	-1654	Max	22.30	-108.98	33	0.00	97	1.45	97	0.00	102	0.00	97	0.00	97
0	-1186	-1654	Min.	0.00	-156.16	97	0.00	102	0.98	33	0.00	97	0.00	33	0.00	102
0	-1186	-1654	Min.	22.30	-154.49	97	0.00	102	0.98	33	0.00	97	0.00	33	0.00	102
0	-1222	-1676	Max	0.00	-152.15	33	0.00	102	-1.69	33	0.00	98	-0.00	33	0.00	102
0	-1222	-1676	Max	22.30	-150.91	33	0.00	102	-1.69	33	0.00	98	-0.00	33	0.00	102
0	-1222	-1676	Min.	0.00	-221.42	97	0.00	97	-2.42	97	0.00	49	-0.00	97	0.00	97
0	-1222	-1676	Min.	22.30	-219.75	97	0.00	97	-2.42	97	0.00	49	-0.00	97	0.00	97
0	-1187	-1422	Max	0.00	-55.69	33	0.00	99	0.73	97	0.00	102	0.00	97	0.00	97
0	-1187	-1422	Max	20.63					0.73	97			0.00	97		
0	-1187	-1422	Max	22.30	-54.46	33	0.00	99	0.73	97	0.00	102	0.00	98	0.00	97
0	-1187	-1422	Min.	0.00	-78.87	97	0.00	33	0.49	33	0.00	97	0.00	33	0.00	102
0	-1187	-1422	Min.	20.63					0.49	33			0.00	33		
0	-1187	-1422	Min.	22.30	-77.20	97	0.00	33	0.49	33	0.00	97	0.00	33	0.00	102
0	-1223	-1675	Max	0.00	-152.26	33	0.00	49	-1.70	33	0.00	97	0.00	33	0.00	101
0	-1223	-1675	Max	22.30	-151.03	33	0.00	49	-1.70	33	0.00	97	0.00	33	0.00	101
0	-1223	-1675	Min.	0.00	-221.59	97	0.00	97	-2.42	97	0.00	49	0.00	97	0.00	98
0	-1223	-1675	Min.	22.30	-219.92	97	0.00	97	-2.42	97	0.00	49	0.00	97	0.00	98
0	-1224	-1425	Max	0.00	-76.69	33	0.00	49	-0.85	33	0.00	97	0.02	97	0.00	102
0	-1224	-1425	Max	22.30	-75.46	33	0.00	49	-0.85	33	0.00	97	0.02	97	0.00	102
0	-1224	-1425	Min.	0.00	-111.55	97	0.00	97	-1.21	97	0.00	49	0.01	33	0.00	97
0	-1224	-1425	Min.	22.30	-109.88	97	0.00	97	-1.21	97	0.00	49	0.01	33	0.00	97
0	427	428	Max	0.00	-121.78	49	-58.01	101	97.75	98	1.82	98	-1.98	101	-0.10	49
0	427	428	Max	190.50	-121.78	49	-95.90	101	-98.28	101	1.82	98	0.51	98	-0.10	49
0	427	428	Min.	0.00	-176.66	100	-103.96	98	48.31	101	1.23	101	-2.95	98	-0.14	98
0	427	428	Min.	190.50	-176.66	100	-155.11	98	-149.01	98	1.23	101	0.36	49	-0.14	98
0	428	328	Max	0.00	-95.90	101	176.66	100	-98.28	101	1.82	98	0.14	98	0.51	98
0	428	328	Max	150.00	-146.48	101	176.66	100	122.79	97	1.82	98	2.86	98	0.51	98
0	428	328	Min.	0.00	-155.11	98	121.78	49	-149.01	98	1.23	101	0.10	49	0.36	49
0	428	328	Min.	150.00	-223.39	98	121.78	49	80.52	102	1.23	101	1.95	101	0.36	49
2	-1603	302	Max	0.00	-251.06	33	-125.03	102	15.74	97	1.06	97	-0.44	101	0.07	33
2	-1603	302	Max	22.30	-252.30	33	-125.03	102	-18.21	102	1.06	97	-0.27	101	0.07	33
2	-1603	302	Min.	0.00	-358.87	98	-212.13	97	9.67	102	0.70	102	-0.79	98	0.04	49
2	-1603	302	Min.	22.30	-360.54	98	-212.13	97	-31.57	97	0.70	102	-0.57	98	0.04	49
3	-1822	303	Max	0.00	-419.43	101	-286.74	102	25.07	97	-5.85	101	-8.46	101	0.25	97
3	-1822	303	Max	22.30	-420.66	101	-286.74	102	-46.79	33	-5.85	101	-9.77	101	0.25	97
3	-1822	303	Min.	0.00	-628.61	98	-417.52	97	17.13	102	-8.73	98	-12.56	98	0.18	49
3	-1822	303	Min.	22.30	-630.28	98	-417.52	97	-68.04	97	-8.73	98	-14.51	98	0.18	49
4	-1817	304	Max	0.00	-75.20	101	-276.03	101	26.95	98	4.45	97	3.70	97	0.28	98
4	-1817	304	Max	22.30	-76.44	101	-276.03	101	-43.82	101	4.45	97	4.69	97	0.28	98
4	-1817	304	Min.	0.00	-116.35	98	-419.41	98	17.73	101	3.12	102	2.59	102	0.19	49
4	-1817	304	Min.	22.30	-118.02	98	-419.41	98	-66.58	98	3.12	102	3.29	102	0.19	49
5	-1533	305	Max	0.00	182.97	99	12.42	97	0.82	102	4.67	99	4.65	100	0.01	33
5	-1533	305	Max	22.30	181.30	99	12.42	97	1.95	97	4.67	99	5.69	99	0.01	33
5	-1533	305	Min.	0.00	121.58	33	-12.42	102	-0.82	97	3.30	33	3.29	33	-0.01	49

5	-1533	305	Min.	22.30	120.34	33	-12.42	102	-1.95	102	3.30	33	4.02	33	-0.01	49
6	-1808	306	Max	0.00	-75.20	102	419.41	97	-17.73	102	4.45	98	3.70	98	-0.19	33
6	-1808	306	Max	22.30	-76.44	102	419.41	97	66.58	97	4.45	98	4.69	98	-0.19	33
6	-1808	306	Min.	0.00	-116.35	97	276.03	102	-26.95	97	3.12	101	2.59	101	-0.28	97
6	-1808	306	Min.	22.30	-118.02	97	276.03	102	43.82	102	3.12	101	3.29	101	-0.28	97
7	-1803	307	Max	0.00	-419.43	102	417.52	98	-17.13	101	-5.85	102	-8.46	102	-0.18	33
7	-1803	307	Max	22.30	-420.66	102	417.52	98	68.04	98	-5.85	102	-9.77	102	-0.18	33
7	-1803	307	Min.	0.00	-628.61	97	286.74	101	-25.07	98	-8.73	97	-12.56	97	-0.25	98
7	-1803	307	Min.	22.30	-630.28	97	286.74	101	46.81	101	-8.73	97	-14.51	97	-0.25	98
8	-1622	308	Max	0.00	-251.50	49	212.13	98	-9.67	101	1.06	98	-0.44	102	-0.04	33
8	-1622	308	Max	22.30	-252.73	49	212.13	98	31.57	98	1.06	98	-0.27	102	-0.04	33
8	-1622	308	Min.	0.00	-358.88	97	125.03	101	-15.74	98	0.70	101	-0.79	97	-0.06	49
8	-1622	308	Min.	22.30	-360.56	97	125.03	101	18.21	101	0.70	101	-0.57	97	-0.06	49
10	10	310	Max	0.00	-7330.77	101	-76.17	101	-157.53	101	0.00	98	0.00	97	-3.08	101
10	10	310	Max	20.00	-7327.44	101	-76.17	101	-172.77	101	0.00	98	0.00	98	-3.08	101
10	10	310	Min.	0.00	-10780.80	98	-113.43	98	-234.63	98	0.00	97	0.00	98	-4.58	98
10	10	310	Min.	20.00	-10776.30	98	-113.43	98	-257.31	98	0.00	97	0.00	97	-4.58	98
11	11	311	Max	0.00	-7330.77	102	-76.17	102	-157.53	102	0.00	1	0.00	1	4.58	97
11	11	311	Max	20.00	-7327.44	102	-76.17	102	-172.77	102	0.00	1	0.00	1	4.58	97
11	11	311	Min.	0.00	-10780.80	97	-113.43	97	-234.63	97	0.00	1	0.00	49	3.08	102
11	11	311	Min.	20.00	-10776.30	97	-113.43	97	-257.31	97	0.00	1	0.00	49	3.08	102
12	12	312	Max	0.00	-2849.89	101	7.19	98	14.64	98	0.00	33	0.00	33	0.27	98
12	12	312	Max	20.00	-2846.56	101	7.19	98	16.08	98	0.00	33	0.00	33	0.27	98
12	12	312	Min.	0.00	-4097.48	98	4.46	33	9.15	33	0.00	33	0.00	33	0.18	101
12	12	312	Min.	20.00	-4092.98	98	4.46	33	10.04	33	0.00	33	0.00	33	0.18	101
13	13	313	Max	0.00	-2849.89	102	7.19	97	14.64	97	0.00	33	0.00	49	-0.18	102
13	13	313	Max	20.00	-2846.56	102	7.19	97	16.08	97	0.00	33	0.00	49	-0.18	102
13	13	313	Min.	0.00	-4097.49	97	4.49	49	9.18	49	0.00	33	0.00	97	-0.27	97
13	13	313	Min.	20.00	-4092.98	97	4.49	49	10.08	49	0.00	33	0.00	97	-0.27	97
14	14	314	Max	0.00	-3734.11	101	0.34	49	0.58	49	0.00	98	0.00	97	-0.01	49
14	14	314	Max	20.00	-3730.78	101	0.34	49	0.65	49	0.00	98	0.00	98	-0.01	49
14	14	314	Min.	0.00	-5415.52	98	-0.48	33	-1.11	33	0.00	97	0.00	33	-0.01	99
14	14	314	Min.	20.00	-5411.02	98	-0.48	33	-1.20	33	0.00	97	0.00	101	-0.01	99
15	15	315	Max	0.00	-3734.11	102	0.36	33	0.60	33	0.00	1	0.00	97	0.01	99
15	15	315	Max	20.00	-3730.78	102	0.36	33	0.67	33	0.00	1	0.00	97	0.01	99
15	15	315	Min.	0.00	-5415.52	97	-0.46	49	-1.09	49	0.00	1	0.00	33	0.01	33
15	15	315	Min.	20.00	-5411.02	97	-0.46	49	-1.18	49	0.00	1	0.00	33	0.01	33
16	16	316	Max	0.00	-2850.08	101	-3.94	49	-8.28	49	0.00	98	0.00	33	-0.17	101
16	16	316	Max	20.00	-2846.75	101	-3.94	49	-9.07	49	0.00	98	0.00	102	-0.17	101
16	16	316	Min.	0.00	-4097.75	98	-6.38	98	-13.34	98	0.00	97	0.00	97	-0.26	98
16	16	316	Min.	20.00	-4093.25	98	-6.38	98	-14.62	98	0.00	97	0.00	97	-0.26	98
17	17	317	Max	0.00	-2850.08	102	-3.93	33	-8.27	33	0.00	1	0.00	33	0.26	97
17	17	317	Max	20.00	-2846.75	102	-3.93	33	-9.06	33	0.00	1	0.00	33	0.26	97
17	17	317	Min.	0.00	-4097.75	97	-6.38	97	-13.34	97	0.00	1	0.00	33	0.17	102
17	17	317	Min.	20.00	-4093.25	97	-6.38	97	-14.62	97	0.00	1	0.00	33	0.17	102
18	18	318	Max	0.00	-7255.56	101	111.38	98	230.07	98	0.00	98	0.00	49	4.48	98
18	18	318	Max	20.00	-7252.23	101	111.38	98	252.34	98	0.00	98	0.00	98	4.48	98
18	18	318	Min.	0.00	-10673.40	98	74.73	101	154.34	101	0.00	97	0.00	33	3.01	101
18	18	318	Min.	20.00	-10668.90	98	74.73	101	169.28	101	0.00	97	0.00	97	3.01	101
19	19	319	Max	0.00	-7255.56	102	111.38	97	230.07	97	0.00	98	0.00	97	-3.01	102
19	19	319	Max	20.00	-7252.23	102	111.38	97	252.34	97	0.00	98	0.00	98	-3.01	102
19	19	319	Min.	0.00	-10673.40	97	74.73	102	154.34	102	0.00	97	0.00	98	-4.48	97
19	19	319	Min.	20.00	-10668.90	97	74.73	102	169.28	102	0.00	97	0.00	97	-4.48	97
24	-1689	324	Max	0.00	178.68	100	12.41	97	0.82	102	-4.03	33	-4.05	33	0.01	33
24	-1689	324	Max	22.30	177.01	100	12.41	97	1.95	97	-4.03	33	-4.95	33	0.01	33
24	-1689	324	Min.	0.00	118.66	33	-12.41	102	-0.82	97	-5.71	100	-5.73	99	-0.01	49
24	-1689	324	Min.	22.30	117.42	33	-12.41	102	-1.95	102	-5.71	100	-7.00	100	-0.01	49
301	301	-582	Max	0.00	0.00	1	-2.44	33	5.42	98	316.48	97	0.00	1	-2.31	49
301	301	-582	Max	31.00	0.00	1	-2.44	33	4.30	98	303.63	97	96.12	97	-2.31	49
301	301	-582	Min.	0.00	0.00	1	-3.63	98	3.77	101	180.94	102	0.00	1	-3.30	97
301	301	-582	Min.	31.00	0.00	1	-3.63	98	2.96	49	171.42	102	54.62	102	-3.30	97
301	-582	-583	Max	0.00	0.00	98	-2.44	33	4.30	98	189.88	97	96.14	97	-1.61	49
301	-582	-583	Max	39.88	0.00	98	-2.44	33	2.85	98	173.35	97	168.55	97	-1.61	49
301	-582	-583	Min.	0.00	0.00	49	-3.63	98	2.96	49	93.19	102	54.63	102	-2.30	97
301	-582	-583	Min.	39.88	0.00	49	-3.63	98	1.92	49	80.94	102	89.35	102	-2.30	97
301	-583	-584	Max	0.00	0.00	98	-2.44	33	2.85	98	-29.44	101	168.55	97	-0.23	49
301	-583	-584	Max	39.87	0.00	98	-2.44	33	1.41	98	-41.68	101	144.25	97	-0.23	49
301	-583	-584	Min.	0.00	0.00	49	-3.63	98	1.92	49	-97.66	98	89.35	102	-0.33	97
301	-583	-584	Min.	39.87	0.00	49	-3.63	98	0.88	49	-114.19	98	57.23	102	-0.33	97
301	-584	-585	Max	0.00	0.00	98	-2.44	33	1.41	98	-196.91	101	144.25	97	1.67	98
301	-584	-585	Max	39.88	0.00	98	-2.44	33	0.14	33	-209.15	101	26.09	101	1.67	98
301	-584	-585	Min.	0.00	0.00	49	-3.63	98	0.88	49	-340.01	98	57.22	102	1.14	33
301	-584	-585	Min.	39.88	0.00	49	-3.63	98	-0.16	49	-356.54	98	-44.45	98	1.14	33
301	-585	302	Max	0.00	0.00	97	-2.44	33	0.14	33	-364.58	101	26.10	101	3.66	98
301	-585	302	Max	39.88	0.00	97	-2.44	33	-0.83	33	-376.83	101	-121.72	101	3.66	98
301	-585	302	Min.	0.00	0.00	49	-3.63	98	-0.16	49	-582.65	98	-44.44	98	2.53	33
301	-585	302	Min.	39.88	0.00	49	-3.63	98	-1.48	98	-599.18	98	-280.07	98	2.53	33
301	302	-586	Max	0.00	212.13	97	-3.17	33	-0.90	33	-630.70	101	-144.35	101	4.23	98
301	302	-586	Max	39.88	212.13	97	-3.17	33	-2.17	33	-642.94	101	-398.28	101	4.23	98

301	302	-586	Min.	0.00	125.03	102	-4.65	97	-1.54	98	-959.72	98	-307.22	98	2.80	101
301	302	-586	Min.	39.88	125.03	102	-4.65	97	-3.39	97	-976.25	98	-693.20	98	2.80	101
301	-586	-587	Max	0.00	212.13	97	-3.17	33	-2.17	33	-796.96	101	-398.21	101	6.15	98
301	-586	-587	Max	39.88	212.13	97	-3.17	33	-3.44	33	-809.20	101	-718.44	101	6.15	98
301	-586	-587	Min.	0.00	125.03	102	-4.65	97	-3.39	97	-1200.32	98	-693.10	98	4.15	101
301	-586	-587	Min.	39.88	125.03	102	-4.65	97	-5.24	97	-1216.85	98	-1175.03	98	4.15	101
301	-587	-588	Max	0.00	212.13	97	-3.17	33	-3.44	33	-964.34	101	-715.68	101	7.64	98
301	-587	-588	Max	19.94	212.13	97	-3.17	33	-4.07	33	-970.46	101	-908.55	101	7.64	98
301	-587	-588	Min.	0.00	125.03	102	-4.65	97	-5.24	97	-1442.48	98	-1171.00	98	5.20	101
301	-587	-588	Min.	19.94	125.03	102	-4.65	97	-6.17	97	-1450.74	98	-1459.42	98	5.20	101
301	-588	-589	Max	0.00	212.13	97	-3.17	33	-4.07	33	-970.46	101	-908.55	101	7.64	98
301	-588	-589	Max	19.94	212.13	97	-3.17	33	-4.70	33	-976.59	101	-1102.64	101	7.64	98
301	-588	-589	Min.	0.00	125.03	102	-4.65	97	-6.17	97	-1450.74	98	-1459.41	98	5.20	101
301	-588	-589	Min.	19.94	125.03	102	-4.65	97	-7.10	97	-1459.01	98	-1749.48	98	5.20	101
301	-589	-590	Max	0.00	212.13	97	-3.17	33	-4.70	33	-1131.64	101	-1105.45	101	9.11	98
301	-589	-590	Max	39.88	212.13	97	-3.17	33	-5.97	33	-1143.89	101	-1559.14	101	9.11	98
301	-589	-590	Min.	0.00	125.03	102	-4.65	97	-7.10	97	-1684.52	98	-1753.57	98	6.25	101
301	-589	-590	Min.	39.88	125.03	102	-4.65	97	-8.95	97	-1701.05	98	-2428.56	98	6.25	101
301	-590	303	Max	0.00	196.38	97	-1.07	101	-5.10	49	2593.77	98	-1559.39	101	-13.79	101
301	-590	303	Max	40.00	196.38	97	-1.07	101	-5.58	49	2577.19	98	-861.17	101	-13.79	101
301	-590	303	Min.	0.00	114.19	102	-1.95	98	-7.39	97	1751.69	101	-2428.95	98	-20.29	98
301	-590	303	Min.	40.00	114.19	102	-1.95	98	-8.11	98	1739.41	101	-1394.76	98	-20.29	98
301	303	-591	Max	0.00	613.90	97	6.78	98	-5.77	49	1946.91	98	-908.59	101	-4.03	101
301	303	-591	Max	20.00	613.90	97	6.78	98	-4.82	49	1938.62	98	-645.45	101	-4.03	101
301	303	-591	Min.	0.00	400.93	102	4.74	49	-8.36	98	1318.75	101	-1462.18	98	-5.78	98
301	303	-591	Min.	20.00	400.93	102	4.74	49	-7.01	98	1312.61	101	-1073.63	98	-5.78	98
301	-591	-592	Max	0.00	613.90	97	6.78	98	-4.82	49	1938.62	98	-645.45	101	-4.03	101
301	-591	-592	Max	20.00	613.90	97	6.78	98	-3.87	49	1930.33	98	-383.54	101	-4.03	101
301	-591	-592	Min.	0.00	400.93	102	4.74	49	-7.01	98	1312.60	101	-1073.63	98	-5.78	98
301	-591	-592	Min.	20.00	400.93	102	4.74	49	-5.65	98	1306.46	101	-686.74	98	-5.78	98
301	-592	-593	Max	0.00	613.90	97	6.78	98	-3.87	49	1703.99	98	-386.32	101	-2.97	101
301	-592	-593	Max	40.00	613.90	97	6.78	98	-1.97	49	1687.41	98	82.67	97	-2.97	101
301	-592	-593	Min.	0.00	400.93	102	4.74	49	-5.65	98	1150.83	101	-690.78	98	-4.28	98
301	-592	-593	Min.	40.00	400.93	102	4.74	49	-2.94	98	1138.55	101	-23.62	102	-4.28	98
301	-593	-594	Max	0.00	613.90	97	6.78	98	-1.97	49	1462.65	98	82.57	97	-1.62	101
301	-593	-594	Max	40.00	613.90	97	6.78	98	-0.07	49	1446.07	98	648.49	97	-1.62	101
301	-593	-594	Min.	0.00	400.93	102	4.74	49	-2.94	98	984.06	101	-23.69	102	-2.36	98
301	-593	-594	Min.	40.00	400.93	102	4.74	49	-0.23	33	971.78	101	383.30	102	-2.36	98
301	-594	-595	Max	0.00	613.90	97	6.78	98	-0.07	49	1219.52	98	648.53	97	-0.23	101
301	-594	-595	Max	40.00	613.90	97	6.78	98	2.52	97	1202.94	98	1117.20	97	-0.23	101
301	-594	-595	Min.	0.00	400.93	102	4.74	49	-0.23	33	816.05	101	383.32	102	-0.38	98
301	-594	-595	Min.	40.00	400.93	102	4.74	49	1.69	33	803.77	101	723.11	102	-0.38	98
301	-595	304	Max	0.00	613.90	97	6.78	98	2.52	97	975.97	98	1117.20	97	1.66	97
301	-595	304	Max	40.00	613.90	97	6.78	98	5.23	97	959.39	98	1488.45	97	1.66	97
301	-595	304	Min.	0.00	400.93	102	4.74	49	1.69	33	647.75	101	723.11	102	1.13	102
301	-595	304	Min.	40.00	400.93	102	4.74	49	3.61	33	635.46	101	995.57	102	1.13	102
301	304	-596	Max	0.00	1014.81	97	2.35	98	4.95	97	841.36	98	1424.81	97	-2.14	49
301	304	-596	Max	40.00	1014.81	97	2.35	98	5.88	97	824.78	98	1746.35	97	-2.14	49
301	304	-596	Min.	0.00	695.46	102	1.62	49	3.40	33	559.03	101	948.81	102	-3.04	98
301	304	-596	Min.	40.00	695.46	102	1.62	49	4.08	33	546.74	101	1181.65	102	-3.04	98
301	-596	-597	Max	0.00	1014.81	97	2.35	98	5.88	97	600.01	98	1746.44	97	-0.79	49
301	-596	-597	Max	40.00	1014.81	97	2.35	98	6.81	97	583.43	98	1971.44	97	-0.79	49
301	-596	-597	Min.	0.00	695.46	102	1.62	49	4.08	33	392.25	101	1181.72	102	-1.12	98
301	-596	-597	Min.	40.00	695.46	102	1.62	49	4.75	33	379.96	101	1347.85	102	-1.12	98
301	-597	-1302	Max	0.00	1014.81	97	2.35	98	6.81	97	357.96	98	1975.59	97	0.37	97
301	-597	-1302	Max	20.00	1014.81	97	2.35	98	7.27	97	349.67	98	2040.51	97	0.37	97
301	-597	-1302	Min.	0.00	695.46	102	1.62	49	4.75	33	224.94	101	1350.70	102	0.24	33
301	-597	-1302	Min.	20.00	695.46	102	1.62	49	5.09	33	218.80	101	1400.92	102	0.24	33
301	-1302	-598	Max	0.00	1014.81	97	2.35	98	7.27	97	349.67	98	2040.51	97	0.37	97
301	-1302	-598	Max	20.00	1014.81	97	2.35	98	7.74	97	341.38	98	2103.77	97	0.37	97
301	-1302	-598	Min.	0.00	695.46	102	1.62	49	5.09	33	218.80	101	1400.92	102	0.24	33
301	-1302	-598	Min.	20.00	695.46	102	1.62	49	5.43	33	212.66	101	1448.63	33	0.24	33
301	-598	-1304	Max	0.00	1014.81	97	2.35	98	7.74	97	116.31	98	2103.90	97	1.30	97
301	-598	-1304	Max	20.00	1014.81	97	2.35	98	8.20	97	108.02	98	2120.49	97	1.30	97
301	-598	-1304	Min.	0.00	695.46	102	1.62	49	5.43	33	57.89	101	1448.69	33	0.91	33
301	-598	-1304	Min.	20.00	695.46	102	1.62	49	5.76	33	51.75	101	1461.88	33	0.91	33
301	-1304	-599	Max	0.00	1014.81	97	2.35	98	8.20	97	108.02	98	2120.49	97	1.30	97
301	-1304	-599	Max	20.00	1014.81	97	2.35	98	8.67	99	99.73	98	2135.42	97	1.30	97
301	-1304	-599	Min.	0.00	695.46	102	1.62	49	5.76	33	51.75	101	1461.88	33	0.91	33
301	-1304	-599	Min.	20.00	695.46	102	1.62	49	6.10	33	45.60	101	1473.84	33	0.91	33
301	-599	305	Max	0.00	1014.81	97	2.35	98	8.67	99	-40.39	102	2131.37	97	2.85	97
301	-599	305	Max	20.00	1014.81	97	2.35	98	9.14	98	-46.53	102	2113.10	98	2.85	97
301	-599	305	Min.	0.00	695.46	102	1.62	49	6.10	33	-96.97	97	1471.17	33	2.00	33
301	-599	305	Min.	20.00	695.46	102	1.62	49	6.44	49	-105.26	97	1459.19	33	2.00	33
301	305	-600	Max	0.00	1014.81	98	-1.61	33	9.14	97	105.26	98	2113.10	97	-2.01	49
301	305	-600	Max	20.00	1014.81	98	-1.61	33	8.67	99	96.97	98	2131.37	98	-2.01	49
301	305	-600	Min.	0.00	695.46	101	-2.35	97	6.43	33	46.53	101	1459.66	33	-2.85	98
301	305	-600	Min.	20.00	695.46	101	-2.35	97	6.11	33	40.39	101	1470.52	33	-2.85	98
301	-600	-1306	Max	0.00	1014.81	98	-1.61	33	8.67	99	-45.60	102	2135.42	98	-0.91	49

301	-600	-1306	Max	20.00	1014.81	98	-1.61	33	8.20	98	-51.75	102	2120.49	98	-0.91	49
301	-600	-1306	Min.	0.00	695.46	101	-2.35	97	6.11	33	-99.73	97	1473.18	33	-1.30	98
301	-600	-1306	Min.	20.00	695.46	101	-2.35	97	5.77	49	-108.02	97	1460.10	33	-1.30	98
301	-1306	-601	Max	0.00	1014.81	98	-1.61	33	8.20	98	-51.75	102	2120.49	98	-0.91	49
301	-1306	-601	Max	20.00	1014.81	98	-1.61	33	7.74	98	-57.89	102	2103.90	98	-0.91	49
301	-1306	-601	Min.	0.00	695.46	101	-2.35	97	5.77	49	-108.02	97	1460.10	33	-1.30	98
301	-1306	-601	Min.	20.00	695.46	101	-2.35	97	5.43	49	-116.31	97	1445.80	33	-1.30	98
301	-601	-1308	Max	0.00	1014.81	98	-1.61	33	7.74	98	-212.66	102	2103.77	98	-0.24	49
301	-601	-1308	Max	20.00	1014.81	98	-1.61	33	7.27	98	-218.80	102	2040.51	98	-0.24	49
301	-601	-1308	Min.	0.00	695.46	101	-2.35	97	5.43	49	-341.38	97	1445.73	33	-0.37	98
301	-601	-1308	Min.	20.00	695.46	101	-2.35	97	5.10	49	-349.67	97	1399.91	33	-0.37	98
301	-1308	-602	Max	0.00	1014.81	98	-1.61	33	7.27	98	-218.80	102	2040.51	98	-0.24	49
301	-1308	-602	Max	20.00	1014.81	98	-1.61	33	6.81	98	-224.94	102	1975.59	98	-0.24	49
301	-1308	-602	Min.	0.00	695.46	101	-2.35	97	5.10	49	-349.67	97	1399.91	33	-0.37	98
301	-1308	-602	Min.	20.00	695.46	101	-2.35	97	4.76	49	-357.96	97	1350.70	101	-0.37	98
301	-602	-603	Max	0.00	1014.81	98	-1.61	33	6.81	98	-379.96	102	1971.44	98	1.12	97
301	-602	-603	Max	40.00	1014.81	98	-1.61	33	5.88	98	-392.25	102	1746.44	98	1.12	97
301	-602	-603	Min.	0.00	695.46	101	-2.35	97	4.76	49	-583.43	97	1347.85	101	0.79	33
301	-602	-603	Min.	40.00	695.46	101	-2.35	97	4.08	49	-600.01	97	1181.72	101	0.79	33
301	-603	306	Max	0.00	1014.81	98	-1.61	33	5.88	98	-546.74	102	1746.35	98	3.04	97
301	-603	306	Max	40.00	1014.81	98	-1.61	33	4.95	98	-559.03	102	1424.81	98	3.04	97
301	-603	306	Min.	0.00	695.46	101	-2.35	97	4.08	49	-824.78	97	1181.65	101	2.13	33
301	-603	306	Min.	40.00	695.46	101	-2.35	97	3.41	49	-841.36	97	948.81	101	2.13	33
301	306	-604	Max	0.00	613.90	98	-4.73	33	5.23	98	-635.46	102	1488.45	98	-1.13	101
301	306	-604	Max	40.00	613.90	98	-4.73	33	2.52	98	-647.75	102	1117.20	98	-1.13	101
301	306	-604	Min.	0.00	400.93	101	-6.78	97	3.62	49	-959.39	97	995.57	101	-1.66	98
301	306	-604	Min.	40.00	400.93	101	-6.78	97	1.69	49	-975.97	97	723.11	101	-1.66	98
301	-604	-605	Max	0.00	613.90	98	-4.73	33	2.52	98	-803.77	102	1117.20	98	0.38	97
301	-604	-605	Max	40.00	613.90	98	-4.73	33	-0.07	33	-816.05	102	648.53	98	0.38	97
301	-604	-605	Min.	0.00	400.93	101	-6.78	97	1.69	49	-1202.94	97	723.11	101	0.23	102
301	-604	-605	Min.	40.00	400.93	101	-6.78	97	-0.23	49	-1219.52	97	383.32	101	0.23	102
301	-605	-606	Max	0.00	613.90	98	-4.73	33	-0.07	33	-971.78	102	648.50	98	2.36	97
301	-605	-606	Max	40.00	613.90	98	-4.73	33	-1.97	33	-984.06	102	82.57	98	2.36	97
301	-605	-606	Min.	0.00	400.93	101	-6.78	97	-0.23	49	-1446.07	97	383.30	101	1.62	102
301	-605	-606	Min.	40.00	400.93	101	-6.78	97	-2.94	97	-1462.65	97	-23.69	101	1.62	102
301	-606	-607	Max	0.00	613.90	98	-4.73	33	-1.97	33	-1138.55	102	82.67	98	4.28	97
301	-606	-607	Max	40.00	613.90	98	-4.73	33	-3.86	33	-1150.83	102	-386.32	102	4.28	97
301	-606	-607	Min.	0.00	400.93	101	-6.78	97	-2.94	97	-1687.41	97	-23.62	101	2.97	102
301	-606	-607	Min.	40.00	400.93	101	-6.78	97	-5.65	97	-1703.99	97	-690.78	97	2.97	102
301	-607	-608	Max	0.00	613.90	98	-4.73	33	-3.86	33	-1306.46	102	-383.54	102	5.78	97
301	-607	-608	Max	20.00	613.90	98	-4.73	33	-4.81	33	-1312.60	102	-645.45	102	5.78	97
301	-607	-608	Min.	0.00	400.93	101	-6.78	97	-5.65	97	-1930.33	97	-686.74	97	4.03	102
301	-607	-608	Min.	20.00	400.93	101	-6.78	97	-7.01	97	-1938.62	97	-1073.63	97	4.03	102
301	-608	307	Max	0.00	613.90	98	-4.73	33	-4.81	33	-1312.60	102	-645.45	102	5.78	97
301	-608	307	Max	20.00	613.90	98	-4.73	33	-5.75	33	-1318.75	102	-908.59	102	5.78	97
301	-608	307	Min.	0.00	400.93	101	-6.78	97	-7.01	97	-1938.62	97	-1073.63	97	4.03	102
301	-608	307	Min.	20.00	400.93	101	-6.78	97	-8.36	97	-1946.91	97	-1462.19	97	4.03	102
301	307	-609	Max	0.00	196.38	98	1.95	97	-5.57	33	-1739.41	102	-861.17	102	20.29	97
301	307	-609	Max	40.00	196.38	98	1.95	97	-5.08	33	-1751.69	102	-1559.39	102	20.29	97
301	307	-609	Min.	0.00	114.19	101	1.07	102	-8.11	97	-2577.19	97	-1394.76	97	13.79	102
301	307	-609	Min.	40.00	114.19	101	1.07	102	-7.39	98	-2593.77	97	-2428.95	97	13.79	102
301	-609	-610	Max	0.00	212.13	98	4.65	98	-5.97	49	1701.04	97	-1559.14	102	-6.25	102
301	-609	-610	Max	39.88	212.13	98	4.65	98	-4.70	49	1684.51	97	-1105.46	102	-6.25	102
301	-609	-610	Min.	0.00	125.03	101	3.18	49	-8.95	98	1143.88	102	-2428.56	97	-9.11	97
301	-609	-610	Min.	39.88	125.03	101	3.18	49	-7.10	98	1131.63	102	-1753.57	97	-9.11	97
301	-610	-611	Max	0.00	212.13	98	4.65	98	-4.70	49	1458.99	97	-1102.59	102	-5.20	102
301	-610	-611	Max	19.94	212.13	98	4.65	98	-4.07	49	1450.73	97	-908.50	102	-5.20	102
301	-610	-611	Min.	0.00	125.03	101	3.18	49	-7.10	98	976.57	102	-1749.40	97	-7.64	97
301	-610	-611	Min.	19.94	125.03	101	3.18	49	-6.17	98	970.45	102	-1459.34	97	-7.64	97
301	-611	-612	Max	0.00	212.13	98	4.65	98	-4.07	49	1450.73	97	-908.57	102	-5.20	102
301	-611	-612	Max	19.94	212.13	98	4.65	98	-3.44	49	1442.46	97	-715.70	102	-5.20	102
301	-611	-612	Min.	0.00	125.03	101	3.18	49	-6.17	98	970.45	102	-1459.45	97	-7.64	97
301	-611	-612	Min.	19.94	125.03	101	3.18	49	-5.24	98	964.33	102	-1171.04	97	-7.64	97
301	-612	-613	Max	0.00	212.13	98	4.65	98	-3.44	49	1216.85	97	-718.44	102	-4.15	102
301	-612	-613	Max	39.88	212.13	98	4.65	98	-2.17	49	1200.32	97	-398.21	102	-4.15	102
301	-612	-613	Min.	0.00	125.03	101	3.18	49	-5.24	98	809.20	102	-1175.03	97	-6.15	97
301	-612	-613	Min.	39.88	125.03	101	3.18	49	-3.39	98	796.96	102	-693.10	97	-6.15	97
301	-613	308	Max	0.00	212.13	98	4.65	98	-2.17	49	976.26	97	-398.32	102	-2.80	102
301	-613	308	Max	39.88	212.13	98	4.65	98	-0.90	49	959.73	97	-144.38	102	-2.80	102
301	-613	308	Min.	0.00	125.03	101	3.18	49	-3.39	98	642.95	102	-693.26	97	-4.23	97
301	-613	308	Min.	39.88	125.03	101	3.18	49	-1.54	97	630.70	102	-307.27	97	-4.23	97
301	308	-614	Max	0.00	0.00	98	3.63	97	-0.84	49	599.17	97	-121.72	102	-2.53	49
301	308	-614	Max	39.88	0.00	98	3.63	97	0.14	49	582.64	97	26.10	102	-2.53	49
301	308	-614	Min.	0.00	0.00	33	2.45	49	-1.48	97	376.82	102	-280.08	97	-3.66	97
301	308	-614	Min.	39.88	0.00	33	2.45	49	-0.16	33	364.57	102	-44.45	97	-3.66	97
301	-614	-615	Max	0.00	0.00	97	3.63	97	0.14	49	356.53	97	26.11	102	-1.14	49
301	-614	-615	Max	39.88	0.00	97	3.63	97	1.41	97	340.00	97	144.26	98	-1.14	49
301	-614	-615	Min.	0.00	0.00	33	2.45	49	-0.16	33	209.14	102	-44.43	97	-1.67	97
301	-614	-615	Min.	39.88	0.00	33	2.45	49	0.88	33	196.90	102	57.23	101	-1.67	97

301	-615	-616	Max	0.00	0.00	97	3.63	97	1.41	97	114.18	97	144.25	98	0.33	98
301	-615	-616	Max	39.87	0.00	97	3.63	97	2.85	97	97.65	97	168.55	98	0.33	98
301	-615	-616	Min.	0.00	0.00	33	2.45	49	0.88	33	41.67	102	57.22	101	0.22	33
301	-615	-616	Min.	39.87	0.00	33	2.45	49	1.92	33	29.43	102	89.34	101	0.22	33
301	-616	-617	Max	0.00	0.00	97	3.63	97	2.85	97	-80.95	101	168.55	98	2.30	98
301	-616	-617	Max	39.88	0.00	97	3.63	97	4.30	97	-93.19	101	96.13	98	2.30	98
301	-616	-617	Min.	0.00	0.00	33	2.45	49	1.92	33	-173.36	98	89.35	101	1.61	33
301	-616	-617	Min.	39.88	0.00	33	2.45	49	2.96	33	-189.89	98	54.63	101	1.61	33
301	-617	309	Max	0.00	0.00	1	3.63	97	4.30	97	-171.42	101	96.12	98	3.30	98
301	-617	309	Max	31.00	0.00	1	3.63	97	5.42	97	-180.94	101	0.00	98	3.30	98
301	-617	309	Min.	0.00	0.00	1	2.45	49	2.96	33	-303.63	98	54.62	101	2.30	33
301	-617	309	Min.	31.00	0.00	1	2.45	49	3.77	102	-316.48	98	0.00	101	2.30	33
302	-618	-619	Max	0.00	0.00	1	-0.11	33	0.91	97	83.47	97	0.00	1	6.78	98
302	-618	-619	Max	31.00	0.00	1	-0.11	33	0.79	100	70.62	97	23.88	97	6.78	98
302	-618	-619	Min.	0.00	0.00	1	-0.45	49	0.58	33	20.34	102	0.00	1	4.57	101
302	-618	-619	Min.	31.00	0.00	1	-0.45	49	0.54	33	10.82	102	4.83	102	4.57	101
302	-619	-620	Max	0.00	0.00	101	-0.11	33	0.79	100	1.02	101	23.88	97	6.10	98
302	-619	-620	Max	3.13					0.57	101			19.07	101		
302	-619	-620	Max	39.88	0.00	101	-0.11	33	0.64	98	-11.23	101	17.29	97	6.10	98
302	-619	-620	Min.	0.00	0.00	98	-0.45	49	0.54	33	-54.15	98	4.83	102	4.11	101
302	-619	-620	Min.	3.13					0.57	101			19.07	101		
302	-619	-620	Min.	39.88	0.00	98	-0.45	49	0.43	49	-70.68	98	-15.50	102	4.11	101
302	-620	-621	Max	0.00	0.00	101	-0.11	33	0.64	98	-121.44	101	17.30	97	4.75	98
302	-620	-621	Max	39.87	0.00	101	-0.11	33	0.49	98	-133.69	101	-33.84	101	4.75	98
302	-620	-621	Min.	0.00	0.00	98	-0.45	49	0.43	49	-226.85	98	-15.50	102	3.20	101
302	-620	-621	Min.	39.87	0.00	98	-0.45	49	0.26	49	-243.38	98	-108.98	98	3.20	101
302	-621	-622	Max	0.00	0.00	101	-0.11	33	0.49	98	-243.74	101	-33.85	101	3.39	98
302	-621	-622	Max	39.88	0.00	101	-0.11	33	0.41	33	-255.98	101	-133.48	101	3.39	98
302	-621	-622	Min.	0.00	0.00	98	-0.45	49	0.26	49	-399.31	98	-108.99	98	2.28	101
302	-621	-622	Min.	39.88	0.00	98	-0.45	49	0.08	49	-415.84	98	-271.51	98	2.28	101
302	-622	-623	Max	0.00	0.00	101	-0.11	33	0.41	33	-366.44	101	-133.47	101	2.02	98
302	-622	-623	Max	39.88	0.00	101	-0.11	33	0.37	33	-378.68	101	-282.02	101	2.02	98
302	-622	-623	Min.	0.00	0.00	98	-0.45	49	0.08	49	-572.34	98	-271.49	98	1.36	101
302	-622	-623	Min.	39.88	0.00	98	-0.45	49	-0.10	49	-588.87	98	-503.00	98	1.36	101
302	-623	-624	Max	0.00	0.00	101	-0.11	33	0.37	33	-488.54	101	-282.06	101	0.69	98
302	-623	-624	Max	39.88	0.00	101	-0.11	33	0.32	33	-500.79	101	-479.30	101	0.69	98
302	-623	-624	Min.	0.00	0.00	98	-0.45	49	-0.10	49	-744.52	98	-503.05	98	0.46	101
302	-623	-624	Min.	39.88	0.00	98	-0.45	49	-0.28	49	-761.05	98	-803.22	98	0.46	101
302	-624	-625	Max	0.00	0.00	101	-0.11	33	0.32	33	-609.95	101	-479.24	101	-0.44	33
302	-624	-625	Max	39.88	0.00	101	-0.11	33	0.27	33	-622.19	101	-724.90	101	-0.44	33
302	-624	-625	Min.	0.00	0.00	98	-0.45	49	-0.28	49	-915.71	98	-803.14	98	-0.74	97
302	-624	-625	Min.	39.88	0.00	98	-0.45	49	-0.45	49	-932.24	98	-1171.58	98	-0.74	97
302	-625	-626	Max	0.00	0.00	101	-0.11	33	0.27	33	-734.98	101	-722.99	101	-1.50	102
302	-625	-626	Max	19.94	0.00	101	-0.11	33	0.25	33	-741.11	101	-870.13	101	-1.50	102
302	-625	-626	Min.	0.00	0.00	98	-0.45	49	-0.45	49	-1092.18	98	-1168.86	98	-2.31	97
302	-625	-626	Min.	19.94	0.00	98	-0.45	49	-0.54	49	-1100.45	98	-1387.44	98	-2.31	97
302	-626	-627	Max	0.00	0.00	101	-0.11	33	0.25	33	-741.11	101	-870.13	101	-1.50	102
302	-626	-627	Max	19.94	0.00	101	-0.11	33	0.23	33	-747.23	101	-1018.50	101	-1.50	102
302	-626	-627	Min.	0.00	0.00	98	-0.45	49	-0.54	49	-1100.45	98	-1387.43	98	-2.31	97
302	-626	-627	Min.	19.94	0.00	98	-0.45	49	-0.63	49	-1108.71	98	-1607.66	98	-2.31	97
302	-627	310	Max	0.00	0.00	101	-0.11	33	0.23	33	-859.59	101	-1020.45	101	-2.50	33
302	-627	310	Max	39.88	0.00	101	-0.11	33	0.18	33	-871.84	101	-1365.66	101	-2.50	33
302	-627	310	Min.	0.00	0.00	98	-0.45	49	-0.63	49	-1268.05	98	-1610.43	98	-3.86	97
302	-627	310	Min.	39.88	0.00	98	-0.45	49	-0.81	49	-1284.58	98	-2119.36	98	-3.86	97
302	310	-628	Max	0.00	14.81	100	0.06	33	0.23	49	1767.33	98	-1365.51	101	13.76	97
302	310	-628	Max	40.00	14.81	100	0.06	33	0.21	49	1750.74	98	-879.83	101	13.76	97
302	310	-628	Min.	0.00	10.03	33	-0.06	49	-0.25	33	1220.34	101	-2119.14	98	9.03	33
302	310	-628	Min.	40.00	10.03	33	-0.06	49	-0.23	33	1208.05	101	-1415.52	98	9.03	33
302	-628	-629	Max	0.00	14.81	100	0.06	33	0.21	49	1590.89	98	-877.87	101	12.21	97
302	-628	-629	Max	20.00	14.81	100	0.06	33	0.19	49	1582.60	98	-659.42	101	12.21	97
302	-628	-629	Min.	0.00	10.03	33	-0.06	49	-0.23	33	1095.32	101	-1412.74	98	8.03	33
302	-628	-629	Min.	20.00	10.03	33	-0.06	49	-0.22	33	1089.18	101	-1095.39	98	8.03	33
302	-629	-630	Max	0.00	14.81	100	0.06	33	0.19	49	1582.60	98	-659.42	101	12.21	97
302	-629	-630	Max	20.00	14.81	100	0.06	33	0.18	49	1574.31	98	-442.20	101	12.21	97
302	-629	-630	Min.	0.00	10.03	33	-0.06	49	-0.22	33	1089.18	101	-1095.39	98	8.03	33
302	-629	-630	Min.	20.00	10.03	33	-0.06	49	-0.21	33	1083.04	101	-779.70	98	8.03	33
302	-630	-631	Max	0.00	14.81	100	0.06	33	0.18	49	1413.85	98	-444.12	101	10.64	97
302	-630	-631	Max	40.00	14.81	100	0.06	33	0.16	49	1397.27	98	-58.62	101	10.64	97
302	-630	-631	Min.	0.00	10.03	33	-0.06	49	-0.21	33	969.89	101	-782.43	98	7.01	33
302	-630	-631	Min.	40.00	10.03	33	-0.06	49	-0.19	33	957.61	101	-220.21	98	7.01	33
302	-631	-632	Max	0.00	14.81	100	0.06	33	0.16	49	1242.12	98	-58.68	101	9.24	97
302	-631	-632	Max	40.00	14.81	100	0.06	33	0.14	49	1225.53	98	372.68	97	9.24	97
302	-631	-632	Min.	0.00	10.03	33	-0.06	49	-0.19	33	848.09	101	-220.28	98	6.06	33
302	-631	-632	Min.	40.00	10.03	33	-0.06	49	-0.16	33	835.81	101	178.67	102	6.06	33
302	-632	-633	Max	0.00	14.81	100	0.06	33	0.14	49	1069.55	98	372.72	97	7.90	97
302	-632	-633	Max	40.00	14.81	100	0.06	33	0.11	49	1052.97	98	781.92	97	7.90	97
302	-632	-633	Min.	0.00	10.03	33	-0.06	49	-0.16	33	725.72	101	178.69	102	5.16	33
302	-632	-633	Min.	40.00	10.03	33	-0.06	49	-0.14	33	713.43	101	481.82	102	5.16	33
302	-633	-634	Max	0.00	14.81	100	0.06	33	0.11	49	895.60	98	781.92	97	6.53	97

302	-633	-634	Max	40.00	14.81	100	0.06	33	0.09	49	879.02	98	1121.55	97	6.53	97
302	-633	-634	Min.	0.00	10.03	33	-0.06	49	-0.14	33	602.37	101	481.82	102	4.23	33
302	-633	-634	Min.	40.00	10.03	33	-0.06	49	-0.12	33	590.09	101	735.61	102	4.23	33
302	-634	-635	Max	0.00	14.81	100	0.06	33	0.09	49	723.03	98	1121.51	97	5.19	97
302	-634	-635	Max	40.00	14.81	100	0.06	33	0.07	49	706.45	98	1392.11	97	5.19	97
302	-634	-635	Min.	0.00	10.03	33	-0.06	49	-0.12	33	480.00	101	735.59	102	3.32	33
302	-634	-635	Min.	40.00	10.03	33	-0.06	49	-0.09	33	467.71	101	940.42	102	3.32	33
302	-635	-636	Max	0.00	14.81	100	0.06	33	0.07	49	551.29	98	1392.19	97	3.79	97
302	-635	-636	Max	40.00	14.81	100	0.06	33	0.05	49	534.71	98	1594.09	97	3.79	97
302	-635	-636	Min.	0.00	10.03	33	-0.06	49	-0.09	33	358.19	101	940.48	102	2.37	33
302	-635	-636	Min.	40.00	10.03	33	-0.06	49	-0.07	33	345.91	101	1096.60	102	2.37	33
302	-636	-1303	Max	0.00	14.81	100	0.06	33	0.05	49	375.26	98	1596.96	97	2.25	97
302	-636	-1303	Max	20.00	14.81	100	0.06	33	0.03	49	366.97	98	1663.54	97	2.25	97
302	-636	-1303	Min.	0.00	10.03	33	-0.06	49	-0.07	33	233.46	101	1098.62	102	1.37	33
302	-636	-1303	Min.	20.00	10.03	33	-0.06	49	-0.06	33	227.32	101	1152.35	102	1.37	33
302	-1303	-637	Max	0.00	14.81	100	0.06	33	0.03	49	366.97	98	1663.54	97	2.25	97
302	-1303	-637	Max	20.00	14.81	100	0.06	33	0.02	49	358.68	98	1728.45	97	2.25	97
302	-1303	-637	Min.	0.00	10.03	33	-0.06	49	-0.06	33	227.32	101	1152.35	102	1.37	33
302	-1303	-637	Min.	20.00	10.03	33	-0.06	49	-0.05	33	221.18	101	1204.85	102	1.37	33
302	-637	-1305	Max	0.00	14.81	100	0.06	33	0.02	49	196.54	98	1728.60	97	0.61	97
302	-637	-1305	Max	20.00	14.81	100	0.06	33	0.01	49	188.25	98	1759.43	97	0.61	97
302	-637	-1305	Min.	0.00	10.03	33	-0.06	49	-0.05	33	106.92	101	1204.95	102	0.34	33
302	-637	-1305	Min.	20.00	10.03	33	-0.06	49	-0.04	33	100.78	101	1233.37	102	0.34	33
302	-1305	-638	Max	0.00	14.81	100	0.06	33	0.01	49	188.25	98	1759.43	97	0.61	97
302	-1305	-638	Max	20.00	14.81	100	0.06	33	0.00	49	179.96	98	1788.61	97	0.61	97
302	-1305	-638	Min.	0.00	10.03	33	-0.06	49	-0.04	33	100.78	101	1233.37	102	0.34	33
302	-1305	-638	Min.	20.00	10.03	33	-0.06	49	-0.03	33	94.64	101	1260.15	33	0.34	33
302	-638	-639	Max	0.00	14.81	100	0.06	33	0.00	49	27.41	98	1788.46	97	0.02	101
302	-638	-639	Max	10.48					-0.02	33			1269.84	33		
302	-638	-639	Max	20.00	14.81	100	0.06	33	-0.01	33	19.12	98	1785.49	99	0.02	101
302	-638	-639	Min.	0.00	10.03	33	-0.06	49	-0.03	33	-12.98	101	1260.06	33	-0.02	98
302	-638	-639	Min.	10.48					-0.02	33			1260.23	33		
302	-638	-639	Min.	20.00	10.03	33	-0.06	49	-0.02	100	-19.12	97	1260.09	33	-0.02	98
302	-639	-640	Max	0.00	14.81	100	0.06	33	-0.01	33	19.12	102	1785.49	99	0.02	101
302	-639	-640	Max	11.00					-0.02	100			1785.19	100		
302	-639	-640	Max	20.00	14.81	100	0.06	33	0.00	33	12.98	102	1788.46	98	0.02	101
302	-639	-640	Min.	0.00	10.03	33	-0.06	49	-0.02	100	-19.12	97	1260.09	33	-0.02	98
302	-639	-640	Min.	16.00					-0.00	33			1259.23	33		
302	-639	-640	Min.	20.00	10.03	33	-0.06	49	-0.02	49	-27.41	97	1258.90	33	-0.02	98
302	-640	-1307	Max	0.00	14.81	100	0.06	33	0.00	33	-94.64	102	1788.61	98	-0.36	49
302	-640	-1307	Max	20.00	14.81	100	0.06	33	0.01	33	-100.78	102	1759.43	98	-0.36	49
302	-640	-1307	Min.	0.00	10.03	33	-0.06	49	-0.02	49	-179.96	97	1258.98	33	-0.61	98
302	-640	-1307	Min.	20.00	10.03	33	-0.06	49	-0.04	49	-188.25	97	1233.37	101	-0.61	98
302	-1307	-641	Max	0.00	14.81	100	0.06	33	0.01	33	-100.78	102	1759.43	98	-0.36	49
302	-1307	-641	Max	20.00	14.81	100	0.06	33	0.02	33	-106.92	102	1728.60	98	-0.36	49
302	-1307	-641	Min.	0.00	10.03	33	-0.06	49	-0.04	49	-188.25	97	1233.37	101	-0.61	98
302	-1307	-641	Min.	20.00	10.03	33	-0.06	49	-0.05	49	-196.54	97	1204.95	101	-0.61	98
302	-641	-1309	Max	0.00	14.81	100	0.06	33	0.02	33	-221.18	102	1728.45	98	-1.40	33
302	-641	-1309	Max	20.00	14.81	100	0.06	33	0.03	33	-227.32	102	1663.54	98	-1.40	33
302	-641	-1309	Min.	0.00	10.03	33	-0.06	49	-0.05	49	-358.68	97	1204.85	101	-2.25	98
302	-641	-1309	Min.	20.00	10.03	33	-0.06	49	-0.06	49	-366.97	97	1152.35	101	-2.25	98
302	-1309	-642	Max	0.00	14.81	100	0.06	33	0.03	33	-227.32	102	1663.54	98	-1.40	33
302	-1309	-642	Max	20.00	14.81	100	0.06	33	0.05	33	-233.46	102	1596.96	98	-1.40	33
302	-1309	-642	Min.	0.00	10.03	33	-0.06	49	-0.06	49	-366.97	97	1152.35	101	-2.25	98
302	-1309	-642	Min.	20.00	10.03	33	-0.06	49	-0.07	49	-375.26	97	1098.62	101	-2.25	98
302	-642	-643	Max	0.00	14.81	100	0.06	33	0.05	33	-345.91	102	1594.09	98	-2.40	33
302	-642	-643	Max	40.00	14.81	100	0.06	33	0.07	33	-358.19	102	1392.19	98	-2.40	33
302	-642	-643	Min.	0.00	10.03	33	-0.06	49	-0.07	49	-534.71	97	1096.60	101	-3.79	98
302	-642	-643	Min.	40.00	10.03	33	-0.06	49	-0.09	49	-551.29	97	940.48	101	-3.79	98
302	-643	-644	Max	0.00	14.81	100	0.06	33	0.07	33	-467.71	102	1392.11	98	-3.35	33
302	-643	-644	Max	40.00	14.81	100	0.06	33	0.09	33	-480.00	102	1121.51	98	-3.35	33
302	-643	-644	Min.	0.00	10.03	33	-0.06	49	-0.09	49	-706.45	97	940.42	101	-5.19	98
302	-643	-644	Min.	40.00	10.03	33	-0.06	49	-0.12	49	-723.03	97	735.59	101	-5.19	98
302	-644	-645	Max	0.00	14.81	100	0.06	33	0.09	33	-590.09	102	1121.55	98	-4.25	33
302	-644	-645	Max	40.00	14.81	100	0.06	33	0.12	33	-602.37	102	781.92	98	-4.25	33
302	-644	-645	Min.	0.00	10.03	33	-0.06	49	-0.12	49	-879.02	97	735.61	101	-6.53	98
302	-644	-645	Min.	40.00	10.03	33	-0.06	49	-0.14	49	-895.60	97	481.82	101	-6.53	98
302	-645	-646	Max	0.00	14.81	100	0.06	33	0.12	33	-713.43	102	781.92	98	-5.18	33
302	-645	-646	Max	32.00					-0.00	102			336.09	102		
302	-645	-646	Max	40.00	14.81	100	0.06	33	0.14	33	-725.72	102	372.72	98	-5.18	33
302	-645	-646	Min.	0.00	10.03	33	-0.06	49	-0.14	49	-1052.97	97	481.82	101	-7.90	98
302	-645	-646	Min.	32.00					-0.00	102			336.09	102		
302	-645	-646	Min.	40.00	10.03	33	-0.06	49	-0.16	49	-1069.55	97	178.69	101	-7.90	98
302	-646	-647	Max	0.00	14.81	100	0.06	33	0.14	33	-835.81	102	372.68	98	-6.09	33
302	-646	-647	Max	40.00	14.81	100	0.06	33	0.16	33	-848.09	102	-58.68	102	-6.09	33
302	-646	-647	Min.	0.00	10.03	33	-0.06	49	-0.16	49	-1225.53	97	178.67	101	-9.24	98
302	-646	-647	Min.	40.00	10.03	33	-0.06	49	-0.19	49	-1242.12	97	-220.29	97	-9.24	98
302	-647	-648	Max	0.00	14.81	100	0.06	33	0.16	33	-957.61	102	-58.62	102	-7.04	33
302	-647	-648	Max	40.00	14.81	100	0.06	33	0.18	33	-969.89	102	-444.12	102	-7.04	33

302	-647	-648	Min.	0.00	10.03	33	-0.06	49	-0.19	49	-1397.27	97	-220.21	97	-10.64	98
302	-647	-648	Min.	40.00	10.03	33	-0.06	49	-0.21	49	-1413.85	97	-782.43	97	-10.64	98
302	-648	-649	Max	0.00	14.81	100	0.06	33	0.18	33	-1083.04	102	-442.20	102	-8.06	33
302	-648	-649	Max	16.00					-0.00	98			-895.97	98		
302	-648	-649	Max	20.00	14.81	100	0.06	33	0.20	33	-1089.18	102	-659.42	102	-8.06	33
302	-648	-649	Min.	0.00	10.03	33	-0.06	49	-0.21	49	-1574.31	97	-779.70	97	-12.21	98
302	-648	-649	Min.	16.00					-0.00	98			-895.97	98		
302	-648	-649	Min.	20.00	10.03	33	-0.06	49	-0.22	49	-1582.60	97	-1095.39	97	-12.21	98
302	-649	-650	Max	0.00	14.81	100	0.06	33	0.20	33	-1089.18	102	-659.42	102	-8.06	33
302	-649	-650	Max	20.00	14.81	100	0.06	33	0.21	33	-1095.32	102	-877.87	102	-8.06	33
302	-649	-650	Min.	0.00	10.03	33	-0.06	49	-0.22	49	-1582.60	97	-1095.39	97	-12.21	98
302	-649	-650	Min.	20.00	10.03	33	-0.06	49	-0.23	49	-1590.89	97	-1412.74	97	-12.21	98
302	-650	311	Max	0.00	14.81	100	0.06	33	0.21	33	-1208.05	102	-879.83	102	-9.06	33
302	-650	311	Max	40.00	14.81	100	0.06	33	0.23	33	-1220.34	102	-1365.51	102	-9.06	33
302	-650	311	Min.	0.00	10.03	33	-0.06	49	-0.23	49	-1750.74	97	-1415.52	97	-13.76	98
302	-650	311	Min.	40.00	10.03	33	-0.06	49	-0.25	49	-1767.33	97	-2119.13	97	-13.76	98
302	311	-651	Max	0.00	0.00	102	0.45	33	0.18	49	1284.57	97	-1365.66	102	3.86	98
302	311	-651	Max	39.88	0.00	102	0.45	33	0.23	49	1268.04	97	-1020.46	102	3.86	98
302	311	-651	Min.	0.00	0.00	97	0.11	49	-0.81	33	871.83	102	-2119.36	97	2.50	33
302	311	-651	Min.	39.88	0.00	97	0.11	49	-0.63	33	859.58	102	-1610.43	97	2.50	33
302	-651	-652	Max	0.00	0.00	102	0.45	33	0.23	49	1108.70	97	-1018.46	102	2.31	98
302	-651	-652	Max	19.94	0.00	102	0.45	33	0.25	49	1100.44	97	-870.10	102	2.31	98
302	-651	-652	Min.	0.00	0.00	97	0.11	49	-0.63	33	747.22	102	-1607.61	97	1.50	101
302	-651	-652	Min.	19.94	0.00	97	0.11	49	-0.54	33	741.10	102	-1387.38	97	1.50	101
302	-652	-653	Max	0.00	0.00	102	0.45	33	0.25	49	1100.44	97	-870.15	102	2.31	98
302	-652	-653	Max	19.94	0.00	102	0.45	33	0.27	49	1092.18	97	-723.01	102	2.31	98
302	-652	-653	Min.	0.00	0.00	97	0.11	49	-0.54	33	741.10	102	-1387.47	97	1.50	101
302	-652	-653	Min.	19.94	0.00	97	0.11	49	-0.46	33	734.98	102	-1168.89	97	1.50	101
302	-653	-654	Max	0.00	0.00	102	0.45	33	0.27	49	932.25	97	-724.90	102	0.74	98
302	-653	-654	Max	39.88	0.00	102	0.45	33	0.32	49	915.72	97	-479.24	102	0.74	98
302	-653	-654	Min.	0.00	0.00	97	0.11	49	-0.46	33	622.20	102	-1171.58	97	0.44	33
302	-653	-654	Min.	39.88	0.00	97	0.11	49	-0.28	33	609.96	102	-803.14	97	0.44	33
302	-654	-655	Max	0.00	0.00	102	0.45	33	0.32	49	761.07	97	-479.33	102	-0.46	102
302	-654	-655	Max	39.88	0.00	102	0.45	33	0.36	49	744.53	97	-282.08	102	-0.46	102
302	-654	-655	Min.	0.00	0.00	97	0.11	49	-0.28	33	500.79	102	-803.27	97	-0.69	97
302	-654	-655	Min.	39.88	0.00	97	0.11	49	-0.10	33	488.55	102	-503.09	97	-0.69	97
302	-655	-656	Max	0.00	0.00	102	0.45	33	0.36	49	588.86	97	-282.02	102	-1.36	102
302	-655	-656	Max	39.88	0.00	102	0.45	33	0.41	49	572.33	97	-133.47	102	-1.36	102
302	-655	-656	Min.	0.00	0.00	97	0.11	49	-0.10	33	378.67	102	-503.01	97	-2.02	97
302	-655	-656	Min.	39.88	0.00	97	0.11	49	0.08	33	366.43	102	-271.49	97	-2.02	97
302	-656	-657	Max	0.00	0.00	102	0.45	33	0.41	49	415.82	97	-133.46	102	-2.28	102
302	-656	-657	Max	39.88	0.00	102	0.45	33	0.49	97	399.30	97	-33.83	102	-2.28	102
302	-656	-657	Min.	0.00	0.00	97	0.11	49	0.08	33	255.97	102	-271.48	97	-3.39	97
302	-656	-657	Min.	39.88	0.00	97	0.11	49	0.25	33	243.73	102	-108.97	97	-3.39	97
302	-657	-658	Max	0.00	0.00	102	0.45	33	0.49	97	243.37	97	-33.84	102	-3.20	102
302	-657	-658	Max	39.87	0.00	102	0.45	33	0.64	97	226.84	97	17.29	98	-3.20	102
302	-657	-658	Min.	0.00	0.00	97	0.11	49	0.25	33	133.68	102	-108.98	97	-4.75	97
302	-657	-658	Min.	39.87	0.00	97	0.11	49	0.43	33	121.44	102	-15.51	101	-4.75	97
302	-658	-659	Max	0.00	0.00	102	0.45	33	0.64	97	70.67	97	17.30	98	-4.11	102
302	-658	-659	Max	36.54					0.57	102			19.07	102		
302	-658	-659	Max	39.88	0.00	102	0.45	33	0.79	100	54.14	97	23.88	98	-4.11	102
302	-658	-659	Min.	0.00	0.00	97	0.11	49	0.43	33	11.22	102	-15.50	101	-6.10	97
302	-658	-659	Min.	36.54					0.57	102			19.07	102		
302	-658	-659	Min.	39.88	0.00	97	0.11	49	0.54	49	-1.03	102	4.83	101	-6.10	97
302	-659	-660	Max	0.00	0.00	1	0.45	33	0.79	100	-10.82	101	23.88	98	-4.57	102
302	-659	-660	Max	31.00	0.00	1	0.45	33	0.91	98	-20.34	101	0.00	98	-4.57	102
302	-659	-660	Min.	0.00	0.00	1	0.11	49	0.54	49	-70.62	98	4.83	101	-6.78	97
302	-659	-660	Min.	31.00	0.00	1	0.11	49	0.58	49	-83.47	98	0.00	101	-6.78	97
303	-704	-705	Max	0.00	0.00	1	0.10	33	0.31	49	67.98	97	0.00	1	-0.41	33
303	-704	-705	Max	28.68					0.16	102			1.26	102		
303	-704	-705	Max	31.00	0.00	1	0.10	33	0.23	49	55.13	97	19.08	97	-0.41	33
303	-704	-705	Min.	0.00	0.00	1	-0.28	49	0.05	33	8.81	102	0.00	1	-0.57	97
303	-704	-705	Min.	28.68					0.16	102			1.26	102		
303	-704	-705	Min.	31.00	0.00	1	-0.28	49	0.08	33	-0.71	102	1.25	102	-0.57	97
303	-705	-706	Max	0.00	0.00	97	0.10	33	0.23	49	-2.19	101	19.08	97	-0.32	33
303	-705	-706	Max	39.88	0.00	97	0.10	33	0.14	98	-14.43	101	12.48	101	-0.32	33
303	-705	-706	Min.	0.00	0.00	102	-0.28	49	0.08	33	-59.64	98	1.25	102	-0.44	97
303	-705	-706	Min.	39.88	0.00	102	-0.28	49	0.11	49	-76.17	98	-22.53	98	-0.44	97
303	-706	-707	Max	0.00	0.00	97	0.10	33	0.14	98	-109.96	101	12.48	101	-0.13	33
303	-706	-707	Max	39.87	0.00	97	0.10	33	0.17	33	-122.20	101	-33.81	101	-0.13	33
303	-706	-707	Min.	0.00	0.00	102	-0.28	49	0.11	49	-210.30	98	-22.53	98	-0.19	97
303	-706	-707	Min.	39.87	0.00	102	-0.28	49	0.00	65	-226.83	98	-109.68	98	-0.19	97
303	-707	-708	Max	0.00	0.00	97	0.10	33	0.17	33	-217.63	101	-33.81	101	0.08	98
303	-707	-708	Max	39.88	0.00	97	0.10	33	0.20	33	-229.87	101	-123.03	101	0.08	98
303	-707	-708	Min.	0.00	0.00	102	-0.28	49	0.00	65	-360.81	98	-109.69	98	0.04	49
303	-707	-708	Min.	39.88	0.00	102	-0.28	49	-0.11	49	-377.34	98	-256.86	98	0.04	49
303	-708	-709	Max	0.00	0.00	101	0.10	33	0.20	33	-325.55	101	-123.03	101	0.33	98
303	-708	-709	Max	39.88	0.00	101	0.10	33	0.24	33	-337.79	101	-255.28	101	0.33	98
303	-708	-709	Min.	0.00	0.00	98	-0.28	49	-0.11	49	-511.69	98	-256.85	98	0.22	49

303	-708	-709	Min.	39.88	0.00	98	-0.28	49	-0.22	49	-528.22	98	-464.18	98	0.22	49
303	-709	-710	Max	0.00	0.00	101	0.10	33	0.24	33	-433.10	101	-255.30	101	0.59	98
303	-709	-710	Max	39.88	0.00	101	0.10	33	0.28	33	-445.34	101	-430.44	101	0.59	98
303	-709	-710	Min.	0.00	0.00	98	-0.28	49	-0.22	49	-662.03	98	-464.20	98	0.41	49
303	-709	-710	Min.	39.88	0.00	98	-0.28	49	-0.33	49	-678.56	98	-731.49	98	0.41	49
303	-710	-711	Max	0.00	0.00	101	0.10	33	0.28	33	-540.18	101	-430.40	101	0.85	98
303	-710	-711	Max	39.88	0.00	101	0.10	33	0.32	33	-552.42	101	-648.24	101	0.85	98
303	-710	-711	Min.	0.00	0.00	98	-0.28	49	-0.33	49	-811.72	98	-731.43	98	0.59	49
303	-710	-711	Min.	39.88	0.00	98	-0.28	49	-0.44	49	-828.25	98	-1058.40	98	0.59	49
303	-711	-712	Max	0.00	0.00	101	0.10	33	0.32	33	-648.93	101	-646.48	101	0.94	98
303	-711	-712	Max	19.94	0.00	101	0.10	33	0.34	33	-655.05	101	-776.47	101	0.94	98
303	-711	-712	Min.	0.00	0.00	98	-0.28	49	-0.44	49	-963.75	98	-1055.93	98	0.65	49
303	-711	-712	Min.	19.94	0.00	98	-0.28	49	-0.50	49	-972.02	98	-1248.90	98	0.65	49
303	-712	-713	Max	0.00	0.00	101	0.10	33	0.34	33	-655.05	101	-776.46	101	0.94	98
303	-712	-713	Max	19.94	0.00	101	0.10	33	0.36	33	-661.18	101	-907.67	101	0.94	98
303	-712	-713	Min.	0.00	0.00	98	-0.28	49	-0.50	49	-972.02	98	-1248.90	98	0.65	49
303	-712	-713	Min.	19.94	0.00	98	-0.28	49	-0.55	49	-980.28	98	-1443.52	98	0.65	49
303	-713	-714	Max	0.00	0.00	101	0.10	33	0.36	33	-757.41	101	-909.46	101	1.02	98
303	-713	-714	Max	39.88	0.00	101	0.10	33	0.40	33	-769.66	101	-1213.92	101	1.02	98
303	-713	-714	Min.	0.00	0.00	98	-0.28	49	-0.55	49	-1115.40	98	-1446.03	98	0.71	49
303	-713	-714	Min.	39.88	0.00	98	-0.28	49	-0.66	49	-1131.93	98	-1894.09	98	0.71	49
303	-714	-715	Max	0.00	0.92	100	0.06	33	0.25	49	1542.43	98	-1213.83	101	-0.97	49
303	-714	-715	Max	40.00	0.92	100	0.06	33	0.23	49	1525.84	98	-788.24	101	-0.97	49
303	-714	-715	Min.	0.00	0.62	103	-0.06	49	-0.25	33	1070.10	101	-1893.94	98	-1.38	98
303	-714	-715	Min.	40.00	0.62	103	-0.06	49	-0.23	33	1057.82	101	-1280.29	98	-1.38	98
303	-715	-716	Max	0.00	0.92	100	0.06	33	0.23	49	1390.29	98	-786.45	101	-0.91	49
303	-715	-716	Max	20.00	0.92	100	0.06	33	0.21	49	1382.00	98	-594.81	101	-0.91	49
303	-715	-716	Min.	0.00	0.62	103	-0.06	49	-0.23	33	961.27	101	-1277.77	98	-1.30	98
303	-715	-716	Min.	20.00	0.62	103	-0.06	49	-0.21	33	955.13	101	-1000.54	98	-1.30	98
303	-716	-717	Max	0.00	0.92	100	0.06	33	0.21	49	1382.00	98	-594.81	101	-0.91	49
303	-716	-717	Max	20.00	0.92	100	0.06	33	0.20	49	1373.71	98	-404.39	101	-0.91	49
303	-716	-717	Min.	0.00	0.62	103	-0.06	49	-0.21	33	955.13	101	-1000.54	98	-1.30	98
303	-716	-717	Min.	20.00	0.62	103	-0.06	49	-0.20	33	948.99	101	-724.97	98	-1.30	98
303	-717	-718	Max	0.00	0.92	100	0.06	33	0.20	49	1237.79	98	-406.17	101	-0.85	49
303	-717	-718	Max	40.00	0.92	100	0.06	33	0.18	49	1221.20	98	-67.75	101	-0.85	49
303	-717	-718	Min.	0.00	0.62	103	-0.06	49	-0.20	33	852.18	101	-727.46	98	-1.21	98
303	-717	-718	Min.	40.00	0.62	103	-0.06	49	-0.18	33	839.89	101	-235.66	98	-1.21	98
303	-718	-719	Max	0.00	0.92	100	0.06	33	0.18	49	1087.63	98	-67.79	101	-0.66	49
303	-718	-719	Max	40.00	0.92	100	0.06	33	0.15	49	1071.04	98	297.62	97	-0.66	49
303	-718	-719	Min.	0.00	0.62	103	-0.06	49	-0.18	33	744.76	101	-235.71	98	-0.95	98
303	-718	-719	Min.	40.00	0.62	103	-0.06	49	-0.16	33	732.47	101	126.06	102	-0.95	98
303	-719	-720	Max	0.00	0.92	100	0.06	33	0.15	49	936.91	98	297.64	97	-0.48	49
303	-719	-720	Max	40.00	0.92	100	0.06	33	0.13	49	920.33	98	653.46	97	-0.48	49
303	-719	-720	Min.	0.00	0.62	103	-0.06	49	-0.16	33	636.95	101	126.08	102	-0.69	98
303	-719	-720	Min.	40.00	0.62	103	-0.06	49	-0.13	33	624.66	101	394.03	102	-0.69	98
303	-720	-721	Max	0.00	0.92	100	0.06	33	0.13	49	785.33	98	653.46	97	-0.30	49
303	-720	-721	Max	8.00					-0.00	102			439.34	102		
303	-720	-721	Max	40.00	0.92	100	0.06	33	0.11	49	768.75	98	948.65	97	-0.30	49
303	-720	-721	Min.	0.00	0.62	103	-0.06	49	-0.13	33	528.52	101	394.03	102	-0.44	98
303	-720	-721	Min.	8.00					-0.00	102			439.34	102		
303	-720	-721	Min.	40.00	0.62	103	-0.06	49	-0.11	33	516.23	101	618.61	102	-0.44	98
303	-721	-722	Max	0.00	0.92	100	0.06	33	0.11	49	634.62	98	948.62	97	-0.11	49
303	-721	-722	Max	40.00	0.92	100	0.06	33	0.08	49	618.03	98	1183.52	97	-0.11	49
303	-721	-722	Min.	0.00	0.62	103	-0.06	49	-0.11	33	420.71	101	618.60	102	-0.18	98
303	-721	-722	Min.	40.00	0.62	103	-0.06	49	-0.08	33	408.43	101	800.05	102	-0.18	98
303	-722	-723	Max	0.00	0.92	100	0.06	33	0.08	49	484.44	98	1183.57	97	0.09	97
303	-722	-723	Max	40.00	0.92	100	0.06	33	0.06	49	467.86	98	1358.40	97	0.09	97
303	-722	-723	Min.	0.00	0.62	103	-0.06	49	-0.08	33	313.28	101	800.09	102	0.03	33
303	-722	-723	Min.	40.00	0.62	103	-0.06	49	-0.06	33	300.99	101	938.57	102	0.03	33
303	-723	-1298	Max	0.00	0.92	100	0.06	33	0.06	49	332.48	98	1361.00	97	0.18	97
303	-723	-1298	Max	20.00	0.92	100	0.06	33	0.05	49	324.19	98	1418.85	97	0.18	97
303	-723	-1298	Min.	0.00	0.62	103	-0.06	49	-0.06	33	204.56	101	940.42	102	0.10	33
303	-723	-1298	Min.	20.00	0.62	103	-0.06	49	-0.05	33	198.42	101	988.53	102	0.10	33
303	-1298	-724	Max	0.00	0.92	100	0.06	33	0.05	49	324.19	98	1418.85	97	0.18	97
303	-1298	-724	Max	20.00	0.92	100	0.06	33	0.04	49	315.89	98	1475.04	97	0.18	97
303	-1298	-724	Min.	0.00	0.62	103	-0.06	49	-0.05	33	198.42	101	988.53	102	0.10	33
303	-1298	-724	Min.	20.00	0.62	103	-0.06	49	-0.04	33	192.28	101	1035.42	102	0.10	33
303	-724	-1299	Max	0.00	0.92	100	0.06	33	0.04	49	180.15	98	1475.17	97	0.10	97
303	-724	-1299	Max	20.00	0.92	100	0.06	33	0.02	49	171.86	98	1502.56	97	0.10	97
303	-724	-1299	Min.	0.00	0.62	103	-0.06	49	-0.04	33	95.58	101	1035.51	102	0.04	33
303	-724	-1299	Min.	20.00	0.62	103	-0.06	49	-0.02	33	89.44	101	1061.82	102	0.04	33
303	-1299	-725	Max	0.00	0.92	100	0.06	33	0.02	49	171.86	98	1502.56	97	0.10	97
303	-1299	-725	Max	20.00	0.92	100	0.06	33	0.01	49	163.57	98	1528.29	97	0.10	97
303	-1299	-725	Min.	0.00	0.62	103	-0.06	49	-0.02	33	89.44	101	1061.82	102	0.04	33
303	-1299	-725	Min.	20.00	0.62	103	-0.06	49	-0.01	33	83.30	101	1086.91	102	0.04	33
303	-725	-726	Max	0.00	0.92	100	0.06	33	0.01	49	27.83	98	1528.30	97	0.02	49
303	-725	-726	Max	12.00					-0.00	33			1091.59	33		
303	-725	-726	Max	20.00	0.92	100	0.06	33	0.00	100	19.54	102	1525.24	99	0.02	49
303	-725	-726	Min.	0.00	0.62	103	-0.06	49	-0.01	33	-13.40	101	1086.92	102	-0.02	33

303	-725	-726	Min.	12.00					-0.00	34			1091.38	34		
303	-725	-726	Min.	20.00	0.62	103	-0.06	49	0.00	33	-19.54	97	1091.39	33	-0.02	33
303	-726	-727	Max	0.00	0.92	100	0.06	33	0.00	100	19.54	102	1525.24	99	0.02	49
303	-726	-727	Max	7.49					-0.00	49			1091.55	49		
303	-726	-727	Max	20.00	0.92	100	0.06	33	0.01	33	13.40	102	1528.30	98	0.02	49
303	-726	-727	Min.	0.00	0.62	103	-0.06	49	0.00	33	-19.54	97	1091.39	33	-0.02	33
303	-726	-727	Min.	2.29									1091.45	50		
303	-726	-727	Min.	20.00	0.62	103	-0.06	49	-0.01	49	-27.83	97	1086.92	101	-0.02	33
303	-727	-1300	Max	0.00	0.92	100	0.06	33	0.01	33	-83.30	102	1528.29	98	-0.05	49
303	-727	-1300	Max	20.00	0.92	100	0.06	33	0.02	33	-89.44	102	1502.56	98	-0.05	49
303	-727	-1300	Min.	0.00	0.62	103	-0.06	49	-0.01	49	-163.57	97	1086.91	101	-0.10	98
303	-727	-1300	Min.	20.00	0.62	103	-0.06	49	-0.02	49	-171.86	97	1061.82	101	-0.10	98
303	-1300	-728	Max	0.00	0.92	100	0.06	33	0.02	33	-89.44	102	1502.56	98	-0.05	49
303	-1300	-728	Max	20.00	0.92	100	0.06	33	0.04	33	-95.58	102	1475.17	98	-0.05	49
303	-1300	-728	Min.	0.00	0.62	103	-0.06	49	-0.02	49	-171.86	97	1061.82	101	-0.10	98
303	-1300	-728	Min.	20.00	0.62	103	-0.06	49	-0.04	49	-180.15	97	1035.51	101	-0.10	98
303	-728	-1301	Max	0.00	0.92	100	0.06	33	0.04	33	-192.28	102	1475.04	98	-0.10	49
303	-728	-1301	Max	20.00	0.92	100	0.06	33	0.05	33	-198.42	102	1418.85	98	-0.10	49
303	-728	-1301	Min.	0.00	0.62	103	-0.06	49	-0.04	49	-315.89	97	1035.42	101	-0.18	98
303	-728	-1301	Min.	20.00	0.62	103	-0.06	49	-0.05	49	-324.19	97	988.53	101	-0.18	98
303	-1301	-729	Max	0.00	0.92	100	0.06	33	0.05	33	-198.42	102	1418.85	98	-0.10	49
303	-1301	-729	Max	20.00	0.92	100	0.06	33	0.06	33	-204.56	102	1361.00	98	-0.10	49
303	-1301	-729	Min.	0.00	0.62	103	-0.06	49	-0.05	49	-324.19	97	988.53	101	-0.18	98
303	-1301	-729	Min.	20.00	0.62	103	-0.06	49	-0.06	49	-332.48	97	940.42	101	-0.18	98
303	-729	-730	Max	0.00	0.92	100	0.06	33	0.06	33	-300.99	102	1358.40	98	-0.04	49
303	-729	-730	Max	40.00	0.92	100	0.06	33	0.08	33	-313.28	102	1183.57	98	-0.04	49
303	-729	-730	Min.	0.00	0.62	103	-0.06	49	-0.06	49	-467.86	97	938.57	101	-0.09	98
303	-729	-730	Min.	40.00	0.62	103	-0.06	49	-0.08	49	-484.44	97	800.09	101	-0.09	98
303	-730	-731	Max	0.00	0.92	100	0.06	33	0.08	33	-408.43	102	1183.52	98	0.18	97
303	-730	-731	Max	40.00	0.92	100	0.06	33	0.11	33	-420.71	102	948.62	98	0.18	97
303	-730	-731	Min.	0.00	0.62	103	-0.06	49	-0.08	49	-618.03	97	800.05	101	0.10	33
303	-730	-731	Min.	40.00	0.62	103	-0.06	49	-0.11	49	-634.62	97	618.60	101	0.10	33
303	-731	-732	Max	0.00	0.92	100	0.06	1	0.11	33	-516.23	102	948.65	98	0.44	97
303	-731	-732	Max	40.00	0.92	100	0.06	1	0.13	33	-528.52	102	653.46	98	0.44	97
303	-731	-732	Min.	0.00	0.62	103	-0.06	49	-0.11	49	-768.75	97	618.61	101	0.29	33
303	-731	-732	Min.	40.00	0.62	103	-0.06	49	-0.13	49	-785.33	97	394.03	101	0.29	33
303	-732	-733	Max	0.00	0.92	100	0.06	1	0.13	33	-624.66	102	653.46	98	0.69	97
303	-732	-733	Max	40.00	0.92	100	0.06	1	0.16	33	-636.95	102	297.64	98	0.69	97
303	-732	-733	Min.	0.00	0.62	103	-0.06	49	-0.13	49	-920.33	97	394.03	101	0.47	33
303	-732	-733	Min.	40.00	0.62	103	-0.06	49	-0.15	49	-936.91	97	126.08	101	0.47	33
303	-733	-734	Max	0.00	0.92	100	0.06	1	0.16	33	-732.47	102	297.62	98	0.95	97
303	-733	-734	Max	40.00	0.92	100	0.06	1	0.18	33	-744.76	102	-67.79	102	0.95	97
303	-733	-734	Min.	0.00	0.62	103	-0.06	49	-0.15	49	-1071.04	97	126.06	101	0.66	33
303	-733	-734	Min.	40.00	0.62	103	-0.06	49	-0.18	49	-1087.63	97	-235.71	97	0.66	33
303	-734	-735	Max	0.00	0.92	100	0.06	33	0.18	33	-839.89	102	-67.75	102	1.21	97
303	-734	-735	Max	40.00	0.92	100	0.06	33	0.20	33	-852.18	102	-406.17	102	1.21	97
303	-734	-735	Min.	0.00	0.62	103	-0.06	49	-0.18	49	-1221.20	97	-235.66	97	0.84	33
303	-734	-735	Min.	40.00	0.62	103	-0.06	49	-0.20	49	-1237.79	97	-727.46	97	0.84	33
303	-735	-736	Max	0.00	0.92	100	0.06	1	0.20	33	-948.99	102	-404.39	102	1.30	97
303	-735	-736	Max	20.00	0.92	100	0.06	1	0.21	33	-955.13	102	-594.81	102	1.30	97
303	-735	-736	Min.	0.00	0.62	103	-0.06	49	-0.20	49	-1373.71	97	-724.97	97	0.90	33
303	-735	-736	Min.	20.00	0.62	103	-0.06	49	-0.21	49	-1382.00	97	-1000.54	97	0.90	33
303	-736	-737	Max	0.00	0.92	100	0.06	1	0.21	33	-955.13	102	-594.81	102	1.30	97
303	-736	-737	Max	20.00	0.92	100	0.06	1	0.23	33	-961.27	102	-786.45	102	1.30	97
303	-736	-737	Min.	0.00	0.62	103	-0.06	49	-0.21	49	-1382.00	97	-1000.54	97	0.90	33
303	-736	-737	Min.	20.00	0.62	103	-0.06	49	-0.23	49	-1390.29	97	-1277.77	97	0.90	33
303	-737	-738	Max	0.00	0.92	100	0.06	1	0.23	33	-1057.82	102	-788.24	102	1.38	97
303	-737	-738	Max	40.00	0.92	100	0.06	1	0.25	33	-1070.10	102	-1213.82	102	1.38	97
303	-737	-738	Min.	0.00	0.62	103	-0.06	49	-0.23	49	-1525.84	97	-1280.29	97	0.96	33
303	-737	-738	Min.	40.00	0.62	103	-0.06	49	-0.25	49	-1542.43	97	-1893.94	97	0.96	33
303	-738	-739	Max	0.00	0.00	102	0.28	33	0.40	49	1131.93	97	-1213.92	102	-0.71	33
303	-738	-739	Max	39.88	0.00	102	0.28	33	0.36	49	1115.39	97	-909.47	102	-0.71	33
303	-738	-739	Min.	0.00	0.00	97	-0.10	49	-0.67	33	769.65	102	-1894.09	97	-1.02	97
303	-738	-739	Min.	39.88	0.00	97	-0.10	49	-0.55	33	757.41	102	-1446.03	97	-1.02	97
303	-739	-740	Max	0.00	0.00	102	0.28	33	0.36	49	980.27	97	-907.64	102	-0.65	33
303	-739	-740	Max	19.94	0.00	102	0.28	33	0.34	49	972.01	97	-776.43	102	-0.65	33
303	-739	-740	Min.	0.00	0.00	97	-0.10	49	-0.55	33	661.17	102	-1443.47	97	-0.94	97
303	-739	-740	Min.	19.94	0.00	97	-0.10	49	-0.50	33	655.05	102	-1248.85	97	-0.94	97
303	-740	-741	Max	0.00	0.00	102	0.28	33	0.34	49	972.01	97	-776.48	102	-0.65	33
303	-740	-741	Max	19.94	0.00	102	0.28	33	0.32	49	963.74	97	-646.49	102	-0.65	33
303	-740	-741	Min.	0.00	0.00	97	-0.10	49	-0.50	33	655.05	102	-1248.92	97	-0.94	97
303	-740	-741	Min.	19.94	0.00	97	-0.10	49	-0.44	33	648.93	102	-1055.95	97	-0.94	97
303	-741	-742	Max	0.00	0.00	102	0.28	33	0.32	49	828.26	97	-648.24	102	-0.59	33
303	-741	-742	Max	39.88	0.00	102	0.28	33	0.28	49	811.73	97	-430.40	102	-0.59	33
303	-741	-742	Min.	0.00	0.00	97	-0.10	49	-0.44	33	552.43	102	-1058.40	97	-0.85	97
303	-741	-742	Min.	39.88	0.00	97	-0.10	49	-0.33	33	540.18	102	-731.43	97	-0.85	97
303	-742	-743	Max	0.00	0.00	102	0.28	33	0.28	49	678.57	97	-430.46	102	-0.40	33
303	-742	-743	Max	39.88	0.00	102	0.28	33	0.24	49	662.04	97	-255.32	102	-0.40	33
303	-742	-743	Min.	0.00	0.00	97	-0.10	49	-0.33	33	445.35	102	-731.52	97	-0.59	97

303	-742	-743	Min.	39.88	0.00	97	-0.10	49	-0.22	33	433.10	102	-464.24	97	-0.59	97
303	-743	-744	Max	0.00	0.00	102	0.28	33	0.24	49	528.21	97	-255.28	102	-0.22	33
303	-743	-744	Max	31.90					-0.01	2			-187.60	2		
303	-743	-744	Max	39.88	0.00	102	0.28	33	0.20	49	511.68	97	-123.03	102	-0.22	33
303	-743	-744	Min.	0.00	0.00	97	-0.10	49	-0.22	33	337.79	102	-464.18	97	-0.33	97
303	-743	-744	Min.	31.90					-0.01	2			-187.61	2		
303	-743	-744	Min.	39.88	0.00	97	-0.10	49	-0.11	33	325.54	102	-256.85	97	-0.33	97
303	-744	-745	Max	0.00	0.00	98	0.28	33	0.20	49	377.33	97	-123.02	102	-0.04	33
303	-744	-745	Max	39.88	0.00	98	0.28	33	0.16	49	360.80	97	-33.80	102	-0.04	33
303	-744	-745	Min.	0.00	0.00	101	-0.10	49	-0.11	33	229.86	102	-256.83	97	-0.08	97
303	-744	-745	Min.	39.88	0.00	101	-0.10	49	0.00	33	217.62	102	-109.67	97	-0.08	97
303	-745	-746	Max	0.00	0.00	98	0.28	33	0.16	49	226.82	97	-33.81	102	0.19	98
303	-745	-746	Max	39.87	0.00	98	0.28	33	0.14	97	210.29	97	12.48	102	0.19	98
303	-745	-746	Min.	0.00	0.00	101	-0.10	49	0.00	33	122.20	102	-109.68	97	0.13	49
303	-745	-746	Min.	39.87	0.00	101	-0.10	49	0.11	33	109.95	102	-22.53	97	0.13	49
303	-746	-747	Max	0.00	0.00	98	0.28	33	0.14	97	76.16	97	12.48	102	0.44	98
303	-746	-747	Max	39.88	0.00	98	0.28	33	0.23	33	59.63	97	19.08	98	0.44	98
303	-746	-747	Min.	0.00	0.00	101	-0.10	49	0.11	33	14.43	102	-22.52	97	0.32	49
303	-746	-747	Min.	39.88	0.00	101	-0.10	49	0.08	49	2.18	102	1.26	101	0.32	49
303	-747	-748	Max	0.00	0.00	1	0.28	33	0.23	33	0.71	101	19.08	98	0.57	98
303	-747	-748	Max	2.01					0.16	101			1.26	101		
303	-747	-748	Max	31.00	0.00	1	0.28	33	0.32	33	-8.81	101	0.00	98	0.57	98
303	-747	-748	Min.	0.00	0.00	1	-0.10	49	0.08	49	-55.13	98	1.25	101	0.41	49
303	-747	-748	Min.	2.01					0.16	101			1.26	101		
303	-747	-748	Min.	31.00	0.00	1	-0.10	49	0.05	49	-67.98	98	0.00	101	0.41	49
304	-794	-795	Max	0.00	0.00	1	0.03	33	0.53	49	67.31	97	0.00	1	11.87	97
304	-794	-795	Max	25.19					0.33	102			1.09	102		
304	-794	-795	Max	31.00	0.00	1	0.03	33	0.42	98	54.46	97	18.87	97	11.87	97
304	-794	-795	Min.	0.00	0.00	1	-0.38	49	0.20	33	8.21	102	0.00	1	8.44	49
304	-794	-795	Min.	25.19					0.33	102			1.09	102		
304	-794	-795	Min.	31.00	0.00	1	-0.38	49	0.21	33	-1.31	102	1.07	102	8.44	49
304	-795	-796	Max	0.00	0.00	101	0.03	33	0.42	98	-2.64	101	18.87	97	10.21	97
304	-795	-796	Max	39.88	0.00	101	0.03	33	0.33	98	-14.88	101	12.16	101	10.21	97
304	-795	-796	Min.	0.00	0.00	98	-0.38	49	0.21	33	-60.46	98	1.07	102	7.26	49
304	-795	-796	Min.	39.88	0.00	98	-0.38	49	0.22	33	-76.99	98	-23.11	98	7.26	49
304	-796	-797	Max	0.00	0.00	97	0.03	33	0.33	98	-110.39	101	12.16	101	6.90	97
304	-796	-797	Max	39.87	0.00	97	0.03	33	0.24	33	-122.64	101	-34.30	101	6.90	97
304	-796	-797	Min.	0.00	0.00	102	-0.38	49	0.22	33	-211.10	98	-23.11	98	4.91	49
304	-796	-797	Min.	39.87	0.00	102	-0.38	49	0.12	49	-227.63	98	-110.58	98	4.91	49
304	-797	-798	Max	0.00	0.00	101	0.03	33	0.24	33	-218.10	101	-34.30	101	3.59	97
304	-797	-798	Max	39.88	0.00	101	0.03	33	0.25	33	-230.34	101	-123.71	101	3.59	97
304	-797	-798	Min.	0.00	0.00	98	-0.38	49	0.12	49	-361.67	98	-110.59	98	2.55	49
304	-797	-798	Min.	39.88	0.00	98	-0.38	49	-0.03	49	-378.20	98	-258.10	98	2.55	49
304	-798	-799	Max	0.00	0.00	101	0.03	33	0.25	33	-325.94	101	-123.71	101	0.27	97
304	-798	-799	Max	39.88	0.00	101	0.03	33	0.26	33	-338.19	101	-256.12	101	0.27	97
304	-798	-799	Min.	0.00	0.00	98	-0.38	49	-0.03	49	-512.43	98	-258.09	98	0.19	49
304	-798	-799	Min.	39.88	0.00	98	-0.38	49	-0.18	49	-528.96	98	-465.72	98	0.19	49
304	-799	-800	Max	0.00	0.00	101	0.03	33	0.26	33	-433.56	101	-256.13	101	-2.14	33
304	-799	-800	Max	39.88	0.00	101	0.03	33	0.27	33	-445.81	101	-431.45	101	-2.14	33
304	-799	-800	Min.	0.00	0.00	98	-0.38	49	-0.18	49	-662.88	98	-465.73	98	-3.02	98
304	-799	-800	Min.	39.88	0.00	98	-0.38	49	-0.33	49	-679.41	98	-733.35	98	-3.02	98
304	-800	-801	Max	0.00	0.00	101	0.03	33	0.27	33	-541.06	101	-431.43	101	-4.52	33
304	-800	-801	Max	39.88	0.00	101	0.03	33	0.28	33	-553.31	101	-649.62	101	-4.52	33
304	-800	-801	Min.	0.00	0.00	98	-0.38	49	-0.33	49	-813.16	98	-733.32	98	-6.36	98
304	-800	-801	Min.	39.88	0.00	98	-0.38	49	-0.48	49	-829.69	98	-1060.87	98	-6.36	98
304	-801	-802	Max	0.00	0.00	101	0.03	33	0.28	33	-649.25	101	-647.53	101	-6.67	33
304	-801	-802	Max	19.94	0.00	101	0.03	33	0.29	33	-655.37	101	-777.58	101	-6.67	33
304	-801	-802	Min.	0.00	0.00	98	-0.38	49	-0.48	49	-964.40	98	-1057.93	98	-9.38	98
304	-801	-802	Min.	19.94	0.00	98	-0.38	49	-0.56	49	-972.66	98	-1251.03	98	-9.38	98
304	-802	-803	Max	0.00	0.00	101	0.03	33	0.29	33	-655.37	101	-777.58	101	-6.67	33
304	-802	-803	Max	19.94	0.00	101	0.03	33	0.29	33	-661.49	101	-908.85	101	-6.67	33
304	-802	-803	Min.	0.00	0.00	98	-0.38	49	-0.56	49	-972.66	98	-1251.02	98	-9.38	98
304	-802	-803	Min.	19.94	0.00	98	-0.38	49	-0.63	49	-980.93	98	-1445.77	98	-9.38	98
304	-803	312	Max	0.00	0.00	101	0.03	33	0.29	33	-757.27	101	-910.96	101	-8.79	33
304	-803	312	Max	39.88	0.00	101	0.03	33	0.31	33	-769.51	101	-1215.36	101	-8.79	33
304	-803	312	Min.	0.00	0.00	98	-0.38	49	-0.63	49	-1115.41	98	-1448.73	98	-12.36	98
304	-803	312	Min.	39.88	0.00	98	-0.38	49	-0.78	49	-1131.94	98	-1896.80	98	-12.36	98
304	312	-804	Max	0.00	-0.23	104	0.06	33	0.24	49	1540.13	98	-1215.34	101	30.60	98
304	312	-804	Max	40.00	-0.23	104	0.06	33	0.22	49	1523.55	98	-790.48	101	30.60	98
304	312	-804	Min.	0.00	-0.36	99	-0.06	49	-0.25	33	1068.27	101	-1896.76	98	21.76	33
304	312	-804	Min.	40.00	-0.36	99	-0.06	49	-0.22	33	1055.99	101	-1284.03	98	21.76	33
304	-804	-805	Max	0.00	-0.23	104	0.06	33	0.22	49	1388.64	98	-788.37	101	27.60	98
304	-804	-805	Max	20.00	-0.23	104	0.06	33	0.21	49	1380.35	98	-597.00	101	27.60	98
304	-804	-805	Min.	0.00	-0.36	99	-0.06	49	-0.22	33	959.91	101	-1281.05	98	19.63	33
304	-804	-805	Min.	20.00	-0.36	99	-0.06	49	-0.21	33	953.77	101	-1004.16	98	19.63	33
304	-805	-806	Max	0.00	-0.23	104	0.06	33	0.21	49	1380.35	98	-597.00	101	27.60	98
304	-805	-806	Max	20.00	-0.23	104	0.06	33	0.20	49	1372.06	98	-406.86	101	27.60	98
304	-805	-806	Min.	0.00	-0.36	99	-0.06	49	-0.21	33	953.77	101	-1004.16	98	19.63	33
304	-805	-806	Min.	20.00	-0.36	99	-0.06	49	-0.20	33	947.63	101	-728.91	98	19.63	33

304	-806	-807	Max	0.00	-0.23	104	0.06	33	0.20	49	1236.93	98	-408.96	101	24.57	98
304	-806	-807	Max	40.00	-0.23	104	0.06	33	0.17	49	1220.35	98	-70.86	101	24.57	98
304	-806	-807	Min.	0.00	-0.36	99	-0.06	49	-0.20	33	851.39	101	-731.87	98	17.47	33
304	-806	-807	Min.	40.00	-0.36	99	-0.06	49	-0.18	33	839.11	101	-240.41	98	17.47	33
304	-807	-808	Max	0.00	-0.23	104	0.06	33	0.17	49	1086.18	98	-70.88	101	21.22	98
304	-807	-808	Max	40.00	-0.23	104	0.06	33	0.15	49	1069.60	98	292.63	97	21.22	98
304	-807	-808	Min.	0.00	-0.36	99	-0.06	49	-0.18	33	743.56	101	-240.44	98	15.09	33
304	-807	-808	Min.	40.00	-0.36	99	-0.06	49	-0.15	33	731.27	101	122.16	102	15.09	33
304	-808	-809	Max	0.00	-0.23	104	0.06	33	0.15	49	935.31	98	292.64	97	17.93	98
304	-808	-809	Max	40.00	-0.23	104	0.06	33	0.13	49	918.73	98	647.77	97	17.93	98
304	-808	-809	Min.	0.00	-0.36	99	-0.06	49	-0.15	33	635.64	101	122.17	102	12.74	33
304	-808	-809	Min.	40.00	-0.36	99	-0.06	49	-0.13	33	623.35	101	389.65	102	12.74	33
304	-809	-810	Max	0.00	-0.23	104	0.06	33	0.13	49	783.96	98	647.77	97	14.59	98
304	-809	-810	Max	40.00	-0.23	104	0.06	33	0.10	49	767.38	98	942.36	97	14.59	98
304	-809	-810	Min.	0.00	-0.36	99	-0.06	49	-0.13	33	527.37	101	389.65	102	10.37	33
304	-809	-810	Min.	40.00	-0.36	99	-0.06	49	-0.11	33	515.09	101	613.82	102	10.37	33
304	-810	-811	Max	0.00	-0.23	104	0.06	33	0.10	49	633.09	98	942.35	97	11.29	98
304	-810	-811	Max	40.00	-0.23	104	0.06	33	0.08	49	616.51	98	1176.59	97	11.29	98
304	-810	-811	Min.	0.00	-0.36	99	-0.06	49	-0.11	33	419.45	101	613.81	102	8.02	33
304	-810	-811	Min.	40.00	-0.36	99	-0.06	49	-0.08	33	407.17	101	794.82	102	8.02	33
304	-811	-812	Max	0.00	-0.23	104	0.06	33	0.08	49	482.33	98	1176.62	97	7.94	98
304	-811	-812	Max	40.00	-0.23	104	0.06	33	0.06	49	465.75	98	1350.55	97	7.94	98
304	-811	-812	Min.	0.00	-0.36	99	-0.06	49	-0.08	33	311.61	101	794.84	102	5.63	33
304	-811	-812	Min.	40.00	-0.36	99	-0.06	49	-0.06	33	299.32	101	932.70	102	5.63	33
304	-812	-1295	Max	0.00	-0.23	104	0.06	33	0.06	49	330.86	98	1353.57	97	4.94	98
304	-812	-1295	Max	20.00	-0.23	104	0.06	33	0.05	49	322.57	98	1411.07	97	4.94	98
304	-812	-1295	Min.	0.00	-0.36	99	-0.06	49	-0.06	33	203.26	101	934.85	102	3.50	33
304	-812	-1295	Min.	20.00	-0.36	99	-0.06	49	-0.05	33	197.12	101	982.73	102	3.50	33
304	-1295	-813	Max	0.00	-0.23	104	0.06	33	0.05	49	322.57	98	1411.07	97	4.94	98
304	-1295	-813	Max	20.00	-0.23	104	0.06	33	0.03	49	314.28	98	1466.92	97	4.94	98
304	-1295	-813	Min.	0.00	-0.36	99	-0.06	49	-0.05	33	197.12	101	982.73	102	3.50	33
304	-1295	-813	Min.	20.00	-0.36	99	-0.06	49	-0.04	33	190.97	101	1029.37	102	3.50	33
304	-813	-1293	Max	0.00	-0.23	104	0.06	33	0.03	49	179.26	98	1466.98	97	2.46	98
304	-813	-1293	Max	20.00	-0.23	104	0.06	33	0.02	49	170.97	98	1494.17	97	2.46	98
304	-813	-1293	Min.	0.00	-0.36	99	-0.06	49	-0.04	33	94.82	101	1029.42	102	1.73	33
304	-813	-1293	Min.	20.00	-0.36	99	-0.06	49	-0.02	33	88.68	101	1055.61	102	1.73	33
304	-1293	-814	Max	0.00	-0.23	104	0.06	33	0.02	49	170.97	98	1494.17	97	2.46	98
304	-1293	-814	Max	20.00	-0.23	104	0.06	33	0.01	49	162.68	98	1519.69	97	2.46	98
304	-1293	-814	Min.	0.00	-0.36	99	-0.06	49	-0.02	33	88.68	101	1055.61	102	1.73	33
304	-1293	-814	Min.	20.00	-0.36	99	-0.06	49	-0.01	33	82.54	101	1080.58	102	1.73	33
304	-814	-815	Max	0.00	-0.23	104	0.06	33	0.01	49	27.89	98	1519.69	97	0.02	49
304	-814	-815	Max	14.93					-0.00	33			1085.19	33		
304	-814	-815	Max	20.00	-0.23	104	0.06	33	0.00	100	19.60	102	1516.61	99	0.02	49
304	-814	-815	Min.	0.00	-0.36	99	-0.06	49	-0.01	33	-13.46	101	1080.57	102	-0.02	33
304	-814	-815	Min.	16.00					-0.00	34			1085.08	34		
304	-814	-815	Min.	20.00	-0.36	99	-0.06	49	-0.00	33	-19.60	97	1085.07	33	-0.02	33
304	-815	-816	Max	0.00	-0.23	104	0.06	33	0.00	100	19.60	102	1516.61	99	0.02	49
304	-815	-816	Max	4.00					-0.00	49			1085.16	49		
304	-815	-816	Max	20.00	-0.23	104	0.06	33	0.01	33	13.46	102	1519.69	98	0.02	49
304	-815	-816	Min.	0.00	-0.36	99	-0.06	49	-0.00	33	-19.60	97	1085.07	33	-0.02	33
304	-815	-816	Min.	1.25					-0.00	50			1085.11	50		
304	-815	-816	Min.	20.00	-0.36	99	-0.06	49	-0.01	49	-27.89	97	1080.57	101	-0.02	33
304	-816	-1288	Max	0.00	-0.23	104	0.06	33	0.01	33	-82.54	102	1519.69	98	-1.73	49
304	-816	-1288	Max	20.00	-0.23	104	0.06	33	0.02	33	-88.68	102	1494.17	98	-1.73	49
304	-816	-1288	Min.	0.00	-0.36	99	-0.06	49	-0.01	49	-162.68	97	1080.57	101	-2.46	97
304	-816	-1288	Min.	20.00	-0.36	99	-0.06	49	-0.02	49	-170.97	97	1055.61	101	-2.46	97
304	-1288	-817	Max	0.00	-0.23	104	0.06	33	0.02	33	-88.68	102	1494.17	98	-1.73	49
304	-1288	-817	Max	20.00	-0.23	104	0.06	33	0.03	33	-94.82	102	1466.98	98	-1.73	49
304	-1288	-817	Min.	0.00	-0.36	99	-0.06	49	-0.02	49	-170.97	97	1055.61	101	-2.46	97
304	-1288	-817	Min.	20.00	-0.36	99	-0.06	49	-0.04	49	-179.26	97	1029.42	101	-2.46	97
304	-817	-1286	Max	0.00	-0.23	104	0.06	33	0.03	33	-190.97	102	1466.92	98	-3.50	49
304	-817	-1286	Max	20.00	-0.23	104	0.06	33	0.05	33	-197.12	102	1411.07	98	-3.50	49
304	-817	-1286	Min.	0.00	-0.36	99	-0.06	49	-0.04	49	-314.28	97	1029.37	101	-4.94	97
304	-817	-1286	Min.	20.00	-0.36	99	-0.06	49	-0.05	49	-322.57	97	982.73	101	-4.94	97
304	-1286	-818	Max	0.00	-0.23	104	0.06	33	0.05	33	-197.12	102	1411.07	98	-3.50	49
304	-1286	-818	Max	20.00	-0.23	104	0.06	33	0.06	33	-203.26	102	1353.57	98	-3.50	49
304	-1286	-818	Min.	0.00	-0.36	99	-0.06	49	-0.05	49	-322.57	97	982.73	101	-4.94	97
304	-1286	-818	Min.	20.00	-0.36	99	-0.06	49	-0.06	49	-330.86	97	934.85	101	-4.94	97
304	-818	-819	Max	0.00	-0.23	104	0.06	33	0.06	33	-299.32	102	1350.55	98	-5.63	49
304	-818	-819	Max	40.00	-0.23	104	0.06	33	0.08	33	-311.61	102	1176.62	98	-5.63	49
304	-818	-819	Min.	0.00	-0.36	99	-0.06	49	-0.06	49	-465.75	97	932.70	101	-7.94	97
304	-818	-819	Min.	40.00	-0.36	99	-0.06	49	-0.08	49	-482.33	97	794.84	101	-7.94	97
304	-819	-820	Max	0.00	-0.23	104	0.06	33	0.08	33	-407.17	102	1176.59	98	-8.02	49
304	-819	-820	Max	40.00	-0.23	104	0.06	33	0.10	33	-419.45	102	942.35	98	-8.02	49
304	-819	-820	Min.	0.00	-0.36	99	-0.06	49	-0.08	49	-616.51	97	794.82	101	-11.29	97
304	-819	-820	Min.	40.00	-0.36	99	-0.06	49	-0.11	49	-633.09	97	613.81	101	-11.29	97
304	-820	-821	Max	0.00	-0.23	104	0.06	33	0.10	33	-515.09	102	942.36	98	-10.37	49
304	-820	-821	Max	16.00					-0.00	103			563.17	103		
304	-820	-821	Max	40.00	-0.23	104	0.06	33	0.13	33	-527.37	102	647.77	98	-10.37	49

304	-820	-821	Min.	0.00	-0.36	99	-0.06	49	-0.11	49	-767.38	97	613.82	101	-14.59	97
304	-820	-821	Min.	16.00					-0.00	103			563.17	103		
304	-820	-821	Min.	40.00	-0.36	99	-0.06	49	-0.13	49	-783.96	97	389.65	101	-14.59	97
304	-821	-822	Max	0.00	-0.23	104	0.06	33	0.13	33	-623.35	102	647.77	98	-12.74	49
304	-821	-822	Max	40.00	-0.23	104	0.06	33	0.15	33	-635.64	102	292.64	98	-12.74	49
304	-821	-822	Min.	0.00	-0.36	99	-0.06	49	-0.13	49	-918.73	97	389.65	101	-17.93	97
304	-821	-822	Min.	40.00	-0.36	99	-0.06	49	-0.15	49	-935.31	97	122.17	101	-17.93	97
304	-822	-823	Max	0.00	-0.23	104	0.06	33	0.15	33	-731.27	102	292.63	98	-15.09	49
304	-822	-823	Max	40.00	-0.23	104	0.06	33	0.17	33	-743.56	102	-70.88	102	-15.09	49
304	-822	-823	Min.	0.00	-0.36	99	-0.06	49	-0.15	49	-1069.60	97	122.16	101	-21.22	97
304	-822	-823	Min.	40.00	-0.36	99	-0.06	49	-0.18	49	-1086.18	97	-240.44	97	-21.22	97
304	-823	-824	Max	0.00	-0.23	104	0.06	33	0.17	33	-839.11	102	-70.86	102	-17.48	49
304	-823	-824	Max	40.00	-0.23	104	0.06	33	0.20	33	-851.39	102	-408.96	102	-17.48	49
304	-823	-824	Min.	0.00	-0.36	99	-0.06	49	-0.18	49	-1220.35	97	-240.42	97	-24.57	97
304	-823	-824	Min.	40.00	-0.36	99	-0.06	49	-0.20	49	-1236.93	97	-731.87	97	-24.57	97
304	-824	-825	Max	0.00	-0.23	104	0.06	33	0.20	33	-947.63	102	-406.86	102	-19.63	49
304	-824	-825	Max	20.00	-0.23	104	0.06	33	0.21	33	-953.77	102	-597.00	102	-19.63	49
304	-824	-825	Min.	0.00	-0.36	99	-0.06	49	-0.20	49	-1372.06	97	-728.91	97	-27.60	97
304	-824	-825	Min.	20.00	-0.36	99	-0.06	49	-0.21	49	-1380.35	97	-1004.16	97	-27.60	97
304	-825	-826	Max	0.00	-0.23	104	0.06	33	0.21	33	-953.77	102	-597.00	102	-19.63	49
304	-825	-826	Max	20.00	-0.23	104	0.06	33	0.22	33	-959.91	102	-788.37	102	-19.63	49
304	-825	-826	Min.	0.00	-0.36	99	-0.06	49	-0.21	49	-1380.35	97	-1004.16	97	-27.60	97
304	-825	-826	Min.	20.00	-0.36	99	-0.06	49	-0.22	49	-1388.64	97	-1281.06	97	-27.60	97
304	-826	313	Max	0.00	-0.23	104	0.06	33	0.22	33	-1055.99	102	-790.48	102	-21.76	49
304	-826	313	Max	40.00	-0.23	104	0.06	33	0.24	33	-1068.27	102	-1215.33	102	-21.76	49
304	-826	313	Min.	0.00	-0.36	99	-0.06	49	-0.22	49	-1523.55	97	-1284.03	97	-30.60	97
304	-826	313	Min.	40.00	-0.36	99	-0.06	49	-0.24	49	-1540.13	97	-1896.76	97	-30.60	97
304	313	-827	Max	0.00	0.00	102	0.38	33	0.30	49	1131.93	97	-1215.36	102	12.36	97
304	313	-827	Max	39.88	0.00	102	0.38	33	0.29	49	1115.40	97	-910.96	102	12.36	97
304	313	-827	Min.	0.00	0.00	97	-0.03	49	-0.78	33	769.51	102	-1896.80	97	8.79	49
304	313	-827	Min.	39.88	0.00	97	-0.03	49	-0.63	33	757.26	102	-1448.73	97	8.79	49
304	-827	-828	Max	0.00	0.00	102	0.38	33	0.29	49	980.92	97	-908.82	102	9.38	97
304	-827	-828	Max	19.94	0.00	102	0.38	33	0.29	49	972.65	97	-777.55	102	9.38	97
304	-827	-828	Min.	0.00	0.00	97	-0.03	49	-0.63	33	661.48	102	-1445.73	97	6.67	49
304	-827	-828	Min.	19.94	0.00	97	-0.03	49	-0.56	33	655.36	102	-1250.98	97	6.67	49
304	-828	-829	Max	0.00	0.00	102	0.38	33	0.29	49	972.65	97	-777.60	102	9.38	97
304	-828	-829	Max	19.94	0.00	102	0.38	33	0.28	49	964.39	97	-647.55	102	9.38	97
304	-828	-829	Min.	0.00	0.00	97	-0.03	49	-0.56	33	655.36	102	-1251.05	97	6.67	49
304	-828	-829	Min.	19.94	0.00	97	-0.03	49	-0.48	33	649.24	102	-1057.95	97	6.67	49
304	-829	-830	Max	0.00	0.00	102	0.38	33	0.28	49	829.70	97	-649.62	102	6.36	97
304	-829	-830	Max	39.88	0.00	102	0.38	33	0.27	49	813.17	97	-431.43	102	6.36	97
304	-829	-830	Min.	0.00	0.00	97	-0.03	49	-0.48	33	553.31	102	-1060.87	97	4.52	49
304	-829	-830	Min.	39.88	0.00	97	-0.03	49	-0.33	33	541.07	102	-733.32	97	4.52	49
304	-830	-831	Max	0.00	0.00	102	0.38	33	0.27	49	679.42	97	-431.48	102	3.02	97
304	-830	-831	Max	39.88	0.00	102	0.38	33	0.26	49	662.89	97	-256.15	102	3.02	97
304	-830	-831	Min.	0.00	0.00	97	-0.03	49	-0.33	33	445.81	102	-733.39	97	2.14	49
304	-830	-831	Min.	39.88	0.00	97	-0.03	49	-0.18	33	433.57	102	-465.77	97	2.14	49
304	-831	-832	Max	0.00	0.00	102	0.38	33	0.26	49	528.95	97	-256.12	102	-0.19	33
304	-831	-832	Max	39.88	0.00	102	0.38	33	0.25	49	512.42	97	-123.71	102	-0.19	33
304	-831	-832	Min.	0.00	0.00	97	-0.03	49	-0.18	33	338.18	102	-465.72	97	-0.27	98
304	-831	-832	Min.	39.88	0.00	97	-0.03	49	-0.03	33	325.94	102	-258.10	97	-0.27	98
304	-832	-833	Max	0.00	0.00	102	0.38	33	0.25	49	378.19	97	-123.70	102	-2.55	33
304	-832	-833	Max	39.88	0.00	102	0.38	33	0.24	49	361.66	97	-34.29	102	-2.55	33
304	-832	-833	Min.	0.00	0.00	97	-0.03	49	-0.03	33	230.34	102	-258.08	97	-3.59	98
304	-832	-833	Min.	39.88	0.00	97	-0.03	49	0.11	33	218.09	102	-110.57	97	-3.59	98
304	-833	-834	Max	0.00	0.00	98	0.38	33	0.24	49	227.62	97	-34.30	102	-4.91	33
304	-833	-834	Max	39.87	0.00	98	0.38	33	0.33	97	211.09	97	12.16	102	-4.91	33
304	-833	-834	Min.	0.00	0.00	101	-0.03	49	0.11	33	122.63	102	-110.58	97	-6.90	98
304	-833	-834	Min.	39.87	0.00	101	-0.03	49	0.22	49	110.39	102	-23.12	97	-6.90	98
304	-834	-835	Max	0.00	0.00	102	0.38	33	0.33	97	76.98	97	12.16	102	-7.26	33
304	-834	-835	Max	39.88	0.00	102	0.38	33	0.42	97	60.45	97	18.88	98	-7.26	33
304	-834	-835	Min.	0.00	0.00	97	-0.03	49	0.22	49	14.87	102	-23.10	97	-10.21	98
304	-834	-835	Min.	39.88	0.00	97	-0.03	49	0.21	49	2.63	102	1.07	101	-10.21	98
304	-835	-836	Max	0.00	0.00	1	0.38	33	0.42	97	1.31	101	18.87	98	-8.44	33
304	-835	-836	Max	4.26					0.33	101			1.10	101		
304	-835	-836	Max	31.00	0.00	1	0.38	33	0.54	33	-8.21	101	0.00	98	-8.44	33
304	-835	-836	Min.	0.00	0.00	1	-0.03	49	0.21	49	-54.46	98	1.07	101	-11.87	98
304	-835	-836	Min.	4.26					0.33	101			1.10	101		
304	-835	-836	Min.	31.00	0.00	1	-0.03	49	0.20	49	-67.31	98	0.00	101	-11.87	98
305	-837	-838	Max	0.00	0.00	1	0.05	33	0.58	49	73.16	97	0.00	1	-0.04	33
305	-837	-838	Max	31.00	0.00	1	0.05	33	0.47	99	60.31	97	20.69	97	-0.04	33
305	-837	-838	Min.	0.00	0.00	1	-0.38	49	0.19	33	12.83	102	0.00	1	-0.08	98
305	-837	-838	Min.	31.00	0.00	1	-0.38	49	0.21	33	3.31	102	2.50	102	-0.08	98
305	-838	-839	Max	0.00	0.00	101	0.05	33	0.47	99	1.14	101	20.69	97	-0.04	33
305	-838	-839	Max	3.44					0.32	101			16.93	101		
305	-838	-839	Max	39.88	0.00	101	0.05	33	0.38	98	-11.10	101	14.93	101	-0.04	33
305	-838	-839	Min.	0.00	0.00	98	-0.38	49	0.21	33	-54.44	98	2.50	102	-0.08	98
305	-838	-839	Min.	3.44					0.32	101			16.93	101		
305	-838	-839	Min.	39.88	0.00	98	-0.38	49	0.23	33	-70.97	98	-18.72	98	-0.08	98

305	-839	-840	Max	0.00	0.00	101	0.05	33	0.38	98	-107.16	101	14.93	101	-0.04	33
305	-839	-840	Max	39.87	0.00	101	0.05	33	0.28	98	-119.40	101	-30.24	101	-0.04	33
305	-839	-840	Min.	0.00	0.00	98	-0.38	49	0.23	33	-205.84	98	-18.72	98	-0.08	98
305	-839	-840	Min.	39.87	0.00	98	-0.38	49	0.16	49	-222.37	98	-104.10	98	-0.08	98
305	-840	-841	Max	0.00	0.00	101	0.05	33	0.28	98	-215.46	101	-30.24	101	-0.04	33
305	-840	-841	Max	39.88	0.00	101	0.05	33	0.27	33	-227.70	101	-118.60	101	-0.04	33
305	-840	-841	Min.	0.00	0.00	98	-0.38	49	0.16	49	-357.25	98	-104.10	98	-0.08	98
305	-840	-841	Min.	39.88	0.00	98	-0.38	49	0.01	49	-373.78	98	-249.85	98	-0.08	98
305	-841	-842	Max	0.00	0.00	101	0.05	33	0.27	33	-323.76	101	-118.60	101	-0.04	33
305	-841	-842	Max	39.88	0.00	101	0.05	33	0.29	33	-336.00	101	-250.14	101	-0.04	33
305	-841	-842	Min.	0.00	0.00	98	-0.38	49	0.01	49	-508.65	98	-249.85	98	-0.08	98
305	-841	-842	Min.	39.88	0.00	98	-0.38	49	-0.14	49	-525.18	98	-455.97	98	-0.08	98
305	-842	-843	Max	0.00	0.00	101	0.05	33	0.29	33	-432.06	101	-250.14	101	-0.04	33
305	-842	-843	Max	39.88	0.00	101	0.05	33	0.30	33	-444.30	101	-424.86	101	-0.04	33
305	-842	-843	Min.	0.00	0.00	98	-0.38	49	-0.14	49	-660.05	98	-455.97	98	-0.08	98
305	-842	-843	Min.	39.88	0.00	98	-0.38	49	-0.29	49	-676.58	98	-722.46	98	-0.08	98
305	-843	-844	Max	0.00	0.00	101	0.05	33	0.30	33	-540.36	101	-424.86	101	-0.04	33
305	-843	-844	Max	39.88	0.00	101	0.05	33	0.32	33	-552.60	101	-642.77	101	-0.04	33
305	-843	-844	Min.	0.00	0.00	98	-0.38	49	-0.29	49	-811.46	98	-722.46	98	-0.08	98
305	-843	-844	Min.	39.88	0.00	98	-0.38	49	-0.44	49	-827.99	98	-1049.32	98	-0.08	98
305	-844	-845	Max	0.00	0.00	97	0.05	33	0.32	33	-648.58	101	-640.38	101	-0.06	33
305	-844	-845	Max	19.94	0.00	97	0.05	33	0.33	33	-654.70	101	-770.30	101	-0.06	33
305	-844	-845	Min.	0.00	0.00	102	-0.38	49	-0.44	49	-962.75	98	-1045.96	98	-0.10	98
305	-844	-845	Min.	19.94	0.00	102	-0.38	49	-0.52	49	-971.02	98	-1238.74	98	-0.10	98
305	-845	-846	Max	0.00	0.00	97	0.05	33	0.33	33	-654.70	101	-770.30	101	-0.06	33
305	-845	-846	Max	19.94	0.00	97	0.05	33	0.34	33	-660.83	101	-901.44	101	-0.06	33
305	-845	-846	Min.	0.00	0.00	102	-0.38	49	-0.52	49	-971.02	98	-1238.73	98	-0.10	98
305	-845	-846	Min.	19.94	0.00	102	-0.38	49	-0.59	49	-979.28	98	-1433.15	98	-0.10	98
305	-846	-847	Max	0.00	0.00	101	0.05	33	0.34	33	-756.81	101	-903.83	101	-0.08	33
305	-846	-847	Max	39.88	0.00	101	0.05	33	0.36	33	-769.05	101	-1208.05	101	-0.08	33
305	-846	-847	Min.	0.00	0.00	98	-0.38	49	-0.59	49	-1114.05	98	-1436.52	98	-0.12	98
305	-846	-847	Min.	39.88	0.00	98	-0.38	49	-0.74	49	-1130.58	98	-1884.04	98	-0.12	98
305	-847	-848	Max	0.00	-0.11	104	0.06	33	0.22	49	1544.69	98	-1208.08	101	0.16	98
305	-847	-848	Max	40.00	-0.11	104	0.06	33	0.20	49	1528.11	98	-781.77	101	0.16	98
305	-847	-848	Min.	0.00	-0.19	99	-0.06	49	-0.26	33	1071.93	101	-1884.08	98	0.09	33
305	-847	-848	Min.	40.00	-0.19	99	-0.06	49	-0.24	33	1059.65	101	-1269.52	98	0.09	33
305	-848	-849	Max	0.00	-0.11	104	0.06	33	0.20	49	1392.92	98	-779.36	101	0.13	98
305	-848	-849	Max	20.00	-0.11	104	0.06	33	0.19	49	1384.63	98	-587.30	101	0.13	98
305	-848	-849	Min.	0.00	-0.19	99	-0.06	49	-0.24	33	963.36	101	-1266.14	98	0.08	33
305	-848	-849	Min.	20.00	-0.19	99	-0.06	49	-0.23	33	957.22	101	-988.39	98	0.08	33
305	-849	-850	Max	0.00	-0.11	104	0.06	33	0.19	49	1384.63	98	-587.30	101	0.13	98
305	-849	-850	Max	20.00	-0.11	104	0.06	33	0.17	49	1376.34	98	-396.47	101	0.13	98
305	-849	-850	Min.	0.00	-0.19	99	-0.06	49	-0.23	33	957.22	101	-988.39	98	0.08	33
305	-849	-850	Min.	20.00	-0.19	99	-0.06	49	-0.21	33	951.08	101	-712.29	98	0.08	33
305	-850	-851	Max	0.00	-0.11	104	0.06	33	0.17	49	1241.15	98	-398.88	101	0.11	98
305	-850	-851	Max	40.00	-0.11	104	0.06	33	0.15	49	1224.57	98	-59.42	101	0.11	98
305	-850	-851	Min.	0.00	-0.19	99	-0.06	49	-0.21	33	854.80	101	-715.67	98	0.06	33
305	-850	-851	Min.	40.00	-0.19	99	-0.06	49	-0.19	33	842.52	101	-222.53	98	0.06	33
305	-851	-852	Max	0.00	-0.11	104	0.06	33	0.15	49	1089.28	98	-59.42	101	0.11	98
305	-851	-852	Max	40.00	-0.11	104	0.06	33	0.13	49	1072.69	98	310.57	97	0.11	98
305	-851	-852	Min.	0.00	-0.19	99	-0.06	49	-0.19	33	746.16	101	-222.53	98	0.06	33
305	-851	-852	Min.	40.00	-0.19	99	-0.06	49	-0.17	33	733.88	101	135.88	102	0.06	33
305	-852	-853	Max	0.00	-0.11	104	0.06	33	0.13	49	937.40	98	310.57	97	0.11	98
305	-852	-853	Max	40.00	-0.11	104	0.06	33	0.11	49	920.82	98	666.73	97	0.11	98
305	-852	-853	Min.	0.00	-0.19	99	-0.06	49	-0.17	33	637.53	101	135.88	102	0.06	33
305	-852	-853	Min.	40.00	-0.19	99	-0.06	49	-0.15	33	625.25	101	403.93	102	0.06	33
305	-853	-854	Max	0.00	-0.11	104	0.06	33	0.11	49	785.53	98	666.73	97	0.11	98
305	-853	-854	Max	40.00	-0.11	104	0.06	33	0.08	49	768.95	98	962.13	97	0.11	98
305	-853	-854	Min.	0.00	-0.19	99	-0.06	49	-0.15	33	528.89	101	403.93	102	0.06	33
305	-853	-854	Min.	40.00	-0.19	99	-0.06	49	-0.12	33	516.61	101	628.53	102	0.06	33
305	-854	-855	Max	0.00	-0.11	104	0.06	33	0.08	49	633.66	98	962.13	97	0.11	98
305	-854	-855	Max	40.00	-0.11	104	0.06	33	0.06	49	617.08	98	1196.78	97	0.11	98
305	-854	-855	Min.	0.00	-0.19	99	-0.06	49	-0.12	33	420.26	101	628.53	102	0.06	33
305	-854	-855	Min.	40.00	-0.19	99	-0.06	49	-0.10	33	407.97	101	809.67	102	0.06	33
305	-855	-856	Max	0.00	-0.11	104	0.06	33	0.06	49	481.79	98	1196.78	97	0.11	98
305	-855	-856	Max	40.00	-0.11	104	0.06	33	0.04	49	465.20	98	1370.69	97	0.11	98
305	-855	-856	Min.	0.00	-0.19	99	-0.06	49	-0.10	33	311.62	101	809.67	102	0.06	33
305	-855	-856	Min.	40.00	-0.19	99	-0.06	49	-0.08	33	299.34	101	947.35	102	0.06	33
305	-856	-1297	Max	0.00	-0.11	104	0.06	33	0.04	49	330.15	98	1374.07	97	0.09	98
305	-856	-1297	Max	20.00	-0.11	104	0.06	33	0.03	49	321.86	98	1431.52	97	0.09	98
305	-856	-1297	Min.	0.00	-0.19	99	-0.06	49	-0.08	33	203.16	101	949.76	102	0.04	33
305	-856	-1297	Min.	20.00	-0.19	99	-0.06	49	-0.07	33	197.01	101	997.52	102	0.04	33
305	-1297	-857	Max	0.00	-0.11	104	0.06	33	0.03	49	321.86	98	1431.52	97	0.09	98
305	-1297	-857	Max	20.00	-0.11	104	0.06	33	0.01	49	313.57	98	1487.32	97	0.09	98
305	-1297	-857	Min.	0.00	-0.19	99	-0.06	49	-0.07	33	197.01	101	997.52	102	0.04	33
305	-1297	-857	Min.	20.00	-0.19	99	-0.06	49	-0.05	33	190.87	101	1044.06	102	0.04	33
305	-857	-1296	Max	0.00	-0.11	104	0.06	33	0.01	49	178.84	98	1487.32	97	0.05	49
305	-857	-1296	Max	20.00	-0.11	104	0.06	33	0.00	49	170.55	98	1514.51	97	0.05	49
305	-857	-1296	Min.	0.00	-0.19	99	-0.06	49	-0.05	33	94.92	101	1044.06	102	0.01	33

305	-857	-1296	Min.	20.00	-0.19	99	-0.06	49	-0.04	33	88.78	101	1070.17	102	0.01	33
305	-1296	-858	Max	0.00	-0.11	104	0.06	33	0.00	49	170.55	98	1514.51	97	0.05	49
305	-1296	-858	Max	20.00	-0.11	104	0.06	33	-0.01	49	162.25	98	1540.04	97	0.05	49
305	-1296	-858	Min.	0.00	-0.19	99	-0.06	49	-0.04	33	88.78	101	1070.17	102	0.01	33
305	-1296	-858	Min.	20.00	-0.19	99	-0.06	49	-0.03	33	82.63	101	1095.06	102	0.01	33
305	-858	-859	Max	0.00	-0.11	104	0.06	33	-0.01	49	27.66	98	1540.04	97	0.02	49
305	-858	-859	Max	18.00					-0.03	100			1536.99	100		
305	-858	-859	Max	20.00	-0.11	104	0.06	33	-0.02	104	19.37	102	1537.00	99	0.02	49
305	-858	-859	Min.	0.00	-0.19	99	-0.06	49	-0.03	33	-13.23	101	1095.06	102	-0.02	33
305	-858	-859	Min.	18.00					-0.02	104			1099.54	104		
305	-858	-859	Min.	20.00	-0.19	99	-0.06	49	-0.03	99	-19.37	97	1099.53	33	-0.02	33
305	-859	-860	Max	0.00	-0.11	104	0.06	33	-0.02	104	19.37	102	1537.00	99	0.02	49
305	-859	-860	Max	17.50					-0.03	100			1536.36	100		
305	-859	-860	Max	20.00	-0.11	104	0.06	33	-0.01	33	13.23	102	1540.04	98	0.02	49
305	-859	-860	Min.	0.00	-0.19	99	-0.06	49	-0.03	99	-19.37	97	1099.53	33	-0.02	33
305	-859	-860	Min.	17.50					-0.02	104			1099.08	104		
305	-859	-860	Min.	20.00	-0.19	99	-0.06	49	-0.03	49	-27.66	97	1095.06	101	-0.02	33
305	-860	-1289	Max	0.00	-0.11	104	0.06	33	-0.01	33	-82.63	102	1540.04	98	-0.01	49
305	-860	-1289	Max	20.00	-0.11	104	0.06	33	0.00	33	-88.78	102	1514.51	98	-0.01	49
305	-860	-1289	Min.	0.00	-0.19	99	-0.06	49	-0.03	49	-162.25	97	1095.06	101	-0.05	33
305	-860	-1289	Min.	20.00	-0.19	99	-0.06	49	-0.04	49	-170.55	97	1070.17	101	-0.05	33
305	-1289	-861	Max	0.00	-0.11	104	0.06	33	0.00	33	-88.78	102	1514.51	98	-0.01	49
305	-1289	-861	Max	20.00	-0.11	104	0.06	33	0.01	33	-94.92	102	1487.32	98	-0.01	49
305	-1289	-861	Min.	0.00	-0.19	99	-0.06	49	-0.04	49	-170.55	97	1070.17	101	-0.05	33
305	-1289	-861	Min.	20.00	-0.19	99	-0.06	49	-0.05	49	-178.84	97	1044.06	101	-0.05	33
305	-861	-1287	Max	0.00	-0.11	104	0.06	33	0.01	33	-190.87	102	1487.32	98	-0.04	49
305	-861	-1287	Max	20.00	-0.11	104	0.06	33	0.03	33	-197.01	102	1431.52	98	-0.04	49
305	-861	-1287	Min.	0.00	-0.19	99	-0.06	49	-0.05	49	-313.57	97	1044.06	101	-0.09	97
305	-861	-1287	Min.	20.00	-0.19	99	-0.06	49	-0.07	49	-321.86	97	997.52	101	-0.09	97
305	-1287	-862	Max	0.00	-0.11	104	0.06	33	0.03	33	-197.01	102	1431.52	98	-0.04	49
305	-1287	-862	Max	20.00	-0.11	104	0.06	33	0.04	33	-203.16	102	1374.07	98	-0.04	49
305	-1287	-862	Min.	0.00	-0.19	99	-0.06	49	-0.07	49	-321.86	97	997.52	101	-0.09	97
305	-1287	-862	Min.	20.00	-0.19	99	-0.06	49	-0.08	49	-330.15	97	949.76	101	-0.09	97
305	-862	-863	Max	0.00	-0.11	104	0.06	33	0.04	33	-299.34	102	1370.69	98	-0.06	49
305	-862	-863	Max	40.00	-0.11	104	0.06	33	0.06	33	-311.62	102	1196.78	98	-0.06	49
305	-862	-863	Min.	0.00	-0.19	99	-0.06	49	-0.08	49	-465.20	97	947.35	101	-0.11	97
305	-862	-863	Min.	40.00	-0.19	99	-0.06	49	-0.10	49	-481.79	97	809.67	101	-0.11	97
305	-863	-864	Max	0.00	-0.11	104	0.06	33	0.06	33	-407.97	102	1196.78	98	-0.06	49
305	-863	-864	Max	40.00	-0.11	104	0.06	33	0.08	33	-420.26	102	962.13	98	-0.06	49
305	-863	-864	Min.	0.00	-0.19	99	-0.06	49	-0.10	49	-617.08	97	809.67	101	-0.11	97
305	-863	-864	Min.	40.00	-0.19	99	-0.06	49	-0.12	49	-633.66	97	628.53	101	-0.11	97
305	-864	-865	Max	0.00	-0.11	104	0.06	33	0.08	33	-516.61	102	962.13	98	-0.06	49
305	-864	-865	Max	40.00	-0.11	104	0.06	33	0.11	33	-528.89	102	666.73	98	-0.06	49
305	-864	-865	Min.	0.00	-0.19	99	-0.06	49	-0.12	49	-768.95	97	628.53	101	-0.11	97
305	-864	-865	Min.	40.00	-0.19	99	-0.06	49	-0.15	49	-785.53	97	403.93	101	-0.11	97
305	-865	-866	Max	0.00	-0.11	104	0.06	33	0.11	33	-625.25	102	666.73	98	-0.06	49
305	-865	-866	Max	40.00	-0.11	104	0.06	33	0.13	33	-637.53	102	310.58	98	-0.06	49
305	-865	-866	Min.	0.00	-0.19	99	-0.06	49	-0.15	49	-920.82	97	403.93	101	-0.11	97
305	-865	-866	Min.	40.00	-0.19	99	-0.06	49	-0.17	49	-937.40	97	135.89	101	-0.11	97
305	-866	-867	Max	0.00	-0.11	104	0.06	33	0.13	33	-733.88	102	310.57	98	-0.06	49
305	-866	-867	Max	40.00	-0.11	104	0.06	33	0.15	33	-746.16	102	-59.42	102	-0.06	49
305	-866	-867	Min.	0.00	-0.19	99	-0.06	49	-0.17	49	-1072.69	97	135.88	101	-0.11	97
305	-866	-867	Min.	40.00	-0.19	99	-0.06	49	-0.19	49	-1089.28	97	-222.53	97	-0.11	97
305	-867	-868	Max	0.00	-0.11	104	0.06	33	0.15	33	-842.52	102	-59.42	102	-0.06	49
305	-867	-868	Max	40.00	-0.11	104	0.06	33	0.17	33	-854.80	102	-398.88	102	-0.06	49
305	-867	-868	Min.	0.00	-0.19	99	-0.06	49	-0.19	49	-1224.57	97	-222.53	97	-0.11	97
305	-867	-868	Min.	40.00	-0.19	99	-0.06	49	-0.21	49	-1241.15	97	-715.67	97	-0.11	97
305	-868	-869	Max	0.00	-0.11	104	0.06	33	0.17	33	-951.08	102	-396.47	102	-0.08	49
305	-868	-869	Max	20.00	-0.11	104	0.06	33	0.19	33	-957.22	102	-587.30	102	-0.08	49
305	-868	-869	Min.	0.00	-0.19	99	-0.06	49	-0.21	49	-1376.34	97	-712.29	97	-0.13	97
305	-868	-869	Min.	20.00	-0.19	99	-0.06	49	-0.23	49	-1384.63	97	-988.39	97	-0.13	97
305	-869	-870	Max	0.00	-0.11	104	0.06	33	0.19	33	-957.22	102	-587.30	102	-0.08	49
305	-869	-870	Max	20.00	-0.11	104	0.06	33	0.20	33	-963.36	102	-779.36	102	-0.08	49
305	-869	-870	Min.	0.00	-0.19	99	-0.06	49	-0.23	49	-1384.63	97	-988.39	97	-0.13	97
305	-869	-870	Min.	20.00	-0.19	99	-0.06	49	-0.24	49	-1392.92	97	-1266.14	97	-0.13	97
305	-870	-871	Max	0.00	-0.11	104	0.06	33	0.20	33	-1059.65	102	-781.77	102	-0.09	49
305	-870	-871	Max	40.00	-0.11	104	0.06	33	0.22	33	-1071.93	102	-1208.08	102	-0.09	49
305	-870	-871	Min.	0.00	-0.19	99	-0.06	49	-0.24	49	-1528.11	97	-1269.52	97	-0.16	97
305	-870	-871	Min.	40.00	-0.19	99	-0.06	49	-0.26	49	-1544.69	97	-1884.08	97	-0.16	97
305	-871	-872	Max	0.00	0.00	102	0.38	33	0.36	49	1130.57	97	-1208.05	102	0.12	97
305	-871	-872	Max	39.88	0.00	102	0.38	33	0.34	49	1114.04	97	-903.84	102	0.12	97
305	-871	-872	Min.	0.00	0.00	97	-0.05	49	-0.74	33	769.05	102	-1884.04	97	0.08	49
305	-871	-872	Min.	39.88	0.00	97	-0.05	49	-0.59	33	756.80	102	-1436.52	97	0.08	49
305	-872	-873	Max	0.00	0.00	98	0.38	33	0.34	49	979.27	97	-901.41	102	0.10	97
305	-872	-873	Max	19.94	0.00	98	0.38	33	0.33	49	971.01	97	-770.27	102	0.10	97
305	-872	-873	Min.	0.00	0.00	101	-0.05	49	-0.59	33	660.82	102	-1433.11	97	0.06	49
305	-872	-873	Min.	19.94	0.00	101	-0.05	49	-0.52	33	654.70	102	-1238.69	97	0.06	49
305	-873	-874	Max	0.00	0.00	98	0.38	33	0.33	49	971.01	97	-770.32	102	0.10	97
305	-873	-874	Max	19.94	0.00	98	0.38	33	0.32	49	962.75	97	-640.40	102	0.10	97

305	-873	-874	Min.	0.00	0.00	101	-0.05	49	-0.52	33	654.70	102	-1238.76	97	0.06	49
305	-873	-874	Min.	19.94	0.00	101	-0.05	49	-0.44	33	648.58	102	-1045.99	97	0.06	49
305	-874	-875	Max	0.00	0.00	102	0.38	33	0.32	49	828.00	97	-642.77	102	0.08	97
305	-874	-875	Max	39.88	0.00	102	0.38	33	0.30	49	811.47	97	-424.86	102	0.08	97
305	-874	-875	Min.	0.00	0.00	97	-0.05	49	-0.44	33	552.61	102	-1049.32	97	0.04	49
305	-874	-875	Min.	39.88	0.00	97	-0.05	49	-0.29	33	540.36	102	-722.46	97	0.04	49
305	-875	-876	Max	0.00	0.00	102	0.38	33	0.30	49	676.59	97	-424.89	102	0.08	97
305	-875	-876	Max	39.88	0.00	102	0.38	33	0.29	49	660.06	97	-250.16	102	0.08	97
305	-875	-876	Min.	0.00	0.00	97	-0.05	49	-0.29	33	444.31	102	-722.50	97	0.04	49
305	-875	-876	Min.	39.88	0.00	97	-0.05	49	-0.14	33	432.06	102	-456.00	97	0.04	49
305	-876	-877	Max	0.00	0.00	102	0.38	33	0.29	49	525.17	97	-250.14	102	0.08	97
305	-876	-877	Max	39.88	0.00	102	0.38	33	0.27	49	508.64	97	-118.60	102	0.08	97
305	-876	-877	Min.	0.00	0.00	97	-0.05	49	-0.14	33	336.00	102	-455.97	97	0.04	49
305	-876	-877	Min.	39.88	0.00	97	-0.05	49	0.01	33	323.75	102	-249.85	97	0.04	49
305	-877	-878	Max	0.00	0.00	102	0.38	33	0.27	49	373.77	97	-118.58	102	0.08	97
305	-877	-878	Max	39.88	0.00	102	0.38	33	0.28	97	357.24	97	-30.23	102	0.08	97
305	-877	-878	Min.	0.00	0.00	97	-0.05	49	0.01	33	227.69	102	-249.82	97	0.04	49
305	-877	-878	Min.	39.88	0.00	97	-0.05	49	0.16	33	215.45	102	-104.08	97	0.04	49
305	-878	-879	Max	0.00	0.00	102	0.38	33	0.28	97	222.37	97	-30.24	102	0.08	97
305	-878	-879	Max	39.87	0.00	102	0.38	33	0.38	97	205.84	97	14.92	102	0.08	97
305	-878	-879	Min.	0.00	0.00	97	-0.05	49	0.16	33	119.39	102	-104.10	97	0.04	49
305	-878	-879	Min.	39.87	0.00	97	-0.05	49	0.23	49	107.15	102	-18.73	97	0.04	49
305	-879	-880	Max	0.00	0.00	102	0.38	33	0.38	97	70.96	97	14.93	102	0.08	97
305	-879	-880	Max	36.13					0.32	102			16.93	102		
305	-879	-880	Max	39.88	0.00	102	0.38	33	0.47	99	54.43	97	20.69	98	0.08	97
305	-879	-880	Min.	0.00	0.00	97	-0.05	49	0.23	49	11.09	102	-18.72	97	0.04	49
305	-879	-880	Min.	36.13					0.32	102			16.93	102		
305	-879	-880	Min.	39.88	0.00	97	-0.05	49	0.21	49	-1.15	102	2.50	101	0.04	49
305	-880	-881	Max	0.00	0.00	1	0.38	33	0.47	99	-3.31	101	20.69	98	0.08	97
305	-880	-881	Max	31.00	0.00	1	0.38	33	0.58	33	-12.83	101	0.00	98	0.08	97
305	-880	-881	Min.	0.00	0.00	1	-0.05	49	0.21	49	-60.31	98	2.50	101	0.04	49
305	-880	-881	Min.	31.00	0.00	1	-0.05	49	0.20	49	-73.16	98	0.00	101	0.04	49
306	-882	-883	Max	0.00	0.00	1	0.14	33	0.34	49	71.18	97	0.00	1	0.01	33
306	-882	-883	Max	31.00	0.00	1	0.14	33	0.25	49	58.33	97	20.07	97	0.01	33
306	-882	-883	Min.	0.00	0.00	1	-0.29	49	-0.06	33	11.15	102	0.00	1	-0.00	49
306	-882	-883	Min.	31.00	0.00	1	-0.29	49	-0.02	33	1.64	102	1.98	102	-0.00	49
306	-883	-884	Max	0.00	0.00	101	0.14	33	0.25	49	0.02	101	20.07	97	0.01	33
306	-883	-884	Max	39.88	0.00	101	0.14	33	0.13	49	-12.22	101	14.04	101	0.01	33
306	-883	-884	Min.	0.00	0.00	98	-0.29	49	-0.02	33	-56.31	98	1.98	102	-0.00	49
306	-883	-884	Min.	39.88	0.00	98	-0.29	49	0.04	33	-72.84	98	-20.17	98	-0.00	49
306	-884	-885	Max	0.00	0.00	101	0.14	33	0.13	49	-107.73	101	14.04	101	0.01	33
306	-884	-885	Max	39.87	0.00	101	0.14	33	0.10	33	-119.97	101	-31.35	101	0.01	33
306	-884	-885	Min.	0.00	0.00	98	-0.29	49	0.04	33	-206.93	98	-20.17	98	-0.00	49
306	-884	-885	Min.	39.87	0.00	98	-0.29	49	0.02	49	-223.46	98	-105.98	98	-0.00	49
306	-885	-886	Max	0.00	0.00	101	0.14	33	0.10	33	-215.47	101	-31.35	101	0.01	33
306	-885	-886	Max	39.88	0.00	101	0.14	33	0.15	33	-227.72	101	-119.72	101	0.01	33
306	-885	-886	Min.	0.00	0.00	98	-0.29	49	0.02	49	-357.56	98	-105.98	98	-0.00	49
306	-885	-886	Min.	39.88	0.00	98	-0.29	49	-0.10	49	-374.09	98	-251.85	98	-0.00	49
306	-886	-887	Max	0.00	0.00	101	0.14	33	0.15	33	-323.22	101	-119.72	101	0.01	33
306	-886	-887	Max	39.88	0.00	101	0.14	33	0.21	33	-335.46	101	-251.04	101	0.01	33
306	-886	-887	Min.	0.00	0.00	98	-0.29	49	-0.10	49	-508.18	98	-251.85	98	-0.00	49
306	-886	-887	Min.	39.88	0.00	98	-0.29	49	-0.21	49	-524.71	98	-457.78	98	-0.00	49
306	-887	-888	Max	0.00	0.00	101	0.14	33	0.21	33	-430.97	101	-251.04	101	0.01	33
306	-887	-888	Max	39.88	0.00	101	0.14	33	0.27	33	-443.21	101	-425.33	101	0.01	33
306	-887	-888	Min.	0.00	0.00	98	-0.29	49	-0.21	49	-658.81	98	-457.78	98	-0.00	49
306	-887	-888	Min.	39.88	0.00	98	-0.29	49	-0.33	49	-675.34	98	-723.78	98	-0.00	49
306	-888	-889	Max	0.00	0.00	101	0.14	33	0.27	33	-538.71	101	-425.33	101	0.01	33
306	-888	-889	Max	39.88	0.00	101	0.14	33	0.32	33	-550.96	101	-642.58	101	0.01	33
306	-888	-889	Min.	0.00	0.00	98	-0.29	49	-0.33	49	-809.43	98	-723.78	98	-0.00	49
306	-888	-889	Min.	39.88	0.00	98	-0.29	49	-0.44	49	-825.96	98	-1049.84	98	-0.00	49
306	-889	-890	Max	0.00	0.00	101	0.14	33	0.32	33	-646.20	101	-640.26	101	0.01	33
306	-889	-890	Max	19.94	0.00	101	0.14	33	0.35	33	-652.32	101	-769.71	101	0.01	33
306	-889	-890	Min.	0.00	0.00	98	-0.29	49	-0.44	49	-959.70	98	-1046.58	98	-0.00	49
306	-889	-890	Min.	19.94	0.00	98	-0.29	49	-0.50	49	-967.96	98	-1238.74	98	-0.00	49
306	-890	-891	Max	0.00	0.00	101	0.14	33	0.35	33	-652.32	101	-769.71	101	0.01	33
306	-890	-891	Max	19.94	0.00	101	0.14	33	0.38	33	-658.44	101	-900.37	101	0.01	33
306	-890	-891	Min.	0.00	0.00	98	-0.29	49	-0.50	49	-967.96	98	-1238.74	98	-0.00	49
306	-890	-891	Min.	19.94	0.00	98	-0.29	49	-0.55	49	-976.23	98	-1432.55	98	-0.00	49
306	-891	314	Max	0.00	0.00	101	0.14	33	0.38	33	-753.69	101	-902.70	101	0.01	33
306	-891	314	Max	39.88	0.00	101	0.14	33	0.43	33	-765.93	101	-1205.67	101	0.01	33
306	-891	314	Min.	0.00	0.00	98	-0.29	49	-0.55	49	-1109.96	98	-1435.81	98	-0.00	49
306	-891	314	Min.	39.88	0.00	98	-0.29	49	-0.67	49	-1126.49	98	-1881.70	98	-0.00	49
306	314	-892	Max	0.00	0.34	100	0.06	33	0.23	49	1536.26	98	-1205.65	101	0.02	49
306	314	-892	Max	40.00	0.34	100	0.06	33	0.20	49	1519.68	98	-781.82	101	0.02	49
306	314	-892	Min.	0.00	0.25	33	-0.06	49	-0.25	33	1065.73	101	-1881.68	98	-0.01	33
306	314	-892	Min.	40.00	0.25	33	-0.06	49	-0.22	33	1053.45	101	-1270.49	98	-0.01	33
306	-892	-893	Max	0.00	0.34	100	0.06	33	0.20	49	1385.54	98	-779.48	101	0.02	49
306	-892	-893	Max	20.00	0.34	100	0.06	33	0.19	49	1377.25	98	-588.51	101	0.02	49
306	-892	-893	Min.	0.00	0.25	33	-0.06	49	-0.22	33	957.91	101	-1267.21	98	-0.01	33

306	-892	-893	Min.	20.00	0.25	33	-0.06	49	-0.21	33	951.77	101	-990.93	98	-0.01	33
306	-893	-894	Max	0.00	0.34	100	0.06	33	0.19	49	1377.25	98	-588.51	101	0.02	49
306	-893	-894	Max	20.00	0.34	100	0.06	33	0.18	49	1368.96	98	-398.77	101	0.02	49
306	-893	-894	Min.	0.00	0.25	33	-0.06	49	-0.21	33	951.77	101	-990.93	98	-0.01	33
306	-893	-894	Min.	20.00	0.25	33	-0.06	49	-0.20	33	945.63	101	-716.31	98	-0.01	33
306	-894	-895	Max	0.00	0.34	100	0.06	33	0.18	49	1234.82	98	-401.11	101	0.02	49
306	-894	-895	Max	40.00	0.34	100	0.06	33	0.16	49	1218.24	98	-63.53	101	0.02	49
306	-894	-895	Min.	0.00	0.25	33	-0.06	49	-0.20	33	850.10	101	-719.59	98	-0.02	33
306	-894	-895	Min.	40.00	0.25	33	-0.06	49	-0.18	33	837.82	101	-228.98	98	-0.02	33
306	-895	-896	Max	0.00	0.34	100	0.06	33	0.16	49	1083.73	98	-63.53	101	0.02	49
306	-895	-896	Max	40.00	0.34	100	0.06	33	0.14	49	1067.14	98	302.49	97	0.02	49
306	-895	-896	Min.	0.00	0.25	33	-0.06	49	-0.18	33	742.02	101	-228.98	98	-0.02	33
306	-895	-896	Min.	40.00	0.25	33	-0.06	49	-0.16	33	729.73	101	129.52	102	-0.02	33
306	-896	-897	Max	0.00	0.34	100	0.06	33	0.14	49	932.63	98	302.49	97	0.02	49
306	-896	-897	Max	40.00	0.34	100	0.06	33	0.11	49	916.05	98	656.65	97	0.02	49
306	-896	-897	Min.	0.00	0.25	33	-0.06	49	-0.16	33	633.94	101	129.52	102	-0.02	33
306	-896	-897	Min.	40.00	0.25	33	-0.06	49	-0.13	33	621.65	101	396.23	102	-0.02	33
306	-897	-898	Max	0.00	0.34	100	0.06	33	0.11	49	781.54	98	656.65	97	0.02	49
306	-897	-898	Max	0.40					-0.01	100			616.84	100		
306	-897	-898	Max	40.00	0.34	100	0.06	33	0.09	49	764.96	98	950.36	97	0.02	49
306	-897	-898	Min.	0.00	0.25	33	-0.06	49	-0.13	33	525.86	101	396.23	102	-0.02	33
306	-897	-898	Min.	0.40					-0.01	104			441.26	104		
306	-897	-898	Min.	40.00	0.25	33	-0.06	49	-0.11	33	513.57	101	619.70	102	-0.02	33
306	-898	-899	Max	0.00	0.34	100	0.06	33	0.09	49	630.45	98	950.36	97	0.02	49
306	-898	-899	Max	0.40					-0.01	104			656.51	104		
306	-898	-899	Max	40.00	0.34	100	0.06	33	0.07	49	613.87	98	1183.64	97	0.02	49
306	-898	-899	Min.	0.00	0.25	33	-0.06	49	-0.11	33	417.78	101	619.70	102	-0.02	33
306	-898	-899	Min.	0.40					-0.01	104			656.51	104		
306	-898	-899	Min.	40.00	0.25	33	-0.06	49	-0.09	33	405.49	101	799.93	102	-0.02	33
306	-899	-900	Max	0.00	0.34	100	0.06	33	0.07	49	479.36	98	1183.64	97	0.02	49
306	-899	-900	Max	40.00	0.34	100	0.06	33	0.05	49	462.77	98	1356.48	97	0.02	49
306	-899	-900	Min.	0.00	0.25	33	-0.06	49	-0.09	33	309.70	101	799.93	102	-0.02	33
306	-899	-900	Min.	40.00	0.25	33	-0.06	49	-0.07	33	297.41	101	936.94	102	-0.02	33
306	-900	-1317	Max	0.00	0.34	100	0.06	33	0.05	49	328.61	98	1359.76	97	0.02	49
306	-900	-1317	Max	20.00	0.34	100	0.06	33	0.03	49	320.31	98	1416.86	97	0.02	49
306	-900	-1317	Min.	0.00	0.25	33	-0.06	49	-0.07	33	201.86	101	939.27	102	-0.02	33
306	-900	-1317	Min.	20.00	0.25	33	-0.06	49	-0.06	33	195.72	101	986.82	102	-0.02	33
306	-1317	-901	Max	0.00	0.34	100	0.06	33	0.03	49	320.31	98	1416.86	97	0.02	49
306	-1317	-901	Max	20.00	0.34	100	0.06	33	0.02	49	312.02	98	1472.30	97	0.02	49
306	-1317	-901	Min.	0.00	0.25	33	-0.06	49	-0.06	33	195.72	101	986.82	102	-0.02	33
306	-1317	-901	Min.	20.00	0.25	33	-0.06	49	-0.04	33	189.58	101	1033.15	102	-0.02	33
306	-901	-1316	Max	0.00	0.34	100	0.06	33	0.02	49	178.20	98	1472.30	97	0.02	49
306	-901	-1316	Max	12.00					-0.01	100			1479.36	100		
306	-901	-1316	Max	20.00	0.34	100	0.06	33	0.01	49	169.91	98	1499.32	97	0.02	49
306	-901	-1316	Min.	0.00	0.25	33	-0.06	49	-0.04	33	94.27	101	1033.14	102	-0.02	33
306	-901	-1316	Min.	16.75					-0.01	104			1063.46	104		
306	-901	-1316	Min.	20.00	0.25	33	-0.06	49	-0.03	33	88.13	101	1059.18	102	-0.02	33
306	-1316	-902	Max	0.00	0.34	100	0.06	33	0.01	49	169.91	98	1499.32	97	0.02	49
306	-1316	-902	Max	16.00					-0.01	100			1515.06	100		
306	-1316	-902	Max	20.00	0.34	100	0.06	33	0.00	49	161.62	98	1524.68	97	0.02	49
306	-1316	-902	Min.	0.00	0.25	33	-0.06	49	-0.03	33	88.13	101	1059.18	102	-0.02	33
306	-1316	-902	Min.	19.00					-0.01	104			1086.86	104		
306	-1316	-902	Min.	20.00	0.25	33	-0.06	49	-0.02	33	81.99	101	1083.98	102	-0.02	33
306	-902	-903	Max	0.00	0.34	100	0.06	33	0.00	49	27.77	98	1524.68	97	0.02	49
306	-902	-903	Max	20.00	0.34	100	0.06	33	-0.01	104	19.48	102	1521.61	97	0.02	49
306	-902	-903	Min.	0.00	0.25	33	-0.06	49	-0.02	33	-13.34	101	1083.98	102	-0.02	33
306	-902	-903	Min.	20.00	0.25	33	-0.06	49	-0.02	99	-19.48	97	1088.49	33	-0.02	33
306	-903	-904	Max	0.00	0.34	100	0.06	33	-0.01	104	19.48	102	1521.61	97	0.02	49
306	-903	-904	Max	16.00					-0.00	1			1088.10	1		
306	-903	-904	Max	20.00	0.34	100	0.06	33	0.00	33	13.34	102	1524.68	98	0.02	49
306	-903	-904	Min.	0.00	0.25	33	-0.06	49	-0.02	99	-19.48	97	1088.49	33	-0.02	33
306	-903	-904	Min.	16.00					-0.00	1			1088.10	1		
306	-903	-904	Min.	20.00	0.25	33	-0.06	49	-0.02	49	-27.77	97	1083.98	101	-0.02	33
306	-904	-1315	Max	0.00	0.34	100	0.06	33	0.00	33	-81.99	102	1524.68	98	0.02	49
306	-904	-1315	Max	2.00					-0.02	99			1517.93	99		
306	-904	-1315	Max	20.00	0.34	100	0.06	33	0.01	33	-88.13	102	1499.32	98	0.02	49
306	-904	-1315	Min.	0.00	0.25	33	-0.06	49	-0.02	49	-161.62	97	1083.98	101	-0.02	33
306	-904	-1315	Min.	19.50					-0.01	104			1067.51	104		
306	-904	-1315	Min.	20.00	0.25	33	-0.06	49	-0.03	49	-169.91	97	1059.18	101	-0.02	33
306	-1315	-905	Max	0.00	0.34	100	0.06	33	0.01	33	-88.13	102	1499.32	98	0.02	49
306	-1315	-905	Max	2.00					-0.02	99			1488.51	99		
306	-1315	-905	Max	20.00	0.34	100	0.06	33	0.02	33	-94.27	102	1472.30	98	0.02	49
306	-1315	-905	Min.	0.00	0.25	33	-0.06	49	-0.03	49	-169.91	97	1059.18	101	-0.02	33
306	-1315	-905	Min.	19.25					-0.01	104			1045.68	104		
306	-1315	-905	Min.	20.00	0.25	33	-0.06	49	-0.04	49	-178.20	97	1033.14	101	-0.02	33
306	-905	-1314	Max	0.00	0.34	100	0.06	33	0.02	33	-189.58	102	1472.30	98	0.02	49
306	-905	-1314	Max	18.50					-0.02	99			1405.78	99		
306	-905	-1314	Max	20.00	0.34	100	0.06	33	0.03	33	-195.72	102	1416.86	98	0.02	49
306	-905	-1314	Min.	0.00	0.25	33	-0.06	49	-0.04	49	-312.02	97	1033.15	101	-0.02	33

306	-905	-1314	Min.	19.00					-0.01	100			1404.28	100		
306	-905	-1314	Min.	20.00	0.25	33	-0.06	49	-0.06	49	-320.31	97	986.82	101	-0.02	33
306	-1314	-906	Max	0.00	0.34	100	0.06	33	0.03	33	-195.72	102	1416.86	98	0.02	49
306	-1314	-906	Max	18.00					-0.02	99			1346.45	99		
306	-1314	-906	Max	20.00	0.34	100	0.06	33	0.05	33	-201.86	102	1359.76	98	0.02	49
306	-1314	-906	Min.	0.00	0.25	33	-0.06	49	-0.06	49	-320.31	97	986.82	101	-0.02	33
306	-1314	-906	Min.	18.00					-0.02	99			1346.45	99		
306	-1314	-906	Min.	20.00	0.25	33	-0.06	49	-0.07	49	-328.61	97	939.27	101	-0.02	33
306	-906	-907	Max	0.00	0.34	100	0.06	33	0.05	33	-297.41	102	1356.48	98	0.02	49
306	-906	-907	Max	39.20					-0.02	99			1160.04	99		
306	-906	-907	Max	40.00	0.34	100	0.06	33	0.07	33	-309.70	102	1183.64	98	0.02	49
306	-906	-907	Min.	0.00	0.25	33	-0.06	49	-0.07	49	-462.77	97	936.94	101	-0.02	33
306	-906	-907	Min.	39.60					-0.01	104			828.52	104		
306	-906	-907	Min.	40.00	0.25	33	-0.06	49	-0.09	49	-479.36	97	799.93	101	-0.02	33
306	-907	-908	Max	0.00	0.34	100	0.06	33	0.07	33	-405.49	102	1183.64	98	0.02	49
306	-907	-908	Max	37.40					-0.01	103			666.12	103		
306	-907	-908	Max	40.00	0.34	100	0.06	33	0.09	33	-417.78	102	950.36	98	0.02	49
306	-907	-908	Min.	0.00	0.25	33	-0.06	49	-0.09	49	-613.87	97	799.93	101	-0.02	33
306	-907	-908	Min.	39.20					-0.01	104			658.26	104		
306	-907	-908	Min.	40.00	0.25	33	-0.06	49	-0.11	49	-630.45	97	619.70	101	-0.02	33
306	-908	-909	Max	0.00	0.34	100	0.06	33	0.09	33	-513.57	102	950.36	98	0.02	49
306	-908	-909	Max	38.90					-0.02	99			622.17	99		
306	-908	-909	Max	40.00	0.34	100	0.06	33	0.11	33	-525.86	102	656.65	98	0.02	49
306	-908	-909	Min.	0.00	0.25	33	-0.06	49	-0.11	49	-764.96	97	619.70	101	-0.02	33
306	-908	-909	Min.	38.90					-0.01	103			445.08	103		
306	-908	-909	Min.	40.00	0.25	33	-0.06	49	-0.13	49	-781.54	97	396.23	101	-0.02	33
306	-909	-910	Max	0.00	0.34	100	0.06	33	0.11	33	-621.65	102	656.65	98	0.02	49
306	-909	-910	Max	40.00	0.34	100	0.06	33	0.14	33	-633.94	102	302.50	98	0.02	49
306	-909	-910	Min.	0.00	0.25	33	-0.06	49	-0.13	49	-916.05	97	396.23	101	-0.02	33
306	-909	-910	Min.	40.00	0.25	33	-0.06	49	-0.16	49	-932.63	97	129.52	101	-0.02	33
306	-910	-911	Max	0.00	0.34	100	0.06	33	0.14	33	-729.73	102	302.49	98	0.02	49
306	-910	-911	Max	39.20					-0.01	103			-115.88	103		
306	-910	-911	Max	40.00	0.34	100	0.06	33	0.16	33	-742.02	102	-63.53	102	0.02	49
306	-910	-911	Min.	0.00	0.25	33	-0.06	49	-0.16	49	-1067.14	97	129.52	101	-0.02	33
306	-910	-911	Min.	39.20					-0.02	99			-162.03	99		
306	-910	-911	Min.	40.00	0.25	33	-0.06	49	-0.18	49	-1083.73	97	-228.98	97	-0.02	33
306	-911	-912	Max	0.00	0.34	100	0.06	33	0.16	33	-837.82	102	-63.53	102	0.02	49
306	-911	-912	Max	39.60					-0.01	100			-648.49	100		
306	-911	-912	Max	40.00	0.34	100	0.06	33	0.18	33	-850.10	102	-401.11	102	0.02	49
306	-911	-912	Min.	0.00	0.25	33	-0.06	49	-0.18	49	-1218.24	97	-228.98	97	-0.02	33
306	-911	-912	Min.	39.60					-0.02	99			-648.50	99		
306	-911	-912	Min.	40.00	0.25	33	-0.06	49	-0.20	49	-1234.82	97	-719.59	97	-0.02	33
306	-912	-913	Max	0.00	0.34	100	0.06	33	0.18	33	-945.63	102	-398.77	102	0.01	49
306	-912	-913	Max	19.00					-0.01	103			-648.93	103		
306	-912	-913	Max	20.00	0.34	100	0.06	33	0.19	33	-951.77	102	-588.51	102	0.01	49
306	-912	-913	Min.	0.00	0.25	33	-0.06	49	-0.20	49	-1368.96	97	-716.31	97	-0.02	33
306	-912	-913	Min.	19.50					-0.02	99			-914.01	99		
306	-912	-913	Min.	20.00	0.25	33	-0.06	49	-0.21	49	-1377.25	97	-990.93	97	-0.02	33
306	-913	-914	Max	0.00	0.34	100	0.06	33	0.19	33	-951.77	102	-588.51	102	0.01	49
306	-913	-914	Max	19.00					-0.01	103			-843.74	103		
306	-913	-914	Max	20.00	0.34	100	0.06	33	0.20	33	-957.91	102	-779.49	102	0.01	49
306	-913	-914	Min.	0.00	0.25	33	-0.06	49	-0.21	49	-1377.25	97	-990.93	97	-0.02	33
306	-913	-914	Min.	19.75					-0.01	100			-1189.77	100		
306	-913	-914	Min.	20.00	0.25	33	-0.06	49	-0.22	49	-1385.54	97	-1267.21	97	-0.02	33
306	-914	315	Max	0.00	0.34	100	0.06	33	0.20	33	-1053.45	102	-781.82	102	0.01	49
306	-914	315	Max	40.00	0.34	100	0.06	33	0.23	33	-1065.73	102	-1205.65	102	0.01	49
306	-914	315	Min.	0.00	0.25	33	-0.06	49	-0.22	49	-1519.68	97	-1270.49	97	-0.02	33
306	-914	315	Min.	40.00	0.25	33	-0.06	49	-0.25	49	-1536.26	97	-1881.68	97	-0.02	33
306	315	-915	Max	0.00	0.00	102	0.29	33	0.43	49	1126.48	97	-1205.67	102	0.00	33
306	315	-915	Max	39.88	0.00	102	0.29	33	0.38	49	1109.95	97	-902.70	102	0.00	33
306	315	-915	Min.	0.00	0.00	97	-0.14	49	-0.67	33	765.92	102	-1881.70	97	-0.01	49
306	315	-915	Min.	39.88	0.00	97	-0.14	49	-0.56	33	753.68	102	-1435.81	97	-0.01	49
306	-915	-916	Max	0.00	0.00	102	0.29	33	0.38	49	976.22	97	-900.34	102	0.00	33
306	-915	-916	Max	19.94	0.00	102	0.29	33	0.35	49	967.95	97	-769.68	102	0.00	33
306	-915	-916	Min.	0.00	0.00	97	-0.14	49	-0.56	33	658.44	102	-1432.50	97	-0.01	49
306	-915	-916	Min.	19.94	0.00	97	-0.14	49	-0.50	33	652.32	102	-1238.69	97	-0.01	49
306	-916	-917	Max	0.00	0.00	102	0.29	33	0.35	49	967.95	97	-769.73	102	0.00	33
306	-916	-917	Max	19.94	0.00	102	0.29	33	0.32	49	959.69	97	-640.28	102	0.00	33
306	-916	-917	Min.	0.00	0.00	97	-0.14	49	-0.50	33	652.32	102	-1238.76	97	-0.01	49
306	-916	-917	Min.	19.94	0.00	97	-0.14	49	-0.44	33	646.20	102	-1046.60	97	-0.01	49
306	-917	-918	Max	0.00	0.00	102	0.29	33	0.32	49	825.97	97	-642.58	102	0.00	33
306	-917	-918	Max	39.88	0.00	102	0.29	33	0.26	49	809.44	97	-425.33	102	0.00	33
306	-917	-918	Min.	0.00	0.00	97	-0.14	49	-0.44	33	550.96	102	-1049.84	97	-0.01	49
306	-917	-918	Min.	39.88	0.00	97	-0.14	49	-0.33	33	538.72	102	-723.77	97	-0.01	49
306	-918	-919	Max	0.00	0.00	102	0.29	33	0.26	49	675.35	97	-425.36	102	0.00	33
306	-918	-919	Max	31.90					-0.01	102			-285.53	102		
306	-918	-919	Max	39.88	0.00	102	0.29	33	0.21	49	658.82	97	-251.06	102	0.00	33
306	-918	-919	Min.	0.00	0.00	97	-0.14	49	-0.33	33	443.22	102	-723.82	97	-0.01	49
306	-918	-919	Min.	31.90					-0.01	99			-464.09	99		

306	-918	-919	Min.	39.88	0.00	97	-0.14	49	-0.21	33	430.97	102	-457.82	97	-0.01	49
306	-919	-920	Max	0.00	0.00	102	0.29	33	0.21	49	524.71	97	-251.04	102	0.00	33
306	-919	-920	Max	39.88	0.00	102	0.29	33	0.15	49	508.18	97	-119.72	102	0.00	33
306	-919	-920	Min.	0.00	0.00	97	-0.14	49	-0.21	33	335.46	102	-457.78	97	-0.01	49
306	-919	-920	Min.	39.88	0.00	97	-0.14	49	-0.10	33	323.21	102	-251.85	97	-0.01	49
306	-920	-921	Max	0.00	0.00	102	0.29	33	0.15	49	374.08	97	-119.70	102	0.00	33
306	-920	-921	Max	39.88	0.00	102	0.29	33	0.10	49	357.55	97	-31.34	102	0.00	33
306	-920	-921	Min.	0.00	0.00	97	-0.14	49	-0.10	33	227.71	102	-251.83	97	-0.01	49
306	-920	-921	Min.	39.88	0.00	97	-0.14	49	0.02	33	215.47	102	-105.96	97	-0.01	49
306	-921	-922	Max	0.00	0.00	102	0.29	33	0.10	49	223.45	97	-31.35	102	0.00	33
306	-921	-922	Max	39.87	0.00	102	0.29	33	0.13	33	206.92	97	14.04	102	0.00	33
306	-921	-922	Min.	0.00	0.00	97	-0.14	49	0.02	33	119.97	102	-105.98	97	-0.01	49
306	-921	-922	Min.	39.87	0.00	97	-0.14	49	0.04	49	107.72	102	-20.17	97	-0.01	49
306	-922	-923	Max	0.00	0.00	102	0.29	33	0.13	33	72.83	97	14.05	102	0.00	33
306	-922	-923	Max	39.88	0.00	102	0.29	33	0.25	33	56.30	97	20.07	98	0.00	33
306	-922	-923	Min.	0.00	0.00	97	-0.14	49	0.04	49	12.22	102	-20.16	97	-0.01	49
306	-922	-923	Min.	39.88	0.00	97	-0.14	49	-0.01	65	-0.03	102	1.98	101	-0.01	49
306	-923	-924	Max	0.00	0.00	1	0.29	33	0.25	33	-1.63	101	20.07	98	0.00	33
306	-923	-924	Max	31.00	0.00	1	0.29	33	0.34	33	-11.15	101	0.00	98	0.00	33
306	-923	-924	Min.	0.00	0.00	1	-0.14	49	-0.01	49	-58.33	98	1.98	101	-0.01	49
306	-923	-924	Min.	31.00	0.00	1	-0.14	49	-0.06	49	-71.18	98	0.00	101	-0.01	49
307	-925	-926	Max	0.00	0.00	1	0.23	33	0.08	49	72.78	97	0.00	1	0.07	98
307	-925	-926	Max	31.00	0.00	1	0.23	33	0.02	49	59.92	97	20.57	97	0.07	98
307	-925	-926	Min.	0.00	0.00	1	-0.19	49	-0.29	33	12.54	102	0.00	1	0.04	49
307	-925	-926	Min.	31.00	0.00	1	-0.19	49	-0.22	33	3.02	102	2.41	102	0.04	49
307	-926	-927	Max	0.00	0.00	101	0.23	33	0.02	49	1.42	101	20.57	97	0.07	98
307	-926	-927	Max	4.63					-0.10	101			16.86	101		
307	-926	-927	Max	39.88	0.00	101	0.23	33	-0.06	49	-10.82	101	14.95	101	0.07	98
307	-926	-927	Min.	0.00	0.00	98	-0.19	49	-0.22	33	-54.06	98	2.41	102	0.04	49
307	-926	-927	Min.	4.63					-0.10	101			16.86	101		
307	-926	-927	Min.	39.88	0.00	98	-0.19	49	-0.13	33	-70.59	98	-18.70	98	0.04	49
307	-927	-928	Max	0.00	0.00	101	0.23	33	-0.06	49	-105.77	101	14.95	101	0.07	98
307	-927	-928	Max	39.87	0.00	101	0.23	33	-0.04	33	-118.02	101	-29.67	101	0.07	98
307	-927	-928	Min.	0.00	0.00	98	-0.19	49	-0.13	33	-203.91	98	-18.70	98	0.04	49
307	-927	-928	Min.	39.87	0.00	98	-0.19	49	-0.13	49	-220.44	98	-103.30	98	0.04	49
307	-928	-929	Max	0.00	0.00	101	0.23	33	-0.04	33	-212.96	101	-29.67	101	0.07	98
307	-928	-929	Max	39.88	0.00	101	0.23	33	0.05	33	-225.21	101	-117.03	101	0.07	98
307	-928	-929	Min.	0.00	0.00	98	-0.19	49	-0.13	49	-353.76	98	-103.30	98	0.04	49
307	-928	-929	Min.	39.88	0.00	98	-0.19	49	-0.21	49	-370.29	98	-247.66	98	0.04	49
307	-929	-930	Max	0.00	0.00	101	0.23	33	0.05	33	-320.16	101	-117.03	101	0.07	98
307	-929	-930	Max	39.88	0.00	101	0.23	33	0.14	33	-332.40	101	-247.13	101	0.07	98
307	-929	-930	Min.	0.00	0.00	98	-0.19	49	-0.21	49	-503.61	98	-247.66	98	0.04	49
307	-929	-930	Min.	39.88	0.00	98	-0.19	49	-0.29	49	-520.13	98	-451.77	98	0.04	49
307	-930	-931	Max	0.00	0.00	101	0.23	33	0.14	33	-427.35	101	-247.13	101	0.07	98
307	-930	-931	Max	39.88	0.00	101	0.23	33	0.23	33	-439.59	101	-419.98	101	0.07	98
307	-930	-931	Min.	0.00	0.00	98	-0.19	49	-0.29	49	-653.45	98	-451.77	98	0.04	49
307	-930	-931	Min.	39.88	0.00	98	-0.19	49	-0.36	49	-669.98	98	-715.63	98	0.04	49
307	-931	-932	Max	0.00	0.00	101	0.23	33	0.23	33	-534.54	101	-419.98	101	0.07	98
307	-931	-932	Max	39.88	0.00	101	0.23	33	0.32	33	-546.79	101	-635.57	101	0.07	98
307	-931	-932	Min.	0.00	0.00	98	-0.19	49	-0.36	49	-803.30	98	-715.63	98	0.04	49
307	-931	-932	Min.	39.88	0.00	98	-0.19	49	-0.44	49	-819.83	98	-1039.24	98	0.04	49
307	-932	-933	Max	0.00	0.00	97	0.23	33	0.32	33	-641.66	101	-633.20	101	0.10	98
307	-932	-933	Max	19.94	0.00	97	0.23	33	0.36	33	-647.79	101	-761.75	101	0.10	98
307	-932	-933	Min.	0.00	0.00	102	-0.19	49	-0.44	49	-953.05	98	-1035.92	98	0.06	49
307	-932	-933	Min.	19.94	0.00	102	-0.19	49	-0.48	49	-961.32	98	-1226.76	98	0.06	49
307	-933	-934	Max	0.00	0.00	97	0.23	33	0.36	33	-647.79	101	-761.74	101	0.10	98
307	-933	-934	Max	19.94	0.00	97	0.23	33	0.41	33	-653.91	101	-891.50	101	0.10	98
307	-933	-934	Min.	0.00	0.00	102	-0.19	49	-0.48	49	-961.32	98	-1226.75	98	0.06	49
307	-933	-934	Min.	19.94	0.00	102	-0.19	49	-0.52	49	-969.58	98	-1419.24	98	0.06	49
307	-934	-935	Max	0.00	0.00	101	0.23	33	0.41	33	-748.79	101	-893.87	101	0.12	98
307	-934	-935	Max	39.88	0.00	101	0.23	33	0.50	33	-761.03	101	-1194.89	101	0.12	98
307	-934	-935	Min.	0.00	0.00	98	-0.19	49	-0.52	49	-1102.80	98	-1422.56	98	0.07	49
307	-934	-935	Min.	39.88	0.00	98	-0.19	49	-0.60	49	-1119.33	98	-1865.60	98	0.07	49
307	-935	-936	Max	0.00	-0.09	103	0.06	33	0.24	49	1529.16	98	-1194.91	101	-0.09	49
307	-935	-936	Max	40.00	-0.09	103	0.06	33	0.22	49	1512.58	98	-773.02	101	-0.09	49
307	-935	-936	Min.	0.00	-0.15	100	-0.06	49	-0.24	33	1060.87	101	-1865.63	98	-0.16	98
307	-935	-936	Min.	40.00	-0.15	100	-0.06	49	-0.21	33	1048.58	101	-1257.28	98	-0.16	98
307	-936	-937	Max	0.00	-0.09	103	0.06	33	0.22	49	1378.94	98	-770.65	101	-0.08	49
307	-936	-937	Max	20.00	-0.09	103	0.06	33	0.20	49	1370.65	98	-580.58	101	-0.08	49
307	-936	-937	Min.	0.00	-0.15	100	-0.06	49	-0.21	33	953.40	101	-1253.94	98	-0.14	98
307	-936	-937	Min.	20.00	-0.15	100	-0.06	49	-0.20	33	947.26	101	-978.98	98	-0.14	98
307	-937	-938	Max	0.00	-0.09	103	0.06	33	0.20	49	1370.65	98	-580.58	101	-0.08	49
307	-937	-938	Max	20.00	-0.09	103	0.06	33	0.19	49	1362.36	98	-391.74	101	-0.08	49
307	-937	-938	Min.	0.00	-0.15	100	-0.06	49	-0.20	33	947.26	101	-978.98	98	-0.14	98
307	-937	-938	Min.	20.00	-0.15	100	-0.06	49	-0.19	33	941.12	101	-705.68	98	-0.14	98
307	-938	-939	Max	0.00	-0.09	103	0.06	33	0.19	49	1228.72	98	-394.12	101	-0.06	49
307	-938	-939	Max	40.00	-0.09	103	0.06	33	0.17	49	1212.14	98	-58.20	101	-0.06	49
307	-938	-939	Min.	0.00	-0.15	100	-0.06	49	-0.19	33	845.95	101	-709.02	98	-0.11	98
307	-938	-939	Min.	40.00	-0.15	100	-0.06	49	-0.17	33	833.66	101	-220.85	98	-0.11	98

307	-939	-940	Max	0.00	-0.09	103	0.06	33	0.17	49	1078.41	98	-58.20	101	-0.06	49
307	-939	-940	Max	40.00	-0.09	103	0.06	33	0.15	49	1061.83	98	307.94	97	-0.06	49
307	-939	-940	Min.	0.00	-0.15	100	-0.06	49	-0.17	33	738.42	101	-220.85	98	-0.11	98
307	-939	-940	Min.	40.00	-0.15	100	-0.06	49	-0.15	33	726.14	101	133.98	102	-0.11	98
307	-940	-941	Max	0.00	-0.09	103	0.06	33	0.15	49	928.10	98	307.94	97	-0.06	49
307	-940	-941	Max	40.00	-0.09	103	0.06	33	0.12	49	911.52	98	660.36	97	-0.06	49
307	-940	-941	Min.	0.00	-0.15	100	-0.06	49	-0.15	33	630.90	101	133.98	102	-0.11	98
307	-940	-941	Min.	40.00	-0.15	100	-0.06	49	-0.12	33	618.61	101	399.38	102	-0.11	98
307	-941	-942	Max	0.00	-0.09	103	0.06	33	0.12	49	777.79	98	660.36	97	-0.06	49
307	-941	-942	Max	40.00	-0.09	103	0.06	33	0.10	49	761.21	98	952.66	97	-0.06	49
307	-941	-942	Min.	0.00	-0.15	100	-0.06	49	-0.12	33	523.37	101	399.38	102	-0.11	98
307	-941	-942	Min.	40.00	-0.15	100	-0.06	49	-0.10	33	511.09	101	621.77	102	-0.11	98
307	-942	-943	Max	0.00	-0.09	103	0.06	33	0.10	49	627.48	98	952.66	97	-0.06	49
307	-942	-943	Max	40.00	-0.09	103	0.06	33	0.08	49	610.89	98	1184.84	97	-0.06	49
307	-942	-943	Min.	0.00	-0.15	100	-0.06	49	-0.10	33	415.85	101	621.77	102	-0.11	98
307	-942	-943	Min.	40.00	-0.15	100	-0.06	49	-0.08	33	403.56	101	801.15	102	-0.11	98
307	-943	-944	Max	0.00	-0.09	103	0.06	33	0.08	49	477.16	98	1184.84	97	-0.06	49
307	-943	-944	Max	40.00	-0.09	103	0.06	33	0.06	49	460.58	98	1356.89	97	-0.06	49
307	-943	-944	Min.	0.00	-0.15	100	-0.06	49	-0.08	33	308.32	101	801.15	102	-0.11	98
307	-943	-944	Min.	40.00	-0.15	100	-0.06	49	-0.06	33	296.04	101	937.52	102	-0.11	98
307	-944	-1284	Max	0.00	-0.09	103	0.06	33	0.06	49	327.08	98	1360.23	97	-0.05	49
307	-944	-1284	Max	20.00	-0.09	103	0.06	33	0.05	49	318.79	98	1417.07	97	-0.05	49
307	-944	-1284	Min.	0.00	-0.15	100	-0.06	49	-0.06	33	200.96	101	939.90	102	-0.09	98
307	-944	-1284	Min.	20.00	-0.15	100	-0.06	49	-0.04	33	194.82	101	987.23	102	-0.09	98
307	-1284	-945	Max	0.00	-0.09	103	0.06	33	0.05	49	318.79	98	1417.07	97	-0.05	49
307	-1284	-945	Max	20.00	-0.09	103	0.06	33	0.03	49	310.50	98	1472.25	97	-0.05	49
307	-1284	-945	Min.	0.00	-0.15	100	-0.06	49	-0.04	33	194.82	101	987.23	102	-0.09	98
307	-1284	-945	Min.	20.00	-0.15	100	-0.06	49	-0.03	33	188.68	101	1033.32	102	-0.09	98
307	-945	-1282	Max	0.00	-0.09	103	0.06	33	0.03	49	177.31	98	1472.25	97	-0.01	49
307	-945	-1282	Max	20.00	-0.09	103	0.06	33	0.02	49	169.01	98	1499.13	97	-0.01	49
307	-945	-1282	Min.	0.00	-0.15	100	-0.06	49	-0.03	33	93.82	101	1033.33	102	-0.05	33
307	-945	-1282	Min.	20.00	-0.15	100	-0.06	49	-0.02	33	87.68	101	1059.22	102	-0.05	33
307	-1282	-946	Max	0.00	-0.09	103	0.06	33	0.02	49	169.01	98	1499.13	97	-0.01	49
307	-1282	-946	Max	20.00	-0.09	103	0.06	33	0.01	49	160.72	98	1524.36	97	-0.01	49
307	-1282	-946	Min.	0.00	-0.15	100	-0.06	49	-0.02	33	87.68	101	1059.22	102	-0.05	33
307	-1282	-946	Min.	20.00	-0.15	100	-0.06	49	-0.01	33	81.53	101	1083.89	102	-0.05	33
307	-946	-947	Max	0.00	-0.09	103	0.06	33	0.01	49	27.66	98	1524.36	97	0.02	49
307	-946	-947	Max	16.50					0.00	49			1088.39	49		
307	-946	-947	Max	20.00	-0.09	103	0.06	33	0.00	104	19.37	102	1521.32	100	0.02	49
307	-946	-947	Min.	0.00	-0.15	100	-0.06	49	-0.01	33	-13.23	101	1083.89	102	-0.02	33
307	-946	-947	Min.	8.00					-0.00	34			1088.13	34		
307	-946	-947	Min.	20.00	-0.15	100	-0.06	49	0.00	99	-19.37	97	1088.38	33	-0.02	33
307	-947	-948	Max	0.00	-0.09	103	0.06	33	0.00	104	19.37	102	1521.32	100	0.02	49
307	-947	-948	Max	2.51					0.00	33			1088.40	33		
307	-947	-948	Max	20.00	-0.09	103	0.06	33	0.01	33	13.23	102	1524.36	98	0.02	49
307	-947	-948	Min.	0.00	-0.15	100	-0.06	49	0.00	99	-19.37	97	1088.38	33	-0.02	33
307	-947	-948	Min.	0.50									1088.38	34		
307	-947	-948	Min.	20.00	-0.15	100	-0.06	49	-0.01	49	-27.66	97	1083.89	101	-0.02	33
307	-948	-1280	Max	0.00	-0.09	103	0.06	33	0.01	33	-81.53	102	1524.36	98	0.05	49
307	-948	-1280	Max	20.00	-0.09	103	0.06	33	0.02	33	-87.68	102	1499.13	98	0.05	49
307	-948	-1280	Min.	0.00	-0.15	100	-0.06	49	-0.01	49	-160.72	97	1083.89	101	0.01	33
307	-948	-1280	Min.	20.00	-0.15	100	-0.06	49	-0.02	49	-169.01	97	1059.22	101	0.01	33
307	-1280	-949	Max	0.00	-0.09	103	0.06	33	0.02	33	-87.68	102	1499.13	98	0.05	49
307	-1280	-949	Max	20.00	-0.09	103	0.06	33	0.03	33	-93.82	102	1472.25	98	0.05	49
307	-1280	-949	Min.	0.00	-0.15	100	-0.06	49	-0.02	49	-169.01	97	1059.22	101	0.01	33
307	-1280	-949	Min.	20.00	-0.15	100	-0.06	49	-0.03	49	-177.31	97	1033.33	101	0.01	33
307	-949	-1278	Max	0.00	-0.09	103	0.06	33	0.03	33	-188.68	102	1472.25	98	0.09	97
307	-949	-1278	Max	20.00	-0.09	103	0.06	33	0.05	33	-194.82	102	1417.07	98	0.09	97
307	-949	-1278	Min.	0.00	-0.15	100	-0.06	49	-0.03	49	-310.50	97	1033.32	101	0.05	33
307	-949	-1278	Min.	20.00	-0.15	100	-0.06	49	-0.04	49	-318.79	97	987.23	101	0.05	33
307	-1278	-950	Max	0.00	-0.09	103	0.06	33	0.05	33	-194.82	102	1417.07	98	0.09	97
307	-1278	-950	Max	20.00	-0.09	103	0.06	33	0.06	33	-200.96	102	1360.23	98	0.09	97
307	-1278	-950	Min.	0.00	-0.15	100	-0.06	49	-0.04	49	-318.79	97	987.23	101	0.05	33
307	-1278	-950	Min.	20.00	-0.15	100	-0.06	49	-0.06	49	-327.08	97	939.90	101	0.05	33
307	-950	-951	Max	0.00	-0.09	103	0.06	33	0.06	33	-296.04	102	1356.89	98	0.11	97
307	-950	-951	Max	40.00	-0.09	103	0.06	33	0.08	33	-308.32	102	1184.84	98	0.11	97
307	-950	-951	Min.	0.00	-0.15	100	-0.06	49	-0.06	49	-460.58	97	937.52	101	0.06	33
307	-950	-951	Min.	40.00	-0.15	100	-0.06	49	-0.08	49	-477.16	97	801.15	101	0.06	33
307	-951	-952	Max	0.00	-0.09	103	0.06	33	0.08	33	-403.56	102	1184.84	98	0.11	97
307	-951	-952	Max	40.00	-0.09	103	0.06	33	0.10	33	-415.85	102	952.66	98	0.11	97
307	-951	-952	Min.	0.00	-0.15	100	-0.06	49	-0.08	49	-610.89	97	801.15	101	0.06	33
307	-951	-952	Min.	40.00	-0.15	100	-0.06	49	-0.10	49	-627.48	97	621.77	101	0.06	33
307	-952	-953	Max	0.00	-0.09	103	0.06	33	0.10	33	-511.09	102	952.66	98	0.11	97
307	-952	-953	Max	40.00	-0.09	103	0.06	33	0.12	33	-523.37	102	660.36	98	0.11	97
307	-952	-953	Min.	0.00	-0.15	100	-0.06	49	-0.10	49	-761.21	97	621.77	101	0.06	33
307	-952	-953	Min.	40.00	-0.15	100	-0.06	49	-0.12	49	-777.79	97	399.38	101	0.06	33
307	-953	-954	Max	0.00	-0.09	103	0.06	33	0.12	33	-618.61	102	660.36	98	0.11	97
307	-953	-954	Max	40.00	-0.09	103	0.06	33	0.15	33	-630.90	102	307.94	98	0.11	97
307	-953	-954	Min.	0.00	-0.15	100	-0.06	49	-0.12	49	-911.52	97	399.38	101	0.06	33

307	-953	-954	Min.	40.00	-0.15	100	-0.06	49	-0.15	49	-928.10	97	133.98	101	0.06	33
307	-954	-955	Max	0.00	-0.09	103	0.06	33	0.15	33	-726.14	102	307.94	98	0.11	97
307	-954	-955	Max	40.00	-0.09	103	0.06	33	0.17	33	-738.42	102	-58.20	102	0.11	97
307	-954	-955	Min.	0.00	-0.15	100	-0.06	49	-0.15	49	-1061.83	97	133.98	101	0.06	33
307	-954	-955	Min.	40.00	-0.15	100	-0.06	49	-0.17	49	-1078.41	97	-220.85	97	0.06	33
307	-955	-956	Max	0.00	-0.09	103	0.06	33	0.17	33	-833.66	102	-58.20	102	0.11	97
307	-955	-956	Max	40.00	-0.09	103	0.06	33	0.19	33	-845.95	102	-394.12	102	0.11	97
307	-955	-956	Min.	0.00	-0.15	100	-0.06	49	-0.17	49	-1212.14	97	-220.85	97	0.06	33
307	-955	-956	Min.	40.00	-0.15	100	-0.06	49	-0.19	49	-1228.72	97	-709.02	97	0.06	33
307	-956	-957	Max	0.00	-0.09	103	0.06	33	0.19	33	-941.12	102	-391.74	102	0.14	97
307	-956	-957	Max	20.00	-0.09	103	0.06	33	0.20	33	-947.26	102	-580.58	102	0.14	97
307	-956	-957	Min.	0.00	-0.15	100	-0.06	49	-0.19	49	-1362.36	97	-705.68	97	0.08	33
307	-956	-957	Min.	20.00	-0.15	100	-0.06	49	-0.20	49	-1370.65	97	-978.98	97	0.08	33
307	-957	-958	Max	0.00	-0.09	103	0.06	33	0.20	33	-947.26	102	-580.58	102	0.14	97
307	-957	-958	Max	20.00	-0.09	103	0.06	33	0.22	33	-953.41	102	-770.65	102	0.14	97
307	-957	-958	Min.	0.00	-0.15	100	-0.06	49	-0.20	49	-1370.65	97	-978.98	97	0.08	33
307	-957	-958	Min.	20.00	-0.15	100	-0.06	49	-0.21	49	-1378.94	97	-1253.94	97	0.08	33
307	-958	-959	Max	0.00	-0.09	103	0.06	33	0.22	33	-1048.58	102	-773.02	102	0.16	97
307	-958	-959	Max	40.00	-0.09	103	0.06	33	0.24	33	-1060.87	102	-1194.91	102	0.16	97
307	-958	-959	Min.	0.00	-0.15	100	-0.06	49	-0.21	49	-1512.58	97	-1257.28	97	0.09	33
307	-958	-959	Min.	40.00	-0.15	100	-0.06	49	-0.24	49	-1529.16	97	-1865.63	97	0.09	33
307	-959	-960	Max	0.00	0.00	102	0.19	33	0.49	49	1119.32	97	-1194.89	102	-0.07	33
307	-959	-960	Max	39.88	0.00	102	0.19	33	0.40	49	1102.79	97	-893.88	102	-0.07	33
307	-959	-960	Min.	0.00	0.00	97	-0.22	49	-0.60	33	761.03	102	-1865.60	97	-0.12	97
307	-959	-960	Min.	39.88	0.00	97	-0.22	49	-0.52	33	748.78	102	-1422.57	97	-0.12	97
307	-960	-961	Max	0.00	0.00	98	0.19	33	0.40	49	969.57	97	-891.47	102	-0.06	33
307	-960	-961	Max	19.94	0.00	98	0.19	33	0.36	49	961.30	97	-761.71	102	-0.06	33
307	-960	-961	Min.	0.00	0.00	101	-0.22	49	-0.52	33	653.90	102	-1419.19	97	-0.10	97
307	-960	-961	Min.	19.94	0.00	101	-0.22	49	-0.48	33	647.78	102	-1226.71	97	-0.10	97
307	-961	-962	Max	0.00	0.00	98	0.19	33	0.36	49	961.31	97	-761.76	102	-0.06	33
307	-961	-962	Max	19.94	0.00	98	0.19	33	0.31	49	953.04	97	-633.22	102	-0.06	33
307	-961	-962	Min.	0.00	0.00	101	-0.22	49	-0.48	33	647.78	102	-1226.78	97	-0.10	97
307	-961	-962	Min.	19.94	0.00	101	-0.22	49	-0.44	33	641.66	102	-1035.94	97	-0.10	97
307	-962	-963	Max	0.00	0.00	102	0.19	33	0.31	49	819.84	97	-635.57	102	-0.04	33
307	-962	-963	Max	39.88	0.00	102	0.19	33	0.23	49	803.31	97	-419.98	102	-0.04	33
307	-962	-963	Min.	0.00	0.00	97	-0.22	49	-0.44	33	546.79	102	-1039.24	97	-0.07	97
307	-962	-963	Min.	39.88	0.00	97	-0.22	49	-0.37	33	534.55	102	-715.62	97	-0.07	97
307	-963	-964	Max	0.00	0.00	102	0.19	33	0.23	49	669.99	97	-420.00	102	-0.04	33
307	-963	-964	Max	39.88	0.00	102	0.19	33	0.14	49	653.46	97	-247.15	102	-0.04	33
307	-963	-964	Min.	0.00	0.00	97	-0.22	49	-0.37	33	439.60	102	-715.66	97	-0.07	97
307	-963	-964	Min.	39.88	0.00	97	-0.22	49	-0.29	33	427.36	102	-451.80	97	-0.07	97
307	-964	-965	Max	0.00	0.00	102	0.19	33	0.14	49	520.13	97	-247.13	102	-0.04	33
307	-964	-965	Max	39.88	0.00	102	0.19	33	0.05	49	503.60	97	-117.03	102	-0.04	33
307	-964	-965	Min.	0.00	0.00	97	-0.22	49	-0.29	33	332.39	102	-451.77	97	-0.07	97
307	-964	-965	Min.	39.88	0.00	97	-0.22	49	-0.21	33	320.15	102	-247.66	97	-0.07	97
307	-965	-966	Max	0.00	0.00	102	0.19	33	0.05	49	370.28	97	-117.01	102	-0.04	33
307	-965	-966	Max	39.88	0.00	102	0.19	33	-0.04	49	353.75	97	-29.66	102	-0.04	33
307	-965	-966	Min.	0.00	0.00	97	-0.22	49	-0.21	33	225.20	102	-247.64	97	-0.07	97
307	-965	-966	Min.	39.88	0.00	97	-0.22	49	-0.14	33	212.96	102	-103.28	97	-0.07	97
307	-966	-967	Max	0.00	0.00	102	0.19	33	-0.04	49	220.43	97	-29.67	102	-0.04	33
307	-966	-967	Max	39.87	0.00	102	0.19	33	-0.06	33	203.90	97	14.95	102	-0.04	33
307	-966	-967	Min.	0.00	0.00	97	-0.22	49	-0.14	33	118.01	102	-103.30	97	-0.07	97
307	-966	-967	Min.	39.87	0.00	97	-0.22	49	-0.13	49	105.77	102	-18.70	97	-0.07	97
307	-967	-968	Max	0.00	0.00	102	0.19	33	-0.06	33	70.58	97	14.95	102	-0.04	33
307	-967	-968	Max	34.89					-0.10	102			16.86	102		
307	-967	-968	Max	39.88	0.00	102	0.19	33	0.02	33	54.05	97	20.57	98	-0.04	33
307	-967	-968	Min.	0.00	0.00	97	-0.22	49	-0.13	49	10.82	102	-18.69	97	-0.07	97
307	-967	-968	Min.	34.89					-0.10	102			16.86	102		
307	-967	-968	Min.	39.88	0.00	97	-0.22	49	-0.22	49	-1.43	102	2.41	101	-0.07	97
307	-968	-969	Max	0.00	0.00	1	0.19	33	0.02	33	-3.02	101	20.57	98	-0.04	33
307	-968	-969	Max	31.00	0.00	1	0.19	33	0.08	33	-12.54	101	0.00	98	-0.04	33
307	-968	-969	Min.	0.00	0.00	1	-0.22	49	-0.22	49	-59.92	98	2.41	101	-0.07	97
307	-968	-969	Min.	31.00	0.00	1	-0.22	49	-0.29	49	-72.77	98	0.00	101	-0.07	97
308	-970	-971	Max	0.00	0.00	1	0.23	33	0.07	49	67.32	97	0.00	1	-8.45	33
308	-970	-971	Max	25.20					-0.09	102			1.10	102		
308	-970	-971	Max	31.00	0.00	1	0.23	33	0.02	49	54.47	97	18.88	97	-8.45	33
308	-970	-971	Min.	0.00	0.00	1	-0.18	49	-0.26	33	8.22	102	0.00	1	-11.87	97
308	-970	-971	Min.	25.20					-0.09	102			1.10	102		
308	-970	-971	Min.	31.00	0.00	1	-0.18	49	-0.19	33	-1.30	102	1.07	102	-11.87	97
308	-971	-972	Max	0.00	0.00	97	0.23	33	0.02	49	-2.63	101	18.88	97	-7.27	33
308	-971	-972	Max	39.88	0.00	97	0.23	33	-0.05	49	-14.87	101	12.16	101	-7.27	33
308	-971	-972	Min.	0.00	0.00	102	-0.18	49	-0.19	33	-60.45	98	1.07	102	-10.22	97
308	-971	-972	Min.	39.88	0.00	102	-0.18	49	-0.10	33	-76.98	98	-23.11	98	-10.22	97
308	-972	-973	Max	0.00	0.00	97	0.23	33	-0.05	49	-110.39	101	12.16	101	-4.91	33
308	-972	-973	Max	39.87	0.00	97	0.23	33	-0.00	33	-122.63	101	-34.29	101	-4.91	33
308	-972	-973	Min.	0.00	0.00	102	-0.18	49	-0.10	33	-211.09	98	-23.11	98	-6.90	97
308	-972	-973	Min.	39.87	0.00	102	-0.18	49	-0.13	49	-227.63	98	-110.58	98	-6.90	97
308	-973	-974	Max	0.00	0.00	101	0.23	33	-0.00	33	-218.09	101	-34.29	101	-2.56	33
308	-973	-974	Max	39.88	0.00	101	0.23	33	0.08	33	-230.34	101	-123.70	101	-2.56	33

308	-973	-974	Min.	0.00	0.00	98	-0.18	49	-0.13	49	-361.66	98	-110.58	98	-3.60	97
308	-973	-974	Min.	39.88	0.00	98	-0.18	49	-0.20	49	-378.19	98	-258.09	98	-3.60	97
308	-974	-975	Max	0.00	0.00	101	0.23	33	0.08	33	-325.93	101	-123.70	101	-0.19	33
308	-974	-975	Max	39.88	0.00	101	0.23	33	0.18	33	-338.18	101	-256.11	101	-0.19	33
308	-974	-975	Min.	0.00	0.00	98	-0.18	49	-0.20	49	-512.42	98	-258.08	98	-0.28	97
308	-974	-975	Min.	39.88	0.00	98	-0.18	49	-0.27	49	-528.95	98	-465.70	98	-0.28	97
308	-975	-976	Max	0.00	0.00	101	0.23	33	0.18	33	-433.56	101	-256.12	101	3.01	98
308	-975	-976	Max	39.88	0.00	101	0.23	33	0.27	33	-445.80	101	-431.44	101	3.01	98
308	-975	-976	Min.	0.00	0.00	98	-0.18	49	-0.27	49	-662.87	98	-465.72	98	2.14	49
308	-975	-976	Min.	39.88	0.00	98	-0.18	49	-0.34	49	-679.40	98	-733.34	98	2.14	49
308	-976	-977	Max	0.00	0.00	101	0.23	33	0.27	33	-541.06	101	-431.42	101	6.36	98
308	-976	-977	Max	39.88	0.00	101	0.23	33	0.36	33	-553.30	101	-649.61	101	6.36	98
308	-976	-977	Min.	0.00	0.00	98	-0.18	49	-0.34	49	-813.16	98	-733.31	98	4.52	49
308	-976	-977	Min.	39.88	0.00	98	-0.18	49	-0.41	49	-829.69	98	-1060.85	98	4.52	49
308	-977	-978	Max	0.00	0.00	101	0.23	33	0.36	33	-649.24	101	-647.51	101	9.37	98
308	-977	-978	Max	19.94	0.00	101	0.23	33	0.40	33	-655.36	101	-777.57	101	9.37	98
308	-977	-978	Min.	0.00	0.00	98	-0.18	49	-0.41	49	-964.39	98	-1057.91	98	6.66	49
308	-977	-978	Min.	19.94	0.00	98	-0.18	49	-0.44	49	-972.65	98	-1251.01	98	6.66	49
308	-978	-979	Max	0.00	0.00	101	0.23	33	0.40	33	-655.36	101	-777.56	101	9.37	98
308	-978	-979	Max	19.94	0.00	101	0.23	33	0.45	33	-661.48	101	-908.84	101	9.37	98
308	-978	-979	Min.	0.00	0.00	98	-0.18	49	-0.44	49	-972.65	98	-1251.00	98	6.66	49
308	-978	-979	Min.	19.94	0.00	98	-0.18	49	-0.48	49	-980.92	98	-1445.75	98	6.66	49
308	-979	316	Max	0.00	0.00	101	0.23	33	0.45	33	-757.26	101	-910.94	101	12.35	98
308	-979	316	Max	39.88	0.00	101	0.23	33	0.54	33	-769.50	101	-1215.34	101	12.35	98
308	-979	316	Min.	0.00	0.00	98	-0.18	49	-0.48	49	-1115.40	98	-1448.71	98	8.78	49
308	-979	316	Min.	39.88	0.00	98	-0.18	49	-0.55	49	-1131.93	98	-1896.77	98	8.78	49
308	316	-980	Max	0.00	-0.24	103	0.06	33	0.23	49	1540.10	98	-1215.32	101	-21.75	49
308	316	-980	Max	40.00	-0.24	103	0.06	33	0.20	49	1523.52	98	-790.47	101	-21.75	49
308	316	-980	Min.	0.00	-0.37	100	-0.06	49	-0.26	33	1068.25	101	-1896.74	98	-30.58	98
308	316	-980	Min.	40.00	-0.37	100	-0.06	49	-0.24	33	1055.97	101	-1284.01	98	-30.58	98
308	-980	-981	Max	0.00	-0.24	103	0.06	33	0.20	49	1388.62	98	-788.36	101	-19.62	49
308	-980	-981	Max	20.00	-0.24	103	0.06	33	0.19	49	1380.33	98	-596.99	101	-19.62	49
308	-980	-981	Min.	0.00	-0.37	100	-0.06	49	-0.24	33	959.89	101	-1281.04	98	-27.58	98
308	-980	-981	Min.	20.00	-0.37	100	-0.06	49	-0.23	33	953.75	101	-1004.15	98	-27.58	98
308	-981	-982	Max	0.00	-0.24	103	0.06	33	0.19	49	1380.33	98	-596.99	101	-19.62	49
308	-981	-982	Max	20.00	-0.24	103	0.06	33	0.18	49	1372.04	98	-406.86	101	-19.62	49
308	-981	-982	Min.	0.00	-0.37	100	-0.06	49	-0.23	33	953.75	101	-1004.15	98	-27.58	98
308	-981	-982	Min.	20.00	-0.37	100	-0.06	49	-0.22	33	947.61	101	-728.91	98	-27.58	98
308	-982	-983	Max	0.00	-0.24	103	0.06	33	0.18	49	1236.91	98	-408.96	101	-17.46	49
308	-982	-983	Max	40.00	-0.24	103	0.06	33	0.16	49	1220.33	98	-70.86	101	-17.46	49
308	-982	-983	Min.	0.00	-0.37	100	-0.06	49	-0.22	33	851.38	101	-731.87	98	-24.56	98
308	-982	-983	Min.	40.00	-0.37	100	-0.06	49	-0.19	33	839.10	101	-240.42	98	-24.56	98
308	-983	-984	Max	0.00	-0.24	103	0.06	33	0.16	49	1086.16	98	-70.88	101	-15.08	49
308	-983	-984	Max	40.00	-0.24	103	0.06	33	0.13	49	1069.58	98	292.63	97	-15.08	49
308	-983	-984	Min.	0.00	-0.37	100	-0.06	49	-0.19	33	743.54	101	-240.45	98	-21.21	98
308	-983	-984	Min.	40.00	-0.37	100	-0.06	49	-0.17	33	731.26	101	122.15	102	-21.21	98
308	-984	-985	Max	0.00	-0.24	103	0.06	33	0.13	49	935.29	98	292.64	97	-12.73	49
308	-984	-985	Max	40.00	-0.24	103	0.06	33	0.11	49	918.71	98	647.76	97	-12.73	49
308	-984	-985	Min.	0.00	-0.37	100	-0.06	49	-0.17	33	635.62	101	122.16	102	-17.91	98
308	-984	-985	Min.	40.00	-0.37	100	-0.06	49	-0.15	33	623.34	101	389.63	102	-17.91	98
308	-985	-986	Max	0.00	-0.24	103	0.06	33	0.11	49	783.94	98	647.76	97	-10.36	49
308	-985	-986	Max	40.00	-0.24	103	0.06	33	0.09	49	767.36	98	942.34	97	-10.36	49
308	-985	-986	Min.	0.00	-0.37	100	-0.06	49	-0.15	33	527.36	101	389.63	102	-14.57	98
308	-985	-986	Min.	40.00	-0.37	100	-0.06	49	-0.12	33	515.07	101	613.80	102	-14.57	98
308	-986	-987	Max	0.00	-0.24	103	0.06	33	0.09	49	633.07	98	942.32	97	-8.01	49
308	-986	-987	Max	40.00	-0.24	103	0.06	33	0.06	49	616.49	98	1176.56	97	-8.01	49
308	-986	-987	Min.	0.00	-0.37	100	-0.06	49	-0.12	33	419.44	101	613.79	102	-11.28	98
308	-986	-987	Min.	40.00	-0.37	100	-0.06	49	-0.10	33	407.15	101	794.79	102	-11.28	98
308	-987	-988	Max	0.00	-0.24	103	0.06	33	0.06	49	482.30	98	1176.58	97	-5.62	49
308	-987	-988	Max	40.00	-0.24	103	0.06	33	0.04	49	465.72	98	1350.51	97	-5.62	49
308	-987	-988	Min.	0.00	-0.37	100	-0.06	49	-0.10	33	311.59	101	794.81	102	-7.92	98
308	-987	-988	Min.	40.00	-0.37	100	-0.06	49	-0.08	33	299.30	101	932.66	102	-7.92	98
308	-988	-1285	Max	0.00	-0.24	103	0.06	33	0.04	49	330.83	98	1353.52	97	-3.49	49
308	-988	-1285	Max	20.00	-0.24	103	0.06	33	0.03	49	322.54	98	1411.02	97	-3.49	49
308	-988	-1285	Min.	0.00	-0.37	100	-0.06	49	-0.08	33	203.24	101	934.81	102	-4.93	98
308	-988	-1285	Min.	20.00	-0.37	100	-0.06	49	-0.06	33	197.10	101	982.69	102	-4.93	98
308	-1285	-989	Max	0.00	-0.24	103	0.06	33	0.03	49	322.54	98	1411.02	97	-3.49	49
308	-1285	-989	Max	20.00	-0.24	103	0.06	33	0.02	49	314.25	98	1466.86	97	-3.49	49
308	-1285	-989	Min.	0.00	-0.37	100	-0.06	49	-0.06	33	197.10	101	982.69	102	-4.93	98
308	-1285	-989	Min.	20.00	-0.37	100	-0.06	49	-0.05	33	190.96	101	1029.33	102	-4.93	98
308	-989	-1283	Max	0.00	-0.24	103	0.06	33	0.02	49	179.25	98	1466.93	97	-1.73	49
308	-989	-1283	Max	20.00	-0.24	103	0.06	33	0.01	49	170.96	98	1494.11	97	-1.73	49
308	-989	-1283	Min.	0.00	-0.37	100	-0.06	49	-0.05	33	94.81	101	1029.38	102	-2.45	98
308	-989	-1283	Min.	20.00	-0.37	100	-0.06	49	-0.04	33	88.67	101	1055.57	102	-2.45	98
308	-1283	-990	Max	0.00	-0.24	103	0.06	33	0.01	49	170.96	98	1494.11	97	-1.73	49
308	-1283	-990	Max	20.00	-0.24	103	0.06	33	-0.01	49	162.67	98	1519.63	97	-1.73	49
308	-1283	-990	Min.	0.00	-0.37	100	-0.06	49	-0.04	33	88.67	101	1055.57	102	-2.45	98
308	-1283	-990	Min.	20.00	-0.37	100	-0.06	49	-0.03	33	82.53	101	1080.53	102	-2.45	98
308	-990	-991	Max	0.00	-0.24	103	0.06	33	-0.01	49	27.89	98	1519.63	97	0.02	49

308	-990	-991	Max	14.95					-0.01	49			1085.11	49		
308	-990	-991	Max	20.00	-0.24	103	0.06	33	-0.02	104	19.60	102	1516.55	100	0.02	49
308	-990	-991	Min.	0.00	-0.37	100	-0.06	49	-0.03	33	-13.46	101	1080.53	102	-0.02	33
308	-990	-991	Min.	18.00					-0.02	50			1085.06	50		
308	-990	-991	Min.	20.00	-0.37	100	-0.06	49	-0.03	99	-19.60	97	1085.03	33	-0.02	33
308	-991	-992	Max	0.00	-0.24	103	0.06	33	-0.02	104	19.60	102	1516.55	100	0.02	49
308	-991	-992	Max	4.00					-0.01	33			1085.13	33		
308	-991	-992	Max	20.00	-0.24	103	0.06	33	-0.01	33	13.46	102	1519.63	98	0.02	49
308	-991	-992	Min.	0.00	-0.37	100	-0.06	49	-0.03	99	-19.60	97	1085.03	33	-0.02	33
308	-991	-992	Min.	1.25					-0.02	34			1085.05	34		
308	-991	-992	Min.	20.00	-0.37	100	-0.06	49	-0.03	49	-27.89	97	1080.53	101	-0.02	33
308	-992	-1281	Max	0.00	-0.24	103	0.06	33	-0.01	33	-82.53	102	1519.63	98	2.45	97
308	-992	-1281	Max	20.00	-0.24	103	0.06	33	0.01	33	-88.67	102	1494.11	98	2.45	97
308	-992	-1281	Min.	0.00	-0.37	100	-0.06	49	-0.03	49	-162.67	97	1080.53	101	1.73	33
308	-992	-1281	Min.	20.00	-0.37	100	-0.06	49	-0.04	49	-170.96	97	1055.57	101	1.73	33
308	-1281	-993	Max	0.00	-0.24	103	0.06	33	0.01	33	-88.67	102	1494.11	98	2.45	97
308	-1281	-993	Max	20.00	-0.24	103	0.06	33	0.02	33	-94.81	102	1466.93	98	2.45	97
308	-1281	-993	Min.	0.00	-0.37	100	-0.06	49	-0.04	49	-170.96	97	1055.57	101	1.73	33
308	-1281	-993	Min.	20.00	-0.37	100	-0.06	49	-0.05	49	-179.25	97	1029.38	101	1.73	33
308	-993	-1279	Max	0.00	-0.24	103	0.06	33	0.02	33	-190.96	102	1466.86	98	4.93	97
308	-993	-1279	Max	20.00	-0.24	103	0.06	33	0.03	33	-197.10	102	1411.02	98	4.93	97
308	-993	-1279	Min.	0.00	-0.37	100	-0.06	49	-0.05	49	-314.25	97	1029.33	101	3.49	33
308	-993	-1279	Min.	20.00	-0.37	100	-0.06	49	-0.06	49	-322.54	97	982.69	101	3.49	33
308	-1279	-994	Max	0.00	-0.24	103	0.06	33	0.03	33	-197.10	102	1411.02	98	4.93	97
308	-1279	-994	Max	12.00					-0.00	34			972.59	34		
308	-1279	-994	Max	20.00	-0.24	103	0.06	33	0.04	33	-203.24	102	1353.52	98	4.93	97
308	-1279	-994	Min.	0.00	-0.37	100	-0.06	49	-0.06	49	-322.54	97	982.69	101	3.49	33
308	-1279	-994	Min.	12.00					-0.00	34			972.56	34		
308	-1279	-994	Min.	20.00	-0.37	100	-0.06	49	-0.08	49	-330.83	97	934.81	101	3.49	33
308	-994	-995	Max	0.00	-0.24	103	0.06	33	0.04	33	-299.30	102	1350.51	98	7.92	97
308	-994	-995	Max	40.00	-0.24	103	0.06	33	0.06	33	-311.59	102	1176.58	98	7.92	97
308	-994	-995	Min.	0.00	-0.37	100	-0.06	49	-0.08	49	-465.72	97	932.66	101	5.62	33
308	-994	-995	Min.	40.00	-0.37	100	-0.06	49	-0.10	49	-482.30	97	794.81	101	5.62	33
308	-995	-996	Max	0.00	-0.24	103	0.06	33	0.06	33	-407.15	102	1176.56	98	11.28	97
308	-995	-996	Max	40.00	-0.24	103	0.06	33	0.09	33	-419.44	102	942.32	98	11.28	97
308	-995	-996	Min.	0.00	-0.37	100	-0.06	49	-0.10	49	-616.49	97	794.79	101	8.01	33
308	-995	-996	Min.	40.00	-0.37	100	-0.06	49	-0.12	49	-633.07	97	613.79	101	8.01	33
308	-996	-997	Max	0.00	-0.24	103	0.06	33	0.09	33	-515.07	102	942.34	98	14.57	97
308	-996	-997	Max	40.00	-0.24	103	0.06	33	0.11	33	-527.36	102	647.76	98	14.57	97
308	-996	-997	Min.	0.00	-0.37	100	-0.06	49	-0.12	49	-767.36	97	613.80	101	10.36	33
308	-996	-997	Min.	40.00	-0.37	100	-0.06	49	-0.15	49	-783.94	97	389.63	101	10.36	33
308	-997	-998	Max	0.00	-0.24	103	0.06	33	0.11	33	-623.34	102	647.76	98	17.91	97
308	-997	-998	Max	40.00	-0.24	103	0.06	33	0.13	33	-635.62	102	292.64	98	17.91	97
308	-997	-998	Min.	0.00	-0.37	100	-0.06	49	-0.15	49	-918.71	97	389.63	101	12.73	33
308	-997	-998	Min.	40.00	-0.37	100	-0.06	49	-0.17	49	-935.29	97	122.16	101	12.73	33
308	-998	-999	Max	0.00	-0.24	103	0.06	33	0.13	33	-731.26	102	292.63	98	21.21	97
308	-998	-999	Max	40.00	-0.24	103	0.06	33	0.16	33	-743.54	102	-70.89	102	21.21	97
308	-998	-999	Min.	0.00	-0.37	100	-0.06	49	-0.17	49	-1069.58	97	122.15	101	15.08	33
308	-998	-999	Min.	40.00	-0.37	100	-0.06	49	-0.19	49	-1086.16	97	-240.45	97	15.08	33
308	-999	-1000	Max	0.00	-0.24	103	0.06	33	0.16	33	-839.10	102	-70.86	102	24.56	97
308	-999	-1000	Max	40.00	-0.24	103	0.06	33	0.18	33	-851.38	102	-408.96	102	24.56	97
308	-999	-1000	Min.	0.00	-0.37	100	-0.06	49	-0.19	49	-1220.33	97	-240.42	97	17.46	33
308	-999	-1000	Min.	40.00	-0.37	100	-0.06	49	-0.22	49	-1236.91	97	-731.87	97	17.46	33
308	-1000	-1001	Max	0.00	-0.24	103	0.06	33	0.18	33	-947.61	102	-406.86	102	27.58	97
308	-1000	-1001	Max	20.00	-0.24	103	0.06	33	0.19	33	-953.75	102	-596.99	102	27.58	97
308	-1000	-1001	Min.	0.00	-0.37	100	-0.06	49	-0.22	49	-1372.04	97	-728.91	97	19.62	33
308	-1000	-1001	Min.	20.00	-0.37	100	-0.06	49	-0.23	49	-1380.33	97	-1004.15	97	19.62	33
308	-1001	-1002	Max	0.00	-0.24	103	0.06	33	0.19	33	-953.75	102	-596.99	102	27.58	97
308	-1001	-1002	Max	20.00	-0.24	103	0.06	33	0.20	33	-959.89	102	-788.36	102	27.58	97
308	-1001	-1002	Min.	0.00	-0.37	100	-0.06	49	-0.23	49	-1380.33	97	-1004.15	97	19.62	33
308	-1001	-1002	Min.	20.00	-0.37	100	-0.06	49	-0.24	49	-1388.62	97	-1281.04	97	19.62	33
308	-1002	317	Max	0.00	-0.24	103	0.06	33	0.20	33	-1055.97	102	-790.47	102	30.58	97
308	-1002	317	Max	40.00	-0.24	103	0.06	33	0.23	33	-1068.25	102	-1215.32	102	30.58	97
308	-1002	317	Min.	0.00	-0.37	100	-0.06	49	-0.24	49	-1523.52	97	-1284.01	97	21.75	33
308	-1002	317	Min.	40.00	-0.37	100	-0.06	49	-0.26	49	-1540.10	97	-1896.74	97	21.75	33
308	317	-1003	Max	0.00	0.00	102	0.18	33	0.54	49	1131.92	97	-1215.34	102	-8.78	33
308	317	-1003	Max	39.88	0.00	102	0.18	33	0.45	49	1115.39	97	-910.94	102	-8.78	33
308	317	-1003	Min.	0.00	0.00	97	-0.23	49	-0.55	33	769.50	102	-1896.77	97	-12.35	97
308	317	-1003	Min.	39.88	0.00	97	-0.23	49	-0.48	33	757.25	102	-1448.71	97	-12.35	97
308	-1003	-1004	Max	0.00	0.00	102	0.18	33	0.45	49	980.91	97	-908.80	102	-6.66	33
308	-1003	-1004	Max	19.94	0.00	102	0.18	33	0.40	49	972.64	97	-777.53	102	-6.66	33
308	-1003	-1004	Min.	0.00	0.00	97	-0.23	49	-0.48	33	661.48	102	-1445.70	97	-9.37	97
308	-1003	-1004	Min.	19.94	0.00	97	-0.23	49	-0.44	33	655.35	102	-1250.96	97	-9.37	97
308	-1004	-1005	Max	0.00	0.00	102	0.18	33	0.40	49	972.65	97	-777.58	102	-6.66	33
308	-1004	-1005	Max	19.94	0.00	102	0.18	33	0.35	49	964.38	97	-647.53	102	-6.66	33
308	-1004	-1005	Min.	0.00	0.00	97	-0.23	49	-0.44	33	655.36	102	-1251.03	97	-9.37	97
308	-1004	-1005	Min.	19.94	0.00	97	-0.23	49	-0.41	33	649.23	102	-1057.93	97	-9.37	97
308	-1005	-1006	Max	0.00	0.00	102	0.18	33	0.35	49	829.70	97	-649.61	102	-4.52	33
308	-1005	-1006	Max	39.88	0.00	102	0.18	33	0.26	49	813.16	97	-431.42	102	-4.52	33

308	-1005	-1006	Min.	0.00	0.00	97	-0.23	49	-0.41	33	553.31	102	-1060.85	97	-6.36	97
308	-1005	-1006	Min.	39.88	0.00	97	-0.23	49	-0.34	33	541.07	102	-733.30	97	-6.36	97
308	-1006	-1007	Max	0.00	0.00	102	0.18	33	0.26	49	679.41	97	-431.46	102	-2.14	33
308	-1006	-1007	Max	39.88	0.00	102	0.18	33	0.17	49	662.88	97	-256.14	102	-2.14	33
308	-1006	-1007	Min.	0.00	0.00	97	-0.23	49	-0.34	33	445.81	102	-733.37	97	-3.02	97
308	-1006	-1007	Min.	39.88	0.00	97	-0.23	49	-0.27	33	433.56	102	-465.75	97	-3.02	97
308	-1007	-1008	Max	0.00	0.00	102	0.18	33	0.17	49	528.94	97	-256.11	102	0.28	98
308	-1007	-1008	Max	39.88	0.00	102	0.18	33	0.08	49	512.41	97	-123.70	102	0.28	98
308	-1007	-1008	Min.	0.00	0.00	97	-0.23	49	-0.27	33	338.17	102	-465.70	97	0.19	49
308	-1007	-1008	Min.	39.88	0.00	97	-0.23	49	-0.20	33	325.93	102	-258.08	97	0.19	49
308	-1008	-1009	Max	0.00	0.00	102	0.18	33	0.08	49	378.18	97	-123.69	102	3.60	98
308	-1008	-1009	Max	39.88	0.00	102	0.18	33	-0.01	65	361.65	97	-34.28	102	3.60	98
308	-1008	-1009	Min.	0.00	0.00	97	-0.23	49	-0.20	33	230.33	102	-258.06	97	2.56	49
308	-1008	-1009	Min.	39.88	0.00	97	-0.23	49	-0.13	33	218.09	102	-110.56	97	2.56	49
308	-1009	-1010	Max	0.00	0.00	98	0.18	33	-0.01	49	227.62	97	-34.29	102	6.90	98
308	-1009	-1010	Max	39.87	0.00	98	0.18	33	-0.05	33	211.09	97	12.16	102	6.90	98
308	-1009	-1010	Min.	0.00	0.00	101	-0.23	49	-0.13	33	122.63	102	-110.58	97	4.91	49
308	-1009	-1010	Min.	39.87	0.00	101	-0.23	49	-0.10	49	110.38	102	-23.11	97	4.91	49
308	-1010	-1011	Max	0.00	0.00	98	0.18	33	-0.05	33	76.97	97	12.17	102	10.22	98
308	-1010	-1011	Max	39.88	0.00	98	0.18	33	0.02	33	60.44	97	18.88	98	10.22	98
308	-1010	-1011	Min.	0.00	0.00	101	-0.23	49	-0.10	49	14.87	102	-23.10	97	7.27	49
308	-1010	-1011	Min.	39.88	0.00	101	-0.23	49	-0.19	49	2.62	102	1.07	101	7.27	49
308	-1011	-1012	Max	0.00	0.00	1	0.18	33	0.02	33	1.30	101	18.88	98	11.87	98
308	-1011	-1012	Max	4.25					-0.09	101			1.10	101		
308	-1011	-1012	Max	31.00	0.00	1	0.18	33	0.07	33	-8.21	101	0.00	98	11.87	98
308	-1011	-1012	Min.	0.00	0.00	1	-0.23	49	-0.19	49	-54.47	98	1.07	101	8.45	49
308	-1011	-1012	Min.	4.25					-0.09	101			1.10	101		
308	-1011	-1012	Min.	31.00	0.00	1	-0.23	49	-0.26	49	-67.32	98	0.00	101	8.45	49
309	-1058	-1059	Max	0.00	0.00	1	0.13	33	0.22	49	67.95	97	0.00	1	0.92	97
309	-1058	-1059	Max	28.62					0.07	102			1.26	102		
309	-1058	-1059	Max	31.00	0.00	1	0.13	33	0.15	97	55.10	97	19.07	97	0.92	97
309	-1058	-1059	Min.	0.00	0.00	1	-0.24	49	-0.04	33	8.79	102	0.00	1	0.65	49
309	-1058	-1059	Min.	28.62					0.07	102			1.26	102		
309	-1058	-1059	Min.	31.00	0.00	1	-0.24	49	0.00	33	-0.73	102	1.25	102	0.65	49
309	-1059	-1060	Max	0.00	0.00	97	0.13	33	0.15	97	-2.21	101	19.07	97	0.74	97
309	-1059	-1060	Max	39.88	0.00	97	0.13	33	0.11	97	-14.46	101	12.46	101	0.74	97
309	-1059	-1060	Min.	0.00	0.00	102	-0.24	49	0.00	33	-59.67	98	1.25	102	0.53	49
309	-1059	-1060	Min.	39.88	0.00	102	-0.24	49	0.05	49	-76.20	98	-22.55	98	0.53	49
309	-1060	-1061	Max	0.00	0.00	97	0.13	33	0.11	97	-109.98	101	12.46	101	0.39	97
309	-1060	-1061	Max	39.87	0.00	97	0.13	33	0.11	33	-122.23	101	-33.84	101	0.39	97
309	-1060	-1061	Min.	0.00	0.00	102	-0.24	49	0.05	49	-210.33	98	-22.55	98	0.28	49
309	-1060	-1061	Min.	39.87	0.00	102	-0.24	49	-0.05	49	-226.86	98	-109.71	98	0.28	49
309	-1061	-1062	Max	0.00	0.00	97	0.13	33	0.11	33	-217.65	101	-33.84	101	0.04	33
309	-1061	-1062	Max	39.88	0.00	97	0.13	33	0.16	33	-229.90	101	-123.07	101	0.04	33
309	-1061	-1062	Min.	0.00	0.00	102	-0.24	49	-0.05	49	-360.84	98	-109.72	98	0.03	49
309	-1061	-1062	Min.	39.88	0.00	102	-0.24	49	-0.15	49	-377.37	98	-256.90	98	0.03	49
309	-1062	-1063	Max	0.00	0.00	101	0.13	33	0.16	33	-325.57	101	-123.06	101	-0.21	33
309	-1062	-1063	Max	39.88	0.00	101	0.13	33	0.22	33	-337.81	101	-255.32	101	-0.21	33
309	-1062	-1063	Min.	0.00	0.00	98	-0.24	49	-0.15	49	-511.71	98	-256.89	98	-0.32	98
309	-1062	-1063	Min.	39.88	0.00	98	-0.24	49	-0.24	49	-528.24	98	-464.23	98	-0.32	98
309	-1063	-1064	Max	0.00	0.00	101	0.13	33	0.22	33	-433.13	101	-255.34	101	-0.46	33
309	-1063	-1064	Max	39.88	0.00	101	0.13	33	0.27	33	-445.37	101	-430.49	101	-0.46	33
309	-1063	-1064	Min.	0.00	0.00	98	-0.24	49	-0.24	49	-662.07	98	-464.25	98	-0.67	98
309	-1063	-1064	Min.	39.88	0.00	98	-0.24	49	-0.34	49	-678.60	98	-731.55	98	-0.67	98
309	-1064	-1065	Max	0.00	0.00	101	0.13	33	0.27	33	-540.20	101	-430.46	101	-0.72	33
309	-1064	-1065	Max	39.88	0.00	101	0.13	33	0.32	33	-552.44	101	-648.30	101	-0.72	33
309	-1064	-1065	Min.	0.00	0.00	98	-0.24	49	-0.34	49	-811.74	98	-731.50	98	-1.03	98
309	-1064	-1065	Min.	39.88	0.00	98	-0.24	49	-0.44	49	-828.27	98	-1058.48	98	-1.03	98
309	-1065	-1066	Max	0.00	0.00	101	0.13	33	0.32	33	-648.98	101	-646.53	101	-0.83	33
309	-1065	-1066	Max	19.94	0.00	101	0.13	33	0.35	33	-655.10	101	-776.53	101	-0.83	33
309	-1065	-1066	Min.	0.00	0.00	98	-0.24	49	-0.44	49	-963.82	98	-1055.99	98	-1.19	98
309	-1065	-1066	Min.	19.94	0.00	98	-0.24	49	-0.48	49	-972.08	98	-1248.97	98	-1.19	98
309	-1066	-1067	Max	0.00	0.00	101	0.13	33	0.35	33	-655.10	101	-776.53	101	-0.83	33
309	-1066	-1067	Max	19.94	0.00	101	0.13	33	0.38	33	-661.23	101	-907.75	101	-0.83	33
309	-1066	-1067	Min.	0.00	0.00	98	-0.24	49	-0.48	49	-972.08	98	-1248.97	98	-1.19	98
309	-1066	-1067	Min.	19.94	0.00	98	-0.24	49	-0.53	49	-980.35	98	-1443.60	98	-1.19	98
309	-1067	-1068	Max	0.00	0.00	101	0.13	33	0.38	33	-757.51	101	-909.55	101	-0.94	33
309	-1067	-1068	Max	39.88	0.00	101	0.13	33	0.43	33	-769.75	101	-1214.04	101	-0.94	33
309	-1067	-1068	Min.	0.00	0.00	98	-0.24	49	-0.53	49	-1115.53	98	-1446.13	98	-1.35	98
309	-1067	-1068	Min.	39.88	0.00	98	-0.24	49	-0.63	49	-1132.06	98	-1894.24	98	-1.35	98
309	-1068	-1069	Max	0.00	1.18	99	0.06	33	0.23	49	1542.78	98	-1213.95	101	2.17	98
309	-1068	-1069	Max	40.00	1.18	99	0.06	33	0.21	49	1526.20	98	-788.26	101	2.17	98
309	-1068	-1069	Min.	0.00	0.80	104	-0.06	49	-0.27	33	1070.35	101	-1894.10	98	1.52	33
309	-1068	-1069	Min.	40.00	0.80	104	-0.06	49	-0.25	33	1058.07	101	-1280.30	98	1.52	33
309	-1069	-1070	Max	0.00	1.18	99	0.06	1	0.21	49	1390.58	98	-786.46	101	2.01	98
309	-1069	-1070	Max	20.00	1.18	99	0.06	1	0.19	49	1382.29	98	-594.78	101	2.01	98
309	-1069	-1070	Min.	0.00	0.80	104	-0.06	49	-0.25	33	961.48	101	-1277.77	98	1.41	33
309	-1069	-1070	Min.	20.00	0.80	104	-0.06	49	-0.23	33	955.34	101	-1000.48	98	1.41	33
309	-1070	-1071	Max	0.00	1.18	99	0.06	1	0.19	49	1382.29	98	-594.78	101	2.01	98

309	-1070	-1071	Max	20.00	1.18	99	0.06	1	0.18	49	1374.00	98	-404.33	101	2.01	98
309	-1070	-1071	Min.	0.00	0.80	104	-0.06	49	-0.23	33	955.34	101	-1000.48	98	1.41	33
309	-1070	-1071	Min.	20.00	0.80	104	-0.06	49	-0.22	33	949.20	101	-724.85	98	1.41	33
309	-1071	-1072	Max	0.00	1.18	99	0.06	1	0.18	49	1238.03	98	-406.11	101	1.85	98
309	-1071	-1072	Max	40.00	1.18	99	0.06	1	0.16	49	1221.45	98	-67.62	101	1.85	98
309	-1071	-1072	Min.	0.00	0.80	104	-0.06	49	-0.22	33	852.35	101	-727.36	98	1.30	33
309	-1071	-1072	Min.	40.00	0.80	104	-0.06	49	-0.20	33	840.07	101	-235.46	98	1.30	33
309	-1072	-1073	Max	0.00	1.18	99	0.06	1	0.16	49	1087.89	98	-67.66	101	1.49	98
309	-1072	-1073	Max	40.00	1.18	99	0.06	1	0.13	49	1071.30	98	297.92	97	1.49	98
309	-1072	-1073	Min.	0.00	0.80	104	-0.06	49	-0.20	33	744.94	101	-235.51	98	1.04	33
309	-1072	-1073	Min.	40.00	0.80	104	-0.06	49	-0.18	33	732.66	101	126.28	102	1.04	33
309	-1073	-1074	Max	0.00	1.18	99	0.06	1	0.13	49	937.15	98	297.94	97	1.14	98
309	-1073	-1074	Max	40.00	1.18	99	0.06	1	0.11	49	920.57	98	653.86	97	1.14	98
309	-1073	-1074	Min.	0.00	0.80	104	-0.06	49	-0.18	33	637.12	101	126.29	102	0.79	33
309	-1073	-1074	Min.	40.00	0.80	104	-0.06	49	-0.15	33	624.84	101	394.31	102	0.79	33
309	-1074	-1075	Max	0.00	1.18	99	0.06	33	0.11	49	785.59	98	653.86	97	0.79	98
309	-1074	-1075	Max	40.00	1.18	99	0.06	33	0.09	49	769.00	98	949.14	97	0.79	98
309	-1074	-1075	Min.	0.00	0.80	104	-0.06	49	-0.15	33	528.70	101	394.31	102	0.54	33
309	-1074	-1075	Min.	40.00	0.80	104	-0.06	49	-0.13	33	516.42	101	618.97	102	0.54	33
309	-1075	-1076	Max	0.00	1.18	99	0.06	33	0.09	49	634.86	98	949.12	97	0.44	98
309	-1075	-1076	Max	40.00	1.18	99	0.06	33	0.06	49	618.27	98	1184.12	97	0.44	98
309	-1075	-1076	Min.	0.00	0.80	104	-0.06	49	-0.13	33	420.88	101	618.95	102	0.29	33
309	-1075	-1076	Min.	40.00	0.80	104	-0.06	49	-0.10	33	408.60	101	800.47	102	0.29	33
309	-1076	-1077	Max	0.00	1.18	99	0.06	33	0.06	49	484.70	98	1184.17	97	0.08	49
309	-1076	-1077	Max	40.00	1.18	99	0.06	33	0.04	49	468.11	98	1359.10	97	0.08	49
309	-1076	-1077	Min.	0.00	0.80	104	-0.06	49	-0.10	33	313.46	101	800.51	102	0.03	33
309	-1076	-1077	Min.	40.00	0.80	104	-0.06	49	-0.08	33	301.18	101	939.06	102	0.03	33
309	-1077	-1320	Max	0.00	1.18	99	0.06	33	0.04	49	332.69	98	1361.71	97	-0.04	49
309	-1077	-1320	Max	20.00	1.18	99	0.06	33	0.03	49	324.40	98	1419.60	97	-0.04	49
309	-1077	-1320	Min.	0.00	0.80	104	-0.06	49	-0.08	33	204.72	101	940.92	102	-0.09	97
309	-1077	-1320	Min.	20.00	0.80	104	-0.06	49	-0.07	33	198.58	101	989.06	102	-0.09	97
309	-1320	-1078	Max	0.00	1.18	99	0.06	33	0.03	49	324.40	98	1419.60	97	-0.04	49
309	-1320	-1078	Max	20.00	1.18	99	0.06	33	0.01	49	316.11	98	1475.84	97	-0.04	49
309	-1320	-1078	Min.	0.00	0.80	104	-0.06	49	-0.07	33	198.58	101	989.06	102	-0.09	97
309	-1320	-1078	Min.	20.00	0.80	104	-0.06	49	-0.06	33	192.44	101	1035.98	102	-0.09	97
309	-1078	-1322	Max	0.00	1.18	99	0.06	33	0.01	49	180.27	98	1475.97	97	-0.01	49
309	-1078	-1322	Max	20.00	1.18	99	0.06	33	0.00	49	171.97	98	1503.38	97	-0.01	49
309	-1078	-1322	Min.	0.00	0.80	104	-0.06	49	-0.06	33	95.66	101	1036.07	102	-0.05	33
309	-1078	-1322	Min.	20.00	0.80	104	-0.06	49	-0.04	33	89.52	101	1062.40	102	-0.05	33
309	-1322	-1079	Max	0.00	1.18	99	0.06	33	0.00	49	171.97	98	1503.38	97	-0.01	49
309	-1322	-1079	Max	20.00	1.18	99	0.06	33	-0.01	49	163.68	98	1529.13	97	-0.01	49
309	-1322	-1079	Min.	0.00	0.80	104	-0.06	49	-0.04	33	89.52	101	1062.40	102	-0.05	33
309	-1322	-1079	Min.	20.00	0.80	104	-0.06	49	-0.03	33	83.38	101	1087.51	102	-0.05	33
309	-1079	-1080	Max	0.00	1.18	99	0.06	33	-0.01	49	27.83	98	1529.14	97	0.02	49
309	-1079	-1080	Max	17.00					-0.03	100			1526.06	100		
309	-1079	-1080	Max	20.00	1.18	99	0.06	33	-0.02	33	19.54	102	1526.08	100	0.02	49
309	-1079	-1080	Min.	0.00	0.80	104	-0.06	49	-0.03	33	-13.39	101	1087.52	102	-0.02	33
309	-1079	-1080	Min.	17.79					-0.02	50			1092.04	50		
309	-1079	-1080	Min.	20.00	0.80	104	-0.06	49	-0.03	99	-19.54	97	1092.01	33	-0.02	33
309	-1080	-1081	Max	0.00	1.18	99	0.06	33	-0.02	33	19.54	102	1526.08	100	0.02	49
309	-1080	-1081	Max	18.25					-0.03	100			1525.39	100		
309	-1080	-1081	Max	20.00	1.18	99	0.06	33	-0.01	33	13.39	102	1529.14	98	0.02	49
309	-1080	-1081	Min.	0.00	0.80	104	-0.06	49	-0.03	99	-19.54	97	1092.01	33	-0.02	33
309	-1080	-1081	Min.	2.29					-0.02	34			1092.03	34		
309	-1080	-1081	Min.	20.00	0.80	104	-0.06	49	-0.03	49	-27.83	97	1087.52	101	-0.02	33
309	-1081	-1275	Max	0.00	1.18	99	0.06	33	-0.01	33	-83.38	102	1529.13	98	0.05	98
309	-1081	-1275	Max	20.00	1.18	99	0.06	33	0.00	33	-89.52	102	1503.38	98	0.05	98
309	-1081	-1275	Min.	0.00	0.80	104	-0.06	49	-0.03	49	-163.68	97	1087.51	101	0.01	33
309	-1081	-1275	Min.	20.00	0.80	104	-0.06	49	-0.04	49	-171.97	97	1062.40	101	0.01	33
309	-1275	-1082	Max	0.00	1.18	99	0.06	33	0.00	33	-89.52	102	1503.38	98	0.05	98
309	-1275	-1082	Max	20.00	1.18	99	0.06	33	0.02	33	-95.66	102	1475.97	98	0.05	98
309	-1275	-1082	Min.	0.00	0.80	104	-0.06	49	-0.04	49	-171.97	97	1062.40	101	0.01	33
309	-1275	-1082	Min.	20.00	0.80	104	-0.06	49	-0.06	49	-180.27	97	1036.07	101	0.01	33
309	-1082	-1277	Max	0.00	1.18	99	0.06	33	0.02	33	-192.44	102	1475.84	98	0.09	98
309	-1082	-1277	Max	20.00	1.18	99	0.06	33	0.03	33	-198.58	102	1419.60	98	0.09	98
309	-1082	-1277	Min.	0.00	0.80	104	-0.06	49	-0.06	49	-316.11	97	1035.98	101	0.03	33
309	-1082	-1277	Min.	20.00	0.80	104	-0.06	49	-0.07	49	-324.40	97	989.06	101	0.03	33
309	-1277	-1083	Max	0.00	1.18	99	0.06	33	0.03	33	-198.58	102	1419.60	98	0.09	98
309	-1277	-1083	Max	20.00	1.18	99	0.06	33	0.04	33	-204.72	102	1361.71	98	0.09	98
309	-1277	-1083	Min.	0.00	0.80	104	-0.06	49	-0.07	49	-324.40	97	989.06	101	0.03	33
309	-1277	-1083	Min.	20.00	0.80	104	-0.06	49	-0.08	49	-332.69	97	940.92	101	0.03	33
309	-1083	-1084	Max	0.00	1.18	99	0.06	33	0.04	33	-301.18	102	1359.10	98	-0.04	49
309	-1083	-1084	Max	40.00	1.18	99	0.06	33	0.06	33	-313.46	102	1184.17	98	-0.04	49
309	-1083	-1084	Min.	0.00	0.80	104	-0.06	49	-0.08	49	-468.11	97	939.06	101	-0.09	33
309	-1083	-1084	Min.	40.00	0.80	104	-0.06	49	-0.10	49	-484.70	97	800.51	101	-0.09	33
309	-1084	-1085	Max	0.00	1.18	99	0.06	33	0.06	33	-408.60	102	1184.12	98	-0.30	49
309	-1084	-1085	Max	40.00	1.18	99	0.06	33	0.09	33	-420.88	102	949.12	98	-0.30	49
309	-1084	-1085	Min.	0.00	0.80	104	-0.06	49	-0.10	49	-618.27	97	800.47	101	-0.44	97
309	-1084	-1085	Min.	40.00	0.80	104	-0.06	49	-0.13	49	-634.86	97	618.95	101	-0.44	97

309	-1085	-1086	Max	0.00	1.18	99	0.06	33	0.09	33	-516.42	102	949.14	98	-0.55	49
309	-1085	-1086	Max	40.00	1.18	99	0.06	33	0.11	33	-528.70	102	653.86	98	-0.55	49
309	-1085	-1086	Min.	0.00	0.80	104	-0.06	49	-0.13	49	-769.00	97	618.97	101	-0.79	97
309	-1085	-1086	Min.	40.00	0.80	104	-0.06	49	-0.15	49	-785.59	97	394.31	101	-0.79	97
309	-1086	-1087	Max	0.00	1.18	99	0.06	33	0.11	33	-624.84	102	653.86	98	-0.80	49
309	-1086	-1087	Max	40.00	1.18	99	0.06	33	0.13	33	-637.12	102	297.94	98	-0.80	49
309	-1086	-1087	Min.	0.00	0.80	104	-0.06	49	-0.15	49	-920.57	97	394.31	101	-1.14	97
309	-1086	-1087	Min.	40.00	0.80	104	-0.06	49	-0.18	49	-937.15	97	126.29	101	-1.14	97
309	-1087	-1088	Max	0.00	1.18	99	0.06	33	0.13	33	-732.66	102	297.92	98	-1.05	49
309	-1087	-1088	Max	40.00	1.18	99	0.06	33	0.16	33	-744.94	102	-67.66	102	-1.05	49
309	-1087	-1088	Min.	0.00	0.80	104	-0.06	49	-0.18	49	-1071.30	97	126.28	101	-1.49	97
309	-1087	-1088	Min.	40.00	0.80	104	-0.06	49	-0.20	49	-1087.89	97	-235.51	97	-1.49	97
309	-1088	-1089	Max	0.00	1.18	99	0.06	33	0.16	33	-840.07	102	-67.62	102	-1.30	49
309	-1088	-1089	Max	40.00	1.18	99	0.06	33	0.18	33	-852.35	102	-406.11	102	-1.30	49
309	-1088	-1089	Min.	0.00	0.80	104	-0.06	49	-0.20	49	-1221.45	97	-235.46	97	-1.85	97
309	-1088	-1089	Min.	40.00	0.80	104	-0.06	49	-0.22	49	-1238.03	97	-727.36	97	-1.85	97
309	-1089	-1090	Max	0.00	1.18	99	0.06	33	0.18	33	-949.20	102	-404.33	102	-1.42	49
309	-1089	-1090	Max	20.00	1.18	99	0.06	33	0.19	33	-955.34	102	-594.78	102	-1.42	49
309	-1089	-1090	Min.	0.00	0.80	104	-0.06	49	-0.22	49	-1374.00	97	-724.85	97	-2.01	97
309	-1089	-1090	Min.	20.00	0.80	104	-0.06	49	-0.23	49	-1382.29	97	-1000.48	97	-2.01	97
309	-1090	-1091	Max	0.00	1.18	99	0.06	33	0.19	33	-955.34	102	-594.78	102	-1.42	49
309	-1090	-1091	Max	20.00	1.18	99	0.06	33	0.21	33	-961.48	102	-786.46	102	-1.42	49
309	-1090	-1091	Min.	0.00	0.80	104	-0.06	49	-0.23	49	-1382.29	97	-1000.48	97	-2.01	97
309	-1090	-1091	Min.	20.00	0.80	104	-0.06	49	-0.25	49	-1390.58	97	-1277.77	97	-2.01	97
309	-1091	-1092	Max	0.00	1.18	99	0.06	33	0.21	33	-1058.07	102	-788.26	102	-1.53	49
309	-1091	-1092	Max	40.00	1.18	99	0.06	33	0.23	33	-1070.35	102	-1213.95	102	-1.53	49
309	-1091	-1092	Min.	0.00	0.80	104	-0.06	49	-0.25	49	-1526.20	97	-1280.30	97	-2.17	97
309	-1091	-1092	Min.	40.00	0.80	104	-0.06	49	-0.27	49	-1542.78	97	-1894.10	97	-2.17	97
309	-1092	-1093	Max	0.00	0.00	102	0.24	33	0.43	49	1132.05	97	-1214.04	102	1.35	97
309	-1092	-1093	Max	39.88	0.00	102	0.24	33	0.38	49	1115.52	97	-909.55	102	1.35	97
309	-1092	-1093	Min.	0.00	0.00	97	-0.13	49	-0.63	33	769.75	102	-1894.24	97	0.95	49
309	-1092	-1093	Min.	39.88	0.00	97	-0.13	49	-0.53	33	757.50	102	-1446.13	97	0.95	49
309	-1093	-1094	Max	0.00	0.00	102	0.24	33	0.38	49	980.34	97	-907.72	102	1.19	97
309	-1093	-1094	Max	19.94	0.00	102	0.24	33	0.35	49	972.07	97	-776.50	102	1.19	97
309	-1093	-1094	Min.	0.00	0.00	97	-0.13	49	-0.53	33	661.22	102	-1443.56	97	0.83	49
309	-1093	-1094	Min.	19.94	0.00	97	-0.13	49	-0.49	33	655.10	102	-1248.93	97	0.83	49
309	-1094	-1095	Max	0.00	0.00	102	0.24	33	0.35	49	972.07	97	-776.55	102	1.19	97
309	-1094	-1095	Max	19.94	0.00	102	0.24	33	0.32	49	963.81	97	-646.55	102	1.19	97
309	-1094	-1095	Min.	0.00	0.00	97	-0.13	49	-0.49	33	655.10	102	-1249.00	97	0.83	49
309	-1094	-1095	Min.	19.94	0.00	97	-0.13	49	-0.44	33	648.98	102	-1056.02	97	0.83	49
309	-1095	-1096	Max	0.00	0.00	102	0.24	33	0.32	49	828.28	97	-648.30	102	1.03	97
309	-1095	-1096	Max	39.88	0.00	102	0.24	33	0.27	49	811.75	97	-430.45	102	1.03	97
309	-1095	-1096	Min.	0.00	0.00	97	-0.13	49	-0.44	33	552.45	102	-1058.48	97	0.72	49
309	-1095	-1096	Min.	39.88	0.00	97	-0.13	49	-0.34	33	540.20	102	-731.50	97	0.72	49
309	-1096	-1097	Max	0.00	0.00	102	0.24	33	0.27	49	678.61	97	-430.52	102	0.67	97
309	-1096	-1097	Max	39.88	0.00	102	0.24	33	0.22	49	662.08	97	-255.36	102	0.67	97
309	-1096	-1097	Min.	0.00	0.00	97	-0.13	49	-0.34	33	445.38	102	-731.59	97	0.46	49
309	-1096	-1097	Min.	39.88	0.00	97	-0.13	49	-0.24	33	433.13	102	-464.29	97	0.46	49
309	-1097	-1098	Max	0.00	0.00	102	0.24	33	0.22	49	528.23	97	-255.32	102	0.32	97
309	-1097	-1098	Max	39.88	0.00	102	0.24	33	0.16	49	511.70	97	-123.06	102	0.32	97
309	-1097	-1098	Min.	0.00	0.00	97	-0.13	49	-0.24	33	337.81	102	-464.23	97	0.21	49
309	-1097	-1098	Min.	39.88	0.00	97	-0.13	49	-0.15	33	325.56	102	-256.89	97	0.21	49
309	-1098	-1099	Max	0.00	0.00	98	0.24	33	0.16	49	377.36	97	-123.05	102	-0.03	33
309	-1098	-1099	Max	39.88	0.00	98	0.24	33	0.11	49	360.83	97	-33.83	102	-0.03	33
309	-1098	-1099	Min.	0.00	0.00	101	-0.13	49	-0.15	33	229.89	102	-256.88	97	-0.04	49
309	-1098	-1099	Min.	39.88	0.00	101	-0.13	49	-0.05	33	217.64	102	-109.70	97	-0.04	49
309	-1099	-1100	Max	0.00	0.00	98	0.24	33	0.11	49	226.85	97	-33.84	102	-0.28	33
309	-1099	-1100	Max	39.87	0.00	98	0.24	33	0.11	98	210.32	97	12.46	102	-0.28	33
309	-1099	-1100	Min.	0.00	0.00	101	-0.13	49	-0.05	33	122.22	102	-109.71	97	-0.39	98
309	-1099	-1100	Min.	39.87	0.00	101	-0.13	49	0.05	33	109.98	102	-22.55	97	-0.39	98
309	-1100	-1101	Max	0.00	0.00	98	0.24	33	0.11	98	76.19	97	12.46	102	-0.53	33
309	-1100	-1101	Max	39.88	0.00	98	0.24	33	0.15	98	59.66	97	19.07	98	-0.53	33
309	-1100	-1101	Min.	0.00	0.00	101	-0.13	49	0.05	33	14.45	102	-22.54	97	-0.74	98
309	-1100	-1101	Min.	39.88	0.00	101	-0.13	49	0.00	65	2.20	102	1.25	101	-0.74	98
309	-1101	-1102	Max	0.00	0.00	1	0.24	33	0.15	98	0.73	101	19.07	98	-0.65	33
309	-1101	-1102	Max	2.07					0.07	101			1.26	101		
309	-1101	-1102	Max	31.00	0.00	1	0.24	33	0.22	33	-8.79	101	0.00	98	-0.65	33
309	-1101	-1102	Min.	0.00	0.00	1	-0.13	49	0.00	65	-55.10	98	1.25	101	-0.92	98
309	-1101	-1102	Min.	2.07					0.07	101			1.26	101		
309	-1101	-1102	Min.	31.00	0.00	1	-0.13	49	-0.04	49	-67.95	98	0.00	101	-0.92	98
310	-1146	-1147	Max	0.00	0.00	1	0.24	33	-0.24	49	83.18	97	0.00	1	-4.79	101
310	-1146	-1147	Max	31.00	0.00	1	0.24	33	-0.26	49	70.33	97	23.80	97	-4.79	101
310	-1146	-1147	Min.	0.00	0.00	1	-0.09	49	-0.42	97	20.15	102	0.00	1	-7.09	98
310	-1146	-1147	Min.	31.00	0.00	1	-0.09	49	-0.39	99	10.63	102	4.77	102	-7.09	98
310	-1147	-1148	Max	0.00	0.00	101	0.24	33	-0.26	49	0.82	101	23.80	97	-4.30	101
310	-1147	-1148	Max	2.26					-0.29	101			19.01	101		
310	-1147	-1148	Max	39.88	0.00	101	0.24	33	-0.23	33	-11.43	101	17.09	97	-4.30	101
310	-1147	-1148	Min.	0.00	0.00	98	-0.09	49	-0.39	99	-54.43	98	4.77	102	-6.36	98
310	-1147	-1148	Min.	2.26					-0.29	101			19.01	101		

310	-1147	-1148	Min.	39.88	0.00	98	-0.09	49	-0.35	98	-70.96	98	-15.64	102	-6.36	98
310	-1148	-1149	Max	0.00	0.00	101	0.24	33	-0.23	33	-121.64	101	17.09	97	-3.31	101
310	-1148	-1149	Max	39.87	0.00	101	0.24	33	-0.13	33	-133.89	101	-34.06	101	-3.31	101
310	-1148	-1149	Min.	0.00	0.00	98	-0.09	49	-0.35	98	-227.13	98	-15.64	102	-4.91	98
310	-1148	-1149	Min.	39.87	0.00	98	-0.09	49	-0.33	49	-243.66	98	-109.29	98	-4.91	98
310	-1149	-1150	Max	0.00	0.00	101	0.24	33	-0.13	33	-243.94	101	-34.07	101	-2.33	101
310	-1149	-1150	Max	39.88	0.00	101	0.24	33	-0.04	33	-256.18	101	-133.78	101	-2.33	101
310	-1149	-1150	Min.	0.00	0.00	98	-0.09	49	-0.33	49	-399.59	98	-109.30	98	-3.46	98
310	-1149	-1150	Min.	39.88	0.00	98	-0.09	49	-0.37	49	-416.12	98	-271.93	98	-3.46	98
310	-1150	-1151	Max	0.00	0.00	101	0.24	33	-0.04	33	-366.63	101	-133.77	101	-1.34	101
310	-1150	-1151	Max	39.88	0.00	101	0.24	33	0.06	33	-378.88	101	-282.40	101	-1.34	101
310	-1150	-1151	Min.	0.00	0.00	98	-0.09	49	-0.37	49	-572.61	98	-271.91	98	-2.00	98
310	-1150	-1151	Min.	39.88	0.00	98	-0.09	49	-0.40	49	-589.14	98	-503.54	98	-2.00	98
310	-1151	-1152	Max	0.00	0.00	101	0.24	33	0.06	33	-488.75	101	-282.43	101	-0.37	101
310	-1151	-1152	Max	39.88	0.00	101	0.24	33	0.16	33	-500.99	101	-479.76	101	-0.37	101
310	-1151	-1152	Min.	0.00	0.00	98	-0.09	49	-0.40	49	-744.81	98	-503.58	98	-0.57	98
310	-1151	-1152	Min.	39.88	0.00	98	-0.09	49	-0.44	49	-761.34	98	-803.87	98	-0.57	98
310	-1152	-1153	Max	0.00	0.00	101	0.24	33	0.16	33	-610.13	101	-479.70	101	0.96	97
310	-1152	-1153	Max	31.90					-0.01	34			-737.69	34		
310	-1152	-1153	Max	39.88	0.00	101	0.24	33	0.25	33	-622.37	101	-725.43	101	0.96	97
310	-1152	-1153	Min.	0.00	0.00	98	-0.09	49	-0.44	49	-915.96	98	-803.79	98	0.60	102
310	-1152	-1153	Min.	31.90					-0.01	34			-740.06	34		
310	-1152	-1153	Min.	39.88	0.00	98	-0.09	49	-0.48	49	-932.49	98	-1172.32	98	0.60	102
310	-1153	-1154	Max	0.00	0.00	101	0.24	33	0.25	33	-735.20	101	-723.53	101	2.61	97
310	-1153	-1154	Max	19.94	0.00	101	0.24	33	0.30	33	-741.32	101	-870.73	101	2.61	97
310	-1153	-1154	Min.	0.00	0.00	98	-0.09	49	-0.48	49	-1092.49	98	-1169.63	98	1.72	102
310	-1153	-1154	Min.	19.94	0.00	98	-0.09	49	-0.49	49	-1100.75	98	-1388.26	98	1.72	102
310	-1154	-1155	Max	0.00	0.00	101	0.24	33	0.30	33	-741.32	101	-870.72	101	2.61	97
310	-1154	-1155	Max	19.94	0.00	101	0.24	33	0.35	33	-747.44	101	-1019.13	101	2.61	97
310	-1154	-1155	Min.	0.00	0.00	98	-0.09	49	-0.49	49	-1100.75	98	-1388.26	98	1.72	102
310	-1154	-1155	Min.	19.94	0.00	98	-0.09	49	-0.51	49	-1109.02	98	-1608.55	98	1.72	102
310	-1155	318	Max	0.00	0.00	101	0.24	33	0.35	33	-859.85	101	-1021.07	101	4.24	97
310	-1155	318	Max	39.88	0.00	101	0.24	33	0.45	33	-872.10	101	-1366.38	101	4.24	97
310	-1155	318	Min.	0.00	0.00	98	-0.09	49	-0.51	49	-1268.41	98	-1611.30	98	2.82	102
310	-1155	318	Min.	39.88	0.00	98	-0.09	49	-0.55	49	-1284.94	98	-2120.37	98	2.82	102
310	318	-1156	Max	0.00	10.96	99	0.06	33	0.26	49	1767.51	98	-1366.25	101	-9.76	33
310	318	-1156	Max	40.00	10.96	99	0.06	33	0.24	49	1750.92	98	-880.52	101	-9.76	33
310	318	-1156	Min.	0.00	7.38	33	-0.06	49	-0.22	33	1220.47	101	-2120.17	98	-14.64	97
310	318	-1156	Min.	40.00	7.38	33	-0.06	49	-0.20	33	1208.18	101	-1416.48	98	-14.64	97
310	-1156	-1157	Max	0.00	10.96	99	0.06	33	0.24	49	1591.01	98	-878.57	101	-8.66	33
310	-1156	-1157	Max	20.00	10.96	99	0.06	33	0.22	49	1582.72	98	-660.10	101	-8.66	33
310	-1156	-1157	Min.	0.00	7.38	33	-0.06	49	-0.20	33	1095.41	101	-1413.72	98	-13.01	97
310	-1156	-1157	Min.	20.00	7.38	33	-0.06	49	-0.19	33	1089.27	101	-1096.35	98	-13.01	97
310	-1157	-1158	Max	0.00	10.96	99	0.06	33	0.22	49	1582.72	98	-660.10	101	-8.66	33
310	-1157	-1158	Max	20.00	10.96	99	0.06	33	0.21	49	1574.43	98	-442.86	101	-8.66	33
310	-1157	-1158	Min.	0.00	7.38	33	-0.06	49	-0.19	33	1089.27	101	-1096.35	98	-13.01	97
310	-1157	-1158	Min.	20.00	7.38	33	-0.06	49	-0.18	33	1083.13	101	-780.63	98	-13.01	97
310	-1158	-1159	Max	0.00	10.96	99	0.06	33	0.21	49	1413.92	98	-444.77	101	-7.53	33
310	-1158	-1159	Max	40.00	10.96	99	0.06	33	0.19	49	1397.34	98	-59.26	101	-7.53	33
310	-1158	-1159	Min.	0.00	7.38	33	-0.06	49	-0.18	33	969.94	101	-783.34	98	-11.35	97
310	-1158	-1159	Min.	40.00	7.38	33	-0.06	49	-0.15	33	957.65	101	-221.09	98	-11.35	97
310	-1159	-1160	Max	0.00	10.96	99	0.06	33	0.19	49	1242.22	98	-59.31	101	-6.52	33
310	-1159	-1160	Max	40.00	10.96	99	0.06	33	0.17	49	1225.64	98	371.82	97	-6.52	33
310	-1159	-1160	Min.	0.00	7.38	33	-0.06	49	-0.15	33	848.16	101	-221.17	98	-9.86	97
310	-1159	-1160	Min.	40.00	7.38	33	-0.06	49	-0.13	33	835.88	101	178.08	102	-9.86	97
310	-1160	-1161	Max	0.00	10.96	99	0.06	33	0.17	49	1069.64	98	371.86	97	-5.55	33
310	-1160	-1161	Max	40.00	10.96	99	0.06	33	0.14	49	1053.06	98	781.10	97	-5.55	33
310	-1160	-1161	Min.	0.00	7.38	33	-0.06	49	-0.13	33	725.78	101	178.10	102	-8.42	97
310	-1160	-1161	Min.	40.00	7.38	33	-0.06	49	-0.11	33	713.50	101	481.26	102	-8.42	97
310	-1161	-1162	Max	0.00	10.96	99	0.06	33	0.14	49	895.70	98	781.10	97	-4.55	33
310	-1161	-1162	Max	40.00	10.96	99	0.06	33	0.12	49	879.11	98	1120.77	97	-4.55	33
310	-1161	-1162	Min.	0.00	7.38	33	-0.06	49	-0.11	33	602.44	101	481.26	102	-6.95	97
310	-1161	-1162	Min.	40.00	7.38	33	-0.06	49	-0.09	33	590.16	101	735.07	102	-6.95	97
310	-1162	-1163	Max	0.00	10.96	99	0.06	33	0.12	49	723.12	98	1120.73	97	-3.58	33
310	-1162	-1163	Max	40.00	10.96	99	0.06	33	0.10	49	706.54	98	1391.37	97	-3.58	33
310	-1162	-1163	Min.	0.00	7.38	33	-0.06	49	-0.09	33	480.06	101	735.05	102	-5.52	97
310	-1162	-1163	Min.	40.00	7.38	33	-0.06	49	-0.06	33	467.78	101	939.91	102	-5.52	97
310	-1163	-1164	Max	0.00	10.96	99	0.06	33	0.10	49	551.40	98	1391.45	97	-2.56	33
310	-1163	-1164	Max	24.00					-0.00	34			1056.91	34		
310	-1163	-1164	Max	40.00	10.96	99	0.06	33	0.08	49	534.82	98	1593.40	97	-2.56	33
310	-1163	-1164	Min.	0.00	7.38	33	-0.06	49	-0.06	33	358.28	101	939.96	102	-4.03	97
310	-1163	-1164	Min.	24.00					-0.00	34			1053.87	34		
310	-1163	-1164	Min.	40.00	7.38	33	-0.06	49	-0.04	33	345.99	101	1096.11	102	-4.03	97
310	-1164	-1326	Max	0.00	10.96	99	0.06	33	0.08	49	375.28	98	1596.25	97	-1.50	33
310	-1164	-1326	Max	20.00	10.96	99	0.06	33	0.06	49	366.99	98	1662.83	97	-1.50	33
310	-1164	-1326	Min.	0.00	7.38	33	-0.06	49	-0.04	33	233.48	101	1098.12	102	-2.40	97
310	-1164	-1326	Min.	20.00	7.38	33	-0.06	49	-0.03	33	227.34	101	1151.85	102	-2.40	97
310	-1326	-1165	Max	0.00	10.96	99	0.06	33	0.06	49	366.99	98	1662.83	97	-1.50	33
310	-1326	-1165	Max	20.00	10.96	99	0.06	33	0.05	49	358.70	98	1727.75	97	-1.50	33

310	-1326	-1165	Min.	0.00	7.38	33	-0.06	49	-0.03	33	227.34	101	1151.85	102	-2.40	97
310	-1326	-1165	Min.	20.00	7.38	33	-0.06	49	-0.02	33	221.20	101	1204.35	102	-2.40	97
310	-1165	-1327	Max	0.00	10.96	99	0.06	33	0.05	49	196.45	98	1727.90	97	-0.41	49
310	-1165	-1327	Max	20.00	10.96	99	0.06	33	0.04	49	188.16	98	1758.71	97	-0.41	49
310	-1165	-1327	Min.	0.00	7.38	33	-0.06	49	-0.02	33	106.86	101	1204.46	102	-0.68	97
310	-1165	-1327	Min.	20.00	7.38	33	-0.06	49	-0.01	33	100.72	101	1232.87	102	-0.68	97
310	-1327	-1166	Max	0.00	10.96	99	0.06	33	0.04	49	188.16	98	1758.71	97	-0.41	49
310	-1327	-1166	Max	20.00	10.96	99	0.06	33	0.03	49	179.87	98	1787.87	97	-0.41	49
310	-1327	-1166	Min.	0.00	7.38	33	-0.06	49	-0.01	33	100.72	101	1232.87	102	-0.68	97
310	-1327	-1166	Min.	20.00	7.38	33	-0.06	49	0.01	33	94.58	101	1258.46	33	-0.68	97
310	-1166	-1167	Max	0.00	10.96	99	0.06	33	0.03	49	27.41	98	1787.71	97	0.02	98
310	-1166	-1167	Max	15.00					0.03	99			1784.64	99		
310	-1166	-1167	Max	20.00	10.96	99	0.06	33	0.03	99	19.12	102	1784.74	100	0.02	98
310	-1166	-1167	Min.	0.00	7.38	33	-0.06	49	0.01	33	-12.98	101	1258.37	33	-0.02	101
310	-1166	-1167	Min.	10.24					0.02	49			1263.07	49		
310	-1166	-1167	Min.	20.00	7.38	33	-0.06	49	0.02	33	-19.12	97	1259.57	33	-0.02	101
310	-1167	-1168	Max	0.00	10.96	99	0.06	33	0.03	99	19.12	102	1784.74	100	0.02	98
310	-1167	-1168	Max	15.75					0.03	99			1784.18	99		
310	-1167	-1168	Max	20.00	10.96	99	0.06	33	0.03	33	12.98	102	1787.71	98	0.02	98
310	-1167	-1168	Min.	0.00	7.38	33	-0.06	49	0.02	33	-19.12	97	1259.57	33	-0.02	101
310	-1167	-1168	Min.	9.64					0.02	33			1259.71	33		
310	-1167	-1168	Min.	20.00	7.38	33	-0.06	49	0.01	49	-27.41	97	1259.54	33	-0.02	101
310	-1168	-1328	Max	0.00	10.96	99	0.06	33	0.03	33	-94.58	102	1787.87	98	0.68	98
310	-1168	-1328	Max	20.00	10.96	99	0.06	33	0.04	33	-100.72	102	1758.71	98	0.68	98
310	-1168	-1328	Min.	0.00	7.38	33	-0.06	49	0.01	49	-179.87	97	1259.63	33	0.39	33
310	-1168	-1328	Min.	20.00	7.38	33	-0.06	49	-0.00	49	-188.16	97	1232.87	101	0.39	33
310	-1328	-1169	Max	0.00	10.96	99	0.06	33	0.04	33	-100.72	102	1758.71	98	0.68	98
310	-1328	-1169	Max	20.00	10.96	99	0.06	33	0.05	33	-106.86	102	1727.90	98	0.68	98
310	-1328	-1169	Min.	0.00	7.38	33	-0.06	49	-0.00	49	-188.16	97	1232.87	101	0.39	33
310	-1328	-1169	Min.	20.00	7.38	33	-0.06	49	-0.02	49	-196.45	97	1204.46	101	0.39	33
310	-1169	-1329	Max	0.00	10.96	99	0.06	33	0.05	33	-221.20	102	1727.75	98	2.40	98
310	-1169	-1329	Max	20.00	10.96	99	0.06	33	0.06	33	-227.34	102	1662.83	98	2.40	98
310	-1169	-1329	Min.	0.00	7.38	33	-0.06	49	-0.02	49	-358.70	97	1204.35	101	1.48	33
310	-1169	-1329	Min.	20.00	7.38	33	-0.06	49	-0.03	49	-366.99	97	1151.85	101	1.48	33
310	-1329	-1170	Max	0.00	10.96	99	0.06	33	0.06	33	-227.34	102	1662.83	98	2.40	98
310	-1329	-1170	Max	20.00	10.96	99	0.06	33	0.08	33	-233.48	102	1596.25	98	2.40	98
310	-1329	-1170	Min.	0.00	7.38	33	-0.06	49	-0.03	49	-366.99	97	1151.85	101	1.48	33
310	-1329	-1170	Min.	20.00	7.38	33	-0.06	49	-0.04	49	-375.28	97	1098.12	101	1.48	33
310	-1170	-1171	Max	0.00	10.96	99	0.06	1	0.08	33	-345.99	102	1593.40	98	4.03	98
310	-1170	-1171	Max	40.00	10.96	99	0.06	1	0.10	33	-358.28	102	1391.45	98	4.03	98
310	-1170	-1171	Min.	0.00	7.38	33	-0.06	49	-0.04	49	-534.82	97	1096.11	101	2.54	33
310	-1170	-1171	Min.	40.00	7.38	33	-0.06	49	-0.06	49	-551.40	97	939.96	101	2.54	33
310	-1171	-1172	Max	0.00	10.96	99	0.06	1	0.10	33	-467.78	102	1391.37	98	5.52	98
310	-1171	-1172	Max	40.00	10.96	99	0.06	1	0.12	33	-480.06	102	1120.73	98	5.52	98
310	-1171	-1172	Min.	0.00	7.38	33	-0.06	49	-0.06	49	-706.54	97	939.91	101	3.56	33
310	-1171	-1172	Min.	40.00	7.38	33	-0.06	49	-0.09	49	-723.12	97	735.05	101	3.56	33
310	-1172	-1173	Max	0.00	10.96	99	0.06	33	0.12	33	-590.16	102	1120.77	98	6.95	98
310	-1172	-1173	Max	40.00	10.96	99	0.06	33	0.14	33	-602.44	102	781.10	98	6.95	98
310	-1172	-1173	Min.	0.00	7.38	33	-0.06	49	-0.09	49	-879.11	97	735.07	101	4.53	33
310	-1172	-1173	Min.	40.00	7.38	33	-0.06	49	-0.11	49	-895.70	97	481.26	101	4.53	33
310	-1173	-1174	Max	0.00	10.96	99	0.06	33	0.14	33	-713.50	102	781.10	98	8.42	98
310	-1173	-1174	Max	40.00	10.96	99	0.06	33	0.17	33	-725.78	102	371.86	98	8.42	98
310	-1173	-1174	Min.	0.00	7.38	33	-0.06	49	-0.11	49	-1053.06	97	481.26	101	5.53	33
310	-1173	-1174	Min.	40.00	7.38	33	-0.06	49	-0.13	49	-1069.64	97	178.10	101	5.53	33
310	-1174	-1175	Max	0.00	10.96	99	0.06	33	0.17	33	-835.88	102	371.82	98	9.86	98
310	-1174	-1175	Max	40.00	10.96	99	0.06	33	0.19	33	-848.17	102	-59.31	102	9.86	98
310	-1174	-1175	Min.	0.00	7.38	33	-0.06	49	-0.13	49	-1225.64	97	178.08	101	6.50	33
310	-1174	-1175	Min.	40.00	7.38	33	-0.06	49	-0.15	49	-1242.22	97	-221.17	97	6.50	33
310	-1175	-1176	Max	0.00	10.96	99	0.06	33	0.19	33	-957.65	102	-59.26	102	11.35	98
310	-1175	-1176	Max	40.00	10.96	99	0.06	33	0.21	33	-969.94	102	-444.77	102	11.35	98
310	-1175	-1176	Min.	0.00	7.38	33	-0.06	49	-0.15	49	-1397.34	97	-221.09	97	7.51	33
310	-1175	-1176	Min.	40.00	7.38	33	-0.06	49	-0.18	49	-1413.92	97	-783.34	97	7.51	33
310	-1176	-1177	Max	0.00	10.96	99	0.06	33	0.21	33	-1083.13	102	-442.86	102	13.01	98
310	-1176	-1177	Max	20.00	10.96	99	0.06	33	0.23	33	-1089.27	102	-660.10	102	13.01	98
310	-1176	-1177	Min.	0.00	7.38	33	-0.06	49	-0.18	49	-1574.43	97	-780.63	97	8.63	33
310	-1176	-1177	Min.	20.00	7.38	33	-0.06	49	-0.19	49	-1582.72	97	-1096.34	97	8.63	33
310	-1177	-1178	Max	0.00	10.96	99	0.06	33	0.23	33	-1089.27	102	-660.10	102	13.01	98
310	-1177	-1178	Max	20.00	10.96	99	0.06	33	0.24	33	-1095.41	102	-878.57	102	13.01	98
310	-1177	-1178	Min.	0.00	7.38	33	-0.06	49	-0.19	49	-1582.72	97	-1096.35	97	8.63	33
310	-1177	-1178	Min.	20.00	7.38	33	-0.06	49	-0.20	49	-1591.01	97	-1413.72	97	8.63	33
310	-1178	319	Max	0.00	10.96	99	0.06	33	0.24	33	-1208.18	102	-880.52	102	14.64	98
310	-1178	319	Max	40.00	10.96	99	0.06	33	0.26	33	-1220.47	102	-1366.24	102	14.64	98
310	-1178	319	Min.	0.00	7.38	33	-0.06	49	-0.20	49	-1750.92	97	-1416.48	97	9.74	33
310	-1178	319	Min.	40.00	7.38	33	-0.06	49	-0.22	49	-1767.50	97	-2120.16	97	9.74	33
310	319	-1179	Max	0.00	0.00	102	0.09	33	0.45	49	1284.93	97	-1366.38	102	-2.82	101
310	319	-1179	Max	39.88	0.00	102	0.09	33	0.35	49	1268.40	97	-1021.08	102	-2.82	101
310	319	-1179	Min.	0.00	0.00	97	-0.24	49	-0.55	33	872.09	102	-2120.37	97	-4.24	98
310	319	-1179	Min.	39.88	0.00	97	-0.24	49	-0.51	33	859.85	102	-1611.30	97	-4.24	98
310	-1179	-1180	Max	0.00	0.00	102	0.09	33	0.35	49	1109.01	97	-1019.10	102	-1.72	101

310	-1179	-1180	Max	19.94	0.00	102	0.09	33	0.30	49	1100.74	97	-870.69	102	-1.72	101
310	-1179	-1180	Min.	0.00	0.00	97	-0.24	49	-0.51	33	747.44	102	-1608.49	97	-2.61	98
310	-1179	-1180	Min.	19.94	0.00	97	-0.24	49	-0.50	33	741.31	102	-1388.21	97	-2.61	98
310	-1180	-1181	Max	0.00	0.00	102	0.09	33	0.30	49	1100.74	97	-870.74	102	-1.72	101
310	-1180	-1181	Max	19.94	0.00	102	0.09	33	0.25	49	1092.48	97	-723.55	102	-1.72	101
310	-1180	-1181	Min.	0.00	0.00	97	-0.24	49	-0.50	33	741.32	102	-1388.29	97	-2.61	98
310	-1180	-1181	Min.	19.94	0.00	97	-0.24	49	-0.48	33	735.19	102	-1169.65	97	-2.61	98
310	-1181	-1182	Max	0.00	0.00	102	0.09	33	0.25	49	932.50	97	-725.43	102	-0.60	101
310	-1181	-1182	Max	39.88	0.00	102	0.09	33	0.16	49	915.97	97	-479.70	102	-0.60	101
310	-1181	-1182	Min.	0.00	0.00	97	-0.24	49	-0.48	33	622.38	102	-1172.32	97	-0.96	98
310	-1181	-1182	Min.	39.88	0.00	97	-0.24	49	-0.44	33	610.13	102	-803.78	97	-0.96	98
310	-1182	-1183	Max	0.00	0.00	102	0.09	33	0.16	49	761.35	97	-479.79	102	0.57	97
310	-1182	-1183	Max	39.88	0.00	102	0.09	33	0.06	49	744.82	97	-282.46	102	0.57	97
310	-1182	-1183	Min.	0.00	0.00	97	-0.24	49	-0.44	33	501.00	102	-803.91	97	0.37	102
310	-1182	-1183	Min.	39.88	0.00	97	-0.24	49	-0.41	33	488.75	102	-503.62	97	0.37	102
310	-1183	-1184	Max	0.00	0.00	102	0.09	33	0.06	49	589.13	97	-282.40	102	2.00	97
310	-1183	-1184	Max	39.88	0.00	102	0.09	33	-0.04	49	572.60	97	-133.77	102	2.00	97
310	-1183	-1184	Min.	0.00	0.00	97	-0.24	49	-0.41	33	378.87	102	-503.54	97	1.34	102
310	-1183	-1184	Min.	39.88	0.00	97	-0.24	49	-0.37	33	366.63	102	-271.92	97	1.34	102
310	-1184	-1185	Max	0.00	0.00	102	0.09	33	-0.04	49	416.10	97	-133.76	102	3.46	97
310	-1184	-1185	Max	39.88	0.00	102	0.09	33	-0.14	49	399.57	97	-34.06	102	3.46	97
310	-1184	-1185	Min.	0.00	0.00	97	-0.24	49	-0.37	33	256.18	102	-271.90	97	2.33	102
310	-1184	-1185	Min.	39.88	0.00	97	-0.24	49	-0.33	33	243.93	102	-109.28	97	2.33	102
310	-1185	-1186	Max	0.00	0.00	102	0.09	33	-0.14	49	243.65	97	-34.06	102	4.91	97
310	-1185	-1186	Max	39.87	0.00	102	0.09	33	-0.23	49	227.12	97	17.09	98	4.91	97
310	-1185	-1186	Min.	0.00	0.00	97	-0.24	49	-0.33	33	133.88	102	-109.29	97	3.31	102
310	-1185	-1186	Min.	39.87	0.00	97	-0.24	49	-0.35	97	121.63	102	-15.64	101	3.31	102
310	-1186	-1187	Max	0.00	0.00	102	0.09	33	-0.23	49	70.95	97	17.10	98	6.36	97
310	-1186	-1187	Max	37.19					-0.29	102			19.01	102		
310	-1186	-1187	Max	39.88	0.00	102	0.09	33	-0.26	33	54.42	97	23.80	98	6.36	97
310	-1186	-1187	Min.	0.00	0.00	97	-0.24	49	-0.35	97	11.42	102	-15.64	101	4.30	102
310	-1186	-1187	Min.	37.19					-0.29	102			19.01	102		
310	-1186	-1187	Min.	39.88	0.00	97	-0.24	49	-0.39	99	-0.83	102	4.77	101	4.30	102
310	-1187	-1188	Max	0.00	0.00	1	0.09	33	-0.26	33	-10.63	101	23.80	98	7.09	97
310	-1187	-1188	Max	31.00	0.00	1	0.09	33	-0.23	33	-20.15	101	0.00	98	7.09	97
310	-1187	-1188	Min.	0.00	0.00	1	-0.24	49	-0.39	99	-70.33	98	4.77	101	4.79	102
310	-1187	-1188	Min.	31.00	0.00	1	-0.24	49	-0.42	98	-83.18	98	0.00	101	4.79	102
311	320	-1189	Max	0.00	0.00	1	3.45	98	-3.61	33	311.31	97	0.00	1	4.37	97
311	320	-1189	Max	31.00	0.00	1	3.45	98	-2.84	33	298.45	97	94.51	97	4.37	97
311	320	-1189	Min.	0.00	0.00	1	2.32	49	-5.21	98	177.32	102	0.00	1	3.06	33
311	320	-1189	Min.	31.00	0.00	1	2.32	49	-4.14	98	167.80	102	53.49	102	3.06	33
311	-1189	-1190	Max	0.00	0.00	98	3.45	98	-2.84	33	186.90	97	94.53	97	3.16	97
311	-1189	-1190	Max	39.88	0.00	98	3.45	98	-1.85	33	170.37	97	165.76	97	3.16	97
311	-1189	-1190	Min.	0.00	0.00	33	2.32	49	-4.14	98	91.10	102	53.51	102	2.21	33
311	-1189	-1190	Min.	39.88	0.00	33	2.32	49	-2.76	98	78.86	102	87.39	102	2.21	33
311	-1190	-1191	Max	0.00	0.00	98	3.45	98	-1.85	33	-28.42	101	165.76	97	0.74	97
311	-1190	-1191	Max	39.87	0.00	98	3.45	98	-0.87	33	-40.66	101	142.04	97	0.74	97
311	-1190	-1191	Min.	0.00	0.00	33	2.32	49	-2.76	98	-96.21	98	87.39	102	0.52	33
311	-1190	-1191	Min.	39.87	0.00	33	2.32	49	-1.39	98	-112.74	98	55.68	102	0.52	33
311	-1191	-1192	Max	0.00	0.00	98	3.45	98	-0.87	33	-192.81	101	142.03	97	-1.16	101
311	-1191	-1192	Max	39.88	0.00	98	3.45	98	0.13	33	-205.05	101	26.17	101	-1.16	101
311	-1191	-1192	Min.	0.00	0.00	33	2.32	49	-1.39	98	-334.16	98	55.68	102	-1.69	98
311	-1191	-1192	Min.	39.88	0.00	33	2.32	49	-0.17	49	-350.69	98	-44.33	98	-1.69	98
311	-1192	321	Max	0.00	0.00	97	3.45	98	0.13	33	-357.38	101	26.18	101	-2.86	101
311	-1192	321	Max	39.88	0.00	97	3.45	98	1.36	98	-369.63	101	-118.77	101	-2.86	101
311	-1192	321	Min.	0.00	0.00	33	2.32	49	-0.17	49	-572.37	98	-44.32	98	-4.13	98
311	-1192	321	Min.	39.88	0.00	33	2.32	49	0.75	49	-588.90	98	-275.85	98	-4.13	98
311	321	-1193	Max	0.00	208.79	97	5.33	97	1.73	98	-620.06	101	-141.05	101	-2.54	101
311	321	-1193	Max	39.88	208.79	97	5.33	97	3.85	97	-632.31	101	-390.75	101	-2.54	101
311	321	-1193	Min.	0.00	122.70	102	3.65	49	1.03	49	-944.54	98	-302.50	98	-3.86	98
311	321	-1193	Min.	39.88	122.70	102	3.65	49	2.49	49	-961.07	98	-682.43	98	-3.86	98
311	-1193	-1194	Max	0.00	208.79	97	5.33	97	3.85	97	-783.23	101	-390.69	101	-4.20	101
311	-1193	-1194	Max	39.88	208.79	97	5.33	97	5.97	97	-795.47	101	-705.45	101	-4.20	101
311	-1193	-1194	Min.	0.00	122.70	102	3.65	49	2.49	49	-1180.71	98	-682.35	98	-6.23	98
311	-1193	-1194	Min.	39.88	122.70	102	3.65	49	3.94	49	-1197.24	98	-1156.45	98	-6.23	98
311	-1194	-1195	Max	0.00	208.79	97	5.33	97	5.97	97	-947.47	101	-702.72	101	-5.54	101
311	-1194	-1195	Max	19.94	208.79	97	5.33	97	7.03	97	-953.59	101	-892.24	101	-5.54	101
311	-1194	-1195	Min.	0.00	122.70	102	3.65	49	3.94	49	-1418.39	98	-1152.49	98	-8.12	98
311	-1194	-1195	Min.	19.94	122.70	102	3.65	49	4.67	49	-1426.65	98	-1436.10	98	-8.12	98
311	-1195	-1196	Max	0.00	208.79	97	5.33	97	7.03	97	-953.59	101	-892.23	101	-5.54	101
311	-1195	-1196	Max	19.94	208.79	97	5.33	97	8.10	97	-959.71	101	-1082.96	101	-5.54	101
311	-1195	-1196	Min.	0.00	122.70	102	3.65	49	4.67	49	-1426.65	98	-1436.10	98	-8.12	98
311	-1195	-1196	Min.	19.94	122.70	102	3.65	49	5.40	49	-1434.92	98	-1721.36	98	-8.12	98
311	-1196	-1197	Max	0.00	208.79	97	5.33	97	8.10	97	-1111.64	101	-1085.72	101	-6.86	101
311	-1196	-1197	Max	39.88	208.79	97	5.33	97	10.22	97	-1123.88	101	-1531.43	101	-6.86	101
311	-1196	-1197	Min.	0.00	122.70	102	3.65	49	5.40	49	-1655.96	98	-1725.38	98	-9.99	98
311	-1196	-1197	Min.	39.88	122.70	102	3.65	49	6.86	49	-1672.49	98	-2388.99	98	-9.99	98
311	-1197	322	Max	0.00	197.41	97	0.27	98	9.84	97	2551.56	98	-1531.67	101	21.81	98
311	-1197	322	Max	40.00	197.41	97	0.27	98	9.89	98	2534.98	98	-845.28	101	21.81	98

311	-1197	322	Min.	0.00	114.93	102	-0.11	101	6.82	33	1722.12	101	-2389.36	98	14.86	101
311	-1197	322	Min.	40.00	114.93	102	-0.11	101	6.83	33	1709.84	101	-1372.05	98	14.86	101
311	322	-1198	Max	0.00	607.92	97	-5.91	33	10.41	98	1913.87	98	-891.89	101	6.97	98
311	322	-1198	Max	20.00	607.92	97	-5.91	33	8.72	98	1905.58	98	-633.39	101	6.97	98
311	322	-1198	Min.	0.00	396.75	102	-8.44	98	7.20	33	1295.60	101	-1438.33	98	4.86	101
311	322	-1198	Min.	20.00	396.75	102	-8.44	98	6.02	33	1289.46	101	-1056.39	98	4.86	101
311	-1198	-1199	Max	0.00	607.92	97	-5.91	33	8.72	98	1905.58	98	-633.39	101	6.97	98
311	-1198	-1199	Max	20.00	607.92	97	-5.91	33	7.03	98	1897.29	98	-376.11	101	6.97	98
311	-1198	-1199	Min.	0.00	396.75	102	-8.44	98	6.02	33	1289.46	101	-1056.39	98	4.86	101
311	-1198	-1199	Min.	20.00	396.75	102	-8.44	98	4.84	33	1283.32	101	-676.10	98	4.86	101
311	-1199	-1200	Max	0.00	607.92	97	-5.91	33	7.03	98	1675.45	98	-378.85	101	5.08	98
311	-1199	-1200	Max	40.00	607.92	97	-5.91	33	3.65	98	1658.86	98	81.93	97	5.08	98
311	-1199	-1200	Min.	0.00	396.75	102	-8.44	98	4.84	33	1130.84	101	-680.09	98	3.53	101
311	-1199	-1200	Min.	40.00	396.75	102	-8.44	98	2.47	33	1118.56	101	-24.12	102	3.53	101
311	-1200	-1201	Max	0.00	607.92	97	-5.91	33	3.65	98	1438.54	98	81.85	97	2.70	98
311	-1200	-1201	Max	40.00	607.92	97	-5.91	33	0.28	98	1421.96	98	638.14	97	2.70	98
311	-1200	-1201	Min.	0.00	396.75	102	-8.44	98	2.47	33	967.17	101	-24.17	102	1.86	101
311	-1200	-1201	Min.	40.00	396.75	102	-8.44	98	0.11	33	954.89	101	376.06	102	1.86	101
311	-1201	-1202	Max	0.00	607.92	97	-5.91	33	0.28	98	1199.82	98	638.16	97	0.29	98
311	-1201	-1202	Max	40.00	607.92	97	-5.91	33	-2.13	49	1183.23	98	1098.96	97	0.29	98
311	-1201	-1202	Min.	0.00	396.75	102	-8.44	98	0.11	33	802.25	101	376.08	102	0.17	101
311	-1201	-1202	Min.	40.00	396.75	102	-8.44	98	-3.13	97	789.97	101	710.34	102	0.17	101
311	-1202	323	Max	0.00	607.92	97	-5.91	33	-2.13	49	960.71	98	1098.96	97	-1.51	102
311	-1202	323	Max	40.00	607.92	97	-5.91	33	-4.52	49	944.13	98	1464.11	97	-1.51	102
311	-1202	323	Min.	0.00	396.75	102	-8.44	98	-3.13	97	637.06	101	710.34	102	-2.20	97
311	-1202	323	Min.	40.00	396.75	102	-8.44	98	-6.51	97	624.78	101	978.52	102	-2.20	97
311	323	-1203	Max	0.00	1001.91	97	-1.98	33	-4.19	49	826.76	98	1401.56	97	3.82	98
311	323	-1203	Max	40.00	1001.91	97	-1.98	33	-5.01	49	810.17	98	1717.26	97	3.82	98
311	323	-1203	Min.	0.00	686.42	102	-2.87	98	-6.06	97	548.80	101	932.53	102	2.68	33
311	323	-1203	Min.	40.00	686.42	102	-2.87	98	-7.20	97	536.51	101	1161.28	102	2.68	33
311	-1203	-1204	Max	0.00	1001.91	97	-1.98	33	-5.01	49	589.85	98	1717.34	97	1.44	98
311	-1203	-1204	Max	40.00	1001.91	97	-1.98	33	-5.83	49	573.26	98	1938.27	97	1.44	98
311	-1203	-1204	Min.	0.00	686.42	102	-2.87	98	-7.20	97	385.13	101	1161.34	102	1.01	33
311	-1203	-1204	Min.	40.00	686.42	102	-2.87	98	-8.34	97	372.84	101	1324.62	102	1.01	33
311	-1204	-1330	Max	0.00	1001.91	97	-1.98	33	-5.83	49	352.30	98	1942.35	97	-0.30	49
311	-1204	-1330	Max	20.00	1001.91	97	-1.98	33	-6.24	49	344.01	98	2006.14	97	-0.30	49
311	-1204	-1330	Min.	0.00	686.42	102	-2.87	98	-8.34	97	220.98	101	1327.41	102	-0.45	97
311	-1204	-1330	Min.	20.00	686.42	102	-2.87	98	-8.91	97	214.84	101	1376.47	33	-0.45	97
311	-1330	-1205	Max	0.00	1001.91	97	-1.98	33	-6.24	49	344.01	98	2006.14	97	-0.30	49
311	-1330	-1205	Max	20.00	1001.91	97	-1.98	33	-6.65	49	335.72	98	2068.27	97	-0.30	49
311	-1330	-1205	Min.	0.00	686.42	102	-2.87	98	-8.91	97	214.84	101	1376.47	33	-0.45	97
311	-1330	-1205	Min.	20.00	686.42	102	-2.87	98	-9.48	97	208.70	101	1421.52	33	-0.45	97
311	-1205	-1331	Max	0.00	1001.91	97	-1.98	33	-6.65	49	115.40	98	2068.39	97	-1.18	49
311	-1205	-1331	Max	20.00	1001.91	97	-1.98	33	-7.06	49	107.11	98	2084.80	97	-1.18	49
311	-1205	-1331	Min.	0.00	686.42	102	-2.87	98	-9.48	97	57.25	101	1421.58	33	-1.69	97
311	-1205	-1331	Min.	20.00	686.42	102	-2.87	98	-10.05	97	51.11	101	1435.76	33	-1.69	97
311	-1331	-1206	Max	0.00	1001.91	97	-1.98	33	-7.06	49	107.11	98	2084.80	97	-1.18	49
311	-1331	-1206	Max	20.00	1001.91	97	-1.98	33	-7.47	33	98.82	98	2099.55	97	-1.18	49
311	-1331	-1206	Min.	0.00	686.42	102	-2.87	98	-10.05	97	51.11	101	1435.76	33	-1.69	97
311	-1331	-1206	Min.	20.00	686.42	102	-2.87	98	-10.62	100	44.97	101	1448.71	33	-1.69	97
311	-1206	324	Max	0.00	1001.91	97	-1.98	33	-7.47	33	-38.88	102	2095.57	97	-2.47	49
311	-1206	324	Max	20.00	1001.91	97	-1.98	33	-7.87	33	-45.02	102	2077.72	98	-2.47	49
311	-1206	324	Min.	0.00	686.42	102	-2.87	98	-10.62	100	-94.82	97	1446.10	33	-3.51	97
311	-1206	324	Min.	20.00	686.42	102	-2.87	98	-11.19	98	-103.11	97	1435.53	33	-3.51	97
311	324	-1207	Max	0.00	1001.91	98	2.87	97	-7.88	49	103.11	98	2077.72	97	3.51	98
311	324	-1207	Max	20.00	1001.91	98	2.87	97	-7.47	33	94.82	98	2095.57	98	3.51	98
311	324	-1207	Min.	0.00	686.42	101	1.98	49	-11.19	97	45.02	101	1435.06	33	2.47	33
311	324	-1207	Min.	20.00	686.42	101	1.98	49	-10.62	100	38.88	101	1446.75	33	2.47	33
311	-1207	-1332	Max	0.00	1001.91	98	2.87	97	-7.47	33	-44.97	102	2099.55	98	1.69	98
311	-1207	-1332	Max	20.00	1001.91	98	2.87	97	-7.06	33	-51.11	102	2084.80	98	1.69	98
311	-1207	-1332	Min.	0.00	686.42	101	1.98	49	-10.62	100	-98.82	97	1449.36	33	1.18	33
311	-1207	-1332	Min.	20.00	686.42	101	1.98	49	-10.05	98	-107.11	97	1437.53	33	1.18	33
311	-1332	-1208	Max	0.00	1001.91	98	2.87	97	-7.06	33	-51.11	102	2084.80	98	1.69	98
311	-1332	-1208	Max	20.00	1001.91	98	2.87	97	-6.65	33	-57.25	102	2068.39	98	1.69	98
311	-1332	-1208	Min.	0.00	686.42	101	1.98	49	-10.05	98	-107.11	97	1437.53	33	1.18	33
311	-1332	-1208	Min.	20.00	686.42	101	1.98	49	-9.48	98	-115.40	97	1424.47	33	1.18	33
311	-1208	-1334	Max	0.00	1001.91	98	2.87	97	-6.65	33	-208.70	102	2068.27	98	0.45	98
311	-1208	-1334	Max	20.00	1001.91	98	2.87	97	-6.24	33	-214.84	102	2006.14	98	0.45	98
311	-1208	-1334	Min.	0.00	686.42	101	1.98	49	-9.48	98	-335.72	97	1424.42	33	0.30	33
311	-1208	-1334	Min.	20.00	686.42	101	1.98	49	-8.91	98	-344.01	97	1376.84	101	0.30	33
311	-1334	-1209	Max	0.00	1001.91	98	2.87	97	-6.24	33	-214.84	102	2006.14	98	0.45	98
311	-1334	-1209	Max	20.00	1001.91	98	2.87	97	-5.83	33	-220.98	102	1942.35	98	0.45	98
311	-1334	-1209	Min.	0.00	686.42	101	1.98	49	-8.91	98	-344.01	97	1376.84	101	0.30	33
311	-1334	-1209	Min.	20.00	686.42	101	1.98	49	-8.34	98	-352.30	97	1327.41	101	0.30	33
311	-1209	-1210	Max	0.00	1001.91	98	2.87	97	-5.83	33	-372.84	102	1938.27	98	-1.02	49
311	-1209	-1210	Max	40.00	1001.91	98	2.87	97	-5.01	33	-385.13	102	1717.34	98	-1.02	49
311	-1209	-1210	Min.	0.00	686.42	101	1.98	49	-8.34	98	-573.26	97	1324.62	101	-1.44	97
311	-1209	-1210	Min.	40.00	686.42	101	1.98	49	-7.20	98	-589.85	97	1161.34	101	-1.44	97
311	-1210	325	Max	0.00	1001.91	98	2.87	97	-5.01	33	-536.51	102	1717.26	98	-2.68	49

311	-1210	325	Max	40.00	1001.91	98	2.87	97	-4.19	33	-548.80	102	1401.56	98	-2.68	49
311	-1210	325	Min.	0.00	686.42	101	1.98	49	-7.20	98	-810.17	97	1161.28	101	-3.82	97
311	-1210	325	Min.	40.00	686.42	101	1.98	49	-6.06	98	-826.76	97	932.53	101	-3.82	97
311	325	-1211	Max	0.00	607.92	98	8.44	97	-4.52	33	-624.78	102	1464.11	98	2.20	98
311	325	-1211	Max	40.00	607.92	98	8.44	97	-2.12	33	-637.06	102	1098.96	98	2.20	98
311	325	-1211	Min.	0.00	396.75	101	5.91	49	-6.51	98	-944.13	97	978.52	101	1.51	101
311	325	-1211	Min.	40.00	396.75	101	5.91	49	-3.13	98	-960.71	97	710.34	101	1.51	101
311	-1211	-1212	Max	0.00	607.92	98	8.44	97	-2.12	33	-789.97	102	1098.96	98	-0.17	102
311	-1211	-1212	Max	40.00	607.92	98	8.44	97	0.28	97	-802.25	102	638.16	98	-0.17	102
311	-1211	-1212	Min.	0.00	396.75	101	5.91	49	-3.13	98	-1183.23	97	710.34	101	-0.29	97
311	-1211	-1212	Min.	40.00	396.75	101	5.91	49	0.11	49	-1199.82	97	376.08	101	-0.29	97
311	-1212	-1213	Max	0.00	607.92	98	8.44	97	0.28	97	-954.89	102	638.14	98	-1.86	102
311	-1212	-1213	Max	40.00	607.92	98	8.44	97	3.65	97	-967.18	102	81.85	98	-1.86	102
311	-1212	-1213	Min.	0.00	396.75	101	5.91	49	0.11	49	-1421.96	97	376.06	101	-2.70	97
311	-1212	-1213	Min.	40.00	396.75	101	5.91	49	2.47	49	-1438.54	97	-24.17	101	-2.70	97
311	-1213	-1214	Max	0.00	607.92	98	8.44	97	3.65	97	-1118.56	102	81.93	98	-3.53	102
311	-1213	-1214	Max	40.00	607.92	98	8.44	97	7.03	97	-1130.84	102	-378.85	102	-3.53	102
311	-1213	-1214	Min.	0.00	396.75	101	5.91	49	2.47	49	-1658.86	97	-24.12	101	-5.08	97
311	-1213	-1214	Min.	40.00	396.75	101	5.91	49	4.84	49	-1675.45	97	-680.09	97	-5.08	97
311	-1214	-1215	Max	0.00	607.92	98	8.44	97	7.03	97	-1283.32	102	-376.11	102	-4.86	102
311	-1214	-1215	Max	20.00	607.92	98	8.44	97	8.72	97	-1289.46	102	-633.39	102	-4.86	102
311	-1214	-1215	Min.	0.00	396.75	101	5.91	49	4.84	49	-1897.29	97	-676.10	97	-6.97	97
311	-1214	-1215	Min.	20.00	396.75	101	5.91	49	6.02	49	-1905.58	97	-1056.39	97	-6.97	97
311	-1215	326	Max	0.00	607.92	98	8.44	97	8.72	97	-1289.46	102	-633.39	102	-4.86	102
311	-1215	326	Max	20.00	607.92	98	8.44	97	10.41	97	-1295.60	102	-891.89	102	-4.86	102
311	-1215	326	Min.	0.00	396.75	101	5.91	49	6.02	49	-1905.58	97	-1056.39	97	-6.97	97
311	-1215	326	Min.	20.00	396.75	101	5.91	49	7.20	49	-1913.87	97	-1438.34	97	-6.97	97
311	326	-1216	Max	0.00	197.41	98	0.11	102	9.89	97	-1709.84	102	-845.28	102	-14.86	102
311	326	-1216	Max	40.00	197.41	98	0.11	102	9.84	98	-1722.12	102	-1531.67	102	-14.86	102
311	326	-1216	Min.	0.00	114.92	101	-0.27	97	6.83	49	-2534.98	97	-1372.05	97	-21.81	97
311	326	-1216	Min.	40.00	114.92	101	-0.27	97	6.82	49	-2551.56	97	-2389.35	97	-21.81	97
311	-1216	-1217	Max	0.00	208.79	98	-3.65	33	10.22	98	1672.48	97	-1531.43	102	9.99	97
311	-1216	-1217	Max	39.88	208.79	98	-3.65	33	8.10	98	1655.95	97	-1085.73	102	9.99	97
311	-1216	-1217	Min.	0.00	122.70	101	-5.33	98	6.85	33	1123.87	102	-2388.99	97	6.86	102
311	-1216	-1217	Min.	39.88	122.70	101	-5.33	98	5.39	33	1111.63	102	-1725.39	97	6.86	102
311	-1217	-1218	Max	0.00	208.79	98	-3.65	33	8.09	98	1434.90	97	-1082.91	102	8.12	97
311	-1217	-1218	Max	19.94	208.79	98	-3.65	33	7.03	98	1426.63	97	-892.19	102	8.12	97
311	-1217	-1218	Min.	0.00	122.70	101	-5.33	98	5.39	33	959.70	102	-1721.29	97	5.54	102
311	-1217	-1218	Min.	19.94	122.70	101	-5.33	98	4.67	33	953.58	102	-1436.03	97	5.54	102
311	-1218	-1219	Max	0.00	208.79	98	-3.65	33	7.03	98	1426.64	97	-892.26	102	8.12	97
311	-1218	-1219	Max	19.94	208.79	98	-3.65	33	5.97	98	1418.37	97	-702.75	102	8.12	97
311	-1218	-1219	Min.	0.00	122.70	101	-5.33	98	4.67	33	953.58	102	-1436.14	97	5.54	102
311	-1218	-1219	Min.	19.94	122.70	101	-5.33	98	3.94	33	947.46	102	-1152.53	97	5.54	102
311	-1219	-1220	Max	0.00	208.79	98	-3.65	33	5.97	98	1197.25	97	-705.44	102	6.23	97
311	-1219	-1220	Max	39.88	208.79	98	-3.65	33	3.85	98	1180.72	97	-390.69	102	6.23	97
311	-1219	-1220	Min.	0.00	122.70	101	-5.33	98	3.94	33	795.48	102	-1156.45	97	4.20	102
311	-1219	-1220	Min.	39.88	122.70	101	-5.33	98	2.48	33	783.23	102	-682.35	97	4.20	102
311	-1220	327	Max	0.00	208.79	98	-3.65	33	3.85	98	961.07	97	-390.78	102	3.86	97
311	-1220	327	Max	39.88	208.79	98	-3.65	33	1.73	97	944.54	97	-141.09	102	3.86	97
311	-1220	327	Min.	0.00	122.70	101	-5.33	98	2.49	33	632.31	102	-682.48	97	2.54	102
311	-1220	327	Min.	39.88	122.70	101	-5.33	98	1.03	33	620.07	102	-302.55	97	2.54	102
311	327	-1221	Max	0.00	0.00	98	-2.32	33	1.36	97	588.89	97	-118.77	102	4.13	97
311	327	-1221	Max	39.88	0.00	98	-2.32	33	0.12	49	572.36	97	26.18	102	4.13	97
311	327	-1221	Min.	0.00	0.00	49	-3.45	97	0.75	33	369.62	102	-275.85	97	2.86	33
311	327	-1221	Min.	39.88	0.00	49	-3.45	97	-0.17	33	357.38	102	-44.33	97	2.86	33
311	-1221	-1222	Max	0.00	0.00	97	-2.32	33	0.12	49	350.68	97	26.19	102	1.69	97
311	-1221	-1222	Max	39.88	0.00	97	-2.32	33	-0.87	49	334.14	97	142.04	98	1.69	97
311	-1221	-1222	Min.	0.00	0.00	49	-3.45	97	-0.17	33	205.05	102	-44.31	97	1.16	33
311	-1221	-1222	Min.	39.88	0.00	49	-3.45	97	-1.39	97	192.80	102	55.69	101	1.16	33
311	-1222	-1223	Max	0.00	0.00	97	-2.32	33	-0.87	49	112.73	97	142.03	98	-0.52	101
311	-1222	-1223	Max	39.87	0.00	97	-2.32	33	-1.86	49	96.20	97	165.75	98	-0.52	101
311	-1222	-1223	Min.	0.00	0.00	49	-3.45	97	-1.39	97	40.66	102	55.68	101	-0.74	98
311	-1222	-1223	Min.	39.87	0.00	49	-3.45	97	-2.76	97	28.41	102	87.39	101	-0.74	98
311	-1223	-1224	Max	0.00	0.00	97	-2.32	33	-1.86	49	-78.87	101	165.75	98	-2.21	101
311	-1223	-1224	Max	39.88	0.00	97	-2.32	33	-2.85	49	-91.11	101	94.52	98	-2.21	101
311	-1223	-1224	Min.	0.00	0.00	49	-3.45	97	-2.76	97	-170.38	98	87.39	101	-3.16	98
311	-1223	-1224	Min.	39.88	0.00	49	-3.45	97	-4.14	97	-186.91	98	53.50	101	-3.16	98
311	-1224	328	Max	0.00	0.00	1	-2.32	33	-2.85	49	-167.81	101	94.51	98	-3.06	101
311	-1224	328	Max	31.00	0.00	1	-2.32	33	-3.62	49	-177.32	101	0.00	98	-3.06	101
311	-1224	328	Min.	0.00	0.00	1	-3.45	97	-4.14	97	-298.46	98	53.49	101	-4.37	98
311	-1224	328	Min.	31.00	0.00	1	-3.45	97	-5.21	97	-311.31	98	0.00	101	-4.37	98
313	-590	310	Max	0.00	2.94	97	15.75	100	-0.60	33	-3048.69	101	31.27	98	-0.25	33
313	-590	310	Max	40.00	2.94	97	15.75	100	4.74	98	-3052.83	101	-1198.95	101	-0.25	33
313	-590	310	Min.	0.00	1.93	102	8.77	33	-1.56	100	-4517.58	98	21.35	101	-0.38	98
313	-590	310	Min.	40.00	1.93	102	8.77	33	2.91	33	-4523.18	98	-1776.88	98	-0.38	98
313	310	329	Max	0.00	116.46	98	2.64	49	0.25	33	3047.62	98	-1039.00	101	-0.10	33
313	310	329	Max	14.42	116.46	98	2.64	49	0.06	33	3045.61	98	-740.04	101	-0.10	33
313	310	329	Min.	0.00	78.67	101	-1.30	33	-0.54	49	2074.00	101	-1538.54	98	-0.16	98
313	310	329	Min.	14.42	78.67	101	-1.30	33	-0.16	49	2072.50	101	-1099.22	98	-0.16	98

313	329	-714	Max	0.00	116.46	98	2.64	49	0.06	33	3045.61	98	-740.04	101	-0.10	33
313	329	-714	Max	25.58	116.46	98	2.64	49	0.51	49	3042.02	98	-209.38	33	-0.10	33
313	329	-714	Min.	0.00	78.67	101	-1.30	33	-0.16	49	2072.50	101	-1099.22	98	-0.16	98
313	329	-714	Min.	25.58	78.67	101	-1.30	33	-0.27	33	2069.85	101	-320.61	98	-0.16	98
313	-714	-759	Max	0.00	116.57	98	2.02	49	0.38	33	240.67	97	-207.44	33	-0.01	33
313	-714	-759	Max	16.00					-0.00	104			-189.81	104		
313	-714	-759	Max	20.00	116.57	98	2.02	49	0.00	49	237.87	97	-181.40	101	-0.01	33
313	-714	-759	Min.	0.00	78.76	101	-1.92	33	-0.40	49	123.92	33	-317.94	98	-0.01	98
313	-714	-759	Min.	12.00					-0.00	98			-289.82	98		
313	-714	-759	Min.	20.00	78.76	101	-1.92	33	-0.00	33	121.84	33	-271.19	98	-0.01	98
313	-759	312	Max	0.00	116.57	98	2.02	49	0.00	49	237.87	97	-181.40	101	-0.01	33
313	-759	312	Max	20.00	116.57	98	2.02	49	0.41	49	235.07	97	-154.88	101	-0.01	33
313	-759	312	Min.	0.00	78.76	101	-1.92	33	-0.00	33	121.84	33	-271.19	98	-0.01	98
313	-759	312	Min.	20.00	78.76	101	-1.92	33	-0.38	33	119.77	33	-225.00	98	-0.01	98
313	312	-847	Max	0.00	109.62	98	2.25	49	0.35	33	1516.80	98	-198.61	101	0.03	98
313	312	-847	Max	40.00	109.62	98	2.25	49	0.47	49	1511.20	98	318.19	98	0.03	98
313	312	-847	Min.	0.00	74.13	101	-1.68	33	-0.43	49	1045.14	101	-287.42	98	0.02	49
313	312	-847	Min.	40.00	74.13	101	-1.68	33	-0.32	33	1040.99	101	218.62	101	0.02	49
313	-847	314	Max	0.00	109.85	98	2.37	49	0.30	33	-896.19	101	317.91	98	-0.01	33
313	-847	314	Max	40.47	109.85	98	2.37	49	0.47	49	-900.39	101	-145.11	101	-0.01	33
313	-847	314	Min.	0.00	74.29	101	-1.56	33	-0.49	49	-1299.15	98	218.43	101	-0.01	98
313	-847	314	Min.	40.47	74.29	101	-1.56	33	-0.33	33	-1304.82	98	-209.00	98	-0.01	98
313	314	-935	Max	0.00	110.05	98	2.12	49	0.35	33	1309.15	98	-144.85	101	0.01	98
313	314	-935	Max	39.53	110.05	98	2.12	49	0.41	49	1303.62	98	307.79	98	0.01	98
313	314	-935	Min.	0.00	74.43	101	-1.80	33	-0.43	49	903.08	101	-208.63	98	0.01	49
313	314	-935	Min.	39.53	74.43	101	-1.80	33	-0.37	33	898.98	101	211.33	101	0.01	49
313	-935	316	Max	0.00	110.03	98	2.21	49	0.36	33	-1018.02	101	308.06	98	-0.01	33
313	-935	316	Max	40.00	110.03	98	2.21	49	0.46	49	-1022.16	101	-196.52	101	-0.01	33
313	-935	316	Min.	0.00	74.41	101	-1.71	33	-0.43	49	-1478.40	98	211.52	101	-0.02	98
313	-935	316	Min.	40.00	74.41	101	-1.71	33	-0.32	33	-1484.00	98	-284.42	98	-0.02	98
313	316	-1023	Max	0.00	116.39	98	2.46	49	0.30	33	-101.31	49	-153.83	101	0.01	98
313	316	-1023	Max	20.00	116.39	98	2.46	49	0.01	97	-103.39	49	-175.71	101	0.01	98
313	316	-1023	Min.	0.00	78.63	101	-1.47	33	-0.49	49	-201.92	97	-223.50	98	0.01	49
313	316	-1023	Min.	20.00	78.63	101	-1.47	33	0.00	49	-204.72	97	-263.06	98	0.01	49
313	-1023	-1068	Max	0.00	116.39	98	2.46	49	0.01	97	-103.39	49	-175.71	101	0.01	98
313	-1023	-1068	Max	20.00	116.39	98	2.46	49	0.49	49	-105.46	49	-198.01	101	0.01	98
313	-1023	-1068	Min.	0.00	78.63	101	-1.47	33	0.00	49	-204.72	97	-263.06	98	0.01	49
313	-1023	-1068	Min.	20.00	78.63	101	-1.47	33	-0.29	33	-207.52	97	-303.19	98	0.01	49
313	-1068	331	Max	0.00	116.48	98	1.65	49	0.41	33	-2046.98	101	-200.76	101	0.15	98
313	-1068	331	Max	26.52	116.48	98	1.65	49	0.07	49	-2049.73	101	-743.98	101	0.15	98
313	-1068	331	Min.	0.00	78.68	101	-2.27	33	-0.37	49	-3009.37	98	-307.07	98	0.10	49
313	-1068	331	Min.	26.52	78.68	101	-2.27	33	-0.19	33	-3013.08	98	-1105.64	98	0.10	49
313	331	318	Max	0.00	116.48	98	1.65	49	0.07	49	-2049.73	101	-743.99	101	0.15	98
313	331	318	Max	13.48	116.48	98	1.65	49	0.29	49	-2051.13	101	-1020.38	101	0.15	98
313	331	318	Min.	0.00	78.68	101	-2.27	33	-0.19	33	-3013.08	98	-1105.64	98	0.10	49
313	331	318	Min.	13.48	78.68	101	-2.27	33	-0.50	33	-3014.96	98	-1511.94	98	0.10	49
313	318	-1197	Max	0.00	5.30	97	-5.79	49	4.17	98	4447.97	98	-1175.88	101	0.36	98
313	318	-1197	Max	40.00	5.30	97	-5.79	49	0.21	49	4442.37	98	34.13	98	0.36	98
313	318	-1197	Min.	0.00	3.59	102	-11.37	99	2.53	49	3000.16	101	-1743.94	98	0.24	101
313	318	-1197	Min.	40.00	3.59	102	-11.37	99	-0.67	33	2996.01	101	23.36	101	0.24	101
314	-609	311	Max	0.00	2.94	98	-8.85	49	1.56	100	-3048.69	102	31.27	97	0.38	97
314	-609	311	Max	40.00	2.94	98	-8.85	49	-2.92	49	-3052.83	102	-1198.95	102	0.38	97
314	-609	311	Min.	0.00	1.93	101	-15.75	100	0.62	49	-4517.58	97	21.35	102	0.25	102
314	-609	311	Min.	40.00	1.93	101	-15.75	100	-4.74	97	-4523.18	97	-1776.88	97	0.25	102
314	311	330	Max	0.00	116.46	97	1.29	49	0.55	33	3047.62	97	-1039.00	102	0.16	97
314	311	330	Max	14.42	116.46	97	1.29	49	0.16	33	3045.61	97	-740.04	102	0.16	97
314	311	330	Min.	0.00	78.67	102	-2.65	33	-0.25	49	2074.00	102	-1538.54	97	0.10	33
314	311	330	Min.	14.42	78.67	102	-2.65	33	-0.06	49	2072.50	102	-1099.22	97	0.10	33
314	330	-738	Max	0.00	116.46	97	1.29	49	0.16	33	3045.61	97	-740.04	102	0.16	97
314	330	-738	Max	25.58	116.46	97	1.29	49	0.27	49	3042.02	97	-210.23	102	0.16	97
314	330	-738	Min.	0.00	78.67	102	-2.65	33	-0.06	49	2072.50	102	-1099.22	97	0.10	33
314	330	-738	Min.	25.58	78.67	102	-2.65	33	-0.51	33	2069.85	102	-320.61	97	0.10	33
314	-738	-783	Max	0.00	116.57	97	1.91	49	0.40	33	240.67	98	-208.34	102	0.01	97
314	-738	-783	Max	16.00					-0.02	50			-189.40	50		
314	-738	-783	Max	20.00	116.57	97	1.91	49	0.00	49	237.87	98	-181.40	102	0.01	97
314	-738	-783	Min.	0.00	78.76	102	-2.02	33	-0.38	49	127.93	49	-317.94	97	0.01	49
314	-738	-783	Min.	16.00					-0.02	50			-189.77	50		
314	-738	-783	Min.	20.00	78.76	102	-2.02	33	-0.00	33	125.85	49	-271.19	97	0.01	49
314	-783	313	Max	0.00	116.57	97	1.91	49	0.00	49	237.87	98	-181.40	102	0.01	97
314	-783	313	Max	20.00	116.57	97	1.91	49	0.38	49	235.07	98	-154.88	102	0.01	97
314	-783	313	Min.	0.00	78.76	102	-2.02	33	-0.00	33	125.85	49	-271.19	97	0.01	49
314	-783	313	Min.	20.00	78.76	102	-2.02	33	-0.41	33	123.78	49	-225.00	97	0.01	49
314	313	-871	Max	0.00	109.62	97	1.67	49	0.43	33	1516.80	97	-198.61	102	-0.02	33
314	313	-871	Max	40.00	109.62	97	1.67	49	0.32	49	1511.20	97	318.19	97	-0.02	33
314	313	-871	Min.	0.00	74.13	102	-2.26	33	-0.35	49	1045.14	102	-287.42	97	-0.03	97
314	313	-871	Min.	40.00	74.13	102	-2.26	33	-0.47	33	1040.99	102	218.62	102	-0.03	97
314	-871	315	Max	0.00	109.85	97	1.55	49	0.49	33	-896.19	102	317.91	97	0.01	97
314	-871	315	Max	40.47	109.85	97	1.55	49	0.32	49	-900.39	102	-145.11	102	0.01	97
314	-871	315	Min.	0.00	74.29	102	-2.38	33	-0.30	49	-1299.15	97	218.43	102	0.01	49

314	-871	315	Min.	40.47	74.29	102	-2.38	33	-0.47	33	-1304.82	97	-209.00	97	0.01	49
314	315	-959	Max	0.00	110.05	97	1.80	49	0.43	33	1309.15	97	-144.85	102	-0.01	33
314	315	-959	Max	39.53	110.05	97	1.80	49	0.37	49	1303.62	97	307.79	97	-0.01	33
314	315	-959	Min.	0.00	74.43	102	-2.13	33	-0.34	49	903.08	102	-208.63	97	-0.01	97
314	315	-959	Min.	39.53	74.43	102	-2.13	33	-0.41	33	898.98	102	211.33	102	-0.01	97
314	-959	317	Max	0.00	110.03	97	1.71	49	0.43	33	-1018.02	102	308.06	97	0.02	97
314	-959	317	Max	40.00	110.03	97	1.71	49	0.32	49	-1022.16	102	-196.52	102	0.02	97
314	-959	317	Min.	0.00	74.41	102	-2.21	33	-0.36	49	-1478.40	97	211.52	102	0.01	49
314	-959	317	Min.	40.00	74.41	102	-2.21	33	-0.46	33	-1484.00	97	-284.42	97	0.01	49
314	317	-1047	Max	0.00	116.39	97	1.46	49	0.49	33	-98.94	33	-153.83	102	-0.01	33
314	317	-1047	Max	20.00	116.39	97	1.46	49	-0.00	33	-101.02	33	-175.71	102	-0.01	33
314	317	-1047	Min.	0.00	78.63	102	-2.46	33	-0.30	49	-201.92	98	-223.50	97	-0.01	97
314	317	-1047	Min.	20.00	78.63	102	-2.46	33	-0.01	98	-204.72	98	-263.06	97	-0.01	97
314	-1047	-1092	Max	0.00	116.39	97	1.46	49	-0.00	33	-101.02	33	-175.71	102	-0.01	33
314	-1047	-1092	Max	20.00	116.39	97	1.46	49	0.29	49	-103.09	33	-198.01	102	-0.01	33
314	-1047	-1092	Min.	0.00	78.63	102	-2.46	33	-0.01	98	-204.72	98	-263.06	97	-0.01	97
314	-1047	-1092	Min.	20.00	78.63	102	-2.46	33	-0.49	33	-207.52	98	-303.19	97	-0.01	97
314	-1092	332	Max	0.00	116.48	97	2.27	49	0.37	33	-2046.98	102	-200.76	102	-0.10	33
314	-1092	332	Max	26.52	116.48	97	2.27	49	0.19	49	-2049.73	102	-743.98	102	-0.10	33
314	-1092	332	Min.	0.00	78.68	102	-1.65	33	-0.41	49	-3009.37	97	-307.07	97	-0.15	97
314	-1092	332	Min.	26.52	78.68	102	-1.65	33	-0.07	33	-3013.08	97	-1105.64	97	-0.15	97
314	332	319	Max	0.00	116.48	97	2.27	49	0.19	49	-2049.73	102	-743.99	102	-0.10	33
314	332	319	Max	13.48	116.48	97	2.27	49	0.50	49	-2051.13	102	-1020.38	102	-0.10	33
314	332	319	Min.	0.00	78.68	102	-1.65	33	-0.07	33	-3013.08	97	-1105.64	97	-0.15	97
314	332	319	Min.	13.48	78.68	102	-1.65	33	-0.29	33	-3014.96	97	-1511.93	97	-0.15	97
314	319	-1216	Max	0.00	5.30	98	11.37	99	-2.52	33	4447.97	97	-1175.88	102	-0.24	33
314	319	-1216	Max	40.00	5.30	98	11.37	99	0.66	49	4442.37	97	34.13	97	-0.24	33
314	319	-1216	Min.	0.00	3.59	101	5.74	33	-4.17	97	3000.16	102	-1743.93	97	-0.36	97
314	319	-1216	Min.	40.00	3.59	101	5.74	33	-0.22	33	2996.01	102	23.36	102	-0.36	97
602	-503	-375	Max	0.00	284.88	98	7.17	98	-2.44	49	39.83	97	0.00	1	-0.30	101
602	-503	-375	Max	114.38					4.16	97			22.95	97		
602	-503	-375	Max	230.49	216.59	98	7.17	98	12.58	98	-29.51	1	0.00	1	-0.30	101
602	-503	-375	Min.	0.00	205.13	101	4.61	49	-3.94	99	29.51	1	0.00	1	-0.45	98
602	-503	-375	Min.	114.38					2.99	1			17.00	1		
602	-503	-375	Min.	230.49	154.55	101	4.61	49	8.19	49	-39.83	97	0.00	97	-0.45	98
604	-511	-377	Max	0.00	269.98	98	1.17	99	0.33	49	39.83	97	0.00	1	0.02	98
604	-511	-377	Max	114.38					1.02	97			22.95	97		
604	-511	-377	Max	230.49	201.69	98	1.17	99	2.39	99	-29.51	1	0.00	1	0.02	98
604	-511	-377	Min.	0.00	195.69	101	0.27	49	-0.48	33	29.51	1	0.00	1	0.01	33
604	-511	-377	Min.	114.38					0.81	1			17.00	1		
604	-511	-377	Min.	230.49	145.11	101	0.27	49	0.95	49	-39.83	97	0.00	97	0.01	33
606	-515	-379	Max	0.00	235.30	98	0.16	33	0.88	49	39.83	97	0.00	1	0.00	49
606	-515	-379	Max	114.38					0.12	97			22.95	97		
606	-515	-379	Max	230.49	167.02	98	0.16	33	0.36	33	-29.51	1	0.00	1	0.00	49
606	-515	-379	Min.	0.00	172.32	101	-0.77	49	-0.02	33	29.51	1	0.00	1	-0.01	33
606	-515	-379	Min.	114.38					0.18	1			17.00	1		
606	-515	-379	Min.	230.49	121.74	101	-0.77	49	-0.91	49	-39.83	97	0.00	97	-0.01	33
608	-519	-381	Max	0.00	269.83	98	-0.89	33	1.59	100	39.83	97	0.00	1	-0.01	49
608	-519	-381	Max	114.38					-0.82	97			22.95	97		
608	-519	-381	Max	230.49	201.54	98	-0.89	33	-1.53	33	-29.51	1	0.00	1	-0.01	49
608	-519	-381	Min.	0.00	195.57	101	-2.11	100	0.52	33	29.51	1	0.00	1	-0.03	99
608	-519	-381	Min.	114.38					-0.49	1			17.00	1		
608	-519	-381	Min.	230.49	144.99	101	-2.11	100	-3.28	100	-39.83	97	0.00	97	-0.03	99
610	-527	-383	Max	0.00	282.69	98	-4.95	33	4.88	100	39.83	97	0.00	1	0.44	98
610	-527	-383	Max	114.38					-3.85	97			22.95	97		
610	-527	-383	Max	230.49	214.41	98	-4.95	33	-8.37	33	-29.51	1	0.00	1	0.44	98
610	-527	-383	Min.	0.00	203.60	101	-7.71	98	3.04	33	29.51	1	0.00	1	0.30	101
610	-527	-383	Min.	114.38					-2.62	1			17.00	1		
610	-527	-383	Min.	230.49	153.02	101	-7.71	98	-12.90	98	-39.83	97	0.00	97	0.30	101
612	-375	-377	Max	0.00	-210.23	101	12.71	98	-5.71	49	-5.36	1	0.00	1	-0.14	49
612	-375	-377	Max	80.00	-210.23	101	29.97	98	8.13	98	7.24	97	0.00	1	-0.14	49
612	-375	-377	Min.	0.00	-313.28	98	7.38	49	-8.94	98	-7.24	97	0.00	1	-0.21	98
612	-375	-377	Min.	80.00	-313.28	98	20.17	49	5.31	49	5.36	1	0.00	97	-0.21	98
612	-377	-379	Max	0.00	-197.00	101	-12.21	33	5.60	100	-5.40	1	0.00	97	0.04	98
612	-377	-379	Max	80.47	-197.00	101	0.65	33	-1.08	33	7.28	97	0.00	1	0.04	98
612	-377	-379	Min.	0.00	-293.61	98	-18.28	100	3.57	33	-7.28	97	0.00	1	0.02	33
612	-377	-379	Min.	80.47	-293.61	98	-0.94	49	-2.12	100	5.40	1	0.00	97	0.02	33
612	-379	-381	Max	0.00	-196.62	101	0.32	33	-0.80	49	-5.33	1	0.00	1	-0.02	49
612	-379	-381	Max	79.53	-196.62	101	17.17	99	5.12	99	7.20	97	0.00	1	-0.02	49
612	-379	-381	Min.	0.00	-293.07	98	-1.24	49	-1.71	99	-7.20	97	0.00	1	-0.04	98
612	-379	-381	Min.	79.53	-293.07	98	11.47	49	3.26	49	5.33	1	0.00	97	-0.04	98
612	-381	-383	Max	0.00	-207.21	101	-20.75	33	8.51	98	-5.36	1	0.00	1	0.21	98
612	-381	-383	Max	80.00	-207.21	101	-7.97	33	-5.94	33	7.24	97	0.00	1	0.21	98
612	-381	-383	Min.	0.00	-308.97	98	-30.93	98	5.55	33	-7.24	97	0.00	1	0.14	33
612	-381	-383	Min.	80.00	-308.97	98	-13.67	98	-9.32	98	5.36	1	0.00	97	0.14	33
615	-378	-376	Max	0.00	-210.23	102	-20.12	33	8.13	97	-5.36	1	0.00	1	0.21	97
615	-378	-376	Max	80.00	-210.23	102	-7.33	33	-5.68	33	7.24	97	0.00	1	0.21	97
615	-378	-376	Min.	0.00	-313.28	97	-29.97	97	5.30	33	-7.24	97	0.00	1	0.14	33
615	-378	-376	Min.	80.00	-313.28	97	-12.71	97	-8.94	97	5.36	1	0.00	97	0.14	33

615	-380	-378	Max	0.00	-197.00	102	0.98	33	-1.09	49	-5.40	1	0.00	97	-0.02	49
615	-380	-378	Max	80.47	-197.00	102	18.28	100	5.60	100	7.28	97	0.00	1	-0.02	49
615	-380	-378	Min.	0.00	-293.61	97	-0.61	49	-2.12	100	-7.28	97	0.00	1	-0.04	97
615	-380	-378	Min.	80.47	-293.61	97	12.25	49	3.59	49	5.40	1	0.00	97	-0.04	97
615	-382	-380	Max	0.00	-196.62	102	-11.45	33	5.12	99	-5.33	1	0.00	1	0.04	97
615	-382	-380	Max	79.53	-196.62	102	1.26	33	-0.80	33	7.20	97	0.00	1	0.04	97
615	-382	-380	Min.	0.00	-293.07	97	-17.17	99	3.26	33	-7.20	97	0.00	1	0.02	33
615	-382	-380	Min.	79.53	-293.07	97	-0.31	49	-1.71	99	5.33	1	0.00	97	0.02	33
615	-384	-382	Max	0.00	-207.21	102	13.66	97	-5.97	49	-5.36	1	0.00	1	-0.14	49
615	-384	-382	Max	80.00	-207.21	102	30.93	97	8.51	97	7.24	97	0.00	1	-0.14	49
615	-384	-382	Min.	0.00	-308.97	97	8.04	49	-9.32	97	-7.24	97	0.00	1	-0.21	97
615	-384	-382	Min.	80.00	-308.97	97	20.83	49	5.58	49	5.36	1	0.00	97	-0.21	97
617	-41	-375	Max	0.00	-11492.10	101	90.66	98	-44.28	33	-19.02	101	0.00	1	-0.01	33
617	-41	-375	Max	230.49	-11441.50	101	90.66	98	140.73	98	-78.03	101	-111.85	101	-0.01	33
617	-41	-375	Min.	0.00	-16868.40	98	60.63	33	-68.23	98	-30.65	98	0.00	1	-0.02	49
617	-41	-375	Min.	230.49	-16800.10	98	60.63	33	94.49	101	-110.32	98	-162.46	98	-0.02	49
617	-375	10	Max	0.00	-11383.40	101	-144.65	101	143.19	98	110.41	98	-111.99	101	3.40	98
617	-375	10	Max	184.39					-170.60	101			-11.52	101		
617	-375	10	Max	230.49	-11332.80	101	-144.65	101	-237.28	101	30.75	98	0.00	102	3.40	98
617	-375	10	Min.	0.00	-16720.50	98	-215.45	98	96.12	101	78.09	101	-162.68	98	2.28	101
617	-375	10	Min.	184.39					-254.08	98			-17.85	98		
617	-375	10	Min.	230.49	-16652.30	98	-215.45	98	-353.40	98	19.08	101	0.00	97	2.28	101
619	12	-511	Max	0.00	4884.31	98	-4.19	33	16.32	98	79.67	97	0.00	1	-0.08	33
619	12	-511	Max	173.69					4.74	97			69.70	97		
619	12	-511	Max	350.00	4884.31	98	-4.19	33	-4.47	33	-59.01	1	0.00	1	-0.08	33
619	12	-511	Min.	0.00	3403.44	101	-6.58	98	10.18	33	59.01	1	0.00	1	-0.12	98
619	12	-511	Min.	173.69					2.94	1			51.63	1		
619	12	-511	Min.	350.00	3403.44	101	-6.58	98	-6.71	98	-79.67	97	0.00	97	-0.12	98
621	22	-379	Max	0.00	-5989.68	101	0.50	49	2.26	33	1.33	101	0.00	1	0.01	33
621	22	-379	Max	4.94					0.35	101			0.03	101		
621	22	-379	Max	230.49	-5939.10	101	0.50	49	0.31	33	-57.68	101	-64.93	101	0.01	33
621	22	-379	Min.	0.00	-8659.41	98	-0.89	33	-1.50	49	-0.31	98	0.00	1	-0.01	49
621	22	-379	Min.	1.47					0.35	102			0.00	102		
621	22	-379	Min.	230.49	-8591.12	98	-0.89	33	-0.38	49	-79.97	98	-92.52	98	-0.01	49
621	-379	14	Max	0.00	-5880.58	101	0.61	49	0.37	33	80.01	98	-64.99	101	0.02	33
621	-379	14	Max	184.39					-0.32	101			-2.12	101		
621	-379	14	Max	230.49	-5830.00	101	0.61	49	0.88	49	0.34	98	0.00	101	0.02	33
621	-379	14	Min.	0.00	-8511.74	98	-0.88	33	-0.53	49	57.70	101	-92.60	98	-0.01	49
621	-379	14	Min.	184.39					-0.45	98			-3.83	98		
621	-379	14	Min.	230.49	-8443.46	98	-0.88	33	-1.66	33	-1.31	101	0.00	98	-0.01	49
623	16	-519	Max	0.00	4884.62	98	5.87	98	-9.21	49	79.67	97	0.00	1	0.12	98
623	16	-519	Max	173.69					-4.51	97			69.70	97		
623	16	-519	Max	350.00	4884.62	98	5.87	98	5.69	98	-59.01	1	0.00	1	0.12	98
623	16	-519	Min.	0.00	3403.66	101	3.70	49	-14.85	98	59.01	1	0.00	1	0.07	49
623	16	-519	Min.	173.69					-3.55	1			51.63	1		
623	16	-519	Min.	350.00	3403.66	101	3.70	49	3.76	49	-79.67	97	0.00	97	0.07	49
625	-179	-383	Max	0.00	-11376.70	101	-60.18	101	68.13	98	-18.60	101	0.00	1	0.03	33
625	-179	-383	Max	230.49	-11326.20	101	-60.18	101	-92.99	101	-77.61	101	-110.88	101	0.03	33
625	-179	-383	Min.	0.00	-16703.80	98	-89.69	98	44.37	49	-30.05	98	0.00	1	0.01	49
625	-179	-383	Min.	230.49	-16635.50	98	-89.69	98	-138.59	98	-109.72	98	-161.08	98	0.01	49
625	-383	18	Max	0.00	-11268.30	101	211.57	98	-94.66	101	109.81	98	-111.02	101	-2.23	101
625	-383	18	Max	184.39					167.05	101			-11.32	101		
625	-383	18	Max	230.49	-11217.70	101	211.57	98	346.54	98	30.14	98	0.00	102	-2.23	101
625	-383	18	Min.	0.00	-16556.20	98	141.93	101	-141.10	98	77.67	101	-161.29	98	-3.33	98
625	-383	18	Min.	184.39					249.01	98			-17.57	98		
625	-383	18	Min.	230.49	-16487.90	98	141.93	101	232.48	101	18.66	101	0.00	97	-3.33	98
632	10	-503	Max	0.00	12623.30	98	102.03	98	-175.59	101	79.67	97	0.00	1	2.05	98
632	10	-503	Max	173.69					-82.43	97			69.70	97		
632	10	-503	Max	350.00	12623.30	98	102.03	98	95.56	98	-59.01	1	0.00	1	2.05	98
632	10	-503	Min.	0.00	8592.09	101	68.48	101	-261.53	98	59.01	1	0.00	1	1.38	101
632	10	-503	Min.	173.69					-57.68	1			51.63	1		
632	10	-503	Min.	350.00	8592.09	101	68.48	101	64.11	101	-79.67	97	0.00	97	1.38	101
634	20	-377	Max	0.00	-4640.80	101	-4.11	49	6.16	99	7.80	97	0.00	1	0.02	33
634	20	-377	Max	21.80					4.44	97			0.88	97		
634	20	-377	Max	230.49	-4590.22	101	-4.11	49	-6.49	33	-52.76	101	-53.60	101	0.02	33
634	20	-377	Min.	0.00	-6648.72	98	-7.00	98	2.31	49	5.48	102	0.00	1	0.00	49
634	20	-377	Min.	20.71					3.25	102			0.59	102		
634	20	-377	Min.	230.49	-6580.43	98	-7.00	98	-10.05	98	-72.64	98	-75.61	98	0.00	49
634	-377	12	Max	0.00	-4527.75	101	13.77	98	-6.16	33	72.53	98	-53.43	101	-0.14	33
634	-377	12	Max	184.39					10.49	101			0.20	101		
634	-377	12	Max	230.49	-4477.17	101	13.77	98	22.05	98	-5.56	102	0.00	102	-0.14	33
634	-377	12	Min.	0.00	-6495.19	98	8.65	33	-9.69	98	52.69	101	-75.35	98	-0.22	98
634	-377	12	Min.	184.39					15.70	98			-0.38	98		
634	-377	12	Min.	230.49	-6426.90	98	8.65	33	13.77	33	-7.91	97	0.00	97	-0.22	98
636	14	-515	Max	0.00	6410.53	98	0.40	33	0.68	49	79.67	97	0.00	1	0.01	33
636	14	-515	Max	173.69					-0.24	97			69.70	97		
636	14	-515	Max	350.00	6410.53	98	0.40	33	0.16	33	-59.01	1	0.00	1	0.01	33
636	14	-515	Min.	0.00	4427.32	101	-0.28	49	-1.24	33	59.01	1	0.00	1	-0.00	49
636	14	-515	Min.	173.69					-0.54	1			51.63	1		

636	14	-515	Min.	350.00	4427.32	101	-0.28	49	-0.30	49	-79.67	97	0.00	97	-0.00	49
638	24	-381	Max	0.00	-4641.01	101	5.69	98	-1.14	33	7.80	97	0.00	1	0.00	33
638	24	-381	Max	21.79					-3.09	97			0.88	97		
638	24	-381	Max	230.49	-4590.43	101	5.69	98	8.66	98	-52.76	101	-53.60	101	0.00	33
638	24	-381	Min.	0.00	-6649.01	98	3.18	33	-4.90	49	5.48	102	0.00	1	-0.02	49
638	24	-381	Min.	20.72					-2.29	102			0.59	102		
638	24	-381	Min.	230.49	-6580.73	98	3.18	33	5.58	49	-72.64	98	-75.61	98	-0.02	49
638	-381	16	Max	0.00	-4528.04	101	-7.64	49	8.16	98	72.53	98	-53.43	101	0.20	98
638	-381	16	Max	184.39					-9.61	101			0.19	101		
638	-381	16	Max	230.49	-4477.46	101	-7.64	49	-12.47	49	-5.56	102	0.00	102	0.20	98
638	-381	16	Min.	0.00	-6495.59	98	-12.25	98	5.15	49	52.69	101	-75.36	98	0.13	49
638	-381	16	Min.	184.39					-14.43	98			-0.38	98		
638	-381	16	Min.	230.49	-6427.31	98	-12.25	98	-20.08	98	-7.90	97	0.00	97	0.13	49
640	18	-527	Max	0.00	12499.00	98	-67.20	101	256.47	98	79.67	97	0.00	1	-1.35	101
640	18	-527	Max	173.69					80.56	97			69.70	97		
640	18	-527	Max	350.00	12499.00	98	-67.20	101	-63.15	101	-59.01	1	0.00	1	-1.35	101
640	18	-527	Min.	0.00	8505.00	101	-100.19	98	172.05	101	59.01	1	0.00	1	-2.01	98
640	18	-527	Min.	173.69					56.15	1			51.63	1		
640	18	-527	Min.	350.00	8505.00	101	-100.19	98	-94.19	98	-79.67	97	0.00	97	-2.01	98
647	11	-504	Max	0.00	12623.30	97	-68.48	102	261.53	97	79.67	97	0.00	1	-1.38	102
647	11	-504	Max	173.69					84.32	97			69.70	97		
647	11	-504	Max	350.00	12623.30	97	-68.48	102	-64.11	102	-59.01	1	0.00	1	-1.38	102
647	11	-504	Min.	0.00	8592.09	102	-102.03	97	175.59	102	59.01	1	0.00	1	-2.05	97
647	11	-504	Min.	173.69					57.50	1			51.63	1		
647	11	-504	Min.	350.00	8592.09	102	-102.03	97	-95.56	97	-79.67	97	0.00	97	-2.05	97
649	13	-512	Max	0.00	4884.32	97	6.58	97	-10.23	49	79.67	97	0.00	1	0.12	97
649	13	-512	Max	173.69					-4.89	97			69.70	97		
649	13	-512	Max	350.00	4884.32	97	6.58	97	6.71	97	-59.01	1	0.00	1	0.12	97
649	13	-512	Min.	0.00	3403.44	102	4.20	49	-16.32	97	59.01	1	0.00	1	0.08	49
649	13	-512	Min.	173.69					-3.71	1			51.63	1		
649	13	-512	Min.	350.00	3403.44	102	4.20	49	4.48	49	-79.67	97	0.00	97	0.08	49
651	-380	15	Max	0.00	-5880.58	102	0.86	49	0.57	33	80.01	97	-64.99	102	0.01	33
651	-380	15	Max	184.39					0.32	102			-2.12	102		
651	-380	15	Max	230.49	-5830.00	102	0.86	49	1.64	49	0.34	97	0.00	102	0.01	33
651	-380	15	Min.	0.00	-8511.74	97	-0.64	33	-0.34	49	57.70	102	-92.60	97	-0.02	49
651	-380	15	Min.	184.39					0.45	97			-3.83	97		
651	-380	15	Min.	230.49	-8443.46	97	-0.64	33	-0.91	33	-1.31	102	0.00	97	-0.02	49
651	23	-380	Max	0.00	-5989.68	102	0.86	49	1.54	33	1.33	102	0.00	1	0.01	33
651	23	-380	Max	4.94					-0.35	102			0.03	102		
651	23	-380	Max	230.49	-5939.10	102	0.86	49	0.42	33	-57.68	102	-64.93	102	0.01	33
651	23	-380	Min.	0.00	-8659.41	97	-0.53	33	-2.22	49	-0.31	97	0.00	1	-0.01	49
651	23	-380	Min.	1.47					-0.35	101			0.00	101		
651	23	-380	Min.	230.49	-8591.12	97	-0.53	33	-0.28	49	-79.97	97	-92.52	97	-0.01	49
653	17	-520	Max	0.00	4884.62	97	-3.70	33	14.85	97	79.67	97	0.00	1	-0.07	33
653	17	-520	Max	173.69					4.66	97			69.70	97		
653	17	-520	Max	350.00	4884.62	97	-3.70	33	-3.76	33	-59.01	1	0.00	1	-0.07	33
653	17	-520	Min.	0.00	3403.66	102	-5.87	97	9.20	33	59.01	1	0.00	1	-0.12	97
653	17	-520	Min.	173.69					2.78	1			51.63	1		
653	17	-520	Min.	350.00	3403.66	102	-5.87	97	-5.69	97	-79.67	97	0.00	97	-0.12	97
655	-384	19	Max	0.00	-11268.30	102	-141.93	102	141.10	97	109.81	97	-111.02	102	3.33	97
655	-384	19	Max	184.39					-167.05	102			-11.32	102		
655	-384	19	Max	230.49	-11217.70	102	-141.93	102	-232.48	102	30.14	97	0.00	101	3.33	97
655	-384	19	Min.	0.00	-16556.20	97	-211.57	97	94.66	102	77.67	102	-161.29	97	2.23	102
655	-384	19	Min.	184.39					-249.01	97			-17.57	97		
655	-384	19	Min.	230.49	-16487.90	97	-211.57	97	-346.54	97	18.66	102	0.00	98	2.23	102
655	-182	-384	Max	0.00	-11376.70	102	89.69	97	-44.22	33	-18.60	102	0.00	1	-0.01	33
655	-182	-384	Max	230.49	-11326.20	102	89.69	97	138.59	97	-77.61	102	-110.88	102	-0.01	33
655	-182	-384	Min.	0.00	-16703.80	97	60.01	33	-68.13	97	-30.05	97	0.00	1	-0.03	49
655	-182	-384	Min.	230.49	-16635.50	97	60.01	33	92.99	102	-109.72	97	-161.08	97	-0.03	49
662	-376	11	Max	0.00	-11383.40	102	215.45	97	-96.12	102	110.41	97	-111.99	102	-2.28	102
662	-376	11	Max	184.39					170.60	102			-11.52	102		
662	-376	11	Max	230.49	-11332.80	102	215.45	97	353.40	97	30.75	97	0.00	101	-2.28	102
662	-376	11	Min.	0.00	-16720.50	97	144.65	102	-143.19	97	78.09	102	-162.68	97	-3.40	97
662	-376	11	Min.	184.39					254.08	97			-17.85	97		
662	-376	11	Min.	230.49	-16652.20	97	144.65	102	237.28	102	19.08	102	0.00	98	-3.40	97
662	-44	-376	Max	0.00	-11492.00	102	-60.85	49	68.23	97	-19.02	102	0.00	1	0.02	33
662	-44	-376	Max	230.49	-11441.50	102	-60.85	49	-94.49	102	-78.03	102	-111.85	102	0.02	33
662	-44	-376	Min.	0.00	-16868.40	97	-90.66	97	44.43	49	-30.65	97	0.00	1	0.01	49
662	-44	-376	Min.	230.49	-16800.10	97	-90.66	97	-140.73	97	-110.32	97	-162.46	97	0.01	49
664	-378	13	Max	0.00	-4527.75	102	-8.69	49	9.69	97	72.53	97	-53.43	102	0.22	97
664	-378	13	Max	184.39					-10.49	102			0.20	102		
664	-378	13	Max	230.49	-4477.17	102	-8.69	49	-13.83	49	-5.56	101	0.00	101	0.22	97
664	-378	13	Min.	0.00	-6495.19	97	-13.77	97	6.21	49	52.69	102	-75.35	97	0.14	49
664	-378	13	Min.	184.39					-15.70	97			-0.38	97		
664	-378	13	Min.	230.49	-6426.90	97	-13.77	97	-22.05	97	-7.91	98	0.00	98	0.14	49
664	21	-378	Max	0.00	-4640.80	102	7.00	97	-2.27	33	7.80	98	0.00	1	0.00	33
664	21	-378	Max	21.80					-4.44	98			0.88	98		
664	21	-378	Max	230.49	-4590.22	102	7.00	97	10.05	97	-52.76	102	-53.60	102	0.00	33
664	21	-378	Min.	0.00	-6648.72	97	4.07	33	-6.16	99	5.48	101	0.00	1	-0.02	49

664	21	-378	Min.	20.71					-3.25	101			0.59	101		
664	21	-378	Min.	230.49	-6580.43	97	4.07	33	6.54	49	-72.64	97	-75.61	97	-0.02	49
666	15	-516	Max	0.00	6410.53	97	0.29	33	1.22	49	79.67	97	0.00	1	0.00	33
666	15	-516	Max	173.69					0.25	97			69.70	97		
666	15	-516	Max	350.00	6410.53	97	0.29	33	0.30	33	-59.01	1	0.00	1	0.00	33
666	15	-516	Min.	0.00	4427.32	102	-0.39	49	-0.69	33	59.01	1	0.00	1	-0.01	49
666	15	-516	Min.	173.69					-0.19	1			51.63	1		
666	15	-516	Min.	350.00	4427.32	102	-0.39	49	-0.15	49	-79.67	97	0.00	97	-0.01	49
668	-382	17	Max	0.00	-4528.04	102	12.25	97	-5.12	33	72.53	97	-53.43	102	-0.13	33
668	-382	17	Max	184.39					9.61	102			0.19	102		
668	-382	17	Max	230.49	-4477.46	102	12.25	97	20.08	97	-5.56	101	0.00	102	-0.13	33
668	-382	17	Min.	0.00	-6495.60	97	7.64	33	-8.16	97	52.69	102	-75.36	97	-0.20	97
668	-382	17	Min.	184.39					14.43	97			-0.38	97		
668	-382	17	Min.	230.49	-6427.31	97	7.64	33	12.45	33	-7.90	98	0.00	97	-0.20	97
668	25	-382	Max	0.00	-4641.01	102	-3.20	49	4.92	33	7.80	98	0.00	1	0.02	33
668	25	-382	Max	21.79					3.09	98			0.88	98		
668	25	-382	Max	230.49	-4590.43	102	-3.20	49	-5.56	33	-52.76	102	-53.60	102	0.02	33
668	25	-382	Min.	0.00	-6649.01	97	-5.69	97	1.17	49	5.48	101	0.00	1	0.00	49
668	25	-382	Min.	20.72					2.29	101			0.59	101		
668	25	-382	Min.	230.49	-6580.73	97	-5.69	97	-8.66	97	-72.64	97	-75.61	97	0.00	49
670	19	-528	Max	0.00	12499.00	97	100.19	97	-172.05	102	79.67	97	0.00	1	2.01	97
670	19	-528	Max	173.69					-82.45	97			69.70	97		
670	19	-528	Max	350.00	12499.00	97	100.19	97	94.19	97	-59.01	1	0.00	1	2.01	97
670	19	-528	Min.	0.00	8504.99	102	67.20	102	-256.47	97	59.01	1	0.00	1	1.35	102
670	19	-528	Min.	173.69					-56.41	1			51.63	1		
670	19	-528	Min.	350.00	8504.99	102	67.20	102	63.15	102	-79.67	97	0.00	97	1.35	102
677	-376	-504	Max	0.00	216.59	97	-4.60	33	12.58	97	39.83	97	0.00	1	0.45	97
677	-376	-504	Max	114.38					4.39	97			22.95	97		
677	-376	-504	Max	230.49	284.88	97	-4.60	33	-2.43	33	-29.51	1	0.00	1	0.45	97
677	-376	-504	Min.	0.00	154.55	102	-7.17	97	8.16	33	29.51	1	0.00	1	0.30	33
677	-376	-504	Min.	114.38					2.93	1			17.00	1		
677	-376	-504	Min.	230.49	205.13	102	-7.17	97	-3.94	99	-39.83	97	0.00	97	0.30	33
679	-378	-512	Max	0.00	201.69	97	-0.26	33	2.39	99	39.83	97	0.00	1	-0.01	49
679	-378	-512	Max	114.38					1.06	97			22.95	97		
679	-378	-512	Max	230.49	269.98	97	-0.26	33	0.35	33	-29.51	1	0.00	1	-0.01	49
679	-378	-512	Min.	0.00	145.11	102	-1.17	99	0.94	33	29.51	1	0.00	1	-0.02	97
679	-378	-512	Min.	114.38					0.64	1			17.00	1		
679	-378	-512	Min.	230.49	195.69	102	-1.17	99	-0.46	49	-39.83	97	0.00	97	-0.02	97
681	-380	-516	Max	0.00	167.02	97	0.79	33	0.34	49	39.83	97	0.00	1	0.01	49
681	-380	-516	Max	114.38					0.11	97			22.95	97		
681	-380	-516	Max	230.49	235.30	97	0.79	33	0.90	33	-29.51	1	0.00	1	0.01	49
681	-380	-516	Min.	0.00	121.74	102	-0.14	49	-0.93	33	29.51	1	0.00	1	-0.00	33
681	-380	-516	Min.	114.38					-0.02	1			17.00	1		
681	-380	-516	Min.	230.49	172.32	102	-0.14	49	0.01	65	-39.83	97	0.00	97	-0.00	33
683	-382	-520	Max	0.00	201.54	97	2.11	100	-1.56	49	39.83	97	0.00	1	0.03	99
683	-382	-520	Max	114.38					-0.88	97			22.95	97		
683	-382	-520	Max	230.49	269.83	97	2.11	100	1.59	100	-29.51	1	0.00	1	0.03	99
683	-382	-520	Min.	0.00	144.99	102	0.92	49	-3.28	100	29.51	1	0.00	1	0.01	33
683	-382	-520	Min.	114.38					-0.69	1			17.00	1		
683	-382	-520	Min.	230.49	195.57	102	0.92	49	0.56	49	-39.83	97	0.00	97	0.01	33
685	-384	-528	Max	0.00	214.41	97	7.71	97	-8.41	49	39.83	97	0.00	1	-0.30	102
685	-384	-528	Max	114.38					-4.08	97			22.95	97		
685	-384	-528	Max	230.49	282.69	97	7.71	97	4.88	100	-29.51	1	0.00	1	-0.30	102
685	-384	-528	Min.	0.00	153.02	102	4.98	49	-12.90	97	29.51	1	0.00	1	-0.44	97
685	-384	-528	Min.	114.38					-2.86	1			17.00	1		
685	-384	-528	Min.	230.49	203.60	102	4.98	49	3.08	49	-39.83	97	0.00	97	-0.44	97

Sollecitazioni elementi bidimensionali

Simbologia

Bid. = Numero del muro/elemento bidimensionale
Nodo = Numero del nodo
σ_{xx} = Tensione normale sulle facce perp. all'asse X
CC = Numero della combinazione delle condizioni di carico elementari
σ_{zz} = Tensione normale sulle facce perp. all'asse Z
τ_{xz} = Tensione in dir. Z sulle facce perp. all'asse X
Mxx = Momento che provoca variazione di tensione sulle facce perp. all'asse X
Mzz = Momento che provoca variazione di tensione sulle facce perp. all'asse Z
Mxz = Momento che provoca variazione di tensione tangenziale sulle facce perp. all'asse X
τ_{zy} = Tensione in dir. Y sulle facce perp. all'asse Z
τ_{xy} = Tensione in dir. Y sulle facce perp. all'asse X

Bid.		Nodo	σ_{xx} <daN/mq>	CC	σ_{zz} <daN/mq>	CC	τ_{xz} <daN/mq>	CC	Mxx <daNm/m>	CC	Mzz <daNm/m>	CC	Mxz <daNm/m>	CC	τ_{zy} <daN/mq>	CC	τ_{xy} <daN/mq>	CC
0	Max	-1532	0.00	97	0.00	97	0.00	97	0.07	97	0.67	97	-0.29	33	16.74	97	665.56	97
0	Max	-1833	0.00	97	0.00	97	0.00	97	0.07	97	0.67	97	-0.29	33	16.74	97	665.56	97
0	Max	-1466	0.00	97	0.00	97	0.00	97	0.07	97	0.67	97	-0.29	33	16.74	97	665.56	97
0	Max	-1867	0.00	97	0.00	97	0.00	97	0.07	97	0.67	97	-0.29	33	16.74	97	665.56	97
0	Min.	-1532	0.00	33	0.00	33	0.00	33	0.05	33	0.48	33	-0.41	97	11.91	33	473.76	33
0	Min.	-1833	0.00	33	0.00	33	0.00	33	0.05	33	0.48	33	-0.41	97	11.91	33	473.76	33
0	Min.	-1466	0.00	33	0.00	33	0.00	33	0.05	33	0.48	33	-0.41	97	11.91	33	473.76	33

0	Min.	-1867	0.00	33	0.00	33	0.00	33	0.05	33	0.48	33	-0.41	97	11.91	33	473.76	33
0	Max	-1832	0.00	98	0.00	98	-0.00	33	0.07	97	0.67	97	0.41	97	16.74	97	-473.76	33
0	Max	-1532	0.00	98	0.00	98	-0.00	33	0.07	97	0.67	97	0.41	97	16.74	97	-473.76	33
0	Max	-1867	0.00	98	0.00	98	-0.00	33	0.07	97	0.67	97	0.41	97	16.74	97	-473.76	33
0	Max	-1465	0.00	98	0.00	98	-0.00	33	0.07	97	0.67	97	0.41	97	16.74	97	-473.76	33
0	Min.	-1832	0.00	33	0.00	33	-0.00	98	0.05	33	0.48	33	0.29	33	11.91	33	-665.56	97
0	Min.	-1532	0.00	33	0.00	33	-0.00	98	0.05	33	0.48	33	0.29	33	11.91	33	-665.56	97
0	Min.	-1867	0.00	33	0.00	33	-0.00	98	0.05	33	0.48	33	0.29	33	11.91	33	-665.56	97
0	Min.	-1465	0.00	33	0.00	33	-0.00	98	0.05	33	0.48	33	0.29	33	11.91	33	-665.56	97
0	Max	-1831	0.00	97	0.00	97	-0.00	33	0.07	97	0.68	97	0.41	97	16.88	97	-473.87	33
0	Max	-1547	0.00	97	0.00	97	-0.00	33	0.07	97	0.68	97	0.41	97	16.88	97	-473.87	33
0	Max	-2083	0.00	97	0.00	97	-0.00	33	0.07	97	0.68	97	0.41	97	16.88	97	-473.87	33
0	Max	-1464	0.00	97	0.00	97	-0.00	33	0.07	97	0.68	97	0.41	97	16.88	97	-473.87	33
0	Min.	-1831	0.00	102	0.00	33	-0.00	98	0.05	33	0.48	33	0.29	33	12.01	33	-665.71	97
0	Min.	-1547	0.00	102	0.00	33	-0.00	98	0.05	33	0.48	33	0.29	33	12.01	33	-665.71	97
0	Min.	-2083	0.00	102	0.00	33	-0.00	98	0.05	33	0.48	33	0.29	33	12.01	33	-665.71	97
0	Min.	-1464	0.00	102	0.00	33	-0.00	98	0.05	33	0.48	33	0.29	33	12.01	33	-665.71	97
0	Max	-1830	0.00	97	0.00	97	-0.00	33	0.09	97	0.59	97	0.37	97	13.05	97	-463.41	33
0	Max	-1699	0.00	97	0.00	97	-0.00	33	0.09	97	0.59	97	0.37	97	13.05	97	-463.41	33
0	Max	-1762	0.00	97	0.00	97	-0.00	33	0.09	97	0.59	97	0.37	97	13.05	97	-463.41	33
0	Max	-1463	0.00	97	0.00	97	-0.00	33	0.09	97	0.59	97	0.37	97	13.05	97	-463.41	33
0	Min.	-1830	0.00	102	0.00	33	-0.00	98	0.07	33	0.42	33	0.27	33	9.29	33	-651.01	97
0	Min.	-1699	0.00	102	0.00	33	-0.00	98	0.07	33	0.42	33	0.27	33	9.29	33	-651.01	97
0	Min.	-1762	0.00	102	0.00	33	-0.00	98	0.07	33	0.42	33	0.27	33	9.29	33	-651.01	97
0	Min.	-1463	0.00	102	0.00	33	-0.00	98	0.07	33	0.42	33	0.27	33	9.29	33	-651.01	97
0	Max	-1829	0.00	97	0.00	97	0.00	97	0.00	97	0.00	97	0.00	97	0.00	97	0.00	98
0	Max	-1830	0.00	97	0.00	97	0.00	97	0.00	97	0.00	97	0.00	97	0.00	97	0.00	98
0	Max	-1463	0.00	97	0.00	97	0.00	97	0.00	97	0.00	97	0.00	97	0.00	97	0.00	98
0	Max	-1462	0.00	97	0.00	97	0.00	97	0.00	97	0.00	97	0.00	97	0.00	97	0.00	98
0	Min.	-1829	0.00	102	0.00	33	0.00	49	0.00	102	0.00	33	0.00	33	0.00	33	0.00	101
0	Min.	-1830	0.00	102	0.00	33	0.00	49	0.00	102	0.00	33	0.00	33	0.00	33	0.00	101
0	Min.	-1463	0.00	102	0.00	33	0.00	49	0.00	102	0.00	33	0.00	33	0.00	33	0.00	101
0	Min.	-1462	0.00	102	0.00	33	0.00	49	0.00	102	0.00	33	0.00	33	0.00	33	0.00	101
0	Max	-1828	0.00	97	0.00	97	0.00	97	0.00	97	0.00	97	0.00	97	0.00	97	0.00	102
0	Max	-1829	0.00	97	0.00	97	0.00	97	0.00	97	0.00	97	0.00	97	0.00	97	0.00	102
0	Max	-1462	0.00	97	0.00	97	0.00	97	0.00	97	0.00	97	0.00	97	0.00	97	0.00	102
0	Max	-1460	0.00	97	0.00	97	0.00	97	0.00	97	0.00	97	0.00	97	0.00	97	0.00	102
0	Min.	-1828	0.00	102	0.00	33	0.00	49	0.00	102	0.00	33	0.00	33	0.00	33	0.00	97
0	Min.	-1829	0.00	102	0.00	33	0.00	49	0.00	102	0.00	33	0.00	33	0.00	33	0.00	97
0	Min.	-1462	0.00	102	0.00	33	0.00	49	0.00	102	0.00	33	0.00	33	0.00	33	0.00	97
0	Min.	-1460	0.00	102	0.00	33	0.00	49	0.00	102	0.00	33	0.00	33	0.00	33	0.00	97
0	Max	-1875	0.00	101	-0.00	101	0.00	97	0.56	97	0.03	97	0.35	97	657.95	97	-10.08	33
0	Max	-1876	0.00	101	-0.00	101	0.00	97	0.56	97	0.03	97	0.35	97	657.95	97	-10.08	33
0	Max	-1478	0.00	101	-0.00	101	0.00	97	0.56	97	0.03	97	0.35	97	657.95	97	-10.08	33
0	Max	-1477	0.00	101	-0.00	101	0.00	97	0.56	97	0.03	97	0.35	97	657.95	97	-10.08	33
0	Min.	-1875	-0.00	98	-0.00	98	0.00	49	0.40	33	0.02	33	0.25	33	468.36	33	-14.15	97
0	Min.	-1876	-0.00	98	-0.00	98	0.00	49	0.40	33	0.02	33	0.25	33	468.36	33	-14.15	97
0	Min.	-1478	-0.00	98	-0.00	98	0.00	49	0.40	33	0.02	33	0.25	33	468.36	33	-14.15	97
0	Min.	-1477	-0.00	98	-0.00	98	0.00	49	0.40	33	0.02	33	0.25	33	468.36	33	-14.15	97
0	Max	-1876	-0.00	101	-0.00	33	0.00	97	-0.06	33	-0.00	33	-0.05	33	521.18	97	-2.29	33
0	Max	-1877	-0.00	101	-0.00	33	0.00	97	-0.06	33	-0.00	33	-0.05	33	521.18	97	-2.29	33
0	Max	-1479	-0.00	101	-0.00	33	0.00	97	-0.06	33	-0.00	33	-0.05	33	521.18	97	-2.29	33
0	Max	-1478	-0.00	101	-0.00	33	0.00	97	-0.06	33	-0.00	33	-0.05	33	521.18	97	-2.29	33
0	Min.	-1876	-0.00	98	-0.00	98	0.00	49	-0.09	97	-0.00	97	-0.07	97	370.99	33	-3.22	97
0	Min.	-1877	-0.00	98	-0.00	98	0.00	49	-0.09	97	-0.00	97	-0.07	97	370.99	33	-3.22	97
0	Min.	-1479	-0.00	98	-0.00	98	0.00	49	-0.09	97	-0.00	97	-0.07	97	370.99	33	-3.22	97
0	Min.	-1478	-0.00	98	-0.00	98	0.00	49	-0.09	97	-0.00	97	-0.07	97	370.99	33	-3.22	97
0	Max	-1877	-0.00	101	-0.00	33	0.00	97	0.00	97	-0.00	33	0.00	97	560.20	97	4.31	97
0	Max	-1878	-0.00	101	-0.00	33	0.00	97	0.00	97	-0.00	33	0.00	97	560.20	97	4.31	97
0	Max	-1480	-0.00	101	-0.00	33	0.00	97	0.00	97	-0.00	33	0.00	97	560.20	97	4.31	97
0	Max	-1479	-0.00	101	-0.00	33	0.00	97	0.00	97	-0.00	33	0.00	97	560.20	97	4.31	97
0	Min.	-1877	-0.00	98	-0.00	98	0.00	49	0.00	33	-0.00	98	0.00	33	398.77	33	3.07	33
0	Min.	-1878	-0.00	98	-0.00	98	0.00	49	0.00	33	-0.00	98	0.00	33	398.77	33	3.07	33
0	Min.	-1480	-0.00	98	-0.00	98	0.00	49	0.00	33	-0.00	98	0.00	33	398.77	33	3.07	33
0	Min.	-1479	-0.00	98	-0.00	98	0.00	49	0.00	33	-0.00	98	0.00	33	398.77	33	3.07	33
0	Max	-1878	-0.00	101	-0.00	33	0.00	97	0.00	97	-0.00	33	-0.00	33	560.06	97	-3.06	33
0	Max	-1879	-0.00	101	-0.00	33	0.00	97	0.00	97	-0.00	33	-0.00	33	560.06	97	-3.06	33
0	Max	-1481	-0.00	101	-0.00	33	0.00	97	0.00	97	-0.00	33	-0.00	33	560.06	97	-3.06	33
0	Max	-1480	-0.00	101	-0.00	33	0.00	97	0.00	97	-0.00	33	-0.00	33	560.06	97	-3.06	33
0	Min.	-1878	-0.00	98	-0.00	98	0.00	49	0.00	33	-0.00	98	-0.00	97	398.67	33	-4.30	97
0	Min.	-1879	-0.00	98	-0.00	98	0.00	49	0.00	33	-0.00	98	-0.00	97	398.67	33	-4.30	97
0	Min.	-1481	-0.00	98	-0.00	98	0.00	49	0.00	33	-0.00	98	-0.00	97	398.67	33	-4.30	97
0	Min.	-1480	-0.00	98	-0.00	98	0.00	49	0.00	33	-0.00	98	-0.00	97	398.67	33	-4.30	97
0	Max	-1879	-0.00	101	-0.00	33	0.00	97	-0.06	33	-0.00	33	0.07	97	521.51	97	3.27	97
0	Max	-1880	-0.00	101	-0.00	33	0.00	97	-0.06	33	-0.00	33	0.07	97	521.51	97	3.27	97
0	Max	-1482	-0.00	101	-0.00	33	0.00	97	-0.06	33	-0.00	33	0.07	97	521.51	97	3.27	97
0	Max	-1481	-0.00	101	-0.00	33	0.00	97	-0.06	33	-0.00	33	0.07	97	521.51	97	3.27	97
0	Min.	-1879	-0.00	98	-0.00	98	0.00	49	-0.09	97	-0.00	97	0.05	33	371.22	33	2.33	33
0	Min.	-1880	-0.00	98	-0.00	98	0.00	49	-0.09	97	-0.00	97	0.05	33	371.22	33	2.33	33
0	Min.	-1482	-0.00	98	-0.00	98	0.00	49	-0.09	97	-0.00	97	0.05	33	371.22	33	2.33	33
0	Min.	-1481	-0.00	98	-0.00	98	0.00	49	-0.09	97	-0.00	97	0.05	33	371.22	33	2.33	33
0	Max	-1880	-0.00	101	-0.00	33	0.00	33	0.55	97	0.03	97	-0.24	33	657.34	97	13.68	97
0	Max	-1881	-0.00	101	-0.00	33	0.00	33	0.55	97	0.03	97	-0.24	33	657.34	97	13.68	97
0	Max	-1491	-0.00	101	-0.00	33	0.00	33	0.55	97	0.03	97	-0.24	33	657.34	97	13.68	97
0	Max	-1482	-0.00	101	-0.00	33	0.00	33	0.55	97	0.03	97	-0.24	33	657.34	97	13.68	97
0	Min.	-1880	-0.00	98	-0.00	98	-0.00	98	0.39	33	0.02	33	-0.34	97	467.91	33	9.74	33
0	Min.	-1881	-0.00	98	-0.00	98	-0.00	98	0.39	33	0.02	33	-0.34	97	467.91	33	9.74	33
0	Min.	-1491	-0.00	98	-0.00	98	-0.00	98	0.39	33	0.02	33	-0.34	97	467.91	33	9.74	33
0	Min.	-1482	-0.00	98	-0.00	98	-0.00	98	0.39	33	0.02	33	-0.34	97	467.91	33	9.74	33
0	Max	-1881	-0.00	33	-0.00	33	0.00	97	-0.42	33	-0.32	33	-0.35	33	370.64	97	-379.32	33
0	Max	-1974	-0.00	33	-0.00	33	0.00	97	-0.42	33	-0.32	33	-0.35	33	370.64	97	-379.32	33
0	Max	-1973	-0.00	33	-0.00	33	0.00	97	-0.42	33	-0.32	33	-0.35	33	370.64	97	-379.32	33
0	Max	-1491	-0.00	33	-0.00	33	0.00	97	-0.42	33	-0.32	33	-0.35	33	370.64	97	-379.32	33
0	Min.	-1881	-0.00	98	-0.00	98	0.00	33	-0.58	97	-0.46	97	-0.50	97	263.86	33	-532.82	97
0	Min.	-1974	-0.00	98	-0.00	98	0.00	33	-0.58	97	-0.46	97	-0.50	97	263.86	33	-532.82	97
0	Min.	-1973	-0.00	98	-0.00	98	0.00	33	-0.58	97	-0.46	97	-0.50	97	263.86	33	-532.82	97
0	Min.	-1491	-0.00	98	-0.00	98	0.00	33	-0.58	97	-0.46	97	-0.50	97	263.86	33	-532.82	97
0	Max	-1882	-0.00	33	-0.00	33	0.00	97	-0.02	33	-0.32	33	-0.00	33	565.94	97	-385.40	33
0	Max	-1911	-0.00	33	-0.00	33	0.00	97	-0.02	33	-0.32	33	-0.00	33	565.94	97	-385.40	33
0	Max	-1912	-0.00	33	-0.00	33	0.00	97	-0.02	33	-0.32	33	-0.00	33	565.94	97	-385.40	33
0	Max	-1492	-0.00	33	-0.00	33	0.00	97	-0.02	33	-0.32	33	-0.00	33	565.94	97	-385.40	33
0	Min.	-1882	-0.00	98	-0.00	98	0.00	33	-0.03	97	-0.45	97	-0.00	97	402.87	33	-541.29	97
0	Min.	-1911	-0.00	98	-0.00	98	0.00	33	-0.03	97	-0.45	97	-0.00	97	402.87	33	-541.29	97
0	Min.	-1912	-0.00	98	-0.00	98	0.00	33	-0.03	97	-0.45	97	-0.00	97	402.87	33	-541.29	97
0	Min.	-1492	-0.00	98	-0.00	98	0.00	33	-0.03	97	-0.45	97	-0.00	97	402.87	33	-541.29	97

0	Max	-1834	0.00	98	0.00	98	-0.00	33	0.03	97	0.58	97	0.35	97	13.05	97	-469.78	33
0	Max	-2080	0.00	98	0.00	98	-0.00	33	0.03	97	0.58	97	0.35	97	13.05	97	-469.78	33
0	Max	-2079	0.00	98	0.00	98	-0.00	33	0.03	97	0.58	97	0.35	97	13.05	97	-469.78	33
0	Max	-1467	0.00	98	0.00	98	-0.00	33	0.03	97	0.58	97	0.35	97	13.05	97	-469.78	33
0	Min.	-1834	0.00	101	0.00	33	-0.00	98	0.02	33	0.41	33	0.25	33	9.29	33	-659.96	97
0	Min.	-2080	0.00	101	0.00	33	-0.00	98	0.02	33	0.41	33	0.25	33	9.29	33	-659.96	97
0	Min.	-2079	0.00	101	0.00	33	-0.00	98	0.02	33	0.41	33	0.25	33	9.29	33	-659.96	97
0	Min.	-1467	0.00	101	0.00	33	-0.00	98	0.02	33	0.41	33	0.25	33	9.29	33	-659.96	97
0	Max	-1348	0.00	102	-0.00	102	0.00	33	-0.06	33	-0.01	33	-0.05	33	522.58	97	-2.04	33
0	Max	-1349	0.00	102	-0.00	102	0.00	33	-0.06	33	-0.01	33	-0.05	33	522.58	97	-2.04	33
0	Max	-1561	0.00	102	-0.00	102	0.00	33	-0.06	33	-0.01	33	-0.05	33	522.58	97	-2.04	33
0	Max	-1560	0.00	102	-0.00	102	0.00	33	-0.06	33	-0.01	33	-0.05	33	522.58	97	-2.04	33
0	Min.	-1348	0.00	97	-0.00	97	0.00	97	-0.08	97	-0.01	97	-0.08	97	371.99	33	-2.87	97
0	Min.	-1349	0.00	97	-0.00	97	0.00	97	-0.08	97	-0.01	97	-0.08	97	371.99	33	-2.87	97
0	Min.	-1561	0.00	97	-0.00	97	0.00	97	-0.08	97	-0.01	97	-0.08	97	371.99	33	-2.87	97
0	Min.	-1560	0.00	97	-0.00	97	0.00	97	-0.08	97	-0.01	97	-0.08	97	371.99	33	-2.87	97
0	Max	-1347	0.00	102	-0.00	102	0.00	33	0.56	97	0.08	97	0.37	97	651.95	97	-10.05	33
0	Max	-1348	0.00	102	-0.00	102	0.00	33	0.56	97	0.08	97	0.37	97	651.95	97	-10.05	33
0	Max	-1560	0.00	102	-0.00	102	0.00	33	0.56	97	0.08	97	0.37	97	651.95	97	-10.05	33
0	Max	-1559	0.00	102	-0.00	102	0.00	33	0.56	97	0.08	97	0.37	97	651.95	97	-10.05	33
0	Min.	-1347	0.00	97	-0.00	97	0.00	97	0.40	33	0.06	33	0.26	33	464.08	33	-14.12	97
0	Min.	-1348	0.00	97	-0.00	97	0.00	97	0.40	33	0.06	33	0.26	33	464.08	33	-14.12	97
0	Min.	-1560	0.00	97	-0.00	97	0.00	97	0.40	33	0.06	33	0.26	33	464.08	33	-14.12	97
0	Min.	-1559	0.00	97	-0.00	97	0.00	97	0.40	33	0.06	33	0.26	33	464.08	33	-14.12	97
0	Max	-1346	0.00	102	0.00	102	0.00	97	-0.75	33	-0.50	33	-0.63	33	410.63	97	-271.79	33
0	Max	-1915	0.00	102	0.00	102	0.00	97	-0.75	33	-0.50	33	-0.63	33	410.63	97	-271.79	33
0	Max	-1916	0.00	102	0.00	102	0.00	97	-0.75	33	-0.50	33	-0.63	33	410.63	97	-271.79	33
0	Max	-1558	0.00	102	0.00	102	0.00	97	-0.75	33	-0.50	33	-0.63	33	410.63	97	-271.79	33
0	Min.	-1346	0.00	97	-0.00	97	0.00	49	-1.05	97	-0.71	97	-0.88	97	292.26	33	-381.89	97
0	Min.	-1915	0.00	97	-0.00	97	0.00	49	-1.05	97	-0.71	97	-0.88	97	292.26	33	-381.89	97
0	Min.	-1916	0.00	97	-0.00	97	0.00	49	-1.05	97	-0.71	97	-0.88	97	292.26	33	-381.89	97
0	Min.	-1558	0.00	97	-0.00	97	0.00	49	-1.05	97	-0.71	97	-0.88	97	292.26	33	-381.89	97
0	Max	-1385	0.00	98	0.00	102	0.00	33	0.48	97	0.07	97	-0.32	33	622.32	97	10.45	97
0	Max	-1346	0.00	98	0.00	102	0.00	33	0.48	97	0.07	97	-0.32	33	622.32	97	10.45	97
0	Max	-1558	0.00	98	0.00	102	0.00	33	0.48	97	0.07	97	-0.32	33	622.32	97	10.45	97
0	Max	440	0.00	98	0.00	102	0.00	33	0.48	97	0.07	97	-0.32	33	622.32	97	10.45	97
0	Min.	-1385	0.00	101	0.00	97	0.00	97	0.34	33	0.05	33	-0.44	97	442.98	33	7.44	33
0	Min.	-1346	0.00	101	0.00	97	0.00	97	0.34	33	0.05	33	-0.44	97	442.98	33	7.44	33
0	Min.	-1558	0.00	101	0.00	97	0.00	97	0.34	33	0.05	33	-0.44	97	442.98	33	7.44	33
0	Min.	440	0.00	101	0.00	97	0.00	97	0.34	33	0.05	33	-0.44	97	442.98	33	7.44	33
0	Max	-1344	0.00	98	0.00	102	0.00	98	0.48	97	0.03	97	-0.30	33	626.80	97	10.29	97
0	Max	-1345	0.00	98	0.00	102	0.00	98	0.48	97	0.03	97	-0.30	33	626.80	97	10.29	97
0	Max	-1572	0.00	98	0.00	102	0.00	98	0.48	97	0.03	97	-0.30	33	626.80	97	10.29	97
0	Max	-1537	0.00	98	0.00	102	0.00	98	0.48	97	0.03	97	-0.30	33	626.80	97	10.29	97
0	Min.	-1344	0.00	101	-0.00	97	0.00	49	0.34	33	0.02	33	-0.42	97	446.18	33	7.33	33
0	Min.	-1345	0.00	101	-0.00	97	0.00	49	0.34	33	0.02	33	-0.42	97	446.18	33	7.33	33
0	Min.	-1572	0.00	101	-0.00	97	0.00	49	0.34	33	0.02	33	-0.42	97	446.18	33	7.33	33
0	Min.	-1537	0.00	101	-0.00	97	0.00	49	0.34	33	0.02	33	-0.42	97	446.18	33	7.33	33
0	Max	-1345	0.00	102	0.00	102	0.00	98	-0.73	33	-0.35	33	-0.30	33	412.32	97	-380.62	33
0	Max	-1913	0.00	102	0.00	102	0.00	98	-0.73	33	-0.35	33	-0.30	33	412.32	97	-380.62	33
0	Max	-1914	0.00	102	0.00	102	0.00	98	-0.73	33	-0.35	33	-0.30	33	412.32	97	-380.62	33
0	Max	-1572	0.00	102	0.00	102	0.00	98	-0.73	33	-0.35	33	-0.30	33	412.32	97	-380.62	33
0	Min.	-1345	0.00	97	-0.00	97	0.00	49	-1.03	97	-0.49	97	-0.42	97	293.54	33	-534.53	97
0	Min.	-1913	0.00	97	-0.00	97	0.00	49	-1.03	97	-0.49	97	-0.42	97	293.54	33	-534.53	97
0	Min.	-1914	0.00	97	-0.00	97	0.00	49	-1.03	97	-0.49	97	-0.42	97	293.54	33	-534.53	97
0	Min.	-1572	0.00	97	-0.00	97	0.00	49	-1.03	97	-0.49	97	-0.42	97	293.54	33	-534.53	97
0	Max	-1343	0.00	102	-0.00	102	0.00	98	0.56	97	0.03	97	0.35	97	657.70	97	-9.94	33
0	Max	-1342	0.00	102	-0.00	102	0.00	98	0.56	97	0.03	97	0.35	97	657.70	97	-9.94	33
0	Max	-1574	0.00	102	-0.00	102	0.00	98	0.56	97	0.03	97	0.35	97	657.70	97	-9.94	33
0	Max	-1573	0.00	102	-0.00	102	0.00	98	0.56	97	0.03	97	0.35	97	657.70	97	-9.94	33
0	Min.	-1343	0.00	97	-0.00	97	0.00	49	0.40	33	0.02	33	0.25	33	468.17	33	-13.96	97
0	Min.	-1342	0.00	97	-0.00	97	0.00	49	0.40	33	0.02	33	0.25	33	468.17	33	-13.96	97
0	Min.	-1574	0.00	97	-0.00	97	0.00	49	0.40	33	0.02	33	0.25	33	468.17	33	-13.96	97
0	Min.	-1573	0.00	97	-0.00	97	0.00	49	0.40	33	0.02	33	0.25	33	468.17	33	-13.96	97
0	Max	-1342	0.00	102	-0.00	102	0.00	98	-0.06	33	-0.00	33	-0.05	33	521.29	97	-2.05	33
0	Max	-1868	0.00	102	-0.00	102	0.00	98	-0.06	33	-0.00	33	-0.05	33	521.29	97	-2.05	33
0	Max	-1575	0.00	102	-0.00	102	0.00	98	-0.06	33	-0.00	33	-0.05	33	521.29	97	-2.05	33
0	Max	-1574	0.00	102	-0.00	102	0.00	98	-0.06	33	-0.00	33	-0.05	33	521.29	97	-2.05	33
0	Min.	-1342	0.00	97	-0.00	97	0.00	49	-0.08	97	-0.00	97	-0.07	97	371.07	33	-2.88	97
0	Min.	-1868	0.00	97	-0.00	97	0.00	49	-0.08	97	-0.00	97	-0.07	97	371.07	33	-2.88	97
0	Min.	-1575	0.00	97	-0.00	97	0.00	49	-0.08	97	-0.00	97	-0.07	97	371.07	33	-2.88	97
0	Min.	-1574	0.00	97	-0.00	97	0.00	49	-0.08	97	-0.00	97	-0.07	97	371.07	33	-2.88	97
0	Max	-1868	0.00	102	-0.00	102	0.00	33	-0.01	33	-0.00	33	0.01	97	561.50	97	2.98	97
0	Max	-1869	0.00	102	-0.00	102	0.00	33	-0.01	33	-0.00	33	0.01	97	561.50	97	2.98	97
0	Max	-1576	0.00	102	-0.00	102	0.00	33	-0.01	33	-0.00	33	0.01	97	561.50	97	2.98	97
0	Max	-1575	0.00	102	-0.00	102	0.00	33	-0.01	33	-0.00	33	0.01	97	561.50	97	2.98	97
0	Min.	-1868	0.00	97	-0.00	97	0.00	97	-0.01	97	-0.00	97	0.00	33	399.69	1	2.12	33
0	Min.	-1869	0.00	97	-0.00	97	0.00	97	-0.01	97	-0.00	97	0.00	33	399.69	1	2.12	33
0	Min.	-1576	0.00	97	-0.00	97	0.00	97	-0.01	97	-0.00	97	0.00	33	399.69	1	2.12	33
0	Min.	-1575	0.00	97	-0.00	97	0.00	97	-0.01	97	-0.00	97	0.00	33	399.69	1	2.12	33
0	Max	-1869	0.00	102	-0.00	102	0.00	33	0.01	97	0.00	97	0.00	97	552.13	97	-0.99	33
0	Max	-1870	0.00	102	-0.00	102	0.00	33	0.01	97	0.00	97	0.00	97	552.13	97	-0.99	33
0	Max	-1577	0.00	102	-0.00	102	0.00	33	0.01	97	0.00	97	0.00	97	552.13	97	-0.99	33
0	Max	-1576	0.00	102	-0.00	102	0.00	33	0.01	97	0.00	97	0.00	97	552.13	97	-0.99	33
0	Min.	-1869	0.00	97	-0.00	97	0.00	97	0.01	33	0.00	33	0.00	33	393.03	1	-1.39	97
0	Min.	-1870	0.00	97	-0.00	97	0.00	97	0.01	33	0.00	33	0.00	33	393.03	1	-1.39	97
0	Min.	-1577	0.00	97	-0.00	97	0.00	97	0.01	33	0.00	33	0.00	33	393.03	1	-1.39	97
0	Min.	-1576	0.00	97	-0.00	97	0.00	97	0.01	33	0.00	33	0.00	33	393.03	1	-1.39	97
0	Max	-1870	0.00	102	-0.00	102	0.00	33	-0.00	33	-0.00	33	-0.00	33	553.49	97	0.47	97
0	Max	-1871	0.00	102	-0.00	102	0.00	33	-0.00	33	-0.00	33	-0.00	33	553.49	97	0.47	97
0	Max	-1578	0.00	102	-0.00	102	0.00	33	-0.00	33	-0.00	33	-0.00	33	553.49	97	0.47	97
0	Max	-1577	0.00	102	-0.00	102	0.00	33	-0.00	33	-0.00	33	-0.00	33	553.49	97	0.47	97
0	Min.	-1870	0.00	97	-0.00	97	0.00	97	-0.01	97	-0.00	97	-0.00	97	394.00	1	0.34	33
0	Min.	-1871	0.00	97	-0.00	97	0.00	97	-0.01	97	-0.00	97	-0.00	97	394.00	1	0.34	33
0	Min.	-1578	0.00	97	-0.00	97	0.00	97	-0.01	97	-0.00	97	-0.00	97	394.00	1	0.34	33
0	Min.	-1577	0.00	97	-0.00	97	0.00	97	-0.01	97	-0.00	97	-0.00	97	394.00	1	0.34	33
0	Max	-1871	0.00	102	-0.00	102	0.00	33	0.00	97	0.00	98	0.00	97	553.58	97	-0.06	33
0	Max	-1872	0.00	102	-0.00	102	0.00	33	0.00	97	0.00	98	0.00	97	553.58	97	-0.06	33
0	Max	-1613	0.00	102	-0.00	102	0.00	33	0.00	97	0.00	98	0.00	97	553.58	97	-0.06	33
0	Max	-1578	0.00	102	-0.00	102	0.00	33	0.00	97	0.00	98	0.00	97	553.58	97	-0.06	33
0	Min.	-1871	0.00	97	-0.00	97	0.00	97	0.00	33	0.00	49	0.00	33	394.06	1	-0.09	98
0	Min.	-1872	0.00	97	-0.00	97	0.00	97	0.00	33	0.00	49	0.00	33	394.06	1	-0.09	98
0	Min.	-1613	0.00	97	-0.00	97	0.00	97	0.00	33	0.00	49	0.00	33	394.06	1	-0.09	98
0	Min.	-1578	0.00	97	-0.00	97	0.00	97	0.00	33	0.00	49	0.00	33	394.06	1	-0.09	98
0	Max	-1874	0.00	97	-0.00	101	0.00	97	0.48	97	0.03	97	-0.30	33	627.08	97	10.50	97

0	Max	-1873	0.00	97	-0.00	101	0.00	97	0.48	97	0.03	97	-0.30	33	627.08	97	10.50	97
0	Max	-1476	0.00	97	-0.00	101	0.00	97	0.48	97	0.03	97	-0.30	33	627.08	97	10.50	97
0	Max	-1848	0.00	97	-0.00	101	0.00	97	0.48	97	0.03	97	-0.30	33	627.08	97	10.50	97
0	Min.	-1874	0.00	102	-0.00	98	0.00	102	0.34	33	0.02	33	-0.42	97	446.38	33	7.48	33
0	Min.	-1873	0.00	102	-0.00	98	0.00	102	0.34	33	0.02	33	-0.42	97	446.38	33	7.48	33
0	Min.	-1476	0.00	102	-0.00	98	0.00	102	0.34	33	0.02	33	-0.42	97	446.38	33	7.48	33
0	Min.	-1848	0.00	102	-0.00	98	0.00	102	0.34	33	0.02	33	-0.42	97	446.38	33	7.48	33
0	Max	-1858	-0.00	102	-0.00	33	0.00	98	0.00	97	-0.00	33	-0.00	33	-398.71	33	4.32	97
0	Max	-1851	-0.00	102	-0.00	33	0.00	98	0.00	97	-0.00	33	-0.00	33	-398.71	33	4.32	97
0	Max	-1380	-0.00	102	-0.00	33	0.00	98	0.00	97	-0.00	33	-0.00	33	-398.71	33	4.32	97
0	Max	-1379	-0.00	102	-0.00	33	0.00	98	0.00	97	-0.00	33	-0.00	33	-398.71	33	4.32	97
0	Min.	-1858	-0.00	97	-0.00	97	0.00	49	0.00	33	-0.00	97	-0.00	97	-560.11	97	3.07	33
0	Min.	-1851	-0.00	97	-0.00	97	0.00	49	0.00	33	-0.00	97	-0.00	97	-560.11	97	3.07	33
0	Min.	-1380	-0.00	97	-0.00	97	0.00	49	0.00	33	-0.00	97	-0.00	97	-560.11	97	3.07	33
0	Min.	-1379	-0.00	97	-0.00	97	0.00	49	0.00	33	-0.00	97	-0.00	97	-560.11	97	3.07	33
0	Max	-1856	-0.00	102	-0.00	33	0.00	98	-0.06	33	-0.00	33	0.07	97	-371.07	33	-2.32	33
0	Max	-1858	-0.00	102	-0.00	33	0.00	98	-0.06	33	-0.00	33	0.07	97	-371.07	33	-2.32	33
0	Max	-1379	-0.00	102	-0.00	33	0.00	98	-0.06	33	-0.00	33	0.07	97	-371.07	33	-2.32	33
0	Max	-1378	-0.00	102	-0.00	33	0.00	98	-0.06	33	-0.00	33	0.07	97	-371.07	33	-2.32	33
0	Min.	-1856	-0.00	97	-0.00	97	0.00	49	-0.09	97	-0.00	97	0.05	33	-521.29	97	-3.26	97
0	Min.	-1858	-0.00	97	-0.00	97	0.00	49	-0.09	97	-0.00	97	0.05	33	-521.29	97	-3.26	97
0	Min.	-1379	-0.00	97	-0.00	97	0.00	49	-0.09	97	-0.00	97	0.05	33	-521.29	97	-3.26	97
0	Min.	-1378	-0.00	97	-0.00	97	0.00	49	-0.09	97	-0.00	97	0.05	33	-521.29	97	-3.26	97
0	Max	-1695	-0.00	102	-0.00	33	0.00	33	0.55	97	0.03	97	-0.24	33	-468.38	33	-9.86	33
0	Max	-1856	-0.00	102	-0.00	33	0.00	33	0.55	97	0.03	97	-0.24	33	-468.38	33	-9.86	33
0	Max	-1378	-0.00	102	-0.00	33	0.00	33	0.55	97	0.03	97	-0.24	33	-468.38	33	-9.86	33
0	Max	-1377	-0.00	102	-0.00	33	0.00	33	0.55	97	0.03	97	-0.24	33	-468.38	33	-9.86	33
0	Min.	-1695	-0.00	97	-0.00	97	-0.00	97	0.39	33	0.02	33	-0.34	97	-657.99	97	-13.84	97
0	Min.	-1856	-0.00	97	-0.00	97	-0.00	97	0.39	33	0.02	33	-0.34	97	-657.99	97	-13.84	97
0	Min.	-1378	-0.00	97	-0.00	97	-0.00	97	0.39	33	0.02	33	-0.34	97	-657.99	97	-13.84	97
0	Min.	-1377	-0.00	97	-0.00	97	-0.00	97	0.39	33	0.02	33	-0.34	97	-657.99	97	-13.84	97
0	Max	-1694	-0.00	102	-0.00	33	-0.00	33	-0.33	33	-0.34	33	-0.05	33	-424.22	33	-393.89	33
0	Max	-2061	-0.00	102	-0.00	33	-0.00	33	-0.33	33	-0.34	33	-0.05	33	-424.22	33	-393.89	33
0	Max	-2068	-0.00	102	-0.00	33	-0.00	33	-0.33	33	-0.34	33	-0.05	33	-424.22	33	-393.89	33
0	Max	-1376	-0.00	102	-0.00	33	-0.00	33	-0.33	33	-0.34	33	-0.05	33	-424.22	33	-393.89	33
0	Min.	-1694	-0.00	97	-0.00	97	-0.00	98	-0.46	97	-0.49	97	-0.06	97	-595.91	97	-553.24	97
0	Min.	-2061	-0.00	97	-0.00	97	-0.00	98	-0.46	97	-0.49	97	-0.06	97	-595.91	97	-553.24	97
0	Min.	-2068	-0.00	97	-0.00	97	-0.00	98	-0.46	97	-0.49	97	-0.06	97	-595.91	97	-553.24	97
0	Min.	-1376	-0.00	97	-0.00	97	-0.00	98	-0.46	97	-0.49	97	-0.06	97	-595.91	97	-553.24	97
0	Max	-1693	-0.00	33	-0.00	33	-0.00	33	-0.03	33	-0.31	33	-0.00	33	-402.07	33	-391.12	33
0	Max	-2084	-0.00	33	-0.00	33	-0.00	33	-0.03	33	-0.31	33	-0.00	33	-402.07	33	-391.12	33
0	Max	-2072	-0.00	33	-0.00	33	-0.00	33	-0.03	33	-0.31	33	-0.00	33	-402.07	33	-391.12	33
0	Max	-1375	-0.00	33	-0.00	33	-0.00	33	-0.03	33	-0.31	33	-0.00	33	-402.07	33	-391.12	33
0	Min.	-1693	-0.00	97	-0.00	97	-0.00	97	-0.04	97	-0.44	97	-0.01	97	-564.81	97	-549.36	97
0	Min.	-2084	-0.00	97	-0.00	97	-0.00	97	-0.04	97	-0.44	97	-0.01	97	-564.81	97	-549.36	97
0	Min.	-2072	-0.00	97	-0.00	97	-0.00	97	-0.04	97	-0.44	97	-0.01	97	-564.81	97	-549.36	97
0	Min.	-1375	-0.00	97	-0.00	97	-0.00	97	-0.04	97	-0.44	97	-0.01	97	-564.81	97	-549.36	97
0	Max	-1862	-0.00	33	-0.00	33	0.00	98	-0.03	33	-0.29	33	0.02	97	-403.19	33	550.53	97
0	Max	-1693	-0.00	33	-0.00	33	0.00	98	-0.03	33	-0.29	33	0.02	97	-403.19	33	550.53	97
0	Max	-1375	-0.00	33	-0.00	33	0.00	98	-0.03	33	-0.29	33	0.02	97	-403.19	33	550.53	97
0	Max	-1374	-0.00	33	-0.00	33	0.00	98	-0.03	33	-0.29	33	0.02	97	-403.19	33	550.53	97
0	Min.	-1862	-0.00	98	-0.00	97	0.00	33	-0.04	97	-0.41	97	0.01	33	-566.43	97	391.96	33
0	Min.	-1693	-0.00	98	-0.00	97	0.00	33	-0.04	97	-0.41	97	0.01	33	-566.43	97	391.96	33
0	Min.	-1375	-0.00	98	-0.00	97	0.00	33	-0.04	97	-0.41	97	0.01	33	-566.43	97	391.96	33
0	Min.	-1374	-0.00	98	-0.00	97	0.00	33	-0.04	97	-0.41	97	0.01	33	-566.43	97	391.96	33
0	Max	-1866	-0.00	33	-0.00	33	-0.00	33	-0.03	33	-0.29	33	-0.01	33	-403.19	33	-391.96	33
0	Max	-1862	-0.00	33	-0.00	33	-0.00	33	-0.03	33	-0.29	33	-0.01	33	-403.19	33	-391.96	33
0	Max	-1374	-0.00	33	-0.00	33	-0.00	33	-0.03	33	-0.29	33	-0.01	33	-403.19	33	-391.96	33
0	Max	-1373	-0.00	33	-0.00	33	-0.00	33	-0.03	33	-0.29	33	-0.01	33	-403.19	33	-391.96	33
0	Min.	-1866	-0.00	97	-0.00	98	-0.00	97	-0.04	97	-0.41	97	-0.02	97	-566.43	97	-550.53	97
0	Min.	-1862	-0.00	97	-0.00	98	-0.00	97	-0.04	97	-0.41	97	-0.02	97	-566.43	97	-550.53	97
0	Min.	-1374	-0.00	97	-0.00	98	-0.00	97	-0.04	97	-0.41	97	-0.02	97	-566.43	97	-550.53	97
0	Min.	-1373	-0.00	97	-0.00	98	-0.00	97	-0.04	97	-0.41	97	-0.02	97	-566.43	97	-550.53	97
0	Max	-1865	-0.00	33	-0.00	33	-0.00	33	-0.02	33	-0.31	33	-0.01	33	-402.82	33	-391.50	33
0	Max	-2085	-0.00	33	-0.00	33	-0.00	33	-0.02	33	-0.31	33	-0.01	33	-402.82	33	-391.50	33
0	Max	-2073	-0.00	33	-0.00	33	-0.00	33	-0.02	33	-0.31	33	-0.01	33	-402.82	33	-391.50	33
0	Max	-1372	-0.00	33	-0.00	33	-0.00	33	-0.02	33	-0.31	33	-0.01	33	-402.82	33	-391.50	33
0	Min.	-1865	-0.00	98	-0.00	98	-0.00	97	-0.03	97	-0.43	97	-0.02	97	-565.86	97	-549.85	97
0	Min.	-2085	-0.00	98	-0.00	98	-0.00	97	-0.03	97	-0.43	97	-0.02	97	-565.86	97	-549.85	97
0	Min.	-2073	-0.00	98	-0.00	98	-0.00	97	-0.03	97	-0.43	97	-0.02	97	-565.86	97	-549.85	97
0	Min.	-1372	-0.00	98	-0.00	98	-0.00	97	-0.03	97	-0.43	97	-0.02	97	-565.86	97	-549.85	97
0	Max	-1864	-0.00	33	-0.00	33	-0.00	33	-0.42	33	-0.31	33	0.48	97	-263.00	33	-384.64	33
0	Max	-2086	-0.00	33	-0.00	33	-0.00	33	-0.42	33	-0.31	33	0.48	97	-263.00	33	-384.64	33
0	Max	-2074	-0.00	33	-0.00	33	-0.00	33	-0.42	33	-0.31	33	0.48	97	-263.00	33	-384.64	33
0	Max	-1371	-0.00	33	-0.00	33	-0.00	33	-0.42	33	-0.31	33	0.48	97	-263.00	33	-384.64	33
0	Min.	-1864	-0.00	98	-0.00	98	-0.00	97	-0.58	97	-0.44	97	0.34	33	-369.44	97	-540.27	97
0	Min.	-2086	-0.00	98	-0.00	98	-0.00	97	-0.58	97	-0.44	97	0.34	33	-369.44	97	-540.27	97
0	Min.	-2074	-0.00	98	-0.00	98	-0.00	97	-0.58	97	-0.44	97	0.34	33	-369.44	97	-540.27	97
0	Min.	-1371	-0.00	98	-0.00	98	-0.00	97	-0.58	97	-0.44	97	0.34	33	-369.44	97	-540.27	97
0	Max	-1861	-0.00	101	-0.00	33	0.00	98	0.55	97	0.03	97	0.34	97	-468.38	33	13.84	97
0	Max	-1864	-0.00	101	-0.00	33	0.00	98	0.55	97	0.03	97	0.34	97	-468.38	33	13.84	97
0	Max	-1371	-0.00	101	-0.00	33	0.00	98	0.55	97	0.03	97	0.34	97	-468.38	33	13.84	97
0	Max	-1370	-0.00	101	-0.00	33	0.00	98	0.55	97	0.03	97	0.34	97	-468.38	33	13.84	97
0	Min.	-1861	-0.00	98	-0.00	98	0.00	49	0.39	33	0.02	33	0.24	33	-657.99	97	9.86	33
0	Min.	-1864	-0.00	98	-0.00	98	0.00	49	0.39	33	0.02	33	0.24	33	-657.99	97	9.86	33
0	Min.	-1371	-0.00	98	-0.00	98	0.00	49	0.39	33	0.02	33	0.24	33	-657.99	97	9.86	33
0	Min.	-1370	-0.00	98	-0.00	98	0.00	49	0.39	33	0.02	33	0.24	33	-657.99	97	9.86	33
0	Max	-1857	-0.00	101	-0.00	33	0.00	33	-0.06	33	-0.00	33	-0.05	33	-371.07	33	3.26	97
0	Max	-1861	-0.00	101	-0.00	33	0.00	33	-0.06	33	-0.00	33	-0.05	33	-371.07	33	3.26	97
0	Max	-1370	-0.00	101	-0.00	33	0.00	33	-0.06	33	-0.00	33	-0.05	33	-371.07	33	3.26	97
0	Max	-1369	-0.00	101	-0.00	33	0.00	33	-0.06	33	-0.00	33	-0.05	33	-371.07	33	3.26	97
0	Min.	-1857	-0.00	98	-0.00	98	0.00	97	-0.09	97	-0.00	97	-0.07	97	-521.29	97	2.32	33
0	Min.	-1861	-0.00	98	-0.00	98	0.00	97	-0.09	97	-0.00	97	-0.07	97	-521.29	97	2.32	33
0	Min.	-1370	-0.00	98	-0.00	98	0.00	97	-0.09	97	-0.00	97	-0.07	97	-521.29	97	2.32	33
0	Min.	-1369	-0.00	98	-0.00	98	0.00	97	-0.09	97	-0.00	97	-0.07	97	-521.29	97	2.32	33
0	Max	-1845	-0.00	101	-0.00	33	0.00	33	0.00	97	-0.00	33	0.00	97	-398.71	33	-3.07	33
0	Max	-1857	-0.00	101	-0.00	33	0.00	33	0.00	97	-0.00	33	0.00	97	-398.71	33	-3.07	33
0	Max	-1369	-0.00	101	-0.00	33	0.00	33	0.00	97	-0.00	33	0.00	97	-398.71	33	-3.07	33
0	Max	-1368	-0.00	101	-0.00	33	0.00	33	0.00	97	-0.00	33	0.00	97	-398.71	33	-3.07	33
0	Min.	-1845	-0.00	98	-0.00	98	0.00	97	0.00	33	-0.00	98	0.00	33	-560.11	97	-4.32	97
0	Min.	-1857	-0.00	98	-0.00	98	0.00	97	0.00	33	-0.00	98	0.00	33	-560.11	97	-4.32	97
0	Min.	-1369	-0.00	98	-0.00	98	0.00	97	0.00	33	-0.00	98	0.00	33	-560.11	97	-4.32	97
0	Min.	-1368	-0.00	98	-0.00	98	0.00	97	0.00	33	-0.00	98	0.00	33	-560.11	97	-4.32	97
0	Max	-1844	-0.00	101	-0.00	33	0.00	33	0.00	97	-0.00	33	-0.00	33	-398.80	33	4.32	97
0	Max	-1845	-0.00	101	-0.00	33	0.00	33	0.00	97	-0.00	33	-0.00	33	-398.80	33	4.32	97

0	Max	-1368	-0.00	101	-0.00	33	0.00	33	0.00	97	-0.00	33	-0.00	33	-398.80	33	4.32	97
0	Max	-1361	-0.00	101	-0.00	33	0.00	33	0.00	97	-0.00	33	-0.00	33	-398.80	33	4.32	97
0	Min.	-1844	-0.00	98	-0.00	98	-0.00	97	0.00	33	-0.00	98	-0.00	97	-560.24	97	3.07	33
0	Min.	-1845	-0.00	98	-0.00	98	-0.00	97	0.00	33	-0.00	98	-0.00	97	-560.24	97	3.07	33
0	Min.	-1368	-0.00	98	-0.00	98	-0.00	97	0.00	33	-0.00	98	-0.00	97	-560.24	97	3.07	33
0	Min.	-1361	-0.00	98	-0.00	98	-0.00	97	0.00	33	-0.00	98	-0.00	97	-560.24	97	3.07	33
0	Max	-1843	-0.00	101	-0.00	33	0.00	33	-0.06	33	-0.00	33	0.07	97	-370.86	33	-2.28	33
0	Max	-1844	-0.00	101	-0.00	33	0.00	33	-0.06	33	-0.00	33	0.07	97	-370.86	33	-2.28	33
0	Max	-1361	-0.00	101	-0.00	33	0.00	33	-0.06	33	-0.00	33	0.07	97	-370.86	33	-2.28	33
0	Max	-1360	-0.00	101	-0.00	33	0.00	33	-0.06	33	-0.00	33	0.07	97	-370.86	33	-2.28	33
0	Min.	-1843	-0.00	98	-0.00	98	-0.00	97	-0.09	97	-0.00	97	0.05	33	-520.99	97	-3.20	97
0	Min.	-1844	-0.00	98	-0.00	98	-0.00	97	-0.09	97	-0.00	97	0.05	33	-520.99	97	-3.20	97
0	Min.	-1361	-0.00	98	-0.00	98	-0.00	97	-0.09	97	-0.00	97	0.05	33	-520.99	97	-3.20	97
0	Min.	-1360	-0.00	98	-0.00	98	-0.00	97	-0.09	97	-0.00	97	0.05	33	-520.99	97	-3.20	97
0	Max	-1839	0.00	101	-0.00	33	-0.00	33	0.56	97	0.03	97	-0.25	33	-468.77	33	-10.19	33
0	Max	-1843	0.00	101	-0.00	33	-0.00	33	0.56	97	0.03	97	-0.25	33	-468.77	33	-10.19	33
0	Max	-1360	0.00	101	-0.00	33	-0.00	33	0.56	97	0.03	97	-0.25	33	-468.77	33	-10.19	33
0	Max	-1359	0.00	101	-0.00	33	-0.00	33	0.56	97	0.03	97	-0.25	33	-468.77	33	-10.19	33
0	Min.	-1839	-0.00	98	-0.00	98	-0.00	97	0.40	33	0.02	33	-0.35	97	-658.54	97	-14.31	97
0	Min.	-1843	-0.00	98	-0.00	98	-0.00	97	0.40	33	0.02	33	-0.35	97	-658.54	97	-14.31	97
0	Min.	-1360	-0.00	98	-0.00	98	-0.00	97	0.40	33	0.02	33	-0.35	97	-658.54	97	-14.31	97
0	Min.	-1359	-0.00	98	-0.00	98	-0.00	97	0.40	33	0.02	33	-0.35	97	-658.54	97	-14.31	97
0	Max	-1836	0.00	101	-0.00	33	-0.00	33	-0.73	33	-0.34	33	0.41	97	-292.81	33	-386.64	33
0	Max	-1948	0.00	101	-0.00	33	-0.00	33	-0.73	33	-0.34	33	0.41	97	-292.81	33	-386.64	33
0	Max	-1947	0.00	101	-0.00	33	-0.00	33	-0.73	33	-0.34	33	0.41	97	-292.81	33	-386.64	33
0	Max	-1358	0.00	101	-0.00	33	-0.00	33	-0.73	33	-0.34	33	0.41	97	-292.81	33	-386.64	33
0	Min.	-1836	0.00	98	-0.00	98	-0.00	97	-1.03	97	-0.47	97	0.29	33	-411.31	97	-543.08	97
0	Min.	-1948	0.00	98	-0.00	98	-0.00	97	-1.03	97	-0.47	97	0.29	33	-411.31	97	-543.08	97
0	Min.	-1947	0.00	98	-0.00	98	-0.00	97	-1.03	97	-0.47	97	0.29	33	-411.31	97	-543.08	97
0	Min.	-1358	0.00	98	-0.00	98	-0.00	97	-1.03	97	-0.47	97	0.29	33	-411.31	97	-543.08	97
0	Max	-1850	0.00	97	-0.00	101	0.00	33	0.48	97	0.03	97	0.42	97	-446.66	33	10.66	97
0	Max	-1836	0.00	97	-0.00	101	0.00	33	0.48	97	0.03	97	0.42	97	-446.66	33	10.66	97
0	Max	-1358	0.00	97	-0.00	101	0.00	33	0.48	97	0.03	97	0.42	97	-446.66	33	10.66	97
0	Max	-1357	0.00	97	-0.00	101	0.00	33	0.48	97	0.03	97	0.42	97	-446.66	33	10.66	97
0	Min.	-1850	0.00	102	-0.00	98	0.00	97	0.34	33	0.02	33	0.30	33	-627.48	97	7.59	33
0	Min.	-1836	0.00	102	-0.00	98	0.00	97	0.34	33	0.02	33	0.30	33	-627.48	97	7.59	33
0	Min.	-1358	0.00	102	-0.00	98	0.00	97	0.34	33	0.02	33	0.30	33	-627.48	97	7.59	33
0	Min.	-1357	0.00	102	-0.00	98	0.00	97	0.34	33	0.02	33	0.30	33	-627.48	97	7.59	33
0	Max	-1863	0.00	97	0.00	49	0.00	49	0.00	97	0.00	49	0.00	49	0.00	97	0.00	98
0	Max	-1783	0.00	97	0.00	49	0.00	49	0.00	97	0.00	49	0.00	49	0.00	97	0.00	98
0	Max	-1428	0.00	97	0.00	49	0.00	49	0.00	97	0.00	49	0.00	49	0.00	97	0.00	98
0	Max	441	0.00	97	0.00	49	0.00	49	0.00	97	0.00	49	0.00	49	0.00	97	0.00	98
0	Min.	-1863	0.00	102	0.00	98	0.00	97	0.00	102	0.00	97	0.00	97	0.00	102	0.00	101
0	Min.	-1783	0.00	102	0.00	98	0.00	97	0.00	102	0.00	97	0.00	97	0.00	102	0.00	101
0	Min.	-1428	0.00	102	0.00	98	0.00	97	0.00	102	0.00	97	0.00	97	0.00	102	0.00	101
0	Min.	441	0.00	102	0.00	98	0.00	97	0.00	102	0.00	97	0.00	97	0.00	102	0.00	101
0	Max	-1783	0.00	101	0.00	97	-0.00	33	-0.01	33	-0.05	33	0.07	97	-4.32	33	-378.64	33
0	Max	-1946	0.00	101	0.00	97	-0.00	33	-0.01	33	-0.05	33	0.07	97	-4.32	33	-378.64	33
0	Max	-1949	0.00	101	0.00	97	-0.00	33	-0.01	33	-0.05	33	0.07	97	-4.32	33	-378.64	33
0	Max	-1428	0.00	101	0.00	97	-0.00	33	-0.01	33	-0.05	33	0.07	97	-4.32	33	-378.64	33
0	Min.	-1783	0.00	98	0.00	33	-0.00	97	-0.01	98	-0.08	97	0.05	33	-6.07	97	-531.92	97
0	Min.	-1946	0.00	98	0.00	33	-0.00	97	-0.01	98	-0.08	97	0.05	33	-6.07	97	-531.92	97
0	Min.	-1949	0.00	98	0.00	33	-0.00	97	-0.01	98	-0.08	97	0.05	33	-6.07	97	-531.92	97
0	Min.	-1428	0.00	98	0.00	33	-0.00	97	-0.01	98	-0.08	97	0.05	33	-6.07	97	-531.92	97
0	Max	-1784	0.00	97	0.00	49	0.00	33	0.00	97	0.00	49	0.00	49	0.00	97	0.00	102
0	Max	-1785	0.00	97	0.00	49	0.00	33	0.00	97	0.00	49	0.00	49	0.00	97	0.00	102
0	Max	-1430	0.00	97	0.00	49	0.00	33	0.00	97	0.00	49	0.00	49	0.00	97	0.00	102
0	Max	-1429	0.00	97	0.00	49	0.00	33	0.00	97	0.00	49	0.00	49	0.00	97	0.00	102
0	Min.	-1784	0.00	102	0.00	100	0.00	98	0.00	102	0.00	97	0.00	98	0.00	33	0.00	97
0	Min.	-1785	0.00	102	0.00	100	0.00	98	0.00	102	0.00	97	0.00	98	0.00	33	0.00	97
0	Min.	-1430	0.00	102	0.00	100	0.00	98	0.00	102	0.00	97	0.00	98	0.00	33	0.00	97
0	Min.	-1429	0.00	102	0.00	100	0.00	98	0.00	102	0.00	97	0.00	98	0.00	33	0.00	97
0	Max	-1512	0.00	98	0.00	98	0.00	33	0.01	97	0.00	98	0.00	97	730.86	97	-1.03	33
0	Max	-1511	0.00	98	0.00	98	0.00	33	0.01	97	0.00	98	0.00	97	730.86	97	-1.03	33
0	Max	-1570	0.00	98	0.00	98	0.00	33	0.01	97	0.00	98	0.00	97	730.86	97	-1.03	33
0	Max	-1569	0.00	98	0.00	98	0.00	33	0.01	97	0.00	98	0.00	97	730.86	97	-1.03	33
0	Min.	-1512	0.00	101	0.00	101	0.00	98	0.01	33	0.00	33	0.00	33	520.27	33	-1.45	97
0	Min.	-1511	0.00	101	0.00	101	0.00	98	0.01	33	0.00	33	0.00	33	520.27	33	-1.45	97
0	Min.	-1570	0.00	101	0.00	101	0.00	98	0.01	33	0.00	33	0.00	33	520.27	33	-1.45	97
0	Min.	-1569	0.00	101	0.00	101	0.00	98	0.01	33	0.00	33	0.00	33	520.27	33	-1.45	97
0	Max	-1513	0.00	98	0.00	98	0.00	33	0.00	97	-0.00	33	0.02	97	748.78	97	2.66	97
0	Max	-1512	0.00	98	0.00	98	0.00	33	0.00	97	-0.00	33	0.02	97	748.78	97	2.66	97
0	Max	-1569	0.00	98	0.00	98	0.00	33	0.00	97	-0.00	33	0.02	97	748.78	97	2.66	97
0	Max	-1568	0.00	98	0.00	98	0.00	33	0.00	97	-0.00	33	0.02	97	748.78	97	2.66	97
0	Min.	-1513	0.00	101	0.00	101	0.00	98	0.00	33	-0.00	97	0.01	33	532.95	33	1.89	33
0	Min.	-1512	0.00	101	0.00	101	0.00	98	0.00	33	-0.00	97	0.01	33	532.95	33	1.89	33
0	Min.	-1569	0.00	101	0.00	101	0.00	98	0.00	33	-0.00	97	0.01	33	532.95	33	1.89	33
0	Min.	-1568	0.00	101	0.00	101	0.00	98	0.00	33	-0.00	97	0.01	33	532.95	33	1.89	33
0	Max	-1514	0.00	98	0.00	98	0.00	33	-0.09	33	-0.00	33	-0.10	33	678.70	97	-0.44	33
0	Max	-1513	0.00	98	0.00	98	0.00	33	-0.09	33	-0.00	33	-0.10	33	678.70	97	-0.44	33
0	Max	-1568	0.00	98	0.00	98	0.00	33	-0.09	33	-0.00	33	-0.10	33	678.70	97	-0.44	33
0	Max	-1567	0.00	98	0.00	98	0.00	33	-0.09	33	-0.00	33	-0.10	33	678.70	97	-0.44	33
0	Min.	-1514	0.00	101	0.00	101	0.00	98	-0.13	97	-0.00	97	-0.15	97	483.30	33	-0.59	97
0	Min.	-1513	0.00	101	0.00	101	0.00	98	-0.13	97	-0.00	97	-0.15	97	483.30	33	-0.59	97
0	Min.	-1568	0.00	101	0.00	101	0.00	98	-0.13	97	-0.00	97	-0.15	97	483.30	33	-0.59	97
0	Min.	-1567	0.00	101	0.00	101	0.00	98	-0.13	97	-0.00	97	-0.15	97	483.30	33	-0.59	97
0	Max	-1515	0.00	98	0.00	98	0.00	33	0.73	97	0.03	97	0.64	97	905.17	97	-16.89	33
0	Max	-1514	0.00	98	0.00	98	0.00	33	0.73	97	0.03	97	0.64	97	905.17	97	-16.89	33
0	Max	-1567	0.00	98	0.00	98	0.00	33	0.73	97	0.03	97	0.64	97	905.17	97	-16.89	33
0	Max	-1566	0.00	98	0.00	98	0.00	33	0.73	97	0.03	97	0.64	97	905.17	97	-16.89	33
0	Min.	-1515	0.00	101	0.00	101	0.00	98	0.51	33	0.02	33	0.45	33	643.83	33	-23.90	97
0	Min.	-1514	0.00	101	0.00	101	0.00	98	0.51	33	0.02	33	0.45	33	643.83	33	-23.90	97
0	Min.	-1567	0.00	101	0.00	101	0.00	98	0.51	33	0.02	33	0.45	33	643.83	33	-23.90	97
0	Min.	-1566	0.00	101	0.00	101	0.00	98	0.51	33	0.02	33	0.45	33	643.83	33	-23.90	97
0	Max	-1516	0.00	98	0.00	98	0.00	33	-0.84	33	0.33	97	-0.20	33	493.69	97	-499.93	33
0	Max	-1925	0.00	98	0.00	98	0.00	33	-0.84	33	0.33	97	-0.20	33	493.69	97	-499.93	33
0	Max	-1921	0.00	98	0.00	98	0.00	33	-0.84	33	0.33	97	-0.20	33	493.69	97	-499.93	33
0	Max	-1565	0.00	98	0.00	98	0.00	33	-0.84	33	0.33	97	-0.20	33	493.69	97	-499.93	33
0	Min.	-1516	0.00	101	0.00	101	-0.00	98	-1.19	97	0.21	33	-0.26	97	351.79	33	-709.11	97
0	Min.	-1925	0.00	101	0.00	101	-0.00	98	-1.19	97	0.21	33	-0.26	97	351.79	33	-709.11	97
0	Min.	-1921	0.00	101	0.00	101	-0.00	98	-1.19	97	0.21	33	-0.26	97	351.79	33	-709.11	97
0	Min.	-1565	0.00	101	0.00	101	-0.00	98	-1.19	97	0.21	33	-0.26	97	351.79	33	-709.11	97
0	Max	-1578	0.00	98	0.00	98	0.00	33	0.00	97	0.00	98	-0.00	33	-265.58	1	-0.08	33
0	Max	-1613	0.00	98	0.00	98	0.00	33	0.00	97	0.00	98	-0.00	33	-265.58	1	-0.08	33
0	Max	-1509	0.00	98	0.00	98	0.00	33	0.00	97	0.00	98	-0.00	33	-265.58	1	-0.08	33

0	Max	-1510	0.00	98	0.00	98	0.00	33	0.00	97	0.00	98	-0.00	33	-265.58	1	-0.08	33
0	Min.	-1578	0.00	101	0.00	101	0.00	98	0.00	33	0.00	33	-0.00	97	-373.09	97	-0.11	97
0	Min.	-1613	0.00	101	0.00	101	0.00	98	0.00	33	0.00	33	-0.00	97	-373.09	97	-0.11	97
0	Min.	-1509	0.00	101	0.00	101	0.00	98	0.00	33	0.00	33	-0.00	97	-373.09	97	-0.11	97
0	Min.	-1510	0.00	101	0.00	101	0.00	98	0.00	33	0.00	33	-0.00	97	-373.09	97	-0.11	97
0	Max	-1577	0.00	98	0.00	98	0.00	33	-0.00	33	-0.00	33	0.00	97	-265.65	1	0.55	97
0	Max	-1578	0.00	98	0.00	98	0.00	33	-0.00	33	-0.00	33	0.00	97	-265.65	1	0.55	97
0	Max	-1510	0.00	98	0.00	98	0.00	33	-0.00	33	-0.00	33	0.00	97	-265.65	1	0.55	97
0	Max	-1511	0.00	98	0.00	98	0.00	33	-0.00	33	-0.00	33	0.00	97	-265.65	1	0.55	97
0	Min.	-1577	0.00	101	0.00	101	0.00	98	-0.01	97	-0.00	97	0.00	33	-373.20	97	0.39	33
0	Min.	-1578	0.00	101	0.00	101	0.00	98	-0.01	97	-0.00	97	0.00	33	-373.20	97	0.39	33
0	Min.	-1510	0.00	101	0.00	101	0.00	98	-0.01	97	-0.00	97	0.00	33	-373.20	97	0.39	33
0	Min.	-1511	0.00	101	0.00	101	0.00	98	-0.01	97	-0.00	97	0.00	33	-373.20	97	0.39	33
0	Max	-1576	0.00	98	0.00	98	0.00	33	0.01	97	0.00	98	-0.00	33	-264.50	33	-1.03	33
0	Max	-1577	0.00	98	0.00	98	0.00	33	0.01	97	0.00	98	-0.00	33	-264.50	33	-1.03	33
0	Max	-1511	0.00	98	0.00	98	0.00	33	0.01	97	0.00	98	-0.00	33	-264.50	33	-1.03	33
0	Max	-1512	0.00	98	0.00	98	0.00	33	0.01	97	0.00	98	-0.00	33	-264.50	33	-1.03	33
0	Min.	-1576	0.00	101	0.00	101	0.00	98	0.01	33	0.00	33	-0.00	97	-371.57	97	-1.45	97
0	Min.	-1577	0.00	101	0.00	101	0.00	98	0.01	33	0.00	33	-0.00	97	-371.57	97	-1.45	97
0	Min.	-1511	0.00	101	0.00	101	0.00	98	0.01	33	0.00	33	-0.00	97	-371.57	97	-1.45	97
0	Min.	-1512	0.00	101	0.00	101	0.00	98	0.01	33	0.00	33	-0.00	97	-371.57	97	-1.45	97
0	Max	-1575	0.00	98	0.00	98	0.00	33	0.00	97	0.00	98	-0.01	33	-270.67	33	2.66	97
0	Max	-1576	0.00	98	0.00	98	0.00	33	0.00	97	0.00	98	-0.01	33	-270.67	33	2.66	97
0	Max	-1512	0.00	98	0.00	98	0.00	33	0.00	97	0.00	98	-0.01	33	-270.67	33	2.66	97
0	Max	-1513	0.00	98	0.00	98	0.00	33	0.00	97	0.00	98	-0.01	33	-270.67	33	2.66	97
0	Min.	-1575	0.00	101	0.00	101	0.00	98	0.00	33	0.00	33	-0.01	97	-380.26	97	1.89	33
0	Min.	-1576	0.00	101	0.00	101	0.00	98	0.00	33	0.00	33	-0.01	97	-380.26	97	1.89	33
0	Min.	-1512	0.00	101	0.00	101	0.00	98	0.00	33	0.00	33	-0.01	97	-380.26	97	1.89	33
0	Min.	-1513	0.00	101	0.00	101	0.00	98	0.00	33	0.00	33	-0.01	97	-380.26	97	1.89	33
0	Max	-1574	0.00	98	0.00	98	0.00	33	-0.09	33	-0.01	33	0.08	97	-246.63	33	-0.44	33
0	Max	-1575	0.00	98	0.00	98	0.00	33	-0.09	33	-0.01	33	0.08	97	-246.63	33	-0.44	33
0	Max	-1513	0.00	98	0.00	98	0.00	33	-0.09	33	-0.01	33	0.08	97	-246.63	33	-0.44	33
0	Max	-1514	0.00	98	0.00	98	0.00	33	-0.09	33	-0.01	33	0.08	97	-246.63	33	-0.44	33
0	Min.	-1574	0.00	101	0.00	101	0.00	98	-0.13	97	-0.02	97	0.06	33	-346.41	97	-0.59	97
0	Min.	-1575	0.00	101	0.00	101	0.00	98	-0.13	97	-0.02	97	0.06	33	-346.41	97	-0.59	97
0	Min.	-1513	0.00	101	0.00	101	0.00	98	-0.13	97	-0.02	97	0.06	33	-346.41	97	-0.59	97
0	Min.	-1514	0.00	101	0.00	101	0.00	98	-0.13	97	-0.02	97	0.06	33	-346.41	97	-0.59	97
0	Max	-1573	0.00	98	0.00	98	0.00	97	0.73	97	0.10	97	-0.24	33	-323.13	33	-16.89	33
0	Max	-1574	0.00	98	0.00	98	0.00	97	0.73	97	0.10	97	-0.24	33	-323.13	33	-16.89	33
0	Max	-1514	0.00	98	0.00	98	0.00	97	0.73	97	0.10	97	-0.24	33	-323.13	33	-16.89	33
0	Max	-1515	0.00	98	0.00	98	0.00	97	0.73	97	0.10	97	-0.24	33	-323.13	33	-16.89	33
0	Min.	-1573	0.00	101	0.00	101	0.00	49	0.52	33	0.07	33	-0.34	97	-454.04	97	-23.90	97
0	Min.	-1574	0.00	101	0.00	101	0.00	49	0.52	33	0.07	33	-0.34	97	-454.04	97	-23.90	97
0	Min.	-1514	0.00	101	0.00	101	0.00	49	0.52	33	0.07	33	-0.34	97	-454.04	97	-23.90	97
0	Min.	-1515	0.00	101	0.00	101	0.00	49	0.52	33	0.07	33	-0.34	97	-454.04	97	-23.90	97
0	Max	-1572	0.00	98	0.00	98	0.00	98	-0.84	33	0.36	97	0.50	97	-190.29	33	-370.30	33
0	Max	-1914	0.00	98	0.00	98	0.00	98	-0.84	33	0.36	97	0.50	97	-190.29	33	-370.30	33
0	Max	-1925	0.00	98	0.00	98	0.00	98	-0.84	33	0.36	97	0.50	97	-190.29	33	-370.30	33
0	Max	-1516	0.00	98	0.00	98	0.00	98	-0.84	33	0.36	97	0.50	97	-190.29	33	-370.30	33
0	Min.	-1572	0.00	101	0.00	101	0.00	49	-1.18	97	0.25	33	0.35	33	-266.84	97	-519.75	97
0	Min.	-1914	0.00	101	0.00	101	0.00	49	-1.18	97	0.25	33	0.35	33	-266.84	97	-519.75	97
0	Min.	-1925	0.00	101	0.00	101	0.00	49	-1.18	97	0.25	33	0.35	33	-266.84	97	-519.75	97
0	Min.	-1516	0.00	101	0.00	101	0.00	49	-1.18	97	0.25	33	0.35	33	-266.84	97	-519.75	97
0	Max	430	0.00	98	0.00	49	0.00	33	0.00	98	0.00	49	0.00	100	0.00	101	0.00	97
0	Max	-1551	0.00	98	0.00	49	0.00	33	0.00	98	0.00	49	0.00	100	0.00	101	0.00	97
0	Max	-1586	0.00	98	0.00	49	0.00	33	0.00	98	0.00	49	0.00	100	0.00	101	0.00	97
0	Max	-1534	0.00	98	0.00	49	0.00	33	0.00	98	0.00	49	0.00	100	0.00	101	0.00	97
0	Min.	430	0.00	101	0.00	97	0.00	49	0.00	101	0.00	97	0.00	49	0.00	98	0.00	102
0	Min.	-1551	0.00	101	0.00	97	0.00	49	0.00	101	0.00	97	0.00	49	0.00	98	0.00	102
0	Min.	-1586	0.00	101	0.00	97	0.00	49	0.00	101	0.00	97	0.00	49	0.00	98	0.00	102
0	Min.	-1534	0.00	101	0.00	97	0.00	49	0.00	101	0.00	97	0.00	49	0.00	98	0.00	102
0	Max	-1551	0.00	102	0.00	98	0.00	98	-0.01	33	-0.05	33	-0.05	33	6.20	97	-377.21	33
0	Max	-1926	0.00	102	0.00	98	0.00	98	-0.01	33	-0.05	33	-0.05	33	6.20	97	-377.21	33
0	Max	-1927	0.00	102	0.00	98	0.00	98	-0.01	33	-0.05	33	-0.05	33	6.20	97	-377.21	33
0	Max	-1586	0.00	102	0.00	98	0.00	98	-0.01	33	-0.05	33	-0.05	33	6.20	97	-377.21	33
0	Min.	-1551	0.00	97	0.00	33	0.00	49	-0.01	97	-0.08	97	-0.07	97	4.41	33	-529.91	97
0	Min.	-1926	0.00	97	0.00	33	0.00	49	-0.01	97	-0.08	97	-0.07	97	4.41	33	-529.91	97
0	Min.	-1927	0.00	97	0.00	33	0.00	49	-0.01	97	-0.08	97	-0.07	97	4.41	33	-529.91	97
0	Min.	-1586	0.00	97	0.00	33	0.00	49	-0.01	97	-0.08	97	-0.07	97	4.41	33	-529.91	97
0	Max	-1552	0.00	98	0.00	49	0.00	33	0.00	98	0.00	49	0.00	33	0.00	101	0.00	101
0	Max	-1553	0.00	98	0.00	49	0.00	33	0.00	98	0.00	49	0.00	33	0.00	101	0.00	101
0	Max	-1588	0.00	98	0.00	49	0.00	33	0.00	98	0.00	49	0.00	33	0.00	101	0.00	101
0	Max	-1587	0.00	98	0.00	49	0.00	33	0.00	98	0.00	49	0.00	33	0.00	101	0.00	101
0	Min.	-1552	0.00	101	0.00	97	0.00	49	0.00	101	0.00	97	0.00	98	0.00	98	0.00	98
0	Min.	-1553	0.00	101	0.00	97	0.00	49	0.00	101	0.00	97	0.00	98	0.00	98	0.00	98
0	Min.	-1588	0.00	101	0.00	97	0.00	49	0.00	101	0.00	97	0.00	98	0.00	98	0.00	98
0	Min.	-1587	0.00	101	0.00	97	0.00	49	0.00	101	0.00	97	0.00	98	0.00	98	0.00	98
0	Max	-1553	0.00	98	0.00	49	0.00	33	0.00	98	0.00	49	0.00	33	0.00	33	0.00	101
0	Max	-1554	0.00	98	0.00	49	0.00	33	0.00	98	0.00	49	0.00	33	0.00	33	0.00	101
0	Max	-1589	0.00	98	0.00	49	0.00	33	0.00	98	0.00	49	0.00	33	0.00	33	0.00	101
0	Max	-1588	0.00	98	0.00	49	0.00	33	0.00	98	0.00	49	0.00	33	0.00	33	0.00	101
0	Min.	-1553	0.00	101	0.00	97	0.00	49	0.00	101	0.00	97	0.00	98	0.00	98	0.00	98
0	Min.	-1554	0.00	101	0.00	97	0.00	49	0.00	101	0.00	97	0.00	98	0.00	98	0.00	98
0	Min.	-1589	0.00	101	0.00	97	0.00	49	0.00	101	0.00	97	0.00	98	0.00	98	0.00	98
0	Min.	-1588	0.00	101	0.00	97	0.00	49	0.00	101	0.00	97	0.00	98	0.00	98	0.00	98
0	Max	-1554	0.00	98	0.00	49	0.00	33	0.00	98	0.00	49	0.00	33	0.00	33	0.00	101
0	Max	-1555	0.00	98	0.00	49	0.00	33	0.00	98	0.00	49	0.00	33	0.00	33	0.00	101
0	Max	-1590	0.00	98	0.00	49	0.00	33	0.00	98	0.00	49	0.00	33	0.00	33	0.00	101
0	Max	-1589	0.00	98	0.00	49	0.00	33	0.00	98	0.00	49	0.00	33	0.00	33	0.00	101
0	Min.	-1554	0.00	101	0.00	97	0.00	49	0.00	101	0.00	100	0.00	98	0.00	98	0.00	98
0	Min.	-1555	0.00	101	0.00	97	0.00	49	0.00	101	0.00	100	0.00	98	0.00	98	0.00	98
0	Min.	-1590	0.00	101	0.00	97	0.00	49	0.00	101	0.00	100	0.00	98	0.00	98	0.00	98
0	Min.	-1589	0.00	101	0.00	97	0.00	49	0.00	101	0.00	100	0.00	98	0.00	98	0.00	98
0	Max	-1555	0.00	98	0.00	49	0.00	33	0.00	98	0.00	49	0.00	33	0.00	33	0.00	101
0	Max	-1556	0.00	98	0.00	49	0.00	33	0.00	98	0.00	49	0.00	33	0.00	33	0.00	101
0	Max	-1591	0.00	98	0.00	49	0.00	33	0.00	98	0.00	49	0.00	33	0.00	33	0.00	101
0	Max	-1590	0.00	98	0.00	49	0.00	33	0.00	98	0.00	49	0.00	33	0.00	33	0.00	101
0	Min.	-1555	0.00	101	0.00	97	0.00	49	0.00	101	0.00	100	0.00	98	0.00	98	0.00	98
0	Min.	-1556	0.00	101	0.00	97	0.00	49	0.00	101	0.00	100	0.00	98	0.00	98	0.00	98
0	Min.	-1591	0.00	101	0.00	97	0.00	49	0.00	101	0.00	100	0.00	98	0.00	98	0.00	98
0	Min.	-1590	0.00	101	0.00	97	0.00	49	0.00	101	0.00	100	0.00	98	0.00	98	0.00	98
0	Max	-1556	0.00	98	0.00	49	0.00	33	0.00	98	0.00	49	0.00	33	0.00	33	0.00	101
0	Max	-1557	0.00	98	0.00	49	0.00	33	0.00	98	0.00	49	0.00	33	0.00	33	0.00	101
0	Max	-1592	0.00	98	0.00	49	0.00	33	0.00	98	0.00	49	0.00	33	0.00	33	0.00	101
0	Max	-1591	0.00	98	0.00	49	0.00	33	0.00	98	0.00	49	0.00	33	0.00	33	0.00	101

0	Min.	-1556	0.00	101	0.00	100	0.00	49	0.00	101	0.00	100	0.00	98	0.00	98	0.00	98
0	Min.	-1557	0.00	101	0.00	100	0.00	49	0.00	101	0.00	100	0.00	98	0.00	98	0.00	98
0	Min.	-1592	0.00	101	0.00	100	0.00	49	0.00	101	0.00	100	0.00	98	0.00	98	0.00	98
0	Min.	-1591	0.00	101	0.00	100	0.00	49	0.00	101	0.00	100	0.00	98	0.00	98	0.00	98
0	Max	-1557	0.00	102	0.00	49	0.00	33	0.00	102	0.00	49	0.00	33	0.00	33	0.00	101
0	Max	-1610	0.00	102	0.00	49	0.00	33	0.00	102	0.00	49	0.00	33	0.00	33	0.00	101
0	Max	-1615	0.00	102	0.00	49	0.00	33	0.00	102	0.00	49	0.00	33	0.00	33	0.00	101
0	Max	-1592	0.00	102	0.00	49	0.00	33	0.00	102	0.00	49	0.00	33	0.00	33	0.00	101
0	Min.	-1557	0.00	97	0.00	100	0.00	49	0.00	97	0.00	100	0.00	98	0.00	98	0.00	98
0	Min.	-1610	0.00	97	0.00	100	0.00	49	0.00	97	0.00	100	0.00	98	0.00	98	0.00	98
0	Min.	-1615	0.00	97	0.00	100	0.00	49	0.00	97	0.00	100	0.00	98	0.00	98	0.00	98
0	Min.	-1592	0.00	97	0.00	100	0.00	49	0.00	97	0.00	100	0.00	98	0.00	98	0.00	98
0	Max	-1534	0.00	98	0.00	98	0.00	98	0.00	98	0.00	98	0.00	98	0.00	98	0.00	97
0	Max	-1586	0.00	98	0.00	98	0.00	98	0.00	98	0.00	98	0.00	98	0.00	98	0.00	97
0	Max	-1579	0.00	98	0.00	98	0.00	98	0.00	98	0.00	98	0.00	98	0.00	98	0.00	97
0	Max	433	0.00	98	0.00	98	0.00	98	0.00	98	0.00	98	0.00	98	0.00	98	0.00	97
0	Min.	-1534	0.00	101	0.00	49	0.00	49	0.00	101	0.00	49	0.00	49	0.00	101	0.00	102
0	Min.	-1586	0.00	101	0.00	49	0.00	49	0.00	101	0.00	49	0.00	49	0.00	101	0.00	102
0	Min.	-1579	0.00	101	0.00	49	0.00	49	0.00	101	0.00	49	0.00	49	0.00	101	0.00	102
0	Min.	433	0.00	101	0.00	49	0.00	49	0.00	101	0.00	49	0.00	49	0.00	101	0.00	102
0	Max	-1586	0.00	98	0.00	98	0.00	98	0.05	97	0.50	97	0.31	97	9.43	97	-458.86	33
0	Max	-1927	0.00	98	0.00	98	0.00	98	0.05	97	0.50	97	0.31	97	9.43	97	-458.86	33
0	Max	-1928	0.00	98	0.00	98	0.00	98	0.05	97	0.50	97	0.31	97	9.43	97	-458.86	33
0	Max	-1579	0.00	98	0.00	98	0.00	98	0.05	97	0.50	97	0.31	97	9.43	97	-458.86	33
0	Min.	-1586	0.00	101	0.00	101	0.00	49	0.03	33	0.36	33	0.22	33	6.71	33	-644.62	97
0	Min.	-1927	0.00	101	0.00	101	0.00	49	0.03	33	0.36	33	0.22	33	6.71	33	-644.62	97
0	Min.	-1928	0.00	101	0.00	101	0.00	49	0.03	33	0.36	33	0.22	33	6.71	33	-644.62	97
0	Min.	-1579	0.00	101	0.00	101	0.00	49	0.03	33	0.36	33	0.22	33	6.71	33	-644.62	97
0	Max	-1587	0.00	98	0.00	98	0.00	98	0.00	98	0.00	98	0.00	98	0.00	98	0.00	101
0	Max	-1588	0.00	98	0.00	98	0.00	98	0.00	98	0.00	98	0.00	98	0.00	98	0.00	101
0	Max	-1581	0.00	98	0.00	98	0.00	98	0.00	98	0.00	98	0.00	98	0.00	98	0.00	101
0	Max	-1580	0.00	98	0.00	98	0.00	98	0.00	98	0.00	98	0.00	98	0.00	98	0.00	101
0	Min.	-1587	0.00	101	0.00	101	0.00	49	0.00	101	0.00	49	0.00	49	0.00	101	0.00	98
0	Min.	-1588	0.00	101	0.00	101	0.00	49	0.00	101	0.00	49	0.00	49	0.00	101	0.00	98
0	Min.	-1581	0.00	101	0.00	101	0.00	49	0.00	101	0.00	49	0.00	49	0.00	101	0.00	98
0	Min.	-1580	0.00	101	0.00	101	0.00	49	0.00	101	0.00	49	0.00	49	0.00	101	0.00	98
0	Max	-1588	0.00	98	0.00	98	0.00	98	0.00	98	0.00	98	0.00	98	0.00	98	0.00	101
0	Max	-1589	0.00	98	0.00	98	0.00	98	0.00	98	0.00	98	0.00	98	0.00	98	0.00	101
0	Max	-1582	0.00	98	0.00	98	0.00	98	0.00	98	0.00	98	0.00	98	0.00	98	0.00	101
0	Max	-1581	0.00	98	0.00	98	0.00	98	0.00	98	0.00	98	0.00	98	0.00	98	0.00	101
0	Min.	-1588	0.00	101	0.00	101	0.00	49	0.00	101	0.00	49	0.00	49	0.00	49	0.00	98
0	Min.	-1589	0.00	101	0.00	101	0.00	49	0.00	101	0.00	49	0.00	49	0.00	49	0.00	98
0	Min.	-1582	0.00	101	0.00	101	0.00	49	0.00	101	0.00	49	0.00	49	0.00	49	0.00	98
0	Min.	-1581	0.00	101	0.00	101	0.00	49	0.00	101	0.00	49	0.00	49	0.00	49	0.00	98
0	Max	-1589	0.00	98	0.00	98	0.00	33	0.00	98	0.00	98	0.00	98	0.00	98	0.00	101
0	Max	-1590	0.00	98	0.00	98	0.00	33	0.00	98	0.00	98	0.00	98	0.00	98	0.00	101
0	Max	-1583	0.00	98	0.00	98	0.00	33	0.00	98	0.00	98	0.00	98	0.00	98	0.00	101
0	Max	-1582	0.00	98	0.00	98	0.00	33	0.00	98	0.00	98	0.00	98	0.00	98	0.00	101
0	Min.	-1589	0.00	101	0.00	101	0.00	49	0.00	101	0.00	49	0.00	49	0.00	49	0.00	98
0	Min.	-1590	0.00	101	0.00	101	0.00	49	0.00	101	0.00	49	0.00	49	0.00	49	0.00	98
0	Min.	-1583	0.00	101	0.00	101	0.00	49	0.00	101	0.00	49	0.00	49	0.00	49	0.00	98
0	Min.	-1582	0.00	101	0.00	101	0.00	49	0.00	101	0.00	49	0.00	49	0.00	49	0.00	98
0	Max	-1590	0.00	98	0.00	99	0.00	33	0.00	98	0.00	98	0.00	33	0.00	98	0.00	101
0	Max	-1591	0.00	98	0.00	99	0.00	33	0.00	98	0.00	98	0.00	33	0.00	98	0.00	101
0	Max	-1584	0.00	98	0.00	99	0.00	33	0.00	98	0.00	98	0.00	33	0.00	98	0.00	101
0	Max	-1583	0.00	98	0.00	99	0.00	33	0.00	98	0.00	98	0.00	33	0.00	98	0.00	101
0	Min.	-1590	0.00	101	0.00	33	0.00	97	0.00	101	0.00	49	0.00	97	0.00	49	0.00	98
0	Min.	-1591	0.00	101	0.00	33	0.00	97	0.00	101	0.00	49	0.00	97	0.00	49	0.00	98
0	Min.	-1584	0.00	101	0.00	33	0.00	97	0.00	101	0.00	49	0.00	97	0.00	49	0.00	98
0	Min.	-1583	0.00	101	0.00	33	0.00	97	0.00	101	0.00	49	0.00	97	0.00	49	0.00	98
0	Max	-1591	0.00	98	0.00	99	0.00	33	0.00	98	0.00	99	0.00	33	0.00	98	0.00	101
0	Max	-1592	0.00	98	0.00	99	0.00	33	0.00	98	0.00	99	0.00	33	0.00	98	0.00	101
0	Max	-1585	0.00	98	0.00	99	0.00	33	0.00	98	0.00	99	0.00	33	0.00	98	0.00	101
0	Max	-1584	0.00	98	0.00	99	0.00	33	0.00	98	0.00	99	0.00	33	0.00	98	0.00	101
0	Min.	-1591	0.00	101	0.00	33	0.00	97	0.00	101	0.00	104	0.00	97	0.00	49	0.00	98
0	Min.	-1592	0.00	101	0.00	33	0.00	97	0.00	101	0.00	104	0.00	97	0.00	49	0.00	98
0	Min.	-1585	0.00	101	0.00	33	0.00	97	0.00	101	0.00	104	0.00	97	0.00	49	0.00	98
0	Min.	-1584	0.00	101	0.00	33	0.00	97	0.00	101	0.00	104	0.00	97	0.00	49	0.00	98
0	Max	-1592	0.00	98	0.00	99	0.00	33	0.00	98	0.00	99	0.00	33	0.00	98	0.00	101
0	Max	-1615	0.00	98	0.00	99	0.00	33	0.00	98	0.00	99	0.00	33	0.00	98	0.00	101
0	Max	-1614	0.00	98	0.00	99	0.00	33	0.00	98	0.00	99	0.00	33	0.00	98	0.00	101
0	Max	-1585	0.00	98	0.00	99	0.00	33	0.00	98	0.00	99	0.00	33	0.00	98	0.00	101
0	Min.	-1592	0.00	101	0.00	33	0.00	97	0.00	101	0.00	104	0.00	97	0.00	49	0.00	98
0	Min.	-1615	0.00	101	0.00	33	0.00	97	0.00	101	0.00	104	0.00	97	0.00	49	0.00	98
0	Min.	-1614	0.00	101	0.00	33	0.00	97	0.00	101	0.00	104	0.00	97	0.00	49	0.00	98
0	Min.	-1585	0.00	101	0.00	33	0.00	97	0.00	101	0.00	104	0.00	97	0.00	49	0.00	98
0	Max	440	0.00	98	0.00	98	0.00	33	0.00	98	0.00	98	0.00	33	0.00	101	0.00	97
0	Max	-1558	0.00	98	0.00	98	0.00	33	0.00	98	0.00	98	0.00	33	0.00	101	0.00	97
0	Max	-1593	0.00	98	0.00	98	0.00	33	0.00	98	0.00	98	0.00	33	0.00	101	0.00	97
0	Max	-1531	0.00	98	0.00	98	0.00	33	0.00	98	0.00	98	0.00	33	0.00	101	0.00	97
0	Min.	440	0.00	101	0.00	33	0.00	98	0.00	101	0.00	33	0.00	98	0.00	98	0.00	102
0	Min.	-1558	0.00	101	0.00	33	0.00	98	0.00	101	0.00	33	0.00	98	0.00	98	0.00	102
0	Min.	-1593	0.00	101	0.00	33	0.00	98	0.00	101	0.00	33	0.00	98	0.00	98	0.00	102
0	Min.	-1531	0.00	101	0.00	33	0.00	98	0.00	101	0.00	33	0.00	98	0.00	98	0.00	102
0	Max	-1558	0.00	98	0.00	98	0.00	33	0.05	97	0.50	97	-0.22	33	-6.77	33	-459.00	33
0	Max	-1916	0.00	98	0.00	98	0.00	33	0.05	97	0.50	97	-0.22	33	-6.77	33	-459.00	33
0	Max	-1929	0.00	98	0.00	98	0.00	33	0.05	97	0.50	97	-0.22	33	-6.77	33	-459.00	33
0	Max	-1593	0.00	98	0.00	98	0.00	33	0.05	97	0.50	97	-0.22	33	-6.77	33	-459.00	33
0	Min.	-1558	0.00	101	0.00	101	0.00	98	0.03	33	0.36	33	-0.31	97	-9.51	97	-644.82	97
0	Min.	-1916	0.00	101	0.00	101	0.00	98	0.03	33	0.36	33	-0.31	97	-9.51	97	-644.82	97
0	Min.	-1929	0.00	101	0.00	101	0.00	98	0.03	33	0.36	33	-0.31	97	-9.51	97	-644.82	97
0	Min.	-1593	0.00	101	0.00	101	0.00	98	0.03	33	0.36	33	-0.31	97	-9.51	97	-644.82	97
0	Max	-1559	0.00	98	0.00	98	0.00	33	0.00	98	0.00	98	0.00	33	-0.00	101	0.00	101
0	Max	-1560	0.00	98	0.00	98	0.00	33	0.00	98	0.00	98	0.00	33	-0.00	101	0.00	101
0	Max	-1595	0.00	98	0.00	98	0.00	33	0.00	98	0.00	98	0.00	33	-0.00	101	0.00	101
0	Max	-1594	0.00	98	0.00	98	0.00	33	0.00	98	0.00	98	0.00	33	-0.00	101	0.00	101
0	Min.	-1559	0.00	101	0.00	101	0.00	98	0.00	101	0.00	33	0.00	98	-0.00	98	0.00	98
0	Min.	-1560	0.00	101	0.00	101	0.00	98	0.00	101	0.00	33	0.00	98	-0.00	98	0.00	98
0	Min.	-1595	0.00	101	0.00	101	0.00	98	0.00	101	0.00	33	0.00	98	-0.00	98	0.00	98
0	Min.	-1594	0.00	101	0.00	101	0.00	98	0.00	101	0.00	33	0.00	98	-0.00	98	0.00	98
0	Max	-1560	0.00	98	0.00	98	0.00	33	0.00	98	0.00	98	0.00	33	-0.00	33	0.00	101
0	Max	-1561	0.00	98	0.00	98	0.00	33	0.00	98	0.00	98	0.00	33	-0.00	33	0.00	101
0	Max	-1596	0.00	98	0.00	98	0.00	33	0.00	98	0.00	98	0.00	33	-0.00	33	0.00	101
0	Max	-1595	0.00	98	0.00	98	0.00	33	0.00	98	0.00	98	0.00	33	-0.00	33	0.00	101
0	Min.	-1560	0.00	101	0.00	101	0.00	98	0.00	101	0.00	33	0.00	98	-0.00	98	0.00	98

0	Min.	-1561	0.00	101	0.00	101	0.00	98	0.00	101	0.00	33	0.00	98	-0.00	98	0.00	98
0	Min.	-1596	0.00	101	0.00	101	0.00	98	0.00	101	0.00	33	0.00	98	-0.00	98	0.00	98
0	Min.	-1595	0.00	101	0.00	101	0.00	98	0.00	101	0.00	33	0.00	98	-0.00	98	0.00	98
0	Max	-1561	0.00	98	0.00	100	0.00	33	0.00	98	0.00	98	0.00	33	-0.00	33	0.00	101
0	Max	-1562	0.00	98	0.00	100	0.00	33	0.00	98	0.00	98	0.00	33	-0.00	33	0.00	101
0	Max	-1597	0.00	98	0.00	100	0.00	33	0.00	98	0.00	98	0.00	33	-0.00	33	0.00	101
0	Max	-1596	0.00	98	0.00	100	0.00	33	0.00	98	0.00	98	0.00	33	-0.00	33	0.00	101
0	Min.	-1561	0.00	101	0.00	103	0.00	49	0.00	101	0.00	33	0.00	98	-0.00	98	0.00	98
0	Min.	-1562	0.00	101	0.00	103	0.00	49	0.00	101	0.00	33	0.00	98	-0.00	98	0.00	98
0	Min.	-1597	0.00	101	0.00	103	0.00	49	0.00	101	0.00	33	0.00	98	-0.00	98	0.00	98
0	Min.	-1596	0.00	101	0.00	103	0.00	49	0.00	101	0.00	33	0.00	98	-0.00	98	0.00	98
0	Max	-1562	0.00	98	0.00	100	0.00	97	0.00	98	0.00	98	0.00	97	-0.00	33	0.00	101
0	Max	-1563	0.00	98	0.00	100	0.00	97	0.00	98	0.00	98	0.00	97	-0.00	33	0.00	101
0	Max	-1598	0.00	98	0.00	100	0.00	97	0.00	98	0.00	98	0.00	97	-0.00	33	0.00	101
0	Max	-1597	0.00	98	0.00	100	0.00	97	0.00	98	0.00	98	0.00	97	-0.00	33	0.00	101
0	Min.	-1562	0.00	101	0.00	49	0.00	49	0.00	101	0.00	33	0.00	49	-0.00	98	0.00	98
0	Min.	-1563	0.00	101	0.00	49	0.00	49	0.00	101	0.00	33	0.00	49	-0.00	98	0.00	98
0	Min.	-1598	0.00	101	0.00	49	0.00	49	0.00	101	0.00	33	0.00	49	-0.00	98	0.00	98
0	Min.	-1597	0.00	101	0.00	49	0.00	49	0.00	101	0.00	33	0.00	49	-0.00	98	0.00	98
0	Max	-1563	0.00	98	0.00	100	0.00	97	0.00	98	0.00	100	0.00	97	-0.00	33	0.00	101
0	Max	-1564	0.00	98	0.00	100	0.00	97	0.00	98	0.00	100	0.00	97	-0.00	33	0.00	101
0	Max	-1599	0.00	98	0.00	100	0.00	97	0.00	98	0.00	100	0.00	97	-0.00	33	0.00	101
0	Max	-1598	0.00	98	0.00	100	0.00	97	0.00	98	0.00	100	0.00	97	-0.00	33	0.00	101
0	Min.	-1563	0.00	101	0.00	49	0.00	49	0.00	101	0.00	103	0.00	49	-0.00	98	0.00	98
0	Min.	-1564	0.00	101	0.00	49	0.00	49	0.00	101	0.00	103	0.00	49	-0.00	98	0.00	98
0	Min.	-1599	0.00	101	0.00	49	0.00	49	0.00	101	0.00	103	0.00	49	-0.00	98	0.00	98
0	Min.	-1598	0.00	101	0.00	49	0.00	49	0.00	101	0.00	103	0.00	49	-0.00	98	0.00	98
0	Max	-1564	0.00	98	0.00	100	0.00	97	0.00	98	0.00	100	0.00	97	0.00	33	0.00	101
0	Max	-1611	0.00	98	0.00	100	0.00	97	0.00	98	0.00	100	0.00	97	0.00	33	0.00	101
0	Max	-1616	0.00	98	0.00	100	0.00	97	0.00	98	0.00	100	0.00	97	0.00	33	0.00	101
0	Max	-1599	0.00	98	0.00	100	0.00	97	0.00	98	0.00	100	0.00	97	0.00	33	0.00	101
0	Min.	-1564	0.00	101	0.00	49	0.00	49	0.00	101	0.00	103	0.00	49	-0.00	98	0.00	98
0	Min.	-1611	0.00	101	0.00	49	0.00	49	0.00	101	0.00	103	0.00	49	-0.00	98	0.00	98
0	Min.	-1616	0.00	101	0.00	49	0.00	49	0.00	101	0.00	103	0.00	49	-0.00	98	0.00	98
0	Min.	-1599	0.00	101	0.00	49	0.00	49	0.00	101	0.00	103	0.00	49	-0.00	98	0.00	98
0	Max	-1840	0.00	102	-0.00	102	0.00	97	0.00	97	0.00	98	-0.00	33	-394.06	1	-0.06	33
0	Max	-1607	0.00	102	-0.00	102	0.00	97	0.00	97	0.00	98	-0.00	33	-394.06	1	-0.06	33
0	Max	-1354	0.00	102	-0.00	102	0.00	97	0.00	97	0.00	98	-0.00	33	-394.06	1	-0.06	33
0	Max	-1353	0.00	102	-0.00	102	0.00	97	0.00	97	0.00	98	-0.00	33	-394.06	1	-0.06	33
0	Min.	-1840	0.00	97	-0.00	97	0.00	49	0.00	33	0.00	33	-0.00	97	-553.58	97	-0.09	98
0	Min.	-1607	0.00	97	-0.00	97	0.00	49	0.00	33	0.00	33	-0.00	97	-553.58	97	-0.09	98
0	Min.	-1354	0.00	97	-0.00	97	0.00	49	0.00	33	0.00	33	-0.00	97	-553.58	97	-0.09	98
0	Min.	-1353	0.00	97	-0.00	97	0.00	49	0.00	33	0.00	33	-0.00	97	-553.58	97	-0.09	98
0	Max	-1697	0.00	102	-0.00	102	0.00	97	-0.00	33	-0.00	33	0.00	97	-394.00	1	0.48	97
0	Max	-1840	0.00	102	-0.00	102	0.00	97	-0.00	33	-0.00	33	0.00	97	-394.00	1	0.48	97
0	Max	-1353	0.00	102	-0.00	102	0.00	97	-0.00	33	-0.00	33	0.00	97	-394.00	1	0.48	97
0	Max	-1351	0.00	102	-0.00	102	0.00	97	-0.00	33	-0.00	33	0.00	97	-394.00	1	0.48	97
0	Min.	-1697	0.00	97	-0.00	97	0.00	49	-0.01	97	-0.00	97	0.00	33	-553.50	97	0.34	33
0	Min.	-1840	0.00	97	-0.00	97	0.00	49	-0.01	97	-0.00	97	0.00	33	-553.50	97	0.34	33
0	Min.	-1353	0.00	97	-0.00	97	0.00	49	-0.01	97	-0.00	97	0.00	33	-553.50	97	0.34	33
0	Min.	-1351	0.00	97	-0.00	97	0.00	49	-0.01	97	-0.00	97	0.00	33	-553.50	97	0.34	33
0	Max	-1696	0.00	102	-0.00	102	0.00	97	0.01	97	0.00	97	-0.00	33	-393.02	33	-0.99	33
0	Max	-1697	0.00	102	-0.00	102	0.00	97	0.01	97	0.00	97	-0.00	33	-393.02	33	-0.99	33
0	Max	-1351	0.00	102	-0.00	102	0.00	97	0.01	97	0.00	97	-0.00	33	-393.02	33	-0.99	33
0	Max	-1350	0.00	102	-0.00	102	0.00	97	0.01	97	0.00	97	-0.00	33	-393.02	33	-0.99	33
0	Min.	-1696	0.00	97	-0.00	97	0.00	49	0.01	33	0.00	33	-0.00	97	-552.12	97	-1.39	97
0	Min.	-1697	0.00	97	-0.00	97	0.00	49	0.01	33	0.00	33	-0.00	97	-552.12	97	-1.39	97
0	Min.	-1351	0.00	97	-0.00	97	0.00	49	0.01	33	0.00	33	-0.00	97	-552.12	97	-1.39	97
0	Min.	-1350	0.00	97	-0.00	97	0.00	49	0.01	33	0.00	33	-0.00	97	-552.12	97	-1.39	97
0	Max	-1690	0.00	102	-0.00	102	0.00	33	-0.01	33	-0.00	33	-0.00	33	-399.73	33	2.99	97
0	Max	-1696	0.00	102	-0.00	102	0.00	33	-0.01	33	-0.00	33	-0.00	33	-399.73	33	2.99	97
0	Max	-1350	0.00	102	-0.00	102	0.00	33	-0.01	33	-0.00	33	-0.00	33	-399.73	33	2.99	97
0	Max	-1349	0.00	102	-0.00	102	0.00	33	-0.01	33	-0.00	33	-0.00	33	-399.73	33	2.99	97
0	Min.	-1690	0.00	97	-0.00	97	0.00	49	-0.01	97	-0.00	97	-0.01	97	-561.55	97	2.13	33
0	Min.	-1696	0.00	97	-0.00	97	0.00	49	-0.01	97	-0.00	97	-0.01	97	-561.55	97	2.13	33
0	Min.	-1350	0.00	97	-0.00	97	0.00	49	-0.01	97	-0.00	97	-0.01	97	-561.55	97	2.13	33
0	Min.	-1349	0.00	97	-0.00	97	0.00	49	-0.01	97	-0.00	97	-0.01	97	-561.55	97	2.13	33
0	Max	-1685	0.00	102	-0.00	102	0.00	33	-0.06	33	-0.00	33	0.07	97	-370.93	33	-2.04	33
0	Max	-1690	0.00	102	-0.00	102	0.00	33	-0.06	33	-0.00	33	0.07	97	-370.93	33	-2.04	33
0	Max	-1349	0.00	102	-0.00	102	0.00	33	-0.06	33	-0.00	33	0.07	97	-370.93	33	-2.04	33
0	Max	-1348	0.00	102	-0.00	102	0.00	33	-0.06	33	-0.00	33	0.07	97	-370.93	33	-2.04	33
0	Min.	-1685	0.00	97	-0.00	97	0.00	98	-0.08	97	-0.00	97	0.05	33	-521.09	97	-2.87	97
0	Min.	-1690	0.00	97	-0.00	97	0.00	98	-0.08	97	-0.00	97	0.05	33	-521.09	97	-2.87	97
0	Min.	-1349	0.00	97	-0.00	97	0.00	98	-0.08	97	-0.00	97	0.05	33	-521.09	97	-2.87	97
0	Min.	-1348	0.00	97	-0.00	97	0.00	98	-0.08	97	-0.00	97	0.05	33	-521.09	97	-2.87	97
0	Max	-1414	0.00	102	-0.00	102	0.00	33	0.56	97	0.03	97	-0.25	33	-468.59	33	-10.05	33
0	Max	-1685	0.00	102	-0.00	102	0.00	33	0.56	97	0.03	97	-0.25	33	-468.59	33	-10.05	33
0	Max	-1348	0.00	102	-0.00	102	0.00	33	0.56	97	0.03	97	-0.25	33	-468.59	33	-10.05	33
0	Max	-1347	0.00	102	-0.00	102	0.00	33	0.56	97	0.03	97	-0.25	33	-468.59	33	-10.05	33
0	Min.	-1414	0.00	97	-0.00	97	0.00	98	0.40	33	0.02	33	-0.35	97	-658.28	97	-14.12	97
0	Min.	-1685	0.00	97	-0.00	97	0.00	98	0.40	33	0.02	33	-0.35	97	-658.28	97	-14.12	97
0	Min.	-1348	0.00	97	-0.00	97	0.00	98	0.40	33	0.02	33	-0.35	97	-658.28	97	-14.12	97
0	Min.	-1347	0.00	97	-0.00	97	0.00	98	0.40	33	0.02	33	-0.35	97	-658.28	97	-14.12	97
0	Max	-1618	0.00	102	0.00	102	-0.00	33	-0.73	33	-0.33	33	0.40	97	-293.00	33	-385.49	33
0	Max	-1930	0.00	102	0.00	102	-0.00	33	-0.73	33	-0.33	33	0.40	97	-293.00	33	-385.49	33
0	Max	-1915	0.00	102	0.00	102	-0.00	33	-0.73	33	-0.33	33	0.40	97	-293.00	33	-385.49	33
0	Max	-1346	0.00	102	0.00	102	-0.00	33	-0.73	33	-0.33	33	0.40	97	-293.00	33	-385.49	33
0	Min.	-1618	0.00	97	-0.00	97	-0.00	98	-1.03	97	-0.47	97	0.29	33	-411.57	97	-541.44	97
0	Min.	-1930	0.00	97	-0.00	97	-0.00	98	-1.03	97	-0.47	97	0.29	33	-411.57	97	-541.44	97
0	Min.	-1915	0.00	97	-0.00	97	-0.00	98	-1.03	97	-0.47	97	0.29	33	-411.57	97	-541.44	97
0	Min.	-1346	0.00	97	-0.00	97	-0.00	98	-1.03	97	-0.47	97	0.29	33	-411.57	97	-541.44	97
0	Max	-1536	0.00	98	0.00	102	0.00	33	0.48	97	0.03	97	0.42	97	-446.46	33	10.45	97
0	Max	-1618	0.00	98	0.00	102	0.00	33	0.48	97	0.03	97	0.42	97	-446.46	33	10.45	97
0	Max	-1346	0.00	98	0.00	102	0.00	33	0.48	97	0.03	97	0.42	97	-446.46	33	10.45	97
0	Max	-1385	0.00	98	0.00	102	0.00	33	0.48	97	0.03	97	0.42	97	-446.46	33	10.45	97
0	Min.	-1536	0.00	101	-0.00	97	0.00	98	0.34	33	0.02	33	0.30	33	-627.20	97	7.44	33
0	Min.	-1618	0.00	101	-0.00	97	0.00	98	0.34	33	0.02	33	0.30	33	-627.20	97	7.44	33
0	Min.	-1346	0.00	101	-0.00	97	0.00	98	0.34	33	0.02	33	0.30	33	-627.20	97	7.44	33
0	Min.	-1385	0.00	101	-0.00	97	0.00	98	0.34	33	0.02	33	0.30	33	-627.20	97	7.44	33
0	Max	433	0.00	98	0.00	102	0.00	97	0.48	97	0.07	97	0.44	97	-442.87	33	10.29	97
0	Max	-1579	0.00	98	0.00	102	0.00	97	0.48	97	0.07	97	0.44	97	-442.87	33	10.29	97
0	Max	-1345	0.00	98	0.00	102	0.00	97	0.48	97	0.07	97	0.44	97	-442.87	33	10.29	97
0	Max	-1344	0.00	98	0.00	102	0.00	97	0.48	97	0.07	97	0.44	97	-442.87	33	10.29	97
0	Min.	433	0.00	101	0.00	97	0.00	49	0.34	33	0.05	33	0.31	33	-622.16	97	7.33	33
0	Min.	-1579	0.00	101	0.00	97	0.00	49	0.34	33	0.05	33	0.31	33	-622.16	97	7.33	33

0	Min.	-1345	0.00	101	0.00	97	0.00	49	0.34	33	0.05	33	0.31	33	-622.16	97	7.33	33
0	Min.	-1344	0.00	101	0.00	97	0.00	49	0.34	33	0.05	33	0.31	33	-622.16	97	7.33	33
0	Max	-1579	0.00	102	0.00	102	0.00	33	-0.74	33	-0.51	33	0.88	97	-292.52	33	-272.61	33
0	Max	-1928	0.00	102	0.00	102	0.00	33	-0.74	33	-0.51	33	0.88	97	-292.52	33	-272.61	33
0	Max	-1913	0.00	102	0.00	102	0.00	33	-0.74	33	-0.51	33	0.88	97	-292.52	33	-272.61	33
0	Max	-1345	0.00	102	0.00	102	0.00	33	-0.74	33	-0.51	33	0.88	97	-292.52	33	-272.61	33
0	Min.	-1579	0.00	97	-0.00	97	0.00	97	-1.04	97	-0.72	97	0.62	33	-410.97	97	-383.04	97
0	Min.	-1928	0.00	97	-0.00	97	0.00	97	-1.04	97	-0.72	97	0.62	33	-410.97	97	-383.04	97
0	Min.	-1913	0.00	97	-0.00	97	0.00	97	-1.04	97	-0.72	97	0.62	33	-410.97	97	-383.04	97
0	Min.	-1345	0.00	97	-0.00	97	0.00	97	-1.04	97	-0.72	97	0.62	33	-410.97	97	-383.04	97
0	Max	-1580	0.00	102	-0.00	102	0.00	97	0.56	97	0.08	97	-0.26	33	-463.88	33	-9.94	33
0	Max	-1581	0.00	102	-0.00	102	0.00	97	0.56	97	0.08	97	-0.26	33	-463.88	33	-9.94	33
0	Max	-1342	0.00	102	-0.00	102	0.00	97	0.56	97	0.08	97	-0.26	33	-463.88	33	-9.94	33
0	Max	-1343	0.00	102	-0.00	102	0.00	97	0.56	97	0.08	97	-0.26	33	-463.88	33	-9.94	33
0	Min.	-1580	0.00	97	-0.00	97	0.00	49	0.40	33	0.06	33	-0.36	97	-651.68	97	-13.96	97
0	Min.	-1581	0.00	97	-0.00	97	0.00	49	0.40	33	0.06	33	-0.36	97	-651.68	97	-13.96	97
0	Min.	-1342	0.00	97	-0.00	97	0.00	49	0.40	33	0.06	33	-0.36	97	-651.68	97	-13.96	97
0	Min.	-1343	0.00	97	-0.00	97	0.00	49	0.40	33	0.06	33	-0.36	97	-651.68	97	-13.96	97
0	Max	-1581	0.00	102	-0.00	102	0.00	97	-0.06	33	-0.01	33	0.08	97	-372.08	33	-2.05	33
0	Max	-1582	0.00	102	-0.00	102	0.00	97	-0.06	33	-0.01	33	0.08	97	-372.08	33	-2.05	33
0	Max	-1868	0.00	102	-0.00	102	0.00	97	-0.06	33	-0.01	33	0.08	97	-372.08	33	-2.05	33
0	Max	-1342	0.00	102	-0.00	102	0.00	97	-0.06	33	-0.01	33	0.08	97	-372.08	33	-2.05	33
0	Min.	-1581	0.00	97	-0.00	97	0.00	49	-0.08	97	-0.01	97	0.05	33	-522.70	97	-2.88	97
0	Min.	-1582	0.00	97	-0.00	97	0.00	49	-0.08	97	-0.01	97	0.05	33	-522.70	97	-2.88	97
0	Min.	-1868	0.00	97	-0.00	97	0.00	49	-0.08	97	-0.01	97	0.05	33	-522.70	97	-2.88	97
0	Min.	-1342	0.00	97	-0.00	97	0.00	49	-0.08	97	-0.01	97	0.05	33	-522.70	97	-2.88	97
0	Max	-1582	0.00	102	-0.00	102	0.00	33	-0.01	33	0.00	98	-0.01	33	-399.46	1	2.98	97
0	Max	-1583	0.00	102	-0.00	102	0.00	33	-0.01	33	0.00	98	-0.01	33	-399.46	1	2.98	97
0	Max	-1869	0.00	102	-0.00	102	0.00	33	-0.01	33	0.00	98	-0.01	33	-399.46	1	2.98	97
0	Max	-1868	0.00	102	-0.00	102	0.00	33	-0.01	33	0.00	98	-0.01	33	-399.46	1	2.98	97
0	Min.	-1582	0.00	97	-0.00	97	0.00	98	-0.01	97	0.00	33	-0.01	97	-561.17	97	2.12	33
0	Min.	-1583	0.00	97	-0.00	97	0.00	98	-0.01	97	0.00	33	-0.01	97	-561.17	97	2.12	33
0	Min.	-1869	0.00	97	-0.00	97	0.00	98	-0.01	97	0.00	33	-0.01	97	-561.17	97	2.12	33
0	Min.	-1868	0.00	97	-0.00	97	0.00	98	-0.01	97	0.00	33	-0.01	97	-561.17	97	2.12	33
0	Max	-1583	0.00	102	-0.00	102	0.00	33	0.01	97	0.00	98	-0.00	33	-393.08	1	-0.99	33
0	Max	-1584	0.00	102	-0.00	102	0.00	33	0.01	97	0.00	98	-0.00	33	-393.08	1	-0.99	33
0	Max	-1870	0.00	102	-0.00	102	0.00	33	0.01	97	0.00	98	-0.00	33	-393.08	1	-0.99	33
0	Max	-1869	0.00	102	-0.00	102	0.00	33	0.01	97	0.00	98	-0.00	33	-393.08	1	-0.99	33
0	Min.	-1583	0.00	97	-0.00	97	0.00	98	0.01	33	0.00	33	-0.00	97	-552.21	97	-1.39	97
0	Min.	-1584	0.00	97	-0.00	97	0.00	98	0.01	33	0.00	33	-0.00	97	-552.21	97	-1.39	97
0	Min.	-1870	0.00	97	-0.00	97	0.00	98	0.01	33	0.00	33	-0.00	97	-552.21	97	-1.39	97
0	Min.	-1869	0.00	97	-0.00	97	0.00	98	0.01	33	0.00	33	-0.00	97	-552.21	97	-1.39	97
0	Max	-1584	0.00	102	-0.00	102	0.00	33	-0.00	33	-0.00	33	0.00	97	-393.98	1	0.47	97
0	Max	-1585	0.00	102	-0.00	102	0.00	33	-0.00	33	-0.00	33	0.00	97	-393.98	1	0.47	97
0	Max	-1871	0.00	102	-0.00	102	0.00	33	-0.00	33	-0.00	33	0.00	97	-393.98	1	0.47	97
0	Max	-1870	0.00	102	-0.00	102	0.00	33	-0.00	33	-0.00	33	0.00	97	-393.98	1	0.47	97
0	Min.	-1584	0.00	97	-0.00	97	0.00	98	-0.01	97	-0.00	97	0.00	33	-553.48	97	0.34	33
0	Min.	-1585	0.00	97	-0.00	97	0.00	98	-0.01	97	-0.00	97	0.00	33	-553.48	97	0.34	33
0	Min.	-1871	0.00	97	-0.00	97	0.00	98	-0.01	97	-0.00	97	0.00	33	-553.48	97	0.34	33
0	Min.	-1870	0.00	97	-0.00	97	0.00	98	-0.01	97	-0.00	97	0.00	33	-553.48	97	0.34	33
0	Max	-1585	0.00	102	-0.00	102	0.00	33	0.00	97	0.00	98	-0.00	33	-394.06	1	-0.06	33
0	Max	-1614	0.00	102	-0.00	102	0.00	33	0.00	97	0.00	98	-0.00	33	-394.06	1	-0.06	33
0	Max	-1872	0.00	102	-0.00	102	0.00	33	0.00	97	0.00	98	-0.00	33	-394.06	1	-0.06	33
0	Max	-1871	0.00	102	-0.00	102	0.00	33	0.00	97	0.00	98	-0.00	33	-394.06	1	-0.06	33
0	Min.	-1585	0.00	97	-0.00	97	0.00	98	0.00	33	0.00	33	-0.00	97	-553.58	97	-0.09	98
0	Min.	-1614	0.00	97	-0.00	97	0.00	98	0.00	33	0.00	33	-0.00	97	-553.58	97	-0.09	98
0	Min.	-1872	0.00	97	-0.00	97	0.00	98	0.00	33	0.00	33	-0.00	97	-553.58	97	-0.09	98
0	Min.	-1871	0.00	97	-0.00	97	0.00	98	0.00	33	0.00	33	-0.00	97	-553.58	97	-0.09	98
0	Max	-1531	0.00	98	0.00	33	0.00	33	0.00	98	0.00	33	0.00	33	0.00	98	0.00	97
0	Max	-1593	0.00	98	0.00	33	0.00	33	0.00	98	0.00	33	0.00	33	0.00	98	0.00	97
0	Max	-1551	0.00	98	0.00	33	0.00	33	0.00	98	0.00	33	0.00	33	0.00	98	0.00	97
0	Max	430	0.00	98	0.00	33	0.00	33	0.00	98	0.00	33	0.00	33	0.00	98	0.00	97
0	Min.	-1531	0.00	101	0.00	97	0.00	49	0.00	101	0.00	98	0.00	49	0.00	101	0.00	102
0	Min.	-1593	0.00	101	0.00	97	0.00	49	0.00	101	0.00	98	0.00	49	0.00	101	0.00	102
0	Min.	-1551	0.00	101	0.00	97	0.00	49	0.00	101	0.00	98	0.00	49	0.00	101	0.00	102
0	Min.	430	0.00	101	0.00	97	0.00	49	0.00	101	0.00	98	0.00	49	0.00	101	0.00	102
0	Max	-1593	0.00	102	0.00	98	0.00	33	-0.01	33	-0.05	33	0.07	97	-4.26	33	-377.42	33
0	Max	-1929	0.00	102	0.00	98	0.00	33	-0.01	33	-0.05	33	0.07	97	-4.26	33	-377.42	33
0	Max	-1926	0.00	102	0.00	98	0.00	33	-0.01	33	-0.05	33	0.07	97	-4.26	33	-377.42	33
0	Max	-1551	0.00	102	0.00	98	0.00	33	-0.01	33	-0.05	33	0.07	97	-4.26	33	-377.42	33
0	Min.	-1593	0.00	97	0.00	49	0.00	98	-0.01	97	-0.08	97	0.05	33	-5.99	97	-530.21	97
0	Min.	-1929	0.00	97	0.00	49	0.00	98	-0.01	97	-0.08	97	0.05	33	-5.99	97	-530.21	97
0	Min.	-1926	0.00	97	0.00	49	0.00	98	-0.01	97	-0.08	97	0.05	33	-5.99	97	-530.21	97
0	Min.	-1551	0.00	97	0.00	49	0.00	98	-0.01	97	-0.08	97	0.05	33	-5.99	97	-530.21	97
0	Max	-1594	0.00	98	0.00	33	0.00	33	0.00	98	0.00	33	0.00	98	0.00	98	0.00	101
0	Max	-1595	0.00	98	0.00	33	0.00	33	0.00	98	0.00	33	0.00	98	0.00	98	0.00	101
0	Max	-1553	0.00	98	0.00	33	0.00	33	0.00	98	0.00	33	0.00	98	0.00	98	0.00	101
0	Max	-1552	0.00	98	0.00	33	0.00	33	0.00	98	0.00	33	0.00	98	0.00	98	0.00	101
0	Min.	-1594	0.00	101	0.00	97	0.00	49	0.00	101	0.00	99	0.00	49	0.00	101	0.00	98
0	Min.	-1595	0.00	101	0.00	97	0.00	49	0.00	101	0.00	99	0.00	49	0.00	101	0.00	98
0	Min.	-1553	0.00	101	0.00	97	0.00	49	0.00	101	0.00	99	0.00	49	0.00	101	0.00	98
0	Min.	-1552	0.00	101	0.00	97	0.00	49	0.00	101	0.00	99	0.00	49	0.00	101	0.00	98
0	Max	-1595	0.00	98	0.00	33	0.00	33	0.00	98	0.00	33	0.00	98	0.00	98	0.00	101
0	Max	-1596	0.00	98	0.00	33	0.00	33	0.00	98	0.00	33	0.00	98	0.00	98	0.00	101
0	Max	-1554	0.00	98	0.00	33	0.00	33	0.00	98	0.00	33	0.00	98	0.00	98	0.00	101
0	Max	-1553	0.00	98	0.00	33	0.00	33	0.00	98	0.00	33	0.00	98	0.00	98	0.00	101
0	Min.	-1595	0.00	101	0.00	97	0.00	49	0.00	101	0.00	99	0.00	49	0.00	49	0.00	98
0	Min.	-1596	0.00	101	0.00	97	0.00	49	0.00	101	0.00	99	0.00	49	0.00	49	0.00	98
0	Min.	-1554	0.00	101	0.00	97	0.00	49	0.00	101	0.00	99	0.00	49	0.00	49	0.00	98
0	Min.	-1553	0.00	101	0.00	97	0.00	49	0.00	101	0.00	99	0.00	49	0.00	49	0.00	98
0	Max	-1596	0.00	98	0.00	33	0.00	33	0.00	98	0.00	33	0.00	98	0.00	98	0.00	101
0	Max	-1597	0.00	98	0.00	33	0.00	33	0.00	98	0.00	33	0.00	98	0.00	98	0.00	101
0	Max	-1555	0.00	98	0.00	33	0.00	33	0.00	98	0.00	33	0.00	98	0.00	98	0.00	101
0	Max	-1554	0.00	98	0.00	33	0.00	33	0.00	98	0.00	33	0.00	98	0.00	98	0.00	101
0	Min.	-1596	0.00	101	0.00	97	0.00	49	0.00	101	0.00	99	0.00	49	0.00	49	0.00	98
0	Min.	-1597	0.00	101	0.00	97	0.00	49	0.00	101	0.00	99	0.00	49	0.00	49	0.00	98
0	Min.	-1555	0.00	101	0.00	97	0.00	49	0.00	101	0.00	99	0.00	49	0.00	49	0.00	98
0	Min.	-1554	0.00	101	0.00	97	0.00	49	0.00	101	0.00	99	0.00	49	0.00	49	0.00	98
0	Max	-1597	0.00	98	0.00	33	0.00	33	0.00	98	0.00	33	0.00	98	0.00	98	0.00	101
0	Max	-1598	0.00	98	0.00	33	0.00	33	0.00	98	0.00	33	0.00	98	0.00	98	0.00	101
0	Max	-1556	0.00	98	0.00	33	0.00	33	0.00	98	0.00	33	0.00	98	0.00	98	0.00	101
0	Max	-1555	0.00	98	0.00	33	0.00	33	0.00	98	0.00	33	0.00	98	0.00	98	0.00	101
0	Min.	-1597	0.00	101	0.00	99	0.00	49	0.00	101	0.00	99	0.00	49	0.00	49	0.00	98
0	Min.	-1598	0.00	101	0.00	99	0.00	49	0.00	101	0.00	99	0.00	49	0.00	49	0.00	98
0	Min.	-1556	0.00	101	0.00	99	0.00	49	0.00	101	0.00	99	0.00	49	0.00	49	0.00	98

0	Min.	-1555	0.00	101	0.00	99	0.00	49	0.00	101	0.00	99	0.00	49	0.00	49	0.00	98
0	Max	-1598	0.00	98	0.00	33	0.00	33	0.00	98	0.00	33	0.00	98	0.00	98	0.00	101
0	Max	-1599	0.00	98	0.00	33	0.00	33	0.00	98	0.00	33	0.00	98	0.00	98	0.00	101
0	Max	-1557	0.00	98	0.00	33	0.00	33	0.00	98	0.00	33	0.00	98	0.00	98	0.00	101
0	Max	-1556	0.00	98	0.00	33	0.00	33	0.00	98	0.00	33	0.00	98	0.00	98	0.00	101
0	Min.	-1598	0.00	101	0.00	99	0.00	49	0.00	101	0.00	99	0.00	49	0.00	49	0.00	98
0	Min.	-1599	0.00	101	0.00	99	0.00	49	0.00	101	0.00	99	0.00	49	0.00	49	0.00	98
0	Min.	-1557	0.00	101	0.00	99	0.00	49	0.00	101	0.00	99	0.00	49	0.00	49	0.00	98
0	Min.	-1556	0.00	101	0.00	99	0.00	49	0.00	101	0.00	99	0.00	49	0.00	49	0.00	98
0	Max	-1599	0.00	102	0.00	33	0.00	33	0.00	102	0.00	33	0.00	98	0.00	98	0.00	101
0	Max	-1616	0.00	102	0.00	33	0.00	33	0.00	102	0.00	33	0.00	98	0.00	98	0.00	101
0	Max	-1610	0.00	102	0.00	33	0.00	33	0.00	102	0.00	33	0.00	98	0.00	98	0.00	101
0	Max	-1557	0.00	102	0.00	33	0.00	33	0.00	102	0.00	33	0.00	98	0.00	98	0.00	101
0	Min.	-1599	0.00	97	0.00	99	0.00	49	0.00	97	0.00	99	0.00	49	0.00	49	0.00	98
0	Min.	-1616	0.00	97	0.00	99	0.00	49	0.00	97	0.00	99	0.00	49	0.00	49	0.00	98
0	Min.	-1610	0.00	97	0.00	99	0.00	49	0.00	97	0.00	99	0.00	49	0.00	49	0.00	98
0	Min.	-1557	0.00	97	0.00	99	0.00	49	0.00	97	0.00	99	0.00	49	0.00	49	0.00	98
0	Max	-1408	0.00	98	0.00	98	0.00	98	0.00	97	0.00	98	0.00	97	399.11	97	-0.08	33
0	Max	-1407	0.00	98	0.00	98	0.00	98	0.00	97	0.00	98	0.00	97	399.11	97	-0.08	33
0	Max	-1607	0.00	98	0.00	98	0.00	98	0.00	97	0.00	98	0.00	97	399.11	97	-0.08	33
0	Max	-1840	0.00	98	0.00	98	0.00	98	0.00	97	0.00	98	0.00	97	399.11	97	-0.08	33
0	Min.	-1408	0.00	101	0.00	33	0.00	49	0.00	33	0.00	33	0.00	33	284.10	33	-0.11	97
0	Min.	-1407	0.00	101	0.00	33	0.00	49	0.00	33	0.00	33	0.00	33	284.10	33	-0.11	97
0	Min.	-1607	0.00	101	0.00	33	0.00	49	0.00	33	0.00	33	0.00	33	284.10	33	-0.11	97
0	Min.	-1840	0.00	101	0.00	33	0.00	49	0.00	33	0.00	33	0.00	33	284.10	33	-0.11	97
0	Max	-1409	0.00	98	0.00	98	0.00	98	-0.00	33	-0.00	33	-0.00	33	399.19	97	0.55	97
0	Max	-1408	0.00	98	0.00	98	0.00	98	-0.00	33	-0.00	33	-0.00	33	399.19	97	0.55	97
0	Max	-1840	0.00	98	0.00	98	0.00	98	-0.00	33	-0.00	33	-0.00	33	399.19	97	0.55	97
0	Max	-1697	0.00	98	0.00	98	0.00	98	-0.00	33	-0.00	33	-0.00	33	399.19	97	0.55	97
0	Min.	-1409	0.00	101	0.00	33	0.00	49	-0.01	97	-0.00	97	-0.00	97	284.16	33	0.39	33
0	Min.	-1408	0.00	101	0.00	33	0.00	49	-0.01	97	-0.00	97	-0.00	97	284.16	33	0.39	33
0	Min.	-1840	0.00	101	0.00	33	0.00	49	-0.01	97	-0.00	97	-0.00	97	284.16	33	0.39	33
0	Min.	-1697	0.00	101	0.00	33	0.00	49	-0.01	97	-0.00	97	-0.00	97	284.16	33	0.39	33
0	Max	-1437	0.00	98	0.00	98	0.00	98	0.01	97	0.00	98	0.00	97	397.57	97	-1.05	33
0	Max	-1409	0.00	98	0.00	98	0.00	98	0.01	97	0.00	98	0.00	97	397.57	97	-1.05	33
0	Max	-1697	0.00	98	0.00	98	0.00	98	0.01	97	0.00	98	0.00	97	397.57	97	-1.05	33
0	Max	-1696	0.00	98	0.00	98	0.00	98	0.01	97	0.00	98	0.00	97	397.57	97	-1.05	33
0	Min.	-1437	0.00	101	0.00	33	0.00	49	0.01	33	0.00	33	0.00	33	282.99	33	-1.50	97
0	Min.	-1409	0.00	101	0.00	33	0.00	49	0.01	33	0.00	33	0.00	33	282.99	33	-1.50	97
0	Min.	-1697	0.00	101	0.00	33	0.00	49	0.01	33	0.00	33	0.00	33	282.99	33	-1.50	97
0	Min.	-1696	0.00	101	0.00	33	0.00	49	0.01	33	0.00	33	0.00	33	282.99	33	-1.50	97
0	Max	-1440	0.00	98	0.00	98	0.00	98	0.00	98	0.00	98	0.01	97	406.60	97	2.82	97
0	Max	-1437	0.00	98	0.00	98	0.00	98	0.00	98	0.00	98	0.01	97	406.60	97	2.82	97
0	Max	-1696	0.00	98	0.00	98	0.00	98	0.00	98	0.00	98	0.01	97	406.60	97	2.82	97
0	Max	-1690	0.00	98	0.00	98	0.00	98	0.00	98	0.00	98	0.01	97	406.60	97	2.82	97
0	Min.	-1440	0.00	101	0.00	33	0.00	49	0.00	33	0.00	33	0.01	33	289.36	33	1.97	33
0	Min.	-1437	0.00	101	0.00	33	0.00	49	0.00	33	0.00	33	0.01	33	289.36	33	1.97	33
0	Min.	-1696	0.00	101	0.00	33	0.00	49	0.00	33	0.00	33	0.01	33	289.36	33	1.97	33
0	Min.	-1690	0.00	101	0.00	33	0.00	49	0.00	33	0.00	33	0.01	33	289.36	33	1.97	33
0	Max	-1444	0.00	98	0.00	98	0.00	98	-0.09	33	-0.01	33	-0.06	33	370.94	97	-0.69	33
0	Max	-1440	0.00	98	0.00	98	0.00	98	-0.09	33	-0.01	33	-0.06	33	370.94	97	-0.69	33
0	Max	-1690	0.00	98	0.00	98	0.00	98	-0.09	33	-0.01	33	-0.06	33	370.94	97	-0.69	33
0	Max	-1685	0.00	98	0.00	98	0.00	98	-0.09	33	-0.01	33	-0.06	33	370.94	97	-0.69	33
0	Min.	-1444	0.00	101	0.00	33	0.00	49	-0.13	97	-0.02	97	-0.08	97	263.97	33	-1.01	97
0	Min.	-1440	0.00	101	0.00	33	0.00	49	-0.13	97	-0.02	97	-0.08	97	263.97	33	-1.01	97
0	Min.	-1690	0.00	101	0.00	33	0.00	49	-0.13	97	-0.02	97	-0.08	97	263.97	33	-1.01	97
0	Min.	-1685	0.00	101	0.00	33	0.00	49	-0.13	97	-0.02	97	-0.08	97	263.97	33	-1.01	97
0	Max	-1447	0.00	98	0.00	98	0.00	33	0.73	97	0.09	97	0.35	97	484.92	97	-16.28	33
0	Max	-1444	0.00	98	0.00	98	0.00	33	0.73	97	0.09	97	0.35	97	484.92	97	-16.28	33
0	Max	-1685	0.00	98	0.00	98	0.00	33	0.73	97	0.09	97	0.35	97	484.92	97	-16.28	33
0	Max	-1414	0.00	98	0.00	98	0.00	33	0.73	97	0.09	97	0.35	97	484.92	97	-16.28	33
0	Min.	-1447	0.00	101	0.00	33	0.00	97	0.51	33	0.07	33	0.25	33	344.95	33	-23.10	97
0	Min.	-1444	0.00	101	0.00	33	0.00	97	0.51	33	0.07	33	0.25	33	344.95	33	-23.10	97
0	Min.	-1685	0.00	101	0.00	33	0.00	97	0.51	33	0.07	33	0.25	33	344.95	33	-23.10	97
0	Min.	-1414	0.00	101	0.00	33	0.00	97	0.51	33	0.07	33	0.25	33	344.95	33	-23.10	97
0	Max	-1451	0.00	98	0.00	98	0.00	33	-0.84	33	0.31	97	-0.35	33	284.54	97	-369.61	33
0	Max	-1931	0.00	98	0.00	98	0.00	33	-0.84	33	0.31	97	-0.35	33	284.54	97	-369.61	33
0	Max	-1930	0.00	98	0.00	98	0.00	33	-0.84	33	0.31	97	-0.35	33	284.54	97	-369.61	33
0	Max	-1618	0.00	98	0.00	98	0.00	33	-0.84	33	0.31	97	-0.35	33	284.54	97	-369.61	33
0	Min.	-1451	0.00	101	0.00	101	0.00	98	-1.19	97	0.20	33	-0.51	97	202.86	33	-519.25	97
0	Min.	-1931	0.00	101	0.00	101	0.00	98	-1.19	97	0.20	33	-0.51	97	202.86	33	-519.25	97
0	Min.	-1930	0.00	101	0.00	101	0.00	98	-1.19	97	0.20	33	-0.51	97	202.86	33	-519.25	97
0	Min.	-1618	0.00	101	0.00	101	0.00	98	-1.19	97	0.20	33	-0.51	97	202.86	33	-519.25	97
0	Max	-1543	0.00	98	0.00	98	0.00	98	0.00	97	0.00	98	-0.00	33	-503.97	33	-0.08	33
0	Max	-1608	0.00	98	0.00	98	0.00	98	0.00	97	0.00	98	-0.00	33	-503.97	33	-0.08	33
0	Max	-1407	0.00	98	0.00	98	0.00	98	0.00	97	0.00	98	-0.00	33	-503.97	33	-0.08	33
0	Max	-1408	0.00	98	0.00	98	0.00	98	0.00	97	0.00	98	-0.00	33	-503.97	33	-0.08	33
0	Min.	-1543	0.00	101	0.00	101	0.00	49	0.00	33	0.00	33	-0.00	97	-707.99	97	-0.11	97
0	Min.	-1608	0.00	101	0.00	101	0.00	49	0.00	33	0.00	33	-0.00	97	-707.99	97	-0.11	97
0	Min.	-1407	0.00	101	0.00	101	0.00	49	0.00	33	0.00	33	-0.00	97	-707.99	97	-0.11	97
0	Min.	-1408	0.00	101	0.00	101	0.00	49	0.00	33	0.00	33	-0.00	97	-707.99	97	-0.11	97
0	Max	-1542	0.00	98	0.00	98	0.00	98	-0.00	33	-0.00	33	0.00	97	-504.09	33	0.55	97
0	Max	-1543	0.00	98	0.00	98	0.00	98	-0.00	33	-0.00	33	0.00	97	-504.09	33	0.55	97
0	Max	-1408	0.00	98	0.00	98	0.00	98	-0.00	33	-0.00	33	0.00	97	-504.09	33	0.55	97
0	Max	-1409	0.00	98	0.00	98	0.00	98	-0.00	33	-0.00	33	0.00	97	-504.09	33	0.55	97
0	Min.	-1542	0.00	101	0.00	33	0.00	49	-0.01	97	-0.00	97	0.00	33	-708.17	97	0.39	33
0	Min.	-1543	0.00	101	0.00	33	0.00	49	-0.01	97	-0.00	97	0.00	33	-708.17	97	0.39	33
0	Min.	-1408	0.00	101	0.00	33	0.00	49	-0.01	97	-0.00	97	0.00	33	-708.17	97	0.39	33
0	Min.	-1409	0.00	101	0.00	33	0.00	49	-0.01	97	-0.00	97	0.00	33	-708.17	97	0.39	33
0	Max	-1541	0.00	98	0.00	98	0.00	98	0.01	97	0.00	98	-0.00	33	-501.91	33	-1.05	33
0	Max	-1542	0.00	98	0.00	98	0.00	98	0.01	97	0.00	98	-0.00	33	-501.91	33	-1.05	33
0	Max	-1409	0.00	98	0.00	98	0.00	98	0.01	97	0.00	98	-0.00	33	-501.91	33	-1.05	33
0	Max	-1437	0.00	98	0.00	98	0.00	98	0.01	97	0.00	98	-0.00	33	-501.91	33	-1.05	33
0	Min.	-1541	0.00	101	0.00	33	0.00	49	0.01	33	0.00	33	-0.00	97	-705.12	97	-1.50	97
0	Min.	-1542	0.00	101	0.00	33	0.00	49	0.01	33	0.00	33	-0.00	97	-705.12	97	-1.50	97
0	Min.	-1409	0.00	101	0.00	33	0.00	49	0.01	33	0.00	33	-0.00	97	-705.12	97	-1.50	97
0	Min.	-1437	0.00	101	0.00	33	0.00	49	0.01	33	0.00	33	-0.00	97	-705.12	97	-1.50	97
0	Max	-1860	0.00	98	0.00	98	0.00	98	0.00	98	-0.00	33	-0.01	33	-513.67	33	2.82	97
0	Max	-1541	0.00	98	0.00	98	0.00	98	0.00	98	-0.00	33	-0.01	33	-513.67	33	2.82	97
0	Max	-1437	0.00	98	0.00	98	0.00	98	0.00	98	-0.00	33	-0.01	33	-513.67	33	2.82	97
0	Max	-1440	0.00	98	0.00	98	0.00	98	0.00	98	-0.00	33	-0.01	33	-513.67	33	2.82	97
0	Min.	-1860	0.00	101	0.00	33	0.00	49	0.00	33	-0.00	97	-0.02	97	-721.84	97	1.97	33
0	Min.	-1541	0.00	101	0.00	33	0.00	49	0.00	33	-0.00	97	-0.02	97	-721.84	97	1.97	33
0	Min.	-1437	0.00	101	0.00	33	0.00	49	0.00	33	-0.00	97	-0.02	97	-721.84	97	1.97	33
0	Min.	-1440	0.00	101	0.00	33	0.00	49	0.00	33	-0.00	97	-0.02	97	-721.84	97	1.97	33

0	Max	-1855	0.00	98	0.00	98	0.00	98	-0.09	33	-0.00	33	0.14	97	-466.51	33	-0.69	33
0	Max	-1860	0.00	98	0.00	98	0.00	98	-0.09	33	-0.00	33	0.14	97	-466.51	33	-0.69	33
0	Max	-1440	0.00	98	0.00	98	0.00	98	-0.09	33	-0.00	33	0.14	97	-466.51	33	-0.69	33
0	Max	-1444	0.00	98	0.00	98	0.00	98	-0.09	33	-0.00	33	0.14	97	-466.51	33	-0.69	33
0	Min.	-1855	0.00	101	0.00	33	0.00	49	-0.13	97	-0.00	97	0.10	33	-655.58	97	-1.01	97
0	Min.	-1860	0.00	101	0.00	33	0.00	49	-0.13	97	-0.00	97	0.10	33	-655.58	97	-1.01	97
0	Min.	-1440	0.00	101	0.00	33	0.00	49	-0.13	97	-0.00	97	0.10	33	-655.58	97	-1.01	97
0	Min.	-1444	0.00	101	0.00	33	0.00	49	-0.13	97	-0.00	97	0.10	33	-655.58	97	-1.01	97
0	Max	-1854	0.00	98	0.00	98	0.00	98	0.72	97	0.03	97	-0.42	33	-618.61	33	-16.28	33
0	Max	-1855	0.00	98	0.00	98	0.00	98	0.72	97	0.03	97	-0.42	33	-618.61	33	-16.28	33
0	Max	-1444	0.00	98	0.00	98	0.00	98	0.72	97	0.03	97	-0.42	33	-618.61	33	-16.28	33
0	Max	-1447	0.00	98	0.00	98	0.00	98	0.72	97	0.03	97	-0.42	33	-618.61	33	-16.28	33
0	Min.	-1854	0.00	101	0.00	33	0.00	49	0.51	33	0.02	33	-0.60	97	-870.54	97	-23.10	97
0	Min.	-1855	0.00	101	0.00	33	0.00	49	0.51	33	0.02	33	-0.60	97	-870.54	97	-23.10	97
0	Min.	-1444	0.00	101	0.00	33	0.00	49	0.51	33	0.02	33	-0.60	97	-870.54	97	-23.10	97
0	Min.	-1447	0.00	101	0.00	33	0.00	49	0.51	33	0.02	33	-0.60	97	-870.54	97	-23.10	97
0	Max	-1841	0.00	98	0.00	98	0.00	98	-0.84	33	0.31	97	0.25	97	-341.92	33	-486.02	33
0	Max	-1932	0.00	98	0.00	98	0.00	98	-0.84	33	0.31	97	0.25	97	-341.92	33	-486.02	33
0	Max	-1931	0.00	98	0.00	98	0.00	98	-0.84	33	0.31	97	0.25	97	-341.92	33	-486.02	33
0	Max	-1451	0.00	98	0.00	98	0.00	98	-0.84	33	0.31	97	0.25	97	-341.92	33	-486.02	33
0	Min.	-1841	0.00	101	0.00	101	0.00	49	-1.19	97	0.18	33	0.18	33	-480.64	97	-696.48	97
0	Min.	-1932	0.00	101	0.00	101	0.00	49	-1.19	97	0.18	33	0.18	33	-480.64	97	-696.48	97
0	Min.	-1931	0.00	101	0.00	101	0.00	49	-1.19	97	0.18	33	0.18	33	-480.64	97	-696.48	97
0	Min.	-1451	0.00	101	0.00	101	0.00	49	-1.19	97	0.18	33	0.18	33	-480.64	97	-696.48	97
0	Max	-1606	0.00	49	-0.00	49	0.00	98	0.01	97	0.00	97	-0.00	33	-516.74	33	-0.08	33
0	Max	-1617	0.00	49	-0.00	49	0.00	98	0.01	97	0.00	97	-0.00	33	-516.74	33	-0.08	33
0	Max	-2127	0.00	49	-0.00	49	0.00	98	0.01	97	0.00	97	-0.00	33	-516.74	33	-0.08	33
0	Max	-2128	0.00	49	-0.00	49	0.00	98	0.01	97	0.00	97	-0.00	33	-516.74	33	-0.08	33
0	Min.	-1606	0.00	97	-0.00	98	0.00	49	0.00	33	0.00	33	-0.00	97	-737.65	97	-0.17	97
0	Min.	-1617	0.00	97	-0.00	98	0.00	49	0.00	33	0.00	33	-0.00	97	-737.65	97	-0.17	97
0	Min.	-2127	0.00	97	-0.00	98	0.00	49	0.00	33	0.00	33	-0.00	97	-737.65	97	-0.17	97
0	Min.	-2128	0.00	97	-0.00	98	0.00	49	0.00	33	0.00	33	-0.00	97	-737.65	97	-0.17	97
0	Max	-1605	0.00	102	-0.00	49	0.00	98	-0.01	33	-0.00	33	0.00	97	-516.65	33	0.93	97
0	Max	-1606	0.00	102	-0.00	49	0.00	98	-0.01	33	-0.00	33	0.00	97	-516.65	33	0.93	97
0	Max	-2128	0.00	102	-0.00	49	0.00	98	-0.01	33	-0.00	33	0.00	97	-516.65	33	0.93	97
0	Max	-2129	0.00	102	-0.00	49	0.00	98	-0.01	33	-0.00	33	0.00	97	-516.65	33	0.93	97
0	Min.	-1605	0.00	97	-0.00	98	0.00	49	-0.01	97	-0.00	98	0.00	33	-737.52	97	0.64	33
0	Min.	-1606	0.00	97	-0.00	98	0.00	49	-0.01	97	-0.00	98	0.00	33	-737.52	97	0.64	33
0	Min.	-2128	0.00	97	-0.00	98	0.00	49	-0.01	97	-0.00	98	0.00	33	-737.52	97	0.64	33
0	Min.	-2129	0.00	97	-0.00	98	0.00	49	-0.01	97	-0.00	98	0.00	33	-737.52	97	0.64	33
0	Max	-1604	0.00	102	-0.00	49	0.00	98	0.03	97	0.00	97	-0.00	33	-514.52	33	-1.66	33
0	Max	-1605	0.00	102	-0.00	49	0.00	98	0.03	97	0.00	97	-0.00	33	-514.52	33	-1.66	33
0	Max	-2129	0.00	102	-0.00	49	0.00	98	0.03	97	0.00	97	-0.00	33	-514.52	33	-1.66	33
0	Max	-2130	0.00	102	-0.00	49	0.00	98	0.03	97	0.00	97	-0.00	33	-514.52	33	-1.66	33
0	Min.	-1604	0.00	97	-0.00	98	0.00	49	0.01	33	0.00	33	-0.01	97	-734.71	97	-2.70	97
0	Min.	-1605	0.00	97	-0.00	98	0.00	49	0.01	33	0.00	33	-0.01	97	-734.71	97	-2.70	97
0	Min.	-2129	0.00	97	-0.00	98	0.00	49	0.01	33	0.00	33	-0.01	97	-734.71	97	-2.70	97
0	Min.	-2130	0.00	97	-0.00	98	0.00	49	0.01	33	0.00	33	-0.01	97	-734.71	97	-2.70	97
0	Max	-1603	0.00	102	-0.00	49	0.00	98	-0.01	33	-0.00	33	-0.01	33	-526.59	33	5.71	97
0	Max	-1604	0.00	102	-0.00	49	0.00	98	-0.01	33	-0.00	33	-0.01	33	-526.59	33	5.71	97
0	Max	-2130	0.00	102	-0.00	49	0.00	98	-0.01	33	-0.00	33	-0.01	33	-526.59	33	5.71	97
0	Max	-2131	0.00	102	-0.00	49	0.00	98	-0.01	33	-0.00	33	-0.01	33	-526.59	33	5.71	97
0	Min.	-1603	-0.00	97	-0.00	98	0.00	101	-0.02	33	-0.00	98	-0.01	97	-753.48	97	3.27	33
0	Min.	-1604	-0.00	97	-0.00	98	0.00	101	-0.02	33	-0.00	98	-0.01	97	-753.48	97	3.27	33
0	Min.	-2130	-0.00	97	-0.00	98	0.00	101	-0.02	33	-0.00	98	-0.01	97	-753.48	97	3.27	33
0	Min.	-2131	-0.00	97	-0.00	98	0.00	101	-0.02	33	-0.00	98	-0.01	97	-753.48	97	3.27	33
0	Max	-1602	0.00	97	-0.00	49	0.00	98	-0.11	33	-0.00	33	0.14	97	-469.42	33	-2.32	33
0	Max	-1603	0.00	97	-0.00	49	0.00	98	-0.11	33	-0.00	33	0.14	97	-469.42	33	-2.32	33
0	Max	-2131	0.00	97	-0.00	49	0.00	98	-0.11	33	-0.00	33	0.14	97	-469.42	33	-2.32	33
0	Max	-2132	0.00	97	-0.00	49	0.00	98	-0.11	33	-0.00	33	0.14	97	-469.42	33	-2.32	33
0	Min.	-1602	0.00	102	-0.00	98	0.00	101	-0.16	97	-0.00	33	0.09	33	-673.68	97	-5.17	97
0	Min.	-1603	0.00	102	-0.00	98	0.00	101	-0.16	97	-0.00	33	0.09	33	-673.68	97	-5.17	97
0	Min.	-2131	0.00	102	-0.00	98	0.00	101	-0.16	97	-0.00	33	0.09	33	-673.68	97	-5.17	97
0	Min.	-2132	0.00	102	-0.00	98	0.00	101	-0.16	97	-0.00	33	0.09	33	-673.68	97	-5.17	97
0	Max	-1601	0.00	98	-0.00	49	0.00	98	1.10	97	0.05	97	-0.45	33	-654.05	33	-19.18	33
0	Max	-1602	0.00	98	-0.00	49	0.00	98	1.10	97	0.05	97	-0.45	33	-654.05	33	-19.18	33
0	Max	-2132	0.00	98	-0.00	49	0.00	98	1.10	97	0.05	97	-0.45	33	-654.05	33	-19.18	33
0	Max	-2133	0.00	98	-0.00	49	0.00	98	1.10	97	0.05	97	-0.45	33	-654.05	33	-19.18	33
0	Min.	-1601	0.00	101	-0.00	97	0.00	49	0.74	33	0.04	33	-0.68	97	-943.03	97	-28.85	97
0	Min.	-1602	0.00	101	-0.00	97	0.00	49	0.74	33	0.04	33	-0.68	97	-943.03	97	-28.85	97
0	Min.	-2132	0.00	101	-0.00	97	0.00	49	0.74	33	0.04	33	-0.68	97	-943.03	97	-28.85	97
0	Min.	-2133	0.00	101	-0.00	97	0.00	49	0.74	33	0.04	33	-0.68	97	-943.03	97	-28.85	97
0	Max	-1600	0.00	102	0.00	102	0.00	98	-1.41	33	-1.20	33	0.72	97	-265.72	33	-760.45	33
0	Max	-1933	0.00	102	0.00	102	0.00	98	-1.41	33	-1.20	33	0.72	97	-265.72	33	-760.45	33
0	Max	-2134	0.00	102	0.00	102	0.00	98	-1.41	33	-1.20	33	0.72	97	-265.72	33	-760.45	33
0	Max	-2135	0.00	102	0.00	102	0.00	98	-1.41	33	-1.20	33	0.72	97	-265.72	33	-760.45	33
0	Min.	-1600	0.00	97	0.00	97	0.00	101	-2.12	97	-1.83	97	0.51	33	-378.09	97	-1143.02	97
0	Min.	-1933	0.00	97	0.00	97	0.00	101	-2.12	97	-1.83	97	0.51	33	-378.09	97	-1143.02	97
0	Min.	-2134	0.00	97	0.00	97	0.00	101	-2.12	97	-1.83	97	0.51	33	-378.09	97	-1143.02	97
0	Min.	-2135	0.00	97	0.00	97	0.00	101	-2.12	97	-1.83	97	0.51	33	-378.09	97	-1143.02	97
0	Max	-1822	0.00	102	-0.00	49	-0.00	101	0.95	97	0.05	97	-0.55	33	-614.45	33	-13.28	33
0	Max	-1539	0.00	102	-0.00	49	-0.00	101	0.95	97	0.05	97	-0.55	33	-614.45	33	-13.28	33
0	Max	-2136	0.00	102	-0.00	49	-0.00	101	0.95	97	0.05	97	-0.55	33	-614.45	33	-13.28	33
0	Max	-2137	0.00	102	-0.00	49	-0.00	101	0.95	97	0.05	97	-0.55	33	-614.45	33	-13.28	33
0	Min.	-1822	-0.00	97	-0.00	97	-0.00	98	0.63	33	0.04	33	-0.83	97	-882.45	97	-22.43	97
0	Min.	-1539	-0.00	97	-0.00	97	-0.00	98	0.63	33	0.04	33	-0.83	97	-882.45	97	-22.43	97
0	Min.	-2136	-0.00	97	-0.00	97	-0.00	98	0.63	33	0.04	33	-0.83	97	-882.45	97	-22.43	97
0	Min.	-2137	-0.00	97	-0.00	97	-0.00	98	0.63	33	0.04	33	-0.83	97	-882.45	97	-22.43	97
0	Max	-1821	0.00	98	-0.00	33	0.00	102	-1.34	33	-1.19	33	0.74	97	-250.99	33	-762.75	33
0	Max	-1934	0.00	98	-0.00	33	0.00	102	-1.34	33	-1.19	33	0.74	97	-250.99	33	-762.75	33
0	Max	-2138	0.00	98	-0.00	33	0.00	102	-1.34	33	-1.19	33	0.74	97	-250.99	33	-762.75	33
0	Max	-2139	0.00	98	-0.00	33	0.00	102	-1.34	33	-1.19	33	0.74	97	-250.99	33	-762.75	33
0	Min.	-1821	0.00	33	-0.00	98	0.00	97	-2.00	97	-1.82	97	0.53	33	-354.91	97	-1152.43	97
0	Min.	-1934	0.00	33	-0.00	98	0.00	97	-2.00	97	-1.82	97	0.53	33	-354.91	97	-1152.43	97
0	Min.	-2138	0.00	33	-0.00	98	0.00	97	-2.00	97	-1.82	97	0.53	33	-354.91	97	-1152.43	97
0	Min.	-2139	0.00	33	-0.00	98	0.00	97	-2.00	97	-1.82	97	0.53	33	-354.91	97	-1152.43	97
0	Max	-1820	0.00	102	-0.00	33	0.00	97	1.11	97	0.05	97	0.68	97	-653.72	33	29.21	97
0	Max	-1821	0.00	102	-0.00	33	0.00	97	1.11	97	0.05	97	0.68	97	-653.72	33	29.21	97
0	Max	-2139	0.00	102	-0.00	33	0.00	97	1.11	97	0.05	97	0.68	97	-653.72	33	29.21	97
0	Max	-2140	0.00	102	-0.00	33	0.00	97	1.11	97	0.05	97	0.68	97	-653.72	33	29.21	97
0	Min.	-1820	0.00	97	-0.00	98	0.00	33	0.75	33	0.04	33	0.45	33	-943.50	97	19.34	33
0	Min.	-1821	0.00	97	-0.00	98	0.00	33	0.75	33	0.04	33	0.45	33	-943.50	97	19.34	33
0	Min.	-2139	0.00	97	-0.00	98	0.00	33	0.75	33	0.04	33	0.45	33	-943.50	97	19.34	33
0	Min.	-2140	0.00	97	-0.00	98	0.00	33	0.75	33	0.04	33	0.45	33	-943.50	97	19.34	33
0	Max	-1819	0.00	33	-0.00	33	0.00	97	-0.12	33	-0.00	33	-0.09	33	-468.89	33	5.82	97

0	Max	-1820	0.00	33	-0.00	33	0.00	97	-0.12	33	-0.00	33	-0.09	33	-468.89	33	5.82	97
0	Max	-2140	0.00	33	-0.00	33	0.00	97	-0.12	33	-0.00	33	-0.09	33	-468.89	33	5.82	97
0	Max	-2141	0.00	33	-0.00	33	0.00	97	-0.12	33	-0.00	33	-0.09	33	-468.89	33	5.82	97
0	Min.	-1819	-0.00	97	-0.00	98	0.00	33	-0.18	97	-0.00	33	-0.14	97	-673.53	97	2.60	33
0	Min.	-1820	-0.00	97	-0.00	98	0.00	33	-0.18	97	-0.00	33	-0.14	97	-673.53	97	2.60	33
0	Min.	-2140	-0.00	97	-0.00	98	0.00	33	-0.18	97	-0.00	33	-0.14	97	-673.53	97	2.60	33
0	Min.	-2141	-0.00	97	-0.00	98	0.00	33	-0.18	97	-0.00	33	-0.14	97	-673.53	97	2.60	33
0	Max	-1818	-0.00	33	-0.00	33	0.00	97	0.01	33	-0.00	33	0.01	97	-524.72	33	-4.80	33
0	Max	-1819	-0.00	33	-0.00	33	0.00	97	0.01	33	-0.00	33	0.01	97	-524.72	33	-4.80	33
0	Max	-2141	-0.00	33	-0.00	33	0.00	97	0.01	33	-0.00	33	0.01	97	-524.72	33	-4.80	33
0	Max	-2142	-0.00	33	-0.00	33	0.00	97	0.01	33	-0.00	33	0.01	97	-524.72	33	-4.80	33
0	Min.	-1818	-0.00	97	-0.00	98	0.00	33	0.00	33	-0.00	98	0.00	33	-750.78	97	-8.30	97
0	Min.	-1819	-0.00	97	-0.00	98	0.00	33	0.00	33	-0.00	98	0.00	33	-750.78	97	-8.30	97
0	Min.	-2141	-0.00	97	-0.00	98	0.00	33	0.00	33	-0.00	98	0.00	33	-750.78	97	-8.30	97
0	Min.	-2142	-0.00	97	-0.00	98	0.00	33	0.00	33	-0.00	98	0.00	33	-750.78	97	-8.30	97
0	Max	-1817	-0.00	33	-0.00	33	0.00	97	0.01	97	-0.00	33	-0.00	33	-524.97	33	8.28	97
0	Max	-1818	-0.00	33	-0.00	33	0.00	97	0.01	97	-0.00	33	-0.00	33	-524.97	33	8.28	97
0	Max	-2142	-0.00	33	-0.00	33	0.00	97	0.01	97	-0.00	33	-0.00	33	-524.97	33	8.28	97
0	Max	-2143	-0.00	33	-0.00	33	0.00	97	0.01	97	-0.00	33	-0.00	33	-524.97	33	8.28	97
0	Min.	-1817	-0.00	98	-0.00	98	0.00	102	0.00	33	-0.00	98	-0.01	98	-750.65	97	4.91	33
0	Min.	-1818	-0.00	98	-0.00	98	0.00	102	0.00	33	-0.00	98	-0.01	98	-750.65	97	4.91	33
0	Min.	-2142	-0.00	98	-0.00	98	0.00	102	0.00	33	-0.00	98	-0.01	98	-750.65	97	4.91	33
0	Min.	-2143	-0.00	98	-0.00	98	0.00	102	0.00	33	-0.00	98	-0.01	98	-750.65	97	4.91	33
0	Max	-1816	0.00	102	-0.00	33	0.00	101	-0.12	33	-0.00	33	0.14	97	-469.80	33	-2.91	33
0	Max	-1817	0.00	102	-0.00	33	0.00	101	-0.12	33	-0.00	33	0.14	97	-469.80	33	-2.91	33
0	Max	-2143	0.00	102	-0.00	33	0.00	101	-0.12	33	-0.00	33	0.14	97	-469.80	33	-2.91	33
0	Max	-2144	0.00	102	-0.00	33	0.00	101	-0.12	33	-0.00	33	0.14	97	-469.80	33	-2.91	33
0	Min.	-1816	0.00	97	-0.00	98	0.00	98	-0.18	97	-0.00	33	0.09	33	-673.92	97	-5.80	97
0	Min.	-1817	0.00	97	-0.00	98	0.00	98	-0.18	97	-0.00	33	0.09	33	-673.92	97	-5.80	97
0	Min.	-2143	0.00	97	-0.00	98	0.00	98	-0.18	97	-0.00	33	0.09	33	-673.92	97	-5.80	97
0	Min.	-2144	0.00	97	-0.00	98	0.00	98	-0.18	97	-0.00	33	0.09	33	-673.92	97	-5.80	97
0	Max	-1815	0.00	33	-0.00	33	0.00	101	1.10	97	0.05	97	-0.45	33	-653.74	33	-19.39	33
0	Max	-1816	0.00	33	-0.00	33	0.00	101	1.10	97	0.05	97	-0.45	33	-653.74	33	-19.39	33
0	Max	-2144	0.00	33	-0.00	33	0.00	101	1.10	97	0.05	97	-0.45	33	-653.74	33	-19.39	33
0	Max	-2145	0.00	33	-0.00	33	0.00	101	1.10	97	0.05	97	-0.45	33	-653.74	33	-19.39	33
0	Min.	-1815	-0.00	97	-0.00	98	0.00	98	0.74	33	0.03	33	-0.67	97	-942.44	97	-28.92	97
0	Min.	-1816	-0.00	97	-0.00	98	0.00	98	0.74	33	0.03	33	-0.67	97	-942.44	97	-28.92	97
0	Min.	-2144	-0.00	97	-0.00	98	0.00	98	0.74	33	0.03	33	-0.67	97	-942.44	97	-28.92	97
0	Min.	-2145	-0.00	97	-0.00	98	0.00	98	0.74	33	0.03	33	-0.67	97	-942.44	97	-28.92	97
0	Max	-1814	-0.00	33	-0.00	33	-0.00	33	-0.65	33	-1.20	33	-0.07	33	-511.56	33	-775.33	33
0	Max	-2087	-0.00	33	-0.00	33	-0.00	33	-0.65	33	-1.20	33	-0.07	33	-511.56	33	-775.33	33
0	Max	-2146	-0.00	33	-0.00	33	-0.00	33	-0.65	33	-1.20	33	-0.07	33	-511.56	33	-775.33	33
0	Max	-2147	-0.00	33	-0.00	33	-0.00	33	-0.65	33	-1.20	33	-0.07	33	-511.56	33	-775.33	33
0	Min.	-1814	-0.00	98	-0.00	98	-0.00	98	-0.97	97	-1.83	97	-0.16	97	-745.80	97	-1168.08	97
0	Min.	-2087	-0.00	98	-0.00	98	-0.00	98	-0.97	97	-1.83	97	-0.16	97	-745.80	97	-1168.08	97
0	Min.	-2146	-0.00	98	-0.00	98	-0.00	98	-0.97	97	-1.83	97	-0.16	97	-745.80	97	-1168.08	97
0	Min.	-2147	-0.00	98	-0.00	98	-0.00	98	-0.97	97	-1.83	97	-0.16	97	-745.80	97	-1168.08	97
0	Max	-1813	-0.00	33	-0.00	33	-0.00	33	-0.75	33	-1.13	33	0.54	97	-306.40	33	-729.30	33
0	Max	-2089	-0.00	33	-0.00	33	-0.00	33	-0.75	33	-1.13	33	0.54	97	-306.40	33	-729.30	33
0	Max	-2148	-0.00	33	-0.00	33	-0.00	33	-0.75	33	-1.13	33	0.54	97	-306.40	33	-729.30	33
0	Max	-2149	-0.00	33	-0.00	33	-0.00	33	-0.75	33	-1.13	33	0.54	97	-306.40	33	-729.30	33
0	Min.	-1813	-0.00	98	-0.00	97	-0.00	98	-1.15	97	-1.73	97	0.39	33	-430.86	97	-1109.89	97
0	Min.	-2089	-0.00	98	-0.00	97	-0.00	98	-1.15	97	-1.73	97	0.39	33	-430.86	97	-1109.89	97
0	Min.	-2148	-0.00	98	-0.00	97	-0.00	98	-1.15	97	-1.73	97	0.39	33	-430.86	97	-1109.89	97
0	Min.	-2149	-0.00	98	-0.00	97	-0.00	98	-1.15	97	-1.73	97	0.39	33	-430.86	97	-1109.89	97
0	Max	-1533	-0.00	101	-0.00	33	0.00	97	1.67	97	2.11	97	-0.10	33	-746.00	33	-87.80	33
0	Max	-1813	-0.00	101	-0.00	33	0.00	97	1.67	97	2.11	97	-0.10	33	-746.00	33	-87.80	33
0	Max	-2149	-0.00	101	-0.00	33	0.00	97	1.67	97	2.11	97	-0.10	33	-746.00	33	-87.80	33
0	Max	-2150	-0.00	101	-0.00	33	0.00	97	1.67	97	2.11	97	-0.10	33	-746.00	33	-87.80	33
0	Min.	-1533	-0.00	98	-0.00	98	0.00	102	1.10	33	1.48	33	-0.15	97	-1081.29	97	-129.78	97
0	Min.	-1813	-0.00	98	-0.00	98	0.00	102	1.10	33	1.48	33	-0.15	97	-1081.29	97	-129.78	97
0	Min.	-2149	-0.00	98	-0.00	98	0.00	102	1.10	33	1.48	33	-0.15	97	-1081.29	97	-129.78	97
0	Min.	-2150	-0.00	98	-0.00	98	0.00	102	1.10	33	1.48	33	-0.15	97	-1081.29	97	-129.78	97
0	Max	-1812	-0.00	102	-0.00	33	0.00	101	1.67	97	2.11	97	0.15	97	-746.00	33	129.78	97
0	Max	-1533	-0.00	102	-0.00	33	0.00	101	1.67	97	2.11	97	0.15	97	-746.00	33	129.78	97
0	Max	-2150	-0.00	102	-0.00	33	0.00	101	1.67	97	2.11	97	0.15	97	-746.00	33	129.78	97
0	Max	-2151	-0.00	102	-0.00	33	0.00	101	1.67	97	2.11	97	0.15	97	-746.00	33	129.78	97
0	Min.	-1812	-0.00	97	-0.00	97	0.00	98	1.10	33	1.48	33	0.10	33	-1081.29	97	87.80	33
0	Min.	-1533	-0.00	97	-0.00	97	0.00	98	1.10	33	1.48	33	0.10	33	-1081.29	97	87.80	33
0	Min.	-2150	-0.00	97	-0.00	97	0.00	98	1.10	33	1.48	33	0.10	33	-1081.29	97	87.80	33
0	Min.	-2151	-0.00	97	-0.00	97	0.00	98	1.10	33	1.48	33	0.10	33	-1081.29	97	87.80	33
0	Max	-1811	-0.00	33	-0.00	33	-0.00	33	-0.47	33	-1.29	33	0.06	33	-493.84	33	-774.60	33
0	Max	-2091	-0.00	33	-0.00	33	-0.00	33	-0.47	33	-1.29	33	0.06	33	-493.84	33	-774.60	33
0	Max	-2152	-0.00	33	-0.00	33	-0.00	33	-0.47	33	-1.29	33	0.06	33	-493.84	33	-774.60	33
0	Max	-2153	-0.00	33	-0.00	33	-0.00	33	-0.47	33	-1.29	33	0.06	33	-493.84	33	-774.60	33
0	Min.	-1811	-0.00	97	-0.00	97	-0.00	98	-0.74	97	-1.96	97	0.02	33	-718.10	97	-1177.92	97
0	Min.	-2091	-0.00	97	-0.00	97	-0.00	98	-0.74	97	-1.96	97	0.02	33	-718.10	97	-1177.92	97
0	Min.	-2152	-0.00	97	-0.00	97	-0.00	98	-0.74	97	-1.96	97	0.02	33	-718.10	97	-1177.92	97
0	Min.	-2153	-0.00	97	-0.00	97	-0.00	98	-0.74	97	-1.96	97	0.02	33	-718.10	97	-1177.92	97
0	Max	-1810	-0.00	33	-0.00	33	-0.00	33	-0.80	33	-1.15	33	0.85	97	-206.16	33	-744.93	33
0	Max	-2093	-0.00	33	-0.00	33	-0.00	33	-0.80	33	-1.15	33	0.85	97	-206.16	33	-744.93	33
0	Max	-2154	-0.00	33	-0.00	33	-0.00	33	-0.80	33	-1.15	33	0.85	97	-206.16	33	-744.93	33
0	Max	-2155	-0.00	33	-0.00	33	-0.00	33	-0.80	33	-1.15	33	0.85	97	-206.16	33	-744.93	33
0	Min.	-1810	-0.00	98	-0.00	97	-0.00	98	-1.19	97	-1.74	97	0.61	33	-288.54	97	-1121.46	97
0	Min.	-2093	-0.00	98	-0.00	97	-0.00	98	-1.19	97	-1.74	97	0.61	33	-288.54	97	-1121.46	97
0	Min.	-2154	-0.00	98	-0.00	97	-0.00	98	-1.19	97	-1.74	97	0.61	33	-288.54	97	-1121.46	97
0	Min.	-2155	-0.00	98	-0.00	97	-0.00	98	-1.19	97	-1.74	97	0.61	33	-288.54	97	-1121.46	97
0	Max	-1809	0.00	33	-0.00	33	0.00	97	1.10	97	0.05	97	0.67	97	-653.74	33	28.92	97
0	Max	-1810	0.00	33	-0.00	33	0.00	97	1.10	97	0.05	97	0.67	97	-653.74	33	28.92	97
0	Max	-2155	0.00	33	-0.00	33	0.00	97	1.10	97	0.05	97	0.67	97	-653.74	33	28.92	97
0	Max	-2156	0.00	33	-0.00	33	0.00	97	1.10	97	0.05	97	0.67	97	-653.74	33	28.92	97
0	Min.	-1809	-0.00	98	-0.00	97	0.00	102	0.74	33	0.03	33	0.45	33	-942.44	97	19.39	33
0	Min.	-1810	-0.00	98	-0.00	97	0.00	102	0.74	33	0.03	33	0.45	33	-942.44	97	19.39	33
0	Min.	-2155	-0.00	98	-0.00	97	0.00	102	0.74	33	0.03	33	0.45	33	-942.44	97	19.39	33
0	Min.	-2156	-0.00	98	-0.00	97	0.00	102	0.74	33	0.03	33	0.45	33	-942.44	97	19.39	33
0	Max	-1808	0.00	101	-0.00	33	0.00	97	-0.12	33	-0.00	33	-0.09	33	-469.80	33	5.80	97
0	Max	-1809	0.00	101	-0.00	33	0.00	97	-0.12	33	-0.00	33	-0.09	33	-469.80	33	5.80	97
0	Max	-2156	0.00	101	-0.00	33	0.00	97	-0.12	33	-0.00	33	-0.09	33	-469.80	33	5.80	97
0	Max	-2157	0.00	101	-0.00	33	0.00	97	-0.12	33	-0.00	33	-0.09	33	-469.80	33	5.80	97
0	Min.	-1808	0.00	98	-0.00	97	0.00	102	-0.18	97	-0.00	33	-0.14	97	-673.92	97	2.91	33
0	Min.	-1809	0.00	98	-0.00	97	0.00	102	-0.18	97	-0.00	33	-0.14	97	-673.92	97	2.91	33
0	Min.	-2156	0.00	98	-0.00	97	0.00	102	-0.18	97	-0.00	33	-0.14	97	-673.92	97	2.91	33
0	Min.	-2157	0.00	98	-0.00	97	0.00	102	-0.18	97	-0.00	33	-0.14	97	-673.92	97	2.91	33
0	Max	-1807	-0.00	102	-0.00	33	0.00	101	0.01	98	-0.00	33	0.01	97	-524.97	33	-4.91	33
0	Max	-1808	-0.00	102	-0.00	33	0.00	101	0.01	98	-0.00	33	0.01	97	-524.97	33	-4.91	33

0	Max	-2157	-0.00	102	-0.00	33	0.00	101	0.01	98	-0.00	33	0.01	97	-524.97	33	-4.91	33
0	Max	-2158	-0.00	102	-0.00	33	0.00	101	0.01	98	-0.00	33	0.01	97	-524.97	33	-4.91	33
0	Min.	-1807	-0.00	97	-0.00	97	0.00	98	0.00	33	-0.00	97	0.00	33	-750.65	97	-8.28	97
0	Min.	-1808	-0.00	97	-0.00	97	0.00	98	0.00	33	-0.00	97	0.00	33	-750.65	97	-8.28	97
0	Min.	-2157	-0.00	97	-0.00	97	0.00	98	0.00	33	-0.00	97	0.00	33	-750.65	97	-8.28	97
0	Min.	-2158	-0.00	97	-0.00	97	0.00	98	0.00	33	-0.00	97	0.00	33	-750.65	97	-8.28	97
0	Max	-1806	-0.00	33	-0.00	33	0.00	33	0.01	33	-0.00	33	-0.00	33	-524.72	33	8.30	97
0	Max	-1807	-0.00	33	-0.00	33	0.00	33	0.01	33	-0.00	33	-0.00	33	-524.72	33	8.30	97
0	Max	-2158	-0.00	33	-0.00	33	0.00	33	0.01	33	-0.00	33	-0.00	33	-524.72	33	8.30	97
0	Max	-2159	-0.00	33	-0.00	33	0.00	33	0.01	33	-0.00	33	-0.00	33	-524.72	33	8.30	97
0	Min.	-1806	-0.00	98	-0.00	97	0.00	98	0.00	33	-0.00	97	-0.01	97	-750.78	97	4.80	33
0	Min.	-1807	-0.00	98	-0.00	97	0.00	98	0.00	33	-0.00	97	-0.01	97	-750.78	97	4.80	33
0	Min.	-2158	-0.00	98	-0.00	97	0.00	98	0.00	33	-0.00	97	-0.01	97	-750.78	97	4.80	33
0	Min.	-2159	-0.00	98	-0.00	97	0.00	98	0.00	33	-0.00	97	-0.01	97	-750.78	97	4.80	33
0	Max	-1805	0.00	33	-0.00	33	0.00	33	-0.12	33	-0.00	33	0.14	97	-468.88	33	-2.60	33
0	Max	-1806	0.00	33	-0.00	33	0.00	33	-0.12	33	-0.00	33	0.14	97	-468.88	33	-2.60	33
0	Max	-2159	0.00	33	-0.00	33	0.00	33	-0.12	33	-0.00	33	0.14	97	-468.88	33	-2.60	33
0	Max	-2160	0.00	33	-0.00	33	0.00	33	-0.12	33	-0.00	33	0.14	97	-468.88	33	-2.60	33
0	Min.	-1805	-0.00	98	-0.00	97	0.00	98	-0.18	97	-0.00	33	0.09	33	-673.53	97	-5.82	97
0	Min.	-1806	-0.00	98	-0.00	97	0.00	98	-0.18	97	-0.00	33	0.09	33	-673.53	97	-5.82	97
0	Min.	-2159	-0.00	98	-0.00	97	0.00	98	-0.18	97	-0.00	33	0.09	33	-673.53	97	-5.82	97
0	Min.	-2160	-0.00	98	-0.00	97	0.00	98	-0.18	97	-0.00	33	0.09	33	-673.53	97	-5.82	97
0	Max	-1804	0.00	101	-0.00	33	0.00	33	1.11	97	0.05	98	-0.45	33	-653.71	33	-19.34	33
0	Max	-1805	0.00	101	-0.00	33	0.00	33	1.11	97	0.05	98	-0.45	33	-653.71	33	-19.34	33
0	Max	-2160	0.00	101	-0.00	33	0.00	33	1.11	97	0.05	98	-0.45	33	-653.71	33	-19.34	33
0	Max	-2161	0.00	101	-0.00	33	0.00	33	1.11	97	0.05	98	-0.45	33	-653.71	33	-19.34	33
0	Min.	-1804	0.00	98	-0.00	97	-0.00	98	0.75	33	0.04	33	-0.68	97	-943.50	97	-29.21	97
0	Min.	-1805	0.00	98	-0.00	97	-0.00	98	0.75	33	0.04	33	-0.68	97	-943.50	97	-29.21	97
0	Min.	-2160	0.00	98	-0.00	97	-0.00	98	0.75	33	0.04	33	-0.68	97	-943.50	97	-29.21	97
0	Min.	-2161	0.00	98	-0.00	97	-0.00	98	0.75	33	0.04	33	-0.68	97	-943.50	97	-29.21	97
0	Max	-1803	0.00	97	-0.00	33	0.00	33	-1.41	33	-1.20	33	0.72	97	-265.32	33	-759.47	33
0	Max	-1950	0.00	97	-0.00	33	0.00	33	-1.41	33	-1.20	33	0.72	97	-265.32	33	-759.47	33
0	Max	-2162	0.00	97	-0.00	33	0.00	33	-1.41	33	-1.20	33	0.72	97	-265.32	33	-759.47	33
0	Max	-2163	0.00	97	-0.00	33	0.00	33	-1.41	33	-1.20	33	0.72	97	-265.32	33	-759.47	33
0	Min.	-1803	0.00	102	-0.00	97	-0.00	97	-2.13	97	-1.84	97	0.51	33	-377.50	97	-1146.39	97
0	Min.	-1950	0.00	102	-0.00	97	-0.00	97	-2.13	97	-1.84	97	0.51	33	-377.50	97	-1146.39	97
0	Min.	-2162	0.00	102	-0.00	97	-0.00	97	-2.13	97	-1.84	97	0.51	33	-377.50	97	-1146.39	97
0	Min.	-2163	0.00	102	-0.00	97	-0.00	97	-2.13	97	-1.84	97	0.51	33	-377.50	97	-1146.39	97
0	Max	-1782	0.00	98	0.00	98	0.00	98	0.60	97	0.03	97	-0.52	33	-583.85	33	-14.92	33
0	Max	431	0.00	98	0.00	98	0.00	98	0.60	97	0.03	97	-0.52	33	-583.85	33	-14.92	33
0	Max	438	0.00	98	0.00	98	0.00	98	0.60	97	0.03	97	-0.52	33	-583.85	33	-14.92	33
0	Max	-1387	0.00	98	0.00	98	0.00	98	0.60	97	0.03	97	-0.52	33	-583.85	33	-14.92	33
0	Min.	-1782	0.00	101	0.00	33	0.00	33	0.42	33	0.02	33	-0.74	97	-821.14	97	-21.14	97
0	Min.	431	0.00	101	0.00	33	0.00	33	0.42	33	0.02	33	-0.74	97	-821.14	97	-21.14	97
0	Min.	438	0.00	101	0.00	33	0.00	33	0.42	33	0.02	33	-0.74	97	-821.14	97	-21.14	97
0	Min.	-1387	0.00	101	0.00	33	0.00	33	0.42	33	0.02	33	-0.74	97	-821.14	97	-21.14	97
0	Max	-1781	0.00	98	0.00	98	0.00	98	-0.81	33	0.32	97	0.29	97	-327.25	33	-488.86	33
0	Max	-1935	0.00	98	0.00	98	0.00	98	-0.81	33	0.32	97	0.29	97	-327.25	33	-488.86	33
0	Max	-1936	0.00	98	0.00	98	0.00	98	-0.81	33	0.32	97	0.29	97	-327.25	33	-488.86	33
0	Max	-1388	0.00	98	0.00	98	0.00	98	-0.81	33	0.32	97	0.29	97	-327.25	33	-488.86	33
0	Min.	-1781	0.00	101	0.00	33	0.00	33	-1.14	97	0.18	33	0.20	33	-459.74	97	-701.05	97
0	Min.	-1935	0.00	101	0.00	33	0.00	33	-1.14	97	0.18	33	0.20	33	-459.74	97	-701.05	97
0	Min.	-1936	0.00	101	0.00	33	0.00	33	-1.14	97	0.18	33	0.20	33	-459.74	97	-701.05	97
0	Min.	-1388	0.00	101	0.00	33	0.00	33	-1.14	97	0.18	33	0.20	33	-459.74	97	-701.05	97
0	Max	-1780	0.00	98	0.00	98	0.00	97	0.73	97	0.03	97	0.60	97	-618.79	33	23.32	97
0	Max	-1781	0.00	98	0.00	98	0.00	97	0.73	97	0.03	97	0.60	97	-618.79	33	23.32	97
0	Max	-1388	0.00	98	0.00	98	0.00	97	0.73	97	0.03	97	0.60	97	-618.79	33	23.32	97
0	Max	-1389	0.00	98	0.00	98	0.00	97	0.73	97	0.03	97	0.60	97	-618.79	33	23.32	97
0	Min.	-1780	0.00	101	0.00	33	0.00	33	0.51	33	0.02	33	0.42	33	-870.87	97	16.43	33
0	Min.	-1781	0.00	101	0.00	33	0.00	33	0.51	33	0.02	33	0.42	33	-870.87	97	16.43	33
0	Min.	-1388	0.00	101	0.00	33	0.00	33	0.51	33	0.02	33	0.42	33	-870.87	97	16.43	33
0	Min.	-1389	0.00	101	0.00	33	0.00	33	0.51	33	0.02	33	0.42	33	-870.87	97	16.43	33
0	Max	-1779	0.00	98	0.00	98	0.00	97	-0.10	33	-0.00	33	-0.09	33	-466.56	33	1.39	97
0	Max	-1780	0.00	98	0.00	98	0.00	97	-0.10	33	-0.00	33	-0.09	33	-466.56	33	1.39	97
0	Max	-1389	0.00	98	0.00	98	0.00	97	-0.10	33	-0.00	33	-0.09	33	-466.56	33	1.39	97
0	Max	-1390	0.00	98	0.00	98	0.00	97	-0.10	33	-0.00	33	-0.09	33	-466.56	33	1.39	97
0	Min.	-1779	0.00	33	0.00	33	0.00	33	-0.14	97	-0.00	97	-0.13	97	-655.69	97	0.95	33
0	Min.	-1780	0.00	33	0.00	33	0.00	33	-0.14	97	-0.00	97	-0.13	97	-655.69	97	0.95	33
0	Min.	-1389	0.00	33	0.00	33	0.00	33	-0.14	97	-0.00	97	-0.13	97	-655.69	97	0.95	33
0	Min.	-1390	0.00	33	0.00	33	0.00	33	-0.14	97	-0.00	97	-0.13	97	-655.69	97	0.95	33
0	Max	-1778	0.00	98	0.00	98	0.00	97	0.01	97	0.00	33	0.02	97	-511.73	33	-2.97	33
0	Max	-1779	0.00	98	0.00	98	0.00	97	0.01	97	0.00	33	0.02	97	-511.73	33	-2.97	33
0	Max	-1390	0.00	98	0.00	98	0.00	97	0.01	97	0.00	33	0.02	97	-511.73	33	-2.97	33
0	Max	-1391	0.00	98	0.00	98	0.00	97	0.01	97	0.00	33	0.02	97	-511.73	33	-2.97	33
0	Min.	-1778	0.00	33	0.00	33	0.00	33	0.01	33	-0.00	97	0.01	33	-719.08	97	-4.25	97
0	Min.	-1779	0.00	33	0.00	33	0.00	33	0.01	33	-0.00	97	0.01	33	-719.08	97	-4.25	97
0	Min.	-1390	0.00	33	0.00	33	0.00	33	0.01	33	-0.00	97	0.01	33	-719.08	97	-4.25	97
0	Min.	-1391	0.00	33	0.00	33	0.00	33	0.01	33	-0.00	97	0.01	33	-719.08	97	-4.25	97
0	Max	-1777	0.00	98	0.00	98	0.00	97	0.01	97	-0.00	33	-0.01	33	-511.79	33	4.25	97
0	Max	-1778	0.00	98	0.00	98	0.00	97	0.01	97	-0.00	33	-0.01	33	-511.79	33	4.25	97
0	Max	-1391	0.00	98	0.00	98	0.00	97	0.01	97	-0.00	33	-0.01	33	-511.79	33	4.25	97
0	Max	-1392	0.00	98	0.00	98	0.00	97	0.01	97	-0.00	33	-0.01	33	-511.79	33	4.25	97
0	Min.	-1777	0.00	33	0.00	33	0.00	33	0.01	33	-0.00	97	-0.02	97	-719.15	97	2.97	33
0	Min.	-1778	0.00	33	0.00	33	0.00	33	0.01	33	-0.00	97	-0.02	97	-719.15	97	2.97	33
0	Min.	-1391	0.00	33	0.00	33	0.00	33	0.01	33	-0.00	97	-0.02	97	-719.15	97	2.97	33
0	Min.	-1392	0.00	33	0.00	33	0.00	33	0.01	33	-0.00	97	-0.02	97	-719.15	97	2.97	33
0	Max	-1776	0.00	98	0.00	98	0.00	97	-0.10	33	-0.00	33	0.13	97	-466.44	33	-0.97	33
0	Max	-1777	0.00	98	0.00	98	0.00	97	-0.10	33	-0.00	33	0.13	97	-466.44	33	-0.97	33
0	Max	-1392	0.00	98	0.00	98	0.00	97	-0.10	33	-0.00	33	0.13	97	-466.44	33	-0.97	33
0	Max	-1393	0.00	98	0.00	98	0.00	97	-0.10	33	-0.00	33	0.13	97	-466.44	33	-0.97	33
0	Min.	-1776	0.00	33	0.00	33	0.00	33	-0.14	97	-0.00	97	0.09	33	-655.44	97	-1.39	97
0	Min.	-1777	0.00	33	0.00	33	0.00	33	-0.14	97	-0.00	97	0.09	33	-655.44	97	-1.39	97
0	Min.	-1392	0.00	33	0.00	33	0.00	33	-0.14	97	-0.00	97	0.09	33	-655.44	97	-1.39	97
0	Min.	-1393	0.00	33	0.00	33	0.00	33	-0.14	97	-0.00	97	0.09	33	-655.44	97	-1.39	97
0	Max	-1775	0.00	98	0.00	98	0.00	97	0.73	97	0.02	97	-0.42	33	-619.58	33	-16.42	33
0	Max	-1776	0.00	98	0.00	98	0.00	97	0.73	97	0.02	97	-0.42	33	-619.58	33	-16.42	33
0	Max	-1393	0.00	98	0.00	98	0.00	97	0.73	97	0.02	97	-0.42	33	-619.58	33	-16.42	33
0	Max	-1394	0.00	98	0.00	98	0.00	97	0.73	97	0.02	97	-0.42	33	-619.58	33	-16.42	33
0	Min.	-1775	0.00	33	0.00	33	0.00	33	0.51	33	0.02	33	-0.59	97	-871.90	97	-23.33	97
0	Min.	-1776	0.00	33	0.00	33	0.00	33	0.51	33	0.02	33	-0.59	97	-871.90	97	-23.33	97
0	Min.	-1393	0.00	33	0.00	33	0.00	33	0.51	33	0.02	33	-0.59	97	-871.90	97	-23.33	97
0	Min.	-1394	0.00	33	0.00	33	0.00	33	0.51	33	0.02	33	-0.59	97	-871.90	97	-23.33	97
0	Max	-1774	0.00	98	0.00	98	0.00	98	-0.34	33	0.42	97	-0.38	33	-546.25	33	-515.61	33
0	Max	-2088	0.00	98	0.00	98	0.00	98	-0.34	33	0.42	97	-0.38	33	-546.25	33	-515.61	33
0	Max	-2095	0.00	98	0.00	98	0.00	98	-0.34	33	0.42	97	-0.38	33	-546.25	33	-515.61	33

0	Max	-1395	0.00	98	0.00	98	0.00	98	-0.34	33	0.42	97	-0.38	33	-546.25	33	-515.61	33
0	Min.	-1774	0.00	33	0.00	33	0.00	33	-0.48	97	0.25	33	-0.58	97	-770.82	97	-740.48	97
0	Min.	-2088	0.00	33	0.00	33	0.00	33	-0.48	97	0.25	33	-0.58	97	-770.82	97	-740.48	97
0	Min.	-2095	0.00	33	0.00	33	0.00	33	-0.48	97	0.25	33	-0.58	97	-770.82	97	-740.48	97
0	Min.	-1395	0.00	33	0.00	33	0.00	33	-0.48	97	0.25	33	-0.58	97	-770.82	97	-740.48	97
0	Max	-1773	0.00	98	0.00	97	0.00	98	0.12	97	0.43	97	-0.38	33	-501.89	33	-499.91	33
0	Max	-2090	0.00	98	0.00	97	0.00	98	0.12	97	0.43	97	-0.38	33	-501.89	33	-499.91	33
0	Max	-2096	0.00	98	0.00	97	0.00	98	0.12	97	0.43	97	-0.38	33	-501.89	33	-499.91	33
0	Max	-1396	0.00	98	0.00	97	0.00	98	0.12	97	0.43	97	-0.38	33	-501.89	33	-499.91	33
0	Min.	-1773	0.00	33	0.00	33	0.00	33	0.08	33	0.25	33	-0.59	97	-706.96	97	-717.95	97
0	Min.	-2090	0.00	33	0.00	33	0.00	33	0.08	33	0.25	33	-0.59	97	-706.96	97	-717.95	97
0	Min.	-2096	0.00	33	0.00	33	0.00	33	0.08	33	0.25	33	-0.59	97	-706.96	97	-717.95	97
0	Min.	-1396	0.00	33	0.00	33	0.00	33	0.08	33	0.25	33	-0.59	97	-706.96	97	-717.95	97
0	Max	-1413	0.00	97	0.00	98	-0.00	33	0.00	33	-0.02	97	0.35	97	-490.08	33	718.56	97
0	Max	-1773	0.00	97	0.00	98	-0.00	33	0.00	33	-0.02	97	0.35	97	-490.08	33	718.56	97
0	Max	-1396	0.00	97	0.00	98	-0.00	33	0.00	33	-0.02	97	0.35	97	-490.08	33	718.56	97
0	Max	-1386	0.00	97	0.00	98	-0.00	33	0.00	33	-0.02	97	0.35	97	-490.08	33	718.56	97
0	Min.	-1413	0.00	33	0.00	33	-0.00	98	-0.01	33	-0.04	33	0.22	33	-690.08	97	503.60	33
0	Min.	-1773	0.00	33	0.00	33	-0.00	98	-0.01	33	-0.04	33	0.22	33	-690.08	97	503.60	33
0	Min.	-1396	0.00	33	0.00	33	-0.00	98	-0.01	33	-0.04	33	0.22	33	-690.08	97	503.60	33
0	Min.	-1386	0.00	33	0.00	33	-0.00	98	-0.01	33	-0.04	33	0.22	33	-690.08	97	503.60	33
0	Max	-1772	0.00	98	0.00	97	0.00	97	0.00	33	-0.02	97	-0.22	33	-490.08	33	-503.60	33
0	Max	-1413	0.00	98	0.00	97	0.00	97	0.00	33	-0.02	97	-0.22	33	-490.08	33	-503.60	33
0	Max	-1386	0.00	98	0.00	97	0.00	97	0.00	33	-0.02	97	-0.22	33	-490.08	33	-503.60	33
0	Max	-1397	0.00	98	0.00	97	0.00	97	0.00	33	-0.02	97	-0.22	33	-490.08	33	-503.60	33
0	Min.	-1772	0.00	33	0.00	33	0.00	33	-0.01	33	-0.04	33	-0.35	97	-690.08	97	-718.56	97
0	Min.	-1413	0.00	33	0.00	33	0.00	33	-0.01	33	-0.04	33	-0.35	97	-690.08	97	-718.56	97
0	Min.	-1386	0.00	33	0.00	33	0.00	33	-0.01	33	-0.04	33	-0.35	97	-690.08	97	-718.56	97
0	Min.	-1397	0.00	33	0.00	33	0.00	33	-0.01	33	-0.04	33	-0.35	97	-690.08	97	-718.56	97
0	Max	-1771	0.00	98	0.00	97	0.00	97	-0.02	33	0.42	97	-0.30	33	-498.81	33	-514.78	33
0	Max	-2092	0.00	98	0.00	97	0.00	97	-0.02	33	0.42	97	-0.30	33	-498.81	33	-514.78	33
0	Max	-2097	0.00	98	0.00	97	0.00	97	-0.02	33	0.42	97	-0.30	33	-498.81	33	-514.78	33
0	Max	-1398	0.00	98	0.00	97	0.00	97	-0.02	33	0.42	97	-0.30	33	-498.81	33	-514.78	33
0	Min.	-1771	0.00	33	0.00	33	0.00	33	-0.03	97	0.24	33	-0.47	97	-703.49	97	-740.78	97
0	Min.	-2092	0.00	33	0.00	33	0.00	33	-0.03	97	0.24	33	-0.47	97	-703.49	97	-740.78	97
0	Min.	-2097	0.00	33	0.00	33	0.00	33	-0.03	97	0.24	33	-0.47	97	-703.49	97	-740.78	97
0	Min.	-1398	0.00	33	0.00	33	0.00	33	-0.03	97	0.24	33	-0.47	97	-703.49	97	-740.78	97
0	Max	-1770	0.00	97	0.00	97	0.00	97	-0.45	33	0.49	97	0.25	97	-284.93	33	-488.06	33
0	Max	-2094	0.00	97	0.00	97	0.00	97	-0.45	33	0.49	97	0.25	97	-284.93	33	-488.06	33
0	Max	-2098	0.00	97	0.00	97	0.00	97	-0.45	33	0.49	97	0.25	97	-284.93	33	-488.06	33
0	Max	-1399	0.00	97	0.00	97	0.00	97	-0.45	33	0.49	97	0.25	97	-284.93	33	-488.06	33
0	Min.	-1770	0.00	33	0.00	33	0.00	33	-0.64	97	0.30	33	0.18	33	-399.55	97	-699.22	97
0	Min.	-2094	0.00	33	0.00	33	0.00	33	-0.64	97	0.30	33	0.18	33	-399.55	97	-699.22	97
0	Min.	-2098	0.00	33	0.00	33	0.00	33	-0.64	97	0.30	33	0.18	33	-399.55	97	-699.22	97
0	Min.	-1399	0.00	33	0.00	33	0.00	33	-0.64	97	0.30	33	0.18	33	-399.55	97	-699.22	97
0	Max	-1769	0.00	97	0.00	97	-0.00	33	0.73	97	0.02	97	0.59	97	-619.58	33	23.33	97
0	Max	-1770	0.00	97	0.00	97	-0.00	33	0.73	97	0.02	97	0.59	97	-619.58	33	23.33	97
0	Max	-1399	0.00	97	0.00	97	-0.00	33	0.73	97	0.02	97	0.59	97	-619.58	33	23.33	97
0	Max	-1400	0.00	97	0.00	97	-0.00	33	0.73	97	0.02	97	0.59	97	-619.58	33	23.33	97
0	Min.	-1769	0.00	33	0.00	33	-0.00	98	0.51	33	0.02	33	0.42	33	-871.90	97	16.42	33
0	Min.	-1770	0.00	33	0.00	33	-0.00	98	0.51	33	0.02	33	0.42	33	-871.90	97	16.42	33
0	Min.	-1399	0.00	33	0.00	33	-0.00	98	0.51	33	0.02	33	0.42	33	-871.90	97	16.42	33
0	Min.	-1400	0.00	33	0.00	33	-0.00	98	0.51	33	0.02	33	0.42	33	-871.90	97	16.42	33
0	Max	-1768	0.00	97	0.00	97	0.00	33	-0.10	33	-0.00	33	-0.09	33	-466.44	33	1.39	97
0	Max	-1769	0.00	97	0.00	97	0.00	33	-0.10	33	-0.00	33	-0.09	33	-466.44	33	1.39	97
0	Max	-1400	0.00	97	0.00	97	0.00	33	-0.10	33	-0.00	33	-0.09	33	-466.44	33	1.39	97
0	Max	-1401	0.00	97	0.00	97	0.00	33	-0.10	33	-0.00	33	-0.09	33	-466.44	33	1.39	97
0	Min.	-1768	0.00	33	0.00	33	0.00	98	-0.14	97	-0.00	98	-0.13	97	-655.44	97	0.97	33
0	Min.	-1769	0.00	33	0.00	33	0.00	98	-0.14	97	-0.00	98	-0.13	97	-655.44	97	0.97	33
0	Min.	-1400	0.00	33	0.00	33	0.00	98	-0.14	97	-0.00	98	-0.13	97	-655.44	97	0.97	33
0	Min.	-1401	0.00	33	0.00	33	0.00	98	-0.14	97	-0.00	98	-0.13	97	-655.44	97	0.97	33
0	Max	-1767	0.00	97	0.00	97	0.00	33	0.01	97	-0.00	33	0.02	97	-511.79	33	-2.97	33
0	Max	-1768	0.00	97	0.00	97	0.00	33	0.01	97	-0.00	33	0.02	97	-511.79	33	-2.97	33
0	Max	-1401	0.00	97	0.00	97	0.00	33	0.01	97	-0.00	33	0.02	97	-511.79	33	-2.97	33
0	Max	-1402	0.00	97	0.00	97	0.00	33	0.01	97	-0.00	33	0.02	97	-511.79	33	-2.97	33
0	Min.	-1767	0.00	33	0.00	33	0.00	98	0.01	33	-0.00	98	0.01	33	-719.15	97	-4.25	97
0	Min.	-1768	0.00	33	0.00	33	0.00	98	0.01	33	-0.00	98	0.01	33	-719.15	97	-4.25	97
0	Min.	-1401	0.00	33	0.00	33	0.00	98	0.01	33	-0.00	98	0.01	33	-719.15	97	-4.25	97
0	Min.	-1402	0.00	33	0.00	33	0.00	98	0.01	33	-0.00	98	0.01	33	-719.15	97	-4.25	97
0	Max	-1766	0.00	97	0.00	97	0.00	33	0.01	97	0.00	33	-0.01	33	-511.73	33	4.25	97
0	Max	-1767	0.00	97	0.00	97	0.00	33	0.01	97	0.00	33	-0.01	33	-511.73	33	4.25	97
0	Max	-1402	0.00	97	0.00	97	0.00	33	0.01	97	0.00	33	-0.01	33	-511.73	33	4.25	97
0	Max	-1403	0.00	97	0.00	97	0.00	33	0.01	97	0.00	33	-0.01	33	-511.73	33	4.25	97
0	Min.	-1766	0.00	33	0.00	33	0.00	98	0.01	33	-0.00	98	-0.02	97	-719.08	97	2.97	33
0	Min.	-1767	0.00	33	0.00	33	0.00	98	0.01	33	-0.00	98	-0.02	97	-719.08	97	2.97	33
0	Min.	-1402	0.00	33	0.00	33	0.00	98	0.01	33	-0.00	98	-0.02	97	-719.08	97	2.97	33
0	Min.	-1403	0.00	33	0.00	33	0.00	98	0.01	33	-0.00	98	-0.02	97	-719.08	97	2.97	33
0	Max	-1765	0.00	97	0.00	97	0.00	33	-0.10	33	-0.00	33	0.13	97	-466.56	33	-0.95	33
0	Max	-1766	0.00	97	0.00	97	0.00	33	-0.10	33	-0.00	33	0.13	97	-466.56	33	-0.95	33
0	Max	-1403	0.00	97	0.00	97	0.00	33	-0.10	33	-0.00	33	0.13	97	-466.56	33	-0.95	33
0	Max	-1404	0.00	97	0.00	97	0.00	33	-0.10	33	-0.00	33	0.13	97	-466.56	33	-0.95	33
0	Min.	-1765	0.00	102	0.00	33	0.00	98	-0.14	97	-0.00	98	0.09	33	-655.69	97	-1.39	97
0	Min.	-1766	0.00	102	0.00	33	0.00	98	-0.14	97	-0.00	98	0.09	33	-655.69	97	-1.39	97
0	Min.	-1403	0.00	102	0.00	33	0.00	98	-0.14	97	-0.00	98	0.09	33	-655.69	97	-1.39	97
0	Min.	-1404	0.00	102	0.00	33	0.00	98	-0.14	97	-0.00	98	0.09	33	-655.69	97	-1.39	97
0	Max	-1764	0.00	97	0.00	97	0.00	33	0.73	97	0.03	97	-0.42	33	-618.79	33	-16.43	33
0	Max	-1765	0.00	97	0.00	97	0.00	33	0.73	97	0.03	97	-0.42	33	-618.79	33	-16.43	33
0	Max	-1404	0.00	97	0.00	97	0.00	33	0.73	97	0.03	97	-0.42	33	-618.79	33	-16.43	33
0	Max	-1405	0.00	97	0.00	97	0.00	33	0.73	97	0.03	97	-0.42	33	-618.79	33	-16.43	33
0	Min.	-1764	0.00	102	0.00	33	0.00	98	0.51	33	0.02	33	-0.60	97	-870.87	97	-23.32	97
0	Min.	-1765	0.00	102	0.00	33	0.00	98	0.51	33	0.02	33	-0.60	97	-870.87	97	-23.32	97
0	Min.	-1404	0.00	102	0.00	33	0.00	98	0.51	33	0.02	33	-0.60	97	-870.87	97	-23.32	97
0	Min.	-1405	0.00	102	0.00	33	0.00	98	0.51	33	0.02	33	-0.60	97	-870.87	97	-23.32	97
0	Max	-1763	0.00	97	0.00	97	0.00	97	-0.85	33	0.31	97	0.26	97	-341.64	33	-486.96	33
0	Max	-1951	0.00	97	0.00	97	0.00	97	-0.85	33	0.31	97	0.26	97	-341.64	33	-486.96	33
0	Max	-1952	0.00	97	0.00	97	0.00	97	-0.85	33	0.31	97	0.26	97	-341.64	33	-486.96	33
0	Max	-1406	0.00	97	0.00	97	0.00	97	-0.85	33	0.31	97	0.26	97	-341.64	33	-486.96	33
0	Min.	-1763	0.00	102	0.00	33	0.00	33	-1.20	97	0.17	33	0.18	33	-480.30	97	-698.46	97
0	Min.	-1951	0.00	102	0.00	33	0.00	33	-1.20	97	0.17	33	0.18	33	-480.30	97	-698.46	97
0	Min.	-1952	0.00	102	0.00	33	0.00	33	-1.20	97	0.17	33	0.18	33	-480.30	97	-698.46	97
0	Min.	-1406	0.00	102	0.00	33	0.00	33	-1.20	97	0.17	33	0.18	33	-480.30	97	-698.46	97
0	Max	-1387	0.00	98	0.00	98	0.00	97	0.61	97	0.08	97	0.43	97	458.41	97	-14.92	33
0	Max	438	0.00	98	0.00	98	0.00	97	0.61	97	0.08	97	0.43	97	458.41	97	-14.92	33
0	Max	-1536	0.00	98	0.00	98	0.00	97	0.61	97	0.08	97	0.43	97	458.41	97	-14.92	33
0	Max	-1838	0.00	98	0.00	98	0.00	97	0.61	97	0.08	97	0.43	97	458.41	97	-14.92	33

0	Min.	-1387	0.00	101	0.00	33	0.00	33	0.43	33	0.05	33	0.31	33	326.24	33	-21.14	97
0	Min.	438	0.00	101	0.00	33	0.00	33	0.43	33	0.05	33	0.31	33	326.24	33	-21.14	97
0	Min.	-1536	0.00	101	0.00	33	0.00	33	0.43	33	0.05	33	0.31	33	326.24	33	-21.14	97
0	Min.	-1838	0.00	101	0.00	33	0.00	33	0.43	33	0.05	33	0.31	33	326.24	33	-21.14	97
0	Max	-1388	0.00	98	0.00	98	0.00	33	-0.81	33	0.31	97	-0.37	33	273.19	97	-373.68	33
0	Max	-1936	0.00	98	0.00	98	0.00	33	-0.81	33	0.31	97	-0.37	33	273.19	97	-373.68	33
0	Max	-1924	0.00	98	0.00	98	0.00	33	-0.81	33	0.31	97	-0.37	33	273.19	97	-373.68	33
0	Max	-1837	0.00	98	0.00	98	0.00	33	-0.81	33	0.31	97	-0.37	33	273.19	97	-373.68	33
0	Min.	-1388	0.00	101	0.00	33	0.00	98	-1.14	97	0.20	33	-0.53	97	194.70	33	-524.94	97
0	Min.	-1936	0.00	101	0.00	33	0.00	98	-1.14	97	0.20	33	-0.53	97	194.70	33	-524.94	97
0	Min.	-1924	0.00	101	0.00	33	0.00	98	-1.14	97	0.20	33	-0.53	97	194.70	33	-524.94	97
0	Min.	-1837	0.00	101	0.00	33	0.00	98	-1.14	97	0.20	33	-0.53	97	194.70	33	-524.94	97
0	Max	-1389	0.00	98	0.00	98	0.00	97	0.73	97	0.10	97	-0.25	33	485.11	97	23.32	97
0	Max	-1388	0.00	98	0.00	98	0.00	97	0.73	97	0.10	97	-0.25	33	485.11	97	23.32	97
0	Max	-1837	0.00	98	0.00	98	0.00	97	0.73	97	0.10	97	-0.25	33	485.11	97	23.32	97
0	Max	-1853	0.00	98	0.00	98	0.00	97	0.73	97	0.10	97	-0.25	33	485.11	97	23.32	97
0	Min.	-1389	0.00	101	0.00	33	0.00	33	0.52	33	0.07	33	-0.35	97	345.08	33	16.43	33
0	Min.	-1388	0.00	101	0.00	33	0.00	33	0.52	33	0.07	33	-0.35	97	345.08	33	16.43	33
0	Min.	-1837	0.00	101	0.00	33	0.00	33	0.52	33	0.07	33	-0.35	97	345.08	33	16.43	33
0	Min.	-1853	0.00	101	0.00	33	0.00	33	0.52	33	0.07	33	-0.35	97	345.08	33	16.43	33
0	Max	-1390	0.00	98	0.00	98	0.00	97	-0.10	33	-0.01	33	0.08	97	370.98	97	1.39	97
0	Max	-1389	0.00	98	0.00	98	0.00	97	-0.10	33	-0.01	33	0.08	97	370.98	97	1.39	97
0	Max	-1853	0.00	98	0.00	98	0.00	97	-0.10	33	-0.01	33	0.08	97	370.98	97	1.39	97
0	Max	-1852	0.00	98	0.00	98	0.00	97	-0.10	33	-0.01	33	0.08	97	370.98	97	1.39	97
0	Min.	-1390	0.00	33	0.00	33	0.00	33	-0.14	97	-0.02	97	0.06	33	263.98	33	0.95	33
0	Min.	-1389	0.00	33	0.00	33	0.00	33	-0.14	97	-0.02	97	0.06	33	263.98	33	0.95	33
0	Min.	-1853	0.00	33	0.00	33	0.00	33	-0.14	97	-0.02	97	0.06	33	263.98	33	0.95	33
0	Min.	-1852	0.00	33	0.00	33	0.00	33	-0.14	97	-0.02	97	0.06	33	263.98	33	0.95	33
0	Max	-1391	0.00	98	0.00	98	0.00	97	0.01	97	0.00	98	-0.01	33	405.13	97	-2.97	33
0	Max	-1390	0.00	98	0.00	98	0.00	97	0.01	97	0.00	98	-0.01	33	405.13	97	-2.97	33
0	Max	-1852	0.00	98	0.00	98	0.00	97	0.01	97	0.00	98	-0.01	33	405.13	97	-2.97	33
0	Max	-1851	0.00	98	0.00	98	0.00	97	0.01	97	0.00	98	-0.01	33	405.13	97	-2.97	33
0	Min.	-1391	0.00	33	0.00	33	0.00	33	0.01	33	0.00	33	-0.01	97	288.32	33	-4.25	97
0	Min.	-1390	0.00	33	0.00	33	0.00	33	0.01	33	0.00	33	-0.01	97	288.32	33	-4.25	97
0	Min.	-1852	0.00	33	0.00	33	0.00	33	0.01	33	0.00	33	-0.01	97	288.32	33	-4.25	97
0	Min.	-1851	0.00	33	0.00	33	0.00	33	0.01	33	0.00	33	-0.01	97	288.32	33	-4.25	97
0	Max	-1392	0.00	98	0.00	98	0.00	97	0.01	97	0.00	98	0.01	97	405.07	97	4.25	97
0	Max	-1391	0.00	98	0.00	98	0.00	97	0.01	97	0.00	98	0.01	97	405.07	97	4.25	97
0	Max	-1851	0.00	98	0.00	98	0.00	97	0.01	97	0.00	98	0.01	97	405.07	97	4.25	97
0	Max	-1858	0.00	98	0.00	98	0.00	97	0.01	97	0.00	98	0.01	97	405.07	97	4.25	97
0	Min.	-1392	0.00	33	0.00	33	0.00	33	0.01	33	0.00	33	0.01	33	288.29	33	2.97	33
0	Min.	-1391	0.00	33	0.00	33	0.00	33	0.01	33	0.00	33	0.01	33	288.29	33	2.97	33
0	Min.	-1851	0.00	33	0.00	33	0.00	33	0.01	33	0.00	33	0.01	33	288.29	33	2.97	33
0	Min.	-1858	0.00	33	0.00	33	0.00	33	0.01	33	0.00	33	0.01	33	288.29	33	2.97	33
0	Max	-1393	0.00	98	0.00	98	0.00	97	-0.10	33	-0.01	33	-0.06	33	371.20	97	-0.97	33
0	Max	-1392	0.00	98	0.00	98	0.00	97	-0.10	33	-0.01	33	-0.06	33	371.20	97	-0.97	33
0	Max	-1858	0.00	98	0.00	98	0.00	97	-0.10	33	-0.01	33	-0.06	33	371.20	97	-0.97	33
0	Max	-1856	0.00	98	0.00	98	0.00	97	-0.10	33	-0.01	33	-0.06	33	371.20	97	-0.97	33
0	Min.	-1393	0.00	33	0.00	33	0.00	33	-0.14	97	-0.02	97	-0.08	97	264.16	33	-1.39	97
0	Min.	-1392	0.00	33	0.00	33	0.00	33	-0.14	97	-0.02	97	-0.08	97	264.16	33	-1.39	97
0	Min.	-1858	0.00	33	0.00	33	0.00	33	-0.14	97	-0.02	97	-0.08	97	264.16	33	-1.39	97
0	Min.	-1856	0.00	33	0.00	33	0.00	33	-0.14	97	-0.02	97	-0.08	97	264.16	33	-1.39	97
0	Max	-1394	0.00	98	0.00	98	0.00	33	0.74	97	0.10	97	0.36	97	484.18	97	-16.42	33
0	Max	-1393	0.00	98	0.00	98	0.00	33	0.74	97	0.10	97	0.36	97	484.18	97	-16.42	33
0	Max	-1856	0.00	98	0.00	98	0.00	33	0.74	97	0.10	97	0.36	97	484.18	97	-16.42	33
0	Max	-1695	0.00	98	0.00	98	0.00	33	0.74	97	0.10	97	0.36	97	484.18	97	-16.42	33
0	Min.	-1394	0.00	33	0.00	33	0.00	98	0.52	33	0.07	33	0.25	33	344.50	33	-23.33	97
0	Min.	-1393	0.00	33	0.00	33	0.00	98	0.52	33	0.07	33	0.25	33	344.50	33	-23.33	97
0	Min.	-1856	0.00	33	0.00	33	0.00	98	0.52	33	0.07	33	0.25	33	344.50	33	-23.33	97
0	Min.	-1695	0.00	33	0.00	33	0.00	98	0.52	33	0.07	33	0.25	33	344.50	33	-23.33	97
0	Max	-1395	0.00	98	0.00	98	-0.00	33	-0.26	33	0.47	97	-0.01	33	434.57	97	-371.96	33
0	Max	-2095	0.00	98	0.00	98	-0.00	33	-0.26	33	0.47	97	-0.01	33	434.57	97	-371.96	33
0	Max	-2061	0.00	98	0.00	98	-0.00	33	-0.26	33	0.47	97	-0.01	33	434.57	97	-371.96	33
0	Max	-1694	0.00	98	0.00	98	-0.00	33	-0.26	33	0.47	97	-0.01	33	434.57	97	-371.96	33
0	Min.	-1395	0.00	33	0.00	33	-0.00	98	-0.37	97	0.31	33	-0.01	97	309.51	33	-522.54	97
0	Min.	-2095	0.00	33	0.00	33	-0.00	98	-0.37	97	0.31	33	-0.01	97	309.51	33	-522.54	97
0	Min.	-2061	0.00	33	0.00	33	-0.00	98	-0.37	97	0.31	33	-0.01	97	309.51	33	-522.54	97
0	Min.	-1694	0.00	33	0.00	33	-0.00	98	-0.37	97	0.31	33	-0.01	97	309.51	33	-522.54	97
0	Max	-1396	0.00	98	0.00	98	-0.00	33	0.04	97	0.51	97	-0.06	33	404.43	97	-363.97	33
0	Max	-2096	0.00	98	0.00	98	-0.00	33	0.04	97	0.51	97	-0.06	33	404.43	97	-363.97	33
0	Max	-2084	0.00	98	0.00	98	-0.00	33	0.04	97	0.51	97	-0.06	33	404.43	97	-363.97	33
0	Max	-1693	0.00	98	0.00	98	-0.00	33	0.04	97	0.51	97	-0.06	33	404.43	97	-363.97	33
0	Min.	-1396	0.00	33	0.00	33	-0.00	98	0.03	33	0.34	33	-0.09	97	288.06	33	-511.36	97
0	Min.	-2096	0.00	33	0.00	33	-0.00	98	0.03	33	0.34	33	-0.09	97	288.06	33	-511.36	97
0	Min.	-2084	0.00	33	0.00	33	-0.00	98	0.03	33	0.34	33	-0.09	97	288.06	33	-511.36	97
0	Min.	-1693	0.00	33	0.00	33	-0.00	98	0.03	33	0.34	33	-0.09	97	288.06	33	-511.36	97
0	Max	-1386	0.00	97	0.00	98	0.00	97	0.05	97	0.45	97	0.09	97	410.77	97	520.35	97
0	Max	-1396	0.00	97	0.00	98	0.00	97	0.05	97	0.45	97	0.09	97	410.77	97	520.35	97
0	Max	-1693	0.00	97	0.00	98	0.00	97	0.05	97	0.45	97	0.09	97	410.77	97	520.35	97
0	Max	-1862	0.00	97	0.00	98	0.00	97	0.05	97	0.45	97	0.09	97	410.77	97	520.35	97
0	Min.	-1386	0.00	33	0.00	33	0.00	33	0.03	33	0.30	33	0.06	33	292.56	33	370.61	33
0	Min.	-1396	0.00	33	0.00	33	0.00	33	0.03	33	0.30	33	0.06	33	292.56	33	370.61	33
0	Min.	-1693	0.00	33	0.00	33	0.00	33	0.03	33	0.30	33	0.06	33	292.56	33	370.61	33
0	Min.	-1862	0.00	33	0.00	33	0.00	33	0.03	33	0.30	33	0.06	33	292.56	33	370.61	33
0	Max	-1397	0.00	98	0.00	97	-0.00	33	0.05	97	0.45	97	-0.06	33	410.77	97	-370.61	33
0	Max	-1386	0.00	98	0.00	97	-0.00	33	0.05	97	0.45	97	-0.06	33	410.77	97	-370.61	33
0	Max	-1862	0.00	98	0.00	97	-0.00	33	0.05	97	0.45	97	-0.06	33	410.77	97	-370.61	33
0	Max	-1866	0.00	98	0.00	97	-0.00	33	0.05	97	0.45	97	-0.06	33	410.77	97	-370.61	33
0	Min.	-1397	0.00	33	0.00	33	-0.00	98	0.03	33	0.30	33	-0.09	97	292.56	33	-520.35	97
0	Min.	-1386	0.00	33	0.00	33	-0.00	98	0.03	33	0.30	33	-0.09	97	292.56	33	-520.35	97
0	Min.	-1862	0.00	33	0.00	33	-0.00	98	0.03	33	0.30	33	-0.09	97	292.56	33	-520.35	97
0	Min.	-1866	0.00	33	0.00	33	-0.00	98	0.03	33	0.30	33	-0.09	97	292.56	33	-520.35	97
0	Max	-1398	0.00	97	0.00	97	-0.00	33	0.06	97	0.51	97	-0.06	33	403.19	97	-363.97	33
0	Max	-2097	0.00	97	0.00	97	-0.00	33	0.06	97	0.51	97	-0.06	33	403.19	97	-363.97	33
0	Max	-2085	0.00	97	0.00	97	-0.00	33	0.06	97	0.51	97	-0.06	33	403.19	97	-363.97	33
0	Max	-1865	0.00	97	0.00	97	-0.00	33	0.06	97	0.51	97	-0.06	33	403.19	97	-363.97	33
0	Min.	-1398	0.00	33	0.00	33	-0.00	98	0.04	33	0.34	33	-0.10	97	287.36	33	-511.27	97
0	Min.	-2097	0.00	33	0.00	33	-0.00	98	0.04	33	0.34	33	-0.10	97	287.36	33	-511.27	97
0	Min.	-2085	0.00	33	0.00	33	-0.00	98	0.04	33	0.34	33	-0.10	97	287.36	33	-511.27	97
0	Min.	-1865	0.00	33	0.00	33	-0.00	98	0.04	33	0.34	33	-0.10	97	287.36	33	-511.27	97
0	Max	-1399	0.00	97	0.00	97	-0.00	33	-0.53	33	0.38	97	-0.42	33	239.29	97	-362.54	33
0	Max	-2098	0.00	97	0.00	97	-0.00	33	-0.53	33	0.38	97	-0.42	33	239.29	97	-362.54	33
0	Max	-2086	0.00	97	0.00	97	-0.00	33	-0.53	33	0.38	97	-0.42	33	239.29	97	-362.54	33
0	Max	-1864	0.00	97	0.00	97	-0.00	33	-0.53	33	0.38	97	-0.42	33	239.29	97	-362.54	33
0	Min.	-1399	0.00	33	0.00	33	-0.00	98	-0.75	97	0.25	33	-0.61	97	170.51	33	-509.28	97

0	Min.	-2098	0.00	33	0.00	33	-0.00	98	-0.75	97	0.25	33	-0.61	97	170.51	33	-509.28	97
0	Min.	-2086	0.00	33	0.00	33	-0.00	98	-0.75	97	0.25	33	-0.61	97	170.51	33	-509.28	97
0	Min.	-1864	0.00	33	0.00	33	-0.00	98	-0.75	97	0.25	33	-0.61	97	170.51	33	-509.28	97
0	Max	-1400	0.00	97	0.00	97	0.00	97	0.74	97	0.10	97	-0.25	33	484.18	97	23.33	97
0	Max	-1399	0.00	97	0.00	97	0.00	97	0.74	97	0.10	97	-0.25	33	484.18	97	23.33	97
0	Max	-1864	0.00	97	0.00	97	0.00	97	0.74	97	0.10	97	-0.25	33	484.18	97	23.33	97
0	Max	-1861	0.00	97	0.00	97	0.00	97	0.74	97	0.10	97	-0.25	33	484.18	97	23.33	97
0	Min.	-1400	0.00	33	0.00	33	0.00	102	0.52	33	0.07	33	-0.36	97	344.50	33	16.42	33
0	Min.	-1399	0.00	33	0.00	33	0.00	102	0.52	33	0.07	33	-0.36	97	344.50	33	16.42	33
0	Min.	-1864	0.00	33	0.00	33	0.00	102	0.52	33	0.07	33	-0.36	97	344.50	33	16.42	33
0	Min.	-1861	0.00	33	0.00	33	0.00	102	0.52	33	0.07	33	-0.36	97	344.50	33	16.42	33
0	Max	-1401	0.00	97	0.00	97	0.00	33	-0.10	33	-0.01	33	0.08	97	371.20	97	1.39	97
0	Max	-1400	0.00	97	0.00	97	0.00	33	-0.10	33	-0.01	33	0.08	97	371.20	97	1.39	97
0	Max	-1861	0.00	97	0.00	97	0.00	33	-0.10	33	-0.01	33	0.08	97	371.20	97	1.39	97
0	Max	-1857	0.00	97	0.00	97	0.00	33	-0.10	33	-0.01	33	0.08	97	371.20	97	1.39	97
0	Min.	-1401	0.00	33	0.00	33	0.00	98	-0.14	97	-0.02	97	0.06	33	264.16	33	0.97	33
0	Min.	-1400	0.00	33	0.00	33	0.00	98	-0.14	97	-0.02	97	0.06	33	264.16	33	0.97	33
0	Min.	-1861	0.00	33	0.00	33	0.00	98	-0.14	97	-0.02	97	0.06	33	264.16	33	0.97	33
0	Min.	-1857	0.00	33	0.00	33	0.00	98	-0.14	97	-0.02	97	0.06	33	264.16	33	0.97	33
0	Max	-1402	0.00	97	0.00	97	0.00	33	0.01	97	0.00	97	-0.01	33	405.07	97	-2.97	33
0	Max	-1401	0.00	97	0.00	97	0.00	33	0.01	97	0.00	97	-0.01	33	405.07	97	-2.97	33
0	Max	-1857	0.00	97	0.00	97	0.00	33	0.01	97	0.00	97	-0.01	33	405.07	97	-2.97	33
0	Max	-1845	0.00	97	0.00	97	0.00	33	0.01	97	0.00	97	-0.01	33	405.07	97	-2.97	33
0	Min.	-1402	0.00	33	0.00	33	0.00	98	0.01	33	0.00	33	-0.01	97	288.29	33	-4.25	97
0	Min.	-1401	0.00	33	0.00	33	0.00	98	0.01	33	0.00	33	-0.01	97	288.29	33	-4.25	97
0	Min.	-1857	0.00	33	0.00	33	0.00	98	0.01	33	0.00	33	-0.01	97	288.29	33	-4.25	97
0	Min.	-1845	0.00	33	0.00	33	0.00	98	0.01	33	0.00	33	-0.01	97	288.29	33	-4.25	97
0	Max	-1403	0.00	97	0.00	97	0.00	33	0.01	97	0.00	97	0.01	97	405.13	97	4.25	97
0	Max	-1402	0.00	97	0.00	97	0.00	33	0.01	97	0.00	97	0.01	97	405.13	97	4.25	97
0	Max	-1845	0.00	97	0.00	97	0.00	33	0.01	97	0.00	97	0.01	97	405.13	97	4.25	97
0	Max	-1844	0.00	97	0.00	97	0.00	33	0.01	97	0.00	97	0.01	97	405.13	97	4.25	97
0	Min.	-1403	0.00	33	0.00	33	0.00	98	0.01	33	0.00	33	0.01	33	288.32	33	2.97	33
0	Min.	-1402	0.00	33	0.00	33	0.00	98	0.01	33	0.00	33	0.01	33	288.32	33	2.97	33
0	Min.	-1845	0.00	33	0.00	33	0.00	98	0.01	33	0.00	33	0.01	33	288.32	33	2.97	33
0	Min.	-1844	0.00	33	0.00	33	0.00	98	0.01	33	0.00	33	0.01	33	288.32	33	2.97	33
0	Max	-1404	0.00	97	0.00	97	0.00	33	-0.10	33	-0.01	33	-0.06	33	370.98	97	-0.95	33
0	Max	-1403	0.00	97	0.00	97	0.00	33	-0.10	33	-0.01	33	-0.06	33	370.98	97	-0.95	33
0	Max	-1844	0.00	97	0.00	97	0.00	33	-0.10	33	-0.01	33	-0.06	33	370.98	97	-0.95	33
0	Max	-1843	0.00	97	0.00	97	0.00	33	-0.10	33	-0.01	33	-0.06	33	370.98	97	-0.95	33
0	Min.	-1404	0.00	102	0.00	33	0.00	98	-0.14	97	-0.02	97	-0.08	97	263.98	33	-1.39	97
0	Min.	-1403	0.00	102	0.00	33	0.00	98	-0.14	97	-0.02	97	-0.08	97	263.98	33	-1.39	97
0	Min.	-1844	0.00	102	0.00	33	0.00	98	-0.14	97	-0.02	97	-0.08	97	263.98	33	-1.39	97
0	Min.	-1843	0.00	102	0.00	33	0.00	98	-0.14	97	-0.02	97	-0.08	97	263.98	33	-1.39	97
0	Max	-1405	0.00	97	0.00	97	0.00	33	0.73	97	0.10	97	0.35	97	485.11	97	-16.43	33
0	Max	-1404	0.00	97	0.00	97	0.00	33	0.73	97	0.10	97	0.35	97	485.11	97	-16.43	33
0	Max	-1843	0.00	97	0.00	97	0.00	33	0.73	97	0.10	97	0.35	97	485.11	97	-16.43	33
0	Max	-1839	0.00	97	0.00	97	0.00	33	0.73	97	0.10	97	0.35	97	485.11	97	-16.43	33
0	Min.	-1405	0.00	102	0.00	33	0.00	98	0.52	33	0.07	33	0.25	33	345.08	33	-23.32	97
0	Min.	-1404	0.00	102	0.00	33	0.00	98	0.52	33	0.07	33	0.25	33	345.08	33	-23.32	97
0	Min.	-1843	0.00	102	0.00	33	0.00	98	0.52	33	0.07	33	0.25	33	345.08	33	-23.32	97
0	Min.	-1839	0.00	102	0.00	33	0.00	98	0.52	33	0.07	33	0.25	33	345.08	33	-23.32	97
0	Max	-1406	0.00	97	0.00	97	-0.00	33	-0.84	33	0.31	97	-0.35	33	284.29	97	-370.87	33
0	Max	-1952	0.00	97	0.00	97	-0.00	33	-0.84	33	0.31	97	-0.35	33	284.29	97	-370.87	33
0	Max	-1948	0.00	97	0.00	97	-0.00	33	-0.84	33	0.31	97	-0.35	33	284.29	97	-370.87	33
0	Max	-1836	0.00	97	0.00	97	-0.00	33	-0.84	33	0.31	97	-0.35	33	284.29	97	-370.87	33
0	Min.	-1406	0.00	102	0.00	33	-0.00	98	-1.19	97	0.20	33	-0.51	97	202.66	33	-521.08	97
0	Min.	-1952	0.00	102	0.00	33	-0.00	98	-1.19	97	0.20	33	-0.51	97	202.66	33	-521.08	97
0	Min.	-1948	0.00	102	0.00	33	-0.00	98	-1.19	97	0.20	33	-0.51	97	202.66	33	-521.08	97
0	Min.	-1836	0.00	102	0.00	33	-0.00	98	-1.19	97	0.20	33	-0.51	97	202.66	33	-521.08	97
0	Max	441	0.00	97	0.00	33	0.00	97	0.00	97	0.00	33	0.00	97	0.00	102	0.00	98
0	Max	-1428	0.00	97	0.00	33	0.00	97	0.00	97	0.00	33	0.00	97	0.00	102	0.00	98
0	Max	-1823	0.00	97	0.00	33	0.00	97	0.00	97	0.00	33	0.00	97	0.00	102	0.00	98
0	Max	-1859	0.00	97	0.00	33	0.00	97	0.00	97	0.00	33	0.00	97	0.00	102	0.00	98
0	Min.	441	0.00	102	0.00	98	0.00	33	0.00	102	0.00	98	0.00	33	0.00	97	0.00	101
0	Min.	-1428	0.00	102	0.00	98	0.00	33	0.00	102	0.00	98	0.00	33	0.00	97	0.00	101
0	Min.	-1823	0.00	102	0.00	98	0.00	33	0.00	102	0.00	98	0.00	33	0.00	97	0.00	101
0	Min.	-1859	0.00	102	0.00	98	0.00	33	0.00	102	0.00	98	0.00	33	0.00	97	0.00	101
0	Max	-1428	0.00	101	0.00	97	0.00	97	-0.01	33	-0.05	33	-0.05	33	6.28	97	-378.43	33
0	Max	-1949	0.00	101	0.00	97	0.00	97	-0.01	33	-0.05	33	-0.05	33	6.28	97	-378.43	33
0	Max	-1953	0.00	101	0.00	97	0.00	97	-0.01	33	-0.05	33	-0.05	33	6.28	97	-378.43	33
0	Max	-1823	0.00	101	0.00	97	0.00	97	-0.01	33	-0.05	33	-0.05	33	6.28	97	-378.43	33
0	Min.	-1428	0.00	98	0.00	49	0.00	102	-0.01	98	-0.08	97	-0.07	97	4.47	33	-531.62	97
0	Min.	-1949	0.00	98	0.00	49	0.00	102	-0.01	98	-0.08	97	-0.07	97	4.47	33	-531.62	97
0	Min.	-1953	0.00	98	0.00	49	0.00	102	-0.01	98	-0.08	97	-0.07	97	4.47	33	-531.62	97
0	Min.	-1823	0.00	98	0.00	49	0.00	102	-0.01	98	-0.08	97	-0.07	97	4.47	33	-531.62	97
0	Max	-1429	0.00	97	0.00	33	0.00	98	0.00	97	0.00	33	0.00	49	0.00	49	0.00	102
0	Max	-1430	0.00	97	0.00	33	0.00	98	0.00	97	0.00	33	0.00	49	0.00	49	0.00	102
0	Max	-1825	0.00	97	0.00	33	0.00	98	0.00	97	0.00	33	0.00	49	0.00	49	0.00	102
0	Max	-1824	0.00	97	0.00	33	0.00	98	0.00	97	0.00	33	0.00	49	0.00	49	0.00	102
0	Min.	-1429	0.00	102	0.00	98	0.00	49	0.00	102	0.00	98	0.00	33	0.00	97	0.00	97
0	Min.	-1430	0.00	102	0.00	98	0.00	49	0.00	102	0.00	98	0.00	33	0.00	97	0.00	97
0	Min.	-1825	0.00	102	0.00	98	0.00	49	0.00	102	0.00	98	0.00	33	0.00	97	0.00	97
0	Min.	-1824	0.00	102	0.00	98	0.00	49	0.00	102	0.00	98	0.00	33	0.00	97	0.00	97
0	Max	-1430	0.00	101	0.00	33	0.00	98	0.00	101	0.00	33	0.00	49	0.00	49	0.00	102
0	Max	-1431	0.00	101	0.00	33	0.00	98	0.00	101	0.00	33	0.00	49	0.00	49	0.00	102
0	Max	-1826	0.00	101	0.00	33	0.00	98	0.00	101	0.00	33	0.00	49	0.00	49	0.00	102
0	Max	-1825	0.00	101	0.00	33	0.00	98	0.00	101	0.00	33	0.00	49	0.00	49	0.00	102
0	Min.	-1430	0.00	98	0.00	98	0.00	49	0.00	98	0.00	98	0.00	33	0.00	97	0.00	97
0	Min.	-1431	0.00	98	0.00	98	0.00	49	0.00	98	0.00	98	0.00	33	0.00	97	0.00	97
0	Min.	-1826	0.00	98	0.00	98	0.00	49	0.00	98	0.00	98	0.00	33	0.00	97	0.00	97
0	Min.	-1825	0.00	98	0.00	98	0.00	49	0.00	98	0.00	98	0.00	33	0.00	97	0.00	97
0	Max	-1431	0.00	101	0.00	33	0.00	98	0.00	101	0.00	33	0.00	49	0.00	49	0.00	102
0	Max	-1432	0.00	101	0.00	33	0.00	98	0.00	101	0.00	33	0.00	49	0.00	49	0.00	102
0	Max	-1827	0.00	101	0.00	33	0.00	98	0.00	101	0.00	33	0.00	49	0.00	49	0.00	102
0	Max	-1826	0.00	101	0.00	33	0.00	98	0.00	101	0.00	33	0.00	49	0.00	49	0.00	102
0	Min.	-1431	0.00	98	0.00	99	0.00	49	0.00	98	0.00	98	0.00	33	0.00	97	0.00	97
0	Min.	-1432	0.00	98	0.00	99	0.00	49	0.00	98	0.00	98	0.00	33	0.00	97	0.00	97
0	Min.	-1827	0.00	98	0.00	99	0.00	49	0.00	98	0.00	98	0.00	33	0.00	97	0.00	97
0	Min.	-1826	0.00	98	0.00	99	0.00	49	0.00	98	0.00	98	0.00	33	0.00	97	0.00	97
0	Max	-1432	0.00	101	0.00	33	0.00	98	0.00	101	0.00	33	0.00	49	0.00	49	0.00	102
0	Max	-1433	0.00	101	0.00	33	0.00	98	0.00	101	0.00	33	0.00	49	0.00	49	0.00	102
0	Max	-1828	0.00	101	0.00	33	0.00	98	0.00	101	0.00	33	0.00	49	0.00	49	0.00	102
0	Max	-1827	0.00	101	0.00	33	0.00	98	0.00	101	0.00	33	0.00	49	0.00	49	0.00	102
0	Min.	-1432	0.00	98	0.00	99	0.00	49	0.00	98	0.00	98	0.00	33	0.00	97	0.00	97
0	Min.	-1433	0.00	98	0.00	99	0.00	49	0.00	98	0.00	98	0.00	33	0.00	97	0.00	97

0	Min.	-1828	0.00	98	0.00	99	0.00	49	0.00	98	0.00	98	0.00	33	0.00	97	0.00	97
0	Min.	-1827	0.00	98	0.00	99	0.00	49	0.00	98	0.00	98	0.00	33	0.00	97	0.00	97
0	Max	-1433	0.00	101	0.00	33	0.00	98	0.00	101	0.00	33	0.00	49	0.00	49	0.00	102
0	Max	-1434	0.00	101	0.00	33	0.00	98	0.00	101	0.00	33	0.00	49	0.00	49	0.00	102
0	Max	-1829	0.00	101	0.00	33	0.00	98	0.00	101	0.00	33	0.00	49	0.00	49	0.00	102
0	Max	-1828	0.00	101	0.00	33	0.00	98	0.00	101	0.00	33	0.00	49	0.00	49	0.00	102
0	Min.	-1433	0.00	98	0.00	49	0.00	49	0.00	98	0.00	49	0.00	33	0.00	97	0.00	97
0	Min.	-1434	0.00	98	0.00	49	0.00	49	0.00	98	0.00	49	0.00	33	0.00	97	0.00	97
0	Min.	-1829	0.00	98	0.00	49	0.00	49	0.00	98	0.00	49	0.00	33	0.00	97	0.00	97
0	Min.	-1828	0.00	98	0.00	49	0.00	49	0.00	98	0.00	49	0.00	33	0.00	97	0.00	97
0	Max	-1434	0.00	101	0.00	100	0.00	98	0.00	97	0.00	97	0.00	49	0.00	49	0.00	98
0	Max	-1435	0.00	101	0.00	100	0.00	98	0.00	97	0.00	97	0.00	49	0.00	49	0.00	98
0	Max	-1830	0.00	101	0.00	100	0.00	98	0.00	97	0.00	97	0.00	49	0.00	49	0.00	98
0	Max	-1829	0.00	101	0.00	100	0.00	98	0.00	97	0.00	97	0.00	49	0.00	49	0.00	98
0	Min.	-1434	0.00	98	0.00	49	0.00	49	0.00	102	0.00	49	0.00	33	0.00	97	0.00	101
0	Min.	-1435	0.00	98	0.00	49	0.00	49	0.00	102	0.00	49	0.00	33	0.00	97	0.00	101
0	Min.	-1830	0.00	98	0.00	49	0.00	49	0.00	102	0.00	49	0.00	33	0.00	97	0.00	101
0	Min.	-1829	0.00	98	0.00	49	0.00	49	0.00	102	0.00	49	0.00	33	0.00	97	0.00	101
0	Max	-1435	0.00	101	0.00	97	0.00	98	-0.01	33	-0.07	33	-0.06	33	5.92	97	-377.24	33
0	Max	-2099	0.00	101	0.00	97	0.00	98	-0.01	33	-0.07	33	-0.06	33	5.92	97	-377.24	33
0	Max	-1699	0.00	101	0.00	97	0.00	98	-0.01	33	-0.07	33	-0.06	33	5.92	97	-377.24	33
0	Max	-1830	0.00	101	0.00	97	0.00	98	-0.01	33	-0.07	33	-0.06	33	5.92	97	-377.24	33
0	Min.	-1435	0.00	98	0.00	33	0.00	49	-0.02	97	-0.09	97	-0.09	97	4.22	33	-529.95	97
0	Min.	-2099	0.00	98	0.00	33	0.00	49	-0.02	97	-0.09	97	-0.09	97	4.22	33	-529.95	97
0	Min.	-1699	0.00	98	0.00	33	0.00	49	-0.02	97	-0.09	97	-0.09	97	4.22	33	-529.95	97
0	Min.	-1830	0.00	98	0.00	33	0.00	49	-0.02	97	-0.09	97	-0.09	97	4.22	33	-529.95	97
0	Max	-1436	0.00	97	0.00	100	0.00	98	-0.01	33	-0.08	33	-0.07	33	5.63	97	-374.68	33
0	Max	-2100	0.00	97	0.00	100	0.00	98	-0.01	33	-0.08	33	-0.07	33	5.63	97	-374.68	33
0	Max	-1547	0.00	97	0.00	100	0.00	98	-0.01	33	-0.08	33	-0.07	33	5.63	97	-374.68	33
0	Max	-1831	0.00	97	0.00	100	0.00	98	-0.01	33	-0.08	33	-0.07	33	5.63	97	-374.68	33
0	Min.	-1436	0.00	102	0.00	33	0.00	49	-0.01	97	-0.11	97	-0.10	97	4.01	33	-526.35	97
0	Min.	-2100	0.00	102	0.00	33	0.00	49	-0.01	97	-0.11	97	-0.10	97	4.01	33	-526.35	97
0	Min.	-1547	0.00	102	0.00	33	0.00	49	-0.01	97	-0.11	97	-0.10	97	4.01	33	-526.35	97
0	Min.	-1831	0.00	102	0.00	33	0.00	49	-0.01	97	-0.11	97	-0.10	97	4.01	33	-526.35	97
0	Max	-1438	0.00	98	0.00	100	0.00	98	-0.01	33	-0.08	33	-0.07	33	5.67	97	-374.71	33
0	Max	-1846	0.00	98	0.00	100	0.00	98	-0.01	33	-0.08	33	-0.07	33	5.67	97	-374.71	33
0	Max	-1532	0.00	98	0.00	100	0.00	98	-0.01	33	-0.08	33	-0.07	33	5.67	97	-374.71	33
0	Max	-1832	0.00	98	0.00	100	0.00	98	-0.01	33	-0.08	33	-0.07	33	5.67	97	-374.71	33
0	Min.	-1438	0.00	101	0.00	33	0.00	49	-0.01	97	-0.11	97	-0.10	97	4.03	33	-526.41	97
0	Min.	-1846	0.00	101	0.00	33	0.00	49	-0.01	97	-0.11	97	-0.10	97	4.03	33	-526.41	97
0	Min.	-1532	0.00	101	0.00	33	0.00	49	-0.01	97	-0.11	97	-0.10	97	4.03	33	-526.41	97
0	Min.	-1832	0.00	101	0.00	33	0.00	49	-0.01	97	-0.11	97	-0.10	97	4.03	33	-526.41	97
0	Max	-1846	0.00	97	0.00	100	-0.00	33	-0.01	33	-0.08	33	0.10	97	5.67	97	526.41	97
0	Max	-1439	0.00	97	0.00	100	-0.00	33	-0.01	33	-0.08	33	0.10	97	5.67	97	526.41	97
0	Max	-1833	0.00	97	0.00	100	-0.00	33	-0.01	33	-0.08	33	0.10	97	5.67	97	526.41	97
0	Max	-1532	0.00	97	0.00	100	-0.00	33	-0.01	33	-0.08	33	0.10	97	5.67	97	526.41	97
0	Min.	-1846	0.00	33	0.00	33	-0.00	97	-0.01	97	-0.11	97	0.07	33	4.03	33	374.71	33
0	Min.	-1439	0.00	33	0.00	33	-0.00	97	-0.01	97	-0.11	97	0.07	33	4.03	33	374.71	33
0	Min.	-1833	0.00	33	0.00	33	-0.00	97	-0.01	97	-0.11	97	0.07	33	4.03	33	374.71	33
0	Min.	-1532	0.00	33	0.00	33	-0.00	97	-0.01	97	-0.11	97	0.07	33	4.03	33	374.71	33
0	Max	-1439	0.00	98	0.00	100	0.00	98	-0.01	33	-0.08	33	-0.07	33	5.63	97	-374.68	33
0	Max	-2101	0.00	98	0.00	100	0.00	98	-0.01	33	-0.08	33	-0.07	33	5.63	97	-374.68	33
0	Max	-2082	0.00	98	0.00	100	0.00	98	-0.01	33	-0.08	33	-0.07	33	5.63	97	-374.68	33
0	Max	-1833	0.00	98	0.00	100	0.00	98	-0.01	33	-0.08	33	-0.07	33	5.63	97	-374.68	33
0	Min.	-1439	0.00	101	0.00	33	0.00	49	-0.01	97	-0.11	97	-0.10	97	4.01	33	-526.37	97
0	Min.	-2101	0.00	101	0.00	33	0.00	49	-0.01	97	-0.11	97	-0.10	97	4.01	33	-526.37	97
0	Min.	-2082	0.00	101	0.00	33	0.00	49	-0.01	97	-0.11	97	-0.10	97	4.01	33	-526.37	97
0	Min.	-1833	0.00	101	0.00	33	0.00	49	-0.01	97	-0.11	97	-0.10	97	4.01	33	-526.37	97
0	Max	-1441	0.00	102	0.00	100	0.00	98	-0.00	33	-0.07	33	-0.06	33	5.92	97	-376.07	33
0	Max	-2102	0.00	102	0.00	100	0.00	98	-0.00	33	-0.07	33	-0.06	33	5.92	97	-376.07	33
0	Max	-2080	0.00	102	0.00	100	0.00	98	-0.00	33	-0.07	33	-0.06	33	5.92	97	-376.07	33
0	Max	-1834	0.00	102	0.00	100	0.00	98	-0.00	33	-0.07	33	-0.06	33	5.92	97	-376.07	33
0	Min.	-1441	0.00	97	0.00	33	0.00	49	-0.00	97	-0.09	97	-0.08	97	4.22	33	-528.31	97
0	Min.	-2102	0.00	97	0.00	33	0.00	49	-0.00	97	-0.09	97	-0.08	97	4.22	33	-528.31	97
0	Min.	-2080	0.00	97	0.00	33	0.00	49	-0.00	97	-0.09	97	-0.08	97	4.22	33	-528.31	97
0	Min.	-1834	0.00	97	0.00	33	0.00	49	-0.00	97	-0.09	97	-0.08	97	4.22	33	-528.31	97
0	Max	-1442	0.00	102	0.00	100	0.00	33	0.00	98	0.00	98	0.00	49	0.00	33	0.00	102
0	Max	-1443	0.00	102	0.00	100	0.00	33	0.00	98	0.00	98	0.00	49	0.00	33	0.00	102
0	Max	-1412	0.00	102	0.00	100	0.00	33	0.00	98	0.00	98	0.00	49	0.00	33	0.00	102
0	Max	-1835	0.00	102	0.00	100	0.00	33	0.00	98	0.00	98	0.00	49	0.00	33	0.00	102
0	Min.	-1442	0.00	97	0.00	33	0.00	97	0.00	101	0.00	33	0.00	33	0.00	98	0.00	97
0	Min.	-1443	0.00	97	0.00	33	0.00	97	0.00	101	0.00	33	0.00	33	0.00	98	0.00	97
0	Min.	-1412	0.00	97	0.00	33	0.00	97	0.00	101	0.00	33	0.00	33	0.00	98	0.00	97
0	Min.	-1835	0.00	97	0.00	33	0.00	97	0.00	101	0.00	33	0.00	33	0.00	98	0.00	97
0	Max	-1443	0.00	102	0.00	49	0.00	33	0.00	102	0.00	49	0.00	49	0.00	33	0.00	98
0	Max	-1445	0.00	102	0.00	49	0.00	33	0.00	102	0.00	49	0.00	49	0.00	33	0.00	98
0	Max	-1410	0.00	102	0.00	49	0.00	33	0.00	102	0.00	49	0.00	49	0.00	33	0.00	98
0	Max	-1412	0.00	102	0.00	49	0.00	33	0.00	102	0.00	49	0.00	49	0.00	33	0.00	98
0	Min.	-1443	0.00	97	0.00	33	0.00	97	0.00	97	0.00	33	0.00	33	0.00	98	0.00	101
0	Min.	-1445	0.00	97	0.00	33	0.00	97	0.00	97	0.00	33	0.00	33	0.00	98	0.00	101
0	Min.	-1410	0.00	97	0.00	33	0.00	97	0.00	97	0.00	33	0.00	33	0.00	98	0.00	101
0	Min.	-1412	0.00	97	0.00	33	0.00	97	0.00	97	0.00	33	0.00	33	0.00	98	0.00	101
0	Max	-1445	0.00	102	0.00	49	0.00	33	0.00	102	0.00	49	0.00	49	0.00	33	0.00	98
0	Max	-1446	0.00	102	0.00	49	0.00	33	0.00	102	0.00	49	0.00	49	0.00	33	0.00	98
0	Max	-1411	0.00	102	0.00	49	0.00	33	0.00	102	0.00	49	0.00	49	0.00	33	0.00	98
0	Max	-1410	0.00	102	0.00	49	0.00	33	0.00	102	0.00	49	0.00	49	0.00	33	0.00	98
0	Min.	-1445	0.00	97	0.00	99	0.00	97	0.00	97	0.00	97	0.00	33	0.00	98	0.00	101
0	Min.	-1446	0.00	97	0.00	99	0.00	97	0.00	97	0.00	97	0.00	33	0.00	98	0.00	101
0	Min.	-1411	0.00	97	0.00	99	0.00	97	0.00	97	0.00	97	0.00	33	0.00	98	0.00	101
0	Min.	-1410	0.00	97	0.00	99	0.00	97	0.00	97	0.00	97	0.00	33	0.00	98	0.00	101
0	Max	-1446	0.00	102	0.00	49	0.00	33	0.00	102	0.00	49	0.00	49	0.00	33	0.00	98
0	Max	-1448	0.00	102	0.00	49	0.00	33	0.00	102	0.00	49	0.00	49	0.00	33	0.00	98
0	Max	-1688	0.00	102	0.00	49	0.00	33	0.00	102	0.00	49	0.00	49	0.00	33	0.00	98
0	Max	-1411	0.00	102	0.00	49	0.00	33	0.00	102	0.00	49	0.00	49	0.00	33	0.00	98
0	Min.	-1446	0.00	97	0.00	99	0.00	97	0.00	97	0.00	97	0.00	33	0.00	98	0.00	101
0	Min.	-1448	0.00	97	0.00	99	0.00	97	0.00	97	0.00	97	0.00	33	0.00	98	0.00	101
0	Min.	-1688	0.00	97	0.00	99	0.00	97	0.00	97	0.00	97	0.00	33	0.00	98	0.00	101
0	Min.	-1411	0.00	97	0.00	99	0.00	97	0.00	97	0.00	97	0.00	33	0.00	98	0.00	101
0	Max	-1448	0.00	102	0.00	49	0.00	33	0.00	102	0.00	49	0.00	49	0.00	33	0.00	98
0	Max	-1449	0.00	102	0.00	49	0.00	33	0.00	102	0.00	49	0.00	49	0.00	33	0.00	98
0	Max	-1691	0.00	102	0.00	49	0.00	33	0.00	102	0.00	49	0.00	49	0.00	33	0.00	98
0	Max	-1688	0.00	102	0.00	49	0.00	33	0.00	102	0.00	49	0.00	49	0.00	33	0.00	98
0	Min.	-1448	0.00	97	0.00	97	0.00	97	0.00	97	0.00	97	0.00	33	0.00	98	0.00	101
0	Min.	-1449	0.00	97	0.00	97	0.00	97	0.00	97	0.00	97	0.00	33	0.00	98	0.00	101
0	Min.	-1691	0.00	97	0.00	97	0.00	97	0.00	97	0.00	97	0.00	33	0.00	98	0.00	101

0	Min.	-1688	0.00	97	0.00	97	0.00	97	0.00	97	0.00	97	0.00	33	0.00	98	0.00	101
0	Max	-1449	0.00	98	0.00	49	0.00	33	0.00	98	0.00	49	0.00	49	0.00	33	0.00	98
0	Max	-1450	0.00	98	0.00	49	0.00	33	0.00	98	0.00	49	0.00	49	0.00	33	0.00	98
0	Max	-1692	0.00	98	0.00	49	0.00	33	0.00	98	0.00	49	0.00	49	0.00	33	0.00	98
0	Max	-1691	0.00	98	0.00	49	0.00	33	0.00	98	0.00	49	0.00	49	0.00	33	0.00	98
0	Min.	-1449	0.00	101	0.00	97	0.00	97	0.00	101	0.00	97	0.00	33	0.00	98	0.00	101
0	Min.	-1450	0.00	101	0.00	97	0.00	97	0.00	101	0.00	97	0.00	33	0.00	98	0.00	101
0	Min.	-1692	0.00	101	0.00	97	0.00	97	0.00	101	0.00	97	0.00	33	0.00	98	0.00	101
0	Min.	-1691	0.00	101	0.00	97	0.00	97	0.00	101	0.00	97	0.00	33	0.00	98	0.00	101
0	Max	-1450	0.00	102	0.00	98	0.00	98	-0.01	33	-0.05	33	-0.05	33	6.28	97	-378.48	33
0	Max	-1937	0.00	102	0.00	98	0.00	98	-0.01	33	-0.05	33	-0.05	33	6.28	97	-378.48	33
0	Max	-1917	0.00	102	0.00	98	0.00	98	-0.01	33	-0.05	33	-0.05	33	6.28	97	-378.48	33
0	Max	-1692	0.00	102	0.00	98	0.00	98	-0.01	33	-0.05	33	-0.05	33	6.28	97	-378.48	33
0	Min.	-1450	0.00	97	0.00	33	0.00	49	-0.01	97	-0.08	97	-0.07	97	4.47	33	-531.69	97
0	Min.	-1937	0.00	97	0.00	33	0.00	49	-0.01	97	-0.08	97	-0.07	97	4.47	33	-531.69	97
0	Min.	-1917	0.00	97	0.00	33	0.00	49	-0.01	97	-0.08	97	-0.07	97	4.47	33	-531.69	97
0	Min.	-1692	0.00	97	0.00	33	0.00	49	-0.01	97	-0.08	97	-0.07	97	4.47	33	-531.69	97
0	Max	-1452	0.00	98	0.00	49	0.00	49	0.00	98	0.00	49	0.00	49	0.00	101	0.00	102
0	Max	430	0.00	98	0.00	49	0.00	49	0.00	98	0.00	49	0.00	49	0.00	101	0.00	102
0	Max	-1534	0.00	98	0.00	49	0.00	49	0.00	98	0.00	49	0.00	49	0.00	101	0.00	102
0	Max	-1698	0.00	98	0.00	49	0.00	49	0.00	98	0.00	49	0.00	49	0.00	101	0.00	102
0	Min.	-1452	0.00	101	0.00	97	0.00	98	0.00	101	0.00	97	0.00	98	0.00	98	0.00	97
0	Min.	430	0.00	101	0.00	97	0.00	98	0.00	101	0.00	97	0.00	98	0.00	98	0.00	97
0	Min.	-1534	0.00	101	0.00	97	0.00	98	0.00	101	0.00	97	0.00	98	0.00	98	0.00	97
0	Min.	-1698	0.00	101	0.00	97	0.00	98	0.00	101	0.00	97	0.00	98	0.00	98	0.00	97
0	Max	439	0.00	97	-0.00	101	0.00	98	0.48	97	0.07	97	0.44	97	-443.08	33	10.50	97
0	Max	-1453	0.00	97	-0.00	101	0.00	98	0.48	97	0.07	97	0.44	97	-443.08	33	10.50	97
0	Max	-1873	0.00	97	-0.00	101	0.00	98	0.48	97	0.07	97	0.44	97	-443.08	33	10.50	97
0	Max	-1874	0.00	97	-0.00	101	0.00	98	0.48	97	0.07	97	0.44	97	-443.08	33	10.50	97
0	Min.	439	0.00	102	-0.00	98	0.00	33	0.34	33	0.05	33	0.31	33	-622.45	97	7.48	33
0	Min.	-1453	0.00	102	-0.00	98	0.00	33	0.34	33	0.05	33	0.31	33	-622.45	97	7.48	33
0	Min.	-1873	0.00	102	-0.00	98	0.00	33	0.34	33	0.05	33	0.31	33	-622.45	97	7.48	33
0	Min.	-1874	0.00	102	-0.00	98	0.00	33	0.34	33	0.05	33	0.31	33	-622.45	97	7.48	33
0	Max	-1453	0.00	101	-0.00	101	0.00	33	-0.75	33	-0.51	33	0.88	97	-292.36	33	-273.72	33
0	Max	-1954	0.00	101	-0.00	101	0.00	33	-0.75	33	-0.51	33	0.88	97	-292.36	33	-273.72	33
0	Max	-1943	0.00	101	-0.00	101	0.00	33	-0.75	33	-0.51	33	0.88	97	-292.36	33	-273.72	33
0	Max	-1873	0.00	101	-0.00	101	0.00	33	-0.75	33	-0.51	33	0.88	97	-292.36	33	-273.72	33
0	Min.	-1453	-0.00	98	-0.00	98	-0.00	98	-1.05	97	-0.72	97	0.63	33	-410.76	97	-384.59	97
0	Min.	-1954	-0.00	98	-0.00	98	-0.00	98	-1.05	97	-0.72	97	0.63	33	-410.76	97	-384.59	97
0	Min.	-1943	-0.00	98	-0.00	98	-0.00	98	-1.05	97	-0.72	97	0.63	33	-410.76	97	-384.59	97
0	Min.	-1873	-0.00	98	-0.00	98	-0.00	98	-1.05	97	-0.72	97	0.63	33	-410.76	97	-384.59	97
0	Max	-1454	0.00	101	-0.00	101	0.00	98	0.57	97	0.08	97	-0.26	33	-464.08	1	-10.08	33
0	Max	-1455	0.00	101	-0.00	101	0.00	98	0.57	97	0.08	97	-0.26	33	-464.08	1	-10.08	33
0	Max	-1876	0.00	101	-0.00	101	0.00	98	0.57	97	0.08	97	-0.26	33	-464.08	1	-10.08	33
0	Max	-1875	0.00	101	-0.00	101	0.00	98	0.57	97	0.08	97	-0.26	33	-464.08	1	-10.08	33
0	Min.	-1454	-0.00	98	-0.00	98	0.00	101	0.40	33	0.06	33	-0.36	97	-651.95	97	-14.15	97
0	Min.	-1455	-0.00	98	-0.00	98	0.00	101	0.40	33	0.06	33	-0.36	97	-651.95	97	-14.15	97
0	Min.	-1876	-0.00	98	-0.00	98	0.00	101	0.40	33	0.06	33	-0.36	97	-651.95	97	-14.15	97
0	Min.	-1875	-0.00	98	-0.00	98	0.00	101	0.40	33	0.06	33	-0.36	97	-651.95	97	-14.15	97
0	Max	-1455	-0.00	101	-0.00	33	0.00	98	-0.06	33	-0.01	33	0.07	97	-371.98	33	-2.29	33
0	Max	-1456	-0.00	101	-0.00	33	0.00	98	-0.06	33	-0.01	33	0.07	97	-371.98	33	-2.29	33
0	Max	-1877	-0.00	101	-0.00	33	0.00	98	-0.06	33	-0.01	33	0.07	97	-371.98	33	-2.29	33
0	Max	-1876	-0.00	101	-0.00	33	0.00	98	-0.06	33	-0.01	33	0.07	97	-371.98	33	-2.29	33
0	Min.	-1455	-0.00	98	-0.00	98	0.00	49	-0.09	97	-0.01	97	0.05	33	-522.57	97	-3.22	97
0	Min.	-1456	-0.00	98	-0.00	98	0.00	49	-0.09	97	-0.01	97	0.05	33	-522.57	97	-3.22	97
0	Min.	-1877	-0.00	98	-0.00	98	0.00	49	-0.09	97	-0.01	97	0.05	33	-522.57	97	-3.22	97
0	Min.	-1876	-0.00	98	-0.00	98	0.00	49	-0.09	97	-0.01	97	0.05	33	-522.57	97	-3.22	97
0	Max	-1456	-0.00	101	-0.00	33	0.00	98	0.00	97	0.00	97	-0.00	33	-398.60	33	4.31	97
0	Max	-1459	-0.00	101	-0.00	33	0.00	98	0.00	97	0.00	97	-0.00	33	-398.60	33	4.31	97
0	Max	-1878	-0.00	101	-0.00	33	0.00	98	0.00	97	0.00	97	-0.00	33	-398.60	33	4.31	97
0	Max	-1877	-0.00	101	-0.00	33	0.00	98	0.00	97	0.00	97	-0.00	33	-398.60	33	4.31	97
0	Min.	-1456	-0.00	98	-0.00	98	0.00	49	0.00	33	0.00	33	-0.00	97	-559.96	97	3.07	33
0	Min.	-1459	-0.00	98	-0.00	98	0.00	49	0.00	33	0.00	33	-0.00	97	-559.96	97	3.07	33
0	Min.	-1878	-0.00	98	-0.00	98	0.00	49	0.00	33	0.00	33	-0.00	97	-559.96	97	3.07	33
0	Min.	-1877	-0.00	98	-0.00	98	0.00	49	0.00	33	0.00	33	-0.00	97	-559.96	97	3.07	33
0	Max	-1459	-0.00	101	-0.00	33	0.00	98	0.00	97	0.00	97	0.00	97	-398.44	33	-3.06	33
0	Max	-1460	-0.00	101	-0.00	33	0.00	98	0.00	97	0.00	97	0.00	97	-398.44	33	-3.06	33
0	Max	-1879	-0.00	101	-0.00	33	0.00	98	0.00	97	0.00	97	0.00	97	-398.44	33	-3.06	33
0	Max	-1878	-0.00	101	-0.00	33	0.00	98	0.00	97	0.00	97	0.00	97	-398.44	33	-3.06	33
0	Min.	-1459	-0.00	98	-0.00	98	0.00	49	0.00	33	0.00	33	0.00	33	-559.73	97	-4.30	97
0	Min.	-1460	-0.00	98	-0.00	98	0.00	49	0.00	33	0.00	33	0.00	33	-559.73	97	-4.30	97
0	Min.	-1879	-0.00	98	-0.00	98	0.00	49	0.00	33	0.00	33	0.00	33	-559.73	97	-4.30	97
0	Min.	-1878	-0.00	98	-0.00	98	0.00	49	0.00	33	0.00	33	0.00	33	-559.73	97	-4.30	97
0	Max	-1460	-0.00	101	-0.00	33	0.00	98	-0.06	33	-0.01	33	-0.05	33	-372.44	33	3.27	97
0	Max	-1462	-0.00	101	-0.00	33	0.00	98	-0.06	33	-0.01	33	-0.05	33	-372.44	33	3.27	97
0	Max	-1880	-0.00	101	-0.00	33	0.00	98	-0.06	33	-0.01	33	-0.05	33	-372.44	33	3.27	97
0	Max	-1879	-0.00	101	-0.00	33	0.00	98	-0.06	33	-0.01	33	-0.05	33	-372.44	33	3.27	97
0	Min.	-1460	-0.00	98	-0.00	98	0.00	49	-0.09	97	-0.02	97	-0.07	97	-523.22	97	2.33	33
0	Min.	-1462	-0.00	98	-0.00	98	0.00	49	-0.09	97	-0.02	97	-0.07	97	-523.22	97	2.33	33
0	Min.	-1880	-0.00	98	-0.00	98	0.00	49	-0.09	97	-0.02	97	-0.07	97	-523.22	97	2.33	33
0	Min.	-1879	-0.00	98	-0.00	98	0.00	49	-0.09	97	-0.02	97	-0.07	97	-523.22	97	2.33	33
0	Max	-1462	-0.00	101	-0.00	33	0.00	98	0.56	97	0.08	97	0.36	97	-462.66	33	13.68	97
0	Max	-1463	-0.00	101	-0.00	33	0.00	98	0.56	97	0.08	97	0.36	97	-462.66	33	13.68	97
0	Max	-1881	-0.00	101	-0.00	33	0.00	98	0.56	97	0.08	97	0.36	97	-462.66	33	13.68	97
0	Max	-1880	-0.00	101	-0.00	33	0.00	98	0.56	97	0.08	97	0.36	97	-462.66	33	13.68	97
0	Min.	-1462	-0.00	98	-0.00	98	0.00	49	0.40	33	0.06	33	0.26	33	-649.98	97	9.74	33
0	Min.	-1463	-0.00	98	-0.00	98	0.00	49	0.40	33	0.06	33	0.26	33	-649.98	97	9.74	33
0	Min.	-1881	-0.00	98	-0.00	98	0.00	49	0.40	33	0.06	33	0.26	33	-649.98	97	9.74	33
0	Min.	-1880	-0.00	98	-0.00	98	0.00	49	0.40	33	0.06	33	0.26	33	-649.98	97	9.74	33
0	Max	-1463	-0.00	101	-0.00	33	-0.00	33	-0.49	33	-0.57	33	1.05	97	-261.34	33	-264.32	33
0	Max	-1762	-0.00	101	-0.00	33	-0.00	33	-0.49	33	-0.57	33	1.05	97	-261.34	33	-264.32	33
0	Max	-1974	-0.00	101	-0.00	33	-0.00	33	-0.49	33	-0.57	33	1.05	97	-261.34	33	-264.32	33
0	Max	-1881	-0.00	101	-0.00	33	-0.00	33	-0.49	33	-0.57	33	1.05	97	-261.34	33	-264.32	33
0	Min.	-1463	-0.00	98	-0.00	98	-0.00	97	-0.69	97	-0.81	97	0.75	33	-367.19	97	-371.42	97
0	Min.	-1762	-0.00	98	-0.00	98	-0.00	97	-0.69	97	-0.81	97	0.75	33	-367.19	97	-371.42	97
0	Min.	-1974	-0.00	98	-0.00	98	-0.00	97	-0.69	97	-0.81	97	0.75	33	-367.19	97	-371.42	97
0	Min.	-1881	-0.00	98	-0.00	98	-0.00	97	-0.69	97	-0.81	97	0.75	33	-367.19	97	-371.42	97
0	Max	-1464	-0.00	33	-0.00	33	-0.00	33	-0.05	33	-0.58	33	0.55	97	-387.78	33	-247.38	33
0	Max	-2083	-0.00	33	-0.00	33	-0.00	33	-0.05	33	-0.58	33	0.55	97	-387.78	33	-247.38	33
0	Max	-1911	-0.00	33	-0.00	33	-0.00	33	-0.05	33	-0.58	33	0.55	97	-387.78	33	-247.38	33
0	Max	-1882	-0.00	33	-0.00	33	-0.00	33	-0.05	33	-0.58	33	0.55	97	-387.78	33	-247.38	33
0	Min.	-1464	-0.00	98	-0.00	98	-0.00	97	-0.07	97	-0.82	97	0.39	33	-544.82	97	-347.58	97
0	Min.	-2083	-0.00	98	-0.00	98	-0.00	97	-0.07	97	-0.82	97	0.39	33	-544.82	97	-347.58	97
0	Min.	-1911	-0.00	98	-0.00	98	-0.00	97	-0.07	97	-0.82	97	0.39	33	-544.82	97	-347.58	97
0	Min.	-1882	-0.00	98	-0.00	98	-0.00	97	-0.07	97	-0.82	97	0.39	33	-544.82	97	-347.58	97

0	Max	-1465	-0.00	33	-0.00	33	-0.00	33	-0.06	33	-0.58	33	0.56	97	-385.01	33	-246.62	33
0	Max	-1867	-0.00	33	-0.00	33	-0.00	33	-0.06	33	-0.58	33	0.56	97	-385.01	33	-246.62	33
0	Max	-1884	-0.00	33	-0.00	33	-0.00	33	-0.06	33	-0.58	33	0.56	97	-385.01	33	-246.62	33
0	Max	-1883	-0.00	33	-0.00	33	-0.00	33	-0.06	33	-0.58	33	0.56	97	-385.01	33	-246.62	33
0	Min.	-1465	-0.00	98	-0.00	98	-0.00	97	-0.08	97	-0.81	97	0.40	33	-540.96	97	-346.54	97
0	Min.	-1867	-0.00	98	-0.00	98	-0.00	97	-0.08	97	-0.81	97	0.40	33	-540.96	97	-346.54	97
0	Min.	-1884	-0.00	98	-0.00	98	-0.00	97	-0.08	97	-0.81	97	0.40	33	-540.96	97	-346.54	97
0	Min.	-1883	-0.00	98	-0.00	98	-0.00	97	-0.08	97	-0.81	97	0.40	33	-540.96	97	-346.54	97
0	Max	-1867	-0.00	33	-0.00	33	0.00	98	-0.06	33	-0.58	33	-0.40	33	-385.01	33	346.54	97
0	Max	-1466	-0.00	33	-0.00	33	0.00	98	-0.06	33	-0.58	33	-0.40	33	-385.01	33	346.54	97
0	Max	-1885	-0.00	33	-0.00	33	0.00	98	-0.06	33	-0.58	33	-0.40	33	-385.01	33	346.54	97
0	Max	-1884	-0.00	33	-0.00	33	0.00	98	-0.06	33	-0.58	33	-0.40	33	-385.01	33	346.54	97
0	Min.	-1867	-0.00	97	-0.00	97	0.00	33	-0.08	97	-0.81	97	-0.56	97	-540.96	97	246.62	33
0	Min.	-1466	-0.00	97	-0.00	97	0.00	33	-0.08	97	-0.81	97	-0.56	97	-540.96	97	246.62	33
0	Min.	-1885	-0.00	97	-0.00	97	0.00	33	-0.08	97	-0.81	97	-0.56	97	-540.96	97	246.62	33
0	Min.	-1884	-0.00	97	-0.00	97	0.00	33	-0.08	97	-0.81	97	-0.56	97	-540.96	97	246.62	33
0	Max	-1466	-0.00	33	-0.00	33	-0.00	33	-0.05	33	-0.58	33	0.56	97	-384.89	33	-247.29	33
0	Max	-2081	-0.00	33	-0.00	33	-0.00	33	-0.05	33	-0.58	33	0.56	97	-384.89	33	-247.29	33
0	Max	-2103	-0.00	33	-0.00	33	-0.00	33	-0.05	33	-0.58	33	0.56	97	-384.89	33	-247.29	33
0	Max	-1885	-0.00	33	-0.00	33	-0.00	33	-0.05	33	-0.58	33	0.56	97	-384.89	33	-247.29	33
0	Min.	-1466	-0.00	97	-0.00	97	-0.00	97	-0.08	97	-0.81	97	0.40	33	-540.77	97	-347.45	97
0	Min.	-2081	-0.00	97	-0.00	97	-0.00	97	-0.08	97	-0.81	97	0.40	33	-540.77	97	-347.45	97
0	Min.	-2103	-0.00	97	-0.00	97	-0.00	97	-0.08	97	-0.81	97	0.40	33	-540.77	97	-347.45	97
0	Min.	-1885	-0.00	97	-0.00	97	-0.00	97	-0.08	97	-0.81	97	0.40	33	-540.77	97	-347.45	97
0	Max	-1467	-0.00	102	-0.00	33	-0.00	33	-0.29	33	-0.51	33	0.39	97	-410.04	33	-260.04	33
0	Max	-2079	-0.00	102	-0.00	33	-0.00	33	-0.29	33	-0.51	33	0.39	97	-410.04	33	-260.04	33
0	Max	-2104	-0.00	102	-0.00	33	-0.00	33	-0.29	33	-0.51	33	0.39	97	-410.04	33	-260.04	33
0	Max	-1886	-0.00	102	-0.00	33	-0.00	33	-0.29	33	-0.51	33	0.39	97	-410.04	33	-260.04	33
0	Min.	-1467	-0.00	97	-0.00	97	-0.00	97	-0.41	97	-0.72	97	0.28	33	-576.09	97	-365.37	97
0	Min.	-2079	-0.00	97	-0.00	97	-0.00	97	-0.41	97	-0.72	97	0.28	33	-576.09	97	-365.37	97
0	Min.	-2104	-0.00	97	-0.00	97	-0.00	97	-0.41	97	-0.72	97	0.28	33	-576.09	97	-365.37	97
0	Min.	-1886	-0.00	97	-0.00	97	-0.00	97	-0.41	97	-0.72	97	0.28	33	-576.09	97	-365.37	97
0	Max	-1468	-0.00	33	-0.00	33	-0.00	33	0.56	97	0.08	97	-0.26	33	-462.66	33	-9.74	33
0	Max	-1469	-0.00	33	-0.00	33	-0.00	33	0.56	97	0.08	97	-0.26	33	-462.66	33	-9.74	33
0	Max	-1888	-0.00	33	-0.00	33	-0.00	33	0.56	97	0.08	97	-0.26	33	-462.66	33	-9.74	33
0	Max	-1887	-0.00	33	-0.00	33	-0.00	33	0.56	97	0.08	97	-0.26	33	-462.66	33	-9.74	33
0	Min.	-1468	-0.00	97	-0.00	97	-0.00	97	0.40	33	0.06	33	-0.36	97	-649.98	97	-13.68	97
0	Min.	-1469	-0.00	97	-0.00	97	-0.00	97	0.40	33	0.06	33	-0.36	97	-649.98	97	-13.68	97
0	Min.	-1888	-0.00	97	-0.00	97	-0.00	97	0.40	33	0.06	33	-0.36	97	-649.98	97	-13.68	97
0	Min.	-1887	-0.00	97	-0.00	97	-0.00	97	0.40	33	0.06	33	-0.36	97	-649.98	97	-13.68	97
0	Max	-1469	-0.00	102	-0.00	33	0.00	33	-0.06	33	-0.01	33	0.07	97	-372.44	33	-2.33	33
0	Max	-1470	-0.00	102	-0.00	33	0.00	33	-0.06	33	-0.01	33	0.07	97	-372.44	33	-2.33	33
0	Max	-1889	-0.00	102	-0.00	33	0.00	33	-0.06	33	-0.01	33	0.07	97	-372.44	33	-2.33	33
0	Max	-1888	-0.00	102	-0.00	33	0.00	33	-0.06	33	-0.01	33	0.07	97	-372.44	33	-2.33	33
0	Min.	-1469	-0.00	97	-0.00	97	0.00	97	-0.09	97	-0.02	97	0.05	33	-523.22	97	-3.27	97
0	Min.	-1470	-0.00	97	-0.00	97	0.00	97	-0.09	97	-0.02	97	0.05	33	-523.22	97	-3.27	97
0	Min.	-1889	-0.00	97	-0.00	97	0.00	97	-0.09	97	-0.02	97	0.05	33	-523.22	97	-3.27	97
0	Min.	-1888	-0.00	97	-0.00	97	0.00	97	-0.09	97	-0.02	97	0.05	33	-523.22	97	-3.27	97
0	Max	-1470	-0.00	102	-0.00	33	0.00	33	0.00	97	0.00	98	-0.00	33	-398.44	33	4.30	97
0	Max	-1471	-0.00	102	-0.00	33	0.00	33	0.00	97	0.00	98	-0.00	33	-398.44	33	4.30	97
0	Max	-1890	-0.00	102	-0.00	33	0.00	33	0.00	97	0.00	98	-0.00	33	-398.44	33	4.30	97
0	Max	-1889	-0.00	102	-0.00	33	0.00	33	0.00	97	0.00	98	-0.00	33	-398.44	33	4.30	97
0	Min.	-1470	-0.00	97	-0.00	97	0.00	97	0.00	33	0.00	33	-0.00	97	-559.73	97	3.06	33
0	Min.	-1471	-0.00	97	-0.00	97	0.00	97	0.00	33	0.00	33	-0.00	97	-559.73	97	3.06	33
0	Min.	-1890	-0.00	97	-0.00	97	0.00	97	0.00	33	0.00	33	-0.00	97	-559.73	97	3.06	33
0	Min.	-1889	-0.00	97	-0.00	97	0.00	97	0.00	33	0.00	33	-0.00	97	-559.73	97	3.06	33
0	Max	-1471	-0.00	102	-0.00	33	0.00	33	0.00	97	0.00	98	0.00	97	-398.60	33	-3.07	33
0	Max	-1472	-0.00	102	-0.00	33	0.00	33	0.00	97	0.00	98	0.00	97	-398.60	33	-3.07	33
0	Max	-1891	-0.00	102	-0.00	33	0.00	33	0.00	97	0.00	98	0.00	97	-398.60	33	-3.07	33
0	Max	-1890	-0.00	102	-0.00	33	0.00	33	0.00	97	0.00	98	0.00	97	-398.60	33	-3.07	33
0	Min.	-1471	-0.00	97	-0.00	97	0.00	97	0.00	33	0.00	33	0.00	33	-559.96	97	-4.31	97
0	Min.	-1472	-0.00	97	-0.00	97	0.00	97	0.00	33	0.00	33	0.00	33	-559.96	97	-4.31	97
0	Min.	-1891	-0.00	97	-0.00	97	0.00	97	0.00	33	0.00	33	0.00	33	-559.96	97	-4.31	97
0	Min.	-1890	-0.00	97	-0.00	97	0.00	97	0.00	33	0.00	33	0.00	33	-559.96	97	-4.31	97
0	Max	-1472	-0.00	102	-0.00	33	0.00	33	-0.06	33	-0.01	33	-0.05	33	-371.98	33	3.22	97
0	Max	-1473	-0.00	102	-0.00	33	0.00	33	-0.06	33	-0.01	33	-0.05	33	-371.98	33	3.22	97
0	Max	-1892	-0.00	102	-0.00	33	0.00	33	-0.06	33	-0.01	33	-0.05	33	-371.98	33	3.22	97
0	Max	-1891	-0.00	102	-0.00	33	0.00	33	-0.06	33	-0.01	33	-0.05	33	-371.98	33	3.22	97
0	Min.	-1472	-0.00	97	-0.00	97	0.00	97	-0.09	97	-0.01	97	-0.07	97	-522.57	97	2.29	33
0	Min.	-1473	-0.00	97	-0.00	97	0.00	97	-0.09	97	-0.01	97	-0.07	97	-522.57	97	2.29	33
0	Min.	-1892	-0.00	97	-0.00	97	0.00	97	-0.09	97	-0.01	97	-0.07	97	-522.57	97	2.29	33
0	Min.	-1891	-0.00	97	-0.00	97	0.00	97	-0.09	97	-0.01	97	-0.07	97	-522.57	97	2.29	33
0	Max	-1473	0.00	102	-0.00	33	0.00	102	0.57	97	0.08	97	0.36	97	-464.08	1	14.15	97
0	Max	-1474	0.00	102	-0.00	33	0.00	102	0.57	97	0.08	97	0.36	97	-464.08	1	14.15	97
0	Max	-1893	0.00	102	-0.00	33	0.00	102	0.57	97	0.08	97	0.36	97	-464.08	1	14.15	97
0	Max	-1892	0.00	102	-0.00	33	0.00	102	0.57	97	0.08	97	0.36	97	-464.08	1	14.15	97
0	Min.	-1473	-0.00	97	-0.00	97	0.00	97	0.40	33	0.06	33	0.26	33	-651.95	97	10.08	33
0	Min.	-1474	-0.00	97	-0.00	97	0.00	97	0.40	33	0.06	33	0.26	33	-651.95	97	10.08	33
0	Min.	-1893	-0.00	97	-0.00	97	0.00	97	0.40	33	0.06	33	0.26	33	-651.95	97	10.08	33
0	Min.	-1892	-0.00	97	-0.00	97	0.00	97	0.40	33	0.06	33	0.26	33	-651.95	97	10.08	33
0	Max	-1474	-0.00	102	-0.00	33	-0.00	102	-0.71	33	-0.51	33	0.90	97	-284.74	33	-277.00	33
0	Max	-1918	-0.00	102	-0.00	33	-0.00	102	-0.71	33	-0.51	33	0.90	97	-284.74	33	-277.00	33
0	Max	-1938	-0.00	102	-0.00	33	-0.00	102	-0.71	33	-0.51	33	0.90	97	-284.74	33	-277.00	33
0	Max	-1893	-0.00	102	-0.00	33	-0.00	102	-0.71	33	-0.51	33	0.90	97	-284.74	33	-277.00	33
0	Min.	-1474	-0.00	97	-0.00	97	-0.00	97	-1.00	97	-0.72	97	0.64	33	-400.06	97	-389.20	97
0	Min.	-1918	-0.00	97	-0.00	97	-0.00	97	-1.00	97	-0.72	97	0.64	33	-400.06	97	-389.20	97
0	Min.	-1938	-0.00	97	-0.00	97	-0.00	97	-1.00	97	-0.72	97	0.64	33	-400.06	97	-389.20	97
0	Min.	-1893	-0.00	97	-0.00	97	-0.00	97	-1.00	97	-0.72	97	0.64	33	-400.06	97	-389.20	97
0	Max	-1475	0.00	98	-0.00	102	-0.00	33	0.48	97	0.07	97	-0.31	33	-443.07	33	-7.48	33
0	Max	433	0.00	98	-0.00	102	-0.00	33	0.48	97	0.07	97	-0.31	33	-443.07	33	-7.48	33
0	Max	-1344	0.00	98	-0.00	102	-0.00	33	0.48	97	0.07	97	-0.31	33	-443.07	33	-7.48	33
0	Max	-1894	0.00	98	-0.00	102	-0.00	33	0.48	97	0.07	97	-0.31	33	-443.07	33	-7.48	33
0	Min.	-1475	0.00	101	-0.00	97	-0.00	97	0.34	33	0.05	33	-0.44	97	-622.44	97	-10.50	97
0	Min.	433	0.00	101	-0.00	97	-0.00	97	0.34	33	0.05	33	-0.44	97	-622.44	97	-10.50	97
0	Min.	-1344	0.00	101	-0.00	97	-0.00	97	0.34	33	0.05	33	-0.44	97	-622.44	97	-10.50	97
0	Min.	-1894	0.00	101	-0.00	97	-0.00	97	0.34	33	0.05	33	-0.44	97	-622.44	97	-10.50	97
0	Max	-1859	0.00	97	0.00	97	0.00	97	0.00	97	0.00	97	0.00	97	0.00	97	0.00	98
0	Max	-1823	0.00	97	0.00	97	0.00	97	0.00	97	0.00	97	0.00	97	0.00	97	0.00	98
0	Max	-1453	0.00	97	0.00	97	0.00	97	0.00	97	0.00	97	0.00	97	0.00	97	0.00	98
0	Max	439	0.00	97	0.00	97	0.00	97	0.00	97	0.00	97	0.00	97	0.00	97	0.00	98
0	Min.	-1859	0.00	102	0.00	33	0.00	33	0.00	102	0.00	33	0.00	33	0.00	102	0.00	101
0	Min.	-1823	0.00	102	0.00	33	0.00	33	0.00	102	0.00	33	0.00	33	0.00	102	0.00	101
0	Min.	-1453	0.00	102	0.00	33	0.00	33	0.00	102	0.00	33	0.00	33	0.00	102	0.00	101
0	Min.	439	0.00	102	0.00	33	0.00	33	0.00	102	0.00	33	0.00	33	0.00	102	0.00	101
0	Max	-1823	0.00	97	0.00	97	0.00	101	0.05	97	0.50	97	0.31	97	9.34	97	-460.20	33

0	Max	-1953	0.00	97	0.00	97	0.00	101	0.05	97	0.50	97	0.31	97	9.34	97	-460.20	33
0	Max	-1954	0.00	97	0.00	97	0.00	101	0.05	97	0.50	97	0.31	97	9.34	97	-460.20	33
0	Max	-1453	0.00	97	0.00	97	0.00	101	0.05	97	0.50	97	0.31	97	9.34	97	-460.20	33
0	Min.	-1823	0.00	102	0.00	33	0.00	98	0.03	33	0.36	33	0.22	33	6.65	33	-646.50	97
0	Min.	-1953	0.00	102	0.00	33	0.00	98	0.03	33	0.36	33	0.22	33	6.65	33	-646.50	97
0	Min.	-1954	0.00	102	0.00	33	0.00	98	0.03	33	0.36	33	0.22	33	6.65	33	-646.50	97
0	Min.	-1453	0.00	102	0.00	33	0.00	98	0.03	33	0.36	33	0.22	33	6.65	33	-646.50	97
0	Max	-1824	0.00	97	0.00	97	0.00	97	0.00	97	0.00	97	0.00	97	0.00	97	0.00	102
0	Max	-1825	0.00	97	0.00	97	0.00	97	0.00	97	0.00	97	0.00	97	0.00	97	0.00	102
0	Max	-1455	0.00	97	0.00	97	0.00	97	0.00	97	0.00	97	0.00	97	0.00	97	0.00	102
0	Max	-1454	0.00	97	0.00	97	0.00	97	0.00	97	0.00	97	0.00	97	0.00	97	0.00	102
0	Min.	-1824	0.00	102	0.00	33	0.00	49	0.00	102	0.00	33	0.00	33	0.00	33	0.00	97
0	Min.	-1825	0.00	102	0.00	33	0.00	49	0.00	102	0.00	33	0.00	33	0.00	33	0.00	97
0	Min.	-1455	0.00	102	0.00	33	0.00	49	0.00	102	0.00	33	0.00	33	0.00	33	0.00	97
0	Min.	-1454	0.00	102	0.00	33	0.00	49	0.00	102	0.00	33	0.00	33	0.00	33	0.00	97
0	Max	-1825	0.00	97	0.00	97	0.00	97	0.00	97	0.00	97	0.00	97	0.00	97	0.00	102
0	Max	-1826	0.00	97	0.00	97	0.00	97	0.00	97	0.00	97	0.00	97	0.00	97	0.00	102
0	Max	-1456	0.00	97	0.00	97	0.00	97	0.00	97	0.00	97	0.00	97	0.00	97	0.00	102
0	Max	-1455	0.00	97	0.00	97	0.00	97	0.00	97	0.00	97	0.00	97	0.00	97	0.00	102
0	Min.	-1825	0.00	102	0.00	33	0.00	49	0.00	102	0.00	33	0.00	33	0.00	33	0.00	97
0	Min.	-1826	0.00	102	0.00	33	0.00	49	0.00	102	0.00	33	0.00	33	0.00	33	0.00	97
0	Min.	-1456	0.00	102	0.00	33	0.00	49	0.00	102	0.00	33	0.00	33	0.00	33	0.00	97
0	Min.	-1455	0.00	102	0.00	33	0.00	49	0.00	102	0.00	33	0.00	33	0.00	33	0.00	97
0	Max	-1826	0.00	97	0.00	97	0.00	97	0.00	97	0.00	97	0.00	97	0.00	97	0.00	102
0	Max	-1827	0.00	97	0.00	97	0.00	97	0.00	97	0.00	97	0.00	97	0.00	97	0.00	102
0	Max	-1459	0.00	97	0.00	97	0.00	97	0.00	97	0.00	97	0.00	97	0.00	97	0.00	102
0	Max	-1456	0.00	97	0.00	97	0.00	97	0.00	97	0.00	97	0.00	97	0.00	97	0.00	102
0	Min.	-1826	0.00	102	0.00	33	0.00	49	0.00	102	0.00	33	0.00	33	0.00	33	0.00	97
0	Min.	-1827	0.00	102	0.00	33	0.00	49	0.00	102	0.00	33	0.00	33	0.00	33	0.00	97
0	Min.	-1459	0.00	102	0.00	33	0.00	49	0.00	102	0.00	33	0.00	33	0.00	33	0.00	97
0	Min.	-1456	0.00	102	0.00	33	0.00	49	0.00	102	0.00	33	0.00	33	0.00	33	0.00	97
0	Max	-1827	0.00	97	0.00	97	0.00	97	0.00	97	0.00	97	0.00	97	0.00	97	0.00	102
0	Max	-1828	0.00	97	0.00	97	0.00	97	0.00	97	0.00	97	0.00	97	0.00	97	0.00	102
0	Max	-1460	0.00	97	0.00	97	0.00	97	0.00	97	0.00	97	0.00	97	0.00	97	0.00	102
0	Max	-1459	0.00	97	0.00	97	0.00	97	0.00	97	0.00	97	0.00	97	0.00	97	0.00	102
0	Min.	-1827	0.00	102	0.00	33	0.00	49	0.00	102	0.00	33	0.00	33	0.00	33	0.00	97
0	Min.	-1828	0.00	102	0.00	33	0.00	49	0.00	102	0.00	33	0.00	33	0.00	33	0.00	97
0	Min.	-1460	0.00	102	0.00	33	0.00	49	0.00	102	0.00	33	0.00	33	0.00	33	0.00	97
0	Min.	-1459	0.00	102	0.00	33	0.00	49	0.00	102	0.00	33	0.00	33	0.00	33	0.00	97
0	Max	-1785	0.00	101	0.00	49	0.00	33	0.00	101	0.00	49	0.00	49	0.00	97	0.00	102
0	Max	-1786	0.00	101	0.00	49	0.00	33	0.00	101	0.00	49	0.00	49	0.00	97	0.00	102
0	Max	-1431	0.00	101	0.00	49	0.00	33	0.00	101	0.00	49	0.00	49	0.00	97	0.00	102
0	Max	-1430	0.00	101	0.00	49	0.00	33	0.00	101	0.00	49	0.00	49	0.00	97	0.00	102
0	Min.	-1785	0.00	98	0.00	100	0.00	98	0.00	98	0.00	97	0.00	98	0.00	33	0.00	97
0	Min.	-1786	0.00	98	0.00	100	0.00	98	0.00	98	0.00	97	0.00	98	0.00	33	0.00	97
0	Min.	-1431	0.00	98	0.00	100	0.00	98	0.00	98	0.00	97	0.00	98	0.00	33	0.00	97
0	Min.	-1430	0.00	98	0.00	100	0.00	98	0.00	98	0.00	97	0.00	98	0.00	33	0.00	97
0	Max	-1786	0.00	101	0.00	49	0.00	33	0.00	101	0.00	49	0.00	49	0.00	97	0.00	102
0	Max	-1787	0.00	101	0.00	49	0.00	33	0.00	101	0.00	49	0.00	49	0.00	97	0.00	102
0	Max	-1432	0.00	101	0.00	49	0.00	33	0.00	101	0.00	49	0.00	49	0.00	97	0.00	102
0	Max	-1431	0.00	101	0.00	49	0.00	33	0.00	101	0.00	49	0.00	49	0.00	97	0.00	102
0	Min.	-1786	0.00	98	0.00	100	0.00	98	0.00	98	0.00	97	0.00	98	0.00	33	0.00	97
0	Min.	-1787	0.00	98	0.00	100	0.00	98	0.00	98	0.00	97	0.00	98	0.00	33	0.00	97
0	Min.	-1432	0.00	98	0.00	100	0.00	98	0.00	98	0.00	97	0.00	98	0.00	33	0.00	97
0	Min.	-1431	0.00	98	0.00	100	0.00	98	0.00	98	0.00	97	0.00	98	0.00	33	0.00	97
0	Max	-1787	0.00	101	0.00	49	0.00	33	0.00	101	0.00	49	0.00	49	0.00	97	0.00	102
0	Max	-1788	0.00	101	0.00	49	0.00	33	0.00	101	0.00	49	0.00	49	0.00	97	0.00	102
0	Max	-1433	0.00	101	0.00	49	0.00	33	0.00	101	0.00	49	0.00	49	0.00	97	0.00	102
0	Max	-1432	0.00	101	0.00	49	0.00	33	0.00	101	0.00	49	0.00	49	0.00	97	0.00	102
0	Min.	-1787	0.00	98	0.00	100	0.00	98	0.00	98	0.00	97	0.00	98	0.00	33	0.00	97
0	Min.	-1788	0.00	98	0.00	100	0.00	98	0.00	98	0.00	97	0.00	98	0.00	33	0.00	97
0	Min.	-1433	0.00	98	0.00	100	0.00	98	0.00	98	0.00	97	0.00	98	0.00	33	0.00	97
0	Min.	-1432	0.00	98	0.00	100	0.00	98	0.00	98	0.00	97	0.00	98	0.00	33	0.00	97
0	Max	-1788	0.00	101	0.00	49	0.00	33	0.00	101	0.00	49	0.00	49	0.00	97	0.00	102
0	Max	-1789	0.00	101	0.00	49	0.00	33	0.00	101	0.00	49	0.00	49	0.00	97	0.00	102
0	Max	-1434	0.00	101	0.00	49	0.00	33	0.00	101	0.00	49	0.00	49	0.00	97	0.00	102
0	Max	-1433	0.00	101	0.00	49	0.00	33	0.00	101	0.00	49	0.00	49	0.00	97	0.00	102
0	Min.	-1788	0.00	98	0.00	100	0.00	98	0.00	98	0.00	100	0.00	33	0.00	33	0.00	97
0	Min.	-1789	0.00	98	0.00	100	0.00	98	0.00	98	0.00	100	0.00	33	0.00	33	0.00	97
0	Min.	-1434	0.00	98	0.00	100	0.00	98	0.00	98	0.00	100	0.00	33	0.00	33	0.00	97
0	Min.	-1433	0.00	98	0.00	100	0.00	98	0.00	98	0.00	100	0.00	33	0.00	33	0.00	97
0	Max	-1789	0.00	101	0.00	99	0.00	33	0.00	97	0.00	99	0.00	49	0.00	97	0.00	98
0	Max	-1790	0.00	101	0.00	99	0.00	33	0.00	97	0.00	99	0.00	49	0.00	97	0.00	98
0	Max	-1435	0.00	101	0.00	99	0.00	33	0.00	97	0.00	99	0.00	49	0.00	97	0.00	98
0	Max	-1434	0.00	101	0.00	99	0.00	33	0.00	97	0.00	99	0.00	49	0.00	97	0.00	98
0	Min.	-1789	0.00	98	0.00	33	0.00	98	0.00	102	0.00	33	0.00	98	0.00	33	0.00	101
0	Min.	-1790	0.00	98	0.00	33	0.00	98	0.00	102	0.00	33	0.00	98	0.00	33	0.00	101
0	Min.	-1435	0.00	98	0.00	33	0.00	98	0.00	102	0.00	33	0.00	98	0.00	33	0.00	101
0	Min.	-1434	0.00	98	0.00	33	0.00	98	0.00	102	0.00	33	0.00	98	0.00	33	0.00	101
0	Max	-1790	0.00	101	0.00	99	-0.00	33	-0.01	33	-0.07	33	0.09	97	-4.06	33	-377.46	33
0	Max	-2077	0.00	101	0.00	99	-0.00	33	-0.01	33	-0.07	33	0.09	97	-4.06	33	-377.46	33
0	Max	-2099	0.00	101	0.00	99	-0.00	33	-0.01	33	-0.07	33	0.09	97	-4.06	33	-377.46	33
0	Max	-1435	0.00	101	0.00	99	-0.00	33	-0.01	33	-0.07	33	0.09	97	-4.06	33	-377.46	33
0	Min.	-1790	0.00	98	0.00	33	-0.00	98	-0.02	97	-0.09	97	0.06	33	-5.71	97	-530.27	97
0	Min.	-2077	0.00	98	0.00	33	-0.00	98	-0.02	97	-0.09	97	0.06	33	-5.71	97	-530.27	97
0	Min.	-2099	0.00	98	0.00	33	-0.00	98	-0.02	97	-0.09	97	0.06	33	-5.71	97	-530.27	97
0	Min.	-1435	0.00	98	0.00	33	-0.00	98	-0.02	97	-0.09	97	0.06	33	-5.71	97	-530.27	97
0	Max	-1791	0.00	97	0.00	99	-0.00	33	-0.01	33	-0.08	33	0.10	97	-3.85	33	-374.93	33
0	Max	-2075	0.00	97	0.00	99	-0.00	33	-0.01	33	-0.08	33	0.10	97	-3.85	33	-374.93	33
0	Max	-2100	0.00	97	0.00	99	-0.00	33	-0.01	33	-0.08	33	0.10	97	-3.85	33	-374.93	33
0	Max	-1436	0.00	97	0.00	99	-0.00	33	-0.01	33	-0.08	33	0.10	97	-3.85	33	-374.93	33
0	Min.	-1791	0.00	102	0.00	33	-0.00	98	-0.01	97	-0.11	97	0.07	33	-5.40	97	-526.70	97
0	Min.	-2075	0.00	102	0.00	33	-0.00	98	-0.01	97	-0.11	97	0.07	33	-5.40	97	-526.70	97
0	Min.	-2100	0.00	102	0.00	33	-0.00	98	-0.01	97	-0.11	97	0.07	33	-5.40	97	-526.70	97
0	Min.	-1436	0.00	102	0.00	33	-0.00	98	-0.01	97	-0.11	97	0.07	33	-5.40	97	-526.70	97
0	Max	-1792	0.00	98	0.00	99	-0.00	33	-0.01	33	-0.08	33	0.10	97	-3.87	33	-374.96	33
0	Max	-1535	0.00	98	0.00	99	-0.00	33	-0.01	33	-0.08	33	0.10	97	-3.87	33	-374.96	33
0	Max	-1846	0.00	98	0.00	99	-0.00	33	-0.01	33	-0.08	33	0.10	97	-3.87	33	-374.96	33
0	Max	-1438	0.00	98	0.00	99	-0.00	33	-0.01	33	-0.08	33	0.10	97	-3.87	33	-374.96	33
0	Min.	-1792	0.00	101	0.00	33	-0.00	98	-0.01	97	-0.11	97	0.07	33	-5.44	97	-526.75	97
0	Min.	-1535	0.00	101	0.00	33	-0.00	98	-0.01	97	-0.11	97	0.07	33	-5.44	97	-526.75	97
0	Min.	-1846	0.00	101	0.00	33	-0.00	98	-0.01	97	-0.11	97	0.07	33	-5.44	97	-526.75	97
0	Min.	-1438	0.00	101	0.00	33	-0.00	98	-0.01	97	-0.11	97	0.07	33	-5.44	97	-526.75	97
0	Max	-1535	0.00	97	0.00	99	0.00	97	-0.01	33	-0.08	33	-0.07	33	-3.87	33	526.75	97
0	Max	-1793	0.00	97	0.00	99	0.00	97	-0.01	33	-0.08	33	-0.07	33	-3.87	33	526.75	97

0	Max	-1439	0.00	97	0.00	99	0.00	97	-0.01	33	-0.08	33	-0.07	33	-3.87	33	526.75	97
0	Max	-1846	0.00	97	0.00	99	0.00	97	-0.01	33	-0.08	33	-0.07	33	-3.87	33	526.75	97
0	Min.	-1535	0.00	102	0.00	33	0.00	49	-0.01	97	-0.11	97	-0.10	97	-5.44	97	374.96	33
0	Min.	-1793	0.00	102	0.00	33	0.00	49	-0.01	97	-0.11	97	-0.10	97	-5.44	97	374.96	33
0	Min.	-1439	0.00	102	0.00	33	0.00	49	-0.01	97	-0.11	97	-0.10	97	-5.44	97	374.96	33
0	Min.	-1846	0.00	102	0.00	33	0.00	49	-0.01	97	-0.11	97	-0.10	97	-5.44	97	374.96	33
0	Max	-1793	0.00	98	0.00	99	-0.00	33	-0.01	33	-0.08	33	0.10	97	-3.85	33	-374.93	33
0	Max	-2064	0.00	98	0.00	99	-0.00	33	-0.01	33	-0.08	33	0.10	97	-3.85	33	-374.93	33
0	Max	-2101	0.00	98	0.00	99	-0.00	33	-0.01	33	-0.08	33	0.10	97	-3.85	33	-374.93	33
0	Max	-1439	0.00	98	0.00	99	-0.00	33	-0.01	33	-0.08	33	0.10	97	-3.85	33	-374.93	33
0	Min.	-1793	0.00	101	0.00	33	-0.00	98	-0.01	97	-0.11	97	0.07	33	-5.40	97	-526.71	97
0	Min.	-2064	0.00	101	0.00	33	-0.00	98	-0.01	97	-0.11	97	0.07	33	-5.40	97	-526.71	97
0	Min.	-2101	0.00	101	0.00	33	-0.00	98	-0.01	97	-0.11	97	0.07	33	-5.40	97	-526.71	97
0	Min.	-1439	0.00	101	0.00	33	-0.00	98	-0.01	97	-0.11	97	0.07	33	-5.40	97	-526.71	97
0	Max	-1794	0.00	102	0.00	99	-0.00	33	-0.00	33	-0.07	33	0.08	97	-4.06	33	-376.30	33
0	Max	-2062	0.00	102	0.00	99	-0.00	33	-0.00	33	-0.07	33	0.08	97	-4.06	33	-376.30	33
0	Max	-2102	0.00	102	0.00	99	-0.00	33	-0.00	33	-0.07	33	0.08	97	-4.06	33	-376.30	33
0	Max	-1441	0.00	102	0.00	99	-0.00	33	-0.00	33	-0.07	33	0.08	97	-4.06	33	-376.30	33
0	Min.	-1794	0.00	97	0.00	33	-0.00	98	-0.00	97	-0.09	97	0.06	33	-5.71	97	-528.63	97
0	Min.	-2062	0.00	97	0.00	33	-0.00	98	-0.00	97	-0.09	97	0.06	33	-5.71	97	-528.63	97
0	Min.	-2102	0.00	97	0.00	33	-0.00	98	-0.00	97	-0.09	97	0.06	33	-5.71	97	-528.63	97
0	Min.	-1441	0.00	97	0.00	33	-0.00	98	-0.00	97	-0.09	97	0.06	33	-5.71	97	-528.63	97
0	Max	-1795	0.00	102	0.00	99	0.00	97	0.00	98	0.00	99	0.00	97	0.00	98	0.00	102
0	Max	-1796	0.00	102	0.00	99	0.00	97	0.00	98	0.00	99	0.00	97	0.00	98	0.00	102
0	Max	-1443	0.00	102	0.00	99	0.00	97	0.00	98	0.00	99	0.00	97	0.00	98	0.00	102
0	Max	-1442	0.00	102	0.00	99	0.00	97	0.00	98	0.00	99	0.00	97	0.00	98	0.00	102
0	Min.	-1795	0.00	97	0.00	49	0.00	49	0.00	101	0.00	49	0.00	33	0.00	49	0.00	97
0	Min.	-1796	0.00	97	0.00	49	0.00	49	0.00	101	0.00	49	0.00	33	0.00	49	0.00	97
0	Min.	-1443	0.00	97	0.00	49	0.00	49	0.00	101	0.00	49	0.00	33	0.00	49	0.00	97
0	Min.	-1442	0.00	97	0.00	49	0.00	49	0.00	101	0.00	49	0.00	33	0.00	49	0.00	97
0	Max	-1796	0.00	102	0.00	33	0.00	97	0.00	102	0.00	33	0.00	49	0.00	98	0.00	98
0	Max	-1797	0.00	102	0.00	33	0.00	97	0.00	102	0.00	33	0.00	49	0.00	98	0.00	98
0	Max	-1445	0.00	102	0.00	33	0.00	97	0.00	102	0.00	33	0.00	49	0.00	98	0.00	98
0	Max	-1443	0.00	102	0.00	33	0.00	97	0.00	102	0.00	33	0.00	49	0.00	98	0.00	98
0	Min.	-1796	0.00	97	0.00	100	0.00	49	0.00	97	0.00	100	0.00	33	0.00	49	0.00	101
0	Min.	-1797	0.00	97	0.00	100	0.00	49	0.00	97	0.00	100	0.00	33	0.00	49	0.00	101
0	Min.	-1445	0.00	97	0.00	100	0.00	49	0.00	97	0.00	100	0.00	33	0.00	49	0.00	101
0	Min.	-1443	0.00	97	0.00	100	0.00	49	0.00	97	0.00	100	0.00	33	0.00	49	0.00	101
0	Max	-1797	0.00	102	0.00	33	0.00	97	0.00	102	0.00	33	0.00	97	0.00	98	0.00	98
0	Max	-1798	0.00	102	0.00	33	0.00	97	0.00	102	0.00	33	0.00	97	0.00	98	0.00	98
0	Max	-1446	0.00	102	0.00	33	0.00	97	0.00	102	0.00	33	0.00	97	0.00	98	0.00	98
0	Max	-1445	0.00	102	0.00	33	0.00	97	0.00	102	0.00	33	0.00	97	0.00	98	0.00	98
0	Min.	-1797	0.00	97	0.00	100	0.00	49	0.00	97	0.00	98	0.00	33	0.00	49	0.00	101
0	Min.	-1798	0.00	97	0.00	100	0.00	49	0.00	97	0.00	98	0.00	33	0.00	49	0.00	101
0	Min.	-1446	0.00	97	0.00	100	0.00	49	0.00	97	0.00	98	0.00	33	0.00	49	0.00	101
0	Min.	-1445	0.00	97	0.00	100	0.00	49	0.00	97	0.00	98	0.00	33	0.00	49	0.00	101
0	Max	-1798	0.00	102	0.00	33	0.00	97	0.00	102	0.00	33	0.00	97	0.00	98	0.00	98
0	Max	-1799	0.00	102	0.00	33	0.00	97	0.00	102	0.00	33	0.00	97	0.00	98	0.00	98
0	Max	-1448	0.00	102	0.00	33	0.00	97	0.00	102	0.00	33	0.00	97	0.00	98	0.00	98
0	Max	-1446	0.00	102	0.00	33	0.00	97	0.00	102	0.00	33	0.00	97	0.00	98	0.00	98
0	Min.	-1798	0.00	97	0.00	100	0.00	49	0.00	97	0.00	98	0.00	33	0.00	49	0.00	101
0	Min.	-1799	0.00	97	0.00	100	0.00	49	0.00	97	0.00	98	0.00	33	0.00	49	0.00	101
0	Min.	-1448	0.00	97	0.00	100	0.00	49	0.00	97	0.00	98	0.00	33	0.00	49	0.00	101
0	Min.	-1446	0.00	97	0.00	100	0.00	49	0.00	97	0.00	98	0.00	33	0.00	49	0.00	101
0	Max	-1799	0.00	102	0.00	33	0.00	97	0.00	102	0.00	33	0.00	97	0.00	98	0.00	98
0	Max	-1800	0.00	102	0.00	33	0.00	97	0.00	102	0.00	33	0.00	97	0.00	98	0.00	98
0	Max	-1449	0.00	102	0.00	33	0.00	97	0.00	102	0.00	33	0.00	97	0.00	98	0.00	98
0	Max	-1448	0.00	102	0.00	33	0.00	97	0.00	102	0.00	33	0.00	97	0.00	98	0.00	98
0	Min.	-1799	0.00	97	0.00	100	0.00	49	0.00	97	0.00	98	0.00	33	0.00	49	0.00	101
0	Min.	-1800	0.00	97	0.00	100	0.00	49	0.00	97	0.00	98	0.00	33	0.00	49	0.00	101
0	Min.	-1449	0.00	97	0.00	100	0.00	49	0.00	97	0.00	98	0.00	33	0.00	49	0.00	101
0	Min.	-1448	0.00	97	0.00	100	0.00	49	0.00	97	0.00	98	0.00	33	0.00	49	0.00	101
0	Max	-1800	0.00	98	0.00	33	0.00	97	0.00	98	0.00	33	0.00	97	0.00	98	0.00	98
0	Max	-1801	0.00	98	0.00	33	0.00	97	0.00	98	0.00	33	0.00	97	0.00	98	0.00	98
0	Max	-1450	0.00	98	0.00	33	0.00	97	0.00	98	0.00	33	0.00	97	0.00	98	0.00	98
0	Max	-1449	0.00	98	0.00	33	0.00	97	0.00	98	0.00	33	0.00	97	0.00	98	0.00	98
0	Min.	-1800	0.00	101	0.00	100	0.00	49	0.00	101	0.00	98	0.00	33	0.00	49	0.00	101
0	Min.	-1801	0.00	101	0.00	100	0.00	49	0.00	101	0.00	98	0.00	33	0.00	49	0.00	101
0	Min.	-1450	0.00	101	0.00	100	0.00	49	0.00	101	0.00	98	0.00	33	0.00	49	0.00	101
0	Min.	-1449	0.00	101	0.00	100	0.00	49	0.00	101	0.00	98	0.00	33	0.00	49	0.00	101
0	Max	-1801	0.00	102	0.00	98	0.00	33	-0.01	33	-0.05	33	0.07	97	-4.32	33	-378.69	33
0	Max	-1923	0.00	102	0.00	98	0.00	33	-0.01	33	-0.05	33	0.07	97	-4.32	33	-378.69	33
0	Max	-1937	0.00	102	0.00	98	0.00	33	-0.01	33	-0.05	33	0.07	97	-4.32	33	-378.69	33
0	Max	-1450	0.00	102	0.00	98	0.00	33	-0.01	33	-0.05	33	0.07	97	-4.32	33	-378.69	33
0	Min.	-1801	0.00	97	0.00	49	-0.00	98	-0.01	97	-0.08	97	0.05	33	-6.07	97	-531.99	97
0	Min.	-1923	0.00	97	0.00	49	-0.00	98	-0.01	97	-0.08	97	0.05	33	-6.07	97	-531.99	97
0	Min.	-1937	0.00	97	0.00	49	-0.00	98	-0.01	97	-0.08	97	0.05	33	-6.07	97	-531.99	97
0	Min.	-1450	0.00	97	0.00	49	-0.00	98	-0.01	97	-0.08	97	0.05	33	-6.07	97	-531.99	97
0	Max	-1705	0.00	98	0.00	98	0.00	33	0.60	97	0.08	97	-0.30	33	-305.32	33	-15.76	33
0	Max	-1537	0.00	98	0.00	98	0.00	33	0.60	97	0.08	97	-0.30	33	-305.32	33	-15.76	33
0	Max	437	0.00	98	0.00	98	0.00	33	0.60	97	0.08	97	-0.30	33	-305.32	33	-15.76	33
0	Max	-1458	0.00	98	0.00	98	0.00	33	0.60	97	0.08	97	-0.30	33	-305.32	33	-15.76	33
0	Min.	-1705	0.00	101	0.00	101	0.00	97	0.43	33	0.05	33	-0.42	97	-428.97	97	-22.33	97
0	Min.	-1537	0.00	101	0.00	101	0.00	97	0.43	33	0.05	33	-0.42	97	-428.97	97	-22.33	97
0	Min.	437	0.00	101	0.00	101	0.00	97	0.43	33	0.05	33	-0.42	97	-428.97	97	-22.33	97
0	Min.	-1458	0.00	101	0.00	101	0.00	97	0.43	33	0.05	33	-0.42	97	-428.97	97	-22.33	97
0	Max	-1704	0.00	98	0.00	98	0.00	98	-0.81	33	0.36	97	0.52	97	-182.50	33	-374.19	33
0	Max	-1939	0.00	98	0.00	98	0.00	98	-0.81	33	0.36	97	0.52	97	-182.50	33	-374.19	33
0	Max	-1940	0.00	98	0.00	98	0.00	98	-0.81	33	0.36	97	0.52	97	-182.50	33	-374.19	33
0	Max	-1461	0.00	98	0.00	98	0.00	98	-0.81	33	0.36	97	0.52	97	-182.50	33	-374.19	33
0	Min.	-1704	0.00	101	0.00	33	0.00	33	-1.14	97	0.25	33	0.37	33	-255.85	97	-525.23	97
0	Min.	-1939	0.00	101	0.00	33	0.00	33	-1.14	97	0.25	33	0.37	33	-255.85	97	-525.23	97
0	Min.	-1940	0.00	101	0.00	33	0.00	33	-1.14	97	0.25	33	0.37	33	-255.85	97	-525.23	97
0	Min.	-1461	0.00	101	0.00	33	0.00	33	-1.14	97	0.25	33	0.37	33	-255.85	97	-525.23	97
0	Max	-1703	0.00	98	0.00	98	0.00	33	0.74	97	0.10	97	0.34	97	-323.25	33	24.12	97
0	Max	-1704	0.00	98	0.00	98	0.00	33	0.74	97	0.10	97	0.34	97	-323.25	33	24.12	97
0	Max	-1461	0.00	98	0.00	98	0.00	33	0.74	97	0.10	97	0.34	97	-323.25	33	24.12	97
0	Max	-1483	0.00	98	0.00	98	0.00	33	0.74	97	0.10	97	0.34	97	-323.25	33	24.12	97
0	Min.	-1703	0.00	101	0.00	33	0.00	97	0.52	33	0.07	33	0.24	33	-454.22	97	17.05	33
0	Min.	-1704	0.00	101	0.00	33	0.00	97	0.52	33	0.07	33	0.24	33	-454.22	97	17.05	33
0	Min.	-1461	0.00	101	0.00	33	0.00	97	0.52	33	0.07	33	0.24	33	-454.22	97	17.05	33
0	Min.	-1483	0.00	101	0.00	33	0.00	97	0.52	33	0.07	33	0.24	33	-454.22	97	17.05	33
0	Max	-1702	0.00	98	0.00	98	0.00	33	-0.10	33	-0.01	33	-0.05	33	-246.68	33	0.97	97
0	Max	-1703	0.00	98	0.00	98	0.00	33	-0.10	33	-0.01	33	-0.05	33	-246.68	33	0.97	97
0	Max	-1483	0.00	98	0.00	98	0.00	33	-0.10	33	-0.01	33	-0.05	33	-246.68	33	0.97	97

0	Max	-1484	0.00	98	0.00	98	0.00	33	-0.10	33	-0.01	33	-0.05	33	-246.68	33	0.97	97
0	Min.	-1702	0.00	101	0.00	33	0.00	97	-0.14	97	-0.02	97	-0.08	97	-346.48	97	0.70	33
0	Min.	-1703	0.00	101	0.00	33	0.00	97	-0.14	97	-0.02	97	-0.08	97	-346.48	97	0.70	33
0	Min.	-1483	0.00	101	0.00	33	0.00	97	-0.14	97	-0.02	97	-0.08	97	-346.48	97	0.70	33
0	Min.	-1484	0.00	101	0.00	33	0.00	97	-0.14	97	-0.02	97	-0.08	97	-346.48	97	0.70	33
0	Max	-1701	0.00	98	0.00	98	0.00	33	0.02	97	0.00	98	0.01	97	-269.63	33	-2.86	33
0	Max	-1702	0.00	98	0.00	98	0.00	33	0.02	97	0.00	98	0.01	97	-269.63	33	-2.86	33
0	Max	-1484	0.00	98	0.00	98	0.00	33	0.02	97	0.00	98	0.01	97	-269.63	33	-2.86	33
0	Max	-1485	0.00	98	0.00	98	0.00	33	0.02	97	0.00	98	0.01	97	-269.63	33	-2.86	33
0	Min.	-1701	0.00	101	0.00	33	0.00	97	0.01	33	0.00	33	0.01	33	-378.82	97	-4.04	97
0	Min.	-1702	0.00	101	0.00	33	0.00	97	0.01	33	0.00	33	0.01	33	-378.82	97	-4.04	97
0	Min.	-1484	0.00	101	0.00	33	0.00	97	0.01	33	0.00	33	0.01	33	-378.82	97	-4.04	97
0	Min.	-1485	0.00	101	0.00	33	0.00	97	0.01	33	0.00	33	0.01	33	-378.82	97	-4.04	97
0	Max	-1700	0.00	98	0.00	98	0.00	33	0.02	97	0.00	98	-0.01	33	-269.55	33	4.05	97
0	Max	-1701	0.00	98	0.00	98	0.00	33	0.02	97	0.00	98	-0.01	33	-269.55	33	4.05	97
0	Max	-1485	0.00	98	0.00	98	0.00	33	0.02	97	0.00	98	-0.01	33	-269.55	33	4.05	97
0	Max	-1486	0.00	98	0.00	98	0.00	33	0.02	97	0.00	98	-0.01	33	-269.55	33	4.05	97
0	Min.	-1700	0.00	33	0.00	33	0.00	97	0.01	33	0.00	33	-0.01	97	-378.76	97	2.85	33
0	Min.	-1701	0.00	33	0.00	33	0.00	97	0.01	33	0.00	33	-0.01	97	-378.76	97	2.85	33
0	Min.	-1485	0.00	33	0.00	33	0.00	97	0.01	33	0.00	33	-0.01	97	-378.76	97	2.85	33
0	Min.	-1486	0.00	33	0.00	33	0.00	97	0.01	33	0.00	33	-0.01	97	-378.76	97	2.85	33
0	Max	-1497	0.00	98	0.00	98	0.00	33	-0.10	33	-0.01	33	0.08	97	-246.70	33	-0.69	33
0	Max	-1700	0.00	98	0.00	98	0.00	33	-0.10	33	-0.01	33	0.08	97	-246.70	33	-0.69	33
0	Max	-1486	0.00	98	0.00	98	0.00	33	-0.10	33	-0.01	33	0.08	97	-246.70	33	-0.69	33
0	Max	-1487	0.00	98	0.00	98	0.00	33	-0.10	33	-0.01	33	0.08	97	-246.70	33	-0.69	33
0	Min.	-1497	0.00	33	0.00	33	0.00	97	-0.14	97	-0.02	97	0.05	33	-346.67	97	-1.00	97
0	Min.	-1700	0.00	33	0.00	33	0.00	97	-0.14	97	-0.02	97	0.05	33	-346.67	97	-1.00	97
0	Min.	-1486	0.00	33	0.00	33	0.00	97	-0.14	97	-0.02	97	0.05	33	-346.67	97	-1.00	97
0	Min.	-1487	0.00	33	0.00	33	0.00	97	-0.14	97	-0.02	97	0.05	33	-346.67	97	-1.00	97
0	Max	-1496	0.00	98	0.00	98	0.00	98	0.74	97	0.10	97	-0.24	33	-322.58	33	-16.93	33
0	Max	-1497	0.00	98	0.00	98	0.00	98	0.74	97	0.10	97	-0.24	33	-322.58	33	-16.93	33
0	Max	-1487	0.00	98	0.00	98	0.00	98	0.74	97	0.10	97	-0.24	33	-322.58	33	-16.93	33
0	Max	-1488	0.00	98	0.00	98	0.00	98	0.74	97	0.10	97	-0.24	33	-322.58	33	-16.93	33
0	Min.	-1496	0.00	33	0.00	33	0.00	101	0.52	33	0.07	33	-0.34	97	-453.40	97	-24.07	97
0	Min.	-1497	0.00	33	0.00	33	0.00	101	0.52	33	0.07	33	-0.34	97	-453.40	97	-24.07	97
0	Min.	-1487	0.00	33	0.00	33	0.00	101	0.52	33	0.07	33	-0.34	97	-453.40	97	-24.07	97
0	Min.	-1488	0.00	33	0.00	33	0.00	101	0.52	33	0.07	33	-0.34	97	-453.40	97	-24.07	97
0	Max	-1495	0.00	98	0.00	98	0.00	98	-0.25	33	0.54	97	0.03	97	-291.05	33	-372.31	33
0	Max	-2105	0.00	98	0.00	98	0.00	98	-0.25	33	0.54	97	0.03	97	-291.05	33	-372.31	33
0	Max	-2106	0.00	98	0.00	98	0.00	98	-0.25	33	0.54	97	0.03	97	-291.05	33	-372.31	33
0	Max	-1489	0.00	98	0.00	98	0.00	98	-0.25	33	0.54	97	0.03	97	-291.05	33	-372.31	33
0	Min.	-1495	0.00	33	0.00	33	0.00	33	-0.36	97	0.36	33	0.01	33	-408.70	97	-522.99	97
0	Min.	-2105	0.00	33	0.00	33	0.00	33	-0.36	97	0.36	33	0.01	33	-408.70	97	-522.99	97
0	Min.	-2106	0.00	33	0.00	33	0.00	33	-0.36	97	0.36	33	0.01	33	-408.70	97	-522.99	97
0	Min.	-1489	0.00	33	0.00	33	0.00	33	-0.36	97	0.36	33	0.01	33	-408.70	97	-522.99	97
0	Max	-1494	0.00	98	0.00	98	0.00	98	0.05	97	0.58	97	0.10	97	-270.74	33	-363.71	33
0	Max	-2107	0.00	98	0.00	98	0.00	98	0.05	97	0.58	97	0.10	97	-270.74	33	-363.71	33
0	Max	-2108	0.00	98	0.00	98	0.00	98	0.05	97	0.58	97	0.10	97	-270.74	33	-363.71	33
0	Max	-1498	0.00	98	0.00	98	0.00	98	0.05	97	0.58	97	0.10	97	-270.74	33	-363.71	33
0	Min.	-1494	0.00	33	0.00	33	0.00	33	0.03	33	0.38	33	0.06	33	-380.03	97	-510.95	97
0	Min.	-2107	0.00	33	0.00	33	0.00	33	0.03	33	0.38	33	0.06	33	-380.03	97	-510.95	97
0	Min.	-2108	0.00	33	0.00	33	0.00	33	0.03	33	0.38	33	0.06	33	-380.03	97	-510.95	97
0	Min.	-1498	0.00	33	0.00	33	0.00	33	0.03	33	0.38	33	0.06	33	-380.03	97	-510.95	97
0	Max	-1842	0.00	97	0.00	98	-0.00	33	0.05	97	0.51	97	-0.06	33	-275.62	33	520.30	97
0	Max	-1494	0.00	97	0.00	98	-0.00	33	0.05	97	0.51	97	-0.06	33	-275.62	33	520.30	97
0	Max	-1498	0.00	97	0.00	98	-0.00	33	0.05	97	0.51	97	-0.06	33	-275.62	33	520.30	97
0	Max	-1457	0.00	97	0.00	98	-0.00	33	0.05	97	0.51	97	-0.06	33	-275.62	33	520.30	97
0	Min.	-1842	0.00	33	0.00	33	-0.00	97	0.03	33	0.34	33	-0.09	97	-387.02	97	370.53	33
0	Min.	-1494	0.00	33	0.00	33	-0.00	97	0.03	33	0.34	33	-0.09	97	-387.02	97	370.53	33
0	Min.	-1498	0.00	33	0.00	33	-0.00	97	0.03	33	0.34	33	-0.09	97	-387.02	97	370.53	33
0	Min.	-1457	0.00	33	0.00	33	-0.00	97	0.03	33	0.34	33	-0.09	97	-387.02	97	370.53	33
0	Max	-1493	0.00	98	0.00	97	0.00	98	0.05	97	0.51	97	0.09	97	-275.62	33	-370.53	33
0	Max	-1842	0.00	98	0.00	97	0.00	98	0.05	97	0.51	97	0.09	97	-275.62	33	-370.53	33
0	Max	-1457	0.00	98	0.00	97	0.00	98	0.05	97	0.51	97	0.09	97	-275.62	33	-370.53	33
0	Max	-1499	0.00	98	0.00	97	0.00	98	0.05	97	0.51	97	0.09	97	-275.62	33	-370.53	33
0	Min.	-1493	0.00	33	0.00	33	0.00	33	0.03	33	0.34	33	0.06	33	-387.02	97	-520.30	97
0	Min.	-1842	0.00	33	0.00	33	0.00	33	0.03	33	0.34	33	0.06	33	-387.02	97	-520.30	97
0	Min.	-1457	0.00	33	0.00	33	0.00	33	0.03	33	0.34	33	0.06	33	-387.02	97	-520.30	97
0	Min.	-1499	0.00	33	0.00	33	0.00	33	0.03	33	0.34	33	0.06	33	-387.02	97	-520.30	97
0	Max	-1492	0.00	97	0.00	97	0.00	98	0.07	97	0.58	97	0.11	97	-269.85	33	-364.10	33
0	Max	-1912	0.00	97	0.00	97	0.00	98	0.07	97	0.58	97	0.11	97	-269.85	33	-364.10	33
0	Max	-2109	0.00	97	0.00	97	0.00	98	0.07	97	0.58	97	0.11	97	-269.85	33	-364.10	33
0	Max	-1500	0.00	97	0.00	97	0.00	98	0.07	97	0.58	97	0.11	97	-269.85	33	-364.10	33
0	Min.	-1492	0.00	33	0.00	33	0.00	33	0.05	33	0.38	33	0.07	33	-378.68	97	-511.39	97
0	Min.	-1912	0.00	33	0.00	33	0.00	33	0.05	33	0.38	33	0.07	33	-378.68	97	-511.39	97
0	Min.	-2109	0.00	33	0.00	33	0.00	33	0.05	33	0.38	33	0.07	33	-378.68	97	-511.39	97
0	Min.	-1500	0.00	33	0.00	33	0.00	33	0.05	33	0.38	33	0.07	33	-378.68	97	-511.39	97
0	Max	-1491	0.00	97	0.00	97	0.00	98	-0.53	33	0.44	97	0.60	97	-159.16	33	-362.50	33
0	Max	-1973	0.00	97	0.00	97	0.00	98	-0.53	33	0.44	97	0.60	97	-159.16	33	-362.50	33
0	Max	-2110	0.00	97	0.00	97	0.00	98	-0.53	33	0.44	97	0.60	97	-159.16	33	-362.50	33
0	Max	-1501	0.00	97	0.00	97	0.00	98	-0.53	33	0.44	97	0.60	97	-159.16	33	-362.50	33
0	Min.	-1491	0.00	33	0.00	33	0.00	33	-0.76	97	0.29	33	0.41	33	-223.29	97	-509.21	97
0	Min.	-1973	0.00	33	0.00	33	0.00	33	-0.76	97	0.29	33	0.41	33	-223.29	97	-509.21	97
0	Min.	-2110	0.00	33	0.00	33	0.00	33	-0.76	97	0.29	33	0.41	33	-223.29	97	-509.21	97
0	Min.	-1501	0.00	33	0.00	33	0.00	33	-0.76	97	0.29	33	0.41	33	-223.29	97	-509.21	97
0	Max	-1482	0.00	97	0.00	97	0.00	33	0.74	97	0.10	97	0.34	97	-322.58	33	24.07	97
0	Max	-1491	0.00	97	0.00	97	0.00	33	0.74	97	0.10	97	0.34	97	-322.58	33	24.07	97
0	Max	-1501	0.00	97	0.00	97	0.00	33	0.74	97	0.10	97	0.34	97	-322.58	33	24.07	97
0	Max	-1502	0.00	97	0.00	97	0.00	33	0.74	97	0.10	97	0.34	97	-322.58	33	24.07	97
0	Min.	-1482	0.00	33	0.00	33	0.00	97	0.52	33	0.07	33	0.24	33	-453.40	97	16.93	33
0	Min.	-1491	0.00	33	0.00	33	0.00	97	0.52	33	0.07	33	0.24	33	-453.40	97	16.93	33
0	Min.	-1501	0.00	33	0.00	33	0.00	97	0.52	33	0.07	33	0.24	33	-453.40	97	16.93	33
0	Min.	-1502	0.00	33	0.00	33	0.00	97	0.52	33	0.07	33	0.24	33	-453.40	97	16.93	33
0	Max	-1481	0.00	97	0.00	97	0.00	98	-0.10	33	-0.01	33	-0.05	33	-246.70	33	1.00	97
0	Max	-1482	0.00	97	0.00	97	0.00	98	-0.10	33	-0.01	33	-0.05	33	-246.70	33	1.00	97
0	Max	-1502	0.00	97	0.00	97	0.00	98	-0.10	33	-0.01	33	-0.05	33	-246.70	33	1.00	97
0	Max	-1503	0.00	97	0.00	97	0.00	98	-0.10	33	-0.01	33	-0.05	33	-246.70	33	1.00	97
0	Min.	-1481	0.00	33	0.00	33	0.00	33	-0.14	97	-0.02	97	-0.08	97	-346.67	97	0.69	33
0	Min.	-1482	0.00	33	0.00	33	0.00	33	-0.14	97	-0.02	97	-0.08	97	-346.67	97	0.69	33
0	Min.	-1502	0.00	33	0.00	33	0.00	33	-0.14	97	-0.02	97	-0.08	97	-346.67	97	0.69	33
0	Min.	-1503	0.00	33	0.00	33	0.00	33	-0.14	97	-0.02	97	-0.08	97	-346.67	97	0.69	33
0	Max	-1480	0.00	97	0.00	97	0.00	98	0.02	97	0.00	97	0.01	97	-269.55	33	-2.85	33
0	Max	-1481	0.00	97	0.00	97	0.00	98	0.02	97	0.00	97	0.01	97	-269.55	33	-2.85	33
0	Max	-1503	0.00	97	0.00	97	0.00	98	0.02	97	0.00	97	0.01	97	-269.55	33	-2.85	33
0	Max	-1504	0.00	97	0.00	97	0.00	98	0.02	97	0.00	97	0.01	97	-269.55	33	-2.85	33

0	Min.	-1480	0.00	33	0.00	33	0.00	33	0.01	33	0.00	33	0.01	33	-378.76	97	-4.05	97
0	Min.	-1481	0.00	33	0.00	33	0.00	33	0.01	33	0.00	33	0.01	33	-378.76	97	-4.05	97
0	Min.	-1503	0.00	33	0.00	33	0.00	33	0.01	33	0.00	33	0.01	33	-378.76	97	-4.05	97
0	Min.	-1504	0.00	33	0.00	33	0.00	33	0.01	33	0.00	33	0.01	33	-378.76	97	-4.05	97
0	Max	-1479	0.00	97	0.00	97	0.00	98	0.02	97	0.00	97	-0.01	33	-269.63	33	4.04	97
0	Max	-1480	0.00	97	0.00	97	0.00	98	0.02	97	0.00	97	-0.01	33	-269.63	33	4.04	97
0	Max	-1504	0.00	97	0.00	97	0.00	98	0.02	97	0.00	97	-0.01	33	-269.63	33	4.04	97
0	Max	-1505	0.00	97	0.00	97	0.00	98	0.02	97	0.00	97	-0.01	33	-269.63	33	4.04	97
0	Min.	-1479	0.00	33	0.00	33	0.00	33	0.01	33	0.00	33	-0.01	97	-378.82	97	2.86	33
0	Min.	-1480	0.00	33	0.00	33	0.00	33	0.01	33	0.00	33	-0.01	97	-378.82	97	2.86	33
0	Min.	-1504	0.00	33	0.00	33	0.00	33	0.01	33	0.00	33	-0.01	97	-378.82	97	2.86	33
0	Min.	-1505	0.00	33	0.00	33	0.00	33	0.01	33	0.00	33	-0.01	97	-378.82	97	2.86	33
0	Max	-1478	0.00	97	0.00	97	0.00	98	-0.10	33	-0.01	33	0.08	97	-246.68	33	-0.70	33
0	Max	-1479	0.00	97	0.00	97	0.00	98	-0.10	33	-0.01	33	0.08	97	-246.68	33	-0.70	33
0	Max	-1505	0.00	97	0.00	97	0.00	98	-0.10	33	-0.01	33	0.08	97	-246.68	33	-0.70	33
0	Max	-1506	0.00	97	0.00	97	0.00	98	-0.10	33	-0.01	33	0.08	97	-246.68	33	-0.70	33
0	Min.	-1478	0.00	102	0.00	33	0.00	33	-0.14	97	-0.02	97	0.05	33	-346.48	97	-0.97	97
0	Min.	-1479	0.00	102	0.00	33	0.00	33	-0.14	97	-0.02	97	0.05	33	-346.48	97	-0.97	97
0	Min.	-1505	0.00	102	0.00	33	0.00	33	-0.14	97	-0.02	97	0.05	33	-346.48	97	-0.97	97
0	Min.	-1506	0.00	102	0.00	33	0.00	33	-0.14	97	-0.02	97	0.05	33	-346.48	97	-0.97	97
0	Max	-1477	0.00	97	0.00	97	0.00	98	0.74	97	0.10	97	-0.24	33	-323.25	33	-17.05	33
0	Max	-1478	0.00	97	0.00	97	0.00	98	0.74	97	0.10	97	-0.24	33	-323.25	33	-17.05	33
0	Max	-1506	0.00	97	0.00	97	0.00	98	0.74	97	0.10	97	-0.24	33	-323.25	33	-17.05	33
0	Max	-1507	0.00	97	0.00	97	0.00	98	0.74	97	0.10	97	-0.24	33	-323.25	33	-17.05	33
0	Min.	-1477	0.00	102	0.00	33	0.00	33	0.52	33	0.07	33	-0.34	97	-454.22	97	-24.12	97
0	Min.	-1478	0.00	102	0.00	33	0.00	33	0.52	33	0.07	33	-0.34	97	-454.22	97	-24.12	97
0	Min.	-1506	0.00	102	0.00	33	0.00	33	0.52	33	0.07	33	-0.34	97	-454.22	97	-24.12	97
0	Min.	-1507	0.00	102	0.00	33	0.00	33	0.52	33	0.07	33	-0.34	97	-454.22	97	-24.12	97
0	Max	-1476	0.00	97	0.00	97	0.00	98	-0.84	33	0.36	97	0.50	97	-190.13	33	-371.61	33
0	Max	-1944	0.00	97	0.00	97	0.00	98	-0.84	33	0.36	97	0.50	97	-190.13	33	-371.61	33
0	Max	-1955	0.00	97	0.00	97	0.00	98	-0.84	33	0.36	97	0.50	97	-190.13	33	-371.61	33
0	Max	-1508	0.00	97	0.00	97	0.00	98	-0.84	33	0.36	97	0.50	97	-190.13	33	-371.61	33
0	Min.	-1476	0.00	102	0.00	33	0.00	33	-1.18	97	0.25	33	0.35	33	-266.61	97	-521.60	97
0	Min.	-1944	0.00	102	0.00	33	0.00	33	-1.18	97	0.25	33	0.35	33	-266.61	97	-521.60	97
0	Min.	-1955	0.00	102	0.00	33	0.00	33	-1.18	97	0.25	33	0.35	33	-266.61	97	-521.60	97
0	Min.	-1508	0.00	102	0.00	33	0.00	33	-1.18	97	0.25	33	0.35	33	-266.61	97	-521.60	97
0	Max	-1458	0.00	98	0.00	98	-0.00	33	0.60	97	0.03	97	0.78	97	853.09	97	-15.76	33
0	Max	437	0.00	98	0.00	98	-0.00	33	0.60	97	0.03	97	0.78	97	853.09	97	-15.76	33
0	Max	432	0.00	98	0.00	98	-0.00	33	0.60	97	0.03	97	0.78	97	853.09	97	-15.76	33
0	Max	-1745	0.00	98	0.00	98	-0.00	33	0.60	97	0.03	97	0.78	97	853.09	97	-15.76	33
0	Min.	-1458	0.00	101	0.00	101	-0.00	98	0.42	33	0.02	33	0.56	33	606.91	33	-22.33	97
0	Min.	437	0.00	101	0.00	101	-0.00	98	0.42	33	0.02	33	0.56	33	606.91	33	-22.33	97
0	Min.	432	0.00	101	0.00	101	-0.00	98	0.42	33	0.02	33	0.56	33	606.91	33	-22.33	97
0	Min.	-1745	0.00	101	0.00	101	-0.00	98	0.42	33	0.02	33	0.56	33	606.91	33	-22.33	97
0	Max	-1461	0.00	98	0.00	98	-0.00	33	-0.81	33	0.34	97	-0.22	33	471.18	97	-502.92	33
0	Max	-1940	0.00	98	0.00	98	-0.00	33	-0.81	33	0.34	97	-0.22	33	471.18	97	-502.92	33
0	Max	-1941	0.00	98	0.00	98	-0.00	33	-0.81	33	0.34	97	-0.22	33	471.18	97	-502.92	33
0	Max	-1744	0.00	98	0.00	98	-0.00	33	-0.81	33	0.34	97	-0.22	33	471.18	97	-502.92	33
0	Min.	-1461	0.00	101	0.00	33	-0.00	98	-1.14	97	0.22	33	-0.30	97	335.85	33	-713.36	97
0	Min.	-1940	0.00	101	0.00	33	-0.00	98	-1.14	97	0.22	33	-0.30	97	335.85	33	-713.36	97
0	Min.	-1941	0.00	101	0.00	33	-0.00	98	-1.14	97	0.22	33	-0.30	97	335.85	33	-713.36	97
0	Min.	-1744	0.00	101	0.00	33	-0.00	98	-1.14	97	0.22	33	-0.30	97	335.85	33	-713.36	97
0	Max	-1483	0.00	98	0.00	98	0.00	33	0.73	97	0.03	97	-0.45	33	905.49	97	24.12	97
0	Max	-1461	0.00	98	0.00	98	0.00	33	0.73	97	0.03	97	-0.45	33	905.49	97	24.12	97
0	Max	-1744	0.00	98	0.00	98	0.00	33	0.73	97	0.03	97	-0.45	33	905.49	97	24.12	97
0	Max	-1743	0.00	98	0.00	98	0.00	33	0.73	97	0.03	97	-0.45	33	905.49	97	24.12	97
0	Min.	-1483	0.00	101	0.00	33	0.00	97	0.52	33	0.02	33	-0.64	97	644.05	33	17.05	33
0	Min.	-1461	0.00	101	0.00	33	0.00	97	0.52	33	0.02	33	-0.64	97	644.05	33	17.05	33
0	Min.	-1744	0.00	101	0.00	33	0.00	97	0.52	33	0.02	33	-0.64	97	644.05	33	17.05	33
0	Min.	-1743	0.00	101	0.00	33	0.00	97	0.52	33	0.02	33	-0.64	97	644.05	33	17.05	33
0	Max	-1484	0.00	98	0.00	98	0.00	33	-0.10	33	-0.00	33	0.14	97	678.88	97	0.97	97
0	Max	-1483	0.00	98	0.00	98	0.00	33	-0.10	33	-0.00	33	0.14	97	678.88	97	0.97	97
0	Max	-1743	0.00	98	0.00	98	0.00	33	-0.10	33	-0.00	33	0.14	97	678.88	97	0.97	97
0	Max	-1742	0.00	98	0.00	98	0.00	33	-0.10	33	-0.00	33	0.14	97	678.88	97	0.97	97
0	Min.	-1484	0.00	101	0.00	33	0.00	97	-0.14	97	-0.00	97	0.10	33	483.41	33	0.70	33
0	Min.	-1483	0.00	101	0.00	33	0.00	97	-0.14	97	-0.00	97	0.10	33	483.41	33	0.70	33
0	Min.	-1743	0.00	101	0.00	33	0.00	97	-0.14	97	-0.00	97	0.10	33	483.41	33	0.70	33
0	Min.	-1742	0.00	101	0.00	33	0.00	97	-0.14	97	-0.00	97	0.10	33	483.41	33	0.70	33
0	Max	-1485	0.00	98	0.00	98	0.00	33	0.02	97	-0.00	33	-0.01	33	745.74	97	-2.86	33
0	Max	-1484	0.00	98	0.00	98	0.00	33	0.02	97	-0.00	33	-0.01	33	745.74	97	-2.86	33
0	Max	-1742	0.00	98	0.00	98	0.00	33	0.02	97	-0.00	33	-0.01	33	745.74	97	-2.86	33
0	Max	-1741	0.00	98	0.00	98	0.00	33	0.02	97	-0.00	33	-0.01	33	745.74	97	-2.86	33
0	Min.	-1485	0.00	101	0.00	33	0.00	97	0.01	33	-0.00	97	-0.02	97	530.77	33	-4.04	97
0	Min.	-1484	0.00	101	0.00	33	0.00	97	0.01	33	-0.00	97	-0.02	97	530.77	33	-4.04	97
0	Min.	-1742	0.00	101	0.00	33	0.00	97	0.01	33	-0.00	97	-0.02	97	530.77	33	-4.04	97
0	Min.	-1741	0.00	101	0.00	33	0.00	97	0.01	33	-0.00	97	-0.02	97	530.77	33	-4.04	97
0	Max	-1486	0.00	98	0.00	98	0.00	33	0.02	97	-0.00	33	0.02	97	745.83	97	4.05	97
0	Max	-1485	0.00	98	0.00	98	0.00	33	0.02	97	-0.00	33	0.02	97	745.83	97	4.05	97
0	Max	-1741	0.00	98	0.00	98	0.00	33	0.02	97	-0.00	33	0.02	97	745.83	97	4.05	97
0	Max	-1740	0.00	98	0.00	98	0.00	33	0.02	97	-0.00	33	0.02	97	745.83	97	4.05	97
0	Min.	-1486	0.00	33	0.00	33	0.00	97	0.01	33	-0.00	97	0.01	33	530.74	33	2.85	33
0	Min.	-1485	0.00	33	0.00	33	0.00	97	0.01	33	-0.00	97	0.01	33	530.74	33	2.85	33
0	Min.	-1741	0.00	33	0.00	33	0.00	97	0.01	33	-0.00	97	0.01	33	530.74	33	2.85	33
0	Min.	-1740	0.00	33	0.00	33	0.00	97	0.01	33	-0.00	97	0.01	33	530.74	33	2.85	33
0	Max	-1487	0.00	98	0.00	98	0.00	33	-0.10	33	-0.00	33	-0.10	33	678.51	97	-0.69	33
0	Max	-1486	0.00	98	0.00	98	0.00	33	-0.10	33	-0.00	33	-0.10	33	678.51	97	-0.69	33
0	Max	-1740	0.00	98	0.00	98	0.00	33	-0.10	33	-0.00	33	-0.10	33	678.51	97	-0.69	33
0	Max	-1739	0.00	98	0.00	98	0.00	33	-0.10	33	-0.00	33	-0.10	33	678.51	97	-0.69	33
0	Min.	-1487	0.00	33	0.00	33	0.00	97	-0.14	97	-0.00	33	-0.14	97	482.84	33	-1.00	97
0	Min.	-1486	0.00	33	0.00	33	0.00	97	-0.14	97	-0.00	33	-0.14	97	482.84	33	-1.00	97
0	Min.	-1740	0.00	33	0.00	33	0.00	97	-0.14	97	-0.00	33	-0.14	97	482.84	33	-1.00	97
0	Min.	-1739	0.00	33	0.00	33	0.00	97	-0.14	97	-0.00	33	-0.14	97	482.84	33	-1.00	97
0	Max	-1488	0.00	98	0.00	98	-0.00	33	0.73	97	0.02	97	0.63	97	907.02	97	-16.93	33
0	Max	-1487	0.00	98	0.00	98	-0.00	33	0.73	97	0.02	97	0.63	97	907.02	97	-16.93	33
0	Max	-1739	0.00	98	0.00	98	-0.00	33	0.73	97	0.02	97	0.63	97	907.02	97	-16.93	33
0	Max	-1738	0.00	98	0.00	98	-0.00	33	0.73	97	0.02	97	0.63	97	907.02	97	-16.93	33
0	Min.	-1488	0.00	33	0.00	33	-0.00	97	0.51	33	0.01	33	0.45	33	644.44	33	-24.07	97
0	Min.	-1487	0.00	33	0.00	33	-0.00	97	0.51	33	0.01	33	0.45	33	644.44	33	-24.07	97
0	Min.	-1739	0.00	33	0.00	33	-0.00	97	0.51	33	0.01	33	0.45	33	644.44	33	-24.07	97
0	Min.	-1738	0.00	33	0.00	33	-0.00	97	0.51	33	0.01	33	0.45	33	644.44	33	-24.07	97
0	Max	-1489	0.00	98	0.00	98	-0.00	33	-0.34	33	0.43	97	0.63	97	800.09	97	-526.45	33
0	Max	-2106	0.00	98	0.00	98	-0.00	33	-0.34	33	0.43	97	0.63	97	800.09	97	-526.45	33
0	Max	-2111	0.00	98	0.00	98	-0.00	33	-0.34	33	0.43	97	0.63	97	800.09	97	-526.45	33
0	Max	-1737	0.00	98	0.00	98	-0.00	33	-0.34	33	0.43	97	0.63	97	800.09	97	-526.45	33
0	Min.	-1489	0.00	33	0.00	33	-0.00	98	-0.48	97	0.26	33	0.41	33	566.83	33	-756.57	97

0	Min.	-2106	0.00	33	0.00	33	-0.00	98	-0.48	97	0.26	33	0.41	33	566.83	33	-756.57	97
0	Min.	-2111	0.00	33	0.00	33	-0.00	98	-0.48	97	0.26	33	0.41	33	566.83	33	-756.57	97
0	Min.	-1737	0.00	33	0.00	33	-0.00	98	-0.48	97	0.26	33	0.41	33	566.83	33	-756.57	97
0	Max	-1498	0.00	98	0.00	97	-0.00	33	0.12	97	0.45	97	0.65	97	731.34	97	-510.73	33
0	Max	-2108	0.00	98	0.00	97	-0.00	33	0.12	97	0.45	97	0.65	97	731.34	97	-510.73	33
0	Max	-2112	0.00	98	0.00	97	-0.00	33	0.12	97	0.45	97	0.65	97	731.34	97	-510.73	33
0	Max	-1736	0.00	98	0.00	97	-0.00	33	0.12	97	0.45	97	0.65	97	731.34	97	-510.73	33
0	Min.	-1498	0.00	33	0.00	33	-0.00	98	0.08	33	0.26	33	0.42	33	519.14	33	-733.95	97
0	Min.	-2108	0.00	33	0.00	33	-0.00	98	0.08	33	0.26	33	0.42	33	519.14	33	-733.95	97
0	Min.	-2112	0.00	33	0.00	33	-0.00	98	0.08	33	0.26	33	0.42	33	519.14	33	-733.95	97
0	Min.	-1736	0.00	33	0.00	33	-0.00	98	0.08	33	0.26	33	0.42	33	519.14	33	-733.95	97
0	Max	-1457	0.00	97	0.00	98	0.00	98	0.00	33	-0.03	33	-0.25	33	713.72	97	733.94	97
0	Max	-1498	0.00	97	0.00	98	0.00	98	0.00	33	-0.03	33	-0.25	33	713.72	97	733.94	97
0	Max	-1736	0.00	97	0.00	98	0.00	98	0.00	33	-0.03	33	-0.25	33	713.72	97	733.94	97
0	Max	-1847	0.00	97	0.00	98	0.00	98	0.00	33	-0.03	33	-0.25	33	713.72	97	733.94	97
0	Min.	-1457	0.00	33	0.00	33	0.00	33	-0.01	33	-0.05	33	-0.39	97	506.78	33	514.20	33
0	Min.	-1498	0.00	33	0.00	33	0.00	33	-0.01	33	-0.05	33	-0.39	97	506.78	33	514.20	33
0	Min.	-1736	0.00	33	0.00	33	0.00	33	-0.01	33	-0.05	33	-0.39	97	506.78	33	514.20	33
0	Min.	-1847	0.00	33	0.00	33	0.00	33	-0.01	33	-0.05	33	-0.39	97	506.78	33	514.20	33
0	Max	-1499	0.00	98	0.00	97	-0.00	33	0.00	33	-0.03	33	0.39	97	713.72	97	-514.20	33
0	Max	-1457	0.00	98	0.00	97	-0.00	33	0.00	33	-0.03	33	0.39	97	713.72	97	-514.20	33
0	Max	-1847	0.00	98	0.00	97	-0.00	33	0.00	33	-0.03	33	0.39	97	713.72	97	-514.20	33
0	Max	-1735	0.00	98	0.00	97	-0.00	33	0.00	33	-0.03	33	0.39	97	713.72	97	-514.20	33
0	Min.	-1499	0.00	33	0.00	33	-0.00	97	-0.01	33	-0.05	33	0.25	33	506.78	33	-733.94	97
0	Min.	-1457	0.00	33	0.00	33	-0.00	97	-0.01	33	-0.05	33	0.25	33	506.78	33	-733.94	97
0	Min.	-1847	0.00	33	0.00	33	-0.00	97	-0.01	33	-0.05	33	0.25	33	506.78	33	-733.94	97
0	Min.	-1735	0.00	33	0.00	33	-0.00	97	-0.01	33	-0.05	33	0.25	33	506.78	33	-733.94	97
0	Max	-1500	0.00	98	0.00	97	-0.00	33	-0.02	33	0.44	97	0.52	97	727.37	97	-526.14	33
0	Max	-2109	0.00	98	0.00	97	-0.00	33	-0.02	33	0.44	97	0.52	97	727.37	97	-526.14	33
0	Max	-2113	0.00	98	0.00	97	-0.00	33	-0.02	33	0.44	97	0.52	97	727.37	97	-526.14	33
0	Max	-1734	0.00	98	0.00	97	-0.00	33	-0.02	33	0.44	97	0.52	97	727.37	97	-526.14	33
0	Min.	-1500	0.00	33	0.00	33	-0.00	97	-0.03	97	0.26	33	0.33	33	515.60	33	-757.62	97
0	Min.	-2109	0.00	33	0.00	33	-0.00	97	-0.03	97	0.26	33	0.33	33	515.60	33	-757.62	97
0	Min.	-2113	0.00	33	0.00	33	-0.00	97	-0.03	97	0.26	33	0.33	33	515.60	33	-757.62	97
0	Min.	-1734	0.00	33	0.00	33	-0.00	97	-0.03	97	0.26	33	0.33	33	515.60	33	-757.62	97
0	Max	-1501	0.00	97	0.00	97	-0.00	33	-0.45	33	0.53	97	-0.18	33	406.37	97	-497.12	33
0	Max	-2110	0.00	97	0.00	97	-0.00	33	-0.45	33	0.53	97	-0.18	33	406.37	97	-497.12	33
0	Max	-2114	0.00	97	0.00	97	-0.00	33	-0.45	33	0.53	97	-0.18	33	406.37	97	-497.12	33
0	Max	-1733	0.00	97	0.00	97	-0.00	33	-0.45	33	0.53	97	-0.18	33	406.37	97	-497.12	33
0	Min.	-1501	0.00	33	0.00	33	-0.00	97	-0.64	97	0.32	33	-0.25	97	289.89	33	-712.71	97
0	Min.	-2110	0.00	33	0.00	33	-0.00	97	-0.64	97	0.32	33	-0.25	97	289.89	33	-712.71	97
0	Min.	-2114	0.00	33	0.00	33	-0.00	97	-0.64	97	0.32	33	-0.25	97	289.89	33	-712.71	97
0	Min.	-1733	0.00	33	0.00	33	-0.00	97	-0.64	97	0.32	33	-0.25	97	289.89	33	-712.71	97
0	Max	-1502	0.00	97	0.00	97	0.00	98	0.73	97	0.02	97	-0.45	33	907.02	97	24.07	97
0	Max	-1501	0.00	97	0.00	97	0.00	98	0.73	97	0.02	97	-0.45	33	907.02	97	24.07	97
0	Max	-1733	0.00	97	0.00	97	0.00	98	0.73	97	0.02	97	-0.45	33	907.02	97	24.07	97
0	Max	-1732	0.00	97	0.00	97	0.00	98	0.73	97	0.02	97	-0.45	33	907.02	97	24.07	97
0	Min.	-1502	0.00	33	0.00	33	0.00	33	0.51	33	0.01	33	-0.63	97	644.44	33	16.93	33
0	Min.	-1501	0.00	33	0.00	33	0.00	33	0.51	33	0.01	33	-0.63	97	644.44	33	16.93	33
0	Min.	-1733	0.00	33	0.00	33	0.00	33	0.51	33	0.01	33	-0.63	97	644.44	33	16.93	33
0	Min.	-1732	0.00	33	0.00	33	0.00	33	0.51	33	0.01	33	-0.63	97	644.44	33	16.93	33
0	Max	-1503	0.00	97	0.00	97	0.00	98	-0.10	33	-0.00	33	0.14	97	678.51	97	1.00	97
0	Max	-1502	0.00	97	0.00	97	0.00	98	-0.10	33	-0.00	33	0.14	97	678.51	97	1.00	97
0	Max	-1732	0.00	97	0.00	97	0.00	98	-0.10	33	-0.00	33	0.14	97	678.51	97	1.00	97
0	Max	-1731	0.00	97	0.00	97	0.00	98	-0.10	33	-0.00	33	0.14	97	678.51	97	1.00	97
0	Min.	-1503	0.00	33	0.00	33	0.00	33	-0.14	97	-0.00	33	0.10	33	482.84	33	0.69	33
0	Min.	-1502	0.00	33	0.00	33	0.00	33	-0.14	97	-0.00	33	0.10	33	482.84	33	0.69	33
0	Min.	-1732	0.00	33	0.00	33	0.00	33	-0.14	97	-0.00	33	0.10	33	482.84	33	0.69	33
0	Min.	-1731	0.00	33	0.00	33	0.00	33	-0.14	97	-0.00	33	0.10	33	482.84	33	0.69	33
0	Max	-1504	0.00	97	0.00	97	0.00	98	0.02	97	-0.00	33	-0.01	33	745.83	97	-2.85	33
0	Max	-1503	0.00	97	0.00	97	0.00	98	0.02	97	-0.00	33	-0.01	33	745.83	97	-2.85	33
0	Max	-1731	0.00	97	0.00	97	0.00	98	0.02	97	-0.00	33	-0.01	33	745.83	97	-2.85	33
0	Max	-1730	0.00	97	0.00	97	0.00	98	0.02	97	-0.00	33	-0.01	33	745.83	97	-2.85	33
0	Min.	-1504	0.00	33	0.00	33	0.00	33	0.01	33	-0.00	98	-0.02	97	530.74	33	-4.05	97
0	Min.	-1503	0.00	33	0.00	33	0.00	33	0.01	33	-0.00	98	-0.02	97	530.74	33	-4.05	97
0	Min.	-1731	0.00	33	0.00	33	0.00	33	0.01	33	-0.00	98	-0.02	97	530.74	33	-4.05	97
0	Min.	-1730	0.00	33	0.00	33	0.00	33	0.01	33	-0.00	98	-0.02	97	530.74	33	-4.05	97
0	Max	-1505	0.00	97	0.00	97	0.00	98	0.02	97	-0.00	33	0.02	97	745.74	97	4.04	97
0	Max	-1504	0.00	97	0.00	97	0.00	98	0.02	97	-0.00	33	0.02	97	745.74	97	4.04	97
0	Max	-1730	0.00	97	0.00	97	0.00	98	0.02	97	-0.00	33	0.02	97	745.74	97	4.04	97
0	Max	-1729	0.00	97	0.00	97	0.00	98	0.02	97	-0.00	33	0.02	97	745.74	97	4.04	97
0	Min.	-1505	0.00	33	0.00	33	0.00	33	0.01	33	-0.00	98	0.01	33	530.77	33	2.86	33
0	Min.	-1504	0.00	33	0.00	33	0.00	33	0.01	33	-0.00	98	0.01	33	530.77	33	2.86	33
0	Min.	-1730	0.00	33	0.00	33	0.00	33	0.01	33	-0.00	98	0.01	33	530.77	33	2.86	33
0	Min.	-1729	0.00	33	0.00	33	0.00	33	0.01	33	-0.00	98	0.01	33	530.77	33	2.86	33
0	Max	-1506	0.00	97	0.00	97	0.00	98	-0.10	33	-0.00	33	-0.10	33	678.88	97	-0.70	33
0	Max	-1505	0.00	97	0.00	97	0.00	98	-0.10	33	-0.00	33	-0.10	33	678.88	97	-0.70	33
0	Max	-1729	0.00	97	0.00	97	0.00	98	-0.10	33	-0.00	33	-0.10	33	678.88	97	-0.70	33
0	Max	-1728	0.00	97	0.00	97	0.00	98	-0.10	33	-0.00	33	-0.10	33	678.88	97	-0.70	33
0	Min.	-1506	0.00	102	0.00	33	0.00	33	-0.14	97	-0.00	98	-0.14	97	483.41	33	-0.97	97
0	Min.	-1505	0.00	102	0.00	33	0.00	33	-0.14	97	-0.00	98	-0.14	97	483.41	33	-0.97	97
0	Min.	-1729	0.00	102	0.00	33	0.00	33	-0.14	97	-0.00	98	-0.14	97	483.41	33	-0.97	97
0	Min.	-1728	0.00	102	0.00	33	0.00	33	-0.14	97	-0.00	98	-0.14	97	483.41	33	-0.97	97
0	Max	-1507	0.00	97	0.00	97	0.00	98	0.73	97	0.03	97	0.64	97	905.49	97	-17.05	33
0	Max	-1506	0.00	97	0.00	97	0.00	98	0.73	97	0.03	97	0.64	97	905.49	97	-17.05	33
0	Max	-1728	0.00	97	0.00	97	0.00	98	0.73	97	0.03	97	0.64	97	905.49	97	-17.05	33
0	Max	-1727	0.00	97	0.00	97	0.00	98	0.73	97	0.03	97	0.64	97	905.49	97	-17.05	33
0	Min.	-1507	0.00	102	0.00	33	0.00	33	0.52	33	0.02	33	0.45	33	644.05	33	-24.12	97
0	Min.	-1506	0.00	102	0.00	33	0.00	33	0.52	33	0.02	33	0.45	33	644.05	33	-24.12	97
0	Min.	-1728	0.00	102	0.00	33	0.00	33	0.52	33	0.02	33	0.45	33	644.05	33	-24.12	97
0	Min.	-1727	0.00	102	0.00	33	0.00	33	0.52	33	0.02	33	0.45	33	644.05	33	-24.12	97
0	Max	-1508	0.00	97	0.00	97	-0.00	33	-0.85	33	0.33	97	-0.20	33	493.32	97	-501.28	33
0	Max	-1955	0.00	97	0.00	97	-0.00	33	-0.85	33	0.33	97	-0.20	33	493.32	97	-501.28	33
0	Max	-1956	0.00	97	0.00	97	-0.00	33	-0.85	33	0.33	97	-0.20	33	493.32	97	-501.28	33
0	Max	-1726	0.00	97	0.00	97	-0.00	33	-0.85	33	0.33	97	-0.20	33	493.32	97	-501.28	33
0	Min.	-1508	0.00	102	0.00	33	-0.00	97	-1.19	97	0.21	33	-0.26	97	351.54	33	-711.09	97
0	Min.	-1955	0.00	102	0.00	33	-0.00	97	-1.19	97	0.21	33	-0.26	97	351.54	33	-711.09	97
0	Min.	-1956	0.00	102	0.00	33	-0.00	97	-1.19	97	0.21	33	-0.26	97	351.54	33	-711.09	97
0	Min.	-1726	0.00	102	0.00	33	-0.00	97	-1.19	97	0.21	33	-0.26	97	351.54	33	-711.09	97
0	Max	-2069	-0.00	102	0.00	33	0.00	98	1.21	97	3.54	97	-1.28	33	-337.49	33	-55.20	33
0	Max	-1540	-0.00	102	0.00	33	0.00	98	1.21	97	3.54	97	-1.28	33	-337.49	33	-55.20	33
0	Max	-1976	-0.00	102	0.00	33	0.00	98	1.21	97	3.54	97	-1.28	33	-337.49	33	-55.20	33
0	Max	-2013	-0.00	102	0.00	33	0.00	98	1.21	97	3.54	97	-1.28	33	-337.49	33	-55.20	33
0	Min.	-2069	-0.00	97	0.00	97	0.00	101	0.83	33	2.46	33	-1.87	97	-484.85	97	-80.07	97
0	Min.	-1540	-0.00	97	0.00	97	0.00	101	0.83	33	2.46	33	-1.87	97	-484.85	97	-80.07	97

0	Min.	-1976	-0.00	97	0.00	97	0.00	101	0.83	33	2.46	33	-1.87	97	-484.85	97	-80.07	97
0	Min.	-2013	-0.00	97	0.00	97	0.00	101	0.83	33	2.46	33	-1.87	97	-484.85	97	-80.07	97
0	Max	-1744	0.00	102	-0.00	33	-0.00	33	-1.27	33	0.05	97	1.61	97	-365.66	33	-494.16	33
0	Max	-1941	0.00	102	-0.00	33	-0.00	33	-1.27	33	0.05	97	1.61	97	-365.66	33	-494.16	33
0	Max	-2182	0.00	102	-0.00	33	-0.00	33	-1.27	33	0.05	97	1.61	97	-365.66	33	-494.16	33
0	Max	-2183	0.00	102	-0.00	33	-0.00	33	-1.27	33	0.05	97	1.61	97	-365.66	33	-494.16	33
0	Min.	-1744	0.00	97	-0.00	98	-0.00	98	-1.83	97	0.02	33	1.10	33	-523.06	97	-699.94	97
0	Min.	-1941	0.00	97	-0.00	98	-0.00	98	-1.83	97	0.02	33	1.10	33	-523.06	97	-699.94	97
0	Min.	-2182	0.00	97	-0.00	98	-0.00	98	-1.83	97	0.02	33	1.10	33	-523.06	97	-699.94	97
0	Min.	-2183	0.00	97	-0.00	98	-0.00	98	-1.83	97	0.02	33	1.10	33	-523.06	97	-699.94	97
0	Max	-1743	0.00	102	-0.00	33	0.00	33	1.13	97	0.17	97	0.72	97	-649.89	33	28.94	97
0	Max	-1744	0.00	102	-0.00	33	0.00	33	1.13	97	0.17	97	0.72	97	-649.89	33	28.94	97
0	Max	-2183	0.00	102	-0.00	33	0.00	33	1.13	97	0.17	97	0.72	97	-649.89	33	28.94	97
0	Max	-2184	0.00	102	-0.00	33	0.00	33	1.13	97	0.17	97	0.72	97	-649.89	33	28.94	97
0	Min.	-1743	0.00	97	-0.00	98	0.00	97	0.78	33	0.12	33	0.50	33	-929.08	97	20.04	33
0	Min.	-1744	0.00	97	-0.00	98	0.00	97	0.78	33	0.12	33	0.50	33	-929.08	97	20.04	33
0	Min.	-2183	0.00	97	-0.00	98	0.00	97	0.78	33	0.12	33	0.50	33	-929.08	97	20.04	33
0	Min.	-2184	0.00	97	-0.00	98	0.00	97	0.78	33	0.12	33	0.50	33	-929.08	97	20.04	33
0	Max	-1742	-0.00	33	-0.00	33	0.00	33	-0.12	33	-0.02	33	-0.10	33	-474.49	33	6.00	97
0	Max	-1743	-0.00	33	-0.00	33	0.00	33	-0.12	33	-0.02	33	-0.10	33	-474.49	33	6.00	97
0	Max	-2184	-0.00	33	-0.00	33	0.00	33	-0.12	33	-0.02	33	-0.10	33	-474.49	33	6.00	97
0	Max	-2185	-0.00	33	-0.00	33	0.00	33	-0.12	33	-0.02	33	-0.10	33	-474.49	33	6.00	97
0	Min.	-1742	-0.00	97	-0.00	98	0.00	97	-0.18	97	-0.03	97	-0.15	97	-676.89	97	4.15	33
0	Min.	-1743	-0.00	97	-0.00	98	0.00	97	-0.18	97	-0.03	97	-0.15	97	-676.89	97	4.15	33
0	Min.	-2184	-0.00	97	-0.00	98	0.00	97	-0.18	97	-0.03	97	-0.15	97	-676.89	97	4.15	33
0	Min.	-2185	-0.00	97	-0.00	98	0.00	97	-0.18	97	-0.03	97	-0.15	97	-676.89	97	4.15	33
0	Max	-1741	-0.00	33	-0.00	33	0.00	33	0.01	33	0.00	98	0.01	97	-525.29	33	-5.63	33
0	Max	-1742	-0.00	33	-0.00	33	0.00	33	0.01	33	0.00	98	0.01	97	-525.29	33	-5.63	33
0	Max	-2185	-0.00	33	-0.00	33	0.00	33	0.01	33	0.00	98	0.01	97	-525.29	33	-5.63	33
0	Max	-2186	-0.00	33	-0.00	33	0.00	33	0.01	33	0.00	98	0.01	97	-525.29	33	-5.63	33
0	Min.	-1741	-0.00	97	-0.00	98	0.00	97	0.00	33	0.00	33	0.01	33	-750.17	97	-8.39	97
0	Min.	-1742	-0.00	97	-0.00	98	0.00	97	0.00	33	0.00	33	0.01	33	-750.17	97	-8.39	97
0	Min.	-2185	-0.00	97	-0.00	98	0.00	97	0.00	33	0.00	33	0.01	33	-750.17	97	-8.39	97
0	Min.	-2186	-0.00	97	-0.00	98	0.00	97	0.00	33	0.00	33	0.01	33	-750.17	97	-8.39	97
0	Max	-2067	-0.00	101	0.00	98	0.00	101	0.32	97	2.54	97	-0.10	33	-254.18	33	-4.56	33
0	Max	-1758	-0.00	101	0.00	98	0.00	101	0.32	97	2.54	97	-0.10	33	-254.18	33	-4.56	33
0	Max	-2009	-0.00	101	0.00	98	0.00	101	0.32	97	2.54	97	-0.10	33	-254.18	33	-4.56	33
0	Max	-2008	-0.00	101	0.00	98	0.00	101	0.32	97	2.54	97	-0.10	33	-254.18	33	-4.56	33
0	Min.	-2067	-0.00	98	0.00	101	0.00	98	0.22	33	1.78	33	-0.14	97	-364.01	97	-6.64	97
0	Min.	-1758	-0.00	98	0.00	101	0.00	98	0.22	33	1.78	33	-0.14	97	-364.01	97	-6.64	97
0	Min.	-2009	-0.00	98	0.00	101	0.00	98	0.22	33	1.78	33	-0.14	97	-364.01	97	-6.64	97
0	Min.	-2008	-0.00	98	0.00	101	0.00	98	0.22	33	1.78	33	-0.14	97	-364.01	97	-6.64	97
0	Max	-1757	0.00	98	0.00	101	0.00	33	-0.07	33	2.21	97	0.42	97	-201.57	33	19.37	97
0	Max	-2067	0.00	98	0.00	101	0.00	33	-0.07	33	2.21	97	0.42	97	-201.57	33	19.37	97
0	Max	-2008	0.00	98	0.00	101	0.00	33	-0.07	33	2.21	97	0.42	97	-201.57	33	19.37	97
0	Max	-2007	0.00	98	0.00	101	0.00	33	-0.07	33	2.21	97	0.42	97	-201.57	33	19.37	97
0	Min.	-1757	0.00	101	0.00	98	0.00	98	-0.12	97	1.54	33	0.28	33	-289.09	97	13.25	33
0	Min.	-2067	0.00	101	0.00	98	0.00	98	-0.12	97	1.54	33	0.28	33	-289.09	97	13.25	33
0	Min.	-2008	0.00	101	0.00	98	0.00	98	-0.12	97	1.54	33	0.28	33	-289.09	97	13.25	33
0	Min.	-2007	0.00	101	0.00	98	0.00	98	-0.12	97	1.54	33	0.28	33	-289.09	97	13.25	33
0	Max	-1738	-0.00	33	-0.00	33	0.00	33	1.12	97	0.17	97	-0.48	33	-644.97	33	-19.07	33
0	Max	-1739	-0.00	33	-0.00	33	0.00	33	1.12	97	0.17	97	-0.48	33	-644.97	33	-19.07	33
0	Max	-2187	-0.00	33	-0.00	33	0.00	33	1.12	97	0.17	97	-0.48	33	-644.97	33	-19.07	33
0	Max	-2188	-0.00	33	-0.00	33	0.00	33	1.12	97	0.17	97	-0.48	33	-644.97	33	-19.07	33
0	Min.	-1738	-0.00	97	-0.00	98	0.00	97	0.75	33	0.11	33	-0.72	97	-927.53	97	-28.56	97
0	Min.	-1739	-0.00	97	-0.00	98	0.00	97	0.75	33	0.11	33	-0.72	97	-927.53	97	-28.56	97
0	Min.	-2187	-0.00	97	-0.00	98	0.00	97	0.75	33	0.11	33	-0.72	97	-927.53	97	-28.56	97
0	Min.	-2188	-0.00	97	-0.00	98	0.00	97	0.75	33	0.11	33	-0.72	97	-927.53	97	-28.56	97
0	Max	-1737	-0.00	33	-0.00	33	-0.00	33	-0.47	33	0.10	97	0.57	97	-599.68	33	-492.67	33
0	Max	-2111	-0.00	33	-0.00	33	-0.00	33	-0.47	33	0.10	97	0.57	97	-599.68	33	-492.67	33
0	Max	-2189	-0.00	33	-0.00	33	-0.00	33	-0.47	33	0.10	97	0.57	97	-599.68	33	-492.67	33
0	Max	-2190	-0.00	33	-0.00	33	-0.00	33	-0.47	33	0.10	97	0.57	97	-599.68	33	-492.67	33
0	Min.	-1737	-0.00	97	-0.00	98	-0.00	97	-0.69	97	0.03	33	0.36	33	-882.19	97	-701.61	97
0	Min.	-2111	-0.00	97	-0.00	98	-0.00	97	-0.69	97	0.03	33	0.36	33	-882.19	97	-701.61	97
0	Min.	-2189	-0.00	97	-0.00	98	-0.00	97	-0.69	97	0.03	33	0.36	33	-882.19	97	-701.61	97
0	Min.	-2190	-0.00	97	-0.00	98	-0.00	97	-0.69	97	0.03	33	0.36	33	-882.19	97	-701.61	97
0	Max	-1736	-0.00	33	-0.00	33	-0.00	33	-0.75	33	-0.13	33	1.61	97	-441.42	33	-482.55	33
0	Max	-2112	-0.00	33	-0.00	33	-0.00	33	-0.75	33	-0.13	33	1.61	97	-441.42	33	-482.55	33
0	Max	-2191	-0.00	33	-0.00	33	-0.00	33	-0.75	33	-0.13	33	1.61	97	-441.42	33	-482.55	33
0	Max	-2192	-0.00	33	-0.00	33	-0.00	33	-0.75	33	-0.13	33	1.61	97	-441.42	33	-482.55	33
0	Min.	-1736	-0.00	98	-0.00	98	-0.00	97	-1.15	97	-0.18	97	1.03	33	-640.12	97	-687.69	97
0	Min.	-2112	-0.00	98	-0.00	98	-0.00	97	-1.15	97	-0.18	97	1.03	33	-640.12	97	-687.69	97
0	Min.	-2191	-0.00	98	-0.00	98	-0.00	97	-1.15	97	-0.18	97	1.03	33	-640.12	97	-687.69	97
0	Min.	-2192	-0.00	98	-0.00	98	-0.00	97	-1.15	97	-0.18	97	1.03	33	-640.12	97	-687.69	97
0	Max	-1847	0.00	101	-0.00	33	0.00	98	1.22	97	-1.65	33	1.24	97	-482.53	33	715.91	97
0	Max	-1736	0.00	101	-0.00	33	0.00	98	1.22	97	-1.65	33	1.24	97	-482.53	33	715.91	97
0	Max	-2192	0.00	101	-0.00	33	0.00	98	1.22	97	-1.65	33	1.24	97	-482.53	33	715.91	97
0	Max	-2193	0.00	101	-0.00	33	0.00	98	1.22	97	-1.65	33	1.24	97	-482.53	33	715.91	97
0	Min.	-1847	-0.00	98	-0.00	97	0.00	33	0.79	33	-2.39	97	0.84	33	-698.24	97	504.83	33
0	Min.	-1736	-0.00	98	-0.00	97	0.00	33	0.79	33	-2.39	97	0.84	33	-698.24	97	504.83	33
0	Min.	-2192	-0.00	98	-0.00	97	0.00	33	0.79	33	-2.39	97	0.84	33	-698.24	97	504.83	33
0	Min.	-2193	-0.00	98	-0.00	97	0.00	33	0.79	33	-2.39	97	0.84	33	-698.24	97	504.83	33
0	Max	-2065	0.00	102	0.00	33	0.00	97	2.93	97	4.45	97	-1.79	33	-384.26	33	9.87	97
0	Max	-1689	0.00	102	0.00	33	0.00	97	2.93	97	4.45	97	-1.79	33	-384.26	33	9.87	97
0	Max	-1993	0.00	102	0.00	33	0.00	97	2.93	97	4.45	97	-1.79	33	-384.26	33	9.87	97
0	Max	-2003	0.00	102	0.00	33	0.00	97	2.93	97	4.45	97	-1.79	33	-384.26	33	9.87	97
0	Min.	-2065	-0.00	97	-0.00	98	0.00	33	1.93	33	3.01	33	-2.73	97	-562.99	97	4.38	33
0	Min.	-1689	-0.00	97	-0.00	98	0.00	33	1.93	33	3.01	33	-2.73	97	-562.99	97	4.38	33
0	Min.	-1993	-0.00	97	-0.00	98	0.00	33	1.93	33	3.01	33	-2.73	97	-562.99	97	4.38	33
0	Min.	-2003	-0.00	97	-0.00	98	0.00	33	1.93	33	3.01	33	-2.73	97	-562.99	97	4.38	33
0	Max	-1753	0.00	33	0.00	33	0.00	100	0.18	97	2.75	97	-1.42	33	-285.28	33	-1019.57	33
0	Max	-2117	0.00	33	0.00	33	0.00	100	0.18	97	2.75	97	-1.42	33	-285.28	33	-1019.57	33
0	Max	-2118	0.00	33	0.00	33	0.00	100	0.18	97	2.75	97	-1.42	33	-285.28	33	-1019.57	33
0	Max	-2002	0.00	33	0.00	33	0.00	100	0.18	97	2.75	97	-1.42	33	-285.28	33	-1019.57	33
0	Min.	-1753	0.00	97	0.00	98	0.00	33	0.11	33	1.88	33	-2.07	97	-418.93	97	-1553.22	97
0	Min.	-2117	0.00	97	0.00	98	0.00	33	0.11	33	1.88	33	-2.07	97	-418.93	97	-1553.22	97
0	Min.	-2118	0.00	97	0.00	98	0.00	33	0.11	33	1.88	33	-2.07	97	-418.93	97	-1553.22	97
0	Min.	-2002	0.00	97	0.00	98	0.00	33	0.11	33	1.88	33	-2.07	97	-418.93	97	-1553.22	97
0	Max	-1733	-0.00	33	-0.00	33	-0.00	33	-0.75	33	-0.05	33	1.78	97	-311.13	33	-479.07	33
0	Max	-2114	-0.00	33	-0.00	33	-0.00	33	-0.75	33	-0.05	33	1.78	97	-311.13	33	-479.07	33
0	Max	-2194	-0.00	33	-0.00	33	-0.00	33	-0.75	33	-0.05	33	1.78	97	-311.13	33	-479.07	33
0	Max	-2195	-0.00	33	-0.00	33	-0.00	33	-0.75	33	-0.05	33	1.78	97	-311.13	33	-479.07	33
0	Min.	-1733	-0.00	98	-0.00	97	-0.00	97	-1.12	97	-0.06	33	1.16	33	-451.40	97	-682.35	97
0	Min.	-2114	-0.00	98	-0.00	97	-0.00	97	-1.12	97	-0.06	33	1.16	33	-451.40	97	-682.35	97
0	Min.	-2194	-0.00	98	-0.00	97	-0.00	97	-1.12	97	-0.06	33	1.16	33	-451.40	97	-682.35	97

0	Min.	-2195	-0.00	98	-0.00	97	-0.00	97	-1.12	97	-0.06	33	1.16	33	-451.40	97	-682.35	97
0	Max	-1732	-0.00	33	-0.00	33	0.00	98	1.12	97	0.17	97	0.72	97	-644.97	33	28.56	97
0	Max	-1733	-0.00	33	-0.00	33	0.00	98	1.12	97	0.17	97	0.72	97	-644.97	33	28.56	97
0	Max	-2195	-0.00	33	-0.00	33	0.00	98	1.12	97	0.17	97	0.72	97	-644.97	33	28.56	97
0	Max	-2196	-0.00	33	-0.00	33	0.00	98	1.12	97	0.17	97	0.72	97	-644.97	33	28.56	97
0	Min.	-1732	-0.00	98	-0.00	97	0.00	33	0.75	33	0.11	33	0.48	33	-927.53	97	19.07	33
0	Min.	-1733	-0.00	98	-0.00	97	0.00	33	0.75	33	0.11	33	0.48	33	-927.53	97	19.07	33
0	Min.	-2195	-0.00	98	-0.00	97	0.00	33	0.75	33	0.11	33	0.48	33	-927.53	97	19.07	33
0	Min.	-2196	-0.00	98	-0.00	97	0.00	33	0.75	33	0.11	33	0.48	33	-927.53	97	19.07	33
0	Max	-1731	-0.00	33	-0.00	33	0.00	102	-0.12	33	-0.02	33	-0.10	33	-472.29	33	6.04	97
0	Max	-1732	-0.00	33	-0.00	33	0.00	102	-0.12	33	-0.02	33	-0.10	33	-472.29	33	6.04	97
0	Max	-2196	-0.00	33	-0.00	33	0.00	102	-0.12	33	-0.02	33	-0.10	33	-472.29	33	6.04	97
0	Max	-2197	-0.00	33	-0.00	33	0.00	102	-0.12	33	-0.02	33	-0.10	33	-472.29	33	6.04	97
0	Min.	-1731	-0.00	98	-0.00	97	0.00	97	-0.18	97	-0.03	97	-0.15	97	-677.40	97	3.06	33
0	Min.	-1732	-0.00	98	-0.00	97	0.00	97	-0.18	97	-0.03	97	-0.15	97	-677.40	97	3.06	33
0	Min.	-2196	-0.00	98	-0.00	97	0.00	97	-0.18	97	-0.03	97	-0.15	97	-677.40	97	3.06	33
0	Min.	-2197	-0.00	98	-0.00	97	0.00	97	-0.18	97	-0.03	97	-0.15	97	-677.40	97	3.06	33
0	Max	-2063	-0.00	102	0.00	97	0.00	97	0.32	97	2.54	97	0.14	97	-254.18	33	6.64	97
0	Max	-1750	-0.00	102	0.00	97	0.00	97	0.32	97	2.54	97	0.14	97	-254.18	33	6.64	97
0	Max	-1999	-0.00	102	0.00	97	0.00	97	0.32	97	2.54	97	0.14	97	-254.18	33	6.64	97
0	Max	-1998	-0.00	102	0.00	97	0.00	97	0.32	97	2.54	97	0.14	97	-254.18	33	6.64	97
0	Min.	-2063	-0.00	97	0.00	102	0.00	102	0.22	33	1.78	33	0.10	33	-364.01	97	4.56	33
0	Min.	-1750	-0.00	97	0.00	102	0.00	102	0.22	33	1.78	33	0.10	33	-364.01	97	4.56	33
0	Min.	-1999	-0.00	97	0.00	102	0.00	102	0.22	33	1.78	33	0.10	33	-364.01	97	4.56	33
0	Min.	-1998	-0.00	97	0.00	102	0.00	102	0.22	33	1.78	33	0.10	33	-364.01	97	4.56	33
0	Max	-1749	0.00	101	0.00	102	0.00	102	0.32	97	2.55	97	-0.10	33	-253.75	33	-4.59	33
0	Max	-2063	0.00	101	0.00	102	0.00	102	0.32	97	2.55	97	-0.10	33	-253.75	33	-4.59	33
0	Max	-1998	0.00	101	0.00	102	0.00	102	0.32	97	2.55	97	-0.10	33	-253.75	33	-4.59	33
0	Max	-1997	0.00	101	0.00	102	0.00	102	0.32	97	2.55	97	-0.10	33	-253.75	33	-4.59	33
0	Min.	-1749	0.00	98	0.00	97	0.00	97	0.23	33	1.78	33	-0.14	97	-362.77	97	-6.69	97
0	Min.	-2063	0.00	98	0.00	97	0.00	97	0.23	33	1.78	33	-0.14	97	-362.77	97	-6.69	97
0	Min.	-1998	0.00	98	0.00	97	0.00	97	0.23	33	1.78	33	-0.14	97	-362.77	97	-6.69	97
0	Min.	-1997	0.00	98	0.00	97	0.00	97	0.23	33	1.78	33	-0.14	97	-362.77	97	-6.69	97
0	Max	-1728	-0.00	101	-0.00	33	0.00	98	-0.12	33	-0.02	33	0.15	97	-474.49	33	-4.15	33
0	Max	-1729	-0.00	101	-0.00	33	0.00	98	-0.12	33	-0.02	33	0.15	97	-474.49	33	-4.15	33
0	Max	-2198	-0.00	101	-0.00	33	0.00	98	-0.12	33	-0.02	33	0.15	97	-474.49	33	-4.15	33
0	Max	-2199	-0.00	101	-0.00	33	0.00	98	-0.12	33	-0.02	33	0.15	97	-474.49	33	-4.15	33
0	Min.	-1728	-0.00	98	-0.00	97	0.00	33	-0.18	97	-0.03	97	0.10	33	-676.89	97	-6.00	97
0	Min.	-1729	-0.00	98	-0.00	97	0.00	33	-0.18	97	-0.03	97	0.10	33	-676.89	97	-6.00	97
0	Min.	-2198	-0.00	98	-0.00	97	0.00	33	-0.18	97	-0.03	97	0.10	33	-676.89	97	-6.00	97
0	Min.	-2199	-0.00	98	-0.00	97	0.00	33	-0.18	97	-0.03	97	0.10	33	-676.89	97	-6.00	97
0	Max	-1727	0.00	101	-0.00	33	0.00	98	1.13	97	0.17	97	-0.50	33	-649.89	33	-20.04	33
0	Max	-1728	0.00	101	-0.00	33	0.00	98	1.13	97	0.17	97	-0.50	33	-649.89	33	-20.04	33
0	Max	-2199	0.00	101	-0.00	33	0.00	98	1.13	97	0.17	97	-0.50	33	-649.89	33	-20.04	33
0	Max	-2200	0.00	101	-0.00	33	0.00	98	1.13	97	0.17	97	-0.50	33	-649.89	33	-20.04	33
0	Min.	-1727	0.00	98	-0.00	97	0.00	33	0.78	33	0.12	33	-0.72	97	-929.08	97	-28.94	97
0	Min.	-1728	0.00	98	-0.00	97	0.00	33	0.78	33	0.12	33	-0.72	97	-929.08	97	-28.94	97
0	Min.	-2199	0.00	98	-0.00	97	0.00	33	0.78	33	0.12	33	-0.72	97	-929.08	97	-28.94	97
0	Min.	-2200	0.00	98	-0.00	97	0.00	33	0.78	33	0.12	33	-0.72	97	-929.08	97	-28.94	97
0	Max	-1726	0.00	101	-0.00	49	-0.00	102	-1.35	33	0.05	97	1.58	97	-380.49	33	-488.83	33
0	Max	-1956	0.00	101	-0.00	49	-0.00	102	-1.35	33	0.05	97	1.58	97	-380.49	33	-488.83	33
0	Max	-2201	0.00	101	-0.00	49	-0.00	102	-1.35	33	0.05	97	1.58	97	-380.49	33	-488.83	33
0	Max	-2202	0.00	101	-0.00	49	-0.00	102	-1.35	33	0.05	97	1.58	97	-380.49	33	-488.83	33
0	Min.	-1726	0.00	98	-0.00	97	-0.00	97	-1.94	97	0.01	33	1.08	33	-544.32	97	-692.27	97
0	Min.	-1956	0.00	98	-0.00	97	-0.00	97	-1.94	97	0.01	33	1.08	33	-544.32	97	-692.27	97
0	Min.	-2201	0.00	98	-0.00	97	-0.00	97	-1.94	97	0.01	33	1.08	33	-544.32	97	-692.27	97
0	Min.	-2202	0.00	98	-0.00	97	-0.00	97	-1.94	97	0.01	33	1.08	33	-544.32	97	-692.27	97
0	Max	-1539	0.00	98	0.00	98	0.00	98	0.94	97	0.05	97	0.83	97	-615.07	33	22.04	97
0	Max	-1600	0.00	98	0.00	98	0.00	98	0.94	97	0.05	97	0.83	97	-615.07	33	22.04	97
0	Max	-2135	0.00	98	0.00	98	0.00	98	0.94	97	0.05	97	0.83	97	-615.07	33	22.04	97
0	Max	-2136	0.00	98	0.00	98	0.00	98	0.94	97	0.05	97	0.83	97	-615.07	33	22.04	97
0	Min.	-1539	0.00	101	0.00	101	0.00	101	0.63	33	0.03	33	0.55	33	-881.95	97	12.95	33
0	Min.	-1600	0.00	101	0.00	101	0.00	101	0.63	33	0.03	33	0.55	33	-881.95	97	12.95	33
0	Min.	-2135	0.00	101	0.00	101	0.00	101	0.63	33	0.03	33	0.55	33	-881.95	97	12.95	33
0	Min.	-2136	0.00	101	0.00	101	0.00	101	0.63	33	0.03	33	0.55	33	-881.95	97	12.95	33
0	Max	-1687	0.00	101	-0.00	33	0.00	97	0.95	97	0.05	97	0.83	97	-614.45	33	22.43	97
0	Max	-1803	0.00	101	-0.00	33	0.00	97	0.95	97	0.05	97	0.83	97	-614.45	33	22.43	97
0	Max	-2163	0.00	101	-0.00	33	0.00	97	0.95	97	0.05	97	0.83	97	-614.45	33	22.43	97
0	Max	-2164	0.00	101	-0.00	33	0.00	97	0.95	97	0.05	97	0.83	97	-614.45	33	22.43	97
0	Min.	-1687	-0.00	98	-0.00	98	0.00	102	0.63	33	0.04	33	0.55	33	-882.45	97	13.28	33
0	Min.	-1803	-0.00	98	-0.00	98	0.00	102	0.63	33	0.04	33	0.55	33	-882.45	97	13.28	33
0	Min.	-2163	-0.00	98	-0.00	98	0.00	102	0.63	33	0.04	33	0.55	33	-882.45	97	13.28	33
0	Min.	-2164	-0.00	98	-0.00	98	0.00	102	0.63	33	0.04	33	0.55	33	-882.45	97	13.28	33
0	Max	438	0.00	98	0.00	98	0.00	98	0.60	97	0.08	97	-0.31	33	458.18	97	20.91	97
0	Max	-1451	0.00	98	0.00	98	0.00	98	0.60	97	0.08	97	-0.31	33	458.18	97	20.91	97
0	Max	-1618	0.00	98	0.00	98	0.00	98	0.60	97	0.08	97	-0.31	33	458.18	97	20.91	97
0	Max	-1536	0.00	98	0.00	98	0.00	98	0.60	97	0.08	97	-0.31	33	458.18	97	20.91	97
0	Min.	438	0.00	101	0.00	101	0.00	49	0.42	33	0.05	33	-0.43	97	326.09	33	14.75	33
0	Min.	-1451	0.00	101	0.00	101	0.00	49	0.42	33	0.05	33	-0.43	97	326.09	33	14.75	33
0	Min.	-1618	0.00	101	0.00	101	0.00	49	0.42	33	0.05	33	-0.43	97	326.09	33	14.75	33
0	Min.	-1536	0.00	101	0.00	101	0.00	49	0.42	33	0.05	33	-0.43	97	326.09	33	14.75	33
0	Max	431	0.00	98	0.00	98	0.00	33	0.59	97	0.03	97	0.74	97	-583.63	33	20.91	97
0	Max	-1841	0.00	98	0.00	98	0.00	33	0.59	97	0.03	97	0.74	97	-583.63	33	20.91	97
0	Max	-1451	0.00	98	0.00	98	0.00	33	0.59	97	0.03	97	0.74	97	-583.63	33	20.91	97
0	Max	438	0.00	98	0.00	98	0.00	33	0.59	97	0.03	97	0.74	97	-583.63	33	20.91	97
0	Min.	431	0.00	101	0.00	101	0.00	97	0.42	33	0.02	33	0.52	33	-820.73	97	14.75	33
0	Min.	-1841	0.00	101	0.00	101	0.00	97	0.42	33	0.02	33	0.52	33	-820.73	97	14.75	33
0	Min.	-1451	0.00	101	0.00	101	0.00	97	0.42	33	0.02	33	0.52	33	-820.73	97	14.75	33
0	Min.	438	0.00	101	0.00	101	0.00	97	0.42	33	0.02	33	0.52	33	-820.73	97	14.75	33
0	Max	436	0.00	97	0.00	97	-0.00	33	0.60	97	0.03	97	0.74	97	-583.85	33	21.14	97
0	Max	-1763	0.00	97	0.00	97	-0.00	33	0.60	97	0.03	97	0.74	97	-583.85	33	21.14	97
0	Max	-1406	0.00	97	0.00	97	-0.00	33	0.60	97	0.03	97	0.74	97	-583.85	33	21.14	97
0	Max	429	0.00	97	0.00	97	-0.00	33	0.60	97	0.03	97	0.74	97	-583.85	33	21.14	97
0	Min.	436	0.00	102	0.00	102	-0.00	97	0.42	33	0.02	33	0.52	33	-821.15	97	14.92	33
0	Min.	-1763	0.00	102	0.00	102	-0.00	97	0.42	33	0.02	33	0.52	33	-821.15	97	14.92	33
0	Min.	-1406	0.00	102	0.00	102	-0.00	97	0.42	33	0.02	33	0.52	33	-821.15	97	14.92	33
0	Min.	429	0.00	102	0.00	102	-0.00	97	0.42	33	0.02	33	0.52	33	-821.15	97	14.92	33
0	Max	429	0.00	97	0.00	97	0.00	33	0.61	97	0.08	97	-0.31	33	458.42	97	21.14	97
0	Max	-1406	0.00	97	0.00	97	0.00	33	0.61	97	0.08	97	-0.31	33	458.42	97	21.14	97
0	Max	-1836	0.00	97	0.00	97	0.00	33	0.61	97	0.08	97	-0.31	33	458.42	97	21.14	97
0	Max	-1850	0.00	97	0.00	97	0.00	33	0.61	97	0.08	97	-0.31	33	458.42	97	21.14	97
0	Min.	429	0.00	102	0.00	102	0.00	98	0.43	33	0.05	33	-0.43	97	326.24	33	14.92	33
0	Min.	-1406	0.00	102	0.00	102	0.00	98	0.43	33	0.05	33	-0.43	97	326.24	33	14.92	33
0	Min.	-1836	0.00	102	0.00	102	0.00	98	0.43	33	0.05	33	-0.43	97	326.24	33	14.92	33
0	Min.	-1850	0.00	102	0.00	102	0.00	98	0.43	33	0.05	33	-0.43	97	326.24	33	14.92	33

0	Max	-1802	0.00	98	0.00	33	0.00	98	0.00	98	0.00	33	0.00	98	0.00	98	0.00	102
0	Max	-1531	0.00	98	0.00	33	0.00	98	0.00	98	0.00	33	0.00	98	0.00	98	0.00	102
0	Max	430	0.00	98	0.00	33	0.00	98	0.00	98	0.00	33	0.00	98	0.00	98	0.00	102
0	Max	-1452	0.00	98	0.00	33	0.00	98	0.00	98	0.00	33	0.00	98	0.00	98	0.00	102
0	Min.	-1802	0.00	101	0.00	97	0.00	33	0.00	101	0.00	98	0.00	33	0.00	101	0.00	97
0	Min.	-1531	0.00	101	0.00	97	0.00	33	0.00	101	0.00	98	0.00	33	0.00	101	0.00	97
0	Min.	430	0.00	101	0.00	97	0.00	33	0.00	101	0.00	98	0.00	33	0.00	101	0.00	97
0	Min.	-1452	0.00	101	0.00	97	0.00	33	0.00	101	0.00	98	0.00	33	0.00	101	0.00	97
0	Max	-1537	0.00	98	0.00	98	0.00	33	0.60	97	0.08	97	0.42	97	-305.16	33	22.10	97
0	Max	-1572	0.00	98	0.00	98	0.00	33	0.60	97	0.08	97	0.42	97	-305.16	33	22.10	97
0	Max	-1516	0.00	98	0.00	98	0.00	33	0.60	97	0.08	97	0.42	97	-305.16	33	22.10	97
0	Max	437	0.00	98	0.00	98	0.00	33	0.60	97	0.08	97	0.42	97	-305.16	33	22.10	97
0	Min.	-1537	0.00	101	0.00	101	0.00	98	0.42	33	0.05	33	0.30	33	-428.75	97	15.60	33
0	Min.	-1572	0.00	101	0.00	101	0.00	98	0.42	33	0.05	33	0.30	33	-428.75	97	15.60	33
0	Min.	-1516	0.00	101	0.00	101	0.00	98	0.42	33	0.05	33	0.30	33	-428.75	97	15.60	33
0	Min.	437	0.00	101	0.00	101	0.00	98	0.42	33	0.05	33	0.30	33	-428.75	97	15.60	33
0	Max	-1848	0.00	97	0.00	97	0.00	98	0.60	97	0.08	97	0.42	97	-305.32	33	22.33	97
0	Max	-1476	0.00	97	0.00	97	0.00	98	0.60	97	0.08	97	0.42	97	-305.32	33	22.33	97
0	Max	-1508	0.00	97	0.00	97	0.00	98	0.60	97	0.08	97	0.42	97	-305.32	33	22.33	97
0	Max	435	0.00	97	0.00	97	0.00	98	0.60	97	0.08	97	0.42	97	-305.32	33	22.33	97
0	Min.	-1848	0.00	102	0.00	102	0.00	33	0.43	33	0.05	33	0.30	33	-428.97	97	15.76	33
0	Min.	-1476	0.00	102	0.00	102	0.00	33	0.43	33	0.05	33	0.30	33	-428.97	97	15.76	33
0	Min.	-1508	0.00	102	0.00	102	0.00	33	0.43	33	0.05	33	0.30	33	-428.97	97	15.76	33
0	Min.	435	0.00	102	0.00	102	0.00	33	0.43	33	0.05	33	0.30	33	-428.97	97	15.76	33
0	Max	437	0.00	98	0.00	98	0.00	97	0.59	97	0.03	97	-0.56	33	852.67	97	22.10	97
0	Max	-1516	0.00	98	0.00	98	0.00	97	0.59	97	0.03	97	-0.56	33	852.67	97	22.10	97
0	Max	-1565	0.00	98	0.00	98	0.00	97	0.59	97	0.03	97	-0.56	33	852.67	97	22.10	97
0	Max	432	0.00	98	0.00	98	0.00	97	0.59	97	0.03	97	-0.56	33	852.67	97	22.10	97
0	Min.	437	0.00	101	0.00	101	0.00	49	0.42	33	0.02	33	-0.78	97	606.62	33	15.60	33
0	Min.	-1516	0.00	101	0.00	101	0.00	49	0.42	33	0.02	33	-0.78	97	606.62	33	15.60	33
0	Min.	-1565	0.00	101	0.00	101	0.00	49	0.42	33	0.02	33	-0.78	97	606.62	33	15.60	33
0	Min.	432	0.00	101	0.00	101	0.00	49	0.42	33	0.02	33	-0.78	97	606.62	33	15.60	33
0	Max	435	0.00	97	0.00	97	0.00	97	0.60	97	0.03	97	-0.56	33	853.10	97	22.33	97
0	Max	-1508	0.00	97	0.00	97	0.00	97	0.60	97	0.03	97	-0.56	33	853.10	97	22.33	97
0	Max	-1726	0.00	97	0.00	97	0.00	97	0.60	97	0.03	97	-0.56	33	853.10	97	22.33	97
0	Max	434	0.00	97	0.00	97	0.00	97	0.60	97	0.03	97	-0.56	33	853.10	97	22.33	97
0	Min.	435	0.00	102	0.00	102	0.00	33	0.42	33	0.02	33	-0.78	97	606.92	33	15.76	33
0	Min.	-1508	0.00	102	0.00	102	0.00	33	0.42	33	0.02	33	-0.78	97	606.92	33	15.76	33
0	Min.	-1726	0.00	102	0.00	102	0.00	33	0.42	33	0.02	33	-0.78	97	606.92	33	15.76	33
0	Min.	434	0.00	102	0.00	102	0.00	33	0.42	33	0.02	33	-0.78	97	606.92	33	15.76	33
0	Max	432	0.00	102	0.00	98	0.00	97	0.95	97	0.14	97	0.88	97	-609.43	33	21.60	97
0	Max	-1565	0.00	102	0.00	98	0.00	97	0.95	97	0.14	97	0.88	97	-609.43	33	21.60	97
0	Max	-2181	0.00	102	0.00	98	0.00	97	0.95	97	0.14	97	0.88	97	-609.43	33	21.60	97
0	Max	-2203	0.00	102	0.00	98	0.00	97	0.95	97	0.14	97	0.88	97	-609.43	33	21.60	97
0	Min.	432	0.00	97	0.00	101	0.00	102	0.66	33	0.09	33	0.61	33	-870.84	97	14.96	33
0	Min.	-1565	0.00	97	0.00	101	0.00	102	0.66	33	0.09	33	0.61	33	-870.84	97	14.96	33
0	Min.	-2181	0.00	97	0.00	101	0.00	102	0.66	33	0.09	33	0.61	33	-870.84	97	14.96	33
0	Min.	-2203	0.00	97	0.00	101	0.00	102	0.66	33	0.09	33	0.61	33	-870.84	97	14.96	33
0	Max	434	0.00	97	-0.00	49	0.00	98	0.96	97	0.14	97	0.88	97	-609.73	33	21.99	97
0	Max	-1726	0.00	97	-0.00	49	0.00	98	0.96	97	0.14	97	0.88	97	-609.73	33	21.99	97
0	Max	-2202	0.00	97	-0.00	49	0.00	98	0.96	97	0.14	97	0.88	97	-609.73	33	21.99	97
0	Max	-2204	0.00	97	-0.00	49	0.00	98	0.96	97	0.14	97	0.88	97	-609.73	33	21.99	97
0	Min.	434	0.00	102	-0.00	98	0.00	33	0.67	33	0.10	33	0.61	33	-871.31	97	15.24	33
0	Min.	-1726	0.00	102	-0.00	98	0.00	33	0.67	33	0.10	33	0.61	33	-871.31	97	15.24	33
0	Min.	-2202	0.00	102	-0.00	98	0.00	33	0.67	33	0.10	33	0.61	33	-871.31	97	15.24	33
0	Min.	-2204	0.00	102	-0.00	98	0.00	33	0.67	33	0.10	33	0.61	33	-871.31	97	15.24	33
0	Max	-1529	0.00	97	0.00	97	0.00	33	0.60	97	0.08	97	0.43	97	458.17	97	-14.74	33
0	Max	429	0.00	97	0.00	97	0.00	33	0.60	97	0.08	97	0.43	97	458.17	97	-14.74	33
0	Max	-1850	0.00	97	0.00	97	0.00	33	0.60	97	0.08	97	0.43	97	458.17	97	-14.74	33
0	Max	-1416	0.00	97	0.00	97	0.00	33	0.60	97	0.08	97	0.43	97	458.17	97	-14.74	33
0	Min.	-1529	0.00	102	0.00	102	0.00	97	0.42	33	0.05	33	0.31	33	326.09	33	-20.89	97
0	Min.	429	0.00	102	0.00	102	0.00	97	0.42	33	0.05	33	0.31	33	326.09	33	-20.89	97
0	Min.	-1850	0.00	102	0.00	102	0.00	97	0.42	33	0.05	33	0.31	33	326.09	33	-20.89	97
0	Min.	-1416	0.00	102	0.00	102	0.00	97	0.42	33	0.05	33	0.31	33	326.09	33	-20.89	97
0	Max	-1530	0.00	97	0.00	97	0.00	33	-0.80	33	0.31	97	-0.36	33	273.43	97	-372.31	33
0	Max	-1958	0.00	97	0.00	97	0.00	33	-0.80	33	0.31	97	-0.36	33	273.43	97	-372.31	33
0	Max	-1959	0.00	97	0.00	97	0.00	33	-0.80	33	0.31	97	-0.36	33	273.43	97	-372.31	33
0	Max	-1415	0.00	97	0.00	97	0.00	33	-0.80	33	0.31	97	-0.36	33	273.43	97	-372.31	33
0	Min.	-1530	0.00	102	0.00	102	0.00	97	-1.14	97	0.20	33	-0.53	97	194.90	33	-522.96	97
0	Min.	-1958	0.00	102	0.00	102	0.00	97	-1.14	97	0.20	33	-0.53	97	194.90	33	-522.96	97
0	Min.	-1959	0.00	102	0.00	102	0.00	97	-1.14	97	0.20	33	-0.53	97	194.90	33	-522.96	97
0	Min.	-1415	0.00	102	0.00	102	0.00	97	-1.14	97	0.20	33	-0.53	97	194.90	33	-522.96	97
0	Max	-1490	0.00	97	0.00	97	0.00	33	0.73	97	0.09	97	-0.25	33	484.90	97	23.09	97
0	Max	-1530	0.00	97	0.00	97	0.00	33	0.73	97	0.09	97	-0.25	33	484.90	97	23.09	97
0	Max	-1415	0.00	97	0.00	97	0.00	33	0.73	97	0.09	97	-0.25	33	484.90	97	23.09	97
0	Max	-1367	0.00	97	0.00	97	0.00	33	0.73	97	0.09	97	-0.25	33	484.90	97	23.09	97
0	Min.	-1490	0.00	102	0.00	102	0.00	49	0.51	33	0.07	33	-0.35	97	344.94	33	16.27	33
0	Min.	-1530	0.00	102	0.00	102	0.00	49	0.51	33	0.07	33	-0.35	97	344.94	33	16.27	33
0	Min.	-1415	0.00	102	0.00	102	0.00	49	0.51	33	0.07	33	-0.35	97	344.94	33	16.27	33
0	Min.	-1367	0.00	102	0.00	102	0.00	49	0.51	33	0.07	33	-0.35	97	344.94	33	16.27	33
0	Max	-1538	0.00	97	0.00	97	0.00	33	-0.09	33	-0.01	33	0.08	97	370.95	97	1.02	97
0	Max	-1490	0.00	97	0.00	97	0.00	33	-0.09	33	-0.01	33	0.08	97	370.95	97	1.02	97
0	Max	-1367	0.00	97	0.00	97	0.00	33	-0.09	33	-0.01	33	0.08	97	370.95	97	1.02	97
0	Max	-1366	0.00	97	0.00	97	0.00	33	-0.09	33	-0.01	33	0.08	97	370.95	97	1.02	97
0	Min.	-1538	0.00	102	0.00	102	0.00	97	-0.13	97	-0.02	97	0.06	33	263.97	33	0.69	33
0	Min.	-1490	0.00	102	0.00	102	0.00	97	-0.13	97	-0.02	97	0.06	33	263.97	33	0.69	33
0	Min.	-1367	0.00	102	0.00	102	0.00	97	-0.13	97	-0.02	97	0.06	33	263.97	33	0.69	33
0	Min.	-1366	0.00	102	0.00	102	0.00	97	-0.13	97	-0.02	97	0.06	33	263.97	33	0.69	33
0	Max	-1525	0.00	97	0.00	97	0.00	33	0.00	97	0.00	97	-0.01	33	406.59	97	-1.97	33
0	Max	-1538	0.00	97	0.00	97	0.00	33	0.00	97	0.00	97	-0.01	33	406.59	97	-1.97	33
0	Max	-1366	0.00	97	0.00	97	0.00	33	0.00	97	0.00	97	-0.01	33	406.59	97	-1.97	33
0	Max	-1365	0.00	97	0.00	97	0.00	33	0.00	97	0.00	97	-0.01	33	406.59	97	-1.97	33
0	Min.	-1525	0.00	102	0.00	102	0.00	97	0.00	33	0.00	33	-0.01	97	289.35	33	-2.82	97
0	Min.	-1538	0.00	102	0.00	102	0.00	97	0.00	33	0.00	33	-0.01	97	289.35	33	-2.82	97
0	Min.	-1366	0.00	102	0.00	102	0.00	97	0.00	33	0.00	33	-0.01	97	289.35	33	-2.82	97
0	Min.	-1365	0.00	102	0.00	102	0.00	97	0.00	33	0.00	33	-0.01	97	289.35	33	-2.82	97
0	Max	-1526	0.00	97	0.00	97	0.00	33	0.01	97	0.00	97	-0.00	33	397.57	97	1.50	97
0	Max	-1525	0.00	97	0.00	97	0.00	33	0.01	97	0.00	97	-0.00	33	397.57	97	1.50	97
0	Max	-1365	0.00	97	0.00	97	0.00	33	0.01	97	0.00	97	-0.00	33	397.57	97	1.50	97
0	Max	-1364	0.00	97	0.00	97	0.00	33	0.01	97	0.00	97	-0.00	33	397.57	97	1.50	97
0	Min.	-1526	0.00	102	0.00	102	0.00	97	0.01	33	0.00	33	-0.00	97	282.99	33	1.05	33
0	Min.	-1525	0.00	102	0.00	102	0.00	97	0.01	33	0.00	33	-0.00	97	282.99	33	1.05	33
0	Min.	-1365	0.00	102	0.00	102	0.00	97	0.01	33	0.00	33	-0.00	97	282.99	33	1.05	33
0	Min.	-1364	0.00	102	0.00	102	0.00	97	0.01	33	0.00	33	-0.00	97	282.99	33	1.05	33
0	Max	-1527	0.00	97	0.00	97	0.00	33	-0.00	33	-0.00	33	0.00	97	399.19	97	-0.39	33

0	Max	-1526	0.00	97	0.00	97	0.00	33	-0.00	33	-0.00	33	0.00	97	399.19	97	-0.39	33
0	Max	-1364	0.00	97	0.00	97	0.00	33	-0.00	33	-0.00	33	0.00	97	399.19	97	-0.39	33
0	Max	-1363	0.00	97	0.00	97	0.00	33	-0.00	33	-0.00	33	0.00	97	399.19	97	-0.39	33
0	Min.	-1527	0.00	102	0.00	102	0.00	97	-0.01	97	-0.00	98	0.00	33	284.16	33	-0.55	97
0	Min.	-1526	0.00	102	0.00	102	0.00	97	-0.01	97	-0.00	98	0.00	33	284.16	33	-0.55	97
0	Min.	-1364	0.00	102	0.00	102	0.00	97	-0.01	97	-0.00	98	0.00	33	284.16	33	-0.55	97
0	Min.	-1363	0.00	102	0.00	102	0.00	97	-0.01	97	-0.00	98	0.00	33	284.16	33	-0.55	97
0	Max	-1528	0.00	97	0.00	97	0.00	33	0.00	97	0.00	97	-0.00	33	399.11	97	0.11	97
0	Max	-1527	0.00	97	0.00	97	0.00	33	0.00	97	0.00	97	-0.00	33	399.11	97	0.11	97
0	Max	-1363	0.00	97	0.00	97	0.00	33	0.00	97	0.00	97	-0.00	33	399.11	97	0.11	97
0	Max	-1427	0.00	97	0.00	97	0.00	33	0.00	97	0.00	97	-0.00	33	399.11	97	0.11	97
0	Min.	-1528	0.00	102	0.00	102	0.00	97	0.00	33	0.00	33	-0.00	97	284.10	33	0.08	33
0	Min.	-1527	0.00	102	0.00	102	0.00	97	0.00	33	0.00	33	-0.00	97	284.10	33	0.08	33
0	Min.	-1363	0.00	102	0.00	102	0.00	97	0.00	33	0.00	33	-0.00	97	284.10	33	0.08	33
0	Min.	-1427	0.00	102	0.00	102	0.00	97	0.00	33	0.00	33	-0.00	97	284.10	33	0.08	33
0	Max	-1362	0.00	97	0.00	97	0.00	98	0.59	97	0.03	97	-0.52	33	-583.63	33	-14.74	33
0	Max	436	0.00	97	0.00	97	0.00	98	0.59	97	0.03	97	-0.52	33	-583.63	33	-14.74	33
0	Max	429	0.00	97	0.00	97	0.00	98	0.59	97	0.03	97	-0.52	33	-583.63	33	-14.74	33
0	Max	-1529	0.00	97	0.00	97	0.00	98	0.59	97	0.03	97	-0.52	33	-583.63	33	-14.74	33
0	Min.	-1362	0.00	102	0.00	102	0.00	49	0.42	33	0.02	33	-0.74	97	-820.72	97	-20.89	97
0	Min.	436	0.00	102	0.00	102	0.00	49	0.42	33	0.02	33	-0.74	97	-820.72	97	-20.89	97
0	Min.	429	0.00	102	0.00	102	0.00	49	0.42	33	0.02	33	-0.74	97	-820.72	97	-20.89	97
0	Min.	-1529	0.00	102	0.00	102	0.00	49	0.42	33	0.02	33	-0.74	97	-820.72	97	-20.89	97
0	Max	-1356	0.00	97	0.00	97	0.00	97	-0.80	33	0.32	97	0.28	97	-327.54	33	-487.78	33
0	Max	-1960	0.00	97	0.00	97	0.00	97	-0.80	33	0.32	97	0.28	97	-327.54	33	-487.78	33
0	Max	-1958	0.00	97	0.00	97	0.00	97	-0.80	33	0.32	97	0.28	97	-327.54	33	-487.78	33
0	Max	-1530	0.00	97	0.00	97	0.00	97	-0.80	33	0.32	97	0.28	97	-327.54	33	-487.78	33
0	Min.	-1356	0.00	102	0.00	102	0.00	49	-1.13	97	0.18	33	0.20	33	-460.07	97	-698.88	97
0	Min.	-1960	0.00	102	0.00	102	0.00	49	-1.13	97	0.18	33	0.20	33	-460.07	97	-698.88	97
0	Min.	-1958	0.00	102	0.00	102	0.00	49	-1.13	97	0.18	33	0.20	33	-460.07	97	-698.88	97
0	Min.	-1530	0.00	102	0.00	102	0.00	49	-1.13	97	0.18	33	0.20	33	-460.07	97	-698.88	97
0	Max	-1355	0.00	97	0.00	97	0.00	33	0.72	97	0.03	97	0.60	97	-618.59	33	23.09	97
0	Max	-1356	0.00	97	0.00	97	0.00	33	0.72	97	0.03	97	0.60	97	-618.59	33	23.09	97
0	Max	-1530	0.00	97	0.00	97	0.00	33	0.72	97	0.03	97	0.60	97	-618.59	33	23.09	97
0	Max	-1490	0.00	97	0.00	97	0.00	33	0.72	97	0.03	97	0.60	97	-618.59	33	23.09	97
0	Min.	-1355	0.00	102	0.00	102	0.00	97	0.51	33	0.02	33	0.42	33	-870.51	97	16.27	33
0	Min.	-1356	0.00	102	0.00	102	0.00	97	0.51	33	0.02	33	0.42	33	-870.51	97	16.27	33
0	Min.	-1530	0.00	102	0.00	102	0.00	97	0.51	33	0.02	33	0.42	33	-870.51	97	16.27	33
0	Min.	-1490	0.00	102	0.00	102	0.00	97	0.51	33	0.02	33	0.42	33	-870.51	97	16.27	33
0	Max	-1352	0.00	97	0.00	97	0.00	33	-0.09	33	-0.00	33	-0.10	33	-466.53	33	1.02	97
0	Max	-1355	0.00	97	0.00	97	0.00	33	-0.09	33	-0.00	33	-0.10	33	-466.53	33	1.02	97
0	Max	-1490	0.00	97	0.00	97	0.00	33	-0.09	33	-0.00	33	-0.10	33	-466.53	33	1.02	97
0	Max	-1538	0.00	97	0.00	97	0.00	33	-0.09	33	-0.00	33	-0.10	33	-466.53	33	1.02	97
0	Min.	-1352	0.00	102	0.00	102	0.00	97	-0.13	97	-0.00	98	-0.14	97	-655.60	97	0.69	33
0	Min.	-1355	0.00	102	0.00	102	0.00	97	-0.13	97	-0.00	98	-0.14	97	-655.60	97	0.69	33
0	Min.	-1490	0.00	102	0.00	102	0.00	97	-0.13	97	-0.00	98	-0.14	97	-655.60	97	0.69	33
0	Min.	-1538	0.00	102	0.00	102	0.00	97	-0.13	97	-0.00	98	-0.14	97	-655.60	97	0.69	33
0	Max	-1684	0.00	97	0.00	97	0.00	33	0.00	97	-0.00	33	0.02	97	-513.67	33	-1.97	33
0	Max	-1352	0.00	97	0.00	97	0.00	33	0.00	97	-0.00	33	0.02	97	-513.67	33	-1.97	33
0	Max	-1538	0.00	97	0.00	97	0.00	33	0.00	97	-0.00	33	0.02	97	-513.67	33	-1.97	33
0	Max	-1525	0.00	97	0.00	97	0.00	33	0.00	97	-0.00	33	0.02	97	-513.67	33	-1.97	33
0	Min.	-1684	0.00	102	0.00	102	0.00	97	0.00	33	-0.00	98	0.01	33	-721.84	97	-2.82	97
0	Min.	-1352	0.00	102	0.00	102	0.00	97	0.00	33	-0.00	98	0.01	33	-721.84	97	-2.82	97
0	Min.	-1538	0.00	102	0.00	102	0.00	97	0.00	33	-0.00	98	0.01	33	-721.84	97	-2.82	97
0	Min.	-1525	0.00	102	0.00	102	0.00	97	0.00	33	-0.00	98	0.01	33	-721.84	97	-2.82	97
0	Max	-1683	0.00	97	0.00	97	0.00	33	0.01	97	0.00	97	0.00	97	-501.91	33	1.50	97
0	Max	-1684	0.00	97	0.00	97	0.00	33	0.01	97	0.00	97	0.00	97	-501.91	33	1.50	97
0	Max	-1525	0.00	97	0.00	97	0.00	33	0.01	97	0.00	97	0.00	97	-501.91	33	1.50	97
0	Max	-1526	0.00	97	0.00	97	0.00	33	0.01	97	0.00	97	0.00	97	-501.91	33	1.50	97
0	Min.	-1683	0.00	102	0.00	102	0.00	97	0.01	33	0.00	33	0.00	33	-705.12	97	1.05	33
0	Min.	-1684	0.00	102	0.00	102	0.00	97	0.01	33	0.00	33	0.00	33	-705.12	97	1.05	33
0	Min.	-1525	0.00	102	0.00	102	0.00	97	0.01	33	0.00	33	0.00	33	-705.12	97	1.05	33
0	Min.	-1526	0.00	102	0.00	102	0.00	97	0.01	33	0.00	33	0.00	33	-705.12	97	1.05	33
0	Max	-1682	0.00	97	0.00	97	0.00	33	-0.00	33	-0.00	33	-0.00	33	-504.09	33	-0.39	33
0	Max	-1683	0.00	97	0.00	97	0.00	33	-0.00	33	-0.00	33	-0.00	33	-504.09	33	-0.39	33
0	Max	-1526	0.00	97	0.00	97	0.00	33	-0.00	33	-0.00	33	-0.00	33	-504.09	33	-0.39	33
0	Max	-1527	0.00	97	0.00	97	0.00	33	-0.00	33	-0.00	33	-0.00	33	-504.09	33	-0.39	33
0	Min.	-1682	0.00	102	0.00	102	0.00	97	-0.01	97	-0.00	98	-0.00	97	-708.17	97	-0.55	97
0	Min.	-1683	0.00	102	0.00	102	0.00	97	-0.01	97	-0.00	98	-0.00	97	-708.17	97	-0.55	97
0	Min.	-1526	0.00	102	0.00	102	0.00	97	-0.01	97	-0.00	98	-0.00	97	-708.17	97	-0.55	97
0	Min.	-1527	0.00	102	0.00	102	0.00	97	-0.01	97	-0.00	98	-0.00	97	-708.17	97	-0.55	97
0	Max	-1426	0.00	97	0.00	97	0.00	33	0.00	97	0.00	97	0.00	98	-503.97	33	0.11	97
0	Max	-1682	0.00	97	0.00	97	0.00	33	0.00	97	0.00	97	0.00	98	-503.97	33	0.11	97
0	Max	-1527	0.00	97	0.00	97	0.00	33	0.00	97	0.00	97	0.00	98	-503.97	33	0.11	97
0	Max	-1528	0.00	97	0.00	97	0.00	33	0.00	97	0.00	97	0.00	98	-503.97	33	0.11	97
0	Min.	-1426	0.00	102	0.00	102	0.00	97	0.00	33	0.00	33	0.00	33	-707.99	97	0.08	33
0	Min.	-1682	0.00	102	0.00	102	0.00	97	0.00	33	0.00	33	0.00	33	-707.99	97	0.08	33
0	Min.	-1527	0.00	102	0.00	102	0.00	97	0.00	33	0.00	33	0.00	33	-707.99	97	0.08	33
0	Min.	-1528	0.00	102	0.00	102	0.00	97	0.00	33	0.00	33	0.00	33	-707.99	97	0.08	33
0	Max	-1625	0.00	97	0.00	97	0.00	102	0.94	97	0.05	97	-0.55	33	-615.07	33	-12.94	33
0	Max	-1687	0.00	97	0.00	97	0.00	102	0.94	97	0.05	97	-0.55	33	-615.07	33	-12.94	33
0	Max	-2164	0.00	97	0.00	97	0.00	102	0.94	97	0.05	97	-0.55	33	-615.07	33	-12.94	33
0	Max	-2165	0.00	97	0.00	97	0.00	102	0.94	97	0.05	97	-0.55	33	-615.07	33	-12.94	33
0	Min.	-1625	0.00	102	0.00	102	-0.00	97	0.63	33	0.03	33	-0.83	97	-881.95	97	-22.02	97
0	Min.	-1687	0.00	102	0.00	102	-0.00	97	0.63	33	0.03	33	-0.83	97	-881.95	97	-22.02	97
0	Min.	-2164	0.00	102	0.00	102	-0.00	97	0.63	33	0.03	33	-0.83	97	-881.95	97	-22.02	97
0	Min.	-2165	0.00	102	0.00	102	-0.00	97	0.63	33	0.03	33	-0.83	97	-881.95	97	-22.02	97
0	Max	-1624	0.00	101	0.00	33	0.00	33	-1.34	33	-1.19	33	0.74	97	-251.51	33	-763.43	33
0	Max	-1961	0.00	101	0.00	33	0.00	33	-1.34	33	-1.19	33	0.74	97	-251.51	33	-763.43	33
0	Max	-2166	0.00	101	0.00	33	0.00	33	-1.34	33	-1.19	33	0.74	97	-251.51	33	-763.43	33
0	Max	-2167	0.00	101	0.00	33	0.00	33	-1.34	33	-1.19	33	0.74	97	-251.51	33	-763.43	33
0	Min.	-1624	0.00	98	-0.00	98	0.00	97	-2.00	97	-1.82	97	0.53	33	-355.53	97	-1148.74	97
0	Min.	-1961	0.00	98	-0.00	98	0.00	97	-2.00	97	-1.82	97	0.53	33	-355.53	97	-1148.74	97
0	Min.	-2166	0.00	98	-0.00	98	0.00	97	-2.00	97	-1.82	97	0.53	33	-355.53	97	-1148.74	97
0	Min.	-2167	0.00	98	-0.00	98	0.00	97	-2.00	97	-1.82	97	0.53	33	-355.53	97	-1148.74	97
0	Max	-1623	0.00	97	-0.00	33	0.00	33	1.10	97	0.05	97	0.68	97	-654.04	33	28.84	97
0	Max	-1624	0.00	97	-0.00	33	0.00	33	1.10	97	0.05	97	0.68	97	-654.04	33	28.84	97
0	Max	-2167	0.00	97	-0.00	33	0.00	33	1.10	97	0.05	97	0.68	97	-654.04	33	28.84	97
0	Max	-2168	0.00	97	-0.00	33	0.00	33	1.10	97	0.05	97	0.68	97	-654.04	33	28.84	97
0	Min.	-1623	0.00	102	-0.00	98	0.00	97	0.74	33	0.04	33	0.45	33	-943.00	97	19.17	33
0	Min.	-1624	0.00	102	-0.00	98	0.00	97	0.74	33	0.04	33	0.45	33	-943.00	97	19.17	33
0	Min.	-2167	0.00	102	-0.00	98	0.00	97	0.74	33	0.04	33	0.45	33	-943.00	97	19.17	33
0	Min.	-2168	0.00	102	-0.00	98	0.00	97	0.74	33	0.04	33	0.45	33	-943.00	97	19.17	33
0	Max	-1622	0.00	98	-0.00	33	0.00	102	-0.11	33	-0.00	33	-0.09	33	-469.44	33	5.17	97
0	Max	-1623	0.00	98	-0.00	33	0.00	102	-0.11	33	-0.00	33	-0.09	33	-469.44	33	5.17	97

0	Max	-2168	0.00	98	-0.00	33	0.00	102	-0.11	33	-0.00	33	-0.09	33	-469.44	33	5.17	97
0	Max	-2169	0.00	98	-0.00	33	0.00	102	-0.11	33	-0.00	33	-0.09	33	-469.44	33	5.17	97
0	Min.	-1622	0.00	101	-0.00	97	0.00	97	-0.16	97	-0.00	33	-0.14	97	-673.71	97	2.32	33
0	Min.	-1623	0.00	101	-0.00	97	0.00	97	-0.16	97	-0.00	33	-0.14	97	-673.71	97	2.32	33
0	Min.	-2168	0.00	101	-0.00	97	0.00	97	-0.16	97	-0.00	33	-0.14	97	-673.71	97	2.32	33
0	Min.	-2169	0.00	101	-0.00	97	0.00	97	-0.16	97	-0.00	33	-0.14	97	-673.71	97	2.32	33
0	Max	-1621	0.00	101	-0.00	33	0.00	102	-0.01	33	-0.00	33	0.01	98	-526.58	33	-3.27	33
0	Max	-1622	0.00	101	-0.00	33	0.00	102	-0.01	33	-0.00	33	0.01	98	-526.58	33	-3.27	33
0	Max	-2169	0.00	101	-0.00	33	0.00	102	-0.01	33	-0.00	33	0.01	98	-526.58	33	-3.27	33
0	Max	-2170	0.00	101	-0.00	33	0.00	102	-0.01	33	-0.00	33	0.01	98	-526.58	33	-3.27	33
0	Min.	-1621	-0.00	98	-0.00	97	0.00	97	-0.02	33	-0.00	97	0.01	33	-753.47	97	-5.71	97
0	Min.	-1622	-0.00	98	-0.00	97	0.00	97	-0.02	33	-0.00	97	0.01	33	-753.47	97	-5.71	97
0	Min.	-2169	-0.00	98	-0.00	97	0.00	97	-0.02	33	-0.00	97	0.01	33	-753.47	97	-5.71	97
0	Min.	-2170	-0.00	98	-0.00	97	0.00	97	-0.02	33	-0.00	97	0.01	33	-753.47	97	-5.71	97
0	Max	-1620	0.00	101	-0.00	33	0.00	33	0.03	97	0.00	98	0.01	97	-514.52	33	2.70	97
0	Max	-1621	0.00	101	-0.00	33	0.00	33	0.03	97	0.00	98	0.01	97	-514.52	33	2.70	97
0	Max	-2170	0.00	101	-0.00	33	0.00	33	0.03	97	0.00	98	0.01	97	-514.52	33	2.70	97
0	Max	-2171	0.00	101	-0.00	33	0.00	33	0.03	97	0.00	98	0.01	97	-514.52	33	2.70	97
0	Min.	-1620	0.00	98	-0.00	97	0.00	97	0.01	33	0.00	33	0.00	33	-734.71	97	1.66	33
0	Min.	-1621	0.00	98	-0.00	97	0.00	97	0.01	33	0.00	33	0.00	33	-734.71	97	1.66	33
0	Min.	-2170	0.00	98	-0.00	97	0.00	97	0.01	33	0.00	33	0.00	33	-734.71	97	1.66	33
0	Min.	-2171	0.00	98	-0.00	97	0.00	97	0.01	33	0.00	33	0.00	33	-734.71	97	1.66	33
0	Max	-1619	0.00	101	-0.00	33	0.00	33	-0.01	33	-0.00	33	-0.00	33	-516.65	33	-0.64	33
0	Max	-1620	0.00	101	-0.00	33	0.00	33	-0.01	33	-0.00	33	-0.00	33	-516.65	33	-0.64	33
0	Max	-2171	0.00	101	-0.00	33	0.00	33	-0.01	33	-0.00	33	-0.00	33	-516.65	33	-0.64	33
0	Max	-2172	0.00	101	-0.00	33	0.00	33	-0.01	33	-0.00	33	-0.00	33	-516.65	33	-0.64	33
0	Min.	-1619	0.00	98	-0.00	97	0.00	97	-0.01	97	-0.00	97	-0.00	97	-737.52	97	-0.93	97
0	Min.	-1620	0.00	98	-0.00	97	0.00	97	-0.01	97	-0.00	97	-0.00	97	-737.52	97	-0.93	97
0	Min.	-2171	0.00	98	-0.00	97	0.00	97	-0.01	97	-0.00	97	-0.00	97	-737.52	97	-0.93	97
0	Min.	-2172	0.00	98	-0.00	97	0.00	97	-0.01	97	-0.00	97	-0.00	97	-737.52	97	-0.93	97
0	Max	-1417	0.00	33	-0.00	33	0.00	33	0.01	97	0.00	98	0.00	98	-516.74	33	0.17	97
0	Max	-1619	0.00	33	-0.00	33	0.00	33	0.01	97	0.00	98	0.00	98	-516.74	33	0.17	97
0	Max	-2172	0.00	33	-0.00	33	0.00	33	0.01	97	0.00	98	0.00	98	-516.74	33	0.17	97
0	Max	-2173	0.00	33	-0.00	33	0.00	33	0.01	97	0.00	98	0.00	98	-516.74	33	0.17	97
0	Min.	-1417	0.00	98	-0.00	97	0.00	97	0.00	33	0.00	33	0.00	33	-737.65	97	0.08	33
0	Min.	-1619	0.00	98	-0.00	97	0.00	97	0.00	33	0.00	33	0.00	33	-737.65	97	0.08	33
0	Min.	-2172	0.00	98	-0.00	97	0.00	97	0.00	33	0.00	33	0.00	33	-737.65	97	0.08	33
0	Min.	-2173	0.00	98	-0.00	97	0.00	97	0.00	33	0.00	33	0.00	33	-737.65	97	0.08	33
0	Max	-1521	0.00	97	0.00	97	0.00	33	0.59	97	0.03	97	0.78	97	852.66	97	-15.59	33
0	Max	435	0.00	97	0.00	97	0.00	33	0.59	97	0.03	97	0.78	97	852.66	97	-15.59	33
0	Max	434	0.00	97	0.00	97	0.00	33	0.59	97	0.03	97	0.78	97	852.66	97	-15.59	33
0	Max	-1660	0.00	97	0.00	97	0.00	33	0.59	97	0.03	97	0.78	97	852.66	97	-15.59	33
0	Min.	-1521	0.00	102	0.00	102	0.00	98	0.42	33	0.02	33	0.56	33	606.62	33	-22.08	97
0	Min.	435	0.00	102	0.00	102	0.00	98	0.42	33	0.02	33	0.56	33	606.62	33	-22.08	97
0	Min.	434	0.00	102	0.00	102	0.00	98	0.42	33	0.02	33	0.56	33	606.62	33	-22.08	97
0	Min.	-1660	0.00	102	0.00	102	0.00	98	0.42	33	0.02	33	0.56	33	606.62	33	-22.08	97
0	Max	-1522	0.00	97	0.00	97	0.00	33	-0.80	33	0.34	97	-0.22	33	471.52	97	-501.43	33
0	Max	-1962	0.00	97	0.00	97	0.00	33	-0.80	33	0.34	97	-0.22	33	471.52	97	-501.43	33
0	Max	-1963	0.00	97	0.00	97	0.00	33	-0.80	33	0.34	97	-0.22	33	471.52	97	-501.43	33
0	Max	-1659	0.00	97	0.00	97	0.00	33	-0.80	33	0.34	97	-0.22	33	471.52	97	-501.43	33
0	Min.	-1522	0.00	102	0.00	102	0.00	97	-1.13	97	0.22	33	-0.29	97	336.10	33	-711.17	97
0	Min.	-1962	0.00	102	0.00	102	0.00	97	-1.13	97	0.22	33	-0.29	97	336.10	33	-711.17	97
0	Min.	-1963	0.00	102	0.00	102	0.00	97	-1.13	97	0.22	33	-0.29	97	336.10	33	-711.17	97
0	Min.	-1659	0.00	102	0.00	102	0.00	97	-1.13	97	0.22	33	-0.29	97	336.10	33	-711.17	97
0	Max	-1523	0.00	97	0.00	97	0.00	97	0.73	97	0.03	97	-0.45	33	905.14	97	23.89	97
0	Max	-1522	0.00	97	0.00	97	0.00	97	0.73	97	0.03	97	-0.45	33	905.14	97	23.89	97
0	Max	-1659	0.00	97	0.00	97	0.00	97	0.73	97	0.03	97	-0.45	33	905.14	97	23.89	97
0	Max	-1658	0.00	97	0.00	97	0.00	97	0.73	97	0.03	97	-0.45	33	905.14	97	23.89	97
0	Min.	-1523	0.00	102	0.00	102	0.00	49	0.51	33	0.02	33	-0.64	97	643.81	33	16.89	33
0	Min.	-1522	0.00	102	0.00	102	0.00	49	0.51	33	0.02	33	-0.64	97	643.81	33	16.89	33
0	Min.	-1659	0.00	102	0.00	102	0.00	49	0.51	33	0.02	33	-0.64	97	643.81	33	16.89	33
0	Min.	-1658	0.00	102	0.00	102	0.00	49	0.51	33	0.02	33	-0.64	97	643.81	33	16.89	33
0	Max	-1524	0.00	97	0.00	97	0.00	97	-0.09	33	-0.00	33	0.15	97	678.72	97	0.59	97
0	Max	-1523	0.00	97	0.00	97	0.00	97	-0.09	33	-0.00	33	0.15	97	678.72	97	0.59	97
0	Max	-1658	0.00	97	0.00	97	0.00	97	-0.09	33	-0.00	33	0.15	97	678.72	97	0.59	97
0	Max	-1657	0.00	97	0.00	97	0.00	97	-0.09	33	-0.00	33	0.15	97	678.72	97	0.59	97
0	Min.	-1524	0.00	102	0.00	102	0.00	49	-0.13	97	-0.00	98	0.10	33	483.31	33	0.44	33
0	Min.	-1523	0.00	102	0.00	102	0.00	49	-0.13	97	-0.00	98	0.10	33	483.31	33	0.44	33
0	Min.	-1658	0.00	102	0.00	102	0.00	49	-0.13	97	-0.00	98	0.10	33	483.31	33	0.44	33
0	Min.	-1657	0.00	102	0.00	102	0.00	49	-0.13	97	-0.00	98	0.10	33	483.31	33	0.44	33
0	Max	-1517	0.00	97	0.00	97	0.00	97	0.00	97	-0.00	33	-0.01	33	748.77	97	-1.89	33
0	Max	-1524	0.00	97	0.00	97	0.00	97	0.00	97	-0.00	33	-0.01	33	748.77	97	-1.89	33
0	Max	-1657	0.00	97	0.00	97	0.00	97	0.00	97	-0.00	33	-0.01	33	748.77	97	-1.89	33
0	Max	-1656	0.00	97	0.00	97	0.00	97	0.00	97	-0.00	33	-0.01	33	748.77	97	-1.89	33
0	Min.	-1517	0.00	102	0.00	102	0.00	49	0.00	33	-0.00	98	-0.02	97	532.95	33	-2.66	97
0	Min.	-1524	0.00	102	0.00	102	0.00	49	0.00	33	-0.00	98	-0.02	97	532.95	33	-2.66	97
0	Min.	-1657	0.00	102	0.00	102	0.00	49	0.00	33	-0.00	98	-0.02	97	532.95	33	-2.66	97
0	Min.	-1656	0.00	102	0.00	102	0.00	49	0.00	33	-0.00	98	-0.02	97	532.95	33	-2.66	97
0	Max	-1518	0.00	97	0.00	97	0.00	97	0.01	97	0.00	97	-0.00	33	730.86	97	1.45	97
0	Max	-1517	0.00	97	0.00	97	0.00	97	0.01	97	0.00	97	-0.00	33	730.86	97	1.45	97
0	Max	-1656	0.00	97	0.00	97	0.00	97	0.01	97	0.00	97	-0.00	33	730.86	97	1.45	97
0	Max	-1655	0.00	97	0.00	97	0.00	97	0.01	97	0.00	97	-0.00	33	730.86	97	1.45	97
0	Min.	-1518	0.00	102	0.00	102	0.00	49	0.01	33	0.00	33	-0.00	97	520.27	33	1.03	33
0	Min.	-1517	0.00	102	0.00	102	0.00	49	0.01	33	0.00	33	-0.00	97	520.27	33	1.03	33
0	Min.	-1656	0.00	102	0.00	102	0.00	49	0.01	33	0.00	33	-0.00	97	520.27	33	1.03	33
0	Min.	-1655	0.00	102	0.00	102	0.00	49	0.01	33	0.00	33	-0.00	97	520.27	33	1.03	33
0	Max	-1519	0.00	97	0.00	97	0.00	97	-0.00	33	-0.00	33	0.00	97	734.25	97	-0.39	33
0	Max	-1518	0.00	97	0.00	97	0.00	97	-0.00	33	-0.00	33	0.00	97	734.25	97	-0.39	33
0	Max	-1655	0.00	97	0.00	97	0.00	97	-0.00	33	-0.00	33	0.00	97	734.25	97	-0.39	33
0	Max	-1654	0.00	97	0.00	97	0.00	97	-0.00	33	-0.00	33	0.00	97	734.25	97	-0.39	33
0	Min.	-1519	0.00	102	0.00	102	0.00	49	-0.01	97	-0.00	98	0.00	33	522.66	1	-0.55	97
0	Min.	-1518	0.00	102	0.00	102	0.00	49	-0.01	97	-0.00	98	0.00	33	522.66	1	-0.55	97
0	Min.	-1655	0.00	102	0.00	102	0.00	49	-0.01	97	-0.00	98	0.00	33	522.66	1	-0.55	97
0	Min.	-1654	0.00	102	0.00	102	0.00	49	-0.01	97	-0.00	98	0.00	33	522.66	1	-0.55	97
0	Max	-1520	0.00	97	0.00	97	0.00	97	0.00	97	0.00	97	-0.00	33	733.99	97	0.11	97
0	Max	-1519	0.00	97	0.00	97	0.00	97	0.00	97	0.00	97	-0.00	33	733.99	97	0.11	97
0	Max	-1654	0.00	97	0.00	97	0.00	97	0.00	97	0.00	97	-0.00	33	733.99	97	0.11	97
0	Max	-1422	0.00	97	0.00	97	0.00	97	0.00	97	0.00	97	-0.00	33	733.99	97	0.11	97
0	Min.	-1520	0.00	102	0.00	102	0.00	49	0.00	33	0.00	33	-0.00	98	522.48	1	0.08	33
0	Min.	-1519	0.00	102	0.00	102	0.00	49	0.00	33	0.00	33	-0.00	98	522.48	1	0.08	33
0	Min.	-1654	0.00	102	0.00	102	0.00	49	0.00	33	0.00	33	-0.00	98	522.48	1	0.08	33
0	Min.	-1422	0.00	102	0.00	102	0.00	49	0.00	33	0.00	33	-0.00	98	522.48	1	0.08	33
0	Max	-1422	0.00	101	-0.00	102	0.00	97	0.01	97	0.00	97	0.00	97	-516.78	33	0.17	97
0	Max	-1654	0.00	101	-0.00	102	0.00	97	0.01	97	0.00	97	0.00	97	-516.78	33	0.17	97
0	Max	-2205	0.00	101	-0.00	102	0.00	97	0.01	97	0.00	97	0.00	97	-516.78	33	0.17	97

0	Max	-2206	0.00	101	-0.00	102	0.00	97	0.01	97	0.00	97	0.00	97	-516.78	33	0.17	97
0	Min.	-1422	0.00	98	-0.00	97	0.00	102	0.00	33	0.00	33	0.00	33	-737.66	97	0.12	33
0	Min.	-1654	0.00	98	-0.00	97	0.00	102	0.00	33	0.00	33	0.00	33	-737.66	97	0.12	33
0	Min.	-2205	0.00	98	-0.00	97	0.00	102	0.00	33	0.00	33	0.00	33	-737.66	97	0.12	33
0	Min.	-2206	0.00	98	-0.00	97	0.00	102	0.00	33	0.00	33	0.00	33	-737.66	97	0.12	33
0	Max	-1654	0.00	101	-0.00	49	0.00	97	-0.01	33	-0.00	33	-0.00	33	-516.64	33	-0.65	33
0	Max	-1655	0.00	101	-0.00	49	0.00	97	-0.01	33	-0.00	33	-0.00	33	-516.64	33	-0.65	33
0	Max	-2207	0.00	101	-0.00	49	0.00	97	-0.01	33	-0.00	33	-0.00	33	-516.64	33	-0.65	33
0	Max	-2205	0.00	101	-0.00	49	0.00	97	-0.01	33	-0.00	33	-0.00	33	-516.64	33	-0.65	33
0	Min.	-1654	0.00	98	-0.00	97	0.00	102	-0.01	97	-0.00	98	-0.00	97	-737.47	97	-0.93	97
0	Min.	-1655	0.00	98	-0.00	97	0.00	102	-0.01	97	-0.00	98	-0.00	97	-737.47	97	-0.93	97
0	Min.	-2207	0.00	98	-0.00	97	0.00	102	-0.01	97	-0.00	98	-0.00	97	-737.47	97	-0.93	97
0	Min.	-2205	0.00	98	-0.00	97	0.00	102	-0.01	97	-0.00	98	-0.00	97	-737.47	97	-0.93	97
0	Max	-1655	0.00	101	-0.00	49	0.00	97	0.03	97	0.00	97	0.01	97	-514.88	33	2.72	97
0	Max	-1656	0.00	101	-0.00	49	0.00	97	0.03	97	0.00	97	0.01	97	-514.88	33	2.72	97
0	Max	-2208	0.00	101	-0.00	49	0.00	97	0.03	97	0.00	97	0.01	97	-514.88	33	2.72	97
0	Max	-2207	0.00	101	-0.00	49	0.00	97	0.03	97	0.00	97	0.01	97	-514.88	33	2.72	97
0	Min.	-1655	0.00	98	-0.00	97	0.00	102	0.02	33	0.00	33	0.00	33	-734.93	97	1.89	33
0	Min.	-1656	0.00	98	-0.00	97	0.00	102	0.02	33	0.00	33	0.00	33	-734.93	97	1.89	33
0	Min.	-2208	0.00	98	-0.00	97	0.00	102	0.02	33	0.00	33	0.00	33	-734.93	97	1.89	33
0	Min.	-2207	0.00	98	-0.00	97	0.00	102	0.02	33	0.00	33	0.00	33	-734.93	97	1.89	33
0	Max	-1656	0.00	101	-0.00	49	0.00	97	-0.01	33	0.00	97	0.02	97	-527.18	33	-4.01	33
0	Max	-1657	0.00	101	-0.00	49	0.00	97	-0.01	33	0.00	97	0.02	97	-527.18	33	-4.01	33
0	Max	-2209	0.00	101	-0.00	49	0.00	97	-0.01	33	0.00	97	0.02	97	-527.18	33	-4.01	33
0	Max	-2208	0.00	101	-0.00	49	0.00	97	-0.01	33	0.00	97	0.02	97	-527.18	33	-4.01	33
0	Min.	-1656	0.00	98	-0.00	97	0.00	102	-0.02	97	0.00	33	0.01	33	-752.63	97	-5.78	97
0	Min.	-1657	0.00	98	-0.00	97	0.00	102	-0.02	97	0.00	33	0.01	33	-752.63	97	-5.78	97
0	Min.	-2209	0.00	98	-0.00	97	0.00	102	-0.02	97	0.00	33	0.01	33	-752.63	97	-5.78	97
0	Min.	-2208	0.00	98	-0.00	97	0.00	102	-0.02	97	0.00	33	0.01	33	-752.63	97	-5.78	97
0	Max	-1657	0.00	101	-0.00	102	0.00	97	-0.11	33	-0.02	33	-0.11	33	-474.68	33	5.34	97
0	Max	-1658	0.00	101	-0.00	102	0.00	97	-0.11	33	-0.02	33	-0.11	33	-474.68	33	5.34	97
0	Max	-2210	0.00	101	-0.00	102	0.00	97	-0.11	33	-0.02	33	-0.11	33	-474.68	33	5.34	97
0	Max	-2209	0.00	101	-0.00	102	0.00	97	-0.11	33	-0.02	33	-0.11	33	-474.68	33	5.34	97
0	Min.	-1657	0.00	98	-0.00	97	0.00	102	-0.16	97	-0.03	97	-0.15	97	-677.11	97	3.70	33
0	Min.	-1658	0.00	98	-0.00	97	0.00	102	-0.16	97	-0.03	97	-0.15	97	-677.11	97	3.70	33
0	Min.	-2210	0.00	98	-0.00	97	0.00	102	-0.16	97	-0.03	97	-0.15	97	-677.11	97	3.70	33
0	Min.	-2209	0.00	98	-0.00	97	0.00	102	-0.16	97	-0.03	97	-0.15	97	-677.11	97	3.70	33
0	Max	-1658	0.00	97	-0.00	49	0.00	97	1.12	97	0.17	97	0.72	97	-649.58	33	28.57	97
0	Max	-1659	0.00	97	-0.00	49	0.00	97	1.12	97	0.17	97	0.72	97	-649.58	33	28.57	97
0	Max	-2211	0.00	97	-0.00	49	0.00	97	1.12	97	0.17	97	0.72	97	-649.58	33	28.57	97
0	Max	-2210	0.00	97	-0.00	49	0.00	97	1.12	97	0.17	97	0.72	97	-649.58	33	28.57	97
0	Min.	-1658	0.00	102	-0.00	98	0.00	102	0.78	33	0.12	33	0.50	33	-928.60	97	19.81	33
0	Min.	-1659	0.00	102	-0.00	98	0.00	102	0.78	33	0.12	33	0.50	33	-928.60	97	19.81	33
0	Min.	-2211	0.00	102	-0.00	98	0.00	102	0.78	33	0.12	33	0.50	33	-928.60	97	19.81	33
0	Min.	-2210	0.00	102	-0.00	98	0.00	102	0.78	33	0.12	33	0.50	33	-928.60	97	19.81	33
0	Max	-1659	0.00	101	0.00	101	0.00	101	-1.26	33	0.05	97	1.61	97	-365.94	33	-492.40	33
0	Max	-1963	0.00	101	0.00	101	0.00	101	-1.26	33	0.05	97	1.61	97	-365.94	33	-492.40	33
0	Max	-2212	0.00	101	0.00	101	0.00	101	-1.26	33	0.05	97	1.61	97	-365.94	33	-492.40	33
0	Max	-2211	0.00	101	0.00	101	0.00	101	-1.26	33	0.05	97	1.61	97	-365.94	33	-492.40	33
0	Min.	-1659	0.00	98	-0.00	98	0.00	98	-1.82	97	0.02	33	1.10	33	-523.29	97	-697.40	97
0	Min.	-1963	0.00	98	-0.00	98	0.00	98	-1.82	97	0.02	33	1.10	33	-523.29	97	-697.40	97
0	Min.	-2212	0.00	98	-0.00	98	0.00	98	-1.82	97	0.02	33	1.10	33	-523.29	97	-697.40	97
0	Min.	-2211	0.00	98	-0.00	98	0.00	98	-1.82	97	0.02	33	1.10	33	-523.29	97	-697.40	97
0	Max	-1653	0.00	97	0.00	97	0.00	97	0.60	97	0.08	97	-0.30	33	-305.16	33	-15.59	33
0	Max	-1848	0.00	97	0.00	97	0.00	97	0.60	97	0.08	97	-0.30	33	-305.16	33	-15.59	33
0	Max	435	0.00	97	0.00	97	0.00	97	0.60	97	0.08	97	-0.30	33	-305.16	33	-15.59	33
0	Max	-1521	0.00	97	0.00	97	0.00	97	0.60	97	0.08	97	-0.30	33	-305.16	33	-15.59	33
0	Min.	-1653	0.00	102	0.00	102	0.00	49	0.42	33	0.05	33	-0.42	97	-428.75	97	-22.08	97
0	Min.	-1848	0.00	102	0.00	102	0.00	49	0.42	33	0.05	33	-0.42	97	-428.75	97	-22.08	97
0	Min.	435	0.00	102	0.00	102	0.00	49	0.42	33	0.05	33	-0.42	97	-428.75	97	-22.08	97
0	Min.	-1521	0.00	102	0.00	102	0.00	49	0.42	33	0.05	33	-0.42	97	-428.75	97	-22.08	97
0	Max	-1652	0.00	97	0.00	97	0.00	97	-0.81	33	0.36	97	0.52	97	-182.66	33	-372.78	33
0	Max	-1965	0.00	97	0.00	97	0.00	97	-0.81	33	0.36	97	0.52	97	-182.66	33	-372.78	33
0	Max	-1962	0.00	97	0.00	97	0.00	97	-0.81	33	0.36	97	0.52	97	-182.66	33	-372.78	33
0	Max	-1522	0.00	97	0.00	97	0.00	97	-0.81	33	0.36	97	0.52	97	-182.66	33	-372.78	33
0	Min.	-1652	0.00	102	0.00	102	0.00	102	-1.14	97	0.25	33	0.37	33	-256.08	97	-523.23	97
0	Min.	-1965	0.00	102	0.00	102	0.00	102	-1.14	97	0.25	33	0.37	33	-256.08	97	-523.23	97
0	Min.	-1962	0.00	102	0.00	102	0.00	102	-1.14	97	0.25	33	0.37	33	-256.08	97	-523.23	97
0	Min.	-1522	0.00	102	0.00	102	0.00	102	-1.14	97	0.25	33	0.37	33	-256.08	97	-523.23	97
0	Max	-1651	0.00	97	0.00	97	0.00	33	0.73	97	0.10	97	0.34	97	-323.11	33	23.89	97
0	Max	-1652	0.00	97	0.00	97	0.00	33	0.73	97	0.10	97	0.34	97	-323.11	33	23.89	97
0	Max	-1522	0.00	97	0.00	97	0.00	33	0.73	97	0.10	97	0.34	97	-323.11	33	23.89	97
0	Max	-1523	0.00	97	0.00	97	0.00	33	0.73	97	0.10	97	0.34	97	-323.11	33	23.89	97
0	Min.	-1651	0.00	102	0.00	102	0.00	98	0.52	33	0.07	33	0.24	33	-454.03	97	16.89	33
0	Min.	-1652	0.00	102	0.00	102	0.00	98	0.52	33	0.07	33	0.24	33	-454.03	97	16.89	33
0	Min.	-1522	0.00	102	0.00	102	0.00	98	0.52	33	0.07	33	0.24	33	-454.03	97	16.89	33
0	Min.	-1523	0.00	102	0.00	102	0.00	98	0.52	33	0.07	33	0.24	33	-454.03	97	16.89	33
0	Max	-1650	0.00	97	0.00	97	0.00	97	-0.09	33	-0.01	33	-0.06	33	-246.64	33	0.59	97
0	Max	-1651	0.00	97	0.00	97	0.00	97	-0.09	33	-0.01	33	-0.06	33	-246.64	33	0.59	97
0	Max	-1523	0.00	97	0.00	97	0.00	97	-0.09	33	-0.01	33	-0.06	33	-246.64	33	0.59	97
0	Max	-1524	0.00	97	0.00	97	0.00	97	-0.09	33	-0.01	33	-0.06	33	-246.64	33	0.59	97
0	Min.	-1650	0.00	102	0.00	102	0.00	49	-0.13	97	-0.02	97	-0.08	97	-346.42	97	0.44	33
0	Min.	-1651	0.00	102	0.00	102	0.00	49	-0.13	97	-0.02	97	-0.08	97	-346.42	97	0.44	33
0	Min.	-1523	0.00	102	0.00	102	0.00	49	-0.13	97	-0.02	97	-0.08	97	-346.42	97	0.44	33
0	Min.	-1524	0.00	102	0.00	102	0.00	49	-0.13	97	-0.02	97	-0.08	97	-346.42	97	0.44	33
0	Max	-1649	0.00	97	0.00	97	0.00	97	0.00	97	0.00	97	0.01	97	-270.67	33	-1.89	33
0	Max	-1650	0.00	97	0.00	97	0.00	97	0.00	97	0.00	97	0.01	97	-270.67	33	-1.89	33
0	Max	-1524	0.00	97	0.00	97	0.00	97	0.00	97	0.00	97	0.01	97	-270.67	33	-1.89	33
0	Max	-1517	0.00	97	0.00	97	0.00	97	0.00	97	0.00	97	0.01	97	-270.67	33	-1.89	33
0	Min.	-1649	0.00	102	0.00	102	0.00	49	0.00	33	0.00	33	0.01	33	-380.26	97	-2.66	97
0	Min.	-1650	0.00	102	0.00	102	0.00	49	0.00	33	0.00	33	0.01	33	-380.26	97	-2.66	97
0	Min.	-1524	0.00	102	0.00	102	0.00	49	0.00	33	0.00	33	0.01	33	-380.26	97	-2.66	97
0	Min.	-1517	0.00	102	0.00	102	0.00	49	0.00	33	0.00	33	0.01	33	-380.26	97	-2.66	97
0	Max	-1648	0.00	97	0.00	97	0.00	97	0.01	97	0.00	97	0.00	97	-264.50	1	1.45	97
0	Max	-1649	0.00	97	0.00	97	0.00	97	0.01	97	0.00	97	0.00	97	-264.50	1	1.45	97
0	Max	-1517	0.00	97	0.00	97	0.00	97	0.01	97	0.00	97	0.00	97	-264.50	1	1.45	97
0	Max	-1518	0.00	97	0.00	97	0.00	97	0.01	97	0.00	97	0.00	97	-264.50	1	1.45	97
0	Min.	-1648	0.00	102	0.00	102	0.00	49	0.01	33	0.00	33	0.00	33	-371.57	97	1.03	33
0	Min.	-1649	0.00	102	0.00	102	0.00	49	0.01	33	0.00	33	0.00	33	-371.57	97	1.03	33
0	Min.	-1517	0.00	102	0.00	102	0.00	49	0.01	33	0.00	33	0.00	33	-371.57	97	1.03	33
0	Min.	-1518	0.00	102	0.00	102	0.00	49	0.01	33	0.00	33	0.00	33	-371.57	97	1.03	33
0	Max	-1647	0.00	97	0.00	97	0.00	97	-0.00	33	-0.00	33	-0.00	33	-265.65	1	-0.39	33
0	Max	-1648	0.00	97	0.00	97	0.00	97	-0.00	33	-0.00	33	-0.00	33	-265.65	1	-0.39	33
0	Max	-1518	0.00	97	0.00	97	0.00	97	-0.00	33	-0.00	33	-0.00	33	-265.65	1	-0.39	33
0	Max	-1519	0.00	97	0.00	97	0.00	97	-0.00	33	-0.00	33	-0.00	33	-265.65	1	-0.39	33

0	Min.	-1647	0.00	102	0.00	102	0.00	49	-0.01	97	-0.00	98	-0.00	97	-373.20	97	-0.55	97
0	Min.	-1648	0.00	102	0.00	102	0.00	49	-0.01	97	-0.00	98	-0.00	97	-373.20	97	-0.55	97
0	Min.	-1518	0.00	102	0.00	102	0.00	49	-0.01	97	-0.00	98	-0.00	97	-373.20	97	-0.55	97
0	Min.	-1519	0.00	102	0.00	102	0.00	49	-0.01	97	-0.00	98	-0.00	97	-373.20	97	-0.55	97
0	Max	-1421	0.00	97	0.00	97	0.00	97	0.00	97	0.00	97	0.00	97	-265.58	1	0.11	97
0	Max	-1647	0.00	97	0.00	97	0.00	97	0.00	97	0.00	97	0.00	97	-265.58	1	0.11	97
0	Max	-1519	0.00	97	0.00	97	0.00	97	0.00	97	0.00	97	0.00	97	-265.58	1	0.11	97
0	Max	-1520	0.00	97	0.00	97	0.00	97	0.00	97	0.00	97	0.00	97	-265.58	1	0.11	97
0	Min.	-1421	0.00	102	0.00	102	0.00	49	0.00	33	0.00	33	0.00	33	-373.09	97	0.08	33
0	Min.	-1647	0.00	102	0.00	102	0.00	49	0.00	33	0.00	33	0.00	33	-373.09	97	0.08	33
0	Min.	-1519	0.00	102	0.00	102	0.00	49	0.00	33	0.00	33	0.00	33	-373.09	97	0.08	33
0	Min.	-1520	0.00	102	0.00	102	0.00	49	0.00	33	0.00	33	0.00	33	-373.09	97	0.08	33
0	Max	-1424	0.00	101	0.00	33	0.00	33	0.00	101	0.00	33	0.00	97	0.00	49	0.00	97
0	Max	-1668	0.00	101	0.00	33	0.00	33	0.00	101	0.00	33	0.00	97	0.00	49	0.00	97
0	Max	-1633	0.00	101	0.00	33	0.00	33	0.00	101	0.00	33	0.00	97	0.00	49	0.00	97
0	Max	-1419	0.00	101	0.00	33	0.00	33	0.00	101	0.00	33	0.00	97	0.00	49	0.00	97
0	Min.	-1424	0.00	98	0.00	100	0.00	49	0.00	98	0.00	100	0.00	49	0.00	97	0.00	102
0	Min.	-1668	0.00	98	0.00	100	0.00	49	0.00	98	0.00	100	0.00	49	0.00	97	0.00	102
0	Min.	-1633	0.00	98	0.00	100	0.00	49	0.00	98	0.00	100	0.00	49	0.00	97	0.00	102
0	Min.	-1419	0.00	98	0.00	100	0.00	49	0.00	98	0.00	100	0.00	49	0.00	97	0.00	102
0	Max	-1668	0.00	97	0.00	33	0.00	33	0.00	97	0.00	33	0.00	97	0.00	49	0.00	97
0	Max	-1669	0.00	97	0.00	33	0.00	33	0.00	97	0.00	33	0.00	97	0.00	49	0.00	97
0	Max	-1634	0.00	97	0.00	33	0.00	33	0.00	97	0.00	33	0.00	97	0.00	49	0.00	97
0	Max	-1633	0.00	97	0.00	33	0.00	33	0.00	97	0.00	33	0.00	97	0.00	49	0.00	97
0	Min.	-1668	0.00	102	0.00	100	0.00	49	0.00	102	0.00	100	0.00	49	0.00	97	0.00	102
0	Min.	-1669	0.00	102	0.00	100	0.00	49	0.00	102	0.00	100	0.00	49	0.00	97	0.00	102
0	Min.	-1634	0.00	102	0.00	100	0.00	49	0.00	102	0.00	100	0.00	49	0.00	97	0.00	102
0	Min.	-1633	0.00	102	0.00	100	0.00	49	0.00	102	0.00	100	0.00	49	0.00	97	0.00	102
0	Max	-1669	0.00	97	0.00	33	0.00	33	0.00	97	0.00	33	0.00	97	0.00	49	0.00	97
0	Max	-1670	0.00	97	0.00	33	0.00	33	0.00	97	0.00	33	0.00	97	0.00	49	0.00	97
0	Max	-1635	0.00	97	0.00	33	0.00	33	0.00	97	0.00	33	0.00	97	0.00	49	0.00	97
0	Max	-1634	0.00	97	0.00	33	0.00	33	0.00	97	0.00	33	0.00	97	0.00	49	0.00	97
0	Min.	-1669	0.00	102	0.00	98	0.00	49	0.00	102	0.00	100	0.00	49	0.00	97	0.00	102
0	Min.	-1670	0.00	102	0.00	98	0.00	49	0.00	102	0.00	100	0.00	49	0.00	97	0.00	102
0	Min.	-1635	0.00	102	0.00	98	0.00	49	0.00	102	0.00	100	0.00	49	0.00	97	0.00	102
0	Min.	-1634	0.00	102	0.00	98	0.00	49	0.00	102	0.00	100	0.00	49	0.00	97	0.00	102
0	Max	-1670	0.00	97	0.00	33	0.00	33	0.00	97	0.00	33	0.00	97	0.00	49	0.00	97
0	Max	-1671	0.00	97	0.00	33	0.00	33	0.00	97	0.00	33	0.00	97	0.00	49	0.00	97
0	Max	-1636	0.00	97	0.00	33	0.00	33	0.00	97	0.00	33	0.00	97	0.00	49	0.00	97
0	Max	-1635	0.00	97	0.00	33	0.00	33	0.00	97	0.00	33	0.00	97	0.00	49	0.00	97
0	Min.	-1670	0.00	102	0.00	98	0.00	49	0.00	102	0.00	100	0.00	49	0.00	97	0.00	102
0	Min.	-1671	0.00	102	0.00	98	0.00	49	0.00	102	0.00	100	0.00	49	0.00	97	0.00	102
0	Min.	-1636	0.00	102	0.00	98	0.00	49	0.00	102	0.00	100	0.00	49	0.00	97	0.00	102
0	Min.	-1635	0.00	102	0.00	98	0.00	49	0.00	102	0.00	100	0.00	49	0.00	97	0.00	102
0	Max	-1671	0.00	97	0.00	33	0.00	33	0.00	97	0.00	33	0.00	97	0.00	49	0.00	97
0	Max	-1672	0.00	97	0.00	33	0.00	33	0.00	97	0.00	33	0.00	97	0.00	49	0.00	97
0	Max	-1637	0.00	97	0.00	33	0.00	33	0.00	97	0.00	33	0.00	97	0.00	49	0.00	97
0	Max	-1636	0.00	97	0.00	33	0.00	33	0.00	97	0.00	33	0.00	97	0.00	49	0.00	97
0	Min.	-1671	0.00	102	0.00	98	0.00	49	0.00	102	0.00	98	0.00	49	0.00	97	0.00	102
0	Min.	-1672	0.00	102	0.00	98	0.00	49	0.00	102	0.00	98	0.00	49	0.00	97	0.00	102
0	Min.	-1637	0.00	102	0.00	98	0.00	49	0.00	102	0.00	98	0.00	49	0.00	97	0.00	102
0	Min.	-1636	0.00	102	0.00	98	0.00	49	0.00	102	0.00	98	0.00	49	0.00	97	0.00	102
0	Max	-1672	0.00	97	0.00	33	0.00	33	0.00	97	0.00	33	0.00	97	0.00	102	0.00	97
0	Max	-1673	0.00	97	0.00	33	0.00	33	0.00	97	0.00	33	0.00	97	0.00	102	0.00	97
0	Max	-1638	0.00	97	0.00	33	0.00	33	0.00	97	0.00	33	0.00	97	0.00	102	0.00	97
0	Max	-1637	0.00	97	0.00	33	0.00	33	0.00	97	0.00	33	0.00	97	0.00	102	0.00	97
0	Min.	-1672	0.00	102	0.00	98	0.00	49	0.00	102	0.00	98	0.00	49	0.00	97	0.00	102
0	Min.	-1673	0.00	102	0.00	98	0.00	49	0.00	102	0.00	98	0.00	49	0.00	97	0.00	102
0	Min.	-1638	0.00	102	0.00	98	0.00	49	0.00	102	0.00	98	0.00	49	0.00	97	0.00	102
0	Min.	-1637	0.00	102	0.00	98	0.00	49	0.00	102	0.00	98	0.00	49	0.00	97	0.00	102
0	Max	-1673	0.00	101	0.00	97	0.00	97	-0.01	33	-0.05	33	-0.05	33	6.19	97	-377.13	33
0	Max	-1966	0.00	101	0.00	97	0.00	97	-0.01	33	-0.05	33	-0.05	33	6.19	97	-377.13	33
0	Max	-1967	0.00	101	0.00	97	0.00	97	-0.01	33	-0.05	33	-0.05	33	6.19	97	-377.13	33
0	Max	-1638	0.00	101	0.00	97	0.00	97	-0.01	33	-0.05	33	-0.05	33	6.19	97	-377.13	33
0	Min.	-1673	0.00	98	0.00	49	0.00	49	-0.01	97	-0.08	97	-0.07	97	4.41	33	-529.80	97
0	Min.	-1966	0.00	98	0.00	49	0.00	49	-0.01	97	-0.08	97	-0.07	97	4.41	33	-529.80	97
0	Min.	-1967	0.00	98	0.00	49	0.00	49	-0.01	97	-0.08	97	-0.07	97	4.41	33	-529.80	97
0	Min.	-1638	0.00	98	0.00	49	0.00	49	-0.01	97	-0.08	97	-0.07	97	4.41	33	-529.80	97
0	Max	-1674	0.00	97	0.00	33	0.00	33	0.00	97	0.00	33	0.00	33	0.00	102	0.00	101
0	Max	441	0.00	97	0.00	33	0.00	33	0.00	97	0.00	33	0.00	33	0.00	102	0.00	101
0	Max	-1859	0.00	97	0.00	33	0.00	33	0.00	97	0.00	33	0.00	33	0.00	102	0.00	101
0	Max	-1639	0.00	97	0.00	33	0.00	33	0.00	97	0.00	33	0.00	33	0.00	102	0.00	101
0	Min.	-1674	0.00	102	0.00	98	0.00	49	0.00	102	0.00	98	0.00	100	0.00	97	0.00	98
0	Min.	441	0.00	102	0.00	98	0.00	49	0.00	102	0.00	98	0.00	100	0.00	97	0.00	98
0	Min.	-1859	0.00	102	0.00	98	0.00	49	0.00	102	0.00	98	0.00	100	0.00	97	0.00	98
0	Min.	-1639	0.00	102	0.00	98	0.00	49	0.00	102	0.00	98	0.00	100	0.00	97	0.00	98
0	Max	-1419	0.00	97	0.00	99	0.00	98	0.00	97	0.00	99	0.00	98	0.00	97	0.00	97
0	Max	-1633	0.00	97	0.00	99	0.00	98	0.00	97	0.00	99	0.00	98	0.00	97	0.00	97
0	Max	-1640	0.00	97	0.00	99	0.00	98	0.00	97	0.00	99	0.00	98	0.00	97	0.00	97
0	Max	-1420	0.00	97	0.00	99	0.00	98	0.00	97	0.00	99	0.00	98	0.00	97	0.00	97
0	Min.	-1419	0.00	102	0.00	49	0.00	49	0.00	102	0.00	104	0.00	49	0.00	33	0.00	102
0	Min.	-1633	0.00	102	0.00	49	0.00	49	0.00	102	0.00	104	0.00	49	0.00	33	0.00	102
0	Min.	-1640	0.00	102	0.00	49	0.00	49	0.00	102	0.00	104	0.00	49	0.00	33	0.00	102
0	Min.	-1420	0.00	102	0.00	49	0.00	49	0.00	102	0.00	104	0.00	49	0.00	33	0.00	102
0	Max	-1633	0.00	97	0.00	99	0.00	98	0.00	97	0.00	99	0.00	98	0.00	97	0.00	97
0	Max	-1634	0.00	97	0.00	99	0.00	98	0.00	97	0.00	99	0.00	98	0.00	97	0.00	97
0	Max	-1641	0.00	97	0.00	99	0.00	98	0.00	97	0.00	99	0.00	98	0.00	97	0.00	97
0	Max	-1640	0.00	97	0.00	99	0.00	98	0.00	97	0.00	99	0.00	98	0.00	97	0.00	97
0	Min.	-1633	0.00	102	0.00	49	0.00	49	0.00	102	0.00	104	0.00	49	0.00	33	0.00	102
0	Min.	-1634	0.00	102	0.00	49	0.00	49	0.00	102	0.00	104	0.00	49	0.00	33	0.00	102
0	Min.	-1641	0.00	102	0.00	49	0.00	49	0.00	102	0.00	104	0.00	49	0.00	33	0.00	102
0	Min.	-1640	0.00	102	0.00	49	0.00	49	0.00	102	0.00	104	0.00	49	0.00	33	0.00	102
0	Max	-1634	0.00	97	0.00	99	0.00	98	0.00	97	0.00	97	0.00	98	0.00	97	0.00	97
0	Max	-1635	0.00	97	0.00	99	0.00	98	0.00	97	0.00	97	0.00	98	0.00	97	0.00	97
0	Max	-1642	0.00	97	0.00	99	0.00	98	0.00	97	0.00	97	0.00	98	0.00	97	0.00	97
0	Max	-1641	0.00	97	0.00	99	0.00	98	0.00	97	0.00	97	0.00	98	0.00	97	0.00	97
0	Min.	-1634	0.00	102	0.00	49	0.00	49	0.00	102	0.00	33	0.00	49	0.00	33	0.00	102
0	Min.	-1635	0.00	102	0.00	49	0.00	49	0.00	102	0.00	33	0.00	49	0.00	33	0.00	102
0	Min.	-1642	0.00	102	0.00	49	0.00	49	0.00	102	0.00	33	0.00	49	0.00	33	0.00	102
0	Min.	-1641	0.00	102	0.00	49	0.00	49	0.00	102	0.00	33	0.00	49	0.00	33	0.00	102
0	Max	-1635	0.00	97	0.00	97	0.00	33	0.00	97	0.00	97	0.00	33	0.00	97	0.00	97
0	Max	-1636	0.00	97	0.00	97	0.00	33	0.00	97	0.00	97	0.00	33	0.00	97	0.00	97
0	Max	-1643	0.00	97	0.00	97	0.00	33	0.00	97	0.00	97	0.00	33	0.00	97	0.00	97
0	Max	-1642	0.00	97	0.00	97	0.00	33	0.00	97	0.00	97	0.00	33	0.00	97	0.00	97
0	Min.	-1635	0.00	102	0.00	102	0.00	49	0.00	102	0.00	33	0.00	97	0.00	33	0.00	102

0	Min.	-1636	0.00	102	0.00	102	0.00	49	0.00	102	0.00	33	0.00	97	0.00	33	0.00	102
0	Min.	-1643	0.00	102	0.00	102	0.00	49	0.00	102	0.00	33	0.00	97	0.00	33	0.00	102
0	Min.	-1642	0.00	102	0.00	102	0.00	49	0.00	102	0.00	33	0.00	97	0.00	33	0.00	102
0	Max	-1636	0.00	97	0.00	97	0.00	33	0.00	97	0.00	97	0.00	33	0.00	97	0.00	97
0	Max	-1637	0.00	97	0.00	97	0.00	33	0.00	97	0.00	97	0.00	33	0.00	97	0.00	97
0	Max	-1644	0.00	97	0.00	97	0.00	33	0.00	97	0.00	97	0.00	33	0.00	97	0.00	97
0	Max	-1643	0.00	97	0.00	97	0.00	33	0.00	97	0.00	97	0.00	33	0.00	97	0.00	97
0	Min.	-1636	0.00	102	0.00	102	0.00	97	0.00	102	0.00	33	0.00	97	0.00	33	0.00	102
0	Min.	-1637	0.00	102	0.00	102	0.00	97	0.00	102	0.00	33	0.00	97	0.00	33	0.00	102
0	Min.	-1644	0.00	102	0.00	102	0.00	97	0.00	102	0.00	33	0.00	97	0.00	33	0.00	102
0	Min.	-1643	0.00	102	0.00	102	0.00	97	0.00	102	0.00	33	0.00	97	0.00	33	0.00	102
0	Max	-1637	0.00	97	0.00	97	0.00	33	0.00	97	0.00	97	0.00	33	0.00	97	0.00	97
0	Max	-1638	0.00	97	0.00	97	0.00	33	0.00	97	0.00	97	0.00	33	0.00	97	0.00	97
0	Max	-1645	0.00	97	0.00	97	0.00	33	0.00	97	0.00	97	0.00	33	0.00	97	0.00	97
0	Max	-1644	0.00	97	0.00	97	0.00	33	0.00	97	0.00	97	0.00	33	0.00	97	0.00	97
0	Min.	-1637	0.00	102	0.00	102	0.00	97	0.00	102	0.00	33	0.00	97	0.00	102	0.00	102
0	Min.	-1638	0.00	102	0.00	102	0.00	97	0.00	102	0.00	33	0.00	97	0.00	102	0.00	102
0	Min.	-1645	0.00	102	0.00	102	0.00	97	0.00	102	0.00	33	0.00	97	0.00	102	0.00	102
0	Min.	-1644	0.00	102	0.00	102	0.00	97	0.00	102	0.00	33	0.00	97	0.00	102	0.00	102
0	Max	-1638	0.00	97	0.00	97	0.00	33	0.05	97	0.50	97	0.31	97	9.43	97	-458.42	33
0	Max	-1967	0.00	97	0.00	97	0.00	33	0.05	97	0.50	97	0.31	97	9.43	97	-458.42	33
0	Max	-1968	0.00	97	0.00	97	0.00	33	0.05	97	0.50	97	0.31	97	9.43	97	-458.42	33
0	Max	-1645	0.00	97	0.00	97	0.00	33	0.05	97	0.50	97	0.31	97	9.43	97	-458.42	33
0	Min.	-1638	0.00	102	0.00	102	0.00	98	0.04	33	0.36	33	0.22	33	6.71	33	-644.01	97
0	Min.	-1967	0.00	102	0.00	102	0.00	98	0.04	33	0.36	33	0.22	33	6.71	33	-644.01	97
0	Min.	-1968	0.00	102	0.00	102	0.00	98	0.04	33	0.36	33	0.22	33	6.71	33	-644.01	97
0	Min.	-1645	0.00	102	0.00	102	0.00	98	0.04	33	0.36	33	0.22	33	6.71	33	-644.01	97
0	Max	-1639	0.00	97	0.00	97	0.00	33	0.00	97	0.00	97	0.00	33	0.00	97	0.00	101
0	Max	-1859	0.00	97	0.00	97	0.00	33	0.00	97	0.00	97	0.00	33	0.00	97	0.00	101
0	Max	439	0.00	97	0.00	97	0.00	33	0.00	97	0.00	97	0.00	33	0.00	97	0.00	101
0	Max	-1646	0.00	97	0.00	97	0.00	33	0.00	97	0.00	97	0.00	33	0.00	97	0.00	101
0	Min.	-1639	0.00	102	0.00	33	0.00	97	0.00	102	0.00	33	0.00	97	0.00	102	0.00	98
0	Min.	-1859	0.00	102	0.00	33	0.00	97	0.00	102	0.00	33	0.00	97	0.00	102	0.00	98
0	Min.	439	0.00	102	0.00	33	0.00	97	0.00	102	0.00	33	0.00	97	0.00	102	0.00	98
0	Min.	-1646	0.00	102	0.00	33	0.00	97	0.00	102	0.00	33	0.00	97	0.00	102	0.00	98
0	Max	-1416	0.00	97	0.00	101	0.00	97	0.48	97	0.03	97	-0.30	33	-446.46	33	-7.44	33
0	Max	-1850	0.00	97	0.00	101	0.00	97	0.48	97	0.03	97	-0.30	33	-446.46	33	-7.44	33
0	Max	-1357	0.00	97	0.00	101	0.00	97	0.48	97	0.03	97	-0.30	33	-446.46	33	-7.44	33
0	Max	-1895	0.00	97	0.00	101	0.00	97	0.48	97	0.03	97	-0.30	33	-446.46	33	-7.44	33
0	Min.	-1416	0.00	102	-0.00	98	0.00	49	0.34	33	0.02	33	-0.42	97	-627.19	97	-10.44	97
0	Min.	-1850	0.00	102	-0.00	98	0.00	49	0.34	33	0.02	33	-0.42	97	-627.19	97	-10.44	97
0	Min.	-1357	0.00	102	-0.00	98	0.00	49	0.34	33	0.02	33	-0.42	97	-627.19	97	-10.44	97
0	Min.	-1895	0.00	102	-0.00	98	0.00	49	0.34	33	0.02	33	-0.42	97	-627.19	97	-10.44	97
0	Max	-1415	0.00	101	-0.00	101	0.00	33	-0.69	33	-0.33	33	0.42	97	-284.98	33	-387.99	33
0	Max	-1959	0.00	101	-0.00	101	0.00	33	-0.69	33	-0.33	33	0.42	97	-284.98	33	-387.99	33
0	Max	-1969	0.00	101	-0.00	101	0.00	33	-0.69	33	-0.33	33	0.42	97	-284.98	33	-387.99	33
0	Max	-1896	0.00	101	-0.00	101	0.00	33	-0.69	33	-0.33	33	0.42	97	-284.98	33	-387.99	33
0	Min.	-1415	0.00	98	-0.00	98	0.00	97	-0.97	97	-0.46	97	0.30	33	-400.30	97	-544.95	97
0	Min.	-1959	0.00	98	-0.00	98	0.00	97	-0.97	97	-0.46	97	0.30	33	-400.30	97	-544.95	97
0	Min.	-1969	0.00	98	-0.00	98	0.00	97	-0.97	97	-0.46	97	0.30	33	-400.30	97	-544.95	97
0	Min.	-1896	0.00	98	-0.00	98	0.00	97	-0.97	97	-0.46	97	0.30	33	-400.30	97	-544.95	97
0	Max	-1367	0.00	101	-0.00	101	0.00	97	0.56	97	0.03	97	0.35	97	-468.57	33	14.11	97
0	Max	-1415	0.00	101	-0.00	101	0.00	97	0.56	97	0.03	97	0.35	97	-468.57	33	14.11	97
0	Max	-1896	0.00	101	-0.00	101	0.00	97	0.56	97	0.03	97	0.35	97	-468.57	33	14.11	97
0	Max	-1897	0.00	101	-0.00	101	0.00	97	0.56	97	0.03	97	0.35	97	-468.57	33	14.11	97
0	Min.	-1367	0.00	98	-0.00	98	0.00	49	0.40	33	0.02	33	0.25	33	-658.26	97	10.05	33
0	Min.	-1415	0.00	98	-0.00	98	0.00	49	0.40	33	0.02	33	0.25	33	-658.26	97	10.05	33
0	Min.	-1896	0.00	98	-0.00	98	0.00	49	0.40	33	0.02	33	0.25	33	-658.26	97	10.05	33
0	Min.	-1897	0.00	98	-0.00	98	0.00	49	0.40	33	0.02	33	0.25	33	-658.26	97	10.05	33
0	Max	-1366	0.00	101	-0.00	101	0.00	97	-0.06	33	-0.00	33	-0.05	33	-370.94	33	2.87	97
0	Max	-1367	0.00	101	-0.00	101	0.00	97	-0.06	33	-0.00	33	-0.05	33	-370.94	33	2.87	97
0	Max	-1897	0.00	101	-0.00	101	0.00	97	-0.06	33	-0.00	33	-0.05	33	-370.94	33	2.87	97
0	Max	-1898	0.00	101	-0.00	101	0.00	97	-0.06	33	-0.00	33	-0.05	33	-370.94	33	2.87	97
0	Min.	-1366	0.00	98	-0.00	98	0.00	49	-0.08	97	-0.00	97	-0.07	97	-521.11	97	2.04	33
0	Min.	-1367	0.00	98	-0.00	98	0.00	49	-0.08	97	-0.00	97	-0.07	97	-521.11	97	2.04	33
0	Min.	-1897	0.00	98	-0.00	98	0.00	49	-0.08	97	-0.00	97	-0.07	97	-521.11	97	2.04	33
0	Min.	-1898	0.00	98	-0.00	98	0.00	49	-0.08	97	-0.00	97	-0.07	97	-521.11	97	2.04	33
0	Max	-1365	0.00	101	-0.00	101	0.00	33	-0.01	33	-0.00	33	0.01	97	-399.73	33	-2.13	33
0	Max	-1366	0.00	101	-0.00	101	0.00	33	-0.01	33	-0.00	33	0.01	97	-399.73	33	-2.13	33
0	Max	-1898	0.00	101	-0.00	101	0.00	33	-0.01	33	-0.00	33	0.01	97	-399.73	33	-2.13	33
0	Max	-1899	0.00	101	-0.00	101	0.00	33	-0.01	33	-0.00	33	0.01	97	-399.73	33	-2.13	33
0	Min.	-1365	0.00	98	-0.00	98	0.00	49	-0.01	97	-0.00	97	0.00	33	-561.55	97	-2.99	97
0	Min.	-1366	0.00	98	-0.00	98	0.00	49	-0.01	97	-0.00	97	0.00	33	-561.55	97	-2.99	97
0	Min.	-1898	0.00	98	-0.00	98	0.00	49	-0.01	97	-0.00	97	0.00	33	-561.55	97	-2.99	97
0	Min.	-1899	0.00	98	-0.00	98	0.00	49	-0.01	97	-0.00	97	0.00	33	-561.55	97	-2.99	97
0	Max	-1364	0.00	101	-0.00	101	0.00	33	0.01	97	0.00	97	0.00	97	-393.02	33	1.39	97
0	Max	-1365	0.00	101	-0.00	101	0.00	33	0.01	97	0.00	97	0.00	97	-393.02	33	1.39	97
0	Max	-1899	0.00	101	-0.00	101	0.00	33	0.01	97	0.00	97	0.00	97	-393.02	33	1.39	97
0	Max	-1900	0.00	101	-0.00	101	0.00	33	0.01	97	0.00	97	0.00	97	-393.02	33	1.39	97
0	Min.	-1364	0.00	98	-0.00	98	0.00	98	0.01	33	0.00	33	0.00	33	-552.12	97	0.99	33
0	Min.	-1365	0.00	98	-0.00	98	0.00	98	0.01	33	0.00	33	0.00	33	-552.12	97	0.99	33
0	Min.	-1899	0.00	98	-0.00	98	0.00	98	0.01	33	0.00	33	0.00	33	-552.12	97	0.99	33
0	Min.	-1900	0.00	98	-0.00	98	0.00	98	0.01	33	0.00	33	0.00	33	-552.12	97	0.99	33
0	Max	-1363	0.00	101	-0.00	101	0.00	33	-0.00	33	-0.00	33	-0.00	33	-394.00	1	-0.34	33
0	Max	-1364	0.00	101	-0.00	101	0.00	33	-0.00	33	-0.00	33	-0.00	33	-394.00	1	-0.34	33
0	Max	-1900	0.00	101	-0.00	101	0.00	33	-0.00	33	-0.00	33	-0.00	33	-394.00	1	-0.34	33
0	Max	-1901	0.00	101	-0.00	101	0.00	33	-0.00	33	-0.00	33	-0.00	33	-394.00	1	-0.34	33
0	Min.	-1363	0.00	98	-0.00	98	0.00	98	-0.01	97	-0.00	97	-0.00	97	-553.50	97	-0.48	97
0	Min.	-1364	0.00	98	-0.00	98	0.00	98	-0.01	97	-0.00	97	-0.00	97	-553.50	97	-0.48	97
0	Min.	-1900	0.00	98	-0.00	98	0.00	98	-0.01	97	-0.00	97	-0.00	97	-553.50	97	-0.48	97
0	Min.	-1901	0.00	98	-0.00	98	0.00	98	-0.01	97	-0.00	97	-0.00	97	-553.50	97	-0.48	97
0	Max	-1427	0.00	101	-0.00	101	0.00	33	0.00	97	0.00	97	0.00	97	-394.06	1	0.09	97
0	Max	-1363	0.00	101	-0.00	101	0.00	33	0.00	97	0.00	97	0.00	97	-394.06	1	0.09	97
0	Max	-1901	0.00	101	-0.00	101	0.00	33	0.00	97	0.00	97	0.00	97	-394.06	1	0.09	97
0	Max	-1902	0.00	101	-0.00	101	0.00	33	0.00	97	0.00	97	0.00	97	-394.06	1	0.09	97
0	Min.	-1427	0.00	98	-0.00	98	0.00	98	0.00	33	0.00	33	0.00	33	-553.58	97	0.06	33
0	Min.	-1363	0.00	98	-0.00	98	0.00	98	0.00	33	0.00	33	0.00	33	-553.58	97	0.06	33
0	Min.	-1901	0.00	98	-0.00	98	0.00	98	0.00	33	0.00	33	0.00	33	-553.58	97	0.06	33
0	Min.	-1902	0.00	98	-0.00	98	0.00	98	0.00	33	0.00	33	0.00	33	-553.58	97	0.06	33
0	Max	-1423	0.00	97	0.00	100	0.00	33	0.00	97	0.00	100	0.00	33	0.00	49	0.00	97
0	Max	-1661	0.00	97	0.00	100	0.00	33	0.00	97	0.00	100	0.00	33	0.00	49	0.00	97
0	Max	-1626	0.00	97	0.00	100	0.00	33	0.00	97	0.00	100	0.00	33	0.00	49	0.00	97
0	Max	-1418	0.00	97	0.00	100	0.00	33	0.00	97	0.00	100	0.00	33	0.00	49	0.00	97
0	Min.	-1423	0.00	102	0.00	33	0.00	98	0.00	102	0.00	103	0.00	98	-0.00	97	0.00	102
0	Min.	-1661	0.00	102	0.00	33	0.00	98	0.00	102	0.00	103	0.00	98	-0.00	97	0.00	102

0	Min.	-1626	0.00	102	0.00	33	0.00	98	0.00	102	0.00	103	0.00	98	-0.00	97	0.00	102
0	Min.	-1418	0.00	102	0.00	33	0.00	98	0.00	102	0.00	103	0.00	98	-0.00	97	0.00	102
0	Max	-1661	0.00	97	0.00	100	0.00	33	0.00	97	0.00	100	0.00	33	-0.00	49	0.00	97
0	Max	-1662	0.00	97	0.00	100	0.00	33	0.00	97	0.00	100	0.00	33	-0.00	49	0.00	97
0	Max	-1627	0.00	97	0.00	100	0.00	33	0.00	97	0.00	100	0.00	33	-0.00	49	0.00	97
0	Max	-1626	0.00	97	0.00	100	0.00	33	0.00	97	0.00	100	0.00	33	-0.00	49	0.00	97
0	Min.	-1661	0.00	102	0.00	33	0.00	98	0.00	102	0.00	103	0.00	98	-0.00	97	0.00	102
0	Min.	-1662	0.00	102	0.00	33	0.00	98	0.00	102	0.00	103	0.00	98	-0.00	97	0.00	102
0	Min.	-1627	0.00	102	0.00	33	0.00	98	0.00	102	0.00	103	0.00	98	-0.00	97	0.00	102
0	Min.	-1626	0.00	102	0.00	33	0.00	98	0.00	102	0.00	103	0.00	98	-0.00	97	0.00	102
0	Max	-1662	0.00	97	0.00	100	0.00	33	0.00	97	0.00	97	0.00	33	-0.00	49	0.00	97
0	Max	-1663	0.00	97	0.00	100	0.00	33	0.00	97	0.00	97	0.00	33	-0.00	49	0.00	97
0	Max	-1628	0.00	97	0.00	100	0.00	33	0.00	97	0.00	97	0.00	33	-0.00	49	0.00	97
0	Max	-1627	0.00	97	0.00	100	0.00	33	0.00	97	0.00	97	0.00	33	-0.00	49	0.00	97
0	Min.	-1662	0.00	102	0.00	33	0.00	98	0.00	102	0.00	49	0.00	98	-0.00	97	0.00	102
0	Min.	-1663	0.00	102	0.00	33	0.00	98	0.00	102	0.00	49	0.00	98	-0.00	97	0.00	102
0	Min.	-1628	0.00	102	0.00	33	0.00	98	0.00	102	0.00	49	0.00	98	-0.00	97	0.00	102
0	Min.	-1627	0.00	102	0.00	33	0.00	98	0.00	102	0.00	49	0.00	98	-0.00	97	0.00	102
0	Max	-1663	0.00	97	0.00	100	0.00	33	0.00	97	0.00	97	0.00	97	-0.00	49	0.00	97
0	Max	-1664	0.00	97	0.00	100	0.00	33	0.00	97	0.00	97	0.00	97	-0.00	49	0.00	97
0	Max	-1629	0.00	97	0.00	100	0.00	33	0.00	97	0.00	97	0.00	97	-0.00	49	0.00	97
0	Max	-1628	0.00	97	0.00	100	0.00	33	0.00	97	0.00	97	0.00	97	-0.00	49	0.00	97
0	Min.	-1663	0.00	102	0.00	103	0.00	49	0.00	102	0.00	49	0.00	49	-0.00	97	0.00	102
0	Min.	-1664	0.00	102	0.00	103	0.00	49	0.00	102	0.00	49	0.00	49	-0.00	97	0.00	102
0	Min.	-1629	0.00	102	0.00	103	0.00	49	0.00	102	0.00	49	0.00	49	-0.00	97	0.00	102
0	Min.	-1628	0.00	102	0.00	103	0.00	49	0.00	102	0.00	49	0.00	49	-0.00	97	0.00	102
0	Max	-1664	0.00	97	0.00	97	0.00	97	0.00	97	0.00	97	0.00	97	-0.00	49	0.00	97
0	Max	-1665	0.00	97	0.00	97	0.00	97	0.00	97	0.00	97	0.00	97	-0.00	49	0.00	97
0	Max	-1630	0.00	97	0.00	97	0.00	97	0.00	97	0.00	97	0.00	97	-0.00	49	0.00	97
0	Max	-1629	0.00	97	0.00	97	0.00	97	0.00	97	0.00	97	0.00	97	-0.00	49	0.00	97
0	Min.	-1664	0.00	102	0.00	102	0.00	49	0.00	102	0.00	49	0.00	49	-0.00	97	0.00	102
0	Min.	-1665	0.00	102	0.00	102	0.00	49	0.00	102	0.00	49	0.00	49	-0.00	97	0.00	102
0	Min.	-1630	0.00	102	0.00	102	0.00	49	0.00	102	0.00	49	0.00	49	-0.00	97	0.00	102
0	Min.	-1629	0.00	102	0.00	102	0.00	49	0.00	102	0.00	49	0.00	49	-0.00	97	0.00	102
0	Max	-1665	0.00	97	0.00	97	0.00	97	0.00	97	0.00	97	0.00	97	-0.00	102	0.00	97
0	Max	-1666	0.00	97	0.00	97	0.00	97	0.00	97	0.00	97	0.00	97	-0.00	102	0.00	97
0	Max	-1631	0.00	97	0.00	97	0.00	97	0.00	97	0.00	97	0.00	97	-0.00	102	0.00	97
0	Max	-1630	0.00	97	0.00	97	0.00	97	0.00	97	0.00	97	0.00	97	-0.00	102	0.00	97
0	Min.	-1665	0.00	102	0.00	102	0.00	49	0.00	102	0.00	49	0.00	49	-0.00	97	0.00	102
0	Min.	-1666	0.00	102	0.00	102	0.00	49	0.00	102	0.00	49	0.00	49	-0.00	97	0.00	102
0	Min.	-1631	0.00	102	0.00	102	0.00	49	0.00	102	0.00	49	0.00	49	-0.00	97	0.00	102
0	Min.	-1630	0.00	102	0.00	102	0.00	49	0.00	102	0.00	49	0.00	49	-0.00	97	0.00	102
0	Max	-1666	0.00	97	0.00	97	0.00	98	0.05	97	0.50	97	-0.22	33	-6.77	33	-458.56	33
0	Max	-1970	0.00	97	0.00	97	0.00	98	0.05	97	0.50	97	-0.22	33	-6.77	33	-458.56	33
0	Max	-1971	0.00	97	0.00	97	0.00	98	0.05	97	0.50	97	-0.22	33	-6.77	33	-458.56	33
0	Max	-1631	0.00	97	0.00	97	0.00	98	0.05	97	0.50	97	-0.22	33	-6.77	33	-458.56	33
0	Min.	-1666	0.00	102	0.00	102	0.00	49	0.04	33	0.36	33	-0.31	97	-9.51	97	-644.20	97
0	Min.	-1970	0.00	102	0.00	102	0.00	49	0.04	33	0.36	33	-0.31	97	-9.51	97	-644.20	97
0	Min.	-1971	0.00	102	0.00	102	0.00	49	0.04	33	0.36	33	-0.31	97	-9.51	97	-644.20	97
0	Min.	-1631	0.00	102	0.00	102	0.00	49	0.04	33	0.36	33	-0.31	97	-9.51	97	-644.20	97
0	Max	-1667	0.00	97	0.00	97	0.00	97	0.00	97	0.00	97	0.00	97	0.00	102	0.00	101
0	Max	442	0.00	97	0.00	97	0.00	97	0.00	97	0.00	97	0.00	97	0.00	102	0.00	101
0	Max	-1863	0.00	97	0.00	97	0.00	97	0.00	97	0.00	97	0.00	97	0.00	102	0.00	101
0	Max	-1632	0.00	97	0.00	97	0.00	97	0.00	97	0.00	97	0.00	97	0.00	102	0.00	101
0	Min.	-1667	0.00	102	0.00	49	0.00	49	0.00	102	0.00	49	0.00	49	0.00	97	0.00	98
0	Min.	442	0.00	102	0.00	49	0.00	49	0.00	102	0.00	49	0.00	49	0.00	97	0.00	98
0	Min.	-1863	0.00	102	0.00	49	0.00	49	0.00	102	0.00	49	0.00	49	0.00	97	0.00	98
0	Min.	-1632	0.00	102	0.00	49	0.00	49	0.00	102	0.00	49	0.00	49	0.00	97	0.00	98
0	Max	-1420	0.00	101	-0.00	101	0.00	97	0.00	97	0.00	97	0.00	97	-394.06	1	0.09	97
0	Max	-1640	0.00	101	-0.00	101	0.00	97	0.00	97	0.00	97	0.00	97	-394.06	1	0.09	97
0	Max	-1904	0.00	101	-0.00	101	0.00	97	0.00	97	0.00	97	0.00	97	-394.06	1	0.09	97
0	Max	-1903	0.00	101	-0.00	101	0.00	97	0.00	97	0.00	97	0.00	97	-394.06	1	0.09	97
0	Min.	-1420	0.00	98	-0.00	98	0.00	49	0.00	33	0.00	49	0.00	33	-553.58	97	0.06	33
0	Min.	-1640	0.00	98	-0.00	98	0.00	49	0.00	33	0.00	49	0.00	33	-553.58	97	0.06	33
0	Min.	-1904	0.00	98	-0.00	98	0.00	49	0.00	33	0.00	49	0.00	33	-553.58	97	0.06	33
0	Min.	-1903	0.00	98	-0.00	98	0.00	49	0.00	33	0.00	49	0.00	33	-553.58	97	0.06	33
0	Max	-1640	0.00	101	-0.00	101	0.00	97	-0.00	33	-0.00	33	-0.00	33	-393.98	1	-0.34	33
0	Max	-1641	0.00	101	-0.00	101	0.00	97	-0.00	33	-0.00	33	-0.00	33	-393.98	1	-0.34	33
0	Max	-1905	0.00	101	-0.00	101	0.00	97	-0.00	33	-0.00	33	-0.00	33	-393.98	1	-0.34	33
0	Max	-1904	0.00	101	-0.00	101	0.00	97	-0.00	33	-0.00	33	-0.00	33	-393.98	1	-0.34	33
0	Min.	-1640	0.00	98	-0.00	98	0.00	49	-0.01	97	-0.00	98	-0.00	97	-553.48	97	-0.47	97
0	Min.	-1641	0.00	98	-0.00	98	0.00	49	-0.01	97	-0.00	98	-0.00	97	-553.48	97	-0.47	97
0	Min.	-1905	0.00	98	-0.00	98	0.00	49	-0.01	97	-0.00	98	-0.00	97	-553.48	97	-0.47	97
0	Min.	-1904	0.00	98	-0.00	98	0.00	49	-0.01	97	-0.00	98	-0.00	97	-553.48	97	-0.47	97
0	Max	-1641	0.00	101	-0.00	101	0.00	97	0.01	97	0.00	97	0.00	97	-393.08	1	1.39	97
0	Max	-1642	0.00	101	-0.00	101	0.00	97	0.01	97	0.00	97	0.00	97	-393.08	1	1.39	97
0	Max	-1906	0.00	101	-0.00	101	0.00	97	0.01	97	0.00	97	0.00	97	-393.08	1	1.39	97
0	Max	-1905	0.00	101	-0.00	101	0.00	97	0.01	97	0.00	97	0.00	97	-393.08	1	1.39	97
0	Min.	-1641	0.00	98	-0.00	98	0.00	49	0.01	33	0.00	33	0.00	33	-552.21	97	0.99	33
0	Min.	-1642	0.00	98	-0.00	98	0.00	49	0.01	33	0.00	33	0.00	33	-552.21	97	0.99	33
0	Min.	-1906	0.00	98	-0.00	98	0.00	49	0.01	33	0.00	33	0.00	33	-552.21	97	0.99	33
0	Min.	-1905	0.00	98	-0.00	98	0.00	49	0.01	33	0.00	33	0.00	33	-552.21	97	0.99	33
0	Max	-1642	0.00	101	-0.00	101	0.00	97	-0.01	33	0.00	97	0.01	97	-399.46	1	-2.12	33
0	Max	-1643	0.00	101	-0.00	101	0.00	97	-0.01	33	0.00	97	0.01	97	-399.46	1	-2.12	33
0	Max	-1907	0.00	101	-0.00	101	0.00	97	-0.01	33	0.00	97	0.01	97	-399.46	1	-2.12	33
0	Max	-1906	0.00	101	-0.00	101	0.00	97	-0.01	33	0.00	97	0.01	97	-399.46	1	-2.12	33
0	Min.	-1642	0.00	98	-0.00	98	0.00	49	-0.01	97	0.00	33	0.01	33	-561.16	97	-2.98	97
0	Min.	-1643	0.00	98	-0.00	98	0.00	49	-0.01	97	0.00	33	0.01	33	-561.16	97	-2.98	97
0	Min.	-1907	0.00	98	-0.00	98	0.00	49	-0.01	97	0.00	33	0.01	33	-561.16	97	-2.98	97
0	Min.	-1906	0.00	98	-0.00	98	0.00	49	-0.01	97	0.00	33	0.01	33	-561.16	97	-2.98	97
0	Max	-1643	0.00	101	-0.00	101	0.00	33	-0.06	33	-0.01	33	-0.05	33	-372.08	33	2.88	97
0	Max	-1644	0.00	101	-0.00	101	0.00	33	-0.06	33	-0.01	33	-0.05	33	-372.08	33	2.88	97
0	Max	-1908	0.00	101	-0.00	101	0.00	33	-0.06	33	-0.01	33	-0.05	33	-372.08	33	2.88	97
0	Max	-1907	0.00	101	-0.00	101	0.00	33	-0.06	33	-0.01	33	-0.05	33	-372.08	33	2.88	97
0	Min.	-1643	0.00	98	-0.00	98	0.00	98	-0.08	97	-0.01	97	-0.08	97	-522.71	97	2.05	33
0	Min.	-1644	0.00	98	-0.00	98	0.00	98	-0.08	97	-0.01	97	-0.08	97	-522.71	97	2.05	33
0	Min.	-1908	0.00	98	-0.00	98	0.00	98	-0.08	97	-0.01	97	-0.08	97	-522.71	97	2.05	33
0	Min.	-1907	0.00	98	-0.00	98	0.00	98	-0.08	97	-0.01	97	-0.08	97	-522.71	97	2.05	33
0	Max	-1644	0.00	101	-0.00	101	0.00	33	0.56	97	0.08	97	0.36	97	-463.87	33	13.96	97
0	Max	-1645	0.00	101	-0.00	101	0.00	33	0.56	97	0.08	97	0.36	97	-463.87	33	13.96	97
0	Max	-1909	0.00	101	-0.00	101	0.00	33	0.56	97	0.08	97	0.36	97	-463.87	33	13.96	97
0	Max	-1908	0.00	101	-0.00	101	0.00	33	0.56	97	0.08	97	0.36	97	-463.87	33	13.96	97
0	Min.	-1644	0.00	98	-0.00	98	0.00	98	0.40	33	0.06	33	0.26	33	-651.66	97	9.94	33
0	Min.	-1645	0.00	98	-0.00	98	0.00	98	0.40	33	0.06	33	0.26	33	-651.66	97	9.94	33
0	Min.	-1909	0.00	98	-0.00	98	0.00	98	0.40	33	0.06	33	0.26	33	-651.66	97	9.94	33

0	Min.	-1908	0.00	98	-0.00	98	0.00	98	0.40	33	0.06	33	0.26	33	-651.66	97	9.94	33
0	Max	-1645	0.00	101	-0.00	101	0.00	33	-0.71	33	-0.51	33	0.90	97	-284.91	33	-275.81	33
0	Max	-1968	0.00	101	-0.00	101	0.00	33	-0.71	33	-0.51	33	0.90	97	-284.91	33	-275.81	33
0	Max	-1972	0.00	101	-0.00	101	0.00	33	-0.71	33	-0.51	33	0.90	97	-284.91	33	-275.81	33
0	Max	-1909	0.00	101	-0.00	101	0.00	33	-0.71	33	-0.51	33	0.90	97	-284.91	33	-275.81	33
0	Min.	-1645	0.00	98	-0.00	98	-0.00	98	-0.99	97	-0.72	97	0.64	33	-400.29	97	-387.52	97
0	Min.	-1968	0.00	98	-0.00	98	-0.00	98	-0.99	97	-0.72	97	0.64	33	-400.29	97	-387.52	97
0	Min.	-1972	0.00	98	-0.00	98	-0.00	98	-0.99	97	-0.72	97	0.64	33	-400.29	97	-387.52	97
0	Min.	-1909	0.00	98	-0.00	98	-0.00	98	-0.99	97	-0.72	97	0.64	33	-400.29	97	-387.52	97
0	Max	-1646	0.00	97	0.00	101	0.00	33	0.48	97	0.07	97	-0.31	33	-442.87	33	-7.32	33
0	Max	439	0.00	97	0.00	101	0.00	33	0.48	97	0.07	97	-0.31	33	-442.87	33	-7.32	33
0	Max	-1874	0.00	97	0.00	101	0.00	33	0.48	97	0.07	97	-0.31	33	-442.87	33	-7.32	33
0	Max	-1910	0.00	97	0.00	101	0.00	33	0.48	97	0.07	97	-0.31	33	-442.87	33	-7.32	33
0	Min.	-1646	0.00	102	0.00	98	0.00	98	0.34	33	0.05	33	-0.44	97	-622.16	97	-10.28	97
0	Min.	439	0.00	102	0.00	98	0.00	98	0.34	33	0.05	33	-0.44	97	-622.16	97	-10.28	97
0	Min.	-1874	0.00	102	0.00	98	0.00	98	0.34	33	0.05	33	-0.44	97	-622.16	97	-10.28	97
0	Min.	-1910	0.00	102	0.00	98	0.00	98	0.34	33	0.05	33	-0.44	97	-622.16	97	-10.28	97
0	Max	-1418	0.00	101	0.00	49	0.00	33	0.00	101	0.00	49	0.00	33	0.00	97	0.00	97
0	Max	-1626	0.00	101	0.00	49	0.00	33	0.00	101	0.00	49	0.00	33	0.00	97	0.00	97
0	Max	-1668	0.00	101	0.00	49	0.00	33	0.00	101	0.00	49	0.00	33	0.00	97	0.00	97
0	Max	-1424	0.00	101	0.00	49	0.00	33	0.00	101	0.00	49	0.00	33	0.00	97	0.00	97
0	Min.	-1418	0.00	98	0.00	99	0.00	49	0.00	98	0.00	99	0.00	97	0.00	33	0.00	102
0	Min.	-1626	0.00	98	0.00	99	0.00	49	0.00	98	0.00	99	0.00	97	0.00	33	0.00	102
0	Min.	-1668	0.00	98	0.00	99	0.00	49	0.00	98	0.00	99	0.00	97	0.00	33	0.00	102
0	Min.	-1424	0.00	98	0.00	99	0.00	49	0.00	98	0.00	99	0.00	97	0.00	33	0.00	102
0	Max	-1626	0.00	97	0.00	49	0.00	33	0.00	97	0.00	49	0.00	33	0.00	97	0.00	97
0	Max	-1627	0.00	97	0.00	49	0.00	33	0.00	97	0.00	49	0.00	33	0.00	97	0.00	97
0	Max	-1669	0.00	97	0.00	49	0.00	33	0.00	97	0.00	49	0.00	33	0.00	97	0.00	97
0	Max	-1668	0.00	97	0.00	49	0.00	33	0.00	97	0.00	49	0.00	33	0.00	97	0.00	97
0	Min.	-1626	0.00	102	0.00	99	0.00	49	0.00	102	0.00	99	0.00	97	0.00	33	0.00	102
0	Min.	-1627	0.00	102	0.00	99	0.00	49	0.00	102	0.00	99	0.00	97	0.00	33	0.00	102
0	Min.	-1669	0.00	102	0.00	99	0.00	49	0.00	102	0.00	99	0.00	97	0.00	33	0.00	102
0	Min.	-1668	0.00	102	0.00	99	0.00	49	0.00	102	0.00	99	0.00	97	0.00	33	0.00	102
0	Max	-1627	0.00	97	0.00	49	0.00	33	0.00	97	0.00	49	0.00	33	0.00	97	0.00	97
0	Max	-1628	0.00	97	0.00	49	0.00	33	0.00	97	0.00	49	0.00	33	0.00	97	0.00	97
0	Max	-1670	0.00	97	0.00	49	0.00	33	0.00	97	0.00	49	0.00	33	0.00	97	0.00	97
0	Max	-1669	0.00	97	0.00	49	0.00	33	0.00	97	0.00	49	0.00	33	0.00	97	0.00	97
0	Min.	-1627	0.00	102	0.00	99	0.00	49	0.00	102	0.00	99	0.00	97	0.00	33	0.00	102
0	Min.	-1628	0.00	102	0.00	99	0.00	49	0.00	102	0.00	99	0.00	97	0.00	33	0.00	102
0	Min.	-1670	0.00	102	0.00	99	0.00	49	0.00	102	0.00	99	0.00	97	0.00	33	0.00	102
0	Min.	-1669	0.00	102	0.00	99	0.00	49	0.00	102	0.00	99	0.00	97	0.00	33	0.00	102
0	Max	-1628	0.00	97	0.00	49	0.00	33	0.00	97	0.00	49	0.00	33	0.00	97	0.00	97
0	Max	-1629	0.00	97	0.00	49	0.00	33	0.00	97	0.00	49	0.00	33	0.00	97	0.00	97
0	Max	-1671	0.00	97	0.00	49	0.00	33	0.00	97	0.00	49	0.00	33	0.00	97	0.00	97
0	Max	-1670	0.00	97	0.00	49	0.00	33	0.00	97	0.00	49	0.00	33	0.00	97	0.00	97
0	Min.	-1628	0.00	102	0.00	98	0.00	49	0.00	102	0.00	99	0.00	97	0.00	33	0.00	102
0	Min.	-1629	0.00	102	0.00	98	0.00	49	0.00	102	0.00	99	0.00	97	0.00	33	0.00	102
0	Min.	-1671	0.00	102	0.00	98	0.00	49	0.00	102	0.00	99	0.00	97	0.00	33	0.00	102
0	Min.	-1670	0.00	102	0.00	98	0.00	49	0.00	102	0.00	99	0.00	97	0.00	33	0.00	102
0	Max	-1629	0.00	97	0.00	49	0.00	33	0.00	97	0.00	49	0.00	33	0.00	97	0.00	97
0	Max	-1630	0.00	97	0.00	49	0.00	33	0.00	97	0.00	49	0.00	33	0.00	97	0.00	97
0	Max	-1672	0.00	97	0.00	49	0.00	33	0.00	97	0.00	49	0.00	33	0.00	97	0.00	97
0	Max	-1671	0.00	97	0.00	49	0.00	33	0.00	97	0.00	49	0.00	33	0.00	97	0.00	97
0	Min.	-1629	0.00	102	0.00	98	0.00	49	0.00	102	0.00	99	0.00	97	0.00	33	0.00	102
0	Min.	-1630	0.00	102	0.00	98	0.00	49	0.00	102	0.00	99	0.00	97	0.00	33	0.00	102
0	Min.	-1672	0.00	102	0.00	98	0.00	49	0.00	102	0.00	99	0.00	97	0.00	33	0.00	102
0	Min.	-1671	0.00	102	0.00	98	0.00	49	0.00	102	0.00	99	0.00	97	0.00	33	0.00	102
0	Max	-1630	0.00	97	0.00	49	0.00	33	0.00	97	0.00	49	0.00	33	0.00	97	0.00	97
0	Max	-1631	0.00	97	0.00	49	0.00	33	0.00	97	0.00	49	0.00	33	0.00	97	0.00	97
0	Max	-1673	0.00	97	0.00	49	0.00	33	0.00	97	0.00	49	0.00	33	0.00	97	0.00	97
0	Max	-1672	0.00	97	0.00	49	0.00	33	0.00	97	0.00	49	0.00	33	0.00	97	0.00	97
0	Min.	-1630	0.00	102	0.00	98	0.00	49	0.00	102	0.00	99	0.00	97	0.00	102	0.00	102
0	Min.	-1631	0.00	102	0.00	98	0.00	49	0.00	102	0.00	99	0.00	97	0.00	102	0.00	102
0	Min.	-1673	0.00	102	0.00	98	0.00	49	0.00	102	0.00	99	0.00	97	0.00	102	0.00	102
0	Min.	-1672	0.00	102	0.00	98	0.00	49	0.00	102	0.00	99	0.00	97	0.00	102	0.00	102
0	Max	-1631	0.00	101	0.00	97	0.00	33	-0.01	33	-0.05	33	0.07	97	-4.26	33	-377.34	33
0	Max	-1971	0.00	101	0.00	97	0.00	33	-0.01	33	-0.05	33	0.07	97	-4.26	33	-377.34	33
0	Max	-1966	0.00	101	0.00	97	0.00	33	-0.01	33	-0.05	33	0.07	97	-4.26	33	-377.34	33
0	Max	-1673	0.00	101	0.00	97	0.00	33	-0.01	33	-0.05	33	0.07	97	-4.26	33	-377.34	33
0	Min.	-1631	0.00	98	0.00	33	0.00	97	-0.01	97	-0.08	97	0.05	33	-5.98	97	-530.10	97
0	Min.	-1971	0.00	98	0.00	33	0.00	97	-0.01	97	-0.08	97	0.05	33	-5.98	97	-530.10	97
0	Min.	-1966	0.00	98	0.00	33	0.00	97	-0.01	97	-0.08	97	0.05	33	-5.98	97	-530.10	97
0	Min.	-1673	0.00	98	0.00	33	0.00	97	-0.01	97	-0.08	97	0.05	33	-5.98	97	-530.10	97
0	Max	-1660	0.00	101	0.00	97	0.00	101	0.95	97	0.14	97	-0.61	33	-609.43	33	-14.95	33
0	Max	434	0.00	101	0.00	97	0.00	101	0.95	97	0.14	97	-0.61	33	-609.43	33	-14.95	33
0	Max	-2204	0.00	101	0.00	97	0.00	101	0.95	97	0.14	97	-0.61	33	-609.43	33	-14.95	33
0	Max	-2213	0.00	101	0.00	97	0.00	101	0.95	97	0.14	97	-0.61	33	-609.43	33	-14.95	33
0	Min.	-1660	0.00	98	0.00	102	0.00	98	0.66	33	0.09	33	-0.88	97	-870.84	97	-21.58	97
0	Min.	434	0.00	98	0.00	102	0.00	98	0.66	33	0.09	33	-0.88	97	-870.84	97	-21.58	97
0	Min.	-2204	0.00	98	0.00	102	0.00	98	0.66	33	0.09	33	-0.88	97	-870.84	97	-21.58	97
0	Min.	-2213	0.00	98	0.00	102	0.00	98	0.66	33	0.09	33	-0.88	97	-870.84	97	-21.58	97
0	Max	-1632	0.00	97	0.00	49	0.00	33	0.00	97	0.00	49	0.00	33	0.00	97	0.00	101
0	Max	-1863	0.00	97	0.00	49	0.00	33	0.00	97	0.00	49	0.00	33	0.00	97	0.00	101
0	Max	441	0.00	97	0.00	49	0.00	33	0.00	97	0.00	49	0.00	33	0.00	97	0.00	101
0	Max	-1674	0.00	97	0.00	49	0.00	33	0.00	97	0.00	49	0.00	33	0.00	97	0.00	101
0	Min.	-1632	0.00	102	0.00	98	0.00	49	0.00	102	0.00	97	0.00	49	0.00	102	0.00	98
0	Min.	-1863	0.00	102	0.00	98	0.00	49	0.00	102	0.00	97	0.00	49	0.00	102	0.00	98
0	Min.	441	0.00	102	0.00	98	0.00	49	0.00	102	0.00	97	0.00	49	0.00	102	0.00	98
0	Min.	-1674	0.00	102	0.00	98	0.00	49	0.00	102	0.00	97	0.00	49	0.00	102	0.00	98
0	Max	-1885	-0.00	33	-0.00	33	0.00	97	-0.03	33	-0.33	33	-0.01	33	564.75	97	-385.06	33
0	Max	-2103	-0.00	33	-0.00	33	0.00	97	-0.03	33	-0.33	33	-0.01	33	564.75	97	-385.06	33
0	Max	-2107	-0.00	33	-0.00	33	0.00	97	-0.03	33	-0.33	33	-0.01	33	564.75	97	-385.06	33
0	Max	-1494	-0.00	33	-0.00	33	0.00	97	-0.03	33	-0.33	33	-0.01	33	564.75	97	-385.06	33
0	Min.	-1885	-0.00	97	-0.00	97	0.00	33	-0.04	97	-0.46	97	-0.02	97	402.03	33	-540.87	97
0	Min.	-2103	-0.00	97	-0.00	97	0.00	33	-0.04	97	-0.46	97	-0.02	97	402.03	33	-540.87	97
0	Min.	-2107	-0.00	97	-0.00	97	0.00	33	-0.04	97	-0.46	97	-0.02	97	402.03	33	-540.87	97
0	Min.	-1494	-0.00	97	-0.00	97	0.00	33	-0.04	97	-0.46	97	-0.02	97	402.03	33	-540.87	97
0	Max	-1886	-0.00	33	-0.00	33	0.00	98	-0.33	33	-0.36	33	0.05	97	595.50	97	-388.20	33
0	Max	-2104	-0.00	33	-0.00	33	0.00	98	-0.33	33	-0.36	33	0.05	97	595.50	97	-388.20	33
0	Max	-2105	-0.00	33	-0.00	33	0.00	98	-0.33	33	-0.36	33	0.05	97	595.50	97	-388.20	33
0	Max	-1495	-0.00	33	-0.00	33	0.00	98	-0.33	33	-0.36	33	0.05	97	595.50	97	-388.20	33
0	Min.	-1886	-0.00	97	-0.00	97	0.00	33	-0.46	97	-0.50	97	0.03	33	423.92	33	-545.26	97
0	Min.	-2104	-0.00	97	-0.00	97	0.00	33	-0.46	97	-0.50	97	0.03	33	423.92	33	-545.26	97
0	Min.	-2105	-0.00	97	-0.00	97	0.00	33	-0.46	97	-0.50	97	0.03	33	423.92	33	-545.26	97
0	Min.	-1495	-0.00	97	-0.00	97	0.00	33	-0.46	97	-0.50	97	0.03	33	423.92	33	-545.26	97

0	Max	-1887	-0.00	102	-0.00	33	0.00	97	0.55	97	0.03	97	0.34	97	657.34	97	-9.74	33
0	Max	-1888	-0.00	102	-0.00	33	0.00	97	0.55	97	0.03	97	0.34	97	657.34	97	-9.74	33
0	Max	-1497	-0.00	102	-0.00	33	0.00	97	0.55	97	0.03	97	0.34	97	657.34	97	-9.74	33
0	Max	-1496	-0.00	102	-0.00	33	0.00	97	0.55	97	0.03	97	0.34	97	657.34	97	-9.74	33
0	Min.	-1887	-0.00	97	-0.00	97	0.00	49	0.39	33	0.02	33	0.24	33	467.91	33	-13.68	97
0	Min.	-1888	-0.00	97	-0.00	97	0.00	49	0.39	33	0.02	33	0.24	33	467.91	33	-13.68	97
0	Min.	-1497	-0.00	97	-0.00	97	0.00	49	0.39	33	0.02	33	0.24	33	467.91	33	-13.68	97
0	Min.	-1496	-0.00	97	-0.00	97	0.00	49	0.39	33	0.02	33	0.24	33	467.91	33	-13.68	97
0	Max	-1888	-0.00	102	-0.00	33	0.00	33	-0.06	33	-0.00	33	-0.05	33	521.51	97	-2.33	33
0	Max	-1889	-0.00	102	-0.00	33	0.00	33	-0.06	33	-0.00	33	-0.05	33	521.51	97	-2.33	33
0	Max	-1700	-0.00	102	-0.00	33	0.00	33	-0.06	33	-0.00	33	-0.05	33	521.51	97	-2.33	33
0	Max	-1497	-0.00	102	-0.00	33	0.00	33	-0.06	33	-0.00	33	-0.05	33	521.51	97	-2.33	33
0	Min.	-1888	-0.00	97	-0.00	97	0.00	98	-0.09	97	-0.00	97	-0.07	97	371.22	33	-3.27	97
0	Min.	-1889	-0.00	97	-0.00	97	0.00	98	-0.09	97	-0.00	97	-0.07	97	371.22	33	-3.27	97
0	Min.	-1700	-0.00	97	-0.00	97	0.00	98	-0.09	97	-0.00	97	-0.07	97	371.22	33	-3.27	97
0	Min.	-1497	-0.00	97	-0.00	97	0.00	98	-0.09	97	-0.00	97	-0.07	97	371.22	33	-3.27	97
0	Max	-1889	-0.00	102	-0.00	33	0.00	33	0.00	97	-0.00	33	0.00	97	560.06	97	4.30	97
0	Max	-1890	-0.00	102	-0.00	33	0.00	33	0.00	97	-0.00	33	0.00	97	560.06	97	4.30	97
0	Max	-1701	-0.00	102	-0.00	33	0.00	33	0.00	97	-0.00	33	0.00	97	560.06	97	4.30	97
0	Max	-1700	-0.00	102	-0.00	33	0.00	33	0.00	97	-0.00	33	0.00	97	560.06	97	4.30	97
0	Min.	-1889	-0.00	97	-0.00	97	0.00	98	0.00	33	-0.00	97	0.00	33	398.67	33	3.06	33
0	Min.	-1890	-0.00	97	-0.00	97	0.00	98	0.00	33	-0.00	97	0.00	33	398.67	33	3.06	33
0	Min.	-1701	-0.00	97	-0.00	97	0.00	98	0.00	33	-0.00	97	0.00	33	398.67	33	3.06	33
0	Min.	-1700	-0.00	97	-0.00	97	0.00	98	0.00	33	-0.00	97	0.00	33	398.67	33	3.06	33
0	Max	-1890	-0.00	102	-0.00	33	0.00	33	0.00	97	-0.00	33	-0.00	33	560.20	97	-3.07	33
0	Max	-1891	-0.00	102	-0.00	33	0.00	33	0.00	97	-0.00	33	-0.00	33	560.20	97	-3.07	33
0	Max	-1702	-0.00	102	-0.00	33	0.00	33	0.00	97	-0.00	33	-0.00	33	560.20	97	-3.07	33
0	Max	-1701	-0.00	102	-0.00	33	0.00	33	0.00	97	-0.00	33	-0.00	33	560.20	97	-3.07	33
0	Min.	-1890	-0.00	97	-0.00	97	-0.00	98	0.00	33	-0.00	97	-0.00	97	398.77	33	-4.31	97
0	Min.	-1891	-0.00	97	-0.00	97	-0.00	98	0.00	33	-0.00	97	-0.00	97	398.77	33	-4.31	97
0	Min.	-1702	-0.00	97	-0.00	97	-0.00	98	0.00	33	-0.00	97	-0.00	97	398.77	33	-4.31	97
0	Min.	-1701	-0.00	97	-0.00	97	-0.00	98	0.00	33	-0.00	97	-0.00	97	398.77	33	-4.31	97
0	Max	-1891	-0.00	102	-0.00	33	0.00	33	-0.06	33	-0.00	33	0.07	97	521.18	97	3.22	97
0	Max	-1892	-0.00	102	-0.00	33	0.00	33	-0.06	33	-0.00	33	0.07	97	521.18	97	3.22	97
0	Max	-1703	-0.00	102	-0.00	33	0.00	33	-0.06	33	-0.00	33	0.07	97	521.18	97	3.22	97
0	Max	-1702	-0.00	102	-0.00	33	0.00	33	-0.06	33	-0.00	33	0.07	97	521.18	97	3.22	97
0	Min.	-1891	-0.00	97	-0.00	97	-0.00	98	-0.09	97	-0.00	97	0.05	33	370.99	33	2.29	33
0	Min.	-1892	-0.00	97	-0.00	97	-0.00	98	-0.09	97	-0.00	97	0.05	33	370.99	33	2.29	33
0	Min.	-1703	-0.00	97	-0.00	97	-0.00	98	-0.09	97	-0.00	97	0.05	33	370.99	33	2.29	33
0	Min.	-1702	-0.00	97	-0.00	97	-0.00	98	-0.09	97	-0.00	97	0.05	33	370.99	33	2.29	33
0	Max	-1892	0.00	102	-0.00	33	-0.00	33	0.56	97	0.03	97	-0.25	33	657.95	97	14.15	97
0	Max	-1893	0.00	102	-0.00	33	-0.00	33	0.56	97	0.03	97	-0.25	33	657.95	97	14.15	97
0	Max	-1704	0.00	102	-0.00	33	-0.00	33	0.56	97	0.03	97	-0.25	33	657.95	97	14.15	97
0	Max	-1703	0.00	102	-0.00	33	-0.00	33	0.56	97	0.03	97	-0.25	33	657.95	97	14.15	97
0	Min.	-1892	-0.00	97	-0.00	97	-0.00	98	0.40	33	0.02	33	-0.35	97	468.36	33	10.08	33
0	Min.	-1893	-0.00	97	-0.00	97	-0.00	98	0.40	33	0.02	33	-0.35	97	468.36	33	10.08	33
0	Min.	-1704	-0.00	97	-0.00	97	-0.00	98	0.40	33	0.02	33	-0.35	97	468.36	33	10.08	33
0	Min.	-1703	-0.00	97	-0.00	97	-0.00	98	0.40	33	0.02	33	-0.35	97	468.36	33	10.08	33
0	Max	-1893	-0.00	102	-0.00	33	0.00	98	-0.69	33	-0.34	33	-0.31	33	400.87	97	-384.40	33
0	Max	-1938	-0.00	102	-0.00	33	0.00	98	-0.69	33	-0.34	33	-0.31	33	400.87	97	-384.40	33
0	Max	-1939	-0.00	102	-0.00	33	0.00	98	-0.69	33	-0.34	33	-0.31	33	400.87	97	-384.40	33
0	Max	-1704	-0.00	102	-0.00	33	0.00	98	-0.69	33	-0.34	33	-0.31	33	400.87	97	-384.40	33
0	Min.	-1893	-0.00	97	-0.00	97	0.00	33	-0.97	97	-0.48	97	-0.44	97	285.39	33	-539.84	97
0	Min.	-1938	-0.00	97	-0.00	97	0.00	33	-0.97	97	-0.48	97	-0.44	97	285.39	33	-539.84	97
0	Min.	-1939	-0.00	97	-0.00	97	0.00	33	-0.97	97	-0.48	97	-0.44	97	285.39	33	-539.84	97
0	Min.	-1704	-0.00	97	-0.00	97	0.00	33	-0.97	97	-0.48	97	-0.44	97	285.39	33	-539.84	97
0	Max	-1894	0.00	98	-0.00	102	0.00	33	0.48	97	0.03	97	0.42	97	627.07	97	-7.48	33
0	Max	-1344	0.00	98	-0.00	102	0.00	33	0.48	97	0.03	97	0.42	97	627.07	97	-7.48	33
0	Max	-1537	0.00	98	-0.00	102	0.00	33	0.48	97	0.03	97	0.42	97	627.07	97	-7.48	33
0	Max	-1705	0.00	98	-0.00	102	0.00	33	0.48	97	0.03	97	0.42	97	627.07	97	-7.48	33
0	Min.	-1894	0.00	101	-0.00	97	0.00	98	0.34	33	0.02	33	0.30	33	446.37	33	-10.50	97
0	Min.	-1344	0.00	101	-0.00	97	0.00	98	0.34	33	0.02	33	0.30	33	446.37	33	-10.50	97
0	Min.	-1537	0.00	101	-0.00	97	0.00	98	0.34	33	0.02	33	0.30	33	446.37	33	-10.50	97
0	Min.	-1705	0.00	101	-0.00	97	0.00	98	0.34	33	0.02	33	0.30	33	446.37	33	-10.50	97
0	Max	-1895	0.00	97	0.00	101	0.00	98	0.48	97	0.07	97	0.44	97	622.31	97	-7.44	33
0	Max	-1357	0.00	97	0.00	101	0.00	98	0.48	97	0.07	97	0.44	97	622.31	97	-7.44	33
0	Max	442	0.00	97	0.00	101	0.00	98	0.48	97	0.07	97	0.44	97	622.31	97	-7.44	33
0	Max	-1667	0.00	97	0.00	101	0.00	98	0.48	97	0.07	97	0.44	97	622.31	97	-7.44	33
0	Min.	-1895	0.00	102	0.00	98	0.00	49	0.34	33	0.05	33	0.32	33	442.98	33	-10.44	97
0	Min.	-1357	0.00	102	0.00	98	0.00	49	0.34	33	0.05	33	0.32	33	442.98	33	-10.44	97
0	Min.	442	0.00	102	0.00	98	0.00	49	0.34	33	0.05	33	0.32	33	442.98	33	-10.44	97
0	Min.	-1667	0.00	102	0.00	98	0.00	49	0.34	33	0.05	33	0.32	33	442.98	33	-10.44	97
0	Max	-1896	0.00	101	-0.00	101	0.00	98	-0.71	33	-0.50	33	-0.64	33	399.89	97	-274.99	33
0	Max	-1969	0.00	101	-0.00	101	0.00	98	-0.71	33	-0.50	33	-0.64	33	399.89	97	-274.99	33
0	Max	-1970	0.00	101	-0.00	101	0.00	98	-0.71	33	-0.50	33	-0.64	33	399.89	97	-274.99	33
0	Max	-1666	0.00	101	-0.00	101	0.00	98	-0.71	33	-0.50	33	-0.64	33	399.89	97	-274.99	33
0	Min.	-1896	0.00	98	-0.00	98	0.00	49	-1.00	97	-0.70	97	-0.90	97	284.62	33	-386.39	97
0	Min.	-1969	0.00	98	-0.00	98	0.00	49	-1.00	97	-0.70	97	-0.90	97	284.62	33	-386.39	97
0	Min.	-1970	0.00	98	-0.00	98	0.00	49	-1.00	97	-0.70	97	-0.90	97	284.62	33	-386.39	97
0	Min.	-1666	0.00	98	-0.00	98	0.00	49	-1.00	97	-0.70	97	-0.90	97	284.62	33	-386.39	97
0	Max	-1897	0.00	101	-0.00	101	0.00	98	0.56	97	0.08	97	-0.26	33	651.93	97	14.11	97
0	Max	-1896	0.00	101	-0.00	101	0.00	98	0.56	97	0.08	97	-0.26	33	651.93	97	14.11	97
0	Max	-1666	0.00	101	-0.00	101	0.00	98	0.56	97	0.08	97	-0.26	33	651.93	97	14.11	97
0	Max	-1665	0.00	101	-0.00	101	0.00	98	0.56	97	0.08	97	-0.26	33	651.93	97	14.11	97
0	Min.	-1897	0.00	98	-0.00	98	0.00	49	0.40	33	0.06	33	-0.37	97	464.06	33	10.05	33
0	Min.	-1896	0.00	98	-0.00	98	0.00	49	0.40	33	0.06	33	-0.37	97	464.06	33	10.05	33
0	Min.	-1666	0.00	98	-0.00	98	0.00	49	0.40	33	0.06	33	-0.37	97	464.06	33	10.05	33
0	Min.	-1665	0.00	98	-0.00	98	0.00	49	0.40	33	0.06	33	-0.37	97	464.06	33	10.05	33
0	Max	-1898	0.00	101	-0.00	101	0.00	98	-0.06	33	-0.01	33	0.08	97	522.59	97	2.87	97
0	Max	-1897	0.00	101	-0.00	101	0.00	98	-0.06	33	-0.01	33	0.08	97	522.59	97	2.87	97
0	Max	-1665	0.00	101	-0.00	101	0.00	98	-0.06	33	-0.01	33	0.08	97	522.59	97	2.87	97
0	Max	-1664	0.00	101	-0.00	101	0.00	98	-0.06	33	-0.01	33	0.08	97	522.59	97	2.87	97
0	Min.	-1898	0.00	98	-0.00	98	0.00	49	-0.08	97	-0.01	97	0.05	33	372.00	33	2.04	33
0	Min.	-1897	0.00	98	-0.00	98	0.00	49	-0.08	97	-0.01	97	0.05	33	372.00	33	2.04	33
0	Min.	-1665	0.00	98	-0.00	98	0.00	49	-0.08	97	-0.01	97	0.05	33	372.00	33	2.04	33
0	Min.	-1664	0.00	98	-0.00	98	0.00	49	-0.08	97	-0.01	97	0.05	33	372.00	33	2.04	33
0	Max	-1899	0.00	101	-0.00	101	0.00	33	-0.01	33	0.00	97	-0.01	33	561.20	97	-2.13	33
0	Max	-1898	0.00	101	-0.00	101	0.00	33	-0.01	33	0.00	97	-0.01	33	561.20	97	-2.13	33
0	Max	-1664	0.00	101	-0.00	101	0.00	33	-0.01	33	0.00	97	-0.01	33	561.20	97	-2.13	33
0	Max	-1663	0.00	101	-0.00	101	0.00	33	-0.01	33	0.00	97	-0.01	33	561.20	97	-2.13	33
0	Min.	-1899	0.00	98	-0.00	98	0.00	97	-0.01	97	0.00	33	-0.01	97	399.48	33	-2.99	97
0	Min.	-1898	0.00	98	-0.00	98	0.00	97	-0.01	97	0.00	33	-0.01	97	399.48	33	-2.99	97
0	Min.	-1664	0.00	98	-0.00	98	0.00	97	-0.01	97	0.00	33	-0.01	97	399.48	33	-2.99	97
0	Min.	-1663	0.00	98	-0.00	98	0.00	97	-0.01	97	0.00	33	-0.01	97	399.48	33	-2.99	97
0	Max	-1900	0.00	101	-0.00	101	0.00	33	0.01	97	0.00	97	-0.00	33	552.21	97	1.39	97

0	Max	-1899	0.00	101	-0.00	101	0.00	33	0.01	97	0.00	97	-0.00	33	552.21	97	1.39	97
0	Max	-1663	0.00	101	-0.00	101	0.00	33	0.01	97	0.00	97	-0.00	33	552.21	97	1.39	97
0	Max	-1662	0.00	101	-0.00	101	0.00	33	0.01	97	0.00	97	-0.00	33	552.21	97	1.39	97
0	Min.	-1900	0.00	98	-0.00	98	0.00	97	0.01	33	0.00	33	-0.00	97	393.08	33	0.99	33
0	Min.	-1899	0.00	98	-0.00	98	0.00	97	0.01	33	0.00	33	-0.00	97	393.08	33	0.99	33
0	Min.	-1663	0.00	98	-0.00	98	0.00	97	0.01	33	0.00	33	-0.00	97	393.08	33	0.99	33
0	Min.	-1662	0.00	98	-0.00	98	0.00	97	0.01	33	0.00	33	-0.00	97	393.08	33	0.99	33
0	Max	-1901	0.00	101	-0.00	101	0.00	33	-0.00	33	-0.00	33	0.00	97	553.48	97	-0.34	33
0	Max	-1900	0.00	101	-0.00	101	0.00	33	-0.00	33	-0.00	33	0.00	97	553.48	97	-0.34	33
0	Max	-1662	0.00	101	-0.00	101	0.00	33	-0.00	33	-0.00	33	0.00	97	553.48	97	-0.34	33
0	Max	-1661	0.00	101	-0.00	101	0.00	33	-0.00	33	-0.00	33	0.00	97	553.48	97	-0.34	33
0	Min.	-1901	0.00	98	-0.00	98	0.00	97	-0.01	97	-0.00	98	0.00	33	393.98	33	-0.48	97
0	Min.	-1900	0.00	98	-0.00	98	0.00	97	-0.01	97	-0.00	98	0.00	33	393.98	33	-0.48	97
0	Min.	-1662	0.00	98	-0.00	98	0.00	97	-0.01	97	-0.00	98	0.00	33	393.98	33	-0.48	97
0	Min.	-1661	0.00	98	-0.00	98	0.00	97	-0.01	97	-0.00	98	0.00	33	393.98	33	-0.48	97
0	Max	-1902	0.00	101	-0.00	101	0.00	33	0.00	97	0.00	97	-0.00	33	553.58	97	0.09	97
0	Max	-1901	0.00	101	-0.00	101	0.00	33	0.00	97	0.00	97	-0.00	33	553.58	97	0.09	97
0	Max	-1661	0.00	101	-0.00	101	0.00	33	0.00	97	0.00	97	-0.00	33	553.58	97	0.09	97
0	Max	-1423	0.00	101	-0.00	101	0.00	33	0.00	97	0.00	97	-0.00	33	553.58	97	0.09	97
0	Min.	-1902	0.00	98	-0.00	98	0.00	97	0.00	33	0.00	33	-0.00	97	394.06	1	0.06	33
0	Min.	-1901	0.00	98	-0.00	98	0.00	97	0.00	33	0.00	33	-0.00	97	394.06	1	0.06	33
0	Min.	-1661	0.00	98	-0.00	98	0.00	97	0.00	33	0.00	33	-0.00	97	394.06	1	0.06	33
0	Min.	-1423	0.00	98	-0.00	98	0.00	97	0.00	33	0.00	33	-0.00	97	394.06	1	0.06	33
0	Max	-1903	0.00	101	-0.00	101	0.00	98	0.00	97	0.00	97	-0.00	33	553.58	97	0.09	97
0	Max	-1904	0.00	101	-0.00	101	0.00	98	0.00	97	0.00	97	-0.00	33	553.58	97	0.09	97
0	Max	-1647	0.00	101	-0.00	101	0.00	98	0.00	97	0.00	97	-0.00	33	553.58	97	0.09	97
0	Max	-1421	0.00	101	-0.00	101	0.00	98	0.00	97	0.00	97	-0.00	33	553.58	97	0.09	97
0	Min.	-1903	0.00	98	-0.00	98	0.00	49	0.00	33	0.00	33	-0.00	97	394.06	1	0.06	33
0	Min.	-1904	0.00	98	-0.00	98	0.00	49	0.00	33	0.00	33	-0.00	97	394.06	1	0.06	33
0	Min.	-1647	0.00	98	-0.00	98	0.00	49	0.00	33	0.00	33	-0.00	97	394.06	1	0.06	33
0	Min.	-1421	0.00	98	-0.00	98	0.00	49	0.00	33	0.00	33	-0.00	97	394.06	1	0.06	33
0	Max	-1904	0.00	101	-0.00	101	0.00	98	-0.00	33	-0.00	33	0.00	97	553.49	97	-0.34	33
0	Max	-1905	0.00	101	-0.00	101	0.00	98	-0.00	33	-0.00	33	0.00	97	553.49	97	-0.34	33
0	Max	-1648	0.00	101	-0.00	101	0.00	98	-0.00	33	-0.00	33	0.00	97	553.49	97	-0.34	33
0	Max	-1647	0.00	101	-0.00	101	0.00	98	-0.00	33	-0.00	33	0.00	97	553.49	97	-0.34	33
0	Min.	-1904	0.00	98	-0.00	98	0.00	49	-0.01	97	-0.00	97	0.00	33	394.00	1	-0.47	97
0	Min.	-1905	0.00	98	-0.00	98	0.00	49	-0.01	97	-0.00	97	0.00	33	394.00	1	-0.47	97
0	Min.	-1648	0.00	98	-0.00	98	0.00	49	-0.01	97	-0.00	97	0.00	33	394.00	1	-0.47	97
0	Min.	-1647	0.00	98	-0.00	98	0.00	49	-0.01	97	-0.00	97	0.00	33	394.00	1	-0.47	97
0	Max	-1905	0.00	101	-0.00	101	0.00	98	0.01	97	0.00	97	-0.00	33	552.14	97	1.39	97
0	Max	-1906	0.00	101	-0.00	101	0.00	98	0.01	97	0.00	97	-0.00	33	552.14	97	1.39	97
0	Max	-1649	0.00	101	-0.00	101	0.00	98	0.01	97	0.00	97	-0.00	33	552.14	97	1.39	97
0	Max	-1648	0.00	101	-0.00	101	0.00	98	0.01	97	0.00	97	-0.00	33	552.14	97	1.39	97
0	Min.	-1905	0.00	98	-0.00	98	0.00	49	0.01	33	0.00	33	-0.00	97	393.03	1	0.99	33
0	Min.	-1906	0.00	98	-0.00	98	0.00	49	0.01	33	0.00	33	-0.00	97	393.03	1	0.99	33
0	Min.	-1649	0.00	98	-0.00	98	0.00	49	0.01	33	0.00	33	-0.00	97	393.03	1	0.99	33
0	Min.	-1648	0.00	98	-0.00	98	0.00	49	0.01	33	0.00	33	-0.00	97	393.03	1	0.99	33
0	Max	-1906	0.00	101	-0.00	101	0.00	98	-0.01	33	-0.00	33	-0.00	33	561.50	97	-2.12	33
0	Max	-1907	0.00	101	-0.00	101	0.00	98	-0.01	33	-0.00	33	-0.00	33	561.50	97	-2.12	33
0	Max	-1650	0.00	101	-0.00	101	0.00	98	-0.01	33	-0.00	33	-0.00	33	561.50	97	-2.12	33
0	Max	-1649	0.00	101	-0.00	101	0.00	98	-0.01	33	-0.00	33	-0.00	33	561.50	97	-2.12	33
0	Min.	-1906	0.00	98	-0.00	98	0.00	49	-0.01	97	-0.00	97	-0.01	97	399.69	1	-2.98	97
0	Min.	-1907	0.00	98	-0.00	98	0.00	49	-0.01	97	-0.00	97	-0.01	97	399.69	1	-2.98	97
0	Min.	-1650	0.00	98	-0.00	98	0.00	49	-0.01	97	-0.00	97	-0.01	97	399.69	1	-2.98	97
0	Min.	-1649	0.00	98	-0.00	98	0.00	49	-0.01	97	-0.00	97	-0.01	97	399.69	1	-2.98	97
0	Max	-1907	0.00	101	-0.00	101	0.00	33	-0.06	33	-0.00	33	0.07	97	521.30	97	2.88	97
0	Max	-1908	0.00	101	-0.00	101	0.00	33	-0.06	33	-0.00	33	0.07	97	521.30	97	2.88	97
0	Max	-1651	0.00	101	-0.00	101	0.00	33	-0.06	33	-0.00	33	0.07	97	521.30	97	2.88	97
0	Max	-1650	0.00	101	-0.00	101	0.00	33	-0.06	33	-0.00	33	0.07	97	521.30	97	2.88	97
0	Min.	-1907	0.00	98	-0.00	98	0.00	97	-0.08	97	-0.00	97	0.05	33	371.08	33	2.05	33
0	Min.	-1908	0.00	98	-0.00	98	0.00	97	-0.08	97	-0.00	97	0.05	33	371.08	33	2.05	33
0	Min.	-1651	0.00	98	-0.00	98	0.00	97	-0.08	97	-0.00	97	0.05	33	371.08	33	2.05	33
0	Min.	-1650	0.00	98	-0.00	98	0.00	97	-0.08	97	-0.00	97	0.05	33	371.08	33	2.05	33
0	Max	-1908	0.00	101	-0.00	101	0.00	33	0.56	97	0.03	97	-0.25	33	657.68	97	13.96	97
0	Max	-1909	0.00	101	-0.00	101	0.00	33	0.56	97	0.03	97	-0.25	33	657.68	97	13.96	97
0	Max	-1652	0.00	101	-0.00	101	0.00	33	0.56	97	0.03	97	-0.25	33	657.68	97	13.96	97
0	Max	-1651	0.00	101	-0.00	101	0.00	33	0.56	97	0.03	97	-0.25	33	657.68	97	13.96	97
0	Min.	-1908	0.00	98	-0.00	98	0.00	97	0.40	33	0.02	33	-0.35	97	468.16	33	9.94	33
0	Min.	-1909	0.00	98	-0.00	98	0.00	97	0.40	33	0.02	33	-0.35	97	468.16	33	9.94	33
0	Min.	-1652	0.00	98	-0.00	98	0.00	97	0.40	33	0.02	33	-0.35	97	468.16	33	9.94	33
0	Min.	-1651	0.00	98	-0.00	98	0.00	97	0.40	33	0.02	33	-0.35	97	468.16	33	9.94	33
0	Max	-1909	0.00	101	-0.00	101	0.00	97	-0.69	33	-0.34	33	-0.31	33	401.14	97	-383.13	33
0	Max	-1972	0.00	101	-0.00	101	0.00	97	-0.69	33	-0.34	33	-0.31	33	401.14	97	-383.13	33
0	Max	-1965	0.00	101	-0.00	101	0.00	97	-0.69	33	-0.34	33	-0.31	33	401.14	97	-383.13	33
0	Max	-1652	0.00	101	-0.00	101	0.00	97	-0.69	33	-0.34	33	-0.31	33	401.14	97	-383.13	33
0	Min.	-1909	0.00	98	-0.00	98	0.00	49	-0.96	97	-0.48	97	-0.44	97	285.58	1	-538.05	97
0	Min.	-1972	0.00	98	-0.00	98	0.00	49	-0.96	97	-0.48	97	-0.44	97	285.58	1	-538.05	97
0	Min.	-1965	0.00	98	-0.00	98	0.00	49	-0.96	97	-0.48	97	-0.44	97	285.58	1	-538.05	97
0	Min.	-1652	0.00	98	-0.00	98	0.00	49	-0.96	97	-0.48	97	-0.44	97	285.58	1	-538.05	97
0	Max	-1910	0.00	97	0.00	101	0.00	33	0.47	97	0.03	97	0.42	97	626.79	97	-7.32	33
0	Max	-1874	0.00	97	0.00	101	0.00	33	0.47	97	0.03	97	0.42	97	626.79	97	-7.32	33
0	Max	-1848	0.00	97	0.00	101	0.00	33	0.47	97	0.03	97	0.42	97	626.79	97	-7.32	33
0	Max	-1653	0.00	97	0.00	101	0.00	33	0.47	97	0.03	97	0.42	97	626.79	97	-7.32	33
0	Min.	-1910	0.00	102	-0.00	98	0.00	97	0.34	33	0.02	33	0.30	33	446.17	33	-10.28	97
0	Min.	-1874	0.00	102	-0.00	98	0.00	97	0.34	33	0.02	33	0.30	33	446.17	33	-10.28	97
0	Min.	-1848	0.00	102	-0.00	98	0.00	97	0.34	33	0.02	33	0.30	33	446.17	33	-10.28	97
0	Min.	-1653	0.00	102	-0.00	98	0.00	97	0.34	33	0.02	33	0.30	33	446.17	33	-10.28	97
0	Max	-1547	0.00	97	0.00	97	0.00	97	0.07	97	0.68	97	-0.29	33	16.88	97	665.65	97
0	Max	-1832	0.00	97	0.00	97	0.00	97	0.07	97	0.68	97	-0.29	33	16.88	97	665.65	97
0	Max	-1465	0.00	97	0.00	97	0.00	97	0.07	97	0.68	97	-0.29	33	16.88	97	665.65	97
0	Max	-2083	0.00	97	0.00	97	0.00	97	0.07	97	0.68	97	-0.29	33	16.88	97	665.65	97
0	Min.	-1547	0.00	102	0.00	33	0.00	33	0.05	33	0.48	33	-0.41	97	12.01	33	473.82	33
0	Min.	-1832	0.00	102	0.00	33	0.00	33	0.05	33	0.48	33	-0.41	97	12.01	33	473.82	33
0	Min.	-1465	0.00	102	0.00	33	0.00	33	0.05	33	0.48	33	-0.41	97	12.01	33	473.82	33
0	Min.	-2083	0.00	102	0.00	33	0.00	33	0.05	33	0.48	33	-0.41	97	12.01	33	473.82	33
0	Max	-1699	0.00	97	0.00	97	0.00	97	0.03	97	0.58	97	-0.25	33	13.05	97	659.96	97
0	Max	-1831	0.00	97	0.00	97	0.00	97	0.03	97	0.58	97	-0.25	33	13.05	97	659.96	97
0	Max	-1464	0.00	97	0.00	97	0.00	97	0.03	97	0.58	97	-0.25	33	13.05	97	659.96	97
0	Max	-1762	0.00	97	0.00	97	0.00	97	0.03	97	0.58	97	-0.25	33	13.05	97	659.96	97
0	Min.	-1699	0.00	102	0.00	33	0.00	33	0.02	33	0.41	33	-0.35	97	9.29	33	469.78	33
0	Min.	-1831	0.00	102	0.00	33	0.00	33	0.02	33	0.41	33	-0.35	97	9.29	33	469.78	33
0	Min.	-1464	0.00	102	0.00	33	0.00	33	0.02	33	0.41	33	-0.35	97	9.29	33	469.78	33
0	Min.	-1762	0.00	102	0.00	33	0.00	33	0.02	33	0.41	33	-0.35	97	9.29	33	469.78	33
0	Max	-1974	-0.00	101	-0.00	33	-0.00	33	-0.33	33	-0.36	33	-0.03	33	595.50	97	545.26	97
0	Max	-1882	-0.00	101	-0.00	33	-0.00	33	-0.33	33	-0.36	33	-0.03	33	595.50	97	545.26	97

0	Max	-1492	-0.00	101	-0.00	33	-0.00	33	-0.33	33	-0.36	33	-0.03	33	595.50	97	545.26	97
0	Max	-1973	-0.00	101	-0.00	33	-0.00	33	-0.33	33	-0.36	33	-0.03	33	595.50	97	545.26	97
0	Min.	-1974	-0.00	98	-0.00	98	-0.00	97	-0.46	97	-0.50	97	-0.05	97	423.92	33	388.20	33
0	Min.	-1882	-0.00	98	-0.00	98	-0.00	97	-0.46	97	-0.50	97	-0.05	97	423.92	33	388.20	33
0	Min.	-1492	-0.00	98	-0.00	98	-0.00	97	-0.46	97	-0.50	97	-0.05	97	423.92	33	388.20	33
0	Min.	-1973	-0.00	98	-0.00	98	-0.00	97	-0.46	97	-0.50	97	-0.05	97	423.92	33	388.20	33
0	Max	-1911	-0.00	33	-0.00	33	-0.00	33	-0.03	33	-0.33	33	0.02	97	564.75	97	540.87	97
0	Max	-1883	-0.00	33	-0.00	33	-0.00	33	-0.03	33	-0.33	33	0.02	97	564.75	97	540.87	97
0	Max	-1493	-0.00	33	-0.00	33	-0.00	33	-0.03	33	-0.33	33	0.02	97	564.75	97	540.87	97
0	Max	-1912	-0.00	33	-0.00	33	-0.00	33	-0.03	33	-0.33	33	0.02	97	564.75	97	540.87	97
0	Min.	-1911	-0.00	98	-0.00	98	-0.00	98	-0.04	97	-0.46	97	0.01	33	402.03	33	385.06	33
0	Min.	-1883	-0.00	98	-0.00	98	-0.00	98	-0.04	97	-0.46	97	0.01	33	402.03	33	385.06	33
0	Min.	-1493	-0.00	98	-0.00	98	-0.00	98	-0.04	97	-0.46	97	0.01	33	402.03	33	385.06	33
0	Min.	-1912	-0.00	98	-0.00	98	-0.00	98	-0.04	97	-0.46	97	0.01	33	402.03	33	385.06	33
0	Max	-2076	0.00	97	0.00	97	-0.00	33	0.07	97	0.68	97	0.41	97	-12.13	33	665.98	97
0	Max	-1715	0.00	97	0.00	97	-0.00	33	0.07	97	0.68	97	0.41	97	-12.13	33	665.98	97
0	Max	-1792	0.00	97	0.00	97	-0.00	33	0.07	97	0.68	97	0.41	97	-12.13	33	665.98	97
0	Max	-2075	0.00	97	0.00	97	-0.00	33	0.07	97	0.68	97	0.41	97	-12.13	33	665.98	97
0	Min.	-2076	0.00	102	0.00	33	-0.00	97	0.05	33	0.48	33	0.29	33	-17.05	97	474.06	33
0	Min.	-1715	0.00	102	0.00	33	-0.00	97	0.05	33	0.48	33	0.29	33	-17.05	97	474.06	33
0	Min.	-1792	0.00	102	0.00	33	-0.00	97	0.05	33	0.48	33	0.29	33	-17.05	97	474.06	33
0	Min.	-2075	0.00	102	0.00	33	-0.00	97	0.05	33	0.48	33	0.29	33	-17.05	97	474.06	33
0	Max	-2078	0.00	97	0.00	97	-0.00	33	0.02	97	0.58	97	0.35	97	-9.37	33	660.26	97
0	Max	-1714	0.00	97	0.00	97	-0.00	33	0.02	97	0.58	97	0.35	97	-9.37	33	660.26	97
0	Max	-1791	0.00	97	0.00	97	-0.00	33	0.02	97	0.58	97	0.35	97	-9.37	33	660.26	97
0	Max	-2077	0.00	97	0.00	97	-0.00	33	0.02	97	0.58	97	0.35	97	-9.37	33	660.26	97
0	Min.	-2078	0.00	102	0.00	33	-0.00	97	0.02	33	0.41	33	0.25	33	-13.17	97	469.99	33
0	Min.	-1714	0.00	102	0.00	33	-0.00	97	0.02	33	0.41	33	0.25	33	-13.17	97	469.99	33
0	Min.	-1791	0.00	102	0.00	33	-0.00	97	0.02	33	0.41	33	0.25	33	-13.17	97	469.99	33
0	Min.	-2077	0.00	102	0.00	33	-0.00	97	0.02	33	0.41	33	0.25	33	-13.17	97	469.99	33
0	Max	-2080	0.00	98	0.00	98	0.00	97	0.09	97	0.59	97	-0.27	33	13.05	97	651.01	97
0	Max	-1835	0.00	98	0.00	98	0.00	97	0.09	97	0.59	97	-0.27	33	13.05	97	651.01	97
0	Max	-1468	0.00	98	0.00	98	0.00	97	0.09	97	0.59	97	-0.27	33	13.05	97	651.01	97
0	Max	-2079	0.00	98	0.00	98	0.00	97	0.09	97	0.59	97	-0.27	33	13.05	97	651.01	97
0	Min.	-2080	0.00	101	0.00	33	0.00	33	0.07	33	0.42	33	-0.37	97	9.29	33	463.41	33
0	Min.	-1835	0.00	101	0.00	33	0.00	33	0.07	33	0.42	33	-0.37	97	9.29	33	463.41	33
0	Min.	-1468	0.00	101	0.00	33	0.00	33	0.07	33	0.42	33	-0.37	97	9.29	33	463.41	33
0	Min.	-2079	0.00	101	0.00	33	0.00	33	0.07	33	0.42	33	-0.37	97	9.29	33	463.41	33
0	Max	-2082	0.00	98	0.00	98	0.00	97	0.07	97	0.68	97	-0.29	33	16.88	97	665.71	97
0	Max	-1834	0.00	98	0.00	98	0.00	97	0.07	97	0.68	97	-0.29	33	16.88	97	665.71	97
0	Max	-1467	0.00	98	0.00	98	0.00	97	0.07	97	0.68	97	-0.29	33	16.88	97	665.71	97
0	Max	-2081	0.00	98	0.00	98	0.00	97	0.07	97	0.68	97	-0.29	33	16.88	97	665.71	97
0	Min.	-2082	0.00	101	0.00	33	0.00	33	0.05	33	0.48	33	-0.41	97	12.01	33	473.87	33
0	Min.	-1834	0.00	101	0.00	33	0.00	33	0.05	33	0.48	33	-0.41	97	12.01	33	473.87	33
0	Min.	-1467	0.00	101	0.00	33	0.00	33	0.05	33	0.48	33	-0.41	97	12.01	33	473.87	33
0	Min.	-2081	0.00	101	0.00	33	0.00	33	0.05	33	0.48	33	-0.41	97	12.01	33	473.87	33
0	Max	-1913	0.00	102	-0.00	102	0.00	33	-0.69	33	-0.34	33	0.44	97	401.15	97	538.26	97
0	Max	-1343	0.00	102	-0.00	102	0.00	33	-0.69	33	-0.34	33	0.44	97	401.15	97	538.26	97
0	Max	-1573	0.00	102	-0.00	102	0.00	33	-0.69	33	-0.34	33	0.44	97	401.15	97	538.26	97
0	Max	-1914	0.00	102	-0.00	102	0.00	33	-0.69	33	-0.34	33	0.44	97	401.15	97	538.26	97
0	Min.	-1913	0.00	97	-0.00	97	0.00	98	-0.96	97	-0.48	97	0.31	33	285.59	33	383.28	33
0	Min.	-1343	0.00	97	-0.00	97	0.00	98	-0.96	97	-0.48	97	0.31	33	285.59	33	383.28	33
0	Min.	-1573	0.00	97	-0.00	97	0.00	98	-0.96	97	-0.48	97	0.31	33	285.59	33	383.28	33
0	Min.	-1914	0.00	97	-0.00	97	0.00	98	-0.96	97	-0.48	97	0.31	33	285.59	33	383.28	33
0	Max	-1915	0.00	102	-0.00	102	0.00	33	-0.71	33	-0.50	33	0.90	97	399.90	97	386.55	97
0	Max	-1347	0.00	102	-0.00	102	0.00	33	-0.71	33	-0.50	33	0.90	97	399.90	97	386.55	97
0	Max	-1559	0.00	102	-0.00	102	0.00	33	-0.71	33	-0.50	33	0.90	97	399.90	97	386.55	97
0	Max	-1916	0.00	102	-0.00	102	0.00	33	-0.71	33	-0.50	33	0.90	97	399.90	97	386.55	97
0	Min.	-1915	0.00	97	-0.00	97	-0.00	97	-1.00	97	-0.70	97	0.64	33	284.62	33	275.10	33
0	Min.	-1347	0.00	97	-0.00	97	-0.00	97	-1.00	97	-0.70	97	0.64	33	284.62	33	275.10	33
0	Min.	-1559	0.00	97	-0.00	97	-0.00	97	-1.00	97	-0.70	97	0.64	33	284.62	33	275.10	33
0	Min.	-1916	0.00	97	-0.00	97	-0.00	97	-1.00	97	-0.70	97	0.64	33	284.62	33	275.10	33
0	Max	-1917	0.00	98	0.00	98	0.00	97	0.05	97	0.50	97	-0.22	33	9.34	97	646.50	97
0	Max	-1698	0.00	98	0.00	98	0.00	97	0.05	97	0.50	97	-0.22	33	9.34	97	646.50	97
0	Max	-1475	0.00	98	0.00	98	0.00	97	0.05	97	0.50	97	-0.22	33	9.34	97	646.50	97
0	Max	-1918	0.00	98	0.00	98	0.00	97	0.05	97	0.50	97	-0.22	33	9.34	97	646.50	97
0	Min.	-1917	0.00	101	0.00	101	0.00	102	0.03	33	0.36	33	-0.31	97	6.65	33	460.20	33
0	Min.	-1698	0.00	101	0.00	101	0.00	102	0.03	33	0.36	33	-0.31	97	6.65	33	460.20	33
0	Min.	-1475	0.00	101	0.00	101	0.00	102	0.03	33	0.36	33	-0.31	97	6.65	33	460.20	33
0	Min.	-1918	0.00	101	0.00	101	0.00	102	0.03	33	0.36	33	-0.31	97	6.65	33	460.20	33
0	Max	-1919	0.00	102	-0.00	102	0.00	33	-0.75	33	-0.50	33	0.89	97	410.42	97	383.45	97
0	Max	-1384	0.00	102	-0.00	102	0.00	33	-0.75	33	-0.50	33	0.89	97	410.42	97	383.45	97
0	Max	-1725	0.00	102	-0.00	102	0.00	33	-0.75	33	-0.50	33	0.89	97	410.42	97	383.45	97
0	Max	-1920	0.00	102	-0.00	102	0.00	33	-0.75	33	-0.50	33	0.89	97	410.42	97	383.45	97
0	Min.	-1919	-0.00	97	-0.00	97	-0.00	97	-1.05	97	-0.71	97	0.63	33	292.11	33	272.89	33
0	Min.	-1384	-0.00	97	-0.00	97	-0.00	97	-1.05	97	-0.71	97	0.63	33	292.11	33	272.89	33
0	Min.	-1725	-0.00	97	-0.00	97	-0.00	97	-1.05	97	-0.71	97	0.63	33	292.11	33	272.89	33
0	Min.	-1920	-0.00	97	-0.00	97	-0.00	97	-1.05	97	-0.71	97	0.63	33	292.11	33	272.89	33
0	Max	-1921	0.00	102	0.00	102	0.00	97	-1.26	33	0.05	97	-1.10	33	-365.96	33	697.68	97
0	Max	-1566	0.00	102	0.00	102	0.00	97	-1.26	33	0.05	97	-1.10	33	-365.96	33	697.68	97
0	Max	-2179	0.00	102	0.00	102	0.00	97	-1.26	33	0.05	97	-1.10	33	-365.96	33	697.68	97
0	Max	-2180	0.00	102	0.00	102	0.00	97	-1.26	33	0.05	97	-1.10	33	-365.96	33	697.68	97
0	Min.	-1921	0.00	97	-0.00	97	0.00	102	-1.82	97	0.02	33	-1.61	97	-523.32	97	492.60	33
0	Min.	-1566	0.00	97	-0.00	97	0.00	102	-1.82	97	0.02	33	-1.61	97	-523.32	97	492.60	33
0	Min.	-2179	0.00	97	-0.00	97	0.00	102	-1.82	97	0.02	33	-1.61	97	-523.32	97	492.60	33
0	Min.	-2180	0.00	97	-0.00	97	0.00	102	-1.82	97	0.02	33	-1.61	97	-523.32	97	492.60	33
0	Max	-1920	0.00	98	0.00	98	0.00	98	0.05	97	0.50	97	0.31	97	-6.70	33	646.70	97
0	Max	-1725	0.00	98	0.00	98	0.00	98	0.05	97	0.50	97	0.31	97	-6.70	33	646.70	97
0	Max	-1802	0.00	98	0.00	98	0.00	98	0.05	97	0.50	97	0.31	97	-6.70	33	646.70	97
0	Max	-1923	0.00	98	0.00	98	0.00	98	0.05	97	0.50	97	0.31	97	-6.70	33	646.70	97
0	Min.	-1920	0.00	101	0.00	33	0.00	33	0.03	33	0.36	33	0.22	33	-9.42	97	460.34	33
0	Min.	-1725	0.00	101	0.00	33	0.00	33	0.03	33	0.36	33	0.22	33	-9.42	97	460.34	33
0	Min.	-1802	0.00	101	0.00	33	0.00	33	0.03	33	0.36	33	0.22	33	-9.42	97	460.34	33
0	Min.	-1923	0.00	101	0.00	33	0.00	33	0.03	33	0.36	33	0.22	33	-9.42	97	460.34	33
0	Max	-1924	0.00	102	-0.00	33	0.00	98	-0.73	33	-0.34	33	-0.29	33	-292.81	33	543.08	97
0	Max	-1838	0.00	102	-0.00	33	0.00	98	-0.73	33	-0.34	33	-0.29	33	-292.81	33	543.08	97
0	Max	-1384	0.00	102	-0.00	33	0.00	98	-0.73	33	-0.34	33	-0.29	33	-292.81	33	543.08	97
0	Max	-1919	0.00	102	-0.00	33	0.00	98	-0.73	33	-0.34	33	-0.29	33	-292.81	33	543.08	97
0	Min.	-1924	0.00	97	-0.00	97	0.00	33	-1.03	97	-0.47	97	-0.41	97	-411.31	97	386.64	33
0	Min.	-1838	0.00	97	-0.00	97	0.00	33	-1.03	97	-0.47	97	-0.41	97	-411.31	97	386.64	33
0	Min.	-1384	0.00	97	-0.00	97	0.00	33	-1.03	97	-0.47	97	-0.41	97	-411.31	97	386.64	33
0	Min.	-1919	0.00	97	-0.00	97	0.00	33	-1.03	97	-0.47	97	-0.41	97	-411.31	97	386.64	33
0	Max	-1925	0.00	98	0.00	98	0.00	98	-0.80	33	0.34	97	0.29	97	471.54	97	711.45	97
0	Max	-1515	0.00	98	0.00	98	0.00	98	-0.80	33	0.34	97	0.29	97	471.54	97	711.45	97
0	Max	-1566	0.00	98	0.00	98	0.00	98	-0.80	33	0.34	97	0.29	97	471.54	97	711.45	97

0	Max	-1921	0.00	98	0.00	98	0.00	98	-0.80	33	0.34	97	0.29	97	471.54	97	711.45	97
0	Min.	-1925	0.00	101	0.00	101	0.00	49	-1.13	97	0.22	33	0.22	33	336.12	33	501.62	33
0	Min.	-1515	0.00	101	0.00	101	0.00	49	-1.13	97	0.22	33	0.22	33	336.12	33	501.62	33
0	Min.	-1566	0.00	101	0.00	101	0.00	49	-1.13	97	0.22	33	0.22	33	336.12	33	501.62	33
0	Min.	-1921	0.00	101	0.00	101	0.00	49	-1.13	97	0.22	33	0.22	33	336.12	33	501.62	33
0	Max	-1914	0.00	98	0.00	98	0.00	33	-0.81	33	0.36	97	-0.37	33	-182.67	33	523.45	97
0	Max	-1573	0.00	98	0.00	98	0.00	33	-0.81	33	0.36	97	-0.37	33	-182.67	33	523.45	97
0	Max	-1515	0.00	98	0.00	98	0.00	33	-0.81	33	0.36	97	-0.37	33	-182.67	33	523.45	97
0	Max	-1925	0.00	98	0.00	98	0.00	33	-0.81	33	0.36	97	-0.37	33	-182.67	33	523.45	97
0	Min.	-1914	0.00	101	0.00	101	0.00	98	-1.14	97	0.25	33	-0.52	97	-256.09	97	372.93	33
0	Min.	-1573	0.00	101	0.00	101	0.00	98	-1.14	97	0.25	33	-0.52	97	-256.09	97	372.93	33
0	Min.	-1515	0.00	101	0.00	101	0.00	98	-1.14	97	0.25	33	-0.52	97	-256.09	97	372.93	33
0	Min.	-1925	0.00	101	0.00	101	0.00	98	-1.14	97	0.25	33	-0.52	97	-256.09	97	372.93	33
0	Max	-1926	0.00	102	0.00	98	0.00	33	-0.01	33	-0.05	33	0.07	97	6.20	97	530.01	97
0	Max	-1552	0.00	102	0.00	98	0.00	33	-0.01	33	-0.05	33	0.07	97	6.20	97	530.01	97
0	Max	-1587	0.00	102	0.00	98	0.00	33	-0.01	33	-0.05	33	0.07	97	6.20	97	530.01	97
0	Max	-1927	0.00	102	0.00	98	0.00	33	-0.01	33	-0.05	33	0.07	97	6.20	97	530.01	97
0	Min.	-1926	0.00	97	0.00	33	0.00	98	-0.01	97	-0.08	97	0.05	33	4.41	33	377.28	33
0	Min.	-1552	0.00	97	0.00	33	0.00	98	-0.01	97	-0.08	97	0.05	33	4.41	33	377.28	33
0	Min.	-1587	0.00	97	0.00	33	0.00	98	-0.01	97	-0.08	97	0.05	33	4.41	33	377.28	33
0	Min.	-1927	0.00	97	0.00	33	0.00	98	-0.01	97	-0.08	97	0.05	33	4.41	33	377.28	33
0	Max	-1927	0.00	98	0.00	98	0.00	97	0.05	97	0.50	97	-0.22	33	9.43	97	644.26	97
0	Max	-1587	0.00	98	0.00	98	0.00	97	0.05	97	0.50	97	-0.22	33	9.43	97	644.26	97
0	Max	-1580	0.00	98	0.00	98	0.00	97	0.05	97	0.50	97	-0.22	33	9.43	97	644.26	97
0	Max	-1928	0.00	98	0.00	98	0.00	97	0.05	97	0.50	97	-0.22	33	9.43	97	644.26	97
0	Min.	-1927	0.00	101	0.00	101	0.00	49	0.04	33	0.36	33	-0.32	97	6.71	33	458.61	33
0	Min.	-1587	0.00	101	0.00	101	0.00	49	0.04	33	0.36	33	-0.32	97	6.71	33	458.61	33
0	Min.	-1580	0.00	101	0.00	101	0.00	49	0.04	33	0.36	33	-0.32	97	6.71	33	458.61	33
0	Min.	-1928	0.00	101	0.00	101	0.00	49	0.04	33	0.36	33	-0.32	97	6.71	33	458.61	33
0	Max	-1916	0.00	98	0.00	98	0.00	33	0.05	97	0.50	97	0.31	97	-6.77	33	644.46	97
0	Max	-1559	0.00	98	0.00	98	0.00	33	0.05	97	0.50	97	0.31	97	-6.77	33	644.46	97
0	Max	-1594	0.00	98	0.00	98	0.00	33	0.05	97	0.50	97	0.31	97	-6.77	33	644.46	97
0	Max	-1929	0.00	98	0.00	98	0.00	33	0.05	97	0.50	97	0.31	97	-6.77	33	644.46	97
0	Min.	-1916	0.00	101	0.00	101	0.00	97	0.04	33	0.36	33	0.22	33	-9.51	97	458.74	33
0	Min.	-1559	0.00	101	0.00	101	0.00	97	0.04	33	0.36	33	0.22	33	-9.51	97	458.74	33
0	Min.	-1594	0.00	101	0.00	101	0.00	97	0.04	33	0.36	33	0.22	33	-9.51	97	458.74	33
0	Min.	-1929	0.00	101	0.00	101	0.00	97	0.04	33	0.36	33	0.22	33	-9.51	97	458.74	33
0	Max	-1930	0.00	102	-0.00	102	0.00	98	-0.69	33	-0.33	33	-0.30	33	-284.98	33	545.17	97
0	Max	-1414	0.00	102	-0.00	102	0.00	98	-0.69	33	-0.33	33	-0.30	33	-284.98	33	545.17	97
0	Max	-1347	0.00	102	-0.00	102	0.00	98	-0.69	33	-0.33	33	-0.30	33	-284.98	33	545.17	97
0	Max	-1915	0.00	102	-0.00	102	0.00	98	-0.69	33	-0.33	33	-0.30	33	-284.98	33	545.17	97
0	Min.	-1930	0.00	97	-0.00	97	0.00	49	-0.97	97	-0.46	97	-0.42	97	-400.31	97	388.13	33
0	Min.	-1414	0.00	97	-0.00	97	0.00	49	-0.97	97	-0.46	97	-0.42	97	-400.31	97	388.13	33
0	Min.	-1347	0.00	97	-0.00	97	0.00	49	-0.97	97	-0.46	97	-0.42	97	-400.31	97	388.13	33
0	Min.	-1915	0.00	97	-0.00	97	0.00	49	-0.97	97	-0.46	97	-0.42	97	-400.31	97	388.13	33
0	Max	-1928	0.00	102	-0.00	102	0.00	97	-0.71	33	-0.51	33	-0.64	33	-284.92	33	387.69	97
0	Max	-1580	0.00	102	-0.00	102	0.00	97	-0.71	33	-0.51	33	-0.64	33	-284.92	33	387.69	97
0	Max	-1343	0.00	102	-0.00	102	0.00	97	-0.71	33	-0.51	33	-0.64	33	-284.92	33	387.69	97
0	Max	-1913	0.00	102	-0.00	102	0.00	97	-0.71	33	-0.51	33	-0.64	33	-284.92	33	387.69	97
0	Min.	-1928	0.00	97	-0.00	97	0.00	49	-0.99	97	-0.72	97	-0.90	97	-400.30	97	275.92	33
0	Min.	-1580	0.00	97	-0.00	97	0.00	49	-0.99	97	-0.72	97	-0.90	97	-400.30	97	275.92	33
0	Min.	-1343	0.00	97	-0.00	97	0.00	49	-0.99	97	-0.72	97	-0.90	97	-400.30	97	275.92	33
0	Min.	-1913	0.00	97	-0.00	97	0.00	49	-0.99	97	-0.72	97	-0.90	97	-400.30	97	275.92	33
0	Max	-1929	0.00	102	0.00	98	0.00	98	-0.01	33	-0.05	33	-0.05	33	-4.26	33	530.31	97
0	Max	-1594	0.00	102	0.00	98	0.00	98	-0.01	33	-0.05	33	-0.05	33	-4.26	33	530.31	97
0	Max	-1552	0.00	102	0.00	98	0.00	98	-0.01	33	-0.05	33	-0.05	33	-4.26	33	530.31	97
0	Max	-1926	0.00	102	0.00	98	0.00	98	-0.01	33	-0.05	33	-0.05	33	-4.26	33	530.31	97
0	Min.	-1929	0.00	97	0.00	49	0.00	49	-0.01	97	-0.08	97	-0.07	97	-5.99	97	377.49	33
0	Min.	-1594	0.00	97	0.00	49	0.00	49	-0.01	97	-0.08	97	-0.07	97	-5.99	97	377.49	33
0	Min.	-1552	0.00	97	0.00	49	0.00	49	-0.01	97	-0.08	97	-0.07	97	-5.99	97	377.49	33
0	Min.	-1926	0.00	97	0.00	49	0.00	49	-0.01	97	-0.08	97	-0.07	97	-5.99	97	377.49	33
0	Max	-1931	0.00	98	0.00	98	0.00	98	-0.80	33	0.31	97	0.53	97	273.44	97	523.17	97
0	Max	-1447	0.00	98	0.00	98	0.00	98	-0.80	33	0.31	97	0.53	97	273.44	97	523.17	97
0	Max	-1414	0.00	98	0.00	98	0.00	98	-0.80	33	0.31	97	0.53	97	273.44	97	523.17	97
0	Max	-1930	0.00	98	0.00	98	0.00	98	-0.80	33	0.31	97	0.53	97	273.44	97	523.17	97
0	Min.	-1931	0.00	101	0.00	33	0.00	101	-1.14	97	0.20	33	0.37	33	194.91	33	372.46	33
0	Min.	-1447	0.00	101	0.00	33	0.00	101	-1.14	97	0.20	33	0.37	33	194.91	33	372.46	33
0	Min.	-1414	0.00	101	0.00	33	0.00	101	-1.14	97	0.20	33	0.37	33	194.91	33	372.46	33
0	Min.	-1930	0.00	101	0.00	33	0.00	101	-1.14	97	0.20	33	0.37	33	194.91	33	372.46	33
0	Max	-1932	0.00	98	0.00	98	0.00	33	-0.80	33	0.32	97	-0.20	33	-327.55	33	699.15	97
0	Max	-1854	0.00	98	0.00	98	0.00	33	-0.80	33	0.32	97	-0.20	33	-327.55	33	699.15	97
0	Max	-1447	0.00	98	0.00	98	0.00	33	-0.80	33	0.32	97	-0.20	33	-327.55	33	699.15	97
0	Max	-1931	0.00	98	0.00	98	0.00	33	-0.80	33	0.32	97	-0.20	33	-327.55	33	699.15	97
0	Min.	-1932	0.00	101	0.00	33	0.00	98	-1.13	97	0.18	33	-0.28	97	-460.09	97	487.97	33
0	Min.	-1854	0.00	101	0.00	33	0.00	98	-1.13	97	0.18	33	-0.28	97	-460.09	97	487.97	33
0	Min.	-1447	0.00	101	0.00	33	0.00	98	-1.13	97	0.18	33	-0.28	97	-460.09	97	487.97	33
0	Min.	-1931	0.00	101	0.00	33	0.00	98	-1.13	97	0.18	33	-0.28	97	-460.09	97	487.97	33
0	Max	-1933	0.00	102	0.00	102	0.00	98	-1.34	33	-1.19	33	-0.53	33	-251.53	33	1149.13	97
0	Max	-1601	0.00	102	0.00	102	0.00	98	-1.34	33	-1.19	33	-0.53	33	-251.53	33	1149.13	97
0	Max	-2133	0.00	102	0.00	102	0.00	98	-1.34	33	-1.19	33	-0.53	33	-251.53	33	1149.13	97
0	Max	-2134	0.00	102	0.00	102	0.00	98	-1.34	33	-1.19	33	-0.53	33	-251.53	33	1149.13	97
0	Min.	-1933	0.00	97	-0.00	97	0.00	49	-2.00	97	-1.82	97	-0.74	97	-355.56	97	763.66	33
0	Min.	-1601	0.00	97	-0.00	97	0.00	49	-2.00	97	-1.82	97	-0.74	97	-355.56	97	763.66	33
0	Min.	-2133	0.00	97	-0.00	97	0.00	49	-2.00	97	-1.82	97	-0.74	97	-355.56	97	763.66	33
0	Min.	-2134	0.00	97	-0.00	97	0.00	49	-2.00	97	-1.82	97	-0.74	97	-355.56	97	763.66	33
0	Max	-1934	0.00	98	-0.00	33	0.00	98	-1.41	33	-1.20	33	-0.51	33	-265.32	33	1146.39	97
0	Max	-1822	0.00	98	-0.00	33	0.00	98	-1.41	33	-1.20	33	-0.51	33	-265.32	33	1146.39	97
0	Max	-2137	0.00	98	-0.00	33	0.00	98	-1.41	33	-1.20	33	-0.51	33	-265.32	33	1146.39	97
0	Max	-2138	0.00	98	-0.00	33	0.00	98	-1.41	33	-1.20	33	-0.51	33	-265.32	33	1146.39	97
0	Min.	-1934	0.00	33	-0.00	98	0.00	33	-2.13	97	-1.84	97	-0.72	97	-377.51	97	759.49	33
0	Min.	-1822	0.00	33	-0.00	98	0.00	33	-2.13	97	-1.84	97	-0.72	97	-377.51	97	759.49	33
0	Min.	-2137	0.00	33	-0.00	98	0.00	33	-2.13	97	-1.84	97	-0.72	97	-377.51	97	759.49	33
0	Min.	-2138	0.00	33	-0.00	98	0.00	33	-2.13	97	-1.84	97	-0.72	97	-377.51	97	759.49	33
0	Max	-1935	0.00	98	0.00	98	0.00	33	-0.85	33	0.31	97	-0.18	33	-341.65	33	698.46	97
0	Max	-1782	0.00	98	0.00	98	0.00	33	-0.85	33	0.31	97	-0.18	33	-341.65	33	698.46	97
0	Max	-1387	0.00	98	0.00	98	0.00	33	-0.85	33	0.31	97	-0.18	33	-341.65	33	698.46	97
0	Max	-1936	0.00	98	0.00	98	0.00	33	-0.85	33	0.31	97	-0.18	33	-341.65	33	698.46	97
0	Min.	-1935	0.00	101	0.00	33	-0.00	98	-1.20	97	0.17	33	-0.26	97	-480.30	97	486.96	33
0	Min.	-1782	0.00	101	0.00	33	-0.00	98	-1.20	97	0.17	33	-0.26	97	-480.30	97	486.96	33
0	Min.	-1387	0.00	101	0.00	33	-0.00	98	-1.20	97	0.17	33	-0.26	97	-480.30	97	486.96	33
0	Min.	-1936	0.00	101	0.00	33	-0.00	98	-1.20	97	0.17	33	-0.26	97	-480.30	97	486.96	33
0	Max	-1936	0.00	98	0.00	98	0.00	97	-0.84	33	0.31	97	0.51	97	284.29	97	521.08	97
0	Max	-1387	0.00	98	0.00	98	0.00	97	-0.84	33	0.31	97	0.51	97	284.29	97	521.08	97
0	Max	-1838	0.00	98	0.00	98	0.00	97	-0.84	33	0.31	97	0.51	97	284.29	97	521.08	97
0	Max	-1924	0.00	98	0.00	98	0.00	97	-0.84	33	0.31	97	0.51	97	284.29	97	521.08	97

0	Min.	-1936	0.00	101	0.00	33	0.00	33	-1.19	97	0.20	33	0.35	33	202.66	33	370.87	33
0	Min.	-1387	0.00	101	0.00	33	0.00	33	-1.19	97	0.20	33	0.35	33	202.66	33	370.87	33
0	Min.	-1838	0.00	101	0.00	33	0.00	33	-1.19	97	0.20	33	0.35	33	202.66	33	370.87	33
0	Min.	-1924	0.00	101	0.00	33	0.00	33	-1.19	97	0.20	33	0.35	33	202.66	33	370.87	33
0	Max	-1937	0.00	102	0.00	98	-0.00	101	-0.01	33	-0.05	33	0.07	97	6.28	97	531.62	97
0	Max	-1452	0.00	102	0.00	98	-0.00	101	-0.01	33	-0.05	33	0.07	97	6.28	97	531.62	97
0	Max	-1698	0.00	102	0.00	98	-0.00	101	-0.01	33	-0.05	33	0.07	97	6.28	97	531.62	97
0	Max	-1917	0.00	102	0.00	98	-0.00	101	-0.01	33	-0.05	33	0.07	97	6.28	97	531.62	97
0	Min.	-1937	0.00	97	0.00	33	-0.00	98	-0.01	97	-0.08	97	0.05	33	4.47	33	378.43	33
0	Min.	-1452	0.00	97	0.00	33	-0.00	98	-0.01	97	-0.08	97	0.05	33	4.47	33	378.43	33
0	Min.	-1698	0.00	97	0.00	33	-0.00	98	-0.01	97	-0.08	97	0.05	33	4.47	33	378.43	33
0	Min.	-1917	0.00	97	0.00	33	-0.00	98	-0.01	97	-0.08	97	0.05	33	4.47	33	378.43	33
0	Max	-1918	0.00	102	-0.00	102	0.00	97	-0.75	33	-0.51	33	-0.63	33	-292.37	33	384.59	97
0	Max	-1475	0.00	102	-0.00	102	0.00	97	-0.75	33	-0.51	33	-0.63	33	-292.37	33	384.59	97
0	Max	-1894	0.00	102	-0.00	102	0.00	97	-0.75	33	-0.51	33	-0.63	33	-292.37	33	384.59	97
0	Max	-1938	0.00	102	-0.00	102	0.00	97	-0.75	33	-0.51	33	-0.63	33	-292.37	33	384.59	97
0	Min.	-1918	-0.00	97	-0.00	97	0.00	33	-1.05	97	-0.72	97	-0.88	97	-410.76	97	273.72	33
0	Min.	-1475	-0.00	97	-0.00	97	0.00	33	-1.05	97	-0.72	97	-0.88	97	-410.76	97	273.72	33
0	Min.	-1894	-0.00	97	-0.00	97	0.00	33	-1.05	97	-0.72	97	-0.88	97	-410.76	97	273.72	33
0	Min.	-1938	-0.00	97	-0.00	97	0.00	33	-1.05	97	-0.72	97	-0.88	97	-410.76	97	273.72	33
0	Max	-1923	0.00	102	0.00	98	0.00	98	-0.01	33	-0.05	33	-0.05	33	-4.32	33	531.92	97
0	Max	-1802	0.00	102	0.00	98	0.00	98	-0.01	33	-0.05	33	-0.05	33	-4.32	33	531.92	97
0	Max	-1452	0.00	102	0.00	98	0.00	98	-0.01	33	-0.05	33	-0.05	33	-4.32	33	531.92	97
0	Max	-1937	0.00	102	0.00	98	0.00	98	-0.01	33	-0.05	33	-0.05	33	-4.32	33	531.92	97
0	Min.	-1923	0.00	97	0.00	49	0.00	49	-0.01	97	-0.08	97	-0.07	97	-6.07	97	378.64	33
0	Min.	-1802	0.00	97	0.00	49	0.00	49	-0.01	97	-0.08	97	-0.07	97	-6.07	97	378.64	33
0	Min.	-1452	0.00	97	0.00	49	0.00	49	-0.01	97	-0.08	97	-0.07	97	-6.07	97	378.64	33
0	Min.	-1937	0.00	97	0.00	49	0.00	49	-0.01	97	-0.08	97	-0.07	97	-6.07	97	378.64	33
0	Max	-1939	0.00	98	0.00	98	-0.00	33	-0.84	33	0.36	97	-0.35	33	-190.13	33	521.60	97
0	Max	-1705	0.00	98	0.00	98	-0.00	33	-0.84	33	0.36	97	-0.35	33	-190.13	33	521.60	97
0	Max	-1458	0.00	98	0.00	98	-0.00	33	-0.84	33	0.36	97	-0.35	33	-190.13	33	521.60	97
0	Max	-1940	0.00	98	0.00	98	-0.00	33	-0.84	33	0.36	97	-0.35	33	-190.13	33	521.60	97
0	Min.	-1939	0.00	101	0.00	101	-0.00	97	-1.18	97	0.25	33	-0.50	97	-266.61	97	371.61	33
0	Min.	-1705	0.00	101	0.00	101	-0.00	97	-1.18	97	0.25	33	-0.50	97	-266.61	97	371.61	33
0	Min.	-1458	0.00	101	0.00	101	-0.00	97	-1.18	97	0.25	33	-0.50	97	-266.61	97	371.61	33
0	Min.	-1940	0.00	101	0.00	101	-0.00	97	-1.18	97	0.25	33	-0.50	97	-266.61	97	371.61	33
0	Max	-1940	0.00	98	0.00	98	0.00	98	-0.85	33	0.33	97	0.26	97	493.33	97	711.09	97
0	Max	-1458	0.00	98	0.00	98	0.00	98	-0.85	33	0.33	97	0.26	97	493.33	97	711.09	97
0	Max	-1745	0.00	98	0.00	98	0.00	98	-0.85	33	0.33	97	0.26	97	493.33	97	711.09	97
0	Max	-1941	0.00	98	0.00	98	0.00	98	-0.85	33	0.33	97	0.26	97	493.33	97	711.09	97
0	Min.	-1940	0.00	101	0.00	101	0.00	101	-1.19	97	0.21	33	0.20	33	351.54	33	501.28	33
0	Min.	-1458	0.00	101	0.00	101	0.00	101	-1.19	97	0.21	33	0.20	33	351.54	33	501.28	33
0	Min.	-1745	0.00	101	0.00	101	0.00	101	-1.19	97	0.21	33	0.20	33	351.54	33	501.28	33
0	Min.	-1941	0.00	101	0.00	101	0.00	101	-1.19	97	0.21	33	0.20	33	351.54	33	501.28	33
0	Max	-1942	0.00	97	0.00	101	-0.00	33	-1.14	33	0.42	97	0.13	97	-65.43	33	1494.18	97
0	Max	-2069	0.00	97	0.00	101	-0.00	33	-1.14	33	0.42	97	0.13	97	-65.43	33	1494.18	97
0	Max	-2013	0.00	97	0.00	101	-0.00	33	-1.14	33	0.42	97	0.13	97	-65.43	33	1494.18	97
0	Max	-2015	0.00	97	0.00	101	-0.00	33	-1.14	33	0.42	97	0.13	97	-65.43	33	1494.18	97
0	Min.	-1942	0.00	49	0.00	98	-0.00	98	-1.67	97	0.33	33	0.11	33	-87.42	97	1024.01	33
0	Min.	-2069	0.00	49	0.00	98	-0.00	98	-1.67	97	0.33	33	0.11	33	-87.42	97	1024.01	33
0	Min.	-2013	0.00	49	0.00	98	-0.00	98	-1.67	97	0.33	33	0.11	33	-87.42	97	1024.01	33
0	Min.	-2015	0.00	49	0.00	98	-0.00	98	-1.67	97	0.33	33	0.11	33	-87.42	97	1024.01	33
0	Max	-1938	0.00	102	-0.00	33	-0.00	33	-0.73	33	-0.35	33	0.42	97	412.07	97	536.17	97
0	Max	-1894	0.00	102	-0.00	33	-0.00	33	-0.73	33	-0.35	33	0.42	97	412.07	97	536.17	97
0	Max	-1705	0.00	102	-0.00	33	-0.00	33	-0.73	33	-0.35	33	0.42	97	412.07	97	536.17	97
0	Max	-1939	0.00	102	-0.00	33	-0.00	33	-0.73	33	-0.35	33	0.42	97	412.07	97	536.17	97
0	Min.	-1938	0.00	97	-0.00	97	-0.00	98	-1.03	97	-0.49	97	0.30	33	293.36	33	381.79	33
0	Min.	-1894	0.00	97	-0.00	97	-0.00	98	-1.03	97	-0.49	97	0.30	33	293.36	33	381.79	33
0	Min.	-1705	0.00	97	-0.00	97	-0.00	98	-1.03	97	-0.49	97	0.30	33	293.36	33	381.79	33
0	Min.	-1939	0.00	97	-0.00	97	-0.00	98	-1.03	97	-0.49	97	0.30	33	293.36	33	381.79	33
0	Max	-1943	-0.00	101	-0.00	101	0.00	33	-0.69	33	-0.34	33	0.44	97	400.87	97	539.84	97
0	Max	-1875	-0.00	101	-0.00	101	0.00	33	-0.69	33	-0.34	33	0.44	97	400.87	97	539.84	97
0	Max	-1477	-0.00	101	-0.00	101	0.00	33	-0.69	33	-0.34	33	0.44	97	400.87	97	539.84	97
0	Max	-1944	-0.00	101	-0.00	101	0.00	33	-0.69	33	-0.34	33	0.44	97	400.87	97	539.84	97
0	Min.	-1943	-0.00	98	-0.00	98	0.00	97	-0.97	97	-0.48	97	0.31	33	285.39	33	384.40	33
0	Min.	-1875	-0.00	98	-0.00	98	0.00	97	-0.97	97	-0.48	97	0.31	33	285.39	33	384.40	33
0	Min.	-1477	-0.00	98	-0.00	98	0.00	97	-0.97	97	-0.48	97	0.31	33	285.39	33	384.40	33
0	Min.	-1944	-0.00	98	-0.00	98	0.00	97	-0.97	97	-0.48	97	0.31	33	285.39	33	384.40	33
0	Max	-1945	0.00	97	0.00	97	-0.00	33	0.05	97	0.50	97	0.31	97	-6.70	33	646.30	97
0	Max	-1707	0.00	97	0.00	97	-0.00	33	0.05	97	0.50	97	0.31	97	-6.70	33	646.30	97
0	Max	-1784	0.00	97	0.00	97	-0.00	33	0.05	97	0.50	97	0.31	97	-6.70	33	646.30	97
0	Max	-1946	0.00	97	0.00	97	-0.00	33	0.05	97	0.50	97	0.31	97	-6.70	33	646.30	97
0	Min.	-1945	0.00	102	0.00	102	-0.00	98	0.04	33	0.36	33	0.22	33	-9.42	97	460.06	33
0	Min.	-1707	0.00	102	0.00	102	-0.00	98	0.04	33	0.36	33	0.22	33	-9.42	97	460.06	33
0	Min.	-1784	0.00	102	0.00	102	-0.00	98	0.04	33	0.36	33	0.22	33	-9.42	97	460.06	33
0	Min.	-1946	0.00	102	0.00	102	-0.00	98	0.04	33	0.36	33	0.22	33	-9.42	97	460.06	33
0	Max	-1947	-0.00	101	-0.00	33	-0.00	33	-0.71	33	-0.50	33	0.91	97	399.65	97	388.07	97
0	Max	-1359	-0.00	101	-0.00	33	-0.00	33	-0.71	33	-0.50	33	0.91	97	399.65	97	388.07	97
0	Max	-1707	-0.00	101	-0.00	33	-0.00	33	-0.71	33	-0.50	33	0.91	97	399.65	97	388.07	97
0	Max	-1945	-0.00	101	-0.00	33	-0.00	33	-0.71	33	-0.50	33	0.91	97	399.65	97	388.07	97
0	Min.	-1947	-0.00	98	-0.00	98	-0.00	98	-1.00	97	-0.70	97	0.64	33	284.45	33	276.18	33
0	Min.	-1359	-0.00	98	-0.00	98	-0.00	98	-1.00	97	-0.70	97	0.64	33	284.45	33	276.18	33
0	Min.	-1707	-0.00	98	-0.00	98	-0.00	98	-1.00	97	-0.70	97	0.64	33	284.45	33	276.18	33
0	Min.	-1945	-0.00	98	-0.00	98	-0.00	98	-1.00	97	-0.70	97	0.64	33	284.45	33	276.18	33
0	Max	-1948	-0.00	101	-0.00	33	0.00	97	-0.69	33	-0.33	33	-0.30	33	-284.78	33	546.75	97
0	Max	-1839	-0.00	101	-0.00	33	0.00	97	-0.69	33	-0.33	33	-0.30	33	-284.78	33	546.75	97
0	Max	-1359	-0.00	101	-0.00	33	0.00	97	-0.69	33	-0.33	33	-0.30	33	-284.78	33	546.75	97
0	Max	-1947	-0.00	101	-0.00	33	0.00	97	-0.69	33	-0.33	33	-0.30	33	-284.78	33	546.75	97
0	Min.	-1948	-0.00	98	-0.00	98	0.00	33	-0.97	97	-0.47	97	-0.42	97	-400.02	97	389.25	33
0	Min.	-1839	-0.00	98	-0.00	98	0.00	33	-0.97	97	-0.47	97	-0.42	97	-400.02	97	389.25	33
0	Min.	-1359	-0.00	98	-0.00	98	0.00	33	-0.97	97	-0.47	97	-0.42	97	-400.02	97	389.25	33
0	Min.	-1947	-0.00	98	-0.00	98	0.00	33	-0.97	97	-0.47	97	-0.42	97	-400.02	97	389.25	33
0	Max	-1946	0.00	101	0.00	97	0.00	97	-0.01	33	-0.05	33	-0.05	33	-4.32	33	531.99	97
0	Max	-1784	0.00	101	0.00	97	0.00	97	-0.01	33	-0.05	33	-0.05	33	-4.32	33	531.99	97
0	Max	-1429	0.00	101	0.00	97	0.00	97	-0.01	33	-0.05	33	-0.05	33	-4.32	33	531.99	97
0	Max	-1949	0.00	101	0.00	97	0.00	97	-0.01	33	-0.05	33	-0.05	33	-4.32	33	531.99	97
0	Min.	-1946	0.00	98	0.00	33	0.00	49	-0.01	97	-0.08	97	-0.07	97	-6.07	97	378.69	33
0	Min.	-1784	0.00	98	0.00	33	0.00	49	-0.01	97	-0.08	97	-0.07	97	-6.07	97	378.69	33
0	Min.	-1429	0.00	98	0.00	33	0.00	49	-0.01	97	-0.08	97	-0.07	97	-6.07	97	378.69	33
0	Min.	-1949	0.00	98	0.00	33	0.00	49	-0.01	97	-0.08	97	-0.07	97	-6.07	97	378.69	33
0	Max	-1950	0.00	97	-0.00	33	0.00	98	-1.34	33	-1.19	33	-0.53	33	-250.99	33	1152.43	97
0	Max	-1804	0.00	97	-0.00	33	0.00	98	-1.34	33	-1.19	33	-0.53	33	-250.99	33	1152.43	97
0	Max	-2161	0.00	97	-0.00	33	0.00	98	-1.34	33	-1.19	33	-0.53	33	-250.99	33	1152.43	97
0	Max	-2162	0.00	97	-0.00	33	0.00	98	-1.34	33	-1.19	33	-0.53	33	-250.99	33	1152.43	97
0	Min.	-1950	0.00	102	-0.00	97	0.00	101	-2.00	97	-1.82	97	-0.74	97	-354.91	97	762.72	33

0	Min.	-1804	0.00	102	-0.00	97	0.00	101	-2.00	97	-1.82	97	-0.74	97	-354.91	97	762.72	33
0	Min.	-2161	0.00	102	-0.00	97	0.00	101	-2.00	97	-1.82	97	-0.74	97	-354.91	97	762.72	33
0	Min.	-2162	0.00	102	-0.00	97	0.00	101	-2.00	97	-1.82	97	-0.74	97	-354.91	97	762.72	33
0	Max	-1951	0.00	97	0.00	97	-0.00	33	-0.81	33	0.32	97	-0.20	33	-327.25	33	701.05	97
0	Max	-1764	0.00	97	0.00	97	-0.00	33	-0.81	33	0.32	97	-0.20	33	-327.25	33	701.05	97
0	Max	-1405	0.00	97	0.00	97	-0.00	33	-0.81	33	0.32	97	-0.20	33	-327.25	33	701.05	97
0	Max	-1952	0.00	97	0.00	97	-0.00	33	-0.81	33	0.32	97	-0.20	33	-327.25	33	701.05	97
0	Min.	-1951	0.00	102	0.00	33	-0.00	97	-1.14	97	0.18	33	-0.29	97	-459.74	97	488.85	33
0	Min.	-1764	0.00	102	0.00	33	-0.00	97	-1.14	97	0.18	33	-0.29	97	-459.74	97	488.85	33
0	Min.	-1405	0.00	102	0.00	33	-0.00	97	-1.14	97	0.18	33	-0.29	97	-459.74	97	488.85	33
0	Min.	-1952	0.00	102	0.00	33	-0.00	97	-1.14	97	0.18	33	-0.29	97	-459.74	97	488.85	33
0	Max	-1952	0.00	97	0.00	97	0.00	97	-0.81	33	0.31	97	0.53	97	273.19	97	524.94	97
0	Max	-1405	0.00	97	0.00	97	0.00	97	-0.81	33	0.31	97	0.53	97	273.19	97	524.94	97
0	Max	-1839	0.00	97	0.00	97	0.00	97	-0.81	33	0.31	97	0.53	97	273.19	97	524.94	97
0	Max	-1948	0.00	97	0.00	97	0.00	97	-0.81	33	0.31	97	0.53	97	273.19	97	524.94	97
0	Min.	-1952	0.00	102	0.00	33	0.00	33	-1.14	97	0.20	33	0.37	33	194.70	33	373.68	33
0	Min.	-1405	0.00	102	0.00	33	0.00	33	-1.14	97	0.20	33	0.37	33	194.70	33	373.68	33
0	Min.	-1839	0.00	102	0.00	33	0.00	33	-1.14	97	0.20	33	0.37	33	194.70	33	373.68	33
0	Min.	-1948	0.00	102	0.00	33	0.00	33	-1.14	97	0.20	33	0.37	33	194.70	33	373.68	33
0	Max	-1949	0.00	101	0.00	97	0.00	33	-0.01	33	-0.05	33	0.07	97	6.28	97	531.69	97
0	Max	-1429	0.00	101	0.00	97	0.00	33	-0.01	33	-0.05	33	0.07	97	6.28	97	531.69	97
0	Max	-1824	0.00	101	0.00	97	0.00	33	-0.01	33	-0.05	33	0.07	97	6.28	97	531.69	97
0	Max	-1953	0.00	101	0.00	97	0.00	33	-0.01	33	-0.05	33	0.07	97	6.28	97	531.69	97
0	Min.	-1949	0.00	98	0.00	49	-0.00	97	-0.01	97	-0.08	97	0.05	33	4.47	33	378.48	33
0	Min.	-1429	0.00	98	0.00	49	-0.00	97	-0.01	97	-0.08	97	0.05	33	4.47	33	378.48	33
0	Min.	-1824	0.00	98	0.00	49	-0.00	97	-0.01	97	-0.08	97	0.05	33	4.47	33	378.48	33
0	Min.	-1953	0.00	98	0.00	49	-0.00	97	-0.01	97	-0.08	97	0.05	33	4.47	33	378.48	33
0	Max	-1954	-0.00	101	-0.00	101	0.00	98	-0.71	33	-0.51	33	-0.64	33	-284.74	33	389.20	97
0	Max	-1454	-0.00	101	-0.00	101	0.00	98	-0.71	33	-0.51	33	-0.64	33	-284.74	33	389.20	97
0	Max	-1875	-0.00	101	-0.00	101	0.00	98	-0.71	33	-0.51	33	-0.64	33	-284.74	33	389.20	97
0	Max	-1943	-0.00	101	-0.00	101	0.00	98	-0.71	33	-0.51	33	-0.64	33	-284.74	33	389.20	97
0	Min.	-1954	-0.00	98	-0.00	98	0.00	101	-1.00	97	-0.72	97	-0.90	97	-400.06	97	277.00	33
0	Min.	-1454	-0.00	98	-0.00	98	0.00	101	-1.00	97	-0.72	97	-0.90	97	-400.06	97	277.00	33
0	Min.	-1875	-0.00	98	-0.00	98	0.00	101	-1.00	97	-0.72	97	-0.90	97	-400.06	97	277.00	33
0	Min.	-1943	-0.00	98	-0.00	98	0.00	101	-1.00	97	-0.72	97	-0.90	97	-400.06	97	277.00	33
0	Max	-1953	0.00	97	0.00	97	0.00	98	0.05	97	0.50	97	-0.22	33	9.34	97	646.11	97
0	Max	-1824	0.00	97	0.00	97	0.00	98	0.05	97	0.50	97	-0.22	33	9.34	97	646.11	97
0	Max	-1454	0.00	97	0.00	97	0.00	98	0.05	97	0.50	97	-0.22	33	9.34	97	646.11	97
0	Max	-1954	0.00	97	0.00	97	0.00	98	0.05	97	0.50	97	-0.22	33	9.34	97	646.11	97
0	Min.	-1953	0.00	102	0.00	102	0.00	101	0.04	33	0.36	33	-0.31	97	6.65	33	459.92	33
0	Min.	-1824	0.00	102	0.00	102	0.00	101	0.04	33	0.36	33	-0.31	97	6.65	33	459.92	33
0	Min.	-1454	0.00	102	0.00	102	0.00	101	0.04	33	0.36	33	-0.31	97	6.65	33	459.92	33
0	Min.	-1954	0.00	102	0.00	102	0.00	101	0.04	33	0.36	33	-0.31	97	6.65	33	459.92	33
0	Max	-1944	0.00	97	0.00	97	0.00	33	-0.81	33	0.36	97	-0.37	33	-182.50	33	525.23	97
0	Max	-1477	0.00	97	0.00	97	0.00	33	-0.81	33	0.36	97	-0.37	33	-182.50	33	525.23	97
0	Max	-1507	0.00	97	0.00	97	0.00	33	-0.81	33	0.36	97	-0.37	33	-182.50	33	525.23	97
0	Max	-1955	0.00	97	0.00	97	0.00	33	-0.81	33	0.36	97	-0.37	33	-182.50	33	525.23	97
0	Min.	-1944	0.00	102	0.00	33	0.00	97	-1.14	97	0.25	33	-0.52	97	-255.85	97	374.19	33
0	Min.	-1477	0.00	102	0.00	33	0.00	97	-1.14	97	0.25	33	-0.52	97	-255.85	97	374.19	33
0	Min.	-1507	0.00	102	0.00	33	0.00	97	-1.14	97	0.25	33	-0.52	97	-255.85	97	374.19	33
0	Min.	-1955	0.00	102	0.00	33	0.00	97	-1.14	97	0.25	33	-0.52	97	-255.85	97	374.19	33
0	Max	-1955	0.00	97	0.00	97	0.00	97	-0.81	33	0.34	97	0.30	97	471.18	97	713.36	97
0	Max	-1507	0.00	97	0.00	97	0.00	97	-0.81	33	0.34	97	0.30	97	471.18	97	713.36	97
0	Max	-1727	0.00	97	0.00	97	0.00	97	-0.81	33	0.34	97	0.30	97	471.18	97	713.36	97
0	Max	-1956	0.00	97	0.00	97	0.00	97	-0.81	33	0.34	97	0.30	97	471.18	97	713.36	97
0	Min.	-1955	0.00	102	0.00	33	0.00	33	-1.14	97	0.22	33	0.22	33	335.85	33	502.92	33
0	Min.	-1507	0.00	102	0.00	33	0.00	33	-1.14	97	0.22	33	0.22	33	335.85	33	502.92	33
0	Min.	-1727	0.00	102	0.00	33	0.00	33	-1.14	97	0.22	33	0.22	33	335.85	33	502.92	33
0	Min.	-1956	0.00	102	0.00	33	0.00	33	-1.14	97	0.22	33	0.22	33	335.85	33	502.92	33
0	Max	-1956	0.00	101	-0.00	33	0.00	97	-1.27	33	0.05	97	-1.10	33	-365.66	33	699.94	97
0	Max	-1727	0.00	101	-0.00	33	0.00	97	-1.27	33	0.05	97	-1.10	33	-365.66	33	699.94	97
0	Max	-2200	0.00	101	-0.00	33	0.00	97	-1.27	33	0.05	97	-1.10	33	-365.66	33	699.94	97
0	Max	-2201	0.00	101	-0.00	33	0.00	97	-1.27	33	0.05	97	-1.10	33	-365.66	33	699.94	97
0	Min.	-1956	0.00	98	-0.00	97	0.00	33	-1.83	97	0.02	33	-1.61	97	-523.06	97	494.16	33
0	Min.	-1727	0.00	98	-0.00	97	0.00	33	-1.83	97	0.02	33	-1.61	97	-523.06	97	494.16	33
0	Min.	-2200	0.00	98	-0.00	97	0.00	33	-1.83	97	0.02	33	-1.61	97	-523.06	97	494.16	33
0	Min.	-2201	0.00	98	-0.00	97	0.00	33	-1.83	97	0.02	33	-1.61	97	-523.06	97	494.16	33
0	Max	-1958	0.00	97	0.00	97	0.00	97	-0.84	33	0.31	97	0.51	97	284.55	97	519.32	97
0	Max	-1529	0.00	97	0.00	97	0.00	97	-0.84	33	0.31	97	0.51	97	284.55	97	519.32	97
0	Max	-1416	0.00	97	0.00	97	0.00	97	-0.84	33	0.31	97	0.51	97	284.55	97	519.32	97
0	Max	-1959	0.00	97	0.00	97	0.00	97	-0.84	33	0.31	97	0.51	97	284.55	97	519.32	97
0	Min.	-1958	0.00	102	0.00	102	0.00	49	-1.19	97	0.20	33	0.35	33	202.87	33	369.66	33
0	Min.	-1529	0.00	102	0.00	102	0.00	49	-1.19	97	0.20	33	0.35	33	202.87	33	369.66	33
0	Min.	-1416	0.00	102	0.00	102	0.00	49	-1.19	97	0.20	33	0.35	33	202.87	33	369.66	33
0	Min.	-1959	0.00	102	0.00	102	0.00	49	-1.19	97	0.20	33	0.35	33	202.87	33	369.66	33
0	Max	-1960	0.00	97	0.00	97	0.00	33	-0.84	33	0.31	97	-0.18	33	-341.93	33	696.59	97
0	Max	-1362	0.00	97	0.00	97	0.00	33	-0.84	33	0.31	97	-0.18	33	-341.93	33	696.59	97
0	Max	-1529	0.00	97	0.00	97	0.00	33	-0.84	33	0.31	97	-0.18	33	-341.93	33	696.59	97
0	Max	-1958	0.00	97	0.00	97	0.00	33	-0.84	33	0.31	97	-0.18	33	-341.93	33	696.59	97
0	Min.	-1960	0.00	102	0.00	102	0.00	97	-1.19	97	0.18	33	-0.25	97	-480.66	97	486.10	33
0	Min.	-1362	0.00	102	0.00	102	0.00	97	-1.19	97	0.18	33	-0.25	97	-480.66	97	486.10	33
0	Min.	-1529	0.00	102	0.00	102	0.00	97	-1.19	97	0.18	33	-0.25	97	-480.66	97	486.10	33
0	Min.	-1958	0.00	102	0.00	102	0.00	97	-1.19	97	0.18	33	-0.25	97	-480.66	97	486.10	33
0	Max	-1961	0.00	101	0.00	101	0.00	102	-1.41	33	-1.20	33	-0.51	33	-265.73	33	1143.25	97
0	Max	-1625	0.00	101	0.00	101	0.00	102	-1.41	33	-1.20	33	-0.51	33	-265.73	33	1143.25	97
0	Max	-2165	0.00	101	0.00	101	0.00	102	-1.41	33	-1.20	33	-0.51	33	-265.73	33	1143.25	97
0	Max	-2166	0.00	101	0.00	101	0.00	102	-1.41	33	-1.20	33	-0.51	33	-265.73	33	1143.25	97
0	Min.	-1961	0.00	98	0.00	98	0.00	97	-2.12	97	-1.83	97	-0.72	97	-378.11	97	760.63	33
0	Min.	-1625	0.00	98	0.00	98	0.00	97	-2.12	97	-1.83	97	-0.72	97	-378.11	97	760.63	33
0	Min.	-2165	0.00	98	0.00	98	0.00	97	-2.12	97	-1.83	97	-0.72	97	-378.11	97	760.63	33
0	Min.	-2166	0.00	98	0.00	98	0.00	97	-2.12	97	-1.83	97	-0.72	97	-378.11	97	760.63	33
0	Max	-1962	0.00	97	0.00	97	0.00	97	-0.84	33	0.33	97	0.26	97	493.71	97	709.22	97
0	Max	-1521	0.00	97	0.00	97	0.00	97	-0.84	33	0.33	97	0.26	97	493.71	97	709.22	97
0	Max	-1660	0.00	97	0.00	97	0.00	97	-0.84	33	0.33	97	0.26	97	493.71	97	709.22	97
0	Max	-1963	0.00	97	0.00	97	0.00	97	-0.84	33	0.33	97	0.26	97	493.71	97	709.22	97
0	Min.	-1962	0.00	102	0.00	102	0.00	49	-1.19	97	0.21	33	0.20	33	351.81	33	500.00	33
0	Min.	-1521	0.00	102	0.00	102	0.00	49	-1.19	97	0.21	33	0.20	33	351.81	33	500.00	33
0	Min.	-1660	0.00	102	0.00	102	0.00	49	-1.19	97	0.21	33	0.20	33	351.81	33	500.00	33
0	Min.	-1963	0.00	102	0.00	102	0.00	49	-1.19	97	0.21	33	0.20	33	351.81	33	500.00	33
0	Max	-1963	0.00	101	0.00	101	0.00	97	-1.34	33	0.05	97	-1.08	33	-380.69	33	690.01	97
0	Max	-1660	0.00	101	0.00	101	0.00	97	-1.34	33	0.05	97	-1.08	33	-380.69	33	690.01	97
0	Max	-2213	0.00	101	0.00	101	0.00	97	-1.34	33	0.05	97	-1.08	33	-380.69	33	690.01	97
0	Max	-2212	0.00	101	0.00	101	0.00	97	-1.34	33	0.05	97	-1.08	33	-380.69	33	690.01	97
0	Min.	-1963	0.00	98	0.00	98	0.00	102	-1.93	97	0.01	33	-1.58	97	-544.53	97	487.30	33
0	Min.	-1660	0.00	98	0.00	98	0.00	102	-1.93	97	0.01	33	-1.58	97	-544.53	97	487.30	33

0	Min.	-2213	0.00	98	0.00	98	0.00	102	-1.93	97	0.01	33	-1.58	97	-544.53	97	487.30	33
0	Min.	-2212	0.00	98	0.00	98	0.00	102	-1.93	97	0.01	33	-1.58	97	-544.53	97	487.30	33
0	Max	-1965	0.00	97	0.00	97	0.00	33	-0.84	33	0.36	97	-0.35	33	-190.30	33	519.82	97
0	Max	-1653	0.00	97	0.00	97	0.00	33	-0.84	33	0.36	97	-0.35	33	-190.30	33	519.82	97
0	Max	-1521	0.00	97	0.00	97	0.00	33	-0.84	33	0.36	97	-0.35	33	-190.30	33	519.82	97
0	Max	-1962	0.00	97	0.00	97	0.00	33	-0.84	33	0.36	97	-0.35	33	-190.30	33	519.82	97
0	Min.	-1965	0.00	102	0.00	102	0.00	97	-1.18	97	0.25	33	-0.50	97	-266.85	97	370.35	33
0	Min.	-1653	0.00	102	0.00	102	0.00	97	-1.18	97	0.25	33	-0.50	97	-266.85	97	370.35	33
0	Min.	-1521	0.00	102	0.00	102	0.00	97	-1.18	97	0.25	33	-0.50	97	-266.85	97	370.35	33
0	Min.	-1962	0.00	102	0.00	102	0.00	97	-1.18	97	0.25	33	-0.50	97	-266.85	97	370.35	33
0	Max	-1966	0.00	101	0.00	97	0.00	33	-0.01	33	-0.05	33	0.07	97	6.19	97	529.99	97
0	Max	-1674	0.00	101	0.00	97	0.00	33	-0.01	33	-0.05	33	0.07	97	6.19	97	529.99	97
0	Max	-1639	0.00	101	0.00	97	0.00	33	-0.01	33	-0.05	33	0.07	97	6.19	97	529.99	97
0	Max	-1967	0.00	101	0.00	97	0.00	33	-0.01	33	-0.05	33	0.07	97	6.19	97	529.99	97
0	Min.	-1966	0.00	98	0.00	49	0.00	97	-0.01	98	-0.08	97	0.05	33	4.41	33	377.27	33
0	Min.	-1674	0.00	98	0.00	49	0.00	97	-0.01	98	-0.08	97	0.05	33	4.41	33	377.27	33
0	Min.	-1639	0.00	98	0.00	49	0.00	97	-0.01	98	-0.08	97	0.05	33	4.41	33	377.27	33
0	Min.	-1967	0.00	98	0.00	49	0.00	97	-0.01	98	-0.08	97	0.05	33	4.41	33	377.27	33
0	Max	-1967	0.00	97	0.00	97	0.00	33	0.05	97	0.50	97	-0.22	33	9.43	97	644.72	97
0	Max	-1639	0.00	97	0.00	97	0.00	33	0.05	97	0.50	97	-0.22	33	9.43	97	644.72	97
0	Max	-1646	0.00	97	0.00	97	0.00	33	0.05	97	0.50	97	-0.22	33	9.43	97	644.72	97
0	Max	-1968	0.00	97	0.00	97	0.00	33	0.05	97	0.50	97	-0.22	33	9.43	97	644.72	97
0	Min.	-1967	0.00	102	0.00	102	0.00	97	0.03	33	0.36	33	-0.31	97	6.71	33	458.93	33
0	Min.	-1639	0.00	102	0.00	102	0.00	97	0.03	33	0.36	33	-0.31	97	6.71	33	458.93	33
0	Min.	-1646	0.00	102	0.00	102	0.00	97	0.03	33	0.36	33	-0.31	97	6.71	33	458.93	33
0	Min.	-1968	0.00	102	0.00	102	0.00	97	0.03	33	0.36	33	-0.31	97	6.71	33	458.93	33
0	Max	-1959	0.00	101	0.00	101	0.00	97	-0.73	33	-0.33	33	-0.29	33	-293.01	33	541.52	97
0	Max	-1416	0.00	101	0.00	101	0.00	97	-0.73	33	-0.33	33	-0.29	33	-293.01	33	541.52	97
0	Max	-1895	0.00	101	0.00	101	0.00	97	-0.73	33	-0.33	33	-0.29	33	-293.01	33	541.52	97
0	Max	-1969	0.00	101	0.00	101	0.00	97	-0.73	33	-0.33	33	-0.29	33	-293.01	33	541.52	97
0	Min.	-1959	0.00	98	-0.00	98	0.00	49	-1.03	97	-0.47	97	-0.40	97	-411.58	97	385.54	33
0	Min.	-1416	0.00	98	-0.00	98	0.00	49	-1.03	97	-0.47	97	-0.40	97	-411.58	97	385.54	33
0	Min.	-1895	0.00	98	-0.00	98	0.00	49	-1.03	97	-0.47	97	-0.40	97	-411.58	97	385.54	33
0	Min.	-1969	0.00	98	-0.00	98	0.00	49	-1.03	97	-0.47	97	-0.40	97	-411.58	97	385.54	33
0	Max	-1970	0.00	97	0.00	97	0.00	97	0.05	97	0.50	97	0.31	97	-6.77	33	644.92	97
0	Max	-1667	0.00	97	0.00	97	0.00	97	0.05	97	0.50	97	0.31	97	-6.77	33	644.92	97
0	Max	-1632	0.00	97	0.00	97	0.00	97	0.05	97	0.50	97	0.31	97	-6.77	33	644.92	97
0	Max	-1971	0.00	97	0.00	97	0.00	97	0.05	97	0.50	97	0.31	97	-6.77	33	644.92	97
0	Min.	-1970	0.00	102	0.00	102	0.00	49	0.03	33	0.36	33	0.22	33	-9.51	97	459.07	33
0	Min.	-1667	0.00	102	0.00	102	0.00	49	0.03	33	0.36	33	0.22	33	-9.51	97	459.07	33
0	Min.	-1632	0.00	102	0.00	102	0.00	49	0.03	33	0.36	33	0.22	33	-9.51	97	459.07	33
0	Min.	-1971	0.00	102	0.00	102	0.00	49	0.03	33	0.36	33	0.22	33	-9.51	97	459.07	33
0	Max	-1968	0.00	101	0.00	101	0.00	98	-0.74	33	-0.51	33	-0.62	33	-292.52	33	383.08	97
0	Max	-1646	0.00	101	0.00	101	0.00	98	-0.74	33	-0.51	33	-0.62	33	-292.52	33	383.08	97
0	Max	-1910	0.00	101	0.00	101	0.00	98	-0.74	33	-0.51	33	-0.62	33	-292.52	33	383.08	97
0	Max	-1972	0.00	101	0.00	101	0.00	98	-0.74	33	-0.51	33	-0.62	33	-292.52	33	383.08	97
0	Min.	-1968	0.00	98	-0.00	98	0.00	49	-1.04	97	-0.72	97	-0.88	97	-410.99	97	272.65	33
0	Min.	-1646	0.00	98	-0.00	98	0.00	49	-1.04	97	-0.72	97	-0.88	97	-410.99	97	272.65	33
0	Min.	-1910	0.00	98	-0.00	98	0.00	49	-1.04	97	-0.72	97	-0.88	97	-410.99	97	272.65	33
0	Min.	-1972	0.00	98	-0.00	98	0.00	49	-1.04	97	-0.72	97	-0.88	97	-410.99	97	272.65	33
0	Max	-1971	0.00	101	0.00	97	0.00	97	-0.01	33	-0.05	33	-0.05	33	-4.26	33	530.29	97
0	Max	-1632	0.00	101	0.00	97	0.00	97	-0.01	33	-0.05	33	-0.05	33	-4.26	33	530.29	97
0	Max	-1674	0.00	101	0.00	97	0.00	97	-0.01	33	-0.05	33	-0.05	33	-4.26	33	530.29	97
0	Max	-1966	0.00	101	0.00	97	0.00	97	-0.01	33	-0.05	33	-0.05	33	-4.26	33	530.29	97
0	Min.	-1971	0.00	98	0.00	33	0.00	49	-0.01	98	-0.08	97	-0.07	97	-5.98	97	377.48	33
0	Min.	-1632	0.00	98	0.00	33	0.00	49	-0.01	98	-0.08	97	-0.07	97	-5.98	97	377.48	33
0	Min.	-1674	0.00	98	0.00	33	0.00	49	-0.01	98	-0.08	97	-0.07	97	-5.98	97	377.48	33
0	Min.	-1966	0.00	98	0.00	33	0.00	49	-0.01	98	-0.08	97	-0.07	97	-5.98	97	377.48	33
0	Max	-1969	0.00	101	0.00	101	0.00	33	-0.75	33	-0.50	33	0.88	97	410.64	97	381.94	97
0	Max	-1895	0.00	101	0.00	101	0.00	33	-0.75	33	-0.50	33	0.88	97	410.64	97	381.94	97
0	Max	-1667	0.00	101	0.00	101	0.00	33	-0.75	33	-0.50	33	0.88	97	410.64	97	381.94	97
0	Max	-1970	0.00	101	0.00	101	0.00	33	-0.75	33	-0.50	33	0.88	97	410.64	97	381.94	97
0	Min.	-1969	0.00	98	-0.00	98	0.00	98	-1.05	97	-0.71	97	0.63	33	292.27	33	271.82	33
0	Min.	-1895	0.00	98	-0.00	98	0.00	98	-1.05	97	-0.71	97	0.63	33	292.27	33	271.82	33
0	Min.	-1667	0.00	98	-0.00	98	0.00	98	-1.05	97	-0.71	97	0.63	33	292.27	33	271.82	33
0	Min.	-1970	0.00	98	-0.00	98	0.00	98	-1.05	97	-0.71	97	0.63	33	292.27	33	271.82	33
0	Max	-1972	0.00	101	0.00	101	-0.00	33	-0.73	33	-0.35	33	0.42	97	412.34	97	534.62	97
0	Max	-1910	0.00	101	0.00	101	-0.00	33	-0.73	33	-0.35	33	0.42	97	412.34	97	534.62	97
0	Max	-1653	0.00	101	0.00	101	-0.00	33	-0.73	33	-0.35	33	0.42	97	412.34	97	534.62	97
0	Max	-1965	0.00	101	0.00	101	-0.00	33	-0.73	33	-0.35	33	0.42	97	412.34	97	534.62	97
0	Min.	-1972	0.00	98	-0.00	98	-0.00	97	-1.02	97	-0.49	97	0.30	33	293.55	33	380.68	33
0	Min.	-1910	0.00	98	-0.00	98	-0.00	97	-1.02	97	-0.49	97	0.30	33	293.55	33	380.68	33
0	Min.	-1653	0.00	98	-0.00	98	-0.00	97	-1.02	97	-0.49	97	0.30	33	293.55	33	380.68	33
0	Min.	-1965	0.00	98	-0.00	98	-0.00	97	-1.02	97	-0.49	97	0.30	33	293.55	33	380.68	33
0	Max	-2036	-0.00	101	0.00	33	0.00	97	1.32	97	4.18	97	-1.21	33	522.53	97	71.16	97
0	Max	-2037	-0.00	101	0.00	33	0.00	97	1.32	97	4.18	97	-1.21	33	522.53	97	71.16	97
0	Max	-1803	-0.00	101	0.00	33	0.00	97	1.32	97	4.18	97	-1.21	33	522.53	97	71.16	97
0	Max	-1687	-0.00	101	0.00	33	0.00	97	1.32	97	4.18	97	-1.21	33	522.53	97	71.16	97
0	Min.	-2036	-0.00	98	0.00	98	0.00	102	0.88	33	2.88	33	-1.85	97	360.26	33	48.41	33
0	Min.	-2037	-0.00	98	0.00	98	0.00	102	0.88	33	2.88	33	-1.85	97	360.26	33	48.41	33
0	Min.	-1803	-0.00	98	0.00	98	0.00	102	0.88	33	2.88	33	-1.85	97	360.26	33	48.41	33
0	Min.	-1687	-0.00	98	0.00	98	0.00	102	0.88	33	2.88	33	-1.85	97	360.26	33	48.41	33
0	Max	-2020	0.00	98	0.00	98	0.00	98	1.31	97	4.17	97	-1.22	33	522.25	97	70.87	97
0	Max	-2021	0.00	98	0.00	98	0.00	98	1.31	97	4.17	97	-1.22	33	522.25	97	70.87	97
0	Max	-1600	0.00	98	0.00	98	0.00	98	1.31	97	4.17	97	-1.22	33	522.25	97	70.87	97
0	Max	-1539	0.00	98	0.00	98	0.00	98	1.31	97	4.17	97	-1.22	33	522.25	97	70.87	97
0	Min.	-2020	0.00	101	0.00	101	0.00	101	0.88	33	2.88	33	-1.85	97	360.92	33	48.32	33
0	Min.	-2021	0.00	101	0.00	101	0.00	101	0.88	33	2.88	33	-1.85	97	360.92	33	48.32	33
0	Min.	-1600	0.00	101	0.00	101	0.00	101	0.88	33	2.88	33	-1.85	97	360.92	33	48.32	33
0	Min.	-1539	0.00	101	0.00	101	0.00	101	0.88	33	2.88	33	-1.85	97	360.92	33	48.32	33
0	Max	-1883	-0.00	33	-0.00	33	0.00	97	-0.03	33	-0.30	33	0.00	33	566.54	97	-386.07	33
0	Max	-1884	-0.00	33	-0.00	33	0.00	97	-0.03	33	-0.30	33	0.00	33	566.54	97	-386.07	33
0	Max	-1842	-0.00	33	-0.00	33	0.00	97	-0.03	33	-0.30	33	0.00	33	566.54	97	-386.07	33
0	Max	-1493	-0.00	33	-0.00	33	0.00	97	-0.03	33	-0.30	33	0.00	33	566.54	97	-386.07	33
0	Min.	-1883	-0.00	97	-0.00	98	0.00	33	-0.04	97	-0.42	97	-0.00	33	403.27	33	-542.22	97
0	Min.	-1884	-0.00	97	-0.00	98	0.00	33	-0.04	97	-0.42	97	-0.00	33	403.27	33	-542.22	97
0	Min.	-1842	-0.00	97	-0.00	98	0.00	33	-0.04	97	-0.42	97	-0.00	33	403.27	33	-542.22	97
0	Min.	-1493	-0.00	97	-0.00	98	0.00	33	-0.04	97	-0.42	97	-0.00	33	403.27	33	-542.22	97
0	Max	-1873	0.00	101	-0.00	101	0.00	97	-0.73	33	-0.35	33	-0.30	33	412.07	97	-381.79	33
0	Max	-1943	0.00	101	-0.00	101	0.00	97	-0.73	33	-0.35	33	-0.30	33	412.07	97	-381.79	33
0	Max	-1944	0.00	101	-0.00	101	0.00	97	-0.73	33	-0.35	33	-0.30	33	412.07	97	-381.79	33
0	Max	-1476	0.00	101	-0.00	101	0.00	97	-0.73	33	-0.35	33	-0.30	33	412.07	97	-381.79	33
0	Min.	-1873	0.00	98	-0.00	98	0.00	33	-1.03	97	-0.49	97	-0.42	97	293.36	33	-536.17	97
0	Min.	-1943	0.00	98	-0.00	98	0.00	33	-1.03	97	-0.49	97	-0.42	97	293.36	33	-536.17	97
0	Min.	-1944	0.00	98	-0.00	98	0.00	33	-1.03	97	-0.49	97	-0.42	97	293.36	33	-536.17	97

0	Min.	-1476	0.00	98	-0.00	98	0.00	33	-1.03	97	-0.49	97	-0.42	97	293.36	33	-536.17	97
0	Max	-1833	0.00	98	0.00	98	-0.00	33	0.07	97	0.68	97	0.41	97	16.88	97	-473.82	33
0	Max	-2082	0.00	98	0.00	98	-0.00	33	0.07	97	0.68	97	0.41	97	16.88	97	-473.82	33
0	Max	-2081	0.00	98	0.00	98	-0.00	33	0.07	97	0.68	97	0.41	97	16.88	97	-473.82	33
0	Max	-1466	0.00	98	0.00	98	-0.00	33	0.07	97	0.68	97	0.41	97	16.88	97	-473.82	33
0	Min.	-1833	0.00	101	0.00	33	-0.00	98	0.05	33	0.48	33	0.29	33	12.01	33	-665.65	97
0	Min.	-2082	0.00	101	0.00	33	-0.00	98	0.05	33	0.48	33	0.29	33	12.01	33	-665.65	97
0	Min.	-2081	0.00	101	0.00	33	-0.00	98	0.05	33	0.48	33	0.29	33	12.01	33	-665.65	97
0	Min.	-1466	0.00	101	0.00	33	-0.00	98	0.05	33	0.48	33	0.29	33	12.01	33	-665.65	97
0	Max	-1884	-0.00	33	-0.00	33	-0.00	33	-0.03	33	-0.30	33	0.00	33	566.54	97	542.22	97
0	Max	-1885	-0.00	33	-0.00	33	-0.00	33	-0.03	33	-0.30	33	0.00	33	566.54	97	542.22	97
0	Max	-1494	-0.00	33	-0.00	33	-0.00	33	-0.03	33	-0.30	33	0.00	33	566.54	97	542.22	97
0	Max	-1842	-0.00	33	-0.00	33	-0.00	33	-0.03	33	-0.30	33	0.00	33	566.54	97	542.22	97
0	Min.	-1884	-0.00	98	-0.00	97	-0.00	98	-0.04	97	-0.42	97	-0.00	33	403.27	33	386.07	33
0	Min.	-1885	-0.00	98	-0.00	97	-0.00	98	-0.04	97	-0.42	97	-0.00	33	403.27	33	386.07	33
0	Min.	-1494	-0.00	98	-0.00	97	-0.00	98	-0.04	97	-0.42	97	-0.00	33	403.27	33	386.07	33
0	Min.	-1842	-0.00	98	-0.00	97	-0.00	98	-0.04	97	-0.42	97	-0.00	33	403.27	33	386.07	33
0	Max	-2215	-0.00	33	-0.00	33	-0.00	33	-0.77	33	-1.28	33	0.66	97	425.92	97	1104.49	97
0	Max	-2217	-0.00	33	-0.00	33	-0.00	33	-0.77	33	-1.28	33	0.66	97	425.92	97	1104.49	97
0	Max	-2065	-0.00	33	-0.00	33	-0.00	33	-0.77	33	-1.28	33	0.66	97	425.92	97	1104.49	97
0	Max	-2117	-0.00	33	-0.00	33	-0.00	33	-0.77	33	-1.28	33	0.66	97	425.92	97	1104.49	97
0	Min.	-2215	-0.00	97	-0.00	98	-0.00	97	-1.19	97	-1.94	97	0.47	33	302.99	33	725.52	33
0	Min.	-2217	-0.00	97	-0.00	98	-0.00	97	-1.19	97	-1.94	97	0.47	33	302.99	33	725.52	33
0	Min.	-2065	-0.00	97	-0.00	98	-0.00	97	-1.19	97	-1.94	97	0.47	33	302.99	33	725.52	33
0	Min.	-2117	-0.00	97	-0.00	98	-0.00	97	-1.19	97	-1.94	97	0.47	33	302.99	33	725.52	33
0	Max	-2194	-0.00	33	-0.00	33	-0.00	33	-0.66	33	-1.33	33	-0.01	33	742.63	97	1158.13	97
0	Max	-2216	-0.00	33	-0.00	33	-0.00	33	-0.66	33	-1.33	33	-0.01	33	742.63	97	1158.13	97
0	Max	-1753	-0.00	33	-0.00	33	-0.00	33	-0.66	33	-1.33	33	-0.01	33	742.63	97	1158.13	97
0	Max	-2119	-0.00	33	-0.00	33	-0.00	33	-0.66	33	-1.33	33	-0.01	33	742.63	97	1158.13	97
0	Min.	-2194	-0.00	97	-0.00	97	-0.00	97	-0.98	97	-2.02	97	-0.08	97	509.12	33	768.52	33
0	Min.	-2216	-0.00	97	-0.00	97	-0.00	97	-0.98	97	-2.02	97	-0.08	97	509.12	33	768.52	33
0	Min.	-1753	-0.00	97	-0.00	97	-0.00	97	-0.98	97	-2.02	97	-0.08	97	509.12	33	768.52	33
0	Min.	-2119	-0.00	97	-0.00	97	-0.00	97	-0.98	97	-2.02	97	-0.08	97	509.12	33	768.52	33
0	Max	-2191	-0.00	33	-0.00	33	-0.00	33	-0.48	33	-1.43	33	0.12	97	714.05	97	1167.80	97
0	Max	-2190	-0.00	33	-0.00	33	-0.00	33	-0.48	33	-1.43	33	0.12	97	714.05	97	1167.80	97
0	Max	-1755	-0.00	33	-0.00	33	-0.00	33	-0.48	33	-1.43	33	0.12	97	714.05	97	1167.80	97
0	Max	-2116	-0.00	33	-0.00	33	-0.00	33	-0.48	33	-1.43	33	0.12	97	714.05	97	1167.80	97
0	Min.	-2191	-0.00	98	-0.00	98	-0.00	97	-0.75	97	-2.17	97	0.09	33	490.78	33	767.74	33
0	Min.	-2190	-0.00	98	-0.00	98	-0.00	97	-0.75	97	-2.17	97	0.09	33	490.78	33	767.74	33
0	Min.	-1755	-0.00	98	-0.00	98	-0.00	97	-0.75	97	-2.17	97	0.09	33	490.78	33	767.74	33
0	Min.	-2116	-0.00	98	-0.00	98	-0.00	97	-0.75	97	-2.17	97	0.09	33	490.78	33	767.74	33
0	Max	-2189	-0.00	33	-0.00	33	-0.00	33	-0.82	33	-1.28	33	0.96	97	282.54	97	1116.07	97
0	Max	-2188	-0.00	33	-0.00	33	-0.00	33	-0.82	33	-1.28	33	0.96	97	282.54	97	1116.07	97
0	Max	-1756	-0.00	33	-0.00	33	-0.00	33	-0.82	33	-1.28	33	0.96	97	282.54	97	1116.07	97
0	Max	-2115	-0.00	33	-0.00	33	-0.00	33	-0.82	33	-1.28	33	0.96	97	282.54	97	1116.07	97
0	Min.	-2189	-0.00	97	-0.00	98	-0.00	97	-1.22	97	-1.93	97	0.68	33	202.16	33	741.13	33
0	Min.	-2188	-0.00	97	-0.00	98	-0.00	97	-1.22	97	-1.93	97	0.68	33	202.16	33	741.13	33
0	Min.	-1756	-0.00	97	-0.00	98	-0.00	97	-1.22	97	-1.93	97	0.68	33	202.16	33	741.13	33
0	Min.	-2115	-0.00	97	-0.00	98	-0.00	97	-1.22	97	-1.93	97	0.68	33	202.16	33	741.13	33
0	Max	-2220	0.00	102	-0.00	101	0.00	101	-0.01	33	-0.00	33	0.01	97	753.49	97	5.78	97
0	Max	-2177	0.00	102	-0.00	101	0.00	101	-0.01	33	-0.00	33	0.01	97	753.49	97	5.78	97
0	Max	-1548	0.00	102	-0.00	101	0.00	101	-0.01	33	-0.00	33	0.01	97	753.49	97	5.78	97
0	Max	-2071	0.00	102	-0.00	101	0.00	101	-0.01	33	-0.00	33	0.01	97	753.49	97	5.78	97
0	Min.	-2220	-0.00	97	-0.00	98	0.00	98	-0.02	97	-0.00	98	0.01	33	527.74	33	4.01	33
0	Min.	-2177	-0.00	97	-0.00	98	0.00	98	-0.02	97	-0.00	98	0.01	33	527.74	33	4.01	33
0	Min.	-1548	-0.00	97	-0.00	98	0.00	98	-0.02	97	-0.00	98	0.01	33	527.74	33	4.01	33
0	Min.	-2071	-0.00	97	-0.00	98	0.00	98	-0.02	97	-0.00	98	0.01	33	527.74	33	4.01	33
0	Max	-2178	0.00	97	-0.00	33	0.00	101	-0.11	33	-0.00	33	-0.10	33	673.46	97	-3.70	33
0	Max	-2220	0.00	97	-0.00	33	0.00	101	-0.11	33	-0.00	33	-0.10	33	673.46	97	-3.70	33
0	Max	-2071	0.00	97	-0.00	33	0.00	101	-0.11	33	-0.00	33	-0.10	33	673.46	97	-3.70	33
0	Max	-1546	0.00	97	-0.00	33	0.00	101	-0.11	33	-0.00	33	-0.10	33	673.46	97	-3.70	33
0	Min.	-2178	0.00	102	-0.00	98	0.00	98	-0.16	97	-0.00	98	-0.14	97	472.29	33	-5.34	97
0	Min.	-2220	0.00	102	-0.00	98	0.00	98	-0.16	97	-0.00	98	-0.14	97	472.29	33	-5.34	97
0	Min.	-2071	0.00	102	-0.00	98	0.00	98	-0.16	97	-0.00	98	-0.14	97	472.29	33	-5.34	97
0	Min.	-1546	0.00	102	-0.00	98	0.00	98	-0.16	97	-0.00	98	-0.14	97	472.29	33	-5.34	97
0	Max	-2219	0.00	102	-0.00	33	0.00	98	0.95	97	0.05	97	0.83	97	883.26	97	-15.24	33
0	Max	-2203	0.00	102	-0.00	33	0.00	98	0.95	97	0.05	97	0.83	97	883.26	97	-15.24	33
0	Max	-1540	0.00	102	-0.00	33	0.00	98	0.95	97	0.05	97	0.83	97	883.26	97	-15.24	33
0	Max	-2069	0.00	102	-0.00	33	0.00	98	0.95	97	0.05	97	0.83	97	883.26	97	-15.24	33
0	Min.	-2219	-0.00	97	-0.00	97	0.00	101	0.66	33	0.04	33	0.58	33	617.53	33	-21.99	97
0	Min.	-2203	-0.00	97	-0.00	97	0.00	101	0.66	33	0.04	33	0.58	33	617.53	33	-21.99	97
0	Min.	-1540	-0.00	97	-0.00	97	0.00	101	0.66	33	0.04	33	0.58	33	617.53	33	-21.99	97
0	Min.	-2069	-0.00	97	-0.00	97	0.00	101	0.66	33	0.04	33	0.58	33	617.53	33	-21.99	97
0	Max	-2182	0.00	98	-0.00	33	0.00	33	-1.49	33	-1.35	33	0.80	97	373.58	97	1140.65	97
0	Max	-2219	0.00	98	-0.00	33	0.00	33	-1.49	33	-1.35	33	0.80	97	373.58	97	1140.65	97
0	Max	-2069	0.00	98	-0.00	33	0.00	33	-1.49	33	-1.35	33	0.80	97	373.58	97	1140.65	97
0	Max	-1942	0.00	98	-0.00	33	0.00	33	-1.49	33	-1.35	33	0.80	97	373.58	97	1140.65	97
0	Min.	-2182	0.00	101	-0.00	98	-0.00	98	-2.14	97	-1.98	97	0.57	33	266.12	33	782.61	33
0	Min.	-2219	0.00	101	-0.00	98	-0.00	98	-2.14	97	-1.98	97	0.57	33	266.12	33	782.61	33
0	Min.	-2069	0.00	101	-0.00	98	-0.00	98	-2.14	97	-1.98	97	0.57	33	266.12	33	782.61	33
0	Min.	-1942	0.00	101	-0.00	98	-0.00	98	-2.14	97	-1.98	97	0.57	33	266.12	33	782.61	33
0	Max	-2218	-0.00	101	-0.00	33	0.00	102	0.01	33	-0.00	33	0.01	98	750.69	97	8.39	97
0	Max	-2186	-0.00	101	-0.00	33	0.00	102	0.01	33	-0.00	33	0.01	98	750.69	97	8.39	97
0	Max	-1758	-0.00	101	-0.00	33	0.00	102	0.01	33	-0.00	33	0.01	98	750.69	97	8.39	97
0	Max	-2067	-0.00	101	-0.00	33	0.00	102	0.01	33	-0.00	33	0.01	98	750.69	97	8.39	97
0	Min.	-2218	-0.00	98	-0.00	98	0.00	97	0.00	33	-0.00	33	0.00	33	524.78	33	5.21	33
0	Min.	-2186	-0.00	98	-0.00	98	0.00	97	0.00	33	-0.00	33	0.00	33	524.78	33	5.21	33
0	Min.	-1758	-0.00	98	-0.00	98	0.00	97	0.00	33	-0.00	33	0.00	33	524.78	33	5.21	33
0	Min.	-2067	-0.00	98	-0.00	98	0.00	97	0.00	33	-0.00	33	0.00	33	524.78	33	5.21	33
0	Max	-2187	0.00	102	-0.00	33	0.00	98	-0.12	33	-0.00	33	-0.09	33	673.63	97	-3.06	33
0	Max	-2218	0.00	102	-0.00	33	0.00	98	-0.12	33	-0.00	33	-0.09	33	673.63	97	-3.06	33
0	Max	-2067	0.00	102	-0.00	33	0.00	98	-0.12	33	-0.00	33	-0.09	33	673.63	97	-3.06	33
0	Max	-1757	0.00	102	-0.00	33	0.00	98	-0.12	33	-0.00	33	-0.09	33	673.63	97	-3.06	33
0	Min.	-2187	-0.00	97	-0.00	98	0.00	101	-0.18	97	-0.00	33	-0.14	97	469.63	33	-6.04	97
0	Min.	-2218	-0.00	97	-0.00	98	0.00	101	-0.18	97	-0.00	33	-0.14	97	469.63	33	-6.04	97
0	Min.	-2067	-0.00	97	-0.00	98	0.00	101	-0.18	97	-0.00	33	-0.14	97	469.63	33	-6.04	97
0	Min.	-1757	-0.00	97	-0.00	98	0.00	101	-0.18	97	-0.00	33	-0.14	97	469.63	33	-6.04	97
0	Max	-2217	-0.00	102	-0.00	33	0.00	98	1.68	97	2.14	97	-0.10	33	1085.75	97	130.69	97
0	Max	-2193	-0.00	102	-0.00	33	0.00	98	1.68	97	2.14	97	-0.10	33	1085.75	97	130.69	97
0	Max	-1689	-0.00	102	-0.00	33	0.00	98	1.68	97	2.14	97	-0.10	33	1085.75	97	130.69	97
0	Max	-2065	-0.00	102	-0.00	33	0.00	98	1.68	97	2.14	97	-0.10	33	1085.75	97	130.69	97
0	Min.	-2217	-0.00	97	-0.00	97	0.00	101	1.10	33	1.50	33	-0.16	97	749.04	33	88.39	33
0	Min.	-2193	-0.00	97	-0.00	97	0.00	101	1.10	33	1.50	33	-0.16	97	749.04	33	88.39	33
0	Min.	-1689	-0.00	97	-0.00	97	0.00	101	1.10	33	1.50	33	-0.16	97	749.04	33	88.39	33
0	Min.	-2065	-0.00	97	-0.00	97	0.00	101	1.10	33	1.50	33	-0.16	97	749.04	33	88.39	33

0	Max	-2216	-0.00	33	-0.00	33	0.00	98	-0.48	33	-1.43	33	-0.09	33	714.05	97	-767.74	33
0	Max	-2215	-0.00	33	-0.00	33	0.00	98	-0.48	33	-1.43	33	-0.09	33	714.05	97	-767.74	33
0	Max	-2117	-0.00	33	-0.00	33	0.00	98	-0.48	33	-1.43	33	-0.09	33	714.05	97	-767.74	33
0	Max	-1753	-0.00	33	-0.00	33	0.00	98	-0.48	33	-1.43	33	-0.09	33	714.05	97	-767.74	33
0	Min.	-2216	-0.00	97	-0.00	97	0.00	33	-0.75	97	-2.17	97	-0.12	97	490.78	33	-1167.80	97
0	Min.	-2215	-0.00	97	-0.00	97	0.00	33	-0.75	97	-2.17	97	-0.12	97	490.78	33	-1167.80	97
0	Min.	-2117	-0.00	97	-0.00	97	0.00	33	-0.75	97	-2.17	97	-0.12	97	490.78	33	-1167.80	97
0	Min.	-1753	-0.00	97	-0.00	97	0.00	33	-0.75	97	-2.17	97	-0.12	97	490.78	33	-1167.80	97
0	Max	-2214	-0.00	33	-0.00	33	0.00	98	0.01	33	-0.00	33	-0.00	33	750.69	97	-5.21	33
0	Max	-2197	-0.00	33	-0.00	33	0.00	98	0.01	33	-0.00	33	-0.00	33	750.69	97	-5.21	33
0	Max	-1750	-0.00	33	-0.00	33	0.00	98	0.01	33	-0.00	33	-0.00	33	750.69	97	-5.21	33
0	Max	-2063	-0.00	33	-0.00	33	0.00	98	0.01	33	-0.00	33	-0.00	33	750.69	97	-5.21	33
0	Min.	-2214	-0.00	97	-0.00	97	0.00	101	0.00	33	-0.00	33	-0.01	97	524.78	33	-8.39	97
0	Min.	-2197	-0.00	97	-0.00	97	0.00	101	0.00	33	-0.00	33	-0.01	97	524.78	33	-8.39	97
0	Min.	-1750	-0.00	97	-0.00	97	0.00	101	0.00	33	-0.00	33	-0.01	97	524.78	33	-8.39	97
0	Min.	-2063	-0.00	97	-0.00	97	0.00	101	0.00	33	-0.00	33	-0.01	97	524.78	33	-8.39	97
0	Max	-2198	-0.00	33	-0.00	33	0.00	98	0.01	33	-0.00	33	0.01	97	750.81	97	8.39	97
0	Max	-2214	-0.00	33	-0.00	33	0.00	98	0.01	33	-0.00	33	0.01	97	750.81	97	8.39	97
0	Max	-2063	-0.00	33	-0.00	33	0.00	98	0.01	33	-0.00	33	0.01	97	750.81	97	8.39	97
0	Max	-1749	-0.00	33	-0.00	33	0.00	98	0.01	33	-0.00	33	0.01	97	750.81	97	8.39	97
0	Min.	-2198	-0.00	98	-0.00	97	0.00	33	0.00	33	-0.00	97	0.00	33	525.70	33	5.63	33
0	Min.	-2214	-0.00	98	-0.00	97	0.00	33	0.00	33	-0.00	97	0.00	33	525.70	33	5.63	33
0	Min.	-2063	-0.00	98	-0.00	97	0.00	33	0.00	33	-0.00	97	0.00	33	525.70	33	5.63	33
0	Min.	-1749	-0.00	98	-0.00	97	0.00	33	0.00	33	-0.00	97	0.00	33	525.70	33	5.63	33
0	Max	-2212	0.00	101	0.00	101	0.00	97	-1.48	33	-1.35	33	0.79	97	374.14	97	1137.50	97
0	Max	-2213	0.00	101	0.00	101	0.00	97	-1.48	33	-1.35	33	0.79	97	374.14	97	1137.50	97
0	Max	-1681	0.00	101	0.00	101	0.00	97	-1.48	33	-1.35	33	0.79	97	374.14	97	1137.50	97
0	Max	-1964	0.00	101	0.00	101	0.00	97	-1.48	33	-1.35	33	0.79	97	374.14	97	1137.50	97
0	Min.	-2212	0.00	98	0.00	98	0.00	102	-2.14	97	-1.97	97	0.57	33	266.51	33	780.63	33
0	Min.	-2213	0.00	98	0.00	98	0.00	102	-2.14	97	-1.97	97	0.57	33	266.51	33	780.63	33
0	Min.	-1681	0.00	98	0.00	98	0.00	102	-2.14	97	-1.97	97	0.57	33	266.51	33	780.63	33
0	Min.	-1964	0.00	98	0.00	98	0.00	102	-2.14	97	-1.97	97	0.57	33	266.51	33	780.63	33
0	Max	-2201	0.00	97	-0.00	33	0.00	101	-1.40	33	-1.34	33	0.82	97	350.99	97	1146.91	97
0	Max	-2200	0.00	97	-0.00	33	0.00	101	-1.40	33	-1.34	33	0.82	97	350.99	97	1146.91	97
0	Max	-1747	0.00	97	-0.00	33	0.00	101	-1.40	33	-1.34	33	0.82	97	350.99	97	1146.91	97
0	Max	-1957	0.00	97	-0.00	33	0.00	101	-1.40	33	-1.34	33	0.82	97	350.99	97	1146.91	97
0	Min.	-2201	0.00	102	-0.00	97	0.00	98	-2.02	97	-1.96	97	0.59	33	250.42	33	787.00	33
0	Min.	-2200	0.00	102	-0.00	97	0.00	98	-2.02	97	-1.96	97	0.59	33	250.42	33	787.00	33
0	Min.	-1747	0.00	102	-0.00	97	0.00	98	-2.02	97	-1.96	97	0.59	33	250.42	33	787.00	33
0	Min.	-1957	0.00	102	-0.00	97	0.00	98	-2.02	97	-1.96	97	0.59	33	250.42	33	787.00	33
0	Max	-2180	0.00	102	-0.00	102	0.00	33	-1.40	33	-1.34	33	0.82	97	351.60	97	1143.60	97
0	Max	-2179	0.00	102	-0.00	102	0.00	33	-1.40	33	-1.34	33	0.82	97	351.60	97	1143.60	97
0	Max	-1545	0.00	102	-0.00	102	0.00	33	-1.40	33	-1.34	33	0.82	97	351.60	97	1143.60	97
0	Max	-1922	0.00	102	-0.00	102	0.00	33	-1.40	33	-1.34	33	0.82	97	351.60	97	1143.60	97
0	Min.	-2180	0.00	97	-0.00	97	0.00	98	-2.01	97	-1.96	97	0.59	33	250.91	33	784.87	33
0	Min.	-2179	0.00	97	-0.00	97	0.00	98	-2.01	97	-1.96	97	0.59	33	250.91	33	784.87	33
0	Min.	-1545	0.00	97	-0.00	97	0.00	98	-2.01	97	-1.96	97	0.59	33	250.91	33	784.87	33
0	Min.	-1922	0.00	97	-0.00	97	0.00	98	-2.01	97	-1.96	97	0.59	33	250.91	33	784.87	33
0	Max	-2213	0.00	97	0.00	97	0.00	97	0.94	97	0.05	97	0.83	97	882.77	97	-14.95	33
0	Max	-2204	0.00	97	0.00	97	0.00	97	0.94	97	0.05	97	0.83	97	882.77	97	-14.95	33
0	Max	-1686	0.00	97	0.00	97	0.00	97	0.94	97	0.05	97	0.83	97	882.77	97	-14.95	33
0	Max	-1681	0.00	97	0.00	97	0.00	97	0.94	97	0.05	97	0.83	97	882.77	97	-14.95	33
0	Min.	-2213	0.00	102	0.00	102	0.00	102	0.65	33	0.04	33	0.58	33	617.22	33	-21.58	97
0	Min.	-2204	0.00	102	0.00	102	0.00	102	0.65	33	0.04	33	0.58	33	617.22	33	-21.58	97
0	Min.	-1686	0.00	102	0.00	102	0.00	102	0.65	33	0.04	33	0.58	33	617.22	33	-21.58	97
0	Min.	-1681	0.00	102	0.00	102	0.00	102	0.65	33	0.04	33	0.58	33	617.22	33	-21.58	97
0	Max	-2211	0.00	101	-0.00	101	0.00	97	-1.40	33	-1.34	33	-0.59	33	351.57	97	-784.60	33
0	Max	-2212	0.00	101	-0.00	101	0.00	97	-1.40	33	-1.34	33	-0.59	33	351.57	97	-784.60	33
0	Max	-1964	0.00	101	-0.00	101	0.00	97	-1.40	33	-1.34	33	-0.59	33	351.57	97	-784.60	33
0	Max	-1680	0.00	101	-0.00	101	0.00	97	-1.40	33	-1.34	33	-0.59	33	351.57	97	-784.60	33
0	Min.	-2211	0.00	98	-0.00	98	0.00	49	-2.01	97	-1.96	97	-0.82	97	250.89	33	-1143.21	97
0	Min.	-2212	0.00	98	-0.00	98	0.00	49	-2.01	97	-1.96	97	-0.82	97	250.89	33	-1143.21	97
0	Min.	-1964	0.00	98	-0.00	98	0.00	49	-2.01	97	-1.96	97	-0.82	97	250.89	33	-1143.21	97
0	Min.	-1680	0.00	98	-0.00	98	0.00	49	-2.01	97	-1.96	97	-0.82	97	250.89	33	-1143.21	97
0	Max	-2210	0.00	97	-0.00	49	0.00	97	1.11	97	0.05	97	-0.47	33	944.05	97	28.57	97
0	Max	-2211	0.00	97	-0.00	49	0.00	97	1.11	97	0.05	97	-0.47	33	944.05	97	28.57	97
0	Max	-1680	0.00	97	-0.00	49	0.00	97	1.11	97	0.05	97	-0.47	33	944.05	97	28.57	97
0	Max	-1679	0.00	97	-0.00	49	0.00	97	1.11	97	0.05	97	-0.47	33	944.05	97	28.57	97
0	Min.	-2210	0.00	102	-0.00	98	0.00	49	0.77	33	0.04	33	-0.68	97	659.67	33	19.81	33
0	Min.	-2211	0.00	102	-0.00	98	0.00	49	0.77	33	0.04	33	-0.68	97	659.67	33	19.81	33
0	Min.	-1680	0.00	102	-0.00	98	0.00	49	0.77	33	0.04	33	-0.68	97	659.67	33	19.81	33
0	Min.	-1679	0.00	102	-0.00	98	0.00	49	0.77	33	0.04	33	-0.68	97	659.67	33	19.81	33
0	Max	-2209	0.00	98	-0.00	49	0.00	97	-0.11	33	-0.00	33	0.14	97	673.48	97	5.34	97
0	Max	-2210	0.00	98	-0.00	49	0.00	97	-0.11	33	-0.00	33	0.14	97	673.48	97	5.34	97
0	Max	-1679	0.00	98	-0.00	49	0.00	97	-0.11	33	-0.00	33	0.14	97	673.48	97	5.34	97
0	Max	-1678	0.00	98	-0.00	49	0.00	97	-0.11	33	-0.00	33	0.14	97	673.48	97	5.34	97
0	Min.	-2209	0.00	101	-0.00	97	0.00	102	-0.16	97	-0.00	97	0.10	33	472.31	33	3.70	33
0	Min.	-2210	0.00	101	-0.00	97	0.00	102	-0.16	97	-0.00	97	0.10	33	472.31	33	3.70	33
0	Min.	-1679	0.00	101	-0.00	97	0.00	102	-0.16	97	-0.00	97	0.10	33	472.31	33	3.70	33
0	Min.	-1678	0.00	101	-0.00	97	0.00	102	-0.16	97	-0.00	97	0.10	33	472.31	33	3.70	33
0	Max	-2208	0.00	101	-0.00	102	0.00	97	-0.01	33	-0.00	33	-0.01	33	753.49	97	-4.01	33
0	Max	-2209	0.00	101	-0.00	102	0.00	97	-0.01	33	-0.00	33	-0.01	33	753.49	97	-4.01	33
0	Max	-1678	0.00	101	-0.00	102	0.00	97	-0.01	33	-0.00	33	-0.01	33	753.49	97	-4.01	33
0	Max	-1677	0.00	101	-0.00	102	0.00	97	-0.01	33	-0.00	33	-0.01	33	753.49	97	-4.01	33
0	Min.	-2208	-0.00	98	-0.00	97	0.00	102	-0.02	97	-0.00	97	-0.01	98	527.74	33	-5.78	97
0	Min.	-2209	-0.00	98	-0.00	97	0.00	102	-0.02	97	-0.00	97	-0.01	98	527.74	33	-5.78	97
0	Min.	-1678	-0.00	98	-0.00	97	0.00	102	-0.02	97	-0.00	97	-0.01	98	527.74	33	-5.78	97
0	Min.	-1677	-0.00	98	-0.00	97	0.00	102	-0.02	97	-0.00	97	-0.01	98	527.74	33	-5.78	97
0	Max	-2207	0.00	101	-0.00	49	0.00	97	0.03	97	0.00	98	-0.00	33	734.73	97	2.72	97
0	Max	-2208	0.00	101	-0.00	49	0.00	97	0.03	97	0.00	98	-0.00	33	734.73	97	2.72	97
0	Max	-1677	0.00	101	-0.00	49	0.00	97	0.03	97	0.00	98	-0.00	33	734.73	97	2.72	97
0	Max	-1676	0.00	101	-0.00	49	0.00	97	0.03	97	0.00	98	-0.00	33	734.73	97	2.72	97
0	Min.	-2207	0.00	98	-0.00	97	0.00	49	0.02	33	0.00	33	-0.01	97	514.75	33	1.89	33
0	Min.	-2208	0.00	98	-0.00	97	0.00	49	0.02	33	0.00	33	-0.01	97	514.75	33	1.89	33
0	Min.	-1677	0.00	98	-0.00	97	0.00	49	0.02	33	0.00	33	-0.01	97	514.75	33	1.89	33
0	Min.	-1676	0.00	98	-0.00	97	0.00	49	0.02	33	0.00	33	-0.01	97	514.75	33	1.89	33
0	Max	-2205	0.00	101	-0.00	102	0.00	97	-0.01	33	-0.00	33	0.00	97	737.51	97	-0.65	33
0	Max	-2207	0.00	101	-0.00	102	0.00	97	-0.01	33	-0.00	33	0.00	97	737.51	97	-0.65	33
0	Max	-1676	0.00	101	-0.00	102	0.00	97	-0.01	33	-0.00	33	0.00	97	737.51	97	-0.65	33
0	Max	-1675	0.00	101	-0.00	102	0.00	97	-0.01	33	-0.00	33	0.00	97	737.51	97	-0.65	33
0	Min.	-2205	0.00	98	-0.00	97	0.00	49	-0.01	97	-0.00	97	0.00	33	516.67	33	-0.93	97
0	Min.	-2207	0.00	98	-0.00	97	0.00	49	-0.01	97	-0.00	97	0.00	33	516.67	33	-0.93	97
0	Min.	-1676	0.00	98	-0.00	97	0.00	49	-0.01	97	-0.00	97	0.00	33	516.67	33	-0.93	97
0	Min.	-1675	0.00	98	-0.00	97	0.00	49	-0.01	97	-0.00	97	0.00	33	516.67	33	-0.93	97
0	Max	-2206	0.00	49	-0.00	102	0.00	97	0.01	97	0.00	98	-0.00	33	737.65	97	0.17	97

0	Max	-2205	0.00	49	-0.00	102	0.00	97	0.01	97	0.00	98	-0.00	33	737.65	97	0.17	97
0	Max	-1675	0.00	49	-0.00	102	0.00	97	0.01	97	0.00	98	-0.00	33	737.65	97	0.17	97
0	Max	-1425	0.00	49	-0.00	102	0.00	97	0.01	97	0.00	98	-0.00	33	737.65	97	0.17	97
0	Min.	-2206	0.00	98	-0.00	97	0.00	49	0.00	33	0.00	33	-0.00	97	516.77	33	0.12	33
0	Min.	-2205	0.00	98	-0.00	97	0.00	49	0.00	33	0.00	33	-0.00	97	516.77	33	0.12	33
0	Min.	-1675	0.00	98	-0.00	97	0.00	49	0.00	33	0.00	33	-0.00	97	516.77	33	0.12	33
0	Min.	-1425	0.00	98	-0.00	97	0.00	49	0.00	33	0.00	33	-0.00	97	516.77	33	0.12	33
0	Max	-2204	0.00	101	-0.00	49	-0.00	102	0.95	97	0.05	97	-0.58	33	883.26	97	21.99	97
0	Max	-2202	0.00	101	-0.00	49	-0.00	102	0.95	97	0.05	97	-0.58	33	883.26	97	21.99	97
0	Max	-1746	0.00	101	-0.00	49	-0.00	102	0.95	97	0.05	97	-0.58	33	883.26	97	21.99	97
0	Max	-1686	0.00	101	-0.00	49	-0.00	102	0.95	97	0.05	97	-0.58	33	883.26	97	21.99	97
0	Min.	-2204	-0.00	98	-0.00	98	-0.00	97	0.66	33	0.04	33	-0.83	97	617.54	33	15.24	33
0	Min.	-2202	-0.00	98	-0.00	98	-0.00	97	0.66	33	0.04	33	-0.83	97	617.54	33	15.24	33
0	Min.	-1746	-0.00	98	-0.00	98	-0.00	97	0.66	33	0.04	33	-0.83	97	617.54	33	15.24	33
0	Min.	-1686	-0.00	98	-0.00	98	-0.00	97	0.66	33	0.04	33	-0.83	97	617.54	33	15.24	33
0	Max	-2203	0.00	98	0.00	98	0.00	101	0.94	97	0.05	97	-0.58	33	882.77	97	21.60	97
0	Max	-2181	0.00	98	0.00	98	0.00	101	0.94	97	0.05	97	-0.58	33	882.77	97	21.60	97
0	Max	-1544	0.00	98	0.00	98	0.00	101	0.94	97	0.05	97	-0.58	33	882.77	97	21.60	97
0	Max	-1540	0.00	98	0.00	98	0.00	101	0.94	97	0.05	97	-0.58	33	882.77	97	21.60	97
0	Min.	-2203	0.00	101	0.00	101	-0.00	98	0.65	33	0.04	33	-0.83	97	617.23	33	14.96	33
0	Min.	-2181	0.00	101	0.00	101	-0.00	98	0.65	33	0.04	33	-0.83	97	617.23	33	14.96	33
0	Min.	-1544	0.00	101	0.00	101	-0.00	98	0.65	33	0.04	33	-0.83	97	617.23	33	14.96	33
0	Min.	-1540	0.00	101	0.00	101	-0.00	98	0.65	33	0.04	33	-0.83	97	617.23	33	14.96	33
0	Max	-2202	0.00	97	-0.00	49	0.00	97	-1.49	33	-1.35	33	-0.57	33	373.58	97	-782.62	33
0	Max	-2201	0.00	97	-0.00	49	0.00	97	-1.49	33	-1.35	33	-0.57	33	373.58	97	-782.62	33
0	Max	-1957	0.00	97	-0.00	49	0.00	97	-1.49	33	-1.35	33	-0.57	33	373.58	97	-782.62	33
0	Max	-1746	0.00	97	-0.00	49	0.00	97	-1.49	33	-1.35	33	-0.57	33	373.58	97	-782.62	33
0	Min.	-2202	0.00	102	-0.00	97	0.00	33	-2.14	97	-1.98	97	-0.80	97	266.12	33	-1140.65	97
0	Min.	-2201	0.00	102	-0.00	97	0.00	33	-2.14	97	-1.98	97	-0.80	97	266.12	33	-1140.65	97
0	Min.	-1957	0.00	102	-0.00	97	0.00	33	-2.14	97	-1.98	97	-0.80	97	266.12	33	-1140.65	97
0	Min.	-1746	0.00	102	-0.00	97	0.00	33	-2.14	97	-1.98	97	-0.80	97	266.12	33	-1140.65	97
0	Max	-2200	0.00	101	-0.00	33	0.00	98	1.12	97	0.05	98	0.68	97	944.54	97	-20.04	33
0	Max	-2199	0.00	101	-0.00	33	0.00	98	1.12	97	0.05	98	0.68	97	944.54	97	-20.04	33
0	Max	-1748	0.00	101	-0.00	33	0.00	98	1.12	97	0.05	98	0.68	97	944.54	97	-20.04	33
0	Max	-1747	0.00	101	-0.00	33	0.00	98	1.12	97	0.05	98	0.68	97	944.54	97	-20.04	33
0	Min.	-2200	0.00	98	-0.00	97	0.00	33	0.77	33	0.04	33	0.47	33	660.00	33	-28.94	97
0	Min.	-2199	0.00	98	-0.00	97	0.00	33	0.77	33	0.04	33	0.47	33	660.00	33	-28.94	97
0	Min.	-1748	0.00	98	-0.00	97	0.00	33	0.77	33	0.04	33	0.47	33	660.00	33	-28.94	97
0	Min.	-1747	0.00	98	-0.00	97	0.00	33	0.77	33	0.04	33	0.47	33	660.00	33	-28.94	97
0	Max	-2199	-0.00	101	-0.00	33	0.00	98	-0.12	33	-0.00	33	-0.10	33	673.30	97	-4.15	33
0	Max	-2198	-0.00	101	-0.00	33	0.00	98	-0.12	33	-0.00	33	-0.10	33	673.30	97	-4.15	33
0	Max	-1749	-0.00	101	-0.00	33	0.00	98	-0.12	33	-0.00	33	-0.10	33	673.30	97	-4.15	33
0	Max	-1748	-0.00	101	-0.00	33	0.00	98	-0.12	33	-0.00	33	-0.10	33	673.30	97	-4.15	33
0	Min.	-2199	-0.00	98	-0.00	97	0.00	33	-0.18	97	-0.00	97	-0.14	97	472.15	33	-6.00	97
0	Min.	-2198	-0.00	98	-0.00	97	0.00	33	-0.18	97	-0.00	97	-0.14	97	472.15	33	-6.00	97
0	Min.	-1749	-0.00	98	-0.00	97	0.00	33	-0.18	97	-0.00	97	-0.14	97	472.15	33	-6.00	97
0	Min.	-1748	-0.00	98	-0.00	97	0.00	33	-0.18	97	-0.00	97	-0.14	97	472.15	33	-6.00	97
0	Max	-2197	0.00	101	-0.00	33	0.00	102	-0.12	33	-0.00	33	0.14	97	673.63	97	6.04	97
0	Max	-2196	0.00	101	-0.00	33	0.00	102	-0.12	33	-0.00	33	0.14	97	673.63	97	6.04	97
0	Max	-1751	0.00	101	-0.00	33	0.00	102	-0.12	33	-0.00	33	0.14	97	673.63	97	6.04	97
0	Max	-1750	0.00	101	-0.00	33	0.00	102	-0.12	33	-0.00	33	0.14	97	673.63	97	6.04	97
0	Min.	-2197	-0.00	98	-0.00	97	0.00	97	-0.18	97	-0.00	33	0.09	33	469.63	33	3.06	33
0	Min.	-2196	-0.00	98	-0.00	97	0.00	97	-0.18	97	-0.00	33	0.09	33	469.63	33	3.06	33
0	Min.	-1751	-0.00	98	-0.00	97	0.00	97	-0.18	97	-0.00	33	0.09	33	469.63	33	3.06	33
0	Min.	-1750	-0.00	98	-0.00	97	0.00	97	-0.18	97	-0.00	33	0.09	33	469.63	33	3.06	33
0	Max	-2196	0.00	101	-0.00	33	0.00	102	1.11	97	0.05	97	-0.45	33	943.76	97	28.56	97
0	Max	-2195	0.00	101	-0.00	33	0.00	102	1.11	97	0.05	97	-0.45	33	943.76	97	28.56	97
0	Max	-1752	0.00	101	-0.00	33	0.00	102	1.11	97	0.05	97	-0.45	33	943.76	97	28.56	97
0	Max	-1751	0.00	101	-0.00	33	0.00	102	1.11	97	0.05	97	-0.45	33	943.76	97	28.56	97
0	Min.	-2196	-0.00	98	-0.00	97	0.00	97	0.75	33	0.04	33	-0.68	97	654.69	33	19.07	33
0	Min.	-2195	-0.00	98	-0.00	97	0.00	97	0.75	33	0.04	33	-0.68	97	654.69	33	19.07	33
0	Min.	-1752	-0.00	98	-0.00	97	0.00	97	0.75	33	0.04	33	-0.68	97	654.69	33	19.07	33
0	Min.	-1751	-0.00	98	-0.00	97	0.00	97	0.75	33	0.04	33	-0.68	97	654.69	33	19.07	33
0	Max	-2195	-0.00	33	-0.00	33	0.00	98	-0.82	33	-1.28	33	-0.68	33	282.54	97	-741.13	33
0	Max	-2194	-0.00	33	-0.00	33	0.00	98	-0.82	33	-1.28	33	-0.68	33	282.54	97	-741.13	33
0	Max	-2119	-0.00	33	-0.00	33	0.00	98	-0.82	33	-1.28	33	-0.68	33	282.54	97	-741.13	33
0	Max	-1752	-0.00	33	-0.00	33	0.00	98	-0.82	33	-1.28	33	-0.68	33	282.54	97	-741.13	33
0	Min.	-2195	-0.00	98	-0.00	97	0.00	33	-1.22	97	-1.93	97	-0.96	97	202.16	33	-1116.07	97
0	Min.	-2194	-0.00	98	-0.00	97	0.00	33	-1.22	97	-1.93	97	-0.96	97	202.16	33	-1116.07	97
0	Min.	-2119	-0.00	98	-0.00	97	0.00	33	-1.22	97	-1.93	97	-0.96	97	202.16	33	-1116.07	97
0	Min.	-1752	-0.00	98	-0.00	97	0.00	33	-1.22	97	-1.93	97	-0.96	97	202.16	33	-1116.07	97
0	Max	-2193	-0.00	101	-0.00	33	0.00	102	1.68	97	2.14	97	0.16	97	1085.75	97	-88.39	33
0	Max	-2192	-0.00	101	-0.00	33	0.00	102	1.68	97	2.14	97	0.16	97	1085.75	97	-88.39	33
0	Max	-1754	-0.00	101	-0.00	33	0.00	102	1.68	97	2.14	97	0.16	97	1085.75	97	-88.39	33
0	Max	-1689	-0.00	101	-0.00	33	0.00	102	1.68	97	2.14	97	0.16	97	1085.75	97	-88.39	33
0	Min.	-2193	-0.00	98	-0.00	98	0.00	97	1.10	33	1.50	33	0.10	33	749.04	33	-130.69	97
0	Min.	-2192	-0.00	98	-0.00	98	0.00	97	1.10	33	1.50	33	0.10	33	749.04	33	-130.69	97
0	Min.	-1754	-0.00	98	-0.00	98	0.00	97	1.10	33	1.50	33	0.10	33	749.04	33	-130.69	97
0	Min.	-1689	-0.00	98	-0.00	98	0.00	97	1.10	33	1.50	33	0.10	33	749.04	33	-130.69	97
0	Max	-2192	-0.00	33	-0.00	33	0.00	98	-0.77	33	-1.28	33	-0.47	33	425.92	97	-725.52	33
0	Max	-2191	-0.00	33	-0.00	33	0.00	98	-0.77	33	-1.28	33	-0.47	33	425.92	97	-725.52	33
0	Max	-2116	-0.00	33	-0.00	33	0.00	98	-0.77	33	-1.28	33	-0.47	33	425.92	97	-725.52	33
0	Max	-1754	-0.00	33	-0.00	33	0.00	98	-0.77	33	-1.28	33	-0.47	33	425.92	97	-725.52	33
0	Min.	-2192	-0.00	98	-0.00	97	0.00	33	-1.19	97	-1.94	97	-0.66	97	302.99	33	-1104.49	97
0	Min.	-2191	-0.00	98	-0.00	97	0.00	33	-1.19	97	-1.94	97	-0.66	97	302.99	33	-1104.49	97
0	Min.	-2116	-0.00	98	-0.00	97	0.00	33	-1.19	97	-1.94	97	-0.66	97	302.99	33	-1104.49	97
0	Min.	-1754	-0.00	98	-0.00	97	0.00	33	-1.19	97	-1.94	97	-0.66	97	302.99	33	-1104.49	97
0	Max	-2190	-0.00	33	-0.00	33	0.00	98	-0.66	33	-1.33	33	0.08	97	742.63	97	-768.52	33
0	Max	-2189	-0.00	33	-0.00	33	0.00	98	-0.66	33	-1.33	33	0.08	97	742.63	97	-768.52	33
0	Max	-2115	-0.00	33	-0.00	33	0.00	98	-0.66	33	-1.33	33	0.08	97	742.63	97	-768.52	33
0	Max	-1755	-0.00	33	-0.00	33	0.00	98	-0.66	33	-1.33	33	0.08	97	742.63	97	-768.52	33
0	Min.	-2190	-0.00	98	-0.00	98	0.00	33	-0.98	97	-2.02	97	0.01	33	509.12	33	-1158.13	97
0	Min.	-2189	-0.00	98	-0.00	98	0.00	33	-0.98	97	-2.02	97	0.01	33	509.12	33	-1158.13	97
0	Min.	-2115	-0.00	98	-0.00	98	0.00	33	-0.98	97	-2.02	97	0.01	33	509.12	33	-1158.13	97
0	Min.	-1755	-0.00	98	-0.00	98	0.00	33	-0.98	97	-2.02	97	0.01	33	509.12	33	-1158.13	97
0	Max	-2188	0.00	33	-0.00	33	0.00	98	1.11	97	0.05	97	0.68	97	943.76	97	-19.07	33
0	Max	-2187	0.00	33	-0.00	33	0.00	98	1.11	97	0.05	97	0.68	97	943.76	97	-19.07	33
0	Max	-1757	0.00	33	-0.00	33	0.00	98	1.11	97	0.05	97	0.68	97	943.76	97	-19.07	33
0	Max	-1756	0.00	33	-0.00	33	0.00	98	1.11	97	0.05	97	0.68	97	943.76	97	-19.07	33
0	Min.	-2188	-0.00	97	-0.00	98	0.00	101	0.75	33	0.04	33	0.45	33	654.69	33	-28.56	97
0	Min.	-2187	-0.00	97	-0.00	98	0.00	101	0.75	33	0.04	33	0.45	33	654.69	33	-28.56	97
0	Min.	-1757	-0.00	97	-0.00	98	0.00	101	0.75	33	0.04	33	0.45	33	654.69	33	-28.56	97
0	Min.	-1756	-0.00	97	-0.00	98	0.00	101	0.75	33	0.04	33	0.45	33	654.69	33	-28.56	97
0	Max	-2186	-0.00	33	-0.00	33	0.00	33	0.01	33	-0.00	33	-0.00	33	750.81	97	-5.63	33
0	Max	-2185	-0.00	33	-0.00	33	0.00	33	0.01	33	-0.00	33	-0.00	33	750.81	97	-5.63	33

0	Max	-1759	-0.00	33	-0.00	33	0.00	33	0.01	33	-0.00	33	-0.00	33	750.81	97	-5.63	33
0	Max	-1758	-0.00	33	-0.00	33	0.00	33	0.01	33	-0.00	33	-0.00	33	750.81	97	-5.63	33
0	Min.	-2186	-0.00	97	-0.00	98	0.00	97	0.00	33	-0.00	98	-0.01	97	525.70	33	-8.39	97
0	Min.	-2185	-0.00	97	-0.00	98	0.00	97	0.00	33	-0.00	98	-0.01	97	525.70	33	-8.39	97
0	Min.	-1759	-0.00	97	-0.00	98	0.00	97	0.00	33	-0.00	98	-0.01	97	525.70	33	-8.39	97
0	Min.	-1758	-0.00	97	-0.00	98	0.00	97	0.00	33	-0.00	98	-0.01	97	525.70	33	-8.39	97
0	Max	-2185	-0.00	33	-0.00	33	0.00	33	-0.12	33	-0.00	33	0.14	97	673.30	97	6.00	97
0	Max	-2184	-0.00	33	-0.00	33	0.00	33	-0.12	33	-0.00	33	0.14	97	673.30	97	6.00	97
0	Max	-1760	-0.00	33	-0.00	33	0.00	33	-0.12	33	-0.00	33	0.14	97	673.30	97	6.00	97
0	Max	-1759	-0.00	33	-0.00	33	0.00	33	-0.12	33	-0.00	33	0.14	97	673.30	97	6.00	97
0	Min.	-2185	-0.00	97	-0.00	98	0.00	97	-0.18	97	-0.00	98	0.10	33	472.15	33	4.15	33
0	Min.	-2184	-0.00	97	-0.00	98	0.00	97	-0.18	97	-0.00	98	0.10	33	472.15	33	4.15	33
0	Min.	-1760	-0.00	97	-0.00	98	0.00	97	-0.18	97	-0.00	98	0.10	33	472.15	33	4.15	33
0	Min.	-1759	-0.00	97	-0.00	98	0.00	97	-0.18	97	-0.00	98	0.10	33	472.15	33	4.15	33
0	Max	-2184	0.00	102	-0.00	33	0.00	33	1.12	97	0.05	97	-0.47	33	944.53	97	28.94	97
0	Max	-2183	0.00	102	-0.00	33	0.00	33	1.12	97	0.05	97	-0.47	33	944.53	97	28.94	97
0	Max	-1761	0.00	102	-0.00	33	0.00	33	1.12	97	0.05	97	-0.47	33	944.53	97	28.94	97
0	Max	-1760	0.00	102	-0.00	33	0.00	33	1.12	97	0.05	97	-0.47	33	944.53	97	28.94	97
0	Min.	-2184	0.00	97	-0.00	98	-0.00	97	0.77	33	0.04	33	-0.68	97	660.00	33	20.04	33
0	Min.	-2183	0.00	97	-0.00	98	-0.00	97	0.77	33	0.04	33	-0.68	97	660.00	33	20.04	33
0	Min.	-1761	0.00	97	-0.00	98	-0.00	97	0.77	33	0.04	33	-0.68	97	660.00	33	20.04	33
0	Min.	-1760	0.00	97	-0.00	98	-0.00	97	0.77	33	0.04	33	-0.68	97	660.00	33	20.04	33
0	Max	-2183	0.00	98	-0.00	33	0.00	97	-1.40	33	-1.34	33	-0.59	33	350.99	97	-786.99	33
0	Max	-2182	0.00	98	-0.00	33	0.00	97	-1.40	33	-1.34	33	-0.59	33	350.99	97	-786.99	33
0	Max	-1942	0.00	98	-0.00	33	0.00	97	-1.40	33	-1.34	33	-0.59	33	350.99	97	-786.99	33
0	Max	-1761	0.00	98	-0.00	33	0.00	97	-1.40	33	-1.34	33	-0.59	33	350.99	97	-786.99	33
0	Min.	-2183	0.00	101	-0.00	98	0.00	102	-2.02	97	-1.96	97	-0.82	97	250.42	33	-1146.90	97
0	Min.	-2182	0.00	101	-0.00	98	0.00	102	-2.02	97	-1.96	97	-0.82	97	250.42	33	-1146.90	97
0	Min.	-1942	0.00	101	-0.00	98	0.00	102	-2.02	97	-1.96	97	-0.82	97	250.42	33	-1146.90	97
0	Min.	-1761	0.00	101	-0.00	98	0.00	102	-2.02	97	-1.96	97	-0.82	97	250.42	33	-1146.90	97
0	Max	-2181	0.00	102	0.00	102	0.00	101	-1.48	33	-1.35	33	-0.57	33	374.13	97	-780.47	33
0	Max	-2180	0.00	102	0.00	102	0.00	101	-1.48	33	-1.35	33	-0.57	33	374.13	97	-780.47	33
0	Max	-1922	0.00	102	0.00	102	0.00	101	-1.48	33	-1.35	33	-0.57	33	374.13	97	-780.47	33
0	Max	-1544	0.00	102	0.00	102	0.00	101	-1.48	33	-1.35	33	-0.57	33	374.13	97	-780.47	33
0	Min.	-2181	0.00	97	0.00	97	0.00	98	-2.14	97	-1.97	97	-0.79	97	266.50	33	-1137.27	97
0	Min.	-2180	0.00	97	0.00	97	0.00	98	-2.14	97	-1.97	97	-0.79	97	266.50	33	-1137.27	97
0	Min.	-1922	0.00	97	0.00	97	0.00	98	-2.14	97	-1.97	97	-0.79	97	266.50	33	-1137.27	97
0	Min.	-1544	0.00	97	0.00	97	0.00	98	-2.14	97	-1.97	97	-0.79	97	266.50	33	-1137.27	97
0	Max	-2179	0.00	98	-0.00	33	0.00	33	1.11	97	0.05	97	0.68	97	944.08	97	-19.82	33
0	Max	-2178	0.00	98	-0.00	33	0.00	33	1.11	97	0.05	97	0.68	97	944.08	97	-19.82	33
0	Max	-1546	0.00	98	-0.00	33	0.00	33	1.11	97	0.05	97	0.68	97	944.08	97	-19.82	33
0	Max	-1545	0.00	98	-0.00	33	0.00	33	1.11	97	0.05	97	0.68	97	944.08	97	-19.82	33
0	Min.	-2179	0.00	101	-0.00	97	0.00	98	0.77	33	0.04	33	0.47	33	659.69	33	-28.58	97
0	Min.	-2178	0.00	101	-0.00	97	0.00	98	0.77	33	0.04	33	0.47	33	659.69	33	-28.58	97
0	Min.	-1546	0.00	101	-0.00	97	0.00	98	0.77	33	0.04	33	0.47	33	659.69	33	-28.58	97
0	Min.	-1545	0.00	101	-0.00	97	0.00	98	0.77	33	0.04	33	0.47	33	659.69	33	-28.58	97
0	Max	-2177	0.00	102	-0.00	33	0.00	33	0.03	97	0.00	97	0.01	97	734.73	97	-1.89	33
0	Max	-2176	0.00	102	-0.00	33	0.00	33	0.03	97	0.00	97	0.01	97	734.73	97	-1.89	33
0	Max	-1549	0.00	102	-0.00	33	0.00	33	0.03	97	0.00	97	0.01	97	734.73	97	-1.89	33
0	Max	-1548	0.00	102	-0.00	33	0.00	33	0.03	97	0.00	97	0.01	97	734.73	97	-1.89	33
0	Min.	-2177	0.00	97	-0.00	98	0.00	98	0.02	33	0.00	33	0.00	33	514.75	33	-2.72	97
0	Min.	-2176	0.00	97	-0.00	98	0.00	98	0.02	33	0.00	33	0.00	33	514.75	33	-2.72	97
0	Min.	-1549	0.00	97	-0.00	98	0.00	98	0.02	33	0.00	33	0.00	33	514.75	33	-2.72	97
0	Min.	-1548	0.00	97	-0.00	98	0.00	98	0.02	33	0.00	33	0.00	33	514.75	33	-2.72	97
0	Max	-2176	0.00	102	-0.00	101	0.00	33	-0.01	33	-0.00	33	-0.00	33	737.51	97	0.93	97
0	Max	-2175	0.00	102	-0.00	101	0.00	33	-0.01	33	-0.00	33	-0.00	33	737.51	97	0.93	97
0	Max	-1550	0.00	102	-0.00	101	0.00	33	-0.01	33	-0.00	33	-0.00	33	737.51	97	0.93	97
0	Max	-1549	0.00	102	-0.00	101	0.00	33	-0.01	33	-0.00	33	-0.00	33	737.51	97	0.93	97
0	Min.	-2176	0.00	97	-0.00	98	0.00	98	-0.01	97	-0.00	98	-0.00	97	516.67	1	0.65	33
0	Min.	-2175	0.00	97	-0.00	98	0.00	98	-0.01	97	-0.00	98	-0.00	97	516.67	1	0.65	33
0	Min.	-1550	0.00	97	-0.00	98	0.00	98	-0.01	97	-0.00	98	-0.00	97	516.67	1	0.65	33
0	Min.	-1549	0.00	97	-0.00	98	0.00	98	-0.01	97	-0.00	98	-0.00	97	516.67	1	0.65	33
0	Max	-2175	0.00	33	-0.00	101	0.00	33	0.01	97	0.00	97	0.00	97	737.65	97	-0.12	33
0	Max	-2174	0.00	33	-0.00	101	0.00	33	0.01	97	0.00	97	0.00	97	737.65	97	-0.12	33
0	Max	-1609	0.00	33	-0.00	101	0.00	33	0.01	97	0.00	97	0.00	97	737.65	97	-0.12	33
0	Max	-1550	0.00	33	-0.00	101	0.00	33	0.01	97	0.00	97	0.00	97	737.65	97	-0.12	33
0	Min.	-2175	0.00	97	-0.00	98	0.00	98	0.00	33	0.00	33	0.00	33	516.77	33	-0.17	97
0	Min.	-2174	0.00	97	-0.00	98	0.00	98	0.00	33	0.00	33	0.00	33	516.77	33	-0.17	97
0	Min.	-1609	0.00	97	-0.00	98	0.00	98	0.00	33	0.00	33	0.00	33	516.77	33	-0.17	97
0	Min.	-1550	0.00	97	-0.00	98	0.00	98	0.00	33	0.00	33	0.00	33	516.77	33	-0.17	97
0	Max	-2154	-0.00	33	-0.00	33	-0.00	33	-0.46	33	0.18	97	0.55	97	878.14	97	690.40	97
0	Max	-2153	-0.00	33	-0.00	33	-0.00	33	-0.46	33	0.18	97	0.55	97	878.14	97	690.40	97
0	Max	-1771	-0.00	33	-0.00	33	-0.00	33	-0.46	33	0.18	97	0.55	97	878.14	97	690.40	97
0	Max	-2094	-0.00	33	-0.00	33	-0.00	33	-0.46	33	0.18	97	0.55	97	878.14	97	690.40	97
0	Min.	-2154	-0.00	98	-0.00	97	-0.00	98	-0.67	97	0.08	33	0.35	33	597.13	33	485.16	33
0	Min.	-2153	-0.00	98	-0.00	97	-0.00	98	-0.67	97	0.08	33	0.35	33	597.13	33	485.16	33
0	Min.	-1771	-0.00	98	-0.00	97	-0.00	98	-0.67	97	0.08	33	0.35	33	597.13	33	485.16	33
0	Min.	-2094	-0.00	98	-0.00	97	-0.00	98	-0.67	97	0.08	33	0.35	33	597.13	33	485.16	33
0	Max	-2152	-0.00	33	-0.00	33	-0.00	33	-0.75	33	-0.07	33	1.58	97	638.35	97	676.22	97
0	Max	-2151	-0.00	33	-0.00	33	-0.00	33	-0.75	33	-0.07	33	1.58	97	638.35	97	676.22	97
0	Max	-1772	-0.00	33	-0.00	33	-0.00	33	-0.75	33	-0.07	33	1.58	97	638.35	97	676.22	97
0	Max	-2092	-0.00	33	-0.00	33	-0.00	33	-0.75	33	-0.07	33	1.58	97	638.35	97	676.22	97
0	Min.	-2152	-0.00	97	-0.00	97	-0.00	98	-1.14	97	-0.10	33	1.01	33	440.35	33	474.78	33
0	Min.	-2151	-0.00	97	-0.00	97	-0.00	98	-1.14	97	-0.10	33	1.01	33	440.35	33	474.78	33
0	Min.	-1772	-0.00	97	-0.00	97	-0.00	98	-1.14	97	-0.10	33	1.01	33	440.35	33	474.78	33
0	Min.	-2092	-0.00	97	-0.00	97	-0.00	98	-1.14	97	-0.10	33	1.01	33	440.35	33	474.78	33
0	Max	-2148	-0.00	33	-0.00	33	-0.00	33	-0.23	33	0.26	97	0.68	97	852.77	97	702.45	97
0	Max	-2147	-0.00	33	-0.00	33	-0.00	33	-0.23	33	0.26	97	0.68	97	852.77	97	702.45	97
0	Max	-1774	-0.00	33	-0.00	33	-0.00	33	-0.23	33	0.26	97	0.68	97	852.77	97	702.45	97
0	Max	-2090	-0.00	33	-0.00	33	-0.00	33	-0.23	33	0.26	97	0.68	97	852.77	97	702.45	97
0	Min.	-2148	-0.00	98	-0.00	98	-0.00	98	-0.36	97	0.14	33	0.42	33	578.92	33	492.69	33
0	Min.	-2147	-0.00	98	-0.00	98	-0.00	98	-0.36	97	0.14	33	0.42	33	578.92	33	492.69	33
0	Min.	-1774	-0.00	98	-0.00	98	-0.00	98	-0.36	97	0.14	33	0.42	33	578.92	33	492.69	33
0	Min.	-2090	-0.00	98	-0.00	98	-0.00	98	-0.36	97	0.14	33	0.42	33	578.92	33	492.69	33
0	Max	-2146	-0.00	33	-0.00	33	-0.00	33	-0.75	33	0.02	97	1.76	97	451.57	97	672.17	97
0	Max	-2145	-0.00	33	-0.00	33	-0.00	33	-0.75	33	0.02	97	1.76	97	451.57	97	672.17	97
0	Max	-1775	-0.00	33	-0.00	33	-0.00	33	-0.75	33	0.02	97	1.76	97	451.57	97	672.17	97
0	Max	-2088	-0.00	33	-0.00	33	-0.00	33	-0.75	33	0.02	97	1.76	97	451.57	97	672.17	97
0	Min.	-2146	-0.00	97	-0.00	98	-0.00	98	-1.12	97	-0.01	33	1.14	33	311.51	33	472.19	33
0	Min.	-2145	-0.00	97	-0.00	98	-0.00	98	-1.12	97	-0.01	33	1.14	33	311.51	33	472.19	33
0	Min.	-1775	-0.00	97	-0.00	98	-0.00	98	-1.12	97	-0.01	33	1.14	33	311.51	33	472.19	33
0	Min.	-2088	-0.00	97	-0.00	98	-0.00	98	-1.12	97	-0.01	33	1.14	33	311.51	33	472.19	33
0	Max	-2166	0.00	97	0.00	101	-0.00	33	-1.28	33	0.11	97	1.56	97	544.85	97	681.41	97
0	Max	-2165	0.00	97	0.00	101	-0.00	33	-1.28	33	0.11	97	1.56	97	544.85	97	681.41	97
0	Max	-1362	0.00	97	0.00	101	-0.00	33	-1.28	33	0.11	97	1.56	97	544.85	97	681.41	97

0	Max	-1960	0.00	97	0.00	101	-0.00	33	-1.28	33	0.11	97	1.56	97	544.85	97	681.41	97
0	Min.	-2166	0.00	102	0.00	98	-0.00	97	-1.92	97	0.05	33	1.01	33	371.67	33	477.80	33
0	Min.	-2165	0.00	102	0.00	98	-0.00	97	-1.92	97	0.05	33	1.01	33	371.67	33	477.80	33
0	Min.	-1362	0.00	102	0.00	98	-0.00	97	-1.92	97	0.05	33	1.01	33	371.67	33	477.80	33
0	Min.	-1960	0.00	102	0.00	98	-0.00	97	-1.92	97	0.05	33	1.01	33	371.67	33	477.80	33
0	Max	-2162	0.00	101	-0.00	33	-0.00	33	-1.22	33	0.12	97	1.59	97	523.42	97	691.37	97
0	Max	-2161	0.00	101	-0.00	33	-0.00	33	-1.22	33	0.12	97	1.59	97	523.42	97	691.37	97
0	Max	-1764	0.00	101	-0.00	33	-0.00	33	-1.22	33	0.12	97	1.59	97	523.42	97	691.37	97
0	Max	-1951	0.00	101	-0.00	33	-0.00	33	-1.22	33	0.12	97	1.59	97	523.42	97	691.37	97
0	Min.	-2162	0.00	98	-0.00	97	-0.00	97	-1.82	97	0.05	33	1.03	33	357.25	33	483.15	33
0	Min.	-2161	0.00	98	-0.00	97	-0.00	97	-1.82	97	0.05	33	1.03	33	357.25	33	483.15	33
0	Min.	-1764	0.00	98	-0.00	97	-0.00	97	-1.82	97	0.05	33	1.03	33	357.25	33	483.15	33
0	Min.	-1951	0.00	98	-0.00	97	-0.00	97	-1.82	97	0.05	33	1.03	33	357.25	33	483.15	33
0	Max	-2138	0.00	102	-0.00	33	-0.00	33	-1.28	33	0.11	97	1.56	97	544.65	97	683.70	97
0	Max	-2137	0.00	102	-0.00	33	-0.00	33	-1.28	33	0.11	97	1.56	97	544.65	97	683.70	97
0	Max	-1782	0.00	102	-0.00	33	-0.00	33	-1.28	33	0.11	97	1.56	97	544.65	97	683.70	97
0	Max	-1935	0.00	102	-0.00	33	-0.00	33	-1.28	33	0.11	97	1.56	97	544.65	97	683.70	97
0	Min.	-2138	0.00	97	-0.00	98	-0.00	98	-1.92	97	0.05	33	1.01	33	370.76	33	478.90	33
0	Min.	-2137	0.00	97	-0.00	98	-0.00	98	-1.92	97	0.05	33	1.01	33	370.76	33	478.90	33
0	Min.	-1782	0.00	97	-0.00	98	-0.00	98	-1.92	97	0.05	33	1.01	33	370.76	33	478.90	33
0	Min.	-1935	0.00	97	-0.00	98	-0.00	98	-1.92	97	0.05	33	1.01	33	370.76	33	478.90	33
0	Max	-2134	0.00	102	0.00	102	0.00	33	-1.22	33	0.12	97	1.59	97	523.67	97	689.08	97
0	Max	-2133	0.00	102	0.00	102	0.00	33	-1.22	33	0.12	97	1.59	97	523.67	97	689.08	97
0	Max	-1854	0.00	102	0.00	102	0.00	33	-1.22	33	0.12	97	1.59	97	523.67	97	689.08	97
0	Max	-1932	0.00	102	0.00	102	0.00	33	-1.22	33	0.12	97	1.59	97	523.67	97	689.08	97
0	Min.	-2134	0.00	97	0.00	97	0.00	97	-1.81	97	0.05	33	1.03	33	358.29	33	481.94	33
0	Min.	-2133	0.00	97	0.00	97	0.00	97	-1.81	97	0.05	33	1.03	33	358.29	33	481.94	33
0	Min.	-1854	0.00	97	0.00	97	0.00	97	-1.81	97	0.05	33	1.03	33	358.29	33	481.94	33
0	Min.	-1932	0.00	97	0.00	97	0.00	97	-1.81	97	0.05	33	1.03	33	358.29	33	481.94	33
0	Max	-2173	0.00	101	-0.00	33	0.00	33	0.01	97	0.00	97	-0.00	33	737.66	97	0.17	97
0	Max	-2172	0.00	101	-0.00	33	0.00	33	0.01	97	0.00	97	-0.00	33	737.66	97	0.17	97
0	Max	-1682	0.00	101	-0.00	33	0.00	33	0.01	97	0.00	97	-0.00	33	737.66	97	0.17	97
0	Max	-1426	0.00	101	-0.00	33	0.00	33	0.01	97	0.00	97	-0.00	33	737.66	97	0.17	97
0	Min.	-2173	0.00	98	-0.00	97	0.00	97	0.00	33	0.00	33	-0.00	97	516.75	33	0.08	33
0	Min.	-2172	0.00	98	-0.00	97	0.00	97	0.00	33	0.00	33	-0.00	97	516.75	33	0.08	33
0	Min.	-1682	0.00	98	-0.00	97	0.00	97	0.00	33	0.00	33	-0.00	97	516.75	33	0.08	33
0	Min.	-1426	0.00	98	-0.00	97	0.00	97	0.00	33	0.00	33	-0.00	97	516.75	33	0.08	33
0	Max	-2172	0.00	101	-0.00	33	0.00	33	-0.01	33	-0.00	33	0.00	97	737.48	97	-0.64	33
0	Max	-2171	0.00	101	-0.00	33	0.00	33	-0.01	33	-0.00	33	0.00	97	737.48	97	-0.64	33
0	Max	-1683	0.00	101	-0.00	33	0.00	33	-0.01	33	-0.00	33	0.00	97	737.48	97	-0.64	33
0	Max	-1682	0.00	101	-0.00	33	0.00	33	-0.01	33	-0.00	33	0.00	97	737.48	97	-0.64	33
0	Min.	-2172	0.00	98	-0.00	97	0.00	97	-0.01	97	-0.00	98	0.00	33	516.61	33	-0.93	97
0	Min.	-2171	0.00	98	-0.00	97	0.00	97	-0.01	97	-0.00	98	0.00	33	516.61	33	-0.93	97
0	Min.	-1683	0.00	98	-0.00	97	0.00	97	-0.01	97	-0.00	98	0.00	33	516.61	33	-0.93	97
0	Min.	-1682	0.00	98	-0.00	97	0.00	97	-0.01	97	-0.00	98	0.00	33	516.61	33	-0.93	97
0	Max	-2171	0.00	101	-0.00	33	0.00	102	0.03	97	0.00	97	-0.00	33	734.92	97	2.70	97
0	Max	-2170	0.00	101	-0.00	33	0.00	102	0.03	97	0.00	97	-0.00	33	734.92	97	2.70	97
0	Max	-1684	0.00	101	-0.00	33	0.00	102	0.03	97	0.00	97	-0.00	33	734.92	97	2.70	97
0	Max	-1683	0.00	101	-0.00	33	0.00	102	0.03	97	0.00	97	-0.00	33	734.92	97	2.70	97
0	Min.	-2171	0.00	98	-0.00	97	0.00	97	0.01	33	0.00	33	-0.01	97	514.66	33	1.66	33
0	Min.	-2170	0.00	98	-0.00	97	0.00	97	0.01	33	0.00	33	-0.01	97	514.66	33	1.66	33
0	Min.	-1684	0.00	98	-0.00	97	0.00	97	0.01	33	0.00	33	-0.01	97	514.66	33	1.66	33
0	Min.	-1683	0.00	98	-0.00	97	0.00	97	0.01	33	0.00	33	-0.01	97	514.66	33	1.66	33
0	Max	-2170	0.00	101	-0.00	33	0.00	102	-0.01	33	0.00	97	-0.01	33	752.58	97	-3.27	33
0	Max	-2169	0.00	101	-0.00	33	0.00	102	-0.01	33	0.00	97	-0.01	33	752.58	97	-3.27	33
0	Max	-1352	0.00	101	-0.00	33	0.00	102	-0.01	33	0.00	97	-0.01	33	752.58	97	-3.27	33
0	Max	-1684	0.00	101	-0.00	33	0.00	102	-0.01	33	0.00	97	-0.01	33	752.58	97	-3.27	33
0	Min.	-2170	0.00	98	-0.00	97	0.00	97	-0.02	33	0.00	33	-0.02	97	526.04	33	-5.71	97
0	Min.	-2169	0.00	98	-0.00	97	0.00	97	-0.02	33	0.00	33	-0.02	97	526.04	33	-5.71	97
0	Min.	-1352	0.00	98	-0.00	97	0.00	97	-0.02	33	0.00	33	-0.02	97	526.04	33	-5.71	97
0	Min.	-1684	0.00	98	-0.00	97	0.00	97	-0.02	33	0.00	33	-0.02	97	526.04	33	-5.71	97
0	Max	-2169	0.00	101	-0.00	33	0.00	102	-0.11	33	-0.02	33	0.15	97	677.48	97	5.17	97
0	Max	-2168	0.00	101	-0.00	33	0.00	102	-0.11	33	-0.02	33	0.15	97	677.48	97	5.17	97
0	Max	-1355	0.00	101	-0.00	33	0.00	102	-0.11	33	-0.02	33	0.15	97	677.48	97	5.17	97
0	Max	-1352	0.00	101	-0.00	33	0.00	102	-0.11	33	-0.02	33	0.15	97	677.48	97	5.17	97
0	Min.	-2169	0.00	98	-0.00	97	0.00	97	-0.17	97	-0.03	97	0.10	33	472.09	33	2.32	33
0	Min.	-2168	0.00	98	-0.00	97	0.00	97	-0.17	97	-0.03	97	0.10	33	472.09	33	2.32	33
0	Min.	-1355	0.00	98	-0.00	97	0.00	97	-0.17	97	-0.03	97	0.10	33	472.09	33	2.32	33
0	Min.	-1352	0.00	98	-0.00	97	0.00	97	-0.17	97	-0.03	97	0.10	33	472.09	33	2.32	33
0	Max	-2168	0.00	97	-0.00	33	0.00	102	1.12	97	0.17	97	-0.48	33	926.94	97	28.84	97
0	Max	-2167	0.00	97	-0.00	33	0.00	102	1.12	97	0.17	97	-0.48	33	926.94	97	28.84	97
0	Max	-1356	0.00	97	-0.00	33	0.00	102	1.12	97	0.17	97	-0.48	33	926.94	97	28.84	97
0	Max	-1355	0.00	97	-0.00	33	0.00	102	1.12	97	0.17	97	-0.48	33	926.94	97	28.84	97
0	Min.	-2168	0.00	102	-0.00	98	0.00	97	0.75	33	0.11	33	-0.72	97	644.25	33	19.17	33
0	Min.	-2167	0.00	102	-0.00	98	0.00	97	0.75	33	0.11	33	-0.72	97	644.25	33	19.17	33
0	Min.	-1356	0.00	102	-0.00	98	0.00	97	0.75	33	0.11	33	-0.72	97	644.25	33	19.17	33
0	Min.	-1355	0.00	102	-0.00	98	0.00	97	0.75	33	0.11	33	-0.72	97	644.25	33	19.17	33
0	Max	-2167	0.00	101	0.00	33	0.00	98	-1.22	33	0.12	97	-1.03	33	523.65	97	-481.75	33
0	Max	-2166	0.00	101	0.00	33	0.00	98	-1.22	33	0.12	97	-1.03	33	523.65	97	-481.75	33
0	Max	-1960	0.00	101	0.00	33	0.00	98	-1.22	33	0.12	97	-1.03	33	523.65	97	-481.75	33
0	Max	-1356	0.00	101	0.00	33	0.00	98	-1.22	33	0.12	97	-1.03	33	523.65	97	-481.75	33
0	Min.	-2167	0.00	98	0.00	98	0.00	49	-1.81	97	0.05	33	-1.59	97	358.28	33	-688.80	97
0	Min.	-2166	0.00	98	0.00	98	0.00	49	-1.81	97	0.05	33	-1.59	97	358.28	33	-688.80	97
0	Min.	-1960	0.00	98	0.00	98	0.00	49	-1.81	97	0.05	33	-1.59	97	358.28	33	-688.80	97
0	Min.	-1356	0.00	98	0.00	98	0.00	49	-1.81	97	0.05	33	-1.59	97	358.28	33	-688.80	97
0	Max	-2165	0.00	101	0.00	97	0.00	98	0.95	97	0.14	97	0.88	97	869.55	97	-12.94	33
0	Max	-2164	0.00	101	0.00	97	0.00	98	0.95	97	0.14	97	0.88	97	869.55	97	-12.94	33
0	Max	436	0.00	101	0.00	97	0.00	98	0.95	97	0.14	97	0.88	97	869.55	97	-12.94	33
0	Max	-1362	0.00	101	0.00	97	0.00	98	0.95	97	0.14	97	0.88	97	869.55	97	-12.94	33
0	Min.	-2165	0.00	98	0.00	102	0.00	101	0.63	33	0.09	33	0.58	33	607.49	33	-22.02	97
0	Min.	-2164	0.00	98	0.00	102	0.00	101	0.63	33	0.09	33	0.58	33	607.49	33	-22.02	97
0	Min.	436	0.00	98	0.00	102	0.00	101	0.63	33	0.09	33	0.58	33	607.49	33	-22.02	97
0	Min.	-1362	0.00	98	0.00	102	0.00	101	0.63	33	0.09	33	0.58	33	607.49	33	-22.02	97
0	Max	-2164	0.00	97	-0.00	33	0.00	33	0.96	97	0.14	97	-0.58	33	870.03	97	22.43	97
0	Max	-2163	0.00	97	-0.00	33	0.00	33	0.96	97	0.14	97	-0.58	33	870.03	97	22.43	97
0	Max	-1763	0.00	97	-0.00	33	0.00	33	0.96	97	0.14	97	-0.58	33	870.03	97	22.43	97
0	Max	436	0.00	97	-0.00	33	0.00	33	0.96	97	0.14	97	-0.58	33	870.03	97	22.43	97
0	Min.	-2164	0.00	102	-0.00	98	0.00	98	0.64	33	0.09	33	-0.88	97	606.98	33	13.28	33
0	Min.	-2163	0.00	102	-0.00	98	0.00	98	0.64	33	0.09	33	-0.88	97	606.98	33	13.28	33
0	Min.	-1763	0.00	102	-0.00	98	0.00	98	0.64	33	0.09	33	-0.88	97	606.98	33	13.28	33
0	Min.	436	0.00	102	-0.00	98	0.00	98	0.64	33	0.09	33	-0.88	97	606.98	33	13.28	33
0	Max	-2136	0.00	102	0.00	98	0.00	102	0.95	97	0.14	97	-0.58	33	869.55	97	22.04	97
0	Max	-2135	0.00	102	0.00	98	0.00	102	0.95	97	0.14	97	-0.58	33	869.55	97	22.04	97
0	Max	-1841	0.00	102	0.00	98	0.00	102	0.95	97	0.14	97	-0.58	33	869.55	97	22.04	97
0	Max	431	0.00	102	0.00	98	0.00	102	0.95	97	0.14	97	-0.58	33	869.55	97	22.04	97

0	Min.	-2136	0.00	97	0.00	101	0.00	97	0.63	33	0.09	33	-0.88	97	607.49	33	12.95	33
0	Min.	-2135	0.00	97	0.00	101	0.00	97	0.63	33	0.09	33	-0.88	97	607.49	33	12.95	33
0	Min.	-1841	0.00	97	0.00	101	0.00	97	0.63	33	0.09	33	-0.88	97	607.49	33	12.95	33
0	Min.	431	0.00	97	0.00	101	0.00	97	0.63	33	0.09	33	-0.88	97	607.49	33	12.95	33
0	Max	-2163	0.00	101	-0.00	33	0.00	97	-1.28	33	0.11	97	-1.01	33	544.65	97	-478.89	33
0	Max	-2162	0.00	101	-0.00	33	0.00	97	-1.28	33	0.11	97	-1.01	33	544.65	97	-478.89	33
0	Max	-1951	0.00	101	-0.00	33	0.00	97	-1.28	33	0.11	97	-1.01	33	544.65	97	-478.89	33
0	Max	-1763	0.00	101	-0.00	33	0.00	97	-1.28	33	0.11	97	-1.01	33	544.65	97	-478.89	33
0	Min.	-2163	0.00	98	-0.00	97	0.00	33	-1.92	97	0.05	33	-1.56	97	370.75	33	-683.70	97
0	Min.	-2162	0.00	98	-0.00	97	0.00	33	-1.92	97	0.05	33	-1.56	97	370.75	33	-683.70	97
0	Min.	-1951	0.00	98	-0.00	97	0.00	33	-1.92	97	0.05	33	-1.56	97	370.75	33	-683.70	97
0	Min.	-1763	0.00	98	-0.00	97	0.00	33	-1.92	97	0.05	33	-1.56	97	370.75	33	-683.70	97
0	Max	-2161	0.00	101	-0.00	33	0.00	33	1.13	97	0.17	97	0.72	97	927.43	97	-19.34	33
0	Max	-2160	0.00	101	-0.00	33	0.00	33	1.13	97	0.17	97	0.72	97	927.43	97	-19.34	33
0	Max	-1765	0.00	101	-0.00	33	0.00	33	1.13	97	0.17	97	0.72	97	927.43	97	-19.34	33
0	Max	-1764	0.00	101	-0.00	33	0.00	33	1.13	97	0.17	97	0.72	97	927.43	97	-19.34	33
0	Min.	-2161	0.00	98	-0.00	97	0.00	98	0.75	33	0.11	33	0.48	33	644.02	33	-29.21	97
0	Min.	-2160	0.00	98	-0.00	97	0.00	98	0.75	33	0.11	33	0.48	33	644.02	33	-29.21	97
0	Min.	-1765	0.00	98	-0.00	97	0.00	98	0.75	33	0.11	33	0.48	33	644.02	33	-29.21	97
0	Min.	-1764	0.00	98	-0.00	97	0.00	98	0.75	33	0.11	33	0.48	33	644.02	33	-29.21	97
0	Max	-2160	0.00	33	-0.00	33	0.00	33	-0.13	33	-0.02	33	-0.10	33	677.26	97	-2.60	33
0	Max	-2159	0.00	33	-0.00	33	0.00	33	-0.13	33	-0.02	33	-0.10	33	677.26	97	-2.60	33
0	Max	-1766	0.00	33	-0.00	33	0.00	33	-0.13	33	-0.02	33	-0.10	33	677.26	97	-2.60	33
0	Max	-1765	0.00	33	-0.00	33	0.00	33	-0.13	33	-0.02	33	-0.10	33	677.26	97	-2.60	33
0	Min.	-2160	-0.00	98	-0.00	97	0.00	98	-0.18	97	-0.03	97	-0.15	97	471.53	33	-5.82	97
0	Min.	-2159	-0.00	98	-0.00	97	0.00	98	-0.18	97	-0.03	97	-0.15	97	471.53	33	-5.82	97
0	Min.	-1766	-0.00	98	-0.00	97	0.00	98	-0.18	97	-0.03	97	-0.15	97	471.53	33	-5.82	97
0	Min.	-1765	-0.00	98	-0.00	97	0.00	98	-0.18	97	-0.03	97	-0.15	97	471.53	33	-5.82	97
0	Max	-2159	-0.00	33	-0.00	33	0.00	33	0.01	33	0.00	97	0.01	97	750.11	97	8.30	97
0	Max	-2158	-0.00	33	-0.00	33	0.00	33	0.01	33	0.00	97	0.01	97	750.11	97	8.30	97
0	Max	-1767	-0.00	33	-0.00	33	0.00	33	0.01	33	0.00	97	0.01	97	750.11	97	8.30	97
0	Max	-1766	-0.00	33	-0.00	33	0.00	33	0.01	33	0.00	97	0.01	97	750.11	97	8.30	97
0	Min.	-2159	-0.00	98	-0.00	97	0.00	98	0.00	33	0.00	33	0.01	33	524.32	33	4.80	33
0	Min.	-2158	-0.00	98	-0.00	97	0.00	98	0.00	33	0.00	33	0.01	33	524.32	33	4.80	33
0	Min.	-1767	-0.00	98	-0.00	97	0.00	98	0.00	33	0.00	33	0.01	33	524.32	33	4.80	33
0	Min.	-1766	-0.00	98	-0.00	97	0.00	98	0.00	33	0.00	33	0.01	33	524.32	33	4.80	33
0	Max	-2158	-0.00	33	-0.00	33	0.00	101	0.01	97	0.00	97	-0.01	33	749.91	97	-4.91	33
0	Max	-2157	-0.00	33	-0.00	33	0.00	101	0.01	97	0.00	97	-0.01	33	749.91	97	-4.91	33
0	Max	-1768	-0.00	33	-0.00	33	0.00	101	0.01	97	0.00	97	-0.01	33	749.91	97	-4.91	33
0	Max	-1767	-0.00	33	-0.00	33	0.00	101	0.01	97	0.00	97	-0.01	33	749.91	97	-4.91	33
0	Min.	-2158	-0.00	98	-0.00	97	0.00	98	0.00	33	0.00	33	-0.01	97	524.52	33	-8.28	97
0	Min.	-2157	-0.00	98	-0.00	97	0.00	98	0.00	33	0.00	33	-0.01	97	524.52	33	-8.28	97
0	Min.	-1768	-0.00	98	-0.00	97	0.00	98	0.00	33	0.00	33	-0.01	97	524.52	33	-8.28	97
0	Min.	-1767	-0.00	98	-0.00	97	0.00	98	0.00	33	0.00	33	-0.01	97	524.52	33	-8.28	97
0	Max	-2157	-0.00	33	-0.00	33	0.00	97	-0.12	33	-0.02	33	0.15	97	677.91	97	5.80	97
0	Max	-2156	-0.00	33	-0.00	33	0.00	97	-0.12	33	-0.02	33	0.15	97	677.91	97	5.80	97
0	Max	-1769	-0.00	33	-0.00	33	0.00	97	-0.12	33	-0.02	33	0.15	97	677.91	97	5.80	97
0	Max	-1768	-0.00	33	-0.00	33	0.00	97	-0.12	33	-0.02	33	0.15	97	677.91	97	5.80	97
0	Min.	-2157	-0.00	98	-0.00	97	0.00	102	-0.18	97	-0.03	97	0.10	33	472.61	33	2.91	33
0	Min.	-2156	-0.00	98	-0.00	97	0.00	102	-0.18	97	-0.03	97	0.10	33	472.61	33	2.91	33
0	Min.	-1769	-0.00	98	-0.00	97	0.00	102	-0.18	97	-0.03	97	0.10	33	472.61	33	2.91	33
0	Min.	-1768	-0.00	98	-0.00	97	0.00	102	-0.18	97	-0.03	97	0.10	33	472.61	33	2.91	33
0	Max	-2156	0.00	33	-0.00	33	0.00	33	1.12	97	0.18	97	-0.48	33	925.29	97	28.92	97
0	Max	-2155	0.00	33	-0.00	33	0.00	33	1.12	97	0.18	97	-0.48	33	925.29	97	28.92	97
0	Max	-1770	0.00	33	-0.00	33	0.00	33	1.12	97	0.18	97	-0.48	33	925.29	97	28.92	97
0	Max	-1769	0.00	33	-0.00	33	0.00	33	1.12	97	0.18	97	-0.48	33	925.29	97	28.92	97
0	Min.	-2156	-0.00	98	-0.00	97	0.00	98	0.75	33	0.11	33	-0.72	97	643.39	33	19.39	33
0	Min.	-2155	-0.00	98	-0.00	97	0.00	98	0.75	33	0.11	33	-0.72	97	643.39	33	19.39	33
0	Min.	-1770	-0.00	98	-0.00	97	0.00	98	0.75	33	0.11	33	-0.72	97	643.39	33	19.39	33
0	Min.	-1769	-0.00	98	-0.00	97	0.00	98	0.75	33	0.11	33	-0.72	97	643.39	33	19.39	33
0	Max	-2155	-0.00	33	-0.00	33	0.00	97	-0.75	33	0.02	97	-1.14	33	451.57	97	-472.19	33
0	Max	-2154	-0.00	33	-0.00	33	0.00	97	-0.75	33	0.02	97	-1.14	33	451.57	97	-472.19	33
0	Max	-2094	-0.00	33	-0.00	33	0.00	97	-0.75	33	0.02	97	-1.14	33	451.57	97	-472.19	33
0	Max	-1770	-0.00	33	-0.00	33	0.00	97	-0.75	33	0.02	97	-1.14	33	451.57	97	-472.19	33
0	Min.	-2155	-0.00	98	-0.00	97	0.00	33	-1.12	97	-0.01	33	-1.76	97	311.51	33	-672.17	97
0	Min.	-2154	-0.00	98	-0.00	97	0.00	33	-1.12	97	-0.01	33	-1.76	97	311.51	33	-672.17	97
0	Min.	-2094	-0.00	98	-0.00	97	0.00	33	-1.12	97	-0.01	33	-1.76	97	311.51	33	-672.17	97
0	Min.	-1770	-0.00	98	-0.00	97	0.00	33	-1.12	97	-0.01	33	-1.76	97	311.51	33	-672.17	97
0	Max	-2153	-0.00	33	-0.00	33	0.00	97	-0.23	33	0.26	97	-0.42	33	852.77	97	-492.69	33
0	Max	-2152	-0.00	33	-0.00	33	0.00	97	-0.23	33	0.26	97	-0.42	33	852.77	97	-492.69	33
0	Max	-2092	-0.00	33	-0.00	33	0.00	97	-0.23	33	0.26	97	-0.42	33	852.77	97	-492.69	33
0	Max	-1771	-0.00	33	-0.00	33	0.00	97	-0.23	33	0.26	97	-0.42	33	852.77	97	-492.69	33
0	Min.	-2153	-0.00	97	-0.00	97	0.00	33	-0.36	97	0.14	33	-0.68	97	578.92	33	-702.45	97
0	Min.	-2152	-0.00	97	-0.00	97	0.00	33	-0.36	97	0.14	33	-0.68	97	578.92	33	-702.45	97
0	Min.	-2092	-0.00	97	-0.00	97	0.00	33	-0.36	97	0.14	33	-0.68	97	578.92	33	-702.45	97
0	Min.	-1771	-0.00	97	-0.00	97	0.00	33	-0.36	97	0.14	33	-0.68	97	578.92	33	-702.45	97
0	Max	-2151	0.00	33	-0.00	33	0.00	97	1.23	97	-1.60	33	1.26	97	699.23	97	-501.40	33
0	Max	-2150	0.00	33	-0.00	33	0.00	97	1.23	97	-1.60	33	1.26	97	699.23	97	-501.40	33
0	Max	-1413	0.00	33	-0.00	33	0.00	97	1.23	97	-1.60	33	1.26	97	699.23	97	-501.40	33
0	Max	-1772	0.00	33	-0.00	33	0.00	97	1.23	97	-1.60	33	1.26	97	699.23	97	-501.40	33
0	Min.	-2151	-0.00	97	-0.00	98	0.00	33	0.79	33	-2.31	97	0.86	33	483.34	33	-711.11	97
0	Min.	-2150	-0.00	97	-0.00	98	0.00	33	0.79	33	-2.31	97	0.86	33	483.34	33	-711.11	97
0	Min.	-1413	-0.00	97	-0.00	98	0.00	33	0.79	33	-2.31	97	0.86	33	483.34	33	-711.11	97
0	Min.	-1772	-0.00	97	-0.00	98	0.00	33	0.79	33	-2.31	97	0.86	33	483.34	33	-711.11	97
0	Max	-2150	0.00	33	-0.00	33	-0.00	33	1.23	97	-1.60	33	-0.86	33	699.23	97	711.11	97
0	Max	-2149	0.00	33	-0.00	33	-0.00	33	1.23	97	-1.60	33	-0.86	33	699.23	97	711.11	97
0	Max	-1773	0.00	33	-0.00	33	-0.00	33	1.23	97	-1.60	33	-0.86	33	699.23	97	711.11	97
0	Max	-1413	0.00	33	-0.00	33	-0.00	33	1.23	97	-1.60	33	-0.86	33	699.23	97	711.11	97
0	Min.	-2150	-0.00	98	-0.00	97	-0.00	98	0.79	33	-2.31	97	-1.26	97	483.34	33	501.40	33
0	Min.	-2149	-0.00	98	-0.00	97	-0.00	98	0.79	33	-2.31	97	-1.26	97	483.34	33	501.40	33
0	Min.	-1773	-0.00	98	-0.00	97	-0.00	98	0.79	33	-2.31	97	-1.26	97	483.34	33	501.40	33
0	Min.	-1413	-0.00	98	-0.00	97	-0.00	98	0.79	33	-2.31	97	-1.26	97	483.34	33	501.40	33
0	Max	-2149	-0.00	33	-0.00	33	0.00	97	-0.75	33	-0.07	33	-1.01	33	638.35	97	-474.78	33
0	Max	-2148	-0.00	33	-0.00	33	0.00	97	-0.75	33	-0.07	33	-1.01	33	638.35	97	-474.78	33
0	Max	-2090	-0.00	33	-0.00	33	0.00	97	-0.75	33	-0.07	33	-1.01	33	638.35	97	-474.78	33
0	Max	-1773	-0.00	33	-0.00	33	0.00	97	-0.75	33	-0.07	33	-1.01	33	638.35	97	-474.78	33
0	Min.	-2149	-0.00	98	-0.00	98	0.00	33	-1.14	97	-0.10	33	-1.58	97	440.35	33	-676.22	97
0	Min.	-2148	-0.00	98	-0.00	98	0.00	33	-1.14	97	-0.10	33	-1.58	97	440.35	33	-676.22	97
0	Min.	-2090	-0.00	98	-0.00	98	0.00	33	-1.14	97	-0.10	33	-1.58	97	440.35	33	-676.22	97
0	Min.	-1773	-0.00	98	-0.00	98	0.00	33	-1.14	97	-0.10	33	-1.58	97	440.35	33	-676.22	97
0	Max	-2147	-0.00	33	-0.00	33	0.00	97	-0.46	33	0.18	97	-0.35	33	878.14	97	-485.16	33
0	Max	-2146	-0.00	33	-0.00	33	0.00	97	-0.46	33	0.18	97	-0.35	33	878.14	97	-485.16	33
0	Max	-2088	-0.00	33	-0.00	33	0.00	97	-0.46	33	0.18	97	-0.35	33	878.14	97	-485.16	33
0	Max	-1774	-0.00	33	-0.00	33	0.00	97	-0.46	33	0.18	97	-0.35	33	878.14	97	-485.16	33
0	Min.	-2147	-0.00	97	-0.00	98	0.00	33	-0.67	97	0.08	33	-0.55	97	597.13	33	-690.40	97

0	Min.	-2146	-0.00	97	-0.00	98	0.00	33	-0.67	97	0.08	33	-0.55	97	597.13	33	-690.40	97
0	Min.	-2088	-0.00	97	-0.00	98	0.00	33	-0.67	97	0.08	33	-0.55	97	597.13	33	-690.40	97
0	Min.	-1774	-0.00	97	-0.00	98	0.00	33	-0.67	97	0.08	33	-0.55	97	597.13	33	-690.40	97
0	Max	-2145	0.00	33	-0.00	33	0.00	97	1.12	97	0.18	97	0.72	97	925.29	97	-19.39	33
0	Max	-2144	0.00	33	-0.00	33	0.00	97	1.12	97	0.18	97	0.72	97	925.29	97	-19.39	33
0	Max	-1776	0.00	33	-0.00	33	0.00	97	1.12	97	0.18	97	0.72	97	925.29	97	-19.39	33
0	Max	-1775	0.00	33	-0.00	33	0.00	97	1.12	97	0.18	97	0.72	97	925.29	97	-19.39	33
0	Min.	-2145	-0.00	97	-0.00	98	0.00	33	0.75	33	0.11	33	0.48	33	643.39	33	-28.92	97
0	Min.	-2144	-0.00	97	-0.00	98	0.00	33	0.75	33	0.11	33	0.48	33	643.39	33	-28.92	97
0	Min.	-1776	-0.00	97	-0.00	98	0.00	33	0.75	33	0.11	33	0.48	33	643.39	33	-28.92	97
0	Min.	-1775	-0.00	97	-0.00	98	0.00	33	0.75	33	0.11	33	0.48	33	643.39	33	-28.92	97
0	Max	-2144	-0.00	33	-0.00	33	0.00	101	-0.12	33	-0.02	33	-0.10	33	677.91	97	-2.91	33
0	Max	-2143	-0.00	33	-0.00	33	0.00	101	-0.12	33	-0.02	33	-0.10	33	677.91	97	-2.91	33
0	Max	-1777	-0.00	33	-0.00	33	0.00	101	-0.12	33	-0.02	33	-0.10	33	677.91	97	-2.91	33
0	Max	-1776	-0.00	33	-0.00	33	0.00	101	-0.12	33	-0.02	33	-0.10	33	677.91	97	-2.91	33
0	Min.	-2144	-0.00	97	-0.00	98	0.00	98	-0.18	97	-0.03	97	-0.15	97	472.61	33	-5.80	97
0	Min.	-2143	-0.00	97	-0.00	98	0.00	98	-0.18	97	-0.03	97	-0.15	97	472.61	33	-5.80	97
0	Min.	-1777	-0.00	97	-0.00	98	0.00	98	-0.18	97	-0.03	97	-0.15	97	472.61	33	-5.80	97
0	Min.	-1776	-0.00	97	-0.00	98	0.00	98	-0.18	97	-0.03	97	-0.15	97	472.61	33	-5.80	97
0	Max	-2143	-0.00	33	-0.00	33	0.00	97	0.01	97	0.00	98	0.01	97	749.91	97	8.28	97
0	Max	-2142	-0.00	33	-0.00	33	0.00	97	0.01	97	0.00	98	0.01	97	749.91	97	8.28	97
0	Max	-1778	-0.00	33	-0.00	33	0.00	97	0.01	97	0.00	98	0.01	97	749.91	97	8.28	97
0	Max	-1777	-0.00	33	-0.00	33	0.00	97	0.01	97	0.00	98	0.01	97	749.91	97	8.28	97
0	Min.	-2143	-0.00	97	-0.00	98	0.00	102	0.00	33	0.00	33	0.01	33	524.52	33	4.91	33
0	Min.	-2142	-0.00	97	-0.00	98	0.00	102	0.00	33	0.00	33	0.01	33	524.52	33	4.91	33
0	Min.	-1778	-0.00	97	-0.00	98	0.00	102	0.00	33	0.00	33	0.01	33	524.52	33	4.91	33
0	Min.	-1777	-0.00	97	-0.00	98	0.00	102	0.00	33	0.00	33	0.01	33	524.52	33	4.91	33
0	Max	-2142	-0.00	33	-0.00	33	0.00	97	0.01	33	0.00	98	-0.01	33	750.11	97	-4.80	33
0	Max	-2141	-0.00	33	-0.00	33	0.00	97	0.01	33	0.00	98	-0.01	33	750.11	97	-4.80	33
0	Max	-1779	-0.00	33	-0.00	33	0.00	97	0.01	33	0.00	98	-0.01	33	750.11	97	-4.80	33
0	Max	-1778	-0.00	33	-0.00	33	0.00	97	0.01	33	0.00	98	-0.01	33	750.11	97	-4.80	33
0	Min.	-2142	-0.00	97	-0.00	98	0.00	102	0.00	33	0.00	33	-0.01	97	524.32	33	-8.30	97
0	Min.	-2141	-0.00	97	-0.00	98	0.00	102	0.00	33	0.00	33	-0.01	97	524.32	33	-8.30	97
0	Min.	-1779	-0.00	97	-0.00	98	0.00	102	0.00	33	0.00	33	-0.01	97	524.32	33	-8.30	97
0	Min.	-1778	-0.00	97	-0.00	98	0.00	102	0.00	33	0.00	33	-0.01	97	524.32	33	-8.30	97
0	Max	-2141	0.00	102	-0.00	33	0.00	97	-0.13	33	-0.02	33	0.15	97	677.26	97	5.82	97
0	Max	-2140	0.00	102	-0.00	33	0.00	97	-0.13	33	-0.02	33	0.15	97	677.26	97	5.82	97
0	Max	-1780	0.00	102	-0.00	33	0.00	97	-0.13	33	-0.02	33	0.15	97	677.26	97	5.82	97
0	Max	-1779	0.00	102	-0.00	33	0.00	97	-0.13	33	-0.02	33	0.15	97	677.26	97	5.82	97
0	Min.	-2141	-0.00	97	-0.00	98	0.00	33	-0.18	97	-0.03	97	0.10	33	471.53	33	2.60	33
0	Min.	-2140	-0.00	97	-0.00	98	0.00	33	-0.18	97	-0.03	97	0.10	33	471.53	33	2.60	33
0	Min.	-1780	-0.00	97	-0.00	98	0.00	33	-0.18	97	-0.03	97	0.10	33	471.53	33	2.60	33
0	Min.	-1779	-0.00	97	-0.00	98	0.00	33	-0.18	97	-0.03	97	0.10	33	471.53	33	2.60	33
0	Max	-2140	0.00	102	-0.00	33	0.00	97	1.13	97	0.17	97	-0.48	33	927.43	97	29.21	97
0	Max	-2139	0.00	102	-0.00	33	0.00	97	1.13	97	0.17	97	-0.48	33	927.43	97	29.21	97
0	Max	-1781	0.00	102	-0.00	33	0.00	97	1.13	97	0.17	97	-0.48	33	927.43	97	29.21	97
0	Max	-1780	0.00	102	-0.00	33	0.00	97	1.13	97	0.17	97	-0.48	33	927.43	97	29.21	97
0	Min.	-2140	0.00	97	-0.00	98	0.00	33	0.75	33	0.11	33	-0.72	97	644.03	33	19.34	33
0	Min.	-2139	0.00	97	-0.00	98	0.00	33	0.75	33	0.11	33	-0.72	97	644.03	33	19.34	33
0	Min.	-1781	0.00	97	-0.00	98	0.00	33	0.75	33	0.11	33	-0.72	97	644.03	33	19.34	33
0	Min.	-1780	0.00	97	-0.00	98	0.00	33	0.75	33	0.11	33	-0.72	97	644.03	33	19.34	33
0	Max	-2139	0.00	102	-0.00	33	0.00	98	-1.22	33	0.12	97	-1.03	33	523.42	97	-483.15	33
0	Max	-2138	0.00	102	-0.00	33	0.00	98	-1.22	33	0.12	97	-1.03	33	523.42	97	-483.15	33
0	Max	-1935	0.00	102	-0.00	33	0.00	98	-1.22	33	0.12	97	-1.03	33	523.42	97	-483.15	33
0	Max	-1781	0.00	102	-0.00	33	0.00	98	-1.22	33	0.12	97	-1.03	33	523.42	97	-483.15	33
0	Min.	-2139	0.00	97	-0.00	98	0.00	33	-1.82	97	0.05	33	-1.59	97	357.26	33	-691.37	97
0	Min.	-2138	0.00	97	-0.00	98	0.00	33	-1.82	97	0.05	33	-1.59	97	357.26	33	-691.37	97
0	Min.	-1935	0.00	97	-0.00	98	0.00	33	-1.82	97	0.05	33	-1.59	97	357.26	33	-691.37	97
0	Min.	-1781	0.00	97	-0.00	98	0.00	33	-1.82	97	0.05	33	-1.59	97	357.26	33	-691.37	97
0	Max	-2137	0.00	98	-0.00	49	0.00	97	0.96	97	0.14	97	0.88	97	870.02	97	-13.28	33
0	Max	-2136	0.00	98	-0.00	49	0.00	97	0.96	97	0.14	97	0.88	97	870.02	97	-13.28	33
0	Max	431	0.00	98	-0.00	49	0.00	97	0.96	97	0.14	97	0.88	97	870.02	97	-13.28	33
0	Max	-1782	0.00	98	-0.00	49	0.00	97	0.96	97	0.14	97	0.88	97	870.02	97	-13.28	33
0	Min.	-2137	0.00	101	-0.00	97	0.00	33	0.64	33	0.09	33	0.58	33	606.98	33	-22.43	97
0	Min.	-2136	0.00	101	-0.00	97	0.00	33	0.64	33	0.09	33	0.58	33	606.98	33	-22.43	97
0	Min.	431	0.00	101	-0.00	97	0.00	33	0.64	33	0.09	33	0.58	33	606.98	33	-22.43	97
0	Min.	-1782	0.00	101	-0.00	97	0.00	33	0.64	33	0.09	33	0.58	33	606.98	33	-22.43	97
0	Max	-2135	0.00	98	0.00	102	0.00	98	-1.28	33	0.11	97	-1.01	33	544.84	97	-477.73	33
0	Max	-2134	0.00	98	0.00	102	0.00	98	-1.28	33	0.11	97	-1.01	33	544.84	97	-477.73	33
0	Max	-1932	0.00	98	0.00	102	0.00	98	-1.28	33	0.11	97	-1.01	33	544.84	97	-477.73	33
0	Max	-1841	0.00	98	0.00	102	0.00	98	-1.28	33	0.11	97	-1.01	33	544.84	97	-477.73	33
0	Min.	-2135	0.00	101	0.00	97	0.00	101	-1.92	97	0.05	33	-1.56	97	371.66	33	-681.33	97
0	Min.	-2134	0.00	101	0.00	97	0.00	101	-1.92	97	0.05	33	-1.56	97	371.66	33	-681.33	97
0	Min.	-1932	0.00	101	0.00	97	0.00	101	-1.92	97	0.05	33	-1.56	97	371.66	33	-681.33	97
0	Min.	-1841	0.00	101	0.00	97	0.00	101	-1.92	97	0.05	33	-1.56	97	371.66	33	-681.33	97
0	Max	-2133	0.00	98	-0.00	49	0.00	98	1.12	97	0.17	97	0.72	97	926.96	97	-19.18	33
0	Max	-2132	0.00	98	-0.00	49	0.00	98	1.12	97	0.17	97	0.72	97	926.96	97	-19.18	33
0	Max	-1855	0.00	98	-0.00	49	0.00	98	1.12	97	0.17	97	0.72	97	926.96	97	-19.18	33
0	Max	-1854	0.00	98	-0.00	49	0.00	98	1.12	97	0.17	97	0.72	97	926.96	97	-19.18	33
0	Min.	-2133	0.00	101	-0.00	97	0.00	101	0.75	33	0.11	33	0.48	33	644.26	33	-28.85	97
0	Min.	-2132	0.00	101	-0.00	97	0.00	101	0.75	33	0.11	33	0.48	33	644.26	33	-28.85	97
0	Min.	-1855	0.00	101	-0.00	97	0.00	101	0.75	33	0.11	33	0.48	33	644.26	33	-28.85	97
0	Min.	-1854	0.00	101	-0.00	97	0.00	101	0.75	33	0.11	33	0.48	33	644.26	33	-28.85	97
0	Max	-2132	0.00	102	-0.00	49	0.00	98	-0.11	33	-0.02	33	-0.10	33	677.46	97	-2.32	33
0	Max	-2131	0.00	102	-0.00	49	0.00	98	-0.11	33	-0.02	33	-0.10	33	677.46	97	-2.32	33
0	Max	-1860	0.00	102	-0.00	49	0.00	98	-0.11	33	-0.02	33	-0.10	33	677.46	97	-2.32	33
0	Max	-1855	0.00	102	-0.00	49	0.00	98	-0.11	33	-0.02	33	-0.10	33	677.46	97	-2.32	33
0	Min.	-2132	0.00	97	-0.00	98	0.00	101	-0.17	97	-0.03	97	-0.15	97	472.07	33	-5.17	97
0	Min.	-2131	0.00	97	-0.00	98	0.00	101	-0.17	97	-0.03	97	-0.15	97	472.07	33	-5.17	97
0	Min.	-1860	0.00	97	-0.00	98	0.00	101	-0.17	97	-0.03	97	-0.15	97	472.07	33	-5.17	97
0	Min.	-1855	0.00	97	-0.00	98	0.00	101	-0.17	97	-0.03	97	-0.15	97	472.07	33	-5.17	97
0	Max	-2131	0.00	102	-0.00	49	0.00	98	-0.01	33	0.00	98	0.02	97	752.59	97	5.71	97
0	Max	-2130	0.00	102	-0.00	49	0.00	98	-0.01	33	0.00	98	0.02	97	752.59	97	5.71	97
0	Max	-1541	0.00	102	-0.00	49	0.00	98	-0.01	33	0.00	98	0.02	97	752.59	97	5.71	97
0	Max	-1860	0.00	102	-0.00	49	0.00	98	-0.01	33	0.00	98	0.02	97	752.59	97	5.71	97
0	Min.	-2131	0.00	97	-0.00	98	0.00	101	-0.02	33	0.00	33	0.01	33	526.04	33	3.28	33
0	Min.	-2130	0.00	97	-0.00	98	0.00	101	-0.02	33	0.00	33	0.01	33	526.04	33	3.28	33
0	Min.	-1541	0.00	97	-0.00	98	0.00	101	-0.02	33	0.00	33	0.01	33	526.04	33	3.28	33
0	Min.	-1860	0.00	97	-0.00	98	0.00	101	-0.02	33	0.00	33	0.01	33	526.04	33	3.28	33
0	Max	-2130	0.00	102	-0.00	49	0.00	98	0.03	97	0.00	98	0.01	97	734.92	97	-1.66	33
0	Max	-2129	0.00	102	-0.00	49	0.00	98	0.03	97	0.00	98	0.01	97	734.92	97	-1.66	33
0	Max	-1542	0.00	102	-0.00	49	0.00	98	0.03	97	0.00	98	0.01	97	734.92	97	-1.66	33
0	Max	-1541	0.00	102	-0.00	49	0.00	98	0.03	97	0.00	98	0.01	97	734.92	97	-1.66	33
0	Min.	-2130	0.00	97	-0.00	98	0.00	101	0.01	33	0.00	33	0.00	33	514.66	33	-2.70	97
0	Min.	-2129	0.00	97	-0.00	98	0.00	101	0.01	33	0.00	33	0.00	33	514.66	33	-2.70	97

0	Min.	-1542	0.00	97	-0.00	98	0.00	101	0.01	33	0.00	33	0.00	33	514.66	33	-2.70	97
0	Min.	-1541	0.00	97	-0.00	98	0.00	101	0.01	33	0.00	33	0.00	33	514.66	33	-2.70	97
0	Max	-2129	0.00	102	-0.00	49	0.00	98	-0.01	33	-0.00	33	-0.00	33	737.48	97	0.93	97
0	Max	-2128	0.00	102	-0.00	49	0.00	98	-0.01	33	-0.00	33	-0.00	33	737.48	97	0.93	97
0	Max	-1543	0.00	102	-0.00	49	0.00	98	-0.01	33	-0.00	33	-0.00	33	737.48	97	0.93	97
0	Max	-1542	0.00	102	-0.00	49	0.00	98	-0.01	33	-0.00	33	-0.00	33	737.48	97	0.93	97
0	Min.	-2129	0.00	97	-0.00	98	0.00	101	-0.01	97	-0.00	97	-0.00	97	516.61	33	0.64	33
0	Min.	-2128	0.00	97	-0.00	98	0.00	101	-0.01	97	-0.00	97	-0.00	97	516.61	33	0.64	33
0	Min.	-1543	0.00	97	-0.00	98	0.00	101	-0.01	97	-0.00	97	-0.00	97	516.61	33	0.64	33
0	Min.	-1542	0.00	97	-0.00	98	0.00	101	-0.01	97	-0.00	97	-0.00	97	516.61	33	0.64	33
0	Max	-2128	0.00	102	-0.00	49	0.00	98	0.01	97	0.00	98	0.00	98	737.66	97	-0.08	33
0	Max	-2127	0.00	102	-0.00	49	0.00	98	0.01	97	0.00	98	0.00	98	737.66	97	-0.08	33
0	Max	-1608	0.00	102	-0.00	49	0.00	98	0.01	97	0.00	98	0.00	98	737.66	97	-0.08	33
0	Max	-1543	0.00	102	-0.00	49	0.00	98	0.01	97	0.00	98	0.00	98	737.66	97	-0.08	33
0	Min.	-2128	0.00	97	-0.00	98	0.00	101	0.00	33	0.00	33	0.00	33	516.75	33	-0.17	97
0	Min.	-2127	0.00	97	-0.00	98	0.00	101	0.00	33	0.00	33	0.00	33	516.75	33	-0.17	97
0	Min.	-1608	0.00	97	-0.00	98	0.00	101	0.00	33	0.00	33	0.00	33	516.75	33	-0.17	97
0	Min.	-1543	0.00	97	-0.00	98	0.00	101	0.00	33	0.00	33	0.00	33	516.75	33	-0.17	97
0	Max	-1835	0.00	98	0.00	98	0.00	33	0.00	98	0.00	98	0.00	49	0.00	98	0.00	102
0	Max	-1412	0.00	98	0.00	98	0.00	33	0.00	98	0.00	98	0.00	49	0.00	98	0.00	102
0	Max	-1469	0.00	98	0.00	98	0.00	33	0.00	98	0.00	98	0.00	49	0.00	98	0.00	102
0	Max	-1468	0.00	98	0.00	98	0.00	33	0.00	98	0.00	98	0.00	49	0.00	98	0.00	102
0	Min.	-1835	0.00	101	0.00	49	0.00	98	0.00	101	0.00	49	0.00	98	0.00	49	0.00	97
0	Min.	-1412	0.00	101	0.00	49	0.00	98	0.00	101	0.00	49	0.00	98	0.00	49	0.00	97
0	Min.	-1469	0.00	101	0.00	49	0.00	98	0.00	101	0.00	49	0.00	98	0.00	49	0.00	97
0	Min.	-1468	0.00	101	0.00	49	0.00	98	0.00	101	0.00	49	0.00	98	0.00	49	0.00	97
0	Max	-1412	0.00	98	0.00	98	0.00	33	0.00	98	0.00	98	0.00	49	0.00	98	0.00	98
0	Max	-1410	0.00	98	0.00	98	0.00	33	0.00	98	0.00	98	0.00	49	0.00	98	0.00	98
0	Max	-1470	0.00	98	0.00	98	0.00	33	0.00	98	0.00	98	0.00	49	0.00	98	0.00	98
0	Max	-1469	0.00	98	0.00	98	0.00	33	0.00	98	0.00	98	0.00	49	0.00	98	0.00	98
0	Min.	-1412	0.00	101	0.00	49	0.00	98	0.00	101	0.00	49	0.00	98	0.00	49	0.00	101
0	Min.	-1410	0.00	101	0.00	49	0.00	98	0.00	101	0.00	49	0.00	98	0.00	49	0.00	101
0	Min.	-1470	0.00	101	0.00	49	0.00	98	0.00	101	0.00	49	0.00	98	0.00	49	0.00	101
0	Min.	-1469	0.00	101	0.00	49	0.00	98	0.00	101	0.00	49	0.00	98	0.00	49	0.00	101
0	Max	-1410	0.00	98	0.00	98	0.00	33	0.00	98	0.00	98	0.00	49	0.00	98	0.00	98
0	Max	-1411	0.00	98	0.00	98	0.00	33	0.00	98	0.00	98	0.00	49	0.00	98	0.00	98
0	Max	-1471	0.00	98	0.00	98	0.00	33	0.00	98	0.00	98	0.00	49	0.00	98	0.00	98
0	Max	-1470	0.00	98	0.00	98	0.00	33	0.00	98	0.00	98	0.00	49	0.00	98	0.00	98
0	Min.	-1410	0.00	101	0.00	49	0.00	98	0.00	101	0.00	49	0.00	98	0.00	49	0.00	101
0	Min.	-1411	0.00	101	0.00	49	0.00	98	0.00	101	0.00	49	0.00	98	0.00	49	0.00	101
0	Min.	-1471	0.00	101	0.00	49	0.00	98	0.00	101	0.00	49	0.00	98	0.00	49	0.00	101
0	Min.	-1470	0.00	101	0.00	49	0.00	98	0.00	101	0.00	49	0.00	98	0.00	49	0.00	101
0	Max	-1411	0.00	98	0.00	98	0.00	33	0.00	98	0.00	98	0.00	49	0.00	98	0.00	98
0	Max	-1688	0.00	98	0.00	98	0.00	33	0.00	98	0.00	98	0.00	49	0.00	98	0.00	98
0	Max	-1472	0.00	98	0.00	98	0.00	33	0.00	98	0.00	98	0.00	49	0.00	98	0.00	98
0	Max	-1471	0.00	98	0.00	98	0.00	33	0.00	98	0.00	98	0.00	49	0.00	98	0.00	98
0	Min.	-1411	0.00	101	0.00	49	-0.00	98	0.00	101	0.00	49	0.00	98	0.00	49	0.00	101
0	Min.	-1688	0.00	101	0.00	49	-0.00	98	0.00	101	0.00	49	0.00	98	0.00	49	0.00	101
0	Min.	-1472	0.00	101	0.00	49	-0.00	98	0.00	101	0.00	49	0.00	98	0.00	49	0.00	101
0	Min.	-1471	0.00	101	0.00	49	-0.00	98	0.00	101	0.00	49	0.00	98	0.00	49	0.00	101
0	Max	-1688	0.00	98	0.00	98	0.00	33	0.00	98	0.00	98	0.00	49	0.00	98	0.00	98
0	Max	-1691	0.00	98	0.00	98	0.00	33	0.00	98	0.00	98	0.00	49	0.00	98	0.00	98
0	Max	-1473	0.00	98	0.00	98	0.00	33	0.00	98	0.00	98	0.00	49	0.00	98	0.00	98
0	Max	-1472	0.00	98	0.00	98	0.00	33	0.00	98	0.00	98	0.00	49	0.00	98	0.00	98
0	Min.	-1688	0.00	101	0.00	49	-0.00	98	0.00	101	0.00	49	0.00	98	0.00	49	0.00	101
0	Min.	-1691	0.00	101	0.00	49	-0.00	98	0.00	101	0.00	49	0.00	98	0.00	49	0.00	101
0	Min.	-1473	0.00	101	0.00	49	-0.00	98	0.00	101	0.00	49	0.00	98	0.00	49	0.00	101
0	Min.	-1472	0.00	101	0.00	49	-0.00	98	0.00	101	0.00	49	0.00	98	0.00	49	0.00	101
0	Max	-1691	0.00	98	0.00	98	0.00	33	0.00	98	0.00	98	0.00	49	0.00	98	0.00	98
0	Max	-1692	0.00	98	0.00	98	0.00	33	0.00	98	0.00	98	0.00	49	0.00	98	0.00	98
0	Max	-1474	0.00	98	0.00	98	0.00	33	0.00	98	0.00	98	0.00	49	0.00	98	0.00	98
0	Max	-1473	0.00	98	0.00	98	0.00	33	0.00	98	0.00	98	0.00	49	0.00	98	0.00	98
0	Min.	-1691	0.00	101	0.00	49	-0.00	98	0.00	101	0.00	49	0.00	98	0.00	49	0.00	101
0	Min.	-1692	0.00	101	0.00	49	-0.00	98	0.00	101	0.00	49	0.00	98	0.00	49	0.00	101
0	Min.	-1474	0.00	101	0.00	49	-0.00	98	0.00	101	0.00	49	0.00	98	0.00	49	0.00	101
0	Min.	-1473	0.00	101	0.00	49	-0.00	98	0.00	101	0.00	49	0.00	98	0.00	49	0.00	101
0	Max	-1692	0.00	98	0.00	98	-0.00	33	0.05	97	0.50	97	0.31	97	9.34	97	-459.92	33
0	Max	-1917	0.00	98	0.00	98	-0.00	33	0.05	97	0.50	97	0.31	97	9.34	97	-459.92	33
0	Max	-1918	0.00	98	0.00	98	-0.00	33	0.05	97	0.50	97	0.31	97	9.34	97	-459.92	33
0	Max	-1474	0.00	98	0.00	98	-0.00	33	0.05	97	0.50	97	0.31	97	9.34	97	-459.92	33
0	Min.	-1692	0.00	101	0.00	101	-0.00	97	0.04	33	0.36	33	0.22	33	6.65	33	-646.11	97
0	Min.	-1917	0.00	101	0.00	101	-0.00	97	0.04	33	0.36	33	0.22	33	6.65	33	-646.11	97
0	Min.	-1918	0.00	101	0.00	101	-0.00	97	0.04	33	0.36	33	0.22	33	6.65	33	-646.11	97
0	Min.	-1474	0.00	101	0.00	101	-0.00	97	0.04	33	0.36	33	0.22	33	6.65	33	-646.11	97
0	Max	-1698	0.00	98	0.00	98	-0.00	101	0.00	98	0.00	98	0.00	49	0.00	98	0.00	102
0	Max	-1534	0.00	98	0.00	98	-0.00	101	0.00	98	0.00	98	0.00	49	0.00	98	0.00	102
0	Max	433	0.00	98	0.00	98	-0.00	101	0.00	98	0.00	98	0.00	49	0.00	98	0.00	102
0	Max	-1475	0.00	98	0.00	98	-0.00	101	0.00	98	0.00	98	0.00	49	0.00	98	0.00	102
0	Min.	-1698	0.00	101	0.00	49	-0.00	98	0.00	101	0.00	49	0.00	98	0.00	101	0.00	97
0	Min.	-1534	0.00	101	0.00	49	-0.00	98	0.00	101	0.00	49	0.00	98	0.00	101	0.00	97
0	Min.	433	0.00	101	0.00	49	-0.00	98	0.00	101	0.00	49	0.00	98	0.00	101	0.00	97
0	Min.	-1475	0.00	101	0.00	49	-0.00	98	0.00	101	0.00	49	0.00	98	0.00	101	0.00	97
0	Max	442	0.00	97	0.00	97	-0.00	102	0.00	97	0.00	97	0.00	49	-0.00	102	0.00	98
0	Max	-1706	0.00	97	0.00	97	-0.00	102	0.00	97	0.00	97	0.00	49	-0.00	102	0.00	98
0	Max	-1783	0.00	97	0.00	97	-0.00	102	0.00	97	0.00	97	0.00	49	-0.00	102	0.00	98
0	Max	-1863	0.00	97	0.00	97	-0.00	102	0.00	97	0.00	97	0.00	49	-0.00	102	0.00	98
0	Min.	442	0.00	102	0.00	49	-0.00	97	0.00	102	0.00	49	0.00	97	-0.00	97	0.00	101
0	Min.	-1706	0.00	102	0.00	49	-0.00	97	0.00	102	0.00	49	0.00	97	-0.00	97	0.00	101
0	Min.	-1783	0.00	102	0.00	49	-0.00	97	0.00	102	0.00	49	0.00	97	-0.00	97	0.00	101
0	Min.	-1863	0.00	102	0.00	49	-0.00	97	0.00	102	0.00	49	0.00	97	-0.00	97	0.00	101
0	Max	-1706	0.00	97	0.00	97	0.00	33	0.05	97	0.50	97	-0.22	33	-6.70	33	-460.34	33
0	Max	-1945	0.00	97	0.00	97	0.00	33	0.05	97	0.50	97	-0.22	33	-6.70	33	-460.34	33
0	Max	-1946	0.00	97	0.00	97	0.00	33	0.05	97	0.50	97	-0.22	33	-6.70	33	-460.34	33
0	Max	-1783	0.00	97	0.00	97	0.00	33	0.05	97	0.50	97	-0.22	33	-6.70	33	-460.34	33
0	Min.	-1706	0.00	102	0.00	102	0.00	97	0.03	33	0.36	33	-0.31	97	-9.42	97	-646.70	97
0	Min.	-1945	0.00	102	0.00	102	0.00	97	0.03	33	0.36	33	-0.31	97	-9.42	97	-646.70	97
0	Min.	-1946	0.00	102	0.00	102	0.00	97	0.03	33	0.36	33	-0.31	97	-9.42	97	-646.70	97
0	Min.	-1783	0.00	102	0.00	102	0.00	97	0.03	33	0.36	33	-0.31	97	-9.42	97	-646.70	97
0	Max	-1707	0.00	97	0.00	97	0.00	33	0.00	97	0.00	97	0.00	49	-0.00	49	0.00	102
0	Max	-1708	0.00	97	0.00	97	0.00	33	0.00	97	0.00	97	0.00	49	-0.00	49	0.00	102
0	Max	-1785	0.00	97	0.00	97	0.00	33	0.00	97	0.00	97	0.00	49	-0.00	49	0.00	102
0	Max	-1784	0.00	97	0.00	97	0.00	33	0.00	97	0.00	97	0.00	49	-0.00	49	0.00	102
0	Min.	-1707	0.00	102	0.00	49	-0.00	97	0.00	102	0.00	49	0.00	97	-0.00	97	0.00	97
0	Min.	-1708	0.00	102	0.00	49	-0.00	97	0.00	102	0.00	49	0.00	97	-0.00	97	0.00	97
0	Min.	-1785	0.00	102	0.00	49	-0.00	97	0.00	102	0.00	49	0.00	97	-0.00	97	0.00	97

0	Min.	-1784	0.00	102	0.00	49	-0.00	97	0.00	102	0.00	49	0.00	97	-0.00	97	0.00	97
0	Max	-1708	0.00	97	0.00	97	0.00	33	0.00	97	0.00	97	0.00	49	-0.00	49	0.00	102
0	Max	-1709	0.00	97	0.00	97	0.00	33	0.00	97	0.00	97	0.00	49	-0.00	49	0.00	102
0	Max	-1786	0.00	97	0.00	97	0.00	33	0.00	97	0.00	97	0.00	49	-0.00	49	0.00	102
0	Max	-1785	0.00	97	0.00	97	0.00	33	0.00	97	0.00	97	0.00	49	-0.00	49	0.00	102
0	Min.	-1708	0.00	102	0.00	49	-0.00	97	0.00	102	0.00	49	0.00	97	-0.00	97	0.00	97
0	Min.	-1709	0.00	102	0.00	49	-0.00	97	0.00	102	0.00	49	0.00	97	-0.00	97	0.00	97
0	Min.	-1786	0.00	102	0.00	49	-0.00	97	0.00	102	0.00	49	0.00	97	-0.00	97	0.00	97
0	Min.	-1785	0.00	102	0.00	49	-0.00	97	0.00	102	0.00	49	0.00	97	-0.00	97	0.00	97
0	Max	-1709	0.00	97	0.00	97	0.00	33	0.00	97	0.00	97	0.00	49	-0.00	49	0.00	102
0	Max	-1710	0.00	97	0.00	97	0.00	33	0.00	97	0.00	97	0.00	49	-0.00	49	0.00	102
0	Max	-1787	0.00	97	0.00	97	0.00	33	0.00	97	0.00	97	0.00	49	-0.00	49	0.00	102
0	Max	-1786	0.00	97	0.00	97	0.00	33	0.00	97	0.00	97	0.00	49	-0.00	49	0.00	102
0	Min.	-1709	0.00	102	0.00	49	0.00	97	0.00	102	0.00	49	0.00	97	-0.00	97	0.00	97
0	Min.	-1710	0.00	102	0.00	49	0.00	97	0.00	102	0.00	49	0.00	97	-0.00	97	0.00	97
0	Min.	-1787	0.00	102	0.00	49	0.00	97	0.00	102	0.00	49	0.00	97	-0.00	97	0.00	97
0	Min.	-1786	0.00	102	0.00	49	0.00	97	0.00	102	0.00	49	0.00	97	-0.00	97	0.00	97
0	Max	-1710	0.00	97	0.00	97	0.00	33	0.00	97	0.00	97	0.00	49	-0.00	49	0.00	102
0	Max	-1711	0.00	97	0.00	97	0.00	33	0.00	97	0.00	97	0.00	49	-0.00	49	0.00	102
0	Max	-1788	0.00	97	0.00	97	0.00	33	0.00	97	0.00	97	0.00	49	-0.00	49	0.00	102
0	Max	-1787	0.00	97	0.00	97	0.00	33	0.00	97	0.00	97	0.00	49	-0.00	49	0.00	102
0	Min.	-1710	0.00	102	0.00	49	0.00	97	0.00	102	0.00	49	0.00	97	-0.00	97	0.00	97
0	Min.	-1711	0.00	102	0.00	49	0.00	97	0.00	102	0.00	49	0.00	97	-0.00	97	0.00	97
0	Min.	-1788	0.00	102	0.00	49	0.00	97	0.00	102	0.00	49	0.00	97	-0.00	97	0.00	97
0	Min.	-1787	0.00	102	0.00	49	0.00	97	0.00	102	0.00	49	0.00	97	-0.00	97	0.00	97
0	Max	-1711	0.00	97	0.00	97	0.00	33	0.00	97	0.00	97	0.00	49	-0.00	49	0.00	102
0	Max	-1712	0.00	97	0.00	97	0.00	33	0.00	97	0.00	97	0.00	49	-0.00	49	0.00	102
0	Max	-1789	0.00	97	0.00	97	0.00	33	0.00	97	0.00	97	0.00	49	-0.00	49	0.00	102
0	Max	-1788	0.00	97	0.00	97	0.00	33	0.00	97	0.00	97	0.00	49	-0.00	49	0.00	102
0	Min.	-1711	0.00	102	0.00	49	0.00	97	0.00	102	0.00	49	0.00	97	-0.00	97	0.00	97
0	Min.	-1712	0.00	102	0.00	49	0.00	97	0.00	102	0.00	49	0.00	97	-0.00	97	0.00	97
0	Min.	-1789	0.00	102	0.00	49	0.00	97	0.00	102	0.00	49	0.00	97	-0.00	97	0.00	97
0	Min.	-1788	0.00	102	0.00	49	0.00	97	0.00	102	0.00	49	0.00	97	-0.00	97	0.00	97
0	Max	-1712	0.00	97	0.00	97	0.00	33	0.00	97	0.00	97	0.00	49	-0.00	49	0.00	98
0	Max	-1713	0.00	97	0.00	97	0.00	33	0.00	97	0.00	97	0.00	49	-0.00	49	0.00	98
0	Max	-1790	0.00	97	0.00	97	0.00	33	0.00	97	0.00	97	0.00	49	-0.00	49	0.00	98
0	Max	-1789	0.00	97	0.00	97	0.00	33	0.00	97	0.00	97	0.00	49	-0.00	49	0.00	98
0	Min.	-1712	0.00	102	0.00	49	0.00	97	0.00	102	0.00	49	0.00	97	-0.00	97	0.00	101
0	Min.	-1713	0.00	102	0.00	49	0.00	97	0.00	102	0.00	49	0.00	97	-0.00	97	0.00	101
0	Min.	-1790	0.00	102	0.00	49	0.00	97	0.00	102	0.00	49	0.00	97	-0.00	97	0.00	101
0	Min.	-1789	0.00	102	0.00	49	0.00	97	0.00	102	0.00	49	0.00	97	-0.00	97	0.00	101
0	Max	-1713	0.00	97	0.00	97	0.00	98	0.09	97	0.59	97	-0.27	33	-9.37	33	-463.56	1
0	Max	-2078	0.00	97	0.00	97	0.00	98	0.09	97	0.59	97	-0.27	33	-9.37	33	-463.56	1
0	Max	-2077	0.00	97	0.00	97	0.00	98	0.09	97	0.59	97	-0.27	33	-9.37	33	-463.56	1
0	Max	-1790	0.00	97	0.00	97	0.00	98	0.09	97	0.59	97	-0.27	33	-9.37	33	-463.56	1
0	Min.	-1713	0.00	102	0.00	33	0.00	33	0.07	33	0.42	33	-0.37	97	-13.17	97	-651.22	97
0	Min.	-2078	0.00	102	0.00	33	0.00	33	0.07	33	0.42	33	-0.37	97	-13.17	97	-651.22	97
0	Min.	-2077	0.00	102	0.00	33	0.00	33	0.07	33	0.42	33	-0.37	97	-13.17	97	-651.22	97
0	Min.	-1790	0.00	102	0.00	33	0.00	33	0.07	33	0.42	33	-0.37	97	-13.17	97	-651.22	97
0	Max	-1714	0.00	97	0.00	97	0.00	98	0.07	97	0.68	97	-0.29	33	-12.13	33	-474.10	33
0	Max	-2076	0.00	97	0.00	97	0.00	98	0.07	97	0.68	97	-0.29	33	-12.13	33	-474.10	33
0	Max	-2075	0.00	97	0.00	97	0.00	98	0.07	97	0.68	97	-0.29	33	-12.13	33	-474.10	33
0	Max	-1791	0.00	97	0.00	97	0.00	98	0.07	97	0.68	97	-0.29	33	-12.13	33	-474.10	33
0	Min.	-1714	0.00	102	0.00	33	0.00	33	0.05	33	0.48	33	-0.41	97	-17.05	97	-666.03	97
0	Min.	-2076	0.00	102	0.00	33	0.00	33	0.05	33	0.48	33	-0.41	97	-17.05	97	-666.03	97
0	Min.	-2075	0.00	102	0.00	33	0.00	33	0.05	33	0.48	33	-0.41	97	-17.05	97	-666.03	97
0	Min.	-1791	0.00	102	0.00	33	0.00	33	0.05	33	0.48	33	-0.41	97	-17.05	97	-666.03	97
0	Max	-1715	0.00	98	0.00	98	0.00	98	0.07	97	0.67	97	-0.29	33	-12.04	33	-474.00	33
0	Max	-1849	0.00	98	0.00	98	0.00	98	0.07	97	0.67	97	-0.29	33	-12.04	33	-474.00	33
0	Max	-1535	0.00	98	0.00	98	0.00	98	0.07	97	0.67	97	-0.29	33	-12.04	33	-474.00	33
0	Max	-1792	0.00	98	0.00	98	0.00	98	0.07	97	0.67	97	-0.29	33	-12.04	33	-474.00	33
0	Min.	-1715	0.00	33	0.00	33	0.00	33	0.05	33	0.48	33	-0.41	97	-16.92	97	-665.89	97
0	Min.	-1849	0.00	33	0.00	33	0.00	33	0.05	33	0.48	33	-0.41	97	-16.92	97	-665.89	97
0	Min.	-1535	0.00	33	0.00	33	0.00	33	0.05	33	0.48	33	-0.41	97	-16.92	97	-665.89	97
0	Min.	-1792	0.00	33	0.00	33	0.00	33	0.05	33	0.48	33	-0.41	97	-16.92	97	-665.89	97
0	Max	-1849	0.00	97	0.00	97	-0.00	33	0.07	97	0.67	97	0.41	97	-12.04	33	665.89	97
0	Max	-1716	0.00	97	0.00	97	-0.00	33	0.07	97	0.67	97	0.41	97	-12.04	33	665.89	97
0	Max	-1793	0.00	97	0.00	97	-0.00	33	0.07	97	0.67	97	0.41	97	-12.04	33	665.89	97
0	Max	-1535	0.00	97	0.00	97	-0.00	33	0.07	97	0.67	97	0.41	97	-12.04	33	665.89	97
0	Min.	-1849	0.00	33	0.00	33	-0.00	97	0.05	33	0.48	33	0.29	33	-16.92	97	474.00	33
0	Min.	-1716	0.00	33	0.00	33	-0.00	97	0.05	33	0.48	33	0.29	33	-16.92	97	474.00	33
0	Min.	-1793	0.00	33	0.00	33	-0.00	97	0.05	33	0.48	33	0.29	33	-16.92	97	474.00	33
0	Min.	-1535	0.00	33	0.00	33	-0.00	97	0.05	33	0.48	33	0.29	33	-16.92	97	474.00	33
0	Max	-1349	0.00	102	-0.00	102	0.00	98	-0.01	33	0.00	98	0.01	97	561.21	97	2.99	97
0	Max	-1350	0.00	102	-0.00	102	0.00	98	-0.01	33	0.00	98	0.01	97	561.21	97	2.99	97
0	Max	-1562	0.00	102	-0.00	102	0.00	98	-0.01	33	0.00	98	0.01	97	561.21	97	2.99	97
0	Max	-1561	0.00	102	-0.00	102	0.00	98	-0.01	33	0.00	98	0.01	97	561.21	97	2.99	97
0	Min.	-1349	0.00	97	-0.00	97	0.00	49	-0.01	97	0.00	33	0.01	33	399.49	33	2.13	33
0	Min.	-1350	0.00	97	-0.00	97	0.00	49	-0.01	97	0.00	33	0.01	33	399.49	33	2.13	33
0	Min.	-1562	0.00	97	-0.00	97	0.00	49	-0.01	97	0.00	33	0.01	33	399.49	33	2.13	33
0	Min.	-1561	0.00	97	-0.00	97	0.00	49	-0.01	97	0.00	33	0.01	33	399.49	33	2.13	33
0	Max	-1350	0.00	102	-0.00	102	0.00	98	0.01	97	0.00	98	0.00	97	552.20	97	-0.99	33
0	Max	-1351	0.00	102	-0.00	102	0.00	98	0.01	97	0.00	98	0.00	97	552.20	97	-0.99	33
0	Max	-1563	0.00	102	-0.00	102	0.00	98	0.01	97	0.00	98	0.00	97	552.20	97	-0.99	33
0	Max	-1562	0.00	102	-0.00	102	0.00	98	0.01	97	0.00	98	0.00	97	552.20	97	-0.99	33
0	Min.	-1350	0.00	97	-0.00	97	0.00	49	0.01	33	0.00	33	0.00	33	393.08	33	-1.39	97
0	Min.	-1351	0.00	97	-0.00	97	0.00	49	0.01	33	0.00	33	0.00	33	393.08	33	-1.39	97
0	Min.	-1563	0.00	97	-0.00	97	0.00	49	0.01	33	0.00	33	0.00	33	393.08	33	-1.39	97
0	Min.	-1562	0.00	97	-0.00	97	0.00	49	0.01	33	0.00	33	0.00	33	393.08	33	-1.39	97
0	Max	-1351	0.00	102	-0.00	102	0.00	98	-0.00	33	-0.00	33	-0.00	33	553.48	97	0.48	97
0	Max	-1353	0.00	102	-0.00	102	0.00	98	-0.00	33	-0.00	33	-0.00	33	553.48	97	0.48	97
0	Max	-1564	0.00	102	-0.00	102	0.00	98	-0.00	33	-0.00	33	-0.00	33	553.48	97	0.48	97
0	Max	-1563	0.00	102	-0.00	102	0.00	98	-0.00	33	-0.00	33	-0.00	33	553.48	97	0.48	97
0	Min.	-1351	0.00	97	-0.00	97	0.00	49	-0.01	97	-0.00	97	-0.00	97	393.98	33	0.34	33
0	Min.	-1353	0.00	97	-0.00	97	0.00	49	-0.01	97	-0.00	97	-0.00	97	393.98	33	0.34	33
0	Min.	-1564	0.00	97	-0.00	97	0.00	49	-0.01	97	-0.00	97	-0.00	97	393.98	33	0.34	33
0	Min.	-1563	0.00	97	-0.00	97	0.00	49	-0.01	97	-0.00	97	-0.00	97	393.98	33	0.34	33
0	Max	-1353	0.00	102	-0.00	102	0.00	98	0.00	97	0.00	98	0.00	97	553.58	97	-0.06	33
0	Max	-1354	0.00	102	-0.00	102	0.00	98	0.00	97	0.00	98	0.00	97	553.58	97	-0.06	33
0	Max	-1611	0.00	102	-0.00	102	0.00	98	0.00	97	0.00	98	0.00	97	553.58	97	-0.06	33
0	Max	-1564	0.00	102	-0.00	102	0.00	98	0.00	97	0.00	98	0.00	97	553.58	97	-0.06	33
0	Min.	-1353	0.00	97	-0.00	97	0.00	49	0.00	33	0.00	33	0.00	33	394.06	1	-0.09	98
0	Min.	-1354	0.00	97	-0.00	97	0.00	49	0.00	33	0.00	33	0.00	33	394.06	1	-0.09	98
0	Min.	-1611	0.00	97	-0.00	97	0.00	49	0.00	33	0.00	33	0.00	33	394.06	1	-0.09	98
0	Min.	-1564	0.00	97	-0.00	97	0.00	49	0.00	33	0.00	33	0.00	33	394.06	1	-0.09	98

0	Max	-1357	0.00	97	-0.00	101	-0.00	33	0.49	97	0.07	97	-0.32	33	622.61	97	10.66	97
0	Max	-1358	0.00	97	-0.00	101	-0.00	33	0.49	97	0.07	97	-0.32	33	622.61	97	10.66	97
0	Max	-1706	0.00	97	-0.00	101	-0.00	33	0.49	97	0.07	97	-0.32	33	622.61	97	10.66	97
0	Max	442	0.00	97	-0.00	101	-0.00	33	0.49	97	0.07	97	-0.32	33	622.61	97	10.66	97
0	Min.	-1357	0.00	102	-0.00	98	-0.00	98	0.35	33	0.05	33	-0.44	97	443.19	33	7.59	33
0	Min.	-1358	0.00	102	-0.00	98	-0.00	98	0.35	33	0.05	33	-0.44	97	443.19	33	7.59	33
0	Min.	-1706	0.00	102	-0.00	98	-0.00	98	0.35	33	0.05	33	-0.44	97	443.19	33	7.59	33
0	Min.	442	0.00	102	-0.00	98	-0.00	98	0.35	33	0.05	33	-0.44	97	443.19	33	7.59	33
0	Max	-1358	0.00	101	-0.00	33	0.00	98	-0.75	33	-0.50	33	-0.63	33	410.42	97	-272.89	33
0	Max	-1947	0.00	101	-0.00	33	0.00	98	-0.75	33	-0.50	33	-0.63	33	410.42	97	-272.89	33
0	Max	-1945	0.00	101	-0.00	33	0.00	98	-0.75	33	-0.50	33	-0.63	33	410.42	97	-272.89	33
0	Max	-1706	0.00	101	-0.00	33	0.00	98	-0.75	33	-0.50	33	-0.63	33	410.42	97	-272.89	33
0	Min.	-1358	-0.00	98	-0.00	98	0.00	33	-1.05	97	-0.71	97	-0.89	97	292.11	33	-383.45	97
0	Min.	-1947	-0.00	98	-0.00	98	0.00	33	-1.05	97	-0.71	97	-0.89	97	292.11	33	-383.45	97
0	Min.	-1945	-0.00	98	-0.00	98	0.00	33	-1.05	97	-0.71	97	-0.89	97	292.11	33	-383.45	97
0	Min.	-1706	-0.00	98	-0.00	98	0.00	33	-1.05	97	-0.71	97	-0.89	97	292.11	33	-383.45	97
0	Max	-1359	0.00	101	-0.00	33	0.00	101	0.57	97	0.08	97	0.37	97	652.22	97	-10.19	33
0	Max	-1360	0.00	101	-0.00	33	0.00	101	0.57	97	0.08	97	0.37	97	652.22	97	-10.19	33
0	Max	-1708	0.00	101	-0.00	33	0.00	101	0.57	97	0.08	97	0.37	97	652.22	97	-10.19	33
0	Max	-1707	0.00	101	-0.00	33	0.00	101	0.57	97	0.08	97	0.37	97	652.22	97	-10.19	33
0	Min.	-1359	-0.00	98	-0.00	98	0.00	98	0.41	33	0.06	33	0.26	33	464.27	33	-14.31	97
0	Min.	-1360	-0.00	98	-0.00	98	0.00	98	0.41	33	0.06	33	0.26	33	464.27	33	-14.31	97
0	Min.	-1708	-0.00	98	-0.00	98	0.00	98	0.41	33	0.06	33	0.26	33	464.27	33	-14.31	97
0	Min.	-1707	-0.00	98	-0.00	98	0.00	98	0.41	33	0.06	33	0.26	33	464.27	33	-14.31	97
0	Max	-1360	-0.00	101	-0.00	33	0.00	33	-0.06	33	-0.01	33	-0.05	33	522.45	97	-2.28	33
0	Max	-1361	-0.00	101	-0.00	33	0.00	33	-0.06	33	-0.01	33	-0.05	33	522.45	97	-2.28	33
0	Max	-1709	-0.00	101	-0.00	33	0.00	33	-0.06	33	-0.01	33	-0.05	33	522.45	97	-2.28	33
0	Max	-1708	-0.00	101	-0.00	33	0.00	33	-0.06	33	-0.01	33	-0.05	33	522.45	97	-2.28	33
0	Min.	-1360	-0.00	98	-0.00	98	0.00	98	-0.09	97	-0.01	97	-0.07	97	371.90	33	-3.20	97
0	Min.	-1361	-0.00	98	-0.00	98	0.00	98	-0.09	97	-0.01	97	-0.07	97	371.90	33	-3.20	97
0	Min.	-1709	-0.00	98	-0.00	98	0.00	98	-0.09	97	-0.01	97	-0.07	97	371.90	33	-3.20	97
0	Min.	-1708	-0.00	98	-0.00	98	0.00	98	-0.09	97	-0.01	97	-0.07	97	371.90	33	-3.20	97
0	Max	-1361	-0.00	101	-0.00	33	0.00	33	0.00	97	0.00	97	0.00	97	559.99	97	4.32	97
0	Max	-1368	-0.00	101	-0.00	33	0.00	33	0.00	97	0.00	97	0.00	97	559.99	97	4.32	97
0	Max	-1710	-0.00	101	-0.00	33	0.00	33	0.00	97	0.00	97	0.00	97	559.99	97	4.32	97
0	Max	-1709	-0.00	101	-0.00	33	0.00	33	0.00	97	0.00	97	0.00	97	559.99	97	4.32	97
0	Min.	-1361	-0.00	98	-0.00	98	0.00	98	0.00	33	0.00	33	0.00	33	398.62	33	3.07	33
0	Min.	-1368	-0.00	98	-0.00	98	0.00	98	0.00	33	0.00	33	0.00	33	398.62	33	3.07	33
0	Min.	-1710	-0.00	98	-0.00	98	0.00	98	0.00	33	0.00	33	0.00	33	398.62	33	3.07	33
0	Min.	-1709	-0.00	98	-0.00	98	0.00	98	0.00	33	0.00	33	0.00	33	398.62	33	3.07	33
0	Max	-1368	-0.00	101	-0.00	33	0.00	33	0.00	97	0.00	97	-0.00	33	559.76	97	-3.07	33
0	Max	-1369	-0.00	101	-0.00	33	0.00	33	0.00	97	0.00	97	-0.00	33	559.76	97	-3.07	33
0	Max	-1711	-0.00	101	-0.00	33	0.00	33	0.00	97	0.00	97	-0.00	33	559.76	97	-3.07	33
0	Max	-1710	-0.00	101	-0.00	33	0.00	33	0.00	97	0.00	97	-0.00	33	559.76	97	-3.07	33
0	Min.	-1368	-0.00	98	-0.00	98	0.00	98	0.00	33	0.00	33	-0.00	97	398.46	33	-4.32	97
0	Min.	-1369	-0.00	98	-0.00	98	0.00	98	0.00	33	0.00	33	-0.00	97	398.46	33	-4.32	97
0	Min.	-1711	-0.00	98	-0.00	98	0.00	98	0.00	33	0.00	33	-0.00	97	398.46	33	-4.32	97
0	Min.	-1710	-0.00	98	-0.00	98	0.00	98	0.00	33	0.00	33	-0.00	97	398.46	33	-4.32	97
0	Max	-1369	-0.00	101	-0.00	33	0.00	33	-0.06	33	-0.01	33	0.07	97	523.10	97	3.26	97
0	Max	-1370	-0.00	101	-0.00	33	0.00	33	-0.06	33	-0.01	33	0.07	97	523.10	97	3.26	97
0	Max	-1712	-0.00	101	-0.00	33	0.00	33	-0.06	33	-0.01	33	0.07	97	523.10	97	3.26	97
0	Max	-1711	-0.00	101	-0.00	33	0.00	33	-0.06	33	-0.01	33	0.07	97	523.10	97	3.26	97
0	Min.	-1369	-0.00	98	-0.00	98	0.00	98	-0.09	97	-0.02	97	0.05	33	372.36	33	2.32	33
0	Min.	-1370	-0.00	98	-0.00	98	0.00	98	-0.09	97	-0.02	97	0.05	33	372.36	33	2.32	33
0	Min.	-1712	-0.00	98	-0.00	98	0.00	98	-0.09	97	-0.02	97	0.05	33	372.36	33	2.32	33
0	Min.	-1711	-0.00	98	-0.00	98	0.00	98	-0.09	97	-0.02	97	0.05	33	372.36	33	2.32	33
0	Max	-1370	-0.00	33	-0.00	33	-0.00	33	0.56	97	0.08	97	-0.26	33	650.25	97	13.84	97
0	Max	-1371	-0.00	33	-0.00	33	-0.00	33	0.56	97	0.08	97	-0.26	33	650.25	97	13.84	97
0	Max	-1713	-0.00	33	-0.00	33	-0.00	33	0.56	97	0.08	97	-0.26	33	650.25	97	13.84	97
0	Max	-1712	-0.00	33	-0.00	33	-0.00	33	0.56	97	0.08	97	-0.26	33	650.25	97	13.84	97
0	Min.	-1370	-0.00	98	-0.00	98	-0.00	98	0.40	33	0.06	33	-0.36	97	462.87	33	9.86	33
0	Min.	-1371	-0.00	98	-0.00	98	-0.00	98	0.40	33	0.06	33	-0.36	97	462.87	33	9.86	33
0	Min.	-1713	-0.00	98	-0.00	98	-0.00	98	0.40	33	0.06	33	-0.36	97	462.87	33	9.86	33
0	Min.	-1712	-0.00	98	-0.00	98	-0.00	98	0.40	33	0.06	33	-0.36	97	462.87	33	9.86	33
0	Max	-1371	-0.00	101	-0.00	33	0.00	97	-0.49	33	-0.56	33	-0.75	33	366.57	97	-263.34	33
0	Max	-2074	-0.00	101	-0.00	33	0.00	97	-0.49	33	-0.56	33	-0.75	33	366.57	97	-263.34	33
0	Max	-2078	-0.00	101	-0.00	33	0.00	97	-0.49	33	-0.56	33	-0.75	33	366.57	97	-263.34	33
0	Max	-1713	-0.00	101	-0.00	33	0.00	97	-0.49	33	-0.56	33	-0.75	33	366.57	97	-263.34	33
0	Min.	-1371	-0.00	98	-0.00	98	0.00	33	-0.69	97	-0.79	97	-1.06	97	260.91	33	-370.05	97
0	Min.	-2074	-0.00	98	-0.00	98	0.00	33	-0.69	97	-0.79	97	-1.06	97	260.91	33	-370.05	97
0	Min.	-2078	-0.00	98	-0.00	98	0.00	33	-0.69	97	-0.79	97	-1.06	97	260.91	33	-370.05	97
0	Min.	-1713	-0.00	98	-0.00	98	0.00	33	-0.69	97	-0.79	97	-1.06	97	260.91	33	-370.05	97
0	Max	-1372	-0.00	33	-0.00	33	0.00	97	-0.05	33	-0.57	33	-0.40	33	544.78	97	-246.28	33
0	Max	-2073	-0.00	33	-0.00	33	0.00	97	-0.05	33	-0.57	33	-0.40	33	544.78	97	-246.28	33
0	Max	-2076	-0.00	33	-0.00	33	0.00	97	-0.05	33	-0.57	33	-0.40	33	544.78	97	-246.28	33
0	Max	-1714	-0.00	33	-0.00	33	0.00	97	-0.05	33	-0.57	33	-0.40	33	544.78	97	-246.28	33
0	Min.	-1372	-0.00	98	-0.00	98	0.00	33	-0.07	97	-0.80	97	-0.56	97	387.76	33	-346.03	97
0	Min.	-2073	-0.00	98	-0.00	98	0.00	33	-0.07	97	-0.80	97	-0.56	97	387.76	33	-346.03	97
0	Min.	-2076	-0.00	98	-0.00	98	0.00	33	-0.07	97	-0.80	97	-0.56	97	387.76	33	-346.03	97
0	Min.	-1714	-0.00	98	-0.00	98	0.00	33	-0.07	97	-0.80	97	-0.56	97	387.76	33	-346.03	97
0	Max	-1373	-0.00	33	-0.00	33	0.00	97	-0.06	33	-0.56	33	-0.40	33	541.02	97	-245.61	33
0	Max	-1374	-0.00	33	-0.00	33	0.00	97	-0.06	33	-0.56	33	-0.40	33	541.02	97	-245.61	33
0	Max	-1849	-0.00	33	-0.00	33	0.00	97	-0.06	33	-0.56	33	-0.40	33	541.02	97	-245.61	33
0	Max	-1715	-0.00	33	-0.00	33	0.00	97	-0.06	33	-0.56	33	-0.40	33	541.02	97	-245.61	33
0	Min.	-1373	-0.00	98	-0.00	98	0.00	33	-0.08	97	-0.79	97	-0.56	97	385.07	33	-345.11	97
0	Min.	-1374	-0.00	98	-0.00	98	0.00	33	-0.08	97	-0.79	97	-0.56	97	385.07	33	-345.11	97
0	Min.	-1849	-0.00	98	-0.00	98	0.00	33	-0.08	97	-0.79	97	-0.56	97	385.07	33	-345.11	97
0	Min.	-1715	-0.00	98	-0.00	98	0.00	33	-0.08	97	-0.79	97	-0.56	97	385.07	33	-345.11	97
0	Max	-1374	-0.00	33	-0.00	33	-0.00	33	-0.06	33	-0.56	33	0.56	97	541.02	97	345.11	97
0	Max	-1375	-0.00	33	-0.00	33	-0.00	33	-0.06	33	-0.56	33	0.56	97	541.02	97	345.11	97
0	Max	-1716	-0.00	33	-0.00	33	-0.00	33	-0.06	33	-0.56	33	0.56	97	541.02	97	345.11	97
0	Max	-1849	-0.00	33	-0.00	33	-0.00	33	-0.06	33	-0.56	33	0.56	97	541.02	97	345.11	97
0	Min.	-1374	-0.00	97	-0.00	97	-0.00	98	-0.08	97	-0.79	97	0.40	33	385.07	33	245.61	33
0	Min.	-1375	-0.00	97	-0.00	97	-0.00	98	-0.08	97	-0.79	97	0.40	33	385.07	33	245.61	33
0	Min.	-1716	-0.00	97	-0.00	97	-0.00	98	-0.08	97	-0.79	97	0.40	33	385.07	33	245.61	33
0	Min.	-1849	-0.00	97	-0.00	97	-0.00	98	-0.08	97	-0.79	97	0.40	33	385.07	33	245.61	33
0	Max	-1375	-0.00	33	-0.00	33	0.00	97	-0.05	33	-0.56	33	-0.40	33	540.78	97	-246.19	33
0	Max	-2072	-0.00	33	-0.00	33	0.00	97	-0.05	33	-0.56	33	-0.40	33	540.78	97	-246.19	33
0	Max	-2070	-0.00	33	-0.00	33	0.00	97	-0.05	33	-0.56	33	-0.40	33	540.78	97	-246.19	33
0	Max	-1716	-0.00	33	-0.00	33	0.00	97	-0.05	33	-0.56	33	-0.40	33	540.78	97	-246.19	33
0	Min.	-1375	-0.00	97	-0.00	97	0.00	33	-0.08	97	-0.79	97	-0.56	97	384.92	33	-345.92	97
0	Min.	-2072	-0.00	97	-0.00	97	0.00	33	-0.08	97	-0.79	97	-0.56	97	384.92	33	-345.92	97
0	Min.	-2070	-0.00	97	-0.00	97	0.00	33	-0.08	97	-0.79	97	-0.56	97	384.92	33	-345.92	97
0	Min.	-1716	-0.00	97	-0.00	97	0.00	33	-0.08	97	-0.79	97	-0.56	97	384.92	33	-345.92	97
0	Max	-1376	-0.00	102	-0.00	33	0.00	97	-0.29	33	-0.50	33	-0.28	33	576.26	97	-259.11	33

0	Max	-2068	-0.00	102	-0.00	33	0.00	97	-0.29	33	-0.50	33	-0.28	33	576.26	97	-259.11	33
0	Max	-2066	-0.00	102	-0.00	33	0.00	97	-0.29	33	-0.50	33	-0.28	33	576.26	97	-259.11	33
0	Max	-1717	-0.00	102	-0.00	33	0.00	97	-0.29	33	-0.50	33	-0.28	33	576.26	97	-259.11	33
0	Min.	-1376	-0.00	97	-0.00	97	0.00	33	-0.41	97	-0.70	97	-0.39	97	410.16	33	-364.05	97
0	Min.	-2068	-0.00	97	-0.00	97	0.00	33	-0.41	97	-0.70	97	-0.39	97	410.16	33	-364.05	97
0	Min.	-2066	-0.00	97	-0.00	97	0.00	33	-0.41	97	-0.70	97	-0.39	97	410.16	33	-364.05	97
0	Min.	-1717	-0.00	97	-0.00	97	0.00	33	-0.41	97	-0.70	97	-0.39	97	410.16	33	-364.05	97
0	Max	-1377	-0.00	102	-0.00	33	0.00	97	0.56	97	0.08	97	0.36	97	650.25	97	-9.86	33
0	Max	-1378	-0.00	102	-0.00	33	0.00	97	0.56	97	0.08	97	0.36	97	650.25	97	-9.86	33
0	Max	-1719	-0.00	102	-0.00	33	0.00	97	0.56	97	0.08	97	0.36	97	650.25	97	-9.86	33
0	Max	-1718	-0.00	102	-0.00	33	0.00	97	0.56	97	0.08	97	0.36	97	650.25	97	-9.86	33
0	Min.	-1377	-0.00	97	-0.00	97	0.00	33	0.40	33	0.06	33	0.26	33	462.87	33	-13.84	97
0	Min.	-1378	-0.00	97	-0.00	97	0.00	33	0.40	33	0.06	33	0.26	33	462.87	33	-13.84	97
0	Min.	-1719	-0.00	97	-0.00	97	0.00	33	0.40	33	0.06	33	0.26	33	462.87	33	-13.84	97
0	Min.	-1718	-0.00	97	-0.00	97	0.00	33	0.40	33	0.06	33	0.26	33	462.87	33	-13.84	97
0	Max	-1378	-0.00	102	-0.00	33	0.00	97	-0.06	33	-0.01	33	-0.05	33	523.10	97	-2.32	33
0	Max	-1379	-0.00	102	-0.00	33	0.00	97	-0.06	33	-0.01	33	-0.05	33	523.10	97	-2.32	33
0	Max	-1720	-0.00	102	-0.00	33	0.00	97	-0.06	33	-0.01	33	-0.05	33	523.10	97	-2.32	33
0	Max	-1719	-0.00	102	-0.00	33	0.00	97	-0.06	33	-0.01	33	-0.05	33	523.10	97	-2.32	33
0	Min.	-1378	-0.00	97	-0.00	97	0.00	49	-0.09	97	-0.02	97	-0.07	97	372.36	33	-3.26	97
0	Min.	-1379	-0.00	97	-0.00	97	0.00	49	-0.09	97	-0.02	97	-0.07	97	372.36	33	-3.26	97
0	Min.	-1720	-0.00	97	-0.00	97	0.00	49	-0.09	97	-0.02	97	-0.07	97	372.36	33	-3.26	97
0	Min.	-1719	-0.00	97	-0.00	97	0.00	49	-0.09	97	-0.02	97	-0.07	97	372.36	33	-3.26	97
0	Max	-1379	-0.00	102	-0.00	33	0.00	97	0.00	97	0.00	98	0.00	97	559.76	97	4.32	97
0	Max	-1380	-0.00	102	-0.00	33	0.00	97	0.00	97	0.00	98	0.00	97	559.76	97	4.32	97
0	Max	-1721	-0.00	102	-0.00	33	0.00	97	0.00	97	0.00	98	0.00	97	559.76	97	4.32	97
0	Max	-1720	-0.00	102	-0.00	33	0.00	97	0.00	97	0.00	98	0.00	97	559.76	97	4.32	97
0	Min.	-1379	-0.00	97	-0.00	97	0.00	49	0.00	33	0.00	33	0.00	33	398.46	33	3.07	33
0	Min.	-1380	-0.00	97	-0.00	97	0.00	49	0.00	33	0.00	33	0.00	33	398.46	33	3.07	33
0	Min.	-1721	-0.00	97	-0.00	97	0.00	49	0.00	33	0.00	33	0.00	33	398.46	33	3.07	33
0	Min.	-1720	-0.00	97	-0.00	97	0.00	49	0.00	33	0.00	33	0.00	33	398.46	33	3.07	33
0	Max	-1380	-0.00	102	-0.00	33	0.00	97	0.00	97	0.00	98	-0.00	33	559.99	97	-3.07	33
0	Max	-1381	-0.00	102	-0.00	33	0.00	97	0.00	97	0.00	98	-0.00	33	559.99	97	-3.07	33
0	Max	-1722	-0.00	102	-0.00	33	0.00	97	0.00	97	0.00	98	-0.00	33	559.99	97	-3.07	33
0	Max	-1721	-0.00	102	-0.00	33	0.00	97	0.00	97	0.00	98	-0.00	33	559.99	97	-3.07	33
0	Min.	-1380	-0.00	97	-0.00	97	0.00	49	0.00	33	0.00	33	-0.00	97	398.62	33	-4.32	97
0	Min.	-1381	-0.00	97	-0.00	97	0.00	49	0.00	33	0.00	33	-0.00	97	398.62	33	-4.32	97
0	Min.	-1722	-0.00	97	-0.00	97	0.00	49	0.00	33	0.00	33	-0.00	97	398.62	33	-4.32	97
0	Min.	-1721	-0.00	97	-0.00	97	0.00	49	0.00	33	0.00	33	-0.00	97	398.62	33	-4.32	97
0	Max	-1381	-0.00	102	-0.00	33	0.00	97	-0.06	33	-0.01	33	0.07	97	522.45	97	3.20	97
0	Max	-1382	-0.00	102	-0.00	33	0.00	97	-0.06	33	-0.01	33	0.07	97	522.45	97	3.20	97
0	Max	-1723	-0.00	102	-0.00	33	0.00	97	-0.06	33	-0.01	33	0.07	97	522.45	97	3.20	97
0	Max	-1722	-0.00	102	-0.00	33	0.00	97	-0.06	33	-0.01	33	0.07	97	522.45	97	3.20	97
0	Min.	-1381	-0.00	97	-0.00	97	0.00	49	-0.09	97	-0.01	97	0.05	33	371.90	33	2.28	33
0	Min.	-1382	-0.00	97	-0.00	97	0.00	49	-0.09	97	-0.01	97	0.05	33	371.90	33	2.28	33
0	Min.	-1723	-0.00	97	-0.00	97	0.00	49	-0.09	97	-0.01	97	0.05	33	371.90	33	2.28	33
0	Min.	-1722	-0.00	97	-0.00	97	0.00	49	-0.09	97	-0.01	97	0.05	33	371.90	33	2.28	33
0	Max	-1382	0.00	102	-0.00	33	0.00	97	0.57	97	0.08	97	-0.26	33	652.22	97	14.31	97
0	Max	-1383	0.00	102	-0.00	33	0.00	97	0.57	97	0.08	97	-0.26	33	652.22	97	14.31	97
0	Max	-1724	0.00	102	-0.00	33	0.00	97	0.57	97	0.08	97	-0.26	33	652.22	97	14.31	97
0	Max	-1723	0.00	102	-0.00	33	0.00	97	0.57	97	0.08	97	-0.26	33	652.22	97	14.31	97
0	Min.	-1382	-0.00	97	-0.00	97	0.00	102	0.41	33	0.06	33	-0.37	97	464.27	33	10.19	33
0	Min.	-1383	-0.00	97	-0.00	97	0.00	102	0.41	33	0.06	33	-0.37	97	464.27	33	10.19	33
0	Min.	-1724	-0.00	97	-0.00	97	0.00	102	0.41	33	0.06	33	-0.37	97	464.27	33	10.19	33
0	Min.	-1723	-0.00	97	-0.00	97	0.00	102	0.41	33	0.06	33	-0.37	97	464.27	33	10.19	33
0	Max	-1383	-0.00	102	-0.00	33	0.00	97	-0.71	33	-0.50	33	-0.64	33	399.65	97	-276.18	33
0	Max	-1919	-0.00	102	-0.00	33	0.00	97	-0.71	33	-0.50	33	-0.64	33	399.65	97	-276.18	33
0	Max	-1920	-0.00	102	-0.00	33	0.00	97	-0.71	33	-0.50	33	-0.64	33	399.65	97	-276.18	33
0	Max	-1724	-0.00	102	-0.00	33	0.00	97	-0.71	33	-0.50	33	-0.64	33	399.65	97	-276.18	33
0	Min.	-1383	-0.00	97	-0.00	97	0.00	102	-1.00	97	-0.70	97	-0.91	97	284.45	33	-388.07	97
0	Min.	-1919	-0.00	97	-0.00	97	0.00	102	-1.00	97	-0.70	97	-0.91	97	284.45	33	-388.07	97
0	Min.	-1920	-0.00	97	-0.00	97	0.00	102	-1.00	97	-0.70	97	-0.91	97	284.45	33	-388.07	97
0	Min.	-1724	-0.00	97	-0.00	97	0.00	102	-1.00	97	-0.70	97	-0.91	97	284.45	33	-388.07	97
0	Max	-1384	0.00	98	-0.00	102	0.00	97	0.49	97	0.07	97	0.44	97	622.60	97	-7.59	33
0	Max	-1385	0.00	98	-0.00	102	0.00	97	0.49	97	0.07	97	0.44	97	622.60	97	-7.59	33
0	Max	440	0.00	98	-0.00	102	0.00	97	0.49	97	0.07	97	0.44	97	622.60	97	-7.59	33
0	Max	-1725	0.00	98	-0.00	102	0.00	97	0.49	97	0.07	97	0.44	97	622.60	97	-7.59	33
0	Min.	-1384	0.00	101	-0.00	97	0.00	33	0.35	33	0.05	33	0.32	33	443.18	33	-10.66	97
0	Min.	-1385	0.00	101	-0.00	97	0.00	33	0.35	33	0.05	33	0.32	33	443.18	33	-10.66	97
0	Min.	440	0.00	101	-0.00	97	0.00	33	0.35	33	0.05	33	0.32	33	443.18	33	-10.66	97
0	Min.	-1725	0.00	101	-0.00	97	0.00	33	0.35	33	0.05	33	0.32	33	443.18	33	-10.66	97
0	Max	-1571	0.00	102	-0.00	33	0.00	101	0.01	97	0.00	98	-0.00	33	-516.78	1	-0.12	33
0	Max	-1612	0.00	102	-0.00	33	0.00	101	0.01	97	0.00	98	-0.00	33	-516.78	1	-0.12	33
0	Max	-2174	0.00	102	-0.00	33	0.00	101	0.01	97	0.00	98	-0.00	33	-516.78	1	-0.12	33
0	Max	-2175	0.00	102	-0.00	33	0.00	101	0.01	97	0.00	98	-0.00	33	-516.78	1	-0.12	33
0	Min.	-1571	0.00	97	-0.00	98	0.00	98	0.00	33	0.00	33	-0.00	98	-737.66	97	-0.17	97
0	Min.	-1612	0.00	97	-0.00	98	0.00	98	0.00	33	0.00	33	-0.00	98	-737.66	97	-0.17	97
0	Min.	-2174	0.00	97	-0.00	98	0.00	98	0.00	33	0.00	33	-0.00	98	-737.66	97	-0.17	97
0	Min.	-2175	0.00	97	-0.00	98	0.00	98	0.00	33	0.00	33	-0.00	98	-737.66	97	-0.17	97
0	Max	-1570	0.00	102	-0.00	33	0.00	101	-0.01	33	-0.00	33	0.00	97	-516.64	33	0.93	97
0	Max	-1571	0.00	102	-0.00	33	0.00	101	-0.01	33	-0.00	33	0.00	97	-516.64	33	0.93	97
0	Max	-2175	0.00	102	-0.00	33	0.00	101	-0.01	33	-0.00	33	0.00	97	-516.64	33	0.93	97
0	Max	-2176	0.00	102	-0.00	33	0.00	101	-0.01	33	-0.00	33	0.00	97	-516.64	33	0.93	97
0	Min.	-1570	0.00	97	-0.00	98	0.00	98	-0.01	97	-0.00	97	0.00	33	-737.47	97	0.65	33
0	Min.	-1571	0.00	97	-0.00	98	0.00	98	-0.01	97	-0.00	97	0.00	33	-737.47	97	0.65	33
0	Min.	-2175	0.00	97	-0.00	98	0.00	98	-0.01	97	-0.00	97	0.00	33	-737.47	97	0.65	33
0	Min.	-2176	0.00	97	-0.00	98	0.00	98	-0.01	97	-0.00	97	0.00	33	-737.47	97	0.65	33
0	Max	-1569	0.00	102	-0.00	33	0.00	101	0.03	97	0.00	98	-0.00	33	-514.88	33	-1.89	33
0	Max	-1570	0.00	102	-0.00	33	0.00	101	0.03	97	0.00	98	-0.00	33	-514.88	33	-1.89	33
0	Max	-2176	0.00	102	-0.00	33	0.00	101	0.03	97	0.00	98	-0.00	33	-514.88	33	-1.89	33
0	Max	-2177	0.00	102	-0.00	33	0.00	101	0.03	97	0.00	98	-0.00	33	-514.88	33	-1.89	33
0	Min.	-1569	0.00	97	-0.00	98	0.00	98	0.02	33	0.00	33	-0.01	97	-734.93	97	-2.72	97
0	Min.	-1570	0.00	97	-0.00	98	0.00	98	0.02	33	0.00	33	-0.01	97	-734.93	97	-2.72	97
0	Min.	-2176	0.00	97	-0.00	98	0.00	98	0.02	33	0.00	33	-0.01	97	-734.93	97	-2.72	97
0	Min.	-2177	0.00	97	-0.00	98	0.00	98	0.02	33	0.00	33	-0.01	97	-734.93	97	-2.72	97
0	Max	-2071	0.00	102	0.00	97	0.00	102	0.35	97	2.56	97	-0.08	33	-257.98	33	-3.55	33
0	Max	-1548	0.00	102	0.00	97	0.00	102	0.35	97	2.56	97	-0.08	33	-257.98	33	-3.55	33
0	Max	-1981	0.00	102	0.00	97	0.00	102	0.35	97	2.56	97	-0.08	33	-257.98	33	-3.55	33
0	Max	-1980	0.00	102	0.00	97	0.00	102	0.35	97	2.56	97	-0.08	33	-257.98	33	-3.55	33
0	Min.	-2071	0.00	97	0.00	102	0.00	97	0.25	33	1.79	33	-0.11	97	-368.62	97	-5.15	98
0	Min.	-1548	0.00	97	0.00	102	0.00	97	0.25	33	1.79	33	-0.11	97	-368.62	97	-5.15	98
0	Min.	-1981	0.00	97	0.00	102	0.00	97	0.25	33	1.79	33	-0.11	97	-368.62	97	-5.15	98
0	Min.	-1980	0.00	97	0.00	102	0.00	97	0.25	33	1.79	33	-0.11	97	-368.62	97	-5.15	98
0	Max	-1546	0.00	97	0.00	98	0.00	102	-0.08	33	2.20	97	0.41	97	-204.90	33	18.82	97
0	Max	-2071	0.00	97	0.00	98	0.00	102	-0.08	33	2.20	97	0.41	97	-204.90	33	18.82	97

0	Max	-1980	0.00	97	0.00	98	0.00	102	-0.08	33	2.20	97	0.41	97	-204.90	33	18.82	97
0	Max	-1979	0.00	97	0.00	98	0.00	102	-0.08	33	2.20	97	0.41	97	-204.90	33	18.82	97
0	Min.	-1546	0.00	102	0.00	101	0.00	97	-0.12	97	1.55	33	0.28	33	-291.21	97	12.98	33
0	Min.	-2071	0.00	102	0.00	101	0.00	97	-0.12	97	1.55	33	0.28	33	-291.21	97	12.98	33
0	Min.	-1980	0.00	102	0.00	101	0.00	97	-0.12	97	1.55	33	0.28	33	-291.21	97	12.98	33
0	Min.	-1979	0.00	102	0.00	101	0.00	97	-0.12	97	1.55	33	0.28	33	-291.21	97	12.98	33
0	Max	-1566	0.00	98	-0.00	33	0.00	101	1.12	97	0.17	97	-0.50	33	-649.60	33	-19.82	33
0	Max	-1567	0.00	98	-0.00	33	0.00	101	1.12	97	0.17	97	-0.50	33	-649.60	33	-19.82	33
0	Max	-2178	0.00	98	-0.00	33	0.00	101	1.12	97	0.17	97	-0.50	33	-649.60	33	-19.82	33
0	Max	-2179	0.00	98	-0.00	33	0.00	101	1.12	97	0.17	97	-0.50	33	-649.60	33	-19.82	33
0	Min.	-1566	0.00	101	-0.00	97	0.00	98	0.78	33	0.12	33	-0.72	97	-928.62	97	-28.58	97
0	Min.	-1567	0.00	101	-0.00	97	0.00	98	0.78	33	0.12	33	-0.72	97	-928.62	97	-28.58	97
0	Min.	-2178	0.00	101	-0.00	97	0.00	98	0.78	33	0.12	33	-0.72	97	-928.62	97	-28.58	97
0	Min.	-2179	0.00	101	-0.00	97	0.00	98	0.78	33	0.12	33	-0.72	97	-928.62	97	-28.58	97
0	Max	-1565	0.00	102	0.00	102	-0.00	101	-1.34	33	0.05	97	1.58	97	-380.68	33	-487.24	33
0	Max	-1921	0.00	102	0.00	102	-0.00	101	-1.34	33	0.05	97	1.58	97	-380.68	33	-487.24	33
0	Max	-2180	0.00	102	0.00	102	-0.00	101	-1.34	33	0.05	97	1.58	97	-380.68	33	-487.24	33
0	Max	-2181	0.00	102	0.00	102	-0.00	101	-1.34	33	0.05	97	1.58	97	-380.68	33	-487.24	33
0	Min.	-1565	0.00	97	0.00	97	-0.00	98	-1.93	97	0.01	33	1.08	33	-544.51	97	-689.92	97
0	Min.	-1921	0.00	97	0.00	97	-0.00	98	-1.93	97	0.01	33	1.08	33	-544.51	97	-689.92	97
0	Min.	-2180	0.00	97	0.00	97	-0.00	98	-1.93	97	0.01	33	1.08	33	-544.51	97	-689.92	97
0	Min.	-2181	0.00	97	0.00	97	-0.00	98	-1.93	97	0.01	33	1.08	33	-544.51	97	-689.92	97
0	Max	-1510	0.00	98	0.00	98	0.00	33	0.00	97	0.00	98	0.00	97	733.99	97	-0.08	33
0	Max	-1509	0.00	98	0.00	98	0.00	33	0.00	97	0.00	98	0.00	97	733.99	97	-0.08	33
0	Max	-1612	0.00	98	0.00	98	0.00	33	0.00	97	0.00	98	0.00	97	733.99	97	-0.08	33
0	Max	-1571	0.00	98	0.00	98	0.00	33	0.00	97	0.00	98	0.00	97	733.99	97	-0.08	33
0	Min.	-1510	0.00	101	0.00	101	0.00	98	0.00	33	0.00	33	0.00	33	522.48	1	-0.11	97
0	Min.	-1509	0.00	101	0.00	101	0.00	98	0.00	33	0.00	33	0.00	33	522.48	1	-0.11	97
0	Min.	-1612	0.00	101	0.00	101	0.00	98	0.00	33	0.00	33	0.00	33	522.48	1	-0.11	97
0	Min.	-1571	0.00	101	0.00	101	0.00	98	0.00	33	0.00	33	0.00	33	522.48	1	-0.11	97
0	Max	-1511	0.00	98	0.00	98	0.00	33	-0.00	33	-0.00	33	-0.00	33	734.25	97	0.55	97
0	Max	-1510	0.00	98	0.00	98	0.00	33	-0.00	33	-0.00	33	-0.00	33	734.25	97	0.55	97
0	Max	-1571	0.00	98	0.00	98	0.00	33	-0.00	33	-0.00	33	-0.00	33	734.25	97	0.55	97
0	Max	-1570	0.00	98	0.00	98	0.00	33	-0.00	33	-0.00	33	-0.00	33	734.25	97	0.55	97
0	Min.	-1511	0.00	101	0.00	101	0.00	98	-0.01	97	-0.00	97	-0.00	97	522.66	1	0.39	33
0	Min.	-1510	0.00	101	0.00	101	0.00	98	-0.01	97	-0.00	97	-0.00	97	522.66	1	0.39	33
0	Min.	-1571	0.00	101	0.00	101	0.00	98	-0.01	97	-0.00	97	-0.00	97	522.66	1	0.39	33
0	Min.	-1570	0.00	101	0.00	101	0.00	98	-0.01	97	-0.00	97	-0.00	97	522.66	1	0.39	33
0	Max	-1716	0.00	98	0.00	98	0.00	98	0.07	97	0.68	97	-0.29	33	-12.13	33	-474.06	33
0	Max	-2070	0.00	98	0.00	98	0.00	98	0.07	97	0.68	97	-0.29	33	-12.13	33	-474.06	33
0	Max	-2064	0.00	98	0.00	98	0.00	98	0.07	97	0.68	97	-0.29	33	-12.13	33	-474.06	33
0	Max	-1793	0.00	98	0.00	98	0.00	98	0.07	97	0.68	97	-0.29	33	-12.13	33	-474.06	33
0	Min.	-1716	0.00	101	0.00	33	0.00	33	0.05	33	0.48	33	-0.41	97	-17.05	97	-665.98	97
0	Min.	-2070	0.00	101	0.00	33	0.00	33	0.05	33	0.48	33	-0.41	97	-17.05	97	-665.98	97
0	Min.	-2064	0.00	101	0.00	33	0.00	33	0.05	33	0.48	33	-0.41	97	-17.05	97	-665.98	97
0	Min.	-1793	0.00	101	0.00	33	0.00	33	0.05	33	0.48	33	-0.41	97	-17.05	97	-665.98	97
0	Max	-1717	0.00	98	0.00	98	0.00	98	0.02	97	0.58	97	-0.25	33	-9.37	33	-469.99	33
0	Max	-2066	0.00	98	0.00	98	0.00	98	0.02	97	0.58	97	-0.25	33	-9.37	33	-469.99	33
0	Max	-2062	0.00	98	0.00	98	0.00	98	0.02	97	0.58	97	-0.25	33	-9.37	33	-469.99	33
0	Max	-1794	0.00	98	0.00	98	0.00	98	0.02	97	0.58	97	-0.25	33	-9.37	33	-469.99	33
0	Min.	-1717	0.00	101	0.00	33	0.00	33	0.02	33	0.41	33	-0.35	97	-13.17	97	-660.26	97
0	Min.	-2066	0.00	101	0.00	33	0.00	33	0.02	33	0.41	33	-0.35	97	-13.17	97	-660.26	97
0	Min.	-2062	0.00	101	0.00	33	0.00	33	0.02	33	0.41	33	-0.35	97	-13.17	97	-660.26	97
0	Min.	-1794	0.00	101	0.00	33	0.00	33	0.02	33	0.41	33	-0.35	97	-13.17	97	-660.26	97
0	Max	-1718	0.00	98	0.00	98	0.00	98	0.00	98	0.00	98	0.00	98	-0.00	33	0.00	102
0	Max	-1719	0.00	98	0.00	98	0.00	98	0.00	98	0.00	98	0.00	98	-0.00	33	0.00	102
0	Max	-1796	0.00	98	0.00	98	0.00	98	0.00	98	0.00	98	0.00	98	-0.00	33	0.00	102
0	Max	-1795	0.00	98	0.00	98	0.00	98	0.00	98	0.00	98	0.00	98	-0.00	33	0.00	102
0	Min.	-1718	0.00	101	0.00	33	0.00	49	0.00	101	0.00	33	0.00	33	-0.00	98	0.00	97
0	Min.	-1719	0.00	101	0.00	33	0.00	49	0.00	101	0.00	33	0.00	33	-0.00	98	0.00	97
0	Min.	-1796	0.00	101	0.00	33	0.00	49	0.00	101	0.00	33	0.00	33	-0.00	98	0.00	97
0	Min.	-1795	0.00	101	0.00	33	0.00	49	0.00	101	0.00	33	0.00	33	-0.00	98	0.00	97
0	Max	-1719	0.00	98	0.00	98	0.00	98	0.00	98	0.00	98	0.00	98	-0.00	33	0.00	98
0	Max	-1720	0.00	98	0.00	98	0.00	98	0.00	98	0.00	98	0.00	98	-0.00	33	0.00	98
0	Max	-1797	0.00	98	0.00	98	0.00	98	0.00	98	0.00	98	0.00	98	-0.00	33	0.00	98
0	Max	-1796	0.00	98	0.00	98	0.00	98	0.00	98	0.00	98	0.00	98	-0.00	33	0.00	98
0	Min.	-1719	0.00	101	0.00	33	0.00	49	0.00	101	0.00	33	0.00	33	-0.00	98	0.00	101
0	Min.	-1720	0.00	101	0.00	33	0.00	49	0.00	101	0.00	33	0.00	33	-0.00	98	0.00	101
0	Min.	-1797	0.00	101	0.00	33	0.00	49	0.00	101	0.00	33	0.00	33	-0.00	98	0.00	101
0	Min.	-1796	0.00	101	0.00	33	0.00	49	0.00	101	0.00	33	0.00	33	-0.00	98	0.00	101
0	Max	-1720	0.00	98	0.00	98	0.00	98	0.00	98	0.00	98	0.00	98	-0.00	33	0.00	98
0	Max	-1721	0.00	98	0.00	98	0.00	98	0.00	98	0.00	98	0.00	98	-0.00	33	0.00	98
0	Max	-1798	0.00	98	0.00	98	0.00	98	0.00	98	0.00	98	0.00	98	-0.00	33	0.00	98
0	Max	-1797	0.00	98	0.00	98	0.00	98	0.00	98	0.00	98	0.00	98	-0.00	33	0.00	98
0	Min.	-1720	0.00	101	0.00	33	0.00	49	0.00	101	0.00	33	0.00	33	-0.00	98	0.00	101
0	Min.	-1721	0.00	101	0.00	33	0.00	49	0.00	101	0.00	33	0.00	33	-0.00	98	0.00	101
0	Min.	-1798	0.00	101	0.00	33	0.00	49	0.00	101	0.00	33	0.00	33	-0.00	98	0.00	101
0	Min.	-1797	0.00	101	0.00	33	0.00	49	0.00	101	0.00	33	0.00	33	-0.00	98	0.00	101
0	Max	-1721	0.00	98	0.00	98	0.00	98	0.00	98	0.00	98	0.00	98	-0.00	33	0.00	98
0	Max	-1722	0.00	98	0.00	98	0.00	98	0.00	98	0.00	98	0.00	98	-0.00	33	0.00	98
0	Max	-1799	0.00	98	0.00	98	0.00	98	0.00	98	0.00	98	0.00	98	-0.00	33	0.00	98
0	Max	-1798	0.00	98	0.00	98	0.00	98	0.00	98	0.00	98	0.00	98	-0.00	33	0.00	98
0	Min.	-1721	0.00	101	0.00	33	0.00	49	0.00	101	0.00	33	0.00	33	-0.00	98	0.00	101
0	Min.	-1722	0.00	101	0.00	33	0.00	49	0.00	101	0.00	33	0.00	33	-0.00	98	0.00	101
0	Min.	-1799	0.00	101	0.00	33	0.00	49	0.00	101	0.00	33	0.00	33	-0.00	98	0.00	101
0	Min.	-1798	0.00	101	0.00	33	0.00	49	0.00	101	0.00	33	0.00	33	-0.00	98	0.00	101
0	Max	-1722	0.00	98	0.00	98	0.00	98	0.00	98	0.00	98	0.00	98	-0.00	33	0.00	98
0	Max	-1723	0.00	98	0.00	98	0.00	98	0.00	98	0.00	98	0.00	98	-0.00	33	0.00	98
0	Max	-1800	0.00	98	0.00	98	0.00	98	0.00	98	0.00	98	0.00	98	-0.00	33	0.00	98
0	Max	-1799	0.00	98	0.00	98	0.00	98	0.00	98	0.00	98	0.00	98	-0.00	33	0.00	98
0	Min.	-1722	0.00	101	0.00	33	0.00	49	0.00	101	0.00	33	0.00	33	-0.00	98	0.00	101
0	Min.	-1723	0.00	101	0.00	33	0.00	49	0.00	101	0.00	33	0.00	33	-0.00	98	0.00	101
0	Min.	-1800	0.00	101	0.00	33	0.00	49	0.00	101	0.00	33	0.00	33	-0.00	98	0.00	101
0	Min.	-1799	0.00	101	0.00	33	0.00	49	0.00	101	0.00	33	0.00	33	-0.00	98	0.00	101
0	Max	-1723	0.00	98	0.00	98	0.00	98	0.00	98	0.00	98	0.00	98	-0.00	33	0.00	98
0	Max	-1724	0.00	98	0.00	98	0.00	98	0.00	98	0.00	98	0.00	98	-0.00	33	0.00	98
0	Max	-1801	0.00	98	0.00	98	0.00	98	0.00	98	0.00	98	0.00	98	-0.00	33	0.00	98
0	Max	-1800	0.00	98	0.00	98	0.00	98	0.00	98	0.00	98	0.00	98	-0.00	33	0.00	98
0	Min.	-1723	0.00	101	0.00	33	0.00	49	0.00	101	0.00	33	0.00	33	-0.00	98	0.00	101
0	Min.	-1724	0.00	101	0.00	33	0.00	49	0.00	101	0.00	33	0.00	33	-0.00	98	0.00	101
0	Min.	-1801	0.00	101	0.00	33	0.00	49	0.00	101	0.00	33	0.00	33	-0.00	98	0.00	101
0	Min.	-1800	0.00	101	0.00	33	0.00	49	0.00	101	0.00	33	0.00	33	-0.00	98	0.00	101
0	Max	-1724	0.00	98	0.00	98	0.00	97	0.05	97	0.50	97	-0.22	33	-6.70	33	-460.06	33
0	Max	-1920	0.00	98	0.00	98	0.00	97	0.05	97	0.50	97	-0.22	33	-6.70	33	-460.06	33
0	Max	-1923	0.00	98	0.00	98	0.00	97	0.05	97	0.50	97	-0.22	33	-6.70	33	-460.06	33

0	Max	-1801	0.00	98	0.00	98	0.00	97	0.05	97	0.50	97	-0.22	33	-6.70	33	-460.06	33
0	Min.	-1724	0.00	101	0.00	33	0.00	102	0.04	33	0.36	33	-0.31	97	-9.42	97	-646.30	97
0	Min.	-1920	0.00	101	0.00	33	0.00	102	0.04	33	0.36	33	-0.31	97	-9.42	97	-646.30	97
0	Min.	-1923	0.00	101	0.00	33	0.00	102	0.04	33	0.36	33	-0.31	97	-9.42	97	-646.30	97
0	Min.	-1801	0.00	101	0.00	33	0.00	102	0.04	33	0.36	33	-0.31	97	-9.42	97	-646.30	97
0	Max	-1725	0.00	98	0.00	98	0.00	98	0.00	98	0.00	98	0.00	98	-0.00	101	0.00	102
0	Max	440	0.00	98	0.00	98	0.00	98	0.00	98	0.00	98	0.00	98	-0.00	101	0.00	102
0	Max	-1531	0.00	98	0.00	98	0.00	98	0.00	98	0.00	98	0.00	98	-0.00	101	0.00	102
0	Max	-1802	0.00	98	0.00	98	0.00	98	0.00	98	0.00	98	0.00	98	-0.00	101	0.00	102
0	Min.	-1725	0.00	101	0.00	33	0.00	33	0.00	101	0.00	33	0.00	33	-0.00	98	0.00	97
0	Min.	440	0.00	101	0.00	33	0.00	33	0.00	101	0.00	33	0.00	33	-0.00	98	0.00	97
0	Min.	-1531	0.00	101	0.00	33	0.00	33	0.00	101	0.00	33	0.00	33	-0.00	98	0.00	97
0	Min.	-1802	0.00	101	0.00	33	0.00	33	0.00	101	0.00	33	0.00	33	-0.00	98	0.00	97
0	Max	-1838	0.00	98	-0.00	102	0.00	98	0.48	97	0.03	97	-0.30	33	-446.66	33	-7.59	33
0	Max	-1536	0.00	98	-0.00	102	0.00	98	0.48	97	0.03	97	-0.30	33	-446.66	33	-7.59	33
0	Max	-1385	0.00	98	-0.00	102	0.00	98	0.48	97	0.03	97	-0.30	33	-446.66	33	-7.59	33
0	Max	-1384	0.00	98	-0.00	102	0.00	98	0.48	97	0.03	97	-0.30	33	-446.66	33	-7.59	33
0	Min.	-1838	0.00	101	-0.00	97	0.00	33	0.34	33	0.02	33	-0.42	97	-627.47	97	-10.66	97
0	Min.	-1536	0.00	101	-0.00	97	0.00	33	0.34	33	0.02	33	-0.42	97	-627.47	97	-10.66	97
0	Min.	-1385	0.00	101	-0.00	97	0.00	33	0.34	33	0.02	33	-0.42	97	-627.47	97	-10.66	97
0	Min.	-1384	0.00	101	-0.00	97	0.00	33	0.34	33	0.02	33	-0.42	97	-627.47	97	-10.66	97
0	Max	-1837	-0.00	102	-0.00	33	0.00	33	-0.69	33	-0.33	33	0.42	97	-284.78	33	-389.25	33
0	Max	-1924	-0.00	102	-0.00	33	0.00	33	-0.69	33	-0.33	33	0.42	97	-284.78	33	-389.25	33
0	Max	-1919	-0.00	102	-0.00	33	0.00	33	-0.69	33	-0.33	33	0.42	97	-284.78	33	-389.25	33
0	Max	-1383	-0.00	102	-0.00	33	0.00	33	-0.69	33	-0.33	33	0.42	97	-284.78	33	-389.25	33
0	Min.	-1837	-0.00	97	-0.00	97	0.00	98	-0.97	97	-0.47	97	0.30	33	-400.02	97	-546.75	97
0	Min.	-1924	-0.00	97	-0.00	97	0.00	98	-0.97	97	-0.47	97	0.30	33	-400.02	97	-546.75	97
0	Min.	-1919	-0.00	97	-0.00	97	0.00	98	-0.97	97	-0.47	97	0.30	33	-400.02	97	-546.75	97
0	Min.	-1383	-0.00	97	-0.00	97	0.00	98	-0.97	97	-0.47	97	0.30	33	-400.02	97	-546.75	97
0	Max	-1853	0.00	102	-0.00	33	0.00	98	0.56	97	0.03	97	0.35	97	-468.77	33	14.31	97
0	Max	-1837	0.00	102	-0.00	33	0.00	98	0.56	97	0.03	97	0.35	97	-468.77	33	14.31	97
0	Max	-1383	0.00	102	-0.00	33	0.00	98	0.56	97	0.03	97	0.35	97	-468.77	33	14.31	97
0	Max	-1382	0.00	102	-0.00	33	0.00	98	0.56	97	0.03	97	0.35	97	-468.77	33	14.31	97
0	Min.	-1853	-0.00	97	-0.00	97	0.00	49	0.40	33	0.02	33	0.25	33	-658.54	97	10.19	33
0	Min.	-1837	-0.00	97	-0.00	97	0.00	49	0.40	33	0.02	33	0.25	33	-658.54	97	10.19	33
0	Min.	-1383	-0.00	97	-0.00	97	0.00	49	0.40	33	0.02	33	0.25	33	-658.54	97	10.19	33
0	Min.	-1382	-0.00	97	-0.00	97	0.00	49	0.40	33	0.02	33	0.25	33	-658.54	97	10.19	33
0	Max	-1852	-0.00	102	-0.00	33	0.00	98	-0.06	33	-0.00	33	-0.05	33	-370.86	33	3.20	97
0	Max	-1853	-0.00	102	-0.00	33	0.00	98	-0.06	33	-0.00	33	-0.05	33	-370.86	33	3.20	97
0	Max	-1382	-0.00	102	-0.00	33	0.00	98	-0.06	33	-0.00	33	-0.05	33	-370.86	33	3.20	97
0	Max	-1381	-0.00	102	-0.00	33	0.00	98	-0.06	33	-0.00	33	-0.05	33	-370.86	33	3.20	97
0	Min.	-1852	-0.00	97	-0.00	97	0.00	49	-0.09	97	-0.00	97	-0.07	97	-520.99	97	2.28	33
0	Min.	-1853	-0.00	97	-0.00	97	0.00	49	-0.09	97	-0.00	97	-0.07	97	-520.99	97	2.28	33
0	Min.	-1382	-0.00	97	-0.00	97	0.00	49	-0.09	97	-0.00	97	-0.07	97	-520.99	97	2.28	33
0	Min.	-1381	-0.00	97	-0.00	97	0.00	49	-0.09	97	-0.00	97	-0.07	97	-520.99	97	2.28	33
0	Max	-1851	-0.00	102	-0.00	33	0.00	98	0.00	97	-0.00	33	0.00	97	-398.80	33	-3.07	33
0	Max	-1852	-0.00	102	-0.00	33	0.00	98	0.00	97	-0.00	33	0.00	97	-398.80	33	-3.07	33
0	Max	-1381	-0.00	102	-0.00	33	0.00	98	0.00	97	-0.00	33	0.00	97	-398.80	33	-3.07	33
0	Max	-1380	-0.00	102	-0.00	33	0.00	98	0.00	97	-0.00	33	0.00	97	-398.80	33	-3.07	33
0	Min.	-1851	-0.00	97	-0.00	97	0.00	49	0.00	33	-0.00	97	0.00	33	-560.24	97	-4.32	97
0	Min.	-1852	-0.00	97	-0.00	97	0.00	49	0.00	33	-0.00	97	0.00	33	-560.24	97	-4.32	97
0	Min.	-1381	-0.00	97	-0.00	97	0.00	49	0.00	33	-0.00	97	0.00	33	-560.24	97	-4.32	97
0	Min.	-1380	-0.00	97	-0.00	97	0.00	49	0.00	33	-0.00	97	0.00	33	-560.24	97	-4.32	97
0	Max	-1686	-0.00	101	0.00	33	0.00	102	1.21	97	3.54	97	1.87	97	-337.49	33	80.07	97
0	Max	-1746	-0.00	101	0.00	33	0.00	102	1.21	97	3.54	97	1.87	97	-337.49	33	80.07	97
0	Max	-1994	-0.00	101	0.00	33	0.00	102	1.21	97	3.54	97	1.87	97	-337.49	33	80.07	97
0	Max	-1992	-0.00	101	0.00	33	0.00	102	1.21	97	3.54	97	1.87	97	-337.49	33	80.07	97
0	Min.	-1686	-0.00	98	0.00	98	-0.00	97	0.83	33	2.46	33	1.28	33	-484.85	97	55.20	33
0	Min.	-1746	-0.00	98	0.00	98	-0.00	97	0.83	33	2.46	33	1.28	33	-484.85	97	55.20	33
0	Min.	-1994	-0.00	98	0.00	98	-0.00	97	0.83	33	2.46	33	1.28	33	-484.85	97	55.20	33
0	Min.	-1992	-0.00	98	0.00	98	-0.00	97	0.83	33	2.46	33	1.28	33	-484.85	97	55.20	33
0	Max	-1746	0.00	98	0.00	102	0.00	97	-1.14	33	0.42	97	-0.11	33	-65.43	33	-1024.01	33
0	Max	-1957	0.00	98	0.00	102	0.00	97	-1.14	33	0.42	97	-0.11	33	-65.43	33	-1024.01	33
0	Max	-2016	0.00	98	0.00	102	0.00	97	-1.14	33	0.42	97	-0.11	33	-65.43	33	-1024.01	33
0	Max	-1994	0.00	98	0.00	102	0.00	97	-1.14	33	0.42	97	-0.11	33	-65.43	33	-1024.01	33
0	Min.	-1746	0.00	33	0.00	97	0.00	33	-1.67	97	0.33	33	-0.13	97	-87.41	97	-1494.18	97
0	Min.	-1957	0.00	33	0.00	97	0.00	33	-1.67	97	0.33	33	-0.13	97	-87.41	97	-1494.18	97
0	Min.	-2016	0.00	33	0.00	97	0.00	33	-1.67	97	0.33	33	-0.13	97	-87.41	97	-1494.18	97
0	Min.	-1994	0.00	33	0.00	97	0.00	33	-1.67	97	0.33	33	-0.13	97	-87.41	97	-1494.18	97
0	Max	-1957	0.00	97	0.00	97	-0.00	33	-1.25	33	0.32	97	0.01	33	-43.61	33	1487.00	97
0	Max	-1747	0.00	97	0.00	97	-0.00	33	-1.25	33	0.32	97	0.01	33	-43.61	33	1487.00	97
0	Max	-1995	0.00	97	0.00	97	-0.00	33	-1.25	33	0.32	97	0.01	33	-43.61	33	1487.00	97
0	Max	-2016	0.00	97	0.00	97	-0.00	33	-1.25	33	0.32	97	0.01	33	-43.61	33	1487.00	97
0	Min.	-1957	0.00	33	0.00	102	-0.00	98	-1.83	97	0.26	33	-0.00	97	-55.63	97	1019.04	33
0	Min.	-1747	0.00	33	0.00	102	-0.00	98	-1.83	97	0.26	33	-0.00	97	-55.63	97	1019.04	33
0	Min.	-1995	0.00	33	0.00	102	-0.00	98	-1.83	97	0.26	33	-0.00	97	-55.63	97	1019.04	33
0	Min.	-2016	0.00	33	0.00	102	-0.00	98	-1.83	97	0.26	33	-0.00	97	-55.63	97	1019.04	33
0	Max	-1747	0.00	97	0.00	33	0.00	98	1.58	97	3.82	97	-1.01	33	-374.84	33	-45.55	33
0	Max	-1748	0.00	97	0.00	33	0.00	98	1.58	97	3.82	97	-1.01	33	-374.84	33	-45.55	33
0	Max	-1996	0.00	97	0.00	33	0.00	98	1.58	97	3.82	97	-1.01	33	-374.84	33	-45.55	33
0	Max	-1995	0.00	97	0.00	33	0.00	98	1.58	97	3.82	97	-1.01	33	-374.84	33	-45.55	33
0	Min.	-1747	0.00	102	0.00	98	0.00	49	1.09	33	2.66	33	-1.48	97	-539.38	97	-66.10	97
0	Min.	-1748	0.00	102	0.00	98	0.00	49	1.09	33	2.66	33	-1.48	97	-539.38	97	-66.10	97
0	Min.	-1996	0.00	102	0.00	98	0.00	49	1.09	33	2.66	33	-1.48	97	-539.38	97	-66.10	97
0	Min.	-1995	0.00	102	0.00	98	0.00	49	1.09	33	2.66	33	-1.48	97	-539.38	97	-66.10	97
0	Max	-1748	0.00	97	0.00	101	0.00	101	-0.08	33	2.20	97	0.42	97	-205.97	33	19.44	97
0	Max	-1749	0.00	97	0.00	101	0.00	101	-0.08	33	2.20	97	0.42	97	-205.97	33	19.44	97
0	Max	-1997	0.00	97	0.00	101	0.00	101	-0.08	33	2.20	97	0.42	97	-205.97	33	19.44	97
0	Max	-1996	0.00	97	0.00	101	0.00	101	-0.08	33	2.20	97	0.42	97	-205.97	33	19.44	97
0	Min.	-1748	0.00	102	0.00	98	0.00	98	-0.12	97	1.55	33	0.29	33	-292.88	97	13.39	33
0	Min.	-1749	0.00	102	0.00	98	0.00	98	-0.12	97	1.55	33	0.29	33	-292.88	97	13.39	33
0	Min.	-1997	0.00	102	0.00	98	0.00	98	-0.12	97	1.55	33	0.29	33	-292.88	97	13.39	33
0	Min.	-1996	0.00	102	0.00	98	0.00	98	-0.12	97	1.55	33	0.29	33	-292.88	97	13.39	33
0	Max	-1729	-0.00	33	-0.00	33	0.00	98	0.01	33	0.00	97	-0.01	33	-525.29	33	8.39	97
0	Max	-1730	-0.00	33	-0.00	33	0.00	98	0.01	33	0.00	97	-0.01	33	-525.29	33	8.39	97
0	Max	-2214	-0.00	33	-0.00	33	0.00	98	0.01	33	0.00	97	-0.01	33	-525.29	33	8.39	97
0	Max	-2198	-0.00	33	-0.00	33	0.00	98	0.01	33	0.00	97	-0.01	33	-525.29	33	8.39	97
0	Min.	-1729	-0.00	98	-0.00	97	0.00	101	0.00	33	0.00	33	-0.01	97	-750.17	97	5.63	33
0	Min.	-1730	-0.00	98	-0.00	97	0.00	101	0.00	33	0.00	33	-0.01	97	-750.17	97	5.63	33
0	Min.	-2214	-0.00	98	-0.00	97	0.00	101	0.00	33	0.00	33	-0.01	97	-750.17	97	5.63	33
0	Min.	-2198	-0.00	98	-0.00	97	0.00	101	0.00	33	0.00	33	-0.01	97	-750.17	97	5.63	33
0	Max	-1730	-0.00	33	-0.00	33	0.00	98	0.01	33	0.00	97	0.01	97	-524.37	33	-5.21	33
0	Max	-1731	-0.00	33	-0.00	33	0.00	98	0.01	33	0.00	97	0.01	97	-524.37	33	-5.21	33
0	Max	-2197	-0.00	33	-0.00	33	0.00	98	0.01	33	0.00	97	0.01	97	-524.37	33	-5.21	33
0	Max	-2214	-0.00	33	-0.00	33	0.00	98	0.01	33	0.00	97	0.01	97	-524.37	33	-5.21	33

0	Min.	-1730	-0.00	98	-0.00	97	0.00	101	0.00	33	0.00	33	0.01	33	-749.99	97	-8.39	97
0	Min.	-1731	-0.00	98	-0.00	97	0.00	101	0.00	33	0.00	33	0.01	33	-749.99	97	-8.39	97
0	Min.	-2197	-0.00	98	-0.00	97	0.00	101	0.00	33	0.00	33	0.01	33	-749.99	97	-8.39	97
0	Min.	-2214	-0.00	98	-0.00	97	0.00	101	0.00	33	0.00	33	0.01	33	-749.99	97	-8.39	97
0	Max	-1750	0.00	97	0.00	102	0.00	97	-0.07	33	2.21	97	-0.28	33	-201.57	33	-13.25	33
0	Max	-1751	0.00	97	0.00	102	0.00	97	-0.07	33	2.21	97	-0.28	33	-201.57	33	-13.25	33
0	Max	-2000	0.00	97	0.00	102	0.00	97	-0.07	33	2.21	97	-0.28	33	-201.57	33	-13.25	33
0	Max	-1999	0.00	97	0.00	102	0.00	97	-0.07	33	2.21	97	-0.28	33	-201.57	33	-13.25	33
0	Min.	-1750	0.00	102	0.00	97	0.00	33	-0.12	97	1.54	33	-0.42	97	-289.09	97	-19.37	97
0	Min.	-1751	0.00	102	0.00	97	0.00	33	-0.12	97	1.54	33	-0.42	97	-289.09	97	-19.37	97
0	Min.	-2000	0.00	102	0.00	97	0.00	33	-0.12	97	1.54	33	-0.42	97	-289.09	97	-19.37	97
0	Min.	-1999	0.00	102	0.00	97	0.00	33	-0.12	97	1.54	33	-0.42	97	-289.09	97	-19.37	97
0	Max	-1751	0.00	101	-0.00	33	0.00	33	1.61	97	3.80	97	1.51	97	-378.94	33	66.78	97
0	Max	-1752	0.00	101	-0.00	33	0.00	33	1.61	97	3.80	97	1.51	97	-378.94	33	66.78	97
0	Max	-2001	0.00	101	-0.00	33	0.00	33	1.61	97	3.80	97	1.51	97	-378.94	33	66.78	97
0	Max	-2000	0.00	101	-0.00	33	0.00	33	1.61	97	3.80	97	1.51	97	-378.94	33	66.78	97
0	Min.	-1751	-0.00	98	-0.00	98	-0.00	97	1.08	33	2.60	33	1.00	33	-552.93	97	45.06	33
0	Min.	-1752	-0.00	98	-0.00	98	-0.00	97	1.08	33	2.60	33	1.00	33	-552.93	97	45.06	33
0	Min.	-2001	-0.00	98	-0.00	98	-0.00	97	1.08	33	2.60	33	1.00	33	-552.93	97	45.06	33
0	Min.	-2000	-0.00	98	-0.00	98	-0.00	97	1.08	33	2.60	33	1.00	33	-552.93	97	45.06	33
0	Max	-1752	0.00	97	0.00	98	0.00	97	-1.04	33	0.18	33	-0.22	33	40.64	97	-981.22	33
0	Max	-2119	0.00	97	0.00	98	0.00	97	-1.04	33	0.18	33	-0.22	33	40.64	97	-981.22	33
0	Max	-2120	0.00	97	0.00	98	0.00	97	-1.04	33	0.18	33	-0.22	33	40.64	97	-981.22	33
0	Max	-2001	0.00	97	0.00	98	0.00	97	-1.04	33	0.18	33	-0.22	33	40.64	97	-981.22	33
0	Min.	-1752	0.00	33	0.00	33	0.00	33	-1.57	97	0.12	33	-0.30	97	17.26	33	-1483.07	97
0	Min.	-2119	0.00	33	0.00	33	0.00	33	-1.57	97	0.12	33	-0.30	97	17.26	33	-1483.07	97
0	Min.	-2120	0.00	33	0.00	33	0.00	33	-1.57	97	0.12	33	-0.30	97	17.26	33	-1483.07	97
0	Min.	-2001	0.00	33	0.00	33	0.00	33	-1.57	97	0.12	33	-0.30	97	17.26	33	-1483.07	97
0	Max	-1734	-0.00	33	-0.00	33	-0.00	33	-0.24	33	0.17	97	0.71	97	-580.96	33	-500.62	33
0	Max	-2113	-0.00	33	-0.00	33	-0.00	33	-0.24	33	0.17	97	0.71	97	-580.96	33	-500.62	33
0	Max	-2215	-0.00	33	-0.00	33	-0.00	33	-0.24	33	0.17	97	0.71	97	-580.96	33	-500.62	33
0	Max	-2216	-0.00	33	-0.00	33	-0.00	33	-0.24	33	0.17	97	0.71	97	-580.96	33	-500.62	33
0	Min.	-1734	-0.00	97	-0.00	97	-0.00	97	-0.38	97	0.07	33	0.44	33	-856.06	97	-714.24	97
0	Min.	-2113	-0.00	97	-0.00	97	-0.00	97	-0.38	97	0.07	33	0.44	33	-856.06	97	-714.24	97
0	Min.	-2215	-0.00	97	-0.00	97	-0.00	97	-0.38	97	0.07	33	0.44	33	-856.06	97	-714.24	97
0	Min.	-2216	-0.00	97	-0.00	97	-0.00	97	-0.38	97	0.07	33	0.44	33	-856.06	97	-714.24	97
0	Max	-1735	0.00	33	-0.00	33	-0.00	33	1.22	97	-1.65	33	-0.84	33	-482.53	33	-504.83	33
0	Max	-1847	0.00	33	-0.00	33	-0.00	33	1.22	97	-1.65	33	-0.84	33	-482.53	33	-504.83	33
0	Max	-2193	0.00	33	-0.00	33	-0.00	33	1.22	97	-1.65	33	-0.84	33	-482.53	33	-504.83	33
0	Max	-2217	0.00	33	-0.00	33	-0.00	33	1.22	97	-1.65	33	-0.84	33	-482.53	33	-504.83	33
0	Min.	-1735	-0.00	97	-0.00	98	-0.00	97	0.79	33	-2.39	97	-1.24	97	-698.24	97	-715.91	97
0	Min.	-1847	-0.00	97	-0.00	98	-0.00	97	0.79	33	-2.39	97	-1.24	97	-698.24	97	-715.91	97
0	Min.	-2193	-0.00	97	-0.00	98	-0.00	97	0.79	33	-2.39	97	-1.24	97	-698.24	97	-715.91	97
0	Min.	-2217	-0.00	97	-0.00	98	-0.00	97	0.79	33	-2.39	97	-1.24	97	-698.24	97	-715.91	97
0	Max	-1689	0.00	101	0.00	33	-0.00	33	2.93	97	4.45	97	2.73	97	-384.26	33	-4.38	33
0	Max	-1754	0.00	101	0.00	33	-0.00	33	2.93	97	4.45	97	2.73	97	-384.26	33	-4.38	33
0	Max	-2004	0.00	101	0.00	33	-0.00	33	2.93	97	4.45	97	2.73	97	-384.26	33	-4.38	33
0	Max	-1993	0.00	101	0.00	33	-0.00	33	2.93	97	4.45	97	2.73	97	-384.26	33	-4.38	33
0	Min.	-1689	-0.00	98	-0.00	97	-0.00	98	1.93	33	3.01	33	1.79	33	-562.99	97	-9.87	97
0	Min.	-1754	-0.00	98	-0.00	97	-0.00	98	1.93	33	3.01	33	1.79	33	-562.99	97	-9.87	97
0	Min.	-2004	-0.00	98	-0.00	97	-0.00	98	1.93	33	3.01	33	1.79	33	-562.99	97	-9.87	97
0	Min.	-1993	-0.00	98	-0.00	97	-0.00	98	1.93	33	3.01	33	1.79	33	-562.99	97	-9.87	97
0	Max	-1754	0.00	97	0.00	97	0.00	98	-1.57	33	0.29	97	-0.01	33	-49.35	33	-948.45	33
0	Max	-2116	0.00	97	0.00	97	0.00	98	-1.57	33	0.29	97	-0.01	33	-49.35	33	-948.45	33
0	Max	-2121	0.00	97	0.00	97	0.00	98	-1.57	33	0.29	97	-0.01	33	-49.35	33	-948.45	33
0	Max	-2004	0.00	97	0.00	97	0.00	98	-1.57	33	0.29	97	-0.01	33	-49.35	33	-948.45	33
0	Min.	-1754	0.00	102	0.00	33	0.00	33	-2.40	97	0.21	33	-0.07	33	-66.81	97	-1446.43	97
0	Min.	-2116	0.00	102	0.00	33	0.00	33	-2.40	97	0.21	33	-0.07	33	-66.81	97	-1446.43	97
0	Min.	-2121	0.00	102	0.00	33	0.00	33	-2.40	97	0.21	33	-0.07	33	-66.81	97	-1446.43	97
0	Min.	-2004	0.00	102	0.00	33	0.00	33	-2.40	97	0.21	33	-0.07	33	-66.81	97	-1446.43	97
0	Max	-1755	0.00	33	0.00	33	0.00	98	0.01	33	2.71	97	-1.44	33	-293.36	33	-1018.48	33
0	Max	-2115	0.00	33	0.00	33	0.00	98	0.01	33	2.71	97	-1.44	33	-293.36	33	-1018.48	33
0	Max	-2122	0.00	33	0.00	33	0.00	98	0.01	33	2.71	97	-1.44	33	-293.36	33	-1018.48	33
0	Max	-2005	0.00	33	0.00	33	0.00	98	0.01	33	2.71	97	-1.44	33	-293.36	33	-1018.48	33
0	Min.	-1755	0.00	98	0.00	97	0.00	33	-0.01	33	1.83	33	-2.14	97	-433.68	97	-1538.06	97
0	Min.	-2115	0.00	98	0.00	97	0.00	33	-0.01	33	1.83	33	-2.14	97	-433.68	97	-1538.06	97
0	Min.	-2122	0.00	98	0.00	97	0.00	33	-0.01	33	1.83	33	-2.14	97	-433.68	97	-1538.06	97
0	Min.	-2005	0.00	98	0.00	97	0.00	33	-0.01	33	1.83	33	-2.14	97	-433.68	97	-1538.06	97
0	Max	-1756	0.00	33	-0.00	33	0.00	98	1.61	97	3.80	97	-1.00	33	-378.94	33	-45.06	33
0	Max	-1757	0.00	33	-0.00	33	0.00	98	1.61	97	3.80	97	-1.00	33	-378.94	33	-45.06	33
0	Max	-2007	0.00	33	-0.00	33	0.00	98	1.61	97	3.80	97	-1.00	33	-378.94	33	-45.06	33
0	Max	-2006	0.00	33	-0.00	33	0.00	98	1.61	97	3.80	97	-1.00	33	-378.94	33	-45.06	33
0	Min.	-1756	-0.00	97	-0.00	97	0.00	33	1.08	33	2.60	33	-1.51	97	-552.93	97	-66.78	97
0	Min.	-1757	-0.00	97	-0.00	97	0.00	33	1.08	33	2.60	33	-1.51	97	-552.93	97	-66.78	97
0	Min.	-2007	-0.00	97	-0.00	97	0.00	33	1.08	33	2.60	33	-1.51	97	-552.93	97	-66.78	97
0	Min.	-2006	-0.00	97	-0.00	97	0.00	33	1.08	33	2.60	33	-1.51	97	-552.93	97	-66.78	97
0	Max	-1739	-0.00	33	-0.00	33	0.00	98	-0.12	33	-0.02	33	0.15	97	-472.29	33	-3.06	33
0	Max	-1740	-0.00	33	-0.00	33	0.00	98	-0.12	33	-0.02	33	0.15	97	-472.29	33	-3.06	33
0	Max	-2218	-0.00	33	-0.00	33	0.00	98	-0.12	33	-0.02	33	0.15	97	-472.29	33	-3.06	33
0	Max	-2187	-0.00	33	-0.00	33	0.00	98	-0.12	33	-0.02	33	0.15	97	-472.29	33	-3.06	33
0	Min.	-1739	-0.00	97	-0.00	98	0.00	101	-0.18	97	-0.03	97	0.10	33	-677.40	97	-6.04	97
0	Min.	-1740	-0.00	97	-0.00	98	0.00	101	-0.18	97	-0.03	97	0.10	33	-677.40	97	-6.04	97
0	Min.	-2218	-0.00	97	-0.00	98	0.00	101	-0.18	97	-0.03	97	0.10	33	-677.40	97	-6.04	97
0	Min.	-2187	-0.00	97	-0.00	98	0.00	101	-0.18	97	-0.03	97	0.10	33	-677.40	97	-6.04	97
0	Max	-1740	-0.00	33	-0.00	33	0.00	102	0.01	33	0.00	98	-0.01	33	-524.37	33	8.39	97
0	Max	-1741	-0.00	33	-0.00	33	0.00	102	0.01	33	0.00	98	-0.01	33	-524.37	33	8.39	97
0	Max	-2186	-0.00	33	-0.00	33	0.00	102	0.01	33	0.00	98	-0.01	33	-524.37	33	8.39	97
0	Max	-2218	-0.00	33	-0.00	33	0.00	102	0.01	33	0.00	98	-0.01	33	-524.37	33	8.39	97
0	Min.	-1740	-0.00	97	-0.00	98	0.00	97	0.00	33	0.00	33	-0.01	97	-749.99	97	5.21	33
0	Min.	-1741	-0.00	97	-0.00	98	0.00	97	0.00	33	0.00	33	-0.01	97	-749.99	97	5.21	33
0	Min.	-2186	-0.00	97	-0.00	98	0.00	97	0.00	33	0.00	33	-0.01	97	-749.99	97	5.21	33
0	Min.	-2218	-0.00	97	-0.00	98	0.00	97	0.00	33	0.00	33	-0.01	97	-749.99	97	5.21	33
0	Max	-1758	0.00	102	0.00	101	0.00	98	0.32	97	2.55	97	0.14	97	-253.75	33	6.69	97
0	Max	-1759	0.00	102	0.00	101	0.00	98	0.32	97	2.55	97	0.14	97	-253.75	33	6.69	97
0	Max	-2010	0.00	102	0.00	101	0.00	98	0.32	97	2.55	97	0.14	97	-253.75	33	6.69	97
0	Max	-2009	0.00	102	0.00	101	0.00	98	0.32	97	2.55	97	0.14	97	-253.75	33	6.69	97
0	Min.	-1758	0.00	97	0.00	98	0.00	101	0.23	33	1.78	33	0.10	33	-362.77	97	4.59	33
0	Min.	-1759	0.00	97	0.00	98	0.00	101	0.23	33	1.78	33	0.10	33	-362.77	97	4.59	33
0	Min.	-2010	0.00	97	0.00	98	0.00	101	0.23	33	1.78	33	0.10	33	-362.77	97	4.59	33
0	Min.	-2009	0.00	97	0.00	98	0.00	101	0.23	33	1.78	33	0.10	33	-362.77	97	4.59	33
0	Max	-1759	0.00	98	0.00	102	0.00	97	-0.08	33	2.20	97	-0.29	33	-205.97	33	-13.39	33
0	Max	-1760	0.00	98	0.00	102	0.00	97	-0.08	33	2.20	97	-0.29	33	-205.97	33	-13.39	33
0	Max	-2011	0.00	98	0.00	102	0.00	97	-0.08	33	2.20	97	-0.29	33	-205.97	33	-13.39	33
0	Max	-2010	0.00	98	0.00	102	0.00	97	-0.08	33	2.20	97	-0.29	33	-205.97	33	-13.39	33
0	Min.	-1759	0.00	101	0.00	97	0.00	102	-0.12	97	1.55	33	-0.42	97	-292.88	97	-19.44	97

0	Min.	-1760	0.00	101	0.00	97	0.00	102	-0.12	97	1.55	33	-0.42	97	-292.88	97	-19.44	97
0	Min.	-2011	0.00	101	0.00	97	0.00	102	-0.12	97	1.55	33	-0.42	97	-292.88	97	-19.44	97
0	Min.	-2010	0.00	101	0.00	97	0.00	102	-0.12	97	1.55	33	-0.42	97	-292.88	97	-19.44	97
0	Max	-1760	0.00	98	0.00	33	0.00	33	1.58	97	3.82	97	1.48	97	-374.84	33	66.10	97
0	Max	-1761	0.00	98	0.00	33	0.00	33	1.58	97	3.82	97	1.48	97	-374.84	33	66.10	97
0	Max	-2012	0.00	98	0.00	33	0.00	33	1.58	97	3.82	97	1.48	97	-374.84	33	66.10	97
0	Max	-2011	0.00	98	0.00	33	0.00	33	1.58	97	3.82	97	1.48	97	-374.84	33	66.10	97
0	Min.	-1760	0.00	101	0.00	97	0.00	97	1.09	33	2.66	33	1.01	33	-539.38	97	45.55	33
0	Min.	-1761	0.00	101	0.00	97	0.00	97	1.09	33	2.66	33	1.01	33	-539.38	97	45.55	33
0	Min.	-2012	0.00	101	0.00	97	0.00	97	1.09	33	2.66	33	1.01	33	-539.38	97	45.55	33
0	Min.	-2011	0.00	101	0.00	97	0.00	97	1.09	33	2.66	33	1.01	33	-539.38	97	45.55	33
0	Max	-1761	0.00	98	0.00	98	0.00	97	-1.25	33	0.32	97	0.00	98	-43.61	33	-1019.04	33
0	Max	-1942	0.00	98	0.00	98	0.00	97	-1.25	33	0.32	97	0.00	98	-43.61	33	-1019.04	33
0	Max	-2015	0.00	98	0.00	98	0.00	97	-1.25	33	0.32	97	0.00	98	-43.61	33	-1019.04	33
0	Max	-2012	0.00	98	0.00	98	0.00	97	-1.25	33	0.32	97	0.00	98	-43.61	33	-1019.04	33
0	Min.	-1761	0.00	33	0.00	33	0.00	33	-1.83	97	0.26	33	-0.01	33	-55.63	97	-1487.00	97
0	Min.	-1942	0.00	33	0.00	33	0.00	33	-1.83	97	0.26	33	-0.01	33	-55.63	97	-1487.00	97
0	Min.	-2015	0.00	33	0.00	33	0.00	33	-1.83	97	0.26	33	-0.01	33	-55.63	97	-1487.00	97
0	Min.	-2012	0.00	33	0.00	33	0.00	33	-1.83	97	0.26	33	-0.01	33	-55.63	97	-1487.00	97
0	Max	-1941	0.00	102	-0.00	33	0.00	98	-1.35	33	0.05	97	-1.08	33	-380.49	33	692.27	97
0	Max	-1745	0.00	102	-0.00	33	0.00	98	-1.35	33	0.05	97	-1.08	33	-380.49	33	692.27	97
0	Max	-2219	0.00	102	-0.00	33	0.00	98	-1.35	33	0.05	97	-1.08	33	-380.49	33	692.27	97
0	Max	-2182	0.00	102	-0.00	33	0.00	98	-1.35	33	0.05	97	-1.08	33	-380.49	33	692.27	97
0	Min.	-1941	0.00	97	-0.00	98	0.00	101	-1.94	97	0.01	33	-1.58	97	-544.32	97	488.83	33
0	Min.	-1745	0.00	97	-0.00	98	0.00	101	-1.94	97	0.01	33	-1.58	97	-544.32	97	488.83	33
0	Min.	-2219	0.00	97	-0.00	98	0.00	101	-1.94	97	0.01	33	-1.58	97	-544.32	97	488.83	33
0	Min.	-2182	0.00	97	-0.00	98	0.00	101	-1.94	97	0.01	33	-1.58	97	-544.32	97	488.83	33
0	Max	-1745	0.00	98	-0.00	33	0.00	33	0.96	97	0.14	97	-0.61	33	-609.73	33	-15.24	33
0	Max	432	0.00	98	-0.00	33	0.00	33	0.96	97	0.14	97	-0.61	33	-609.73	33	-15.24	33
0	Max	-2203	0.00	98	-0.00	33	0.00	33	0.96	97	0.14	97	-0.61	33	-609.73	33	-15.24	33
0	Max	-2219	0.00	98	-0.00	33	0.00	33	0.96	97	0.14	97	-0.61	33	-609.73	33	-15.24	33
0	Min.	-1745	0.00	101	-0.00	97	0.00	97	0.67	33	0.10	33	-0.88	97	-871.30	97	-21.99	97
0	Min.	432	0.00	101	-0.00	97	0.00	97	0.67	33	0.10	33	-0.88	97	-871.30	97	-21.99	97
0	Min.	-2203	0.00	101	-0.00	97	0.00	97	0.67	33	0.10	33	-0.88	97	-871.30	97	-21.99	97
0	Min.	-2219	0.00	101	-0.00	97	0.00	97	0.67	33	0.10	33	-0.88	97	-871.30	97	-21.99	97
0	Max	-1540	0.00	98	0.00	98	0.00	101	1.20	97	3.53	97	1.87	97	-337.36	33	79.80	97
0	Max	-1544	0.00	98	0.00	98	0.00	101	1.20	97	3.53	97	1.87	97	-337.36	33	79.80	97
0	Max	-1977	0.00	98	0.00	98	0.00	101	1.20	97	3.53	97	1.87	97	-337.36	33	79.80	97
0	Max	-1976	0.00	98	0.00	98	0.00	101	1.20	97	3.53	97	1.87	97	-337.36	33	79.80	97
0	Min.	-1540	0.00	101	0.00	101	0.00	98	0.83	33	2.46	33	1.28	33	-484.61	97	55.02	33
0	Min.	-1544	0.00	101	0.00	101	0.00	98	0.83	33	2.46	33	1.28	33	-484.61	97	55.02	33
0	Min.	-1977	0.00	101	0.00	101	0.00	98	0.83	33	2.46	33	1.28	33	-484.61	97	55.02	33
0	Min.	-1976	0.00	101	0.00	101	0.00	98	0.83	33	2.46	33	1.28	33	-484.61	97	55.02	33
0	Max	-1544	0.00	102	0.00	101	0.00	97	-1.14	33	0.42	97	-0.11	33	-65.71	33	-1021.01	33
0	Max	-1922	0.00	102	0.00	101	0.00	97	-1.14	33	0.42	97	-0.11	33	-65.71	33	-1021.01	33
0	Max	-2014	0.00	102	0.00	101	0.00	97	-1.14	33	0.42	97	-0.11	33	-65.71	33	-1021.01	33
0	Max	-1977	0.00	102	0.00	101	0.00	97	-1.14	33	0.42	97	-0.11	33	-65.71	33	-1021.01	33
0	Min.	-1544	0.00	97	0.00	98	0.00	102	-1.66	97	0.33	33	-0.14	97	-87.81	97	-1489.45	97
0	Min.	-1922	0.00	97	0.00	98	0.00	102	-1.66	97	0.33	33	-0.14	97	-87.81	97	-1489.45	97
0	Min.	-2014	0.00	97	0.00	98	0.00	102	-1.66	97	0.33	33	-0.14	97	-87.81	97	-1489.45	97
0	Min.	-1977	0.00	97	0.00	98	0.00	102	-1.66	97	0.33	33	-0.14	97	-87.81	97	-1489.45	97
0	Max	-1922	0.00	102	0.00	102	0.00	102	-1.25	33	0.33	97	0.02	33	-43.62	33	1482.20	97
0	Max	-1545	0.00	102	0.00	102	0.00	102	-1.25	33	0.33	97	0.02	33	-43.62	33	1482.20	97
0	Max	-1978	0.00	102	0.00	102	0.00	102	-1.25	33	0.33	97	0.02	33	-43.62	33	1482.20	97
0	Max	-2014	0.00	102	0.00	102	0.00	102	-1.25	33	0.33	97	0.02	33	-43.62	33	1482.20	97
0	Min.	-1922	0.00	97	0.00	97	0.00	97	-1.83	97	0.27	33	0.01	97	-55.63	97	1016.00	33
0	Min.	-1545	0.00	97	0.00	97	0.00	97	-1.83	97	0.27	33	0.01	97	-55.63	97	1016.00	33
0	Min.	-1978	0.00	97	0.00	97	0.00	97	-1.83	97	0.27	33	0.01	97	-55.63	97	1016.00	33
0	Min.	-2014	0.00	97	0.00	97	0.00	97	-1.83	97	0.27	33	0.01	97	-55.63	97	1016.00	33
0	Max	-1545	0.00	98	0.00	101	0.00	97	1.58	97	3.82	97	-1.01	33	-375.09	33	-45.10	33
0	Max	-1546	0.00	98	0.00	101	0.00	97	1.58	97	3.82	97	-1.01	33	-375.09	33	-45.10	33
0	Max	-1979	0.00	98	0.00	101	0.00	97	1.58	97	3.82	97	-1.01	33	-375.09	33	-45.10	33
0	Max	-1978	0.00	98	0.00	101	0.00	97	1.58	97	3.82	97	-1.01	33	-375.09	33	-45.10	33
0	Min.	-1545	0.00	101	0.00	98	0.00	102	1.09	33	2.65	33	-1.47	97	-539.68	97	-65.44	97
0	Min.	-1546	0.00	101	0.00	98	0.00	102	1.09	33	2.65	33	-1.47	97	-539.68	97	-65.44	97
0	Min.	-1979	0.00	101	0.00	98	0.00	102	1.09	33	2.65	33	-1.47	97	-539.68	97	-65.44	97
0	Min.	-1978	0.00	101	0.00	98	0.00	102	1.09	33	2.65	33	-1.47	97	-539.68	97	-65.44	97
0	Max	-1567	0.00	102	-0.00	101	0.00	101	-0.11	33	-0.02	33	0.15	97	-474.67	33	-3.70	33
0	Max	-1568	0.00	102	-0.00	101	0.00	101	-0.11	33	-0.02	33	0.15	97	-474.67	33	-3.70	33
0	Max	-2220	0.00	102	-0.00	101	0.00	101	-0.11	33	-0.02	33	0.15	97	-474.67	33	-3.70	33
0	Max	-2178	0.00	102	-0.00	101	0.00	101	-0.11	33	-0.02	33	0.15	97	-474.67	33	-3.70	33
0	Min.	-1567	0.00	97	-0.00	98	0.00	98	-0.16	97	-0.03	97	0.11	33	-677.09	97	-5.34	97
0	Min.	-1568	0.00	97	-0.00	98	0.00	98	-0.16	97	-0.03	97	0.11	33	-677.09	97	-5.34	97
0	Min.	-2220	0.00	97	-0.00	98	0.00	98	-0.16	97	-0.03	97	0.11	33	-677.09	97	-5.34	97
0	Min.	-2178	0.00	97	-0.00	98	0.00	98	-0.16	97	-0.03	97	0.11	33	-677.09	97	-5.34	97
0	Max	-1568	0.00	102	-0.00	33	0.00	101	-0.01	33	0.00	98	-0.01	33	-527.19	33	5.78	97
0	Max	-1569	0.00	102	-0.00	33	0.00	101	-0.01	33	0.00	98	-0.01	33	-527.19	33	5.78	97
0	Max	-2177	0.00	102	-0.00	33	0.00	101	-0.01	33	0.00	98	-0.01	33	-527.19	33	5.78	97
0	Max	-2220	0.00	102	-0.00	33	0.00	101	-0.01	33	0.00	98	-0.01	33	-527.19	33	5.78	97
0	Min.	-1568	0.00	97	-0.00	98	0.00	98	-0.02	97	0.00	33	-0.02	97	-752.64	97	4.01	33
0	Min.	-1569	0.00	97	-0.00	98	0.00	98	-0.02	97	0.00	33	-0.02	97	-752.64	97	4.01	33
0	Min.	-2177	0.00	97	-0.00	98	0.00	98	-0.02	97	0.00	33	-0.02	97	-752.64	97	4.01	33
0	Min.	-2220	0.00	97	-0.00	98	0.00	98	-0.02	97	0.00	33	-0.02	97	-752.64	97	4.01	33
0	Max	-1548	0.00	102	0.00	102	0.00	97	0.22	97	2.48	97	0.03	97	-241.48	33	1.16	97
0	Max	-1549	0.00	102	0.00	102	0.00	97	0.22	97	2.48	97	0.03	97	-241.48	33	1.16	97
0	Max	-1982	0.00	102	0.00	102	0.00	97	0.22	97	2.48	97	0.03	97	-241.48	33	1.16	97
0	Max	-1981	0.00	102	0.00	102	0.00	97	0.22	97	2.48	97	0.03	97	-241.48	33	1.16	97
0	Min.	-1548	0.00	97	0.00	97	0.00	102	0.15	33	1.74	33	0.02	33	-344.58	97	0.80	33
0	Min.	-1549	0.00	97	0.00	97	0.00	102	0.15	33	1.74	33	0.02	33	-344.58	97	0.80	33
0	Min.	-1982	0.00	97	0.00	97	0.00	102	0.15	33	1.74	33	0.02	33	-344.58	97	0.80	33
0	Min.	-1981	0.00	97	0.00	97	0.00	102	0.15	33	1.74	33	0.02	33	-344.58	97	0.80	33
0	Max	-1549	0.00	102	0.00	102	0.00	102	0.26	97	2.50	97	-0.00	33	-246.78	33	0.39	97
0	Max	-1550	0.00	102	0.00	102	0.00	102	0.26	97	2.50	97	-0.00	33	-246.78	33	0.39	97
0	Max	-1983	0.00	102	0.00	102	0.00	102	0.26	97	2.50	97	-0.00	33	-246.78	33	0.39	97
0	Max	-1982	0.00	102	0.00	102	0.00	102	0.26	97	2.50	97	-0.00	33	-246.78	33	0.39	97
0	Min.	-1549	0.00	97	0.00	97	0.00	97	0.19	33	1.75	33	-0.00	97	-352.29	97	0.27	33
0	Min.	-1550	0.00	97	0.00	97	0.00	97	0.19	33	1.75	33	-0.00	97	-352.29	97	0.27	33
0	Min.	-1983	0.00	97	0.00	97	0.00	97	0.19	33	1.75	33	-0.00	97	-352.29	97	0.27	33
0	Min.	-1982	0.00	97	0.00	97	0.00	97	0.19	33	1.75	33	-0.00	97	-352.29	97	0.27	33
0	Max	-1550	0.00	102	0.00	102	0.00	97	0.23	97	2.49	97	-0.01	33	-245.02	33	-1.57	33
0	Max	-1609	0.00	102	0.00	102	0.00	97	0.23	97	2.49	97	-0.01	33	-245.02	33	-1.57	33
0	Max	-1984	0.00	102	0.00	102	0.00	97	0.23	97	2.49	97	-0.01	33	-245.02	33	-1.57	33
0	Max	-1983	0.00	102	0.00	102	0.00	97	0.23	97	2.49	97	-0.01	33	-245.02	33	-1.57	33
0	Min.	-1550	0.00	97	0.00	97	0.00	102	0.16	33	1.75	33	-0.02	97	-349.74	97	-2.24	97
0	Min.	-1609	0.00	97	0.00	97	0.00	102	0.16	33	1.75	33	-0.02	97	-349.74	97	-2.24	97

0	Min.	-1984	0.00	97	0.00	97	0.00	102	0.16	33	1.75	33	-0.02	97	-349.74	97	-2.24	97
0	Min.	-1983	0.00	97	0.00	97	0.00	102	0.16	33	1.75	33	-0.02	97	-349.74	97	-2.24	97
0	Max	-1425	0.00	101	0.00	101	0.00	101	0.23	97	2.49	97	0.02	97	-245.02	33	2.24	97
0	Max	-1675	0.00	101	0.00	101	0.00	101	0.23	97	2.49	97	0.02	97	-245.02	33	2.24	97
0	Max	-1985	0.00	101	0.00	101	0.00	101	0.23	97	2.49	97	0.02	97	-245.02	33	2.24	97
0	Max	-1975	0.00	101	0.00	101	0.00	101	0.23	97	2.49	97	0.02	97	-245.02	33	2.24	97
0	Min.	-1425	0.00	98	0.00	98	0.00	98	0.16	33	1.75	33	0.01	33	-349.74	97	1.57	33
0	Min.	-1675	0.00	98	0.00	98	0.00	98	0.16	33	1.75	33	0.01	33	-349.74	97	1.57	33
0	Min.	-1985	0.00	98	0.00	98	0.00	98	0.16	33	1.75	33	0.01	33	-349.74	97	1.57	33
0	Min.	-1975	0.00	98	0.00	98	0.00	98	0.16	33	1.75	33	0.01	33	-349.74	97	1.57	33
0	Max	-1675	0.00	101	0.00	101	0.00	98	0.26	97	2.50	97	0.00	97	-246.78	33	-0.27	33
0	Max	-1676	0.00	101	0.00	101	0.00	98	0.26	97	2.50	97	0.00	97	-246.78	33	-0.27	33
0	Max	-1986	0.00	101	0.00	101	0.00	98	0.26	97	2.50	97	0.00	97	-246.78	33	-0.27	33
0	Max	-1985	0.00	101	0.00	101	0.00	98	0.26	97	2.50	97	0.00	97	-246.78	33	-0.27	33
0	Min.	-1675	0.00	98	0.00	98	0.00	101	0.19	33	1.75	33	0.00	33	-352.29	97	-0.39	97
0	Min.	-1676	0.00	98	0.00	98	0.00	101	0.19	33	1.75	33	0.00	33	-352.29	97	-0.39	97
0	Min.	-1986	0.00	98	0.00	98	0.00	101	0.19	33	1.75	33	0.00	33	-352.29	97	-0.39	97
0	Min.	-1985	0.00	98	0.00	98	0.00	101	0.19	33	1.75	33	0.00	33	-352.29	97	-0.39	97
0	Max	-1676	0.00	101	0.00	101	0.00	101	0.22	97	2.48	97	-0.02	33	-241.48	33	-0.80	33
0	Max	-1677	0.00	101	0.00	101	0.00	101	0.22	97	2.48	97	-0.02	33	-241.48	33	-0.80	33
0	Max	-1987	0.00	101	0.00	101	0.00	101	0.22	97	2.48	97	-0.02	33	-241.48	33	-0.80	33
0	Max	-1986	0.00	101	0.00	101	0.00	101	0.22	97	2.48	97	-0.02	33	-241.48	33	-0.80	33
0	Min.	-1676	0.00	98	0.00	98	0.00	98	0.15	33	1.74	33	-0.03	97	-344.58	97	-1.16	97
0	Min.	-1677	0.00	98	0.00	98	0.00	98	0.15	33	1.74	33	-0.03	97	-344.58	97	-1.16	97
0	Min.	-1987	0.00	98	0.00	98	0.00	98	0.15	33	1.74	33	-0.03	97	-344.58	97	-1.16	97
0	Min.	-1986	0.00	98	0.00	98	0.00	98	0.15	33	1.74	33	-0.03	97	-344.58	97	-1.16	97
0	Max	-1677	0.00	101	0.00	98	0.00	98	0.35	97	2.56	97	0.11	97	-257.97	33	5.15	97
0	Max	-1678	0.00	101	0.00	98	0.00	98	0.35	97	2.56	97	0.11	97	-257.97	33	5.15	97
0	Max	-1988	0.00	101	0.00	98	0.00	98	0.35	97	2.56	97	0.11	97	-257.97	33	5.15	97
0	Max	-1987	0.00	101	0.00	98	0.00	98	0.35	97	2.56	97	0.11	97	-257.97	33	5.15	97
0	Min.	-1677	0.00	98	0.00	101	0.00	101	0.25	33	1.79	33	0.08	33	-368.62	97	3.55	33
0	Min.	-1678	0.00	98	0.00	101	0.00	101	0.25	33	1.79	33	0.08	33	-368.62	97	3.55	33
0	Min.	-1988	0.00	98	0.00	101	0.00	101	0.25	33	1.79	33	0.08	33	-368.62	97	3.55	33
0	Min.	-1987	0.00	98	0.00	101	0.00	101	0.25	33	1.79	33	0.08	33	-368.62	97	3.55	33
0	Max	-1678	0.00	98	0.00	97	0.00	98	-0.08	33	2.20	97	-0.28	33	-204.91	33	-12.97	33
0	Max	-1679	0.00	98	0.00	97	0.00	98	-0.08	33	2.20	97	-0.28	33	-204.91	33	-12.97	33
0	Max	-1989	0.00	98	0.00	97	0.00	98	-0.08	33	2.20	97	-0.28	33	-204.91	33	-12.97	33
0	Max	-1988	0.00	98	0.00	97	0.00	98	-0.08	33	2.20	97	-0.28	33	-204.91	33	-12.97	33
0	Min.	-1678	0.00	101	0.00	102	0.00	101	-0.12	97	1.55	33	-0.41	97	-291.23	97	-18.81	97
0	Min.	-1679	0.00	101	0.00	102	0.00	101	-0.12	97	1.55	33	-0.41	97	-291.23	97	-18.81	97
0	Min.	-1989	0.00	101	0.00	102	0.00	101	-0.12	97	1.55	33	-0.41	97	-291.23	97	-18.81	97
0	Min.	-1988	0.00	101	0.00	102	0.00	101	-0.12	97	1.55	33	-0.41	97	-291.23	97	-18.81	97
0	Max	-1679	0.00	97	0.00	102	0.00	101	1.58	97	3.82	97	1.47	97	-375.08	33	65.42	97
0	Max	-1680	0.00	97	0.00	102	0.00	101	1.58	97	3.82	97	1.47	97	-375.08	33	65.42	97
0	Max	-1990	0.00	97	0.00	102	0.00	101	1.58	97	3.82	97	1.47	97	-375.08	33	65.42	97
0	Max	-1989	0.00	97	0.00	102	0.00	101	1.58	97	3.82	97	1.47	97	-375.08	33	65.42	97
0	Min.	-1679	0.00	102	0.00	97	0.00	98	1.09	33	2.65	33	1.01	33	-539.66	97	45.10	33
0	Min.	-1680	0.00	102	0.00	97	0.00	98	1.09	33	2.65	33	1.01	33	-539.66	97	45.10	33
0	Min.	-1990	0.00	102	0.00	97	0.00	98	1.09	33	2.65	33	1.01	33	-539.66	97	45.10	33
0	Min.	-1989	0.00	102	0.00	97	0.00	98	1.09	33	2.65	33	1.01	33	-539.66	97	45.10	33
0	Max	-1680	0.00	101	0.00	101	0.00	98	-1.25	33	0.33	97	-0.01	97	-43.59	33	-1015.65	33
0	Max	-1964	0.00	101	0.00	101	0.00	98	-1.25	33	0.33	97	-0.01	97	-43.59	33	-1015.65	33
0	Max	-2017	0.00	101	0.00	101	0.00	98	-1.25	33	0.33	97	-0.01	97	-43.59	33	-1015.65	33
0	Max	-1990	0.00	101	0.00	101	0.00	98	-1.25	33	0.33	97	-0.01	97	-43.59	33	-1015.65	33
0	Min.	-1680	0.00	98	0.00	98	0.00	101	-1.83	97	0.27	33	-0.02	33	-55.59	97	-1481.69	97
0	Min.	-1964	0.00	98	0.00	98	0.00	101	-1.83	97	0.27	33	-0.02	33	-55.59	97	-1481.69	97
0	Min.	-2017	0.00	98	0.00	98	0.00	101	-1.83	97	0.27	33	-0.02	33	-55.59	97	-1481.69	97
0	Min.	-1990	0.00	98	0.00	98	0.00	101	-1.83	97	0.27	33	-0.02	33	-55.59	97	-1481.69	97
0	Max	-1964	0.00	101	0.00	102	0.00	101	-1.14	33	0.42	97	0.14	97	-65.71	33	1489.75	97
0	Max	-1681	0.00	101	0.00	102	0.00	101	-1.14	33	0.42	97	0.14	97	-65.71	33	1489.75	97
0	Max	-1991	0.00	101	0.00	102	0.00	101	-1.14	33	0.42	97	0.14	97	-65.71	33	1489.75	97
0	Max	-2017	0.00	101	0.00	102	0.00	101	-1.14	33	0.42	97	0.14	97	-65.71	33	1489.75	97
0	Min.	-1964	0.00	98	0.00	97	0.00	98	-1.66	97	0.33	33	0.12	33	-87.81	97	1021.22	33
0	Min.	-1681	0.00	98	0.00	97	0.00	98	-1.66	97	0.33	33	0.12	33	-87.81	97	1021.22	33
0	Min.	-1991	0.00	98	0.00	97	0.00	98	-1.66	97	0.33	33	0.12	33	-87.81	97	1021.22	33
0	Min.	-2017	0.00	98	0.00	97	0.00	98	-1.66	97	0.33	33	0.12	33	-87.81	97	1021.22	33
0	Max	-1681	0.00	97	0.00	97	0.00	97	1.20	97	3.53	97	-1.28	33	-337.37	33	-55.00	33
0	Max	-1686	0.00	97	0.00	97	0.00	97	1.20	97	3.53	97	-1.28	33	-337.37	33	-55.00	33
0	Max	-1992	0.00	97	0.00	97	0.00	97	1.20	97	3.53	97	-1.28	33	-337.37	33	-55.00	33
0	Max	-1991	0.00	97	0.00	97	0.00	97	1.20	97	3.53	97	-1.28	33	-337.37	33	-55.00	33
0	Min.	-1681	0.00	102	0.00	102	0.00	102	0.83	33	2.46	33	-1.87	97	-484.62	97	-79.77	97
0	Min.	-1686	0.00	102	0.00	102	0.00	102	0.83	33	2.46	33	-1.87	97	-484.62	97	-79.77	97
0	Min.	-1992	0.00	102	0.00	102	0.00	102	0.83	33	2.46	33	-1.87	97	-484.62	97	-79.77	97
0	Min.	-1991	0.00	102	0.00	102	0.00	102	0.83	33	2.46	33	-1.87	97	-484.62	97	-79.77	97
0	Max	-2018	0.00	101	0.00	101	0.00	98	0.28	97	3.05	97	-0.02	33	386.54	97	2.96	97
0	Max	-2029	0.00	101	0.00	101	0.00	98	0.28	97	3.05	97	-0.02	33	386.54	97	2.96	97
0	Max	-1619	0.00	101	0.00	101	0.00	98	0.28	97	3.05	97	-0.02	33	386.54	97	2.96	97
0	Max	-1417	0.00	101	0.00	101	0.00	98	0.28	97	3.05	97	-0.02	33	386.54	97	2.96	97
0	Min.	-2018	0.00	98	0.00	98	0.00	101	0.19	33	2.13	33	-0.02	97	270.79	33	2.07	33
0	Min.	-2029	0.00	98	0.00	98	0.00	101	0.19	33	2.13	33	-0.02	97	270.79	33	2.07	33
0	Min.	-1619	0.00	98	0.00	98	0.00	101	0.19	33	2.13	33	-0.02	97	270.79	33	2.07	33
0	Min.	-1417	0.00	98	0.00	98	0.00	101	0.19	33	2.13	33	-0.02	97	270.79	33	2.07	33
0	Max	-2029	0.00	101	0.00	102	0.00	101	0.32	97	3.05	97	0.00	97	389.25	97	-0.50	33
0	Max	-2030	0.00	101	0.00	102	0.00	101	0.32	97	3.05	97	0.00	97	389.25	97	-0.50	33
0	Max	-1620	0.00	101	0.00	102	0.00	101	0.32	97	3.05	97	0.00	97	389.25	97	-0.50	33
0	Max	-1619	0.00	101	0.00	102	0.00	101	0.32	97	3.05	97	0.00	97	389.25	97	-0.50	33
0	Min.	-2029	0.00	98	0.00	97	0.00	98	0.22	33	2.14	33	0.00	33	272.62	33	-0.75	97
0	Min.	-2030	0.00	98	0.00	97	0.00	98	0.22	33	2.14	33	0.00	33	272.62	33	-0.75	97
0	Min.	-1620	0.00	98	0.00	97	0.00	98	0.22	33	2.14	33	0.00	33	272.62	33	-0.75	97
0	Min.	-1619	0.00	98	0.00	97	0.00	98	0.22	33	2.14	33	0.00	33	272.62	33	-0.75	97
0	Max	-2030	0.00	101	0.00	101	0.00	98	0.28	97	3.03	97	0.02	97	381.47	97	-0.39	33
0	Max	-2031	0.00	101	0.00	101	0.00	98	0.28	97	3.03	97	0.02	97	381.47	97	-0.39	33
0	Max	-1621	0.00	101	0.00	101	0.00	98	0.28	97	3.03	97	0.02	97	381.47	97	-0.39	33
0	Max	-1620	0.00	101	0.00	101	0.00	98	0.28	97	3.03	97	0.02	97	381.47	97	-0.39	33
0	Min.	-2030	0.00	98	0.00	98	0.00	101	0.19	33	2.13	33	0.02	33	267.12	33	-0.66	97
0	Min.	-2031	0.00	98	0.00	98	0.00	101	0.19	33	2.13	33	0.02	33	267.12	33	-0.66	97
0	Min.	-1621	0.00	98	0.00	98	0.00	101	0.19	33	2.13	33	0.02	33	267.12	33	-0.66	97
0	Min.	-1620	0.00	98	0.00	98	0.00	101	0.19	33	2.13	33	0.02	33	267.12	33	-0.66	97
0	Max	-2031	0.00	101	0.00	98	0.00	101	0.40	97	3.12	97	-0.07	33	405.49	97	3.99	97
0	Max	-2032	0.00	101	0.00	98	0.00	101	0.40	97	3.12	97	-0.07	33	405.49	97	3.99	97
0	Max	-1622	0.00	101	0.00	98	0.00	101	0.40	97	3.12	97	-0.07	33	405.49	97	3.99	97
0	Max	-1621	0.00	101	0.00	98	0.00	101	0.40	97	3.12	97	-0.07	33	405.49	97	3.99	97
0	Min.	-2031	0.00	98	0.00	101	0.00	98	0.28	33	2.18	33	-0.10	97	283.17	33	2.65	33
0	Min.	-2032	0.00	98	0.00	101	0.00	98	0.28	33	2.18	33	-0.10	97	283.17	33	2.65	33
0	Min.	-1622	0.00	98	0.00	101	0.00	98	0.28	33	2.18	33	-0.10	97	283.17	33	2.65	33

0	Min.	-1621	0.00	98	0.00	101	0.00	98	0.28	33	2.18	33	-0.10	97	283.17	33	2.65	33
0	Max	-2032	0.00	98	0.00	101	0.00	101	-0.04	33	2.73	97	0.39	97	327.77	97	-10.97	33
0	Max	-2033	0.00	98	0.00	101	0.00	101	-0.04	33	2.73	97	0.39	97	327.77	97	-10.97	33
0	Max	-1623	0.00	98	0.00	101	0.00	101	-0.04	33	2.73	97	0.39	97	327.77	97	-10.97	33
0	Max	-1622	0.00	98	0.00	101	0.00	101	-0.04	33	2.73	97	0.39	97	327.77	97	-10.97	33
0	Min.	-2032	0.00	101	0.00	98	0.00	98	-0.07	97	1.91	33	0.26	33	228.62	33	-15.97	97
0	Min.	-2033	0.00	101	0.00	98	0.00	98	-0.07	97	1.91	33	0.26	33	228.62	33	-15.97	97
0	Min.	-1623	0.00	101	0.00	98	0.00	98	-0.07	97	1.91	33	0.26	33	228.62	33	-15.97	97
0	Min.	-1622	0.00	101	0.00	98	0.00	98	-0.07	97	1.91	33	0.26	33	228.62	33	-15.97	97
0	Max	-2033	0.00	97	0.00	102	0.00	98	1.70	97	4.48	97	-0.97	33	577.66	97	58.92	97
0	Max	-2034	0.00	97	0.00	102	0.00	98	1.70	97	4.48	97	-0.97	33	577.66	97	58.92	97
0	Max	-1624	0.00	97	0.00	102	0.00	98	1.70	97	4.48	97	-0.97	33	577.66	97	58.92	97
0	Max	-1623	0.00	97	0.00	102	0.00	98	1.70	97	4.48	97	-0.97	33	577.66	97	58.92	97
0	Min.	-2033	0.00	102	0.00	97	0.00	101	1.14	33	3.07	33	-1.46	97	396.95	33	39.90	33
0	Min.	-2034	0.00	102	0.00	97	0.00	101	1.14	33	3.07	33	-1.46	97	396.95	33	39.90	33
0	Min.	-1624	0.00	102	0.00	97	0.00	101	1.14	33	3.07	33	-1.46	97	396.95	33	39.90	33
0	Min.	-1623	0.00	102	0.00	97	0.00	101	1.14	33	3.07	33	-1.46	97	396.95	33	39.90	33
0	Max	-2034	0.00	101	0.00	101	0.00	101	-1.24	33	0.71	97	0.16	97	91.03	97	-932.54	33
0	Max	-2060	0.00	101	0.00	101	0.00	101	-1.24	33	0.71	97	0.16	97	91.03	97	-932.54	33
0	Max	-1961	0.00	101	0.00	101	0.00	101	-1.24	33	0.71	97	0.16	97	91.03	97	-932.54	33
0	Max	-1624	0.00	101	0.00	101	0.00	101	-1.24	33	0.71	97	0.16	97	91.03	97	-932.54	33
0	Min.	-2034	0.00	98	0.00	98	0.00	98	-1.88	97	0.52	33	0.11	33	66.76	33	-1406.68	97
0	Min.	-2060	0.00	98	0.00	98	0.00	98	-1.88	97	0.52	33	0.11	33	66.76	33	-1406.68	97
0	Min.	-1961	0.00	98	0.00	98	0.00	98	-1.88	97	0.52	33	0.11	33	66.76	33	-1406.68	97
0	Min.	-1624	0.00	98	0.00	98	0.00	98	-1.88	97	0.52	33	0.11	33	66.76	33	-1406.68	97
0	Max	-2060	0.00	101	0.00	102	0.00	98	-1.14	33	0.80	97	-0.20	33	122.93	97	1413.40	97
0	Max	-2035	0.00	101	0.00	102	0.00	98	-1.14	33	0.80	97	-0.20	33	122.93	97	1413.40	97
0	Max	-1625	0.00	101	0.00	102	0.00	98	-1.14	33	0.80	97	-0.20	33	122.93	97	1413.40	97
0	Max	-1961	0.00	101	0.00	102	0.00	98	-1.14	33	0.80	97	-0.20	33	122.93	97	1413.40	97
0	Min.	-2060	0.00	98	0.00	97	0.00	33	-1.73	97	0.59	33	-0.29	97	89.93	33	937.24	33
0	Min.	-2035	0.00	98	0.00	97	0.00	33	-1.73	97	0.59	33	-0.29	97	89.93	33	937.24	33
0	Min.	-1625	0.00	98	0.00	97	0.00	33	-1.73	97	0.59	33	-0.29	97	89.93	33	937.24	33
0	Min.	-1961	0.00	98	0.00	97	0.00	33	-1.73	97	0.59	33	-0.29	97	89.93	33	937.24	33
0	Max	-2035	0.00	97	0.00	97	0.00	102	1.31	97	4.17	97	1.85	97	522.26	97	-48.31	33
0	Max	-2036	0.00	97	0.00	97	0.00	102	1.31	97	4.17	97	1.85	97	522.26	97	-48.31	33
0	Max	-1687	0.00	97	0.00	97	0.00	102	1.31	97	4.17	97	1.85	97	522.26	97	-48.31	33
0	Max	-1625	0.00	97	0.00	97	0.00	102	1.31	97	4.17	97	1.85	97	522.26	97	-48.31	33
0	Min.	-2035	0.00	102	0.00	102	0.00	97	0.88	33	2.88	33	1.22	33	360.93	33	-70.84	97
0	Min.	-2036	0.00	102	0.00	102	0.00	97	0.88	33	2.88	33	1.22	33	360.93	33	-70.84	97
0	Min.	-1687	0.00	102	0.00	102	0.00	97	0.88	33	2.88	33	1.22	33	360.93	33	-70.84	97
0	Min.	-1625	0.00	102	0.00	102	0.00	97	0.88	33	2.88	33	1.22	33	360.93	33	-70.84	97
0	Max	-2037	0.00	98	0.00	102	-0.00	33	-1.14	33	0.80	97	0.28	97	122.51	97	-935.76	33
0	Max	-2059	0.00	98	0.00	102	-0.00	33	-1.14	33	0.80	97	0.28	97	122.51	97	-935.76	33
0	Max	-1950	0.00	98	0.00	102	-0.00	33	-1.14	33	0.80	97	0.28	97	122.51	97	-935.76	33
0	Max	-1803	0.00	98	0.00	102	-0.00	33	-1.14	33	0.80	97	0.28	97	122.51	97	-935.76	33
0	Min.	-2037	0.00	49	0.00	97	-0.00	97	-1.74	97	0.58	33	0.19	33	89.40	33	-1417.60	97
0	Min.	-2059	0.00	49	0.00	97	-0.00	97	-1.74	97	0.58	33	0.19	33	89.40	33	-1417.60	97
0	Min.	-1950	0.00	49	0.00	97	-0.00	97	-1.74	97	0.58	33	0.19	33	89.40	33	-1417.60	97
0	Min.	-1803	0.00	49	0.00	97	-0.00	97	-1.74	97	0.58	33	0.19	33	89.40	33	-1417.60	97
0	Max	-2059	0.00	97	0.00	97	0.00	98	-1.23	33	0.70	97	-0.10	33	91.03	97	1411.71	97
0	Max	-2038	0.00	97	0.00	97	0.00	98	-1.23	33	0.70	97	-0.10	33	91.03	97	1411.71	97
0	Max	-1804	0.00	97	0.00	97	0.00	98	-1.23	33	0.70	97	-0.10	33	91.03	97	1411.71	97
0	Max	-1950	0.00	97	0.00	97	0.00	98	-1.23	33	0.70	97	-0.10	33	91.03	97	1411.71	97
0	Min.	-2059	0.00	33	0.00	33	0.00	33	-1.88	97	0.51	33	-0.15	97	66.67	33	931.62	33
0	Min.	-2038	0.00	33	0.00	33	0.00	33	-1.88	97	0.51	33	-0.15	97	66.67	33	931.62	33
0	Min.	-1804	0.00	33	0.00	33	0.00	33	-1.88	97	0.51	33	-0.15	97	66.67	33	931.62	33
0	Min.	-1950	0.00	33	0.00	33	0.00	33	-1.88	97	0.51	33	-0.15	97	66.67	33	931.62	33
0	Max	-2038	0.00	97	0.00	33	0.00	33	1.70	97	4.48	97	1.47	97	577.44	97	-40.26	33
0	Max	-2039	0.00	97	0.00	33	0.00	33	1.70	97	4.48	97	1.47	97	577.44	97	-40.26	33
0	Max	-1805	0.00	97	0.00	33	0.00	33	1.70	97	4.48	97	1.47	97	577.44	97	-40.26	33
0	Max	-1804	0.00	97	0.00	33	0.00	33	1.70	97	4.48	97	1.47	97	577.44	97	-40.26	33
0	Min.	-2038	0.00	102	0.00	98	0.00	98	1.13	33	3.07	33	0.97	33	396.18	33	-59.56	97
0	Min.	-2039	0.00	102	0.00	98	0.00	98	1.13	33	3.07	33	0.97	33	396.18	33	-59.56	97
0	Min.	-1805	0.00	102	0.00	98	0.00	98	1.13	33	3.07	33	0.97	33	396.18	33	-59.56	97
0	Min.	-1804	0.00	102	0.00	98	0.00	98	1.13	33	3.07	33	0.97	33	396.18	33	-59.56	97
0	Max	-2039	0.00	97	0.00	33	0.00	98	-0.03	33	2.74	97	-0.26	33	329.34	97	16.46	97
0	Max	-2040	0.00	97	0.00	33	0.00	98	-0.03	33	2.74	97	-0.26	33	329.34	97	16.46	97
0	Max	-1806	0.00	97	0.00	33	0.00	98	-0.03	33	2.74	97	-0.26	33	329.34	97	16.46	97
0	Max	-1805	0.00	97	0.00	33	0.00	98	-0.03	33	2.74	97	-0.26	33	329.34	97	16.46	97
0	Min.	-2039	0.00	102	0.00	98	0.00	33	-0.07	97	1.91	33	-0.40	97	229.51	33	11.28	33
0	Min.	-2040	0.00	102	0.00	98	0.00	33	-0.07	97	1.91	33	-0.40	97	229.51	33	11.28	33
0	Min.	-1806	0.00	102	0.00	98	0.00	33	-0.07	97	1.91	33	-0.40	97	229.51	33	11.28	33
0	Min.	-1805	0.00	102	0.00	98	0.00	33	-0.07	97	1.91	33	-0.40	97	229.51	33	11.28	33
0	Max	-2040	0.00	101	0.00	102	0.00	97	0.38	97	3.10	97	0.13	97	399.74	97	-3.34	33
0	Max	-2041	0.00	101	0.00	102	0.00	97	0.38	97	3.10	97	0.13	97	399.74	97	-3.34	33
0	Max	-1807	0.00	101	0.00	102	0.00	97	0.38	97	3.10	97	0.13	97	399.74	97	-3.34	33
0	Max	-1806	0.00	101	0.00	102	0.00	97	0.38	97	3.10	97	0.13	97	399.74	97	-3.34	33
0	Min.	-2040	0.00	98	0.00	97	0.00	102	0.26	33	2.17	33	0.09	33	279.30	33	-5.10	97
0	Min.	-2041	0.00	98	0.00	97	0.00	102	0.26	33	2.17	33	0.09	33	279.30	33	-5.10	97
0	Min.	-1807	0.00	98	0.00	97	0.00	102	0.26	33	2.17	33	0.09	33	279.30	33	-5.10	97
0	Min.	-1806	0.00	98	0.00	97	0.00	102	0.26	33	2.17	33	0.09	33	279.30	33	-5.10	97
0	Max	-2041	-0.00	102	0.00	97	0.00	102	0.38	97	3.10	97	-0.09	33	400.85	97	5.00	97
0	Max	-2042	-0.00	102	0.00	97	0.00	102	0.38	97	3.10	97	-0.09	33	400.85	97	5.00	97
0	Max	-1808	-0.00	102	0.00	97	0.00	102	0.38	97	3.10	97	-0.09	33	400.85	97	5.00	97
0	Max	-1807	-0.00	102	0.00	97	0.00	102	0.38	97	3.10	97	-0.09	33	400.85	97	5.00	97
0	Min.	-2041	-0.00	97	0.00	102	0.00	97	0.26	33	2.17	33	-0.13	97	280.13	33	3.27	33
0	Min.	-2042	-0.00	97	0.00	102	0.00	97	0.26	33	2.17	33	-0.13	97	280.13	33	3.27	33
0	Min.	-1808	-0.00	97	0.00	102	0.00	97	0.26	33	2.17	33	-0.13	97	280.13	33	3.27	33
0	Min.	-1807	-0.00	97	0.00	102	0.00	97	0.26	33	2.17	33	-0.13	97	280.13	33	3.27	33
0	Max	-2042	0.00	97	0.00	102	0.00	102	-0.03	33	2.74	97	0.40	97	325.83	97	-11.08	33
0	Max	-2043	0.00	97	0.00	102	0.00	102	-0.03	33	2.74	97	0.40	97	325.83	97	-11.08	33
0	Max	-1809	0.00	97	0.00	102	0.00	102	-0.03	33	2.74	97	0.40	97	325.83	97	-11.08	33
0	Max	-1808	0.00	97	0.00	102	0.00	102	-0.03	33	2.74	97	0.40	97	325.83	97	-11.08	33
0	Min.	-2042	0.00	102	0.00	97	0.00	97	-0.07	97	1.92	33	0.27	33	227.18	33	-16.20	97
0	Min.	-2043	0.00	102	0.00	97	0.00	97	-0.07	97	1.92	33	0.27	33	227.18	33	-16.20	97
0	Min.	-1809	0.00	102	0.00	97	0.00	97	-0.07	97	1.92	33	0.27	33	227.18	33	-16.20	97
0	Min.	-1808	0.00	102	0.00	97	0.00	97	-0.07	97	1.92	33	0.27	33	227.18	33	-16.20	97
0	Max	-2043	0.00	33	-0.00	33	0.00	97	1.72	97	4.45	97	-0.99	33	590.24	97	59.72	97
0	Max	-2044	0.00	33	-0.00	33	0.00	97	1.72	97	4.45	97	-0.99	33	590.24	97	59.72	97
0	Max	-1810	0.00	33	-0.00	33	0.00	97	1.72	97	4.45	97	-0.99	33	590.24	97	59.72	97
0	Max	-1809	0.00	33	-0.00	33	0.00	97	1.72	97	4.45	97	-0.99	33	590.24	97	59.72	97
0	Min.	-2043	-0.00	98	-0.00	98	0.00	33	1.15	33	3.05	33	-1.49	97	404.96	33	40.58	33
0	Min.	-2044	-0.00	98	-0.00	98	0.00	33	1.15	33	3.05	33	-1.49	97	404.96	33	40.58	33
0	Min.	-1810	-0.00	98	-0.00	98	0.00	33	1.15	33	3.05	33	-1.49	97	404.96	33	40.58	33
0	Min.	-1809	-0.00	98	-0.00	98	0.00	33	1.15	33	3.05	33	-1.49	97	404.96	33	40.58	33

0	Max	-2044	0.00	97	0.00	98	-0.00	33	-1.02	33	0.57	97	0.35	97	8.90	33	-932.62	33
0	Max	-2123	0.00	97	0.00	98	-0.00	33	-1.02	33	0.57	97	0.35	97	8.90	33	-932.62	33
0	Max	-2093	0.00	97	0.00	98	-0.00	33	-1.02	33	0.57	97	0.35	97	8.90	33	-932.62	33
0	Max	-1810	0.00	97	0.00	98	-0.00	33	-1.02	33	0.57	97	0.35	97	8.90	33	-932.62	33
0	Min.	-2044	0.00	33	0.00	33	-0.00	97	-1.55	97	0.42	33	0.24	33	-2.02	97	-1408.30	97
0	Min.	-2123	0.00	33	0.00	33	-0.00	97	-1.55	97	0.42	33	0.24	33	-2.02	97	-1408.30	97
0	Min.	-2093	0.00	33	0.00	33	-0.00	97	-1.55	97	0.42	33	0.24	33	-2.02	97	-1408.30	97
0	Min.	-1810	0.00	33	0.00	33	-0.00	97	-1.55	97	0.42	33	0.24	33	-2.02	97	-1408.30	97
0	Max	-2045	0.00	102	0.00	33	-0.00	33	0.15	97	3.29	97	2.22	97	456.52	97	-967.03	33
0	Max	-2124	0.00	102	0.00	33	-0.00	33	0.15	97	3.29	97	2.22	97	456.52	97	-967.03	33
0	Max	-2091	0.00	102	0.00	33	-0.00	33	0.15	97	3.29	97	2.22	97	456.52	97	-967.03	33
0	Max	-1811	0.00	102	0.00	33	-0.00	33	0.15	97	3.29	97	2.22	97	456.52	97	-967.03	33
0	Min.	-2045	0.00	97	0.00	98	-0.00	98	0.09	33	2.25	33	1.51	33	310.41	33	-1471.82	97
0	Min.	-2124	0.00	97	0.00	98	-0.00	98	0.09	33	2.25	33	1.51	33	310.41	33	-1471.82	97
0	Min.	-2091	0.00	97	0.00	98	-0.00	98	0.09	33	2.25	33	1.51	33	310.41	33	-1471.82	97
0	Min.	-1811	0.00	97	0.00	98	-0.00	98	0.09	33	2.25	33	1.51	33	310.41	33	-1471.82	97
0	Max	-2046	0.00	102	0.00	33	-0.00	33	3.09	97	5.18	97	2.61	97	604.03	97	25.99	97
0	Max	-2019	0.00	102	0.00	33	-0.00	33	3.09	97	5.18	97	2.61	97	604.03	97	25.99	97
0	Max	-1533	0.00	102	0.00	33	-0.00	33	3.09	97	5.18	97	2.61	97	604.03	97	25.99	97
0	Max	-1812	0.00	102	0.00	33	-0.00	33	3.09	97	5.18	97	2.61	97	604.03	97	25.99	97
0	Min.	-2046	-0.00	97	0.00	98	-0.00	97	2.04	33	3.51	33	1.71	33	412.58	33	14.75	33
0	Min.	-2019	-0.00	97	0.00	98	-0.00	97	2.04	33	3.51	33	1.71	33	412.58	33	14.75	33
0	Min.	-1533	-0.00	97	0.00	98	-0.00	97	2.04	33	3.51	33	1.71	33	412.58	33	14.75	33
0	Min.	-1812	-0.00	97	0.00	98	-0.00	97	2.04	33	3.51	33	1.71	33	412.58	33	14.75	33
0	Max	-2019	0.00	101	0.00	33	0.00	98	3.09	97	5.18	97	-1.71	33	604.03	97	-14.75	33
0	Max	-2047	0.00	101	0.00	33	0.00	98	3.09	97	5.18	97	-1.71	33	604.03	97	-14.75	33
0	Max	-1813	0.00	101	0.00	33	0.00	98	3.09	97	5.18	97	-1.71	33	604.03	97	-14.75	33
0	Max	-1533	0.00	101	0.00	33	0.00	98	3.09	97	5.18	97	-1.71	33	604.03	97	-14.75	33
0	Min.	-2019	-0.00	98	0.00	97	0.00	33	2.04	33	3.51	33	-2.61	97	412.58	33	-25.99	97
0	Min.	-2047	-0.00	98	0.00	97	0.00	33	2.04	33	3.51	33	-2.61	97	412.58	33	-25.99	97
0	Min.	-1813	-0.00	98	0.00	97	0.00	33	2.04	33	3.51	33	-2.61	97	412.58	33	-25.99	97
0	Min.	-1533	-0.00	98	0.00	97	0.00	33	2.04	33	3.51	33	-2.61	97	412.58	33	-25.99	97
0	Max	-2047	0.00	97	0.00	97	-0.00	33	-1.56	33	0.68	97	0.11	33	99.17	97	-900.94	33
0	Max	-2125	0.00	97	0.00	97	-0.00	33	-1.56	33	0.68	97	0.11	33	99.17	97	-900.94	33
0	Max	-2089	0.00	97	0.00	97	-0.00	33	-1.56	33	0.68	97	0.11	33	99.17	97	-900.94	33
0	Max	-1813	0.00	97	0.00	97	-0.00	33	-1.56	33	0.68	97	0.11	33	99.17	97	-900.94	33
0	Min.	-2047	0.00	102	0.00	33	-0.00	98	-2.38	97	0.49	33	0.05	33	72.45	33	-1372.86	97
0	Min.	-2125	0.00	102	0.00	33	-0.00	98	-2.38	97	0.49	33	0.05	33	72.45	33	-1372.86	97
0	Min.	-2089	0.00	102	0.00	33	-0.00	98	-2.38	97	0.49	33	0.05	33	72.45	33	-1372.86	97
0	Min.	-1813	0.00	102	0.00	33	-0.00	98	-2.38	97	0.49	33	0.05	33	72.45	33	-1372.86	97
0	Max	-2048	0.00	33	0.00	33	-0.00	33	-0.00	33	3.22	97	2.30	97	467.89	97	-964.50	33
0	Max	-2126	0.00	33	0.00	33	-0.00	33	-0.00	33	3.22	97	2.30	97	467.89	97	-964.50	33
0	Max	-2087	0.00	33	0.00	33	-0.00	33	-0.00	33	3.22	97	2.30	97	467.89	97	-964.50	33
0	Max	-1814	0.00	33	0.00	33	-0.00	33	-0.00	33	3.22	97	2.30	97	467.89	97	-964.50	33
0	Min.	-2048	0.00	98	0.00	97	-0.00	98	-0.03	97	2.18	33	1.54	33	316.35	33	-1455.08	97
0	Min.	-2126	0.00	98	0.00	97	-0.00	98	-0.03	97	2.18	33	1.54	33	316.35	33	-1455.08	97
0	Min.	-2087	0.00	98	0.00	97	-0.00	98	-0.03	97	2.18	33	1.54	33	316.35	33	-1455.08	97
0	Min.	-1814	0.00	98	0.00	97	-0.00	98	-0.03	97	2.18	33	1.54	33	316.35	33	-1455.08	97
0	Max	-2049	0.00	102	-0.00	33	0.00	33	1.72	97	4.45	97	1.49	97	590.24	97	-40.58	33
0	Max	-2050	0.00	102	-0.00	33	0.00	33	1.72	97	4.45	97	1.49	97	590.24	97	-40.58	33
0	Max	-1816	0.00	102	-0.00	33	0.00	33	1.72	97	4.45	97	1.49	97	590.24	97	-40.58	33
0	Max	-1815	0.00	102	-0.00	33	0.00	33	1.72	97	4.45	97	1.49	97	590.24	97	-40.58	33
0	Min.	-2049	-0.00	97	-0.00	97	-0.00	98	1.15	33	3.05	33	0.99	33	404.96	33	-59.72	97
0	Min.	-2050	-0.00	97	-0.00	97	-0.00	98	1.15	33	3.05	33	0.99	33	404.96	33	-59.72	97
0	Min.	-1816	-0.00	97	-0.00	97	-0.00	98	1.15	33	3.05	33	0.99	33	404.96	33	-59.72	97
0	Min.	-1815	-0.00	97	-0.00	97	-0.00	98	1.15	33	3.05	33	0.99	33	404.96	33	-59.72	97
0	Max	-2050	0.00	98	0.00	101	0.00	98	-0.03	33	2.74	97	-0.27	33	325.83	97	16.20	97
0	Max	-2051	0.00	98	0.00	101	0.00	98	-0.03	33	2.74	97	-0.27	33	325.83	97	16.20	97
0	Max	-1817	0.00	98	0.00	101	0.00	98	-0.03	33	2.74	97	-0.27	33	325.83	97	16.20	97
0	Max	-1816	0.00	98	0.00	101	0.00	98	-0.03	33	2.74	97	-0.27	33	325.83	97	16.20	97
0	Min.	-2050	0.00	101	0.00	98	0.00	33	-0.07	97	1.92	33	-0.40	97	227.18	33	11.08	33
0	Min.	-2051	0.00	101	0.00	98	0.00	33	-0.07	97	1.92	33	-0.40	97	227.18	33	11.08	33
0	Min.	-1817	0.00	101	0.00	98	0.00	33	-0.07	97	1.92	33	-0.40	97	227.18	33	11.08	33
0	Min.	-1816	0.00	101	0.00	98	0.00	33	-0.07	97	1.92	33	-0.40	97	227.18	33	11.08	33
0	Max	-2051	-0.00	101	0.00	98	0.00	98	0.38	97	3.10	97	0.13	97	400.85	97	-3.27	33
0	Max	-2052	-0.00	101	0.00	98	0.00	98	0.38	97	3.10	97	0.13	97	400.85	97	-3.27	33
0	Max	-1818	-0.00	101	0.00	98	0.00	98	0.38	97	3.10	97	0.13	97	400.85	97	-3.27	33
0	Max	-1817	-0.00	101	0.00	98	0.00	98	0.38	97	3.10	97	0.13	97	400.85	97	-3.27	33
0	Min.	-2051	-0.00	98	0.00	101	0.00	101	0.26	33	2.17	33	0.09	33	280.13	33	-5.00	97
0	Min.	-2052	-0.00	98	0.00	101	0.00	101	0.26	33	2.17	33	0.09	33	280.13	33	-5.00	97
0	Min.	-1818	-0.00	98	0.00	101	0.00	101	0.26	33	2.17	33	0.09	33	280.13	33	-5.00	97
0	Min.	-1817	-0.00	98	0.00	101	0.00	101	0.26	33	2.17	33	0.09	33	280.13	33	-5.00	97
0	Max	-2052	0.00	102	0.00	101	0.00	101	0.38	97	3.10	97	-0.09	33	399.74	97	5.10	97
0	Max	-2053	0.00	102	0.00	101	0.00	101	0.38	97	3.10	97	-0.09	33	399.74	97	5.10	97
0	Max	-1819	0.00	102	0.00	101	0.00	101	0.38	97	3.10	97	-0.09	33	399.74	97	5.10	97
0	Max	-1818	0.00	102	0.00	101	0.00	101	0.38	97	3.10	97	-0.09	33	399.74	97	5.10	97
0	Min.	-2052	0.00	97	0.00	98	0.00	98	0.26	33	2.17	33	-0.13	97	279.31	33	3.34	33
0	Min.	-2053	0.00	97	0.00	98	0.00	98	0.26	33	2.17	33	-0.13	97	279.31	33	3.34	33
0	Min.	-1819	0.00	97	0.00	98	0.00	98	0.26	33	2.17	33	-0.13	97	279.31	33	3.34	33
0	Min.	-1818	0.00	97	0.00	98	0.00	98	0.26	33	2.17	33	-0.13	97	279.31	33	3.34	33
0	Max	-2053	0.00	98	0.00	33	0.00	33	-0.03	33	2.74	97	0.40	97	329.34	97	-11.28	33
0	Max	-2054	0.00	98	0.00	33	0.00	33	-0.03	33	2.74	97	0.40	97	329.34	97	-11.28	33
0	Max	-1820	0.00	98	0.00	33	0.00	33	-0.03	33	2.74	97	0.40	97	329.34	97	-11.28	33
0	Max	-1819	0.00	98	0.00	33	0.00	33	-0.03	33	2.74	97	0.40	97	329.34	97	-11.28	33
0	Min.	-2053	0.00	101	0.00	97	0.00	97	-0.07	97	1.91	33	0.26	33	229.51	33	-16.46	97
0	Min.	-2054	0.00	101	0.00	97	0.00	97	-0.07	97	1.91	33	0.26	33	229.51	33	-16.46	97
0	Min.	-1820	0.00	101	0.00	97	0.00	97	-0.07	97	1.91	33	0.26	33	229.51	33	-16.46	97
0	Min.	-1819	0.00	101	0.00	97	0.00	97	-0.07	97	1.91	33	0.26	33	229.51	33	-16.46	97
0	Max	-2054	0.00	98	0.00	33	0.00	97	1.70	97	4.48	97	-0.97	33	577.44	97	59.56	97
0	Max	-2055	0.00	98	0.00	33	0.00	97	1.70	97	4.48	97	-0.97	33	577.44	97	59.56	97
0	Max	-1821	0.00	98	0.00	33	0.00	97	1.70	97	4.48	97	-0.97	33	577.44	97	59.56	97
0	Max	-1820	0.00	98	0.00	33	0.00	97	1.70	97	4.48	97	-0.97	33	577.44	97	59.56	97
0	Min.	-2054	0.00	101	0.00	97	0.00	33	1.13	33	3.07	33	-1.47	97	396.18	33	40.26	33
0	Min.	-2055	0.00	101	0.00	97	0.00	33	1.13	33	3.07	33	-1.47	97	396.18	33	40.26	33
0	Min.	-1821	0.00	101	0.00	97	0.00	33	1.13	33	3.07	33	-1.47	97	396.18	33	40.26	33
0	Min.	-1820	0.00	101	0.00	97	0.00	33	1.13	33	3.07	33	-1.47	97	396.18	33	40.26	33
0	Max	-2055	0.00	98	0.00	98	-0.00	33	-1.23	33	0.70	97	0.15	97	91.03	97	-931.65	33
0	Max	-2058	0.00	98	0.00	98	-0.00	33	-1.23	33	0.70	97	0.15	97	91.03	97	-931.65	33
0	Max	-1934	0.00	98	0.00	98	-0.00	33	-1.23	33	0.70	97	0.15	97	91.03	97	-931.65	33
0	Max	-1821	0.00	98	0.00	98	-0.00	33	-1.23	33	0.70	97	0.15	97	91.03	97	-931.65	33
0	Min.	-2055	0.00	33	0.00	101	-0.00	97	-1.88	97	0.51	33	0.10	33	66.67	33	-1411.70	97
0	Min.	-2058	0.00	33	0.00	101	-0.00	97	-1.88	97	0.51	33	0.10	33	66.67	33	-1411.70	97
0	Min.	-1934	0.00	33	0.00	101	-0.00	97	-1.88	97	0.51	33	0.10	33	66.67	33	-1411.70	97
0	Min.	-1821	0.00	33	0.00	101	-0.00	97	-1.88	97	0.51	33	0.10	33	66.67	33	-1411.70	97
0	Max	-2058	0.00	97	0.00	101	0.00	98	-1.14	33	0.80	97	-0.19	33	122.51	97	1417.60	97

0	Max	-2056	0.00	97	0.00	101	0.00	98	-1.14	33	0.80	97	-0.19	33	122.51	97	1417.60	97
0	Max	-1822	0.00	97	0.00	101	0.00	98	-1.14	33	0.80	97	-0.19	33	122.51	97	1417.60	97
0	Max	-1934	0.00	97	0.00	101	0.00	98	-1.14	33	0.80	97	-0.19	33	122.51	97	1417.60	97
0	Min.	-2058	0.00	33	0.00	98	0.00	33	-1.74	97	0.58	33	-0.28	97	89.40	33	935.79	33
0	Min.	-2056	0.00	33	0.00	98	0.00	33	-1.74	97	0.58	33	-0.28	97	89.40	33	935.79	33
0	Min.	-1822	0.00	33	0.00	98	0.00	33	-1.74	97	0.58	33	-0.28	97	89.40	33	935.79	33
0	Min.	-1934	0.00	33	0.00	98	0.00	33	-1.74	97	0.58	33	-0.28	97	89.40	33	935.79	33
0	Max	-2056	-0.00	102	0.00	33	0.00	101	1.32	97	4.18	97	1.85	97	522.53	97	-48.42	33
0	Max	-2020	-0.00	102	0.00	33	0.00	101	1.32	97	4.18	97	1.85	97	522.53	97	-48.42	33
0	Max	-1539	-0.00	102	0.00	33	0.00	101	1.32	97	4.18	97	1.85	97	522.53	97	-48.42	33
0	Max	-1822	-0.00	102	0.00	33	0.00	101	1.32	97	4.18	97	1.85	97	522.53	97	-48.42	33
0	Min.	-2056	-0.00	97	0.00	97	-0.00	98	0.88	33	2.88	33	1.21	33	360.27	33	-71.16	97
0	Min.	-2020	-0.00	97	0.00	97	-0.00	98	0.88	33	2.88	33	1.21	33	360.27	33	-71.16	97
0	Min.	-1539	-0.00	97	0.00	97	-0.00	98	0.88	33	2.88	33	1.21	33	360.27	33	-71.16	97
0	Min.	-1822	-0.00	97	0.00	97	-0.00	98	0.88	33	2.88	33	1.21	33	360.27	33	-71.16	97
0	Max	-2021	0.00	102	0.00	101	0.00	102	-1.14	33	0.80	97	0.29	97	122.93	97	-937.01	33
0	Max	-2057	0.00	102	0.00	101	0.00	102	-1.14	33	0.80	97	0.29	97	122.93	97	-937.01	33
0	Max	-1933	0.00	102	0.00	101	0.00	102	-1.14	33	0.80	97	0.29	97	122.93	97	-937.01	33
0	Max	-1600	0.00	102	0.00	101	0.00	102	-1.14	33	0.80	97	0.29	97	122.93	97	-937.01	33
0	Min.	-2021	0.00	97	0.00	98	0.00	97	-1.73	97	0.59	33	0.20	33	89.92	33	-1413.12	97
0	Min.	-2057	0.00	97	0.00	98	0.00	97	-1.73	97	0.59	33	0.20	33	89.92	33	-1413.12	97
0	Min.	-1933	0.00	97	0.00	98	0.00	97	-1.73	97	0.59	33	0.20	33	89.92	33	-1413.12	97
0	Min.	-1600	0.00	97	0.00	98	0.00	97	-1.73	97	0.59	33	0.20	33	89.92	33	-1413.12	97
0	Max	-2057	0.00	102	0.00	102	0.00	97	-1.24	33	0.71	97	-0.11	33	91.07	97	1407.17	97
0	Max	-2022	0.00	102	0.00	102	0.00	97	-1.24	33	0.71	97	-0.11	33	91.07	97	1407.17	97
0	Max	-1601	0.00	102	0.00	102	0.00	97	-1.24	33	0.71	97	-0.11	33	91.07	97	1407.17	97
0	Max	-1933	0.00	102	0.00	102	0.00	97	-1.24	33	0.71	97	-0.11	33	91.07	97	1407.17	97
0	Min.	-2057	0.00	97	0.00	97	0.00	102	-1.88	97	0.52	33	-0.16	97	66.79	33	932.82	33
0	Min.	-2022	0.00	97	0.00	97	0.00	102	-1.88	97	0.52	33	-0.16	97	66.79	33	932.82	33
0	Min.	-1601	0.00	97	0.00	97	0.00	102	-1.88	97	0.52	33	-0.16	97	66.79	33	932.82	33
0	Min.	-1933	0.00	97	0.00	97	0.00	102	-1.88	97	0.52	33	-0.16	97	66.79	33	932.82	33
0	Max	-2022	0.00	98	0.00	101	0.00	102	1.70	97	4.48	97	1.46	97	577.68	97	-39.91	33
0	Max	-2023	0.00	98	0.00	101	0.00	102	1.70	97	4.48	97	1.46	97	577.68	97	-39.91	33
0	Max	-1602	0.00	98	0.00	101	0.00	102	1.70	97	4.48	97	1.46	97	577.68	97	-39.91	33
0	Max	-1601	0.00	98	0.00	101	0.00	102	1.70	97	4.48	97	1.46	97	577.68	97	-39.91	33
0	Min.	-2022	0.00	101	0.00	98	0.00	97	1.14	33	3.07	33	0.97	33	396.96	33	-58.93	97
0	Min.	-2023	0.00	101	0.00	98	0.00	97	1.14	33	3.07	33	0.97	33	396.96	33	-58.93	97
0	Min.	-1602	0.00	101	0.00	98	0.00	97	1.14	33	3.07	33	0.97	33	396.96	33	-58.93	97
0	Min.	-1601	0.00	101	0.00	98	0.00	97	1.14	33	3.07	33	0.97	33	396.96	33	-58.93	97
0	Max	-2023	0.00	97	0.00	102	0.00	97	-0.04	33	2.73	97	-0.26	33	327.75	97	15.98	97
0	Max	-2024	0.00	97	0.00	102	0.00	97	-0.04	33	2.73	97	-0.26	33	327.75	97	15.98	97
0	Max	-1603	0.00	97	0.00	102	0.00	97	-0.04	33	2.73	97	-0.26	33	327.75	97	15.98	97
0	Max	-1602	0.00	97	0.00	102	0.00	97	-0.04	33	2.73	97	-0.26	33	327.75	97	15.98	97
0	Min.	-2023	0.00	102	0.00	97	0.00	102	-0.07	97	1.91	33	-0.39	97	228.61	33	10.98	33
0	Min.	-2024	0.00	102	0.00	97	0.00	102	-0.07	97	1.91	33	-0.39	97	228.61	33	10.98	33
0	Min.	-1603	0.00	102	0.00	97	0.00	102	-0.07	97	1.91	33	-0.39	97	228.61	33	10.98	33
0	Min.	-1602	0.00	102	0.00	97	0.00	102	-0.07	97	1.91	33	-0.39	97	228.61	33	10.98	33
0	Max	-2024	0.00	102	0.00	97	0.00	97	0.40	97	3.12	97	0.10	97	405.49	97	-2.65	33
0	Max	-2025	0.00	102	0.00	97	0.00	97	0.40	97	3.12	97	0.10	97	405.49	97	-2.65	33
0	Max	-1604	0.00	102	0.00	97	0.00	97	0.40	97	3.12	97	0.10	97	405.49	97	-2.65	33
0	Max	-1603	0.00	102	0.00	97	0.00	97	0.40	97	3.12	97	0.10	97	405.49	97	-2.65	33
0	Min.	-2024	0.00	97	0.00	102	0.00	102	0.28	33	2.18	33	0.07	33	283.17	33	-3.99	98
0	Min.	-2025	0.00	97	0.00	102	0.00	102	0.28	33	2.18	33	0.07	33	283.17	33	-3.99	98
0	Min.	-1604	0.00	97	0.00	102	0.00	102	0.28	33	2.18	33	0.07	33	283.17	33	-3.99	98
0	Min.	-1603	0.00	97	0.00	102	0.00	102	0.28	33	2.18	33	0.07	33	283.17	33	-3.99	98
0	Max	-2025	0.00	102	0.00	102	0.00	102	0.28	97	3.03	97	-0.02	33	381.47	97	0.66	97
0	Max	-2026	0.00	102	0.00	102	0.00	102	0.28	97	3.03	97	-0.02	33	381.47	97	0.66	97
0	Max	-1605	0.00	102	0.00	102	0.00	102	0.28	97	3.03	97	-0.02	33	381.47	97	0.66	97
0	Max	-1604	0.00	102	0.00	102	0.00	102	0.28	97	3.03	97	-0.02	33	381.47	97	0.66	97
0	Min.	-2025	0.00	97	0.00	97	0.00	97	0.19	33	2.13	33	-0.02	97	267.12	33	0.39	33
0	Min.	-2026	0.00	97	0.00	97	0.00	97	0.19	33	2.13	33	-0.02	97	267.12	33	0.39	33
0	Min.	-1605	0.00	97	0.00	97	0.00	97	0.19	33	2.13	33	-0.02	97	267.12	33	0.39	33
0	Min.	-1604	0.00	97	0.00	97	0.00	97	0.19	33	2.13	33	-0.02	97	267.12	33	0.39	33
0	Max	-2026	0.00	102	0.00	33	0.00	97	0.32	97	3.05	97	-0.00	33	389.26	97	0.75	97
0	Max	-2027	0.00	102	0.00	33	0.00	97	0.32	97	3.05	97	-0.00	33	389.26	97	0.75	97
0	Max	-1606	0.00	102	0.00	33	0.00	97	0.32	97	3.05	97	-0.00	33	389.26	97	0.75	97
0	Max	-1605	0.00	102	0.00	33	0.00	97	0.32	97	3.05	97	-0.00	33	389.26	97	0.75	97
0	Min.	-2026	0.00	97	0.00	98	0.00	102	0.22	33	2.14	33	-0.00	97	272.62	33	0.50	33
0	Min.	-2027	0.00	97	0.00	98	0.00	102	0.22	33	2.14	33	-0.00	97	272.62	33	0.50	33
0	Min.	-1606	0.00	97	0.00	98	0.00	102	0.22	33	2.14	33	-0.00	97	272.62	33	0.50	33
0	Min.	-1605	0.00	97	0.00	98	0.00	102	0.22	33	2.14	33	-0.00	97	272.62	33	0.50	33
0	Max	-2027	0.00	102	0.00	102	0.00	102	0.28	97	3.05	97	0.02	97	386.54	97	-2.07	33
0	Max	-2028	0.00	102	0.00	102	0.00	102	0.28	97	3.05	97	0.02	97	386.54	97	-2.07	33
0	Max	-1617	0.00	102	0.00	102	0.00	102	0.28	97	3.05	97	0.02	97	386.54	97	-2.07	33
0	Max	-1606	0.00	102	0.00	102	0.00	102	0.28	97	3.05	97	0.02	97	386.54	97	-2.07	33
0	Min.	-2027	0.00	97	0.00	97	0.00	97	0.19	33	2.13	33	0.02	33	270.79	33	-2.96	97
0	Min.	-2028	0.00	97	0.00	97	0.00	97	0.19	33	2.13	33	0.02	33	270.79	33	-2.96	97
0	Min.	-1617	0.00	97	0.00	97	0.00	97	0.19	33	2.13	33	0.02	33	270.79	33	-2.96	97
0	Min.	-1606	0.00	97	0.00	97	0.00	97	0.19	33	2.13	33	0.02	33	270.79	33	-2.96	97
0	Max	-2074	-0.00	33	-0.00	33	-0.00	33	-0.29	33	-0.50	33	0.39	97	576.26	97	364.05	97
0	Max	-1372	-0.00	33	-0.00	33	-0.00	33	-0.29	33	-0.50	33	0.39	97	576.26	97	364.05	97
0	Max	-1714	-0.00	33	-0.00	33	-0.00	33	-0.29	33	-0.50	33	0.39	97	576.26	97	364.05	97
0	Max	-2078	-0.00	33	-0.00	33	-0.00	33	-0.29	33	-0.50	33	0.39	97	576.26	97	364.05	97
0	Min.	-2074	-0.00	98	-0.00	98	-0.00	98	-0.41	97	-0.70	97	0.28	33	410.16	33	259.11	33
0	Min.	-1372	-0.00	98	-0.00	98	-0.00	98	-0.41	97	-0.70	97	0.28	33	410.16	33	259.11	33
0	Min.	-1714	-0.00	98	-0.00	98	-0.00	98	-0.41	97	-0.70	97	0.28	33	410.16	33	259.11	33
0	Min.	-2078	-0.00	98	-0.00	98	-0.00	98	-0.41	97	-0.70	97	0.28	33	410.16	33	259.11	33
0	Max	-2073	-0.00	33	-0.00	33	-0.00	33	-0.05	33	-0.56	33	0.56	97	540.78	97	345.92	97
0	Max	-1373	-0.00	33	-0.00	33	-0.00	33	-0.05	33	-0.56	33	0.56	97	540.78	97	345.92	97
0	Max	-1715	-0.00	33	-0.00	33	-0.00	33	-0.05	33	-0.56	33	0.56	97	540.78	97	345.92	97
0	Max	-2076	-0.00	33	-0.00	33	-0.00	33	-0.05	33	-0.56	33	0.56	97	540.78	97	345.92	97
0	Min.	-2073	-0.00	98	-0.00	98	-0.00	98	-0.08	97	-0.79	97	0.40	33	384.92	33	246.19	33
0	Min.	-1373	-0.00	98	-0.00	98	-0.00	98	-0.08	97	-0.79	97	0.40	33	384.92	33	246.19	33
0	Min.	-1715	-0.00	98	-0.00	98	-0.00	98	-0.08	97	-0.79	97	0.40	33	384.92	33	246.19	33
0	Min.	-2076	-0.00	98	-0.00	98	-0.00	98	-0.08	97	-0.79	97	0.40	33	384.92	33	246.19	33
0	Max	-2072	-0.00	33	-0.00	33	-0.00	33	-0.05	33	-0.57	33	0.56	97	544.78	97	346.03	97
0	Max	-1376	-0.00	33	-0.00	33	-0.00	33	-0.05	33	-0.57	33	0.56	97	544.78	97	346.03	97
0	Max	-1717	-0.00	33	-0.00	33	-0.00	33	-0.05	33	-0.57	33	0.56	97	544.78	97	346.03	97
0	Max	-2070	-0.00	33	-0.00	33	-0.00	33	-0.05	33	-0.57	33	0.56	97	544.78	97	346.03	97
0	Min.	-2072	-0.00	97	-0.00	97	-0.00	98	-0.07	97	-0.80	97	0.40	33	387.76	33	246.28	33
0	Min.	-1376	-0.00	97	-0.00	97	-0.00	98	-0.07	97	-0.80	97	0.40	33	387.76	33	246.28	33
0	Min.	-1717	-0.00	97	-0.00	97	-0.00	98	-0.07	97	-0.80	97	0.40	33	387.76	33	246.28	33
0	Min.	-2070	-0.00	97	-0.00	97	-0.00	98	-0.07	97	-0.80	97	0.40	33	387.76	33	246.28	33
0	Max	-2068	-0.00	102	-0.00	33	-0.00	33	-0.49	33	-0.56	33	1.06	97	366.57	97	370.05	97
0	Max	-1377	-0.00	102	-0.00	33	-0.00	33	-0.49	33	-0.56	33	1.06	97	366.57	97	370.05	97

0	Max	-1718	-0.00	102	-0.00	33	-0.00	33	-0.49	33	-0.56	33	1.06	97	366.57	97	370.05	97
0	Max	-2066	-0.00	102	-0.00	33	-0.00	33	-0.49	33	-0.56	33	1.06	97	366.57	97	370.05	97
0	Min.	-2068	-0.00	97	-0.00	97	-0.00	98	-0.69	97	-0.79	97	0.75	33	260.91	33	263.34	33
0	Min.	-1377	-0.00	97	-0.00	97	-0.00	98	-0.69	97	-0.79	97	0.75	33	260.91	33	263.34	33
0	Min.	-1718	-0.00	97	-0.00	97	-0.00	98	-0.69	97	-0.79	97	0.75	33	260.91	33	263.34	33
0	Min.	-2066	-0.00	97	-0.00	97	-0.00	98	-0.69	97	-0.79	97	0.75	33	260.91	33	263.34	33
0	Max	-2070	0.00	98	0.00	98	-0.00	33	0.07	97	0.68	97	0.41	97	-12.13	33	666.03	97
0	Max	-1717	0.00	98	0.00	98	-0.00	33	0.07	97	0.68	97	0.41	97	-12.13	33	666.03	97
0	Max	-1794	0.00	98	0.00	98	-0.00	33	0.07	97	0.68	97	0.41	97	-12.13	33	666.03	97
0	Max	-2064	0.00	98	0.00	98	-0.00	33	0.07	97	0.68	97	0.41	97	-12.13	33	666.03	97
0	Min.	-2070	0.00	101	0.00	33	-0.00	97	0.05	33	0.48	33	0.29	33	-17.05	97	474.10	33
0	Min.	-1717	0.00	101	0.00	33	-0.00	97	0.05	33	0.48	33	0.29	33	-17.05	97	474.10	33
0	Min.	-1794	0.00	101	0.00	33	-0.00	97	0.05	33	0.48	33	0.29	33	-17.05	97	474.10	33
0	Min.	-2064	0.00	101	0.00	33	-0.00	97	0.05	33	0.48	33	0.29	33	-17.05	97	474.10	33
0	Max	-2066	0.00	98	0.00	98	-0.00	33	0.09	97	0.59	97	0.37	97	-9.37	33	651.22	97
0	Max	-1718	0.00	98	0.00	98	-0.00	33	0.09	97	0.59	97	0.37	97	-9.37	33	651.22	97
0	Max	-1795	0.00	98	0.00	98	-0.00	33	0.09	97	0.59	97	0.37	97	-9.37	33	651.22	97
0	Max	-2062	0.00	98	0.00	98	-0.00	33	0.09	97	0.59	97	0.37	97	-9.37	33	651.22	97
0	Min.	-2066	0.00	101	0.00	33	-0.00	97	0.07	33	0.42	33	0.27	33	-13.17	97	463.56	1
0	Min.	-1718	0.00	101	0.00	33	-0.00	97	0.07	33	0.42	33	0.27	33	-13.17	97	463.56	1
0	Min.	-1795	0.00	101	0.00	33	-0.00	97	0.07	33	0.42	33	0.27	33	-13.17	97	463.56	1
0	Min.	-2062	0.00	101	0.00	33	-0.00	97	0.07	33	0.42	33	0.27	33	-13.17	97	463.56	1
0	Max	-2061	-0.00	33	-0.00	33	0.00	98	-0.42	33	-0.31	33	-0.34	33	-263.00	33	540.27	97
0	Max	-1695	-0.00	33	-0.00	33	0.00	98	-0.42	33	-0.31	33	-0.34	33	-263.00	33	540.27	97
0	Max	-1377	-0.00	33	-0.00	33	0.00	98	-0.42	33	-0.31	33	-0.34	33	-263.00	33	540.27	97
0	Max	-2068	-0.00	33	-0.00	33	0.00	98	-0.42	33	-0.31	33	-0.34	33	-263.00	33	540.27	97
0	Min.	-2061	-0.00	97	-0.00	97	0.00	33	-0.58	97	-0.44	97	-0.48	97	-369.44	97	384.64	33
0	Min.	-1695	-0.00	97	-0.00	97	0.00	33	-0.58	97	-0.44	97	-0.48	97	-369.44	97	384.64	33
0	Min.	-1377	-0.00	97	-0.00	97	0.00	33	-0.58	97	-0.44	97	-0.48	97	-369.44	97	384.64	33
0	Min.	-2068	-0.00	97	-0.00	97	0.00	33	-0.58	97	-0.44	97	-0.48	97	-369.44	97	384.64	33
0	Max	-2084	-0.00	33	-0.00	33	0.00	98	-0.02	33	-0.31	33	0.02	97	-402.82	33	549.85	97
0	Max	-1694	-0.00	33	-0.00	33	0.00	98	-0.02	33	-0.31	33	0.02	97	-402.82	33	549.85	97
0	Max	-1376	-0.00	33	-0.00	33	0.00	98	-0.02	33	-0.31	33	0.02	97	-402.82	33	549.85	97
0	Max	-2072	-0.00	33	-0.00	33	0.00	98	-0.02	33	-0.31	33	0.02	97	-402.82	33	549.85	97
0	Min.	-2084	-0.00	97	-0.00	97	0.00	33	-0.03	97	-0.43	97	0.01	33	-565.86	97	391.50	33
0	Min.	-1694	-0.00	97	-0.00	97	0.00	33	-0.03	97	-0.43	97	0.01	33	-565.86	97	391.50	33
0	Min.	-1376	-0.00	97	-0.00	97	0.00	33	-0.03	97	-0.43	97	0.01	33	-565.86	97	391.50	33
0	Min.	-2072	-0.00	97	-0.00	97	0.00	33	-0.03	97	-0.43	97	0.01	33	-565.86	97	391.50	33
0	Max	-2085	-0.00	33	-0.00	33	0.00	98	-0.03	33	-0.31	33	0.01	97	-402.07	33	549.36	97
0	Max	-1866	-0.00	33	-0.00	33	0.00	98	-0.03	33	-0.31	33	0.01	97	-402.07	33	549.36	97
0	Max	-1373	-0.00	33	-0.00	33	0.00	98	-0.03	33	-0.31	33	0.01	97	-402.07	33	549.36	97
0	Max	-2073	-0.00	33	-0.00	33	0.00	98	-0.03	33	-0.31	33	0.01	97	-402.07	33	549.36	97
0	Min.	-2085	-0.00	98	-0.00	98	0.00	33	-0.04	97	-0.44	97	0.00	33	-564.81	97	391.12	33
0	Min.	-1866	-0.00	98	-0.00	98	0.00	33	-0.04	97	-0.44	97	0.00	33	-564.81	97	391.12	33
0	Min.	-1373	-0.00	98	-0.00	98	0.00	33	-0.04	97	-0.44	97	0.00	33	-564.81	97	391.12	33
0	Min.	-2073	-0.00	98	-0.00	98	0.00	33	-0.04	97	-0.44	97	0.00	33	-564.81	97	391.12	33
0	Max	-2086	-0.00	33	-0.00	33	0.00	97	-0.33	33	-0.34	33	0.06	97	-424.22	33	553.24	97
0	Max	-1865	-0.00	33	-0.00	33	0.00	97	-0.33	33	-0.34	33	0.06	97	-424.22	33	553.24	97
0	Max	-1372	-0.00	33	-0.00	33	0.00	97	-0.33	33	-0.34	33	0.06	97	-424.22	33	553.24	97
0	Max	-2074	-0.00	33	-0.00	33	0.00	97	-0.33	33	-0.34	33	0.06	97	-424.22	33	553.24	97
0	Min.	-2086	-0.00	98	-0.00	98	0.00	33	-0.46	97	-0.49	97	0.05	33	-595.91	97	393.89	33
0	Min.	-1865	-0.00	98	-0.00	98	0.00	33	-0.46	97	-0.49	97	0.05	33	-595.91	97	393.89	33
0	Min.	-1372	-0.00	98	-0.00	98	0.00	33	-0.46	97	-0.49	97	0.05	33	-595.91	97	393.89	33
0	Min.	-2074	-0.00	98	-0.00	98	0.00	33	-0.46	97	-0.49	97	0.05	33	-595.91	97	393.89	33
0	Max	-2087	-0.00	33	-0.00	33	0.00	97	-0.80	33	-1.15	33	-0.61	33	-206.16	33	1121.46	97
0	Max	-1815	-0.00	33	-0.00	33	0.00	97	-0.80	33	-1.15	33	-0.61	33	-206.16	33	1121.46	97
0	Max	-2145	-0.00	33	-0.00	33	0.00	97	-0.80	33	-1.15	33	-0.61	33	-206.16	33	1121.46	97
0	Max	-2146	-0.00	33	-0.00	33	0.00	97	-0.80	33	-1.15	33	-0.61	33	-206.16	33	1121.46	97
0	Min.	-2087	-0.00	97	-0.00	98	0.00	33	-1.19	97	-1.74	97	-0.85	97	-288.54	97	744.93	33
0	Min.	-1815	-0.00	97	-0.00	98	0.00	33	-1.19	97	-1.74	97	-0.85	97	-288.54	97	744.93	33
0	Min.	-2145	-0.00	97	-0.00	98	0.00	33	-1.19	97	-1.74	97	-0.85	97	-288.54	97	744.93	33
0	Min.	-2146	-0.00	97	-0.00	98	0.00	33	-1.19	97	-1.74	97	-0.85	97	-288.54	97	744.93	33
0	Max	-2089	-0.00	33	-0.00	33	0.00	97	-0.47	33	-1.29	33	-0.02	33	-493.84	33	1177.92	97
0	Max	-1814	-0.00	33	-0.00	33	0.00	97	-0.47	33	-1.29	33	-0.02	33	-493.84	33	1177.92	97
0	Max	-2147	-0.00	33	-0.00	33	0.00	97	-0.47	33	-1.29	33	-0.02	33	-493.84	33	1177.92	97
0	Max	-2148	-0.00	33	-0.00	33	0.00	97	-0.47	33	-1.29	33	-0.02	33	-493.84	33	1177.92	97
0	Min.	-2089	-0.00	98	-0.00	98	0.00	33	-0.74	97	-1.96	97	-0.06	33	-718.10	97	774.60	33
0	Min.	-1814	-0.00	98	-0.00	98	0.00	33	-0.74	97	-1.96	97	-0.06	33	-718.10	97	774.60	33
0	Min.	-2147	-0.00	98	-0.00	98	0.00	33	-0.74	97	-1.96	97	-0.06	33	-718.10	97	774.60	33
0	Min.	-2148	-0.00	98	-0.00	98	0.00	33	-0.74	97	-1.96	97	-0.06	33	-718.10	97	774.60	33
0	Max	-2091	-0.00	33	-0.00	33	0.00	97	-0.75	33	-1.13	33	-0.39	33	-306.40	33	1109.89	97
0	Max	-1812	-0.00	33	-0.00	33	0.00	97	-0.75	33	-1.13	33	-0.39	33	-306.40	33	1109.89	97
0	Max	-2151	-0.00	33	-0.00	33	0.00	97	-0.75	33	-1.13	33	-0.39	33	-306.40	33	1109.89	97
0	Max	-2152	-0.00	33	-0.00	33	0.00	97	-0.75	33	-1.13	33	-0.39	33	-306.40	33	1109.89	97
0	Min.	-2091	-0.00	97	-0.00	98	0.00	33	-1.15	97	-1.73	97	-0.54	97	-430.86	97	729.30	33
0	Min.	-1812	-0.00	97	-0.00	98	0.00	33	-1.15	97	-1.73	97	-0.54	97	-430.86	97	729.30	33
0	Min.	-2151	-0.00	97	-0.00	98	0.00	33	-1.15	97	-1.73	97	-0.54	97	-430.86	97	729.30	33
0	Min.	-2152	-0.00	97	-0.00	98	0.00	33	-1.15	97	-1.73	97	-0.54	97	-430.86	97	729.30	33
0	Max	-2093	-0.00	33	-0.00	33	0.00	97	-0.65	33	-1.20	33	0.16	97	-511.56	33	1168.08	97
0	Max	-1811	-0.00	33	-0.00	33	0.00	97	-0.65	33	-1.20	33	0.16	97	-511.56	33	1168.08	97
0	Max	-2153	-0.00	33	-0.00	33	0.00	97	-0.65	33	-1.20	33	0.16	97	-511.56	33	1168.08	97
0	Max	-2154	-0.00	33	-0.00	33	0.00	97	-0.65	33	-1.20	33	0.16	97	-511.56	33	1168.08	97
0	Min.	-2093	-0.00	97	-0.00	97	0.00	33	-0.97	97	-1.83	97	0.07	33	-745.80	97	775.33	33
0	Min.	-1811	-0.00	97	-0.00	97	0.00	33	-0.97	97	-1.83	97	0.07	33	-745.80	97	775.33	33
0	Min.	-2153	-0.00	97	-0.00	97	0.00	33	-0.97	97	-1.83	97	0.07	33	-745.80	97	775.33	33
0	Min.	-2154	-0.00	97	-0.00	97	0.00	33	-0.97	97	-1.83	97	0.07	33	-745.80	97	775.33	33
0	Max	-2088	0.00	98	0.00	98	-0.00	33	-0.45	33	0.49	97	-0.18	33	-284.93	33	699.22	97
0	Max	-1775	0.00	98	0.00	98	-0.00	33	-0.45	33	0.49	97	-0.18	33	-284.93	33	699.22	97
0	Max	-1394	0.00	98	0.00	98	-0.00	33	-0.45	33	0.49	97	-0.18	33	-284.93	33	699.22	97
0	Max	-2095	0.00	98	0.00	98	-0.00	33	-0.45	33	0.49	97	-0.18	33	-284.93	33	699.22	97
0	Min.	-2088	0.00	33	0.00	33	-0.00	98	-0.64	97	0.30	33	-0.25	97	-399.55	97	488.06	33
0	Min.	-1775	0.00	33	0.00	33	-0.00	98	-0.64	97	0.30	33	-0.25	97	-399.55	97	488.06	33
0	Min.	-1394	0.00	33	0.00	33	-0.00	98	-0.64	97	0.30	33	-0.25	97	-399.55	97	488.06	33
0	Min.	-2095	0.00	33	0.00	33	-0.00	98	-0.64	97	0.30	33	-0.25	97	-399.55	97	488.06	33
0	Max	-2090	0.00	97	0.00	98	-0.00	33	-0.02	33	0.42	97	0.47	97	-498.81	33	740.78	97
0	Max	-1774	0.00	97	0.00	98	-0.00	33	-0.02	33	0.42	97	0.47	97	-498.81	33	740.78	97
0	Max	-1395	0.00	97	0.00	98	-0.00	33	-0.02	33	0.42	97	0.47	97	-498.81	33	740.78	97
0	Max	-2096	0.00	97	0.00	98	-0.00	33	-0.02	33	0.42	97	0.47	97	-498.81	33	740.78	97
0	Min.	-2090	0.00	33	0.00	33	-0.00	98	-0.03	97	0.24	33	0.30	33	-703.49	97	514.78	33
0	Min.	-1774	0.00	33	0.00	33	-0.00	98	-0.03	97	0.24	33	0.30	33	-703.49	97	514.78	33
0	Min.	-1395	0.00	33	0.00	33	-0.00	98	-0.03	97	0.24	33	0.30	33	-703.49	97	514.78	33
0	Min.	-2096	0.00	33	0.00	33	-0.00	98	-0.03	97	0.24	33	0.30	33	-703.49	97	514.78	33
0	Max	-2092	0.00	97	0.00	98	-0.00	33	0.12	97	0.43	97	0.59	97	-501.89	33	717.95	97
0	Max	-1772	0.00	97	0.00	98	-0.00	33	0.12	97	0.43	97	0.59	97	-501.89	33	717.95	97
0	Max	-1397	0.00	97	0.00	98	-0.00	33	0.12	97	0.43	97	0.59	97	-501.89	33	717.95	97

0	Max	-2097	0.00	97	0.00	98	-0.00	33	0.12	97	0.43	97	0.59	97	-501.89	33	717.95	97
0	Min.	-2092	0.00	33	0.00	33	-0.00	97	0.08	33	0.25	33	0.38	33	-706.96	97	499.91	33
0	Min.	-1772	0.00	33	0.00	33	-0.00	97	0.08	33	0.25	33	0.38	33	-706.96	97	499.91	33
0	Min.	-1397	0.00	33	0.00	33	-0.00	97	0.08	33	0.25	33	0.38	33	-706.96	97	499.91	33
0	Min.	-2097	0.00	33	0.00	33	-0.00	97	0.08	33	0.25	33	0.38	33	-706.96	97	499.91	33
0	Max	-2094	0.00	97	0.00	97	-0.00	33	-0.34	33	0.42	97	0.58	97	-546.25	33	740.48	97
0	Max	-1771	0.00	97	0.00	97	-0.00	33	-0.34	33	0.42	97	0.58	97	-546.25	33	740.48	97
0	Max	-1398	0.00	97	0.00	97	-0.00	33	-0.34	33	0.42	97	0.58	97	-546.25	33	740.48	97
0	Max	-2098	0.00	97	0.00	97	-0.00	33	-0.34	33	0.42	97	0.58	97	-546.25	33	740.48	97
0	Min.	-2094	0.00	33	0.00	33	-0.00	97	-0.48	97	0.25	33	0.38	33	-770.82	97	515.61	33
0	Min.	-1771	0.00	33	0.00	33	-0.00	97	-0.48	97	0.25	33	0.38	33	-770.82	97	515.61	33
0	Min.	-1398	0.00	33	0.00	33	-0.00	97	-0.48	97	0.25	33	0.38	33	-770.82	97	515.61	33
0	Min.	-2098	0.00	33	0.00	33	-0.00	97	-0.48	97	0.25	33	0.38	33	-770.82	97	515.61	33
0	Max	-2095	0.00	98	0.00	98	0.00	97	-0.53	33	0.38	97	0.61	97	239.29	97	509.28	97
0	Max	-1394	0.00	98	0.00	98	0.00	97	-0.53	33	0.38	97	0.61	97	239.29	97	509.28	97
0	Max	-1695	0.00	98	0.00	98	0.00	97	-0.53	33	0.38	97	0.61	97	239.29	97	509.28	97
0	Max	-2061	0.00	98	0.00	98	0.00	97	-0.53	33	0.38	97	0.61	97	239.29	97	509.28	97
0	Min.	-2095	0.00	33	0.00	33	0.00	33	-0.75	97	0.25	33	0.42	33	170.51	33	362.54	33
0	Min.	-1394	0.00	33	0.00	33	0.00	33	-0.75	97	0.25	33	0.42	33	170.51	33	362.54	33
0	Min.	-1695	0.00	33	0.00	33	0.00	33	-0.75	97	0.25	33	0.42	33	170.51	33	362.54	33
0	Min.	-2061	0.00	33	0.00	33	0.00	33	-0.75	97	0.25	33	0.42	33	170.51	33	362.54	33
0	Max	-2096	0.00	98	0.00	98	0.00	97	0.06	97	0.51	97	0.10	97	403.19	97	511.27	97
0	Max	-1395	0.00	98	0.00	98	0.00	97	0.06	97	0.51	97	0.10	97	403.19	97	511.27	97
0	Max	-1694	0.00	98	0.00	98	0.00	97	0.06	97	0.51	97	0.10	97	403.19	97	511.27	97
0	Max	-2084	0.00	98	0.00	98	0.00	97	0.06	97	0.51	97	0.10	97	403.19	97	511.27	97
0	Min.	-2096	0.00	33	0.00	33	0.00	33	0.04	33	0.34	33	0.06	33	287.36	33	363.97	33
0	Min.	-1395	0.00	33	0.00	33	0.00	33	0.04	33	0.34	33	0.06	33	287.36	33	363.97	33
0	Min.	-1694	0.00	33	0.00	33	0.00	33	0.04	33	0.34	33	0.06	33	287.36	33	363.97	33
0	Min.	-2084	0.00	33	0.00	33	0.00	33	0.04	33	0.34	33	0.06	33	287.36	33	363.97	33
0	Max	-2097	0.00	97	0.00	97	0.00	97	0.04	97	0.51	97	0.09	97	404.43	97	511.36	97
0	Max	-1397	0.00	97	0.00	97	0.00	97	0.04	97	0.51	97	0.09	97	404.43	97	511.36	97
0	Max	-1866	0.00	97	0.00	97	0.00	97	0.04	97	0.51	97	0.09	97	404.43	97	511.36	97
0	Max	-2085	0.00	97	0.00	97	0.00	97	0.04	97	0.51	97	0.09	97	404.43	97	511.36	97
0	Min.	-2097	0.00	33	0.00	33	0.00	33	0.03	33	0.34	33	0.06	33	288.06	33	363.97	33
0	Min.	-1397	0.00	33	0.00	33	0.00	33	0.03	33	0.34	33	0.06	33	288.06	33	363.97	33
0	Min.	-1866	0.00	33	0.00	33	0.00	33	0.03	33	0.34	33	0.06	33	288.06	33	363.97	33
0	Min.	-2085	0.00	33	0.00	33	0.00	33	0.03	33	0.34	33	0.06	33	288.06	33	363.97	33
0	Max	-2098	0.00	97	0.00	97	0.00	97	-0.26	33	0.47	97	0.01	97	434.57	97	522.54	97
0	Max	-1398	0.00	97	0.00	97	0.00	97	-0.26	33	0.47	97	0.01	97	434.57	97	522.54	97
0	Max	-1865	0.00	97	0.00	97	0.00	97	-0.26	33	0.47	97	0.01	97	434.57	97	522.54	97
0	Max	-2086	0.00	97	0.00	97	0.00	97	-0.26	33	0.47	97	0.01	97	434.57	97	522.54	97
0	Min.	-2098	0.00	33	0.00	33	0.00	33	-0.37	97	0.31	33	0.01	33	309.51	33	371.96	33
0	Min.	-1398	0.00	33	0.00	33	0.00	33	-0.37	97	0.31	33	0.01	33	309.51	33	371.96	33
0	Min.	-1865	0.00	33	0.00	33	0.00	33	-0.37	97	0.31	33	0.01	33	309.51	33	371.96	33
0	Min.	-2086	0.00	33	0.00	33	0.00	33	-0.37	97	0.31	33	0.01	33	309.51	33	371.96	33
0	Max	-2099	0.00	101	0.00	100	-0.00	33	-0.00	33	-0.07	33	0.08	97	5.92	97	528.31	97
0	Max	-1436	0.00	101	0.00	100	-0.00	33	-0.00	33	-0.07	33	0.08	97	5.92	97	528.31	97
0	Max	-1831	0.00	101	0.00	100	-0.00	33	-0.00	33	-0.07	33	0.08	97	5.92	97	528.31	97
0	Max	-1699	0.00	101	0.00	100	-0.00	33	-0.00	33	-0.07	33	0.08	97	5.92	97	528.31	97
0	Min.	-2099	0.00	98	0.00	33	-0.00	97	-0.00	97	-0.09	97	0.06	33	4.22	33	376.07	33
0	Min.	-1436	0.00	98	0.00	33	-0.00	97	-0.00	97	-0.09	97	0.06	33	4.22	33	376.07	33
0	Min.	-1831	0.00	98	0.00	33	-0.00	97	-0.00	97	-0.09	97	0.06	33	4.22	33	376.07	33
0	Min.	-1699	0.00	98	0.00	33	-0.00	97	-0.00	97	-0.09	97	0.06	33	4.22	33	376.07	33
0	Max	-2100	0.00	97	0.00	100	-0.00	33	-0.01	33	-0.08	33	0.10	97	5.63	97	526.37	97
0	Max	-1438	0.00	97	0.00	100	-0.00	33	-0.01	33	-0.08	33	0.10	97	5.63	97	526.37	97
0	Max	-1832	0.00	97	0.00	100	-0.00	33	-0.01	33	-0.08	33	0.10	97	5.63	97	526.37	97
0	Max	-1547	0.00	97	0.00	100	-0.00	33	-0.01	33	-0.08	33	0.10	97	5.63	97	526.37	97
0	Min.	-2100	0.00	102	0.00	33	-0.00	97	-0.01	97	-0.11	97	0.07	33	4.01	33	374.68	33
0	Min.	-1438	0.00	102	0.00	33	-0.00	97	-0.01	97	-0.11	97	0.07	33	4.01	33	374.68	33
0	Min.	-1832	0.00	102	0.00	33	-0.00	97	-0.01	97	-0.11	97	0.07	33	4.01	33	374.68	33
0	Min.	-1547	0.00	102	0.00	33	-0.00	97	-0.01	97	-0.11	97	0.07	33	4.01	33	374.68	33
0	Max	-2101	0.00	98	0.00	100	-0.00	33	-0.01	33	-0.08	33	0.10	97	5.63	97	526.35	97
0	Max	-1441	0.00	98	0.00	100	-0.00	33	-0.01	33	-0.08	33	0.10	97	5.63	97	526.35	97
0	Max	-1834	0.00	98	0.00	100	-0.00	33	-0.01	33	-0.08	33	0.10	97	5.63	97	526.35	97
0	Max	-2082	0.00	98	0.00	100	-0.00	33	-0.01	33	-0.08	33	0.10	97	5.63	97	526.35	97
0	Min.	-2101	0.00	101	0.00	33	-0.00	97	-0.01	97	-0.11	97	0.07	33	4.01	33	374.68	33
0	Min.	-1441	0.00	101	0.00	33	-0.00	97	-0.01	97	-0.11	97	0.07	33	4.01	33	374.68	33
0	Min.	-1834	0.00	101	0.00	33	-0.00	97	-0.01	97	-0.11	97	0.07	33	4.01	33	374.68	33
0	Min.	-2082	0.00	101	0.00	33	-0.00	97	-0.01	97	-0.11	97	0.07	33	4.01	33	374.68	33
0	Max	-2102	0.00	102	0.00	98	-0.00	33	-0.01	33	-0.07	33	0.09	97	5.92	97	529.95	97
0	Max	-1442	0.00	102	0.00	98	-0.00	33	-0.01	33	-0.07	33	0.09	97	5.92	97	529.95	97
0	Max	-1835	0.00	102	0.00	98	-0.00	33	-0.01	33	-0.07	33	0.09	97	5.92	97	529.95	97
0	Max	-2080	0.00	102	0.00	98	-0.00	33	-0.01	33	-0.07	33	0.09	97	5.92	97	529.95	97
0	Min.	-2102	0.00	97	0.00	33	-0.00	97	-0.02	97	-0.09	97	0.06	33	4.22	33	377.24	33
0	Min.	-1442	0.00	97	0.00	33	-0.00	97	-0.02	97	-0.09	97	0.06	33	4.22	33	377.24	33
0	Min.	-1835	0.00	97	0.00	33	-0.00	97	-0.02	97	-0.09	97	0.06	33	4.22	33	377.24	33
0	Min.	-2080	0.00	97	0.00	33	-0.00	97	-0.02	97	-0.09	97	0.06	33	4.22	33	377.24	33
0	Max	-1762	-0.00	101	-0.00	33	0.00	98	-0.29	33	-0.51	33	-0.28	33	-410.04	33	365.37	97
0	Max	-1464	-0.00	101	-0.00	33	0.00	98	-0.29	33	-0.51	33	-0.28	33	-410.04	33	365.37	97
0	Max	-1882	-0.00	101	-0.00	33	0.00	98	-0.29	33	-0.51	33	-0.28	33	-410.04	33	365.37	97
0	Max	-1974	-0.00	101	-0.00	33	0.00	98	-0.29	33	-0.51	33	-0.28	33	-410.04	33	365.37	97
0	Min.	-1762	-0.00	98	-0.00	98	0.00	33	-0.41	97	-0.72	97	-0.39	97	-576.09	97	260.04	33
0	Min.	-1464	-0.00	98	-0.00	98	0.00	33	-0.41	97	-0.72	97	-0.39	97	-576.09	97	260.04	33
0	Min.	-1882	-0.00	98	-0.00	98	0.00	33	-0.41	97	-0.72	97	-0.39	97	-576.09	97	260.04	33
0	Min.	-1974	-0.00	98	-0.00	98	0.00	33	-0.41	97	-0.72	97	-0.39	97	-576.09	97	260.04	33
0	Max	-2083	-0.00	33	-0.00	33	0.00	98	-0.05	33	-0.58	33	-0.40	33	-384.89	33	347.45	97
0	Max	-1465	-0.00	33	-0.00	33	0.00	98	-0.05	33	-0.58	33	-0.40	33	-384.89	33	347.45	97
0	Max	-1883	-0.00	33	-0.00	33	0.00	98	-0.05	33	-0.58	33	-0.40	33	-384.89	33	347.45	97
0	Max	-1911	-0.00	33	-0.00	33	0.00	98	-0.05	33	-0.58	33	-0.40	33	-384.89	33	347.45	97
0	Min.	-2083	-0.00	98	-0.00	98	0.00	33	-0.08	97	-0.81	97	-0.56	97	-540.77	97	247.29	33
0	Min.	-1465	-0.00	98	-0.00	98	0.00	33	-0.08	97	-0.81	97	-0.56	97	-540.77	97	247.29	33
0	Min.	-1883	-0.00	98	-0.00	98	0.00	33	-0.08	97	-0.81	97	-0.56	97	-540.77	97	247.29	33
0	Min.	-1911	-0.00	98	-0.00	98	0.00	33	-0.08	97	-0.81	97	-0.56	97	-540.77	97	247.29	33
0	Max	-2081	-0.00	33	-0.00	33	0.00	98	-0.05	33	-0.58	33	-0.39	33	-387.78	33	347.58	97
0	Max	-1467	-0.00	33	-0.00	33	0.00	98	-0.05	33	-0.58	33	-0.39	33	-387.78	33	347.58	97
0	Max	-1886	-0.00	33	-0.00	33	0.00	98	-0.05	33	-0.58	33	-0.39	33	-387.78	33	347.58	97
0	Max	-2103	-0.00	33	-0.00	33	0.00	98	-0.05	33	-0.58	33	-0.39	33	-387.78	33	347.58	97
0	Min.	-2081	-0.00	97	-0.00	97	0.00	33	-0.07	97	-0.82	97	-0.55	97	-544.82	97	247.38	33
0	Min.	-1467	-0.00	97	-0.00	97	0.00	33	-0.07	97	-0.82	97	-0.55	97	-544.82	97	247.38	33
0	Min.	-1886	-0.00	97	-0.00	97	0.00	33	-0.07	97	-0.82	97	-0.55	97	-544.82	97	247.38	33
0	Min.	-2103	-0.00	97	-0.00	97	0.00	33	-0.07	97	-0.82	97	-0.55	97	-544.82	97	247.38	33
0	Max	-2079	-0.00	102	-0.00	33	0.00	98	-0.49	33	-0.57	33	-0.75	33	-261.34	33	371.42	97
0	Max	-1468	-0.00	102	-0.00	33	0.00	98	-0.49	33	-0.57	33	-0.75	33	-261.34	33	371.42	97
0	Max	-1887	-0.00	102	-0.00	33	0.00	98	-0.49	33	-0.57	33	-0.75	33	-261.34	33	371.42	97
0	Max	-2104	-0.00	102	-0.00	33	0.00	98	-0.49	33	-0.57	33	-0.75	33	-261.34	33	371.42	97

0	Min.	-2079	-0.00	97	-0.00	97	0.00	33	-0.69	97	-0.81	97	-1.05	97	-367.19	97	264.32	33
0	Min.	-1468	-0.00	97	-0.00	97	0.00	33	-0.69	97	-0.81	97	-1.05	97	-367.19	97	264.32	33
0	Min.	-1887	-0.00	97	-0.00	97	0.00	33	-0.69	97	-0.81	97	-1.05	97	-367.19	97	264.32	33
0	Min.	-2104	-0.00	97	-0.00	97	0.00	33	-0.69	97	-0.81	97	-1.05	97	-367.19	97	264.32	33
0	Max	-2077	0.00	101	0.00	99	0.00	97	-0.00	33	-0.07	33	-0.06	33	-4.06	33	528.63	97
0	Max	-1791	0.00	101	0.00	99	0.00	97	-0.00	33	-0.07	33	-0.06	33	-4.06	33	528.63	97
0	Max	-1436	0.00	101	0.00	99	0.00	97	-0.00	33	-0.07	33	-0.06	33	-4.06	33	528.63	97
0	Max	-2099	0.00	101	0.00	99	0.00	97	-0.00	33	-0.07	33	-0.06	33	-4.06	33	528.63	97
0	Min.	-2077	0.00	98	0.00	33	0.00	49	-0.00	97	-0.09	97	-0.08	97	-5.71	97	376.30	33
0	Min.	-1791	0.00	98	0.00	33	0.00	49	-0.00	97	-0.09	97	-0.08	97	-5.71	97	376.30	33
0	Min.	-1436	0.00	98	0.00	33	0.00	49	-0.00	97	-0.09	97	-0.08	97	-5.71	97	376.30	33
0	Min.	-2099	0.00	98	0.00	33	0.00	49	-0.00	97	-0.09	97	-0.08	97	-5.71	97	376.30	33
0	Max	-2075	0.00	97	0.00	99	0.00	97	-0.01	33	-0.08	33	-0.07	33	-3.85	33	526.71	97
0	Max	-1792	0.00	97	0.00	99	0.00	97	-0.01	33	-0.08	33	-0.07	33	-3.85	33	526.71	97
0	Max	-1438	0.00	97	0.00	99	0.00	97	-0.01	33	-0.08	33	-0.07	33	-3.85	33	526.71	97
0	Max	-2100	0.00	97	0.00	99	0.00	97	-0.01	33	-0.08	33	-0.07	33	-3.85	33	526.71	97
0	Min.	-2075	0.00	102	0.00	33	0.00	49	-0.01	97	-0.11	97	-0.10	97	-5.40	97	374.93	33
0	Min.	-1792	0.00	102	0.00	33	0.00	49	-0.01	97	-0.11	97	-0.10	97	-5.40	97	374.93	33
0	Min.	-1438	0.00	102	0.00	33	0.00	49	-0.01	97	-0.11	97	-0.10	97	-5.40	97	374.93	33
0	Min.	-2100	0.00	102	0.00	33	0.00	49	-0.01	97	-0.11	97	-0.10	97	-5.40	97	374.93	33
0	Max	-2064	0.00	98	0.00	99	0.00	97	-0.01	33	-0.08	33	-0.07	33	-3.85	33	526.70	97
0	Max	-1794	0.00	98	0.00	99	0.00	97	-0.01	33	-0.08	33	-0.07	33	-3.85	33	526.70	97
0	Max	-1441	0.00	98	0.00	99	0.00	97	-0.01	33	-0.08	33	-0.07	33	-3.85	33	526.70	97
0	Max	-2101	0.00	98	0.00	99	0.00	97	-0.01	33	-0.08	33	-0.07	33	-3.85	33	526.70	97
0	Min.	-2064	0.00	101	0.00	33	0.00	49	-0.01	97	-0.11	97	-0.10	97	-5.40	97	374.93	33
0	Min.	-1794	0.00	101	0.00	33	0.00	49	-0.01	97	-0.11	97	-0.10	97	-5.40	97	374.93	33
0	Min.	-1441	0.00	101	0.00	33	0.00	49	-0.01	97	-0.11	97	-0.10	97	-5.40	97	374.93	33
0	Min.	-2101	0.00	101	0.00	33	0.00	49	-0.01	97	-0.11	97	-0.10	97	-5.40	97	374.93	33
0	Max	-2062	0.00	102	0.00	99	0.00	97	-0.01	33	-0.07	33	-0.06	33	-4.06	33	530.27	97
0	Max	-1795	0.00	102	0.00	99	0.00	97	-0.01	33	-0.07	33	-0.06	33	-4.06	33	530.27	97
0	Max	-1442	0.00	102	0.00	99	0.00	97	-0.01	33	-0.07	33	-0.06	33	-4.06	33	530.27	97
0	Max	-2102	0.00	102	0.00	99	0.00	97	-0.01	33	-0.07	33	-0.06	33	-4.06	33	530.27	97
0	Min.	-2062	0.00	97	0.00	33	0.00	49	-0.02	97	-0.09	97	-0.09	97	-5.71	97	377.46	33
0	Min.	-1795	0.00	97	0.00	33	0.00	49	-0.02	97	-0.09	97	-0.09	97	-5.71	97	377.46	33
0	Min.	-1442	0.00	97	0.00	33	0.00	49	-0.02	97	-0.09	97	-0.09	97	-5.71	97	377.46	33
0	Min.	-2102	0.00	97	0.00	33	0.00	49	-0.02	97	-0.09	97	-0.09	97	-5.71	97	377.46	33
0	Max	-2105	0.00	98	0.00	98	-0.00	33	-0.53	33	0.44	97	-0.41	33	-159.16	33	509.21	97
0	Max	-1496	0.00	98	0.00	98	-0.00	33	-0.53	33	0.44	97	-0.41	33	-159.16	33	509.21	97
0	Max	-1488	0.00	98	0.00	98	-0.00	33	-0.53	33	0.44	97	-0.41	33	-159.16	33	509.21	97
0	Max	-2106	0.00	98	0.00	98	-0.00	33	-0.53	33	0.44	97	-0.41	33	-159.16	33	509.21	97
0	Min.	-2105	0.00	33	0.00	33	-0.00	97	-0.76	97	0.29	33	-0.60	97	-223.29	97	362.50	33
0	Min.	-1496	0.00	33	0.00	33	-0.00	97	-0.76	97	0.29	33	-0.60	97	-223.29	97	362.50	33
0	Min.	-1488	0.00	33	0.00	33	-0.00	97	-0.76	97	0.29	33	-0.60	97	-223.29	97	362.50	33
0	Min.	-2106	0.00	33	0.00	33	-0.00	97	-0.76	97	0.29	33	-0.60	97	-223.29	97	362.50	33
0	Max	-2107	0.00	98	0.00	98	-0.00	33	0.07	97	0.58	97	-0.07	33	-269.85	33	511.39	97
0	Max	-1495	0.00	98	0.00	98	-0.00	33	0.07	97	0.58	97	-0.07	33	-269.85	33	511.39	97
0	Max	-1489	0.00	98	0.00	98	-0.00	33	0.07	97	0.58	97	-0.07	33	-269.85	33	511.39	97
0	Max	-2108	0.00	98	0.00	98	-0.00	33	0.07	97	0.58	97	-0.07	33	-269.85	33	511.39	97
0	Min.	-2107	0.00	33	0.00	33	-0.00	97	0.05	33	0.38	33	-0.11	97	-378.68	97	364.10	33
0	Min.	-1495	0.00	33	0.00	33	-0.00	97	0.05	33	0.38	33	-0.11	97	-378.68	97	364.10	33
0	Min.	-1489	0.00	33	0.00	33	-0.00	97	0.05	33	0.38	33	-0.11	97	-378.68	97	364.10	33
0	Min.	-2108	0.00	33	0.00	33	-0.00	97	0.05	33	0.38	33	-0.11	97	-378.68	97	364.10	33
0	Max	-1912	0.00	97	0.00	97	-0.00	33	0.05	97	0.58	97	-0.06	33	-270.74	33	510.95	97
0	Max	-1493	0.00	97	0.00	97	-0.00	33	0.05	97	0.58	97	-0.06	33	-270.74	33	510.95	97
0	Max	-1499	0.00	97	0.00	97	-0.00	33	0.05	97	0.58	97	-0.06	33	-270.74	33	510.95	97
0	Max	-2109	0.00	97	0.00	97	-0.00	33	0.05	97	0.58	97	-0.06	33	-270.74	33	510.95	97
0	Min.	-1912	0.00	33	0.00	33	-0.00	97	0.03	33	0.38	33	-0.10	97	-380.03	97	363.71	33
0	Min.	-1493	0.00	33	0.00	33	-0.00	97	0.03	33	0.38	33	-0.10	97	-380.03	97	363.71	33
0	Min.	-1499	0.00	33	0.00	33	-0.00	97	0.03	33	0.38	33	-0.10	97	-380.03	97	363.71	33
0	Min.	-2109	0.00	33	0.00	33	-0.00	97	0.03	33	0.38	33	-0.10	97	-380.03	97	363.71	33
0	Max	-1973	0.00	97	0.00	97	-0.00	33	-0.25	33	0.54	97	-0.01	33	-291.05	33	522.99	97
0	Max	-1492	0.00	97	0.00	97	-0.00	33	-0.25	33	0.54	97	-0.01	33	-291.05	33	522.99	97
0	Max	-1500	0.00	97	0.00	97	-0.00	33	-0.25	33	0.54	97	-0.01	33	-291.05	33	522.99	97
0	Max	-2110	0.00	97	0.00	97	-0.00	33	-0.25	33	0.54	97	-0.01	33	-291.05	33	522.99	97
0	Min.	-1973	0.00	33	0.00	33	-0.00	97	-0.36	97	0.36	33	-0.03	97	-408.70	97	372.31	33
0	Min.	-1492	0.00	33	0.00	33	-0.00	97	-0.36	97	0.36	33	-0.03	97	-408.70	97	372.31	33
0	Min.	-1500	0.00	33	0.00	33	-0.00	97	-0.36	97	0.36	33	-0.03	97	-408.70	97	372.31	33
0	Min.	-2110	0.00	33	0.00	33	-0.00	97	-0.36	97	0.36	33	-0.03	97	-408.70	97	372.31	33
0	Max	-2106	0.00	98	0.00	98	0.00	98	-0.45	33	0.53	97	0.25	97	406.37	97	712.71	97
0	Max	-1488	0.00	98	0.00	98	0.00	98	-0.45	33	0.53	97	0.25	97	406.37	97	712.71	97
0	Max	-1738	0.00	98	0.00	98	0.00	98	-0.45	33	0.53	97	0.25	97	406.37	97	712.71	97
0	Max	-2111	0.00	98	0.00	98	0.00	98	-0.45	33	0.53	97	0.25	97	406.37	97	712.71	97
0	Min.	-2106	0.00	33	0.00	33	0.00	33	-0.64	97	0.32	33	0.18	33	289.89	33	497.12	33
0	Min.	-1488	0.00	33	0.00	33	0.00	33	-0.64	97	0.32	33	0.18	33	289.89	33	497.12	33
0	Min.	-1738	0.00	33	0.00	33	0.00	33	-0.64	97	0.32	33	0.18	33	289.89	33	497.12	33
0	Min.	-2111	0.00	33	0.00	33	0.00	33	-0.64	97	0.32	33	0.18	33	289.89	33	497.12	33
0	Max	-2108	0.00	97	0.00	98	0.00	98	-0.02	33	0.44	97	-0.33	33	727.37	97	757.62	97
0	Max	-1489	0.00	97	0.00	98	0.00	98	-0.02	33	0.44	97	-0.33	33	727.37	97	757.62	97
0	Max	-1737	0.00	97	0.00	98	0.00	98	-0.02	33	0.44	97	-0.33	33	727.37	97	757.62	97
0	Max	-2112	0.00	97	0.00	98	0.00	98	-0.02	33	0.44	97	-0.33	33	727.37	97	757.62	97
0	Min.	-2108	0.00	33	0.00	33	0.00	33	-0.03	97	0.26	33	-0.52	97	515.60	33	526.14	33
0	Min.	-1489	0.00	33	0.00	33	0.00	33	-0.03	97	0.26	33	-0.52	97	515.60	33	526.14	33
0	Min.	-1737	0.00	33	0.00	33	0.00	33	-0.03	97	0.26	33	-0.52	97	515.60	33	526.14	33
0	Min.	-2112	0.00	33	0.00	33	0.00	33	-0.03	97	0.26	33	-0.52	97	515.60	33	526.14	33
0	Max	-2109	0.00	97	0.00	98	0.00	97	0.12	97	0.45	97	-0.42	33	731.34	97	733.95	97
0	Max	-1499	0.00	97	0.00	98	0.00	97	0.12	97	0.45	97	-0.42	33	731.34	97	733.95	97
0	Max	-1735	0.00	97	0.00	98	0.00	97	0.12	97	0.45	97	-0.42	33	731.34	97	733.95	97
0	Max	-2113	0.00	97	0.00	98	0.00	97	0.12	97	0.45	97	-0.42	33	731.34	97	733.95	97
0	Min.	-2109	0.00	33	0.00	33	0.00	33	0.08	33	0.26	33	-0.65	97	519.14	33	510.73	33
0	Min.	-1499	0.00	33	0.00	33	0.00	33	0.08	33	0.26	33	-0.65	97	519.14	33	510.73	33
0	Min.	-1735	0.00	33	0.00	33	0.00	33	0.08	33	0.26	33	-0.65	97	519.14	33	510.73	33
0	Min.	-2113	0.00	33	0.00	33	0.00	33	0.08	33	0.26	33	-0.65	97	519.14	33	510.73	33
0	Max	-2110	0.00	97	0.00	97	0.00	97	-0.34	33	0.43	97	-0.41	33	800.09	97	756.57	97
0	Max	-1500	0.00	97	0.00	97	0.00	97	-0.34	33	0.43	97	-0.41	33	800.09	97	756.57	97
0	Max	-1734	0.00	97	0.00	97	0.00	97	-0.34	33	0.43	97	-0.41	33	800.09	97	756.57	97
0	Max	-2114	0.00	97	0.00	97	0.00	97	-0.34	33	0.43	97	-0.41	33	800.09	97	756.57	97
0	Min.	-2110	0.00	33	0.00	33	0.00	33	-0.48	97	0.26	33	-0.63	97	566.83	33	526.45	33
0	Min.	-1500	0.00	33	0.00	33	0.00	33	-0.48	97	0.26	33	-0.63	97	566.83	33	526.45	33
0	Min.	-1734	0.00	33	0.00	33	0.00	33	-0.48	97	0.26	33	-0.63	97	566.83	33	526.45	33
0	Min.	-2114	0.00	33	0.00	33	0.00	33	-0.48	97	0.26	33	-0.63	97	566.83	33	526.45	33
0	Max	-2111	-0.00	33	-0.00	33	0.00	98	-0.75	33	-0.05	33	-1.16	33	-311.13	33	682.35	97
0	Max	-1738	-0.00	33	-0.00	33	0.00	98	-0.75	33	-0.05	33	-1.16	33	-311.13	33	682.35	97
0	Max	-2188	-0.00	33	-0.00	33	0.00	98	-0.75	33	-0.05	33	-1.16	33	-311.13	33	682.35	97
0	Max	-2189	-0.00	33	-0.00	33	0.00	98	-0.75	33	-0.05	33	-1.16	33	-311.13	33	682.35	97
0	Min.	-2111	-0.00	97	-0.00	98	0.00	33	-1.12	97	-0.06	33	-1.78	97	-451.40	97	479.07	33

0	Min.	-1738	-0.00	97	-0.00	98	0.00	33	-1.12	97	-0.06	33	-1.78	97	-451.40	97	479.07	33
0	Min.	-2188	-0.00	97	-0.00	98	0.00	33	-1.12	97	-0.06	33	-1.78	97	-451.40	97	479.07	33
0	Min.	-2189	-0.00	97	-0.00	98	0.00	33	-1.12	97	-0.06	33	-1.78	97	-451.40	97	479.07	33
0	Max	-2112	-0.00	33	-0.00	33	0.00	98	-0.24	33	0.17	97	-0.44	33	-580.96	33	714.24	97
0	Max	-1737	-0.00	33	-0.00	33	0.00	98	-0.24	33	0.17	97	-0.44	33	-580.96	33	714.24	97
0	Max	-2190	-0.00	33	-0.00	33	0.00	98	-0.24	33	0.17	97	-0.44	33	-580.96	33	714.24	97
0	Max	-2191	-0.00	33	-0.00	33	0.00	98	-0.24	33	0.17	97	-0.44	33	-580.96	33	714.24	97
0	Min.	-2112	-0.00	98	-0.00	98	0.00	33	-0.38	97	0.07	33	-0.71	97	-856.06	97	500.62	33
0	Min.	-1737	-0.00	98	-0.00	98	0.00	33	-0.38	97	0.07	33	-0.71	97	-856.06	97	500.62	33
0	Min.	-2190	-0.00	98	-0.00	98	0.00	33	-0.38	97	0.07	33	-0.71	97	-856.06	97	500.62	33
0	Min.	-2191	-0.00	98	-0.00	98	0.00	33	-0.38	97	0.07	33	-0.71	97	-856.06	97	500.62	33
0	Max	-2117	0.00	98	0.00	98	-0.00	33	-1.57	33	0.29	97	0.07	33	-49.35	33	1446.43	97
0	Max	-2065	0.00	98	0.00	98	-0.00	33	-1.57	33	0.29	97	0.07	33	-49.35	33	1446.43	97
0	Max	-2003	0.00	98	0.00	98	-0.00	33	-1.57	33	0.29	97	0.07	33	-49.35	33	1446.43	97
0	Max	-2118	0.00	98	0.00	98	-0.00	33	-1.57	33	0.29	97	0.07	33	-49.35	33	1446.43	97
0	Min.	-2117	0.00	101	0.00	33	-0.00	97	-2.40	97	0.21	33	0.01	33	-66.81	97	948.45	33
0	Min.	-2065	0.00	101	0.00	33	-0.00	97	-2.40	97	0.21	33	0.01	33	-66.81	97	948.45	33
0	Min.	-2003	0.00	101	0.00	33	-0.00	97	-2.40	97	0.21	33	0.01	33	-66.81	97	948.45	33
0	Min.	-2118	0.00	101	0.00	33	-0.00	97	-2.40	97	0.21	33	0.01	33	-66.81	97	948.45	33
0	Max	-2114	-0.00	33	-0.00	33	0.00	98	-0.47	33	0.10	97	-0.36	33	-599.68	33	701.61	97
0	Max	-1734	-0.00	33	-0.00	33	0.00	98	-0.47	33	0.10	97	-0.36	33	-599.68	33	701.61	97
0	Max	-2216	-0.00	33	-0.00	33	0.00	98	-0.47	33	0.10	97	-0.36	33	-599.68	33	701.61	97
0	Max	-2194	-0.00	33	-0.00	33	0.00	98	-0.47	33	0.10	97	-0.36	33	-599.68	33	701.61	97
0	Min.	-2114	-0.00	98	-0.00	97	0.00	33	-0.69	97	0.03	33	-0.57	97	-882.19	97	492.67	33
0	Min.	-1734	-0.00	98	-0.00	97	0.00	33	-0.69	97	0.03	33	-0.57	97	-882.19	97	492.67	33
0	Min.	-2216	-0.00	98	-0.00	97	0.00	33	-0.69	97	0.03	33	-0.57	97	-882.19	97	492.67	33
0	Min.	-2194	-0.00	98	-0.00	97	0.00	33	-0.69	97	0.03	33	-0.57	97	-882.19	97	492.67	33
0	Max	-2103	-0.00	33	-0.00	33	-0.00	33	-0.02	33	-0.32	33	0.00	97	565.94	97	541.29	97
0	Max	-1886	-0.00	33	-0.00	33	-0.00	33	-0.02	33	-0.32	33	0.00	97	565.94	97	541.29	97
0	Max	-1495	-0.00	33	-0.00	33	-0.00	33	-0.02	33	-0.32	33	0.00	97	565.94	97	541.29	97
0	Max	-2107	-0.00	33	-0.00	33	-0.00	33	-0.02	33	-0.32	33	0.00	97	565.94	97	541.29	97
0	Min.	-2103	-0.00	97	-0.00	97	-0.00	98	-0.03	97	-0.45	97	0.00	33	402.87	33	385.40	33
0	Min.	-1886	-0.00	97	-0.00	97	-0.00	98	-0.03	97	-0.45	97	0.00	33	402.87	33	385.40	33
0	Min.	-1495	-0.00	97	-0.00	97	-0.00	98	-0.03	97	-0.45	97	0.00	33	402.87	33	385.40	33
0	Min.	-2107	-0.00	97	-0.00	97	-0.00	98	-0.03	97	-0.45	97	0.00	33	402.87	33	385.40	33
0	Max	-2104	-0.00	33	-0.00	33	-0.00	33	-0.42	33	-0.32	33	0.50	97	370.64	97	532.82	97
0	Max	-1887	-0.00	33	-0.00	33	-0.00	33	-0.42	33	-0.32	33	0.50	97	370.64	97	532.82	97
0	Max	-1496	-0.00	33	-0.00	33	-0.00	33	-0.42	33	-0.32	33	0.50	97	370.64	97	532.82	97
0	Max	-2105	-0.00	33	-0.00	33	-0.00	33	-0.42	33	-0.32	33	0.50	97	370.64	97	532.82	97
0	Min.	-2104	-0.00	97	-0.00	97	-0.00	98	-0.58	97	-0.46	97	0.35	33	263.86	33	379.32	33
0	Min.	-1887	-0.00	97	-0.00	97	-0.00	98	-0.58	97	-0.46	97	0.35	33	263.86	33	379.32	33
0	Min.	-1496	-0.00	97	-0.00	97	-0.00	98	-0.58	97	-0.46	97	0.35	33	263.86	33	379.32	33
0	Min.	-2105	-0.00	97	-0.00	97	-0.00	98	-0.58	97	-0.46	97	0.35	33	263.86	33	379.32	33
0	Max	-2119	0.00	33	0.00	33	-0.00	33	0.01	33	2.71	97	2.14	97	-293.36	33	1538.06	97
0	Max	-1753	0.00	33	0.00	33	-0.00	33	0.01	33	2.71	97	2.14	97	-293.36	33	1538.06	97
0	Max	-2002	0.00	33	0.00	33	-0.00	33	0.01	33	2.71	97	2.14	97	-293.36	33	1538.06	97
0	Max	-2120	0.00	33	0.00	33	-0.00	33	0.01	33	2.71	97	2.14	97	-293.36	33	1538.06	97
0	Min.	-2119	0.00	97	0.00	98	-0.00	97	-0.01	33	1.83	33	1.44	33	-433.68	97	1018.48	33
0	Min.	-1753	0.00	97	0.00	98	-0.00	97	-0.01	33	1.83	33	1.44	33	-433.68	97	1018.48	33
0	Min.	-2002	0.00	97	0.00	98	-0.00	97	-0.01	33	1.83	33	1.44	33	-433.68	97	1018.48	33
0	Min.	-2120	0.00	97	0.00	98	-0.00	97	-0.01	33	1.83	33	1.44	33	-433.68	97	1018.48	33
0	Max	-2113	-0.00	33	-0.00	33	0.00	98	-0.75	33	-0.13	33	-1.03	33	-441.42	33	687.69	97
0	Max	-1735	-0.00	33	-0.00	33	0.00	98	-0.75	33	-0.13	33	-1.03	33	-441.42	33	687.69	97
0	Max	-2217	-0.00	33	-0.00	33	0.00	98	-0.75	33	-0.13	33	-1.03	33	-441.42	33	687.69	97
0	Max	-2215	-0.00	33	-0.00	33	0.00	98	-0.75	33	-0.13	33	-1.03	33	-441.42	33	687.69	97
0	Min.	-2113	-0.00	97	-0.00	97	0.00	33	-1.15	97	-0.18	97	-1.61	97	-640.12	97	482.55	33
0	Min.	-1735	-0.00	97	-0.00	97	0.00	33	-1.15	97	-0.18	97	-1.61	97	-640.12	97	482.55	33
0	Min.	-2217	-0.00	97	-0.00	97	0.00	33	-1.15	97	-0.18	97	-1.61	97	-640.12	97	482.55	33
0	Min.	-2215	-0.00	97	-0.00	97	0.00	33	-1.15	97	-0.18	97	-1.61	97	-640.12	97	482.55	33
0	Max	-2116	0.00	33	0.00	33	-0.00	33	0.18	97	2.75	97	2.07	97	-285.28	33	1553.22	97
0	Max	-1755	0.00	33	0.00	33	-0.00	33	0.18	97	2.75	97	2.07	97	-285.28	33	1553.22	97
0	Max	-2005	0.00	33	0.00	33	-0.00	33	0.18	97	2.75	97	2.07	97	-285.28	33	1553.22	97
0	Max	-2121	0.00	33	0.00	33	-0.00	33	0.18	97	2.75	97	2.07	97	-285.28	33	1553.22	97
0	Min.	-2116	0.00	98	0.00	97	-0.00	100	0.11	33	1.88	33	1.42	33	-418.93	97	1019.57	33
0	Min.	-1755	0.00	98	0.00	97	-0.00	100	0.11	33	1.88	33	1.42	33	-418.93	97	1019.57	33
0	Min.	-2005	0.00	98	0.00	97	-0.00	100	0.11	33	1.88	33	1.42	33	-418.93	97	1019.57	33
0	Min.	-2121	0.00	98	0.00	97	-0.00	100	0.11	33	1.88	33	1.42	33	-418.93	97	1019.57	33
0	Max	-2115	0.00	98	0.00	97	-0.00	33	-1.04	33	0.18	33	0.30	97	40.64	97	1483.07	97
0	Max	-1756	0.00	98	0.00	97	-0.00	33	-1.04	33	0.18	33	0.30	97	40.64	97	1483.07	97
0	Max	-2006	0.00	98	0.00	97	-0.00	33	-1.04	33	0.18	33	0.30	97	40.64	97	1483.07	97
0	Max	-2122	0.00	98	0.00	97	-0.00	33	-1.04	33	0.18	33	0.30	97	40.64	97	1483.07	97
0	Min.	-2115	0.00	33	0.00	33	-0.00	98	-1.57	97	0.12	33	0.22	33	17.26	33	981.22	33
0	Min.	-1756	0.00	33	0.00	33	-0.00	98	-1.57	97	0.12	33	0.22	33	17.26	33	981.22	33
0	Min.	-2006	0.00	33	0.00	33	-0.00	98	-1.57	97	0.12	33	0.22	33	17.26	33	981.22	33
0	Min.	-2122	0.00	33	0.00	33	-0.00	98	-1.57	97	0.12	33	0.22	33	17.26	33	981.22	33
0	Max	-2123	0.00	33	0.00	33	0.00	97	-0.00	33	3.22	97	-1.54	33	467.89	97	1455.08	97
0	Max	-2045	0.00	33	0.00	33	0.00	97	-0.00	33	3.22	97	-1.54	33	467.89	97	1455.08	97
0	Max	-1811	0.00	33	0.00	33	0.00	97	-0.00	33	3.22	97	-1.54	33	467.89	97	1455.08	97
0	Max	-2093	0.00	33	0.00	33	0.00	97	-0.00	33	3.22	97	-1.54	33	467.89	97	1455.08	97
0	Min.	-2123	0.00	97	0.00	98	0.00	33	-0.03	97	2.18	33	-2.30	97	316.35	33	964.50	33
0	Min.	-2045	0.00	97	0.00	98	0.00	33	-0.03	97	2.18	33	-2.30	97	316.35	33	964.50	33
0	Min.	-1811	0.00	97	0.00	98	0.00	33	-0.03	97	2.18	33	-2.30	97	316.35	33	964.50	33
0	Min.	-2093	0.00	97	0.00	98	0.00	33	-0.03	97	2.18	33	-2.30	97	316.35	33	964.50	33
0	Max	-2124	0.00	98	0.00	98	0.00	97	-1.56	33	0.68	97	-0.05	33	99.17	97	1372.86	97
0	Max	-2046	0.00	98	0.00	98	0.00	97	-1.56	33	0.68	97	-0.05	33	99.17	97	1372.86	97
0	Max	-1812	0.00	98	0.00	98	0.00	97	-1.56	33	0.68	97	-0.05	33	99.17	97	1372.86	97
0	Max	-2091	0.00	98	0.00	98	0.00	97	-1.56	33	0.68	97	-0.05	33	99.17	97	1372.86	97
0	Min.	-2124	0.00	101	0.00	33	0.00	33	-2.38	97	0.49	33	-0.11	33	72.45	33	900.94	33
0	Min.	-2046	0.00	101	0.00	33	0.00	33	-2.38	97	0.49	33	-0.11	33	72.45	33	900.94	33
0	Min.	-1812	0.00	101	0.00	33	0.00	33	-2.38	97	0.49	33	-0.11	33	72.45	33	900.94	33
0	Min.	-2091	0.00	101	0.00	33	0.00	33	-2.38	97	0.49	33	-0.11	33	72.45	33	900.94	33
0	Max	-2125	0.00	101	0.00	33	0.00	97	0.15	97	3.29	97	-1.51	33	456.52	97	1471.82	97
0	Max	-2048	0.00	101	0.00	33	0.00	97	0.15	97	3.29	97	-1.51	33	456.52	97	1471.82	97
0	Max	-1814	0.00	101	0.00	33	0.00	97	0.15	97	3.29	97	-1.51	33	456.52	97	1471.82	97
0	Max	-2089	0.00	101	0.00	33	0.00	97	0.15	97	3.29	97	-1.51	33	456.52	97	1471.82	97
0	Min.	-2125	0.00	98	0.00	97	0.00	33	0.09	33	2.25	33	-2.22	97	310.41	33	967.03	33
0	Min.	-2048	0.00	98	0.00	97	0.00	33	0.09	33	2.25	33	-2.22	97	310.41	33	967.03	33
0	Min.	-1814	0.00	98	0.00	97	0.00	33	0.09	33	2.25	33	-2.22	97	310.41	33	967.03	33
0	Min.	-2089	0.00	98	0.00	97	0.00	33	0.09	33	2.25	33	-2.22	97	310.41	33	967.03	33
0	Max	-2126	0.00	98	0.00	97	0.00	98	-1.02	33	0.57	97	-0.24	33	8.90	33	1408.30	97
0	Max	-2049	0.00	98	0.00	97	0.00	98	-1.02	33	0.57	97	-0.24	33	8.90	33	1408.30	97
0	Max	-1815	0.00	98	0.00	97	0.00	98	-1.02	33	0.57	97	-0.24	33	8.90	33	1408.30	97
0	Max	-2087	0.00	98	0.00	97	0.00	98	-1.02	33	0.57	97	-0.24	33	8.90	33	1408.30	97
0	Min.	-2126	0.00	33	0.00	33	0.00	33	-1.55	97	0.42	33	-0.35	97	-2.02	97	932.62	33
0	Min.	-2049	0.00	33	0.00	33	0.00	33	-1.55	97	0.42	33	-0.35	97	-2.02	97	932.62	33

0	Min.	-1815	0.00	33	0.00	33	0.00	33	-1.55	97	0.42	33	-0.35	97	-2.02	97	932.62	33
0	Min.	-2087	0.00	33	0.00	33	0.00	33	-1.55	97	0.42	33	-0.35	97	-2.02	97	932.62	33
106	Max	-203	1313.12	100	1081.11	104	3814.35	100	249.11	98	4059.38	98	384.64	49	3174.70	49	297.23	98
106	Max	-191	1313.12	100	1081.11	104	3814.35	100	249.11	98	4059.38	98	384.64	49	3174.70	49	297.23	98
106	Max	-255	1313.12	100	1081.11	104	3814.35	100	249.11	98	4059.38	98	384.64	49	3174.70	49	297.23	98
106	Max	-257	1313.12	100	1081.11	104	3814.35	100	249.11	98	4059.38	98	384.64	49	3174.70	49	297.23	98
106	Min.	-203	642.96	49	-2904.65	99	2326.52	49	89.04	49	1357.65	49	-262.73	33	-3323.78	33	106.82	101
106	Min.	-191	642.96	49	-2904.65	99	2326.52	49	89.04	49	1357.65	49	-262.73	33	-3323.78	33	106.82	101
106	Min.	-255	642.96	49	-2904.65	99	2326.52	49	89.04	49	1357.65	49	-262.73	33	-3323.78	33	106.82	101
106	Min.	-257	642.96	49	-2904.65	99	2326.52	49	89.04	49	1357.65	49	-262.73	33	-3323.78	33	106.82	101
106	Max	-179	-246.72	33	-946.69	104	10048.50	100	396.40	98	4412.34	98	479.77	49	662.93	49	450.77	49
106	Max	-167	-246.72	33	-946.69	104	10048.50	100	396.40	98	4412.34	98	479.77	49	662.93	49	450.77	49
106	Max	-251	-246.72	33	-946.69	104	10048.50	100	396.40	98	4412.34	98	479.77	49	662.93	49	450.77	49
106	Max	-253	-246.72	33	-946.69	104	10048.50	100	396.40	98	4412.34	98	479.77	49	662.93	49	450.77	49
106	Min.	-179	-664.92	99	-4396.48	99	6054.86	103	157.74	49	1822.38	49	-535.98	33	-1998.87	33	-1.12	33
106	Min.	-167	-664.92	99	-4396.48	99	6054.86	103	157.74	49	1822.38	49	-535.98	33	-1998.87	33	-1.12	33
106	Min.	-251	-664.92	99	-4396.48	99	6054.86	103	157.74	49	1822.38	49	-535.98	33	-1998.87	33	-1.12	33
106	Min.	-253	-664.92	99	-4396.48	99	6054.86	103	157.74	49	1822.38	49	-535.98	33	-1998.87	33	-1.12	33
106	Max	-237	832.06	99	-7762.80	103	-2627.92	104	395.29	98	3916.85	98	637.51	49	-1653.87	101	231.76	49
106	Max	-235	832.06	99	-7762.80	103	-2627.92	104	395.29	98	3916.85	98	637.51	49	-1653.87	101	231.76	49
106	Max	-273	832.06	99	-7762.80	103	-2627.92	104	395.29	98	3916.85	98	637.51	49	-1653.87	101	231.76	49
106	Max	-275	832.06	99	-7762.80	103	-2627.92	104	395.29	98	3916.85	98	637.51	49	-1653.87	101	231.76	49
106	Min.	-237	318.24	33	-11488.50	100	-5827.05	99	186.46	101	1816.99	101	-606.38	33	-3734.68	98	-558.01	33
106	Min.	-235	318.24	33	-11488.50	100	-5827.05	99	186.46	101	1816.99	101	-606.38	33	-3734.68	98	-558.01	33
106	Min.	-273	318.24	33	-11488.50	100	-5827.05	99	186.46	101	1816.99	101	-606.38	33	-3734.68	98	-558.01	33
106	Min.	-275	318.24	33	-11488.50	100	-5827.05	99	186.46	101	1816.99	101	-606.38	33	-3734.68	98	-558.01	33
106	Max	-333	-99.43	104	-893.17	104	2172.08	98	86.43	98	2008.41	98	383.00	49	-929.66	49	166.93	98
106	Max	-331	-99.43	104	-893.17	104	2172.08	98	86.43	98	2008.41	98	383.00	49	-929.66	49	166.93	98
106	Max	-369	-99.43	104	-893.17	104	2172.08	98	86.43	98	2008.41	98	383.00	49	-929.66	49	166.93	98
106	Max	-371	-99.43	104	-893.17	104	2172.08	98	86.43	98	2008.41	98	383.00	49	-929.66	49	166.93	98
106	Min.	-333	-383.43	99	-4320.97	99	1557.21	101	28.40	101	813.79	101	-492.51	33	-6458.92	33	72.13	33
106	Min.	-331	-383.43	99	-4320.97	99	1557.21	101	28.40	101	813.79	101	-492.51	33	-6458.92	33	72.13	33
106	Min.	-369	-383.43	99	-4320.97	99	1557.21	101	28.40	101	813.79	101	-492.51	33	-6458.92	33	72.13	33
106	Min.	-371	-383.43	99	-4320.97	99	1557.21	101	28.40	101	813.79	101	-492.51	33	-6458.92	33	72.13	33
106	Max	-255	-49.26	33	-522.37	104	3968.63	100	181.51	98	3725.85	98	535.38	49	48.39	49	676.61	98
106	Max	-253	-49.26	33	-522.37	104	3968.63	100	181.51	98	3725.85	98	535.38	49	48.39	49	676.61	98
106	Max	-291	-49.26	33	-522.37	104	3968.63	100	181.51	98	3725.85	98	535.38	49	48.39	49	676.61	98
106	Max	-293	-49.26	33	-522.37	104	3968.63	100	181.51	98	3725.85	98	535.38	49	48.39	49	676.61	98
106	Min.	-255	-325.83	99	-3938.42	99	2373.92	49	85.39	49	1691.55	101	-548.59	33	-3812.62	33	205.19	33
106	Min.	-253	-325.83	99	-3938.42	99	2373.92	49	85.39	49	1691.55	101	-548.59	33	-3812.62	33	205.19	33
106	Min.	-291	-325.83	99	-3938.42	99	2373.92	49	85.39	49	1691.55	101	-548.59	33	-3812.62	33	205.19	33
106	Min.	-293	-325.83	99	-3938.42	99	2373.92	49	85.39	49	1691.55	101	-548.59	33	-3812.62	33	205.19	33
106	Max	-329	-152.17	33	-2873.98	104	5065.26	100	177.08	98	2040.65	98	702.18	49	-2441.29	49	192.06	49
106	Max	-327	-152.17	33	-2873.98	104	5065.26	100	177.08	98	2040.65	98	702.18	49	-2441.29	49	192.06	49
106	Max	-365	-152.17	33	-2873.98	104	5065.26	100	177.08	98	2040.65	98	702.18	49	-2441.29	49	192.06	49
106	Max	-367	-152.17	33	-2873.98	104	5065.26	100	177.08	98	2040.65	98	702.18	49	-2441.29	49	192.06	49
106	Min.	-329	-400.25	99	-5523.02	99	2778.38	103	70.67	101	833.05	101	-682.90	33	-5541.68	98	53.78	33
106	Min.	-327	-400.25	99	-5523.02	99	2778.38	103	70.67	101	833.05	101	-682.90	33	-5541.68	98	53.78	33
106	Min.	-365	-400.25	99	-5523.02	99	2778.38	103	70.67	101	833.05	101	-682.90	33	-5541.68	98	53.78	33
106	Min.	-367	-400.25	99	-5523.02	99	2778.38	103	70.67	101	833.05	101	-682.90	33	-5541.68	98	53.78	33
106	Max	-155	229.75	100	-8239.14	104	6649.94	100	462.71	98	4572.03	98	466.40	49	-118.33	49	428.67	49
106	Max	-143	229.75	100	-8239.14	104	6649.94	100	462.71	98	4572.03	98	466.40	49	-118.33	49	428.67	49
106	Max	-247	229.75	100	-8239.14	104	6649.94	100	462.71	98	4572.03	98	466.40	49	-118.33	49	428.67	49
106	Max	-249	229.75	100	-8239.14	104	6649.94	100	462.71	98	4572.03	98	466.40	49	-118.33	49	428.67	49
106	Min.	-155	-59.88	49	-13186.60	99	3490.98	103	203.82	101	2055.05	101	-596.06	33	-1629.37	33	-80.45	33
106	Min.	-143	-59.88	49	-13186.60	99	3490.98	103	203.82	101	2055.05	101	-596.06	33	-1629.37	33	-80.45	33
106	Min.	-247	-59.88	49	-13186.60	99	3490.98	103	203.82	101	2055.05	101	-596.06	33	-1629.37	33	-80.45	33
106	Min.	-249	-59.88	49	-13186.60	99	3490.98	103	203.82	101	2055.05	101	-596.06	33	-1629.37	33	-80.45	33
106	Max	-143	358.38	100	-9649.38	104	5009.37	100	473.93	98	4748.18	98	463.03	49	-399.29	101	384.18	49
106	Max	24	358.38	100	-9649.38	104	5009.37	100	473.93	98	4748.18	98	463.03	49	-399.29	101	384.18	49
106	Max	-245	358.38	100	-9649.38	104	5009.37	100	473.93	98	4748.18	98	463.03	49	-399.29	101	384.18	49
106	Max	-247	358.38	100	-9649.38	104	5009.37	100	473.93	98	4748.18	98	463.03	49	-399.29	101	384.18	49
106	Min.	-143	102.11	49	-14973.40	99	2080.80	103	213.26	101	2103.29	101	-601.29	33	-2020.73	98	-119.09	33
106	Min.	24	102.11	49	-14973.40	99	2080.80	103	213.26	101	2103.29	101	-601.29	33	-2020.73	98	-119.09	33
106	Min.	-245	102.11	49	-14973.40	99	2080.80	103	213.26	101	2103.29	101	-601.29	33	-2020.73	98	-119.09	33
106	Min.	-247	102.11	49	-14973.40	99	2080.80	103	213.26	101	2103.29	101	-601.29	33	-2020.73	98	-119.09	33
106	Max	-249	696.30	100	-6545.05	104	6041.64	100	390.36	98	3873.41	98	605.82	49	-1402.96	49	679.80	49
106	Max	-247	696.30	100	-6545.05	104	6041.64	100	390.36	98	3873.41	98	605.82	49	-1402.96	49	679.80	49
106	Max	-285	696.30	100	-6545.05	104	6041.64	100	390.36	98	3873.41	98	605.82	49	-1402.96	49	679.80	49
106	Max	-287	696.30	100	-6545.05	104	6041.64	100	390.36	98	3873.41	98	605.82	49	-1402.96	49	679.80	49
106	Min.	-249	243.81	49	-10329.50	99	3000.92	103	176.14	101	1782.56	101	-634.46	33	-3561.17	98	-120.57	33
106	Min.	-247	243.81	49	-10329.50	99	3000.92	103	176.14	101	1782.56	101	-634.46	33	-3561.17	98	-120.57	33
106	Min.	-285	243.81	49	-10329.50	99	3000.92	103	176.14	101	1782.56	101	-634.46	33	-3561.17	98	-120.57	33
106	Min.	-287	243.81	49	-10329.50	99	3000.92	103	176.14	101	1782.56	101	-634.46	33	-3561.17	98	-120.57	33
106	Max	-247	838.77	100	-7766.70	104	5826.88	100	393.18	98	3906.52	98	605.89	49	-1673.56	101	557.45	49
106	Max	-245	838.77	100	-7766.70	104	5826.88	100	393.18	98	3906.52	98	605.89	49	-1673.56	101	557.45	49
106	Max	-283	838.77	100	-7766.70	104	5826.88	100	393.18	98	3906.52	98	605.89	49	-1673.56	101	557.45	49
106	Max	-285	838.77	100	-7766.70	104	5826.88	100	393.18	98	3906.52	98	605.89	49	-1673.56	101	557.45	49
106	Min.	-247	324.39	49	-11493.00	99	2628.21	103	184.90	101	1809.78	101	-638.03	33	-3765.03	98	-232.02	33
106	Min.	-245	324.39	49	-11493.00	99	2628.21	103	184.90	101	1809.78	101	-638.03	33	-3765.03	98	-232.02	33
106	Min.	-283	324.39	49	-11493.00	99	2628.21	103	184.90	101	1809.78	101	-638.03	33	-3765.03	98	-232.02	33
106	Min.	-285	324.39	49	-11493.00	99	2628.21	103	184.90	101	1809.78	101	-638.03	33	-3765.03	98	-232.02	33
106	Max	-243	-329.76	104	-7942.27	49	3041.85	100	391.09	98	3869.09	98	616.51	49	-2097.42	101	356.20	49
106	Max	-241	-329.76	104	-7942.27	49	3041.85	100	391.09	98	3869.09	98	616.51	49	-2097.42	101	356.20	49
106	Max	-279	-329.76	104	-7942.27	49	3041.85	100	391.09	98	3869.09	98	616.51	49	-2097.42	101	356.20	49
106	Max	-281	-329.76	104	-7942.27	49	3041.85	100	391.09	98	3869.09	98	616.51	49	-2097.42	101	356.20	49
106	Min.	-243	-672.59	99	-11043.80	100	-359.18	103	188.88	101	1820.64	101	-639.75	33	-4775.80	98	-487.56	33
106	Min.	-241	-672.59	99	-11043.80	100	-359.18	103	188.88	101	1820.64	101	-639.75	33	-4775.80	98	-487.56	33
106	Min.	-279	-672.59	99	-11043.80	100	-359.18	103	188.88	101	1820.64	101	-639.75	33	-4775.80	98	-487.56	33
106	Min.	-281	-672.59	99	-11043.80	100	-359.18	103	188.88	101	1820.64	101	-639.75	33	-4775.80	98	-487.56	33
106	Max	-239	644.40	99	-8515.23	33	-1556.44	104	395.27	98	3913.54	98	645.65	49	-1842.57	101	431.74	49
106	Max	-237	644.40	99	-8515.23	33	-1556.44	104	395.27	98	3913.54	98	645.65	49	-1842.57	101	431.74	49
106	Max	-275	644.40	99	-8515.23	33	-1556.44	104	395.27	98	3913.54	98	645.65	49	-1842.57	101	431.74	49
106	Max	-277	644.40	99	-8515.23	33	-1556.44	104	395.27	98	3913.54	98	645.65	49	-1842.57	101	431.74	49
106	Min.	-239	130.28	33	-11887.40	100	-4966.01	99	188.28	101	1829.57	101	-602.65	33	-4178.95	98	-358.26	33
106	Min.	-237	130.28	33	-11887.40	100	-4966.01	99	188.28	101	1829.57	101	-602.65	33	-4178.95	98	-358.26	33
106	Min.	-275	130.28	33	-11887.40	100	-4966.01	99	188.28	101	1829.57	101	-602.65	33	-4178.95	98	-358.26	33
106	Min.	-277	130.28	33	-11887.40	100	-4966.01	99	188.28	101	1829.57	101	-602.65	33	-4178.95	98	-358.26	33
106	Max	-229	-60.05	49	-532.81	103	-2358.98	33	181.75	98	3734.78	98	548.24	49	53.58	33	-207.26	49
106	Max	-227	-60.05	49	-532.81	103	-2358.98	33	181.75	98	3734.78	98	548.24	49	53.58	33	-207.26	49
106	Max	-265	-60.05	49	-532.81	103	-2358.98	33	181.75	98	3734.78	98	548.24	49	53.58	33	-207.26	49
106	Max	-267	-60.05	49	-532.81	103	-2358.98	33	181.75	98	3734.78	98	548.24	49	53.58	33	-207.26	49
106	Min.	-229	-338.69	100	-3953.85	100	-3949.88	99	85.59	33	1697.54	101	-535.28	33	-3811.10	49	-679.35	98
106	Min.	-227	-338.69	100	-3953.85	100	-3949.88	99	85.59	33	1697.54	101	-535.28	33	-3811.10	49	-679.35	98
106	Min.	-265	-338.69	100	-3953.85	100	-3949.88	99	85.59	33	1697.54	101	-535.28	33	-3811.10	49	-679.35	98

106	Min.	-267	-338.69	100	-3953.85	100	-3949.88	99	85.59	33	1697.54	101	-535.28	33	-3811.10	49	-679.35	98
106	Max	-235	696.33	99	-6547.16	103	-3002.54	104	392.17	98	3883.56	98	633.91	49	-1386.73	33	117.36	49
106	Max	-233	696.33	99	-6547.16	103	-3002.54	104	392.17	98	3883.56	98	633.91	49	-1386.73	33	117.36	49
106	Max	-271	696.33	99	-6547.16	103	-3002.54	104	392.17	98	3883.56	98	633.91	49	-1386.73	33	117.36	49
106	Max	-273	696.33	99	-6547.16	103	-3002.54	104	392.17	98	3883.56	98	633.91	49	-1386.73	33	117.36	49
106	Min.	-235	243.06	33	-10332.70	100	-6044.09	99	177.49	101	1789.61	101	-606.34	33	-3537.80	98	-683.16	33
106	Min.	-233	243.06	33	-10332.70	100	-6044.09	99	177.49	101	1789.61	101	-606.34	33	-3537.80	98	-683.16	33
106	Min.	-271	243.06	33	-10332.70	100	-6044.09	99	177.49	101	1789.61	101	-606.34	33	-3537.80	98	-683.16	33
106	Min.	-273	243.06	33	-10332.70	100	-6044.09	99	177.49	101	1789.61	101	-606.34	33	-3537.80	98	-683.16	33
106	Max	-325	-119.51	33	-4917.45	104	5515.19	100	217.03	98	2111.89	98	738.00	49	-2801.09	49	166.50	49
106	Max	-323	-119.51	33	-4917.45	104	5515.19	100	217.03	98	2111.89	98	738.00	49	-2801.09	49	166.50	49
106	Max	-361	-119.51	33	-4917.45	104	5515.19	100	217.03	98	2111.89	98	738.00	49	-2801.09	49	166.50	49
106	Max	-363	-119.51	33	-4917.45	104	5515.19	100	217.03	98	2111.89	98	738.00	49	-2801.09	49	166.50	49
106	Min.	-325	-306.96	99	-7451.09	99	2656.88	103	92.13	101	884.65	101	-673.76	33	-5625.72	98	15.12	33
106	Min.	-323	-306.96	99	-7451.09	99	2656.88	103	92.13	101	884.65	101	-673.76	33	-5625.72	98	15.12	33
106	Min.	-361	-306.96	99	-7451.09	99	2656.88	103	92.13	101	884.65	101	-673.76	33	-5625.72	98	15.12	33
106	Min.	-363	-306.96	99	-7451.09	99	2656.88	103	92.13	101	884.65	101	-673.76	33	-5625.72	98	15.12	33
106	Max	-323	-178.96	33	-5827.03	102	5300.99	100	209.59	98	2241.17	98	764.00	49	-2810.86	49	100.95	49
106	Max	-321	-178.96	33	-5827.03	102	5300.99	100	209.59	98	2241.17	98	764.00	49	-2810.86	49	100.95	49
106	Max	-359	-178.96	33	-5827.03	102	5300.99	100	209.59	98	2241.17	98	764.00	49	-2810.86	49	100.95	49
106	Max	-361	-178.96	33	-5827.03	102	5300.99	100	209.59	98	2241.17	98	764.00	49	-2810.86	49	100.95	49
106	Min.	-323	-464.02	99	-8135.15	97	2431.30	103	90.74	101	965.91	101	-643.35	33	-5418.92	98	-29.61	33
106	Min.	-321	-464.02	99	-8135.15	97	2431.30	103	90.74	101	965.91	101	-643.35	33	-5418.92	98	-29.61	33
106	Min.	-359	-464.02	99	-8135.15	97	2431.30	103	90.74	101	965.91	101	-643.35	33	-5418.92	98	-29.61	33
106	Min.	-361	-464.02	99	-8135.15	97	2431.30	103	90.74	101	965.91	101	-643.35	33	-5418.92	98	-29.61	33
106	Max	-121	-864.55	104	-10634.50	104	1882.49	100	489.84	98	4929.68	98	513.36	49	-709.91	101	263.33	49
106	Max	22	-864.55	104	-10634.50	104	1882.49	100	489.84	98	4929.68	98	513.36	49	-709.91	101	263.33	49
106	Max	-241	-864.55	104	-10634.50	104	1882.49	100	489.84	98	4929.68	98	513.36	49	-709.91	101	263.33	49
106	Max	-243	-864.55	104	-10634.50	104	1882.49	100	489.84	98	4929.68	98	513.36	49	-709.91	101	263.33	49
106	Min.	-121	-1273.87	99	-14842.10	99	-944.04	103	223.73	101	2229.79	101	-564.50	33	-2619.39	98	-221.62	33
106	Min.	22	-1273.87	99	-14842.10	99	-944.04	103	223.73	101	2229.79	101	-564.50	33	-2619.39	98	-221.62	33
106	Min.	-241	-1273.87	99	-14842.10	99	-944.04	103	223.73	101	2229.79	101	-564.50	33	-2619.39	98	-221.62	33
106	Min.	-243	-1273.87	99	-14842.10	99	-944.04	103	223.73	101	2229.79	101	-564.50	33	-2619.39	98	-221.62	33
106	Max	-295	252.02	100	-105.73	104	2134.66	100	23.12	33	2935.61	98	391.24	49	-133.62	49	392.80	98
106	Max	-293	252.02	100	-105.73	104	2134.66	100	23.12	33	2935.61	98	391.24	49	-133.62	49	392.80	98
106	Max	-331	252.02	100	-105.73	104	2134.66	100	23.12	33	2935.61	98	391.24	49	-133.62	49	392.80	98
106	Max	-333	252.02	100	-105.73	104	2134.66	100	23.12	33	2935.61	98	391.24	49	-133.62	49	392.80	98
106	Min.	-295	57.41	49	-3725.39	99	1488.01	49	2.37	49	1307.12	101	-446.40	33	-5766.75	33	182.81	33
106	Min.	-293	57.41	49	-3725.39	99	1488.01	49	2.37	49	1307.12	101	-446.40	33	-5766.75	33	182.81	33
106	Min.	-331	57.41	49	-3725.39	99	1488.01	49	2.37	49	1307.12	101	-446.40	33	-5766.75	33	182.81	33
106	Min.	-333	57.41	49	-3725.39	99	1488.01	49	2.37	49	1307.12	101	-446.40	33	-5766.75	33	182.81	33
106	Max	-301	-174.06	103	-670.12	103	-721.84	103	61.81	98	1967.01	98	212.98	49	232.14	33	-46.17	49
106	Max	-299	-174.06	103	-670.12	103	-721.84	103	61.81	98	1967.01	98	212.98	49	232.14	33	-46.17	49
106	Max	-337	-174.06	103	-670.12	103	-721.84	103	61.81	98	1967.01	98	212.98	49	232.14	33	-46.17	49
106	Max	-339	-174.06	103	-670.12	103	-721.84	103	61.81	98	1967.01	98	212.98	49	232.14	33	-46.17	49
106	Min.	-301	-751.24	100	-4891.32	100	-1283.13	100	19.36	101	781.28	101	-187.69	33	-8526.01	49	-92.32	98
106	Min.	-299	-751.24	100	-4891.32	100	-1283.13	100	19.36	101	781.28	101	-187.69	33	-8526.01	49	-92.32	98
106	Min.	-337	-751.24	100	-4891.32	100	-1283.13	100	19.36	101	781.28	101	-187.69	33	-8526.01	49	-92.32	98
106	Min.	-339	-751.24	100	-4891.32	100	-1283.13	100	19.36	101	781.28	101	-187.69	33	-8526.01	49	-92.32	98
106	Max	-311	-125.19	49	-4916.47	103	-2654.19	104	219.72	98	2129.70	98	670.88	49	-2784.93	33	-22.05	49
106	Max	-309	-125.19	49	-4916.47	103	-2654.19	104	219.72	98	2129.70	98	670.88	49	-2784.93	33	-22.05	49
106	Max	-347	-125.19	49	-4916.47	103	-2654.19	104	219.72	98	2129.70	98	670.88	49	-2784.93	33	-22.05	49
106	Max	-349	-125.19	49	-4916.47	103	-2654.19	104	219.72	98	2129.70	98	670.88	49	-2784.93	33	-22.05	49
106	Min.	-311	-314.89	100	-7450.04	100	-5511.89	99	93.97	101	896.68	101	-740.99	33	-5602.04	98	-173.62	33
106	Min.	-309	-314.89	100	-7450.04	100	-5511.89	99	93.97	101	896.68	101	-740.99	33	-5602.04	98	-173.62	33
106	Min.	-347	-314.89	100	-7450.04	100	-5511.89	99	93.97	101	896.68	101	-740.99	33	-5602.04	98	-173.62	33
106	Min.	-349	-314.89	100	-7450.04	100	-5511.89	99	93.97	101	896.68	101	-740.99	33	-5602.04	98	-173.62	33
106	Max	-319	-548.75	103	-2461.54	103	5016.49	100	163.17	98	1283.77	98	592.44	49	-3992.03	101	-77.07	49
106	Max	-317	-548.75	103	-2461.54	103	5016.49	100	163.17	98	1283.77	98	592.44	49	-3992.03	101	-77.07	49
106	Max	-355	-548.75	103	-2461.54	103	5016.49	100	163.17	98	1283.77	98	592.44	49	-3992.03	101	-77.07	49
106	Max	-357	-548.75	103	-2461.54	103	5016.49	100	163.17	98	1283.77	98	592.44	49	-3992.03	101	-77.07	49
106	Min.	-319	-1046.41	100	-3891.40	100	542.55	103	76.93	101	601.32	101	-885.29	33	-7973.74	98	-359.03	98
106	Min.	-317	-1046.41	100	-3891.40	100	542.55	103	76.93	101	601.32	101	-885.29	33	-7973.74	98	-359.03	98
106	Min.	-355	-1046.41	100	-3891.40	100	542.55	103	76.93	101	601.32	101	-885.29	33	-7973.74	98	-359.03	98
106	Min.	-357	-1046.41	100	-3891.40	100	542.55	103	76.93	101	601.32	101	-885.29	33	-7973.74	98	-359.03	98
106	Max	-257	-203.63	33	1604.10	100	1502.50	100	55.68	98	3687.81	98	379.74	49	1153.56	49	523.10	98
106	Max	-255	-203.63	33	1604.10	100	1502.50	100	55.68	98	3687.81	98	379.74	49	1153.56	49	523.10	98
106	Max	-293	-203.63	33	1604.10	100	1502.50	100	55.68	98	3687.81	98	379.74	49	1153.56	49	523.10	98
106	Max	-295	-203.63	33	1604.10	100	1502.50	100	55.68	98	3687.81	98	379.74	49	1153.56	49	523.10	98
106	Min.	-257	-362.35	99	-1949.05	103	871.18	49	26.76	101	1627.37	49	-393.37	33	-4753.96	33	212.93	101
106	Min.	-255	-362.35	99	-1949.05	103	871.18	49	26.76	101	1627.37	49	-393.37	33	-4753.96	33	212.93	101
106	Min.	-293	-362.35	99	-1949.05	103	871.18	49	26.76	101	1627.37	49	-393.37	33	-4753.96	33	212.93	101
106	Min.	-295	-362.35	99	-1949.05	103	871.18	49	26.76	101	1627.37	49	-393.37	33	-4753.96	33	212.93	101
106	Max	-315	479.41	99	-6252.69	104	-2192.49	104	184.03	98	2112.36	98	779.60	49	-3115.48	101	339.22	98
106	Max	-313	479.41	99	-6252.69	104	-2192.49	104	184.03	98	2112.36	98	779.60	49	-3115.48	101	339.22	98
106	Max	-351	479.41	99	-6252.69	104	-2192.49	104	184.03	98	2112.36	98	779.60	49	-3115.48	101	339.22	98
106	Max	-353	479.41	99	-6252.69	104	-2192.49	104	184.03	98	2112.36	98	779.60	49	-3115.48	101	339.22	98
106	Min.	-315	247.09	33	-10014.30	99	-5475.05	99	83.41	101	948.55	101	-600.94	33	-5928.92	98	114.83	101
106	Min.	-313	247.09	33	-10014.30	99	-5475.05	99	83.41	101	948.55	101	-600.94	33	-5928.92	98	114.83	101
106	Min.	-351	247.09	33	-10014.30	99	-5475.05	99	83.41	101	948.55	101	-600.94	33	-5928.92	98	114.83	101
106	Min.	-353	247.09	33	-10014.30	99	-5475.05	99	83.41	101	948.55	101	-600.94	33	-5928.92	98	114.83	101
106	Max	-327	-174.13	33	-3791.29	104	5434.06	100	198.07	98	2074.01	98	726.72	49	-2634.97	49	188.30	49
106	Max	-325	-174.13	33	-3791.29	104	5434.06	100	198.07	98	2074.01	98	726.72	49	-2634.97	49	188.30	49
106	Max	-363	-174.13	33	-3791.29	104	5434.06	100	198.07	98	2074.01	98	726.72	49	-2634.97	49	188.30	49
106	Max	-365	-174.13	33	-3791.29	104	5434.06	100	198.07	98	2074.01	98	726.72	49	-2634.97	49	188.30	49
106	Min.	-327	-409.64	99	-6383.96	99	2804.91	103	81.23	101	856.80	101	-675.72	33	-5612.99	98	36.83	33
106	Min.	-325	-409.64	99	-6383.96	99	2804.91	103	81.23	101	856.80	101	-675.72	33	-5612.99	98	36.83	33
106	Min.	-363	-409.64	99	-6383.96	99	2804.91	103	81.23	101	856.80	101	-675.72	33	-5612.99	98	36.83	33
106	Min.	-365	-409.64	99	-6383.96	99	2804.91	103	81.23	101	856.80	101	-675.72	33	-5612.99	98	36.83	33
106	Max	-313	-181.92	49	-5825.98	102	-2429.79	104	212.27	98	2272.02	98	638.85	49	-2773.34	33	23.70	49
106	Max	-311	-181.92	49	-5825.98	102	-2429.79	104	212.27	98	2272.02	98	638.85	49	-2773.34	33	23.70	49
106	Max	-349	-181.92	49	-5825.98	102	-2429.79	104	212.27	98	2272.02	98	638.85	49	-2773.34	33	23.70	49
106	Max	-351	-181.92	49	-5825.98	102	-2429.79	104	212.27	98	2272.02	98	638.85	49	-2773.34	33	23.70	49
106	Min.	-313	-469.16	100	-8133.07	97	-5299.05	99	92.60	101	986.52	101	-768.59	33	-5363.11	98	-107.12	33
106	Min.	-311	-469.16	100	-8133.07	97	-5299.05	99	92.60	101	986.52	101	-768.59	33	-5363.11	98	-107.12	33
106	Min.	-349	-469.16	100	-8133.07	97	-5299.05	99	92.60	101	986.52	101	-768.59	33	-5363.11	98	-107.12	33
106	Min.	-351	-469.16	100	-8133.07	97	-5299.05	99	92.60	101	986.52	101	-768.59	33	-5363.11	98	-107.12	33
106	Max	-307	-182.94	49	-2895.43	103	-2777.81	104	178.83	98	2051.07	98	681.88	49	-2445.23	33	-56.38	49
106	Max	-305	-182.94	49	-2895.43	103	-2777.81	104	178.83	98	2051.07	98	681.88	49	-2445.23	33	-56.38	49
106	Max	-343	-182.94	49	-2895.43	103	-2777.81	104	178.83	98	2051.07	98	681.88	49	-2445.23	33	-56.38	49
106	Max	-345	-182.94	49	-2895.43	103	-2777.81	104	178.83	98	2051.07	98	681.88	49	-2445.23	33	-56.38	49
106	Min.	-307	-445.63	100	-5542.90	100	-5074.35	99	71.76	101	840.21	101	-703.85	33	-5542.80	98	-195.16	33
106	Min.	-305	-445.63	100	-5542.90	100	-5074.35	99	71.76	101	840.21	101	-703.85	33	-5542.80	98	-195.16	33
106	Min.	-343	-445.63	100	-5542.90	100	-5074.35	99	71.76	101	840.21	101	-703.85	33	-5542.80	98	-195.16	33
106	Min.	-345	-445.63	100	-5542.90	100	-5074.35	99	71.76	101	840.21	101	-703.85	33	-5542.80	98	-195.16	33

106	Max	-41	453.15	99	772.91	103	-640.20	33	328.96	98	4247.54	98	458.74	49	1789.54	33	-104.40	49
106	Max	-29	453.15	99	772.91	103	-640.20	33	328.96	98	4247.54	98	458.74	49	1789.54	33	-104.40	49
106	Max	-227	453.15	99	772.91	103	-640.20	33	328.96	98	4247.54	98	458.74	49	1789.54	33	-104.40	49
106	Max	-229	453.15	99	772.91	103	-640.20	33	328.96	98	4247.54	98	458.74	49	1789.54	33	-104.40	49
106	Min.	-41	25.73	33	-2653.56	100	-1436.71	99	121.85	33	1568.14	33	-430.93	33	-2592.48	49	-398.78	98
106	Min.	-29	25.73	33	-2653.56	100	-1436.71	99	121.85	33	1568.14	33	-430.93	33	-2592.48	49	-398.78	98
106	Min.	-227	25.73	33	-2653.56	100	-1436.71	99	121.85	33	1568.14	33	-430.93	33	-2592.48	49	-398.78	98
106	Min.	-229	25.73	33	-2653.56	100	-1436.71	99	121.85	33	1568.14	33	-430.93	33	-2592.48	49	-398.78	98
106	Max	-167	106.18	33	-5827.19	104	6431.09	100	433.37	98	4455.32	98	472.54	49	297.46	49	450.82	49
106	Max	-155	106.18	33	-5827.19	104	6431.09	100	433.37	98	4455.32	98	472.54	49	297.46	49	450.82	49
106	Max	-249	106.18	33	-5827.19	104	6431.09	100	433.37	98	4455.32	98	472.54	49	297.46	49	450.82	49
106	Max	-251	106.18	33	-5827.19	104	6431.09	100	433.37	98	4455.32	98	472.54	49	297.46	49	450.82	49
106	Min.	-167	-236.86	49	-10392.10	99	3353.67	103	188.45	49	1976.89	101	-573.13	33	-1755.74	33	-47.92	33
106	Min.	-155	-236.86	49	-10392.10	99	3353.67	103	188.45	49	1976.89	101	-573.13	33	-1755.74	33	-47.92	33
106	Min.	-249	-236.86	49	-10392.10	99	3353.67	103	188.45	49	1976.89	101	-573.13	33	-1755.74	33	-47.92	33
106	Min.	-251	-236.86	49	-10392.10	99	3353.67	103	188.45	49	1976.89	101	-573.13	33	-1755.74	33	-47.92	33
106	Max	24	-449.27	104	-10501.00	104	4551.65	100	486.53	98	4837.75	98	515.28	49	-562.62	101	296.44	49
106	Max	-121	-449.27	104	-10501.00	104	4551.65	100	486.53	98	4837.75	98	515.28	49	-562.62	101	296.44	49
106	Max	-243	-449.27	104	-10501.00	104	4551.65	100	486.53	98	4837.75	98	515.28	49	-562.62	101	296.44	49
106	Max	-245	-449.27	104	-10501.00	104	4551.65	100	486.53	98	4837.75	98	515.28	49	-562.62	101	296.44	49
106	Min.	24	-950.89	99	-15342.00	99	1213.73	103	220.00	101	2172.48	101	-558.83	33	-2309.45	98	-193.48	33
106	Min.	-121	-950.89	99	-15342.00	99	1213.73	103	220.00	101	2172.48	101	-558.83	33	-2309.45	98	-193.48	33
106	Min.	-243	-950.89	99	-15342.00	99	1213.73	103	220.00	101	2172.48	101	-558.83	33	-2309.45	98	-193.48	33
106	Min.	-245	-950.89	99	-15342.00	99	1213.73	103	220.00	101	2172.48	101	-558.83	33	-2309.45	98	-193.48	33
106	Max	22	-882.97	103	-10593.30	103	933.56	104	490.18	98	4929.15	98	562.53	49	-704.06	101	226.95	49
106	Max	-99	-882.97	103	-10593.30	103	933.56	104	490.18	98	4929.15	98	562.53	49	-704.06	101	226.95	49
106	Max	-239	-882.97	103	-10593.30	103	933.56	104	490.18	98	4929.15	98	562.53	49	-704.06	101	226.95	49
106	Max	-241	-882.97	103	-10593.30	103	933.56	104	490.18	98	4929.15	98	562.53	49	-704.06	101	226.95	49
106	Min.	22	-1294.47	100	-14782.10	100	-1897.90	99	224.00	101	2230.20	101	-515.41	33	-2607.53	98	-258.11	33
106	Min.	-99	-1294.47	100	-14782.10	100	-1897.90	99	224.00	101	2230.20	101	-515.41	33	-2607.53	98	-258.11	33
106	Min.	-239	-1294.47	100	-14782.10	100	-1897.90	99	224.00	101	2230.20	101	-515.41	33	-2607.53	98	-258.11	33
106	Min.	-241	-1294.47	100	-14782.10	100	-1897.90	99	224.00	101	2230.20	101	-515.41	33	-2607.53	98	-258.11	33
106	Max	20	351.58	99	-9658.36	103	-2081.21	104	474.80	98	4751.42	98	600.40	49	-384.40	101	120.33	49
106	Max	-77	351.58	99	-9658.36	103	-2081.21	104	474.80	98	4751.42	98	600.40	49	-384.40	101	120.33	49
106	Max	-235	351.58	99	-9658.36	103	-2081.21	104	474.80	98	4751.42	98	600.40	49	-384.40	101	120.33	49
106	Max	-237	351.58	99	-9658.36	103	-2081.21	104	474.80	98	4751.42	98	600.40	49	-384.40	101	120.33	49
106	Min.	20	95.73	33	-14988.10	100	-5011.43	99	213.95	101	2105.80	101	-463.97	33	-1998.00	98	-383.03	33
106	Min.	-77	95.73	33	-14988.10	100	-5011.43	99	213.95	101	2105.80	101	-463.97	33	-1998.00	98	-383.03	33
106	Min.	-235	95.73	33	-14988.10	100	-5011.43	99	213.95	101	2105.80	101	-463.97	33	-1998.00	98	-383.03	33
106	Min.	-237	95.73	33	-14988.10	100	-5011.43	99	213.95	101	2105.80	101	-463.97	33	-1998.00	98	-383.03	33
106	Max	-215	1140.57	100	6179.56	100	2196.47	100	198.47	98	4107.55	98	267.70	49	4625.75	49	141.11	98
106	Max	-203	1140.57	100	6179.56	100	2196.47	100	198.47	98	4107.55	98	267.70	49	4625.75	49	141.11	98
106	Max	-257	1140.57	100	6179.56	100	2196.47	100	198.47	98	4107.55	98	267.70	49	4625.75	49	141.11	98
106	Max	-259	1140.57	100	6179.56	100	2196.47	100	198.47	98	4107.55	98	267.70	49	4625.75	49	141.11	98
106	Min.	-215	564.86	49	548.35	49	1138.80	49	68.70	49	1435.86	49	-83.34	33	-4170.19	33	50.48	101
106	Min.	-203	564.86	49	548.35	49	1138.80	49	68.70	49	1435.86	49	-83.34	33	-4170.19	33	50.48	101
106	Min.	-257	564.86	49	548.35	49	1138.80	49	68.70	49	1435.86	49	-83.34	33	-4170.19	33	50.48	101
106	Min.	-259	564.86	49	548.35	49	1138.80	49	68.70	49	1435.86	49	-83.34	33	-4170.19	33	50.48	101
106	Max	-191	464.76	100	785.52	100	1469.58	100	328.51	98	4239.58	98	430.96	49	1783.92	49	398.11	98
106	Max	-179	464.76	100	785.52	100	1469.58	100	328.51	98	4239.58	98	430.96	49	1783.92	49	398.11	98
106	Max	-253	464.76	100	785.52	100	1469.58	100	328.51	98	4239.58	98	430.96	49	1783.92	49	398.11	98
106	Max	-255	464.76	100	785.52	100	1469.58	100	328.51	98	4239.58	98	430.96	49	1783.92	49	398.11	98
106	Min.	-191	34.63	49	-2641.38	103	667.08	49	121.59	49	1564.22	49	-459.08	33	-2595.51	33	103.77	33
106	Min.	-179	34.63	49	-2641.38	103	667.08	49	121.59	49	1564.22	49	-459.08	33	-2595.51	33	103.77	33
106	Min.	-253	34.63	49	-2641.38	103	667.08	49	121.59	49	1564.22	49	-459.08	33	-2595.51	33	103.77	33
106	Min.	-255	34.63	49	-2641.38	103	667.08	49	121.59	49	1564.22	49	-459.08	33	-2595.51	33	103.77	33
106	Max	-53	-246.53	49	-1043.94	103	-5949.48	104	398.01	98	4420.40	98	536.49	49	660.80	33	2.21	49
106	Max	-41	-246.53	49	-1043.94	103	-5949.48	104	398.01	98	4420.40	98	536.49	49	660.80	33	2.21	49
106	Max	-229	-246.53	49	-1043.94	103	-5949.48	104	398.01	98	4420.40	98	536.49	49	660.80	33	2.21	49
106	Max	-231	-246.53	49	-1043.94	103	-5949.48	104	398.01	98	4420.40	98	536.49	49	660.80	33	2.21	49
106	Min.	-53	-674.76	100	-4510.46	100	-9913.22	99	158.84	33	1829.81	33	-480.23	33	-1987.11	49	-451.19	33
106	Min.	-41	-674.76	100	-4510.46	100	-9913.22	99	158.84	33	1829.81	33	-480.23	33	-1987.11	49	-451.19	33
106	Min.	-229	-674.76	100	-4510.46	100	-9913.22	99	158.84	33	1829.81	33	-480.23	33	-1987.11	49	-451.19	33
106	Min.	-231	-674.76	100	-4510.46	100	-9913.22	99	158.84	33	1829.81	33	-480.23	33	-1987.11	49	-451.19	33
106	Max	-29	1304.54	99	1179.84	103	-2256.41	33	247.37	98	4068.75	98	255.56	49	3232.15	33	-105.11	101
106	Max	-17	1304.54	99	1179.84	103	-2256.41	33	247.37	98	4068.75	98	255.56	49	3232.15	33	-105.11	101
106	Max	-225	1304.54	99	1179.84	103	-2256.41	33	247.37	98	4068.75	98	255.56	49	3232.15	33	-105.11	101
106	Max	-227	1304.54	99	1179.84	103	-2256.41	33	247.37	98	4068.75	98	255.56	49	3232.15	33	-105.11	101
106	Min.	-29	627.04	33	-2794.31	100	-3723.74	99	88.47	33	1363.57	33	-381.19	33	-3352.62	49	-292.06	98
106	Min.	-17	627.04	33	-2794.31	100	-3723.74	99	88.47	33	1363.57	33	-381.19	33	-3352.62	49	-292.06	98
106	Min.	-225	627.04	33	-2794.31	100	-3723.74	99	88.47	33	1363.57	33	-381.19	33	-3352.62	49	-292.06	98
106	Min.	-227	627.04	33	-2794.31	100	-3723.74	99	88.47	33	1363.57	33	-381.19	33	-3352.62	49	-292.06	98
106	Max	-317	-563.97	104	-2415.06	104	-496.44	104	164.27	98	1296.07	98	888.63	49	-3973.31	101	372.91	98
106	Max	-315	-563.97	104	-2415.06	104	-496.44	104	164.27	98	1296.07	98	888.63	49	-3973.31	101	372.91	98
106	Max	-353	-563.97	104	-2415.06	104	-496.44	104	164.27	98	1296.07	98	888.63	49	-3973.31	101	372.91	98
106	Max	-355	-563.97	104	-2415.06	104	-496.44	104	164.27	98	1296.07	98	888.63	49	-3973.31	101	372.91	98
106	Min.	-317	-1062.42	99	-3799.32	99	-4945.77	99	77.73	101	610.08	101	-588.79	33	-7946.93	98	86.93	33
106	Min.	-315	-1062.42	99	-3799.32	99	-4945.77	99	77.73	101	610.08	101	-588.79	33	-7946.93	98	86.93	33
106	Min.	-353	-1062.42	99	-3799.32	99	-4945.77	99	77.73	101	610.08	101	-588.79	33	-7946.93	98	86.93	33
106	Min.	-355	-1062.42	99	-3799.32	99	-4945.77	99	77.73	101	610.08	101	-588.79	33	-7946.93	98	86.93	33
106	Max	-271	155.49	49	-4222.91	103	-2943.02	104	278.21	98	3019.08	98	662.52	49	-1977.55	33	-58.20	49
106	Max	-269	155.49	49	-4222.91	103	-2943.02	104	278.21	98	3019.08	98	662.52	49	-1977.55	33	-58.20	49
106	Max	-307	155.49	49	-4222.91	103	-2943.02	104	278.21	98	3019.08	98	662.52	49	-1977.55	33	-58.20	49
106	Max	-309	155.49	49	-4222.91	103	-2943.02	104	278.21	98	3019.08	98	662.52	49	-1977.55	33	-58.20	49
106	Min.	-271	-107.20	33	-7304.52	100	-5590.31	99	126.04	101	1367.59	101	-693.80	33	-4657.79	98	-487.59	33
106	Min.	-269	-107.20	33	-7304.52	100	-5590.31	99	126.04	101	1367.59	101	-693.80	33	-4657.79	98	-487.59	33
106	Min.	-307	-107.20	33	-7304.52	100	-5590.31	99	126.04	101	1367.59	101	-693.80	33	-4657.79	98	-487.59	33
106	Min.	-309	-107.20	33	-7304.52	100	-5590.31	99	126.04	101	1367.59	101	-693.80	33	-4657.79	98	-487.59	33
106	Max	-227	-179.22	49	1584.90	99	-847.86	33	52.93	98	3694.22	98	386.96	49	1210.99	33	-210.15	101
106	Max	-225	-179.22	49	1584.90	99	-847.86	33	52.93	98	3694.22	98	386.96	49	1210.99	33	-210.15	101
106	Max	-263	-179.22	49	1584.90	99	-847.86	33	52.93	98	3694.22	98	386.96	49	1210.99	33	-210.15	101
106	Max	-265	-179.22	49	1584.90	99	-847.86	33	52.93	98	3694.22	98	386.96	49	1210.99	33	-210.15	101
106	Min.	-227	-329.38	100	-1966.16	104	-1459.71	99	25.55	101	1630.44	33	-372.61	33	-4805.41	49	-515.55	98
106	Min.	-225	-329.38	100	-1966.16	104	-1459.71	99	25.55	101	1630.44	33	-372.61	33	-4805.41	49	-515.55	98
106	Min.	-263	-329.38	100	-1966.16	104	-1459.71	99	25.55	101	1630.44	33	-372.61	33	-4805.41	49	-515.55	98
106	Min.	-265	-329.38	100	-1966.16	104	-1459.71	99	25.55	101	1630.44	33	-372.61	33	-4805.41	49	-515.55	98
106	Max	-253	263.91	33	-2699.82	104	4983.58	100	293.97	98	3768.78	98	594.80	49	-780.20	49	744.04	49
106	Max	-251	263.91	33	-2699.82	104	4983.58	100	293.97	98	3768.78	98	594.80	49	-780.20	49	744.04	49
106	Max	-289	263.91	33	-2699.82	104	4983.58	100	293.97	98	3768.78	98	594.80	49	-780.20	49	744.04	49
106	Max	-291	263.91	33	-2699.82	104	4983.58	100	293.97	98	3768.78	98	594.80	49	-780.20	49	744.04	49
106	Min.	-253	-45.44	49	-6153.62	99	2756.70	103	131.63	49	1714.80	101	-619.96	33	-3274.21	98	56.63	33
106	Min.	-251	-45.44	49	-6153.62	99	2756.70	103	131.63	49	1714.80	101	-619.96	33	-3274.21	98	56.63	33
106	Min.	-289	-45.44	49	-6153.62	99	2756.70	103	131.63	49	1714.80	101	-619.96	33	-3274.21	98	56.63	33
106	Min.	-291	-45.44	49	-6153.62	99	2756.70	103	131.63	49	1714.80	101	-619.96	33	-3274.21	98	56.63	33
106	Max	-303	-116.38	103	-904.47	103	-1532.81	49	85.57	98	2016.69	98	483.78	49	-887.18	33	-72.29	49

106	Max	-301	-116.38	103	-904.47	103	-1532.81	49	85.57	98	2016.69	98	483.78	49	-887.18	33	-72.29	49
106	Max	-339	-116.38	103	-904.47	103	-1532.81	49	85.57	98	2016.69	98	483.78	49	-887.18	33	-72.29	49
106	Max	-341	-116.38	103	-904.47	103	-1532.81	49	85.57	98	2016.69	98	483.78	49	-887.18	33	-72.29	49
106	Min.	-303	-443.95	100	-4364.15	100	-2139.14	98	28.12	101	819.37	101	-376.21	33	-6531.17	49	-165.82	98
106	Min.	-301	-443.95	100	-4364.15	100	-2139.14	98	28.12	101	819.37	101	-376.21	33	-6531.17	49	-165.82	98
106	Min.	-339	-443.95	100	-4364.15	100	-2139.14	98	28.12	101	819.37	101	-376.21	33	-6531.17	49	-165.82	98
106	Min.	-341	-443.95	100	-4364.15	100	-2139.14	98	28.12	101	819.37	101	-376.21	33	-6531.17	49	-165.82	98
106	Max	-251	364.58	33	-4365.16	104	6392.89	100	353.24	98	3816.89	98	603.79	49	-1077.57	49	741.95	49
106	Max	-249	364.58	33	-4365.16	104	6392.89	100	353.24	98	3816.89	98	603.79	49	-1077.57	49	741.95	49
106	Max	-287	364.58	33	-4365.16	104	6392.89	100	353.24	98	3816.89	98	603.79	49	-1077.57	49	741.95	49
106	Max	-289	364.58	33	-4365.16	104	6392.89	100	353.24	98	3816.89	98	603.79	49	-1077.57	49	741.95	49
106	Min.	-251	6.14	49	-7908.24	99	3488.07	103	158.42	101	1744.65	101	-627.54	33	-3398.15	98	-33.34	33
106	Min.	-249	6.14	49	-7908.24	99	3488.07	103	158.42	101	1744.65	101	-627.54	33	-3398.15	98	-33.34	33
106	Min.	-287	6.14	49	-7908.24	99	3488.07	103	158.42	101	1744.65	101	-627.54	33	-3398.15	98	-33.34	33
106	Min.	-289	6.14	49	-7908.24	99	3488.07	103	158.42	101	1744.65	101	-627.54	33	-3398.15	98	-33.34	33
106	Max	-245	653.91	100	-8530.44	49	4963.43	100	393.34	98	3905.00	98	602.54	49	-1862.50	101	365.22	49
106	Max	-243	653.91	100	-8530.44	49	4963.43	100	393.34	98	3905.00	98	602.54	49	-1862.50	101	365.22	49
106	Max	-281	653.91	100	-8530.44	49	4963.43	100	393.34	98	3905.00	98	602.54	49	-1862.50	101	365.22	49
106	Max	-283	653.91	100	-8530.44	49	4963.43	100	393.34	98	3905.00	98	602.54	49	-1862.50	101	365.22	49
106	Min.	-245	138.66	49	-11899.50	99	1554.47	103	186.91	101	1823.45	101	-645.81	33	-4211.09	98	-424.50	33
106	Min.	-243	138.66	49	-11899.50	99	1554.47	103	186.91	101	1823.45	101	-645.81	33	-4211.09	98	-424.50	33
106	Min.	-281	138.66	49	-11899.50	99	1554.47	103	186.91	101	1823.45	101	-645.81	33	-4211.09	98	-424.50	33
106	Min.	-283	138.66	49	-11899.50	99	1554.47	103	186.91	101	1823.45	101	-645.81	33	-4211.09	98	-424.50	33
106	Max	-241	-344.27	103	-7923.10	33	377.93	104	392.13	98	3872.57	98	640.02	49	-2088.22	101	502.87	49
106	Max	-239	-344.27	103	-7923.10	33	377.93	104	392.13	98	3872.57	98	640.02	49	-2088.22	101	502.87	49
106	Max	-277	-344.27	103	-7923.10	33	377.93	104	392.13	98	3872.57	98	640.02	49	-2088.22	101	502.87	49
106	Max	-279	-344.27	103	-7923.10	33	377.93	104	392.13	98	3872.57	98	640.02	49	-2088.22	101	502.87	49
106	Min.	-241	-687.25	100	-11022.40	99	-3018.09	99	189.53	101	1823.20	101	-616.26	33	-4760.30	98	-341.52	33
106	Min.	-239	-687.25	100	-11022.40	99	-3018.09	99	189.53	101	1823.20	101	-616.26	33	-4760.30	98	-341.52	33
106	Min.	-277	-687.25	100	-11022.40	99	-3018.09	99	189.53	101	1823.20	101	-616.26	33	-4760.30	98	-341.52	33
106	Min.	-279	-687.25	100	-11022.40	99	-3018.09	99	189.53	101	1823.20	101	-616.26	33	-4760.30	98	-341.52	33
106	Max	-321	485.22	100	-6260.66	103	5476.12	100	181.28	98	2079.91	98	603.98	49	-3159.35	101	-110.25	101
106	Max	-319	485.22	100	-6260.66	103	5476.12	100	181.28	98	2079.91	98	603.98	49	-3159.35	101	-110.25	101
106	Max	-357	485.22	100	-6260.66	103	5476.12	100	181.28	98	2079.91	98	603.98	49	-3159.35	101	-110.25	101
106	Max	-359	485.22	100	-6260.66	103	5476.12	100	181.28	98	2079.91	98	603.98	49	-3159.35	101	-110.25	101
106	Min.	-321	253.16	49	-10023.20	100	2193.09	103	81.54	101	926.40	101	-776.27	33	-5993.93	98	-332.54	98
106	Min.	-319	253.16	49	-10023.20	100	2193.09	103	81.54	101	926.40	101	-776.27	33	-5993.93	98	-332.54	98
106	Min.	-357	253.16	49	-10023.20	100	2193.09	103	81.54	101	926.40	101	-776.27	33	-5993.93	98	-332.54	98
106	Min.	-359	253.16	49	-10023.20	100	2193.09	103	81.54	101	926.40	101	-776.27	33	-5993.93	98	-332.54	98
106	Max	-259	193.21	100	2043.85	100	554.30	100	8.06	49	3614.21	98	167.44	49	2657.51	49	254.09	98
106	Max	-257	193.21	100	2043.85	100	554.30	100	8.06	49	3614.21	98	167.44	49	2657.51	49	254.09	98
106	Max	-295	193.21	100	2043.85	100	554.30	100	8.06	49	3614.21	98	167.44	49	2657.51	49	254.09	98
106	Max	-297	193.21	100	2043.85	100	554.30	100	8.06	49	3614.21	98	167.44	49	2657.51	49	254.09	98
106	Min.	-259	114.47	49	-1695.20	103	364.56	49	-12.93	33	1587.06	49	-209.01	33	-6207.86	33	102.42	101
106	Min.	-257	114.47	49	-1695.20	103	364.56	49	-12.93	33	1587.06	49	-209.01	33	-6207.86	33	102.42	101
106	Min.	-295	114.47	49	-1695.20	103	364.56	49	-12.93	33	1587.06	49	-209.01	33	-6207.86	33	102.42	101
106	Min.	-297	114.47	49	-1695.20	103	364.56	49	-12.93	33	1587.06	49	-209.01	33	-6207.86	33	102.42	101
106	Max	-225	212.20	99	2016.79	99	-335.99	33	6.76	33	3619.80	98	199.93	49	2718.74	33	-97.35	101
106	Max	-223	212.20	99	2016.79	99	-335.99	33	6.76	33	3619.80	98	199.93	49	2718.74	33	-97.35	101
106	Max	-261	212.20	99	2016.79	99	-335.99	33	6.76	33	3619.80	98	199.93	49	2718.74	33	-97.35	101
106	Max	-263	212.20	99	2016.79	99	-335.99	33	6.76	33	3619.80	98	199.93	49	2718.74	33	-97.35	101
106	Min.	-225	122.43	33	-1716.91	104	-505.85	99	-15.33	49	1589.61	33	-156.90	33	-6261.61	49	-241.39	98
106	Min.	-223	122.43	33	-1716.91	104	-505.85	99	-15.33	49	1589.61	33	-156.90	33	-6261.61	49	-241.39	98
106	Min.	-261	122.43	33	-1716.91	104	-505.85	99	-15.33	49	1589.61	33	-156.90	33	-6261.61	49	-241.39	98
106	Min.	-263	122.43	33	-1716.91	104	-505.85	99	-15.33	49	1589.61	33	-156.90	33	-6261.61	49	-241.39	98
106	Max	-231	231.32	49	-2738.11	103	-2792.34	104	296.39	98	3779.14	98	619.87	49	-781.16	33	-57.04	49
106	Max	-229	231.32	49	-2738.11	103	-2792.34	104	296.39	98	3779.14	98	619.87	49	-781.16	33	-57.04	49
106	Max	-267	231.32	49	-2738.11	103	-2792.34	104	296.39	98	3779.14	98	619.87	49	-781.16	33	-57.04	49
106	Max	-269	231.32	49	-2738.11	103	-2792.34	104	296.39	98	3779.14	98	619.87	49	-781.16	33	-57.04	49
106	Min.	-231	-82.60	33	-6192.76	100	-5045.33	99	133.06	33	1721.78	101	-595.36	33	-3268.77	98	-747.39	33
106	Min.	-229	-82.60	33	-6192.76	100	-5045.33	99	133.06	33	1721.78	101	-595.36	33	-3268.77	98	-747.39	33
106	Min.	-267	-82.60	33	-6192.76	100	-5045.33	99	133.06	33	1721.78	101	-595.36	33	-3268.77	98	-747.39	33
106	Min.	-269	-82.60	33	-6192.76	100	-5045.33	99	133.06	33	1721.78	101	-595.36	33	-3268.77	98	-747.39	33
106	Max	-331	-213.97	33	-1716.74	104	3789.16	100	134.84	98	2015.88	98	591.81	49	-1805.11	49	196.19	98
106	Max	-329	-213.97	33	-1716.74	104	3789.16	100	134.84	98	2015.88	98	591.81	49	-1805.11	49	196.19	98
106	Max	-367	-213.97	33	-1716.74	104	3789.16	100	134.84	98	2015.88	98	591.81	49	-1805.11	49	196.19	98
106	Max	-369	-213.97	33	-1716.74	104	3789.16	100	134.84	98	2015.88	98	591.81	49	-1805.11	49	196.19	98
106	Min.	-331	-586.71	99	-4486.13	99	2292.50	103	50.98	101	817.07	101	-640.83	33	-5602.83	98	69.73	33
106	Min.	-329	-586.71	99	-4486.13	99	2292.50	103	50.98	101	817.07	101	-640.83	33	-5602.83	98	69.73	33
106	Min.	-367	-586.71	99	-4486.13	99	2292.50	103	50.98	101	817.07	101	-640.83	33	-5602.83	98	69.73	33
106	Min.	-369	-586.71	99	-4486.13	99	2292.50	103	50.98	101	817.07	101	-640.83	33	-5602.83	98	69.73	33
106	Max	-335	-173.28	104	-652.38	104	1318.80	99	63.05	98	1960.56	98	196.26	49	190.69	49	95.65	98
106	Max	-333	-173.28	104	-652.38	104	1318.80	99	63.05	98	1960.56	98	196.26	49	190.69	49	95.65	98
106	Max	-371	-173.28	104	-652.38	104	1318.80	99	63.05	98	1960.56	98	196.26	49	190.69	49	95.65	98
106	Max	-373	-173.28	104	-652.38	104	1318.80	99	63.05	98	1960.56	98	196.26	49	190.69	49	95.65	98
106	Min.	-335	-773.22	99	-4817.59	99	755.89	104	19.86	101	777.11	101	-226.74	33	-8446.66	33	47.25	33
106	Min.	-333	-773.22	99	-4817.59	99	755.89	104	19.86	101	777.11	101	-226.74	33	-8446.66	33	47.25	33
106	Min.	-371	-773.22	99	-4817.59	99	755.89	104	19.86	101	777.11	101	-226.74	33	-8446.66	33	47.25	33
106	Min.	-373	-773.22	99	-4817.59	99	755.89	104	19.86	101	777.11	101	-226.74	33	-8446.66	33	47.25	33
106	Max	-265	231.93	99	-107.56	103	-1441.64	33	21.80	49	2943.17	98	438.38	49	-84.02	33	-182.26	49
106	Max	-263	231.93	99	-107.56	103	-1441.64	33	21.80	49	2943.17	98	438.38	49	-84.02	33	-182.26	49
106	Max	-301	231.93	99	-107.56	103	-1441.64	33	21.80	49	2943.17	98	438.38	49	-84.02	33	-182.26	49
106	Max	-303	231.93	99	-107.56	103	-1441.64	33	21.80	49	2943.17	98	438.38	49	-84.02	33	-182.26	49
106	Min.	-265	43.00	33	-3731.49	100	-2070.97	99	1.70	33	1312.46	101	-384.09	33	-5833.04	49	-389.31	98
106	Min.	-263	43.00	33	-3731.49	100	-2070.97	99	1.70	33	1312.46	101	-384.09	33	-5833.04	49	-389.31	98
106	Min.	-301	43.00	33	-3731.49	100	-2070.97	99	1.70	33	1312.46	101	-384.09	33	-5833.04	49	-389.31	98
106	Min.	-303	43.00	33	-3731.49	100	-2070.97	99	1.70	33	1312.46	101	-384.09	33	-5833.04	49	-389.31	98
106	Max	-287	435.03	100	-5583.05	104	5808.72	100	308.59	98	3052.31	98	704.33	49	-2195.12	49	417.65	49
106	Max	-285	435.03	100	-5583.05	104	5808.72	100	308.59	98	3052.31	98	704.33	49	-2195.12	49	417.65	49
106	Max	-323	435.03	100	-5583.05	104	5808.72	100	308.59	98	3052.31	98	704.33	49	-2195.12	49	417.65	49
106	Max	-325	435.03	100	-5583.05	104	5808.72	100	308.59	98	3052.31	98	704.33	49	-2195.12	49	417.65	49
106	Min.	-287	140.41	49	-8589.00	99	2882.70	103	142.43	101	1391.91	101	-657.95	33	-4726.85	98	-25.05	33
106	Min.	-285	140.41	49	-8589.00	99	2882.70	103	142.43	101	1391.91	101	-657.95	33	-4726.85	98	-25.05	33
106	Min.	-323	140.41	49	-8589.00	99	2882.70	103	142.43	101	1391.91	101	-657.95	33	-4726.85	98	-25.05	33
106	Min.	-325	140.41	49	-8589.00	99	2882.70	103	142.43	101	1391.91	101	-657.95	33	-4726.85	98	-25.05	33
106	Max	-285	654.88	100	-6643.73	104	5533.19	100	296.98	98	3080.92	98	684.36	49	-2377.50	49	274.24	49
106	Max	-283	654.88	100	-6643.73	104	5533.19	100	296.98	98	3080.92	98	684.36	49	-2377.50	49	274.24	49
106	Max	-321	654.88	100	-6643.73	104	5533.19	100	296.98	98	3080.92	98	684.36	49	-2377.50	49	274.24	49
106	Max	-323	654.88	100	-6643.73	104	5533.19	100	296.98	98	3080.92	98	684.36	49	-2377.50	49	274.24	49
106	Min.	-285	332.58	49	-9440.15	99	2544.51	103	137.10	101	1419.59	101	-672.87	33	-4765.87	98	-142.56	33
106	Min.	-283	332.58	49	-9440.15	99	2544.51	103	137.10	101	1419.59	101	-672.87	33	-4765.87	98	-142.56	33
106	Min.	-321	332.58	49	-9440.15	99	2544.51	103	137.10	101	1419.59	101	-672.87	33	-4765.87	98	-142.56	33
106	Min.	-323	332.58	49	-9440.15	99	2544.51	103	137.10	101	1419.59	101	-672.87	33	-4765.87	98	-142.56	33
106	Max	-281	-389.60	104	-5073.87	49	3814.90	100	312.18	98	2700.74	98	649.84	49	-3139.16	101	15.79	49
106	Max	-279	-389.60	104	-5073.87	49	3814.90	100	312.18	98	2700.74	98	649.84	49	-3139.16	101	15.79	49

106	Max	-317	-389.60	104	-5073.87	49	3814.90	100	312.18	98	2700.74	98	649.84	49	-3139.16	101	15.79	49
106	Max	-319	-389.60	104	-5073.87	49	3814.90	100	312.18	98	2700.74	98	649.84	49	-3139.16	101	15.79	49
106	Min.	-281	-865.11	99	-7427.96	100	-56.26	103	151.80	101	1289.37	101	-746.41	33	-6499.63	98	-605.48	33
106	Min.	-279	-865.11	99	-7427.96	100	-56.26	103	151.80	101	1289.37	101	-746.41	33	-6499.63	98	-605.48	33
106	Min.	-317	-865.11	99	-7427.96	100	-56.26	103	151.80	101	1289.37	101	-746.41	33	-6499.63	98	-605.48	33
106	Min.	-319	-865.11	99	-7427.96	100	-56.26	103	151.80	101	1289.37	101	-746.41	33	-6499.63	98	-605.48	33
106	Max	-277	712.13	99	-7071.59	33	-1992.95	104	271.43	98	2981.41	98	728.19	49	-2630.82	101	505.35	98
106	Max	-275	712.13	99	-7071.59	33	-1992.95	104	271.43	98	2981.41	98	728.19	49	-2630.82	101	505.35	98
106	Max	-313	712.13	99	-7071.59	33	-1992.95	104	271.43	98	2981.41	98	728.19	49	-2630.82	101	505.35	98
106	Max	-315	712.13	99	-7071.59	33	-1992.95	104	271.43	98	2981.41	98	728.19	49	-2630.82	101	505.35	98
106	Min.	-277	160.73	33	-10327.50	99	-5476.92	99	130.61	101	1399.21	101	-634.24	33	-5300.64	98	60.21	33
106	Min.	-275	160.73	33	-10327.50	99	-5476.92	99	130.61	101	1399.21	101	-634.24	33	-5300.64	98	60.21	33
106	Min.	-313	160.73	33	-10327.50	99	-5476.92	99	130.61	101	1399.21	101	-634.24	33	-5300.64	98	60.21	33
106	Min.	-315	160.73	33	-10327.50	99	-5476.92	99	130.61	101	1399.21	101	-634.24	33	-5300.64	98	60.21	33
106	Max	-17	1067.47	99	6303.44	99	-1082.35	33	196.37	98	4117.58	98	75.04	49	4685.69	33	-47.90	101
106	Max	-5	1067.47	99	6303.44	99	-1082.35	33	196.37	98	4117.58	98	75.04	49	4685.69	33	-47.90	101
106	Max	-223	1067.47	99	6303.44	99	-1082.35	33	196.37	98	4117.58	98	75.04	49	4685.69	33	-47.90	101
106	Max	-225	1067.47	99	6303.44	99	-1082.35	33	196.37	98	4117.58	98	75.04	49	4685.69	33	-47.90	101
106	Min.	-17	527.09	33	602.75	33	-2117.34	99	68.09	33	1442.53	33	-261.35	33	-4198.26	49	-133.73	98
106	Min.	-5	527.09	33	602.75	33	-2117.34	99	68.09	33	1442.53	33	-261.35	33	-4198.26	49	-133.73	98
106	Min.	-223	527.09	33	602.75	33	-2117.34	99	68.09	33	1442.53	33	-261.35	33	-4198.26	49	-133.73	98
106	Min.	-225	527.09	33	602.75	33	-2117.34	99	68.09	33	1442.53	33	-261.35	33	-4198.26	49	-133.73	98
106	Max	-233	358.92	49	-4409.14	103	-3499.62	104	356.12	98	3827.55	98	627.20	49	-1074.25	33	31.60	49
106	Max	-231	358.92	49	-4409.14	103	-3499.62	104	356.12	98	3827.55	98	627.20	49	-1074.25	33	31.60	49
106	Max	-269	358.92	49	-4409.14	103	-3499.62	104	356.12	98	3827.55	98	627.20	49	-1074.25	33	31.60	49
106	Max	-271	358.92	49	-4409.14	103	-3499.62	104	356.12	98	3827.55	98	627.20	49	-1074.25	33	31.60	49
106	Min.	-233	-0.01	33	-7958.02	100	-6419.91	99	159.97	101	1751.94	101	-604.42	33	-3386.14	98	-745.33	33
106	Min.	-231	-0.01	33	-7958.02	100	-6419.91	99	159.97	101	1751.94	101	-604.42	33	-3386.14	98	-745.33	33
106	Min.	-269	-0.01	33	-7958.02	100	-6419.91	99	159.97	101	1751.94	101	-604.42	33	-3386.14	98	-745.33	33
106	Min.	-271	-0.01	33	-7958.02	100	-6419.91	99	159.97	101	1751.94	101	-604.42	33	-3386.14	98	-745.33	33
106	Max	-293	-100.20	33	-1160.96	104	3745.33	100	133.99	98	2963.77	98	580.10	49	-1075.89	49	474.69	98
106	Max	-291	-100.20	33	-1160.96	104	3745.33	100	133.99	98	2963.77	98	580.10	49	-1075.89	49	474.69	98
106	Max	-329	-100.20	33	-1160.96	104	3745.33	100	133.99	98	2963.77	98	580.10	49	-1075.89	49	474.69	98
106	Max	-331	-100.20	33	-1160.96	104	3745.33	100	133.99	98	2963.77	98	580.10	49	-1075.89	49	474.69	98
106	Min.	-293	-390.85	99	-4283.28	99	2289.48	103	57.94	101	1327.28	101	-612.11	33	-4664.96	33	171.16	33
106	Min.	-291	-390.85	99	-4283.28	99	2289.48	103	57.94	101	1327.28	101	-612.11	33	-4664.96	33	171.16	33
106	Min.	-329	-390.85	99	-4283.28	99	2289.48	103	57.94	101	1327.28	101	-612.11	33	-4664.96	33	171.16	33
106	Min.	-331	-390.85	99	-4283.28	99	2289.48	103	57.94	101	1327.28	101	-612.11	33	-4664.96	33	171.16	33
106	Max	-297	-64.43	104	747.64	104	777.01	100	6.56	33	2898.63	98	186.16	49	1188.53	49	208.63	98
106	Max	-295	-64.43	104	747.64	104	777.01	100	6.56	33	2898.63	98	186.16	49	1188.53	49	208.63	98
106	Max	-333	-64.43	104	747.64	104	777.01	100	6.56	33	2898.63	98	186.16	49	1188.53	49	208.63	98
106	Max	-335	-64.43	104	747.64	104	777.01	100	6.56	33	2898.63	98	186.16	49	1188.53	49	208.63	98
106	Min.	-297	-161.03	99	-2739.11	99	500.71	49	-2.53	49	1289.57	101	-213.40	33	-7574.58	33	101.19	101
106	Min.	-295	-161.03	99	-2739.11	99	500.71	49	-2.53	49	1289.57	101	-213.40	33	-7574.58	33	101.19	101
106	Min.	-333	-161.03	99	-2739.11	99	500.71	49	-2.53	49	1289.57	101	-213.40	33	-7574.58	33	101.19	101
106	Min.	-335	-161.03	99	-2739.11	99	500.71	49	-2.53	49	1289.57	101	-213.40	33	-7574.58	33	101.19	101
106	Max	-269	-75.85	49	-2930.17	103	-2928.16	104	235.40	98	2991.73	98	665.47	49	-1760.72	33	-115.63	49
106	Max	-267	-75.85	49	-2930.17	103	-2928.16	104	235.40	98	2991.73	98	665.47	49	-1760.72	33	-115.63	49
106	Max	-305	-75.85	49	-2930.17	103	-2928.16	104	235.40	98	2991.73	98	665.47	49	-1760.72	33	-115.63	49
106	Max	-307	-75.85	49	-2930.17	103	-2928.16	104	235.40	98	2991.73	98	665.47	49	-1760.72	33	-115.63	49
106	Min.	-269	-428.26	100	-5992.92	100	-5224.50	99	103.46	101	1348.54	101	-676.40	33	-4567.09	98	-491.36	33
106	Min.	-267	-428.26	100	-5992.92	100	-5224.50	99	103.46	101	1348.54	101	-676.40	33	-4567.09	98	-491.36	33
106	Min.	-305	-428.26	100	-5992.92	100	-5224.50	99	103.46	101	1348.54	101	-676.40	33	-4567.09	98	-491.36	33
106	Min.	-307	-428.26	100	-5992.92	100	-5224.50	99	103.46	101	1348.54	101	-676.40	33	-4567.09	98	-491.36	33
106	Max	-275	648.37	99	-6641.05	103	-2544.49	104	298.98	98	3099.63	98	671.94	49	-2348.39	33	135.13	49
106	Max	-273	648.37	99	-6641.05	103	-2544.49	104	298.98	98	3099.63	98	671.94	49	-2348.39	33	135.13	49
106	Max	-311	648.37	99	-6641.05	103	-2544.49	104	298.98	98	3099.63	98	671.94	49	-2348.39	33	135.13	49
106	Max	-313	648.37	99	-6641.05	103	-2544.49	104	298.98	98	3099.63	98	671.94	49	-2348.39	33	135.13	49
106	Min.	-275	327.63	33	-9436.75	100	-5533.57	99	138.57	101	1432.32	101	-685.41	33	-4723.00	98	-282.10	33
106	Min.	-273	327.63	33	-9436.75	100	-5533.57	99	138.57	101	1432.32	101	-685.41	33	-4723.00	98	-282.10	33
106	Min.	-311	327.63	33	-9436.75	100	-5533.57	99	138.57	101	1432.32	101	-685.41	33	-4723.00	98	-282.10	33
106	Min.	-313	327.63	33	-9436.75	100	-5533.57	99	138.57	101	1432.32	101	-685.41	33	-4723.00	98	-282.10	33
106	Max	-291	-41.17	33	-2914.86	104	5225.73	100	233.03	98	2980.97	98	675.32	49	-1759.10	49	485.34	49
106	Max	-289	-41.17	33	-2914.86	104	5225.73	100	233.03	98	2980.97	98	675.32	49	-1759.10	49	485.34	49
106	Max	-327	-41.17	33	-2914.86	104	5225.73	100	233.03	98	2980.97	98	675.32	49	-1759.10	49	485.34	49
106	Max	-329	-41.17	33	-2914.86	104	5225.73	100	233.03	98	2980.97	98	675.32	49	-1759.10	49	485.34	49
106	Min.	-291	-384.04	99	-5984.53	99	2935.30	103	101.98	101	1341.18	101	-666.05	33	-4569.64	98	111.50	33
106	Min.	-289	-384.04	99	-5984.53	99	2935.30	103	101.98	101	1341.18	101	-666.05	33	-4569.64	98	111.50	33
106	Min.	-327	-384.04	99	-5984.53	99	2935.30	103	101.98	101	1341.18	101	-666.05	33	-4569.64	98	111.50	33
106	Min.	-329	-384.04	99	-5984.53	99	2935.30	103	101.98	101	1341.18	101	-666.05	33	-4569.64	98	111.50	33
106	Max	-289	157.66	33	-4188.84	104	5583.35	100	275.04	98	3006.61	98	692.39	49	-1980.69	49	479.45	49
106	Max	-287	157.66	33	-4188.84	104	5583.35	100	275.04	98	3006.61	98	692.39	49	-1980.69	49	479.45	49
106	Max	-325	157.66	33	-4188.84	104	5583.35	100	275.04	98	3006.61	98	692.39	49	-1980.69	49	479.45	49
106	Max	-327	157.66	33	-4188.84	104	5583.35	100	275.04	98	3006.61	98	692.39	49	-1980.69	49	479.45	49
106	Min.	-289	-104.74	49	-7269.00	99	2944.32	103	124.03	101	1359.11	101	-663.60	33	-4667.50	98	51.35	33
106	Min.	-287	-104.74	49	-7269.00	99	2944.32	103	124.03	101	1359.11	101	-663.60	33	-4667.50	98	51.35	33
106	Min.	-325	-104.74	49	-7269.00	99	2944.32	103	124.03	101	1359.11	101	-663.60	33	-4667.50	98	51.35	33
106	Min.	-327	-104.74	49	-7269.00	99	2944.32	103	124.03	101	1359.11	101	-663.60	33	-4667.50	98	51.35	33
106	Max	-283	717.16	100	-7082.77	49	5474.29	100	269.72	98	2963.48	98	635.45	49	-2662.24	101	-52.09	49
106	Max	-281	717.16	100	-7082.77	49	5474.29	100	269.72	98	2963.48	98	635.45	49	-2662.24	101	-52.09	49
106	Max	-319	717.16	100	-7082.77	49	5474.29	100	269.72	98	2963.48	98	635.45	49	-2662.24	101	-52.09	49
106	Max	-321	717.16	100	-7082.77	49	5474.29	100	269.72	98	2963.48	98	635.45	49	-2662.24	101	-52.09	49
106	Min.	-283	165.24	49	-10339.40	100	1990.95	103	129.43	101	1387.05	101	-726.95	33	-5348.40	98	-492.69	98
106	Min.	-281	165.24	49	-10339.40	100	1990.95	103	129.43	101	1387.05	101	-726.95	33	-5348.40	98	-492.69	98
106	Min.	-319	165.24	49	-10339.40	100	1990.95	103	129.43	101	1387.05	101	-726.95	33	-5348.40	98	-492.69	98
106	Min.	-321	165.24	49	-10339.40	100	1990.95	103	129.43	101	1387.05	101	-726.95	33	-5348.40	98	-492.69	98
106	Max	-99	-451.80	103	-10485.10	103	-1204.88	104	487.29	98	4838.68	98	557.23	49	-549.29	101	196.71	49
106	Max	20	-451.80	103	-10485.10	103	-1204.88	104	487.29	98	4838.68	98	557.23	49	-549.29	101	196.71	49
106	Max	-237	-451.80	103	-10485.10	103	-1204.88	104	487.29	98	4838.68	98	557.23	49	-549.29	101	196.71	49
106	Max	-239	-451.80	103	-10485.10	103	-1204.88	104	487.29	98	4838.68	98	557.23	49	-549.29	101	196.71	49
106	Min.	-99	-956.18	100	-15319.90	100	-4539.78	99	220.60	101	2174.09	101	-517.00	33	-2285.91	98	-293.36	33
106	Min.	20	-956.18	100	-15319.90	100	-4539.78	99	220.60	101	2174.09	101	-517.00	33	-2285.91	98	-293.36	33
106	Min.	-237	-956.18	100	-15319.90	100	-4539.78	99	220.60	101	2174.09	101	-517.00	33	-2285.91	98	-293.36	33
106	Min.	-239	-956.18	100	-15319.90	100	-4539.78	99	220.60	101	2174.09	101	-517.00	33	-2285.91	98	-293.36	33
106	Max	-267	-106.73	49	-1177.96	103	-2287.67	104	134.40	98	2973.22	98	611.67	49	-1072.64	33	-174.04	49
106	Max	-265	-106.73	49	-1177.96	103	-2287.67	104	134.40	98	2973.22	98	611.67	49	-1072.64	33	-174.04	49
106	Max	-303	-106.73	49	-1177.96	103	-2287.67	104	134.40	98	2973.22	98	611.67	49	-1072.64	33	-174.04	49
106	Max	-305	-106.73	49	-1177.96	103	-2287.67	104	134.40	98	2973.22	98	611.67	49	-1072.64	33	-174.04	49
106	Min.	-267	-399.01	100	-4309.11	100	-3743.27	99	58.26	101	1333.74	101	-580.12	33	-4665.53	49	-478.87	98
106	Min.	-265	-399.01	100	-4309.11	100	-3743.27	99	58.26	101	1333.74	101	-580.12	33	-4665.53	49	-478.87	98
106	Min.	-303	-399.01	100	-4309.11	100	-3743.27	99	58.26	101	1333.74	101	-580.12	33	-4665.53	49	-478.87	98
106	Min.	-305	-399.01	100	-4309.11	100	-3743.27	99	58.26	101	1333.74	101	-580.12	33	-4665.53	49	-478.87	98
106	Max	-279	-397.41	103	-5049.23	33	89.57	104	313.14	98	2708.69	98	749.41	49	-3124.50	101	625.53	49
106	Max	-277	-397.41	103	-5049.23	33	89.57	104	313.14	98	2708.69	98	749.41	49	-3124.50	101	625.53	49
106	Max	-315	-397.41	103	-5049.23	33	89.57	104	313.14	98	2708.69	98	749.41	49	-3124.50	101	625.53	49

106	Max	-317	-397.41	103	-5049.23	33	89.57	104	313.14	98	2708.69	98	749.41	49	-3124.50	101	625.53	49
106	Min.	-279	-868.25	100	-7389.91	99	-3773.28	99	152.44	101	1294.74	101	-646.99	33	-6477.35	98	3.51	33
106	Min.	-277	-868.25	100	-7389.91	99	-3773.28	99	152.44	101	1294.74	101	-646.99	33	-6477.35	98	3.51	33
106	Min.	-315	-868.25	100	-7389.91	99	-3773.28	99	152.44	101	1294.74	101	-646.99	33	-6477.35	98	3.51	33
106	Min.	-317	-868.25	100	-7389.91	99	-3773.28	99	152.44	101	1294.74	101	-646.99	33	-6477.35	98	3.51	33
106	Max	-309	-179.26	49	-3818.65	103	-2800.55	104	200.40	98	2086.87	98	674.08	49	-2634.80	33	-41.21	49
106	Max	-307	-179.26	49	-3818.65	103	-2800.55	104	200.40	98	2086.87	98	674.08	49	-2634.80	33	-41.21	49
106	Max	-345	-179.26	49	-3818.65	103	-2800.55	104	200.40	98	2086.87	98	674.08	49	-2634.80	33	-41.21	49
106	Max	-347	-179.26	49	-3818.65	103	-2800.55	104	200.40	98	2086.87	98	674.08	49	-2634.80	33	-41.21	49
106	Min.	-309	-416.14	100	-6413.17	100	-5435.82	99	82.73	101	865.57	101	-728.81	33	-5607.99	98	-193.08	33
106	Min.	-307	-416.14	100	-6413.17	100	-5435.82	99	82.73	101	865.57	101	-728.81	33	-5607.99	98	-193.08	33
106	Min.	-345	-416.14	100	-6413.17	100	-5435.82	99	82.73	101	865.57	101	-728.81	33	-5607.99	98	-193.08	33
106	Min.	-347	-416.14	100	-6413.17	100	-5435.82	99	82.73	101	865.57	101	-728.81	33	-5607.99	98	-193.08	33
106	Max	-305	-218.51	49	-1731.31	103	-2289.99	104	135.51	98	2024.97	98	640.45	49	-1803.62	33	-71.19	49
106	Max	-303	-218.51	49	-1731.31	103	-2289.99	104	135.51	98	2024.97	98	640.45	49	-1803.62	33	-71.19	49
106	Max	-341	-218.51	49	-1731.31	103	-2289.99	104	135.51	98	2024.97	98	640.45	49	-1803.62	33	-71.19	49
106	Max	-343	-218.51	49	-1731.31	103	-2289.99	104	135.51	98	2024.97	98	640.45	49	-1803.62	33	-71.19	49
106	Min.	-305	-592.90	100	-4506.65	100	-3786.10	99	51.46	101	823.30	101	-591.79	33	-5604.46	98	-198.30	98
106	Min.	-303	-592.90	100	-4506.65	100	-3786.10	99	51.46	101	823.30	101	-591.79	33	-5604.46	98	-198.30	98
106	Min.	-341	-592.90	100	-4506.65	100	-3786.10	99	51.46	101	823.30	101	-591.79	33	-5604.46	98	-198.30	98
106	Min.	-343	-592.90	100	-4506.65	100	-3786.10	99	51.46	101	823.30	101	-591.79	33	-5604.46	98	-198.30	98
106	Max	-77	207.58	99	-8235.44	103	-3504.83	104	463.52	98	4576.65	98	595.07	49	-104.26	33	80.79	49
106	Max	-65	207.58	99	-8235.44	103	-3504.83	104	463.52	98	4576.65	98	595.07	49	-104.26	33	80.79	49
106	Max	-233	207.58	99	-8235.44	103	-3504.83	104	463.52	98	4576.65	98	595.07	49	-104.26	33	80.79	49
106	Max	-235	207.58	99	-8235.44	103	-3504.83	104	463.52	98	4576.65	98	595.07	49	-104.26	33	80.79	49
106	Min.	-77	-76.28	33	-13182.50	100	-6670.50	99	204.46	101	2058.29	101	-467.39	33	-1616.18	49	-428.27	33
106	Min.	-65	-76.28	33	-13182.50	100	-6670.50	99	204.46	101	2058.29	101	-467.39	33	-1616.18	49	-428.27	33
106	Min.	-233	-76.28	33	-13182.50	100	-6670.50	99	204.46	101	2058.29	101	-467.39	33	-1616.18	49	-428.27	33
106	Min.	-235	-76.28	33	-13182.50	100	-6670.50	99	204.46	101	2058.29	101	-467.39	33	-1616.18	49	-428.27	33
106	Max	-263	-49.20	103	749.11	103	-455.27	33	5.37	49	2906.37	98	201.74	49	1240.37	33	-97.30	101
106	Max	-261	-49.20	103	749.11	103	-455.27	33	5.37	49	2906.37	98	201.74	49	1240.37	33	-97.30	101
106	Max	-299	-49.20	103	749.11	103	-455.27	33	5.37	49	2906.37	98	201.74	49	1240.37	33	-97.30	101
106	Max	-301	-49.20	103	749.11	103	-455.27	33	5.37	49	2906.37	98	201.74	49	1240.37	33	-97.30	101
106	Min.	-263	-160.44	100	-2752.53	100	-713.92	99	-3.32	33	1295.16	101	-176.37	33	-7643.95	49	-199.97	98
106	Min.	-261	-160.44	100	-2752.53	100	-713.92	99	-3.32	33	1295.16	101	-176.37	33	-7643.95	49	-199.97	98
106	Min.	-299	-160.44	100	-2752.53	100	-713.92	99	-3.32	33	1295.16	101	-176.37	33	-7643.95	49	-199.97	98
106	Min.	-301	-160.44	100	-2752.53	100	-713.92	99	-3.32	33	1295.16	101	-176.37	33	-7643.95	49	-199.97	98
106	Max	-273	422.80	99	-5580.37	103	-2880.92	104	311.47	98	3067.66	98	656.28	49	-2177.13	33	14.51	49
106	Max	-271	422.80	99	-5580.37	103	-2880.92	104	311.47	98	3067.66	98	656.28	49	-2177.13	33	14.51	49
106	Max	-309	422.80	99	-5580.37	103	-2880.92	104	311.47	98	3067.66	98	656.28	49	-2177.13	33	14.51	49
106	Max	-311	422.80	99	-5580.37	103	-2880.92	104	311.47	98	3067.66	98	656.28	49	-2177.13	33	14.51	49
106	Min.	-273	132.35	33	-8587.39	100	-5807.75	99	144.43	101	1402.34	101	-706.05	33	-4700.52	98	-428.50	33
106	Min.	-271	132.35	33	-8587.39	100	-5807.75	99	144.43	101	1402.34	101	-706.05	33	-4700.52	98	-428.50	33
106	Min.	-309	132.35	33	-8587.39	100	-5807.75	99	144.43	101	1402.34	101	-706.05	33	-4700.52	98	-428.50	33
106	Min.	-311	132.35	33	-8587.39	100	-5807.75	99	144.43	101	1402.34	101	-706.05	33	-4700.52	98	-428.50	33
106	Max	-65	112.14	49	-5920.38	103	-3329.88	104	435.00	98	4462.18	98	573.38	49	298.95	33	48.59	49
106	Max	-53	112.14	49	-5920.38	103	-3329.88	104	435.00	98	4462.18	98	573.38	49	298.95	33	48.59	49
106	Max	-231	112.14	49	-5920.38	103	-3329.88	104	435.00	98	4462.18	98	573.38	49	298.95	33	48.59	49
106	Max	-233	112.14	49	-5920.38	103	-3329.88	104	435.00	98	4462.18	98	573.38	49	298.95	33	48.59	49
106	Min.	-65	-229.74	33	-10505.20	100	-6399.53	99	189.56	33	1983.07	101	-472.96	33	-1740.27	49	-450.82	33
106	Min.	-53	-229.74	33	-10505.20	100	-6399.53	99	189.56	33	1983.07	101	-472.96	33	-1740.27	49	-450.82	33
106	Min.	-231	-229.74	33	-10505.20	100	-6399.53	99	189.56	33	1983.07	101	-472.96	33	-1740.27	49	-450.82	33
106	Min.	-233	-229.74	33	-10505.20	100	-6399.53	99	189.56	33	1983.07	101	-472.96	33	-1740.27	49	-450.82	33
107	Max	-316	479.41	99	-6252.69	104	-2192.49	104	-83.41	102	-948.55	102	600.78	49	5928.92	97	-114.83	102
107	Max	-314	479.41	99	-6252.69	104	-2192.49	104	-83.41	102	-948.55	102	600.78	49	5928.92	97	-114.83	102
107	Max	-352	479.41	99	-6252.69	104	-2192.49	104	-83.41	102	-948.55	102	600.78	49	5928.92	97	-114.83	102
107	Max	-354	479.41	99	-6252.69	104	-2192.49	104	-83.41	102	-948.55	102	600.78	49	5928.92	97	-114.83	102
107	Min.	-316	247.64	49	-10014.30	99	-5475.05	99	-184.03	97	-2112.36	97	-779.75	33	3115.48	102	-339.22	97
107	Min.	-314	247.64	49	-10014.30	99	-5475.05	99	-184.03	97	-2112.36	97	-779.75	33	3115.48	102	-339.22	97
107	Min.	-352	247.64	49	-10014.30	99	-5475.05	99	-184.03	97	-2112.36	97	-779.75	33	3115.48	102	-339.22	97
107	Min.	-354	247.64	49	-10014.30	99	-5475.05	99	-184.03	97	-2112.36	97	-779.75	33	3115.48	102	-339.22	97
107	Max	-330	-152.30	49	-2873.98	104	5065.26	100	-70.67	102	-833.05	102	682.85	49	5541.68	97	-53.84	49
107	Max	-328	-152.30	49	-2873.98	104	5065.26	100	-70.67	102	-833.05	102	682.85	49	5541.68	97	-53.84	49
107	Max	-366	-152.30	49	-2873.98	104	5065.26	100	-70.67	102	-833.05	102	682.85	49	5541.68	97	-53.84	49
107	Max	-368	-152.30	49	-2873.98	104	5065.26	100	-70.67	102	-833.05	102	682.85	49	5541.68	97	-53.84	49
107	Min.	-330	-400.25	99	-5523.02	99	2778.38	103	-177.08	97	-2040.65	97	-702.23	33	2441.11	33	-192.11	33
107	Min.	-328	-400.25	99	-5523.02	99	2778.38	103	-177.08	97	-2040.65	97	-702.23	33	2441.11	33	-192.11	33
107	Min.	-366	-400.25	99	-5523.02	99	2778.38	103	-177.08	97	-2040.65	97	-702.23	33	2441.11	33	-192.11	33
107	Min.	-368	-400.25	99	-5523.02	99	2778.38	103	-177.08	97	-2040.65	97	-702.23	33	2441.11	33	-192.11	33
107	Max	-328	-174.15	49	-3791.29	104	5434.06	100	-81.23	102	-856.80	102	675.67	49	5612.99	97	-36.90	49
107	Max	-326	-174.15	49	-3791.29	104	5434.06	100	-81.23	102	-856.80	102	675.67	49	5612.99	97	-36.90	49
107	Max	-364	-174.15	49	-3791.29	104	5434.06	100	-81.23	102	-856.80	102	675.67	49	5612.99	97	-36.90	49
107	Max	-366	-174.15	49	-3791.29	104	5434.06	100	-81.23	102	-856.80	102	675.67	49	5612.99	97	-36.90	49
107	Min.	-328	-409.64	99	-6383.96	99	2804.91	103	-198.07	97	-2074.01	97	-726.77	33	2634.67	33	-188.38	33
107	Min.	-326	-409.64	99	-6383.96	99	2804.91	103	-198.07	97	-2074.01	97	-726.77	33	2634.67	33	-188.38	33
107	Min.	-364	-409.64	99	-6383.96	99	2804.91	103	-198.07	97	-2074.01	97	-726.77	33	2634.67	33	-188.38	33
107	Min.	-366	-409.64	99	-6383.96	99	2804.91	103	-198.07	97	-2074.01	97	-726.77	33	2634.67	33	-188.38	33
107	Max	-236	696.33	99	-6547.16	103	-3002.54	104	-177.49	102	-1789.61	102	606.34	49	3537.80	97	682.82	49
107	Max	-234	696.33	99	-6547.16	103	-3002.54	104	-177.49	102	-1789.61	102	606.34	49	3537.80	97	682.82	49
107	Max	-272	696.33	99	-6547.16	103	-3002.54	104	-177.49	102	-1789.61	102	606.34	49	3537.80	97	682.82	49
107	Max	-274	696.33	99	-6547.16	103	-3002.54	104	-177.49	102	-1789.61	102	606.34	49	3537.80	97	682.82	49
107	Min.	-236	243.78	49	-10332.70	100	-6044.09	99	-392.17	97	-3883.56	97	-633.91	33	1387.29	49	-117.70	33
107	Min.	-234	243.78	49	-10332.70	100	-6044.09	99	-392.17	97	-3883.56	97	-633.91	33	1387.29	49	-117.70	33
107	Min.	-272	243.78	49	-10332.70	100	-6044.09	99	-392.17	97	-3883.56	97	-633.91	33	1387.29	49	-117.70	33
107	Min.	-274	243.78	49	-10332.70	100	-6044.09	99	-392.17	97	-3883.56	97	-633.91	33	1387.29	49	-117.70	33
107	Max	-228	-178.25	33	1584.90	99	-848.84	49	-25.55	102	-1631.86	49	372.60	49	4805.57	33	515.55	97
107	Max	-226	-178.25	33	1584.90	99	-848.84	49	-25.55	102	-1631.86	49	372.60	49	4805.57	33	515.55	97
107	Max	-264	-178.25	33	1584.90	99	-848.84	49	-25.55	102	-1631.86	49	372.60	49	4805.57	33	515.55	97
107	Max	-266	-178.25	33	1584.90	99	-848.84	49	-25.55	102	-1631.86	49	372.60	49	4805.57	33	515.55	97
107	Min.	-228	-329.38	100	-1966.16	104	-1459.71	99	-52.93	97	-3694.23	97	-386.97	33	-1210.83	49	210.15	102
107	Min.	-226	-329.38	100	-1966.16	104	-1459.71	99	-52.93	97	-3694.23	97	-386.97	33	-1210.83	49	210.15	102
107	Min.	-264	-329.38	100	-1966.16	104	-1459.71	99	-52.93	97	-3694.23	97	-386.97	33	-1210.83	49	210.15	102
107	Min.	-266	-329.38	100	-1966.16	104	-1459.71	99	-52.93	97	-3694.23	97	-386.97	33	-1210.83	49	210.15	102
107	Max	-230	-58.07	33	-532.81	103	-2360.86	49	-85.66	49	-1697.54	102	535.28	49	3811.35	33	679.35	97
107	Max	-228	-58.07	33	-532.81	103	-2360.86	49	-85.66	49	-1697.54	102	535.28	49	3811.35	33	679.35	97
107	Max	-266	-58.07	33	-532.81	103	-2360.86	49	-85.66	49	-1697.54	102	535.28	49	3811.35	33	679.35	97
107	Max	-268	-58.07	33	-532.81	103	-2360.86	49	-85.66	49	-1697.54	102	535.28	49	3811.35	33	679.35	97
107	Min.	-230	-338.69	100	-3953.85	100	-3949.88	99	-181.75	97	-3734.78	97	-548.24	33	-53.33	49	207.26	33
107	Min.	-228	-338.69	100	-3953.85	100	-3949.88	99	-181.75	97	-3734.78	97	-548.24	33	-53.33	49	207.26	33
107	Min.	-266	-338.69	100	-3953.85	100	-3949.88	99	-181.75	97	-3734.78	97	-548.24	33	-53.33	49	207.26	33
107	Min.	-268	-338.69	100	-3953.85	100	-3949.88	99	-181.75	97	-3734.78	97	-548.24	33	-53.33	49	207.26	33
107	Max	-314	-181.58	33	-5825.98	101	-2429.79	104	-92.60	102	-986.52	102	768.49	49	5363.11	97	106.88	49
107	Max	-312	-181.58	33	-5825.98	101	-2429.79	104	-92.60	102	-986.52	102	768.49	49	5363.11	97	106.88	49
107	Max	-350	-181.58	33	-5825.98	101	-2429.79	104	-92.60	102	-986.52	102	768.49	49	5363.11	97	106.88	49
107	Max	-352	-181.58	33	-5825.98	101	-2429.79	104	-92.60	102	-986.52	102	768.49	49	5363.11	97	106.88	49

107	Min.	-314	-469.16	100	-8133.07	98	-5299.05	99	-212.27	97	-2272.02	97	-638.95	33	2773.82	49	-23.94	33
107	Min.	-312	-469.16	100	-8133.07	98	-5299.05	99	-212.27	97	-2272.02	97	-638.95	33	2773.82	49	-23.94	33
107	Min.	-350	-469.16	100	-8133.07	98	-5299.05	99	-212.27	97	-2272.02	97	-638.95	33	2773.82	49	-23.94	33
107	Min.	-352	-469.16	100	-8133.07	98	-5299.05	99	-212.27	97	-2272.02	97	-638.95	33	2773.82	49	-23.94	33
107	Max	-158	229.75	100	-8239.14	104	6649.94	100	-203.82	102	-2055.05	102	596.04	49	1628.80	49	80.41	49
107	Max	-146	229.75	100	-8239.14	104	6649.94	100	-203.82	102	-2055.05	102	596.04	49	1628.80	49	80.41	49
107	Max	-248	229.75	100	-8239.14	104	6649.94	100	-203.82	102	-2055.05	102	596.04	49	1628.80	49	80.41	49
107	Max	-250	229.75	100	-8239.14	104	6649.94	100	-203.82	102	-2055.05	102	596.04	49	1628.80	49	80.41	49
107	Min.	-158	-60.43	33	-13186.60	99	3490.98	103	-462.71	97	-4572.03	97	-466.42	33	117.77	33	-428.70	33
107	Min.	-146	-60.43	33	-13186.60	99	3490.98	103	-462.71	97	-4572.03	97	-466.42	33	117.77	33	-428.70	33
107	Min.	-248	-60.43	33	-13186.60	99	3490.98	103	-462.71	97	-4572.03	97	-466.42	33	117.77	33	-428.70	33
107	Min.	-250	-60.43	33	-13186.60	99	3490.98	103	-462.71	97	-4572.03	97	-466.42	33	117.77	33	-428.70	33
107	Max	-308	-182.45	33	-2895.43	103	-2777.81	104	-71.76	102	-840.21	102	703.73	49	5542.80	97	195.02	49
107	Max	-306	-182.45	33	-2895.43	103	-2777.81	104	-71.76	102	-840.21	102	703.73	49	5542.80	97	195.02	49
107	Max	-344	-182.45	33	-2895.43	103	-2777.81	104	-71.76	102	-840.21	102	703.73	49	5542.80	97	195.02	49
107	Max	-346	-182.45	33	-2895.43	103	-2777.81	104	-71.76	102	-840.21	102	703.73	49	5542.80	97	195.02	49
107	Min.	-308	-445.63	100	-5542.90	100	-5074.34	99	-178.83	97	-2051.07	97	-681.99	33	2445.30	49	56.24	33
107	Min.	-306	-445.63	100	-5542.90	100	-5074.34	99	-178.83	97	-2051.07	97	-681.99	33	2445.30	49	56.24	33
107	Min.	-344	-445.63	100	-5542.90	100	-5074.34	99	-178.83	97	-2051.07	97	-681.99	33	2445.30	49	56.24	33
107	Min.	-346	-445.63	100	-5542.90	100	-5074.34	99	-178.83	97	-2051.07	97	-681.99	33	2445.30	49	56.24	33
107	Max	-334	-99.43	104	-893.18	104	2172.08	97	-28.40	102	-813.79	102	492.45	49	6458.82	49	-72.17	49
107	Max	-332	-99.43	104	-893.18	104	2172.08	97	-28.40	102	-813.79	102	492.45	49	6458.82	49	-72.17	49
107	Max	-370	-99.43	104	-893.18	104	2172.08	97	-28.40	102	-813.79	102	492.45	49	6458.82	49	-72.17	49
107	Max	-372	-99.43	104	-893.18	104	2172.08	97	-28.40	102	-813.79	102	492.45	49	6458.82	49	-72.17	49
107	Min.	-334	-383.43	99	-4320.97	99	1557.21	102	-86.43	97	-2008.42	97	-383.06	33	929.57	33	-166.93	97
107	Min.	-332	-383.43	99	-4320.97	99	1557.21	102	-86.43	97	-2008.42	97	-383.06	33	929.57	33	-166.93	97
107	Min.	-370	-383.43	99	-4320.97	99	1557.21	102	-86.43	97	-2008.42	97	-383.06	33	929.57	33	-166.93	97
107	Min.	-372	-383.43	99	-4320.97	99	1557.21	102	-86.43	97	-2008.42	97	-383.06	33	929.57	33	-166.93	97
107	Max	-304	-116.38	103	-904.48	103	-1531.65	33	-28.12	102	-819.38	102	376.12	49	6531.23	33	165.82	97
107	Max	-302	-116.38	103	-904.48	103	-1531.65	33	-28.12	102	-819.38	102	376.12	49	6531.23	33	165.82	97
107	Max	-340	-116.38	103	-904.48	103	-1531.65	33	-28.12	102	-819.38	102	376.12	49	6531.23	33	165.82	97
107	Max	-342	-116.38	103	-904.48	103	-1531.65	33	-28.12	102	-819.38	102	376.12	49	6531.23	33	165.82	97
107	Min.	-304	-443.95	100	-4364.15	100	-2139.14	97	-85.57	97	-2016.69	97	-483.88	33	887.25	49	72.25	33
107	Min.	-302	-443.95	100	-4364.15	100	-2139.14	97	-85.57	97	-2016.69	97	-483.88	33	887.25	49	72.25	33
107	Min.	-340	-443.95	100	-4364.15	100	-2139.14	97	-85.57	97	-2016.69	97	-483.88	33	887.25	49	72.25	33
107	Min.	-342	-443.95	100	-4364.15	100	-2139.14	97	-85.57	97	-2016.69	97	-483.88	33	887.25	49	72.25	33
107	Max	-288	435.03	100	-5583.05	104	5808.71	100	-142.43	102	-1391.92	102	657.93	49	4726.85	97	24.90	49
107	Max	-286	435.03	100	-5583.05	104	5808.71	100	-142.43	102	-1391.92	102	657.93	49	4726.85	97	24.90	49
107	Max	-324	435.03	100	-5583.05	104	5808.71	100	-142.43	102	-1391.92	102	657.93	49	4726.85	97	24.90	49
107	Max	-326	435.03	100	-5583.05	104	5808.71	100	-142.43	102	-1391.92	102	657.93	49	4726.85	97	24.90	49
107	Min.	-288	140.00	33	-8589.00	99	2882.70	103	-308.59	97	-3052.31	97	-704.35	33	2194.66	33	-417.79	33
107	Min.	-286	140.00	33	-8589.00	99	2882.70	103	-308.59	97	-3052.31	97	-704.35	33	2194.66	33	-417.79	33
107	Min.	-324	140.00	33	-8589.00	99	2882.70	103	-308.59	97	-3052.31	97	-704.35	33	2194.66	33	-417.79	33
107	Min.	-326	140.00	33	-8589.00	99	2882.70	103	-308.59	97	-3052.31	97	-704.35	33	2194.66	33	-417.79	33
107	Max	-234	359.53	33	-4409.15	103	-3499.62	104	-159.97	102	-1751.95	102	604.42	49	3386.14	97	745.08	49
107	Max	-232	359.53	33	-4409.15	103	-3499.62	104	-159.97	102	-1751.95	102	604.42	49	3386.14	97	745.08	49
107	Max	-270	359.53	33	-4409.15	103	-3499.62	104	-159.97	102	-1751.95	102	604.42	49	3386.14	97	745.08	49
107	Max	-272	359.53	33	-4409.15	103	-3499.62	104	-159.97	102	-1751.95	102	604.42	49	3386.14	97	745.08	49
107	Min.	-234	0.60	49	-7958.02	100	-6419.91	99	-356.12	97	-3827.55	97	-627.20	33	1074.70	49	-31.84	33
107	Min.	-232	0.60	49	-7958.02	100	-6419.91	99	-356.12	97	-3827.55	97	-627.20	33	1074.70	49	-31.84	33
107	Min.	-270	0.60	49	-7958.02	100	-6419.91	99	-356.12	97	-3827.55	97	-627.20	33	1074.70	49	-31.84	33
107	Min.	-272	0.60	49	-7958.02	100	-6419.91	99	-356.12	97	-3827.55	97	-627.20	33	1074.70	49	-31.84	33
107	Max	-282	-389.60	104	-5071.24	33	3814.90	100	-151.80	102	-1289.37	102	746.40	49	6499.63	97	605.37	49
107	Max	-280	-389.60	104	-5071.24	33	3814.90	100	-151.80	102	-1289.37	102	746.40	49	6499.63	97	605.37	49
107	Max	-318	-389.60	104	-5071.24	33	3814.90	100	-151.80	102	-1289.37	102	746.40	49	6499.63	97	605.37	49
107	Max	-320	-389.60	104	-5071.24	33	3814.90	100	-151.80	102	-1289.37	102	746.40	49	6499.63	97	605.37	49
107	Min.	-282	-865.11	99	-7427.96	100	-56.26	103	-312.18	97	-2700.74	97	-649.86	33	3139.16	102	-15.89	33
107	Min.	-280	-865.11	99	-7427.96	100	-56.26	103	-312.18	97	-2700.74	97	-649.86	33	3139.16	102	-15.89	33
107	Min.	-318	-865.11	99	-7427.96	100	-56.26	103	-312.18	97	-2700.74	97	-649.86	33	3139.16	102	-15.89	33
107	Min.	-320	-865.11	99	-7427.96	100	-56.26	103	-312.18	97	-2700.74	97	-649.86	33	3139.16	102	-15.89	33
107	Max	-286	654.88	100	-6643.73	104	5533.19	100	-137.10	102	-1419.59	102	672.84	49	4765.87	97	142.38	49
107	Max	-284	654.88	100	-6643.73	104	5533.19	100	-137.10	102	-1419.59	102	672.84	49	4765.87	97	142.38	49
107	Max	-322	654.88	100	-6643.73	104	5533.19	100	-137.10	102	-1419.59	102	672.84	49	4765.87	97	142.38	49
107	Max	-324	654.88	100	-6643.73	104	5533.19	100	-137.10	102	-1419.59	102	672.84	49	4765.87	97	142.38	49
107	Min.	-286	331.83	33	-9440.15	99	2544.51	103	-296.98	97	-3080.92	97	-684.38	33	2376.93	33	-274.42	33
107	Min.	-284	331.83	33	-9440.15	99	2544.51	103	-296.98	97	-3080.92	97	-684.38	33	2376.93	33	-274.42	33
107	Min.	-322	331.83	33	-9440.15	99	2544.51	103	-296.98	97	-3080.92	97	-684.38	33	2376.93	33	-274.42	33
107	Min.	-324	331.83	33	-9440.15	99	2544.51	103	-296.98	97	-3080.92	97	-684.38	33	2376.93	33	-274.42	33
107	Max	-322	485.22	100	-6260.66	103	5476.12	100	-81.54	102	-926.40	102	776.20	49	5993.93	97	332.54	97
107	Max	-320	485.22	100	-6260.66	103	5476.12	100	-81.54	102	-926.40	102	776.20	49	5993.93	97	332.54	97
107	Max	-358	485.22	100	-6260.66	103	5476.12	100	-81.54	102	-926.40	102	776.20	49	5993.93	97	332.54	97
107	Max	-360	485.22	100	-6260.66	103	5476.12	100	-81.54	102	-926.40	102	776.20	49	5993.93	97	332.54	97
107	Min.	-322	252.60	33	-10023.20	100	2193.09	103	-181.28	97	-2079.92	97	-604.05	33	3159.35	102	110.25	102
107	Min.	-320	252.60	33	-10023.20	100	2193.09	103	-181.28	97	-2079.92	97	-604.05	33	3159.35	102	110.25	102
107	Min.	-358	252.60	33	-10023.20	100	2193.09	103	-181.28	97	-2079.92	97	-604.05	33	3159.35	102	110.25	102
107	Min.	-360	252.60	33	-10023.20	100	2193.09	103	-181.28	97	-2079.92	97	-604.05	33	3159.35	102	110.25	102
107	Max	-290	157.40	49	-4188.85	104	5583.35	100	-124.03	102	-1359.12	102	663.57	49	4667.50	97	-51.46	49
107	Max	-288	157.40	49	-4188.85	104	5583.35	100	-124.03	102	-1359.12	102	663.57	49	4667.50	97	-51.46	49
107	Max	-326	157.40	49	-4188.85	104	5583.35	100	-124.03	102	-1359.12	102	663.57	49	4667.50	97	-51.46	49
107	Max	-328	157.40	49	-4188.85	104	5583.35	100	-124.03	102	-1359.12	102	663.57	49	4667.50	97	-51.46	49
107	Min.	-290	-105.00	33	-7269.00	99	2944.32	103	-275.04	97	-3006.62	97	-692.42	33	1980.35	33	-479.57	33
107	Min.	-288	-105.00	33	-7269.00	99	2944.32	103	-275.04	97	-3006.62	97	-692.42	33	1980.35	33	-479.57	33
107	Min.	-326	-105.00	33	-7269.00	99	2944.32	103	-275.04	97	-3006.62	97	-692.42	33	1980.35	33	-479.57	33
107	Min.	-328	-105.00	33	-7269.00	99	2944.32	103	-275.04	97	-3006.62	97	-692.42	33	1980.35	33	-479.57	33
107	Max	-264	-49.20	103	749.11	103	-455.63	49	3.31	49	-1295.16	102	176.36	49	7644.22	33	199.97	97
107	Max	-262	-49.20	103	749.11	103	-455.63	49	3.31	49	-1295.16	102	176.36	49	7644.22	33	199.97	97
107	Max	-300	-49.20	103	749.11	103	-455.63	49	3.31	49	-1295.16	102	176.36	49	7644.22	33	199.97	97
107	Max	-302	-49.20	103	749.11	103	-455.63	49	3.31	49	-1295.16	102	176.36	49	7644.22	33	199.97	97
107	Min.	-264	-160.44	100	-2752.53	100	-713.92	99	-5.38	33	-2906.37	97	-201.75	33	-1240.10	49	97.30	102
107	Min.	-262	-160.44	100	-2752.53	100	-713.92	99	-5.38	33	-2906.37	97	-201.75	33	-1240.10	49	97.30	102
107	Min.	-300	-160.44	100	-2752.53	100	-713.92	99	-5.38	33	-2906.37	97	-201.75	33	-1240.10	49	97.30	102
107	Min.	-302	-160.44	100	-2752.53	100	-713.92	99	-5.38	33	-2906.37	97	-201.75	33	-1240.10	49	97.30	102
107	Max	-318	-563.97	104	-2415.06	104	-496.44	104	-77.73	102	-610.08	102	588.63	49	7946.93	97	-87.18	49
107	Max	-316	-563.97	104	-2415.06	104	-496.44	104	-77.73	102	-610.08	102	588.63	49	7946.93	97	-87.18	49
107	Max	-354	-563.97	104	-2415.06	104	-496.44	104	-77.73	102	-610.08	102	588.63	49	7946.93	97	-87.18	49
107	Max	-356	-563.97	104	-2415.06	104	-496.44	104	-77.73	102	-610.08	102	588.63	49	7946.93	97	-87.18	49
107	Min.	-318	-1062.42	99	-3799.32	99	-4945.77	99	-164.27	97	-1296.08	97	-888.78	33	3973.31	102	-372.91	97
107	Min.	-316	-1062.42	99	-3799.32	99	-4945.77	99	-164.27	97	-1296.08	97	-888.78	33	3973.31	102	-372.91	97
107	Min.	-354	-1062.42	99	-3799.32	99	-4945.77	99	-164.27	97	-1296.08	97	-888.78	33	3973.31	102	-372.91	97
107	Min.	-356	-1062.42	99	-3799.32	99	-4945.77	99	-164.27	97	-1296.08	97	-888.78	33	3973.31	102	-372.91	97
107	Max	-326	-119.62	49	-4917.46	104	5515.19	100	-92.14	102	-884.65	102	673.72	49	5625.72	97	-15.21	49
107	Max	-324	-119.62	49	-4917.46	104	5515.19	100	-92.14	102	-884.65	102	673.72	49	5625.72	97	-15.21	49
107	Max	-362	-119.62	49	-4917.46	104	5515.19	100	-92.14	102	-884.65	102	673.72	49	5625.72	97	-15.21	49
107	Max	-364	-119.62	49	-4917.46	104	5515.19	100	-92.14	102	-884.65	102	673.72	49	5625.72	97	-15.21	49
107	Min.	-326	-306.96	99	-7451.09	99	2656.88	103	-217.03	97	-2111.89	97	-738.04	33	2800.65	33	-166.58	33

107	Min.	-324	-306.96	99	-7451.09	99	2656.88	103	-217.03	97	-2111.89	97	-738.04	33	2800.65	33	-166.58	33
107	Min.	-362	-306.96	99	-7451.09	99	2656.88	103	-217.03	97	-2111.89	97	-738.04	33	2800.65	33	-166.58	33
107	Min.	-364	-306.96	99	-7451.09	99	2656.88	103	-217.03	97	-2111.89	97	-738.04	33	2800.65	33	-166.58	33
107	Max	-256	-50.41	49	-522.37	104	3968.63	100	-85.35	33	-1691.55	102	548.59	49	3812.42	49	-205.25	49
107	Max	-254	-50.41	49	-522.37	104	3968.63	100	-85.35	33	-1691.55	102	548.59	49	3812.42	49	-205.25	49
107	Max	-292	-50.41	49	-522.37	104	3968.63	100	-85.35	33	-1691.55	102	548.59	49	3812.42	49	-205.25	49
107	Max	-294	-50.41	49	-522.37	104	3968.63	100	-85.35	33	-1691.55	102	548.59	49	3812.42	49	-205.25	49
107	Min.	-256	-325.83	99	-3938.42	99	2371.88	33	-181.51	97	-3725.85	97	-535.39	33	-48.60	33	-676.61	97
107	Min.	-254	-325.83	99	-3938.42	99	2371.88	33	-181.51	97	-3725.85	97	-535.39	33	-48.60	33	-676.61	97
107	Min.	-292	-325.83	99	-3938.42	99	2371.88	33	-181.51	97	-3725.85	97	-535.39	33	-48.60	33	-676.61	97
107	Min.	-294	-325.83	99	-3938.42	99	2371.88	33	-181.51	97	-3725.85	97	-535.39	33	-48.60	33	-676.61	97
107	Max	-260	193.21	100	2043.85	100	554.30	100	12.93	49	-1586.12	33	209.00	49	6207.76	49	-102.42	102
107	Max	-258	193.21	100	2043.85	100	554.30	100	12.93	49	-1586.12	33	209.00	49	6207.76	49	-102.42	102
107	Max	-296	193.21	100	2043.85	100	554.30	100	12.93	49	-1586.12	33	209.00	49	6207.76	49	-102.42	102
107	Max	-298	193.21	100	2043.85	100	554.30	100	12.93	49	-1586.12	33	209.00	49	6207.76	49	-102.42	102
107	Min.	-260	114.40	33	-1695.19	103	364.44	33	-8.06	33	-3614.22	97	-167.44	33	-2657.61	33	-254.09	97
107	Min.	-258	114.40	33	-1695.19	103	364.44	33	-8.06	33	-3614.22	97	-167.44	33	-2657.61	33	-254.09	97
107	Min.	-296	114.40	33	-1695.19	103	364.44	33	-8.06	33	-3614.22	97	-167.44	33	-2657.61	33	-254.09	97
107	Min.	-298	114.40	33	-1695.19	103	364.44	33	-8.06	33	-3614.22	97	-167.44	33	-2657.61	33	-254.09	97
107	Max	-272	156.03	33	-4222.91	103	-2943.02	104	-126.04	102	-1367.59	102	693.73	49	4657.79	97	487.25	49
107	Max	-270	156.03	33	-4222.91	103	-2943.02	104	-126.04	102	-1367.59	102	693.73	49	4657.79	97	487.25	49
107	Max	-308	156.03	33	-4222.91	103	-2943.02	104	-126.04	102	-1367.59	102	693.73	49	4657.79	97	487.25	49
107	Max	-310	156.03	33	-4222.91	103	-2943.02	104	-126.04	102	-1367.59	102	693.73	49	4657.79	97	487.25	49
107	Min.	-272	-106.66	49	-7304.52	100	-5590.30	99	-278.21	97	-3019.08	97	-662.59	33	1977.86	49	57.86	33
107	Min.	-270	-106.66	49	-7304.52	100	-5590.30	99	-278.21	97	-3019.08	97	-662.59	33	1977.86	49	57.86	33
107	Min.	-308	-106.66	49	-7304.52	100	-5590.30	99	-278.21	97	-3019.08	97	-662.59	33	1977.86	49	57.86	33
107	Min.	-310	-106.66	49	-7304.52	100	-5590.30	99	-278.21	97	-3019.08	97	-662.59	33	1977.86	49	57.86	33
107	Max	-312	-125.06	33	-4916.47	103	-2654.19	104	-93.97	102	-896.68	102	740.87	49	5602.04	97	173.41	49
107	Max	-310	-125.06	33	-4916.47	103	-2654.19	104	-93.97	102	-896.68	102	740.87	49	5602.04	97	173.41	49
107	Max	-348	-125.06	33	-4916.47	103	-2654.19	104	-93.97	102	-896.68	102	740.87	49	5602.04	97	173.41	49
107	Max	-350	-125.06	33	-4916.47	103	-2654.19	104	-93.97	102	-896.68	102	740.87	49	5602.04	97	173.41	49
107	Min.	-312	-314.89	100	-7450.04	100	-5511.89	99	-219.72	97	-2129.71	97	-670.99	33	2785.35	49	21.84	33
107	Min.	-310	-314.89	100	-7450.04	100	-5511.89	99	-219.72	97	-2129.71	97	-670.99	33	2785.35	49	21.84	33
107	Min.	-348	-314.89	100	-7450.04	100	-5511.89	99	-219.72	97	-2129.71	97	-670.99	33	2785.35	49	21.84	33
107	Min.	-350	-314.89	100	-7450.04	100	-5511.89	99	-219.72	97	-2129.71	97	-670.99	33	2785.35	49	21.84	33
107	Max	-182	-248.61	49	-946.69	104	10048.50	100	-157.65	33	-1821.37	33	535.97	49	1998.55	49	1.08	49
107	Max	-170	-248.61	49	-946.69	104	10048.50	100	-157.65	33	-1821.37	33	535.97	49	1998.55	49	1.08	49
107	Max	-252	-248.61	49	-946.69	104	10048.50	100	-157.65	33	-1821.37	33	535.97	49	1998.55	49	1.08	49
107	Max	-254	-248.61	49	-946.69	104	10048.50	100	-157.65	33	-1821.37	33	535.97	49	1998.55	49	1.08	49
107	Min.	-182	-664.92	99	-4396.48	99	6054.86	103	-396.40	97	-4412.35	97	-479.79	33	-663.26	33	-450.82	33
107	Min.	-170	-664.92	99	-4396.48	99	6054.86	103	-396.40	97	-4412.35	97	-479.79	33	-663.26	33	-450.82	33
107	Min.	-252	-664.92	99	-4396.48	99	6054.86	103	-396.40	97	-4412.35	97	-479.79	33	-663.26	33	-450.82	33
107	Min.	-254	-664.92	99	-4396.48	99	6054.86	103	-396.40	97	-4412.35	97	-479.79	33	-663.26	33	-450.82	33
107	Max	-320	-548.75	103	-2461.54	103	5016.49	100	-76.93	102	-601.32	102	885.23	49	7973.75	97	359.03	97
107	Max	-318	-548.75	103	-2461.54	103	5016.49	100	-76.93	102	-601.32	102	885.23	49	7973.75	97	359.03	97
107	Max	-356	-548.75	103	-2461.54	103	5016.49	100	-76.93	102	-601.32	102	885.23	49	7973.75	97	359.03	97
107	Max	-358	-548.75	103	-2461.54	103	5016.49	100	-76.93	102	-601.32	102	885.23	49	7973.75	97	359.03	97
107	Min.	-320	-1046.41	100	-3891.40	100	542.55	103	-163.17	97	-1283.77	97	-592.50	33	3992.03	102	76.98	33
107	Min.	-318	-1046.41	100	-3891.40	100	542.55	103	-163.17	97	-1283.77	97	-592.50	33	3992.03	102	76.98	33
107	Min.	-356	-1046.41	100	-3891.40	100	542.55	103	-163.17	97	-1283.77	97	-592.50	33	3992.03	102	76.98	33
107	Min.	-358	-1046.41	100	-3891.40	100	542.55	103	-163.17	97	-1283.77	97	-592.50	33	3992.03	102	76.98	33
107	Max	-102	-451.80	103	-10485.10	103	-1204.88	104	-220.60	102	-2174.09	102	516.93	49	2285.91	97	293.18	49
107	Max	21	-451.80	103	-10485.10	103	-1204.88	104	-220.60	102	-2174.09	102	516.93	49	2285.91	97	293.18	49
107	Max	-238	-451.80	103	-10485.10	103	-1204.88	104	-220.60	102	-2174.09	102	516.93	49	2285.91	97	293.18	49
107	Max	-240	-451.80	103	-10485.10	103	-1204.88	104	-220.60	102	-2174.09	102	516.93	49	2285.91	97	293.18	49
107	Min.	-102	-956.18	100	-15319.90	100	-4539.78	99	-487.29	97	-4838.68	97	-557.30	33	549.30	102	-196.89	33
107	Min.	21	-956.18	100	-15319.90	100	-4539.78	99	-487.29	97	-4838.68	97	-557.30	33	549.30	102	-196.89	33
107	Min.	-238	-956.18	100	-15319.90	100	-4539.78	99	-487.29	97	-4838.68	97	-557.30	33	549.30	102	-196.89	33
107	Min.	-240	-956.18	100	-15319.90	100	-4539.78	99	-487.29	97	-4838.68	97	-557.30	33	549.30	102	-196.89	33
107	Max	-232	232.60	33	-2738.11	103	-2792.34	104	-133.17	49	-1721.78	102	595.35	49	3268.77	97	747.25	49
107	Max	-230	232.60	33	-2738.11	103	-2792.34	104	-133.17	49	-1721.78	102	595.35	49	3268.77	97	747.25	49
107	Max	-268	232.60	33	-2738.11	103	-2792.34	104	-133.17	49	-1721.78	102	595.35	49	3268.77	97	747.25	49
107	Max	-270	232.60	33	-2738.11	103	-2792.34	104	-133.17	49	-1721.78	102	595.35	49	3268.77	97	747.25	49
107	Min.	-232	-81.31	49	-6192.76	100	-5045.33	99	-296.39	97	-3779.14	97	-619.87	33	781.51	49	56.90	33
107	Min.	-230	-81.31	49	-6192.76	100	-5045.33	99	-296.39	97	-3779.14	97	-619.87	33	781.51	49	56.90	33
107	Min.	-268	-81.31	49	-6192.76	100	-5045.33	99	-296.39	97	-3779.14	97	-619.87	33	781.51	49	56.90	33
107	Min.	-270	-81.31	49	-6192.76	100	-5045.33	99	-296.39	97	-3779.14	97	-619.87	33	781.51	49	56.90	33
107	Max	-32	1304.54	99	1179.83	103	-2257.63	49	-88.56	49	-1365.03	49	381.11	49	3352.77	33	292.06	97
107	Max	-20	1304.54	99	1179.83	103	-2257.63	49	-88.56	49	-1365.03	49	381.11	49	3352.77	33	292.06	97
107	Max	-226	1304.54	99	1179.83	103	-2257.63	49	-88.56	49	-1365.03	49	381.11	49	3352.77	33	292.06	97
107	Max	-228	1304.54	99	1179.83	103	-2257.63	49	-88.56	49	-1365.03	49	381.11	49	3352.77	33	292.06	97
107	Min.	-32	627.35	49	-2794.30	100	-3723.74	99	-247.37	97	-4068.76	97	-255.64	33	-3232.00	49	105.11	102
107	Min.	-20	627.35	49	-2794.30	100	-3723.74	99	-247.37	97	-4068.76	97	-255.64	33	-3232.00	49	105.11	102
107	Min.	-226	627.35	49	-2794.30	100	-3723.74	99	-247.37	97	-4068.76	97	-255.64	33	-3232.00	49	105.11	102
107	Min.	-228	627.35	49	-2794.30	100	-3723.74	99	-247.37	97	-4068.76	97	-255.64	33	-3232.00	49	105.11	102
107	Max	-280	-397.41	103	-5052.05	49	89.57	104	-152.44	102	-1294.74	102	646.92	49	6477.36	97	-3.96	49
107	Max	-278	-397.41	103	-5052.05	49	89.57	104	-152.44	102	-1294.74	102	646.92	49	6477.36	97	-3.96	49
107	Max	-316	-397.41	103	-5052.05	49	89.57	104	-152.44	102	-1294.74	102	646.92	49	6477.36	97	-3.96	49
107	Max	-318	-397.41	103	-5052.05	49	89.57	104	-152.44	102	-1294.74	102	646.92	49	6477.36	97	-3.96	49
107	Min.	-280	-868.25	100	-7389.91	99	-3773.28	99	-313.14	97	-2708.69	97	-749.48	33	3124.50	102	-625.98	33
107	Min.	-278	-868.25	100	-7389.91	99	-3773.28	99	-313.14	97	-2708.69	97	-749.48	33	3124.50	102	-625.98	33
107	Min.	-316	-868.25	100	-7389.91	99	-3773.28	99	-313.14	97	-2708.69	97	-749.48	33	3124.50	102	-625.98	33
107	Min.	-318	-868.25	100	-7389.91	99	-3773.28	99	-313.14	97	-2708.69	97	-749.48	33	3124.50	102	-625.98	33
107	Max	-146	358.38	100	-9649.38	104	5009.37	100	-213.26	102	-2103.29	102	601.28	49	2020.73	97	119.07	49
107	Max	25	358.38	100	-9649.38	104	5009.37	100	-213.26	102	-2103.29	102	601.28	49	2020.73	97	119.07	49
107	Max	-246	358.38	100	-9649.38	104	5009.37	100	-213.26	102	-2103.29	102	601.28	49	2020.73	97	119.07	49
107	Max	-248	358.38	100	-9649.38	104	5009.37	100	-213.26	102	-2103.29	102	601.28	49	2020.73	97	119.07	49
107	Min.	-146	101.23	33	-14973.30	99	2080.80	103	-473.93	97	-4748.18	97	-463.04	33	399.29	102	-384.20	33
107	Min.	25	101.23	33	-14973.30	99	2080.80	103	-473.93	97	-4748.18	97	-463.04	33	399.29	102	-384.20	33
107	Min.	-246	101.23	33	-14973.30	99	2080.80	103	-473.93	97	-4748.18	97	-463.04	33	399.29	102	-384.20	33
107	Min.	-248	101.23	33	-14973.30	99	2080.80	103	-473.93	97	-4748.18	97	-463.04	33	399.29	102	-384.20	33
107	Max	-292	-41.73	49	-2914.86	104	5225.73	100	-101.98	102	-1341.18	102	666.02	49	4569.64	97	-111.57	49
107	Max	-290	-41.73	49	-2914.86	104	5225.73	100	-101.98	102	-1341.18	102	666.02	49	4569.64	97	-111.57	49
107	Max	-328	-41.73	49	-2914.86	104	5225.73	100	-101.98	102	-1341.18	102	666.02	49	4569.64	97	-111.57	49
107	Max	-330	-41.73	49	-2914.86	104	5225.73	100	-101.98	102	-1341.18	102	666.02	49	4569.64	97	-111.57	49
107	Min.	-292	-384.04	99	-5984.53	99	2935.30	103	-233.03	97	-2980.97	97	-675.35	33	1758.88	33	-485.41	33
107	Min.	-290	-384.04	99	-5984.53	99	2935.30	103	-233.03	97	-2980.97	97	-675.35	33	1758.88	33	-485.41	33
107	Min.	-328	-384.04	99	-5984.53	99	2935.30	103	-233.03	97	-2980.97	97	-675.35	33	1758.88	33	-485.41	33
107	Min.	-330	-384.04	99	-5984.53	99	2935.30	103	-233.03	97	-2980.97	97	-675.35	33	1758.88	33	-485.41	33
107	Max	-336	-173.28	104	-652.39	104	1318.80	99	-19.86	102	-777.11	102	226.72	49	8446.31	49	-47.29	49
107	Max	-334	-173.28	104	-652.39	104	1318.80	99	-19.86	102	-777.11	102	226.72	49	8446.31	49	-47.29	49
107	Max	-372	-173.28	104	-652.39	104	1318.80	99	-19.86	102	-777.11	102	226.72	49	8446.31	49	-47.29	49
107	Max	-374	-173.28	104	-652.39	104	1318.80	99	-19.86	102	-777.11	102	226.72	49	8446.31	49	-47.29	49
107	Min.	-336	-773.22	99	-4817.59	99	755.89	104	-63.05	97	-1960.57	97	-196.27	33	-191.03	33	-95.65	97
107	Min.	-334	-773.22	99	-4817.59	99	755.89	104	-63.05	97	-1960.57	97	-196.27	33	-191.03	33	-95.65	97

107	Min.	-372	-773.22	99	-4817.59	99	755.89	104	-63.05	97	-1960.57	97	-196.27	33	-191.03	33	-95.65	97
107	Min.	-374	-773.22	99	-4817.59	99	755.89	104	-63.05	97	-1960.57	97	-196.27	33	-191.03	33	-95.65	97
107	Max	-270	-74.56	33	-2930.17	103	-2928.16	104	-103.46	102	-1348.54	102	676.34	49	4567.09	97	491.12	49
107	Max	-268	-74.56	33	-2930.17	103	-2928.16	104	-103.46	102	-1348.54	102	676.34	49	4567.09	97	491.12	49
107	Max	-306	-74.56	33	-2930.17	103	-2928.16	104	-103.46	102	-1348.54	102	676.34	49	4567.09	97	491.12	49
107	Max	-308	-74.56	33	-2930.17	103	-2928.16	104	-103.46	102	-1348.54	102	676.34	49	4567.09	97	491.12	49
107	Min.	-270	-428.25	100	-5992.92	100	-5224.50	99	-235.40	97	-2991.74	97	-665.54	33	1760.90	49	115.39	33
107	Min.	-268	-428.25	100	-5992.92	100	-5224.50	99	-235.40	97	-2991.74	97	-665.54	33	1760.90	49	115.39	33
107	Min.	-306	-428.25	100	-5992.92	100	-5224.50	99	-235.40	97	-2991.74	97	-665.54	33	1760.90	49	115.39	33
107	Min.	-308	-428.25	100	-5992.92	100	-5224.50	99	-235.40	97	-2991.74	97	-665.54	33	1760.90	49	115.39	33
107	Max	-242	-344.27	103	-7927.91	49	377.93	104	-189.53	102	-1823.20	102	616.25	49	4760.31	97	341.19	49
107	Max	-240	-344.27	103	-7927.91	49	377.93	104	-189.53	102	-1823.20	102	616.25	49	4760.31	97	341.19	49
107	Max	-278	-344.27	103	-7927.91	49	377.93	104	-189.53	102	-1823.20	102	616.25	49	4760.31	97	341.19	49
107	Max	-280	-344.27	103	-7927.91	49	377.93	104	-189.53	102	-1823.20	102	616.25	49	4760.31	97	341.19	49
107	Min.	-242	-687.25	100	-11022.40	99	-3018.09	99	-392.13	97	-3872.57	97	-640.02	33	2088.22	102	-503.21	33
107	Min.	-240	-687.25	100	-11022.40	99	-3018.09	99	-392.13	97	-3872.57	97	-640.02	33	2088.22	102	-503.21	33
107	Min.	-278	-687.25	100	-11022.40	99	-3018.09	99	-392.13	97	-3872.57	97	-640.02	33	2088.22	102	-503.21	33
107	Min.	-280	-687.25	100	-11022.40	99	-3018.09	99	-392.13	97	-3872.57	97	-640.02	33	2088.22	102	-503.21	33
107	Max	-206	1313.12	100	1081.10	104	3814.35	100	-88.98	33	-1356.67	33	262.69	49	3323.69	49	-106.82	102
107	Max	-194	1313.12	100	1081.10	104	3814.35	100	-88.98	33	-1356.67	33	262.69	49	3323.69	49	-106.82	102
107	Max	-256	1313.12	100	1081.10	104	3814.35	100	-88.98	33	-1356.67	33	262.69	49	3323.69	49	-106.82	102
107	Max	-258	1313.12	100	1081.10	104	3814.35	100	-88.98	33	-1356.67	33	262.69	49	3323.69	49	-106.82	102
107	Min.	-206	642.40	33	-2904.65	99	2325.15	33	-249.11	97	-4059.38	97	-384.69	33	-3174.78	33	-297.23	97
107	Min.	-194	642.40	33	-2904.65	99	2325.15	33	-249.11	97	-4059.38	97	-384.69	33	-3174.78	33	-297.23	97
107	Min.	-256	642.40	33	-2904.65	99	2325.15	33	-249.11	97	-4059.38	97	-384.69	33	-3174.78	33	-297.23	97
107	Min.	-258	642.40	33	-2904.65	99	2325.15	33	-249.11	97	-4059.38	97	-384.69	33	-3174.78	33	-297.23	97
107	Max	-268	-105.90	33	-1177.97	103	-2287.67	104	-58.26	102	-1333.74	102	580.06	49	4665.64	33	478.87	97
107	Max	-266	-105.90	33	-1177.97	103	-2287.67	104	-58.26	102	-1333.74	102	580.06	49	4665.64	33	478.87	97
107	Max	-304	-105.90	33	-1177.97	103	-2287.67	104	-58.26	102	-1333.74	102	580.06	49	4665.64	33	478.87	97
107	Max	-306	-105.90	33	-1177.97	103	-2287.67	104	-58.26	102	-1333.74	102	580.06	49	4665.64	33	478.87	97
107	Min.	-268	-399.01	100	-4309.11	100	-3743.27	99	-134.40	97	-2973.22	97	-611.73	33	1072.74	49	173.98	33
107	Min.	-266	-399.01	100	-4309.11	100	-3743.27	99	-134.40	97	-2973.22	97	-611.73	33	1072.74	49	173.98	33
107	Min.	-304	-399.01	100	-4309.11	100	-3743.27	99	-134.40	97	-2973.22	97	-611.73	33	1072.74	49	173.98	33
107	Min.	-306	-399.01	100	-4309.11	100	-3743.27	99	-134.40	97	-2973.22	97	-611.73	33	1072.74	49	173.98	33
107	Max	-274	422.80	99	-5580.37	103	-2880.92	104	-144.43	102	-1402.34	102	705.98	49	4700.52	97	428.08	49
107	Max	-272	422.80	99	-5580.37	103	-2880.92	104	-144.43	102	-1402.34	102	705.98	49	4700.52	97	428.08	49
107	Max	-310	422.80	99	-5580.37	103	-2880.92	104	-144.43	102	-1402.34	102	705.98	49	4700.52	97	428.08	49
107	Max	-312	422.80	99	-5580.37	103	-2880.92	104	-144.43	102	-1402.34	102	705.98	49	4700.52	97	428.08	49
107	Min.	-274	132.80	49	-8587.39	100	-5807.74	99	-311.47	97	-3067.67	97	-656.34	33	2177.59	49	-14.93	33
107	Min.	-272	132.80	49	-8587.39	100	-5807.74	99	-311.47	97	-3067.67	97	-656.34	33	2177.59	49	-14.93	33
107	Min.	-310	132.80	49	-8587.39	100	-5807.74	99	-311.47	97	-3067.67	97	-656.34	33	2177.59	49	-14.93	33
107	Min.	-312	132.80	49	-8587.39	100	-5807.74	99	-311.47	97	-3067.67	97	-656.34	33	2177.59	49	-14.93	33
107	Max	-248	838.77	100	-7766.70	104	5826.88	100	-184.90	102	-1809.78	102	638.02	49	3765.03	97	231.93	49
107	Max	-246	838.77	100	-7766.70	104	5826.88	100	-184.90	102	-1809.78	102	638.02	49	3765.03	97	231.93	49
107	Max	-284	838.77	100	-7766.70	104	5826.88	100	-184.90	102	-1809.78	102	638.02	49	3765.03	97	231.93	49
107	Max	-286	838.77	100	-7766.70	104	5826.88	100	-184.90	102	-1809.78	102	638.02	49	3765.03	97	231.93	49
107	Min.	-248	323.35	33	-11493.00	99	2628.21	103	-393.18	97	-3906.53	97	-605.90	33	1673.56	102	-557.54	33
107	Min.	-246	323.35	33	-11493.00	99	2628.21	103	-393.18	97	-3906.53	97	-605.90	33	1673.56	102	-557.54	33
107	Min.	-284	323.35	33	-11493.00	99	2628.21	103	-393.18	97	-3906.53	97	-605.90	33	1673.56	102	-557.54	33
107	Min.	-286	323.35	33	-11493.00	99	2628.21	103	-393.18	97	-3906.53	97	-605.90	33	1673.56	102	-557.54	33
107	Max	-250	696.30	100	-6545.06	104	6041.64	100	-176.14	102	-1782.56	102	634.45	49	3561.17	97	120.51	49
107	Max	-248	696.30	100	-6545.06	104	6041.64	100	-176.14	102	-1782.56	102	634.45	49	3561.17	97	120.51	49
107	Max	-286	696.30	100	-6545.06	104	6041.64	100	-176.14	102	-1782.56	102	634.45	49	3561.17	97	120.51	49
107	Max	-288	696.30	100	-6545.06	104	6041.64	100	-176.14	102	-1782.56	102	634.45	49	3561.17	97	120.51	49
107	Min.	-250	243.22	33	-10329.50	99	3000.92	103	-390.36	97	-3873.41	97	-605.83	33	1402.45	33	-679.86	33
107	Min.	-248	243.22	33	-10329.50	99	3000.92	103	-390.36	97	-3873.41	97	-605.83	33	1402.45	33	-679.86	33
107	Min.	-286	243.22	33	-10329.50	99	3000.92	103	-390.36	97	-3873.41	97	-605.83	33	1402.45	33	-679.86	33
107	Min.	-288	243.22	33	-10329.50	99	3000.92	103	-390.36	97	-3873.41	97	-605.83	33	1402.45	33	-679.86	33
107	Max	-20	1067.47	99	6303.43	99	-1083.15	49	-68.17	49	-1444.03	49	261.27	49	4198.37	33	133.73	97
107	Max	-8	1067.47	99	6303.43	99	-1083.15	49	-68.17	49	-1444.03	49	261.27	49	4198.37	33	133.73	97
107	Max	-224	1067.47	99	6303.43	99	-1083.15	49	-68.17	49	-1444.03	49	261.27	49	4198.37	33	133.73	97
107	Max	-226	1067.47	99	6303.43	99	-1083.15	49	-68.17	49	-1444.03	49	261.27	49	4198.37	33	133.73	97
107	Min.	-20	527.20	49	608.57	49	-2117.34	99	-196.37	97	-4117.59	97	-75.12	33	-4685.56	49	47.90	102
107	Min.	-8	527.20	49	608.57	49	-2117.34	99	-196.37	97	-4117.59	97	-75.12	33	-4685.56	49	47.90	102
107	Min.	-224	527.20	49	608.57	49	-2117.34	99	-196.37	97	-4117.59	97	-75.12	33	-4685.56	49	47.90	102
107	Min.	-226	527.20	49	608.57	49	-2117.34	99	-196.37	97	-4117.59	97	-75.12	33	-4685.56	49	47.90	102
107	Max	-252	364.35	49	-4365.16	104	6392.89	100	-158.42	102	-1744.65	102	627.53	49	3398.15	97	33.30	49
107	Max	-250	364.35	49	-4365.16	104	6392.89	100	-158.42	102	-1744.65	102	627.53	49	3398.15	97	33.30	49
107	Max	-288	364.35	49	-4365.16	104	6392.89	100	-158.42	102	-1744.65	102	627.53	49	3398.15	97	33.30	49
107	Max	-290	364.35	49	-4365.16	104	6392.89	100	-158.42	102	-1744.65	102	627.53	49	3398.15	97	33.30	49
107	Min.	-252	5.91	33	-7908.24	99	3488.07	103	-353.24	97	-3816.89	97	-603.79	33	1077.18	33	-741.99	33
107	Min.	-250	5.91	33	-7908.24	99	3488.07	103	-353.24	97	-3816.89	97	-603.79	33	1077.18	33	-741.99	33
107	Min.	-288	5.91	33	-7908.24	99	3488.07	103	-353.24	97	-3816.89	97	-603.79	33	1077.18	33	-741.99	33
107	Min.	-290	5.91	33	-7908.24	99	3488.07	103	-353.24	97	-3816.89	97	-603.79	33	1077.18	33	-741.99	33
107	Max	-124	-864.55	104	-10634.50	104	1882.49	100	-223.73	102	-2229.79	102	564.47	49	2619.39	97	221.54	49
107	Max	23	-864.55	104	-10634.50	104	1882.49	100	-223.73	102	-2229.79	102	564.47	49	2619.39	97	221.54	49
107	Max	-242	-864.55	104	-10634.50	104	1882.49	100	-223.73	102	-2229.79	102	564.47	49	2619.39	97	221.54	49
107	Max	-244	-864.55	104	-10634.50	104	1882.49	100	-223.73	102	-2229.79	102	564.47	49	2619.39	97	221.54	49
107	Min.	-124	-1273.87	99	-14842.10	99	-944.04	103	-489.84	97	-4929.68	97	-513.40	33	709.91	102	-263.41	33
107	Min.	23	-1273.87	99	-14842.10	99	-944.04	103	-489.84	97	-4929.68	97	-513.40	33	709.91	102	-263.41	33
107	Min.	-242	-1273.87	99	-14842.10	99	-944.04	103	-489.84	97	-4929.68	97	-513.40	33	709.91	102	-263.41	33
107	Min.	-244	-1273.87	99	-14842.10	99	-944.04	103	-489.84	97	-4929.68	97	-513.40	33	709.91	102	-263.41	33
107	Max	-302	-174.06	103	-670.13	103	-721.84	103	-19.36	102	-781.28	102	187.66	49	8526.46	33	92.32	97
107	Max	-300	-174.06	103	-670.13	103	-721.84	103	-19.36	102	-781.28	102	187.66	49	8526.46	33	92.32	97
107	Max	-338	-174.06	103	-670.13	103	-721.84	103	-19.36	102	-781.28	102	187.66	49	8526.46	33	92.32	97
107	Max	-340	-174.06	103	-670.13	103	-721.84	103	-19.36	102	-781.28	102	187.66	49	8526.46	33	92.32	97
107	Min.	-302	-751.24	100	-4891.32	100	-1283.13	100	-61.81	97	-1967.01	97	-213.00	33	-231.70	49	46.12	33
107	Min.	-300	-751.24	100	-4891.32	100	-1283.13	100	-61.81	97	-1967.01	97	-213.00	33	-231.70	49	46.12	33
107	Min.	-338	-751.24	100	-4891.32	100	-1283.13	100	-61.81	97	-1967.01	97	-213.00	33	-231.70	49	46.12	33
107	Min.	-340	-751.24	100	-4891.32	100	-1283.13	100	-61.81	97	-1967.01	97	-213.00	33	-231.70	49	46.12	33
107	Max	21	351.58	99	-9658.36	103	-2081.21	104	-213.95	102	-2105.80	102	463.90	49	1998.00	97	382.87	49
107	Max	-80	351.58	99	-9658.36	103	-2081.21	104	-213.95	102	-2105.80	102	463.90	49	1998.00	97	382.87	49
107	Max	-236	351.58	99	-9658.36	103	-2081.21	104	-213.95	102	-2105.80	102	463.90	49	1998.00	97	382.87	49
107	Max	-238	351.58	99	-9658.36	103	-2081.21	104	-213.95	102	-2105.80	102	463.90	49	1998.00	97	382.87	49
107	Min.	21	97.07	49	-14988.10	100	-5011.43	99	-474.80	97	-4751.43	97	-600.46	33	384.40	102	-120.49	33
107	Min.	-80	97.07	49	-14988.10	100	-5011.43	99	-474.80	97	-4751.43	97	-600.46	33	384.40	102	-120.49	33
107	Min.	-236	97.07	49	-14988.10	100	-5011.43	99	-474.80	97	-4751.43	97	-600.46	33	384.40	102	-120.49	33
107	Min.	-238	97.07	49	-14988.10	100	-5011.43	99	-474.80	97	-4751.43	97	-600.46	33	384.40	102	-120.49	33
107	Max	-310	-179.12	33	-3818.65	103	-2800.55	104	-82.73	102	-865.57	102	728.69	49	5607.99	97	192.90	49
107	Max	-308	-179.12	33	-3818.65	103	-2800.55	104	-82.73	102	-865.57	102	728.69	49	5607.99	97	192.90	49
107	Max	-346	-179.12	33	-3818.65	103	-2800.55	104	-82.73	102	-865.57	102	728.69	49	5607.99	97	192.90	49
107	Max	-348	-179.12	33	-3818.65	103	-2800.55	104	-82.73	102	-865.57	102	728.69	49	5607.99	97	192.90	49
107	Min.	-310	-416.14	100	-6413.17	100	-5435.82	99	-200.40	97	-2086.87	97	-674.20	33	2635.04	49	41.03	33
107	Min.	-308	-416.14	100	-6413.17	100	-5435.82	99	-200.40	97	-2086.87	97	-674.20	33	2635.04	49	41.03	33
107	Min.	-346	-416.14	100	-6413.17	100	-5435.82	99	-200.40	97	-2086.87	97	-674.20	33	2635.04	49	41.03	33

107	Min.	-348	-416.14	100	-6413.17	100	-5435.82	99	-200.40	97	-2086.87	97	-674.20	33	2635.04	49	41.03	33
107	Max	-194	464.75	100	785.51	100	1469.58	100	-121.52	33	-1563.23	33	459.06	49	2595.30	49	-103.82	49
107	Max	-182	464.75	100	785.51	100	1469.58	100	-121.52	33	-1563.23	33	459.06	49	2595.30	49	-103.82	49
107	Max	-254	464.75	100	785.51	100	1469.58	100	-121.52	33	-1563.23	33	459.06	49	2595.30	49	-103.82	49
107	Max	-256	464.75	100	785.51	100	1469.58	100	-121.52	33	-1563.23	33	459.06	49	2595.30	49	-103.82	49
107	Min.	-194	34.28	33	-2641.38	103	665.62	33	-328.51	97	-4239.58	97	-430.98	33	-1784.13	33	-398.11	97
107	Min.	-182	34.28	33	-2641.38	103	665.62	33	-328.51	97	-4239.58	97	-430.98	33	-1784.13	33	-398.11	97
107	Min.	-254	34.28	33	-2641.38	103	665.62	33	-328.51	97	-4239.58	97	-430.98	33	-1784.13	33	-398.11	97
107	Min.	-256	34.28	33	-2641.38	103	665.62	33	-328.51	97	-4239.58	97	-430.98	33	-1784.13	33	-398.11	97
107	Max	-56	-243.49	33	-1043.94	103	-5949.48	104	-158.98	49	-1831.27	49	480.18	49	1987.67	33	451.15	49
107	Max	-44	-243.49	33	-1043.94	103	-5949.48	104	-158.98	49	-1831.27	49	480.18	49	1987.67	33	451.15	49
107	Max	-230	-243.49	33	-1043.94	103	-5949.48	104	-158.98	49	-1831.27	49	480.18	49	1987.67	33	451.15	49
107	Max	-232	-243.49	33	-1043.94	103	-5949.48	104	-158.98	49	-1831.27	49	480.18	49	1987.67	33	451.15	49
107	Min.	-56	-674.76	100	-4510.46	100	-9913.22	99	-398.01	97	-4420.41	97	-536.55	33	-660.25	49	-2.25	33
107	Min.	-44	-674.76	100	-4510.46	100	-9913.22	99	-398.01	97	-4420.41	97	-536.55	33	-660.25	49	-2.25	33
107	Min.	-230	-674.76	100	-4510.46	100	-9913.22	99	-398.01	97	-4420.41	97	-536.55	33	-660.25	49	-2.25	33
107	Min.	-232	-674.76	100	-4510.46	100	-9913.22	99	-398.01	97	-4420.41	97	-536.55	33	-660.25	49	-2.25	33
107	Max	-278	712.13	99	-7074.85	49	-1992.95	104	-130.61	102	-1399.22	102	634.15	49	5300.64	97	-60.80	49
107	Max	-276	712.13	99	-7074.85	49	-1992.95	104	-130.61	102	-1399.22	102	634.15	49	5300.64	97	-60.80	49
107	Max	-314	712.13	99	-7074.85	49	-1992.95	104	-130.61	102	-1399.22	102	634.15	49	5300.64	97	-60.80	49
107	Max	-316	712.13	99	-7074.85	49	-1992.95	104	-130.61	102	-1399.22	102	634.15	49	5300.64	97	-60.80	49
107	Min.	-278	161.88	49	-10327.50	99	-5476.92	99	-271.43	97	-2981.41	97	-728.28	33	2630.82	102	-505.35	97
107	Min.	-276	161.88	49	-10327.50	99	-5476.92	99	-271.43	97	-2981.41	97	-728.28	33	2630.82	102	-505.35	97
107	Min.	-314	161.88	49	-10327.50	99	-5476.92	99	-271.43	97	-2981.41	97	-728.28	33	2630.82	102	-505.35	97
107	Min.	-316	161.88	49	-10327.50	99	-5476.92	99	-271.43	97	-2981.41	97	-728.28	33	2630.82	102	-505.35	97
107	Max	-68	112.50	33	-5920.38	103	-3329.88	104	-189.70	49	-1983.07	102	472.90	49	1740.87	33	450.73	49
107	Max	-56	112.50	33	-5920.38	103	-3329.88	104	-189.70	49	-1983.07	102	472.90	49	1740.87	33	450.73	49
107	Max	-232	112.50	33	-5920.38	103	-3329.88	104	-189.70	49	-1983.07	102	472.90	49	1740.87	33	450.73	49
107	Max	-234	112.50	33	-5920.38	103	-3329.88	104	-189.70	49	-1983.07	102	472.90	49	1740.87	33	450.73	49
107	Min.	-68	-229.38	49	-10505.20	100	-6399.53	99	-435.00	97	-4462.18	97	-573.44	33	-298.35	49	-48.68	33
107	Min.	-56	-229.38	49	-10505.20	100	-6399.53	99	-435.00	97	-4462.18	97	-573.44	33	-298.35	49	-48.68	33
107	Min.	-232	-229.38	49	-10505.20	100	-6399.53	99	-435.00	97	-4462.18	97	-573.44	33	-298.35	49	-48.68	33
107	Min.	-234	-229.38	49	-10505.20	100	-6399.53	99	-435.00	97	-4462.18	97	-573.44	33	-298.35	49	-48.68	33
107	Max	-332	-214.00	49	-1716.74	104	3789.16	100	-50.98	102	-817.08	102	640.77	49	5602.83	97	-69.74	49
107	Max	-330	-214.00	49	-1716.74	104	3789.16	100	-50.98	102	-817.08	102	640.77	49	5602.83	97	-69.74	49
107	Max	-368	-214.00	49	-1716.74	104	3789.16	100	-50.98	102	-817.08	102	640.77	49	5602.83	97	-69.74	49
107	Max	-370	-214.00	49	-1716.74	104	3789.16	100	-50.98	102	-817.08	102	640.77	49	5602.83	97	-69.74	49
107	Min.	-332	-586.71	99	-4486.13	99	2292.50	103	-134.84	97	-2015.88	97	-591.86	33	1805.00	33	-196.19	97
107	Min.	-330	-586.71	99	-4486.13	99	2292.50	103	-134.84	97	-2015.88	97	-591.86	33	1805.00	33	-196.19	97
107	Min.	-368	-586.71	99	-4486.13	99	2292.50	103	-134.84	97	-2015.88	97	-591.86	33	1805.00	33	-196.19	97
107	Min.	-370	-586.71	99	-4486.13	99	2292.50	103	-134.84	97	-2015.88	97	-591.86	33	1805.00	33	-196.19	97
107	Max	-170	105.69	49	-5827.19	104	6431.09	100	-188.35	33	-1976.89	102	573.12	49	1755.33	49	47.88	49
107	Max	-158	105.69	49	-5827.19	104	6431.09	100	-188.35	33	-1976.89	102	573.12	49	1755.33	49	47.88	49
107	Max	-250	105.69	49	-5827.19	104	6431.09	100	-188.35	33	-1976.89	102	573.12	49	1755.33	49	47.88	49
107	Max	-252	105.69	49	-5827.19	104	6431.09	100	-188.35	33	-1976.89	102	573.12	49	1755.33	49	47.88	49
107	Min.	-170	-237.34	33	-10392.10	99	3353.67	103	-433.37	97	-4455.32	97	-472.55	33	-297.88	33	-450.86	33
107	Min.	-158	-237.34	33	-10392.10	99	3353.67	103	-433.37	97	-4455.32	97	-472.55	33	-297.88	33	-450.86	33
107	Min.	-250	-237.34	33	-10392.10	99	3353.67	103	-433.37	97	-4455.32	97	-472.55	33	-297.88	33	-450.86	33
107	Min.	-252	-237.34	33	-10392.10	99	3353.67	103	-433.37	97	-4455.32	97	-472.55	33	-297.88	33	-450.86	33
107	Max	25	-449.27	104	-10501.00	104	4551.65	100	-220.00	102	-2172.48	102	558.81	49	2309.45	97	193.45	49
107	Max	-124	-449.27	104	-10501.00	104	4551.65	100	-220.00	102	-2172.48	102	558.81	49	2309.45	97	193.45	49
107	Max	-244	-449.27	104	-10501.00	104	4551.65	100	-220.00	102	-2172.48	102	558.81	49	2309.45	97	193.45	49
107	Max	-246	-449.27	104	-10501.00	104	4551.65	100	-220.00	102	-2172.48	102	558.81	49	2309.45	97	193.45	49
107	Min.	25	-950.89	99	-15342.00	99	1213.73	103	-486.53	97	-4837.75	97	-515.30	33	562.62	102	-296.47	33
107	Min.	-124	-950.89	99	-15342.00	99	1213.73	103	-486.53	97	-4837.75	97	-515.30	33	562.62	102	-296.47	33
107	Min.	-244	-950.89	99	-15342.00	99	1213.73	103	-486.53	97	-4837.75	97	-515.30	33	562.62	102	-296.47	33
107	Min.	-246	-950.89	99	-15342.00	99	1213.73	103	-486.53	97	-4837.75	97	-515.30	33	562.62	102	-296.47	33
107	Max	23	-882.97	103	-10593.30	103	933.56	104	-224.00	102	-2230.20	102	515.36	49	2607.54	97	257.97	49
107	Max	-102	-882.97	103	-10593.30	103	933.56	104	-224.00	102	-2230.20	102	515.36	49	2607.54	97	257.97	49
107	Max	-240	-882.97	103	-10593.30	103	933.56	104	-224.00	102	-2230.20	102	515.36	49	2607.54	97	257.97	49
107	Max	-242	-882.97	103	-10593.30	103	933.56	104	-224.00	102	-2230.20	102	515.36	49	2607.54	97	257.97	49
107	Min.	23	-1294.47	100	-14782.10	100	-1897.90	99	-490.18	97	-4929.16	97	-562.58	33	704.06	102	-227.08	33
107	Min.	-102	-1294.47	100	-14782.10	100	-1897.90	99	-490.18	97	-4929.16	97	-562.58	33	704.06	102	-227.08	33
107	Min.	-240	-1294.47	100	-14782.10	100	-1897.90	99	-490.18	97	-4929.16	97	-562.58	33	704.06	102	-227.08	33
107	Min.	-242	-1294.47	100	-14782.10	100	-1897.90	99	-490.18	97	-4929.16	97	-562.58	33	704.06	102	-227.08	33
107	Max	-294	-100.69	49	-1160.97	104	3745.33	100	-57.94	102	-1327.28	102	612.08	49	4664.80	49	-171.17	49
107	Max	-292	-100.69	49	-1160.97	104	3745.33	100	-57.94	102	-1327.28	102	612.08	49	4664.80	49	-171.17	49
107	Max	-330	-100.69	49	-1160.97	104	3745.33	100	-57.94	102	-1327.28	102	612.08	49	4664.80	49	-171.17	49
107	Max	-332	-100.69	49	-1160.97	104	3745.33	100	-57.94	102	-1327.28	102	612.08	49	4664.80	49	-171.17	49
107	Min.	-294	-390.85	99	-4283.28	99	2289.48	103	-133.99	97	-2963.78	97	-580.12	33	1075.74	33	-474.69	97
107	Min.	-292	-390.85	99	-4283.28	99	2289.48	103	-133.99	97	-2963.78	97	-580.12	33	1075.74	33	-474.69	97
107	Min.	-330	-390.85	99	-4283.28	99	2289.48	103	-133.99	97	-2963.78	97	-580.12	33	1075.74	33	-474.69	97
107	Min.	-332	-390.85	99	-4283.28	99	2289.48	103	-133.99	97	-2963.78	97	-580.12	33	1075.74	33	-474.69	97
107	Max	-218	1140.57	100	6179.55	100	2196.47	100	-68.65	33	-1434.85	33	83.29	49	4170.11	49	-50.48	102
107	Max	-206	1140.57	100	6179.55	100	2196.47	100	-68.65	33	-1434.85	33	83.29	49	4170.11	49	-50.48	102
107	Max	-258	1140.57	100	6179.55	100	2196.47	100	-68.65	33	-1434.85	33	83.29	49	4170.11	49	-50.48	102
107	Max	-260	1140.57	100	6179.55	100	2196.47	100	-68.65	33	-1434.85	33	83.29	49	4170.11	49	-50.48	102
107	Min.	-218	564.40	33	540.01	33	1137.71	33	-198.47	97	-4107.55	97	-267.75	33	-4625.83	33	-141.11	97
107	Min.	-206	564.40	33	540.01	33	1137.71	33	-198.47	97	-4107.55	97	-267.75	33	-4625.83	33	-141.11	97
107	Min.	-258	564.40	33	540.01	33	1137.71	33	-198.47	97	-4107.55	97	-267.75	33	-4625.83	33	-141.11	97
107	Min.	-260	564.40	33	540.01	33	1137.71	33	-198.47	97	-4107.55	97	-267.75	33	-4625.83	33	-141.11	97
107	Max	-244	-329.76	104	-7937.97	33	3041.85	100	-188.88	102	-1820.64	102	639.74	49	4775.80	97	487.47	49
107	Max	-242	-329.76	104	-7937.97	33	3041.85	100	-188.88	102	-1820.64	102	639.74	49	4775.80	97	487.47	49
107	Max	-280	-329.76	104	-7937.97	33	3041.85	100	-188.88	102	-1820.64	102	639.74	49	4775.80	97	487.47	49
107	Max	-282	-329.76	104	-7937.97	33	3041.85	100	-188.88	102	-1820.64	102	639.74	49	4775.80	97	487.47	49
107	Min.	-244	-672.59	99	-11043.80	100	-359.18	103	-391.09	97	-3869.10	97	-616.52	33	2097.42	102	-356.29	33
107	Min.	-242	-672.59	99	-11043.80	100	-359.18	103	-391.09	97	-3869.10	97	-616.52	33	2097.42	102	-356.29	33
107	Min.	-280	-672.59	99	-11043.80	100	-359.18	103	-391.09	97	-3869.10	97	-616.52	33	2097.42	102	-356.29	33
107	Min.	-282	-672.59	99	-11043.80	100	-359.18	103	-391.09	97	-3869.10	97	-616.52	33	2097.42	102	-356.29	33
107	Max	-246	653.91	100	-8526.93	33	4963.43	100	-186.91	102	-1823.45	102	645.79	49	4211.09	97	424.40	49
107	Max	-244	653.91	100	-8526.93	33	4963.43	100	-186.91	102	-1823.45	102	645.79	49	4211.09	97	424.40	49
107	Max	-282	653.91	100	-8526.93	33	4963.43	100	-186.91	102	-1823.45	102	645.79	49	4211.09	97	424.40	49
107	Max	-284	653.91	100	-8526.93	33	4963.43	100	-186.91	102	-1823.45	102	645.79	49	4211.09	97	424.40	49
107	Min.	-246	137.47	33	-11899.50	99	1554.48	103	-393.34	97	-3905.01	97	-602.55	33	1862.51	102	-365.31	33
107	Min.	-244	137.47	33	-11899.50	99	1554.48	103	-393.34	97	-3905.01	97	-602.55	33	1862.51	102	-365.31	33
107	Min.	-282	137.47	33	-11899.50	99	1554.48	103	-393.34	97	-3905.01	97	-602.55	33	1862.51	102	-365.31	33
107	Min.	-284	137.47	33	-11899.50	99	1554.48	103	-393.34	97	-3905.01	97	-602.55	33	1862.51	102	-365.31	33
107	Max	-254	263.23	49	-2699.82	104	4983.58	100	-131.56	33	-1714.80	102	619.95	49	3274.22	97	-56.67	49
107	Max	-252	263.23	49	-2699.82	104	4983.58	100	-131.56	33	-1714.80	102	619.95	49	3274.22	97	-56.67	49
107	Max	-290	263.23	49	-2699.82	104	4983.58	100	-131.56	33	-1714.80	102	619.95	49	3274.22	97	-56.67	49
107	Max	-292	263.23	49	-2699.82	104	4983.58	100	-131.56	33	-1714.80	102	619.95	49	3274.22	97	-56.67	49
107	Min.	-254	-46.12	33	-6153.62	99	2756.70	103	-293.97	97	-3768.78	97	-594.80	33	779.92	33	-744.08	33
107	Min.	-252	-46.12	33	-6153.62	99	2756.70	103	-293.97	97	-3768.78	97	-594.80	33	779.92	33	-744.08	33
107	Min.	-290	-46.12	33	-6153.62	99	2756.70	103	-293.97	97	-3768.78	97	-594.80	33	779.92	33	-744.08	33
107	Min.	-292	-46.12	33	-6153.62	99	2756.70	103	-293.97	97	-3768.78	97	-594.80	33	779.92	33	-744.08	33

107	Max	-276	648.37	99	-6641.05	103	-2544.49	104	-138.57	102	-1432.32	102	685.33	49	4723.00	97	281.61	49
107	Max	-274	648.37	99	-6641.05	103	-2544.49	104	-138.57	102	-1432.32	102	685.33	49	4723.00	97	281.61	49
107	Max	-312	648.37	99	-6641.05	103	-2544.49	104	-138.57	102	-1432.32	102	685.33	49	4723.00	97	281.61	49
107	Max	-314	648.37	99	-6641.05	103	-2544.49	104	-138.57	102	-1432.32	102	685.33	49	4723.00	97	281.61	49
107	Min.	-276	328.69	49	-9436.75	100	-5533.57	99	-298.98	97	-3099.64	97	-672.01	33	2348.96	49	-135.61	33
107	Min.	-274	328.69	49	-9436.75	100	-5533.57	99	-298.98	97	-3099.64	97	-672.01	33	2348.96	49	-135.61	33
107	Min.	-312	328.69	49	-9436.75	100	-5533.57	99	-298.98	97	-3099.64	97	-672.01	33	2348.96	49	-135.61	33
107	Min.	-314	328.69	49	-9436.75	100	-5533.57	99	-298.98	97	-3099.64	97	-672.01	33	2348.96	49	-135.61	33
107	Max	-284	717.16	100	-7080.36	33	5474.29	100	-129.43	102	-1387.05	102	726.91	49	5348.40	97	492.69	97
107	Max	-282	717.16	100	-7080.36	33	5474.29	100	-129.43	102	-1387.05	102	726.91	49	5348.40	97	492.69	97
107	Max	-320	717.16	100	-7080.36	33	5474.29	100	-129.43	102	-1387.05	102	726.91	49	5348.40	97	492.69	97
107	Max	-322	717.16	100	-7080.36	33	5474.29	100	-129.43	102	-1387.05	102	726.91	49	5348.40	97	492.69	97
107	Min.	-284	164.36	33	-10339.40	100	1990.95	103	-269.72	97	-2963.48	97	-635.49	33	2662.24	102	51.83	33
107	Min.	-282	164.36	33	-10339.40	100	1990.95	103	-269.72	97	-2963.48	97	-635.49	33	2662.24	102	51.83	33
107	Min.	-320	164.36	33	-10339.40	100	1990.95	103	-269.72	97	-2963.48	97	-635.49	33	2662.24	102	51.83	33
107	Min.	-322	164.36	33	-10339.40	100	1990.95	103	-269.72	97	-2963.48	97	-635.49	33	2662.24	102	51.83	33
107	Max	-238	832.06	99	-7762.80	103	-2627.91	104	-186.46	102	-1816.99	102	606.38	49	3734.68	97	557.60	49
107	Max	-236	832.06	99	-7762.80	103	-2627.91	104	-186.46	102	-1816.99	102	606.38	49	3734.68	97	557.60	49
107	Max	-274	832.06	99	-7762.80	103	-2627.91	104	-186.46	102	-1816.99	102	606.38	49	3734.68	97	557.60	49
107	Max	-276	832.06	99	-7762.80	103	-2627.91	104	-186.46	102	-1816.99	102	606.38	49	3734.68	97	557.60	49
107	Min.	-238	319.61	49	-11488.50	100	-5827.05	99	-395.29	97	-3916.85	97	-637.52	33	1653.87	102	-232.17	33
107	Min.	-236	319.61	49	-11488.50	100	-5827.05	99	-395.29	97	-3916.85	97	-637.52	33	1653.87	102	-232.17	33
107	Min.	-274	319.61	49	-11488.50	100	-5827.05	99	-395.29	97	-3916.85	97	-637.52	33	1653.87	102	-232.17	33
107	Min.	-276	319.61	49	-11488.50	100	-5827.05	99	-395.29	97	-3916.85	97	-637.52	33	1653.87	102	-232.17	33
107	Max	-324	-179.16	49	-5827.03	101	5300.99	100	-90.74	102	-965.91	102	643.33	49	5418.92	97	29.51	49
107	Max	-322	-179.16	49	-5827.03	101	5300.99	100	-90.74	102	-965.91	102	643.33	49	5418.92	97	29.51	49
107	Max	-360	-179.16	49	-5827.03	101	5300.99	100	-90.74	102	-965.91	102	643.33	49	5418.92	97	29.51	49
107	Max	-362	-179.16	49	-5827.03	101	5300.99	100	-90.74	102	-965.91	102	643.33	49	5418.92	97	29.51	49
107	Min.	-324	-464.02	99	-8135.15	98	2431.30	103	-209.59	97	-2241.17	97	-764.03	33	2810.36	33	-101.05	33
107	Min.	-322	-464.02	99	-8135.15	98	2431.30	103	-209.59	97	-2241.17	97	-764.03	33	2810.36	33	-101.05	33
107	Min.	-360	-464.02	99	-8135.15	98	2431.30	103	-209.59	97	-2241.17	97	-764.03	33	2810.36	33	-101.05	33
107	Min.	-362	-464.02	99	-8135.15	98	2431.30	103	-209.59	97	-2241.17	97	-764.03	33	2810.36	33	-101.05	33
107	Max	-258	-204.33	49	1604.09	100	1502.50	100	-26.76	102	-1626.41	33	393.36	49	4753.83	49	-212.93	102
107	Max	-256	-204.33	49	1604.09	100	1502.50	100	-26.76	102	-1626.41	33	393.36	49	4753.83	49	-212.93	102
107	Max	-294	-204.33	49	1604.09	100	1502.50	100	-26.76	102	-1626.41	33	393.36	49	4753.83	49	-212.93	102
107	Max	-296	-204.33	49	1604.09	100	1502.50	100	-26.76	102	-1626.41	33	393.36	49	4753.83	49	-212.93	102
107	Min.	-258	-362.35	99	-1949.04	103	870.99	33	-55.68	97	-3687.81	97	-379.75	33	-1153.70	33	-523.10	97
107	Min.	-256	-362.35	99	-1949.04	103	870.99	33	-55.68	97	-3687.81	97	-379.75	33	-1153.70	33	-523.10	97
107	Min.	-294	-362.35	99	-1949.04	103	870.99	33	-55.68	97	-3687.81	97	-379.75	33	-1153.70	33	-523.10	97
107	Min.	-296	-362.35	99	-1949.04	103	870.99	33	-55.68	97	-3687.81	97	-379.75	33	-1153.70	33	-523.10	97
107	Max	-306	-218.31	33	-1731.32	103	-2289.99	104	-51.46	102	-823.31	102	591.68	49	5604.46	97	198.30	97
107	Max	-304	-218.31	33	-1731.32	103	-2289.99	104	-51.46	102	-823.31	102	591.68	49	5604.46	97	198.30	97
107	Max	-342	-218.31	33	-1731.32	103	-2289.99	104	-51.46	102	-823.31	102	591.68	49	5604.46	97	198.30	97
107	Max	-344	-218.31	33	-1731.32	103	-2289.99	104	-51.46	102	-823.31	102	591.68	49	5604.46	97	198.30	97
107	Min.	-306	-592.90	100	-4506.65	100	-3786.10	99	-135.51	97	-2024.97	97	-640.56	33	1803.70	49	71.14	33
107	Min.	-304	-592.90	100	-4506.65	100	-3786.10	99	-135.51	97	-2024.97	97	-640.56	33	1803.70	49	71.14	33
107	Min.	-342	-592.90	100	-4506.65	100	-3786.10	99	-135.51	97	-2024.97	97	-640.56	33	1803.70	49	71.14	33
107	Min.	-344	-592.90	100	-4506.65	100	-3786.10	99	-135.51	97	-2024.97	97	-640.56	33	1803.70	49	71.14	33
107	Max	-80	207.58	99	-8235.44	103	-3504.83	104	-204.47	102	-2058.29	102	467.33	49	1616.85	33	428.14	49
107	Max	-68	207.58	99	-8235.44	103	-3504.83	104	-204.47	102	-2058.29	102	467.33	49	1616.85	33	428.14	49
107	Max	-234	207.58	99	-8235.44	103	-3504.83	104	-204.47	102	-2058.29	102	467.33	49	1616.85	33	428.14	49
107	Max	-236	207.58	99	-8235.44	103	-3504.83	104	-204.47	102	-2058.29	102	467.33	49	1616.85	33	428.14	49
107	Min.	-80	-75.63	49	-13182.50	100	-6670.50	99	-463.52	97	-4576.65	97	-595.13	33	104.94	49	-80.93	33
107	Min.	-68	-75.63	49	-13182.50	100	-6670.50	99	-463.52	97	-4576.65	97	-595.13	33	104.94	49	-80.93	33
107	Min.	-234	-75.63	49	-13182.50	100	-6670.50	99	-463.52	97	-4576.65	97	-595.13	33	104.94	49	-80.93	33
107	Min.	-236	-75.63	49	-13182.50	100	-6670.50	99	-463.52	97	-4576.65	97	-595.13	33	104.94	49	-80.93	33
107	Max	-266	231.93	99	-107.56	103	-1442.73	49	-1.70	49	-1312.46	102	384.06	49	5833.16	33	389.31	97
107	Max	-264	231.93	99	-107.56	103	-1442.73	49	-1.70	49	-1312.46	102	384.06	49	5833.16	33	389.31	97
107	Max	-302	231.93	99	-107.56	103	-1442.73	49	-1.70	49	-1312.46	102	384.06	49	5833.16	33	389.31	97
107	Max	-304	231.93	99	-107.56	103	-1442.73	49	-1.70	49	-1312.46	102	384.06	49	5833.16	33	389.31	97
107	Min.	-266	43.62	49	-3731.49	100	-2070.97	99	-21.81	33	-2943.17	97	-438.42	33	84.14	49	182.17	33
107	Min.	-264	43.62	49	-3731.49	100	-2070.97	99	-21.81	33	-2943.17	97	-438.42	33	84.14	49	182.17	33
107	Min.	-302	43.62	49	-3731.49	100	-2070.97	99	-21.81	33	-2943.17	97	-438.42	33	84.14	49	182.17	33
107	Min.	-304	43.62	49	-3731.49	100	-2070.97	99	-21.81	33	-2943.17	97	-438.42	33	84.14	49	182.17	33
107	Max	-226	212.20	99	2016.78	99	-336.35	49	15.33	33	-1591.00	49	156.89	49	6261.71	33	241.39	97
107	Max	-224	212.20	99	2016.78	99	-336.35	49	15.33	33	-1591.00	49	156.89	49	6261.71	33	241.39	97
107	Max	-262	212.20	99	2016.78	99	-336.35	49	15.33	33	-1591.00	49	156.89	49	6261.71	33	241.39	97
107	Max	-264	212.20	99	2016.78	99	-336.35	49	15.33	33	-1591.00	49	156.89	49	6261.71	33	241.39	97
107	Min.	-226	122.44	49	-1716.91	104	-505.85	99	-6.76	49	-3619.80	97	-199.94	33	-2718.64	49	97.35	102
107	Min.	-224	122.44	49	-1716.91	104	-505.85	99	-6.76	49	-3619.80	97	-199.94	33	-2718.64	49	97.35	102
107	Min.	-262	122.44	49	-1716.91	104	-505.85	99	-6.76	49	-3619.80	97	-199.94	33	-2718.64	49	97.35	102
107	Min.	-264	122.44	49	-1716.91	104	-505.85	99	-6.76	49	-3619.80	97	-199.94	33	-2718.64	49	97.35	102
107	Max	-240	644.40	99	-8520.17	49	-1556.45	104	-188.28	102	-1829.57	102	602.64	49	4178.95	97	357.80	49
107	Max	-238	644.40	99	-8520.17	49	-1556.45	104	-188.28	102	-1829.57	102	602.64	49	4178.95	97	357.80	49
107	Max	-276	644.40	99	-8520.17	49	-1556.45	104	-188.28	102	-1829.57	102	602.64	49	4178.95	97	357.80	49
107	Max	-278	644.40	99	-8520.17	49	-1556.45	104	-188.28	102	-1829.57	102	602.64	49	4178.95	97	357.80	49
107	Min.	-240	131.92	49	-11887.40	100	-4966.01	99	-395.27	97	-3913.54	97	-645.66	33	1842.57	102	-432.19	33
107	Min.	-238	131.92	49	-11887.40	100	-4966.01	99	-395.27	97	-3913.54	97	-645.66	33	1842.57	102	-432.19	33
107	Min.	-276	131.92	49	-11887.40	100	-4966.01	99	-395.27	97	-3913.54	97	-645.66	33	1842.57	102	-432.19	33
107	Min.	-278	131.92	49	-11887.40	100	-4966.01	99	-395.27	97	-3913.54	97	-645.66	33	1842.57	102	-432.19	33
107	Max	-44	453.15	99	772.90	103	-643.77	49	-121.97	49	-1569.60	49	430.88	49	2592.85	33	398.78	97
107	Max	-32	453.15	99	772.90	103	-643.77	49	-121.97	49	-1569.60	49	430.88	49	2592.85	33	398.78	97
107	Max	-228	453.15	99	772.90	103	-643.77	49	-121.97	49	-1569.60	49	430.88	49	2592.85	33	398.78	97
107	Max	-230	453.15	99	772.90	103	-643.77	49	-121.97	49	-1569.60	49	430.88	49	2592.85	33	398.78	97
107	Min.	-44	25.85	49	-2653.56	100	-1436.71	99	-328.96	97	-4247.54	97	-458.80	33	-1789.17	49	104.37	33
107	Min.	-32	25.85	49	-2653.56	100	-1436.71	99	-328.96	97	-4247.54	97	-458.80	33	-1789.17	49	104.37	33
107	Min.	-228	25.85	49	-2653.56	100	-1436.71	99	-328.96	97	-4247.54	97	-458.80	33	-1789.17	49	104.37	33
107	Min.	-230	25.85	49	-2653.56	100	-1436.71	99	-328.96	97	-4247.54	97	-458.80	33	-1789.17	49	104.37	33
107	Max	-296	252.02	100	-105.74	104	2134.66	100	-2.37	33	-1307.13	102	446.38	49	5766.60	49	-182.88	49
107	Max	-294	252.02	100	-105.74	104	2134.66	100	-2.37	33	-1307.13	102	446.38	49	5766.60	49	-182.88	49
107	Max	-332	252.02	100	-105.74	104	2134.66	100	-2.37	33	-1307.13	102	446.38	49	5766.60	49	-182.88	49
107	Max	-334	252.02	100	-105.74	104	2134.66	100	-2.37	33	-1307.13	102	446.38	49	5766.60	49	-182.88	49
107	Min.	-296	57.24	33	-3725.39	99	1486.87	33	-23.11	49	-2935.61	97	-391.26	33	133.48	33	-392.80	97
107	Min.	-294	57.24	33	-3725.39	99	1486.87	33	-23.11	49	-2935.61	97	-391.26	33	133.48	33	-392.80	97
107	Min.	-332	57.24	33	-3725.39	99	1486.87	33	-23.11	49	-2935.61	97	-391.26	33	133.48	33	-392.80	97
107	Min.	-334	57.24	33	-3725.39	99	1486.87	33	-23.11	49	-2935.61	97	-391.26	33	133.48	33	-392.80	97
107	Max	-298	-64.43	104	747.63	104	777.01	100	2.54	33	-1289.58	102	213.40	49	7574.35	49	-101.19	102
107	Max	-296	-64.43	104	747.63	104	777.01	100	2.54	33	-1289.58	102	213.40	49	7574.35	49	-101.19	102
107	Max	-334	-64.43	104	747.63	104	777.01	100	2.54	33	-1289.58	102	213.40	49	7574.35	49	-101.19	102
107	Max	-336	-64.43	104	747.63	104	777.01	100	2.54	33	-1289.58	102	213.40	49	7574.35	49	-101.19	102
107	Min.	-298	-161.03	99	-2739.11	99	500.31	33	-6.56	49	-2898.63	97	-186.16	33	-1188.76	33	-208.63	97
107	Min.	-296	-161.03	99	-2739.11	99	500.31	33	-6.56	49	-2898.63	97	-186.16	33	-1188.76	33	-208.63	97
107	Min.	-334	-161.03	99	-2739.11	99	500.31	33	-6.56	49	-2898.63	97	-186.16	33	-1188.76	33	-208.63	97
107	Min.	-336	-161.03	99	-2739.11	99	500.31	33	-6.56	49	-2898.63	97	-186.16	33	-1188.76	33	-208.63	97
206	Max	-339	-216.12	103	-2315.76	103	761.02	100	141.25	98	-438.86	102	162.23	49	-11977.60	33	340.24	97

206	Max	-337	-216.12	103	-2315.76	103	761.02	100	141.25	98	-438.86	102	162.23	49	-11977.60	33	340.24	97
206	Max	-385	-216.12	103	-2315.76	103	761.02	100	141.25	98	-438.86	102	162.23	49	-11977.60	33	340.24	97
206	Max	-387	-216.12	103	-2315.76	103	761.02	100	141.25	98	-438.86	102	162.23	49	-11977.60	33	340.24	97
206	Min.	-339	-648.91	100	-6999.05	100	-97.72	103	74.12	101	-1136.80	97	-3.13	33	-21913.90	98	216.52	33
206	Min.	-337	-648.91	100	-6999.05	100	-97.72	103	74.12	101	-1136.80	97	-3.13	33	-21913.90	98	216.52	33
206	Min.	-385	-648.91	100	-6999.05	100	-97.72	103	74.12	101	-1136.80	97	-3.13	33	-21913.90	98	216.52	33
206	Min.	-387	-648.91	100	-6999.05	100	-97.72	103	74.12	101	-1136.80	97	-3.13	33	-21913.90	98	216.52	33
206	Max	-389	-71.00	104	-3481.62	49	107.85	104	-267.38	33	-3696.54	33	149.55	49	-13142.60	33	681.49	97
206	Max	-387	-71.00	104	-3481.62	49	107.85	104	-267.38	33	-3696.54	33	149.55	49	-13142.60	33	681.49	97
206	Max	-423	-71.00	104	-3481.62	49	107.85	104	-267.38	33	-3696.54	33	149.55	49	-13142.60	33	681.49	97
206	Max	-425	-71.00	104	-3481.62	49	107.85	104	-267.38	33	-3696.54	33	149.55	49	-13142.60	33	681.49	97
206	Min.	-389	-449.36	99	-5071.76	97	-1690.85	99	-403.29	98	-5565.12	97	-171.08	33	-21891.70	98	456.88	33
206	Min.	-387	-449.36	99	-5071.76	97	-1690.85	99	-403.29	98	-5565.12	97	-171.08	33	-21891.70	98	456.88	33
206	Min.	-423	-449.36	99	-5071.76	97	-1690.85	99	-403.29	98	-5565.12	97	-171.08	33	-21891.70	98	456.88	33
206	Min.	-425	-449.36	99	-5071.76	97	-1690.85	99	-403.29	98	-5565.12	97	-171.08	33	-21891.70	98	456.88	33
206	Max	-345	-577.71	49	-3880.33	103	264.94	104	-31.01	102	-466.55	102	226.86	49	-13829.40	101	556.13	99
206	Max	-343	-577.71	49	-3880.33	103	264.94	104	-31.01	102	-466.55	102	226.86	49	-13829.40	101	556.13	99
206	Max	-391	-577.71	49	-3880.33	103	264.94	104	-31.01	102	-466.55	102	226.86	49	-13829.40	101	556.13	99
206	Max	-393	-577.71	49	-3880.33	103	264.94	104	-31.01	102	-466.55	102	226.86	49	-13829.40	101	556.13	99
206	Min.	-345	-903.80	100	-6819.13	100	-3119.20	99	-94.64	97	-1173.58	97	-266.10	33	-21729.60	98	325.04	49
206	Min.	-343	-903.80	100	-6819.13	100	-3119.20	99	-94.64	97	-1173.58	97	-266.10	33	-21729.60	98	325.04	49
206	Min.	-391	-903.80	100	-6819.13	100	-3119.20	99	-94.64	97	-1173.58	97	-266.10	33	-21729.60	98	325.04	49
206	Min.	-393	-903.80	100	-6819.13	100	-3119.20	99	-94.64	97	-1173.58	97	-266.10	33	-21729.60	98	325.04	49
206	Max	-393	-574.80	104	-3499.07	103	89.82	104	-388.84	33	-4055.11	33	292.25	49	-15493.60	101	556.13	99
206	Max	-391	-574.80	104	-3499.07	103	89.82	104	-388.84	33	-4055.11	33	292.25	49	-15493.60	101	556.13	99
206	Max	-427	-574.80	104	-3499.07	103	89.82	104	-388.84	33	-4055.11	33	292.25	49	-15493.60	101	556.13	99
206	Max	-429	-574.80	104	-3499.07	103	89.82	104	-388.84	33	-4055.11	33	292.25	49	-15493.60	101	556.13	99
206	Min.	-393	-864.30	99	-5540.06	100	-3318.83	99	-573.99	100	-5964.12	100	-156.50	33	-24169.50	98	325.04	49
206	Min.	-391	-864.30	99	-5540.06	100	-3318.83	99	-573.99	100	-5964.12	100	-156.50	33	-24169.50	98	325.04	49
206	Min.	-427	-864.30	99	-5540.06	100	-3318.83	99	-573.99	100	-5964.12	100	-156.50	33	-24169.50	98	325.04	49
206	Min.	-429	-864.30	99	-5540.06	100	-3318.83	99	-573.99	100	-5964.12	100	-156.50	33	-24169.50	98	325.04	49
206	Max	-401	-30.72	103	-6143.61	103	1006.42	104	-385.27	33	-4982.75	33	574.06	49	-18829.90	101	859.82	98
206	Max	-399	-30.72	103	-6143.61	103	1006.42	104	-385.27	33	-4982.75	33	574.06	49	-18829.90	101	859.82	98
206	Max	-435	-30.72	103	-6143.61	103	1006.42	104	-385.27	33	-4982.75	33	574.06	49	-18829.90	101	859.82	98
206	Max	-437	-30.72	103	-6143.61	103	1006.42	104	-385.27	33	-4982.75	33	574.06	49	-18829.90	101	859.82	98
206	Min.	-401	-1627.89	100	-10155.10	100	-1589.96	99	-557.67	98	-7162.55	98	220.79	33	-29083.10	98	542.53	49
206	Min.	-399	-1627.89	100	-10155.10	100	-1589.96	99	-557.67	98	-7162.55	98	220.79	33	-29083.10	98	542.53	49
206	Min.	-435	-1627.89	100	-10155.10	100	-1589.96	99	-557.67	98	-7162.55	98	220.79	33	-29083.10	98	542.53	49
206	Min.	-437	-1627.89	100	-10155.10	100	-1589.96	99	-557.67	98	-7162.55	98	220.79	33	-29083.10	98	542.53	49
206	Max	-391	-396.12	104	-3268.49	103	131.01	104	-337.34	33	-3861.29	33	250.69	49	-14682.50	33	757.89	97
206	Max	-389	-396.12	104	-3268.49	103	131.01	104	-337.34	33	-3861.29	33	250.69	49	-14682.50	33	757.89	97
206	Max	-425	-396.12	104	-3268.49	103	131.01	104	-337.34	33	-3861.29	33	250.69	49	-14682.50	33	757.89	97
206	Max	-427	-396.12	104	-3268.49	103	131.01	104	-337.34	33	-3861.29	33	250.69	49	-14682.50	33	757.89	97
206	Min.	-391	-815.75	99	-5217.06	100	-2617.33	99	-502.76	98	-5749.42	97	-165.35	33	-23050.80	98	510.17	49
206	Min.	-389	-815.75	99	-5217.06	100	-2617.33	99	-502.76	98	-5749.42	97	-165.35	33	-23050.80	98	510.17	49
206	Min.	-425	-815.75	99	-5217.06	100	-2617.33	99	-502.76	98	-5749.42	97	-165.35	33	-23050.80	98	510.17	49
206	Min.	-427	-815.75	99	-5217.06	100	-2617.33	99	-502.76	98	-5749.42	97	-165.35	33	-23050.80	98	510.17	49
206	Max	-353	-963.21	104	-8174.76	104	-154.88	104	91.58	98	-404.36	102	89.87	49	-17706.70	101	859.82	98
206	Max	-351	-963.21	104	-8174.76	104	-154.88	104	91.58	98	-404.36	102	89.87	49	-17706.70	101	859.82	98
206	Max	-399	-963.21	104	-8174.76	104	-154.88	104	91.58	98	-404.36	102	89.87	49	-17706.70	101	859.82	98
206	Max	-401	-963.21	104	-8174.76	104	-154.88	104	91.58	98	-404.36	102	89.87	49	-17706.70	101	859.82	98
206	Min.	-353	-3115.82	99	-13121.00	99	-3130.81	99	32.30	101	-1136.99	97	-302.25	33	-27475.30	98	542.53	49
206	Min.	-351	-3115.82	99	-13121.00	99	-3130.81	99	32.30	101	-1136.99	97	-302.25	33	-27475.30	98	542.53	49
206	Min.	-399	-3115.82	99	-13121.00	99	-3130.81	99	32.30	101	-1136.99	97	-302.25	33	-27475.30	98	542.53	49
206	Min.	-401	-3115.82	99	-13121.00	99	-3130.81	99	32.30	101	-1136.99	97	-302.25	33	-27475.30	98	542.53	49
206	Max	-399	-644.20	103	-5424.22	103	332.29	104	-424.06	33	-4280.74	33	279.56	49	-15465.70	101	688.91	98
206	Max	-397	-644.20	103	-5424.22	103	332.29	104	-424.06	33	-4280.74	33	279.56	49	-15465.70	101	688.91	98
206	Max	-433	-644.20	103	-5424.22	103	332.29	104	-424.06	33	-4280.74	33	279.56	49	-15465.70	101	688.91	98
206	Max	-435	-644.20	103	-5424.22	103	332.29	104	-424.06	33	-4280.74	33	279.56	49	-15465.70	101	688.91	98
206	Min.	-399	-1039.11	100	-7715.91	100	-3532.99	99	-604.96	98	-6137.28	100	-185.60	33	-24100.40	98	388.88	49
206	Min.	-397	-1039.11	100	-7715.91	100	-3532.99	99	-604.96	98	-6137.28	100	-185.60	33	-24100.40	98	388.88	49
206	Min.	-433	-1039.11	100	-7715.91	100	-3532.99	99	-604.96	98	-6137.28	100	-185.60	33	-24100.40	98	388.88	49
206	Min.	-435	-1039.11	100	-7715.91	100	-3532.99	99	-604.96	98	-6137.28	100	-185.60	33	-24100.40	98	388.88	49
206	Max	-387	-57.49	104	-3342.74	104	-40.03	104	-225.07	33	-3698.33	33	-6.48	49	-11531.80	33	340.24	97
206	Max	-385	-57.49	104	-3342.74	104	-40.03	104	-225.07	33	-3698.33	33	-6.48	49	-11531.80	33	340.24	97
206	Max	-421	-57.49	104	-3342.74	104	-40.03	104	-225.07	33	-3698.33	33	-6.48	49	-11531.80	33	340.24	97
206	Max	-423	-57.49	104	-3342.74	104	-40.03	104	-225.07	33	-3698.33	33	-6.48	49	-11531.80	33	340.24	97
206	Min.	-387	-359.68	99	-5209.86	99	-989.68	99	-343.07	98	-5566.94	97	-169.56	33	-21269.70	98	216.52	33
206	Min.	-385	-359.68	99	-5209.86	99	-989.68	99	-343.07	98	-5566.94	97	-169.56	33	-21269.70	98	216.52	33
206	Min.	-421	-359.68	99	-5209.86	99	-989.68	99	-343.07	98	-5566.94	97	-169.56	33	-21269.70	98	216.52	33
206	Min.	-423	-359.68	99	-5209.86	99	-989.68	99	-343.07	98	-5566.94	97	-169.56	33	-21269.70	98	216.52	33
206	Max	-395	-692.82	102	-3911.99	103	85.37	104	-402.34	33	-4164.94	33	273.14	49	-15710.90	101	365.86	33
206	Max	-393	-692.82	102	-3911.99	103	85.37	104	-402.34	33	-4164.94	33	273.14	49	-15710.90	101	365.86	33
206	Max	-429	-692.82	102	-3911.99	103	85.37	104	-402.34	33	-4164.94	33	273.14	49	-15710.90	101	365.86	33
206	Max	-431	-692.82	102	-3911.99	103	85.37	104	-402.34	33	-4164.94	33	273.14	49	-15710.90	101	365.86	33
206	Min.	-395	-983.79	97	-6006.87	100	-3628.47	99	-588.05	100	-6073.23	100	-177.45	33	-24478.30	98	171.07	49
206	Min.	-393	-983.79	97	-6006.87	100	-3628.47	99	-588.05	100	-6073.23	100	-177.45	33	-24478.30	98	171.07	49
206	Min.	-429	-983.79	97	-6006.87	100	-3628.47	99	-588.05	100	-6073.23	100	-177.45	33	-24478.30	98	171.07	49
206	Min.	-431	-983.79	97	-6006.87	100	-3628.47	99	-588.05	100	-6073.23	100	-177.45	33	-24478.30	98	171.07	49
206	Max	-397	-741.38	49	-4566.82	103	164.76	104	-410.12	33	-4257.81	33	275.86	49	-15723.60	101	354.38	33
206	Max	-395	-741.38	49	-4566.82	103	164.76	104	-410.12	33	-4257.81	33	275.86	49	-15723.60	101	354.38	33
206	Max	-431	-741.38	49	-4566.82	103	164.76	104	-410.12	33	-4257.81	33	275.86	49	-15723.60	101	354.38	33
206	Max	-433	-741.38	49	-4566.82	103	164.76	104	-410.12	33	-4257.81	33	275.86	49	-15723.60	101	354.38	33
206	Min.	-397	-1059.13	97	-6767.64	100	-3733.63	99	-592.38	98	-6153.06	100	-178.83	33	-24481.40	98	147.96	49
206	Min.	-395	-1059.13	97	-6767.64	100	-3733.63	99	-592.38	98	-6153.06	100	-178.83	33	-24481.40	98	147.96	49
206	Min.	-431	-1059.13	97	-6767.64	100	-3733.63	99	-592.38	98	-6153.06	100	-178.83	33	-24481.40	98	147.96	49
206	Min.	-433	-1059.13	97	-6767.64	100	-3733.63	99	-592.38	98	-6153.06	100	-178.83	33	-24481.40	98	147.96	49
206	Max	-351	-858.00	102	-6918.04	103	541.05	104	-50.65	102	-560.66	102	229.12	49	-15647.40	101	688.91	98
206	Max	-349	-858.00	102	-6918.04	103	541.05	104	-50.65	102	-560.66	102	229.12	49	-15647.40	101	688.91	98
206	Max	-397	-858.00	102	-6918.04	103	541.05	104	-50.65	102	-560.66	102	229.12	49	-15647.40	101	688.91	98
206	Max	-399	-858.00	102	-6918.04	103	541.05	104	-50.65	102	-560.66	102	229.12	49	-15647.40	101	688.91	98
206	Min.	-351	-1215.44	97	-9877.81	100	-3260.34	99	-119.63	97	-1301.71	97	-275.10	33	-24311.40	98	388.88	49
206	Min.	-349	-1215.44	97	-9877.81	100	-3260.34	99	-119.63	97	-1301.71	97	-275.10	33	-24311.40	98	388.88	49
206	Min.	-397	-1215.44	97	-9877.81	100	-3260.34	99	-119.63	97	-1301.71	97	-275.10	33	-24311.40	98	388.88	49
206	Min.	-399	-1215.44	97	-9877.81	100	-3260.34	99	-119.63	97	-1301.71	97	-275.10	33	-24311.40	98	388.88	49
206	Max	-341	-214.46	103	-2555.87	103	693.94	104	76.23	98	-470.40	102	212.98	49	-12726.00	33	681.49	97
206	Max	-339	-214.46	103	-2555.87	103	693.94	104	76.23	98	-470.40	102	212.98	49	-12726.00	33	681.49	97
206	Max	-387	-214.46	103	-2555.87	103	693.94	104	76.23	98	-470.40	102	212.98	49	-12726.00	33	681.49	97
206	Max	-389	-214.46	103	-2555.87	103	693.94	104	76.23	98	-470.40	102	212.98	49	-12726.00	33	681.49	97
206	Min.	-341	-662.85	100	-6331.34	100	-856.45	99	25.45	101	-1176.33	97	-122.59	33	-21059.80	98	456.88	33
206	Min.	-339	-662.85	100	-6331.34	100	-856.45	99	25.45	101	-1176.33	97	-122.59	33	-21059.80	98	456.88	33
206	Min.	-387	-662.85	100	-6331.34	100	-856.45	99	25.45	101	-1176.33	97	-122.59	33	-21059.80	98	456.88	33
206	Min.	-389	-662.85	100	-6331.34	100	-856.45	99	25.45	101	-1176.33	97	-122.59	33	-21059.80	98	456.88	33
206	Max	-349	-830.34	49	-5759.16	103	395.26	104	-33.45	102	-492.06	102	216.90	49	-14832.80	101	354.38	33
206	Max	-347	-830.34	49	-5759.16	103	395.26	104	-33.45	102	-492.06	102	216.90	49	-14832.80	101	354.38	33

206	Max	-395	-830.34	49	-5759.16	103	395.26	104	-33.45	102	-492.06	102	216.90	49	-14832.80	101	354.38	33
206	Max	-397	-830.34	49	-5759.16	103	395.26	104	-33.45	102	-492.06	102	216.90	49	-14832.80	101	354.38	33
206	Min.	-349	-1192.85	100	-8628.30	100	-3434.71	99	-97.50	97	-1210.64	97	-281.85	33	-23145.10	98	147.96	49
206	Min.	-347	-1192.85	100	-8628.30	100	-3434.71	99	-97.50	97	-1210.64	97	-281.85	33	-23145.10	98	147.96	49
206	Min.	-395	-1192.85	100	-8628.30	100	-3434.71	99	-97.50	97	-1210.64	97	-281.85	33	-23145.10	98	147.96	49
206	Min.	-397	-1192.85	100	-8628.30	100	-3434.71	99	-97.50	97	-1210.64	97	-281.85	33	-23145.10	98	147.96	49
206	Max	-343	-494.58	103	-3024.27	103	472.74	104	3.00	102	-468.77	102	234.66	49	-13463.80	101	757.89	97
206	Max	-341	-494.58	103	-3024.27	103	472.74	104	3.00	102	-468.77	102	234.66	49	-13463.80	101	757.89	97
206	Max	-389	-494.58	103	-3024.27	103	472.74	104	3.00	102	-468.77	102	234.66	49	-13463.80	101	757.89	97
206	Max	-391	-494.58	103	-3024.27	103	472.74	104	3.00	102	-468.77	102	234.66	49	-13463.80	101	757.89	97
206	Min.	-343	-961.94	100	-6079.06	100	-2165.81	99	-42.54	97	-1175.04	97	-216.69	33	-21199.70	98	510.17	49
206	Min.	-341	-961.94	100	-6079.06	100	-2165.81	99	-42.54	97	-1175.04	97	-216.69	33	-21199.70	98	510.17	49
206	Min.	-389	-961.94	100	-6079.06	100	-2165.81	99	-42.54	97	-1175.04	97	-216.69	33	-21199.70	98	510.17	49
206	Min.	-391	-961.94	100	-6079.06	100	-2165.81	99	-42.54	97	-1175.04	97	-216.69	33	-21199.70	98	510.17	49
206	Max	-347	-743.56	49	-4660.86	103	283.37	104	-34.11	102	-474.87	102	223.87	49	-14277.60	101	365.86	33
206	Max	-345	-743.56	49	-4660.86	103	283.37	104	-34.11	102	-474.87	102	223.87	49	-14277.60	101	365.86	33
206	Max	-393	-743.56	49	-4660.86	103	283.37	104	-34.11	102	-474.87	102	223.87	49	-14277.60	101	365.86	33
206	Max	-395	-743.56	49	-4660.86	103	283.37	104	-34.11	102	-474.87	102	223.87	49	-14277.60	101	365.86	33
206	Min.	-347	-1110.68	100	-7541.43	100	-3386.59	99	-99.17	97	-1185.91	97	-272.46	33	-22359.70	98	171.07	49
206	Min.	-345	-1110.68	100	-7541.43	100	-3386.59	99	-99.17	97	-1185.91	97	-272.46	33	-22359.70	98	171.07	49
206	Min.	-393	-1110.68	100	-7541.43	100	-3386.59	99	-99.17	97	-1185.91	97	-272.46	33	-22359.70	98	171.07	49
206	Min.	-395	-1110.68	100	-7541.43	100	-3386.59	99	-99.17	97	-1185.91	97	-272.46	33	-22359.70	98	171.07	49
207	Max	-367	-533.53	33	-3855.12	104	3108.45	100	-32.57	102	-463.62	102	264.89	49	-13743.10	101	-340.24	33
207	Max	-365	-533.53	33	-3855.12	104	3108.45	100	-32.57	102	-463.62	102	264.89	49	-13743.10	101	-340.24	33
207	Max	-411	-533.53	33	-3855.12	104	3108.45	100	-32.57	102	-463.62	102	264.89	49	-13743.10	101	-340.24	33
207	Max	-413	-533.53	33	-3855.12	104	3108.45	100	-32.57	102	-463.62	102	264.89	49	-13743.10	101	-340.24	33
207	Min.	-367	-839.52	99	-6792.26	99	-266.49	103	-97.00	97	-1169.29	97	-227.90	33	-21605.20	98	-577.82	100
207	Min.	-365	-839.52	99	-6792.26	99	-266.49	103	-97.00	97	-1169.29	97	-227.90	33	-21605.20	98	-577.82	100
207	Min.	-411	-839.52	99	-6792.26	99	-266.49	103	-97.00	97	-1169.29	97	-227.90	33	-21605.20	98	-577.82	100
207	Min.	-413	-839.52	99	-6792.26	99	-266.49	103	-97.00	97	-1169.29	97	-227.90	33	-21605.20	98	-577.82	100
207	Max	-409	-734.84	33	-4568.85	104	3741.73	100	-414.38	49	-4243.24	49	181.98	49	-15723.40	101	-128.86	33
207	Max	-407	-734.84	33	-4568.85	104	3741.73	100	-414.38	49	-4243.24	49	181.98	49	-15723.40	101	-128.86	33
207	Max	-445	-734.84	33	-4568.85	104	3741.73	100	-414.38	49	-4243.24	49	181.98	49	-15723.40	101	-128.86	33
207	Max	-447	-734.84	33	-4568.85	104	3741.73	100	-414.38	49	-4243.24	49	181.98	49	-15723.40	101	-128.86	33
207	Min.	-409	-1049.74	97	-6770.38	99	-158.92	103	-598.23	98	-6125.72	99	-272.44	33	-24484.00	98	-333.92	49
207	Min.	-407	-1049.74	97	-6770.38	99	-158.92	103	-598.23	98	-6125.72	99	-272.44	33	-24484.00	98	-333.92	49
207	Min.	-445	-1049.74	97	-6770.38	99	-158.92	103	-598.23	98	-6125.72	99	-272.44	33	-24484.00	98	-333.92	49
207	Min.	-447	-1049.74	97	-6770.38	99	-158.92	103	-598.23	98	-6125.72	99	-272.44	33	-24484.00	98	-333.92	49
207	Max	-363	-824.45	33	-5758.99	104	3433.43	100	-38.70	102	-487.26	102	276.13	49	-14692.70	101	-128.86	33
207	Max	-361	-824.45	33	-5758.99	104	3433.43	100	-38.70	102	-487.26	102	276.13	49	-14692.70	101	-128.86	33
207	Max	-407	-824.45	33	-5758.99	104	3433.43	100	-38.70	102	-487.26	102	276.13	49	-14692.70	101	-128.86	33
207	Max	-409	-824.45	33	-5758.99	104	3433.43	100	-38.70	102	-487.26	102	276.13	49	-14692.70	101	-128.86	33
207	Min.	-363	-1184.14	99	-8628.05	99	-395.78	103	-105.37	97	-1203.49	97	-222.56	33	-22938.20	98	-333.92	49
207	Min.	-361	-1184.14	99	-8628.05	99	-395.78	103	-105.37	97	-1203.49	97	-222.56	33	-22938.20	98	-333.92	49
207	Min.	-407	-1184.14	99	-8628.05	99	-395.78	103	-105.37	97	-1203.49	97	-222.56	33	-22938.20	98	-333.92	49
207	Min.	-409	-1184.14	99	-8628.05	99	-395.78	103	-105.37	97	-1203.49	97	-222.56	33	-22938.20	98	-333.92	49
207	Max	-419	-65.61	103	-3320.38	103	1018.31	100	-225.93	49	-3680.96	49	169.55	49	-11526.00	49	-228.25	49
207	Max	-417	-65.61	103	-3320.38	103	1018.31	100	-225.93	49	-3680.96	49	169.55	49	-11526.00	49	-228.25	49
207	Max	-455	-65.61	103	-3320.38	103	1018.31	100	-225.93	49	-3680.96	49	169.55	49	-11526.00	49	-228.25	49
207	Max	-457	-65.61	103	-3320.38	103	1018.31	100	-225.93	49	-3680.96	49	169.55	49	-11526.00	49	-228.25	49
207	Min.	-419	-387.06	100	-5140.04	100	32.80	103	-343.78	98	-5533.46	97	-1.65	33	-21160.30	98	-357.53	97
207	Min.	-417	-387.06	100	-5140.04	100	32.80	103	-343.78	98	-5533.46	97	-1.65	33	-21160.30	98	-357.53	97
207	Min.	-455	-387.06	100	-5140.04	100	32.80	103	-343.78	98	-5533.46	97	-1.65	33	-21160.30	98	-357.53	97
207	Min.	-457	-387.06	100	-5140.04	100	32.80	103	-343.78	98	-5533.46	97	-1.65	33	-21160.30	98	-357.53	97
207	Max	-371	-191.26	104	-2536.35	104	891.38	100	73.11	98	-468.71	102	127.04	49	-12689.20	49	-465.21	49
207	Max	-369	-191.26	104	-2536.35	104	891.38	100	73.11	98	-468.71	102	127.04	49	-12689.20	49	-465.21	49
207	Max	-415	-191.26	104	-2536.35	104	891.38	100	73.11	98	-468.71	102	127.04	49	-12689.20	49	-465.21	49
207	Max	-417	-191.26	104	-2536.35	104	891.38	100	73.11	98	-468.71	102	127.04	49	-12689.20	49	-465.21	49
207	Min.	-371	-614.55	99	-6267.60	99	-690.85	103	23.14	101	-1173.66	97	-214.13	33	-20903.50	98	-692.41	97
207	Min.	-369	-614.55	99	-6267.60	99	-690.85	103	23.14	101	-1173.66	97	-214.13	33	-20903.50	98	-692.41	97
207	Min.	-415	-614.55	99	-6267.60	99	-690.85	103	23.14	101	-1173.66	97	-214.13	33	-20903.50	98	-692.41	97
207	Min.	-417	-614.55	99	-6267.60	99	-690.85	103	23.14	101	-1173.66	97	-214.13	33	-20903.50	98	-692.41	97
207	Max	-369	-490.41	104	-3004.44	104	2170.06	100	2.20	102	-466.28	102	216.65	49	-13382.30	101	-516.14	33
207	Max	-367	-490.41	104	-3004.44	104	2170.06	100	2.20	102	-466.28	102	216.65	49	-13382.30	101	-516.14	33
207	Max	-413	-490.41	104	-3004.44	104	2170.06	100	2.20	102	-466.28	102	216.65	49	-13382.30	101	-516.14	33
207	Max	-415	-490.41	104	-3004.44	104	2170.06	100	2.20	102	-466.28	102	216.65	49	-13382.30	101	-516.14	33
207	Min.	-369	-954.34	99	-6051.70	99	-469.23	103	-43.74	97	-1171.39	97	-234.84	33	-21081.50	98	-766.56	97
207	Min.	-367	-954.34	99	-6051.70	99	-469.23	103	-43.74	97	-1171.39	97	-234.84	33	-21081.50	98	-766.56	97
207	Min.	-413	-954.34	99	-6051.70	99	-469.23	103	-43.74	97	-1171.39	97	-234.84	33	-21081.50	98	-766.56	97
207	Min.	-415	-954.34	99	-6051.70	99	-469.23	103	-43.74	97	-1171.39	97	-234.84	33	-21081.50	98	-766.56	97
207	Max	-411	-679.25	102	-3900.34	104	3628.37	100	-404.21	49	-4147.24	49	177.81	49	-15644.20	101	-182.45	33
207	Max	-409	-679.25	102	-3900.34	104	3628.37	100	-404.21	49	-4147.24	49	177.81	49	-15644.20	101	-182.45	33
207	Max	-447	-679.25	102	-3900.34	104	3628.37	100	-404.21	49	-4147.24	49	177.81	49	-15644.20	101	-182.45	33
207	Max	-449	-679.25	102	-3900.34	104	3628.37	100	-404.21	49	-4147.24	49	177.81	49	-15644.20	101	-182.45	33
207	Min.	-411	-964.29	97	-5993.92	99	-80.60	103	-590.36	99	-6041.70	99	-272.48	33	-24382.80	98	-376.97	98
207	Min.	-409	-964.29	97	-5993.92	99	-80.60	103	-590.36	99	-6041.70	99	-272.48	33	-24382.80	98	-376.97	98
207	Min.	-447	-964.29	97	-5993.92	99	-80.60	103	-590.36	99	-6041.70	99	-272.48	33	-24382.80	98	-376.97	98
207	Min.	-449	-964.29	97	-5993.92	99	-80.60	103	-590.36	99	-6041.70	99	-272.48	33	-24382.80	98	-376.97	98
207	Max	-365	-733.77	33	-4636.48	104	3377.73	100	-37.40	102	-471.33	102	269.56	49	-14178.40	101	-182.45	33
207	Max	-363	-733.77	33	-4636.48	104	3377.73	100	-37.40	102	-471.33	102	269.56	49	-14178.40	101	-182.45	33
207	Max	-409	-733.77	33	-4636.48	104	3377.73	100	-37.40	102	-471.33	102	269.56	49	-14178.40	101	-182.45	33
207	Max	-411	-733.77	33	-4636.48	104	3377.73	100	-37.40	102	-471.33	102	269.56	49	-14178.40	101	-182.45	33
207	Min.	-365	-1097.45	99	-7515.05	99	-284.86	103	-104.11	97	-1180.68	97	-226.64	33	-22215.50	98	-376.97	98
207	Min.	-363	-1097.45	99	-7515.05	99	-284.86	103	-104.11	97	-1180.68	97	-226.64	33	-22215.50	98	-376.97	98
207	Min.	-409	-1097.45	99	-7515.05	99	-284.86	103	-104.11	97	-1180.68	97	-226.64	33	-22215.50	98	-376.97	98
207	Min.	-411	-1097.45	99	-7515.05	99	-284.86	103	-104.11	97	-1180.68	97	-226.64	33	-22215.50	98	-376.97	98
207	Max	-417	-61.48	103	-3429.32	33	1710.35	100	-267.85	49	-3679.55	49	170.55	49	-13129.60	49	-465.21	49
207	Max	-415	-61.48	103	-3429.32	33	1710.35	100	-267.85	49	-3679.55	49	170.55	49	-13129.60	49	-465.21	49
207	Max	-453	-61.48	103	-3429.32	33	1710.35	100	-267.85	49	-3679.55	49	170.55	49	-13129.60	49	-465.21	49
207	Max	-455	-61.48	103	-3429.32	33	1710.35	100	-267.85	49	-3679.55	49	170.55	49	-13129.60	49	-465.21	49
207	Min.	-417	-424.74	100	-5018.91	97	-115.92	103	-403.34	98	-5532.08	97	-155.26	33	-21776.80	98	-692.41	97
207	Min.	-415	-424.74	100	-5018.91	97	-115.92	103	-403.34	98	-5532.08	97	-155.26	33	-21776.80	98	-692.41	97
207	Min.	-453	-424.74	100	-5018.91	97	-115.92	103	-403.34	98	-5532.08	97	-155.26	33	-21776.80	98	-692.41	97
207	Min.	-455	-424.74	100	-5018.91	97	-115.92	103	-403.34	98	-5532.08	97	-155.26	33	-21776.80	98	-692.41	97
207	Max	-413	-535.45	103	-3487.26	104	3311.29	100	-388.83	49	-4036.55	49	155.58	49	-15401.80	101	-340.24	33
207	Max	-411	-535.45	103	-3487.26	104	3311.29	100	-388.83	49	-4036.55	49	155.58	49	-15401.80	101	-340.24	33
207	Max	-449	-535.45	103	-3487.26	104	3311.29	100	-388.83	49	-4036.55	49	155.58	49	-15401.80	101	-340.24	33
207	Max	-451	-535.45	103	-3487.26	104	3311.29	100	-388.83	49	-4036.55	49	155.58	49	-15401.80	101	-340.24	33
207	Min.	-413	-809.24	100	-5524.77	99	-89.30	103	-573.44	99	-5930.73	99	-292.95	33	-24036.80	98	-577.82	100
207	Min.	-411	-809.24	100	-5524.77	99	-89.30	103	-573.44	99	-5930.73	99	-292.95	33	-24036.80	98	-577.82	100
207	Min.	-449	-809.24	100	-5524.77	99	-89.30	103	-573.44	99	-5930.73	99	-292.95	33	-24036.80	98	-577.82	100
207	Min.	-451	-809.24	100	-5524.77	99	-89.30	103	-573.44	99	-5930.73	99	-292.95	33	-24036.80	98	-577.82	100
207	Max	-361	-857.37	102	-6921.03	104	3260.29	100	-53.71	102	-552.66	102	266.56	49	-15377.20	101	-287.25	33
207	Max	-359	-857.37	102	-6921.03	104	3260.29	100	-53.71	102	-552.66	102	266.56	49	-15377.20	101	-287.25	33
207	Max	-405	-857.37	102	-6921.03	104	3260.29	100	-53.71	102	-552.66	102	266.56	49	-15377.20	101	-287.25	33

207	Max	-407	-857.37	102	-6921.03	104	3260.29	100	-53.71	102	-552.66	102	266.56	49	-15377.20	101	-287.25	33
207	Min.	-361	-1214.52	97	-9881.75	99	-540.75	103	-124.24	97	-1289.85	97	-237.59	33	-23909.00	98	-536.78	98
207	Min.	-359	-1214.52	97	-9881.75	99	-540.75	103	-124.24	97	-1289.85	97	-237.59	33	-23909.00	98	-536.78	98
207	Min.	-405	-1214.52	97	-9881.75	99	-540.75	103	-124.24	97	-1289.85	97	-237.59	33	-23909.00	98	-536.78	98
207	Min.	-407	-1214.52	97	-9881.75	99	-540.75	103	-124.24	97	-1289.85	97	-237.59	33	-23909.00	98	-536.78	98
207	Max	-359	-969.73	103	-8178.78	103	3134.05	100	90.96	98	-396.58	102	294.57	49	-17152.00	101	-490.92	33
207	Max	-357	-969.73	103	-8178.78	103	3134.05	100	90.96	98	-396.58	102	294.57	49	-17152.00	101	-490.92	33
207	Max	-403	-969.73	103	-8178.78	103	3134.05	100	90.96	98	-396.58	102	294.57	49	-17152.00	101	-490.92	33
207	Max	-405	-969.73	103	-8178.78	103	3134.05	100	90.96	98	-396.58	102	294.57	49	-17152.00	101	-490.92	33
207	Min.	-359	-3124.62	100	-13126.20	100	157.23	103	31.91	101	-1124.93	97	-97.50	33	-26646.10	98	-782.81	98
207	Min.	-357	-3124.62	100	-13126.20	100	157.23	103	31.91	101	-1124.93	97	-97.50	33	-26646.10	98	-782.81	98
207	Min.	-403	-3124.62	100	-13126.20	100	157.23	103	31.91	101	-1124.93	97	-97.50	33	-26646.10	98	-782.81	98
207	Min.	-405	-3124.62	100	-13126.20	100	157.23	103	31.91	101	-1124.93	97	-97.50	33	-26646.10	98	-782.81	98
207	Max	-405	-34.31	104	-6145.53	104	1593.97	100	-384.48	49	-4963.70	49	-213.43	49	-19159.90	101	-490.92	33
207	Max	-403	-34.31	104	-6145.53	104	1593.97	100	-384.48	49	-4963.70	49	-213.43	49	-19159.90	101	-490.92	33
207	Max	-441	-34.31	104	-6145.53	104	1593.97	100	-384.48	49	-4963.70	49	-213.43	49	-19159.90	101	-490.92	33
207	Max	-443	-34.31	104	-6145.53	104	1593.97	100	-384.48	49	-4963.70	49	-213.43	49	-19159.90	101	-490.92	33
207	Min.	-405	-1631.87	99	-10157.60	99	-1003.39	103	-556.19	98	-7129.78	98	-566.64	33	-29581.00	98	-782.81	98
207	Min.	-403	-1631.87	99	-10157.60	99	-1003.39	103	-556.19	98	-7129.78	98	-566.64	33	-29581.00	98	-782.81	98
207	Min.	-441	-1631.87	99	-10157.60	99	-1003.39	103	-556.19	98	-7129.78	98	-566.64	33	-29581.00	98	-782.81	98
207	Min.	-443	-1631.87	99	-10157.60	99	-1003.39	103	-556.19	98	-7129.78	98	-566.64	33	-29581.00	98	-782.81	98
207	Max	-407	-642.08	33	-5427.17	104	3541.16	100	-426.32	49	-4264.97	49	191.28	49	-15583.20	101	-287.25	33
207	Max	-405	-642.08	33	-5427.17	104	3541.16	100	-426.32	49	-4264.97	49	191.28	49	-15583.20	101	-287.25	33
207	Max	-443	-642.08	33	-5427.17	104	3541.16	100	-426.32	49	-4264.97	49	191.28	49	-15583.20	101	-287.25	33
207	Max	-445	-642.08	33	-5427.17	104	3541.16	100	-426.32	49	-4264.97	49	191.28	49	-15583.20	101	-287.25	33
207	Min.	-407	-1035.97	99	-7719.93	99	-326.33	103	-607.93	98	-6108.86	99	-273.62	33	-24278.30	98	-536.78	98
207	Min.	-405	-1035.97	99	-7719.93	99	-326.33	103	-607.93	98	-6108.86	99	-273.62	33	-24278.30	98	-536.78	98
207	Min.	-443	-1035.97	99	-7719.93	99	-326.33	103	-607.93	98	-6108.86	99	-273.62	33	-24278.30	98	-536.78	98
207	Min.	-445	-1035.97	99	-7719.93	99	-326.33	103	-607.93	98	-6108.86	99	-273.62	33	-24278.30	98	-536.78	98
207	Max	-373	-221.87	104	-2289.28	104	127.70	104	137.33	98	-437.82	102	9.20	49	-11938.60	49	-228.25	49
207	Max	-371	-221.87	104	-2289.28	104	127.70	104	137.33	98	-437.82	102	9.20	49	-11938.60	49	-228.25	49
207	Max	-417	-221.87	104	-2289.28	104	127.70	104	137.33	98	-437.82	102	9.20	49	-11938.60	49	-228.25	49
207	Max	-419	-221.87	104	-2289.28	104	127.70	104	137.33	98	-437.82	102	9.20	49	-11938.60	49	-228.25	49
207	Min.	-373	-689.98	99	-6916.27	99	-759.08	99	71.23	101	-1134.99	97	-164.71	33	-21745.80	98	-357.53	97
207	Min.	-371	-689.98	99	-6916.27	99	-759.08	99	71.23	101	-1134.99	97	-164.71	33	-21745.80	98	-357.53	97
207	Min.	-417	-689.98	99	-6916.27	99	-759.08	99	71.23	101	-1134.99	97	-164.71	33	-21745.80	98	-357.53	97
207	Min.	-419	-689.98	99	-6916.27	99	-759.08	99	71.23	101	-1134.99	97	-164.71	33	-21745.80	98	-357.53	97
207	Max	-415	-391.67	103	-3250.44	104	2607.00	100	-336.62	49	-3844.20	49	164.72	49	-14613.40	49	-516.14	33
207	Max	-413	-391.67	103	-3250.44	104	2607.00	100	-336.62	49	-3844.20	49	164.72	49	-14613.40	49	-516.14	33
207	Max	-451	-391.67	103	-3250.44	104	2607.00	100	-336.62	49	-3844.20	49	164.72	49	-14613.40	49	-516.14	33
207	Max	-453	-391.67	103	-3250.44	104	2607.00	100	-336.62	49	-3844.20	49	164.72	49	-14613.40	49	-516.14	33
207	Min.	-415	-806.84	100	-5190.65	99	-138.18	103	-501.02	98	-5716.70	97	-251.41	33	-22914.70	98	-766.56	97
207	Min.	-413	-806.84	100	-5190.65	99	-138.18	103	-501.02	98	-5716.70	97	-251.41	33	-22914.70	98	-766.56	97
207	Min.	-451	-806.84	100	-5190.65	99	-138.18	103	-501.02	98	-5716.70	97	-251.41	33	-22914.70	98	-766.56	97
207	Min.	-453	-806.84	100	-5190.65	99	-138.18	103	-501.02	98	-5716.70	97	-251.41	33	-22914.70	98	-766.56	97
208	Max	-374	-221.88	104	-2289.29	104	127.70	104	-71.23	102	1134.99	98	164.63	49	21745.80	97	357.53	98
208	Max	-372	-221.88	104	-2289.29	104	127.70	104	-71.23	102	1134.99	98	164.63	49	21745.80	97	357.53	98
208	Max	-418	-221.88	104	-2289.29	104	127.70	104	-71.23	102	1134.99	98	164.63	49	21745.80	97	357.53	98
208	Max	-420	-221.88	104	-2289.29	104	127.70	104	-71.23	102	1134.99	98	164.63	49	21745.80	97	357.53	98
208	Min.	-374	-689.98	99	-6916.26	99	-759.08	99	-137.33	97	437.82	101	-9.28	33	11924.60	33	228.10	33
208	Min.	-372	-689.98	99	-6916.26	99	-759.08	99	-137.33	97	437.82	101	-9.28	33	11924.60	33	228.10	33
208	Min.	-418	-689.98	99	-6916.26	99	-759.08	99	-137.33	97	437.82	101	-9.28	33	11924.60	33	228.10	33
208	Min.	-420	-689.98	99	-6916.26	99	-759.08	99	-137.33	97	437.82	101	-9.28	33	11924.60	33	228.10	33
208	Max	-406	-34.31	104	-6145.53	104	1593.97	100	556.19	97	7129.78	97	566.58	49	29581.00	97	782.81	97
208	Max	-404	-34.31	104	-6145.53	104	1593.97	100	556.19	97	7129.78	97	566.58	49	29581.00	97	782.81	97
208	Max	-442	-34.31	104	-6145.53	104	1593.97	100	556.19	97	7129.78	97	566.58	49	29581.00	97	782.81	97
208	Max	-444	-34.31	104	-6145.53	104	1593.97	100	556.19	97	7129.78	97	566.58	49	29581.00	97	782.81	97
208	Min.	-406	-1631.87	99	-10157.60	99	-1003.39	103	384.31	33	4961.44	33	213.38	33	19159.90	102	491.16	49
208	Min.	-404	-1631.87	99	-10157.60	99	-1003.39	103	384.31	33	4961.44	33	213.38	33	19159.90	102	491.16	49
208	Min.	-442	-1631.87	99	-10157.60	99	-1003.39	103	384.31	33	4961.44	33	213.38	33	19159.90	102	491.16	49
208	Min.	-444	-1631.87	99	-10157.60	99	-1003.39	103	384.31	33	4961.44	33	213.38	33	19159.90	102	491.16	49
208	Max	-418	-61.48	103	-3434.12	49	1710.35	100	403.34	97	5532.08	98	155.20	49	21776.80	97	692.41	98
208	Max	-416	-61.48	103	-3434.12	49	1710.35	100	403.34	97	5532.08	98	155.20	49	21776.80	97	692.41	98
208	Max	-454	-61.48	103	-3434.12	49	1710.35	100	403.34	97	5532.08	98	155.20	49	21776.80	97	692.41	98
208	Max	-456	-61.48	103	-3434.12	49	1710.35	100	403.34	97	5532.08	98	155.20	49	21776.80	97	692.41	98
208	Min.	-418	-424.74	100	-5018.91	98	-115.92	103	267.60	33	3676.13	33	-170.62	33	13116.10	33	465.01	33
208	Min.	-416	-424.74	100	-5018.91	98	-115.92	103	267.60	33	3676.13	33	-170.62	33	13116.10	33	465.01	33
208	Min.	-454	-424.74	100	-5018.91	98	-115.92	103	267.60	33	3676.13	33	-170.62	33	13116.10	33	465.01	33
208	Min.	-456	-424.74	100	-5018.91	98	-115.92	103	267.60	33	3676.13	33	-170.62	33	13116.10	33	465.01	33
208	Max	-372	-191.26	104	-2536.35	104	891.38	100	-23.14	102	1173.66	98	214.07	49	20903.50	97	692.41	98
208	Max	-370	-191.26	104	-2536.35	104	891.38	100	-23.14	102	1173.66	98	214.07	49	20903.50	97	692.41	98
208	Max	-416	-191.26	104	-2536.35	104	891.38	100	-23.14	102	1173.66	98	214.07	49	20903.50	97	692.41	98
208	Max	-418	-191.26	104	-2536.35	104	891.38	100	-23.14	102	1173.66	98	214.07	49	20903.50	97	692.41	98
208	Min.	-372	-614.55	99	-6267.60	99	-690.84	103	-73.11	97	468.71	101	-127.10	33	12676.00	33	465.01	33
208	Min.	-370	-614.55	99	-6267.60	99	-690.84	103	-73.11	97	468.71	101	-127.10	33	12676.00	33	465.01	33
208	Min.	-416	-614.55	99	-6267.60	99	-690.84	103	-73.11	97	468.71	101	-127.10	33	12676.00	33	465.01	33
208	Min.	-418	-614.55	99	-6267.60	99	-690.84	103	-73.11	97	468.71	101	-127.10	33	12676.00	33	465.01	33
208	Max	-420	-65.61	103	-3320.38	103	1018.31	100	343.78	97	5533.46	98	1.58	49	21160.30	97	357.53	98
208	Max	-418	-65.61	103	-3320.38	103	1018.31	100	343.78	97	5533.46	98	1.58	49	21160.30	97	357.53	98
208	Max	-456	-65.61	103	-3320.38	103	1018.31	100	343.78	97	5533.46	98	1.58	49	21160.30	97	357.53	98
208	Max	-458	-65.61	103	-3320.38	103	1018.31	100	343.78	97	5533.46	98	1.58	49	21160.30	97	357.53	98
208	Min.	-420	-387.06	100	-5140.04	100	32.80	103	225.71	33	3677.54	33	-169.62	33	11512.90	33	228.10	33
208	Min.	-418	-387.06	100	-5140.04	100	32.80	103	225.71	33	3677.54	33	-169.62	33	11512.90	33	228.10	33
208	Min.	-456	-387.06	100	-5140.04	100	32.80	103	225.71	33	3677.54	33	-169.62	33	11512.90	33	228.10	33
208	Min.	-458	-387.06	100	-5140.04	100	32.80	103	225.71	33	3677.54	33	-169.62	33	11512.90	33	228.10	33
208	Max	-416	-391.67	103	-3250.45	104	2606.99	100	501.02	97	5716.70	98	251.33	49	22914.70	97	766.56	98
208	Max	-414	-391.67	103	-3250.45	104	2606.99	100	501.02	97	5716.70	98	251.33	49	22914.70	97	766.56	98
208	Max	-452	-391.67	103	-3250.45	104	2606.99	100	501.02	97	5716.70	98	251.33	49	22914.70	97	766.56	98
208	Max	-454	-391.67	103	-3250.45	104	2606.99	100	501.02	97	5716.70	98	251.33	49	22914.70	97	766.56	98
208	Min.	-416	-806.84	100	-5190.65	99	-138.17	103	336.32	33	3840.89	33	-164.80	33	14600.00	33	516.24	49
208	Min.	-414	-806.84	100	-5190.65	99	-138.17	103	336.32	33	3840.89	33	-164.80	33	14600.00	33	516.24	49
208	Min.	-452	-806.84	100	-5190.65	99	-138.17	103	336.32	33	3840.89	33	-164.80	33	14600.00	33	516.24	49
208	Min.	-454	-806.84	100	-5190.65	99	-138.17	103	336.32	33	3840.89	33	-164.80	33	14600.00	33	516.24	49
208	Max	-362	-857.37	101	-6921.03	104	3260.28	100	124.24	98	1289.84	98	237.56	49	23909.00	97	536.78	97
208	Max	-360	-857.37	101	-6921.03	104	3260.28	100	124.24	98	1289.84	98	237.56	49	23909.00	97	536.78	97
208	Max	-406	-857.37	101	-6921.03	104	3260.28	100	124.24	98	1289.84	98	237.56	49	23909.00	97	536.78	97
208	Max	-408	-857.37	101	-6921.03	104	3260.28	100	124.24	98	1289.84	98	237.56	49	23909.00	97	536.78	97
208	Min.	-362	-1214.52	98	-9881.75	99	-540.75	103	53.71	101	552.65	101	-266.59	33	15377.20	102	287.97	49
208	Min.	-360	-1214.52	98	-9881.75	99	-540.75	103	53.71	101	552.65	101	-266.59	33	15377.20	102	287.97	49
208	Min.	-406	-1214.52	98	-9881.75	99	-540.75	103	53.71	101	552.65	101	-266.59	33	15377.20	102	287.97	49
208	Min.	-408	-1214.52	98	-9881.75	99	-540.75	103	53.71	101	552.65	101	-266.59	33	15377.20	102	287.97	49
208	Max	-360	-969.73	103	-8178.78	103	3134.04	100	-31.91	102	1124.93	98	97.49	49	26646.10	97	782.81	97
208	Max	-358	-969.73	103	-8178.78	103	3134.04	100	-31.91	102	1124.93	98	97.49	49	26646.10	97	782.81	97
208	Max	-404	-969.73	103	-8178.78	103	3134.04	100	-31.91	102	1124.93	98	97.49	49	26646.10	97	782.81	97
208	Max	-406	-969.73	103	-8178.78	103	3134.04	100	-31.91	102	1124.93	98	97.49	49	26646.10	97	782.81	97

208	Min.	-360	-3124.62	100	-13126.20	100	157.23	103	-90.96	97	396.57	101	-294.57	33	17152.00	102	491.16	49
208	Min.	-358	-3124.62	100	-13126.20	100	157.23	103	-90.96	97	396.57	101	-294.57	33	17152.00	102	491.16	49
208	Min.	-404	-3124.62	100	-13126.20	100	157.23	103	-90.96	97	396.57	101	-294.57	33	17152.00	102	491.16	49
208	Min.	-406	-3124.62	100	-13126.20	100	157.23	103	-90.96	97	396.57	101	-294.57	33	17152.00	102	491.16	49
208	Max	-412	-679.25	101	-3900.34	104	3628.37	100	590.36	99	6041.70	99	272.32	49	24382.80	97	376.97	97
208	Max	-410	-679.25	101	-3900.34	104	3628.37	100	590.36	99	6041.70	99	272.32	49	24382.80	97	376.97	97
208	Max	-448	-679.25	101	-3900.34	104	3628.37	100	590.36	99	6041.70	99	272.32	49	24382.80	97	376.97	97
208	Max	-450	-679.25	101	-3900.34	104	3628.37	100	590.36	99	6041.70	99	272.32	49	24382.80	97	376.97	97
208	Min.	-412	-964.29	98	-5993.91	99	-80.59	103	403.92	33	4144.31	33	-177.97	33	15644.20	102	183.24	49
208	Min.	-410	-964.29	98	-5993.91	99	-80.59	103	403.92	33	4144.31	33	-177.97	33	15644.20	102	183.24	49
208	Min.	-448	-964.29	98	-5993.91	99	-80.59	103	403.92	33	4144.31	33	-177.97	33	15644.20	102	183.24	49
208	Min.	-450	-964.29	98	-5993.91	99	-80.59	103	403.92	33	4144.31	33	-177.97	33	15644.20	102	183.24	49
208	Max	-410	-735.00	49	-4568.85	104	3741.73	100	598.23	97	6125.72	99	272.27	49	24484.10	97	334.81	33
208	Max	-408	-735.00	49	-4568.85	104	3741.73	100	598.23	97	6125.72	99	272.27	49	24484.10	97	334.81	33
208	Max	-446	-735.00	49	-4568.85	104	3741.73	100	598.23	97	6125.72	99	272.27	49	24484.10	97	334.81	33
208	Max	-448	-735.00	49	-4568.85	104	3741.73	100	598.23	97	6125.72	99	272.27	49	24484.10	97	334.81	33
208	Min.	-410	-1049.74	98	-6770.38	99	-158.91	103	414.13	33	4240.65	33	-182.15	33	15723.40	102	129.75	49
208	Min.	-408	-1049.74	98	-6770.38	99	-158.91	103	414.13	33	4240.65	33	-182.15	33	15723.40	102	129.75	49
208	Min.	-446	-1049.74	98	-6770.38	99	-158.91	103	414.13	33	4240.65	33	-182.15	33	15723.40	102	129.75	49
208	Min.	-448	-1049.74	98	-6770.38	99	-158.91	103	414.13	33	4240.65	33	-182.15	33	15723.40	102	129.75	49
208	Max	-414	-535.45	103	-3487.26	104	3311.29	100	573.44	99	5930.73	99	292.85	49	24036.80	97	577.82	100
208	Max	-412	-535.45	103	-3487.26	104	3311.29	100	573.44	99	5930.73	99	292.85	49	24036.80	97	577.82	100
208	Max	-450	-535.45	103	-3487.26	104	3311.29	100	573.44	99	5930.73	99	292.85	49	24036.80	97	577.82	100
208	Max	-452	-535.45	103	-3487.26	104	3311.29	100	573.44	99	5930.73	99	292.85	49	24036.80	97	577.82	100
208	Min.	-414	-809.24	100	-5524.77	99	-89.30	103	388.52	33	4033.39	33	-155.69	33	15401.80	102	340.76	49
208	Min.	-412	-809.24	100	-5524.77	99	-89.30	103	388.52	33	4033.39	33	-155.69	33	15401.80	102	340.76	49
208	Min.	-450	-809.24	100	-5524.77	99	-89.30	103	388.52	33	4033.39	33	-155.69	33	15401.80	102	340.76	49
208	Min.	-452	-809.24	100	-5524.77	99	-89.30	103	388.52	33	4033.39	33	-155.69	33	15401.80	102	340.76	49
208	Max	-408	-642.18	104	-5427.17	104	3541.15	100	607.93	97	6108.86	99	273.48	49	24278.30	97	536.78	97
208	Max	-406	-642.18	104	-5427.17	104	3541.15	100	607.93	97	6108.86	99	273.48	49	24278.30	97	536.78	97
208	Max	-444	-642.18	104	-5427.17	104	3541.15	100	607.93	97	6108.86	99	273.48	49	24278.30	97	536.78	97
208	Max	-446	-642.18	104	-5427.17	104	3541.15	100	607.93	97	6108.86	99	273.48	49	24278.30	97	536.78	97
208	Min.	-408	-1035.96	99	-7719.93	99	-326.33	103	426.11	33	4262.69	33	-191.43	33	15583.20	102	287.97	49
208	Min.	-406	-1035.96	99	-7719.93	99	-326.33	103	426.11	33	4262.69	33	-191.43	33	15583.20	102	287.97	49
208	Min.	-444	-1035.96	99	-7719.93	99	-326.33	103	426.11	33	4262.69	33	-191.43	33	15583.20	102	287.97	49
208	Min.	-446	-1035.96	99	-7719.93	99	-326.33	103	426.11	33	4262.69	33	-191.43	33	15583.20	102	287.97	49
208	Max	-364	-824.58	49	-5758.99	104	3433.42	100	105.37	98	1203.48	98	222.52	49	22938.20	97	334.81	33
208	Max	-362	-824.58	49	-5758.99	104	3433.42	100	105.37	98	1203.48	98	222.52	49	22938.20	97	334.81	33
208	Max	-408	-824.58	49	-5758.99	104	3433.42	100	105.37	98	1203.48	98	222.52	49	22938.20	97	334.81	33
208	Max	-410	-824.58	49	-5758.99	104	3433.42	100	105.37	98	1203.48	98	222.52	49	22938.20	97	334.81	33
208	Min.	-364	-1184.14	99	-8628.05	99	-395.77	103	38.70	101	487.26	101	-276.17	33	14692.70	102	129.75	49
208	Min.	-362	-1184.14	99	-8628.05	99	-395.77	103	38.70	101	487.26	101	-276.17	33	14692.70	102	129.75	49
208	Min.	-408	-1184.14	99	-8628.05	99	-395.77	103	38.70	101	487.26	101	-276.17	33	14692.70	102	129.75	49
208	Min.	-410	-1184.14	99	-8628.05	99	-395.77	103	38.70	101	487.26	101	-276.17	33	14692.70	102	129.75	49
208	Max	-370	-490.41	104	-3004.44	104	2170.06	100	43.74	98	1171.38	98	234.79	49	21081.50	97	766.56	98
208	Max	-368	-490.41	104	-3004.44	104	2170.06	100	43.74	98	1171.38	98	234.79	49	21081.50	97	766.56	98
208	Max	-414	-490.41	104	-3004.44	104	2170.06	100	43.74	98	1171.38	98	234.79	49	21081.50	97	766.56	98
208	Max	-416	-490.41	104	-3004.44	104	2170.06	100	43.74	98	1171.38	98	234.79	49	21081.50	97	766.56	98
208	Min.	-370	-954.34	99	-6051.69	99	-469.23	103	-2.20	101	466.28	101	-216.70	33	13382.30	102	516.24	49
208	Min.	-368	-954.34	99	-6051.69	99	-469.23	103	-2.20	101	466.28	101	-216.70	33	13382.30	102	516.24	49
208	Min.	-414	-954.34	99	-6051.69	99	-469.23	103	-2.20	101	466.28	101	-216.70	33	13382.30	102	516.24	49
208	Min.	-416	-954.34	99	-6051.69	99	-469.23	103	-2.20	101	466.28	101	-216.70	33	13382.30	102	516.24	49
208	Max	-366	-733.79	49	-4636.48	104	3377.72	100	104.11	98	1180.68	98	226.60	49	22215.50	97	376.97	97
208	Max	-364	-733.79	49	-4636.48	104	3377.72	100	104.11	98	1180.68	98	226.60	49	22215.50	97	376.97	97
208	Max	-410	-733.79	49	-4636.48	104	3377.72	100	104.11	98	1180.68	98	226.60	49	22215.50	97	376.97	97
208	Max	-412	-733.79	49	-4636.48	104	3377.72	100	104.11	98	1180.68	98	226.60	49	22215.50	97	376.97	97
208	Min.	-366	-1097.45	99	-7515.04	99	-284.86	103	37.40	101	471.33	101	-269.60	33	14178.40	102	183.24	49
208	Min.	-364	-1097.45	99	-7515.04	99	-284.86	103	37.40	101	471.33	101	-269.60	33	14178.40	102	183.24	49
208	Min.	-410	-1097.45	99	-7515.04	99	-284.86	103	37.40	101	471.33	101	-269.60	33	14178.40	102	183.24	49
208	Min.	-412	-1097.45	99	-7515.04	99	-284.86	103	37.40	101	471.33	101	-269.60	33	14178.40	102	183.24	49
208	Max	-368	-533.58	49	-3855.12	104	3108.45	100	97.00	98	1169.29	98	227.87	49	21605.20	97	577.82	100
208	Max	-366	-533.58	49	-3855.12	104	3108.45	100	97.00	98	1169.29	98	227.87	49	21605.20	97	577.82	100
208	Max	-412	-533.58	49	-3855.12	104	3108.45	100	97.00	98	1169.29	98	227.87	49	21605.20	97	577.82	100
208	Max	-414	-533.58	49	-3855.12	104	3108.45	100	97.00	98	1169.29	98	227.87	49	21605.20	97	577.82	100
208	Min.	-368	-839.52	99	-6792.26	99	-266.48	103	32.57	101	463.62	101	-264.93	33	13743.10	102	340.76	49
208	Min.	-366	-839.52	99	-6792.26	99	-266.48	103	32.57	101	463.62	101	-264.93	33	13743.10	102	340.76	49
208	Min.	-412	-839.52	99	-6792.26	99	-266.48	103	32.57	101	463.62	101	-264.93	33	13743.10	102	340.76	49
208	Min.	-414	-839.52	99	-6792.26	99	-266.48	103	32.57	101	463.62	101	-264.93	33	13743.10	102	340.76	49
209	Max	-390	-71.00	104	-3477.76	33	107.84	104	403.29	97	5565.12	98	170.97	49	21891.70	97	-457.14	49
209	Max	-388	-71.00	104	-3477.76	33	107.84	104	403.29	97	5565.12	98	170.97	49	21891.70	97	-457.14	49
209	Max	-424	-71.00	104	-3477.76	33	107.84	104	403.29	97	5565.12	98	170.97	49	21891.70	97	-457.14	49
209	Max	-426	-71.00	104	-3477.76	33	107.84	104	403.29	97	5565.12	98	170.97	49	21891.70	97	-457.14	49
209	Min.	-390	-449.36	99	-5071.77	98	-1690.85	99	267.76	49	3701.80	49	-149.66	33	13163.60	49	-681.49	98
209	Min.	-388	-449.36	99	-5071.77	98	-1690.85	99	267.76	49	3701.80	49	-149.66	33	13163.60	49	-681.49	98
209	Min.	-424	-449.36	99	-5071.77	98	-1690.85	99	267.76	49	3701.80	49	-149.66	33	13163.60	49	-681.49	98
209	Min.	-426	-449.36	99	-5071.77	98	-1690.85	99	267.76	49	3701.80	49	-149.66	33	13163.60	49	-681.49	98
209	Max	-354	-963.21	104	-8174.76	104	-154.88	104	-32.30	102	1136.99	98	302.23	49	27475.30	97	-541.86	33
209	Max	-352	-963.21	104	-8174.76	104	-154.88	104	-32.30	102	1136.99	98	302.23	49	27475.30	97	-541.86	33
209	Max	-400	-963.21	104	-8174.76	104	-154.88	104	-32.30	102	1136.99	98	302.23	49	27475.30	97	-541.86	33
209	Max	-402	-963.21	104	-8174.76	104	-154.88	104	-32.30	102	1136.99	98	302.23	49	27475.30	97	-541.86	33
209	Min.	-354	-3115.82	99	-13121.00	99	-3130.81	99	-91.58	97	404.35	101	-89.89	33	17706.70	102	-859.82	97
209	Min.	-352	-3115.82	99	-13121.00	99	-3130.81	99	-91.58	97	404.35	101	-89.89	33	17706.70	102	-859.82	97
209	Min.	-400	-3115.82	99	-13121.00	99	-3130.81	99	-91.58	97	404.35	101	-89.89	33	17706.70	102	-859.82	97
209	Min.	-402	-3115.82	99	-13121.00	99	-3130.81	99	-91.58	97	404.35	101	-89.89	33	17706.70	102	-859.82	97
209	Max	-352	-858.00	101	-6918.04	103	541.05	104	119.63	98	1301.71	98	275.03	49	24311.40	97	-387.37	33
209	Max	-350	-858.00	101	-6918.04	103	541.05	104	119.63	98	1301.71	98	275.03	49	24311.40	97	-387.37	33
209	Max	-398	-858.00	101	-6918.04	103	541.05	104	119.63	98	1301.71	98	275.03	49	24311.40	97	-387.37	33
209	Max	-400	-858.00	101	-6918.04	103	541.05	104	119.63	98	1301.71	98	275.03	49	24311.40	97	-387.37	33
209	Min.	-352	-1215.44	98	-9877.81	100	-3260.33	99	50.65	101	560.66	101	-229.18	33	15647.40	102	-688.91	97
209	Min.	-350	-1215.44	98	-9877.81	100	-3260.33	99	50.65	101	560.66	101	-229.18	33	15647.40	102	-688.91	97
209	Min.	-398	-1215.44	98	-9877.81	100	-3260.33	99	50.65	101	560.66	101	-229.18	33	15647.40	102	-688.91	97
209	Min.	-400	-1215.44	98	-9877.81	100	-3260.33	99	50.65	101	560.66	101	-229.18	33	15647.40	102	-688.91	97
209	Max	-392	-396.12	104	-3268.49	103	131.00	104	502.76	97	5749.42	98	165.20	49	23050.80	97	-509.90	33
209	Max	-390	-396.12	104	-3268.49	103	131.00	104	502.76	97	5749.42	98	165.20	49	23050.80	97	-509.90	33
209	Max	-426	-396.12	104	-3268.49	103	131.00	104	502.76	97	5749.42	98	165.20	49	23050.80	97	-509.90	33
209	Max	-428	-396.12	104	-3268.49	103	131.00	104	502.76	97	5749.42	98	165.20	49	23050.80	97	-509.90	33
209	Min.	-392	-815.75	99	-5217.07	100	-2617.33	99	337.79	49	3866.35	49	-250.84	33	14703.10	49	-757.89	98
209	Min.	-390	-815.75	99	-5217.07	100	-2617.33	99	337.79	49	3866.35	49	-250.84	33	14703.10	49	-757.89	98
209	Min.	-426	-815.75	99	-5217.07	100	-2617.33	99	337.79	49	3866.35	49	-250.84	33	14703.10	49	-757.89	98
209	Min.	-428	-815.75	99	-5217.07	100	-2617.33	99	337.79	49	3866.35	49	-250.84	33	14703.10	49	-757.89	98
209	Max	-350	-830.27	33	-5759.16	103	395.26	104	97.50	98	1210.63	98	281.78	49	23145.10	97	-146.25	33
209	Max	-348	-830.27	33	-5759.16	103	395.26	104	97.50	98	1210.63	98	281.78	49	23145.10	97	-146.25	33
209	Max	-396	-830.27	33	-5759.16	103	395.26	104	97.50	98	1210.63	98	281.78	49	23145.10	97	-146.25	33
209	Max	-398	-830.27	33	-5759.16	103	395.26	104	97.50	98	1210.63	98	281.78	49	23145.10	97	-146.25	33
209	Min.	-350	-1192.85	100	-8628.30	100	-3434.71	99	33.45	101	492.06	101	-216.97	33	14832.80	102	-352.68	49

209	Min.	-348	-1192.85	100	-8628.30	100	-3434.71	99	33.45	101	492.06	101	-216.97	33	14832.80	102	-352.68	49
209	Min.	-396	-1192.85	100	-8628.30	100	-3434.71	99	33.45	101	492.06	101	-216.97	33	14832.80	102	-352.68	49
209	Min.	-398	-1192.85	100	-8628.30	100	-3434.71	99	33.45	101	492.06	101	-216.97	33	14832.80	102	-352.68	49
209	Max	-398	-741.28	33	-4566.82	103	164.75	104	592.38	97	6153.06	100	178.52	49	24481.40	97	-146.25	33
209	Max	-396	-741.28	33	-4566.82	103	164.75	104	592.38	97	6153.06	100	178.52	49	24481.40	97	-146.25	33
209	Max	-432	-741.28	33	-4566.82	103	164.75	104	592.38	97	6153.06	100	178.52	49	24481.40	97	-146.25	33
209	Max	-434	-741.28	33	-4566.82	103	164.75	104	592.38	97	6153.06	100	178.52	49	24481.40	97	-146.25	33
209	Min.	-398	-1059.13	98	-6767.63	100	-3733.62	99	410.48	49	4261.54	49	-276.18	33	15723.60	102	-352.68	49
209	Min.	-396	-1059.13	98	-6767.63	100	-3733.62	99	410.48	49	4261.54	49	-276.18	33	15723.60	102	-352.68	49
209	Min.	-432	-1059.13	98	-6767.63	100	-3733.62	99	410.48	49	4261.54	49	-276.18	33	15723.60	102	-352.68	49
209	Min.	-434	-1059.13	98	-6767.63	100	-3733.62	99	410.48	49	4261.54	49	-276.18	33	15723.60	102	-352.68	49
209	Max	-342	-214.46	103	-2555.88	103	693.94	104	-25.45	102	1176.33	98	122.49	49	21059.80	97	-457.14	49
209	Max	-340	-214.46	103	-2555.88	103	693.94	104	-25.45	102	1176.33	98	122.49	49	21059.80	97	-457.14	49
209	Max	-388	-214.46	103	-2555.88	103	693.94	104	-25.45	102	1176.33	98	122.49	49	21059.80	97	-457.14	49
209	Max	-390	-214.46	103	-2555.88	103	693.94	104	-25.45	102	1176.33	98	122.49	49	21059.80	97	-457.14	49
209	Min.	-342	-662.85	100	-6331.34	100	-856.45	99	-76.23	97	470.40	101	-213.09	33	12746.30	49	-681.49	98
209	Min.	-340	-662.85	100	-6331.34	100	-856.45	99	-76.23	97	470.40	101	-213.09	33	12746.30	49	-681.49	98
209	Min.	-388	-662.85	100	-6331.34	100	-856.45	99	-76.23	97	470.40	101	-213.09	33	12746.30	49	-681.49	98
209	Min.	-390	-662.85	100	-6331.34	100	-856.45	99	-76.23	97	470.40	101	-213.09	33	12746.30	49	-681.49	98
209	Max	-400	-644.20	103	-5424.21	103	332.28	104	604.96	97	6137.28	100	185.32	49	24100.40	97	-387.37	33
209	Max	-398	-644.20	103	-5424.21	103	332.28	104	604.96	97	6137.28	100	185.32	49	24100.40	97	-387.37	33
209	Max	-434	-644.20	103	-5424.21	103	332.28	104	604.96	97	6137.28	100	185.32	49	24100.40	97	-387.37	33
209	Max	-436	-644.20	103	-5424.21	103	332.28	104	604.96	97	6137.28	100	185.32	49	24100.40	97	-387.37	33
209	Min.	-400	-1039.11	100	-7715.90	100	-3532.99	99	424.36	49	4283.91	49	-279.83	33	15465.70	102	-688.91	97
209	Min.	-398	-1039.11	100	-7715.90	100	-3532.99	99	424.36	49	4283.91	49	-279.83	33	15465.70	102	-688.91	97
209	Min.	-434	-1039.11	100	-7715.90	100	-3532.99	99	424.36	49	4283.91	49	-279.83	33	15465.70	102	-688.91	97
209	Min.	-436	-1039.11	100	-7715.90	100	-3532.99	99	424.36	49	4283.91	49	-279.83	33	15465.70	102	-688.91	97
209	Max	-348	-743.43	33	-4660.86	103	283.37	104	99.17	98	1185.91	98	272.39	49	22359.70	97	-169.59	33
209	Max	-346	-743.43	33	-4660.86	103	283.37	104	99.17	98	1185.91	98	272.39	49	22359.70	97	-169.59	33
209	Max	-394	-743.43	33	-4660.86	103	283.37	104	99.17	98	1185.91	98	272.39	49	22359.70	97	-169.59	33
209	Max	-396	-743.43	33	-4660.86	103	283.37	104	99.17	98	1185.91	98	272.39	49	22359.70	97	-169.59	33
209	Min.	-348	-1110.68	100	-7541.42	100	-3386.58	99	34.11	101	474.87	101	-223.95	33	14277.60	102	-364.37	49
209	Min.	-346	-1110.68	100	-7541.42	100	-3386.58	99	34.11	101	474.87	101	-223.95	33	14277.60	102	-364.37	49
209	Min.	-394	-1110.68	100	-7541.42	100	-3386.58	99	34.11	101	474.87	101	-223.95	33	14277.60	102	-364.37	49
209	Min.	-396	-1110.68	100	-7541.42	100	-3386.58	99	34.11	101	474.87	101	-223.95	33	14277.60	102	-364.37	49
209	Max	-344	-494.58	103	-3024.28	103	472.74	104	42.54	98	1175.04	98	216.61	49	21199.70	97	-509.90	33
209	Max	-342	-494.58	103	-3024.28	103	472.74	104	42.54	98	1175.04	98	216.61	49	21199.70	97	-509.90	33
209	Max	-390	-494.58	103	-3024.28	103	472.74	104	42.54	98	1175.04	98	216.61	49	21199.70	97	-509.90	33
209	Max	-392	-494.58	103	-3024.28	103	472.74	104	42.54	98	1175.04	98	216.61	49	21199.70	97	-509.90	33
209	Min.	-344	-961.94	100	-6079.06	100	-2165.81	99	-3.00	101	468.77	101	-234.73	33	13463.80	102	-757.89	98
209	Min.	-342	-961.94	100	-6079.06	100	-2165.81	99	-3.00	101	468.77	101	-234.73	33	13463.80	102	-757.89	98
209	Min.	-390	-961.94	100	-6079.06	100	-2165.81	99	-3.00	101	468.77	101	-234.73	33	13463.80	102	-757.89	98
209	Min.	-392	-961.94	100	-6079.06	100	-2165.81	99	-3.00	101	468.77	101	-234.73	33	13463.80	102	-757.89	98
209	Max	-402	-30.72	103	-6143.61	103	1006.42	104	557.67	97	7162.55	97	-220.82	49	29083.10	97	-541.86	33
209	Max	-400	-30.72	103	-6143.61	103	1006.42	104	557.67	97	7162.55	97	-220.82	49	29083.10	97	-541.86	33
209	Max	-436	-30.72	103	-6143.61	103	1006.42	104	557.67	97	7162.55	97	-220.82	49	29083.10	97	-541.86	33
209	Max	-438	-30.72	103	-6143.61	103	1006.42	104	557.67	97	7162.55	97	-220.82	49	29083.10	97	-541.86	33
209	Min.	-402	-1627.89	100	-10155.10	100	-1589.95	99	385.48	49	4985.60	49	-574.09	33	18829.90	102	-859.82	97
209	Min.	-400	-1627.89	100	-10155.10	100	-1589.95	99	385.48	49	4985.60	49	-574.09	33	18829.90	102	-859.82	97
209	Min.	-436	-1627.89	100	-10155.10	100	-1589.95	99	385.48	49	4985.60	49	-574.09	33	18829.90	102	-859.82	97
209	Min.	-438	-1627.89	100	-10155.10	100	-1589.95	99	385.48	49	4985.60	49	-574.09	33	18829.90	102	-859.82	97
209	Max	-340	-216.12	103	-2315.77	103	761.01	100	-74.12	102	1136.80	98	3.00	49	21913.90	97	-216.74	49
209	Max	-338	-216.12	103	-2315.77	103	761.01	100	-74.12	102	1136.80	98	3.00	49	21913.90	97	-216.74	49
209	Max	-386	-216.12	103	-2315.77	103	761.01	100	-74.12	102	1136.80	98	3.00	49	21913.90	97	-216.74	49
209	Max	-388	-216.12	103	-2315.77	103	761.01	100	-74.12	102	1136.80	98	3.00	49	21913.90	97	-216.74	49
209	Min.	-340	-648.91	100	-6999.05	100	-97.72	103	-141.25	97	438.85	101	-162.35	33	11999.10	49	-340.24	98
209	Min.	-338	-648.91	100	-6999.05	100	-97.72	103	-141.25	97	438.85	101	-162.35	33	11999.10	49	-340.24	98
209	Min.	-386	-648.91	100	-6999.05	100	-97.72	103	-141.25	97	438.85	101	-162.35	33	11999.10	49	-340.24	98
209	Min.	-388	-648.91	100	-6999.05	100	-97.72	103	-141.25	97	438.85	101	-162.35	33	11999.10	49	-340.24	98
209	Max	-394	-574.80	104	-3499.07	103	89.81	104	573.99	100	5964.12	100	156.30	49	24169.50	97	-324.04	33
209	Max	-392	-574.80	104	-3499.07	103	89.81	104	573.99	100	5964.12	100	156.30	49	24169.50	97	-324.04	33
209	Max	-428	-574.80	104	-3499.07	103	89.81	104	573.99	100	5964.12	100	156.30	49	24169.50	97	-324.04	33
209	Max	-430	-574.80	104	-3499.07	103	89.81	104	573.99	100	5964.12	100	156.30	49	24169.50	97	-324.04	33
209	Min.	-394	-864.30	99	-5540.06	100	-3318.83	99	389.32	49	4059.87	49	-292.44	33	15493.60	102	-556.13	99
209	Min.	-392	-864.30	99	-5540.06	100	-3318.83	99	389.32	49	4059.87	49	-292.44	33	15493.60	102	-556.13	99
209	Min.	-428	-864.30	99	-5540.06	100	-3318.83	99	389.32	49	4059.87	49	-292.44	33	15493.60	102	-556.13	99
209	Min.	-430	-864.30	99	-5540.06	100	-3318.83	99	389.32	49	4059.87	49	-292.44	33	15493.60	102	-556.13	99
209	Max	-388	-57.49	104	-3342.74	104	-40.03	104	343.07	97	5566.94	98	169.44	49	21269.70	97	-216.74	49
209	Max	-386	-57.49	104	-3342.74	104	-40.03	104	343.07	97	5566.94	98	169.44	49	21269.70	97	-216.74	49
209	Max	-422	-57.49	104	-3342.74	104	-40.03	104	343.07	97	5566.94	98	169.44	49	21269.70	97	-216.74	49
209	Max	-424	-57.49	104	-3342.74	104	-40.03	104	343.07	97	5566.94	98	169.44	49	21269.70	97	-216.74	49
209	Min.	-388	-359.68	99	-5209.87	99	-989.68	99	225.40	49	3703.60	49	6.36	33	11552.10	49	-340.24	98
209	Min.	-386	-359.68	99	-5209.87	99	-989.68	99	225.40	49	3703.60	49	6.36	33	11552.10	49	-340.24	98
209	Min.	-422	-359.68	99	-5209.87	99	-989.68	99	225.40	49	3703.60	49	6.36	33	11552.10	49	-340.24	98
209	Min.	-424	-359.68	99	-5209.87	99	-989.68	99	225.40	49	3703.60	49	6.36	33	11552.10	49	-340.24	98
209	Max	-396	-692.82	101	-3911.99	103	85.36	104	588.05	100	6073.23	100	177.16	49	24478.30	97	-169.59	33
209	Max	-394	-692.82	101	-3911.99	103	85.36	104	588.05	100	6073.23	100	177.16	49	24478.30	97	-169.59	33
209	Max	-430	-692.82	101	-3911.99	103	85.36	104	588.05	100	6073.23	100	177.16	49	24478.30	97	-169.59	33
209	Max	-432	-692.82	101	-3911.99	103	85.36	104	588.05	100	6073.23	100	177.16	49	24478.30	97	-169.59	33
209	Min.	-396	-983.79	98	-6006.87	100	-3628.46	99	402.77	49	4169.27	49	-273.43	33	15710.90	102	-364.37	49
209	Min.	-394	-983.79	98	-6006.87	100	-3628.46	99	402.77	49	4169.27	49	-273.43	33	15710.90	102	-364.37	49
209	Min.	-430	-983.79	98	-6006.87	100	-3628.46	99	402.77	49	4169.27	49	-273.43	33	15710.90	102	-364.37	49
209	Min.	-432	-983.79	98	-6006.87	100	-3628.46	99	402.77	49	4169.27	49	-273.43	33	15710.90	102	-364.37	49
209	Max	-346	-577.29	33	-3880.33	103	264.94	104	94.64	98	1173.57	98	266.03	49	21729.60	97	-324.04	33
209	Max	-344	-577.29	33	-3880.33	103	264.94	104	94.64	98	1173.57	98	266.03	49	21729.60	97	-324.04	33
209	Max	-392	-577.29	33	-3880.33	103	264.94	104	94.64	98	1173.57	98	266.03	49	21729.60	97	-324.04	33
209	Max	-394	-577.29	33	-3880.33	103	264.94	104	94.64	98	1173.57	98	266.03	49	21729.60	97	-324.04	33
209	Min.	-346	-903.80	100	-6819.13	100	-3119.20	99	31.01	101	466.55	101	-226.93	33	13829.40	102	-556.13	99
209	Min.	-344	-903.80	100	-6819.13	100	-3119.20	99	31.01	101	466.55	101	-226.93	33	13829.40	102	-556.13	99
209	Min.	-392	-903.80	100	-6819.13	100	-3119.20	99	31.01	101	466.55	101	-226.93	33	13829.40	102	-556.13	99
209	Min.	-394	-903.80	100	-6819.13	100	-3119.20	99	31.01	101	466.55	101	-226.93	33	13829.40	102	-556.13	99
306	Max	-467	525.13	100	-2074.11	102	-331.36	103	1170.62	98	-1647.54	33	344.65	49	31678.00	98	16789.70	98
306	Max	-465	525.13	100	-2074.11	102	-331.36	103	1170.62	98	-1647.54	33	344.65	49	31678.00	98	16789.70	98
306	Max	-503	525.13	100	-2074.11	102	-331.36	103	1170.62	98	-1647.54	33	344.65	49	31678.00	98	16789.70	98
306	Max	-505	525.13	100	-2074.11	102	-331.36	103	1170.62	98	-1647.54	33	344.65	49	31678.00	98	16789.70	98
306	Min.	-467	-63.02	103	-3124.49	97	-1096.81	100	760.33	49	-2467.20	98	133.75	33	21618.00	33	11420.60	101
306	Min.	-465	-63.02	103	-3124.49	97	-1096.81	100	760.33	49	-2467.20	98	133.75	33	21618.00	33	11420.60	101
306	Min.	-503	-63.02	103	-3124.49	97	-1096.81	100	760.33	49	-2467.20	98	133.75	33	21618.00	33	11420.60	101
306	Min.	-505	-63.02	103	-3124.49	97	-1096.81	100	760.33	49	-2467.20	98	133.75	33	21618.00	33	11420.60	101
306	Max	-517	302.85	99	-17.71	102	-96.93	104	531.98	98	18.42	98	164.61	49	-405.22	33	7758.94	98
306	Max	-515	302.85	99	-17.71	102	-96.93	104	531.98	98	18.42	98	164.61	49	-405.22	33	7758.94	98
306	Max	-882	302.85	99	-17.71	102	-96.93	104	531.98	98	18.42	98	164.61	49	-405.22	33	7758.94	98
306	Max	-925	302.85	99	-17.71	102	-96.93	104	531.98	98	18.42	98	164.61	49	-405.22	33	7758.94	98
306	Min.	-517	-482.92	104	-269.76	97	-507.30	99	372.61	33	13.21	33	19.64	33	-583.41	98	4156.21	49
306	Min.	-515	-482.92	104	-269.76	97	-507.30	99	372.61	33	13.21	33	19.64	33	-583.41	98	4156.21	49

306	Min.	-882	-482.92	104	-269.76	97	-507.30	99	372.61	33	13.21	33	19.64	33	-583.41	98	4156.21	49
306	Min.	-925	-482.92	104	-269.76	97	-507.30	99	372.61	33	13.21	33	19.64	33	-583.41	98	4156.21	49
306	Max	-501	746.07	100	-2919.63	102	1774.29	97	140.97	98	-35.90	33	59.90	49	7948.96	98	-4545.93	33
306	Max	-499	746.07	100	-2919.63	102	1774.29	97	140.97	98	-35.90	33	59.90	49	7948.96	98	-4545.93	33
306	Max	-537	746.07	100	-2919.63	102	1774.29	97	140.97	98	-35.90	33	59.90	49	7948.96	98	-4545.93	33
306	Max	301	746.07	100	-2919.63	102	1774.29	97	140.97	98	-35.90	33	59.90	49	7948.96	98	-4545.93	33
306	Min.	-501	292.36	103	-4855.84	97	1064.13	102	84.09	49	-77.91	97	21.53	33	5364.49	33	-6733.97	98
306	Min.	-499	292.36	103	-4855.84	97	1064.13	102	84.09	49	-77.91	97	21.53	33	5364.49	33	-6733.97	98
306	Min.	-537	292.36	103	-4855.84	97	1064.13	102	84.09	49	-77.91	97	21.53	33	5364.49	33	-6733.97	98
306	Min.	301	292.36	103	-4855.84	97	1064.13	102	84.09	49	-77.91	97	21.53	33	5364.49	33	-6733.97	98
306	Max	-463	359.97	100	-2318.08	104	264.20	99	-13.67	33	-1754.35	33	795.73	98	13430.70	98	-1260.60	101
306	Max	-461	359.97	100	-2318.08	104	264.20	99	-13.67	33	-1754.35	33	795.73	98	13430.70	98	-1260.60	101
306	Max	-499	359.97	100	-2318.08	104	264.20	99	-13.67	33	-1754.35	33	795.73	98	13430.70	98	-1260.60	101
306	Max	-501	359.97	100	-2318.08	104	264.20	99	-13.67	33	-1754.35	33	795.73	98	13430.70	98	-1260.60	101
306	Min.	-463	221.56	103	-3774.66	99	-192.54	104	-38.16	49	-2673.49	98	504.27	33	8987.83	33	-1873.15	98
306	Min.	-461	221.56	103	-3774.66	99	-192.54	104	-38.16	49	-2673.49	98	504.27	33	8987.83	33	-1873.15	98
306	Min.	-499	221.56	103	-3774.66	99	-192.54	104	-38.16	49	-2673.49	98	504.27	33	8987.83	33	-1873.15	98
306	Min.	-501	221.56	103	-3774.66	99	-192.54	104	-38.16	49	-2673.49	98	504.27	33	8987.83	33	-1873.15	98
306	Max	-469	606.19	100	-1770.23	102	-103.07	103	99.66	33	-1824.03	33	179.91	49	21848.80	98	8069.77	98
306	Max	-467	606.19	100	-1770.23	102	-103.07	103	99.66	33	-1824.03	33	179.91	49	21848.80	98	8069.77	98
306	Max	-505	606.19	100	-1770.23	102	-103.07	103	99.66	33	-1824.03	33	179.91	49	21848.80	98	8069.77	98
306	Max	-507	606.19	100	-1770.23	102	-103.07	103	99.66	33	-1824.03	33	179.91	49	21848.80	98	8069.77	98
306	Min.	-469	-117.17	103	-2693.69	97	-707.02	100	11.69	49	-2701.89	98	-56.39	33	14953.30	33	5310.21	49
306	Min.	-467	-117.17	103	-2693.69	97	-707.02	100	11.69	49	-2701.89	98	-56.39	33	14953.30	33	5310.21	49
306	Min.	-505	-117.17	103	-2693.69	97	-707.02	100	11.69	49	-2701.89	98	-56.39	33	14953.30	33	5310.21	49
306	Min.	-507	-117.17	103	-2693.69	97	-707.02	100	11.69	49	-2701.89	98	-56.39	33	14953.30	33	5310.21	49
306	Max	-533	-93.18	104	-495.01	102	-143.53	102	29.22	98	-154.84	49	-40.16	49	3483.48	98	1801.62	98
306	Max	-531	-93.18	104	-495.01	102	-143.53	102	29.22	98	-154.84	49	-40.16	49	3483.48	98	1801.62	98
306	Max	-1225	-93.18	104	-495.01	102	-143.53	102	29.22	98	-154.84	49	-40.16	49	3483.48	98	1801.62	98
306	Max	-1270	-93.18	104	-495.01	102	-143.53	102	29.22	98	-154.84	49	-40.16	49	3483.48	98	1801.62	98
306	Min.	-533	-269.27	99	-747.57	97	-237.29	97	16.69	33	-238.31	98	-64.33	98	2350.54	49	1226.66	49
306	Min.	-531	-269.27	99	-747.57	97	-237.29	97	16.69	33	-238.31	98	-64.33	98	2350.54	49	1226.66	49
306	Min.	-1225	-269.27	99	-747.57	97	-237.29	97	16.69	33	-238.31	98	-64.33	98	2350.54	49	1226.66	49
306	Min.	-1270	-269.27	99	-747.57	97	-237.29	97	16.69	33	-238.31	98	-64.33	98	2350.54	49	1226.66	49
306	Max	-507	2254.67	100	-301.45	102	-21.38	103	463.39	98	-32.69	33	151.66	49	3936.01	98	11989.40	98
306	Max	-505	2254.67	100	-301.45	102	-21.38	103	463.39	98	-32.69	33	151.66	49	3936.01	98	11989.40	98
306	Max	-661	2254.67	100	-301.45	102	-21.38	103	463.39	98	-32.69	33	151.66	49	3936.01	98	11989.40	98
306	Max	-704	2254.67	100	-301.45	102	-21.38	103	463.39	98	-32.69	33	151.66	49	3936.01	98	11989.40	98
306	Min.	-507	550.07	103	-586.11	97	-253.00	100	261.61	49	-56.44	98	50.65	33	2656.22	33	7304.59	49
306	Min.	-505	550.07	103	-586.11	97	-253.00	100	261.61	49	-56.44	98	50.65	33	2656.22	33	7304.59	49
306	Min.	-661	550.07	103	-586.11	97	-253.00	100	261.61	49	-56.44	98	50.65	33	2656.22	33	7304.59	49
306	Min.	-704	550.07	103	-586.11	97	-253.00	100	261.61	49	-56.44	98	50.65	33	2656.22	33	7304.59	49
306	Max	-443	372.32	100	-3432.52	104	-758.52	102	-384.01	49	-4425.95	101	-422.21	49	23255.20	98	4697.01	98
306	Max	-441	372.32	100	-3432.52	104	-758.52	102	-384.01	49	-4425.95	101	-422.21	49	23255.20	98	4697.01	98
306	Max	-479	372.32	100	-3432.52	104	-758.52	102	-384.01	49	-4425.95	101	-422.21	49	23255.20	98	4697.01	98
306	Max	-481	372.32	100	-3432.52	104	-758.52	102	-384.01	49	-4425.95	101	-422.21	49	23255.20	98	4697.01	98
306	Min.	-443	226.12	49	-6677.74	99	-1100.16	97	-573.61	98	-6436.72	98	-830.97	98	16009.80	101	3233.81	101
306	Min.	-441	226.12	49	-6677.74	99	-1100.16	97	-573.61	98	-6436.72	98	-830.97	98	16009.80	101	3233.81	101
306	Min.	-479	226.12	49	-6677.74	99	-1100.16	97	-573.61	98	-6436.72	98	-830.97	98	16009.80	101	3233.81	101
306	Min.	-481	226.12	49	-6677.74	99	-1100.16	97	-573.61	98	-6436.72	98	-830.97	98	16009.80	101	3233.81	101
306	Max	-481	910.87	99	-1755.41	104	-307.90	104	-98.09	49	-1470.31	49	-8.08	49	16993.70	98	1799.44	98
306	Max	-479	910.87	99	-1755.41	104	-307.90	104	-98.09	49	-1470.31	49	-8.08	49	16993.70	98	1799.44	98
306	Max	-517	910.87	99	-1755.41	104	-307.90	104	-98.09	49	-1470.31	49	-8.08	49	16993.70	98	1799.44	98
306	Max	-519	910.87	99	-1755.41	104	-307.90	104	-98.09	49	-1470.31	49	-8.08	49	16993.70	98	1799.44	98
306	Min.	-481	-92.11	104	-3100.49	99	-765.94	99	-196.01	98	-2146.60	98	-315.23	33	11741.50	101	929.60	49
306	Min.	-479	-92.11	104	-3100.49	99	-765.94	99	-196.01	98	-2146.60	98	-315.23	33	11741.50	101	929.60	49
306	Min.	-517	-92.11	104	-3100.49	99	-765.94	99	-196.01	98	-2146.60	98	-315.23	33	11741.50	101	929.60	49
306	Min.	-519	-92.11	104	-3100.49	99	-765.94	99	-196.01	98	-2146.60	98	-315.23	33	11741.50	101	929.60	49
306	Max	-487	578.16	99	-1767.63	102	722.26	99	109.16	49	-1816.08	49	37.10	49	21954.30	98	-5370.79	33
306	Max	-485	578.16	99	-1767.63	102	722.26	99	109.16	49	-1816.08	49	37.10	49	21954.30	98	-5370.79	33
306	Max	-523	578.16	99	-1767.63	102	722.26	99	109.16	49	-1816.08	49	37.10	49	21954.30	98	-5370.79	33
306	Max	-525	578.16	99	-1767.63	102	722.26	99	109.16	49	-1816.08	49	37.10	49	21954.30	98	-5370.79	33
306	Min.	-487	-136.65	104	-2689.45	97	112.56	104	22.18	33	-2688.14	98	-196.78	33	15034.70	101	-8167.97	98
306	Min.	-485	-136.65	104	-2689.45	97	112.56	104	22.18	33	-2688.14	98	-196.78	33	15034.70	101	-8167.97	98
306	Min.	-523	-136.65	104	-2689.45	97	112.56	104	22.18	33	-2688.14	98	-196.78	33	15034.70	101	-8167.97	98
306	Min.	-525	-136.65	104	-2689.45	97	112.56	104	22.18	33	-2688.14	98	-196.78	33	15034.70	101	-8167.97	98
306	Max	-433	-127.34	104	-3411.99	103	-59.28	103	-500.18	33	-4933.95	33	301.88	49	26228.50	98	659.49	98
306	Max	-431	-127.34	104	-3411.99	103	-59.28	103	-500.18	33	-4933.95	33	301.88	49	26228.50	98	659.49	98
306	Max	-469	-127.34	104	-3411.99	103	-59.28	103	-500.18	33	-4933.95	33	301.88	49	26228.50	98	659.49	98
306	Max	-471	-127.34	104	-3411.99	103	-59.28	103	-500.18	33	-4933.95	33	301.88	49	26228.50	98	659.49	98
306	Min.	-433	-375.19	99	-5040.12	100	-559.08	100	-746.48	98	-7210.27	98	-20.39	33	18012.00	101	388.56	49
306	Min.	-431	-375.19	99	-5040.12	100	-559.08	100	-746.48	98	-7210.27	98	-20.39	33	18012.00	101	388.56	49
306	Min.	-469	-375.19	99	-5040.12	100	-559.08	100	-746.48	98	-7210.27	98	-20.39	33	18012.00	101	388.56	49
306	Min.	-471	-375.19	99	-5040.12	100	-559.08	100	-746.48	98	-7210.27	98	-20.39	33	18012.00	101	388.56	49
306	Max	-499	-96.82	103	-490.00	102	184.50	97	26.32	98	-157.95	33	61.66	98	3343.97	98	-1118.59	33
306	Max	-497	-96.82	103	-490.00	102	184.50	97	26.32	98	-157.95	33	61.66	98	3343.97	98	-1118.59	33
306	Max	-535	-96.82	103	-490.00	102	184.50	97	26.32	98	-157.95	33	61.66	98	3343.97	98	-1118.59	33
306	Max	-537	-96.82	103	-490.00	102	184.50	97	26.32	98	-157.95	33	61.66	98	3343.97	98	-1118.59	33
306	Min.	-499	-250.40	100	-731.36	97	112.97	102	15.32	49	-242.87	98	38.76	33	2252.20	33	-1645.53	98
306	Min.	-497	-250.40	100	-731.36	97	112.97	102	15.32	49	-242.87	98	38.76	33	2252.20	33	-1645.53	98
306	Min.	-535	-250.40	100	-731.36	97	112.97	102	15.32	49	-242.87	98	38.76	33	2252.20	33	-1645.53	98
306	Min.	-537	-250.40	100	-731.36	97	112.97	102	15.32	49	-242.87	98	38.76	33	2252.20	33	-1645.53	98
306	Max	-473	1070.60	100	-2237.08	103	582.71	99	-205.14	33	-1787.05	33	255.12	49	21055.10	98	-3945.58	33
306	Max	-471	1070.60	100	-2237.08	103	582.71	99	-205.14	33	-1787.05	33	255.12	49	21055.10	98	-3945.58	33
306	Max	-509	1070.60	100	-2237.08	103	582.71	99	-205.14	33	-1787.05	33	255.12	49	21055.10	98	-3945.58	33
306	Max	-511	1070.60	100	-2237.08	103	582.71	99	-205.14	33	-1787.05	33	255.12	49	21055.10	98	-3945.58	33
306	Min.	-473	134.46	103	-3490.85	100	198.62	104	-363.92	98	-2617.57	98	-28.86	33	14532.10	101	-5899.84	98
306	Min.	-471	134.46	103	-3490.85	100	198.62	104	-363.92	98	-2617.57	98	-28.86	33	14532.10	101	-5899.84	98
306	Min.	-509	134.46	103	-3490.85	100	198.62	104	-363.92	98	-2617.57	98	-28.86	33	14532.10	101	-5899.84	98
306	Min.	-511	134.46	103	-3490.85	100	198.62	104	-363.92	98	-2617.57	98	-28.86	33	14532.10	101	-5899.84	98
306	Max	-477	39.90	104	-1025.47	103	1519.42	100	185.93	98	-916.19	101	304.34	49	11611.30	98	-6387.19	33
306	Max	-475	39.90	104	-1025.47	103	1519.42	100	185.93	98	-916.19	101	304.34	49	11611.30	98	-6387.19	33
306	Max	-513	39.90	104	-1025.47	103	1519.42	100	185.93	98	-916.19	101	304.34	49	11611.30	98	-6387.19	33
306	Max	-515	39.90	104	-1025.47	103	1519.42	100	185.93	98	-916.19	101	304.34	49	11611.30	98	-6387.19	33
306	Min.	-477	-402.66	99	-1795.48	100	26.81	103	130.99	49	-1333.62	98	-26.74	33	8023.64	101	-9658.47	98
306	Min.	-475	-402.66	99	-1795.48	100	26.81	103	130.99	49	-1333.62	98	-26.74	33	8023.64	101	-9658.47	98
306	Min.	-513	-402.66	99	-1795.48	100	26.81	103	130.99	49	-1333.62	98	-26.74	33	8023.64	101	-9658.47	98
306	Min.	-515	-402.66	99	-1795.48	100	26.81	103	130.99	49	-1333.62	98	-26.74	33	8023.64	101	-9658.47	98
306	Max	-491	316.22	99	-2372.67	102	512.85	99	737.58	98	-1646.80	49	-530.56	49	26324.60	98	9488.44	98
306	Max	-489	316.22	99	-2372.67	102	512.85	99	737.58	98	-1646.80	49	-530.56	49	26324.60	98	9488.44	98
306	Max	-527	316.22	99	-2372.67	102	512.85	99	737.58	98	-1646.80	49	-530.56	49	26324.60	98	9488.44	98
306	Max	-529	316.22	99	-2372.67	102	512.85	99	737.58	98	-1646.80	49	-530.56	49	26324.60	98	9488.44	98
306	Min.	-491	-130.80	104	-3578.53	97	-129.85	104	476.93	33	-2492.38	98	-868.91	98	17891.10	49	6449.24	49
306	Min.	-489	-130.80	104	-3578.53	97	-129.85	104	476.93	33	-2492.38	98	-868.91	98	17891.10	49	6449.24	49
306	Min.	-527	-130.80	104	-3578.53	97	-129.85	104	476.93	33	-2492.38	98	-868.91	98	17891.10	49	6449.24	49

306	Min.	-529	-130.80	104	-3578.53	97	-129.85	104	476.93	33	-2492.38	98	-868.91	98	17891.10	49	6449.24	49
306	Max	-509	2511.58	100	-334.96	102	15.07	103	-248.57	33	-132.19	33	39.03	49	4737.17	98	1526.66	33
306	Max	-507	2511.58	100	-334.96	102	15.07	103	-248.57	33	-132.19	33	39.03	49	4737.17	98	1526.66	33
306	Max	-704	2511.58	100	-334.96	102	15.07	103	-248.57	33	-132.19	33	39.03	49	4737.17	98	1526.66	33
306	Max	-749	2511.58	100	-334.96	102	15.07	103	-248.57	33	-132.19	33	39.03	49	4737.17	98	1526.66	33
306	Min.	-509	463.70	103	-738.66	97	-150.71	100	-432.61	98	-200.48	98	-76.24	33	3234.97	33	-516.00	49
306	Min.	-507	463.70	103	-738.66	97	-150.71	100	-432.61	98	-200.48	98	-76.24	33	3234.97	33	-516.00	49
306	Min.	-704	463.70	103	-738.66	97	-150.71	100	-432.61	98	-200.48	98	-76.24	33	3234.97	33	-516.00	49
306	Min.	-749	463.70	103	-738.66	97	-150.71	100	-432.61	98	-200.48	98	-76.24	33	3234.97	33	-516.00	49
306	Max	-485	865.93	99	-1905.51	102	165.23	103	-317.16	49	-1886.05	49	49.75	49	18491.80	98	-337.64	33
306	Max	-483	865.93	99	-1905.51	102	165.23	103	-317.16	49	-1886.05	49	49.75	49	18491.80	98	-337.64	33
306	Max	-521	865.93	99	-1905.51	102	165.23	103	-317.16	49	-1886.05	49	49.75	49	18491.80	98	-337.64	33
306	Max	-523	865.93	99	-1905.51	102	165.23	103	-317.16	49	-1886.05	49	49.75	49	18491.80	98	-337.64	33
306	Min.	-485	20.45	104	-2881.02	97	-225.74	100	-514.67	98	-2768.79	98	-212.19	33	12710.70	101	-1021.69	98
306	Min.	-483	20.45	104	-2881.02	97	-225.74	100	-514.67	98	-2768.79	98	-212.19	33	12710.70	101	-1021.69	98
306	Min.	-521	20.45	104	-2881.02	97	-225.74	100	-514.67	98	-2768.79	98	-212.19	33	12710.70	101	-1021.69	98
306	Min.	-523	20.45	104	-2881.02	97	-225.74	100	-514.67	98	-2768.79	98	-212.19	33	12710.70	101	-1021.69	98
306	Max	-427	-86.29	104	-2843.63	102	106.33	103	-272.12	33	-4677.72	33	778.42	98	22157.50	98	2095.34	98
306	Max	-425	-86.29	104	-2843.63	102	106.33	103	-272.12	33	-4677.72	33	778.42	98	22157.50	98	2095.34	98
306	Max	-463	-86.29	104	-2843.63	102	106.33	103	-272.12	33	-4677.72	33	778.42	98	22157.50	98	2095.34	98
306	Max	-465	-86.29	104	-2843.63	102	106.33	103	-272.12	33	-4677.72	33	778.42	98	22157.50	98	2095.34	98
306	Min.	-427	-508.97	99	-4194.90	97	-682.57	100	-423.71	98	-7039.36	98	431.89	33	14836.40	33	1427.64	49
306	Min.	-425	-508.97	99	-4194.90	97	-682.57	100	-423.71	98	-7039.36	98	431.89	33	14836.40	33	1427.64	49
306	Min.	-463	-508.97	99	-4194.90	97	-682.57	100	-423.71	98	-7039.36	98	431.89	33	14836.40	33	1427.64	49
306	Min.	-465	-508.97	99	-4194.90	97	-682.57	100	-423.71	98	-7039.36	98	431.89	33	14836.40	33	1427.64	49
306	Max	-423	-80.67	104	-2625.47	104	651.56	99	-253.72	33	-4309.53	33	635.12	98	11715.20	98	-136.56	49
306	Max	-421	-80.67	104	-2625.47	104	651.56	99	-253.72	33	-4309.53	33	635.12	98	11715.20	98	-136.56	49
306	Max	-459	-80.67	104	-2625.47	104	651.56	99	-253.72	33	-4309.53	33	635.12	98	11715.20	98	-136.56	49
306	Max	-461	-80.67	104	-2625.47	104	651.56	99	-253.72	33	-4309.53	33	635.12	98	11715.20	98	-136.56	49
306	Min.	-423	-1057.16	99	-5955.94	99	-114.78	104	-387.18	98	-6566.96	98	407.59	33	7917.37	101	-227.54	98
306	Min.	-421	-1057.16	99	-5955.94	99	-114.78	104	-387.18	98	-6566.96	98	407.59	33	7917.37	101	-227.54	98
306	Min.	-459	-1057.16	99	-5955.94	99	-114.78	104	-387.18	98	-6566.96	98	407.59	33	7917.37	101	-227.54	98
306	Min.	-461	-1057.16	99	-5955.94	99	-114.78	104	-387.18	98	-6566.96	98	407.59	33	7917.37	101	-227.54	98
306	Max	-489	623.82	99	-2108.33	102	1150.06	99	1178.34	98	-1639.12	49	-152.08	49	31681.60	98	-11501.60	101
306	Max	-487	623.82	99	-2108.33	102	1150.06	99	1178.34	98	-1639.12	49	-152.08	49	31681.60	98	-11501.60	101
306	Max	-525	623.82	99	-2108.33	102	1150.06	99	1178.34	98	-1639.12	49	-152.08	49	31681.60	98	-11501.60	101
306	Max	-527	623.82	99	-2108.33	102	1150.06	99	1178.34	98	-1639.12	49	-152.08	49	31681.60	98	-11501.60	101
306	Min.	-489	14.62	104	-3173.81	97	368.15	104	764.21	33	-2453.04	98	-361.10	33	21641.30	101	-16913.30	98
306	Min.	-487	14.62	104	-3173.81	97	368.15	104	764.21	33	-2453.04	98	-361.10	33	21641.30	101	-16913.30	98
306	Min.	-525	14.62	104	-3173.81	97	368.15	104	764.21	33	-2453.04	98	-361.10	33	21641.30	101	-16913.30	98
306	Min.	-527	14.62	104	-3173.81	97	368.15	104	764.21	33	-2453.04	98	-361.10	33	21641.30	101	-16913.30	98
306	Max	-455	-184.85	103	-2765.30	103	302.31	103	-223.24	49	-4269.03	49	-530.18	49	19983.50	98	1128.22	98
306	Max	-453	-184.85	103	-2765.30	103	302.31	103	-223.24	49	-4269.03	49	-530.18	49	19983.50	98	1128.22	98
306	Max	-491	-184.85	103	-2765.30	103	302.31	103	-223.24	49	-4269.03	49	-530.18	49	19983.50	98	1128.22	98
306	Max	-493	-184.85	103	-2765.30	103	302.31	103	-223.24	49	-4269.03	49	-530.18	49	19983.50	98	1128.22	98
306	Min.	-455	-467.54	100	-4885.44	100	-466.35	100	-347.78	98	-6505.49	98	-876.40	98	13333.30	49	761.38	101
306	Min.	-453	-467.54	100	-4885.44	100	-466.35	100	-347.78	98	-6505.49	98	-876.40	98	13333.30	49	761.38	101
306	Min.	-491	-467.54	100	-4885.44	100	-466.35	100	-347.78	98	-6505.49	98	-876.40	98	13333.30	49	761.38	101
306	Min.	-493	-467.54	100	-4885.44	100	-466.35	100	-347.78	98	-6505.49	98	-876.40	98	13333.30	49	761.38	101
306	Max	-437	365.65	99	-3425.45	103	1101.57	97	-384.09	33	-4411.01	101	819.09	98	23110.90	98	-3235.69	101
306	Max	-435	365.65	99	-3425.45	103	1101.57	97	-384.09	33	-4411.01	101	819.09	98	23110.90	98	-3235.69	101
306	Max	-473	365.65	99	-3425.45	103	1101.57	97	-384.09	33	-4411.01	101	819.09	98	23110.90	98	-3235.69	101
306	Max	-475	365.65	99	-3425.45	103	1101.57	97	-384.09	33	-4411.01	101	819.09	98	23110.90	98	-3235.69	101
306	Min.	-437	223.72	33	-6670.41	100	759.51	102	-574.57	98	-6414.39	98	412.45	33	15912.10	101	-4699.54	98
306	Min.	-435	223.72	33	-6670.41	100	759.51	102	-574.57	98	-6414.39	98	412.45	33	15912.10	101	-4699.54	98
306	Min.	-473	223.72	33	-6670.41	100	759.51	102	-574.57	98	-6414.39	98	412.45	33	15912.10	101	-4699.54	98
306	Min.	-475	223.72	33	-6670.41	100	759.51	102	-574.57	98	-6414.39	98	412.45	33	15912.10	101	-4699.54	98
306	Max	-451	-135.12	103	-3018.35	102	842.34	99	-348.38	49	-4969.24	49	-140.03	49	23925.50	98	2994.55	98
306	Max	-449	-135.12	103	-3018.35	102	842.34	99	-348.38	49	-4969.24	49	-140.03	49	23925.50	98	2994.55	98
306	Max	-487	-135.12	103	-3018.35	102	842.34	99	-348.38	49	-4969.24	49	-140.03	49	23925.50	98	2994.55	98
306	Max	-489	-135.12	103	-3018.35	102	842.34	99	-348.38	49	-4969.24	49	-140.03	49	23925.50	98	2994.55	98
306	Min.	-451	-329.91	100	-4411.32	97	121.01	104	-534.78	98	-7371.48	98	-416.70	33	16242.30	49	1975.49	49
306	Min.	-449	-329.91	100	-4411.32	97	121.01	104	-534.78	98	-7371.48	98	-416.70	33	16242.30	49	1975.49	49
306	Min.	-487	-329.91	100	-4411.32	97	121.01	104	-534.78	98	-7371.48	98	-416.70	33	16242.30	49	1975.49	49
306	Min.	-489	-329.91	100	-4411.32	97	121.01	104	-534.78	98	-7371.48	98	-416.70	33	16242.30	49	1975.49	49
306	Max	-425	-134.58	104	-2797.44	104	469.00	99	-226.03	33	-4288.17	33	870.13	98	19870.00	98	-744.58	101
306	Max	-423	-134.58	104	-2797.44	104	469.00	99	-226.03	33	-4288.17	33	870.13	98	19870.00	98	-744.58	101
306	Max	-461	-134.58	104	-2797.44	104	469.00	99	-226.03	33	-4288.17	33	870.13	98	19870.00	98	-744.58	101
306	Max	-463	-134.58	104	-2797.44	104	469.00	99	-226.03	33	-4288.17	33	870.13	98	19870.00	98	-744.58	101
306	Min.	-425	-489.09	99	-4965.36	99	-300.98	104	-351.86	98	-6543.17	98	527.09	33	13240.90	33	-1102.62	98
306	Min.	-423	-489.09	99	-4965.36	99	-300.98	104	-351.86	98	-6543.17	98	527.09	33	13240.90	33	-1102.62	98
306	Min.	-461	-489.09	99	-4965.36	99	-300.98	104	-351.86	98	-6543.17	98	527.09	33	13240.90	33	-1102.62	98
306	Min.	-463	-489.09	99	-4965.36	99	-300.98	104	-351.86	98	-6543.17	98	527.09	33	13240.90	33	-1102.62	98
306	Max	-431	-210.47	104	-3106.41	103	-186.29	103	-382.37	33	-4927.77	33	305.59	49	26406.10	98	1182.97	98
306	Max	-429	-210.47	104	-3106.41	103	-186.29	103	-382.37	33	-4927.77	33	305.59	49	26406.10	98	1182.97	98
306	Max	-467	-210.47	104	-3106.41	103	-186.29	103	-382.37	33	-4927.77	33	305.59	49	26406.10	98	1182.97	98
306	Max	-469	-210.47	104	-3106.41	103	-186.29	103	-382.37	33	-4927.77	33	305.59	49	26406.10	98	1182.97	98
306	Min.	-431	-488.93	99	-4542.87	100	-836.59	100	-579.60	98	-7262.24	98	7.05	33	18095.00	101	748.14	49
306	Min.	-429	-488.93	99	-4542.87	100	-836.59	100	-579.60	98	-7262.24	98	7.05	33	18095.00	101	748.14	49
306	Min.	-467	-488.93	99	-4542.87	100	-836.59	100	-579.60	98	-7262.24	98	7.05	33	18095.00	101	748.14	49
306	Min.	-469	-488.93	99	-4542.87	100	-836.59	100	-579.60	98	-7262.24	98	7.05	33	18095.00	101	748.14	49
306	Max	-511	2654.74	100	-1125.98	102	872.39	97	-13.24	33	34.05	33	8.37	49	-634.29	49	-3632.90	33
306	Max	-509	2654.74	100	-1125.98	102	872.39	97	-13.24	33	34.05	33	8.37	49	-634.29	49	-3632.90	33
306	Max	-749	2654.74	100	-1125.98	102	872.39	97	-13.24	33	34.05	33	8.37	49	-634.29	49	-3632.90	33
306	Max	-794	2654.74	100	-1125.98	102	872.39	97	-13.24	33	34.05	33	8.37	49	-634.29	49	-3632.90	33
306	Min.	-511	474.78	103	-1922.64	97	533.97	102	-111.05	97	20.91	49	-119.07	33	-920.78	98	-6459.68	98
306	Min.	-509	474.78	103	-1922.64	97	533.97	102	-111.05	97	20.91	49	-119.07	33	-920.78	98	-6459.68	98
306	Min.	-749	474.78	103	-1922.64	97	533.97	102	-111.05	97	20.91	49	-119.07	33	-920.78	98	-6459.68	98
306	Min.	-794	474.78	103	-1922.64	97	533.97	102	-111.05	97	20.91	49	-119.07	33	-920.78	98	-6459.68	98
306	Max	-515	317.20	100	-4.16	102	501.80	100	518.25	98	15.40	98	-20.36	49	-392.31	49	-4087.17	33
306	Max	-513	317.20	100	-4.16	102	501.80	100	518.25	98	15.40	98	-20.36	49	-392.31	49	-4087.17	33
306	Max	-837	317.20	100	-4.16	102	501.80	100	518.25	98	15.40	98	-20.36	49	-392.31	49	-4087.17	33
306	Max	-882	317.20	100	-4.16	102	501.80	100	518.25	98	15.40	98	-20.36	49	-392.31	49	-4087.17	33
306	Min.	-515	-456.88	103	-235.08	97	91.13	103	364.33	49	11.25	49	-165.88	33	-563.15	98	-7669.60	98
306	Min.	-513	-456.88	103	-235.08	97	91.13	103	364.33	49	11.25	49	-165.88	33	-563.15	98	-7669.60	98
306	Min.	-837	-456.88	103	-235.08	97	91.13	103	364.33	49	11.25	49	-165.88	33	-563.15	98	-7669.60	98
306	Min.	-882	-456.88	103	-235.08	97	91.13	103	364.33	49	11.25	49	-165.88	33	-563.15	98	-7669.60	98
306	Max	-521	2651.67	99	-1136.65	102	-534.95	102	-16.68	49	33.62	98	110.35	49	-630.41	33	6696.63	98
306	Max	-519	2651.67	99	-1136.65	102	-534.95	102	-16.68	49	33.62	98	110.35	49	-630.41	33	6696.63	98
306	Max	-970	2651.67	99	-1136.65	102	-534.95	102	-16.68	49	33.62	98	110.35	49	-630.41	33	6696.63	98
306	Max	-1013	2651.67	99	-1136.65	102	-534.95	102	-16.68	49	33.62	98	110.35	49	-630.41	33	6696.63	98
306	Min.	-521	472.14	104	-1937.41	97	-873.94	97	-112.98	97	20.53	33	-16.23	33	-919.60	98	3833.85	49
306	Min.	-519	472.14	104	-1937.41	97	-873.94	97	-112.98	97	20.53	33	-16.23	33	-919.60	98	3833.85	49
306	Min.	-970	472.14	104	-1937.41	97	-873.94	97	-112.98	97	20.53	33	-16.23	33	-919.60	98	3833.85	49
306	Min.	-1013	472.14	104	-1937.41	97	-873.94	97	-112.98	97	20.53	33	-16.23	33	-919.60	98	3833.85	49

306	Max	-513	1904.69	100	387.87	98	206.50	100	-22.77	33	-3.23	33	77.57	49	211.08	97	3547.50	33
306	Max	-511	1904.69	100	387.87	98	206.50	100	-22.77	33	-3.23	33	77.57	49	211.08	97	3547.50	33
306	Max	-794	1904.69	100	387.87	98	206.50	100	-22.77	33	-3.23	33	77.57	49	211.08	97	3547.50	33
306	Max	-837	1904.69	100	387.87	98	206.50	100	-22.77	33	-3.23	33	77.57	49	211.08	97	3547.50	33
306	Min.	-513	-106.06	103	128.99	101	26.00	103	-109.98	97	-14.88	97	-62.76	33	57.66	33	1043.02	49
306	Min.	-511	-106.06	103	128.99	101	26.00	103	-109.98	97	-14.88	97	-62.76	33	57.66	33	1043.02	49
306	Min.	-794	-106.06	103	128.99	101	26.00	103	-109.98	97	-14.88	97	-62.76	33	57.66	33	1043.02	49
306	Min.	-837	-106.06	103	128.99	101	26.00	103	-109.98	97	-14.88	97	-62.76	33	57.66	33	1043.02	49
306	Max	-439	-392.73	103	-473.71	103	2551.43	100	-109.16	33	-1623.61	33	1373.59	98	3766.40	98	-2245.45	33
306	Max	-437	-392.73	103	-473.71	103	2551.43	100	-109.16	33	-1623.61	33	1373.59	98	3766.40	98	-2245.45	33
306	Max	-475	-392.73	103	-473.71	103	2551.43	100	-109.16	33	-1623.61	33	1373.59	98	3766.40	98	-2245.45	33
306	Max	-477	-392.73	103	-473.71	103	2551.43	100	-109.16	33	-1623.61	33	1373.59	98	3766.40	98	-2245.45	33
306	Min.	-439	-945.60	100	-1406.60	100	148.40	103	-169.37	98	-2378.03	98	763.37	33	2518.26	33	-3367.79	98
306	Min.	-437	-945.60	100	-1406.60	100	148.40	103	-169.37	98	-2378.03	98	763.37	33	2518.26	33	-3367.79	98
306	Min.	-475	-945.60	100	-1406.60	100	148.40	103	-169.37	98	-2378.03	98	763.37	33	2518.26	33	-3367.79	98
306	Min.	-477	-945.60	100	-1406.60	100	148.40	103	-169.37	98	-2378.03	98	763.37	33	2518.26	33	-3367.79	98
306	Max	-529	185.99	103	-1144.75	102	717.77	99	1523.85	98	412.32	98	-155.05	49	-3246.55	33	18684.50	98
306	Max	-527	185.99	103	-1144.75	102	717.77	99	1523.85	98	412.32	98	-155.05	49	-3246.55	33	18684.50	98
306	Max	-1146	185.99	103	-1144.75	102	717.77	99	1523.85	98	412.32	98	-155.05	49	-3246.55	33	18684.50	98
306	Max	320	185.99	103	-1144.75	102	717.77	99	1523.85	98	412.32	98	-155.05	49	-3246.55	33	18684.50	98
306	Min.	-529	-219.44	100	-1616.94	97	363.83	104	1019.31	33	267.63	33	-260.75	98	-4893.10	98	12614.60	49
306	Min.	-527	-219.44	100	-1616.94	97	363.83	104	1019.31	33	267.63	33	-260.75	98	-4893.10	98	12614.60	49
306	Min.	-1146	-219.44	100	-1616.94	97	363.83	104	1019.31	33	267.63	33	-260.75	98	-4893.10	98	12614.60	49
306	Min.	320	-219.44	100	-1616.94	97	363.83	104	1019.31	33	267.63	33	-260.75	98	-4893.10	98	12614.60	49
306	Max	-447	-118.44	103	-3418.39	104	557.42	99	-500.35	49	-4927.30	49	7.53	49	26169.60	98	-408.37	33
306	Max	-445	-118.44	103	-3418.39	104	557.42	99	-500.35	49	-4927.30	49	7.53	49	26169.60	98	-408.37	33
306	Max	-483	-118.44	103	-3418.39	104	557.42	99	-500.35	49	-4927.30	49	7.53	49	26169.60	98	-408.37	33
306	Max	-485	-118.44	103	-3418.39	104	557.42	99	-500.35	49	-4927.30	49	7.53	49	26169.60	98	-408.37	33
306	Min.	-447	-363.67	100	-5049.11	99	58.22	104	-745.99	98	-7193.94	98	-313.00	33	17970.00	101	-689.78	98
306	Min.	-445	-363.67	100	-5049.11	99	58.22	104	-745.99	98	-7193.94	98	-313.00	33	17970.00	101	-689.78	98
306	Min.	-483	-363.67	100	-5049.11	99	58.22	104	-745.99	98	-7193.94	98	-313.00	33	17970.00	101	-689.78	98
306	Min.	-485	-363.67	100	-5049.11	99	58.22	104	-745.99	98	-7193.94	98	-313.00	33	17970.00	101	-689.78	98
306	Max	-525	2229.62	99	-286.85	102	260.26	99	491.59	98	-25.09	49	-62.30	49	3693.84	98	-7237.22	33
306	Max	-523	2229.62	99	-286.85	102	260.26	99	491.59	98	-25.09	49	-62.30	49	3693.84	98	-7237.22	33
306	Max	-1058	2229.62	99	-286.85	102	260.26	99	491.59	98	-25.09	49	-62.30	49	3693.84	98	-7237.22	33
306	Max	-1103	2229.62	99	-286.85	102	260.26	99	491.59	98	-25.09	49	-62.30	49	3693.84	98	-7237.22	33
306	Min.	-525	539.54	104	-550.50	97	27.47	104	280.47	33	-45.23	98	-162.23	33	2490.80	49	-11914.50	98
306	Min.	-523	539.54	104	-550.50	97	27.47	104	280.47	33	-45.23	98	-162.23	33	2490.80	49	-11914.50	98
306	Min.	-1058	539.54	104	-550.50	97	27.47	104	280.47	33	-45.23	98	-162.23	33	2490.80	49	-11914.50	98
306	Min.	-1103	539.54	104	-550.50	97	27.47	104	280.47	33	-45.23	98	-162.23	33	2490.80	49	-11914.50	98
306	Max	-457	-79.32	103	-2578.35	103	109.11	103	-251.58	49	-4288.47	49	-414.83	49	11867.30	98	246.16	98
306	Max	-455	-79.32	103	-2578.35	103	109.11	103	-251.58	49	-4288.47	49	-414.83	49	11867.30	98	246.16	98
306	Max	-493	-79.32	103	-2578.35	103	109.11	103	-251.58	49	-4288.47	49	-414.83	49	11867.30	98	246.16	98
306	Max	-495	-79.32	103	-2578.35	103	109.11	103	-251.58	49	-4288.47	49	-414.83	49	11867.30	98	246.16	98
306	Min.	-457	-1099.59	100	-5807.53	100	-663.92	100	-383.90	98	-6526.83	98	-648.39	98	8019.73	101	148.59	33
306	Min.	-455	-1099.59	100	-5807.53	100	-663.92	100	-383.90	98	-6526.83	98	-648.39	98	8019.73	101	148.59	33
306	Min.	-493	-1099.59	100	-5807.53	100	-663.92	100	-383.90	98	-6526.83	98	-648.39	98	8019.73	101	148.59	33
306	Min.	-495	-1099.59	100	-5807.53	100	-663.92	100	-383.90	98	-6526.83	98	-648.39	98	8019.73	101	148.59	33
306	Max	-495	68.71	103	-2079.99	103	-23.88	103	26.14	98	-1723.60	49	-237.19	49	8234.51	98	563.20	98
306	Max	-493	68.71	103	-2079.99	103	-23.88	103	26.14	98	-1723.60	49	-237.19	49	8234.51	98	563.20	98
306	Max	-531	68.71	103	-2079.99	103	-23.88	103	26.14	98	-1723.60	49	-237.19	49	8234.51	98	563.20	98
306	Max	-533	68.71	103	-2079.99	103	-23.88	103	26.14	98	-1723.60	49	-237.19	49	8234.51	98	563.20	98
306	Min.	-495	-136.55	100	-3454.76	100	-212.31	100	14.59	33	-2623.74	98	-376.00	98	5583.55	101	346.12	33
306	Min.	-493	-136.55	100	-3454.76	100	-212.31	100	14.59	33	-2623.74	98	-376.00	98	5583.55	101	346.12	33
306	Min.	-531	-136.55	100	-3454.76	100	-212.31	100	14.59	33	-2623.74	98	-376.00	98	5583.55	101	346.12	33
306	Min.	-533	-136.55	100	-3454.76	100	-212.31	100	14.59	33	-2623.74	98	-376.00	98	5583.55	101	346.12	33
306	Max	-531	322.89	99	-2575.49	102	-1046.13	102	142.91	98	-30.89	49	-17.81	49	8093.22	98	6945.47	98
306	Max	-529	322.89	99	-2575.49	102	-1046.13	102	142.91	98	-30.89	49	-17.81	49	8093.22	98	6945.47	98
306	Max	320	322.89	99	-2575.49	102	-1046.13	102	142.91	98	-30.89	49	-17.81	49	8093.22	98	6945.47	98
306	Max	-1225	322.89	99	-2575.49	102	-1046.13	102	142.91	98	-30.89	49	-17.81	49	8093.22	98	6945.47	98
306	Min.	-531	-37.52	104	-4397.35	97	-1763.95	97	84.60	33	-71.19	97	-56.97	33	5472.62	49	4697.56	49
306	Min.	-529	-37.52	104	-4397.35	97	-1763.95	97	84.60	33	-71.19	97	-56.97	33	5472.62	49	4697.56	49
306	Min.	320	-37.52	104	-4397.35	97	-1763.95	97	84.60	33	-71.19	97	-56.97	33	5472.62	49	4697.56	49
306	Min.	-1225	-37.52	104	-4397.35	97	-1763.95	97	84.60	33	-71.19	97	-56.97	33	5472.62	49	4697.56	49
306	Max	-471	876.03	100	-1904.44	102	225.56	99	-312.80	33	-1887.07	33	197.48	49	18552.10	98	1074.21	98
306	Max	-469	876.03	100	-1904.44	102	225.56	99	-312.80	33	-1887.07	33	197.48	49	18552.10	98	1074.21	98
306	Max	-507	876.03	100	-1904.44	102	225.56	99	-312.80	33	-1887.07	33	197.48	49	18552.10	98	1074.21	98
306	Max	-509	876.03	100	-1904.44	102	225.56	99	-312.80	33	-1887.07	33	197.48	49	18552.10	98	1074.21	98
306	Min.	-471	27.90	103	-2879.87	97	-165.43	104	-508.99	98	-2772.96	98	-66.49	33	12753.10	101	380.77	49
306	Min.	-469	27.90	103	-2879.87	97	-165.43	104	-508.99	98	-2772.96	98	-66.49	33	12753.10	101	380.77	49
306	Min.	-507	27.90	103	-2879.87	97	-165.43	104	-508.99	98	-2772.96	98	-66.49	33	12753.10	101	380.77	49
306	Min.	-509	27.90	103	-2879.87	97	-165.43	104	-508.99	98	-2772.96	98	-66.49	33	12753.10	101	380.77	49
306	Max	-449	-196.51	103	-3107.75	104	833.83	99	-381.73	49	-4916.20	49	-21.20	49	26217.30	98	-717.41	33
306	Max	-447	-196.51	103	-3107.75	104	833.83	99	-381.73	49	-4916.20	49	-21.20	49	26217.30	98	-717.41	33
306	Max	-485	-196.51	103	-3107.75	104	833.83	99	-381.73	49	-4916.20	49	-21.20	49	26217.30	98	-717.41	33
306	Max	-487	-196.51	103	-3107.75	104	833.83	99	-381.73	49	-4916.20	49	-21.20	49	26217.30	98	-717.41	33
306	Min.	-449	-471.73	100	-4546.25	99	182.38	104	-578.60	98	-7238.46	98	-317.70	33	17963.60	101	-1139.87	98
306	Min.	-447	-471.73	100	-4546.25	99	182.38	104	-578.60	98	-7238.46	98	-317.70	33	17963.60	101	-1139.87	98
306	Min.	-485	-471.73	100	-4546.25	99	182.38	104	-578.60	98	-7238.46	98	-317.70	33	17963.60	101	-1139.87	98
306	Min.	-487	-471.73	100	-4546.25	99	182.38	104	-578.60	98	-7238.46	98	-317.70	33	17963.60	101	-1139.87	98
306	Max	-441	-379.68	104	-505.33	104	-161.12	104	-108.63	49	-1637.77	49	-797.97	49	3878.90	98	3449.08	98
306	Max	-439	-379.68	104	-505.33	104	-161.12	104	-108.63	49	-1637.77	49	-797.97	49	3878.90	98	3449.08	98
306	Max	-477	-379.68	104	-505.33	104	-161.12	104	-108.63	49	-1637.77	49	-797.97	49	3878.90	98	3449.08	98
306	Max	-479	-379.68	104	-505.33	104	-161.12	104	-108.63	49	-1637.77	49	-797.97	49	3878.90	98	3449.08	98
306	Min.	-441	-934.61	99	-1490.85	99	-2577.71	99	-168.23	98	-2398.48	98	-1422.99	98	2597.79	49	2303.90	49
306	Min.	-439	-934.61	99	-1490.85	99	-2577.71	99	-168.23	98	-2398.48	98	-1422.99	98	2597.79	49	2303.90	49
306	Min.	-477	-934.61	99	-1490.85	99	-2577.71	99	-168.23	98	-2398.48	98	-1422.99	98	2597.79	49	2303.90	49
306	Min.	-479	-934.61	99	-1490.85	99	-2577.71	99	-168.23	98	-2398.48	98	-1422.99	98	2597.79	49	2303.90	49
306	Max	-503	196.53	104	-816.57	102	-343.20	103	1548.96	98	418.75	98	256.35	98	-3272.02	49	-12696.00	33
306	Max	-501	196.53	104	-816.57	102	-343.20	103	1548.96	98	418.75	98	256.35	98	-3272.02	49	-12696.00	33
306	Max	301	196.53	104	-816.57	102	-343.20	103	1548.96	98	418.75	98	256.35	98	-3272.02	49	-12696.00	33
306	Max	-618	196.53	104	-816.57	102	-343.20	103	1548.96	98	418.75	98	256.35	98	-3272.02	49	-12696.00	33
306	Min.	-503	-206.10	99	-1162.44	97	-689.28	100	1038.28	49	272.33	49	151.41	33	-4922.75	98	-18833.30	98
306	Min.	-501	-206.10	99	-1162.44	97	-689.28	100	1038.28	49	272.33	49	151.41	33	-4922.75	98	-18833.30	98
306	Min.	301	-206.10	99	-1162.44	97	-689.28	100	1038.28	49	272.33	49	151.41	33	-4922.75	98	-18833.30	98
306	Min.	-618	-206.10	99	-1162.44	97	-689.28	100	1038.28	49	272.33	49	151.41	33	-4922.75	98	-18833.30	98
306	Max	-475	911.48	100	-1748.17	103	765.29	100	-104.88	33	-1469.17	33	302.80	49	16921.30	98	-867.60	33
306	Max	-473	911.48	100	-1748.17	103	765.29	100	-104.88	33	-1469.17	33	302.80	49	16921.30	98	-867.60	33
306	Max	-511	911.48	100	-1748.17	103	765.29	100	-104.88	33	-1469.17	33	302.80	49	16921.30	98	-867.60	33
306	Max	-513	911.48	100	-1748.17	103	765.29	100	-104.88	33	-1469.17	33	302.80	49	16921.30	98	-867.60	33
306	Min.	-475	-89.25	103	-3089.39	100	307.23	103	-207.98	98	-2146.68	98	-5.84	33	11692.30	101	-1717.30	98
306	Min.	-473	-89.25	103	-3089.39	100	307.23	103	-207.98	98	-2146.68	98	-5.84	33	11692.30	101	-1717.30	98
306	Min.	-511	-89.25	103	-3089.39	100	307.23	103	-207.98	98	-2146.68	98	-5.84	33	11692.30	101	-1717.30	98
306	Min.	-513	-89.25	103	-3089.39	100	307.23	103	-207.98	98	-2146.68	98	-5.84	33	11692.30	101	-1717.30	98
306	Max	-453	-76.73	103	-2831.93	102	689.10	99	-272.43	49	-4657.05	49	-435.39	49	21989.50	98	-1430.94	33

306	Max	-451	-76.73	103	-2831.93	102	689.10	99	-272.43	49	-4657.05	49	-435.39	49	21989.50	98	-1430.94	33
306	Max	-489	-76.73	103	-2831.93	102	689.10	99	-272.43	49	-4657.05	49	-435.39	49	21989.50	98	-1430.94	33
306	Max	-491	-76.73	103	-2831.93	102	689.10	99	-272.43	49	-4657.05	49	-435.39	49	21989.50	98	-1430.94	33
306	Min.	-453	-496.20	100	-4178.95	97	-101.59	104	-424.07	98	-6999.31	98	-782.48	98	14746.30	49	-2101.20	98
306	Min.	-451	-496.20	100	-4178.95	97	-101.59	104	-424.07	98	-6999.31	98	-782.48	98	14746.30	49	-2101.20	98
306	Min.	-489	-496.20	100	-4178.95	97	-101.59	104	-424.07	98	-6999.31	98	-782.48	98	14746.30	49	-2101.20	98
306	Min.	-491	-496.20	100	-4178.95	97	-101.59	104	-424.07	98	-6999.31	98	-782.48	98	14746.30	49	-2101.20	98
306	Max	-461	72.68	104	-2148.09	104	204.27	99	29.97	98	-1729.09	33	354.51	98	8113.89	98	-327.77	49
306	Max	-459	72.68	104	-2148.09	104	204.27	99	29.97	98	-1729.09	33	354.51	98	8113.89	98	-327.77	49
306	Max	-497	72.68	104	-2148.09	104	204.27	99	29.97	98	-1729.09	33	354.51	98	8113.89	98	-327.77	49
306	Max	-499	72.68	104	-2148.09	104	204.27	99	29.97	98	-1729.09	33	354.51	98	8113.89	98	-327.77	49
306	Min.	-461	-136.96	99	-3557.22	99	29.11	104	17.91	49	-2635.37	98	223.40	33	5501.60	101	-534.00	98
306	Min.	-459	-136.96	99	-3557.22	99	29.11	104	17.91	49	-2635.37	98	223.40	33	5501.60	101	-534.00	98
306	Min.	-497	-136.96	99	-3557.22	99	29.11	104	17.91	49	-2635.37	98	223.40	33	5501.60	101	-534.00	98
306	Min.	-499	-136.96	99	-3557.22	99	29.11	104	17.91	49	-2635.37	98	223.40	33	5501.60	101	-534.00	98
306	Max	-479	48.27	103	-1031.19	104	-37.13	104	195.55	98	-915.73	101	16.05	49	11669.20	98	9816.24	98
306	Max	-477	48.27	103	-1031.19	104	-37.13	104	195.55	98	-915.73	101	16.05	49	11669.20	98	9816.24	98
306	Max	-515	48.27	103	-1031.19	104	-37.13	104	195.55	98	-915.73	101	16.05	49	11669.20	98	9816.24	98
306	Max	-517	48.27	103	-1031.19	104	-37.13	104	195.55	98	-915.73	101	16.05	49	11669.20	98	9816.24	98
306	Min.	-479	-400.03	100	-1812.82	99	-1527.96	99	136.69	33	-1333.03	98	-314.02	33	8063.35	101	6499.06	49
306	Min.	-477	-400.03	100	-1812.82	99	-1527.96	99	136.69	33	-1333.03	98	-314.02	33	8063.35	101	6499.06	49
306	Min.	-515	-400.03	100	-1812.82	99	-1527.96	99	136.69	33	-1333.03	98	-314.02	33	8063.35	101	6499.06	49
306	Min.	-517	-400.03	100	-1812.82	99	-1527.96	99	136.69	33	-1333.03	98	-314.02	33	8063.35	101	6499.06	49
306	Max	-519	1883.51	99	395.06	98	-26.86	104	-13.24	49	-1.57	49	56.28	49	193.13	97	-874.04	33
306	Max	-517	1883.51	99	395.06	98	-26.86	104	-13.24	49	-1.57	49	56.28	49	193.13	97	-874.04	33
306	Max	-925	1883.51	99	395.06	98	-26.86	104	-13.24	49	-1.57	49	56.28	49	193.13	97	-874.04	33
306	Max	-970	1883.51	99	395.06	98	-26.86	104	-13.24	49	-1.57	49	56.28	49	193.13	97	-874.04	33
306	Min.	-519	-119.57	104	134.62	101	-207.21	99	-93.77	97	-12.00	97	-83.26	33	50.76	49	-3370.70	49
306	Min.	-517	-119.57	104	134.62	101	-207.21	99	-93.77	97	-12.00	97	-83.26	33	50.76	49	-3370.70	49
306	Min.	-925	-119.57	104	134.62	101	-207.21	99	-93.77	97	-12.00	97	-83.26	33	50.76	49	-3370.70	49
306	Min.	-970	-119.57	104	134.62	101	-207.21	99	-93.77	97	-12.00	97	-83.26	33	50.76	49	-3370.70	49
306	Max	-523	2500.07	99	-353.92	102	153.30	99	-254.81	49	-134.00	49	67.38	49	4770.65	98	694.47	33
306	Max	-521	2500.07	99	-353.92	102	153.30	99	-254.81	49	-134.00	49	67.38	49	4770.65	98	694.47	33
306	Max	-1013	2500.07	99	-353.92	102	153.30	99	-254.81	49	-134.00	49	67.38	49	4770.65	98	694.47	33
306	Max	-1058	2500.07	99	-353.92	102	153.30	99	-254.81	49	-134.00	49	67.38	49	4770.65	98	694.47	33
306	Min.	-523	456.74	104	-767.58	97	-13.06	104	-440.88	98	-202.78	98	-46.91	33	3261.00	49	-1321.87	49
306	Min.	-521	456.74	104	-767.58	97	-13.06	104	-440.88	98	-202.78	98	-46.91	33	3261.00	49	-1321.87	49
306	Min.	-1013	456.74	104	-767.58	97	-13.06	104	-440.88	98	-202.78	98	-46.91	33	3261.00	49	-1321.87	49
306	Min.	-1058	456.74	104	-767.58	97	-13.06	104	-440.88	98	-202.78	98	-46.91	33	3261.00	49	-1321.87	49
306	Max	-483	1046.35	99	-2236.05	104	-198.40	103	-207.29	49	-1788.25	49	12.49	49	21054.00	98	5936.73	98
306	Max	-481	1046.35	99	-2236.05	104	-198.40	103	-207.29	49	-1788.25	49	12.49	49	21054.00	98	5936.73	98
306	Max	-519	1046.35	99	-2236.05	104	-198.40	103	-207.29	49	-1788.25	49	12.49	49	21054.00	98	5936.73	98
306	Max	-521	1046.35	99	-2236.05	104	-198.40	103	-207.29	49	-1788.25	49	12.49	49	21054.00	98	5936.73	98
306	Min.	-483	117.21	104	-3489.18	99	-582.18	100	-364.89	98	-2616.87	98	-269.56	33	14530.40	101	3983.12	49
306	Min.	-481	117.21	104	-3489.18	99	-582.18	100	-364.89	98	-2616.87	98	-269.56	33	14530.40	101	3983.12	49
306	Min.	-519	117.21	104	-3489.18	99	-582.18	100	-364.89	98	-2616.87	98	-269.56	33	14530.40	101	3983.12	49
306	Min.	-521	117.21	104	-3489.18	99	-582.18	100	-364.89	98	-2616.87	98	-269.56	33	14530.40	101	3983.12	49
306	Max	-527	1610.12	99	-130.74	102	789.16	99	2221.42	98	434.85	98	-232.40	49	-6185.02	101	-12297.20	33
306	Max	-525	1610.12	99	-130.74	102	789.16	99	2221.42	98	434.85	98	-232.40	49	-6185.02	101	-12297.20	33
306	Max	-1103	1610.12	99	-130.74	102	789.16	99	2221.42	98	434.85	98	-232.40	49	-6185.02	101	-12297.20	33
306	Max	-1146	1610.12	99	-130.74	102	789.16	99	2221.42	98	434.85	98	-232.40	49	-6185.02	101	-12297.20	33
306	Min.	-527	413.03	104	-684.49	97	384.51	104	1480.78	33	291.62	33	-385.63	98	-9129.45	98	-18856.90	98
306	Min.	-525	413.03	104	-684.49	97	384.51	104	1480.78	33	291.62	33	-385.63	98	-9129.45	98	-18856.90	98
306	Min.	-1103	413.03	104	-684.49	97	384.51	104	1480.78	33	291.62	33	-385.63	98	-9129.45	98	-18856.90	98
306	Min.	-1146	413.03	104	-684.49	97	384.51	104	1480.78	33	291.62	33	-385.63	98	-9129.45	98	-18856.90	98
306	Max	-505	1502.59	100	-199.52	102	-450.81	103	2208.67	98	427.55	98	373.60	98	-6026.70	101	19076.90	98
306	Max	-503	1502.59	100	-199.52	102	-450.81	103	2208.67	98	427.55	98	373.60	98	-6026.70	101	19076.90	98
306	Max	-618	1502.59	100	-199.52	102	-450.81	103	2208.67	98	427.55	98	373.60	98	-6026.70	101	19076.90	98
306	Max	-661	1502.59	100	-199.52	102	-450.81	103	2208.67	98	427.55	98	373.60	98	-6026.70	101	19076.90	98
306	Min.	-505	329.53	103	-754.45	97	-882.57	100	1474.16	49	287.03	49	223.25	33	-8893.40	98	12467.20	49
306	Min.	-503	329.53	103	-754.45	97	-882.57	100	1474.16	49	287.03	49	223.25	33	-8893.40	98	12467.20	49
306	Min.	-618	329.53	103	-754.45	97	-882.57	100	1474.16	49	287.03	49	223.25	33	-8893.40	98	12467.20	49
306	Min.	-661	329.53	103	-754.45	97	-882.57	100	1474.16	49	287.03	49	223.25	33	-8893.40	98	12467.20	49
306	Max	-465	302.23	100	-2364.25	102	119.76	103	752.56	98	-1651.04	33	865.14	98	26525.60	98	-6507.58	33
306	Max	-463	302.23	100	-2364.25	102	119.76	103	752.56	98	-1651.04	33	865.14	98	26525.60	98	-6507.58	33
306	Max	-501	302.23	100	-2364.25	102	119.76	103	752.56	98	-1651.04	33	865.14	98	26525.60	98	-6507.58	33
306	Max	-503	302.23	100	-2364.25	102	119.76	103	752.56	98	-1651.04	33	865.14	98	26525.60	98	-6507.58	33
306	Min.	-465	-138.77	103	-3566.60	97	-526.99	100	488.27	49	-2501.45	98	527.47	33	17994.60	33	-9598.52	98
306	Min.	-463	-138.77	103	-3566.60	97	-526.99	100	488.27	49	-2501.45	98	527.47	33	17994.60	33	-9598.52	98
306	Min.	-501	-138.77	103	-3566.60	97	-526.99	100	488.27	49	-2501.45	98	527.47	33	17994.60	33	-9598.52	98
306	Min.	-503	-138.77	103	-3566.60	97	-526.99	100	488.27	49	-2501.45	98	527.47	33	17994.60	33	-9598.52	98
306	Max	-445	-102.64	103	-3347.19	104	227.25	99	-556.30	49	-5080.54	101	-16.37	49	26042.50	98	-349.40	33
306	Max	-443	-102.64	103	-3347.19	104	227.25	99	-556.30	49	-5080.54	101	-16.37	49	26042.50	98	-349.40	33
306	Max	-481	-102.64	103	-3347.19	104	227.25	99	-556.30	49	-5080.54	101	-16.37	49	26042.50	98	-349.40	33
306	Max	-483	-102.64	103	-3347.19	104	227.25	99	-556.30	49	-5080.54	101	-16.37	49	26042.50	98	-349.40	33
306	Min.	-445	-576.20	100	-5450.28	99	-170.24	104	-823.97	98	-7392.16	98	-353.30	33	17899.80	101	-544.73	98
306	Min.	-443	-576.20	100	-5450.28	99	-170.24	104	-823.97	98	-7392.16	98	-353.30	33	17899.80	101	-544.73	98
306	Min.	-481	-576.20	100	-5450.28	99	-170.24	104	-823.97	98	-7392.16	98	-353.30	33	17899.80	101	-544.73	98
306	Min.	-483	-576.20	100	-5450.28	99	-170.24	104	-823.97	98	-7392.16	98	-353.30	33	17899.80	101	-544.73	98
306	Max	-429	-210.34	104	-3005.42	102	-130.76	103	-347.58	33	-4985.76	33	404.55	49	24151.90	98	-1859.02	33
306	Max	-427	-210.34	104	-3005.42	102	-130.76	103	-347.58	33	-4985.76	33	404.55	49	24151.90	98	-1859.02	33
306	Max	-465	-210.34	104	-3005.42	102	-130.76	103	-347.58	33	-4985.76	33	404.55	49	24151.90	98	-1859.02	33
306	Max	-467	-210.34	104	-3005.42	102	-130.76	103	-347.58	33	-4985.76	33	404.55	49	24151.90	98	-1859.02	33
306	Min.	-429	-447.13	99	-4392.70	97	-853.43	100	-533.64	98	-7403.95	98	126.22	33	16378.10	33	-2836.13	98
306	Min.	-427	-447.13	99	-4392.70	97	-853.43	100	-533.64	98	-7403.95	98	126.22	33	16378.10	33	-2836.13	98
306	Min.	-465	-447.13	99	-4392.70	97	-853.43	100	-533.64	98	-7403.95	98	126.22	33	16378.10	33	-2836.13	98
306	Min.	-467	-447.13	99	-4392.70	97	-853.43	100	-533.64	98	-7403.95	98	126.22	33	16378.10	33	-2836.13	98
306	Max	-435	-97.88	104	-3348.81	103	169.57	103	-555.83	33	-5083.05	101	343.23	49	26027.60	98	524.16	98
306	Max	-433	-97.88	104	-3348.81	103	169.57	103	-555.83	33	-5083.05	101	343.23	49	26027.60	98	524.16	98
306	Max	-471	-97.88	104	-3348.81	103	169.57	103	-555.83	33	-5083.05	101	343.23	49	26027.60	98	524.16	98
306	Max	-473	-97.88	104	-3348.81	103	169.57	103	-555.83	33	-5083.05	101	343.23	49	26027.60	98	524.16	98
306	Min.	-435	-570.13	99	-5452.57	100	-228.34	100	-824.25	98	-7395.21	98	4.68	33	17891.20	101	336.14	49
306	Min.	-433	-570.13	99	-5452.57	100	-228.34	100	-824.25	98	-7395.21	98	4.68	33	17891.20	101	336.14	49
306	Min.	-471	-570.13	99	-5452.57	100	-228.34	100	-824.25	98	-7395.21	98	4.68	33	17891.20	101	336.14	49
306	Min.	-473	-570.13	99	-5452.57	100	-228.34	100	-824.25	98	-7395.21	98	4.68	33	17891.20	101	336.14	49
306	Max	-493	241.45	97	-2261.99	103	183.86	103	-18.02	49	-1748.32	49	-513.73	49	13511.50	98	1879.54	98
306	Max	-491	241.45	97	-2261.99	103	183.86	103	-18.02	49	-1748.32	49	-513.73	49	13511.50	98	1879.54	98
306	Max	-529	241.45	97	-2261.99	103	183.86	103	-18.02	49	-1748.32	49	-513.73	49	13511.50	98	1879.54	98
306	Max	-531	241.45	97	-2261.99	103	183.86	103	-18.02	49	-1748.32	49	-513.73	49	13511.50	98	1879.54	98
306	Min.	-493	152.41	49	-3690.72	100	-288.76	100	-43.45	33	-2661.15	98	-810.34	98	9052.47	49	1264.19	101
306	Min.	-491	152.41	49	-3690.72	100	-288.76	100	-43.45	33	-2661.15	98	-810.34	98	9052.47	49	1264.19	101
306	Min.	-529	152.41	49	-3690.72	100	-288.76	100	-43.45	33	-2661.15	98	-810.34	98	9052.47	49	1264.19	101
306	Min.	-531	152.41	49	-3690.72	100	-288.76	100	-43.45	33	-2661.15	98	-810.34	98	9052.47	49	1264.19	101
307	Max	-486	865.93	99	-1905.51	101	165.23	103	514.67	97	2768.79	97	210.85	49	-12710.70	102	1021.69	97
307	Max	-484	865.93	99	-1905.51	101	165.23	103	514.67	97	2768.79	97	210.85	49	-12710.70	102	1021.69	97

307	Max	-522	865.93	99	-1905.51	101	165.23	103	514.67	97	2768.79	97	210.85	49	-12710.70	102	1021.69	97
307	Max	-524	865.93	99	-1905.51	101	165.23	103	514.67	97	2768.79	97	210.85	49	-12710.70	102	1021.69	97
307	Min.	-486	20.45	104	-2881.02	98	-225.74	100	316.74	33	1884.80	33	-51.09	33	-18491.80	97	344.89	49
307	Min.	-484	20.45	104	-2881.02	98	-225.74	100	316.74	33	1884.80	33	-51.09	33	-18491.80	97	344.89	49
307	Min.	-522	20.45	104	-2881.02	98	-225.74	100	316.74	33	1884.80	33	-51.09	33	-18491.80	97	344.89	49
307	Min.	-524	20.45	104	-2881.02	98	-225.74	100	316.74	33	1884.80	33	-51.09	33	-18491.80	97	344.89	49
307	Max	-510	2511.58	100	-334.96	101	15.07	103	432.61	97	200.48	97	75.03	49	-3237.77	49	550.87	33
307	Max	-508	2511.58	100	-334.96	101	15.07	103	432.61	97	200.48	97	75.03	49	-3237.77	49	550.87	33
307	Max	-748	2511.58	100	-334.96	101	15.07	103	432.61	97	200.48	97	75.03	49	-3237.77	49	550.87	33
307	Max	-793	2511.58	100	-334.96	101	15.07	103	432.61	97	200.48	97	75.03	49	-3237.77	49	550.87	33
307	Min.	-510	463.71	103	-738.66	98	-150.71	100	249.11	49	132.40	49	-40.24	33	-4737.17	97	-1491.79	49
307	Min.	-508	463.71	103	-738.66	98	-150.71	100	249.11	49	132.40	49	-40.24	33	-4737.17	97	-1491.79	49
307	Min.	-748	463.71	103	-738.66	98	-150.71	100	249.11	49	132.40	49	-40.24	33	-4737.17	97	-1491.79	49
307	Min.	-793	463.71	103	-738.66	98	-150.71	100	249.11	49	132.40	49	-40.24	33	-4737.17	97	-1491.79	49
307	Max	-516	317.20	100	-4.16	101	501.80	100	-362.97	33	-11.10	33	165.54	49	563.15	97	7669.60	97
307	Max	-514	317.20	100	-4.16	101	501.80	100	-362.97	33	-11.10	33	165.54	49	563.15	97	7669.60	97
307	Max	-881	317.20	100	-4.16	101	501.80	100	-362.97	33	-11.10	33	165.54	49	563.15	97	7669.60	97
307	Max	-924	317.20	100	-4.16	101	501.80	100	-362.97	33	-11.10	33	165.54	49	563.15	97	7669.60	97
307	Min.	-516	-456.88	103	-235.08	98	91.13	103	-518.25	97	-15.40	97	20.02	33	391.45	33	4091.45	49
307	Min.	-514	-456.88	103	-235.08	98	91.13	103	-518.25	97	-15.40	97	20.02	33	391.45	33	4091.45	49
307	Min.	-881	-456.88	103	-235.08	98	91.13	103	-518.25	97	-15.40	97	20.02	33	391.45	33	4091.45	49
307	Min.	-924	-456.88	103	-235.08	98	91.13	103	-518.25	97	-15.40	97	20.02	33	391.45	33	4091.45	49
307	Max	-506	1502.59	100	-199.52	101	-450.81	103	-1469.43	33	-286.06	33	-223.76	49	8893.40	97	-12420.30	33
307	Max	-504	1502.59	100	-199.52	101	-450.81	103	-1469.43	33	-286.06	33	-223.76	49	8893.40	97	-12420.30	33
307	Max	-660	1502.59	100	-199.52	101	-450.81	103	-1469.43	33	-286.06	33	-223.76	49	8893.40	97	-12420.30	33
307	Max	-703	1502.59	100	-199.52	101	-450.81	103	-1469.43	33	-286.06	33	-223.76	49	8893.40	97	-12420.30	33
307	Min.	-506	329.53	103	-754.45	98	-882.56	100	-2208.67	97	-427.55	97	-373.60	97	6020.26	33	-19076.80	97
307	Min.	-504	329.53	103	-754.45	98	-882.56	100	-2208.67	97	-427.55	97	-373.60	97	6020.26	33	-19076.80	97
307	Min.	-660	329.53	103	-754.45	98	-882.56	100	-2208.67	97	-427.55	97	-373.60	97	6020.26	33	-19076.80	97
307	Min.	-703	329.53	103	-754.45	98	-882.56	100	-2208.67	97	-427.55	97	-373.60	97	6020.26	33	-19076.80	97
307	Max	-532	322.89	99	-2575.50	101	-1046.13	101	-84.85	49	71.19	98	56.96	49	-5466.17	33	-4691.63	33
307	Max	-530	322.89	99	-2575.50	101	-1046.13	101	-84.85	49	71.19	98	56.96	49	-5466.17	33	-4691.63	33
307	Max	328	322.89	99	-2575.50	101	-1046.13	101	-84.85	49	71.19	98	56.96	49	-5466.17	33	-4691.63	33
307	Max	-1269	322.89	99	-2575.50	101	-1046.13	101	-84.85	49	71.19	98	56.96	49	-5466.17	33	-4691.63	33
307	Min.	-532	-37.52	104	-4397.36	98	-1763.95	98	-142.91	97	30.69	33	17.81	33	-8093.22	97	-6945.47	97
307	Min.	-530	-37.52	104	-4397.36	98	-1763.95	98	-142.91	97	30.69	33	17.81	33	-8093.22	97	-6945.47	97
307	Min.	328	-37.52	104	-4397.36	98	-1763.95	98	-142.91	97	30.69	33	17.81	33	-8093.22	97	-6945.47	97
307	Min.	-1269	-37.52	104	-4397.36	98	-1763.95	98	-142.91	97	30.69	33	17.81	33	-8093.22	97	-6945.47	97
307	Max	-502	746.06	100	-2919.63	101	1774.30	98	-83.68	33	77.91	98	-21.68	49	-5374.10	49	6733.97	97
307	Max	-500	746.06	100	-2919.63	101	1774.30	98	-83.68	33	77.91	98	-21.68	49	-5374.10	49	6733.97	97
307	Max	-581	746.06	100	-2919.63	101	1774.30	98	-83.68	33	77.91	98	-21.68	49	-5374.10	49	6733.97	97
307	Max	309	746.06	100	-2919.63	101	1774.30	98	-83.68	33	77.91	98	-21.68	49	-5374.10	49	6733.97	97
307	Min.	-502	292.02	33	-4855.85	98	1064.14	101	-140.97	97	36.00	49	-60.04	33	-7948.96	97	4554.44	49
307	Min.	-500	292.02	33	-4855.85	98	1064.14	101	-140.97	97	36.00	49	-60.04	33	-7948.96	97	4554.44	49
307	Min.	-581	292.02	33	-4855.85	98	1064.14	101	-140.97	97	36.00	49	-60.04	33	-7948.96	97	4554.44	49
307	Min.	309	292.02	33	-4855.85	98	1064.14	101	-140.97	97	36.00	49	-60.04	33	-7948.96	97	4554.44	49
307	Max	-434	-127.34	104	-3411.99	103	-59.28	103	746.48	97	7210.27	97	18.34	49	-18012.00	102	-387.62	33
307	Max	-432	-127.34	104	-3411.99	103	-59.28	103	746.48	97	7210.27	97	18.34	49	-18012.00	102	-387.62	33
307	Max	-470	-127.34	104	-3411.99	103	-59.28	103	746.48	97	7210.27	97	18.34	49	-18012.00	102	-387.62	33
307	Max	-472	-127.34	104	-3411.99	103	-59.28	103	746.48	97	7210.27	97	18.34	49	-18012.00	102	-387.62	33
307	Min.	-434	-375.19	99	-5040.11	100	-559.08	100	500.66	49	4938.28	49	-303.93	33	-26228.50	97	-659.49	97
307	Min.	-432	-375.19	99	-5040.11	100	-559.08	100	500.66	49	4938.28	49	-303.93	33	-26228.50	97	-659.49	97
307	Min.	-470	-375.19	99	-5040.11	100	-559.08	100	500.66	49	4938.28	49	-303.93	33	-26228.50	97	-659.49	97
307	Min.	-472	-375.19	99	-5040.11	100	-559.08	100	500.66	49	4938.28	49	-303.93	33	-26228.50	97	-659.49	97
307	Max	-440	-392.73	103	-473.71	103	2551.43	100	169.37	97	2378.03	97	-763.66	49	-2522.39	49	3367.79	97
307	Max	-438	-392.73	103	-473.71	103	2551.43	100	169.37	97	2378.03	97	-763.66	49	-2522.39	49	3367.79	97
307	Max	-476	-392.73	103	-473.71	103	2551.43	100	169.37	97	2378.03	97	-763.66	49	-2522.39	49	3367.79	97
307	Max	-478	-392.73	103	-473.71	103	2551.43	100	169.37	97	2378.03	97	-763.66	49	-2522.39	49	3367.79	97
307	Min.	-440	-945.60	100	-1406.60	100	148.40	103	109.57	49	1624.46	49	-1373.59	97	-3766.40	97	2247.76	49
307	Min.	-438	-945.60	100	-1406.60	100	148.40	103	109.57	49	1624.46	49	-1373.59	97	-3766.40	97	2247.76	49
307	Min.	-476	-945.60	100	-1406.60	100	148.40	103	109.57	49	1624.46	49	-1373.59	97	-3766.40	97	2247.76	49
307	Min.	-478	-945.60	100	-1406.60	100	148.40	103	109.57	49	1624.46	49	-1373.59	97	-3766.40	97	2247.76	49
307	Max	-512	2654.74	100	-1125.98	101	872.39	98	111.05	98	-20.51	33	118.04	49	920.78	97	6459.69	97
307	Max	-510	2654.74	100	-1125.98	101	872.39	98	111.05	98	-20.51	33	118.04	49	920.78	97	6459.69	97
307	Max	-793	2654.74	100	-1125.98	101	872.39	98	111.05	98	-20.51	33	118.04	49	920.78	97	6459.69	97
307	Max	-836	2654.74	100	-1125.98	101	872.39	98	111.05	98	-20.51	33	118.04	49	920.78	97	6459.69	97
307	Min.	-512	474.78	103	-1922.64	98	533.97	101	15.14	49	-33.86	97	-9.39	33	628.30	33	3662.60	49
307	Min.	-510	474.78	103	-1922.64	98	533.97	101	15.14	49	-33.86	97	-9.39	33	628.30	33	3662.60	49
307	Min.	-793	474.78	103	-1922.64	98	533.97	101	15.14	49	-33.86	97	-9.39	33	628.30	33	3662.60	49
307	Min.	-836	474.78	103	-1922.64	98	533.97	101	15.14	49	-33.86	97	-9.39	33	628.30	33	3662.60	49
307	Max	-476	911.48	100	-1748.17	103	765.29	100	207.98	97	2146.68	97	4.43	49	-11692.30	102	1717.30	97
307	Max	-474	911.48	100	-1748.17	103	765.29	100	207.98	97	2146.68	97	4.43	49	-11692.30	102	1717.30	97
307	Max	-512	911.48	100	-1748.17	103	765.29	100	207.98	97	2146.68	97	4.43	49	-11692.30	102	1717.30	97
307	Max	-514	911.48	100	-1748.17	103	765.29	100	207.98	97	2146.68	97	4.43	49	-11692.30	102	1717.30	97
307	Min.	-476	-89.25	103	-3089.39	100	307.23	103	106.38	49	1470.39	49	-304.20	33	-16921.30	97	871.10	49
307	Min.	-474	-89.25	103	-3089.39	100	307.23	103	106.38	49	1470.39	49	-304.20	33	-16921.30	97	871.10	49
307	Min.	-512	-89.25	103	-3089.39	100	307.23	103	106.38	49	1470.39	49	-304.20	33	-16921.30	97	871.10	49
307	Min.	-514	-89.25	103	-3089.39	100	307.23	103	106.38	49	1470.39	49	-304.20	33	-16921.30	97	871.10	49
307	Max	-526	2229.62	99	-286.85	101	260.26	99	-281.47	49	45.23	97	161.67	49	-2489.41	33	11914.50	97
307	Max	-524	2229.62	99	-286.85	101	260.26	99	-281.47	49	45.23	97	161.67	49	-2489.41	33	11914.50	97
307	Max	-1102	2229.62	99	-286.85	101	260.26	99	-281.47	49	45.23	97	161.67	49	-2489.41	33	11914.50	97
307	Max	-1145	2229.62	99	-286.85	101	260.26	99	-281.47	49	45.23	97	161.67	49	-2489.41	33	11914.50	97
307	Min.	-526	539.54	104	-550.50	98	27.47	104	-491.59	97	25.01	33	61.74	33	-3693.84	97	7262.90	49
307	Min.	-524	539.54	104	-550.50	98	27.47	104	-491.59	97	25.01	33	61.74	33	-3693.84	97	7262.90	49
307	Min.	-1102	539.54	104	-550.50	98	27.47	104	-491.59	97	25.01	33	61.74	33	-3693.84	97	7262.90	49
307	Min.	-1145	539.54	104	-550.50	98	27.47	104	-491.59	97	25.01	33	61.74	33	-3693.84	97	7262.90	49
307	Max	-446	-102.64	103	-3347.19	104	227.25	99	823.97	97	7392.16	97	352.32	49	-17899.80	102	544.73	97
307	Max	-444	-102.64	103	-3347.19	104	227.25	99	823.97	97	7392.16	97	352.32	49	-17899.80	102	544.73	97
307	Max	-482	-102.64	103	-3347.19	104	227.25	99	823.97	97	7392.16	97	352.32	49	-17899.80	102	544.73	97
307	Max	-484	-102.64	103	-3347.19	104	227.25	99	823.97	97	7392.16	97	352.32	49	-17899.80	102	544.73	97
307	Min.	-446	-576.20	100	-5450.28	99	-170.24	104	555.82	33	5080.54	102	15.40	33	-26042.50	97	350.15	49
307	Min.	-444	-576.20	100	-5450.28	99	-170.24	104	555.82	33	5080.54	102	15.40	33	-26042.50	97	350.15	49
307	Min.	-482	-576.20	100	-5450.28	99	-170.24	104	555.82	33	5080.54	102	15.40	33	-26042.50	97	350.15	49
307	Min.	-484	-576.20	100	-5450.28	99	-170.24	104	555.82	33	5080.54	102	15.40	33	-26042.50	97	350.15	49
307	Max	-518	302.85	99	-17.71	101	-96.93	104	-373.84	49	-13.35	49	-19.70	49	583.41	97	-4155.42	33
307	Max	-516	302.85	99	-17.71	101	-96.93	104	-373.84	49	-13.35	49	-19.70	49	583.41	97	-4155.42	33
307	Max	-924	302.85	99	-17.71	101	-96.93	104	-373.84	49	-13.35	49	-19.70	49	583.41	97	-4155.42	33
307	Max	-969	302.85	99	-17.71	101	-96.93	104	-373.84	49	-13.35	49	-19.70	49	583.41	97	-4155.42	33
307	Min.	-518	-482.92	104	-269.75	98	-507.30	99	-531.98	97	-18.42	97	-164.66	33	406.29	49	-7758.94	97
307	Min.	-516	-482.92	104	-269.75	98	-507.30	99	-531.98	97	-18.42	97	-164.66	33	406.29	49	-7758.94	97
307	Min.	-924	-482.92	104	-269.75	98	-507.30	99	-531.98	97	-18.42	97	-164.66	33	406.29	49	-7758.94	97
307	Min.	-969	-482.92	104	-269.75	98	-507.30	99	-531.98	97	-18.42	97	-164.66	33	406.29	49	-7758.94	97
307	Max	-508	2254.67	100	-301.45	101	-21.38	103	-259.85	33	56.44	97	-51.64	49	-2658.47	49	-7261.98	33
307	Max	-506	2254.67	100	-301.45	101	-21.38	103	-259.85	33	56.44	97	-51.64	49	-2658.47	49	-7261.98	33
307	Max	-703	2254.67	100	-301.45	101	-21.38	103	-259.85	33	56.44	97	-51.64	49	-2658.47	49	-7261.98	33

307	Max	-748	2254.67	100	-301.45	101	-21.38	103	-259.85	33	56.44	97	-51.64	49	-2658.47	49	-7261.98	33
307	Min.	-508	550.07	103	-586.11	98	-253.00	100	-463.39	97	32.83	49	-152.66	33	-3936.00	97	-11989.30	97
307	Min.	-506	550.07	103	-586.11	98	-253.00	100	-463.39	97	32.83	49	-152.66	33	-3936.00	97	-11989.30	97
307	Min.	-703	550.07	103	-586.11	98	-253.00	100	-463.39	97	32.83	49	-152.66	33	-3936.00	97	-11989.30	97
307	Min.	-748	550.07	103	-586.11	98	-253.00	100	-463.39	97	32.83	49	-152.66	33	-3936.00	97	-11989.30	97
307	Max	-500	-96.82	103	-490.00	101	184.50	98	-15.23	33	242.87	97	-38.79	49	-2256.28	49	1645.53	97
307	Max	-498	-96.82	103	-490.00	101	184.50	98	-15.23	33	242.87	97	-38.79	49	-2256.28	49	1645.53	97
307	Max	-536	-96.82	103	-490.00	101	184.50	98	-15.23	33	242.87	97	-38.79	49	-2256.28	49	1645.53	97
307	Max	-581	-96.82	103	-490.00	101	184.50	98	-15.23	33	242.87	97	-38.79	49	-2256.28	49	1645.53	97
307	Min.	-500	-250.40	100	-731.36	98	112.97	101	-26.32	97	158.16	49	-61.66	97	-3343.97	97	1120.99	49
307	Min.	-498	-250.40	100	-731.36	98	112.97	101	-26.32	97	158.16	49	-61.66	97	-3343.97	97	1120.99	49
307	Min.	-536	-250.40	100	-731.36	98	112.97	101	-26.32	97	158.16	49	-61.66	97	-3343.97	97	1120.99	49
307	Min.	-581	-250.40	100	-731.36	98	112.97	101	-26.32	97	158.16	49	-61.66	97	-3343.97	97	1120.99	49
307	Max	-478	39.90	104	-1025.47	103	1519.42	100	-129.91	33	1333.62	97	26.11	49	-8023.64	102	9658.46	97
307	Max	-476	39.90	104	-1025.47	103	1519.42	100	-129.91	33	1333.62	97	26.11	49	-8023.64	102	9658.46	97
307	Max	-514	39.90	104	-1025.47	103	1519.42	100	-129.91	33	1333.62	97	26.11	49	-8023.64	102	9658.46	97
307	Max	-516	39.90	104	-1025.47	103	1519.42	100	-129.91	33	1333.62	97	26.11	49	-8023.64	102	9658.46	97
307	Min.	-478	-402.65	99	-1795.48	100	26.81	103	-185.93	97	916.19	102	-304.96	33	-11611.30	97	6388.97	49
307	Min.	-476	-402.65	99	-1795.48	100	26.81	103	-185.93	97	916.19	102	-304.96	33	-11611.30	97	6388.97	49
307	Min.	-514	-402.65	99	-1795.48	100	26.81	103	-185.93	97	916.19	102	-304.96	33	-11611.30	97	6388.97	49
307	Min.	-516	-402.65	99	-1795.48	100	26.81	103	-185.93	97	916.19	102	-304.96	33	-11611.30	97	6388.97	49
307	Max	-514	1904.69	100	387.87	97	206.50	100	109.98	98	14.88	98	61.94	49	-62.34	49	-1034.94	33
307	Max	-512	1904.69	100	387.87	97	206.50	100	109.98	98	14.88	98	61.94	49	-62.34	49	-1034.94	33
307	Max	-836	1904.69	100	387.87	97	206.50	100	109.98	98	14.88	98	61.94	49	-62.34	49	-1034.94	33
307	Max	-881	1904.69	100	387.87	97	206.50	100	109.98	98	14.88	98	61.94	49	-62.34	49	-1034.94	33
307	Min.	-514	-106.05	103	128.99	102	26.00	103	24.79	49	3.56	49	-78.39	33	-211.08	98	-3539.41	49
307	Min.	-512	-106.05	103	128.99	102	26.00	103	24.79	49	3.56	49	-78.39	33	-211.08	98	-3539.41	49
307	Min.	-836	-106.05	103	128.99	102	26.00	103	24.79	49	3.56	49	-78.39	33	-211.08	98	-3539.41	49
307	Min.	-881	-106.05	103	128.99	102	26.00	103	24.79	49	3.56	49	-78.39	33	-211.08	98	-3539.41	49
307	Max	-490	623.82	99	-2108.33	101	1150.06	99	-765.96	49	2453.04	97	360.21	49	-21636.10	33	16913.30	97
307	Max	-488	623.82	99	-2108.33	101	1150.06	99	-765.96	49	2453.04	97	360.21	49	-21636.10	33	16913.30	97
307	Max	-526	623.82	99	-2108.33	101	1150.06	99	-765.96	49	2453.04	97	360.21	49	-21636.10	33	16913.30	97
307	Max	-528	623.82	99	-2108.33	101	1150.06	99	-765.96	49	2453.04	97	360.21	49	-21636.10	33	16913.30	97
307	Min.	-490	14.62	104	-3173.81	98	368.15	104	-1178.34	97	1638.01	33	151.19	33	-31681.60	97	11501.60	102
307	Min.	-488	14.62	104	-3173.81	98	368.15	104	-1178.34	97	1638.01	33	151.19	33	-31681.60	97	11501.60	102
307	Min.	-526	14.62	104	-3173.81	98	368.15	104	-1178.34	97	1638.01	33	151.19	33	-31681.60	97	11501.60	102
307	Min.	-528	14.62	104	-3173.81	98	368.15	104	-1178.34	97	1638.01	33	151.19	33	-31681.60	97	11501.60	102
307	Max	-534	-93.18	104	-495.01	101	-143.53	101	-16.75	49	238.31	97	64.33	97	-2347.50	33	-1224.85	33
307	Max	-532	-93.18	104	-495.01	101	-143.53	101	-16.75	49	238.31	97	64.33	97	-2347.50	33	-1224.85	33
307	Max	-1269	-93.18	104	-495.01	101	-143.53	101	-16.75	49	238.31	97	64.33	97	-2347.50	33	-1224.85	33
307	Max	-1271	-93.18	104	-495.01	101	-143.53	101	-16.75	49	238.31	97	64.33	97	-2347.50	33	-1224.85	33
307	Min.	-534	-269.27	99	-747.57	98	-237.29	98	-29.22	97	154.66	33	40.13	33	-3483.48	97	-1801.62	97
307	Min.	-532	-269.27	99	-747.57	98	-237.29	98	-29.22	97	154.66	33	40.13	33	-3483.48	97	-1801.62	97
307	Min.	-1269	-269.27	99	-747.57	98	-237.29	98	-29.22	97	154.66	33	40.13	33	-3483.48	97	-1801.62	97
307	Min.	-1271	-269.27	99	-747.57	98	-237.29	98	-29.22	97	154.66	33	40.13	33	-3483.48	97	-1801.62	97
307	Max	-442	-379.68	104	-505.33	104	-161.13	104	168.23	97	2398.48	97	1422.99	97	-2594.04	33	-2302.55	33
307	Max	-440	-379.68	104	-505.33	104	-161.13	104	168.23	97	2398.48	97	1422.99	97	-2594.04	33	-2302.55	33
307	Max	-478	-379.68	104	-505.33	104	-161.13	104	168.23	97	2398.48	97	1422.99	97	-2594.04	33	-2302.55	33
307	Max	-480	-379.68	104	-505.33	104	-161.13	104	168.23	97	2398.48	97	1422.99	97	-2594.04	33	-2302.55	33
307	Min.	-442	-934.61	99	-1490.84	99	-2577.71	99	108.28	33	1637.04	33	797.60	33	-3878.90	97	-3449.08	97
307	Min.	-440	-934.61	99	-1490.84	99	-2577.71	99	108.28	33	1637.04	33	797.60	33	-3878.90	97	-3449.08	97
307	Min.	-478	-934.61	99	-1490.84	99	-2577.71	99	108.28	33	1637.04	33	797.60	33	-3878.90	97	-3449.08	97
307	Min.	-480	-934.61	99	-1490.84	99	-2577.71	99	108.28	33	1637.04	33	797.60	33	-3878.90	97	-3449.08	97
307	Max	-426	-134.58	104	-2797.44	104	468.99	99	351.86	97	6543.17	97	-527.15	49	-13267.70	49	1102.62	97
307	Max	-424	-134.58	104	-2797.44	104	468.99	99	351.86	97	6543.17	97	-527.15	49	-13267.70	49	1102.62	97
307	Max	-462	-134.58	104	-2797.44	104	468.99	99	351.86	97	6543.17	97	-527.15	49	-13267.70	49	1102.62	97
307	Max	-464	-134.58	104	-2797.44	104	468.99	99	351.86	97	6543.17	97	-527.15	49	-13267.70	49	1102.62	97
307	Min.	-426	-489.09	99	-4965.37	99	-300.98	104	226.23	49	4294.28	49	-870.13	97	-19870.00	97	744.58	102
307	Min.	-424	-489.09	99	-4965.37	99	-300.98	104	226.23	49	4294.28	49	-870.13	97	-19870.00	97	744.58	102
307	Min.	-462	-489.09	99	-4965.37	99	-300.98	104	226.23	49	4294.28	49	-870.13	97	-19870.00	97	744.58	102
307	Min.	-464	-489.09	99	-4965.37	99	-300.98	104	226.23	49	4294.28	49	-870.13	97	-19870.00	97	744.58	102
307	Max	-528	1610.13	99	-130.74	101	789.16	99	-1483.63	49	-292.23	49	385.63	97	9129.45	97	18856.90	97
307	Max	-526	1610.13	99	-130.74	101	789.16	99	-1483.63	49	-292.23	49	385.63	97	9129.45	97	18856.90	97
307	Max	-1145	1610.13	99	-130.74	101	789.16	99	-1483.63	49	-292.23	49	385.63	97	9129.45	97	18856.90	97
307	Max	-1188	1610.13	99	-130.74	101	789.16	99	-1483.63	49	-292.23	49	385.63	97	9129.45	97	18856.90	97
307	Min.	-528	413.04	104	-684.49	98	384.51	104	-2221.42	97	-434.85	97	232.12	33	6185.02	102	12325.80	49
307	Min.	-526	413.04	104	-684.49	98	384.51	104	-2221.42	97	-434.85	97	232.12	33	6185.02	102	12325.80	49
307	Min.	-1145	413.04	104	-684.49	98	384.51	104	-2221.42	97	-434.85	97	232.12	33	6185.02	102	12325.80	49
307	Min.	-1188	413.04	104	-684.49	98	384.51	104	-2221.42	97	-434.85	97	232.12	33	6185.02	102	12325.80	49
307	Max	-484	1046.35	99	-2236.05	104	-198.40	103	364.89	97	2616.87	97	268.44	49	-14530.40	102	-3977.26	33
307	Max	-482	1046.35	99	-2236.05	104	-198.40	103	364.89	97	2616.87	97	268.44	49	-14530.40	102	-3977.26	33
307	Max	-520	1046.35	99	-2236.05	104	-198.40	103	364.89	97	2616.87	97	268.44	49	-14530.40	102	-3977.26	33
307	Max	-522	1046.35	99	-2236.05	104	-198.40	103	364.89	97	2616.87	97	268.44	49	-14530.40	102	-3977.26	33
307	Min.	-484	117.22	104	-3489.18	99	-582.17	100	206.28	33	1787.07	33	-13.61	33	-21054.00	97	-5936.74	97
307	Min.	-482	117.22	104	-3489.18	99	-582.17	100	206.28	33	1787.07	33	-13.61	33	-21054.00	97	-5936.74	97
307	Min.	-520	117.22	104	-3489.18	99	-582.17	100	206.28	33	1787.07	33	-13.61	33	-21054.00	97	-5936.74	97
307	Min.	-522	117.22	104	-3489.18	99	-582.17	100	206.28	33	1787.07	33	-13.61	33	-21054.00	97	-5936.74	97
307	Max	-488	578.16	99	-1767.63	101	722.26	99	-22.75	49	2688.14	97	195.51	49	-15032.80	33	8167.96	97
307	Max	-486	578.16	99	-1767.63	101	722.26	99	-22.75	49	2688.14	97	195.51	49	-15032.80	33	8167.96	97
307	Max	-524	578.16	99	-1767.63	101	722.26	99	-22.75	49	2688.14	97	195.51	49	-15032.80	33	8167.96	97
307	Max	-526	578.16	99	-1767.63	101	722.26	99	-22.75	49	2688.14	97	195.51	49	-15032.80	33	8167.96	97
307	Min.	-488	-136.65	104	-2689.45	98	112.56	104	-109.73	33	1814.85	33	-38.37	33	-21954.20	97	5381.60	49
307	Min.	-486	-136.65	104	-2689.45	98	112.56	104	-109.73	33	1814.85	33	-38.37	33	-21954.20	97	5381.60	49
307	Min.	-524	-136.65	104	-2689.45	98	112.56	104	-109.73	33	1814.85	33	-38.37	33	-21954.20	97	5381.60	49
307	Min.	-526	-136.65	104	-2689.45	98	112.56	104	-109.73	33	1814.85	33	-38.37	33	-21954.20	97	5381.60	49
307	Max	-472	876.03	100	-1904.44	101	225.56	99	508.99	97	2772.96	97	64.07	49	-12753.10	102	-369.07	33
307	Max	-470	876.03	100	-1904.44	101	225.56	99	508.99	97	2772.96	97	64.07	49	-12753.10	102	-369.07	33
307	Max	-508	876.03	100	-1904.44	101	225.56	99	508.99	97	2772.96	97	64.07	49	-12753.10	102	-369.07	33
307	Max	-510	876.03	100	-1904.44	101	225.56	99	508.99	97	2772.96	97	64.07	49	-12753.10	102	-369.07	33
307	Min.	-472	27.90	103	-2879.86	98	-165.43	104	313.26	49	1888.83	49	-199.90	33	-18552.10	97	-1074.21	97
307	Min.	-470	27.90	103	-2879.86	98	-165.43	104	313.26	49	1888.83	49	-199.90	33	-18552.10	97	-1074.21	97
307	Min.	-508	27.90	103	-2879.86	98	-165.43	104	313.26	49	1888.83	49	-199.90	33	-18552.10	97	-1074.21	97
307	Min.	-510	27.90	103	-2879.86	98	-165.43	104	313.26	49	1888.83	49	-199.90	33	-18552.10	97	-1074.21	97
307	Max	-432	-210.47	104	-3106.41	103	-186.29	103	579.60	97	7262.24	97	-8.94	49	-18095.00	102	-747.38	33
307	Max	-430	-210.47	104	-3106.41	103	-186.29	103	579.60	97	7262.24	97	-8.94	49	-18095.00	102	-747.38	33
307	Max	-468	-210.47	104	-3106.41	103	-186.29	103	579.60	97	7262.24	97	-8.94	49	-18095.00	102	-747.38	33
307	Max	-470	-210.47	104	-3106.41	103	-186.29	103	579.60	97	7262.24	97	-8.94	49	-18095.00	102	-747.38	33
307	Min.	-432	-488.93	99	-4542.87	100	-836.59	100	382.50	49	4933.02	49	-307.48	33	-26406.10	97	-1182.97	97
307	Min.	-430	-488.93	99	-4542.87	100	-836.59	100	382.50	49	4933.02	49	-307.48	33	-26406.10	97	-1182.97	97
307	Min.	-468	-488.93	99	-4542.87	100	-836.59	100	382.50	49	4933.02	49	-307.48	33	-26406.10	97	-1182.97	97
307	Min.	-470	-488.93	99	-4542.87	100	-836.59	100	382.50	49	4933.02	49	-307.48	33	-26406.10	97	-1182.97	97
307	Max	-456	-184.85	103	-2765.30	103	302.31	103	347.78	97	6505.49	97	876.40	97	-13316.80	33	-761.38	102
307	Max	-454	-184.85	103	-2765.30	103	302.31	103	347.78	97	6505.49	97	876.40	97	-13316.80	33	-761.38	102
307	Max	-492	-184.85	103	-2765.30	103	302.31	103	347.78	97	6505.49	97	876.40	97	-13316.80	33	-761.38	102
307	Max	-494	-184.85	103	-2765.30	103	302.31	103	347.78	97	6505.49	97	876.40	97	-13316.80	33	-761.38	102

307	Min.	-456	-467.54	100	-4885.44	100	-466.35	100	223.10	33	4265.03	33	530.10	33	-19983.50	97	-1128.22	97
307	Min.	-454	-467.54	100	-4885.44	100	-466.35	100	223.10	33	4265.03	33	530.10	33	-19983.50	97	-1128.22	97
307	Min.	-492	-467.54	100	-4885.44	100	-466.35	100	223.10	33	4265.03	33	530.10	33	-19983.50	97	-1128.22	97
307	Min.	-494	-467.54	100	-4885.44	100	-466.35	100	223.10	33	4265.03	33	530.10	33	-19983.50	97	-1128.22	97
307	Max	-464	359.97	100	-2318.08	104	264.20	99	38.45	33	2673.48	97	-504.41	49	-9003.34	49	1873.14	97
307	Max	-462	359.97	100	-2318.08	104	264.20	99	38.45	33	2673.48	97	-504.41	49	-9003.34	49	1873.14	97
307	Max	-500	359.97	100	-2318.08	104	264.20	99	38.45	33	2673.48	97	-504.41	49	-9003.34	49	1873.14	97
307	Max	-502	359.97	100	-2318.08	104	264.20	99	38.45	33	2673.48	97	-504.41	49	-9003.34	49	1873.14	97
307	Min.	-464	221.56	103	-3774.67	99	-192.54	104	13.95	49	1756.61	49	-795.73	97	-13430.70	97	1257.71	33
307	Min.	-462	221.56	103	-3774.67	99	-192.54	104	13.95	49	1756.61	49	-795.73	97	-13430.70	97	1257.71	33
307	Min.	-500	221.56	103	-3774.67	99	-192.54	104	13.95	49	1756.61	49	-795.73	97	-13430.70	97	1257.71	33
307	Min.	-502	221.56	103	-3774.67	99	-192.54	104	13.95	49	1756.61	49	-795.73	97	-13430.70	97	1257.71	33
307	Max	-480	48.27	103	-1031.19	104	-37.13	104	-137.66	49	1333.03	97	313.91	49	-8063.35	102	-6498.24	33
307	Max	-478	48.27	103	-1031.19	104	-37.13	104	-137.66	49	1333.03	97	313.91	49	-8063.35	102	-6498.24	33
307	Max	-516	48.27	103	-1031.19	104	-37.13	104	-137.66	49	1333.03	97	313.91	49	-8063.35	102	-6498.24	33
307	Max	-518	48.27	103	-1031.19	104	-37.13	104	-137.66	49	1333.03	97	313.91	49	-8063.35	102	-6498.24	33
307	Min.	-480	-400.03	100	-1812.82	99	-1527.96	99	-195.55	97	915.73	102	-16.15	33	-11669.20	97	-9816.24	97
307	Min.	-478	-400.03	100	-1812.82	99	-1527.96	99	-195.55	97	915.73	102	-16.15	33	-11669.20	97	-9816.24	97
307	Min.	-516	-400.03	100	-1812.82	99	-1527.96	99	-195.55	97	915.73	102	-16.15	33	-11669.20	97	-9816.24	97
307	Min.	-518	-400.03	100	-1812.82	99	-1527.96	99	-195.55	97	915.73	102	-16.15	33	-11669.20	97	-9816.24	97
307	Max	-504	196.53	104	-816.57	101	-343.20	103	-1035.16	33	-271.57	33	-151.90	49	4922.74	97	18833.30	97
307	Max	-502	196.53	104	-816.57	101	-343.20	103	-1035.16	33	-271.57	33	-151.90	49	4922.74	97	18833.30	97
307	Max	309	196.53	104	-816.57	101	-343.20	103	-1035.16	33	-271.57	33	-151.90	49	4922.74	97	18833.30	97
307	Max	-660	196.53	104	-816.57	101	-343.20	103	-1035.16	33	-271.57	33	-151.90	49	4922.74	97	18833.30	97
307	Min.	-504	-206.10	99	-1162.44	98	-689.28	100	-1548.96	97	-418.75	97	-256.35	97	3261.38	33	12714.90	49
307	Min.	-502	-206.10	99	-1162.44	98	-689.28	100	-1548.96	97	-418.75	97	-256.35	97	3261.38	33	12714.90	49
307	Min.	309	-206.10	99	-1162.44	98	-689.28	100	-1548.96	97	-418.75	97	-256.35	97	3261.38	33	12714.90	49
307	Min.	-660	-206.10	99	-1162.44	98	-689.28	100	-1548.96	97	-418.75	97	-256.35	97	3261.38	33	12714.90	49
307	Max	-530	185.99	103	-1144.75	101	717.78	99	-1021.14	49	-267.98	49	260.75	97	4893.10	97	-12603.50	33
307	Max	-528	185.99	103	-1144.75	101	717.78	99	-1021.14	49	-267.98	49	260.75	97	4893.10	97	-12603.50	33
307	Max	-1188	185.99	103	-1144.75	101	717.78	99	-1021.14	49	-267.98	49	260.75	97	4893.10	97	-12603.50	33
307	Max	328	185.99	103	-1144.75	101	717.78	99	-1021.14	49	-267.98	49	260.75	97	4893.10	97	-12603.50	33
307	Min.	-530	-219.44	100	-1616.94	98	363.83	104	-1523.85	97	-412.32	97	154.70	33	3252.77	49	-18684.50	97
307	Min.	-528	-219.44	100	-1616.94	98	363.83	104	-1523.85	97	-412.32	97	154.70	33	3252.77	49	-18684.50	97
307	Min.	-1188	-219.44	100	-1616.94	98	363.83	104	-1523.85	97	-412.32	97	154.70	33	3252.77	49	-18684.50	97
307	Min.	328	-219.44	100	-1616.94	98	363.83	104	-1523.85	97	-412.32	97	154.70	33	3252.77	49	-18684.50	97
307	Max	-454	-76.73	103	-2831.94	101	689.10	99	424.07	97	6999.31	97	782.48	97	-14731.40	33	2101.20	97
307	Max	-452	-76.73	103	-2831.94	101	689.10	99	424.07	97	6999.31	97	782.48	97	-14731.40	33	2101.20	97
307	Max	-490	-76.73	103	-2831.94	101	689.10	99	424.07	97	6999.31	97	782.48	97	-14731.40	33	2101.20	97
307	Max	-492	-76.73	103	-2831.94	101	689.10	99	424.07	97	6999.31	97	782.48	97	-14731.40	33	2101.20	97
307	Min.	-454	-496.20	100	-4178.95	98	-101.59	104	272.35	33	4652.91	33	435.16	33	-21989.50	97	1431.67	49
307	Min.	-452	-496.20	100	-4178.95	98	-101.59	104	272.35	33	4652.91	33	435.16	33	-21989.50	97	1431.67	49
307	Min.	-490	-496.20	100	-4178.95	98	-101.59	104	272.35	33	4652.91	33	435.16	33	-21989.50	97	1431.67	49
307	Min.	-492	-496.20	100	-4178.95	98	-101.59	104	272.35	33	4652.91	33	435.16	33	-21989.50	97	1431.67	49
307	Max	-482	910.87	99	-1755.41	104	-307.90	104	196.01	97	2146.60	97	314.64	49	-11741.50	102	-927.55	33
307	Max	-480	910.87	99	-1755.41	104	-307.90	104	196.01	97	2146.60	97	314.64	49	-11741.50	102	-927.55	33
307	Max	-518	910.87	99	-1755.41	104	-307.90	104	196.01	97	2146.60	97	314.64	49	-11741.50	102	-927.55	33
307	Max	-520	910.87	99	-1755.41	104	-307.90	104	196.01	97	2146.60	97	314.64	49	-11741.50	102	-927.55	33
307	Min.	-482	-92.11	104	-3100.49	99	-765.94	99	97.01	33	1469.38	33	7.49	33	-16993.70	97	-1799.44	97
307	Min.	-480	-92.11	104	-3100.49	99	-765.94	99	97.01	33	1469.38	33	7.49	33	-16993.70	97	-1799.44	97
307	Min.	-518	-92.11	104	-3100.49	99	-765.94	99	97.01	33	1469.38	33	7.49	33	-16993.70	97	-1799.44	97
307	Min.	-520	-92.11	104	-3100.49	99	-765.94	99	97.01	33	1469.38	33	7.49	33	-16993.70	97	-1799.44	97
307	Max	-458	-79.32	103	-2578.36	103	109.11	103	383.90	97	6526.83	97	648.39	97	-8019.73	102	-149.21	49
307	Max	-456	-79.32	103	-2578.36	103	109.11	103	383.90	97	6526.83	97	648.39	97	-8019.73	102	-149.21	49
307	Max	-494	-79.32	103	-2578.36	103	109.11	103	383.90	97	6526.83	97	648.39	97	-8019.73	102	-149.21	49
307	Max	-496	-79.32	103	-2578.36	103	109.11	103	383.90	97	6526.83	97	648.39	97	-8019.73	102	-149.21	49
307	Min.	-458	-1099.59	100	-5807.53	100	-663.92	100	251.37	33	4284.46	33	414.71	33	-11867.30	97	-246.16	97
307	Min.	-456	-1099.59	100	-5807.53	100	-663.92	100	251.37	33	4284.46	33	414.71	33	-11867.30	97	-246.16	97
307	Min.	-494	-1099.59	100	-5807.53	100	-663.92	100	251.37	33	4284.46	33	414.71	33	-11867.30	97	-246.16	97
307	Min.	-496	-1099.59	100	-5807.53	100	-663.92	100	251.37	33	4284.46	33	414.71	33	-11867.30	97	-246.16	97
307	Max	-466	302.23	100	-2364.26	101	119.75	103	-486.42	33	2501.45	97	-527.79	49	-18026.80	49	9598.52	97
307	Max	-464	302.23	100	-2364.26	101	119.75	103	-486.42	33	2501.45	97	-527.79	49	-18026.80	49	9598.52	97
307	Max	-502	302.23	100	-2364.26	101	119.75	103	-486.42	33	2501.45	97	-527.79	49	-18026.80	49	9598.52	97
307	Max	-504	302.23	100	-2364.26	101	119.75	103	-486.42	33	2501.45	97	-527.79	49	-18026.80	49	9598.52	97
307	Min.	-466	-138.77	103	-3566.61	98	-526.99	100	-752.56	97	1652.88	49	-865.14	97	-26525.60	97	6523.55	49
307	Min.	-464	-138.77	103	-3566.61	98	-526.99	100	-752.56	97	1652.88	49	-865.14	97	-26525.60	97	6523.55	49
307	Min.	-502	-138.77	103	-3566.61	98	-526.99	100	-752.56	97	1652.88	49	-865.14	97	-26525.60	97	6523.55	49
307	Min.	-504	-138.77	103	-3566.61	98	-526.99	100	-752.56	97	1652.88	49	-865.14	97	-26525.60	97	6523.55	49
307	Max	-474	1070.60	100	-2237.08	103	582.71	99	363.92	97	2617.57	97	26.70	49	-14532.10	102	5899.84	97
307	Max	-472	1070.60	100	-2237.08	103	582.71	99	363.92	97	2617.57	97	26.70	49	-14532.10	102	5899.84	97
307	Max	-510	1070.60	100	-2237.08	103	582.71	99	363.92	97	2617.57	97	26.70	49	-14532.10	102	5899.84	97
307	Max	-512	1070.60	100	-2237.08	103	582.71	99	363.92	97	2617.57	97	26.70	49	-14532.10	102	5899.84	97
307	Min.	-474	134.46	103	-3490.85	100	198.62	104	206.54	49	1788.69	49	-257.27	33	-21055.10	97	3955.22	49
307	Min.	-472	134.46	103	-3490.85	100	198.62	104	206.54	49	1788.69	49	-257.27	33	-21055.10	97	3955.22	49
307	Min.	-510	134.46	103	-3490.85	100	198.62	104	206.54	49	1788.69	49	-257.27	33	-21055.10	97	3955.22	49
307	Min.	-512	134.46	103	-3490.85	100	198.62	104	206.54	49	1788.69	49	-257.27	33	-21055.10	97	3955.22	49
307	Max	-496	68.71	103	-2080.00	103	-23.88	103	-14.67	49	2623.74	97	376.00	97	-5583.55	102	-347.26	49
307	Max	-494	68.71	103	-2080.00	103	-23.88	103	-14.67	49	2623.74	97	376.00	97	-5583.55	102	-347.26	49
307	Max	-532	68.71	103	-2080.00	103	-23.88	103	-14.67	49	2623.74	97	376.00	97	-5583.55	102	-347.26	49
307	Max	-534	68.71	103	-2080.00	103	-23.88	103	-14.67	49	2623.74	97	376.00	97	-5583.55	102	-347.26	49
307	Min.	-496	-136.55	100	-3454.76	100	-212.31	100	-26.14	97	1722.01	33	237.13	33	-8234.51	97	-563.20	97
307	Min.	-494	-136.55	100	-3454.76	100	-212.31	100	-26.14	97	1722.01	33	237.13	33	-8234.51	97	-563.20	97
307	Min.	-532	-136.55	100	-3454.76	100	-212.31	100	-26.14	97	1722.01	33	237.13	33	-8234.51	97	-563.20	97
307	Min.	-534	-136.55	100	-3454.76	100	-212.31	100	-26.14	97	1722.01	33	237.13	33	-8234.51	97	-563.20	97
307	Max	-492	316.22	99	-2372.67	101	512.85	99	-478.00	49	2492.38	97	868.91	97	-17871.10	33	-6439.66	33
307	Max	-490	316.22	99	-2372.67	101	512.85	99	-478.00	49	2492.38	97	868.91	97	-17871.10	33	-6439.66	33
307	Max	-528	316.22	99	-2372.67	101	512.85	99	-478.00	49	2492.38	97	868.91	97	-17871.10	33	-6439.66	33
307	Max	-530	316.22	99	-2372.67	101	512.85	99	-478.00	49	2492.38	97	868.91	97	-17871.10	33	-6439.66	33
307	Min.	-492	-130.79	104	-3578.53	98	-129.85	104	-737.58	97	1645.49	33	530.41	33	-26324.60	97	-9488.44	97
307	Min.	-490	-130.79	104	-3578.53	98	-129.85	104	-737.58	97	1645.49	33	530.41	33	-26324.60	97	-9488.44	97
307	Min.	-528	-130.79	104	-3578.53	98	-129.85	104	-737.58	97	1645.49	33	530.41	33	-26324.60	97	-9488.44	97
307	Min.	-530	-130.79	104	-3578.53	98	-129.85	104	-737.58	97	1645.49	33	530.41	33	-26324.60	97	-9488.44	97
307	Max	-424	-80.67	104	-2625.48	104	651.56	99	387.18	97	6566.96	97	-407.75	49	-7917.37	102	227.54	97
307	Max	-422	-80.67	104	-2625.48	104	651.56	99	387.18	97	6566.96	97	-407.75	49	-7917.37	102	227.54	97
307	Max	-460	-80.67	104	-2625.48	104	651.56	99	387.18	97	6566.96	97	-407.75	49	-7917.37	102	227.54	97
307	Max	-462	-80.67	104	-2625.48	104	651.56	99	387.18	97	6566.96	97	-407.75	49	-7917.37	102	227.54	97
307	Min.	-424	-1057.16	99	-5955.94	99	-114.78	104	254.05	49	4315.66	49	-635.12	97	-11715.20	97	135.57	33
307	Min.	-422	-1057.16	99	-5955.94	99	-114.78	104	254.05	49	4315.66	49	-635.12	97	-11715.20	97	135.57	33
307	Min.	-460	-1057.16	99	-5955.94	99	-114.78	104	254.05	49	4315.66	49	-635.12	97	-11715.20	97	135.57	33
307	Min.	-462	-1057.16	99	-5955.94	99	-114.78	104	254.05	49	4315.66	49	-635.12	97	-11715.20	97	135.57	33
307	Max	-522	2651.67	99	-1136.65	101	-534.95	101	112.98	98	-20.78	49	15.67	49	919.60	97	-3817.08	33
307	Max	-520	2651.67	99	-1136.65	101	-534.95	101	112.98	98	-20.78	49	15.67	49	919.60	97	-3817.08	33
307	Max	-1012	2651.67	99	-1136.65	101	-534.95	101	112.98	98	-20.78	49	15.67	49	919.60	97	-3817.08	33
307	Max	-1057	2651.67	99	-1136.65	101	-534.95	101	112.98	98	-20.78	49	15.67	49	919.60	97	-3817.08	33
307	Min.	-522	472.14	104	-1937.41	98	-873.93	98	15.33	33	-33.67	33	-110.91	33	634.20	49	-6696.64	97

307	Min.	-520	472.14	104	-1937.41	98	-873.93	98	15.33	33	-33.67	33	-110.91	33	634.20	49	-6696.64	97
307	Min.	-1012	472.14	104	-1937.41	98	-873.93	98	15.33	33	-33.67	33	-110.91	33	634.20	49	-6696.64	97
307	Min.	-1057	472.14	104	-1937.41	98	-873.93	98	15.33	33	-33.67	33	-110.91	33	634.20	49	-6696.64	97
307	Max	-430	-210.34	104	-3005.42	101	-130.76	103	533.64	97	7403.95	97	-127.67	49	-16399.90	49	2836.13	97
307	Max	-428	-210.34	104	-3005.42	101	-130.76	103	533.64	97	7403.95	97	-127.67	49	-16399.90	49	2836.13	97
307	Max	-466	-210.34	104	-3005.42	101	-130.76	103	533.64	97	7403.95	97	-127.67	49	-16399.90	49	2836.13	97
307	Max	-468	-210.34	104	-3005.42	101	-130.76	103	533.64	97	7403.95	97	-127.67	49	-16399.90	49	2836.13	97
307	Min.	-430	-447.13	99	-4392.70	98	-853.43	100	347.67	49	4991.91	49	-405.99	33	-24151.90	97	1865.29	49
307	Min.	-428	-447.13	99	-4392.70	98	-853.43	100	347.67	49	4991.91	49	-405.99	33	-24151.90	97	1865.29	49
307	Min.	-466	-447.13	99	-4392.70	98	-853.43	100	347.67	49	4991.91	49	-405.99	33	-24151.90	97	1865.29	49
307	Min.	-468	-447.13	99	-4392.70	98	-853.43	100	347.67	49	4991.91	49	-405.99	33	-24151.90	97	1865.29	49
307	Max	-468	525.13	100	-2074.11	101	-331.36	103	-757.39	33	2467.20	97	-135.36	49	-21643.50	102	-11419.70	33
307	Max	-466	525.13	100	-2074.11	101	-331.36	103	-757.39	33	2467.20	97	-135.36	49	-21643.50	102	-11419.70	33
307	Max	-504	525.13	100	-2074.11	101	-331.36	103	-757.39	33	2467.20	97	-135.36	49	-21643.50	102	-11419.70	33
307	Max	-506	525.13	100	-2074.11	101	-331.36	103	-757.39	33	2467.20	97	-135.36	49	-21643.50	102	-11419.70	33
307	Min.	-468	-63.02	103	-3124.49	98	-1096.81	100	-1170.62	97	1649.10	49	-346.26	33	-31678.00	97	-16789.70	97
307	Min.	-466	-63.02	103	-3124.49	98	-1096.81	100	-1170.62	97	1649.10	49	-346.26	33	-31678.00	97	-16789.70	97
307	Min.	-504	-63.02	103	-3124.49	98	-1096.81	100	-1170.62	97	1649.10	49	-346.26	33	-31678.00	97	-16789.70	97
307	Min.	-506	-63.02	103	-3124.49	98	-1096.81	100	-1170.62	97	1649.10	49	-346.26	33	-31678.00	97	-16789.70	97
307	Max	-428	-86.29	104	-2843.63	101	106.33	103	423.71	97	7039.36	97	-432.37	49	-14860.20	49	-1426.57	33
307	Max	-426	-86.29	104	-2843.63	101	106.33	103	423.71	97	7039.36	97	-432.37	49	-14860.20	49	-1426.57	33
307	Max	-464	-86.29	104	-2843.63	101	106.33	103	423.71	97	7039.36	97	-432.37	49	-14860.20	49	-1426.57	33
307	Max	-466	-86.29	104	-2843.63	101	106.33	103	423.71	97	7039.36	97	-432.37	49	-14860.20	49	-1426.57	33
307	Min.	-428	-508.97	99	-4194.90	98	-682.57	100	272.19	49	4684.03	49	-778.42	97	-22157.50	97	-2095.34	97
307	Min.	-426	-508.97	99	-4194.90	98	-682.57	100	272.19	49	4684.03	49	-778.42	97	-22157.50	97	-2095.34	97
307	Min.	-464	-508.97	99	-4194.90	98	-682.57	100	272.19	49	4684.03	49	-778.42	97	-22157.50	97	-2095.34	97
307	Min.	-466	-508.97	99	-4194.90	98	-682.57	100	272.19	49	4684.03	49	-778.42	97	-22157.50	97	-2095.34	97
307	Max	-524	2500.07	99	-353.92	101	153.30	99	440.88	97	202.78	97	46.23	49	-3258.97	33	1342.24	33
307	Max	-522	2500.07	99	-353.92	101	153.30	99	440.88	97	202.78	97	46.23	49	-3258.97	33	1342.24	33
307	Max	-1057	2500.07	99	-353.92	101	153.30	99	440.88	97	202.78	97	46.23	49	-3258.97	33	1342.24	33
307	Max	-1102	2500.07	99	-353.92	101	153.30	99	440.88	97	202.78	97	46.23	49	-3258.97	33	1342.24	33
307	Min.	-524	456.74	104	-767.58	98	-13.06	104	254.30	33	133.85	33	-68.05	33	-4770.65	97	-674.10	49
307	Min.	-522	456.74	104	-767.58	98	-13.06	104	254.30	33	133.85	33	-68.05	33	-4770.65	97	-674.10	49
307	Min.	-1057	456.74	104	-767.58	98	-13.06	104	254.30	33	133.85	33	-68.05	33	-4770.65	97	-674.10	49
307	Min.	-1102	456.74	104	-767.58	98	-13.06	104	254.30	33	133.85	33	-68.05	33	-4770.65	97	-674.10	49
307	Max	-448	-118.44	103	-3418.39	104	557.42	99	745.99	97	7193.94	97	311.89	49	-17970.00	102	689.78	97
307	Max	-446	-118.44	103	-3418.39	104	557.42	99	745.99	97	7193.94	97	311.89	49	-17970.00	102	689.78	97
307	Max	-484	-118.44	103	-3418.39	104	557.42	99	745.99	97	7193.94	97	311.89	49	-17970.00	102	689.78	97
307	Max	-486	-118.44	103	-3418.39	104	557.42	99	745.99	97	7193.94	97	311.89	49	-17970.00	102	689.78	97
307	Min.	-448	-363.66	100	-5049.10	99	58.22	104	499.98	33	4924.28	33	-8.65	33	-26169.60	97	409.13	49
307	Min.	-446	-363.66	100	-5049.10	99	58.22	104	499.98	33	4924.28	33	-8.65	33	-26169.60	97	409.13	49
307	Min.	-484	-363.66	100	-5049.10	99	58.22	104	499.98	33	4924.28	33	-8.65	33	-26169.60	97	409.13	49
307	Min.	-486	-363.66	100	-5049.10	99	58.22	104	499.98	33	4924.28	33	-8.65	33	-26169.60	97	409.13	49
307	Max	-462	72.68	104	-2148.10	104	204.27	99	-17.78	33	2635.37	97	-223.46	49	-5501.60	102	534.00	97
307	Max	-460	72.68	104	-2148.10	104	204.27	99	-17.78	33	2635.37	97	-223.46	49	-5501.60	102	534.00	97
307	Max	-498	72.68	104	-2148.10	104	204.27	99	-17.78	33	2635.37	97	-223.46	49	-5501.60	102	534.00	97
307	Max	-500	72.68	104	-2148.10	104	204.27	99	-17.78	33	2635.37	97	-223.46	49	-5501.60	102	534.00	97
307	Min.	-462	-136.96	99	-3557.23	99	29.11	104	-29.97	97	1731.39	49	-354.51	97	-8113.88	97	325.84	33
307	Min.	-460	-136.96	99	-3557.23	99	29.11	104	-29.97	97	1731.39	49	-354.51	97	-8113.88	97	325.84	33
307	Min.	-498	-136.96	99	-3557.23	99	29.11	104	-29.97	97	1731.39	49	-354.51	97	-8113.88	97	325.84	33
307	Min.	-500	-136.96	99	-3557.23	99	29.11	104	-29.97	97	1731.39	49	-354.51	97	-8113.88	97	325.84	33
307	Max	-444	372.32	100	-3432.52	104	-758.52	101	573.61	97	6436.72	97	830.97	97	-16009.80	102	-3233.80	102
307	Max	-442	372.32	100	-3432.52	104	-758.52	101	573.61	97	6436.72	97	830.97	97	-16009.80	102	-3233.80	102
307	Max	-480	372.32	100	-3432.52	104	-758.52	101	573.61	97	6436.72	97	830.97	97	-16009.80	102	-3233.80	102
307	Max	-482	372.32	100	-3432.52	104	-758.52	101	573.61	97	6436.72	97	830.97	97	-16009.80	102	-3233.80	102
307	Min.	-444	225.86	33	-6677.73	99	-1100.16	98	383.55	33	4425.95	102	421.82	33	-23255.20	97	-4697.01	97
307	Min.	-442	225.86	33	-6677.73	99	-1100.16	98	383.55	33	4425.95	102	421.82	33	-23255.20	97	-4697.01	97
307	Min.	-480	225.86	33	-6677.73	99	-1100.16	98	383.55	33	4425.95	102	421.82	33	-23255.20	97	-4697.01	97
307	Min.	-482	225.86	33	-6677.73	99	-1100.16	98	383.55	33	4425.95	102	421.82	33	-23255.20	97	-4697.01	97
307	Max	-450	-196.51	103	-3107.75	104	833.83	99	578.60	97	7238.46	97	316.66	49	-17963.60	102	1139.87	97
307	Max	-448	-196.51	103	-3107.75	104	833.83	99	578.60	97	7238.46	97	316.66	49	-17963.60	102	1139.87	97
307	Max	-486	-196.51	103	-3107.75	104	833.83	99	578.60	97	7238.46	97	316.66	49	-17963.60	102	1139.87	97
307	Max	-488	-196.51	103	-3107.75	104	833.83	99	578.60	97	7238.46	97	316.66	49	-17963.60	102	1139.87	97
307	Min.	-450	-471.73	100	-4546.25	99	182.38	104	381.58	33	4912.64	33	20.15	33	-26217.30	97	717.94	49
307	Min.	-448	-471.73	100	-4546.25	99	182.38	104	381.58	33	4912.64	33	20.15	33	-26217.30	97	717.94	49
307	Min.	-486	-471.73	100	-4546.25	99	182.38	104	381.58	33	4912.64	33	20.15	33	-26217.30	97	717.94	49
307	Min.	-488	-471.73	100	-4546.25	99	182.38	104	381.58	33	4912.64	33	20.15	33	-26217.30	97	717.94	49
307	Max	-436	-97.88	104	-3348.81	103	169.57	103	824.25	97	7395.20	97	-6.54	49	-17891.20	102	-334.60	33
307	Max	-434	-97.88	104	-3348.81	103	169.57	103	824.25	97	7395.20	97	-6.54	49	-17891.20	102	-334.60	33
307	Max	-472	-97.88	104	-3348.81	103	169.57	103	824.25	97	7395.20	97	-6.54	49	-17891.20	102	-334.60	33
307	Max	-474	-97.88	104	-3348.81	103	169.57	103	824.25	97	7395.20	97	-6.54	49	-17891.20	102	-334.60	33
307	Min.	-436	-570.13	99	-5452.57	100	-228.34	100	556.49	49	5083.05	102	-345.10	33	-26027.60	97	-524.16	97
307	Min.	-434	-570.13	99	-5452.57	100	-228.34	100	556.49	49	5083.05	102	-345.10	33	-26027.60	97	-524.16	97
307	Min.	-472	-570.13	99	-5452.57	100	-228.34	100	556.49	49	5083.05	102	-345.10	33	-26027.60	97	-524.16	97
307	Min.	-474	-570.13	99	-5452.57	100	-228.34	100	556.49	49	5083.05	102	-345.10	33	-26027.60	97	-524.16	97
307	Max	-470	606.19	100	-1770.23	101	-103.07	103	-10.63	33	2701.89	97	54.12	49	-14965.40	102	-5293.02	33
307	Max	-468	606.19	100	-1770.23	101	-103.07	103	-10.63	33	2701.89	97	54.12	49	-14965.40	102	-5293.02	33
307	Max	-506	606.19	100	-1770.23	101	-103.07	103	-10.63	33	2701.89	97	54.12	49	-14965.40	102	-5293.02	33
307	Max	-508	606.19	100	-1770.23	101	-103.07	103	-10.63	33	2701.89	97	54.12	49	-14965.40	102	-5293.02	33
307	Min.	-470	-117.17	103	-2693.69	98	-707.02	100	-98.60	49	1825.79	49	-182.19	33	-21848.80	97	-8069.77	97
307	Min.	-468	-117.17	103	-2693.69	98	-707.02	100	-98.60	49	1825.79	49	-182.19	33	-21848.80	97	-8069.77	97
307	Min.	-506	-117.17	103	-2693.69	98	-707.02	100	-98.60	49	1825.79	49	-182.19	33	-21848.80	97	-8069.77	97
307	Min.	-508	-117.17	103	-2693.69	98	-707.02	100	-98.60	49	1825.79	49	-182.19	33	-21848.80	97	-8069.77	97
307	Max	-494	241.45	98	-2262.00	103	183.86	103	43.28	49	2661.15	97	810.34	97	-9042.77	33	-1264.18	102
307	Max	-492	241.45	98	-2262.00	103	183.86	103	43.28	49	2661.15	97	810.34	97	-9042.77	33	-1264.18	102
307	Max	-530	241.45	98	-2262.00	103	183.86	103	43.28	49	2661.15	97	810.34	97	-9042.77	33	-1264.18	102
307	Max	-532	241.45	98	-2262.00	103	183.86	103	43.28	49	2661.15	97	810.34	97	-9042.77	33	-1264.18	102
307	Min.	-494	151.94	33	-3690.73	100	-288.76	100	17.84	33	1746.75	33	513.61	33	-13511.50	97	-1879.54	97
307	Min.	-492	151.94	33	-3690.73	100	-288.76	100	17.84	33	1746.75	33	513.61	33	-13511.50	97	-1879.54	97
307	Min.	-530	151.94	33	-3690.73	100	-288.76	100	17.84	33	1746.75	33	513.61	33	-13511.50	97	-1879.54	97
307	Min.	-532	151.94	33	-3690.73	100	-288.76	100	17.84	33	1746.75	33	513.61	33	-13511.50	97	-1879.54	97
307	Max	-520	1883.51	99	395.06	97	-26.86	104	93.77	98	12.00	98	82.86	49	-47.84	33	3374.34	33
307	Max	-518	1883.51	99	395.06	97	-26.86	104	93.77	98	12.00	98	82.86	49	-47.84	33	3374.34	33
307	Max	-969	1883.51	99	395.06	97	-26.86	104	93.77	98	12.00	98	82.86	49	-47.84	33	3374.34	33
307	Max	-1012	1883.51	99	395.06	97	-26.86	104	93.77	98	12.00	98	82.86	49	-47.84	33	3374.34	33
307	Min.	-520	-119.57	104	134.62	102	-207.21	99	11.80	33	1.35	33	-56.68	33	-193.13	98	877.68	49
307	Min.	-518	-119.57	104	134.62	102	-207.21	99	11.80	33	1.35	33	-56.68	33	-193.13	98	877.68	49
307	Min.	-969	-119.57	104	134.62	102	-207.21	99	11.80	33	1.35	33	-56.68	33	-193.13	98	877.68	49
307	Min.	-1012	-119.57	104	134.62	102	-207.21	99	11.80	33	1.35	33	-56.68	33	-193.13	98	877.68	49
307	Max	-452	-135.12	103	-3018.35	101	842.34	99	534.78	97	7371.48	97	415.90	49	-16228.60	33	-1971.52	33
307	Max	-450	-135.12	103	-3018.35	101	842.34	99	534.78	97	7371.48	97	415.90	49	-16228.60	33	-1971.52	33
307	Max	-488	-135.12	103	-3018.35	101	842.34	99	534.78	97	7371.48	97	415.90	49	-16228.60	33	-1971.52	33
307	Max	-490	-135.12	103	-3018.35	101	842.34	99	534.78	97	7371.48	97	415.90	49	-16228.60	33	-1971.52	33
307	Min.	-452	-329.91	100	-4411.32	98	121.01	104	348.27	33	4965.17	33	139.23	33	-23925.50	97	-2994.55	97
307	Min.	-450	-329.91	100	-4411.32	98	121.01	104	348.27	33	4965.17	33	139.23	33	-23925.50	97	-2994.55	97

307	Min.	-488	-329.91	100	-4411.32	98	121.01	104	348.27	33	4965.17	33	139.23	33	-23925.50	97	-2994.55	97
307	Min.	-490	-329.91	100	-4411.32	98	121.01	104	348.27	33	4965.17	33	139.23	33	-23925.50	97	-2994.55	97
307	Max	-438	365.65	99	-3425.45	103	1101.57	98	574.57	97	6414.39	97	-413.54	49	-15912.10	102	4699.54	97
307	Max	-436	365.65	99	-3425.45	103	1101.57	98	574.57	97	6414.39	97	-413.54	49	-15912.10	102	4699.54	97
307	Max	-474	365.65	99	-3425.45	103	1101.57	98	574.57	97	6414.39	97	-413.54	49	-15912.10	102	4699.54	97
307	Max	-476	365.65	99	-3425.45	103	1101.57	98	574.57	97	6414.39	97	-413.54	49	-15912.10	102	4699.54	97
307	Min.	-438	223.96	49	-6670.41	100	759.51	101	384.71	49	4411.01	102	-819.09	97	-23110.90	97	3235.69	102
307	Min.	-436	223.96	49	-6670.41	100	759.51	101	384.71	49	4411.01	102	-819.09	97	-23110.90	97	3235.69	102
307	Min.	-474	223.96	49	-6670.41	100	759.51	101	384.71	49	4411.01	102	-819.09	97	-23110.90	97	3235.69	102
307	Min.	-476	223.96	49	-6670.41	100	759.51	101	384.71	49	4411.01	102	-819.09	97	-23110.90	97	3235.69	102
605	Max	-154	0.00	1	0.00	1	0.00	1	393.15	99	-934.29	101	52.25	49	6261.26	98	2384.53	99
605	Max	-142	0.00	1	0.00	1	0.00	1	393.15	99	-934.29	101	52.25	49	6261.26	98	2384.53	99
605	Max	-141	0.00	1	0.00	1	0.00	1	393.15	99	-934.29	101	52.25	49	6261.26	98	2384.53	99
605	Max	-153	0.00	1	0.00	1	0.00	1	393.15	99	-934.29	101	52.25	49	6261.26	98	2384.53	99
605	Min.	-154	0.00	1	0.00	1	0.00	1	107.45	33	-2497.36	98	-974.58	33	3879.70	101	1129.81	104
605	Min.	-142	0.00	1	0.00	1	0.00	1	107.45	33	-2497.36	98	-974.58	33	3879.70	101	1129.81	104
605	Min.	-141	0.00	1	0.00	1	0.00	1	107.45	33	-2497.36	98	-974.58	33	3879.70	101	1129.81	104
605	Min.	-153	0.00	1	0.00	1	0.00	1	107.45	33	-2497.36	98	-974.58	33	3879.70	101	1129.81	104
605	Max	-98	0.00	1	0.00	1	0.00	1	949.86	99	-1073.71	101	916.25	49	4043.74	98	4181.77	99
605	Max	-88	0.00	1	0.00	1	0.00	1	949.86	99	-1073.71	101	916.25	49	4043.74	98	4181.77	99
605	Max	-87	0.00	1	0.00	1	0.00	1	949.86	99	-1073.71	101	916.25	49	4043.74	98	4181.77	99
605	Max	-97	0.00	1	0.00	1	0.00	1	949.86	99	-1073.71	101	916.25	49	4043.74	98	4181.77	99
605	Min.	-98	0.00	1	0.00	1	0.00	1	654.40	49	-2487.01	98	-193.81	33	2429.08	101	2826.06	104
605	Min.	-88	0.00	1	0.00	1	0.00	1	654.40	49	-2487.01	98	-193.81	33	2429.08	101	2826.06	104
605	Min.	-87	0.00	1	0.00	1	0.00	1	654.40	49	-2487.01	98	-193.81	33	2429.08	101	2826.06	104
605	Min.	-97	0.00	1	0.00	1	0.00	1	654.40	49	-2487.01	98	-193.81	33	2429.08	101	2826.06	104
605	Max	-119	0.00	1	0.00	1	0.00	1	1652.53	99	157.30	101	499.08	49	6054.62	98	1897.22	99
605	Max	-109	0.00	1	0.00	1	0.00	1	1652.53	99	157.30	101	499.08	49	6054.62	98	1897.22	99
605	Max	-108	0.00	1	0.00	1	0.00	1	1652.53	99	157.30	101	499.08	49	6054.62	98	1897.22	99
605	Max	-118	0.00	1	0.00	1	0.00	1	1652.53	99	157.30	101	499.08	49	6054.62	98	1897.22	99
605	Min.	-119	0.00	1	0.00	1	0.00	1	1078.30	33	-658.58	98	-678.04	33	3901.73	101	1013.32	49
605	Min.	-109	0.00	1	0.00	1	0.00	1	1078.30	33	-658.58	98	-678.04	33	3901.73	101	1013.32	49
605	Min.	-108	0.00	1	0.00	1	0.00	1	1078.30	33	-658.58	98	-678.04	33	3901.73	101	1013.32	49
605	Min.	-118	0.00	1	0.00	1	0.00	1	1078.30	33	-658.58	98	-678.04	33	3901.73	101	1013.32	49
605	Max	-39	0.00	1	0.00	1	0.00	1	120.14	33	-291.28	33	640.23	49	1671.09	98	-116.91	103
605	Max	-27	0.00	1	0.00	1	0.00	1	120.14	33	-291.28	33	640.23	49	1671.09	98	-116.91	103
605	Max	-26	0.00	1	0.00	1	0.00	1	120.14	33	-291.28	33	640.23	49	1671.09	98	-116.91	103
605	Max	-38	0.00	1	0.00	1	0.00	1	120.14	33	-291.28	33	640.23	49	1671.09	98	-116.91	103
605	Min.	-39	0.00	1	0.00	1	0.00	1	-21.24	49	-1137.92	98	69.26	33	626.67	33	-390.96	100
605	Min.	-27	0.00	1	0.00	1	0.00	1	-21.24	49	-1137.92	98	69.26	33	626.67	33	-390.96	100
605	Min.	-26	0.00	1	0.00	1	0.00	1	-21.24	49	-1137.92	98	69.26	33	626.67	33	-390.96	100
605	Min.	-38	0.00	1	0.00	1	0.00	1	-21.24	49	-1137.92	98	69.26	33	626.67	33	-390.96	100
605	Max	-50	0.00	1	0.00	1	0.00	1	256.14	33	-26.06	33	406.19	49	869.46	98	-1050.89	33
605	Max	-38	0.00	1	0.00	1	0.00	1	256.14	33	-26.06	33	406.19	49	869.46	98	-1050.89	33
605	Max	-37	0.00	1	0.00	1	0.00	1	256.14	33	-26.06	33	406.19	49	869.46	98	-1050.89	33
605	Max	-49	0.00	1	0.00	1	0.00	1	256.14	33	-26.06	33	406.19	49	869.46	98	-1050.89	33
605	Min.	-50	0.00	1	0.00	1	0.00	1	-32.20	49	-221.71	98	32.43	33	259.98	33	-2349.26	98
605	Min.	-38	0.00	1	0.00	1	0.00	1	-32.20	49	-221.71	98	32.43	33	259.98	33	-2349.26	98
605	Min.	-37	0.00	1	0.00	1	0.00	1	-32.20	49	-221.71	98	32.43	33	259.98	33	-2349.26	98
605	Min.	-49	0.00	1	0.00	1	0.00	1	-32.20	49	-221.71	98	32.43	33	259.98	33	-2349.26	98
605	Max	-166	0.00	1	0.00	1	0.00	1	107.55	49	-786.96	49	-115.89	49	5302.90	98	-235.93	103
605	Max	-154	0.00	1	0.00	1	0.00	1	107.55	49	-786.96	49	-115.89	49	5302.90	98	-235.93	103
605	Max	-153	0.00	1	0.00	1	0.00	1	107.55	49	-786.96	49	-115.89	49	5302.90	98	-235.93	103
605	Max	-165	0.00	1	0.00	1	0.00	1	107.55	49	-786.96	49	-115.89	49	5302.90	98	-235.93	103
605	Min.	-166	0.00	1	0.00	1	0.00	1	-5.82	33	-2312.68	98	-1026.58	33	3160.08	101	-731.03	100
605	Min.	-154	0.00	1	0.00	1	0.00	1	-5.82	33	-2312.68	98	-1026.58	33	3160.08	101	-731.03	100
605	Min.	-153	0.00	1	0.00	1	0.00	1	-5.82	33	-2312.68	98	-1026.58	33	3160.08	101	-731.03	100
605	Min.	-165	0.00	1	0.00	1	0.00	1	-5.82	33	-2312.68	98	-1026.58	33	3160.08	101	-731.03	100
605	Max	-14	0.00	1	0.00	1	0.00	1	4.63	33	-55.67	33	47.14	49	318.84	98	-58.28	101
605	Max	-2	0.00	1	0.00	1	0.00	1	4.63	33	-55.67	33	47.14	49	318.84	98	-58.28	101
605	Max	-1	0.00	1	0.00	1	0.00	1	4.63	33	-55.67	33	47.14	49	318.84	98	-58.28	101
605	Max	-13	0.00	1	0.00	1	0.00	1	4.63	33	-55.67	33	47.14	49	318.84	98	-58.28	101
605	Min.	-14	0.00	1	0.00	1	0.00	1	-1.71	49	-262.87	98	8.22	33	28.90	101	-119.37	98
605	Min.	-2	0.00	1	0.00	1	0.00	1	-1.71	49	-262.87	98	8.22	33	28.90	101	-119.37	98
605	Min.	-1	0.00	1	0.00	1	0.00	1	-1.71	49	-262.87	98	8.22	33	28.90	101	-119.37	98
605	Min.	-13	0.00	1	0.00	1	0.00	1	-1.71	49	-262.87	98	8.22	33	28.90	101	-119.37	98
605	Max	-152	0.00	1	0.00	1	0.00	1	1053.33	99	137.65	97	81.65	49	340.81	33	4476.05	98
605	Max	-140	0.00	1	0.00	1	0.00	1	1053.33	99	137.65	97	81.65	49	340.81	33	4476.05	98
605	Max	-139	0.00	1	0.00	1	0.00	1	1053.33	99	137.65	97	81.65	49	340.81	33	4476.05	98
605	Max	-151	0.00	1	0.00	1	0.00	1	1053.33	99	137.65	97	81.65	49	340.81	33	4476.05	98
605	Min.	-152	0.00	1	0.00	1	0.00	1	436.56	33	8.22	33	-387.11	33	-74.91	49	2175.44	49
605	Min.	-140	0.00	1	0.00	1	0.00	1	436.56	33	8.22	33	-387.11	33	-74.91	49	2175.44	49
605	Min.	-139	0.00	1	0.00	1	0.00	1	436.56	33	8.22	33	-387.11	33	-74.91	49	2175.44	49
605	Min.	-151	0.00	1	0.00	1	0.00	1	436.56	33	8.22	33	-387.11	33	-74.91	49	2175.44	49
605	Max	-131	0.00	1	0.00	1	0.00	1	1493.61	99	130.01	101	217.14	49	6007.01	98	-261.07	33
605	Max	-119	0.00	1	0.00	1	0.00	1	1493.61	99	130.01	101	217.14	49	6007.01	98	-261.07	33
605	Max	-118	0.00	1	0.00	1	0.00	1	1493.61	99	130.01	101	217.14	49	6007.01	98	-261.07	33
605	Max	-130	0.00	1	0.00	1	0.00	1	1493.61	99	130.01	101	217.14	49	6007.01	98	-261.07	33
605	Min.	-131	0.00	1	0.00	1	0.00	1	961.57	33	-712.83	98	-903.46	33	3905.17	101	-814.19	100
605	Min.	-119	0.00	1	0.00	1	0.00	1	961.57	33	-712.83	98	-903.46	33	3905.17	101	-814.19	100
605	Min.	-118	0.00	1	0.00	1	0.00	1	961.57	33	-712.83	98	-903.46	33	3905.17	101	-814.19	100
605	Min.	-130	0.00	1	0.00	1	0.00	1	961.57	33	-712.83	98	-903.46	33	3905.17	101	-814.19	100
605	Max	-26	0.00	1	0.00	1	0.00	1	11.43	33	-68.84	33	155.77	49	601.91	98	-151.65	33
605	Max	-14	0.00	1	0.00	1	0.00	1	11.43	33	-68.84	33	155.77	49	601.91	98	-151.65	33
605	Max	-13	0.00	1	0.00	1	0.00	1	11.43	33	-68.84	33	155.77	49	601.91	98	-151.65	33
605	Max	-25	0.00	1	0.00	1	0.00	1	11.43	33	-68.84	33	155.77	49	601.91	98	-151.65	33
605	Min.	-26	0.00	1	0.00	1	0.00	1	-27.08	49	-303.28	98	23.30	33	169.99	33	-346.18	98
605	Min.	-14	0.00	1	0.00	1	0.00	1	-27.08	49	-303.28	98	23.30	33	169.99	33	-346.18	98
605	Min.	-13	0.00	1	0.00	1	0.00	1	-27.08	49	-303.28	98	23.30	33	169.99	33	-346.18	98
605	Min.	-25	0.00	1	0.00	1	0.00	1	-27.08	49	-303.28	98	23.30	33	169.99	33	-346.18	98
605	Max	-178	0.00	1	0.00	1	0.00	1	369.51	100	-531.40	49	-238.13	49	711.45	33	-5325.07	33
605	Max	-166	0.00	1	0.00	1	0.00	1	369.51	100	-531.40	49	-238.13	49	711.45	33	-5325.07	33
605	Max	-165	0.00	1	0.00	1	0.00	1	369.51	100	-531.40	49	-238.13	49	711.45	33	-5325.07	33
605	Max	-177	0.00	1	0.00	1	0.00	1	369.51	100	-531.40	49	-238.13	49	711.45	33	-5325.07	33
605	Min.	-178	0.00	1	0.00	1	0.00	1	187.27	103	-1862.68	98	-983.60	33	-483.48	49	-7566.99	99
605	Min.	-166	0.00	1	0.00	1	0.00	1	187.27	103	-1862.68	98	-983.60	33	-483.48	49	-7566.99	99
605	Min.	-165	0.00	1	0.00	1	0.00	1	187.27	103	-1862.68	98	-983.60	33	-483.48	49	-7566.99	99
605	Min.	-177	0.00	1	0.00	1	0.00	1	187.27	103	-1862.68	98	-983.60	33	-483.48	49	-7566.99	99
605	Max	-120	0.00	1	0.00	1	0.00	1	1089.76	99	-1076.83	101	485.52	49	5297.78	98	4162.62	99
605	Max	-110	0.00	1	0.00	1	0.00	1	1089.76	99	-1076.83	101	485.52	49	5297.78	98	4162.62	99
605	Max	-109	0.00	1	0.00	1	0.00	1	1089.76	99	-1076.83	101	485.52	49	5297.78	98	4162.62	99
605	Max	-119	0.00	1	0.00	1	0.00	1	1089.76	99	-1076.83	101	485.52	49	5297.78	98	4162.62	99
605	Min.	-120	0.00	1	0.00	1	0.00	1	637.64	104	-2581.15	98	-693.40	33	3293.39	101	2632.95	104
605	Min.	-110	0.00	1	0.00	1	0.00	1	637.64	104	-2581.15	98	-693.40	33	3293.39	101	2632.95	104
605	Min.	-109	0.00	1	0.00	1	0.00	1	637.64	104	-2581.15	98	-693.40	33	3293.39	101	2632.95	104

605	Min.	-119	0.00	1	0.00	1	0.00	1	637.64	104	-2581.15	98	-693.40	33	3293.39	101	2632.95	104
605	Max	-52	0.00	1	0.00	1	0.00	1	344.35	99	-538.03	33	985.42	49	798.36	49	7265.72	100
605	Max	-40	0.00	1	0.00	1	0.00	1	344.35	99	-538.03	33	985.42	49	798.36	49	7265.72	100
605	Max	-39	0.00	1	0.00	1	0.00	1	344.35	99	-538.03	33	985.42	49	798.36	49	7265.72	100
605	Max	-51	0.00	1	0.00	1	0.00	1	344.35	99	-538.03	33	985.42	49	798.36	49	7265.72	100
605	Min.	-52	0.00	1	0.00	1	0.00	1	173.81	104	-1876.41	98	235.77	33	-385.35	33	5125.33	49
605	Min.	-40	0.00	1	0.00	1	0.00	1	173.81	104	-1876.41	98	235.77	33	-385.35	33	5125.33	49
605	Min.	-39	0.00	1	0.00	1	0.00	1	173.81	104	-1876.41	98	235.77	33	-385.35	33	5125.33	49
605	Min.	-51	0.00	1	0.00	1	0.00	1	173.81	104	-1876.41	98	235.77	33	-385.35	33	5125.33	49
605	Max	-74	0.00	1	0.00	1	0.00	1	1058.17	100	136.69	97	386.04	49	336.88	49	-2168.51	33
605	Max	-62	0.00	1	0.00	1	0.00	1	1058.17	100	136.69	97	386.04	49	336.88	49	-2168.51	33
605	Max	-61	0.00	1	0.00	1	0.00	1	1058.17	100	136.69	97	386.04	49	336.88	49	-2168.51	33
605	Max	-73	0.00	1	0.00	1	0.00	1	1058.17	100	136.69	97	386.04	49	336.88	49	-2168.51	33
605	Min.	-74	0.00	1	0.00	1	0.00	1	440.21	49	7.54	49	-82.85	33	-78.52	33	-4467.72	98
605	Min.	-62	0.00	1	0.00	1	0.00	1	440.21	49	7.54	49	-82.85	33	-78.52	33	-4467.72	98
605	Min.	-61	0.00	1	0.00	1	0.00	1	440.21	49	7.54	49	-82.85	33	-78.52	33	-4467.72	98
605	Min.	-73	0.00	1	0.00	1	0.00	1	440.21	49	7.54	49	-82.85	33	-78.52	33	-4467.72	98
605	Max	-176	0.00	1	0.00	1	0.00	1	249.34	49	-27.35	49	-34.93	49	869.97	98	2319.66	98
605	Max	-164	0.00	1	0.00	1	0.00	1	249.34	49	-27.35	49	-34.93	49	869.97	98	2319.66	98
605	Max	-163	0.00	1	0.00	1	0.00	1	249.34	49	-27.35	49	-34.93	49	869.97	98	2319.66	98
605	Max	-175	0.00	1	0.00	1	0.00	1	249.34	49	-27.35	49	-34.93	49	869.97	98	2319.66	98
605	Min.	-176	0.00	1	0.00	1	0.00	1	-36.91	33	-223.90	98	-407.17	33	259.97	49	1034.33	49
605	Min.	-164	0.00	1	0.00	1	0.00	1	-36.91	33	-223.90	98	-407.17	33	259.97	49	1034.33	49
605	Min.	-163	0.00	1	0.00	1	0.00	1	-36.91	33	-223.90	98	-407.17	33	259.97	49	1034.33	49
605	Min.	-175	0.00	1	0.00	1	0.00	1	-36.91	33	-223.90	98	-407.17	33	259.97	49	1034.33	49
605	Max	-38	0.00	1	0.00	1	0.00	1	111.01	33	-50.76	33	312.21	49	748.11	98	-680.42	33
605	Max	-26	0.00	1	0.00	1	0.00	1	111.01	33	-50.76	33	312.21	49	748.11	98	-680.42	33
605	Max	-25	0.00	1	0.00	1	0.00	1	111.01	33	-50.76	33	312.21	49	748.11	98	-680.42	33
605	Max	-37	0.00	1	0.00	1	0.00	1	111.01	33	-50.76	33	312.21	49	748.11	98	-680.42	33
605	Min.	-38	0.00	1	0.00	1	0.00	1	-52.29	49	-271.81	98	44.98	33	201.68	33	-1399.09	98
605	Min.	-26	0.00	1	0.00	1	0.00	1	-52.29	49	-271.81	98	44.98	33	201.68	33	-1399.09	98
605	Min.	-25	0.00	1	0.00	1	0.00	1	-52.29	49	-271.81	98	44.98	33	201.68	33	-1399.09	98
605	Min.	-37	0.00	1	0.00	1	0.00	1	-52.29	49	-271.81	98	44.98	33	201.68	33	-1399.09	98
605	Max	-203	0.00	1	0.00	1	0.00	1	-156.04	49	-848.00	49	-349.38	49	-2284.69	103	-1066.70	49
605	Max	-191	0.00	1	0.00	1	0.00	1	-156.04	49	-848.00	49	-349.38	49	-2284.69	103	-1066.70	49
605	Max	-190	0.00	1	0.00	1	0.00	1	-156.04	49	-848.00	49	-349.38	49	-2284.69	103	-1066.70	49
605	Max	-202	0.00	1	0.00	1	0.00	1	-156.04	49	-848.00	49	-349.38	49	-2284.69	103	-1066.70	49
605	Min.	-203	0.00	1	0.00	1	0.00	1	-318.74	98	-2873.55	98	-710.99	99	-4989.57	100	-2407.18	100
605	Min.	-191	0.00	1	0.00	1	0.00	1	-318.74	98	-2873.55	98	-710.99	99	-4989.57	100	-2407.18	100
605	Min.	-190	0.00	1	0.00	1	0.00	1	-318.74	98	-2873.55	98	-710.99	99	-4989.57	100	-2407.18	100
605	Min.	-202	0.00	1	0.00	1	0.00	1	-318.74	98	-2873.55	98	-710.99	99	-4989.57	100	-2407.18	100
605	Max	-201	0.00	1	0.00	1	0.00	1	49.13	49	-225.06	49	-42.86	49	827.39	98	920.66	99
605	Max	-189	0.00	1	0.00	1	0.00	1	49.13	49	-225.06	49	-42.86	49	827.39	98	920.66	99
605	Max	-188	0.00	1	0.00	1	0.00	1	49.13	49	-225.06	49	-42.86	49	827.39	98	920.66	99
605	Max	-200	0.00	1	0.00	1	0.00	1	49.13	49	-225.06	49	-42.86	49	827.39	98	920.66	99
605	Min.	-201	0.00	1	0.00	1	0.00	1	-12.80	33	-1109.96	98	-374.82	33	95.74	101	482.26	104
605	Min.	-189	0.00	1	0.00	1	0.00	1	-12.80	33	-1109.96	98	-374.82	33	95.74	101	482.26	104
605	Min.	-188	0.00	1	0.00	1	0.00	1	-12.80	33	-1109.96	98	-374.82	33	95.74	101	482.26	104
605	Min.	-200	0.00	1	0.00	1	0.00	1	-12.80	33	-1109.96	98	-374.82	33	95.74	101	482.26	104
605	Max	-75	0.00	1	0.00	1	0.00	1	865.92	100	-111.12	33	966.88	49	3552.66	98	-2108.03	103
605	Max	-63	0.00	1	0.00	1	0.00	1	865.92	100	-111.12	33	966.88	49	3552.66	98	-2108.03	103
605	Max	-62	0.00	1	0.00	1	0.00	1	865.92	100	-111.12	33	966.88	49	3552.66	98	-2108.03	103
605	Max	-74	0.00	1	0.00	1	0.00	1	865.92	100	-111.12	33	966.88	49	3552.66	98	-2108.03	103
605	Min.	-75	0.00	1	0.00	1	0.00	1	334.52	49	-758.82	98	37.90	33	2016.18	101	-3458.55	100
605	Min.	-63	0.00	1	0.00	1	0.00	1	334.52	49	-758.82	98	37.90	33	2016.18	101	-3458.55	100
605	Min.	-62	0.00	1	0.00	1	0.00	1	334.52	49	-758.82	98	37.90	33	2016.18	101	-3458.55	100
605	Min.	-74	0.00	1	0.00	1	0.00	1	334.52	49	-758.82	98	37.90	33	2016.18	101	-3458.55	100
605	Max	-202	0.00	1	0.00	1	0.00	1	-163.93	49	-585.76	49	-124.80	49	3084.64	99	-882.01	103
605	Max	-190	0.00	1	0.00	1	0.00	1	-163.93	49	-585.76	49	-124.80	49	3084.64	99	-882.01	103
605	Max	-189	0.00	1	0.00	1	0.00	1	-163.93	49	-585.76	49	-124.80	49	3084.64	99	-882.01	103
605	Max	-201	0.00	1	0.00	1	0.00	1	-163.93	49	-585.76	49	-124.80	49	3084.64	99	-882.01	103
605	Min.	-202	0.00	1	0.00	1	0.00	1	-244.34	100	-2339.62	98	-540.10	33	1119.88	104	-1719.81	100
605	Min.	-190	0.00	1	0.00	1	0.00	1	-244.34	100	-2339.62	98	-540.10	33	1119.88	104	-1719.81	100
605	Min.	-189	0.00	1	0.00	1	0.00	1	-244.34	100	-2339.62	98	-540.10	33	1119.88	104	-1719.81	100
605	Min.	-201	0.00	1	0.00	1	0.00	1	-244.34	100	-2339.62	98	-540.10	33	1119.88	104	-1719.81	100
605	Max	-97	0.00	1	0.00	1	0.00	1	1480.47	100	126.65	101	895.86	49	6002.41	98	831.61	99
605	Max	-87	0.00	1	0.00	1	0.00	1	1480.47	100	126.65	101	895.86	49	6002.41	98	831.61	99
605	Max	-86	0.00	1	0.00	1	0.00	1	1480.47	100	126.65	101	895.86	49	6002.41	98	831.61	99
605	Max	-96	0.00	1	0.00	1	0.00	1	1480.47	100	126.65	101	895.86	49	6002.41	98	831.61	99
605	Min.	-97	0.00	1	0.00	1	0.00	1	953.45	49	-716.34	98	-224.16	33	3898.82	101	273.90	49
605	Min.	-87	0.00	1	0.00	1	0.00	1	953.45	49	-716.34	98	-224.16	33	3898.82	101	273.90	49
605	Min.	-86	0.00	1	0.00	1	0.00	1	953.45	49	-716.34	98	-224.16	33	3898.82	101	273.90	49
605	Min.	-96	0.00	1	0.00	1	0.00	1	953.45	49	-716.34	98	-224.16	33	3898.82	101	273.90	49
605	Max	-141	0.00	1	0.00	1	0.00	1	1477.02	99	101.65	101	110.79	49	6350.42	98	3999.53	99
605	Max	-131	0.00	1	0.00	1	0.00	1	1477.02	99	101.65	101	110.79	49	6350.42	98	3999.53	99
605	Max	-130	0.00	1	0.00	1	0.00	1	1477.02	99	101.65	101	110.79	49	6350.42	98	3999.53	99
605	Max	-140	0.00	1	0.00	1	0.00	1	1477.02	99	101.65	101	110.79	49	6350.42	98	3999.53	99
605	Min.	-141	0.00	1	0.00	1	0.00	1	738.42	33	-814.81	98	-951.65	33	4242.98	101	2480.00	104
605	Min.	-131	0.00	1	0.00	1	0.00	1	738.42	33	-814.81	98	-951.65	33	4242.98	101	2480.00	104
605	Min.	-130	0.00	1	0.00	1	0.00	1	738.42	33	-814.81	98	-951.65	33	4242.98	101	2480.00	104
605	Min.	-140	0.00	1	0.00	1	0.00	1	738.42	33	-814.81	98	-951.65	33	4242.98	101	2480.00	104
605	Max	-63	0.00	1	0.00	1	0.00	1	453.77	100	-193.88	33	949.88	49	2497.62	98	-1091.84	103
605	Max	-51	0.00	1	0.00	1	0.00	1	453.77	100	-193.88	33	949.88	49	2497.62	98	-1091.84	103
605	Max	-50	0.00	1	0.00	1	0.00	1	453.77	100	-193.88	33	949.88	49	2497.62	98	-1091.84	103
605	Max	-62	0.00	1	0.00	1	0.00	1	453.77	100	-193.88	33	949.88	49	2497.62	98	-1091.84	103
605	Min.	-63	0.00	1	0.00	1	0.00	1	86.26	49	-885.40	98	135.88	33	1185.86	33	-1931.45	100
605	Min.	-51	0.00	1	0.00	1	0.00	1	86.26	49	-885.40	98	135.88	33	1185.86	33	-1931.45	100
605	Min.	-50	0.00	1	0.00	1	0.00	1	86.26	49	-885.40	98	135.88	33	1185.86	33	-1931.45	100
605	Min.	-62	0.00	1	0.00	1	0.00	1	86.26	49	-885.40	98	135.88	33	1185.86	33	-1931.45	100
605	Max	-177	0.00	1	0.00	1	0.00	1	263.17	49	-304.80	49	-164.23	49	2225.73	98	2439.59	99
605	Max	-165	0.00	1	0.00	1	0.00	1	263.17	49	-304.80	49	-164.23	49	2225.73	98	2439.59	99
605	Max	-164	0.00	1	0.00	1	0.00	1	263.17	49	-304.80	49	-164.23	49	2225.73	98	2439.59	99
605	Max	-176	0.00	1	0.00	1	0.00	1	263.17	49	-304.80	49	-164.23	49	2225.73	98	2439.59	99
605	Min.	-177	0.00	1	0.00	1	0.00	1	-45.84	33	-1075.24	98	-902.62	33	961.75	49	1400.16	104
605	Min.	-165	0.00	1	0.00	1	0.00	1	-45.84	33	-1075.24	98	-902.62	33	961.75	49	1400.16	104
605	Min.	-164	0.00	1	0.00	1	0.00	1	-45.84	33	-1075.24	98	-902.62	33	961.75	49	1400.16	104
605	Min.	-176	0.00	1	0.00	1	0.00	1	-45.84	33	-1075.24	98	-902.62	33	961.75	49	1400.16	104
605	Max	-132	0.00	1	0.00	1	0.00	1	963.18	100	-1071.27	101	193.36	49	4047.95	98	-2808.64	103
605	Max	-120	0.00	1	0.00	1	0.00	1	963.18	100	-1071.27	101	193.36	49	4047.95	98	-2808.64	103
605	Max	-119	0.00	1	0.00	1	0.00	1	963.18	100	-1071.27	101	193.36	49	4047.95	98	-2808.64	103
605	Max	-131	0.00	1	0.00	1	0.00	1	963.18	100	-1071.27	101	193.36	49	4047.95	98	-2808.64	103
605	Min.	-132	0.00	1	0.00	1	0.00	1	663.40	33	-2483.54	98	-916.26	33	2435.14	101	-4162.30	100
605	Min.	-120	0.00	1	0.00	1	0.00	1	663.40	33	-2483.54	98	-916.26	33	2435.14	101	-4162.30	100
605	Min.	-119	0.00	1	0.00	1	0.00	1	663.40	33	-2483.54	98	-916.26	33	2435.14	101	-4162.30	100
605	Min.	-131	0.00	1	0.00	1	0.00	1	663.40	33	-2483.54	98	-916.26	33	2435.14	101	-4162.30	100

605	Max	-27	0.00	1	0.00	1	0.00	1	47.61	33	-222.70	33	366.39	49	825.26	98	-462.66	103
605	Max	-15	0.00	1	0.00	1	0.00	1	47.61	33	-222.70	33	366.39	49	825.26	98	-462.66	103
605	Max	-14	0.00	1	0.00	1	0.00	1	47.61	33	-222.70	33	366.39	49	825.26	98	-462.66	103
605	Max	-26	0.00	1	0.00	1	0.00	1	47.61	33	-222.70	33	366.39	49	825.26	98	-462.66	103
605	Min.	-27	0.00	1	0.00	1	0.00	1	-11.98	49	-1107.11	98	40.87	33	97.88	101	-886.90	100
605	Min.	-15	0.00	1	0.00	1	0.00	1	-11.98	49	-1107.11	98	40.87	33	97.88	101	-886.90	100
605	Min.	-14	0.00	1	0.00	1	0.00	1	-11.98	49	-1107.11	98	40.87	33	97.88	101	-886.90	100
605	Min.	-26	0.00	1	0.00	1	0.00	1	-11.98	49	-1107.11	98	40.87	33	97.88	101	-886.90	100
605	Max	-51	0.00	1	0.00	1	0.00	1	268.88	33	-302.05	33	900.95	49	2235.90	98	-1368.50	103
605	Max	-39	0.00	1	0.00	1	0.00	1	268.88	33	-302.05	33	900.95	49	2235.90	98	-1368.50	103
605	Max	-38	0.00	1	0.00	1	0.00	1	268.88	33	-302.05	33	900.95	49	2235.90	98	-1368.50	103
605	Max	-50	0.00	1	0.00	1	0.00	1	268.88	33	-302.05	33	900.95	49	2235.90	98	-1368.50	103
605	Min.	-51	0.00	1	0.00	1	0.00	1	-39.43	49	-1070.80	98	161.37	33	967.63	33	-2388.00	100
605	Min.	-39	0.00	1	0.00	1	0.00	1	-39.43	49	-1070.80	98	161.37	33	967.63	33	-2388.00	100
605	Min.	-38	0.00	1	0.00	1	0.00	1	-39.43	49	-1070.80	98	161.37	33	967.63	33	-2388.00	100
605	Min.	-50	0.00	1	0.00	1	0.00	1	-39.43	49	-1070.80	98	161.37	33	967.63	33	-2388.00	100
605	Max	-87	0.00	1	0.00	1	0.00	1	1482.46	100	100.65	101	943.49	49	6361.03	98	-2482.72	103
605	Max	-75	0.00	1	0.00	1	0.00	1	1482.46	100	100.65	101	943.49	49	6361.03	98	-2482.72	103
605	Max	-74	0.00	1	0.00	1	0.00	1	1482.46	100	100.65	101	943.49	49	6361.03	98	-2482.72	103
605	Max	-86	0.00	1	0.00	1	0.00	1	1482.46	100	100.65	101	943.49	49	6361.03	98	-2482.72	103
605	Min.	-87	0.00	1	0.00	1	0.00	1	742.63	49	-816.05	98	-119.18	33	4250.80	101	-4002.14	100
605	Min.	-75	0.00	1	0.00	1	0.00	1	742.63	49	-816.05	98	-119.18	33	4250.80	101	-4002.14	100
605	Min.	-74	0.00	1	0.00	1	0.00	1	742.63	49	-816.05	98	-119.18	33	4250.80	101	-4002.14	100
605	Min.	-86	0.00	1	0.00	1	0.00	1	742.63	49	-816.05	98	-119.18	33	4250.80	101	-4002.14	100
605	Max	-109	0.00	1	0.00	1	0.00	1	1648.07	100	155.50	101	668.29	49	6042.25	98	-1034.57	33
605	Max	-97	0.00	1	0.00	1	0.00	1	1648.07	100	155.50	101	668.29	49	6042.25	98	-1034.57	33
605	Max	-96	0.00	1	0.00	1	0.00	1	1648.07	100	155.50	101	668.29	49	6042.25	98	-1034.57	33
605	Max	-108	0.00	1	0.00	1	0.00	1	1648.07	100	155.50	101	668.29	49	6042.25	98	-1034.57	33
605	Min.	-109	0.00	1	0.00	1	0.00	1	1076.62	49	-659.90	98	-508.47	33	3889.87	101	-1927.48	100
605	Min.	-97	0.00	1	0.00	1	0.00	1	1076.62	49	-659.90	98	-508.47	33	3889.87	101	-1927.48	100
605	Min.	-96	0.00	1	0.00	1	0.00	1	1076.62	49	-659.90	98	-508.47	33	3889.87	101	-1927.48	100
605	Min.	-108	0.00	1	0.00	1	0.00	1	1076.62	49	-659.90	98	-508.47	33	3889.87	101	-1927.48	100
605	Max	-16	0.00	1	0.00	1	0.00	1	-41.04	33	-582.45	33	261.95	99	1069.00	100	475.22	99
605	Max	-4	0.00	1	0.00	1	0.00	1	-41.04	33	-582.45	33	261.95	99	1069.00	100	475.22	99
605	Max	-3	0.00	1	0.00	1	0.00	1	-41.04	33	-582.45	33	261.95	99	1069.00	100	475.22	99
605	Max	-15	0.00	1	0.00	1	0.00	1	-41.04	33	-582.45	33	261.95	99	1069.00	100	475.22	99
605	Min.	-16	0.00	1	0.00	1	0.00	1	-66.77	98	-2319.18	98	87.11	33	-488.37	103	193.86	33
605	Min.	-4	0.00	1	0.00	1	0.00	1	-66.77	98	-2319.18	98	87.11	33	-488.37	103	193.86	33
605	Min.	-3	0.00	1	0.00	1	0.00	1	-66.77	98	-2319.18	98	87.11	33	-488.37	103	193.86	33
605	Min.	-15	0.00	1	0.00	1	0.00	1	-66.77	98	-2319.18	98	87.11	33	-488.37	103	193.86	33
605	Max	-53	0.00	1	0.00	1	0.00	1	220.68	99	-1053.13	101	778.39	49	31674.40	100	4955.61	97
605	Max	-41	0.00	1	0.00	1	0.00	1	220.68	99	-1053.13	101	778.39	49	31674.40	100	4955.61	97
605	Max	-40	0.00	1	0.00	1	0.00	1	220.68	99	-1053.13	101	778.39	49	31674.40	100	4955.61	97
605	Max	-52	0.00	1	0.00	1	0.00	1	220.68	99	-1053.13	101	778.39	49	31674.40	100	4955.61	97
605	Min.	-53	0.00	1	0.00	1	0.00	1	33.11	104	-3858.04	98	-330.66	33	20244.60	103	3476.92	102
605	Min.	-41	0.00	1	0.00	1	0.00	1	33.11	104	-3858.04	98	-330.66	33	20244.60	103	3476.92	102
605	Min.	-40	0.00	1	0.00	1	0.00	1	33.11	104	-3858.04	98	-330.66	33	20244.60	103	3476.92	102
605	Min.	-52	0.00	1	0.00	1	0.00	1	33.11	104	-3858.04	98	-330.66	33	20244.60	103	3476.92	102
605	Max	-40	0.00	1	0.00	1	0.00	1	280.34	100	-491.65	33	784.09	98	389.17	49	-2052.26	103
605	Max	-28	0.00	1	0.00	1	0.00	1	280.34	100	-491.65	33	784.09	98	389.17	49	-2052.26	103
605	Max	-27	0.00	1	0.00	1	0.00	1	280.34	100	-491.65	33	784.09	98	389.17	49	-2052.26	103
605	Max	-39	0.00	1	0.00	1	0.00	1	280.34	100	-491.65	33	784.09	98	389.17	49	-2052.26	103
605	Min.	-40	0.00	1	0.00	1	0.00	1	-32.95	103	-1970.20	98	137.53	33	-441.30	33	-4298.80	100
605	Min.	-28	0.00	1	0.00	1	0.00	1	-32.95	103	-1970.20	98	137.53	33	-441.30	33	-4298.80	100
605	Min.	-27	0.00	1	0.00	1	0.00	1	-32.95	103	-1970.20	98	137.53	33	-441.30	33	-4298.80	100
605	Min.	-39	0.00	1	0.00	1	0.00	1	-32.95	103	-1970.20	98	137.53	33	-441.30	33	-4298.80	100
605	Max	-153	0.00	1	0.00	1	0.00	1	861.18	99	-110.83	49	-43.33	49	3544.04	98	3446.09	99
605	Max	-141	0.00	1	0.00	1	0.00	1	861.18	99	-110.83	49	-43.33	49	3544.04	98	3446.09	99
605	Max	-140	0.00	1	0.00	1	0.00	1	861.18	99	-110.83	49	-43.33	49	3544.04	98	3446.09	99
605	Max	-152	0.00	1	0.00	1	0.00	1	861.18	99	-110.83	49	-43.33	49	3544.04	98	3446.09	99
605	Min.	-153	0.00	1	0.00	1	0.00	1	331.05	33	-758.05	98	-971.94	33	2009.41	101	2098.99	104
605	Min.	-141	0.00	1	0.00	1	0.00	1	331.05	33	-758.05	98	-971.94	33	2009.41	101	2098.99	104
605	Min.	-140	0.00	1	0.00	1	0.00	1	331.05	33	-758.05	98	-971.94	33	2009.41	101	2098.99	104
605	Min.	-152	0.00	1	0.00	1	0.00	1	331.05	33	-758.05	98	-971.94	33	2009.41	101	2098.99	104
605	Max	-62	0.00	1	0.00	1	0.00	1	540.47	100	19.76	33	424.52	49	815.41	98	-1655.72	33
605	Max	-50	0.00	1	0.00	1	0.00	1	540.47	100	19.76	33	424.52	49	815.41	98	-1655.72	33
605	Max	-49	0.00	1	0.00	1	0.00	1	540.47	100	19.76	33	424.52	49	815.41	98	-1655.72	33
605	Max	-61	0.00	1	0.00	1	0.00	1	540.47	100	19.76	33	424.52	49	815.41	98	-1655.72	33
605	Min.	-62	0.00	1	0.00	1	0.00	1	126.64	49	-137.51	98	-5.02	33	252.36	33	-3463.75	98
605	Min.	-50	0.00	1	0.00	1	0.00	1	126.64	49	-137.51	98	-5.02	33	252.36	33	-3463.75	98
605	Min.	-49	0.00	1	0.00	1	0.00	1	126.64	49	-137.51	98	-5.02	33	252.36	33	-3463.75	98
605	Min.	-61	0.00	1	0.00	1	0.00	1	126.64	49	-137.51	98	-5.02	33	252.36	33	-3463.75	98
605	Max	-76	0.00	1	0.00	1	0.00	1	396.93	100	-935.00	101	970.93	49	6252.08	98	-1138.03	103
605	Max	-64	0.00	1	0.00	1	0.00	1	396.93	100	-935.00	101	970.93	49	6252.08	98	-1138.03	103
605	Max	-63	0.00	1	0.00	1	0.00	1	396.93	100	-935.00	101	970.93	49	6252.08	98	-1138.03	103
605	Max	-75	0.00	1	0.00	1	0.00	1	396.93	100	-935.00	101	970.93	49	6252.08	98	-1138.03	103
605	Min.	-76	0.00	1	0.00	1	0.00	1	110.44	49	-2497.05	98	-56.16	33	3873.60	101	-2394.07	100
605	Min.	-64	0.00	1	0.00	1	0.00	1	110.44	49	-2497.05	98	-56.16	33	3873.60	101	-2394.07	100
605	Min.	-63	0.00	1	0.00	1	0.00	1	110.44	49	-2497.05	98	-56.16	33	3873.60	101	-2394.07	100
605	Min.	-75	0.00	1	0.00	1	0.00	1	110.44	49	-2497.05	98	-56.16	33	3873.60	101	-2394.07	100
605	Max	-64	0.00	1	0.00	1	0.00	1	101.22	33	-793.46	33	1024.85	49	5414.86	98	598.60	99
605	Max	-52	0.00	1	0.00	1	0.00	1	101.22	33	-793.46	33	1024.85	49	5414.86	98	598.60	99
605	Max	-51	0.00	1	0.00	1	0.00	1	101.22	33	-793.46	33	1024.85	49	5414.86	98	598.60	99
605	Max	-63	0.00	1	0.00	1	0.00	1	101.22	33	-793.46	33	1024.85	49	5414.86	98	598.60	99
605	Min.	-64	0.00	1	0.00	1	0.00	1	-14.54	49	-2324.47	98	110.02	33	3237.57	101	132.01	104
605	Min.	-52	0.00	1	0.00	1	0.00	1	-14.54	49	-2324.47	98	110.02	33	3237.57	101	132.01	104
605	Min.	-51	0.00	1	0.00	1	0.00	1	-14.54	49	-2324.47	98	110.02	33	3237.57	101	132.01	104
605	Min.	-63	0.00	1	0.00	1	0.00	1	-14.54	49	-2324.47	98	110.02	33	3237.57	101	132.01	104
605	Max	-200	0.00	1	0.00	1	0.00	1	11.45	49	-69.91	49	-24.83	49	612.04	98	354.66	98
605	Max	-188	0.00	1	0.00	1	0.00	1	11.45	49	-69.91	49	-24.83	49	612.04	98	354.66	98
605	Max	-187	0.00	1	0.00	1	0.00	1	11.45	49	-69.91	49	-24.83	49	612.04	98	354.66	98
605	Max	-199	0.00	1	0.00	1	0.00	1	11.45	49	-69.91	49	-24.83	49	612.04	98	354.66	98
605	Min.	-200	0.00	1	0.00	1	0.00	1	-28.77	33	-305.46	98	-160.85	33	173.54	49	154.09	49
605	Min.	-188	0.00	1	0.00	1	0.00	1	-28.77	33	-305.46	98	-160.85	33	173.54	49	154.09	49
605	Min.	-187	0.00	1	0.00	1	0.00	1	-28.77	33	-305.46	98	-160.85	33	173.54	49	154.09	49
605	Min.	-199	0.00	1	0.00	1	0.00	1	-28.77	33	-305.46	98	-160.85	33	173.54	49	154.09	49
605	Max	-28	0.00	1	0.00	1	0.00	1	-157.40	33	-587.97	33	529.67	49	3034.34	100	1649.32	99
605	Max	-16	0.00	1	0.00	1	0.00	1	-157.40	33	-587.97	33	529.67	49	3034.34	100	1649.32	99
605	Max	-15	0.00	1	0.00	1	0.00	1	-157.40	33	-587.97	33	529.67	49	3034.34	100	1649.32	99
605	Max	-27	0.00	1	0.00	1	0.00	1	-157.40	33	-587.97	33	529.67	49	3034.34	100	1649.32	99
605	Min.	-28	0.00	1	0.00	1	0.00	1	-235.76	99	-2343.79	98	122.62	33	1077.71	103	837.85	104
605	Min.	-16	0.00	1	0.00	1	0.00	1	-235.76	99	-2343.79	98	122.62	33	1077.71	103	837.85	104
605	Min.	-15	0.00	1	0.00	1	0.00	1	-235.76	99	-2343.79	98	122.62	33	1077.71	103	837.85	104
605	Min.	-27	0.00	1	0.00	1	0.00	1	-235.76	99	-2343.79	98	122.62	33	1077.71	103	837.85	104
605	Max	-18	0.00	1	0.00	1	0.00	1	47.73	100	533.13	98	120.11	98	1592.61	99	805.56	99

605	Max	-6	0.00	1	0.00	1	0.00	1	47.73	100	533.13	98	120.11	98	1592.61	99	805.56	99
605	Max	-5	0.00	1	0.00	1	0.00	1	47.73	100	533.13	98	120.11	98	1592.61	99	805.56	99
605	Max	-17	0.00	1	0.00	1	0.00	1	47.73	100	533.13	98	120.11	98	1592.61	99	805.56	99
605	Min.	-18	0.00	1	0.00	1	0.00	1	20.85	103	150.07	33	64.37	101	353.92	33	205.80	33
605	Min.	-6	0.00	1	0.00	1	0.00	1	20.85	103	150.07	33	64.37	101	353.92	33	205.80	33
605	Min.	-5	0.00	1	0.00	1	0.00	1	20.85	103	150.07	33	64.37	101	353.92	33	205.80	33
605	Min.	-17	0.00	1	0.00	1	0.00	1	20.85	103	150.07	33	64.37	101	353.92	33	205.80	33
605	Max	-17	0.00	1	0.00	1	0.00	1	-87.86	33	-930.95	33	393.29	98	-827.65	104	1539.16	99
605	Max	-5	0.00	1	0.00	1	0.00	1	-87.86	33	-930.95	33	393.29	98	-827.65	104	1539.16	99
605	Max	-4	0.00	1	0.00	1	0.00	1	-87.86	33	-930.95	33	393.29	98	-827.65	104	1539.16	99
605	Max	-16	0.00	1	0.00	1	0.00	1	-87.86	33	-930.95	33	393.29	98	-827.65	104	1539.16	99
605	Min.	-17	0.00	1	0.00	1	0.00	1	-197.54	98	-3123.20	98	199.53	33	-3739.46	99	671.52	33
605	Min.	-5	0.00	1	0.00	1	0.00	1	-197.54	98	-3123.20	98	199.53	33	-3739.46	99	671.52	33
605	Min.	-4	0.00	1	0.00	1	0.00	1	-197.54	98	-3123.20	98	199.53	33	-3739.46	99	671.52	33
605	Min.	-16	0.00	1	0.00	1	0.00	1	-197.54	98	-3123.20	98	199.53	33	-3739.46	99	671.52	33
605	Max	-88	0.00	1	0.00	1	0.00	1	1218.61	100	-1021.35	33	898.78	49	1726.98	98	-4560.42	103
605	Max	-76	0.00	1	0.00	1	0.00	1	1218.61	100	-1021.35	33	898.78	49	1726.98	98	-4560.42	103
605	Max	-75	0.00	1	0.00	1	0.00	1	1218.61	100	-1021.35	33	898.78	49	1726.98	98	-4560.42	103
605	Max	-87	0.00	1	0.00	1	0.00	1	1218.61	100	-1021.35	33	898.78	49	1726.98	98	-4560.42	103
605	Min.	-88	0.00	1	0.00	1	0.00	1	554.57	103	-2288.84	98	-131.99	33	766.48	33	-7479.54	100
605	Min.	-76	0.00	1	0.00	1	0.00	1	554.57	103	-2288.84	98	-131.99	33	766.48	33	-7479.54	100
605	Min.	-75	0.00	1	0.00	1	0.00	1	554.57	103	-2288.84	98	-131.99	33	766.48	33	-7479.54	100
605	Min.	-87	0.00	1	0.00	1	0.00	1	554.57	103	-2288.84	98	-131.99	33	766.48	33	-7479.54	100
605	Max	-110	0.00	1	0.00	1	0.00	1	1085.42	100	-1078.16	101	690.86	49	5313.56	98	-2622.20	103
605	Max	-98	0.00	1	0.00	1	0.00	1	1085.42	100	-1078.16	101	690.86	49	5313.56	98	-2622.20	103
605	Max	-97	0.00	1	0.00	1	0.00	1	1085.42	100	-1078.16	101	690.86	49	5313.56	98	-2622.20	103
605	Max	-109	0.00	1	0.00	1	0.00	1	1085.42	100	-1078.16	101	690.86	49	5313.56	98	-2622.20	103
605	Min.	-110	0.00	1	0.00	1	0.00	1	635.91	103	-2583.53	98	-488.76	33	3301.95	101	-4143.19	100
605	Min.	-98	0.00	1	0.00	1	0.00	1	635.91	103	-2583.53	98	-488.76	33	3301.95	101	-4143.19	100
605	Min.	-97	0.00	1	0.00	1	0.00	1	635.91	103	-2583.53	98	-488.76	33	3301.95	101	-4143.19	100
605	Min.	-109	0.00	1	0.00	1	0.00	1	635.91	103	-2583.53	98	-488.76	33	3301.95	101	-4143.19	100
605	Max	-54	0.00	1	0.00	1	0.00	1	119.24	104	-13.41	49	545.86	49	-430.28	49	-106.22	49
605	Max	-42	0.00	1	0.00	1	0.00	1	119.24	104	-13.41	49	545.86	49	-430.28	49	-106.22	49
605	Max	-41	0.00	1	0.00	1	0.00	1	119.24	104	-13.41	49	545.86	49	-430.28	49	-106.22	49
605	Max	-53	0.00	1	0.00	1	0.00	1	119.24	104	-13.41	49	545.86	49	-430.28	49	-106.22	49
605	Min.	-54	0.00	1	0.00	1	0.00	1	-46.29	99	-206.36	98	-29.98	33	-1139.73	98	-2623.37	33
605	Min.	-42	0.00	1	0.00	1	0.00	1	-46.29	99	-206.36	98	-29.98	33	-1139.73	98	-2623.37	33
605	Min.	-41	0.00	1	0.00	1	0.00	1	-46.29	99	-206.36	98	-29.98	33	-1139.73	98	-2623.37	33
605	Min.	-53	0.00	1	0.00	1	0.00	1	-46.29	99	-206.36	98	-29.98	33	-1139.73	98	-2623.37	33
605	Max	-89	0.00	1	0.00	1	0.00	1	1007.69	100	30.21	101	556.84	49	496.37	97	2224.33	49
605	Max	-78	0.00	1	0.00	1	0.00	1	1007.69	100	30.21	101	556.84	49	496.37	97	2224.33	49
605	Max	-77	0.00	1	0.00	1	0.00	1	1007.69	100	30.21	101	556.84	49	496.37	97	2224.33	49
605	Max	20	0.00	1	0.00	1	0.00	1	1007.69	100	30.21	101	556.84	49	496.37	97	2224.33	49
605	Min.	-89	0.00	1	0.00	1	0.00	1	576.00	103	-47.19	98	-162.16	33	247.38	33	-1217.43	33
605	Min.	-78	0.00	1	0.00	1	0.00	1	576.00	103	-47.19	98	-162.16	33	247.38	33	-1217.43	33
605	Min.	-77	0.00	1	0.00	1	0.00	1	576.00	103	-47.19	98	-162.16	33	247.38	33	-1217.43	33
605	Min.	20	0.00	1	0.00	1	0.00	1	576.00	103	-47.19	98	-162.16	33	247.38	33	-1217.43	33
605	Max	-142	0.00	1	0.00	1	0.00	1	1208.16	99	-1022.33	49	131.92	49	1748.71	98	7445.23	99
605	Max	-132	0.00	1	0.00	1	0.00	1	1208.16	99	-1022.33	49	131.92	49	1748.71	98	7445.23	99
605	Max	-131	0.00	1	0.00	1	0.00	1	1208.16	99	-1022.33	49	131.92	49	1748.71	98	7445.23	99
605	Max	-141	0.00	1	0.00	1	0.00	1	1208.16	99	-1022.33	49	131.92	49	1748.71	98	7445.23	99
605	Min.	-142	0.00	1	0.00	1	0.00	1	546.73	104	-2289.43	98	-898.74	33	782.91	49	4535.72	104
605	Min.	-132	0.00	1	0.00	1	0.00	1	546.73	104	-2289.43	98	-898.74	33	782.91	49	4535.72	104
605	Min.	-131	0.00	1	0.00	1	0.00	1	546.73	104	-2289.43	98	-898.74	33	782.91	49	4535.72	104
605	Min.	-141	0.00	1	0.00	1	0.00	1	546.73	104	-2289.43	98	-898.74	33	782.91	49	4535.72	104
605	Max	-86	0.00	1	0.00	1	0.00	1	1739.54	100	411.24	98	363.71	49	-1269.13	49	-2866.16	33
605	Max	-74	0.00	1	0.00	1	0.00	1	1739.54	100	411.24	98	363.71	49	-1269.13	49	-2866.16	33
605	Max	-73	0.00	1	0.00	1	0.00	1	1739.54	100	411.24	98	363.71	49	-1269.13	49	-2866.16	33
605	Max	-85	0.00	1	0.00	1	0.00	1	1739.54	100	411.24	98	363.71	49	-1269.13	49	-2866.16	33
605	Min.	-86	0.00	1	0.00	1	0.00	1	881.92	49	134.08	101	-113.66	33	-2194.60	98	-5582.11	98
605	Min.	-74	0.00	1	0.00	1	0.00	1	881.92	49	134.08	101	-113.66	33	-2194.60	98	-5582.11	98
605	Min.	-73	0.00	1	0.00	1	0.00	1	881.92	49	134.08	101	-113.66	33	-2194.60	98	-5582.11	98
605	Min.	-85	0.00	1	0.00	1	0.00	1	881.92	49	134.08	101	-113.66	33	-2194.60	98	-5582.11	98
605	Max	-66	0.00	1	0.00	1	0.00	1	338.36	100	94.86	49	544.43	49	644.03	49	1491.45	49
605	Max	-54	0.00	1	0.00	1	0.00	1	338.36	100	94.86	49	544.43	49	644.03	49	1491.45	49
605	Max	-53	0.00	1	0.00	1	0.00	1	338.36	100	94.86	49	544.43	49	644.03	49	1491.45	49
605	Max	-65	0.00	1	0.00	1	0.00	1	338.36	100	94.86	49	544.43	49	644.03	49	1491.45	49
605	Min.	-66	0.00	1	0.00	1	0.00	1	160.20	103	-42.30	33	-97.56	33	181.26	33	-1395.86	33
605	Min.	-54	0.00	1	0.00	1	0.00	1	160.20	103	-42.30	33	-97.56	33	181.26	33	-1395.86	33
605	Min.	-53	0.00	1	0.00	1	0.00	1	160.20	103	-42.30	33	-97.56	33	181.26	33	-1395.86	33
605	Min.	-65	0.00	1	0.00	1	0.00	1	160.20	103	-42.30	33	-97.56	33	181.26	33	-1395.86	33
605	Max	-190	0.00	1	0.00	1	0.00	1	272.47	99	-491.65	49	-137.41	49	372.06	33	4275.00	99
605	Max	-178	0.00	1	0.00	1	0.00	1	272.47	99	-491.65	49	-137.41	49	372.06	33	4275.00	99
605	Max	-177	0.00	1	0.00	1	0.00	1	272.47	99	-491.65	49	-137.41	49	372.06	33	4275.00	99
605	Max	-189	0.00	1	0.00	1	0.00	1	272.47	99	-491.65	49	-137.41	49	372.06	33	4275.00	99
605	Min.	-190	0.00	1	0.00	1	0.00	1	-38.70	104	-1968.04	98	-783.53	98	-457.17	49	2034.84	104
605	Min.	-178	0.00	1	0.00	1	0.00	1	-38.70	104	-1968.04	98	-783.53	98	-457.17	49	2034.84	104
605	Min.	-177	0.00	1	0.00	1	0.00	1	-38.70	104	-1968.04	98	-783.53	98	-457.17	49	2034.84	104
605	Min.	-189	0.00	1	0.00	1	0.00	1	-38.70	104	-1968.04	98	-783.53	98	-457.17	49	2034.84	104
605	Max	-214	0.00	1	0.00	1	0.00	1	-45.68	49	-581.29	49	-90.57	49	1109.75	99	-218.83	49
605	Max	-202	0.00	1	0.00	1	0.00	1	-45.68	49	-581.29	49	-90.57	49	1109.75	99	-218.83	49
605	Max	-201	0.00	1	0.00	1	0.00	1	-45.68	49	-581.29	49	-90.57	49	1109.75	99	-218.83	49
605	Max	-213	0.00	1	0.00	1	0.00	1	-45.68	49	-581.29	49	-90.57	49	1109.75	99	-218.83	49
605	Min.	-214	0.00	1	0.00	1	0.00	1	-73.91	98	-2316.15	98	-274.96	100	-452.66	104	-521.85	100
605	Min.	-202	0.00	1	0.00	1	0.00	1	-73.91	98	-2316.15	98	-274.96	100	-452.66	104	-521.85	100
605	Min.	-201	0.00	1	0.00	1	0.00	1	-73.91	98	-2316.15	98	-274.96	100	-452.66	104	-521.85	100
605	Min.	-213	0.00	1	0.00	1	0.00	1	-73.91	98	-2316.15	98	-274.96	100	-452.66	104	-521.85	100
605	Max	-29	0.00	1	0.00	1	0.00	1	-152.33	33	-854.11	33	697.22	100	-2195.94	104	2362.93	99
605	Max	-17	0.00	1	0.00	1	0.00	1	-152.33	33	-854.11	33	697.22	100	-2195.94	104	2362.93	99
605	Max	-16	0.00	1	0.00	1	0.00	1	-152.33	33	-854.11	33	697.22	100	-2195.94	104	2362.93	99
605	Max	-28	0.00	1	0.00	1	0.00	1	-152.33	33	-854.11	33	697.22	100	-2195.94	104	2362.93	99
605	Min.	-29	0.00	1	0.00	1	0.00	1	-312.09	98	-2890.52	98	342.58	33	-4895.61	99	1041.24	33
605	Min.	-17	0.00	1	0.00	1	0.00	1	-312.09	98	-2890.52	98	342.58	33	-4895.61	99	1041.24	33
605	Min.	-16	0.00	1	0.00	1	0.00	1	-312.09	98	-2890.52	98	342.58	33	-4895.61	99	1041.24	33
605	Min.	-28	0.00	1	0.00	1	0.00	1	-312.09	98	-2890.52	98	342.58	33	-4895.61	99	1041.24	33
605	Max	-42	0.00	1	0.00	1	0.00	1	48.85	104	187.89	49	402.95	49	260.02	49	3420.65	99
605	Max	-30	0.00	1	0.00	1	0.00	1	48.85	104	187.89	49	402.95	49	260.02	49	3420.65	99
605	Max	-29	0.00	1	0.00	1	0.00	1	48.85	104	187.89	49	402.95	49	260.02	49	3420.65	99
605	Max	-41	0.00	1	0.00	1	0.00	1	48.85	104	187.89	49	402.95	49	260.02	49	3420.65	99
605	Min.	-42	0.00	1	0.00	1	0.00	1	-90.09	99	-112.50	33	-3.56	33	-542.73	33	1090.06	33
605	Min.	-30	0.00	1	0.00	1	0.00	1	-90.09	99	-112.50	33	-3.56	33	-542.73	33	1090.06	33
605	Min.	-29	0.00	1	0.00	1	0.00	1	-90.09	99	-112.50	33	-3.56	33	-542.73	33	1090.06	33
605	Min.	-41	0.00	1	0.00	1	0.00	1	-90.09	99	-112.50	33	-3.56	33	-542.73	33	1090.06	33
605	Max	20	0.00	1	0.00	1	0.00	1	1221.86	100	-1262.47	101	1186.16	49	26569.00	100	-4687.87	49
605	Max	-77	0.00	1	0.00	1	0.00	1	1221.86	100	-1262.47	101	1186.16	49	26569.00	100	-4687.87	49

605	Max	-76	0.00	1	0.00	1	0.00	1	1221.86	100	-1262.47	101	1186.16	49	26569.00	100	-4687.87	49
605	Max	-88	0.00	1	0.00	1	0.00	1	1221.86	100	-1262.47	101	1186.16	49	26569.00	100	-4687.87	49
605	Min.	20	0.00	1	0.00	1	0.00	1	446.96	103	-4123.22	98	-127.22	33	17949.30	103	-8270.83	100
605	Min.	-77	0.00	1	0.00	1	0.00	1	446.96	103	-4123.22	98	-127.22	33	17949.30	103	-8270.83	100
605	Min.	-76	0.00	1	0.00	1	0.00	1	446.96	103	-4123.22	98	-127.22	33	17949.30	103	-8270.83	100
605	Min.	-88	0.00	1	0.00	1	0.00	1	446.96	103	-4123.22	98	-127.22	33	17949.30	103	-8270.83	100
605	Max	-100	0.00	1	0.00	1	0.00	1	953.65	100	12.71	49	463.00	49	276.86	97	1972.97	49
605	Max	-89	0.00	1	0.00	1	0.00	1	953.65	100	12.71	49	463.00	49	276.86	97	1972.97	49
605	Max	20	0.00	1	0.00	1	0.00	1	953.65	100	12.71	49	463.00	49	276.86	97	1972.97	49
605	Max	-99	0.00	1	0.00	1	0.00	1	953.65	100	12.71	49	463.00	49	276.86	97	1972.97	49
605	Min.	-100	0.00	1	0.00	1	0.00	1	610.40	103	-25.27	33	-303.98	33	150.29	33	-1455.84	33
605	Min.	-89	0.00	1	0.00	1	0.00	1	610.40	103	-25.27	33	-303.98	33	150.29	33	-1455.84	33
605	Min.	20	0.00	1	0.00	1	0.00	1	610.40	103	-25.27	33	-303.98	33	150.29	33	-1455.84	33
605	Min.	-99	0.00	1	0.00	1	0.00	1	610.40	103	-25.27	33	-303.98	33	150.29	33	-1455.84	33
605	Max	-99	0.00	1	0.00	1	0.00	1	649.91	99	-1585.96	101	900.50	49	21689.60	100	5445.61	99
605	Max	20	0.00	1	0.00	1	0.00	1	649.91	99	-1585.96	101	900.50	49	21689.60	100	5445.61	99
605	Max	-88	0.00	1	0.00	1	0.00	1	649.91	99	-1585.96	101	900.50	49	21689.60	100	5445.61	99
605	Max	-98	0.00	1	0.00	1	0.00	1	649.91	99	-1585.96	101	900.50	49	21689.60	100	5445.61	99
605	Min.	-99	0.00	1	0.00	1	0.00	1	340.70	104	-4365.49	98	-418.47	33	14792.60	103	3425.69	33
605	Min.	20	0.00	1	0.00	1	0.00	1	340.70	104	-4365.49	98	-418.47	33	14792.60	103	3425.69	33
605	Min.	-88	0.00	1	0.00	1	0.00	1	340.70	104	-4365.49	98	-418.47	33	14792.60	103	3425.69	33
605	Min.	-98	0.00	1	0.00	1	0.00	1	340.70	104	-4365.49	98	-418.47	33	14792.60	103	3425.69	33
605	Max	-121	0.00	1	0.00	1	0.00	1	762.03	99	-1769.63	101	561.29	49	20525.00	98	4596.69	99
605	Max	22	0.00	1	0.00	1	0.00	1	762.03	99	-1769.63	101	561.29	49	20525.00	98	4596.69	99
605	Max	-110	0.00	1	0.00	1	0.00	1	762.03	99	-1769.63	101	561.29	49	20525.00	98	4596.69	99
605	Max	-120	0.00	1	0.00	1	0.00	1	762.03	99	-1769.63	101	561.29	49	20525.00	98	4596.69	99
605	Min.	-121	0.00	1	0.00	1	0.00	1	322.52	104	-4541.05	98	-790.00	33	14723.90	101	2576.99	33
605	Min.	22	0.00	1	0.00	1	0.00	1	322.52	104	-4541.05	98	-790.00	33	14723.90	101	2576.99	33
605	Min.	-110	0.00	1	0.00	1	0.00	1	322.52	104	-4541.05	98	-790.00	33	14723.90	101	2576.99	33
605	Min.	-120	0.00	1	0.00	1	0.00	1	322.52	104	-4541.05	98	-790.00	33	14723.90	101	2576.99	33
605	Max	-15	0.00	1	0.00	1	0.00	1	9.79	33	-203.44	33	159.28	49	536.25	100	-94.81	103
605	Max	-3	0.00	1	0.00	1	0.00	1	9.79	33	-203.44	33	159.28	49	536.25	100	-94.81	103
605	Max	-2	0.00	1	0.00	1	0.00	1	9.79	33	-203.44	33	159.28	49	536.25	100	-94.81	103
605	Max	-14	0.00	1	0.00	1	0.00	1	9.79	33	-203.44	33	159.28	49	536.25	100	-94.81	103
605	Min.	-15	0.00	1	0.00	1	0.00	1	-7.29	49	-1069.83	98	8.75	33	-125.66	103	-220.09	100
605	Min.	-3	0.00	1	0.00	1	0.00	1	-7.29	49	-1069.83	98	8.75	33	-125.66	103	-220.09	100
605	Min.	-2	0.00	1	0.00	1	0.00	1	-7.29	49	-1069.83	98	8.75	33	-125.66	103	-220.09	100
605	Min.	-14	0.00	1	0.00	1	0.00	1	-7.29	49	-1069.83	98	8.75	33	-125.66	103	-220.09	100
605	Max	-204	0.00	1	0.00	1	0.00	1	133.00	99	495.07	33	-56.68	49	2170.59	100	73.70	49
605	Max	-192	0.00	1	0.00	1	0.00	1	133.00	99	495.07	33	-56.68	49	2170.59	100	73.70	49
605	Max	-191	0.00	1	0.00	1	0.00	1	133.00	99	495.07	33	-56.68	49	2170.59	100	73.70	49
605	Max	-203	0.00	1	0.00	1	0.00	1	133.00	99	495.07	33	-56.68	49	2170.59	100	73.70	49
605	Min.	-204	0.00	1	0.00	1	0.00	1	32.64	104	79.86	49	-241.47	98	820.89	49	-1051.18	33
605	Min.	-192	0.00	1	0.00	1	0.00	1	32.64	104	79.86	49	-241.47	98	820.89	49	-1051.18	33
605	Min.	-191	0.00	1	0.00	1	0.00	1	32.64	104	79.86	49	-241.47	98	820.89	49	-1051.18	33
605	Min.	-203	0.00	1	0.00	1	0.00	1	32.64	104	79.86	49	-241.47	98	820.89	49	-1051.18	33
605	Max	-156	0.00	1	0.00	1	0.00	1	688.97	99	128.35	98	109.11	49	640.06	98	1677.76	49
605	Max	-144	0.00	1	0.00	1	0.00	1	688.97	99	128.35	98	109.11	49	640.06	98	1677.76	49
605	Max	-143	0.00	1	0.00	1	0.00	1	688.97	99	128.35	98	109.11	49	640.06	98	1677.76	49
605	Max	-155	0.00	1	0.00	1	0.00	1	688.97	99	128.35	98	109.11	49	640.06	98	1677.76	49
605	Min.	-156	0.00	1	0.00	1	0.00	1	365.78	104	16.39	101	-578.60	33	239.90	49	-1588.09	33
605	Min.	-144	0.00	1	0.00	1	0.00	1	365.78	104	16.39	101	-578.60	33	239.90	49	-1588.09	33
605	Min.	-143	0.00	1	0.00	1	0.00	1	365.78	104	16.39	101	-578.60	33	239.90	49	-1588.09	33
605	Min.	-155	0.00	1	0.00	1	0.00	1	365.78	104	16.39	101	-578.60	33	239.90	49	-1588.09	33
605	Max	-96	0.00	1	0.00	1	0.00	1	1793.89	98	368.03	98	492.69	49	-839.25	49	1156.24	33
605	Max	-86	0.00	1	0.00	1	0.00	1	1793.89	98	368.03	98	492.69	49	-839.25	49	1156.24	33
605	Max	-85	0.00	1	0.00	1	0.00	1	1793.89	98	368.03	98	492.69	49	-839.25	49	1156.24	33
605	Max	-95	0.00	1	0.00	1	0.00	1	1793.89	98	368.03	98	492.69	49	-839.25	49	1156.24	33
605	Min.	-96	0.00	1	0.00	1	0.00	1	1126.77	49	192.77	101	-16.66	33	-1409.85	98	-1085.86	49
605	Min.	-86	0.00	1	0.00	1	0.00	1	1126.77	49	192.77	101	-16.66	33	-1409.85	98	-1085.86	49
605	Min.	-85	0.00	1	0.00	1	0.00	1	1126.77	49	192.77	101	-16.66	33	-1409.85	98	-1085.86	49
605	Min.	-95	0.00	1	0.00	1	0.00	1	1126.77	49	192.77	101	-16.66	33	-1409.85	98	-1085.86	49
605	Max	-118	0.00	1	0.00	1	0.00	1	2005.47	98	391.71	98	269.17	49	-740.16	101	2817.51	33
605	Max	-108	0.00	1	0.00	1	0.00	1	2005.47	98	391.71	98	269.17	49	-740.16	101	2817.51	33
605	Max	-107	0.00	1	0.00	1	0.00	1	2005.47	98	391.71	98	269.17	49	-740.16	101	2817.51	33
605	Max	-117	0.00	1	0.00	1	0.00	1	2005.47	98	391.71	98	269.17	49	-740.16	101	2817.51	33
605	Min.	-118	0.00	1	0.00	1	0.00	1	1267.17	101	239.23	101	-282.62	33	-1150.28	98	421.27	49
605	Min.	-108	0.00	1	0.00	1	0.00	1	1267.17	101	239.23	101	-282.62	33	-1150.28	98	421.27	49
605	Min.	-107	0.00	1	0.00	1	0.00	1	1267.17	101	239.23	101	-282.62	33	-1150.28	98	421.27	49
605	Min.	-117	0.00	1	0.00	1	0.00	1	1267.17	101	239.23	101	-282.62	33	-1150.28	98	421.27	49
605	Max	-140	0.00	1	0.00	1	0.00	1	1733.71	99	411.36	98	114.37	49	-1262.58	33	5589.95	98
605	Max	-130	0.00	1	0.00	1	0.00	1	1733.71	99	411.36	98	114.37	49	-1262.58	33	5589.95	98
605	Max	-129	0.00	1	0.00	1	0.00	1	1733.71	99	411.36	98	114.37	49	-1262.58	33	5589.95	98
605	Max	-139	0.00	1	0.00	1	0.00	1	1733.71	99	411.36	98	114.37	49	-1262.58	33	5589.95	98
605	Min.	-140	0.00	1	0.00	1	0.00	1	877.53	33	134.38	101	-362.80	33	-2185.39	98	2872.82	49
605	Min.	-130	0.00	1	0.00	1	0.00	1	877.53	33	134.38	101	-362.80	33	-2185.39	98	2872.82	49
605	Min.	-129	0.00	1	0.00	1	0.00	1	877.53	33	134.38	101	-362.80	33	-2185.39	98	2872.82	49
605	Min.	-139	0.00	1	0.00	1	0.00	1	877.53	33	134.38	101	-362.80	33	-2185.39	98	2872.82	49
605	Max	-179	0.00	1	0.00	1	0.00	1	256.33	100	-1029.04	101	312.84	49	32076.40	99	-3628.83	102
605	Max	-167	0.00	1	0.00	1	0.00	1	256.33	100	-1029.04	101	312.84	49	32076.40	99	-3628.83	102
605	Max	-166	0.00	1	0.00	1	0.00	1	256.33	100	-1029.04	101	312.84	49	32076.40	99	-3628.83	102
605	Max	-178	0.00	1	0.00	1	0.00	1	256.33	100	-1029.04	101	312.84	49	32076.40	99	-3628.83	102
605	Min.	-179	0.00	1	0.00	1	0.00	1	56.98	103	-3850.03	98	-797.13	33	20495.00	104	-5178.16	97
605	Min.	-167	0.00	1	0.00	1	0.00	1	56.98	103	-3850.03	98	-797.13	33	20495.00	104	-5178.16	97
605	Min.	-166	0.00	1	0.00	1	0.00	1	56.98	103	-3850.03	98	-797.13	33	20495.00	104	-5178.16	97
605	Min.	-178	0.00	1	0.00	1	0.00	1	56.98	103	-3850.03	98	-797.13	33	20495.00	104	-5178.16	97
605	Max	-30	0.00	1	0.00	1	0.00	1	129.11	100	494.75	49	236.34	98	2146.52	99	1041.95	49
605	Max	-18	0.00	1	0.00	1	0.00	1	129.11	100	494.75	49	236.34	98	2146.52	99	1041.95	49
605	Max	-17	0.00	1	0.00	1	0.00	1	129.11	100	494.75	49	236.34	98	2146.52	99	1041.95	49
605	Max	-29	0.00	1	0.00	1	0.00	1	129.11	100	494.75	49	236.34	98	2146.52	99	1041.95	49
605	Min.	-30	0.00	1	0.00	1	0.00	1	32.70	103	80.69	33	56.88	33	798.68	33	-58.75	33
605	Min.	-18	0.00	1	0.00	1	0.00	1	32.70	103	80.69	33	56.88	33	798.68	33	-58.75	33
605	Min.	-17	0.00	1	0.00	1	0.00	1	32.70	103	80.69	33	56.88	33	798.68	33	-58.75	33
605	Min.	-29	0.00	1	0.00	1	0.00	1	32.70	103	80.69	33	56.88	33	798.68	33	-58.75	33
605	Max	-213	0.00	1	0.00	1	0.00	1	11.06	49	-205.31	49	-10.80	49	531.50	99	241.78	99
605	Max	-201	0.00	1	0.00	1	0.00	1	11.06	49	-205.31	49	-10.80	49	531.50	99	241.78	99
605	Max	-200	0.00	1	0.00	1	0.00	1	11.06	49	-205.31	49	-10.80	49	531.50	99	241.78	99
605	Max	-212	0.00	1	0.00	1	0.00	1	11.06	49	-205.31	49	-10.80	49	531.50	99	241.78	99
605	Min.	-213	0.00	1	0.00	1	0.00	1	-7.97	33	-1072.22	98	-169.21	33	-122.86	104	106.06	104
605	Min.	-201	0.00	1	0.00	1	0.00	1	-7.97	33	-1072.22	98	-169.21	33	-122.86	104	106.06	104
605	Min.	-200	0.00	1	0.00	1	0.00	1	-7.97	33	-1072.22	98	-169.21	33	-122.86	104	106.06	104
605	Min.	-212	0.00	1	0.00	1	0.00	1	-7.97	33	-1072.22	98	-169.21	33	-122.86	104	106.06	104
605	Max	-122	0.00	1	0.00	1	0.00	1	980.90	99	-33.48	101	334.30	49	-17.59	33	1280.22	49
605	Max	-111	0.00	1	0.00	1	0.00	1	980.90	99	-33.48	101	334.30	49	-17.59	33	1280.22	49
605	Max	22	0.00	1	0.00	1	0.00	1	980.90	99	-33.48	101	334.30	49	-17.59	33	1280.22	49

605	Max	-121	0.00	1	0.00	1	0.00	1	980.90	99	-33.48	101	334.30	49	-17.59	33	1280.22	49
605	Min.	-122	0.00	1	0.00	1	0.00	1	654.40	104	-63.34	98	-456.98	33	-78.88	98	-2248.03	33
605	Min.	-111	0.00	1	0.00	1	0.00	1	654.40	104	-63.34	98	-456.98	33	-78.88	98	-2248.03	33
605	Min.	22	0.00	1	0.00	1	0.00	1	654.40	104	-63.34	98	-456.98	33	-78.88	98	-2248.03	33
605	Min.	-121	0.00	1	0.00	1	0.00	1	654.40	104	-63.34	98	-456.98	33	-78.88	98	-2248.03	33
605	Max	24	0.00	1	0.00	1	0.00	1	662.82	100	-1584.42	101	409.64	49	21720.80	99	-3418.95	49
605	Max	-121	0.00	1	0.00	1	0.00	1	662.82	100	-1584.42	101	409.64	49	21720.80	99	-3418.95	49
605	Max	-120	0.00	1	0.00	1	0.00	1	662.82	100	-1584.42	101	409.64	49	21720.80	99	-3418.95	49
605	Max	-132	0.00	1	0.00	1	0.00	1	662.82	100	-1584.42	101	409.64	49	21720.80	99	-3418.95	49
605	Min.	24	0.00	1	0.00	1	0.00	1	352.29	103	-4364.98	98	-910.09	33	14817.60	104	-5439.38	100
605	Min.	-121	0.00	1	0.00	1	0.00	1	352.29	103	-4364.98	98	-910.09	33	14817.60	104	-5439.38	100
605	Min.	-120	0.00	1	0.00	1	0.00	1	352.29	103	-4364.98	98	-910.09	33	14817.60	104	-5439.38	100
605	Min.	-132	0.00	1	0.00	1	0.00	1	352.29	103	-4364.98	98	-910.09	33	14817.60	104	-5439.38	100
605	Max	-108	0.00	1	0.00	1	0.00	1	2000.87	98	388.68	98	280.96	49	-732.10	101	-417.77	33
605	Max	-96	0.00	1	0.00	1	0.00	1	2000.87	98	388.68	98	280.96	49	-732.10	101	-417.77	33
605	Max	-95	0.00	1	0.00	1	0.00	1	2000.87	98	388.68	98	280.96	49	-732.10	101	-417.77	33
605	Max	-107	0.00	1	0.00	1	0.00	1	2000.87	98	388.68	98	280.96	49	-732.10	101	-417.77	33
605	Min.	-108	0.00	1	0.00	1	0.00	1	1264.48	101	238.13	101	-271.29	33	-1133.50	98	-2814.56	49
605	Min.	-96	0.00	1	0.00	1	0.00	1	1264.48	101	238.13	101	-271.29	33	-1133.50	98	-2814.56	49
605	Min.	-95	0.00	1	0.00	1	0.00	1	1264.48	101	238.13	101	-271.29	33	-1133.50	98	-2814.56	49
605	Min.	-107	0.00	1	0.00	1	0.00	1	1264.48	101	238.13	101	-271.29	33	-1133.50	98	-2814.56	49
605	Max	-130	0.00	1	0.00	1	0.00	1	1807.56	98	371.61	98	18.44	49	-845.39	33	1104.87	33
605	Max	-118	0.00	1	0.00	1	0.00	1	1807.56	98	371.61	98	18.44	49	-845.39	33	1104.87	33
605	Max	-117	0.00	1	0.00	1	0.00	1	1807.56	98	371.61	98	18.44	49	-845.39	33	1104.87	33
605	Max	-129	0.00	1	0.00	1	0.00	1	1807.56	98	371.61	98	18.44	49	-845.39	33	1104.87	33
605	Min.	-130	0.00	1	0.00	1	0.00	1	1135.20	33	194.47	101	-490.58	33	-1420.59	98	-1136.91	49
605	Min.	-118	0.00	1	0.00	1	0.00	1	1135.20	33	194.47	101	-490.58	33	-1420.59	98	-1136.91	49
605	Min.	-117	0.00	1	0.00	1	0.00	1	1135.20	33	194.47	101	-490.58	33	-1420.59	98	-1136.91	49
605	Min.	-129	0.00	1	0.00	1	0.00	1	1135.20	33	194.47	101	-490.58	33	-1420.59	98	-1136.91	49
605	Max	-164	0.00	1	0.00	1	0.00	1	530.40	99	18.85	49	2.15	49	819.57	98	3445.89	98
605	Max	-152	0.00	1	0.00	1	0.00	1	530.40	99	18.85	49	2.15	49	819.57	98	3445.89	98
605	Max	-151	0.00	1	0.00	1	0.00	1	530.40	99	18.85	49	2.15	49	819.57	98	3445.89	98
605	Max	-163	0.00	1	0.00	1	0.00	1	530.40	99	18.85	49	2.15	49	819.57	98	3445.89	98
605	Min.	-164	0.00	1	0.00	1	0.00	1	120.89	33	-139.36	98	-426.14	33	254.94	49	1648.28	49
605	Min.	-152	0.00	1	0.00	1	0.00	1	120.89	33	-139.36	98	-426.14	33	254.94	49	1648.28	49
605	Min.	-151	0.00	1	0.00	1	0.00	1	120.89	33	-139.36	98	-426.14	33	254.94	49	1648.28	49
605	Min.	-163	0.00	1	0.00	1	0.00	1	120.89	33	-139.36	98	-426.14	33	254.94	49	1648.28	49
605	Max	-188	0.00	1	0.00	1	0.00	1	109.78	49	-51.16	49	-46.29	49	746.87	98	1402.20	98
605	Max	-176	0.00	1	0.00	1	0.00	1	109.78	49	-51.16	49	-46.29	49	746.87	98	1402.20	98
605	Max	-175	0.00	1	0.00	1	0.00	1	109.78	49	-51.16	49	-46.29	49	746.87	98	1402.20	98
605	Max	-187	0.00	1	0.00	1	0.00	1	109.78	49	-51.16	49	-46.29	49	746.87	98	1402.20	98
605	Min.	-188	0.00	1	0.00	1	0.00	1	-53.71	33	-272.32	98	-313.66	33	200.94	49	683.05	49
605	Min.	-176	0.00	1	0.00	1	0.00	1	-53.71	33	-272.32	98	-313.66	33	200.94	49	683.05	49
605	Min.	-175	0.00	1	0.00	1	0.00	1	-53.71	33	-272.32	98	-313.66	33	200.94	49	683.05	49
605	Min.	-187	0.00	1	0.00	1	0.00	1	-53.71	33	-272.32	98	-313.66	33	200.94	49	683.05	49
605	Max	-212	0.00	1	0.00	1	0.00	1	4.95	49	-56.81	49	-9.12	49	326.68	98	127.86	98
605	Max	-200	0.00	1	0.00	1	0.00	1	4.95	49	-56.81	49	-9.12	49	326.68	98	127.86	98
605	Max	-199	0.00	1	0.00	1	0.00	1	4.95	49	-56.81	49	-9.12	49	326.68	98	127.86	98
605	Max	-211	0.00	1	0.00	1	0.00	1	4.95	49	-56.81	49	-9.12	49	326.68	98	127.86	98
605	Min.	-212	0.00	1	0.00	1	0.00	1	-3.03	33	-265.21	98	-51.99	33	32.80	101	62.08	101
605	Min.	-200	0.00	1	0.00	1	0.00	1	-3.03	33	-265.21	98	-51.99	33	32.80	101	62.08	101
605	Min.	-199	0.00	1	0.00	1	0.00	1	-3.03	33	-265.21	98	-51.99	33	32.80	101	62.08	101
605	Min.	-211	0.00	1	0.00	1	0.00	1	-3.03	33	-265.21	98	-51.99	33	32.80	101	62.08	101
605	Max	-165	0.00	1	0.00	1	0.00	1	447.17	99	-196.45	49	-140.90	49	2480.22	98	1919.89	99
605	Max	-153	0.00	1	0.00	1	0.00	1	447.17	99	-196.45	49	-140.90	49	2480.22	98	1919.89	99
605	Max	-152	0.00	1	0.00	1	0.00	1	447.17	99	-196.45	49	-140.90	49	2480.22	98	1919.89	99
605	Max	-164	0.00	1	0.00	1	0.00	1	447.17	99	-196.45	49	-140.90	49	2480.22	98	1919.89	99
605	Min.	-165	0.00	1	0.00	1	0.00	1	81.93	33	-889.05	98	-953.00	33	1174.50	49	1083.32	104
605	Min.	-153	0.00	1	0.00	1	0.00	1	81.93	33	-889.05	98	-953.00	33	1174.50	49	1083.32	104
605	Min.	-152	0.00	1	0.00	1	0.00	1	81.93	33	-889.05	98	-953.00	33	1174.50	49	1083.32	104
605	Min.	-164	0.00	1	0.00	1	0.00	1	81.93	33	-889.05	98	-953.00	33	1174.50	49	1083.32	104
605	Max	-189	0.00	1	0.00	1	0.00	1	119.75	49	-292.23	49	-72.29	49	1668.16	98	384.56	99
605	Max	-177	0.00	1	0.00	1	0.00	1	119.75	49	-292.23	49	-72.29	49	1668.16	98	384.56	99
605	Max	-176	0.00	1	0.00	1	0.00	1	119.75	49	-292.23	49	-72.29	49	1668.16	98	384.56	99
605	Max	-188	0.00	1	0.00	1	0.00	1	119.75	49	-292.23	49	-72.29	49	1668.16	98	384.56	99
605	Min.	-189	0.00	1	0.00	1	0.00	1	-21.77	33	-1139.05	98	-643.65	33	625.85	49	112.50	104
605	Min.	-177	0.00	1	0.00	1	0.00	1	-21.77	33	-1139.05	98	-643.65	33	625.85	49	112.50	104
605	Min.	-176	0.00	1	0.00	1	0.00	1	-21.77	33	-1139.05	98	-643.65	33	625.85	49	112.50	104
605	Min.	-188	0.00	1	0.00	1	0.00	1	-21.77	33	-1139.05	98	-643.65	33	625.85	49	112.50	104
605	Max	-78	0.00	1	0.00	1	0.00	1	688.50	100	127.06	98	573.83	49	636.45	98	1554.15	49
605	Max	-66	0.00	1	0.00	1	0.00	1	688.50	100	127.06	98	573.83	49	636.45	98	1554.15	49
605	Max	-65	0.00	1	0.00	1	0.00	1	688.50	100	127.06	98	573.83	49	636.45	98	1554.15	49
605	Max	-77	0.00	1	0.00	1	0.00	1	688.50	100	127.06	98	573.83	49	636.45	98	1554.15	49
605	Min.	-78	0.00	1	0.00	1	0.00	1	365.66	103	15.87	33	-113.71	33	237.74	33	-1716.17	33
605	Min.	-66	0.00	1	0.00	1	0.00	1	365.66	103	15.87	33	-113.71	33	237.74	33	-1716.17	33
605	Min.	-65	0.00	1	0.00	1	0.00	1	365.66	103	15.87	33	-113.71	33	237.74	33	-1716.17	33
605	Min.	-77	0.00	1	0.00	1	0.00	1	365.66	103	15.87	33	-113.71	33	237.74	33	-1716.17	33
605	Max	22	0.00	1	0.00	1	0.00	1	751.37	100	-1771.53	101	776.24	49	20451.90	98	-2560.87	49
605	Max	-99	0.00	1	0.00	1	0.00	1	751.37	100	-1771.53	101	776.24	49	20451.90	98	-2560.87	49
605	Max	-98	0.00	1	0.00	1	0.00	1	751.37	100	-1771.53	101	776.24	49	20451.90	98	-2560.87	49
605	Max	-110	0.00	1	0.00	1	0.00	1	751.37	100	-1771.53	101	776.24	49	20451.90	98	-2560.87	49
605	Min.	22	0.00	1	0.00	1	0.00	1	317.09	103	-4541.82	98	-574.27	33	14665.80	101	-4568.51	100
605	Min.	-99	0.00	1	0.00	1	0.00	1	317.09	103	-4541.82	98	-574.27	33	14665.80	101	-4568.51	100
605	Min.	-98	0.00	1	0.00	1	0.00	1	317.09	103	-4541.82	98	-574.27	33	14665.80	101	-4568.51	100
605	Min.	-110	0.00	1	0.00	1	0.00	1	317.09	103	-4541.82	98	-574.27	33	14665.80	101	-4568.51	100
605	Max	-155	0.00	1	0.00	1	0.00	1	163.30	99	-1833.94	101	0.95	49	8381.25	99	2067.60	99
605	Max	-143	0.00	1	0.00	1	0.00	1	163.30	99	-1833.94	101	0.95	49	8381.25	99	2067.60	99
605	Max	-142	0.00	1	0.00	1	0.00	1	163.30	99	-1833.94	101	0.95	49	8381.25	99	2067.60	99
605	Max	-154	0.00	1	0.00	1	0.00	1	163.30	99	-1833.94	101	0.95	49	8381.25	99	2067.60	99
605	Min.	-155	0.00	1	0.00	1	0.00	1	-47.47	104	-3965.86	98	-1070.71	33	5284.20	104	588.71	33
605	Min.	-143	0.00	1	0.00	1	0.00	1	-47.47	104	-3965.86	98	-1070.71	33	5284.20	104	588.71	33
605	Min.	-142	0.00	1	0.00	1	0.00	1	-47.47	104	-3965.86	98	-1070.71	33	5284.20	104	588.71	33
605	Min.	-154	0.00	1	0.00	1	0.00	1	-47.47	104	-3965.86	98	-1070.71	33	5284.20	104	588.71	33
605	Max	-144	0.00	1	0.00	1	0.00	1	1006.36	99	30.42	101	157.03	49	487.53	97	1188.36	49
605	Max	-133	0.00	1	0.00	1	0.00	1	1006.36	99	30.42	101	157.03	49	487.53	97	1188.36	49
605	Max	24	0.00	1	0.00	1	0.00	1	1006.36	99	30.42	101	157.03	49	487.53	97	1188.36	49
605	Max	-143	0.00	1	0.00	1	0.00	1	1006.36	99	30.42	101	157.03	49	487.53	97	1188.36	49
605	Min.	-144	0.00	1	0.00	1	0.00	1	574.80	104	-46.32	98	-562.07	33	243.26	49	-2249.56	33
605	Min.	-133	0.00	1	0.00	1	0.00	1	574.80	104	-46.32	98	-562.07	33	243.26	49	-2249.56	33
605	Min.	24	0.00	1	0.00	1	0.00	1	574.80	104	-46.32	98	-562.07	33	243.26	49	-2249.56	33
605	Min.	-143	0.00	1	0.00	1	0.00	1	574.80	104	-46.32	98	-562.07	33	243.26	49	-2249.56	33
605	Max	-215	0.00	1	0.00	1	0.00	1	-90.89	49	-921.43	49	-204.75	49	-889.36	103	-689.40	49
605	Max	-203	0.00	1	0.00	1	0.00	1	-90.89	49	-921.43	49	-204.75	49	-889.36	103	-689.40	49
605	Max	-202	0.00	1	0.00	1	0.00	1	-90.89	49	-921.43	49	-204.75	49	-889.36	103	-689.40	49
605	Max	-214	0.00	1	0.00	1	0.00	1	-90.89	49	-921.43	49	-204.75	49	-889.36	103	-689.40	49

605	Min.	-215	0.00	1	0.00	1	0.00	1	-201.09	98	-3103.68	98	-404.74	98	-3797.60	100	-1577.21	100
605	Min.	-203	0.00	1	0.00	1	0.00	1	-201.09	98	-3103.68	98	-404.74	98	-3797.60	100	-1577.21	100
605	Min.	-202	0.00	1	0.00	1	0.00	1	-201.09	98	-3103.68	98	-404.74	98	-3797.60	100	-1577.21	100
605	Min.	-214	0.00	1	0.00	1	0.00	1	-201.09	98	-3103.68	98	-404.74	98	-3797.60	100	-1577.21	100
605	Max	-168	0.00	1	0.00	1	0.00	1	333.13	99	93.65	33	92.76	49	631.32	33	1372.80	49
605	Max	-156	0.00	1	0.00	1	0.00	1	333.13	99	93.65	33	92.76	49	631.32	33	1372.80	49
605	Max	-155	0.00	1	0.00	1	0.00	1	333.13	99	93.65	33	92.76	49	631.32	33	1372.80	49
605	Max	-167	0.00	1	0.00	1	0.00	1	333.13	99	93.65	33	92.76	49	631.32	33	1372.80	49
605	Min.	-168	0.00	1	0.00	1	0.00	1	156.80	104	-44.47	49	-548.40	33	167.92	49	-1500.92	33
605	Min.	-156	0.00	1	0.00	1	0.00	1	156.80	104	-44.47	49	-548.40	33	167.92	49	-1500.92	33
605	Min.	-155	0.00	1	0.00	1	0.00	1	156.80	104	-44.47	49	-548.40	33	167.92	49	-1500.92	33
605	Min.	-167	0.00	1	0.00	1	0.00	1	156.80	104	-44.47	49	-548.40	33	167.92	49	-1500.92	33
605	Max	-143	0.00	1	0.00	1	0.00	1	1203.26	99	-1262.77	101	111.93	49	26516.80	99	8205.09	99
605	Max	24	0.00	1	0.00	1	0.00	1	1203.26	99	-1262.77	101	111.93	49	26516.80	99	8205.09	99
605	Max	-132	0.00	1	0.00	1	0.00	1	1203.26	99	-1262.77	101	111.93	49	26516.80	99	8205.09	99
605	Max	-142	0.00	1	0.00	1	0.00	1	1203.26	99	-1262.77	101	111.93	49	26516.80	99	8205.09	99
605	Min.	-143	0.00	1	0.00	1	0.00	1	433.08	104	-4123.82	98	-1201.28	33	17912.60	104	4640.59	33
605	Min.	24	0.00	1	0.00	1	0.00	1	433.08	104	-4123.82	98	-1201.28	33	17912.60	104	4640.59	33
605	Min.	-132	0.00	1	0.00	1	0.00	1	433.08	104	-4123.82	98	-1201.28	33	17912.60	104	4640.59	33
605	Min.	-142	0.00	1	0.00	1	0.00	1	433.08	104	-4123.82	98	-1201.28	33	17912.60	104	4640.59	33
605	Max	-77	0.00	1	0.00	1	0.00	1	166.62	100	-1834.63	101	1066.46	49	8462.46	100	-615.09	49
605	Max	-65	0.00	1	0.00	1	0.00	1	166.62	100	-1834.63	101	1066.46	49	8462.46	100	-615.09	49
605	Max	-64	0.00	1	0.00	1	0.00	1	166.62	100	-1834.63	101	1066.46	49	8462.46	100	-615.09	49
605	Max	-76	0.00	1	0.00	1	0.00	1	166.62	100	-1834.63	101	1066.46	49	8462.46	100	-615.09	49
605	Min.	-77	0.00	1	0.00	1	0.00	1	-44.48	103	-3969.62	98	-5.32	33	5337.24	103	-2102.91	100
605	Min.	-65	0.00	1	0.00	1	0.00	1	-44.48	103	-3969.62	98	-5.32	33	5337.24	103	-2102.91	100
605	Min.	-64	0.00	1	0.00	1	0.00	1	-44.48	103	-3969.62	98	-5.32	33	5337.24	103	-2102.91	100
605	Min.	-76	0.00	1	0.00	1	0.00	1	-44.48	103	-3969.62	98	-5.32	33	5337.24	103	-2102.91	100
605	Max	-180	0.00	1	0.00	1	0.00	1	121.77	103	-12.51	33	25.08	49	-441.92	33	2641.58	49
605	Max	-168	0.00	1	0.00	1	0.00	1	121.77	103	-12.51	33	25.08	49	-441.92	33	2641.58	49
605	Max	-167	0.00	1	0.00	1	0.00	1	121.77	103	-12.51	33	25.08	49	-441.92	33	2641.58	49
605	Max	-179	0.00	1	0.00	1	0.00	1	121.77	103	-12.51	33	25.08	49	-441.92	33	2641.58	49
605	Min.	-180	0.00	1	0.00	1	0.00	1	-47.17	100	-208.31	98	-548.96	33	-1164.81	98	137.49	33
605	Min.	-168	0.00	1	0.00	1	0.00	1	-47.17	100	-208.31	98	-548.96	33	-1164.81	98	137.49	33
605	Min.	-167	0.00	1	0.00	1	0.00	1	-47.17	100	-208.31	98	-548.96	33	-1164.81	98	137.49	33
605	Min.	-179	0.00	1	0.00	1	0.00	1	-47.17	100	-208.31	98	-548.96	33	-1164.81	98	137.49	33
605	Max	-41	0.00	1	0.00	1	0.00	1	140.68	104	-968.15	33	963.62	49	22511.30	100	128.23	103
605	Max	-29	0.00	1	0.00	1	0.00	1	140.68	104	-968.15	33	963.62	49	22511.30	100	128.23	103
605	Max	-28	0.00	1	0.00	1	0.00	1	140.68	104	-968.15	33	963.62	49	22511.30	100	128.23	103
605	Max	-40	0.00	1	0.00	1	0.00	1	140.68	104	-968.15	33	963.62	49	22511.30	100	128.23	103
605	Min.	-41	0.00	1	0.00	1	0.00	1	-218.00	99	-3463.34	98	144.79	33	13724.90	103	-1781.25	100
605	Min.	-29	0.00	1	0.00	1	0.00	1	-218.00	99	-3463.34	98	144.79	33	13724.90	103	-1781.25	100
605	Min.	-28	0.00	1	0.00	1	0.00	1	-218.00	99	-3463.34	98	144.79	33	13724.90	103	-1781.25	100
605	Min.	-40	0.00	1	0.00	1	0.00	1	-218.00	99	-3463.34	98	144.79	33	13724.90	103	-1781.25	100
605	Max	-216	0.00	1	0.00	1	0.00	1	50.89	99	532.33	98	-66.72	101	1613.33	100	-199.28	49
605	Max	-204	0.00	1	0.00	1	0.00	1	50.89	99	532.33	98	-66.72	101	1613.33	100	-199.28	49
605	Max	-203	0.00	1	0.00	1	0.00	1	50.89	99	532.33	98	-66.72	101	1613.33	100	-199.28	49
605	Max	-215	0.00	1	0.00	1	0.00	1	50.89	99	532.33	98	-66.72	101	1613.33	100	-199.28	49
605	Min.	-216	0.00	1	0.00	1	0.00	1	22.27	104	148.66	49	-125.41	98	372.37	49	-818.16	100
605	Min.	-204	0.00	1	0.00	1	0.00	1	22.27	104	148.66	49	-125.41	98	372.37	49	-818.16	100
605	Min.	-203	0.00	1	0.00	1	0.00	1	22.27	104	148.66	49	-125.41	98	372.37	49	-818.16	100
605	Min.	-215	0.00	1	0.00	1	0.00	1	22.27	104	148.66	49	-125.41	98	372.37	49	-818.16	100
605	Max	-65	0.00	1	0.00	1	0.00	1	-60.08	101	-1618.21	33	798.30	49	10049.20	100	986.19	99
605	Max	-53	0.00	1	0.00	1	0.00	1	-60.08	101	-1618.21	33	798.30	49	10049.20	100	986.19	99
605	Max	-52	0.00	1	0.00	1	0.00	1	-60.08	101	-1618.21	33	798.30	49	10049.20	100	986.19	99
605	Max	-64	0.00	1	0.00	1	0.00	1	-60.08	101	-1618.21	33	798.30	49	10049.20	100	986.19	99
605	Min.	-65	0.00	1	0.00	1	0.00	1	-222.02	98	-3824.52	98	-232.78	33	6271.56	103	227.34	33
605	Min.	-53	0.00	1	0.00	1	0.00	1	-222.02	98	-3824.52	98	-232.78	33	6271.56	103	227.34	33
605	Min.	-52	0.00	1	0.00	1	0.00	1	-222.02	98	-3824.52	98	-232.78	33	6271.56	103	227.34	33
605	Min.	-64	0.00	1	0.00	1	0.00	1	-222.02	98	-3824.52	98	-232.78	33	6271.56	103	227.34	33
605	Max	-133	0.00	1	0.00	1	0.00	1	957.92	99	12.69	33	297.05	49	282.94	97	1438.41	49
605	Max	-122	0.00	1	0.00	1	0.00	1	957.92	99	12.69	33	297.05	49	282.94	97	1438.41	49
605	Max	-121	0.00	1	0.00	1	0.00	1	957.92	99	12.69	33	297.05	49	282.94	97	1438.41	49
605	Max	24	0.00	1	0.00	1	0.00	1	957.92	99	12.69	33	297.05	49	282.94	97	1438.41	49
605	Min.	-133	0.00	1	0.00	1	0.00	1	613.10	104	-25.19	49	-469.88	33	155.12	49	-1993.74	33
605	Min.	-122	0.00	1	0.00	1	0.00	1	613.10	104	-25.19	49	-469.88	33	155.12	49	-1993.74	33
605	Min.	-121	0.00	1	0.00	1	0.00	1	613.10	104	-25.19	49	-469.88	33	155.12	49	-1993.74	33
605	Min.	24	0.00	1	0.00	1	0.00	1	613.10	104	-25.19	49	-469.88	33	155.12	49	-1993.74	33
605	Max	-111	0.00	1	0.00	1	0.00	1	970.11	100	-33.68	101	453.51	49	-24.50	49	2206.40	49
605	Max	-100	0.00	1	0.00	1	0.00	1	970.11	100	-33.68	101	453.51	49	-24.50	49	2206.40	49
605	Max	-99	0.00	1	0.00	1	0.00	1	970.11	100	-33.68	101	453.51	49	-24.50	49	2206.40	49
605	Max	22	0.00	1	0.00	1	0.00	1	970.11	100	-33.68	101	453.51	49	-24.50	49	2206.40	49
605	Min.	-111	0.00	1	0.00	1	0.00	1	646.64	103	-62.65	98	-337.64	33	-86.54	98	-1321.76	33
605	Min.	-100	0.00	1	0.00	1	0.00	1	646.64	103	-62.65	98	-337.64	33	-86.54	98	-1321.76	33
605	Min.	-99	0.00	1	0.00	1	0.00	1	646.64	103	-62.65	98	-337.64	33	-86.54	98	-1321.76	33
605	Min.	22	0.00	1	0.00	1	0.00	1	646.64	103	-62.65	98	-337.64	33	-86.54	98	-1321.76	33
605	Max	-192	0.00	1	0.00	1	0.00	1	50.26	103	190.72	33	1.01	49	266.77	33	-1094.08	49
605	Max	-180	0.00	1	0.00	1	0.00	1	50.26	103	190.72	33	1.01	49	266.77	33	-1094.08	49
605	Max	-179	0.00	1	0.00	1	0.00	1	50.26	103	190.72	33	1.01	49	266.77	33	-1094.08	49
605	Max	-191	0.00	1	0.00	1	0.00	1	50.26	103	190.72	33	1.01	49	266.77	33	-1094.08	49
605	Min.	-192	0.00	1	0.00	1	0.00	1	-87.92	100	-109.56	49	-405.29	33	-534.51	49	-3419.23	100
605	Min.	-180	0.00	1	0.00	1	0.00	1	-87.92	100	-109.56	49	-405.29	33	-534.51	49	-3419.23	100
605	Min.	-179	0.00	1	0.00	1	0.00	1	-87.92	100	-109.56	49	-405.29	33	-534.51	49	-3419.23	100
605	Min.	-191	0.00	1	0.00	1	0.00	1	-87.92	100	-109.56	49	-405.29	33	-534.51	49	-3419.23	100
605	Max	-191	0.00	1	0.00	1	0.00	1	134.65	103	-962.86	49	-153.96	49	22421.20	99	1767.06	99
605	Max	-179	0.00	1	0.00	1	0.00	1	134.65	103	-962.86	49	-153.96	49	22421.20	99	1767.06	99
605	Max	-178	0.00	1	0.00	1	0.00	1	134.65	103	-962.86	49	-153.96	49	22421.20	99	1767.06	99
605	Max	-190	0.00	1	0.00	1	0.00	1	134.65	103	-962.86	49	-153.96	49	22421.20	99	1767.06	99
605	Min.	-191	0.00	1	0.00	1	0.00	1	-226.51	100	-3454.33	98	-973.73	33	13659.80	104	-138.79	104
605	Min.	-179	0.00	1	0.00	1	0.00	1	-226.51	100	-3454.33	98	-973.73	33	13659.80	104	-138.79	104
605	Min.	-178	0.00	1	0.00	1	0.00	1	-226.51	100	-3454.33	98	-973.73	33	13659.80	104	-138.79	104
605	Min.	-190	0.00	1	0.00	1	0.00	1	-226.51	100	-3454.33	98	-973.73	33	13659.80	104	-138.79	104
605	Max	-167	0.00	1	0.00	1	0.00	1	-51.43	101	-1608.11	49	226.92	49	10442.10	99	-325.97	49
605	Max	-155	0.00	1	0.00	1	0.00	1	-51.43	101	-1608.11	49	226.92	49	10442.10	99	-325.97	49
605	Max	-154	0.00	1	0.00	1	0.00	1	-51.43	101	-1608.11	49	226.92	49	10442.10	99	-325.97	49
605	Max	-166	0.00	1	0.00	1	0.00	1	-51.43	101	-1608.11	49	226.92	49	10442.10	99	-325.97	49
605	Min.	-167	0.00	1	0.00	1	0.00	1	-211.87	98	-3818.37	98	-805.63	33	6522.86	104	-1097.76	100
605	Min.	-155	0.00	1	0.00	1	0.00	1	-211.87	98	-3818.37	98	-805.63	33	6522.86	104	-1097.76	100
605	Min.	-154	0.00	1	0.00	1	0.00	1	-211.87	98	-3818.37	98	-805.63	33	6522.86	104	-1097.76	100
605	Min.	-166	0.00	1	0.00	1	0.00	1	-211.87	98	-3818.37	98	-805.63	33	6522.86	104	-1097.76	100
606	Max	-57	0.00	1	0.00	1	0.00	1	-173.81	104	1876.41	97	-235.79	49	381.30	49	-5124.64	33
606	Max	-45	0.00	1	0.00	1	0.00	1	-173.81	104	1876.41	97	-235.79	49	381.30	49	-5124.64	33
606	Max	-46	0.00	1	0.00	1	0.00	1	-173.81	104	1876.41	97	-235.79	49	381.30	49	-5124.64	33
606	Max	-58	0.00	1	0.00	1	0.00	1	-173.81	104	1876.41	97	-235.79	49	381.30	49	-5124.64	33
606	Min.	-57	0.00	1	0.00	1	0.00	1	-344.35	99	538.96	49	-985.45	33	-802.41	33	-7265.72	100

606	Min.	-45	0.00	1	0.00	1	0.00	1	-344.35	99	538.96	49	-985.45	33	-802.41	33	-7265.72	100
606	Min.	-46	0.00	1	0.00	1	0.00	1	-344.35	99	538.96	49	-985.45	33	-802.41	33	-7265.72	100
606	Min.	-58	0.00	1	0.00	1	0.00	1	-344.35	99	538.96	49	-985.45	33	-802.41	33	-7265.72	100
606	Max	-79	0.00	1	0.00	1	0.00	1	-365.66	103	-15.94	49	113.56	49	-238.29	49	1711.93	49
606	Max	-67	0.00	1	0.00	1	0.00	1	-365.66	103	-15.94	49	113.56	49	-238.29	49	1711.93	49
606	Max	-68	0.00	1	0.00	1	0.00	1	-365.66	103	-15.94	49	113.56	49	-238.29	49	1711.93	49
606	Max	-80	0.00	1	0.00	1	0.00	1	-365.66	103	-15.94	49	113.56	49	-238.29	49	1711.93	49
606	Min.	-79	0.00	1	0.00	1	0.00	1	-688.50	100	-127.06	97	-573.98	33	-636.45	97	-1558.39	33
606	Min.	-67	0.00	1	0.00	1	0.00	1	-688.50	100	-127.06	97	-573.98	33	-636.45	97	-1558.39	33
606	Min.	-68	0.00	1	0.00	1	0.00	1	-688.50	100	-127.06	97	-573.98	33	-636.45	97	-1558.39	33
606	Min.	-80	0.00	1	0.00	1	0.00	1	-688.50	100	-127.06	97	-573.98	33	-636.45	97	-1558.39	33
606	Max	-159	0.00	1	0.00	1	0.00	1	-107.59	49	2497.36	97	974.52	49	-3879.70	102	-1129.81	104
606	Max	-147	0.00	1	0.00	1	0.00	1	-107.59	49	2497.36	97	974.52	49	-3879.70	102	-1129.81	104
606	Max	-148	0.00	1	0.00	1	0.00	1	-107.59	49	2497.36	97	974.52	49	-3879.70	102	-1129.81	104
606	Max	-160	0.00	1	0.00	1	0.00	1	-107.59	49	2497.36	97	974.52	49	-3879.70	102	-1129.81	104
606	Min.	-159	0.00	1	0.00	1	0.00	1	-393.15	99	934.29	102	-52.30	33	-6261.26	97	-2384.53	99
606	Min.	-147	0.00	1	0.00	1	0.00	1	-393.15	99	934.29	102	-52.30	33	-6261.26	97	-2384.53	99
606	Min.	-148	0.00	1	0.00	1	0.00	1	-393.15	99	934.29	102	-52.30	33	-6261.26	97	-2384.53	99
606	Min.	-160	0.00	1	0.00	1	0.00	1	-393.15	99	934.29	102	-52.30	33	-6261.26	97	-2384.53	99
606	Max	-221	0.00	1	0.00	1	0.00	1	3.03	49	265.21	97	51.98	49	-32.80	102	-62.08	102
606	Max	-209	0.00	1	0.00	1	0.00	1	3.03	49	265.21	97	51.98	49	-32.80	102	-62.08	102
606	Max	-210	0.00	1	0.00	1	0.00	1	3.03	49	265.21	97	51.98	49	-32.80	102	-62.08	102
606	Max	-222	0.00	1	0.00	1	0.00	1	3.03	49	265.21	97	51.98	49	-32.80	102	-62.08	102
606	Min.	-221	0.00	1	0.00	1	0.00	1	-4.95	33	56.73	33	9.10	33	-326.68	97	-127.86	97
606	Min.	-209	0.00	1	0.00	1	0.00	1	-4.95	33	56.73	33	9.10	33	-326.68	97	-127.86	97
606	Min.	-210	0.00	1	0.00	1	0.00	1	-4.95	33	56.73	33	9.10	33	-326.68	97	-127.86	97
606	Min.	-222	0.00	1	0.00	1	0.00	1	-4.95	33	56.73	33	9.10	33	-326.68	97	-127.86	97
606	Max	-67	0.00	1	0.00	1	0.00	1	-160.20	103	42.10	49	97.52	49	-181.37	49	1390.75	49
606	Max	-55	0.00	1	0.00	1	0.00	1	-160.20	103	42.10	49	97.52	49	-181.37	49	1390.75	49
606	Max	-56	0.00	1	0.00	1	0.00	1	-160.20	103	42.10	49	97.52	49	-181.37	49	1390.75	49
606	Max	-68	0.00	1	0.00	1	0.00	1	-160.20	103	42.10	49	97.52	49	-181.37	49	1390.75	49
606	Min.	-67	0.00	1	0.00	1	0.00	1	-338.36	100	-95.06	33	-544.47	33	-644.13	33	-1496.56	33
606	Min.	-55	0.00	1	0.00	1	0.00	1	-338.36	100	-95.06	33	-544.47	33	-644.13	33	-1496.56	33
606	Min.	-56	0.00	1	0.00	1	0.00	1	-338.36	100	-95.06	33	-544.47	33	-644.13	33	-1496.56	33
606	Min.	-68	0.00	1	0.00	1	0.00	1	-338.36	100	-95.06	33	-544.47	33	-644.13	33	-1496.56	33
606	Max	-183	0.00	1	0.00	1	0.00	1	-187.27	103	1862.68	97	983.59	49	486.14	33	7566.99	99
606	Max	-171	0.00	1	0.00	1	0.00	1	-187.27	103	1862.68	97	983.59	49	486.14	33	7566.99	99
606	Max	-172	0.00	1	0.00	1	0.00	1	-187.27	103	1862.68	97	983.59	49	486.14	33	7566.99	99
606	Max	-184	0.00	1	0.00	1	0.00	1	-187.27	103	1862.68	97	983.59	49	486.14	33	7566.99	99
606	Min.	-183	0.00	1	0.00	1	0.00	1	-369.51	100	530.70	33	238.12	33	-708.79	49	5325.32	49
606	Min.	-171	0.00	1	0.00	1	0.00	1	-369.51	100	530.70	33	238.12	33	-708.79	49	5325.32	49
606	Min.	-172	0.00	1	0.00	1	0.00	1	-369.51	100	530.70	33	238.12	33	-708.79	49	5325.32	49
606	Min.	-184	0.00	1	0.00	1	0.00	1	-369.51	100	530.70	33	238.12	33	-708.79	49	5325.32	49
606	Max	-81	0.00	1	0.00	1	0.00	1	-110.01	33	2497.05	97	55.85	49	-3873.60	102	2394.07	100
606	Max	-69	0.00	1	0.00	1	0.00	1	-110.01	33	2497.05	97	55.85	49	-3873.60	102	2394.07	100
606	Max	-70	0.00	1	0.00	1	0.00	1	-110.01	33	2497.05	97	55.85	49	-3873.60	102	2394.07	100
606	Max	-82	0.00	1	0.00	1	0.00	1	-110.01	33	2497.05	97	55.85	49	-3873.60	102	2394.07	100
606	Min.	-81	0.00	1	0.00	1	0.00	1	-396.93	100	935.00	102	-971.24	33	-6252.08	97	1138.03	103
606	Min.	-69	0.00	1	0.00	1	0.00	1	-396.93	100	935.00	102	-971.24	33	-6252.08	97	1138.03	103
606	Min.	-70	0.00	1	0.00	1	0.00	1	-396.93	100	935.00	102	-971.24	33	-6252.08	97	1138.03	103
606	Min.	-82	0.00	1	0.00	1	0.00	1	-396.93	100	935.00	102	-971.24	33	-6252.08	97	1138.03	103
606	Max	-209	0.00	1	0.00	1	0.00	1	28.76	49	305.46	97	160.80	49	-173.35	33	-154.04	33
606	Max	-197	0.00	1	0.00	1	0.00	1	28.76	49	305.46	97	160.80	49	-173.35	33	-154.04	33
606	Max	-198	0.00	1	0.00	1	0.00	1	28.76	49	305.46	97	160.80	49	-173.35	33	-154.04	33
606	Max	-210	0.00	1	0.00	1	0.00	1	28.76	49	305.46	97	160.80	49	-173.35	33	-154.04	33
606	Min.	-209	0.00	1	0.00	1	0.00	1	-11.45	33	69.82	33	24.78	33	-612.04	97	-354.66	97
606	Min.	-197	0.00	1	0.00	1	0.00	1	-11.45	33	69.82	33	24.78	33	-612.04	97	-354.66	97
606	Min.	-198	0.00	1	0.00	1	0.00	1	-11.45	33	69.82	33	24.78	33	-612.04	97	-354.66	97
606	Min.	-210	0.00	1	0.00	1	0.00	1	-11.45	33	69.82	33	24.78	33	-612.04	97	-354.66	97
606	Max	-146	0.00	1	0.00	1	0.00	1	-433.08	104	4123.82	97	1200.87	49	-17912.60	104	-4642.11	104
606	Max	25	0.00	1	0.00	1	0.00	1	-433.08	104	4123.82	97	1200.87	49	-17912.60	104	-4642.11	104
606	Max	-135	0.00	1	0.00	1	0.00	1	-433.08	104	4123.82	97	1200.87	49	-17912.60	104	-4642.11	104
606	Max	-147	0.00	1	0.00	1	0.00	1	-433.08	104	4123.82	97	1200.87	49	-17912.60	104	-4642.11	104
606	Min.	-146	0.00	1	0.00	1	0.00	1	-1203.26	99	1262.77	102	-112.35	33	-26516.80	99	-8205.09	99
606	Min.	25	0.00	1	0.00	1	0.00	1	-1203.26	99	1262.77	102	-112.35	33	-26516.80	99	-8205.09	99
606	Min.	-135	0.00	1	0.00	1	0.00	1	-1203.26	99	1262.77	102	-112.35	33	-26516.80	99	-8205.09	99
606	Min.	-147	0.00	1	0.00	1	0.00	1	-1203.26	99	1262.77	102	-112.35	33	-26516.80	99	-8205.09	99
606	Max	-33	0.00	1	0.00	1	0.00	1	235.76	99	2343.79	97	-122.84	49	-1077.71	103	-837.85	104
606	Max	-21	0.00	1	0.00	1	0.00	1	235.76	99	2343.79	97	-122.84	49	-1077.71	103	-837.85	104
606	Max	-22	0.00	1	0.00	1	0.00	1	235.76	99	2343.79	97	-122.84	49	-1077.71	103	-837.85	104
606	Max	-34	0.00	1	0.00	1	0.00	1	235.76	99	2343.79	97	-122.84	49	-1077.71	103	-837.85	104
606	Min.	-33	0.00	1	0.00	1	0.00	1	157.56	49	588.94	49	-529.89	33	-3034.34	100	-1649.32	99
606	Min.	-21	0.00	1	0.00	1	0.00	1	157.56	49	588.94	49	-529.89	33	-3034.34	100	-1649.32	99
606	Min.	-22	0.00	1	0.00	1	0.00	1	157.56	49	588.94	49	-529.89	33	-3034.34	100	-1649.32	99
606	Min.	-34	0.00	1	0.00	1	0.00	1	157.56	49	588.94	49	-529.89	33	-3034.34	100	-1649.32	99
606	Max	-137	0.00	1	0.00	1	0.00	1	-1135.85	49	-194.47	102	490.54	49	1420.59	97	1137.39	33
606	Max	-127	0.00	1	0.00	1	0.00	1	-1135.85	49	-194.47	102	490.54	49	1420.59	97	1137.39	33
606	Max	-128	0.00	1	0.00	1	0.00	1	-1135.85	49	-194.47	102	490.54	49	1420.59	97	1137.39	33
606	Max	-138	0.00	1	0.00	1	0.00	1	-1135.85	49	-194.47	102	490.54	49	1420.59	97	1137.39	33
606	Min.	-137	0.00	1	0.00	1	0.00	1	-1807.56	97	-371.61	97	-18.48	33	845.42	49	-1104.39	49
606	Min.	-127	0.00	1	0.00	1	0.00	1	-1807.56	97	-371.61	97	-18.48	33	845.42	49	-1104.39	49
606	Min.	-128	0.00	1	0.00	1	0.00	1	-1807.56	97	-371.61	97	-18.48	33	845.42	49	-1104.39	49
606	Min.	-138	0.00	1	0.00	1	0.00	1	-1807.56	97	-371.61	97	-18.48	33	845.42	49	-1104.39	49
606	Max	-207	0.00	1	0.00	1	0.00	1	244.34	100	2339.63	97	539.84	49	-1119.88	104	1719.81	100
606	Max	-195	0.00	1	0.00	1	0.00	1	244.34	100	2339.63	97	539.84	49	-1119.88	104	1719.81	100
606	Max	-196	0.00	1	0.00	1	0.00	1	244.34	100	2339.63	97	539.84	49	-1119.88	104	1719.81	100
606	Max	-208	0.00	1	0.00	1	0.00	1	244.34	100	2339.63	97	539.84	49	-1119.88	104	1719.81	100
606	Min.	-207	0.00	1	0.00	1	0.00	1	163.80	33	585.15	33	124.53	33	-3084.65	99	882.01	103
606	Min.	-195	0.00	1	0.00	1	0.00	1	163.80	33	585.15	33	124.53	33	-3084.65	99	882.01	103
606	Min.	-196	0.00	1	0.00	1	0.00	1	163.80	33	585.15	33	124.53	33	-3084.65	99	882.01	103
606	Min.	-208	0.00	1	0.00	1	0.00	1	163.80	33	585.15	33	124.53	33	-3084.65	99	882.01	103
606	Max	-80	0.00	1	0.00	1	0.00	1	44.48	103	3969.63	97	5.09	49	-5337.24	103	2102.90	100
606	Max	-68	0.00	1	0.00	1	0.00	1	44.48	103	3969.63	97	5.09	49	-5337.24	103	2102.90	100
606	Max	-69	0.00	1	0.00	1	0.00	1	44.48	103	3969.63	97	5.09	49	-5337.24	103	2102.90	100
606	Max	-81	0.00	1	0.00	1	0.00	1	44.48	103	3969.63	97	5.09	49	-5337.24	103	2102.90	100
606	Min.	-80	0.00	1	0.00	1	0.00	1	-166.62	100	1834.63	102	-1066.69	33	-8462.46	100	610.68	33
606	Min.	-68	0.00	1	0.00	1	0.00	1	-166.62	100	1834.63	102	-1066.69	33	-8462.46	100	610.68	33
606	Min.	-69	0.00	1	0.00	1	0.00	1	-166.62	100	1834.63	102	-1066.69	33	-8462.46	100	610.68	33
606	Min.	-81	0.00	1	0.00	1	0.00	1	-166.62	100	1834.63	102	-1066.69	33	-8462.46	100	610.68	33
606	Max	-68	0.00	1	0.00	1	0.00	1	222.02	97	3824.53	97	232.42	49	-6271.56	103	-232.86	49
606	Max	-56	0.00	1	0.00	1	0.00	1	222.02	97	3824.53	97	232.42	49	-6271.56	103	-232.86	49
606	Max	-57	0.00	1	0.00	1	0.00	1	222.02	97	3824.53	97	232.42	49	-6271.56	103	-232.86	49
606	Max	-69	0.00	1	0.00	1	0.00	1	222.02	97	3824.53	97	232.42	49	-6271.56	103	-232.86	49
606	Min.	-68	0.00	1	0.00	1	0.00	1	60.08	102	1619.84	49	-798.66	33	-10049.20	100	-991.39	33
606	Min.	-56	0.00	1	0.00	1	0.00	1	60.08	102	1619.84	49	-798.66	33	-10049.20	100	-991.39	33

606	Min.	-57	0.00	1	0.00	1	0.00	1	60.08	102	1619.84	49	-798.66	33	-10049.20	100	-991.39	33
606	Min.	-69	0.00	1	0.00	1	0.00	1	60.08	102	1619.84	49	-798.66	33	-10049.20	100	-991.39	33
606	Max	-206	0.00	1	0.00	1	0.00	1	318.74	97	2873.55	97	710.99	99	4989.57	100	2407.18	100
606	Max	-194	0.00	1	0.00	1	0.00	1	318.74	97	2873.55	97	710.99	99	4989.57	100	2407.18	100
606	Max	-195	0.00	1	0.00	1	0.00	1	318.74	97	2873.55	97	710.99	99	4989.57	100	2407.18	100
606	Max	-207	0.00	1	0.00	1	0.00	1	318.74	97	2873.55	97	710.99	99	4989.57	100	2407.18	100
606	Min.	-206	0.00	1	0.00	1	0.00	1	155.85	33	847.51	33	349.28	33	2284.69	103	1064.71	33
606	Min.	-194	0.00	1	0.00	1	0.00	1	155.85	33	847.51	33	349.28	33	2284.69	103	1064.71	33
606	Min.	-195	0.00	1	0.00	1	0.00	1	155.85	33	847.51	33	349.28	33	2284.69	103	1064.71	33
606	Min.	-207	0.00	1	0.00	1	0.00	1	155.85	33	847.51	33	349.28	33	2284.69	103	1064.71	33
606	Max	-205	0.00	1	0.00	1	0.00	1	-32.64	104	-79.60	33	241.47	97	-818.85	33	1049.64	49
606	Max	-193	0.00	1	0.00	1	0.00	1	-32.64	104	-79.60	33	241.47	97	-818.85	33	1049.64	49
606	Max	-194	0.00	1	0.00	1	0.00	1	-32.64	104	-79.60	33	241.47	97	-818.85	33	1049.64	49
606	Max	-206	0.00	1	0.00	1	0.00	1	-32.64	104	-79.60	33	241.47	97	-818.85	33	1049.64	49
606	Min.	-205	0.00	1	0.00	1	0.00	1	-133.00	99	-494.81	49	56.65	33	-2170.59	100	-75.24	33
606	Min.	-193	0.00	1	0.00	1	0.00	1	-133.00	99	-494.81	49	56.65	33	-2170.59	100	-75.24	33
606	Min.	-194	0.00	1	0.00	1	0.00	1	-133.00	99	-494.81	49	56.65	33	-2170.59	100	-75.24	33
606	Min.	-206	0.00	1	0.00	1	0.00	1	-133.00	99	-494.81	49	56.65	33	-2170.59	100	-75.24	33
606	Max	-124	0.00	1	0.00	1	0.00	1	-322.52	104	4541.05	97	789.64	49	-14723.90	102	-2577.64	49
606	Max	23	0.00	1	0.00	1	0.00	1	-322.52	104	4541.05	97	789.64	49	-14723.90	102	-2577.64	49
606	Max	-113	0.00	1	0.00	1	0.00	1	-322.52	104	4541.05	97	789.64	49	-14723.90	102	-2577.64	49
606	Max	-125	0.00	1	0.00	1	0.00	1	-322.52	104	4541.05	97	789.64	49	-14723.90	102	-2577.64	49
606	Min.	-124	0.00	1	0.00	1	0.00	1	-762.03	99	1769.64	102	-561.65	33	-20525.00	97	-4596.69	99
606	Min.	23	0.00	1	0.00	1	0.00	1	-762.03	99	1769.64	102	-561.65	33	-20525.00	97	-4596.69	99
606	Min.	-113	0.00	1	0.00	1	0.00	1	-762.03	99	1769.64	102	-561.65	33	-20525.00	97	-4596.69	99
606	Min.	-125	0.00	1	0.00	1	0.00	1	-762.03	99	1769.64	102	-561.65	33	-20525.00	97	-4596.69	99
606	Max	-147	0.00	1	0.00	1	0.00	1	-546.73	104	2289.43	97	898.69	49	-782.83	33	-4535.72	104
606	Max	-135	0.00	1	0.00	1	0.00	1	-546.73	104	2289.43	97	898.69	49	-782.83	33	-4535.72	104
606	Max	-136	0.00	1	0.00	1	0.00	1	-546.73	104	2289.43	97	898.69	49	-782.83	33	-4535.72	104
606	Max	-148	0.00	1	0.00	1	0.00	1	-546.73	104	2289.43	97	898.69	49	-782.83	33	-4535.72	104
606	Min.	-147	0.00	1	0.00	1	0.00	1	-1208.16	99	1021.63	33	-131.96	33	-1748.71	97	-7445.22	99
606	Min.	-135	0.00	1	0.00	1	0.00	1	-1208.16	99	1021.63	33	-131.96	33	-1748.71	97	-7445.22	99
606	Min.	-136	0.00	1	0.00	1	0.00	1	-1208.16	99	1021.63	33	-131.96	33	-1748.71	97	-7445.22	99
606	Min.	-148	0.00	1	0.00	1	0.00	1	-1208.16	99	1021.63	33	-131.96	33	-1748.71	97	-7445.22	99
606	Max	-93	0.00	1	0.00	1	0.00	1	-880.98	33	-134.08	102	113.56	49	2194.60	97	5582.11	97
606	Max	-83	0.00	1	0.00	1	0.00	1	-880.98	33	-134.08	102	113.56	49	2194.60	97	5582.11	97
606	Max	-84	0.00	1	0.00	1	0.00	1	-880.98	33	-134.08	102	113.56	49	2194.60	97	5582.11	97
606	Max	-94	0.00	1	0.00	1	0.00	1	-880.98	33	-134.08	102	113.56	49	2194.60	97	5582.11	97
606	Min.	-93	0.00	1	0.00	1	0.00	1	-1739.54	100	-411.24	97	-363.81	33	1268.75	33	2867.34	49
606	Min.	-83	0.00	1	0.00	1	0.00	1	-1739.54	100	-411.24	97	-363.81	33	1268.75	33	2867.34	49
606	Min.	-84	0.00	1	0.00	1	0.00	1	-1739.54	100	-411.24	97	-363.81	33	1268.75	33	2867.34	49
606	Min.	-94	0.00	1	0.00	1	0.00	1	-1739.54	100	-411.24	97	-363.81	33	1268.75	33	2867.34	49
606	Max	-157	0.00	1	0.00	1	0.00	1	-365.78	104	-16.39	102	578.46	49	-239.48	33	1586.61	49
606	Max	-145	0.00	1	0.00	1	0.00	1	-365.78	104	-16.39	102	578.46	49	-239.48	33	1586.61	49
606	Max	-146	0.00	1	0.00	1	0.00	1	-365.78	104	-16.39	102	578.46	49	-239.48	33	1586.61	49
606	Max	-158	0.00	1	0.00	1	0.00	1	-365.78	104	-16.39	102	578.46	49	-239.48	33	1586.61	49
606	Min.	-157	0.00	1	0.00	1	0.00	1	-688.97	99	-128.35	97	-109.25	33	-640.06	97	-1679.25	33
606	Min.	-145	0.00	1	0.00	1	0.00	1	-688.97	99	-128.35	97	-109.25	33	-640.06	97	-1679.25	33
606	Min.	-146	0.00	1	0.00	1	0.00	1	-688.97	99	-128.35	97	-109.25	33	-640.06	97	-1679.25	33
606	Min.	-158	0.00	1	0.00	1	0.00	1	-688.97	99	-128.35	97	-109.25	33	-640.06	97	-1679.25	33
606	Max	-145	0.00	1	0.00	1	0.00	1	-574.80	104	46.32	97	561.93	49	-242.34	33	2248.25	49
606	Max	-134	0.00	1	0.00	1	0.00	1	-574.80	104	46.32	97	561.93	49	-242.34	33	2248.25	49
606	Max	25	0.00	1	0.00	1	0.00	1	-574.80	104	46.32	97	561.93	49	-242.34	33	2248.25	49
606	Max	-146	0.00	1	0.00	1	0.00	1	-574.80	104	46.32	97	561.93	49	-242.34	33	2248.25	49
606	Min.	-145	0.00	1	0.00	1	0.00	1	-1006.36	99	-30.42	102	-157.17	33	-487.53	98	-1189.68	33
606	Min.	-134	0.00	1	0.00	1	0.00	1	-1006.36	99	-30.42	102	-157.17	33	-487.53	98	-1189.68	33
606	Min.	25	0.00	1	0.00	1	0.00	1	-1006.36	99	-30.42	102	-157.17	33	-487.53	98	-1189.68	33
606	Min.	-146	0.00	1	0.00	1	0.00	1	-1006.36	99	-30.42	102	-157.17	33	-487.53	98	-1189.68	33
606	Max	-182	0.00	1	0.00	1	0.00	1	-56.98	103	3850.04	97	796.75	49	-20495.00	104	5178.16	98
606	Max	-170	0.00	1	0.00	1	0.00	1	-56.98	103	3850.04	97	796.75	49	-20495.00	104	5178.16	98
606	Max	-171	0.00	1	0.00	1	0.00	1	-56.98	103	3850.04	97	796.75	49	-20495.00	104	5178.16	98
606	Max	-183	0.00	1	0.00	1	0.00	1	-56.98	103	3850.04	97	796.75	49	-20495.00	104	5178.16	98
606	Min.	-182	0.00	1	0.00	1	0.00	1	-256.33	100	1029.04	102	-313.21	33	-32076.40	99	3628.83	101
606	Min.	-170	0.00	1	0.00	1	0.00	1	-256.33	100	1029.04	102	-313.21	33	-32076.40	99	3628.83	101
606	Min.	-171	0.00	1	0.00	1	0.00	1	-256.33	100	1029.04	102	-313.21	33	-32076.40	99	3628.83	101
606	Min.	-183	0.00	1	0.00	1	0.00	1	-256.33	100	1029.04	102	-313.21	33	-32076.40	99	3628.83	101
606	Max	-208	0.00	1	0.00	1	0.00	1	12.73	49	1109.97	97	374.67	49	-95.74	102	-482.26	104
606	Max	-196	0.00	1	0.00	1	0.00	1	12.73	49	1109.97	97	374.67	49	-95.74	102	-482.26	104
606	Max	-197	0.00	1	0.00	1	0.00	1	12.73	49	1109.97	97	374.67	49	-95.74	102	-482.26	104
606	Max	-209	0.00	1	0.00	1	0.00	1	12.73	49	1109.97	97	374.67	49	-95.74	102	-482.26	104
606	Min.	-208	0.00	1	0.00	1	0.00	1	-49.20	33	224.68	33	42.72	33	-827.39	97	-920.66	99
606	Min.	-196	0.00	1	0.00	1	0.00	1	-49.20	33	224.68	33	42.72	33	-827.39	97	-920.66	99
606	Min.	-197	0.00	1	0.00	1	0.00	1	-49.20	33	224.68	33	42.72	33	-827.39	97	-920.66	99
606	Min.	-209	0.00	1	0.00	1	0.00	1	-49.20	33	224.68	33	42.72	33	-827.39	97	-920.66	99
606	Max	-181	0.00	1	0.00	1	0.00	1	47.17	100	208.31	97	548.69	49	1164.81	97	-141.28	49
606	Max	-169	0.00	1	0.00	1	0.00	1	47.17	100	208.31	97	548.69	49	1164.81	97	-141.28	49
606	Max	-170	0.00	1	0.00	1	0.00	1	47.17	100	208.31	97	548.69	49	1164.81	97	-141.28	49
606	Max	-182	0.00	1	0.00	1	0.00	1	47.17	100	208.31	97	548.69	49	1164.81	97	-141.28	49
606	Min.	-181	0.00	1	0.00	1	0.00	1	-121.77	103	12.84	49	-25.35	33	444.52	49	-2645.38	33
606	Min.	-169	0.00	1	0.00	1	0.00	1	-121.77	103	12.84	49	-25.35	33	444.52	49	-2645.38	33
606	Min.	-170	0.00	1	0.00	1	0.00	1	-121.77	103	12.84	49	-25.35	33	444.52	49	-2645.38	33
606	Min.	-182	0.00	1	0.00	1	0.00	1	-121.77	103	12.84	49	-25.35	33	444.52	49	-2645.38	33
606	Max	-197	0.00	1	0.00	1	0.00	1	53.67	49	272.32	97	313.58	49	-200.68	33	-682.81	33
606	Max	-185	0.00	1	0.00	1	0.00	1	53.67	49	272.32	97	313.58	49	-200.68	33	-682.81	33
606	Max	-186	0.00	1	0.00	1	0.00	1	53.67	49	272.32	97	313.58	49	-200.68	33	-682.81	33
606	Max	-198	0.00	1	0.00	1	0.00	1	53.67	49	272.32	97	313.58	49	-200.68	33	-682.81	33
606	Min.	-197	0.00	1	0.00	1	0.00	1	-109.82	33	51.09	33	46.21	33	-746.87	97	-1402.20	97
606	Min.	-185	0.00	1	0.00	1	0.00	1	-109.82	33	51.09	33	46.21	33	-746.87	97	-1402.20	97
606	Min.	-186	0.00	1	0.00	1	0.00	1	-109.82	33	51.09	33	46.21	33	-746.87	97	-1402.20	97
606	Min.	-198	0.00	1	0.00	1	0.00	1	-109.82	33	51.09	33	46.21	33	-746.87	97	-1402.20	97
606	Max	-173	0.00	1	0.00	1	0.00	1	-120.94	49	139.36	97	426.06	49	-254.64	33	-1647.62	33
606	Max	-161	0.00	1	0.00	1	0.00	1	-120.94	49	139.36	97	426.06	49	-254.64	33	-1647.62	33
606	Max	-162	0.00	1	0.00	1	0.00	1	-120.94	49	139.36	97	426.06	49	-254.64	33	-1647.62	33
606	Max	-174	0.00	1	0.00	1	0.00	1	-120.94	49	139.36	97	426.06	49	-254.64	33	-1647.62	33
606	Min.	-173	0.00	1	0.00	1	0.00	1	-530.40	99	-18.89	33	-2.23	33	-819.57	97	-3445.89	97
606	Min.	-161	0.00	1	0.00	1	0.00	1	-530.40	99	-18.89	33	-2.23	33	-819.57	97	-3445.89	97
606	Min.	-162	0.00	1	0.00	1	0.00	1	-530.40	99	-18.89	33	-2.23	33	-819.57	97	-3445.89	97
606	Min.	-174	0.00	1	0.00	1	0.00	1	-530.40	99	-18.89	33	-2.23	33	-819.57	97	-3445.89	97
606	Max	-44	0.00	1	0.00	1	0.00	1	218.00	99	3463.34	97	-144.92	49	-13724.90	103	1781.25	100
606	Max	-32	0.00	1	0.00	1	0.00	1	218.00	99	3463.34	97	-144.92	49	-13724.90	103	1781.25	100
606	Max	-33	0.00	1	0.00	1	0.00	1	218.00	99	3463.34	97	-144.92	49	-13724.90	103	1781.25	100
606	Max	-45	0.00	1	0.00	1	0.00	1	218.00	99	3463.34	97	-144.92	49	-13724.90	103	1781.25	100
606	Min.	-44	0.00	1	0.00	1	0.00	1	-140.68	104	969.89	49	-963.75	33	-22511.30	100	-128.23	103
606	Min.	-32	0.00	1	0.00	1	0.00	1	-140.68	104	969.89	49	-963.75	33	-22511.30	100	-128.23	103
606	Min.	-33	0.00	1	0.00	1	0.00	1	-140.68	104	969.89	49	-963.75	33	-22511.30	100	-128.23	103

606	Min.	-45	0.00	1	0.00	1	0.00	1	-140.68	104	969.89	49	-963.75	33	-22511.30	100	-128.23	103
606	Max	-115	0.00	1	0.00	1	0.00	1	-1264.48	102	-238.13	102	271.21	49	1133.50	97	2814.74	33
606	Max	-105	0.00	1	0.00	1	0.00	1	-1264.48	102	-238.13	102	271.21	49	1133.50	97	2814.74	33
606	Max	-106	0.00	1	0.00	1	0.00	1	-1264.48	102	-238.13	102	271.21	49	1133.50	97	2814.74	33
606	Max	-116	0.00	1	0.00	1	0.00	1	-1264.48	102	-238.13	102	271.21	49	1133.50	97	2814.74	33
606	Min.	-115	0.00	1	0.00	1	0.00	1	-2000.87	97	-388.68	97	-281.04	33	732.10	102	417.95	49
606	Min.	-105	0.00	1	0.00	1	0.00	1	-2000.87	97	-388.68	97	-281.04	33	732.10	102	417.95	49
606	Min.	-106	0.00	1	0.00	1	0.00	1	-2000.87	97	-388.68	97	-281.04	33	732.10	102	417.95	49
606	Min.	-116	0.00	1	0.00	1	0.00	1	-2000.87	97	-388.68	97	-281.04	33	732.10	102	417.95	49
606	Max	-158	0.00	1	0.00	1	0.00	1	47.47	104	3965.86	97	1070.52	49	-5284.20	104	-590.25	49
606	Max	-146	0.00	1	0.00	1	0.00	1	47.47	104	3965.86	97	1070.52	49	-5284.20	104	-590.25	49
606	Max	-147	0.00	1	0.00	1	0.00	1	47.47	104	3965.86	97	1070.52	49	-5284.20	104	-590.25	49
606	Max	-159	0.00	1	0.00	1	0.00	1	47.47	104	3965.86	97	1070.52	49	-5284.20	104	-590.25	49
606	Min.	-158	0.00	1	0.00	1	0.00	1	-163.30	99	1833.94	102	-1.14	33	-8381.25	99	-2067.60	99
606	Min.	-146	0.00	1	0.00	1	0.00	1	-163.30	99	1833.94	102	-1.14	33	-8381.25	99	-2067.60	99
606	Min.	-147	0.00	1	0.00	1	0.00	1	-163.30	99	1833.94	102	-1.14	33	-8381.25	99	-2067.60	99
606	Min.	-159	0.00	1	0.00	1	0.00	1	-163.30	99	1833.94	102	-1.14	33	-8381.25	99	-2067.60	99
606	Max	-219	0.00	1	0.00	1	0.00	1	73.91	97	2316.15	97	274.96	100	452.66	104	521.85	100
606	Max	-207	0.00	1	0.00	1	0.00	1	73.91	97	2316.15	97	274.96	100	452.66	104	521.85	100
606	Max	-208	0.00	1	0.00	1	0.00	1	73.91	97	2316.15	97	274.96	100	452.66	104	521.85	100
606	Max	-220	0.00	1	0.00	1	0.00	1	73.91	97	2316.15	97	274.96	100	452.66	104	521.85	100
606	Min.	-219	0.00	1	0.00	1	0.00	1	45.65	33	580.69	33	90.43	33	-1109.75	99	218.25	33
606	Min.	-207	0.00	1	0.00	1	0.00	1	45.65	33	580.69	33	90.43	33	-1109.75	99	218.25	33
606	Min.	-208	0.00	1	0.00	1	0.00	1	45.65	33	580.69	33	90.43	33	-1109.75	99	218.25	33
606	Min.	-220	0.00	1	0.00	1	0.00	1	45.65	33	580.69	33	90.43	33	-1109.75	99	218.25	33
606	Max	-195	0.00	1	0.00	1	0.00	1	38.70	104	1968.04	97	783.53	97	458.62	33	-2034.85	104
606	Max	-183	0.00	1	0.00	1	0.00	1	38.70	104	1968.04	97	783.53	97	458.62	33	-2034.85	104
606	Max	-184	0.00	1	0.00	1	0.00	1	38.70	104	1968.04	97	783.53	97	458.62	33	-2034.85	104
606	Max	-196	0.00	1	0.00	1	0.00	1	38.70	104	1968.04	97	783.53	97	458.62	33	-2034.85	104
606	Min.	-195	0.00	1	0.00	1	0.00	1	-272.47	99	490.99	33	137.21	33	-370.60	49	-4275.00	99
606	Min.	-183	0.00	1	0.00	1	0.00	1	-272.47	99	490.99	33	137.21	33	-370.60	49	-4275.00	99
606	Min.	-184	0.00	1	0.00	1	0.00	1	-272.47	99	490.99	33	137.21	33	-370.60	49	-4275.00	99
606	Min.	-196	0.00	1	0.00	1	0.00	1	-272.47	99	490.99	33	137.21	33	-370.60	49	-4275.00	99
606	Max	-171	0.00	1	0.00	1	0.00	1	5.70	49	2312.68	97	1026.54	49	-3160.08	102	731.04	100
606	Max	-159	0.00	1	0.00	1	0.00	1	5.70	49	2312.68	97	1026.54	49	-3160.08	102	731.04	100
606	Max	-160	0.00	1	0.00	1	0.00	1	5.70	49	2312.68	97	1026.54	49	-3160.08	102	731.04	100
606	Max	-172	0.00	1	0.00	1	0.00	1	5.70	49	2312.68	97	1026.54	49	-3160.08	102	731.04	100
606	Min.	-171	0.00	1	0.00	1	0.00	1	-107.67	33	786.22	33	115.84	33	-5302.91	97	235.93	103
606	Min.	-159	0.00	1	0.00	1	0.00	1	-107.67	33	786.22	33	115.84	33	-5302.91	97	235.93	103
606	Min.	-160	0.00	1	0.00	1	0.00	1	-107.67	33	786.22	33	115.84	33	-5302.91	97	235.93	103
606	Min.	-172	0.00	1	0.00	1	0.00	1	-107.67	33	786.22	33	115.84	33	-5302.91	97	235.93	103
606	Max	-135	0.00	1	0.00	1	0.00	1	-664.14	49	2483.54	97	916.15	49	-2435.15	102	4162.30	100
606	Max	-125	0.00	1	0.00	1	0.00	1	-664.14	49	2483.54	97	916.15	49	-2435.15	102	4162.30	100
606	Max	-126	0.00	1	0.00	1	0.00	1	-664.14	49	2483.54	97	916.15	49	-2435.15	102	4162.30	100
606	Max	-136	0.00	1	0.00	1	0.00	1	-664.14	49	2483.54	97	916.15	49	-2435.15	102	4162.30	100
606	Min.	-135	0.00	1	0.00	1	0.00	1	-963.18	100	1071.27	102	-193.47	33	-4047.95	97	2808.64	103
606	Min.	-125	0.00	1	0.00	1	0.00	1	-963.18	100	1071.27	102	-193.47	33	-4047.95	97	2808.64	103
606	Min.	-126	0.00	1	0.00	1	0.00	1	-963.18	100	1071.27	102	-193.47	33	-4047.95	97	2808.64	103
606	Min.	-136	0.00	1	0.00	1	0.00	1	-963.18	100	1071.27	102	-193.47	33	-4047.95	97	2808.64	103
606	Max	-113	0.00	1	0.00	1	0.00	1	-635.91	103	2583.53	97	488.64	49	-3301.95	102	4143.18	100
606	Max	-103	0.00	1	0.00	1	0.00	1	-635.91	103	2583.53	97	488.64	49	-3301.95	102	4143.18	100
606	Max	-104	0.00	1	0.00	1	0.00	1	-635.91	103	2583.53	97	488.64	49	-3301.95	102	4143.18	100
606	Max	-114	0.00	1	0.00	1	0.00	1	-635.91	103	2583.53	97	488.64	49	-3301.95	102	4143.18	100
606	Min.	-113	0.00	1	0.00	1	0.00	1	-1085.42	100	1078.16	102	-690.97	33	-5313.56	97	2622.20	103
606	Min.	-103	0.00	1	0.00	1	0.00	1	-1085.42	100	1078.16	102	-690.97	33	-5313.56	97	2622.20	103
606	Min.	-104	0.00	1	0.00	1	0.00	1	-1085.42	100	1078.16	102	-690.97	33	-5313.56	97	2622.20	103
606	Min.	-114	0.00	1	0.00	1	0.00	1	-1085.42	100	1078.16	102	-690.97	33	-5313.56	97	2622.20	103
606	Max	-91	0.00	1	0.00	1	0.00	1	-554.57	103	2288.84	97	131.80	49	-766.74	49	7479.54	100
606	Max	-81	0.00	1	0.00	1	0.00	1	-554.57	103	2288.84	97	131.80	49	-766.74	49	7479.54	100
606	Max	-82	0.00	1	0.00	1	0.00	1	-554.57	103	2288.84	97	131.80	49	-766.74	49	7479.54	100
606	Max	-92	0.00	1	0.00	1	0.00	1	-554.57	103	2288.84	97	131.80	49	-766.74	49	7479.54	100
606	Min.	-91	0.00	1	0.00	1	0.00	1	-1218.61	100	1022.09	49	-898.98	33	-1726.98	97	4560.42	103
606	Min.	-81	0.00	1	0.00	1	0.00	1	-1218.61	100	1022.09	49	-898.98	33	-1726.98	97	4560.42	103
606	Min.	-82	0.00	1	0.00	1	0.00	1	-1218.61	100	1022.09	49	-898.98	33	-1726.98	97	4560.42	103
606	Min.	-92	0.00	1	0.00	1	0.00	1	-1218.61	100	1022.09	49	-898.98	33	-1726.98	97	4560.42	103
606	Max	-220	0.00	1	0.00	1	0.00	1	7.94	49	1072.22	97	169.14	49	122.86	104	-106.06	104
606	Max	-208	0.00	1	0.00	1	0.00	1	7.94	49	1072.22	97	169.14	49	122.86	104	-106.06	104
606	Max	-209	0.00	1	0.00	1	0.00	1	7.94	49	1072.22	97	169.14	49	122.86	104	-106.06	104
606	Max	-221	0.00	1	0.00	1	0.00	1	7.94	49	1072.22	97	169.14	49	122.86	104	-106.06	104
606	Min.	-220	0.00	1	0.00	1	0.00	1	-11.09	33	204.95	33	10.74	33	-531.50	99	-241.78	99
606	Min.	-208	0.00	1	0.00	1	0.00	1	-11.09	33	204.95	33	10.74	33	-531.50	99	-241.78	99
606	Min.	-209	0.00	1	0.00	1	0.00	1	-11.09	33	204.95	33	10.74	33	-531.50	99	-241.78	99
606	Min.	-221	0.00	1	0.00	1	0.00	1	-11.09	33	204.95	33	10.74	33	-531.50	99	-241.78	99
606	Max	-196	0.00	1	0.00	1	0.00	1	21.66	49	1139.05	97	643.43	49	-625.17	33	-112.50	104
606	Max	-184	0.00	1	0.00	1	0.00	1	21.66	49	1139.05	97	643.43	49	-625.17	33	-112.50	104
606	Max	-185	0.00	1	0.00	1	0.00	1	21.66	49	1139.05	97	643.43	49	-625.17	33	-112.50	104
606	Max	-197	0.00	1	0.00	1	0.00	1	21.66	49	1139.05	97	643.43	49	-625.17	33	-112.50	104
606	Min.	-196	0.00	1	0.00	1	0.00	1	-119.87	33	291.91	33	72.08	33	-1668.16	97	-384.56	99
606	Min.	-184	0.00	1	0.00	1	0.00	1	-119.87	33	291.91	33	72.08	33	-1668.16	97	-384.56	99
606	Min.	-185	0.00	1	0.00	1	0.00	1	-119.87	33	291.91	33	72.08	33	-1668.16	97	-384.56	99
606	Min.	-197	0.00	1	0.00	1	0.00	1	-119.87	33	291.91	33	72.08	33	-1668.16	97	-384.56	99
606	Max	-172	0.00	1	0.00	1	0.00	1	-82.03	49	889.05	97	952.87	49	-1173.60	33	-1083.32	104
606	Max	-160	0.00	1	0.00	1	0.00	1	-82.03	49	889.05	97	952.87	49	-1173.60	33	-1083.32	104
606	Max	-161	0.00	1	0.00	1	0.00	1	-82.03	49	889.05	97	952.87	49	-1173.60	33	-1083.32	104
606	Max	-173	0.00	1	0.00	1	0.00	1	-82.03	49	889.05	97	952.87	49	-1173.60	33	-1083.32	104
606	Min.	-172	0.00	1	0.00	1	0.00	1	-447.17	99	196.21	33	140.77	33	-2480.22	97	-1919.89	99
606	Min.	-160	0.00	1	0.00	1	0.00	1	-447.17	99	196.21	33	140.77	33	-2480.22	97	-1919.89	99
606	Min.	-161	0.00	1	0.00	1	0.00	1	-447.17	99	196.21	33	140.77	33	-2480.22	97	-1919.89	99
606	Min.	-173	0.00	1	0.00	1	0.00	1	-447.17	99	196.21	33	140.77	33	-2480.22	97	-1919.89	99
606	Max	-123	0.00	1	0.00	1	0.00	1	-654.40	104	63.34	97	456.81	49	78.88	97	2247.57	49
606	Max	-112	0.00	1	0.00	1	0.00	1	-654.40	104	63.34	97	456.81	49	78.88	97	2247.57	49
606	Max	23	0.00	1	0.00	1	0.00	1	-654.40	104	63.34	97	456.81	49	78.88	97	2247.57	49
606	Max	-124	0.00	1	0.00	1	0.00	1	-654.40	104	63.34	97	456.81	49	78.88	97	2247.57	49
606	Min.	-123	0.00	1	0.00	1	0.00	1	-980.90	99	33.48	102	-334.46	33	17.73	49	-1280.68	33
606	Min.	-112	0.00	1	0.00	1	0.00	1	-980.90	99	33.48	102	-334.46	33	17.73	49	-1280.68	33
606	Min.	23	0.00	1	0.00	1	0.00	1	-980.90	99	33.48	102	-334.46	33	17.73	49	-1280.68	33
606	Min.	-124	0.00	1	0.00	1	0.00	1	-980.90	99	33.48	102	-334.46	33	17.73	49	-1280.68	33
606	Max	-125	0.00	1	0.00	1	0.00	1	-637.64	104	2581.15	97	693.28	49	-3293.39	102	-2632.95	104
606	Max	-113	0.00	1	0.00	1	0.00	1	-637.64	104	2581.15	97	693.28	49	-3293.39	102	-2632.95	104
606	Max	-114	0.00	1	0.00	1	0.00	1	-637.64	104	2581.15	97	693.28	49	-3293.39	102	-2632.95	104
606	Max	-126	0.00	1	0.00	1	0.00	1	-637.64	104	2581.15	97	693.28	49	-3293.39	102	-2632.95	104
606	Min.	-125	0.00	1	0.00	1	0.00	1	-1089.76	99	1076.83	102	-485.64	33	-5297.78	97	-4162.62	99
606	Min.	-113	0.00	1	0.00	1	0.00	1	-1089.76	99	1076.83	102	-485.64	33	-5297.78	97	-4162.62	99
606	Min.	-114	0.00	1	0.00	1	0.00	1	-1089.76	99	1076.83	102	-485.64	33	-5297.78	97	-4162.62	99
606	Min.	-126	0.00	1	0.00	1	0.00	1	-1089.76	99	1076.83	102	-485.64	33	-5297.78	97	-4162.62	99

606	Max	-103	0.00	1	0.00	1	0.00	1	-653.61	33	2487.01	97	193.74	49	-2429.09	102	-2826.06	104
606	Max	-91	0.00	1	0.00	1	0.00	1	-653.61	33	2487.01	97	193.74	49	-2429.09	102	-2826.06	104
606	Max	-92	0.00	1	0.00	1	0.00	1	-653.61	33	2487.01	97	193.74	49	-2429.09	102	-2826.06	104
606	Max	-104	0.00	1	0.00	1	0.00	1	-653.61	33	2487.01	97	193.74	49	-2429.09	102	-2826.06	104
606	Min.	-103	0.00	1	0.00	1	0.00	1	-949.86	99	1073.71	102	-916.32	33	-4043.74	97	-4181.77	99
606	Min.	-91	0.00	1	0.00	1	0.00	1	-949.86	99	1073.71	102	-916.32	33	-4043.74	97	-4181.77	99
606	Min.	-92	0.00	1	0.00	1	0.00	1	-949.86	99	1073.71	102	-916.32	33	-4043.74	97	-4181.77	99
606	Min.	-104	0.00	1	0.00	1	0.00	1	-949.86	99	1073.71	102	-916.32	33	-4043.74	97	-4181.77	99
606	Max	-45	0.00	1	0.00	1	0.00	1	32.95	103	1970.20	97	-137.79	49	438.56	49	4298.80	100
606	Max	-33	0.00	1	0.00	1	0.00	1	32.95	103	1970.20	97	-137.79	49	438.56	49	4298.80	100
606	Max	-34	0.00	1	0.00	1	0.00	1	32.95	103	1970.20	97	-137.79	49	438.56	49	4298.80	100
606	Max	-46	0.00	1	0.00	1	0.00	1	32.95	103	1970.20	97	-137.79	49	438.56	49	4298.80	100
606	Min.	-45	0.00	1	0.00	1	0.00	1	-280.34	100	492.56	49	-784.09	97	-391.91	33	2052.26	103
606	Min.	-33	0.00	1	0.00	1	0.00	1	-280.34	100	492.56	49	-784.09	97	-391.91	33	2052.26	103
606	Min.	-34	0.00	1	0.00	1	0.00	1	-280.34	100	492.56	49	-784.09	97	-391.91	33	2052.26	103
606	Min.	-46	0.00	1	0.00	1	0.00	1	-280.34	100	492.56	49	-784.09	97	-391.91	33	2052.26	103
606	Max	-34	0.00	1	0.00	1	0.00	1	12.02	33	1107.11	97	-40.96	49	-97.88	102	886.90	100
606	Max	-22	0.00	1	0.00	1	0.00	1	12.02	33	1107.11	97	-40.96	49	-97.88	102	886.90	100
606	Max	-23	0.00	1	0.00	1	0.00	1	12.02	33	1107.11	97	-40.96	49	-97.88	102	886.90	100
606	Max	-35	0.00	1	0.00	1	0.00	1	12.02	33	1107.11	97	-40.96	49	-97.88	102	886.90	100
606	Min.	-34	0.00	1	0.00	1	0.00	1	-47.57	49	223.05	49	-366.48	33	-825.26	97	462.66	103
606	Min.	-22	0.00	1	0.00	1	0.00	1	-47.57	49	223.05	49	-366.48	33	-825.26	97	462.66	103
606	Min.	-23	0.00	1	0.00	1	0.00	1	-47.57	49	223.05	49	-366.48	33	-825.26	97	462.66	103
606	Min.	-35	0.00	1	0.00	1	0.00	1	-47.57	49	223.05	49	-366.48	33	-825.26	97	462.66	103
606	Max	-69	0.00	1	0.00	1	0.00	1	14.80	33	2324.47	97	-110.26	49	-3237.57	102	-132.01	104
606	Max	-57	0.00	1	0.00	1	0.00	1	14.80	33	2324.47	97	-110.26	49	-3237.57	102	-132.01	104
606	Max	-58	0.00	1	0.00	1	0.00	1	14.80	33	2324.47	97	-110.26	49	-3237.57	102	-132.01	104
606	Max	-70	0.00	1	0.00	1	0.00	1	14.80	33	2324.47	97	-110.26	49	-3237.57	102	-132.01	104
606	Min.	-69	0.00	1	0.00	1	0.00	1	-100.95	49	794.38	49	-1025.09	33	-5414.86	97	-598.60	99
606	Min.	-57	0.00	1	0.00	1	0.00	1	-100.95	49	794.38	49	-1025.09	33	-5414.86	97	-598.60	99
606	Min.	-58	0.00	1	0.00	1	0.00	1	-100.95	49	794.38	49	-1025.09	33	-5414.86	97	-598.60	99
606	Min.	-70	0.00	1	0.00	1	0.00	1	-100.95	49	794.38	49	-1025.09	33	-5414.86	97	-598.60	99
606	Max	-102	0.00	1	0.00	1	0.00	1	-340.70	104	4365.49	97	418.08	49	-14792.60	103	-3427.90	49
606	Max	21	0.00	1	0.00	1	0.00	1	-340.70	104	4365.49	97	418.08	49	-14792.60	103	-3427.90	49
606	Max	-91	0.00	1	0.00	1	0.00	1	-340.70	104	4365.49	97	418.08	49	-14792.60	103	-3427.90	49
606	Max	-103	0.00	1	0.00	1	0.00	1	-340.70	104	4365.49	97	418.08	49	-14792.60	103	-3427.90	49
606	Min.	-102	0.00	1	0.00	1	0.00	1	-649.91	99	1585.96	102	-900.89	33	-21689.60	100	-5445.61	99
606	Min.	21	0.00	1	0.00	1	0.00	1	-649.91	99	1585.96	102	-900.89	33	-21689.60	100	-5445.61	99
606	Min.	-91	0.00	1	0.00	1	0.00	1	-649.91	99	1585.96	102	-900.89	33	-21689.60	100	-5445.61	99
606	Min.	-103	0.00	1	0.00	1	0.00	1	-649.91	99	1585.96	102	-900.89	33	-21689.60	100	-5445.61	99
606	Max	-101	0.00	1	0.00	1	0.00	1	-610.40	103	25.13	49	303.68	49	-151.18	49	1455.68	49
606	Max	-90	0.00	1	0.00	1	0.00	1	-610.40	103	25.13	49	303.68	49	-151.18	49	1455.68	49
606	Max	21	0.00	1	0.00	1	0.00	1	-610.40	103	25.13	49	303.68	49	-151.18	49	1455.68	49
606	Max	-102	0.00	1	0.00	1	0.00	1	-610.40	103	25.13	49	303.68	49	-151.18	49	1455.68	49
606	Min.	-101	0.00	1	0.00	1	0.00	1	-953.65	100	-12.84	33	-463.30	33	-276.86	98	-1973.14	33
606	Min.	-90	0.00	1	0.00	1	0.00	1	-953.65	100	-12.84	33	-463.30	33	-276.86	98	-1973.14	33
606	Min.	21	0.00	1	0.00	1	0.00	1	-953.65	100	-12.84	33	-463.30	33	-276.86	98	-1973.14	33
606	Min.	-102	0.00	1	0.00	1	0.00	1	-953.65	100	-12.84	33	-463.30	33	-276.86	98	-1973.14	33
606	Max	-126	0.00	1	0.00	1	0.00	1	-1079.02	49	658.58	97	677.74	49	-3901.73	102	-1013.08	33
606	Max	-114	0.00	1	0.00	1	0.00	1	-1079.02	49	658.58	97	677.74	49	-3901.73	102	-1013.08	33
606	Max	-115	0.00	1	0.00	1	0.00	1	-1079.02	49	658.58	97	677.74	49	-3901.73	102	-1013.08	33
606	Max	-127	0.00	1	0.00	1	0.00	1	-1079.02	49	658.58	97	677.74	49	-3901.73	102	-1013.08	33
606	Min.	-126	0.00	1	0.00	1	0.00	1	-1652.53	99	-157.30	102	-499.38	33	-6054.62	97	-1897.22	99
606	Min.	-114	0.00	1	0.00	1	0.00	1	-1652.53	99	-157.30	102	-499.38	33	-6054.62	97	-1897.22	99
606	Min.	-115	0.00	1	0.00	1	0.00	1	-1652.53	99	-157.30	102	-499.38	33	-6054.62	97	-1897.22	99
606	Min.	-127	0.00	1	0.00	1	0.00	1	-1652.53	99	-157.30	102	-499.38	33	-6054.62	97	-1897.22	99
606	Max	-104	0.00	1	0.00	1	0.00	1	-952.62	33	716.34	97	223.83	49	-3898.82	102	-273.45	33
606	Max	-92	0.00	1	0.00	1	0.00	1	-952.62	33	716.34	97	223.83	49	-3898.82	102	-273.45	33
606	Max	-93	0.00	1	0.00	1	0.00	1	-952.62	33	716.34	97	223.83	49	-3898.82	102	-273.45	33
606	Max	-105	0.00	1	0.00	1	0.00	1	-952.62	33	716.34	97	223.83	49	-3898.82	102	-273.45	33
606	Min.	-104	0.00	1	0.00	1	0.00	1	-1480.47	100	-126.65	102	-896.18	33	-6002.41	97	-831.61	99
606	Min.	-92	0.00	1	0.00	1	0.00	1	-1480.47	100	-126.65	102	-896.18	33	-6002.41	97	-831.61	99
606	Min.	-93	0.00	1	0.00	1	0.00	1	-1480.47	100	-126.65	102	-896.18	33	-6002.41	97	-831.61	99
606	Min.	-105	0.00	1	0.00	1	0.00	1	-1480.47	100	-126.65	102	-896.18	33	-6002.41	97	-831.61	99
606	Max	-43	0.00	1	0.00	1	0.00	1	90.09	99	112.17	49	3.38	49	540.29	49	-1094.44	49
606	Max	-31	0.00	1	0.00	1	0.00	1	90.09	99	112.17	49	3.38	49	540.29	49	-1094.44	49
606	Max	-32	0.00	1	0.00	1	0.00	1	90.09	99	112.17	49	3.38	49	540.29	49	-1094.44	49
606	Max	-44	0.00	1	0.00	1	0.00	1	90.09	99	112.17	49	3.38	49	540.29	49	-1094.44	49
606	Min.	-43	0.00	1	0.00	1	0.00	1	-48.85	104	-188.22	33	-403.12	33	-262.46	33	-3420.65	99
606	Min.	-31	0.00	1	0.00	1	0.00	1	-48.85	104	-188.22	33	-403.12	33	-262.46	33	-3420.65	99
606	Min.	-32	0.00	1	0.00	1	0.00	1	-48.85	104	-188.22	33	-403.12	33	-262.46	33	-3420.65	99
606	Min.	-44	0.00	1	0.00	1	0.00	1	-48.85	104	-188.22	33	-403.12	33	-262.46	33	-3420.65	99
606	Max	-82	0.00	1	0.00	1	0.00	1	-333.96	33	758.82	97	-38.20	49	-2016.18	102	3458.55	100
606	Max	-70	0.00	1	0.00	1	0.00	1	-333.96	33	758.82	97	-38.20	49	-2016.18	102	3458.55	100
606	Max	-71	0.00	1	0.00	1	0.00	1	-333.96	33	758.82	97	-38.20	49	-2016.18	102	3458.55	100
606	Max	-83	0.00	1	0.00	1	0.00	1	-333.96	33	758.82	97	-38.20	49	-2016.18	102	3458.55	100
606	Min.	-82	0.00	1	0.00	1	0.00	1	-865.92	100	111.39	49	-967.18	33	-3552.66	97	2108.03	103
606	Min.	-70	0.00	1	0.00	1	0.00	1	-865.92	100	111.39	49	-967.18	33	-3552.66	97	2108.03	103
606	Min.	-71	0.00	1	0.00	1	0.00	1	-865.92	100	111.39	49	-967.18	33	-3552.66	97	2108.03	103
606	Min.	-83	0.00	1	0.00	1	0.00	1	-865.92	100	111.39	49	-967.18	33	-3552.66	97	2108.03	103
606	Max	-70	0.00	1	0.00	1	0.00	1	-86.05	33	885.40	97	-136.09	49	-1187.33	49	1931.45	100
606	Max	-58	0.00	1	0.00	1	0.00	1	-86.05	33	885.40	97	-136.09	49	-1187.33	49	1931.45	100
606	Max	-59	0.00	1	0.00	1	0.00	1	-86.05	33	885.40	97	-136.09	49	-1187.33	49	1931.45	100
606	Max	-71	0.00	1	0.00	1	0.00	1	-86.05	33	885.40	97	-136.09	49	-1187.33	49	1931.45	100
606	Min.	-70	0.00	1	0.00	1	0.00	1	-453.77	100	194.14	49	-950.09	33	-2497.62	97	1091.84	103
606	Min.	-58	0.00	1	0.00	1	0.00	1	-453.77	100	194.14	49	-950.09	33	-2497.62	97	1091.84	103
606	Min.	-59	0.00	1	0.00	1	0.00	1	-453.77	100	194.14	49	-950.09	33	-2497.62	97	1091.84	103
606	Min.	-71	0.00	1	0.00	1	0.00	1	-453.77	100	194.14	49	-950.09	33	-2497.62	97	1091.84	103
606	Max	-59	0.00	1	0.00	1	0.00	1	32.38	33	221.71	97	-32.50	49	-260.33	49	2349.26	97
606	Max	-47	0.00	1	0.00	1	0.00	1	32.38	33	221.71	97	-32.50	49	-260.33	49	2349.26	97
606	Max	-48	0.00	1	0.00	1	0.00	1	32.38	33	221.71	97	-32.50	49	-260.33	49	2349.26	97
606	Max	-60	0.00	1	0.00	1	0.00	1	32.38	33	221.71	97	-32.50	49	-260.33	49	2349.26	97
606	Min.	-59	0.00	1	0.00	1	0.00	1	-255.95	49	26.09	49	-406.26	33	-869.46	97	1051.41	49
606	Min.	-47	0.00	1	0.00	1	0.00	1	-255.95	49	26.09	49	-406.26	33	-869.46	97	1051.41	49
606	Min.	-48	0.00	1	0.00	1	0.00	1	-255.95	49	26.09	49	-406.26	33	-869.46	97	1051.41	49
606	Min.	-60	0.00	1	0.00	1	0.00	1	-255.95	49	26.09	49	-406.26	33	-869.46	97	1051.41	49
606	Max	-35	0.00	1	0.00	1	0.00	1	27.09	33	303.28	97	-23.32	49	-170.30	49	346.18	97
606	Max	-23	0.00	1	0.00	1	0.00	1	27.09	33	303.28	97	-23.32	49	-170.30	49	346.18	97
606	Max	-24	0.00	1	0.00	1	0.00	1	27.09	33	303.28	97	-23.32	49	-170.30	49	346.18	97
606	Max	-36	0.00	1	0.00	1	0.00	1	27.09	33	303.28	97	-23.32	49	-170.30	49	346.18	97
606	Min.	-35	0.00	1	0.00	1	0.00	1	-11.42	49	68.90	49	-155.79	33	-601.91	97	151.72	49
606	Min.	-23	0.00	1	0.00	1	0.00	1	-11.42	49	68.90	49	-155.79	33	-601.91	97	151.72	49
606	Min.	-24	0.00	1	0.00	1	0.00	1	-11.42	49	68.90	49	-155.79	33	-601.91	97	151.72	49
606	Min.	-36	0.00	1	0.00	1	0.00	1	-11.42	49	68.90	49	-155.79	33	-601.91	97	151.72	49
606	Max	-185	0.00	1	0.00	1	0.00	1	36.86	49	223.90	97	407.08	49	-259.67	33	-1033.85	33

606	Max	-173	0.00	1	0.00	1	0.00	1	36.86	49	223.90	97	407.08	49	-259.67	33	-1033.85	33
606	Max	-174	0.00	1	0.00	1	0.00	1	36.86	49	223.90	97	407.08	49	-259.67	33	-1033.85	33
606	Max	-186	0.00	1	0.00	1	0.00	1	36.86	49	223.90	97	407.08	49	-259.67	33	-1033.85	33
606	Min.	-185	0.00	1	0.00	1	0.00	1	-249.39	33	27.29	33	34.85	33	-869.97	97	-2319.66	97
606	Min.	-173	0.00	1	0.00	1	0.00	1	-249.39	33	27.29	33	34.85	33	-869.97	97	-2319.66	97
606	Min.	-174	0.00	1	0.00	1	0.00	1	-249.39	33	27.29	33	34.85	33	-869.97	97	-2319.66	97
606	Min.	-186	0.00	1	0.00	1	0.00	1	-249.39	33	27.29	33	34.85	33	-869.97	97	-2319.66	97
606	Max	-161	0.00	1	0.00	1	0.00	1	-436.70	49	-8.23	49	387.07	49	75.20	33	-2174.57	33
606	Max	-149	0.00	1	0.00	1	0.00	1	-436.70	49	-8.23	49	387.07	49	75.20	33	-2174.57	33
606	Max	-150	0.00	1	0.00	1	0.00	1	-436.70	49	-8.23	49	387.07	49	75.20	33	-2174.57	33
606	Max	-162	0.00	1	0.00	1	0.00	1	-436.70	49	-8.23	49	387.07	49	75.20	33	-2174.57	33
606	Min.	-161	0.00	1	0.00	1	0.00	1	-1053.33	99	-137.65	98	-81.69	33	-340.52	49	-4476.05	97
606	Min.	-149	0.00	1	0.00	1	0.00	1	-1053.33	99	-137.65	98	-81.69	33	-340.52	49	-4476.05	97
606	Min.	-150	0.00	1	0.00	1	0.00	1	-1053.33	99	-137.65	98	-81.69	33	-340.52	49	-4476.05	97
606	Min.	-162	0.00	1	0.00	1	0.00	1	-1053.33	99	-137.65	98	-81.69	33	-340.52	49	-4476.05	97
606	Max	-149	0.00	1	0.00	1	0.00	1	-877.79	49	-134.38	102	362.78	49	2185.39	97	-2871.72	33
606	Max	-137	0.00	1	0.00	1	0.00	1	-877.79	49	-134.38	102	362.78	49	2185.39	97	-2871.72	33
606	Max	-138	0.00	1	0.00	1	0.00	1	-877.79	49	-134.38	102	362.78	49	2185.39	97	-2871.72	33
606	Max	-150	0.00	1	0.00	1	0.00	1	-877.79	49	-134.38	102	362.78	49	2185.39	97	-2871.72	33
606	Min.	-149	0.00	1	0.00	1	0.00	1	-1733.71	99	-411.36	97	-114.39	33	1262.63	49	-5589.95	97
606	Min.	-137	0.00	1	0.00	1	0.00	1	-1733.71	99	-411.36	97	-114.39	33	1262.63	49	-5589.95	97
606	Min.	-138	0.00	1	0.00	1	0.00	1	-1733.71	99	-411.36	97	-114.39	33	1262.63	49	-5589.95	97
606	Min.	-150	0.00	1	0.00	1	0.00	1	-1733.71	99	-411.36	97	-114.39	33	1262.63	49	-5589.95	97
606	Max	-127	0.00	1	0.00	1	0.00	1	-1267.17	102	-239.23	102	282.59	49	1150.28	97	-420.48	33
606	Max	-115	0.00	1	0.00	1	0.00	1	-1267.17	102	-239.23	102	282.59	49	1150.28	97	-420.48	33
606	Max	-116	0.00	1	0.00	1	0.00	1	-1267.17	102	-239.23	102	282.59	49	1150.28	97	-420.48	33
606	Max	-128	0.00	1	0.00	1	0.00	1	-1267.17	102	-239.23	102	282.59	49	1150.28	97	-420.48	33
606	Min.	-127	0.00	1	0.00	1	0.00	1	-2005.47	97	-391.71	97	-269.20	33	740.16	102	-2816.72	49
606	Min.	-115	0.00	1	0.00	1	0.00	1	-2005.47	97	-391.71	97	-269.20	33	740.16	102	-2816.72	49
606	Min.	-116	0.00	1	0.00	1	0.00	1	-2005.47	97	-391.71	97	-269.20	33	740.16	102	-2816.72	49
606	Min.	-128	0.00	1	0.00	1	0.00	1	-2005.47	97	-391.71	97	-269.20	33	740.16	102	-2816.72	49
606	Max	-105	0.00	1	0.00	1	0.00	1	-1125.95	33	-192.78	102	16.62	49	1409.85	97	1086.06	33
606	Max	-93	0.00	1	0.00	1	0.00	1	-1125.95	33	-192.78	102	16.62	49	1409.85	97	1086.06	33
606	Max	-94	0.00	1	0.00	1	0.00	1	-1125.95	33	-192.78	102	16.62	49	1409.85	97	1086.06	33
606	Max	-106	0.00	1	0.00	1	0.00	1	-1125.95	33	-192.78	102	16.62	49	1409.85	97	1086.06	33
606	Min.	-105	0.00	1	0.00	1	0.00	1	-1793.89	97	-368.03	97	-492.73	33	839.04	33	-1156.03	49
606	Min.	-93	0.00	1	0.00	1	0.00	1	-1793.89	97	-368.03	97	-492.73	33	839.04	33	-1156.03	49
606	Min.	-94	0.00	1	0.00	1	0.00	1	-1793.89	97	-368.03	97	-492.73	33	839.04	33	-1156.03	49
606	Min.	-106	0.00	1	0.00	1	0.00	1	-1793.89	97	-368.03	97	-492.73	33	839.04	33	-1156.03	49
606	Max	-47	0.00	1	0.00	1	0.00	1	52.37	33	271.81	97	-45.01	49	-202.02	49	1399.09	97
606	Max	-35	0.00	1	0.00	1	0.00	1	52.37	33	271.81	97	-45.01	49	-202.02	49	1399.09	97
606	Max	-36	0.00	1	0.00	1	0.00	1	52.37	33	271.81	97	-45.01	49	-202.02	49	1399.09	97
606	Max	-48	0.00	1	0.00	1	0.00	1	52.37	33	271.81	97	-45.01	49	-202.02	49	1399.09	97
606	Min.	-47	0.00	1	0.00	1	0.00	1	-110.93	49	50.81	49	-312.24	33	-748.11	97	680.72	49
606	Min.	-35	0.00	1	0.00	1	0.00	1	-110.93	49	50.81	49	-312.24	33	-748.11	97	680.72	49
606	Min.	-36	0.00	1	0.00	1	0.00	1	-110.93	49	50.81	49	-312.24	33	-748.11	97	680.72	49
606	Min.	-48	0.00	1	0.00	1	0.00	1	-110.93	49	50.81	49	-312.24	33	-748.11	97	680.72	49
606	Max	-83	0.00	1	0.00	1	0.00	1	-439.57	33	-7.52	33	82.72	49	78.38	49	4467.72	97
606	Max	-71	0.00	1	0.00	1	0.00	1	-439.57	33	-7.52	33	82.72	49	78.38	49	4467.72	97
606	Max	-72	0.00	1	0.00	1	0.00	1	-439.57	33	-7.52	33	82.72	49	78.38	49	4467.72	97
606	Max	-84	0.00	1	0.00	1	0.00	1	-439.57	33	-7.52	33	82.72	49	78.38	49	4467.72	97
606	Min.	-83	0.00	1	0.00	1	0.00	1	-1058.17	100	-136.69	98	-386.17	33	-337.02	33	2169.44	49
606	Min.	-71	0.00	1	0.00	1	0.00	1	-1058.17	100	-136.69	98	-386.17	33	-337.02	33	2169.44	49
606	Min.	-72	0.00	1	0.00	1	0.00	1	-1058.17	100	-136.69	98	-386.17	33	-337.02	33	2169.44	49
606	Min.	-84	0.00	1	0.00	1	0.00	1	-1058.17	100	-136.69	98	-386.17	33	-337.02	33	2169.44	49
606	Max	-71	0.00	1	0.00	1	0.00	1	-126.27	33	137.51	97	4.91	49	-252.66	49	3463.75	97
606	Max	-59	0.00	1	0.00	1	0.00	1	-126.27	33	137.51	97	4.91	49	-252.66	49	3463.75	97
606	Max	-60	0.00	1	0.00	1	0.00	1	-126.27	33	137.51	97	4.91	49	-252.66	49	3463.75	97
606	Max	-72	0.00	1	0.00	1	0.00	1	-126.27	33	137.51	97	4.91	49	-252.66	49	3463.75	97
606	Min.	-71	0.00	1	0.00	1	0.00	1	-540.47	100	-19.74	49	-424.63	33	-815.41	97	1656.46	49
606	Min.	-59	0.00	1	0.00	1	0.00	1	-540.47	100	-19.74	49	-424.63	33	-815.41	97	1656.46	49
606	Min.	-60	0.00	1	0.00	1	0.00	1	-540.47	100	-19.74	49	-424.63	33	-815.41	97	1656.46	49
606	Min.	-72	0.00	1	0.00	1	0.00	1	-540.47	100	-19.74	49	-424.63	33	-815.41	97	1656.46	49
606	Max	-218	0.00	1	0.00	1	0.00	1	201.09	97	3103.68	97	404.74	97	3797.59	100	1577.21	100
606	Max	-206	0.00	1	0.00	1	0.00	1	201.09	97	3103.68	97	404.74	97	3797.59	100	1577.21	100
606	Max	-207	0.00	1	0.00	1	0.00	1	201.09	97	3103.68	97	404.74	97	3797.59	100	1577.21	100
606	Max	-219	0.00	1	0.00	1	0.00	1	201.09	97	3103.68	97	404.74	97	3797.59	100	1577.21	100
606	Min.	-218	0.00	1	0.00	1	0.00	1	90.84	33	920.93	33	204.69	33	889.36	103	688.21	33
606	Min.	-206	0.00	1	0.00	1	0.00	1	90.84	33	920.93	33	204.69	33	889.36	103	688.21	33
606	Min.	-207	0.00	1	0.00	1	0.00	1	90.84	33	920.93	33	204.69	33	889.36	103	688.21	33
606	Min.	-219	0.00	1	0.00	1	0.00	1	90.84	33	920.93	33	204.69	33	889.36	103	688.21	33
606	Max	-194	0.00	1	0.00	1	0.00	1	226.51	100	3454.33	97	973.33	49	-13659.80	104	138.79	104
606	Max	-182	0.00	1	0.00	1	0.00	1	226.51	100	3454.33	97	973.33	49	-13659.80	104	138.79	104
606	Max	-183	0.00	1	0.00	1	0.00	1	226.51	100	3454.33	97	973.33	49	-13659.80	104	138.79	104
606	Max	-195	0.00	1	0.00	1	0.00	1	226.51	100	3454.33	97	973.33	49	-13659.80	104	138.79	104
606	Min.	-194	0.00	1	0.00	1	0.00	1	-134.65	103	961.83	33	153.56	33	-22421.20	99	-1767.05	99
606	Min.	-182	0.00	1	0.00	1	0.00	1	-134.65	103	961.83	33	153.56	33	-22421.20	99	-1767.05	99
606	Min.	-183	0.00	1	0.00	1	0.00	1	-134.65	103	961.83	33	153.56	33	-22421.20	99	-1767.05	99
606	Min.	-195	0.00	1	0.00	1	0.00	1	-134.65	103	961.83	33	153.56	33	-22421.20	99	-1767.05	99
606	Max	-170	0.00	1	0.00	1	0.00	1	211.87	97	3818.37	97	805.46	49	-6522.86	104	1097.76	100
606	Max	-158	0.00	1	0.00	1	0.00	1	211.87	97	3818.37	97	805.46	49	-6522.86	104	1097.76	100
606	Max	-159	0.00	1	0.00	1	0.00	1	211.87	97	3818.37	97	805.46	49	-6522.86	104	1097.76	100
606	Max	-171	0.00	1	0.00	1	0.00	1	211.87	97	3818.37	97	805.46	49	-6522.86	104	1097.76	100
606	Min.	-170	0.00	1	0.00	1	0.00	1	51.43	102	1606.94	33	-227.09	33	-10442.10	99	323.43	33
606	Min.	-158	0.00	1	0.00	1	0.00	1	51.43	102	1606.94	33	-227.09	33	-10442.10	99	323.43	33
606	Min.	-159	0.00	1	0.00	1	0.00	1	51.43	102	1606.94	33	-227.09	33	-10442.10	99	323.43	33
606	Min.	-171	0.00	1	0.00	1	0.00	1	51.43	102	1606.94	33	-227.09	33	-10442.10	99	323.43	33
606	Max	25	0.00	1	0.00	1	0.00	1	-352.29	103	4364.98	97	909.72	49	-14817.60	104	5439.38	100
606	Max	-124	0.00	1	0.00	1	0.00	1	-352.29	103	4364.98	97	909.72	49	-14817.60	104	5439.38	100
606	Max	-125	0.00	1	0.00	1	0.00	1	-352.29	103	4364.98	97	909.72	49	-14817.60	104	5439.38	100
606	Max	-135	0.00	1	0.00	1	0.00	1	-352.29	103	4364.98	97	909.72	49	-14817.60	104	5439.38	100
606	Min.	25	0.00	1	0.00	1	0.00	1	-662.82	100	1584.42	102	-410.02	33	-21720.80	99	3416.51	33
606	Min.	-124	0.00	1	0.00	1	0.00	1	-662.82	100	1584.42	102	-410.02	33	-21720.80	99	3416.51	33
606	Min.	-125	0.00	1	0.00	1	0.00	1	-662.82	100	1584.42	102	-410.02	33	-21720.80	99	3416.51	33
606	Min.	-135	0.00	1	0.00	1	0.00	1	-662.82	100	1584.42	102	-410.02	33	-21720.80	99	3416.51	33
606	Max	23	0.00	1	0.00	1	0.00	1	-317.09	103	4541.82	97	573.89	49	-14665.80	102	4568.51	100
606	Max	-102	0.00	1	0.00	1	0.00	1	-317.09	103	4541.82	97	573.89	49	-14665.80	102	4568.51	100
606	Max	-103	0.00	1	0.00	1	0.00	1	-317.09	103	4541.82	97	573.89	49	-14665.80	102	4568.51	100
606	Max	-113	0.00	1	0.00	1	0.00	1	-317.09	103	4541.82	97	573.89	49	-14665.80	102	4568.51	100
606	Min.	23	0.00	1	0.00	1	0.00	1	-751.37	100	1771.53	102	-776.62	33	-20451.90	97	2558.89	33
606	Min.	-102	0.00	1	0.00	1	0.00	1	-751.37	100	1771.53	102	-776.62	33	-20451.90	97	2558.89	33
606	Min.	-103	0.00	1	0.00	1	0.00	1	-751.37	100	1771.53	102	-776.62	33	-20451.90	97	2558.89	33
606	Min.	-113	0.00	1	0.00	1	0.00	1	-751.37	100	1771.53	102	-776.62	33	-20451.90	97	2558.89	33
606	Max	21	0.00	1	0.00	1	0.00	1	-446.96	103	4123.23	97	126.75	49	-17949.30	103	8270.83	100
606	Max	-80	0.00	1	0.00	1	0.00	1	-446.96	103	4123.23	97	126.75	49	-17949.30	103	8270.83	100

606	Max	-81	0.00	1	0.00	1	0.00	1	-446.96	103	4123.23	97	126.75	49	-17949.30	103	8270.83	100
606	Max	-91	0.00	1	0.00	1	0.00	1	-446.96	103	4123.23	97	126.75	49	-17949.30	103	8270.83	100
606	Min.	21	0.00	1	0.00	1	0.00	1	-1221.86	100	1262.47	102	-1186.62	33	-26569.00	100	4680.99	33
606	Min.	-80	0.00	1	0.00	1	0.00	1	-1221.86	100	1262.47	102	-1186.62	33	-26569.00	100	4680.99	33
606	Min.	-81	0.00	1	0.00	1	0.00	1	-1221.86	100	1262.47	102	-1186.62	33	-26569.00	100	4680.99	33
606	Min.	-91	0.00	1	0.00	1	0.00	1	-1221.86	100	1262.47	102	-1186.62	33	-26569.00	100	4680.99	33
606	Max	-56	0.00	1	0.00	1	0.00	1	-33.11	104	3858.04	97	330.07	49	-20244.60	103	-3476.92	101
606	Max	-44	0.00	1	0.00	1	0.00	1	-33.11	104	3858.04	97	330.07	49	-20244.60	103	-3476.92	101
606	Max	-45	0.00	1	0.00	1	0.00	1	-33.11	104	3858.04	97	330.07	49	-20244.60	103	-3476.92	101
606	Max	-57	0.00	1	0.00	1	0.00	1	-33.11	104	3858.04	97	330.07	49	-20244.60	103	-3476.92	101
606	Min.	-56	0.00	1	0.00	1	0.00	1	-220.68	99	1053.13	102	-778.98	33	-31674.40	100	-4955.62	98
606	Min.	-44	0.00	1	0.00	1	0.00	1	-220.68	99	1053.13	102	-778.98	33	-31674.40	100	-4955.62	98
606	Min.	-45	0.00	1	0.00	1	0.00	1	-220.68	99	1053.13	102	-778.98	33	-31674.40	100	-4955.62	98
606	Min.	-57	0.00	1	0.00	1	0.00	1	-220.68	99	1053.13	102	-778.98	33	-31674.40	100	-4955.62	98
606	Max	-32	0.00	1	0.00	1	0.00	1	312.09	97	2890.53	97	-342.73	49	4895.60	99	-1043.03	49
606	Max	-20	0.00	1	0.00	1	0.00	1	312.09	97	2890.53	97	-342.73	49	4895.60	99	-1043.03	49
606	Max	-21	0.00	1	0.00	1	0.00	1	312.09	97	2890.53	97	-342.73	49	4895.60	99	-1043.03	49
606	Max	-33	0.00	1	0.00	1	0.00	1	312.09	97	2890.53	97	-342.73	49	4895.60	99	-1043.03	49
606	Min.	-32	0.00	1	0.00	1	0.00	1	152.47	49	855.26	49	-697.22	100	2195.94	104	-2362.92	99
606	Min.	-20	0.00	1	0.00	1	0.00	1	152.47	49	855.26	49	-697.22	100	2195.94	104	-2362.92	99
606	Min.	-21	0.00	1	0.00	1	0.00	1	152.47	49	855.26	49	-697.22	100	2195.94	104	-2362.92	99
606	Min.	-33	0.00	1	0.00	1	0.00	1	152.47	49	855.26	49	-697.22	100	2195.94	104	-2362.92	99
606	Max	-217	0.00	1	0.00	1	0.00	1	-22.27	104	-148.32	33	125.41	97	-370.68	33	818.16	100
606	Max	-205	0.00	1	0.00	1	0.00	1	-22.27	104	-148.32	33	125.41	97	-370.68	33	818.16	100
606	Max	-206	0.00	1	0.00	1	0.00	1	-22.27	104	-148.32	33	125.41	97	-370.68	33	818.16	100
606	Max	-218	0.00	1	0.00	1	0.00	1	-22.27	104	-148.32	33	125.41	97	-370.68	33	818.16	100
606	Min.	-217	0.00	1	0.00	1	0.00	1	-50.89	99	-532.33	97	66.72	102	-1613.33	100	198.43	33
606	Min.	-205	0.00	1	0.00	1	0.00	1	-50.89	99	-532.33	97	66.72	102	-1613.33	100	198.43	33
606	Min.	-206	0.00	1	0.00	1	0.00	1	-50.89	99	-532.33	97	66.72	102	-1613.33	100	198.43	33
606	Min.	-218	0.00	1	0.00	1	0.00	1	-50.89	99	-532.33	97	66.72	102	-1613.33	100	198.43	33
606	Max	-193	0.00	1	0.00	1	0.00	1	87.92	100	109.68	33	405.25	49	535.83	33	3419.23	100
606	Max	-181	0.00	1	0.00	1	0.00	1	87.92	100	109.68	33	405.25	49	535.83	33	3419.23	100
606	Max	-182	0.00	1	0.00	1	0.00	1	87.92	100	109.68	33	405.25	49	535.83	33	3419.23	100
606	Max	-194	0.00	1	0.00	1	0.00	1	87.92	100	109.68	33	405.25	49	535.83	33	3419.23	100
606	Min.	-193	0.00	1	0.00	1	0.00	1	-50.26	103	-190.60	49	-1.04	33	-265.46	49	1090.38	33
606	Min.	-181	0.00	1	0.00	1	0.00	1	-50.26	103	-190.60	49	-1.04	33	-265.46	49	1090.38	33
606	Min.	-182	0.00	1	0.00	1	0.00	1	-50.26	103	-190.60	49	-1.04	33	-265.46	49	1090.38	33
606	Min.	-194	0.00	1	0.00	1	0.00	1	-50.26	103	-190.60	49	-1.04	33	-265.46	49	1090.38	33
606	Max	-169	0.00	1	0.00	1	0.00	1	-156.80	104	44.56	33	548.19	49	-167.76	33	1498.74	49
606	Max	-157	0.00	1	0.00	1	0.00	1	-156.80	104	44.56	33	548.19	49	-167.76	33	1498.74	49
606	Max	-158	0.00	1	0.00	1	0.00	1	-156.80	104	44.56	33	548.19	49	-167.76	33	1498.74	49
606	Max	-170	0.00	1	0.00	1	0.00	1	-156.80	104	44.56	33	548.19	49	-167.76	33	1498.74	49
606	Min.	-169	0.00	1	0.00	1	0.00	1	-333.13	99	-93.55	49	-92.98	33	-631.15	49	-1374.98	33
606	Min.	-157	0.00	1	0.00	1	0.00	1	-333.13	99	-93.55	49	-92.98	33	-631.15	49	-1374.98	33
606	Min.	-158	0.00	1	0.00	1	0.00	1	-333.13	99	-93.55	49	-92.98	33	-631.15	49	-1374.98	33
606	Min.	-170	0.00	1	0.00	1	0.00	1	-333.13	99	-93.55	49	-92.98	33	-631.15	49	-1374.98	33
606	Max	-134	0.00	1	0.00	1	0.00	1	-613.10	104	25.27	33	469.78	49	-154.65	33	1992.72	49
606	Max	-123	0.00	1	0.00	1	0.00	1	-613.10	104	25.27	33	469.78	49	-154.65	33	1992.72	49
606	Max	-124	0.00	1	0.00	1	0.00	1	-613.10	104	25.27	33	469.78	49	-154.65	33	1992.72	49
606	Max	25	0.00	1	0.00	1	0.00	1	-613.10	104	25.27	33	469.78	49	-154.65	33	1992.72	49
606	Min.	-134	0.00	1	0.00	1	0.00	1	-957.92	99	-12.60	49	-297.15	33	-282.94	98	-1439.43	33
606	Min.	-123	0.00	1	0.00	1	0.00	1	-957.92	99	-12.60	49	-297.15	33	-282.94	98	-1439.43	33
606	Min.	-124	0.00	1	0.00	1	0.00	1	-957.92	99	-12.60	49	-297.15	33	-282.94	98	-1439.43	33
606	Min.	25	0.00	1	0.00	1	0.00	1	-957.92	99	-12.60	49	-297.15	33	-282.94	98	-1439.43	33
606	Max	-112	0.00	1	0.00	1	0.00	1	-646.64	103	62.65	97	337.46	49	86.54	97	1320.92	49
606	Max	-101	0.00	1	0.00	1	0.00	1	-646.64	103	62.65	97	337.46	49	86.54	97	1320.92	49
606	Max	-102	0.00	1	0.00	1	0.00	1	-646.64	103	62.65	97	337.46	49	86.54	97	1320.92	49
606	Max	23	0.00	1	0.00	1	0.00	1	-646.64	103	62.65	97	337.46	49	86.54	97	1320.92	49
606	Min.	-112	0.00	1	0.00	1	0.00	1	-970.11	100	33.68	102	-453.69	33	24.23	33	-2207.24	33
606	Min.	-101	0.00	1	0.00	1	0.00	1	-970.11	100	33.68	102	-453.69	33	24.23	33	-2207.24	33
606	Min.	-102	0.00	1	0.00	1	0.00	1	-970.11	100	33.68	102	-453.69	33	24.23	33	-2207.24	33
606	Min.	23	0.00	1	0.00	1	0.00	1	-970.11	100	33.68	102	-453.69	33	24.23	33	-2207.24	33
606	Max	-90	0.00	1	0.00	1	0.00	1	-576.00	103	47.19	97	161.99	49	-248.96	49	1213.41	49
606	Max	-79	0.00	1	0.00	1	0.00	1	-576.00	103	47.19	97	161.99	49	-248.96	49	1213.41	49
606	Max	-80	0.00	1	0.00	1	0.00	1	-576.00	103	47.19	97	161.99	49	-248.96	49	1213.41	49
606	Max	21	0.00	1	0.00	1	0.00	1	-576.00	103	47.19	97	161.99	49	-248.96	49	1213.41	49
606	Min.	-90	0.00	1	0.00	1	0.00	1	-1007.69	100	-30.21	102	-557.01	33	-496.37	98	-2228.35	33
606	Min.	-79	0.00	1	0.00	1	0.00	1	-1007.69	100	-30.21	102	-557.01	33	-496.37	98	-2228.35	33
606	Min.	-80	0.00	1	0.00	1	0.00	1	-1007.69	100	-30.21	102	-557.01	33	-496.37	98	-2228.35	33
606	Min.	21	0.00	1	0.00	1	0.00	1	-1007.69	100	-30.21	102	-557.01	33	-496.37	98	-2228.35	33
606	Max	-55	0.00	1	0.00	1	0.00	1	46.29	99	206.36	97	29.86	49	1139.73	97	2615.79	49
606	Max	-43	0.00	1	0.00	1	0.00	1	46.29	99	206.36	97	29.86	49	1139.73	97	2615.79	49
606	Max	-44	0.00	1	0.00	1	0.00	1	46.29	99	206.36	97	29.86	49	1139.73	97	2615.79	49
606	Max	-56	0.00	1	0.00	1	0.00	1	46.29	99	206.36	97	29.86	49	1139.73	97	2615.79	49
606	Min.	-55	0.00	1	0.00	1	0.00	1	-119.24	104	12.79	33	-545.98	33	426.05	33	98.65	33
606	Min.	-43	0.00	1	0.00	1	0.00	1	-119.24	104	12.79	33	-545.98	33	426.05	33	98.65	33
606	Min.	-44	0.00	1	0.00	1	0.00	1	-119.24	104	12.79	33	-545.98	33	426.05	33	98.65	33
606	Min.	-56	0.00	1	0.00	1	0.00	1	-119.24	104	12.79	33	-545.98	33	426.05	33	98.65	33
606	Max	-31	0.00	1	0.00	1	0.00	1	-32.70	103	-80.88	49	-56.93	49	-801.21	49	57.41	49
606	Max	-19	0.00	1	0.00	1	0.00	1	-32.70	103	-80.88	49	-56.93	49	-801.21	49	57.41	49
606	Max	-20	0.00	1	0.00	1	0.00	1	-32.70	103	-80.88	49	-56.93	49	-801.21	49	57.41	49
606	Max	-32	0.00	1	0.00	1	0.00	1	-32.70	103	-80.88	49	-56.93	49	-801.21	49	57.41	49
606	Min.	-31	0.00	1	0.00	1	0.00	1	-129.11	100	-494.94	33	-236.34	97	-2146.52	99	-1043.29	33
606	Min.	-19	0.00	1	0.00	1	0.00	1	-129.11	100	-494.94	33	-236.34	97	-2146.52	99	-1043.29	33
606	Min.	-20	0.00	1	0.00	1	0.00	1	-129.11	100	-494.94	33	-236.34	97	-2146.52	99	-1043.29	33
606	Min.	-32	0.00	1	0.00	1	0.00	1	-129.11	100	-494.94	33	-236.34	97	-2146.52	99	-1043.29	33
606	Max	-20	0.00	1	0.00	1	0.00	1	197.54	97	3123.20	97	-199.60	49	3739.46	99	-672.57	49
606	Max	-8	0.00	1	0.00	1	0.00	1	197.54	97	3123.20	97	-199.60	49	3739.46	99	-672.57	49
606	Max	-9	0.00	1	0.00	1	0.00	1	197.54	97	3123.20	97	-199.60	49	3739.46	99	-672.57	49
606	Max	-21	0.00	1	0.00	1	0.00	1	197.54	97	3123.20	97	-199.60	49	3739.46	99	-672.57	49
606	Min.	-20	0.00	1	0.00	1	0.00	1	87.92	49	932.05	49	-393.29	97	827.65	104	-1539.16	99
606	Min.	-8	0.00	1	0.00	1	0.00	1	87.92	49	932.05	49	-393.29	97	827.65	104	-1539.16	99
606	Min.	-9	0.00	1	0.00	1	0.00	1	87.92	49	932.05	49	-393.29	97	827.65	104	-1539.16	99
606	Min.	-21	0.00	1	0.00	1	0.00	1	87.92	49	932.05	49	-393.29	97	827.65	104	-1539.16	99
606	Max	-19	0.00	1	0.00	1	0.00	1	-20.85	103	-150.35	49	-64.37	102	-355.59	49	-206.54	49
606	Max	-7	0.00	1	0.00	1	0.00	1	-20.85	103	-150.35	49	-64.37	102	-355.59	49	-206.54	49
606	Max	-8	0.00	1	0.00	1	0.00	1	-20.85	103	-150.35	49	-64.37	102	-355.59	49	-206.54	49
606	Max	-20	0.00	1	0.00	1	0.00	1	-20.85	103	-150.35	49	-64.37	102	-355.59	49	-206.54	49
606	Min.	-19	0.00	1	0.00	1	0.00	1	-47.73	100	-533.13	97	-120.11	97	-1592.61	99	-805.56	99
606	Min.	-7	0.00	1	0.00	1	0.00	1	-47.73	100	-533.13	97	-120.11	97	-1592.61	99	-805.56	99
606	Min.	-8	0.00	1	0.00	1	0.00	1	-47.73	100	-533.13	97	-120.11	97	-1592.61	99	-805.56	99
606	Min.	-20	0.00	1	0.00	1	0.00	1	-47.73	100	-533.13	97	-120.11	97	-1592.61	99	-805.56	99
606	Max	-136	0.00	1	0.00	1	0.00	1	-962.23	49	712.83	97	903.17	49	-3905.17	102	814.19	100
606	Max	-126	0.00	1	0.00	1	0.00	1	-962.23	49	712.83	97	903.17	49	-3905.17	102	814.19	100
606	Max	-127	0.00	1	0.00	1	0.00	1	-962.23	49	712.83	97	903.17	49	-3905.17	102	814.19	100

606	Max	-137	0.00	1	0.00	1	0.00	1	-962.23	49	712.83	97	903.17	49	-3905.17	102	814.19	100
606	Min.	-136	0.00	1	0.00	1	0.00	1	-1493.61	99	-130.01	102	-217.43	33	-6007.01	97	261.17	49
606	Min.	-126	0.00	1	0.00	1	0.00	1	-1493.61	99	-130.01	102	-217.43	33	-6007.01	97	261.17	49
606	Min.	-127	0.00	1	0.00	1	0.00	1	-1493.61	99	-130.01	102	-217.43	33	-6007.01	97	261.17	49
606	Min.	-137	0.00	1	0.00	1	0.00	1	-1493.61	99	-130.01	102	-217.43	33	-6007.01	97	261.17	49
606	Max	-114	0.00	1	0.00	1	0.00	1	-1075.65	33	659.91	97	508.15	49	-3889.87	102	1927.48	100
606	Max	-104	0.00	1	0.00	1	0.00	1	-1075.65	33	659.91	97	508.15	49	-3889.87	102	1927.48	100
606	Max	-105	0.00	1	0.00	1	0.00	1	-1075.65	33	659.91	97	508.15	49	-3889.87	102	1927.48	100
606	Max	-115	0.00	1	0.00	1	0.00	1	-1075.65	33	659.91	97	508.15	49	-3889.87	102	1927.48	100
606	Min.	-114	0.00	1	0.00	1	0.00	1	-1648.07	100	-155.50	102	-668.61	33	-6042.25	97	1035.14	49
606	Min.	-104	0.00	1	0.00	1	0.00	1	-1648.07	100	-155.50	102	-668.61	33	-6042.25	97	1035.14	49
606	Min.	-105	0.00	1	0.00	1	0.00	1	-1648.07	100	-155.50	102	-668.61	33	-6042.25	97	1035.14	49
606	Min.	-115	0.00	1	0.00	1	0.00	1	-1648.07	100	-155.50	102	-668.61	33	-6042.25	97	1035.14	49
606	Max	-92	0.00	1	0.00	1	0.00	1	-741.72	33	816.05	97	118.77	49	-4250.80	102	4002.14	100
606	Max	-82	0.00	1	0.00	1	0.00	1	-741.72	33	816.05	97	118.77	49	-4250.80	102	4002.14	100
606	Max	-83	0.00	1	0.00	1	0.00	1	-741.72	33	816.05	97	118.77	49	-4250.80	102	4002.14	100
606	Max	-93	0.00	1	0.00	1	0.00	1	-741.72	33	816.05	97	118.77	49	-4250.80	102	4002.14	100
606	Min.	-92	0.00	1	0.00	1	0.00	1	-1482.46	100	-100.65	102	-943.89	33	-6361.03	97	2482.72	103
606	Min.	-82	0.00	1	0.00	1	0.00	1	-1482.46	100	-100.65	102	-943.89	33	-6361.03	97	2482.72	103
606	Min.	-83	0.00	1	0.00	1	0.00	1	-1482.46	100	-100.65	102	-943.89	33	-6361.03	97	2482.72	103
606	Min.	-93	0.00	1	0.00	1	0.00	1	-1482.46	100	-100.65	102	-943.89	33	-6361.03	97	2482.72	103
606	Max	-58	0.00	1	0.00	1	0.00	1	39.48	33	1070.80	97	-161.48	49	-969.13	49	2388.00	100
606	Max	-46	0.00	1	0.00	1	0.00	1	39.48	33	1070.80	97	-161.48	49	-969.13	49	2388.00	100
606	Max	-47	0.00	1	0.00	1	0.00	1	39.48	33	1070.80	97	-161.48	49	-969.13	49	2388.00	100
606	Max	-59	0.00	1	0.00	1	0.00	1	39.48	33	1070.80	97	-161.48	49	-969.13	49	2388.00	100
606	Min.	-58	0.00	1	0.00	1	0.00	1	-268.83	49	302.31	49	-901.06	33	-2235.90	97	1368.50	103
606	Min.	-46	0.00	1	0.00	1	0.00	1	-268.83	49	302.31	49	-901.06	33	-2235.90	97	1368.50	103
606	Min.	-47	0.00	1	0.00	1	0.00	1	-268.83	49	302.31	49	-901.06	33	-2235.90	97	1368.50	103
606	Min.	-59	0.00	1	0.00	1	0.00	1	-268.83	49	302.31	49	-901.06	33	-2235.90	97	1368.50	103
606	Max	-22	0.00	1	0.00	1	0.00	1	7.31	33	1069.83	97	-8.78	49	125.66	103	220.09	100
606	Max	-10	0.00	1	0.00	1	0.00	1	7.31	33	1069.83	97	-8.78	49	125.66	103	220.09	100
606	Max	-11	0.00	1	0.00	1	0.00	1	7.31	33	1069.83	97	-8.78	49	125.66	103	220.09	100
606	Max	-23	0.00	1	0.00	1	0.00	1	7.31	33	1069.83	97	-8.78	49	125.66	103	220.09	100
606	Min.	-22	0.00	1	0.00	1	0.00	1	-9.78	49	203.80	49	-159.31	33	-536.25	100	94.81	103
606	Min.	-10	0.00	1	0.00	1	0.00	1	-9.78	49	203.80	49	-159.31	33	-536.25	100	94.81	103
606	Min.	-11	0.00	1	0.00	1	0.00	1	-9.78	49	203.80	49	-159.31	33	-536.25	100	94.81	103
606	Min.	-23	0.00	1	0.00	1	0.00	1	-9.78	49	203.80	49	-159.31	33	-536.25	100	94.81	103
606	Max	-184	0.00	1	0.00	1	0.00	1	45.62	49	1075.24	97	902.43	49	-960.87	33	-1400.15	104
606	Max	-172	0.00	1	0.00	1	0.00	1	45.62	49	1075.24	97	902.43	49	-960.87	33	-1400.15	104
606	Max	-173	0.00	1	0.00	1	0.00	1	45.62	49	1075.24	97	902.43	49	-960.87	33	-1400.15	104
606	Max	-185	0.00	1	0.00	1	0.00	1	45.62	49	1075.24	97	902.43	49	-960.87	33	-1400.15	104
606	Min.	-184	0.00	1	0.00	1	0.00	1	-263.39	33	304.56	33	164.03	33	-2225.73	97	-2439.59	99
606	Min.	-172	0.00	1	0.00	1	0.00	1	-263.39	33	304.56	33	164.03	33	-2225.73	97	-2439.59	99
606	Min.	-173	0.00	1	0.00	1	0.00	1	-263.39	33	304.56	33	164.03	33	-2225.73	97	-2439.59	99
606	Min.	-185	0.00	1	0.00	1	0.00	1	-263.39	33	304.56	33	164.03	33	-2225.73	97	-2439.59	99
606	Max	-160	0.00	1	0.00	1	0.00	1	-331.16	49	758.05	97	971.79	49	-2009.41	102	-2098.99	104
606	Max	-148	0.00	1	0.00	1	0.00	1	-331.16	49	758.05	97	971.79	49	-2009.41	102	-2098.99	104
606	Max	-149	0.00	1	0.00	1	0.00	1	-331.16	49	758.05	97	971.79	49	-2009.41	102	-2098.99	104
606	Max	-161	0.00	1	0.00	1	0.00	1	-331.16	49	758.05	97	971.79	49	-2009.41	102	-2098.99	104
606	Min.	-160	0.00	1	0.00	1	0.00	1	-861.18	99	110.55	33	43.18	33	-3544.04	97	-3446.09	99
606	Min.	-148	0.00	1	0.00	1	0.00	1	-861.18	99	110.55	33	43.18	33	-3544.04	97	-3446.09	99
606	Min.	-149	0.00	1	0.00	1	0.00	1	-861.18	99	110.55	33	43.18	33	-3544.04	97	-3446.09	99
606	Min.	-161	0.00	1	0.00	1	0.00	1	-861.18	99	110.55	33	43.18	33	-3544.04	97	-3446.09	99
606	Max	-148	0.00	1	0.00	1	0.00	1	-738.70	49	814.81	97	951.41	49	-4242.98	102	-2480.00	104
606	Max	-136	0.00	1	0.00	1	0.00	1	-738.70	49	814.81	97	951.41	49	-4242.98	102	-2480.00	104
606	Max	-137	0.00	1	0.00	1	0.00	1	-738.70	49	814.81	97	951.41	49	-4242.98	102	-2480.00	104
606	Max	-149	0.00	1	0.00	1	0.00	1	-738.70	49	814.81	97	951.41	49	-4242.98	102	-2480.00	104
606	Min.	-148	0.00	1	0.00	1	0.00	1	-1477.02	99	-101.65	102	-111.03	33	-6350.42	97	-3999.53	99
606	Min.	-136	0.00	1	0.00	1	0.00	1	-1477.02	99	-101.65	102	-111.03	33	-6350.42	97	-3999.53	99
606	Min.	-137	0.00	1	0.00	1	0.00	1	-1477.02	99	-101.65	102	-111.03	33	-6350.42	97	-3999.53	99
606	Min.	-149	0.00	1	0.00	1	0.00	1	-1477.02	99	-101.65	102	-111.03	33	-6350.42	97	-3999.53	99
606	Max	-21	0.00	1	0.00	1	0.00	1	66.77	97	2319.18	97	-87.22	49	488.37	103	-194.41	49
606	Max	-9	0.00	1	0.00	1	0.00	1	66.77	97	2319.18	97	-87.22	49	488.37	103	-194.41	49
606	Max	-10	0.00	1	0.00	1	0.00	1	66.77	97	2319.18	97	-87.22	49	488.37	103	-194.41	49
606	Max	-22	0.00	1	0.00	1	0.00	1	66.77	97	2319.18	97	-87.22	49	488.37	103	-194.41	49
606	Min.	-21	0.00	1	0.00	1	0.00	1	41.08	49	583.38	49	-261.95	99	-1069.00	100	-475.22	99
606	Min.	-9	0.00	1	0.00	1	0.00	1	41.08	49	583.38	49	-261.95	99	-1069.00	100	-475.22	99
606	Min.	-10	0.00	1	0.00	1	0.00	1	41.08	49	583.38	49	-261.95	99	-1069.00	100	-475.22	99
606	Min.	-22	0.00	1	0.00	1	0.00	1	41.08	49	583.38	49	-261.95	99	-1069.00	100	-475.22	99
606	Max	-23	0.00	1	0.00	1	0.00	1	1.71	33	262.87	97	-8.23	49	-28.90	102	119.37	97
606	Max	-11	0.00	1	0.00	1	0.00	1	1.71	33	262.87	97	-8.23	49	-28.90	102	119.37	97
606	Max	-12	0.00	1	0.00	1	0.00	1	1.71	33	262.87	97	-8.23	49	-28.90	102	119.37	97
606	Max	-24	0.00	1	0.00	1	0.00	1	1.71	33	262.87	97	-8.23	49	-28.90	102	119.37	97
606	Min.	-23	0.00	1	0.00	1	0.00	1	-4.63	49	55.71	49	-47.15	33	-318.84	97	58.28	102
606	Min.	-11	0.00	1	0.00	1	0.00	1	-4.63	49	55.71	49	-47.15	33	-318.84	97	58.28	102
606	Min.	-12	0.00	1	0.00	1	0.00	1	-4.63	49	55.71	49	-47.15	33	-318.84	97	58.28	102
606	Min.	-24	0.00	1	0.00	1	0.00	1	-4.63	49	55.71	49	-47.15	33	-318.84	97	58.28	102
606	Max	-46	0.00	1	0.00	1	0.00	1	21.35	33	1137.92	97	-69.30	49	-627.95	49	390.96	100
606	Max	-34	0.00	1	0.00	1	0.00	1	21.35	33	1137.92	97	-69.30	49	-627.95	49	390.96	100
606	Max	-35	0.00	1	0.00	1	0.00	1	21.35	33	1137.92	97	-69.30	49	-627.95	49	390.96	100
606	Max	-47	0.00	1	0.00	1	0.00	1	21.35	33	1137.92	97	-69.30	49	-627.95	49	390.96	100
606	Min.	-46	0.00	1	0.00	1	0.00	1	-120.04	49	291.59	49	-640.26	33	-1671.09	97	116.91	103
606	Min.	-34	0.00	1	0.00	1	0.00	1	-120.04	49	291.59	49	-640.26	33	-1671.09	97	116.91	103
606	Min.	-35	0.00	1	0.00	1	0.00	1	-120.04	49	291.59	49	-640.26	33	-1671.09	97	116.91	103
606	Min.	-47	0.00	1	0.00	1	0.00	1	-120.04	49	291.59	49	-640.26	33	-1671.09	97	116.91	103

Criteri di progetto utilizzati

Aste in acciaio

Generali	
Verifica aste in acciaio	
Numero punti di verifica	10.00
Numero CC da considerare di tipo I	99.00
Stati limite D.M. 08	
Verifiche con EC3	No
Coeff. amplificativo sollecitazioni per effetti del secondo ordine	1.00

Stampe	
Verifiche da riportare in relazione	Tutte

Specifici	**1**	**10**
Materiali		
CNR 10011		
Tipo di acciaio	FE430	FE360
D.M. 08		
Tipo di acciaio per profilati a sezione aperta	S275	S235
	UNI EN	UNI EN
	10025-2	10025-2
Tipo di acciaio per profilati a sezione cava	S275H	S235H
	UNI EN	UNI EN
	10210-1	10210-1
EC3		
Tipo di acciaio	S275	S235
-Fy <daN/cmq>	2750.00	2350.00
-Fu <daN/cmq>	4300.00	3600.00
γ M0	1.00	1.00
γ M1	1.00	1.00
γ M2	1.25	1.25
γ Rd	1.30	1.30
γ Ov	1.25	1.25
-Considera come elemento esistente (S.L. D.M. 08/EC3)	No	No
-Livello di conoscenza	LC1	LC1
-Fattore di confidenza	1.35	1.35
Verifiche di resistenza		
Rapporto fra area effettiva e area nominale	1.00	1.00
Rapporto fra area netta e area nominale	1.00	1.00
Coeff. di forma intorno all'asse Y	1.00	1.00
Coeff. di forma intorno all'asse Z	1.00	1.00
Verifica le bielle solo con sollecitazioni di trazione moltiplicate per	Si	Si
Valutare la τ per torsione nei punti di spigolo (CNR 10011)	No	No
-Pari a		
Stati limite D.M. 08/EC3		
-Fai sempre verifiche in campo elastico	Si	No
-Effettua le verifiche della gerarchia delle resistenze per strutture intelaiate	No	Si
-Usa classe 1 in pressoflessione deviata se non presente in archivio	No	No
Stati limite D.M. 08		
-Usa prescrizioni EC3 quando più dettagliate	No	Si
-Considera prescrizioni relative ai ponti	Si	No
Verifiche di deformabilità		
Max valore del rapporto tra la luce e la freccia (totale)	250.00	250.00
Max valore del rapporto tra la luce e la freccia (solo accidentali)	300.00	300.00
Max valore del rapporto tra altezza e spostamento orizz. (aste)	300.00	300.00
Max valore del rapporto tra altezza e spostamento orizz. (membrature)	500.00	500.00
Considerare anche spostamento relativo nodi per calcolo freccia	No	No
Considerare solo la verifica di deformabilità delle membrature	Si	Si
Trascura deformazione dovuta al sisma (T.A.)	No	No
Verifiche di stabilità asta		
Riduzione lunghezza libera d'inflessione		
-Distanza fra i nodi dell'asta	x	x
-Distanza ridotta delle zone rigide moltiplicate per il valore		
Tipo di accoppiamento aste composte		
-Separate		
-Calastrellate		
-Imbottite		
-Automatico	x	x
Calcolo momento medio usando valori assoluti	Si	Si
Interasse calastrelli o imbottiture		
-Distanza pari a <m>		
-Interasse da normativa moltiplicato per il valore	0.80	0.80
-Aste rigidamente collegate		
Curva di stabilità (D.M. 08/EC3)	Automatica	Automatica
Aste laminate	Si	Si
Sigma max amm. senza verifiche di stabilità (CNR 10011) <%>	2.00	2.00
Verifiche di stabilità globale in dir. Y locale	Si	Si
-Coeff. β intorno all'asse Y	1.00	1.00
Verifiche di stabilità globale in dir. Z locale	Si	Si
-Coeff. β intorno all'asse Z	1.00	1.00
Verifiche di stabilità flesso - torsionale	Si	Si
-Coeff. per calcolo interasse ritegni torsionali	1.00	1.00
Aste inflesse (D.M. 08/EC3)		

-Coeff. Ψ per calcolo momento critico		
-Valuta in base ai momenti dell'asta	x	x
-Utilizza valore imposto		
-Fattore correttivo di distribuzione K_c	0.94	0.94
-Snellezza di riferimento $\lambda_{LT,0}$	0.40	0.40
-Coeff. β	0.75	0.75
Aste pressoinflesse (D.M. 08/EC3)		
-Considera come molto deformabile a torsione	No	No
-Fattore correttivo di distribuzione α_{mY}/C_{mY}	0.95	0.95
-Fattore correttivo di distribuzione α_{mZ}/C_{mZ}	0.95	0.95
-Fattore correttivo di distribuzione α_{mLT}/C_{mLT}	0.95	0.95
Eseguire anche le verifiche al punto 7.3.2 (CNR 10011)	Si	Si
Carichi sull'estradosso (CNR 10011)	Si	Si
Verifiche di stabilità all'imbozzamento (CNR 10011)		
-Numero irrigidimenti orizzontali anima	0.00	0.00
-Interasse irrigidimenti verticali anima		
-Numero di suddivisioni		
-Distanza non inferiore a <cm>		
-Pari alla lunghezza dell'asta	x	x
-Modalità di calcolo σ cr,id		
-Normativa		
-Massonet	x	x
-Ballio		
Verifiche di stabilità membratura		
Massimo numero aste costituenti unica membratura	1.00	1.00
Sforzo normale di verifica		
-Massimo valore fra tutte le aste	x	x
-Media aritmetica dei valori di tutte le aste		
-Media pesata di tutte le aste		
Contributo eventuali sforzi di trazione	No	No
Verifica nei piani principali	Si	Si
Incremento snellezza	Si	Si
Verifiche di stabilità globale in dir. Y locale	Si	Si
-Coeff. β calcolato in funzione dello sforzo normale		
-Coeff. β	1.00	1.00
Verifiche di stabilità globale in dir. Z locale	Si	Si
-Coeff. β calcolato in funzione dello sforzo normale		
-Coeff. β	1.00	1.00

Plinti/Pali

Generali	
Parametri di progetto	
Progettazione e verifica dell'armatura con sollecitazioni più gravose	Si
Verifiche a taglio per elementi esistenti come per elementi nuovi	Si
Parametri di disegno	
Scala disegno plinti	25.00
Disegno ancoraggi non necessari	Si
Copriferro per calcolo lunghezze ferri plinto <cm>	3.00
Copriferro per calcolo lunghezze ferri bicchiere <cm>	2.00
Calcolo lunghezza ferri semplificato	Si
Diametro per calcolo lunghezze ferri plinto <mm>	10.00
Diametro per calcolo lunghezze ferri bicchiere <mm>	10.00
Stampe	
Tipo di relazione	Sintetica

Specifici	**1**
Materiali	
-Considera come elemento esistente	No
-Calcestruzzo	
-Livello di conoscenza	LC2
-Fattore di confidenza	1.20
-Tipo di calcestruzzo	C25/30
-Rck calcestruzzo	300.00
-Modulo elastico <daN/cmq>	314472.00
-Resistenza caratteristica cilindrica (Fck)	249.00
-Resistenza caratteristica a trazione (Fctk)	17.91
-Resistenza media (Fcm) <daN/cmq>	329.00
-Resistenza media a trazione (Fctm) <daN/cmq>	25.58
-σ amm. calcestruzzo <daN/cmq>	97.50
-τc0 <daN/cmq>	6.00

-τc1 <daN/cmq>	18.30
-Riduci Fcd per tutte le verifiche secondo il D.M. 08	Si
-γ_c per stati limite ultimi	
-Automatico	x
-Pari a	
-Acciaio	
-Livello di conoscenza	LC2
-Fattore di confidenza	1.20
-Tipo di acciaio	B450C
-Modulo elastico <daN/cmq>	2060000.00
-Tensione caratteristica di snervamento (Fyk) <daN/cmq>	4500.00
-Tensione media di snervamento (Fym) <daN/cmq>	4500.00
-Sigma amm. acciaio <daN/cmq>	2600.00
-Sigma amm. reti e tralicci <daN/cmq>	2600.00
-Allungamento per verifiche di duttilità (Agt) <%>	4.00
-γ_s per stati limite ultimi	
-Automatico	x
-Pari a	
-Coeff. di omogeneizzazione	15.00
Parametri di calcolo	
Copriferro teorico di calcolo <cm>	4.00
Angolo limite plinti snelli/tozzi <grad>	30.00
Considerare snelli plinti ambigui	Si
Peso specifico calcestruzzo plinto <daN/mc>	2500.00
Sovraccarichi agenti sul plinto <daN/mq>	0.00
Detrazione peso proprio e sovraccarichi	Si
Calcolo momenti con metodo dei trapezi	Si
Sezione verifica plinti a bicchiere	
-A filo parete	x
-In asse alla parete	
Raffittimento armatura zona centrale	No
Armatura base	
Elenco diametri utilizzabili 1 <mm>	16
Elenco diametri utilizzabili 2 <mm>	18
Elenco diametri utilizzabili 3 <mm>	20
Elenco diametri utilizzabili 4 <mm>	22
Elenco diametri utilizzabili 5 <mm>	24
Elenco diametri utilizzabili 6 <mm>	
Elenco diametri utilizzabili 7 <mm>	
Passi utilizzabili	
-Minimo <cm>	10.00
-Massimo <cm>	25.00
-Incremento <cm>	5.00
Elemento costante	
-Diametro	x
-Passo	
Tipo di ottimizzazione armatura	
-Minimizza il peso complessivo dei ferri	
-Minimizza il numero dei ferri	x
Lunghezza risvolto ferri inferiori	
-Pari a <cm>	
-Come percentuale dell'altezza del plinto <%>	50.00
Min. armatura superiore	Si
Diametro staffoni di montaggio <mm>	10.00
Staffoni orizzontali di montaggio	Si
-Max distanza <cm>	60.00
Staffoni verticali di montaggio	Si
-Max distanza <cm>	20.00
Lunghezza risvolto staffoni orizzontali	
-Pari a <cm>	
-Come percentuale del lato del plinto <%>	20.00
-Unico ferro lungo il perimetro del plinto	
Armatura a punzonamento	
Elenco diametri utilizzabili 1 <mm>	16
Elenco diametri utilizzabili 2 <mm>	18
Elenco diametri utilizzabili 3 <mm>	20
Elenco diametri utilizzabili 4 <mm>	
Elenco diametri utilizzabili 5 <mm>	
Elenco diametri utilizzabili 6 <mm>	
Elenco diametri utilizzabili 7 <mm>	
Passi utilizzabili	
-Minimo <cm>	5.00
-Massimo <cm>	15.00
-Incremento <cm>	2.00
Allargamento piastra pilastri in acciaio <cm>	5.00
Distanza dal bordo libero	

-Distanza imposta a <cm>	
-Distanza come un moltiplicatore dello spessore del plinto	0.50
Moltiplicatore altezza utile per valutare perimetro efficace (D.M. 08)	2.00
Collaborazione pilastro-bicchiere	
Valutata sulla superficie di contatto fra pilastro e bicchiere	Si
-Valutata come moltiplicatore del valore della resistenza	x
a trazione del plinto	
Plinti poligonali su pali	
Rete elettrosaldata inferiore	Si
-Diametro <mm>	8.00
-Passo <cm>	20.00
Rete elettrosaldata superiore	Si
-Diametro <mm>	8.00
-Passo <cm>	20.00
Distanziatori	Si
-Diametro <mm>	6.00
-Dimensioni <cm>	10.00
-Numero	4.00
Materiali bicchiere	
-Considera come elemento esistente	No
-Calcestruzzo	
-Livello di conoscenza	LC2
-Fattore di confidenza	1.20
-Tipo di calcestruzzo	C28/35
-Rck calcestruzzo	350.00
-Modulo elastico <daN/cmq>	325881.00
-Resistenza caratteristica cilindrica (Fck)	290.50
-Resistenza caratteristica a trazione (Fctk)	19.84
-Resistenza media (Fcm) <daN/cmq>	370.50
-Resistenza media a trazione (Fctm) <daN/cmq>	28.35
-σ amm. calcestruzzo <daN/cmq>	110.00
-τc0 <daN/cmq>	6.70
-τc1 <daN/cmq>	19.70
-Riduci Fcd per tutte le verifiche secondo il D.M. 08	No
-γ_c per stati limite ultimi	
-Automatico	x
-Pari a	
-Acciaio	
-Livello di conoscenza	LC2
-Fattore di confidenza	1.20
-Tipo di acciaio	B450C
-Modulo elastico <daN/cmq>	2060000.00
-Tensione caratteristica di snervamento (Fyk) <daN/cmq>	4500.00
-Tensione media di snervamento (Fym) <daN/cmq>	4500.00
-Sigma amm. acciaio <daN/cmq>	2600.00
-Sigma amm. reti e tralicci <daN/cmq>	2600.00
-Allungamento per verifiche di duttilità (Agt) <%>	4.00
-γ_s per stati limite ultimi	
-Automatico	x
-Pari a	
-Coeff. di omogeneizzazione	15.00
Armatura bicchiere	
Copriferro teorico <cm>	3.00
Bicchiere con pareti organizzate	No
Rck calcestruzzo di riempimento <daN/cmq>	300.00
Resistenza teorica a trazione del calcestruzzo di riempimento <daN/cmq>	18.10
Denominatore momento flettente parete	16.00
Elenco diametri utilizzabili 1 <mm>	10
Elenco diametri utilizzabili 2 <mm>	12
Elenco diametri utilizzabili 3 <mm>	14
Elenco diametri utilizzabili 4 <mm>	16
Elenco diametri utilizzabili 5 <mm>	18
Elenco diametri utilizzabili 6 <mm>	
Elenco diametri utilizzabili 7 <mm>	
Passi utilizzabili	
-Minimo <cm>	5.00
-Massimo <cm>	15.00
-Incremento <cm>	2.00
Tipo di ottimizzazione armatura	
-Minimizza il peso complessivo dei ferri	
-Minimizza il numero dei ferri	x
Ferri orizzontali aggiuntivi nel fondo bicchiere	Si
-Distanza <cm>	15.00
Ferri verticali internamente al bicchiere	Si
-Max distanza <cm>	10.00

Dati per progettazione agli stati limite	
Gruppo di esigenza	
-Ambiente poco aggressivo	x
-Ambiente moderatamente aggressivo	
-Ambiente molto aggressivo	
Materiali palo	
-Considera come elemento esistente	No
-Calcestruzzo	
-Livello di conoscenza	LC2
-Fattore di confidenza	1.20
-Tipo di calcestruzzo	C28/35
-Rck calcestruzzo	350.00
-Modulo elastico <daN/cmq>	325881.00
-Resistenza caratteristica cilindrica (Fck)	290.50
-Resistenza caratteristica a trazione (Fctk)	19.84
-Resistenza media (Fcm) <daN/cmq>	370.50
-Resistenza media a trazione (Fctm) <daN/cmq>	28.35
-σ amm. calcestruzzo <daN/cmq>	110.00
-$\tau c0$ <daN/cmq>	6.70
-$\tau c1$ <daN/cmq>	19.70
-Riduci Fcd per tutte le verifiche secondo il D.M. 08	No
-γ_c per stati limite ultimi	
-Automatico	x
-Pari a	
-Acciaio	
-Livello di conoscenza	LC2
-Fattore di confidenza	1.20
-Tipo di acciaio	B450C
-Modulo elastico <daN/cmq>	2060000.00
-Tensione caratteristica di snervamento (Fyk) <daN/cmq>	4500.00
-Tensione media di snervamento (Fym) <daN/cmq>	4500.00
-Sigma amm. acciaio <daN/cmq>	2600.00
-Sigma amm. reti e tralicci <daN/cmq>	2600.00
-Allungamento per verifiche di duttilità (Agt) <%>	4.00
-γ_s per stati limite ultimi	
-Automatico	x
-Pari a	
-Coeff. di omogeneizzazione	15.00
Armatura a pressoflessione pali	
Considera momenti da interazione cinematica	No
Elenco diametri ferri longitudinali 1 <mm>	16
Elenco diametri ferri longitudinali 2 <mm>	20
Elenco diametri ferri longitudinali 3 <mm>	24
Elenco diametri ferri longitudinali 4 <mm>	
Elenco diametri ferri longitudinali 5 <mm>	
Elenco diametri ferri longitudinali 6 <mm>	
Elenco diametri ferri longitudinali 7 <mm>	
Copriferro reale al bordo staffa <cm>	4.00
Diametro staffa teorica <mm>	9.00
Max distanza fra i ferri <cm>	25.00
Min. interferro ammissibile <cm>	5.00
Min. numero ferri	8.00
Armatura a taglio pali	
Elenco diametri staffe 1 <mm>	8
Elenco diametri staffe 2 <mm>	10
Elenco diametri staffe 3 <mm>	
Elenco diametri staffe 4 <mm>	
Elenco diametri staffe 5 <mm>	
Elenco diametri staffe 6 <mm>	
Elenco diametri staffe 7 <mm>	
Passi staffe	
-Minimo <cm>	5.00
-Massimo <cm>	30.00
-Incremento <cm>	5.00
Tipo di minimizzazione staffatura	
-Minimizza il numero delle staffe	
-Minimizza il peso delle staffe	x
Staffatura a spirale	Si
Verifiche a taglio per sezioni circolari	
-Usa formulazione sezioni generiche	
-Considera rettangolo inscritto con B/H pari a	1.00
Verifiche a taglio per sezioni generiche	
-Considera Vrdu minimo	
-Considera Vrdu calcolato in corrispondenza di bw minimo	
-Considera Vrdu in corrispondenza di bw medio	x
-Considera Vrdu in corrispondenza di bw massimo	

-Considera sempre Af Staffe non proiettata in direzione del taglio	Si
Barre da considerare tese per verifiche a taglio	
-Solo le barre con deformazione percentuale rispetto	
alla barra più tesa non inferiore al <%>	
-Tutte le barre in trazione	x
Capacità portante	
Efficienza	
-Pari a	1.00
-Automatica	

Pareti

Generali	
Verifiche a taglio per elementi esistenti come per elementi nuovi	Si
Parametri di disegno	
Scala disegno pareti	50.00
Campitura disegno parete	Rada
Disegno armatura diffusa	No
Disegno prospetto e pianta	Sempre
Stampe	
Tipo di relazione	Sintetica

Specifici	**1**
Materiali	
-Considera come elemento esistente	No
-Calcestruzzo	
-Livello di conoscenza	LC2
-Fattore di confidenza	1.20
-Tipo di calcestruzzo	C32/40
-Rck calcestruzzo	400.00
-Modulo elastico <daN/cmq>	336428.00
-Resistenza caratteristica cilindrica (Fck)	332.00
-Resistenza caratteristica a trazione (Fctk)	21.69
-Resistenza media (Fcm) <daN/cmq>	412.00
-Resistenza media a trazione (Fctm) <daN/cmq>	30.99
-σ amm. calcestruzzo <daN/cmq>	122.50
-τc0 <daN/cmq>	7.30
-τc1 <daN/cmq>	21.10
-Riduci Fcd per tutte le verifiche secondo il D.M. 08	Si
-γ_c per stati limite ultimi	
-Automatico	x
-Pari a	
-Acciaio	
-Livello di conoscenza	LC2
-Fattore di confidenza	1.20
-Tipo di acciaio	B450C
-Modulo elastico <daN/cmq>	2060000.00
-Tensione caratteristica di snervamento (Fyk) <daN/cmq>	4500.00
-Tensione media di snervamento (Fym) <daN/cmq>	4500.00
-Sigma amm. acciaio <daN/cmq>	2600.00
-Sigma amm. reti e tralicci <daN/cmq>	2600.00
-Allungamento per verifiche di duttilità (Agt) <%>	4.00
-γ_s per stati limite ultimi	
-Automatico	x
-Pari a	
-Coeff. di omogeneizzazione	15.00
Parametri di calcolo	
Copriferro <cm>	4.00
Fattore moltiplicativo per calcolo τ l	1.00
Fattore moltiplicativo per calcolo τ t	1.00
Fattore di riduzione per ancoraggio ferri	1.00
Lunghezza ancoraggi armature	
-Calcolata in funzione della σ f	
-Imposta come multiplo del diametro	20.00
Lunghezza minima pari a <m>	0.50
-Inserire solo armatura al centro della parete	No
Modalità di progettazione e verifica armatura verticale	
-In funzione delle zone di incidenza elementi	x
-In funzione delle sollecitazioni globali	
-Inserisci armatura di rinforzo nelle zone di incidenza elementi	Si
-Dimensione minima zone di incidenza elementi	Si
-Pari a multiplo dello spessore	1.00

-Passo di verifica	1.50
-Trascura zone con pilastro inglobato	Si
-Effettuare verifiche nel piano della parete	No
-Elimina armatura diffusa nelle zone di rinforzo	Si
Elimina armatura diffusa nell'architrave	Si
-Effettuare verifiche su sezioni verticali	No
-Passo di verifica	1.00
Controllare resistenza a taglio trasversale come sezione priva di armatura a taglio	No
Min. Af armatura diffusa <cmq/m>	3.00
Considera come parete debolmente armata ai sensi D.M. 08	No
-Modalità di valutazione parametri nel caso di sisma diverso per X e Y	
-Usa valore massimo	x
-Componi in direzione parete	
-Incremento del 50% delle forze assiali	
Sempre	x
-Solo per analisi sismiche statiche	
-Mai	
Coeff. β per controllo snellezza <m>	1.00
Rispetta i disposti del punto 7.4.4.5.2.1 solo per stati limite sismici	Si
Armatura diffusa	
Considera armatura con rete elettrosaldata	No
Armatura verticale o rete	
Elenco diametri utilizzabili 1 <mm>	10
Elenco diametri utilizzabili 2 <mm>	12
Elenco diametri utilizzabili 3 <mm>	20
Elenco diametri utilizzabili 4 <mm>	22
Elenco diametri utilizzabili 5 <mm>	24
Elenco diametri utilizzabili 6 <mm>	
Elenco diametri utilizzabili 7 <mm>	
Passi utilizzabili	
-Minimo <cm>	15.00
-Massimo <cm>	30.00
-Incremento <cm>	5.00
-Modalità di completamento armatura	
-Adattata	x
-Terminata	
-Nessuna	
Armatura orizzontale	
Elenco diametri utilizzabili 1 <mm>	8
Elenco diametri utilizzabili 2 <mm>	10
Elenco diametri utilizzabili 3 <mm>	
Elenco diametri utilizzabili 4 <mm>	
Elenco diametri utilizzabili 5 <mm>	
Elenco diametri utilizzabili 6 <mm>	
Elenco diametri utilizzabili 7 <mm>	
Passi utilizzabili	
-Minimo <cm>	10.00
-Massimo <cm>	30.00
-Incremento <cm>	5.00
Tipo di armatura orizzontale	
-Dritta	x
-Con risvolti di estremità	
-Modalità di chiusura orizzontale	
-Nessuna chiusura	
-Chiusura con ferri ad U	x
-Chiusura con staffe	
-Lunghezza armatura di chiusura	
-Multiplo dello spessore pari a	
-Lunghezza fissa pari a <cm>	0.50
-Tipo di ottimizzazione armatura	
-Minimizza il peso complessivo dei ferri	x
-Minimizza il numero dei ferri	
Armatura di rinforzo	
Elenco diametri utilizzabili 1 <mm>	16
Elenco diametri utilizzabili 2 <mm>	20
Elenco diametri utilizzabili 3 <mm>	22
Elenco diametri utilizzabili 4 <mm>	24
Elenco diametri utilizzabili 5 <mm>	
Elenco diametri utilizzabili 6 <mm>	
Elenco diametri utilizzabili 7 <mm>	
Numero minimo ferri	2.00
Interferro minimo <cm>	10.00
-Aggiungi staffe chiuse	Si
-Stesso diametro armatura diffusa orizzontale	x
-Diametro imposto	
-Stesso passo armatura diffusa orizzontale	x
-Passo imposto	

Armatura secondaria	
Diametro ferri di collegamento <mm>	10.00
Numero ferri di collegamento (a mq)	10.00
Lunghezza ancoraggio ferri di collegamento <cm>	10.00
Dati per progettazione agli stati limite	
Gruppo di esigenza	
-Ambiente poco aggressivo	
-Ambiente moderatamente aggressivo	x
-Ambiente molto aggressivo	
Usa dominio N-M per flessioni rette	No
-Ricerca della sicurezza con sforzo normale costante	
-Ricerca della sicurezza con eccentricità costante	
Controllo rapporto X/D	No
Barre da considerare tese per verifiche a taglio	
-Solo le barre con deformazione percentuale rispetto	
alla barra più tesa non inferiore al <%>	30.00
-Tutte le barre in trazione	

Solette/Platee

Generali	
Parametri di progetto	
Controllo resistenza a taglio allo S.L.U.	No
Calcolo armature con metodo di Wood	No
Accoppia pilastri per calcolo punzonamento	Si
Verifiche a taglio per elementi esistenti come per elementi nuovi	Si
-Massima distanza come un moltiplicatore dello spessore	1.50
Parametri di disegno	
Disposizione disegno	2A
Particolari nel disegno principale	
-Eliminare le quotature	No
-Eliminare le campiture	No
-Eliminare la numerazione dei pilastri	No
-Eliminare la numerazione delle travi e dei muri	No
Particolari nei disegni secondari	
-Eliminare le quotature	Si
-Eliminare le campiture	Si
-Eliminare la numerazione dei pilastri	Si
-Eliminare la numerazione delle travi e dei muri	Si
Disegno armatura diffusa	No
Posizione particolari punzonamento	In automatico
Copriferro per calcolo lunghezza ferri <cm>	5.00
Risvoltare al bordo i ferri	
-Inferiori	Si
-Superiori	Si
Lunghezza risvolti ferri al bordo	Pari all'altezza meno due volte il copriferro
Disegno particolare ferri al bordo	Si
Scala disegno particolare ferri al bordo	20.00
Calcolo lunghezza ferri semplificato	No
Stampe	
Tipo di relazione	Sintetica

Specifici	**1**
Materiali	
-Considera come elemento esistente	No
-Calcestruzzo	
-Livello di conoscenza	LC2
-Fattore di confidenza	1.20
-Tipo di calcestruzzo	C32/40
-Rck calcestruzzo	400.00
-Modulo elastico <daN/cmq>	336428.00
-Resistenza caratteristica cilindrica (Fck)	332.00
-Resistenza caratteristica a trazione (Fctk)	21.69
-Resistenza media (Fcm) <daN/cmq>	412.00
-Resistenza media a trazione (Fctm) <daN/cmq>	30.99
-σ amm. calcestruzzo <daN/cmq>	122.50
-$\tau c0$ <daN/cmq>	7.30
-$\tau c1$ <daN/cmq>	21.10
-Riduci Fcd per tutte le verifiche secondo il D.M. 08	Si
-γ_c per stati limite ultimi	
-Automatico	x

-Pari a	
-Acciaio	
-Livello di conoscenza	LC2
-Fattore di confidenza	1.20
-Tipo di acciaio	B450C
-Modulo elastico <daN/cmq>	2060000.00
-Tensione caratteristica di snervamento (Fyk) <daN/cmq>	4500.00
-Tensione media di snervamento (Fym) <daN/cmq>	4500.00
-Sigma amm. acciaio <daN/cmq>	2600.00
-Sigma amm. reti e tralicci <daN/cmq>	2600.00
-Allungamento per verifiche di duttilità (Agt) <%>	4.00
-γ_s per stati limite ultimi	
-Automatico	x
-Pari a	
-Coeff. di omogeneizzazione	15.00
Armatura a flessione	
Angolo d'armatura <grad>	0.00
Copriferro teorico superiore <cm>	5.00
Copriferro teorico inferiore <cm>	5.00
Tipo di progetto in doppia armatura	
-Tensione pari ai valori amm.	
-Tensione pari ai valori amm. con AfComp/AfTesa minore o pari a	1.00
-Tensione pari ai valori amm. con AfComp/AfTesa pari a	
Min. percentuale di regolamento	
-Platee di fondazione su suolo elastico	Si
-Solette di elevazione	Si
Controlla min. armatura di ripartizione	Si
Elenco diametri utilizzabili 1 <mm>	14
Elenco diametri utilizzabili 2 <mm>	16
Elenco diametri utilizzabili 3 <mm>	18
Elenco diametri utilizzabili 4 <mm>	20
Elenco diametri utilizzabili 5 <mm>	22
Elenco diametri utilizzabili 6 <mm>	
Elenco diametri utilizzabili 7 <mm>	
Passi utilizzabili	
-Minimo <cm>	10.00
-Massimo <cm>	30.00
-Incremento <cm>	5.00
Uniformizzazione interassi armatura	Si
-Sempre	
-Nella stessa direzione	x
-Nella stessa posizione	
Uniformizzazione diametri armatura	No
-Sempre	
-Nella stessa direzione	
-Nella stessa posizione	
Tipo di ottimizzazione armatura a flessione	
-Minimizza il numero dei ferri	
-Minimizza il peso complessivo dei ferri	x
Verifiche a taglio	
-Escludi punti di verifica sotto piramidi di punzonamento	No
-Escludi punti di verifica sotto muri/bidimensionali	No
Ancoraggi	
Fattore di riduzione per ancoraggio ferri	1.00
Lunghezza ancoraggi armature	
-Calcolata in funzione della Sigmaf	x
-Imposta come multiplo del diametro	
Lunghezza ancoraggi ferri punzonamento	
-Calcolata in funzione della Sigmaf	x
-Imposta come multiplo del diametro	
Armatura a punzonamento	
Fattore di riduzione altezza soletta/platea	0.90
Modifica altezza soletta/platea	Si
Allargamento piastra pilastri in acciaio <cm>	5.00
Distanza dal bordo libero	
-Distanza come un moltiplicatore dello spessore	1.00
-Distanza imposta a <cm>	
Moltiplicatore altezza utile per valutare perimetro efficace (D.M. 08)	2.00
Tolleranza di posizionamento barre	
-Distanza come un moltiplicatore dello spessore	0.10
-Distanza imposta a <cm>	
Elenco diametri utilizzabili 1 <mm>	14
Elenco diametri utilizzabili 2 <mm>	16
Elenco diametri utilizzabili 3 <mm>	18
Elenco diametri utilizzabili 4 <mm>	20

Elenco diametri utilizzabili 5 <mm>	22
Elenco diametri utilizzabili 6 <mm>	24
Elenco diametri utilizzabili 7 <mm>	
Passi utilizzabili	
-Minimo <cm>	10.00
-Massimo <cm>	20.00
-Incremento <cm>	2.00
Tipo di ottimizzazione armatura a punzonamento	
-Minimizza il numero dei ferri	x
-Minimizza il peso complessivo dei ferri	
Dati per progettazione agli stati limite	
Gruppo di esigenza	
-Ambiente poco aggressivo	
-Ambiente moderatamente aggressivo	x
-Ambiente molto aggressivo	
Usa dominio N-M per flessioni rette	No
-Ricerca della sicurezza con sforzo normale costante	
-Ricerca della sicurezza con eccentricità costante	
Controllo rapporto X/D	No
Barre da considerare tese per verifiche a taglio	
-Solo le barre con deformazione percentuale rispetto	
Incremento <%>	30.00
-Tutte le barre in trazione	

Nodi in acciaio

Generali	
Parametri di disegno reticolari	
Scala disegno esecutivo reticolare	20.00
Disegna a parte particolari collegamenti	Si
Scala disegno particolari collegamenti	10.00
Crea solo disegno schematico	No
Scala disegno schematico	25.00
Parametri di disegno collegamenti	
Scala disegno collegamenti	5.00
Scala disegno telai	20.00
Stampe	
Tipo di relazione	Sintetica

Specifici	**1**	**10**
Progettazione bullonature		
Elenco diametri bulloni utilizzabili 1 <mm>	14	16
Elenco diametri bulloni utilizzabili 2 <mm>	16	18
Elenco diametri bulloni utilizzabili 3 <mm>	18	20
Elenco diametri bulloni utilizzabili 4 <mm>	20	22
Elenco diametri bulloni utilizzabili 5 <mm>		24
Elenco diametri bulloni utilizzabili 6 <mm>		
Elenco diametri bulloni utilizzabili 7 <mm>		
Elenco diametri bulloni utilizzabili 8 <mm>		
Elenco diametri bulloni utilizzabili 9 <mm>		
Numero minimo bulloni	4.00	6.00
Classe bulloni	8.8	8.8
Zona filettata	Si	Si
Progettazione saldature		
Arretra piastra nelle saldature di bordo	Si	Si
Saldature con dimensioni bilanciate	Si	Si
Classe saldature a completa penetrazione	SECONDA	SECONDA
Arrotondamento lunghezza cordoni di saldatura	5.00	5.00
Rapporto minimo fra lunghezza e spessore cordone	15.00	15.00
Altezza della saldatura		
-Uguale allo spessore del profilato		x
-Valore minimo tra profilato e la piastra	x	
Progettazione reticolari		
Rendi continue aste allineate	Si	Si
Modalità di calcolo sforzo normale per giunti su aste continue		
-Considera per ogni semigiunto le sollecitazioni di calcolo delle aste	x	x
-Considera per ogni semigiunto la differenza fra le sollecitazioni delle aste		
-Considera per ogni semigiunto la differenza fra le sollecitazioni delle aste divisa per due		
-Considera per ogni semigiunto il massimo fra le sollecitazioni delle aste diviso per due		
Finali equidistanti per aste incrociate	Si	Si
Forma della piastra		

-Rettangolare		x
-Poligonale	x	
Massimo ingombro collegamento lungo il profilo	33.00	33.00
Allargamento piastra ai lati del profilo	10.00	10.00
Minimo spazio libero tra i profili	10.00	10.00
Spessore piastra se non imposto dal profilo	10.00	10.00
Progettazione collegamenti		
Trascura sollecitazioni teoricamente nulle	No	Si
Componenti sollecitazioni da trascurare		
-Sforzo normale	No	No
-Taglio in dir. Y	No	No
-Taglio in dir. Z	No	No
-Momento torcente intorno all'asse X	Si	No
-Momento flettente intorno all'asse Y	No	No
-Momento flettente intorno all'asse Z	No	No
Considera solo bulloni per verifiche a flessione	No	No
Angolo massimo di incidenza <grad>	15.00	15.00
Piastre di fondazione		
-Elenco diametri tirafondi utilizzabili 1 <mm>	16	16
-Elenco diametri tirafondi utilizzabili 2 <mm>	18	18
-Elenco diametri tirafondi utilizzabili 3 <mm>	20	20
-Elenco diametri tirafondi utilizzabili 4 <mm>	24	22
-Elenco diametri tirafondi utilizzabili 5 <mm>		24
-Elenco diametri tirafondi utilizzabili 6 <mm>		
-Elenco diametri tirafondi utilizzabili 7 <mm>		
-Elenco diametri tirafondi utilizzabili 8 <mm>		
-Elenco diametri tirafondi utilizzabili 9 <mm>		
Lunghezza minima d'infissione <mm>	0.35	0.35
-Verifica piastra e tirafondi con reazioni vincolari	No	No
-Trascura tirafondi compressi	Si	Si
-Tirafondi con barre filettate	Si	Si
-Tipo di tirafondi	ROSETTA	ROSETTA
-Fattore di riduzione per ancoraggio tirafondi	1.00	0.70
Piastra circolare per sezioni circolari cave	Si	No
Numero minimo bulloni per piastra circolare	6.00	6.00
Verifiche ai sensi D.M. 08		
Esposizione a fenomeni corrosivi		
Unione non esposta alla corrosione		
Unione esposta alla corrosione	x	x
Unioni di elementi in acciaio resistente alla corrosione		

Verifiche e armature pareti

Simbologia

CC = Numero della combinazione delle condizioni di carico elementari
Zona = Zona di verifica
Zv = Coordinata Z di verifica
Xi = Coordinata X iniziale
Xf = Coordinata X finale
Xv = Coordinata X di verifica
TCC = Tipo di combinazione di carico
  SLU = Stato limite ultimo
  SLU S = Stato limite ultimo (azione sismica)
  SLE R = Stato limite d'esercizio, combinazione rara
  SLE F = Stato limite d'esercizio, combinazione frequente
  SLE Q = Stato limite d'esercizio, combinazione quasi permanente
  SLD = Stato limite di danno
  SLV = Stato limite di salvaguardia della vita
  SLC = Stato limite di prevenzione del collasso
  SLO = Stato limite di operatività
  SLU I = Stato limite di resistenza al fuoco
N = Sforzo normale
My = Momento flettente intorno all'asse Y
Nu = Sforzo normale ultimo
Myu = Momento ultimo intorno all'asse Y
Sic. = Sicurezza a rottura
σ_c = Tensione nel calcestruzzo
σ_f = Tensione nel ferro
c = Ricoprimento dell'armatura
s = Distanza minima tra le barre
K3 = Coefficiente di forma del diagramma delle tensioni prima della fessurazione
s_{rm} = Distanza media tra le fessure
Φ = Diametro della barra
A_s = Area complessiva dei ferri nell'area di calcestruzzo efficace
$A_{c\ eff}$ = Area di calcestruzzo efficace
σ_s = Tensione nell'acciaio nella sezione fessurata
σ_{sr} = Tensione nell'acciaio corrispondente al raggiungimento della resistenza a trazione nel calcestruzzo

ε_{sm} = Deformazione unitaria media dell'armatura (*1000)
Wk = Apertura delle fessure
Ty = Taglio in dir. Y
Vsdu = Taglio agente nella direzione del momento ultimo
VRsd = Taglio ultimo lato armatura
VRcd = Taglio ultimo lato calcestruzzo
Vrdu = Taglio ultimo assorbibile dal solo calcestruzzo
Sic.T = Sicurezza a rottura per taglio
Sez. = Sezione di verifica
Spess. = Spessore
Cf = Copriferro
Cls = Tipo di calcestruzzo
Fck = Resistenza caratteristica cilindrica a compressione del calcestruzzo
Fctk = Resistenza caratteristica a trazione del calcestruzzo
Fcd = Resistenza di calcolo a compressione del calcestruzzo
Fctd = Resistenza di calcolo a trazione del calcestruzzo
Acc. = Tipo di acciaio
Fyk = Tensione caratteristica di snervamento dell'acciaio
Fyd = Resistenza di calcolo dell'acciaio

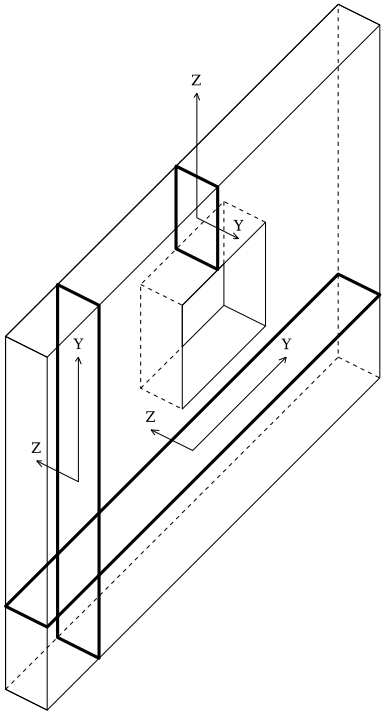


Figura numero 5: Riferimenti sezione

Parete n. 106

Caratteristiche delle sezioni e dei materiali utilizzati

Sez.	Spess. <cm>	Cf <cm>	Cls	Fck <daN/cmq>	Fctk <daN/cmq>	Fcd <daN/cmq>	Fctd <daN/cmq>	Acc.	Fyk <daN/cmq>	Fyd <daN/cmq>
Oriz.	70.00	6.10	C32/40	332.00	21.69	188.13	14.46	B450C	4500.00	3913.04

Verifiche su sezioni orizzontali
Stato limite ultimo - Armatura a flessione

CC	TCC	Zona	Zv <m>	Xi <m>	Xf <m>	N <daN>	My <daNm>	Nu <daN>	Myu <daNm>	Sic.
98	SLU	Diff.	0.00	0.00	4.50	-27601.30	-20540.40	-27603.20	-220392.00	10.730
34	SLD	Diff.	0.00	0.00	4.50	-20575.30	-12366.90	-20577.80	-254300.00	20.563
98	SLU	Diff.	0.65	0.00	4.50	-23279.20	-17192.00	-23283.50	-219123.00	12.746
34	SLD	Diff.	0.65	0.00	4.50	-17381.90	-10418.60	-17383.90	-253354.00	24.317
98	SLU	Diff.	1.30	0.00	4.50	-17427.90	-8722.55	-17430.10	-217404.00	24.924
34	SLD	Diff.	1.30	0.00	4.50	-13048.90	-5162.64	-13051.30	-252069.00	48.826

Verifiche stato limite di formazione delle fessure

CC	TCC	Zona	Zv <m>	Xi <m>	Xf <m>	N <daN>	My <daNm>	c <mm>	s <mm>	K3	s_{rm} <mm>	Φ	A_s <cmq>	$A_{c\ eff}$ <cmq>	σ_s <daN/cmq>	σ_{sr} <daN/cmq>	ε_{sm}	Wk <mm>
102	SLE F	Diff.	0.00	0.00	4.50	-20317.60	-15601.80	50.00	199.00	0.16	284.80	22.00	87.43	9097.10	198.66	2436.42	0.04	0.02
102	SLE F	Diff.	0.65	0.00	4.50	-17118.70	-12898.20	50.00	199.00	0.16	284.48	22.00	87.43	9097.10	162.66	2422.25	0.03	0.02
102	SLE F	Diff.	1.30	0.00	4.50	-12784.20	-6603.76	50.00	199.00	0.15	275.94	22.00	87.43	9097.10	64.56	2068.36	0.01	0.01

Parete n. 107

Caratteristiche delle sezioni e dei materiali utilizzati

Sez.	Spess. <cm>	Cf <cm>	Cls	Fck <daN/cmq>	Fctk <daN/cmq>	Fcd <daN/cmq>	Fctd <daN/cmq>	Acc.	Fyk <daN/cmq>	Fyd <daN/cmq>
Oriz.	70.00	6.10	C32/40	332.00	21.69	188.13	14.46	B450C	4500.00	3913.04

Verifiche su sezioni orizzontali
Stato limite ultimo - Armatura a flessione

CC	TCC	Zona	Zv <m>	Xi <m>	Xf <m>	N <daN>	My <daNm>	Nu <daN>	Myu <daNm>	Sic.
97	SLU	Diff.	0.00	0.00	4.50	-27601.30	20540.40	-27605.70	220393.00	10.730
34	SLD	Diff.	0.00	0.00	4.50	-20575.10	12366.90	-20577.30	254301.00	20.563
97	SLU	Diff.	0.65	0.00	4.50	-23279.20	17192.10	-23279.30	219122.00	12.746
34	SLD	Diff.	0.65	0.00	4.50	-17381.80	10418.60	-17382.70	253354.00	24.317
97	SLU	Diff.	1.30	0.00	4.50	-17427.90	8722.56	-17429.80	217404.00	24.924
34	SLD	Diff.	1.30	0.00	4.50	-13047.70	5162.64	-13049.60	252069.00	48.826

Verifiche stato limite di formazione delle fessure

CC	TCC	Zona	Zv <m>	Xi <m>	Xf <m>	N <daN>	My <daNm>	c <mm>	s <mm>	K3	s_{rm} <mm>	Φ	A_s <cmq>	$A_{c\ eff}$ <cmq>	σ_s <daN/cmq>	σ_{sr} <daN/cmq>	ε_{sm}	Wk <mm>
101	SLE F	Diff.	0.00	0.00	4.50	-20317.60	15601.80	50.00	199.00	0.16	284.80	22.00	87.43	9097.08	198.66	2436.42	0.04	0.02
101	SLE F	Diff.	0.65	0.00	4.50	-17118.70	12898.20	50.00	199.00	0.16	284.48	22.00	87.43	9097.08	162.66	2422.25	0.03	0.02
101	SLE F	Diff.	1.30	0.00	4.50	-12784.20	6603.76	50.00	199.00	0.15	275.94	22.00	87.43	9097.08	64.56	2068.36	0.01	0.01

Parete n. 206

Caratteristiche delle sezioni e dei materiali utilizzati

Sez.	Spess. <cm>	Cf <cm>	Cls	Fck <daN/cmq>	Fctk <daN/cmq>	Fcd <daN/cmq>	Fctd <daN/cmq>	Acc.	Fyk <daN/cmq>	Fyd <daN/cmq>
Oriz.	50.00	6.10	C32/40	332.00	21.69	188.13	14.46	B450C	4500.00	3913.04

Verifiche su sezioni orizzontali
Stato limite ultimo - Armatura a flessione

CC	TCC	Zona	Zv <m>	Xi <m>	Xf <m>	N <daN>	My <daNm>	Nu <daN>	Myu <daNm>	Sic.
97	SLU	Diff.	0.00	0.00	1.85	-7427.73	2188.22	-7430.16	63683.30	29.103
50	SLD	Diff.	0.00	0.00	1.85	-5282.92	1282.05	-5285.56	74333.30	57.980
98	SLU	Diff.	0.45	0.00	1.85	-5855.03	11419.40	-5858.55	63379.30	5.550
50	SLD	Diff.	0.45	0.00	1.85	-4326.35	8176.60	-4330.30	74146.10	9.068
98	SLU	Diff.	0.90	0.00	1.85	-5855.03	11419.40	-5858.55	63379.30	5.550
50	SLD	Diff.	0.90	0.00	1.85	-4326.35	8176.60	-4330.30	74146.10	9.068

Verifiche stato limite di formazione delle fessure

CC	TCC	Zona	Zv <m>	Xi <m>	Xf <m>	N <daN>	My <daNm>	c <mm>	s <mm>	K3	s_{rm} <mm>	Φ	A_s <cmq>	$A_{c\ eff}$ <cmq>	σ_s <daN/cmq>	σ_{sr} <daN/cmq>	ε_{sm}	Wk <mm>
101	SLE F	Diff.	0.00	0.00	1.85	-5509.34	1663.10	50.00	192.00	0.13	247.21	22.00	38.01	3760.30	47.78	1420.59	0.01	0.00
103	SLE F	Diff.	0.45	0.00	1.85	-4102.16	8090.43	50.00	192.00	0.14	258.22	22.00	38.01	3760.30	488.97	2198.90	0.09	0.04
103	SLE F	Diff.	0.90	0.00	1.85	-4102.16	8090.43	50.00	192.00	0.14	258.22	22.00	38.01	3760.30	488.97	2198.90	0.09	0.04

Parete n. 207

Caratteristiche delle sezioni e dei materiali utilizzati

Sez.	Spess. <cm>	Cf <cm>	Cls	Fck <daN/cmq>	Fctk <daN/cmq>	Fcd <daN/cmq>	Fctd <daN/cmq>	Acc.	Fyk <daN/cmq>	Fyd <daN/cmq>
Oriz.	50.00	6.10	C32/40	332.00	21.69	188.13	14.46	B450C	4500.00	3913.04

Verifiche su sezioni orizzontali
Stato limite ultimo - Armatura a flessione

CC	TCC	Zona	Zv <m>	Xi <m>	Xf <m>	N <daN>	My <daNm>	Nu <daN>	Myu <daNm>	Sic.
97	SLU	Diff.	0.00	0.00	1.85	-7415.56	2175.35	-7417.64	63680.90	29.274
34	SLD	Diff.	0.00	0.00	1.85	-5273.53	1273.64	-5273.61	74330.90	58.361
98	SLU	Diff.	0.45	0.00	1.85	-5843.74	11361.80	-5846.06	63376.90	5.578
34	SLD	Diff.	0.45	0.00	1.85	-4317.46	8138.83	-4318.31	74143.80	9.110
98	SLU	Diff.	0.90	0.00	1.85	-5843.74	11361.80	-5846.06	63376.90	5.578
34	SLD	Diff.	0.90	0.00	1.85	-4317.46	8138.83	-4318.31	74143.80	9.110

Verifiche stato limite di formazione delle fessure

CC	TCC	Zona	Zv <m>	Xi <m>	Xf <m>	N <daN>	My <daNm>	c <mm>	s <mm>	K3	s_{rm} <mm>	Φ	A_s <cmq>	$A_{c\ eff}$ <cmq>	σ_s <daN/cmq>	σ_{sr} <daN/cmq>	ε_{sm}	Wk <mm>
101	SLE F	Diff.	0.00	0.00	1.85	-5500.86	1654.37	50.00	192.00	0.13	247.21	22.00	38.01	3760.30	47.33	1416.94	0.01	0.00
104	SLE F	Diff.	0.45	0.00	1.85	-4094.27	8050.77	50.00	192.00	0.14	258.20	22.00	38.01	3760.30	486.42	2198.53	0.09	0.04
104	SLE F	Diff.	0.90	0.00	1.85	-4094.27	8050.77	50.00	192.00	0.14	258.20	22.00	38.01	3760.30	486.42	2198.53	0.09	0.04

Parete n. 208

Caratteristiche delle sezioni e dei materiali utilizzati

Sez.	Spess. <cm>	Cf <cm>	Cls	Fck <daN/cmq>	Fctk <daN/cmq>	Fcd <daN/cmq>	Fctd <daN/cmq>	Acc.	Fyk <daN/cmq>	Fyd <daN/cmq>

Oriz.	50.00	6.10	C32/40	332.00	21.69	188.13	14.46	B450C	4500.00	3913.04

Verifiche su sezioni orizzontali
Stato limite ultimo - Armatura a flessione

CC	TCC	Zona	Zv <m>	Xi <m>	Xf <m>	N <daN>	My <daNm>	Nu <daN>	Myu <daNm>	Sic.
98	SLU	Diff.	0.00	0.00	1.85	-7415.56	-2175.35	-7417.64	-63680.90	29.274
50	SLD	Diff.	0.00	0.00	1.85	-5274.47	-1273.36	-5277.63	-74331.70	58.375
97	SLU	Diff.	0.45	0.00	1.85	-5843.74	-11361.80	-5846.06	-63376.90	5.578
50	SLD	Diff.	0.45	0.00	1.85	-4318.39	-8136.49	-4322.25	-74144.50	9.113
97	SLU	Diff.	0.90	0.00	1.85	-5843.74	-11361.80	-5846.06	-63376.90	5.578
50	SLD	Diff.	0.90	0.00	1.85	-4318.39	-8136.49	-4322.25	-74144.50	9.113

Verifiche stato limite di formazione delle fessure

CC	TCC	Zona	Zv <m>	Xi <m>	Xf <m>	N <daN>	My <daNm>	c <mm>	s <mm>	K3	s_{rm} <mm>	Φ	A_s <cmq>	$A_{c\ eff}$ <cmq>	σ_s <daN/cmq>	σ_{sr} <daN/cmq>	ε_{sm}	Wk <mm>
102	SLE F	Diff.	0.00	0.00	1.85	-5500.86	-1654.37	50.00	192.00	0.13	247.21	22.00	38.01	3760.30	47.33	1416.94	0.01	0.00
104	SLE F	Diff.	0.45	0.00	1.85	-4094.27	-8050.77	50.00	192.00	0.14	258.20	22.00	38.01	3760.30	486.42	2198.53	0.09	0.04
104	SLE F	Diff.	0.90	0.00	1.85	-4094.27	-8050.77	50.00	192.00	0.14	258.20	22.00	38.01	3760.30	486.42	2198.53	0.09	0.04

Parete n. 209

Caratteristiche delle sezioni e dei materiali utilizzati

Sez.	Spess. <cm>	Cf <cm>	Cls	Fck <daN/cmq>	Fctk <daN/cmq>	Fcd <daN/cmq>	Fctd <daN/cmq>	Acc.	Fyk <daN/cmq>	Fyd <daN/cmq>
Oriz.	50.00	6.10	C32/40	332.00	21.69	188.13	14.46	B450C	4500.00	3913.04

Verifiche su sezioni orizzontali
Stato limite ultimo - Armatura a flessione

CC	TCC	Zona	Zv <m>	Xi <m>	Xf <m>	N <daN>	My <daNm>	Nu <daN>	Myu <daNm>	Sic.
98	SLU	Diff.	0.00	0.00	1.85	-7427.73	-2188.22	-7430.16	-63683.30	29.103
34	SLD	Diff.	0.00	0.00	1.85	-5282.19	-1282.44	-5285.56	-74333.30	57.962
97	SLU	Diff.	0.45	0.00	1.85	-5855.03	-11419.40	-5858.53	-63379.30	5.550
34	SLD	Diff.	0.45	0.00	1.85	-4325.62	-8180.01	-4326.33	-74145.30	9.064
97	SLU	Diff.	0.90	0.00	1.85	-5855.03	-11419.40	-5858.53	-63379.30	5.550
34	SLD	Diff.	0.90	0.00	1.85	-4325.62	-8180.01	-4326.33	-74145.30	9.064

Verifiche stato limite di formazione delle fessure

CC	TCC	Zona	Zv <m>	Xi <m>	Xf <m>	N <daN>	My <daNm>	c <mm>	s <mm>	K3	s_{rm} <mm>	Φ	A_s <cmq>	$A_{c\ eff}$ <cmq>	σ_s <daN/cmq>	σ_{sr} <daN/cmq>	ε_{sm}	Wk <mm>
102	SLE F	Diff.	0.00	0.00	1.85	-5509.34	-1663.10	50.00	192.00	0.13	247.21	22.00	38.01	3760.30	47.78	1420.59	0.01	0.00
103	SLE F	Diff.	0.45	0.00	1.85	-4102.16	-8090.43	50.00	192.00	0.14	258.22	22.00	38.01	3760.30	488.97	2198.90	0.09	0.04
103	SLE F	Diff.	0.90	0.00	1.85	-4102.16	-8090.43	50.00	192.00	0.14	258.22	22.00	38.01	3760.30	488.97	2198.90	0.09	0.04

Parete n. 306

Caratteristiche delle sezioni e dei materiali utilizzati

Sez.	Spess. <cm>	Cf <cm>	Cls	Fck <daN/cmq>	Fctk <daN/cmq>	Fcd <daN/cmq>	Fctd <daN/cmq>	Acc.	Fyk <daN/cmq>	Fyd <daN/cmq>
Oriz.	50.00	6.10	C32/40	332.00	21.69	188.13	14.46	B450C	4500.00	3913.04

Verifiche su sezioni orizzontali
Stato limite ultimo - Armatura a flessione

CC	TCC	Zona	Zv <m>	Xi <m>	Xf <m>	N <daN>	My <daNm>	Nu <daN>	Myu <daNm>	Sic.
98	SLU	Diff.	0.00	0.00	4.50	-9041.64	27612.30	-9043.34	105447.00	3.819
34	SLD	Diff.	0.00	0.00	4.50	-6836.87	19328.10	-6840.50	124023.00	6.417
98	SLU	Diff.	0.50	0.00	4.50	-6020.98	10349.60	-6025.69	104853.00	10.131
34	SLD	Diff.	0.50	0.00	4.50	-4598.79	7249.40	-4599.13	123575.00	17.046
98	SLU	Diff.	1.00	0.00	4.50	-1497.16	-276.45	-1498.19	-103963.00	>100
34	SLD	Diff.	1.00	0.00	4.50	-1237.45	-189.75	-1237.59	-122904.00	>100
98	SLU	Loc.	0.00	0.00	4.50	-9041.64	27612.30	-9043.34	105447.00	3.819
34	SLD	Loc.	0.00	0.00	4.50	-6836.87	19328.10	-6840.50	124023.00	6.417

Verifiche stato limite di formazione delle fessure

CC	TCC	Zona	Zv <m>	Xi <m>	Xf <m>	N <daN>	My <daNm>	c <mm>	s <mm>	K3	s_{rm} <mm>	Φ	A_s <cmq>	$A_{c\ eff}$ <cmq>	σ_s <daN/cmq>	σ_{sr} <daN/cmq>	ε_{sm}	Wk <mm>
102	SLE F	Diff.	0.00	0.00	4.50	-6573.02	19685.70	50.00	291.87	0.14	326.73	22.00	60.82	8339.56	756.88	3145.83	0.15	0.08
102	SLE F	Diff.	0.50	0.00	4.50	-4335.02	7382.81	50.00	291.87	0.14	323.60	22.00	60.82	8339.56	268.94	3050.46	0.05	0.03
102	SLE F	Diff.	1.00	0.00	4.50	-1026.98	-196.51	50.00	291.87	0.13	309.20	22.00	60.82	8339.56	1.44	1076.78	0.00	0.00
102	SLE F	Loc.	0.00	0.00	4.50	-6573.02	19685.70	50.00	291.87	0.14	326.73	22.00	60.82	8339.56	756.88	3145.83	0.15	0.08

Parete n. 307

Caratteristiche delle sezioni e dei materiali utilizzati

Sez.	Spess. <cm>	Cf <cm>	Cls	Fck <daN/cmq>	Fctk <daN/cmq>	Fcd <daN/cmq>	Fctd <daN/cmq>	Acc.	Fyk <daN/cmq>	Fyd <daN/cmq>
Oriz.	50.00	6.10	C32/40	332.00	21.69	188.13	14.46	B450C	4500.00	3913.04

Verifiche su sezioni orizzontali
Stato limite ultimo - Armatura a flessione

CC	TCC	Zona	Zv <m>	Xi <m>	Xf <m>	N <daN>	My <daNm>	Nu <daN>	Myu <daNm>	Sic.
97	SLU	Diff.	0.00	0.00	4.50	-9041.64	-27612.30	-9043.34	-105447.00	3.819
34	SLD	Diff.	0.00	0.00	4.50	-6838.16	-19328.10	-6840.50	-124023.00	6.417
97	SLU	Diff.	0.50	0.00	4.50	-6020.98	-10349.60	-6025.69	-104853.00	10.131
34	SLD	Diff.	0.50	0.00	4.50	-4598.98	-7249.40	-4599.13	-123575.00	17.046
97	SLU	Diff.	1.00	0.00	4.50	-1497.16	276.45	-1498.19	103963.00	>100
34	SLD	Diff.	1.00	0.00	4.50	-1236.87	189.75	-1237.59	122904.00	>100
97	SLU	Loc.	0.00	0.00	4.50	-9041.64	-27612.30	-9043.34	-105447.00	3.819
34	SLD	Loc.	0.00	0.00	4.50	-6838.16	-19328.10	-6840.50	-124023.00	6.417

Verifiche stato limite di formazione delle fessure

CC	TCC	Zona	Zv <m>	Xi <m>	Xf <m>	N <daN>	My <daNm>	c <mm>	s <mm>	K3	s_{rm} <mm>	Φ	A_s <cmq>	$A_{c\ eff}$ <cmq>	σ_s <daN/cmq>	σ_{sr} <daN/cmq>	ε_{sm}	Wk <mm>
101	SLE F	Diff.	0.00	0.00	4.50	-6573.02	-19685.70	50.00	291.87	0.14	326.73	22.00	60.82	8339.56	756.88	3145.83	0.15	0.08
101	SLE F	Diff.	0.50	0.00	4.50	-4335.02	-7382.81	50.00	291.87	0.14	323.60	22.00	60.82	8339.56	268.94	3050.46	0.05	0.03
101	SLE F	Diff.	1.00	0.00	4.50	-1026.98	196.51	50.00	291.87	0.13	309.20	22.00	60.82	8339.56	1.44	1076.79	0.00	0.00
101	SLE F	Loc.	0.00	0.00	4.50	-6573.02	-19685.70	50.00	291.87	0.14	326.73	22.00	60.82	8339.56	756.88	3145.83	0.15	0.08

Oggetto: FASCICOLO CALCOLI VERIFICA ASTE ACCIAIO T_{getto}

Simbologia

Sez.		= Numero della sezione
Cod.		= Codice
Tipo		= Tipologia 2C = Doppia C lato labbri 2Cdx = Doppia C lato costola 2I = Doppia I 2L = Doppia L lato labbri 2Ldx = Doppia L lato costole C = C Cdx = C destra Cir. = Circolare Cir.c = Circolare cava I = I L = L Ldx = L destra Om. = Omega Pg = Pi greco Pr = Poligono regolare Prc = Poligono regolare cavo Pc = Per coordinate Ia = Inerzie assegnate R = Rettangolare Rc = Rettangolare cava T = T U = U Ur = U rovescia V = V Vr = V rovescia Z = Z Zdx = Z destra Ts = T stondata Ls = L stondata Cs = C stondata Is = I stondata Dis. = Disegnata
D	<cm>	= Distanza
Area	<cmq>	= Area
Anet	<cmq>	= Area netta per compressione
Aeff	<cmq>	= Area effettiva per trazione
Jy	<cm4>	= Momento d'inerzia rispetto all'asse Y
Jz	<cm4>	= Momento d'inerzia rispetto all'asse Z
Iy	<cm>	= Raggio giratorio d'inerzia rispetto all'asse Y
Iz	<cm>	= Raggio giratorio d'inerzia rispetto all'asse Z
Wymin	<cmc>	= Modulo di resistenza minimo rispetto all'asse Y
Wzmin	<cmc>	= Modulo di resistenza minimo rispetto all'asse Z
Wy,plas	<cmc>	= Modulo di resistenza plastico intorno all'asse Y
Wz,plas	<cmc>	= Modulo di resistenza plastico intorno all'asse Z
Atag,y	<cmq>	= Area resistente a taglio in dir. Y
Atag,z	<cmq>	= Area resistente a taglio in dir. Z
$J\omega$	<cm6>	= Costante di ingobbamento
CC		= Numero della combinazione delle condizioni di carico elementari
N,Ed	<daN>	= Forza assiale di calcolo
Mz,Ed	<daNm>	= Momento flettente di calcolo intorno all'asse Z
Nc,Rd	<daN>	= Resistenza a compressione
Mz,c,Rd	<daNm>	= Resistenza di calcolo a flessione intorno all'asse Z
L	<cm>	= Lunghezza dell'asta
αmy, αmz, αLT		= Coefficienti correttivi per il momento flettente
λ_y		= Snellezza per inflessione intorno all'asse y(c)
Ncr,y	<daN>	= Sforzo normale critico euleriano per inflessione intorno all'asse y(c)
λ^*_y		= Snellezza adimensionale per inflessione intorno all'asse y(c)
Curva		= Curva di instabilità adottata
Φ_y		= Coefficiente Φ per inflessione intorno all'asse y(c)
χ_y		= Coefficiente χ di riduzione per instabilità intorno all'asse y(c)
λ_z		= Snellezza per inflessione intorno all'asse z(e)
Ncr,z	<daN>	= Sforzo normale critico euleriano per inflessione intorno all'asse z(e)
λ^*_z		= Snellezza adimensionale per inflessione intorno all'asse z(e)
Φ_z		= Coefficiente Φ per inflessione intorno all'asse z(e)
χ_z		= Coefficiente χ di riduzione per instabilità intorno all'asse z(e)
Kyy, Kyz, Kzy, Kzz		= Coefficienti di interazione
Xl	<m>	= Coordinata progressiva (dal nodo iniziale dell'asta) in cui viene effettuato il progetto/verifica
N	<daN>	= Sforzo normale
Ty	<daN>	= Taglio in dir. Y
Mz	<daNm>	= Momento flettente intorno all'asse Z
Mx	<daNm>	= Momento torcente intorno all'asse X
MNz,c,Rd	<daNm>	= Resistenza di calcolo a pressoflessione intorno all'asse Z
V,Ed	<daN>	= Forza di taglio di calcolo
Vc,Rd,Red	<daN>	= Resistenza a taglio ridotta
Vc,Rd	<daN>	= Resistenza a taglio
L_{cr}	<m>	= Lunghezza di libera inflessione laterale fra ritegni torsionali
α-imp		= Coefficiente di imperfezione
k_c		= Coeff. di correzione momento flettente per stabilità laterale membrature inflesse
ψ		= Coeff. di correzione momento critico per stabilità laterale membrature inflesse
M,cr	<daNm>	= Momento critico per instabilità flesso torsionale
λ_{LT}		= Coefficiente di imperfezione per stabilità laterale membrature inflesse
$\lambda_{LT,0}$		= Coefficiente di imperfezione di confronto per stabilità laterale membrature inflesse
β_{LT}		= Coefficiente per calcolo Φ_{LT}
Φ_{LT}		= Coefficiente Φ per stabilità laterale membrature inflesse
f		= Fattore di modifica per il coefficiente di riduzione
χ_{LT}		= Coefficiente di riduzione per stabilità laterale membrature inflesse
My,Ed	<daNm>	= Momento flettente di calcolo intorno all'asse Y
My,b,Rd	<daNm>	= Resistenza di calcolo a flessione ridotta per stabilità laterale membrature inflesse
Tz	<daN>	= Taglio in dir. Z

σ_N	<daN/cmq>	= Tensione normale per sforzo normale
σ_M	<daN/cmq>	= Tensione normale per momento flettente
τ	<daN/cmq>	= Tensione tangenziale per taglio e/o torsione
$\sigma_{ID,max}$	<daN/cmq>	= Tensione ideale massima
My	<daNm>	= Momento flettente intorno all'asse Y
My,c,Rd	<daNm>	= Resistenza di calcolo a flessione intorno all'asse Y
My,V,c,Rd	<daNm>	= Resistenza di calcolo a flessione ridotta per taglio intorno all'asse Y
MNy,c,Rd	<daNm>	= Resistenza di calcolo a pressoflessione intorno all'asse Y
α		= Esponente sfruttamento per flessione retta intorno all'asse y
β		= Esponente sfruttamento per flessione retta intorno all'asse z
V,Ed,G	<daN>	= Forza di taglio per azioni non sismiche
V,Ed,M	<daN>	= Forza di taglio dovuta all'applicazione dei momenti resistenti
Myeq,Ed	<daNm>	= Valore equivalente del momento flettente intorno all'asse Y
Mzeq,Ed	<daNm>	= Valore equivalente del momento flettente intorno all'asse Z

Caratteristiche profilati utilizzati

Sez.	Cod.	Tipo	D <cm>	Area <cmq>	Anet <cmq>	Aeff <cmq>	Jy <cm4>	Jz <cm4>	Iy <cm>	Iz <cm>	Wymin <cmc>	Wzmin <cmc>
1	IPE240 iimpalcato	Is	--	39.12	39.12	39.12	3891.76	283.63	9.97	2.69	324.31	47.27
2	U160x8.5	Cs	--	26.58	26.58	26.58	916.14	88.69	5.87	1.83	114.52	18.03
3	HEB140	Is	--	42.96	42.96	42.96	1509.25	549.67	5.93	3.58	215.61	78.52
4	IPE120	Is	--	13.21	13.21	13.21	317.76	27.67	4.90	1.45	52.96	8.65
5	HEA100 sez. generica	Is	--	21.24	21.24	21.24	349.24	133.81	4.06	2.51	72.76	26.76

Caratteristiche profilati utilizzati

Sez.	Cod.	Wy,plas <cmc>	Wz,plas <cmc>	Atag,y <cmq>	Atag,z <cmq>	Jω <cm6>
1	IPE240 iimpalcato	368.53	74.08	27.31	19.15	37391.20
2	U160x8.5	141.21	39.83	13.77	17.14	
3	HEB140	246.04	119.88	36.52	13.08	22478.90
4	IPE120	60.93	13.60	9.10	6.31	889.59
5	HEA100 sez. generica	83.42	41.22	18.44	7.56	2581.33

Asta n. 10 (10 310) HEA100 sez. generica Crit. 10

- Verifica di stabilità aste presso-inflesse (C4.2.4.1.3.3.2) - CC 98 - Classe 1
  Sollecitazioni: N,Ed=-10780.80 Mz,Ed=-257.31
  Resistenze: Nc,Rd=47530.20 Mz,c,Rd=922.54 L=20.00
  αmy, αmz, αLT=0.95, 0.95, 0.95
  λ_Y=4.93 Ncr,y=18095700.00 λ^*_y=0.05 Curva b: Φ_y=0.00 χ_y=1.00
  λ_Z=7.97 Ncr,z=6933490.00 λ^*_z=0.08 Curva c: Φ_z=0.00 χ_z=1.00
  Kyy, Kyz, Kzy, Kzz=0.92, 0.51, 0.55, 0.86
  Verifica YY: 0.23+0.14=0.37
  Verifica ZZ: 0.23+0.24=0.47

- Verifica a pressoflessione retta - CC 98 Xl=0.20 - Classe 1
  Sollecitazioni: N=-10776.30 T_y=-113.43 M_z=-257.31 M_x=-4.58
  Mz,Ed=-257.31 Mz,c,Rd=922.54
  N,Ed=-10776.30 Nc,Rd=47530.20 n=N,Ed/Nc,Rd=0.23
  MNz,c,Rd=922.54 Mz,Ed/MNz,c,Rd=0.28

- Verifica a taglio e torsione dir. Y (4.2.25) - CC 98 Xl=0.00
  Sollecitazioni: N=-10780.80 T_y=-113.43 M_z=-234.63 M_x=-4.58
  V,Ed=-113.43 Vc,Rd,Red=23226.80 V,Ed/Vc,Rd,Red=0.00

Asta n. 11 (11 311) HEA100 sez. generica Crit. 10

- Verifica di stabilità aste presso-inflesse (C4.2.4.1.3.3.2) - CC 97 - Classe 1
  Sollecitazioni: N,Ed=-10780.80 Mz,Ed=-257.31
  Resistenze: Nc,Rd=47530.20 Mz,c,Rd=922.54 L=20.00
  αmy, αmz, αLT=0.95, 0.95, 0.95
  λ_Y=4.93 Ncr,y=18095700.00 λ^*_y=0.05 Curva b: Φ_y=0.00 χ_y=1.00
  λ_Z=7.97 Ncr,z=6933490.00 λ^*_z=0.08 Curva c: Φ_z=0.00 χ_z=1.00
  Kyy, Kyz, Kzy, Kzz=0.92, 0.51, 0.55, 0.86
  Verifica YY: 0.23+0.14=0.37
  Verifica ZZ: 0.23+0.24=0.47

- Verifica a pressoflessione retta - CC 97 Xl=0.20 - Classe 1
  Sollecitazioni: N=-10776.30 T_y=-113.43 M_z=-257.31 M_x=4.58
  Mz,Ed=-257.31 Mz,c,Rd=922.54
  N,Ed=-10776.30 Nc,Rd=47530.20 n=N,Ed/Nc,Rd=0.23
  MNz,c,Rd=922.54 Mz,Ed/MNz,c,Rd=0.28

- Verifica a taglio e torsione dir. Y (4.2.25) - CC 97 Xl=0.13

Sollecitazioni: N=-10778.00 T_y=-113.43 M_z=-249.06 M_x=4.58
V,Ed=-113.43 Vc,Rd,Red=23226.80 V,Ed/Vc,Rd,Red=0.00

Asta n. 12 (12 312) HEA100 sez. generica Crit. 10

- Verifica di stabilità aste presso-inflesse (C4.2.4.1.3.3.2) - CC 98 - Classe 1
Sollecitazioni: N,Ed=-4097.48 Mz,Ed=16.08
Resistenze: Nc,Rd=47530.20 Mz,c,Rd=922.54 L=20.00
αmy, αmz, αLT=0.95, 0.95, 0.95
λ_Y=4.93 Ncr,y=18095700.00 λ^*_y=0.05 Curva b: Φ_y=0.00 χ_y=1.00
λ_Z=7.97 Ncr,z=6933490.00 λ^*_z=0.08 Curva c: Φ_z=0.00 χ_z=1.00
Kyy, Kyz, Kzy, Kzz=0.94, 0.55, 0.56, 0.91
Verifica YY: 0.09+0.01=0.10
Verifica ZZ: 0.09+0.02=0.10

- Verifica a pressoflessione retta - CC 98 Xl=0.20 - Classe 1
Sollecitazioni: N=-4092.98 T_y=7.19 M_z=16.08
Mz,Ed=16.08 Mz,c,Rd=922.54
N,Ed=-4092.98 Nc,Rd=47530.20 n=N,Ed/Nc,Rd=0.09
MNz,c,Rd=922.54 Mz,Ed/MNz,c,Rd=0.02

- Verifica a taglio dir. Y (4.2.17) - CC 98 Xl=0.00
Sollecitazioni: N=-4097.48 T_y=7.19 M_z=14.64
V,Ed=7.19 Vc,Rd=23824.20 V,Ed/Vc,Rd=0.00

Asta n. 13 (13 313) HEA100 sez. generica Crit. 10

- Verifica di stabilità aste presso-inflesse (C4.2.4.1.3.3.2) - CC 97 - Classe 1
Sollecitazioni: N,Ed=-4097.49 Mz,Ed=16.08
Resistenze: Nc,Rd=47530.20 Mz,c,Rd=922.54 L=20.00
αmy, αmz, αLT=0.95, 0.95, 0.95
λ_Y=4.93 Ncr,y=18095700.00 λ^*_y=0.05 Curva b: Φ_y=0.00 χ_y=1.00
λ_Z=7.97 Ncr,z=6933490.00 λ^*_z=0.08 Curva c: Φ_z=0.00 χ_z=1.00
Kyy, Kyz, Kzy, Kzz=0.94, 0.55, 0.56, 0.91
Verifica YY: 0.09+0.01=0.10
Verifica ZZ: 0.09+0.02=0.10

- Verifica a pressoflessione retta - CC 97 Xl=0.20 - Classe 1
Sollecitazioni: N=-4092.98 T_y=7.19 M_z=16.08
Mz,Ed=16.08 Mz,c,Rd=922.54
N,Ed=-4092.98 Nc,Rd=47530.20 n=N,Ed/Nc,Rd=0.09
MNz,c,Rd=922.54 Mz,Ed/MNz,c,Rd=0.02

- Verifica a taglio dir. Y (4.2.17) - CC 97 Xl=0.00
Sollecitazioni: N=-4097.49 T_y=7.19 M_z=14.64
V,Ed=7.19 Vc,Rd=23824.20 V,Ed/Vc,Rd=0.00

Asta n. 14 (14 314) HEA100 sez. generica Crit. 10

- Verifica di stabilità aste presso-inflesse (C4.2.4.1.3.3.2) - CC 98 - Classe 1
Sollecitazioni: N,Ed=-5415.52 Mz,Ed=-0.37
Resistenze: Nc,Rd=47530.20 Mz,c,Rd=922.54 L=20.00
αmy, αmz, αLT=0.95, 0.95, 0.95
λ_Y=4.93 Ncr,y=18095700.00 λ^*_y=0.05 Curva b: Φ_y=0.00 χ_y=1.00
λ_Z=7.97 Ncr,z=6933490.00 λ^*_z=0.08 Curva c: Φ_z=0.00 χ_z=1.00
Kyy, Kyz, Kzy, Kzz=0.93, 0.54, 0.56, 0.90
Verifica YY: 0.11+0.00=0.11
Verifica ZZ: 0.11+0.00=0.11

- Verifica a compressione (4.2.10) - CC 98 Xl=0.00 - Classe 1
Sollecitazioni: N=-5415.52
N,Ed=-5415.52 Nc,Rd=-47530.20 N,Ed/Nc,Rd=0.11

Asta n. 15 (15 315) HEA100 sez. generica Crit. 10

- Verifica di stabilità aste presso-inflesse (C4.2.4.1.3.3.2) - CC 97 - Classe 1
Sollecitazioni: N,Ed=-5415.52 Mz,Ed=-0.37
Resistenze: Nc,Rd=47530.20 Mz,c,Rd=922.54 L=20.00
αmy, αmz, αLT=0.95, 0.95, 0.95
λ_Y=4.93 Ncr,y=18095700.00 λ^*_y=0.05 Curva b: Φ_y=0.00 χ_y=1.00
λ_Z=7.97 Ncr,z=6933490.00 λ^*_z=0.08 Curva c: Φ_z=0.00 χ_z=1.00

Kyy, Kyz, Kzy, Kzz=0.93, 0.54, 0.56, 0.90
Verifica YY: 0.11+0.00=0.11
Verifica ZZ: 0.11+0.00=0.11

- Verifica a compressione (4.2.10) - CC 97 Xl=0.00 - Classe 1
Sollecitazioni: N=-5415.52
N,Ed=-5415.52 Nc,Rd=-47530.20 N,Ed/Nc,Rd=0.11

Asta n. 16 (16 316) HEA100 sez. generica Crit. 10

- Verifica di stabilità aste presso-inflesse (C4.2.4.1.3.3.2) - CC 98 - Classe 1
Sollecitazioni: N,Ed=-4097.75 Mz,Ed=-14.62
Resistenze: Nc,Rd=47530.20 Mz,c,Rd=922.54 L=20.00
αmy, αmz, αLT=0.95, 0.95, 0.95
λ_Y=4.93 Ncr,y=18095700.00 λ^*_y=0.05 Curva b: Φ_y=0.00 χ_y=1.00
λ_Z=7.97 Ncr,z=6933490.00 λ^*_z=0.08 Curva c: Φ_z=0.00 χ_z=1.00
Kyy, Kyz, Kzy, Kzz=0.94, 0.55, 0.56, 0.91
Verifica YY: 0.09+0.01=0.09
Verifica ZZ: 0.09+0.01=0.10

- Verifica a pressoflessione retta - CC 98 Xl=0.20 - Classe 1
Sollecitazioni: N=-4093.25 T_y=-6.38 M_z=-14.62
Mz,Ed=-14.62 Mz,c,Rd=922.54
N,Ed=-4093.25 Nc,Rd=47530.20 n=N,Ed/Nc,Rd=0.09
MNz,c,Rd=922.54 Mz,Ed/MNz,c,Rd=0.02

- Verifica a taglio dir. Y (4.2.17) - CC 98 Xl=0.00
Sollecitazioni: N=-4097.75 T_y=-6.38 M_z=-13.34
V,Ed=-6.38 Vc,Rd=23824.20 V,Ed/Vc,Rd=0.00

Asta n. 17 (17 317) HEA100 sez. generica Crit. 10

- Verifica di stabilità aste presso-inflesse (C4.2.4.1.3.3.2) - CC 97 - Classe 1
Sollecitazioni: N,Ed=-4097.75 Mz,Ed=-14.62
Resistenze: Nc,Rd=47530.20 Mz,c,Rd=922.54 L=20.00
αmy, αmz, αLT=0.95, 0.95, 0.95
λ_Y=4.93 Ncr,y=18095700.00 λ^*_y=0.05 Curva b: Φ_y=0.00 χ_y=1.00
λ_Z=7.97 Ncr,z=6933490.00 λ^*_z=0.08 Curva c: Φ_z=0.00 χ_z=1.00
Kyy, Kyz, Kzy, Kzz=0.94, 0.55, 0.56, 0.91
Verifica YY: 0.09+0.01=0.09
Verifica ZZ: 0.09+0.01=0.10

- Verifica a pressoflessione retta - CC 97 Xl=0.20 - Classe 1
Sollecitazioni: N=-4093.25 T_y=-6.38 M_z=-14.62
Mz,Ed=-14.62 Mz,c,Rd=922.54
N,Ed=-4093.25 Nc,Rd=47530.20 n=N,Ed/Nc,Rd=0.09
MNz,c,Rd=922.54 Mz,Ed/MNz,c,Rd=0.02

- Verifica a taglio dir. Y (4.2.17) - CC 97 Xl=0.00
Sollecitazioni: N=-4097.75 T_y=-6.38 M_z=-13.34
V,Ed=-6.38 Vc,Rd=23824.20 V,Ed/Vc,Rd=0.00

Asta n. 18 (18 318) HEA100 sez. generica Crit. 10

- Verifica di stabilità aste presso-inflesse (C4.2.4.1.3.3.2) - CC 98 - Classe 1
Sollecitazioni: N,Ed=-10673.40 Mz,Ed=252.34
Resistenze: Nc,Rd=47530.20 Mz,c,Rd=922.54 L=20.00
αmy, αmz, αLT=0.95, 0.95, 0.95
λ_Y=4.93 Ncr,y=18095700.00 λ^*_y=0.05 Curva b: Φ_y=0.00 χ_y=1.00
λ_Z=7.97 Ncr,z=6933490.00 λ^*_z=0.08 Curva c: Φ_z=0.00 χ_z=1.00
Kyy, Kyz, Kzy, Kzz=0.92, 0.51, 0.55, 0.86
Verifica YY: 0.22+0.14=0.37
Verifica ZZ: 0.22+0.23=0.46

- Verifica a pressoflessione retta - CC 98 Xl=0.20 - Classe 1
Sollecitazioni: N=-10668.90 T_y=111.38 M_z=252.34 M_x=4.48
Mz,Ed=252.34 Mz,c,Rd=922.54
N,Ed=-10668.90 Nc,Rd=47530.20 n=N,Ed/Nc,Rd=0.22
MNz,c,Rd=922.54 Mz,Ed/MNz,c,Rd=0.27

- Verifica a taglio e torsione dir. Y (4.2.25) - CC 98 Xl=0.00

Sollecitazioni: N=-10673.40 T_y=111.38 M_z=230.07 M_x=4.48
V,Ed=111.38 Vc,Rd,Red=23240.50 V,Ed/Vc,Rd,Red=0.00

Asta n. 19 (19 319) HEA100 sez. generica Crit. 10

- Verifica di stabilità aste presso-inflesse (C4.2.4.1.3.3.2) - CC 97 - Classe 1
Sollecitazioni: N,Ed=-10673.40 Mz,Ed=252.34
Resistenze: Nc,Rd=47530.20 Mz,c,Rd=922.54 L=20.00
αmy, αmz, αLT=0.95, 0.95, 0.95
λ_Y=4.93 Ncr,y=18095700.00 λ^*_y=0.05 Curva b: Φ_y=0.00 χ_y=1.00
λ_Z=7.97 Ncr,z=6933490.00 λ^*_z=0.08 Curva c: Φ_z=0.00 χ_z=1.00
Kyy, Kyz, Kzy, Kzz=0.92, 0.51, 0.55, 0.86
Verifica YY: 0.22+0.14=0.37
Verifica ZZ: 0.22+0.23=0.46

- Verifica a pressoflessione retta - CC 97 Xl=0.20 - Classe 1
Sollecitazioni: N=-10668.90 T_y=111.38 M_z=252.34 M_x=-4.48
Mz,Ed=252.34 Mz,c,Rd=922.54
N,Ed=-10668.90 Nc,Rd=47530.20 n=N,Ed/Nc,Rd=0.22
MNz,c,Rd=922.54 Mz,Ed/MNz,c,Rd=0.27

- Verifica a taglio e torsione dir. Y (4.2.25) - CC 97 Xl=0.00
Sollecitazioni: N=-10673.40 T_y=111.38 M_z=230.07 M_x=-4.48
V,Ed=111.38 Vc,Rd,Red=23240.50 V,Ed/Vc,Rd,Red=0.00

Asta n. 301 (301 -582) IPE240 iimpalcato Crit. 1

- Verifica di stabilità aste inflesse (4.2.4.1.3.2) CC 97 - Classe 3
L_{cr}=0.31 Curva b: α-imp=0.34 k_c=0.94 ψ=1.75 M,cr=1236090.00 λ_{LT}=0.08
$\lambda_{LT,0}$=0.40 β_{LT}=0.75 Φ_{LT}=0.45 β_{LT}=0.75 f=1.00 χ_{LT}=1.00
CC 97 My,Ed=-96.12 My,b,Rd=8107.84 My,Ed/My,b,Rd=0.01

- Verifica in termini tensionali (4.2.5) - CC 97 Xl=0.00 - Classe 3
Sollecitazioni: T_z=316.48 T_y=-3.59 M_z=5.36 M_x=-3.30
Tensioni: σ_N=0.00 σ_M=-11.34 τ=28.48 σ_{max}=-11.34
Tensioni: σ_N=0.00 σ_M=-0.59 τ=38.44 τ_{max}=38.44
Tensioni: σ_N=0.00 σ_M=-0.59 τ=38.44 $\sigma_{ID,max}$=66.59

Asta n. 301 (-582 -583) IPE240 iimpalcato Crit. 1

- Verifica di stabilità aste inflesse (4.2.4.1.3.2) CC 97 - Classe 3
L_{cr}=0.40 Curva b: α-imp=0.34 k_c=0.94 ψ=1.25 M,cr=535042.00 λ_{LT}=0.13
$\lambda_{LT,0}$=0.40 β_{LT}=0.75 Φ_{LT}=0.46 β_{LT}=0.75 f=1.00 χ_{LT}=1.00
CC 97 My,Ed=-168.55 My,b,Rd=8107.84 My,Ed/My,b,Rd=0.02

- Verifica in termini tensionali (4.2.5) - CC 97 Xl=0.40 - Classe 3
Sollecitazioni: T_z=173.35 M_y=-168.55 T_y=-3.59 M_z=2.82 M_x=-2.30
Tensioni: σ_N=0.00 σ_M=57.93 τ=19.92 σ_{max}=57.93
Tensioni: σ_N=0.00 σ_M=-0.31 τ=24.44 τ_{max}=24.44
Tensioni: σ_N=0.00 σ_M=57.93 τ=19.92 $\sigma_{ID,max}$=67.43

Asta n. 301 (-583 -584) IPE240 iimpalcato Crit. 1

- Verifica di stabilità aste inflesse (4.2.4.1.3.2) CC 97 - Classe 3
L_{cr}=0.40 Curva b: α-imp=0.34 k_c=0.94 ψ=1.07 M,cr=458944.00 λ_{LT}=0.14
$\lambda_{LT,0}$=0.40 β_{LT}=0.75 Φ_{LT}=0.46 β_{LT}=0.75 f=1.00 χ_{LT}=1.00
CC 97 My,Ed=-168.55 My,b,Rd=8107.84 My,Ed/My,b,Rd=0.02

- Verifica in termini tensionali (4.2.5) - CC 97 Xl=0.00 - Classe 3
Sollecitazioni: T_z=-52.67 M_y=-168.55 T_y=-3.59 M_z=2.82
Tensioni: σ_N=0.00 σ_M=57.93 τ=0.00 σ_{max}=57.93
Tensioni: σ_N=0.00 σ_M=0.31 τ=4.29 τ_{max}=4.29
Tensioni: σ_N=0.00 σ_M=57.93 τ=0.00 $\sigma_{ID,max}$=57.93

Asta n. 301 (-584 -585) IPE240 iimpalcato Crit. 1

- Verifica di stabilità aste inflesse (4.2.4.1.3.2) CC 97 - Classe 3
L_{cr}=0.40 Curva b: α-imp=0.34 k_c=0.94 ψ=1.59 M,cr=680473.00 λ_{LT}=0.11
$\lambda_{LT,0}$=0.40 β_{LT}=0.75 Φ_{LT}=0.46 β_{LT}=0.75 f=1.00 χ_{LT}=1.00
CC 97 My,Ed=-144.25 My,b,Rd=8107.84 My,Ed/My,b,Rd=0.02

- Verifica in termini tensionali (4.2.5) - CC 98 Xl=0.40 - Classe 3
  Sollecitazioni: T_z=-356.54 M_y=44.45 T_y=-3.63 M_x=1.67
  Tensioni: σ_N=0.00 σ_M=-13.71 τ=14.42 σ_{max}=-13.71
  Tensioni: σ_N=0.00 σ_M=-0.00 τ=32.45 τ_{max}=32.45
  Tensioni: σ_N=0.00 σ_M=-0.00 τ=32.45 $\sigma_{ID,max}$=56.21

Asta n. 301 (-585 302) IPE240 iimpalcato Crit. 1

- Verifica di stabilità aste inflesse (4.2.4.1.3.2) CC 98 - Classe 3
  L_{cr}=0.40 Curva b: α-imp=0.34 k_c=0.94 ψ=1.59 M,cr=681675.00 λ_{LT}=0.11
  $\lambda_{LT,0}$=0.40 β_{LT}=0.75 Φ_{LT}=0.46 β_{LT}=0.75 f=1.00 χ_{LT}=1.00
  CC 98 My,Ed=280.07 My,b,Rd=8107.84 My,Ed/My,b,Rd=0.03

- Verifica in termini tensionali (4.2.5) - CC 98 Xl=0.40 - Classe 3
  Sollecitazioni: T_z=-599.18 M_y=280.07 T_y=-3.63 M_z=-1.48 M_x=3.66
  Tensioni: σ_N=0.00 σ_M=-89.50 τ=31.62 σ_{max}=-89.50
  Tensioni: σ_N=0.00 σ_M=-0.16 τ=58.19 τ_{max}=58.19
  Tensioni: σ_N=0.00 σ_M=-68.67 τ=52.52 $\sigma_{ID,max}$=113.97

Asta n. 301 (302 -586) IPE240 iimpalcato Crit. 1

- Verifica di stabilità aste inflesse (4.2.4.1.3.2) CC 98 - Classe 3
  L_{cr}=0.40 Curva b: α-imp=0.34 k_c=0.94 ψ=1.34 M,cr=575688.00 λ_{LT}=0.12
  $\lambda_{LT,0}$=0.40 β_{LT}=0.75 Φ_{LT}=0.46 β_{LT}=0.75 f=1.00 χ_{LT}=1.00
  CC 98 My,Ed=693.20 My,b,Rd=8107.84 My,Ed/My,b,Rd=0.09

- Verifica in termini tensionali (4.2.5) - CC 98 Xl=0.40 - Classe 3
  Sollecitazioni: N=185.54 T_z=-976.25 M_y=693.20 T_y=-4.61 M_z=-3.38 M_x=4.23
  Tensioni: σ_N=4.74 σ_M=220.88 τ=36.55 σ_{max}=225.63
  Tensioni: σ_N=4.74 σ_M=-0.37 τ=87.58 τ_{max}=87.58
  Tensioni: σ_N=4.74 σ_M=220.88 τ=36.55 $\sigma_{ID,max}$=234.34

Asta n. 301 (-586 -587) IPE240 iimpalcato Crit. 1

- Verifica di stabilità aste inflesse (4.2.4.1.3.2) CC 98 - Classe 3
  L_{cr}=0.40 Curva b: α-imp=0.34 k_c=0.94 ψ=1.24 M,cr=529175.00 λ_{LT}=0.13
  $\lambda_{LT,0}$=0.40 β_{LT}=0.75 Φ_{LT}=0.46 β_{LT}=0.75 f=1.00 χ_{LT}=1.00
  CC 98 My,Ed=1175.03 My,b,Rd=8107.84 My,Ed/My,b,Rd=0.14

- Verifica in termini tensionali (4.2.5) - CC 98 Xl=0.40 - Classe 3
  Sollecitazioni: N=185.54 T_z=-1216.85 M_y=1175.03 T_y=-4.61 M_z=-5.21 M_x=6.15
  Tensioni: σ_N=4.74 σ_M=373.34 τ=53.17 σ_{max}=378.08
  Tensioni: σ_N=4.74 σ_M=-0.57 τ=112.55 τ_{max}=112.55
  Tensioni: σ_N=4.74 σ_M=373.34 τ=53.17 $\sigma_{ID,max}$=389.14

Asta n. 301 (-587 -588) IPE240 iimpalcato Crit. 1

- Verifica di stabilità aste inflesse (4.2.4.1.3.2) CC 98 - Classe 3
  L_{cr}=0.20 Curva b: α-imp=0.34 k_c=0.94 ψ=1.10 M,cr=1873310.00 λ_{LT}=0.07
  $\lambda_{LT,0}$=0.40 β_{LT}=0.75 Φ_{LT}=0.45 β_{LT}=0.75 f=1.00 χ_{LT}=1.00
  CC 98 My,Ed=1459.42 My,b,Rd=8107.84 My,Ed/My,b,Rd=0.18

- Verifica in termini tensionali (4.2.5) - CC 98 Xl=0.20 - Classe 3
  Sollecitazioni: N=185.54 T_z=-1450.74 M_y=1459.42 T_y=-4.61 M_z=-6.13 M_x=7.64
  Tensioni: σ_N=4.74 σ_M=462.98 τ=66.04 σ_{max}=467.72
  Tensioni: σ_N=4.74 σ_M=-0.67 τ=135.46 τ_{max}=135.46
  Tensioni: σ_N=4.74 σ_M=462.98 τ=66.04 $\sigma_{ID,max}$=481.50

Asta n. 301 (-588 -589) IPE240 iimpalcato Crit. 1

- Verifica di stabilità aste inflesse (4.2.4.1.3.2) CC 98 - Classe 3
  L_{cr}=0.20 Curva b: α-imp=0.34 k_c=0.94 ψ=1.08 M,cr=1843030.00 λ_{LT}=0.07
  $\lambda_{LT,0}$=0.40 β_{LT}=0.75 Φ_{LT}=0.45 β_{LT}=0.75 f=1.00 χ_{LT}=1.00
  CC 98 My,Ed=1749.48 My,b,Rd=8107.84 My,Ed/My,b,Rd=0.22

- Verifica in termini tensionali (4.2.5) - CC 98 Xl=0.20 - Classe 3
  Sollecitazioni: N=185.54 T_z=-1459.01 M_y=1749.48 T_y=-4.61 M_z=-7.05 M_x=7.64
  Tensioni: σ_N=4.74 σ_M=554.36 τ=66.04 σ_{max}=559.10

Tensioni: σ_N=4.74 σ_M=-0.77 τ=136.04 τ_{max}=136.04
Tensioni: σ_N=4.74 σ_M=554.36 τ=66.04 $\sigma_{ID,max}$=570.68

Asta n. 301 (-589 -590) IPE240 iimpalcato Crit. 1

- Verifica di stabilità aste inflesse (4.2.4.1.3.2) CC 98 - Classe 3
L_{cr}=0.40 Curva b: α-imp=0.34 k_c=0.94 ψ=1.15 M,cr=491994.00 λ_{LT}=0.13
$\lambda_{LT,0}$=0.40 β_{LT}=0.75 Φ_{LT}=0.46 β_{LT}=0.75 f=1.00 χ_{LT}=1.00
CC 98 My,Ed=2428.56 My,b,Rd=8107.84 My,Ed/My,b,Rd=0.30

- Verifica in termini tensionali (4.2.5) - CC 98 Xl=0.40 - Classe 3
Sollecitazioni: N=185.54 T_z=-1701.05 M_y=2428.56 T_y=-4.61 M_z=-8.89 M_x=9.11
Tensioni: σ_N=4.74 σ_M=767.64 τ=78.77 σ_{max}=772.38
Tensioni: σ_N=4.74 σ_M=-0.97 τ=159.48 τ_{max}=159.48
Tensioni: σ_N=4.74 σ_M=767.64 τ=78.77 $\sigma_{ID,max}$=784.34

Asta n. 301 (-590 303) IPE240 iimpalcato Crit. 1

- Verifica di stabilità aste inflesse (4.2.4.1.3.2) CC 98 - Classe 3
L_{cr}=0.40 Curva b: α-imp=0.34 k_c=0.94 ψ=1.25 M,cr=530572.00 λ_{LT}=0.13
$\lambda_{LT,0}$=0.40 β_{LT}=0.75 Φ_{LT}=0.46 β_{LT}=0.75 f=1.00 χ_{LT}=1.00
CC 98 My,Ed=2428.95 My,b,Rd=8107.84 My,Ed/My,b,Rd=0.30

- Verifica in termini tensionali (4.2.5) - CC 98 Xl=0.00 - Classe 3
Sollecitazioni: N=169.78 T_z=2593.77 M_y=2428.95 T_y=-1.95 M_z=-7.33 M_x=-20.29
Tensioni: σ_N=4.34 σ_M=764.45 τ=175.37 σ_{max}=768.79
Tensioni: σ_N=4.34 σ_M=0.80 τ=274.69 τ_{max}=274.69
Tensioni: σ_N=4.34 σ_M=764.45 τ=175.37 $\sigma_{ID,max}$=826.62

Asta n. 301 (303 -591) IPE240 iimpalcato Crit. 1

- Verifica di stabilità aste inflesse (4.2.4.1.3.2) CC 98 - Classe 3
L_{cr}=0.20 Curva b: α-imp=0.34 k_c=0.94 ψ=1.14 M,cr=1929500.00 λ_{LT}=0.07
$\lambda_{LT,0}$=0.40 β_{LT}=0.75 Φ_{LT}=0.45 β_{LT}=0.75 f=1.00 χ_{LT}=1.00
CC 98 My,Ed=1462.18 My,b,Rd=8107.84 My,Ed/My,b,Rd=0.18

- Verifica in termini tensionali (4.2.5) - CC 98 Xl=0.00 - Classe 3
Sollecitazioni: N=582.98 T_z=1946.91 M_y=1462.18 T_y=6.78 M_z=-8.36 M_x=-5.78
Tensioni: σ_N=14.90 σ_M=468.54 τ=49.94 σ_{max}=483.45
Tensioni: σ_N=14.90 σ_M=-0.91 τ=166.38 τ_{max}=166.38
Tensioni: σ_N=14.90 σ_M=468.54 τ=49.94 $\sigma_{ID,max}$=491.12

Asta n. 301 (-591 -592) IPE240 iimpalcato Crit. 1

- Verifica di stabilità aste inflesse (4.2.4.1.3.2) CC 98 - Classe 3
L_{cr}=0.20 Curva b: α-imp=0.34 k_c=0.94 ψ=1.20 M,cr=2031580.00 λ_{LT}=0.07
$\lambda_{LT,0}$=0.40 β_{LT}=0.75 Φ_{LT}=0.44 β_{LT}=0.75 f=1.00 χ_{LT}=1.00
CC 98 My,Ed=1073.63 My,b,Rd=8107.84 My,Ed/My,b,Rd=0.13

- Verifica in termini tensionali (4.2.5) - CC 98 Xl=0.00 - Classe 3
Sollecitazioni: N=582.98 T_z=1938.62 M_y=1073.63 T_y=6.78 M_z=-7.01 M_x=-5.78
Tensioni: σ_N=14.90 σ_M=345.87 τ=49.94 σ_{max}=360.77
Tensioni: σ_N=14.90 σ_M=-0.77 τ=165.73 τ_{max}=165.73
Tensioni: σ_N=14.90 σ_M=263.40 τ=144.29 $\sigma_{ID,max}$=374.05

Asta n. 301 (-592 -593) IPE240 iimpalcato Crit. 1

- Verifica di stabilità aste inflesse (4.2.4.1.3.2) CC 98 - Classe 3
L_{cr}=0.40 Curva b: α-imp=0.34 k_c=0.94 ψ=1.73 M,cr=737140.00 λ_{LT}=0.11
$\lambda_{LT,0}$=0.40 β_{LT}=0.75 Φ_{LT}=0.46 β_{LT}=0.75 f=1.00 χ_{LT}=1.00
CC 98 My,Ed=690.78 My,b,Rd=8107.84 My,Ed/My,b,Rd=0.09

- Verifica in termini tensionali (4.2.5) - CC 98 Xl=0.00 - Classe 3
Sollecitazioni: N=582.98 T_z=1703.99 M_y=690.78 T_y=6.78 M_z=-5.65 M_x=-4.28
Tensioni: σ_N=14.90 σ_M=224.95 τ=37.04 σ_{max}=239.85
Tensioni: σ_N=14.90 σ_M=-0.62 τ=143.75 τ_{max}=143.75
Tensioni: σ_N=14.90 σ_M=169.60 τ=124.63 $\sigma_{ID,max}$=283.96

Asta n. 301 (-593 -594) IPE240 iimpalcato Crit. 1

- Verifica di stabilità aste inflesse (4.2.4.1.3.2) CC 97 - Classe 3
  L_{cr}=0.40 Curva b: α-imp=0.34 k_c=0.94 ψ=1.62 M,cr=690335.00 λ_{LT}=0.11
  $\lambda_{LT,0}$=0.40 β_{LT}=0.75 Φ_{LT}=0.46 β_{LT}=0.75 f=1.00 χ_{LT}=1.00
  CC 97 My,Ed=-648.49 My,b,Rd=8107.84 My,Ed/My,b,Rd=0.08

- Verifica in termini tensionali (4.2.5) - CC 97 Xl=0.40 - Classe 3
  Sollecitazioni: N=613.90 T_z=1406.52 M_y=-648.49 T_y=6.78 M_x=-2.32
  Tensioni: σ_N=15.69 σ_M=199.96 τ=20.03 σ_{max}=215.65
  Tensioni: σ_N=15.69 σ_M=0.00 τ=116.39 τ_{max}=116.39
  Tensioni: σ_N=15.69 σ_M=158.63 τ=100.33 $\sigma_{ID,max}$=246.14

Asta n. 301 (-594 -595) IPE240 iimpalcato Crit. 1

- Verifica di stabilità aste inflesse (4.2.4.1.3.2) CC 97 - Classe 3
  L_{cr}=0.40 Curva b: α-imp=0.34 k_c=0.94 ψ=1.24 M,cr=528692.00 λ_{LT}=0.13
  $\lambda_{LT,0}$=0.40 β_{LT}=0.75 Φ_{LT}=0.46 β_{LT}=0.75 f=1.00 χ_{LT}=1.00
  CC 97 My,Ed=-1117.20 My,b,Rd=8107.84 My,Ed/My,b,Rd=0.14

- Verifica in termini tensionali (4.2.5) - CC 97 Xl=0.40 - Classe 3
  Sollecitazioni: N=613.90 T_z=1163.39 M_y=-1117.20 T_y=6.78 M_z=2.52
  Tensioni: σ_N=15.69 σ_M=349.80 τ=0.00 σ_{max}=365.50
  Tensioni: σ_N=15.69 σ_M=0.27 τ=94.83 τ_{max}=94.83
  Tensioni: σ_N=15.69 σ_M=349.80 τ=0.00 $\sigma_{ID,max}$=365.50

Asta n. 301 (-595 304) IPE240 iimpalcato Crit. 1

- Verifica di stabilità aste inflesse (4.2.4.1.3.2) CC 97 - Classe 3
  L_{cr}=0.40 Curva b: α-imp=0.34 k_c=0.94 ψ=1.13 M,cr=481566.00 λ_{LT}=0.14
  $\lambda_{LT,0}$=0.40 β_{LT}=0.75 Φ_{LT}=0.46 β_{LT}=0.75 f=1.00 χ_{LT}=1.00
  CC 97 My,Ed=-1488.45 My,b,Rd=8107.84 My,Ed/My,b,Rd=0.18

- Verifica in termini tensionali (4.2.5) - CC 97 Xl=0.40 - Classe 3
  Sollecitazioni: N=613.90 T_z=919.84 M_y=-1488.45 T_y=6.78 M_z=5.23 M_x=1.66
  Tensioni: σ_N=15.69 σ_M=470.01 τ=14.33 σ_{max}=485.70
  Tensioni: σ_N=15.69 σ_M=-0.57 τ=76.34 τ_{max}=76.34
  Tensioni: σ_N=15.69 σ_M=470.01 τ=14.33 $\sigma_{ID,max}$=486.34

Asta n. 301 (304 -596) IPE240 iimpalcato Crit. 1

- Verifica di stabilità aste inflesse (4.2.4.1.3.2) CC 97 - Classe 3
  L_{cr}=0.40 Curva b: α-imp=0.34 k_c=0.94 ψ=1.09 M,cr=465438.00 λ_{LT}=0.14
  $\lambda_{LT,0}$=0.40 β_{LT}=0.75 Φ_{LT}=0.46 β_{LT}=0.75 f=1.00 χ_{LT}=1.00
  CC 97 My,Ed=-1746.35 My,b,Rd=8107.84 My,Ed/My,b,Rd=0.22

- Verifica in termini tensionali (4.2.5) - CC 97 Xl=0.40 - Classe 3
  Sollecitazioni: N=1014.81 T_z=795.56 M_y=-1746.35 T_y=2.33 M_z=5.88 M_x=-3.04
  Tensioni: σ_N=25.94 σ_M=550.91 τ=26.23 σ_{max}=576.85
  Tensioni: σ_N=25.94 σ_M=0.64 τ=69.96 τ_{max}=69.96
  Tensioni: σ_N=25.94 σ_M=550.91 τ=26.23 $\sigma_{ID,max}$=578.64

Asta n. 301 (-596 -597) IPE240 iimpalcato Crit. 1

- Verifica di stabilità aste inflesse (4.2.4.1.3.2) CC 97 - Classe 3
  L_{cr}=0.40 Curva b: α-imp=0.34 k_c=0.94 ψ=1.06 M,cr=449357.00 λ_{LT}=0.14
  $\lambda_{LT,0}$=0.40 β_{LT}=0.75 Φ_{LT}=0.46 β_{LT}=0.75 f=1.00 χ_{LT}=1.00
  CC 97 My,Ed=-1971.44 My,b,Rd=8107.84 My,Ed/My,b,Rd=0.24

- Verifica in termini tensionali (4.2.5) - CC 97 Xl=0.40 - Classe 3
  Sollecitazioni: N=1014.81 T_z=554.21 M_y=-1971.44 T_y=2.33 M_z=6.81 M_x=-1.11
  Tensioni: σ_N=25.94 σ_M=622.28 τ=9.59 σ_{max}=648.23
  Tensioni: σ_N=25.94 σ_M=0.74 τ=46.18 τ_{max}=46.18
  Tensioni: σ_N=25.94 σ_M=622.28 τ=9.59 $\sigma_{ID,max}$=648.44

Asta n. 301 (-597 -1302) IPE240 iimpalcato Crit. 1

- Verifica di stabilità aste inflesse (4.2.4.1.3.2) CC 97 - Classe 3
  L_{cr}=0.20 Curva b: α-imp=0.34 k_c=0.94 ψ=1.01 M,cr=1716140.00 λ_{LT}=0.07
  $\lambda_{LT,0}$=0.40 β_{LT}=0.75 Φ_{LT}=0.45 β_{LT}=0.75 f=1.00 χ_{LT}=1.00

CC 97 My,Ed=-2040.51 My,b,Rd=8107.84 My,Ed/My,b,Rd=0.25

- Verifica in termini tensionali (4.2.5) - CC 97 Xl=0.20 - Classe 3
  Sollecitazioni: N=1014.81 T_z=320.45 M_y=-2040.51 T_y=2.33 M_z=7.27
  Tensioni: σ_N=25.94 σ_M=644.56 τ=0.00 σ_{max}=670.51
  Tensioni: σ_N=25.94 σ_M=0.79 τ=26.12 τ_{max}=26.12
  Tensioni: σ_N=25.94 σ_M=644.56 τ=0.00 $\sigma_{ID,max}$=670.51

Asta n. 301 (-1302 -598) IPE240 iimpalcato Crit. 1

- Verifica di stabilità aste inflesse (4.2.4.1.3.2) CC 97 - Classe 3
  L_{cr}=0.20 Curva b: α-imp=0.34 k_c=0.94 ψ=1.01 M,cr=1714750.00 λ_{LT}=0.07
  $\lambda_{LT,0}$=0.40 β_{LT}=0.75 Φ_{LT}=0.45 β_{LT}=0.75 f=1.00 χ_{LT}=1.00
  CC 97 My,Ed=-2103.77 My,b,Rd=8107.84 My,Ed/My,b,Rd=0.26

- Verifica in termini tensionali (4.2.5) - CC 97 Xl=0.20 - Classe 3
  Sollecitazioni: N=1014.81 T_z=312.15 M_y=-2103.77 T_y=2.33 M_z=7.74
  Tensioni: σ_N=25.94 σ_M=665.05 τ=0.00 σ_{max}=691.00
  Tensioni: σ_N=25.94 σ_M=0.85 τ=25.44 τ_{max}=25.44
  Tensioni: σ_N=25.94 σ_M=665.05 τ=0.00 $\sigma_{ID,max}$=691.00

Asta n. 301 (-598 -1304) IPE240 iimpalcato Crit. 1

- Verifica di stabilità aste inflesse (4.2.4.1.3.2) CC 97 - Classe 3
  L_{cr}=0.20 Curva b: α-imp=0.34 k_c=0.94 ψ=1.00 M,cr=1697390.00 λ_{LT}=0.07
  $\lambda_{LT,0}$=0.40 β_{LT}=0.75 Φ_{LT}=0.45 β_{LT}=0.75 f=1.00 χ_{LT}=1.00
  CC 97 My,Ed=-2120.49 My,b,Rd=8107.84 My,Ed/My,b,Rd=0.26

- Verifica in termini tensionali (4.2.5) - CC 97 Xl=0.20 - Classe 3
  Sollecitazioni: N=1014.81 T_z=78.80 M_y=-2120.49 T_y=2.33 M_z=8.20 M_x=1.30
  Tensioni: σ_N=25.94 σ_M=671.19 τ=11.20 σ_{max}=697.13
  Tensioni: σ_N=25.94 σ_M=-0.90 τ=12.92 τ_{max}=12.92
  Tensioni: σ_N=25.94 σ_M=671.19 τ=11.20 $\sigma_{ID,max}$=697.40

Asta n. 301 (-1304 -599) IPE240 iimpalcato Crit. 1

- Verifica di stabilità aste inflesse (4.2.4.1.3.2) CC 97 - Classe 3
  L_{cr}=0.20 Curva b: α-imp=0.34 k_c=0.94 ψ=1.00 M,cr=1696750.00 λ_{LT}=0.07
  $\lambda_{LT,0}$=0.40 β_{LT}=0.75 Φ_{LT}=0.45 β_{LT}=0.75 f=1.00 χ_{LT}=1.00
  CC 97 My,Ed=-2135.42 My,b,Rd=8107.84 My,Ed/My,b,Rd=0.26

- Verifica in termini tensionali (4.2.5) - CC 97 Xl=0.20 - Classe 3
  Sollecitazioni: N=1014.81 T_z=70.51 M_y=-2135.42 T_y=2.33 M_z=8.67 M_x=1.30
  Tensioni: σ_N=25.94 σ_M=676.78 τ=11.20 σ_{max}=702.72
  Tensioni: σ_N=25.94 σ_M=-0.95 τ=12.60 τ_{max}=12.60
  Tensioni: σ_N=25.94 σ_M=676.78 τ=11.20 $\sigma_{ID,max}$=702.99

Asta n. 301 (-599 305) IPE240 iimpalcato Crit. 1

- Verifica di stabilità aste inflesse (4.2.4.1.3.2) CC 97 - Classe 3
  L_{cr}=0.20 Curva b: α-imp=0.34 k_c=0.94 ψ=1.00 M,cr=1698680.00 λ_{LT}=0.07
  $\lambda_{LT,0}$=0.40 β_{LT}=0.75 Φ_{LT}=0.45 β_{LT}=0.75 f=1.00 χ_{LT}=1.00
  CC 97 My,Ed=-2131.37 My,b,Rd=8107.84 My,Ed/My,b,Rd=0.26

- Verifica in termini tensionali (4.2.5) - CC 97 Xl=0.00 - Classe 3
  Sollecitazioni: N=1014.81 T_z=-96.97 M_y=-2131.37 T_y=2.33 M_z=8.67 M_x=2.85
  Tensioni: σ_N=25.94 σ_M=675.53 τ=24.63 σ_{max}=701.47
  Tensioni: σ_N=25.94 σ_M=-0.95 τ=25.88 τ_{max}=25.88
  Tensioni: σ_N=25.94 σ_M=675.53 τ=24.63 $\sigma_{ID,max}$=702.77

Asta n. 301 (305 -600) IPE240 iimpalcato Crit. 1

- Verifica di stabilità aste inflesse (4.2.4.1.3.2) CC 98 - Classe 3
  L_{cr}=0.20 Curva b: α-imp=0.34 k_c=0.94 ψ=1.00 M,cr=1698680.00 λ_{LT}=0.07
  $\lambda_{LT,0}$=0.40 β_{LT}=0.75 Φ_{LT}=0.45 β_{LT}=0.75 f=1.00 χ_{LT}=1.00
  CC 98 My,Ed=-2131.37 My,b,Rd=8107.84 My,Ed/My,b,Rd=0.26

- Verifica in termini tensionali (4.2.5) - CC 98 Xl=0.20 - Classe 3
  Sollecitazioni: N=1014.81 T_z=96.97 M_y=-2131.37 T_y=-2.33 M_z=8.67 M_x=-2.85

Tensioni: σ_N=25.94 σ_M=675.53 τ=24.63 σ_{max}=701.47
Tensioni: σ_N=25.94 σ_M=-0.95 τ=25.88 τ_{max}=25.88
Tensioni: σ_N=25.94 σ_M=675.53 τ=24.63 $\sigma_{ID,max}$=702.77

Asta n. 301 (-600 -1306) IPE240 iimpalcato Crit. 1

- Verifica di stabilità aste inflesse (4.2.4.1.3.2) CC 98 - Classe 3
Lcr=0.20 Curva b: α-imp=0.34 k_c=0.94 ψ=1.00 M,cr=1696750.00 λ_{LT}=0.07
$\lambda_{LT,0}$=0.40 β_{LT}=0.75 Φ_{LT}=0.45 β_{LT}=0.75 f=1.00 χ_{LT}=1.00
CC 98 My,Ed=-2135.42 My,b,Rd=8107.84 My,Ed/My,b,Rd=0.26

- Verifica in termini tensionali (4.2.5) - CC 98 Xl=0.00 - Classe 3
Sollecitazioni: N=1014.81 T_z=-70.51 M_y=-2135.42 T_y=-2.33 M_z=8.67 M_x=-1.30
Tensioni: σ_N=25.94 σ_M=676.78 τ=11.20 σ_{max}=702.72
Tensioni: σ_N=25.94 σ_M=-0.95 τ=12.60 τ_{max}=12.60
Tensioni: σ_N=25.94 σ_M=676.78 τ=11.20 $\sigma_{ID,max}$=702.99

Asta n. 301 (-1306 -601) IPE240 iimpalcato Crit. 1

- Verifica di stabilità aste inflesse (4.2.4.1.3.2) CC 98 - Classe 3
Lcr=0.20 Curva b: α-imp=0.34 k_c=0.94 ψ=1.00 M,cr=1697390.00 λ_{LT}=0.07
$\lambda_{LT,0}$=0.40 β_{LT}=0.75 Φ_{LT}=0.45 β_{LT}=0.75 f=1.00 χ_{LT}=1.00
CC 98 My,Ed=-2120.49 My,b,Rd=8107.84 My,Ed/My,b,Rd=0.26

- Verifica in termini tensionali (4.2.5) - CC 98 Xl=0.00 - Classe 3
Sollecitazioni: N=1014.81 T_z=-78.80 M_y=-2120.49 T_y=-2.33 M_z=8.20 M_x=-1.30
Tensioni: σ_N=25.94 σ_M=671.19 τ=11.20 σ_{max}=697.13
Tensioni: σ_N=25.94 σ_M=-0.90 τ=12.92 τ_{max}=12.92
Tensioni: σ_N=25.94 σ_M=671.19 τ=11.20 $\sigma_{ID,max}$=697.40

Asta n. 301 (-601 -1308) IPE240 iimpalcato Crit. 1

- Verifica di stabilità aste inflesse (4.2.4.1.3.2) CC 98 - Classe 3
Lcr=0.20 Curva b: α-imp=0.34 k_c=0.94 ψ=1.01 M,cr=1714750.00 λ_{LT}=0.07
$\lambda_{LT,0}$=0.40 β_{LT}=0.75 Φ_{LT}=0.45 β_{LT}=0.75 f=1.00 χ_{LT}=1.00
CC 98 My,Ed=-2103.77 My,b,Rd=8107.84 My,Ed/My,b,Rd=0.26

- Verifica in termini tensionali (4.2.5) - CC 98 Xl=0.00 - Classe 3
Sollecitazioni: N=1014.81 T_z=-312.15 M_y=-2103.77 T_y=-2.33 M_z=7.74
Tensioni: σ_N=25.94 σ_M=665.05 τ=0.00 σ_{max}=691.00
Tensioni: σ_N=25.94 σ_M=0.85 τ=25.44 τ_{max}=25.44
Tensioni: σ_N=25.94 σ_M=665.05 τ=0.00 $\sigma_{ID,max}$=691.00

Asta n. 301 (-1308 -602) IPE240 iimpalcato Crit. 1

- Verifica di stabilità aste inflesse (4.2.4.1.3.2) CC 98 - Classe 3
Lcr=0.20 Curva b: α-imp=0.34 k_c=0.94 ψ=1.01 M,cr=1716140.00 λ_{LT}=0.07
$\lambda_{LT,0}$=0.40 β_{LT}=0.75 Φ_{LT}=0.45 β_{LT}=0.75 f=1.00 χ_{LT}=1.00
CC 98 My,Ed=-2040.51 My,b,Rd=8107.84 My,Ed/My,b,Rd=0.25

- Verifica in termini tensionali (4.2.5) - CC 98 Xl=0.00 - Classe 3
Sollecitazioni: N=1014.81 T_z=-320.45 M_y=-2040.51 T_y=-2.33 M_z=7.27
Tensioni: σ_N=25.94 σ_M=644.56 τ=0.00 σ_{max}=670.50
Tensioni: σ_N=25.94 σ_M=0.79 τ=26.12 τ_{max}=26.12
Tensioni: σ_N=25.94 σ_M=644.56 τ=0.00 $\sigma_{ID,max}$=670.50

Asta n. 301 (-602 -603) IPE240 iimpalcato Crit. 1

- Verifica di stabilità aste inflesse (4.2.4.1.3.2) CC 98 - Classe 3
Lcr=0.40 Curva b: α-imp=0.34 k_c=0.94 ψ=1.06 M,cr=449357.00 λ_{LT}=0.14
$\lambda_{LT,0}$=0.40 β_{LT}=0.75 Φ_{LT}=0.46 β_{LT}=0.75 f=1.00 χ_{LT}=1.00
CC 98 My,Ed=-1971.44 My,b,Rd=8107.84 My,Ed/My,b,Rd=0.24

- Verifica in termini tensionali (4.2.5) - CC 98 Xl=0.00 - Classe 3
Sollecitazioni: N=1014.81 T_z=-554.21 M_y=-1971.44 T_y=-2.33 M_z=6.81 M_x=1.11
Tensioni: σ_N=25.94 σ_M=622.28 τ=9.59 σ_{max}=648.23
Tensioni: σ_N=25.94 σ_M=0.74 τ=46.18 τ_{max}=46.18
Tensioni: σ_N=25.94 σ_M=622.28 τ=9.59 $\sigma_{ID,max}$=648.44

Asta n. 301 (-603 306) IPE240 iimpalcato Crit. 1

- Verifica di stabilità aste inflesse (4.2.4.1.3.2) CC 98 - Classe 3
  L_{cr}=0.40 Curva b: α-imp=0.34 k_c=0.94 ψ=1.09 M,cr=465438.00 λ_{LT}=0.14
  $\lambda_{LT,0}$=0.40 β_{LT}=0.75 Φ_{LT}=0.46 β_{LT}=0.75 f=1.00 χ_{LT}=1.00
  CC 98 My,Ed=-1746.35 My,b,Rd=8107.84 My,Ed/My,b,Rd=0.22

- Verifica in termini tensionali (4.2.5) - CC 98 Xl=0.00 - Classe 3
  Sollecitazioni: N=1014.81 T_z=-795.56 M_y=-1746.35 T_y=-2.33 M_z=5.88 M_x=3.04
  Tensioni: σ_N=25.94 σ_M=550.91 τ=26.23 σ_{max}=576.85
  Tensioni: σ_N=25.94 σ_M=0.64 τ=69.96 τ_{max}=69.96
  Tensioni: σ_N=25.94 σ_M=550.91 τ=26.23 $\sigma_{ID,max}$=578.64

Asta n. 301 (306 -604) IPE240 iimpalcato Crit. 1

- Verifica di stabilità aste inflesse (4.2.4.1.3.2) CC 98 - Classe 3
  L_{cr}=0.40 Curva b: α-imp=0.34 k_c=0.94 ψ=1.13 M,cr=481565.00 λ_{LT}=0.14
  $\lambda_{LT,0}$=0.40 β_{LT}=0.75 Φ_{LT}=0.46 β_{LT}=0.75 f=1.00 χ_{LT}=1.00
  CC 98 My,Ed=-1488.45 My,b,Rd=8107.84 My,Ed/My,b,Rd=0.18

- Verifica in termini tensionali (4.2.5) - CC 98 Xl=0.00 - Classe 3
  Sollecitazioni: N=613.90 T_z=-919.84 M_y=-1488.45 T_y=-6.78 M_z=5.23 M_x=-1.66
  Tensioni: σ_N=15.69 σ_M=470.01 τ=14.33 σ_{max}=485.70
  Tensioni: σ_N=15.69 σ_M=-0.57 τ=76.34 τ_{max}=76.34
  Tensioni: σ_N=15.69 σ_M=470.01 τ=14.33 $\sigma_{ID,max}$=486.34

Asta n. 301 (-604 -605) IPE240 iimpalcato Crit. 1

- Verifica di stabilità aste inflesse (4.2.4.1.3.2) CC 98 - Classe 3
  L_{cr}=0.40 Curva b: α-imp=0.34 k_c=0.94 ψ=1.24 M,cr=528694.00 λ_{LT}=0.13
  $\lambda_{LT,0}$=0.40 β_{LT}=0.75 Φ_{LT}=0.46 β_{LT}=0.75 f=1.00 χ_{LT}=1.00
  CC 98 My,Ed=-1117.20 My,b,Rd=8107.84 My,Ed/My,b,Rd=0.14

- Verifica in termini tensionali (4.2.5) - CC 98 Xl=0.00 - Classe 3
  Sollecitazioni: N=613.90 T_z=-1163.39 M_y=-1117.20 T_y=-6.78 M_z=2.52
  Tensioni: σ_N=15.69 σ_M=349.80 τ=0.00 σ_{max}=365.50
  Tensioni: σ_N=15.69 σ_M=0.27 τ=94.83 τ_{max}=94.83
  Tensioni: σ_N=15.69 σ_M=349.80 τ=0.00 $\sigma_{ID,max}$=365.50

Asta n. 301 (-605 -606) IPE240 iimpalcato Crit. 1

- Verifica di stabilità aste inflesse (4.2.4.1.3.2) CC 98 - Classe 3
  L_{cr}=0.40 Curva b: α-imp=0.34 k_c=0.94 ψ=1.62 M,cr=690332.00 λ_{LT}=0.11
  $\lambda_{LT,0}$=0.40 β_{LT}=0.75 Φ_{LT}=0.46 β_{LT}=0.75 f=1.00 χ_{LT}=1.00
  CC 98 My,Ed=-648.50 My,b,Rd=8107.84 My,Ed/My,b,Rd=0.08

- Verifica in termini tensionali (4.2.5) - CC 98 Xl=0.00 - Classe 3
  Sollecitazioni: N=613.90 T_z=-1406.52 M_y=-648.50 T_y=-6.78 M_x=2.32
  Tensioni: σ_N=15.69 σ_M=199.96 τ=20.03 σ_{max}=215.65
  Tensioni: σ_N=15.69 σ_M=0.00 τ=116.39 τ_{max}=116.39
  Tensioni: σ_N=15.69 σ_M=158.63 τ=100.33 $\sigma_{ID,max}$=246.14

Asta n. 301 (-606 -607) IPE240 iimpalcato Crit. 1

- Verifica di stabilità aste inflesse (4.2.4.1.3.2) CC 97 - Classe 3
  L_{cr}=0.40 Curva b: α-imp=0.34 k_c=0.94 ψ=1.73 M,cr=737142.00 λ_{LT}=0.11
  $\lambda_{LT,0}$=0.40 β_{LT}=0.75 Φ_{LT}=0.46 β_{LT}=0.75 f=1.00 χ_{LT}=1.00
  CC 97 My,Ed=690.78 My,b,Rd=8107.84 My,Ed/My,b,Rd=0.09

- Verifica in termini tensionali (4.2.5) - CC 97 Xl=0.40 - Classe 3
  Sollecitazioni: N=582.98 T_z=-1703.99 M_y=690.78 T_y=-6.78 M_z=-5.65 M_x=4.28
  Tensioni: σ_N=14.90 σ_M=224.95 τ=37.04 σ_{max}=239.85
  Tensioni: σ_N=14.90 σ_M=-0.62 τ=143.75 τ_{max}=143.75
  Tensioni: σ_N=14.90 σ_M=169.60 τ=124.63 $\sigma_{ID,max}$=283.96

Asta n. 301 (-607 -608) IPE240 iimpalcato Crit. 1

- Verifica di stabilità aste inflesse (4.2.4.1.3.2) CC 97 - Classe 3
  L_{cr}=0.20 Curva b: α-imp=0.34 k_c=0.94 ψ=1.20 M,cr=2031590.00 λ_{LT}=0.07

$\lambda_{LT,0}$=0.40 β_{LT}=0.75 Φ_{LT}=0.44 β_{LT}=0.75 f=1.00 χ_{LT}=1.00
CC 97 My,Ed=1073.63 My,b,Rd=8107.84 My,Ed/My,b,Rd=0.13

- Verifica in termini tensionali (4.2.5) - CC 97 Xl=0.20 - Classe 3
Sollecitazioni: N=582.98 T_z=-1938.62 M_y=1073.63 T_y=-6.78 M_z=-7.01 M_x=5.78
Tensioni: σ_N=14.90 σ_M=345.87 τ=49.94 σ_{max}=360.77
Tensioni: σ_N=14.90 σ_M=-0.77 τ=165.73 τ_{max}=165.73
Tensioni: σ_N=14.90 σ_M=263.40 τ=144.29 $\sigma_{ID,max}$=374.05

Asta n. 301 (-608 307) IPE240 iimpalcato Crit. 1

- Verifica di stabilità aste inflesse (4.2.4.1.3.2) CC 97 - Classe 3
L_{cr}=0.20 Curva b: α-imp=0.34 k_c=0.94 ψ=1.14 M,cr=1929480.00 λ_{LT}=0.07
$\lambda_{LT,0}$=0.40 β_{LT}=0.75 Φ_{LT}=0.45 β_{LT}=0.75 f=1.00 χ_{LT}=1.00
CC 97 My,Ed=1462.19 My,b,Rd=8107.84 My,Ed/My,b,Rd=0.18

- Verifica in termini tensionali (4.2.5) - CC 97 Xl=0.20 - Classe 3
Sollecitazioni: N=582.98 T_z=-1946.91 M_y=1462.19 T_y=-6.78 M_z=-8.36 M_x=5.78
Tensioni: σ_N=14.90 σ_M=468.55 τ=49.94 σ_{max}=483.45
Tensioni: σ_N=14.90 σ_M=-0.91 τ=166.38 τ_{max}=166.38
Tensioni: σ_N=14.90 σ_M=468.55 τ=49.94 $\sigma_{ID,max}$=491.13

Asta n. 301 (307 -609) IPE240 iimpalcato Crit. 1

- Verifica di stabilità aste inflesse (4.2.4.1.3.2) CC 97 - Classe 3
L_{cr}=0.40 Curva b: α-imp=0.34 k_c=0.94 ψ=1.25 M,cr=530575.00 λ_{LT}=0.13
$\lambda_{LT,0}$=0.40 β_{LT}=0.75 Φ_{LT}=0.46 β_{LT}=0.75 f=1.00 χ_{LT}=1.00
CC 97 My,Ed=2428.95 My,b,Rd=8107.84 My,Ed/My,b,Rd=0.30

- Verifica in termini tensionali (4.2.5) - CC 97 Xl=0.40 - Classe 3
Sollecitazioni: N=169.78 T_z=-2593.77 M_y=2428.95 T_y=1.95 M_z=-7.33 M_x=20.29
Tensioni: σ_N=4.34 σ_M=764.45 τ=175.37 σ_{max}=768.79
Tensioni: σ_N=4.34 σ_M=0.80 τ=274.69 τ_{max}=274.69
Tensioni: σ_N=4.34 σ_M=764.45 τ=175.37 $\sigma_{ID,max}$=826.62

Asta n. 301 (-609 -610) IPE240 iimpalcato Crit. 1

- Verifica di stabilità aste inflesse (4.2.4.1.3.2) CC 97 - Classe 3
L_{cr}=0.40 Curva b: α-imp=0.34 k_c=0.94 ψ=1.15 M,cr=491993.00 λ_{LT}=0.13
$\lambda_{LT,0}$=0.40 β_{LT}=0.75 Φ_{LT}=0.46 β_{LT}=0.75 f=1.00 χ_{LT}=1.00
CC 97 My,Ed=2428.56 My,b,Rd=8107.84 My,Ed/My,b,Rd=0.30

- Verifica in termini tensionali (4.2.5) - CC 97 Xl=0.00 - Classe 3
Sollecitazioni: N=185.54 T_z=1701.04 M_y=2428.56 T_y=4.61 M_z=-8.89 M_x=-9.11
Tensioni: σ_N=4.74 σ_M=767.64 τ=78.77 σ_{max}=772.38
Tensioni: σ_N=4.74 σ_M=-0.97 τ=159.47 τ_{max}=159.47
Tensioni: σ_N=4.74 σ_M=767.64 τ=78.77 $\sigma_{ID,max}$=784.34

Asta n. 301 (-610 -611) IPE240 iimpalcato Crit. 1

- Verifica di stabilità aste inflesse (4.2.4.1.3.2) CC 97 - Classe 3
L_{cr}=0.20 Curva b: α-imp=0.34 k_c=0.94 ψ=1.08 M,cr=1843040.00 λ_{LT}=0.07
$\lambda_{LT,0}$=0.40 β_{LT}=0.75 Φ_{LT}=0.45 β_{LT}=0.75 f=1.00 χ_{LT}=1.00
CC 97 My,Ed=1749.40 My,b,Rd=8107.84 My,Ed/My,b,Rd=0.22

- Verifica in termini tensionali (4.2.5) - CC 97 Xl=0.00 - Classe 3
Sollecitazioni: N=185.54 T_z=1458.99 M_y=1749.40 T_y=4.61 M_z=-7.05 M_x=-7.64
Tensioni: σ_N=4.74 σ_M=554.33 τ=66.04 σ_{max}=559.08
Tensioni: σ_N=4.74 σ_M=-0.77 τ=136.04 τ_{max}=136.04
Tensioni: σ_N=4.74 σ_M=554.33 τ=66.04 $\sigma_{ID,max}$=570.66

Asta n. 301 (-611 -612) IPE240 iimpalcato Crit. 1

- Verifica di stabilità aste inflesse (4.2.4.1.3.2) CC 97 - Classe 3
L_{cr}=0.20 Curva b: α-imp=0.34 k_c=0.94 ψ=1.10 M,cr=1873300.00 λ_{LT}=0.07
$\lambda_{LT,0}$=0.40 β_{LT}=0.75 Φ_{LT}=0.45 β_{LT}=0.75 f=1.00 χ_{LT}=1.00
CC 97 My,Ed=1459.45 My,b,Rd=8107.84 My,Ed/My,b,Rd=0.18

- Verifica in termini tensionali (4.2.5) - CC 97 Xl=0.00 - Classe 3

Sollecitazioni: N=185.54 T_z=1450.73 M_y=1459.45 T_y=4.61 M_z=-6.13 M_x=-7.64
Tensioni: σ_N=4.74 σ_M=462.99 τ=66.04 σ_{max}=467.73
Tensioni: σ_N=4.74 σ_M=-0.67 τ=135.45 τ_{max}=135.45
Tensioni: σ_N=4.74 σ_M=462.99 τ=66.04 $\sigma_{ID,max}$=481.51

Asta n. 301 (-612 -613) IPE240 iimpalcato Crit. 1

- Verifica di stabilità aste inflesse (4.2.4.1.3.2) CC 97 - Classe 3
L_{cr}=0.40 Curva b: α-imp=0.34 k_c=0.94 ψ=1.24 M,cr=529176.00 λ_{LT}=0.13
$\lambda_{LT,0}$=0.40 β_{LT}=0.75 Φ_{LT}=0.46 β_{LT}=0.75 f=1.00 χ_{LT}=1.00
CC 97 My,Ed=1175.03 My,b,Rd=8107.84 My,Ed/My,b,Rd=0.14

- Verifica in termini tensionali (4.2.5) - CC 97 Xl=0.00 - Classe 3
Sollecitazioni: N=185.54 T_z=1216.85 M_y=1175.03 T_y=4.61 M_z=-5.21 M_x=-6.15
Tensioni: σ_N=4.74 σ_M=373.34 τ=53.17 σ_{max}=378.08
Tensioni: σ_N=4.74 σ_M=-0.57 τ=112.55 τ_{max}=112.55
Tensioni: σ_N=4.74 σ_M=373.34 τ=53.17 $\sigma_{ID,max}$=389.14

Asta n. 301 (-613 308) IPE240 iimpalcato Crit. 1

- Verifica di stabilità aste inflesse (4.2.4.1.3.2) CC 97 - Classe 3
L_{cr}=0.40 Curva b: α-imp=0.34 k_c=0.94 ψ=1.34 M,cr=575674.00 λ_{LT}=0.12
$\lambda_{LT,0}$=0.40 β_{LT}=0.75 Φ_{LT}=0.46 β_{LT}=0.75 f=1.00 χ_{LT}=1.00
CC 97 My,Ed=693.26 My,b,Rd=8107.84 My,Ed/My,b,Rd=0.09

- Verifica in termini tensionali (4.2.5) - CC 97 Xl=0.00 - Classe 3
Sollecitazioni: N=185.54 T_z=976.26 M_y=693.26 T_y=4.61 M_z=-3.38 M_x=-4.23
Tensioni: σ_N=4.74 σ_M=220.90 τ=36.55 σ_{max}=225.65
Tensioni: σ_N=4.74 σ_M=-0.37 τ=87.58 τ_{max}=87.58
Tensioni: σ_N=4.74 σ_M=220.90 τ=36.55 $\sigma_{ID,max}$=234.36

Asta n. 301 (308 -614) IPE240 iimpalcato Crit. 1

- Verifica di stabilità aste inflesse (4.2.4.1.3.2) CC 97 - Classe 3
L_{cr}=0.40 Curva b: α-imp=0.34 k_c=0.94 ψ=1.59 M,cr=681663.00 λ_{LT}=0.11
$\lambda_{LT,0}$=0.40 β_{LT}=0.75 Φ_{LT}=0.46 β_{LT}=0.75 f=1.00 χ_{LT}=1.00
CC 97 My,Ed=280.08 My,b,Rd=8107.84 My,Ed/My,b,Rd=0.03

- Verifica in termini tensionali (4.2.5) - CC 97 Xl=0.00 - Classe 3
Sollecitazioni: T_z=599.17 M_y=280.08 T_y=3.63 M_z=-1.48 M_x=-3.66
Tensioni: σ_N=0.00 σ_M=-89.50 τ=31.62 σ_{max}=-89.50
Tensioni: σ_N=0.00 σ_M=-0.16 τ=58.19 τ_{max}=58.19
Tensioni: σ_N=0.00 σ_M=-68.67 τ=52.52 $\sigma_{ID,max}$=113.97

Asta n. 301 (-614 -615) IPE240 iimpalcato Crit. 1

- Verifica di stabilità aste inflesse (4.2.4.1.3.2) CC 98 - Classe 3
L_{cr}=0.40 Curva b: α-imp=0.34 k_c=0.94 ψ=1.59 M,cr=680429.00 λ_{LT}=0.11
$\lambda_{LT,0}$=0.40 β_{LT}=0.75 Φ_{LT}=0.46 β_{LT}=0.75 f=1.00 χ_{LT}=1.00
CC 98 My,Ed=-144.26 My,b,Rd=8107.84 My,Ed/My,b,Rd=0.02

- Verifica in termini tensionali (4.2.5) - CC 97 Xl=0.00 - Classe 3
Sollecitazioni: T_z=356.53 M_y=44.43 T_y=3.63 M_x=-1.67
Tensioni: σ_N=0.00 σ_M=-13.70 τ=14.42 σ_{max}=-13.70
Tensioni: σ_N=0.00 σ_M=-0.00 τ=32.45 τ_{max}=32.45
Tensioni: σ_N=0.00 σ_M=-0.00 τ=32.45 $\sigma_{ID,max}$=56.21

Asta n. 301 (-615 -616) IPE240 iimpalcato Crit. 1

- Verifica di stabilità aste inflesse (4.2.4.1.3.2) CC 98 - Classe 3
L_{cr}=0.40 Curva b: α-imp=0.34 k_c=0.94 ψ=1.07 M,cr=458939.00 λ_{LT}=0.14
$\lambda_{LT,0}$=0.40 β_{LT}=0.75 Φ_{LT}=0.46 β_{LT}=0.75 f=1.00 χ_{LT}=1.00
CC 98 My,Ed=-168.55 My,b,Rd=8107.84 My,Ed/My,b,Rd=0.02

- Verifica in termini tensionali (4.2.5) - CC 98 Xl=0.40 - Classe 3
Sollecitazioni: T_z=52.66 M_y=-168.55 T_y=3.59 M_z=2.82
Tensioni: σ_N=0.00 σ_M=57.93 τ=0.00 σ_{max}=57.93
Tensioni: σ_N=0.00 σ_M=0.31 τ=4.29 τ_{max}=4.29
Tensioni: σ_N=0.00 σ_M=57.93 τ=0.00 $\sigma_{ID,max}$=57.93

Asta n. 301 (-616 -617) IPE240 iimpalcato Crit. 1

- Verifica di stabilità aste inflesse (4.2.4.1.3.2) CC 98 - Classe 3
  L_{cr}=0.40 Curva b: α-imp=0.34 k_c=0.94 ψ=1.25 M,cr=535054.00 λ_{LT}=0.13
  $\lambda_{LT,0}$=0.40 β_{LT}=0.75 Φ_{LT}=0.46 β_{LT}=0.75 f=1.00 χ_{LT}=1.00
  CC 98 My,Ed=-168.55 My,b,Rd=8107.84 My,Ed/My,b,Rd=0.02

- Verifica in termini tensionali (4.2.5) - CC 98 Xl=0.00 - Classe 3
  Sollecitazioni: T_z=-173.36 M_y=-168.55 T_y=3.59 M_z=2.82 M_x=2.30
  Tensioni: σ_N=0.00 σ_M=57.93 τ=19.92 σ_{max}=57.93
  Tensioni: σ_N=0.00 σ_M=-0.31 τ=24.44 τ_{max}=24.44
  Tensioni: σ_N=0.00 σ_M=57.93 τ=19.92 $\sigma_{ID,max}$=67.43

Asta n. 301 (-617 309) IPE240 iimpalcato Crit. 1

- Verifica di stabilità aste inflesse (4.2.4.1.3.2) CC 98 - Classe 3
  L_{cr}=0.31 Curva b: α-imp=0.34 k_c=0.94 ψ=1.75 M,cr=1236090.00 λ_{LT}=0.08
  $\lambda_{LT,0}$=0.40 β_{LT}=0.75 Φ_{LT}=0.45 β_{LT}=0.75 f=1.00 χ_{LT}=1.00
  CC 98 My,Ed=-96.12 My,b,Rd=8107.84 My,Ed/My,b,Rd=0.01

- Verifica in termini tensionali (4.2.5) - CC 98 Xl=0.31 - Classe 3
  Sollecitazioni: T_z=-316.48 T_y=3.59 M_z=5.36 M_x=3.30
  Tensioni: σ_N=0.00 σ_M=-11.34 τ=28.48 σ_{max}=-11.34
  Tensioni: σ_N=0.00 σ_M=-0.59 τ=38.44 τ_{max}=38.44
  Tensioni: σ_N=0.00 σ_M=-0.59 τ=38.44 $\sigma_{ID,max}$=66.59

Asta n. 302 (-618 -619) IPE240 iimpalcato Crit. 1

- Verifica di stabilità aste inflesse (4.2.4.1.3.2) CC 97 - Classe 3
  L_{cr}=0.31 Curva b: α-imp=0.34 k_c=0.94 ψ=1.75 M,cr=1236090.00 λ_{LT}=0.08
  $\lambda_{LT,0}$=0.40 β_{LT}=0.75 Φ_{LT}=0.45 β_{LT}=0.75 f=1.00 χ_{LT}=1.00
  CC 97 My,Ed=-23.88 My,b,Rd=8107.84 My,Ed/My,b,Rd=0.00

- Verifica in termini tensionali (4.2.5) - CC 98 Xl=0.00 - Classe 3
  Sollecitazioni: T_z=37.58 M_x=6.78
  Tensioni: σ_N=0.00 σ_M=0.00 τ=0.00 σ_{max}=0.00
  Tensioni: σ_N=0.00 σ_M=0.00 τ=58.74 τ_{max}=58.74
  Tensioni: σ_N=0.00 σ_M=0.00 τ=58.74 $\sigma_{ID,max}$=101.74

Asta n. 302 (-619 -620) IPE240 iimpalcato Crit. 1

- Verifica di stabilità aste inflesse (4.2.4.1.3.2) CC 97 - Classe 3
  L_{cr}=0.40 Curva b: α-imp=0.34 k_c=0.94 ψ=1.15 M,cr=491459.00 λ_{LT}=0.13
  $\lambda_{LT,0}$=0.40 β_{LT}=0.75 Φ_{LT}=0.46 β_{LT}=0.75 f=1.00 χ_{LT}=1.00
  CC 97 My,Ed=-23.88 My,b,Rd=8107.84 My,Ed/My,b,Rd=0.00

- Verifica in termini tensionali (4.2.5) - CC 98 Xl=0.40 - Classe 3
  Sollecitazioni: T_z=-70.68 M_y=15.23 M_x=6.10
  Tensioni: σ_N=0.00 σ_M=-4.70 τ=52.76 σ_{max}=-4.70
  Tensioni: σ_N=0.00 σ_M=-0.00 τ=53.08 τ_{max}=53.08
  Tensioni: σ_N=0.00 σ_M=-0.00 τ=53.08 $\sigma_{ID,max}$=91.93

Asta n. 302 (-620 -621) IPE240 iimpalcato Crit. 1

- Verifica di stabilità aste inflesse (4.2.4.1.3.2) CC 98 - Classe 3
  L_{cr}=0.40 Curva b: α-imp=0.34 k_c=0.94 ψ=1.61 M,cr=689463.00 λ_{LT}=0.11
  $\lambda_{LT,0}$=0.40 β_{LT}=0.75 Φ_{LT}=0.46 β_{LT}=0.75 f=1.00 χ_{LT}=1.00
  CC 98 My,Ed=108.98 My,b,Rd=8107.84 My,Ed/My,b,Rd=0.01

- Verifica in termini tensionali (4.2.5) - CC 98 Xl=0.40 - Classe 3
  Sollecitazioni: T_z=-243.38 M_y=108.98 M_x=4.75
  Tensioni: σ_N=0.00 σ_M=-33.60 τ=41.02 σ_{max}=-33.60
  Tensioni: σ_N=0.00 σ_M=-0.00 τ=45.56 τ_{max}=45.56
  Tensioni: σ_N=0.00 σ_M=-26.66 τ=44.40 $\sigma_{ID,max}$=81.40

Asta n. 302 (-621 -622) IPE240 iimpalcato Crit. 1

- Verifica di stabilità aste inflesse (4.2.4.1.3.2) CC 98 - Classe 3

L_{cr}=0.40 Curva b: α-imp=0.34 k_c=0.94 ψ=1.38 M,cr=589945.00 λ_{LT}=0.12
$\lambda_{LT,0}$=0.40 β_{LT}=0.75 Φ_{LT}=0.46 β_{LT}=0.75 f=1.00 χ_{LT}=1.00
CC 98 My,Ed=271.51 My,b,Rd=8107.84 My,Ed/My,b,Rd=0.03

- Verifica in termini tensionali (4.2.5) - CC 98 Xl=0.40 - Classe 3
Sollecitazioni: T_z=-415.84 M_y=271.51 M_x=3.39
Tensioni: σ_N=0.00 σ_M=-83.72 τ=29.30 σ_{max}=-83.72
Tensioni: σ_N=0.00 σ_M=-0.00 τ=44.80 τ_{max}=44.80
Tensioni: σ_N=0.00 σ_M=-83.72 τ=29.30 $\sigma_{ID,max}$=97.90

Asta n. 302 (-622 -623) IPE240 iimpalcato Crit. 1

- Verifica di stabilità aste inflesse (4.2.4.1.3.2) CC 98 - Classe 3
L_{cr}=0.40 Curva b: α-imp=0.34 k_c=0.94 ψ=1.27 M,cr=544449.00 λ_{LT}=0.13
$\lambda_{LT,0}$=0.40 β_{LT}=0.75 Φ_{LT}=0.46 β_{LT}=0.75 f=1.00 χ_{LT}=1.00
CC 98 My,Ed=503.00 My,b,Rd=8107.84 My,Ed/My,b,Rd=0.06

- Verifica in termini tensionali (4.2.5) - CC 98 Xl=0.40 - Classe 3
Sollecitazioni: T_z=-588.87 M_y=503.00 M_x=2.02
Tensioni: σ_N=0.00 σ_M=-155.10 τ=17.49 σ_{max}=-155.10
Tensioni: σ_N=0.00 σ_M=-0.00 τ=51.08 τ_{max}=51.08
Tensioni: σ_N=0.00 σ_M=-155.10 τ=17.49 $\sigma_{ID,max}$=158.03

Asta n. 302 (-623 -624) IPE240 iimpalcato Crit. 1

- Verifica di stabilità aste inflesse (4.2.4.1.3.2) CC 98 - Classe 3
L_{cr}=0.40 Curva b: α-imp=0.34 k_c=0.94 ψ=1.21 M,cr=518482.00 λ_{LT}=0.13
$\lambda_{LT,0}$=0.40 β_{LT}=0.75 Φ_{LT}=0.46 β_{LT}=0.75 f=1.00 χ_{LT}=1.00
CC 98 My,Ed=803.22 My,b,Rd=8107.84 My,Ed/My,b,Rd=0.10

- Verifica in termini tensionali (4.2.5) - CC 98 Xl=0.40 - Classe 3
Sollecitazioni: T_z=-761.05 M_y=803.22
Tensioni: σ_N=0.00 σ_M=-247.67 τ=0.00 σ_{max}=-247.67
Tensioni: σ_N=0.00 σ_M=-0.00 τ=62.03 τ_{max}=62.03
Tensioni: σ_N=0.00 σ_M=-247.67 τ=0.00 $\sigma_{ID,max}$=247.67

Asta n. 302 (-624 -625) IPE240 iimpalcato Crit. 1

- Verifica di stabilità aste inflesse (4.2.4.1.3.2) CC 98 - Classe 3
L_{cr}=0.40 Curva b: α-imp=0.34 k_c=0.94 ψ=1.17 M,cr=501821.00 λ_{LT}=0.13
$\lambda_{LT,0}$=0.40 β_{LT}=0.75 Φ_{LT}=0.46 β_{LT}=0.75 f=1.00 χ_{LT}=1.00
CC 98 My,Ed=1171.58 My,b,Rd=8107.84 My,Ed/My,b,Rd=0.14

- Verifica in termini tensionali (4.2.5) - CC 98 Xl=0.40 - Classe 3
Sollecitazioni: T_z=-932.24 M_y=1171.58
Tensioni: σ_N=0.00 σ_M=-361.25 τ=0.00 σ_{max}=-361.25
Tensioni: σ_N=0.00 σ_M=-0.00 τ=75.99 τ_{max}=75.99
Tensioni: σ_N=0.00 σ_M=-361.25 τ=0.00 $\sigma_{ID,max}$=361.25

Asta n. 302 (-625 -626) IPE240 iimpalcato Crit. 1

- Verifica di stabilità aste inflesse (4.2.4.1.3.2) CC 98 - Classe 3
L_{cr}=0.20 Curva b: α-imp=0.34 k_c=0.94 ψ=1.08 M,cr=1835340.00 λ_{LT}=0.07
$\lambda_{LT,0}$=0.40 β_{LT}=0.75 Φ_{LT}=0.45 β_{LT}=0.75 f=1.00 χ_{LT}=1.00
CC 98 My,Ed=1387.44 My,b,Rd=8107.84 My,Ed/My,b,Rd=0.17

- Verifica in termini tensionali (4.2.5) - CC 98 Xl=0.20 - Classe 3
Sollecitazioni: T_z=-1100.45 M_y=1387.44 M_x=-2.27
Tensioni: σ_N=0.00 σ_M=-427.81 τ=19.65 σ_{max}=-427.81
Tensioni: σ_N=0.00 σ_M=-0.00 τ=91.82 τ_{max}=91.82
Tensioni: σ_N=0.00 σ_M=-427.81 τ=19.65 $\sigma_{ID,max}$=429.16

Asta n. 302 (-626 -627) IPE240 iimpalcato Crit. 1

- Verifica di stabilità aste inflesse (4.2.4.1.3.2) CC 98 - Classe 3
L_{cr}=0.20 Curva b: α-imp=0.34 k_c=0.94 ψ=1.07 M,cr=1816510.00 λ_{LT}=0.07
$\lambda_{LT,0}$=0.40 β_{LT}=0.75 Φ_{LT}=0.45 β_{LT}=0.75 f=1.00 χ_{LT}=1.00
CC 98 My,Ed=1607.66 My,b,Rd=8107.84 My,Ed/My,b,Rd=0.20

- Verifica in termini tensionali (4.2.5) - CC 98 Xl=0.20 - Classe 3
  Sollecitazioni: T_z=-1108.71 M_y=1607.66 M_x=-2.27
  Tensioni: σ_N=0.00 σ_M=-495.71 τ=19.65 σ_{max}=-495.71
  Tensioni: σ_N=0.00 σ_M=-0.00 τ=92.48 τ_{max}=92.48
  Tensioni: σ_N=0.00 σ_M=-495.71 τ=19.65 $\sigma_{ID,max}$=496.88

Asta n. 302 (-627 310) IPE240 iimpalcato Crit. 1

- Verifica di stabilità aste inflesse (4.2.4.1.3.2) CC 98 - Classe 3
  L_{cr}=0.40 Curva b: α-imp=0.34 k_c=0.94 ψ=1.13 M,cr=482186.00 λ_{LT}=0.14
  $\lambda_{LT,0}$=0.40 β_{LT}=0.75 Φ_{LT}=0.46 β_{LT}=0.75 f=1.00 χ_{LT}=1.00
  CC 98 My,Ed=2119.36 My,b,Rd=8107.84 My,Ed/My,b,Rd=0.26

- Verifica in termini tensionali (4.2.5) - CC 98 Xl=0.40 - Classe 3
  Sollecitazioni: T_z=-1284.58 M_y=2119.36 M_x=-3.82
  Tensioni: σ_N=0.00 σ_M=-653.49 τ=32.99 σ_{max}=-653.49
  Tensioni: σ_N=0.00 σ_M=-0.00 τ=109.78 τ_{max}=109.78
  Tensioni: σ_N=0.00 σ_M=-653.49 τ=32.99 $\sigma_{ID,max}$=655.98

Asta n. 302 (310 -628) IPE240 iimpalcato Crit. 1

- Verifica di stabilità aste inflesse (4.2.4.1.3.2) CC 98 - Classe 3
  L_{cr}=0.40 Curva b: α-imp=0.34 k_c=0.94 ψ=1.18 M,cr=503532.00 λ_{LT}=0.13
  $\lambda_{LT,0}$=0.40 β_{LT}=0.75 Φ_{LT}=0.46 β_{LT}=0.75 f=1.00 χ_{LT}=1.00
  CC 98 My,Ed=2119.14 My,b,Rd=8107.84 My,Ed/My,b,Rd=0.26

- Verifica in termini tensionali (4.2.5) - CC 98 Xl=0.00 - Classe 3
  Sollecitazioni: N=14.81 T_z=1767.33 M_y=2119.14 M_x=13.73
  Tensioni: σ_N=0.38 σ_M=653.42 τ=118.67 σ_{max}=653.80
  Tensioni: σ_N=0.38 σ_M=-0.00 τ=186.64 τ_{max}=186.64
  Tensioni: σ_N=0.38 σ_M=653.42 τ=118.67 $\sigma_{ID,max}$=685.35

Asta n. 302 (-628 -629) IPE240 iimpalcato Crit. 1

- Verifica di stabilità aste inflesse (4.2.4.1.3.2) CC 98 - Classe 3
  L_{cr}=0.20 Curva b: α-imp=0.34 k_c=0.94 ψ=1.12 M,cr=1887980.00 λ_{LT}=0.07
  $\lambda_{LT,0}$=0.40 β_{LT}=0.75 Φ_{LT}=0.45 β_{LT}=0.75 f=1.00 χ_{LT}=1.00
  CC 98 My,Ed=1412.74 My,b,Rd=8107.84 My,Ed/My,b,Rd=0.17

- Verifica in termini tensionali (4.2.5) - CC 98 Xl=0.00 - Classe 3
  Sollecitazioni: N=14.81 T_z=1590.89 M_y=1412.74 M_x=12.18
  Tensioni: σ_N=0.38 σ_M=435.61 τ=105.28 σ_{max}=435.99
  Tensioni: σ_N=0.38 σ_M=-0.00 τ=167.03 τ_{max}=167.03
  Tensioni: σ_N=0.38 σ_M=435.61 τ=105.28 $\sigma_{ID,max}$=472.59

Asta n. 302 (-629 -630) IPE240 iimpalcato Crit. 1

- Verifica di stabilità aste inflesse (4.2.4.1.3.2) CC 98 - Classe 3
  L_{cr}=0.20 Curva b: α-imp=0.34 k_c=0.94 ψ=1.15 M,cr=1952910.00 λ_{LT}=0.07
  $\lambda_{LT,0}$=0.40 β_{LT}=0.75 Φ_{LT}=0.45 β_{LT}=0.75 f=1.00 χ_{LT}=1.00
  CC 98 My,Ed=1095.39 My,b,Rd=8107.84 My,Ed/My,b,Rd=0.14

- Verifica in termini tensionali (4.2.5) - CC 98 Xl=0.00 - Classe 3
  Sollecitazioni: N=14.81 T_z=1582.60 M_y=1095.39 M_x=12.18
  Tensioni: σ_N=0.38 σ_M=337.76 τ=105.28 σ_{max}=338.13
  Tensioni: σ_N=0.38 σ_M=-0.00 τ=166.51 τ_{max}=166.51
  Tensioni: σ_N=0.38 σ_M=337.76 τ=105.28 $\sigma_{ID,max}$=384.17

Asta n. 302 (-630 -631) IPE240 iimpalcato Crit. 1

- Verifica di stabilità aste inflesse (4.2.4.1.3.2) CC 98 - Classe 3
  L_{cr}=0.40 Curva b: α-imp=0.34 k_c=0.94 ψ=1.48 M,cr=629476.00 λ_{LT}=0.12
  $\lambda_{LT,0}$=0.40 β_{LT}=0.75 Φ_{LT}=0.46 β_{LT}=0.75 f=1.00 χ_{LT}=1.00
  CC 98 My,Ed=782.43 My,b,Rd=8107.84 My,Ed/My,b,Rd=0.10

- Verifica in termini tensionali (4.2.5) - CC 98 Xl=0.00 - Classe 3
  Sollecitazioni: N=14.81 T_z=1413.85 M_y=782.43 M_x=10.61
  Tensioni: σ_N=0.38 σ_M=241.26 τ=91.67 σ_{max}=241.64
  Tensioni: σ_N=0.38 σ_M=-0.00 τ=147.26 τ_{max}=147.26

Tensioni: σ_N=0.38 σ_M=191.40 τ=134.76 $\sigma_{ID,max}$=302.10

Asta n. 302 (-631 -632) IPE240 iimpalcato Crit. 1

- Verifica di stabilità aste inflesse (4.2.4.1.3.2) CC 97 - Classe 3
  L_{cr}=0.40 Curva b: α-imp=0.34 k_c=0.94 ψ=2.07 M,cr=882082.00 λ_{LT}=0.10
  $\lambda_{LT,0}$=0.40 β_{LT}=0.75 Φ_{LT}=0.45 β_{LT}=0.75 f=1.00 χ_{LT}=1.00
  CC 97 My,Ed=-372.68 My,b,Rd=8107.84 My,Ed/My,b,Rd=0.05

- Verifica in termini tensionali (4.2.5) - CC 98 Xl=0.00 - Classe 3
  Sollecitazioni: N=14.81 T_z=1242.12 M_y=220.28 M_x=9.21
  Tensioni: σ_N=0.38 σ_M=67.92 τ=79.61 σ_{max}=68.30
  Tensioni: σ_N=0.38 σ_M=-0.00 τ=128.80 τ_{max}=128.80
  Tensioni: σ_N=0.38 σ_M=-0.00 τ=128.80 $\sigma_{ID,max}$=223.08

Asta n. 302 (-632 -633) IPE240 iimpalcato Crit. 1

- Verifica di stabilità aste inflesse (4.2.4.1.3.2) CC 97 - Classe 3
  L_{cr}=0.40 Curva b: α-imp=0.34 k_c=0.94 ψ=1.32 M,cr=561093.00 λ_{LT}=0.13
  $\lambda_{LT,0}$=0.40 β_{LT}=0.75 Φ_{LT}=0.46 β_{LT}=0.75 f=1.00 χ_{LT}=1.00
  CC 97 My,Ed=-781.92 My,b,Rd=8107.84 My,Ed/My,b,Rd=0.10

- Verifica in termini tensionali (4.2.5) - CC 97 Xl=0.40 - Classe 3
  Sollecitazioni: N=14.81 T_z=1014.72 M_y=-781.92 M_x=7.90
  Tensioni: σ_N=0.38 σ_M=241.10 τ=68.32 σ_{max}=241.48
  Tensioni: σ_N=0.38 σ_M=0.00 τ=107.28 τ_{max}=107.28
  Tensioni: σ_N=0.38 σ_M=241.10 τ=68.32 $\sigma_{ID,max}$=268.92

Asta n. 302 (-633 -634) IPE240 iimpalcato Crit. 1

- Verifica di stabilità aste inflesse (4.2.4.1.3.2) CC 97 - Classe 3
  L_{cr}=0.40 Curva b: α-imp=0.34 k_c=0.94 ψ=1.16 M,cr=495566.00 λ_{LT}=0.13
  $\lambda_{LT,0}$=0.40 β_{LT}=0.75 Φ_{LT}=0.46 β_{LT}=0.75 f=1.00 χ_{LT}=1.00
  CC 97 My,Ed=-1121.55 My,b,Rd=8107.84 My,Ed/My,b,Rd=0.14

- Verifica in termini tensionali (4.2.5) - CC 97 Xl=0.40 - Classe 3
  Sollecitazioni: N=14.81 T_z=840.78 M_y=-1121.55 M_x=6.53
  Tensioni: σ_N=0.38 σ_M=345.82 τ=56.40 σ_{max}=346.20
  Tensioni: σ_N=0.38 σ_M=0.00 τ=88.76 τ_{max}=88.76
  Tensioni: σ_N=0.38 σ_M=345.82 τ=56.40 $\sigma_{ID,max}$=359.72

Asta n. 302 (-634 -635) IPE240 iimpalcato Crit. 1

- Verifica di stabilità aste inflesse (4.2.4.1.3.2) CC 97 - Classe 3
  L_{cr}=0.40 Curva b: α-imp=0.34 k_c=0.94 ψ=1.10 M,cr=467900.00 λ_{LT}=0.14
  $\lambda_{LT,0}$=0.40 β_{LT}=0.75 Φ_{LT}=0.46 β_{LT}=0.75 f=1.00 χ_{LT}=1.00
  CC 97 My,Ed=-1392.11 My,b,Rd=8107.84 My,Ed/My,b,Rd=0.17

- Verifica in termini tensionali (4.2.5) - CC 97 Xl=0.40 - Classe 3
  Sollecitazioni: N=14.81 T_z=668.21 M_y=-1392.11 M_x=5.19
  Tensioni: σ_N=0.38 σ_M=429.25 τ=44.82 σ_{max}=429.63
  Tensioni: σ_N=0.38 σ_M=0.00 τ=70.54 τ_{max}=70.54
  Tensioni: σ_N=0.38 σ_M=429.25 τ=44.82 $\sigma_{ID,max}$=436.59

Asta n. 302 (-635 -636) IPE240 iimpalcato Crit. 1

- Verifica di stabilità aste inflesse (4.2.4.1.3.2) CC 97 - Classe 3
  L_{cr}=0.40 Curva b: α-imp=0.34 k_c=0.94 ψ=1.06 M,cr=452143.00 λ_{LT}=0.14
  $\lambda_{LT,0}$=0.40 β_{LT}=0.75 Φ_{LT}=0.46 β_{LT}=0.75 f=1.00 χ_{LT}=1.00
  CC 97 My,Ed=-1594.09 My,b,Rd=8107.84 My,Ed/My,b,Rd=0.20

- Verifica in termini tensionali (4.2.5) - CC 97 Xl=0.40 - Classe 3
  Sollecitazioni: N=14.81 T_z=496.46 M_y=-1594.09 M_x=3.79
  Tensioni: σ_N=0.38 σ_M=491.53 τ=32.77 σ_{max}=491.91
  Tensioni: σ_N=0.38 σ_M=0.00 τ=52.07 τ_{max}=52.07
  Tensioni: σ_N=0.38 σ_M=491.53 τ=32.77 $\sigma_{ID,max}$=495.17

Asta n. 302 (-636 -1303) IPE240 iimpalcato Crit. 1

- Verifica di stabilità aste inflesse (4.2.4.1.3.2) CC 97 - Classe 3
  L_{cr}=0.20 Curva b: α-imp=0.34 k_c=0.94 ψ=1.02 M,cr=1722680.00 λ_{LT}=0.07
  $\lambda_{LT,0}$=0.40 β_{LT}=0.75 Φ_{LT}=0.45 β_{LT}=0.75 f=1.00 χ_{LT}=1.00
  CC 97 My,Ed=-1663.54 My,b,Rd=8107.84 My,Ed/My,b,Rd=0.21

- Verifica in termini tensionali (4.2.5) - CC 97 Xl=0.20 - Classe 3
  Sollecitazioni: N=14.81 T_z=328.73 M_y=-1663.54 M_x=2.25
  Tensioni: σ_N=0.38 σ_M=512.94 τ=19.46 σ_{max}=513.32
  Tensioni: σ_N=0.38 σ_M=0.00 τ=33.12 τ_{max}=33.12
  Tensioni: σ_N=0.38 σ_M=512.94 τ=19.46 $\sigma_{ID,max}$=514.42

Asta n. 302 (-1303 -637) IPE240 iimpalcato Crit. 1

- Verifica di stabilità aste inflesse (4.2.4.1.3.2) CC 97 - Classe 3
  L_{cr}=0.20 Curva b: α-imp=0.34 k_c=0.94 ψ=1.02 M,cr=1720710.00 λ_{LT}=0.07
  $\lambda_{LT,0}$=0.40 β_{LT}=0.75 Φ_{LT}=0.45 β_{LT}=0.75 f=1.00 χ_{LT}=1.00
  CC 97 My,Ed=-1728.45 My,b,Rd=8107.84 My,Ed/My,b,Rd=0.21

- Verifica in termini tensionali (4.2.5) - CC 97 Xl=0.20 - Classe 3
  Sollecitazioni: N=14.81 T_z=320.43 M_y=-1728.45 M_x=2.25
  Tensioni: σ_N=0.38 σ_M=532.96 τ=19.46 σ_{max}=533.34
  Tensioni: σ_N=0.38 σ_M=0.00 τ=32.57 τ_{max}=32.57
  Tensioni: σ_N=0.38 σ_M=532.96 τ=19.46 $\sigma_{ID,max}$=534.40

Asta n. 302 (-637 -1305) IPE240 iimpalcato Crit. 1

- Verifica di stabilità aste inflesse (4.2.4.1.3.2) CC 97 - Classe 3
  L_{cr}=0.20 Curva b: α-imp=0.34 k_c=0.94 ψ=1.01 M,cr=1704890.00 λ_{LT}=0.07
  $\lambda_{LT,0}$=0.40 β_{LT}=0.75 Φ_{LT}=0.45 β_{LT}=0.75 f=1.00 χ_{LT}=1.00
  CC 97 My,Ed=-1759.43 My,b,Rd=8107.84 My,Ed/My,b,Rd=0.22

- Verifica in termini tensionali (4.2.5) - CC 97 Xl=0.20 - Classe 3
  Sollecitazioni: N=14.81 T_z=150.00 M_y=-1759.43
  Tensioni: σ_N=0.38 σ_M=542.51 τ=0.00 σ_{max}=542.89
  Tensioni: σ_N=0.38 σ_M=0.00 τ=12.23 τ_{max}=12.23
  Tensioni: σ_N=0.38 σ_M=542.51 τ=0.00 $\sigma_{ID,max}$=542.89

Asta n. 302 (-1305 -638) IPE240 iimpalcato Crit. 1

- Verifica di stabilità aste inflesse (4.2.4.1.3.2) CC 97 - Classe 3
  L_{cr}=0.20 Curva b: α-imp=0.34 k_c=0.94 ψ=1.01 M,cr=1703950.00 λ_{LT}=0.07
  $\lambda_{LT,0}$=0.40 β_{LT}=0.75 Φ_{LT}=0.45 β_{LT}=0.75 f=1.00 χ_{LT}=1.00
  CC 97 My,Ed=-1788.61 My,b,Rd=8107.84 My,Ed/My,b,Rd=0.22

- Verifica in termini tensionali (4.2.5) - CC 97 Xl=0.20 - Classe 3
  Sollecitazioni: N=14.81 T_z=141.71 M_y=-1788.61
  Tensioni: σ_N=0.38 σ_M=551.50 τ=0.00 σ_{max}=551.88
  Tensioni: σ_N=0.38 σ_M=0.00 τ=11.55 τ_{max}=11.55
  Tensioni: σ_N=0.38 σ_M=551.50 τ=0.00 $\sigma_{ID,max}$=551.88

Asta n. 302 (-638 -639) IPE240 iimpalcato Crit. 1

- Verifica di stabilità aste inflesse (4.2.4.1.3.2) CC 97 - Classe 3
  L_{cr}=0.20 Curva b: α-imp=0.34 k_c=0.94 ψ=1.00 M,cr=1692680.00 λ_{LT}=0.07
  $\lambda_{LT,0}$=0.40 β_{LT}=0.75 Φ_{LT}=0.45 β_{LT}=0.75 f=1.00 χ_{LT}=1.00
  CC 97 My,Ed=-1788.46 My,b,Rd=8107.84 My,Ed/My,b,Rd=0.22

- Verifica in termini tensionali (4.2.5) - CC 97 Xl=0.00 - Classe 3
  Sollecitazioni: N=14.81 T_z=-10.83 M_y=-1788.46
  Tensioni: σ_N=0.38 σ_M=551.46 τ=0.00 σ_{max}=551.84
  Tensioni: σ_N=0.38 σ_M=0.00 τ=0.88 τ_{max}=0.88
  Tensioni: σ_N=0.38 σ_M=551.46 τ=0.00 $\sigma_{ID,max}$=551.84

Asta n. 302 (-639 -640) IPE240 iimpalcato Crit. 1

- Verifica di stabilità aste inflesse (4.2.4.1.3.2) CC 98 - Classe 3
  L_{cr}=0.20 Curva b: α-imp=0.34 k_c=0.94 ψ=1.00 M,cr=1692680.00 λ_{LT}=0.07
  $\lambda_{LT,0}$=0.40 β_{LT}=0.75 Φ_{LT}=0.45 β_{LT}=0.75 f=1.00 χ_{LT}=1.00
  CC 98 My,Ed=-1788.46 My,b,Rd=8107.84 My,Ed/My,b,Rd=0.22

- Verifica in termini tensionali (4.2.5) - CC 98 Xl=0.20 - Classe 3
  Sollecitazioni: N=14.81 T_z=10.83 M_y=-1788.46
  Tensioni: σ_N=0.38 σ_M=551.46 τ=0.00 σ_{max}=551.84
  Tensioni: σ_N=0.38 σ_M=0.00 τ=0.88 τ_{max}=0.88
  Tensioni: σ_N=0.38 σ_M=551.46 τ=0.00 $\sigma_{ID,max}$=551.84

Asta n. 302 (-640 -1307) IPE240 iimpalcato Crit. 1

- Verifica di stabilità aste inflesse (4.2.4.1.3.2) CC 98 - Classe 3
  L_{cr}=0.20 Curva b: α-imp=0.34 k_c=0.94 ψ=1.01 M,cr=1703950.00 λ_{LT}=0.07
  $\lambda_{LT,0}$=0.40 β_{LT}=0.75 Φ_{LT}=0.45 β_{LT}=0.75 f=1.00 χ_{LT}=1.00
  CC 98 My,Ed=-1788.61 My,b,Rd=8107.84 My,Ed/My,b,Rd=0.22

- Verifica in termini tensionali (4.2.5) - CC 98 Xl=0.00 - Classe 3
  Sollecitazioni: N=14.81 T_z=-141.71 M_y=-1788.61
  Tensioni: σ_N=0.38 σ_M=551.50 τ=0.00 σ_{max}=551.88
  Tensioni: σ_N=0.38 σ_M=0.00 τ=11.55 τ_{max}=11.55
  Tensioni: σ_N=0.38 σ_M=551.50 τ=0.00 $\sigma_{ID,max}$=551.88

Asta n. 302 (-1307 -641) IPE240 iimpalcato Crit. 1

- Verifica di stabilità aste inflesse (4.2.4.1.3.2) CC 98 - Classe 3
  L_{cr}=0.20 Curva b: α-imp=0.34 k_c=0.94 ψ=1.01 M,cr=1704890.00 λ_{LT}=0.07
  $\lambda_{LT,0}$=0.40 β_{LT}=0.75 Φ_{LT}=0.45 β_{LT}=0.75 f=1.00 χ_{LT}=1.00
  CC 98 My,Ed=-1759.43 My,b,Rd=8107.84 My,Ed/My,b,Rd=0.22

- Verifica in termini tensionali (4.2.5) - CC 98 Xl=0.00 - Classe 3
  Sollecitazioni: N=14.81 T_z=-150.00 M_y=-1759.43
  Tensioni: σ_N=0.38 σ_M=542.51 τ=0.00 σ_{max}=542.89
  Tensioni: σ_N=0.38 σ_M=0.00 τ=12.23 τ_{max}=12.23
  Tensioni: σ_N=0.38 σ_M=542.51 τ=0.00 $\sigma_{ID,max}$=542.89

Asta n. 302 (-641 -1309) IPE240 iimpalcato Crit. 1

- Verifica di stabilità aste inflesse (4.2.4.1.3.2) CC 98 - Classe 3
  L_{cr}=0.20 Curva b: α-imp=0.34 k_c=0.94 ψ=1.02 M,cr=1720710.00 λ_{LT}=0.07
  $\lambda_{LT,0}$=0.40 β_{LT}=0.75 Φ_{LT}=0.45 β_{LT}=0.75 f=1.00 χ_{LT}=1.00
  CC 98 My,Ed=-1728.45 My,b,Rd=8107.84 My,Ed/My,b,Rd=0.21

- Verifica in termini tensionali (4.2.5) - CC 98 Xl=0.00 - Classe 3
  Sollecitazioni: N=14.81 T_z=-320.43 M_y=-1728.45 M_x=-2.25
  Tensioni: σ_N=0.38 σ_M=532.96 τ=19.46 σ_{max}=533.34
  Tensioni: σ_N=0.38 σ_M=0.00 τ=32.57 τ_{max}=32.57
  Tensioni: σ_N=0.38 σ_M=532.96 τ=19.46 $\sigma_{ID,max}$=534.40

Asta n. 302 (-1309 -642) IPE240 iimpalcato Crit. 1

- Verifica di stabilità aste inflesse (4.2.4.1.3.2) CC 98 - Classe 3
  L_{cr}=0.20 Curva b: α-imp=0.34 k_c=0.94 ψ=1.02 M,cr=1722680.00 λ_{LT}=0.07
  $\lambda_{LT,0}$=0.40 β_{LT}=0.75 Φ_{LT}=0.45 β_{LT}=0.75 f=1.00 χ_{LT}=1.00
  CC 98 My,Ed=-1663.54 My,b,Rd=8107.84 My,Ed/My,b,Rd=0.21

- Verifica in termini tensionali (4.2.5) - CC 98 Xl=0.00 - Classe 3
  Sollecitazioni: N=14.81 T_z=-328.73 M_y=-1663.54 M_x=-2.25
  Tensioni: σ_N=0.38 σ_M=512.94 τ=19.46 σ_{max}=513.32
  Tensioni: σ_N=0.38 σ_M=0.00 τ=33.12 τ_{max}=33.12
  Tensioni: σ_N=0.38 σ_M=512.94 τ=19.46 $\sigma_{ID,max}$=514.42

Asta n. 302 (-642 -643) IPE240 iimpalcato Crit. 1

- Verifica di stabilità aste inflesse (4.2.4.1.3.2) CC 98 - Classe 3
  L_{cr}=0.40 Curva b: α-imp=0.34 k_c=0.94 ψ=1.06 M,cr=452143.00 λ_{LT}=0.14
  $\lambda_{LT,0}$=0.40 β_{LT}=0.75 Φ_{LT}=0.46 β_{LT}=0.75 f=1.00 χ_{LT}=1.00
  CC 98 My,Ed=-1594.09 My,b,Rd=8107.84 My,Ed/My,b,Rd=0.20

- Verifica in termini tensionali (4.2.5) - CC 98 Xl=0.00 - Classe 3
  Sollecitazioni: N=14.81 T_z=-496.46 M_y=-1594.09 M_x=-3.79
  Tensioni: σ_N=0.38 σ_M=491.53 τ=32.77 σ_{max}=491.91

Tensioni: σ_N=0.38 σ_M=0.00 τ=52.07 τ_{max}=52.07
Tensioni: σ_N=0.38 σ_M=491.53 τ=32.77 $\sigma_{ID,max}$=495.17

Asta n. 302 (-643 -644) IPE240 iimpalcato Crit. 1

- Verifica di stabilità aste inflesse (4.2.4.1.3.2) CC 98 - Classe 3
L_{cr}=0.40 Curva b: α-imp=0.34 k_c=0.94 ψ=1.10 M,cr=467900.00 λ_{LT}=0.14
$\lambda_{LT,0}$=0.40 β_{LT}=0.75 Φ_{LT}=0.46 β_{LT}=0.75 f=1.00 χ_{LT}=1.00
CC 98 My,Ed=-1392.11 My,b,Rd=8107.84 My,Ed/My,b,Rd=0.17

- Verifica in termini tensionali (4.2.5) - CC 98 Xl=0.00 - Classe 3
Sollecitazioni: N=14.81 T_z=-668.21 M_y=-1392.11 M_x=-5.19
Tensioni: σ_N=0.38 σ_M=429.25 τ=44.82 σ_{max}=429.63
Tensioni: σ_N=0.38 σ_M=0.00 τ=70.54 τ_{max}=70.54
Tensioni: σ_N=0.38 σ_M=429.25 τ=44.82 $\sigma_{ID,max}$=436.59

Asta n. 302 (-644 -645) IPE240 iimpalcato Crit. 1

- Verifica di stabilità aste inflesse (4.2.4.1.3.2) CC 98 - Classe 3
L_{cr}=0.40 Curva b: α-imp=0.34 k_c=0.94 ψ=1.16 M,cr=495564.00 λ_{LT}=0.13
$\lambda_{LT,0}$=0.40 β_{LT}=0.75 Φ_{LT}=0.46 β_{LT}=0.75 f=1.00 χ_{LT}=1.00
CC 98 My,Ed=-1121.55 My,b,Rd=8107.84 My,Ed/My,b,Rd=0.14

- Verifica in termini tensionali (4.2.5) - CC 98 Xl=0.00 - Classe 3
Sollecitazioni: N=14.81 T_z=-840.78 M_y=-1121.55 M_x=-6.53
Tensioni: σ_N=0.38 σ_M=345.82 τ=56.40 σ_{max}=346.20
Tensioni: σ_N=0.38 σ_M=0.00 τ=88.76 τ_{max}=88.76
Tensioni: σ_N=0.38 σ_M=345.82 τ=56.40 $\sigma_{ID,max}$=359.72

Asta n. 302 (-645 -646) IPE240 iimpalcato Crit. 1

- Verifica di stabilità aste inflesse (4.2.4.1.3.2) CC 98 - Classe 3
L_{cr}=0.40 Curva b: α-imp=0.34 k_c=0.94 ψ=1.32 M,cr=561095.00 λ_{LT}=0.13
$\lambda_{LT,0}$=0.40 β_{LT}=0.75 Φ_{LT}=0.46 β_{LT}=0.75 f=1.00 χ_{LT}=1.00
CC 98 My,Ed=-781.92 My,b,Rd=8107.84 My,Ed/My,b,Rd=0.10

- Verifica in termini tensionali (4.2.5) - CC 98 Xl=0.00 - Classe 3
Sollecitazioni: N=14.81 T_z=-1014.72 M_y=-781.92 M_x=-7.90
Tensioni: σ_N=0.38 σ_M=241.10 τ=68.32 σ_{max}=241.48
Tensioni: σ_N=0.38 σ_M=0.00 τ=107.28 τ_{max}=107.28
Tensioni: σ_N=0.38 σ_M=241.10 τ=68.32 $\sigma_{ID,max}$=268.92

Asta n. 302 (-646 -647) IPE240 iimpalcato Crit. 1

- Verifica di stabilità aste inflesse (4.2.4.1.3.2) CC 98 - Classe 3
L_{cr}=0.40 Curva b: α-imp=0.34 k_c=0.94 ψ=2.07 M,cr=882078.00 λ_{LT}=0.10
$\lambda_{LT,0}$=0.40 β_{LT}=0.75 Φ_{LT}=0.45 β_{LT}=0.75 f=1.00 χ_{LT}=1.00
CC 98 My,Ed=-372.68 My,b,Rd=8107.84 My,Ed/My,b,Rd=0.05

- Verifica in termini tensionali (4.2.5) - CC 97 Xl=0.40 - Classe 3
Sollecitazioni: N=14.81 T_z=-1242.12 M_y=220.29 M_x=-9.21
Tensioni: σ_N=0.38 σ_M=67.92 τ=79.61 σ_{max}=68.30
Tensioni: σ_N=0.38 σ_M=-0.00 τ=128.80 τ_{max}=128.80
Tensioni: σ_N=0.38 σ_M=-0.00 τ=128.80 $\sigma_{ID,max}$=223.08

Asta n. 302 (-647 -648) IPE240 iimpalcato Crit. 1

- Verifica di stabilità aste inflesse (4.2.4.1.3.2) CC 97 - Classe 3
L_{cr}=0.40 Curva b: α-imp=0.34 k_c=0.94 ψ=1.48 M,cr=629478.00 λ_{LT}=0.12
$\lambda_{LT,0}$=0.40 β_{LT}=0.75 Φ_{LT}=0.46 β_{LT}=0.75 f=1.00 χ_{LT}=1.00
CC 97 My,Ed=782.43 My,b,Rd=8107.84 My,Ed/My,b,Rd=0.10

- Verifica in termini tensionali (4.2.5) - CC 97 Xl=0.40 - Classe 3
Sollecitazioni: N=14.81 T_z=-1413.85 M_y=782.43 M_x=-10.61
Tensioni: σ_N=0.38 σ_M=241.26 τ=91.67 σ_{max}=241.64
Tensioni: σ_N=0.38 σ_M=-0.00 τ=147.26 τ_{max}=147.26
Tensioni: σ_N=0.38 σ_M=191.40 τ=134.76 $\sigma_{ID,max}$=302.10

Asta n. 302 (-648 -649) IPE240 iimpalcato Crit. 1

- Verifica di stabilità aste inflesse (4.2.4.1.3.2) CC 97 - Classe 3
  L_{cr}=0.20 Curva b: α-imp=0.34 k_c=0.94 ψ=1.15 M,cr=1952910.00 λ_{LT}=0.07
  $\lambda_{LT,0}$=0.40 β_{LT}=0.75 Φ_{LT}=0.45 β_{LT}=0.75 f=1.00 χ_{LT}=1.00
  CC 97 My,Ed=1095.39 My,b,Rd=8107.84 My,Ed/My,b,Rd=0.14

- Verifica in termini tensionali (4.2.5) - CC 97 Xl=0.20 - Classe 3
  Sollecitazioni: N=14.81 T_z=-1582.60 M_y=1095.39 M_x=-12.18
  Tensioni: σ_N=0.38 σ_M=337.76 τ=105.28 σ_{max}=338.13
  Tensioni: σ_N=0.38 σ_M=-0.00 τ=166.51 τ_{max}=166.51
  Tensioni: σ_N=0.38 σ_M=337.76 τ=105.28 $\sigma_{ID,max}$=384.17

Asta n. 302 (-649 -650) IPE240 iimpalcato Crit. 1

- Verifica di stabilità aste inflesse (4.2.4.1.3.2) CC 97 - Classe 3
  L_{cr}=0.20 Curva b: α-imp=0.34 k_c=0.94 ψ=1.12 M,cr=1887970.00 λ_{LT}=0.07
  $\lambda_{LT,0}$=0.40 β_{LT}=0.75 Φ_{LT}=0.45 β_{LT}=0.75 f=1.00 χ_{LT}=1.00
  CC 97 My,Ed=1412.74 My,b,Rd=8107.84 My,Ed/My,b,Rd=0.17

- Verifica in termini tensionali (4.2.5) - CC 97 Xl=0.20 - Classe 3
  Sollecitazioni: N=14.81 T_z=-1590.89 M_y=1412.74 M_x=-12.18
  Tensioni: σ_N=0.38 σ_M=435.61 τ=105.28 σ_{max}=435.99
  Tensioni: σ_N=0.38 σ_M=-0.00 τ=167.03 τ_{max}=167.03
  Tensioni: σ_N=0.38 σ_M=435.61 τ=105.28 $\sigma_{ID,max}$=472.59

Asta n. 302 (-650 311) IPE240 iimpalcato Crit. 1

- Verifica di stabilità aste inflesse (4.2.4.1.3.2) CC 97 - Classe 3
  L_{cr}=0.40 Curva b: α-imp=0.34 k_c=0.94 ψ=1.18 M,cr=503535.00 λ_{LT}=0.13
  $\lambda_{LT,0}$=0.40 β_{LT}=0.75 Φ_{LT}=0.46 β_{LT}=0.75 f=1.00 χ_{LT}=1.00
  CC 97 My,Ed=2119.13 My,b,Rd=8107.84 My,Ed/My,b,Rd=0.26

- Verifica in termini tensionali (4.2.5) - CC 97 Xl=0.40 - Classe 3
  Sollecitazioni: N=14.81 T_z=-1767.33 M_y=2119.13 M_x=-13.73
  Tensioni: σ_N=0.38 σ_M=653.42 τ=118.67 σ_{max}=653.80
  Tensioni: σ_N=0.38 σ_M=-0.00 τ=186.64 τ_{max}=186.64
  Tensioni: σ_N=0.38 σ_M=653.42 τ=118.67 $\sigma_{ID,max}$=685.35

Asta n. 302 (311 -651) IPE240 iimpalcato Crit. 1

- Verifica di stabilità aste inflesse (4.2.4.1.3.2) CC 97 - Classe 3
  L_{cr}=0.40 Curva b: α-imp=0.34 k_c=0.94 ψ=1.13 M,cr=482186.00 λ_{LT}=0.14
  $\lambda_{LT,0}$=0.40 β_{LT}=0.75 Φ_{LT}=0.46 β_{LT}=0.75 f=1.00 χ_{LT}=1.00
  CC 97 My,Ed=2119.36 My,b,Rd=8107.84 My,Ed/My,b,Rd=0.26

- Verifica in termini tensionali (4.2.5) - CC 97 Xl=0.00 - Classe 3
  Sollecitazioni: T_z=1284.57 M_y=2119.36 M_x=3.82
  Tensioni: σ_N=0.00 σ_M=-653.49 τ=32.99 σ_{max}=-653.49
  Tensioni: σ_N=0.00 σ_M=-0.00 τ=109.78 τ_{max}=109.78
  Tensioni: σ_N=0.00 σ_M=-653.49 τ=32.99 $\sigma_{ID,max}$=655.98

Asta n. 302 (-651 -652) IPE240 iimpalcato Crit. 1

- Verifica di stabilità aste inflesse (4.2.4.1.3.2) CC 97 - Classe 3
  L_{cr}=0.20 Curva b: α-imp=0.34 k_c=0.94 ψ=1.07 M,cr=1816520.00 λ_{LT}=0.07
  $\lambda_{LT,0}$=0.40 β_{LT}=0.75 Φ_{LT}=0.45 β_{LT}=0.75 f=1.00 χ_{LT}=1.00
  CC 97 My,Ed=1607.61 My,b,Rd=8107.84 My,Ed/My,b,Rd=0.20

- Verifica in termini tensionali (4.2.5) - CC 97 Xl=0.00 - Classe 3
  Sollecitazioni: T_z=1108.70 M_y=1607.61 M_x=2.27
  Tensioni: σ_N=0.00 σ_M=-495.69 τ=19.65 σ_{max}=-495.69
  Tensioni: σ_N=0.00 σ_M=-0.00 τ=92.48 τ_{max}=92.48
  Tensioni: σ_N=0.00 σ_M=-495.69 τ=19.65 $\sigma_{ID,max}$=496.86

Asta n. 302 (-652 -653) IPE240 iimpalcato Crit. 1

- Verifica di stabilità aste inflesse (4.2.4.1.3.2) CC 97 - Classe 3
  L_{cr}=0.20 Curva b: α-imp=0.34 k_c=0.94 ψ=1.08 M,cr=1835330.00 λ_{LT}=0.07
  $\lambda_{LT,0}$=0.40 β_{LT}=0.75 Φ_{LT}=0.45 β_{LT}=0.75 f=1.00 χ_{LT}=1.00

CC 97 My,Ed=1387.47 My,b,Rd=8107.84 My,Ed/My,b,Rd=0.17

- Verifica in termini tensionali (4.2.5) - CC 97 Xl=0.00 - Classe 3
  Sollecitazioni: T_z=1100.44 M_y=1387.47 M_x=2.27
  Tensioni: σ_N=0.00 σ_M=-427.82 τ=19.65 σ_{max}=-427.82
  Tensioni: σ_N=0.00 σ_M=-0.00 τ=91.82 τ_{max}=91.82
  Tensioni: σ_N=0.00 σ_M=-427.82 τ=19.65 $\sigma_{ID,max}$=429.17

Asta n. 302 (-653 -654) IPE240 iimpalcato Crit. 1

- Verifica di stabilità aste inflesse (4.2.4.1.3.2) CC 97 - Classe 3
  L_{cr}=0.40 Curva b: α-imp=0.34 k_c=0.94 ψ=1.17 M,cr=501822.00 λ_{LT}=0.13
  $\lambda_{LT,0}$=0.40 β_{LT}=0.75 Φ_{LT}=0.46 β_{LT}=0.75 f=1.00 χ_{LT}=1.00
  CC 97 My,Ed=1171.58 My,b,Rd=8107.84 My,Ed/My,b,Rd=0.14

- Verifica in termini tensionali (4.2.5) - CC 97 Xl=0.00 - Classe 3
  Sollecitazioni: T_z=932.25 M_y=1171.58
  Tensioni: σ_N=0.00 σ_M=-361.25 τ=0.00 σ_{max}=-361.25
  Tensioni: σ_N=0.00 σ_M=-0.00 τ=75.99 τ_{max}=75.99
  Tensioni: σ_N=0.00 σ_M=-361.25 τ=0.00 $\sigma_{ID,max}$=361.25

Asta n. 302 (-654 -655) IPE240 iimpalcato Crit. 1

- Verifica di stabilità aste inflesse (4.2.4.1.3.2) CC 97 - Classe 3
  L_{cr}=0.40 Curva b: α-imp=0.34 k_c=0.94 ψ=1.21 M,cr=518478.00 λ_{LT}=0.13
  $\lambda_{LT,0}$=0.40 β_{LT}=0.75 Φ_{LT}=0.46 β_{LT}=0.75 f=1.00 χ_{LT}=1.00
  CC 97 My,Ed=803.27 My,b,Rd=8107.84 My,Ed/My,b,Rd=0.10

- Verifica in termini tensionali (4.2.5) - CC 97 Xl=0.00 - Classe 3
  Sollecitazioni: T_z=761.07 M_y=803.27
  Tensioni: σ_N=0.00 σ_M=-247.68 τ=0.00 σ_{max}=-247.68
  Tensioni: σ_N=0.00 σ_M=-0.00 τ=62.03 τ_{max}=62.03
  Tensioni: σ_N=0.00 σ_M=-247.68 τ=0.00 $\sigma_{ID,max}$=247.68

Asta n. 302 (-655 -656) IPE240 iimpalcato Crit. 1

- Verifica di stabilità aste inflesse (4.2.4.1.3.2) CC 97 - Classe 3
  L_{cr}=0.40 Curva b: α-imp=0.34 k_c=0.94 ψ=1.27 M,cr=544446.00 λ_{LT}=0.13
  $\lambda_{LT,0}$=0.40 β_{LT}=0.75 Φ_{LT}=0.46 β_{LT}=0.75 f=1.00 χ_{LT}=1.00
  CC 97 My,Ed=503.01 My,b,Rd=8107.84 My,Ed/My,b,Rd=0.06

- Verifica in termini tensionali (4.2.5) - CC 97 Xl=0.00 - Classe 3
  Sollecitazioni: T_z=588.86 M_y=503.01 M_x=-2.02
  Tensioni: σ_N=0.00 σ_M=-155.10 τ=17.49 σ_{max}=-155.10
  Tensioni: σ_N=0.00 σ_M=-0.00 τ=51.08 τ_{max}=51.08
  Tensioni: σ_N=0.00 σ_M=-155.10 τ=17.49 $\sigma_{ID,max}$=158.03

Asta n. 302 (-656 -657) IPE240 iimpalcato Crit. 1

- Verifica di stabilità aste inflesse (4.2.4.1.3.2) CC 97 - Classe 3
  L_{cr}=0.40 Curva b: α-imp=0.34 k_c=0.94 ψ=1.38 M,cr=589957.00 λ_{LT}=0.12
  $\lambda_{LT,0}$=0.40 β_{LT}=0.75 Φ_{LT}=0.46 β_{LT}=0.75 f=1.00 χ_{LT}=1.00
  CC 97 My,Ed=271.48 My,b,Rd=8107.84 My,Ed/My,b,Rd=0.03

- Verifica in termini tensionali (4.2.5) - CC 97 Xl=0.00 - Classe 3
  Sollecitazioni: T_z=415.82 M_y=271.48 M_x=-3.39
  Tensioni: σ_N=0.00 σ_M=-83.71 τ=29.30 σ_{max}=-83.71
  Tensioni: σ_N=0.00 σ_M=-0.00 τ=44.80 τ_{max}=44.80
  Tensioni: σ_N=0.00 σ_M=-83.71 τ=29.30 $\sigma_{ID,max}$=97.89

Asta n. 302 (-657 -658) IPE240 iimpalcato Crit. 1

- Verifica di stabilità aste inflesse (4.2.4.1.3.2) CC 97 - Classe 3
  L_{cr}=0.40 Curva b: α-imp=0.34 k_c=0.94 ψ=1.61 M,cr=689447.00 λ_{LT}=0.11
  $\lambda_{LT,0}$=0.40 β_{LT}=0.75 Φ_{LT}=0.46 β_{LT}=0.75 f=1.00 χ_{LT}=1.00
  CC 97 My,Ed=108.98 My,b,Rd=8107.84 My,Ed/My,b,Rd=0.01

- Verifica in termini tensionali (4.2.5) - CC 97 Xl=0.00 - Classe 3
  Sollecitazioni: T_z=243.37 M_y=108.98 M_x=-4.75

Tensioni: σ_N=0.00 σ_M=-33.60 τ=41.02 σ_{max}=-33.60
Tensioni: σ_N=0.00 σ_M=-0.00 τ=45.56 τ_{max}=45.56
Tensioni: σ_N=0.00 σ_M=-26.66 τ=44.40 $\sigma_{ID,max}$=81.40

Asta n. 302 (-658 -659) IPE240 iimpalcato Crit. 1

- Verifica di stabilità aste inflesse (4.2.4.1.3.2) CC 98 - Classe 3
  L_{cr}=0.40 Curva b: α-imp=0.34 k_c=0.94 ψ=1.15 M,cr=491407.00 λ_{LT}=0.13
  $\lambda_{LT,0}$=0.40 β_{LT}=0.75 Φ_{LT}=0.46 β_{LT}=0.75 f=1.00 χ_{LT}=1.00
  CC 98 My,Ed=-23.88 My,b,Rd=8107.84 My,Ed/My,b,Rd=0.00

- Verifica in termini tensionali (4.2.5) - CC 97 Xl=0.00 - Classe 3
  Sollecitazioni: T_z=70.67 M_y=15.23 M_x=-6.10
  Tensioni: σ_N=0.00 σ_M=-4.69 τ=52.76 σ_{max}=-4.69
  Tensioni: σ_N=0.00 σ_M=-0.00 τ=53.08 τ_{max}=53.08
  Tensioni: σ_N=0.00 σ_M=-0.00 τ=53.08 $\sigma_{ID,max}$=91.93

Asta n. 302 (-659 -660) IPE240 iimpalcato Crit. 1

- Verifica di stabilità aste inflesse (4.2.4.1.3.2) CC 98 - Classe 3
  L_{cr}=0.31 Curva b: α-imp=0.34 k_c=0.94 ψ=1.75 M,cr=1236090.00 λ_{LT}=0.08
  $\lambda_{LT,0}$=0.40 β_{LT}=0.75 Φ_{LT}=0.45 β_{LT}=0.75 f=1.00 χ_{LT}=1.00
  CC 98 My,Ed=-23.88 My,b,Rd=8107.84 My,Ed/My,b,Rd=0.00

- Verifica in termini tensionali (4.2.5) - CC 97 Xl=0.31 - Classe 3
  Sollecitazioni: T_z=-37.58 M_x=-6.78
  Tensioni: σ_N=0.00 σ_M=0.00 τ=0.00 σ_{max}=0.00
  Tensioni: σ_N=0.00 σ_M=0.00 τ=58.74 τ_{max}=58.74
  Tensioni: σ_N=0.00 σ_M=0.00 τ=58.74 $\sigma_{ID,max}$=101.74

Asta n. 303 (-704 -705) IPE240 iimpalcato Crit. 1

- Verifica di stabilità aste inflesse (4.2.4.1.3.2) CC 97 - Classe 3
  L_{cr}=0.31 Curva b: α-imp=0.34 k_c=0.94 ψ=1.75 M,cr=1236090.00 λ_{LT}=0.08
  $\lambda_{LT,0}$=0.40 β_{LT}=0.75 Φ_{LT}=0.45 β_{LT}=0.75 f=1.00 χ_{LT}=1.00
  CC 97 My,Ed=-19.08 My,b,Rd=8107.84 My,Ed/My,b,Rd=0.00

- Verifica in termini tensionali (4.2.5) - CC 97 Xl=0.00 - Classe 3
  Sollecitazioni: T_z=67.98
  Tensioni: σ_N=0.00 σ_M=0.00 τ=0.00 σ_{max}=0.00
  Tensioni: σ_N=0.00 σ_M=0.00 τ=5.54 τ_{max}=5.54
  Tensioni: σ_N=0.00 σ_M=0.00 τ=5.54 $\sigma_{ID,max}$=9.60

Asta n. 303 (-705 -706) IPE240 iimpalcato Crit. 1

- Verifica di stabilità aste inflesse (4.2.4.1.3.2) CC 98 - Classe 3
  L_{cr}=0.40 Curva b: α-imp=0.34 k_c=0.94 ψ=1.97 M,cr=845825.00 λ_{LT}=0.10
  $\lambda_{LT,0}$=0.40 β_{LT}=0.75 Φ_{LT}=0.45 β_{LT}=0.75 f=1.00 χ_{LT}=1.00
  CC 98 My,Ed=22.53 My,b,Rd=8107.84 My,Ed/My,b,Rd=0.00

- Verifica in termini tensionali (4.2.5) - CC 98 Xl=0.40 - Classe 3
  Sollecitazioni: T_z=-76.17 M_y=22.53
  Tensioni: σ_N=0.00 σ_M=-6.95 τ=0.00 σ_{max}=-6.95
  Tensioni: σ_N=0.00 σ_M=-0.00 τ=6.21 τ_{max}=6.21
  Tensioni: σ_N=0.00 σ_M=-0.00 τ=6.21 $\sigma_{ID,max}$=10.75

Asta n. 303 (-706 -707) IPE240 iimpalcato Crit. 1

- Verifica di stabilità aste inflesse (4.2.4.1.3.2) CC 98 - Classe 3
  L_{cr}=0.40 Curva b: α-imp=0.34 k_c=0.94 ψ=1.55 M,cr=662840.00 λ_{LT}=0.12
  $\lambda_{LT,0}$=0.40 β_{LT}=0.75 Φ_{LT}=0.46 β_{LT}=0.75 f=1.00 χ_{LT}=1.00
  CC 98 My,Ed=109.68 My,b,Rd=8107.84 My,Ed/My,b,Rd=0.01

- Verifica in termini tensionali (4.2.5) - CC 98 Xl=0.40 - Classe 3
  Sollecitazioni: T_z=-226.83 M_y=109.68
  Tensioni: σ_N=0.00 σ_M=-33.82 τ=0.00 σ_{max}=-33.82
  Tensioni: σ_N=0.00 σ_M=-0.00 τ=18.49 τ_{max}=18.49
  Tensioni: σ_N=0.00 σ_M=-26.83 τ=15.85 $\sigma_{ID,max}$=38.38

Asta n. 303 (-707 -708) IPE240 iimpalcato Crit. 1

- Verifica di stabilità aste inflesse (4.2.4.1.3.2) CC 98 - Classe 3
  L_{cr}=0.40 Curva b: α-imp=0.34 k_c=0.94 ψ=1.36 M,cr=581148.00 λ_{LT}=0.12
  $\lambda_{LT,0}$=0.40 β_{LT}=0.75 Φ_{LT}=0.46 β_{LT}=0.75 f=1.00 χ_{LT}=1.00
  CC 98 My,Ed=256.86 My,b,Rd=8107.84 My,Ed/My,b,Rd=0.03

- Verifica in termini tensionali (4.2.5) - CC 98 Xl=0.40 - Classe 3
  Sollecitazioni: T_z=-377.34 M_y=256.86
  Tensioni: σ_N=0.00 σ_M=-79.20 τ=0.00 σ_{max}=-79.20
  Tensioni: σ_N=0.00 σ_M=-0.00 τ=30.76 τ_{max}=30.76
  Tensioni: σ_N=0.00 σ_M=-79.20 τ=0.00 $\sigma_{ID,max}$=79.20

Asta n. 303 (-708 -709) IPE240 iimpalcato Crit. 1

- Verifica di stabilità aste inflesse (4.2.4.1.3.2) CC 98 - Classe 3
  L_{cr}=0.40 Curva b: α-imp=0.34 k_c=0.94 ψ=1.26 M,cr=540241.00 λ_{LT}=0.13
  $\lambda_{LT,0}$=0.40 β_{LT}=0.75 Φ_{LT}=0.46 β_{LT}=0.75 f=1.00 χ_{LT}=1.00
  CC 98 My,Ed=464.18 My,b,Rd=8107.84 My,Ed/My,b,Rd=0.06

- Verifica in termini tensionali (4.2.5) - CC 98 Xl=0.40 - Classe 3
  Sollecitazioni: T_z=-528.22 M_y=464.18
  Tensioni: σ_N=0.00 σ_M=-143.13 τ=0.00 σ_{max}=-143.13
  Tensioni: σ_N=0.00 σ_M=-0.00 τ=43.05 τ_{max}=43.05
  Tensioni: σ_N=0.00 σ_M=-143.13 τ=0.00 $\sigma_{ID,max}$=143.13

Asta n. 303 (-709 -710) IPE240 iimpalcato Crit. 1

- Verifica di stabilità aste inflesse (4.2.4.1.3.2) CC 98 - Classe 3
  L_{cr}=0.40 Curva b: α-imp=0.34 k_c=0.94 ψ=1.20 M,cr=516088.00 λ_{LT}=0.13
  $\lambda_{LT,0}$=0.40 β_{LT}=0.75 Φ_{LT}=0.46 β_{LT}=0.75 f=1.00 χ_{LT}=1.00
  CC 98 My,Ed=731.49 My,b,Rd=8107.84 My,Ed/My,b,Rd=0.09

- Verifica in termini tensionali (4.2.5) - CC 98 Xl=0.40 - Classe 3
  Sollecitazioni: T_z=-678.56 M_y=731.49
  Tensioni: σ_N=0.00 σ_M=-225.55 τ=0.00 σ_{max}=-225.55
  Tensioni: σ_N=0.00 σ_M=-0.00 τ=55.31 τ_{max}=55.31
  Tensioni: σ_N=0.00 σ_M=-225.55 τ=0.00 $\sigma_{ID,max}$=225.55

Asta n. 303 (-710 -711) IPE240 iimpalcato Crit. 1

- Verifica di stabilità aste inflesse (4.2.4.1.3.2) CC 98 - Classe 3
  L_{cr}=0.40 Curva b: α-imp=0.34 k_c=0.94 ψ=1.17 M,cr=500306.00 λ_{LT}=0.13
  $\lambda_{LT,0}$=0.40 β_{LT}=0.75 Φ_{LT}=0.46 β_{LT}=0.75 f=1.00 χ_{LT}=1.00
  CC 98 My,Ed=1058.40 My,b,Rd=8107.84 My,Ed/My,b,Rd=0.13

- Verifica in termini tensionali (4.2.5) - CC 98 Xl=0.40 - Classe 3
  Sollecitazioni: T_z=-828.25 M_y=1058.40
  Tensioni: σ_N=0.00 σ_M=-326.35 τ=0.00 σ_{max}=-326.35
  Tensioni: σ_N=0.00 σ_M=-0.00 τ=67.51 τ_{max}=67.51
  Tensioni: σ_N=0.00 σ_M=-326.35 τ=0.00 $\sigma_{ID,max}$=326.35

Asta n. 303 (-711 -712) IPE240 iimpalcato Crit. 1

- Verifica di stabilità aste inflesse (4.2.4.1.3.2) CC 98 - Classe 3
  L_{cr}=0.20 Curva b: α-imp=0.34 k_c=0.94 ψ=1.08 M,cr=1832540.00 λ_{LT}=0.07
  $\lambda_{LT,0}$=0.40 β_{LT}=0.75 Φ_{LT}=0.45 β_{LT}=0.75 f=1.00 χ_{LT}=1.00
  CC 98 My,Ed=1248.90 My,b,Rd=8107.84 My,Ed/My,b,Rd=0.15

- Verifica in termini tensionali (4.2.5) - CC 98 Xl=0.20 - Classe 3
  Sollecitazioni: T_z=-972.02 M_y=1248.90
  Tensioni: σ_N=0.00 σ_M=-385.09 τ=0.00 σ_{max}=-385.09
  Tensioni: σ_N=0.00 σ_M=-0.00 τ=79.23 τ_{max}=79.23
  Tensioni: σ_N=0.00 σ_M=-385.09 τ=0.00 $\sigma_{ID,max}$=385.09

Asta n. 303 (-712 -713) IPE240 iimpalcato Crit. 1

- Verifica di stabilità aste inflesse (4.2.4.1.3.2) CC 98 - Classe 3
  L_{cr}=0.20 Curva b: α-imp=0.34 k_c=0.94 ψ=1.07 M,cr=1814550.00 λ_{LT}=0.07

$\lambda_{LT,0}$=0.40 β_{LT}=0.75 Φ_{LT}=0.45 β_{LT}=0.75 f=1.00 χ_{LT}=1.00
CC 98 My,Ed=1443.52 My,b,Rd=8107.84 My,Ed/My,b,Rd=0.18

- Verifica in termini tensionali (4.2.5) - CC 98 Xl=0.20 - Classe 3
Sollecitazioni: T_z=-980.28 M_y=1443.52
Tensioni: σ_N=0.00 σ_M=-445.10 τ=0.00 σ_{max}=-445.10
Tensioni: σ_N=0.00 σ_M=-0.00 τ=79.90 τ_{max}=79.90
Tensioni: σ_N=0.00 σ_M=-445.10 τ=0.00 $\sigma_{ID,max}$=445.10

Asta n. 303 (-713 -714) IPE240 iimpalcato Crit. 1

- Verifica di stabilità aste inflesse (4.2.4.1.3.2) CC 98 - Classe 3
L_{cr}=0.40 Curva b: α-imp=0.34 k_c=0.94 ψ=1.12 M,cr=481278.00 λ_{LT}=0.14
$\lambda_{LT,0}$=0.40 β_{LT}=0.75 Φ_{LT}=0.46 β_{LT}=0.75 f=1.00 χ_{LT}=1.00
CC 98 My,Ed=1894.09 My,b,Rd=8107.84 My,Ed/My,b,Rd=0.23

- Verifica in termini tensionali (4.2.5) - CC 98 Xl=0.40 - Classe 3
Sollecitazioni: T_z=-1131.93 M_y=1894.09 M_x=1.02
Tensioni: σ_N=0.00 σ_M=-584.03 τ=8.84 σ_{max}=-584.03
Tensioni: σ_N=0.00 σ_M=-0.00 τ=92.69 τ_{max}=92.69
Tensioni: σ_N=0.00 σ_M=-584.03 τ=8.84 $\sigma_{ID,max}$=584.23

Asta n. 303 (-714 -715) IPE240 iimpalcato Crit. 1

- Verifica di stabilità aste inflesse (4.2.4.1.3.2) CC 98 - Classe 3
L_{cr}=0.40 Curva b: α-imp=0.34 k_c=0.94 ψ=1.18 M,cr=501323.00 λ_{LT}=0.13
$\lambda_{LT,0}$=0.40 β_{LT}=0.75 Φ_{LT}=0.46 β_{LT}=0.75 f=1.00 χ_{LT}=1.00
CC 98 My,Ed=1893.94 My,b,Rd=8107.84 My,Ed/My,b,Rd=0.23

- Verifica in termini tensionali (4.2.5) - CC 98 Xl=0.00 - Classe 3
Sollecitazioni: T_z=1542.43 M_y=1893.94 M_x=-1.38
Tensioni: σ_N=0.00 σ_M=-583.99 τ=11.95 σ_{max}=-583.99
Tensioni: σ_N=0.00 σ_M=-0.00 τ=126.29 τ_{max}=126.29
Tensioni: σ_N=0.00 σ_M=-583.99 τ=11.95 $\sigma_{ID,max}$=584.35

Asta n. 303 (-715 -716) IPE240 iimpalcato Crit. 1

- Verifica di stabilità aste inflesse (4.2.4.1.3.2) CC 98 - Classe 3
L_{cr}=0.20 Curva b: α-imp=0.34 k_c=0.94 ψ=1.11 M,cr=1880430.00 λ_{LT}=0.07
$\lambda_{LT,0}$=0.40 β_{LT}=0.75 Φ_{LT}=0.45 β_{LT}=0.75 f=1.00 χ_{LT}=1.00
CC 98 My,Ed=1277.77 My,b,Rd=8107.84 My,Ed/My,b,Rd=0.16

- Verifica in termini tensionali (4.2.5) - CC 98 Xl=0.00 - Classe 3
Sollecitazioni: T_z=1390.29 M_y=1277.77 M_x=-1.30
Tensioni: σ_N=0.00 σ_M=-393.99 τ=11.23 σ_{max}=-393.99
Tensioni: σ_N=0.00 σ_M=-0.00 τ=113.88 τ_{max}=113.88
Tensioni: σ_N=0.00 σ_M=-393.99 τ=11.23 $\sigma_{ID,max}$=394.47

Asta n. 303 (-716 -717) IPE240 iimpalcato Crit. 1

- Verifica di stabilità aste inflesse (4.2.4.1.3.2) CC 98 - Classe 3
L_{cr}=0.20 Curva b: α-imp=0.34 k_c=0.94 ψ=1.15 M,cr=1939530.00 λ_{LT}=0.07
$\lambda_{LT,0}$=0.40 β_{LT}=0.75 Φ_{LT}=0.45 β_{LT}=0.75 f=1.00 χ_{LT}=1.00
CC 98 My,Ed=1000.54 My,b,Rd=8107.84 My,Ed/My,b,Rd=0.12

- Verifica in termini tensionali (4.2.5) - CC 98 Xl=0.00 - Classe 3
Sollecitazioni: T_z=1382.00 M_y=1000.54 M_x=-1.30
Tensioni: σ_N=0.00 σ_M=-308.51 τ=11.23 σ_{max}=-308.51
Tensioni: σ_N=0.00 σ_M=-0.00 τ=113.20 τ_{max}=113.20
Tensioni: σ_N=0.00 σ_M=-308.51 τ=11.23 $\sigma_{ID,max}$=309.12

Asta n. 303 (-717 -718) IPE240 iimpalcato Crit. 1

- Verifica di stabilità aste inflesse (4.2.4.1.3.2) CC 98 - Classe 3
L_{cr}=0.40 Curva b: α-imp=0.34 k_c=0.94 ψ=1.44 M,cr=613757.00 λ_{LT}=0.12
$\lambda_{LT,0}$=0.40 β_{LT}=0.75 Φ_{LT}=0.46 β_{LT}=0.75 f=1.00 χ_{LT}=1.00
CC 98 My,Ed=727.46 My,b,Rd=8107.84 My,Ed/My,b,Rd=0.09

- Verifica in termini tensionali (4.2.5) - CC 98 Xl=0.00 - Classe 3

Sollecitazioni: T_z=1237.79 M_y=727.46 M_x=-1.21
Tensioni: σ_N=0.00 σ_M=-224.31 τ=10.50 σ_{max}=-224.31
Tensioni: σ_N=0.00 σ_M=-0.00 τ=101.44 τ_{max}=101.44
Tensioni: σ_N=0.00 σ_M=-177.95 τ=87.11 $\sigma_{ID,max}$=233.31

Asta n. 303 (-718 -719) IPE240 iimpalcato Crit. 1

- Verifica di stabilità aste inflesse (4.2.4.1.3.2) CC 97 - Classe 3
L_{cr}=0.40 Curva b: α-imp=0.34 k_c=0.94 ψ=2.22 M,cr=943440.00 λ_{LT}=0.10
$\lambda_{LT,0}$=0.40 β_{LT}=0.75 Φ_{LT}=0.45 β_{LT}=0.75 f=1.00 χ_{LT}=1.00
CC 97 My,Ed=-297.62 My,b,Rd=8107.84 My,Ed/My,b,Rd=0.04

- Verifica in termini tensionali (4.2.5) - CC 98 Xl=0.00 - Classe 3
Sollecitazioni: T_z=1087.63 M_y=235.71
Tensioni: σ_N=0.00 σ_M=-72.68 τ=0.00 σ_{max}=-72.68
Tensioni: σ_N=0.00 σ_M=-0.00 τ=88.65 τ_{max}=88.65
Tensioni: σ_N=0.00 σ_M=-0.00 τ=88.65 $\sigma_{ID,max}$=153.55

Asta n. 303 (-719 -720) IPE240 iimpalcato Crit. 1

- Verifica di stabilità aste inflesse (4.2.4.1.3.2) CC 97 - Classe 3
L_{cr}=0.40 Curva b: α-imp=0.34 k_c=0.94 ψ=1.33 M,cr=568041.00 λ_{LT}=0.13
$\lambda_{LT,0}$=0.40 β_{LT}=0.75 Φ_{LT}=0.46 β_{LT}=0.75 f=1.00 χ_{LT}=1.00
CC 97 My,Ed=-653.46 My,b,Rd=8107.84 My,Ed/My,b,Rd=0.08

- Verifica in termini tensionali (4.2.5) - CC 97 Xl=0.40 - Classe 3
Sollecitazioni: T_z=881.25 M_y=-653.46
Tensioni: σ_N=0.00 σ_M=201.49 τ=0.00 σ_{max}=201.49
Tensioni: σ_N=0.00 σ_M=0.00 τ=71.83 τ_{max}=71.83
Tensioni: σ_N=0.00 σ_M=201.49 τ=0.00 $\sigma_{ID,max}$=201.49

Asta n. 303 (-720 -721) IPE240 iimpalcato Crit. 1

- Verifica di stabilità aste inflesse (4.2.4.1.3.2) CC 97 - Classe 3
L_{cr}=0.40 Curva b: α-imp=0.34 k_c=0.94 ψ=1.17 M,cr=497819.00 λ_{LT}=0.13
$\lambda_{LT,0}$=0.40 β_{LT}=0.75 Φ_{LT}=0.46 β_{LT}=0.75 f=1.00 χ_{LT}=1.00
CC 97 My,Ed=-948.65 My,b,Rd=8107.84 My,Ed/My,b,Rd=0.12

- Verifica in termini tensionali (4.2.5) - CC 97 Xl=0.40 - Classe 3
Sollecitazioni: T_z=729.67 M_y=-948.65
Tensioni: σ_N=0.00 σ_M=292.51 τ=0.00 σ_{max}=292.51
Tensioni: σ_N=0.00 σ_M=0.00 τ=59.48 τ_{max}=59.48
Tensioni: σ_N=0.00 σ_M=292.51 τ=0.00 $\sigma_{ID,max}$=292.51

Asta n. 303 (-721 -722) IPE240 iimpalcato Crit. 1

- Verifica di stabilità aste inflesse (4.2.4.1.3.2) CC 97 - Classe 3
L_{cr}=0.40 Curva b: α-imp=0.34 k_c=0.94 ψ=1.10 M,cr=468890.00 λ_{LT}=0.14
$\lambda_{LT,0}$=0.40 β_{LT}=0.75 Φ_{LT}=0.46 β_{LT}=0.75 f=1.00 χ_{LT}=1.00
CC 97 My,Ed=-1183.52 My,b,Rd=8107.84 My,Ed/My,b,Rd=0.15

- Verifica in termini tensionali (4.2.5) - CC 97 Xl=0.40 - Classe 3
Sollecitazioni: T_z=578.96 M_y=-1183.52
Tensioni: σ_N=0.00 σ_M=364.93 τ=0.00 σ_{max}=364.93
Tensioni: σ_N=0.00 σ_M=0.00 τ=47.19 τ_{max}=47.19
Tensioni: σ_N=0.00 σ_M=364.93 τ=0.00 $\sigma_{ID,max}$=364.93

Asta n. 303 (-722 -723) IPE240 iimpalcato Crit. 1

- Verifica di stabilità aste inflesse (4.2.4.1.3.2) CC 97 - Classe 3
L_{cr}=0.40 Curva b: α-imp=0.34 k_c=0.94 ψ=1.06 M,cr=452602.00 λ_{LT}=0.14
$\lambda_{LT,0}$=0.40 β_{LT}=0.75 Φ_{LT}=0.46 β_{LT}=0.75 f=1.00 χ_{LT}=1.00
CC 97 My,Ed=-1358.40 My,b,Rd=8107.84 My,Ed/My,b,Rd=0.17

- Verifica in termini tensionali (4.2.5) - CC 97 Xl=0.40 - Classe 3
Sollecitazioni: T_z=428.79 M_y=-1358.40
Tensioni: σ_N=0.00 σ_M=418.86 τ=0.00 σ_{max}=418.86
Tensioni: σ_N=0.00 σ_M=0.00 τ=34.95 τ_{max}=34.95
Tensioni: σ_N=0.00 σ_M=418.86 τ=0.00 $\sigma_{ID,max}$=418.86

Asta n. 303 (-723 -1298) IPE240 iimpalcato Crit. 1

- Verifica di stabilità aste inflesse (4.2.4.1.3.2) CC 97 - Classe 3
  L_{cr}=0.20 Curva b: α-imp=0.34 k_c=0.94 ψ=1.02 M,cr=1723290.00 λ_{LT}=0.07
  $\lambda_{LT,0}$=0.40 β_{LT}=0.75 Φ_{LT}=0.45 β_{LT}=0.75 f=1.00 χ_{LT}=1.00
  CC 97 My,Ed=-1418.85 My,b,Rd=8107.84 My,Ed/My,b,Rd=0.17

- Verifica in termini tensionali (4.2.5) - CC 97 Xl=0.20 - Classe 3
  Sollecitazioni: T_z=285.11 M_y=-1418.85
  Tensioni: σ_N=0.00 σ_M=437.49 τ=0.00 σ_{max}=437.49
  Tensioni: σ_N=0.00 σ_M=0.00 τ=23.24 τ_{max}=23.24
  Tensioni: σ_N=0.00 σ_M=437.49 τ=0.00 $\sigma_{ID,max}$=437.49

Asta n. 303 (-1298 -724) IPE240 iimpalcato Crit. 1

- Verifica di stabilità aste inflesse (4.2.4.1.3.2) CC 97 - Classe 3
  L_{cr}=0.20 Curva b: α-imp=0.34 k_c=0.94 ψ=1.02 M,cr=1721140.00 λ_{LT}=0.07
  $\lambda_{LT,0}$=0.40 β_{LT}=0.75 Φ_{LT}=0.45 β_{LT}=0.75 f=1.00 χ_{LT}=1.00
  CC 97 My,Ed=-1475.04 My,b,Rd=8107.84 My,Ed/My,b,Rd=0.18

- Verifica in termini tensionali (4.2.5) - CC 97 Xl=0.20 - Classe 3
  Sollecitazioni: T_z=276.82 M_y=-1475.04
  Tensioni: σ_N=0.00 σ_M=454.82 τ=0.00 σ_{max}=454.82
  Tensioni: σ_N=0.00 σ_M=0.00 τ=22.56 τ_{max}=22.56
  Tensioni: σ_N=0.00 σ_M=454.82 τ=0.00 $\sigma_{ID,max}$=454.82

Asta n. 303 (-724 -1299) IPE240 iimpalcato Crit. 1

- Verifica di stabilità aste inflesse (4.2.4.1.3.2) CC 97 - Classe 3
  L_{cr}=0.20 Curva b: α-imp=0.34 k_c=0.94 ψ=1.01 M,cr=1705440.00 λ_{LT}=0.07
  $\lambda_{LT,0}$=0.40 β_{LT}=0.75 Φ_{LT}=0.45 β_{LT}=0.75 f=1.00 χ_{LT}=1.00
  CC 97 My,Ed=-1502.56 My,b,Rd=8107.84 My,Ed/My,b,Rd=0.19

- Verifica in termini tensionali (4.2.5) - CC 97 Xl=0.20 - Classe 3
  Sollecitazioni: T_z=132.79 M_y=-1502.56
  Tensioni: σ_N=0.00 σ_M=463.30 τ=0.00 σ_{max}=463.30
  Tensioni: σ_N=0.00 σ_M=0.00 τ=10.82 τ_{max}=10.82
  Tensioni: σ_N=0.00 σ_M=463.30 τ=0.00 $\sigma_{ID,max}$=463.30

Asta n. 303 (-1299 -725) IPE240 iimpalcato Crit. 1

- Verifica di stabilità aste inflesse (4.2.4.1.3.2) CC 97 - Classe 3
  L_{cr}=0.20 Curva b: α-imp=0.34 k_c=0.94 ψ=1.01 M,cr=1704360.00 λ_{LT}=0.07
  $\lambda_{LT,0}$=0.40 β_{LT}=0.75 Φ_{LT}=0.45 β_{LT}=0.75 f=1.00 χ_{LT}=1.00
  CC 97 My,Ed=-1528.29 My,b,Rd=8107.84 My,Ed/My,b,Rd=0.19

- Verifica in termini tensionali (4.2.5) - CC 97 Xl=0.20 - Classe 3
  Sollecitazioni: T_z=124.50 M_y=-1528.29
  Tensioni: σ_N=0.00 σ_M=471.24 τ=0.00 σ_{max}=471.24
  Tensioni: σ_N=0.00 σ_M=0.00 τ=10.15 τ_{max}=10.15
  Tensioni: σ_N=0.00 σ_M=471.24 τ=0.00 $\sigma_{ID,max}$=471.24

Asta n. 303 (-725 -726) IPE240 iimpalcato Crit. 1

- Verifica di stabilità aste inflesse (4.2.4.1.3.2) CC 97 - Classe 3
  L_{cr}=0.20 Curva b: α-imp=0.34 k_c=0.94 ψ=1.00 M,cr=1692940.00 λ_{LT}=0.07
  $\lambda_{LT,0}$=0.40 β_{LT}=0.75 Φ_{LT}=0.45 β_{LT}=0.75 f=1.00 χ_{LT}=1.00
  CC 97 My,Ed=-1528.30 My,b,Rd=8107.84 My,Ed/My,b,Rd=0.19

- Verifica in termini tensionali (4.2.5) - CC 97 Xl=0.00 - Classe 3
  Sollecitazioni: T_z=-11.25 M_y=-1528.30
  Tensioni: σ_N=0.00 σ_M=471.24 τ=0.00 σ_{max}=471.24
  Tensioni: σ_N=0.00 σ_M=0.00 τ=0.92 τ_{max}=0.92
  Tensioni: σ_N=0.00 σ_M=471.24 τ=0.00 $\sigma_{ID,max}$=471.24

Asta n. 303 (-726 -727) IPE240 iimpalcato Crit. 1

- Verifica di stabilità aste inflesse (4.2.4.1.3.2) CC 98 - Classe 3

L_{cr}=0.20 Curva b: α-imp=0.34 k_c=0.94 ψ=1.00 M,cr=1692940.00 λ_{LT}=0.07
$\lambda_{LT,0}$=0.40 β_{LT}=0.75 Φ_{LT}=0.45 β_{LT}=0.75 f=1.00 χ_{LT}=1.00
CC 98 My,Ed=-1528.30 My,b,Rd=8107.84 My,Ed/My,b,Rd=0.19

- Verifica in termini tensionali (4.2.5) - CC 98 Xl=0.20 - Classe 3
Sollecitazioni: T_z=11.25 M_y=-1528.30
Tensioni: σ_N=0.00 σ_M=471.24 τ=0.00 σ_{max}=471.24
Tensioni: σ_N=0.00 σ_M=0.00 τ=0.92 τ_{max}=0.92
Tensioni: σ_N=0.00 σ_M=471.24 τ=0.00 $\sigma_{ID,max}$=471.24

Asta n. 303 (-727 -1300) IPE240 iimpalcato Crit. 1

- Verifica di stabilità aste inflesse (4.2.4.1.3.2) CC 98 - Classe 3
L_{cr}=0.20 Curva b: α-imp=0.34 k_c=0.94 ψ=1.01 M,cr=1704360.00 λ_{LT}=0.07
$\lambda_{LT,0}$=0.40 β_{LT}=0.75 Φ_{LT}=0.45 β_{LT}=0.75 f=1.00 χ_{LT}=1.00
CC 98 My,Ed=-1528.29 My,b,Rd=8107.84 My,Ed/My,b,Rd=0.19

- Verifica in termini tensionali (4.2.5) - CC 98 Xl=0.00 - Classe 3
Sollecitazioni: T_z=-124.50 M_y=-1528.29
Tensioni: σ_N=0.00 σ_M=471.24 τ=0.00 σ_{max}=471.24
Tensioni: σ_N=0.00 σ_M=0.00 τ=10.15 τ_{max}=10.15
Tensioni: σ_N=0.00 σ_M=471.24 τ=0.00 $\sigma_{ID,max}$=471.24

Asta n. 303 (-1300 -728) IPE240 iimpalcato Crit. 1

- Verifica di stabilità aste inflesse (4.2.4.1.3.2) CC 98 - Classe 3
L_{cr}=0.20 Curva b: α-imp=0.34 k_c=0.94 ψ=1.01 M,cr=1705440.00 λ_{LT}=0.07
$\lambda_{LT,0}$=0.40 β_{LT}=0.75 Φ_{LT}=0.45 β_{LT}=0.75 f=1.00 χ_{LT}=1.00
CC 98 My,Ed=-1502.56 My,b,Rd=8107.84 My,Ed/My,b,Rd=0.19

- Verifica in termini tensionali (4.2.5) - CC 98 Xl=0.00 - Classe 3
Sollecitazioni: T_z=-132.79 M_y=-1502.56
Tensioni: σ_N=0.00 σ_M=463.30 τ=0.00 σ_{max}=463.30
Tensioni: σ_N=0.00 σ_M=0.00 τ=10.82 τ_{max}=10.82
Tensioni: σ_N=0.00 σ_M=463.30 τ=0.00 $\sigma_{ID,max}$=463.30

Asta n. 303 (-728 -1301) IPE240 iimpalcato Crit. 1

- Verifica di stabilità aste inflesse (4.2.4.1.3.2) CC 98 - Classe 3
L_{cr}=0.20 Curva b: α-imp=0.34 k_c=0.94 ψ=1.02 M,cr=1721140.00 λ_{LT}=0.07
$\lambda_{LT,0}$=0.40 β_{LT}=0.75 Φ_{LT}=0.45 β_{LT}=0.75 f=1.00 χ_{LT}=1.00
CC 98 My,Ed=-1475.04 My,b,Rd=8107.84 My,Ed/My,b,Rd=0.18

- Verifica in termini tensionali (4.2.5) - CC 98 Xl=0.00 - Classe 3
Sollecitazioni: T_z=-276.82 M_y=-1475.04
Tensioni: σ_N=0.00 σ_M=454.82 τ=0.00 σ_{max}=454.82
Tensioni: σ_N=0.00 σ_M=0.00 τ=22.56 τ_{max}=22.56
Tensioni: σ_N=0.00 σ_M=454.82 τ=0.00 $\sigma_{ID,max}$=454.82

Asta n. 303 (-1301 -729) IPE240 iimpalcato Crit. 1

- Verifica di stabilità aste inflesse (4.2.4.1.3.2) CC 98 - Classe 3
L_{cr}=0.20 Curva b: α-imp=0.34 k_c=0.94 ψ=1.02 M,cr=1723290.00 λ_{LT}=0.07
$\lambda_{LT,0}$=0.40 β_{LT}=0.75 Φ_{LT}=0.45 β_{LT}=0.75 f=1.00 χ_{LT}=1.00
CC 98 My,Ed=-1418.85 My,b,Rd=8107.84 My,Ed/My,b,Rd=0.17

- Verifica in termini tensionali (4.2.5) - CC 98 Xl=0.00 - Classe 3
Sollecitazioni: T_z=-285.11 M_y=-1418.85
Tensioni: σ_N=0.00 σ_M=437.49 τ=0.00 σ_{max}=437.49
Tensioni: σ_N=0.00 σ_M=0.00 τ=23.24 τ_{max}=23.24
Tensioni: σ_N=0.00 σ_M=437.49 τ=0.00 $\sigma_{ID,max}$=437.49

Asta n. 303 (-729 -730) IPE240 iimpalcato Crit. 1

- Verifica di stabilità aste inflesse (4.2.4.1.3.2) CC 98 - Classe 3
L_{cr}=0.40 Curva b: α-imp=0.34 k_c=0.94 ψ=1.06 M,cr=452602.00 λ_{LT}=0.14
$\lambda_{LT,0}$=0.40 β_{LT}=0.75 Φ_{LT}=0.46 β_{LT}=0.75 f=1.00 χ_{LT}=1.00
CC 98 My,Ed=-1358.40 My,b,Rd=8107.84 My,Ed/My,b,Rd=0.17

- Verifica in termini tensionali (4.2.5) - CC 98 Xl=0.00 - Classe 3
  Sollecitazioni: T_z=-428.79 M_y=-1358.40
  Tensioni: σ_N=0.00 σ_M=418.86 τ=0.00 σ_{max}=418.86
  Tensioni: σ_N=0.00 σ_M=0.00 τ=34.95 τ_{max}=34.95
  Tensioni: σ_N=0.00 σ_M=418.86 τ=0.00 $\sigma_{ID,max}$=418.86

Asta n. 303 (-730 -731) IPE240 iimpalcato Crit. 1

- Verifica di stabilità aste inflesse (4.2.4.1.3.2) CC 98 - Classe 3
  L_{cr}=0.40 Curva b: α-imp=0.34 k_c=0.94 ψ=1.10 M,cr=468890.00 λ_{LT}=0.14
  $\lambda_{LT,0}$=0.40 β_{LT}=0.75 Φ_{LT}=0.46 β_{LT}=0.75 f=1.00 χ_{LT}=1.00
  CC 98 My,Ed=-1183.52 My,b,Rd=8107.84 My,Ed/My,b,Rd=0.15

- Verifica in termini tensionali (4.2.5) - CC 98 Xl=0.00 - Classe 3
  Sollecitazioni: T_z=-578.96 M_y=-1183.52
  Tensioni: σ_N=0.00 σ_M=364.93 τ=0.00 σ_{max}=364.93
  Tensioni: σ_N=0.00 σ_M=0.00 τ=47.19 τ_{max}=47.19
  Tensioni: σ_N=0.00 σ_M=364.93 τ=0.00 $\sigma_{ID,max}$=364.93

Asta n. 303 (-731 -732) IPE240 iimpalcato Crit. 1

- Verifica di stabilità aste inflesse (4.2.4.1.3.2) CC 98 - Classe 3
  L_{cr}=0.40 Curva b: α-imp=0.34 k_c=0.94 ψ=1.17 M,cr=497818.00 λ_{LT}=0.13
  $\lambda_{LT,0}$=0.40 β_{LT}=0.75 Φ_{LT}=0.46 β_{LT}=0.75 f=1.00 χ_{LT}=1.00
  CC 98 My,Ed=-948.65 My,b,Rd=8107.84 My,Ed/My,b,Rd=0.12

- Verifica in termini tensionali (4.2.5) - CC 98 Xl=0.00 - Classe 3
  Sollecitazioni: T_z=-729.67 M_y=-948.65
  Tensioni: σ_N=0.00 σ_M=292.51 τ=0.00 σ_{max}=292.51
  Tensioni: σ_N=0.00 σ_M=0.00 τ=59.48 τ_{max}=59.48
  Tensioni: σ_N=0.00 σ_M=292.51 τ=0.00 $\sigma_{ID,max}$=292.51

Asta n. 303 (-732 -733) IPE240 iimpalcato Crit. 1

- Verifica di stabilità aste inflesse (4.2.4.1.3.2) CC 98 - Classe 3
  L_{cr}=0.40 Curva b: α-imp=0.34 k_c=0.94 ψ=1.33 M,cr=568042.00 λ_{LT}=0.13
  $\lambda_{LT,0}$=0.40 β_{LT}=0.75 Φ_{LT}=0.46 β_{LT}=0.75 f=1.00 χ_{LT}=1.00
  CC 98 My,Ed=-653.46 My,b,Rd=8107.84 My,Ed/My,b,Rd=0.08

- Verifica in termini tensionali (4.2.5) - CC 98 Xl=0.00 - Classe 3
  Sollecitazioni: T_z=-881.25 M_y=-653.46
  Tensioni: σ_N=0.00 σ_M=201.49 τ=0.00 σ_{max}=201.49
  Tensioni: σ_N=0.00 σ_M=0.00 τ=71.83 τ_{max}=71.83
  Tensioni: σ_N=0.00 σ_M=201.49 τ=0.00 $\sigma_{ID,max}$=201.49

Asta n. 303 (-733 -734) IPE240 iimpalcato Crit. 1

- Verifica di stabilità aste inflesse (4.2.4.1.3.2) CC 98 - Classe 3
  L_{cr}=0.40 Curva b: α-imp=0.34 k_c=0.94 ψ=2.22 M,cr=943436.00 λ_{LT}=0.10
  $\lambda_{LT,0}$=0.40 β_{LT}=0.75 Φ_{LT}=0.45 β_{LT}=0.75 f=1.00 χ_{LT}=1.00
  CC 98 My,Ed=-297.62 My,b,Rd=8107.84 My,Ed/My,b,Rd=0.04

- Verifica in termini tensionali (4.2.5) - CC 97 Xl=0.40 - Classe 3
  Sollecitazioni: T_z=-1087.63 M_y=235.71
  Tensioni: σ_N=0.00 σ_M=-72.68 τ=0.00 σ_{max}=-72.68
  Tensioni: σ_N=0.00 σ_M=-0.00 τ=88.65 τ_{max}=88.65
  Tensioni: σ_N=0.00 σ_M=-0.00 τ=88.65 $\sigma_{ID,max}$=153.55

Asta n. 303 (-734 -735) IPE240 iimpalcato Crit. 1

- Verifica di stabilità aste inflesse (4.2.4.1.3.2) CC 97 - Classe 3
  L_{cr}=0.40 Curva b: α-imp=0.34 k_c=0.94 ψ=1.44 M,cr=613758.00 λ_{LT}=0.12
  $\lambda_{LT,0}$=0.40 β_{LT}=0.75 Φ_{LT}=0.46 β_{LT}=0.75 f=1.00 χ_{LT}=1.00
  CC 97 My,Ed=727.46 My,b,Rd=8107.84 My,Ed/My,b,Rd=0.09

- Verifica in termini tensionali (4.2.5) - CC 97 Xl=0.40 - Classe 3
  Sollecitazioni: T_z=-1237.79 M_y=727.46 M_x=1.21
  Tensioni: σ_N=0.00 σ_M=-224.31 τ=10.50 σ_{max}=-224.31
  Tensioni: σ_N=0.00 σ_M=-0.00 τ=101.44 τ_{max}=101.44

Tensioni: σ_N=0.00 σ_M=-177.95 τ=87.11 $\sigma_{ID,max}$=233.31

Asta n. 303 (-735 -736) IPE240 iimpalcato Crit. 1

- Verifica di stabilità aste inflesse (4.2.4.1.3.2) CC 97 - Classe 3
  L_{cr}=0.20 Curva b: α-imp=0.34 k_c=0.94 ψ=1.15 M,cr=1939530.00 λ_{LT}=0.07
  $\lambda_{LT,0}$=0.40 β_{LT}=0.75 Φ_{LT}=0.45 β_{LT}=0.75 f=1.00 χ_{LT}=1.00
  CC 97 My,Ed=1000.54 My,b,Rd=8107.84 My,Ed/My,b,Rd=0.12

- Verifica in termini tensionali (4.2.5) - CC 97 Xl=0.20 - Classe 3
  Sollecitazioni: T_z=-1382.00 M_y=1000.54 M_x=1.30
  Tensioni: σ_N=0.00 σ_M=-308.51 τ=11.23 σ_{max}=-308.51
  Tensioni: σ_N=0.00 σ_M=-0.00 τ=113.20 τ_{max}=113.20
  Tensioni: σ_N=0.00 σ_M=-308.51 τ=11.23 $\sigma_{ID,max}$=309.12

Asta n. 303 (-736 -737) IPE240 iimpalcato Crit. 1

- Verifica di stabilità aste inflesse (4.2.4.1.3.2) CC 97 - Classe 3
  L_{cr}=0.20 Curva b: α-imp=0.34 k_c=0.94 ψ=1.11 M,cr=1880420.00 λ_{LT}=0.07
  $\lambda_{LT,0}$=0.40 β_{LT}=0.75 Φ_{LT}=0.45 β_{LT}=0.75 f=1.00 χ_{LT}=1.00
  CC 97 My,Ed=1277.77 My,b,Rd=8107.84 My,Ed/My,b,Rd=0.16

- Verifica in termini tensionali (4.2.5) - CC 97 Xl=0.20 - Classe 3
  Sollecitazioni: T_z=-1390.29 M_y=1277.77 M_x=1.30
  Tensioni: σ_N=0.00 σ_M=-393.99 τ=11.23 σ_{max}=-393.99
  Tensioni: σ_N=0.00 σ_M=-0.00 τ=113.88 τ_{max}=113.88
  Tensioni: σ_N=0.00 σ_M=-393.99 τ=11.23 $\sigma_{ID,max}$=394.47

Asta n. 303 (-737 -738) IPE240 iimpalcato Crit. 1

- Verifica di stabilità aste inflesse (4.2.4.1.3.2) CC 97 - Classe 3
  L_{cr}=0.40 Curva b: α-imp=0.34 k_c=0.94 ψ=1.18 M,cr=501326.00 λ_{LT}=0.13
  $\lambda_{LT,0}$=0.40 β_{LT}=0.75 Φ_{LT}=0.46 β_{LT}=0.75 f=1.00 χ_{LT}=1.00
  CC 97 My,Ed=1893.94 My,b,Rd=8107.84 My,Ed/My,b,Rd=0.23

- Verifica in termini tensionali (4.2.5) - CC 97 Xl=0.40 - Classe 3
  Sollecitazioni: T_z=-1542.43 M_y=1893.94 M_x=1.38
  Tensioni: σ_N=0.00 σ_M=-583.99 τ=11.95 σ_{max}=-583.99
  Tensioni: σ_N=0.00 σ_M=-0.00 τ=126.29 τ_{max}=126.29
  Tensioni: σ_N=0.00 σ_M=-583.99 τ=11.95 $\sigma_{ID,max}$=584.35

Asta n. 303 (-738 -739) IPE240 iimpalcato Crit. 1

- Verifica di stabilità aste inflesse (4.2.4.1.3.2) CC 97 - Classe 3
  L_{cr}=0.40 Curva b: α-imp=0.34 k_c=0.94 ψ=1.12 M,cr=481277.00 λ_{LT}=0.14
  $\lambda_{LT,0}$=0.40 β_{LT}=0.75 Φ_{LT}=0.46 β_{LT}=0.75 f=1.00 χ_{LT}=1.00
  CC 97 My,Ed=1894.09 My,b,Rd=8107.84 My,Ed/My,b,Rd=0.23

- Verifica in termini tensionali (4.2.5) - CC 97 Xl=0.00 - Classe 3
  Sollecitazioni: T_z=1131.93 M_y=1894.09 M_x=-1.02
  Tensioni: σ_N=0.00 σ_M=-584.03 τ=8.84 σ_{max}=-584.03
  Tensioni: σ_N=0.00 σ_M=-0.00 τ=92.69 τ_{max}=92.69
  Tensioni: σ_N=0.00 σ_M=-584.03 τ=8.84 $\sigma_{ID,max}$=584.23

Asta n. 303 (-739 -740) IPE240 iimpalcato Crit. 1

- Verifica di stabilità aste inflesse (4.2.4.1.3.2) CC 97 - Classe 3
  L_{cr}=0.20 Curva b: α-imp=0.34 k_c=0.94 ψ=1.07 M,cr=1814560.00 λ_{LT}=0.07
  $\lambda_{LT,0}$=0.40 β_{LT}=0.75 Φ_{LT}=0.45 β_{LT}=0.75 f=1.00 χ_{LT}=1.00
  CC 97 My,Ed=1443.47 My,b,Rd=8107.84 My,Ed/My,b,Rd=0.18

- Verifica in termini tensionali (4.2.5) - CC 97 Xl=0.00 - Classe 3
  Sollecitazioni: T_z=980.27 M_y=1443.47
  Tensioni: σ_N=0.00 σ_M=-445.08 τ=0.00 σ_{max}=-445.08
  Tensioni: σ_N=0.00 σ_M=-0.00 τ=79.90 τ_{max}=79.90
  Tensioni: σ_N=0.00 σ_M=-445.08 τ=0.00 $\sigma_{ID,max}$=445.08

Asta n. 303 (-740 -741) IPE240 iimpalcato Crit. 1

- Verifica di stabilità aste inflesse (4.2.4.1.3.2) CC 97 - Classe 3
  L_{cr}=0.20 Curva b: α-imp=0.34 k_c=0.94 ψ=1.08 M,cr=1832530.00 λ_{LT}=0.07
  $\lambda_{LT,0}$=0.40 β_{LT}=0.75 Φ_{LT}=0.45 β_{LT}=0.75 f=1.00 χ_{LT}=1.00
  CC 97 My,Ed=1248.92 My,b,Rd=8107.84 My,Ed/My,b,Rd=0.15

- Verifica in termini tensionali (4.2.5) - CC 97 Xl=0.00 - Classe 3
  Sollecitazioni: T_z=972.01 M_y=1248.92
  Tensioni: σ_N=0.00 σ_M=-385.10 τ=0.00 σ_{max}=-385.10
  Tensioni: σ_N=0.00 σ_M=-0.00 τ=79.23 τ_{max}=79.23
  Tensioni: σ_N=0.00 σ_M=-385.10 τ=0.00 $\sigma_{ID,max}$=385.10

Asta n. 303 (-741 -742) IPE240 iimpalcato Crit. 1

- Verifica di stabilità aste inflesse (4.2.4.1.3.2) CC 97 - Classe 3
  L_{cr}=0.40 Curva b: α-imp=0.34 k_c=0.94 ψ=1.17 M,cr=500307.00 λ_{LT}=0.13
  $\lambda_{LT,0}$=0.40 β_{LT}=0.75 Φ_{LT}=0.46 β_{LT}=0.75 f=1.00 χ_{LT}=1.00
  CC 97 My,Ed=1058.40 My,b,Rd=8107.84 My,Ed/My,b,Rd=0.13

- Verifica in termini tensionali (4.2.5) - CC 97 Xl=0.00 - Classe 3
  Sollecitazioni: T_z=828.26 M_y=1058.40
  Tensioni: σ_N=0.00 σ_M=-326.35 τ=0.00 σ_{max}=-326.35
  Tensioni: σ_N=0.00 σ_M=-0.00 τ=67.51 τ_{max}=67.51
  Tensioni: σ_N=0.00 σ_M=-326.35 τ=0.00 $\sigma_{ID,max}$=326.35

Asta n. 303 (-742 -743) IPE240 iimpalcato Crit. 1

- Verifica di stabilità aste inflesse (4.2.4.1.3.2) CC 97 - Classe 3
  L_{cr}=0.40 Curva b: α-imp=0.34 k_c=0.94 ψ=1.20 M,cr=516085.00 λ_{LT}=0.13
  $\lambda_{LT,0}$=0.40 β_{LT}=0.75 Φ_{LT}=0.46 β_{LT}=0.75 f=1.00 χ_{LT}=1.00
  CC 97 My,Ed=731.52 My,b,Rd=8107.84 My,Ed/My,b,Rd=0.09

- Verifica in termini tensionali (4.2.5) - CC 97 Xl=0.00 - Classe 3
  Sollecitazioni: T_z=678.57 M_y=731.52
  Tensioni: σ_N=0.00 σ_M=-225.56 τ=0.00 σ_{max}=-225.56
  Tensioni: σ_N=0.00 σ_M=-0.00 τ=55.31 τ_{max}=55.31
  Tensioni: σ_N=0.00 σ_M=-225.56 τ=0.00 $\sigma_{ID,max}$=225.56

Asta n. 303 (-743 -744) IPE240 iimpalcato Crit. 1

- Verifica di stabilità aste inflesse (4.2.4.1.3.2) CC 97 - Classe 3
  L_{cr}=0.40 Curva b: α-imp=0.34 k_c=0.94 ψ=1.26 M,cr=540239.00 λ_{LT}=0.13
  $\lambda_{LT,0}$=0.40 β_{LT}=0.75 Φ_{LT}=0.46 β_{LT}=0.75 f=1.00 χ_{LT}=1.00
  CC 97 My,Ed=464.18 My,b,Rd=8107.84 My,Ed/My,b,Rd=0.06

- Verifica in termini tensionali (4.2.5) - CC 97 Xl=0.00 - Classe 3
  Sollecitazioni: T_z=528.21 M_y=464.18
  Tensioni: σ_N=0.00 σ_M=-143.13 τ=0.00 σ_{max}=-143.13
  Tensioni: σ_N=0.00 σ_M=-0.00 τ=43.05 τ_{max}=43.05
  Tensioni: σ_N=0.00 σ_M=-143.13 τ=0.00 $\sigma_{ID,max}$=143.13

Asta n. 303 (-744 -745) IPE240 iimpalcato Crit. 1

- Verifica di stabilità aste inflesse (4.2.4.1.3.2) CC 97 - Classe 3
  L_{cr}=0.40 Curva b: α-imp=0.34 k_c=0.94 ψ=1.36 M,cr=581159.00 λ_{LT}=0.12
  $\lambda_{LT,0}$=0.40 β_{LT}=0.75 Φ_{LT}=0.46 β_{LT}=0.75 f=1.00 χ_{LT}=1.00
  CC 97 My,Ed=256.83 My,b,Rd=8107.84 My,Ed/My,b,Rd=0.03

- Verifica in termini tensionali (4.2.5) - CC 97 Xl=0.00 - Classe 3
  Sollecitazioni: T_z=377.33 M_y=256.83
  Tensioni: σ_N=0.00 σ_M=-79.19 τ=0.00 σ_{max}=-79.19
  Tensioni: σ_N=0.00 σ_M=-0.00 τ=30.76 τ_{max}=30.76
  Tensioni: σ_N=0.00 σ_M=-79.19 τ=0.00 $\sigma_{ID,max}$=79.19

Asta n. 303 (-745 -746) IPE240 iimpalcato Crit. 1

- Verifica di stabilità aste inflesse (4.2.4.1.3.2) CC 97 - Classe 3
  L_{cr}=0.40 Curva b: α-imp=0.34 k_c=0.94 ψ=1.55 M,cr=662827.00 λ_{LT}=0.12
  $\lambda_{LT,0}$=0.40 β_{LT}=0.75 Φ_{LT}=0.46 β_{LT}=0.75 f=1.00 χ_{LT}=1.00
  CC 97 My,Ed=109.68 My,b,Rd=8107.84 My,Ed/My,b,Rd=0.01

- Verifica in termini tensionali (4.2.5) - CC 97 Xl=0.00 - Classe 3
  Sollecitazioni: T_z=226.82 M_y=109.68
  Tensioni: σ_N=0.00 σ_M=-33.82 τ=0.00 σ_{max}=-33.82
  Tensioni: σ_N=0.00 σ_M=-0.00 τ=18.49 τ_{max}=18.49
  Tensioni: σ_N=0.00 σ_M=-26.83 τ=15.85 $\sigma_{ID,max}$=38.38

Asta n. 303 (-746 -747) IPE240 iimpalcato Crit. 1

- Verifica di stabilità aste inflesse (4.2.4.1.3.2) CC 97 - Classe 3
  L_{cr}=0.40 Curva b: α-imp=0.34 k_c=0.94 ψ=1.97 M,cr=845921.00 λ_{LT}=0.10
  $\lambda_{LT,0}$=0.40 β_{LT}=0.75 Φ_{LT}=0.45 β_{LT}=0.75 f=1.00 χ_{LT}=1.00
  CC 97 My,Ed=22.52 My,b,Rd=8107.84 My,Ed/My,b,Rd=0.00

- Verifica in termini tensionali (4.2.5) - CC 97 Xl=0.00 - Classe 3
  Sollecitazioni: T_z=76.16 M_y=22.52
  Tensioni: σ_N=0.00 σ_M=-6.95 τ=0.00 σ_{max}=-6.95
  Tensioni: σ_N=0.00 σ_M=-0.00 τ=6.21 τ_{max}=6.21
  Tensioni: σ_N=0.00 σ_M=-0.00 τ=6.21 $\sigma_{ID,max}$=10.75

Asta n. 303 (-747 -748) IPE240 iimpalcato Crit. 1

- Verifica di stabilità aste inflesse (4.2.4.1.3.2) CC 98 - Classe 3
  L_{cr}=0.31 Curva b: α-imp=0.34 k_c=0.94 ψ=1.75 M,cr=1236090.00 λ_{LT}=0.08
  $\lambda_{LT,0}$=0.40 β_{LT}=0.75 Φ_{LT}=0.45 β_{LT}=0.75 f=1.00 χ_{LT}=1.00
  CC 98 My,Ed=-19.08 My,b,Rd=8107.84 My,Ed/My,b,Rd=0.00

- Verifica in termini tensionali (4.2.5) - CC 98 Xl=0.31 - Classe 3
  Sollecitazioni: T_z=-67.98
  Tensioni: σ_N=0.00 σ_M=0.00 τ=0.00 σ_{max}=0.00
  Tensioni: σ_N=0.00 σ_M=0.00 τ=5.54 τ_{max}=5.54
  Tensioni: σ_N=0.00 σ_M=0.00 τ=5.54 $\sigma_{ID,max}$=9.60

Asta n. 304 (-794 -795) IPE240 iimpalcato Crit. 1

- Verifica di stabilità aste inflesse (4.2.4.1.3.2) CC 97 - Classe 3
  L_{cr}=0.31 Curva b: α-imp=0.34 k_c=0.94 ψ=1.75 M,cr=1236090.00 λ_{LT}=0.08
  $\lambda_{LT,0}$=0.40 β_{LT}=0.75 Φ_{LT}=0.45 β_{LT}=0.75 f=1.00 χ_{LT}=1.00
  CC 97 My,Ed=-18.87 My,b,Rd=8107.84 My,Ed/My,b,Rd=0.00

- Verifica in termini tensionali (4.2.5) - CC 97 Xl=0.31 - Classe 3
  Sollecitazioni: T_z=54.46 M_y=-18.87 M_x=11.87
  Tensioni: σ_N=0.00 σ_M=5.82 τ=102.55 σ_{max}=5.82
  Tensioni: σ_N=0.00 σ_M=5.34 τ=102.71 τ_{max}=102.71
  Tensioni: σ_N=0.00 σ_M=5.34 τ=102.71 $\sigma_{ID,max}$=177.98

Asta n. 304 (-795 -796) IPE240 iimpalcato Crit. 1

- Verifica di stabilità aste inflesse (4.2.4.1.3.2) CC 98 - Classe 3
  L_{cr}=0.40 Curva b: α-imp=0.34 k_c=0.94 ψ=1.96 M,cr=837814.00 λ_{LT}=0.10
  $\lambda_{LT,0}$=0.40 β_{LT}=0.75 Φ_{LT}=0.45 β_{LT}=0.75 f=1.00 χ_{LT}=1.00
  CC 98 My,Ed=23.11 My,b,Rd=8107.84 My,Ed/My,b,Rd=0.00

- Verifica in termini tensionali (4.2.5) - CC 98 Xl=0.40 - Classe 3
  Sollecitazioni: T_z=-76.99 M_y=23.11 M_x=10.21
  Tensioni: σ_N=0.00 σ_M=-7.13 τ=88.22 σ_{max}=-7.13
  Tensioni: σ_N=0.00 σ_M=-0.00 τ=88.44 τ_{max}=88.44
  Tensioni: σ_N=0.00 σ_M=-5.65 τ=88.38 $\sigma_{ID,max}$=153.19

Asta n. 304 (-796 -797) IPE240 iimpalcato Crit. 1

- Verifica di stabilità aste inflesse (4.2.4.1.3.2) CC 98 - Classe 3
  L_{cr}=0.40 Curva b: α-imp=0.34 k_c=0.94 ψ=1.54 M,cr=661419.00 λ_{LT}=0.12
  $\lambda_{LT,0}$=0.40 β_{LT}=0.75 Φ_{LT}=0.46 β_{LT}=0.75 f=1.00 χ_{LT}=1.00
  CC 98 My,Ed=110.58 My,b,Rd=8107.84 My,Ed/My,b,Rd=0.01

- Verifica in termini tensionali (4.2.5) - CC 98 Xl=0.40 - Classe 3
  Sollecitazioni: T_z=-227.63 M_y=110.58 M_x=6.90
  Tensioni: σ_N=0.00 σ_M=-34.10 τ=59.60 σ_{max}=-34.10

Tensioni: σ_N=0.00 σ_M=-0.00 τ=62.42 τ_{max}=62.42
Tensioni: σ_N=0.00 σ_M=-27.05 τ=61.68 $\sigma_{ID,max}$=110.21

Asta n. 304 (-797 -798) IPE240 iimpalcato Crit. 1

- Verifica di stabilità aste inflesse (4.2.4.1.3.2) CC 98 - Classe 3
L_{cr}=0.40 Curva b: α-imp=0.34 k_c=0.94 ψ=1.36 M,cr=580662.00 λ_{LT}=0.12
$\lambda_{LT,0}$=0.40 β_{LT}=0.75 Φ_{LT}=0.46 β_{LT}=0.75 f=1.00 χ_{LT}=1.00
CC 98 My,Ed=258.10 My,b,Rd=8107.84 My,Ed/My,b,Rd=0.03

- Verifica in termini tensionali (4.2.5) - CC 98 Xl=0.40 - Classe 3
Sollecitazioni: T_z=-378.20 M_y=258.10 M_x=3.59
Tensioni: σ_N=0.00 σ_M=-79.58 τ=31.01 σ_{max}=-79.58
Tensioni: σ_N=0.00 σ_M=-0.00 τ=43.72 τ_{max}=43.72
Tensioni: σ_N=0.00 σ_M=-79.58 τ=31.01 $\sigma_{ID,max}$=96.01

Asta n. 304 (-798 -799) IPE240 iimpalcato Crit. 1

- Verifica di stabilità aste inflesse (4.2.4.1.3.2) CC 98 - Classe 3
L_{cr}=0.40 Curva b: α-imp=0.34 k_c=0.94 ψ=1.26 M,cr=539981.00 λ_{LT}=0.13
$\lambda_{LT,0}$=0.40 β_{LT}=0.75 Φ_{LT}=0.46 β_{LT}=0.75 f=1.00 χ_{LT}=1.00
CC 98 My,Ed=465.72 My,b,Rd=8107.84 My,Ed/My,b,Rd=0.06

- Verifica in termini tensionali (4.2.5) - CC 98 Xl=0.40 - Classe 3
Sollecitazioni: T_z=-528.96 M_y=465.72
Tensioni: σ_N=0.00 σ_M=-143.60 τ=0.00 σ_{max}=-143.60
Tensioni: σ_N=0.00 σ_M=-0.00 τ=43.12 τ_{max}=43.12
Tensioni: σ_N=0.00 σ_M=-143.60 τ=0.00 $\sigma_{ID,max}$=143.60

Asta n. 304 (-799 -800) IPE240 iimpalcato Crit. 1

- Verifica di stabilità aste inflesse (4.2.4.1.3.2) CC 98 - Classe 3
L_{cr}=0.40 Curva b: α-imp=0.34 k_c=0.94 ψ=1.20 M,cr=515954.00 λ_{LT}=0.13
$\lambda_{LT,0}$=0.40 β_{LT}=0.75 Φ_{LT}=0.46 β_{LT}=0.75 f=1.00 χ_{LT}=1.00
CC 98 My,Ed=733.35 My,b,Rd=8107.84 My,Ed/My,b,Rd=0.09

- Verifica in termini tensionali (4.2.5) - CC 98 Xl=0.40 - Classe 3
Sollecitazioni: T_z=-679.41 M_y=733.35 M_x=-3.02
Tensioni: σ_N=0.00 σ_M=-226.13 τ=26.11 σ_{max}=-226.13
Tensioni: σ_N=0.00 σ_M=-0.00 τ=61.23 τ_{max}=61.23
Tensioni: σ_N=0.00 σ_M=-226.13 τ=26.11 $\sigma_{ID,max}$=230.60

Asta n. 304 (-800 -801) IPE240 iimpalcato Crit. 1

- Verifica di stabilità aste inflesse (4.2.4.1.3.2) CC 98 - Classe 3
L_{cr}=0.40 Curva b: α-imp=0.34 k_c=0.94 ψ=1.17 M,cr=500258.00 λ_{LT}=0.13
$\lambda_{LT,0}$=0.40 β_{LT}=0.75 Φ_{LT}=0.46 β_{LT}=0.75 f=1.00 χ_{LT}=1.00
CC 98 My,Ed=1060.87 My,b,Rd=8107.84 My,Ed/My,b,Rd=0.13

- Verifica in termini tensionali (4.2.5) - CC 98 Xl=0.40 - Classe 3
Sollecitazioni: T_z=-829.69 M_y=1060.87 M_x=-6.36
Tensioni: σ_N=0.00 σ_M=-327.11 τ=54.99 σ_{max}=-327.11
Tensioni: σ_N=0.00 σ_M=-0.00 τ=87.16 τ_{max}=87.16
Tensioni: σ_N=0.00 σ_M=-327.11 τ=54.99 $\sigma_{ID,max}$=340.70

Asta n. 304 (-801 -802) IPE240 iimpalcato Crit. 1

- Verifica di stabilità aste inflesse (4.2.4.1.3.2) CC 98 - Classe 3
L_{cr}=0.20 Curva b: α-imp=0.34 k_c=0.94 ψ=1.08 M,cr=1832390.00 λ_{LT}=0.07
$\lambda_{LT,0}$=0.40 β_{LT}=0.75 Φ_{LT}=0.45 β_{LT}=0.75 f=1.00 χ_{LT}=1.00
CC 98 My,Ed=1251.03 My,b,Rd=8107.84 My,Ed/My,b,Rd=0.15

- Verifica in termini tensionali (4.2.5) - CC 98 Xl=0.20 - Classe 3
Sollecitazioni: T_z=-972.66 M_y=1251.03 M_x=-9.38
Tensioni: σ_N=0.00 σ_M=-385.75 τ=81.05 σ_{max}=-385.75
Tensioni: σ_N=0.00 σ_M=-0.00 τ=113.38 τ_{max}=113.38
Tensioni: σ_N=0.00 σ_M=-385.75 τ=81.05 $\sigma_{ID,max}$=410.50

Asta n. 304 (-802 -803) IPE240 iimpalcato Crit. 1

- Verifica di stabilità aste inflesse (4.2.4.1.3.2) CC 98 - Classe 3
  L_{cr}=0.20 Curva b: α-imp=0.34 k_c=0.94 ψ=1.07 M,cr=1814440.00 λ_{LT}=0.07
  $\lambda_{LT,0}$=0.40 β_{LT}=0.75 Φ_{LT}=0.45 β_{LT}=0.75 f=1.00 χ_{LT}=1.00
  CC 98 My,Ed=1445.77 My,b,Rd=8107.84 My,Ed/My,b,Rd=0.18

- Verifica in termini tensionali (4.2.5) - CC 98 Xl=0.20 - Classe 3
  Sollecitazioni: T_z=-980.93 M_y=1445.77 M_x=-9.38
  Tensioni: σ_N=0.00 σ_M=-445.80 τ=81.05 σ_{max}=-445.80
  Tensioni: σ_N=0.00 σ_M=-0.00 τ=113.85 τ_{max}=113.85
  Tensioni: σ_N=0.00 σ_M=-445.80 τ=81.05 $\sigma_{ID,max}$=467.38

Asta n. 304 (-803 312) IPE240 iimpalcato Crit. 1

- Verifica di stabilità aste inflesse (4.2.4.1.3.2) CC 98 - Classe 3
  L_{cr}=0.40 Curva b: α-imp=0.34 k_c=0.94 ψ=1.12 M,cr=481193.00 λ_{LT}=0.14
  $\lambda_{LT,0}$=0.40 β_{LT}=0.75 Φ_{LT}=0.46 β_{LT}=0.75 f=1.00 χ_{LT}=1.00
  CC 98 My,Ed=1896.80 My,b,Rd=8107.84 My,Ed/My,b,Rd=0.23

- Verifica in termini tensionali (4.2.5) - CC 98 Xl=0.40 - Classe 3
  Sollecitazioni: T_z=-1131.94 M_y=1896.80 M_x=-12.36
  Tensioni: σ_N=0.00 σ_M=-584.87 τ=106.86 σ_{max}=-584.87
  Tensioni: σ_N=0.00 σ_M=-0.00 τ=141.18 τ_{max}=141.18
  Tensioni: σ_N=0.00 σ_M=-584.87 τ=106.86 $\sigma_{ID,max}$=613.46

Asta n. 304 (312 -804) IPE240 iimpalcato Crit. 1

- Verifica di stabilità aste presso-inflesse (C4.2.4.1.3.3.2) - CC 98 - Classe 3
  Sollecitazioni: N,Ed=-0.36 My,Ed=1896.76 Mz,Ed=0.00
  Resistenze: Nc,Rd=97793.60 My,c,Rd=8107.84 Mz,c,Rd=1181.81 L=40.00
  αmy, αmz, αLT=0.95, 0.95, 0.95
  L_{cr}=0.40 Curva b: α-imp=0.34 k_c=0.94 ψ=1.18 M,cr=501058.00 λ_{LT}=0.13
  $\lambda_{LT,0}$=0.40 β_{LT}=0.75 Φ_{LT}=0.46 β_{LT}=0.75 f=1.00 χ_{LT}=1.00
  λ_Y=4.01 Ncr,y=50413400.00 λ^*_y=0.05 Curva a: Φ_y=0.00 χ_y=1.00
  λ_Z=14.85 Ncr,z=3674170.00 λ^*_z=0.17 Curva b: Φ_z=0.00 χ_z=1.00
  Kyy, Kyz, Kzy, Kzz=0.95, 0.95, 0.76, 0.95
  Verifica YY: 0.00+0.22=0.22
  Verifica ZZ: 0.00+0.18=0.18

- Verifica in termini tensionali (4.2.5) - CC 98 Xl=0.00 - Classe 3
  Sollecitazioni: T_z=1540.13 M_y=1896.76 M_x=30.60
  Tensioni: σ_N=0.00 σ_M=-584.85 τ=264.46 σ_{max}=-584.85
  Tensioni: σ_N=0.00 σ_M=-0.00 τ=292.74 τ_{max}=292.74
  Tensioni: σ_N=0.00 σ_M=-584.85 τ=264.46 $\sigma_{ID,max}$=742.88

Asta n. 304 (-804 -805) IPE240 iimpalcato Crit. 1

- Verifica di stabilità aste presso-inflesse (C4.2.4.1.3.3.2) - CC 98 - Classe 3
  Sollecitazioni: N,Ed=-0.36 My,Ed=1281.05 Mz,Ed=0.00
  Resistenze: Nc,Rd=97793.60 My,c,Rd=8107.84 Mz,c,Rd=1181.81 L=20.00
  αmy, αmz, αLT=0.95, 0.95, 0.95
  L_{cr}=0.20 Curva b: α-imp=0.34 k_c=0.94 ψ=1.11 M,cr=1879630.00 λ_{LT}=0.07
  $\lambda_{LT,0}$=0.40 β_{LT}=0.75 Φ_{LT}=0.45 β_{LT}=0.75 f=1.00 χ_{LT}=1.00
  λ_Y=2.01 Ncr,y=201653000.00 λ^*_y=0.02 Curva a: Φ_y=0.00 χ_y=1.00
  λ_Z=7.43 Ncr,z=14696700.00 λ^*_z=0.09 Curva b: Φ_z=0.00 χ_z=1.00
  Kyy, Kyz, Kzy, Kzz=0.95, 0.95, 0.76, 0.95
  Verifica YY: 0.00+0.15=0.15
  Verifica ZZ: 0.00+0.12=0.12

- Verifica in termini tensionali (4.2.5) - CC 98 Xl=0.00 - Classe 3
  Sollecitazioni: T_z=1388.64 M_y=1281.05 M_x=27.60
  Tensioni: σ_N=0.00 σ_M=-395.00 τ=238.56 σ_{max}=-395.00
  Tensioni: σ_N=0.00 σ_M=-0.00 τ=264.05 τ_{max}=264.05
  Tensioni: σ_N=0.00 σ_M=-395.00 τ=238.56 $\sigma_{ID,max}$=571.63

Asta n. 304 (-805 -806) IPE240 iimpalcato Crit. 1

- Verifica di stabilità aste presso-inflesse (C4.2.4.1.3.3.2) - CC 98 - Classe 3
  Sollecitazioni: N,Ed=-0.36 My,Ed=1004.16 Mz,Ed=0.00

Resistenze: Nc,Rd=97793.60 My,c,Rd=8107.84 Mz,c,Rd=1181.81 L=20.00
αmy, αmz, αLT=0.95, 0.95, 0.95
L_{cr}=0.20 Curva b: α-imp=0.34 k_c=0.94 ψ=1.15 M,cr=1938150.00 λ_{LT}=0.07
$\lambda_{LT,0}$=0.40 β_{LT}=0.75 Φ_{LT}=0.45 β_{LT}=0.75 f=1.00 χ_{LT}=1.00
λ_Y=2.01 Ncr,y=201653000.00 λ^*_y=0.02 Curva a: Φ_y=0.00 χ_y=1.00
λ_Z=7.43 Ncr,z=14696700.00 λ^*_z=0.09 Curva b: Φ_z=0.00 χ_z=1.00
Kyy, Kyz, Kzy, Kzz=0.95, 0.95, 0.76, 0.95
Verifica YY: 0.00+0.12=0.12
Verifica ZZ: 0.00+0.09=0.09

- Verifica in termini tensionali (4.2.5) - CC 98 Xl=0.00 - Classe 3
Sollecitazioni: T_z=1380.35 M_y=1004.16 M_x=27.60
Tensioni: σ_N=0.00 σ_M=-309.63 τ=238.56 σ_{max}=-309.63
Tensioni: σ_N=0.00 σ_M=-0.00 τ=263.76 τ_{max}=263.76
Tensioni: σ_N=0.00 σ_M=-309.63 τ=238.56 $\sigma_{ID,max}$=516.33

Asta n. 304 (-806 -807) IPE240 iimpalcato Crit. 1

- Verifica di stabilità aste presso-inflesse (C4.2.4.1.3.3.2) - CC 98 - Classe 3
Sollecitazioni: N,Ed=-0.36 My,Ed=731.87 Mz,Ed=0.00
Resistenze: Nc,Rd=97793.60 My,c,Rd=8107.84 Mz,c,Rd=1181.81 L=40.00
αmy, αmz, αLT=0.95, 0.95, 0.95
L_{cr}=0.40 Curva b: α-imp=0.34 k_c=0.94 ψ=1.44 M,cr=612103.00 λ_{LT}=0.12
$\lambda_{LT,0}$=0.40 β_{LT}=0.75 Φ_{LT}=0.46 β_{LT}=0.75 f=1.00 χ_{LT}=1.00
λ_Y=4.01 Ncr,y=50413300.00 λ^*_y=0.05 Curva a: Φ_y=0.00 χ_y=1.00
λ_Z=14.85 Ncr,z=3674170.00 λ^*_z=0.17 Curva b: Φ_z=0.00 χ_z=1.00
Kyy, Kyz, Kzy, Kzz=0.95, 0.95, 0.76, 0.95
Verifica YY: 0.00+0.09=0.09
Verifica ZZ: 0.00+0.07=0.07

- Verifica in termini tensionali (4.2.5) - CC 98 Xl=0.00 - Classe 3
Sollecitazioni: T_z=1236.93 M_y=731.87 M_x=24.57
Tensioni: σ_N=0.00 σ_M=-225.67 τ=212.41 σ_{max}=-225.67
Tensioni: σ_N=0.00 σ_M=-0.00 τ=235.12 τ_{max}=235.12
Tensioni: σ_N=0.00 σ_M=-179.03 τ=229.32 $\sigma_{ID,max}$=435.67

Asta n. 304 (-807 -808) IPE240 iimpalcato Crit. 1

- Verifica di stabilità aste presso-inflesse (C4.2.4.1.3.3.2) - CC 97 - Classe 3
Sollecitazioni: N,Ed=-0.36 My,Ed=-292.63 Mz,Ed=0.00
Resistenze: Nc,Rd=97793.60 My,c,Rd=8107.84 Mz,c,Rd=1181.81 L=40.00
αmy, αmz, αLT=0.95, 0.95, 0.95
L_{cr}=0.40 Curva b: α-imp=0.34 k_c=0.94 ψ=2.24 M,cr=955400.00 λ_{LT}=0.10
$\lambda_{LT,0}$=0.40 β_{LT}=0.75 Φ_{LT}=0.45 β_{LT}=0.75 f=1.00 χ_{LT}=1.00
λ_Y=4.01 Ncr,y=50413400.00 λ^*_y=0.05 Curva a: Φ_y=0.00 χ_y=1.00
λ_Z=14.85 Ncr,z=3674170.00 λ^*_z=0.17 Curva b: Φ_z=0.00 χ_z=1.00
Kyy, Kyz, Kzy, Kzz=0.95, 0.95, 0.76, 0.95
Verifica YY: 0.00+0.03=0.03
Verifica ZZ: 0.00+0.03=0.03

- Verifica in termini tensionali (4.2.5) - CC 98 Xl=0.00 - Classe 3
Sollecitazioni: T_z=1086.18 M_y=240.44 M_x=21.22
Tensioni: σ_N=0.00 σ_M=-74.14 τ=183.44 σ_{max}=-74.14
Tensioni: σ_N=0.00 σ_M=-0.00 τ=203.69 τ_{max}=203.69
Tensioni: σ_N=0.00 σ_M=-0.00 τ=203.69 $\sigma_{ID,max}$=352.80

Asta n. 304 (-808 -809) IPE240 iimpalcato Crit. 1

- Verifica di stabilità aste presso-inflesse (C4.2.4.1.3.3.2) - CC 97 - Classe 3
Sollecitazioni: N,Ed=-0.36 My,Ed=-647.77 Mz,Ed=0.00
Resistenze: Nc,Rd=97793.60 My,c,Rd=8107.84 Mz,c,Rd=1181.81 L=40.00
αmy, αmz, αLT=0.95, 0.95, 0.95
L_{cr}=0.40 Curva b: α-imp=0.34 k_c=0.94 ψ=1.34 M,cr=569272.00 λ_{LT}=0.13
$\lambda_{LT,0}$=0.40 β_{LT}=0.75 Φ_{LT}=0.46 β_{LT}=0.75 f=1.00 χ_{LT}=1.00
λ_Y=4.01 Ncr,y=50413300.00 λ^*_y=0.05 Curva a: Φ_y=0.00 χ_y=1.00
λ_Z=14.85 Ncr,z=3674170.00 λ^*_z=0.17 Curva b: Φ_z=0.00 χ_z=1.00
Kyy, Kyz, Kzy, Kzz=0.95, 0.95, 0.76, 0.95
Verifica YY: 0.00+0.08=0.08

Verifica ZZ: 0.00+0.06=0.06

- Verifica in termini tensionali (4.2.5) - CC 97 Xl=0.40 - Classe 3
Sollecitazioni: T_z=879.53 M_y=-647.77 M_x=17.92
Tensioni: σ_N=0.00 σ_M=199.74 τ=154.92 σ_{max}=199.74
Tensioni: σ_N=0.00 σ_M=0.00 τ=170.71 τ_{max}=170.71
Tensioni: σ_N=0.00 σ_M=199.74 τ=154.92 $\sigma_{ID,max}$=334.51

Asta n. 304 (-809 -810) IPE240 iimpalcato Crit. 1

- Verifica di stabilità aste presso-inflesse (C4.2.4.1.3.3.2) - CC 97 - Classe 3
Sollecitazioni: N,Ed=-0.36 My,Ed=-942.36 Mz,Ed=0.00
Resistenze: Nc,Rd=97793.60 My,c,Rd=8107.84 Mz,c,Rd=1181.81 L=40.00
αmy, αmz, αLT=0.95, 0.95, 0.95
L_{cr}=0.40 Curva b: α-imp=0.34 k_c=0.94 ψ=1.17 M,cr=498210.00 λ_{LT}=0.13
$\lambda_{LT,0}$=0.40 β_{LT}=0.75 Φ_{LT}=0.46 β_{LT}=0.75 f=1.00 χ_{LT}=1.00
λ_Y=4.01 Ncr,y=50413300.00 λ^*_y=0.05 Curva a: Φ_y=0.00 χ_y=1.00
λ_Z=14.85 Ncr,z=3674170.00 λ^*_z=0.17 Curva b: Φ_z=0.00 χ_z=1.00
Kyy, Kyz, Kzy, Kzz=0.95, 0.95, 0.76, 0.95
Verifica YY: 0.00+0.11=0.11
Verifica ZZ: 0.00+0.09=0.09

- Verifica in termini tensionali (4.2.5) - CC 97 Xl=0.40 - Classe 3
Sollecitazioni: T_z=728.18 M_y=-942.36 M_x=14.58
Tensioni: σ_N=0.00 σ_M=290.57 τ=126.06 σ_{max}=290.57
Tensioni: σ_N=0.00 σ_M=0.00 τ=139.33 τ_{max}=139.33
Tensioni: σ_N=0.00 σ_M=290.57 τ=126.06 $\sigma_{ID,max}$=363.46

Asta n. 304 (-810 -811) IPE240 iimpalcato Crit. 1

- Verifica di stabilità aste presso-inflesse (C4.2.4.1.3.3.2) - CC 97 - Classe 3
Sollecitazioni: N,Ed=-0.36 My,Ed=-1176.59 Mz,Ed=0.00
Resistenze: Nc,Rd=97793.60 My,c,Rd=8107.84 Mz,c,Rd=1181.81 L=40.00
αmy, αmz, αLT=0.95, 0.95, 0.95
L_{cr}=0.40 Curva b: α-imp=0.34 k_c=0.94 ψ=1.10 M,cr=469038.00 λ_{LT}=0.14
$\lambda_{LT,0}$=0.40 β_{LT}=0.75 Φ_{LT}=0.46 β_{LT}=0.75 f=1.00 χ_{LT}=1.00
λ_Y=4.01 Ncr,y=50413400.00 λ^*_y=0.05 Curva a: Φ_y=0.00 χ_y=1.00
λ_Z=14.85 Ncr,z=3674170.00 λ^*_z=0.17 Curva b: Φ_z=0.00 χ_z=1.00
Kyy, Kyz, Kzy, Kzz=0.95, 0.95, 0.76, 0.95
Verifica YY: 0.00+0.14=0.14
Verifica ZZ: 0.00+0.11=0.11

- Verifica in termini tensionali (4.2.5) - CC 97 Xl=0.40 - Classe 3
Sollecitazioni: T_z=577.31 M_y=-1176.59 M_x=11.29
Tensioni: σ_N=0.00 σ_M=362.79 τ=97.57 σ_{max}=362.79
Tensioni: σ_N=0.00 σ_M=0.00 τ=108.32 τ_{max}=108.32
Tensioni: σ_N=0.00 σ_M=362.79 τ=97.57 $\sigma_{ID,max}$=400.22

Asta n. 304 (-811 -812) IPE240 iimpalcato Crit. 1

- Verifica di stabilità aste presso-inflesse (C4.2.4.1.3.3.2) - CC 97 - Classe 3
Sollecitazioni: N,Ed=-0.36 My,Ed=-1350.55 Mz,Ed=0.00
Resistenze: Nc,Rd=97793.60 My,c,Rd=8107.84 Mz,c,Rd=1181.81 L=40.00
αmy, αmz, αLT=0.95, 0.95, 0.95
L_{cr}=0.40 Curva b: α-imp=0.34 k_c=0.94 ψ=1.06 M,cr=452621.00 λ_{LT}=0.14
$\lambda_{LT,0}$=0.40 β_{LT}=0.75 Φ_{LT}=0.46 β_{LT}=0.75 f=1.00 χ_{LT}=1.00
λ_Y=4.01 Ncr,y=50413200.00 λ^*_y=0.05 Curva a: Φ_y=0.00 χ_y=1.00
λ_Z=14.85 Ncr,z=3674160.00 λ^*_z=0.17 Curva b: Φ_z=0.00 χ_z=1.00
Kyy, Kyz, Kzy, Kzz=0.95, 0.95, 0.76, 0.95
Verifica YY: 0.00+0.16=0.16
Verifica ZZ: 0.00+0.13=0.13

- Verifica in termini tensionali (4.2.5) - CC 97 Xl=0.40 - Classe 3
Sollecitazioni: T_z=426.55 M_y=-1350.55 M_x=7.94
Tensioni: σ_N=0.00 σ_M=416.43 τ=68.60 σ_{max}=416.43
Tensioni: σ_N=0.00 σ_M=0.00 τ=76.90 τ_{max}=76.90
Tensioni: σ_N=0.00 σ_M=416.43 τ=68.60 $\sigma_{ID,max}$=433.05

Asta n. 304 (-812 -1295) IPE240 iimpalcato Crit. 1

- Verifica di stabilità aste presso-inflesse (C4.2.4.1.3.3.2) - CC 97 - Classe 3
  Sollecitazioni: N,Ed=-0.36 My,Ed=-1411.07 Mz,Ed=0.00
  Resistenze: Nc,Rd=97793.60 My,c,Rd=8107.84 Mz,c,Rd=1181.81 L=20.00
  αmy, αmz, αLT=0.95, 0.95, 0.95
  L_{cr}=0.20 Curva b: α-imp=0.34 k_c=0.94 ψ=1.02 M,cr=1723270.00 λ_{LT}=0.07
  $\lambda_{LT,0}$=0.40 β_{LT}=0.75 Φ_{LT}=0.45 β_{LT}=0.75 f=1.00 χ_{LT}=1.00
  λ_Y=2.01 Ncr,y=201654000.00 λ^*_y=0.02 Curva a: Φ_y=0.00 χ_y=1.00
  λ_Z=7.43 Ncr,z=14696700.00 λ^*_z=0.09 Curva b: Φ_z=0.00 χ_z=1.00
  Kyy, Kyz, Kzy, Kzz=0.95, 0.95, 0.76, 0.95
  Verifica YY: 0.00+0.17=0.17
  Verifica ZZ: 0.00+0.13=0.13

- Verifica in termini tensionali (4.2.5) - CC 97 Xl=0.20 - Classe 3
  Sollecitazioni: T_z=283.37 M_y=-1411.07 M_x=4.94
  Tensioni: σ_N=0.00 σ_M=435.10 τ=42.69 σ_{max}=435.10
  Tensioni: σ_N=0.00 σ_M=0.00 τ=48.53 τ_{max}=48.53
  Tensioni: σ_N=0.00 σ_M=435.10 τ=42.69 $\sigma_{ID,max}$=441.33

Asta n. 304 (-1295 -813) IPE240 iimpalcato Crit. 1

- Verifica di stabilità aste presso-inflesse (C4.2.4.1.3.3.2) - CC 97 - Classe 3
  Sollecitazioni: N,Ed=-0.36 My,Ed=-1466.92 Mz,Ed=0.00
  Resistenze: Nc,Rd=97793.60 My,c,Rd=8107.84 Mz,c,Rd=1181.81 L=20.00
  αmy, αmz, αLT=0.95, 0.95, 0.95
  L_{cr}=0.20 Curva b: α-imp=0.34 k_c=0.94 ψ=1.02 M,cr=1721120.00 λ_{LT}=0.07
  $\lambda_{LT,0}$=0.40 β_{LT}=0.75 Φ_{LT}=0.45 β_{LT}=0.75 f=1.00 χ_{LT}=1.00
  λ_Y=2.01 Ncr,y=201654000.00 λ^*_y=0.02 Curva a: Φ_y=0.00 χ_y=1.00
  λ_Z=7.43 Ncr,z=14696700.00 λ^*_z=0.09 Curva b: Φ_z=0.00 χ_z=1.00
  Kyy, Kyz, Kzy, Kzz=0.95, 0.95, 0.76, 0.95
  Verifica YY: 0.00+0.17=0.17
  Verifica ZZ: 0.00+0.14=0.14

- Verifica in termini tensionali (4.2.5) - CC 97 Xl=0.20 - Classe 3
  Sollecitazioni: T_z=275.08 M_y=-1466.92 M_x=4.94
  Tensioni: σ_N=0.00 σ_M=452.31 τ=42.69 σ_{max}=452.31
  Tensioni: σ_N=0.00 σ_M=0.00 τ=48.22 τ_{max}=48.22
  Tensioni: σ_N=0.00 σ_M=452.31 τ=42.69 $\sigma_{ID,max}$=458.32

Asta n. 304 (-813 -1293) IPE240 iimpalcato Crit. 1

- Verifica di stabilità aste presso-inflesse (C4.2.4.1.3.3.2) - CC 97 - Classe 3
  Sollecitazioni: N,Ed=-0.36 My,Ed=-1494.17 Mz,Ed=0.00
  Resistenze: Nc,Rd=97793.60 My,c,Rd=8107.84 Mz,c,Rd=1181.81 L=20.00
  αmy, αmz, αLT=0.95, 0.95, 0.95
  L_{cr}=0.20 Curva b: α-imp=0.34 k_c=0.94 ψ=1.01 M,cr=1705420.00 λ_{LT}=0.07
  $\lambda_{LT,0}$=0.40 β_{LT}=0.75 Φ_{LT}=0.45 β_{LT}=0.75 f=1.00 χ_{LT}=1.00
  λ_Y=2.01 Ncr,y=201653000.00 λ^*_y=0.02 Curva a: Φ_y=0.00 χ_y=1.00
  λ_Z=7.43 Ncr,z=14696600.00 λ^*_z=0.09 Curva b: Φ_z=0.00 χ_z=1.00
  Kyy, Kyz, Kzy, Kzz=0.95, 0.95, 0.76, 0.95
  Verifica YY: 0.00+0.18=0.18
  Verifica ZZ: 0.00+0.14=0.14

- Verifica in termini tensionali (4.2.5) - CC 97 Xl=0.20 - Classe 3
  Sollecitazioni: T_z=131.77 M_y=-1494.17 M_x=2.46
  Tensioni: σ_N=0.00 σ_M=460.72 τ=21.22 σ_{max}=460.72
  Tensioni: σ_N=0.00 σ_M=0.00 τ=23.78 τ_{max}=23.78
  Tensioni: σ_N=0.00 σ_M=460.72 τ=21.22 $\sigma_{ID,max}$=462.18

Asta n. 304 (-1293 -814) IPE240 iimpalcato Crit. 1

- Verifica di stabilità aste presso-inflesse (C4.2.4.1.3.3.2) - CC 97 - Classe 3
  Sollecitazioni: N,Ed=-0.36 My,Ed=-1519.69 Mz,Ed=0.00
  Resistenze: Nc,Rd=97793.60 My,c,Rd=8107.84 Mz,c,Rd=1181.81 L=20.00
  αmy, αmz, αLT=0.95, 0.95, 0.95
  L_{cr}=0.20 Curva b: α-imp=0.34 k_c=0.94 ψ=1.01 M,cr=1704330.00 λ_{LT}=0.07
  $\lambda_{LT,0}$=0.40 β_{LT}=0.75 Φ_{LT}=0.45 β_{LT}=0.75 f=1.00 χ_{LT}=1.00
  λ_Y=2.01 Ncr,y=201653000.00 λ^*_y=0.02 Curva a: Φ_y=0.00 χ_y=1.00

λ_Z=7.43 Ncr,z=14696600.00 λ^*_z=0.09 Curva b: Φ_z=0.00 χ_z=1.00
Kyy, Kyz, Kzy, Kzz=0.95, 0.95, 0.76, 0.95
Verifica YY: 0.00+0.18=0.18
Verifica ZZ: 0.00+0.14=0.14

- Verifica in termini tensionali (4.2.5) - CC 97 Xl=0.20 - Classe 3
Sollecitazioni: T_z=123.48 M_y=-1519.69 M_x=2.46
Tensioni: σ_N=0.00 σ_M=468.59 τ=21.22 σ_{max}=468.59
Tensioni: σ_N=0.00 σ_M=0.00 τ=23.49 τ_{max}=23.49
Tensioni: σ_N=0.00 σ_M=468.59 τ=21.22 $\sigma_{ID,max}$=470.03

Asta n. 304 (-814 -815) IPE240 iimpalcato Crit. 1

- Verifica di stabilità aste presso-inflesse (C4.2.4.1.3.3.2) - CC 97 - Classe 3
Sollecitazioni: N,Ed=-0.36 My,Ed=-1519.69 Mz,Ed=0.00
Resistenze: Nc,Rd=97793.60 My,c,Rd=8107.84 Mz,c,Rd=1181.81 L=20.00
αmy, αmz, αLT=0.95, 0.95, 0.95
L_{cr}=0.20 Curva b: α-imp=0.34 k_c=0.94 ψ=1.00 M,cr=1692960.00 λ_{LT}=0.07
$\lambda_{LT,0}$=0.40 β_{LT}=0.75 Φ_{LT}=0.45 β_{LT}=0.75 f=1.00 χ_{LT}=1.00
λ_Y=2.01 Ncr,y=201654000.00 λ^*_y=0.02 Curva a: Φ_y=0.00 χ_y=1.00
λ_Z=7.43 Ncr,z=14696700.00 λ^*_z=0.09 Curva b: Φ_z=0.00 χ_z=1.00
Kyy, Kyz, Kzy, Kzz=0.95, 0.95, 0.76, 0.95
Verifica YY: 0.00+0.18=0.18
Verifica ZZ: 0.00+0.14=0.14

- Verifica in termini tensionali (4.2.5) - CC 97 Xl=0.00 - Classe 3
Sollecitazioni: T_z=-11.31 M_y=-1519.69
Tensioni: σ_N=0.00 σ_M=468.59 τ=0.00 σ_{max}=468.59
Tensioni: σ_N=0.00 σ_M=0.00 τ=0.92 τ_{max}=0.92
Tensioni: σ_N=0.00 σ_M=468.59 τ=0.00 $\sigma_{ID,max}$=468.59

Asta n. 304 (-815 -816) IPE240 iimpalcato Crit. 1

- Verifica di stabilità aste presso-inflesse (C4.2.4.1.3.3.2) - CC 98 - Classe 3
Sollecitazioni: N,Ed=-0.36 My,Ed=-1519.69 Mz,Ed=0.00
Resistenze: Nc,Rd=97793.60 My,c,Rd=8107.84 Mz,c,Rd=1181.81 L=20.00
αmy, αmz, αLT=0.95, 0.95, 0.95
L_{cr}=0.20 Curva b: α-imp=0.34 k_c=0.94 ψ=1.00 M,cr=1692960.00 λ_{LT}=0.07
$\lambda_{LT,0}$=0.40 β_{LT}=0.75 Φ_{LT}=0.45 β_{LT}=0.75 f=1.00 χ_{LT}=1.00
λ_Y=2.01 Ncr,y=201654000.00 λ^*_y=0.02 Curva a: Φ_y=0.00 χ_y=1.00
λ_Z=7.43 Ncr,z=14696700.00 λ^*_z=0.09 Curva b: Φ_z=0.00 χ_z=1.00
Kyy, Kyz, Kzy, Kzz=0.95, 0.95, 0.76, 0.95
Verifica YY: 0.00+0.18=0.18
Verifica ZZ: 0.00+0.14=0.14

- Verifica in termini tensionali (4.2.5) - CC 98 Xl=0.20 - Classe 3
Sollecitazioni: T_z=11.31 M_y=-1519.69
Tensioni: σ_N=0.00 σ_M=468.59 τ=0.00 σ_{max}=468.59
Tensioni: σ_N=0.00 σ_M=0.00 τ=0.92 τ_{max}=0.92
Tensioni: σ_N=0.00 σ_M=468.59 τ=0.00 $\sigma_{ID,max}$=468.59

Asta n. 304 (-816 -1288) IPE240 iimpalcato Crit. 1

- Verifica di stabilità aste presso-inflesse (C4.2.4.1.3.3.2) - CC 98 - Classe 3
Sollecitazioni: N,Ed=-0.36 My,Ed=-1519.69 Mz,Ed=0.00
Resistenze: Nc,Rd=97793.60 My,c,Rd=8107.84 Mz,c,Rd=1181.81 L=20.00
αmy, αmz, αLT=0.95, 0.95, 0.95
L_{cr}=0.20 Curva b: α-imp=0.34 k_c=0.94 ψ=1.01 M,cr=1704330.00 λ_{LT}=0.07
$\lambda_{LT,0}$=0.40 β_{LT}=0.75 Φ_{LT}=0.45 β_{LT}=0.75 f=1.00 χ_{LT}=1.00
λ_Y=2.01 Ncr,y=201653000.00 λ^*_y=0.02 Curva a: Φ_y=0.00 χ_y=1.00
λ_Z=7.43 Ncr,z=14696600.00 λ^*_z=0.09 Curva b: Φ_z=0.00 χ_z=1.00
Kyy, Kyz, Kzy, Kzz=0.95, 0.95, 0.76, 0.95
Verifica YY: 0.00+0.18=0.18
Verifica ZZ: 0.00+0.14=0.14

- Verifica in termini tensionali (4.2.5) - CC 98 Xl=0.00 - Classe 3
Sollecitazioni: T_z=-123.48 M_y=-1519.69 M_x=-2.46
Tensioni: σ_N=0.00 σ_M=468.59 τ=21.22 σ_{max}=468.59
Tensioni: σ_N=0.00 σ_M=0.00 τ=23.49 τ_{max}=23.49

Tensioni: σ_N=0.00 σ_M=468.59 τ=21.22 $\sigma_{ID,max}$=470.03

Asta n. 304 (-1288 -817) IPE240 iimpalcato Crit. 1

- Verifica di stabilità aste presso-inflesse (C4.2.4.1.3.3.2) - CC 98 - Classe 3
Sollecitazioni: N,Ed=-0.36 My,Ed=-1494.17 Mz,Ed=0.00
Resistenze: Nc,Rd=97793.60 My,c,Rd=8107.84 Mz,c,Rd=1181.81 L=20.00
αmy, αmz, αLT=0.95, 0.95, 0.95
L_{cr}=0.20 Curva b: α-imp=0.34 k_c=0.94 ψ=1.01 M,cr=1705420.00 λ_{LT}=0.07
$\lambda_{LT,0}$=0.40 β_{LT}=0.75 Φ_{LT}=0.45 β_{LT}=0.75 f=1.00 χ_{LT}=1.00
λ_Y=2.01 Ncr,y=201653000.00 λ^*_y=0.02 Curva a: Φ_y=0.00 χ_y=1.00
λ_Z=7.43 Ncr,z=14696600.00 λ^*_z=0.09 Curva b: Φ_z=0.00 χ_z=1.00
Kyy, Kyz, Kzy, Kzz=0.95, 0.95, 0.76, 0.95
Verifica YY: 0.00+0.18=0.18
Verifica ZZ: 0.00+0.14=0.14

- Verifica in termini tensionali (4.2.5) - CC 98 Xl=0.00 - Classe 3
Sollecitazioni: T_z=-131.77 M_y=-1494.17 M_x=-2.46
Tensioni: σ_N=0.00 σ_M=460.72 τ=21.22 σ_{max}=460.72
Tensioni: σ_N=0.00 σ_M=0.00 τ=23.78 τ_{max}=23.78
Tensioni: σ_N=0.00 σ_M=460.72 τ=21.22 $\sigma_{ID,max}$=462.18

Asta n. 304 (-817 -1286) IPE240 iimpalcato Crit. 1

- Verifica di stabilità aste presso-inflesse (C4.2.4.1.3.3.2) - CC 98 - Classe 3
Sollecitazioni: N,Ed=-0.36 My,Ed=-1466.92 Mz,Ed=0.00
Resistenze: Nc,Rd=97793.60 My,c,Rd=8107.84 Mz,c,Rd=1181.81 L=20.00
αmy, αmz, αLT=0.95, 0.95, 0.95
L_{cr}=0.20 Curva b: α-imp=0.34 k_c=0.94 ψ=1.02 M,cr=1721120.00 λ_{LT}=0.07
$\lambda_{LT,0}$=0.40 β_{LT}=0.75 Φ_{LT}=0.45 β_{LT}=0.75 f=1.00 χ_{LT}=1.00
λ_Y=2.01 Ncr,y=201654000.00 λ^*_y=0.02 Curva a: Φ_y=0.00 χ_y=1.00
λ_Z=7.43 Ncr,z=14696700.00 λ^*_z=0.09 Curva b: Φ_z=0.00 χ_z=1.00
Kyy, Kyz, Kzy, Kzz=0.95, 0.95, 0.76, 0.95
Verifica YY: 0.00+0.17=0.17
Verifica ZZ: 0.00+0.14=0.14

- Verifica in termini tensionali (4.2.5) - CC 98 Xl=0.00 - Classe 3
Sollecitazioni: T_z=-275.08 M_y=-1466.92 M_x=-4.94
Tensioni: σ_N=0.00 σ_M=452.31 τ=42.69 σ_{max}=452.31
Tensioni: σ_N=0.00 σ_M=0.00 τ=48.22 τ_{max}=48.22
Tensioni: σ_N=0.00 σ_M=452.31 τ=42.69 $\sigma_{ID,max}$=458.32

Asta n. 304 (-1286 -818) IPE240 iimpalcato Crit. 1

- Verifica di stabilità aste presso-inflesse (C4.2.4.1.3.3.2) - CC 98 - Classe 3
Sollecitazioni: N,Ed=-0.36 My,Ed=-1411.07 Mz,Ed=0.00
Resistenze: Nc,Rd=97793.60 My,c,Rd=8107.84 Mz,c,Rd=1181.81 L=20.00
αmy, αmz, αLT=0.95, 0.95, 0.95
L_{cr}=0.20 Curva b: α-imp=0.34 k_c=0.94 ψ=1.02 M,cr=1723270.00 λ_{LT}=0.07
$\lambda_{LT,0}$=0.40 β_{LT}=0.75 Φ_{LT}=0.45 β_{LT}=0.75 f=1.00 χ_{LT}=1.00
λ_Y=2.01 Ncr,y=201654000.00 λ^*_y=0.02 Curva a: Φ_y=0.00 χ_y=1.00
λ_Z=7.43 Ncr,z=14696700.00 λ^*_z=0.09 Curva b: Φ_z=0.00 χ_z=1.00
Kyy, Kyz, Kzy, Kzz=0.95, 0.95, 0.76, 0.95
Verifica YY: 0.00+0.17=0.17
Verifica ZZ: 0.00+0.13=0.13

- Verifica in termini tensionali (4.2.5) - CC 98 Xl=0.00 - Classe 3
Sollecitazioni: T_z=-283.37 M_y=-1411.07 M_x=-4.94
Tensioni: σ_N=0.00 σ_M=435.10 τ=42.69 σ_{max}=435.10
Tensioni: σ_N=0.00 σ_M=0.00 τ=48.53 τ_{max}=48.53
Tensioni: σ_N=0.00 σ_M=435.10 τ=42.69 $\sigma_{ID,max}$=441.33

Asta n. 304 (-818 -819) IPE240 iimpalcato Crit. 1

- Verifica di stabilità aste presso-inflesse (C4.2.4.1.3.3.2) - CC 98 - Classe 3
Sollecitazioni: N,Ed=-0.36 My,Ed=-1350.55 Mz,Ed=0.00
Resistenze: Nc,Rd=97793.60 My,c,Rd=8107.84 Mz,c,Rd=1181.81 L=40.00
αmy, αmz, αLT=0.95, 0.95, 0.95
L_{cr}=0.40 Curva b: α-imp=0.34 k_c=0.94 ψ=1.06 M,cr=452621.00 λ_{LT}=0.14

$\lambda_{LT,0}$=0.40 β_{LT}=0.75 Φ_{LT}=0.46 β_{LT}=0.75 f=1.00 χ_{LT}=1.00
λ_Y=4.01 Ncr,y=50413200.00 λ^*_y=0.05 Curva a: Φ_y=0.00 χ_y=1.00
λ_Z=14.85 Ncr,z=3674160.00 λ^*_z=0.17 Curva b: Φ_z=0.00 χ_z=1.00
Kyy, Kyz, Kzy, Kzz=0.95, 0.95, 0.76, 0.95
Verifica YY: 0.00+0.16=0.16
Verifica ZZ: 0.00+0.13=0.13

- Verifica in termini tensionali (4.2.5) - CC 98 Xl=0.00 - Classe 3
Sollecitazioni: T_z=-426.55 M_y=-1350.55 M_x=-7.94
Tensioni: σ_N=0.00 σ_M=416.43 τ=68.60 σ_{max}=416.43
Tensioni: σ_N=0.00 σ_M=0.00 τ=76.90 τ_{max}=76.90
Tensioni: σ_N=0.00 σ_M=416.43 τ=68.60 $\sigma_{ID,max}$=433.05

Asta n. 304 (-819 -820) IPE240 iimpalcato Crit. 1

- Verifica di stabilità aste presso-inflesse (C4.2.4.1.3.3.2) - CC 98 - Classe 3
Sollecitazioni: N,Ed=-0.36 My,Ed=-1176.59 Mz,Ed=0.00
Resistenze: Nc,Rd=97793.60 My,c,Rd=8107.84 Mz,c,Rd=1181.81 L=40.00
αmy, αmz, αLT=0.95, 0.95, 0.95
L_{cr}=0.40 Curva b: α-imp=0.34 k_c=0.94 ψ=1.10 M,cr=469038.00 λ_{LT}=0.14
$\lambda_{LT,0}$=0.40 β_{LT}=0.75 Φ_{LT}=0.46 β_{LT}=0.75 f=1.00 χ_{LT}=1.00
λ_Y=4.01 Ncr,y=50413400.00 λ^*_y=0.05 Curva a: Φ_y=0.00 χ_y=1.00
λ_Z=14.85 Ncr,z=3674170.00 λ^*_z=0.17 Curva b: Φ_z=0.00 χ_z=1.00
Kyy, Kyz, Kzy, Kzz=0.95, 0.95, 0.76, 0.95
Verifica YY: 0.00+0.14=0.14
Verifica ZZ: 0.00+0.11=0.11

- Verifica in termini tensionali (4.2.5) - CC 98 Xl=0.00 - Classe 3
Sollecitazioni: T_z=-577.31 M_y=-1176.59 M_x=-11.29
Tensioni: σ_N=0.00 σ_M=362.79 τ=97.57 σ_{max}=362.79
Tensioni: σ_N=0.00 σ_M=0.00 τ=108.32 τ_{max}=108.32
Tensioni: σ_N=0.00 σ_M=362.79 τ=97.57 $\sigma_{ID,max}$=400.22

Asta n. 304 (-820 -821) IPE240 iimpalcato Crit. 1

- Verifica di stabilità aste presso-inflesse (C4.2.4.1.3.3.2) - CC 98 - Classe 3
Sollecitazioni: N,Ed=-0.36 My,Ed=-942.36 Mz,Ed=0.00
Resistenze: Nc,Rd=97793.60 My,c,Rd=8107.84 Mz,c,Rd=1181.81 L=40.00
αmy, αmz, αLT=0.95, 0.95, 0.95
L_{cr}=0.40 Curva b: α-imp=0.34 k_c=0.94 ψ=1.17 M,cr=498209.00 λ_{LT}=0.13
$\lambda_{LT,0}$=0.40 β_{LT}=0.75 Φ_{LT}=0.46 β_{LT}=0.75 f=1.00 χ_{LT}=1.00
λ_Y=4.01 Ncr,y=50413200.00 λ^*_y=0.05 Curva a: Φ_y=0.00 χ_y=1.00
λ_Z=14.85 Ncr,z=3674160.00 λ^*_z=0.17 Curva b: Φ_z=0.00 χ_z=1.00
Kyy, Kyz, Kzy, Kzz=0.95, 0.95, 0.76, 0.95
Verifica YY: 0.00+0.11=0.11
Verifica ZZ: 0.00+0.09=0.09

- Verifica in termini tensionali (4.2.5) - CC 98 Xl=0.00 - Classe 3
Sollecitazioni: T_z=-728.18 M_y=-942.36 M_x=-14.58
Tensioni: σ_N=0.00 σ_M=290.57 τ=126.06 σ_{max}=290.57
Tensioni: σ_N=0.00 σ_M=0.00 τ=139.33 τ_{max}=139.33
Tensioni: σ_N=0.00 σ_M=290.57 τ=126.06 $\sigma_{ID,max}$=363.46

Asta n. 304 (-821 -822) IPE240 iimpalcato Crit. 1

- Verifica di stabilità aste presso-inflesse (C4.2.4.1.3.3.2) - CC 98 - Classe 3
Sollecitazioni: N,Ed=-0.36 My,Ed=-647.77 Mz,Ed=0.00
Resistenze: Nc,Rd=97793.60 My,c,Rd=8107.84 Mz,c,Rd=1181.81 L=40.00
αmy, αmz, αLT=0.95, 0.95, 0.95
L_{cr}=0.40 Curva b: α-imp=0.34 k_c=0.94 ψ=1.34 M,cr=569273.00 λ_{LT}=0.13
$\lambda_{LT,0}$=0.40 β_{LT}=0.75 Φ_{LT}=0.46 β_{LT}=0.75 f=1.00 χ_{LT}=1.00
λ_Y=4.01 Ncr,y=50413400.00 λ^*_y=0.05 Curva a: Φ_y=0.00 χ_y=1.00
λ_Z=14.85 Ncr,z=3674170.00 λ^*_z=0.17 Curva b: Φ_z=0.00 χ_z=1.00
Kyy, Kyz, Kzy, Kzz=0.95, 0.95, 0.76, 0.95
Verifica YY: 0.00+0.08=0.08
Verifica ZZ: 0.00+0.06=0.06

- Verifica in termini tensionali (4.2.5) - CC 98 Xl=0.00 - Classe 3
Sollecitazioni: T_z=-879.53 M_y=-647.77 M_x=-17.92

Tensioni: σ_N=0.00 σ_M=199.74 τ=154.92 σ_{max}=199.74
Tensioni: σ_N=0.00 σ_M=0.00 τ=170.71 τ_{max}=170.71
Tensioni: σ_N=0.00 σ_M=199.74 τ=154.92 $\sigma_{ID,max}$=334.51

Asta n. 304 (-822 -823) IPE240 iimpalcato Crit. 1

- Verifica di stabilità aste presso-inflesse (C4.2.4.1.3.3.2) - CC 98 - Classe 3
Sollecitazioni: N,Ed=-0.36 My,Ed=-292.63 Mz,Ed=0.00
Resistenze: Nc,Rd=97793.60 My,c,Rd=8107.84 Mz,c,Rd=1181.81 L=40.00
αmy, αmz, αLT=0.95, 0.95, 0.95
L_{cr}=0.40 Curva b: α-imp=0.34 k_c=0.94 ψ=2.24 M,cr=955396.00 λ_{LT}=0.10
$\lambda_{LT,0}$=0.40 β_{LT}=0.75 Φ_{LT}=0.45 β_{LT}=0.75 f=1.00 χ_{LT}=1.00
λ_Y=4.01 Ncr,y=50413200.00 λ^*_y=0.05 Curva a: Φ_y=0.00 χ_y=1.00
λ_Z=14.85 Ncr,z=3674160.00 λ^*_z=0.17 Curva b: Φ_z=0.00 χ_z=1.00
Kyy, Kyz, Kzy, Kzz=0.95, 0.95, 0.76, 0.95
Verifica YY: 0.00+0.03=0.03
Verifica ZZ: 0.00+0.03=0.03

- Verifica in termini tensionali (4.2.5) - CC 97 Xl=0.40 - Classe 3
Sollecitazioni: T_z=-1086.18 M_y=240.44 M_x=-21.22
Tensioni: σ_N=0.00 σ_M=-74.14 τ=183.44 σ_{max}=-74.14
Tensioni: σ_N=0.00 σ_M=-0.00 τ=203.69 τ_{max}=203.69
Tensioni: σ_N=0.00 σ_M=-0.00 τ=203.69 $\sigma_{ID,max}$=352.80

Asta n. 304 (-823 -824) IPE240 iimpalcato Crit. 1

- Verifica di stabilità aste presso-inflesse (C4.2.4.1.3.3.2) - CC 97 - Classe 3
Sollecitazioni: N,Ed=-0.36 My,Ed=731.87 Mz,Ed=0.00
Resistenze: Nc,Rd=97793.60 My,c,Rd=8107.84 Mz,c,Rd=1181.81 L=40.00
αmy, αmz, αLT=0.95, 0.95, 0.95
L_{cr}=0.40 Curva b: α-imp=0.34 k_c=0.94 ψ=1.44 M,cr=612104.00 λ_{LT}=0.12
$\lambda_{LT,0}$=0.40 β_{LT}=0.75 Φ_{LT}=0.46 β_{LT}=0.75 f=1.00 χ_{LT}=1.00
λ_Y=4.01 Ncr,y=50413400.00 λ^*_y=0.05 Curva a: Φ_y=0.00 χ_y=1.00
λ_Z=14.85 Ncr,z=3674170.00 λ^*_z=0.17 Curva b: Φ_z=0.00 χ_z=1.00
Kyy, Kyz, Kzy, Kzz=0.95, 0.95, 0.76, 0.95
Verifica YY: 0.00+0.09=0.09
Verifica ZZ: 0.00+0.07=0.07

- Verifica in termini tensionali (4.2.5) - CC 97 Xl=0.40 - Classe 3
Sollecitazioni: T_z=-1236.93 M_y=731.87 M_x=-24.57
Tensioni: σ_N=0.00 σ_M=-225.67 τ=212.41 σ_{max}=-225.67
Tensioni: σ_N=0.00 σ_M=-0.00 τ=235.12 τ_{max}=235.12
Tensioni: σ_N=0.00 σ_M=-179.03 τ=229.32 $\sigma_{ID,max}$=435.67

Asta n. 304 (-824 -825) IPE240 iimpalcato Crit. 1

- Verifica di stabilità aste presso-inflesse (C4.2.4.1.3.3.2) - CC 97 - Classe 3
Sollecitazioni: N,Ed=-0.36 My,Ed=1004.16 Mz,Ed=0.00
Resistenze: Nc,Rd=97793.60 My,c,Rd=8107.84 Mz,c,Rd=1181.81 L=20.00
αmy, αmz, αLT=0.95, 0.95, 0.95
L_{cr}=0.20 Curva b: α-imp=0.34 k_c=0.94 ψ=1.15 M,cr=1938160.00 λ_{LT}=0.07
$\lambda_{LT,0}$=0.40 β_{LT}=0.75 Φ_{LT}=0.45 β_{LT}=0.75 f=1.00 χ_{LT}=1.00
λ_Y=2.01 Ncr,y=201654000.00 λ^*_y=0.02 Curva a: Φ_y=0.00 χ_y=1.00
λ_Z=7.43 Ncr,z=14696700.00 λ^*_z=0.09 Curva b: Φ_z=0.00 χ_z=1.00
Kyy, Kyz, Kzy, Kzz=0.95, 0.95, 0.76, 0.95
Verifica YY: 0.00+0.12=0.12
Verifica ZZ: 0.00+0.09=0.09

- Verifica in termini tensionali (4.2.5) - CC 97 Xl=0.20 - Classe 3
Sollecitazioni: T_z=-1380.35 M_y=1004.16 M_x=-27.60
Tensioni: σ_N=0.00 σ_M=-309.63 τ=238.56 σ_{max}=-309.63
Tensioni: σ_N=0.00 σ_M=-0.00 τ=263.76 τ_{max}=263.76
Tensioni: σ_N=0.00 σ_M=-309.63 τ=238.56 $\sigma_{ID,max}$=516.33

Asta n. 304 (-825 -826) IPE240 iimpalcato Crit. 1

- Verifica di stabilità aste presso-inflesse (C4.2.4.1.3.3.2) - CC 97 - Classe 3
Sollecitazioni: N,Ed=-0.36 My,Ed=1281.06 Mz,Ed=0.00
Resistenze: Nc,Rd=97793.60 My,c,Rd=8107.84 Mz,c,Rd=1181.81 L=20.00

αmy, αmz, αLT=0.95, 0.95, 0.95
L_{cr}=0.20 Curva b: α-imp=0.34 k_c=0.94 ψ=1.11 M,cr=1879620.00 λ_{LT}=0.07
$\lambda_{LT,0}$=0.40 β_{LT}=0.75 Φ_{LT}=0.45 β_{LT}=0.75 f=1.00 χ_{LT}=1.00
λ_Y=2.01 Ncr,y=201652000.00 λ^*_y=0.02 Curva a: Φ_y=0.00 χ_y=1.00
λ_Z=7.43 Ncr,z=14696600.00 λ^*_z=0.09 Curva b: Φ_z=0.00 χ_z=1.00
Kyy, Kyz, Kzy, Kzz=0.95, 0.95, 0.76, 0.95
Verifica YY: 0.00+0.15=0.15
Verifica ZZ: 0.00+0.12=0.12

- Verifica in termini tensionali (4.2.5) - CC 97 Xl=0.20 - Classe 3
Sollecitazioni: T_z=-1388.64 M_y=1281.06 M_x=-27.60
Tensioni: σ_N=0.00 σ_M=-395.00 τ=238.56 σ_{max}=-395.00
Tensioni: σ_N=0.00 σ_M=-0.00 τ=264.05 τ_{max}=264.05
Tensioni: σ_N=0.00 σ_M=-395.00 τ=238.56 $\sigma_{ID,max}$=571.63

Asta n. 304 (-826 313) IPE240 iimpalcato Crit. 1

- Verifica di stabilità aste presso-inflesse (C4.2.4.1.3.3.2) - CC 97 - Classe 3
Sollecitazioni: N,Ed=-0.36 My,Ed=1896.76 Mz,Ed=0.00
Resistenze: Nc,Rd=97793.60 My,c,Rd=8107.84 Mz,c,Rd=1181.81 L=40.00
αmy, αmz, αLT=0.95, 0.95, 0.95
L_{cr}=0.40 Curva b: α-imp=0.34 k_c=0.94 ψ=1.18 M,cr=501061.00 λ_{LT}=0.13
$\lambda_{LT,0}$=0.40 β_{LT}=0.75 Φ_{LT}=0.46 β_{LT}=0.75 f=1.00 χ_{LT}=1.00
λ_Y=4.01 Ncr,y=50413700.00 λ^*_y=0.05 Curva a: Φ_y=0.00 χ_y=1.00
λ_Z=14.85 Ncr,z=3674190.00 λ^*_z=0.17 Curva b: Φ_z=0.00 χ_z=1.00
Kyy, Kyz, Kzy, Kzz=0.95, 0.95, 0.76, 0.95
Verifica YY: 0.00+0.22=0.22
Verifica ZZ: 0.00+0.18=0.18

- Verifica in termini tensionali (4.2.5) - CC 97 Xl=0.40 - Classe 3
Sollecitazioni: T_z=-1540.13 M_y=1896.76 M_x=-30.60
Tensioni: σ_N=0.00 σ_M=-584.85 τ=264.46 σ_{max}=-584.85
Tensioni: σ_N=0.00 σ_M=-0.00 τ=292.74 τ_{max}=292.74
Tensioni: σ_N=0.00 σ_M=-584.85 τ=264.46 $\sigma_{ID,max}$=742.88

Asta n. 304 (313 -827) IPE240 iimpalcato Crit. 1

- Verifica di stabilità aste inflesse (4.2.4.1.3.2) CC 97 - Classe 3
L_{cr}=0.40 Curva b: α-imp=0.34 k_c=0.94 ψ=1.12 M,cr=481192.00 λ_{LT}=0.14
$\lambda_{LT,0}$=0.40 β_{LT}=0.75 Φ_{LT}=0.46 β_{LT}=0.75 f=1.00 χ_{LT}=1.00
CC 97 My,Ed=1896.80 My,b,Rd=8107.84 My,Ed/My,b,Rd=0.23

- Verifica in termini tensionali (4.2.5) - CC 97 Xl=0.00 - Classe 3
Sollecitazioni: T_z=1131.93 M_y=1896.80 M_x=12.36
Tensioni: σ_N=0.00 σ_M=-584.87 τ=106.86 σ_{max}=-584.87
Tensioni: σ_N=0.00 σ_M=-0.00 τ=141.18 τ_{max}=141.18
Tensioni: σ_N=0.00 σ_M=-584.87 τ=106.86 $\sigma_{ID,max}$=613.45

Asta n. 304 (-827 -828) IPE240 iimpalcato Crit. 1

- Verifica di stabilità aste inflesse (4.2.4.1.3.2) CC 97 - Classe 3
L_{cr}=0.20 Curva b: α-imp=0.34 k_c=0.94 ψ=1.07 M,cr=1814450.00 λ_{LT}=0.07
$\lambda_{LT,0}$=0.40 β_{LT}=0.75 Φ_{LT}=0.45 β_{LT}=0.75 f=1.00 χ_{LT}=1.00
CC 97 My,Ed=1445.73 My,b,Rd=8107.84 My,Ed/My,b,Rd=0.18

- Verifica in termini tensionali (4.2.5) - CC 97 Xl=0.00 - Classe 3
Sollecitazioni: T_z=980.92 M_y=1445.73 M_x=9.38
Tensioni: σ_N=0.00 σ_M=-445.78 τ=81.05 σ_{max}=-445.78
Tensioni: σ_N=0.00 σ_M=-0.00 τ=113.85 τ_{max}=113.85
Tensioni: σ_N=0.00 σ_M=-445.78 τ=81.05 $\sigma_{ID,max}$=467.36

Asta n. 304 (-828 -829) IPE240 iimpalcato Crit. 1

- Verifica di stabilità aste inflesse (4.2.4.1.3.2) CC 97 - Classe 3
L_{cr}=0.20 Curva b: α-imp=0.34 k_c=0.94 ψ=1.08 M,cr=1832380.00 λ_{LT}=0.07
$\lambda_{LT,0}$=0.40 β_{LT}=0.75 Φ_{LT}=0.45 β_{LT}=0.75 f=1.00 χ_{LT}=1.00
CC 97 My,Ed=1251.05 My,b,Rd=8107.84 My,Ed/My,b,Rd=0.15

- Verifica in termini tensionali (4.2.5) - CC 97 Xl=0.00 - Classe 3

Sollecitazioni: T_z=972.65 M_y=1251.05 M_x=9.38
Tensioni: σ_N=0.00 σ_M=-385.75 τ=81.05 σ_{max}=-385.75
Tensioni: σ_N=0.00 σ_M=-0.00 τ=113.38 τ_{max}=113.38
Tensioni: σ_N=0.00 σ_M=-385.75 τ=81.05 $\sigma_{ID,max}$=410.50

Asta n. 304 (-829 -830) IPE240 iimpalcato Crit. 1

- Verifica di stabilità aste inflesse (4.2.4.1.3.2) CC 97 - Classe 3
L_{cr}=0.40 Curva b: α-imp=0.34 k_c=0.94 ψ=1.17 M,cr=500259.00 λ_{LT}=0.13
$\lambda_{LT,0}$=0.40 β_{LT}=0.75 Φ_{LT}=0.46 β_{LT}=0.75 f=1.00 χ_{LT}=1.00
CC 97 My,Ed=1060.87 My,b,Rd=8107.84 My,Ed/My,b,Rd=0.13

- Verifica in termini tensionali (4.2.5) - CC 97 Xl=0.00 - Classe 3
Sollecitazioni: T_z=829.70 M_y=1060.87 M_x=6.36
Tensioni: σ_N=0.00 σ_M=-327.11 τ=54.99 σ_{max}=-327.11
Tensioni: σ_N=0.00 σ_M=-0.00 τ=87.17 τ_{max}=87.17
Tensioni: σ_N=0.00 σ_M=-327.11 τ=54.99 $\sigma_{ID,max}$=340.70

Asta n. 304 (-830 -831) IPE240 iimpalcato Crit. 1

- Verifica di stabilità aste inflesse (4.2.4.1.3.2) CC 97 - Classe 3
L_{cr}=0.40 Curva b: α-imp=0.34 k_c=0.94 ψ=1.20 M,cr=515950.00 λ_{LT}=0.13
$\lambda_{LT,0}$=0.40 β_{LT}=0.75 Φ_{LT}=0.46 β_{LT}=0.75 f=1.00 χ_{LT}=1.00
CC 97 My,Ed=733.39 My,b,Rd=8107.84 My,Ed/My,b,Rd=0.09

- Verifica in termini tensionali (4.2.5) - CC 97 Xl=0.00 - Classe 3
Sollecitazioni: T_z=679.42 M_y=733.39 M_x=3.02
Tensioni: σ_N=0.00 σ_M=-226.14 τ=26.12 σ_{max}=-226.14
Tensioni: σ_N=0.00 σ_M=-0.00 τ=61.23 τ_{max}=61.23
Tensioni: σ_N=0.00 σ_M=-226.14 τ=26.12 $\sigma_{ID,max}$=230.62

Asta n. 304 (-831 -832) IPE240 iimpalcato Crit. 1

- Verifica di stabilità aste inflesse (4.2.4.1.3.2) CC 97 - Classe 3
L_{cr}=0.40 Curva b: α-imp=0.34 k_c=0.94 ψ=1.26 M,cr=539979.00 λ_{LT}=0.13
$\lambda_{LT,0}$=0.40 β_{LT}=0.75 Φ_{LT}=0.46 β_{LT}=0.75 f=1.00 χ_{LT}=1.00
CC 97 My,Ed=465.72 My,b,Rd=8107.84 My,Ed/My,b,Rd=0.06

- Verifica in termini tensionali (4.2.5) - CC 97 Xl=0.00 - Classe 3
Sollecitazioni: T_z=528.95 M_y=465.72
Tensioni: σ_N=0.00 σ_M=-143.60 τ=0.00 σ_{max}=-143.60
Tensioni: σ_N=0.00 σ_M=-0.00 τ=43.11 τ_{max}=43.11
Tensioni: σ_N=0.00 σ_M=-143.60 τ=0.00 $\sigma_{ID,max}$=143.60

Asta n. 304 (-832 -833) IPE240 iimpalcato Crit. 1

- Verifica di stabilità aste inflesse (4.2.4.1.3.2) CC 97 - Classe 3
L_{cr}=0.40 Curva b: α-imp=0.34 k_c=0.94 ψ=1.36 M,cr=580673.00 λ_{LT}=0.12
$\lambda_{LT,0}$=0.40 β_{LT}=0.75 Φ_{LT}=0.46 β_{LT}=0.75 f=1.00 χ_{LT}=1.00
CC 97 My,Ed=258.08 My,b,Rd=8107.84 My,Ed/My,b,Rd=0.03

- Verifica in termini tensionali (4.2.5) - CC 97 Xl=0.00 - Classe 3
Sollecitazioni: T_z=378.19 M_y=258.08 M_x=-3.59
Tensioni: σ_N=0.00 σ_M=-79.58 τ=31.01 σ_{max}=-79.58
Tensioni: σ_N=0.00 σ_M=-0.00 τ=43.72 τ_{max}=43.72
Tensioni: σ_N=0.00 σ_M=-79.58 τ=31.01 $\sigma_{ID,max}$=96.01

Asta n. 304 (-833 -834) IPE240 iimpalcato Crit. 1

- Verifica di stabilità aste inflesse (4.2.4.1.3.2) CC 97 - Classe 3
L_{cr}=0.40 Curva b: α-imp=0.34 k_c=0.94 ψ=1.54 M,cr=661407.00 λ_{LT}=0.12
$\lambda_{LT,0}$=0.40 β_{LT}=0.75 Φ_{LT}=0.46 β_{LT}=0.75 f=1.00 χ_{LT}=1.00
CC 97 My,Ed=110.58 My,b,Rd=8107.84 My,Ed/My,b,Rd=0.01

- Verifica in termini tensionali (4.2.5) - CC 97 Xl=0.00 - Classe 3
Sollecitazioni: T_z=227.62 M_y=110.58 M_x=-6.90
Tensioni: σ_N=0.00 σ_M=-34.10 τ=59.60 σ_{max}=-34.10
Tensioni: σ_N=0.00 σ_M=-0.00 τ=62.42 τ_{max}=62.42
Tensioni: σ_N=0.00 σ_M=-27.05 τ=61.68 $\sigma_{ID,max}$=110.21

Asta n. 304 (-834 -835) IPE240 iimpalcato Crit. 1

- Verifica di stabilità aste inflesse (4.2.4.1.3.2) CC 97 - Classe 3
  L_{cr}=0.40 Curva b: α-imp=0.34 k_c=0.94 ψ=1.96 M,cr=837906.00 λ_{LT}=0.10
  $\lambda_{LT,0}$=0.40 β_{LT}=0.75 Φ_{LT}=0.45 β_{LT}=0.75 f=1.00 χ_{LT}=1.00
  CC 97 My,Ed=23.10 My,b,Rd=8107.84 My,Ed/My,b,Rd=0.00

- Verifica in termini tensionali (4.2.5) - CC 97 Xl=0.00 - Classe 3
  Sollecitazioni: T_z=76.98 M_y=23.10 M_x=-10.21
  Tensioni: σ_N=0.00 σ_M=-7.12 τ=88.22 σ_{max}=-7.12
  Tensioni: σ_N=0.00 σ_M=-0.00 τ=88.44 τ_{max}=88.44
  Tensioni: σ_N=0.00 σ_M=-5.65 τ=88.38 $\sigma_{ID,max}$=153.19

Asta n. 304 (-835 -836) IPE240 iimpalcato Crit. 1

- Verifica di stabilità aste inflesse (4.2.4.1.3.2) CC 98 - Classe 3
  L_{cr}=0.31 Curva b: α-imp=0.34 k_c=0.94 ψ=1.75 M,cr=1236090.00 λ_{LT}=0.08
  $\lambda_{LT,0}$=0.40 β_{LT}=0.75 Φ_{LT}=0.45 β_{LT}=0.75 f=1.00 χ_{LT}=1.00
  CC 98 My,Ed=-18.87 My,b,Rd=8107.84 My,Ed/My,b,Rd=0.00

- Verifica in termini tensionali (4.2.5) - CC 98 Xl=0.00 - Classe 3
  Sollecitazioni: T_z=-54.46 M_y=-18.87 M_x=-11.87
  Tensioni: σ_N=0.00 σ_M=5.82 τ=102.55 σ_{max}=5.82
  Tensioni: σ_N=0.00 σ_M=5.34 τ=102.71 τ_{max}=102.71
  Tensioni: σ_N=0.00 σ_M=5.34 τ=102.71 $\sigma_{ID,max}$=177.98

Asta n. 305 (-837 -838) IPE240 iimpalcato Crit. 1

- Verifica di stabilità aste inflesse (4.2.4.1.3.2) CC 97 - Classe 3
  L_{cr}=0.31 Curva b: α-imp=0.34 k_c=0.94 ψ=1.75 M,cr=1236090.00 λ_{LT}=0.08
  $\lambda_{LT,0}$=0.40 β_{LT}=0.75 Φ_{LT}=0.45 β_{LT}=0.75 f=1.00 χ_{LT}=1.00
  CC 97 My,Ed=-20.69 My,b,Rd=8107.84 My,Ed/My,b,Rd=0.00

- Verifica in termini tensionali (4.2.5) - CC 97 Xl=0.00 - Classe 3
  Sollecitazioni: T_z=73.16
  Tensioni: σ_N=0.00 σ_M=0.00 τ=0.00 σ_{max}=0.00
  Tensioni: σ_N=0.00 σ_M=0.00 τ=5.96 τ_{max}=5.96
  Tensioni: σ_N=0.00 σ_M=0.00 τ=5.96 $\sigma_{ID,max}$=10.33

Asta n. 305 (-838 -839) IPE240 iimpalcato Crit. 1

- Verifica di stabilità aste inflesse (4.2.4.1.3.2) CC 97 - Classe 3
  L_{cr}=0.40 Curva b: α-imp=0.34 k_c=0.94 ψ=1.17 M,cr=501331.00 λ_{LT}=0.13
  $\lambda_{LT,0}$=0.40 β_{LT}=0.75 Φ_{LT}=0.46 β_{LT}=0.75 f=1.00 χ_{LT}=1.00
  CC 97 My,Ed=-20.69 My,b,Rd=8107.84 My,Ed/My,b,Rd=0.00

- Verifica in termini tensionali (4.2.5) - CC 98 Xl=0.40 - Classe 3
  Sollecitazioni: T_z=-70.97 M_y=18.72
  Tensioni: σ_N=0.00 σ_M=-5.77 τ=0.00 σ_{max}=-5.77
  Tensioni: σ_N=0.00 σ_M=-0.00 τ=5.78 τ_{max}=5.78
  Tensioni: σ_N=0.00 σ_M=-0.00 τ=5.78 $\sigma_{ID,max}$=10.02

Asta n. 305 (-839 -840) IPE240 iimpalcato Crit. 1

- Verifica di stabilità aste inflesse (4.2.4.1.3.2) CC 98 - Classe 3
  L_{cr}=0.40 Curva b: α-imp=0.34 k_c=0.94 ψ=1.57 M,cr=673070.00 λ_{LT}=0.12
  $\lambda_{LT,0}$=0.40 β_{LT}=0.75 Φ_{LT}=0.46 β_{LT}=0.75 f=1.00 χ_{LT}=1.00
  CC 98 My,Ed=104.10 My,b,Rd=8107.84 My,Ed/My,b,Rd=0.01

- Verifica in termini tensionali (4.2.5) - CC 98 Xl=0.40 - Classe 3
  Sollecitazioni: T_z=-222.37 M_y=104.10
  Tensioni: σ_N=0.00 σ_M=-32.10 τ=0.00 σ_{max}=-32.10
  Tensioni: σ_N=0.00 σ_M=-0.00 τ=18.13 τ_{max}=18.13
  Tensioni: σ_N=0.00 σ_M=-25.46 τ=15.54 $\sigma_{ID,max}$=37.05

Asta n. 305 (-840 -841) IPE240 iimpalcato Crit. 1

- Verifica di stabilità aste inflesse (4.2.4.1.3.2) CC 98 - Classe 3

L_{cr}=0.40 Curva b: α-imp=0.34 k_c=0.94 ψ=1.36 M,cr=584693.00 λ_{LT}=0.12
$\lambda_{LT,0}$=0.40 β_{LT}=0.75 Φ_{LT}=0.46 β_{LT}=0.75 f=1.00 χ_{LT}=1.00
CC 98 My,Ed=249.85 My,b,Rd=8107.84 My,Ed/My,b,Rd=0.03

- Verifica in termini tensionali (4.2.5) - CC 98 Xl=0.40 - Classe 3
Sollecitazioni: T_z=-373.78 M_y=249.85
Tensioni: σ_N=0.00 σ_M=-77.04 τ=0.00 σ_{max}=-77.04
Tensioni: σ_N=0.00 σ_M=-0.00 τ=30.47 τ_{max}=30.47
Tensioni: σ_N=0.00 σ_M=-77.04 τ=0.00 $\sigma_{ID,max}$=77.04

Asta n. 305 (-841 -842) IPE240 iimpalcato Crit. 1

- Verifica di stabilità aste inflesse (4.2.4.1.3.2) CC 98 - Classe 3
L_{cr}=0.40 Curva b: α-imp=0.34 k_c=0.94 ψ=1.26 M,cr=541902.00 λ_{LT}=0.13
$\lambda_{LT,0}$=0.40 β_{LT}=0.75 Φ_{LT}=0.46 β_{LT}=0.75 f=1.00 χ_{LT}=1.00
CC 98 My,Ed=455.97 My,b,Rd=8107.84 My,Ed/My,b,Rd=0.06

- Verifica in termini tensionali (4.2.5) - CC 98 Xl=0.40 - Classe 3
Sollecitazioni: T_z=-525.18 M_y=455.97
Tensioni: σ_N=0.00 σ_M=-140.59 τ=0.00 σ_{max}=-140.59
Tensioni: σ_N=0.00 σ_M=-0.00 τ=42.81 τ_{max}=42.81
Tensioni: σ_N=0.00 σ_M=-140.59 τ=0.00 $\sigma_{ID,max}$=140.59

Asta n. 305 (-842 -843) IPE240 iimpalcato Crit. 1

- Verifica di stabilità aste inflesse (4.2.4.1.3.2) CC 98 - Classe 3
L_{cr}=0.40 Curva b: α-imp=0.34 k_c=0.94 ψ=1.21 M,cr=517086.00 λ_{LT}=0.13
$\lambda_{LT,0}$=0.40 β_{LT}=0.75 Φ_{LT}=0.46 β_{LT}=0.75 f=1.00 χ_{LT}=1.00
CC 98 My,Ed=722.46 My,b,Rd=8107.84 My,Ed/My,b,Rd=0.09

- Verifica in termini tensionali (4.2.5) - CC 98 Xl=0.40 - Classe 3
Sollecitazioni: T_z=-676.58 M_y=722.46
Tensioni: σ_N=0.00 σ_M=-222.77 τ=0.00 σ_{max}=-222.77
Tensioni: σ_N=0.00 σ_M=-0.00 τ=55.15 τ_{max}=55.15
Tensioni: σ_N=0.00 σ_M=-222.77 τ=0.00 $\sigma_{ID,max}$=222.77

Asta n. 305 (-843 -844) IPE240 iimpalcato Crit. 1

- Verifica di stabilità aste inflesse (4.2.4.1.3.2) CC 98 - Classe 3
L_{cr}=0.40 Curva b: α-imp=0.34 k_c=0.94 ψ=1.17 M,cr=501007.00 λ_{LT}=0.13
$\lambda_{LT,0}$=0.40 β_{LT}=0.75 Φ_{LT}=0.46 β_{LT}=0.75 f=1.00 χ_{LT}=1.00
CC 98 My,Ed=1049.32 My,b,Rd=8107.84 My,Ed/My,b,Rd=0.13

- Verifica in termini tensionali (4.2.5) - CC 98 Xl=0.40 - Classe 3
Sollecitazioni: T_z=-827.99 M_y=1049.32
Tensioni: σ_N=0.00 σ_M=-323.55 τ=0.00 σ_{max}=-323.55
Tensioni: σ_N=0.00 σ_M=-0.00 τ=67.49 τ_{max}=67.49
Tensioni: σ_N=0.00 σ_M=-323.55 τ=0.00 $\sigma_{ID,max}$=323.55

Asta n. 305 (-844 -845) IPE240 iimpalcato Crit. 1

- Verifica di stabilità aste inflesse (4.2.4.1.3.2) CC 98 - Classe 3
L_{cr}=0.20 Curva b: α-imp=0.34 k_c=0.94 ψ=1.08 M,cr=1833560.00 λ_{LT}=0.07
$\lambda_{LT,0}$=0.40 β_{LT}=0.75 Φ_{LT}=0.45 β_{LT}=0.75 f=1.00 χ_{LT}=1.00
CC 98 My,Ed=1238.74 My,b,Rd=8107.84 My,Ed/My,b,Rd=0.15

- Verifica in termini tensionali (4.2.5) - CC 98 Xl=0.20 - Classe 3
Sollecitazioni: T_z=-971.02 M_y=1238.74
Tensioni: σ_N=0.00 σ_M=-381.96 τ=0.00 σ_{max}=-381.96
Tensioni: σ_N=0.00 σ_M=-0.00 τ=79.15 τ_{max}=79.15
Tensioni: σ_N=0.00 σ_M=-381.96 τ=0.00 $\sigma_{ID,max}$=381.96

Asta n. 305 (-845 -846) IPE240 iimpalcato Crit. 1

- Verifica di stabilità aste inflesse (4.2.4.1.3.2) CC 98 - Classe 3
L_{cr}=0.20 Curva b: α-imp=0.34 k_c=0.94 ψ=1.07 M,cr=1815310.00 λ_{LT}=0.07
$\lambda_{LT,0}$=0.40 β_{LT}=0.75 Φ_{LT}=0.45 β_{LT}=0.75 f=1.00 χ_{LT}=1.00
CC 98 My,Ed=1433.15 My,b,Rd=8107.84 My,Ed/My,b,Rd=0.18

- Verifica in termini tensionali (4.2.5) - CC 98 Xl=0.20 - Classe 3
  Sollecitazioni: T_z=-979.28 M_y=1433.15
  Tensioni: σ_N=0.00 σ_M=-441.90 τ=0.00 σ_{max}=-441.90
  Tensioni: σ_N=0.00 σ_M=-0.00 τ=79.82 τ_{max}=79.82
  Tensioni: σ_N=0.00 σ_M=-441.90 τ=0.00 $\sigma_{ID,max}$=441.90

Asta n. 305 (-846 -847) IPE240 iimpalcato Crit. 1

- Verifica di stabilità aste inflesse (4.2.4.1.3.2) CC 98 - Classe 3
  L_{cr}=0.40 Curva b: α-imp=0.34 k_c=0.94 ψ=1.12 M,cr=481526.00 λ_{LT}=0.14
  $\lambda_{LT,0}$=0.40 β_{LT}=0.75 Φ_{LT}=0.46 β_{LT}=0.75 f=1.00 χ_{LT}=1.00
  CC 98 My,Ed=1884.04 My,b,Rd=8107.84 My,Ed/My,b,Rd=0.23

- Verifica in termini tensionali (4.2.5) - CC 98 Xl=0.40 - Classe 3
  Sollecitazioni: T_z=-1130.58 M_y=1884.04
  Tensioni: σ_N=0.00 σ_M=-580.93 τ=0.00 σ_{max}=-580.93
  Tensioni: σ_N=0.00 σ_M=-0.00 τ=92.15 τ_{max}=92.15
  Tensioni: σ_N=0.00 σ_M=-580.93 τ=0.00 $\sigma_{ID,max}$=580.93

Asta n. 305 (-847 -848) IPE240 iimpalcato Crit. 1

- Verifica di stabilità aste presso-inflesse (C4.2.4.1.3.3.2) - CC 98 - Classe 3
  Sollecitazioni: N,Ed=-0.19 My,Ed=1884.08 Mz,Ed=-0.03
  Resistenze: Nc,Rd=97793.60 My,c,Rd=8107.84 Mz,c,Rd=1181.81 L=40.00
  αmy, αmz, αLT=0.95, 0.95, 0.95
  L_{cr}=0.40 Curva b: α-imp=0.34 k_c=0.94 ψ=1.18 M,cr=501921.00 λ_{LT}=0.13
  $\lambda_{LT,0}$=0.40 β_{LT}=0.75 Φ_{LT}=0.46 β_{LT}=0.75 f=1.00 χ_{LT}=1.00
  λ_Y=4.01 Ncr,y=50413400.00 λ^*_y=0.05 Curva a: Φ_y=0.00 χ_y=1.00
  λ_Z=14.85 Ncr,z=3674170.00 λ^*_z=0.17 Curva b: Φ_z=0.00 χ_z=1.00
  Kyy, Kyz, Kzy, Kzz=0.95, 0.95, 0.76, 0.95
  Verifica YY: 0.00+0.22+0.00=0.22
  Verifica ZZ: 0.00+0.18+0.00=0.18

- Verifica in termini tensionali (4.2.5) - CC 98 Xl=0.00 - Classe 3
  Sollecitazioni: T_z=1544.69 M_y=1884.08
  Tensioni: σ_N=0.00 σ_M=-580.95 τ=0.00 σ_{max}=-580.95
  Tensioni: σ_N=0.00 σ_M=-0.00 τ=125.91 τ_{max}=125.91
  Tensioni: σ_N=0.00 σ_M=-580.95 τ=0.00 $\sigma_{ID,max}$=580.95

Asta n. 305 (-848 -849) IPE240 iimpalcato Crit. 1

- Verifica di stabilità aste presso-inflesse (C4.2.4.1.3.3.2) - CC 98 - Classe 3
  Sollecitazioni: N,Ed=-0.19 My,Ed=1266.14 Mz,Ed=-0.03
  Resistenze: Nc,Rd=97793.60 My,c,Rd=8107.84 Mz,c,Rd=1181.81 L=20.00
  αmy, αmz, αLT=0.95, 0.95, 0.95
  L_{cr}=0.20 Curva b: α-imp=0.34 k_c=0.94 ψ=1.11 M,cr=1882790.00 λ_{LT}=0.07
  $\lambda_{LT,0}$=0.40 β_{LT}=0.75 Φ_{LT}=0.45 β_{LT}=0.75 f=1.00 χ_{LT}=1.00
  λ_Y=2.01 Ncr,y=201653000.00 λ^*_y=0.02 Curva a: Φ_y=0.00 χ_y=1.00
  λ_Z=7.43 Ncr,z=14696700.00 λ^*_z=0.09 Curva b: Φ_z=0.00 χ_z=1.00
  Kyy, Kyz, Kzy, Kzz=0.95, 0.95, 0.76, 0.95
  Verifica YY: 0.00+0.15+0.00=0.15
  Verifica ZZ: 0.00+0.12+0.00=0.12

- Verifica in termini tensionali (4.2.5) - CC 98 Xl=0.00 - Classe 3
  Sollecitazioni: T_z=1392.92 M_y=1266.14
  Tensioni: σ_N=0.00 σ_M=-390.41 τ=0.00 σ_{max}=-390.41
  Tensioni: σ_N=0.00 σ_M=-0.00 τ=113.54 τ_{max}=113.54
  Tensioni: σ_N=0.00 σ_M=-390.41 τ=0.00 $\sigma_{ID,max}$=390.41

Asta n. 305 (-849 -850) IPE240 iimpalcato Crit. 1

- Verifica di stabilità aste presso-inflesse (C4.2.4.1.3.3.2) - CC 98 - Classe 3
  Sollecitazioni: N,Ed=-0.19 My,Ed=988.39 Mz,Ed=-0.03
  Resistenze: Nc,Rd=97793.60 My,c,Rd=8107.84 Mz,c,Rd=1181.81 L=20.00
  αmy, αmz, αLT=0.95, 0.95, 0.95
  L_{cr}=0.20 Curva b: α-imp=0.34 k_c=0.94 ψ=1.15 M,cr=1943610.00 λ_{LT}=0.07
  $\lambda_{LT,0}$=0.40 β_{LT}=0.75 Φ_{LT}=0.45 β_{LT}=0.75 f=1.00 χ_{LT}=1.00
  λ_Y=2.01 Ncr,y=201653000.00 λ^*_y=0.02 Curva a: Φ_y=0.00 χ_y=1.00

λ_Z=7.43 Ncr,z=14696700.00 λ^*_z=0.09 Curva b: Φ_z=0.00 χ_z=1.00
Kyy, Kyz, Kzy, Kzz=0.95, 0.95, 0.76, 0.95
Verifica YY: 0.00+0.12+0.00=0.12
Verifica ZZ: 0.00+0.09+0.00=0.09

- Verifica in termini tensionali (4.2.5) - CC 98 Xl=0.00 - Classe 3
Sollecitazioni: T_z=1384.63 M_y=988.39
Tensioni: σ_N=0.00 σ_M=-304.76 τ=0.00 σ_{max}=-304.76
Tensioni: σ_N=0.00 σ_M=-0.00 τ=112.86 τ_{max}=112.86
Tensioni: σ_N=0.00 σ_M=-304.76 τ=0.00 $\sigma_{ID,max}$=304.76

Asta n. 305 (-850 -851) IPE240 iimpalcato Crit. 1

- Verifica di stabilità aste presso-inflesse (C4.2.4.1.3.3.2) - CC 98 - Classe 3
Sollecitazioni: N,Ed=-0.19 My,Ed=715.67 Mz,Ed=-0.03
Resistenze: Nc,Rd=97793.60 My,c,Rd=8107.84 Mz,c,Rd=1181.81 L=40.00
αmy, αmz, αLT=0.95, 0.95, 0.95
L_{cr}=0.40 Curva b: α-imp=0.34 k_c=0.94 ψ=1.45 M,cr=618520.00 λ_{LT}=0.12
$\lambda_{LT,0}$=0.40 β_{LT}=0.75 Φ_{LT}=0.46 β_{LT}=0.75 f=1.00 χ_{LT}=1.00
λ_Y=4.01 Ncr,y=50413300.00 λ^*_y=0.05 Curva a: Φ_y=0.00 χ_y=1.00
λ_Z=14.85 Ncr,z=3674170.00 λ^*_z=0.17 Curva b: Φ_z=0.00 χ_z=1.00
Kyy, Kyz, Kzy, Kzz=0.95, 0.95, 0.76, 0.95
Verifica YY: 0.00+0.08+0.00=0.08
Verifica ZZ: 0.00+0.07+0.00=0.07

- Verifica in termini tensionali (4.2.5) - CC 98 Xl=0.00 - Classe 3
Sollecitazioni: T_z=1241.15 M_y=715.67
Tensioni: σ_N=0.00 σ_M=-220.67 τ=0.00 σ_{max}=-220.67
Tensioni: σ_N=0.00 σ_M=-0.00 τ=101.17 τ_{max}=101.17
Tensioni: σ_N=0.00 σ_M=-175.07 τ=86.71 $\sigma_{ID,max}$=230.66

Asta n. 305 (-851 -852) IPE240 iimpalcato Crit. 1

- Verifica di stabilità aste presso-inflesse (C4.2.4.1.3.3.2) - CC 97 - Classe 3
Sollecitazioni: N,Ed=-0.19 My,Ed=-310.57 Mz,Ed=-0.03
Resistenze: Nc,Rd=97793.60 My,c,Rd=8107.84 Mz,c,Rd=1181.81 L=40.00
αmy, αmz, αLT=0.95, 0.95, 0.95
L_{cr}=0.40 Curva b: α-imp=0.34 k_c=0.94 ψ=2.14 M,cr=913237.00 λ_{LT}=0.10
$\lambda_{LT,0}$=0.40 β_{LT}=0.75 Φ_{LT}=0.45 β_{LT}=0.75 f=1.00 χ_{LT}=1.00
λ_Y=4.01 Ncr,y=50413400.00 λ^*_y=0.05 Curva a: Φ_y=0.00 χ_y=1.00
λ_Z=14.85 Ncr,z=3674170.00 λ^*_z=0.17 Curva b: Φ_z=0.00 χ_z=1.00
Kyy, Kyz, Kzy, Kzz=0.95, 0.95, 0.76, 0.95
Verifica YY: 0.00+0.04+0.00=0.04
Verifica ZZ: 0.00+0.03+0.00=0.03

- Verifica in termini tensionali (4.2.5) - CC 98 Xl=0.00 - Classe 3
Sollecitazioni: T_z=1089.28 M_y=222.53
Tensioni: σ_N=0.00 σ_M=-68.61 τ=0.00 σ_{max}=-68.61
Tensioni: σ_N=0.00 σ_M=-0.00 τ=88.79 τ_{max}=88.79
Tensioni: σ_N=0.00 σ_M=-0.00 τ=88.79 $\sigma_{ID,max}$=153.78

Asta n. 305 (-852 -853) IPE240 iimpalcato Crit. 1

- Verifica di stabilità aste presso-inflesse (C4.2.4.1.3.3.2) - CC 97 - Classe 3
Sollecitazioni: N,Ed=-0.19 My,Ed=-666.73 Mz,Ed=-0.03
Resistenze: Nc,Rd=97793.60 My,c,Rd=8107.84 Mz,c,Rd=1181.81 L=40.00
αmy, αmz, αLT=0.95, 0.95, 0.95
L_{cr}=0.40 Curva b: α-imp=0.34 k_c=0.94 ψ=1.33 M,cr=564637.00 λ_{LT}=0.13
$\lambda_{LT,0}$=0.40 β_{LT}=0.75 Φ_{LT}=0.46 β_{LT}=0.75 f=1.00 χ_{LT}=1.00
λ_Y=4.01 Ncr,y=50413300.00 λ^*_y=0.05 Curva a: Φ_y=0.00 χ_y=1.00
λ_Z=14.85 Ncr,z=3674170.00 λ^*_z=0.17 Curva b: Φ_z=0.00 χ_z=1.00
Kyy, Kyz, Kzy, Kzz=0.95, 0.95, 0.76, 0.95
Verifica YY: 0.00+0.08+0.00=0.08
Verifica ZZ: 0.00+0.06+0.00=0.06

- Verifica in termini tensionali (4.2.5) - CC 97 Xl=0.40 - Classe 3
Sollecitazioni: T_z=882.09 M_y=-666.73
Tensioni: σ_N=0.00 σ_M=205.58 τ=0.00 σ_{max}=205.58
Tensioni: σ_N=0.00 σ_M=0.00 τ=71.90 τ_{max}=71.90

Tensioni: σ_N=0.00 σ_M=205.58 τ=0.00 $\sigma_{ID,max}$=205.58

Asta n. 305 (-853 -854) IPE240 iimpalcato Crit. 1

- Verifica di stabilità aste presso-inflesse (C4.2.4.1.3.3.2) - CC 97 - Classe 3
  Sollecitazioni: N,Ed=-0.19 My,Ed=-962.13 Mz,Ed=-0.03
  Resistenze: Nc,Rd=97793.60 My,c,Rd=8107.84 Mz,c,Rd=1181.81 L=40.00
  αmy, αmz, αLT=0.95, 0.95, 0.95
  L_{cr}=0.40 Curva b: α-imp=0.34 k_c=0.94 ψ=1.17 M,cr=496700.00 λ_{LT}=0.13
  $\lambda_{LT,0}$=0.40 β_{LT}=0.75 Φ_{LT}=0.46 β_{LT}=0.75 f=1.00 χ_{LT}=1.00
  λ_Y=4.01 Ncr,y=50413300.00 λ^*_y=0.05 Curva a: Φ_y=0.00 χ_y=1.00
  λ_Z=14.85 Ncr,z=3674170.00 λ^*_z=0.17 Curva b: Φ_z=0.00 χ_z=1.00
  Kyy, Kyz, Kzy, Kzz=0.95, 0.95, 0.76, 0.95
  Verifica YY: 0.00+0.11+0.00=0.11
  Verifica ZZ: 0.00+0.09+0.00=0.09

- Verifica in termini tensionali (4.2.5) - CC 97 Xl=0.40 - Classe 3
  Sollecitazioni: T_z=730.22 M_y=-962.13
  Tensioni: σ_N=0.00 σ_M=296.67 τ=0.00 σ_{max}=296.67
  Tensioni: σ_N=0.00 σ_M=0.00 τ=59.52 τ_{max}=59.52
  Tensioni: σ_N=0.00 σ_M=296.67 τ=0.00 $\sigma_{ID,max}$=296.67

Asta n. 305 (-854 -855) IPE240 iimpalcato Crit. 1

- Verifica di stabilità aste presso-inflesse (C4.2.4.1.3.3.2) - CC 97 - Classe 3
  Sollecitazioni: N,Ed=-0.19 My,Ed=-1196.78 Mz,Ed=-0.03
  Resistenze: Nc,Rd=97793.60 My,c,Rd=8107.84 Mz,c,Rd=1181.81 L=40.00
  αmy, αmz, αLT=0.95, 0.95, 0.95
  L_{cr}=0.40 Curva b: α-imp=0.34 k_c=0.94 ψ=1.10 M,cr=468308.00 λ_{LT}=0.14
  $\lambda_{LT,0}$=0.40 β_{LT}=0.75 Φ_{LT}=0.46 β_{LT}=0.75 f=1.00 χ_{LT}=1.00
  λ_Y=4.01 Ncr,y=50413400.00 λ^*_y=0.05 Curva a: Φ_y=0.00 χ_y=1.00
  λ_Z=14.85 Ncr,z=3674170.00 λ^*_z=0.17 Curva b: Φ_z=0.00 χ_z=1.00
  Kyy, Kyz, Kzy, Kzz=0.95, 0.95, 0.76, 0.95
  Verifica YY: 0.00+0.14+0.00=0.14
  Verifica ZZ: 0.00+0.11+0.00=0.11

- Verifica in termini tensionali (4.2.5) - CC 97 Xl=0.40 - Classe 3
  Sollecitazioni: T_z=578.34 M_y=-1196.78
  Tensioni: σ_N=0.00 σ_M=369.02 τ=0.00 σ_{max}=369.02
  Tensioni: σ_N=0.00 σ_M=0.00 τ=47.14 τ_{max}=47.14
  Tensioni: σ_N=0.00 σ_M=369.02 τ=0.00 $\sigma_{ID,max}$=369.02

Asta n. 305 (-855 -856) IPE240 iimpalcato Crit. 1

- Verifica di stabilità aste presso-inflesse (C4.2.4.1.3.3.2) - CC 97 - Classe 3
  Sollecitazioni: N,Ed=-0.19 My,Ed=-1370.69 Mz,Ed=-0.03
  Resistenze: Nc,Rd=97793.60 My,c,Rd=8107.84 Mz,c,Rd=1181.81 L=40.00
  αmy, αmz, αLT=0.95, 0.95, 0.95
  L_{cr}=0.40 Curva b: α-imp=0.34 k_c=0.94 ψ=1.06 M,cr=452192.00 λ_{LT}=0.14
  $\lambda_{LT,0}$=0.40 β_{LT}=0.75 Φ_{LT}=0.46 β_{LT}=0.75 f=1.00 χ_{LT}=1.00
  λ_Y=4.01 Ncr,y=50413200.00 λ^*_y=0.05 Curva a: Φ_y=0.00 χ_y=1.00
  λ_Z=14.85 Ncr,z=3674160.00 λ^*_z=0.17 Curva b: Φ_z=0.00 χ_z=1.00
  Kyy, Kyz, Kzy, Kzz=0.95, 0.95, 0.76, 0.95
  Verifica YY: 0.00+0.16+0.00=0.16
  Verifica ZZ: 0.00+0.13+0.00=0.13

- Verifica in termini tensionali (4.2.5) - CC 97 Xl=0.40 - Classe 3
  Sollecitazioni: T_z=426.47 M_y=-1370.69
  Tensioni: σ_N=0.00 σ_M=422.64 τ=0.00 σ_{max}=422.64
  Tensioni: σ_N=0.00 σ_M=0.00 τ=34.76 τ_{max}=34.76
  Tensioni: σ_N=0.00 σ_M=422.64 τ=0.00 $\sigma_{ID,max}$=422.64

Asta n. 305 (-856 -1297) IPE240 iimpalcato Crit. 1

- Verifica di stabilità aste presso-inflesse (C4.2.4.1.3.3.2) - CC 97 - Classe 3
  Sollecitazioni: N,Ed=-0.19 My,Ed=-1431.52 Mz,Ed=-0.03
  Resistenze: Nc,Rd=97793.60 My,c,Rd=8107.84 Mz,c,Rd=1181.81 L=20.00
  αmy, αmz, αLT=0.95, 0.95, 0.95
  L_{cr}=0.20 Curva b: α-imp=0.34 k_c=0.94 ψ=1.02 M,cr=1722770.00 λ_{LT}=0.07

$\lambda_{LT,0}$=0.40 β_{LT}=0.75 Φ_{LT}=0.45 β_{LT}=0.75 f=1.00 χ_{LT}=1.00
λ_Y=2.01 Ncr,y=201654000.00 λ^*_y=0.02 Curva a: Φ_y=0.00 χ_y=1.00
λ_Z=7.43 Ncr,z=14696700.00 λ^*_z=0.09 Curva b: Φ_z=0.00 χ_z=1.00
Kyy, Kyz, Kzy, Kzz=0.95, 0.95, 0.76, 0.95
Verifica YY: 0.00+0.17+0.00=0.17
Verifica ZZ: 0.00+0.13+0.00=0.13

- Verifica in termini tensionali (4.2.5) - CC 97 Xl=0.20 - Classe 3
Sollecitazioni: T_z=283.13 M_y=-1431.52
Tensioni: σ_N=0.00 σ_M=441.40 τ=0.00 σ_{max}=441.40
Tensioni: σ_N=0.00 σ_M=0.00 τ=23.08 τ_{max}=23.08
Tensioni: σ_N=0.00 σ_M=441.40 τ=0.00 $\sigma_{ID,max}$=441.40

Asta n. 305 (-1297 -857) IPE240 iimpalcato Crit. 1

- Verifica di stabilità aste presso-inflesse (C4.2.4.1.3.3.2) - CC 97 - Classe 3
Sollecitazioni: N,Ed=-0.19 My,Ed=-1487.32 Mz,Ed=-0.03
Resistenze: Nc,Rd=97793.60 My,c,Rd=8107.84 Mz,c,Rd=1181.81 L=20.00
αmy, αmz, αLT=0.95, 0.95, 0.95
L_{cr}=0.20 Curva b: α-imp=0.34 k_c=0.94 ψ=1.02 M,cr=1720680.00 λ_{LT}=0.07
$\lambda_{LT,0}$=0.40 β_{LT}=0.75 Φ_{LT}=0.45 β_{LT}=0.75 f=1.00 χ_{LT}=1.00
λ_Y=2.01 Ncr,y=201654000.00 λ^*_y=0.02 Curva a: Φ_y=0.00 χ_y=1.00
λ_Z=7.43 Ncr,z=14696700.00 λ^*_z=0.09 Curva b: Φ_z=0.00 χ_z=1.00
Kyy, Kyz, Kzy, Kzz=0.95, 0.95, 0.76, 0.95
Verifica YY: 0.00+0.17+0.00=0.17
Verifica ZZ: 0.00+0.14+0.00=0.14

- Verifica in termini tensionali (4.2.5) - CC 97 Xl=0.20 - Classe 3
Sollecitazioni: T_z=274.83 M_y=-1487.32
Tensioni: σ_N=0.00 σ_M=458.61 τ=0.00 σ_{max}=458.61
Tensioni: σ_N=0.00 σ_M=0.00 τ=22.40 τ_{max}=22.40
Tensioni: σ_N=0.00 σ_M=458.61 τ=0.00 $\sigma_{ID,max}$=458.61

Asta n. 305 (-857 -1296) IPE240 iimpalcato Crit. 1

- Verifica di stabilità aste presso-inflesse (C4.2.4.1.3.3.2) - CC 97 - Classe 3
Sollecitazioni: N,Ed=-0.19 My,Ed=-1514.51 Mz,Ed=-0.03
Resistenze: Nc,Rd=97793.60 My,c,Rd=8107.84 Mz,c,Rd=1181.81 L=20.00
αmy, αmz, αLT=0.95, 0.95, 0.95
L_{cr}=0.20 Curva b: α-imp=0.34 k_c=0.94 ψ=1.01 M,cr=1705230.00 λ_{LT}=0.07
$\lambda_{LT,0}$=0.40 β_{LT}=0.75 Φ_{LT}=0.45 β_{LT}=0.75 f=1.00 χ_{LT}=1.00
λ_Y=2.01 Ncr,y=201653000.00 λ^*_y=0.02 Curva a: Φ_y=0.00 χ_y=1.00
λ_Z=7.43 Ncr,z=14696600.00 λ^*_z=0.09 Curva b: Φ_z=0.00 χ_z=1.00
Kyy, Kyz, Kzy, Kzz=0.95, 0.95, 0.76, 0.95
Verifica YY: 0.00+0.18+0.00=0.18
Verifica ZZ: 0.00+0.14+0.00=0.14

- Verifica in termini tensionali (4.2.5) - CC 97 Xl=0.20 - Classe 3
Sollecitazioni: T_z=131.81 M_y=-1514.51
Tensioni: σ_N=0.00 σ_M=466.99 τ=0.00 σ_{max}=466.99
Tensioni: σ_N=0.00 σ_M=0.00 τ=10.74 τ_{max}=10.74
Tensioni: σ_N=0.00 σ_M=466.99 τ=0.00 $\sigma_{ID,max}$=466.99

Asta n. 305 (-1296 -858) IPE240 iimpalcato Crit. 1

- Verifica di stabilità aste presso-inflesse (C4.2.4.1.3.3.2) - CC 97 - Classe 3
Sollecitazioni: N,Ed=-0.19 My,Ed=-1540.04 Mz,Ed=-0.03
Resistenze: Nc,Rd=97793.60 My,c,Rd=8107.84 Mz,c,Rd=1181.81 L=20.00
αmy, αmz, αLT=0.95, 0.95, 0.95
L_{cr}=0.20 Curva b: α-imp=0.34 k_c=0.94 ψ=1.01 M,cr=1704160.00 λ_{LT}=0.07
$\lambda_{LT,0}$=0.40 β_{LT}=0.75 Φ_{LT}=0.45 β_{LT}=0.75 f=1.00 χ_{LT}=1.00
λ_Y=2.01 Ncr,y=201653000.00 λ^*_y=0.02 Curva a: Φ_y=0.00 χ_y=1.00
λ_Z=7.43 Ncr,z=14696600.00 λ^*_z=0.09 Curva b: Φ_z=0.00 χ_z=1.00
Kyy, Kyz, Kzy, Kzz=0.95, 0.95, 0.76, 0.95
Verifica YY: 0.00+0.18+0.00=0.18
Verifica ZZ: 0.00+0.14+0.00=0.14

- Verifica in termini tensionali (4.2.5) - CC 97 Xl=0.20 - Classe 3
Sollecitazioni: T_z=123.52 M_y=-1540.04

Tensioni: σ_N=0.00 σ_M=474.86 τ=0.00 σ_{max}=474.86
Tensioni: σ_N=0.00 σ_M=0.00 τ=10.07 τ_{max}=10.07
Tensioni: σ_N=0.00 σ_M=474.86 τ=0.00 $\sigma_{ID,max}$=474.86

Asta n. 305 (-858 -859) IPE240 iimpalcato Crit. 1

- Verifica di stabilità aste presso-inflesse (C4.2.4.1.3.3.2) - CC 97 - Classe 3
Sollecitazioni: N,Ed=-0.19 My,Ed=-1540.04 Mz,Ed=-0.03
Resistenze: Nc,Rd=97793.60 My,c,Rd=8107.84 Mz,c,Rd=1181.81 L=20.00
αmy, αmz, αLT=0.95, 0.95, 0.95
L_{cr}=0.20 Curva b: α-imp=0.34 k_c=0.94 ψ=1.00 M,cr=1692910.00 λ_{LT}=0.07
$\lambda_{LT,0}$=0.40 β_{LT}=0.75 Φ_{LT}=0.45 β_{LT}=0.75 f=1.00 χ_{LT}=1.00
λ_Y=2.01 Ncr,y=201654000.00 λ^*_y=0.02 Curva a: Φ_y=0.00 χ_y=1.00
λ_Z=7.43 Ncr,z=14696700.00 λ^*_z=0.09 Curva b: Φ_z=0.00 χ_z=1.00
Kyy, Kyz, Kzy, Kzz=0.95, 0.95, 0.76, 0.95
Verifica YY: 0.00+0.18+0.00=0.18
Verifica ZZ: 0.00+0.14+0.00=0.14

- Verifica in termini tensionali (4.2.5) - CC 97 Xl=0.00 - Classe 3
Sollecitazioni: T_z=-11.08 M_y=-1540.04
Tensioni: σ_N=0.00 σ_M=474.86 τ=0.00 σ_{max}=474.86
Tensioni: σ_N=0.00 σ_M=0.00 τ=0.90 τ_{max}=0.90
Tensioni: σ_N=0.00 σ_M=474.86 τ=0.00 $\sigma_{ID,max}$=474.86

Asta n. 305 (-859 -860) IPE240 iimpalcato Crit. 1

- Verifica di stabilità aste presso-inflesse (C4.2.4.1.3.3.2) - CC 98 - Classe 3
Sollecitazioni: N,Ed=-0.19 My,Ed=-1540.04 Mz,Ed=-0.03
Resistenze: Nc,Rd=97793.60 My,c,Rd=8107.84 Mz,c,Rd=1181.81 L=20.00
αmy, αmz, αLT=0.95, 0.95, 0.95
L_{cr}=0.20 Curva b: α-imp=0.34 k_c=0.94 ψ=1.00 M,cr=1692910.00 λ_{LT}=0.07
$\lambda_{LT,0}$=0.40 β_{LT}=0.75 Φ_{LT}=0.45 β_{LT}=0.75 f=1.00 χ_{LT}=1.00
λ_Y=2.01 Ncr,y=201654000.00 λ^*_y=0.02 Curva a: Φ_y=0.00 χ_y=1.00
λ_Z=7.43 Ncr,z=14696700.00 λ^*_z=0.09 Curva b: Φ_z=0.00 χ_z=1.00
Kyy, Kyz, Kzy, Kzz=0.95, 0.95, 0.76, 0.95
Verifica YY: 0.00+0.18+0.00=0.18
Verifica ZZ: 0.00+0.14+0.00=0.14

- Verifica in termini tensionali (4.2.5) - CC 98 Xl=0.20 - Classe 3
Sollecitazioni: T_z=11.08 M_y=-1540.04
Tensioni: σ_N=0.00 σ_M=474.86 τ=0.00 σ_{max}=474.86
Tensioni: σ_N=0.00 σ_M=0.00 τ=0.90 τ_{max}=0.90
Tensioni: σ_N=0.00 σ_M=474.86 τ=0.00 $\sigma_{ID,max}$=474.86

Asta n. 305 (-860 -1289) IPE240 iimpalcato Crit. 1

- Verifica di stabilità aste presso-inflesse (C4.2.4.1.3.3.2) - CC 98 - Classe 3
Sollecitazioni: N,Ed=-0.19 My,Ed=-1540.04 Mz,Ed=-0.03
Resistenze: Nc,Rd=97793.60 My,c,Rd=8107.84 Mz,c,Rd=1181.81 L=20.00
αmy, αmz, αLT=0.95, 0.95, 0.95
L_{cr}=0.20 Curva b: α-imp=0.34 k_c=0.94 ψ=1.01 M,cr=1704160.00 λ_{LT}=0.07
$\lambda_{LT,0}$=0.40 β_{LT}=0.75 Φ_{LT}=0.45 β_{LT}=0.75 f=1.00 χ_{LT}=1.00
λ_Y=2.01 Ncr,y=201653000.00 λ^*_y=0.02 Curva a: Φ_y=0.00 χ_y=1.00
λ_Z=7.43 Ncr,z=14696600.00 λ^*_z=0.09 Curva b: Φ_z=0.00 χ_z=1.00
Kyy, Kyz, Kzy, Kzz=0.95, 0.95, 0.76, 0.95
Verifica YY: 0.00+0.18+0.00=0.18
Verifica ZZ: 0.00+0.14+0.00=0.14

- Verifica in termini tensionali (4.2.5) - CC 98 Xl=0.00 - Classe 3
Sollecitazioni: T_z=-123.52 M_y=-1540.04
Tensioni: σ_N=0.00 σ_M=474.86 τ=0.00 σ_{max}=474.86
Tensioni: σ_N=0.00 σ_M=0.00 τ=10.07 τ_{max}=10.07
Tensioni: σ_N=0.00 σ_M=474.86 τ=0.00 $\sigma_{ID,max}$=474.86

Asta n. 305 (-1289 -861) IPE240 iimpalcato Crit. 1

- Verifica di stabilità aste presso-inflesse (C4.2.4.1.3.3.2) - CC 98 - Classe 3
Sollecitazioni: N,Ed=-0.19 My,Ed=-1514.51 Mz,Ed=-0.03
Resistenze: Nc,Rd=97793.60 My,c,Rd=8107.84 Mz,c,Rd=1181.81 L=20.00

αmy, αmz, αLT=0.95, 0.95, 0.95
L_{cr}=0.20 Curva b: α-imp=0.34 k_c=0.94 ψ=1.01 M,cr=1705230.00 λ_{LT}=0.07
$\lambda_{LT,0}$=0.40 β_{LT}=0.75 Φ_{LT}=0.45 β_{LT}=0.75 f=1.00 χ_{LT}=1.00
λ_Y=2.01 Ncr,y=201653000.00 λ^*_y=0.02 Curva a: Φ_y=0.00 χ_y=1.00
λ_Z=7.43 Ncr,z=14696600.00 λ^*_z=0.09 Curva b: Φ_z=0.00 χ_z=1.00
Kyy, Kyz, Kzy, Kzz=0.95, 0.95, 0.76, 0.95
Verifica YY: 0.00+0.18+0.00=0.18
Verifica ZZ: 0.00+0.14+0.00=0.14

- Verifica in termini tensionali (4.2.5) - CC 98 Xl=0.00 - Classe 3
Sollecitazioni: T_z=-131.81 M_y=-1514.51
Tensioni: σ_N=0.00 σ_M=466.99 τ=0.00 σ_{max}=466.99
Tensioni: σ_N=0.00 σ_M=0.00 τ=10.74 τ_{max}=10.74
Tensioni: σ_N=0.00 σ_M=466.99 τ=0.00 $\sigma_{ID,max}$=466.99

Asta n. 305 (-861 -1287) IPE240 iimpalcato Crit. 1

- Verifica di stabilità aste presso-inflesse (C4.2.4.1.3.3.2) - CC 98 - Classe 3
Sollecitazioni: N,Ed=-0.19 My,Ed=-1487.32 Mz,Ed=-0.03
Resistenze: Nc,Rd=97793.60 My,c,Rd=8107.84 Mz,c,Rd=1181.81 L=20.00
αmy, αmz, αLT=0.95, 0.95, 0.95
L_{cr}=0.20 Curva b: α-imp=0.34 k_c=0.94 ψ=1.02 M,cr=1720680.00 λ_{LT}=0.07
$\lambda_{LT,0}$=0.40 β_{LT}=0.75 Φ_{LT}=0.45 β_{LT}=0.75 f=1.00 χ_{LT}=1.00
λ_Y=2.01 Ncr,y=201654000.00 λ^*_y=0.02 Curva a: Φ_y=0.00 χ_y=1.00
λ_Z=7.43 Ncr,z=14696700.00 λ^*_z=0.09 Curva b: Φ_z=0.00 χ_z=1.00
Kyy, Kyz, Kzy, Kzz=0.95, 0.95, 0.76, 0.95
Verifica YY: 0.00+0.17+0.00=0.17
Verifica ZZ: 0.00+0.14+0.00=0.14

- Verifica in termini tensionali (4.2.5) - CC 98 Xl=0.00 - Classe 3
Sollecitazioni: T_z=-274.83 M_y=-1487.32
Tensioni: σ_N=0.00 σ_M=458.61 τ=0.00 σ_{max}=458.61
Tensioni: σ_N=0.00 σ_M=0.00 τ=22.40 τ_{max}=22.40
Tensioni: σ_N=0.00 σ_M=458.61 τ=0.00 $\sigma_{ID,max}$=458.61

Asta n. 305 (-1287 -862) IPE240 iimpalcato Crit. 1

- Verifica di stabilità aste presso-inflesse (C4.2.4.1.3.3.2) - CC 98 - Classe 3
Sollecitazioni: N,Ed=-0.19 My,Ed=-1431.52 Mz,Ed=-0.03
Resistenze: Nc,Rd=97793.60 My,c,Rd=8107.84 Mz,c,Rd=1181.81 L=20.00
αmy, αmz, αLT=0.95, 0.95, 0.95
L_{cr}=0.20 Curva b: α-imp=0.34 k_c=0.94 ψ=1.02 M,cr=1722770.00 λ_{LT}=0.07
$\lambda_{LT,0}$=0.40 β_{LT}=0.75 Φ_{LT}=0.45 β_{LT}=0.75 f=1.00 χ_{LT}=1.00
λ_Y=2.01 Ncr,y=201654000.00 λ^*_y=0.02 Curva a: Φ_y=0.00 χ_y=1.00
λ_Z=7.43 Ncr,z=14696700.00 λ^*_z=0.09 Curva b: Φ_z=0.00 χ_z=1.00
Kyy, Kyz, Kzy, Kzz=0.95, 0.95, 0.76, 0.95
Verifica YY: 0.00+0.17+0.00=0.17
Verifica ZZ: 0.00+0.13+0.00=0.13

- Verifica in termini tensionali (4.2.5) - CC 98 Xl=0.00 - Classe 3
Sollecitazioni: T_z=-283.13 M_y=-1431.52
Tensioni: σ_N=0.00 σ_M=441.40 τ=0.00 σ_{max}=441.40
Tensioni: σ_N=0.00 σ_M=0.00 τ=23.08 τ_{max}=23.08
Tensioni: σ_N=0.00 σ_M=441.40 τ=0.00 $\sigma_{ID,max}$=441.40

Asta n. 305 (-862 -863) IPE240 iimpalcato Crit. 1

- Verifica di stabilità aste presso-inflesse (C4.2.4.1.3.3.2) - CC 98 - Classe 3
Sollecitazioni: N,Ed=-0.19 My,Ed=-1370.69 Mz,Ed=-0.03
Resistenze: Nc,Rd=97793.60 My,c,Rd=8107.84 Mz,c,Rd=1181.81 L=40.00
αmy, αmz, αLT=0.95, 0.95, 0.95
L_{cr}=0.40 Curva b: α-imp=0.34 k_c=0.94 ψ=1.06 M,cr=452192.00 λ_{LT}=0.14
$\lambda_{LT,0}$=0.40 β_{LT}=0.75 Φ_{LT}=0.46 β_{LT}=0.75 f=1.00 χ_{LT}=1.00
λ_Y=4.01 Ncr,y=50413200.00 λ^*_y=0.05 Curva a: Φ_y=0.00 χ_y=1.00
λ_Z=14.85 Ncr,z=3674160.00 λ^*_z=0.17 Curva b: Φ_z=0.00 χ_z=1.00
Kyy, Kyz, Kzy, Kzz=0.95, 0.95, 0.76, 0.95
Verifica YY: 0.00+0.16+0.00=0.16
Verifica ZZ: 0.00+0.13+0.00=0.13

- Verifica in termini tensionali (4.2.5) - CC 98 Xl=0.00 - Classe 3
  Sollecitazioni: T_z=-426.47 M_y=-1370.69
  Tensioni: σ_N=0.00 σ_M=422.64 τ=0.00 σ_{max}=422.64
  Tensioni: σ_N=0.00 σ_M=0.00 τ=34.76 τ_{max}=34.76
  Tensioni: σ_N=0.00 σ_M=422.64 τ=0.00 $\sigma_{ID,max}$=422.64

Asta n. 305 (-863 -864) IPE240 iimpalcato Crit. 1

- Verifica di stabilità aste presso-inflesse (C4.2.4.1.3.3.2) - CC 98 - Classe 3
  Sollecitazioni: N,Ed=-0.19 My,Ed=-1196.78 Mz,Ed=-0.03
  Resistenze: Nc,Rd=97793.60 My,c,Rd=8107.84 Mz,c,Rd=1181.81 L=40.00
  αmy, αmz, αLT=0.95, 0.95, 0.95
  L_{cr}=0.40 Curva b: α-imp=0.34 k_c=0.94 ψ=1.10 M,cr=468308.00 λ_{LT}=0.14
  $\lambda_{LT,0}$=0.40 β_{LT}=0.75 Φ_{LT}=0.46 β_{LT}=0.75 f=1.00 χ_{LT}=1.00
  λ_Y=4.01 Ncr,y=50413400.00 λ^*_y=0.05 Curva a: Φ_y=0.00 χ_y=1.00
  λ_Z=14.85 Ncr,z=3674170.00 λ^*_z=0.17 Curva b: Φ_z=0.00 χ_z=1.00
  Kyy, Kyz, Kzy, Kzz=0.95, 0.95, 0.76, 0.95
  Verifica YY: 0.00+0.14+0.00=0.14
  Verifica ZZ: 0.00+0.11+0.00=0.11

- Verifica in termini tensionali (4.2.5) - CC 98 Xl=0.00 - Classe 3
  Sollecitazioni: T_z=-578.34 M_y=-1196.78
  Tensioni: σ_N=0.00 σ_M=369.02 τ=0.00 σ_{max}=369.02
  Tensioni: σ_N=0.00 σ_M=0.00 τ=47.14 τ_{max}=47.14
  Tensioni: σ_N=0.00 σ_M=369.02 τ=0.00 $\sigma_{ID,max}$=369.02

Asta n. 305 (-864 -865) IPE240 iimpalcato Crit. 1

- Verifica di stabilità aste presso-inflesse (C4.2.4.1.3.3.2) - CC 98 - Classe 3
  Sollecitazioni: N,Ed=-0.19 My,Ed=-962.13 Mz,Ed=-0.03
  Resistenze: Nc,Rd=97793.60 My,c,Rd=8107.84 Mz,c,Rd=1181.81 L=40.00
  αmy, αmz, αLT=0.95, 0.95, 0.95
  L_{cr}=0.40 Curva b: α-imp=0.34 k_c=0.94 ψ=1.17 M,cr=496699.00 λ_{LT}=0.13
  $\lambda_{LT,0}$=0.40 β_{LT}=0.75 Φ_{LT}=0.46 β_{LT}=0.75 f=1.00 χ_{LT}=1.00
  λ_Y=4.01 Ncr,y=50413200.00 λ^*_y=0.05 Curva a: Φ_y=0.00 χ_y=1.00
  λ_Z=14.85 Ncr,z=3674160.00 λ^*_z=0.17 Curva b: Φ_z=0.00 χ_z=1.00
  Kyy, Kyz, Kzy, Kzz=0.95, 0.95, 0.76, 0.95
  Verifica YY: 0.00+0.11+0.00=0.11
  Verifica ZZ: 0.00+0.09+0.00=0.09

- Verifica in termini tensionali (4.2.5) - CC 98 Xl=0.00 - Classe 3
  Sollecitazioni: T_z=-730.22 M_y=-962.13
  Tensioni: σ_N=0.00 σ_M=296.67 τ=0.00 σ_{max}=296.67
  Tensioni: σ_N=0.00 σ_M=0.00 τ=59.52 τ_{max}=59.52
  Tensioni: σ_N=0.00 σ_M=296.67 τ=0.00 $\sigma_{ID,max}$=296.67

Asta n. 305 (-865 -866) IPE240 iimpalcato Crit. 1

- Verifica di stabilità aste presso-inflesse (C4.2.4.1.3.3.2) - CC 98 - Classe 3
  Sollecitazioni: N,Ed=-0.19 My,Ed=-666.73 Mz,Ed=-0.03
  Resistenze: Nc,Rd=97793.60 My,c,Rd=8107.84 Mz,c,Rd=1181.81 L=40.00
  αmy, αmz, αLT=0.95, 0.95, 0.95
  L_{cr}=0.40 Curva b: α-imp=0.34 k_c=0.94 ψ=1.33 M,cr=564638.00 λ_{LT}=0.13
  $\lambda_{LT,0}$=0.40 β_{LT}=0.75 Φ_{LT}=0.46 β_{LT}=0.75 f=1.00 χ_{LT}=1.00
  λ_Y=4.01 Ncr,y=50413400.00 λ^*_y=0.05 Curva a: Φ_y=0.00 χ_y=1.00
  λ_Z=14.85 Ncr,z=3674170.00 λ^*_z=0.17 Curva b: Φ_z=0.00 χ_z=1.00
  Kyy, Kyz, Kzy, Kzz=0.95, 0.95, 0.76, 0.95
  Verifica YY: 0.00+0.08+0.00=0.08
  Verifica ZZ: 0.00+0.06+0.00=0.06

- Verifica in termini tensionali (4.2.5) - CC 98 Xl=0.00 - Classe 3
  Sollecitazioni: T_z=-882.09 M_y=-666.73
  Tensioni: σ_N=0.00 σ_M=205.58 τ=0.00 σ_{max}=205.58
  Tensioni: σ_N=0.00 σ_M=0.00 τ=71.90 τ_{max}=71.90
  Tensioni: σ_N=0.00 σ_M=205.58 τ=0.00 $\sigma_{ID,max}$=205.58

Asta n. 305 (-866 -867) IPE240 iimpalcato Crit. 1

- Verifica di stabilità aste presso-inflesse (C4.2.4.1.3.3.2) - CC 98 - Classe 3
  Sollecitazioni: N,Ed=-0.19 My,Ed=-310.57 Mz,Ed=-0.03
  Resistenze: Nc,Rd=97793.60 My,c,Rd=8107.84 Mz,c,Rd=1181.81 L=40.00
  αmy, αmz, αLT=0.95, 0.95, 0.95
  L_{cr}=0.40 Curva b: α-imp=0.34 k_c=0.94 ψ=2.14 M,cr=913234.00 λ_{LT}=0.10
  $\lambda_{LT,0}$=0.40 β_{LT}=0.75 Φ_{LT}=0.45 β_{LT}=0.75 f=1.00 χ_{LT}=1.00
  λ_Y=4.01 Ncr,y=50413200.00 λ^*_y=0.05 Curva a: Φ_y=0.00 χ_y=1.00
  λ_Z=14.85 Ncr,z=3674160.00 λ^*_z=0.17 Curva b: Φ_z=0.00 χ_z=1.00
  Kyy, Kyz, Kzy, Kzz=0.95, 0.95, 0.76, 0.95
  Verifica YY: 0.00+0.04+0.00=0.04
  Verifica ZZ: 0.00+0.03+0.00=0.03

- Verifica in termini tensionali (4.2.5) - CC 97 Xl=0.40 - Classe 3
  Sollecitazioni: T_z=-1089.28 M_y=222.53
  Tensioni: σ_N=0.00 σ_M=-68.62 τ=0.00 σ_{max}=-68.62
  Tensioni: σ_N=0.00 σ_M=-0.00 τ=88.79 τ_{max}=88.79
  Tensioni: σ_N=0.00 σ_M=-0.00 τ=88.79 $\sigma_{ID,max}$=153.78

Asta n. 305 (-867 -868) IPE240 iimpalcato Crit. 1

- Verifica di stabilità aste presso-inflesse (C4.2.4.1.3.3.2) - CC 97 - Classe 3
  Sollecitazioni: N,Ed=-0.19 My,Ed=715.67 Mz,Ed=-0.03
  Resistenze: Nc,Rd=97793.60 My,c,Rd=8107.84 Mz,c,Rd=1181.81 L=40.00
  αmy, αmz, αLT=0.95, 0.95, 0.95
  L_{cr}=0.40 Curva b: α-imp=0.34 k_c=0.94 ψ=1.45 M,cr=618521.00 λ_{LT}=0.12
  $\lambda_{LT,0}$=0.40 β_{LT}=0.75 Φ_{LT}=0.46 β_{LT}=0.75 f=1.00 χ_{LT}=1.00
  λ_Y=4.01 Ncr,y=50413400.00 λ^*_y=0.05 Curva a: Φ_y=0.00 χ_y=1.00
  λ_Z=14.85 Ncr,z=3674170.00 λ^*_z=0.17 Curva b: Φ_z=0.00 χ_z=1.00
  Kyy, Kyz, Kzy, Kzz=0.95, 0.95, 0.76, 0.95
  Verifica YY: 0.00+0.08+0.00=0.08
  Verifica ZZ: 0.00+0.07+0.00=0.07

- Verifica in termini tensionali (4.2.5) - CC 97 Xl=0.40 - Classe 3
  Sollecitazioni: T_z=-1241.15 M_y=715.67
  Tensioni: σ_N=0.00 σ_M=-220.67 τ=0.00 σ_{max}=-220.67
  Tensioni: σ_N=0.00 σ_M=-0.00 τ=101.17 τ_{max}=101.17
  Tensioni: σ_N=0.00 σ_M=-175.07 τ=86.71 $\sigma_{ID,max}$=230.66

Asta n. 305 (-868 -869) IPE240 iimpalcato Crit. 1

- Verifica di stabilità aste presso-inflesse (C4.2.4.1.3.3.2) - CC 97 - Classe 3
  Sollecitazioni: N,Ed=-0.19 My,Ed=988.39 Mz,Ed=-0.03
  Resistenze: Nc,Rd=97793.60 My,c,Rd=8107.84 Mz,c,Rd=1181.81 L=20.00
  αmy, αmz, αLT=0.95, 0.95, 0.95
  L_{cr}=0.20 Curva b: α-imp=0.34 k_c=0.94 ψ=1.15 M,cr=1943620.00 λ_{LT}=0.07
  $\lambda_{LT,0}$=0.40 β_{LT}=0.75 Φ_{LT}=0.45 β_{LT}=0.75 f=1.00 χ_{LT}=1.00
  λ_Y=2.01 Ncr,y=201654000.00 λ^*_y=0.02 Curva a: Φ_y=0.00 χ_y=1.00
  λ_Z=7.43 Ncr,z=14696700.00 λ^*_z=0.09 Curva b: Φ_z=0.00 χ_z=1.00
  Kyy, Kyz, Kzy, Kzz=0.95, 0.95, 0.76, 0.95
  Verifica YY: 0.00+0.12+0.00=0.12
  Verifica ZZ: 0.00+0.09+0.00=0.09

- Verifica in termini tensionali (4.2.5) - CC 97 Xl=0.20 - Classe 3
  Sollecitazioni: T_z=-1384.63 M_y=988.39
  Tensioni: σ_N=0.00 σ_M=-304.76 τ=0.00 σ_{max}=-304.76
  Tensioni: σ_N=0.00 σ_M=-0.00 τ=112.86 τ_{max}=112.86
  Tensioni: σ_N=0.00 σ_M=-304.76 τ=0.00 $\sigma_{ID,max}$=304.76

Asta n. 305 (-869 -870) IPE240 iimpalcato Crit. 1

- Verifica di stabilità aste presso-inflesse (C4.2.4.1.3.3.2) - CC 97 - Classe 3
  Sollecitazioni: N,Ed=-0.19 My,Ed=1266.14 Mz,Ed=-0.03
  Resistenze: Nc,Rd=97793.60 My,c,Rd=8107.84 Mz,c,Rd=1181.81 L=20.00
  αmy, αmz, αLT=0.95, 0.95, 0.95
  L_{cr}=0.20 Curva b: α-imp=0.34 k_c=0.94 ψ=1.11 M,cr=1882780.00 λ_{LT}=0.07
  $\lambda_{LT,0}$=0.40 β_{LT}=0.75 Φ_{LT}=0.45 β_{LT}=0.75 f=1.00 χ_{LT}=1.00
  λ_Y=2.01 Ncr,y=201652000.00 λ^*_y=0.02 Curva a: Φ_y=0.00 χ_y=1.00
  λ_Z=7.43 Ncr,z=14696600.00 λ^*_z=0.09 Curva b: Φ_z=0.00 χ_z=1.00

Kyy, Kyz, Kzy, Kzz=0.95, 0.95, 0.76, 0.95
Verifica YY: 0.00+0.15+0.00=0.15
Verifica ZZ: 0.00+0.12+0.00=0.12

- Verifica in termini tensionali (4.2.5) - CC 97 Xl=0.20 - Classe 3
Sollecitazioni: T_z=-1392.92 M_y=1266.14
Tensioni: σ_N=0.00 σ_M=-390.41 τ=0.00 σ_{max}=-390.41
Tensioni: σ_N=0.00 σ_M=-0.00 τ=113.54 τ_{max}=113.54
Tensioni: σ_N=0.00 σ_M=-390.41 τ=0.00 $\sigma_{ID,max}$=390.41

Asta n. 305 (-870 -871) IPE240 iimpalcato Crit. 1

- Verifica di stabilità aste presso-inflesse (C4.2.4.1.3.3.2) - CC 97 - Classe 3
Sollecitazioni: N,Ed=-0.19 My,Ed=1884.08 Mz,Ed=-0.03
Resistenze: Nc,Rd=97793.60 My,c,Rd=8107.84 Mz,c,Rd=1181.81 L=40.00
αmy, αmz, αLT=0.95, 0.95, 0.95
L_{cr}=0.40 Curva b: α-imp=0.34 k_c=0.94 ψ=1.18 M,cr=501924.00 λ_{LT}=0.13
$\lambda_{LT,0}$=0.40 β_{LT}=0.75 Φ_{LT}=0.46 β_{LT}=0.75 f=1.00 χ_{LT}=1.00
λ_Y=4.01 Ncr,y=50413700.00 λ^*_y=0.05 Curva a: Φ_y=0.00 χ_y=1.00
λ_Z=14.85 Ncr,z=3674190.00 λ^*_z=0.17 Curva b: Φ_z=0.00 χ_z=1.00
Kyy, Kyz, Kzy, Kzz=0.95, 0.95, 0.76, 0.95
Verifica YY: 0.00+0.22+0.00=0.22
Verifica ZZ: 0.00+0.18+0.00=0.18

- Verifica in termini tensionali (4.2.5) - CC 97 Xl=0.40 - Classe 3
Sollecitazioni: T_z=-1544.69 M_y=1884.08
Tensioni: σ_N=0.00 σ_M=-580.95 τ=0.00 σ_{max}=-580.95
Tensioni: σ_N=0.00 σ_M=-0.00 τ=125.91 τ_{max}=125.91
Tensioni: σ_N=0.00 σ_M=-580.95 τ=0.00 $\sigma_{ID,max}$=580.95

Asta n. 305 (-871 -872) IPE240 iimpalcato Crit. 1

- Verifica di stabilità aste inflesse (4.2.4.1.3.2) CC 97 - Classe 3
L_{cr}=0.40 Curva b: α-imp=0.34 k_c=0.94 ψ=1.12 M,cr=481525.00 λ_{LT}=0.14
$\lambda_{LT,0}$=0.40 β_{LT}=0.75 Φ_{LT}=0.46 β_{LT}=0.75 f=1.00 χ_{LT}=1.00
CC 97 My,Ed=1884.04 My,b,Rd=8107.84 My,Ed/My,b,Rd=0.23

- Verifica in termini tensionali (4.2.5) - CC 97 Xl=0.00 - Classe 3
Sollecitazioni: T_z=1130.57 M_y=1884.04
Tensioni: σ_N=0.00 σ_M=-580.93 τ=0.00 σ_{max}=-580.93
Tensioni: σ_N=0.00 σ_M=-0.00 τ=92.15 τ_{max}=92.15
Tensioni: σ_N=0.00 σ_M=-580.93 τ=0.00 $\sigma_{ID,max}$=580.93

Asta n. 305 (-872 -873) IPE240 iimpalcato Crit. 1

- Verifica di stabilità aste inflesse (4.2.4.1.3.2) CC 97 - Classe 3
L_{cr}=0.20 Curva b: α-imp=0.34 k_c=0.94 ψ=1.07 M,cr=1815320.00 λ_{LT}=0.07
$\lambda_{LT,0}$=0.40 β_{LT}=0.75 Φ_{LT}=0.45 β_{LT}=0.75 f=1.00 χ_{LT}=1.00
CC 97 My,Ed=1433.11 My,b,Rd=8107.84 My,Ed/My,b,Rd=0.18

- Verifica in termini tensionali (4.2.5) - CC 97 Xl=0.00 - Classe 3
Sollecitazioni: T_z=979.27 M_y=1433.11
Tensioni: σ_N=0.00 σ_M=-441.89 τ=0.00 σ_{max}=-441.89
Tensioni: σ_N=0.00 σ_M=-0.00 τ=79.82 τ_{max}=79.82
Tensioni: σ_N=0.00 σ_M=-441.89 τ=0.00 $\sigma_{ID,max}$=441.89

Asta n. 305 (-873 -874) IPE240 iimpalcato Crit. 1

- Verifica di stabilità aste inflesse (4.2.4.1.3.2) CC 97 - Classe 3
L_{cr}=0.20 Curva b: α-imp=0.34 k_c=0.94 ψ=1.08 M,cr=1833550.00 λ_{LT}=0.07
$\lambda_{LT,0}$=0.40 β_{LT}=0.75 Φ_{LT}=0.45 β_{LT}=0.75 f=1.00 χ_{LT}=1.00
CC 97 My,Ed=1238.76 My,b,Rd=8107.84 My,Ed/My,b,Rd=0.15

- Verifica in termini tensionali (4.2.5) - CC 97 Xl=0.00 - Classe 3
Sollecitazioni: T_z=971.01 M_y=1238.76
Tensioni: σ_N=0.00 σ_M=-381.96 τ=0.00 σ_{max}=-381.96
Tensioni: σ_N=0.00 σ_M=-0.00 τ=79.15 τ_{max}=79.15
Tensioni: σ_N=0.00 σ_M=-381.96 τ=0.00 $\sigma_{ID,max}$=381.96

Asta n. 305 (-874 -875) IPE240 iimpalcato Crit. 1

- Verifica di stabilità aste inflesse (4.2.4.1.3.2) CC 97 - Classe 3
  L_{cr}=0.40 Curva b: α-imp=0.34 k_c=0.94 ψ=1.17 M,cr=501008.00 λ_{LT}=0.13
  $\lambda_{LT,0}$=0.40 β_{LT}=0.75 Φ_{LT}=0.46 β_{LT}=0.75 f=1.00 χ_{LT}=1.00
  CC 97 My,Ed=1049.32 My,b,Rd=8107.84 My,Ed/My,b,Rd=0.13

- Verifica in termini tensionali (4.2.5) - CC 97 Xl=0.00 - Classe 3
  Sollecitazioni: T_z=828.00 M_y=1049.32
  Tensioni: σ_N=0.00 σ_M=-323.55 τ=0.00 σ_{max}=-323.55
  Tensioni: σ_N=0.00 σ_M=-0.00 τ=67.49 τ_{max}=67.49
  Tensioni: σ_N=0.00 σ_M=-323.55 τ=0.00 $\sigma_{ID,max}$=323.55

Asta n. 305 (-875 -876) IPE240 iimpalcato Crit. 1

- Verifica di stabilità aste inflesse (4.2.4.1.3.2) CC 97 - Classe 3
  L_{cr}=0.40 Curva b: α-imp=0.34 k_c=0.94 ψ=1.21 M,cr=517082.00 λ_{LT}=0.13
  $\lambda_{LT,0}$=0.40 β_{LT}=0.75 Φ_{LT}=0.46 β_{LT}=0.75 f=1.00 χ_{LT}=1.00
  CC 97 My,Ed=722.50 My,b,Rd=8107.84 My,Ed/My,b,Rd=0.09

- Verifica in termini tensionali (4.2.5) - CC 97 Xl=0.00 - Classe 3
  Sollecitazioni: T_z=676.59 M_y=722.50
  Tensioni: σ_N=0.00 σ_M=-222.78 τ=0.00 σ_{max}=-222.78
  Tensioni: σ_N=0.00 σ_M=-0.00 τ=55.15 τ_{max}=55.15
  Tensioni: σ_N=0.00 σ_M=-222.78 τ=0.00 $\sigma_{ID,max}$=222.78

Asta n. 305 (-876 -877) IPE240 iimpalcato Crit. 1

- Verifica di stabilità aste inflesse (4.2.4.1.3.2) CC 97 - Classe 3
  L_{cr}=0.40 Curva b: α-imp=0.34 k_c=0.94 ψ=1.26 M,cr=541900.00 λ_{LT}=0.13
  $\lambda_{LT,0}$=0.40 β_{LT}=0.75 Φ_{LT}=0.46 β_{LT}=0.75 f=1.00 χ_{LT}=1.00
  CC 97 My,Ed=455.97 My,b,Rd=8107.84 My,Ed/My,b,Rd=0.06

- Verifica in termini tensionali (4.2.5) - CC 97 Xl=0.00 - Classe 3
  Sollecitazioni: T_z=525.17 M_y=455.97
  Tensioni: σ_N=0.00 σ_M=-140.59 τ=0.00 σ_{max}=-140.59
  Tensioni: σ_N=0.00 σ_M=-0.00 τ=42.81 τ_{max}=42.81
  Tensioni: σ_N=0.00 σ_M=-140.59 τ=0.00 $\sigma_{ID,max}$=140.59

Asta n. 305 (-877 -878) IPE240 iimpalcato Crit. 1

- Verifica di stabilità aste inflesse (4.2.4.1.3.2) CC 97 - Classe 3
  L_{cr}=0.40 Curva b: α-imp=0.34 k_c=0.94 ψ=1.36 M,cr=584704.00 λ_{LT}=0.12
  $\lambda_{LT,0}$=0.40 β_{LT}=0.75 Φ_{LT}=0.46 β_{LT}=0.75 f=1.00 χ_{LT}=1.00
  CC 97 My,Ed=249.82 My,b,Rd=8107.84 My,Ed/My,b,Rd=0.03

- Verifica in termini tensionali (4.2.5) - CC 97 Xl=0.00 - Classe 3
  Sollecitazioni: T_z=373.77 M_y=249.82
  Tensioni: σ_N=0.00 σ_M=-77.03 τ=0.00 σ_{max}=-77.03
  Tensioni: σ_N=0.00 σ_M=-0.00 τ=30.47 τ_{max}=30.47
  Tensioni: σ_N=0.00 σ_M=-77.03 τ=0.00 $\sigma_{ID,max}$=77.03

Asta n. 305 (-878 -879) IPE240 iimpalcato Crit. 1

- Verifica di stabilità aste inflesse (4.2.4.1.3.2) CC 97 - Classe 3
  L_{cr}=0.40 Curva b: α-imp=0.34 k_c=0.94 ψ=1.57 M,cr=673056.00 λ_{LT}=0.12
  $\lambda_{LT,0}$=0.40 β_{LT}=0.75 Φ_{LT}=0.46 β_{LT}=0.75 f=1.00 χ_{LT}=1.00
  CC 97 My,Ed=104.10 My,b,Rd=8107.84 My,Ed/My,b,Rd=0.01

- Verifica in termini tensionali (4.2.5) - CC 97 Xl=0.00 - Classe 3
  Sollecitazioni: T_z=222.37 M_y=104.10
  Tensioni: σ_N=0.00 σ_M=-32.10 τ=0.00 σ_{max}=-32.10
  Tensioni: σ_N=0.00 σ_M=-0.00 τ=18.12 τ_{max}=18.12
  Tensioni: σ_N=0.00 σ_M=-25.46 τ=15.54 $\sigma_{ID,max}$=37.05

Asta n. 305 (-879 -880) IPE240 iimpalcato Crit. 1

- Verifica di stabilità aste inflesse (4.2.4.1.3.2) CC 98 - Classe 3
  L_{cr}=0.40 Curva b: α-imp=0.34 k_c=0.94 ψ=1.17 M,cr=501276.00 λ_{LT}=0.13

$\lambda_{LT,0}$=0.40 β_{LT}=0.75 Φ_{LT}=0.46 β_{LT}=0.75 f=1.00 χ_{LT}=1.00
CC 98 My,Ed=-20.69 My,b,Rd=8107.84 My,Ed/My,b,Rd=0.00

- Verifica in termini tensionali (4.2.5) - CC 97 Xl=0.00 - Classe 3
Sollecitazioni: T_z=70.96 M_y=18.72
Tensioni: σ_N=0.00 σ_M=-5.77 τ=0.00 σ_{max}=-5.77
Tensioni: σ_N=0.00 σ_M=-0.00 τ=5.78 τ_{max}=5.78
Tensioni: σ_N=0.00 σ_M=-0.00 τ=5.78 $\sigma_{ID,max}$=10.02

Asta n. 305 (-880 -881) IPE240 iimpalcato Crit. 1

- Verifica di stabilità aste inflesse (4.2.4.1.3.2) CC 98 - Classe 3
L_{cr}=0.31 Curva b: α-imp=0.34 k_c=0.94 ψ=1.75 M,cr=1236090.00 λ_{LT}=0.08
$\lambda_{LT,0}$=0.40 β_{LT}=0.75 Φ_{LT}=0.45 β_{LT}=0.75 f=1.00 χ_{LT}=1.00
CC 98 My,Ed=-20.69 My,b,Rd=8107.84 My,Ed/My,b,Rd=0.00

- Verifica in termini tensionali (4.2.5) - CC 98 Xl=0.31 - Classe 3
Sollecitazioni: T_z=-73.16
Tensioni: σ_N=0.00 σ_M=0.00 τ=0.00 σ_{max}=0.00
Tensioni: σ_N=0.00 σ_M=0.00 τ=5.96 τ_{max}=5.96
Tensioni: σ_N=0.00 σ_M=0.00 τ=5.96 $\sigma_{ID,max}$=10.33

Asta n. 306 (-882 -883) IPE240 iimpalcato Crit. 1

- Verifica di stabilità aste inflesse (4.2.4.1.3.2) CC 97 - Classe 3
L_{cr}=0.31 Curva b: α-imp=0.34 k_c=0.94 ψ=1.75 M,cr=1236090.00 λ_{LT}=0.08
$\lambda_{LT,0}$=0.40 β_{LT}=0.75 Φ_{LT}=0.45 β_{LT}=0.75 f=1.00 χ_{LT}=1.00
CC 97 My,Ed=-20.07 My,b,Rd=8107.84 My,Ed/My,b,Rd=0.00

- Verifica in termini tensionali (4.2.5) - CC 97 Xl=0.00 - Classe 3
Sollecitazioni: T_z=71.18
Tensioni: σ_N=0.00 σ_M=0.00 τ=0.00 σ_{max}=0.00
Tensioni: σ_N=0.00 σ_M=0.00 τ=5.80 τ_{max}=5.80
Tensioni: σ_N=0.00 σ_M=0.00 τ=5.80 $\sigma_{ID,max}$=10.05

Asta n. 306 (-883 -884) IPE240 iimpalcato Crit. 1

- Verifica di stabilità aste inflesse (4.2.4.1.3.2) CC 98 - Classe 3
L_{cr}=0.40 Curva b: α-imp=0.34 k_c=0.94 ψ=2.06 M,cr=884161.00 λ_{LT}=0.10
$\lambda_{LT,0}$=0.40 β_{LT}=0.75 Φ_{LT}=0.45 β_{LT}=0.75 f=1.00 χ_{LT}=1.00
CC 98 My,Ed=20.17 My,b,Rd=8107.84 My,Ed/My,b,Rd=0.00

- Verifica in termini tensionali (4.2.5) - CC 98 Xl=0.40 - Classe 3
Sollecitazioni: T_z=-72.84 M_y=20.17
Tensioni: σ_N=0.00 σ_M=-6.22 τ=0.00 σ_{max}=-6.22
Tensioni: σ_N=0.00 σ_M=-0.00 τ=5.94 τ_{max}=5.94
Tensioni: σ_N=0.00 σ_M=-0.00 τ=5.94 $\sigma_{ID,max}$=10.28

Asta n. 306 (-884 -885) IPE240 iimpalcato Crit. 1

- Verifica di stabilità aste inflesse (4.2.4.1.3.2) CC 98 - Classe 3
L_{cr}=0.40 Curva b: α-imp=0.34 k_c=0.94 ψ=1.56 M,cr=668871.00 λ_{LT}=0.12
$\lambda_{LT,0}$=0.40 β_{LT}=0.75 Φ_{LT}=0.46 β_{LT}=0.75 f=1.00 χ_{LT}=1.00
CC 98 My,Ed=105.98 My,b,Rd=8107.84 My,Ed/My,b,Rd=0.01

- Verifica in termini tensionali (4.2.5) - CC 98 Xl=0.40 - Classe 3
Sollecitazioni: T_z=-223.46 M_y=105.98
Tensioni: σ_N=0.00 σ_M=-32.68 τ=0.00 σ_{max}=-32.68
Tensioni: σ_N=0.00 σ_M=-0.00 τ=18.21 τ_{max}=18.21
Tensioni: σ_N=0.00 σ_M=-25.92 τ=15.61 $\sigma_{ID,max}$=37.46

Asta n. 306 (-885 -886) IPE240 iimpalcato Crit. 1

- Verifica di stabilità aste inflesse (4.2.4.1.3.2) CC 98 - Classe 3
L_{cr}=0.40 Curva b: α-imp=0.34 k_c=0.94 ψ=1.36 M,cr=583274.00 λ_{LT}=0.12
$\lambda_{LT,0}$=0.40 β_{LT}=0.75 Φ_{LT}=0.46 β_{LT}=0.75 f=1.00 χ_{LT}=1.00
CC 98 My,Ed=251.85 My,b,Rd=8107.84 My,Ed/My,b,Rd=0.03

- Verifica in termini tensionali (4.2.5) - CC 98 Xl=0.40 - Classe 3

Sollecitazioni: T_z=-374.09 M_y=251.85
Tensioni: σ_N=0.00 σ_M=-77.66 τ=0.00 σ_{max}=-77.66
Tensioni: σ_N=0.00 σ_M=-0.00 τ=30.49 τ_{max}=30.49
Tensioni: σ_N=0.00 σ_M=-77.66 τ=0.00 $\sigma_{ID,max}$=77.66

Asta n. 306 (-886 -887) IPE240 iimpalcato Crit. 1

- Verifica di stabilità aste inflesse (4.2.4.1.3.2) CC 98 - Classe 3
L_{cr}=0.40 Curva b: α-imp=0.34 k_c=0.94 ψ=1.26 M,cr=541223.00 λ_{LT}=0.13
$\lambda_{LT,0}$=0.40 β_{LT}=0.75 Φ_{LT}=0.46 β_{LT}=0.75 f=1.00 χ_{LT}=1.00
CC 98 My,Ed=457.78 My,b,Rd=8107.84 My,Ed/My,b,Rd=0.06

- Verifica in termini tensionali (4.2.5) - CC 98 Xl=0.40 - Classe 3
Sollecitazioni: T_z=-524.71 M_y=457.78
Tensioni: σ_N=0.00 σ_M=-141.16 τ=0.00 σ_{max}=-141.16
Tensioni: σ_N=0.00 σ_M=-0.00 τ=42.77 τ_{max}=42.77
Tensioni: σ_N=0.00 σ_M=-141.16 τ=0.00 $\sigma_{ID,max}$=141.16

Asta n. 306 (-887 -888) IPE240 iimpalcato Crit. 1

- Verifica di stabilità aste inflesse (4.2.4.1.3.2) CC 98 - Classe 3
L_{cr}=0.40 Curva b: α-imp=0.34 k_c=0.94 ψ=1.21 M,cr=516695.00 λ_{LT}=0.13
$\lambda_{LT,0}$=0.40 β_{LT}=0.75 Φ_{LT}=0.46 β_{LT}=0.75 f=1.00 χ_{LT}=1.00
CC 98 My,Ed=723.78 My,b,Rd=8107.84 My,Ed/My,b,Rd=0.09

- Verifica in termini tensionali (4.2.5) - CC 98 Xl=0.40 - Classe 3
Sollecitazioni: T_z=-675.34 M_y=723.78
Tensioni: σ_N=0.00 σ_M=-223.17 τ=0.00 σ_{max}=-223.17
Tensioni: σ_N=0.00 σ_M=-0.00 τ=55.05 τ_{max}=55.05
Tensioni: σ_N=0.00 σ_M=-223.17 τ=0.00 $\sigma_{ID,max}$=223.17

Asta n. 306 (-888 -889) IPE240 iimpalcato Crit. 1

- Verifica di stabilità aste inflesse (4.2.4.1.3.2) CC 98 - Classe 3
L_{cr}=0.40 Curva b: α-imp=0.34 k_c=0.94 ψ=1.17 M,cr=500756.00 λ_{LT}=0.13
$\lambda_{LT,0}$=0.40 β_{LT}=0.75 Φ_{LT}=0.46 β_{LT}=0.75 f=1.00 χ_{LT}=1.00
CC 98 My,Ed=1049.84 My,b,Rd=8107.84 My,Ed/My,b,Rd=0.13

- Verifica in termini tensionali (4.2.5) - CC 98 Xl=0.40 - Classe 3
Sollecitazioni: T_z=-825.96 M_y=1049.84
Tensioni: σ_N=0.00 σ_M=-323.71 τ=0.00 σ_{max}=-323.71
Tensioni: σ_N=0.00 σ_M=-0.00 τ=67.32 τ_{max}=67.32
Tensioni: σ_N=0.00 σ_M=-323.71 τ=0.00 $\sigma_{ID,max}$=323.71

Asta n. 306 (-889 -890) IPE240 iimpalcato Crit. 1

- Verifica di stabilità aste inflesse (4.2.4.1.3.2) CC 98 - Classe 3
L_{cr}=0.20 Curva b: α-imp=0.34 k_c=0.94 ψ=1.08 M,cr=1833110.00 λ_{LT}=0.07
$\lambda_{LT,0}$=0.40 β_{LT}=0.75 Φ_{LT}=0.45 β_{LT}=0.75 f=1.00 χ_{LT}=1.00
CC 98 My,Ed=1238.74 My,b,Rd=8107.84 My,Ed/My,b,Rd=0.15

- Verifica in termini tensionali (4.2.5) - CC 98 Xl=0.20 - Classe 3
Sollecitazioni: T_z=-967.96 M_y=1238.74
Tensioni: σ_N=0.00 σ_M=-381.96 τ=0.00 σ_{max}=-381.96
Tensioni: σ_N=0.00 σ_M=-0.00 τ=78.90 τ_{max}=78.90
Tensioni: σ_N=0.00 σ_M=-381.96 τ=0.00 $\sigma_{ID,max}$=381.96

Asta n. 306 (-890 -891) IPE240 iimpalcato Crit. 1

- Verifica di stabilità aste inflesse (4.2.4.1.3.2) CC 98 - Classe 3
L_{cr}=0.20 Curva b: α-imp=0.34 k_c=0.94 ψ=1.07 M,cr=1814970.00 λ_{LT}=0.07
$\lambda_{LT,0}$=0.40 β_{LT}=0.75 Φ_{LT}=0.45 β_{LT}=0.75 f=1.00 χ_{LT}=1.00
CC 98 My,Ed=1432.55 My,b,Rd=8107.84 My,Ed/My,b,Rd=0.18

- Verifica in termini tensionali (4.2.5) - CC 98 Xl=0.20 - Classe 3
Sollecitazioni: T_z=-976.23 M_y=1432.55
Tensioni: σ_N=0.00 σ_M=-441.72 τ=0.00 σ_{max}=-441.72
Tensioni: σ_N=0.00 σ_M=-0.00 τ=79.57 τ_{max}=79.57
Tensioni: σ_N=0.00 σ_M=-441.72 τ=0.00 $\sigma_{ID,max}$=441.72

Asta n. 306 (-891 314) IPE240 iimpalcato Crit. 1

- Verifica di stabilità aste inflesse (4.2.4.1.3.2) CC 98 - Classe 3
  L_{cr}=0.40 Curva b: α-imp=0.34 k_c=0.94 ψ=1.12 M,cr=481380.00 λ_{LT}=0.14
  $\lambda_{LT,0}$=0.40 β_{LT}=0.75 Φ_{LT}=0.46 β_{LT}=0.75 f=1.00 χ_{LT}=1.00
  CC 98 My,Ed=1881.70 My,b,Rd=8107.84 My,Ed/My,b,Rd=0.23

- Verifica in termini tensionali (4.2.5) - CC 98 Xl=0.40 - Classe 3
  Sollecitazioni: T_z=-1126.49 M_y=1881.70
  Tensioni: σ_N=0.00 σ_M=-580.21 τ=0.00 σ_{max}=-580.21
  Tensioni: σ_N=0.00 σ_M=-0.00 τ=91.82 τ_{max}=91.82
  Tensioni: σ_N=0.00 σ_M=-580.21 τ=0.00 $\sigma_{ID,max}$=580.21

Asta n. 306 (314 -892) IPE240 iimpalcato Crit. 1

- Verifica di stabilità aste inflesse (4.2.4.1.3.2) CC 98 - Classe 3
  L_{cr}=0.40 Curva b: α-imp=0.34 k_c=0.94 ψ=1.18 M,cr=501543.00 λ_{LT}=0.13
  $\lambda_{LT,0}$=0.40 β_{LT}=0.75 Φ_{LT}=0.46 β_{LT}=0.75 f=1.00 χ_{LT}=1.00
  CC 98 My,Ed=1881.68 My,b,Rd=8107.84 My,Ed/My,b,Rd=0.23

- Verifica in termini tensionali (4.2.5) - CC 98 Xl=0.00 - Classe 3
  Sollecitazioni: T_z=1536.26 M_y=1881.68
  Tensioni: σ_N=0.00 σ_M=-580.20 τ=0.00 σ_{max}=-580.20
  Tensioni: σ_N=0.00 σ_M=-0.00 τ=125.22 τ_{max}=125.22
  Tensioni: σ_N=0.00 σ_M=-580.20 τ=0.00 $\sigma_{ID,max}$=580.20

Asta n. 306 (-892 -893) IPE240 iimpalcato Crit. 1

- Verifica di stabilità aste inflesse (4.2.4.1.3.2) CC 98 - Classe 3
  L_{cr}=0.20 Curva b: α-imp=0.34 k_c=0.94 ψ=1.11 M,cr=1881470.00 λ_{LT}=0.07
  $\lambda_{LT,0}$=0.40 β_{LT}=0.75 Φ_{LT}=0.45 β_{LT}=0.75 f=1.00 χ_{LT}=1.00
  CC 98 My,Ed=1267.21 My,b,Rd=8107.84 My,Ed/My,b,Rd=0.16

- Verifica in termini tensionali (4.2.5) - CC 98 Xl=0.00 - Classe 3
  Sollecitazioni: T_z=1385.54 M_y=1267.21
  Tensioni: σ_N=0.00 σ_M=-390.74 τ=0.00 σ_{max}=-390.74
  Tensioni: σ_N=0.00 σ_M=-0.00 τ=112.94 τ_{max}=112.94
  Tensioni: σ_N=0.00 σ_M=-390.74 τ=0.00 $\sigma_{ID,max}$=390.74

Asta n. 306 (-893 -894) IPE240 iimpalcato Crit. 1

- Verifica di stabilità aste inflesse (4.2.4.1.3.2) CC 98 - Classe 3
  L_{cr}=0.20 Curva b: α-imp=0.34 k_c=0.94 ψ=1.15 M,cr=1941310.00 λ_{LT}=0.07
  $\lambda_{LT,0}$=0.40 β_{LT}=0.75 Φ_{LT}=0.45 β_{LT}=0.75 f=1.00 χ_{LT}=1.00
  CC 98 My,Ed=990.93 My,b,Rd=8107.84 My,Ed/My,b,Rd=0.12

- Verifica in termini tensionali (4.2.5) - CC 98 Xl=0.00 - Classe 3
  Sollecitazioni: T_z=1377.25 M_y=990.93
  Tensioni: σ_N=0.00 σ_M=-305.55 τ=0.00 σ_{max}=-305.55
  Tensioni: σ_N=0.00 σ_M=-0.00 τ=112.26 τ_{max}=112.26
  Tensioni: σ_N=0.00 σ_M=-305.55 τ=0.00 $\sigma_{ID,max}$=305.55

Asta n. 306 (-894 -895) IPE240 iimpalcato Crit. 1

- Verifica di stabilità aste inflesse (4.2.4.1.3.2) CC 98 - Classe 3
  L_{cr}=0.40 Curva b: α-imp=0.34 k_c=0.94 ψ=1.45 M,cr=615852.00 λ_{LT}=0.12
  $\lambda_{LT,0}$=0.40 β_{LT}=0.75 Φ_{LT}=0.46 β_{LT}=0.75 f=1.00 χ_{LT}=1.00
  CC 98 My,Ed=719.59 My,b,Rd=8107.84 My,Ed/My,b,Rd=0.09

- Verifica in termini tensionali (4.2.5) - CC 98 Xl=0.00 - Classe 3
  Sollecitazioni: T_z=1234.82 M_y=719.59
  Tensioni: σ_N=0.00 σ_M=-221.88 τ=0.00 σ_{max}=-221.88
  Tensioni: σ_N=0.00 σ_M=-0.00 τ=100.65 τ_{max}=100.65
  Tensioni: σ_N=0.00 σ_M=-176.03 τ=86.27 $\sigma_{ID,max}$=230.90

Asta n. 306 (-895 -896) IPE240 iimpalcato Crit. 1

- Verifica di stabilità aste inflesse (4.2.4.1.3.2) CC 97 - Classe 3

L_{cr}=0.40 Curva b: α-imp=0.34 k_c=0.94 ψ=2.18 M,cr=928424.00 λ_{LT}=0.10
$\lambda_{LT,0}$=0.40 β_{LT}=0.75 Φ_{LT}=0.45 β_{LT}=0.75 f=1.00 χ_{LT}=1.00
CC 97 My,Ed=-302.49 My,b,Rd=8107.84 My,Ed/My,b,Rd=0.04

- Verifica in termini tensionali (4.2.5) - CC 98 Xl=0.00 - Classe 3
Sollecitazioni: T_z=1083.73 M_y=228.98
Tensioni: σ_N=0.00 σ_M=-70.60 τ=0.00 σ_{max}=-70.60
Tensioni: σ_N=0.00 σ_M=-0.00 τ=88.33 τ_{max}=88.33
Tensioni: σ_N=0.00 σ_M=-0.00 τ=88.33 $\sigma_{ID,max}$=153.00

Asta n. 306 (-896 -897) IPE240 iimpalcato Crit. 1

- Verifica di stabilità aste inflesse (4.2.4.1.3.2) CC 97 - Classe 3
L_{cr}=0.40 Curva b: α-imp=0.34 k_c=0.94 ψ=1.33 M,cr=566332.00 λ_{LT}=0.13
$\lambda_{LT,0}$=0.40 β_{LT}=0.75 Φ_{LT}=0.46 β_{LT}=0.75 f=1.00 χ_{LT}=1.00
CC 97 My,Ed=-656.65 My,b,Rd=8107.84 My,Ed/My,b,Rd=0.08

- Verifica in termini tensionali (4.2.5) - CC 97 Xl=0.40 - Classe 3
Sollecitazioni: T_z=877.09 M_y=-656.65
Tensioni: σ_N=0.00 σ_M=202.47 τ=0.00 σ_{max}=202.47
Tensioni: σ_N=0.00 σ_M=0.00 τ=71.49 τ_{max}=71.49
Tensioni: σ_N=0.00 σ_M=202.47 τ=0.00 $\sigma_{ID,max}$=202.47

Asta n. 306 (-897 -898) IPE240 iimpalcato Crit. 1

- Verifica di stabilità aste inflesse (4.2.4.1.3.2) CC 97 - Classe 3
L_{cr}=0.40 Curva b: α-imp=0.34 k_c=0.94 ψ=1.17 M,cr=497248.00 λ_{LT}=0.13
$\lambda_{LT,0}$=0.40 β_{LT}=0.75 Φ_{LT}=0.46 β_{LT}=0.75 f=1.00 χ_{LT}=1.00
CC 97 My,Ed=-950.36 My,b,Rd=8107.84 My,Ed/My,b,Rd=0.12

- Verifica in termini tensionali (4.2.5) - CC 97 Xl=0.40 - Classe 3
Sollecitazioni: T_z=726.00 M_y=-950.36
Tensioni: σ_N=0.00 σ_M=293.04 τ=0.00 σ_{max}=293.04
Tensioni: σ_N=0.00 σ_M=0.00 τ=59.18 τ_{max}=59.18
Tensioni: σ_N=0.00 σ_M=293.04 τ=0.00 $\sigma_{ID,max}$=293.04

Asta n. 306 (-898 -899) IPE240 iimpalcato Crit. 1

- Verifica di stabilità aste inflesse (4.2.4.1.3.2) CC 97 - Classe 3
L_{cr}=0.40 Curva b: α-imp=0.34 k_c=0.94 ψ=1.10 M,cr=468553.00 λ_{LT}=0.14
$\lambda_{LT,0}$=0.40 β_{LT}=0.75 Φ_{LT}=0.46 β_{LT}=0.75 f=1.00 χ_{LT}=1.00
CC 97 My,Ed=-1183.64 My,b,Rd=8107.84 My,Ed/My,b,Rd=0.15

- Verifica in termini tensionali (4.2.5) - CC 97 Xl=0.40 - Classe 3
Sollecitazioni: T_z=574.90 M_y=-1183.64
Tensioni: σ_N=0.00 σ_M=364.97 τ=0.00 σ_{max}=364.97
Tensioni: σ_N=0.00 σ_M=0.00 τ=46.86 τ_{max}=46.86
Tensioni: σ_N=0.00 σ_M=364.97 τ=0.00 $\sigma_{ID,max}$=364.97

Asta n. 306 (-899 -900) IPE240 iimpalcato Crit. 1

- Verifica di stabilità aste inflesse (4.2.4.1.3.2) CC 97 - Classe 3
L_{cr}=0.40 Curva b: α-imp=0.34 k_c=0.94 ψ=1.06 M,cr=452314.00 λ_{LT}=0.14
$\lambda_{LT,0}$=0.40 β_{LT}=0.75 Φ_{LT}=0.46 β_{LT}=0.75 f=1.00 χ_{LT}=1.00
CC 97 My,Ed=-1356.48 My,b,Rd=8107.84 My,Ed/My,b,Rd=0.17

- Verifica in termini tensionali (4.2.5) - CC 97 Xl=0.40 - Classe 3
Sollecitazioni: T_z=423.81 M_y=-1356.48
Tensioni: σ_N=0.00 σ_M=418.26 τ=0.00 σ_{max}=418.26
Tensioni: σ_N=0.00 σ_M=0.00 τ=34.54 τ_{max}=34.54
Tensioni: σ_N=0.00 σ_M=418.26 τ=0.00 $\sigma_{ID,max}$=418.26

Asta n. 306 (-900 -1317) IPE240 iimpalcato Crit. 1

- Verifica di stabilità aste inflesse (4.2.4.1.3.2) CC 97 - Classe 3
L_{cr}=0.20 Curva b: α-imp=0.34 k_c=0.94 ψ=1.02 M,cr=1722910.00 λ_{LT}=0.07
$\lambda_{LT,0}$=0.40 β_{LT}=0.75 Φ_{LT}=0.45 β_{LT}=0.75 f=1.00 χ_{LT}=1.00
CC 97 My,Ed=-1416.86 My,b,Rd=8107.84 My,Ed/My,b,Rd=0.17

- Verifica in termini tensionali (4.2.5) - CC 97 Xl=0.20 - Classe 3
  Sollecitazioni: T_z=281.35 M_y=-1416.86
  Tensioni: σ_N=0.00 σ_M=436.88 τ=0.00 σ_{max}=436.88
  Tensioni: σ_N=0.00 σ_M=0.00 τ=22.93 τ_{max}=22.93
  Tensioni: σ_N=0.00 σ_M=436.88 τ=0.00 $\sigma_{ID,max}$=436.88

Asta n. 306 (-1317 -901) IPE240 iimpalcato Crit. 1

- Verifica di stabilità aste inflesse (4.2.4.1.3.2) CC 97 - Classe 3
  L_{cr}=0.20 Curva b: α-imp=0.34 k_c=0.94 ψ=1.02 M,cr=1720790.00 λ_{LT}=0.07
  $\lambda_{LT,0}$=0.40 β_{LT}=0.75 Φ_{LT}=0.45 β_{LT}=0.75 f=1.00 χ_{LT}=1.00
  CC 97 My,Ed=-1472.30 My,b,Rd=8107.84 My,Ed/My,b,Rd=0.18

- Verifica in termini tensionali (4.2.5) - CC 97 Xl=0.20 - Classe 3
  Sollecitazioni: T_z=273.06 M_y=-1472.30
  Tensioni: σ_N=0.00 σ_M=453.97 τ=0.00 σ_{max}=453.97
  Tensioni: σ_N=0.00 σ_M=0.00 τ=22.26 τ_{max}=22.26
  Tensioni: σ_N=0.00 σ_M=453.97 τ=0.00 $\sigma_{ID,max}$=453.97

Asta n. 306 (-901 -1316) IPE240 iimpalcato Crit. 1

- Verifica di stabilità aste inflesse (4.2.4.1.3.2) CC 97 - Classe 3
  L_{cr}=0.20 Curva b: α-imp=0.34 k_c=0.94 ψ=1.01 M,cr=1705280.00 λ_{LT}=0.07
  $\lambda_{LT,0}$=0.40 β_{LT}=0.75 Φ_{LT}=0.45 β_{LT}=0.75 f=1.00 χ_{LT}=1.00
  CC 97 My,Ed=-1499.32 My,b,Rd=8107.84 My,Ed/My,b,Rd=0.18

- Verifica in termini tensionali (4.2.5) - CC 97 Xl=0.20 - Classe 3
  Sollecitazioni: T_z=130.95 M_y=-1499.32
  Tensioni: σ_N=0.00 σ_M=462.30 τ=0.00 σ_{max}=462.30
  Tensioni: σ_N=0.00 σ_M=0.00 τ=10.67 τ_{max}=10.67
  Tensioni: σ_N=0.00 σ_M=462.30 τ=0.00 $\sigma_{ID,max}$=462.30

Asta n. 306 (-1316 -902) IPE240 iimpalcato Crit. 1

- Verifica di stabilità aste inflesse (4.2.4.1.3.2) CC 97 - Classe 3
  L_{cr}=0.20 Curva b: α-imp=0.34 k_c=0.94 ψ=1.01 M,cr=1704200.00 λ_{LT}=0.07
  $\lambda_{LT,0}$=0.40 β_{LT}=0.75 Φ_{LT}=0.45 β_{LT}=0.75 f=1.00 χ_{LT}=1.00
  CC 97 My,Ed=-1524.68 My,b,Rd=8107.84 My,Ed/My,b,Rd=0.19

- Verifica in termini tensionali (4.2.5) - CC 97 Xl=0.20 - Classe 3
  Sollecitazioni: T_z=122.66 M_y=-1524.68
  Tensioni: σ_N=0.00 σ_M=470.12 τ=0.00 σ_{max}=470.12
  Tensioni: σ_N=0.00 σ_M=0.00 τ=10.00 τ_{max}=10.00
  Tensioni: σ_N=0.00 σ_M=470.12 τ=0.00 $\sigma_{ID,max}$=470.12

Asta n. 306 (-902 -903) IPE240 iimpalcato Crit. 1

- Verifica di stabilità aste inflesse (4.2.4.1.3.2) CC 97 - Classe 3
  L_{cr}=0.20 Curva b: α-imp=0.34 k_c=0.94 ψ=1.00 M,cr=1692940.00 λ_{LT}=0.07
  $\lambda_{LT,0}$=0.40 β_{LT}=0.75 Φ_{LT}=0.45 β_{LT}=0.75 f=1.00 χ_{LT}=1.00
  CC 97 My,Ed=-1524.68 My,b,Rd=8107.84 My,Ed/My,b,Rd=0.19

- Verifica in termini tensionali (4.2.5) - CC 97 Xl=0.00 - Classe 3
  Sollecitazioni: T_z=-11.19 M_y=-1524.68
  Tensioni: σ_N=0.00 σ_M=470.12 τ=0.00 σ_{max}=470.12
  Tensioni: σ_N=0.00 σ_M=0.00 τ=0.91 τ_{max}=0.91
  Tensioni: σ_N=0.00 σ_M=470.12 τ=0.00 $\sigma_{ID,max}$=470.12

Asta n. 306 (-903 -904) IPE240 iimpalcato Crit. 1

- Verifica di stabilità aste inflesse (4.2.4.1.3.2) CC 98 - Classe 3
  L_{cr}=0.20 Curva b: α-imp=0.34 k_c=0.94 ψ=1.00 M,cr=1692940.00 λ_{LT}=0.07
  $\lambda_{LT,0}$=0.40 β_{LT}=0.75 Φ_{LT}=0.45 β_{LT}=0.75 f=1.00 χ_{LT}=1.00
  CC 98 My,Ed=-1524.68 My,b,Rd=8107.84 My,Ed/My,b,Rd=0.19

- Verifica in termini tensionali (4.2.5) - CC 98 Xl=0.20 - Classe 3
  Sollecitazioni: T_z=11.19 M_y=-1524.68
  Tensioni: σ_N=0.00 σ_M=470.12 τ=0.00 σ_{max}=470.12
  Tensioni: σ_N=0.00 σ_M=0.00 τ=0.91 τ_{max}=0.91

Tensioni: σ_N=0.00 σ_M=470.12 τ=0.00 $\sigma_{ID,max}$=470.12

Asta n. 306 (-904 -1315) IPE240 iimpalcato Crit. 1

- Verifica di stabilità aste inflesse (4.2.4.1.3.2) CC 98 - Classe 3
  L_{cr}=0.20 Curva b: α-imp=0.34 k_c=0.94 ψ=1.01 M,cr=1704200.00 λ_{LT}=0.07
  $\lambda_{LT,0}$=0.40 β_{LT}=0.75 Φ_{LT}=0.45 β_{LT}=0.75 f=1.00 χ_{LT}=1.00
  CC 98 My,Ed=-1524.68 My,b,Rd=8107.84 My,Ed/My,b,Rd=0.19

- Verifica in termini tensionali (4.2.5) - CC 98 Xl=0.00 - Classe 3
  Sollecitazioni: T_z=-122.66 M_y=-1524.68
  Tensioni: σ_N=0.00 σ_M=470.12 τ=0.00 σ_{max}=470.12
  Tensioni: σ_N=0.00 σ_M=0.00 τ=10.00 τ_{max}=10.00
  Tensioni: σ_N=0.00 σ_M=470.12 τ=0.00 $\sigma_{ID,max}$=470.12

Asta n. 306 (-1315 -905) IPE240 iimpalcato Crit. 1

- Verifica di stabilità aste inflesse (4.2.4.1.3.2) CC 98 - Classe 3
  L_{cr}=0.20 Curva b: α-imp=0.34 k_c=0.94 ψ=1.01 M,cr=1705280.00 λ_{LT}=0.07
  $\lambda_{LT,0}$=0.40 β_{LT}=0.75 Φ_{LT}=0.45 β_{LT}=0.75 f=1.00 χ_{LT}=1.00
  CC 98 My,Ed=-1499.32 My,b,Rd=8107.84 My,Ed/My,b,Rd=0.18

- Verifica in termini tensionali (4.2.5) - CC 98 Xl=0.00 - Classe 3
  Sollecitazioni: T_z=-130.95 M_y=-1499.32
  Tensioni: σ_N=0.00 σ_M=462.30 τ=0.00 σ_{max}=462.30
  Tensioni: σ_N=0.00 σ_M=0.00 τ=10.67 τ_{max}=10.67
  Tensioni: σ_N=0.00 σ_M=462.30 τ=0.00 $\sigma_{ID,max}$=462.30

Asta n. 306 (-905 -1314) IPE240 iimpalcato Crit. 1

- Verifica di stabilità aste inflesse (4.2.4.1.3.2) CC 98 - Classe 3
  L_{cr}=0.20 Curva b: α-imp=0.34 k_c=0.94 ψ=1.02 M,cr=1720790.00 λ_{LT}=0.07
  $\lambda_{LT,0}$=0.40 β_{LT}=0.75 Φ_{LT}=0.45 β_{LT}=0.75 f=1.00 χ_{LT}=1.00
  CC 98 My,Ed=-1472.30 My,b,Rd=8107.84 My,Ed/My,b,Rd=0.18

- Verifica in termini tensionali (4.2.5) - CC 98 Xl=0.00 - Classe 3
  Sollecitazioni: T_z=-273.06 M_y=-1472.30
  Tensioni: σ_N=0.00 σ_M=453.97 τ=0.00 σ_{max}=453.97
  Tensioni: σ_N=0.00 σ_M=0.00 τ=22.26 τ_{max}=22.26
  Tensioni: σ_N=0.00 σ_M=453.97 τ=0.00 $\sigma_{ID,max}$=453.97

Asta n. 306 (-1314 -906) IPE240 iimpalcato Crit. 1

- Verifica di stabilità aste inflesse (4.2.4.1.3.2) CC 98 - Classe 3
  L_{cr}=0.20 Curva b: α-imp=0.34 k_c=0.94 ψ=1.02 M,cr=1722910.00 λ_{LT}=0.07
  $\lambda_{LT,0}$=0.40 β_{LT}=0.75 Φ_{LT}=0.45 β_{LT}=0.75 f=1.00 χ_{LT}=1.00
  CC 98 My,Ed=-1416.86 My,b,Rd=8107.84 My,Ed/My,b,Rd=0.17

- Verifica in termini tensionali (4.2.5) - CC 98 Xl=0.00 - Classe 3
  Sollecitazioni: T_z=-281.35 M_y=-1416.86
  Tensioni: σ_N=0.00 σ_M=436.88 τ=0.00 σ_{max}=436.88
  Tensioni: σ_N=0.00 σ_M=0.00 τ=22.93 τ_{max}=22.93
  Tensioni: σ_N=0.00 σ_M=436.88 τ=0.00 $\sigma_{ID,max}$=436.88

Asta n. 306 (-906 -907) IPE240 iimpalcato Crit. 1

- Verifica di stabilità aste inflesse (4.2.4.1.3.2) CC 98 - Classe 3
  L_{cr}=0.40 Curva b: α-imp=0.34 k_c=0.94 ψ=1.06 M,cr=452314.00 λ_{LT}=0.14
  $\lambda_{LT,0}$=0.40 β_{LT}=0.75 Φ_{LT}=0.46 β_{LT}=0.75 f=1.00 χ_{LT}=1.00
  CC 98 My,Ed=-1356.48 My,b,Rd=8107.84 My,Ed/My,b,Rd=0.17

- Verifica in termini tensionali (4.2.5) - CC 98 Xl=0.00 - Classe 3
  Sollecitazioni: T_z=-423.81 M_y=-1356.48
  Tensioni: σ_N=0.00 σ_M=418.26 τ=0.00 σ_{max}=418.26
  Tensioni: σ_N=0.00 σ_M=0.00 τ=34.54 τ_{max}=34.54
  Tensioni: σ_N=0.00 σ_M=418.26 τ=0.00 $\sigma_{ID,max}$=418.26

Asta n. 306 (-907 -908) IPE240 iimpalcato Crit. 1

- Verifica di stabilità aste inflesse (4.2.4.1.3.2) CC 98 - Classe 3
  L_{cr}=0.40 Curva b: α-imp=0.34 k_c=0.94 ψ=1.10 M,cr=468553.00 λ_{LT}=0.14
  $\lambda_{LT,0}$=0.40 β_{LT}=0.75 Φ_{LT}=0.46 β_{LT}=0.75 f=1.00 χ_{LT}=1.00
  CC 98 My,Ed=-1183.64 My,b,Rd=8107.84 My,Ed/My,b,Rd=0.15

- Verifica in termini tensionali (4.2.5) - CC 98 Xl=0.00 - Classe 3
  Sollecitazioni: T_z=-574.90 M_y=-1183.64
  Tensioni: σ_N=0.00 σ_M=364.97 τ=0.00 σ_{max}=364.97
  Tensioni: σ_N=0.00 σ_M=0.00 τ=46.86 τ_{max}=46.86
  Tensioni: σ_N=0.00 σ_M=364.97 τ=0.00 $\sigma_{ID,max}$=364.97

Asta n. 306 (-908 -909) IPE240 iimpalcato Crit. 1

- Verifica di stabilità aste inflesse (4.2.4.1.3.2) CC 98 - Classe 3
  L_{cr}=0.40 Curva b: α-imp=0.34 k_c=0.94 ψ=1.17 M,cr=497247.00 λ_{LT}=0.13
  $\lambda_{LT,0}$=0.40 β_{LT}=0.75 Φ_{LT}=0.46 β_{LT}=0.75 f=1.00 χ_{LT}=1.00
  CC 98 My,Ed=-950.36 My,b,Rd=8107.84 My,Ed/My,b,Rd=0.12

- Verifica in termini tensionali (4.2.5) - CC 98 Xl=0.00 - Classe 3
  Sollecitazioni: T_z=-726.00 M_y=-950.36
  Tensioni: σ_N=0.00 σ_M=293.04 τ=0.00 σ_{max}=293.04
  Tensioni: σ_N=0.00 σ_M=0.00 τ=59.18 τ_{max}=59.18
  Tensioni: σ_N=0.00 σ_M=293.04 τ=0.00 $\sigma_{ID,max}$=293.04

Asta n. 306 (-909 -910) IPE240 iimpalcato Crit. 1

- Verifica di stabilità aste inflesse (4.2.4.1.3.2) CC 98 - Classe 3
  L_{cr}=0.40 Curva b: α-imp=0.34 k_c=0.94 ψ=1.33 M,cr=566333.00 λ_{LT}=0.13
  $\lambda_{LT,0}$=0.40 β_{LT}=0.75 Φ_{LT}=0.46 β_{LT}=0.75 f=1.00 χ_{LT}=1.00
  CC 98 My,Ed=-656.65 My,b,Rd=8107.84 My,Ed/My,b,Rd=0.08

- Verifica in termini tensionali (4.2.5) - CC 98 Xl=0.00 - Classe 3
  Sollecitazioni: T_z=-877.09 M_y=-656.65
  Tensioni: σ_N=0.00 σ_M=202.47 τ=0.00 σ_{max}=202.47
  Tensioni: σ_N=0.00 σ_M=0.00 τ=71.49 τ_{max}=71.49
  Tensioni: σ_N=0.00 σ_M=202.47 τ=0.00 $\sigma_{ID,max}$=202.47

Asta n. 306 (-910 -911) IPE240 iimpalcato Crit. 1

- Verifica di stabilità aste inflesse (4.2.4.1.3.2) CC 98 - Classe 3
  L_{cr}=0.40 Curva b: α-imp=0.34 k_c=0.94 ψ=2.18 M,cr=928421.00 λ_{LT}=0.10
  $\lambda_{LT,0}$=0.40 β_{LT}=0.75 Φ_{LT}=0.45 β_{LT}=0.75 f=1.00 χ_{LT}=1.00
  CC 98 My,Ed=-302.49 My,b,Rd=8107.84 My,Ed/My,b,Rd=0.04

- Verifica in termini tensionali (4.2.5) - CC 97 Xl=0.40 - Classe 3
  Sollecitazioni: T_z=-1083.73 M_y=228.98
  Tensioni: σ_N=0.00 σ_M=-70.60 τ=0.00 σ_{max}=-70.60
  Tensioni: σ_N=0.00 σ_M=-0.00 τ=88.33 τ_{max}=88.33
  Tensioni: σ_N=0.00 σ_M=-0.00 τ=88.33 $\sigma_{ID,max}$=153.00

Asta n. 306 (-911 -912) IPE240 iimpalcato Crit. 1

- Verifica di stabilità aste inflesse (4.2.4.1.3.2) CC 97 - Classe 3
  L_{cr}=0.40 Curva b: α-imp=0.34 k_c=0.94 ψ=1.45 M,cr=615853.00 λ_{LT}=0.12
  $\lambda_{LT,0}$=0.40 β_{LT}=0.75 Φ_{LT}=0.46 β_{LT}=0.75 f=1.00 χ_{LT}=1.00
  CC 97 My,Ed=719.59 My,b,Rd=8107.84 My,Ed/My,b,Rd=0.09

- Verifica in termini tensionali (4.2.5) - CC 97 Xl=0.40 - Classe 3
  Sollecitazioni: T_z=-1234.82 M_y=719.59
  Tensioni: σ_N=0.00 σ_M=-221.88 τ=0.00 σ_{max}=-221.88
  Tensioni: σ_N=0.00 σ_M=-0.00 τ=100.65 τ_{max}=100.65
  Tensioni: σ_N=0.00 σ_M=-176.03 τ=86.27 $\sigma_{ID,max}$=230.90

Asta n. 306 (-912 -913) IPE240 iimpalcato Crit. 1

- Verifica di stabilità aste inflesse (4.2.4.1.3.2) CC 97 - Classe 3
  L_{cr}=0.20 Curva b: α-imp=0.34 k_c=0.94 ψ=1.15 M,cr=1941320.00 λ_{LT}=0.07
  $\lambda_{LT,0}$=0.40 β_{LT}=0.75 Φ_{LT}=0.45 β_{LT}=0.75 f=1.00 χ_{LT}=1.00
  CC 97 My,Ed=990.93 My,b,Rd=8107.84 My,Ed/My,b,Rd=0.12

- Verifica in termini tensionali (4.2.5) - CC 97 Xl=0.20 - Classe 3
  Sollecitazioni: T_z=-1377.25 M_y=990.93
  Tensioni: σ_N=0.00 σ_M=-305.55 τ=0.00 σ_{max}=-305.55
  Tensioni: σ_N=0.00 σ_M=-0.00 τ=112.26 τ_{max}=112.26
  Tensioni: σ_N=0.00 σ_M=-305.55 τ=0.00 $\sigma_{ID,max}$=305.55

Asta n. 306 (-913 -914) IPE240 iimpalcato Crit. 1

- Verifica di stabilità aste inflesse (4.2.4.1.3.2) CC 97 - Classe 3
  L_{cr}=0.20 Curva b: α-imp=0.34 k_c=0.94 ψ=1.11 M,cr=1881450.00 λ_{LT}=0.07
  $\lambda_{LT,0}$=0.40 β_{LT}=0.75 Φ_{LT}=0.45 β_{LT}=0.75 f=1.00 χ_{LT}=1.00
  CC 97 My,Ed=1267.21 My,b,Rd=8107.84 My,Ed/My,b,Rd=0.16

- Verifica in termini tensionali (4.2.5) - CC 97 Xl=0.20 - Classe 3
  Sollecitazioni: T_z=-1385.54 M_y=1267.21
  Tensioni: σ_N=0.00 σ_M=-390.74 τ=0.00 σ_{max}=-390.74
  Tensioni: σ_N=0.00 σ_M=-0.00 τ=112.94 τ_{max}=112.94
  Tensioni: σ_N=0.00 σ_M=-390.74 τ=0.00 $\sigma_{ID,max}$=390.74

Asta n. 306 (-914 315) IPE240 iimpalcato Crit. 1

- Verifica di stabilità aste inflesse (4.2.4.1.3.2) CC 97 - Classe 3
  L_{cr}=0.40 Curva b: α-imp=0.34 k_c=0.94 ψ=1.18 M,cr=501546.00 λ_{LT}=0.13
  $\lambda_{LT,0}$=0.40 β_{LT}=0.75 Φ_{LT}=0.46 β_{LT}=0.75 f=1.00 χ_{LT}=1.00
  CC 97 My,Ed=1881.68 My,b,Rd=8107.84 My,Ed/My,b,Rd=0.23

- Verifica in termini tensionali (4.2.5) - CC 97 Xl=0.40 - Classe 3
  Sollecitazioni: T_z=-1536.26 M_y=1881.68
  Tensioni: σ_N=0.00 σ_M=-580.20 τ=0.00 σ_{max}=-580.20
  Tensioni: σ_N=0.00 σ_M=-0.00 τ=125.22 τ_{max}=125.22
  Tensioni: σ_N=0.00 σ_M=-580.20 τ=0.00 $\sigma_{ID,max}$=580.20

Asta n. 306 (315 -915) IPE240 iimpalcato Crit. 1

- Verifica di stabilità aste inflesse (4.2.4.1.3.2) CC 97 - Classe 3
  L_{cr}=0.40 Curva b: α-imp=0.34 k_c=0.94 ψ=1.12 M,cr=481380.00 λ_{LT}=0.14
  $\lambda_{LT,0}$=0.40 β_{LT}=0.75 Φ_{LT}=0.46 β_{LT}=0.75 f=1.00 χ_{LT}=1.00
  CC 97 My,Ed=1881.70 My,b,Rd=8107.84 My,Ed/My,b,Rd=0.23

- Verifica in termini tensionali (4.2.5) - CC 97 Xl=0.00 - Classe 3
  Sollecitazioni: T_z=1126.48 M_y=1881.70
  Tensioni: σ_N=0.00 σ_M=-580.21 τ=0.00 σ_{max}=-580.21
  Tensioni: σ_N=0.00 σ_M=-0.00 τ=91.82 τ_{max}=91.82
  Tensioni: σ_N=0.00 σ_M=-580.21 τ=0.00 $\sigma_{ID,max}$=580.21

Asta n. 306 (-915 -916) IPE240 iimpalcato Crit. 1

- Verifica di stabilità aste inflesse (4.2.4.1.3.2) CC 97 - Classe 3
  L_{cr}=0.20 Curva b: α-imp=0.34 k_c=0.94 ψ=1.07 M,cr=1814980.00 λ_{LT}=0.07
  $\lambda_{LT,0}$=0.40 β_{LT}=0.75 Φ_{LT}=0.45 β_{LT}=0.75 f=1.00 χ_{LT}=1.00
  CC 97 My,Ed=1432.50 My,b,Rd=8107.84 My,Ed/My,b,Rd=0.18

- Verifica in termini tensionali (4.2.5) - CC 97 Xl=0.00 - Classe 3
  Sollecitazioni: T_z=976.22 M_y=1432.50
  Tensioni: σ_N=0.00 σ_M=-441.70 τ=0.00 σ_{max}=-441.70
  Tensioni: σ_N=0.00 σ_M=-0.00 τ=79.57 τ_{max}=79.57
  Tensioni: σ_N=0.00 σ_M=-441.70 τ=0.00 $\sigma_{ID,max}$=441.70

Asta n. 306 (-916 -917) IPE240 iimpalcato Crit. 1

- Verifica di stabilità aste inflesse (4.2.4.1.3.2) CC 97 - Classe 3
  L_{cr}=0.20 Curva b: α-imp=0.34 k_c=0.94 ψ=1.08 M,cr=1833090.00 λ_{LT}=0.07
  $\lambda_{LT,0}$=0.40 β_{LT}=0.75 Φ_{LT}=0.45 β_{LT}=0.75 f=1.00 χ_{LT}=1.00
  CC 97 My,Ed=1238.76 My,b,Rd=8107.84 My,Ed/My,b,Rd=0.15

- Verifica in termini tensionali (4.2.5) - CC 97 Xl=0.00 - Classe 3
  Sollecitazioni: T_z=967.95 M_y=1238.76
  Tensioni: σ_N=0.00 σ_M=-381.96 τ=0.00 σ_{max}=-381.96

Tensioni: σ_N=0.00 σ_M=-0.00 τ=78.90 τ_{max}=78.90
Tensioni: σ_N=0.00 σ_M=-381.96 τ=0.00 $\sigma_{ID,max}$=381.96

Asta n. 306 (-917 -918) IPE240 iimpalcato Crit. 1

- Verifica di stabilità aste inflesse (4.2.4.1.3.2) CC 97 - Classe 3
L_{cr}=0.40 Curva b: α-imp=0.34 k_c=0.94 ψ=1.17 M,cr=500757.00 λ_{LT}=0.13
$\lambda_{LT,0}$=0.40 β_{LT}=0.75 Φ_{LT}=0.46 β_{LT}=0.75 f=1.00 χ_{LT}=1.00
CC 97 My,Ed=1049.84 My,b,Rd=8107.84 My,Ed/My,b,Rd=0.13

- Verifica in termini tensionali (4.2.5) - CC 97 Xl=0.00 - Classe 3
Sollecitazioni: T_z=825.97 M_y=1049.84
Tensioni: σ_N=0.00 σ_M=-323.71 τ=0.00 σ_{max}=-323.71
Tensioni: σ_N=0.00 σ_M=-0.00 τ=67.32 τ_{max}=67.32
Tensioni: σ_N=0.00 σ_M=-323.71 τ=0.00 $\sigma_{ID,max}$=323.71

Asta n. 306 (-918 -919) IPE240 iimpalcato Crit. 1

- Verifica di stabilità aste inflesse (4.2.4.1.3.2) CC 97 - Classe 3
L_{cr}=0.40 Curva b: α-imp=0.34 k_c=0.94 ψ=1.21 M,cr=516691.00 λ_{LT}=0.13
$\lambda_{LT,0}$=0.40 β_{LT}=0.75 Φ_{LT}=0.46 β_{LT}=0.75 f=1.00 χ_{LT}=1.00
CC 97 My,Ed=723.82 My,b,Rd=8107.84 My,Ed/My,b,Rd=0.09

- Verifica in termini tensionali (4.2.5) - CC 97 Xl=0.00 - Classe 3
Sollecitazioni: T_z=675.35 M_y=723.82
Tensioni: σ_N=0.00 σ_M=-223.18 τ=0.00 σ_{max}=-223.18
Tensioni: σ_N=0.00 σ_M=-0.00 τ=55.05 τ_{max}=55.05
Tensioni: σ_N=0.00 σ_M=-223.18 τ=0.00 $\sigma_{ID,max}$=223.18

Asta n. 306 (-919 -920) IPE240 iimpalcato Crit. 1

- Verifica di stabilità aste inflesse (4.2.4.1.3.2) CC 97 - Classe 3
L_{cr}=0.40 Curva b: α-imp=0.34 k_c=0.94 ψ=1.26 M,cr=541220.00 λ_{LT}=0.13
$\lambda_{LT,0}$=0.40 β_{LT}=0.75 Φ_{LT}=0.46 β_{LT}=0.75 f=1.00 χ_{LT}=1.00
CC 97 My,Ed=457.78 My,b,Rd=8107.84 My,Ed/My,b,Rd=0.06

- Verifica in termini tensionali (4.2.5) - CC 97 Xl=0.00 - Classe 3
Sollecitazioni: T_z=524.71 M_y=457.78
Tensioni: σ_N=0.00 σ_M=-141.16 τ=0.00 σ_{max}=-141.16
Tensioni: σ_N=0.00 σ_M=-0.00 τ=42.77 τ_{max}=42.77
Tensioni: σ_N=0.00 σ_M=-141.16 τ=0.00 $\sigma_{ID,max}$=141.16

Asta n. 306 (-920 -921) IPE240 iimpalcato Crit. 1

- Verifica di stabilità aste inflesse (4.2.4.1.3.2) CC 97 - Classe 3
L_{cr}=0.40 Curva b: α-imp=0.34 k_c=0.94 ψ=1.36 M,cr=583286.00 λ_{LT}=0.12
$\lambda_{LT,0}$=0.40 β_{LT}=0.75 Φ_{LT}=0.46 β_{LT}=0.75 f=1.00 χ_{LT}=1.00
CC 97 My,Ed=251.83 My,b,Rd=8107.84 My,Ed/My,b,Rd=0.03

- Verifica in termini tensionali (4.2.5) - CC 97 Xl=0.00 - Classe 3
Sollecitazioni: T_z=374.08 M_y=251.83
Tensioni: σ_N=0.00 σ_M=-77.65 τ=0.00 σ_{max}=-77.65
Tensioni: σ_N=0.00 σ_M=-0.00 τ=30.49 τ_{max}=30.49
Tensioni: σ_N=0.00 σ_M=-77.65 τ=0.00 $\sigma_{ID,max}$=77.65

Asta n. 306 (-921 -922) IPE240 iimpalcato Crit. 1

- Verifica di stabilità aste inflesse (4.2.4.1.3.2) CC 97 - Classe 3
L_{cr}=0.40 Curva b: α-imp=0.34 k_c=0.94 ψ=1.56 M,cr=668857.00 λ_{LT}=0.12
$\lambda_{LT,0}$=0.40 β_{LT}=0.75 Φ_{LT}=0.46 β_{LT}=0.75 f=1.00 χ_{LT}=1.00
CC 97 My,Ed=105.98 My,b,Rd=8107.84 My,Ed/My,b,Rd=0.01

- Verifica in termini tensionali (4.2.5) - CC 97 Xl=0.00 - Classe 3
Sollecitazioni: T_z=223.45 M_y=105.98
Tensioni: σ_N=0.00 σ_M=-32.68 τ=0.00 σ_{max}=-32.68
Tensioni: σ_N=0.00 σ_M=-0.00 τ=18.21 τ_{max}=18.21
Tensioni: σ_N=0.00 σ_M=-25.92 τ=15.61 $\sigma_{ID,max}$=37.46

Asta n. 306 (-922 -923) IPE240 iimpalcato Crit. 1

- Verifica di stabilità aste inflesse (4.2.4.1.3.2) CC 97 - Classe 3
  L_{cr}=0.40 Curva b: α-imp=0.34 k_c=0.94 ψ=2.06 M,cr=884282.00 λ_{LT}=0.10
  $\lambda_{LT,0}$=0.40 β_{LT}=0.75 Φ_{LT}=0.45 β_{LT}=0.75 f=1.00 χ_{LT}=1.00
  CC 97 My,Ed=20.16 My,b,Rd=8107.84 My,Ed/My,b,Rd=0.00

- Verifica in termini tensionali (4.2.5) - CC 97 Xl=0.00 - Classe 3
  Sollecitazioni: T_z=72.83 M_y=20.16
  Tensioni: σ_N=0.00 σ_M=-6.22 τ=0.00 σ_{max}=-6.22
  Tensioni: σ_N=0.00 σ_M=-0.00 τ=5.94 τ_{max}=5.94
  Tensioni: σ_N=0.00 σ_M=-0.00 τ=5.94 $\sigma_{ID,max}$=10.28

Asta n. 306 (-923 -924) IPE240 iimpalcato Crit. 1

- Verifica di stabilità aste inflesse (4.2.4.1.3.2) CC 98 - Classe 3
  L_{cr}=0.31 Curva b: α-imp=0.34 k_c=0.94 ψ=1.75 M,cr=1236090.00 λ_{LT}=0.08
  $\lambda_{LT,0}$=0.40 β_{LT}=0.75 Φ_{LT}=0.45 β_{LT}=0.75 f=1.00 χ_{LT}=1.00
  CC 98 My,Ed=-20.07 My,b,Rd=8107.84 My,Ed/My,b,Rd=0.00

- Verifica in termini tensionali (4.2.5) - CC 98 Xl=0.31 - Classe 3
  Sollecitazioni: T_z=-71.18
  Tensioni: σ_N=0.00 σ_M=0.00 τ=0.00 σ_{max}=0.00
  Tensioni: σ_N=0.00 σ_M=0.00 τ=5.80 τ_{max}=5.80
  Tensioni: σ_N=0.00 σ_M=0.00 τ=5.80 $\sigma_{ID,max}$=10.05

Asta n. 307 (-925 -926) IPE240 iimpalcato Crit. 1

- Verifica di stabilità aste inflesse (4.2.4.1.3.2) CC 97 - Classe 3
  L_{cr}=0.31 Curva b: α-imp=0.34 k_c=0.94 ψ=1.75 M,cr=1236090.00 λ_{LT}=0.08
  $\lambda_{LT,0}$=0.40 β_{LT}=0.75 Φ_{LT}=0.45 β_{LT}=0.75 f=1.00 χ_{LT}=1.00
  CC 97 My,Ed=-20.57 My,b,Rd=8107.84 My,Ed/My,b,Rd=0.00

- Verifica in termini tensionali (4.2.5) - CC 97 Xl=0.00 - Classe 3
  Sollecitazioni: T_z=72.78
  Tensioni: σ_N=0.00 σ_M=0.00 τ=0.00 σ_{max}=0.00
  Tensioni: σ_N=0.00 σ_M=0.00 τ=5.93 τ_{max}=5.93
  Tensioni: σ_N=0.00 σ_M=0.00 τ=5.93 $\sigma_{ID,max}$=10.27

Asta n. 307 (-926 -927) IPE240 iimpalcato Crit. 1

- Verifica di stabilità aste inflesse (4.2.4.1.3.2) CC 97 - Classe 3
  L_{cr}=0.40 Curva b: α-imp=0.34 k_c=0.94 ψ=1.17 M,cr=499777.00 λ_{LT}=0.13
  $\lambda_{LT,0}$=0.40 β_{LT}=0.75 Φ_{LT}=0.46 β_{LT}=0.75 f=1.00 χ_{LT}=1.00
  CC 97 My,Ed=-20.57 My,b,Rd=8107.84 My,Ed/My,b,Rd=0.00

- Verifica in termini tensionali (4.2.5) - CC 98 Xl=0.40 - Classe 3
  Sollecitazioni: T_z=-70.59 M_y=18.70
  Tensioni: σ_N=0.00 σ_M=-5.77 τ=0.00 σ_{max}=-5.77
  Tensioni: σ_N=0.00 σ_M=-0.00 τ=5.75 τ_{max}=5.75
  Tensioni: σ_N=0.00 σ_M=-0.00 τ=5.75 $\sigma_{ID,max}$=9.97

Asta n. 307 (-927 -928) IPE240 iimpalcato Crit. 1

- Verifica di stabilità aste inflesse (4.2.4.1.3.2) CC 98 - Classe 3
  L_{cr}=0.40 Curva b: α-imp=0.34 k_c=0.94 ψ=1.57 M,cr=672612.00 λ_{LT}=0.12
  $\lambda_{LT,0}$=0.40 β_{LT}=0.75 Φ_{LT}=0.46 β_{LT}=0.75 f=1.00 χ_{LT}=1.00
  CC 98 My,Ed=103.30 My,b,Rd=8107.84 My,Ed/My,b,Rd=0.01

- Verifica in termini tensionali (4.2.5) - CC 98 Xl=0.40 - Classe 3
  Sollecitazioni: T_z=-220.44 M_y=103.30
  Tensioni: σ_N=0.00 σ_M=-31.85 τ=0.00 σ_{max}=-31.85
  Tensioni: σ_N=0.00 σ_M=-0.00 τ=17.97 τ_{max}=17.97
  Tensioni: σ_N=0.00 σ_M=-25.27 τ=15.40 $\sigma_{ID,max}$=36.74

Asta n. 307 (-928 -929) IPE240 iimpalcato Crit. 1

- Verifica di stabilità aste inflesse (4.2.4.1.3.2) CC 98 - Classe 3
  L_{cr}=0.40 Curva b: α-imp=0.34 k_c=0.94 ψ=1.36 M,cr=584534.00 λ_{LT}=0.12
  $\lambda_{LT,0}$=0.40 β_{LT}=0.75 Φ_{LT}=0.46 β_{LT}=0.75 f=1.00 χ_{LT}=1.00

CC 98 My,Ed=247.66 My,b,Rd=8107.84 My,Ed/My,b,Rd=0.03

- Verifica in termini tensionali (4.2.5) - CC 98 Xl=0.40 - Classe 3
  Sollecitazioni: T_z=-370.29 M_y=247.66
  Tensioni: σ_N=0.00 σ_M=-76.36 τ=0.00 σ_{max}=-76.36
  Tensioni: σ_N=0.00 σ_M=-0.00 τ=30.18 τ_{max}=30.18
  Tensioni: σ_N=0.00 σ_M=-76.36 τ=0.00 $\sigma_{ID,max}$=76.36

Asta n. 307 (-929 -930) IPE240 iimpalcato Crit. 1

- Verifica di stabilità aste inflesse (4.2.4.1.3.2) CC 98 - Classe 3
  L_{cr}=0.40 Curva b: α-imp=0.34 k_c=0.94 ψ=1.26 M,cr=541824.00 λ_{LT}=0.13
  $\lambda_{LT,0}$=0.40 β_{LT}=0.75 Φ_{LT}=0.46 β_{LT}=0.75 f=1.00 χ_{LT}=1.00
  CC 98 My,Ed=451.77 My,b,Rd=8107.84 My,Ed/My,b,Rd=0.06

- Verifica in termini tensionali (4.2.5) - CC 98 Xl=0.40 - Classe 3
  Sollecitazioni: T_z=-520.13 M_y=451.77
  Tensioni: σ_N=0.00 σ_M=-139.30 τ=0.00 σ_{max}=-139.30
  Tensioni: σ_N=0.00 σ_M=-0.00 τ=42.40 τ_{max}=42.40
  Tensioni: σ_N=0.00 σ_M=-139.30 τ=0.00 $\sigma_{ID,max}$=139.30

Asta n. 307 (-930 -931) IPE240 iimpalcato Crit. 1

- Verifica di stabilità aste inflesse (4.2.4.1.3.2) CC 98 - Classe 3
  L_{cr}=0.40 Curva b: α-imp=0.34 k_c=0.94 ψ=1.21 M,cr=517041.00 λ_{LT}=0.13
  $\lambda_{LT,0}$=0.40 β_{LT}=0.75 Φ_{LT}=0.46 β_{LT}=0.75 f=1.00 χ_{LT}=1.00
  CC 98 My,Ed=715.63 My,b,Rd=8107.84 My,Ed/My,b,Rd=0.09

- Verifica in termini tensionali (4.2.5) - CC 98 Xl=0.40 - Classe 3
  Sollecitazioni: T_z=-669.98 M_y=715.63
  Tensioni: σ_N=0.00 σ_M=-220.66 τ=0.00 σ_{max}=-220.66
  Tensioni: σ_N=0.00 σ_M=-0.00 τ=54.61 τ_{max}=54.61
  Tensioni: σ_N=0.00 σ_M=-220.66 τ=0.00 $\sigma_{ID,max}$=220.66

Asta n. 307 (-931 -932) IPE240 iimpalcato Crit. 1

- Verifica di stabilità aste inflesse (4.2.4.1.3.2) CC 98 - Classe 3
  L_{cr}=0.40 Curva b: α-imp=0.34 k_c=0.94 ψ=1.17 M,cr=500978.00 λ_{LT}=0.13
  $\lambda_{LT,0}$=0.40 β_{LT}=0.75 Φ_{LT}=0.46 β_{LT}=0.75 f=1.00 χ_{LT}=1.00
  CC 98 My,Ed=1039.24 My,b,Rd=8107.84 My,Ed/My,b,Rd=0.13

- Verifica in termini tensionali (4.2.5) - CC 98 Xl=0.40 - Classe 3
  Sollecitazioni: T_z=-819.83 M_y=1039.24
  Tensioni: σ_N=0.00 σ_M=-320.44 τ=0.00 σ_{max}=-320.44
  Tensioni: σ_N=0.00 σ_M=-0.00 τ=66.82 τ_{max}=66.82
  Tensioni: σ_N=0.00 σ_M=-320.44 τ=0.00 $\sigma_{ID,max}$=320.44

Asta n. 307 (-932 -933) IPE240 iimpalcato Crit. 1

- Verifica di stabilità aste inflesse (4.2.4.1.3.2) CC 98 - Classe 3
  L_{cr}=0.20 Curva b: α-imp=0.34 k_c=0.94 ψ=1.08 M,cr=1833510.00 λ_{LT}=0.07
  $\lambda_{LT,0}$=0.40 β_{LT}=0.75 Φ_{LT}=0.45 β_{LT}=0.75 f=1.00 χ_{LT}=1.00
  CC 98 My,Ed=1226.76 My,b,Rd=8107.84 My,Ed/My,b,Rd=0.15

- Verifica in termini tensionali (4.2.5) - CC 98 Xl=0.20 - Classe 3
  Sollecitazioni: T_z=-961.32 M_y=1226.76
  Tensioni: σ_N=0.00 σ_M=-378.26 τ=0.00 σ_{max}=-378.26
  Tensioni: σ_N=0.00 σ_M=-0.00 τ=78.36 τ_{max}=78.36
  Tensioni: σ_N=0.00 σ_M=-378.26 τ=0.00 $\sigma_{ID,max}$=378.26

Asta n. 307 (-933 -934) IPE240 iimpalcato Crit. 1

- Verifica di stabilità aste inflesse (4.2.4.1.3.2) CC 98 - Classe 3
  L_{cr}=0.20 Curva b: α-imp=0.34 k_c=0.94 ψ=1.07 M,cr=1815280.00 λ_{LT}=0.07
  $\lambda_{LT,0}$=0.40 β_{LT}=0.75 Φ_{LT}=0.45 β_{LT}=0.75 f=1.00 χ_{LT}=1.00
  CC 98 My,Ed=1419.24 My,b,Rd=8107.84 My,Ed/My,b,Rd=0.18

- Verifica in termini tensionali (4.2.5) - CC 98 Xl=0.20 - Classe 3
  Sollecitazioni: T_z=-969.58 M_y=1419.24

Tensioni: σ_N=0.00 σ_M=-437.61 τ=0.00 σ_{max}=-437.61
Tensioni: σ_N=0.00 σ_M=-0.00 τ=79.03 τ_{max}=79.03
Tensioni: σ_N=0.00 σ_M=-437.61 τ=0.00 $\sigma_{ID,max}$=437.61

Asta n. 307 (-934 -935) IPE240 iimpalcato Crit. 1

- Verifica di stabilità aste inflesse (4.2.4.1.3.2) CC 98 - Classe 3
L_{cr}=0.40 Curva b: α-imp=0.34 k_c=0.94 ψ=1.12 M,cr=481511.00 λ_{LT}=0.14
$\lambda_{LT,0}$=0.40 β_{LT}=0.75 Φ_{LT}=0.46 β_{LT}=0.75 f=1.00 χ_{LT}=1.00
CC 98 My,Ed=1865.60 My,b,Rd=8107.84 My,Ed/My,b,Rd=0.23

- Verifica in termini tensionali (4.2.5) - CC 98 Xl=0.40 - Classe 3
Sollecitazioni: T_z=-1119.33 M_y=1865.60
Tensioni: σ_N=0.00 σ_M=-575.25 τ=0.00 σ_{max}=-575.25
Tensioni: σ_N=0.00 σ_M=-0.00 τ=91.24 τ_{max}=91.24
Tensioni: σ_N=0.00 σ_M=-575.25 τ=0.00 $\sigma_{ID,max}$=575.25

Asta n. 307 (-935 -936) IPE240 iimpalcato Crit. 1

- Verifica di stabilità aste presso-inflesse (C4.2.4.1.3.3.2) - CC 98 - Classe 3
Sollecitazioni: N,Ed=-0.15 My,Ed=1865.63 Mz,Ed=0.00
Resistenze: Nc,Rd=97793.60 My,c,Rd=8107.84 Mz,c,Rd=1181.81 L=40.00
αmy, αmz, αLT=0.95, 0.95, 0.95
L_{cr}=0.40 Curva b: α-imp=0.34 k_c=0.94 ψ=1.18 M,cr=501893.00 λ_{LT}=0.13
$\lambda_{LT,0}$=0.40 β_{LT}=0.75 Φ_{LT}=0.46 β_{LT}=0.75 f=1.00 χ_{LT}=1.00
λ_Y=4.01 Ncr,y=50413400.00 λ^*_y=0.05 Curva a: Φ_y=0.00 χ_y=1.00
λ_Z=14.85 Ncr,z=3674170.00 λ^*_z=0.17 Curva b: Φ_z=0.00 χ_z=1.00
Kyy, Kyz, Kzy, Kzz=0.95, 0.95, 0.76, 0.95
Verifica YY: 0.00+0.22=0.22
Verifica ZZ: 0.00+0.17=0.17

- Verifica in termini tensionali (4.2.5) - CC 98 Xl=0.00 - Classe 3
Sollecitazioni: T_z=1529.16 M_y=1865.63
Tensioni: σ_N=0.00 σ_M=-575.25 τ=0.00 σ_{max}=-575.25
Tensioni: σ_N=0.00 σ_M=-0.00 τ=124.64 τ_{max}=124.64
Tensioni: σ_N=0.00 σ_M=-575.25 τ=0.00 $\sigma_{ID,max}$=575.25

Asta n. 307 (-936 -937) IPE240 iimpalcato Crit. 1

- Verifica di stabilità aste presso-inflesse (C4.2.4.1.3.3.2) - CC 98 - Classe 3
Sollecitazioni: N,Ed=-0.15 My,Ed=1253.94 Mz,Ed=0.00
Resistenze: Nc,Rd=97793.60 My,c,Rd=8107.84 Mz,c,Rd=1181.81 L=20.00
αmy, αmz, αLT=0.95, 0.95, 0.95
L_{cr}=0.20 Curva b: α-imp=0.34 k_c=0.94 ψ=1.11 M,cr=1882700.00 λ_{LT}=0.07
$\lambda_{LT,0}$=0.40 β_{LT}=0.75 Φ_{LT}=0.45 β_{LT}=0.75 f=1.00 χ_{LT}=1.00
λ_Y=2.01 Ncr,y=201653000.00 λ^*_y=0.02 Curva a: Φ_y=0.00 χ_y=1.00
λ_Z=7.43 Ncr,z=14696700.00 λ^*_z=0.09 Curva b: Φ_z=0.00 χ_z=1.00
Kyy, Kyz, Kzy, Kzz=0.95, 0.95, 0.76, 0.95
Verifica YY: 0.00+0.15=0.15
Verifica ZZ: 0.00+0.12=0.12

- Verifica in termini tensionali (4.2.5) - CC 98 Xl=0.00 - Classe 3
Sollecitazioni: T_z=1378.94 M_y=1253.94
Tensioni: σ_N=0.00 σ_M=-386.64 τ=0.00 σ_{max}=-386.64
Tensioni: σ_N=0.00 σ_M=-0.00 τ=112.40 τ_{max}=112.40
Tensioni: σ_N=0.00 σ_M=-386.64 τ=0.00 $\sigma_{ID,max}$=386.64

Asta n. 307 (-937 -938) IPE240 iimpalcato Crit. 1

- Verifica di stabilità aste presso-inflesse (C4.2.4.1.3.3.2) - CC 98 - Classe 3
Sollecitazioni: N,Ed=-0.15 My,Ed=978.98 Mz,Ed=0.00
Resistenze: Nc,Rd=97793.60 My,c,Rd=8107.84 Mz,c,Rd=1181.81 L=20.00
αmy, αmz, αLT=0.95, 0.95, 0.95
L_{cr}=0.20 Curva b: α-imp=0.34 k_c=0.94 ψ=1.15 M,cr=1943440.00 λ_{LT}=0.07
$\lambda_{LT,0}$=0.40 β_{LT}=0.75 Φ_{LT}=0.45 β_{LT}=0.75 f=1.00 χ_{LT}=1.00
λ_Y=2.01 Ncr,y=201653000.00 λ^*_y=0.02 Curva a: Φ_y=0.00 χ_y=1.00
λ_Z=7.43 Ncr,z=14696700.00 λ^*_z=0.09 Curva b: Φ_z=0.00 χ_z=1.00
Kyy, Kyz, Kzy, Kzz=0.95, 0.95, 0.76, 0.95

Verifica YY: 0.00+0.11=0.11
Verifica ZZ: 0.00+0.09=0.09

- Verifica in termini tensionali (4.2.5) - CC 98 Xl=0.00 - Classe 3
Sollecitazioni: T_z=1370.65 M_y=978.98
Tensioni: σ_N=0.00 σ_M=-301.86 τ=0.00 σ_{max}=-301.86
Tensioni: σ_N=0.00 σ_M=-0.00 τ=111.72 τ_{max}=111.72
Tensioni: σ_N=0.00 σ_M=-301.86 τ=0.00 $\sigma_{ID,max}$=301.86

Asta n. 307 (-938 -939) IPE240 iimpalcato Crit. 1

- Verifica di stabilità aste presso-inflesse (C4.2.4.1.3.3.2) - CC 98 - Classe 3
Sollecitazioni: N,Ed=-0.15 My,Ed=709.02 Mz,Ed=0.00
Resistenze: Nc,Rd=97793.60 My,c,Rd=8107.84 Mz,c,Rd=1181.81 L=40.00
αmy, αmz, αLT=0.95, 0.95, 0.95
L_{cr}=0.40 Curva b: α-imp=0.34 k_c=0.94 ψ=1.45 M,cr=618318.00 λ_{LT}=0.12
$\lambda_{LT,0}$=0.40 β_{LT}=0.75 Φ_{LT}=0.46 β_{LT}=0.75 f=1.00 χ_{LT}=1.00
λ_Y=4.01 Ncr,y=50413300.00 λ^*_y=0.05 Curva a: Φ_y=0.00 χ_y=1.00
λ_Z=14.85 Ncr,z=3674170.00 λ^*_z=0.17 Curva b: Φ_z=0.00 χ_z=1.00
Kyy, Kyz, Kzy, Kzz=0.95, 0.95, 0.76, 0.95
Verifica YY: 0.00+0.08=0.08
Verifica ZZ: 0.00+0.07=0.07

- Verifica in termini tensionali (4.2.5) - CC 98 Xl=0.00 - Classe 3
Sollecitazioni: T_z=1228.72 M_y=709.02
Tensioni: σ_N=0.00 σ_M=-218.62 τ=0.00 σ_{max}=-218.62
Tensioni: σ_N=0.00 σ_M=-0.00 τ=100.15 τ_{max}=100.15
Tensioni: σ_N=0.00 σ_M=-173.44 τ=85.85 $\sigma_{ID,max}$=228.45

Asta n. 307 (-939 -940) IPE240 iimpalcato Crit. 1

- Verifica di stabilità aste presso-inflesse (C4.2.4.1.3.3.2) - CC 97 - Classe 3
Sollecitazioni: N,Ed=-0.15 My,Ed=-307.94 Mz,Ed=-0.00
Resistenze: Nc,Rd=97793.60 My,c,Rd=8107.84 Mz,c,Rd=1181.81 L=40.00
αmy, αmz, αLT=0.95, 0.95, 0.95
L_{cr}=0.40 Curva b: α-imp=0.34 k_c=0.94 ψ=2.14 M,cr=911839.00 λ_{LT}=0.10
$\lambda_{LT,0}$=0.40 β_{LT}=0.75 Φ_{LT}=0.45 β_{LT}=0.75 f=1.00 χ_{LT}=1.00
λ_Y=4.01 Ncr,y=50413400.00 λ^*_y=0.05 Curva a: Φ_y=0.00 χ_y=1.00
λ_Z=14.85 Ncr,z=3674170.00 λ^*_z=0.17 Curva b: Φ_z=0.00 χ_z=1.00
Kyy, Kyz, Kzy, Kzz=0.95, 0.95, 0.76, 0.95
Verifica YY: 0.00+0.04=0.04
Verifica ZZ: 0.00+0.03=0.03

- Verifica in termini tensionali (4.2.5) - CC 98 Xl=0.00 - Classe 3
Sollecitazioni: T_z=1078.41 M_y=220.85
Tensioni: σ_N=0.00 σ_M=-68.10 τ=0.00 σ_{max}=-68.10
Tensioni: σ_N=0.00 σ_M=-0.00 τ=87.90 τ_{max}=87.90
Tensioni: σ_N=0.00 σ_M=-0.00 τ=87.90 $\sigma_{ID,max}$=152.25

Asta n. 307 (-940 -941) IPE240 iimpalcato Crit. 1

- Verifica di stabilità aste presso-inflesse (C4.2.4.1.3.3.2) - CC 97 - Classe 3
Sollecitazioni: N,Ed=-0.15 My,Ed=-660.36 Mz,Ed=-0.00
Resistenze: Nc,Rd=97793.60 My,c,Rd=8107.84 Mz,c,Rd=1181.81 L=40.00
αmy, αmz, αLT=0.95, 0.95, 0.95
L_{cr}=0.40 Curva b: α-imp=0.34 k_c=0.94 ψ=1.33 M,cr=564475.00 λ_{LT}=0.13
$\lambda_{LT,0}$=0.40 β_{LT}=0.75 Φ_{LT}=0.46 β_{LT}=0.75 f=1.00 χ_{LT}=1.00
λ_Y=4.01 Ncr,y=50413300.00 λ^*_y=0.05 Curva a: Φ_y=0.00 χ_y=1.00
λ_Z=14.85 Ncr,z=3674170.00 λ^*_z=0.17 Curva b: Φ_z=0.00 χ_z=1.00
Kyy, Kyz, Kzy, Kzz=0.95, 0.95, 0.76, 0.95
Verifica YY: 0.00+0.08=0.08
Verifica ZZ: 0.00+0.06=0.06

- Verifica in termini tensionali (4.2.5) - CC 97 Xl=0.40 - Classe 3
Sollecitazioni: T_z=872.77 M_y=-660.36
Tensioni: σ_N=0.00 σ_M=203.62 τ=0.00 σ_{max}=203.62
Tensioni: σ_N=0.00 σ_M=0.00 τ=71.14 τ_{max}=71.14
Tensioni: σ_N=0.00 σ_M=203.62 τ=0.00 $\sigma_{ID,max}$=203.62

Asta n. 307 (-941 -942) IPE240 iimpalcato Crit. 1

- Verifica di stabilità aste presso-inflesse (C4.2.4.1.3.3.2) - CC 97 - Classe 3
  Sollecitazioni: N,Ed=-0.15 My,Ed=-952.66 Mz,Ed=-0.00
  Resistenze: Nc,Rd=97793.60 My,c,Rd=8107.84 Mz,c,Rd=1181.81 L=40.00
  αmy, αmz, αLT=0.95, 0.95, 0.95
  L_{cr}=0.40 Curva b: α-imp=0.34 k_c=0.94 ψ=1.17 M,cr=496645.00 λ_{LT}=0.13
  $\lambda_{LT,0}$=0.40 β_{LT}=0.75 Φ_{LT}=0.46 β_{LT}=0.75 f=1.00 χ_{LT}=1.00
  λ_Y=4.01 Ncr,y=50413300.00 λ^*_y=0.05 Curva a: Φ_y=0.00 χ_y=1.00
  λ_Z=14.85 Ncr,z=3674170.00 λ^*_z=0.17 Curva b: Φ_z=0.00 χ_z=1.00
  Kyy, Kyz, Kzy, Kzz=0.95, 0.95, 0.76, 0.95
  Verifica YY: 0.00+0.11=0.11
  Verifica ZZ: 0.00+0.09=0.09

- Verifica in termini tensionali (4.2.5) - CC 97 Xl=0.40 - Classe 3
  Sollecitazioni: T_z=722.46 M_y=-952.66
  Tensioni: σ_N=0.00 σ_M=293.75 τ=0.00 σ_{max}=293.75
  Tensioni: σ_N=0.00 σ_M=0.00 τ=58.89 τ_{max}=58.89
  Tensioni: σ_N=0.00 σ_M=293.75 τ=0.00 $\sigma_{ID,max}$=293.75

Asta n. 307 (-942 -943) IPE240 iimpalcato Crit. 1

- Verifica di stabilità aste presso-inflesse (C4.2.4.1.3.3.2) - CC 97 - Classe 3
  Sollecitazioni: N,Ed=-0.15 My,Ed=-1184.84 Mz,Ed=-0.00
  Resistenze: Nc,Rd=97793.60 My,c,Rd=8107.84 Mz,c,Rd=1181.81 L=40.00
  αmy, αmz, αLT=0.95, 0.95, 0.95
  L_{cr}=0.40 Curva b: α-imp=0.34 k_c=0.94 ψ=1.10 M,cr=468280.00 λ_{LT}=0.14
  $\lambda_{LT,0}$=0.40 β_{LT}=0.75 Φ_{LT}=0.46 β_{LT}=0.75 f=1.00 χ_{LT}=1.00
  λ_Y=4.01 Ncr,y=50413400.00 λ^*_y=0.05 Curva a: Φ_y=0.00 χ_y=1.00
  λ_Z=14.85 Ncr,z=3674170.00 λ^*_z=0.17 Curva b: Φ_z=0.00 χ_z=1.00
  Kyy, Kyz, Kzy, Kzz=0.95, 0.95, 0.76, 0.95
  Verifica YY: 0.00+0.14=0.14
  Verifica ZZ: 0.00+0.11=0.11

- Verifica in termini tensionali (4.2.5) - CC 97 Xl=0.40 - Classe 3
  Sollecitazioni: T_z=572.15 M_y=-1184.84
  Tensioni: σ_N=0.00 σ_M=365.34 τ=0.00 σ_{max}=365.34
  Tensioni: σ_N=0.00 σ_M=0.00 τ=46.64 τ_{max}=46.64
  Tensioni: σ_N=0.00 σ_M=365.34 τ=0.00 $\sigma_{ID,max}$=365.34

Asta n. 307 (-943 -944) IPE240 iimpalcato Crit. 1

- Verifica di stabilità aste presso-inflesse (C4.2.4.1.3.3.2) - CC 97 - Classe 3
  Sollecitazioni: N,Ed=-0.15 My,Ed=-1356.89 Mz,Ed=-0.00
  Resistenze: Nc,Rd=97793.60 My,c,Rd=8107.84 Mz,c,Rd=1181.81 L=40.00
  αmy, αmz, αLT=0.95, 0.95, 0.95
  L_{cr}=0.40 Curva b: α-imp=0.34 k_c=0.94 ψ=1.06 M,cr=452175.00 λ_{LT}=0.14
  $\lambda_{LT,0}$=0.40 β_{LT}=0.75 Φ_{LT}=0.46 β_{LT}=0.75 f=1.00 χ_{LT}=1.00
  λ_Y=4.01 Ncr,y=50413200.00 λ^*_y=0.05 Curva a: Φ_y=0.00 χ_y=1.00
  λ_Z=14.85 Ncr,z=3674160.00 λ^*_z=0.17 Curva b: Φ_z=0.00 χ_z=1.00
  Kyy, Kyz, Kzy, Kzz=0.95, 0.95, 0.76, 0.95
  Verifica YY: 0.00+0.16=0.16
  Verifica ZZ: 0.00+0.13=0.13

- Verifica in termini tensionali (4.2.5) - CC 97 Xl=0.40 - Classe 3
  Sollecitazioni: T_z=421.84 M_y=-1356.89
  Tensioni: σ_N=0.00 σ_M=418.39 τ=0.00 σ_{max}=418.39
  Tensioni: σ_N=0.00 σ_M=0.00 τ=34.38 τ_{max}=34.38
  Tensioni: σ_N=0.00 σ_M=418.39 τ=0.00 $\sigma_{ID,max}$=418.39

Asta n. 307 (-944 -1284) IPE240 iimpalcato Crit. 1

- Verifica di stabilità aste presso-inflesse (C4.2.4.1.3.3.2) - CC 97 - Classe 3
  Sollecitazioni: N,Ed=-0.15 My,Ed=-1417.07 Mz,Ed=0.00
  Resistenze: Nc,Rd=97793.60 My,c,Rd=8107.84 Mz,c,Rd=1181.81 L=20.00
  αmy, αmz, αLT=0.95, 0.95, 0.95
  L_{cr}=0.20 Curva b: α-imp=0.34 k_c=0.94 ψ=1.02 M,cr=1722750.00 λ_{LT}=0.07
  $\lambda_{LT,0}$=0.40 β_{LT}=0.75 Φ_{LT}=0.45 β_{LT}=0.75 f=1.00 χ_{LT}=1.00
  λ_Y=2.01 Ncr,y=201654000.00 λ^*_y=0.02 Curva a: Φ_y=0.00 χ_y=1.00

λ_Z=7.43 Ncr,z=14696700.00 λ^*_z=0.09 Curva b: Φ_z=0.00 χ_z=1.00
Kyy, Kyz, Kzy, Kzz=0.95, 0.95, 0.76, 0.95
Verifica YY: 0.00+0.17=0.17
Verifica ZZ: 0.00+0.13=0.13

- Verifica in termini tensionali (4.2.5) - CC 97 Xl=0.20 - Classe 3
Sollecitazioni: T_z=280.05 M_y=-1417.07
Tensioni: σ_N=0.00 σ_M=436.94 τ=0.00 σ_{max}=436.94
Tensioni: σ_N=0.00 σ_M=0.00 τ=22.83 τ_{max}=22.83
Tensioni: σ_N=0.00 σ_M=436.94 τ=0.00 $\sigma_{ID,max}$=436.94

Asta n. 307 (-1284 -945) IPE240 iimpalcato Crit. 1

- Verifica di stabilità aste presso-inflesse (C4.2.4.1.3.3.2) - CC 97 - Classe 3
Sollecitazioni: N,Ed=-0.15 My,Ed=-1472.25 Mz,Ed=0.00
Resistenze: Nc,Rd=97793.60 My,c,Rd=8107.84 Mz,c,Rd=1181.81 L=20.00
αmy, αmz, αLT=0.95, 0.95, 0.95
L_{cr}=0.20 Curva b: α-imp=0.34 k_c=0.94 ψ=1.02 M,cr=1720650.00 λ_{LT}=0.07
$\lambda_{LT,0}$=0.40 β_{LT}=0.75 Φ_{LT}=0.45 β_{LT}=0.75 f=1.00 χ_{LT}=1.00
λ_Y=2.01 Ncr,y=201654000.00 λ^*_y=0.02 Curva a: Φ_y=0.00 χ_y=1.00
λ_Z=7.43 Ncr,z=14696700.00 λ^*_z=0.09 Curva b: Φ_z=0.00 χ_z=1.00
Kyy, Kyz, Kzy, Kzz=0.95, 0.95, 0.76, 0.95
Verifica YY: 0.00+0.17=0.17
Verifica ZZ: 0.00+0.14=0.14

- Verifica in termini tensionali (4.2.5) - CC 97 Xl=0.20 - Classe 3
Sollecitazioni: T_z=271.75 M_y=-1472.25
Tensioni: σ_N=0.00 σ_M=453.96 τ=0.00 σ_{max}=453.96
Tensioni: σ_N=0.00 σ_M=0.00 τ=22.15 τ_{max}=22.15
Tensioni: σ_N=0.00 σ_M=453.96 τ=0.00 $\sigma_{ID,max}$=453.96

Asta n. 307 (-945 -1282) IPE240 iimpalcato Crit. 1

- Verifica di stabilità aste presso-inflesse (C4.2.4.1.3.3.2) - CC 97 - Classe 3
Sollecitazioni: N,Ed=-0.15 My,Ed=-1499.13 Mz,Ed=0.00
Resistenze: Nc,Rd=97793.60 My,c,Rd=8107.84 Mz,c,Rd=1181.81 L=20.00
αmy, αmz, αLT=0.95, 0.95, 0.95
L_{cr}=0.20 Curva b: α-imp=0.34 k_c=0.94 ψ=1.01 M,cr=1705210.00 λ_{LT}=0.07
$\lambda_{LT,0}$=0.40 β_{LT}=0.75 Φ_{LT}=0.45 β_{LT}=0.75 f=1.00 χ_{LT}=1.00
λ_Y=2.01 Ncr,y=201653000.00 λ^*_y=0.02 Curva a: Φ_y=0.00 χ_y=1.00
λ_Z=7.43 Ncr,z=14696600.00 λ^*_z=0.09 Curva b: Φ_z=0.00 χ_z=1.00
Kyy, Kyz, Kzy, Kzz=0.95, 0.95, 0.76, 0.95
Verifica YY: 0.00+0.18=0.18
Verifica ZZ: 0.00+0.14=0.14

- Verifica in termini tensionali (4.2.5) - CC 97 Xl=0.20 - Classe 3
Sollecitazioni: T_z=130.27 M_y=-1499.13
Tensioni: σ_N=0.00 σ_M=462.25 τ=0.00 σ_{max}=462.25
Tensioni: σ_N=0.00 σ_M=0.00 τ=10.62 τ_{max}=10.62
Tensioni: σ_N=0.00 σ_M=462.25 τ=0.00 $\sigma_{ID,max}$=462.25

Asta n. 307 (-1282 -946) IPE240 iimpalcato Crit. 1

- Verifica di stabilità aste presso-inflesse (C4.2.4.1.3.3.2) - CC 97 - Classe 3
Sollecitazioni: N,Ed=-0.15 My,Ed=-1524.36 Mz,Ed=0.00
Resistenze: Nc,Rd=97793.60 My,c,Rd=8107.84 Mz,c,Rd=1181.81 L=20.00
αmy, αmz, αLT=0.95, 0.95, 0.95
L_{cr}=0.20 Curva b: α-imp=0.34 k_c=0.94 ψ=1.01 M,cr=1704130.00 λ_{LT}=0.07
$\lambda_{LT,0}$=0.40 β_{LT}=0.75 Φ_{LT}=0.45 β_{LT}=0.75 f=1.00 χ_{LT}=1.00
λ_Y=2.01 Ncr,y=201653000.00 λ^*_y=0.02 Curva a: Φ_y=0.00 χ_y=1.00
λ_Z=7.43 Ncr,z=14696600.00 λ^*_z=0.09 Curva b: Φ_z=0.00 χ_z=1.00
Kyy, Kyz, Kzy, Kzz=0.95, 0.95, 0.76, 0.95
Verifica YY: 0.00+0.18=0.18
Verifica ZZ: 0.00+0.14=0.14

- Verifica in termini tensionali (4.2.5) - CC 97 Xl=0.20 - Classe 3
Sollecitazioni: T_z=121.98 M_y=-1524.36
Tensioni: σ_N=0.00 σ_M=470.03 τ=0.00 σ_{max}=470.03
Tensioni: σ_N=0.00 σ_M=0.00 τ=9.94 τ_{max}=9.94

Tensioni: σ_N=0.00 σ_M=470.03 τ=0.00 $\sigma_{ID,max}$=470.03

Asta n. 307 (-946 -947) IPE240 iimpalcato Crit. 1

- Verifica di stabilità aste presso-inflesse (C4.2.4.1.3.3.2) - CC 97 - Classe 3
Sollecitazioni: N,Ed=-0.15 My,Ed=-1524.36 Mz,Ed=0.00
Resistenze: Nc,Rd=97793.60 My,c,Rd=8107.84 Mz,c,Rd=1181.81 L=20.00
αmy, αmz, αLT=0.95, 0.95, 0.95
L_{cr}=0.20 Curva b: α-imp=0.34 k_c=0.94 ψ=1.00 M,cr=1692930.00 λ_{LT}=0.07
$\lambda_{LT,0}$=0.40 β_{LT}=0.75 Φ_{LT}=0.45 β_{LT}=0.75 f=1.00 χ_{LT}=1.00
λ_Y=2.01 Ncr,y=201654000.00 λ^*_y=0.02 Curva a: Φ_y=0.00 χ_y=1.00
λ_Z=7.43 Ncr,z=14696700.00 λ^*_z=0.09 Curva b: Φ_z=0.00 χ_z=1.00
Kyy, Kyz, Kzy, Kzz=0.95, 0.95, 0.76, 0.95
Verifica YY: 0.00+0.18=0.18
Verifica ZZ: 0.00+0.14=0.14

- Verifica in termini tensionali (4.2.5) - CC 97 Xl=0.00 - Classe 3
Sollecitazioni: T_z=-11.08 M_y=-1524.36
Tensioni: σ_N=0.00 σ_M=470.03 τ=0.00 σ_{max}=470.03
Tensioni: σ_N=0.00 σ_M=0.00 τ=0.90 τ_{max}=0.90
Tensioni: σ_N=0.00 σ_M=470.03 τ=0.00 $\sigma_{ID,max}$=470.03

Asta n. 307 (-947 -948) IPE240 iimpalcato Crit. 1

- Verifica di stabilità aste presso-inflesse (C4.2.4.1.3.3.2) - CC 98 - Classe 3
Sollecitazioni: N,Ed=-0.15 My,Ed=-1524.36 Mz,Ed=0.00
Resistenze: Nc,Rd=97793.60 My,c,Rd=8107.84 Mz,c,Rd=1181.81 L=20.00
αmy, αmz, αLT=0.95, 0.95, 0.95
L_{cr}=0.20 Curva b: α-imp=0.34 k_c=0.94 ψ=1.00 M,cr=1692930.00 λ_{LT}=0.07
$\lambda_{LT,0}$=0.40 β_{LT}=0.75 Φ_{LT}=0.45 β_{LT}=0.75 f=1.00 χ_{LT}=1.00
λ_Y=2.01 Ncr,y=201654000.00 λ^*_y=0.02 Curva a: Φ_y=0.00 χ_y=1.00
λ_Z=7.43 Ncr,z=14696700.00 λ^*_z=0.09 Curva b: Φ_z=0.00 χ_z=1.00
Kyy, Kyz, Kzy, Kzz=0.95, 0.95, 0.76, 0.95
Verifica YY: 0.00+0.18=0.18
Verifica ZZ: 0.00+0.14=0.14

- Verifica in termini tensionali (4.2.5) - CC 98 Xl=0.20 - Classe 3
Sollecitazioni: T_z=11.08 M_y=-1524.36
Tensioni: σ_N=0.00 σ_M=470.03 τ=0.00 σ_{max}=470.03
Tensioni: σ_N=0.00 σ_M=0.00 τ=0.90 τ_{max}=0.90
Tensioni: σ_N=0.00 σ_M=470.03 τ=0.00 $\sigma_{ID,max}$=470.03

Asta n. 307 (-948 -1280) IPE240 iimpalcato Crit. 1

- Verifica di stabilità aste presso-inflesse (C4.2.4.1.3.3.2) - CC 98 - Classe 3
Sollecitazioni: N,Ed=-0.15 My,Ed=-1524.36 Mz,Ed=0.00
Resistenze: Nc,Rd=97793.60 My,c,Rd=8107.84 Mz,c,Rd=1181.81 L=20.00
αmy, αmz, αLT=0.95, 0.95, 0.95
L_{cr}=0.20 Curva b: α-imp=0.34 k_c=0.94 ψ=1.01 M,cr=1704130.00 λ_{LT}=0.07
$\lambda_{LT,0}$=0.40 β_{LT}=0.75 Φ_{LT}=0.45 β_{LT}=0.75 f=1.00 χ_{LT}=1.00
λ_Y=2.01 Ncr,y=201653000.00 λ^*_y=0.02 Curva a: Φ_y=0.00 χ_y=1.00
λ_Z=7.43 Ncr,z=14696600.00 λ^*_z=0.09 Curva b: Φ_z=0.00 χ_z=1.00
Kyy, Kyz, Kzy, Kzz=0.95, 0.95, 0.76, 0.95
Verifica YY: 0.00+0.18=0.18
Verifica ZZ: 0.00+0.14=0.14

- Verifica in termini tensionali (4.2.5) - CC 98 Xl=0.00 - Classe 3
Sollecitazioni: T_z=-121.98 M_y=-1524.36
Tensioni: σ_N=0.00 σ_M=470.03 τ=0.00 σ_{max}=470.03
Tensioni: σ_N=0.00 σ_M=0.00 τ=9.94 τ_{max}=9.94
Tensioni: σ_N=0.00 σ_M=470.03 τ=0.00 $\sigma_{ID,max}$=470.03

Asta n. 307 (-1280 -949) IPE240 iimpalcato Crit. 1

- Verifica di stabilità aste presso-inflesse (C4.2.4.1.3.3.2) - CC 98 - Classe 3
Sollecitazioni: N,Ed=-0.15 My,Ed=-1499.13 Mz,Ed=0.00
Resistenze: Nc,Rd=97793.60 My,c,Rd=8107.84 Mz,c,Rd=1181.81 L=20.00
αmy, αmz, αLT=0.95, 0.95, 0.95
L_{cr}=0.20 Curva b: α-imp=0.34 k_c=0.94 ψ=1.01 M,cr=1705210.00 λ_{LT}=0.07

$\lambda_{LT,0}$=0.40 β_{LT}=0.75 Φ_{LT}=0.45 β_{LT}=0.75 f=1.00 χ_{LT}=1.00
λ_Y=2.01 Ncr,y=201653000.00 λ^*_y=0.02 Curva a: Φ_y=0.00 χ_y=1.00
λ_Z=7.43 Ncr,z=14696600.00 λ^*_z=0.09 Curva b: Φ_z=0.00 χ_z=1.00
Kyy, Kyz, Kzy, Kzz=0.95, 0.95, 0.76, 0.95
Verifica YY: 0.00+0.18=0.18
Verifica ZZ: 0.00+0.14=0.14

- Verifica in termini tensionali (4.2.5) - CC 98 Xl=0.00 - Classe 3
Sollecitazioni: T_z=-130.27 M_y=-1499.13
Tensioni: σ_N=0.00 σ_M=462.25 τ=0.00 σ_{max}=462.25
Tensioni: σ_N=0.00 σ_M=0.00 τ=10.62 τ_{max}=10.62
Tensioni: σ_N=0.00 σ_M=462.25 τ=0.00 $\sigma_{ID,max}$=462.25

Asta n. 307 (-949 -1278) IPE240 iimpalcato Crit. 1

- Verifica di stabilità aste presso-inflesse (C4.2.4.1.3.3.2) - CC 98 - Classe 3
Sollecitazioni: N,Ed=-0.15 My,Ed=-1472.25 Mz,Ed=0.00
Resistenze: Nc,Rd=97793.60 My,c,Rd=8107.84 Mz,c,Rd=1181.81 L=20.00
αmy, αmz, αLT=0.95, 0.95, 0.95
L_{cr}=0.20 Curva b: α-imp=0.34 k_c=0.94 ψ=1.02 M,cr=1720650.00 λ_{LT}=0.07
$\lambda_{LT,0}$=0.40 β_{LT}=0.75 Φ_{LT}=0.45 β_{LT}=0.75 f=1.00 χ_{LT}=1.00
λ_Y=2.01 Ncr,y=201654000.00 λ^*_y=0.02 Curva a: Φ_y=0.00 χ_y=1.00
λ_Z=7.43 Ncr,z=14696700.00 λ^*_z=0.09 Curva b: Φ_z=0.00 χ_z=1.00
Kyy, Kyz, Kzy, Kzz=0.95, 0.95, 0.76, 0.95
Verifica YY: 0.00+0.17=0.17
Verifica ZZ: 0.00+0.14=0.14

- Verifica in termini tensionali (4.2.5) - CC 98 Xl=0.00 - Classe 3
Sollecitazioni: T_z=-271.75 M_y=-1472.25
Tensioni: σ_N=0.00 σ_M=453.96 τ=0.00 σ_{max}=453.96
Tensioni: σ_N=0.00 σ_M=0.00 τ=22.15 τ_{max}=22.15
Tensioni: σ_N=0.00 σ_M=453.96 τ=0.00 $\sigma_{ID,max}$=453.96

Asta n. 307 (-1278 -950) IPE240 iimpalcato Crit. 1

- Verifica di stabilità aste presso-inflesse (C4.2.4.1.3.3.2) - CC 98 - Classe 3
Sollecitazioni: N,Ed=-0.15 My,Ed=-1417.07 Mz,Ed=0.00
Resistenze: Nc,Rd=97793.60 My,c,Rd=8107.84 Mz,c,Rd=1181.81 L=20.00
αmy, αmz, αLT=0.95, 0.95, 0.95
L_{cr}=0.20 Curva b: α-imp=0.34 k_c=0.94 ψ=1.02 M,cr=1722750.00 λ_{LT}=0.07
$\lambda_{LT,0}$=0.40 β_{LT}=0.75 Φ_{LT}=0.45 β_{LT}=0.75 f=1.00 χ_{LT}=1.00
λ_Y=2.01 Ncr,y=201654000.00 λ^*_y=0.02 Curva a: Φ_y=0.00 χ_y=1.00
λ_Z=7.43 Ncr,z=14696700.00 λ^*_z=0.09 Curva b: Φ_z=0.00 χ_z=1.00
Kyy, Kyz, Kzy, Kzz=0.95, 0.95, 0.76, 0.95
Verifica YY: 0.00+0.17=0.17
Verifica ZZ: 0.00+0.13=0.13

- Verifica in termini tensionali (4.2.5) - CC 98 Xl=0.00 - Classe 3
Sollecitazioni: T_z=-280.05 M_y=-1417.07
Tensioni: σ_N=0.00 σ_M=436.94 τ=0.00 σ_{max}=436.94
Tensioni: σ_N=0.00 σ_M=0.00 τ=22.83 τ_{max}=22.83
Tensioni: σ_N=0.00 σ_M=436.94 τ=0.00 $\sigma_{ID,max}$=436.94

Asta n. 307 (-950 -951) IPE240 iimpalcato Crit. 1

- Verifica di stabilità aste presso-inflesse (C4.2.4.1.3.3.2) - CC 98 - Classe 3
Sollecitazioni: N,Ed=-0.15 My,Ed=-1356.89 Mz,Ed=-0.00
Resistenze: Nc,Rd=97793.60 My,c,Rd=8107.84 Mz,c,Rd=1181.81 L=40.00
αmy, αmz, αLT=0.95, 0.95, 0.95
L_{cr}=0.40 Curva b: α-imp=0.34 k_c=0.94 ψ=1.06 M,cr=452175.00 λ_{LT}=0.14
$\lambda_{LT,0}$=0.40 β_{LT}=0.75 Φ_{LT}=0.46 β_{LT}=0.75 f=1.00 χ_{LT}=1.00
λ_Y=4.01 Ncr,y=50413200.00 λ^*_y=0.05 Curva a: Φ_y=0.00 χ_y=1.00
λ_Z=14.85 Ncr,z=3674160.00 λ^*_z=0.17 Curva b: Φ_z=0.00 χ_z=1.00
Kyy, Kyz, Kzy, Kzz=0.95, 0.95, 0.76, 0.95
Verifica YY: 0.00+0.16=0.16
Verifica ZZ: 0.00+0.13=0.13

- Verifica in termini tensionali (4.2.5) - CC 98 Xl=0.00 - Classe 3
Sollecitazioni: T_z=-421.84 M_y=-1356.89

Tensioni: σ_N=0.00 σ_M=418.39 τ=0.00 σ_{max}=418.39
Tensioni: σ_N=0.00 σ_M=0.00 τ=34.38 τ_{max}=34.38
Tensioni: σ_N=0.00 σ_M=418.39 τ=0.00 $\sigma_{ID,max}$=418.39

Asta n. 307 (-951 -952) IPE240 iimpalcato Crit. 1

- Verifica di stabilità aste presso-inflesse (C4.2.4.1.3.3.2) - CC 98 - Classe 3
Sollecitazioni: N,Ed=-0.15 My,Ed=-1184.84 Mz,Ed=-0.00
Resistenze: Nc,Rd=97793.60 My,c,Rd=8107.84 Mz,c,Rd=1181.81 L=40.00
αmy, αmz, αLT=0.95, 0.95, 0.95
L_{cr}=0.40 Curva b: α-imp=0.34 k_c=0.94 ψ=1.10 M,cr=468280.00 λ_{LT}=0.14
$\lambda_{LT,0}$=0.40 β_{LT}=0.75 Φ_{LT}=0.46 β_{LT}=0.75 f=1.00 χ_{LT}=1.00
λ_Y=4.01 Ncr,y=50413400.00 λ^*_y=0.05 Curva a: Φ_y=0.00 χ_y=1.00
λ_Z=14.85 Ncr,z=3674170.00 λ^*_z=0.17 Curva b: Φ_z=0.00 χ_z=1.00
Kyy, Kyz, Kzy, Kzz=0.95, 0.95, 0.76, 0.95
Verifica YY: 0.00+0.14=0.14
Verifica ZZ: 0.00+0.11=0.11

- Verifica in termini tensionali (4.2.5) - CC 98 Xl=0.00 - Classe 3
Sollecitazioni: T_z=-572.15 M_y=-1184.84
Tensioni: σ_N=0.00 σ_M=365.34 τ=0.00 σ_{max}=365.34
Tensioni: σ_N=0.00 σ_M=0.00 τ=46.64 τ_{max}=46.64
Tensioni: σ_N=0.00 σ_M=365.34 τ=0.00 $\sigma_{ID,max}$=365.34

Asta n. 307 (-952 -953) IPE240 iimpalcato Crit. 1

- Verifica di stabilità aste presso-inflesse (C4.2.4.1.3.3.2) - CC 98 - Classe 3
Sollecitazioni: N,Ed=-0.15 My,Ed=-952.66 Mz,Ed=-0.00
Resistenze: Nc,Rd=97793.60 My,c,Rd=8107.84 Mz,c,Rd=1181.81 L=40.00
αmy, αmz, αLT=0.95, 0.95, 0.95
L_{cr}=0.40 Curva b: α-imp=0.34 k_c=0.94 ψ=1.17 M,cr=496644.00 λ_{LT}=0.13
$\lambda_{LT,0}$=0.40 β_{LT}=0.75 Φ_{LT}=0.46 β_{LT}=0.75 f=1.00 χ_{LT}=1.00
λ_Y=4.01 Ncr,y=50413200.00 λ^*_y=0.05 Curva a: Φ_y=0.00 χ_y=1.00
λ_Z=14.85 Ncr,z=3674160.00 λ^*_z=0.17 Curva b: Φ_z=0.00 χ_z=1.00
Kyy, Kyz, Kzy, Kzz=0.95, 0.95, 0.76, 0.95
Verifica YY: 0.00+0.11=0.11
Verifica ZZ: 0.00+0.09=0.09

- Verifica in termini tensionali (4.2.5) - CC 98 Xl=0.00 - Classe 3
Sollecitazioni: T_z=-722.46 M_y=-952.66
Tensioni: σ_N=0.00 σ_M=293.75 τ=0.00 σ_{max}=293.75
Tensioni: σ_N=0.00 σ_M=0.00 τ=58.89 τ_{max}=58.89
Tensioni: σ_N=0.00 σ_M=293.75 τ=0.00 $\sigma_{ID,max}$=293.75

Asta n. 307 (-953 -954) IPE240 iimpalcato Crit. 1

- Verifica di stabilità aste presso-inflesse (C4.2.4.1.3.3.2) - CC 98 - Classe 3
Sollecitazioni: N,Ed=-0.15 My,Ed=-660.36 Mz,Ed=-0.00
Resistenze: Nc,Rd=97793.60 My,c,Rd=8107.84 Mz,c,Rd=1181.81 L=40.00
αmy, αmz, αLT=0.95, 0.95, 0.95
L_{cr}=0.40 Curva b: α-imp=0.34 k_c=0.94 ψ=1.33 M,cr=564476.00 λ_{LT}=0.13
$\lambda_{LT,0}$=0.40 β_{LT}=0.75 Φ_{LT}=0.46 β_{LT}=0.75 f=1.00 χ_{LT}=1.00
λ_Y=4.01 Ncr,y=50413400.00 λ^*_y=0.05 Curva a: Φ_y=0.00 χ_y=1.00
λ_Z=14.85 Ncr,z=3674170.00 λ^*_z=0.17 Curva b: Φ_z=0.00 χ_z=1.00
Kyy, Kyz, Kzy, Kzz=0.95, 0.95, 0.76, 0.95
Verifica YY: 0.00+0.08=0.08
Verifica ZZ: 0.00+0.06=0.06

- Verifica in termini tensionali (4.2.5) - CC 98 Xl=0.00 - Classe 3
Sollecitazioni: T_z=-872.77 M_y=-660.36
Tensioni: σ_N=0.00 σ_M=203.62 τ=0.00 σ_{max}=203.62
Tensioni: σ_N=0.00 σ_M=0.00 τ=71.14 τ_{max}=71.14
Tensioni: σ_N=0.00 σ_M=203.62 τ=0.00 $\sigma_{ID,max}$=203.62

Asta n. 307 (-954 -955) IPE240 iimpalcato Crit. 1

- Verifica di stabilità aste presso-inflesse (C4.2.4.1.3.3.2) - CC 98 - Classe 3
Sollecitazioni: N,Ed=-0.15 My,Ed=-307.94 Mz,Ed=-0.00
Resistenze: Nc,Rd=97793.60 My,c,Rd=8107.84 Mz,c,Rd=1181.81 L=40.00

αmy, αmz, αLT=0.95, 0.95, 0.95
L_{cr}=0.40 Curva b: α-imp=0.34 k_c=0.94 ψ=2.14 M,cr=911835.00 λ_{LT}=0.10
$\lambda_{LT,0}$=0.40 β_{LT}=0.75 Φ_{LT}=0.45 β_{LT}=0.75 f=1.00 χ_{LT}=1.00
λ_Y=4.01 Ncr,y=50413200.00 λ^*_y=0.05 Curva a: Φ_y=0.00 χ_y=1.00
λ_Z=14.85 Ncr,z=3674160.00 λ^*_z=0.17 Curva b: Φ_z=0.00 χ_z=1.00
Kyy, Kyz, Kzy, Kzz=0.95, 0.95, 0.76, 0.95
Verifica YY: 0.00+0.04=0.04
Verifica ZZ: 0.00+0.03=0.03

- Verifica in termini tensionali (4.2.5) - CC 97 Xl=0.40 - Classe 3
Sollecitazioni: T_z=-1078.41 M_y=220.85
Tensioni: σ_N=0.00 σ_M=-68.10 τ=0.00 σ_{max}=-68.10
Tensioni: σ_N=0.00 σ_M=-0.00 τ=87.90 τ_{max}=87.90
Tensioni: σ_N=0.00 σ_M=-0.00 τ=87.90 $\sigma_{ID,max}$=152.25

Asta n. 307 (-955 -956) IPE240 iimpalcato Crit. 1

- Verifica di stabilità aste presso-inflesse (C4.2.4.1.3.3.2) - CC 97 - Classe 3
Sollecitazioni: N,Ed=-0.15 My,Ed=709.02 Mz,Ed=0.00
Resistenze: Nc,Rd=97793.60 My,c,Rd=8107.84 Mz,c,Rd=1181.81 L=40.00
αmy, αmz, αLT=0.95, 0.95, 0.95
L_{cr}=0.40 Curva b: α-imp=0.34 k_c=0.94 ψ=1.45 M,cr=618320.00 λ_{LT}=0.12
$\lambda_{LT,0}$=0.40 β_{LT}=0.75 Φ_{LT}=0.46 β_{LT}=0.75 f=1.00 χ_{LT}=1.00
λ_Y=4.01 Ncr,y=50413400.00 λ^*_y=0.05 Curva a: Φ_y=0.00 χ_y=1.00
λ_Z=14.85 Ncr,z=3674170.00 λ^*_z=0.17 Curva b: Φ_z=0.00 χ_z=1.00
Kyy, Kyz, Kzy, Kzz=0.95, 0.95, 0.76, 0.95
Verifica YY: 0.00+0.08=0.08
Verifica ZZ: 0.00+0.07=0.07

- Verifica in termini tensionali (4.2.5) - CC 97 Xl=0.40 - Classe 3
Sollecitazioni: T_z=-1228.72 M_y=709.02
Tensioni: σ_N=0.00 σ_M=-218.62 τ=0.00 σ_{max}=-218.62
Tensioni: σ_N=0.00 σ_M=-0.00 τ=100.15 τ_{max}=100.15
Tensioni: σ_N=0.00 σ_M=-173.44 τ=85.85 $\sigma_{ID,max}$=228.45

Asta n. 307 (-956 -957) IPE240 iimpalcato Crit. 1

- Verifica di stabilità aste presso-inflesse (C4.2.4.1.3.3.2) - CC 97 - Classe 3
Sollecitazioni: N,Ed=-0.15 My,Ed=978.98 Mz,Ed=0.00
Resistenze: Nc,Rd=97793.60 My,c,Rd=8107.84 Mz,c,Rd=1181.81 L=20.00
αmy, αmz, αLT=0.95, 0.95, 0.95
L_{cr}=0.20 Curva b: α-imp=0.34 k_c=0.94 ψ=1.15 M,cr=1943440.00 λ_{LT}=0.07
$\lambda_{LT,0}$=0.40 β_{LT}=0.75 Φ_{LT}=0.45 β_{LT}=0.75 f=1.00 χ_{LT}=1.00
λ_Y=2.01 Ncr,y=201654000.00 λ^*_y=0.02 Curva a: Φ_y=0.00 χ_y=1.00
λ_Z=7.43 Ncr,z=14696700.00 λ^*_z=0.09 Curva b: Φ_z=0.00 χ_z=1.00
Kyy, Kyz, Kzy, Kzz=0.95, 0.95, 0.76, 0.95
Verifica YY: 0.00+0.11=0.11
Verifica ZZ: 0.00+0.09=0.09

- Verifica in termini tensionali (4.2.5) - CC 97 Xl=0.20 - Classe 3
Sollecitazioni: T_z=-1370.65 M_y=978.98
Tensioni: σ_N=0.00 σ_M=-301.86 τ=0.00 σ_{max}=-301.86
Tensioni: σ_N=0.00 σ_M=-0.00 τ=111.72 τ_{max}=111.72
Tensioni: σ_N=0.00 σ_M=-301.86 τ=0.00 $\sigma_{ID,max}$=301.86

Asta n. 307 (-957 -958) IPE240 iimpalcato Crit. 1

- Verifica di stabilità aste presso-inflesse (C4.2.4.1.3.3.2) - CC 97 - Classe 3
Sollecitazioni: N,Ed=-0.15 My,Ed=1253.94 Mz,Ed=0.00
Resistenze: Nc,Rd=97793.60 My,c,Rd=8107.84 Mz,c,Rd=1181.81 L=20.00
αmy, αmz, αLT=0.95, 0.95, 0.95
L_{cr}=0.20 Curva b: α-imp=0.34 k_c=0.94 ψ=1.11 M,cr=1882690.00 λ_{LT}=0.07
$\lambda_{LT,0}$=0.40 β_{LT}=0.75 Φ_{LT}=0.45 β_{LT}=0.75 f=1.00 χ_{LT}=1.00
λ_Y=2.01 Ncr,y=201652000.00 λ^*_y=0.02 Curva a: Φ_y=0.00 χ_y=1.00
λ_Z=7.43 Ncr,z=14696600.00 λ^*_z=0.09 Curva b: Φ_z=0.00 χ_z=1.00
Kyy, Kyz, Kzy, Kzz=0.95, 0.95, 0.76, 0.95
Verifica YY: 0.00+0.15=0.15
Verifica ZZ: 0.00+0.12=0.12

- Verifica in termini tensionali (4.2.5) - CC 97 Xl=0.20 - Classe 3
  Sollecitazioni: T_z=-1378.94 M_y=1253.94
  Tensioni: σ_N=0.00 σ_M=-386.64 τ=0.00 σ_{max}=-386.64
  Tensioni: σ_N=0.00 σ_M=-0.00 τ=112.40 τ_{max}=112.40
  Tensioni: σ_N=0.00 σ_M=-386.64 τ=0.00 $\sigma_{ID,max}$=386.64

Asta n. 307 (-958 -959) IPE240 iimpalcato Crit. 1

- Verifica di stabilità aste presso-inflesse (C4.2.4.1.3.3.2) - CC 97 - Classe 3
  Sollecitazioni: N,Ed=-0.15 My,Ed=1865.63 Mz,Ed=0.00
  Resistenze: Nc,Rd=97793.60 My,c,Rd=8107.84 Mz,c,Rd=1181.81 L=40.00
  αmy, αmz, αLT=0.95, 0.95, 0.95
  L_{cr}=0.40 Curva b: α-imp=0.34 k_c=0.94 ψ=1.18 M,cr=501895.00 λ_{LT}=0.13
  $\lambda_{LT,0}$=0.40 β_{LT}=0.75 Φ_{LT}=0.46 β_{LT}=0.75 f=1.00 χ_{LT}=1.00
  λ_Y=4.01 Ncr,y=50413700.00 λ^*_y=0.05 Curva a: Φ_y=0.00 χ_y=1.00
  λ_Z=14.85 Ncr,z=3674190.00 λ^*_z=0.17 Curva b: Φ_z=0.00 χ_z=1.00
  Kyy, Kyz, Kzy, Kzz=0.95, 0.95, 0.76, 0.95
  Verifica YY: 0.00+0.22=0.22
  Verifica ZZ: 0.00+0.17=0.17

- Verifica in termini tensionali (4.2.5) - CC 97 Xl=0.40 - Classe 3
  Sollecitazioni: T_z=-1529.16 M_y=1865.63
  Tensioni: σ_N=0.00 σ_M=-575.25 τ=0.00 σ_{max}=-575.25
  Tensioni: σ_N=0.00 σ_M=-0.00 τ=124.64 τ_{max}=124.64
  Tensioni: σ_N=0.00 σ_M=-575.25 τ=0.00 $\sigma_{ID,max}$=575.25

Asta n. 307 (-959 -960) IPE240 iimpalcato Crit. 1

- Verifica di stabilità aste inflesse (4.2.4.1.3.2) CC 97 - Classe 3
  L_{cr}=0.40 Curva b: α-imp=0.34 k_c=0.94 ψ=1.12 M,cr=481511.00 λ_{LT}=0.14
  $\lambda_{LT,0}$=0.40 β_{LT}=0.75 Φ_{LT}=0.46 β_{LT}=0.75 f=1.00 χ_{LT}=1.00
  CC 97 My,Ed=1865.60 My,b,Rd=8107.84 My,Ed/My,b,Rd=0.23

- Verifica in termini tensionali (4.2.5) - CC 97 Xl=0.00 - Classe 3
  Sollecitazioni: T_z=1119.32 M_y=1865.60
  Tensioni: σ_N=0.00 σ_M=-575.25 τ=0.00 σ_{max}=-575.25
  Tensioni: σ_N=0.00 σ_M=-0.00 τ=91.24 τ_{max}=91.24
  Tensioni: σ_N=0.00 σ_M=-575.25 τ=0.00 $\sigma_{ID,max}$=575.25

Asta n. 307 (-960 -961) IPE240 iimpalcato Crit. 1

- Verifica di stabilità aste inflesse (4.2.4.1.3.2) CC 97 - Classe 3
  L_{cr}=0.20 Curva b: α-imp=0.34 k_c=0.94 ψ=1.07 M,cr=1815290.00 λ_{LT}=0.07
  $\lambda_{LT,0}$=0.40 β_{LT}=0.75 Φ_{LT}=0.45 β_{LT}=0.75 f=1.00 χ_{LT}=1.00
  CC 97 My,Ed=1419.19 My,b,Rd=8107.84 My,Ed/My,b,Rd=0.18

- Verifica in termini tensionali (4.2.5) - CC 97 Xl=0.00 - Classe 3
  Sollecitazioni: T_z=969.57 M_y=1419.19
  Tensioni: σ_N=0.00 σ_M=-437.60 τ=0.00 σ_{max}=-437.60
  Tensioni: σ_N=0.00 σ_M=-0.00 τ=79.03 τ_{max}=79.03
  Tensioni: σ_N=0.00 σ_M=-437.60 τ=0.00 $\sigma_{ID,max}$=437.60

Asta n. 307 (-961 -962) IPE240 iimpalcato Crit. 1

- Verifica di stabilità aste inflesse (4.2.4.1.3.2) CC 97 - Classe 3
  L_{cr}=0.20 Curva b: α-imp=0.34 k_c=0.94 ψ=1.08 M,cr=1833500.00 λ_{LT}=0.07
  $\lambda_{LT,0}$=0.40 β_{LT}=0.75 Φ_{LT}=0.45 β_{LT}=0.75 f=1.00 χ_{LT}=1.00
  CC 97 My,Ed=1226.78 My,b,Rd=8107.84 My,Ed/My,b,Rd=0.15

- Verifica in termini tensionali (4.2.5) - CC 97 Xl=0.00 - Classe 3
  Sollecitazioni: T_z=961.31 M_y=1226.78
  Tensioni: σ_N=0.00 σ_M=-378.27 τ=0.00 σ_{max}=-378.27
  Tensioni: σ_N=0.00 σ_M=-0.00 τ=78.36 τ_{max}=78.36
  Tensioni: σ_N=0.00 σ_M=-378.27 τ=0.00 $\sigma_{ID,max}$=378.27

Asta n. 307 (-962 -963) IPE240 iimpalcato Crit. 1

- Verifica di stabilità aste inflesse (4.2.4.1.3.2) CC 97 - Classe 3

L_{cr}=0.40 Curva b: α-imp=0.34 k_c=0.94 ψ=1.17 M,cr=500979.00 λ_{LT}=0.13
$\lambda_{LT,0}$=0.40 β_{LT}=0.75 Φ_{LT}=0.46 β_{LT}=0.75 f=1.00 χ_{LT}=1.00
CC 97 My,Ed=1039.24 My,b,Rd=8107.84 My,Ed/My,b,Rd=0.13

- Verifica in termini tensionali (4.2.5) - CC 97 Xl=0.00 - Classe 3
Sollecitazioni: T_z=819.84 M_y=1039.24
Tensioni: σ_N=0.00 σ_M=-320.44 τ=0.00 σ_{max}=-320.44
Tensioni: σ_N=0.00 σ_M=-0.00 τ=66.82 τ_{max}=66.82
Tensioni: σ_N=0.00 σ_M=-320.44 τ=0.00 $\sigma_{ID,max}$=320.44

Asta n. 307 (-963 -964) IPE240 iimpalcato Crit. 1

- Verifica di stabilità aste inflesse (4.2.4.1.3.2) CC 97 - Classe 3
L_{cr}=0.40 Curva b: α-imp=0.34 k_c=0.94 ψ=1.21 M,cr=517037.00 λ_{LT}=0.13
$\lambda_{LT,0}$=0.40 β_{LT}=0.75 Φ_{LT}=0.46 β_{LT}=0.75 f=1.00 χ_{LT}=1.00
CC 97 My,Ed=715.66 My,b,Rd=8107.84 My,Ed/My,b,Rd=0.09

- Verifica in termini tensionali (4.2.5) - CC 97 Xl=0.00 - Classe 3
Sollecitazioni: T_z=669.99 M_y=715.66
Tensioni: σ_N=0.00 σ_M=-220.67 τ=0.00 σ_{max}=-220.67
Tensioni: σ_N=0.00 σ_M=-0.00 τ=54.61 τ_{max}=54.61
Tensioni: σ_N=0.00 σ_M=-220.67 τ=0.00 $\sigma_{ID,max}$=220.67

Asta n. 307 (-964 -965) IPE240 iimpalcato Crit. 1

- Verifica di stabilità aste inflesse (4.2.4.1.3.2) CC 97 - Classe 3
L_{cr}=0.40 Curva b: α-imp=0.34 k_c=0.94 ψ=1.26 M,cr=541822.00 λ_{LT}=0.13
$\lambda_{LT,0}$=0.40 β_{LT}=0.75 Φ_{LT}=0.46 β_{LT}=0.75 f=1.00 χ_{LT}=1.00
CC 97 My,Ed=451.77 My,b,Rd=8107.84 My,Ed/My,b,Rd=0.06

- Verifica in termini tensionali (4.2.5) - CC 97 Xl=0.00 - Classe 3
Sollecitazioni: T_z=520.13 M_y=451.77
Tensioni: σ_N=0.00 σ_M=-139.30 τ=0.00 σ_{max}=-139.30
Tensioni: σ_N=0.00 σ_M=-0.00 τ=42.40 τ_{max}=42.40
Tensioni: σ_N=0.00 σ_M=-139.30 τ=0.00 $\sigma_{ID,max}$=139.30

Asta n. 307 (-965 -966) IPE240 iimpalcato Crit. 1

- Verifica di stabilità aste inflesse (4.2.4.1.3.2) CC 97 - Classe 3
L_{cr}=0.40 Curva b: α-imp=0.34 k_c=0.94 ψ=1.36 M,cr=584546.00 λ_{LT}=0.12
$\lambda_{LT,0}$=0.40 β_{LT}=0.75 Φ_{LT}=0.46 β_{LT}=0.75 f=1.00 χ_{LT}=1.00
CC 97 My,Ed=247.64 My,b,Rd=8107.84 My,Ed/My,b,Rd=0.03

- Verifica in termini tensionali (4.2.5) - CC 97 Xl=0.00 - Classe 3
Sollecitazioni: T_z=370.28 M_y=247.64
Tensioni: σ_N=0.00 σ_M=-76.36 τ=0.00 σ_{max}=-76.36
Tensioni: σ_N=0.00 σ_M=-0.00 τ=30.18 τ_{max}=30.18
Tensioni: σ_N=0.00 σ_M=-76.36 τ=0.00 $\sigma_{ID,max}$=76.36

Asta n. 307 (-966 -967) IPE240 iimpalcato Crit. 1

- Verifica di stabilità aste inflesse (4.2.4.1.3.2) CC 97 - Classe 3
L_{cr}=0.40 Curva b: α-imp=0.34 k_c=0.94 ψ=1.57 M,cr=672598.00 λ_{LT}=0.12
$\lambda_{LT,0}$=0.40 β_{LT}=0.75 Φ_{LT}=0.46 β_{LT}=0.75 f=1.00 χ_{LT}=1.00
CC 97 My,Ed=103.30 My,b,Rd=8107.84 My,Ed/My,b,Rd=0.01

- Verifica in termini tensionali (4.2.5) - CC 97 Xl=0.00 - Classe 3
Sollecitazioni: T_z=220.43 M_y=103.30
Tensioni: σ_N=0.00 σ_M=-31.85 τ=0.00 σ_{max}=-31.85
Tensioni: σ_N=0.00 σ_M=-0.00 τ=17.97 τ_{max}=17.97
Tensioni: σ_N=0.00 σ_M=-25.27 τ=15.40 $\sigma_{ID,max}$=36.74

Asta n. 307 (-967 -968) IPE240 iimpalcato Crit. 1

- Verifica di stabilità aste inflesse (4.2.4.1.3.2) CC 98 - Classe 3
L_{cr}=0.40 Curva b: α-imp=0.34 k_c=0.94 ψ=1.17 M,cr=499723.00 λ_{LT}=0.13
$\lambda_{LT,0}$=0.40 β_{LT}=0.75 Φ_{LT}=0.46 β_{LT}=0.75 f=1.00 χ_{LT}=1.00
CC 98 My,Ed=-20.57 My,b,Rd=8107.84 My,Ed/My,b,Rd=0.00

- Verifica in termini tensionali (4.2.5) - CC 97 Xl=0.00 - Classe 3
  Sollecitazioni: T_z=70.58 M_y=18.69
  Tensioni: σ_N=0.00 σ_M=-5.76 τ=0.00 σ_{max}=-5.76
  Tensioni: σ_N=0.00 σ_M=-0.00 τ=5.75 τ_{max}=5.75
  Tensioni: σ_N=0.00 σ_M=-0.00 τ=5.75 $\sigma_{ID,max}$=9.96

Asta n. 307 (-968 -969) IPE240 iimpalcato Crit. 1

- Verifica di stabilità aste inflesse (4.2.4.1.3.2) CC 98 - Classe 3
  L_{cr}=0.31 Curva b: α-imp=0.34 k_c=0.94 ψ=1.75 M,cr=1236090.00 λ_{LT}=0.08
  $\lambda_{LT,0}$=0.40 β_{LT}=0.75 Φ_{LT}=0.45 β_{LT}=0.75 f=1.00 χ_{LT}=1.00
  CC 98 My,Ed=-20.57 My,b,Rd=8107.84 My,Ed/My,b,Rd=0.00

- Verifica in termini tensionali (4.2.5) - CC 98 Xl=0.31 - Classe 3
  Sollecitazioni: T_z=-72.77
  Tensioni: σ_N=0.00 σ_M=0.00 τ=0.00 σ_{max}=0.00
  Tensioni: σ_N=0.00 σ_M=0.00 τ=5.93 τ_{max}=5.93
  Tensioni: σ_N=0.00 σ_M=0.00 τ=5.93 $\sigma_{ID,max}$=10.27

Asta n. 308 (-970 -971) IPE240 iimpalcato Crit. 1

- Verifica di stabilità aste inflesse (4.2.4.1.3.2) CC 97 - Classe 3
  L_{cr}=0.31 Curva b: α-imp=0.34 k_c=0.94 ψ=1.75 M,cr=1236090.00 λ_{LT}=0.08
  $\lambda_{LT,0}$=0.40 β_{LT}=0.75 Φ_{LT}=0.45 β_{LT}=0.75 f=1.00 χ_{LT}=1.00
  CC 97 My,Ed=-18.88 My,b,Rd=8107.84 My,Ed/My,b,Rd=0.00

- Verifica in termini tensionali (4.2.5) - CC 97 Xl=0.00 - Classe 3
  Sollecitazioni: T_z=67.32 M_x=-11.87
  Tensioni: σ_N=0.00 σ_M=0.00 τ=0.00 σ_{max}=0.00
  Tensioni: σ_N=0.00 σ_M=0.00 τ=102.75 τ_{max}=102.75
  Tensioni: σ_N=0.00 σ_M=0.00 τ=102.75 $\sigma_{ID,max}$=177.98

Asta n. 308 (-971 -972) IPE240 iimpalcato Crit. 1

- Verifica di stabilità aste inflesse (4.2.4.1.3.2) CC 98 - Classe 3
  L_{cr}=0.40 Curva b: α-imp=0.34 k_c=0.94 ψ=1.96 M,cr=837888.00 λ_{LT}=0.10
  $\lambda_{LT,0}$=0.40 β_{LT}=0.75 Φ_{LT}=0.45 β_{LT}=0.75 f=1.00 χ_{LT}=1.00
  CC 98 My,Ed=23.11 My,b,Rd=8107.84 My,Ed/My,b,Rd=0.00

- Verifica in termini tensionali (4.2.5) - CC 98 Xl=0.40 - Classe 3
  Sollecitazioni: T_z=-76.98 M_y=23.11 M_x=-10.21
  Tensioni: σ_N=0.00 σ_M=-7.12 τ=88.27 σ_{max}=-7.12
  Tensioni: σ_N=0.00 σ_M=-6.54 τ=88.50 τ_{max}=88.50
  Tensioni: σ_N=0.00 σ_M=-6.54 τ=88.50 $\sigma_{ID,max}$=153.42

Asta n. 308 (-972 -973) IPE240 iimpalcato Crit. 1

- Verifica di stabilità aste inflesse (4.2.4.1.3.2) CC 98 - Classe 3
  L_{cr}=0.40 Curva b: α-imp=0.34 k_c=0.94 ψ=1.54 M,cr=661433.00 λ_{LT}=0.12
  $\lambda_{LT,0}$=0.40 β_{LT}=0.75 Φ_{LT}=0.46 β_{LT}=0.75 f=1.00 χ_{LT}=1.00
  CC 98 My,Ed=110.58 My,b,Rd=8107.84 My,Ed/My,b,Rd=0.01

- Verifica in termini tensionali (4.2.5) - CC 98 Xl=0.40 - Classe 3
  Sollecitazioni: T_z=-227.63 M_y=110.58 M_x=-6.90
  Tensioni: σ_N=0.00 σ_M=-34.10 τ=59.65 σ_{max}=-34.10
  Tensioni: σ_N=0.00 σ_M=-0.00 τ=62.47 τ_{max}=62.47
  Tensioni: σ_N=0.00 σ_M=-27.05 τ=61.74 $\sigma_{ID,max}$=110.30

Asta n. 308 (-973 -974) IPE240 iimpalcato Crit. 1

- Verifica di stabilità aste inflesse (4.2.4.1.3.2) CC 98 - Classe 3
  L_{cr}=0.40 Curva b: α-imp=0.34 k_c=0.94 ψ=1.36 M,cr=580666.00 λ_{LT}=0.12
  $\lambda_{LT,0}$=0.40 β_{LT}=0.75 Φ_{LT}=0.46 β_{LT}=0.75 f=1.00 χ_{LT}=1.00
  CC 98 My,Ed=258.09 My,b,Rd=8107.84 My,Ed/My,b,Rd=0.03

- Verifica in termini tensionali (4.2.5) - CC 98 Xl=0.40 - Classe 3
  Sollecitazioni: T_z=-378.19 M_y=258.09 M_x=-3.59
  Tensioni: σ_N=0.00 σ_M=-79.58 τ=31.06 σ_{max}=-79.58
  Tensioni: σ_N=0.00 σ_M=-0.00 τ=43.76 τ_{max}=43.76

Tensioni: σ_N=0.00 σ_M=-79.58 τ=31.06 $\sigma_{ID,max}$=96.06

Asta n. 308 (-974 -975) IPE240 iimpalcato Crit. 1

- Verifica di stabilità aste inflesse (4.2.4.1.3.2) CC 98 - Classe 3
  L_{cr}=0.40 Curva b: α-imp=0.34 k_c=0.94 ψ=1.26 M,cr=539983.00 λ_{LT}=0.13
  $\lambda_{LT,0}$=0.40 β_{LT}=0.75 Φ_{LT}=0.46 β_{LT}=0.75 f=1.00 χ_{LT}=1.00
  CC 98 My,Ed=465.70 My,b,Rd=8107.84 My,Ed/My,b,Rd=0.06

- Verifica in termini tensionali (4.2.5) - CC 98 Xl=0.40 - Classe 3
  Sollecitazioni: T_z=-528.95 M_y=465.70
  Tensioni: σ_N=0.00 σ_M=-143.60 τ=0.00 σ_{max}=-143.60
  Tensioni: σ_N=0.00 σ_M=-0.00 τ=43.11 τ_{max}=43.11
  Tensioni: σ_N=0.00 σ_M=-143.60 τ=0.00 $\sigma_{ID,max}$=143.60

Asta n. 308 (-975 -976) IPE240 iimpalcato Crit. 1

- Verifica di stabilità aste inflesse (4.2.4.1.3.2) CC 98 - Classe 3
  L_{cr}=0.40 Curva b: α-imp=0.34 k_c=0.94 ψ=1.20 M,cr=515955.00 λ_{LT}=0.13
  $\lambda_{LT,0}$=0.40 β_{LT}=0.75 Φ_{LT}=0.46 β_{LT}=0.75 f=1.00 χ_{LT}=1.00
  CC 98 My,Ed=733.34 My,b,Rd=8107.84 My,Ed/My,b,Rd=0.09

- Verifica in termini tensionali (4.2.5) - CC 98 Xl=0.40 - Classe 3
  Sollecitazioni: T_z=-679.40 M_y=733.34 M_x=3.01
  Tensioni: σ_N=0.00 σ_M=-226.12 τ=26.06 σ_{max}=-226.12
  Tensioni: σ_N=0.00 σ_M=-0.00 τ=61.20 τ_{max}=61.20
  Tensioni: σ_N=0.00 σ_M=-226.12 τ=26.06 $\sigma_{ID,max}$=230.58

Asta n. 308 (-976 -977) IPE240 iimpalcato Crit. 1

- Verifica di stabilità aste inflesse (4.2.4.1.3.2) CC 98 - Classe 3
  L_{cr}=0.40 Curva b: α-imp=0.34 k_c=0.94 ψ=1.17 M,cr=500259.00 λ_{LT}=0.13
  $\lambda_{LT,0}$=0.40 β_{LT}=0.75 Φ_{LT}=0.46 β_{LT}=0.75 f=1.00 χ_{LT}=1.00
  CC 98 My,Ed=1060.85 My,b,Rd=8107.84 My,Ed/My,b,Rd=0.13

- Verifica in termini tensionali (4.2.5) - CC 98 Xl=0.40 - Classe 3
  Sollecitazioni: T_z=-829.69 M_y=1060.85 M_x=6.36
  Tensioni: σ_N=0.00 σ_M=-327.11 τ=54.94 σ_{max}=-327.11
  Tensioni: σ_N=0.00 σ_M=-0.00 τ=87.13 τ_{max}=87.13
  Tensioni: σ_N=0.00 σ_M=-327.11 τ=54.94 $\sigma_{ID,max}$=340.67

Asta n. 308 (-977 -978) IPE240 iimpalcato Crit. 1

- Verifica di stabilità aste inflesse (4.2.4.1.3.2) CC 98 - Classe 3
  L_{cr}=0.20 Curva b: α-imp=0.34 k_c=0.94 ψ=1.08 M,cr=1832390.00 λ_{LT}=0.07
  $\lambda_{LT,0}$=0.40 β_{LT}=0.75 Φ_{LT}=0.45 β_{LT}=0.75 f=1.00 χ_{LT}=1.00
  CC 98 My,Ed=1251.01 My,b,Rd=8107.84 My,Ed/My,b,Rd=0.15

- Verifica in termini tensionali (4.2.5) - CC 98 Xl=0.20 - Classe 3
  Sollecitazioni: T_z=-972.65 M_y=1251.01 M_x=9.37
  Tensioni: σ_N=0.00 σ_M=-385.74 τ=80.97 σ_{max}=-385.74
  Tensioni: σ_N=0.00 σ_M=-0.00 τ=113.32 τ_{max}=113.32
  Tensioni: σ_N=0.00 σ_M=-385.74 τ=80.97 $\sigma_{ID,max}$=410.44

Asta n. 308 (-978 -979) IPE240 iimpalcato Crit. 1

- Verifica di stabilità aste inflesse (4.2.4.1.3.2) CC 98 - Classe 3
  L_{cr}=0.20 Curva b: α-imp=0.34 k_c=0.94 ψ=1.07 M,cr=1814440.00 λ_{LT}=0.07
  $\lambda_{LT,0}$=0.40 β_{LT}=0.75 Φ_{LT}=0.45 β_{LT}=0.75 f=1.00 χ_{LT}=1.00
  CC 98 My,Ed=1445.75 My,b,Rd=8107.84 My,Ed/My,b,Rd=0.18

- Verifica in termini tensionali (4.2.5) - CC 98 Xl=0.20 - Classe 3
  Sollecitazioni: T_z=-980.92 M_y=1445.75 M_x=9.37
  Tensioni: σ_N=0.00 σ_M=-445.79 τ=80.97 σ_{max}=-445.79
  Tensioni: σ_N=0.00 σ_M=-0.00 τ=113.79 τ_{max}=113.79
  Tensioni: σ_N=0.00 σ_M=-445.79 τ=80.97 $\sigma_{ID,max}$=467.33

Asta n. 308 (-979 316) IPE240 iimpalcato Crit. 1

- Verifica di stabilità aste inflesse (4.2.4.1.3.2) CC 98 - Classe 3
  L_{cr}=0.40 Curva b: α-imp=0.34 k_c=0.94 ψ=1.12 M,cr=481193.00 λ_{LT}=0.14
  $\lambda_{LT,0}$=0.40 β_{LT}=0.75 Φ_{LT}=0.46 β_{LT}=0.75 f=1.00 χ_{LT}=1.00
  CC 98 My,Ed=1896.77 My,b,Rd=8107.84 My,Ed/My,b,Rd=0.23

- Verifica in termini tensionali (4.2.5) - CC 98 Xl=0.40 - Classe 3
  Sollecitazioni: T_z=-1131.93 M_y=1896.77 M_x=12.35
  Tensioni: σ_N=0.00 σ_M=-584.86 τ=106.76 σ_{max}=-584.86
  Tensioni: σ_N=0.00 σ_M=-0.00 τ=141.10 τ_{max}=141.10
  Tensioni: σ_N=0.00 σ_M=-584.86 τ=106.76 $\sigma_{ID,max}$=613.39

Asta n. 308 (316 -980) IPE240 iimpalcato Crit. 1

- Verifica di stabilità aste presso-inflesse (C4.2.4.1.3.3.2) - CC 98 - Classe 3
  Sollecitazioni: N,Ed=-0.36 My,Ed=1896.74 Mz,Ed=-0.03
  Resistenze: Nc,Rd=97793.60 My,c,Rd=8107.84 Mz,c,Rd=1181.81 L=40.00
  αmy, αmz, αLT=0.95, 0.95, 0.95
  L_{cr}=0.40 Curva b: α-imp=0.34 k_c=0.94 ψ=1.18 M,cr=501058.00 λ_{LT}=0.13
  $\lambda_{LT,0}$=0.40 β_{LT}=0.75 Φ_{LT}=0.46 β_{LT}=0.75 f=1.00 χ_{LT}=1.00
  λ_Y=4.01 Ncr,y=50413400.00 λ^*_y=0.05 Curva a: Φ_y=0.00 χ_y=1.00
  λ_Z=14.85 Ncr,z=3674170.00 λ^*_z=0.17 Curva b: Φ_z=0.00 χ_z=1.00
  Kyy, Kyz, Kzy, Kzz=0.95, 0.95, 0.76, 0.95
  Verifica YY: 0.00+0.22+0.00=0.22
  Verifica ZZ: 0.00+0.18+0.00=0.18

- Verifica in termini tensionali (4.2.5) - CC 98 Xl=0.00 - Classe 3
  Sollecitazioni: T_z=1540.10 M_y=1896.74 M_x=-30.58
  Tensioni: σ_N=0.00 σ_M=-584.85 τ=264.29 σ_{max}=-584.85
  Tensioni: σ_N=0.00 σ_M=-0.00 τ=292.59 τ_{max}=292.59
  Tensioni: σ_N=0.00 σ_M=-584.85 τ=264.29 $\sigma_{ID,max}$=742.69

Asta n. 308 (-980 -981) IPE240 iimpalcato Crit. 1

- Verifica di stabilità aste presso-inflesse (C4.2.4.1.3.3.2) - CC 98 - Classe 3
  Sollecitazioni: N,Ed=-0.36 My,Ed=1281.04 Mz,Ed=-0.03
  Resistenze: Nc,Rd=97793.60 My,c,Rd=8107.84 Mz,c,Rd=1181.81 L=20.00
  αmy, αmz, αLT=0.95, 0.95, 0.95
  L_{cr}=0.20 Curva b: α-imp=0.34 k_c=0.94 ψ=1.11 M,cr=1879630.00 λ_{LT}=0.07
  $\lambda_{LT,0}$=0.40 β_{LT}=0.75 Φ_{LT}=0.45 β_{LT}=0.75 f=1.00 χ_{LT}=1.00
  λ_Y=2.01 Ncr,y=201653000.00 λ^*_y=0.02 Curva a: Φ_y=0.00 χ_y=1.00
  λ_Z=7.43 Ncr,z=14696700.00 λ^*_z=0.09 Curva b: Φ_z=0.00 χ_z=1.00
  Kyy, Kyz, Kzy, Kzz=0.95, 0.95, 0.76, 0.95
  Verifica YY: 0.00+0.15+0.00=0.15
  Verifica ZZ: 0.00+0.12+0.00=0.12

- Verifica in termini tensionali (4.2.5) - CC 98 Xl=0.00 - Classe 3
  Sollecitazioni: T_z=1388.62 M_y=1281.04 M_x=-27.58
  Tensioni: σ_N=0.00 σ_M=-395.00 τ=238.41 σ_{max}=-395.00
  Tensioni: σ_N=0.00 σ_M=-0.00 τ=263.91 τ_{max}=263.91
  Tensioni: σ_N=0.00 σ_M=-395.00 τ=238.41 $\sigma_{ID,max}$=571.44

Asta n. 308 (-981 -982) IPE240 iimpalcato Crit. 1

- Verifica di stabilità aste presso-inflesse (C4.2.4.1.3.3.2) - CC 98 - Classe 3
  Sollecitazioni: N,Ed=-0.36 My,Ed=1004.15 Mz,Ed=-0.03
  Resistenze: Nc,Rd=97793.60 My,c,Rd=8107.84 Mz,c,Rd=1181.81 L=20.00
  αmy, αmz, αLT=0.95, 0.95, 0.95
  L_{cr}=0.20 Curva b: α-imp=0.34 k_c=0.94 ψ=1.15 M,cr=1938150.00 λ_{LT}=0.07
  $\lambda_{LT,0}$=0.40 β_{LT}=0.75 Φ_{LT}=0.45 β_{LT}=0.75 f=1.00 χ_{LT}=1.00
  λ_Y=2.01 Ncr,y=201653000.00 λ^*_y=0.02 Curva a: Φ_y=0.00 χ_y=1.00
  λ_Z=7.43 Ncr,z=14696700.00 λ^*_z=0.09 Curva b: Φ_z=0.00 χ_z=1.00
  Kyy, Kyz, Kzy, Kzz=0.95, 0.95, 0.76, 0.95
  Verifica YY: 0.00+0.12+0.00=0.12
  Verifica ZZ: 0.00+0.09+0.00=0.09

- Verifica in termini tensionali (4.2.5) - CC 98 Xl=0.00 - Classe 3
  Sollecitazioni: T_z=1380.33 M_y=1004.15 M_x=-27.58
  Tensioni: σ_N=0.00 σ_M=-309.62 τ=238.41 σ_{max}=-309.62
  Tensioni: σ_N=0.00 σ_M=-0.00 τ=263.63 τ_{max}=263.63

Tensioni: σ_N=0.00 σ_M=-309.62 τ=238.41 $\sigma_{ID,max}$=516.13

Asta n. 308 (-982 -983) IPE240 iimpalcato Crit. 1

- Verifica di stabilità aste presso-inflesse (C4.2.4.1.3.3.2) - CC 98 - Classe 3
Sollecitazioni: N,Ed=-0.36 My,Ed=731.87 Mz,Ed=-0.03
Resistenze: Nc,Rd=97793.60 My,c,Rd=8107.84 Mz,c,Rd=1181.81 L=40.00
αmy, αmz, αLT=0.95, 0.95, 0.95
L_{cr}=0.40 Curva b: α-imp=0.34 k_c=0.94 ψ=1.44 M,cr=612101.00 λ_{LT}=0.12
$\lambda_{LT,0}$=0.40 β_{LT}=0.75 Φ_{LT}=0.46 β_{LT}=0.75 f=1.00 χ_{LT}=1.00
λ_Y=4.01 Ncr,y=50413300.00 λ^*_y=0.05 Curva a: Φ_y=0.00 χ_y=1.00
λ_Z=14.85 Ncr,z=3674170.00 λ^*_z=0.17 Curva b: Φ_z=0.00 χ_z=1.00
Kyy, Kyz, Kzy, Kzz=0.95, 0.95, 0.76, 0.95
Verifica YY: 0.00+0.09+0.00=0.09
Verifica ZZ: 0.00+0.07+0.00=0.07

- Verifica in termini tensionali (4.2.5) - CC 98 Xl=0.00 - Classe 3
Sollecitazioni: T_z=1236.91 M_y=731.87 M_x=-24.56
Tensioni: σ_N=0.00 σ_M=-225.67 τ=212.29 σ_{max}=-225.67
Tensioni: σ_N=0.00 σ_M=-0.00 τ=235.01 τ_{max}=235.01
Tensioni: σ_N=0.00 σ_M=-179.03 τ=229.20 $\sigma_{ID,max}$=435.49

Asta n. 308 (-983 -984) IPE240 iimpalcato Crit. 1

- Verifica di stabilità aste presso-inflesse (C4.2.4.1.3.3.2) - CC 97 - Classe 3
Sollecitazioni: N,Ed=-0.36 My,Ed=-292.63 Mz,Ed=-0.03
Resistenze: Nc,Rd=97793.60 My,c,Rd=8107.84 Mz,c,Rd=1181.81 L=40.00
αmy, αmz, αLT=0.95, 0.95, 0.95
L_{cr}=0.40 Curva b: α-imp=0.34 k_c=0.94 ψ=2.24 M,cr=955403.00 λ_{LT}=0.10
$\lambda_{LT,0}$=0.40 β_{LT}=0.75 Φ_{LT}=0.45 β_{LT}=0.75 f=1.00 χ_{LT}=1.00
λ_Y=4.01 Ncr,y=50413400.00 λ^*_y=0.05 Curva a: Φ_y=0.00 χ_y=1.00
λ_Z=14.85 Ncr,z=3674170.00 λ^*_z=0.17 Curva b: Φ_z=0.00 χ_z=1.00
Kyy, Kyz, Kzy, Kzz=0.95, 0.95, 0.76, 0.95
Verifica YY: 0.00+0.03+0.00=0.03
Verifica ZZ: 0.00+0.03+0.00=0.03

- Verifica in termini tensionali (4.2.5) - CC 98 Xl=0.00 - Classe 3
Sollecitazioni: T_z=1086.16 M_y=240.45 M_x=-21.21
Tensioni: σ_N=0.00 σ_M=-74.14 τ=183.32 σ_{max}=-74.14
Tensioni: σ_N=0.00 σ_M=-0.00 τ=203.58 τ_{max}=203.58
Tensioni: σ_N=0.00 σ_M=-0.00 τ=203.58 $\sigma_{ID,max}$=352.61

Asta n. 308 (-984 -985) IPE240 iimpalcato Crit. 1

- Verifica di stabilità aste presso-inflesse (C4.2.4.1.3.3.2) - CC 97 - Classe 3
Sollecitazioni: N,Ed=-0.36 My,Ed=-647.76 Mz,Ed=-0.03
Resistenze: Nc,Rd=97793.60 My,c,Rd=8107.84 Mz,c,Rd=1181.81 L=40.00
αmy, αmz, αLT=0.95, 0.95, 0.95
L_{cr}=0.40 Curva b: α-imp=0.34 k_c=0.94 ψ=1.34 M,cr=569272.00 λ_{LT}=0.13
$\lambda_{LT,0}$=0.40 β_{LT}=0.75 Φ_{LT}=0.46 β_{LT}=0.75 f=1.00 χ_{LT}=1.00
λ_Y=4.01 Ncr,y=50413300.00 λ^*_y=0.05 Curva a: Φ_y=0.00 χ_y=1.00
λ_Z=14.85 Ncr,z=3674170.00 λ^*_z=0.17 Curva b: Φ_z=0.00 χ_z=1.00
Kyy, Kyz, Kzy, Kzz=0.95, 0.95, 0.76, 0.95
Verifica YY: 0.00+0.08+0.00=0.08
Verifica ZZ: 0.00+0.06+0.00=0.06

- Verifica in termini tensionali (4.2.5) - CC 97 Xl=0.40 - Classe 3
Sollecitazioni: T_z=879.51 M_y=-647.76 M_x=-17.91
Tensioni: σ_N=0.00 σ_M=199.73 τ=154.80 σ_{max}=199.73
Tensioni: σ_N=0.00 σ_M=0.00 τ=170.59 τ_{max}=170.59
Tensioni: σ_N=0.00 σ_M=199.73 τ=154.80 $\sigma_{ID,max}$=334.34

Asta n. 308 (-985 -986) IPE240 iimpalcato Crit. 1

- Verifica di stabilità aste presso-inflesse (C4.2.4.1.3.3.2) - CC 97 - Classe 3
Sollecitazioni: N,Ed=-0.36 My,Ed=-942.34 Mz,Ed=-0.03
Resistenze: Nc,Rd=97793.60 My,c,Rd=8107.84 Mz,c,Rd=1181.81 L=40.00
αmy, αmz, αLT=0.95, 0.95, 0.95
L_{cr}=0.40 Curva b: α-imp=0.34 k_c=0.94 ψ=1.17 M,cr=498210.00 λ_{LT}=0.13

$\lambda_{LT,0}$=0.40 β_{LT}=0.75 Φ_{LT}=0.46 β_{LT}=0.75 f=1.00 χ_{LT}=1.00
λ_Y=4.01 Ncr,y=50413300.00 λ^*_y=0.05 Curva a: Φ_y=0.00 χ_y=1.00
λ_Z=14.85 Ncr,z=3674170.00 λ^*_z=0.17 Curva b: Φ_z=0.00 χ_z=1.00
Kyy, Kyz, Kzy, Kzz=0.95, 0.95, 0.76, 0.95
Verifica YY: 0.00+0.11+0.00=0.11
Verifica ZZ: 0.00+0.09+0.00=0.09

- Verifica in termini tensionali (4.2.5) - CC 97 Xl=0.40 - Classe 3
Sollecitazioni: T_z=728.16 M_y=-942.34 M_x=-14.57
Tensioni: σ_N=0.00 σ_M=290.56 τ=125.94 σ_{max}=290.56
Tensioni: σ_N=0.00 σ_M=0.00 τ=139.22 τ_{max}=139.22
Tensioni: σ_N=0.00 σ_M=290.56 τ=125.94 $\sigma_{ID,max}$=363.33

Asta n. 308 (-986 -987) IPE240 iimpalcato Crit. 1

- Verifica di stabilità aste presso-inflesse (C4.2.4.1.3.3.2) - CC 97 - Classe 3
Sollecitazioni: N,Ed=-0.36 My,Ed=-1176.56 Mz,Ed=-0.03
Resistenze: Nc,Rd=97793.60 My,c,Rd=8107.84 Mz,c,Rd=1181.81 L=40.00
αmy, αmz, αLT=0.95, 0.95, 0.95
L_{cr}=0.40 Curva b: α-imp=0.34 k_c=0.94 ψ=1.10 M,cr=469037.00 λ_{LT}=0.14
$\lambda_{LT,0}$=0.40 β_{LT}=0.75 Φ_{LT}=0.46 β_{LT}=0.75 f=1.00 χ_{LT}=1.00
λ_Y=4.01 Ncr,y=50413400.00 λ^*_y=0.05 Curva a: Φ_y=0.00 χ_y=1.00
λ_Z=14.85 Ncr,z=3674170.00 λ^*_z=0.17 Curva b: Φ_z=0.00 χ_z=1.00
Kyy, Kyz, Kzy, Kzz=0.95, 0.95, 0.76, 0.95
Verifica YY: 0.00+0.14+0.00=0.14
Verifica ZZ: 0.00+0.11+0.00=0.11

- Verifica in termini tensionali (4.2.5) - CC 97 Xl=0.40 - Classe 3
Sollecitazioni: T_z=577.29 M_y=-1176.56 M_x=-11.27
Tensioni: σ_N=0.00 σ_M=362.78 τ=97.45 σ_{max}=362.78
Tensioni: σ_N=0.00 σ_M=0.00 τ=108.21 τ_{max}=108.21
Tensioni: σ_N=0.00 σ_M=362.78 τ=97.45 $\sigma_{ID,max}$=400.12

Asta n. 308 (-987 -988) IPE240 iimpalcato Crit. 1

- Verifica di stabilità aste presso-inflesse (C4.2.4.1.3.3.2) - CC 97 - Classe 3
Sollecitazioni: N,Ed=-0.36 My,Ed=-1350.51 Mz,Ed=-0.03
Resistenze: Nc,Rd=97793.60 My,c,Rd=8107.84 Mz,c,Rd=1181.81 L=40.00
αmy, αmz, αLT=0.95, 0.95, 0.95
L_{cr}=0.40 Curva b: α-imp=0.34 k_c=0.94 ψ=1.06 M,cr=452620.00 λ_{LT}=0.14
$\lambda_{LT,0}$=0.40 β_{LT}=0.75 Φ_{LT}=0.46 β_{LT}=0.75 f=1.00 χ_{LT}=1.00
λ_Y=4.01 Ncr,y=50413200.00 λ^*_y=0.05 Curva a: Φ_y=0.00 χ_y=1.00
λ_Z=14.85 Ncr,z=3674160.00 λ^*_z=0.17 Curva b: Φ_z=0.00 χ_z=1.00
Kyy, Kyz, Kzy, Kzz=0.95, 0.95, 0.76, 0.95
Verifica YY: 0.00+0.16+0.00=0.16
Verifica ZZ: 0.00+0.13+0.00=0.13

- Verifica in termini tensionali (4.2.5) - CC 97 Xl=0.40 - Classe 3
Sollecitazioni: T_z=426.52 M_y=-1350.51 M_x=-7.92
Tensioni: σ_N=0.00 σ_M=416.42 τ=68.47 σ_{max}=416.42
Tensioni: σ_N=0.00 σ_M=0.00 τ=76.80 τ_{max}=76.80
Tensioni: σ_N=0.00 σ_M=416.42 τ=68.47 $\sigma_{ID,max}$=432.98

Asta n. 308 (-988 -1285) IPE240 iimpalcato Crit. 1

- Verifica di stabilità aste presso-inflesse (C4.2.4.1.3.3.2) - CC 97 - Classe 3
Sollecitazioni: N,Ed=-0.36 My,Ed=-1411.02 Mz,Ed=-0.03
Resistenze: Nc,Rd=97793.60 My,c,Rd=8107.84 Mz,c,Rd=1181.81 L=20.00
αmy, αmz, αLT=0.95, 0.95, 0.95
L_{cr}=0.20 Curva b: α-imp=0.34 k_c=0.94 ψ=1.02 M,cr=1723270.00 λ_{LT}=0.07
$\lambda_{LT,0}$=0.40 β_{LT}=0.75 Φ_{LT}=0.45 β_{LT}=0.75 f=1.00 χ_{LT}=1.00
λ_Y=2.01 Ncr,y=201654000.00 λ^*_y=0.02 Curva a: Φ_y=0.00 χ_y=1.00
λ_Z=7.43 Ncr,z=14696700.00 λ^*_z=0.09 Curva b: Φ_z=0.00 χ_z=1.00
Kyy, Kyz, Kzy, Kzz=0.95, 0.95, 0.76, 0.95
Verifica YY: 0.00+0.17+0.00=0.17
Verifica ZZ: 0.00+0.13+0.00=0.13

- Verifica in termini tensionali (4.2.5) - CC 97 Xl=0.20 - Classe 3
Sollecitazioni: T_z=283.34 M_y=-1411.02 M_x=-4.93

Tensioni: σ_N=0.00 σ_M=435.08 τ=42.59 σ_{max}=435.08
Tensioni: σ_N=0.00 σ_M=0.00 τ=48.45 τ_{max}=48.45
Tensioni: σ_N=0.00 σ_M=435.08 τ=42.59 $\sigma_{ID,max}$=441.29

Asta n. 308 (-1285 -989) IPE240 iimpalcato Crit. 1

- Verifica di stabilità aste presso-inflesse (C4.2.4.1.3.3.2) - CC 97 - Classe 3
Sollecitazioni: N,Ed=-0.36 My,Ed=-1466.86 Mz,Ed=-0.03
Resistenze: Nc,Rd=97793.60 My,c,Rd=8107.84 Mz,c,Rd=1181.81 L=20.00
αmy, αmz, αLT=0.95, 0.95, 0.95
L_{cr}=0.20 Curva b: α-imp=0.34 k_c=0.94 ψ=1.02 M,cr=1721120.00 λ_{LT}=0.07
$\lambda_{LT,0}$=0.40 β_{LT}=0.75 Φ_{LT}=0.45 β_{LT}=0.75 f=1.00 χ_{LT}=1.00
λ_Y=2.01 Ncr,y=201654000.00 λ^*_y=0.02 Curva a: Φ_y=0.00 χ_y=1.00
λ_Z=7.43 Ncr,z=14696700.00 λ^*_z=0.09 Curva b: Φ_z=0.00 χ_z=1.00
Kyy, Kyz, Kzy, Kzz=0.95, 0.95, 0.76, 0.95
Verifica YY: 0.00+0.17+0.00=0.17
Verifica ZZ: 0.00+0.14+0.00=0.14

- Verifica in termini tensionali (4.2.5) - CC 97 Xl=0.20 - Classe 3
Sollecitazioni: T_z=275.05 M_y=-1466.86 M_x=-4.93
Tensioni: σ_N=0.00 σ_M=452.30 τ=42.59 σ_{max}=452.30
Tensioni: σ_N=0.00 σ_M=0.00 τ=48.13 τ_{max}=48.13
Tensioni: σ_N=0.00 σ_M=452.30 τ=42.59 $\sigma_{ID,max}$=458.27

Asta n. 308 (-989 -1283) IPE240 iimpalcato Crit. 1

- Verifica di stabilità aste presso-inflesse (C4.2.4.1.3.3.2) - CC 97 - Classe 3
Sollecitazioni: N,Ed=-0.36 My,Ed=-1494.11 Mz,Ed=-0.03
Resistenze: Nc,Rd=97793.60 My,c,Rd=8107.84 Mz,c,Rd=1181.81 L=20.00
αmy, αmz, αLT=0.95, 0.95, 0.95
L_{cr}=0.20 Curva b: α-imp=0.34 k_c=0.94 ψ=1.01 M,cr=1705410.00 λ_{LT}=0.07
$\lambda_{LT,0}$=0.40 β_{LT}=0.75 Φ_{LT}=0.45 β_{LT}=0.75 f=1.00 χ_{LT}=1.00
λ_Y=2.01 Ncr,y=201653000.00 λ^*_y=0.02 Curva a: Φ_y=0.00 χ_y=1.00
λ_Z=7.43 Ncr,z=14696600.00 λ^*_z=0.09 Curva b: Φ_z=0.00 χ_z=1.00
Kyy, Kyz, Kzy, Kzz=0.95, 0.95, 0.76, 0.95
Verifica YY: 0.00+0.18+0.00=0.18
Verifica ZZ: 0.00+0.14+0.00=0.14

- Verifica in termini tensionali (4.2.5) - CC 97 Xl=0.20 - Classe 3
Sollecitazioni: T_z=131.76 M_y=-1494.11 M_x=-2.45
Tensioni: σ_N=0.00 σ_M=460.70 τ=21.17 σ_{max}=460.70
Tensioni: σ_N=0.00 σ_M=0.00 τ=23.74 τ_{max}=23.74
Tensioni: σ_N=0.00 σ_M=460.70 τ=21.17 $\sigma_{ID,max}$=462.16

Asta n. 308 (-1283 -990) IPE240 iimpalcato Crit. 1

- Verifica di stabilità aste presso-inflesse (C4.2.4.1.3.3.2) - CC 97 - Classe 3
Sollecitazioni: N,Ed=-0.36 My,Ed=-1519.63 Mz,Ed=-0.03
Resistenze: Nc,Rd=97793.60 My,c,Rd=8107.84 Mz,c,Rd=1181.81 L=20.00
αmy, αmz, αLT=0.95, 0.95, 0.95
L_{cr}=0.20 Curva b: α-imp=0.34 k_c=0.94 ψ=1.01 M,cr=1704330.00 λ_{LT}=0.07
$\lambda_{LT,0}$=0.40 β_{LT}=0.75 Φ_{LT}=0.45 β_{LT}=0.75 f=1.00 χ_{LT}=1.00
λ_Y=2.01 Ncr,y=201653000.00 λ^*_y=0.02 Curva a: Φ_y=0.00 χ_y=1.00
λ_Z=7.43 Ncr,z=14696600.00 λ^*_z=0.09 Curva b: Φ_z=0.00 χ_z=1.00
Kyy, Kyz, Kzy, Kzz=0.95, 0.95, 0.76, 0.95
Verifica YY: 0.00+0.18+0.00=0.18
Verifica ZZ: 0.00+0.14+0.00=0.14

- Verifica in termini tensionali (4.2.5) - CC 97 Xl=0.20 - Classe 3
Sollecitazioni: T_z=123.47 M_y=-1519.63 M_x=-2.45
Tensioni: σ_N=0.00 σ_M=468.57 τ=21.17 σ_{max}=468.57
Tensioni: σ_N=0.00 σ_M=0.00 τ=23.44 τ_{max}=23.44
Tensioni: σ_N=0.00 σ_M=468.57 τ=21.17 $\sigma_{ID,max}$=470.00

Asta n. 308 (-990 -991) IPE240 iimpalcato Crit. 1

- Verifica di stabilità aste presso-inflesse (C4.2.4.1.3.3.2) - CC 97 - Classe 3
Sollecitazioni: N,Ed=-0.36 My,Ed=-1519.63 Mz,Ed=-0.03
Resistenze: Nc,Rd=97793.60 My,c,Rd=8107.84 Mz,c,Rd=1181.81 L=20.00

αmy, αmz, αLT=0.95, 0.95, 0.95
L_{cr}=0.20 Curva b: α-imp=0.34 k_c=0.94 ψ=1.00 M,cr=1692960.00 λ_{LT}=0.07
$\lambda_{LT,0}$=0.40 β_{LT}=0.75 Φ_{LT}=0.45 β_{LT}=0.75 f=1.00 χ_{LT}=1.00
λ_Y=2.01 Ncr,y=201654000.00 λ^*_y=0.02 Curva a: Φ_y=0.00 χ_y=1.00
λ_Z=7.43 Ncr,z=14696700.00 λ^*_z=0.09 Curva b: Φ_z=0.00 χ_z=1.00
Kyy, Kyz, Kzy, Kzz=0.95, 0.95, 0.76, 0.95
Verifica YY: 0.00+0.18+0.00=0.18
Verifica ZZ: 0.00+0.14+0.00=0.14

- Verifica in termini tensionali (4.2.5) - CC 97 Xl=0.00 - Classe 3
Sollecitazioni: T_z=-11.31 M_y=-1519.63
Tensioni: σ_N=0.00 σ_M=468.57 τ=0.00 σ_{max}=468.57
Tensioni: σ_N=0.00 σ_M=0.00 τ=0.92 τ_{max}=0.92
Tensioni: σ_N=0.00 σ_M=468.57 τ=0.00 $\sigma_{ID,max}$=468.57

Asta n. 308 (-991 -992) IPE240 iimpalcato Crit. 1

- Verifica di stabilità aste presso-inflesse (C4.2.4.1.3.3.2) - CC 98 - Classe 3
Sollecitazioni: N,Ed=-0.36 My,Ed=-1519.63 Mz,Ed=-0.03
Resistenze: Nc,Rd=97793.60 My,c,Rd=8107.84 Mz,c,Rd=1181.81 L=20.00
αmy, αmz, αLT=0.95, 0.95, 0.95
L_{cr}=0.20 Curva b: α-imp=0.34 k_c=0.94 ψ=1.00 M,cr=1692960.00 λ_{LT}=0.07
$\lambda_{LT,0}$=0.40 β_{LT}=0.75 Φ_{LT}=0.45 β_{LT}=0.75 f=1.00 χ_{LT}=1.00
λ_Y=2.01 Ncr,y=201654000.00 λ^*_y=0.02 Curva a: Φ_y=0.00 χ_y=1.00
λ_Z=7.43 Ncr,z=14696700.00 λ^*_z=0.09 Curva b: Φ_z=0.00 χ_z=1.00
Kyy, Kyz, Kzy, Kzz=0.95, 0.95, 0.76, 0.95
Verifica YY: 0.00+0.18+0.00=0.18
Verifica ZZ: 0.00+0.14+0.00=0.14

- Verifica in termini tensionali (4.2.5) - CC 98 Xl=0.20 - Classe 3
Sollecitazioni: T_z=11.31 M_y=-1519.63
Tensioni: σ_N=0.00 σ_M=468.57 τ=0.00 σ_{max}=468.57
Tensioni: σ_N=0.00 σ_M=0.00 τ=0.92 τ_{max}=0.92
Tensioni: σ_N=0.00 σ_M=468.57 τ=0.00 $\sigma_{ID,max}$=468.57

Asta n. 308 (-992 -1281) IPE240 iimpalcato Crit. 1

- Verifica di stabilità aste presso-inflesse (C4.2.4.1.3.3.2) - CC 98 - Classe 3
Sollecitazioni: N,Ed=-0.36 My,Ed=-1519.63 Mz,Ed=-0.03
Resistenze: Nc,Rd=97793.60 My,c,Rd=8107.84 Mz,c,Rd=1181.81 L=20.00
αmy, αmz, αLT=0.95, 0.95, 0.95
L_{cr}=0.20 Curva b: α-imp=0.34 k_c=0.94 ψ=1.01 M,cr=1704330.00 λ_{LT}=0.07
$\lambda_{LT,0}$=0.40 β_{LT}=0.75 Φ_{LT}=0.45 β_{LT}=0.75 f=1.00 χ_{LT}=1.00
λ_Y=2.01 Ncr,y=201653000.00 λ^*_y=0.02 Curva a: Φ_y=0.00 χ_y=1.00
λ_Z=7.43 Ncr,z=14696600.00 λ^*_z=0.09 Curva b: Φ_z=0.00 χ_z=1.00
Kyy, Kyz, Kzy, Kzz=0.95, 0.95, 0.76, 0.95
Verifica YY: 0.00+0.18+0.00=0.18
Verifica ZZ: 0.00+0.14+0.00=0.14

- Verifica in termini tensionali (4.2.5) - CC 98 Xl=0.00 - Classe 3
Sollecitazioni: T_z=-123.47 M_y=-1519.63 M_x=2.45
Tensioni: σ_N=0.00 σ_M=468.57 τ=21.17 σ_{max}=468.57
Tensioni: σ_N=0.00 σ_M=0.00 τ=23.44 τ_{max}=23.44
Tensioni: σ_N=0.00 σ_M=468.57 τ=21.17 $\sigma_{ID,max}$=470.00

Asta n. 308 (-1281 -993) IPE240 iimpalcato Crit. 1

- Verifica di stabilità aste presso-inflesse (C4.2.4.1.3.3.2) - CC 98 - Classe 3
Sollecitazioni: N,Ed=-0.36 My,Ed=-1494.11 Mz,Ed=-0.03
Resistenze: Nc,Rd=97793.60 My,c,Rd=8107.84 Mz,c,Rd=1181.81 L=20.00
αmy, αmz, αLT=0.95, 0.95, 0.95
L_{cr}=0.20 Curva b: α-imp=0.34 k_c=0.94 ψ=1.01 M,cr=1705410.00 λ_{LT}=0.07
$\lambda_{LT,0}$=0.40 β_{LT}=0.75 Φ_{LT}=0.45 β_{LT}=0.75 f=1.00 χ_{LT}=1.00
λ_Y=2.01 Ncr,y=201653000.00 λ^*_y=0.02 Curva a: Φ_y=0.00 χ_y=1.00
λ_Z=7.43 Ncr,z=14696600.00 λ^*_z=0.09 Curva b: Φ_z=0.00 χ_z=1.00
Kyy, Kyz, Kzy, Kzz=0.95, 0.95, 0.76, 0.95
Verifica YY: 0.00+0.18+0.00=0.18
Verifica ZZ: 0.00+0.14+0.00=0.14

- Verifica in termini tensionali (4.2.5) - CC 98 Xl=0.00 - Classe 3
  Sollecitazioni: T_z=-131.76 M_y=-1494.11 M_x=2.45
  Tensioni: σ_N=0.00 σ_M=460.70 τ=21.17 σ_{max}=460.70
  Tensioni: σ_N=0.00 σ_M=0.00 τ=23.74 τ_{max}=23.74
  Tensioni: σ_N=0.00 σ_M=460.70 τ=21.17 $\sigma_{ID,max}$=462.16

Asta n. 308 (-993 -1279) IPE240 iimpalcato Crit. 1

- Verifica di stabilità aste presso-inflesse (C4.2.4.1.3.3.2) - CC 98 - Classe 3
  Sollecitazioni: N,Ed=-0.36 My,Ed=-1466.86 Mz,Ed=-0.03
  Resistenze: Nc,Rd=97793.60 My,c,Rd=8107.84 Mz,c,Rd=1181.81 L=20.00
  αmy, αmz, αLT=0.95, 0.95, 0.95
  L_{cr}=0.20 Curva b: α-imp=0.34 k_c=0.94 ψ=1.02 M,cr=1721120.00 λ_{LT}=0.07
  $\lambda_{LT,0}$=0.40 β_{LT}=0.75 Φ_{LT}=0.45 β_{LT}=0.75 f=1.00 χ_{LT}=1.00
  λ_Y=2.01 Ncr,y=201654000.00 λ^*_y=0.02 Curva a: Φ_y=0.00 χ_y=1.00
  λ_Z=7.43 Ncr,z=14696700.00 λ^*_z=0.09 Curva b: Φ_z=0.00 χ_z=1.00
  Kyy, Kyz, Kzy, Kzz=0.95, 0.95, 0.76, 0.95
  Verifica YY: 0.00+0.17+0.00=0.17
  Verifica ZZ: 0.00+0.14+0.00=0.14

- Verifica in termini tensionali (4.2.5) - CC 98 Xl=0.00 - Classe 3
  Sollecitazioni: T_z=-275.05 M_y=-1466.86 M_x=4.93
  Tensioni: σ_N=0.00 σ_M=452.30 τ=42.59 σ_{max}=452.30
  Tensioni: σ_N=0.00 σ_M=0.00 τ=48.13 τ_{max}=48.13
  Tensioni: σ_N=0.00 σ_M=452.30 τ=42.59 $\sigma_{ID,max}$=458.27

Asta n. 308 (-1279 -994) IPE240 iimpalcato Crit. 1

- Verifica di stabilità aste presso-inflesse (C4.2.4.1.3.3.2) - CC 98 - Classe 3
  Sollecitazioni: N,Ed=-0.36 My,Ed=-1411.02 Mz,Ed=-0.03
  Resistenze: Nc,Rd=97793.60 My,c,Rd=8107.84 Mz,c,Rd=1181.81 L=20.00
  αmy, αmz, αLT=0.95, 0.95, 0.95
  L_{cr}=0.20 Curva b: α-imp=0.34 k_c=0.94 ψ=1.02 M,cr=1723270.00 λ_{LT}=0.07
  $\lambda_{LT,0}$=0.40 β_{LT}=0.75 Φ_{LT}=0.45 β_{LT}=0.75 f=1.00 χ_{LT}=1.00
  λ_Y=2.01 Ncr,y=201654000.00 λ^*_y=0.02 Curva a: Φ_y=0.00 χ_y=1.00
  λ_Z=7.43 Ncr,z=14696700.00 λ^*_z=0.09 Curva b: Φ_z=0.00 χ_z=1.00
  Kyy, Kyz, Kzy, Kzz=0.95, 0.95, 0.76, 0.95
  Verifica YY: 0.00+0.17+0.00=0.17
  Verifica ZZ: 0.00+0.13+0.00=0.13

- Verifica in termini tensionali (4.2.5) - CC 98 Xl=0.00 - Classe 3
  Sollecitazioni: T_z=-283.34 M_y=-1411.02 M_x=4.93
  Tensioni: σ_N=0.00 σ_M=435.08 τ=42.59 σ_{max}=435.08
  Tensioni: σ_N=0.00 σ_M=0.00 τ=48.45 τ_{max}=48.45
  Tensioni: σ_N=0.00 σ_M=435.08 τ=42.59 $\sigma_{ID,max}$=441.29

Asta n. 308 (-994 -995) IPE240 iimpalcato Crit. 1

- Verifica di stabilità aste presso-inflesse (C4.2.4.1.3.3.2) - CC 98 - Classe 3
  Sollecitazioni: N,Ed=-0.36 My,Ed=-1350.51 Mz,Ed=-0.03
  Resistenze: Nc,Rd=97793.60 My,c,Rd=8107.84 Mz,c,Rd=1181.81 L=40.00
  αmy, αmz, αLT=0.95, 0.95, 0.95
  L_{cr}=0.40 Curva b: α-imp=0.34 k_c=0.94 ψ=1.06 M,cr=452620.00 λ_{LT}=0.14
  $\lambda_{LT,0}$=0.40 β_{LT}=0.75 Φ_{LT}=0.46 β_{LT}=0.75 f=1.00 χ_{LT}=1.00
  λ_Y=4.01 Ncr,y=50413200.00 λ^*_y=0.05 Curva a: Φ_y=0.00 χ_y=1.00
  λ_Z=14.85 Ncr,z=3674160.00 λ^*_z=0.17 Curva b: Φ_z=0.00 χ_z=1.00
  Kyy, Kyz, Kzy, Kzz=0.95, 0.95, 0.76, 0.95
  Verifica YY: 0.00+0.16+0.00=0.16
  Verifica ZZ: 0.00+0.13+0.00=0.13

- Verifica in termini tensionali (4.2.5) - CC 98 Xl=0.00 - Classe 3
  Sollecitazioni: T_z=-426.52 M_y=-1350.51 M_x=7.92
  Tensioni: σ_N=0.00 σ_M=416.42 τ=68.47 σ_{max}=416.42
  Tensioni: σ_N=0.00 σ_M=0.00 τ=76.80 τ_{max}=76.80
  Tensioni: σ_N=0.00 σ_M=416.42 τ=68.47 $\sigma_{ID,max}$=432.98

Asta n. 308 (-995 -996) IPE240 iimpalcato Crit. 1

- Verifica di stabilità aste presso-inflesse (C4.2.4.1.3.3.2) - CC 98 - Classe 3
  Sollecitazioni: N,Ed=-0.36 My,Ed=-1176.56 Mz,Ed=-0.03
  Resistenze: Nc,Rd=97793.60 My,c,Rd=8107.84 Mz,c,Rd=1181.81 L=40.00
  αmy, αmz, αLT=0.95, 0.95, 0.95
  L_{cr}=0.40 Curva b: α-imp=0.34 k_c=0.94 ψ=1.10 M,cr=469037.00 λ_{LT}=0.14
  $\lambda_{LT,0}$=0.40 β_{LT}=0.75 Φ_{LT}=0.46 β_{LT}=0.75 f=1.00 χ_{LT}=1.00
  λ_Y=4.01 Ncr,y=50413400.00 λ^*_y=0.05 Curva a: Φ_y=0.00 χ_y=1.00
  λ_Z=14.85 Ncr,z=3674170.00 λ^*_z=0.17 Curva b: Φ_z=0.00 χ_z=1.00
  Kyy, Kyz, Kzy, Kzz=0.95, 0.95, 0.76, 0.95
  Verifica YY: 0.00+0.14+0.00=0.14
  Verifica ZZ: 0.00+0.11+0.00=0.11

- Verifica in termini tensionali (4.2.5) - CC 98 Xl=0.00 - Classe 3
  Sollecitazioni: T_z=-577.29 M_y=-1176.56 M_x=11.27
  Tensioni: σ_N=0.00 σ_M=362.78 τ=97.45 σ_{max}=362.78
  Tensioni: σ_N=0.00 σ_M=0.00 τ=108.21 τ_{max}=108.21
  Tensioni: σ_N=0.00 σ_M=362.78 τ=97.45 $\sigma_{ID,max}$=400.12

Asta n. 308 (-996 -997) IPE240 iimpalcato Crit. 1

- Verifica di stabilità aste presso-inflesse (C4.2.4.1.3.3.2) - CC 98 - Classe 3
  Sollecitazioni: N,Ed=-0.36 My,Ed=-942.34 Mz,Ed=-0.03
  Resistenze: Nc,Rd=97793.60 My,c,Rd=8107.84 Mz,c,Rd=1181.81 L=40.00
  αmy, αmz, αLT=0.95, 0.95, 0.95
  L_{cr}=0.40 Curva b: α-imp=0.34 k_c=0.94 ψ=1.17 M,cr=498209.00 λ_{LT}=0.13
  $\lambda_{LT,0}$=0.40 β_{LT}=0.75 Φ_{LT}=0.46 β_{LT}=0.75 f=1.00 χ_{LT}=1.00
  λ_Y=4.01 Ncr,y=50413200.00 λ^*_y=0.05 Curva a: Φ_y=0.00 χ_y=1.00
  λ_Z=14.85 Ncr,z=3674160.00 λ^*_z=0.17 Curva b: Φ_z=0.00 χ_z=1.00
  Kyy, Kyz, Kzy, Kzz=0.95, 0.95, 0.76, 0.95
  Verifica YY: 0.00+0.11+0.00=0.11
  Verifica ZZ: 0.00+0.09+0.00=0.09

- Verifica in termini tensionali (4.2.5) - CC 98 Xl=0.00 - Classe 3
  Sollecitazioni: T_z=-728.16 M_y=-942.34 M_x=14.57
  Tensioni: σ_N=0.00 σ_M=290.56 τ=125.94 σ_{max}=290.56
  Tensioni: σ_N=0.00 σ_M=0.00 τ=139.22 τ_{max}=139.22
  Tensioni: σ_N=0.00 σ_M=290.56 τ=125.94 $\sigma_{ID,max}$=363.33

Asta n. 308 (-997 -998) IPE240 iimpalcato Crit. 1

- Verifica di stabilità aste presso-inflesse (C4.2.4.1.3.3.2) - CC 98 - Classe 3
  Sollecitazioni: N,Ed=-0.36 My,Ed=-647.76 Mz,Ed=-0.03
  Resistenze: Nc,Rd=97793.60 My,c,Rd=8107.84 Mz,c,Rd=1181.81 L=40.00
  αmy, αmz, αLT=0.95, 0.95, 0.95
  L_{cr}=0.40 Curva b: α-imp=0.34 k_c=0.94 ψ=1.34 M,cr=569273.00 λ_{LT}=0.13
  $\lambda_{LT,0}$=0.40 β_{LT}=0.75 Φ_{LT}=0.46 β_{LT}=0.75 f=1.00 χ_{LT}=1.00
  λ_Y=4.01 Ncr,y=50413400.00 λ^*_y=0.05 Curva a: Φ_y=0.00 χ_y=1.00
  λ_Z=14.85 Ncr,z=3674170.00 λ^*_z=0.17 Curva b: Φ_z=0.00 χ_z=1.00
  Kyy, Kyz, Kzy, Kzz=0.95, 0.95, 0.76, 0.95
  Verifica YY: 0.00+0.08+0.00=0.08
  Verifica ZZ: 0.00+0.06+0.00=0.06

- Verifica in termini tensionali (4.2.5) - CC 98 Xl=0.00 - Classe 3
  Sollecitazioni: T_z=-879.51 M_y=-647.76 M_x=17.91
  Tensioni: σ_N=0.00 σ_M=199.73 τ=154.80 σ_{max}=199.73
  Tensioni: σ_N=0.00 σ_M=0.00 τ=170.59 τ_{max}=170.59
  Tensioni: σ_N=0.00 σ_M=199.73 τ=154.80 $\sigma_{ID,max}$=334.34

Asta n. 308 (-998 -999) IPE240 iimpalcato Crit. 1

- Verifica di stabilità aste presso-inflesse (C4.2.4.1.3.3.2) - CC 98 - Classe 3
  Sollecitazioni: N,Ed=-0.36 My,Ed=-292.63 Mz,Ed=-0.03
  Resistenze: Nc,Rd=97793.60 My,c,Rd=8107.84 Mz,c,Rd=1181.81 L=40.00
  αmy, αmz, αLT=0.95, 0.95, 0.95
  L_{cr}=0.40 Curva b: α-imp=0.34 k_c=0.94 ψ=2.24 M,cr=955400.00 λ_{LT}=0.10
  $\lambda_{LT,0}$=0.40 β_{LT}=0.75 Φ_{LT}=0.45 β_{LT}=0.75 f=1.00 χ_{LT}=1.00
  λ_Y=4.01 Ncr,y=50413200.00 λ^*_y=0.05 Curva a: Φ_y=0.00 χ_y=1.00
  λ_Z=14.85 Ncr,z=3674160.00 λ^*_z=0.17 Curva b: Φ_z=0.00 χ_z=1.00

Kyy, Kyz, Kzy, Kzz=0.95, 0.95, 0.76, 0.95
Verifica YY: 0.00+0.03+0.00=0.03
Verifica ZZ: 0.00+0.03+0.00=0.03

- Verifica in termini tensionali (4.2.5) - CC 97 Xl=0.40 - Classe 3
Sollecitazioni: T_z=-1086.16 M_y=240.45 M_x=21.21
Tensioni: σ_N=0.00 σ_M=-74.14 τ=183.32 σ_{max}=-74.14
Tensioni: σ_N=0.00 σ_M=-0.00 τ=203.58 τ_{max}=203.58
Tensioni: σ_N=0.00 σ_M=-0.00 τ=203.58 $\sigma_{ID,max}$=352.61

Asta n. 308 (-999 -1000) IPE240 iimpalcato Crit. 1

- Verifica di stabilità aste presso-inflesse (C4.2.4.1.3.3.2) - CC 97 - Classe 3
Sollecitazioni: N,Ed=-0.36 My,Ed=731.87 Mz,Ed=-0.03
Resistenze: Nc,Rd=97793.60 My,c,Rd=8107.84 Mz,c,Rd=1181.81 L=40.00
αmy, αmz, αLT=0.95, 0.95, 0.95
L_{cr}=0.40 Curva b: α-imp=0.34 k_c=0.94 ψ=1.44 M,cr=612102.00 λ_{LT}=0.12
$\lambda_{LT,0}$=0.40 β_{LT}=0.75 Φ_{LT}=0.46 β_{LT}=0.75 f=1.00 χ_{LT}=1.00
λ_Y=4.01 Ncr,y=50413400.00 λ^*_y=0.05 Curva a: Φ_y=0.00 χ_y=1.00
λ_Z=14.85 Ncr,z=3674170.00 λ^*_z=0.17 Curva b: Φ_z=0.00 χ_z=1.00
Kyy, Kyz, Kzy, Kzz=0.95, 0.95, 0.76, 0.95
Verifica YY: 0.00+0.09+0.00=0.09
Verifica ZZ: 0.00+0.07+0.00=0.07

- Verifica in termini tensionali (4.2.5) - CC 97 Xl=0.40 - Classe 3
Sollecitazioni: T_z=-1236.91 M_y=731.87 M_x=24.56
Tensioni: σ_N=0.00 σ_M=-225.67 τ=212.29 σ_{max}=-225.67
Tensioni: σ_N=0.00 σ_M=-0.00 τ=235.01 τ_{max}=235.01
Tensioni: σ_N=0.00 σ_M=-179.03 τ=229.20 $\sigma_{ID,max}$=435.49

Asta n. 308 (-1000 -1001) IPE240 iimpalcato Crit. 1

- Verifica di stabilità aste presso-inflesse (C4.2.4.1.3.3.2) - CC 97 - Classe 3
Sollecitazioni: N,Ed=-0.36 My,Ed=1004.15 Mz,Ed=-0.03
Resistenze: Nc,Rd=97793.60 My,c,Rd=8107.84 Mz,c,Rd=1181.81 L=20.00
αmy, αmz, αLT=0.95, 0.95, 0.95
L_{cr}=0.20 Curva b: α-imp=0.34 k_c=0.94 ψ=1.15 M,cr=1938160.00 λ_{LT}=0.07
$\lambda_{LT,0}$=0.40 β_{LT}=0.75 Φ_{LT}=0.45 β_{LT}=0.75 f=1.00 χ_{LT}=1.00
λ_Y=2.01 Ncr,y=201654000.00 λ^*_y=0.02 Curva a: Φ_y=0.00 χ_y=1.00
λ_Z=7.43 Ncr,z=14696700.00 λ^*_z=0.09 Curva b: Φ_z=0.00 χ_z=1.00
Kyy, Kyz, Kzy, Kzz=0.95, 0.95, 0.76, 0.95
Verifica YY: 0.00+0.12+0.00=0.12
Verifica ZZ: 0.00+0.09+0.00=0.09

- Verifica in termini tensionali (4.2.5) - CC 97 Xl=0.20 - Classe 3
Sollecitazioni: T_z=-1380.33 M_y=1004.15 M_x=27.58
Tensioni: σ_N=0.00 σ_M=-309.62 τ=238.41 σ_{max}=-309.62
Tensioni: σ_N=0.00 σ_M=-0.00 τ=263.63 τ_{max}=263.63
Tensioni: σ_N=0.00 σ_M=-309.62 τ=238.41 $\sigma_{ID,max}$=516.12

Asta n. 308 (-1001 -1002) IPE240 iimpalcato Crit. 1

- Verifica di stabilità aste presso-inflesse (C4.2.4.1.3.3.2) - CC 97 - Classe 3
Sollecitazioni: N,Ed=-0.36 My,Ed=1281.04 Mz,Ed=-0.03
Resistenze: Nc,Rd=97793.60 My,c,Rd=8107.84 Mz,c,Rd=1181.81 L=20.00
αmy, αmz, αLT=0.95, 0.95, 0.95
L_{cr}=0.20 Curva b: α-imp=0.34 k_c=0.94 ψ=1.11 M,cr=1879610.00 λ_{LT}=0.07
$\lambda_{LT,0}$=0.40 β_{LT}=0.75 Φ_{LT}=0.45 β_{LT}=0.75 f=1.00 χ_{LT}=1.00
λ_Y=2.01 Ncr,y=201652000.00 λ^*_y=0.02 Curva a: Φ_y=0.00 χ_y=1.00
λ_Z=7.43 Ncr,z=14696600.00 λ^*_z=0.09 Curva b: Φ_z=0.00 χ_z=1.00
Kyy, Kyz, Kzy, Kzz=0.95, 0.95, 0.76, 0.95
Verifica YY: 0.00+0.15+0.00=0.15
Verifica ZZ: 0.00+0.12+0.00=0.12

- Verifica in termini tensionali (4.2.5) - CC 97 Xl=0.20 - Classe 3
Sollecitazioni: T_z=-1388.62 M_y=1281.04 M_x=27.58
Tensioni: σ_N=0.00 σ_M=-395.00 τ=238.41 σ_{max}=-395.00
Tensioni: σ_N=0.00 σ_M=-0.00 τ=263.91 τ_{max}=263.91
Tensioni: σ_N=0.00 σ_M=-395.00 τ=238.41 $\sigma_{ID,max}$=571.44

Asta n. 308 (-1002 317) IPE240 iimpalcato Crit. 1

- Verifica di stabilità aste presso-inflesse (C4.2.4.1.3.3.2) - CC 97 - Classe 3
  Sollecitazioni: N,Ed=-0.36 My,Ed=1896.74 Mz,Ed=-0.03
  Resistenze: Nc,Rd=97793.60 My,c,Rd=8107.84 Mz,c,Rd=1181.81 L=40.00
  αmy, αmz, αLT=0.95, 0.95, 0.95
  L_{cr}=0.40 Curva b: α-imp=0.34 k_c=0.94 ψ=1.18 M,cr=501060.00 λ_{LT}=0.13
  $\lambda_{LT,0}$=0.40 β_{LT}=0.75 Φ_{LT}=0.46 β_{LT}=0.75 f=1.00 χ_{LT}=1.00
  λ_Y=4.01 Ncr,y=50413700.00 λ^*_y=0.05 Curva a: Φ_y=0.00 χ_y=1.00
  λ_Z=14.85 Ncr,z=3674190.00 λ^*_z=0.17 Curva b: Φ_z=0.00 χ_z=1.00
  Kyy, Kyz, Kzy, Kzz=0.95, 0.95, 0.76, 0.95
  Verifica YY: 0.00+0.22+0.00=0.22
  Verifica ZZ: 0.00+0.18+0.00=0.18

- Verifica in termini tensionali (4.2.5) - CC 97 Xl=0.40 - Classe 3
  Sollecitazioni: T_z=-1540.10 M_y=1896.74 M_x=30.58
  Tensioni: σ_N=0.00 σ_M=-584.85 τ=264.29 σ_{max}=-584.85
  Tensioni: σ_N=0.00 σ_M=-0.00 τ=292.59 τ_{max}=292.59
  Tensioni: σ_N=0.00 σ_M=-584.85 τ=264.29 $\sigma_{ID,max}$=742.69

Asta n. 308 (317 -1003) IPE240 iimpalcato Crit. 1

- Verifica di stabilità aste inflesse (4.2.4.1.3.2) CC 97 - Classe 3
  L_{cr}=0.40 Curva b: α-imp=0.34 k_c=0.94 ψ=1.12 M,cr=481192.00 λ_{LT}=0.14
  $\lambda_{LT,0}$=0.40 β_{LT}=0.75 Φ_{LT}=0.46 β_{LT}=0.75 f=1.00 χ_{LT}=1.00
  CC 97 My,Ed=1896.77 My,b,Rd=8107.84 My,Ed/My,b,Rd=0.23

- Verifica in termini tensionali (4.2.5) - CC 97 Xl=0.00 - Classe 3
  Sollecitazioni: T_z=1131.92 M_y=1896.77 M_x=-12.35
  Tensioni: σ_N=0.00 σ_M=-584.86 τ=106.76 σ_{max}=-584.86
  Tensioni: σ_N=0.00 σ_M=-0.00 τ=141.10 τ_{max}=141.10
  Tensioni: σ_N=0.00 σ_M=-584.86 τ=106.76 $\sigma_{ID,max}$=613.39

Asta n. 308 (-1003 -1004) IPE240 iimpalcato Crit. 1

- Verifica di stabilità aste inflesse (4.2.4.1.3.2) CC 97 - Classe 3
  L_{cr}=0.20 Curva b: α-imp=0.34 k_c=0.94 ψ=1.07 M,cr=1814450.00 λ_{LT}=0.07
  $\lambda_{LT,0}$=0.40 β_{LT}=0.75 Φ_{LT}=0.45 β_{LT}=0.75 f=1.00 χ_{LT}=1.00
  CC 97 My,Ed=1445.70 My,b,Rd=8107.84 My,Ed/My,b,Rd=0.18

- Verifica in termini tensionali (4.2.5) - CC 97 Xl=0.00 - Classe 3
  Sollecitazioni: T_z=980.91 M_y=1445.70 M_x=-9.37
  Tensioni: σ_N=0.00 σ_M=-445.77 τ=80.97 σ_{max}=-445.77
  Tensioni: σ_N=0.00 σ_M=-0.00 τ=113.79 τ_{max}=113.79
  Tensioni: σ_N=0.00 σ_M=-445.77 τ=80.97 $\sigma_{ID,max}$=467.31

Asta n. 308 (-1004 -1005) IPE240 iimpalcato Crit. 1

- Verifica di stabilità aste inflesse (4.2.4.1.3.2) CC 97 - Classe 3
  L_{cr}=0.20 Curva b: α-imp=0.34 k_c=0.94 ψ=1.08 M,cr=1832380.00 λ_{LT}=0.07
  $\lambda_{LT,0}$=0.40 β_{LT}=0.75 Φ_{LT}=0.45 β_{LT}=0.75 f=1.00 χ_{LT}=1.00
  CC 97 My,Ed=1251.03 My,b,Rd=8107.84 My,Ed/My,b,Rd=0.15

- Verifica in termini tensionali (4.2.5) - CC 97 Xl=0.00 - Classe 3
  Sollecitazioni: T_z=972.65 M_y=1251.03 M_x=-9.37
  Tensioni: σ_N=0.00 σ_M=-385.75 τ=80.97 σ_{max}=-385.75
  Tensioni: σ_N=0.00 σ_M=-0.00 τ=113.32 τ_{max}=113.32
  Tensioni: σ_N=0.00 σ_M=-385.75 τ=80.97 $\sigma_{ID,max}$=410.45

Asta n. 308 (-1005 -1006) IPE240 iimpalcato Crit. 1

- Verifica di stabilità aste inflesse (4.2.4.1.3.2) CC 97 - Classe 3
  L_{cr}=0.40 Curva b: α-imp=0.34 k_c=0.94 ψ=1.17 M,cr=500260.00 λ_{LT}=0.13
  $\lambda_{LT,0}$=0.40 β_{LT}=0.75 Φ_{LT}=0.46 β_{LT}=0.75 f=1.00 χ_{LT}=1.00
  CC 97 My,Ed=1060.85 My,b,Rd=8107.84 My,Ed/My,b,Rd=0.13

- Verifica in termini tensionali (4.2.5) - CC 97 Xl=0.00 - Classe 3
  Sollecitazioni: T_z=829.70 M_y=1060.85 M_x=-6.36

Tensioni: σ_N=0.00 σ_M=-327.11 τ=54.94 σ_{max}=-327.11
Tensioni: σ_N=0.00 σ_M=-0.00 τ=87.13 τ_{max}=87.13
Tensioni: σ_N=0.00 σ_M=-327.11 τ=54.94 $\sigma_{ID,max}$=340.67

Asta n. 308 (-1006 -1007) IPE240 iimpalcato Crit. 1

- Verifica di stabilità aste inflesse (4.2.4.1.3.2) CC 97 - Classe 3
L_{cr}=0.40 Curva b: α-imp=0.34 k_c=0.94 ψ=1.20 M,cr=515951.00 λ_{LT}=0.13
$\lambda_{LT,0}$=0.40 β_{LT}=0.75 Φ_{LT}=0.46 β_{LT}=0.75 f=1.00 χ_{LT}=1.00
CC 97 My,Ed=733.37 My,b,Rd=8107.84 My,Ed/My,b,Rd=0.09

- Verifica in termini tensionali (4.2.5) - CC 97 Xl=0.00 - Classe 3
Sollecitazioni: T_z=679.41 M_y=733.37 M_x=-3.02
Tensioni: σ_N=0.00 σ_M=-226.13 τ=26.06 σ_{max}=-226.13
Tensioni: σ_N=0.00 σ_M=-0.00 τ=61.20 τ_{max}=61.20
Tensioni: σ_N=0.00 σ_M=-226.13 τ=26.06 $\sigma_{ID,max}$=230.59

Asta n. 308 (-1007 -1008) IPE240 iimpalcato Crit. 1

- Verifica di stabilità aste inflesse (4.2.4.1.3.2) CC 97 - Classe 3
L_{cr}=0.40 Curva b: α-imp=0.34 k_c=0.94 ψ=1.26 M,cr=539981.00 λ_{LT}=0.13
$\lambda_{LT,0}$=0.40 β_{LT}=0.75 Φ_{LT}=0.46 β_{LT}=0.75 f=1.00 χ_{LT}=1.00
CC 97 My,Ed=465.70 My,b,Rd=8107.84 My,Ed/My,b,Rd=0.06

- Verifica in termini tensionali (4.2.5) - CC 97 Xl=0.00 - Classe 3
Sollecitazioni: T_z=528.94 M_y=465.70
Tensioni: σ_N=0.00 σ_M=-143.60 τ=0.00 σ_{max}=-143.60
Tensioni: σ_N=0.00 σ_M=-0.00 τ=43.11 τ_{max}=43.11
Tensioni: σ_N=0.00 σ_M=-143.60 τ=0.00 $\sigma_{ID,max}$=143.60

Asta n. 308 (-1008 -1009) IPE240 iimpalcato Crit. 1

- Verifica di stabilità aste inflesse (4.2.4.1.3.2) CC 97 - Classe 3
L_{cr}=0.40 Curva b: α-imp=0.34 k_c=0.94 ψ=1.36 M,cr=580677.00 λ_{LT}=0.12
$\lambda_{LT,0}$=0.40 β_{LT}=0.75 Φ_{LT}=0.46 β_{LT}=0.75 f=1.00 χ_{LT}=1.00
CC 97 My,Ed=258.06 My,b,Rd=8107.84 My,Ed/My,b,Rd=0.03

- Verifica in termini tensionali (4.2.5) - CC 97 Xl=0.00 - Classe 3
Sollecitazioni: T_z=378.18 M_y=258.06 M_x=3.59
Tensioni: σ_N=0.00 σ_M=-79.57 τ=31.06 σ_{max}=-79.57
Tensioni: σ_N=0.00 σ_M=-0.00 τ=43.76 τ_{max}=43.76
Tensioni: σ_N=0.00 σ_M=-79.57 τ=31.06 $\sigma_{ID,max}$=96.06

Asta n. 308 (-1009 -1010) IPE240 iimpalcato Crit. 1

- Verifica di stabilità aste inflesse (4.2.4.1.3.2) CC 97 - Classe 3
L_{cr}=0.40 Curva b: α-imp=0.34 k_c=0.94 ψ=1.54 M,cr=661420.00 λ_{LT}=0.12
$\lambda_{LT,0}$=0.40 β_{LT}=0.75 Φ_{LT}=0.46 β_{LT}=0.75 f=1.00 χ_{LT}=1.00
CC 97 My,Ed=110.58 My,b,Rd=8107.84 My,Ed/My,b,Rd=0.01

- Verifica in termini tensionali (4.2.5) - CC 97 Xl=0.00 - Classe 3
Sollecitazioni: T_z=227.62 M_y=110.58 M_x=6.90
Tensioni: σ_N=0.00 σ_M=-34.10 τ=59.65 σ_{max}=-34.10
Tensioni: σ_N=0.00 σ_M=-0.00 τ=62.47 τ_{max}=62.47
Tensioni: σ_N=0.00 σ_M=-27.05 τ=61.74 $\sigma_{ID,max}$=110.30

Asta n. 308 (-1010 -1011) IPE240 iimpalcato Crit. 1

- Verifica di stabilità aste inflesse (4.2.4.1.3.2) CC 97 - Classe 3
L_{cr}=0.40 Curva b: α-imp=0.34 k_c=0.94 ψ=1.96 M,cr=837980.00 λ_{LT}=0.10
$\lambda_{LT,0}$=0.40 β_{LT}=0.75 Φ_{LT}=0.45 β_{LT}=0.75 f=1.00 χ_{LT}=1.00
CC 97 My,Ed=23.10 My,b,Rd=8107.84 My,Ed/My,b,Rd=0.00

- Verifica in termini tensionali (4.2.5) - CC 97 Xl=0.00 - Classe 3
Sollecitazioni: T_z=76.97 M_y=23.10 M_x=10.21
Tensioni: σ_N=0.00 σ_M=-7.12 τ=88.27 σ_{max}=-7.12
Tensioni: σ_N=0.00 σ_M=-6.54 τ=88.50 τ_{max}=88.50
Tensioni: σ_N=0.00 σ_M=-6.54 τ=88.50 $\sigma_{ID,max}$=153.42

Asta n. 308 (-1011 -1012) IPE240 iimpalcato Crit. 1

- Verifica di stabilità aste inflesse (4.2.4.1.3.2) CC 98 - Classe 3
  L_{cr}=0.31 Curva b: α-imp=0.34 k_c=0.94 ψ=1.75 M,cr=1236090.00 λ_{LT}=0.08
  $\lambda_{LT,0}$=0.40 β_{LT}=0.75 Φ_{LT}=0.45 β_{LT}=0.75 f=1.00 χ_{LT}=1.00
  CC 98 My,Ed=-18.88 My,b,Rd=8107.84 My,Ed/My,b,Rd=0.00

- Verifica in termini tensionali (4.2.5) - CC 98 Xl=0.31 - Classe 3
  Sollecitazioni: T_z=-67.32 M_x=11.87
  Tensioni: σ_N=0.00 σ_M=0.00 τ=0.00 σ_{max}=0.00
  Tensioni: σ_N=0.00 σ_M=0.00 τ=102.75 τ_{max}=102.75
  Tensioni: σ_N=0.00 σ_M=0.00 τ=102.75 $\sigma_{ID,max}$=177.98

Asta n. 309 (-1058 -1059) IPE240 iimpalcato Crit. 1

- Verifica di stabilità aste inflesse (4.2.4.1.3.2) CC 97 - Classe 3
  L_{cr}=0.31 Curva b: α-imp=0.34 k_c=0.94 ψ=1.75 M,cr=1236090.00 λ_{LT}=0.08
  $\lambda_{LT,0}$=0.40 β_{LT}=0.75 Φ_{LT}=0.45 β_{LT}=0.75 f=1.00 χ_{LT}=1.00
  CC 97 My,Ed=-19.07 My,b,Rd=8107.84 My,Ed/My,b,Rd=0.00

- Verifica in termini tensionali (4.2.5) - CC 97 Xl=0.00 - Classe 3
  Sollecitazioni: T_z=67.95
  Tensioni: σ_N=0.00 σ_M=0.00 τ=0.00 σ_{max}=0.00
  Tensioni: σ_N=0.00 σ_M=0.00 τ=5.54 τ_{max}=5.54
  Tensioni: σ_N=0.00 σ_M=0.00 τ=5.54 $\sigma_{ID,max}$=9.59

Asta n. 309 (-1059 -1060) IPE240 iimpalcato Crit. 1

- Verifica di stabilità aste inflesse (4.2.4.1.3.2) CC 98 - Classe 3
  L_{cr}=0.40 Curva b: α-imp=0.34 k_c=0.94 ψ=1.97 M,cr=845550.00 λ_{LT}=0.10
  $\lambda_{LT,0}$=0.40 β_{LT}=0.75 Φ_{LT}=0.45 β_{LT}=0.75 f=1.00 χ_{LT}=1.00
  CC 98 My,Ed=22.55 My,b,Rd=8107.84 My,Ed/My,b,Rd=0.00

- Verifica in termini tensionali (4.2.5) - CC 98 Xl=0.40 - Classe 3
  Sollecitazioni: T_z=-76.20 M_y=22.55
  Tensioni: σ_N=0.00 σ_M=-6.95 τ=0.00 σ_{max}=-6.95
  Tensioni: σ_N=0.00 σ_M=-0.00 τ=6.21 τ_{max}=6.21
  Tensioni: σ_N=0.00 σ_M=-0.00 τ=6.21 $\sigma_{ID,max}$=10.76

Asta n. 309 (-1060 -1061) IPE240 iimpalcato Crit. 1

- Verifica di stabilità aste inflesse (4.2.4.1.3.2) CC 98 - Classe 3
  L_{cr}=0.40 Curva b: α-imp=0.34 k_c=0.94 ψ=1.55 M,cr=662792.00 λ_{LT}=0.12
  $\lambda_{LT,0}$=0.40 β_{LT}=0.75 Φ_{LT}=0.46 β_{LT}=0.75 f=1.00 χ_{LT}=1.00
  CC 98 My,Ed=109.71 My,b,Rd=8107.84 My,Ed/My,b,Rd=0.01

- Verifica in termini tensionali (4.2.5) - CC 98 Xl=0.40 - Classe 3
  Sollecitazioni: T_z=-226.86 M_y=109.71
  Tensioni: σ_N=0.00 σ_M=-33.83 τ=0.00 σ_{max}=-33.83
  Tensioni: σ_N=0.00 σ_M=-0.00 τ=18.49 τ_{max}=18.49
  Tensioni: σ_N=0.00 σ_M=-26.84 τ=15.85 $\sigma_{ID,max}$=38.39

Asta n. 309 (-1061 -1062) IPE240 iimpalcato Crit. 1

- Verifica di stabilità aste inflesse (4.2.4.1.3.2) CC 98 - Classe 3
  L_{cr}=0.40 Curva b: α-imp=0.34 k_c=0.94 ψ=1.36 M,cr=581132.00 λ_{LT}=0.12
  $\lambda_{LT,0}$=0.40 β_{LT}=0.75 Φ_{LT}=0.46 β_{LT}=0.75 f=1.00 χ_{LT}=1.00
  CC 98 My,Ed=256.90 My,b,Rd=8107.84 My,Ed/My,b,Rd=0.03

- Verifica in termini tensionali (4.2.5) - CC 98 Xl=0.40 - Classe 3
  Sollecitazioni: T_z=-377.37 M_y=256.90
  Tensioni: σ_N=0.00 σ_M=-79.21 τ=0.00 σ_{max}=-79.21
  Tensioni: σ_N=0.00 σ_M=-0.00 τ=30.76 τ_{max}=30.76
  Tensioni: σ_N=0.00 σ_M=-79.21 τ=0.00 $\sigma_{ID,max}$=79.21

Asta n. 309 (-1062 -1063) IPE240 iimpalcato Crit. 1

- Verifica di stabilità aste inflesse (4.2.4.1.3.2) CC 98 - Classe 3
  L_{cr}=0.40 Curva b: α-imp=0.34 k_c=0.94 ψ=1.26 M,cr=540232.00 λ_{LT}=0.13

$\lambda_{LT,0}$=0.40 β_{LT}=0.75 Φ_{LT}=0.46 β_{LT}=0.75 f=1.00 χ_{LT}=1.00
CC 98 My,Ed=464.23 My,b,Rd=8107.84 My,Ed/My,b,Rd=0.06

- Verifica in termini tensionali (4.2.5) - CC 98 Xl=0.40 - Classe 3
Sollecitazioni: T_z=-528.24 M_y=464.23
Tensioni: σ_N=0.00 σ_M=-143.14 τ=0.00 σ_{max}=-143.14
Tensioni: σ_N=0.00 σ_M=-0.00 τ=43.06 τ_{max}=43.06
Tensioni: σ_N=0.00 σ_M=-143.14 τ=0.00 $\sigma_{ID,max}$=143.14

Asta n. 309 (-1063 -1064) IPE240 iimpalcato Crit. 1

- Verifica di stabilità aste inflesse (4.2.4.1.3.2) CC 98 - Classe 3
L_{cr}=0.40 Curva b: α-imp=0.34 k_c=0.94 ψ=1.20 M,cr=516085.00 λ_{LT}=0.13
$\lambda_{LT,0}$=0.40 β_{LT}=0.75 Φ_{LT}=0.46 β_{LT}=0.75 f=1.00 χ_{LT}=1.00
CC 98 My,Ed=731.55 My,b,Rd=8107.84 My,Ed/My,b,Rd=0.09

- Verifica in termini tensionali (4.2.5) - CC 98 Xl=0.40 - Classe 3
Sollecitazioni: T_z=-678.60 M_y=731.55
Tensioni: σ_N=0.00 σ_M=-225.57 τ=0.00 σ_{max}=-225.57
Tensioni: σ_N=0.00 σ_M=-0.00 τ=55.31 τ_{max}=55.31
Tensioni: σ_N=0.00 σ_M=-225.57 τ=0.00 $\sigma_{ID,max}$=225.57

Asta n. 309 (-1064 -1065) IPE240 iimpalcato Crit. 1

- Verifica di stabilità aste inflesse (4.2.4.1.3.2) CC 98 - Classe 3
L_{cr}=0.40 Curva b: α-imp=0.34 k_c=0.94 ψ=1.17 M,cr=500302.00 λ_{LT}=0.13
$\lambda_{LT,0}$=0.40 β_{LT}=0.75 Φ_{LT}=0.46 β_{LT}=0.75 f=1.00 χ_{LT}=1.00
CC 98 My,Ed=1058.48 My,b,Rd=8107.84 My,Ed/My,b,Rd=0.13

- Verifica in termini tensionali (4.2.5) - CC 98 Xl=0.40 - Classe 3
Sollecitazioni: T_z=-828.27 M_y=1058.48 M_x=-1.03
Tensioni: σ_N=0.00 σ_M=-326.38 τ=8.91 σ_{max}=-326.38
Tensioni: σ_N=0.00 σ_M=-0.00 τ=68.10 τ_{max}=68.10
Tensioni: σ_N=0.00 σ_M=-326.38 τ=8.91 $\sigma_{ID,max}$=326.74

Asta n. 309 (-1065 -1066) IPE240 iimpalcato Crit. 1

- Verifica di stabilità aste inflesse (4.2.4.1.3.2) CC 98 - Classe 3
L_{cr}=0.20 Curva b: α-imp=0.34 k_c=0.94 ψ=1.08 M,cr=1832540.00 λ_{LT}=0.07
$\lambda_{LT,0}$=0.40 β_{LT}=0.75 Φ_{LT}=0.45 β_{LT}=0.75 f=1.00 χ_{LT}=1.00
CC 98 My,Ed=1248.97 My,b,Rd=8107.84 My,Ed/My,b,Rd=0.15

- Verifica in termini tensionali (4.2.5) - CC 98 Xl=0.20 - Classe 3
Sollecitazioni: T_z=-972.08 M_y=1248.97 M_x=-1.19
Tensioni: σ_N=0.00 σ_M=-385.11 τ=10.28 σ_{max}=-385.11
Tensioni: σ_N=0.00 σ_M=-0.00 τ=79.90 τ_{max}=79.90
Tensioni: σ_N=0.00 σ_M=-385.11 τ=10.28 $\sigma_{ID,max}$=385.52

Asta n. 309 (-1066 -1067) IPE240 iimpalcato Crit. 1

- Verifica di stabilità aste inflesse (4.2.4.1.3.2) CC 98 - Classe 3
L_{cr}=0.20 Curva b: α-imp=0.34 k_c=0.94 ψ=1.07 M,cr=1814550.00 λ_{LT}=0.07
$\lambda_{LT,0}$=0.40 β_{LT}=0.75 Φ_{LT}=0.45 β_{LT}=0.75 f=1.00 χ_{LT}=1.00
CC 98 My,Ed=1443.60 My,b,Rd=8107.84 My,Ed/My,b,Rd=0.18

- Verifica in termini tensionali (4.2.5) - CC 98 Xl=0.20 - Classe 3
Sollecitazioni: T_z=-980.35 M_y=1443.60 M_x=-1.19
Tensioni: σ_N=0.00 σ_M=-445.13 τ=10.28 σ_{max}=-445.13
Tensioni: σ_N=0.00 σ_M=-0.00 τ=80.57 τ_{max}=80.57
Tensioni: σ_N=0.00 σ_M=-445.13 τ=10.28 $\sigma_{ID,max}$=445.48

Asta n. 309 (-1067 -1068) IPE240 iimpalcato Crit. 1

- Verifica di stabilità aste inflesse (4.2.4.1.3.2) CC 98 - Classe 3
L_{cr}=0.40 Curva b: α-imp=0.34 k_c=0.94 ψ=1.12 M,cr=481280.00 λ_{LT}=0.14
$\lambda_{LT,0}$=0.40 β_{LT}=0.75 Φ_{LT}=0.46 β_{LT}=0.75 f=1.00 χ_{LT}=1.00
CC 98 My,Ed=1894.24 My,b,Rd=8107.84 My,Ed/My,b,Rd=0.23

- Verifica in termini tensionali (4.2.5) - CC 98 Xl=0.40 - Classe 3

Sollecitazioni: T_z=-1132.06 M_y=1894.24 M_x=-1.35
Tensioni: σ_N=0.00 σ_M=-584.08 τ=11.63 σ_{max}=-584.08
Tensioni: σ_N=0.00 σ_M=-0.00 τ=93.00 τ_{max}=93.00
Tensioni: σ_N=0.00 σ_M=-584.08 τ=11.63 $\sigma_{ID,max}$=584.42

Asta n. 309 (-1068 -1069) IPE240 iimpalcato Crit. 1

- Verifica di stabilità aste inflesse (4.2.4.1.3.2) CC 98 - Classe 3
L_{cr}=0.40 Curva b: α-imp=0.34 k_c=0.94 ψ=1.18 M,cr=501336.00 λ_{LT}=0.13
$\lambda_{LT,0}$=0.40 β_{LT}=0.75 Φ_{LT}=0.46 β_{LT}=0.75 f=1.00 χ_{LT}=1.00
CC 98 My,Ed=1894.10 My,b,Rd=8107.84 My,Ed/My,b,Rd=0.23

- Verifica in termini tensionali (4.2.5) - CC 98 Xl=0.00 - Classe 3
Sollecitazioni: N=1.17 T_z=1542.78 M_y=1894.10 M_x=2.17
Tensioni: σ_N=0.03 σ_M=584.03 τ=18.73 σ_{max}=584.06
Tensioni: σ_N=0.03 σ_M=-0.00 τ=127.14 τ_{max}=127.14
Tensioni: σ_N=0.03 σ_M=584.03 τ=18.73 $\sigma_{ID,max}$=584.96

Asta n. 309 (-1069 -1070) IPE240 iimpalcato Crit. 1

- Verifica di stabilità aste inflesse (4.2.4.1.3.2) CC 98 - Classe 3
L_{cr}=0.20 Curva b: α-imp=0.34 k_c=0.94 ψ=1.11 M,cr=1880470.00 λ_{LT}=0.07
$\lambda_{LT,0}$=0.40 β_{LT}=0.75 Φ_{LT}=0.45 β_{LT}=0.75 f=1.00 χ_{LT}=1.00
CC 98 My,Ed=1277.77 My,b,Rd=8107.84 My,Ed/My,b,Rd=0.16

- Verifica in termini tensionali (4.2.5) - CC 98 Xl=0.00 - Classe 3
Sollecitazioni: N=1.17 T_z=1390.58 M_y=1277.77 M_x=2.01
Tensioni: σ_N=0.03 σ_M=393.99 τ=17.38 σ_{max}=394.02
Tensioni: σ_N=0.03 σ_M=-0.00 τ=114.67 τ_{max}=114.67
Tensioni: σ_N=0.03 σ_M=393.99 τ=17.38 $\sigma_{ID,max}$=395.17

Asta n. 309 (-1070 -1071) IPE240 iimpalcato Crit. 1

- Verifica di stabilità aste inflesse (4.2.4.1.3.2) CC 98 - Classe 3
L_{cr}=0.20 Curva b: α-imp=0.34 k_c=0.94 ψ=1.15 M,cr=1939610.00 λ_{LT}=0.07
$\lambda_{LT,0}$=0.40 β_{LT}=0.75 Φ_{LT}=0.45 β_{LT}=0.75 f=1.00 χ_{LT}=1.00
CC 98 My,Ed=1000.48 My,b,Rd=8107.84 My,Ed/My,b,Rd=0.12

- Verifica in termini tensionali (4.2.5) - CC 98 Xl=0.00 - Classe 3
Sollecitazioni: N=1.17 T_z=1382.29 M_y=1000.48 M_x=2.01
Tensioni: σ_N=0.03 σ_M=308.49 τ=17.38 σ_{max}=308.52
Tensioni: σ_N=0.03 σ_M=-0.00 τ=114.00 τ_{max}=114.00
Tensioni: σ_N=0.03 σ_M=308.49 τ=17.38 $\sigma_{ID,max}$=309.99

Asta n. 309 (-1071 -1072) IPE240 iimpalcato Crit. 1

- Verifica di stabilità aste inflesse (4.2.4.1.3.2) CC 98 - Classe 3
L_{cr}=0.40 Curva b: α-imp=0.34 k_c=0.94 ψ=1.44 M,cr=613840.00 λ_{LT}=0.12
$\lambda_{LT,0}$=0.40 β_{LT}=0.75 Φ_{LT}=0.46 β_{LT}=0.75 f=1.00 χ_{LT}=1.00
CC 98 My,Ed=727.36 My,b,Rd=8107.84 My,Ed/My,b,Rd=0.09

- Verifica in termini tensionali (4.2.5) - CC 98 Xl=0.00 - Classe 3
Sollecitazioni: N=1.17 T_z=1238.03 M_y=727.36 M_x=1.85
Tensioni: σ_N=0.03 σ_M=224.28 τ=16.01 σ_{max}=224.31
Tensioni: σ_N=0.03 σ_M=-0.00 τ=102.17 τ_{max}=102.17
Tensioni: σ_N=0.03 σ_M=177.93 τ=87.97 $\sigma_{ID,max}$=234.27

Asta n. 309 (-1072 -1073) IPE240 iimpalcato Crit. 1

- Verifica di stabilità aste inflesse (4.2.4.1.3.2) CC 97 - Classe 3
L_{cr}=0.40 Curva b: α-imp=0.34 k_c=0.94 ψ=2.21 M,cr=942871.00 λ_{LT}=0.10
$\lambda_{LT,0}$=0.40 β_{LT}=0.75 Φ_{LT}=0.45 β_{LT}=0.75 f=1.00 χ_{LT}=1.00
CC 97 My,Ed=-297.92 My,b,Rd=8107.84 My,Ed/My,b,Rd=0.04

- Verifica in termini tensionali (4.2.5) - CC 98 Xl=0.00 - Classe 3
Sollecitazioni: N=1.17 T_z=1087.89 M_y=235.51 M_x=1.49
Tensioni: σ_N=0.03 σ_M=72.62 τ=12.91 σ_{max}=72.65
Tensioni: σ_N=0.03 σ_M=-0.00 τ=89.61 τ_{max}=89.61
Tensioni: σ_N=0.03 σ_M=-0.00 τ=89.61 $\sigma_{ID,max}$=155.21

Asta n. 309 (-1073 -1074) IPE240 iimpalcato Crit. 1

- Verifica di stabilità aste inflesse (4.2.4.1.3.2) CC 97 - Classe 3
  L_{cr}=0.40 Curva b: α-imp=0.34 k_c=0.94 ψ=1.33 M,cr=567982.00 λ_{LT}=0.13
  $\lambda_{LT,0}$=0.40 β_{LT}=0.75 Φ_{LT}=0.46 β_{LT}=0.75 f=1.00 χ_{LT}=1.00
  CC 97 My,Ed=-653.86 My,b,Rd=8107.84 My,Ed/My,b,Rd=0.08

- Verifica in termini tensionali (4.2.5) - CC 97 Xl=0.40 - Classe 3
  Sollecitazioni: N=1.17 T_z=881.50 M_y=-653.86 M_x=1.14
  Tensioni: σ_N=0.03 σ_M=201.61 τ=9.82 σ_{max}=201.64
  Tensioni: σ_N=0.03 σ_M=0.00 τ=72.52 τ_{max}=72.52
  Tensioni: σ_N=0.03 σ_M=201.61 τ=9.82 $\sigma_{ID,max}$=202.36

Asta n. 309 (-1074 -1075) IPE240 iimpalcato Crit. 1

- Verifica di stabilità aste inflesse (4.2.4.1.3.2) CC 97 - Classe 3
  L_{cr}=0.40 Curva b: α-imp=0.34 k_c=0.94 ψ=1.17 M,cr=497805.00 λ_{LT}=0.13
  $\lambda_{LT,0}$=0.40 β_{LT}=0.75 Φ_{LT}=0.46 β_{LT}=0.75 f=1.00 χ_{LT}=1.00
  CC 97 My,Ed=-949.14 My,b,Rd=8107.84 My,Ed/My,b,Rd=0.12

- Verifica in termini tensionali (4.2.5) - CC 97 Xl=0.40 - Classe 3
  Sollecitazioni: N=1.17 T_z=729.93 M_y=-949.14
  Tensioni: σ_N=0.03 σ_M=292.66 τ=0.00 σ_{max}=292.69
  Tensioni: σ_N=0.03 σ_M=0.00 τ=59.50 τ_{max}=59.50
  Tensioni: σ_N=0.03 σ_M=292.66 τ=0.00 $\sigma_{ID,max}$=292.69

Asta n. 309 (-1075 -1076) IPE240 iimpalcato Crit. 1

- Verifica di stabilità aste inflesse (4.2.4.1.3.2) CC 97 - Classe 3
  L_{cr}=0.40 Curva b: α-imp=0.34 k_c=0.94 ψ=1.10 M,cr=468886.00 λ_{LT}=0.14
  $\lambda_{LT,0}$=0.40 β_{LT}=0.75 Φ_{LT}=0.46 β_{LT}=0.75 f=1.00 χ_{LT}=1.00
  CC 97 My,Ed=-1184.12 My,b,Rd=8107.84 My,Ed/My,b,Rd=0.15

- Verifica in termini tensionali (4.2.5) - CC 97 Xl=0.40 - Classe 3
  Sollecitazioni: N=1.17 T_z=579.20 M_y=-1184.12
  Tensioni: σ_N=0.03 σ_M=365.12 τ=0.00 σ_{max}=365.14
  Tensioni: σ_N=0.03 σ_M=0.00 τ=47.21 τ_{max}=47.21
  Tensioni: σ_N=0.03 σ_M=365.12 τ=0.00 $\sigma_{ID,max}$=365.14

Asta n. 309 (-1076 -1077) IPE240 iimpalcato Crit. 1

- Verifica di stabilità aste inflesse (4.2.4.1.3.2) CC 97 - Classe 3
  L_{cr}=0.40 Curva b: α-imp=0.34 k_c=0.94 ψ=1.06 M,cr=452604.00 λ_{LT}=0.14
  $\lambda_{LT,0}$=0.40 β_{LT}=0.75 Φ_{LT}=0.46 β_{LT}=0.75 f=1.00 χ_{LT}=1.00
  CC 97 My,Ed=-1359.10 My,b,Rd=8107.84 My,Ed/My,b,Rd=0.17

- Verifica in termini tensionali (4.2.5) - CC 97 Xl=0.40 - Classe 3
  Sollecitazioni: N=1.17 T_z=429.04 M_y=-1359.10
  Tensioni: σ_N=0.03 σ_M=419.07 τ=0.00 σ_{max}=419.10
  Tensioni: σ_N=0.03 σ_M=0.00 τ=34.97 τ_{max}=34.97
  Tensioni: σ_N=0.03 σ_M=419.07 τ=0.00 $\sigma_{ID,max}$=419.10

Asta n. 309 (-1077 -1320) IPE240 iimpalcato Crit. 1

- Verifica di stabilità aste inflesse (4.2.4.1.3.2) CC 97 - Classe 3
  L_{cr}=0.20 Curva b: α-imp=0.34 k_c=0.94 ψ=1.02 M,cr=1723290.00 λ_{LT}=0.07
  $\lambda_{LT,0}$=0.40 β_{LT}=0.75 Φ_{LT}=0.45 β_{LT}=0.75 f=1.00 χ_{LT}=1.00
  CC 97 My,Ed=-1419.60 My,b,Rd=8107.84 My,Ed/My,b,Rd=0.18

- Verifica in termini tensionali (4.2.5) - CC 97 Xl=0.20 - Classe 3
  Sollecitazioni: N=1.17 T_z=285.33 M_y=-1419.60
  Tensioni: σ_N=0.03 σ_M=437.73 τ=0.00 σ_{max}=437.75
  Tensioni: σ_N=0.03 σ_M=0.00 τ=23.26 τ_{max}=23.26
  Tensioni: σ_N=0.03 σ_M=437.73 τ=0.00 $\sigma_{ID,max}$=437.75

Asta n. 309 (-1320 -1078) IPE240 iimpalcato Crit. 1

- Verifica di stabilità aste inflesse (4.2.4.1.3.2) CC 97 - Classe 3

L_{cr}=0.20 Curva b: α-imp=0.34 k_c=0.94 ψ=1.02 M,cr=1721150.00 λ_{LT}=0.07
$\lambda_{LT,0}$=0.40 β_{LT}=0.75 Φ_{LT}=0.45 β_{LT}=0.75 f=1.00 χ_{LT}=1.00
CC 97 My,Ed=-1475.84 My,b,Rd=8107.84 My,Ed/My,b,Rd=0.18

- Verifica in termini tensionali (4.2.5) - CC 97 Xl=0.20 - Classe 3
Sollecitazioni: N=1.17 T_z=277.04 M_y=-1475.84
Tensioni: σ_N=0.03 σ_M=455.07 τ=0.00 σ_{max}=455.10
Tensioni: σ_N=0.03 σ_M=0.00 τ=22.58 τ_{max}=22.58
Tensioni: σ_N=0.03 σ_M=455.07 τ=0.00 $\sigma_{ID,max}$=455.10

Asta n. 309 (-1078 -1322) IPE240 iimpalcato Crit. 1

- Verifica di stabilità aste inflesse (4.2.4.1.3.2) CC 97 - Classe 3
L_{cr}=0.20 Curva b: α-imp=0.34 k_c=0.94 ψ=1.01 M,cr=1705450.00 λ_{LT}=0.07
$\lambda_{LT,0}$=0.40 β_{LT}=0.75 Φ_{LT}=0.45 β_{LT}=0.75 f=1.00 χ_{LT}=1.00
CC 97 My,Ed=-1503.38 My,b,Rd=8107.84 My,Ed/My,b,Rd=0.19

- Verifica in termini tensionali (4.2.5) - CC 97 Xl=0.20 - Classe 3
Sollecitazioni: N=1.17 T_z=132.90 M_y=-1503.38
Tensioni: σ_N=0.03 σ_M=463.56 τ=0.00 σ_{max}=463.59
Tensioni: σ_N=0.03 σ_M=0.00 τ=10.83 τ_{max}=10.83
Tensioni: σ_N=0.03 σ_M=463.56 τ=0.00 $\sigma_{ID,max}$=463.59

Asta n. 309 (-1322 -1079) IPE240 iimpalcato Crit. 1

- Verifica di stabilità aste inflesse (4.2.4.1.3.2) CC 97 - Classe 3
L_{cr}=0.20 Curva b: α-imp=0.34 k_c=0.94 ψ=1.01 M,cr=1704360.00 λ_{LT}=0.07
$\lambda_{LT,0}$=0.40 β_{LT}=0.75 Φ_{LT}=0.45 β_{LT}=0.75 f=1.00 χ_{LT}=1.00
CC 97 My,Ed=-1529.13 My,b,Rd=8107.84 My,Ed/My,b,Rd=0.19

- Verifica in termini tensionali (4.2.5) - CC 97 Xl=0.20 - Classe 3
Sollecitazioni: N=1.17 T_z=124.61 M_y=-1529.13
Tensioni: σ_N=0.03 σ_M=471.50 τ=0.00 σ_{max}=471.53
Tensioni: σ_N=0.03 σ_M=0.00 τ=10.16 τ_{max}=10.16
Tensioni: σ_N=0.03 σ_M=471.50 τ=0.00 $\sigma_{ID,max}$=471.53

Asta n. 309 (-1079 -1080) IPE240 iimpalcato Crit. 1

- Verifica di stabilità aste inflesse (4.2.4.1.3.2) CC 97 - Classe 3
L_{cr}=0.20 Curva b: α-imp=0.34 k_c=0.94 ψ=1.00 M,cr=1692940.00 λ_{LT}=0.07
$\lambda_{LT,0}$=0.40 β_{LT}=0.75 Φ_{LT}=0.45 β_{LT}=0.75 f=1.00 χ_{LT}=1.00
CC 97 My,Ed=-1529.14 My,b,Rd=8107.84 My,Ed/My,b,Rd=0.19

- Verifica in termini tensionali (4.2.5) - CC 97 Xl=0.00 - Classe 3
Sollecitazioni: N=1.17 T_z=-11.24 M_y=-1529.14
Tensioni: σ_N=0.03 σ_M=471.50 τ=0.00 σ_{max}=471.53
Tensioni: σ_N=0.03 σ_M=0.00 τ=0.92 τ_{max}=0.92
Tensioni: σ_N=0.03 σ_M=471.50 τ=0.00 $\sigma_{ID,max}$=471.53

Asta n. 309 (-1080 -1081) IPE240 iimpalcato Crit. 1

- Verifica di stabilità aste inflesse (4.2.4.1.3.2) CC 98 - Classe 3
L_{cr}=0.20 Curva b: α-imp=0.34 k_c=0.94 ψ=1.00 M,cr=1692940.00 λ_{LT}=0.07
$\lambda_{LT,0}$=0.40 β_{LT}=0.75 Φ_{LT}=0.45 β_{LT}=0.75 f=1.00 χ_{LT}=1.00
CC 98 My,Ed=-1529.14 My,b,Rd=8107.84 My,Ed/My,b,Rd=0.19

- Verifica in termini tensionali (4.2.5) - CC 98 Xl=0.20 - Classe 3
Sollecitazioni: N=1.17 T_z=11.24 M_y=-1529.14
Tensioni: σ_N=0.03 σ_M=471.50 τ=0.00 σ_{max}=471.53
Tensioni: σ_N=0.03 σ_M=0.00 τ=0.92 τ_{max}=0.92
Tensioni: σ_N=0.03 σ_M=471.50 τ=0.00 $\sigma_{ID,max}$=471.53

Asta n. 309 (-1081 -1275) IPE240 iimpalcato Crit. 1

- Verifica di stabilità aste inflesse (4.2.4.1.3.2) CC 98 - Classe 3
L_{cr}=0.20 Curva b: α-imp=0.34 k_c=0.94 ψ=1.01 M,cr=1704360.00 λ_{LT}=0.07
$\lambda_{LT,0}$=0.40 β_{LT}=0.75 Φ_{LT}=0.45 β_{LT}=0.75 f=1.00 χ_{LT}=1.00
CC 98 My,Ed=-1529.13 My,b,Rd=8107.84 My,Ed/My,b,Rd=0.19

- Verifica in termini tensionali (4.2.5) - CC 98 Xl=0.00 - Classe 3
  Sollecitazioni: N=1.17 T_z=-124.61 M_y=-1529.13
  Tensioni: σ_N=0.03 σ_M=471.50 τ=0.00 σ_{max}=471.53
  Tensioni: σ_N=0.03 σ_M=0.00 τ=10.16 τ_{max}=10.16
  Tensioni: σ_N=0.03 σ_M=471.50 τ=0.00 $\sigma_{ID,max}$=471.53

Asta n. 309 (-1275 -1082) IPE240 iimpalcato Crit. 1

- Verifica di stabilità aste inflesse (4.2.4.1.3.2) CC 98 - Classe 3
  L_{cr}=0.20 Curva b: α-imp=0.34 k_c=0.94 ψ=1.01 M,cr=1705450.00 λ_{LT}=0.07
  $\lambda_{LT,0}$=0.40 β_{LT}=0.75 Φ_{LT}=0.45 β_{LT}=0.75 f=1.00 χ_{LT}=1.00
  CC 98 My,Ed=-1503.38 My,b,Rd=8107.84 My,Ed/My,b,Rd=0.19

- Verifica in termini tensionali (4.2.5) - CC 98 Xl=0.00 - Classe 3
  Sollecitazioni: N=1.17 T_z=-132.90 M_y=-1503.38
  Tensioni: σ_N=0.03 σ_M=463.56 τ=0.00 σ_{max}=463.59
  Tensioni: σ_N=0.03 σ_M=0.00 τ=10.83 τ_{max}=10.83
  Tensioni: σ_N=0.03 σ_M=463.56 τ=0.00 $\sigma_{ID,max}$=463.59

Asta n. 309 (-1082 -1277) IPE240 iimpalcato Crit. 1

- Verifica di stabilità aste inflesse (4.2.4.1.3.2) CC 98 - Classe 3
  L_{cr}=0.20 Curva b: α-imp=0.34 k_c=0.94 ψ=1.02 M,cr=1721150.00 λ_{LT}=0.07
  $\lambda_{LT,0}$=0.40 β_{LT}=0.75 Φ_{LT}=0.45 β_{LT}=0.75 f=1.00 χ_{LT}=1.00
  CC 98 My,Ed=-1475.84 My,b,Rd=8107.84 My,Ed/My,b,Rd=0.18

- Verifica in termini tensionali (4.2.5) - CC 98 Xl=0.00 - Classe 3
  Sollecitazioni: N=1.17 T_z=-277.04 M_y=-1475.84
  Tensioni: σ_N=0.03 σ_M=455.07 τ=0.00 σ_{max}=455.10
  Tensioni: σ_N=0.03 σ_M=0.00 τ=22.58 τ_{max}=22.58
  Tensioni: σ_N=0.03 σ_M=455.07 τ=0.00 $\sigma_{ID,max}$=455.10

Asta n. 309 (-1277 -1083) IPE240 iimpalcato Crit. 1

- Verifica di stabilità aste inflesse (4.2.4.1.3.2) CC 98 - Classe 3
  L_{cr}=0.20 Curva b: α-imp=0.34 k_c=0.94 ψ=1.02 M,cr=1723290.00 λ_{LT}=0.07
  $\lambda_{LT,0}$=0.40 β_{LT}=0.75 Φ_{LT}=0.45 β_{LT}=0.75 f=1.00 χ_{LT}=1.00
  CC 98 My,Ed=-1419.60 My,b,Rd=8107.84 My,Ed/My,b,Rd=0.18

- Verifica in termini tensionali (4.2.5) - CC 98 Xl=0.00 - Classe 3
  Sollecitazioni: N=1.17 T_z=-285.33 M_y=-1419.60
  Tensioni: σ_N=0.03 σ_M=437.73 τ=0.00 σ_{max}=437.75
  Tensioni: σ_N=0.03 σ_M=0.00 τ=23.26 τ_{max}=23.26
  Tensioni: σ_N=0.03 σ_M=437.73 τ=0.00 $\sigma_{ID,max}$=437.75

Asta n. 309 (-1083 -1084) IPE240 iimpalcato Crit. 1

- Verifica di stabilità aste inflesse (4.2.4.1.3.2) CC 98 - Classe 3
  L_{cr}=0.40 Curva b: α-imp=0.34 k_c=0.94 ψ=1.06 M,cr=452604.00 λ_{LT}=0.14
  $\lambda_{LT,0}$=0.40 β_{LT}=0.75 Φ_{LT}=0.46 β_{LT}=0.75 f=1.00 χ_{LT}=1.00
  CC 98 My,Ed=-1359.10 My,b,Rd=8107.84 My,Ed/My,b,Rd=0.17

- Verifica in termini tensionali (4.2.5) - CC 98 Xl=0.00 - Classe 3
  Sollecitazioni: N=1.17 T_z=-429.04 M_y=-1359.10
  Tensioni: σ_N=0.03 σ_M=419.07 τ=0.00 σ_{max}=419.10
  Tensioni: σ_N=0.03 σ_M=0.00 τ=34.97 τ_{max}=34.97
  Tensioni: σ_N=0.03 σ_M=419.07 τ=0.00 $\sigma_{ID,max}$=419.10

Asta n. 309 (-1084 -1085) IPE240 iimpalcato Crit. 1

- Verifica di stabilità aste inflesse (4.2.4.1.3.2) CC 98 - Classe 3
  L_{cr}=0.40 Curva b: α-imp=0.34 k_c=0.94 ψ=1.10 M,cr=468886.00 λ_{LT}=0.14
  $\lambda_{LT,0}$=0.40 β_{LT}=0.75 Φ_{LT}=0.46 β_{LT}=0.75 f=1.00 χ_{LT}=1.00
  CC 98 My,Ed=-1184.12 My,b,Rd=8107.84 My,Ed/My,b,Rd=0.15

- Verifica in termini tensionali (4.2.5) - CC 98 Xl=0.00 - Classe 3
  Sollecitazioni: N=1.17 T_z=-579.20 M_y=-1184.12
  Tensioni: σ_N=0.03 σ_M=365.12 τ=0.00 σ_{max}=365.14
  Tensioni: σ_N=0.03 σ_M=0.00 τ=47.21 τ_{max}=47.21

Tensioni: σ_N=0.03 σ_M=365.12 τ=0.00 $\sigma_{ID,max}$=365.14

Asta n. 309 (-1085 -1086) IPE240 iimpalcato Crit. 1

- Verifica di stabilità aste inflesse (4.2.4.1.3.2) CC 98 - Classe 3
  L_{cr}=0.40 Curva b: α-imp=0.34 k_c=0.94 ψ=1.17 M,cr=497804.00 λ_{LT}=0.13
  $\lambda_{LT,0}$=0.40 β_{LT}=0.75 Φ_{LT}=0.46 β_{LT}=0.75 f=1.00 χ_{LT}=1.00
  CC 98 My,Ed=-949.14 My,b,Rd=8107.84 My,Ed/My,b,Rd=0.12

- Verifica in termini tensionali (4.2.5) - CC 98 Xl=0.00 - Classe 3
  Sollecitazioni: N=1.17 T_z=-729.93 M_y=-949.14
  Tensioni: σ_N=0.03 σ_M=292.66 τ=0.00 σ_{max}=292.69
  Tensioni: σ_N=0.03 σ_M=0.00 τ=59.50 τ_{max}=59.50
  Tensioni: σ_N=0.03 σ_M=292.66 τ=0.00 $\sigma_{ID,max}$=292.69

Asta n. 309 (-1086 -1087) IPE240 iimpalcato Crit. 1

- Verifica di stabilità aste inflesse (4.2.4.1.3.2) CC 98 - Classe 3
  L_{cr}=0.40 Curva b: α-imp=0.34 k_c=0.94 ψ=1.33 M,cr=567983.00 λ_{LT}=0.13
  $\lambda_{LT,0}$=0.40 β_{LT}=0.75 Φ_{LT}=0.46 β_{LT}=0.75 f=1.00 χ_{LT}=1.00
  CC 98 My,Ed=-653.86 My,b,Rd=8107.84 My,Ed/My,b,Rd=0.08

- Verifica in termini tensionali (4.2.5) - CC 98 Xl=0.00 - Classe 3
  Sollecitazioni: N=1.17 T_z=-881.50 M_y=-653.86 M_x=-1.14
  Tensioni: σ_N=0.03 σ_M=201.61 τ=9.82 σ_{max}=201.64
  Tensioni: σ_N=0.03 σ_M=0.00 τ=72.52 τ_{max}=72.52
  Tensioni: σ_N=0.03 σ_M=201.61 τ=9.82 $\sigma_{ID,max}$=202.36

Asta n. 309 (-1087 -1088) IPE240 iimpalcato Crit. 1

- Verifica di stabilità aste inflesse (4.2.4.1.3.2) CC 98 - Classe 3
  L_{cr}=0.40 Curva b: α-imp=0.34 k_c=0.94 ψ=2.21 M,cr=942868.00 λ_{LT}=0.10
  $\lambda_{LT,0}$=0.40 β_{LT}=0.75 Φ_{LT}=0.45 β_{LT}=0.75 f=1.00 χ_{LT}=1.00
  CC 98 My,Ed=-297.92 My,b,Rd=8107.84 My,Ed/My,b,Rd=0.04

- Verifica in termini tensionali (4.2.5) - CC 97 Xl=0.40 - Classe 3
  Sollecitazioni: N=1.17 T_z=-1087.89 M_y=235.51 M_x=-1.49
  Tensioni: σ_N=0.03 σ_M=72.62 τ=12.91 σ_{max}=72.65
  Tensioni: σ_N=0.03 σ_M=-0.00 τ=89.61 τ_{max}=89.61
  Tensioni: σ_N=0.03 σ_M=-0.00 τ=89.61 $\sigma_{ID,max}$=155.21

Asta n. 309 (-1088 -1089) IPE240 iimpalcato Crit. 1

- Verifica di stabilità aste inflesse (4.2.4.1.3.2) CC 97 - Classe 3
  L_{cr}=0.40 Curva b: α-imp=0.34 k_c=0.94 ψ=1.44 M,cr=613841.00 λ_{LT}=0.12
  $\lambda_{LT,0}$=0.40 β_{LT}=0.75 Φ_{LT}=0.46 β_{LT}=0.75 f=1.00 χ_{LT}=1.00
  CC 97 My,Ed=727.36 My,b,Rd=8107.84 My,Ed/My,b,Rd=0.09

- Verifica in termini tensionali (4.2.5) - CC 97 Xl=0.40 - Classe 3
  Sollecitazioni: N=1.17 T_z=-1238.03 M_y=727.36 M_x=-1.85
  Tensioni: σ_N=0.03 σ_M=224.28 τ=16.01 σ_{max}=224.31
  Tensioni: σ_N=0.03 σ_M=-0.00 τ=102.17 τ_{max}=102.17
  Tensioni: σ_N=0.03 σ_M=177.93 τ=87.97 $\sigma_{ID,max}$=234.27

Asta n. 309 (-1089 -1090) IPE240 iimpalcato Crit. 1

- Verifica di stabilità aste inflesse (4.2.4.1.3.2) CC 97 - Classe 3
  L_{cr}=0.20 Curva b: α-imp=0.34 k_c=0.94 ψ=1.15 M,cr=1939610.00 λ_{LT}=0.07
  $\lambda_{LT,0}$=0.40 β_{LT}=0.75 Φ_{LT}=0.45 β_{LT}=0.75 f=1.00 χ_{LT}=1.00
  CC 97 My,Ed=1000.48 My,b,Rd=8107.84 My,Ed/My,b,Rd=0.12

- Verifica in termini tensionali (4.2.5) - CC 97 Xl=0.20 - Classe 3
  Sollecitazioni: N=1.17 T_z=-1382.29 M_y=1000.48 M_x=-2.01
  Tensioni: σ_N=0.03 σ_M=308.49 τ=17.38 σ_{max}=308.52
  Tensioni: σ_N=0.03 σ_M=-0.00 τ=114.00 τ_{max}=114.00
  Tensioni: σ_N=0.03 σ_M=308.49 τ=17.38 $\sigma_{ID,max}$=309.99

Asta n. 309 (-1090 -1091) IPE240 iimpalcato Crit. 1

- Verifica di stabilità aste inflesse (4.2.4.1.3.2) CC 97 - Classe 3
  L_{cr}=0.20 Curva b: α-imp=0.34 k_c=0.94 ψ=1.11 M,cr=1880460.00 λ_{LT}=0.07
  $\lambda_{LT,0}$=0.40 β_{LT}=0.75 Φ_{LT}=0.45 β_{LT}=0.75 f=1.00 χ_{LT}=1.00
  CC 97 My,Ed=1277.77 My,b,Rd=8107.84 My,Ed/My,b,Rd=0.16

- Verifica in termini tensionali (4.2.5) - CC 97 Xl=0.20 - Classe 3
  Sollecitazioni: N=1.17 T_z=-1390.58 M_y=1277.77 M_x=-2.01
  Tensioni: σ_N=0.03 σ_M=393.99 τ=17.38 σ_{max}=394.02
  Tensioni: σ_N=0.03 σ_M=-0.00 τ=114.67 τ_{max}=114.67
  Tensioni: σ_N=0.03 σ_M=393.99 τ=17.38 $\sigma_{ID,max}$=395.17

Asta n. 309 (-1091 -1092) IPE240 iimpalcato Crit. 1

- Verifica di stabilità aste inflesse (4.2.4.1.3.2) CC 97 - Classe 3
  L_{cr}=0.40 Curva b: α-imp=0.34 k_c=0.94 ψ=1.18 M,cr=501339.00 λ_{LT}=0.13
  $\lambda_{LT,0}$=0.40 β_{LT}=0.75 Φ_{LT}=0.46 β_{LT}=0.75 f=1.00 χ_{LT}=1.00
  CC 97 My,Ed=1894.10 My,b,Rd=8107.84 My,Ed/My,b,Rd=0.23

- Verifica in termini tensionali (4.2.5) - CC 97 Xl=0.40 - Classe 3
  Sollecitazioni: N=1.17 T_z=-1542.78 M_y=1894.10 M_x=-2.17
  Tensioni: σ_N=0.03 σ_M=584.03 τ=18.73 σ_{max}=584.06
  Tensioni: σ_N=0.03 σ_M=-0.00 τ=127.14 τ_{max}=127.14
  Tensioni: σ_N=0.03 σ_M=584.03 τ=18.73 $\sigma_{ID,max}$=584.96

Asta n. 309 (-1092 -1093) IPE240 iimpalcato Crit. 1

- Verifica di stabilità aste inflesse (4.2.4.1.3.2) CC 97 - Classe 3
  L_{cr}=0.40 Curva b: α-imp=0.34 k_c=0.94 ψ=1.12 M,cr=481280.00 λ_{LT}=0.14
  $\lambda_{LT,0}$=0.40 β_{LT}=0.75 Φ_{LT}=0.46 β_{LT}=0.75 f=1.00 χ_{LT}=1.00
  CC 97 My,Ed=1894.24 My,b,Rd=8107.84 My,Ed/My,b,Rd=0.23

- Verifica in termini tensionali (4.2.5) - CC 97 Xl=0.00 - Classe 3
  Sollecitazioni: T_z=1132.05 M_y=1894.24 M_x=1.35
  Tensioni: σ_N=0.00 σ_M=-584.08 τ=11.63 σ_{max}=-584.08
  Tensioni: σ_N=0.00 σ_M=-0.00 τ=93.00 τ_{max}=93.00
  Tensioni: σ_N=0.00 σ_M=-584.08 τ=11.63 $\sigma_{ID,max}$=584.42

Asta n. 309 (-1093 -1094) IPE240 iimpalcato Crit. 1

- Verifica di stabilità aste inflesse (4.2.4.1.3.2) CC 97 - Classe 3
  L_{cr}=0.20 Curva b: α-imp=0.34 k_c=0.94 ψ=1.07 M,cr=1814560.00 λ_{LT}=0.07
  $\lambda_{LT,0}$=0.40 β_{LT}=0.75 Φ_{LT}=0.45 β_{LT}=0.75 f=1.00 χ_{LT}=1.00
  CC 97 My,Ed=1443.56 My,b,Rd=8107.84 My,Ed/My,b,Rd=0.18

- Verifica in termini tensionali (4.2.5) - CC 97 Xl=0.00 - Classe 3
  Sollecitazioni: T_z=980.34 M_y=1443.56 M_x=1.19
  Tensioni: σ_N=0.00 σ_M=-445.11 τ=10.28 σ_{max}=-445.11
  Tensioni: σ_N=0.00 σ_M=-0.00 τ=80.56 τ_{max}=80.56
  Tensioni: σ_N=0.00 σ_M=-445.11 τ=10.28 $\sigma_{ID,max}$=445.47

Asta n. 309 (-1094 -1095) IPE240 iimpalcato Crit. 1

- Verifica di stabilità aste inflesse (4.2.4.1.3.2) CC 97 - Classe 3
  L_{cr}=0.20 Curva b: α-imp=0.34 k_c=0.94 ψ=1.08 M,cr=1832530.00 λ_{LT}=0.07
  $\lambda_{LT,0}$=0.40 β_{LT}=0.75 Φ_{LT}=0.45 β_{LT}=0.75 f=1.00 χ_{LT}=1.00
  CC 97 My,Ed=1249.00 My,b,Rd=8107.84 My,Ed/My,b,Rd=0.15

- Verifica in termini tensionali (4.2.5) - CC 97 Xl=0.00 - Classe 3
  Sollecitazioni: T_z=972.07 M_y=1249.00 M_x=1.19
  Tensioni: σ_N=0.00 σ_M=-385.12 τ=10.28 σ_{max}=-385.12
  Tensioni: σ_N=0.00 σ_M=-0.00 τ=79.90 τ_{max}=79.90
  Tensioni: σ_N=0.00 σ_M=-385.12 τ=10.28 $\sigma_{ID,max}$=385.53

Asta n. 309 (-1095 -1096) IPE240 iimpalcato Crit. 1

- Verifica di stabilità aste inflesse (4.2.4.1.3.2) CC 97 - Classe 3
  L_{cr}=0.40 Curva b: α-imp=0.34 k_c=0.94 ψ=1.17 M,cr=500303.00 λ_{LT}=0.13
  $\lambda_{LT,0}$=0.40 β_{LT}=0.75 Φ_{LT}=0.46 β_{LT}=0.75 f=1.00 χ_{LT}=1.00
  CC 97 My,Ed=1058.48 My,b,Rd=8107.84 My,Ed/My,b,Rd=0.13

- Verifica in termini tensionali (4.2.5) - CC 97 Xl=0.00 - Classe 3
  Sollecitazioni: T_z=828.28 M_y=1058.48 M_x=1.03
  Tensioni: σ_N=0.00 σ_M=-326.38 τ=8.91 σ_{max}=-326.38
  Tensioni: σ_N=0.00 σ_M=-0.00 τ=68.10 τ_{max}=68.10
  Tensioni: σ_N=0.00 σ_M=-326.38 τ=8.91 $\sigma_{ID,max}$=326.74

Asta n. 309 (-1096 -1097) IPE240 iimpalcato Crit. 1

- Verifica di stabilità aste inflesse (4.2.4.1.3.2) CC 97 - Classe 3
  L_{cr}=0.40 Curva b: α-imp=0.34 k_c=0.94 ψ=1.20 M,cr=516081.00 λ_{LT}=0.13
  $\lambda_{LT,0}$=0.40 β_{LT}=0.75 Φ_{LT}=0.46 β_{LT}=0.75 f=1.00 χ_{LT}=1.00
  CC 97 My,Ed=731.59 My,b,Rd=8107.84 My,Ed/My,b,Rd=0.09

- Verifica in termini tensionali (4.2.5) - CC 97 Xl=0.00 - Classe 3
  Sollecitazioni: T_z=678.61 M_y=731.59
  Tensioni: σ_N=0.00 σ_M=-225.58 τ=0.00 σ_{max}=-225.58
  Tensioni: σ_N=0.00 σ_M=-0.00 τ=55.31 τ_{max}=55.31
  Tensioni: σ_N=0.00 σ_M=-225.58 τ=0.00 $\sigma_{ID,max}$=225.58

Asta n. 309 (-1097 -1098) IPE240 iimpalcato Crit. 1

- Verifica di stabilità aste inflesse (4.2.4.1.3.2) CC 97 - Classe 3
  L_{cr}=0.40 Curva b: α-imp=0.34 k_c=0.94 ψ=1.26 M,cr=540230.00 λ_{LT}=0.13
  $\lambda_{LT,0}$=0.40 β_{LT}=0.75 Φ_{LT}=0.46 β_{LT}=0.75 f=1.00 χ_{LT}=1.00
  CC 97 My,Ed=464.23 My,b,Rd=8107.84 My,Ed/My,b,Rd=0.06

- Verifica in termini tensionali (4.2.5) - CC 97 Xl=0.00 - Classe 3
  Sollecitazioni: T_z=528.23 M_y=464.23
  Tensioni: σ_N=0.00 σ_M=-143.14 τ=0.00 σ_{max}=-143.14
  Tensioni: σ_N=0.00 σ_M=-0.00 τ=43.06 τ_{max}=43.06
  Tensioni: σ_N=0.00 σ_M=-143.14 τ=0.00 $\sigma_{ID,max}$=143.14

Asta n. 309 (-1098 -1099) IPE240 iimpalcato Crit. 1

- Verifica di stabilità aste inflesse (4.2.4.1.3.2) CC 97 - Classe 3
  L_{cr}=0.40 Curva b: α-imp=0.34 k_c=0.94 ψ=1.36 M,cr=581143.00 λ_{LT}=0.12
  $\lambda_{LT,0}$=0.40 β_{LT}=0.75 Φ_{LT}=0.46 β_{LT}=0.75 f=1.00 χ_{LT}=1.00
  CC 97 My,Ed=256.88 My,b,Rd=8107.84 My,Ed/My,b,Rd=0.03

- Verifica in termini tensionali (4.2.5) - CC 97 Xl=0.00 - Classe 3
  Sollecitazioni: T_z=377.36 M_y=256.88
  Tensioni: σ_N=0.00 σ_M=-79.21 τ=0.00 σ_{max}=-79.21
  Tensioni: σ_N=0.00 σ_M=-0.00 τ=30.76 τ_{max}=30.76
  Tensioni: σ_N=0.00 σ_M=-79.21 τ=0.00 $\sigma_{ID,max}$=79.21

Asta n. 309 (-1099 -1100) IPE240 iimpalcato Crit. 1

- Verifica di stabilità aste inflesse (4.2.4.1.3.2) CC 97 - Classe 3
  L_{cr}=0.40 Curva b: α-imp=0.34 k_c=0.94 ψ=1.55 M,cr=662779.00 λ_{LT}=0.12
  $\lambda_{LT,0}$=0.40 β_{LT}=0.75 Φ_{LT}=0.46 β_{LT}=0.75 f=1.00 χ_{LT}=1.00
  CC 97 My,Ed=109.71 My,b,Rd=8107.84 My,Ed/My,b,Rd=0.01

- Verifica in termini tensionali (4.2.5) - CC 97 Xl=0.00 - Classe 3
  Sollecitazioni: T_z=226.85 M_y=109.71
  Tensioni: σ_N=0.00 σ_M=-33.83 τ=0.00 σ_{max}=-33.83
  Tensioni: σ_N=0.00 σ_M=-0.00 τ=18.49 τ_{max}=18.49
  Tensioni: σ_N=0.00 σ_M=-26.84 τ=15.85 $\sigma_{ID,max}$=38.39

Asta n. 309 (-1100 -1101) IPE240 iimpalcato Crit. 1

- Verifica di stabilità aste inflesse (4.2.4.1.3.2) CC 97 - Classe 3
  L_{cr}=0.40 Curva b: α-imp=0.34 k_c=0.94 ψ=1.97 M,cr=845647.00 λ_{LT}=0.10
  $\lambda_{LT,0}$=0.40 β_{LT}=0.75 Φ_{LT}=0.45 β_{LT}=0.75 f=1.00 χ_{LT}=1.00
  CC 97 My,Ed=22.54 My,b,Rd=8107.84 My,Ed/My,b,Rd=0.00

- Verifica in termini tensionali (4.2.5) - CC 97 Xl=0.00 - Classe 3
  Sollecitazioni: T_z=76.19 M_y=22.54
  Tensioni: σ_N=0.00 σ_M=-6.95 τ=0.00 σ_{max}=-6.95

Tensioni: σ_N=0.00 σ_M=-0.00 τ=6.21 τ_{max}=6.21
Tensioni: σ_N=0.00 σ_M=-0.00 τ=6.21 $\sigma_{ID,max}$=10.76

Asta n. 309 (-1101 -1102) IPE240 iimpalcato Crit. 1

- Verifica di stabilità aste inflesse (4.2.4.1.3.2) CC 98 - Classe 3
L_{cr}=0.31 Curva b: α-imp=0.34 k_c=0.94 ψ=1.75 M,cr=1236090.00 λ_{LT}=0.08
$\lambda_{LT,0}$=0.40 β_{LT}=0.75 Φ_{LT}=0.45 β_{LT}=0.75 f=1.00 χ_{LT}=1.00
CC 98 My,Ed=-19.07 My,b,Rd=8107.84 My,Ed/My,b,Rd=0.00

- Verifica in termini tensionali (4.2.5) - CC 98 Xl=0.31 - Classe 3
Sollecitazioni: T_z=-67.95
Tensioni: σ_N=0.00 σ_M=0.00 τ=0.00 σ_{max}=0.00
Tensioni: σ_N=0.00 σ_M=0.00 τ=5.54 τ_{max}=5.54
Tensioni: σ_N=0.00 σ_M=0.00 τ=5.54 $\sigma_{ID,max}$=9.59

Asta n. 310 (-1146 -1147) IPE240 iimpalcato Crit. 1

- Verifica di stabilità aste inflesse (4.2.4.1.3.2) CC 97 - Classe 3
L_{cr}=0.31 Curva b: α-imp=0.34 k_c=0.94 ψ=1.75 M,cr=1236090.00 λ_{LT}=0.08
$\lambda_{LT,0}$=0.40 β_{LT}=0.75 Φ_{LT}=0.45 β_{LT}=0.75 f=1.00 χ_{LT}=1.00
CC 97 My,Ed=-23.80 My,b,Rd=8107.84 My,Ed/My,b,Rd=0.00

- Verifica in termini tensionali (4.2.5) - CC 98 Xl=0.00 - Classe 3
Sollecitazioni: T_z=37.30 M_x=-7.09
Tensioni: σ_N=0.00 σ_M=0.00 τ=0.00 σ_{max}=0.00
Tensioni: σ_N=0.00 σ_M=0.00 τ=61.34 τ_{max}=61.34
Tensioni: σ_N=0.00 σ_M=0.00 τ=61.34 $\sigma_{ID,max}$=106.25

Asta n. 310 (-1147 -1148) IPE240 iimpalcato Crit. 1

- Verifica di stabilità aste inflesse (4.2.4.1.3.2) CC 97 - Classe 3
L_{cr}=0.40 Curva b: α-imp=0.34 k_c=0.94 ψ=1.15 M,cr=492991.00 λ_{LT}=0.13
$\lambda_{LT,0}$=0.40 β_{LT}=0.75 Φ_{LT}=0.46 β_{LT}=0.75 f=1.00 χ_{LT}=1.00
CC 97 My,Ed=-23.80 My,b,Rd=8107.84 My,Ed/My,b,Rd=0.00

- Verifica in termini tensionali (4.2.5) - CC 98 Xl=0.40 - Classe 3
Sollecitazioni: T_z=-70.96 M_y=15.43 M_x=-6.36
Tensioni: σ_N=0.00 σ_M=-4.76 τ=54.99 σ_{max}=-4.76
Tensioni: σ_N=0.00 σ_M=-0.00 τ=55.30 τ_{max}=55.30
Tensioni: σ_N=0.00 σ_M=-0.00 τ=55.30 $\sigma_{ID,max}$=95.77

Asta n. 310 (-1148 -1149) IPE240 iimpalcato Crit. 1

- Verifica di stabilità aste inflesse (4.2.4.1.3.2) CC 98 - Classe 3
L_{cr}=0.40 Curva b: α-imp=0.34 k_c=0.94 ψ=1.61 M,cr=688878.00 λ_{LT}=0.11
$\lambda_{LT,0}$=0.40 β_{LT}=0.75 Φ_{LT}=0.46 β_{LT}=0.75 f=1.00 χ_{LT}=1.00
CC 98 My,Ed=109.29 My,b,Rd=8107.84 My,Ed/My,b,Rd=0.01

- Verifica in termini tensionali (4.2.5) - CC 98 Xl=0.40 - Classe 3
Sollecitazioni: T_z=-243.66 M_y=109.29 M_x=-4.91
Tensioni: σ_N=0.00 σ_M=-33.70 τ=42.43 σ_{max}=-33.70
Tensioni: σ_N=0.00 σ_M=-0.00 τ=46.85 τ_{max}=46.85
Tensioni: σ_N=0.00 σ_M=-26.73 τ=45.72 $\sigma_{ID,max}$=83.58

Asta n. 310 (-1149 -1150) IPE240 iimpalcato Crit. 1

- Verifica di stabilità aste inflesse (4.2.4.1.3.2) CC 98 - Classe 3
L_{cr}=0.40 Curva b: α-imp=0.34 k_c=0.94 ψ=1.38 M,cr=589766.00 λ_{LT}=0.12
$\lambda_{LT,0}$=0.40 β_{LT}=0.75 Φ_{LT}=0.46 β_{LT}=0.75 f=1.00 χ_{LT}=1.00
CC 98 My,Ed=271.93 My,b,Rd=8107.84 My,Ed/My,b,Rd=0.03

- Verifica in termini tensionali (4.2.5) - CC 98 Xl=0.40 - Classe 3
Sollecitazioni: T_z=-416.12 M_y=271.93 M_x=-3.46
Tensioni: σ_N=0.00 σ_M=-83.85 τ=29.90 σ_{max}=-83.85
Tensioni: σ_N=0.00 σ_M=-0.00 τ=45.22 τ_{max}=45.22
Tensioni: σ_N=0.00 σ_M=-83.85 τ=29.90 $\sigma_{ID,max}$=98.55

Asta n. 310 (-1150 -1151) IPE240 iimpalcato Crit. 1

- Verifica di stabilità aste inflesse (4.2.4.1.3.2) CC 98 - Classe 3
  L_{cr}=0.40 Curva b: α-imp=0.34 k_c=0.94 ψ=1.27 M,cr=544366.00 λ_{LT}=0.13
  $\lambda_{LT,0}$=0.40 β_{LT}=0.75 Φ_{LT}=0.46 β_{LT}=0.75 f=1.00 χ_{LT}=1.00
  CC 98 My,Ed=503.54 My,b,Rd=8107.84 My,Ed/My,b,Rd=0.06

- Verifica in termini tensionali (4.2.5) - CC 98 Xl=0.40 - Classe 3
  Sollecitazioni: T_z=-589.14 M_y=503.54 M_x=-2.00
  Tensioni: σ_N=0.00 σ_M=-155.26 τ=17.27 σ_{max}=-155.26
  Tensioni: σ_N=0.00 σ_M=-0.00 τ=51.03 τ_{max}=51.03
  Tensioni: σ_N=0.00 σ_M=-155.26 τ=17.27 $\sigma_{ID,max}$=158.12

Asta n. 310 (-1151 -1152) IPE240 iimpalcato Crit. 1

- Verifica di stabilità aste inflesse (4.2.4.1.3.2) CC 98 - Classe 3
  L_{cr}=0.40 Curva b: α-imp=0.34 k_c=0.94 ψ=1.21 M,cr=518437.00 λ_{LT}=0.13
  $\lambda_{LT,0}$=0.40 β_{LT}=0.75 Φ_{LT}=0.46 β_{LT}=0.75 f=1.00 χ_{LT}=1.00
  CC 98 My,Ed=803.87 My,b,Rd=8107.84 My,Ed/My,b,Rd=0.10

- Verifica in termini tensionali (4.2.5) - CC 98 Xl=0.40 - Classe 3
  Sollecitazioni: T_z=-761.34 M_y=803.87
  Tensioni: σ_N=0.00 σ_M=-247.87 τ=0.00 σ_{max}=-247.87
  Tensioni: σ_N=0.00 σ_M=-0.00 τ=62.06 τ_{max}=62.06
  Tensioni: σ_N=0.00 σ_M=-247.87 τ=0.00 $\sigma_{ID,max}$=247.87

Asta n. 310 (-1152 -1153) IPE240 iimpalcato Crit. 1

- Verifica di stabilità aste inflesse (4.2.4.1.3.2) CC 98 - Classe 3
  L_{cr}=0.40 Curva b: α-imp=0.34 k_c=0.94 ψ=1.17 M,cr=501790.00 λ_{LT}=0.13
  $\lambda_{LT,0}$=0.40 β_{LT}=0.75 Φ_{LT}=0.46 β_{LT}=0.75 f=1.00 χ_{LT}=1.00
  CC 98 My,Ed=1172.32 My,b,Rd=8107.84 My,Ed/My,b,Rd=0.14

- Verifica in termini tensionali (4.2.5) - CC 98 Xl=0.40 - Classe 3
  Sollecitazioni: T_z=-932.49 M_y=1172.32
  Tensioni: σ_N=0.00 σ_M=-361.48 τ=0.00 σ_{max}=-361.48
  Tensioni: σ_N=0.00 σ_M=-0.00 τ=76.01 τ_{max}=76.01
  Tensioni: σ_N=0.00 σ_M=-361.48 τ=0.00 $\sigma_{ID,max}$=361.48

Asta n. 310 (-1153 -1154) IPE240 iimpalcato Crit. 1

- Verifica di stabilità aste inflesse (4.2.4.1.3.2) CC 98 - Classe 3
  L_{cr}=0.20 Curva b: α-imp=0.34 k_c=0.94 ψ=1.08 M,cr=1835290.00 λ_{LT}=0.07
  $\lambda_{LT,0}$=0.40 β_{LT}=0.75 Φ_{LT}=0.45 β_{LT}=0.75 f=1.00 χ_{LT}=1.00
  CC 98 My,Ed=1388.26 My,b,Rd=8107.84 My,Ed/My,b,Rd=0.17

- Verifica in termini tensionali (4.2.5) - CC 98 Xl=0.20 - Classe 3
  Sollecitazioni: T_z=-1100.75 M_y=1388.26 M_x=2.57
  Tensioni: σ_N=0.00 σ_M=-428.06 τ=22.26 σ_{max}=-428.06
  Tensioni: σ_N=0.00 σ_M=-0.00 τ=92.44 τ_{max}=92.44
  Tensioni: σ_N=0.00 σ_M=-428.06 τ=22.26 $\sigma_{ID,max}$=429.80

Asta n. 310 (-1154 -1155) IPE240 iimpalcato Crit. 1

- Verifica di stabilità aste inflesse (4.2.4.1.3.2) CC 98 - Classe 3
  L_{cr}=0.20 Curva b: α-imp=0.34 k_c=0.94 ψ=1.07 M,cr=1816470.00 λ_{LT}=0.07
  $\lambda_{LT,0}$=0.40 β_{LT}=0.75 Φ_{LT}=0.45 β_{LT}=0.75 f=1.00 χ_{LT}=1.00
  CC 98 My,Ed=1608.55 My,b,Rd=8107.84 My,Ed/My,b,Rd=0.20

- Verifica in termini tensionali (4.2.5) - CC 98 Xl=0.20 - Classe 3
  Sollecitazioni: T_z=-1109.02 M_y=1608.55 M_x=2.57
  Tensioni: σ_N=0.00 σ_M=-495.99 τ=22.26 σ_{max}=-495.99
  Tensioni: σ_N=0.00 σ_M=-0.00 τ=93.09 τ_{max}=93.09
  Tensioni: σ_N=0.00 σ_M=-495.99 τ=22.26 $\sigma_{ID,max}$=497.48

Asta n. 310 (-1155 318) IPE240 iimpalcato Crit. 1

- Verifica di stabilità aste inflesse (4.2.4.1.3.2) CC 98 - Classe 3
  L_{cr}=0.40 Curva b: α-imp=0.34 k_c=0.94 ψ=1.13 M,cr=482175.00 λ_{LT}=0.14
  $\lambda_{LT,0}$=0.40 β_{LT}=0.75 Φ_{LT}=0.46 β_{LT}=0.75 f=1.00 χ_{LT}=1.00

CC 98 My,Ed=2120.37 My,b,Rd=8107.84 My,Ed/My,b,Rd=0.26

- Verifica in termini tensionali (4.2.5) - CC 98 Xl=0.40 - Classe 3
  Sollecitazioni: T_z=-1284.94 M_y=2120.37 M_x=4.20
  Tensioni: σ_N=0.00 σ_M=-653.80 τ=36.33 σ_{max}=-653.80
  Tensioni: σ_N=0.00 σ_M=-0.00 τ=110.86 τ_{max}=110.86
  Tensioni: σ_N=0.00 σ_M=-653.80 τ=36.33 $\sigma_{ID,max}$=656.83

Asta n. 310 (318 -1156) IPE240 iimpalcato Crit. 1

- Verifica di stabilità aste inflesse (4.2.4.1.3.2) CC 98 - Classe 3
  L_{cr}=0.40 Curva b: α-imp=0.34 k_c=0.94 ψ=1.18 M,cr=503497.00 λ_{LT}=0.13
  $\lambda_{LT,0}$=0.40 β_{LT}=0.75 Φ_{LT}=0.46 β_{LT}=0.75 f=1.00 χ_{LT}=1.00
  CC 98 My,Ed=2120.17 My,b,Rd=8107.84 My,Ed/My,b,Rd=0.26

- Verifica in termini tensionali (4.2.5) - CC 98 Xl=0.00 - Classe 3
  Sollecitazioni: N=10.95 T_z=1767.51 M_y=2120.17 M_x=-14.61
  Tensioni: σ_N=0.28 σ_M=653.74 τ=126.29 σ_{max}=654.02
  Tensioni: σ_N=0.28 σ_M=-0.00 τ=191.59 τ_{max}=191.59
  Tensioni: σ_N=0.28 σ_M=653.74 τ=126.29 $\sigma_{ID,max}$=689.63

Asta n. 310 (-1156 -1157) IPE240 iimpalcato Crit. 1

- Verifica di stabilità aste inflesse (4.2.4.1.3.2) CC 98 - Classe 3
  L_{cr}=0.20 Curva b: α-imp=0.34 k_c=0.94 ψ=1.12 M,cr=1887850.00 λ_{LT}=0.07
  $\lambda_{LT,0}$=0.40 β_{LT}=0.75 Φ_{LT}=0.45 β_{LT}=0.75 f=1.00 χ_{LT}=1.00
  CC 98 My,Ed=1413.72 My,b,Rd=8107.84 My,Ed/My,b,Rd=0.17

- Verifica in termini tensionali (4.2.5) - CC 98 Xl=0.00 - Classe 3
  Sollecitazioni: N=10.95 T_z=1591.01 M_y=1413.72 M_x=-12.98
  Tensioni: σ_N=0.28 σ_M=435.91 τ=112.17 σ_{max}=436.19
  Tensioni: σ_N=0.28 σ_M=-0.00 τ=171.46 τ_{max}=171.46
  Tensioni: σ_N=0.28 σ_M=435.91 τ=112.17 $\sigma_{ID,max}$=477.50

Asta n. 310 (-1157 -1158) IPE240 iimpalcato Crit. 1

- Verifica di stabilità aste inflesse (4.2.4.1.3.2) CC 98 - Classe 3
  L_{cr}=0.20 Curva b: α-imp=0.34 k_c=0.94 ψ=1.15 M,cr=1952670.00 λ_{LT}=0.07
  $\lambda_{LT,0}$=0.40 β_{LT}=0.75 Φ_{LT}=0.45 β_{LT}=0.75 f=1.00 χ_{LT}=1.00
  CC 98 My,Ed=1096.35 My,b,Rd=8107.84 My,Ed/My,b,Rd=0.14

- Verifica in termini tensionali (4.2.5) - CC 98 Xl=0.00 - Classe 3
  Sollecitazioni: N=10.95 T_z=1582.72 M_y=1096.35 M_x=-12.98
  Tensioni: σ_N=0.28 σ_M=338.05 τ=112.17 σ_{max}=338.33
  Tensioni: σ_N=0.28 σ_M=-0.00 τ=170.95 τ_{max}=170.95
  Tensioni: σ_N=0.28 σ_M=338.05 τ=112.17 $\sigma_{ID,max}$=390.14

Asta n. 310 (-1158 -1159) IPE240 iimpalcato Crit. 1

- Verifica di stabilità aste inflesse (4.2.4.1.3.2) CC 98 - Classe 3
  L_{cr}=0.40 Curva b: α-imp=0.34 k_c=0.94 ψ=1.48 M,cr=629175.00 λ_{LT}=0.12
  $\lambda_{LT,0}$=0.40 β_{LT}=0.75 Φ_{LT}=0.46 β_{LT}=0.75 f=1.00 χ_{LT}=1.00
  CC 98 My,Ed=783.34 My,b,Rd=8107.84 My,Ed/My,b,Rd=0.10

- Verifica in termini tensionali (4.2.5) - CC 98 Xl=0.00 - Classe 3
  Sollecitazioni: N=10.95 T_z=1413.92 M_y=783.34 M_x=-11.32
  Tensioni: σ_N=0.28 σ_M=241.54 τ=97.80 σ_{max}=241.82
  Tensioni: σ_N=0.28 σ_M=-0.00 τ=151.15 τ_{max}=151.15
  Tensioni: σ_N=0.28 σ_M=191.62 τ=139.01 $\sigma_{ID,max}$=307.89

Asta n. 310 (-1159 -1160) IPE240 iimpalcato Crit. 1

- Verifica di stabilità aste inflesse (4.2.4.1.3.2) CC 97 - Classe 3
  L_{cr}=0.40 Curva b: α-imp=0.34 k_c=0.94 ψ=2.08 M,cr=883680.00 λ_{LT}=0.10
  $\lambda_{LT,0}$=0.40 β_{LT}=0.75 Φ_{LT}=0.45 β_{LT}=0.75 f=1.00 χ_{LT}=1.00
  CC 97 My,Ed=-371.82 My,b,Rd=8107.84 My,Ed/My,b,Rd=0.05

- Verifica in termini tensionali (4.2.5) - CC 98 Xl=0.00 - Classe 3
  Sollecitazioni: N=10.95 T_z=1242.22 M_y=221.17 M_x=-9.82

Tensioni: σ_N=0.28 σ_M=68.20 τ=84.91 σ_{max}=68.48
Tensioni: σ_N=0.28 σ_M=-0.00 τ=132.14 τ_{max}=132.14
Tensioni: σ_N=0.28 σ_M=-0.00 τ=132.14 $\sigma_{ID,max}$=228.87

Asta n. 310 (-1160 -1161) IPE240 iimpalcato Crit. 1

- Verifica di stabilità aste inflesse (4.2.4.1.3.2) CC 97 - Classe 3
L_{cr}=0.40 Curva b: α-imp=0.34 k_c=0.94 ψ=1.32 M,cr=561288.00 λ_{LT}=0.13
$\lambda_{LT,0}$=0.40 β_{LT}=0.75 Φ_{LT}=0.46 β_{LT}=0.75 f=1.00 χ_{LT}=1.00
CC 97 My,Ed=-781.10 My,b,Rd=8107.84 My,Ed/My,b,Rd=0.10

- Verifica in termini tensionali (4.2.5) - CC 97 Xl=0.40 - Classe 3
Sollecitazioni: N=10.95 T_z=1014.82 M_y=-781.10 M_x=-8.42
Tensioni: σ_N=0.28 σ_M=240.85 τ=72.81 σ_{max}=241.13
Tensioni: σ_N=0.28 σ_M=0.00 τ=110.20 τ_{max}=110.20
Tensioni: σ_N=0.28 σ_M=240.85 τ=72.81 $\sigma_{ID,max}$=272.12

Asta n. 310 (-1161 -1162) IPE240 iimpalcato Crit. 1

- Verifica di stabilità aste inflesse (4.2.4.1.3.2) CC 97 - Classe 3
L_{cr}=0.40 Curva b: α-imp=0.34 k_c=0.94 ψ=1.16 M,cr=495632.00 λ_{LT}=0.13
$\lambda_{LT,0}$=0.40 β_{LT}=0.75 Φ_{LT}=0.46 β_{LT}=0.75 f=1.00 χ_{LT}=1.00
CC 97 My,Ed=-1120.77 My,b,Rd=8107.84 My,Ed/My,b,Rd=0.14

- Verifica in termini tensionali (4.2.5) - CC 97 Xl=0.40 - Classe 3
Sollecitazioni: N=10.95 T_z=840.88 M_y=-1120.77 M_x=-6.95
Tensioni: σ_N=0.28 σ_M=345.58 τ=60.06 σ_{max}=345.86
Tensioni: σ_N=0.28 σ_M=0.00 τ=91.13 τ_{max}=91.13
Tensioni: σ_N=0.28 σ_M=345.58 τ=60.06 $\sigma_{ID,max}$=361.17

Asta n. 310 (-1162 -1163) IPE240 iimpalcato Crit. 1

- Verifica di stabilità aste inflesse (4.2.4.1.3.2) CC 97 - Classe 3
L_{cr}=0.40 Curva b: α-imp=0.34 k_c=0.94 ψ=1.10 M,cr=467931.00 λ_{LT}=0.14
$\lambda_{LT,0}$=0.40 β_{LT}=0.75 Φ_{LT}=0.46 β_{LT}=0.75 f=1.00 χ_{LT}=1.00
CC 97 My,Ed=-1391.37 My,b,Rd=8107.84 My,Ed/My,b,Rd=0.17

- Verifica in termini tensionali (4.2.5) - CC 97 Xl=0.40 - Classe 3
Sollecitazioni: N=10.95 T_z=668.30 M_y=-1391.37 M_x=-5.52
Tensioni: σ_N=0.28 σ_M=429.02 τ=47.69 σ_{max}=429.30
Tensioni: σ_N=0.28 σ_M=0.00 τ=72.40 τ_{max}=72.40
Tensioni: σ_N=0.28 σ_M=429.02 τ=47.69 $\sigma_{ID,max}$=437.17

Asta n. 310 (-1163 -1164) IPE240 iimpalcato Crit. 1

- Verifica di stabilità aste inflesse (4.2.4.1.3.2) CC 97 - Classe 3
L_{cr}=0.40 Curva b: α-imp=0.34 k_c=0.94 ψ=1.06 M,cr=452162.00 λ_{LT}=0.14
$\lambda_{LT,0}$=0.40 β_{LT}=0.75 Φ_{LT}=0.46 β_{LT}=0.75 f=1.00 χ_{LT}=1.00
CC 97 My,Ed=-1593.40 My,b,Rd=8107.84 My,Ed/My,b,Rd=0.20

- Verifica in termini tensionali (4.2.5) - CC 97 Xl=0.40 - Classe 3
Sollecitazioni: N=10.95 T_z=496.58 M_y=-1593.40 M_x=-4.03
Tensioni: σ_N=0.28 σ_M=491.31 τ=34.79 σ_{max}=491.59
Tensioni: σ_N=0.28 σ_M=0.00 τ=53.37 τ_{max}=53.37
Tensioni: σ_N=0.28 σ_M=491.31 τ=34.79 $\sigma_{ID,max}$=495.27

Asta n. 310 (-1164 -1326) IPE240 iimpalcato Crit. 1

- Verifica di stabilità aste inflesse (4.2.4.1.3.2) CC 97 - Classe 3
L_{cr}=0.20 Curva b: α-imp=0.34 k_c=0.94 ψ=1.02 M,cr=1722700.00 λ_{LT}=0.07
$\lambda_{LT,0}$=0.40 β_{LT}=0.75 Φ_{LT}=0.45 β_{LT}=0.75 f=1.00 χ_{LT}=1.00
CC 97 My,Ed=-1662.83 My,b,Rd=8107.84 My,Ed/My,b,Rd=0.21

- Verifica in termini tensionali (4.2.5) - CC 97 Xl=0.20 - Classe 3
Sollecitazioni: N=10.95 T_z=328.75 M_y=-1662.83 M_x=-2.40
Tensioni: σ_N=0.28 σ_M=512.72 τ=20.71 σ_{max}=513.00
Tensioni: σ_N=0.28 σ_M=0.00 τ=33.87 τ_{max}=33.87
Tensioni: σ_N=0.28 σ_M=512.72 τ=20.71 $\sigma_{ID,max}$=514.25

Asta n. 310 (-1326 -1165) IPE240 iimpalcato Crit. 1

- Verifica di stabilità aste inflesse (4.2.4.1.3.2) CC 97 - Classe 3
  L_{cr}=0.20 Curva b: α-imp=0.34 k_c=0.94 ψ=1.02 M,cr=1720720.00 λ_{LT}=0.07
  $\lambda_{LT,0}$=0.40 β_{LT}=0.75 Φ_{LT}=0.45 β_{LT}=0.75 f=1.00 χ_{LT}=1.00
  CC 97 My,Ed=-1727.75 My,b,Rd=8107.84 My,Ed/My,b,Rd=0.21

- Verifica in termini tensionali (4.2.5) - CC 97 Xl=0.20 - Classe 3
  Sollecitazioni: N=10.95 T_z=320.46 M_y=-1727.75 M_x=-2.40
  Tensioni: σ_N=0.28 σ_M=532.74 τ=20.71 σ_{max}=533.02
  Tensioni: σ_N=0.28 σ_M=0.00 τ=33.33 τ_{max}=33.33
  Tensioni: σ_N=0.28 σ_M=532.74 τ=20.71 $\sigma_{ID,max}$=534.23

Asta n. 310 (-1165 -1327) IPE240 iimpalcato Crit. 1

- Verifica di stabilità aste inflesse (4.2.4.1.3.2) CC 97 - Classe 3
  L_{cr}=0.20 Curva b: α-imp=0.34 k_c=0.94 ψ=1.01 M,cr=1704890.00 λ_{LT}=0.07
  $\lambda_{LT,0}$=0.40 β_{LT}=0.75 Φ_{LT}=0.45 β_{LT}=0.75 f=1.00 χ_{LT}=1.00
  CC 97 My,Ed=-1758.71 My,b,Rd=8107.84 My,Ed/My,b,Rd=0.22

- Verifica in termini tensionali (4.2.5) - CC 97 Xl=0.20 - Classe 3
  Sollecitazioni: N=10.95 T_z=149.92 M_y=-1758.71
  Tensioni: σ_N=0.28 σ_M=542.29 τ=0.00 σ_{max}=542.57
  Tensioni: σ_N=0.28 σ_M=0.00 τ=12.22 τ_{max}=12.22
  Tensioni: σ_N=0.28 σ_M=542.29 τ=0.00 $\sigma_{ID,max}$=542.57

Asta n. 310 (-1327 -1166) IPE240 iimpalcato Crit. 1

- Verifica di stabilità aste inflesse (4.2.4.1.3.2) CC 97 - Classe 3
  L_{cr}=0.20 Curva b: α-imp=0.34 k_c=0.94 ψ=1.01 M,cr=1703950.00 λ_{LT}=0.07
  $\lambda_{LT,0}$=0.40 β_{LT}=0.75 Φ_{LT}=0.45 β_{LT}=0.75 f=1.00 χ_{LT}=1.00
  CC 97 My,Ed=-1787.87 My,b,Rd=8107.84 My,Ed/My,b,Rd=0.22

- Verifica in termini tensionali (4.2.5) - CC 97 Xl=0.20 - Classe 3
  Sollecitazioni: N=10.95 T_z=141.63 M_y=-1787.87
  Tensioni: σ_N=0.28 σ_M=551.28 τ=0.00 σ_{max}=551.56
  Tensioni: σ_N=0.28 σ_M=0.00 τ=11.54 τ_{max}=11.54
  Tensioni: σ_N=0.28 σ_M=551.28 τ=0.00 $\sigma_{ID,max}$=551.56

Asta n. 310 (-1166 -1167) IPE240 iimpalcato Crit. 1

- Verifica di stabilità aste inflesse (4.2.4.1.3.2) CC 97 - Classe 3
  L_{cr}=0.20 Curva b: α-imp=0.34 k_c=0.94 ψ=1.00 M,cr=1692680.00 λ_{LT}=0.07
  $\lambda_{LT,0}$=0.40 β_{LT}=0.75 Φ_{LT}=0.45 β_{LT}=0.75 f=1.00 χ_{LT}=1.00
  CC 97 My,Ed=-1787.71 My,b,Rd=8107.84 My,Ed/My,b,Rd=0.22

- Verifica in termini tensionali (4.2.5) - CC 97 Xl=0.00 - Classe 3
  Sollecitazioni: N=10.95 T_z=-10.83 M_y=-1787.71
  Tensioni: σ_N=0.28 σ_M=551.23 τ=0.00 σ_{max}=551.51
  Tensioni: σ_N=0.28 σ_M=0.00 τ=0.88 τ_{max}=0.88
  Tensioni: σ_N=0.28 σ_M=551.23 τ=0.00 $\sigma_{ID,max}$=551.51

Asta n. 310 (-1167 -1168) IPE240 iimpalcato Crit. 1

- Verifica di stabilità aste inflesse (4.2.4.1.3.2) CC 98 - Classe 3
  L_{cr}=0.20 Curva b: α-imp=0.34 k_c=0.94 ψ=1.00 M,cr=1692680.00 λ_{LT}=0.07
  $\lambda_{LT,0}$=0.40 β_{LT}=0.75 Φ_{LT}=0.45 β_{LT}=0.75 f=1.00 χ_{LT}=1.00
  CC 98 My,Ed=-1787.71 My,b,Rd=8107.84 My,Ed/My,b,Rd=0.22

- Verifica in termini tensionali (4.2.5) - CC 98 Xl=0.20 - Classe 3
  Sollecitazioni: N=10.95 T_z=10.83 M_y=-1787.71
  Tensioni: σ_N=0.28 σ_M=551.23 τ=0.00 σ_{max}=551.51
  Tensioni: σ_N=0.28 σ_M=0.00 τ=0.88 τ_{max}=0.88
  Tensioni: σ_N=0.28 σ_M=551.23 τ=0.00 $\sigma_{ID,max}$=551.51

Asta n. 310 (-1168 -1328) IPE240 iimpalcato Crit. 1

- Verifica di stabilità aste inflesse (4.2.4.1.3.2) CC 98 - Classe 3
  L_{cr}=0.20 Curva b: α-imp=0.34 k_c=0.94 ψ=1.01 M,cr=1703950.00 λ_{LT}=0.07

$\lambda_{LT,0}$=0.40 β_{LT}=0.75 Φ_{LT}=0.45 β_{LT}=0.75 f=1.00 χ_{LT}=1.00
CC 98 My,Ed=-1787.87 My,b,Rd=8107.84 My,Ed/My,b,Rd=0.22

- Verifica in termini tensionali (4.2.5) - CC 98 Xl=0.00 - Classe 3
Sollecitazioni: N=10.95 T_z=-141.63 M_y=-1787.87
Tensioni: σ_N=0.28 σ_M=551.28 τ=0.00 σ_{max}=551.56
Tensioni: σ_N=0.28 σ_M=0.00 τ=11.54 τ_{max}=11.54
Tensioni: σ_N=0.28 σ_M=551.28 τ=0.00 $\sigma_{ID,max}$=551.56

Asta n. 310 (-1328 -1169) IPE240 iimpalcato Crit. 1

- Verifica di stabilità aste inflesse (4.2.4.1.3.2) CC 98 - Classe 3
L_{cr}=0.20 Curva b: α-imp=0.34 k_c=0.94 ψ=1.01 M,cr=1704890.00 λ_{LT}=0.07
$\lambda_{LT,0}$=0.40 β_{LT}=0.75 Φ_{LT}=0.45 β_{LT}=0.75 f=1.00 χ_{LT}=1.00
CC 98 My,Ed=-1758.71 My,b,Rd=8107.84 My,Ed/My,b,Rd=0.22

- Verifica in termini tensionali (4.2.5) - CC 98 Xl=0.00 - Classe 3
Sollecitazioni: N=10.95 T_z=-149.92 M_y=-1758.71
Tensioni: σ_N=0.28 σ_M=542.29 τ=0.00 σ_{max}=542.57
Tensioni: σ_N=0.28 σ_M=0.00 τ=12.22 τ_{max}=12.22
Tensioni: σ_N=0.28 σ_M=542.29 τ=0.00 $\sigma_{ID,max}$=542.57

Asta n. 310 (-1169 -1329) IPE240 iimpalcato Crit. 1

- Verifica di stabilità aste inflesse (4.2.4.1.3.2) CC 98 - Classe 3
L_{cr}=0.20 Curva b: α-imp=0.34 k_c=0.94 ψ=1.02 M,cr=1720720.00 λ_{LT}=0.07
$\lambda_{LT,0}$=0.40 β_{LT}=0.75 Φ_{LT}=0.45 β_{LT}=0.75 f=1.00 χ_{LT}=1.00
CC 98 My,Ed=-1727.75 My,b,Rd=8107.84 My,Ed/My,b,Rd=0.21

- Verifica in termini tensionali (4.2.5) - CC 98 Xl=0.00 - Classe 3
Sollecitazioni: N=10.95 T_z=-320.46 M_y=-1727.75 M_x=2.40
Tensioni: σ_N=0.28 σ_M=532.74 τ=20.71 σ_{max}=533.02
Tensioni: σ_N=0.28 σ_M=0.00 τ=33.33 τ_{max}=33.33
Tensioni: σ_N=0.28 σ_M=532.74 τ=20.71 $\sigma_{ID,max}$=534.23

Asta n. 310 (-1329 -1170) IPE240 iimpalcato Crit. 1

- Verifica di stabilità aste inflesse (4.2.4.1.3.2) CC 98 - Classe 3
L_{cr}=0.20 Curva b: α-imp=0.34 k_c=0.94 ψ=1.02 M,cr=1722700.00 λ_{LT}=0.07
$\lambda_{LT,0}$=0.40 β_{LT}=0.75 Φ_{LT}=0.45 β_{LT}=0.75 f=1.00 χ_{LT}=1.00
CC 98 My,Ed=-1662.83 My,b,Rd=8107.84 My,Ed/My,b,Rd=0.21

- Verifica in termini tensionali (4.2.5) - CC 98 Xl=0.00 - Classe 3
Sollecitazioni: N=10.95 T_z=-328.75 M_y=-1662.83 M_x=2.40
Tensioni: σ_N=0.28 σ_M=512.72 τ=20.71 σ_{max}=513.00
Tensioni: σ_N=0.28 σ_M=0.00 τ=33.87 τ_{max}=33.87
Tensioni: σ_N=0.28 σ_M=512.72 τ=20.71 $\sigma_{ID,max}$=514.25

Asta n. 310 (-1170 -1171) IPE240 iimpalcato Crit. 1

- Verifica di stabilità aste inflesse (4.2.4.1.3.2) CC 98 - Classe 3
L_{cr}=0.40 Curva b: α-imp=0.34 k_c=0.94 ψ=1.06 M,cr=452162.00 λ_{LT}=0.14
$\lambda_{LT,0}$=0.40 β_{LT}=0.75 Φ_{LT}=0.46 β_{LT}=0.75 f=1.00 χ_{LT}=1.00
CC 98 My,Ed=-1593.40 My,b,Rd=8107.84 My,Ed/My,b,Rd=0.20

- Verifica in termini tensionali (4.2.5) - CC 98 Xl=0.00 - Classe 3
Sollecitazioni: N=10.95 T_z=-496.58 M_y=-1593.40 M_x=4.03
Tensioni: σ_N=0.28 σ_M=491.31 τ=34.79 σ_{max}=491.59
Tensioni: σ_N=0.28 σ_M=0.00 τ=53.37 τ_{max}=53.37
Tensioni: σ_N=0.28 σ_M=491.31 τ=34.79 $\sigma_{ID,max}$=495.27

Asta n. 310 (-1171 -1172) IPE240 iimpalcato Crit. 1

- Verifica di stabilità aste inflesse (4.2.4.1.3.2) CC 98 - Classe 3
L_{cr}=0.40 Curva b: α-imp=0.34 k_c=0.94 ψ=1.10 M,cr=467931.00 λ_{LT}=0.14
$\lambda_{LT,0}$=0.40 β_{LT}=0.75 Φ_{LT}=0.46 β_{LT}=0.75 f=1.00 χ_{LT}=1.00
CC 98 My,Ed=-1391.37 My,b,Rd=8107.84 My,Ed/My,b,Rd=0.17

- Verifica in termini tensionali (4.2.5) - CC 98 Xl=0.00 - Classe 3

Sollecitazioni: N=10.95 T_z=-668.30 M_y=-1391.37 M_x=5.52
Tensioni: σ_N=0.28 σ_M=429.02 τ=47.69 σ_{max}=429.30
Tensioni: σ_N=0.28 σ_M=0.00 τ=72.40 τ_{max}=72.40
Tensioni: σ_N=0.28 σ_M=429.02 τ=47.69 $\sigma_{ID,max}$=437.17

Asta n. 310 (-1172 -1173) IPE240 iimpalcato Crit. 1

- Verifica di stabilità aste inflesse (4.2.4.1.3.2) CC 98 - Classe 3
L_{cr}=0.40 Curva b: α-imp=0.34 k_c=0.94 ψ=1.16 M,cr=495631.00 λ_{LT}=0.13
$\lambda_{LT,0}$=0.40 β_{LT}=0.75 Φ_{LT}=0.46 β_{LT}=0.75 f=1.00 χ_{LT}=1.00
CC 98 My,Ed=-1120.77 My,b,Rd=8107.84 My,Ed/My,b,Rd=0.14

- Verifica in termini tensionali (4.2.5) - CC 98 Xl=0.00 - Classe 3
Sollecitazioni: N=10.95 T_z=-840.88 M_y=-1120.77 M_x=6.95
Tensioni: σ_N=0.28 σ_M=345.58 τ=60.06 σ_{max}=345.86
Tensioni: σ_N=0.28 σ_M=0.00 τ=91.13 τ_{max}=91.13
Tensioni: σ_N=0.28 σ_M=345.58 τ=60.06 $\sigma_{ID,max}$=361.17

Asta n. 310 (-1173 -1174) IPE240 iimpalcato Crit. 1

- Verifica di stabilità aste inflesse (4.2.4.1.3.2) CC 98 - Classe 3
L_{cr}=0.40 Curva b: α-imp=0.34 k_c=0.94 ψ=1.32 M,cr=561289.00 λ_{LT}=0.13
$\lambda_{LT,0}$=0.40 β_{LT}=0.75 Φ_{LT}=0.46 β_{LT}=0.75 f=1.00 χ_{LT}=1.00
CC 98 My,Ed=-781.10 My,b,Rd=8107.84 My,Ed/My,b,Rd=0.10

- Verifica in termini tensionali (4.2.5) - CC 98 Xl=0.00 - Classe 3
Sollecitazioni: N=10.95 T_z=-1014.82 M_y=-781.10 M_x=8.42
Tensioni: σ_N=0.28 σ_M=240.85 τ=72.81 σ_{max}=241.13
Tensioni: σ_N=0.28 σ_M=0.00 τ=110.20 τ_{max}=110.20
Tensioni: σ_N=0.28 σ_M=240.85 τ=72.81 $\sigma_{ID,max}$=272.12

Asta n. 310 (-1174 -1175) IPE240 iimpalcato Crit. 1

- Verifica di stabilità aste inflesse (4.2.4.1.3.2) CC 98 - Classe 3
L_{cr}=0.40 Curva b: α-imp=0.34 k_c=0.94 ψ=2.08 M,cr=883676.00 λ_{LT}=0.10
$\lambda_{LT,0}$=0.40 β_{LT}=0.75 Φ_{LT}=0.45 β_{LT}=0.75 f=1.00 χ_{LT}=1.00
CC 98 My,Ed=-371.82 My,b,Rd=8107.84 My,Ed/My,b,Rd=0.05

- Verifica in termini tensionali (4.2.5) - CC 97 Xl=0.40 - Classe 3
Sollecitazioni: N=10.95 T_z=-1242.22 M_y=221.17 M_x=9.82
Tensioni: σ_N=0.28 σ_M=68.20 τ=84.91 σ_{max}=68.48
Tensioni: σ_N=0.28 σ_M=-0.00 τ=132.14 τ_{max}=132.14
Tensioni: σ_N=0.28 σ_M=-0.00 τ=132.14 $\sigma_{ID,max}$=228.87

Asta n. 310 (-1175 -1176) IPE240 iimpalcato Crit. 1

- Verifica di stabilità aste inflesse (4.2.4.1.3.2) CC 97 - Classe 3
L_{cr}=0.40 Curva b: α-imp=0.34 k_c=0.94 ψ=1.48 M,cr=629177.00 λ_{LT}=0.12
$\lambda_{LT,0}$=0.40 β_{LT}=0.75 Φ_{LT}=0.46 β_{LT}=0.75 f=1.00 χ_{LT}=1.00
CC 97 My,Ed=783.34 My,b,Rd=8107.84 My,Ed/My,b,Rd=0.10

- Verifica in termini tensionali (4.2.5) - CC 97 Xl=0.40 - Classe 3
Sollecitazioni: N=10.95 T_z=-1413.92 M_y=783.34 M_x=11.32
Tensioni: σ_N=0.28 σ_M=241.54 τ=97.80 σ_{max}=241.82
Tensioni: σ_N=0.28 σ_M=-0.00 τ=151.15 τ_{max}=151.15
Tensioni: σ_N=0.28 σ_M=191.62 τ=139.01 $\sigma_{ID,max}$=307.89

Asta n. 310 (-1176 -1177) IPE240 iimpalcato Crit. 1

- Verifica di stabilità aste inflesse (4.2.4.1.3.2) CC 97 - Classe 3
L_{cr}=0.20 Curva b: α-imp=0.34 k_c=0.94 ψ=1.15 M,cr=1952670.00 λ_{LT}=0.07
$\lambda_{LT,0}$=0.40 β_{LT}=0.75 Φ_{LT}=0.45 β_{LT}=0.75 f=1.00 χ_{LT}=1.00
CC 97 My,Ed=1096.34 My,b,Rd=8107.84 My,Ed/My,b,Rd=0.14

- Verifica in termini tensionali (4.2.5) - CC 97 Xl=0.20 - Classe 3
Sollecitazioni: N=10.95 T_z=-1582.72 M_y=1096.34 M_x=12.98
Tensioni: σ_N=0.28 σ_M=338.05 τ=112.17 σ_{max}=338.33
Tensioni: σ_N=0.28 σ_M=-0.00 τ=170.95 τ_{max}=170.95
Tensioni: σ_N=0.28 σ_M=338.05 τ=112.17 $\sigma_{ID,max}$=390.14

Asta n. 310 (-1177 -1178) IPE240 iimpalcato Crit. 1

- Verifica di stabilità aste inflesse (4.2.4.1.3.2) CC 97 - Classe 3
  L_{cr}=0.20 Curva b: α-imp=0.34 k_c=0.94 ψ=1.12 M,cr=1887830.00 λ_{LT}=0.07
  $\lambda_{LT,0}$=0.40 β_{LT}=0.75 Φ_{LT}=0.45 β_{LT}=0.75 f=1.00 χ_{LT}=1.00
  CC 97 My,Ed=1413.72 My,b,Rd=8107.84 My,Ed/My,b,Rd=0.17

- Verifica in termini tensionali (4.2.5) - CC 97 Xl=0.20 - Classe 3
  Sollecitazioni: N=10.95 T_z=-1591.01 M_y=1413.72 M_x=12.98
  Tensioni: σ_N=0.28 σ_M=435.91 τ=112.17 σ_{max}=436.19
  Tensioni: σ_N=0.28 σ_M=-0.00 τ=171.46 τ_{max}=171.46
  Tensioni: σ_N=0.28 σ_M=435.91 τ=112.17 $\sigma_{ID,max}$=477.50

Asta n. 310 (-1178 319) IPE240 iimpalcato Crit. 1

- Verifica di stabilità aste inflesse (4.2.4.1.3.2) CC 97 - Classe 3
  L_{cr}=0.40 Curva b: α-imp=0.34 k_c=0.94 ψ=1.18 M,cr=503500.00 λ_{LT}=0.13
  $\lambda_{LT,0}$=0.40 β_{LT}=0.75 Φ_{LT}=0.46 β_{LT}=0.75 f=1.00 χ_{LT}=1.00
  CC 97 My,Ed=2120.16 My,b,Rd=8107.84 My,Ed/My,b,Rd=0.26

- Verifica in termini tensionali (4.2.5) - CC 97 Xl=0.40 - Classe 3
  Sollecitazioni: N=10.95 T_z=-1767.50 M_y=2120.16 M_x=14.61
  Tensioni: σ_N=0.28 σ_M=653.74 τ=126.29 σ_{max}=654.02
  Tensioni: σ_N=0.28 σ_M=-0.00 τ=191.59 τ_{max}=191.59
  Tensioni: σ_N=0.28 σ_M=653.74 τ=126.29 $\sigma_{ID,max}$=689.63

Asta n. 310 (319 -1179) IPE240 iimpalcato Crit. 1

- Verifica di stabilità aste inflesse (4.2.4.1.3.2) CC 97 - Classe 3
  L_{cr}=0.40 Curva b: α-imp=0.34 k_c=0.94 ψ=1.13 M,cr=482174.00 λ_{LT}=0.14
  $\lambda_{LT,0}$=0.40 β_{LT}=0.75 Φ_{LT}=0.46 β_{LT}=0.75 f=1.00 χ_{LT}=1.00
  CC 97 My,Ed=2120.37 My,b,Rd=8107.84 My,Ed/My,b,Rd=0.26

- Verifica in termini tensionali (4.2.5) - CC 97 Xl=0.00 - Classe 3
  Sollecitazioni: T_z=1284.93 M_y=2120.37 M_x=-4.20
  Tensioni: σ_N=0.00 σ_M=-653.80 τ=36.33 σ_{max}=-653.80
  Tensioni: σ_N=0.00 σ_M=-0.00 τ=110.86 τ_{max}=110.86
  Tensioni: σ_N=0.00 σ_M=-653.80 τ=36.33 $\sigma_{ID,max}$=656.82

Asta n. 310 (-1179 -1180) IPE240 iimpalcato Crit. 1

- Verifica di stabilità aste inflesse (4.2.4.1.3.2) CC 97 - Classe 3
  L_{cr}=0.20 Curva b: α-imp=0.34 k_c=0.94 ψ=1.07 M,cr=1816480.00 λ_{LT}=0.07
  $\lambda_{LT,0}$=0.40 β_{LT}=0.75 Φ_{LT}=0.45 β_{LT}=0.75 f=1.00 χ_{LT}=1.00
  CC 97 My,Ed=1608.49 My,b,Rd=8107.84 My,Ed/My,b,Rd=0.20

- Verifica in termini tensionali (4.2.5) - CC 97 Xl=0.00 - Classe 3
  Sollecitazioni: T_z=1109.01 M_y=1608.49 M_x=-2.57
  Tensioni: σ_N=0.00 σ_M=-495.97 τ=22.25 σ_{max}=-495.97
  Tensioni: σ_N=0.00 σ_M=-0.00 τ=93.09 τ_{max}=93.09
  Tensioni: σ_N=0.00 σ_M=-495.97 τ=22.25 $\sigma_{ID,max}$=497.46

Asta n. 310 (-1180 -1181) IPE240 iimpalcato Crit. 1

- Verifica di stabilità aste inflesse (4.2.4.1.3.2) CC 97 - Classe 3
  L_{cr}=0.20 Curva b: α-imp=0.34 k_c=0.94 ψ=1.08 M,cr=1835280.00 λ_{LT}=0.07
  $\lambda_{LT,0}$=0.40 β_{LT}=0.75 Φ_{LT}=0.45 β_{LT}=0.75 f=1.00 χ_{LT}=1.00
  CC 97 My,Ed=1388.29 My,b,Rd=8107.84 My,Ed/My,b,Rd=0.17

- Verifica in termini tensionali (4.2.5) - CC 97 Xl=0.00 - Classe 3
  Sollecitazioni: T_z=1100.74 M_y=1388.29 M_x=-2.57
  Tensioni: σ_N=0.00 σ_M=-428.07 τ=22.25 σ_{max}=-428.07
  Tensioni: σ_N=0.00 σ_M=-0.00 τ=92.44 τ_{max}=92.44
  Tensioni: σ_N=0.00 σ_M=-428.07 τ=22.25 $\sigma_{ID,max}$=429.80

Asta n. 310 (-1181 -1182) IPE240 iimpalcato Crit. 1

- Verifica di stabilità aste inflesse (4.2.4.1.3.2) CC 97 - Classe 3

L_{cr}=0.40 Curva b: α-imp=0.34 k_c=0.94 ψ=1.17 M,cr=501791.00 λ_{LT}=0.13
$\lambda_{LT,0}$=0.40 β_{LT}=0.75 Φ_{LT}=0.46 β_{LT}=0.75 f=1.00 χ_{LT}=1.00
CC 97 My,Ed=1172.32 My,b,Rd=8107.84 My,Ed/My,b,Rd=0.14

- Verifica in termini tensionali (4.2.5) - CC 97 Xl=0.00 - Classe 3
Sollecitazioni: T_z=932.50 M_y=1172.32
Tensioni: σ_N=0.00 σ_M=-361.48 τ=0.00 σ_{max}=-361.48
Tensioni: σ_N=0.00 σ_M=-0.00 τ=76.01 τ_{max}=76.01
Tensioni: σ_N=0.00 σ_M=-361.48 τ=0.00 $\sigma_{ID,max}$=361.48

Asta n. 310 (-1182 -1183) IPE240 iimpalcato Crit. 1

- Verifica di stabilità aste inflesse (4.2.4.1.3.2) CC 97 - Classe 3
L_{cr}=0.40 Curva b: α-imp=0.34 k_c=0.94 ψ=1.21 M,cr=518433.00 λ_{LT}=0.13
$\lambda_{LT,0}$=0.40 β_{LT}=0.75 Φ_{LT}=0.46 β_{LT}=0.75 f=1.00 χ_{LT}=1.00
CC 97 My,Ed=803.91 My,b,Rd=8107.84 My,Ed/My,b,Rd=0.10

- Verifica in termini tensionali (4.2.5) - CC 97 Xl=0.00 - Classe 3
Sollecitazioni: T_z=761.35 M_y=803.91
Tensioni: σ_N=0.00 σ_M=-247.88 τ=0.00 σ_{max}=-247.88
Tensioni: σ_N=0.00 σ_M=-0.00 τ=62.06 τ_{max}=62.06
Tensioni: σ_N=0.00 σ_M=-247.88 τ=0.00 $\sigma_{ID,max}$=247.88

Asta n. 310 (-1183 -1184) IPE240 iimpalcato Crit. 1

- Verifica di stabilità aste inflesse (4.2.4.1.3.2) CC 97 - Classe 3
L_{cr}=0.40 Curva b: α-imp=0.34 k_c=0.94 ψ=1.27 M,cr=544364.00 λ_{LT}=0.13
$\lambda_{LT,0}$=0.40 β_{LT}=0.75 Φ_{LT}=0.46 β_{LT}=0.75 f=1.00 χ_{LT}=1.00
CC 97 My,Ed=503.54 My,b,Rd=8107.84 My,Ed/My,b,Rd=0.06

- Verifica in termini tensionali (4.2.5) - CC 97 Xl=0.00 - Classe 3
Sollecitazioni: T_z=589.13 M_y=503.54 M_x=2.00
Tensioni: σ_N=0.00 σ_M=-155.26 τ=17.27 σ_{max}=-155.26
Tensioni: σ_N=0.00 σ_M=-0.00 τ=51.03 τ_{max}=51.03
Tensioni: σ_N=0.00 σ_M=-155.26 τ=17.27 $\sigma_{ID,max}$=158.12

Asta n. 310 (-1184 -1185) IPE240 iimpalcato Crit. 1

- Verifica di stabilità aste inflesse (4.2.4.1.3.2) CC 97 - Classe 3
L_{cr}=0.40 Curva b: α-imp=0.34 k_c=0.94 ψ=1.38 M,cr=589778.00 λ_{LT}=0.12
$\lambda_{LT,0}$=0.40 β_{LT}=0.75 Φ_{LT}=0.46 β_{LT}=0.75 f=1.00 χ_{LT}=1.00
CC 97 My,Ed=271.90 My,b,Rd=8107.84 My,Ed/My,b,Rd=0.03

- Verifica in termini tensionali (4.2.5) - CC 97 Xl=0.00 - Classe 3
Sollecitazioni: T_z=416.10 M_y=271.90 M_x=3.46
Tensioni: σ_N=0.00 σ_M=-83.84 τ=29.90 σ_{max}=-83.84
Tensioni: σ_N=0.00 σ_M=-0.00 τ=45.22 τ_{max}=45.22
Tensioni: σ_N=0.00 σ_M=-83.84 τ=29.90 $\sigma_{ID,max}$=98.55

Asta n. 310 (-1185 -1186) IPE240 iimpalcato Crit. 1

- Verifica di stabilità aste inflesse (4.2.4.1.3.2) CC 97 - Classe 3
L_{cr}=0.40 Curva b: α-imp=0.34 k_c=0.94 ψ=1.61 M,cr=688862.00 λ_{LT}=0.11
$\lambda_{LT,0}$=0.40 β_{LT}=0.75 Φ_{LT}=0.46 β_{LT}=0.75 f=1.00 χ_{LT}=1.00
CC 97 My,Ed=109.29 My,b,Rd=8107.84 My,Ed/My,b,Rd=0.01

- Verifica in termini tensionali (4.2.5) - CC 97 Xl=0.00 - Classe 3
Sollecitazioni: T_z=243.65 M_y=109.29 M_x=4.91
Tensioni: σ_N=0.00 σ_M=-33.70 τ=42.43 σ_{max}=-33.70
Tensioni: σ_N=0.00 σ_M=-0.00 τ=46.85 τ_{max}=46.85
Tensioni: σ_N=0.00 σ_M=-26.73 τ=45.72 $\sigma_{ID,max}$=83.58

Asta n. 310 (-1186 -1187) IPE240 iimpalcato Crit. 1

- Verifica di stabilità aste inflesse (4.2.4.1.3.2) CC 98 - Classe 3
L_{cr}=0.40 Curva b: α-imp=0.34 k_c=0.94 ψ=1.15 M,cr=492939.00 λ_{LT}=0.13
$\lambda_{LT,0}$=0.40 β_{LT}=0.75 Φ_{LT}=0.46 β_{LT}=0.75 f=1.00 χ_{LT}=1.00
CC 98 My,Ed=-23.80 My,b,Rd=8107.84 My,Ed/My,b,Rd=0.00

- Verifica in termini tensionali (4.2.5) - CC 97 Xl=0.00 - Classe 3
  Sollecitazioni: T_z=70.95 M_y=15.42 M_x=6.36
  Tensioni: σ_N=0.00 σ_M=-4.76 τ=54.99 σ_{max}=-4.76
  Tensioni: σ_N=0.00 σ_M=-0.00 τ=55.30 τ_{max}=55.30
  Tensioni: σ_N=0.00 σ_M=-0.00 τ=55.30 $\sigma_{ID,max}$=95.78

Asta n. 310 (-1187 -1188) IPE240 iimpalcato Crit. 1

- Verifica di stabilità aste inflesse (4.2.4.1.3.2) CC 98 - Classe 3
  L_{cr}=0.31 Curva b: α-imp=0.34 k_c=0.94 ψ=1.75 M,cr=1236090.00 λ_{LT}=0.08
  $\lambda_{LT,0}$=0.40 β_{LT}=0.75 Φ_{LT}=0.45 β_{LT}=0.75 f=1.00 χ_{LT}=1.00
  CC 98 My,Ed=-23.80 My,b,Rd=8107.84 My,Ed/My,b,Rd=0.00

- Verifica in termini tensionali (4.2.5) - CC 97 Xl=0.31 - Classe 3
  Sollecitazioni: T_z=-37.30 M_x=7.09
  Tensioni: σ_N=0.00 σ_M=0.00 τ=0.00 σ_{max}=0.00
  Tensioni: σ_N=0.00 σ_M=0.00 τ=61.34 τ_{max}=61.34
  Tensioni: σ_N=0.00 σ_M=0.00 τ=61.34 $\sigma_{ID,max}$=106.25

Asta n. 311 (320 -1189) IPE240 iimpalcato Crit. 1

- Verifica di stabilità aste inflesse (4.2.4.1.3.2) CC 97 - Classe 3
  L_{cr}=0.31 Curva b: α-imp=0.34 k_c=0.94 ψ=1.75 M,cr=1236090.00 λ_{LT}=0.08
  $\lambda_{LT,0}$=0.40 β_{LT}=0.75 Φ_{LT}=0.45 β_{LT}=0.75 f=1.00 χ_{LT}=1.00
  CC 97 My,Ed=-94.51 My,b,Rd=8107.84 My,Ed/My,b,Rd=0.01

- Verifica in termini tensionali (4.2.5) - CC 97 Xl=0.00 - Classe 3
  Sollecitazioni: T_z=311.31 T_y=3.41 M_z=-5.15 M_x=4.37
  Tensioni: σ_N=0.00 σ_M=10.89 τ=37.79 σ_{max}=10.89
  Tensioni: σ_N=0.00 σ_M=0.56 τ=45.54 τ_{max}=45.54
  Tensioni: σ_N=0.00 σ_M=0.56 τ=45.54 $\sigma_{ID,max}$=78.87

Asta n. 311 (-1189 -1190) IPE240 iimpalcato Crit. 1

- Verifica di stabilità aste inflesse (4.2.4.1.3.2) CC 97 - Classe 3
  L_{cr}=0.40 Curva b: α-imp=0.34 k_c=0.94 ψ=1.25 M,cr=535066.00 λ_{LT}=0.13
  $\lambda_{LT,0}$=0.40 β_{LT}=0.75 Φ_{LT}=0.46 β_{LT}=0.75 f=1.00 χ_{LT}=1.00
  CC 97 My,Ed=-165.76 My,b,Rd=8107.84 My,Ed/My,b,Rd=0.02

- Verifica in termini tensionali (4.2.5) - CC 97 Xl=0.40 - Classe 3
  Sollecitazioni: T_z=170.37 M_y=-165.76 T_y=3.41 M_z=-2.73 M_x=3.16
  Tensioni: σ_N=0.00 σ_M=56.88 τ=27.33 σ_{max}=56.88
  Tensioni: σ_N=0.00 σ_M=0.30 τ=30.67 τ_{max}=30.67
  Tensioni: σ_N=0.00 σ_M=56.88 τ=27.33 $\sigma_{ID,max}$=74.00

Asta n. 311 (-1190 -1191) IPE240 iimpalcato Crit. 1

- Verifica di stabilità aste inflesse (4.2.4.1.3.2) CC 97 - Classe 3
  L_{cr}=0.40 Curva b: α-imp=0.34 k_c=0.94 ψ=1.07 M,cr=458701.00 λ_{LT}=0.14
  $\lambda_{LT,0}$=0.40 β_{LT}=0.75 Φ_{LT}=0.46 β_{LT}=0.75 f=1.00 χ_{LT}=1.00
  CC 97 My,Ed=-165.76 My,b,Rd=8107.84 My,Ed/My,b,Rd=0.02

- Verifica in termini tensionali (4.2.5) - CC 97 Xl=0.00 - Classe 3
  Sollecitazioni: T_z=-51.22 M_y=-165.76 T_y=3.41 M_z=-2.73
  Tensioni: σ_N=0.00 σ_M=56.88 τ=0.00 σ_{max}=56.88
  Tensioni: σ_N=0.00 σ_M=-0.30 τ=4.18 τ_{max}=4.18
  Tensioni: σ_N=0.00 σ_M=56.88 τ=0.00 $\sigma_{ID,max}$=56.88

Asta n. 311 (-1191 -1192) IPE240 iimpalcato Crit. 1

- Verifica di stabilità aste inflesse (4.2.4.1.3.2) CC 97 - Classe 3
  L_{cr}=0.40 Curva b: α-imp=0.34 k_c=0.94 ψ=1.58 M,cr=679112.00 λ_{LT}=0.11
  $\lambda_{LT,0}$=0.40 β_{LT}=0.75 Φ_{LT}=0.46 β_{LT}=0.75 f=1.00 χ_{LT}=1.00
  CC 97 My,Ed=-142.03 My,b,Rd=8107.84 My,Ed/My,b,Rd=0.02

- Verifica in termini tensionali (4.2.5) - CC 98 Xl=0.40 - Classe 3
  Sollecitazioni: T_z=-350.69 M_y=44.33 T_y=3.45 M_x=-1.69
  Tensioni: σ_N=0.00 σ_M=-13.67 τ=14.65 σ_{max}=-13.67
  Tensioni: σ_N=0.00 σ_M=-0.00 τ=32.13 τ_{max}=32.13

Tensioni: σ_N=0.00 σ_M=-0.00 τ=32.13 $\sigma_{ID,max}$=55.64

Asta n. 311 (-1192 321) IPE240 iimpalcato Crit. 1

- Verifica di stabilità aste inflesse (4.2.4.1.3.2) CC 98 - Classe 3
Lcr=0.40 Curva b: α-imp=0.34 k_c=0.94 ψ=1.59 M,cr=680866.00 λ_{LT}=0.11
$\lambda_{LT,0}$=0.40 β_{LT}=0.75 Φ_{LT}=0.46 β_{LT}=0.75 f=1.00 χ_{LT}=1.00
CC 98 My,Ed=275.85 My,b,Rd=8107.84 My,Ed/My,b,Rd=0.03

- Verifica in termini tensionali (4.2.5) - CC 98 Xl=0.40 - Classe 3
Sollecitazioni: T_z=-588.90 M_y=275.85 T_y=3.45 M_z=1.36 M_x=-4.13
Tensioni: σ_N=0.00 σ_M=-87.94 τ=35.66 σ_{max}=-87.94
Tensioni: σ_N=0.00 σ_M=0.15 τ=59.81 τ_{max}=59.81
Tensioni: σ_N=0.00 σ_M=67.63 τ=54.51 $\sigma_{ID,max}$=116.13

Asta n. 311 (321 -1193) IPE240 iimpalcato Crit. 1

- Verifica di stabilità aste inflesse (4.2.4.1.3.2) CC 98 - Classe 3
Lcr=0.40 Curva b: α-imp=0.34 k_c=0.94 ψ=1.34 M,cr=575660.00 λ_{LT}=0.12
$\lambda_{LT,0}$=0.40 β_{LT}=0.75 Φ_{LT}=0.46 β_{LT}=0.75 f=1.00 χ_{LT}=1.00
CC 98 My,Ed=682.43 My,b,Rd=8107.84 My,Ed/My,b,Rd=0.08

- Verifica in termini tensionali (4.2.5) - CC 98 Xl=0.40 - Classe 3
Sollecitazioni: N=182.20 T_z=-961.07 M_y=682.43 T_y=5.28 M_z=3.83 M_x=-3.86
Tensioni: σ_N=4.66 σ_M=218.53 τ=33.33 σ_{max}=223.19
Tensioni: σ_N=4.66 σ_M=0.42 τ=85.14 τ_{max}=85.14
Tensioni: σ_N=4.66 σ_M=218.53 τ=33.33 $\sigma_{ID,max}$=230.54

Asta n. 311 (-1193 -1194) IPE240 iimpalcato Crit. 1

- Verifica di stabilità aste inflesse (4.2.4.1.3.2) CC 98 - Classe 3
Lcr=0.40 Curva b: α-imp=0.34 k_c=0.94 ψ=1.23 M,cr=529124.00 λ_{LT}=0.13
$\lambda_{LT,0}$=0.40 β_{LT}=0.75 Φ_{LT}=0.46 β_{LT}=0.75 f=1.00 χ_{LT}=1.00
CC 98 My,Ed=1156.45 My,b,Rd=8107.84 My,Ed/My,b,Rd=0.14

- Verifica in termini tensionali (4.2.5) - CC 98 Xl=0.40 - Classe 3
Sollecitazioni: N=182.20 T_z=-1197.24 M_y=1156.45 T_y=5.28 M_z=5.94 M_x=-6.23
Tensioni: σ_N=4.66 σ_M=369.15 τ=53.86 σ_{max}=373.81
Tensioni: σ_N=4.66 σ_M=0.65 τ=111.48 τ_{max}=111.48
Tensioni: σ_N=4.66 σ_M=369.15 τ=53.86 $\sigma_{ID,max}$=385.28

Asta n. 311 (-1194 -1195) IPE240 iimpalcato Crit. 1

- Verifica di stabilità aste inflesse (4.2.4.1.3.2) CC 98 - Classe 3
Lcr=0.20 Curva b: α-imp=0.34 k_c=0.94 ψ=1.10 M,cr=1873180.00 λ_{LT}=0.07
$\lambda_{LT,0}$=0.40 β_{LT}=0.75 Φ_{LT}=0.45 β_{LT}=0.75 f=1.00 χ_{LT}=1.00
CC 98 My,Ed=1436.10 My,b,Rd=8107.84 My,Ed/My,b,Rd=0.18

- Verifica in termini tensionali (4.2.5) - CC 98 Xl=0.20 - Classe 3
Sollecitazioni: N=182.20 T_z=-1426.65 M_y=1436.10 T_y=5.28 M_z=6.99 M_x=-8.12
Tensioni: σ_N=4.66 σ_M=457.61 τ=70.18 σ_{max}=462.27
Tensioni: σ_N=4.66 σ_M=0.76 τ=135.84 τ_{max}=135.84
Tensioni: σ_N=4.66 σ_M=457.61 τ=70.18 $\sigma_{ID,max}$=477.98

Asta n. 311 (-1195 -1196) IPE240 iimpalcato Crit. 1

- Verifica di stabilità aste inflesse (4.2.4.1.3.2) CC 98 - Classe 3
Lcr=0.20 Curva b: α-imp=0.34 k_c=0.94 ψ=1.08 M,cr=1842950.00 λ_{LT}=0.07
$\lambda_{LT,0}$=0.40 β_{LT}=0.75 Φ_{LT}=0.45 β_{LT}=0.75 f=1.00 χ_{LT}=1.00
CC 98 My,Ed=1721.36 My,b,Rd=8107.84 My,Ed/My,b,Rd=0.21

- Verifica in termini tensionali (4.2.5) - CC 98 Xl=0.20 - Classe 3
Sollecitazioni: N=182.20 T_z=-1434.92 M_y=1721.36 T_y=5.28 M_z=8.05 M_x=-8.12
Tensioni: σ_N=4.66 σ_M=547.79 τ=70.18 σ_{max}=552.45
Tensioni: σ_N=4.66 σ_M=0.88 τ=136.41 τ_{max}=136.41
Tensioni: σ_N=4.66 σ_M=547.79 τ=70.18 $\sigma_{ID,max}$=565.67

Asta n. 311 (-1196 -1197) IPE240 iimpalcato Crit. 1

- Verifica di stabilità aste inflesse (4.2.4.1.3.2) CC 98 - Classe 3
  L_{cr}=0.40 Curva b: α-imp=0.34 k_c=0.94 ψ=1.15 M,cr=491951.00 λ_{LT}=0.13
  $\lambda_{LT,0}$=0.40 β_{LT}=0.75 Φ_{LT}=0.46 β_{LT}=0.75 f=1.00 χ_{LT}=1.00
  CC 98 My,Ed=2388.99 My,b,Rd=8107.84 My,Ed/My,b,Rd=0.29

- Verifica in termini tensionali (4.2.5) - CC 98 Xl=0.40 - Classe 3
  Sollecitazioni: N=182.20 T_z=-1672.49 M_y=2388.99 T_y=5.28 M_z=10.15 M_x=-9.99
  Tensioni: σ_N=4.66 σ_M=758.11 τ=86.32 σ_{max}=762.77
  Tensioni: σ_N=4.66 σ_M=1.11 τ=161.37 τ_{max}=161.37
  Tensioni: σ_N=4.66 σ_M=758.11 τ=86.32 $\sigma_{ID,max}$=777.28

Asta n. 311 (-1197 322) IPE240 iimpalcato Crit. 1

- Verifica di stabilità aste inflesse (4.2.4.1.3.2) CC 98 - Classe 3
  L_{cr}=0.40 Curva b: α-imp=0.34 k_c=0.94 ψ=1.25 M,cr=530568.00 λ_{LT}=0.13
  $\lambda_{LT,0}$=0.40 β_{LT}=0.75 Φ_{LT}=0.46 β_{LT}=0.75 f=1.00 χ_{LT}=1.00
  CC 98 My,Ed=2389.36 My,b,Rd=8107.84 My,Ed/My,b,Rd=0.29

- Verifica in termini tensionali (4.2.5) - CC 98 Xl=0.00 - Classe 3
  Sollecitazioni: N=170.83 T_z=2551.56 M_y=2389.36 M_z=9.78 M_x=21.81
  Tensioni: σ_N=4.37 σ_M=757.43 τ=188.53 σ_{max}=761.80
  Tensioni: σ_N=4.37 σ_M=1.07 τ=280.71 τ_{max}=280.71
  Tensioni: σ_N=4.37 σ_M=757.43 τ=188.53 $\sigma_{ID,max}$=828.84

Asta n. 311 (322 -1198) IPE240 iimpalcato Crit. 1

- Verifica di stabilità aste inflesse (4.2.4.1.3.2) CC 98 - Classe 3
  L_{cr}=0.20 Curva b: α-imp=0.34 k_c=0.94 ψ=1.14 M,cr=1929300.00 λ_{LT}=0.07
  $\lambda_{LT,0}$=0.40 β_{LT}=0.75 Φ_{LT}=0.45 β_{LT}=0.75 f=1.00 χ_{LT}=1.00
  CC 98 My,Ed=1438.33 My,b,Rd=8107.84 My,Ed/My,b,Rd=0.18

- Verifica in termini tensionali (4.2.5) - CC 98 Xl=0.00 - Classe 3
  Sollecitazioni: N=577.01 T_z=1913.87 M_y=1438.33 T_y=-8.44 M_z=10.41 M_x=6.97
  Tensioni: σ_N=14.75 σ_M=465.51 τ=60.28 σ_{max}=480.26
  Tensioni: σ_N=14.75 σ_M=1.14 τ=167.26 τ_{max}=167.26
  Tensioni: σ_N=14.75 σ_M=465.51 τ=60.28 $\sigma_{ID,max}$=491.48

Asta n. 311 (-1198 -1199) IPE240 iimpalcato Crit. 1

- Verifica di stabilità aste inflesse (4.2.4.1.3.2) CC 98 - Classe 3
  L_{cr}=0.20 Curva b: α-imp=0.34 k_c=0.94 ψ=1.20 M,cr=2031160.00 λ_{LT}=0.07
  $\lambda_{LT,0}$=0.40 β_{LT}=0.75 Φ_{LT}=0.44 β_{LT}=0.75 f=1.00 χ_{LT}=1.00
  CC 98 My,Ed=1056.39 My,b,Rd=8107.84 My,Ed/My,b,Rd=0.13

- Verifica in termini tensionali (4.2.5) - CC 98 Xl=0.00 - Classe 3
  Sollecitazioni: N=577.01 T_z=1905.58 M_y=1056.39 T_y=-8.44 M_z=8.72 M_x=6.97
  Tensioni: σ_N=14.75 σ_M=344.17 τ=60.28 σ_{max}=358.92
  Tensioni: σ_N=14.75 σ_M=0.95 τ=166.63 τ_{max}=166.63
  Tensioni: σ_N=14.75 σ_M=344.17 τ=60.28 $\sigma_{ID,max}$=373.80

Asta n. 311 (-1199 -1200) IPE240 iimpalcato Crit. 1

- Verifica di stabilità aste inflesse (4.2.4.1.3.2) CC 98 - Classe 3
  L_{cr}=0.40 Curva b: α-imp=0.34 k_c=0.94 ψ=1.73 M,cr=736545.00 λ_{LT}=0.11
  $\lambda_{LT,0}$=0.40 β_{LT}=0.75 Φ_{LT}=0.46 β_{LT}=0.75 f=1.00 χ_{LT}=1.00
  CC 98 My,Ed=680.09 My,b,Rd=8107.84 My,Ed/My,b,Rd=0.08

- Verifica in termini tensionali (4.2.5) - CC 98 Xl=0.00 - Classe 3
  Sollecitazioni: N=577.01 T_z=1675.45 M_y=680.09 T_y=-8.44 M_z=7.03 M_x=5.08
  Tensioni: σ_N=14.75 σ_M=224.57 τ=43.92 σ_{max}=239.32
  Tensioni: σ_N=14.75 σ_M=0.77 τ=143.47 τ_{max}=143.47
  Tensioni: σ_N=14.75 σ_M=167.13 τ=125.10 $\sigma_{ID,max}$=282.90

Asta n. 311 (-1200 -1201) IPE240 iimpalcato Crit. 1

- Verifica di stabilità aste inflesse (4.2.4.1.3.2) CC 97 - Classe 3
  L_{cr}=0.40 Curva b: α-imp=0.34 k_c=0.94 ψ=1.62 M,cr=689945.00 λ_{LT}=0.11
  $\lambda_{LT,0}$=0.40 β_{LT}=0.75 Φ_{LT}=0.46 β_{LT}=0.75 f=1.00 χ_{LT}=1.00
  CC 97 My,Ed=-638.14 My,b,Rd=8107.84 My,Ed/My,b,Rd=0.08

- Verifica in termini tensionali (4.2.5) - CC 97 Xl=0.40 - Classe 3
  Sollecitazioni: N=607.92 T_z=1382.42 M_y=-638.14 T_y=-8.44 M_x=2.66
  Tensioni: σ_N=15.54 σ_M=196.76 τ=23.00 σ_{max}=212.31
  Tensioni: σ_N=15.54 σ_M=0.00 τ=115.01 τ_{max}=115.01
  Tensioni: σ_N=15.54 σ_M=156.10 τ=99.34 $\sigma_{ID,max}$=243.03

Asta n. 311 (-1201 -1202) IPE240 iimpalcato Crit. 1

- Verifica di stabilità aste inflesse (4.2.4.1.3.2) CC 97 - Classe 3
  L_{cr}=0.40 Curva b: α-imp=0.34 k_c=0.94 ψ=1.24 M,cr=528631.00 λ_{LT}=0.13
  $\lambda_{LT,0}$=0.40 β_{LT}=0.75 Φ_{LT}=0.46 β_{LT}=0.75 f=1.00 χ_{LT}=1.00
  CC 97 My,Ed=-1098.96 My,b,Rd=8107.84 My,Ed/My,b,Rd=0.14

- Verifica in termini tensionali (4.2.5) - CC 97 Xl=0.40 - Classe 3
  Sollecitazioni: N=607.92 T_z=1143.69 M_y=-1098.96 T_y=-8.44 M_z=-3.13
  Tensioni: σ_N=15.54 σ_M=345.48 τ=0.00 σ_{max}=361.02
  Tensioni: σ_N=15.54 σ_M=-0.34 τ=93.22 τ_{max}=93.22
  Tensioni: σ_N=15.54 σ_M=345.48 τ=0.00 $\sigma_{ID,max}$=361.02

Asta n. 311 (-1202 323) IPE240 iimpalcato Crit. 1

- Verifica di stabilità aste inflesse (4.2.4.1.3.2) CC 97 - Classe 3
  L_{cr}=0.40 Curva b: α-imp=0.34 k_c=0.94 ψ=1.13 M,cr=481561.00 λ_{LT}=0.14
  $\lambda_{LT,0}$=0.40 β_{LT}=0.75 Φ_{LT}=0.46 β_{LT}=0.75 f=1.00 χ_{LT}=1.00
  CC 97 My,Ed=-1464.11 My,b,Rd=8107.84 My,Ed/My,b,Rd=0.18

- Verifica in termini tensionali (4.2.5) - CC 97 Xl=0.40 - Classe 3
  Sollecitazioni: N=607.92 T_z=904.59 M_y=-1464.11 T_y=-8.44 M_z=-6.51 M_x=-2.20
  Tensioni: σ_N=15.54 σ_M=465.21 τ=19.00 σ_{max}=480.75
  Tensioni: σ_N=15.54 σ_M=0.71 τ=76.15 τ_{max}=76.15
  Tensioni: σ_N=15.54 σ_M=465.21 τ=19.00 $\sigma_{ID,max}$=481.88

Asta n. 311 (323 -1203) IPE240 iimpalcato Crit. 1

- Verifica di stabilità aste inflesse (4.2.4.1.3.2) CC 97 - Classe 3
  L_{cr}=0.40 Curva b: α-imp=0.34 k_c=0.94 ψ=1.09 M,cr=465370.00 λ_{LT}=0.14
  $\lambda_{LT,0}$=0.40 β_{LT}=0.75 Φ_{LT}=0.46 β_{LT}=0.75 f=1.00 χ_{LT}=1.00
  CC 97 My,Ed=-1717.26 My,b,Rd=8107.84 My,Ed/My,b,Rd=0.21

- Verifica in termini tensionali (4.2.5) - CC 97 Xl=0.40 - Classe 3
  Sollecitazioni: N=1001.91 T_z=780.96 M_y=-1717.26 T_y=-2.85 M_z=-7.20 M_x=3.81
  Tensioni: σ_N=25.61 σ_M=544.74 τ=32.92 σ_{max}=570.36
  Tensioni: σ_N=25.61 σ_M=-0.79 τ=71.67 τ_{max}=71.67
  Tensioni: σ_N=25.61 σ_M=544.74 τ=32.92 $\sigma_{ID,max}$=573.20

Asta n. 311 (-1203 -1204) IPE240 iimpalcato Crit. 1

- Verifica di stabilità aste inflesse (4.2.4.1.3.2) CC 97 - Classe 3
  L_{cr}=0.40 Curva b: α-imp=0.34 k_c=0.94 ψ=1.06 M,cr=449325.00 λ_{LT}=0.14
  $\lambda_{LT,0}$=0.40 β_{LT}=0.75 Φ_{LT}=0.46 β_{LT}=0.75 f=1.00 χ_{LT}=1.00
  CC 97 My,Ed=-1938.27 My,b,Rd=8107.84 My,Ed/My,b,Rd=0.24

- Verifica in termini tensionali (4.2.5) - CC 97 Xl=0.40 - Classe 3
  Sollecitazioni: N=1001.91 T_z=544.05 M_y=-1938.27 T_y=-2.85 M_z=-8.34 M_x=1.43
  Tensioni: σ_N=25.61 σ_M=615.30 τ=12.36 σ_{max}=640.91
  Tensioni: σ_N=25.61 σ_M=-0.91 τ=46.04 τ_{max}=46.04
  Tensioni: σ_N=25.61 σ_M=615.30 τ=12.36 $\sigma_{ID,max}$=641.27

Asta n. 311 (-1204 -1330) IPE240 iimpalcato Crit. 1

- Verifica di stabilità aste inflesse (4.2.4.1.3.2) CC 97 - Classe 3
  L_{cr}=0.20 Curva b: α-imp=0.34 k_c=0.94 ψ=1.01 M,cr=1716120.00 λ_{LT}=0.07
  $\lambda_{LT,0}$=0.40 β_{LT}=0.75 Φ_{LT}=0.45 β_{LT}=0.75 f=1.00 χ_{LT}=1.00
  CC 97 My,Ed=-2006.14 My,b,Rd=8107.84 My,Ed/My,b,Rd=0.25

- Verifica in termini tensionali (4.2.5) - CC 97 Xl=0.20 - Classe 3
  Sollecitazioni: N=1001.91 T_z=314.79 M_y=-2006.14 T_y=-2.85 M_z=-8.91
  Tensioni: σ_N=25.61 σ_M=637.43 τ=0.00 σ_{max}=663.04

Tensioni: σ_N=25.61 σ_M=-0.97 τ=25.66 τ_{max}=25.66
Tensioni: σ_N=25.61 σ_M=637.43 τ=0.00 $\sigma_{ID,max}$=663.04

Asta n. 311 (-1330 -1205) IPE240 iimpalcato Crit. 1

- Verifica di stabilità aste inflesse (4.2.4.1.3.2) CC 97 - Classe 3
L_{cr}=0.20 Curva b: α-imp=0.34 k_c=0.94 ψ=1.01 M,cr=1714730.00 λ_{LT}=0.07
$\lambda_{LT,0}$=0.40 β_{LT}=0.75 Φ_{LT}=0.45 β_{LT}=0.75 f=1.00 χ_{LT}=1.00
CC 97 My,Ed=-2068.27 My,b,Rd=8107.84 My,Ed/My,b,Rd=0.26

- Verifica in termini tensionali (4.2.5) - CC 97 Xl=0.20 - Classe 3
Sollecitazioni: N=1001.91 T_z=306.50 M_y=-2068.27 T_y=-2.85 M_z=-9.48
Tensioni: σ_N=25.61 σ_M=657.79 τ=0.00 σ_{max}=683.40
Tensioni: σ_N=25.61 σ_M=-1.04 τ=24.98 τ_{max}=24.98
Tensioni: σ_N=25.61 σ_M=657.79 τ=0.00 $\sigma_{ID,max}$=683.40

Asta n. 311 (-1205 -1331) IPE240 iimpalcato Crit. 1

- Verifica di stabilità aste inflesse (4.2.4.1.3.2) CC 97 - Classe 3
L_{cr}=0.20 Curva b: α-imp=0.34 k_c=0.94 ψ=1.00 M,cr=1697420.00 λ_{LT}=0.07
$\lambda_{LT,0}$=0.40 β_{LT}=0.75 Φ_{LT}=0.45 β_{LT}=0.75 f=1.00 χ_{LT}=1.00
CC 97 My,Ed=-2084.80 My,b,Rd=8107.84 My,Ed/My,b,Rd=0.26

- Verifica in termini tensionali (4.2.5) - CC 97 Xl=0.20 - Classe 3
Sollecitazioni: N=1001.91 T_z=77.89 M_y=-2084.80 T_y=-2.85 M_z=-10.05 M_x=-1.69
Tensioni: σ_N=25.61 σ_M=664.09 τ=14.58 σ_{max}=689.70
Tensioni: σ_N=25.61 σ_M=1.10 τ=15.92 τ_{max}=15.92
Tensioni: σ_N=25.61 σ_M=664.09 τ=14.58 $\sigma_{ID,max}$=690.17

Asta n. 311 (-1331 -1206) IPE240 iimpalcato Crit. 1

- Verifica di stabilità aste inflesse (4.2.4.1.3.2) CC 97 - Classe 3
L_{cr}=0.20 Curva b: α-imp=0.34 k_c=0.94 ψ=1.00 M,cr=1696770.00 λ_{LT}=0.07
$\lambda_{LT,0}$=0.40 β_{LT}=0.75 Φ_{LT}=0.45 β_{LT}=0.75 f=1.00 χ_{LT}=1.00
CC 97 My,Ed=-2099.55 My,b,Rd=8107.84 My,Ed/My,b,Rd=0.26

- Verifica in termini tensionali (4.2.5) - CC 97 Xl=0.20 - Classe 3
Sollecitazioni: N=1001.91 T_z=69.60 M_y=-2099.55 T_y=-2.85 M_z=-10.62 M_x=-1.69
Tensioni: σ_N=25.61 σ_M=669.84 τ=14.58 σ_{max}=695.46
Tensioni: σ_N=25.61 σ_M=1.16 τ=15.66 τ_{max}=15.66
Tensioni: σ_N=25.61 σ_M=669.84 τ=14.58 $\sigma_{ID,max}$=695.91

Asta n. 311 (-1206 324) IPE240 iimpalcato Crit. 1

- Verifica di stabilità aste inflesse (4.2.4.1.3.2) CC 97 - Classe 3
L_{cr}=0.20 Curva b: α-imp=0.34 k_c=0.94 ψ=1.00 M,cr=1698640.00 λ_{LT}=0.07
$\lambda_{LT,0}$=0.40 β_{LT}=0.75 Φ_{LT}=0.45 β_{LT}=0.75 f=1.00 χ_{LT}=1.00
CC 97 My,Ed=-2095.57 My,b,Rd=8107.84 My,Ed/My,b,Rd=0.26

- Verifica in termini tensionali (4.2.5) - CC 97 Xl=0.00 - Classe 3
Sollecitazioni: N=1001.91 T_z=-94.82 M_y=-2095.57 T_y=-2.85 M_z=-10.62 M_x=-3.51
Tensioni: σ_N=25.61 σ_M=668.62 τ=30.31 σ_{max}=694.23
Tensioni: σ_N=25.61 σ_M=1.16 τ=31.29 τ_{max}=31.29
Tensioni: σ_N=25.61 σ_M=668.62 τ=30.31 $\sigma_{ID,max}$=696.21

Asta n. 311 (324 -1207) IPE240 iimpalcato Crit. 1

- Verifica di stabilità aste inflesse (4.2.4.1.3.2) CC 98 - Classe 3
L_{cr}=0.20 Curva b: α-imp=0.34 k_c=0.94 ψ=1.00 M,cr=1698640.00 λ_{LT}=0.07
$\lambda_{LT,0}$=0.40 β_{LT}=0.75 Φ_{LT}=0.45 β_{LT}=0.75 f=1.00 χ_{LT}=1.00
CC 98 My,Ed=-2095.57 My,b,Rd=8107.84 My,Ed/My,b,Rd=0.26

- Verifica in termini tensionali (4.2.5) - CC 98 Xl=0.20 - Classe 3
Sollecitazioni: N=1001.91 T_z=94.82 M_y=-2095.57 T_y=2.85 M_z=-10.62 M_x=3.51
Tensioni: σ_N=25.61 σ_M=668.62 τ=30.31 σ_{max}=694.23
Tensioni: σ_N=25.61 σ_M=1.16 τ=31.29 τ_{max}=31.29
Tensioni: σ_N=25.61 σ_M=668.62 τ=30.31 $\sigma_{ID,max}$=696.21

Asta n. 311 (-1207 -1332) IPE240 iimpalcato Crit. 1

- Verifica di stabilità aste inflesse (4.2.4.1.3.2) CC 98 - Classe 3
  L_{cr}=0.20 Curva b: α-imp=0.34 k_c=0.94 ψ=1.00 M,cr=1696770.00 λ_{LT}=0.07
  $\lambda_{LT,0}$=0.40 β_{LT}=0.75 Φ_{LT}=0.45 β_{LT}=0.75 f=1.00 χ_{LT}=1.00
  CC 98 My,Ed=-2099.55 My,b,Rd=8107.84 My,Ed/My,b,Rd=0.26

- Verifica in termini tensionali (4.2.5) - CC 98 Xl=0.00 - Classe 3
  Sollecitazioni: N=1001.91 T_z=-69.60 M_y=-2099.55 T_y=2.85 M_z=-10.62 M_x=1.69
  Tensioni: σ_N=25.61 σ_M=669.84 τ=14.58 σ_{max}=695.46
  Tensioni: σ_N=25.61 σ_M=1.16 τ=15.66 τ_{max}=15.66
  Tensioni: σ_N=25.61 σ_M=669.84 τ=14.58 $\sigma_{ID,max}$=695.91

Asta n. 311 (-1332 -1208) IPE240 iimpalcato Crit. 1

- Verifica di stabilità aste inflesse (4.2.4.1.3.2) CC 98 - Classe 3
  L_{cr}=0.20 Curva b: α-imp=0.34 k_c=0.94 ψ=1.00 M,cr=1697420.00 λ_{LT}=0.07
  $\lambda_{LT,0}$=0.40 β_{LT}=0.75 Φ_{LT}=0.45 β_{LT}=0.75 f=1.00 χ_{LT}=1.00
  CC 98 My,Ed=-2084.80 My,b,Rd=8107.84 My,Ed/My,b,Rd=0.26

- Verifica in termini tensionali (4.2.5) - CC 98 Xl=0.00 - Classe 3
  Sollecitazioni: N=1001.91 T_z=-77.89 M_y=-2084.80 T_y=2.85 M_z=-10.05 M_x=1.69
  Tensioni: σ_N=25.61 σ_M=664.09 τ=14.58 σ_{max}=689.70
  Tensioni: σ_N=25.61 σ_M=1.10 τ=15.92 τ_{max}=15.92
  Tensioni: σ_N=25.61 σ_M=664.09 τ=14.58 $\sigma_{ID,max}$=690.17

Asta n. 311 (-1208 -1334) IPE240 iimpalcato Crit. 1

- Verifica di stabilità aste inflesse (4.2.4.1.3.2) CC 98 - Classe 3
  L_{cr}=0.20 Curva b: α-imp=0.34 k_c=0.94 ψ=1.01 M,cr=1714730.00 λ_{LT}=0.07
  $\lambda_{LT,0}$=0.40 β_{LT}=0.75 Φ_{LT}=0.45 β_{LT}=0.75 f=1.00 χ_{LT}=1.00
  CC 98 My,Ed=-2068.27 My,b,Rd=8107.84 My,Ed/My,b,Rd=0.26

- Verifica in termini tensionali (4.2.5) - CC 98 Xl=0.00 - Classe 3
  Sollecitazioni: N=1001.91 T_z=-306.50 M_y=-2068.27 T_y=2.85 M_z=-9.48
  Tensioni: σ_N=25.61 σ_M=657.79 τ=0.00 σ_{max}=683.40
  Tensioni: σ_N=25.61 σ_M=-1.04 τ=24.98 τ_{max}=24.98
  Tensioni: σ_N=25.61 σ_M=657.79 τ=0.00 $\sigma_{ID,max}$=683.40

Asta n. 311 (-1334 -1209) IPE240 iimpalcato Crit. 1

- Verifica di stabilità aste inflesse (4.2.4.1.3.2) CC 98 - Classe 3
  L_{cr}=0.20 Curva b: α-imp=0.34 k_c=0.94 ψ=1.01 M,cr=1716120.00 λ_{LT}=0.07
  $\lambda_{LT,0}$=0.40 β_{LT}=0.75 Φ_{LT}=0.45 β_{LT}=0.75 f=1.00 χ_{LT}=1.00
  CC 98 My,Ed=-2006.14 My,b,Rd=8107.84 My,Ed/My,b,Rd=0.25

- Verifica in termini tensionali (4.2.5) - CC 98 Xl=0.00 - Classe 3
  Sollecitazioni: N=1001.91 T_z=-314.79 M_y=-2006.14 T_y=2.85 M_z=-8.91
  Tensioni: σ_N=25.61 σ_M=637.43 τ=0.00 σ_{max}=663.04
  Tensioni: σ_N=25.61 σ_M=-0.97 τ=25.66 τ_{max}=25.66
  Tensioni: σ_N=25.61 σ_M=637.43 τ=0.00 $\sigma_{ID,max}$=663.04

Asta n. 311 (-1209 -1210) IPE240 iimpalcato Crit. 1

- Verifica di stabilità aste inflesse (4.2.4.1.3.2) CC 98 - Classe 3
  L_{cr}=0.40 Curva b: α-imp=0.34 k_c=0.94 ψ=1.06 M,cr=449325.00 λ_{LT}=0.14
  $\lambda_{LT,0}$=0.40 β_{LT}=0.75 Φ_{LT}=0.46 β_{LT}=0.75 f=1.00 χ_{LT}=1.00
  CC 98 My,Ed=-1938.27 My,b,Rd=8107.84 My,Ed/My,b,Rd=0.24

- Verifica in termini tensionali (4.2.5) - CC 98 Xl=0.00 - Classe 3
  Sollecitazioni: N=1001.91 T_z=-544.05 M_y=-1938.27 T_y=2.85 M_z=-8.34 M_x=-1.43
  Tensioni: σ_N=25.61 σ_M=615.30 τ=12.36 σ_{max}=640.91
  Tensioni: σ_N=25.61 σ_M=-0.91 τ=46.04 τ_{max}=46.04
  Tensioni: σ_N=25.61 σ_M=615.30 τ=12.36 $\sigma_{ID,max}$=641.27

Asta n. 311 (-1210 325) IPE240 iimpalcato Crit. 1

- Verifica di stabilità aste inflesse (4.2.4.1.3.2) CC 98 - Classe 3
  L_{cr}=0.40 Curva b: α-imp=0.34 k_c=0.94 ψ=1.09 M,cr=465370.00 λ_{LT}=0.14
  $\lambda_{LT,0}$=0.40 β_{LT}=0.75 Φ_{LT}=0.46 β_{LT}=0.75 f=1.00 χ_{LT}=1.00

CC 98 My,Ed=-1717.26 My,b,Rd=8107.84 My,Ed/My,b,Rd=0.21

- Verifica in termini tensionali (4.2.5) - CC 98 Xl=0.00 - Classe 3
  Sollecitazioni: N=1001.91 T_z=-780.96 M_y=-1717.26 T_y=2.85 M_z=-7.20 M_x=-3.81
  Tensioni: σ_N=25.61 σ_M=544.74 τ=32.92 σ_{max}=570.36
  Tensioni: σ_N=25.61 σ_M=-0.79 τ=71.67 τ_{max}=71.67
  Tensioni: σ_N=25.61 σ_M=544.74 τ=32.92 $\sigma_{ID,max}$=573.20

Asta n. 311 (325 -1211) IPE240 iimpalcato Crit. 1

- Verifica di stabilità aste inflesse (4.2.4.1.3.2) CC 98 - Classe 3
  L_{cr}=0.40 Curva b: α-imp=0.34 k_c=0.94 ψ=1.13 M,cr=481560.00 λ_{LT}=0.14
  $\lambda_{LT,0}$=0.40 β_{LT}=0.75 Φ_{LT}=0.46 β_{LT}=0.75 f=1.00 χ_{LT}=1.00
  CC 98 My,Ed=-1464.11 My,b,Rd=8107.84 My,Ed/My,b,Rd=0.18

- Verifica in termini tensionali (4.2.5) - CC 98 Xl=0.00 - Classe 3
  Sollecitazioni: N=607.92 T_z=-904.59 M_y=-1464.11 T_y=8.44 M_z=-6.51 M_x=2.20
  Tensioni: σ_N=15.54 σ_M=465.21 τ=19.00 σ_{max}=480.75
  Tensioni: σ_N=15.54 σ_M=0.71 τ=76.15 τ_{max}=76.15
  Tensioni: σ_N=15.54 σ_M=465.21 τ=19.00 $\sigma_{ID,max}$=481.88

Asta n. 311 (-1211 -1212) IPE240 iimpalcato Crit. 1

- Verifica di stabilità aste inflesse (4.2.4.1.3.2) CC 98 - Classe 3
  L_{cr}=0.40 Curva b: α-imp=0.34 k_c=0.94 ψ=1.24 M,cr=528632.00 λ_{LT}=0.13
  $\lambda_{LT,0}$=0.40 β_{LT}=0.75 Φ_{LT}=0.46 β_{LT}=0.75 f=1.00 χ_{LT}=1.00
  CC 98 My,Ed=-1098.96 My,b,Rd=8107.84 My,Ed/My,b,Rd=0.14

- Verifica in termini tensionali (4.2.5) - CC 98 Xl=0.00 - Classe 3
  Sollecitazioni: N=607.92 T_z=-1143.69 M_y=-1098.96 T_y=8.44 M_z=-3.13
  Tensioni: σ_N=15.54 σ_M=345.48 τ=0.00 σ_{max}=361.02
  Tensioni: σ_N=15.54 σ_M=-0.34 τ=93.22 τ_{max}=93.22
  Tensioni: σ_N=15.54 σ_M=345.48 τ=0.00 $\sigma_{ID,max}$=361.02

Asta n. 311 (-1212 -1213) IPE240 iimpalcato Crit. 1

- Verifica di stabilità aste inflesse (4.2.4.1.3.2) CC 98 - Classe 3
  L_{cr}=0.40 Curva b: α-imp=0.34 k_c=0.94 ψ=1.62 M,cr=689942.00 λ_{LT}=0.11
  $\lambda_{LT,0}$=0.40 β_{LT}=0.75 Φ_{LT}=0.46 β_{LT}=0.75 f=1.00 χ_{LT}=1.00
  CC 98 My,Ed=-638.14 My,b,Rd=8107.84 My,Ed/My,b,Rd=0.08

- Verifica in termini tensionali (4.2.5) - CC 98 Xl=0.00 - Classe 3
  Sollecitazioni: N=607.92 T_z=-1382.42 M_y=-638.14 T_y=8.44 M_x=-2.66
  Tensioni: σ_N=15.54 σ_M=196.76 τ=23.00 σ_{max}=212.31
  Tensioni: σ_N=15.54 σ_M=0.00 τ=115.01 τ_{max}=115.01
  Tensioni: σ_N=15.54 σ_M=156.10 τ=99.34 $\sigma_{ID,max}$=243.03

Asta n. 311 (-1213 -1214) IPE240 iimpalcato Crit. 1

- Verifica di stabilità aste inflesse (4.2.4.1.3.2) CC 97 - Classe 3
  L_{cr}=0.40 Curva b: α-imp=0.34 k_c=0.94 ψ=1.73 M,cr=736546.00 λ_{LT}=0.11
  $\lambda_{LT,0}$=0.40 β_{LT}=0.75 Φ_{LT}=0.46 β_{LT}=0.75 f=1.00 χ_{LT}=1.00
  CC 97 My,Ed=680.09 My,b,Rd=8107.84 My,Ed/My,b,Rd=0.08

- Verifica in termini tensionali (4.2.5) - CC 97 Xl=0.40 - Classe 3
  Sollecitazioni: N=577.01 T_z=-1675.45 M_y=680.09 T_y=8.44 M_z=7.03 M_x=-5.08
  Tensioni: σ_N=14.75 σ_M=224.57 τ=43.92 σ_{max}=239.32
  Tensioni: σ_N=14.75 σ_M=0.77 τ=143.47 τ_{max}=143.47
  Tensioni: σ_N=14.75 σ_M=167.13 τ=125.10 $\sigma_{ID,max}$=282.90

Asta n. 311 (-1214 -1215) IPE240 iimpalcato Crit. 1

- Verifica di stabilità aste inflesse (4.2.4.1.3.2) CC 97 - Classe 3
  L_{cr}=0.20 Curva b: α-imp=0.34 k_c=0.94 ψ=1.20 M,cr=2031160.00 λ_{LT}=0.07
  $\lambda_{LT,0}$=0.40 β_{LT}=0.75 Φ_{LT}=0.44 β_{LT}=0.75 f=1.00 χ_{LT}=1.00
  CC 97 My,Ed=1056.39 My,b,Rd=8107.84 My,Ed/My,b,Rd=0.13

- Verifica in termini tensionali (4.2.5) - CC 97 Xl=0.20 - Classe 3
  Sollecitazioni: N=577.01 T_z=-1905.58 M_y=1056.39 T_y=8.44 M_z=8.72 M_x=-6.97

Tensioni: σ_N=14.75 σ_M=344.17 τ=60.28 σ_{max}=358.92
Tensioni: σ_N=14.75 σ_M=0.95 τ=166.63 τ_{max}=166.63
Tensioni: σ_N=14.75 σ_M=344.17 τ=60.28 $\sigma_{ID,max}$=373.80

Asta n. 311 (-1215 326) IPE240 iimpalcato Crit. 1

- Verifica di stabilità aste inflesse (4.2.4.1.3.2) CC 97 - Classe 3
L_{cr}=0.20 Curva b: α-imp=0.34 k_c=0.94 ψ=1.14 M,cr=1929290.00 λ_{LT}=0.07
$\lambda_{LT,0}$=0.40 β_{LT}=0.75 Φ_{LT}=0.45 β_{LT}=0.75 f=1.00 χ_{LT}=1.00
CC 97 My,Ed=1438.34 My,b,Rd=8107.84 My,Ed/My,b,Rd=0.18

- Verifica in termini tensionali (4.2.5) - CC 97 Xl=0.20 - Classe 3
Sollecitazioni: N=577.01 T_z=-1913.87 M_y=1438.34 T_y=8.44 M_z=10.41 M_x=-6.97
Tensioni: σ_N=14.75 σ_M=465.51 τ=60.28 σ_{max}=480.26
Tensioni: σ_N=14.75 σ_M=1.14 τ=167.26 τ_{max}=167.26
Tensioni: σ_N=14.75 σ_M=465.51 τ=60.28 $\sigma_{ID,max}$=491.48

Asta n. 311 (326 -1216) IPE240 iimpalcato Crit. 1

- Verifica di stabilità aste inflesse (4.2.4.1.3.2) CC 97 - Classe 3
L_{cr}=0.40 Curva b: α-imp=0.34 k_c=0.94 ψ=1.25 M,cr=530571.00 λ_{LT}=0.13
$\lambda_{LT,0}$=0.40 β_{LT}=0.75 Φ_{LT}=0.46 β_{LT}=0.75 f=1.00 χ_{LT}=1.00
CC 97 My,Ed=2389.35 My,b,Rd=8107.84 My,Ed/My,b,Rd=0.29

- Verifica in termini tensionali (4.2.5) - CC 97 Xl=0.40 - Classe 3
Sollecitazioni: N=170.83 T_z=-2551.56 M_y=2389.35 M_z=9.78 M_x=-21.81
Tensioni: σ_N=4.37 σ_M=757.43 τ=188.53 σ_{max}=761.80
Tensioni: σ_N=4.37 σ_M=1.07 τ=280.71 τ_{max}=280.71
Tensioni: σ_N=4.37 σ_M=757.43 τ=188.53 $\sigma_{ID,max}$=828.83

Asta n. 311 (-1216 -1217) IPE240 iimpalcato Crit. 1

- Verifica di stabilità aste inflesse (4.2.4.1.3.2) CC 97 - Classe 3
L_{cr}=0.40 Curva b: α-imp=0.34 k_c=0.94 ψ=1.15 M,cr=491950.00 λ_{LT}=0.13
$\lambda_{LT,0}$=0.40 β_{LT}=0.75 Φ_{LT}=0.46 β_{LT}=0.75 f=1.00 χ_{LT}=1.00
CC 97 My,Ed=2388.99 My,b,Rd=8107.84 My,Ed/My,b,Rd=0.29

- Verifica in termini tensionali (4.2.5) - CC 97 Xl=0.00 - Classe 3
Sollecitazioni: N=182.20 T_z=1672.48 M_y=2388.99 T_y=-5.28 M_z=10.15 M_x=9.99
Tensioni: σ_N=4.66 σ_M=758.11 τ=86.31 σ_{max}=762.77
Tensioni: σ_N=4.66 σ_M=1.11 τ=161.37 τ_{max}=161.37
Tensioni: σ_N=4.66 σ_M=758.11 τ=86.31 $\sigma_{ID,max}$=777.28

Asta n. 311 (-1217 -1218) IPE240 iimpalcato Crit. 1

- Verifica di stabilità aste inflesse (4.2.4.1.3.2) CC 97 - Classe 3
L_{cr}=0.20 Curva b: α-imp=0.34 k_c=0.94 ψ=1.08 M,cr=1842970.00 λ_{LT}=0.07
$\lambda_{LT,0}$=0.40 β_{LT}=0.75 Φ_{LT}=0.45 β_{LT}=0.75 f=1.00 χ_{LT}=1.00
CC 97 My,Ed=1721.29 My,b,Rd=8107.84 My,Ed/My,b,Rd=0.21

- Verifica in termini tensionali (4.2.5) - CC 97 Xl=0.00 - Classe 3
Sollecitazioni: N=182.20 T_z=1434.90 M_y=1721.29 T_y=-5.28 M_z=8.05 M_x=8.12
Tensioni: σ_N=4.66 σ_M=547.77 τ=70.18 σ_{max}=552.43
Tensioni: σ_N=4.66 σ_M=0.88 τ=136.41 τ_{max}=136.41
Tensioni: σ_N=4.66 σ_M=547.77 τ=70.18 $\sigma_{ID,max}$=565.64

Asta n. 311 (-1218 -1219) IPE240 iimpalcato Crit. 1

- Verifica di stabilità aste inflesse (4.2.4.1.3.2) CC 97 - Classe 3
L_{cr}=0.20 Curva b: α-imp=0.34 k_c=0.94 ψ=1.10 M,cr=1873160.00 λ_{LT}=0.07
$\lambda_{LT,0}$=0.40 β_{LT}=0.75 Φ_{LT}=0.45 β_{LT}=0.75 f=1.00 χ_{LT}=1.00
CC 97 My,Ed=1436.14 My,b,Rd=8107.84 My,Ed/My,b,Rd=0.18

- Verifica in termini tensionali (4.2.5) - CC 97 Xl=0.00 - Classe 3
Sollecitazioni: N=182.20 T_z=1426.64 M_y=1436.14 T_y=-5.28 M_z=6.99 M_x=8.12
Tensioni: σ_N=4.66 σ_M=457.62 τ=70.18 σ_{max}=462.28
Tensioni: σ_N=4.66 σ_M=0.76 τ=135.84 τ_{max}=135.84
Tensioni: σ_N=4.66 σ_M=457.62 τ=70.18 $\sigma_{ID,max}$=477.99

Asta n. 311 (-1219 -1220) IPE240 iimpalcato Crit. 1

- Verifica di stabilità aste inflesse (4.2.4.1.3.2) CC 97 - Classe 3
  L_{cr}=0.40 Curva b: α-imp=0.34 k_c=0.94 ψ=1.23 M,cr=529124.00 λ_{LT}=0.13
  $\lambda_{LT,0}$=0.40 β_{LT}=0.75 Φ_{LT}=0.46 β_{LT}=0.75 f=1.00 χ_{LT}=1.00
  CC 97 My,Ed=1156.45 My,b,Rd=8107.84 My,Ed/My,b,Rd=0.14

- Verifica in termini tensionali (4.2.5) - CC 97 Xl=0.00 - Classe 3
  Sollecitazioni: N=182.20 T_z=1197.25 M_y=1156.45 T_y=-5.28 M_z=5.94 M_x=6.23
  Tensioni: σ_N=4.66 σ_M=369.15 τ=53.86 σ_{max}=373.81
  Tensioni: σ_N=4.66 σ_M=0.65 τ=111.48 τ_{max}=111.48
  Tensioni: σ_N=4.66 σ_M=369.15 τ=53.86 $\sigma_{ID,max}$=385.28

Asta n. 311 (-1220 327) IPE240 iimpalcato Crit. 1

- Verifica di stabilità aste inflesse (4.2.4.1.3.2) CC 97 - Classe 3
  L_{cr}=0.40 Curva b: α-imp=0.34 k_c=0.94 ψ=1.34 M,cr=575646.00 λ_{LT}=0.12
  $\lambda_{LT,0}$=0.40 β_{LT}=0.75 Φ_{LT}=0.46 β_{LT}=0.75 f=1.00 χ_{LT}=1.00
  CC 97 My,Ed=682.48 My,b,Rd=8107.84 My,Ed/My,b,Rd=0.08

- Verifica in termini tensionali (4.2.5) - CC 97 Xl=0.00 - Classe 3
  Sollecitazioni: N=182.20 T_z=961.07 M_y=682.48 T_y=-5.28 M_z=3.83 M_x=3.86
  Tensioni: σ_N=4.66 σ_M=218.55 τ=33.33 σ_{max}=223.21
  Tensioni: σ_N=4.66 σ_M=0.42 τ=85.14 τ_{max}=85.14
  Tensioni: σ_N=4.66 σ_M=218.55 τ=33.33 $\sigma_{ID,max}$=230.55

Asta n. 311 (327 -1221) IPE240 iimpalcato Crit. 1

- Verifica di stabilità aste inflesse (4.2.4.1.3.2) CC 97 - Classe 3
  L_{cr}=0.40 Curva b: α-imp=0.34 k_c=0.94 ψ=1.59 M,cr=680854.00 λ_{LT}=0.11
  $\lambda_{LT,0}$=0.40 β_{LT}=0.75 Φ_{LT}=0.46 β_{LT}=0.75 f=1.00 χ_{LT}=1.00
  CC 97 My,Ed=275.85 My,b,Rd=8107.84 My,Ed/My,b,Rd=0.03

- Verifica in termini tensionali (4.2.5) - CC 97 Xl=0.00 - Classe 3
  Sollecitazioni: T_z=588.89 M_y=275.85 T_y=-3.45 M_z=1.36 M_x=4.13
  Tensioni: σ_N=0.00 σ_M=-87.94 τ=35.66 σ_{max}=-87.94
  Tensioni: σ_N=0.00 σ_M=0.15 τ=59.81 τ_{max}=59.81
  Tensioni: σ_N=0.00 σ_M=67.63 τ=54.50 $\sigma_{ID,max}$=116.13

Asta n. 311 (-1221 -1222) IPE240 iimpalcato Crit. 1

- Verifica di stabilità aste inflesse (4.2.4.1.3.2) CC 98 - Classe 3
  L_{cr}=0.40 Curva b: α-imp=0.34 k_c=0.94 ψ=1.58 M,cr=679069.00 λ_{LT}=0.11
  $\lambda_{LT,0}$=0.40 β_{LT}=0.75 Φ_{LT}=0.46 β_{LT}=0.75 f=1.00 χ_{LT}=1.00
  CC 98 My,Ed=-142.04 My,b,Rd=8107.84 My,Ed/My,b,Rd=0.02

- Verifica in termini tensionali (4.2.5) - CC 97 Xl=0.00 - Classe 3
  Sollecitazioni: T_z=350.68 M_y=44.31 T_y=-3.45 M_x=1.69
  Tensioni: σ_N=0.00 σ_M=-13.66 τ=14.64 σ_{max}=-13.66
  Tensioni: σ_N=0.00 σ_M=-0.00 τ=32.12 τ_{max}=32.12
  Tensioni: σ_N=0.00 σ_M=-0.00 τ=32.12 $\sigma_{ID,max}$=55.64

Asta n. 311 (-1222 -1223) IPE240 iimpalcato Crit. 1

- Verifica di stabilità aste inflesse (4.2.4.1.3.2) CC 98 - Classe 3
  L_{cr}=0.40 Curva b: α-imp=0.34 k_c=0.94 ψ=1.07 M,cr=458696.00 λ_{LT}=0.14
  $\lambda_{LT,0}$=0.40 β_{LT}=0.75 Φ_{LT}=0.46 β_{LT}=0.75 f=1.00 χ_{LT}=1.00
  CC 98 My,Ed=-165.75 My,b,Rd=8107.84 My,Ed/My,b,Rd=0.02

- Verifica in termini tensionali (4.2.5) - CC 98 Xl=0.40 - Classe 3
  Sollecitazioni: T_z=51.21 M_y=-165.75 T_y=-3.41 M_z=-2.73
  Tensioni: σ_N=0.00 σ_M=56.88 τ=0.00 σ_{max}=56.88
  Tensioni: σ_N=0.00 σ_M=-0.30 τ=4.17 τ_{max}=4.17
  Tensioni: σ_N=0.00 σ_M=56.88 τ=0.00 $\sigma_{ID,max}$=56.88

Asta n. 311 (-1223 -1224) IPE240 iimpalcato Crit. 1

- Verifica di stabilità aste inflesse (4.2.4.1.3.2) CC 98 - Classe 3
  L_{cr}=0.40 Curva b: α-imp=0.34 k_c=0.94 ψ=1.25 M,cr=535078.00 λ_{LT}=0.13

$\lambda_{LT,0}$=0.40 β_{LT}=0.75 Φ_{LT}=0.46 β_{LT}=0.75 f=1.00 χ_{LT}=1.00
CC 98 My,Ed=-165.75 My,b,Rd=8107.84 My,Ed/My,b,Rd=0.02

- Verifica in termini tensionali (4.2.5) - CC 98 Xl=0.00 - Classe 3
Sollecitazioni: T_z=-170.38 M_y=-165.75 T_y=-3.41 M_z=-2.73 M_x=-3.16
Tensioni: σ_N=0.00 σ_M=56.88 τ=27.33 σ_{max}=56.88
Tensioni: σ_N=0.00 σ_M=0.30 τ=30.67 τ_{max}=30.67
Tensioni: σ_N=0.00 σ_M=56.88 τ=27.33 $\sigma_{ID,max}$=74.00

Asta n. 311 (-1224 328) IPE240 iimpalcato Crit. 1

- Verifica di stabilità aste inflesse (4.2.4.1.3.2) CC 98 - Classe 3
L_{cr}=0.31 Curva b: α-imp=0.34 k_c=0.94 ψ=1.75 M,cr=1236090.00 λ_{LT}=0.08
$\lambda_{LT,0}$=0.40 β_{LT}=0.75 Φ_{LT}=0.45 β_{LT}=0.75 f=1.00 χ_{LT}=1.00
CC 98 My,Ed=-94.51 My,b,Rd=8107.84 My,Ed/My,b,Rd=0.01

- Verifica in termini tensionali (4.2.5) - CC 98 Xl=0.31 - Classe 3
Sollecitazioni: T_z=-311.31 T_y=-3.41 M_z=-5.15 M_x=-4.37
Tensioni: σ_N=0.00 σ_M=10.89 τ=37.79 σ_{max}=10.89
Tensioni: σ_N=0.00 σ_M=0.56 τ=45.54 τ_{max}=45.54
Tensioni: σ_N=0.00 σ_M=0.56 τ=45.54 $\sigma_{ID,max}$=78.87

Asta n. 602 (-503 -375) HEB140 Crit. 1

- Verifica di stabilità aste inflesse (4.2.4.1.3.2) CC 97 - Classe 3
L_{cr}=2.30 Curva b: α-imp=0.34 k_c=0.94 ψ=1.75 M,cr=39032.80 λ_{LT}=0.39
$\lambda_{LT,0}$=0.40 β_{LT}=0.75 Φ_{LT}=0.56 β_{LT}=0.75 f=0.98 χ_{LT}=1.00
CC 97 My,Ed=-22.95 My,b,Rd=5390.19 My,Ed/My,b,Rd=0.00

- Verifica in termini tensionali (4.2.5) - CC 98 Xl=1.68 - Classe 3
Sollecitazioni: N=235.21 T_z=-18.11 M_y=-18.21 T_y=7.17 M_z=8.08
Tensioni: σ_N=5.48 σ_M=18.73 τ=0.00 σ_{max}=24.21
Tensioni: σ_N=5.48 σ_M=0.51 τ=2.18 τ_{max}=2.18
Tensioni: σ_N=5.48 σ_M=18.73 τ=0.00 $\sigma_{ID,max}$=24.21

Asta n. 604 (-511 -377) HEB140 Crit. 1

- Verifica di stabilità aste inflesse (4.2.4.1.3.2) CC 97 - Classe 3
L_{cr}=2.30 Curva b: α-imp=0.34 k_c=0.94 ψ=1.75 M,cr=39032.80 λ_{LT}=0.39
$\lambda_{LT,0}$=0.40 β_{LT}=0.75 Φ_{LT}=0.56 β_{LT}=0.75 f=0.98 χ_{LT}=1.00
CC 97 My,Ed=-22.95 My,b,Rd=5390.19 My,Ed/My,b,Rd=0.00

- Verifica in termini tensionali (4.2.5) - CC 98 Xl=1.15 - Classe 3
Sollecitazioni: N=236.03 M_y=-22.95 T_y=1.10 M_z=1.05
Tensioni: σ_N=5.49 σ_M=11.98 τ=0.00 σ_{max}=17.47
Tensioni: σ_N=5.49 σ_M=10.35 τ=0.05 τ_{max}=0.05
Tensioni: σ_N=5.49 σ_M=11.98 τ=0.00 $\sigma_{ID,max}$=17.47

Asta n. 606 (-515 -379) HEB140 Crit. 1

- Verifica di stabilità aste inflesse (4.2.4.1.3.2) CC 97 - Classe 3
L_{cr}=2.30 Curva b: α-imp=0.34 k_c=0.94 ψ=1.75 M,cr=39032.80 λ_{LT}=0.39
$\lambda_{LT,0}$=0.40 β_{LT}=0.75 Φ_{LT}=0.56 β_{LT}=0.75 f=0.98 χ_{LT}=1.00
CC 97 My,Ed=-22.95 My,b,Rd=5390.19 My,Ed/My,b,Rd=0.00

- Verifica in termini tensionali (4.2.5) - CC 98 Xl=1.15 - Classe 3
Sollecitazioni: N=201.35 M_y=-22.95
Tensioni: σ_N=4.69 σ_M=10.65 τ=0.00 σ_{max}=15.33
Tensioni: σ_N=0.00 σ_M=0.00 τ=0.00 τ_{max}=0.00
Tensioni: σ_N=4.69 σ_M=10.65 τ=0.00 $\sigma_{ID,max}$=15.33

Asta n. 608 (-519 -381) HEB140 Crit. 1

- Verifica di stabilità aste inflesse (4.2.4.1.3.2) CC 97 - Classe 3
L_{cr}=2.30 Curva b: α-imp=0.34 k_c=0.94 ψ=1.75 M,cr=39032.80 λ_{LT}=0.39
$\lambda_{LT,0}$=0.40 β_{LT}=0.75 Φ_{LT}=0.56 β_{LT}=0.75 f=0.98 χ_{LT}=1.00
CC 97 My,Ed=-22.95 My,b,Rd=5390.19 My,Ed/My,b,Rd=0.00

- Verifica in termini tensionali (4.2.5) - CC 98 Xl=1.26 - Classe 3
  Sollecitazioni: N=232.58 T_z=-3.62 M_y=-22.76 T_y=-2.04 M_z=-1.07
  Tensioni: σ_N=5.41 σ_M=11.92 τ=0.00 σ_{max}=17.34
  Tensioni: σ_N=5.41 σ_M=-0.07 τ=0.44 τ_{max}=0.44
  Tensioni: σ_N=5.41 σ_M=11.92 τ=0.00 $\sigma_{ID,max}$=17.34

Asta n. 610 (-527 -383) HEB140 Crit. 1

- Verifica di stabilità aste inflesse (4.2.4.1.3.2) CC 97 - Classe 3
  L_{cr}=2.30 Curva b: α-imp=0.34 k_c=0.94 ψ=1.75 M,cr=39032.80 λ_{LT}=0.39
  $\lambda_{LT,0}$=0.40 β_{LT}=0.75 Φ_{LT}=0.56 β_{LT}=0.75 f=0.98 χ_{LT}=1.00
  CC 97 My,Ed=-22.95 My,b,Rd=5390.19 My,Ed/My,b,Rd=0.00

- Verifica in termini tensionali (4.2.5) - CC 98 Xl=1.68 - Classe 3
  Sollecitazioni: N=233.03 T_z=-18.11 M_y=-18.21 T_y=-7.71 M_z=-8.05
  Tensioni: σ_N=5.42 σ_M=18.70 τ=0.00 σ_{max}=24.12
  Tensioni: σ_N=5.42 σ_M=-0.51 τ=2.18 τ_{max}=2.18
  Tensioni: σ_N=5.42 σ_M=18.70 τ=0.00 $\sigma_{ID,max}$=24.12

Asta n. 612 (-375 -377) U160x8.5 Crit. 1

- Verifica di stabilità aste presso-inflesse (C4.2.4.1.3.3.1) - CC 98 - Classe 3
  Sollecitazioni: N,Ed=-313.28 Myeq,Ed=1.09 Mzeq,Ed=-8.94
  Resistenze: Nc,Rd=66446.40 My,c,Rd=2862.95 Mz,c,Rd=450.72 L=80.00
  λ_Y=13.63 Ncr,y=2966900.00 λ^*_y=0.16 Curva c: Φ_y=0.50 χ_y=1.00
  λ_Z=43.80 Ncr,z=287205.00 λ^*_z=0.50 Curva c: Φ_z=0.70 χ_z=0.84
  χ,min=0.84
  Verifica: 0.00+0.00+0.02=0.02

- Verifica in termini tensionali (4.2.5) - CC 98 Xl=0.00 - Classe 3
  Sollecitazioni: N=-313.28 T_z=-7.24 T_y=12.71 M_z=-8.94
  Tensioni: σ_N=-11.79 σ_M=-49.60 τ=0.00 σ_{max}=-61.39
  Tensioni: σ_N=-11.79 σ_M=-4.23 τ=1.61 τ_{max}=1.61
  Tensioni: σ_N=-11.79 σ_M=-49.60 τ=0.02 $\sigma_{ID,max}$=61.39

Asta n. 612 (-377 -379) U160x8.5 Crit. 1

- Verifica di stabilità aste presso-inflesse (C4.2.4.1.3.3.1) - CC 98 - Classe 3
  Sollecitazioni: N,Ed=-293.61 Myeq,Ed=1.10 Mzeq,Ed=5.00
  Resistenze: Nc,Rd=66446.40 My,c,Rd=2862.95 Mz,c,Rd=450.72 L=80.47
  λ_Y=13.71 Ncr,y=2932340.00 λ^*_y=0.16 Curva c: Φ_y=0.50 χ_y=1.00
  λ_Z=44.05 Ncr,z=283860.00 λ^*_z=0.51 Curva c: Φ_z=0.70 χ_z=0.84
  χ,min=0.84
  Verifica: 0.00+0.00+0.01=0.02

- Verifica in termini tensionali (4.2.5) - CC 98 Xl=0.80 - Classe 3
  Sollecitazioni: N=-293.61 T_z=7.28 M_z=-2.10
  Tensioni: σ_N=-11.05 σ_M=-11.67 τ=0.00 σ_{max}=-22.71
  Tensioni: σ_N=-11.05 σ_M=1.50 τ=0.55 τ_{max}=0.55
  Tensioni: σ_N=-11.05 σ_M=-11.67 τ=0.02 $\sigma_{ID,max}$=22.71

Asta n. 612 (-379 -381) U160x8.5 Crit. 1

- Verifica di stabilità aste presso-inflesse (C4.2.4.1.3.3.1) - CC 98 - Classe 3
  Sollecitazioni: N,Ed=-293.07 Myeq,Ed=1.07 Mzeq,Ed=4.43
  Resistenze: Nc,Rd=66446.40 My,c,Rd=2862.95 Mz,c,Rd=450.72 L=79.53
  λ_Y=13.55 Ncr,y=3002070.00 λ^*_y=0.16 Curva c: Φ_y=0.50 χ_y=1.00
  λ_Z=43.54 Ncr,z=290610.00 λ^*_z=0.50 Curva c: Φ_z=0.70 χ_z=0.84
  χ,min=0.84
  Verifica: 0.00+0.00+0.01=0.01

- Verifica in termini tensionali (4.2.5) - CC 98 Xl=0.80 - Classe 3
  Sollecitazioni: N=-293.07 T_z=7.20 T_y=17.14 M_z=5.12
  Tensioni: σ_N=-11.03 σ_M=-9.70 τ=0.00 σ_{max}=-20.73
  Tensioni: σ_N=-11.03 σ_M=2.42 τ=2.16 τ_{max}=2.16
  Tensioni: σ_N=-11.03 σ_M=-9.70 τ=0.54 $\sigma_{ID,max}$=20.75

Asta n. 612 (-381 -383) U160x8.5 Crit. 1

- Verifica di stabilità aste presso-inflesse (C4.2.4.1.3.3.1) - CC 98 - Classe 3
  Sollecitazioni: N,Ed=-308.97 Myeq,Ed=1.09 Mzeq,Ed=-9.32
  Resistenze: Nc,Rd=66446.40 My,c,Rd=2862.95 Mz,c,Rd=450.72 L=80.00
  λ_Y=13.63 Ncr,y=2966900.00 λ^*_y=0.16 Curva c: Φ_y=0.50 χ_y=1.00
  λ_Z=43.80 Ncr,z=287205.00 λ^*_z=0.50 Curva c: Φ_z=0.70 χ_z=0.84
  χ,min=0.84
  Verifica: 0.00+0.00+0.02=0.03

- Verifica in termini tensionali (4.2.5) - CC 98 Xl=0.80 - Classe 3
  Sollecitazioni: N=-308.97 T_z=7.24 T_y=-13.67 M_z=-9.32
  Tensioni: σ_N=-11.62 σ_M=-51.71 τ=0.00 σ_{max}=-63.34
  Tensioni: σ_N=-11.62 σ_M=-4.41 τ=1.73 τ_{max}=1.73
  Tensioni: σ_N=-11.62 σ_M=-51.71 τ=0.02 $\sigma_{ID,max}$=63.34

Asta n. 615 (-378 -376) U160x8.5 Crit. 1

- Verifica di stabilità aste presso-inflesse (C4.2.4.1.3.3.1) - CC 97 - Classe 3
  Sollecitazioni: N,Ed=-313.28 Myeq,Ed=1.09 Mzeq,Ed=-8.94
  Resistenze: Nc,Rd=66446.40 My,c,Rd=2862.95 Mz,c,Rd=450.72 L=80.00
  λ_Y=13.63 Ncr,y=2966900.00 λ^*_y=0.16 Curva c: Φ_y=0.50 χ_y=1.00
  λ_Z=43.80 Ncr,z=287205.00 λ^*_z=0.50 Curva c: Φ_z=0.70 χ_z=0.84
  χ,min=0.84
  Verifica: 0.00+0.00+0.02=0.02

- Verifica in termini tensionali (4.2.5) - CC 97 Xl=0.80 - Classe 3
  Sollecitazioni: N=-313.28 T_z=7.24 T_y=-12.71 M_z=-8.94
  Tensioni: σ_N=-11.79 σ_M=-49.60 τ=0.00 σ_{max}=-61.39
  Tensioni: σ_N=-11.79 σ_M=-4.23 τ=1.61 τ_{max}=1.61
  Tensioni: σ_N=-11.79 σ_M=-49.60 τ=0.02 $\sigma_{ID,max}$=61.39

Asta n. 615 (-380 -378) U160x8.5 Crit. 1

- Verifica di stabilità aste presso-inflesse (C4.2.4.1.3.3.1) - CC 97 - Classe 3
  Sollecitazioni: N,Ed=-293.61 Myeq,Ed=1.10 Mzeq,Ed=5.00
  Resistenze: Nc,Rd=66446.40 My,c,Rd=2862.95 Mz,c,Rd=450.72 L=80.47
  λ_Y=13.71 Ncr,y=2932340.00 λ^*_y=0.16 Curva c: Φ_y=0.50 χ_y=1.00
  λ_Z=44.05 Ncr,z=283860.00 λ^*_z=0.51 Curva c: Φ_z=0.70 χ_z=0.84
  χ,min=0.84
  Verifica: 0.00+0.00+0.01=0.02

- Verifica in termini tensionali (4.2.5) - CC 97 Xl=0.00 - Classe 3
  Sollecitazioni: N=-293.61 T_z=-7.28 M_z=-2.10
  Tensioni: σ_N=-11.05 σ_M=-11.67 τ=0.00 σ_{max}=-22.71
  Tensioni: σ_N=-11.05 σ_M=1.50 τ=0.55 τ_{max}=0.55
  Tensioni: σ_N=-11.05 σ_M=-11.67 τ=0.02 $\sigma_{ID,max}$=22.71

Asta n. 615 (-382 -380) U160x8.5 Crit. 1

- Verifica di stabilità aste presso-inflesse (C4.2.4.1.3.3.1) - CC 97 - Classe 3
  Sollecitazioni: N,Ed=-293.07 Myeq,Ed=1.07 Mzeq,Ed=4.43
  Resistenze: Nc,Rd=66446.40 My,c,Rd=2862.95 Mz,c,Rd=450.72 L=79.53
  λ_Y=13.55 Ncr,y=3002070.00 λ^*_y=0.16 Curva c: Φ_y=0.50 χ_y=1.00
  λ_Z=43.54 Ncr,z=290610.00 λ^*_z=0.50 Curva c: Φ_z=0.70 χ_z=0.84
  χ,min=0.84
  Verifica: 0.00+0.00+0.01=0.01

- Verifica in termini tensionali (4.2.5) - CC 97 Xl=0.00 - Classe 3
  Sollecitazioni: N=-293.07 T_z=-7.20 T_y=-17.14 M_z=5.12
  Tensioni: σ_N=-11.03 σ_M=-9.70 τ=0.00 σ_{max}=-20.73
  Tensioni: σ_N=-11.03 σ_M=2.42 τ=2.16 τ_{max}=2.16
  Tensioni: σ_N=-11.03 σ_M=-9.70 τ=0.54 $\sigma_{ID,max}$=20.75

Asta n. 615 (-384 -382) U160x8.5 Crit. 1

- Verifica di stabilità aste presso-inflesse (C4.2.4.1.3.3.1) - CC 97 - Classe 3
  Sollecitazioni: N,Ed=-308.97 Myeq,Ed=1.09 Mzeq,Ed=-9.32
  Resistenze: Nc,Rd=66446.40 My,c,Rd=2862.95 Mz,c,Rd=450.72 L=80.00
  λ_Y=13.63 Ncr,y=2966890.00 λ^*_y=0.16 Curva c: Φ_y=0.50 χ_y=1.00
  λ_Z=43.80 Ncr,z=287205.00 λ^*_z=0.50 Curva c: Φ_z=0.70 χ_z=0.84

χ,min=0.84
Verifica: 0.00+0.00+0.02=0.03

- Verifica in termini tensionali (4.2.5) - CC 97 Xl=0.00 - Classe 3
Sollecitazioni: N=-308.97 T_z=-7.24 T_y=13.66 M_z=-9.32
Tensioni: σ_N=-11.62 σ_M=-51.71 τ=0.00 σ_{max}=-63.34
Tensioni: σ_N=-11.62 σ_M=-4.41 τ=1.73 τ_{max}=1.73
Tensioni: σ_N=-11.62 σ_M=-51.71 τ=0.02 $\sigma_{ID,max}$=63.34

Asta n. 617 (-41 -375) HEB140 Crit. 1

- Verifica di stabilità aste presso-inflesse (C4.2.4.1.3.3.2) - CC 98 - Classe 3
Sollecitazioni: N,Ed=-16868.40 My,Ed=162.46 Mz,Ed=140.73
Resistenze: Nc,Rd=107392.00 My,c,Rd=5390.19 Mz,c,Rd=1963.10 L=230.49
αmy, αmz, αLT=0.95, 0.95, 0.95
L_{cr}=2.30 Curva b: α-imp=0.34 k_c=0.94 ψ=1.75 M,cr=39032.80 λ_{LT}=0.39
$\lambda_{LT,0}$=0.40 β_{LT}=0.75 Φ_{LT}=0.56 β_{LT}=0.75 f=0.98 χ_{LT}=1.00
λ_Y=38.89 Ncr,y=588819.00 λ^*_y=0.45 Curva b: Φ_y=0.64 χ_y=0.91
λ_Z=64.43 Ncr,z=214447.00 λ^*_z=0.74 Curva c: Φ_z=0.91 χ_z=0.70
Kyy, Kyz, Kzy, Kzz=0.99, 1.05, 0.80, 1.05
Verifica YY: 0.17+0.03+0.07=0.28
Verifica ZZ: 0.22+0.02+0.07=0.32

- Verifica in termini tensionali (4.2.5) - CC 98 Xl=2.30 - Classe 3
Sollecitazioni: N=-16800.10 T_z=-110.32 M_y=162.46 T_y=90.66 M_z=140.73
Tensioni: σ_N=-391.09 σ_M=-254.57 τ=0.00 σ_{max}=-645.66
Tensioni: σ_N=-391.09 σ_M=8.96 τ=13.29 τ_{max}=13.29
Tensioni: σ_N=-391.09 σ_M=-254.57 τ=0.00 $\sigma_{ID,max}$=645.66

Asta n. 617 (-375 10) HEB140 Crit. 1

- Verifica di stabilità aste presso-inflesse (C4.2.4.1.3.3.2) - CC 98 - Classe 3
Sollecitazioni: N,Ed=-16720.50 My,Ed=162.68 Mz,Ed=-353.40
Resistenze: Nc,Rd=107392.00 My,c,Rd=5390.19 Mz,c,Rd=1963.10 L=230.49
αmy, αmz, αLT=0.95, 0.95, 0.95
L_{cr}=2.30 Curva b: α-imp=0.34 k_c=0.94 ψ=1.75 M,cr=39032.80 λ_{LT}=0.39
$\lambda_{LT,0}$=0.40 β_{LT}=0.75 Φ_{LT}=0.56 β_{LT}=0.75 f=0.98 χ_{LT}=1.00
λ_Y=38.89 Ncr,y=588819.00 λ^*_y=0.45 Curva b: Φ_y=0.64 χ_y=0.91
λ_Z=64.43 Ncr,z=214447.00 λ^*_z=0.74 Curva c: Φ_z=0.91 χ_z=0.70
Kyy, Kyz, Kzy, Kzz=0.99, 1.04, 0.80, 1.04
Verifica YY: 0.17+0.03+0.19=0.39
Verifica ZZ: 0.22+0.02+0.19=0.43

- Verifica in termini tensionali (4.2.5) - CC 98 Xl=2.30 - Classe 3
Sollecitazioni: N=-16652.30 T_z=30.75 T_y=-215.45 M_z=-353.40 M_x=3.40
Tensioni: σ_N=-387.65 σ_M=-450.06 τ=22.84 σ_{max}=-837.71
Tensioni: σ_N=-387.65 σ_M=-22.50 τ=27.94 τ_{max}=27.94
Tensioni: σ_N=-387.65 σ_M=-450.06 τ=23.00 $\sigma_{ID,max}$=838.66

Asta n. 619 (12 -511) HEB140 Crit. 1

- Verifica di stabilità aste inflesse (4.2.4.1.3.2) CC 97 - Classe 3
L_{cr}=3.50 Curva b: α-imp=0.34 k_c=0.94 ψ=1.75 M,cr=22787.60 λ_{LT}=0.51
$\lambda_{LT,0}$=0.40 β_{LT}=0.75 Φ_{LT}=0.62 β_{LT}=0.75 f=0.98 χ_{LT}=0.98
CC 97 My,Ed=-69.71 My,b,Rd=5284.96 My,Ed/My,b,Rd=0.01

- Verifica in termini tensionali (4.2.5) - CC 98 Xl=1.27 - Classe 3
Sollecitazioni: N=4884.31 T_z=21.73 M_y=-64.52 T_y=-6.58 M_z=7.95
Tensioni: σ_N=113.70 σ_M=40.05 τ=0.00 σ_{max}=153.75
Tensioni: σ_N=113.70 σ_M=0.51 τ=2.61 τ_{max}=2.61
Tensioni: σ_N=113.70 σ_M=40.05 τ=0.00 $\sigma_{ID,max}$=153.75

Asta n. 621 (22 -379) HEB140 Crit. 1

- Verifica di stabilità aste presso-inflesse (C4.2.4.1.3.3.2) - CC 98 - Classe 3
Sollecitazioni: N,Ed=-8659.41 My,Ed=92.52 Mz,Ed=0.51
Resistenze: Nc,Rd=107392.00 My,c,Rd=5390.19 Mz,c,Rd=1963.10 L=230.49
αmy, αmz, αLT=0.95, 0.95, 0.95
L_{cr}=2.30 Curva b: α-imp=0.34 k_c=0.94 ψ=1.75 M,cr=39032.80 λ_{LT}=0.39

$\lambda_{LT,0}$=0.40 β_{LT}=0.75 Φ_{LT}=0.56 β_{LT}=0.75 f=0.98 χ_{LT}=1.00
λ_Y=38.89 Ncr,y=588819.00 λ^*_y=0.45 Curva b: Φ_y=0.64 χ_y=0.91
λ_Z=64.43 Ncr,z=214447.00 λ^*_z=0.74 Curva c: Φ_z=0.91 χ_z=0.70
Kyy, Kyz, Kzy, Kzz=0.97, 1.00, 0.78, 1.00
Verifica YY: 0.09+0.02+0.00=0.11
Verifica ZZ: 0.12+0.01+0.00=0.13

- Verifica in termini tensionali (4.2.5) - CC 98 Xl=2.30 - Classe 3
Sollecitazioni: N=-8591.12 T_z=-79.97 M_y=92.52
Tensioni: σ_N=-199.99 σ_M=-42.91 τ=0.00 σ_{max}=-242.90
Tensioni: σ_N=-199.99 σ_M=-0.00 τ=9.62 τ_{max}=9.62
Tensioni: σ_N=-199.99 σ_M=-42.91 τ=0.00 $\sigma_{ID,max}$=242.90

Asta n. 621 (-379 14) HEB140 Crit. 1

- Verifica di stabilità aste presso-inflesse (C4.2.4.1.3.3.2) - CC 98 - Classe 3
Sollecitazioni: N,Ed=-8511.74 My,Ed=92.60 Mz,Ed=-0.53
Resistenze: Nc,Rd=107392.00 My,c,Rd=5390.19 Mz,c,Rd=1963.10 L=230.49
αmy, αmz, αLT=0.95, 0.95, 0.95
L_{cr}=2.30 Curva b: α-imp=0.34 k_c=0.94 ψ=1.75 M,cr=39032.80 λ_{LT}=0.39
$\lambda_{LT,0}$=0.40 β_{LT}=0.75 Φ_{LT}=0.56 β_{LT}=0.75 f=0.98 χ_{LT}=1.00
λ_Y=38.89 Ncr,y=588819.00 λ^*_y=0.45 Curva b: Φ_y=0.64 χ_y=0.91
λ_Z=64.43 Ncr,z=214447.00 λ^*_z=0.74 Curva c: Φ_z=0.91 χ_z=0.70
Kyy, Kyz, Kzy, Kzz=0.97, 1.00, 0.78, 1.00
Verifica YY: 0.08+0.02+0.00=0.10
Verifica ZZ: 0.08+0.01+0.00=0.09

- Verifica in termini tensionali (4.2.5) - CC 98 Xl=0.00 - Classe 3
Sollecitazioni: N=-8511.74 T_z=80.01 M_y=92.60
Tensioni: σ_N=-198.15 σ_M=-42.95 τ=0.00 σ_{max}=-241.09
Tensioni: σ_N=-198.15 σ_M=-0.00 τ=9.62 τ_{max}=9.62
Tensioni: σ_N=-198.15 σ_M=-42.95 τ=0.00 $\sigma_{ID,max}$=241.09

Asta n. 623 (16 -519) HEB140 Crit. 1

- Verifica di stabilità aste inflesse (4.2.4.1.3.2) CC 97 - Classe 3
L_{cr}=3.50 Curva b: α-imp=0.34 k_c=0.94 ψ=1.75 M,cr=22787.60 λ_{LT}=0.51
$\lambda_{LT,0}$=0.40 β_{LT}=0.75 Φ_{LT}=0.62 β_{LT}=0.75 f=0.98 χ_{LT}=0.98
CC 97 My,Ed=-69.71 My,b,Rd=5284.96 My,Ed/My,b,Rd=0.01

- Verifica in termini tensionali (4.2.5) - CC 98 Xl=1.27 - Classe 3
Sollecitazioni: N=4884.62 T_z=21.73 M_y=-64.52 T_y=5.87 M_z=-7.38
Tensioni: σ_N=113.71 σ_M=39.33 τ=0.00 σ_{max}=153.04
Tensioni: σ_N=113.71 σ_M=-0.47 τ=2.61 τ_{max}=2.61
Tensioni: σ_N=113.71 σ_M=39.33 τ=0.00 $\sigma_{ID,max}$=153.04

Asta n. 625 (-179 -383) HEB140 Crit. 1

- Verifica di stabilità aste presso-inflesse (C4.2.4.1.3.3.2) - CC 98 - Classe 3
Sollecitazioni: N,Ed=-16703.80 My,Ed=161.08 Mz,Ed=-138.59
Resistenze: Nc,Rd=107392.00 My,c,Rd=5390.19 Mz,c,Rd=1963.10 L=230.49
αmy, αmz, αLT=0.95, 0.95, 0.95
L_{cr}=2.30 Curva b: α-imp=0.34 k_c=0.94 ψ=1.75 M,cr=39032.80 λ_{LT}=0.39
$\lambda_{LT,0}$=0.40 β_{LT}=0.75 Φ_{LT}=0.56 β_{LT}=0.75 f=0.98 χ_{LT}=1.00
λ_Y=38.89 Ncr,y=588819.00 λ^*_y=0.45 Curva b: Φ_y=0.64 χ_y=0.91
λ_Z=64.43 Ncr,z=214447.00 λ^*_z=0.74 Curva c: Φ_z=0.91 χ_z=0.70
Kyy, Kyz, Kzy, Kzz=0.99, 1.04, 0.80, 1.04
Verifica YY: 0.17+0.03+0.07=0.27
Verifica ZZ: 0.22+0.02+0.07=0.32

- Verifica in termini tensionali (4.2.5) - CC 98 Xl=2.30 - Classe 3
Sollecitazioni: N=-16635.50 T_z=-109.72 M_y=161.08 T_y=-89.69 M_z=-138.59
Tensioni: σ_N=-387.26 σ_M=-251.21 τ=0.00 σ_{max}=-638.47
Tensioni: σ_N=-387.26 σ_M=-8.82 τ=13.22 τ_{max}=13.22
Tensioni: σ_N=-387.26 σ_M=-251.21 τ=0.00 $\sigma_{ID,max}$=638.47

Asta n. 625 (-383 18) HEB140 Crit. 1

- Verifica di stabilità aste presso-inflesse (C4.2.4.1.3.3.2) - CC 98 - Classe 3

Sollecitazioni: N,Ed=-16556.20 My,Ed=161.29 Mz,Ed=346.54
Resistenze: Nc,Rd=107392.00 My,c,Rd=5390.19 Mz,c,Rd=1963.10 L=230.49
αmy, αmz, αLT=0.95, 0.95, 0.95
L_{cr}=2.30 Curva b: α-imp=0.34 k_c=0.94 ψ=1.75 M,cr=39032.80 λ_{LT}=0.39
$\lambda_{LT,0}$=0.40 β_{LT}=0.75 Φ_{LT}=0.56 β_{LT}=0.75 f=0.98 χ_{LT}=1.00
λ_Y=38.89 Ncr,y=588819.00 λ^*_y=0.45 Curva b: Φ_y=0.64 χ_y=0.91
λ_Z=64.43 Ncr,z=214447.00 λ^*_z=0.74 Curva c: Φ_z=0.91 χ_z=0.70
Kyy, Kyz, Kzy, Kzz=0.99, 1.04, 0.79, 1.04
Verifica YY: 0.17+0.03+0.18=0.38
Verifica ZZ: 0.22+0.02+0.18=0.43

- Verifica in termini tensionali (4.2.5) - CC 98 Xl=2.30 - Classe 3
Sollecitazioni: N=-16487.90 T_z=30.14 T_y=211.57 M_z=346.54 M_x=-3.33
Tensioni: σ_N=-383.83 σ_M=-441.32 τ=22.37 σ_{max}=-825.15
Tensioni: σ_N=-383.83 σ_M=22.07 τ=27.37 τ_{max}=27.37
Tensioni: σ_N=-383.83 σ_M=-441.32 τ=22.37 $\sigma_{ID,max}$=826.06

Asta n. 632 (10 -503) HEB140 Crit. 1

- Verifica di stabilità aste inflesse (4.2.4.1.3.2) CC 97 - Classe 3
L_{cr}=3.50 Curva b: α-imp=0.34 k_c=0.94 ψ=1.75 M,cr=22787.60 λ_{LT}=0.51
$\lambda_{LT,0}$=0.40 β_{LT}=0.75 Φ_{LT}=0.62 β_{LT}=0.75 f=0.98 χ_{LT}=0.98
CC 97 My,Ed=-69.71 My,b,Rd=5284.96 My,Ed/My,b,Rd=0.01

- Verifica in termini tensionali (4.2.5) - CC 98 Xl=0.00 - Classe 3
Sollecitazioni: N=12623.30 T_z=79.67 T_y=102.03 M_z=-261.53 M_x=2.05
Tensioni: σ_N=293.86 σ_M=333.06 τ=13.80 σ_{max}=626.91
Tensioni: σ_N=293.86 σ_M=16.65 τ=18.47 τ_{max}=18.47
Tensioni: σ_N=293.86 σ_M=333.06 τ=14.21 $\sigma_{ID,max}$=627.40

Asta n. 634 (20 -377) HEB140 Crit. 1

- Verifica di stabilità aste presso-inflesse (C4.2.4.1.3.3.2) - CC 98 - Classe 3
Sollecitazioni: N,Ed=-6648.72 My,Ed=75.61 Mz,Ed=-10.05
Resistenze: Nc,Rd=107392.00 My,c,Rd=5390.19 Mz,c,Rd=1963.10 L=230.49
αmy, αmz, αLT=0.95, 0.95, 0.95
L_{cr}=2.30 Curva b: α-imp=0.34 k_c=0.94 ψ=1.75 M,cr=39032.80 λ_{LT}=0.39
$\lambda_{LT,0}$=0.40 β_{LT}=0.75 Φ_{LT}=0.56 β_{LT}=0.75 f=0.98 χ_{LT}=1.00
λ_Y=38.89 Ncr,y=588819.00 λ^*_y=0.45 Curva b: Φ_y=0.64 χ_y=0.91
λ_Z=64.43 Ncr,z=214447.00 λ^*_z=0.74 Curva c: Φ_z=0.91 χ_z=0.70
Kyy, Kyz, Kzy, Kzz=0.97, 0.99, 0.77, 0.99
Verifica YY: 0.06+0.01+0.01=0.08
Verifica ZZ: 0.06+0.01+0.01=0.08

- Verifica in termini tensionali (4.2.5) - CC 98 Xl=2.30 - Classe 3
Sollecitazioni: N=-6580.43 T_z=-72.64 M_y=75.61 T_y=-7.00 M_z=-10.05
Tensioni: σ_N=-153.19 σ_M=-47.86 τ=0.00 σ_{max}=-201.05
Tensioni: σ_N=-153.19 σ_M=-0.64 τ=8.74 τ_{max}=8.74
Tensioni: σ_N=-153.19 σ_M=-47.86 τ=0.00 $\sigma_{ID,max}$=201.05

Asta n. 634 (-377 12) HEB140 Crit. 1

- Verifica di stabilità aste presso-inflesse (C4.2.4.1.3.3.2) - CC 98 - Classe 3
Sollecitazioni: N,Ed=-6495.19 My,Ed=75.35 Mz,Ed=22.05
Resistenze: Nc,Rd=107392.00 My,c,Rd=5390.19 Mz,c,Rd=1963.10 L=230.49
αmy, αmz, αLT=0.95, 0.95, 0.95
L_{cr}=2.30 Curva b: α-imp=0.34 k_c=0.94 ψ=1.75 M,cr=39032.80 λ_{LT}=0.39
$\lambda_{LT,0}$=0.40 β_{LT}=0.75 Φ_{LT}=0.56 β_{LT}=0.75 f=0.98 χ_{LT}=1.00
λ_Y=38.89 Ncr,y=588819.00 λ^*_y=0.45 Curva b: Φ_y=0.64 χ_y=0.91
λ_Z=64.43 Ncr,z=214447.00 λ^*_z=0.74 Curva c: Φ_z=0.91 χ_z=0.70
Kyy, Kyz, Kzy, Kzz=0.97, 0.99, 0.77, 0.99
Verifica YY: 0.06+0.01+0.01=0.09
Verifica ZZ: 0.06+0.01+0.01=0.08

- Verifica in termini tensionali (4.2.5) - CC 98 Xl=0.00 - Classe 3
Sollecitazioni: N=-6495.19 T_z=72.53 M_y=75.35 T_y=13.77 M_z=-9.69
Tensioni: σ_N=-151.20 σ_M=-47.29 τ=0.00 σ_{max}=-198.49
Tensioni: σ_N=-151.20 σ_M=-0.62 τ=8.72 τ_{max}=8.72

Tensioni: σ_N=-151.20 σ_M=-47.29 τ=0.00 $\sigma_{ID,max}$=198.49

Asta n. 636 (14 -515) HEB140 Crit. 1

- Verifica di stabilità aste inflesse (4.2.4.1.3.2) CC 97 - Classe 3
  L_{cr}=3.50 Curva b: α-imp=0.34 k_c=0.94 ψ=1.75 M,cr=22787.60 λ_{LT}=0.51
  $\lambda_{LT,0}$=0.40 β_{LT}=0.75 Φ_{LT}=0.62 β_{LT}=0.75 f=0.98 χ_{LT}=0.98
  CC 97 My,Ed=-69.71 My,b,Rd=5284.96 My,Ed/My,b,Rd=0.01

- Verifica in termini tensionali (4.2.5) - CC 98 Xl=1.74 - Classe 3
  Sollecitazioni: N=6410.53 M_y=-69.71
  Tensioni: σ_N=149.23 σ_M=32.33 τ=0.00 σ_{max}=181.56
  Tensioni: σ_N=0.00 σ_M=0.00 τ=0.00 τ_{max}=0.00
  Tensioni: σ_N=149.23 σ_M=32.33 τ=0.00 $\sigma_{ID,max}$=181.56

Asta n. 638 (24 -381) HEB140 Crit. 1

- Verifica di stabilità aste presso-inflesse (C4.2.4.1.3.3.2) - CC 98 - Classe 3
  Sollecitazioni: N,Ed=-6649.01 My,Ed=75.61 Mz,Ed=8.66
  Resistenze: Nc,Rd=107392.00 My,c,Rd=5390.19 Mz,c,Rd=1963.10 L=230.49
  αmy, αmz, αLT=0.95, 0.95, 0.95
  L_{cr}=2.30 Curva b: α-imp=0.34 k_c=0.94 ψ=1.75 M,cr=39032.80 λ_{LT}=0.39
  $\lambda_{LT,0}$=0.40 β_{LT}=0.75 Φ_{LT}=0.56 β_{LT}=0.75 f=0.98 χ_{LT}=1.00
  λ_Y=38.89 Ncr,y=588819.00 λ^*_y=0.45 Curva b: Φ_y=0.64 χ_y=0.91
  λ_Z=64.43 Ncr,z=214447.00 λ^*_z=0.74 Curva c: Φ_z=0.91 χ_z=0.70
  Kyy, Kyz, Kzy, Kzz=0.97, 0.99, 0.77, 0.99
  Verifica YY: 0.06+0.01+0.00=0.08
  Verifica ZZ: 0.06+0.01+0.00=0.08

- Verifica in termini tensionali (4.2.5) - CC 98 Xl=2.30 - Classe 3
  Sollecitazioni: N=-6580.73 T_z=-72.64 M_y=75.61 T_y=5.69 M_z=8.66
  Tensioni: σ_N=-153.19 σ_M=-46.10 τ=0.00 σ_{max}=-199.29
  Tensioni: σ_N=-153.19 σ_M=0.55 τ=8.74 τ_{max}=8.74
  Tensioni: σ_N=-153.19 σ_M=-46.10 τ=0.00 $\sigma_{ID,max}$=199.29

Asta n. 638 (-381 16) HEB140 Crit. 1

- Verifica di stabilità aste presso-inflesse (C4.2.4.1.3.3.2) - CC 98 - Classe 3
  Sollecitazioni: N,Ed=-6495.59 My,Ed=75.36 Mz,Ed=-20.08
  Resistenze: Nc,Rd=107392.00 My,c,Rd=5390.19 Mz,c,Rd=1963.10 L=230.49
  αmy, αmz, αLT=0.95, 0.95, 0.95
  L_{cr}=2.30 Curva b: α-imp=0.34 k_c=0.94 ψ=1.75 M,cr=39032.80 λ_{LT}=0.39
  $\lambda_{LT,0}$=0.40 β_{LT}=0.75 Φ_{LT}=0.56 β_{LT}=0.75 f=0.98 χ_{LT}=1.00
  λ_Y=38.89 Ncr,y=588819.00 λ^*_y=0.45 Curva b: Φ_y=0.64 χ_y=0.91
  λ_Z=64.43 Ncr,z=214447.00 λ^*_z=0.74 Curva c: Φ_z=0.91 χ_z=0.70
  Kyy, Kyz, Kzy, Kzz=0.97, 0.99, 0.77, 0.99
  Verifica YY: 0.06+0.01+0.01=0.08
  Verifica ZZ: 0.06+0.01+0.01=0.08

- Verifica in termini tensionali (4.2.5) - CC 98 Xl=0.00 - Classe 3
  Sollecitazioni: N=-6495.59 T_z=72.53 M_y=75.36 T_y=-12.25 M_z=8.16
  Tensioni: σ_N=-151.21 σ_M=-45.34 τ=0.00 σ_{max}=-196.56
  Tensioni: σ_N=-151.21 σ_M=0.52 τ=8.72 τ_{max}=8.72
  Tensioni: σ_N=-151.21 σ_M=-45.34 τ=0.00 $\sigma_{ID,max}$=196.56

Asta n. 640 (18 -527) HEB140 Crit. 1

- Verifica di stabilità aste inflesse (4.2.4.1.3.2) CC 97 - Classe 3
  L_{cr}=3.50 Curva b: α-imp=0.34 k_c=0.94 ψ=1.75 M,cr=22787.60 λ_{LT}=0.51
  $\lambda_{LT,0}$=0.40 β_{LT}=0.75 Φ_{LT}=0.62 β_{LT}=0.75 f=0.98 χ_{LT}=0.98
  CC 97 My,Ed=-69.71 My,b,Rd=5284.96 My,Ed/My,b,Rd=0.01

- Verifica in termini tensionali (4.2.5) - CC 98 Xl=0.00 - Classe 3
  Sollecitazioni: N=12499.00 T_z=79.67 T_y=-100.19 M_z=256.47 M_x=-2.01
  Tensioni: σ_N=290.96 σ_M=326.61 τ=13.51 σ_{max}=617.58
  Tensioni: σ_N=290.96 σ_M=-16.33 τ=18.18 τ_{max}=18.18
  Tensioni: σ_N=290.96 σ_M=326.61 τ=13.52 $\sigma_{ID,max}$=618.02

Asta n. 647 (11 -504) HEB140 Crit. 1

- Verifica di stabilità aste inflesse (4.2.4.1.3.2) CC 97 - Classe 3
  L_{cr}=3.50 Curva b: α-imp=0.34 k_c=0.94 ψ=1.75 M,cr=22787.60 λ_{LT}=0.51
  $\lambda_{LT,0}$=0.40 β_{LT}=0.75 Φ_{LT}=0.62 β_{LT}=0.75 f=0.98 χ_{LT}=0.98
  CC 97 My,Ed=-69.71 My,b,Rd=5284.96 My,Ed/My,b,Rd=0.01

- Verifica in termini tensionali (4.2.5) - CC 97 Xl=0.00 - Classe 3
  Sollecitazioni: N=12623.30 T_z=79.67 T_y=-102.03 M_z=261.53 M_x=-2.05
  Tensioni: σ_N=293.86 σ_M=333.06 τ=13.80 σ_{max}=626.91
  Tensioni: σ_N=293.86 σ_M=-16.65 τ=18.47 τ_{max}=18.47
  Tensioni: σ_N=293.86 σ_M=333.06 τ=13.81 $\sigma_{ID,max}$=627.37

Asta n. 649 (13 -512) HEB140 Crit. 1

- Verifica di stabilità aste inflesse (4.2.4.1.3.2) CC 97 - Classe 3
  L_{cr}=3.50 Curva b: α-imp=0.34 k_c=0.94 ψ=1.75 M,cr=22787.60 λ_{LT}=0.51
  $\lambda_{LT,0}$=0.40 β_{LT}=0.75 Φ_{LT}=0.62 β_{LT}=0.75 f=0.98 χ_{LT}=0.98
  CC 97 My,Ed=-69.71 My,b,Rd=5284.96 My,Ed/My,b,Rd=0.01

- Verifica in termini tensionali (4.2.5) - CC 97 Xl=1.27 - Classe 3
  Sollecitazioni: N=4884.32 T_z=21.73 M_y=-64.52 T_y=6.58 M_z=-7.95
  Tensioni: σ_N=113.70 σ_M=40.05 τ=0.00 σ_{max}=153.75
  Tensioni: σ_N=113.70 σ_M=-0.51 τ=2.61 τ_{max}=2.61
  Tensioni: σ_N=113.70 σ_M=40.05 τ=0.00 $\sigma_{ID,max}$=153.75

Asta n. 651 (-380 15) HEB140 Crit. 1

- Verifica di stabilità aste presso-inflesse (C4.2.4.1.3.3.2) - CC 97 - Classe 3
  Sollecitazioni: N,Ed=-8511.74 My,Ed=92.60 Mz,Ed=0.53
  Resistenze: Nc,Rd=107392.00 My,c,Rd=5390.19 Mz,c,Rd=1963.10 L=230.49
  αmy, αmz, αLT=0.95, 0.95, 0.95
  L_{cr}=2.30 Curva b: α-imp=0.34 k_c=0.94 ψ=1.75 M,cr=39032.80 λ_{LT}=0.39
  $\lambda_{LT,0}$=0.40 β_{LT}=0.75 Φ_{LT}=0.56 β_{LT}=0.75 f=0.98 χ_{LT}=1.00
  λ_Y=38.89 Ncr,y=588819.00 λ^*_y=0.45 Curva b: Φ_y=0.64 χ_y=0.91
  λ_Z=64.43 Ncr,z=214447.00 λ^*_z=0.74 Curva c: Φ_z=0.91 χ_z=0.70
  Kyy, Kyz, Kzy, Kzz=0.97, 1.00, 0.78, 1.00
  Verifica YY: 0.08+0.02+0.00=0.10
  Verifica ZZ: 0.08+0.01+0.00=0.09

- Verifica in termini tensionali (4.2.5) - CC 97 Xl=0.00 - Classe 3
  Sollecitazioni: N=-8511.74 T_z=80.01 M_y=92.60
  Tensioni: σ_N=-198.15 σ_M=-42.95 τ=0.00 σ_{max}=-241.09
  Tensioni: σ_N=-198.15 σ_M=-0.00 τ=9.62 τ_{max}=9.62
  Tensioni: σ_N=-198.15 σ_M=-42.95 τ=0.00 $\sigma_{ID,max}$=241.09

Asta n. 651 (23 -380) HEB140 Crit. 1

- Verifica di stabilità aste presso-inflesse (C4.2.4.1.3.3.2) - CC 97 - Classe 3
  Sollecitazioni: N,Ed=-8659.41 My,Ed=92.52 Mz,Ed=-0.51
  Resistenze: Nc,Rd=107392.00 My,c,Rd=5390.19 Mz,c,Rd=1963.10 L=230.49
  αmy, αmz, αLT=0.95, 0.95, 0.95
  L_{cr}=2.30 Curva b: α-imp=0.34 k_c=0.94 ψ=1.75 M,cr=39032.80 λ_{LT}=0.39
  $\lambda_{LT,0}$=0.40 β_{LT}=0.75 Φ_{LT}=0.56 β_{LT}=0.75 f=0.98 χ_{LT}=1.00
  λ_Y=38.89 Ncr,y=588819.00 λ^*_y=0.45 Curva b: Φ_y=0.64 χ_y=0.91
  λ_Z=64.43 Ncr,z=214447.00 λ^*_z=0.74 Curva c: Φ_z=0.91 χ_z=0.70
  Kyy, Kyz, Kzy, Kzz=0.97, 1.00, 0.78, 1.00
  Verifica YY: 0.09+0.02+0.00=0.11
  Verifica ZZ: 0.12+0.01+0.00=0.13

- Verifica in termini tensionali (4.2.5) - CC 97 Xl=2.30 - Classe 3
  Sollecitazioni: N=-8591.12 T_z=-79.97 M_y=92.52
  Tensioni: σ_N=-199.99 σ_M=-42.91 τ=0.00 σ_{max}=-242.90
  Tensioni: σ_N=-199.99 σ_M=-0.00 τ=9.62 τ_{max}=9.62
  Tensioni: σ_N=-199.99 σ_M=-42.91 τ=0.00 $\sigma_{ID,max}$=242.90

Asta n. 653 (17 -520) HEB140 Crit. 1

- Verifica di stabilità aste inflesse (4.2.4.1.3.2) CC 97 - Classe 3
  L_{cr}=3.50 Curva b: α-imp=0.34 k_c=0.94 ψ=1.75 M,cr=22787.60 λ_{LT}=0.51

$\lambda_{LT,0}$=0.40 β_{LT}=0.75 Φ_{LT}=0.62 β_{LT}=0.75 f=0.98 χ_{LT}=0.98
CC 97 My,Ed=-69.71 My,b,Rd=5284.96 My,Ed/My,b,Rd=0.01

- Verifica in termini tensionali (4.2.5) - CC 97 Xl=1.27 - Classe 3
Sollecitazioni: N=4884.62 T_z=21.73 M_y=-64.52 T_y=-5.87 M_z=7.38
Tensioni: σ_N=113.71 σ_M=39.33 τ=0.00 σ_{max}=153.04
Tensioni: σ_N=113.71 σ_M=0.47 τ=2.61 τ_{max}=2.61
Tensioni: σ_N=113.71 σ_M=39.33 τ=0.00 $\sigma_{ID,max}$=153.04

Asta n. 655 (-384 19) HEB140 Crit. 1

- Verifica di stabilità aste presso-inflesse (C4.2.4.1.3.3.2) - CC 97 - Classe 3
Sollecitazioni: N,Ed=-16556.20 My,Ed=161.29 Mz,Ed=-346.54
Resistenze: Nc,Rd=107392.00 My,c,Rd=5390.19 Mz,c,Rd=1963.10 L=230.49
αmy, αmz, αLT=0.95, 0.95, 0.95
L_{cr}=2.30 Curva b: α-imp=0.34 k_c=0.94 ψ=1.75 M,cr=39032.80 λ_{LT}=0.39
$\lambda_{LT,0}$=0.40 β_{LT}=0.75 Φ_{LT}=0.56 β_{LT}=0.75 f=0.98 χ_{LT}=1.00
λ_Y=38.89 Ncr,y=588819.00 λ^*_y=0.45 Curva b: Φ_y=0.64 χ_y=0.91
λ_Z=64.43 Ncr,z=214447.00 λ^*_z=0.74 Curva c: Φ_z=0.91 χ_z=0.70
Kyy, Kyz, Kzy, Kzz=0.99, 1.04, 0.79, 1.04
Verifica YY: 0.17+0.03+0.18=0.38
Verifica ZZ: 0.22+0.02+0.18=0.43

- Verifica in termini tensionali (4.2.5) - CC 97 Xl=2.30 - Classe 3
Sollecitazioni: N=-16487.90 T_z=30.14 T_y=-211.57 M_z=-346.54 M_x=3.33
Tensioni: σ_N=-383.83 σ_M=-441.32 τ=22.37 σ_{max}=-825.15
Tensioni: σ_N=-383.83 σ_M=-22.07 τ=27.37 τ_{max}=27.37
Tensioni: σ_N=-383.83 σ_M=-441.32 τ=22.52 $\sigma_{ID,max}$=826.07

Asta n. 655 (-182 -384) HEB140 Crit. 1

- Verifica di stabilità aste presso-inflesse (C4.2.4.1.3.3.2) - CC 97 - Classe 3
Sollecitazioni: N,Ed=-16703.80 My,Ed=161.08 Mz,Ed=138.59
Resistenze: Nc,Rd=107392.00 My,c,Rd=5390.19 Mz,c,Rd=1963.10 L=230.49
αmy, αmz, αLT=0.95, 0.95, 0.95
L_{cr}=2.30 Curva b: α-imp=0.34 k_c=0.94 ψ=1.75 M,cr=39032.80 λ_{LT}=0.39
$\lambda_{LT,0}$=0.40 β_{LT}=0.75 Φ_{LT}=0.56 β_{LT}=0.75 f=0.98 χ_{LT}=1.00
λ_Y=38.89 Ncr,y=588819.00 λ^*_y=0.45 Curva b: Φ_y=0.64 χ_y=0.91
λ_Z=64.43 Ncr,z=214447.00 λ^*_z=0.74 Curva c: Φ_z=0.91 χ_z=0.70
Kyy, Kyz, Kzy, Kzz=0.99, 1.04, 0.80, 1.04
Verifica YY: 0.17+0.03+0.07=0.27
Verifica ZZ: 0.22+0.02+0.07=0.32

- Verifica in termini tensionali (4.2.5) - CC 97 Xl=2.30 - Classe 3
Sollecitazioni: N=-16635.50 T_z=-109.72 M_y=161.08 T_y=89.69 M_z=138.59
Tensioni: σ_N=-387.26 σ_M=-251.21 τ=0.00 σ_{max}=-638.47
Tensioni: σ_N=-387.26 σ_M=8.82 τ=13.22 τ_{max}=13.22
Tensioni: σ_N=-387.26 σ_M=-251.21 τ=0.00 $\sigma_{ID,max}$=638.47

Asta n. 662 (-376 11) HEB140 Crit. 1

- Verifica di stabilità aste presso-inflesse (C4.2.4.1.3.3.2) - CC 97 - Classe 3
Sollecitazioni: N,Ed=-16720.50 My,Ed=162.68 Mz,Ed=353.40
Resistenze: Nc,Rd=107392.00 My,c,Rd=5390.19 Mz,c,Rd=1963.10 L=230.49
αmy, αmz, αLT=0.95, 0.95, 0.95
L_{cr}=2.30 Curva b: α-imp=0.34 k_c=0.94 ψ=1.75 M,cr=39032.80 λ_{LT}=0.39
$\lambda_{LT,0}$=0.40 β_{LT}=0.75 Φ_{LT}=0.56 β_{LT}=0.75 f=0.98 χ_{LT}=1.00
λ_Y=38.89 Ncr,y=588819.00 λ^*_y=0.45 Curva b: Φ_y=0.64 χ_y=0.91
λ_Z=64.43 Ncr,z=214447.00 λ^*_z=0.74 Curva c: Φ_z=0.91 χ_z=0.70
Kyy, Kyz, Kzy, Kzz=0.99, 1.04, 0.80, 1.04
Verifica YY: 0.17+0.03+0.19=0.39
Verifica ZZ: 0.22+0.02+0.19=0.43

- Verifica in termini tensionali (4.2.5) - CC 97 Xl=2.30 - Classe 3
Sollecitazioni: N=-16652.20 T_z=30.75 T_y=215.45 M_z=353.40 M_x=-3.40
Tensioni: σ_N=-387.65 σ_M=-450.06 τ=22.84 σ_{max}=-837.71
Tensioni: σ_N=-387.65 σ_M=22.50 τ=27.94 τ_{max}=27.94
Tensioni: σ_N=-387.65 σ_M=-450.06 τ=22.84 $\sigma_{ID,max}$=838.64

Asta n. 662 (-44 -376) HEB140 Crit. 1

- Verifica di stabilità aste presso-inflesse (C4.2.4.1.3.3.2) - CC 97 - Classe 3
  Sollecitazioni: N,Ed=-16868.40 My,Ed=162.46 Mz,Ed=-140.73
  Resistenze: Nc,Rd=107392.00 My,c,Rd=5390.19 Mz,c,Rd=1963.10 L=230.49
  αmy, αmz, αLT=0.95, 0.95, 0.95
  L_{cr}=2.30 Curva b: α-imp=0.34 k_c=0.94 ψ=1.75 M,cr=39032.80 λ_{LT}=0.39
  $\lambda_{LT,0}$=0.40 β_{LT}=0.75 Φ_{LT}=0.56 β_{LT}=0.75 f=0.98 χ_{LT}=1.00
  λ_Y=38.89 Ncr,y=588819.00 λ^*_y=0.45 Curva b: Φ_y=0.64 χ_y=0.91
  λ_Z=64.43 Ncr,z=214447.00 λ^*_z=0.74 Curva c: Φ_z=0.91 χ_z=0.70
  Kyy, Kyz, Kzy, Kzz=0.99, 1.05, 0.80, 1.05
  Verifica YY: 0.17+0.03+0.07=0.28
  Verifica ZZ: 0.22+0.02+0.07=0.32

- Verifica in termini tensionali (4.2.5) - CC 97 Xl=2.30 - Classe 3
  Sollecitazioni: N=-16800.10 T_z=-110.32 M_y=162.46 T_y=-90.66 M_z=-140.73
  Tensioni: σ_N=-391.09 σ_M=-254.57 τ=0.00 σ_{max}=-645.66
  Tensioni: σ_N=-391.09 σ_M=-8.96 τ=13.29 τ_{max}=13.29
  Tensioni: σ_N=-391.09 σ_M=-254.57 τ=0.00 $\sigma_{ID,max}$=645.66

Asta n. 664 (-378 13) HEB140 Crit. 1

- Verifica di stabilità aste presso-inflesse (C4.2.4.1.3.3.2) - CC 97 - Classe 3
  Sollecitazioni: N,Ed=-6495.19 My,Ed=75.35 Mz,Ed=-22.05
  Resistenze: Nc,Rd=107392.00 My,c,Rd=5390.19 Mz,c,Rd=1963.10 L=230.49
  αmy, αmz, αLT=0.95, 0.95, 0.95
  L_{cr}=2.30 Curva b: α-imp=0.34 k_c=0.94 ψ=1.75 M,cr=39032.80 λ_{LT}=0.39
  $\lambda_{LT,0}$=0.40 β_{LT}=0.75 Φ_{LT}=0.56 β_{LT}=0.75 f=0.98 χ_{LT}=1.00
  λ_Y=38.89 Ncr,y=588819.00 λ^*_y=0.45 Curva b: Φ_y=0.64 χ_y=0.91
  λ_Z=64.43 Ncr,z=214447.00 λ^*_z=0.74 Curva c: Φ_z=0.91 χ_z=0.70
  Kyy, Kyz, Kzy, Kzz=0.97, 0.99, 0.77, 0.99
  Verifica YY: 0.06+0.01+0.01=0.09
  Verifica ZZ: 0.06+0.01+0.01=0.08

- Verifica in termini tensionali (4.2.5) - CC 97 Xl=0.00 - Classe 3
  Sollecitazioni: N=-6495.19 T_z=72.53 M_y=75.35 T_y=-13.77 M_z=9.69
  Tensioni: σ_N=-151.20 σ_M=-47.29 τ=0.00 σ_{max}=-198.49
  Tensioni: σ_N=-151.20 σ_M=0.62 τ=8.72 τ_{max}=8.72
  Tensioni: σ_N=-151.20 σ_M=-47.29 τ=0.00 $\sigma_{ID,max}$=198.49

Asta n. 664 (21 -378) HEB140 Crit. 1

- Verifica di stabilità aste presso-inflesse (C4.2.4.1.3.3.2) - CC 97 - Classe 3
  Sollecitazioni: N,Ed=-6648.72 My,Ed=75.61 Mz,Ed=10.05
  Resistenze: Nc,Rd=107392.00 My,c,Rd=5390.19 Mz,c,Rd=1963.10 L=230.49
  αmy, αmz, αLT=0.95, 0.95, 0.95
  L_{cr}=2.30 Curva b: α-imp=0.34 k_c=0.94 ψ=1.75 M,cr=39032.80 λ_{LT}=0.39
  $\lambda_{LT,0}$=0.40 β_{LT}=0.75 Φ_{LT}=0.56 β_{LT}=0.75 f=0.98 χ_{LT}=1.00
  λ_Y=38.89 Ncr,y=588819.00 λ^*_y=0.45 Curva b: Φ_y=0.64 χ_y=0.91
  λ_Z=64.43 Ncr,z=214447.00 λ^*_z=0.74 Curva c: Φ_z=0.91 χ_z=0.70
  Kyy, Kyz, Kzy, Kzz=0.97, 0.99, 0.77, 0.99
  Verifica YY: 0.06+0.01+0.01=0.08
  Verifica ZZ: 0.06+0.01+0.01=0.08

- Verifica in termini tensionali (4.2.5) - CC 97 Xl=2.30 - Classe 3
  Sollecitazioni: N=-6580.43 T_z=-72.64 M_y=75.61 T_y=7.00 M_z=10.05
  Tensioni: σ_N=-153.19 σ_M=-47.86 τ=0.00 σ_{max}=-201.05
  Tensioni: σ_N=-153.19 σ_M=0.64 τ=8.74 τ_{max}=8.74
  Tensioni: σ_N=-153.19 σ_M=-47.86 τ=0.00 $\sigma_{ID,max}$=201.05

Asta n. 666 (15 -516) HEB140 Crit. 1

- Verifica di stabilità aste inflesse (4.2.4.1.3.2) CC 97 - Classe 3
  L_{cr}=3.50 Curva b: α-imp=0.34 k_c=0.94 ψ=1.75 M,cr=22787.60 λ_{LT}=0.51
  $\lambda_{LT,0}$=0.40 β_{LT}=0.75 Φ_{LT}=0.62 β_{LT}=0.75 f=0.98 χ_{LT}=0.98
  CC 97 My,Ed=-69.71 My,b,Rd=5284.96 My,Ed/My,b,Rd=0.01

- Verifica in termini tensionali (4.2.5) - CC 97 Xl=1.74 - Classe 3
  Sollecitazioni: N=6410.53 M_y=-69.71

Tensioni: σ_N=149.23 σ_M=32.33 τ=0.00 σ_{max}=181.56
Tensioni: σ_N=0.00 σ_M=0.00 τ=0.00 τ_{max}=0.00
Tensioni: σ_N=149.23 σ_M=32.33 τ=0.00 $\sigma_{ID,max}$=181.56

Asta n. 668 (-382 17) HEB140 Crit. 1

- Verifica di stabilità aste presso-inflesse (C4.2.4.1.3.3.2) - CC 97 - Classe 3
Sollecitazioni: N,Ed=-6495.60 My,Ed=75.36 Mz,Ed=20.08
Resistenze: Nc,Rd=107392.00 My,c,Rd=5390.19 Mz,c,Rd=1963.10 L=230.49
αmy, αmz, αLT=0.95, 0.95, 0.95
L_{cr}=2.30 Curva b: α-imp=0.34 k_c=0.94 ψ=1.75 M,cr=39032.80 λ_{LT}=0.39
$\lambda_{LT,0}$=0.40 β_{LT}=0.75 Φ_{LT}=0.56 β_{LT}=0.75 f=0.98 χ_{LT}=1.00
λ_Y=38.89 Ncr,y=588819.00 λ^*_y=0.45 Curva b: Φ_y=0.64 χ_y=0.91
λ_Z=64.43 Ncr,z=214447.00 λ^*_z=0.74 Curva c: Φ_z=0.91 χ_z=0.70
Kyy, Kyz, Kzy, Kzz=0.97, 0.99, 0.77, 0.99
Verifica YY: 0.06+0.01+0.01=0.08
Verifica ZZ: 0.06+0.01+0.01=0.08

- Verifica in termini tensionali (4.2.5) - CC 97 Xl=0.00 - Classe 3
Sollecitazioni: N=-6495.60 T_z=72.53 M_y=75.36 T_y=12.25 M_z=-8.16
Tensioni: σ_N=-151.21 σ_M=-45.34 τ=0.00 σ_{max}=-196.56
Tensioni: σ_N=-151.21 σ_M=-0.52 τ=8.72 τ_{max}=8.72
Tensioni: σ_N=-151.21 σ_M=-45.34 τ=0.00 $\sigma_{ID,max}$=196.56

Asta n. 668 (25 -382) HEB140 Crit. 1

- Verifica di stabilità aste presso-inflesse (C4.2.4.1.3.3.2) - CC 97 - Classe 3
Sollecitazioni: N,Ed=-6649.01 My,Ed=75.61 Mz,Ed=-8.66
Resistenze: Nc,Rd=107392.00 My,c,Rd=5390.19 Mz,c,Rd=1963.10 L=230.49
αmy, αmz, αLT=0.95, 0.95, 0.95
L_{cr}=2.30 Curva b: α-imp=0.34 k_c=0.94 ψ=1.75 M,cr=39032.80 λ_{LT}=0.39
$\lambda_{LT,0}$=0.40 β_{LT}=0.75 Φ_{LT}=0.56 β_{LT}=0.75 f=0.98 χ_{LT}=1.00
λ_Y=38.89 Ncr,y=588819.00 λ^*_y=0.45 Curva b: Φ_y=0.64 χ_y=0.91
λ_Z=64.43 Ncr,z=214447.00 λ^*_z=0.74 Curva c: Φ_z=0.91 χ_z=0.70
Kyy, Kyz, Kzy, Kzz=0.97, 0.99, 0.77, 0.99
Verifica YY: 0.06+0.01+0.00=0.08
Verifica ZZ: 0.06+0.01+0.00=0.08

- Verifica in termini tensionali (4.2.5) - CC 97 Xl=2.30 - Classe 3
Sollecitazioni: N=-6580.73 T_z=-72.64 M_y=75.61 T_y=-5.69 M_z=-8.66
Tensioni: σ_N=-153.19 σ_M=-46.10 τ=0.00 σ_{max}=-199.29
Tensioni: σ_N=-153.19 σ_M=-0.55 τ=8.74 τ_{max}=8.74
Tensioni: σ_N=-153.19 σ_M=-46.10 τ=0.00 $\sigma_{ID,max}$=199.29

Asta n. 670 (19 -528) HEB140 Crit. 1

- Verifica di stabilità aste inflesse (4.2.4.1.3.2) CC 97 - Classe 3
L_{cr}=3.50 Curva b: α-imp=0.34 k_c=0.94 ψ=1.75 M,cr=22787.60 λ_{LT}=0.51
$\lambda_{LT,0}$=0.40 β_{LT}=0.75 Φ_{LT}=0.62 β_{LT}=0.75 f=0.98 χ_{LT}=0.98
CC 97 My,Ed=-69.71 My,b,Rd=5284.96 My,Ed/My,b,Rd=0.01

- Verifica in termini tensionali (4.2.5) - CC 97 Xl=0.00 - Classe 3
Sollecitazioni: N=12499.00 T_z=79.67 T_y=100.19 M_z=-256.47 M_x=2.01
Tensioni: σ_N=290.96 σ_M=326.61 τ=13.51 σ_{max}=617.58
Tensioni: σ_N=290.96 σ_M=16.33 τ=18.18 τ_{max}=18.18
Tensioni: σ_N=290.96 σ_M=326.61 τ=13.92 $\sigma_{ID,max}$=618.05

Asta n. 677 (-376 -504) HEB140 Crit. 1

- Verifica di stabilità aste inflesse (4.2.4.1.3.2) CC 97 - Classe 3
L_{cr}=2.30 Curva b: α-imp=0.34 k_c=0.94 ψ=1.75 M,cr=39032.80 λ_{LT}=0.39
$\lambda_{LT,0}$=0.40 β_{LT}=0.75 Φ_{LT}=0.56 β_{LT}=0.75 f=0.98 χ_{LT}=1.00
CC 97 My,Ed=-22.95 My,b,Rd=5390.19 My,Ed/My,b,Rd=0.00

- Verifica in termini tensionali (4.2.5) - CC 97 Xl=0.63 - Classe 3
Sollecitazioni: N=235.21 T_z=18.11 M_y=-18.21 T_y=-7.17 M_z=8.08
Tensioni: σ_N=5.48 σ_M=18.73 τ=0.00 σ_{max}=24.21
Tensioni: σ_N=5.48 σ_M=0.51 τ=2.18 τ_{max}=2.18

Tensioni: σ_N=5.48 σ_M=18.73 τ=0.00 $\sigma_{ID,max}$=24.21

Asta n. 679 (-378 -512) HEB140 Crit. 1

- Verifica di stabilità aste inflesse (4.2.4.1.3.2) CC 97 - Classe 3
  L_{cr}=2.30 Curva b: α-imp=0.34 k_c=0.94 ψ=1.75 M,cr=39032.80 λ_{LT}=0.39
  $\lambda_{LT,0}$=0.40 β_{LT}=0.75 Φ_{LT}=0.56 β_{LT}=0.75 f=0.98 χ_{LT}=1.00
  CC 97 My,Ed=-22.95 My,b,Rd=5390.19 My,Ed/My,b,Rd=0.00

- Verifica in termini tensionali (4.2.5) - CC 97 Xl=1.15 - Classe 3
  Sollecitazioni: N=235.64 M_y=-22.95 T_y=-1.10 M_z=1.06
  Tensioni: σ_N=5.49 σ_M=12.00 τ=0.00 σ_{max}=17.48
  Tensioni: σ_N=5.49 σ_M=10.35 τ=0.05 τ_{max}=0.05
  Tensioni: σ_N=5.49 σ_M=12.00 τ=0.00 $\sigma_{ID,max}$=17.48

Asta n. 681 (-380 -516) HEB140 Crit. 1

- Verifica di stabilità aste inflesse (4.2.4.1.3.2) CC 97 - Classe 3
  L_{cr}=2.30 Curva b: α-imp=0.34 k_c=0.94 ψ=1.75 M,cr=39032.80 λ_{LT}=0.39
  $\lambda_{LT,0}$=0.40 β_{LT}=0.75 Φ_{LT}=0.56 β_{LT}=0.75 f=0.98 χ_{LT}=1.00
  CC 97 My,Ed=-22.95 My,b,Rd=5390.19 My,Ed/My,b,Rd=0.00

- Verifica in termini tensionali (4.2.5) - CC 97 Xl=1.15 - Classe 3
  Sollecitazioni: N=200.97 M_y=-22.95
  Tensioni: σ_N=4.68 σ_M=10.65 τ=0.00 σ_{max}=15.32
  Tensioni: σ_N=0.00 σ_M=0.00 τ=0.00 τ_{max}=0.00
  Tensioni: σ_N=4.68 σ_M=10.65 τ=0.00 $\sigma_{ID,max}$=15.32

Asta n. 683 (-382 -520) HEB140 Crit. 1

- Verifica di stabilità aste inflesse (4.2.4.1.3.2) CC 97 - Classe 3
  L_{cr}=2.30 Curva b: α-imp=0.34 k_c=0.94 ψ=1.75 M,cr=39032.80 λ_{LT}=0.39
  $\lambda_{LT,0}$=0.40 β_{LT}=0.75 Φ_{LT}=0.56 β_{LT}=0.75 f=0.98 χ_{LT}=1.00
  CC 97 My,Ed=-22.95 My,b,Rd=5390.19 My,Ed/My,b,Rd=0.00

- Verifica in termini tensionali (4.2.5) - CC 97 Xl=1.05 - Classe 3
  Sollecitazioni: N=232.58 T_z=3.62 M_y=-22.76 T_y=2.04 M_z=-1.07
  Tensioni: σ_N=5.41 σ_M=11.92 τ=0.00 σ_{max}=17.34
  Tensioni: σ_N=5.41 σ_M=-0.07 τ=0.44 τ_{max}=0.44
  Tensioni: σ_N=5.41 σ_M=11.92 τ=0.00 $\sigma_{ID,max}$=17.34

Asta n. 685 (-384 -528) HEB140 Crit. 1

- Verifica di stabilità aste inflesse (4.2.4.1.3.2) CC 97 - Classe 3
  L_{cr}=2.30 Curva b: α-imp=0.34 k_c=0.94 ψ=1.75 M,cr=39032.80 λ_{LT}=0.39
  $\lambda_{LT,0}$=0.40 β_{LT}=0.75 Φ_{LT}=0.56 β_{LT}=0.75 f=0.98 χ_{LT}=1.00
  CC 97 My,Ed=-22.95 My,b,Rd=5390.19 My,Ed/My,b,Rd=0.00

- Verifica in termini tensionali (4.2.5) - CC 97 Xl=0.63 - Classe 3
  Sollecitazioni: N=233.03 T_z=18.11 M_y=-18.21 T_y=7.71 M_z=-8.05
  Tensioni: σ_N=5.42 σ_M=18.70 τ=0.00 σ_{max}=24.12
  Tensioni: σ_N=5.42 σ_M=-0.51 τ=2.18 τ_{max}=2.18
  Tensioni: σ_N=5.42 σ_M=18.70 τ=0.00 $\sigma_{ID,max}$=24.12

Oggetto: RELAZIONE VERIFICA COLLEGAMENTI T_{getto}

Sommario

Verifiche collegamenti strutture intelaiate 3
Collegamento -041_-375 3
Collegamento -044_-376 110
Collegamento -1073_-1074 217
Collegamento -1087_-1088 218
Collegamento -1160_-1161 219
Collegamento -1174_-1173 221
Collegamento -1174_-1175 222
Collegamento -1201_-1202 223
Collegamento -1212_-1213 224
Collegamento -179_-383 225
Collegamento -182_-384 332
Collegamento -375_-503 439
Collegamento -376_-504 439
Collegamento -377_-511 474
Collegamento -378_-512 474
Collegamento -379_-515 509
Collegamento -380_-516 510
Collegamento -381_-519 545
Collegamento -382_-520 545
Collegamento -383_-527 580
Collegamento -384_-528 580
Collegamento -503_0010 615
Collegamento -504_0011 616
Collegamento -511_0012 618
Collegamento -512_0013 620
Collegamento -515_0014 621
Collegamento -516_0015 623
Collegamento -519_0016 625
Collegamento -520_0017 626
Collegamento -527_0018 628
Collegamento -528_0019 629
Collegamento -594_-595 631
Collegamento -605_-604 632
Collegamento -632_-631 633
Collegamento -632_-633 634
Collegamento -646_-645 635
Collegamento -719_-718 636
Collegamento -733_-732 637
Collegamento -808_-809 638
Collegamento -822_-823 639
Collegamento -852_-853 640
Collegamento -866_-867 641
Collegamento -896_-897 643
Collegamento -910_-911 644
Collegamento -940_-941 645
Collegamento -954_-955 646
Collegamento -984_-985 647
Collegamento -998_-999 648
Collegamento 0010_-503 649
Collegamento 0020_-377 668
Collegamento 0021_-378 775
Collegamento 0022_-379 882
Collegamento 0023_-380 988
Collegamento 0024_-381 1094
Collegamento 0025_-382 1201

Verifiche collegamenti strutture intelaiate

Simbologia

F	<daN>	= Forza trasmessa dall'ala della trave
F_{co}	<daN>	= Forza trasmessa dalle ali della trave alle costole orizzontali
A_{co}	<cmq>	= Area delle costole orizzontali
FR_{co}	<daN>	= Forza resistente delle costole orizzontali
F_{cd}	<daN>	= Forza trasmessa dalle ali della trave alle costole diagonali
A_{cd}	<cmq>	= Area delle costole diagonali
FR_{cd}	<daN>	= Forza resistente delle costole diagonali
N	<daN>	= Sforzo normale agente sul collegamento
Ty	<daN>	= Taglio in direzione Y agente sul collegamento
Tz	<daN>	= Taglio in direzione Z agente sul collegamento
Mx	<daNm>	= Momento torcente intorno all'asse X del collegamento
Mz	<daNm>	= Momento flettente intorno all'asse Z del collegamento
Tx_l	<daN>	= Taglio in direzione X locale
Ty_l	<daN>	= Taglio in direzione Y locale
N_l	<daN>	= Sforzo normale in direzione Z locale
Mx_l	<daNm>	= Momento flettente intorno all'asse X locale
My_l	<daNm>	= Momento flettente intorno all'asse Y locale
Mz_l	<daNm>	= Momento torcente intorno all'asse Z
Fv,Ed	<daN>	= Taglio nei bulloni
Fv,Rd	<daN>	= Resistenza a taglio del bullone
Fb,Ed,p	<daN>	= Rifollamento lato piastra
Fb,Rd,p	<daN>	= Resistenza a rifollamento lato piastra
Ft,Ed	<daN>	= Trazione nei bulloni
Ft,Rd	<daN>	= Resistenza a trazione del bullone
Bp,Ed,p	<daN>	= Azione di punzonamento di progetto lato piastra
Bb,Rd,p	<daN>	= Punzonamento
Int. V-T		= Controllo interazione taglio/trazione [4.2.65]
LT	<m>	= Lunghezza tirafondi
σ_{cR}	<daN/cmq>	= Tensione nel calcestruzzo indotta dalla rosetta
σ_{fR}	<daN/cmq>	= Tensione nell'acciaio della rosetta per flessione
σ_c	<daN/cmq>	= Tensione nel calcestruzzo
TP	<daN>	= Azione che genera tensione tangenziale parallela
TO	<daN>	= Azione che genera tensione tangenziale ortogonale
NO	<daN>	= Azione che genera tensione normale ortogonale
τ_P	<daN/cmq>	= Tensione tangenziale parallela all'asse del cordone di saldatura
τ_O	<daN/cmq>	= Tensione tangenziale ortogonale all'asse del cordone di saldatura
σ_O	<daN/cmq>	= Tensione normale ortogonale all'asse del cordone di saldatura
σ_{ID}	<daN/cmq>	= Tensione ideale nel cordone di saldatura
Σ_T	<daN/cmq>	= Somma tensioni nel cordone di saldatura
Bnetta	<mm>	= Larghezza sezione al netto di eventuali fori
Hnetta	<mm>	= Altezza sezione al netto di eventuali fori
W	<cmc>	= Modulo di resistenza della piastra irrigidita
σ	<daN/cmq>	= Tensione normale
τ	<daN/cmq>	= Tensione tangenziale
My	<daNm>	= Momento flettente intorno all'asse Y del collegamento
Fb,Ed,a	<daN>	= Azione di rifollamento di progetto lato asta
Fb,Rd,a	<daN>	= Rifollamento lato asta
b_{eff}	<cm>	= Larghezza efficace
t_w	<cm>	= Spessore dell'anima della colonna

Collegamento -041_-375

Piastra 220.00 x 220.00 s=15.00 - 6 Tirafondi ϕ 16 - Profondità di infissione: 350.00
3 righe ad interasse 89.00
2 colonne ad interasse 178.00
Altezza di gola saldature: anima 7.07 - ala 7.07

Tirafondi e calcestruzzo

CC 1 SLV (Collegamento -041_-375)
Azioni sul collegamento: N=-5965.50 Ty=-4.83 Tz=-1.56 Mx=0.01 Mz=-1.02
Sollecitazioni agenti localmente: Tx_l=-4.83 Ty_l=-1.56 N_l=-5965.50 Mx_l=-0.00 My_l=-1.02 Mz_l=0.01
Taglio nei bulloni: Fv,Ed=0.86 Fv,Rd=7720.78
Rifollamento lato piastra: Fb,Ed,p=0.85 Fb,Rd,p=6790.19
Tirafondi:LT=0.45 (0.31) σ_{cR}=0.00 σ_{fR}=0.00
Compressione nel calcestruzzo: σ_c=12.38
CC 1 SLV (Collegamento -041_-375)
Azioni sul collegamento: N=-5965.50 Ty=-12.58 Tz=-1.56 Mx=0.01 Mz=-7.43
Sollecitazioni agenti localmente: Tx_l=-12.58 Ty_l=-1.56 N_l=-5965.50 Mx_l=-0.00 My_l=-7.43 Mz_l=0.01
Taglio nei bulloni: Fv,Ed=2.13 Fv,Rd=7720.78
Rifollamento lato piastra: Fb,Ed,p=2.13 Fb,Rd,p=6100.34
Tirafondi:LT=0.45 (0.31) σ_{cR}=0.00 σ_{fR}=0.00
Compressione nel calcestruzzo: σ_c=12.74
CC 1 SLV (Collegamento -041_-375)

Azioni sul collegamento: N=-5965.50 Ty=-4.83 Tz=27.71 Mx=0.01 Mz=-1.02
Sollecitazioni agenti localmente: Tx_l=-4.83 Ty_l=27.71 N_l=-5965.50 Mx_l=-0.00 My_l=-1.02 Mz_l=0.01
Taglio nei bulloni: Fv,Ed=4.70 Fv,Rd=7720.78
Rifollamento lato piastra: Fb,Ed,p=4.70 Fb,Rd,p=6238.26
Tirafondi:LT=0.45 (0.31) σ_{cR}=0.00 σ_{fR}=0.00
Compressione nel calcestruzzo: σ_c=12.38
CC 1 SLV (Collegamento -041_-375)
Azioni sul collegamento: N=-5965.50 Ty=-12.58 Tz=27.71 Mx=0.01 Mz=-7.43
Sollecitazioni agenti localmente: Tx_l=-12.58 Ty_l=27.71 N_l=-5965.50 Mx_l=-0.00 My_l=-7.43 Mz_l=0.01
Taglio nei bulloni: Fv,Ed=5.09 Fv,Rd=7720.78
Rifollamento lato piastra: Fb,Ed,p=5.08 Fb,Rd,p=7800.00
Tirafondi:LT=0.45 (0.31) σ_{cR}=0.00 σ_{fR}=0.00
Compressione nel calcestruzzo: σ_c=12.74
CC 1 SLV (Collegamento -041_-375)
Azioni sul collegamento: N=-13808.10 Ty=-4.83 Tz=-1.56 Mx=0.01 Mz=-1.02
Sollecitazioni agenti localmente: Tx_l=-4.83 Ty_l=-1.56 N_l=-13808.10 Mx_l=-0.00 My_l=-1.02 Mz_l=0.01
Taglio nei bulloni: Fv,Ed=0.86 Fv,Rd=7720.78
Rifollamento lato piastra: Fb,Ed,p=0.85 Fb,Rd,p=6790.33
Tirafondi:LT=0.45 (0.31) σ_{cR}=0.00 σ_{fR}=0.00
Compressione nel calcestruzzo: σ_c=28.59
CC 1 SLV (Collegamento -041_-375)
Azioni sul collegamento: N=-13808.10 Ty=-12.58 Tz=-1.56 Mx=0.01 Mz=-7.43
Sollecitazioni agenti localmente: Tx_l=-12.58 Ty_l=-1.56 N_l=-13808.10 Mx_l=-0.00 My_l=-7.43 Mz_l=0.01
Taglio nei bulloni: Fv,Ed=2.13 Fv,Rd=7720.78
Rifollamento lato piastra: Fb,Ed,p=2.13 Fb,Rd,p=6100.37
Tirafondi:LT=0.45 (0.31) σ_{cR}=0.00 σ_{fR}=0.00
Compressione nel calcestruzzo: σ_c=28.95
CC 1 SLV (Collegamento -041_-375)
Azioni sul collegamento: N=-13808.10 Ty=-4.83 Tz=27.71 Mx=0.01 Mz=-1.02
Sollecitazioni agenti localmente: Tx_l=-4.83 Ty_l=27.71 N_l=-13808.10 Mx_l=-0.00 My_l=-1.02 Mz_l=0.01
Taglio nei bulloni: Fv,Ed=4.70 Fv,Rd=7720.78
Rifollamento lato piastra: Fb,Ed,p=4.70 Fb,Rd,p=6238.27
Tirafondi:LT=0.45 (0.31) σ_{cR}=0.00 σ_{fR}=0.00
Compressione nel calcestruzzo: σ_c=28.59
CC 1 SLV (Collegamento -041_-375)
Azioni sul collegamento: N=-13808.10 Ty=-12.58 Tz=27.71 Mx=0.01 Mz=-7.43
Sollecitazioni agenti localmente: Tx_l=-12.58 Ty_l=27.71 N_l=-13808.10 Mx_l=-0.00 My_l=-7.43 Mz_l=0.01
Taglio nei bulloni: Fv,Ed=5.09 Fv,Rd=7720.78
Rifollamento lato piastra: Fb,Ed,p=5.08 Fb,Rd,p=7800.06
Tirafondi:LT=0.45 (0.31) σ_{cR}=0.00 σ_{fR}=0.00
Compressione nel calcestruzzo: σ_c=28.95
CC 2 SLD (Collegamento -041_-375)
Azioni sul collegamento: N=-8788.68 Ty=-8.45 Tz=9.00 Mx=0.00 Mz=-5.38
Sollecitazioni agenti localmente: Tx_l=-8.45 Ty_l=9.00 N_l=-8788.68 Mx_l=-0.00 My_l=-5.38 Mz_l=0.00
Taglio nei bulloni: Fv,Ed=2.06 Fv,Rd=9650.97
Rifollamento lato piastra: Fb,Ed,p=2.06 Fb,Rd,p=14554.80
Tirafondi:LT=0.45 (0.31) σ_{cR}=0.00 σ_{fR}=0.00
Compressione nel calcestruzzo: σ_c=18.46
CC 2 SLD (Collegamento -041_-375)
Azioni sul collegamento: N=-8788.68 Ty=-10.81 Tz=9.00 Mx=0.00 Mz=-7.34
Sollecitazioni agenti localmente: Tx_l=-10.81 Ty_l=9.00 N_l=-8788.68 Mx_l=-0.00 My_l=-7.34 Mz_l=0.00
Taglio nei bulloni: Fv,Ed=2.35 Fv,Rd=9650.97
Rifollamento lato piastra: Fb,Ed,p=2.35 Fb,Rd,p=13819.90
Tirafondi:LT=0.45 (0.31) σ_{cR}=0.00 σ_{fR}=0.00
Compressione nel calcestruzzo: σ_c=18.57
CC 2 SLD (Collegamento -041_-375)
Azioni sul collegamento: N=-8788.68 Ty=-8.45 Tz=17.92 Mx=0.00 Mz=-5.38
Sollecitazioni agenti localmente: Tx_l=-8.45 Ty_l=17.92 N_l=-8788.68 Mx_l=-0.00 My_l=-5.38 Mz_l=0.00
Taglio nei bulloni: Fv,Ed=3.31 Fv,Rd=9650.97
Rifollamento lato piastra: Fb,Ed,p=3.30 Fb,Rd,p=9966.55
Tirafondi:LT=0.45 (0.31) σ_{cR}=0.00 σ_{fR}=0.00
Compressione nel calcestruzzo: σ_c=18.46
CC 2 SLD (Collegamento -041_-375)
Azioni sul collegamento: N=-8788.68 Ty=-10.81 Tz=17.92 Mx=0.00 Mz=-7.34
Sollecitazioni agenti localmente: Tx_l=-10.81 Ty_l=17.92 N_l=-8788.68 Mx_l=-0.00 My_l=-7.34 Mz_l=0.00
Taglio nei bulloni: Fv,Ed=3.49 Fv,Rd=9650.97
Rifollamento lato piastra: Fb,Ed,p=3.49 Fb,Rd,p=11595.70
Tirafondi:LT=0.45 (0.31) σ_{cR}=0.00 σ_{fR}=0.00
Compressione nel calcestruzzo: σ_c=18.57
CC 2 SLD (Collegamento -041_-375)
Azioni sul collegamento: N=-11180.10 Ty=-8.45 Tz=8.99 Mx=0.00 Mz=-5.38
Sollecitazioni agenti localmente: Tx_l=-8.45 Ty_l=8.99 N_l=-11180.10 Mx_l=-0.00 My_l=-5.38 Mz_l=0.00
Taglio nei bulloni: Fv,Ed=2.06 Fv,Rd=9650.97
Rifollamento lato piastra: Fb,Ed,p=2.06 Fb,Rd,p=14554.80
Tirafondi:LT=0.45 (0.31) σ_{cR}=0.00 σ_{fR}=0.00
Compressione nel calcestruzzo: σ_c=23.40
CC 2 SLD (Collegamento -041_-375)
Azioni sul collegamento: N=-11180.10 Ty=-10.81 Tz=8.99 Mx=0.00 Mz=-7.34

Sollecitazioni agenti localmente: Tx_l=-10.81 Ty_l=8.99 N_l=-11180.10 Mx_l=-0.00 My_l=-7.34 Mz_l=0.00
Taglio nei bulloni: Fv,Ed=2.35 Fv,Rd=9650.97
Rifollamento lato piastra: Fb,Ed,p=2.35 Fb,Rd,p=13819.90
Tirafondi:LT=0.45 (0.31) σ_{cR}=0.00 σ_{fR}=0.00
Compressione nel calcestruzzo: σ_c=23.51
CC 2 SLD (Collegamento -041_-375)
Azioni sul collegamento: N=-11180.10 Ty=-8.45 Tz=17.92 Mx=0.00 Mz=-5.38
Sollecitazioni agenti localmente: Tx_l=-8.45 Ty_l=17.92 N_l=-11180.10 Mx_l=-0.00 My_l=-5.38 Mz_l=0.00
Taglio nei bulloni: Fv,Ed=3.31 Fv,Rd=9650.97
Rifollamento lato piastra: Fb,Ed,p=3.30 Fb,Rd,p=9966.67
Tirafondi:LT=0.45 (0.31) σ_{cR}=0.00 σ_{fR}=0.00
Compressione nel calcestruzzo: σ_c=23.40
CC 2 SLD (Collegamento -041_-375)
Azioni sul collegamento: N=-11180.10 Ty=-10.81 Tz=17.92 Mx=0.00 Mz=-7.34
Sollecitazioni agenti localmente: Tx_l=-10.81 Ty_l=17.92 N_l=-11180.10 Mx_l=-0.00 My_l=-7.34 Mz_l=0.00
Taglio nei bulloni: Fv,Ed=3.49 Fv,Rd=9650.97
Rifollamento lato piastra: Fb,Ed,p=3.49 Fb,Rd,p=11595.90
Tirafondi:LT=0.45 (0.31) σ_{cR}=0.00 σ_{fR}=0.00
Compressione nel calcestruzzo: σ_c=23.51
CC 3 SLV (Collegamento -041_-375)
Azioni sul collegamento: N=-5970.40 Ty=-5.34 Tz=-1.24 Mx=0.01 Mz=-2.07
Sollecitazioni agenti localmente: Tx_l=-5.34 Ty_l=-1.24 N_l=-5970.40 Mx_l=-0.00 My_l=-2.07 Mz_l=0.01
Taglio nei bulloni: Fv,Ed=0.92 Fv,Rd=7720.78
Rifollamento lato piastra: Fb,Ed,p=0.92 Fb,Rd,p=6409.29
Tirafondi:LT=0.45 (0.31) σ_{cR}=0.00 σ_{fR}=0.00
Compressione nel calcestruzzo: σ_c=12.45
CC 3 SLV (Collegamento -041_-375)
Azioni sul collegamento: N=-5970.40 Ty=-12.07 Tz=-1.24 Mx=0.01 Mz=-6.38
Sollecitazioni agenti localmente: Tx_l=-12.07 Ty_l=-1.24 N_l=-5970.40 Mx_l=-0.00 My_l=-6.38 Mz_l=0.01
Taglio nei bulloni: Fv,Ed=2.03 Fv,Rd=7720.78
Rifollamento lato piastra: Fb,Ed,p=2.03 Fb,Rd,p=6064.04
Tirafondi:LT=0.45 (0.31) σ_{cR}=0.00 σ_{fR}=0.00
Compressione nel calcestruzzo: σ_c=12.69
CC 3 SLV (Collegamento -041_-375)
Azioni sul collegamento: N=-5970.40 Ty=-5.34 Tz=27.38 Mx=0.01 Mz=-2.07
Sollecitazioni agenti localmente: Tx_l=-5.34 Ty_l=27.38 N_l=-5970.40 Mx_l=-0.00 My_l=-2.07 Mz_l=0.01
Taglio nei bulloni: Fv,Ed=4.66 Fv,Rd=7720.78
Rifollamento lato piastra: Fb,Ed,p=4.66 Fb,Rd,p=6310.01
Tirafondi:LT=0.45 (0.31) σ_{cR}=0.00 σ_{fR}=0.00
Compressione nel calcestruzzo: σ_c=12.45
CC 3 SLV (Collegamento -041_-375)
Azioni sul collegamento: N=-5970.40 Ty=-12.07 Tz=27.38 Mx=0.01 Mz=-6.38
Sollecitazioni agenti localmente: Tx_l=-12.07 Ty_l=27.38 N_l=-5970.40 Mx_l=-0.00 My_l=-6.38 Mz_l=0.01
Taglio nei bulloni: Fv,Ed=5.00 Fv,Rd=7720.78
Rifollamento lato piastra: Fb,Ed,p=4.99 Fb,Rd,p=7705.57
Tirafondi:LT=0.45 (0.31) σ_{cR}=0.00 σ_{fR}=0.00
Compressione nel calcestruzzo: σ_c=12.69
CC 3 SLV (Collegamento -041_-375)
Azioni sul collegamento: N=-13803.30 Ty=-5.34 Tz=-1.24 Mx=0.01 Mz=-2.07
Sollecitazioni agenti localmente: Tx_l=-5.34 Ty_l=-1.24 N_l=-13803.30 Mx_l=-0.00 My_l=-2.07 Mz_l=0.01
Taglio nei bulloni: Fv,Ed=0.92 Fv,Rd=7720.78
Rifollamento lato piastra: Fb,Ed,p=0.92 Fb,Rd,p=6409.17
Tirafondi:LT=0.45 (0.31) σ_{cR}=0.00 σ_{fR}=0.00
Compressione nel calcestruzzo: σ_c=28.64
CC 3 SLV (Collegamento -041_-375)
Azioni sul collegamento: N=-13803.30 Ty=-12.07 Tz=-1.24 Mx=0.01 Mz=-6.38
Sollecitazioni agenti localmente: Tx_l=-12.07 Ty_l=-1.24 N_l=-13803.30 Mx_l=-0.00 My_l=-6.38 Mz_l=0.01
Taglio nei bulloni: Fv,Ed=2.03 Fv,Rd=7720.78
Rifollamento lato piastra: Fb,Ed,p=2.03 Fb,Rd,p=6064.01
Tirafondi:LT=0.45 (0.31) σ_{cR}=0.00 σ_{fR}=0.00
Compressione nel calcestruzzo: σ_c=28.88
CC 3 SLV (Collegamento -041_-375)
Azioni sul collegamento: N=-13803.30 Ty=-5.34 Tz=27.38 Mx=0.01 Mz=-2.07
Sollecitazioni agenti localmente: Tx_l=-5.34 Ty_l=27.38 N_l=-13803.30 Mx_l=-0.00 My_l=-2.07 Mz_l=0.01
Taglio nei bulloni: Fv,Ed=4.66 Fv,Rd=7720.78
Rifollamento lato piastra: Fb,Ed,p=4.66 Fb,Rd,p=6310.02
Tirafondi:LT=0.45 (0.31) σ_{cR}=0.00 σ_{fR}=0.00
Compressione nel calcestruzzo: σ_c=28.64
CC 3 SLV (Collegamento -041_-375)
Azioni sul collegamento: N=-13803.30 Ty=-12.07 Tz=27.38 Mx=0.01 Mz=-6.38
Sollecitazioni agenti localmente: Tx_l=-12.07 Ty_l=27.38 N_l=-13803.30 Mx_l=-0.00 My_l=-6.38 Mz_l=0.01
Taglio nei bulloni: Fv,Ed=5.00 Fv,Rd=7720.78
Rifollamento lato piastra: Fb,Ed,p=4.99 Fb,Rd,p=7705.62
Tirafondi:LT=0.45 (0.31) σ_{cR}=0.00 σ_{fR}=0.00
Compressione nel calcestruzzo: σ_c=28.88
CC 4 SLD (Collegamento -041_-375)
Azioni sul collegamento: N=-8790.17 Ty=-8.61 Tz=9.10 Mx=0.00 Mz=-5.70
Sollecitazioni agenti localmente: Tx_l=-8.61 Ty_l=9.10 N_l=-8790.17 Mx_l=-0.00 My_l=-5.70 Mz_l=0.00

Taglio nei bulloni: Fv,Ed=2.09 Fv,Rd=9650.97
Rifollamento lato piastra: Fb,Ed,p=2.09 Fb,Rd,p=14620.30
Tirafondi:LT=0.45 (0.31) σ_{cR}=0.00 σ_{fR}=0.00
Compressione nel calcestruzzo: σ_c=18.48
CC 4 SLD (Collegamento -041_-375)
Azioni sul collegamento: N=-8790.17 Ty=-10.66 Tz=9.10 Mx=0.00 Mz=-7.02
Sollecitazioni agenti localmente: Tx_l=-10.66 Ty_l=9.10 N_l=-8790.17 Mx_l=-0.00 My_l=-7.02 Mz_l=0.00
Taglio nei bulloni: Fv,Ed=2.34 Fv,Rd=9650.97
Rifollamento lato piastra: Fb,Ed,p=2.34 Fb,Rd,p=13966.90
Tirafondi:LT=0.45 (0.31) σ_{cR}=0.00 σ_{fR}=0.00
Compressione nel calcestruzzo: σ_c=18.56
CC 4 SLD (Collegamento -041_-375)
Azioni sul collegamento: N=-8790.17 Ty=-8.61 Tz=17.82 Mx=0.00 Mz=-5.70
Sollecitazioni agenti localmente: Tx_l=-8.61 Ty_l=17.82 N_l=-8790.17 Mx_l=-0.00 My_l=-5.70 Mz_l=0.00
Taglio nei bulloni: Fv,Ed=3.30 Fv,Rd=9650.97
Rifollamento lato piastra: Fb,Ed,p=3.30 Fb,Rd,p=10099.90
Tirafondi:LT=0.45 (0.31) σ_{cR}=0.00 σ_{fR}=0.00
Compressione nel calcestruzzo: σ_c=18.48
CC 4 SLD (Collegamento -041_-375)
Azioni sul collegamento: N=-8790.17 Ty=-10.66 Tz=17.82 Mx=0.00 Mz=-7.02
Sollecitazioni agenti localmente: Tx_l=-10.66 Ty_l=17.82 N_l=-8790.17 Mx_l=-0.00 My_l=-7.02 Mz_l=0.00
Taglio nei bulloni: Fv,Ed=3.46 Fv,Rd=9650.97
Rifollamento lato piastra: Fb,Ed,p=3.46 Fb,Rd,p=11532.70
Tirafondi:LT=0.45 (0.31) σ_{cR}=0.00 σ_{fR}=0.00
Compressione nel calcestruzzo: σ_c=18.56
CC 4 SLD (Collegamento -041_-375)
Azioni sul collegamento: N=-11178.70 Ty=-8.61 Tz=9.09 Mx=0.00 Mz=-5.70
Sollecitazioni agenti localmente: Tx_l=-8.61 Ty_l=9.09 N_l=-11178.70 Mx_l=-0.00 My_l=-5.70 Mz_l=0.00
Taglio nei bulloni: Fv,Ed=2.09 Fv,Rd=9650.97
Rifollamento lato piastra: Fb,Ed,p=2.09 Fb,Rd,p=14620.70
Tirafondi:LT=0.45 (0.31) σ_{cR}=0.00 σ_{fR}=0.00
Compressione nel calcestruzzo: σ_c=23.42
CC 4 SLD (Collegamento -041_-375)
Azioni sul collegamento: N=-11178.70 Ty=-10.66 Tz=9.09 Mx=0.00 Mz=-7.02
Sollecitazioni agenti localmente: Tx_l=-10.66 Ty_l=9.09 N_l=-11178.70 Mx_l=-0.00 My_l=-7.02 Mz_l=0.00
Taglio nei bulloni: Fv,Ed=2.34 Fv,Rd=9650.97
Rifollamento lato piastra: Fb,Ed,p=2.34 Fb,Rd,p=13966.60
Tirafondi:LT=0.45 (0.31) σ_{cR}=0.00 σ_{fR}=0.00
Compressione nel calcestruzzo: σ_c=23.49
CC 4 SLD (Collegamento -041_-375)
Azioni sul collegamento: N=-11178.70 Ty=-8.61 Tz=17.82 Mx=0.00 Mz=-5.70
Sollecitazioni agenti localmente: Tx_l=-8.61 Ty_l=17.82 N_l=-11178.70 Mx_l=-0.00 My_l=-5.70 Mz_l=0.00
Taglio nei bulloni: Fv,Ed=3.30 Fv,Rd=9650.97
Rifollamento lato piastra: Fb,Ed,p=3.30 Fb,Rd,p=10099.90
Tirafondi:LT=0.45 (0.31) σ_{cR}=0.00 σ_{fR}=0.00
Compressione nel calcestruzzo: σ_c=23.42
CC 4 SLD (Collegamento -041_-375)
Azioni sul collegamento: N=-11178.70 Ty=-10.66 Tz=17.82 Mx=0.00 Mz=-7.02
Sollecitazioni agenti localmente: Tx_l=-10.66 Ty_l=17.82 N_l=-11178.70 Mx_l=-0.00 My_l=-7.02 Mz_l=0.00
Taglio nei bulloni: Fv,Ed=3.46 Fv,Rd=9650.97
Rifollamento lato piastra: Fb,Ed,p=3.46 Fb,Rd,p=11532.60
Tirafondi:LT=0.45 (0.31) σ_{cR}=0.00 σ_{fR}=0.00
Compressione nel calcestruzzo: σ_c=23.49
CC 5 SLV (Collegamento -041_-375)
Azioni sul collegamento: N=-13803.30 Ty=-12.07 Tz=27.38 Mx=0.01 Mz=-6.38
Sollecitazioni agenti localmente: Tx_l=-12.07 Ty_l=27.38 N_l=-13803.30 Mx_l=-0.00 My_l=-6.38 Mz_l=0.01
Taglio nei bulloni: Fv,Ed=5.01 Fv,Rd=7720.78
Rifollamento lato piastra: Fb,Ed,p=4.99 Fb,Rd,p=7692.98
Tirafondi:LT=0.45 (0.31) σ_{cR}=0.00 σ_{fR}=0.00
Compressione nel calcestruzzo: σ_c=28.88
CC 5 SLV (Collegamento -041_-375)
Azioni sul collegamento: N=-13803.30 Ty=-5.34 Tz=27.38 Mx=0.01 Mz=-2.07
Sollecitazioni agenti localmente: Tx_l=-5.34 Ty_l=27.38 N_l=-13803.30 Mx_l=-0.00 My_l=-2.07 Mz_l=0.01
Taglio nei bulloni: Fv,Ed=4.67 Fv,Rd=7720.78
Rifollamento lato piastra: Fb,Ed,p=4.66 Fb,Rd,p=6305.51
Tirafondi:LT=0.45 (0.31) σ_{cR}=0.00 σ_{fR}=0.00
Compressione nel calcestruzzo: σ_c=28.64
CC 5 SLV (Collegamento -041_-375)
Azioni sul collegamento: N=-13803.30 Ty=-12.07 Tz=-1.24 Mx=0.01 Mz=-6.38
Sollecitazioni agenti localmente: Tx_l=-12.07 Ty_l=-1.24 N_l=-13803.30 Mx_l=-0.00 My_l=-6.38 Mz_l=0.01
Taglio nei bulloni: Fv,Ed=2.04 Fv,Rd=7720.78
Rifollamento lato piastra: Fb,Ed,p=2.03 Fb,Rd,p=6059.33
Tirafondi:LT=0.45 (0.31) σ_{cR}=0.00 σ_{fR}=0.00
Compressione nel calcestruzzo: σ_c=28.88
CC 5 SLV (Collegamento -041_-375)
Azioni sul collegamento: N=-13803.30 Ty=-5.34 Tz=-1.24 Mx=0.01 Mz=-2.07
Sollecitazioni agenti localmente: Tx_l=-5.34 Ty_l=-1.24 N_l=-13803.30 Mx_l=-0.00 My_l=-2.07 Mz_l=0.01
Taglio nei bulloni: Fv,Ed=0.93 Fv,Rd=7720.78

Rifollamento lato piastra: Fb,Ed,p=0.92 Fb,Rd,p=6382.84
Tirafondi:LT=0.45 (0.31) σ_{cR}=0.00 σ_{fR}=0.00
Compressione nel calcestruzzo: σ_c=28.64
CC 5 SLV (Collegamento -041_-375)
Azioni sul collegamento: N=-5970.40 Ty=-12.07 Tz=27.38 Mx=0.01 Mz=-6.38
Sollecitazioni agenti localmente: Tx_l=-12.07 Ty_l=27.38 N_l=-5970.40 Mx_l=-0.00 My_l=-6.38 Mz_l=0.01
Taglio nei bulloni: Fv,Ed=5.01 Fv,Rd=7720.78
Rifollamento lato piastra: Fb,Ed,p=4.99 Fb,Rd,p=7692.93
Tirafondi:LT=0.45 (0.31) σ_{cR}=0.00 σ_{fR}=0.00
Compressione nel calcestruzzo: σ_c=12.69
CC 5 SLV (Collegamento -041_-375)
Azioni sul collegamento: N=-5970.40 Ty=-5.34 Tz=27.38 Mx=0.01 Mz=-2.07
Sollecitazioni agenti localmente: Tx_l=-5.34 Ty_l=27.38 N_l=-5970.40 Mx_l=-0.00 My_l=-2.07 Mz_l=0.01
Taglio nei bulloni: Fv,Ed=4.67 Fv,Rd=7720.78
Rifollamento lato piastra: Fb,Ed,p=4.66 Fb,Rd,p=6305.50
Tirafondi:LT=0.45 (0.31) σ_{cR}=0.00 σ_{fR}=0.00
Compressione nel calcestruzzo: σ_c=12.45
CC 5 SLV (Collegamento -041_-375)
Azioni sul collegamento: N=-5970.40 Ty=-12.07 Tz=-1.24 Mx=0.01 Mz=-6.38
Sollecitazioni agenti localmente: Tx_l=-12.07 Ty_l=-1.24 N_l=-5970.40 Mx_l=-0.00 My_l=-6.38 Mz_l=0.01
Taglio nei bulloni: Fv,Ed=2.04 Fv,Rd=7720.78
Rifollamento lato piastra: Fb,Ed,p=2.03 Fb,Rd,p=6059.35
Tirafondi:LT=0.45 (0.31) σ_{cR}=0.00 σ_{fR}=0.00
Compressione nel calcestruzzo: σ_c=12.69
CC 5 SLV (Collegamento -041_-375)
Azioni sul collegamento: N=-5970.40 Ty=-5.34 Tz=-1.24 Mx=0.01 Mz=-2.07
Sollecitazioni agenti localmente: Tx_l=-5.34 Ty_l=-1.24 N_l=-5970.40 Mx_l=-0.00 My_l=-2.07 Mz_l=0.01
Taglio nei bulloni: Fv,Ed=0.93 Fv,Rd=7720.78
Rifollamento lato piastra: Fb,Ed,p=0.92 Fb,Rd,p=6382.95
Tirafondi:LT=0.45 (0.31) σ_{cR}=0.00 σ_{fR}=0.00
Compressione nel calcestruzzo: σ_c=12.45
CC 6 SLD (Collegamento -041_-375)
Azioni sul collegamento: N=-11178.70 Ty=-10.66 Tz=17.82 Mx=0.00 Mz=-7.02
Sollecitazioni agenti localmente: Tx_l=-10.66 Ty_l=17.82 N_l=-11178.70 Mx_l=-0.00 My_l=-7.02 Mz_l=0.00
Taglio nei bulloni: Fv,Ed=3.46 Fv,Rd=9650.97
Rifollamento lato piastra: Fb,Ed,p=3.46 Fb,Rd,p=11521.10
Tirafondi:LT=0.45 (0.31) σ_{cR}=0.00 σ_{fR}=0.00
Compressione nel calcestruzzo: σ_c=23.49
CC 6 SLD (Collegamento -041_-375)
Azioni sul collegamento: N=-11178.70 Ty=-8.61 Tz=17.82 Mx=0.00 Mz=-5.70
Sollecitazioni agenti localmente: Tx_l=-8.61 Ty_l=17.82 N_l=-11178.70 Mx_l=-0.00 My_l=-5.70 Mz_l=0.00
Taglio nei bulloni: Fv,Ed=3.30 Fv,Rd=9650.97
Rifollamento lato piastra: Fb,Ed,p=3.30 Fb,Rd,p=10091.40
Tirafondi:LT=0.45 (0.31) σ_{cR}=0.00 σ_{fR}=0.00
Compressione nel calcestruzzo: σ_c=23.42
CC 6 SLD (Collegamento -041_-375)
Azioni sul collegamento: N=-11178.70 Ty=-10.66 Tz=9.09 Mx=0.00 Mz=-7.02
Sollecitazioni agenti localmente: Tx_l=-10.66 Ty_l=9.09 N_l=-11178.70 Mx_l=-0.00 My_l=-7.02 Mz_l=0.00
Taglio nei bulloni: Fv,Ed=2.34 Fv,Rd=9650.97
Rifollamento lato piastra: Fb,Ed,p=2.34 Fb,Rd,p=13967.40
Tirafondi:LT=0.45 (0.31) σ_{cR}=0.00 σ_{fR}=0.00
Compressione nel calcestruzzo: σ_c=23.49
CC 6 SLD (Collegamento -041_-375)
Azioni sul collegamento: N=-11178.70 Ty=-8.61 Tz=9.09 Mx=0.00 Mz=-5.70
Sollecitazioni agenti localmente: Tx_l=-8.61 Ty_l=9.09 N_l=-11178.70 Mx_l=-0.00 My_l=-5.70 Mz_l=0.00
Taglio nei bulloni: Fv,Ed=2.09 Fv,Rd=9650.97
Rifollamento lato piastra: Fb,Ed,p=2.09 Fb,Rd,p=14606.30
Tirafondi:LT=0.45 (0.31) σ_{cR}=0.00 σ_{fR}=0.00
Compressione nel calcestruzzo: σ_c=23.42
CC 6 SLD (Collegamento -041_-375)
Azioni sul collegamento: N=-8790.17 Ty=-10.66 Tz=17.82 Mx=0.00 Mz=-7.02
Sollecitazioni agenti localmente: Tx_l=-10.66 Ty_l=17.82 N_l=-8790.17 Mx_l=-0.00 My_l=-7.02 Mz_l=0.00
Taglio nei bulloni: Fv,Ed=3.46 Fv,Rd=9650.97
Rifollamento lato piastra: Fb,Ed,p=3.46 Fb,Rd,p=11521.20
Tirafondi:LT=0.45 (0.31) σ_{cR}=0.00 σ_{fR}=0.00
Compressione nel calcestruzzo: σ_c=18.56
CC 6 SLD (Collegamento -041_-375)
Azioni sul collegamento: N=-8790.17 Ty=-8.61 Tz=17.82 Mx=0.00 Mz=-5.70
Sollecitazioni agenti localmente: Tx_l=-8.61 Ty_l=17.82 N_l=-8790.17 Mx_l=-0.00 My_l=-5.70 Mz_l=0.00
Taglio nei bulloni: Fv,Ed=3.30 Fv,Rd=9650.97
Rifollamento lato piastra: Fb,Ed,p=3.30 Fb,Rd,p=10091.50
Tirafondi:LT=0.45 (0.31) σ_{cR}=0.00 σ_{fR}=0.00
Compressione nel calcestruzzo: σ_c=18.48
CC 6 SLD (Collegamento -041_-375)
Azioni sul collegamento: N=-8790.17 Ty=-10.66 Tz=9.10 Mx=0.00 Mz=-7.02
Sollecitazioni agenti localmente: Tx_l=-10.66 Ty_l=9.10 N_l=-8790.17 Mx_l=-0.00 My_l=-7.02 Mz_l=0.00
Taglio nei bulloni: Fv,Ed=2.34 Fv,Rd=9650.97
Rifollamento lato piastra: Fb,Ed,p=2.34 Fb,Rd,p=13967.70

Tirafondi:LT=0.45 (0.31) σ_{cR}=0.00 σ_{fR}=0.00
Compressione nel calcestruzzo: σ_c=18.56
CC 6 SLD (Collegamento -041_-375)
Azioni sul collegamento: N=-8790.17 Ty=-8.61 Tz=9.10 Mx=0.00 Mz=-5.70
Sollecitazioni agenti localmente: Tx_l=-8.61 Ty_l=9.10 N_l=-8790.17 Mx_l=-0.00 My_l=-5.70 Mz_l=0.00
Taglio nei bulloni: Fv,Ed=2.09 Fv,Rd=9650.97
Rifollamento lato piastra: Fb,Ed,p=2.09 Fb,Rd,p=14606.00
Tirafondi:LT=0.45 (0.31) σ_{cR}=0.00 σ_{fR}=0.00
Compressione nel calcestruzzo: σ_c=18.48
CC 7 SLV (Collegamento -041_-375)
Azioni sul collegamento: N=-13808.10 Ty=-12.58 Tz=27.71 Mx=0.01 Mz=-7.43
Sollecitazioni agenti localmente: Tx_l=-12.58 Ty_l=27.71 N_l=-13808.10 Mx_l=-0.00 My_l=-7.43 Mz_l=0.01
Taglio nei bulloni: Fv,Ed=5.08 Fv,Rd=7720.78
Rifollamento lato piastra: Fb,Ed,p=5.08 Fb,Rd,p=7814.68
Tirafondi:LT=0.45 (0.31) σ_{cR}=0.00 σ_{fR}=0.00
Compressione nel calcestruzzo: σ_c=28.95
CC 7 SLV (Collegamento -041_-375)
Azioni sul collegamento: N=-13808.10 Ty=-4.83 Tz=27.71 Mx=0.01 Mz=-1.02
Sollecitazioni agenti localmente: Tx_l=-4.83 Ty_l=27.71 N_l=-13808.10 Mx_l=-0.00 My_l=-1.02 Mz_l=0.01
Taglio nei bulloni: Fv,Ed=4.70 Fv,Rd=7720.78
Rifollamento lato piastra: Fb,Ed,p=4.69 Fb,Rd,p=6242.66
Tirafondi:LT=0.45 (0.31) σ_{cR}=0.00 σ_{fR}=0.00
Compressione nel calcestruzzo: σ_c=28.59
CC 7 SLV (Collegamento -041_-375)
Azioni sul collegamento: N=-13808.10 Ty=-12.58 Tz=-1.56 Mx=0.01 Mz=-7.43
Sollecitazioni agenti localmente: Tx_l=-12.58 Ty_l=-1.56 N_l=-13808.10 Mx_l=-0.00 My_l=-7.43 Mz_l=0.01
Taglio nei bulloni: Fv,Ed=2.12 Fv,Rd=7720.78
Rifollamento lato piastra: Fb,Ed,p=2.12 Fb,Rd,p=6106.70
Tirafondi:LT=0.45 (0.31) σ_{cR}=0.00 σ_{fR}=0.00
Compressione nel calcestruzzo: σ_c=28.95
CC 7 SLV (Collegamento -041_-375)
Azioni sul collegamento: N=-13808.10 Ty=-4.83 Tz=-1.56 Mx=0.01 Mz=-1.02
Sollecitazioni agenti localmente: Tx_l=-4.83 Ty_l=-1.56 N_l=-13808.10 Mx_l=-0.00 My_l=-1.02 Mz_l=0.01
Taglio nei bulloni: Fv,Ed=0.86 Fv,Rd=7720.78
Rifollamento lato piastra: Fb,Ed,p=0.85 Fb,Rd,p=6840.35
Tirafondi:LT=0.45 (0.31) σ_{cR}=0.00 σ_{fR}=0.00
Compressione nel calcestruzzo: σ_c=28.59
CC 7 SLV (Collegamento -041_-375)
Azioni sul collegamento: N=-5965.50 Ty=-12.58 Tz=27.71 Mx=0.01 Mz=-7.43
Sollecitazioni agenti localmente: Tx_l=-12.58 Ty_l=27.71 N_l=-5965.50 Mx_l=-0.00 My_l=-7.43 Mz_l=0.01
Taglio nei bulloni: Fv,Ed=5.08 Fv,Rd=7720.78
Rifollamento lato piastra: Fb,Ed,p=5.08 Fb,Rd,p=7814.62
Tirafondi:LT=0.45 (0.31) σ_{cR}=0.00 σ_{fR}=0.00
Compressione nel calcestruzzo: σ_c=12.74
CC 7 SLV (Collegamento -041_-375)
Azioni sul collegamento: N=-5965.50 Ty=-4.83 Tz=27.71 Mx=0.01 Mz=-1.02
Sollecitazioni agenti localmente: Tx_l=-4.83 Ty_l=27.71 N_l=-5965.50 Mx_l=-0.00 My_l=-1.02 Mz_l=0.01
Taglio nei bulloni: Fv,Ed=4.70 Fv,Rd=7720.78
Rifollamento lato piastra: Fb,Ed,p=4.69 Fb,Rd,p=6242.65
Tirafondi:LT=0.45 (0.31) σ_{cR}=0.00 σ_{fR}=0.00
Compressione nel calcestruzzo: σ_c=12.38
CC 7 SLV (Collegamento -041_-375)
Azioni sul collegamento: N=-5965.50 Ty=-12.58 Tz=-1.56 Mx=0.01 Mz=-7.43
Sollecitazioni agenti localmente: Tx_l=-12.58 Ty_l=-1.56 N_l=-5965.50 Mx_l=-0.00 My_l=-7.43 Mz_l=0.01
Taglio nei bulloni: Fv,Ed=2.12 Fv,Rd=7720.78
Rifollamento lato piastra: Fb,Ed,p=2.12 Fb,Rd,p=6106.68
Tirafondi:LT=0.45 (0.31) σ_{cR}=0.00 σ_{fR}=0.00
Compressione nel calcestruzzo: σ_c=12.74
CC 7 SLV (Collegamento -041_-375)
Azioni sul collegamento: N=-5965.50 Ty=-4.83 Tz=-1.56 Mx=0.01 Mz=-1.02
Sollecitazioni agenti localmente: Tx_l=-4.83 Ty_l=-1.56 N_l=-5965.50 Mx_l=-0.00 My_l=-1.02 Mz_l=0.01
Taglio nei bulloni: Fv,Ed=0.86 Fv,Rd=7720.78
Rifollamento lato piastra: Fb,Ed,p=0.85 Fb,Rd,p=6840.20
Tirafondi:LT=0.45 (0.31) σ_{cR}=0.00 σ_{fR}=0.00
Compressione nel calcestruzzo: σ_c=12.38
CC 8 SLD (Collegamento -041_-375)
Azioni sul collegamento: N=-11180.10 Ty=-10.81 Tz=17.92 Mx=0.00 Mz=-7.34
Sollecitazioni agenti localmente: Tx_l=-10.81 Ty_l=17.92 N_l=-11180.10 Mx_l=-0.00 My_l=-7.34 Mz_l=0.00
Taglio nei bulloni: Fv,Ed=3.49 Fv,Rd=9650.97
Rifollamento lato piastra: Fb,Ed,p=3.49 Fb,Rd,p=11608.90
Tirafondi:LT=0.45 (0.31) σ_{cR}=0.00 σ_{fR}=0.00
Compressione nel calcestruzzo: σ_c=23.51
CC 8 SLD (Collegamento -041_-375)
Azioni sul collegamento: N=-11180.10 Ty=-8.45 Tz=17.92 Mx=0.00 Mz=-5.38
Sollecitazioni agenti localmente: Tx_l=-8.45 Ty_l=17.92 N_l=-11180.10 Mx_l=-0.00 My_l=-5.38 Mz_l=0.00
Taglio nei bulloni: Fv,Ed=3.30 Fv,Rd=9650.97
Rifollamento lato piastra: Fb,Ed,p=3.30 Fb,Rd,p=9975.84
Tirafondi:LT=0.45 (0.31) σ_{cR}=0.00 σ_{fR}=0.00

Compressione nel calcestruzzo: σ_c=23.40
CC 8 SLD (Collegamento -041_-375)
Azioni sul collegamento: N=-11180.10 Ty=-10.81 Tz=8.99 Mx=0.00 Mz=-7.34
Sollecitazioni agenti localmente: Tx_l=-10.81 Ty_l=8.99 N_l=-11180.10 Mx_l=-0.00 My_l=-7.34 Mz_l=0.00
Taglio nei bulloni: Fv,Ed=2.34 Fv,Rd=9650.97
Rifollamento lato piastra: Fb,Ed,p=2.34 Fb,Rd,p=13818.80
Tirafondi:LT=0.45 (0.31) σ_{cR}=0.00 σ_{fR}=0.00
Compressione nel calcestruzzo: σ_c=23.51
CC 8 SLD (Collegamento -041_-375)
Azioni sul collegamento: N=-11180.10 Ty=-8.45 Tz=8.99 Mx=0.00 Mz=-5.38
Sollecitazioni agenti localmente: Tx_l=-8.45 Ty_l=8.99 N_l=-11180.10 Mx_l=-0.00 My_l=-5.38 Mz_l=0.00
Taglio nei bulloni: Fv,Ed=2.06 Fv,Rd=9650.97
Rifollamento lato piastra: Fb,Ed,p=2.06 Fb,Rd,p=14571.10
Tirafondi:LT=0.45 (0.31) σ_{cR}=0.00 σ_{fR}=0.00
Compressione nel calcestruzzo: σ_c=23.40
CC 8 SLD (Collegamento -041_-375)
Azioni sul collegamento: N=-8788.68 Ty=-10.81 Tz=17.92 Mx=0.00 Mz=-7.34
Sollecitazioni agenti localmente: Tx_l=-10.81 Ty_l=17.92 N_l=-8788.68 Mx_l=-0.00 My_l=-7.34 Mz_l=0.00
Taglio nei bulloni: Fv,Ed=3.49 Fv,Rd=9650.97
Rifollamento lato piastra: Fb,Ed,p=3.49 Fb,Rd,p=11608.70
Tirafondi:LT=0.45 (0.31) σ_{cR}=0.00 σ_{fR}=0.00
Compressione nel calcestruzzo: σ_c=18.57
CC 8 SLD (Collegamento -041_-375)
Azioni sul collegamento: N=-8788.68 Ty=-8.45 Tz=17.92 Mx=0.00 Mz=-5.38
Sollecitazioni agenti localmente: Tx_l=-8.45 Ty_l=17.92 N_l=-8788.68 Mx_l=-0.00 My_l=-5.38 Mz_l=0.00
Taglio nei bulloni: Fv,Ed=3.30 Fv,Rd=9650.97
Rifollamento lato piastra: Fb,Ed,p=3.30 Fb,Rd,p=9975.72
Tirafondi:LT=0.45 (0.31) σ_{cR}=0.00 σ_{fR}=0.00
Compressione nel calcestruzzo: σ_c=18.46
CC 8 SLD (Collegamento -041_-375)
Azioni sul collegamento: N=-8788.68 Ty=-10.81 Tz=9.00 Mx=0.00 Mz=-7.34
Sollecitazioni agenti localmente: Tx_l=-10.81 Ty_l=9.00 N_l=-8788.68 Mx_l=-0.00 My_l=-7.34 Mz_l=0.00
Taglio nei bulloni: Fv,Ed=2.34 Fv,Rd=9650.97
Rifollamento lato piastra: Fb,Ed,p=2.34 Fb,Rd,p=13818.80
Tirafondi:LT=0.45 (0.31) σ_{cR}=0.00 σ_{fR}=0.00
Compressione nel calcestruzzo: σ_c=18.57
CC 8 SLD (Collegamento -041_-375)
Azioni sul collegamento: N=-8788.68 Ty=-8.45 Tz=9.00 Mx=0.00 Mz=-5.38
Sollecitazioni agenti localmente: Tx_l=-8.45 Ty_l=9.00 N_l=-8788.68 Mx_l=-0.00 My_l=-5.38 Mz_l=0.00
Taglio nei bulloni: Fv,Ed=2.06 Fv,Rd=9650.97
Rifollamento lato piastra: Fb,Ed,p=2.06 Fb,Rd,p=14571.10
Tirafondi:LT=0.45 (0.31) σ_{cR}=0.00 σ_{fR}=0.00
Compressione nel calcestruzzo: σ_c=18.46
CC 9 SLV (Collegamento -041_-375)
Azioni sul collegamento: N=-8703.00 Ty=-6.76 Tz=8.19 Mx=0.02 Mz=-1.67
Sollecitazioni agenti localmente: Tx_l=-6.76 Ty_l=8.19 N_l=-8703.00 Mx_l=-0.00 My_l=-1.67 Mz_l=0.02
Taglio nei bulloni: Fv,Ed=1.80 Fv,Rd=7720.78
Rifollamento lato piastra: Fb,Ed,p=1.77 Fb,Rd,p=10882.40
Tirafondi:LT=0.45 (0.31) σ_{cR}=0.00 σ_{fR}=0.00
Compressione nel calcestruzzo: σ_c=18.08
CC 9 SLV (Collegamento -041_-375)
Azioni sul collegamento: N=-8703.00 Ty=-10.65 Tz=8.19 Mx=0.02 Mz=-6.77
Sollecitazioni agenti localmente: Tx_l=-10.65 Ty_l=8.19 N_l=-8703.00 Mx_l=-0.00 My_l=-6.77 Mz_l=0.02
Taglio nei bulloni: Fv,Ed=2.27 Fv,Rd=7720.78
Rifollamento lato piastra: Fb,Ed,p=2.27 Fb,Rd,p=10734.10
Tirafondi:LT=0.45 (0.31) σ_{cR}=0.00 σ_{fR}=0.00
Compressione nel calcestruzzo: σ_c=18.36
CC 9 SLV (Collegamento -041_-375)
Azioni sul collegamento: N=-8703.00 Ty=-6.76 Tz=17.96 Mx=0.02 Mz=-1.67
Sollecitazioni agenti localmente: Tx_l=-6.76 Ty_l=17.96 N_l=-8703.00 Mx_l=-0.00 My_l=-1.67 Mz_l=0.02
Taglio nei bulloni: Fv,Ed=3.22 Fv,Rd=7720.78
Rifollamento lato piastra: Fb,Ed,p=3.21 Fb,Rd,p=7188.83
Tirafondi:LT=0.45 (0.31) σ_{cR}=0.00 σ_{fR}=0.00
Compressione nel calcestruzzo: σ_c=18.08
CC 9 SLV (Collegamento -041_-375)
Azioni sul collegamento: N=-8703.00 Ty=-10.65 Tz=17.96 Mx=0.02 Mz=-6.77
Sollecitazioni agenti localmente: Tx_l=-10.65 Ty_l=17.96 N_l=-8703.00 Mx_l=-0.00 My_l=-6.77 Mz_l=0.02
Taglio nei bulloni: Fv,Ed=3.51 Fv,Rd=7720.78
Rifollamento lato piastra: Fb,Ed,p=3.49 Fb,Rd,p=9057.64
Tirafondi:LT=0.45 (0.31) σ_{cR}=0.00 σ_{fR}=0.00
Compressione nel calcestruzzo: σ_c=18.36
CC 9 SLV (Collegamento -041_-375)
Azioni sul collegamento: N=-11070.70 Ty=-6.76 Tz=8.19 Mx=0.02 Mz=-1.67
Sollecitazioni agenti localmente: Tx_l=-6.76 Ty_l=8.19 N_l=-11070.70 Mx_l=-0.00 My_l=-1.67 Mz_l=0.02
Taglio nei bulloni: Fv,Ed=1.80 Fv,Rd=7720.78
Rifollamento lato piastra: Fb,Ed,p=1.77 Fb,Rd,p=10882.20
Tirafondi:LT=0.45 (0.31) σ_{cR}=0.00 σ_{fR}=0.00
Compressione nel calcestruzzo: σ_c=22.97

CC 9 SLV (Collegamento -041_-375)
Azioni sul collegamento: N=-11070.70 Ty=-10.65 Tz=8.19 Mx=0.02 Mz=-6.77
Sollecitazioni agenti localmente: Tx_l=-10.65 Ty_l=8.19 N_l=-11070.70 Mx_l=-0.00 My_l=-6.77 Mz_l=0.02
Taglio nei bulloni: Fv,Ed=2.27 Fv,Rd=7720.78
Rifollamento lato piastra: Fb,Ed,p=2.27 Fb,Rd,p=10734.30
Tirafondi:LT=0.45 (0.31) σ_{cR}=0.00 σ_{fR}=0.00
Compressione nel calcestruzzo: σ_c=23.25
CC 9 SLV (Collegamento -041_-375)
Azioni sul collegamento: N=-11070.70 Ty=-6.76 Tz=17.96 Mx=0.02 Mz=-1.67
Sollecitazioni agenti localmente: Tx_l=-6.76 Ty_l=17.96 N_l=-11070.70 Mx_l=-0.00 My_l=-1.67 Mz_l=0.02
Taglio nei bulloni: Fv,Ed=3.22 Fv,Rd=7720.78
Rifollamento lato piastra: Fb,Ed,p=3.21 Fb,Rd,p=7188.82
Tirafondi:LT=0.45 (0.31) σ_{cR}=0.00 σ_{fR}=0.00
Compressione nel calcestruzzo: σ_c=22.97
CC 9 SLV (Collegamento -041_-375)
Azioni sul collegamento: N=-11070.70 Ty=-10.65 Tz=17.96 Mx=0.02 Mz=-6.77
Sollecitazioni agenti localmente: Tx_l=-10.65 Ty_l=17.96 N_l=-11070.70 Mx_l=-0.00 My_l=-6.77 Mz_l=0.02
Taglio nei bulloni: Fv,Ed=3.51 Fv,Rd=7720.78
Rifollamento lato piastra: Fb,Ed,p=3.49 Fb,Rd,p=9057.62
Tirafondi:LT=0.45 (0.31) σ_{cR}=0.00 σ_{fR}=0.00
Compressione nel calcestruzzo: σ_c=23.25
CC 10 SLD (Collegamento -041_-375)
Azioni sul collegamento: N=-9623.43 Ty=-9.04 Tz=11.97 Mx=0.00 Mz=-5.58
Sollecitazioni agenti localmente: Tx_l=-9.04 Ty_l=11.97 N_l=-9623.43 Mx_l=-0.00 My_l=-5.58 Mz_l=0.00
Taglio nei bulloni: Fv,Ed=2.51 Fv,Rd=9650.97
Rifollamento lato piastra: Fb,Ed,p=2.50 Fb,Rd,p=13290.30
Tirafondi:LT=0.45 (0.31) σ_{cR}=0.00 σ_{fR}=0.00
Compressione nel calcestruzzo: σ_c=20.20
CC 10 SLD (Collegamento -041_-375)
Azioni sul collegamento: N=-9623.43 Ty=-10.22 Tz=11.97 Mx=0.00 Mz=-7.14
Sollecitazioni agenti localmente: Tx_l=-10.22 Ty_l=11.97 N_l=-9623.43 Mx_l=-0.00 My_l=-7.14 Mz_l=0.00
Taglio nei bulloni: Fv,Ed=2.63 Fv,Rd=9650.97
Rifollamento lato piastra: Fb,Ed,p=2.62 Fb,Rd,p=13946.10
Tirafondi:LT=0.45 (0.31) σ_{cR}=0.00 σ_{fR}=0.00
Compressione nel calcestruzzo: σ_c=20.29
CC 10 SLD (Collegamento -041_-375)
Azioni sul collegamento: N=-9623.43 Ty=-9.04 Tz=14.95 Mx=0.00 Mz=-5.58
Sollecitazioni agenti localmente: Tx_l=-9.04 Ty_l=14.95 N_l=-9623.43 Mx_l=-0.00 My_l=-5.58 Mz_l=0.00
Taglio nei bulloni: Fv,Ed=2.92 Fv,Rd=9650.97
Rifollamento lato piastra: Fb,Ed,p=2.91 Fb,Rd,p=11593.60
Tirafondi:LT=0.45 (0.31) σ_{cR}=0.00 σ_{fR}=0.00
Compressione nel calcestruzzo: σ_c=20.20
CC 10 SLD (Collegamento -041_-375)
Azioni sul collegamento: N=-9623.43 Ty=-10.22 Tz=14.95 Mx=0.00 Mz=-7.14
Sollecitazioni agenti localmente: Tx_l=-10.22 Ty_l=14.95 N_l=-9623.43 Mx_l=-0.00 My_l=-7.14 Mz_l=0.00
Taglio nei bulloni: Fv,Ed=3.02 Fv,Rd=9650.97
Rifollamento lato piastra: Fb,Ed,p=3.02 Fb,Rd,p=12777.30
Tirafondi:LT=0.45 (0.31) σ_{cR}=0.00 σ_{fR}=0.00
Compressione nel calcestruzzo: σ_c=20.29
CC 10 SLD (Collegamento -041_-375)
Azioni sul collegamento: N=-10345.40 Ty=-9.04 Tz=11.97 Mx=0.00 Mz=-5.58
Sollecitazioni agenti localmente: Tx_l=-9.04 Ty_l=11.97 N_l=-10345.40 Mx_l=-0.00 My_l=-5.58 Mz_l=0.00
Taglio nei bulloni: Fv,Ed=2.51 Fv,Rd=9650.97
Rifollamento lato piastra: Fb,Ed,p=2.50 Fb,Rd,p=13290.30
Tirafondi:LT=0.45 (0.31) σ_{cR}=0.00 σ_{fR}=0.00
Compressione nel calcestruzzo: σ_c=21.69
CC 10 SLD (Collegamento -041_-375)
Azioni sul collegamento: N=-10345.40 Ty=-10.22 Tz=11.97 Mx=0.00 Mz=-7.14
Sollecitazioni agenti localmente: Tx_l=-10.22 Ty_l=11.97 N_l=-10345.40 Mx_l=-0.00 My_l=-7.14 Mz_l=0.00
Taglio nei bulloni: Fv,Ed=2.63 Fv,Rd=9650.97
Rifollamento lato piastra: Fb,Ed,p=2.62 Fb,Rd,p=13946.10
Tirafondi:LT=0.45 (0.31) σ_{cR}=0.00 σ_{fR}=0.00
Compressione nel calcestruzzo: σ_c=21.78
CC 10 SLD (Collegamento -041_-375)
Azioni sul collegamento: N=-10345.40 Ty=-9.04 Tz=14.95 Mx=0.00 Mz=-5.58
Sollecitazioni agenti localmente: Tx_l=-9.04 Ty_l=14.95 N_l=-10345.40 Mx_l=-0.00 My_l=-5.58 Mz_l=0.00
Taglio nei bulloni: Fv,Ed=2.92 Fv,Rd=9650.97
Rifollamento lato piastra: Fb,Ed,p=2.91 Fb,Rd,p=11593.70
Tirafondi:LT=0.45 (0.31) σ_{cR}=0.00 σ_{fR}=0.00
Compressione nel calcestruzzo: σ_c=21.69
CC 10 SLD (Collegamento -041_-375)
Azioni sul collegamento: N=-10345.40 Ty=-10.22 Tz=14.95 Mx=0.00 Mz=-7.14
Sollecitazioni agenti localmente: Tx_l=-10.22 Ty_l=14.95 N_l=-10345.40 Mx_l=-0.00 My_l=-7.14 Mz_l=0.00
Taglio nei bulloni: Fv,Ed=3.02 Fv,Rd=9650.97
Rifollamento lato piastra: Fb,Ed,p=3.02 Fb,Rd,p=12777.50
Tirafondi:LT=0.45 (0.31) σ_{cR}=0.00 σ_{fR}=0.00
Compressione nel calcestruzzo: σ_c=21.78
CC 11 SLV (Collegamento -041_-375)

Azioni sul collegamento: N=-11054.30 Ty=-8.94 Tz=16.87 Mx=0.02 Mz=-3.28
Sollecitazioni agenti localmente: Tx_l=-8.94 Ty_l=16.87 N_l=-11054.30 Mx_l=-0.00 My_l=-3.28 Mz_l=0.02
Taglio nei bulloni: Fv,Ed=3.21 Fv,Rd=7720.78
Rifollamento lato piastra: Fb,Ed,p=3.19 Fb,Rd,p=8413.41
Tirafondi:LT=0.45 (0.31) σ_{cR}=0.00 σ_{fR}=0.00
Compressione nel calcestruzzo: σ_c=23.02
CC 11 SLV (Collegamento -041_-375)
Azioni sul collegamento: N=-11054.30 Ty=-8.48 Tz=16.87 Mx=0.02 Mz=-5.16
Sollecitazioni agenti localmente: Tx_l=-8.48 Ty_l=16.87 N_l=-11054.30 Mx_l=-0.00 My_l=-5.16 Mz_l=0.02
Taglio nei bulloni: Fv,Ed=3.17 Fv,Rd=7720.78
Rifollamento lato piastra: Fb,Ed,p=3.16 Fb,Rd,p=8162.21
Tirafondi:LT=0.45 (0.31) σ_{cR}=0.00 σ_{fR}=0.00
Compressione nel calcestruzzo: σ_c=23.13
CC 11 SLV (Collegamento -041_-375)
Azioni sul collegamento: N=-11054.30 Ty=-8.94 Tz=9.28 Mx=0.02 Mz=-3.28
Sollecitazioni agenti localmente: Tx_l=-8.94 Ty_l=9.28 N_l=-11054.30 Mx_l=-0.00 My_l=-3.28 Mz_l=0.02
Taglio nei bulloni: Fv,Ed=2.17 Fv,Rd=7720.78
Rifollamento lato piastra: Fb,Ed,p=2.15 Fb,Rd,p=11654.10
Tirafondi:LT=0.45 (0.31) σ_{cR}=0.00 σ_{fR}=0.00
Compressione nel calcestruzzo: σ_c=23.02
CC 11 SLV (Collegamento -041_-375)
Azioni sul collegamento: N=-11054.30 Ty=-8.48 Tz=9.28 Mx=0.02 Mz=-5.16
Sollecitazioni agenti localmente: Tx_l=-8.48 Ty_l=9.28 N_l=-11054.30 Mx_l=-0.00 My_l=-5.16 Mz_l=0.02
Taglio nei bulloni: Fv,Ed=2.12 Fv,Rd=7720.78
Rifollamento lato piastra: Fb,Ed,p=2.10 Fb,Rd,p=11373.40
Tirafondi:LT=0.45 (0.31) σ_{cR}=0.00 σ_{fR}=0.00
Compressione nel calcestruzzo: σ_c=23.13
CC 11 SLV (Collegamento -041_-375)
Azioni sul collegamento: N=-8719.33 Ty=-8.94 Tz=16.87 Mx=0.02 Mz=-3.28
Sollecitazioni agenti localmente: Tx_l=-8.94 Ty_l=16.87 N_l=-8719.33 Mx_l=-0.00 My_l=-3.28 Mz_l=0.02
Taglio nei bulloni: Fv,Ed=3.21 Fv,Rd=7720.78
Rifollamento lato piastra: Fb,Ed,p=3.19 Fb,Rd,p=8413.39
Tirafondi:LT=0.45 (0.31) σ_{cR}=0.00 σ_{fR}=0.00
Compressione nel calcestruzzo: σ_c=18.20
CC 11 SLV (Collegamento -041_-375)
Azioni sul collegamento: N=-8719.33 Ty=-8.48 Tz=16.87 Mx=0.02 Mz=-5.16
Sollecitazioni agenti localmente: Tx_l=-8.48 Ty_l=16.87 N_l=-8719.33 Mx_l=-0.00 My_l=-5.16 Mz_l=0.02
Taglio nei bulloni: Fv,Ed=3.17 Fv,Rd=7720.78
Rifollamento lato piastra: Fb,Ed,p=3.16 Fb,Rd,p=8162.20
Tirafondi:LT=0.45 (0.31) σ_{cR}=0.00 σ_{fR}=0.00
Compressione nel calcestruzzo: σ_c=18.31
CC 11 SLV (Collegamento -041_-375)
Azioni sul collegamento: N=-8719.33 Ty=-8.94 Tz=9.28 Mx=0.02 Mz=-3.28
Sollecitazioni agenti localmente: Tx_l=-8.94 Ty_l=9.28 N_l=-8719.33 Mx_l=-0.00 My_l=-3.28 Mz_l=0.02
Taglio nei bulloni: Fv,Ed=2.17 Fv,Rd=7720.78
Rifollamento lato piastra: Fb,Ed,p=2.15 Fb,Rd,p=11654.30
Tirafondi:LT=0.45 (0.31) σ_{cR}=0.00 σ_{fR}=0.00
Compressione nel calcestruzzo: σ_c=18.20
CC 11 SLV (Collegamento -041_-375)
Azioni sul collegamento: N=-8719.33 Ty=-8.48 Tz=9.28 Mx=0.02 Mz=-5.16
Sollecitazioni agenti localmente: Tx_l=-8.48 Ty_l=9.28 N_l=-8719.33 Mx_l=-0.00 My_l=-5.16 Mz_l=0.02
Taglio nei bulloni: Fv,Ed=2.12 Fv,Rd=7720.78
Rifollamento lato piastra: Fb,Ed,p=2.10 Fb,Rd,p=11373.60
Tirafondi:LT=0.45 (0.31) σ_{cR}=0.00 σ_{fR}=0.00
Compressione nel calcestruzzo: σ_c=18.31
CC 12 SLD (Collegamento -041_-375)
Azioni sul collegamento: N=-10340.40 Ty=-9.70 Tz=14.62 Mx=0.00 Mz=-6.07
Sollecitazioni agenti localmente: Tx_l=-9.70 Ty_l=14.62 N_l=-10340.40 Mx_l=-0.00 My_l=-6.07 Mz_l=0.00
Taglio nei bulloni: Fv,Ed=2.93 Fv,Rd=9650.97
Rifollamento lato piastra: Fb,Ed,p=2.92 Fb,Rd,p=12460.40
Tirafondi:LT=0.45 (0.31) σ_{cR}=0.00 σ_{fR}=0.00
Compressione nel calcestruzzo: σ_c=21.71
CC 12 SLD (Collegamento -041_-375)
Azioni sul collegamento: N=-10340.40 Ty=-9.56 Tz=14.62 Mx=0.00 Mz=-6.65
Sollecitazioni agenti localmente: Tx_l=-9.56 Ty_l=14.62 N_l=-10340.40 Mx_l=-0.00 My_l=-6.65 Mz_l=0.00
Taglio nei bulloni: Fv,Ed=2.92 Fv,Rd=9650.97
Rifollamento lato piastra: Fb,Ed,p=2.91 Fb,Rd,p=12313.60
Tirafondi:LT=0.45 (0.31) σ_{cR}=0.00 σ_{fR}=0.00
Compressione nel calcestruzzo: σ_c=21.74
CC 12 SLD (Collegamento -041_-375)
Azioni sul collegamento: N=-10340.40 Ty=-9.70 Tz=12.30 Mx=0.00 Mz=-6.07
Sollecitazioni agenti localmente: Tx_l=-9.70 Ty_l=12.30 N_l=-10340.40 Mx_l=-0.00 My_l=-6.07 Mz_l=0.00
Taglio nei bulloni: Fv,Ed=2.62 Fv,Rd=9650.97
Rifollamento lato piastra: Fb,Ed,p=2.61 Fb,Rd,p=13507.30
Tirafondi:LT=0.45 (0.31) σ_{cR}=0.00 σ_{fR}=0.00
Compressione nel calcestruzzo: σ_c=21.71
CC 12 SLD (Collegamento -041_-375)
Azioni sul collegamento: N=-10340.40 Ty=-9.56 Tz=12.30 Mx=0.00 Mz=-6.65

Sollecitazioni agenti localmente: Tx_l=-9.56 Ty_l=12.30 N_l=-10340.40 Mx_l=-0.00 My_l=-6.65 Mz_l=0.00
Taglio nei bulloni: Fv,Ed=2.60 Fv,Rd=9650.97
Rifollamento lato piastra: Fb,Ed,p=2.60 Fb,Rd,p=13432.90
Tirafondi:LT=0.45 (0.31) σ_{cR}=0.00 σ_{fR}=0.00
Compressione nel calcestruzzo: σ_c=21.74
CC 12 SLD (Collegamento -041_-375)
Azioni sul collegamento: N=-9628.41 Ty=-9.70 Tz=14.62 Mx=0.00 Mz=-6.07
Sollecitazioni agenti localmente: Tx_l=-9.70 Ty_l=14.62 N_l=-9628.41 Mx_l=-0.00 My_l=-6.07 Mz_l=0.00
Taglio nei bulloni: Fv,Ed=2.93 Fv,Rd=9650.97
Rifollamento lato piastra: Fb,Ed,p=2.92 Fb,Rd,p=12460.50
Tirafondi:LT=0.45 (0.31) σ_{cR}=0.00 σ_{fR}=0.00
Compressione nel calcestruzzo: σ_c=20.24
CC 12 SLD (Collegamento -041_-375)
Azioni sul collegamento: N=-9628.41 Ty=-9.56 Tz=14.62 Mx=0.00 Mz=-6.65
Sollecitazioni agenti localmente: Tx_l=-9.56 Ty_l=14.62 N_l=-9628.41 Mx_l=-0.00 My_l=-6.65 Mz_l=0.00
Taglio nei bulloni: Fv,Ed=2.92 Fv,Rd=9650.97
Rifollamento lato piastra: Fb,Ed,p=2.91 Fb,Rd,p=12313.60
Tirafondi:LT=0.45 (0.31) σ_{cR}=0.00 σ_{fR}=0.00
Compressione nel calcestruzzo: σ_c=20.27
CC 12 SLD (Collegamento -041_-375)
Azioni sul collegamento: N=-9628.40 Ty=-9.70 Tz=12.30 Mx=0.00 Mz=-6.07
Sollecitazioni agenti localmente: Tx_l=-9.70 Ty_l=12.30 N_l=-9628.40 Mx_l=-0.00 My_l=-6.07 Mz_l=0.00
Taglio nei bulloni: Fv,Ed=2.62 Fv,Rd=9650.97
Rifollamento lato piastra: Fb,Ed,p=2.61 Fb,Rd,p=13507.30
Tirafondi:LT=0.45 (0.31) σ_{cR}=0.00 σ_{fR}=0.00
Compressione nel calcestruzzo: σ_c=20.24
CC 12 SLD (Collegamento -041_-375)
Azioni sul collegamento: N=-9628.40 Ty=-9.56 Tz=12.30 Mx=0.00 Mz=-6.65
Sollecitazioni agenti localmente: Tx_l=-9.56 Ty_l=12.30 N_l=-9628.40 Mx_l=-0.00 My_l=-6.65 Mz_l=0.00
Taglio nei bulloni: Fv,Ed=2.60 Fv,Rd=9650.97
Rifollamento lato piastra: Fb,Ed,p=2.60 Fb,Rd,p=13432.90
Tirafondi:LT=0.45 (0.31) σ_{cR}=0.00 σ_{fR}=0.00
Compressione nel calcestruzzo: σ_c=20.27
CC 13 SLV (Collegamento -041_-375)
Azioni sul collegamento: N=-8719.33 Ty=-8.48 Tz=9.28 Mx=0.00 Mz=-5.16
Sollecitazioni agenti localmente: Tx_l=-8.48 Ty_l=9.28 N_l=-8719.33 Mx_l=-0.00 My_l=-5.16 Mz_l=0.00
Taglio nei bulloni: Fv,Ed=2.10 Fv,Rd=7720.78
Rifollamento lato piastra: Fb,Ed,p=2.09 Fb,Rd,p=11497.00
Tirafondi:LT=0.45 (0.31) σ_{cR}=0.00 σ_{fR}=0.00
Compressione nel calcestruzzo: σ_c=18.31
CC 13 SLV (Collegamento -041_-375)
Azioni sul collegamento: N=-8719.33 Ty=-8.94 Tz=9.28 Mx=0.00 Mz=-3.28
Sollecitazioni agenti localmente: Tx_l=-8.94 Ty_l=9.28 N_l=-8719.33 Mx_l=-0.00 My_l=-3.28 Mz_l=0.00
Taglio nei bulloni: Fv,Ed=2.15 Fv,Rd=7720.78
Rifollamento lato piastra: Fb,Ed,p=2.14 Fb,Rd,p=11799.50
Tirafondi:LT=0.45 (0.31) σ_{cR}=0.00 σ_{fR}=0.00
Compressione nel calcestruzzo: σ_c=18.20
CC 13 SLV (Collegamento -041_-375)
Azioni sul collegamento: N=-8719.33 Ty=-8.48 Tz=16.87 Mx=0.00 Mz=-5.16
Sollecitazioni agenti localmente: Tx_l=-8.48 Ty_l=16.87 N_l=-8719.33 Mx_l=-0.00 My_l=-5.16 Mz_l=0.00
Taglio nei bulloni: Fv,Ed=3.15 Fv,Rd=7720.78
Rifollamento lato piastra: Fb,Ed,p=3.15 Fb,Rd,p=8248.03
Tirafondi:LT=0.45 (0.31) σ_{cR}=0.00 σ_{fR}=0.00
Compressione nel calcestruzzo: σ_c=18.31
CC 13 SLV (Collegamento -041_-375)
Azioni sul collegamento: N=-8719.33 Ty=-8.94 Tz=16.87 Mx=0.00 Mz=-3.28
Sollecitazioni agenti localmente: Tx_l=-8.94 Ty_l=16.87 N_l=-8719.33 Mx_l=-0.00 My_l=-3.28 Mz_l=0.00
Taglio nei bulloni: Fv,Ed=3.18 Fv,Rd=7720.78
Rifollamento lato piastra: Fb,Ed,p=3.18 Fb,Rd,p=8505.85
Tirafondi:LT=0.45 (0.31) σ_{cR}=0.00 σ_{fR}=0.00
Compressione nel calcestruzzo: σ_c=18.20
CC 13 SLV (Collegamento -041_-375)
Azioni sul collegamento: N=-11054.30 Ty=-8.48 Tz=9.28 Mx=0.00 Mz=-5.16
Sollecitazioni agenti localmente: Tx_l=-8.48 Ty_l=9.28 N_l=-11054.30 Mx_l=-0.00 My_l=-5.16 Mz_l=0.00
Taglio nei bulloni: Fv,Ed=2.10 Fv,Rd=7720.78
Rifollamento lato piastra: Fb,Ed,p=2.09 Fb,Rd,p=11496.80
Tirafondi:LT=0.45 (0.31) σ_{cR}=0.00 σ_{fR}=0.00
Compressione nel calcestruzzo: σ_c=23.13
CC 13 SLV (Collegamento -041_-375)
Azioni sul collegamento: N=-11054.30 Ty=-8.94 Tz=9.28 Mx=0.00 Mz=-3.28
Sollecitazioni agenti localmente: Tx_l=-8.94 Ty_l=9.28 N_l=-11054.30 Mx_l=-0.00 My_l=-3.28 Mz_l=0.00
Taglio nei bulloni: Fv,Ed=2.15 Fv,Rd=7720.78
Rifollamento lato piastra: Fb,Ed,p=2.14 Fb,Rd,p=11799.30
Tirafondi:LT=0.45 (0.31) σ_{cR}=0.00 σ_{fR}=0.00
Compressione nel calcestruzzo: σ_c=23.02
CC 13 SLV (Collegamento -041_-375)
Azioni sul collegamento: N=-11054.30 Ty=-8.48 Tz=16.87 Mx=0.00 Mz=-5.16
Sollecitazioni agenti localmente: Tx_l=-8.48 Ty_l=16.87 N_l=-11054.30 Mx_l=-0.00 My_l=-5.16 Mz_l=0.00

Taglio nei bulloni: Fv,Ed=3.15 Fv,Rd=7720.78
Rifollamento lato piastra: Fb,Ed,p=3.15 Fb,Rd,p=8248.04
Tirafondi:LT=0.45 (0.31) σ_{cR}=0.00 σ_{fR}=0.00
Compressione nel calcestruzzo: σ_c=23.13
CC 13 SLV (Collegamento -041_-375)
Azioni sul collegamento: N=-11054.30 Ty=-8.94 Tz=16.87 Mx=0.00 Mz=-3.28
Sollecitazioni agenti localmente: Tx_l=-8.94 Ty_l=16.87 N_l=-11054.30 Mx_l=-0.00 My_l=-3.28 Mz_l=0.00
Taglio nei bulloni: Fv,Ed=3.18 Fv,Rd=7720.78
Rifollamento lato piastra: Fb,Ed,p=3.18 Fb,Rd,p=8505.86
Tirafondi:LT=0.45 (0.31) σ_{cR}=0.00 σ_{fR}=0.00
Compressione nel calcestruzzo: σ_c=23.02
CC 14 SLD (Collegamento -041_-375)
Azioni sul collegamento: N=-9628.40 Ty=-9.56 Tz=12.30 Mx=-0.00 Mz=-6.65
Sollecitazioni agenti localmente: Tx_l=-9.56 Ty_l=12.30 N_l=-9628.40 Mx_l=-0.00 My_l=-6.65 Mz_l=-0.00
Taglio nei bulloni: Fv,Ed=2.60 Fv,Rd=9650.97
Rifollamento lato piastra: Fb,Ed,p=2.60 Fb,Rd,p=13456.30
Tirafondi:LT=0.45 (0.31) σ_{cR}=0.00 σ_{fR}=0.00
Compressione nel calcestruzzo: σ_c=20.27
CC 14 SLD (Collegamento -041_-375)
Azioni sul collegamento: N=-9628.40 Ty=-9.70 Tz=12.30 Mx=-0.00 Mz=-6.07
Sollecitazioni agenti localmente: Tx_l=-9.70 Ty_l=12.30 N_l=-9628.40 Mx_l=-0.00 My_l=-6.07 Mz_l=-0.00
Taglio nei bulloni: Fv,Ed=2.61 Fv,Rd=9650.97
Rifollamento lato piastra: Fb,Ed,p=2.61 Fb,Rd,p=13530.90
Tirafondi:LT=0.45 (0.31) σ_{cR}=0.00 σ_{fR}=0.00
Compressione nel calcestruzzo: σ_c=20.24
CC 14 SLD (Collegamento -041_-375)
Azioni sul collegamento: N=-9628.41 Ty=-9.56 Tz=14.62 Mx=-0.00 Mz=-6.65
Sollecitazioni agenti localmente: Tx_l=-9.56 Ty_l=14.62 N_l=-9628.41 Mx_l=-0.00 My_l=-6.65 Mz_l=-0.00
Taglio nei bulloni: Fv,Ed=2.91 Fv,Rd=9650.97
Rifollamento lato piastra: Fb,Ed,p=2.91 Fb,Rd,p=12357.70
Tirafondi:LT=0.45 (0.31) σ_{cR}=0.00 σ_{fR}=0.00
Compressione nel calcestruzzo: σ_c=20.27
CC 14 SLD (Collegamento -041_-375)
Azioni sul collegamento: N=-9628.41 Ty=-9.70 Tz=14.62 Mx=-0.00 Mz=-6.07
Sollecitazioni agenti localmente: Tx_l=-9.70 Ty_l=14.62 N_l=-9628.41 Mx_l=-0.00 My_l=-6.07 Mz_l=-0.00
Taglio nei bulloni: Fv,Ed=2.93 Fv,Rd=9650.97
Rifollamento lato piastra: Fb,Ed,p=2.93 Fb,Rd,p=12505.40
Tirafondi:LT=0.45 (0.31) σ_{cR}=0.00 σ_{fR}=0.00
Compressione nel calcestruzzo: σ_c=20.24
CC 14 SLD (Collegamento -041_-375)
Azioni sul collegamento: N=-10340.40 Ty=-9.56 Tz=12.30 Mx=-0.00 Mz=-6.65
Sollecitazioni agenti localmente: Tx_l=-9.56 Ty_l=12.30 N_l=-10340.40 Mx_l=-0.00 My_l=-6.65 Mz_l=-0.00
Taglio nei bulloni: Fv,Ed=2.60 Fv,Rd=9650.97
Rifollamento lato piastra: Fb,Ed,p=2.60 Fb,Rd,p=13456.30
Tirafondi:LT=0.45 (0.31) σ_{cR}=0.00 σ_{fR}=0.00
Compressione nel calcestruzzo: σ_c=21.74
CC 14 SLD (Collegamento -041_-375)
Azioni sul collegamento: N=-10340.40 Ty=-9.70 Tz=12.30 Mx=-0.00 Mz=-6.07
Sollecitazioni agenti localmente: Tx_l=-9.70 Ty_l=12.30 N_l=-10340.40 Mx_l=-0.00 My_l=-6.07 Mz_l=-0.00
Taglio nei bulloni: Fv,Ed=2.61 Fv,Rd=9650.97
Rifollamento lato piastra: Fb,Ed,p=2.61 Fb,Rd,p=13530.90
Tirafondi:LT=0.45 (0.31) σ_{cR}=0.00 σ_{fR}=0.00
Compressione nel calcestruzzo: σ_c=21.71
CC 14 SLD (Collegamento -041_-375)
Azioni sul collegamento: N=-10340.40 Ty=-9.56 Tz=14.62 Mx=-0.00 Mz=-6.65
Sollecitazioni agenti localmente: Tx_l=-9.56 Ty_l=14.62 N_l=-10340.40 Mx_l=-0.00 My_l=-6.65 Mz_l=-0.00
Taglio nei bulloni: Fv,Ed=2.91 Fv,Rd=9650.97
Rifollamento lato piastra: Fb,Ed,p=2.91 Fb,Rd,p=12357.70
Tirafondi:LT=0.45 (0.31) σ_{cR}=0.00 σ_{fR}=0.00
Compressione nel calcestruzzo: σ_c=21.74
CC 14 SLD (Collegamento -041_-375)
Azioni sul collegamento: N=-10340.40 Ty=-9.70 Tz=14.62 Mx=-0.00 Mz=-6.07
Sollecitazioni agenti localmente: Tx_l=-9.70 Ty_l=14.62 N_l=-10340.40 Mx_l=-0.00 My_l=-6.07 Mz_l=-0.00
Taglio nei bulloni: Fv,Ed=2.93 Fv,Rd=9650.97
Rifollamento lato piastra: Fb,Ed,p=2.93 Fb,Rd,p=12505.40
Tirafondi:LT=0.45 (0.31) σ_{cR}=0.00 σ_{fR}=0.00
Compressione nel calcestruzzo: σ_c=21.71
CC 15 SLV (Collegamento -041_-375)
Azioni sul collegamento: N=-11070.70 Ty=-10.65 Tz=17.96 Mx=0.00 Mz=-6.77
Sollecitazioni agenti localmente: Tx_l=-10.65 Ty_l=17.96 N_l=-11070.70 Mx_l=-0.00 My_l=-6.77 Mz_l=0.00
Taglio nei bulloni: Fv,Ed=3.48 Fv,Rd=7720.78
Rifollamento lato piastra: Fb,Ed,p=3.48 Fb,Rd,p=9160.87
Tirafondi:LT=0.45 (0.31) σ_{cR}=0.00 σ_{fR}=0.00
Compressione nel calcestruzzo: σ_c=23.25
CC 15 SLV (Collegamento -041_-375)
Azioni sul collegamento: N=-11070.70 Ty=-6.76 Tz=17.96 Mx=0.00 Mz=-1.67
Sollecitazioni agenti localmente: Tx_l=-6.76 Ty_l=17.96 N_l=-11070.70 Mx_l=-0.00 My_l=-1.67 Mz_l=0.00
Taglio nei bulloni: Fv,Ed=3.20 Fv,Rd=7720.78

Rifollamento lato piastra: Fb,Ed,p=3.20 Fb,Rd,p=7243.97
Tirafondi:LT=0.45 (0.31) σ_{cR}=0.00 σ_{fR}=0.00
Compressione nel calcestruzzo: σ_c=22.97
CC 15 SLV (Collegamento -041_-375)
Azioni sul collegamento: N=-11070.70 Ty=-10.65 Tz=8.19 Mx=0.00 Mz=-6.77
Sollecitazioni agenti localmente: Tx_l=-10.65 Ty_l=8.19 N_l=-11070.70 Mx_l=-0.00 My_l=-6.77 Mz_l=0.00
Taglio nei bulloni: Fv,Ed=2.24 Fv,Rd=7720.78
Rifollamento lato piastra: Fb,Ed,p=2.24 Fb,Rd,p=10722.30
Tirafondi:LT=0.45 (0.31) σ_{cR}=0.00 σ_{fR}=0.00
Compressione nel calcestruzzo: σ_c=23.25
CC 15 SLV (Collegamento -041_-375)
Azioni sul collegamento: N=-11070.70 Ty=-6.76 Tz=8.19 Mx=0.00 Mz=-1.67
Sollecitazioni agenti localmente: Tx_l=-6.76 Ty_l=8.19 N_l=-11070.70 Mx_l=-0.00 My_l=-1.67 Mz_l=0.00
Taglio nei bulloni: Fv,Ed=1.77 Fv,Rd=7720.78
Rifollamento lato piastra: Fb,Ed,p=1.77 Fb,Rd,p=11008.90
Tirafondi:LT=0.45 (0.31) σ_{cR}=0.00 σ_{fR}=0.00
Compressione nel calcestruzzo: σ_c=22.97
CC 15 SLV (Collegamento -041_-375)
Azioni sul collegamento: N=-8703.00 Ty=-10.65 Tz=17.96 Mx=0.00 Mz=-6.77
Sollecitazioni agenti localmente: Tx_l=-10.65 Ty_l=17.96 N_l=-8703.00 Mx_l=-0.00 My_l=-6.77 Mz_l=0.00
Taglio nei bulloni: Fv,Ed=3.48 Fv,Rd=7720.78
Rifollamento lato piastra: Fb,Ed,p=3.48 Fb,Rd,p=9160.89
Tirafondi:LT=0.45 (0.31) σ_{cR}=0.00 σ_{fR}=0.00
Compressione nel calcestruzzo: σ_c=18.36
CC 15 SLV (Collegamento -041_-375)
Azioni sul collegamento: N=-8703.00 Ty=-6.76 Tz=17.96 Mx=0.00 Mz=-1.67
Sollecitazioni agenti localmente: Tx_l=-6.76 Ty_l=17.96 N_l=-8703.00 Mx_l=-0.00 My_l=-1.67 Mz_l=0.00
Taglio nei bulloni: Fv,Ed=3.20 Fv,Rd=7720.78
Rifollamento lato piastra: Fb,Ed,p=3.20 Fb,Rd,p=7243.98
Tirafondi:LT=0.45 (0.31) σ_{cR}=0.00 σ_{fR}=0.00
Compressione nel calcestruzzo: σ_c=18.08
CC 15 SLV (Collegamento -041_-375)
Azioni sul collegamento: N=-8703.00 Ty=-10.65 Tz=8.19 Mx=0.00 Mz=-6.77
Sollecitazioni agenti localmente: Tx_l=-10.65 Ty_l=8.19 N_l=-8703.00 Mx_l=-0.00 My_l=-6.77 Mz_l=0.00
Taglio nei bulloni: Fv,Ed=2.24 Fv,Rd=7720.78
Rifollamento lato piastra: Fb,Ed,p=2.24 Fb,Rd,p=10722.10
Tirafondi:LT=0.45 (0.31) σ_{cR}=0.00 σ_{fR}=0.00
Compressione nel calcestruzzo: σ_c=18.36
CC 15 SLV (Collegamento -041_-375)
Azioni sul collegamento: N=-8703.00 Ty=-6.76 Tz=8.19 Mx=0.00 Mz=-1.67
Sollecitazioni agenti localmente: Tx_l=-6.76 Ty_l=8.19 N_l=-8703.00 Mx_l=-0.00 My_l=-1.67 Mz_l=0.00
Taglio nei bulloni: Fv,Ed=1.77 Fv,Rd=7720.78
Rifollamento lato piastra: Fb,Ed,p=1.77 Fb,Rd,p=11009.10
Tirafondi:LT=0.45 (0.31) σ_{cR}=0.00 σ_{fR}=0.00
Compressione nel calcestruzzo: σ_c=18.08
CC 16 SLD (Collegamento -041_-375)
Azioni sul collegamento: N=-10345.40 Ty=-10.22 Tz=14.95 Mx=-0.00 Mz=-7.14
Sollecitazioni agenti localmente: Tx_l=-10.22 Ty_l=14.95 N_l=-10345.40 Mx_l=-0.00 My_l=-7.14 Mz_l=-0.00
Taglio nei bulloni: Fv,Ed=3.02 Fv,Rd=9650.97
Rifollamento lato piastra: Fb,Ed,p=3.02 Fb,Rd,p=12823.60
Tirafondi:LT=0.45 (0.31) σ_{cR}=0.00 σ_{fR}=0.00
Compressione nel calcestruzzo: σ_c=21.78
CC 16 SLD (Collegamento -041_-375)
Azioni sul collegamento: N=-10345.40 Ty=-9.04 Tz=14.95 Mx=-0.00 Mz=-5.58
Sollecitazioni agenti localmente: Tx_l=-9.04 Ty_l=14.95 N_l=-10345.40 Mx_l=-0.00 My_l=-5.58 Mz_l=-0.00
Taglio nei bulloni: Fv,Ed=2.91 Fv,Rd=9650.97
Rifollamento lato piastra: Fb,Ed,p=2.91 Fb,Rd,p=11633.00
Tirafondi:LT=0.45 (0.31) σ_{cR}=0.00 σ_{fR}=0.00
Compressione nel calcestruzzo: σ_c=21.69
CC 16 SLD (Collegamento -041_-375)
Azioni sul collegamento: N=-10345.40 Ty=-10.22 Tz=11.97 Mx=-0.00 Mz=-7.14
Sollecitazioni agenti localmente: Tx_l=-10.22 Ty_l=11.97 N_l=-10345.40 Mx_l=-0.00 My_l=-7.14 Mz_l=-0.00
Taglio nei bulloni: Fv,Ed=2.63 Fv,Rd=9650.97
Rifollamento lato piastra: Fb,Ed,p=2.63 Fb,Rd,p=13972.40
Tirafondi:LT=0.45 (0.31) σ_{cR}=0.00 σ_{fR}=0.00
Compressione nel calcestruzzo: σ_c=21.78
CC 16 SLD (Collegamento -041_-375)
Azioni sul collegamento: N=-10345.40 Ty=-9.04 Tz=11.97 Mx=-0.00 Mz=-5.58
Sollecitazioni agenti localmente: Tx_l=-9.04 Ty_l=11.97 N_l=-10345.40 Mx_l=-0.00 My_l=-5.58 Mz_l=-0.00
Taglio nei bulloni: Fv,Ed=2.50 Fv,Rd=9650.97
Rifollamento lato piastra: Fb,Ed,p=2.50 Fb,Rd,p=13313.90
Tirafondi:LT=0.45 (0.31) σ_{cR}=0.00 σ_{fR}=0.00
Compressione nel calcestruzzo: σ_c=21.69
CC 16 SLD (Collegamento -041_-375)
Azioni sul collegamento: N=-9623.43 Ty=-10.22 Tz=14.95 Mx=-0.00 Mz=-7.14
Sollecitazioni agenti localmente: Tx_l=-10.22 Ty_l=14.95 N_l=-9623.43 Mx_l=-0.00 My_l=-7.14 Mz_l=-0.00
Taglio nei bulloni: Fv,Ed=3.02 Fv,Rd=9650.97
Rifollamento lato piastra: Fb,Ed,p=3.02 Fb,Rd,p=12823.40

Tirafondi:LT=0.45 (0.31) σ_{cR}=0.00 σ_{fR}=0.00
Compressione nel calcestruzzo: σ_c=20.29
CC 16 SLD (Collegamento -041_-375)
Azioni sul collegamento: N=-9623.43 Ty=-9.04 Tz=14.95 Mx=-0.00 Mz=-5.58
Sollecitazioni agenti localmente: Tx_l=-9.04 Ty_l=14.95 N_l=-9623.43 Mx_l=-0.00 My_l=-5.58 Mz_l=-0.00
Taglio nei bulloni: Fv,Ed=2.91 Fv,Rd=9650.97
Rifollamento lato piastra: Fb,Ed,p=2.91 Fb,Rd,p=11632.80
Tirafondi:LT=0.45 (0.31) σ_{cR}=0.00 σ_{fR}=0.00
Compressione nel calcestruzzo: σ_c=20.20
CC 16 SLD (Collegamento -041_-375)
Azioni sul collegamento: N=-9623.43 Ty=-10.22 Tz=11.97 Mx=-0.00 Mz=-7.14
Sollecitazioni agenti localmente: Tx_l=-10.22 Ty_l=11.97 N_l=-9623.43 Mx_l=-0.00 My_l=-7.14 Mz_l=-0.00
Taglio nei bulloni: Fv,Ed=2.63 Fv,Rd=9650.97
Rifollamento lato piastra: Fb,Ed,p=2.63 Fb,Rd,p=13972.40
Tirafondi:LT=0.45 (0.31) σ_{cR}=0.00 σ_{fR}=0.00
Compressione nel calcestruzzo: σ_c=20.29
CC 16 SLD (Collegamento -041_-375)
Azioni sul collegamento: N=-9623.43 Ty=-9.04 Tz=11.97 Mx=-0.00 Mz=-5.58
Sollecitazioni agenti localmente: Tx_l=-9.04 Ty_l=11.97 N_l=-9623.43 Mx_l=-0.00 My_l=-5.58 Mz_l=-0.00
Taglio nei bulloni: Fv,Ed=2.50 Fv,Rd=9650.97
Rifollamento lato piastra: Fb,Ed,p=2.50 Fb,Rd,p=13313.90
Tirafondi:LT=0.45 (0.31) σ_{cR}=0.00 σ_{fR}=0.00
Compressione nel calcestruzzo: σ_c=20.20
CC 17 SLV (Collegamento -041_-375)
Azioni sul collegamento: N=-6246.30 Ty=-7.49 Tz=-0.46 Mx=-0.02 Mz=-7.17
Sollecitazioni agenti localmente: Tx_l=-7.49 Ty_l=-0.46 N_l=-6246.30 Mx_l=-0.00 My_l=-7.17 Mz_l=-0.02
Taglio nei bulloni: Fv,Ed=1.27 Fv,Rd=7720.78
Rifollamento lato piastra: Fb,Ed,p=1.27 Fb,Rd,p=6030.03
Tirafondi:LT=0.45 (0.31) σ_{cR}=0.00 σ_{fR}=0.00
Compressione nel calcestruzzo: σ_c=13.31
CC 17 SLV (Collegamento -041_-375)
Azioni sul collegamento: N=-6246.30 Ty=-15.25 Tz=-0.46 Mx=-0.02 Mz=-13.58
Sollecitazioni agenti localmente: Tx_l=-15.25 Ty_l=-0.46 N_l=-6246.30 Mx_l=-0.00 My_l=-13.58 Mz_l=-0.02
Taglio nei bulloni: Fv,Ed=2.56 Fv,Rd=7720.78
Rifollamento lato piastra: Fb,Ed,p=2.56 Fb,Rd,p=5991.64
Tirafondi:LT=0.45 (0.31) σ_{cR}=0.00 σ_{fR}=0.00
Compressione nel calcestruzzo: σ_c=13.67
CC 17 SLV (Collegamento -041_-375)
Azioni sul collegamento: N=-6246.30 Ty=-7.49 Tz=28.82 Mx=-0.02 Mz=-7.17
Sollecitazioni agenti localmente: Tx_l=-7.49 Ty_l=28.82 N_l=-6246.30 Mx_l=-0.00 My_l=-7.17 Mz_l=-0.02
Taglio nei bulloni: Fv,Ed=4.99 Fv,Rd=7720.78
Rifollamento lato piastra: Fb,Ed,p=4.99 Fb,Rd,p=6595.88
Tirafondi:LT=0.45 (0.31) σ_{cR}=0.00 σ_{fR}=0.00
Compressione nel calcestruzzo: σ_c=13.31
CC 17 SLV (Collegamento -041_-375)
Azioni sul collegamento: N=-6246.30 Ty=-15.25 Tz=28.82 Mx=-0.02 Mz=-13.58
Sollecitazioni agenti localmente: Tx_l=-15.25 Ty_l=28.82 N_l=-6246.30 Mx_l=-0.00 My_l=-13.58 Mz_l=-0.02
Taglio nei bulloni: Fv,Ed=5.46 Fv,Rd=7720.78
Rifollamento lato piastra: Fb,Ed,p=5.46 Fb,Rd,p=8530.44
Tirafondi:LT=0.45 (0.31) σ_{cR}=0.00 σ_{fR}=0.00
Compressione nel calcestruzzo: σ_c=13.67
CC 17 SLV (Collegamento -041_-375)
Azioni sul collegamento: N=-14088.90 Ty=-7.49 Tz=-0.46 Mx=-0.02 Mz=-7.17
Sollecitazioni agenti localmente: Tx_l=-7.49 Ty_l=-0.46 N_l=-14088.90 Mx_l=-0.00 My_l=-7.17 Mz_l=-0.02
Taglio nei bulloni: Fv,Ed=1.27 Fv,Rd=7720.78
Rifollamento lato piastra: Fb,Ed,p=1.27 Fb,Rd,p=6030.08
Tirafondi:LT=0.45 (0.31) σ_{cR}=0.00 σ_{fR}=0.00
Compressione nel calcestruzzo: σ_c=29.51
CC 17 SLV (Collegamento -041_-375)
Azioni sul collegamento: N=-14088.90 Ty=-15.25 Tz=-0.46 Mx=-0.02 Mz=-13.58
Sollecitazioni agenti localmente: Tx_l=-15.25 Ty_l=-0.46 N_l=-14088.90 Mx_l=-0.00 My_l=-13.58 Mz_l=-0.02
Taglio nei bulloni: Fv,Ed=2.56 Fv,Rd=7720.78
Rifollamento lato piastra: Fb,Ed,p=2.56 Fb,Rd,p=5991.65
Tirafondi:LT=0.45 (0.31) σ_{cR}=0.00 σ_{fR}=0.00
Compressione nel calcestruzzo: σ_c=29.87
CC 17 SLV (Collegamento -041_-375)
Azioni sul collegamento: N=-14088.90 Ty=-7.49 Tz=28.82 Mx=-0.02 Mz=-7.17
Sollecitazioni agenti localmente: Tx_l=-7.49 Ty_l=28.82 N_l=-14088.90 Mx_l=-0.00 My_l=-7.17 Mz_l=-0.02
Taglio nei bulloni: Fv,Ed=4.99 Fv,Rd=7720.78
Rifollamento lato piastra: Fb,Ed,p=4.99 Fb,Rd,p=6595.88
Tirafondi:LT=0.45 (0.31) σ_{cR}=0.00 σ_{fR}=0.00
Compressione nel calcestruzzo: σ_c=29.51
CC 17 SLV (Collegamento -041_-375)
Azioni sul collegamento: N=-14088.90 Ty=-15.25 Tz=28.82 Mx=-0.02 Mz=-13.58
Sollecitazioni agenti localmente: Tx_l=-15.25 Ty_l=28.82 N_l=-14088.90 Mx_l=-0.00 My_l=-13.58 Mz_l=-0.02
Taglio nei bulloni: Fv,Ed=5.46 Fv,Rd=7720.78
Rifollamento lato piastra: Fb,Ed,p=5.46 Fb,Rd,p=8530.43
Tirafondi:LT=0.45 (0.31) σ_{cR}=0.00 σ_{fR}=0.00

Compressione nel calcestruzzo: σ_c=29.87
CC 18 SLD (Collegamento -041_-375)
Azioni sul collegamento: N=-8874.30 Ty=-9.26 Tz=9.33 Mx=-0.01 Mz=-7.26
Sollecitazioni agenti localmente: Tx_l=-9.26 Ty_l=9.33 N_l=-8874.30 Mx_l=-0.00 My_l=-7.26 Mz_l=-0.01
Taglio nei bulloni: Fv,Ed=2.20 Fv,Rd=9650.97
Rifollamento lato piastra: Fb,Ed,p=2.20 Fb,Rd,p=14966.80
Tirafondi:LT=0.45 (0.31) σ_{cR}=0.00 σ_{fR}=0.00
Compressione nel calcestruzzo: σ_c=18.74
CC 18 SLD (Collegamento -041_-375)
Azioni sul collegamento: N=-8874.30 Ty=-11.63 Tz=9.33 Mx=-0.01 Mz=-9.21
Sollecitazioni agenti localmente: Tx_l=-11.63 Ty_l=9.33 N_l=-8874.30 Mx_l=-0.00 My_l=-9.21 Mz_l=-0.01
Taglio nei bulloni: Fv,Ed=2.50 Fv,Rd=9650.97
Rifollamento lato piastra: Fb,Ed,p=2.49 Fb,Rd,p=13573.10
Tirafondi:LT=0.45 (0.31) σ_{cR}=0.00 σ_{fR}=0.00
Compressione nel calcestruzzo: σ_c=18.85
CC 18 SLD (Collegamento -041_-375)
Azioni sul collegamento: N=-8874.30 Ty=-9.26 Tz=18.26 Mx=-0.01 Mz=-7.26
Sollecitazioni agenti localmente: Tx_l=-9.26 Ty_l=18.26 N_l=-8874.30 Mx_l=-0.00 My_l=-7.26 Mz_l=-0.01
Taglio nei bulloni: Fv,Ed=3.42 Fv,Rd=9650.97
Rifollamento lato piastra: Fb,Ed,p=3.42 Fb,Rd,p=10394.10
Tirafondi:LT=0.45 (0.31) σ_{cR}=0.00 σ_{fR}=0.00
Compressione nel calcestruzzo: σ_c=18.74
CC 18 SLD (Collegamento -041_-375)
Azioni sul collegamento: N=-8874.30 Ty=-11.63 Tz=18.26 Mx=-0.01 Mz=-9.21
Sollecitazioni agenti localmente: Tx_l=-11.63 Ty_l=18.26 N_l=-8874.30 Mx_l=-0.00 My_l=-9.21 Mz_l=-0.01
Taglio nei bulloni: Fv,Ed=3.62 Fv,Rd=9650.97
Rifollamento lato piastra: Fb,Ed,p=3.62 Fb,Rd,p=12106.80
Tirafondi:LT=0.45 (0.31) σ_{cR}=0.00 σ_{fR}=0.00
Compressione nel calcestruzzo: σ_c=18.85
CC 18 SLD (Collegamento -041_-375)
Azioni sul collegamento: N=-11265.80 Ty=-9.26 Tz=9.33 Mx=-0.01 Mz=-7.26
Sollecitazioni agenti localmente: Tx_l=-9.26 Ty_l=9.33 N_l=-11265.80 Mx_l=-0.00 My_l=-7.26 Mz_l=-0.01
Taglio nei bulloni: Fv,Ed=2.20 Fv,Rd=9650.97
Rifollamento lato piastra: Fb,Ed,p=2.20 Fb,Rd,p=14966.60
Tirafondi:LT=0.45 (0.31) σ_{cR}=0.00 σ_{fR}=0.00
Compressione nel calcestruzzo: σ_c=23.69
CC 18 SLD (Collegamento -041_-375)
Azioni sul collegamento: N=-11265.80 Ty=-11.63 Tz=9.33 Mx=-0.01 Mz=-9.21
Sollecitazioni agenti localmente: Tx_l=-11.63 Ty_l=9.33 N_l=-11265.80 Mx_l=-0.00 My_l=-9.21 Mz_l=-0.01
Taglio nei bulloni: Fv,Ed=2.50 Fv,Rd=9650.97
Rifollamento lato piastra: Fb,Ed,p=2.49 Fb,Rd,p=13573.20
Tirafondi:LT=0.45 (0.31) σ_{cR}=0.00 σ_{fR}=0.00
Compressione nel calcestruzzo: σ_c=23.80
CC 18 SLD (Collegamento -041_-375)
Azioni sul collegamento: N=-11265.80 Ty=-9.26 Tz=18.26 Mx=-0.01 Mz=-7.26
Sollecitazioni agenti localmente: Tx_l=-9.26 Ty_l=18.26 N_l=-11265.80 Mx_l=-0.00 My_l=-7.26 Mz_l=-0.01
Taglio nei bulloni: Fv,Ed=3.42 Fv,Rd=9650.97
Rifollamento lato piastra: Fb,Ed,p=3.42 Fb,Rd,p=10394.10
Tirafondi:LT=0.45 (0.31) σ_{cR}=0.00 σ_{fR}=0.00
Compressione nel calcestruzzo: σ_c=23.69
CC 18 SLD (Collegamento -041_-375)
Azioni sul collegamento: N=-11265.80 Ty=-11.63 Tz=18.26 Mx=-0.01 Mz=-9.21
Sollecitazioni agenti localmente: Tx_l=-11.63 Ty_l=18.26 N_l=-11265.80 Mx_l=-0.00 My_l=-9.21 Mz_l=-0.01
Taglio nei bulloni: Fv,Ed=3.62 Fv,Rd=9650.97
Rifollamento lato piastra: Fb,Ed,p=3.62 Fb,Rd,p=12106.80
Tirafondi:LT=0.45 (0.31) σ_{cR}=0.00 σ_{fR}=0.00
Compressione nel calcestruzzo: σ_c=23.80
CC 19 SLV (Collegamento -041_-375)
Azioni sul collegamento: N=-6251.20 Ty=-8.00 Tz=-0.13 Mx=-0.01 Mz=-8.22
Sollecitazioni agenti localmente: Tx_l=-8.00 Ty_l=-0.13 N_l=-6251.20 Mx_l=-0.00 My_l=-8.22 Mz_l=-0.01
Taglio nei bulloni: Fv,Ed=1.35 Fv,Rd=7720.78
Rifollamento lato piastra: Fb,Ed,p=1.35 Fb,Rd,p=5985.57
Tirafondi:LT=0.45 (0.31) σ_{cR}=0.00 σ_{fR}=0.00
Compressione nel calcestruzzo: σ_c=13.38
CC 19 SLV (Collegamento -041_-375)
Azioni sul collegamento: N=-6251.20 Ty=-14.73 Tz=-0.13 Mx=-0.01 Mz=-12.53
Sollecitazioni agenti localmente: Tx_l=-14.73 Ty_l=-0.13 N_l=-6251.20 Mx_l=-0.00 My_l=-12.53 Mz_l=-0.01
Taglio nei bulloni: Fv,Ed=2.47 Fv,Rd=7720.78
Rifollamento lato piastra: Fb,Ed,p=2.47 Fb,Rd,p=5981.08
Tirafondi:LT=0.45 (0.31) σ_{cR}=0.00 σ_{fR}=0.00
Compressione nel calcestruzzo: σ_c=13.62
CC 19 SLV (Collegamento -041_-375)
Azioni sul collegamento: N=-6251.20 Ty=-8.00 Tz=28.49 Mx=-0.01 Mz=-8.22
Sollecitazioni agenti localmente: Tx_l=-8.00 Ty_l=28.49 N_l=-6251.20 Mx_l=-0.00 My_l=-8.22 Mz_l=-0.01
Taglio nei bulloni: Fv,Ed=4.95 Fv,Rd=7720.78
Rifollamento lato piastra: Fb,Ed,p=4.95 Fb,Rd,p=6694.64
Tirafondi:LT=0.45 (0.31) σ_{cR}=0.00 σ_{fR}=0.00
Compressione nel calcestruzzo: σ_c=13.38

CC 19 SLV (Collegamento -041_-375)
Azioni sul collegamento: N=-6251.20 Ty=-14.73 Tz=28.49 Mx=-0.01 Mz=-12.53
Sollecitazioni agenti localmente: Tx_l=-14.73 Ty_l=28.49 N_l=-6251.20 Mx_l=-0.00 My_l=-12.53 Mz_l=-0.01
Taglio nei bulloni: Fv,Ed=5.37 Fv,Rd=7720.78
Rifollamento lato piastra: Fb,Ed,p=5.37 Fb,Rd,p=8410.41
Tirafondi:LT=0.45 (0.31) σ_{cR}=0.00 σ_{fR}=0.00
Compressione nel calcestruzzo: σ_c=13.62
CC 19 SLV (Collegamento -041_-375)
Azioni sul collegamento: N=-14084.00 Ty=-8.00 Tz=-0.13 Mx=-0.01 Mz=-8.22
Sollecitazioni agenti localmente: Tx_l=-8.00 Ty_l=-0.13 N_l=-14084.00 Mx_l=-0.00 My_l=-8.22 Mz_l=-0.01
Taglio nei bulloni: Fv,Ed=1.35 Fv,Rd=7720.78
Rifollamento lato piastra: Fb,Ed,p=1.35 Fb,Rd,p=5985.57
Tirafondi:LT=0.45 (0.31) σ_{cR}=0.00 σ_{fR}=0.00
Compressione nel calcestruzzo: σ_c=29.56
CC 19 SLV (Collegamento -041_-375)
Azioni sul collegamento: N=-14084.00 Ty=-14.73 Tz=-0.13 Mx=-0.01 Mz=-12.53
Sollecitazioni agenti localmente: Tx_l=-14.73 Ty_l=-0.13 N_l=-14084.00 Mx_l=-0.00 My_l=-12.53 Mz_l=-0.01
Taglio nei bulloni: Fv,Ed=2.47 Fv,Rd=7720.78
Rifollamento lato piastra: Fb,Ed,p=2.47 Fb,Rd,p=5981.08
Tirafondi:LT=0.45 (0.31) σ_{cR}=0.00 σ_{fR}=0.00
Compressione nel calcestruzzo: σ_c=29.81
CC 19 SLV (Collegamento -041_-375)
Azioni sul collegamento: N=-14084.00 Ty=-8.00 Tz=28.49 Mx=-0.01 Mz=-8.22
Sollecitazioni agenti localmente: Tx_l=-8.00 Ty_l=28.49 N_l=-14084.00 Mx_l=-0.00 My_l=-8.22 Mz_l=-0.01
Taglio nei bulloni: Fv,Ed=4.95 Fv,Rd=7720.78
Rifollamento lato piastra: Fb,Ed,p=4.95 Fb,Rd,p=6694.66
Tirafondi:LT=0.45 (0.31) σ_{cR}=0.00 σ_{fR}=0.00
Compressione nel calcestruzzo: σ_c=29.56
CC 19 SLV (Collegamento -041_-375)
Azioni sul collegamento: N=-14084.00 Ty=-14.73 Tz=28.49 Mx=-0.01 Mz=-12.53
Sollecitazioni agenti localmente: Tx_l=-14.73 Ty_l=28.49 N_l=-14084.00 Mx_l=-0.00 My_l=-12.53 Mz_l=-0.01
Taglio nei bulloni: Fv,Ed=5.36 Fv,Rd=7720.78
Rifollamento lato piastra: Fb,Ed,p=5.36 Fb,Rd,p=8410.50
Tirafondi:LT=0.45 (0.31) σ_{cR}=0.00 σ_{fR}=0.00
Compressione nel calcestruzzo: σ_c=29.81
CC 20 SLD (Collegamento -041_-375)
Azioni sul collegamento: N=-8875.79 Ty=-9.42 Tz=9.43 Mx=-0.01 Mz=-7.58
Sollecitazioni agenti localmente: Tx_l=-9.42 Ty_l=9.43 N_l=-8875.79 Mx_l=-0.00 My_l=-7.58 Mz_l=-0.01
Taglio nei bulloni: Fv,Ed=2.23 Fv,Rd=9650.97
Rifollamento lato piastra: Fb,Ed,p=2.23 Fb,Rd,p=15012.30
Tirafondi:LT=0.45 (0.31) σ_{cR}=0.00 σ_{fR}=0.00
Compressione nel calcestruzzo: σ_c=18.77
CC 20 SLD (Collegamento -041_-375)
Azioni sul collegamento: N=-8875.79 Ty=-11.47 Tz=9.43 Mx=-0.01 Mz=-8.89
Sollecitazioni agenti localmente: Tx_l=-11.47 Ty_l=9.43 N_l=-8875.79 Mx_l=-0.00 My_l=-8.89 Mz_l=-0.01
Taglio nei bulloni: Fv,Ed=2.48 Fv,Rd=9650.97
Rifollamento lato piastra: Fb,Ed,p=2.48 Fb,Rd,p=13713.20
Tirafondi:LT=0.45 (0.31) σ_{cR}=0.00 σ_{fR}=0.00
Compressione nel calcestruzzo: σ_c=18.84
CC 20 SLD (Collegamento -041_-375)
Azioni sul collegamento: N=-8875.80 Ty=-9.42 Tz=18.16 Mx=-0.01 Mz=-7.58
Sollecitazioni agenti localmente: Tx_l=-9.42 Ty_l=18.16 N_l=-8875.80 Mx_l=-0.00 My_l=-7.58 Mz_l=-0.01
Taglio nei bulloni: Fv,Ed=3.42 Fv,Rd=9650.97
Rifollamento lato piastra: Fb,Ed,p=3.42 Fb,Rd,p=10525.50
Tirafondi:LT=0.45 (0.31) σ_{cR}=0.00 σ_{fR}=0.00
Compressione nel calcestruzzo: σ_c=18.77
CC 20 SLD (Collegamento -041_-375)
Azioni sul collegamento: N=-8875.80 Ty=-11.47 Tz=18.16 Mx=-0.01 Mz=-8.89
Sollecitazioni agenti localmente: Tx_l=-11.47 Ty_l=18.16 N_l=-8875.80 Mx_l=-0.00 My_l=-8.89 Mz_l=-0.01
Taglio nei bulloni: Fv,Ed=3.59 Fv,Rd=9650.97
Rifollamento lato piastra: Fb,Ed,p=3.59 Fb,Rd,p=12028.20
Tirafondi:LT=0.45 (0.31) σ_{cR}=0.00 σ_{fR}=0.00
Compressione nel calcestruzzo: σ_c=18.84
CC 20 SLD (Collegamento -041_-375)
Azioni sul collegamento: N=-11264.30 Ty=-9.42 Tz=9.43 Mx=-0.01 Mz=-7.58
Sollecitazioni agenti localmente: Tx_l=-9.42 Ty_l=9.43 N_l=-11264.30 Mx_l=-0.00 My_l=-7.58 Mz_l=-0.01
Taglio nei bulloni: Fv,Ed=2.23 Fv,Rd=9650.97
Rifollamento lato piastra: Fb,Ed,p=2.23 Fb,Rd,p=15012.40
Tirafondi:LT=0.45 (0.31) σ_{cR}=0.00 σ_{fR}=0.00
Compressione nel calcestruzzo: σ_c=23.70
CC 20 SLD (Collegamento -041_-375)
Azioni sul collegamento: N=-11264.30 Ty=-11.47 Tz=9.43 Mx=-0.01 Mz=-8.89
Sollecitazioni agenti localmente: Tx_l=-11.47 Ty_l=9.43 N_l=-11264.30 Mx_l=-0.00 My_l=-8.89 Mz_l=-0.01
Taglio nei bulloni: Fv,Ed=2.48 Fv,Rd=9650.97
Rifollamento lato piastra: Fb,Ed,p=2.48 Fb,Rd,p=13713.20
Tirafondi:LT=0.45 (0.31) σ_{cR}=0.00 σ_{fR}=0.00
Compressione nel calcestruzzo: σ_c=23.77
CC 20 SLD (Collegamento -041_-375)

Azioni sul collegamento: N=-11264.30 Ty=-9.42 Tz=18.16 Mx=-0.01 Mz=-7.58
Sollecitazioni agenti localmente: Tx_l=-9.42 Ty_l=18.16 N_l=-11264.30 Mx_l=-0.00 My_l=-7.58 Mz_l=-0.01
Taglio nei bulloni: Fv,Ed=3.42 Fv,Rd=9650.97
Rifollamento lato piastra: Fb,Ed,p=3.42 Fb,Rd,p=10525.60
Tirafondi:LT=0.45 (0.31) σ_{cR}=0.00 σ_{fR}=0.00
Compressione nel calcestruzzo: σ_c=23.70
CC 20 SLD (Collegamento -041_-375)
Azioni sul collegamento: N=-11264.30 Ty=-11.47 Tz=18.16 Mx=-0.01 Mz=-8.89
Sollecitazioni agenti localmente: Tx_l=-11.47 Ty_l=18.16 N_l=-11264.30 Mx_l=-0.00 My_l=-8.89 Mz_l=-0.01
Taglio nei bulloni: Fv,Ed=3.59 Fv,Rd=9650.97
Rifollamento lato piastra: Fb,Ed,p=3.59 Fb,Rd,p=12028.30
Tirafondi:LT=0.45 (0.31) σ_{cR}=0.00 σ_{fR}=0.00
Compressione nel calcestruzzo: σ_c=23.77
CC 21 SLV (Collegamento -041_-375)
Azioni sul collegamento: N=-14084.00 Ty=-14.73 Tz=28.49 Mx=-0.02 Mz=-12.53
Sollecitazioni agenti localmente: Tx_l=-14.73 Ty_l=28.49 N_l=-14084.00 Mx_l=-0.00 My_l=-12.53 Mz_l=-0.02
Taglio nei bulloni: Fv,Ed=5.37 Fv,Rd=7720.78
Rifollamento lato piastra: Fb,Ed,p=5.37 Fb,Rd,p=8415.37
Tirafondi:LT=0.45 (0.31) σ_{cR}=0.00 σ_{fR}=0.00
Compressione nel calcestruzzo: σ_c=29.81
CC 21 SLV (Collegamento -041_-375)
Azioni sul collegamento: N=-14084.00 Ty=-8.00 Tz=28.49 Mx=-0.02 Mz=-8.22
Sollecitazioni agenti localmente: Tx_l=-8.00 Ty_l=28.49 N_l=-14084.00 Mx_l=-0.00 My_l=-8.22 Mz_l=-0.02
Taglio nei bulloni: Fv,Ed=4.96 Fv,Rd=7720.78
Rifollamento lato piastra: Fb,Ed,p=4.96 Fb,Rd,p=6698.52
Tirafondi:LT=0.45 (0.31) σ_{cR}=0.00 σ_{fR}=0.00
Compressione nel calcestruzzo: σ_c=29.56
CC 21 SLV (Collegamento -041_-375)
Azioni sul collegamento: N=-14084.00 Ty=-14.73 Tz=-0.13 Mx=-0.02 Mz=-12.53
Sollecitazioni agenti localmente: Tx_l=-14.73 Ty_l=-0.13 N_l=-14084.00 Mx_l=-0.00 My_l=-12.53 Mz_l=-0.02
Taglio nei bulloni: Fv,Ed=2.48 Fv,Rd=7720.78
Rifollamento lato piastra: Fb,Ed,p=2.48 Fb,Rd,p=5981.64
Tirafondi:LT=0.45 (0.31) σ_{cR}=0.00 σ_{fR}=0.00
Compressione nel calcestruzzo: σ_c=29.81
CC 21 SLV (Collegamento -041_-375)
Azioni sul collegamento: N=-14084.00 Ty=-8.00 Tz=-0.13 Mx=-0.02 Mz=-8.22
Sollecitazioni agenti localmente: Tx_l=-8.00 Ty_l=-0.13 N_l=-14084.00 Mx_l=-0.00 My_l=-8.22 Mz_l=-0.02
Taglio nei bulloni: Fv,Ed=1.35 Fv,Rd=7720.78
Rifollamento lato piastra: Fb,Ed,p=1.35 Fb,Rd,p=5987.42
Tirafondi:LT=0.45 (0.31) σ_{cR}=0.00 σ_{fR}=0.00
Compressione nel calcestruzzo: σ_c=29.56
CC 21 SLV (Collegamento -041_-375)
Azioni sul collegamento: N=-6251.20 Ty=-14.73 Tz=28.49 Mx=-0.02 Mz=-12.53
Sollecitazioni agenti localmente: Tx_l=-14.73 Ty_l=28.49 N_l=-6251.20 Mx_l=-0.00 My_l=-12.53 Mz_l=-0.02
Taglio nei bulloni: Fv,Ed=5.37 Fv,Rd=7720.78
Rifollamento lato piastra: Fb,Ed,p=5.37 Fb,Rd,p=8415.27
Tirafondi:LT=0.45 (0.31) σ_{cR}=0.00 σ_{fR}=0.00
Compressione nel calcestruzzo: σ_c=13.62
CC 21 SLV (Collegamento -041_-375)
Azioni sul collegamento: N=-6251.20 Ty=-8.00 Tz=28.49 Mx=-0.02 Mz=-8.22
Sollecitazioni agenti localmente: Tx_l=-8.00 Ty_l=28.49 N_l=-6251.20 Mx_l=-0.00 My_l=-8.22 Mz_l=-0.02
Taglio nei bulloni: Fv,Ed=4.96 Fv,Rd=7720.78
Rifollamento lato piastra: Fb,Ed,p=4.96 Fb,Rd,p=6698.50
Tirafondi:LT=0.45 (0.31) σ_{cR}=0.00 σ_{fR}=0.00
Compressione nel calcestruzzo: σ_c=13.38
CC 21 SLV (Collegamento -041_-375)
Azioni sul collegamento: N=-6251.20 Ty=-14.73 Tz=-0.13 Mx=-0.02 Mz=-12.53
Sollecitazioni agenti localmente: Tx_l=-14.73 Ty_l=-0.13 N_l=-6251.20 Mx_l=-0.00 My_l=-12.53 Mz_l=-0.02
Taglio nei bulloni: Fv,Ed=2.48 Fv,Rd=7720.78
Rifollamento lato piastra: Fb,Ed,p=2.48 Fb,Rd,p=5981.64
Tirafondi:LT=0.45 (0.31) σ_{cR}=0.00 σ_{fR}=0.00
Compressione nel calcestruzzo: σ_c=13.62
CC 21 SLV (Collegamento -041_-375)
Azioni sul collegamento: N=-6251.20 Ty=-8.00 Tz=-0.13 Mx=-0.02 Mz=-8.22
Sollecitazioni agenti localmente: Tx_l=-8.00 Ty_l=-0.13 N_l=-6251.20 Mx_l=-0.00 My_l=-8.22 Mz_l=-0.02
Taglio nei bulloni: Fv,Ed=1.35 Fv,Rd=7720.78
Rifollamento lato piastra: Fb,Ed,p=1.35 Fb,Rd,p=5987.41
Tirafondi:LT=0.45 (0.31) σ_{cR}=0.00 σ_{fR}=0.00
Compressione nel calcestruzzo: σ_c=13.38
CC 22 SLD (Collegamento -041_-375)
Azioni sul collegamento: N=-11264.30 Ty=-11.47 Tz=18.16 Mx=-0.01 Mz=-8.89
Sollecitazioni agenti localmente: Tx_l=-11.47 Ty_l=18.16 N_l=-11264.30 Mx_l=-0.00 My_l=-8.89 Mz_l=-0.01
Taglio nei bulloni: Fv,Ed=3.59 Fv,Rd=9650.97
Rifollamento lato piastra: Fb,Ed,p=3.59 Fb,Rd,p=12031.00
Tirafondi:LT=0.45 (0.31) σ_{cR}=0.00 σ_{fR}=0.00
Compressione nel calcestruzzo: σ_c=23.77
CC 22 SLD (Collegamento -041_-375)
Azioni sul collegamento: N=-11264.30 Ty=-9.42 Tz=18.16 Mx=-0.01 Mz=-7.58

Sollecitazioni agenti localmente: Tx_l=-9.42 Ty_l=18.16 N_l=-11264.30 Mx_l=-0.00 My_l=-7.58 Mz_l=-0.01
Taglio nei bulloni: Fv,Ed=3.42 Fv,Rd=9650.97
Rifollamento lato piastra: Fb,Ed,p=3.42 Fb,Rd,p=10528.50
Tirafondi:LT=0.45 (0.31) σ_{cR}=0.00 σ_{fR}=0.00
Compressione nel calcestruzzo: σ_c=23.70
CC 22 SLD (Collegamento -041_-375)
Azioni sul collegamento: N=-11264.30 Ty=-11.47 Tz=9.43 Mx=-0.01 Mz=-8.89
Sollecitazioni agenti localmente: Tx_l=-11.47 Ty_l=9.43 N_l=-11264.30 Mx_l=-0.00 My_l=-8.89 Mz_l=-0.01
Taglio nei bulloni: Fv,Ed=2.49 Fv,Rd=9650.97
Rifollamento lato piastra: Fb,Ed,p=2.48 Fb,Rd,p=13703.40
Tirafondi:LT=0.45 (0.31) σ_{cR}=0.00 σ_{fR}=0.00
Compressione nel calcestruzzo: σ_c=23.77
CC 22 SLD (Collegamento -041_-375)
Azioni sul collegamento: N=-11264.30 Ty=-9.42 Tz=9.43 Mx=-0.01 Mz=-7.58
Sollecitazioni agenti localmente: Tx_l=-9.42 Ty_l=9.43 N_l=-11264.30 Mx_l=-0.00 My_l=-7.58 Mz_l=-0.01
Taglio nei bulloni: Fv,Ed=2.23 Fv,Rd=9650.97
Rifollamento lato piastra: Fb,Ed,p=2.23 Fb,Rd,p=15012.40
Tirafondi:LT=0.45 (0.31) σ_{cR}=0.00 σ_{fR}=0.00
Compressione nel calcestruzzo: σ_c=23.70
CC 22 SLD (Collegamento -041_-375)
Azioni sul collegamento: N=-8875.80 Ty=-11.47 Tz=18.16 Mx=-0.01 Mz=-8.89
Sollecitazioni agenti localmente: Tx_l=-11.47 Ty_l=18.16 N_l=-8875.80 Mx_l=-0.00 My_l=-8.89 Mz_l=-0.01
Taglio nei bulloni: Fv,Ed=3.59 Fv,Rd=9650.97
Rifollamento lato piastra: Fb,Ed,p=3.59 Fb,Rd,p=12031.00
Tirafondi:LT=0.45 (0.31) σ_{cR}=0.00 σ_{fR}=0.00
Compressione nel calcestruzzo: σ_c=18.84
CC 22 SLD (Collegamento -041_-375)
Azioni sul collegamento: N=-8875.80 Ty=-9.42 Tz=18.16 Mx=-0.01 Mz=-7.58
Sollecitazioni agenti localmente: Tx_l=-9.42 Ty_l=18.16 N_l=-8875.80 Mx_l=-0.00 My_l=-7.58 Mz_l=-0.01
Taglio nei bulloni: Fv,Ed=3.42 Fv,Rd=9650.97
Rifollamento lato piastra: Fb,Ed,p=3.42 Fb,Rd,p=10528.40
Tirafondi:LT=0.45 (0.31) σ_{cR}=0.00 σ_{fR}=0.00
Compressione nel calcestruzzo: σ_c=18.77
CC 22 SLD (Collegamento -041_-375)
Azioni sul collegamento: N=-8875.79 Ty=-11.47 Tz=9.43 Mx=-0.01 Mz=-8.89
Sollecitazioni agenti localmente: Tx_l=-11.47 Ty_l=9.43 N_l=-8875.79 Mx_l=-0.00 My_l=-8.89 Mz_l=-0.01
Taglio nei bulloni: Fv,Ed=2.49 Fv,Rd=9650.97
Rifollamento lato piastra: Fb,Ed,p=2.48 Fb,Rd,p=13703.40
Tirafondi:LT=0.45 (0.31) σ_{cR}=0.00 σ_{fR}=0.00
Compressione nel calcestruzzo: σ_c=18.84
CC 22 SLD (Collegamento -041_-375)
Azioni sul collegamento: N=-8875.79 Ty=-9.42 Tz=9.43 Mx=-0.01 Mz=-7.58
Sollecitazioni agenti localmente: Tx_l=-9.42 Ty_l=9.43 N_l=-8875.79 Mx_l=-0.00 My_l=-7.58 Mz_l=-0.01
Taglio nei bulloni: Fv,Ed=2.23 Fv,Rd=9650.97
Rifollamento lato piastra: Fb,Ed,p=2.23 Fb,Rd,p=15012.30
Tirafondi:LT=0.45 (0.31) σ_{cR}=0.00 σ_{fR}=0.00
Compressione nel calcestruzzo: σ_c=18.77
CC 23 SLV (Collegamento -041_-375)
Azioni sul collegamento: N=-14088.90 Ty=-15.25 Tz=28.82 Mx=-0.01 Mz=-13.58
Sollecitazioni agenti localmente: Tx_l=-15.25 Ty_l=28.82 N_l=-14088.90 Mx_l=-0.00 My_l=-13.58 Mz_l=-0.01
Taglio nei bulloni: Fv,Ed=5.45 Fv,Rd=7720.78
Rifollamento lato piastra: Fb,Ed,p=5.45 Fb,Rd,p=8525.03
Tirafondi:LT=0.45 (0.31) σ_{cR}=0.00 σ_{fR}=0.00
Compressione nel calcestruzzo: σ_c=29.87
CC 23 SLV (Collegamento -041_-375)
Azioni sul collegamento: N=-14088.90 Ty=-7.49 Tz=28.82 Mx=-0.01 Mz=-7.17
Sollecitazioni agenti localmente: Tx_l=-7.49 Ty_l=28.82 N_l=-14088.90 Mx_l=-0.00 My_l=-7.17 Mz_l=-0.01
Taglio nei bulloni: Fv,Ed=4.98 Fv,Rd=7720.78
Rifollamento lato piastra: Fb,Ed,p=4.98 Fb,Rd,p=6591.79
Tirafondi:LT=0.45 (0.31) σ_{cR}=0.00 σ_{fR}=0.00
Compressione nel calcestruzzo: σ_c=29.51
CC 23 SLV (Collegamento -041_-375)
Azioni sul collegamento: N=-14088.90 Ty=-15.25 Tz=-0.46 Mx=-0.01 Mz=-13.58
Sollecitazioni agenti localmente: Tx_l=-15.25 Ty_l=-0.46 N_l=-14088.90 Mx_l=-0.00 My_l=-13.58 Mz_l=-0.01
Taglio nei bulloni: Fv,Ed=2.56 Fv,Rd=7720.78
Rifollamento lato piastra: Fb,Ed,p=2.56 Fb,Rd,p=5990.28
Tirafondi:LT=0.45 (0.31) σ_{cR}=0.00 σ_{fR}=0.00
Compressione nel calcestruzzo: σ_c=29.87
CC 23 SLV (Collegamento -041_-375)
Azioni sul collegamento: N=-14088.90 Ty=-7.49 Tz=-0.46 Mx=-0.01 Mz=-7.17
Sollecitazioni agenti localmente: Tx_l=-7.49 Ty_l=-0.46 N_l=-14088.90 Mx_l=-0.00 My_l=-7.17 Mz_l=-0.01
Taglio nei bulloni: Fv,Ed=1.27 Fv,Rd=7720.78
Rifollamento lato piastra: Fb,Ed,p=1.27 Fb,Rd,p=6024.64
Tirafondi:LT=0.45 (0.31) σ_{cR}=0.00 σ_{fR}=0.00
Compressione nel calcestruzzo: σ_c=29.51
CC 23 SLV (Collegamento -041_-375)
Azioni sul collegamento: N=-6246.30 Ty=-15.25 Tz=28.82 Mx=-0.01 Mz=-13.58
Sollecitazioni agenti localmente: Tx_l=-15.25 Ty_l=28.82 N_l=-6246.30 Mx_l=-0.00 My_l=-13.58 Mz_l=-0.01

Taglio nei bulloni: Fv,Ed=5.45 Fv,Rd=7720.78
Rifollamento lato piastra: Fb,Ed,p=5.45 Fb,Rd,p=8525.04
Tirafondi:LT=0.45 (0.31) σ_{cR}=0.00 σ_{fR}=0.00
Compressione nel calcestruzzo: σ_c=13.67
CC 23 SLV (Collegamento -041_-375)
Azioni sul collegamento: N=-6246.30 Ty=-7.49 Tz=28.82 Mx=-0.01 Mz=-7.17
Sollecitazioni agenti localmente: Tx_l=-7.49 Ty_l=28.82 N_l=-6246.30 Mx_l=-0.00 My_l=-7.17 Mz_l=-0.01
Taglio nei bulloni: Fv,Ed=4.98 Fv,Rd=7720.78
Rifollamento lato piastra: Fb,Ed,p=4.98 Fb,Rd,p=6591.79
Tirafondi:LT=0.45 (0.31) σ_{cR}=0.00 σ_{fR}=0.00
Compressione nel calcestruzzo: σ_c=13.31
CC 23 SLV (Collegamento -041_-375)
Azioni sul collegamento: N=-6246.30 Ty=-15.25 Tz=-0.46 Mx=-0.01 Mz=-13.58
Sollecitazioni agenti localmente: Tx_l=-15.25 Ty_l=-0.46 N_l=-6246.30 Mx_l=-0.00 My_l=-13.58 Mz_l=-0.01
Taglio nei bulloni: Fv,Ed=2.56 Fv,Rd=7720.78
Rifollamento lato piastra: Fb,Ed,p=2.56 Fb,Rd,p=5990.26
Tirafondi:LT=0.45 (0.31) σ_{cR}=0.00 σ_{fR}=0.00
Compressione nel calcestruzzo: σ_c=13.67
CC 23 SLV (Collegamento -041_-375)
Azioni sul collegamento: N=-6246.30 Ty=-7.49 Tz=-0.46 Mx=-0.01 Mz=-7.17
Sollecitazioni agenti localmente: Tx_l=-7.49 Ty_l=-0.46 N_l=-6246.30 Mx_l=-0.00 My_l=-7.17 Mz_l=-0.01
Taglio nei bulloni: Fv,Ed=1.27 Fv,Rd=7720.78
Rifollamento lato piastra: Fb,Ed,p=1.27 Fb,Rd,p=6024.60
Tirafondi:LT=0.45 (0.31) σ_{cR}=0.00 σ_{fR}=0.00
Compressione nel calcestruzzo: σ_c=13.31
CC 24 SLD (Collegamento -041_-375)
Azioni sul collegamento: N=-11265.80 Ty=-11.63 Tz=18.26 Mx=-0.01 Mz=-9.21
Sollecitazioni agenti localmente: Tx_l=-11.63 Ty_l=18.26 N_l=-11265.80 Mx_l=-0.00 My_l=-9.21 Mz_l=-0.01
Taglio nei bulloni: Fv,Ed=3.62 Fv,Rd=9650.97
Rifollamento lato piastra: Fb,Ed,p=3.62 Fb,Rd,p=12103.80
Tirafondi:LT=0.45 (0.31) σ_{cR}=0.00 σ_{fR}=0.00
Compressione nel calcestruzzo: σ_c=23.80
CC 24 SLD (Collegamento -041_-375)
Azioni sul collegamento: N=-11265.80 Ty=-9.26 Tz=18.26 Mx=-0.01 Mz=-7.26
Sollecitazioni agenti localmente: Tx_l=-9.26 Ty_l=18.26 N_l=-11265.80 Mx_l=-0.00 My_l=-7.26 Mz_l=-0.01
Taglio nei bulloni: Fv,Ed=3.42 Fv,Rd=9650.97
Rifollamento lato piastra: Fb,Ed,p=3.42 Fb,Rd,p=10390.90
Tirafondi:LT=0.45 (0.31) σ_{cR}=0.00 σ_{fR}=0.00
Compressione nel calcestruzzo: σ_c=23.69
CC 24 SLD (Collegamento -041_-375)
Azioni sul collegamento: N=-11265.80 Ty=-11.63 Tz=9.33 Mx=-0.01 Mz=-9.21
Sollecitazioni agenti localmente: Tx_l=-11.63 Ty_l=9.33 N_l=-11265.80 Mx_l=-0.00 My_l=-9.21 Mz_l=-0.01
Taglio nei bulloni: Fv,Ed=2.49 Fv,Rd=9650.97
Rifollamento lato piastra: Fb,Ed,p=2.49 Fb,Rd,p=13583.80
Tirafondi:LT=0.45 (0.31) σ_{cR}=0.00 σ_{fR}=0.00
Compressione nel calcestruzzo: σ_c=23.80
CC 24 SLD (Collegamento -041_-375)
Azioni sul collegamento: N=-11265.80 Ty=-9.26 Tz=9.33 Mx=-0.01 Mz=-7.26
Sollecitazioni agenti localmente: Tx_l=-9.26 Ty_l=9.33 N_l=-11265.80 Mx_l=-0.00 My_l=-7.26 Mz_l=-0.01
Taglio nei bulloni: Fv,Ed=2.20 Fv,Rd=9650.97
Rifollamento lato piastra: Fb,Ed,p=2.20 Fb,Rd,p=14966.50
Tirafondi:LT=0.45 (0.31) σ_{cR}=0.00 σ_{fR}=0.00
Compressione nel calcestruzzo: σ_c=23.69
CC 24 SLD (Collegamento -041_-375)
Azioni sul collegamento: N=-8874.30 Ty=-11.63 Tz=18.26 Mx=-0.01 Mz=-9.21
Sollecitazioni agenti localmente: Tx_l=-11.63 Ty_l=18.26 N_l=-8874.30 Mx_l=-0.00 My_l=-9.21 Mz_l=-0.01
Taglio nei bulloni: Fv,Ed=3.62 Fv,Rd=9650.97
Rifollamento lato piastra: Fb,Ed,p=3.62 Fb,Rd,p=12103.70
Tirafondi:LT=0.45 (0.31) σ_{cR}=0.00 σ_{fR}=0.00
Compressione nel calcestruzzo: σ_c=18.85
CC 24 SLD (Collegamento -041_-375)
Azioni sul collegamento: N=-8874.30 Ty=-9.26 Tz=18.26 Mx=-0.01 Mz=-7.26
Sollecitazioni agenti localmente: Tx_l=-9.26 Ty_l=18.26 N_l=-8874.30 Mx_l=-0.00 My_l=-7.26 Mz_l=-0.01
Taglio nei bulloni: Fv,Ed=3.42 Fv,Rd=9650.97
Rifollamento lato piastra: Fb,Ed,p=3.42 Fb,Rd,p=10390.80
Tirafondi:LT=0.45 (0.31) σ_{cR}=0.00 σ_{fR}=0.00
Compressione nel calcestruzzo: σ_c=18.74
CC 24 SLD (Collegamento -041_-375)
Azioni sul collegamento: N=-8874.30 Ty=-11.63 Tz=9.33 Mx=-0.01 Mz=-9.21
Sollecitazioni agenti localmente: Tx_l=-11.63 Ty_l=9.33 N_l=-8874.30 Mx_l=-0.00 My_l=-9.21 Mz_l=-0.01
Taglio nei bulloni: Fv,Ed=2.49 Fv,Rd=9650.97
Rifollamento lato piastra: Fb,Ed,p=2.49 Fb,Rd,p=13583.70
Tirafondi:LT=0.45 (0.31) σ_{cR}=0.00 σ_{fR}=0.00
Compressione nel calcestruzzo: σ_c=18.85
CC 24 SLD (Collegamento -041_-375)
Azioni sul collegamento: N=-8874.30 Ty=-9.26 Tz=9.33 Mx=-0.01 Mz=-7.26
Sollecitazioni agenti localmente: Tx_l=-9.26 Ty_l=9.33 N_l=-8874.30 Mx_l=-0.00 My_l=-7.26 Mz_l=-0.01
Taglio nei bulloni: Fv,Ed=2.20 Fv,Rd=9650.97

Rifollamento lato piastra: Fb,Ed,p=2.20 Fb,Rd,p=14966.70
Tirafondi:LT=0.45 (0.31) σ_{cR}=0.00 σ_{fR}=0.00
Compressione nel calcestruzzo: σ_c=18.74
CC 25 SLV (Collegamento -041_-375)
Azioni sul collegamento: N=-8983.80 Ty=-9.43 Tz=9.29 Mx=-0.02 Mz=-7.83
Sollecitazioni agenti localmente: Tx_l=-9.43 Ty_l=9.29 N_l=-8983.80 Mx_l=-0.00 My_l=-7.83 Mz_l=-0.02
Taglio nei bulloni: Fv,Ed=2.24 Fv,Rd=7720.78
Rifollamento lato piastra: Fb,Ed,p=2.21 Fb,Rd,p=11743.70
Tirafondi:LT=0.45 (0.31) σ_{cR}=0.00 σ_{fR}=0.00
Compressione nel calcestruzzo: σ_c=19.00
CC 25 SLV (Collegamento -041_-375)
Azioni sul collegamento: N=-8983.80 Ty=-13.31 Tz=9.29 Mx=-0.02 Mz=-12.93
Sollecitazioni agenti localmente: Tx_l=-13.31 Ty_l=9.29 N_l=-8983.80 Mx_l=-0.00 My_l=-12.93 Mz_l=-0.02
Taglio nei bulloni: Fv,Ed=2.74 Fv,Rd=7720.78
Rifollamento lato piastra: Fb,Ed,p=2.71 Fb,Rd,p=10187.60
Tirafondi:LT=0.45 (0.31) σ_{cR}=0.00 σ_{fR}=0.00
Compressione nel calcestruzzo: σ_c=19.29
CC 25 SLV (Collegamento -041_-375)
Azioni sul collegamento: N=-8983.80 Ty=-9.43 Tz=19.07 Mx=-0.02 Mz=-7.83
Sollecitazioni agenti localmente: Tx_l=-9.43 Ty_l=19.07 N_l=-8983.80 Mx_l=-0.00 My_l=-7.83 Mz_l=-0.02
Taglio nei bulloni: Fv,Ed=3.58 Fv,Rd=7720.78
Rifollamento lato piastra: Fb,Ed,p=3.58 Fb,Rd,p=8222.68
Tirafondi:LT=0.45 (0.31) σ_{cR}=0.00 σ_{fR}=0.00
Compressione nel calcestruzzo: σ_c=19.00
CC 25 SLV (Collegamento -041_-375)
Azioni sul collegamento: N=-8983.80 Ty=-13.31 Tz=19.07 Mx=-0.02 Mz=-12.93
Sollecitazioni agenti localmente: Tx_l=-13.31 Ty_l=19.07 N_l=-8983.80 Mx_l=-0.00 My_l=-12.93 Mz_l=-0.02
Taglio nei bulloni: Fv,Ed=3.91 Fv,Rd=7720.78
Rifollamento lato piastra: Fb,Ed,p=3.91 Fb,Rd,p=10377.00
Tirafondi:LT=0.45 (0.31) σ_{cR}=0.00 σ_{fR}=0.00
Compressione nel calcestruzzo: σ_c=19.29
CC 25 SLV (Collegamento -041_-375)
Azioni sul collegamento: N=-11351.50 Ty=-9.43 Tz=9.29 Mx=-0.02 Mz=-7.83
Sollecitazioni agenti localmente: Tx_l=-9.43 Ty_l=9.29 N_l=-11351.50 Mx_l=-0.00 My_l=-7.83 Mz_l=-0.02
Taglio nei bulloni: Fv,Ed=2.24 Fv,Rd=7720.78
Rifollamento lato piastra: Fb,Ed,p=2.21 Fb,Rd,p=11743.70
Tirafondi:LT=0.45 (0.31) σ_{cR}=0.00 σ_{fR}=0.00
Compressione nel calcestruzzo: σ_c=23.89
CC 25 SLV (Collegamento -041_-375)
Azioni sul collegamento: N=-11351.50 Ty=-13.31 Tz=9.29 Mx=-0.02 Mz=-12.93
Sollecitazioni agenti localmente: Tx_l=-13.31 Ty_l=9.29 N_l=-11351.50 Mx_l=-0.00 My_l=-12.93 Mz_l=-0.02
Taglio nei bulloni: Fv,Ed=2.74 Fv,Rd=7720.78
Rifollamento lato piastra: Fb,Ed,p=2.71 Fb,Rd,p=10187.70
Tirafondi:LT=0.45 (0.31) σ_{cR}=0.00 σ_{fR}=0.00
Compressione nel calcestruzzo: σ_c=24.18
CC 25 SLV (Collegamento -041_-375)
Azioni sul collegamento: N=-11351.50 Ty=-9.43 Tz=19.07 Mx=-0.02 Mz=-7.83
Sollecitazioni agenti localmente: Tx_l=-9.43 Ty_l=19.07 N_l=-11351.50 Mx_l=-0.00 My_l=-7.83 Mz_l=-0.02
Taglio nei bulloni: Fv,Ed=3.58 Fv,Rd=7720.78
Rifollamento lato piastra: Fb,Ed,p=3.58 Fb,Rd,p=8222.74
Tirafondi:LT=0.45 (0.31) σ_{cR}=0.00 σ_{fR}=0.00
Compressione nel calcestruzzo: σ_c=23.89
CC 25 SLV (Collegamento -041_-375)
Azioni sul collegamento: N=-11351.50 Ty=-13.31 Tz=19.07 Mx=-0.02 Mz=-12.93
Sollecitazioni agenti localmente: Tx_l=-13.31 Ty_l=19.07 N_l=-11351.50 Mx_l=-0.00 My_l=-12.93 Mz_l=-0.02
Taglio nei bulloni: Fv,Ed=3.91 Fv,Rd=7720.78
Rifollamento lato piastra: Fb,Ed,p=3.91 Fb,Rd,p=10377.10
Tirafondi:LT=0.45 (0.31) σ_{cR}=0.00 σ_{fR}=0.00
Compressione nel calcestruzzo: σ_c=24.18
CC 26 SLD (Collegamento -041_-375)
Azioni sul collegamento: N=-9709.05 Ty=-9.85 Tz=12.31 Mx=-0.01 Mz=-7.46
Sollecitazioni agenti localmente: Tx_l=-9.85 Ty_l=12.31 N_l=-9709.05 Mx_l=-0.00 My_l=-7.46 Mz_l=-0.01
Taglio nei bulloni: Fv,Ed=2.64 Fv,Rd=9650.97
Rifollamento lato piastra: Fb,Ed,p=2.64 Fb,Rd,p=13614.70
Tirafondi:LT=0.45 (0.31) σ_{cR}=0.00 σ_{fR}=0.00
Compressione nel calcestruzzo: σ_c=20.48
CC 26 SLD (Collegamento -041_-375)
Azioni sul collegamento: N=-9709.05 Ty=-11.04 Tz=12.31 Mx=-0.01 Mz=-9.01
Sollecitazioni agenti localmente: Tx_l=-11.04 Ty_l=12.31 N_l=-9709.05 Mx_l=-0.00 My_l=-9.01 Mz_l=-0.01
Taglio nei bulloni: Fv,Ed=2.77 Fv,Rd=9650.97
Rifollamento lato piastra: Fb,Ed,p=2.77 Fb,Rd,p=14273.40
Tirafondi:LT=0.45 (0.31) σ_{cR}=0.00 σ_{fR}=0.00
Compressione nel calcestruzzo: σ_c=20.57
CC 26 SLD (Collegamento -041_-375)
Azioni sul collegamento: N=-9709.05 Ty=-9.85 Tz=15.29 Mx=-0.01 Mz=-7.46
Sollecitazioni agenti localmente: Tx_l=-9.85 Ty_l=15.29 N_l=-9709.05 Mx_l=-0.00 My_l=-7.46 Mz_l=-0.01
Taglio nei bulloni: Fv,Ed=3.04 Fv,Rd=9650.97
Rifollamento lato piastra: Fb,Ed,p=3.04 Fb,Rd,p=12228.90

Tirafondi:LT=0.45 (0.31) σ_{cR}=0.00 σ_{fR}=0.00
Compressione nel calcestruzzo: σ_c=20.48
CC 26 SLD (Collegamento -041_-375)
Azioni sul collegamento: N=-9709.05 Ty=-11.04 Tz=15.29 Mx=-0.01 Mz=-9.01
Sollecitazioni agenti localmente: Tx_l=-11.04 Ty_l=15.29 N_l=-9709.05 Mx_l=-0.00 My_l=-9.01 Mz_l=-0.01
Taglio nei bulloni: Fv,Ed=3.16 Fv,Rd=9650.97
Rifollamento lato piastra: Fb,Ed,p=3.16 Fb,Rd,p=13109.50
Tirafondi:LT=0.45 (0.31) σ_{cR}=0.00 σ_{fR}=0.00
Compressione nel calcestruzzo: σ_c=20.57
CC 26 SLD (Collegamento -041_-375)
Azioni sul collegamento: N=-10431.00 Ty=-9.85 Tz=12.31 Mx=-0.01 Mz=-7.46
Sollecitazioni agenti localmente: Tx_l=-9.85 Ty_l=12.31 N_l=-10431.00 Mx_l=-0.00 My_l=-7.46 Mz_l=-0.01
Taglio nei bulloni: Fv,Ed=2.64 Fv,Rd=9650.97
Rifollamento lato piastra: Fb,Ed,p=2.64 Fb,Rd,p=13614.70
Tirafondi:LT=0.45 (0.31) σ_{cR}=0.00 σ_{fR}=0.00
Compressione nel calcestruzzo: σ_c=21.97
CC 26 SLD (Collegamento -041_-375)
Azioni sul collegamento: N=-10431.00 Ty=-11.04 Tz=12.31 Mx=-0.01 Mz=-9.01
Sollecitazioni agenti localmente: Tx_l=-11.04 Ty_l=12.31 N_l=-10431.00 Mx_l=-0.00 My_l=-9.01 Mz_l=-0.01
Taglio nei bulloni: Fv,Ed=2.77 Fv,Rd=9650.97
Rifollamento lato piastra: Fb,Ed,p=2.77 Fb,Rd,p=14273.40
Tirafondi:LT=0.45 (0.31) σ_{cR}=0.00 σ_{fR}=0.00
Compressione nel calcestruzzo: σ_c=22.06
CC 26 SLD (Collegamento -041_-375)
Azioni sul collegamento: N=-10431.00 Ty=-9.85 Tz=15.29 Mx=-0.01 Mz=-7.46
Sollecitazioni agenti localmente: Tx_l=-9.85 Ty_l=15.29 N_l=-10431.00 Mx_l=-0.00 My_l=-7.46 Mz_l=-0.01
Taglio nei bulloni: Fv,Ed=3.04 Fv,Rd=9650.97
Rifollamento lato piastra: Fb,Ed,p=3.04 Fb,Rd,p=12228.80
Tirafondi:LT=0.45 (0.31) σ_{cR}=0.00 σ_{fR}=0.00
Compressione nel calcestruzzo: σ_c=21.97
CC 26 SLD (Collegamento -041_-375)
Azioni sul collegamento: N=-10431.00 Ty=-11.04 Tz=15.29 Mx=-0.01 Mz=-9.01
Sollecitazioni agenti localmente: Tx_l=-11.04 Ty_l=15.29 N_l=-10431.00 Mx_l=-0.00 My_l=-9.01 Mz_l=-0.01
Taglio nei bulloni: Fv,Ed=3.16 Fv,Rd=9650.97
Rifollamento lato piastra: Fb,Ed,p=3.16 Fb,Rd,p=13109.50
Tirafondi:LT=0.45 (0.31) σ_{cR}=0.00 σ_{fR}=0.00
Compressione nel calcestruzzo: σ_c=22.06
CC 27 SLV (Collegamento -041_-375)
Azioni sul collegamento: N=-11335.10 Ty=-11.60 Tz=17.98 Mx=-0.02 Mz=-9.43
Sollecitazioni agenti localmente: Tx_l=-11.60 Ty_l=17.98 N_l=-11335.10 Mx_l=-0.00 My_l=-9.43 Mz_l=-0.02
Taglio nei bulloni: Fv,Ed=3.60 Fv,Rd=7720.78
Rifollamento lato piastra: Fb,Ed,p=3.60 Fb,Rd,p=9812.20
Tirafondi:LT=0.45 (0.31) σ_{cR}=0.00 σ_{fR}=0.00
Compressione nel calcestruzzo: σ_c=23.95
CC 27 SLV (Collegamento -041_-375)
Azioni sul collegamento: N=-11335.10 Ty=-11.14 Tz=17.98 Mx=-0.02 Mz=-11.32
Sollecitazioni agenti localmente: Tx_l=-11.14 Ty_l=17.98 N_l=-11335.10 Mx_l=-0.00 My_l=-11.32 Mz_l=-0.02
Taglio nei bulloni: Fv,Ed=3.56 Fv,Rd=7720.78
Rifollamento lato piastra: Fb,Ed,p=3.56 Fb,Rd,p=9511.63
Tirafondi:LT=0.45 (0.31) σ_{cR}=0.00 σ_{fR}=0.00
Compressione nel calcestruzzo: σ_c=24.06
CC 27 SLV (Collegamento -041_-375)
Azioni sul collegamento: N=-11335.10 Ty=-11.60 Tz=10.38 Mx=-0.02 Mz=-9.43
Sollecitazioni agenti localmente: Tx_l=-11.60 Ty_l=10.38 N_l=-11335.10 Mx_l=-0.00 My_l=-9.43 Mz_l=-0.02
Taglio nei bulloni: Fv,Ed=2.63 Fv,Rd=7720.78
Rifollamento lato piastra: Fb,Ed,p=2.60 Fb,Rd,p=11265.80
Tirafondi:LT=0.45 (0.31) σ_{cR}=0.00 σ_{fR}=0.00
Compressione nel calcestruzzo: σ_c=23.95
CC 27 SLV (Collegamento -041_-375)
Azioni sul collegamento: N=-11335.10 Ty=-11.14 Tz=10.38 Mx=-0.02 Mz=-11.32
Sollecitazioni agenti localmente: Tx_l=-11.14 Ty_l=10.38 N_l=-11335.10 Mx_l=-0.00 My_l=-11.32 Mz_l=-0.02
Taglio nei bulloni: Fv,Ed=2.57 Fv,Rd=7720.78
Rifollamento lato piastra: Fb,Ed,p=2.54 Fb,Rd,p=11465.80
Tirafondi:LT=0.45 (0.31) σ_{cR}=0.00 σ_{fR}=0.00
Compressione nel calcestruzzo: σ_c=24.06
CC 27 SLV (Collegamento -041_-375)
Azioni sul collegamento: N=-9000.13 Ty=-11.60 Tz=17.98 Mx=-0.02 Mz=-9.43
Sollecitazioni agenti localmente: Tx_l=-11.60 Ty_l=17.98 N_l=-9000.13 Mx_l=-0.00 My_l=-9.43 Mz_l=-0.02
Taglio nei bulloni: Fv,Ed=3.60 Fv,Rd=7720.78
Rifollamento lato piastra: Fb,Ed,p=3.60 Fb,Rd,p=9812.05
Tirafondi:LT=0.45 (0.31) σ_{cR}=0.00 σ_{fR}=0.00
Compressione nel calcestruzzo: σ_c=19.13
CC 27 SLV (Collegamento -041_-375)
Azioni sul collegamento: N=-9000.13 Ty=-11.14 Tz=17.98 Mx=-0.02 Mz=-11.32
Sollecitazioni agenti localmente: Tx_l=-11.14 Ty_l=17.98 N_l=-9000.13 Mx_l=-0.00 My_l=-11.32 Mz_l=-0.02
Taglio nei bulloni: Fv,Ed=3.56 Fv,Rd=7720.78
Rifollamento lato piastra: Fb,Ed,p=3.56 Fb,Rd,p=9511.49
Tirafondi:LT=0.45 (0.31) σ_{cR}=0.00 σ_{fR}=0.00

Compressione nel calcestruzzo: σ_c=19.23
CC 27 SLV (Collegamento -041_-375)
Azioni sul collegamento: N=-9000.13 Ty=-11.60 Tz=10.38 Mx=-0.02 Mz=-9.43
Sollecitazioni agenti localmente: Tx_l=-11.60 Ty_l=10.38 N_l=-9000.13 Mx_l=-0.00 My_l=-9.43 Mz_l=-0.02
Taglio nei bulloni: Fv,Ed=2.63 Fv,Rd=7720.78
Rifollamento lato piastra: Fb,Ed,p=2.60 Fb,Rd,p=11265.80
Tirafondi:LT=0.45 (0.31) σ_{cR}=0.00 σ_{fR}=0.00
Compressione nel calcestruzzo: σ_c=19.13
CC 27 SLV (Collegamento -041_-375)
Azioni sul collegamento: N=-9000.13 Ty=-11.14 Tz=10.38 Mx=-0.02 Mz=-11.32
Sollecitazioni agenti localmente: Tx_l=-11.14 Ty_l=10.38 N_l=-9000.13 Mx_l=-0.00 My_l=-11.32 Mz_l=-0.02
Taglio nei bulloni: Fv,Ed=2.57 Fv,Rd=7720.78
Rifollamento lato piastra: Fb,Ed,p=2.54 Fb,Rd,p=11465.80
Tirafondi:LT=0.45 (0.31) σ_{cR}=0.00 σ_{fR}=0.00
Compressione nel calcestruzzo: σ_c=19.23
CC 28 SLD (Collegamento -041_-375)
Azioni sul collegamento: N=-10426.00 Ty=-10.51 Tz=14.95 Mx=-0.01 Mz=-7.95
Sollecitazioni agenti localmente: Tx_l=-10.51 Ty_l=14.95 N_l=-10426.00 Mx_l=-0.00 My_l=-7.95 Mz_l=-0.01
Taglio nei bulloni: Fv,Ed=3.06 Fv,Rd=9650.97
Rifollamento lato piastra: Fb,Ed,p=3.06 Fb,Rd,p=12993.60
Tirafondi:LT=0.45 (0.31) σ_{cR}=0.00 σ_{fR}=0.00
Compressione nel calcestruzzo: σ_c=21.99
CC 28 SLD (Collegamento -041_-375)
Azioni sul collegamento: N=-10426.00 Ty=-10.37 Tz=14.95 Mx=-0.01 Mz=-8.52
Sollecitazioni agenti localmente: Tx_l=-10.37 Ty_l=14.95 N_l=-10426.00 Mx_l=-0.00 My_l=-8.52 Mz_l=-0.01
Taglio nei bulloni: Fv,Ed=3.05 Fv,Rd=9650.97
Rifollamento lato piastra: Fb,Ed,p=3.05 Fb,Rd,p=12936.70
Tirafondi:LT=0.45 (0.31) σ_{cR}=0.00 σ_{fR}=0.00
Compressione nel calcestruzzo: σ_c=22.02
CC 28 SLD (Collegamento -041_-375)
Azioni sul collegamento: N=-10426.00 Ty=-10.51 Tz=12.64 Mx=-0.01 Mz=-7.95
Sollecitazioni agenti localmente: Tx_l=-10.51 Ty_l=12.64 N_l=-10426.00 Mx_l=-0.00 My_l=-7.95 Mz_l=-0.01
Taglio nei bulloni: Fv,Ed=2.75 Fv,Rd=9650.97
Rifollamento lato piastra: Fb,Ed,p=2.75 Fb,Rd,p=13824.50
Tirafondi:LT=0.45 (0.31) σ_{cR}=0.00 σ_{fR}=0.00
Compressione nel calcestruzzo: σ_c=21.99
CC 28 SLD (Collegamento -041_-375)
Azioni sul collegamento: N=-10426.00 Ty=-10.37 Tz=12.64 Mx=-0.01 Mz=-8.52
Sollecitazioni agenti localmente: Tx_l=-10.37 Ty_l=12.64 N_l=-10426.00 Mx_l=-0.00 My_l=-8.52 Mz_l=-0.01
Taglio nei bulloni: Fv,Ed=2.74 Fv,Rd=9650.97
Rifollamento lato piastra: Fb,Ed,p=2.74 Fb,Rd,p=13749.70
Tirafondi:LT=0.45 (0.31) σ_{cR}=0.00 σ_{fR}=0.00
Compressione nel calcestruzzo: σ_c=22.02
CC 28 SLD (Collegamento -041_-375)
Azioni sul collegamento: N=-9714.03 Ty=-10.51 Tz=14.95 Mx=-0.01 Mz=-7.95
Sollecitazioni agenti localmente: Tx_l=-10.51 Ty_l=14.95 N_l=-9714.03 Mx_l=-0.00 My_l=-7.95 Mz_l=-0.01
Taglio nei bulloni: Fv,Ed=3.06 Fv,Rd=9650.97
Rifollamento lato piastra: Fb,Ed,p=3.06 Fb,Rd,p=12993.50
Tirafondi:LT=0.45 (0.31) σ_{cR}=0.00 σ_{fR}=0.00
Compressione nel calcestruzzo: σ_c=20.52
CC 28 SLD (Collegamento -041_-375)
Azioni sul collegamento: N=-9714.03 Ty=-10.37 Tz=14.95 Mx=-0.01 Mz=-8.52
Sollecitazioni agenti localmente: Tx_l=-10.37 Ty_l=14.95 N_l=-9714.03 Mx_l=-0.00 My_l=-8.52 Mz_l=-0.01
Taglio nei bulloni: Fv,Ed=3.05 Fv,Rd=9650.97
Rifollamento lato piastra: Fb,Ed,p=3.05 Fb,Rd,p=12936.60
Tirafondi:LT=0.45 (0.31) σ_{cR}=0.00 σ_{fR}=0.00
Compressione nel calcestruzzo: σ_c=20.55
CC 28 SLD (Collegamento -041_-375)
Azioni sul collegamento: N=-9714.03 Ty=-10.51 Tz=12.64 Mx=-0.01 Mz=-7.95
Sollecitazioni agenti localmente: Tx_l=-10.51 Ty_l=12.64 N_l=-9714.03 Mx_l=-0.00 My_l=-7.95 Mz_l=-0.01
Taglio nei bulloni: Fv,Ed=2.75 Fv,Rd=9650.97
Rifollamento lato piastra: Fb,Ed,p=2.75 Fb,Rd,p=13824.50
Tirafondi:LT=0.45 (0.31) σ_{cR}=0.00 σ_{fR}=0.00
Compressione nel calcestruzzo: σ_c=20.52
CC 28 SLD (Collegamento -041_-375)
Azioni sul collegamento: N=-9714.03 Ty=-10.37 Tz=12.64 Mx=-0.01 Mz=-8.52
Sollecitazioni agenti localmente: Tx_l=-10.37 Ty_l=12.64 N_l=-9714.03 Mx_l=-0.00 My_l=-8.52 Mz_l=-0.01
Taglio nei bulloni: Fv,Ed=2.74 Fv,Rd=9650.97
Rifollamento lato piastra: Fb,Ed,p=2.74 Fb,Rd,p=13749.70
Tirafondi:LT=0.45 (0.31) σ_{cR}=0.00 σ_{fR}=0.00
Compressione nel calcestruzzo: σ_c=20.55
CC 29 SLV (Collegamento -041_-375)
Azioni sul collegamento: N=-9000.13 Ty=-11.14 Tz=10.38 Mx=-0.01 Mz=-11.32
Sollecitazioni agenti localmente: Tx_l=-11.14 Ty_l=10.38 N_l=-9000.13 Mx_l=-0.00 My_l=-11.32 Mz_l=-0.01
Taglio nei bulloni: Fv,Ed=2.55 Fv,Rd=7720.78
Rifollamento lato piastra: Fb,Ed,p=2.54 Fb,Rd,p=11570.00
Tirafondi:LT=0.45 (0.31) σ_{cR}=0.00 σ_{fR}=0.00
Compressione nel calcestruzzo: σ_c=19.23

CC 29 SLV (Collegamento -041_-375)
Azioni sul collegamento: N=-9000.13 Ty=-11.60 Tz=10.38 Mx=-0.01 Mz=-9.43
Sollecitazioni agenti localmente: Tx_l=-11.60 Ty_l=10.38 N_l=-9000.13 Mx_l=-0.00 My_l=-9.43 Mz_l=-0.01
Taglio nei bulloni: Fv,Ed=2.61 Fv,Rd=7720.78
Rifollamento lato piastra: Fb,Ed,p=2.60 Fb,Rd,p=11361.90
Tirafondi:LT=0.45 (0.31) σ_{cR}=0.00 σ_{fR}=0.00
Compressione nel calcestruzzo: σ_c=19.13
CC 29 SLV (Collegamento -041_-375)
Azioni sul collegamento: N=-9000.13 Ty=-11.14 Tz=17.98 Mx=-0.01 Mz=-11.32
Sollecitazioni agenti localmente: Tx_l=-11.14 Ty_l=17.98 N_l=-9000.13 Mx_l=-0.00 My_l=-11.32 Mz_l=-0.01
Taglio nei bulloni: Fv,Ed=3.54 Fv,Rd=7720.78
Rifollamento lato piastra: Fb,Ed,p=3.54 Fb,Rd,p=9485.66
Tirafondi:LT=0.45 (0.31) σ_{cR}=0.00 σ_{fR}=0.00
Compressione nel calcestruzzo: σ_c=19.23
CC 29 SLV (Collegamento -041_-375)
Azioni sul collegamento: N=-9000.13 Ty=-11.60 Tz=17.98 Mx=-0.01 Mz=-9.43
Sollecitazioni agenti localmente: Tx_l=-11.60 Ty_l=17.98 N_l=-9000.13 Mx_l=-0.00 My_l=-9.43 Mz_l=-0.01
Taglio nei bulloni: Fv,Ed=3.58 Fv,Rd=7720.78
Rifollamento lato piastra: Fb,Ed,p=3.58 Fb,Rd,p=9786.90
Tirafondi:LT=0.45 (0.31) σ_{cR}=0.00 σ_{fR}=0.00
Compressione nel calcestruzzo: σ_c=19.13
CC 29 SLV (Collegamento -041_-375)
Azioni sul collegamento: N=-11335.10 Ty=-11.14 Tz=10.38 Mx=-0.01 Mz=-11.32
Sollecitazioni agenti localmente: Tx_l=-11.14 Ty_l=10.38 N_l=-11335.10 Mx_l=-0.00 My_l=-11.32 Mz_l=-0.01
Taglio nei bulloni: Fv,Ed=2.55 Fv,Rd=7720.78
Rifollamento lato piastra: Fb,Ed,p=2.54 Fb,Rd,p=11570.00
Tirafondi:LT=0.45 (0.31) σ_{cR}=0.00 σ_{fR}=0.00
Compressione nel calcestruzzo: σ_c=24.06
CC 29 SLV (Collegamento -041_-375)
Azioni sul collegamento: N=-11335.10 Ty=-11.60 Tz=10.38 Mx=-0.01 Mz=-9.43
Sollecitazioni agenti localmente: Tx_l=-11.60 Ty_l=10.38 N_l=-11335.10 Mx_l=-0.00 My_l=-9.43 Mz_l=-0.01
Taglio nei bulloni: Fv,Ed=2.61 Fv,Rd=7720.78
Rifollamento lato piastra: Fb,Ed,p=2.60 Fb,Rd,p=11361.80
Tirafondi:LT=0.45 (0.31) σ_{cR}=0.00 σ_{fR}=0.00
Compressione nel calcestruzzo: σ_c=23.95
CC 29 SLV (Collegamento -041_-375)
Azioni sul collegamento: N=-11335.10 Ty=-11.14 Tz=17.98 Mx=-0.01 Mz=-11.32
Sollecitazioni agenti localmente: Tx_l=-11.14 Ty_l=17.98 N_l=-11335.10 Mx_l=-0.00 My_l=-11.32 Mz_l=-0.01
Taglio nei bulloni: Fv,Ed=3.54 Fv,Rd=7720.78
Rifollamento lato piastra: Fb,Ed,p=3.54 Fb,Rd,p=9485.80
Tirafondi:LT=0.45 (0.31) σ_{cR}=0.00 σ_{fR}=0.00
Compressione nel calcestruzzo: σ_c=24.06
CC 29 SLV (Collegamento -041_-375)
Azioni sul collegamento: N=-11335.10 Ty=-11.60 Tz=17.98 Mx=-0.01 Mz=-9.43
Sollecitazioni agenti localmente: Tx_l=-11.60 Ty_l=17.98 N_l=-11335.10 Mx_l=-0.00 My_l=-9.43 Mz_l=-0.01
Taglio nei bulloni: Fv,Ed=3.58 Fv,Rd=7720.78
Rifollamento lato piastra: Fb,Ed,p=3.58 Fb,Rd,p=9787.05
Tirafondi:LT=0.45 (0.31) σ_{cR}=0.00 σ_{fR}=0.00
Compressione nel calcestruzzo: σ_c=23.95
CC 30 SLD (Collegamento -041_-375)
Azioni sul collegamento: N=-9714.03 Ty=-10.37 Tz=12.64 Mx=-0.00 Mz=-8.52
Sollecitazioni agenti localmente: Tx_l=-10.37 Ty_l=12.64 N_l=-9714.03 Mx_l=-0.00 My_l=-8.52 Mz_l=-0.00
Taglio nei bulloni: Fv,Ed=2.73 Fv,Rd=9650.97
Rifollamento lato piastra: Fb,Ed,p=2.73 Fb,Rd,p=13746.60
Tirafondi:LT=0.45 (0.31) σ_{cR}=0.00 σ_{fR}=0.00
Compressione nel calcestruzzo: σ_c=20.55
CC 30 SLD (Collegamento -041_-375)
Azioni sul collegamento: N=-9714.03 Ty=-10.51 Tz=12.64 Mx=-0.00 Mz=-7.95
Sollecitazioni agenti localmente: Tx_l=-10.51 Ty_l=12.64 N_l=-9714.03 Mx_l=-0.00 My_l=-7.95 Mz_l=-0.00
Taglio nei bulloni: Fv,Ed=2.75 Fv,Rd=9650.97
Rifollamento lato piastra: Fb,Ed,p=2.75 Fb,Rd,p=13821.60
Tirafondi:LT=0.45 (0.31) σ_{cR}=0.00 σ_{fR}=0.00
Compressione nel calcestruzzo: σ_c=20.52
CC 30 SLD (Collegamento -041_-375)
Azioni sul collegamento: N=-9714.03 Ty=-10.37 Tz=14.95 Mx=-0.00 Mz=-8.52
Sollecitazioni agenti localmente: Tx_l=-10.37 Ty_l=14.95 N_l=-9714.03 Mx_l=-0.00 My_l=-8.52 Mz_l=-0.00
Taglio nei bulloni: Fv,Ed=3.04 Fv,Rd=9650.97
Rifollamento lato piastra: Fb,Ed,p=3.04 Fb,Rd,p=12932.60
Tirafondi:LT=0.45 (0.31) σ_{cR}=0.00 σ_{fR}=0.00
Compressione nel calcestruzzo: σ_c=20.55
CC 30 SLD (Collegamento -041_-375)
Azioni sul collegamento: N=-9714.03 Ty=-10.51 Tz=14.95 Mx=-0.00 Mz=-7.95
Sollecitazioni agenti localmente: Tx_l=-10.51 Ty_l=14.95 N_l=-9714.03 Mx_l=-0.00 My_l=-7.95 Mz_l=-0.00
Taglio nei bulloni: Fv,Ed=3.05 Fv,Rd=9650.97
Rifollamento lato piastra: Fb,Ed,p=3.05 Fb,Rd,p=12989.60
Tirafondi:LT=0.45 (0.31) σ_{cR}=0.00 σ_{fR}=0.00
Compressione nel calcestruzzo: σ_c=20.52
CC 30 SLD (Collegamento -041_-375)

Azioni sul collegamento: N=-10426.00 Ty=-10.37 Tz=12.64 Mx=-0.00 Mz=-8.52
Sollecitazioni agenti localmente: Tx_l=-10.37 Ty_l=12.64 N_l=-10426.00 Mx_l=-0.00 My_l=-8.52 Mz_l=-0.00
Taglio nei bulloni: Fv,Ed=2.73 Fv,Rd=9650.97
Rifollamento lato piastra: Fb,Ed,p=2.73 Fb,Rd,p=13746.60
Tirafondi:LT=0.45 (0.31) σ_{cR}=0.00 σ_{fR}=0.00
Compressione nel calcestruzzo: σ_c=22.02
CC 30 SLD (Collegamento -041_-375)
Azioni sul collegamento: N=-10426.00 Ty=-10.51 Tz=12.64 Mx=-0.00 Mz=-7.95
Sollecitazioni agenti localmente: Tx_l=-10.51 Ty_l=12.64 N_l=-10426.00 Mx_l=-0.00 My_l=-7.95 Mz_l=-0.00
Taglio nei bulloni: Fv,Ed=2.75 Fv,Rd=9650.97
Rifollamento lato piastra: Fb,Ed,p=2.75 Fb,Rd,p=13821.60
Tirafondi:LT=0.45 (0.31) σ_{cR}=0.00 σ_{fR}=0.00
Compressione nel calcestruzzo: σ_c=21.99
CC 30 SLD (Collegamento -041_-375)
Azioni sul collegamento: N=-10426.00 Ty=-10.37 Tz=14.95 Mx=-0.00 Mz=-8.52
Sollecitazioni agenti localmente: Tx_l=-10.37 Ty_l=14.95 N_l=-10426.00 Mx_l=-0.00 My_l=-8.52 Mz_l=-0.00
Taglio nei bulloni: Fv,Ed=3.04 Fv,Rd=9650.97
Rifollamento lato piastra: Fb,Ed,p=3.04 Fb,Rd,p=12932.70
Tirafondi:LT=0.45 (0.31) σ_{cR}=0.00 σ_{fR}=0.00
Compressione nel calcestruzzo: σ_c=22.02
CC 30 SLD (Collegamento -041_-375)
Azioni sul collegamento: N=-10426.00 Ty=-10.51 Tz=14.95 Mx=-0.00 Mz=-7.95
Sollecitazioni agenti localmente: Tx_l=-10.51 Ty_l=14.95 N_l=-10426.00 Mx_l=-0.00 My_l=-7.95 Mz_l=-0.00
Taglio nei bulloni: Fv,Ed=3.05 Fv,Rd=9650.97
Rifollamento lato piastra: Fb,Ed,p=3.05 Fb,Rd,p=12989.70
Tirafondi:LT=0.45 (0.31) σ_{cR}=0.00 σ_{fR}=0.00
Compressione nel calcestruzzo: σ_c=21.99
CC 31 SLV (Collegamento -041_-375)
Azioni sul collegamento: N=-11351.50 Ty=-13.31 Tz=19.07 Mx=-0.01 Mz=-12.93
Sollecitazioni agenti localmente: Tx_l=-13.31 Ty_l=19.07 N_l=-11351.50 Mx_l=-0.00 My_l=-12.93 Mz_l=-0.01
Taglio nei bulloni: Fv,Ed=3.89 Fv,Rd=7720.78
Rifollamento lato piastra: Fb,Ed,p=3.89 Fb,Rd,p=10368.80
Tirafondi:LT=0.45 (0.31) σ_{cR}=0.00 σ_{fR}=0.00
Compressione nel calcestruzzo: σ_c=24.18
CC 31 SLV (Collegamento -041_-375)
Azioni sul collegamento: N=-11351.50 Ty=-9.43 Tz=19.07 Mx=-0.01 Mz=-7.83
Sollecitazioni agenti localmente: Tx_l=-9.43 Ty_l=19.07 N_l=-11351.50 Mx_l=-0.00 My_l=-7.83 Mz_l=-0.01
Taglio nei bulloni: Fv,Ed=3.56 Fv,Rd=7720.78
Rifollamento lato piastra: Fb,Ed,p=3.56 Fb,Rd,p=8196.96
Tirafondi:LT=0.45 (0.31) σ_{cR}=0.00 σ_{fR}=0.00
Compressione nel calcestruzzo: σ_c=23.89
CC 31 SLV (Collegamento -041_-375)
Azioni sul collegamento: N=-11351.50 Ty=-13.31 Tz=9.29 Mx=-0.01 Mz=-12.93
Sollecitazioni agenti localmente: Tx_l=-13.31 Ty_l=9.29 N_l=-11351.50 Mx_l=-0.00 My_l=-12.93 Mz_l=-0.01
Taglio nei bulloni: Fv,Ed=2.72 Fv,Rd=7720.78
Rifollamento lato piastra: Fb,Ed,p=2.71 Fb,Rd,p=10335.60
Tirafondi:LT=0.45 (0.31) σ_{cR}=0.00 σ_{fR}=0.00
Compressione nel calcestruzzo: σ_c=24.18
CC 31 SLV (Collegamento -041_-375)
Azioni sul collegamento: N=-11351.50 Ty=-9.43 Tz=9.29 Mx=-0.01 Mz=-7.83
Sollecitazioni agenti localmente: Tx_l=-9.43 Ty_l=9.29 N_l=-11351.50 Mx_l=-0.00 My_l=-7.83 Mz_l=-0.01
Taglio nei bulloni: Fv,Ed=2.22 Fv,Rd=7720.78
Rifollamento lato piastra: Fb,Ed,p=2.21 Fb,Rd,p=11874.90
Tirafondi:LT=0.45 (0.31) σ_{cR}=0.00 σ_{fR}=0.00
Compressione nel calcestruzzo: σ_c=23.89
CC 31 SLV (Collegamento -041_-375)
Azioni sul collegamento: N=-8983.80 Ty=-13.31 Tz=19.07 Mx=-0.01 Mz=-12.93
Sollecitazioni agenti localmente: Tx_l=-13.31 Ty_l=19.07 N_l=-8983.80 Mx_l=-0.00 My_l=-12.93 Mz_l=-0.01
Taglio nei bulloni: Fv,Ed=3.89 Fv,Rd=7720.78
Rifollamento lato piastra: Fb,Ed,p=3.89 Fb,Rd,p=10368.80
Tirafondi:LT=0.45 (0.31) σ_{cR}=0.00 σ_{fR}=0.00
Compressione nel calcestruzzo: σ_c=19.29
CC 31 SLV (Collegamento -041_-375)
Azioni sul collegamento: N=-8983.80 Ty=-9.43 Tz=19.07 Mx=-0.01 Mz=-7.83
Sollecitazioni agenti localmente: Tx_l=-9.43 Ty_l=19.07 N_l=-8983.80 Mx_l=-0.00 My_l=-7.83 Mz_l=-0.01
Taglio nei bulloni: Fv,Ed=3.56 Fv,Rd=7720.78
Rifollamento lato piastra: Fb,Ed,p=3.56 Fb,Rd,p=8196.89
Tirafondi:LT=0.45 (0.31) σ_{cR}=0.00 σ_{fR}=0.00
Compressione nel calcestruzzo: σ_c=19.00
CC 31 SLV (Collegamento -041_-375)
Azioni sul collegamento: N=-8983.80 Ty=-13.31 Tz=9.29 Mx=-0.01 Mz=-12.93
Sollecitazioni agenti localmente: Tx_l=-13.31 Ty_l=9.29 N_l=-8983.80 Mx_l=-0.00 My_l=-12.93 Mz_l=-0.01
Taglio nei bulloni: Fv,Ed=2.72 Fv,Rd=7720.78
Rifollamento lato piastra: Fb,Ed,p=2.71 Fb,Rd,p=10335.50
Tirafondi:LT=0.45 (0.31) σ_{cR}=0.00 σ_{fR}=0.00
Compressione nel calcestruzzo: σ_c=19.29
CC 31 SLV (Collegamento -041_-375)
Azioni sul collegamento: N=-8983.80 Ty=-9.43 Tz=9.29 Mx=-0.01 Mz=-7.83

Sollecitazioni agenti localmente: T_{x_l}=-9.43 T_{y_l}=9.29 N_l=-8983.80 M_{x_l}=-0.00 M_{y_l}=-7.83 M_{z_l}=-0.01
Taglio nei bulloni: Fv,Ed=2.22 Fv,Rd=7720.78
Rifollamento lato piastra: Fb,Ed,p=2.21 Fb,Rd,p=11874.90
Tirafondi:LT=0.45 (0.31) σ_{cR}=0.00 σ_{fR}=0.00
Compressione nel calcestruzzo: σ_c=19.00
CC 32 SLD (Collegamento -041_-375)
Azioni sul collegamento: N=-10431.00 Ty=-11.04 Tz=15.29 Mx=-0.00 Mz=-9.01
Sollecitazioni agenti localmente: T_{x_l}=-11.04 T_{y_l}=15.29 N_l=-10431.00 M_{x_l}=-0.00 M_{y_l}=-9.01 M_{z_l}=-0.00
Taglio nei bulloni: Fv,Ed=3.15 Fv,Rd=9650.97
Rifollamento lato piastra: Fb,Ed,p=3.15 Fb,Rd,p=13105.80
Tirafondi:LT=0.45 (0.31) σ_{cR}=0.00 σ_{fR}=0.00
Compressione nel calcestruzzo: σ_c=22.06
CC 32 SLD (Collegamento -041_-375)
Azioni sul collegamento: N=-10431.00 Ty=-9.85 Tz=15.29 Mx=-0.00 Mz=-7.46
Sollecitazioni agenti localmente: T_{x_l}=-9.85 T_{y_l}=15.29 N_l=-10431.00 M_{x_l}=-0.00 M_{y_l}=-7.46 M_{z_l}=-0.00
Taglio nei bulloni: Fv,Ed=3.04 Fv,Rd=9650.97
Rifollamento lato piastra: Fb,Ed,p=3.04 Fb,Rd,p=12217.40
Tirafondi:LT=0.45 (0.31) σ_{cR}=0.00 σ_{fR}=0.00
Compressione nel calcestruzzo: σ_c=21.97
CC 32 SLD (Collegamento -041_-375)
Azioni sul collegamento: N=-10431.00 Ty=-11.04 Tz=12.31 Mx=-0.00 Mz=-9.01
Sollecitazioni agenti localmente: T_{x_l}=-11.04 T_{y_l}=12.31 N_l=-10431.00 M_{x_l}=-0.00 M_{y_l}=-9.01 M_{z_l}=-0.00
Taglio nei bulloni: Fv,Ed=2.76 Fv,Rd=9650.97
Rifollamento lato piastra: Fb,Ed,p=2.76 Fb,Rd,p=14271.40
Tirafondi:LT=0.45 (0.31) σ_{cR}=0.00 σ_{fR}=0.00
Compressione nel calcestruzzo: σ_c=22.06
CC 32 SLD (Collegamento -041_-375)
Azioni sul collegamento: N=-10431.00 Ty=-9.85 Tz=12.31 Mx=-0.00 Mz=-7.46
Sollecitazioni agenti localmente: T_{x_l}=-9.85 T_{y_l}=12.31 N_l=-10431.00 M_{x_l}=-0.00 M_{y_l}=-7.46 M_{z_l}=-0.00
Taglio nei bulloni: Fv,Ed=2.63 Fv,Rd=9650.97
Rifollamento lato piastra: Fb,Ed,p=2.63 Fb,Rd,p=13611.20
Tirafondi:LT=0.45 (0.31) σ_{cR}=0.00 σ_{fR}=0.00
Compressione nel calcestruzzo: σ_c=21.97
CC 32 SLD (Collegamento -041_-375)
Azioni sul collegamento: N=-9709.05 Ty=-11.04 Tz=15.29 Mx=-0.00 Mz=-9.01
Sollecitazioni agenti localmente: T_{x_l}=-11.04 T_{y_l}=15.29 N_l=-9709.05 M_{x_l}=-0.00 M_{y_l}=-9.01 M_{z_l}=-0.00
Taglio nei bulloni: Fv,Ed=3.15 Fv,Rd=9650.97
Rifollamento lato piastra: Fb,Ed,p=3.15 Fb,Rd,p=13105.80
Tirafondi:LT=0.45 (0.31) σ_{cR}=0.00 σ_{fR}=0.00
Compressione nel calcestruzzo: σ_c=20.57
CC 32 SLD (Collegamento -041_-375)
Azioni sul collegamento: N=-9709.05 Ty=-9.85 Tz=15.29 Mx=-0.00 Mz=-7.46
Sollecitazioni agenti localmente: T_{x_l}=-9.85 T_{y_l}=15.29 N_l=-9709.05 M_{x_l}=-0.00 M_{y_l}=-7.46 M_{z_l}=-0.00
Taglio nei bulloni: Fv,Ed=3.04 Fv,Rd=9650.97
Rifollamento lato piastra: Fb,Ed,p=3.04 Fb,Rd,p=12217.40
Tirafondi:LT=0.45 (0.31) σ_{cR}=0.00 σ_{fR}=0.00
Compressione nel calcestruzzo: σ_c=20.48
CC 32 SLD (Collegamento -041_-375)
Azioni sul collegamento: N=-9709.05 Ty=-11.04 Tz=12.31 Mx=-0.00 Mz=-9.01
Sollecitazioni agenti localmente: T_{x_l}=-11.04 T_{y_l}=12.31 N_l=-9709.05 M_{x_l}=-0.00 M_{y_l}=-9.01 M_{z_l}=-0.00
Taglio nei bulloni: Fv,Ed=2.76 Fv,Rd=9650.97
Rifollamento lato piastra: Fb,Ed,p=2.76 Fb,Rd,p=14271.50
Tirafondi:LT=0.45 (0.31) σ_{cR}=0.00 σ_{fR}=0.00
Compressione nel calcestruzzo: σ_c=20.57
CC 32 SLD (Collegamento -041_-375)
Azioni sul collegamento: N=-9709.05 Ty=-9.85 Tz=12.31 Mx=-0.00 Mz=-7.46
Sollecitazioni agenti localmente: T_{x_l}=-9.85 T_{y_l}=12.31 N_l=-9709.05 M_{x_l}=-0.00 M_{y_l}=-7.46 M_{z_l}=-0.00
Taglio nei bulloni: Fv,Ed=2.63 Fv,Rd=9650.97
Rifollamento lato piastra: Fb,Ed,p=2.63 Fb,Rd,p=13611.20
Tirafondi:LT=0.45 (0.31) σ_{cR}=0.00 σ_{fR}=0.00
Compressione nel calcestruzzo: σ_c=20.48
CC 33 SLU (Collegamento -041_-375)
Azioni sul collegamento: N=-36642.60 Ty=-20.20 Tz=103.27 Mx=-0.00 Mz=-14.84
Sollecitazioni agenti localmente: T_{x_l}=-20.20 T_{y_l}=103.27 N_l=-36642.60 M_{x_l}=-0.00 M_{y_l}=-14.84 M_{z_l}=-0.00
Taglio nei bulloni: Fv,Ed=17.54 Fv,Rd=7720.78
Rifollamento lato piastra: Fb,Ed,p=17.54 Fb,Rd,p=6320.46
Tirafondi:LT=0.45 (0.31) σ_{cR}=0.00 σ_{fR}=0.00
Compressione nel calcestruzzo: σ_c=76.54
CC 34 SLU (Collegamento -041_-375)
Azioni sul collegamento: N=-37458.50 Ty=-20.96 Tz=106.28 Mx=-0.00 Mz=-15.40
Sollecitazioni agenti localmente: T_{x_l}=-20.96 T_{y_l}=106.28 N_l=-37458.50 M_{x_l}=-0.00 M_{y_l}=-15.40 M_{z_l}=-0.00
Taglio nei bulloni: Fv,Ed=18.06 Fv,Rd=7720.78
Rifollamento lato piastra: Fb,Ed,p=18.06 Fb,Rd,p=6325.89
Tirafondi:LT=0.45 (0.31) σ_{cR}=0.00 σ_{fR}=0.00
Compressione nel calcestruzzo: σ_c=78.26
CC 35 SLU (Collegamento -041_-375)
Azioni sul collegamento: N=-37049.70 Ty=-20.49 Tz=104.83 Mx=-0.01 Mz=-14.94
Sollecitazioni agenti localmente: T_{x_l}=-20.49 T_{y_l}=104.83 N_l=-37049.70 M_{x_l}=-0.00 M_{y_l}=-14.94 M_{z_l}=-0.01

Taglio nei bulloni: Fv,Ed=17.81 Fv,Rd=7720.78
Rifollamento lato piastra: Fb,Ed,p=17.81 Fb,Rd,p=6320.00
Tirafondi:LT=0.45 (0.31) σ_{cR}=0.00 σ_{fR}=0.00
Compressione nel calcestruzzo: σ_c=77.39
CC 36 SLU (Collegamento -041_-375)
Azioni sul collegamento: N=-37051.40 Ty=-20.67 Tz=104.72 Mx=-0.00 Mz=-15.30
Sollecitazioni agenti localmente: Tx_l=-20.67 Ty_l=104.72 N_l=-37051.40 Mx_l=-0.00 My_l=-15.30 Mz_l=-0.00
Taglio nei bulloni: Fv,Ed=17.79 Fv,Rd=7720.78
Rifollamento lato piastra: Fb,Ed,p=17.79 Fb,Rd,p=6326.43
Tirafondi:LT=0.45 (0.31) σ_{cR}=0.00 σ_{fR}=0.00
Compressione nel calcestruzzo: σ_c=77.41
CC 37 SLU (Collegamento -041_-375)
Azioni sul collegamento: N=-29860.20 Ty=10.64 Tz=77.84 Mx=-0.00 Mz=8.54
Sollecitazioni agenti localmente: Tx_l=10.64 Ty_l=77.84 N_l=-29860.20 Mx_l=-0.00 My_l=8.54 Mz_l=-0.00
Taglio nei bulloni: Fv,Ed=13.10 Fv,Rd=7720.78
Rifollamento lato piastra: Fb,Ed,p=13.10 Fb,Rd,p=6144.10
Tirafondi:LT=0.45 (0.31) σ_{cR}=0.00 σ_{fR}=0.00
Compressione nel calcestruzzo: σ_c=62.18
CC 38 SLU (Collegamento -041_-375)
Azioni sul collegamento: N=-30676.20 Ty=9.89 Tz=80.85 Mx=-0.00 Mz=7.98
Sollecitazioni agenti localmente: Tx_l=9.89 Ty_l=80.85 N_l=-30676.20 Mx_l=-0.00 My_l=7.98 Mz_l=-0.00
Taglio nei bulloni: Fv,Ed=13.58 Fv,Rd=7720.78
Rifollamento lato piastra: Fb,Ed,p=13.58 Fb,Rd,p=6111.02
Tirafondi:LT=0.45 (0.31) σ_{cR}=0.00 σ_{fR}=0.00
Compressione nel calcestruzzo: σ_c=63.83
CC 39 SLU (Collegamento -041_-375)
Azioni sul collegamento: N=-30267.30 Ty=10.35 Tz=79.40 Mx=-0.01 Mz=8.45
Sollecitazioni agenti localmente: Tx_l=10.35 Ty_l=79.40 N_l=-30267.30 Mx_l=-0.00 My_l=8.45 Mz_l=-0.01
Taglio nei bulloni: Fv,Ed=13.35 Fv,Rd=7720.78
Rifollamento lato piastra: Fb,Ed,p=13.35 Fb,Rd,p=6128.96
Tirafondi:LT=0.45 (0.31) σ_{cR}=0.00 σ_{fR}=0.00
Compressione nel calcestruzzo: σ_c=63.01
CC 40 SLU (Collegamento -041_-375)
Azioni sul collegamento: N=-30269.10 Ty=10.18 Tz=79.28 Mx=-0.00 Mz=8.08
Sollecitazioni agenti localmente: Tx_l=10.18 Ty_l=79.28 N_l=-30269.10 Mx_l=-0.00 My_l=8.08 Mz_l=-0.00
Taglio nei bulloni: Fv,Ed=13.33 Fv,Rd=7720.78
Rifollamento lato piastra: Fb,Ed,p=13.33 Fb,Rd,p=6124.62
Tirafondi:LT=0.45 (0.31) σ_{cR}=0.00 σ_{fR}=0.00
Compressione nel calcestruzzo: σ_c=62.99
CC 41 SLU (Collegamento -041_-375)
Azioni sul collegamento: N=-27459.80 Ty=-19.36 Tz=69.55 Mx=-0.00 Mz=-14.09
Sollecitazioni agenti localmente: Tx_l=-19.36 Ty_l=69.55 N_l=-27459.80 Mx_l=-0.00 My_l=-14.09 Mz_l=-0.00
Taglio nei bulloni: Fv,Ed=12.04 Fv,Rd=7720.78
Rifollamento lato piastra: Fb,Ed,p=12.04 Fb,Rd,p=6671.78
Tirafondi:LT=0.45 (0.31) σ_{cR}=0.00 σ_{fR}=0.00
Compressione nel calcestruzzo: σ_c=57.53
CC 42 SLU (Collegamento -041_-375)
Azioni sul collegamento: N=-28275.70 Ty=-20.11 Tz=72.57 Mx=-0.00 Mz=-14.65
Sollecitazioni agenti localmente: Tx_l=-20.11 Ty_l=72.57 N_l=-28275.70 Mx_l=-0.00 My_l=-14.65 Mz_l=-0.00
Taglio nei bulloni: Fv,Ed=12.56 Fv,Rd=7720.78
Rifollamento lato piastra: Fb,Ed,p=12.56 Fb,Rd,p=6665.95
Tirafondi:LT=0.45 (0.31) σ_{cR}=0.00 σ_{fR}=0.00
Compressione nel calcestruzzo: σ_c=59.25
CC 43 SLU (Collegamento -041_-375)
Azioni sul collegamento: N=-27866.90 Ty=-19.65 Tz=71.12 Mx=-0.01 Mz=-14.19
Sollecitazioni agenti localmente: Tx_l=-19.65 Ty_l=71.12 N_l=-27866.90 Mx_l=-0.00 My_l=-14.19 Mz_l=-0.01
Taglio nei bulloni: Fv,Ed=12.30 Fv,Rd=7720.78
Rifollamento lato piastra: Fb,Ed,p=12.30 Fb,Rd,p=6661.73
Tirafondi:LT=0.45 (0.31) σ_{cR}=0.00 σ_{fR}=0.00
Compressione nel calcestruzzo: σ_c=58.38
CC 44 SLU (Collegamento -041_-375)
Azioni sul collegamento: N=-27868.60 Ty=-19.82 Tz=71.00 Mx=-0.00 Mz=-14.55
Sollecitazioni agenti localmente: Tx_l=-19.82 Ty_l=71.00 N_l=-27868.60 Mx_l=-0.00 My_l=-14.55 Mz_l=-0.00
Taglio nei bulloni: Fv,Ed=12.29 Fv,Rd=7720.78
Rifollamento lato piastra: Fb,Ed,p=12.29 Fb,Rd,p=6675.89
Tirafondi:LT=0.45 (0.31) σ_{cR}=0.00 σ_{fR}=0.00
Compressione nel calcestruzzo: σ_c=58.40
CC 45 SLU (Collegamento -041_-375)
Azioni sul collegamento: N=-29479.00 Ty=-19.57 Tz=76.97 Mx=-0.00 Mz=-14.38
Sollecitazioni agenti localmente: Tx_l=-19.57 Ty_l=76.97 N_l=-29479.00 Mx_l=-0.00 My_l=-14.38 Mz_l=-0.00
Taglio nei bulloni: Fv,Ed=13.24 Fv,Rd=7720.78
Rifollamento lato piastra: Fb,Ed,p=13.24 Fb,Rd,p=6556.74
Tirafondi:LT=0.45 (0.31) σ_{cR}=0.00 σ_{fR}=0.00
Compressione nel calcestruzzo: σ_c=61.72
CC 46 SLU (Collegamento -041_-375)
Azioni sul collegamento: N=-30295.00 Ty=-20.33 Tz=79.99 Mx=-0.00 Mz=-14.94
Sollecitazioni agenti localmente: Tx_l=-20.33 Ty_l=79.99 N_l=-30295.00 Mx_l=-0.00 My_l=-14.94 Mz_l=-0.00
Taglio nei bulloni: Fv,Ed=13.76 Fv,Rd=7720.78

Rifollamento lato piastra: Fb,Ed,p=13.76 Fb,Rd,p=6556.04
Tirafondi:LT=0.45 (0.31) σ_{cR}=0.00 σ_{fR}=0.00
Compressione nel calcestruzzo: σ_c=63.43
CC 47 SLU (Collegamento -041_-375)
Azioni sul collegamento: N=-29886.10 Ty=-19.86 Tz=78.54 Mx=-0.00 Mz=-14.48
Sollecitazioni agenti localmente: Tx_l=-19.86 Ty_l=78.54 N_l=-29886.10 Mx_l=-0.00 My_l=-14.48 Mz_l=-0.00
Taglio nei bulloni: Fv,Ed=13.51 Fv,Rd=7720.78
Rifollamento lato piastra: Fb,Ed,p=13.51 Fb,Rd,p=6550.64
Tirafondi:LT=0.45 (0.31) σ_{cR}=0.00 σ_{fR}=0.00
Compressione nel calcestruzzo: σ_c=62.56
CC 48 SLU (Collegamento -041_-375)
Azioni sul collegamento: N=-29887.90 Ty=-20.04 Tz=78.42 Mx=-0.00 Mz=-14.84
Sollecitazioni agenti localmente: Tx_l=-20.04 Ty_l=78.42 N_l=-29887.90 Mx_l=-0.00 My_l=-14.84 Mz_l=-0.00
Taglio nei bulloni: Fv,Ed=13.49 Fv,Rd=7720.78
Rifollamento lato piastra: Fb,Ed,p=13.49 Fb,Rd,p=6562.20
Tirafondi:LT=0.45 (0.31) σ_{cR}=0.00 σ_{fR}=0.00
Compressione nel calcestruzzo: σ_c=62.59
CC 49 SLU (Collegamento -041_-375)
Azioni sul collegamento: N=-24404.80 Ty=3.50 Tz=57.94 Mx=-0.00 Mz=3.11
Sollecitazioni agenti localmente: Tx_l=3.50 Ty_l=57.94 N_l=-24404.80 Mx_l=-0.00 My_l=3.11 Mz_l=-0.00
Taglio nei bulloni: Fv,Ed=9.68 Fv,Rd=7720.78
Rifollamento lato piastra: Fb,Ed,p=9.68 Fb,Rd,p=6011.06
Tirafondi:LT=0.45 (0.31) σ_{cR}=0.00 σ_{fR}=0.00
Compressione nel calcestruzzo: σ_c=50.60
CC 50 SLU (Collegamento -041_-375)
Azioni sul collegamento: N=-25220.80 Ty=2.75 Tz=60.96 Mx=-0.00 Mz=2.55
Sollecitazioni agenti localmente: Tx_l=2.75 Ty_l=60.96 N_l=-25220.80 Mx_l=-0.00 My_l=2.55 Mz_l=-0.00
Taglio nei bulloni: Fv,Ed=10.17 Fv,Rd=7720.78
Rifollamento lato piastra: Fb,Ed,p=10.17 Fb,Rd,p=5996.83
Tirafondi:LT=0.45 (0.31) σ_{cR}=0.00 σ_{fR}=0.00
Compressione nel calcestruzzo: σ_c=52.25
CC 51 SLU (Collegamento -041_-375)
Azioni sul collegamento: N=-24811.90 Ty=3.21 Tz=59.51 Mx=-0.00 Mz=3.02
Sollecitazioni agenti localmente: Tx_l=3.21 Ty_l=59.51 N_l=-24811.90 Mx_l=-0.00 My_l=3.02 Mz_l=-0.00
Taglio nei bulloni: Fv,Ed=9.94 Fv,Rd=7720.78
Rifollamento lato piastra: Fb,Ed,p=9.94 Fb,Rd,p=6004.50
Tirafondi:LT=0.45 (0.31) σ_{cR}=0.00 σ_{fR}=0.00
Compressione nel calcestruzzo: σ_c=51.43
CC 52 SLU (Collegamento -041_-375)
Azioni sul collegamento: N=-24813.70 Ty=3.04 Tz=59.39 Mx=-0.00 Mz=2.65
Sollecitazioni agenti localmente: Tx_l=3.04 Ty_l=59.39 N_l=-24813.70 Mx_l=-0.00 My_l=2.65 Mz_l=-0.00
Taglio nei bulloni: Fv,Ed=9.92 Fv,Rd=7720.78
Rifollamento lato piastra: Fb,Ed,p=9.92 Fb,Rd,p=6002.01
Tirafondi:LT=0.45 (0.31) σ_{cR}=0.00 σ_{fR}=0.00
Compressione nel calcestruzzo: σ_c=51.42
CC 53 SLU (Collegamento -041_-375)
Azioni sul collegamento: N=-22608.90 Ty=-18.94 Tz=51.75 Mx=-0.00 Mz=-13.82
Sollecitazioni agenti localmente: Tx_l=-18.94 Ty_l=51.75 N_l=-22608.90 Mx_l=-0.00 My_l=-13.82 Mz_l=-0.00
Taglio nei bulloni: Fv,Ed=9.19 Fv,Rd=7720.78
Rifollamento lato piastra: Fb,Ed,p=9.19 Fb,Rd,p=7181.50
Tirafondi:LT=0.45 (0.31) σ_{cR}=0.00 σ_{fR}=0.00
Compressione nel calcestruzzo: σ_c=47.49
CC 54 SLU (Collegamento -041_-375)
Azioni sul collegamento: N=-23424.90 Ty=-19.70 Tz=54.76 Mx=-0.00 Mz=-14.38
Sollecitazioni agenti localmente: Tx_l=-19.70 Ty_l=54.76 N_l=-23424.90 Mx_l=-0.00 My_l=-14.38 Mz_l=-0.00
Taglio nei bulloni: Fv,Ed=9.71 Fv,Rd=7720.78
Rifollamento lato piastra: Fb,Ed,p=9.71 Fb,Rd,p=7139.65
Tirafondi:LT=0.45 (0.31) σ_{cR}=0.00 σ_{fR}=0.00
Compressione nel calcestruzzo: σ_c=49.21
CC 55 SLU (Collegamento -041_-375)
Azioni sul collegamento: N=-23016.00 Ty=-19.23 Tz=53.31 Mx=-0.00 Mz=-13.92
Sollecitazioni agenti localmente: Tx_l=-19.23 Ty_l=53.31 N_l=-23016.00 Mx_l=-0.00 My_l=-13.92 Mz_l=-0.00
Taglio nei bulloni: Fv,Ed=9.45 Fv,Rd=7720.78
Rifollamento lato piastra: Fb,Ed,p=9.45 Fb,Rd,p=7146.82
Tirafondi:LT=0.45 (0.31) σ_{cR}=0.00 σ_{fR}=0.00
Compressione nel calcestruzzo: σ_c=48.34
CC 56 SLU (Collegamento -041_-375)
Azioni sul collegamento: N=-23017.80 Ty=-19.41 Tz=53.20 Mx=-0.00 Mz=-14.28
Sollecitazioni agenti localmente: Tx_l=-19.41 Ty_l=53.20 N_l=-23017.80 Mx_l=-0.00 My_l=-14.28 Mz_l=-0.00
Taglio nei bulloni: Fv,Ed=9.44 Fv,Rd=7720.78
Rifollamento lato piastra: Fb,Ed,p=9.44 Fb,Rd,p=7173.04
Tirafondi:LT=0.45 (0.31) σ_{cR}=0.00 σ_{fR}=0.00
Compressione nel calcestruzzo: σ_c=48.36
CC 57 SLU (Collegamento -041_-375)
Azioni sul collegamento: N=-30221.30 Ty=-20.56 Tz=79.74 Mx=-0.00 Mz=-15.10
Sollecitazioni agenti localmente: Tx_l=-20.56 Ty_l=79.74 N_l=-30221.30 Mx_l=-0.00 My_l=-15.10 Mz_l=-0.00
Taglio nei bulloni: Fv,Ed=13.73 Fv,Rd=7720.78
Rifollamento lato piastra: Fb,Ed,p=13.73 Fb,Rd,p=6572.82

Tirafondi:LT=0.45 (0.31) σ_{cR}=0.00 σ_{fR}=0.00
Compressione nel calcestruzzo: σ_c=63.29
CC 58 SLU (Collegamento -041_-375)
Azioni sul collegamento: N=-31037.20 Ty=-21.31 Tz=82.75 Mx=-0.00 Mz=-15.66
Sollecitazioni agenti localmente: Tx_l=-21.31 Ty_l=82.75 N_l=-31037.20 Mx_l=-0.00 My_l=-15.66 Mz_l=-0.00
Taglio nei bulloni: Fv,Ed=14.25 Fv,Rd=7720.78
Rifollamento lato piastra: Fb,Ed,p=14.25 Fb,Rd,p=6571.56
Tirafondi:LT=0.45 (0.31) σ_{cR}=0.00 σ_{fR}=0.00
Compressione nel calcestruzzo: σ_c=65.01
CC 59 SLU (Collegamento -041_-375)
Azioni sul collegamento: N=-30628.40 Ty=-20.85 Tz=81.31 Mx=-0.00 Mz=-15.20
Sollecitazioni agenti localmente: Tx_l=-20.85 Ty_l=81.31 N_l=-30628.40 Mx_l=-0.00 My_l=-15.20 Mz_l=-0.00
Taglio nei bulloni: Fv,Ed=14.00 Fv,Rd=7720.78
Rifollamento lato piastra: Fb,Ed,p=14.00 Fb,Rd,p=6566.51
Tirafondi:LT=0.45 (0.31) σ_{cR}=0.00 σ_{fR}=0.00
Compressione nel calcestruzzo: σ_c=64.14
CC 60 SLU (Collegamento -041_-375)
Azioni sul collegamento: N=-30630.10 Ty=-21.02 Tz=81.19 Mx=-0.00 Mz=-15.57
Sollecitazioni agenti localmente: Tx_l=-21.02 Ty_l=81.19 N_l=-30630.10 Mx_l=-0.00 My_l=-15.57 Mz_l=-0.00
Taglio nei bulloni: Fv,Ed=13.98 Fv,Rd=7720.78
Rifollamento lato piastra: Fb,Ed,p=13.98 Fb,Rd,p=6577.88
Tirafondi:LT=0.45 (0.31) σ_{cR}=0.00 σ_{fR}=0.00
Compressione nel calcestruzzo: σ_c=64.16
CC 61 SLU (Collegamento -041_-375)
Azioni sul collegamento: N=-25147.00 Ty=2.52 Tz=60.71 Mx=-0.00 Mz=2.39
Sollecitazioni agenti localmente: Tx_l=2.52 Ty_l=60.71 N_l=-25147.00 Mx_l=-0.00 My_l=2.39 Mz_l=-0.00
Taglio nei bulloni: Fv,Ed=10.13 Fv,Rd=7720.78
Rifollamento lato piastra: Fb,Ed,p=10.13 Fb,Rd,p=5994.10
Tirafondi:LT=0.45 (0.31) σ_{cR}=0.00 σ_{fR}=0.00
Compressione nel calcestruzzo: σ_c=52.09
CC 62 SLU (Collegamento -041_-375)
Azioni sul collegamento: N=-25963.00 Ty=1.76 Tz=63.73 Mx=-0.00 Mz=1.83
Sollecitazioni agenti localmente: Tx_l=1.76 Ty_l=63.73 N_l=-25963.00 Mx_l=-0.00 My_l=1.83 Mz_l=-0.00
Taglio nei bulloni: Fv,Ed=10.63 Fv,Rd=7720.78
Rifollamento lato piastra: Fb,Ed,p=10.63 Fb,Rd,p=5985.75
Tirafondi:LT=0.45 (0.31) σ_{cR}=0.00 σ_{fR}=0.00
Compressione nel calcestruzzo: σ_c=53.75
CC 63 SLU (Collegamento -041_-375)
Azioni sul collegamento: N=-25554.10 Ty=2.23 Tz=62.28 Mx=-0.00 Mz=2.29
Sollecitazioni agenti localmente: Tx_l=2.23 Ty_l=62.28 N_l=-25554.10 Mx_l=-0.00 My_l=2.29 Mz_l=-0.00
Taglio nei bulloni: Fv,Ed=10.39 Fv,Rd=7720.78
Rifollamento lato piastra: Fb,Ed,p=10.39 Fb,Rd,p=5990.20
Tirafondi:LT=0.45 (0.31) σ_{cR}=0.00 σ_{fR}=0.00
Compressione nel calcestruzzo: σ_c=52.93
CC 64 SLU (Collegamento -041_-375)
Azioni sul collegamento: N=-25555.90 Ty=2.05 Tz=62.16 Mx=-0.00 Mz=1.93
Sollecitazioni agenti localmente: Tx_l=2.05 Ty_l=62.16 N_l=-25555.90 Mx_l=-0.00 My_l=1.93 Mz_l=-0.00
Taglio nei bulloni: Fv,Ed=10.37 Fv,Rd=7720.78
Rifollamento lato piastra: Fb,Ed,p=10.37 Fb,Rd,p=5988.63
Tirafondi:LT=0.45 (0.31) σ_{cR}=0.00 σ_{fR}=0.00
Compressione nel calcestruzzo: σ_c=52.91
CC 65 SLU (Collegamento -041_-375)
Azioni sul collegamento: N=-23351.20 Ty=-19.92 Tz=54.52 Mx=-0.00 Mz=-14.54
Sollecitazioni agenti localmente: Tx_l=-19.92 Ty_l=54.52 N_l=-23351.20 Mx_l=-0.00 My_l=-14.54 Mz_l=-0.00
Taglio nei bulloni: Fv,Ed=9.68 Fv,Rd=7720.78
Rifollamento lato piastra: Fb,Ed,p=9.68 Fb,Rd,p=7177.80
Tirafondi:LT=0.45 (0.31) σ_{cR}=0.00 σ_{fR}=0.00
Compressione nel calcestruzzo: σ_c=49.07
CC 66 SLU (Collegamento -041_-375)
Azioni sul collegamento: N=-24167.10 Ty=-20.68 Tz=57.53 Mx=-0.00 Mz=-15.10
Sollecitazioni agenti localmente: Tx_l=-20.68 Ty_l=57.53 N_l=-24167.10 Mx_l=-0.00 My_l=-15.10 Mz_l=-0.00
Taglio nei bulloni: Fv,Ed=10.19 Fv,Rd=7720.78
Rifollamento lato piastra: Fb,Ed,p=10.19 Fb,Rd,p=7138.20
Tirafondi:LT=0.45 (0.31) σ_{cR}=0.00 σ_{fR}=0.00
Compressione nel calcestruzzo: σ_c=50.78
CC 67 SLU (Collegamento -041_-375)
Azioni sul collegamento: N=-23758.30 Ty=-20.21 Tz=56.08 Mx=-0.00 Mz=-14.64
Sollecitazioni agenti localmente: Tx_l=-20.21 Ty_l=56.08 N_l=-23758.30 Mx_l=-0.00 My_l=-14.64 Mz_l=-0.00
Taglio nei bulloni: Fv,Ed=9.94 Fv,Rd=7720.78
Rifollamento lato piastra: Fb,Ed,p=9.94 Fb,Rd,p=7145.00
Tirafondi:LT=0.45 (0.31) σ_{cR}=0.00 σ_{fR}=0.00
Compressione nel calcestruzzo: σ_c=49.91
CC 68 SLU (Collegamento -041_-375)
Azioni sul collegamento: N=-23760.00 Ty=-20.39 Tz=55.97 Mx=-0.00 Mz=-15.01
Sollecitazioni agenti localmente: Tx_l=-20.39 Ty_l=55.97 N_l=-23760.00 Mx_l=-0.00 My_l=-15.01 Mz_l=-0.00
Taglio nei bulloni: Fv,Ed=9.93 Fv,Rd=7720.78
Rifollamento lato piastra: Fb,Ed,p=9.93 Fb,Rd,p=7169.95
Tirafondi:LT=0.45 (0.31) σ_{cR}=0.00 σ_{fR}=0.00

Compressione nel calcestruzzo: σ_c=49.94
CC 97 SLU (Collegamento -041_-375)
Azioni sul collegamento: N=-31084.20 Ty=-25.01 Tz=90.82 Mx=0.05 Mz=-11.42
Sollecitazioni agenti localmente: Tx_l=-25.01 Ty_l=90.82 N_l=-31084.20 Mx_l=-0.00 My_l=-11.42 Mz_l=0.05
Taglio nei bulloni: Fv,Ed=15.76 Fv,Rd=7720.78
Rifollamento lato piastra: Fb,Ed,p=15.74 Fb,Rd,p=6634.08
Tirafondi:LT=0.45 (0.31) σ_{cR}=0.00 σ_{fR}=0.00
Compressione nel calcestruzzo: σ_c=64.87
CC 98 SLU (Collegamento -041_-375)
Azioni sul collegamento: N=-31900.20 Ty=-25.76 Tz=93.83 Mx=0.05 Mz=-11.97
Sollecitazioni agenti localmente: Tx_l=-25.76 Ty_l=93.83 N_l=-31900.20 Mx_l=-0.00 My_l=-11.97 Mz_l=0.05
Taglio nei bulloni: Fv,Ed=16.28 Fv,Rd=7720.78
Rifollamento lato piastra: Fb,Ed,p=16.25 Fb,Rd,p=6630.90
Tirafondi:LT=0.45 (0.31) σ_{cR}=0.00 σ_{fR}=0.00
Compressione nel calcestruzzo: σ_c=66.58
CC 99 SLU (Collegamento -041_-375)
Azioni sul collegamento: N=-31491.30 Ty=-25.30 Tz=92.39 Mx=0.05 Mz=-11.51
Sollecitazioni agenti localmente: Tx_l=-25.30 Ty_l=92.39 N_l=-31491.30 Mx_l=-0.00 My_l=-11.51 Mz_l=0.05
Taglio nei bulloni: Fv,Ed=16.03 Fv,Rd=7720.78
Rifollamento lato piastra: Fb,Ed,p=16.00 Fb,Rd,p=6627.34
Tirafondi:LT=0.45 (0.31) σ_{cR}=0.00 σ_{fR}=0.00
Compressione nel calcestruzzo: σ_c=65.71
CC 100 SLU (Collegamento -041_-375)
Azioni sul collegamento: N=-31493.10 Ty=-25.48 Tz=92.27 Mx=0.05 Mz=-11.88
Sollecitazioni agenti localmente: Tx_l=-25.48 Ty_l=92.27 N_l=-31493.10 Mx_l=-0.00 My_l=-11.88 Mz_l=0.05
Taglio nei bulloni: Fv,Ed=16.02 Fv,Rd=7720.78
Rifollamento lato piastra: Fb,Ed,p=15.99 Fb,Rd,p=6637.57
Tirafondi:LT=0.45 (0.31) σ_{cR}=0.00 σ_{fR}=0.00
Compressione nel calcestruzzo: σ_c=65.74
CC 101 SLU (Collegamento -041_-375)
Azioni sul collegamento: N=-8294.89 Ty=-5.21 Tz=7.37 Mx=-0.01 Mz=-4.43
Sollecitazioni agenti localmente: Tx_l=-5.21 Ty_l=7.37 N_l=-8294.89 Mx_l=-0.00 My_l=-4.43 Mz_l=-0.01
Taglio nei bulloni: Fv,Ed=1.52 Fv,Rd=7720.78
Rifollamento lato piastra: Fb,Ed,p=1.52 Fb,Rd,p=10418.20
Tirafondi:LT=0.45 (0.31) σ_{cR}=0.00 σ_{fR}=0.00
Compressione nel calcestruzzo: σ_c=17.39
CC 102 SLU (Collegamento -041_-375)
Azioni sul collegamento: N=-9110.88 Ty=-5.97 Tz=10.39 Mx=-0.01 Mz=-4.99
Sollecitazioni agenti localmente: Tx_l=-5.97 Ty_l=10.39 N_l=-9110.88 Mx_l=-0.00 My_l=-4.99 Mz_l=-0.01
Taglio nei bulloni: Fv,Ed=2.01 Fv,Rd=7720.78
Rifollamento lato piastra: Fb,Ed,p=2.01 Fb,Rd,p=8996.51
Tirafondi:LT=0.45 (0.31) σ_{cR}=0.00 σ_{fR}=0.00
Compressione nel calcestruzzo: σ_c=19.11
CC 103 SLU (Collegamento -041_-375)
Azioni sul collegamento: N=-8702.00 Ty=-5.50 Tz=8.94 Mx=-0.01 Mz=-4.53
Sollecitazioni agenti localmente: Tx_l=-5.50 Ty_l=8.94 N_l=-8702.00 Mx_l=-0.00 My_l=-4.53 Mz_l=-0.01
Taglio nei bulloni: Fv,Ed=1.76 Fv,Rd=7720.78
Rifollamento lato piastra: Fb,Ed,p=1.76 Fb,Rd,p=9453.60
Tirafondi:LT=0.45 (0.31) σ_{cR}=0.00 σ_{fR}=0.00
Compressione nel calcestruzzo: σ_c=18.23
CC 104 SLU (Collegamento -041_-375)
Azioni sul collegamento: N=-8703.78 Ty=-5.68 Tz=8.82 Mx=-0.01 Mz=-4.89
Sollecitazioni agenti localmente: Tx_l=-5.68 Ty_l=8.82 N_l=-8703.78 Mx_l=-0.00 My_l=-4.89 Mz_l=-0.01
Taglio nei bulloni: Fv,Ed=1.76 Fv,Rd=7720.78
Rifollamento lato piastra: Fb,Ed,p=1.76 Fb,Rd,p=9779.84
Tirafondi:LT=0.45 (0.31) σ_{cR}=0.00 σ_{fR}=0.00
Compressione nel calcestruzzo: σ_c=18.26

Saldatura profilo-piastra

CC 1 SLV (Collegamento -041_-375)
Azioni sul collegamento: N=-5965.50 Ty=-4.83 Tz=-1.56 Mx=0.01 Mz=-1.02
Sollecitazioni agenti localmente: Tx_l=-4.83 Ty_l=-1.56 N_l=-5965.50 My_l=1.02 Mz_l=0.01
Azioni sul cordone: TP=-0.37 TO=-0.13 NO=-440.97
Tensioni nel cordone: τ_P=0.12 τ_0= 0.04 σ_0=141.65 σ_{ID}=141.65 Σ_T=141.69
CC 1 SLV (Collegamento -041_-375)
Azioni sul collegamento: N=-5965.50 Ty=-12.58 Tz=-1.56 Mx=0.01 Mz=-7.43
Sollecitazioni agenti localmente: Tx_l=-12.58 Ty_l=-1.56 N_l=-5965.50 My_l=7.43 Mz_l=0.01
Azioni sul cordone: TP=-0.94 TO=-0.13 NO=-440.97
Tensioni nel cordone: τ_P=0.30 τ_0= 0.04 σ_0=151.01 σ_{ID}=151.01 Σ_T=151.05
CC 1 SLV (Collegamento -041_-375)
Azioni sul collegamento: N=-5965.50 Ty=-4.83 Tz=27.71 Mx=0.01 Mz=-1.02
Sollecitazioni agenti localmente: Tx_l=-4.83 Ty_l=27.71 N_l=-5965.50 My_l=1.02 Mz_l=0.01
Azioni sul cordone: TP=-0.37 TO=2.04 NO=-440.97
Tensioni nel cordone: τ_P=0.12 τ_0=0.65 σ_0=141.65 σ_{ID}=141.65 Σ_T=142.30
CC 1 SLV (Collegamento -041_-375)
Azioni sul collegamento: N=-5965.50 Ty=-12.58 Tz=27.71 Mx=0.01 Mz=-7.43
Sollecitazioni agenti localmente: Tx_l=-12.58 Ty_l=27.71 N_l=-5965.50 My_l=7.43 Mz_l=0.01
Azioni sul cordone: TP=-0.94 TO=2.04 NO=-440.97

Tensioni nel cordone: τ_P=0.30 τ_0=0.65 σ_0=151.01 σ_{ID}=151.01 Σ_T=151.66
CC 1 SLV (Collegamento -041_-375)
Azioni sul collegamento: N=-13808.10 Ty=-4.83 Tz=-1.56 Mx=0.01 Mz=-1.02
Sollecitazioni agenti localmente: Tx_l=-4.83 Ty_l=-1.56 N_l=-13808.10 My_l=1.02 Mz_l=0.01
Azioni sul cordone: TP=-0.37 TO=-0.13 NO=-1020.70
Tensioni nel cordone: τ_P=0.12 τ_0= 0.04 σ_0=325.92 σ_{ID}=325.92 Σ_T=325.96
CC 1 SLV (Collegamento -041_-375)
Azioni sul collegamento: N=-13808.10 Ty=-12.58 Tz=-1.56 Mx=0.01 Mz=-7.43
Sollecitazioni agenti localmente: Tx_l=-12.58 Ty_l=-1.56 N_l=-13808.10 My_l=7.43 Mz_l=0.01
Azioni sul cordone: TP=-0.94 TO=-0.13 NO=-1020.70
Tensioni nel cordone: τ_P=0.30 τ_0= 0.04 σ_0=335.28 σ_{ID}=335.28 Σ_T=335.32
CC 1 SLV (Collegamento -041_-375)
Azioni sul collegamento: N=-13808.10 Ty=-4.83 Tz=27.71 Mx=0.01 Mz=-1.02
Sollecitazioni agenti localmente: Tx_l=-4.83 Ty_l=27.71 N_l=-13808.10 My_l=1.02 Mz_l=0.01
Azioni sul cordone: TP=-0.37 TO=2.04 NO=-1020.70
Tensioni nel cordone: τ_P=0.12 τ_0=0.65 σ_0=325.92 σ_{ID}=325.92 Σ_T=326.57
CC 1 SLV (Collegamento -041_-375)
Azioni sul collegamento: N=-13808.10 Ty=-12.58 Tz=27.71 Mx=0.01 Mz=-7.43
Sollecitazioni agenti localmente: Tx_l=-12.58 Ty_l=27.71 N_l=-13808.10 My_l=7.43 Mz_l=0.01
Azioni sul cordone: TP=-0.94 TO=2.04 NO=-1020.70
Tensioni nel cordone: τ_P=0.30 τ_0=0.65 σ_0=335.28 σ_{ID}=335.28 Σ_T=335.93
CC 2 SLD (Collegamento -041_-375)
Azioni sul collegamento: N=-8788.68 Ty=-8.45 Tz=9.00 Mx=0.00 Mz=-5.38
Sollecitazioni agenti localmente: Tx_l=-8.45 Ty_l=9.00 N_l=-8788.68 My_l=5.38 Mz_l=0.00
Azioni sul cordone: TP=-0.63 TO=0.66 NO=-649.66
Tensioni nel cordone: τ_P=0.20 τ_0=0.21 σ_0=214.36 σ_{ID}=214.36 Σ_T=214.57
CC 2 SLD (Collegamento -041_-375)
Azioni sul collegamento: N=-8788.68 Ty=-10.81 Tz=9.00 Mx=0.00 Mz=-7.34
Sollecitazioni agenti localmente: Tx_l=-10.81 Ty_l=9.00 N_l=-8788.68 My_l=7.34 Mz_l=0.00
Azioni sul cordone: TP=-0.80 TO=0.66 NO=-649.66
Tensioni nel cordone: τ_P=0.25 τ_0=0.21 σ_0=217.21 σ_{ID}=217.21 Σ_T=217.42
CC 2 SLD (Collegamento -041_-375)
Azioni sul collegamento: N=-8788.68 Ty=-8.45 Tz=17.92 Mx=0.00 Mz=-5.38
Sollecitazioni agenti localmente: Tx_l=-8.45 Ty_l=17.92 N_l=-8788.68 My_l=5.38 Mz_l=0.00
Azioni sul cordone: TP=-0.63 TO=1.32 NO=-649.66
Tensioni nel cordone: τ_P=0.20 τ_0=0.42 σ_0=214.36 σ_{ID}=214.36 Σ_T=214.78
CC 2 SLD (Collegamento -041_-375)
Azioni sul collegamento: N=-8788.68 Ty=-10.81 Tz=17.92 Mx=0.00 Mz=-7.34
Sollecitazioni agenti localmente: Tx_l=-10.81 Ty_l=17.92 N_l=-8788.68 My_l=7.34 Mz_l=0.00
Azioni sul cordone: TP=-0.80 TO=1.32 NO=-649.66
Tensioni nel cordone: τ_P=0.25 τ_0=0.42 σ_0=217.21 σ_{ID}=217.21 Σ_T=217.63
CC 2 SLD (Collegamento -041_-375)
Azioni sul collegamento: N=-11180.10 Ty=-8.45 Tz=8.99 Mx=0.00 Mz=-5.38
Sollecitazioni agenti localmente: Tx_l=-8.45 Ty_l=8.99 N_l=-11180.10 My_l=5.38 Mz_l=0.00
Azioni sul cordone: TP=-0.63 TO=0.66 NO=-826.44
Tensioni nel cordone: τ_P=0.20 τ_0=0.21 σ_0=270.55 σ_{ID}=270.55 Σ_T=270.76
CC 2 SLD (Collegamento -041_-375)
Azioni sul collegamento: N=-11180.10 Ty=-10.81 Tz=8.99 Mx=0.00 Mz=-7.34
Sollecitazioni agenti localmente: Tx_l=-10.81 Ty_l=8.99 N_l=-11180.10 My_l=7.34 Mz_l=0.00
Azioni sul cordone: TP=-0.80 TO=0.66 NO=-826.44
Tensioni nel cordone: τ_P=0.25 τ_0=0.21 σ_0=273.40 σ_{ID}=273.40 Σ_T=273.61
CC 2 SLD (Collegamento -041_-375)
Azioni sul collegamento: N=-11180.10 Ty=-8.45 Tz=17.92 Mx=0.00 Mz=-5.38
Sollecitazioni agenti localmente: Tx_l=-8.45 Ty_l=17.92 N_l=-11180.10 My_l=5.38 Mz_l=0.00
Azioni sul cordone: TP=-0.63 TO=1.32 NO=-826.44
Tensioni nel cordone: τ_P=0.20 τ_0=0.42 σ_0=270.55 σ_{ID}=270.55 Σ_T=270.97
CC 2 SLD (Collegamento -041_-375)
Azioni sul collegamento: N=-11180.10 Ty=-10.81 Tz=17.92 Mx=0.00 Mz=-7.34
Sollecitazioni agenti localmente: Tx_l=-10.81 Ty_l=17.92 N_l=-11180.10 My_l=7.34 Mz_l=0.00
Azioni sul cordone: TP=-0.80 TO=1.32 NO=-826.44
Tensioni nel cordone: τ_P=0.25 τ_0=0.42 σ_0=273.40 σ_{ID}=273.40 Σ_T=273.82
CC 3 SLV (Collegamento -041_-375)
Azioni sul collegamento: N=-5970.40 Ty=-5.34 Tz=-1.24 Mx=0.01 Mz=-2.07
Sollecitazioni agenti localmente: Tx_l=-5.34 Ty_l=-1.24 N_l=-5970.40 My_l=2.07 Mz_l=0.01
Azioni sul cordone: TP=-0.40 TO=-0.10 NO=-441.33
Tensioni nel cordone: τ_P=0.13 τ_0= 0.03 σ_0=143.30 σ_{ID}=143.30 Σ_T=143.33
CC 3 SLV (Collegamento -041_-375)
Azioni sul collegamento: N=-5970.40 Ty=-12.07 Tz=-1.24 Mx=0.01 Mz=-6.38
Sollecitazioni agenti localmente: Tx_l=-12.07 Ty_l=-1.24 N_l=-5970.40 My_l=6.38 Mz_l=0.01
Azioni sul cordone: TP=-0.90 TO=-0.10 NO=-441.33
Tensioni nel cordone: τ_P=0.29 τ_0= 0.03 σ_0=149.59 σ_{ID}=149.59 Σ_T=149.63
CC 3 SLV (Collegamento -041_-375)
Azioni sul collegamento: N=-5970.40 Ty=-5.34 Tz=27.38 Mx=0.01 Mz=-2.07
Sollecitazioni agenti localmente: Tx_l=-5.34 Ty_l=27.38 N_l=-5970.40 My_l=2.07 Mz_l=0.01
Azioni sul cordone: TP=-0.40 TO=2.02 NO=-441.33
Tensioni nel cordone: τ_P=0.13 τ_0=0.64 σ_0=143.30 σ_{ID}=143.30 Σ_T=143.94
CC 3 SLV (Collegamento -041_-375)
Azioni sul collegamento: N=-5970.40 Ty=-12.07 Tz=27.38 Mx=0.01 Mz=-6.38
Sollecitazioni agenti localmente: Tx_l=-12.07 Ty_l=27.38 N_l=-5970.40 My_l=6.38 Mz_l=0.01

Azioni sul cordone: TP=-0.90 TO=2.02 NO=-441.33
Tensioni nel cordone: τ_P=0.29 τ_0=0.64 σ_0=149.59 σ_{ID}=149.60 Σ_T=150.24
CC 3 SLV (Collegamento -041_-375)
Azioni sul collegamento: N=-13803.30 Ty=-5.34 Tz=-1.24 Mx=0.01 Mz=-2.07
Sollecitazioni agenti localmente: Tx_l=-5.34 Ty_l=-1.24 N_l=-13803.30 My_l=2.07 Mz_l=0.01
Azioni sul cordone: TP=-0.40 TO=-0.10 NO=-1020.34
Tensioni nel cordone: τ_P=0.13 τ_0= 0.03 σ_0=327.33 σ_{ID}=327.33 Σ_T=327.36
CC 3 SLV (Collegamento -041_-375)
Azioni sul collegamento: N=-13803.30 Ty=-12.07 Tz=-1.24 Mx=0.01 Mz=-6.38
Sollecitazioni agenti localmente: Tx_l=-12.07 Ty_l=-1.24 N_l=-13803.30 My_l=6.38 Mz_l=0.01
Azioni sul cordone: TP=-0.90 TO=-0.10 NO=-1020.34
Tensioni nel cordone: τ_P=0.29 τ_0= 0.03 σ_0=333.63 σ_{ID}=333.63 Σ_T=333.66
CC 3 SLV (Collegamento -041_-375)
Azioni sul collegamento: N=-13803.30 Ty=-5.34 Tz=27.38 Mx=0.01 Mz=-2.07
Sollecitazioni agenti localmente: Tx_l=-5.34 Ty_l=27.38 N_l=-13803.30 My_l=2.07 Mz_l=0.01
Azioni sul cordone: TP=-0.40 TO=2.02 NO=-1020.34
Tensioni nel cordone: τ_P=0.13 τ_0=0.64 σ_0=327.33 σ_{ID}=327.33 Σ_T=327.98
CC 3 SLV (Collegamento -041_-375)
Azioni sul collegamento: N=-13803.30 Ty=-12.07 Tz=27.38 Mx=0.01 Mz=-6.38
Sollecitazioni agenti localmente: Tx_l=-12.07 Ty_l=27.38 N_l=-13803.30 My_l=6.38 Mz_l=0.01
Azioni sul cordone: TP=-0.90 TO=2.02 NO=-1020.34
Tensioni nel cordone: τ_P=0.29 τ_0=0.64 σ_0=333.63 σ_{ID}=333.63 Σ_T=334.27
CC 4 SLD (Collegamento -041_-375)
Azioni sul collegamento: N=-8790.17 Ty=-8.61 Tz=9.10 Mx=0.00 Mz=-5.70
Sollecitazioni agenti localmente: Tx_l=-8.61 Ty_l=9.10 N_l=-8790.17 My_l=5.70 Mz_l=0.00
Azioni sul cordone: TP=-0.64 TO=0.67 NO=-649.77
Tensioni nel cordone: τ_P=0.20 τ_0=0.21 σ_0=214.86 σ_{ID}=214.86 Σ_T=215.07
CC 4 SLD (Collegamento -041_-375)
Azioni sul collegamento: N=-8790.17 Ty=-10.66 Tz=9.10 Mx=0.00 Mz=-7.02
Sollecitazioni agenti localmente: Tx_l=-10.66 Ty_l=9.10 N_l=-8790.17 My_l=7.02 Mz_l=0.00
Azioni sul cordone: TP=-0.79 TO=0.67 NO=-649.77
Tensioni nel cordone: τ_P=0.25 τ_0=0.21 σ_0=216.78 σ_{ID}=216.78 Σ_T=217.00
CC 4 SLD (Collegamento -041_-375)
Azioni sul collegamento: N=-8790.17 Ty=-8.61 Tz=17.82 Mx=0.00 Mz=-5.70
Sollecitazioni agenti localmente: Tx_l=-8.61 Ty_l=17.82 N_l=-8790.17 My_l=5.70 Mz_l=0.00
Azioni sul cordone: TP=-0.64 TO=1.32 NO=-649.77
Tensioni nel cordone: τ_P=0.20 τ_0=0.42 σ_0=214.86 σ_{ID}=214.86 Σ_T=215.28
CC 4 SLD (Collegamento -041_-375)
Azioni sul collegamento: N=-8790.17 Ty=-10.66 Tz=17.82 Mx=0.00 Mz=-7.02
Sollecitazioni agenti localmente: Tx_l=-10.66 Ty_l=17.82 N_l=-8790.17 My_l=7.02 Mz_l=0.00
Azioni sul cordone: TP=-0.79 TO=1.32 NO=-649.77
Tensioni nel cordone: τ_P=0.25 τ_0=0.42 σ_0=216.78 σ_{ID}=216.78 Σ_T=217.20
CC 4 SLD (Collegamento -041_-375)
Azioni sul collegamento: N=-11178.70 Ty=-8.61 Tz=9.09 Mx=0.00 Mz=-5.70
Sollecitazioni agenti localmente: Tx_l=-8.61 Ty_l=9.09 N_l=-11178.70 My_l=5.70 Mz_l=0.00
Azioni sul cordone: TP=-0.64 TO=0.67 NO=-826.33
Tensioni nel cordone: τ_P=0.20 τ_0=0.21 σ_0=270.98 σ_{ID}=270.98 Σ_T=271.19
CC 4 SLD (Collegamento -041_-375)
Azioni sul collegamento: N=-11178.70 Ty=-10.66 Tz=9.09 Mx=0.00 Mz=-7.02
Sollecitazioni agenti localmente: Tx_l=-10.66 Ty_l=9.09 N_l=-11178.70 My_l=7.02 Mz_l=0.00
Azioni sul cordone: TP=-0.79 TO=0.67 NO=-826.33
Tensioni nel cordone: τ_P=0.25 τ_0=0.21 σ_0=272.90 σ_{ID}=272.90 Σ_T=273.11
CC 4 SLD (Collegamento -041_-375)
Azioni sul collegamento: N=-11178.70 Ty=-8.61 Tz=17.82 Mx=0.00 Mz=-5.70
Sollecitazioni agenti localmente: Tx_l=-8.61 Ty_l=17.82 N_l=-11178.70 My_l=5.70 Mz_l=0.00
Azioni sul cordone: TP=-0.64 TO=1.32 NO=-826.33
Tensioni nel cordone: τ_P=0.20 τ_0=0.42 σ_0=270.98 σ_{ID}=270.98 Σ_T=271.40
CC 4 SLD (Collegamento -041_-375)
Azioni sul collegamento: N=-11178.70 Ty=-10.66 Tz=17.82 Mx=0.00 Mz=-7.02
Sollecitazioni agenti localmente: Tx_l=-10.66 Ty_l=17.82 N_l=-11178.70 My_l=7.02 Mz_l=0.00
Azioni sul cordone: TP=-0.79 TO=1.32 NO=-826.33
Tensioni nel cordone: τ_P=0.25 τ_0=0.42 σ_0=272.90 σ_{ID}=272.90 Σ_T=273.32
CC 5 SLV (Collegamento -041_-375)
Azioni sul collegamento: N=-13803.30 Ty=-12.07 Tz=27.38 Mx=0.01 Mz=-6.38
Sollecitazioni agenti localmente: Tx_l=-12.07 Ty_l=27.38 N_l=-13803.30 My_l=6.38 Mz_l=0.01
Azioni sul cordone: TP=-0.91 TO=2.01 NO=-1020.34
Tensioni nel cordone: τ_P=0.29 τ_0=0.64 σ_0=333.63 σ_{ID}=333.63 Σ_T=334.27
CC 5 SLV (Collegamento -041_-375)
Azioni sul collegamento: N=-13803.30 Ty=-5.34 Tz=27.38 Mx=0.01 Mz=-2.07
Sollecitazioni agenti localmente: Tx_l=-5.34 Ty_l=27.38 N_l=-13803.30 My_l=2.07 Mz_l=0.01
Azioni sul cordone: TP=-0.41 TO=2.01 NO=-1020.34
Tensioni nel cordone: τ_P=0.13 τ_0=0.64 σ_0=327.33 σ_{ID}=327.33 Σ_T=327.97
CC 5 SLV (Collegamento -041_-375)
Azioni sul collegamento: N=-13803.30 Ty=-12.07 Tz=-1.24 Mx=0.01 Mz=-6.38
Sollecitazioni agenti localmente: Tx_l=-12.07 Ty_l=-1.24 N_l=-13803.30 My_l=6.38 Mz_l=0.01
Azioni sul cordone: TP=-0.91 TO=-0.10 NO=-1020.34
Tensioni nel cordone: τ_P=0.29 τ_0= 0.03 σ_0=333.63 σ_{ID}=333.63 Σ_T=333.66
CC 5 SLV (Collegamento -041_-375)
Azioni sul collegamento: N=-13803.30 Ty=-5.34 Tz=-1.24 Mx=0.01 Mz=-2.07

Sollecitazioni agenti localmente: Tx_l=-5.34 Ty_l=-1.24 N_l=-13803.30 My_l=2.07 Mz_l=0.01
Azioni sul cordone: TP=-0.41 TO=-0.10 NO=-1020.34
Tensioni nel cordone: τ_P=0.13 τ_0= 0.03 σ_0=327.33 σ_{ID}=327.33 Σ_T=327.37
CC 5 SLV (Collegamento -041_-375)
Azioni sul collegamento: N=-5970.40 Ty=-12.07 Tz=27.38 Mx=0.01 Mz=-6.38
Sollecitazioni agenti localmente: Tx_l=-12.07 Ty_l=27.38 N_l=-5970.40 My_l=6.38 Mz_l=0.01
Azioni sul cordone: TP=-0.91 TO=2.01 NO=-441.33
Tensioni nel cordone: τ_P=0.29 τ_0=0.64 σ_0=149.59 σ_{ID}=149.60 Σ_T=150.24
CC 5 SLV (Collegamento -041_-375)
Azioni sul collegamento: N=-5970.40 Ty=-5.34 Tz=27.38 Mx=0.01 Mz=-2.07
Sollecitazioni agenti localmente: Tx_l=-5.34 Ty_l=27.38 N_l=-5970.40 My_l=2.07 Mz_l=0.01
Azioni sul cordone: TP=-0.41 TO=2.01 NO=-441.33
Tensioni nel cordone: τ_P=0.13 τ_0=0.64 σ_0=143.30 σ_{ID}=143.30 Σ_T=143.94
CC 5 SLV (Collegamento -041_-375)
Azioni sul collegamento: N=-5970.40 Ty=-12.07 Tz=-1.24 Mx=0.01 Mz=-6.38
Sollecitazioni agenti localmente: Tx_l=-12.07 Ty_l=-1.24 N_l=-5970.40 My_l=6.38 Mz_l=0.01
Azioni sul cordone: TP=-0.91 TO=-0.10 NO=-441.33
Tensioni nel cordone: τ_P=0.29 τ_0= 0.03 σ_0=149.59 σ_{ID}=149.59 Σ_T=149.63
CC 5 SLV (Collegamento -041_-375)
Azioni sul collegamento: N=-5970.40 Ty=-5.34 Tz=-1.24 Mx=0.01 Mz=-2.07
Sollecitazioni agenti localmente: Tx_l=-5.34 Ty_l=-1.24 N_l=-5970.40 My_l=2.07 Mz_l=0.01
Azioni sul cordone: TP=-0.41 TO=-0.10 NO=-441.33
Tensioni nel cordone: τ_P=0.13 τ_0= 0.03 σ_0=143.30 σ_{ID}=143.30 Σ_T=143.33
CC 6 SLD (Collegamento -041_-375)
Azioni sul collegamento: N=-11178.70 Ty=-10.66 Tz=17.82 Mx=0.00 Mz=-7.02
Sollecitazioni agenti localmente: Tx_l=-10.66 Ty_l=17.82 N_l=-11178.70 My_l=7.02 Mz_l=0.00
Azioni sul cordone: TP=-0.79 TO=1.32 NO=-826.33
Tensioni nel cordone: τ_P=0.25 τ_0=0.42 σ_0=272.90 σ_{ID}=272.90 Σ_T=273.32
CC 6 SLD (Collegamento -041_-375)
Azioni sul collegamento: N=-11178.70 Ty=-8.61 Tz=17.82 Mx=0.00 Mz=-5.70
Sollecitazioni agenti localmente: Tx_l=-8.61 Ty_l=17.82 N_l=-11178.70 My_l=5.70 Mz_l=0.00
Azioni sul cordone: TP=-0.64 TO=1.32 NO=-826.33
Tensioni nel cordone: τ_P=0.20 τ_0=0.42 σ_0=270.98 σ_{ID}=270.98 Σ_T=271.40
CC 6 SLD (Collegamento -041_-375)
Azioni sul collegamento: N=-11178.70 Ty=-10.66 Tz=9.09 Mx=0.00 Mz=-7.02
Sollecitazioni agenti localmente: Tx_l=-10.66 Ty_l=9.09 N_l=-11178.70 My_l=7.02 Mz_l=0.00
Azioni sul cordone: TP=-0.79 TO=0.67 NO=-826.33
Tensioni nel cordone: τ_P=0.25 τ_0=0.21 σ_0=272.90 σ_{ID}=272.90 Σ_T=273.11
CC 6 SLD (Collegamento -041_-375)
Azioni sul collegamento: N=-11178.70 Ty=-8.61 Tz=9.09 Mx=0.00 Mz=-5.70
Sollecitazioni agenti localmente: Tx_l=-8.61 Ty_l=9.09 N_l=-11178.70 My_l=5.70 Mz_l=0.00
Azioni sul cordone: TP=-0.64 TO=0.67 NO=-826.33
Tensioni nel cordone: τ_P=0.20 τ_0=0.21 σ_0=270.98 σ_{ID}=270.98 Σ_T=271.19
CC 6 SLD (Collegamento -041_-375)
Azioni sul collegamento: N=-8790.17 Ty=-10.66 Tz=17.82 Mx=0.00 Mz=-7.02
Sollecitazioni agenti localmente: Tx_l=-10.66 Ty_l=17.82 N_l=-8790.17 My_l=7.02 Mz_l=0.00
Azioni sul cordone: TP=-0.79 TO=1.32 NO=-649.77
Tensioni nel cordone: τ_P=0.25 τ_0=0.42 σ_0=216.78 σ_{ID}=216.78 Σ_T=217.20
CC 6 SLD (Collegamento -041_-375)
Azioni sul collegamento: N=-8790.17 Ty=-8.61 Tz=17.82 Mx=0.00 Mz=-5.70
Sollecitazioni agenti localmente: Tx_l=-8.61 Ty_l=17.82 N_l=-8790.17 My_l=5.70 Mz_l=0.00
Azioni sul cordone: TP=-0.64 TO=1.32 NO=-649.77
Tensioni nel cordone: τ_P=0.20 τ_0=0.42 σ_0=214.86 σ_{ID}=214.86 Σ_T=215.28
CC 6 SLD (Collegamento -041_-375)
Azioni sul collegamento: N=-8790.17 Ty=-10.66 Tz=9.10 Mx=0.00 Mz=-7.02
Sollecitazioni agenti localmente: Tx_l=-10.66 Ty_l=9.10 N_l=-8790.17 My_l=7.02 Mz_l=0.00
Azioni sul cordone: TP=-0.79 TO=0.67 NO=-649.77
Tensioni nel cordone: τ_P=0.25 τ_0=0.21 σ_0=216.78 σ_{ID}=216.78 Σ_T=217.00
CC 6 SLD (Collegamento -041_-375)
Azioni sul collegamento: N=-8790.17 Ty=-8.61 Tz=9.10 Mx=0.00 Mz=-5.70
Sollecitazioni agenti localmente: Tx_l=-8.61 Ty_l=9.10 N_l=-8790.17 My_l=5.70 Mz_l=0.00
Azioni sul cordone: TP=-0.64 TO=0.67 NO=-649.77
Tensioni nel cordone: τ_P=0.20 τ_0=0.21 σ_0=214.86 σ_{ID}=214.86 Σ_T=215.07
CC 7 SLV (Collegamento -041_-375)
Azioni sul collegamento: N=-13808.10 Ty=-12.58 Tz=27.71 Mx=0.01 Mz=-7.43
Sollecitazioni agenti localmente: Tx_l=-12.58 Ty_l=27.71 N_l=-13808.10 My_l=7.43 Mz_l=0.01
Azioni sul cordone: TP=-0.94 TO=2.04 NO=-1020.70
Tensioni nel cordone: τ_P=0.30 τ_0=0.65 σ_0=335.28 σ_{ID}=335.28 Σ_T=335.93
CC 7 SLV (Collegamento -041_-375)
Azioni sul collegamento: N=-13808.10 Ty=-4.83 Tz=27.71 Mx=0.01 Mz=-1.02
Sollecitazioni agenti localmente: Tx_l=-4.83 Ty_l=27.71 N_l=-13808.10 My_l=1.02 Mz_l=0.01
Azioni sul cordone: TP=-0.37 TO=2.04 NO=-1020.70
Tensioni nel cordone: τ_P=0.12 τ_0=0.65 σ_0=325.92 σ_{ID}=325.92 Σ_T=326.57
CC 7 SLV (Collegamento -041_-375)
Azioni sul collegamento: N=-13808.10 Ty=-12.58 Tz=-1.56 Mx=0.01 Mz=-7.43
Sollecitazioni agenti localmente: Tx_l=-12.58 Ty_l=-1.56 N_l=-13808.10 My_l=7.43 Mz_l=0.01
Azioni sul cordone: TP=-0.94 TO=-0.12 NO=-1020.70
Tensioni nel cordone: τ_P=0.30 τ_0= 0.04 σ_0=335.28 σ_{ID}=335.28 Σ_T=335.32
CC 7 SLV (Collegamento -041_-375)

Azioni sul collegamento: N=-13808.10 Ty=-4.83 Tz=-1.56 Mx=0.01 Mz=-1.02
Sollecitazioni agenti localmente: Tx_l=-4.83 Ty_l=-1.56 N_l=-13808.10 My_l=1.02 Mz_l=0.01
Azioni sul cordone: TP=-0.37 TO=-0.12 NO=-1020.70
Tensioni nel cordone: τ_P=0.12 τ_0= 0.04 σ_0=325.92 σ_{ID}=325.92 Σ_T=325.96
CC 7 SLV (Collegamento -041_-375)
Azioni sul collegamento: N=-5965.50 Ty=-12.58 Tz=27.71 Mx=0.01 Mz=-7.43
Sollecitazioni agenti localmente: Tx_l=-12.58 Ty_l=27.71 N_l=-5965.50 My_l=7.43 Mz_l=0.01
Azioni sul cordone: TP=-0.94 TO=2.04 NO=-440.97
Tensioni nel cordone: τ_P=0.30 τ_0=0.65 σ_0=151.01 σ_{ID}=151.01 Σ_T=151.66
CC 7 SLV (Collegamento -041_-375)
Azioni sul collegamento: N=-5965.50 Ty=-4.83 Tz=27.71 Mx=0.01 Mz=-1.02
Sollecitazioni agenti localmente: Tx_l=-4.83 Ty_l=27.71 N_l=-5965.50 My_l=1.02 Mz_l=0.01
Azioni sul cordone: TP=-0.37 TO=2.04 NO=-440.97
Tensioni nel cordone: τ_P=0.12 τ_0=0.65 σ_0=141.65 σ_{ID}=141.65 Σ_T=142.30
CC 7 SLV (Collegamento -041_-375)
Azioni sul collegamento: N=-5965.50 Ty=-12.58 Tz=-1.56 Mx=0.01 Mz=-7.43
Sollecitazioni agenti localmente: Tx_l=-12.58 Ty_l=-1.56 N_l=-5965.50 My_l=7.43 Mz_l=0.01
Azioni sul cordone: TP=-0.94 TO=-0.12 NO=-440.97
Tensioni nel cordone: τ_P=0.30 τ_0= 0.04 σ_0=151.01 σ_{ID}=151.01 Σ_T=151.05
CC 7 SLV (Collegamento -041_-375)
Azioni sul collegamento: N=-5965.50 Ty=-4.83 Tz=-1.56 Mx=0.01 Mz=-1.02
Sollecitazioni agenti localmente: Tx_l=-4.83 Ty_l=-1.56 N_l=-5965.50 My_l=1.02 Mz_l=0.01
Azioni sul cordone: TP=-0.37 TO=-0.12 NO=-440.97
Tensioni nel cordone: τ_P=0.12 τ_0= 0.04 σ_0=141.65 σ_{ID}=141.65 Σ_T=141.69
CC 8 SLD (Collegamento -041_-375)
Azioni sul collegamento: N=-11180.10 Ty=-10.81 Tz=17.92 Mx=0.00 Mz=-7.34
Sollecitazioni agenti localmente: Tx_l=-10.81 Ty_l=17.92 N_l=-11180.10 My_l=7.34 Mz_l=0.00
Azioni sul cordone: TP=-0.80 TO=1.32 NO=-826.44
Tensioni nel cordone: τ_P=0.25 τ_0=0.42 σ_0=273.40 σ_{ID}=273.40 Σ_T=273.82
CC 8 SLD (Collegamento -041_-375)
Azioni sul collegamento: N=-11180.10 Ty=-8.45 Tz=17.92 Mx=0.00 Mz=-5.38
Sollecitazioni agenti localmente: Tx_l=-8.45 Ty_l=17.92 N_l=-11180.10 My_l=5.38 Mz_l=0.00
Azioni sul cordone: TP=-0.62 TO=1.32 NO=-826.44
Tensioni nel cordone: τ_P=0.20 τ_0=0.42 σ_0=270.55 σ_{ID}=270.55 Σ_T=270.97
CC 8 SLD (Collegamento -041_-375)
Azioni sul collegamento: N=-11180.10 Ty=-10.81 Tz=8.99 Mx=0.00 Mz=-7.34
Sollecitazioni agenti localmente: Tx_l=-10.81 Ty_l=8.99 N_l=-11180.10 My_l=7.34 Mz_l=0.00
Azioni sul cordone: TP=-0.80 TO=0.66 NO=-826.44
Tensioni nel cordone: τ_P=0.25 τ_0=0.21 σ_0=273.40 σ_{ID}=273.40 Σ_T=273.61
CC 8 SLD (Collegamento -041_-375)
Azioni sul collegamento: N=-11180.10 Ty=-8.45 Tz=8.99 Mx=0.00 Mz=-5.38
Sollecitazioni agenti localmente: Tx_l=-8.45 Ty_l=8.99 N_l=-11180.10 My_l=5.38 Mz_l=0.00
Azioni sul cordone: TP=-0.62 TO=0.66 NO=-826.44
Tensioni nel cordone: τ_P=0.20 τ_0=0.21 σ_0=270.55 σ_{ID}=270.55 Σ_T=270.76
CC 8 SLD (Collegamento -041_-375)
Azioni sul collegamento: N=-8788.68 Ty=-10.81 Tz=17.92 Mx=0.00 Mz=-7.34
Sollecitazioni agenti localmente: Tx_l=-10.81 Ty_l=17.92 N_l=-8788.68 My_l=7.34 Mz_l=0.00
Azioni sul cordone: TP=-0.80 TO=1.32 NO=-649.66
Tensioni nel cordone: τ_P=0.25 τ_0=0.42 σ_0=217.21 σ_{ID}=217.21 Σ_T=217.63
CC 8 SLD (Collegamento -041_-375)
Azioni sul collegamento: N=-8788.68 Ty=-8.45 Tz=17.92 Mx=0.00 Mz=-5.38
Sollecitazioni agenti localmente: Tx_l=-8.45 Ty_l=17.92 N_l=-8788.68 My_l=5.38 Mz_l=0.00
Azioni sul cordone: TP=-0.62 TO=1.32 NO=-649.66
Tensioni nel cordone: τ_P=0.20 τ_0=0.42 σ_0=214.36 σ_{ID}=214.36 Σ_T=214.78
CC 8 SLD (Collegamento -041_-375)
Azioni sul collegamento: N=-8788.68 Ty=-10.81 Tz=9.00 Mx=0.00 Mz=-7.34
Sollecitazioni agenti localmente: Tx_l=-10.81 Ty_l=9.00 N_l=-8788.68 My_l=7.34 Mz_l=0.00
Azioni sul cordone: TP=-0.80 TO=0.66 NO=-649.66
Tensioni nel cordone: τ_P=0.25 τ_0=0.21 σ_0=217.21 σ_{ID}=217.21 Σ_T=217.43
CC 8 SLD (Collegamento -041_-375)
Azioni sul collegamento: N=-8788.68 Ty=-8.45 Tz=9.00 Mx=0.00 Mz=-5.38
Sollecitazioni agenti localmente: Tx_l=-8.45 Ty_l=9.00 N_l=-8788.68 My_l=5.38 Mz_l=0.00
Azioni sul cordone: TP=-0.62 TO=0.66 NO=-649.66
Tensioni nel cordone: τ_P=0.20 τ_0=0.21 σ_0=214.36 σ_{ID}=214.36 Σ_T=214.57
CC 9 SLV (Collegamento -041_-375)
Azioni sul collegamento: N=-8703.00 Ty=-6.76 Tz=8.19 Mx=0.02 Mz=-1.67
Sollecitazioni agenti localmente: Tx_l=-6.76 Ty_l=8.19 N_l=-8703.00 My_l=1.67 Mz_l=0.02
Azioni sul cordone: TP=-0.52 TO=0.59 NO=-643.33
Tensioni nel cordone: τ_P=0.17 τ_0=0.19 σ_0=206.93 σ_{ID}=206.93 Σ_T=207.11
CC 9 SLV (Collegamento -041_-375)
Azioni sul collegamento: N=-8703.00 Ty=-10.65 Tz=8.19 Mx=0.02 Mz=-6.77
Sollecitazioni agenti localmente: Tx_l=-10.65 Ty_l=8.19 N_l=-8703.00 My_l=6.77 Mz_l=0.02
Azioni sul cordone: TP=-0.81 TO=0.59 NO=-643.33
Tensioni nel cordone: τ_P=0.26 τ_0=0.19 σ_0=214.38 σ_{ID}=214.38 Σ_T=214.56
CC 9 SLV (Collegamento -041_-375)
Azioni sul collegamento: N=-8703.00 Ty=-6.76 Tz=17.96 Mx=0.02 Mz=-1.67
Sollecitazioni agenti localmente: Tx_l=-6.76 Ty_l=17.96 N_l=-8703.00 My_l=1.67 Mz_l=0.02
Azioni sul cordone: TP=-0.52 TO=1.31 NO=-643.33
Tensioni nel cordone: τ_P=0.17 τ_0=0.42 σ_0=206.93 σ_{ID}=206.93 Σ_T=207.34

CC 9 SLV (Collegamento -041_-375)
Azioni sul collegamento: N=-8703.00 Ty=-10.65 Tz=17.96 Mx=0.02 Mz=-6.77
Sollecitazioni agenti localmente: Tx_l=-10.65 Ty_l=17.96 N_l=-8703.00 My_l=6.77 Mz_l=0.02
Azioni sul cordone: TP=-0.81 TO=1.31 NO=-643.33
Tensioni nel cordone: τ_P=0.26 τ_0=0.42 σ_0=214.38 σ_{ID}=214.38 Σ_T=214.79
CC 9 SLV (Collegamento -041_-375)
Azioni sul collegamento: N=-11070.70 Ty=-6.76 Tz=8.19 Mx=0.02 Mz=-1.67
Sollecitazioni agenti localmente: Tx_l=-6.76 Ty_l=8.19 N_l=-11070.70 My_l=1.67 Mz_l=0.02
Azioni sul cordone: TP=-0.52 TO=0.59 NO=-818.35
Tensioni nel cordone: τ_P=0.17 τ_0=0.19 σ_0=262.55 σ_{ID}=262.55 Σ_T=262.74
CC 9 SLV (Collegamento -041_-375)
Azioni sul collegamento: N=-11070.70 Ty=-10.65 Tz=8.19 Mx=0.02 Mz=-6.77
Sollecitazioni agenti localmente: Tx_l=-10.65 Ty_l=8.19 N_l=-11070.70 My_l=6.77 Mz_l=0.02
Azioni sul cordone: TP=-0.81 TO=0.59 NO=-818.35
Tensioni nel cordone: τ_P=0.26 τ_0=0.19 σ_0=270.00 σ_{ID}=270.00 Σ_T=270.19
CC 9 SLV (Collegamento -041_-375)
Azioni sul collegamento: N=-11070.70 Ty=-6.76 Tz=17.96 Mx=0.02 Mz=-1.67
Sollecitazioni agenti localmente: Tx_l=-6.76 Ty_l=17.96 N_l=-11070.70 My_l=1.67 Mz_l=0.02
Azioni sul cordone: TP=-0.52 TO=1.31 NO=-818.35
Tensioni nel cordone: τ_P=0.17 τ_0=0.42 σ_0=262.55 σ_{ID}=262.55 Σ_T=262.97
CC 9 SLV (Collegamento -041_-375)
Azioni sul collegamento: N=-11070.70 Ty=-10.65 Tz=17.96 Mx=0.02 Mz=-6.77
Sollecitazioni agenti localmente: Tx_l=-10.65 Ty_l=17.96 N_l=-11070.70 My_l=6.77 Mz_l=0.02
Azioni sul cordone: TP=-0.81 TO=1.31 NO=-818.35
Tensioni nel cordone: τ_P=0.26 τ_0=0.42 σ_0=270.00 σ_{ID}=270.00 Σ_T=270.42
CC 10 SLD (Collegamento -041_-375)
Azioni sul collegamento: N=-9623.43 Ty=-9.04 Tz=11.97 Mx=0.00 Mz=-5.58
Sollecitazioni agenti localmente: Tx_l=-9.04 Ty_l=11.97 N_l=-9623.43 My_l=5.58 Mz_l=0.00
Azioni sul cordone: TP=-0.67 TO=0.88 NO=-711.37
Tensioni nel cordone: τ_P=0.21 τ_0=0.28 σ_0=234.26 σ_{ID}=234.26 Σ_T=234.54
CC 10 SLD (Collegamento -041_-375)
Azioni sul collegamento: N=-9623.43 Ty=-10.22 Tz=11.97 Mx=0.00 Mz=-7.14
Sollecitazioni agenti localmente: Tx_l=-10.22 Ty_l=11.97 N_l=-9623.43 My_l=7.14 Mz_l=0.00
Azioni sul cordone: TP=-0.76 TO=0.88 NO=-711.37
Tensioni nel cordone: τ_P=0.24 τ_0=0.28 σ_0=236.53 σ_{ID}=236.54 Σ_T=236.82
CC 10 SLD (Collegamento -041_-375)
Azioni sul collegamento: N=-9623.43 Ty=-9.04 Tz=14.95 Mx=0.00 Mz=-5.58
Sollecitazioni agenti localmente: Tx_l=-9.04 Ty_l=14.95 N_l=-9623.43 My_l=5.58 Mz_l=0.00
Azioni sul cordone: TP=-0.67 TO=1.10 NO=-711.37
Tensioni nel cordone: τ_P=0.21 τ_0=0.35 σ_0=234.26 σ_{ID}=234.26 Σ_T=234.61
CC 10 SLD (Collegamento -041_-375)
Azioni sul collegamento: N=-9623.43 Ty=-10.22 Tz=14.95 Mx=0.00 Mz=-7.14
Sollecitazioni agenti localmente: Tx_l=-10.22 Ty_l=14.95 N_l=-9623.43 My_l=7.14 Mz_l=0.00
Azioni sul cordone: TP=-0.76 TO=1.10 NO=-711.37
Tensioni nel cordone: τ_P=0.24 τ_0=0.35 σ_0=236.53 σ_{ID}=236.54 Σ_T=236.89
CC 10 SLD (Collegamento -041_-375)
Azioni sul collegamento: N=-10345.40 Ty=-9.04 Tz=11.97 Mx=0.00 Mz=-5.58
Sollecitazioni agenti localmente: Tx_l=-9.04 Ty_l=11.97 N_l=-10345.40 My_l=5.58 Mz_l=0.00
Azioni sul cordone: TP=-0.67 TO=0.88 NO=-764.74
Tensioni nel cordone: τ_P=0.21 τ_0=0.28 σ_0=251.23 σ_{ID}=251.23 Σ_T=251.51
CC 10 SLD (Collegamento -041_-375)
Azioni sul collegamento: N=-10345.40 Ty=-10.22 Tz=11.97 Mx=0.00 Mz=-7.14
Sollecitazioni agenti localmente: Tx_l=-10.22 Ty_l=11.97 N_l=-10345.40 My_l=7.14 Mz_l=0.00
Azioni sul cordone: TP=-0.76 TO=0.88 NO=-764.74
Tensioni nel cordone: τ_P=0.24 τ_0=0.28 σ_0=253.50 σ_{ID}=253.50 Σ_T=253.78
CC 10 SLD (Collegamento -041_-375)
Azioni sul collegamento: N=-10345.40 Ty=-9.04 Tz=14.95 Mx=0.00 Mz=-5.58
Sollecitazioni agenti localmente: Tx_l=-9.04 Ty_l=14.95 N_l=-10345.40 My_l=5.58 Mz_l=0.00
Azioni sul cordone: TP=-0.67 TO=1.10 NO=-764.74
Tensioni nel cordone: τ_P=0.21 τ_0=0.35 σ_0=251.23 σ_{ID}=251.23 Σ_T=251.58
CC 10 SLD (Collegamento -041_-375)
Azioni sul collegamento: N=-10345.40 Ty=-10.22 Tz=14.95 Mx=0.00 Mz=-7.14
Sollecitazioni agenti localmente: Tx_l=-10.22 Ty_l=14.95 N_l=-10345.40 My_l=7.14 Mz_l=0.00
Azioni sul cordone: TP=-0.76 TO=1.10 NO=-764.74
Tensioni nel cordone: τ_P=0.24 τ_0=0.35 σ_0=253.50 σ_{ID}=253.50 Σ_T=253.85
CC 11 SLV (Collegamento -041_-375)
Azioni sul collegamento: N=-11054.30 Ty=-8.94 Tz=16.87 Mx=0.02 Mz=-3.28
Sollecitazioni agenti localmente: Tx_l=-8.94 Ty_l=16.87 N_l=-11054.30 My_l=3.28 Mz_l=0.02
Azioni sul cordone: TP=-0.68 TO=1.23 NO=-817.14
Tensioni nel cordone: τ_P=0.22 τ_0=0.39 σ_0=264.52 σ_{ID}=264.52 Σ_T=264.91
CC 11 SLV (Collegamento -041_-375)
Azioni sul collegamento: N=-11054.30 Ty=-8.48 Tz=16.87 Mx=0.02 Mz=-5.16
Sollecitazioni agenti localmente: Tx_l=-8.48 Ty_l=16.87 N_l=-11054.30 My_l=5.16 Mz_l=0.02
Azioni sul cordone: TP=-0.65 TO=1.23 NO=-817.14
Tensioni nel cordone: τ_P=0.21 τ_0=0.39 σ_0=267.27 σ_{ID}=267.27 Σ_T=267.66
CC 11 SLV (Collegamento -041_-375)
Azioni sul collegamento: N=-11054.30 Ty=-8.94 Tz=9.28 Mx=0.02 Mz=-3.28
Sollecitazioni agenti localmente: Tx_l=-8.94 Ty_l=9.28 N_l=-11054.30 My_l=3.28 Mz_l=0.02
Azioni sul cordone: TP=-0.68 TO=0.67 NO=-817.14

Tensioni nel cordone: τ_P=0.22 τ_0=0.21 σ_0=264.52 σ_{ID}=264.52 Σ_T=264.73
CC 11 SLV (Collegamento -041_-375)
Azioni sul collegamento: N=-11054.30 Ty=-8.48 Tz=9.28 Mx=0.02 Mz=-5.16
Sollecitazioni agenti localmente: Tx_l=-8.48 Ty_l=9.28 N_l=-11054.30 My_l=5.16 Mz_l=0.02
Azioni sul cordone: TP=-0.65 TO=0.67 NO=-817.14
Tensioni nel cordone: τ_P=0.21 τ_0=0.21 σ_0=267.27 σ_{ID}=267.27 Σ_T=267.49
CC 11 SLV (Collegamento -041_-375)
Azioni sul collegamento: N=-8719.33 Ty=-8.94 Tz=16.87 Mx=0.02 Mz=-3.28
Sollecitazioni agenti localmente: Tx_l=-8.94 Ty_l=16.87 N_l=-8719.33 My_l=3.28 Mz_l=0.02
Azioni sul cordone: TP=-0.68 TO=1.23 NO=-644.53
Tensioni nel cordone: τ_P=0.22 τ_0=0.39 σ_0=209.66 σ_{ID}=209.66 Σ_T=210.05
CC 11 SLV (Collegamento -041_-375)
Azioni sul collegamento: N=-8719.33 Ty=-8.48 Tz=16.87 Mx=0.02 Mz=-5.16
Sollecitazioni agenti localmente: Tx_l=-8.48 Ty_l=16.87 N_l=-8719.33 My_l=5.16 Mz_l=0.02
Azioni sul cordone: TP=-0.65 TO=1.23 NO=-644.53
Tensioni nel cordone: τ_P=0.21 τ_0=0.39 σ_0=212.41 σ_{ID}=212.41 Σ_T=212.80
CC 11 SLV (Collegamento -041_-375)
Azioni sul collegamento: N=-8719.33 Ty=-8.94 Tz=9.28 Mx=0.02 Mz=-3.28
Sollecitazioni agenti localmente: Tx_l=-8.94 Ty_l=9.28 N_l=-8719.33 My_l=3.28 Mz_l=0.02
Azioni sul cordone: TP=-0.68 TO=0.67 NO=-644.53
Tensioni nel cordone: τ_P=0.22 τ_0=0.21 σ_0=209.66 σ_{ID}=209.66 Σ_T=209.87
CC 11 SLV (Collegamento -041_-375)
Azioni sul collegamento: N=-8719.33 Ty=-8.48 Tz=9.28 Mx=0.02 Mz=-5.16
Sollecitazioni agenti localmente: Tx_l=-8.48 Ty_l=9.28 N_l=-8719.33 My_l=5.16 Mz_l=0.02
Azioni sul cordone: TP=-0.65 TO=0.67 NO=-644.53
Tensioni nel cordone: τ_P=0.21 τ_0=0.21 σ_0=212.41 σ_{ID}=212.41 Σ_T=212.62
CC 12 SLD (Collegamento -041_-375)
Azioni sul collegamento: N=-10340.40 Ty=-9.70 Tz=14.62 Mx=0.00 Mz=-6.07
Sollecitazioni agenti localmente: Tx_l=-9.70 Ty_l=14.62 N_l=-10340.40 My_l=6.07 Mz_l=0.00
Azioni sul cordone: TP=-0.72 TO=1.08 NO=-764.37
Tensioni nel cordone: τ_P=0.23 τ_0=0.34 σ_0=251.83 σ_{ID}=251.83 Σ_T=252.17
CC 12 SLD (Collegamento -041_-375)
Azioni sul collegamento: N=-10340.40 Ty=-9.56 Tz=14.62 Mx=0.00 Mz=-6.65
Sollecitazioni agenti localmente: Tx_l=-9.56 Ty_l=14.62 N_l=-10340.40 My_l=6.65 Mz_l=0.00
Azioni sul cordone: TP=-0.71 TO=1.08 NO=-764.37
Tensioni nel cordone: τ_P=0.23 τ_0=0.34 σ_0=252.66 σ_{ID}=252.67 Σ_T=253.01
CC 12 SLD (Collegamento -041_-375)
Azioni sul collegamento: N=-10340.40 Ty=-9.70 Tz=12.30 Mx=0.00 Mz=-6.07
Sollecitazioni agenti localmente: Tx_l=-9.70 Ty_l=12.30 N_l=-10340.40 My_l=6.07 Mz_l=0.00
Azioni sul cordone: TP=-0.72 TO=0.91 NO=-764.37
Tensioni nel cordone: τ_P=0.23 τ_0=0.29 σ_0=251.83 σ_{ID}=251.83 Σ_T=252.11
CC 12 SLD (Collegamento -041_-375)
Azioni sul collegamento: N=-10340.40 Ty=-9.56 Tz=12.30 Mx=0.00 Mz=-6.65
Sollecitazioni agenti localmente: Tx_l=-9.56 Ty_l=12.30 N_l=-10340.40 My_l=6.65 Mz_l=0.00
Azioni sul cordone: TP=-0.71 TO=0.91 NO=-764.37
Tensioni nel cordone: τ_P=0.23 τ_0=0.29 σ_0=252.66 σ_{ID}=252.67 Σ_T=252.95
CC 12 SLD (Collegamento -041_-375)
Azioni sul collegamento: N=-9628.41 Ty=-9.70 Tz=14.62 Mx=0.00 Mz=-6.07
Sollecitazioni agenti localmente: Tx_l=-9.70 Ty_l=14.62 N_l=-9628.41 My_l=6.07 Mz_l=0.00
Azioni sul cordone: TP=-0.72 TO=1.08 NO=-711.74
Tensioni nel cordone: τ_P=0.23 τ_0=0.34 σ_0=235.10 σ_{ID}=235.10 Σ_T=235.44
CC 12 SLD (Collegamento -041_-375)
Azioni sul collegamento: N=-9628.41 Ty=-9.56 Tz=14.62 Mx=0.00 Mz=-6.65
Sollecitazioni agenti localmente: Tx_l=-9.56 Ty_l=14.62 N_l=-9628.41 My_l=6.65 Mz_l=0.00
Azioni sul cordone: TP=-0.71 TO=1.08 NO=-711.74
Tensioni nel cordone: τ_P=0.23 τ_0=0.34 σ_0=235.94 σ_{ID}=235.94 Σ_T=236.28
CC 12 SLD (Collegamento -041_-375)
Azioni sul collegamento: N=-9628.40 Ty=-9.70 Tz=12.30 Mx=0.00 Mz=-6.07
Sollecitazioni agenti localmente: Tx_l=-9.70 Ty_l=12.30 N_l=-9628.40 My_l=6.07 Mz_l=0.00
Azioni sul cordone: TP=-0.72 TO=0.91 NO=-711.73
Tensioni nel cordone: τ_P=0.23 τ_0=0.29 σ_0=235.10 σ_{ID}=235.10 Σ_T=235.38
CC 12 SLD (Collegamento -041_-375)
Azioni sul collegamento: N=-9628.40 Ty=-9.56 Tz=12.30 Mx=0.00 Mz=-6.65
Sollecitazioni agenti localmente: Tx_l=-9.56 Ty_l=12.30 N_l=-9628.40 My_l=6.65 Mz_l=0.00
Azioni sul cordone: TP=-0.71 TO=0.91 NO=-711.73
Tensioni nel cordone: τ_P=0.23 τ_0=0.29 σ_0=235.94 σ_{ID}=235.94 Σ_T=236.22
CC 13 SLV (Collegamento -041_-375)
Azioni sul collegamento: N=-8719.33 Ty=-8.48 Tz=9.28 Mx=0.00 Mz=-5.16
Sollecitazioni agenti localmente: Tx_l=-8.48 Ty_l=9.28 N_l=-8719.33 My_l=5.16 Mz_l=0.00
Azioni sul cordone: TP=-0.63 TO=0.68 NO=-644.53
Tensioni nel cordone: τ_P=0.20 τ_0=0.22 σ_0=212.41 σ_{ID}=212.41 Σ_T=212.63
CC 13 SLV (Collegamento -041_-375)
Azioni sul collegamento: N=-8719.33 Ty=-8.94 Tz=9.28 Mx=0.00 Mz=-3.28
Sollecitazioni agenti localmente: Tx_l=-8.94 Ty_l=9.28 N_l=-8719.33 My_l=3.28 Mz_l=0.00
Azioni sul cordone: TP=-0.66 TO=0.68 NO=-644.53
Tensioni nel cordone: τ_P=0.21 τ_0=0.22 σ_0=209.66 σ_{ID}=209.66 Σ_T=209.87
CC 13 SLV (Collegamento -041_-375)
Azioni sul collegamento: N=-8719.33 Ty=-8.48 Tz=16.87 Mx=0.00 Mz=-5.16
Sollecitazioni agenti localmente: Tx_l=-8.48 Ty_l=16.87 N_l=-8719.33 My_l=5.16 Mz_l=0.00

Azioni sul cordone: TP=-0.63 TO=1.25 NO=-644.53
Tensioni nel cordone: τ_P=0.20 τ_O=0.40 σ_O=212.41 σ_{ID}=212.41 Σ_T=212.81
CC 13 SLV (Collegamento -041_-375)
Azioni sul collegamento: N=-8719.33 Ty=-8.94 Tz=16.87 Mx=0.00 Mz=-3.28
Sollecitazioni agenti localmente: Tx_l=-8.94 Ty_l=16.87 N_l=-8719.33 My_l=3.28 Mz_l=0.00
Azioni sul cordone: TP=-0.66 TO=1.25 NO=-644.53
Tensioni nel cordone: τ_P=0.21 τ_O=0.40 σ_O=209.66 σ_{ID}=209.66 Σ_T=210.05
CC 13 SLV (Collegamento -041_-375)
Azioni sul collegamento: N=-11054.30 Ty=-8.48 Tz=9.28 Mx=0.00 Mz=-5.16
Sollecitazioni agenti localmente: Tx_l=-8.48 Ty_l=9.28 N_l=-11054.30 My_l=5.16 Mz_l=0.00
Azioni sul cordone: TP=-0.63 TO=0.68 NO=-817.14
Tensioni nel cordone: τ_P=0.20 τ_O=0.22 σ_O=267.27 σ_{ID}=267.27 Σ_T=267.49
CC 13 SLV (Collegamento -041_-375)
Azioni sul collegamento: N=-11054.30 Ty=-8.94 Tz=9.28 Mx=0.00 Mz=-3.28
Sollecitazioni agenti localmente: Tx_l=-8.94 Ty_l=9.28 N_l=-11054.30 My_l=3.28 Mz_l=0.00
Azioni sul cordone: TP=-0.66 TO=0.68 NO=-817.14
Tensioni nel cordone: τ_P=0.21 τ_O=0.22 σ_O=264.52 σ_{ID}=264.52 Σ_T=264.74
CC 13 SLV (Collegamento -041_-375)
Azioni sul collegamento: N=-11054.30 Ty=-8.48 Tz=16.87 Mx=0.00 Mz=-5.16
Sollecitazioni agenti localmente: Tx_l=-8.48 Ty_l=16.87 N_l=-11054.30 My_l=5.16 Mz_l=0.00
Azioni sul cordone: TP=-0.63 TO=1.25 NO=-817.14
Tensioni nel cordone: τ_P=0.20 τ_O=0.40 σ_O=267.27 σ_{ID}=267.27 Σ_T=267.67
CC 13 SLV (Collegamento -041_-375)
Azioni sul collegamento: N=-11054.30 Ty=-8.94 Tz=16.87 Mx=0.00 Mz=-3.28
Sollecitazioni agenti localmente: Tx_l=-8.94 Ty_l=16.87 N_l=-11054.30 My_l=3.28 Mz_l=0.00
Azioni sul cordone: TP=-0.66 TO=1.25 NO=-817.14
Tensioni nel cordone: τ_P=0.21 τ_O=0.40 σ_O=264.52 σ_{ID}=264.52 Σ_T=264.92
CC 14 SLD (Collegamento -041_-375)
Azioni sul collegamento: N=-9628.40 Ty=-9.56 Tz=12.30 Mx=-0.00 Mz=-6.65
Sollecitazioni agenti localmente: Tx_l=-9.56 Ty_l=12.30 N_l=-9628.40 My_l=6.65 Mz_l=-0.00
Azioni sul cordone: TP=-0.71 TO=0.91 NO=-711.73
Tensioni nel cordone: τ_P=0.22 τ_O=0.29 σ_O=235.94 σ_{ID}=235.94 Σ_T=236.23
CC 14 SLD (Collegamento -041_-375)
Azioni sul collegamento: N=-9628.40 Ty=-9.70 Tz=12.30 Mx=-0.00 Mz=-6.07
Sollecitazioni agenti localmente: Tx_l=-9.70 Ty_l=12.30 N_l=-9628.40 My_l=6.07 Mz_l=-0.00
Azioni sul cordone: TP=-0.72 TO=0.91 NO=-711.73
Tensioni nel cordone: τ_P=0.23 τ_O=0.29 σ_O=235.10 σ_{ID}=235.10 Σ_T=235.39
CC 14 SLD (Collegamento -041_-375)
Azioni sul collegamento: N=-9628.41 Ty=-9.56 Tz=14.62 Mx=-0.00 Mz=-6.65
Sollecitazioni agenti localmente: Tx_l=-9.56 Ty_l=14.62 N_l=-9628.41 My_l=6.65 Mz_l=-0.00
Azioni sul cordone: TP=-0.71 TO=1.08 NO=-711.74
Tensioni nel cordone: τ_P=0.22 τ_O=0.34 σ_O=235.94 σ_{ID}=235.94 Σ_T=236.28
CC 14 SLD (Collegamento -041_-375)
Azioni sul collegamento: N=-9628.41 Ty=-9.70 Tz=14.62 Mx=-0.00 Mz=-6.07
Sollecitazioni agenti localmente: Tx_l=-9.70 Ty_l=14.62 N_l=-9628.41 My_l=6.07 Mz_l=-0.00
Azioni sul cordone: TP=-0.72 TO=1.08 NO=-711.74
Tensioni nel cordone: τ_P=0.23 τ_O=0.34 σ_O=235.10 σ_{ID}=235.10 Σ_T=235.44
CC 14 SLD (Collegamento -041_-375)
Azioni sul collegamento: N=-10340.40 Ty=-9.56 Tz=12.30 Mx=-0.00 Mz=-6.65
Sollecitazioni agenti localmente: Tx_l=-9.56 Ty_l=12.30 N_l=-10340.40 My_l=6.65 Mz_l=-0.00
Azioni sul cordone: TP=-0.71 TO=0.91 NO=-764.37
Tensioni nel cordone: τ_P=0.22 τ_O=0.29 σ_O=252.66 σ_{ID}=252.67 Σ_T=252.96
CC 14 SLD (Collegamento -041_-375)
Azioni sul collegamento: N=-10340.40 Ty=-9.70 Tz=12.30 Mx=-0.00 Mz=-6.07
Sollecitazioni agenti localmente: Tx_l=-9.70 Ty_l=12.30 N_l=-10340.40 My_l=6.07 Mz_l=-0.00
Azioni sul cordone: TP=-0.72 TO=0.91 NO=-764.37
Tensioni nel cordone: τ_P=0.23 τ_O=0.29 σ_O=251.83 σ_{ID}=251.83 Σ_T=252.12
CC 14 SLD (Collegamento -041_-375)
Azioni sul collegamento: N=-10340.40 Ty=-9.56 Tz=14.62 Mx=-0.00 Mz=-6.65
Sollecitazioni agenti localmente: Tx_l=-9.56 Ty_l=14.62 N_l=-10340.40 My_l=6.65 Mz_l=-0.00
Azioni sul cordone: TP=-0.71 TO=1.08 NO=-764.37
Tensioni nel cordone: τ_P=0.22 τ_O=0.34 σ_O=252.66 σ_{ID}=252.67 Σ_T=253.01
CC 14 SLD (Collegamento -041_-375)
Azioni sul collegamento: N=-10340.40 Ty=-9.70 Tz=14.62 Mx=-0.00 Mz=-6.07
Sollecitazioni agenti localmente: Tx_l=-9.70 Ty_l=14.62 N_l=-10340.40 My_l=6.07 Mz_l=-0.00
Azioni sul cordone: TP=-0.72 TO=1.08 NO=-764.37
Tensioni nel cordone: τ_P=0.23 τ_O=0.34 σ_O=251.83 σ_{ID}=251.83 Σ_T=252.17
CC 15 SLV (Collegamento -041_-375)
Azioni sul collegamento: N=-11070.70 Ty=-10.65 Tz=17.96 Mx=0.00 Mz=-6.77
Sollecitazioni agenti localmente: Tx_l=-10.65 Ty_l=17.96 N_l=-11070.70 My_l=6.77 Mz_l=0.00
Azioni sul cordone: TP=-0.79 TO=1.33 NO=-818.35
Tensioni nel cordone: τ_P=0.25 τ_O=0.42 σ_O=270.00 σ_{ID}=270.00 Σ_T=270.43
CC 15 SLV (Collegamento -041_-375)
Azioni sul collegamento: N=-11070.70 Ty=-6.76 Tz=17.96 Mx=0.00 Mz=-1.67
Sollecitazioni agenti localmente: Tx_l=-6.76 Ty_l=17.96 N_l=-11070.70 My_l=1.67 Mz_l=0.00
Azioni sul cordone: TP=-0.50 TO=1.33 NO=-818.35
Tensioni nel cordone: τ_P=0.16 τ_O=0.42 σ_O=262.55 σ_{ID}=262.55 Σ_T=262.98
CC 15 SLV (Collegamento -041_-375)
Azioni sul collegamento: N=-11070.70 Ty=-10.65 Tz=8.19 Mx=0.00 Mz=-6.77

Sollecitazioni agenti localmente: Tx_l=-10.65 Ty_l=8.19 N_l=-11070.70 My_l=6.77 Mz_l=0.00
Azioni sul cordone: TP=-0.79 TO=0.60 NO=-818.35
Tensioni nel cordone: τ_P=0.25 τ_0=0.19 σ_0=270.00 σ_{ID}=270.00 Σ_T=270.20
CC 15 SLV (Collegamento -041_-375)
Azioni sul collegamento: N=-11070.70 Ty=-6.76 Tz=8.19 Mx=0.00 Mz=-1.67
Sollecitazioni agenti localmente: Tx_l=-6.76 Ty_l=8.19 N_l=-11070.70 My_l=1.67 Mz_l=0.00
Azioni sul cordone: TP=-0.50 TO=0.60 NO=-818.35
Tensioni nel cordone: τ_P=0.16 τ_0=0.19 σ_0=262.55 σ_{ID}=262.55 Σ_T=262.75
CC 15 SLV (Collegamento -041_-375)
Azioni sul collegamento: N=-8703.00 Ty=-10.65 Tz=17.96 Mx=0.00 Mz=-6.77
Sollecitazioni agenti localmente: Tx_l=-10.65 Ty_l=17.96 N_l=-8703.00 My_l=6.77 Mz_l=0.00
Azioni sul cordone: TP=-0.79 TO=1.33 NO=-643.33
Tensioni nel cordone: τ_P=0.25 τ_0=0.42 σ_0=214.38 σ_{ID}=214.38 Σ_T=214.80
CC 15 SLV (Collegamento -041_-375)
Azioni sul collegamento: N=-8703.00 Ty=-6.76 Tz=17.96 Mx=0.00 Mz=-1.67
Sollecitazioni agenti localmente: Tx_l=-6.76 Ty_l=17.96 N_l=-8703.00 My_l=1.67 Mz_l=0.00
Azioni sul cordone: TP=-0.50 TO=1.33 NO=-643.33
Tensioni nel cordone: τ_P=0.16 τ_0=0.42 σ_0=206.93 σ_{ID}=206.93 Σ_T=207.35
CC 15 SLV (Collegamento -041_-375)
Azioni sul collegamento: N=-8703.00 Ty=-10.65 Tz=8.19 Mx=0.00 Mz=-6.77
Sollecitazioni agenti localmente: Tx_l=-10.65 Ty_l=8.19 N_l=-8703.00 My_l=6.77 Mz_l=0.00
Azioni sul cordone: TP=-0.79 TO=0.60 NO=-643.33
Tensioni nel cordone: τ_P=0.25 τ_0=0.19 σ_0=214.38 σ_{ID}=214.38 Σ_T=214.57
CC 15 SLV (Collegamento -041_-375)
Azioni sul collegamento: N=-8703.00 Ty=-6.76 Tz=8.19 Mx=0.00 Mz=-1.67
Sollecitazioni agenti localmente: Tx_l=-6.76 Ty_l=8.19 N_l=-8703.00 My_l=1.67 Mz_l=0.00
Azioni sul cordone: TP=-0.50 TO=0.60 NO=-643.33
Tensioni nel cordone: τ_P=0.16 τ_0=0.19 σ_0=206.93 σ_{ID}=206.93 Σ_T=207.12
CC 16 SLD (Collegamento -041_-375)
Azioni sul collegamento: N=-10345.40 Ty=-10.22 Tz=14.95 Mx=-0.00 Mz=-7.14
Sollecitazioni agenti localmente: Tx_l=-10.22 Ty_l=14.95 N_l=-10345.40 My_l=7.14 Mz_l=-0.00
Azioni sul cordone: TP=-0.75 TO=1.11 NO=-764.74
Tensioni nel cordone: τ_P=0.24 τ_0=0.35 σ_0=253.50 σ_{ID}=253.50 Σ_T=253.85
CC 16 SLD (Collegamento -041_-375)
Azioni sul collegamento: N=-10345.40 Ty=-9.04 Tz=14.95 Mx=-0.00 Mz=-5.58
Sollecitazioni agenti localmente: Tx_l=-9.04 Ty_l=14.95 N_l=-10345.40 My_l=5.58 Mz_l=-0.00
Azioni sul cordone: TP=-0.67 TO=1.11 NO=-764.74
Tensioni nel cordone: τ_P=0.21 τ_0=0.35 σ_0=251.23 σ_{ID}=251.23 Σ_T=251.58
CC 16 SLD (Collegamento -041_-375)
Azioni sul collegamento: N=-10345.40 Ty=-10.22 Tz=11.97 Mx=-0.00 Mz=-7.14
Sollecitazioni agenti localmente: Tx_l=-10.22 Ty_l=11.97 N_l=-10345.40 My_l=7.14 Mz_l=-0.00
Azioni sul cordone: TP=-0.75 TO=0.89 NO=-764.74
Tensioni nel cordone: τ_P=0.24 τ_0=0.28 σ_0=253.50 σ_{ID}=253.50 Σ_T=253.78
CC 16 SLD (Collegamento -041_-375)
Azioni sul collegamento: N=-10345.40 Ty=-9.04 Tz=11.97 Mx=-0.00 Mz=-5.58
Sollecitazioni agenti localmente: Tx_l=-9.04 Ty_l=11.97 N_l=-10345.40 My_l=5.58 Mz_l=-0.00
Azioni sul cordone: TP=-0.67 TO=0.89 NO=-764.74
Tensioni nel cordone: τ_P=0.21 τ_0=0.28 σ_0=251.23 σ_{ID}=251.23 Σ_T=251.51
CC 16 SLD (Collegamento -041_-375)
Azioni sul collegamento: N=-9623.43 Ty=-10.22 Tz=14.95 Mx=-0.00 Mz=-7.14
Sollecitazioni agenti localmente: Tx_l=-10.22 Ty_l=14.95 N_l=-9623.43 My_l=7.14 Mz_l=-0.00
Azioni sul cordone: TP=-0.75 TO=1.11 NO=-711.37
Tensioni nel cordone: τ_P=0.24 τ_0=0.35 σ_0=236.53 σ_{ID}=236.54 Σ_T=236.89
CC 16 SLD (Collegamento -041_-375)
Azioni sul collegamento: N=-9623.43 Ty=-9.04 Tz=14.95 Mx=-0.00 Mz=-5.58
Sollecitazioni agenti localmente: Tx_l=-9.04 Ty_l=14.95 N_l=-9623.43 My_l=5.58 Mz_l=-0.00
Azioni sul cordone: TP=-0.67 TO=1.11 NO=-711.37
Tensioni nel cordone: τ_P=0.21 τ_0=0.35 σ_0=234.26 σ_{ID}=234.26 Σ_T=234.62
CC 16 SLD (Collegamento -041_-375)
Azioni sul collegamento: N=-9623.43 Ty=-10.22 Tz=11.97 Mx=-0.00 Mz=-7.14
Sollecitazioni agenti localmente: Tx_l=-10.22 Ty_l=11.97 N_l=-9623.43 My_l=7.14 Mz_l=-0.00
Azioni sul cordone: TP=-0.75 TO=0.89 NO=-711.37
Tensioni nel cordone: τ_P=0.24 τ_0=0.28 σ_0=236.53 σ_{ID}=236.54 Σ_T=236.82
CC 16 SLD (Collegamento -041_-375)
Azioni sul collegamento: N=-9623.43 Ty=-9.04 Tz=11.97 Mx=-0.00 Mz=-5.58
Sollecitazioni agenti localmente: Tx_l=-9.04 Ty_l=11.97 N_l=-9623.43 My_l=5.58 Mz_l=-0.00
Azioni sul cordone: TP=-0.67 TO=0.89 NO=-711.37
Tensioni nel cordone: τ_P=0.21 τ_0=0.28 σ_0=234.26 σ_{ID}=234.26 Σ_T=234.54
CC 17 SLV (Collegamento -041_-375)
Azioni sul collegamento: N=-6246.30 Ty=-7.49 Tz=-0.46 Mx=-0.02 Mz=-7.17
Sollecitazioni agenti localmente: Tx_l=-7.49 Ty_l=-0.46 N_l=-6246.30 My_l=7.17 Mz_l=-0.02
Azioni sul cordone: TP=-0.53 TO=-0.02 NO=-461.73
Tensioni nel cordone: τ_P=0.17 τ_0=6.25E-03 σ_0=157.24 σ_{ID}=157.24 Σ_T=157.24
CC 17 SLV (Collegamento -041_-375)
Azioni sul collegamento: N=-6246.30 Ty=-15.25 Tz=-0.46 Mx=-0.02 Mz=-13.58
Sollecitazioni agenti localmente: Tx_l=-15.25 Ty_l=-0.46 N_l=-6246.30 My_l=13.58 Mz_l=-0.02
Azioni sul cordone: TP=-1.11 TO=-0.02 NO=-461.73
Tensioni nel cordone: τ_P=0.35 τ_0=6.25E-03 σ_0=166.60 σ_{ID}=166.60 Σ_T=166.60
CC 17 SLV (Collegamento -041_-375)

Azioni sul collegamento: N=-6246.30 Ty=-7.49 Tz=28.82 Mx=-0.02 Mz=-7.17
Sollecitazioni agenti localmente: Tx_l=-7.49 Ty_l=28.82 N_l=-6246.30 My_l=7.17 Mz_l=-0.02
Azioni sul cordone: TP=-0.53 TO=2.14 NO=-461.73
Tensioni nel cordone: τ_P=0.17 τ_0=0.68 σ_0=157.24 σ_{ID}=157.24 Σ_T=157.92
CC 17 SLV (Collegamento -041_-375)
Azioni sul collegamento: N=-6246.30 Ty=-15.25 Tz=28.82 Mx=-0.02 Mz=-13.58
Sollecitazioni agenti localmente: Tx_l=-15.25 Ty_l=28.82 N_l=-6246.30 My_l=13.58 Mz_l=-0.02
Azioni sul cordone: TP=-1.11 TO=2.14 NO=-461.73
Tensioni nel cordone: τ_P=0.35 τ_0=0.68 σ_0=166.60 σ_{ID}=166.60 Σ_T=167.28
CC 17 SLV (Collegamento -041_-375)
Azioni sul collegamento: N=-14088.90 Ty=-7.49 Tz=-0.46 Mx=-0.02 Mz=-7.17
Sollecitazioni agenti localmente: Tx_l=-7.49 Ty_l=-0.46 N_l=-14088.90 My_l=7.17 Mz_l=-0.02
Azioni sul cordone: TP=-0.53 TO=-0.02 NO=-1041.46
Tensioni nel cordone: τ_P=0.17 τ_0=6.26E-03 σ_0=341.50 σ_{ID}=341.50 Σ_T=341.51
CC 17 SLV (Collegamento -041_-375)
Azioni sul collegamento: N=-14088.90 Ty=-15.25 Tz=-0.46 Mx=-0.02 Mz=-13.58
Sollecitazioni agenti localmente: Tx_l=-15.25 Ty_l=-0.46 N_l=-14088.90 My_l=13.58 Mz_l=-0.02
Azioni sul cordone: TP=-1.11 TO=-0.02 NO=-1041.46
Tensioni nel cordone: τ_P=0.35 τ_0=6.26E-03 σ_0=350.86 σ_{ID}=350.86 Σ_T=350.87
CC 17 SLV (Collegamento -041_-375)
Azioni sul collegamento: N=-14088.90 Ty=-7.49 Tz=28.82 Mx=-0.02 Mz=-7.17
Sollecitazioni agenti localmente: Tx_l=-7.49 Ty_l=28.82 N_l=-14088.90 My_l=7.17 Mz_l=-0.02
Azioni sul cordone: TP=-0.53 TO=2.14 NO=-1041.46
Tensioni nel cordone: τ_P=0.17 τ_0=0.68 σ_0=341.50 σ_{ID}=341.50 Σ_T=342.19
CC 17 SLV (Collegamento -041_-375)
Azioni sul collegamento: N=-14088.90 Ty=-15.25 Tz=28.82 Mx=-0.02 Mz=-13.58
Sollecitazioni agenti localmente: Tx_l=-15.25 Ty_l=28.82 N_l=-14088.90 My_l=13.58 Mz_l=-0.02
Azioni sul cordone: TP=-1.11 TO=2.14 NO=-1041.46
Tensioni nel cordone: τ_P=0.35 τ_0=0.68 σ_0=350.86 σ_{ID}=350.86 Σ_T=351.55
CC 18 SLD (Collegamento -041_-375)
Azioni sul collegamento: N=-8874.30 Ty=-9.26 Tz=9.33 Mx=-0.01 Mz=-7.26
Sollecitazioni agenti localmente: Tx_l=-9.26 Ty_l=9.33 N_l=-8874.30 My_l=7.26 Mz_l=-0.01
Azioni sul cordone: TP=-0.68 TO=0.70 NO=-655.99
Tensioni nel cordone: τ_P=0.21 τ_0=0.22 σ_0=219.11 σ_{ID}=219.11 Σ_T=219.33
CC 18 SLD (Collegamento -041_-375)
Azioni sul collegamento: N=-8874.30 Ty=-11.63 Tz=9.33 Mx=-0.01 Mz=-9.21
Sollecitazioni agenti localmente: Tx_l=-11.63 Ty_l=9.33 N_l=-8874.30 My_l=9.21 Mz_l=-0.01
Azioni sul cordone: TP=-0.85 TO=0.70 NO=-655.99
Tensioni nel cordone: τ_P=0.27 τ_0=0.22 σ_0=221.97 σ_{ID}=221.97 Σ_T=222.19
CC 18 SLD (Collegamento -041_-375)
Azioni sul collegamento: N=-8874.30 Ty=-9.26 Tz=18.26 Mx=-0.01 Mz=-7.26
Sollecitazioni agenti localmente: Tx_l=-9.26 Ty_l=18.26 N_l=-8874.30 My_l=7.26 Mz_l=-0.01
Azioni sul cordone: TP=-0.68 TO=1.36 NO=-655.99
Tensioni nel cordone: τ_P=0.21 τ_0=0.43 σ_0=219.11 σ_{ID}=219.11 Σ_T=219.54
CC 18 SLD (Collegamento -041_-375)
Azioni sul collegamento: N=-8874.30 Ty=-11.63 Tz=18.26 Mx=-0.01 Mz=-9.21
Sollecitazioni agenti localmente: Tx_l=-11.63 Ty_l=18.26 N_l=-8874.30 My_l=9.21 Mz_l=-0.01
Azioni sul cordone: TP=-0.85 TO=1.36 NO=-655.99
Tensioni nel cordone: τ_P=0.27 τ_0=0.43 σ_0=221.97 σ_{ID}=221.97 Σ_T=222.40
CC 18 SLD (Collegamento -041_-375)
Azioni sul collegamento: N=-11265.80 Ty=-9.26 Tz=9.33 Mx=-0.01 Mz=-7.26
Sollecitazioni agenti localmente: Tx_l=-9.26 Ty_l=9.33 N_l=-11265.80 My_l=7.26 Mz_l=-0.01
Azioni sul cordone: TP=-0.68 TO=0.70 NO=-832.77
Tensioni nel cordone: τ_P=0.21 τ_0=0.22 σ_0=275.30 σ_{ID}=275.30 Σ_T=275.52
CC 18 SLD (Collegamento -041_-375)
Azioni sul collegamento: N=-11265.80 Ty=-11.63 Tz=9.33 Mx=-0.01 Mz=-9.21
Sollecitazioni agenti localmente: Tx_l=-11.63 Ty_l=9.33 N_l=-11265.80 My_l=9.21 Mz_l=-0.01
Azioni sul cordone: TP=-0.85 TO=0.70 NO=-832.77
Tensioni nel cordone: τ_P=0.27 τ_0=0.22 σ_0=278.15 σ_{ID}=278.15 Σ_T=278.38
CC 18 SLD (Collegamento -041_-375)
Azioni sul collegamento: N=-11265.80 Ty=-9.26 Tz=18.26 Mx=-0.01 Mz=-7.26
Sollecitazioni agenti localmente: Tx_l=-9.26 Ty_l=18.26 N_l=-11265.80 My_l=7.26 Mz_l=-0.01
Azioni sul cordone: TP=-0.68 TO=1.36 NO=-832.77
Tensioni nel cordone: τ_P=0.21 τ_0=0.43 σ_0=275.30 σ_{ID}=275.30 Σ_T=275.73
CC 18 SLD (Collegamento -041_-375)
Azioni sul collegamento: N=-11265.80 Ty=-11.63 Tz=18.26 Mx=-0.01 Mz=-9.21
Sollecitazioni agenti localmente: Tx_l=-11.63 Ty_l=18.26 N_l=-11265.80 My_l=9.21 Mz_l=-0.01
Azioni sul cordone: TP=-0.85 TO=1.36 NO=-832.77
Tensioni nel cordone: τ_P=0.27 τ_0=0.43 σ_0=278.15 σ_{ID}=278.16 Σ_T=278.59
CC 19 SLV (Collegamento -041_-375)
Azioni sul collegamento: N=-6251.20 Ty=-8.00 Tz=-0.13 Mx=-0.01 Mz=-8.22
Sollecitazioni agenti localmente: Tx_l=-8.00 Ty_l=-0.13 N_l=-6251.20 My_l=8.22 Mz_l=-0.01
Azioni sul cordone: TP=-0.58 TO=0.00 NO=-462.09
Tensioni nel cordone: τ_P=0.18 τ_0=2.05E-04 σ_0=158.88 σ_{ID}=158.88 Σ_T=158.88
CC 19 SLV (Collegamento -041_-375)
Azioni sul collegamento: N=-6251.20 Ty=-14.73 Tz=-0.13 Mx=-0.01 Mz=-12.53
Sollecitazioni agenti localmente: Tx_l=-14.73 Ty_l=-0.13 N_l=-6251.20 My_l=12.53 Mz_l=-0.01
Azioni sul cordone: TP=-1.07 TO=0.00 NO=-462.09
Tensioni nel cordone: τ_P=0.34 τ_0=2.05E-04 σ_0=165.18 σ_{ID}=165.18 Σ_T=165.18

CC 19 SLV (Collegamento -041_-375)
Azioni sul collegamento: N=-6251.20 Ty=-8.00 Tz=28.49 Mx=-0.01 Mz=-8.22
Sollecitazioni agenti localmente: Tx_l=-8.00 Ty_l=28.49 N_l=-6251.20 My_l=8.22 Mz_l=-0.01
Azioni sul cordone: TP=-0.58 TO=2.12 NO=-462.09
Tensioni nel cordone: τ_P=0.18 τ_0=0.67 σ_0=158.88 σ_{ID}=158.88 Σ_T=159.56
CC 19 SLV (Collegamento -041_-375)
Azioni sul collegamento: N=-6251.20 Ty=-14.73 Tz=28.49 Mx=-0.01 Mz=-12.53
Sollecitazioni agenti localmente: Tx_l=-14.73 Ty_l=28.49 N_l=-6251.20 My_l=12.53 Mz_l=-0.01
Azioni sul cordone: TP=-1.07 TO=2.12 NO=-462.09
Tensioni nel cordone: τ_P=0.34 τ_0=0.67 σ_0=165.18 σ_{ID}=165.18 Σ_T=165.85
CC 19 SLV (Collegamento -041_-375)
Azioni sul collegamento: N=-14084.00 Ty=-8.00 Tz=-0.13 Mx=-0.01 Mz=-8.22
Sollecitazioni agenti localmente: Tx_l=-8.00 Ty_l=-0.13 N_l=-14084.00 My_l=8.22 Mz_l=-0.01
Azioni sul cordone: TP=-0.58 TO=0.00 NO=-1041.10
Tensioni nel cordone: τ_P=0.18 τ_0=2.04E-04 σ_0=342.92 σ_{ID}=342.92 Σ_T=342.92
CC 19 SLV (Collegamento -041_-375)
Azioni sul collegamento: N=-14084.00 Ty=-14.73 Tz=-0.13 Mx=-0.01 Mz=-12.53
Sollecitazioni agenti localmente: Tx_l=-14.73 Ty_l=-0.13 N_l=-14084.00 My_l=12.53 Mz_l=-0.01
Azioni sul cordone: TP=-1.07 TO=0.00 NO=-1041.10
Tensioni nel cordone: τ_P=0.34 τ_0=2.04E-04 σ_0=349.22 σ_{ID}=349.22 Σ_T=349.22
CC 19 SLV (Collegamento -041_-375)
Azioni sul collegamento: N=-14084.00 Ty=-8.00 Tz=28.49 Mx=-0.01 Mz=-8.22
Sollecitazioni agenti localmente: Tx_l=-8.00 Ty_l=28.49 N_l=-14084.00 My_l=8.22 Mz_l=-0.01
Azioni sul cordone: TP=-0.58 TO=2.12 NO=-1041.10
Tensioni nel cordone: τ_P=0.18 τ_0=0.67 σ_0=342.92 σ_{ID}=342.92 Σ_T=343.59
CC 19 SLV (Collegamento -041_-375)
Azioni sul collegamento: N=-14084.00 Ty=-14.73 Tz=28.49 Mx=-0.01 Mz=-12.53
Sollecitazioni agenti localmente: Tx_l=-14.73 Ty_l=28.49 N_l=-14084.00 My_l=12.53 Mz_l=-0.01
Azioni sul cordone: TP=-1.07 TO=2.12 NO=-1041.10
Tensioni nel cordone: τ_P=0.34 τ_0=0.67 σ_0=349.22 σ_{ID}=349.22 Σ_T=349.89
CC 20 SLD (Collegamento -041_-375)
Azioni sul collegamento: N=-8875.79 Ty=-9.42 Tz=9.43 Mx=-0.01 Mz=-7.58
Sollecitazioni agenti localmente: Tx_l=-9.42 Ty_l=9.43 N_l=-8875.79 My_l=7.58 Mz_l=-0.01
Azioni sul cordone: TP=-0.69 TO=0.70 NO=-656.10
Tensioni nel cordone: τ_P=0.22 τ_0=0.22 σ_0=219.61 σ_{ID}=219.61 Σ_T=219.84
CC 20 SLD (Collegamento -041_-375)
Azioni sul collegamento: N=-8875.79 Ty=-11.47 Tz=9.43 Mx=-0.01 Mz=-8.89
Sollecitazioni agenti localmente: Tx_l=-11.47 Ty_l=9.43 N_l=-8875.79 My_l=8.89 Mz_l=-0.01
Azioni sul cordone: TP=-0.84 TO=0.70 NO=-656.10
Tensioni nel cordone: τ_P=0.27 τ_0=0.22 σ_0=221.53 σ_{ID}=221.53 Σ_T=221.76
CC 20 SLD (Collegamento -041_-375)
Azioni sul collegamento: N=-8875.80 Ty=-9.42 Tz=18.16 Mx=-0.01 Mz=-7.58
Sollecitazioni agenti localmente: Tx_l=-9.42 Ty_l=18.16 N_l=-8875.80 My_l=7.58 Mz_l=-0.01
Azioni sul cordone: TP=-0.69 TO=1.35 NO=-656.10
Tensioni nel cordone: τ_P=0.22 τ_0=0.43 σ_0=219.61 σ_{ID}=219.62 Σ_T=220.04
CC 20 SLD (Collegamento -041_-375)
Azioni sul collegamento: N=-8875.80 Ty=-11.47 Tz=18.16 Mx=-0.01 Mz=-8.89
Sollecitazioni agenti localmente: Tx_l=-11.47 Ty_l=18.16 N_l=-8875.80 My_l=8.89 Mz_l=-0.01
Azioni sul cordone: TP=-0.84 TO=1.35 NO=-656.10
Tensioni nel cordone: τ_P=0.27 τ_0=0.43 σ_0=221.53 σ_{ID}=221.53 Σ_T=221.96
CC 20 SLD (Collegamento -041_-375)
Azioni sul collegamento: N=-11264.30 Ty=-9.42 Tz=9.43 Mx=-0.01 Mz=-7.58
Sollecitazioni agenti localmente: Tx_l=-9.42 Ty_l=9.43 N_l=-11264.30 My_l=7.58 Mz_l=-0.01
Azioni sul cordone: TP=-0.69 TO=0.70 NO=-832.66
Tensioni nel cordone: τ_P=0.22 τ_0=0.22 σ_0=275.73 σ_{ID}=275.73 Σ_T=275.96
CC 20 SLD (Collegamento -041_-375)
Azioni sul collegamento: N=-11264.30 Ty=-11.47 Tz=9.43 Mx=-0.01 Mz=-8.89
Sollecitazioni agenti localmente: Tx_l=-11.47 Ty_l=9.43 N_l=-11264.30 My_l=8.89 Mz_l=-0.01
Azioni sul cordone: TP=-0.84 TO=0.70 NO=-832.66
Tensioni nel cordone: τ_P=0.27 τ_0=0.22 σ_0=277.65 σ_{ID}=277.65 Σ_T=277.88
CC 20 SLD (Collegamento -041_-375)
Azioni sul collegamento: N=-11264.30 Ty=-9.42 Tz=18.16 Mx=-0.01 Mz=-7.58
Sollecitazioni agenti localmente: Tx_l=-9.42 Ty_l=18.16 N_l=-11264.30 My_l=7.58 Mz_l=-0.01
Azioni sul cordone: TP=-0.69 TO=1.35 NO=-832.66
Tensioni nel cordone: τ_P=0.22 τ_0=0.43 σ_0=275.73 σ_{ID}=275.73 Σ_T=276.16
CC 20 SLD (Collegamento -041_-375)
Azioni sul collegamento: N=-11264.30 Ty=-11.47 Tz=18.16 Mx=-0.01 Mz=-8.89
Sollecitazioni agenti localmente: Tx_l=-11.47 Ty_l=18.16 N_l=-11264.30 My_l=8.89 Mz_l=-0.01
Azioni sul cordone: TP=-0.84 TO=1.35 NO=-832.66
Tensioni nel cordone: τ_P=0.27 τ_0=0.43 σ_0=277.65 σ_{ID}=277.65 Σ_T=278.08
CC 21 SLV (Collegamento -041_-375)
Azioni sul collegamento: N=-14084.00 Ty=-14.73 Tz=28.49 Mx=-0.02 Mz=-12.53
Sollecitazioni agenti localmente: Tx_l=-14.73 Ty_l=28.49 N_l=-14084.00 My_l=12.53 Mz_l=-0.02
Azioni sul cordone: TP=-1.07 TO=2.12 NO=-1041.10
Tensioni nel cordone: τ_P=0.34 τ_0=0.67 σ_0=349.22 σ_{ID}=349.22 Σ_T=349.89
CC 21 SLV (Collegamento -041_-375)
Azioni sul collegamento: N=-14084.00 Ty=-8.00 Tz=28.49 Mx=-0.02 Mz=-8.22
Sollecitazioni agenti localmente: Tx_l=-8.00 Ty_l=28.49 N_l=-14084.00 My_l=8.22 Mz_l=-0.02
Azioni sul cordone: TP=-0.57 TO=2.12 NO=-1041.10

Tensioni nel cordone: τ_P=0.18 τ_0=0.67 σ_0=342.92 σ_{ID}=342.92 Σ_T=343.59
CC 21 SLV (Collegamento -041_-375)
Azioni sul collegamento: N=-14084.00 Ty=-14.73 Tz=-0.13 Mx=-0.02 Mz=-12.53
Sollecitazioni agenti localmente: Tx_l=-14.73 Ty_l=-0.13 N_l=-14084.00 My_l=12.53 Mz_l=-0.02
Azioni sul cordone: TP=-1.07 TO=0.00 NO=-1041.10
Tensioni nel cordone: τ_P=0.34 τ_0=1.35E-03 σ_0=349.22 σ_{ID}=349.22 Σ_T=349.22
CC 21 SLV (Collegamento -041_-375)
Azioni sul collegamento: N=-14084.00 Ty=-8.00 Tz=-0.13 Mx=-0.02 Mz=-8.22
Sollecitazioni agenti localmente: Tx_l=-8.00 Ty_l=-0.13 N_l=-14084.00 My_l=8.22 Mz_l=-0.02
Azioni sul cordone: TP=-0.57 TO=0.00 NO=-1041.10
Tensioni nel cordone: τ_P=0.18 τ_0=1.35E-03 σ_0=342.92 σ_{ID}=342.92 Σ_T=342.92
CC 21 SLV (Collegamento -041_-375)
Azioni sul collegamento: N=-6251.20 Ty=-14.73 Tz=28.49 Mx=-0.02 Mz=-12.53
Sollecitazioni agenti localmente: Tx_l=-14.73 Ty_l=28.49 N_l=-6251.20 My_l=12.53 Mz_l=-0.02
Azioni sul cordone: TP=-1.07 TO=2.12 NO=-462.09
Tensioni nel cordone: τ_P=0.34 τ_0=0.67 σ_0=165.18 σ_{ID}=165.18 Σ_T=165.85
CC 21 SLV (Collegamento -041_-375)
Azioni sul collegamento: N=-6251.20 Ty=-8.00 Tz=28.49 Mx=-0.02 Mz=-8.22
Sollecitazioni agenti localmente: Tx_l=-8.00 Ty_l=28.49 N_l=-6251.20 My_l=8.22 Mz_l=-0.02
Azioni sul cordone: TP=-0.57 TO=2.12 NO=-462.09
Tensioni nel cordone: τ_P=0.18 τ_0=0.67 σ_0=158.88 σ_{ID}=158.88 Σ_T=159.56
CC 21 SLV (Collegamento -041_-375)
Azioni sul collegamento: N=-6251.20 Ty=-14.73 Tz=-0.13 Mx=-0.02 Mz=-12.53
Sollecitazioni agenti localmente: Tx_l=-14.73 Ty_l=-0.13 N_l=-6251.20 My_l=12.53 Mz_l=-0.02
Azioni sul cordone: TP=-1.07 TO=0.00 NO=-462.09
Tensioni nel cordone: τ_P=0.34 τ_0=1.35E-03 σ_0=165.18 σ_{ID}=165.18 Σ_T=165.18
CC 21 SLV (Collegamento -041_-375)
Azioni sul collegamento: N=-6251.20 Ty=-8.00 Tz=-0.13 Mx=-0.02 Mz=-8.22
Sollecitazioni agenti localmente: Tx_l=-8.00 Ty_l=-0.13 N_l=-6251.20 My_l=8.22 Mz_l=-0.02
Azioni sul cordone: TP=-0.57 TO=0.00 NO=-462.09
Tensioni nel cordone: τ_P=0.18 τ_0=1.35E-03 σ_0=158.88 σ_{ID}=158.88 Σ_T=158.88
CC 22 SLD (Collegamento -041_-375)
Azioni sul collegamento: N=-11264.30 Ty=-11.47 Tz=18.16 Mx=-0.01 Mz=-8.89
Sollecitazioni agenti localmente: Tx_l=-11.47 Ty_l=18.16 N_l=-11264.30 My_l=8.89 Mz_l=-0.01
Azioni sul cordone: TP=-0.84 TO=1.35 NO=-832.66
Tensioni nel cordone: τ_P=0.27 τ_0=0.43 σ_0=277.65 σ_{ID}=277.65 Σ_T=278.08
CC 22 SLD (Collegamento -041_-375)
Azioni sul collegamento: N=-11264.30 Ty=-9.42 Tz=18.16 Mx=-0.01 Mz=-7.58
Sollecitazioni agenti localmente: Tx_l=-9.42 Ty_l=18.16 N_l=-11264.30 My_l=7.58 Mz_l=-0.01
Azioni sul cordone: TP=-0.69 TO=1.35 NO=-832.66
Tensioni nel cordone: τ_P=0.22 τ_0=0.43 σ_0=275.73 σ_{ID}=275.73 Σ_T=276.16
CC 22 SLD (Collegamento -041_-375)
Azioni sul collegamento: N=-11264.30 Ty=-11.47 Tz=9.43 Mx=-0.01 Mz=-8.89
Sollecitazioni agenti localmente: Tx_l=-11.47 Ty_l=9.43 N_l=-11264.30 My_l=8.89 Mz_l=-0.01
Azioni sul cordone: TP=-0.84 TO=0.70 NO=-832.66
Tensioni nel cordone: τ_P=0.27 τ_0=0.22 σ_0=277.65 σ_{ID}=277.65 Σ_T=277.88
CC 22 SLD (Collegamento -041_-375)
Azioni sul collegamento: N=-11264.30 Ty=-9.42 Tz=9.43 Mx=-0.01 Mz=-7.58
Sollecitazioni agenti localmente: Tx_l=-9.42 Ty_l=9.43 N_l=-11264.30 My_l=7.58 Mz_l=-0.01
Azioni sul cordone: TP=-0.69 TO=0.70 NO=-832.66
Tensioni nel cordone: τ_P=0.22 τ_0=0.22 σ_0=275.73 σ_{ID}=275.73 Σ_T=275.96
CC 22 SLD (Collegamento -041_-375)
Azioni sul collegamento: N=-8875.80 Ty=-11.47 Tz=18.16 Mx=-0.01 Mz=-8.89
Sollecitazioni agenti localmente: Tx_l=-11.47 Ty_l=18.16 N_l=-8875.80 My_l=8.89 Mz_l=-0.01
Azioni sul cordone: TP=-0.84 TO=1.35 NO=-656.10
Tensioni nel cordone: τ_P=0.27 τ_0=0.43 σ_0=221.53 σ_{ID}=221.53 Σ_T=221.96
CC 22 SLD (Collegamento -041_-375)
Azioni sul collegamento: N=-8875.80 Ty=-9.42 Tz=18.16 Mx=-0.01 Mz=-7.58
Sollecitazioni agenti localmente: Tx_l=-9.42 Ty_l=18.16 N_l=-8875.80 My_l=7.58 Mz_l=-0.01
Azioni sul cordone: TP=-0.69 TO=1.35 NO=-656.10
Tensioni nel cordone: τ_P=0.22 τ_0=0.43 σ_0=219.61 σ_{ID}=219.62 Σ_T=220.04
CC 22 SLD (Collegamento -041_-375)
Azioni sul collegamento: N=-8875.79 Ty=-11.47 Tz=9.43 Mx=-0.01 Mz=-8.89
Sollecitazioni agenti localmente: Tx_l=-11.47 Ty_l=9.43 N_l=-8875.79 My_l=8.89 Mz_l=-0.01
Azioni sul cordone: TP=-0.84 TO=0.70 NO=-656.10
Tensioni nel cordone: τ_P=0.27 τ_0=0.22 σ_0=221.53 σ_{ID}=221.53 Σ_T=221.76
CC 22 SLD (Collegamento -041_-375)
Azioni sul collegamento: N=-8875.79 Ty=-9.42 Tz=9.43 Mx=-0.01 Mz=-7.58
Sollecitazioni agenti localmente: Tx_l=-9.42 Ty_l=9.43 N_l=-8875.79 My_l=7.58 Mz_l=-0.01
Azioni sul cordone: TP=-0.69 TO=0.70 NO=-656.10
Tensioni nel cordone: τ_P=0.22 τ_0=0.22 σ_0=219.61 σ_{ID}=219.61 Σ_T=219.84
CC 23 SLV (Collegamento -041_-375)
Azioni sul collegamento: N=-14088.90 Ty=-15.25 Tz=28.82 Mx=-0.01 Mz=-13.58
Sollecitazioni agenti localmente: Tx_l=-15.25 Ty_l=28.82 N_l=-14088.90 My_l=13.58 Mz_l=-0.01
Azioni sul cordone: TP=-1.11 TO=2.14 NO=-1041.46
Tensioni nel cordone: τ_P=0.35 τ_0=0.68 σ_0=350.86 σ_{ID}=350.86 Σ_T=351.54
CC 23 SLV (Collegamento -041_-375)
Azioni sul collegamento: N=-14088.90 Ty=-7.49 Tz=28.82 Mx=-0.01 Mz=-7.17
Sollecitazioni agenti localmente: Tx_l=-7.49 Ty_l=28.82 N_l=-14088.90 My_l=7.17 Mz_l=-0.01

Azioni sul cordone: TP=-0.54 TO=2.14 NO=-1041.46
Tensioni nel cordone: τ_P=0.17 τ_0=0.68 σ_0=341.50 σ_{ID}=341.50 Σ_T=342.19
CC 23 SLV (Collegamento -041_-375)
Azioni sul collegamento: N=-14088.90 Ty=-15.25 Tz=-0.46 Mx=-0.01 Mz=-13.58
Sollecitazioni agenti localmente: Tx_l=-15.25 Ty_l=-0.46 N_l=-14088.90 My_l=13.58 Mz_l=-0.01
Azioni sul cordone: TP=-1.11 TO=-0.02 NO=-1041.46
Tensioni nel cordone: τ_P=0.35 τ_0=7.55E-03 σ_0=350.86 σ_{ID}=350.86 Σ_T=350.87
CC 23 SLV (Collegamento -041_-375)
Azioni sul collegamento: N=-14088.90 Ty=-7.49 Tz=-0.46 Mx=-0.01 Mz=-7.17
Sollecitazioni agenti localmente: Tx_l=-7.49 Ty_l=-0.46 N_l=-14088.90 My_l=7.17 Mz_l=-0.01
Azioni sul cordone: TP=-0.54 TO=-0.02 NO=-1041.46
Tensioni nel cordone: τ_P=0.17 τ_0=7.55E-03 σ_0=341.50 σ_{ID}=341.50 Σ_T=341.51
CC 23 SLV (Collegamento -041_-375)
Azioni sul collegamento: N=-6246.30 Ty=-15.25 Tz=28.82 Mx=-0.01 Mz=-13.58
Sollecitazioni agenti localmente: Tx_l=-15.25 Ty_l=28.82 N_l=-6246.30 My_l=13.58 Mz_l=-0.01
Azioni sul cordone: TP=-1.11 TO=2.14 NO=-461.73
Tensioni nel cordone: τ_P=0.35 τ_0=0.68 σ_0=166.60 σ_{ID}=166.60 Σ_T=167.28
CC 23 SLV (Collegamento -041_-375)
Azioni sul collegamento: N=-6246.30 Ty=-7.49 Tz=28.82 Mx=-0.01 Mz=-7.17
Sollecitazioni agenti localmente: Tx_l=-7.49 Ty_l=28.82 N_l=-6246.30 My_l=7.17 Mz_l=-0.01
Azioni sul cordone: TP=-0.54 TO=2.14 NO=-461.73
Tensioni nel cordone: τ_P=0.17 τ_0=0.68 σ_0=157.24 σ_{ID}=157.24 Σ_T=157.92
CC 23 SLV (Collegamento -041_-375)
Azioni sul collegamento: N=-6246.30 Ty=-15.25 Tz=-0.46 Mx=-0.01 Mz=-13.58
Sollecitazioni agenti localmente: Tx_l=-15.25 Ty_l=-0.46 N_l=-6246.30 My_l=13.58 Mz_l=-0.01
Azioni sul cordone: TP=-1.11 TO=-0.02 NO=-461.73
Tensioni nel cordone: τ_P=0.35 τ_0=7.54E-03 σ_0=166.60 σ_{ID}=166.60 Σ_T=166.60
CC 23 SLV (Collegamento -041_-375)
Azioni sul collegamento: N=-6246.30 Ty=-7.49 Tz=-0.46 Mx=-0.01 Mz=-7.17
Sollecitazioni agenti localmente: Tx_l=-7.49 Ty_l=-0.46 N_l=-6246.30 My_l=7.17 Mz_l=-0.01
Azioni sul cordone: TP=-0.54 TO=-0.02 NO=-461.73
Tensioni nel cordone: τ_P=0.17 τ_0=7.54E-03 σ_0=157.24 σ_{ID}=157.24 Σ_T=157.25
CC 24 SLD (Collegamento -041_-375)
Azioni sul collegamento: N=-11265.80 Ty=-11.63 Tz=18.26 Mx=-0.01 Mz=-9.21
Sollecitazioni agenti localmente: Tx_l=-11.63 Ty_l=18.26 N_l=-11265.80 My_l=9.21 Mz_l=-0.01
Azioni sul cordone: TP=-0.85 TO=1.35 NO=-832.77
Tensioni nel cordone: τ_P=0.27 τ_0=0.43 σ_0=278.15 σ_{ID}=278.16 Σ_T=278.59
CC 24 SLD (Collegamento -041_-375)
Azioni sul collegamento: N=-11265.80 Ty=-9.26 Tz=18.26 Mx=-0.01 Mz=-7.26
Sollecitazioni agenti localmente: Tx_l=-9.26 Ty_l=18.26 N_l=-11265.80 My_l=7.26 Mz_l=-0.01
Azioni sul cordone: TP=-0.68 TO=1.35 NO=-832.77
Tensioni nel cordone: τ_P=0.22 τ_0=0.43 σ_0=275.30 σ_{ID}=275.30 Σ_T=275.73
CC 24 SLD (Collegamento -041_-375)
Azioni sul collegamento: N=-11265.80 Ty=-11.63 Tz=9.33 Mx=-0.01 Mz=-9.21
Sollecitazioni agenti localmente: Tx_l=-11.63 Ty_l=9.33 N_l=-11265.80 My_l=9.21 Mz_l=-0.01
Azioni sul cordone: TP=-0.85 TO=0.69 NO=-832.77
Tensioni nel cordone: τ_P=0.27 τ_0=0.22 σ_0=278.15 σ_{ID}=278.15 Σ_T=278.38
CC 24 SLD (Collegamento -041_-375)
Azioni sul collegamento: N=-11265.80 Ty=-9.26 Tz=9.33 Mx=-0.01 Mz=-7.26
Sollecitazioni agenti localmente: Tx_l=-9.26 Ty_l=9.33 N_l=-11265.80 My_l=7.26 Mz_l=-0.01
Azioni sul cordone: TP=-0.68 TO=0.69 NO=-832.77
Tensioni nel cordone: τ_P=0.22 τ_0=0.22 σ_0=275.30 σ_{ID}=275.30 Σ_T=275.52
CC 24 SLD (Collegamento -041_-375)
Azioni sul collegamento: N=-8874.30 Ty=-11.63 Tz=18.26 Mx=-0.01 Mz=-9.21
Sollecitazioni agenti localmente: Tx_l=-11.63 Ty_l=18.26 N_l=-8874.30 My_l=9.21 Mz_l=-0.01
Azioni sul cordone: TP=-0.85 TO=1.35 NO=-655.99
Tensioni nel cordone: τ_P=0.27 τ_0=0.43 σ_0=221.97 σ_{ID}=221.97 Σ_T=222.40
CC 24 SLD (Collegamento -041_-375)
Azioni sul collegamento: N=-8874.30 Ty=-9.26 Tz=18.26 Mx=-0.01 Mz=-7.26
Sollecitazioni agenti localmente: Tx_l=-9.26 Ty_l=18.26 N_l=-8874.30 My_l=7.26 Mz_l=-0.01
Azioni sul cordone: TP=-0.68 TO=1.35 NO=-655.99
Tensioni nel cordone: τ_P=0.22 τ_0=0.43 σ_0=219.11 σ_{ID}=219.11 Σ_T=219.54
CC 24 SLD (Collegamento -041_-375)
Azioni sul collegamento: N=-8874.30 Ty=-11.63 Tz=9.33 Mx=-0.01 Mz=-9.21
Sollecitazioni agenti localmente: Tx_l=-11.63 Ty_l=9.33 N_l=-8874.30 My_l=9.21 Mz_l=-0.01
Azioni sul cordone: TP=-0.85 TO=0.69 NO=-655.99
Tensioni nel cordone: τ_P=0.27 τ_0=0.22 σ_0=221.97 σ_{ID}=221.97 Σ_T=222.19
CC 24 SLD (Collegamento -041_-375)
Azioni sul collegamento: N=-8874.30 Ty=-9.26 Tz=9.33 Mx=-0.01 Mz=-7.26
Sollecitazioni agenti localmente: Tx_l=-9.26 Ty_l=9.33 N_l=-8874.30 My_l=7.26 Mz_l=-0.01
Azioni sul cordone: TP=-0.68 TO=0.69 NO=-655.99
Tensioni nel cordone: τ_P=0.22 τ_0=0.22 σ_0=219.11 σ_{ID}=219.11 Σ_T=219.33
CC 25 SLV (Collegamento -041_-375)
Azioni sul collegamento: N=-8983.80 Ty=-9.43 Tz=9.29 Mx=-0.02 Mz=-7.83
Sollecitazioni agenti localmente: Tx_l=-9.43 Ty_l=9.29 N_l=-8983.80 My_l=7.83 Mz_l=-0.02
Azioni sul cordone: TP=-0.67 TO=0.71 NO=-664.09
Tensioni nel cordone: τ_P=0.21 τ_0=0.22 σ_0=222.51 σ_{ID}=222.51 Σ_T=222.74
CC 25 SLV (Collegamento -041_-375)
Azioni sul collegamento: N=-8983.80 Ty=-13.31 Tz=9.29 Mx=-0.02 Mz=-12.93

Sollecitazioni agenti localmente: Tx_l=-13.31 Ty_l=9.29 N_l=-8983.80 My_l=12.93 Mz_l=-0.02
Azioni sul cordone: TP=-0.96 TO=0.71 NO=-664.09
Tensioni nel cordone: τ_P=0.30 τ_0=0.22 σ_0=229.96 σ_{ID}=229.96 Σ_T=230.19
CC 25 SLV (Collegamento -041_-375)
Azioni sul collegamento: N=-8983.80 Ty=-9.43 Tz=19.07 Mx=-0.02 Mz=-7.83
Sollecitazioni agenti localmente: Tx_l=-9.43 Ty_l=19.07 N_l=-8983.80 My_l=7.83 Mz_l=-0.02
Azioni sul cordone: TP=-0.67 TO=1.43 NO=-664.09
Tensioni nel cordone: τ_P=0.21 τ_0=0.45 σ_0=222.51 σ_{ID}=222.51 Σ_T=222.97
CC 25 SLV (Collegamento -041_-375)
Azioni sul collegamento: N=-8983.80 Ty=-13.31 Tz=19.07 Mx=-0.02 Mz=-12.93
Sollecitazioni agenti localmente: Tx_l=-13.31 Ty_l=19.07 N_l=-8983.80 My_l=12.93 Mz_l=-0.02
Azioni sul cordone: TP=-0.96 TO=1.43 NO=-664.09
Tensioni nel cordone: τ_P=0.30 τ_0=0.45 σ_0=229.96 σ_{ID}=229.96 Σ_T=230.41
CC 25 SLV (Collegamento -041_-375)
Azioni sul collegamento: N=-11351.50 Ty=-9.43 Tz=9.29 Mx=-0.02 Mz=-7.83
Sollecitazioni agenti localmente: Tx_l=-9.43 Ty_l=9.29 N_l=-11351.50 My_l=7.83 Mz_l=-0.02
Azioni sul cordone: TP=-0.67 TO=0.71 NO=-839.10
Tensioni nel cordone: τ_P=0.21 τ_0=0.22 σ_0=278.14 σ_{ID}=278.14 Σ_T=278.36
CC 25 SLV (Collegamento -041_-375)
Azioni sul collegamento: N=-11351.50 Ty=-13.31 Tz=9.29 Mx=-0.02 Mz=-12.93
Sollecitazioni agenti localmente: Tx_l=-13.31 Ty_l=9.29 N_l=-11351.50 My_l=12.93 Mz_l=-0.02
Azioni sul cordone: TP=-0.96 TO=0.71 NO=-839.10
Tensioni nel cordone: τ_P=0.30 τ_0=0.22 σ_0=285.59 σ_{ID}=285.59 Σ_T=285.81
CC 25 SLV (Collegamento -041_-375)
Azioni sul collegamento: N=-11351.50 Ty=-9.43 Tz=19.07 Mx=-0.02 Mz=-7.83
Sollecitazioni agenti localmente: Tx_l=-9.43 Ty_l=19.07 N_l=-11351.50 My_l=7.83 Mz_l=-0.02
Azioni sul cordone: TP=-0.67 TO=1.43 NO=-839.10
Tensioni nel cordone: τ_P=0.21 τ_0=0.45 σ_0=278.14 σ_{ID}=278.14 Σ_T=278.59
CC 25 SLV (Collegamento -041_-375)
Azioni sul collegamento: N=-11351.50 Ty=-13.31 Tz=19.07 Mx=-0.02 Mz=-12.93
Sollecitazioni agenti localmente: Tx_l=-13.31 Ty_l=19.07 N_l=-11351.50 My_l=12.93 Mz_l=-0.02
Azioni sul cordone: TP=-0.96 TO=1.43 NO=-839.10
Tensioni nel cordone: τ_P=0.30 τ_0=0.45 σ_0=285.59 σ_{ID}=285.59 Σ_T=286.04
CC 26 SLD (Collegamento -041_-375)
Azioni sul collegamento: N=-9709.05 Ty=-9.85 Tz=12.31 Mx=-0.01 Mz=-7.46
Sollecitazioni agenti localmente: Tx_l=-9.85 Ty_l=12.31 N_l=-9709.05 My_l=7.46 Mz_l=-0.01
Azioni sul cordone: TP=-0.72 TO=0.92 NO=-717.70
Tensioni nel cordone: τ_P=0.23 τ_0=0.29 σ_0=239.02 σ_{ID}=239.02 Σ_T=239.31
CC 26 SLD (Collegamento -041_-375)
Azioni sul collegamento: N=-9709.05 Ty=-11.04 Tz=12.31 Mx=-0.01 Mz=-9.01
Sollecitazioni agenti localmente: Tx_l=-11.04 Ty_l=12.31 N_l=-9709.05 My_l=9.01 Mz_l=-0.01
Azioni sul cordone: TP=-0.81 TO=0.92 NO=-717.70
Tensioni nel cordone: τ_P=0.26 τ_0=0.29 σ_0=241.29 σ_{ID}=241.29 Σ_T=241.58
CC 26 SLD (Collegamento -041_-375)
Azioni sul collegamento: N=-9709.05 Ty=-9.85 Tz=15.29 Mx=-0.01 Mz=-7.46
Sollecitazioni agenti localmente: Tx_l=-9.85 Ty_l=15.29 N_l=-9709.05 My_l=7.46 Mz_l=-0.01
Azioni sul cordone: TP=-0.72 TO=1.14 NO=-717.70
Tensioni nel cordone: τ_P=0.23 τ_0=0.36 σ_0=239.02 σ_{ID}=239.02 Σ_T=239.38
CC 26 SLD (Collegamento -041_-375)
Azioni sul collegamento: N=-9709.05 Ty=-11.04 Tz=15.29 Mx=-0.01 Mz=-9.01
Sollecitazioni agenti localmente: Tx_l=-11.04 Ty_l=15.29 N_l=-9709.05 My_l=9.01 Mz_l=-0.01
Azioni sul cordone: TP=-0.81 TO=1.14 NO=-717.70
Tensioni nel cordone: τ_P=0.26 τ_0=0.36 σ_0=241.29 σ_{ID}=241.29 Σ_T=241.65
CC 26 SLD (Collegamento -041_-375)
Azioni sul collegamento: N=-10431.00 Ty=-9.85 Tz=12.31 Mx=-0.01 Mz=-7.46
Sollecitazioni agenti localmente: Tx_l=-9.85 Ty_l=12.31 N_l=-10431.00 My_l=7.46 Mz_l=-0.01
Azioni sul cordone: TP=-0.72 TO=0.92 NO=-771.06
Tensioni nel cordone: τ_P=0.23 τ_0=0.29 σ_0=255.98 σ_{ID}=255.98 Σ_T=256.27
CC 26 SLD (Collegamento -041_-375)
Azioni sul collegamento: N=-10431.00 Ty=-11.04 Tz=12.31 Mx=-0.01 Mz=-9.01
Sollecitazioni agenti localmente: Tx_l=-11.04 Ty_l=12.31 N_l=-10431.00 My_l=9.01 Mz_l=-0.01
Azioni sul cordone: TP=-0.81 TO=0.92 NO=-771.06
Tensioni nel cordone: τ_P=0.26 τ_0=0.29 σ_0=258.25 σ_{ID}=258.25 Σ_T=258.54
CC 26 SLD (Collegamento -041_-375)
Azioni sul collegamento: N=-10431.00 Ty=-9.85 Tz=15.29 Mx=-0.01 Mz=-7.46
Sollecitazioni agenti localmente: Tx_l=-9.85 Ty_l=15.29 N_l=-10431.00 My_l=7.46 Mz_l=-0.01
Azioni sul cordone: TP=-0.72 TO=1.14 NO=-771.06
Tensioni nel cordone: τ_P=0.23 τ_0=0.36 σ_0=255.98 σ_{ID}=255.98 Σ_T=256.34
CC 26 SLD (Collegamento -041_-375)
Azioni sul collegamento: N=-10431.00 Ty=-11.04 Tz=15.29 Mx=-0.01 Mz=-9.01
Sollecitazioni agenti localmente: Tx_l=-11.04 Ty_l=15.29 N_l=-10431.00 My_l=9.01 Mz_l=-0.01
Azioni sul cordone: TP=-0.81 TO=1.14 NO=-771.06
Tensioni nel cordone: τ_P=0.26 τ_0=0.36 σ_0=258.25 σ_{ID}=258.25 Σ_T=258.61
CC 27 SLV (Collegamento -041_-375)
Azioni sul collegamento: N=-11335.10 Ty=-11.60 Tz=17.98 Mx=-0.02 Mz=-9.43
Sollecitazioni agenti localmente: Tx_l=-11.60 Ty_l=17.98 N_l=-11335.10 My_l=9.43 Mz_l=-0.02
Azioni sul cordone: TP=-0.83 TO=1.35 NO=-837.90
Tensioni nel cordone: τ_P=0.26 τ_0=0.43 σ_0=280.11 σ_{ID}=280.11 Σ_T=280.53
CC 27 SLV (Collegamento -041_-375)

Azioni sul collegamento: N=-11335.10 Ty=-11.14 Tz=17.98 Mx=-0.02 Mz=-11.32
Sollecitazioni agenti localmente: Tx_l=-11.14 Ty_l=17.98 N_l=-11335.10 My_l=11.32 Mz_l=-0.02
Azioni sul cordone: TP=-0.80 TO=1.35 NO=-837.90
Tensioni nel cordone: τ_P=0.25 τ_O=0.43 σ_O=282.86 σ_{ID}=282.86 Σ_T=283.29
CC 27 SLV (Collegamento -041_-375)
Azioni sul collegamento: N=-11335.10 Ty=-11.60 Tz=10.38 Mx=-0.02 Mz=-9.43
Sollecitazioni agenti localmente: Tx_l=-11.60 Ty_l=10.38 N_l=-11335.10 My_l=9.43 Mz_l=-0.02
Azioni sul cordone: TP=-0.83 TO=0.79 NO=-837.90
Tensioni nel cordone: τ_P=0.26 τ_O=0.25 σ_O=280.11 σ_{ID}=280.11 Σ_T=280.36
CC 27 SLV (Collegamento -041_-375)
Azioni sul collegamento: N=-11335.10 Ty=-11.14 Tz=10.38 Mx=-0.02 Mz=-11.32
Sollecitazioni agenti localmente: Tx_l=-11.14 Ty_l=10.38 N_l=-11335.10 My_l=11.32 Mz_l=-0.02
Azioni sul cordone: TP=-0.80 TO=0.79 NO=-837.90
Tensioni nel cordone: τ_P=0.25 τ_O=0.25 σ_O=282.86 σ_{ID}=282.86 Σ_T=283.11
CC 27 SLV (Collegamento -041_-375)
Azioni sul collegamento: N=-9000.13 Ty=-11.60 Tz=17.98 Mx=-0.02 Mz=-9.43
Sollecitazioni agenti localmente: Tx_l=-11.60 Ty_l=17.98 N_l=-9000.13 My_l=9.43 Mz_l=-0.02
Azioni sul cordone: TP=-0.83 TO=1.35 NO=-665.29
Tensioni nel cordone: τ_P=0.26 τ_O=0.43 σ_O=225.24 σ_{ID}=225.24 Σ_T=225.67
CC 27 SLV (Collegamento -041_-375)
Azioni sul collegamento: N=-9000.13 Ty=-11.14 Tz=17.98 Mx=-0.02 Mz=-11.32
Sollecitazioni agenti localmente: Tx_l=-11.14 Ty_l=17.98 N_l=-9000.13 My_l=11.32 Mz_l=-0.02
Azioni sul cordone: TP=-0.80 TO=1.35 NO=-665.29
Tensioni nel cordone: τ_P=0.25 τ_O=0.43 σ_O=228.00 σ_{ID}=228.00 Σ_T=228.42
CC 27 SLV (Collegamento -041_-375)
Azioni sul collegamento: N=-9000.13 Ty=-11.60 Tz=10.38 Mx=-0.02 Mz=-9.43
Sollecitazioni agenti localmente: Tx_l=-11.60 Ty_l=10.38 N_l=-9000.13 My_l=9.43 Mz_l=-0.02
Azioni sul cordone: TP=-0.83 TO=0.79 NO=-665.29
Tensioni nel cordone: τ_P=0.26 τ_O=0.25 σ_O=225.24 σ_{ID}=225.24 Σ_T=225.49
CC 27 SLV (Collegamento -041_-375)
Azioni sul collegamento: N=-9000.13 Ty=-11.14 Tz=10.38 Mx=-0.02 Mz=-11.32
Sollecitazioni agenti localmente: Tx_l=-11.14 Ty_l=10.38 N_l=-9000.13 My_l=11.32 Mz_l=-0.02
Azioni sul cordone: TP=-0.80 TO=0.79 NO=-665.29
Tensioni nel cordone: τ_P=0.25 τ_O=0.25 σ_O=228.00 σ_{ID}=228.00 Σ_T=228.25
CC 28 SLD (Collegamento -041_-375)
Azioni sul collegamento: N=-10426.00 Ty=-10.51 Tz=14.95 Mx=-0.01 Mz=-7.95
Sollecitazioni agenti localmente: Tx_l=-10.51 Ty_l=14.95 N_l=-10426.00 My_l=7.95 Mz_l=-0.01
Azioni sul cordone: TP=-0.77 TO=1.11 NO=-770.70
Tensioni nel cordone: τ_P=0.24 τ_O=0.35 σ_O=256.58 σ_{ID}=256.58 Σ_T=256.93
CC 28 SLD (Collegamento -041_-375)
Azioni sul collegamento: N=-10426.00 Ty=-10.37 Tz=14.95 Mx=-0.01 Mz=-8.52
Sollecitazioni agenti localmente: Tx_l=-10.37 Ty_l=14.95 N_l=-10426.00 My_l=8.52 Mz_l=-0.01
Azioni sul cordone: TP=-0.76 TO=1.11 NO=-770.70
Tensioni nel cordone: τ_P=0.24 τ_O=0.35 σ_O=257.42 σ_{ID}=257.42 Σ_T=257.77
CC 28 SLD (Collegamento -041_-375)
Azioni sul collegamento: N=-10426.00 Ty=-10.51 Tz=12.64 Mx=-0.01 Mz=-7.95
Sollecitazioni agenti localmente: Tx_l=-10.51 Ty_l=12.64 N_l=-10426.00 My_l=7.95 Mz_l=-0.01
Azioni sul cordone: TP=-0.77 TO=0.94 NO=-770.70
Tensioni nel cordone: τ_P=0.24 τ_O=0.30 σ_O=256.58 σ_{ID}=256.58 Σ_T=256.88
CC 28 SLD (Collegamento -041_-375)
Azioni sul collegamento: N=-10426.00 Ty=-10.37 Tz=12.64 Mx=-0.01 Mz=-8.52
Sollecitazioni agenti localmente: Tx_l=-10.37 Ty_l=12.64 N_l=-10426.00 My_l=8.52 Mz_l=-0.01
Azioni sul cordone: TP=-0.76 TO=0.94 NO=-770.70
Tensioni nel cordone: τ_P=0.24 τ_O=0.30 σ_O=257.42 σ_{ID}=257.42 Σ_T=257.72
CC 28 SLD (Collegamento -041_-375)
Azioni sul collegamento: N=-9714.03 Ty=-10.51 Tz=14.95 Mx=-0.01 Mz=-7.95
Sollecitazioni agenti localmente: Tx_l=-10.51 Ty_l=14.95 N_l=-9714.03 My_l=7.95 Mz_l=-0.01
Azioni sul cordone: TP=-0.77 TO=1.11 NO=-718.06
Tensioni nel cordone: τ_P=0.24 τ_O=0.35 σ_O=239.85 σ_{ID}=239.85 Σ_T=240.20
CC 28 SLD (Collegamento -041_-375)
Azioni sul collegamento: N=-9714.03 Ty=-10.37 Tz=14.95 Mx=-0.01 Mz=-8.52
Sollecitazioni agenti localmente: Tx_l=-10.37 Ty_l=14.95 N_l=-9714.03 My_l=8.52 Mz_l=-0.01
Azioni sul cordone: TP=-0.76 TO=1.11 NO=-718.06
Tensioni nel cordone: τ_P=0.24 τ_O=0.35 σ_O=240.69 σ_{ID}=240.69 Σ_T=241.04
CC 28 SLD (Collegamento -041_-375)
Azioni sul collegamento: N=-9714.03 Ty=-10.51 Tz=12.64 Mx=-0.01 Mz=-7.95
Sollecitazioni agenti localmente: Tx_l=-10.51 Ty_l=12.64 N_l=-9714.03 My_l=7.95 Mz_l=-0.01
Azioni sul cordone: TP=-0.77 TO=0.94 NO=-718.06
Tensioni nel cordone: τ_P=0.24 τ_O=0.30 σ_O=239.85 σ_{ID}=239.85 Σ_T=240.15
CC 28 SLD (Collegamento -041_-375)
Azioni sul collegamento: N=-9714.03 Ty=-10.37 Tz=12.64 Mx=-0.01 Mz=-8.52
Sollecitazioni agenti localmente: Tx_l=-10.37 Ty_l=12.64 N_l=-9714.03 My_l=8.52 Mz_l=-0.01
Azioni sul cordone: TP=-0.76 TO=0.94 NO=-718.06
Tensioni nel cordone: τ_P=0.24 τ_O=0.30 σ_O=240.69 σ_{ID}=240.69 Σ_T=240.99
CC 29 SLV (Collegamento -041_-375)
Azioni sul collegamento: N=-9000.13 Ty=-11.14 Tz=10.38 Mx=-0.01 Mz=-11.32
Sollecitazioni agenti localmente: Tx_l=-11.14 Ty_l=10.38 N_l=-9000.13 My_l=11.32 Mz_l=-0.01
Azioni sul cordone: TP=-0.82 TO=0.77 NO=-665.29
Tensioni nel cordone: τ_P=0.26 τ_O=0.25 σ_O=228.00 σ_{ID}=228.00 Σ_T=228.24

CC 29 SLV (Collegamento -041_-375)
Azioni sul collegamento: N=-9000.13 Ty=-11.60 Tz=10.38 Mx=-0.01 Mz=-9.43
Sollecitazioni agenti localmente: Tx_l=-11.60 Ty_l=10.38 N_l=-9000.13 My_l=9.43 Mz_l=-0.01
Azioni sul cordone: TP=-0.85 TO=0.77 NO=-665.29
Tensioni nel cordone: τ_P=0.27 τ_0=0.25 σ_0=225.24 σ_{ID}=225.24 Σ_T=225.49
CC 29 SLV (Collegamento -041_-375)
Azioni sul collegamento: N=-9000.13 Ty=-11.14 Tz=17.98 Mx=-0.01 Mz=-11.32
Sollecitazioni agenti localmente: Tx_l=-11.14 Ty_l=17.98 N_l=-9000.13 My_l=11.32 Mz_l=-0.01
Azioni sul cordone: TP=-0.82 TO=1.33 NO=-665.29
Tensioni nel cordone: τ_P=0.26 τ_0=0.42 σ_0=228.00 σ_{ID}=228.00 Σ_T=228.42
CC 29 SLV (Collegamento -041_-375)
Azioni sul collegamento: N=-9000.13 Ty=-11.60 Tz=17.98 Mx=-0.01 Mz=-9.43
Sollecitazioni agenti localmente: Tx_l=-11.60 Ty_l=17.98 N_l=-9000.13 My_l=9.43 Mz_l=-0.01
Azioni sul cordone: TP=-0.85 TO=1.33 NO=-665.29
Tensioni nel cordone: τ_P=0.27 τ_0=0.42 σ_0=225.24 σ_{ID}=225.24 Σ_T=225.67
CC 29 SLV (Collegamento -041_-375)
Azioni sul collegamento: N=-11335.10 Ty=-11.14 Tz=10.38 Mx=-0.01 Mz=-11.32
Sollecitazioni agenti localmente: Tx_l=-11.14 Ty_l=10.38 N_l=-11335.10 My_l=11.32 Mz_l=-0.01
Azioni sul cordone: TP=-0.82 TO=0.77 NO=-837.90
Tensioni nel cordone: τ_P=0.26 τ_0=0.25 σ_0=282.86 σ_{ID}=282.86 Σ_T=283.10
CC 29 SLV (Collegamento -041_-375)
Azioni sul collegamento: N=-11335.10 Ty=-11.60 Tz=10.38 Mx=-0.01 Mz=-9.43
Sollecitazioni agenti localmente: Tx_l=-11.60 Ty_l=10.38 N_l=-11335.10 My_l=9.43 Mz_l=-0.01
Azioni sul cordone: TP=-0.85 TO=0.77 NO=-837.90
Tensioni nel cordone: τ_P=0.27 τ_0=0.25 σ_0=280.11 σ_{ID}=280.11 Σ_T=280.35
CC 29 SLV (Collegamento -041_-375)
Azioni sul collegamento: N=-11335.10 Ty=-11.14 Tz=17.98 Mx=-0.01 Mz=-11.32
Sollecitazioni agenti localmente: Tx_l=-11.14 Ty_l=17.98 N_l=-11335.10 My_l=11.32 Mz_l=-0.01
Azioni sul cordone: TP=-0.82 TO=1.33 NO=-837.90
Tensioni nel cordone: τ_P=0.26 τ_0=0.42 σ_0=282.86 σ_{ID}=282.86 Σ_T=283.28
CC 29 SLV (Collegamento -041_-375)
Azioni sul collegamento: N=-11335.10 Ty=-11.60 Tz=17.98 Mx=-0.01 Mz=-9.43
Sollecitazioni agenti localmente: Tx_l=-11.60 Ty_l=17.98 N_l=-11335.10 My_l=9.43 Mz_l=-0.01
Azioni sul cordone: TP=-0.85 TO=1.33 NO=-837.90
Tensioni nel cordone: τ_P=0.27 τ_0=0.42 σ_0=280.11 σ_{ID}=280.11 Σ_T=280.53
CC 30 SLD (Collegamento -041_-375)
Azioni sul collegamento: N=-9714.03 Ty=-10.37 Tz=12.64 Mx=-0.00 Mz=-8.52
Sollecitazioni agenti localmente: Tx_l=-10.37 Ty_l=12.64 N_l=-9714.03 My_l=8.52 Mz_l=-0.00
Azioni sul cordone: TP=-0.76 TO=0.94 NO=-718.06
Tensioni nel cordone: τ_P=0.24 τ_0=0.30 σ_0=240.69 σ_{ID}=240.69 Σ_T=240.99
CC 30 SLD (Collegamento -041_-375)
Azioni sul collegamento: N=-9714.03 Ty=-10.51 Tz=12.64 Mx=-0.00 Mz=-7.95
Sollecitazioni agenti localmente: Tx_l=-10.51 Ty_l=12.64 N_l=-9714.03 My_l=7.95 Mz_l=-0.00
Azioni sul cordone: TP=-0.77 TO=0.94 NO=-718.06
Tensioni nel cordone: τ_P=0.25 τ_0=0.30 σ_0=239.85 σ_{ID}=239.85 Σ_T=240.15
CC 30 SLD (Collegamento -041_-375)
Azioni sul collegamento: N=-9714.03 Ty=-10.37 Tz=14.95 Mx=-0.00 Mz=-8.52
Sollecitazioni agenti localmente: Tx_l=-10.37 Ty_l=14.95 N_l=-9714.03 My_l=8.52 Mz_l=-0.00
Azioni sul cordone: TP=-0.76 TO=1.11 NO=-718.06
Tensioni nel cordone: τ_P=0.24 τ_0=0.35 σ_0=240.69 σ_{ID}=240.69 Σ_T=241.04
CC 30 SLD (Collegamento -041_-375)
Azioni sul collegamento: N=-9714.03 Ty=-10.51 Tz=14.95 Mx=-0.00 Mz=-7.95
Sollecitazioni agenti localmente: Tx_l=-10.51 Ty_l=14.95 N_l=-9714.03 My_l=7.95 Mz_l=-0.00
Azioni sul cordone: TP=-0.77 TO=1.11 NO=-718.06
Tensioni nel cordone: τ_P=0.25 τ_0=0.35 σ_0=239.85 σ_{ID}=239.85 Σ_T=240.20
CC 30 SLD (Collegamento -041_-375)
Azioni sul collegamento: N=-10426.00 Ty=-10.37 Tz=12.64 Mx=-0.00 Mz=-8.52
Sollecitazioni agenti localmente: Tx_l=-10.37 Ty_l=12.64 N_l=-10426.00 My_l=8.52 Mz_l=-0.00
Azioni sul cordone: TP=-0.76 TO=0.94 NO=-770.70
Tensioni nel cordone: τ_P=0.24 τ_0=0.30 σ_0=257.42 σ_{ID}=257.42 Σ_T=257.72
CC 30 SLD (Collegamento -041_-375)
Azioni sul collegamento: N=-10426.00 Ty=-10.51 Tz=12.64 Mx=-0.00 Mz=-7.95
Sollecitazioni agenti localmente: Tx_l=-10.51 Ty_l=12.64 N_l=-10426.00 My_l=7.95 Mz_l=-0.00
Azioni sul cordone: TP=-0.77 TO=0.94 NO=-770.70
Tensioni nel cordone: τ_P=0.25 τ_0=0.30 σ_0=256.58 σ_{ID}=256.58 Σ_T=256.88
CC 30 SLD (Collegamento -041_-375)
Azioni sul collegamento: N=-10426.00 Ty=-10.37 Tz=14.95 Mx=-0.00 Mz=-8.52
Sollecitazioni agenti localmente: Tx_l=-10.37 Ty_l=14.95 N_l=-10426.00 My_l=8.52 Mz_l=-0.00
Azioni sul cordone: TP=-0.76 TO=1.11 NO=-770.70
Tensioni nel cordone: τ_P=0.24 τ_0=0.35 σ_0=257.42 σ_{ID}=257.42 Σ_T=257.77
CC 30 SLD (Collegamento -041_-375)
Azioni sul collegamento: N=-10426.00 Ty=-10.51 Tz=14.95 Mx=-0.00 Mz=-7.95
Sollecitazioni agenti localmente: Tx_l=-10.51 Ty_l=14.95 N_l=-10426.00 My_l=7.95 Mz_l=-0.00
Azioni sul cordone: TP=-0.77 TO=1.11 NO=-770.70
Tensioni nel cordone: τ_P=0.25 τ_0=0.35 σ_0=256.58 σ_{ID}=256.58 Σ_T=256.93
CC 31 SLV (Collegamento -041_-375)
Azioni sul collegamento: N=-11351.50 Ty=-13.31 Tz=19.07 Mx=-0.01 Mz=-12.93
Sollecitazioni agenti localmente: Tx_l=-13.31 Ty_l=19.07 N_l=-11351.50 My_l=12.93 Mz_l=-0.01
Azioni sul cordone: TP=-0.98 TO=1.42 NO=-839.10

Tensioni nel cordone: τ_P=0.31 τ_0=0.45 σ_0=285.59 σ_{ID}=285.59 Σ_T=286.04
CC 31 SLV (Collegamento -041_-375)
Azioni sul collegamento: N=-11351.50 Ty=-9.43 Tz=19.07 Mx=-0.01 Mz=-7.83
Sollecitazioni agenti localmente: Tx_l=-9.43 Ty_l=19.07 N_l=-11351.50 My_l=7.83 Mz_l=-0.01
Azioni sul cordone: TP=-0.69 TO=1.42 NO=-839.10
Tensioni nel cordone: τ_P=0.22 τ_0=0.45 σ_0=278.14 σ_{ID}=278.14 Σ_T=278.59
CC 31 SLV (Collegamento -041_-375)
Azioni sul collegamento: N=-11351.50 Ty=-13.31 Tz=9.29 Mx=-0.01 Mz=-12.93
Sollecitazioni agenti localmente: Tx_l=-13.31 Ty_l=9.29 N_l=-11351.50 My_l=12.93 Mz_l=-0.01
Azioni sul cordone: TP=-0.98 TO=0.69 NO=-839.10
Tensioni nel cordone: τ_P=0.31 τ_0=0.22 σ_0=285.59 σ_{ID}=285.59 Σ_T=285.81
CC 31 SLV (Collegamento -041_-375)
Azioni sul collegamento: N=-11351.50 Ty=-9.43 Tz=9.29 Mx=-0.01 Mz=-7.83
Sollecitazioni agenti localmente: Tx_l=-9.43 Ty_l=9.29 N_l=-11351.50 My_l=7.83 Mz_l=-0.01
Azioni sul cordone: TP=-0.69 TO=0.69 NO=-839.10
Tensioni nel cordone: τ_P=0.22 τ_0=0.22 σ_0=278.14 σ_{ID}=278.14 Σ_T=278.36
CC 31 SLV (Collegamento -041_-375)
Azioni sul collegamento: N=-8983.80 Ty=-13.31 Tz=19.07 Mx=-0.01 Mz=-12.93
Sollecitazioni agenti localmente: Tx_l=-13.31 Ty_l=19.07 N_l=-8983.80 My_l=12.93 Mz_l=-0.01
Azioni sul cordone: TP=-0.98 TO=1.42 NO=-664.09
Tensioni nel cordone: τ_P=0.31 τ_0=0.45 σ_0=229.96 σ_{ID}=229.96 Σ_T=230.41
CC 31 SLV (Collegamento -041_-375)
Azioni sul collegamento: N=-8983.80 Ty=-9.43 Tz=19.07 Mx=-0.01 Mz=-7.83
Sollecitazioni agenti localmente: Tx_l=-9.43 Ty_l=19.07 N_l=-8983.80 My_l=7.83 Mz_l=-0.01
Azioni sul cordone: TP=-0.69 TO=1.42 NO=-664.09
Tensioni nel cordone: τ_P=0.22 τ_0=0.45 σ_0=222.51 σ_{ID}=222.51 Σ_T=222.96
CC 31 SLV (Collegamento -041_-375)
Azioni sul collegamento: N=-8983.80 Ty=-13.31 Tz=9.29 Mx=-0.01 Mz=-12.93
Sollecitazioni agenti localmente: Tx_l=-13.31 Ty_l=9.29 N_l=-8983.80 My_l=12.93 Mz_l=-0.01
Azioni sul cordone: TP=-0.98 TO=0.69 NO=-664.09
Tensioni nel cordone: τ_P=0.31 τ_0=0.22 σ_0=229.96 σ_{ID}=229.96 Σ_T=230.18
CC 31 SLV (Collegamento -041_-375)
Azioni sul collegamento: N=-8983.80 Ty=-9.43 Tz=9.29 Mx=-0.01 Mz=-7.83
Sollecitazioni agenti localmente: Tx_l=-9.43 Ty_l=9.29 N_l=-8983.80 My_l=7.83 Mz_l=-0.01
Azioni sul cordone: TP=-0.69 TO=0.69 NO=-664.09
Tensioni nel cordone: τ_P=0.22 τ_0=0.22 σ_0=222.51 σ_{ID}=222.51 Σ_T=222.73
CC 32 SLD (Collegamento -041_-375)
Azioni sul collegamento: N=-10431.00 Ty=-11.04 Tz=15.29 Mx=-0.00 Mz=-9.01
Sollecitazioni agenti localmente: Tx_l=-11.04 Ty_l=15.29 N_l=-10431.00 My_l=9.01 Mz_l=-0.00
Azioni sul cordone: TP=-0.81 TO=1.13 NO=-771.06
Tensioni nel cordone: τ_P=0.26 τ_0=0.36 σ_0=258.25 σ_{ID}=258.25 Σ_T=258.61
CC 32 SLD (Collegamento -041_-375)
Azioni sul collegamento: N=-10431.00 Ty=-9.85 Tz=15.29 Mx=-0.00 Mz=-7.46
Sollecitazioni agenti localmente: Tx_l=-9.85 Ty_l=15.29 N_l=-10431.00 My_l=7.46 Mz_l=-0.00
Azioni sul cordone: TP=-0.72 TO=1.13 NO=-771.06
Tensioni nel cordone: τ_P=0.23 τ_0=0.36 σ_0=255.98 σ_{ID}=255.98 Σ_T=256.34
CC 32 SLD (Collegamento -041_-375)
Azioni sul collegamento: N=-10431.00 Ty=-11.04 Tz=12.31 Mx=-0.00 Mz=-9.01
Sollecitazioni agenti localmente: Tx_l=-11.04 Ty_l=12.31 N_l=-10431.00 My_l=9.01 Mz_l=-0.00
Azioni sul cordone: TP=-0.81 TO=0.91 NO=-771.06
Tensioni nel cordone: τ_P=0.26 τ_0=0.29 σ_0=258.25 σ_{ID}=258.25 Σ_T=258.54
CC 32 SLD (Collegamento -041_-375)
Azioni sul collegamento: N=-10431.00 Ty=-9.85 Tz=12.31 Mx=-0.00 Mz=-7.46
Sollecitazioni agenti localmente: Tx_l=-9.85 Ty_l=12.31 N_l=-10431.00 My_l=7.46 Mz_l=-0.00
Azioni sul cordone: TP=-0.72 TO=0.91 NO=-771.06
Tensioni nel cordone: τ_P=0.23 τ_0=0.29 σ_0=255.98 σ_{ID}=255.98 Σ_T=256.27
CC 32 SLD (Collegamento -041_-375)
Azioni sul collegamento: N=-9709.05 Ty=-11.04 Tz=15.29 Mx=-0.00 Mz=-9.01
Sollecitazioni agenti localmente: Tx_l=-11.04 Ty_l=15.29 N_l=-9709.05 My_l=9.01 Mz_l=-0.00
Azioni sul cordone: TP=-0.81 TO=1.13 NO=-717.70
Tensioni nel cordone: τ_P=0.26 τ_0=0.36 σ_0=241.29 σ_{ID}=241.29 Σ_T=241.65
CC 32 SLD (Collegamento -041_-375)
Azioni sul collegamento: N=-9709.05 Ty=-9.85 Tz=15.29 Mx=-0.00 Mz=-7.46
Sollecitazioni agenti localmente: Tx_l=-9.85 Ty_l=15.29 N_l=-9709.05 My_l=7.46 Mz_l=-0.00
Azioni sul cordone: TP=-0.72 TO=1.13 NO=-717.70
Tensioni nel cordone: τ_P=0.23 τ_0=0.36 σ_0=239.02 σ_{ID}=239.02 Σ_T=239.38
CC 32 SLD (Collegamento -041_-375)
Azioni sul collegamento: N=-9709.05 Ty=-11.04 Tz=12.31 Mx=-0.00 Mz=-9.01
Sollecitazioni agenti localmente: Tx_l=-11.04 Ty_l=12.31 N_l=-9709.05 My_l=9.01 Mz_l=-0.00
Azioni sul cordone: TP=-0.81 TO=0.91 NO=-717.70
Tensioni nel cordone: τ_P=0.26 τ_0=0.29 σ_0=241.29 σ_{ID}=241.29 Σ_T=241.58
CC 32 SLD (Collegamento -041_-375)
Azioni sul collegamento: N=-9709.05 Ty=-9.85 Tz=12.31 Mx=-0.00 Mz=-7.46
Sollecitazioni agenti localmente: Tx_l=-9.85 Ty_l=12.31 N_l=-9709.05 My_l=7.46 Mz_l=-0.00
Azioni sul cordone: TP=-0.72 TO=0.91 NO=-717.70
Tensioni nel cordone: τ_P=0.23 τ_0=0.29 σ_0=239.02 σ_{ID}=239.02 Σ_T=239.31
CC 33 SLU (Collegamento -041_-375)
Azioni sul collegamento: N=-36642.60 Ty=-20.20 Tz=103.27 Mx=-0.00 Mz=-14.84
Sollecitazioni agenti localmente: Tx_l=-20.20 Ty_l=103.27 N_l=-36642.60 My_l=14.84 Mz_l=-0.00

Azioni sul cordone: TP=-1.49 TO=7.64 NO=-2708.63
Tensioni nel cordone: τ_P=0.47 τ_0=2.43 σ_0=882.61 σ_{ID}=882.62 Σ_T=885.04
CC 34 SLU (Collegamento -041_-375)
Azioni sul collegamento: N=-37458.50 Ty=-20.96 Tz=106.28 Mx=-0.00 Mz=-15.40
Sollecitazioni agenti localmente: Tx_l=-20.96 Ty_l=106.28 N_l=-37458.50 My_l=15.40 Mz_l=-0.00
Azioni sul cordone: TP=-1.54 TO=7.86 NO=-2768.95
Tensioni nel cordone: τ_P=0.49 τ_0=2.50 σ_0=902.60 σ_{ID}=902.60 Σ_T=905.10
CC 35 SLU (Collegamento -041_-375)
Azioni sul collegamento: N=-37049.70 Ty=-20.49 Tz=104.83 Mx=-0.01 Mz=-14.94
Sollecitazioni agenti localmente: Tx_l=-20.49 Ty_l=104.83 N_l=-37049.70 My_l=14.94 Mz_l=-0.01
Azioni sul cordone: TP=-1.51 TO=7.75 NO=-2738.72
Tensioni nel cordone: τ_P=0.48 τ_0=2.46 σ_0=892.32 σ_{ID}=892.32 Σ_T=894.78
CC 36 SLU (Collegamento -041_-375)
Azioni sul collegamento: N=-37051.40 Ty=-20.67 Tz=104.72 Mx=-0.00 Mz=-15.30
Sollecitazioni agenti localmente: Tx_l=-20.67 Ty_l=104.72 N_l=-37051.40 My_l=15.30 Mz_l=-0.00
Azioni sul cordone: TP=-1.52 TO=7.74 NO=-2738.85
Tensioni nel cordone: τ_P=0.48 τ_0=2.46 σ_0=892.89 σ_{ID}=892.90 Σ_T=895.35
CC 37 SLU (Collegamento -041_-375)
Azioni sul collegamento: N=-29860.20 Ty=10.64 Tz=77.84 Mx=-0.00 Mz=8.54
Sollecitazioni agenti localmente: Tx_l=10.64 Ty_l=77.84 N_l=-29860.20 My_l=-8.54 Mz_l=-0.00
Azioni sul cordone: TP=0.79 TO=5.75 NO=-2207.27
Tensioni nel cordone: τ_P=0.25 τ_0=1.83 σ_0=714.06 σ_{ID}=714.06 Σ_T=715.89
CC 38 SLU (Collegamento -041_-375)
Azioni sul collegamento: N=-30676.20 Ty=9.89 Tz=80.85 Mx=-0.00 Mz=7.98
Sollecitazioni agenti localmente: Tx_l=9.89 Ty_l=80.85 N_l=-30676.20 My_l=-7.98 Mz_l=-0.00
Azioni sul cordone: TP=0.74 TO=5.97 NO=-2267.59
Tensioni nel cordone: τ_P=0.23 τ_0=1.90 σ_0=732.42 σ_{ID}=732.42 Σ_T=734.32
CC 39 SLU (Collegamento -041_-375)
Azioni sul collegamento: N=-30267.30 Ty=10.35 Tz=79.40 Mx=-0.01 Mz=8.45
Sollecitazioni agenti localmente: Tx_l=10.35 Ty_l=79.40 N_l=-30267.30 My_l=-8.45 Mz_l=-0.01
Azioni sul cordone: TP=0.77 TO=5.86 NO=-2237.37
Tensioni nel cordone: τ_P=0.25 τ_0=1.86 σ_0=723.48 σ_{ID}=723.49 Σ_T=725.35
CC 40 SLU (Collegamento -041_-375)
Azioni sul collegamento: N=-30269.10 Ty=10.18 Tz=79.28 Mx=-0.00 Mz=8.08
Sollecitazioni agenti localmente: Tx_l=10.18 Ty_l=79.28 N_l=-30269.10 My_l=-8.08 Mz_l=-0.00
Azioni sul cordone: TP=0.76 TO=5.86 NO=-2237.50
Tensioni nel cordone: τ_P=0.24 τ_0=1.86 σ_0=722.99 σ_{ID}=723.00 Σ_T=724.86
CC 41 SLU (Collegamento -041_-375)
Azioni sul collegamento: N=-27459.80 Ty=-19.36 Tz=69.55 Mx=-0.00 Mz=-14.09
Sollecitazioni agenti localmente: Tx_l=-19.36 Ty_l=69.55 N_l=-27459.80 My_l=14.09 Mz_l=-0.00
Azioni sul cordone: TP=-1.43 TO=5.14 NO=-2029.83
Tensioni nel cordone: τ_P=0.45 τ_0=1.64 σ_0=665.76 σ_{ID}=665.77 Σ_T=667.40
CC 42 SLU (Collegamento -041_-375)
Azioni sul collegamento: N=-28275.70 Ty=-20.11 Tz=72.57 Mx=-0.00 Mz=-14.65
Sollecitazioni agenti localmente: Tx_l=-20.11 Ty_l=72.57 N_l=-28275.70 My_l=14.65 Mz_l=-0.00
Azioni sul cordone: TP=-1.48 TO=5.37 NO=-2090.15
Tensioni nel cordone: τ_P=0.47 τ_0=1.71 σ_0=685.75 σ_{ID}=685.75 Σ_T=687.46
CC 43 SLU (Collegamento -041_-375)
Azioni sul collegamento: N=-27866.90 Ty=-19.65 Tz=71.12 Mx=-0.01 Mz=-14.19
Sollecitazioni agenti localmente: Tx_l=-19.65 Ty_l=71.12 N_l=-27866.90 My_l=14.19 Mz_l=-0.01
Azioni sul cordone: TP=-1.45 TO=5.26 NO=-2059.93
Tensioni nel cordone: τ_P=0.46 τ_0=1.67 σ_0=675.47 σ_{ID}=675.47 Σ_T=677.14
CC 44 SLU (Collegamento -041_-375)
Azioni sul collegamento: N=-27868.60 Ty=-19.82 Tz=71.00 Mx=-0.00 Mz=-14.55
Sollecitazioni agenti localmente: Tx_l=-19.82 Ty_l=71.00 N_l=-27868.60 My_l=14.55 Mz_l=-0.00
Azioni sul cordone: TP=-1.46 TO=5.25 NO=-2060.06
Tensioni nel cordone: τ_P=0.46 τ_0=1.67 σ_0=676.05 σ_{ID}=676.05 Σ_T=677.72
CC 45 SLU (Collegamento -041_-375)
Azioni sul collegamento: N=-29479.00 Ty=-19.57 Tz=76.97 Mx=-0.00 Mz=-14.38
Sollecitazioni agenti localmente: Tx_l=-19.57 Ty_l=76.97 N_l=-29479.00 My_l=14.38 Mz_l=-0.00
Azioni sul cordone: TP=-1.44 TO=5.69 NO=-2179.10
Tensioni nel cordone: τ_P=0.46 τ_0=1.81 σ_0=713.63 σ_{ID}=713.63 Σ_T=715.44
CC 46 SLU (Collegamento -041_-375)
Azioni sul collegamento: N=-30295.00 Ty=-20.33 Tz=79.99 Mx=-0.00 Mz=-14.94
Sollecitazioni agenti localmente: Tx_l=-20.33 Ty_l=79.99 N_l=-30295.00 My_l=14.94 Mz_l=-0.00
Azioni sul cordone: TP=-1.50 TO=5.92 NO=-2239.42
Tensioni nel cordone: τ_P=0.48 τ_0=1.88 σ_0=733.62 σ_{ID}=733.62 Σ_T=735.50
CC 47 SLU (Collegamento -041_-375)
Azioni sul collegamento: N=-29886.10 Ty=-19.86 Tz=78.54 Mx=-0.00 Mz=-14.48
Sollecitazioni agenti localmente: Tx_l=-19.86 Ty_l=78.54 N_l=-29886.10 My_l=14.48 Mz_l=-0.00
Azioni sul cordone: TP=-1.46 TO=5.81 NO=-2209.19
Tensioni nel cordone: τ_P=0.46 τ_0=1.85 σ_0=723.34 σ_{ID}=723.34 Σ_T=725.18
CC 48 SLU (Collegamento -041_-375)
Azioni sul collegamento: N=-29887.90 Ty=-20.04 Tz=78.42 Mx=-0.00 Mz=-14.84
Sollecitazioni agenti localmente: Tx_l=-20.04 Ty_l=78.42 N_l=-29887.90 My_l=14.84 Mz_l=-0.00
Azioni sul cordone: TP=-1.48 TO=5.80 NO=-2209.32
Tensioni nel cordone: τ_P=0.47 τ_0=1.84 σ_0=723.91 σ_{ID}=723.92 Σ_T=725.76
CC 49 SLU (Collegamento -041_-375)
Azioni sul collegamento: N=-24404.80 Ty=3.50 Tz=57.94 Mx=-0.00 Mz=3.11

Sollecitazioni agenti localmente: Tx_l=3.50 Ty_l=57.94 N_l=-24404.80 My_l=-3.11 Mz_l=-0.00
Azioni sul cordone: TP=0.26 TO=4.28 NO=-1804.01
Tensioni nel cordone: τ_P= 0.08 τ_0=1.36 σ_0=577.95 σ_{ID}=577.95 Σ_T=579.31
CC 50 SLU (Collegamento -041_-375)
Azioni sul collegamento: N=-25220.80 Ty=2.75 Tz=60.96 Mx=-0.00 Mz=2.55
Sollecitazioni agenti localmente: Tx_l=2.75 Ty_l=60.96 N_l=-25220.80 My_l=-2.55 Mz_l=-0.00
Azioni sul cordone: TP=0.21 TO=4.50 NO=-1864.33
Tensioni nel cordone: τ_P= 0.07 τ_0=1.43 σ_0=596.31 σ_{ID}=596.31 Σ_T=597.74
CC 51 SLU (Collegamento -041_-375)
Azioni sul collegamento: N=-24811.90 Ty=3.21 Tz=59.51 Mx=-0.00 Mz=3.02
Sollecitazioni agenti localmente: Tx_l=3.21 Ty_l=59.51 N_l=-24811.90 My_l=-3.02 Mz_l=-0.00
Azioni sul cordone: TP=0.24 TO=4.40 NO=-1834.11
Tensioni nel cordone: τ_P= 0.08 τ_0=1.40 σ_0=587.37 σ_{ID}=587.38 Σ_T=588.77
CC 52 SLU (Collegamento -041_-375)
Azioni sul collegamento: N=-24813.70 Ty=3.04 Tz=59.39 Mx=-0.00 Mz=2.65
Sollecitazioni agenti localmente: Tx_l=3.04 Ty_l=59.39 N_l=-24813.70 My_l=-2.65 Mz_l=-0.00
Azioni sul cordone: TP=0.23 TO=4.39 NO=-1834.24
Tensioni nel cordone: τ_P= 0.07 τ_0=1.39 σ_0=586.88 σ_{ID}=586.88 Σ_T=588.28
CC 53 SLU (Collegamento -041_-375)
Azioni sul collegamento: N=-22608.90 Ty=-18.94 Tz=51.75 Mx=-0.00 Mz=-13.82
Sollecitazioni agenti localmente: Tx_l=-18.94 Ty_l=51.75 N_l=-22608.90 My_l=13.82 Mz_l=-0.00
Azioni sul cordone: TP=-1.40 TO=3.83 NO=-1671.26
Tensioni nel cordone: τ_P=0.44 τ_0=1.22 σ_0=551.40 σ_{ID}=551.40 Σ_T=552.62
CC 54 SLU (Collegamento -041_-375)
Azioni sul collegamento: N=-23424.90 Ty=-19.70 Tz=54.76 Mx=-0.00 Mz=-14.38
Sollecitazioni agenti localmente: Tx_l=-19.70 Ty_l=54.76 N_l=-23424.90 My_l=14.38 Mz_l=-0.00
Azioni sul cordone: TP=-1.45 TO=4.05 NO=-1731.58
Tensioni nel cordone: τ_P=0.46 τ_0=1.29 σ_0=571.38 σ_{ID}=571.39 Σ_T=572.67
CC 55 SLU (Collegamento -041_-375)
Azioni sul collegamento: N=-23016.00 Ty=-19.23 Tz=53.31 Mx=-0.00 Mz=-13.92
Sollecitazioni agenti localmente: Tx_l=-19.23 Ty_l=53.31 N_l=-23016.00 My_l=13.92 Mz_l=-0.00
Azioni sul cordone: TP=-1.42 TO=3.94 NO=-1701.35
Tensioni nel cordone: τ_P=0.45 τ_0=1.25 σ_0=561.11 σ_{ID}=561.11 Σ_T=562.36
CC 56 SLU (Collegamento -041_-375)
Azioni sul collegamento: N=-23017.80 Ty=-19.41 Tz=53.20 Mx=-0.00 Mz=-14.28
Sollecitazioni agenti localmente: Tx_l=-19.41 Ty_l=53.20 N_l=-23017.80 My_l=14.28 Mz_l=-0.00
Azioni sul cordone: TP=-1.43 TO=3.93 NO=-1701.48
Tensioni nel cordone: τ_P=0.45 τ_0=1.25 σ_0=561.68 σ_{ID}=561.68 Σ_T=562.93
CC 57 SLU (Collegamento -041_-375)
Azioni sul collegamento: N=-30221.30 Ty=-20.56 Tz=79.74 Mx=-0.00 Mz=-15.10
Sollecitazioni agenti localmente: Tx_l=-20.56 Ty_l=79.74 N_l=-30221.30 My_l=15.10 Mz_l=-0.00
Azioni sul cordone: TP=-1.52 TO=5.90 NO=-2233.96
Tensioni nel cordone: τ_P=0.48 τ_0=1.87 σ_0=732.13 σ_{ID}=732.13 Σ_T=734.00
CC 58 SLU (Collegamento -041_-375)
Azioni sul collegamento: N=-31037.20 Ty=-21.31 Tz=82.75 Mx=-0.00 Mz=-15.66
Sollecitazioni agenti localmente: Tx_l=-21.31 Ty_l=82.75 N_l=-31037.20 My_l=15.66 Mz_l=-0.00
Azioni sul cordone: TP=-1.57 TO=6.12 NO=-2294.28
Tensioni nel cordone: τ_P=0.50 τ_0=1.95 σ_0=752.12 σ_{ID}=752.12 Σ_T=754.06
CC 59 SLU (Collegamento -041_-375)
Azioni sul collegamento: N=-30628.40 Ty=-20.85 Tz=81.31 Mx=-0.00 Mz=-15.20
Sollecitazioni agenti localmente: Tx_l=-20.85 Ty_l=81.31 N_l=-30628.40 My_l=15.20 Mz_l=-0.00
Azioni sul cordone: TP=-1.54 TO=6.01 NO=-2264.06
Tensioni nel cordone: τ_P=0.49 τ_0=1.91 σ_0=741.84 σ_{ID}=741.84 Σ_T=743.75
CC 60 SLU (Collegamento -041_-375)
Azioni sul collegamento: N=-30630.10 Ty=-21.02 Tz=81.19 Mx=-0.00 Mz=-15.57
Sollecitazioni agenti localmente: Tx_l=-21.02 Ty_l=81.19 N_l=-30630.10 My_l=15.57 Mz_l=-0.00
Azioni sul cordone: TP=-1.55 TO=6.00 NO=-2264.19
Tensioni nel cordone: τ_P=0.49 τ_0=1.91 σ_0=742.41 σ_{ID}=742.41 Σ_T=744.32
CC 61 SLU (Collegamento -041_-375)
Azioni sul collegamento: N=-25147.00 Ty=2.52 Tz=60.71 Mx=-0.00 Mz=2.39
Sollecitazioni agenti localmente: Tx_l=2.52 Ty_l=60.71 N_l=-25147.00 My_l=-2.39 Mz_l=-0.00
Azioni sul cordone: TP=0.19 TO=4.48 NO=-1858.88
Tensioni nel cordone: τ_P= 0.06 τ_0=1.43 σ_0=594.33 σ_{ID}=594.33 Σ_T=595.76
CC 62 SLU (Collegamento -041_-375)
Azioni sul collegamento: N=-25963.00 Ty=1.76 Tz=63.73 Mx=-0.00 Mz=1.83
Sollecitazioni agenti localmente: Tx_l=1.76 Ty_l=63.73 N_l=-25963.00 My_l=-1.83 Mz_l=-0.00
Azioni sul cordone: TP=0.14 TO=4.71 NO=-1919.19
Tensioni nel cordone: τ_P= 0.04 τ_0=1.50 σ_0=612.69 σ_{ID}=612.69 Σ_T=614.18
CC 63 SLU (Collegamento -041_-375)
Azioni sul collegamento: N=-25554.10 Ty=2.23 Tz=62.28 Mx=-0.00 Mz=2.29
Sollecitazioni agenti localmente: Tx_l=2.23 Ty_l=62.28 N_l=-25554.10 My_l=-2.29 Mz_l=-0.00
Azioni sul cordone: TP=0.17 TO=4.60 NO=-1888.97
Tensioni nel cordone: τ_P= 0.05 τ_0=1.46 σ_0=603.76 σ_{ID}=603.76 Σ_T=605.22
CC 64 SLU (Collegamento -041_-375)
Azioni sul collegamento: N=-25555.90 Ty=2.05 Tz=62.16 Mx=-0.00 Mz=1.93
Sollecitazioni agenti localmente: Tx_l=2.05 Ty_l=62.16 N_l=-25555.90 My_l=-1.93 Mz_l=-0.00
Azioni sul cordone: TP=0.16 TO=4.59 NO=-1889.10
Tensioni nel cordone: τ_P= 0.05 τ_0=1.46 σ_0=603.26 σ_{ID}=603.27 Σ_T=604.72
CC 65 SLU (Collegamento -041_-375)

Azioni sul collegamento: N=-23351.20 Ty=-19.92 Tz=54.52 Mx=-0.00 Mz=-14.54
Sollecitazioni agenti localmente: Tx_l=-19.92 Ty_l=54.52 N_l=-23351.20 My_l=14.54 Mz_l=-0.00
Azioni sul cordone: TP=-1.47 TO=4.03 NO=-1726.12
Tensioni nel cordone: τ_P=0.47 τ_0=1.28 σ_0=569.89 σ_{ID}=569.90 Σ_T=571.18
CC 66 SLU (Collegamento -041_-375)
Azioni sul collegamento: N=-24167.10 Ty=-20.68 Tz=57.53 Mx=-0.00 Mz=-15.10
Sollecitazioni agenti localmente: Tx_l=-20.68 Ty_l=57.53 N_l=-24167.10 My_l=15.10 Mz_l=-0.00
Azioni sul cordone: TP=-1.52 TO=4.26 NO=-1786.44
Tensioni nel cordone: τ_P=0.48 τ_0=1.35 σ_0=589.88 σ_{ID}=589.88 Σ_T=591.23
CC 67 SLU (Collegamento -041_-375)
Azioni sul collegamento: N=-23758.30 Ty=-20.21 Tz=56.08 Mx=-0.00 Mz=-14.64
Sollecitazioni agenti localmente: Tx_l=-20.21 Ty_l=56.08 N_l=-23758.30 My_l=14.64 Mz_l=-0.00
Azioni sul cordone: TP=-1.49 TO=4.15 NO=-1756.22
Tensioni nel cordone: τ_P=0.47 τ_0=1.32 σ_0=579.60 σ_{ID}=579.60 Σ_T=580.92
CC 68 SLU (Collegamento -041_-375)
Azioni sul collegamento: N=-23760.00 Ty=-20.39 Tz=55.97 Mx=-0.00 Mz=-15.01
Sollecitazioni agenti localmente: Tx_l=-20.39 Ty_l=55.97 N_l=-23760.00 My_l=15.01 Mz_l=-0.00
Azioni sul cordone: TP=-1.50 TO=4.14 NO=-1756.35
Tensioni nel cordone: τ_P=0.48 τ_0=1.32 σ_0=580.17 σ_{ID}=580.18 Σ_T=581.49
CC 97 SLU (Collegamento -041_-375)
Azioni sul collegamento: N=-31084.20 Ty=-25.01 Tz=90.82 Mx=0.05 Mz=-11.42
Sollecitazioni agenti localmente: Tx_l=-25.01 Ty_l=90.82 N_l=-31084.20 My_l=11.42 Mz_l=0.05
Azioni sul cordone: TP=-1.90 TO=6.68 NO=-2297.76
Tensioni nel cordone: τ_P=0.60 τ_0=2.12 σ_0=747.02 σ_{ID}=747.02 Σ_T=749.14
CC 98 SLU (Collegamento -041_-375)
Azioni sul collegamento: N=-31900.20 Ty=-25.76 Tz=93.83 Mx=0.05 Mz=-11.97
Sollecitazioni agenti localmente: Tx_l=-25.76 Ty_l=93.83 N_l=-31900.20 My_l=11.97 Mz_l=0.05
Azioni sul cordone: TP=-1.96 TO=6.90 NO=-2358.07
Tensioni nel cordone: τ_P=0.62 τ_0=2.19 σ_0=767.00 σ_{ID}=767.01 Σ_T=769.20
CC 99 SLU (Collegamento -041_-375)
Azioni sul collegamento: N=-31491.30 Ty=-25.30 Tz=92.39 Mx=0.05 Mz=-11.51
Sollecitazioni agenti localmente: Tx_l=-25.30 Ty_l=92.39 N_l=-31491.30 My_l=11.51 Mz_l=0.05
Azioni sul cordone: TP=-1.92 TO=6.79 NO=-2327.85
Tensioni nel cordone: τ_P=0.61 τ_0=2.16 σ_0=756.72 σ_{ID}=756.73 Σ_T=758.88
CC 100 SLU (Collegamento -041_-375)
Azioni sul collegamento: N=-31493.10 Ty=-25.48 Tz=92.27 Mx=0.05 Mz=-11.88
Sollecitazioni agenti localmente: Tx_l=-25.48 Ty_l=92.27 N_l=-31493.10 My_l=11.88 Mz_l=0.05
Azioni sul cordone: TP=-1.94 TO=6.78 NO=-2327.98
Tensioni nel cordone: τ_P=0.62 τ_0=2.16 σ_0=757.30 σ_{ID}=757.30 Σ_T=759.45
CC 101 SLU (Collegamento -041_-375)
Azioni sul collegamento: N=-8294.89 Ty=-5.21 Tz=7.37 Mx=-0.01 Mz=-4.43
Sollecitazioni agenti localmente: Tx_l=-5.21 Ty_l=7.37 N_l=-8294.89 My_l=4.43 Mz_l=-0.01
Azioni sul cordone: TP=-0.38 TO=0.55 NO=-613.16
Tensioni nel cordone: τ_P=0.12 τ_0=0.18 σ_0=201.37 σ_{ID}=201.37 Σ_T=201.54
CC 102 SLU (Collegamento -041_-375)
Azioni sul collegamento: N=-9110.88 Ty=-5.97 Tz=10.39 Mx=-0.01 Mz=-4.99
Sollecitazioni agenti localmente: Tx_l=-5.97 Ty_l=10.39 N_l=-9110.88 My_l=4.99 Mz_l=-0.01
Azioni sul cordone: TP=-0.43 TO=0.77 NO=-673.48
Tensioni nel cordone: τ_P=0.14 τ_0=0.25 σ_0=221.35 σ_{ID}=221.35 Σ_T=221.60
CC 103 SLU (Collegamento -041_-375)
Azioni sul collegamento: N=-8702.00 Ty=-5.50 Tz=8.94 Mx=-0.01 Mz=-4.53
Sollecitazioni agenti localmente: Tx_l=-5.50 Ty_l=8.94 N_l=-8702.00 My_l=4.53 Mz_l=-0.01
Azioni sul cordone: TP=-0.40 TO=0.67 NO=-643.25
Tensioni nel cordone: τ_P=0.13 τ_0=0.21 σ_0=211.07 σ_{ID}=211.07 Σ_T=211.28
CC 104 SLU (Collegamento -041_-375)
Azioni sul collegamento: N=-8703.78 Ty=-5.68 Tz=8.82 Mx=-0.01 Mz=-4.89
Sollecitazioni agenti localmente: Tx_l=-5.68 Ty_l=8.82 N_l=-8703.78 My_l=4.89 Mz_l=-0.01
Azioni sul cordone: TP=-0.41 TO=0.66 NO=-643.39
Tensioni nel cordone: τ_P=0.13 τ_0=0.21 σ_0=211.65 σ_{ID}=211.65 Σ_T=211.86

Flessione attacco superiore piastra

Bnetta=220.00 Hnetta=15.00
CC 1 SLV (Collegamento -041_-375)
Azioni sul collegamento: N=-5965.50 Ty=-4.83 Tz=-1.56 Mx=0.01 Mz=-1.02
Sollecitazioni agenti localmente: Ty_l=-1084.64 Mx_l=-21.69
Tensioni nella sezione: σ=262.94 τ=32.87
CC 1 SLV (Collegamento -041_-375)
Azioni sul collegamento: N=-5965.50 Ty=-12.58 Tz=-1.56 Mx=0.01 Mz=-7.43
Sollecitazioni agenti localmente: Ty_l=-1084.64 Mx_l=-21.69
Tensioni nella sezione: σ=262.94 τ=32.87
CC 1 SLV (Collegamento -041_-375)
Azioni sul collegamento: N=-5965.50 Ty=-4.83 Tz=27.71 Mx=0.01 Mz=-1.02
Sollecitazioni agenti localmente: Ty_l=-1084.64 Mx_l=-21.69
Tensioni nella sezione: σ=262.94 τ=32.87
CC 1 SLV (Collegamento -041_-375)
Azioni sul collegamento: N=-5965.50 Ty=-12.58 Tz=27.71 Mx=0.01 Mz=-7.43
Sollecitazioni agenti localmente: Ty_l=-1084.64 Mx_l=-21.69
Tensioni nella sezione: σ=262.94 τ=32.87

CC 1 SLV (Collegamento -041_-375)
Azioni sul collegamento: N=-13808.10 Ty=-4.83 Tz=-1.56 Mx=0.01 Mz=-1.02
Sollecitazioni agenti localmente: Ty_l=-2510.57 Mx_l=-50.21
Tensioni nella sezione: σ=608.62 τ=76.08
CC 1 SLV (Collegamento -041_-375)
Azioni sul collegamento: N=-13808.10 Ty=-12.58 Tz=-1.56 Mx=0.01 Mz=-7.43
Sollecitazioni agenti localmente: Ty_l=-2510.57 Mx_l=-50.21
Tensioni nella sezione: σ=608.62 τ=76.08
CC 1 SLV (Collegamento -041_-375)
Azioni sul collegamento: N=-13808.10 Ty=-4.83 Tz=27.71 Mx=0.01 Mz=-1.02
Sollecitazioni agenti localmente: Ty_l=-2510.57 Mx_l=-50.21
Tensioni nella sezione: σ=608.62 τ=76.08
CC 1 SLV (Collegamento -041_-375)
Azioni sul collegamento: N=-13808.10 Ty=-12.58 Tz=27.71 Mx=0.01 Mz=-7.43
Sollecitazioni agenti localmente: Ty_l=-2510.57 Mx_l=-50.21
Tensioni nella sezione: σ=608.62 τ=76.08
CC 2 SLD (Collegamento -041_-375)
Azioni sul collegamento: N=-8788.68 Ty=-8.45 Tz=9.00 Mx=0.00 Mz=-5.38
Sollecitazioni agenti localmente: Ty_l=-1597.94 Mx_l=-31.96
Tensioni nella sezione: σ=387.38 τ=48.42
CC 2 SLD (Collegamento -041_-375)
Azioni sul collegamento: N=-8788.68 Ty=-10.81 Tz=9.00 Mx=0.00 Mz=-7.34
Sollecitazioni agenti localmente: Ty_l=-1597.94 Mx_l=-31.96
Tensioni nella sezione: σ=387.38 τ=48.42
CC 2 SLD (Collegamento -041_-375)
Azioni sul collegamento: N=-8788.68 Ty=-8.45 Tz=17.92 Mx=0.00 Mz=-5.38
Sollecitazioni agenti localmente: Ty_l=-1597.94 Mx_l=-31.96
Tensioni nella sezione: σ=387.38 τ=48.42
CC 2 SLD (Collegamento -041_-375)
Azioni sul collegamento: N=-8788.68 Ty=-10.81 Tz=17.92 Mx=0.00 Mz=-7.34
Sollecitazioni agenti localmente: Ty_l=-1597.94 Mx_l=-31.96
Tensioni nella sezione: σ=387.38 τ=48.42
CC 2 SLD (Collegamento -041_-375)
Azioni sul collegamento: N=-11180.10 Ty=-8.45 Tz=8.99 Mx=0.00 Mz=-5.38
Sollecitazioni agenti localmente: Ty_l=-2032.75 Mx_l=-40.66
Tensioni nella sezione: σ=492.79 τ=61.60
CC 2 SLD (Collegamento -041_-375)
Azioni sul collegamento: N=-11180.10 Ty=-10.81 Tz=8.99 Mx=0.00 Mz=-7.34
Sollecitazioni agenti localmente: Ty_l=-2032.75 Mx_l=-40.66
Tensioni nella sezione: σ=492.79 τ=61.60
CC 2 SLD (Collegamento -041_-375)
Azioni sul collegamento: N=-11180.10 Ty=-8.45 Tz=17.92 Mx=0.00 Mz=-5.38
Sollecitazioni agenti localmente: Ty_l=-2032.75 Mx_l=-40.66
Tensioni nella sezione: σ=492.79 τ=61.60
CC 2 SLD (Collegamento -041_-375)
Azioni sul collegamento: N=-11180.10 Ty=-10.81 Tz=17.92 Mx=0.00 Mz=-7.34
Sollecitazioni agenti localmente: Ty_l=-2032.75 Mx_l=-40.66
Tensioni nella sezione: σ=492.79 τ=61.60
CC 3 SLV (Collegamento -041_-375)
Azioni sul collegamento: N=-5970.40 Ty=-5.34 Tz=-1.24 Mx=0.01 Mz=-2.07
Sollecitazioni agenti localmente: Ty_l=-1085.53 Mx_l=-21.71
Tensioni nella sezione: σ=263.16 τ=32.89
CC 3 SLV (Collegamento -041_-375)
Azioni sul collegamento: N=-5970.40 Ty=-12.07 Tz=-1.24 Mx=0.01 Mz=-6.38
Sollecitazioni agenti localmente: Ty_l=-1085.53 Mx_l=-21.71
Tensioni nella sezione: σ=263.16 τ=32.89
CC 3 SLV (Collegamento -041_-375)
Azioni sul collegamento: N=-5970.40 Ty=-5.34 Tz=27.38 Mx=0.01 Mz=-2.07
Sollecitazioni agenti localmente: Ty_l=-1085.53 Mx_l=-21.71
Tensioni nella sezione: σ=263.16 τ=32.89
CC 3 SLV (Collegamento -041_-375)
Azioni sul collegamento: N=-5970.40 Ty=-12.07 Tz=27.38 Mx=0.01 Mz=-6.38
Sollecitazioni agenti localmente: Ty_l=-1085.53 Mx_l=-21.71
Tensioni nella sezione: σ=263.16 τ=32.89
CC 3 SLV (Collegamento -041_-375)
Azioni sul collegamento: N=-13803.30 Ty=-5.34 Tz=-1.24 Mx=0.01 Mz=-2.07
Sollecitazioni agenti localmente: Ty_l=-2509.68 Mx_l=-50.19
Tensioni nella sezione: σ=608.41 τ=76.05
CC 3 SLV (Collegamento -041_-375)
Azioni sul collegamento: N=-13803.30 Ty=-12.07 Tz=-1.24 Mx=0.01 Mz=-6.38
Sollecitazioni agenti localmente: Ty_l=-2509.68 Mx_l=-50.19
Tensioni nella sezione: σ=608.41 τ=76.05
CC 3 SLV (Collegamento -041_-375)
Azioni sul collegamento: N=-13803.30 Ty=-5.34 Tz=27.38 Mx=0.01 Mz=-2.07
Sollecitazioni agenti localmente: Ty_l=-2509.68 Mx_l=-50.19
Tensioni nella sezione: σ=608.41 τ=76.05
CC 3 SLV (Collegamento -041_-375)
Azioni sul collegamento: N=-13803.30 Ty=-12.07 Tz=27.38 Mx=0.01 Mz=-6.38
Sollecitazioni agenti localmente: Ty_l=-2509.68 Mx_l=-50.19

Tensioni nella sezione: σ=608.41 τ=76.05
CC 4 SLD (Collegamento -041_-375)
Azioni sul collegamento: N=-8790.17 Ty=-8.61 Tz=9.10 Mx=0.00 Mz=-5.70
Sollecitazioni agenti localmente: Ty_l=-1598.21 Mx_l=-31.96
Tensioni nella sezione: σ=387.44 τ=48.43
CC 4 SLD (Collegamento -041_-375)
Azioni sul collegamento: N=-8790.17 Ty=-10.66 Tz=9.10 Mx=0.00 Mz=-7.02
Sollecitazioni agenti localmente: Ty_l=-1598.21 Mx_l=-31.96
Tensioni nella sezione: σ=387.44 τ=48.43
CC 4 SLD (Collegamento -041_-375)
Azioni sul collegamento: N=-8790.17 Ty=-8.61 Tz=17.82 Mx=0.00 Mz=-5.70
Sollecitazioni agenti localmente: Ty_l=-1598.21 Mx_l=-31.96
Tensioni nella sezione: σ=387.44 τ=48.43
CC 4 SLD (Collegamento -041_-375)
Azioni sul collegamento: N=-8790.17 Ty=-10.66 Tz=17.82 Mx=0.00 Mz=-7.02
Sollecitazioni agenti localmente: Ty_l=-1598.21 Mx_l=-31.96
Tensioni nella sezione: σ=387.44 τ=48.43
CC 4 SLD (Collegamento -041_-375)
Azioni sul collegamento: N=-11178.70 Ty=-8.61 Tz=9.09 Mx=0.00 Mz=-5.70
Sollecitazioni agenti localmente: Ty_l=-2032.48 Mx_l=-40.65
Tensioni nella sezione: σ=492.72 τ=61.59
CC 4 SLD (Collegamento -041_-375)
Azioni sul collegamento: N=-11178.70 Ty=-10.66 Tz=9.09 Mx=0.00 Mz=-7.02
Sollecitazioni agenti localmente: Ty_l=-2032.48 Mx_l=-40.65
Tensioni nella sezione: σ=492.72 τ=61.59
CC 4 SLD (Collegamento -041_-375)
Azioni sul collegamento: N=-11178.70 Ty=-8.61 Tz=17.82 Mx=0.00 Mz=-5.70
Sollecitazioni agenti localmente: Ty_l=-2032.48 Mx_l=-40.65
Tensioni nella sezione: σ=492.72 τ=61.59
CC 4 SLD (Collegamento -041_-375)
Azioni sul collegamento: N=-11178.70 Ty=-10.66 Tz=17.82 Mx=0.00 Mz=-7.02
Sollecitazioni agenti localmente: Ty_l=-2032.48 Mx_l=-40.65
Tensioni nella sezione: σ=492.72 τ=61.59
CC 5 SLV (Collegamento -041_-375)
Azioni sul collegamento: N=-13803.30 Ty=-12.07 Tz=27.38 Mx=0.01 Mz=-6.38
Sollecitazioni agenti localmente: Ty_l=-2509.68 Mx_l=-50.19
Tensioni nella sezione: σ=608.41 τ=76.05
CC 5 SLV (Collegamento -041_-375)
Azioni sul collegamento: N=-13803.30 Ty=-5.34 Tz=27.38 Mx=0.01 Mz=-2.07
Sollecitazioni agenti localmente: Ty_l=-2509.68 Mx_l=-50.19
Tensioni nella sezione: σ=608.41 τ=76.05
CC 5 SLV (Collegamento -041_-375)
Azioni sul collegamento: N=-13803.30 Ty=-12.07 Tz=-1.24 Mx=0.01 Mz=-6.38
Sollecitazioni agenti localmente: Ty_l=-2509.68 Mx_l=-50.19
Tensioni nella sezione: σ=608.41 τ=76.05
CC 5 SLV (Collegamento -041_-375)
Azioni sul collegamento: N=-13803.30 Ty=-5.34 Tz=-1.24 Mx=0.01 Mz=-2.07
Sollecitazioni agenti localmente: Ty_l=-2509.68 Mx_l=-50.19
Tensioni nella sezione: σ=608.41 τ=76.05
CC 5 SLV (Collegamento -041_-375)
Azioni sul collegamento: N=-5970.40 Ty=-12.07 Tz=27.38 Mx=0.01 Mz=-6.38
Sollecitazioni agenti localmente: Ty_l=-1085.53 Mx_l=-21.71
Tensioni nella sezione: σ=263.16 τ=32.89
CC 5 SLV (Collegamento -041_-375)
Azioni sul collegamento: N=-5970.40 Ty=-5.34 Tz=27.38 Mx=0.01 Mz=-2.07
Sollecitazioni agenti localmente: Ty_l=-1085.53 Mx_l=-21.71
Tensioni nella sezione: σ=263.16 τ=32.89
CC 5 SLV (Collegamento -041_-375)
Azioni sul collegamento: N=-5970.40 Ty=-12.07 Tz=-1.24 Mx=0.01 Mz=-6.38
Sollecitazioni agenti localmente: Ty_l=-1085.53 Mx_l=-21.71
Tensioni nella sezione: σ=263.16 τ=32.89
CC 5 SLV (Collegamento -041_-375)
Azioni sul collegamento: N=-5970.40 Ty=-5.34 Tz=-1.24 Mx=0.01 Mz=-2.07
Sollecitazioni agenti localmente: Ty_l=-1085.53 Mx_l=-21.71
Tensioni nella sezione: σ=263.16 τ=32.89
CC 6 SLD (Collegamento -041_-375)
Azioni sul collegamento: N=-11178.70 Ty=-10.66 Tz=17.82 Mx=0.00 Mz=-7.02
Sollecitazioni agenti localmente: Ty_l=-2032.48 Mx_l=-40.65
Tensioni nella sezione: σ=492.72 τ=61.59
CC 6 SLD (Collegamento -041_-375)
Azioni sul collegamento: N=-11178.70 Ty=-8.61 Tz=17.82 Mx=0.00 Mz=-5.70
Sollecitazioni agenti localmente: Ty_l=-2032.48 Mx_l=-40.65
Tensioni nella sezione: σ=492.72 τ=61.59
CC 6 SLD (Collegamento -041_-375)
Azioni sul collegamento: N=-11178.70 Ty=-10.66 Tz=9.09 Mx=0.00 Mz=-7.02
Sollecitazioni agenti localmente: Ty_l=-2032.48 Mx_l=-40.65
Tensioni nella sezione: σ=492.72 τ=61.59
CC 6 SLD (Collegamento -041_-375)
Azioni sul collegamento: N=-11178.70 Ty=-8.61 Tz=9.09 Mx=0.00 Mz=-5.70

Sollecitazioni agenti localmente: Ty_l=-2032.48 Mx_l=-40.65
Tensioni nella sezione: σ=492.72 τ=61.59
CC 6 SLD (Collegamento -041_-375)
Azioni sul collegamento: N=-8790.17 Ty=-10.66 Tz=17.82 Mx=0.00 Mz=-7.02
Sollecitazioni agenti localmente: Ty_l=-1598.21 Mx_l=-31.96
Tensioni nella sezione: σ=387.44 τ=48.43
CC 6 SLD (Collegamento -041_-375)
Azioni sul collegamento: N=-8790.17 Ty=-8.61 Tz=17.82 Mx=0.00 Mz=-5.70
Sollecitazioni agenti localmente: Ty_l=-1598.21 Mx_l=-31.96
Tensioni nella sezione: σ=387.44 τ=48.43
CC 6 SLD (Collegamento -041_-375)
Azioni sul collegamento: N=-8790.17 Ty=-10.66 Tz=9.10 Mx=0.00 Mz=-7.02
Sollecitazioni agenti localmente: Ty_l=-1598.21 Mx_l=-31.96
Tensioni nella sezione: σ=387.44 τ=48.43
CC 6 SLD (Collegamento -041_-375)
Azioni sul collegamento: N=-8790.17 Ty=-8.61 Tz=9.10 Mx=0.00 Mz=-5.70
Sollecitazioni agenti localmente: Ty_l=-1598.21 Mx_l=-31.96
Tensioni nella sezione: σ=387.44 τ=48.43
CC 7 SLV (Collegamento -041_-375)
Azioni sul collegamento: N=-13808.10 Ty=-12.58 Tz=27.71 Mx=0.01 Mz=-7.43
Sollecitazioni agenti localmente: Ty_l=-2510.57 Mx_l=-50.21
Tensioni nella sezione: σ=608.62 τ=76.08
CC 7 SLV (Collegamento -041_-375)
Azioni sul collegamento: N=-13808.10 Ty=-4.83 Tz=27.71 Mx=0.01 Mz=-1.02
Sollecitazioni agenti localmente: Ty_l=-2510.57 Mx_l=-50.21
Tensioni nella sezione: σ=608.62 τ=76.08
CC 7 SLV (Collegamento -041_-375)
Azioni sul collegamento: N=-13808.10 Ty=-12.58 Tz=-1.56 Mx=0.01 Mz=-7.43
Sollecitazioni agenti localmente: Ty_l=-2510.57 Mx_l=-50.21
Tensioni nella sezione: σ=608.62 τ=76.08
CC 7 SLV (Collegamento -041_-375)
Azioni sul collegamento: N=-13808.10 Ty=-4.83 Tz=-1.56 Mx=0.01 Mz=-1.02
Sollecitazioni agenti localmente: Ty_l=-2510.57 Mx_l=-50.21
Tensioni nella sezione: σ=608.62 τ=76.08
CC 7 SLV (Collegamento -041_-375)
Azioni sul collegamento: N=-5965.50 Ty=-12.58 Tz=27.71 Mx=0.01 Mz=-7.43
Sollecitazioni agenti localmente: Ty_l=-1084.64 Mx_l=-21.69
Tensioni nella sezione: σ=262.94 τ=32.87
CC 7 SLV (Collegamento -041_-375)
Azioni sul collegamento: N=-5965.50 Ty=-4.83 Tz=27.71 Mx=0.01 Mz=-1.02
Sollecitazioni agenti localmente: Ty_l=-1084.64 Mx_l=-21.69
Tensioni nella sezione: σ=262.94 τ=32.87
CC 7 SLV (Collegamento -041_-375)
Azioni sul collegamento: N=-5965.50 Ty=-12.58 Tz=-1.56 Mx=0.01 Mz=-7.43
Sollecitazioni agenti localmente: Ty_l=-1084.64 Mx_l=-21.69
Tensioni nella sezione: σ=262.94 τ=32.87
CC 7 SLV (Collegamento -041_-375)
Azioni sul collegamento: N=-5965.50 Ty=-4.83 Tz=-1.56 Mx=0.01 Mz=-1.02
Sollecitazioni agenti localmente: Ty_l=-1084.64 Mx_l=-21.69
Tensioni nella sezione: σ=262.94 τ=32.87
CC 8 SLD (Collegamento -041_-375)
Azioni sul collegamento: N=-11180.10 Ty=-10.81 Tz=17.92 Mx=0.00 Mz=-7.34
Sollecitazioni agenti localmente: Ty_l=-2032.75 Mx_l=-40.66
Tensioni nella sezione: σ=492.79 τ=61.60
CC 8 SLD (Collegamento -041_-375)
Azioni sul collegamento: N=-11180.10 Ty=-8.45 Tz=17.92 Mx=0.00 Mz=-5.38
Sollecitazioni agenti localmente: Ty_l=-2032.75 Mx_l=-40.66
Tensioni nella sezione: σ=492.79 τ=61.60
CC 8 SLD (Collegamento -041_-375)
Azioni sul collegamento: N=-11180.10 Ty=-10.81 Tz=8.99 Mx=0.00 Mz=-7.34
Sollecitazioni agenti localmente: Ty_l=-2032.75 Mx_l=-40.66
Tensioni nella sezione: σ=492.79 τ=61.60
CC 8 SLD (Collegamento -041_-375)
Azioni sul collegamento: N=-11180.10 Ty=-8.45 Tz=8.99 Mx=0.00 Mz=-5.38
Sollecitazioni agenti localmente: Ty_l=-2032.75 Mx_l=-40.66
Tensioni nella sezione: σ=492.79 τ=61.60
CC 8 SLD (Collegamento -041_-375)
Azioni sul collegamento: N=-8788.68 Ty=-10.81 Tz=17.92 Mx=0.00 Mz=-7.34
Sollecitazioni agenti localmente: Ty_l=-1597.94 Mx_l=-31.96
Tensioni nella sezione: σ=387.38 τ=48.42
CC 8 SLD (Collegamento -041_-375)
Azioni sul collegamento: N=-8788.68 Ty=-8.45 Tz=17.92 Mx=0.00 Mz=-5.38
Sollecitazioni agenti localmente: Ty_l=-1597.94 Mx_l=-31.96
Tensioni nella sezione: σ=387.38 τ=48.42
CC 8 SLD (Collegamento -041_-375)
Azioni sul collegamento: N=-8788.68 Ty=-10.81 Tz=9.00 Mx=0.00 Mz=-7.34
Sollecitazioni agenti localmente: Ty_l=-1597.94 Mx_l=-31.96
Tensioni nella sezione: σ=387.38 τ=48.42
CC 8 SLD (Collegamento -041_-375)

Azioni sul collegamento: N=-8788.68 Ty=-8.45 Tz=9.00 Mx=0.00 Mz=-5.38
Sollecitazioni agenti localmente: Ty_l=-1597.94 Mx_l=-31.96
Tensioni nella sezione: σ=387.38 τ=48.42
CC 9 SLV (Collegamento -041_-375)
Azioni sul collegamento: N=-8703.00 Ty=-6.76 Tz=8.19 Mx=0.02 Mz=-1.67
Sollecitazioni agenti localmente: Ty_l=-1582.36 Mx_l=-31.65
Tensioni nella sezione: σ=383.60 τ=47.95
CC 9 SLV (Collegamento -041_-375)
Azioni sul collegamento: N=-8703.00 Ty=-10.65 Tz=8.19 Mx=0.02 Mz=-6.77
Sollecitazioni agenti localmente: Ty_l=-1582.36 Mx_l=-31.65
Tensioni nella sezione: σ=383.60 τ=47.95
CC 9 SLV (Collegamento -041_-375)
Azioni sul collegamento: N=-8703.00 Ty=-6.76 Tz=17.96 Mx=0.02 Mz=-1.67
Sollecitazioni agenti localmente: Ty_l=-1582.36 Mx_l=-31.65
Tensioni nella sezione: σ=383.60 τ=47.95
CC 9 SLV (Collegamento -041_-375)
Azioni sul collegamento: N=-8703.00 Ty=-10.65 Tz=17.96 Mx=0.02 Mz=-6.77
Sollecitazioni agenti localmente: Ty_l=-1582.36 Mx_l=-31.65
Tensioni nella sezione: σ=383.60 τ=47.95
CC 9 SLV (Collegamento -041_-375)
Azioni sul collegamento: N=-11070.70 Ty=-6.76 Tz=8.19 Mx=0.02 Mz=-1.67
Sollecitazioni agenti localmente: Ty_l=-2012.85 Mx_l=-40.26
Tensioni nella sezione: σ=487.96 τ=61.00
CC 9 SLV (Collegamento -041_-375)
Azioni sul collegamento: N=-11070.70 Ty=-10.65 Tz=8.19 Mx=0.02 Mz=-6.77
Sollecitazioni agenti localmente: Ty_l=-2012.85 Mx_l=-40.26
Tensioni nella sezione: σ=487.96 τ=61.00
CC 9 SLV (Collegamento -041_-375)
Azioni sul collegamento: N=-11070.70 Ty=-6.76 Tz=17.96 Mx=0.02 Mz=-1.67
Sollecitazioni agenti localmente: Ty_l=-2012.85 Mx_l=-40.26
Tensioni nella sezione: σ=487.96 τ=61.00
CC 9 SLV (Collegamento -041_-375)
Azioni sul collegamento: N=-11070.70 Ty=-10.65 Tz=17.96 Mx=0.02 Mz=-6.77
Sollecitazioni agenti localmente: Ty_l=-2012.85 Mx_l=-40.26
Tensioni nella sezione: σ=487.96 τ=61.00
CC 10 SLD (Collegamento -041_-375)
Azioni sul collegamento: N=-9623.43 Ty=-9.04 Tz=11.97 Mx=0.00 Mz=-5.58
Sollecitazioni agenti localmente: Ty_l=-1749.71 Mx_l=-34.99
Tensioni nella sezione: σ=424.17 τ=53.02
CC 10 SLD (Collegamento -041_-375)
Azioni sul collegamento: N=-9623.43 Ty=-10.22 Tz=11.97 Mx=0.00 Mz=-7.14
Sollecitazioni agenti localmente: Ty_l=-1749.71 Mx_l=-34.99
Tensioni nella sezione: σ=424.17 τ=53.02
CC 10 SLD (Collegamento -041_-375)
Azioni sul collegamento: N=-9623.43 Ty=-9.04 Tz=14.95 Mx=0.00 Mz=-5.58
Sollecitazioni agenti localmente: Ty_l=-1749.71 Mx_l=-34.99
Tensioni nella sezione: σ=424.17 τ=53.02
CC 10 SLD (Collegamento -041_-375)
Azioni sul collegamento: N=-9623.43 Ty=-10.22 Tz=14.95 Mx=0.00 Mz=-7.14
Sollecitazioni agenti localmente: Ty_l=-1749.71 Mx_l=-34.99
Tensioni nella sezione: σ=424.17 τ=53.02
CC 10 SLD (Collegamento -041_-375)
Azioni sul collegamento: N=-10345.40 Ty=-9.04 Tz=11.97 Mx=0.00 Mz=-5.58
Sollecitazioni agenti localmente: Ty_l=-1880.98 Mx_l=-37.62
Tensioni nella sezione: σ=455.99 τ=57.00
CC 10 SLD (Collegamento -041_-375)
Azioni sul collegamento: N=-10345.40 Ty=-10.22 Tz=11.97 Mx=0.00 Mz=-7.14
Sollecitazioni agenti localmente: Ty_l=-1880.98 Mx_l=-37.62
Tensioni nella sezione: σ=455.99 τ=57.00
CC 10 SLD (Collegamento -041_-375)
Azioni sul collegamento: N=-10345.40 Ty=-9.04 Tz=14.95 Mx=0.00 Mz=-5.58
Sollecitazioni agenti localmente: Ty_l=-1880.98 Mx_l=-37.62
Tensioni nella sezione: σ=455.99 τ=57.00
CC 10 SLD (Collegamento -041_-375)
Azioni sul collegamento: N=-10345.40 Ty=-10.22 Tz=14.95 Mx=0.00 Mz=-7.14
Sollecitazioni agenti localmente: Ty_l=-1880.98 Mx_l=-37.62
Tensioni nella sezione: σ=455.99 τ=57.00
CC 11 SLV (Collegamento -041_-375)
Azioni sul collegamento: N=-11054.30 Ty=-8.94 Tz=16.87 Mx=0.02 Mz=-3.28
Sollecitazioni agenti localmente: Ty_l=-2009.88 Mx_l=-40.20
Tensioni nella sezione: σ=487.24 τ=60.91
CC 11 SLV (Collegamento -041_-375)
Azioni sul collegamento: N=-11054.30 Ty=-8.48 Tz=16.87 Mx=0.02 Mz=-5.16
Sollecitazioni agenti localmente: Ty_l=-2009.88 Mx_l=-40.20
Tensioni nella sezione: σ=487.24 τ=60.91
CC 11 SLV (Collegamento -041_-375)
Azioni sul collegamento: N=-11054.30 Ty=-8.94 Tz=9.28 Mx=0.02 Mz=-3.28
Sollecitazioni agenti localmente: Ty_l=-2009.88 Mx_l=-40.20
Tensioni nella sezione: σ=487.24 τ=60.91

CC 11 SLV (Collegamento -041_-375)
Azioni sul collegamento: N=-11054.30 Ty=-8.48 Tz=9.28 Mx=0.02 Mz=-5.16
Sollecitazioni agenti localmente: Ty_l=-2009.88 Mx_l=-40.20
Tensioni nella sezione: σ=487.24 τ=60.91
CC 11 SLV (Collegamento -041_-375)
Azioni sul collegamento: N=-8719.33 Ty=-8.94 Tz=16.87 Mx=0.02 Mz=-3.28
Sollecitazioni agenti localmente: Ty_l=-1585.33 Mx_l=-31.71
Tensioni nella sezione: σ=384.32 τ=48.04
CC 11 SLV (Collegamento -041_-375)
Azioni sul collegamento: N=-8719.33 Ty=-8.48 Tz=16.87 Mx=0.02 Mz=-5.16
Sollecitazioni agenti localmente: Ty_l=-1585.33 Mx_l=-31.71
Tensioni nella sezione: σ=384.32 τ=48.04
CC 11 SLV (Collegamento -041_-375)
Azioni sul collegamento: N=-8719.33 Ty=-8.94 Tz=9.28 Mx=0.02 Mz=-3.28
Sollecitazioni agenti localmente: Ty_l=-1585.33 Mx_l=-31.71
Tensioni nella sezione: σ=384.32 τ=48.04
CC 11 SLV (Collegamento -041_-375)
Azioni sul collegamento: N=-8719.33 Ty=-8.48 Tz=9.28 Mx=0.02 Mz=-5.16
Sollecitazioni agenti localmente: Ty_l=-1585.33 Mx_l=-31.71
Tensioni nella sezione: σ=384.32 τ=48.04
CC 12 SLD (Collegamento -041_-375)
Azioni sul collegamento: N=-10340.40 Ty=-9.70 Tz=14.62 Mx=0.00 Mz=-6.07
Sollecitazioni agenti localmente: Ty_l=-1880.08 Mx_l=-37.60
Tensioni nella sezione: σ=455.77 τ=56.97
CC 12 SLD (Collegamento -041_-375)
Azioni sul collegamento: N=-10340.40 Ty=-9.56 Tz=14.62 Mx=0.00 Mz=-6.65
Sollecitazioni agenti localmente: Ty_l=-1880.08 Mx_l=-37.60
Tensioni nella sezione: σ=455.77 τ=56.97
CC 12 SLD (Collegamento -041_-375)
Azioni sul collegamento: N=-10340.40 Ty=-9.70 Tz=12.30 Mx=0.00 Mz=-6.07
Sollecitazioni agenti localmente: Ty_l=-1880.08 Mx_l=-37.60
Tensioni nella sezione: σ=455.77 τ=56.97
CC 12 SLD (Collegamento -041_-375)
Azioni sul collegamento: N=-10340.40 Ty=-9.56 Tz=12.30 Mx=0.00 Mz=-6.65
Sollecitazioni agenti localmente: Ty_l=-1880.08 Mx_l=-37.60
Tensioni nella sezione: σ=455.77 τ=56.97
CC 12 SLD (Collegamento -041_-375)
Azioni sul collegamento: N=-9628.41 Ty=-9.70 Tz=14.62 Mx=0.00 Mz=-6.07
Sollecitazioni agenti localmente: Ty_l=-1750.62 Mx_l=-35.01
Tensioni nella sezione: σ=424.39 τ=53.05
CC 12 SLD (Collegamento -041_-375)
Azioni sul collegamento: N=-9628.41 Ty=-9.56 Tz=14.62 Mx=0.00 Mz=-6.65
Sollecitazioni agenti localmente: Ty_l=-1750.62 Mx_l=-35.01
Tensioni nella sezione: σ=424.39 τ=53.05
CC 12 SLD (Collegamento -041_-375)
Azioni sul collegamento: N=-9628.40 Ty=-9.70 Tz=12.30 Mx=0.00 Mz=-6.07
Sollecitazioni agenti localmente: Ty_l=-1750.62 Mx_l=-35.01
Tensioni nella sezione: σ=424.39 τ=53.05
CC 12 SLD (Collegamento -041_-375)
Azioni sul collegamento: N=-9628.40 Ty=-9.56 Tz=12.30 Mx=0.00 Mz=-6.65
Sollecitazioni agenti localmente: Ty_l=-1750.62 Mx_l=-35.01
Tensioni nella sezione: σ=424.39 τ=53.05
CC 13 SLV (Collegamento -041_-375)
Azioni sul collegamento: N=-8719.33 Ty=-8.48 Tz=9.28 Mx=0.00 Mz=-5.16
Sollecitazioni agenti localmente: Ty_l=-1585.33 Mx_l=-31.71
Tensioni nella sezione: σ=384.32 τ=48.04
CC 13 SLV (Collegamento -041_-375)
Azioni sul collegamento: N=-8719.33 Ty=-8.94 Tz=9.28 Mx=0.00 Mz=-3.28
Sollecitazioni agenti localmente: Ty_l=-1585.33 Mx_l=-31.71
Tensioni nella sezione: σ=384.32 τ=48.04
CC 13 SLV (Collegamento -041_-375)
Azioni sul collegamento: N=-8719.33 Ty=-8.48 Tz=16.87 Mx=0.00 Mz=-5.16
Sollecitazioni agenti localmente: Ty_l=-1585.33 Mx_l=-31.71
Tensioni nella sezione: σ=384.32 τ=48.04
CC 13 SLV (Collegamento -041_-375)
Azioni sul collegamento: N=-8719.33 Ty=-8.94 Tz=16.87 Mx=0.00 Mz=-3.28
Sollecitazioni agenti localmente: Ty_l=-1585.33 Mx_l=-31.71
Tensioni nella sezione: σ=384.32 τ=48.04
CC 13 SLV (Collegamento -041_-375)
Azioni sul collegamento: N=-11054.30 Ty=-8.48 Tz=9.28 Mx=0.00 Mz=-5.16
Sollecitazioni agenti localmente: Ty_l=-2009.88 Mx_l=-40.20
Tensioni nella sezione: σ=487.24 τ=60.91
CC 13 SLV (Collegamento -041_-375)
Azioni sul collegamento: N=-11054.30 Ty=-8.94 Tz=9.28 Mx=0.00 Mz=-3.28
Sollecitazioni agenti localmente: Ty_l=-2009.88 Mx_l=-40.20
Tensioni nella sezione: σ=487.24 τ=60.91
CC 13 SLV (Collegamento -041_-375)
Azioni sul collegamento: N=-11054.30 Ty=-8.48 Tz=16.87 Mx=0.00 Mz=-5.16
Sollecitazioni agenti localmente: Ty_l=-2009.88 Mx_l=-40.20

Tensioni nella sezione: σ=487.24 τ=60.91
CC 13 SLV (Collegamento -041_-375)
Azioni sul collegamento: N=-11054.30 Ty=-8.94 Tz=16.87 Mx=0.00 Mz=-3.28
Sollecitazioni agenti localmente: Ty_l=-2009.88 Mx_l=-40.20
Tensioni nella sezione: σ=487.24 τ=60.91
CC 14 SLD (Collegamento -041_-375)
Azioni sul collegamento: N=-9628.40 Ty=-9.56 Tz=12.30 Mx=-0.00 Mz=-6.65
Sollecitazioni agenti localmente: Ty_l=-1750.62 Mx_l=-35.01
Tensioni nella sezione: σ=424.39 τ=53.05
CC 14 SLD (Collegamento -041_-375)
Azioni sul collegamento: N=-9628.40 Ty=-9.70 Tz=12.30 Mx=-0.00 Mz=-6.07
Sollecitazioni agenti localmente: Ty_l=-1750.62 Mx_l=-35.01
Tensioni nella sezione: σ=424.39 τ=53.05
CC 14 SLD (Collegamento -041_-375)
Azioni sul collegamento: N=-9628.41 Ty=-9.56 Tz=14.62 Mx=-0.00 Mz=-6.65
Sollecitazioni agenti localmente: Ty_l=-1750.62 Mx_l=-35.01
Tensioni nella sezione: σ=424.39 τ=53.05
CC 14 SLD (Collegamento -041_-375)
Azioni sul collegamento: N=-9628.41 Ty=-9.70 Tz=14.62 Mx=-0.00 Mz=-6.07
Sollecitazioni agenti localmente: Ty_l=-1750.62 Mx_l=-35.01
Tensioni nella sezione: σ=424.39 τ=53.05
CC 14 SLD (Collegamento -041_-375)
Azioni sul collegamento: N=-10340.40 Ty=-9.56 Tz=12.30 Mx=-0.00 Mz=-6.65
Sollecitazioni agenti localmente: Ty_l=-1880.08 Mx_l=-37.60
Tensioni nella sezione: σ=455.77 τ=56.97
CC 14 SLD (Collegamento -041_-375)
Azioni sul collegamento: N=-10340.40 Ty=-9.70 Tz=12.30 Mx=-0.00 Mz=-6.07
Sollecitazioni agenti localmente: Ty_l=-1880.08 Mx_l=-37.60
Tensioni nella sezione: σ=455.77 τ=56.97
CC 14 SLD (Collegamento -041_-375)
Azioni sul collegamento: N=-10340.40 Ty=-9.56 Tz=14.62 Mx=-0.00 Mz=-6.65
Sollecitazioni agenti localmente: Ty_l=-1880.08 Mx_l=-37.60
Tensioni nella sezione: σ=455.77 τ=56.97
CC 14 SLD (Collegamento -041_-375)
Azioni sul collegamento: N=-10340.40 Ty=-9.70 Tz=14.62 Mx=-0.00 Mz=-6.07
Sollecitazioni agenti localmente: Ty_l=-1880.08 Mx_l=-37.60
Tensioni nella sezione: σ=455.77 τ=56.97
CC 15 SLV (Collegamento -041_-375)
Azioni sul collegamento: N=-11070.70 Ty=-10.65 Tz=17.96 Mx=0.00 Mz=-6.77
Sollecitazioni agenti localmente: Ty_l=-2012.85 Mx_l=-40.26
Tensioni nella sezione: σ=487.96 τ=61.00
CC 15 SLV (Collegamento -041_-375)
Azioni sul collegamento: N=-11070.70 Ty=-6.76 Tz=17.96 Mx=0.00 Mz=-1.67
Sollecitazioni agenti localmente: Ty_l=-2012.85 Mx_l=-40.26
Tensioni nella sezione: σ=487.96 τ=61.00
CC 15 SLV (Collegamento -041_-375)
Azioni sul collegamento: N=-11070.70 Ty=-10.65 Tz=8.19 Mx=0.00 Mz=-6.77
Sollecitazioni agenti localmente: Ty_l=-2012.85 Mx_l=-40.26
Tensioni nella sezione: σ=487.96 τ=61.00
CC 15 SLV (Collegamento -041_-375)
Azioni sul collegamento: N=-11070.70 Ty=-6.76 Tz=8.19 Mx=0.00 Mz=-1.67
Sollecitazioni agenti localmente: Ty_l=-2012.85 Mx_l=-40.26
Tensioni nella sezione: σ=487.96 τ=61.00
CC 15 SLV (Collegamento -041_-375)
Azioni sul collegamento: N=-8703.00 Ty=-10.65 Tz=17.96 Mx=0.00 Mz=-6.77
Sollecitazioni agenti localmente: Ty_l=-1582.36 Mx_l=-31.65
Tensioni nella sezione: σ=383.60 τ=47.95
CC 15 SLV (Collegamento -041_-375)
Azioni sul collegamento: N=-8703.00 Ty=-6.76 Tz=17.96 Mx=0.00 Mz=-1.67
Sollecitazioni agenti localmente: Ty_l=-1582.36 Mx_l=-31.65
Tensioni nella sezione: σ=383.60 τ=47.95
CC 15 SLV (Collegamento -041_-375)
Azioni sul collegamento: N=-8703.00 Ty=-10.65 Tz=8.19 Mx=0.00 Mz=-6.77
Sollecitazioni agenti localmente: Ty_l=-1582.36 Mx_l=-31.65
Tensioni nella sezione: σ=383.60 τ=47.95
CC 15 SLV (Collegamento -041_-375)
Azioni sul collegamento: N=-8703.00 Ty=-6.76 Tz=8.19 Mx=0.00 Mz=-1.67
Sollecitazioni agenti localmente: Ty_l=-1582.36 Mx_l=-31.65
Tensioni nella sezione: σ=383.60 τ=47.95
CC 16 SLD (Collegamento -041_-375)
Azioni sul collegamento: N=-10345.40 Ty=-10.22 Tz=14.95 Mx=-0.00 Mz=-7.14
Sollecitazioni agenti localmente: Ty_l=-1880.98 Mx_l=-37.62
Tensioni nella sezione: σ=455.99 τ=57.00
CC 16 SLD (Collegamento -041_-375)
Azioni sul collegamento: N=-10345.40 Ty=-9.04 Tz=14.95 Mx=-0.00 Mz=-5.58
Sollecitazioni agenti localmente: Ty_l=-1880.98 Mx_l=-37.62
Tensioni nella sezione: σ=455.99 τ=57.00
CC 16 SLD (Collegamento -041_-375)
Azioni sul collegamento: N=-10345.40 Ty=-10.22 Tz=11.97 Mx=-0.00 Mz=-7.14

Sollecitazioni agenti localmente: Ty_l=-1880.98 Mx_l=-37.62
Tensioni nella sezione: σ=455.99 τ=57.00
CC 16 SLD (Collegamento -041_-375)
Azioni sul collegamento: N=-10345.40 Ty=-9.04 Tz=11.97 Mx=-0.00 Mz=-5.58
Sollecitazioni agenti localmente: Ty_l=-1880.98 Mx_l=-37.62
Tensioni nella sezione: σ=455.99 τ=57.00
CC 16 SLD (Collegamento -041_-375)
Azioni sul collegamento: N=-9623.43 Ty=-10.22 Tz=14.95 Mx=-0.00 Mz=-7.14
Sollecitazioni agenti localmente: Ty_l=-1749.71 Mx_l=-34.99
Tensioni nella sezione: σ=424.17 τ=53.02
CC 16 SLD (Collegamento -041_-375)
Azioni sul collegamento: N=-9623.43 Ty=-9.04 Tz=14.95 Mx=-0.00 Mz=-5.58
Sollecitazioni agenti localmente: Ty_l=-1749.71 Mx_l=-34.99
Tensioni nella sezione: σ=424.17 τ=53.02
CC 16 SLD (Collegamento -041_-375)
Azioni sul collegamento: N=-9623.43 Ty=-10.22 Tz=11.97 Mx=-0.00 Mz=-7.14
Sollecitazioni agenti localmente: Ty_l=-1749.71 Mx_l=-34.99
Tensioni nella sezione: σ=424.17 τ=53.02
CC 16 SLD (Collegamento -041_-375)
Azioni sul collegamento: N=-9623.43 Ty=-9.04 Tz=11.97 Mx=-0.00 Mz=-5.58
Sollecitazioni agenti localmente: Ty_l=-1749.71 Mx_l=-34.99
Tensioni nella sezione: σ=424.17 τ=53.02
CC 17 SLV (Collegamento -041_-375)
Azioni sul collegamento: N=-6246.30 Ty=-7.49 Tz=-0.46 Mx=-0.02 Mz=-7.17
Sollecitazioni agenti localmente: Ty_l=-1135.69 Mx_l=-22.71
Tensioni nella sezione: σ=275.32 τ=34.41
CC 17 SLV (Collegamento -041_-375)
Azioni sul collegamento: N=-6246.30 Ty=-15.25 Tz=-0.46 Mx=-0.02 Mz=-13.58
Sollecitazioni agenti localmente: Ty_l=-1135.69 Mx_l=-22.71
Tensioni nella sezione: σ=275.32 τ=34.41
CC 17 SLV (Collegamento -041_-375)
Azioni sul collegamento: N=-6246.30 Ty=-7.49 Tz=28.82 Mx=-0.02 Mz=-7.17
Sollecitazioni agenti localmente: Ty_l=-1135.69 Mx_l=-22.71
Tensioni nella sezione: σ=275.32 τ=34.41
CC 17 SLV (Collegamento -041_-375)
Azioni sul collegamento: N=-6246.30 Ty=-15.25 Tz=28.82 Mx=-0.02 Mz=-13.58
Sollecitazioni agenti localmente: Ty_l=-1135.69 Mx_l=-22.71
Tensioni nella sezione: σ=275.32 τ=34.41
CC 17 SLV (Collegamento -041_-375)
Azioni sul collegamento: N=-14088.90 Ty=-7.49 Tz=-0.46 Mx=-0.02 Mz=-7.17
Sollecitazioni agenti localmente: Ty_l=-2561.63 Mx_l=-51.23
Tensioni nella sezione: σ=621.00 τ=77.63
CC 17 SLV (Collegamento -041_-375)
Azioni sul collegamento: N=-14088.90 Ty=-15.25 Tz=-0.46 Mx=-0.02 Mz=-13.58
Sollecitazioni agenti localmente: Ty_l=-2561.63 Mx_l=-51.23
Tensioni nella sezione: σ=621.00 τ=77.63
CC 17 SLV (Collegamento -041_-375)
Azioni sul collegamento: N=-14088.90 Ty=-7.49 Tz=28.82 Mx=-0.02 Mz=-7.17
Sollecitazioni agenti localmente: Ty_l=-2561.63 Mx_l=-51.23
Tensioni nella sezione: σ=621.00 τ=77.63
CC 17 SLV (Collegamento -041_-375)
Azioni sul collegamento: N=-14088.90 Ty=-15.25 Tz=28.82 Mx=-0.02 Mz=-13.58
Sollecitazioni agenti localmente: Ty_l=-2561.63 Mx_l=-51.23
Tensioni nella sezione: σ=621.00 τ=77.63
CC 18 SLD (Collegamento -041_-375)
Azioni sul collegamento: N=-8874.30 Ty=-9.26 Tz=9.33 Mx=-0.01 Mz=-7.26
Sollecitazioni agenti localmente: Ty_l=-1613.51 Mx_l=-32.27
Tensioni nella sezione: σ=391.15 τ=48.89
CC 18 SLD (Collegamento -041_-375)
Azioni sul collegamento: N=-8874.30 Ty=-11.63 Tz=9.33 Mx=-0.01 Mz=-9.21
Sollecitazioni agenti localmente: Ty_l=-1613.51 Mx_l=-32.27
Tensioni nella sezione: σ=391.15 τ=48.89
CC 18 SLD (Collegamento -041_-375)
Azioni sul collegamento: N=-8874.30 Ty=-9.26 Tz=18.26 Mx=-0.01 Mz=-7.26
Sollecitazioni agenti localmente: Ty_l=-1613.51 Mx_l=-32.27
Tensioni nella sezione: σ=391.15 τ=48.89
CC 18 SLD (Collegamento -041_-375)
Azioni sul collegamento: N=-8874.30 Ty=-11.63 Tz=18.26 Mx=-0.01 Mz=-9.21
Sollecitazioni agenti localmente: Ty_l=-1613.51 Mx_l=-32.27
Tensioni nella sezione: σ=391.15 τ=48.89
CC 18 SLD (Collegamento -041_-375)
Azioni sul collegamento: N=-11265.80 Ty=-9.26 Tz=9.33 Mx=-0.01 Mz=-7.26
Sollecitazioni agenti localmente: Ty_l=-2048.32 Mx_l=-40.97
Tensioni nella sezione: σ=496.56 τ=62.07
CC 18 SLD (Collegamento -041_-375)
Azioni sul collegamento: N=-11265.80 Ty=-11.63 Tz=9.33 Mx=-0.01 Mz=-9.21
Sollecitazioni agenti localmente: Ty_l=-2048.32 Mx_l=-40.97
Tensioni nella sezione: σ=496.56 τ=62.07
CC 18 SLD (Collegamento -041_-375)

Azioni sul collegamento: N=-11265.80 Ty=-9.26 Tz=18.26 Mx=-0.01 Mz=-7.26
Sollecitazioni agenti localmente: Ty_l=-2048.32 Mx_l=-40.97
Tensioni nella sezione: σ=496.56 τ=62.07
CC 18 SLD (Collegamento -041_-375)
Azioni sul collegamento: N=-11265.80 Ty=-11.63 Tz=18.26 Mx=-0.01 Mz=-9.21
Sollecitazioni agenti localmente: Ty_l=-2048.32 Mx_l=-40.97
Tensioni nella sezione: σ=496.56 τ=62.07
CC 19 SLV (Collegamento -041_-375)
Azioni sul collegamento: N=-6251.20 Ty=-8.00 Tz=-0.13 Mx=-0.01 Mz=-8.22
Sollecitazioni agenti localmente: Ty_l=-1136.58 Mx_l=-22.73
Tensioni nella sezione: σ=275.53 τ=34.44
CC 19 SLV (Collegamento -041_-375)
Azioni sul collegamento: N=-6251.20 Ty=-14.73 Tz=-0.13 Mx=-0.01 Mz=-12.53
Sollecitazioni agenti localmente: Ty_l=-1136.58 Mx_l=-22.73
Tensioni nella sezione: σ=275.53 τ=34.44
CC 19 SLV (Collegamento -041_-375)
Azioni sul collegamento: N=-6251.20 Ty=-8.00 Tz=28.49 Mx=-0.01 Mz=-8.22
Sollecitazioni agenti localmente: Ty_l=-1136.58 Mx_l=-22.73
Tensioni nella sezione: σ=275.53 τ=34.44
CC 19 SLV (Collegamento -041_-375)
Azioni sul collegamento: N=-6251.20 Ty=-14.73 Tz=28.49 Mx=-0.01 Mz=-12.53
Sollecitazioni agenti localmente: Ty_l=-1136.58 Mx_l=-22.73
Tensioni nella sezione: σ=275.53 τ=34.44
CC 19 SLV (Collegamento -041_-375)
Azioni sul collegamento: N=-14084.00 Ty=-8.00 Tz=-0.13 Mx=-0.01 Mz=-8.22
Sollecitazioni agenti localmente: Ty_l=-2560.74 Mx_l=-51.21
Tensioni nella sezione: σ=620.78 τ=77.60
CC 19 SLV (Collegamento -041_-375)
Azioni sul collegamento: N=-14084.00 Ty=-14.73 Tz=-0.13 Mx=-0.01 Mz=-12.53
Sollecitazioni agenti localmente: Ty_l=-2560.74 Mx_l=-51.21
Tensioni nella sezione: σ=620.78 τ=77.60
CC 19 SLV (Collegamento -041_-375)
Azioni sul collegamento: N=-14084.00 Ty=-8.00 Tz=28.49 Mx=-0.01 Mz=-8.22
Sollecitazioni agenti localmente: Ty_l=-2560.74 Mx_l=-51.21
Tensioni nella sezione: σ=620.78 τ=77.60
CC 19 SLV (Collegamento -041_-375)
Azioni sul collegamento: N=-14084.00 Ty=-14.73 Tz=28.49 Mx=-0.01 Mz=-12.53
Sollecitazioni agenti localmente: Ty_l=-2560.74 Mx_l=-51.21
Tensioni nella sezione: σ=620.78 τ=77.60
CC 20 SLD (Collegamento -041_-375)
Azioni sul collegamento: N=-8875.79 Ty=-9.42 Tz=9.43 Mx=-0.01 Mz=-7.58
Sollecitazioni agenti localmente: Ty_l=-1613.78 Mx_l=-32.28
Tensioni nella sezione: σ=391.22 τ=48.90
CC 20 SLD (Collegamento -041_-375)
Azioni sul collegamento: N=-8875.79 Ty=-11.47 Tz=9.43 Mx=-0.01 Mz=-8.89
Sollecitazioni agenti localmente: Ty_l=-1613.78 Mx_l=-32.28
Tensioni nella sezione: σ=391.22 τ=48.90
CC 20 SLD (Collegamento -041_-375)
Azioni sul collegamento: N=-8875.80 Ty=-9.42 Tz=18.16 Mx=-0.01 Mz=-7.58
Sollecitazioni agenti localmente: Ty_l=-1613.78 Mx_l=-32.28
Tensioni nella sezione: σ=391.22 τ=48.90
CC 20 SLD (Collegamento -041_-375)
Azioni sul collegamento: N=-8875.80 Ty=-11.47 Tz=18.16 Mx=-0.01 Mz=-8.89
Sollecitazioni agenti localmente: Ty_l=-1613.78 Mx_l=-32.28
Tensioni nella sezione: σ=391.22 τ=48.90
CC 20 SLD (Collegamento -041_-375)
Azioni sul collegamento: N=-11264.30 Ty=-9.42 Tz=9.43 Mx=-0.01 Mz=-7.58
Sollecitazioni agenti localmente: Ty_l=-2048.05 Mx_l=-40.96
Tensioni nella sezione: σ=496.50 τ=62.06
CC 20 SLD (Collegamento -041_-375)
Azioni sul collegamento: N=-11264.30 Ty=-11.47 Tz=9.43 Mx=-0.01 Mz=-8.89
Sollecitazioni agenti localmente: Ty_l=-2048.05 Mx_l=-40.96
Tensioni nella sezione: σ=496.50 τ=62.06
CC 20 SLD (Collegamento -041_-375)
Azioni sul collegamento: N=-11264.30 Ty=-9.42 Tz=18.16 Mx=-0.01 Mz=-7.58
Sollecitazioni agenti localmente: Ty_l=-2048.05 Mx_l=-40.96
Tensioni nella sezione: σ=496.50 τ=62.06
CC 20 SLD (Collegamento -041_-375)
Azioni sul collegamento: N=-11264.30 Ty=-11.47 Tz=18.16 Mx=-0.01 Mz=-8.89
Sollecitazioni agenti localmente: Ty_l=-2048.05 Mx_l=-40.96
Tensioni nella sezione: σ=496.50 τ=62.06
CC 21 SLV (Collegamento -041_-375)
Azioni sul collegamento: N=-14084.00 Ty=-14.73 Tz=28.49 Mx=-0.02 Mz=-12.53
Sollecitazioni agenti localmente: Ty_l=-2560.74 Mx_l=-51.21
Tensioni nella sezione: σ=620.78 τ=77.60
CC 21 SLV (Collegamento -041_-375)
Azioni sul collegamento: N=-14084.00 Ty=-8.00 Tz=28.49 Mx=-0.02 Mz=-8.22
Sollecitazioni agenti localmente: Ty_l=-2560.74 Mx_l=-51.21
Tensioni nella sezione: σ=620.78 τ=77.60

CC 21 SLV (Collegamento -041_-375)
Azioni sul collegamento: N=-14084.00 Ty=-14.73 Tz=-0.13 Mx=-0.02 Mz=-12.53
Sollecitazioni agenti localmente: Ty_l=-2560.74 Mx_l=-51.21
Tensioni nella sezione: σ=620.78 τ=77.60
CC 21 SLV (Collegamento -041_-375)
Azioni sul collegamento: N=-14084.00 Ty=-8.00 Tz=-0.13 Mx=-0.02 Mz=-8.22
Sollecitazioni agenti localmente: Ty_l=-2560.74 Mx_l=-51.21
Tensioni nella sezione: σ=620.78 τ=77.60
CC 21 SLV (Collegamento -041_-375)
Azioni sul collegamento: N=-6251.20 Ty=-14.73 Tz=28.49 Mx=-0.02 Mz=-12.53
Sollecitazioni agenti localmente: Ty_l=-1136.58 Mx_l=-22.73
Tensioni nella sezione: σ=275.53 τ=34.44
CC 21 SLV (Collegamento -041_-375)
Azioni sul collegamento: N=-6251.20 Ty=-8.00 Tz=28.49 Mx=-0.02 Mz=-8.22
Sollecitazioni agenti localmente: Ty_l=-1136.58 Mx_l=-22.73
Tensioni nella sezione: σ=275.53 τ=34.44
CC 21 SLV (Collegamento -041_-375)
Azioni sul collegamento: N=-6251.20 Ty=-14.73 Tz=-0.13 Mx=-0.02 Mz=-12.53
Sollecitazioni agenti localmente: Ty_l=-1136.58 Mx_l=-22.73
Tensioni nella sezione: σ=275.53 τ=34.44
CC 21 SLV (Collegamento -041_-375)
Azioni sul collegamento: N=-6251.20 Ty=-8.00 Tz=-0.13 Mx=-0.02 Mz=-8.22
Sollecitazioni agenti localmente: Ty_l=-1136.58 Mx_l=-22.73
Tensioni nella sezione: σ=275.53 τ=34.44
CC 22 SLD (Collegamento -041_-375)
Azioni sul collegamento: N=-11264.30 Ty=-11.47 Tz=18.16 Mx=-0.01 Mz=-8.89
Sollecitazioni agenti localmente: Ty_l=-2048.05 Mx_l=-40.96
Tensioni nella sezione: σ=496.50 τ=62.06
CC 22 SLD (Collegamento -041_-375)
Azioni sul collegamento: N=-11264.30 Ty=-9.42 Tz=18.16 Mx=-0.01 Mz=-7.58
Sollecitazioni agenti localmente: Ty_l=-2048.05 Mx_l=-40.96
Tensioni nella sezione: σ=496.50 τ=62.06
CC 22 SLD (Collegamento -041_-375)
Azioni sul collegamento: N=-11264.30 Ty=-11.47 Tz=9.43 Mx=-0.01 Mz=-8.89
Sollecitazioni agenti localmente: Ty_l=-2048.05 Mx_l=-40.96
Tensioni nella sezione: σ=496.50 τ=62.06
CC 22 SLD (Collegamento -041_-375)
Azioni sul collegamento: N=-11264.30 Ty=-9.42 Tz=9.43 Mx=-0.01 Mz=-7.58
Sollecitazioni agenti localmente: Ty_l=-2048.05 Mx_l=-40.96
Tensioni nella sezione: σ=496.50 τ=62.06
CC 22 SLD (Collegamento -041_-375)
Azioni sul collegamento: N=-8875.80 Ty=-11.47 Tz=18.16 Mx=-0.01 Mz=-8.89
Sollecitazioni agenti localmente: Ty_l=-1613.78 Mx_l=-32.28
Tensioni nella sezione: σ=391.22 τ=48.90
CC 22 SLD (Collegamento -041_-375)
Azioni sul collegamento: N=-8875.80 Ty=-9.42 Tz=18.16 Mx=-0.01 Mz=-7.58
Sollecitazioni agenti localmente: Ty_l=-1613.78 Mx_l=-32.28
Tensioni nella sezione: σ=391.22 τ=48.90
CC 22 SLD (Collegamento -041_-375)
Azioni sul collegamento: N=-8875.79 Ty=-11.47 Tz=9.43 Mx=-0.01 Mz=-8.89
Sollecitazioni agenti localmente: Ty_l=-1613.78 Mx_l=-32.28
Tensioni nella sezione: σ=391.22 τ=48.90
CC 22 SLD (Collegamento -041_-375)
Azioni sul collegamento: N=-8875.79 Ty=-9.42 Tz=9.43 Mx=-0.01 Mz=-7.58
Sollecitazioni agenti localmente: Ty_l=-1613.78 Mx_l=-32.28
Tensioni nella sezione: σ=391.22 τ=48.90
CC 23 SLV (Collegamento -041_-375)
Azioni sul collegamento: N=-14088.90 Ty=-15.25 Tz=28.82 Mx=-0.01 Mz=-13.58
Sollecitazioni agenti localmente: Ty_l=-2561.63 Mx_l=-51.23
Tensioni nella sezione: σ=621.00 τ=77.63
CC 23 SLV (Collegamento -041_-375)
Azioni sul collegamento: N=-14088.90 Ty=-7.49 Tz=28.82 Mx=-0.01 Mz=-7.17
Sollecitazioni agenti localmente: Ty_l=-2561.63 Mx_l=-51.23
Tensioni nella sezione: σ=621.00 τ=77.63
CC 23 SLV (Collegamento -041_-375)
Azioni sul collegamento: N=-14088.90 Ty=-15.25 Tz=-0.46 Mx=-0.01 Mz=-13.58
Sollecitazioni agenti localmente: Ty_l=-2561.63 Mx_l=-51.23
Tensioni nella sezione: σ=621.00 τ=77.63
CC 23 SLV (Collegamento -041_-375)
Azioni sul collegamento: N=-14088.90 Ty=-7.49 Tz=-0.46 Mx=-0.01 Mz=-7.17
Sollecitazioni agenti localmente: Ty_l=-2561.63 Mx_l=-51.23
Tensioni nella sezione: σ=621.00 τ=77.63
CC 23 SLV (Collegamento -041_-375)
Azioni sul collegamento: N=-6246.30 Ty=-15.25 Tz=28.82 Mx=-0.01 Mz=-13.58
Sollecitazioni agenti localmente: Ty_l=-1135.69 Mx_l=-22.71
Tensioni nella sezione: σ=275.32 τ=34.41
CC 23 SLV (Collegamento -041_-375)
Azioni sul collegamento: N=-6246.30 Ty=-7.49 Tz=28.82 Mx=-0.01 Mz=-7.17
Sollecitazioni agenti localmente: Ty_l=-1135.69 Mx_l=-22.71

Tensioni nella sezione: σ=275.32 τ=34.41
CC 23 SLV (Collegamento -041_-375)
Azioni sul collegamento: N=-6246.30 Ty=-15.25 Tz=-0.46 Mx=-0.01 Mz=-13.58
Sollecitazioni agenti localmente: Ty_l=-1135.69 Mx_l=-22.71
Tensioni nella sezione: σ=275.32 τ=34.41
CC 23 SLV (Collegamento -041_-375)
Azioni sul collegamento: N=-6246.30 Ty=-7.49 Tz=-0.46 Mx=-0.01 Mz=-7.17
Sollecitazioni agenti localmente: Ty_l=-1135.69 Mx_l=-22.71
Tensioni nella sezione: σ=275.32 τ=34.41
CC 24 SLD (Collegamento -041_-375)
Azioni sul collegamento: N=-11265.80 Ty=-11.63 Tz=18.26 Mx=-0.01 Mz=-9.21
Sollecitazioni agenti localmente: Ty_l=-2048.32 Mx_l=-40.97
Tensioni nella sezione: σ=496.56 τ=62.07
CC 24 SLD (Collegamento -041_-375)
Azioni sul collegamento: N=-11265.80 Ty=-9.26 Tz=18.26 Mx=-0.01 Mz=-7.26
Sollecitazioni agenti localmente: Ty_l=-2048.32 Mx_l=-40.97
Tensioni nella sezione: σ=496.56 τ=62.07
CC 24 SLD (Collegamento -041_-375)
Azioni sul collegamento: N=-11265.80 Ty=-11.63 Tz=9.33 Mx=-0.01 Mz=-9.21
Sollecitazioni agenti localmente: Ty_l=-2048.32 Mx_l=-40.97
Tensioni nella sezione: σ=496.56 τ=62.07
CC 24 SLD (Collegamento -041_-375)
Azioni sul collegamento: N=-11265.80 Ty=-9.26 Tz=9.33 Mx=-0.01 Mz=-7.26
Sollecitazioni agenti localmente: Ty_l=-2048.32 Mx_l=-40.97
Tensioni nella sezione: σ=496.56 τ=62.07
CC 24 SLD (Collegamento -041_-375)
Azioni sul collegamento: N=-8874.30 Ty=-11.63 Tz=18.26 Mx=-0.01 Mz=-9.21
Sollecitazioni agenti localmente: Ty_l=-1613.51 Mx_l=-32.27
Tensioni nella sezione: σ=391.15 τ=48.89
CC 24 SLD (Collegamento -041_-375)
Azioni sul collegamento: N=-8874.30 Ty=-9.26 Tz=18.26 Mx=-0.01 Mz=-7.26
Sollecitazioni agenti localmente: Ty_l=-1613.51 Mx_l=-32.27
Tensioni nella sezione: σ=391.15 τ=48.89
CC 24 SLD (Collegamento -041_-375)
Azioni sul collegamento: N=-8874.30 Ty=-11.63 Tz=9.33 Mx=-0.01 Mz=-9.21
Sollecitazioni agenti localmente: Ty_l=-1613.51 Mx_l=-32.27
Tensioni nella sezione: σ=391.15 τ=48.89
CC 24 SLD (Collegamento -041_-375)
Azioni sul collegamento: N=-8874.30 Ty=-9.26 Tz=9.33 Mx=-0.01 Mz=-7.26
Sollecitazioni agenti localmente: Ty_l=-1613.51 Mx_l=-32.27
Tensioni nella sezione: σ=391.15 τ=48.89
CC 25 SLV (Collegamento -041_-375)
Azioni sul collegamento: N=-8983.80 Ty=-9.43 Tz=9.29 Mx=-0.02 Mz=-7.83
Sollecitazioni agenti localmente: Ty_l=-1633.42 Mx_l=-32.67
Tensioni nella sezione: σ=395.98 τ=49.50
CC 25 SLV (Collegamento -041_-375)
Azioni sul collegamento: N=-8983.80 Ty=-13.31 Tz=9.29 Mx=-0.02 Mz=-12.93
Sollecitazioni agenti localmente: Ty_l=-1633.42 Mx_l=-32.67
Tensioni nella sezione: σ=395.98 τ=49.50
CC 25 SLV (Collegamento -041_-375)
Azioni sul collegamento: N=-8983.80 Ty=-9.43 Tz=19.07 Mx=-0.02 Mz=-7.83
Sollecitazioni agenti localmente: Ty_l=-1633.42 Mx_l=-32.67
Tensioni nella sezione: σ=395.98 τ=49.50
CC 25 SLV (Collegamento -041_-375)
Azioni sul collegamento: N=-8983.80 Ty=-13.31 Tz=19.07 Mx=-0.02 Mz=-12.93
Sollecitazioni agenti localmente: Ty_l=-1633.42 Mx_l=-32.67
Tensioni nella sezione: σ=395.98 τ=49.50
CC 25 SLV (Collegamento -041_-375)
Azioni sul collegamento: N=-11351.50 Ty=-9.43 Tz=9.29 Mx=-0.02 Mz=-7.83
Sollecitazioni agenti localmente: Ty_l=-2063.90 Mx_l=-41.28
Tensioni nella sezione: σ=500.34 τ=62.54
CC 25 SLV (Collegamento -041_-375)
Azioni sul collegamento: N=-11351.50 Ty=-13.31 Tz=9.29 Mx=-0.02 Mz=-12.93
Sollecitazioni agenti localmente: Ty_l=-2063.90 Mx_l=-41.28
Tensioni nella sezione: σ=500.34 τ=62.54
CC 25 SLV (Collegamento -041_-375)
Azioni sul collegamento: N=-11351.50 Ty=-9.43 Tz=19.07 Mx=-0.02 Mz=-7.83
Sollecitazioni agenti localmente: Ty_l=-2063.90 Mx_l=-41.28
Tensioni nella sezione: σ=500.34 τ=62.54
CC 25 SLV (Collegamento -041_-375)
Azioni sul collegamento: N=-11351.50 Ty=-13.31 Tz=19.07 Mx=-0.02 Mz=-12.93
Sollecitazioni agenti localmente: Ty_l=-2063.90 Mx_l=-41.28
Tensioni nella sezione: σ=500.34 τ=62.54
CC 26 SLD (Collegamento -041_-375)
Azioni sul collegamento: N=-9709.05 Ty=-9.85 Tz=12.31 Mx=-0.01 Mz=-7.46
Sollecitazioni agenti localmente: Ty_l=-1765.28 Mx_l=-35.31
Tensioni nella sezione: σ=427.95 τ=53.49
CC 26 SLD (Collegamento -041_-375)
Azioni sul collegamento: N=-9709.05 Ty=-11.04 Tz=12.31 Mx=-0.01 Mz=-9.01

Sollecitazioni agenti localmente: Ty_l=-1765.28 Mx_l=-35.31
Tensioni nella sezione: σ=427.95 τ=53.49
CC 26 SLD (Collegamento -041_-375)
Azioni sul collegamento: N=-9709.05 Ty=-9.85 Tz=15.29 Mx=-0.01 Mz=-7.46
Sollecitazioni agenti localmente: Ty_l=-1765.28 Mx_l=-35.31
Tensioni nella sezione: σ=427.95 τ=53.49
CC 26 SLD (Collegamento -041_-375)
Azioni sul collegamento: N=-9709.05 Ty=-11.04 Tz=15.29 Mx=-0.01 Mz=-9.01
Sollecitazioni agenti localmente: Ty_l=-1765.28 Mx_l=-35.31
Tensioni nella sezione: σ=427.95 τ=53.49
CC 26 SLD (Collegamento -041_-375)
Azioni sul collegamento: N=-10431.00 Ty=-9.85 Tz=12.31 Mx=-0.01 Mz=-7.46
Sollecitazioni agenti localmente: Ty_l=-1896.55 Mx_l=-37.93
Tensioni nella sezione: σ=459.77 τ=57.47
CC 26 SLD (Collegamento -041_-375)
Azioni sul collegamento: N=-10431.00 Ty=-11.04 Tz=12.31 Mx=-0.01 Mz=-9.01
Sollecitazioni agenti localmente: Ty_l=-1896.55 Mx_l=-37.93
Tensioni nella sezione: σ=459.77 τ=57.47
CC 26 SLD (Collegamento -041_-375)
Azioni sul collegamento: N=-10431.00 Ty=-9.85 Tz=15.29 Mx=-0.01 Mz=-7.46
Sollecitazioni agenti localmente: Ty_l=-1896.55 Mx_l=-37.93
Tensioni nella sezione: σ=459.77 τ=57.47
CC 26 SLD (Collegamento -041_-375)
Azioni sul collegamento: N=-10431.00 Ty=-11.04 Tz=15.29 Mx=-0.01 Mz=-9.01
Sollecitazioni agenti localmente: Ty_l=-1896.55 Mx_l=-37.93
Tensioni nella sezione: σ=459.77 τ=57.47
CC 27 SLV (Collegamento -041_-375)
Azioni sul collegamento: N=-11335.10 Ty=-11.60 Tz=17.98 Mx=-0.02 Mz=-9.43
Sollecitazioni agenti localmente: Ty_l=-2060.93 Mx_l=-41.22
Tensioni nella sezione: σ=499.62 τ=62.45
CC 27 SLV (Collegamento -041_-375)
Azioni sul collegamento: N=-11335.10 Ty=-11.14 Tz=17.98 Mx=-0.02 Mz=-11.32
Sollecitazioni agenti localmente: Ty_l=-2060.93 Mx_l=-41.22
Tensioni nella sezione: σ=499.62 τ=62.45
CC 27 SLV (Collegamento -041_-375)
Azioni sul collegamento: N=-11335.10 Ty=-11.60 Tz=10.38 Mx=-0.02 Mz=-9.43
Sollecitazioni agenti localmente: Ty_l=-2060.93 Mx_l=-41.22
Tensioni nella sezione: σ=499.62 τ=62.45
CC 27 SLV (Collegamento -041_-375)
Azioni sul collegamento: N=-11335.10 Ty=-11.14 Tz=10.38 Mx=-0.02 Mz=-11.32
Sollecitazioni agenti localmente: Ty_l=-2060.93 Mx_l=-41.22
Tensioni nella sezione: σ=499.62 τ=62.45
CC 27 SLV (Collegamento -041_-375)
Azioni sul collegamento: N=-9000.13 Ty=-11.60 Tz=17.98 Mx=-0.02 Mz=-9.43
Sollecitazioni agenti localmente: Ty_l=-1636.39 Mx_l=-32.73
Tensioni nella sezione: σ=396.70 τ=49.59
CC 27 SLV (Collegamento -041_-375)
Azioni sul collegamento: N=-9000.13 Ty=-11.14 Tz=17.98 Mx=-0.02 Mz=-11.32
Sollecitazioni agenti localmente: Ty_l=-1636.39 Mx_l=-32.73
Tensioni nella sezione: σ=396.70 τ=49.59
CC 27 SLV (Collegamento -041_-375)
Azioni sul collegamento: N=-9000.13 Ty=-11.60 Tz=10.38 Mx=-0.02 Mz=-9.43
Sollecitazioni agenti localmente: Ty_l=-1636.39 Mx_l=-32.73
Tensioni nella sezione: σ=396.70 τ=49.59
CC 27 SLV (Collegamento -041_-375)
Azioni sul collegamento: N=-9000.13 Ty=-11.14 Tz=10.38 Mx=-0.02 Mz=-11.32
Sollecitazioni agenti localmente: Ty_l=-1636.39 Mx_l=-32.73
Tensioni nella sezione: σ=396.70 τ=49.59
CC 28 SLD (Collegamento -041_-375)
Azioni sul collegamento: N=-10426.00 Ty=-10.51 Tz=14.95 Mx=-0.01 Mz=-7.95
Sollecitazioni agenti localmente: Ty_l=-1895.64 Mx_l=-37.91
Tensioni nella sezione: σ=459.55 τ=57.44
CC 28 SLD (Collegamento -041_-375)
Azioni sul collegamento: N=-10426.00 Ty=-10.37 Tz=14.95 Mx=-0.01 Mz=-8.52
Sollecitazioni agenti localmente: Ty_l=-1895.64 Mx_l=-37.91
Tensioni nella sezione: σ=459.55 τ=57.44
CC 28 SLD (Collegamento -041_-375)
Azioni sul collegamento: N=-10426.00 Ty=-10.51 Tz=12.64 Mx=-0.01 Mz=-7.95
Sollecitazioni agenti localmente: Ty_l=-1895.64 Mx_l=-37.91
Tensioni nella sezione: σ=459.55 τ=57.44
CC 28 SLD (Collegamento -041_-375)
Azioni sul collegamento: N=-10426.00 Ty=-10.37 Tz=12.64 Mx=-0.01 Mz=-8.52
Sollecitazioni agenti localmente: Ty_l=-1895.64 Mx_l=-37.91
Tensioni nella sezione: σ=459.55 τ=57.44
CC 28 SLD (Collegamento -041_-375)
Azioni sul collegamento: N=-9714.03 Ty=-10.51 Tz=14.95 Mx=-0.01 Mz=-7.95
Sollecitazioni agenti localmente: Ty_l=-1766.19 Mx_l=-35.32
Tensioni nella sezione: σ=428.17 τ=53.52
CC 28 SLD (Collegamento -041_-375)

Azioni sul collegamento: N=-9714.03 Ty=-10.37 Tz=14.95 Mx=-0.01 Mz=-8.52
Sollecitazioni agenti localmente: Ty_l=-1766.19 Mx_l=-35.32
Tensioni nella sezione: σ=428.17 τ=53.52
CC 28 SLD (Collegamento -041_-375)
Azioni sul collegamento: N=-9714.03 Ty=-10.51 Tz=12.64 Mx=-0.01 Mz=-7.95
Sollecitazioni agenti localmente: Ty_l=-1766.19 Mx_l=-35.32
Tensioni nella sezione: σ=428.17 τ=53.52
CC 28 SLD (Collegamento -041_-375)
Azioni sul collegamento: N=-9714.03 Ty=-10.37 Tz=12.64 Mx=-0.01 Mz=-8.52
Sollecitazioni agenti localmente: Ty_l=-1766.19 Mx_l=-35.32
Tensioni nella sezione: σ=428.17 τ=53.52
CC 29 SLV (Collegamento -041_-375)
Azioni sul collegamento: N=-9000.13 Ty=-11.14 Tz=10.38 Mx=-0.01 Mz=-11.32
Sollecitazioni agenti localmente: Ty_l=-1636.39 Mx_l=-32.73
Tensioni nella sezione: σ=396.70 τ=49.59
CC 29 SLV (Collegamento -041_-375)
Azioni sul collegamento: N=-9000.13 Ty=-11.60 Tz=10.38 Mx=-0.01 Mz=-9.43
Sollecitazioni agenti localmente: Ty_l=-1636.39 Mx_l=-32.73
Tensioni nella sezione: σ=396.70 τ=49.59
CC 29 SLV (Collegamento -041_-375)
Azioni sul collegamento: N=-9000.13 Ty=-11.14 Tz=17.98 Mx=-0.01 Mz=-11.32
Sollecitazioni agenti localmente: Ty_l=-1636.39 Mx_l=-32.73
Tensioni nella sezione: σ=396.70 τ=49.59
CC 29 SLV (Collegamento -041_-375)
Azioni sul collegamento: N=-9000.13 Ty=-11.60 Tz=17.98 Mx=-0.01 Mz=-9.43
Sollecitazioni agenti localmente: Ty_l=-1636.39 Mx_l=-32.73
Tensioni nella sezione: σ=396.70 τ=49.59
CC 29 SLV (Collegamento -041_-375)
Azioni sul collegamento: N=-11335.10 Ty=-11.14 Tz=10.38 Mx=-0.01 Mz=-11.32
Sollecitazioni agenti localmente: Ty_l=-2060.93 Mx_l=-41.22
Tensioni nella sezione: σ=499.62 τ=62.45
CC 29 SLV (Collegamento -041_-375)
Azioni sul collegamento: N=-11335.10 Ty=-11.60 Tz=10.38 Mx=-0.01 Mz=-9.43
Sollecitazioni agenti localmente: Ty_l=-2060.93 Mx_l=-41.22
Tensioni nella sezione: σ=499.62 τ=62.45
CC 29 SLV (Collegamento -041_-375)
Azioni sul collegamento: N=-11335.10 Ty=-11.14 Tz=17.98 Mx=-0.01 Mz=-11.32
Sollecitazioni agenti localmente: Ty_l=-2060.93 Mx_l=-41.22
Tensioni nella sezione: σ=499.62 τ=62.45
CC 29 SLV (Collegamento -041_-375)
Azioni sul collegamento: N=-11335.10 Ty=-11.60 Tz=17.98 Mx=-0.01 Mz=-9.43
Sollecitazioni agenti localmente: Ty_l=-2060.93 Mx_l=-41.22
Tensioni nella sezione: σ=499.62 τ=62.45
CC 30 SLD (Collegamento -041_-375)
Azioni sul collegamento: N=-9714.03 Ty=-10.37 Tz=12.64 Mx=-0.00 Mz=-8.52
Sollecitazioni agenti localmente: Ty_l=-1766.19 Mx_l=-35.32
Tensioni nella sezione: σ=428.17 τ=53.52
CC 30 SLD (Collegamento -041_-375)
Azioni sul collegamento: N=-9714.03 Ty=-10.51 Tz=12.64 Mx=-0.00 Mz=-7.95
Sollecitazioni agenti localmente: Ty_l=-1766.19 Mx_l=-35.32
Tensioni nella sezione: σ=428.17 τ=53.52
CC 30 SLD (Collegamento -041_-375)
Azioni sul collegamento: N=-9714.03 Ty=-10.37 Tz=14.95 Mx=-0.00 Mz=-8.52
Sollecitazioni agenti localmente: Ty_l=-1766.19 Mx_l=-35.32
Tensioni nella sezione: σ=428.17 τ=53.52
CC 30 SLD (Collegamento -041_-375)
Azioni sul collegamento: N=-9714.03 Ty=-10.51 Tz=14.95 Mx=-0.00 Mz=-7.95
Sollecitazioni agenti localmente: Ty_l=-1766.19 Mx_l=-35.32
Tensioni nella sezione: σ=428.17 τ=53.52
CC 30 SLD (Collegamento -041_-375)
Azioni sul collegamento: N=-10426.00 Ty=-10.37 Tz=12.64 Mx=-0.00 Mz=-8.52
Sollecitazioni agenti localmente: Ty_l=-1895.64 Mx_l=-37.91
Tensioni nella sezione: σ=459.55 τ=57.44
CC 30 SLD (Collegamento -041_-375)
Azioni sul collegamento: N=-10426.00 Ty=-10.51 Tz=12.64 Mx=-0.00 Mz=-7.95
Sollecitazioni agenti localmente: Ty_l=-1895.64 Mx_l=-37.91
Tensioni nella sezione: σ=459.55 τ=57.44
CC 30 SLD (Collegamento -041_-375)
Azioni sul collegamento: N=-10426.00 Ty=-10.37 Tz=14.95 Mx=-0.00 Mz=-8.52
Sollecitazioni agenti localmente: Ty_l=-1895.64 Mx_l=-37.91
Tensioni nella sezione: σ=459.55 τ=57.44
CC 30 SLD (Collegamento -041_-375)
Azioni sul collegamento: N=-10426.00 Ty=-10.51 Tz=14.95 Mx=-0.00 Mz=-7.95
Sollecitazioni agenti localmente: Ty_l=-1895.64 Mx_l=-37.91
Tensioni nella sezione: σ=459.55 τ=57.44
CC 31 SLV (Collegamento -041_-375)
Azioni sul collegamento: N=-11351.50 Ty=-13.31 Tz=19.07 Mx=-0.01 Mz=-12.93
Sollecitazioni agenti localmente: Ty_l=-2063.90 Mx_l=-41.28
Tensioni nella sezione: σ=500.34 τ=62.54

CC 31 SLV (Collegamento -041_-375)
Azioni sul collegamento: N=-11351.50 Ty=-9.43 Tz=19.07 Mx=-0.01 Mz=-7.83
Sollecitazioni agenti localmente: Ty_l=-2063.90 Mx_l=-41.28
Tensioni nella sezione: σ=500.34 τ=62.54
CC 31 SLV (Collegamento -041_-375)
Azioni sul collegamento: N=-11351.50 Ty=-13.31 Tz=9.29 Mx=-0.01 Mz=-12.93
Sollecitazioni agenti localmente: Ty_l=-2063.90 Mx_l=-41.28
Tensioni nella sezione: σ=500.34 τ=62.54
CC 31 SLV (Collegamento -041_-375)
Azioni sul collegamento: N=-11351.50 Ty=-9.43 Tz=9.29 Mx=-0.01 Mz=-7.83
Sollecitazioni agenti localmente: Ty_l=-2063.90 Mx_l=-41.28
Tensioni nella sezione: σ=500.34 τ=62.54
CC 31 SLV (Collegamento -041_-375)
Azioni sul collegamento: N=-8983.80 Ty=-13.31 Tz=19.07 Mx=-0.01 Mz=-12.93
Sollecitazioni agenti localmente: Ty_l=-1633.42 Mx_l=-32.67
Tensioni nella sezione: σ=395.98 τ=49.50
CC 31 SLV (Collegamento -041_-375)
Azioni sul collegamento: N=-8983.80 Ty=-9.43 Tz=19.07 Mx=-0.01 Mz=-7.83
Sollecitazioni agenti localmente: Ty_l=-1633.42 Mx_l=-32.67
Tensioni nella sezione: σ=395.98 τ=49.50
CC 31 SLV (Collegamento -041_-375)
Azioni sul collegamento: N=-8983.80 Ty=-13.31 Tz=9.29 Mx=-0.01 Mz=-12.93
Sollecitazioni agenti localmente: Ty_l=-1633.42 Mx_l=-32.67
Tensioni nella sezione: σ=395.98 τ=49.50
CC 31 SLV (Collegamento -041_-375)
Azioni sul collegamento: N=-8983.80 Ty=-9.43 Tz=9.29 Mx=-0.01 Mz=-7.83
Sollecitazioni agenti localmente: Ty_l=-1633.42 Mx_l=-32.67
Tensioni nella sezione: σ=395.98 τ=49.50
CC 32 SLD (Collegamento -041_-375)
Azioni sul collegamento: N=-10431.00 Ty=-11.04 Tz=15.29 Mx=-0.00 Mz=-9.01
Sollecitazioni agenti localmente: Ty_l=-1896.55 Mx_l=-37.93
Tensioni nella sezione: σ=459.77 τ=57.47
CC 32 SLD (Collegamento -041_-375)
Azioni sul collegamento: N=-10431.00 Ty=-9.85 Tz=15.29 Mx=-0.00 Mz=-7.46
Sollecitazioni agenti localmente: Ty_l=-1896.55 Mx_l=-37.93
Tensioni nella sezione: σ=459.77 τ=57.47
CC 32 SLD (Collegamento -041_-375)
Azioni sul collegamento: N=-10431.00 Ty=-11.04 Tz=12.31 Mx=-0.00 Mz=-9.01
Sollecitazioni agenti localmente: Ty_l=-1896.55 Mx_l=-37.93
Tensioni nella sezione: σ=459.77 τ=57.47
CC 32 SLD (Collegamento -041_-375)
Azioni sul collegamento: N=-10431.00 Ty=-9.85 Tz=12.31 Mx=-0.00 Mz=-7.46
Sollecitazioni agenti localmente: Ty_l=-1896.55 Mx_l=-37.93
Tensioni nella sezione: σ=459.77 τ=57.47
CC 32 SLD (Collegamento -041_-375)
Azioni sul collegamento: N=-9709.05 Ty=-11.04 Tz=15.29 Mx=-0.00 Mz=-9.01
Sollecitazioni agenti localmente: Ty_l=-1765.28 Mx_l=-35.31
Tensioni nella sezione: σ=427.95 τ=53.49
CC 32 SLD (Collegamento -041_-375)
Azioni sul collegamento: N=-9709.05 Ty=-9.85 Tz=15.29 Mx=-0.00 Mz=-7.46
Sollecitazioni agenti localmente: Ty_l=-1765.28 Mx_l=-35.31
Tensioni nella sezione: σ=427.95 τ=53.49
CC 32 SLD (Collegamento -041_-375)
Azioni sul collegamento: N=-9709.05 Ty=-11.04 Tz=12.31 Mx=-0.00 Mz=-9.01
Sollecitazioni agenti localmente: Ty_l=-1765.28 Mx_l=-35.31
Tensioni nella sezione: σ=427.95 τ=53.49
CC 32 SLD (Collegamento -041_-375)
Azioni sul collegamento: N=-9709.05 Ty=-9.85 Tz=12.31 Mx=-0.00 Mz=-7.46
Sollecitazioni agenti localmente: Ty_l=-1765.28 Mx_l=-35.31
Tensioni nella sezione: σ=427.95 τ=53.49
CC 33 SLU (Collegamento -041_-375)
Azioni sul collegamento: N=-36642.60 Ty=-20.20 Tz=103.27 Mx=-0.00 Mz=-14.84
Sollecitazioni agenti localmente: Ty_l=-6662.28 Mx_l=-133.25
Tensioni nella sezione: σ=1615.10 τ=201.89
CC 34 SLU (Collegamento -041_-375)
Azioni sul collegamento: N=-37458.50 Ty=-20.96 Tz=106.28 Mx=-0.00 Mz=-15.40
Sollecitazioni agenti localmente: Ty_l=-6810.64 Mx_l=-136.21
Tensioni nella sezione: σ=1651.06 τ=206.38
CC 35 SLU (Collegamento -041_-375)
Azioni sul collegamento: N=-37049.70 Ty=-20.49 Tz=104.83 Mx=-0.01 Mz=-14.94
Sollecitazioni agenti localmente: Ty_l=-6736.30 Mx_l=-134.73
Tensioni nella sezione: σ=1633.04 τ=204.13
CC 36 SLU (Collegamento -041_-375)
Azioni sul collegamento: N=-37051.40 Ty=-20.67 Tz=104.72 Mx=-0.00 Mz=-15.30
Sollecitazioni agenti localmente: Ty_l=-6736.62 Mx_l=-134.73
Tensioni nella sezione: σ=1633.12 τ=204.14
CC 37 SLU (Collegamento -041_-375)
Azioni sul collegamento: N=-29860.20 Ty=10.64 Tz=77.84 Mx=-0.00 Mz=8.54
Sollecitazioni agenti localmente: Ty_l=-5429.12 Mx_l=-108.58

Tensioni nella sezione: σ=1316.15 τ=164.52
CC 38 SLU (Collegamento -041_-375)
Azioni sul collegamento: N=-30676.20 Ty=9.89 Tz=80.85 Mx=-0.00 Mz=7.98
Sollecitazioni agenti localmente: Ty_l=-5577.49 Mx_l=-111.55
Tensioni nella sezione: σ=1352.12 τ=169.01
CC 39 SLU (Collegamento -041_-375)
Azioni sul collegamento: N=-30267.30 Ty=10.35 Tz=79.40 Mx=-0.01 Mz=8.45
Sollecitazioni agenti localmente: Ty_l=-5503.14 Mx_l=-110.06
Tensioni nella sezione: σ=1334.09 τ=166.76
CC 40 SLU (Collegamento -041_-375)
Azioni sul collegamento: N=-30269.10 Ty=10.18 Tz=79.28 Mx=-0.00 Mz=8.08
Sollecitazioni agenti localmente: Ty_l=-5503.47 Mx_l=-110.07
Tensioni nella sezione: σ=1334.17 τ=166.77
CC 41 SLU (Collegamento -041_-375)
Azioni sul collegamento: N=-27459.80 Ty=-19.36 Tz=69.55 Mx=-0.00 Mz=-14.09
Sollecitazioni agenti localmente: Ty_l=-4992.68 Mx_l=-99.85
Tensioni nella sezione: σ=1210.34 τ=151.29
CC 42 SLU (Collegamento -041_-375)
Azioni sul collegamento: N=-28275.70 Ty=-20.11 Tz=72.57 Mx=-0.00 Mz=-14.65
Sollecitazioni agenti localmente: Ty_l=-5141.04 Mx_l=-102.82
Tensioni nella sezione: σ=1246.31 τ=155.79
CC 43 SLU (Collegamento -041_-375)
Azioni sul collegamento: N=-27866.90 Ty=-19.65 Tz=71.12 Mx=-0.01 Mz=-14.19
Sollecitazioni agenti localmente: Ty_l=-5066.70 Mx_l=-101.33
Tensioni nella sezione: σ=1228.29 τ=153.54
CC 44 SLU (Collegamento -041_-375)
Azioni sul collegamento: N=-27868.60 Ty=-19.82 Tz=71.00 Mx=-0.00 Mz=-14.55
Sollecitazioni agenti localmente: Ty_l=-5067.02 Mx_l=-101.34
Tensioni nella sezione: σ=1228.37 τ=153.55
CC 45 SLU (Collegamento -041_-375)
Azioni sul collegamento: N=-29479.00 Ty=-19.57 Tz=76.97 Mx=-0.00 Mz=-14.38
Sollecitazioni agenti localmente: Ty_l=-5359.82 Mx_l=-107.20
Tensioni nella sezione: σ=1299.35 τ=162.42
CC 46 SLU (Collegamento -041_-375)
Azioni sul collegamento: N=-30295.00 Ty=-20.33 Tz=79.99 Mx=-0.00 Mz=-14.94
Sollecitazioni agenti localmente: Ty_l=-5508.18 Mx_l=-110.16
Tensioni nella sezione: σ=1335.32 τ=166.91
CC 47 SLU (Collegamento -041_-375)
Azioni sul collegamento: N=-29886.10 Ty=-19.86 Tz=78.54 Mx=-0.00 Mz=-14.48
Sollecitazioni agenti localmente: Ty_l=-5433.85 Mx_l=-108.68
Tensioni nella sezione: σ=1317.29 τ=164.66
CC 48 SLU (Collegamento -041_-375)
Azioni sul collegamento: N=-29887.90 Ty=-20.04 Tz=78.42 Mx=-0.00 Mz=-14.84
Sollecitazioni agenti localmente: Ty_l=-5434.17 Mx_l=-108.68
Tensioni nella sezione: σ=1317.37 τ=164.67
CC 49 SLU (Collegamento -041_-375)
Azioni sul collegamento: N=-24404.80 Ty=3.50 Tz=57.94 Mx=-0.00 Mz=3.11
Sollecitazioni agenti localmente: Ty_l=-4437.24 Mx_l=-88.74
Tensioni nella sezione: σ=1075.69 τ=134.46
CC 50 SLU (Collegamento -041_-375)
Azioni sul collegamento: N=-25220.80 Ty=2.75 Tz=60.96 Mx=-0.00 Mz=2.55
Sollecitazioni agenti localmente: Ty_l=-4585.60 Mx_l=-91.71
Tensioni nella sezione: σ=1111.66 τ=138.96
CC 51 SLU (Collegamento -041_-375)
Azioni sul collegamento: N=-24811.90 Ty=3.21 Tz=59.51 Mx=-0.00 Mz=3.02
Sollecitazioni agenti localmente: Ty_l=-4511.26 Mx_l=-90.22
Tensioni nella sezione: σ=1093.64 τ=136.71
CC 52 SLU (Collegamento -041_-375)
Azioni sul collegamento: N=-24813.70 Ty=3.04 Tz=59.39 Mx=-0.00 Mz=2.65
Sollecitazioni agenti localmente: Ty_l=-4511.58 Mx_l=-90.23
Tensioni nella sezione: σ=1093.71 τ=136.72
CC 53 SLU (Collegamento -041_-375)
Azioni sul collegamento: N=-22608.90 Ty=-18.94 Tz=51.75 Mx=-0.00 Mz=-13.82
Sollecitazioni agenti localmente: Ty_l=-4110.71 Mx_l=-82.21
Tensioni nella sezione: σ=996.53 τ=124.57
CC 54 SLU (Collegamento -041_-375)
Azioni sul collegamento: N=-23424.90 Ty=-19.70 Tz=54.76 Mx=-0.00 Mz=-14.38
Sollecitazioni agenti localmente: Ty_l=-4259.08 Mx_l=-85.18
Tensioni nella sezione: σ=1032.50 τ=129.06
CC 55 SLU (Collegamento -041_-375)
Azioni sul collegamento: N=-23016.00 Ty=-19.23 Tz=53.31 Mx=-0.00 Mz=-13.92
Sollecitazioni agenti localmente: Ty_l=-4184.74 Mx_l=-83.69
Tensioni nella sezione: σ=1014.48 τ=126.81
CC 56 SLU (Collegamento -041_-375)
Azioni sul collegamento: N=-23017.80 Ty=-19.41 Tz=53.20 Mx=-0.00 Mz=-14.28
Sollecitazioni agenti localmente: Ty_l=-4185.06 Mx_l=-83.70
Tensioni nella sezione: σ=1014.56 τ=126.82
CC 57 SLU (Collegamento -041_-375)
Azioni sul collegamento: N=-30221.30 Ty=-20.56 Tz=79.74 Mx=-0.00 Mz=-15.10

Sollecitazioni agenti localmente: Ty_l=-5494.77 Mx_l=-109.89
Tensioni nella sezione: σ=1332.06 τ=166.51
CC 58 SLU (Collegamento -041_-375)
Azioni sul collegamento: N=-31037.20 Ty=-21.31 Tz=82.75 Mx=-0.00 Mz=-15.66
Sollecitazioni agenti localmente: Ty_l=-5643.13 Mx_l=-112.86
Tensioni nella sezione: σ=1368.03 τ=171.00
CC 59 SLU (Collegamento -041_-375)
Azioni sul collegamento: N=-30628.40 Ty=-20.85 Tz=81.31 Mx=-0.00 Mz=-15.20
Sollecitazioni agenti localmente: Ty_l=-5568.79 Mx_l=-111.38
Tensioni nella sezione: σ=1350.01 τ=168.75
CC 60 SLU (Collegamento -041_-375)
Azioni sul collegamento: N=-30630.10 Ty=-21.02 Tz=81.19 Mx=-0.00 Mz=-15.57
Sollecitazioni agenti localmente: Ty_l=-5569.11 Mx_l=-111.38
Tensioni nella sezione: σ=1350.09 τ=168.76
CC 61 SLU (Collegamento -041_-375)
Azioni sul collegamento: N=-25147.00 Ty=2.52 Tz=60.71 Mx=-0.00 Mz=2.39
Sollecitazioni agenti localmente: Ty_l=-4572.19 Mx_l=-91.44
Tensioni nella sezione: σ=1108.41 τ=138.55
CC 62 SLU (Collegamento -041_-375)
Azioni sul collegamento: N=-25963.00 Ty=1.76 Tz=63.73 Mx=-0.00 Mz=1.83
Sollecitazioni agenti localmente: Ty_l=-4720.55 Mx_l=-94.41
Tensioni nella sezione: σ=1144.37 τ=143.05
CC 63 SLU (Collegamento -041_-375)
Azioni sul collegamento: N=-25554.10 Ty=2.23 Tz=62.28 Mx=-0.00 Mz=2.29
Sollecitazioni agenti localmente: Ty_l=-4646.21 Mx_l=-92.92
Tensioni nella sezione: σ=1126.35 τ=140.79
CC 64 SLU (Collegamento -041_-375)
Azioni sul collegamento: N=-25555.90 Ty=2.05 Tz=62.16 Mx=-0.00 Mz=1.93
Sollecitazioni agenti localmente: Ty_l=-4646.53 Mx_l=-92.93
Tensioni nella sezione: σ=1126.43 τ=140.80
CC 65 SLU (Collegamento -041_-375)
Azioni sul collegamento: N=-23351.20 Ty=-19.92 Tz=54.52 Mx=-0.00 Mz=-14.54
Sollecitazioni agenti localmente: Ty_l=-4245.66 Mx_l=-84.91
Tensioni nella sezione: σ=1029.25 τ=128.66
CC 66 SLU (Collegamento -041_-375)
Azioni sul collegamento: N=-24167.10 Ty=-20.68 Tz=57.53 Mx=-0.00 Mz=-15.10
Sollecitazioni agenti localmente: Ty_l=-4394.02 Mx_l=-87.88
Tensioni nella sezione: σ=1065.22 τ=133.15
CC 67 SLU (Collegamento -041_-375)
Azioni sul collegamento: N=-23758.30 Ty=-20.21 Tz=56.08 Mx=-0.00 Mz=-14.64
Sollecitazioni agenti localmente: Ty_l=-4319.69 Mx_l=-86.39
Tensioni nella sezione: σ=1047.19 τ=130.90
CC 68 SLU (Collegamento -041_-375)
Azioni sul collegamento: N=-23760.00 Ty=-20.39 Tz=55.97 Mx=-0.00 Mz=-15.01
Sollecitazioni agenti localmente: Ty_l=-4320.01 Mx_l=-86.40
Tensioni nella sezione: σ=1047.27 τ=130.91
CC 97 SLU (Collegamento -041_-375)
Azioni sul collegamento: N=-31084.20 Ty=-25.01 Tz=90.82 Mx=0.05 Mz=-11.42
Sollecitazioni agenti localmente: Ty_l=-5651.68 Mx_l=-113.03
Tensioni nella sezione: σ=1370.10 τ=171.26
CC 98 SLU (Collegamento -041_-375)
Azioni sul collegamento: N=-31900.20 Ty=-25.76 Tz=93.83 Mx=0.05 Mz=-11.97
Sollecitazioni agenti localmente: Ty_l=-5800.04 Mx_l=-116.00
Tensioni nella sezione: σ=1406.07 τ=175.76
CC 99 SLU (Collegamento -041_-375)
Azioni sul collegamento: N=-31491.30 Ty=-25.30 Tz=92.39 Mx=0.05 Mz=-11.51
Sollecitazioni agenti localmente: Ty_l=-5725.70 Mx_l=-114.51
Tensioni nella sezione: σ=1388.04 τ=173.51
CC 100 SLU (Collegamento -041_-375)
Azioni sul collegamento: N=-31493.10 Ty=-25.48 Tz=92.27 Mx=0.05 Mz=-11.88
Sollecitazioni agenti localmente: Ty_l=-5726.02 Mx_l=-114.52
Tensioni nella sezione: σ=1388.12 τ=173.52
CC 101 SLU (Collegamento -041_-375)
Azioni sul collegamento: N=-8294.89 Ty=-5.21 Tz=7.37 Mx=-0.01 Mz=-4.43
Sollecitazioni agenti localmente: Ty_l=-1508.16 Mx_l=-30.16
Tensioni nella sezione: σ=365.61 τ=45.70
CC 102 SLU (Collegamento -041_-375)
Azioni sul collegamento: N=-9110.88 Ty=-5.97 Tz=10.39 Mx=-0.01 Mz=-4.99
Sollecitazioni agenti localmente: Ty_l=-1656.52 Mx_l=-33.13
Tensioni nella sezione: σ=401.58 τ=50.20
CC 103 SLU (Collegamento -041_-375)
Azioni sul collegamento: N=-8702.00 Ty=-5.50 Tz=8.94 Mx=-0.01 Mz=-4.53
Sollecitazioni agenti localmente: Ty_l=-1582.18 Mx_l=-31.64
Tensioni nella sezione: σ=383.56 τ=47.94
CC 104 SLU (Collegamento -041_-375)
Azioni sul collegamento: N=-8703.78 Ty=-5.68 Tz=8.82 Mx=-0.01 Mz=-4.89
Sollecitazioni agenti localmente: Ty_l=-1582.50 Mx_l=-31.65
Tensioni nella sezione: σ=383.64 τ=47.95

Flessione attacco inferiore piastra

Bnetta=220.00 Hnetta=15.00
CC 1 SLV (Collegamento -041_-375)
Azioni sul collegamento: N=-5965.50 Ty=-4.83 Tz=-1.56 Mx=0.01 Mz=-1.02
Sollecitazioni agenti localmente: Ty_l=-1084.64 Mx_l=-21.69
Tensioni nella sezione: σ=262.94 τ=32.87
CC 1 SLV (Collegamento -041_-375)
Azioni sul collegamento: N=-5965.50 Ty=-12.58 Tz=-1.56 Mx=0.01 Mz=-7.43
Sollecitazioni agenti localmente: Ty_l=-1084.64 Mx_l=-21.69
Tensioni nella sezione: σ=262.94 τ=32.87
CC 1 SLV (Collegamento -041_-375)
Azioni sul collegamento: N=-5965.50 Ty=-4.83 Tz=27.71 Mx=0.01 Mz=-1.02
Sollecitazioni agenti localmente: Ty_l=-1084.64 Mx_l=-21.69
Tensioni nella sezione: σ=262.94 τ=32.87
CC 1 SLV (Collegamento -041_-375)
Azioni sul collegamento: N=-5965.50 Ty=-12.58 Tz=27.71 Mx=0.01 Mz=-7.43
Sollecitazioni agenti localmente: Ty_l=-1084.64 Mx_l=-21.69
Tensioni nella sezione: σ=262.94 τ=32.87
CC 1 SLV (Collegamento -041_-375)
Azioni sul collegamento: N=-13808.10 Ty=-4.83 Tz=-1.56 Mx=0.01 Mz=-1.02
Sollecitazioni agenti localmente: Ty_l=-2510.57 Mx_l=-50.21
Tensioni nella sezione: σ=608.62 τ=76.08
CC 1 SLV (Collegamento -041_-375)
Azioni sul collegamento: N=-13808.10 Ty=-12.58 Tz=-1.56 Mx=0.01 Mz=-7.43
Sollecitazioni agenti localmente: Ty_l=-2510.57 Mx_l=-50.21
Tensioni nella sezione: σ=608.62 τ=76.08
CC 1 SLV (Collegamento -041_-375)
Azioni sul collegamento: N=-13808.10 Ty=-4.83 Tz=27.71 Mx=0.01 Mz=-1.02
Sollecitazioni agenti localmente: Ty_l=-2510.57 Mx_l=-50.21
Tensioni nella sezione: σ=608.62 τ=76.08
CC 1 SLV (Collegamento -041_-375)
Azioni sul collegamento: N=-13808.10 Ty=-12.58 Tz=27.71 Mx=0.01 Mz=-7.43
Sollecitazioni agenti localmente: Ty_l=-2510.57 Mx_l=-50.21
Tensioni nella sezione: σ=608.62 τ=76.08
CC 2 SLD (Collegamento -041_-375)
Azioni sul collegamento: N=-8788.68 Ty=-8.45 Tz=9.00 Mx=0.00 Mz=-5.38
Sollecitazioni agenti localmente: Ty_l=-1597.94 Mx_l=-31.96
Tensioni nella sezione: σ=387.38 τ=48.42
CC 2 SLD (Collegamento -041_-375)
Azioni sul collegamento: N=-8788.68 Ty=-10.81 Tz=9.00 Mx=0.00 Mz=-7.34
Sollecitazioni agenti localmente: Ty_l=-1597.94 Mx_l=-31.96
Tensioni nella sezione: σ=387.38 τ=48.42
CC 2 SLD (Collegamento -041_-375)
Azioni sul collegamento: N=-8788.68 Ty=-8.45 Tz=17.92 Mx=0.00 Mz=-5.38
Sollecitazioni agenti localmente: Ty_l=-1597.94 Mx_l=-31.96
Tensioni nella sezione: σ=387.38 τ=48.42
CC 2 SLD (Collegamento -041_-375)
Azioni sul collegamento: N=-8788.68 Ty=-10.81 Tz=17.92 Mx=0.00 Mz=-7.34
Sollecitazioni agenti localmente: Ty_l=-1597.94 Mx_l=-31.96
Tensioni nella sezione: σ=387.38 τ=48.42
CC 2 SLD (Collegamento -041_-375)
Azioni sul collegamento: N=-11180.10 Ty=-8.45 Tz=8.99 Mx=0.00 Mz=-5.38
Sollecitazioni agenti localmente: Ty_l=-2032.75 Mx_l=-40.66
Tensioni nella sezione: σ=492.79 τ=61.60
CC 2 SLD (Collegamento -041_-375)
Azioni sul collegamento: N=-11180.10 Ty=-10.81 Tz=8.99 Mx=0.00 Mz=-7.34
Sollecitazioni agenti localmente: Ty_l=-2032.75 Mx_l=-40.66
Tensioni nella sezione: σ=492.79 τ=61.60
CC 2 SLD (Collegamento -041_-375)
Azioni sul collegamento: N=-11180.10 Ty=-8.45 Tz=17.92 Mx=0.00 Mz=-5.38
Sollecitazioni agenti localmente: Ty_l=-2032.75 Mx_l=-40.66
Tensioni nella sezione: σ=492.79 τ=61.60
CC 2 SLD (Collegamento -041_-375)
Azioni sul collegamento: N=-11180.10 Ty=-10.81 Tz=17.92 Mx=0.00 Mz=-7.34
Sollecitazioni agenti localmente: Ty_l=-2032.75 Mx_l=-40.66
Tensioni nella sezione: σ=492.79 τ=61.60
CC 3 SLV (Collegamento -041_-375)
Azioni sul collegamento: N=-5970.40 Ty=-5.34 Tz=-1.24 Mx=0.01 Mz=-2.07
Sollecitazioni agenti localmente: Ty_l=-1085.53 Mx_l=-21.71
Tensioni nella sezione: σ=263.16 τ=32.89
CC 3 SLV (Collegamento -041_-375)
Azioni sul collegamento: N=-5970.40 Ty=-12.07 Tz=-1.24 Mx=0.01 Mz=-6.38
Sollecitazioni agenti localmente: Ty_l=-1085.53 Mx_l=-21.71
Tensioni nella sezione: σ=263.16 τ=32.89
CC 3 SLV (Collegamento -041_-375)
Azioni sul collegamento: N=-5970.40 Ty=-5.34 Tz=27.38 Mx=0.01 Mz=-2.07
Sollecitazioni agenti localmente: Ty_l=-1085.53 Mx_l=-21.71
Tensioni nella sezione: σ=263.16 τ=32.89

CC 3 SLV (Collegamento -041_-375)
Azioni sul collegamento: N=-5970.40 Ty=-12.07 Tz=27.38 Mx=0.01 Mz=-6.38
Sollecitazioni agenti localmente: Ty_l=-1085.53 Mx_l=-21.71
Tensioni nella sezione: σ=263.16 τ=32.89
CC 3 SLV (Collegamento -041_-375)
Azioni sul collegamento: N=-13803.30 Ty=-5.34 Tz=-1.24 Mx=0.01 Mz=-2.07
Sollecitazioni agenti localmente: Ty_l=-2509.68 Mx_l=-50.19
Tensioni nella sezione: σ=608.41 τ=76.05
CC 3 SLV (Collegamento -041_-375)
Azioni sul collegamento: N=-13803.30 Ty=-12.07 Tz=-1.24 Mx=0.01 Mz=-6.38
Sollecitazioni agenti localmente: Ty_l=-2509.68 Mx_l=-50.19
Tensioni nella sezione: σ=608.41 τ=76.05
CC 3 SLV (Collegamento -041_-375)
Azioni sul collegamento: N=-13803.30 Ty=-5.34 Tz=27.38 Mx=0.01 Mz=-2.07
Sollecitazioni agenti localmente: Ty_l=-2509.68 Mx_l=-50.19
Tensioni nella sezione: σ=608.41 τ=76.05
CC 3 SLV (Collegamento -041_-375)
Azioni sul collegamento: N=-13803.30 Ty=-12.07 Tz=27.38 Mx=0.01 Mz=-6.38
Sollecitazioni agenti localmente: Ty_l=-2509.68 Mx_l=-50.19
Tensioni nella sezione: σ=608.41 τ=76.05
CC 4 SLD (Collegamento -041_-375)
Azioni sul collegamento: N=-8790.17 Ty=-8.61 Tz=9.10 Mx=0.00 Mz=-5.70
Sollecitazioni agenti localmente: Ty_l=-1598.21 Mx_l=-31.96
Tensioni nella sezione: σ=387.44 τ=48.43
CC 4 SLD (Collegamento -041_-375)
Azioni sul collegamento: N=-8790.17 Ty=-10.66 Tz=9.10 Mx=0.00 Mz=-7.02
Sollecitazioni agenti localmente: Ty_l=-1598.21 Mx_l=-31.96
Tensioni nella sezione: σ=387.44 τ=48.43
CC 4 SLD (Collegamento -041_-375)
Azioni sul collegamento: N=-8790.17 Ty=-8.61 Tz=17.82 Mx=0.00 Mz=-5.70
Sollecitazioni agenti localmente: Ty_l=-1598.21 Mx_l=-31.96
Tensioni nella sezione: σ=387.44 τ=48.43
CC 4 SLD (Collegamento -041_-375)
Azioni sul collegamento: N=-8790.17 Ty=-10.66 Tz=17.82 Mx=0.00 Mz=-7.02
Sollecitazioni agenti localmente: Ty_l=-1598.21 Mx_l=-31.96
Tensioni nella sezione: σ=387.44 τ=48.43
CC 4 SLD (Collegamento -041_-375)
Azioni sul collegamento: N=-11178.70 Ty=-8.61 Tz=9.09 Mx=0.00 Mz=-5.70
Sollecitazioni agenti localmente: Ty_l=-2032.48 Mx_l=-40.65
Tensioni nella sezione: σ=492.72 τ=61.59
CC 4 SLD (Collegamento -041_-375)
Azioni sul collegamento: N=-11178.70 Ty=-10.66 Tz=9.09 Mx=0.00 Mz=-7.02
Sollecitazioni agenti localmente: Ty_l=-2032.48 Mx_l=-40.65
Tensioni nella sezione: σ=492.72 τ=61.59
CC 4 SLD (Collegamento -041_-375)
Azioni sul collegamento: N=-11178.70 Ty=-8.61 Tz=17.82 Mx=0.00 Mz=-5.70
Sollecitazioni agenti localmente: Ty_l=-2032.48 Mx_l=-40.65
Tensioni nella sezione: σ=492.72 τ=61.59
CC 4 SLD (Collegamento -041_-375)
Azioni sul collegamento: N=-11178.70 Ty=-10.66 Tz=17.82 Mx=0.00 Mz=-7.02
Sollecitazioni agenti localmente: Ty_l=-2032.48 Mx_l=-40.65
Tensioni nella sezione: σ=492.72 τ=61.59
CC 5 SLV (Collegamento -041_-375)
Azioni sul collegamento: N=-13803.30 Ty=-12.07 Tz=27.38 Mx=0.01 Mz=-6.38
Sollecitazioni agenti localmente: Ty_l=-2509.68 Mx_l=-50.19
Tensioni nella sezione: σ=608.41 τ=76.05
CC 5 SLV (Collegamento -041_-375)
Azioni sul collegamento: N=-13803.30 Ty=-5.34 Tz=27.38 Mx=0.01 Mz=-2.07
Sollecitazioni agenti localmente: Ty_l=-2509.68 Mx_l=-50.19
Tensioni nella sezione: σ=608.41 τ=76.05
CC 5 SLV (Collegamento -041_-375)
Azioni sul collegamento: N=-13803.30 Ty=-12.07 Tz=-1.24 Mx=0.01 Mz=-6.38
Sollecitazioni agenti localmente: Ty_l=-2509.68 Mx_l=-50.19
Tensioni nella sezione: σ=608.41 τ=76.05
CC 5 SLV (Collegamento -041_-375)
Azioni sul collegamento: N=-13803.30 Ty=-5.34 Tz=-1.24 Mx=0.01 Mz=-2.07
Sollecitazioni agenti localmente: Ty_l=-2509.68 Mx_l=-50.19
Tensioni nella sezione: σ=608.41 τ=76.05
CC 5 SLV (Collegamento -041_-375)
Azioni sul collegamento: N=-5970.40 Ty=-12.07 Tz=27.38 Mx=0.01 Mz=-6.38
Sollecitazioni agenti localmente: Ty_l=-1085.53 Mx_l=-21.71
Tensioni nella sezione: σ=263.16 τ=32.89
CC 5 SLV (Collegamento -041_-375)
Azioni sul collegamento: N=-5970.40 Ty=-5.34 Tz=27.38 Mx=0.01 Mz=-2.07
Sollecitazioni agenti localmente: Ty_l=-1085.53 Mx_l=-21.71
Tensioni nella sezione: σ=263.16 τ=32.89
CC 5 SLV (Collegamento -041_-375)
Azioni sul collegamento: N=-5970.40 Ty=-12.07 Tz=-1.24 Mx=0.01 Mz=-6.38
Sollecitazioni agenti localmente: Ty_l=-1085.53 Mx_l=-21.71

Tensioni nella sezione: σ=263.16 τ=32.89
CC 5 SLV (Collegamento -041_-375)
Azioni sul collegamento: N=-5970.40 Ty=-5.34 Tz=-1.24 Mx=0.01 Mz=-2.07
Sollecitazioni agenti localmente: Ty_l=-1085.53 Mx_l=-21.71
Tensioni nella sezione: σ=263.16 τ=32.89
CC 6 SLD (Collegamento -041_-375)
Azioni sul collegamento: N=-11178.70 Ty=-10.66 Tz=17.82 Mx=0.00 Mz=-7.02
Sollecitazioni agenti localmente: Ty_l=-2032.48 Mx_l=-40.65
Tensioni nella sezione: σ=492.72 τ=61.59
CC 6 SLD (Collegamento -041_-375)
Azioni sul collegamento: N=-11178.70 Ty=-8.61 Tz=17.82 Mx=0.00 Mz=-5.70
Sollecitazioni agenti localmente: Ty_l=-2032.48 Mx_l=-40.65
Tensioni nella sezione: σ=492.72 τ=61.59
CC 6 SLD (Collegamento -041_-375)
Azioni sul collegamento: N=-11178.70 Ty=-10.66 Tz=9.09 Mx=0.00 Mz=-7.02
Sollecitazioni agenti localmente: Ty_l=-2032.48 Mx_l=-40.65
Tensioni nella sezione: σ=492.72 τ=61.59
CC 6 SLD (Collegamento -041_-375)
Azioni sul collegamento: N=-11178.70 Ty=-8.61 Tz=9.09 Mx=0.00 Mz=-5.70
Sollecitazioni agenti localmente: Ty_l=-2032.48 Mx_l=-40.65
Tensioni nella sezione: σ=492.72 τ=61.59
CC 6 SLD (Collegamento -041_-375)
Azioni sul collegamento: N=-8790.17 Ty=-10.66 Tz=17.82 Mx=0.00 Mz=-7.02
Sollecitazioni agenti localmente: Ty_l=-1598.21 Mx_l=-31.96
Tensioni nella sezione: σ=387.44 τ=48.43
CC 6 SLD (Collegamento -041_-375)
Azioni sul collegamento: N=-8790.17 Ty=-8.61 Tz=17.82 Mx=0.00 Mz=-5.70
Sollecitazioni agenti localmente: Ty_l=-1598.21 Mx_l=-31.96
Tensioni nella sezione: σ=387.44 τ=48.43
CC 6 SLD (Collegamento -041_-375)
Azioni sul collegamento: N=-8790.17 Ty=-10.66 Tz=9.10 Mx=0.00 Mz=-7.02
Sollecitazioni agenti localmente: Ty_l=-1598.21 Mx_l=-31.96
Tensioni nella sezione: σ=387.44 τ=48.43
CC 6 SLD (Collegamento -041_-375)
Azioni sul collegamento: N=-8790.17 Ty=-8.61 Tz=9.10 Mx=0.00 Mz=-5.70
Sollecitazioni agenti localmente: Ty_l=-1598.21 Mx_l=-31.96
Tensioni nella sezione: σ=387.44 τ=48.43
CC 7 SLV (Collegamento -041_-375)
Azioni sul collegamento: N=-13808.10 Ty=-12.58 Tz=27.71 Mx=0.01 Mz=-7.43
Sollecitazioni agenti localmente: Ty_l=-2510.57 Mx_l=-50.21
Tensioni nella sezione: σ=608.62 τ=76.08
CC 7 SLV (Collegamento -041_-375)
Azioni sul collegamento: N=-13808.10 Ty=-4.83 Tz=27.71 Mx=0.01 Mz=-1.02
Sollecitazioni agenti localmente: Ty_l=-2510.57 Mx_l=-50.21
Tensioni nella sezione: σ=608.62 τ=76.08
CC 7 SLV (Collegamento -041_-375)
Azioni sul collegamento: N=-13808.10 Ty=-12.58 Tz=-1.56 Mx=0.01 Mz=-7.43
Sollecitazioni agenti localmente: Ty_l=-2510.57 Mx_l=-50.21
Tensioni nella sezione: σ=608.62 τ=76.08
CC 7 SLV (Collegamento -041_-375)
Azioni sul collegamento: N=-13808.10 Ty=-4.83 Tz=-1.56 Mx=0.01 Mz=-1.02
Sollecitazioni agenti localmente: Ty_l=-2510.57 Mx_l=-50.21
Tensioni nella sezione: σ=608.62 τ=76.08
CC 7 SLV (Collegamento -041_-375)
Azioni sul collegamento: N=-5965.50 Ty=-12.58 Tz=27.71 Mx=0.01 Mz=-7.43
Sollecitazioni agenti localmente: Ty_l=-1084.64 Mx_l=-21.69
Tensioni nella sezione: σ=262.94 τ=32.87
CC 7 SLV (Collegamento -041_-375)
Azioni sul collegamento: N=-5965.50 Ty=-4.83 Tz=27.71 Mx=0.01 Mz=-1.02
Sollecitazioni agenti localmente: Ty_l=-1084.64 Mx_l=-21.69
Tensioni nella sezione: σ=262.94 τ=32.87
CC 7 SLV (Collegamento -041_-375)
Azioni sul collegamento: N=-5965.50 Ty=-12.58 Tz=-1.56 Mx=0.01 Mz=-7.43
Sollecitazioni agenti localmente: Ty_l=-1084.64 Mx_l=-21.69
Tensioni nella sezione: σ=262.94 τ=32.87
CC 7 SLV (Collegamento -041_-375)
Azioni sul collegamento: N=-5965.50 Ty=-4.83 Tz=-1.56 Mx=0.01 Mz=-1.02
Sollecitazioni agenti localmente: Ty_l=-1084.64 Mx_l=-21.69
Tensioni nella sezione: σ=262.94 τ=32.87
CC 8 SLD (Collegamento -041_-375)
Azioni sul collegamento: N=-11180.10 Ty=-10.81 Tz=17.92 Mx=0.00 Mz=-7.34
Sollecitazioni agenti localmente: Ty_l=-2032.75 Mx_l=-40.66
Tensioni nella sezione: σ=492.79 τ=61.60
CC 8 SLD (Collegamento -041_-375)
Azioni sul collegamento: N=-11180.10 Ty=-8.45 Tz=17.92 Mx=0.00 Mz=-5.38
Sollecitazioni agenti localmente: Ty_l=-2032.75 Mx_l=-40.66
Tensioni nella sezione: σ=492.79 τ=61.60
CC 8 SLD (Collegamento -041_-375)
Azioni sul collegamento: N=-11180.10 Ty=-10.81 Tz=8.99 Mx=0.00 Mz=-7.34

Sollecitazioni agenti localmente: Ty_l=-2032.75 Mx_l=-40.66
Tensioni nella sezione: σ=492.79 τ=61.60
CC 8 SLD (Collegamento -041_-375)
Azioni sul collegamento: N=-11180.10 Ty=-8.45 Tz=8.99 Mx=0.00 Mz=-5.38
Sollecitazioni agenti localmente: Ty_l=-2032.75 Mx_l=-40.66
Tensioni nella sezione: σ=492.79 τ=61.60
CC 8 SLD (Collegamento -041_-375)
Azioni sul collegamento: N=-8788.68 Ty=-10.81 Tz=17.92 Mx=0.00 Mz=-7.34
Sollecitazioni agenti localmente: Ty_l=-1597.94 Mx_l=-31.96
Tensioni nella sezione: σ=387.38 τ=48.42
CC 8 SLD (Collegamento -041_-375)
Azioni sul collegamento: N=-8788.68 Ty=-8.45 Tz=17.92 Mx=0.00 Mz=-5.38
Sollecitazioni agenti localmente: Ty_l=-1597.94 Mx_l=-31.96
Tensioni nella sezione: σ=387.38 τ=48.42
CC 8 SLD (Collegamento -041_-375)
Azioni sul collegamento: N=-8788.68 Ty=-10.81 Tz=9.00 Mx=0.00 Mz=-7.34
Sollecitazioni agenti localmente: Ty_l=-1597.94 Mx_l=-31.96
Tensioni nella sezione: σ=387.38 τ=48.42
CC 8 SLD (Collegamento -041_-375)
Azioni sul collegamento: N=-8788.68 Ty=-8.45 Tz=9.00 Mx=0.00 Mz=-5.38
Sollecitazioni agenti localmente: Ty_l=-1597.94 Mx_l=-31.96
Tensioni nella sezione: σ=387.38 τ=48.42
CC 9 SLV (Collegamento -041_-375)
Azioni sul collegamento: N=-8703.00 Ty=-6.76 Tz=8.19 Mx=0.02 Mz=-1.67
Sollecitazioni agenti localmente: Ty_l=-1582.36 Mx_l=-31.65
Tensioni nella sezione: σ=383.60 τ=47.95
CC 9 SLV (Collegamento -041_-375)
Azioni sul collegamento: N=-8703.00 Ty=-10.65 Tz=8.19 Mx=0.02 Mz=-6.77
Sollecitazioni agenti localmente: Ty_l=-1582.36 Mx_l=-31.65
Tensioni nella sezione: σ=383.60 τ=47.95
CC 9 SLV (Collegamento -041_-375)
Azioni sul collegamento: N=-8703.00 Ty=-6.76 Tz=17.96 Mx=0.02 Mz=-1.67
Sollecitazioni agenti localmente: Ty_l=-1582.36 Mx_l=-31.65
Tensioni nella sezione: σ=383.60 τ=47.95
CC 9 SLV (Collegamento -041_-375)
Azioni sul collegamento: N=-8703.00 Ty=-10.65 Tz=17.96 Mx=0.02 Mz=-6.77
Sollecitazioni agenti localmente: Ty_l=-1582.36 Mx_l=-31.65
Tensioni nella sezione: σ=383.60 τ=47.95
CC 9 SLV (Collegamento -041_-375)
Azioni sul collegamento: N=-11070.70 Ty=-6.76 Tz=8.19 Mx=0.02 Mz=-1.67
Sollecitazioni agenti localmente: Ty_l=-2012.85 Mx_l=-40.26
Tensioni nella sezione: σ=487.96 τ=61.00
CC 9 SLV (Collegamento -041_-375)
Azioni sul collegamento: N=-11070.70 Ty=-10.65 Tz=8.19 Mx=0.02 Mz=-6.77
Sollecitazioni agenti localmente: Ty_l=-2012.85 Mx_l=-40.26
Tensioni nella sezione: σ=487.96 τ=61.00
CC 9 SLV (Collegamento -041_-375)
Azioni sul collegamento: N=-11070.70 Ty=-6.76 Tz=17.96 Mx=0.02 Mz=-1.67
Sollecitazioni agenti localmente: Ty_l=-2012.85 Mx_l=-40.26
Tensioni nella sezione: σ=487.96 τ=61.00
CC 9 SLV (Collegamento -041_-375)
Azioni sul collegamento: N=-11070.70 Ty=-10.65 Tz=17.96 Mx=0.02 Mz=-6.77
Sollecitazioni agenti localmente: Ty_l=-2012.85 Mx_l=-40.26
Tensioni nella sezione: σ=487.96 τ=61.00
CC 10 SLD (Collegamento -041_-375)
Azioni sul collegamento: N=-9623.43 Ty=-9.04 Tz=11.97 Mx=0.00 Mz=-5.58
Sollecitazioni agenti localmente: Ty_l=-1749.71 Mx_l=-34.99
Tensioni nella sezione: σ=424.17 τ=53.02
CC 10 SLD (Collegamento -041_-375)
Azioni sul collegamento: N=-9623.43 Ty=-10.22 Tz=11.97 Mx=0.00 Mz=-7.14
Sollecitazioni agenti localmente: Ty_l=-1749.71 Mx_l=-34.99
Tensioni nella sezione: σ=424.17 τ=53.02
CC 10 SLD (Collegamento -041_-375)
Azioni sul collegamento: N=-9623.43 Ty=-9.04 Tz=14.95 Mx=0.00 Mz=-5.58
Sollecitazioni agenti localmente: Ty_l=-1749.71 Mx_l=-34.99
Tensioni nella sezione: σ=424.17 τ=53.02
CC 10 SLD (Collegamento -041_-375)
Azioni sul collegamento: N=-9623.43 Ty=-10.22 Tz=14.95 Mx=0.00 Mz=-7.14
Sollecitazioni agenti localmente: Ty_l=-1749.71 Mx_l=-34.99
Tensioni nella sezione: σ=424.17 τ=53.02
CC 10 SLD (Collegamento -041_-375)
Azioni sul collegamento: N=-10345.40 Ty=-9.04 Tz=11.97 Mx=0.00 Mz=-5.58
Sollecitazioni agenti localmente: Ty_l=-1880.98 Mx_l=-37.62
Tensioni nella sezione: σ=456.00 τ=57.00
CC 10 SLD (Collegamento -041_-375)
Azioni sul collegamento: N=-10345.40 Ty=-10.22 Tz=11.97 Mx=0.00 Mz=-7.14
Sollecitazioni agenti localmente: Ty_l=-1880.98 Mx_l=-37.62
Tensioni nella sezione: σ=456.00 τ=57.00
CC 10 SLD (Collegamento -041_-375)

Azioni sul collegamento: N=-10345.40 Ty=-9.04 Tz=14.95 Mx=0.00 Mz=-5.58
Sollecitazioni agenti localmente: Ty_l=-1880.98 Mx_l=-37.62
Tensioni nella sezione: σ=456.00 τ=57.00
CC 10 SLD (Collegamento -041_-375)
Azioni sul collegamento: N=-10345.40 Ty=-10.22 Tz=14.95 Mx=0.00 Mz=-7.14
Sollecitazioni agenti localmente: Ty_l=-1880.98 Mx_l=-37.62
Tensioni nella sezione: σ=456.00 τ=57.00
CC 11 SLV (Collegamento -041_-375)
Azioni sul collegamento: N=-11054.30 Ty=-8.94 Tz=16.87 Mx=0.02 Mz=-3.28
Sollecitazioni agenti localmente: Ty_l=-2009.88 Mx_l=-40.20
Tensioni nella sezione: σ=487.24 τ=60.91
CC 11 SLV (Collegamento -041_-375)
Azioni sul collegamento: N=-11054.30 Ty=-8.48 Tz=16.87 Mx=0.02 Mz=-5.16
Sollecitazioni agenti localmente: Ty_l=-2009.88 Mx_l=-40.20
Tensioni nella sezione: σ=487.24 τ=60.91
CC 11 SLV (Collegamento -041_-375)
Azioni sul collegamento: N=-11054.30 Ty=-8.94 Tz=9.28 Mx=0.02 Mz=-3.28
Sollecitazioni agenti localmente: Ty_l=-2009.88 Mx_l=-40.20
Tensioni nella sezione: σ=487.24 τ=60.91
CC 11 SLV (Collegamento -041_-375)
Azioni sul collegamento: N=-11054.30 Ty=-8.48 Tz=9.28 Mx=0.02 Mz=-5.16
Sollecitazioni agenti localmente: Ty_l=-2009.88 Mx_l=-40.20
Tensioni nella sezione: σ=487.24 τ=60.91
CC 11 SLV (Collegamento -041_-375)
Azioni sul collegamento: N=-8719.33 Ty=-8.94 Tz=16.87 Mx=0.02 Mz=-3.28
Sollecitazioni agenti localmente: Ty_l=-1585.33 Mx_l=-31.71
Tensioni nella sezione: σ=384.32 τ=48.04
CC 11 SLV (Collegamento -041_-375)
Azioni sul collegamento: N=-8719.33 Ty=-8.48 Tz=16.87 Mx=0.02 Mz=-5.16
Sollecitazioni agenti localmente: Ty_l=-1585.33 Mx_l=-31.71
Tensioni nella sezione: σ=384.32 τ=48.04
CC 11 SLV (Collegamento -041_-375)
Azioni sul collegamento: N=-8719.33 Ty=-8.94 Tz=9.28 Mx=0.02 Mz=-3.28
Sollecitazioni agenti localmente: Ty_l=-1585.33 Mx_l=-31.71
Tensioni nella sezione: σ=384.32 τ=48.04
CC 11 SLV (Collegamento -041_-375)
Azioni sul collegamento: N=-8719.33 Ty=-8.48 Tz=9.28 Mx=0.02 Mz=-5.16
Sollecitazioni agenti localmente: Ty_l=-1585.33 Mx_l=-31.71
Tensioni nella sezione: σ=384.32 τ=48.04
CC 12 SLD (Collegamento -041_-375)
Azioni sul collegamento: N=-10340.40 Ty=-9.70 Tz=14.62 Mx=0.00 Mz=-6.07
Sollecitazioni agenti localmente: Ty_l=-1880.08 Mx_l=-37.60
Tensioni nella sezione: σ=455.77 τ=56.97
CC 12 SLD (Collegamento -041_-375)
Azioni sul collegamento: N=-10340.40 Ty=-9.56 Tz=14.62 Mx=0.00 Mz=-6.65
Sollecitazioni agenti localmente: Ty_l=-1880.08 Mx_l=-37.60
Tensioni nella sezione: σ=455.77 τ=56.97
CC 12 SLD (Collegamento -041_-375)
Azioni sul collegamento: N=-10340.40 Ty=-9.70 Tz=12.30 Mx=0.00 Mz=-6.07
Sollecitazioni agenti localmente: Ty_l=-1880.08 Mx_l=-37.60
Tensioni nella sezione: σ=455.77 τ=56.97
CC 12 SLD (Collegamento -041_-375)
Azioni sul collegamento: N=-10340.40 Ty=-9.56 Tz=12.30 Mx=0.00 Mz=-6.65
Sollecitazioni agenti localmente: Ty_l=-1880.08 Mx_l=-37.60
Tensioni nella sezione: σ=455.77 τ=56.97
CC 12 SLD (Collegamento -041_-375)
Azioni sul collegamento: N=-9628.41 Ty=-9.70 Tz=14.62 Mx=0.00 Mz=-6.07
Sollecitazioni agenti localmente: Ty_l=-1750.62 Mx_l=-35.01
Tensioni nella sezione: σ=424.39 τ=53.05
CC 12 SLD (Collegamento -041_-375)
Azioni sul collegamento: N=-9628.41 Ty=-9.56 Tz=14.62 Mx=0.00 Mz=-6.65
Sollecitazioni agenti localmente: Ty_l=-1750.62 Mx_l=-35.01
Tensioni nella sezione: σ=424.39 τ=53.05
CC 12 SLD (Collegamento -041_-375)
Azioni sul collegamento: N=-9628.40 Ty=-9.70 Tz=12.30 Mx=0.00 Mz=-6.07
Sollecitazioni agenti localmente: Ty_l=-1750.62 Mx_l=-35.01
Tensioni nella sezione: σ=424.39 τ=53.05
CC 12 SLD (Collegamento -041_-375)
Azioni sul collegamento: N=-9628.40 Ty=-9.56 Tz=12.30 Mx=0.00 Mz=-6.65
Sollecitazioni agenti localmente: Ty_l=-1750.62 Mx_l=-35.01
Tensioni nella sezione: σ=424.39 τ=53.05
CC 13 SLV (Collegamento -041_-375)
Azioni sul collegamento: N=-8719.33 Ty=-8.48 Tz=9.28 Mx=0.00 Mz=-5.16
Sollecitazioni agenti localmente: Ty_l=-1585.33 Mx_l=-31.71
Tensioni nella sezione: σ=384.32 τ=48.04
CC 13 SLV (Collegamento -041_-375)
Azioni sul collegamento: N=-8719.33 Ty=-8.94 Tz=9.28 Mx=0.00 Mz=-3.28
Sollecitazioni agenti localmente: Ty_l=-1585.33 Mx_l=-31.71
Tensioni nella sezione: σ=384.32 τ=48.04

CC 13 SLV (Collegamento -041_-375)
Azioni sul collegamento: N=-8719.33 Ty=-8.48 Tz=16.87 Mx=0.00 Mz=-5.16
Sollecitazioni agenti localmente: Ty_l=-1585.33 Mx_l=-31.71
Tensioni nella sezione: σ=384.32 τ=48.04
CC 13 SLV (Collegamento -041_-375)
Azioni sul collegamento: N=-8719.33 Ty=-8.94 Tz=16.87 Mx=0.00 Mz=-3.28
Sollecitazioni agenti localmente: Ty_l=-1585.33 Mx_l=-31.71
Tensioni nella sezione: σ=384.32 τ=48.04
CC 13 SLV (Collegamento -041_-375)
Azioni sul collegamento: N=-11054.30 Ty=-8.48 Tz=9.28 Mx=0.00 Mz=-5.16
Sollecitazioni agenti localmente: Ty_l=-2009.88 Mx_l=-40.20
Tensioni nella sezione: σ=487.24 τ=60.91
CC 13 SLV (Collegamento -041_-375)
Azioni sul collegamento: N=-11054.30 Ty=-8.94 Tz=9.28 Mx=0.00 Mz=-3.28
Sollecitazioni agenti localmente: Ty_l=-2009.88 Mx_l=-40.20
Tensioni nella sezione: σ=487.24 τ=60.91
CC 13 SLV (Collegamento -041_-375)
Azioni sul collegamento: N=-11054.30 Ty=-8.48 Tz=16.87 Mx=0.00 Mz=-5.16
Sollecitazioni agenti localmente: Ty_l=-2009.88 Mx_l=-40.20
Tensioni nella sezione: σ=487.24 τ=60.91
CC 13 SLV (Collegamento -041_-375)
Azioni sul collegamento: N=-11054.30 Ty=-8.94 Tz=16.87 Mx=0.00 Mz=-3.28
Sollecitazioni agenti localmente: Ty_l=-2009.88 Mx_l=-40.20
Tensioni nella sezione: σ=487.24 τ=60.91
CC 14 SLD (Collegamento -041_-375)
Azioni sul collegamento: N=-9628.40 Ty=-9.56 Tz=12.30 Mx=-0.00 Mz=-6.65
Sollecitazioni agenti localmente: Ty_l=-1750.62 Mx_l=-35.01
Tensioni nella sezione: σ=424.39 τ=53.05
CC 14 SLD (Collegamento -041_-375)
Azioni sul collegamento: N=-9628.40 Ty=-9.70 Tz=12.30 Mx=-0.00 Mz=-6.07
Sollecitazioni agenti localmente: Ty_l=-1750.62 Mx_l=-35.01
Tensioni nella sezione: σ=424.39 τ=53.05
CC 14 SLD (Collegamento -041_-375)
Azioni sul collegamento: N=-9628.41 Ty=-9.56 Tz=14.62 Mx=-0.00 Mz=-6.65
Sollecitazioni agenti localmente: Ty_l=-1750.62 Mx_l=-35.01
Tensioni nella sezione: σ=424.39 τ=53.05
CC 14 SLD (Collegamento -041_-375)
Azioni sul collegamento: N=-9628.41 Ty=-9.70 Tz=14.62 Mx=-0.00 Mz=-6.07
Sollecitazioni agenti localmente: Ty_l=-1750.62 Mx_l=-35.01
Tensioni nella sezione: σ=424.39 τ=53.05
CC 14 SLD (Collegamento -041_-375)
Azioni sul collegamento: N=-10340.40 Ty=-9.56 Tz=12.30 Mx=-0.00 Mz=-6.65
Sollecitazioni agenti localmente: Ty_l=-1880.08 Mx_l=-37.60
Tensioni nella sezione: σ=455.77 τ=56.97
CC 14 SLD (Collegamento -041_-375)
Azioni sul collegamento: N=-10340.40 Ty=-9.70 Tz=12.30 Mx=-0.00 Mz=-6.07
Sollecitazioni agenti localmente: Ty_l=-1880.08 Mx_l=-37.60
Tensioni nella sezione: σ=455.77 τ=56.97
CC 14 SLD (Collegamento -041_-375)
Azioni sul collegamento: N=-10340.40 Ty=-9.56 Tz=14.62 Mx=-0.00 Mz=-6.65
Sollecitazioni agenti localmente: Ty_l=-1880.08 Mx_l=-37.60
Tensioni nella sezione: σ=455.77 τ=56.97
CC 14 SLD (Collegamento -041_-375)
Azioni sul collegamento: N=-10340.40 Ty=-9.70 Tz=14.62 Mx=-0.00 Mz=-6.07
Sollecitazioni agenti localmente: Ty_l=-1880.08 Mx_l=-37.60
Tensioni nella sezione: σ=455.77 τ=56.97
CC 15 SLV (Collegamento -041_-375)
Azioni sul collegamento: N=-11070.70 Ty=-10.65 Tz=17.96 Mx=0.00 Mz=-6.77
Sollecitazioni agenti localmente: Ty_l=-2012.85 Mx_l=-40.26
Tensioni nella sezione: σ=487.96 τ=61.00
CC 15 SLV (Collegamento -041_-375)
Azioni sul collegamento: N=-11070.70 Ty=-6.76 Tz=17.96 Mx=0.00 Mz=-1.67
Sollecitazioni agenti localmente: Ty_l=-2012.85 Mx_l=-40.26
Tensioni nella sezione: σ=487.96 τ=61.00
CC 15 SLV (Collegamento -041_-375)
Azioni sul collegamento: N=-11070.70 Ty=-10.65 Tz=8.19 Mx=0.00 Mz=-6.77
Sollecitazioni agenti localmente: Ty_l=-2012.85 Mx_l=-40.26
Tensioni nella sezione: σ=487.96 τ=61.00
CC 15 SLV (Collegamento -041_-375)
Azioni sul collegamento: N=-11070.70 Ty=-6.76 Tz=8.19 Mx=0.00 Mz=-1.67
Sollecitazioni agenti localmente: Ty_l=-2012.85 Mx_l=-40.26
Tensioni nella sezione: σ=487.96 τ=61.00
CC 15 SLV (Collegamento -041_-375)
Azioni sul collegamento: N=-8703.00 Ty=-10.65 Tz=17.96 Mx=0.00 Mz=-6.77
Sollecitazioni agenti localmente: Ty_l=-1582.36 Mx_l=-31.65
Tensioni nella sezione: σ=383.60 τ=47.95
CC 15 SLV (Collegamento -041_-375)
Azioni sul collegamento: N=-8703.00 Ty=-6.76 Tz=17.96 Mx=0.00 Mz=-1.67
Sollecitazioni agenti localmente: Ty_l=-1582.36 Mx_l=-31.65

Tensioni nella sezione: σ=383.60 τ=47.95
CC 15 SLV (Collegamento -041_-375)
Azioni sul collegamento: N=-8703.00 Ty=-10.65 Tz=8.19 Mx=0.00 Mz=-6.77
Sollecitazioni agenti localmente: Ty_l=-1582.36 Mx_l=-31.65
Tensioni nella sezione: σ=383.60 τ=47.95
CC 15 SLV (Collegamento -041_-375)
Azioni sul collegamento: N=-8703.00 Ty=-6.76 Tz=8.19 Mx=0.00 Mz=-1.67
Sollecitazioni agenti localmente: Ty_l=-1582.36 Mx_l=-31.65
Tensioni nella sezione: σ=383.60 τ=47.95
CC 16 SLD (Collegamento -041_-375)
Azioni sul collegamento: N=-10345.40 Ty=-10.22 Tz=14.95 Mx=-0.00 Mz=-7.14
Sollecitazioni agenti localmente: Ty_l=-1880.98 Mx_l=-37.62
Tensioni nella sezione: σ=456.00 τ=57.00
CC 16 SLD (Collegamento -041_-375)
Azioni sul collegamento: N=-10345.40 Ty=-9.04 Tz=14.95 Mx=-0.00 Mz=-5.58
Sollecitazioni agenti localmente: Ty_l=-1880.98 Mx_l=-37.62
Tensioni nella sezione: σ=456.00 τ=57.00
CC 16 SLD (Collegamento -041_-375)
Azioni sul collegamento: N=-10345.40 Ty=-10.22 Tz=11.97 Mx=-0.00 Mz=-7.14
Sollecitazioni agenti localmente: Ty_l=-1880.98 Mx_l=-37.62
Tensioni nella sezione: σ=456.00 τ=57.00
CC 16 SLD (Collegamento -041_-375)
Azioni sul collegamento: N=-10345.40 Ty=-9.04 Tz=11.97 Mx=-0.00 Mz=-5.58
Sollecitazioni agenti localmente: Ty_l=-1880.98 Mx_l=-37.62
Tensioni nella sezione: σ=456.00 τ=57.00
CC 16 SLD (Collegamento -041_-375)
Azioni sul collegamento: N=-9623.43 Ty=-10.22 Tz=14.95 Mx=-0.00 Mz=-7.14
Sollecitazioni agenti localmente: Ty_l=-1749.71 Mx_l=-34.99
Tensioni nella sezione: σ=424.17 τ=53.02
CC 16 SLD (Collegamento -041_-375)
Azioni sul collegamento: N=-9623.43 Ty=-9.04 Tz=14.95 Mx=-0.00 Mz=-5.58
Sollecitazioni agenti localmente: Ty_l=-1749.71 Mx_l=-34.99
Tensioni nella sezione: σ=424.17 τ=53.02
CC 16 SLD (Collegamento -041_-375)
Azioni sul collegamento: N=-9623.43 Ty=-10.22 Tz=11.97 Mx=-0.00 Mz=-7.14
Sollecitazioni agenti localmente: Ty_l=-1749.71 Mx_l=-34.99
Tensioni nella sezione: σ=424.17 τ=53.02
CC 16 SLD (Collegamento -041_-375)
Azioni sul collegamento: N=-9623.43 Ty=-9.04 Tz=11.97 Mx=-0.00 Mz=-5.58
Sollecitazioni agenti localmente: Ty_l=-1749.71 Mx_l=-34.99
Tensioni nella sezione: σ=424.17 τ=53.02
CC 17 SLV (Collegamento -041_-375)
Azioni sul collegamento: N=-6246.30 Ty=-7.49 Tz=-0.46 Mx=-0.02 Mz=-7.17
Sollecitazioni agenti localmente: Ty_l=-1135.69 Mx_l=-22.71
Tensioni nella sezione: σ=275.32 τ=34.41
CC 17 SLV (Collegamento -041_-375)
Azioni sul collegamento: N=-6246.30 Ty=-15.25 Tz=-0.46 Mx=-0.02 Mz=-13.58
Sollecitazioni agenti localmente: Ty_l=-1135.69 Mx_l=-22.71
Tensioni nella sezione: σ=275.32 τ=34.41
CC 17 SLV (Collegamento -041_-375)
Azioni sul collegamento: N=-6246.30 Ty=-7.49 Tz=28.82 Mx=-0.02 Mz=-7.17
Sollecitazioni agenti localmente: Ty_l=-1135.69 Mx_l=-22.71
Tensioni nella sezione: σ=275.32 τ=34.41
CC 17 SLV (Collegamento -041_-375)
Azioni sul collegamento: N=-6246.30 Ty=-15.25 Tz=28.82 Mx=-0.02 Mz=-13.58
Sollecitazioni agenti localmente: Ty_l=-1135.69 Mx_l=-22.71
Tensioni nella sezione: σ=275.32 τ=34.41
CC 17 SLV (Collegamento -041_-375)
Azioni sul collegamento: N=-14088.90 Ty=-7.49 Tz=-0.46 Mx=-0.02 Mz=-7.17
Sollecitazioni agenti localmente: Ty_l=-2561.63 Mx_l=-51.23
Tensioni nella sezione: σ=621.00 τ=77.63
CC 17 SLV (Collegamento -041_-375)
Azioni sul collegamento: N=-14088.90 Ty=-15.25 Tz=-0.46 Mx=-0.02 Mz=-13.58
Sollecitazioni agenti localmente: Ty_l=-2561.63 Mx_l=-51.23
Tensioni nella sezione: σ=621.00 τ=77.63
CC 17 SLV (Collegamento -041_-375)
Azioni sul collegamento: N=-14088.90 Ty=-7.49 Tz=28.82 Mx=-0.02 Mz=-7.17
Sollecitazioni agenti localmente: Ty_l=-2561.63 Mx_l=-51.23
Tensioni nella sezione: σ=621.00 τ=77.63
CC 17 SLV (Collegamento -041_-375)
Azioni sul collegamento: N=-14088.90 Ty=-15.25 Tz=28.82 Mx=-0.02 Mz=-13.58
Sollecitazioni agenti localmente: Ty_l=-2561.63 Mx_l=-51.23
Tensioni nella sezione: σ=621.00 τ=77.63
CC 18 SLD (Collegamento -041_-375)
Azioni sul collegamento: N=-8874.30 Ty=-9.26 Tz=9.33 Mx=-0.01 Mz=-7.26
Sollecitazioni agenti localmente: Ty_l=-1613.51 Mx_l=-32.27
Tensioni nella sezione: σ=391.15 τ=48.89
CC 18 SLD (Collegamento -041_-375)
Azioni sul collegamento: N=-8874.30 Ty=-11.63 Tz=9.33 Mx=-0.01 Mz=-9.21

Sollecitazioni agenti localmente: Ty_l=-1613.51 Mx_l=-32.27
Tensioni nella sezione: σ=391.15 τ=48.89
CC 18 SLD (Collegamento -041_-375)
Azioni sul collegamento: N=-8874.30 Ty=-9.26 Tz=18.26 Mx=-0.01 Mz=-7.26
Sollecitazioni agenti localmente: Ty_l=-1613.51 Mx_l=-32.27
Tensioni nella sezione: σ=391.15 τ=48.89
CC 18 SLD (Collegamento -041_-375)
Azioni sul collegamento: N=-8874.30 Ty=-11.63 Tz=18.26 Mx=-0.01 Mz=-9.21
Sollecitazioni agenti localmente: Ty_l=-1613.51 Mx_l=-32.27
Tensioni nella sezione: σ=391.15 τ=48.89
CC 18 SLD (Collegamento -041_-375)
Azioni sul collegamento: N=-11265.80 Ty=-9.26 Tz=9.33 Mx=-0.01 Mz=-7.26
Sollecitazioni agenti localmente: Ty_l=-2048.32 Mx_l=-40.97
Tensioni nella sezione: σ=496.56 τ=62.07
CC 18 SLD (Collegamento -041_-375)
Azioni sul collegamento: N=-11265.80 Ty=-11.63 Tz=9.33 Mx=-0.01 Mz=-9.21
Sollecitazioni agenti localmente: Ty_l=-2048.32 Mx_l=-40.97
Tensioni nella sezione: σ=496.56 τ=62.07
CC 18 SLD (Collegamento -041_-375)
Azioni sul collegamento: N=-11265.80 Ty=-9.26 Tz=18.26 Mx=-0.01 Mz=-7.26
Sollecitazioni agenti localmente: Ty_l=-2048.32 Mx_l=-40.97
Tensioni nella sezione: σ=496.56 τ=62.07
CC 18 SLD (Collegamento -041_-375)
Azioni sul collegamento: N=-11265.80 Ty=-11.63 Tz=18.26 Mx=-0.01 Mz=-9.21
Sollecitazioni agenti localmente: Ty_l=-2048.32 Mx_l=-40.97
Tensioni nella sezione: σ=496.56 τ=62.07
CC 19 SLV (Collegamento -041_-375)
Azioni sul collegamento: N=-6251.20 Ty=-8.00 Tz=-0.13 Mx=-0.01 Mz=-8.22
Sollecitazioni agenti localmente: Ty_l=-1136.58 Mx_l=-22.73
Tensioni nella sezione: σ=275.53 τ=34.44
CC 19 SLV (Collegamento -041_-375)
Azioni sul collegamento: N=-6251.20 Ty=-14.73 Tz=-0.13 Mx=-0.01 Mz=-12.53
Sollecitazioni agenti localmente: Ty_l=-1136.58 Mx_l=-22.73
Tensioni nella sezione: σ=275.53 τ=34.44
CC 19 SLV (Collegamento -041_-375)
Azioni sul collegamento: N=-6251.20 Ty=-8.00 Tz=28.49 Mx=-0.01 Mz=-8.22
Sollecitazioni agenti localmente: Ty_l=-1136.58 Mx_l=-22.73
Tensioni nella sezione: σ=275.53 τ=34.44
CC 19 SLV (Collegamento -041_-375)
Azioni sul collegamento: N=-6251.20 Ty=-14.73 Tz=28.49 Mx=-0.01 Mz=-12.53
Sollecitazioni agenti localmente: Ty_l=-1136.58 Mx_l=-22.73
Tensioni nella sezione: σ=275.53 τ=34.44
CC 19 SLV (Collegamento -041_-375)
Azioni sul collegamento: N=-14084.00 Ty=-8.00 Tz=-0.13 Mx=-0.01 Mz=-8.22
Sollecitazioni agenti localmente: Ty_l=-2560.74 Mx_l=-51.21
Tensioni nella sezione: σ=620.78 τ=77.60
CC 19 SLV (Collegamento -041_-375)
Azioni sul collegamento: N=-14084.00 Ty=-14.73 Tz=-0.13 Mx=-0.01 Mz=-12.53
Sollecitazioni agenti localmente: Ty_l=-2560.74 Mx_l=-51.21
Tensioni nella sezione: σ=620.78 τ=77.60
CC 19 SLV (Collegamento -041_-375)
Azioni sul collegamento: N=-14084.00 Ty=-8.00 Tz=28.49 Mx=-0.01 Mz=-8.22
Sollecitazioni agenti localmente: Ty_l=-2560.74 Mx_l=-51.21
Tensioni nella sezione: σ=620.78 τ=77.60
CC 19 SLV (Collegamento -041_-375)
Azioni sul collegamento: N=-14084.00 Ty=-14.73 Tz=28.49 Mx=-0.01 Mz=-12.53
Sollecitazioni agenti localmente: Ty_l=-2560.74 Mx_l=-51.21
Tensioni nella sezione: σ=620.78 τ=77.60
CC 20 SLD (Collegamento -041_-375)
Azioni sul collegamento: N=-8875.79 Ty=-9.42 Tz=9.43 Mx=-0.01 Mz=-7.58
Sollecitazioni agenti localmente: Ty_l=-1613.78 Mx_l=-32.28
Tensioni nella sezione: σ=391.22 τ=48.90
CC 20 SLD (Collegamento -041_-375)
Azioni sul collegamento: N=-8875.79 Ty=-11.47 Tz=9.43 Mx=-0.01 Mz=-8.89
Sollecitazioni agenti localmente: Ty_l=-1613.78 Mx_l=-32.28
Tensioni nella sezione: σ=391.22 τ=48.90
CC 20 SLD (Collegamento -041_-375)
Azioni sul collegamento: N=-8875.80 Ty=-9.42 Tz=18.16 Mx=-0.01 Mz=-7.58
Sollecitazioni agenti localmente: Ty_l=-1613.78 Mx_l=-32.28
Tensioni nella sezione: σ=391.22 τ=48.90
CC 20 SLD (Collegamento -041_-375)
Azioni sul collegamento: N=-8875.80 Ty=-11.47 Tz=18.16 Mx=-0.01 Mz=-8.89
Sollecitazioni agenti localmente: Ty_l=-1613.78 Mx_l=-32.28
Tensioni nella sezione: σ=391.22 τ=48.90
CC 20 SLD (Collegamento -041_-375)
Azioni sul collegamento: N=-11264.30 Ty=-9.42 Tz=9.43 Mx=-0.01 Mz=-7.58
Sollecitazioni agenti localmente: Ty_l=-2048.05 Mx_l=-40.96
Tensioni nella sezione: σ=496.50 τ=62.06
CC 20 SLD (Collegamento -041_-375)

Azioni sul collegamento: N=-11264.30 Ty=-11.47 Tz=9.43 Mx=-0.01 Mz=-8.89
Sollecitazioni agenti localmente: Ty_l=-2048.05 Mx_l=-40.96
Tensioni nella sezione: σ=496.50 τ=62.06
CC 20 SLD (Collegamento -041_-375)
Azioni sul collegamento: N=-11264.30 Ty=-9.42 Tz=18.16 Mx=-0.01 Mz=-7.58
Sollecitazioni agenti localmente: Ty_l=-2048.05 Mx_l=-40.96
Tensioni nella sezione: σ=496.50 τ=62.06
CC 20 SLD (Collegamento -041_-375)
Azioni sul collegamento: N=-11264.30 Ty=-11.47 Tz=18.16 Mx=-0.01 Mz=-8.89
Sollecitazioni agenti localmente: Ty_l=-2048.05 Mx_l=-40.96
Tensioni nella sezione: σ=496.50 τ=62.06
CC 21 SLV (Collegamento -041_-375)
Azioni sul collegamento: N=-14084.00 Ty=-14.73 Tz=28.49 Mx=-0.02 Mz=-12.53
Sollecitazioni agenti localmente: Ty_l=-2560.74 Mx_l=-51.21
Tensioni nella sezione: σ=620.78 τ=77.60
CC 21 SLV (Collegamento -041_-375)
Azioni sul collegamento: N=-14084.00 Ty=-8.00 Tz=28.49 Mx=-0.02 Mz=-8.22
Sollecitazioni agenti localmente: Ty_l=-2560.74 Mx_l=-51.21
Tensioni nella sezione: σ=620.78 τ=77.60
CC 21 SLV (Collegamento -041_-375)
Azioni sul collegamento: N=-14084.00 Ty=-14.73 Tz=-0.13 Mx=-0.02 Mz=-12.53
Sollecitazioni agenti localmente: Ty_l=-2560.74 Mx_l=-51.21
Tensioni nella sezione: σ=620.78 τ=77.60
CC 21 SLV (Collegamento -041_-375)
Azioni sul collegamento: N=-14084.00 Ty=-8.00 Tz=-0.13 Mx=-0.02 Mz=-8.22
Sollecitazioni agenti localmente: Ty_l=-2560.74 Mx_l=-51.21
Tensioni nella sezione: σ=620.78 τ=77.60
CC 21 SLV (Collegamento -041_-375)
Azioni sul collegamento: N=-6251.20 Ty=-14.73 Tz=28.49 Mx=-0.02 Mz=-12.53
Sollecitazioni agenti localmente: Ty_l=-1136.58 Mx_l=-22.73
Tensioni nella sezione: σ=275.53 τ=34.44
CC 21 SLV (Collegamento -041_-375)
Azioni sul collegamento: N=-6251.20 Ty=-8.00 Tz=28.49 Mx=-0.02 Mz=-8.22
Sollecitazioni agenti localmente: Ty_l=-1136.58 Mx_l=-22.73
Tensioni nella sezione: σ=275.53 τ=34.44
CC 21 SLV (Collegamento -041_-375)
Azioni sul collegamento: N=-6251.20 Ty=-14.73 Tz=-0.13 Mx=-0.02 Mz=-12.53
Sollecitazioni agenti localmente: Ty_l=-1136.58 Mx_l=-22.73
Tensioni nella sezione: σ=275.53 τ=34.44
CC 21 SLV (Collegamento -041_-375)
Azioni sul collegamento: N=-6251.20 Ty=-8.00 Tz=-0.13 Mx=-0.02 Mz=-8.22
Sollecitazioni agenti localmente: Ty_l=-1136.58 Mx_l=-22.73
Tensioni nella sezione: σ=275.53 τ=34.44
CC 22 SLD (Collegamento -041_-375)
Azioni sul collegamento: N=-11264.30 Ty=-11.47 Tz=18.16 Mx=-0.01 Mz=-8.89
Sollecitazioni agenti localmente: Ty_l=-2048.05 Mx_l=-40.96
Tensioni nella sezione: σ=496.50 τ=62.06
CC 22 SLD (Collegamento -041_-375)
Azioni sul collegamento: N=-11264.30 Ty=-9.42 Tz=18.16 Mx=-0.01 Mz=-7.58
Sollecitazioni agenti localmente: Ty_l=-2048.05 Mx_l=-40.96
Tensioni nella sezione: σ=496.50 τ=62.06
CC 22 SLD (Collegamento -041_-375)
Azioni sul collegamento: N=-11264.30 Ty=-11.47 Tz=9.43 Mx=-0.01 Mz=-8.89
Sollecitazioni agenti localmente: Ty_l=-2048.05 Mx_l=-40.96
Tensioni nella sezione: σ=496.50 τ=62.06
CC 22 SLD (Collegamento -041_-375)
Azioni sul collegamento: N=-11264.30 Ty=-9.42 Tz=9.43 Mx=-0.01 Mz=-7.58
Sollecitazioni agenti localmente: Ty_l=-2048.05 Mx_l=-40.96
Tensioni nella sezione: σ=496.50 τ=62.06
CC 22 SLD (Collegamento -041_-375)
Azioni sul collegamento: N=-8875.80 Ty=-11.47 Tz=18.16 Mx=-0.01 Mz=-8.89
Sollecitazioni agenti localmente: Ty_l=-1613.78 Mx_l=-32.28
Tensioni nella sezione: σ=391.22 τ=48.90
CC 22 SLD (Collegamento -041_-375)
Azioni sul collegamento: N=-8875.80 Ty=-9.42 Tz=18.16 Mx=-0.01 Mz=-7.58
Sollecitazioni agenti localmente: Ty_l=-1613.78 Mx_l=-32.28
Tensioni nella sezione: σ=391.22 τ=48.90
CC 22 SLD (Collegamento -041_-375)
Azioni sul collegamento: N=-8875.79 Ty=-11.47 Tz=9.43 Mx=-0.01 Mz=-8.89
Sollecitazioni agenti localmente: Ty_l=-1613.78 Mx_l=-32.28
Tensioni nella sezione: σ=391.22 τ=48.90
CC 22 SLD (Collegamento -041_-375)
Azioni sul collegamento: N=-8875.79 Ty=-9.42 Tz=9.43 Mx=-0.01 Mz=-7.58
Sollecitazioni agenti localmente: Ty_l=-1613.78 Mx_l=-32.28
Tensioni nella sezione: σ=391.22 τ=48.90
CC 23 SLV (Collegamento -041_-375)
Azioni sul collegamento: N=-14088.90 Ty=-15.25 Tz=28.82 Mx=-0.01 Mz=-13.58
Sollecitazioni agenti localmente: Ty_l=-2561.63 Mx_l=-51.23
Tensioni nella sezione: σ=621.00 τ=77.63

CC 23 SLV (Collegamento -041_-375)
Azioni sul collegamento: N=-14088.90 Ty=-7.49 Tz=28.82 Mx=-0.01 Mz=-7.17
Sollecitazioni agenti localmente: Ty_l=-2561.63 Mx_l=-51.23
Tensioni nella sezione: σ=621.00 τ=77.63
CC 23 SLV (Collegamento -041_-375)
Azioni sul collegamento: N=-14088.90 Ty=-15.25 Tz=-0.46 Mx=-0.01 Mz=-13.58
Sollecitazioni agenti localmente: Ty_l=-2561.63 Mx_l=-51.23
Tensioni nella sezione: σ=621.00 τ=77.63
CC 23 SLV (Collegamento -041_-375)
Azioni sul collegamento: N=-14088.90 Ty=-7.49 Tz=-0.46 Mx=-0.01 Mz=-7.17
Sollecitazioni agenti localmente: Ty_l=-2561.63 Mx_l=-51.23
Tensioni nella sezione: σ=621.00 τ=77.63
CC 23 SLV (Collegamento -041_-375)
Azioni sul collegamento: N=-6246.30 Ty=-15.25 Tz=28.82 Mx=-0.01 Mz=-13.58
Sollecitazioni agenti localmente: Ty_l=-1135.69 Mx_l=-22.71
Tensioni nella sezione: σ=275.32 τ=34.41
CC 23 SLV (Collegamento -041_-375)
Azioni sul collegamento: N=-6246.30 Ty=-7.49 Tz=28.82 Mx=-0.01 Mz=-7.17
Sollecitazioni agenti localmente: Ty_l=-1135.69 Mx_l=-22.71
Tensioni nella sezione: σ=275.32 τ=34.41
CC 23 SLV (Collegamento -041_-375)
Azioni sul collegamento: N=-6246.30 Ty=-15.25 Tz=-0.46 Mx=-0.01 Mz=-13.58
Sollecitazioni agenti localmente: Ty_l=-1135.69 Mx_l=-22.71
Tensioni nella sezione: σ=275.32 τ=34.41
CC 23 SLV (Collegamento -041_-375)
Azioni sul collegamento: N=-6246.30 Ty=-7.49 Tz=-0.46 Mx=-0.01 Mz=-7.17
Sollecitazioni agenti localmente: Ty_l=-1135.69 Mx_l=-22.71
Tensioni nella sezione: σ=275.32 τ=34.41
CC 24 SLD (Collegamento -041_-375)
Azioni sul collegamento: N=-11265.80 Ty=-11.63 Tz=18.26 Mx=-0.01 Mz=-9.21
Sollecitazioni agenti localmente: Ty_l=-2048.32 Mx_l=-40.97
Tensioni nella sezione: σ=496.56 τ=62.07
CC 24 SLD (Collegamento -041_-375)
Azioni sul collegamento: N=-11265.80 Ty=-9.26 Tz=18.26 Mx=-0.01 Mz=-7.26
Sollecitazioni agenti localmente: Ty_l=-2048.32 Mx_l=-40.97
Tensioni nella sezione: σ=496.56 τ=62.07
CC 24 SLD (Collegamento -041_-375)
Azioni sul collegamento: N=-11265.80 Ty=-11.63 Tz=9.33 Mx=-0.01 Mz=-9.21
Sollecitazioni agenti localmente: Ty_l=-2048.32 Mx_l=-40.97
Tensioni nella sezione: σ=496.56 τ=62.07
CC 24 SLD (Collegamento -041_-375)
Azioni sul collegamento: N=-11265.80 Ty=-9.26 Tz=9.33 Mx=-0.01 Mz=-7.26
Sollecitazioni agenti localmente: Ty_l=-2048.32 Mx_l=-40.97
Tensioni nella sezione: σ=496.56 τ=62.07
CC 24 SLD (Collegamento -041_-375)
Azioni sul collegamento: N=-8874.30 Ty=-11.63 Tz=18.26 Mx=-0.01 Mz=-9.21
Sollecitazioni agenti localmente: Ty_l=-1613.51 Mx_l=-32.27
Tensioni nella sezione: σ=391.15 τ=48.89
CC 24 SLD (Collegamento -041_-375)
Azioni sul collegamento: N=-8874.30 Ty=-9.26 Tz=18.26 Mx=-0.01 Mz=-7.26
Sollecitazioni agenti localmente: Ty_l=-1613.51 Mx_l=-32.27
Tensioni nella sezione: σ=391.15 τ=48.89
CC 24 SLD (Collegamento -041_-375)
Azioni sul collegamento: N=-8874.30 Ty=-11.63 Tz=9.33 Mx=-0.01 Mz=-9.21
Sollecitazioni agenti localmente: Ty_l=-1613.51 Mx_l=-32.27
Tensioni nella sezione: σ=391.15 τ=48.89
CC 24 SLD (Collegamento -041_-375)
Azioni sul collegamento: N=-8874.30 Ty=-9.26 Tz=9.33 Mx=-0.01 Mz=-7.26
Sollecitazioni agenti localmente: Ty_l=-1613.51 Mx_l=-32.27
Tensioni nella sezione: σ=391.15 τ=48.89
CC 25 SLV (Collegamento -041_-375)
Azioni sul collegamento: N=-8983.80 Ty=-9.43 Tz=9.29 Mx=-0.02 Mz=-7.83
Sollecitazioni agenti localmente: Ty_l=-1633.42 Mx_l=-32.67
Tensioni nella sezione: σ=395.98 τ=49.50
CC 25 SLV (Collegamento -041_-375)
Azioni sul collegamento: N=-8983.80 Ty=-13.31 Tz=9.29 Mx=-0.02 Mz=-12.93
Sollecitazioni agenti localmente: Ty_l=-1633.42 Mx_l=-32.67
Tensioni nella sezione: σ=395.98 τ=49.50
CC 25 SLV (Collegamento -041_-375)
Azioni sul collegamento: N=-8983.80 Ty=-9.43 Tz=19.07 Mx=-0.02 Mz=-7.83
Sollecitazioni agenti localmente: Ty_l=-1633.42 Mx_l=-32.67
Tensioni nella sezione: σ=395.98 τ=49.50
CC 25 SLV (Collegamento -041_-375)
Azioni sul collegamento: N=-8983.80 Ty=-13.31 Tz=19.07 Mx=-0.02 Mz=-12.93
Sollecitazioni agenti localmente: Ty_l=-1633.42 Mx_l=-32.67
Tensioni nella sezione: σ=395.98 τ=49.50
CC 25 SLV (Collegamento -041_-375)
Azioni sul collegamento: N=-11351.50 Ty=-9.43 Tz=9.29 Mx=-0.02 Mz=-7.83
Sollecitazioni agenti localmente: Ty_l=-2063.90 Mx_l=-41.28

Tensioni nella sezione: σ=500.34 τ=62.54
CC 25 SLV (Collegamento -041_-375)
Azioni sul collegamento: N=-11351.50 Ty=-13.31 Tz=9.29 Mx=-0.02 Mz=-12.93
Sollecitazioni agenti localmente: Ty_l=-2063.90 Mx_l=-41.28
Tensioni nella sezione: σ=500.34 τ=62.54
CC 25 SLV (Collegamento -041_-375)
Azioni sul collegamento: N=-11351.50 Ty=-9.43 Tz=19.07 Mx=-0.02 Mz=-7.83
Sollecitazioni agenti localmente: Ty_l=-2063.90 Mx_l=-41.28
Tensioni nella sezione: σ=500.34 τ=62.54
CC 25 SLV (Collegamento -041_-375)
Azioni sul collegamento: N=-11351.50 Ty=-13.31 Tz=19.07 Mx=-0.02 Mz=-12.93
Sollecitazioni agenti localmente: Ty_l=-2063.90 Mx_l=-41.28
Tensioni nella sezione: σ=500.34 τ=62.54
CC 26 SLD (Collegamento -041_-375)
Azioni sul collegamento: N=-9709.05 Ty=-9.85 Tz=12.31 Mx=-0.01 Mz=-7.46
Sollecitazioni agenti localmente: Ty_l=-1765.28 Mx_l=-35.31
Tensioni nella sezione: σ=427.95 τ=53.49
CC 26 SLD (Collegamento -041_-375)
Azioni sul collegamento: N=-9709.05 Ty=-11.04 Tz=12.31 Mx=-0.01 Mz=-9.01
Sollecitazioni agenti localmente: Ty_l=-1765.28 Mx_l=-35.31
Tensioni nella sezione: σ=427.95 τ=53.49
CC 26 SLD (Collegamento -041_-375)
Azioni sul collegamento: N=-9709.05 Ty=-9.85 Tz=15.29 Mx=-0.01 Mz=-7.46
Sollecitazioni agenti localmente: Ty_l=-1765.28 Mx_l=-35.31
Tensioni nella sezione: σ=427.95 τ=53.49
CC 26 SLD (Collegamento -041_-375)
Azioni sul collegamento: N=-9709.05 Ty=-11.04 Tz=15.29 Mx=-0.01 Mz=-9.01
Sollecitazioni agenti localmente: Ty_l=-1765.28 Mx_l=-35.31
Tensioni nella sezione: σ=427.95 τ=53.49
CC 26 SLD (Collegamento -041_-375)
Azioni sul collegamento: N=-10431.00 Ty=-9.85 Tz=12.31 Mx=-0.01 Mz=-7.46
Sollecitazioni agenti localmente: Ty_l=-1896.55 Mx_l=-37.93
Tensioni nella sezione: σ=459.77 τ=57.47
CC 26 SLD (Collegamento -041_-375)
Azioni sul collegamento: N=-10431.00 Ty=-11.04 Tz=12.31 Mx=-0.01 Mz=-9.01
Sollecitazioni agenti localmente: Ty_l=-1896.55 Mx_l=-37.93
Tensioni nella sezione: σ=459.77 τ=57.47
CC 26 SLD (Collegamento -041_-375)
Azioni sul collegamento: N=-10431.00 Ty=-9.85 Tz=15.29 Mx=-0.01 Mz=-7.46
Sollecitazioni agenti localmente: Ty_l=-1896.55 Mx_l=-37.93
Tensioni nella sezione: σ=459.77 τ=57.47
CC 26 SLD (Collegamento -041_-375)
Azioni sul collegamento: N=-10431.00 Ty=-11.04 Tz=15.29 Mx=-0.01 Mz=-9.01
Sollecitazioni agenti localmente: Ty_l=-1896.55 Mx_l=-37.93
Tensioni nella sezione: σ=459.77 τ=57.47
CC 27 SLV (Collegamento -041_-375)
Azioni sul collegamento: N=-11335.10 Ty=-11.60 Tz=17.98 Mx=-0.02 Mz=-9.43
Sollecitazioni agenti localmente: Ty_l=-2060.93 Mx_l=-41.22
Tensioni nella sezione: σ=499.62 τ=62.45
CC 27 SLV (Collegamento -041_-375)
Azioni sul collegamento: N=-11335.10 Ty=-11.14 Tz=17.98 Mx=-0.02 Mz=-11.32
Sollecitazioni agenti localmente: Ty_l=-2060.93 Mx_l=-41.22
Tensioni nella sezione: σ=499.62 τ=62.45
CC 27 SLV (Collegamento -041_-375)
Azioni sul collegamento: N=-11335.10 Ty=-11.60 Tz=10.38 Mx=-0.02 Mz=-9.43
Sollecitazioni agenti localmente: Ty_l=-2060.93 Mx_l=-41.22
Tensioni nella sezione: σ=499.62 τ=62.45
CC 27 SLV (Collegamento -041_-375)
Azioni sul collegamento: N=-11335.10 Ty=-11.14 Tz=10.38 Mx=-0.02 Mz=-11.32
Sollecitazioni agenti localmente: Ty_l=-2060.93 Mx_l=-41.22
Tensioni nella sezione: σ=499.62 τ=62.45
CC 27 SLV (Collegamento -041_-375)
Azioni sul collegamento: N=-9000.13 Ty=-11.60 Tz=17.98 Mx=-0.02 Mz=-9.43
Sollecitazioni agenti localmente: Ty_l=-1636.39 Mx_l=-32.73
Tensioni nella sezione: σ=396.70 τ=49.59
CC 27 SLV (Collegamento -041_-375)
Azioni sul collegamento: N=-9000.13 Ty=-11.14 Tz=17.98 Mx=-0.02 Mz=-11.32
Sollecitazioni agenti localmente: Ty_l=-1636.39 Mx_l=-32.73
Tensioni nella sezione: σ=396.70 τ=49.59
CC 27 SLV (Collegamento -041_-375)
Azioni sul collegamento: N=-9000.13 Ty=-11.60 Tz=10.38 Mx=-0.02 Mz=-9.43
Sollecitazioni agenti localmente: Ty_l=-1636.39 Mx_l=-32.73
Tensioni nella sezione: σ=396.70 τ=49.59
CC 27 SLV (Collegamento -041_-375)
Azioni sul collegamento: N=-9000.13 Ty=-11.14 Tz=10.38 Mx=-0.02 Mz=-11.32
Sollecitazioni agenti localmente: Ty_l=-1636.39 Mx_l=-32.73
Tensioni nella sezione: σ=396.70 τ=49.59
CC 28 SLD (Collegamento -041_-375)
Azioni sul collegamento: N=-10426.00 Ty=-10.51 Tz=14.95 Mx=-0.01 Mz=-7.95

Sollecitazioni agenti localmente: Ty_l=-1895.64 Mx_l=-37.91
Tensioni nella sezione: σ=459.55 τ=57.44
CC 28 SLD (Collegamento -041_-375)
Azioni sul collegamento: N=-10426.00 Ty=-10.37 Tz=14.95 Mx=-0.01 Mz=-8.52
Sollecitazioni agenti localmente: Ty_l=-1895.64 Mx_l=-37.91
Tensioni nella sezione: σ=459.55 τ=57.44
CC 28 SLD (Collegamento -041_-375)
Azioni sul collegamento: N=-10426.00 Ty=-10.51 Tz=12.64 Mx=-0.01 Mz=-7.95
Sollecitazioni agenti localmente: Ty_l=-1895.64 Mx_l=-37.91
Tensioni nella sezione: σ=459.55 τ=57.44
CC 28 SLD (Collegamento -041_-375)
Azioni sul collegamento: N=-10426.00 Ty=-10.37 Tz=12.64 Mx=-0.01 Mz=-8.52
Sollecitazioni agenti localmente: Ty_l=-1895.64 Mx_l=-37.91
Tensioni nella sezione: σ=459.55 τ=57.44
CC 28 SLD (Collegamento -041_-375)
Azioni sul collegamento: N=-9714.03 Ty=-10.51 Tz=14.95 Mx=-0.01 Mz=-7.95
Sollecitazioni agenti localmente: Ty_l=-1766.19 Mx_l=-35.32
Tensioni nella sezione: σ=428.17 τ=53.52
CC 28 SLD (Collegamento -041_-375)
Azioni sul collegamento: N=-9714.03 Ty=-10.37 Tz=14.95 Mx=-0.01 Mz=-8.52
Sollecitazioni agenti localmente: Ty_l=-1766.19 Mx_l=-35.32
Tensioni nella sezione: σ=428.17 τ=53.52
CC 28 SLD (Collegamento -041_-375)
Azioni sul collegamento: N=-9714.03 Ty=-10.51 Tz=12.64 Mx=-0.01 Mz=-7.95
Sollecitazioni agenti localmente: Ty_l=-1766.19 Mx_l=-35.32
Tensioni nella sezione: σ=428.17 τ=53.52
CC 28 SLD (Collegamento -041_-375)
Azioni sul collegamento: N=-9714.03 Ty=-10.37 Tz=12.64 Mx=-0.01 Mz=-8.52
Sollecitazioni agenti localmente: Ty_l=-1766.19 Mx_l=-35.32
Tensioni nella sezione: σ=428.17 τ=53.52
CC 29 SLV (Collegamento -041_-375)
Azioni sul collegamento: N=-9000.13 Ty=-11.14 Tz=10.38 Mx=-0.01 Mz=-11.32
Sollecitazioni agenti localmente: Ty_l=-1636.39 Mx_l=-32.73
Tensioni nella sezione: σ=396.70 τ=49.59
CC 29 SLV (Collegamento -041_-375)
Azioni sul collegamento: N=-9000.13 Ty=-11.60 Tz=10.38 Mx=-0.01 Mz=-9.43
Sollecitazioni agenti localmente: Ty_l=-1636.39 Mx_l=-32.73
Tensioni nella sezione: σ=396.70 τ=49.59
CC 29 SLV (Collegamento -041_-375)
Azioni sul collegamento: N=-9000.13 Ty=-11.14 Tz=17.98 Mx=-0.01 Mz=-11.32
Sollecitazioni agenti localmente: Ty_l=-1636.39 Mx_l=-32.73
Tensioni nella sezione: σ=396.70 τ=49.59
CC 29 SLV (Collegamento -041_-375)
Azioni sul collegamento: N=-9000.13 Ty=-11.60 Tz=17.98 Mx=-0.01 Mz=-9.43
Sollecitazioni agenti localmente: Ty_l=-1636.39 Mx_l=-32.73
Tensioni nella sezione: σ=396.70 τ=49.59
CC 29 SLV (Collegamento -041_-375)
Azioni sul collegamento: N=-11335.10 Ty=-11.14 Tz=10.38 Mx=-0.01 Mz=-11.32
Sollecitazioni agenti localmente: Ty_l=-2060.93 Mx_l=-41.22
Tensioni nella sezione: σ=499.62 τ=62.45
CC 29 SLV (Collegamento -041_-375)
Azioni sul collegamento: N=-11335.10 Ty=-11.60 Tz=10.38 Mx=-0.01 Mz=-9.43
Sollecitazioni agenti localmente: Ty_l=-2060.93 Mx_l=-41.22
Tensioni nella sezione: σ=499.62 τ=62.45
CC 29 SLV (Collegamento -041_-375)
Azioni sul collegamento: N=-11335.10 Ty=-11.14 Tz=17.98 Mx=-0.01 Mz=-11.32
Sollecitazioni agenti localmente: Ty_l=-2060.93 Mx_l=-41.22
Tensioni nella sezione: σ=499.62 τ=62.45
CC 29 SLV (Collegamento -041_-375)
Azioni sul collegamento: N=-11335.10 Ty=-11.60 Tz=17.98 Mx=-0.01 Mz=-9.43
Sollecitazioni agenti localmente: Ty_l=-2060.93 Mx_l=-41.22
Tensioni nella sezione: σ=499.62 τ=62.45
CC 30 SLD (Collegamento -041_-375)
Azioni sul collegamento: N=-9714.03 Ty=-10.37 Tz=12.64 Mx=-0.00 Mz=-8.52
Sollecitazioni agenti localmente: Ty_l=-1766.19 Mx_l=-35.32
Tensioni nella sezione: σ=428.17 τ=53.52
CC 30 SLD (Collegamento -041_-375)
Azioni sul collegamento: N=-9714.03 Ty=-10.51 Tz=12.64 Mx=-0.00 Mz=-7.95
Sollecitazioni agenti localmente: Ty_l=-1766.19 Mx_l=-35.32
Tensioni nella sezione: σ=428.17 τ=53.52
CC 30 SLD (Collegamento -041_-375)
Azioni sul collegamento: N=-9714.03 Ty=-10.37 Tz=14.95 Mx=-0.00 Mz=-8.52
Sollecitazioni agenti localmente: Ty_l=-1766.19 Mx_l=-35.32
Tensioni nella sezione: σ=428.17 τ=53.52
CC 30 SLD (Collegamento -041_-375)
Azioni sul collegamento: N=-9714.03 Ty=-10.51 Tz=14.95 Mx=-0.00 Mz=-7.95
Sollecitazioni agenti localmente: Ty_l=-1766.19 Mx_l=-35.32
Tensioni nella sezione: σ=428.17 τ=53.52
CC 30 SLD (Collegamento -041_-375)

Azioni sul collegamento: N=-10426.00 Ty=-10.37 Tz=12.64 Mx=-0.00 Mz=-8.52
Sollecitazioni agenti localmente: Ty_l=-1895.64 Mx_l=-37.91
Tensioni nella sezione: σ=459.55 τ=57.44
CC 30 SLD (Collegamento -041_-375)
Azioni sul collegamento: N=-10426.00 Ty=-10.51 Tz=12.64 Mx=-0.00 Mz=-7.95
Sollecitazioni agenti localmente: Ty_l=-1895.64 Mx_l=-37.91
Tensioni nella sezione: σ=459.55 τ=57.44
CC 30 SLD (Collegamento -041_-375)
Azioni sul collegamento: N=-10426.00 Ty=-10.37 Tz=14.95 Mx=-0.00 Mz=-8.52
Sollecitazioni agenti localmente: Ty_l=-1895.64 Mx_l=-37.91
Tensioni nella sezione: σ=459.55 τ=57.44
CC 30 SLD (Collegamento -041_-375)
Azioni sul collegamento: N=-10426.00 Ty=-10.51 Tz=14.95 Mx=-0.00 Mz=-7.95
Sollecitazioni agenti localmente: Ty_l=-1895.64 Mx_l=-37.91
Tensioni nella sezione: σ=459.55 τ=57.44
CC 31 SLV (Collegamento -041_-375)
Azioni sul collegamento: N=-11351.50 Ty=-13.31 Tz=19.07 Mx=-0.01 Mz=-12.93
Sollecitazioni agenti localmente: Ty_l=-2063.90 Mx_l=-41.28
Tensioni nella sezione: σ=500.34 τ=62.54
CC 31 SLV (Collegamento -041_-375)
Azioni sul collegamento: N=-11351.50 Ty=-9.43 Tz=19.07 Mx=-0.01 Mz=-7.83
Sollecitazioni agenti localmente: Ty_l=-2063.90 Mx_l=-41.28
Tensioni nella sezione: σ=500.34 τ=62.54
CC 31 SLV (Collegamento -041_-375)
Azioni sul collegamento: N=-11351.50 Ty=-13.31 Tz=9.29 Mx=-0.01 Mz=-12.93
Sollecitazioni agenti localmente: Ty_l=-2063.90 Mx_l=-41.28
Tensioni nella sezione: σ=500.34 τ=62.54
CC 31 SLV (Collegamento -041_-375)
Azioni sul collegamento: N=-11351.50 Ty=-9.43 Tz=9.29 Mx=-0.01 Mz=-7.83
Sollecitazioni agenti localmente: Ty_l=-2063.90 Mx_l=-41.28
Tensioni nella sezione: σ=500.34 τ=62.54
CC 31 SLV (Collegamento -041_-375)
Azioni sul collegamento: N=-8983.80 Ty=-13.31 Tz=19.07 Mx=-0.01 Mz=-12.93
Sollecitazioni agenti localmente: Ty_l=-1633.42 Mx_l=-32.67
Tensioni nella sezione: σ=395.98 τ=49.50
CC 31 SLV (Collegamento -041_-375)
Azioni sul collegamento: N=-8983.80 Ty=-9.43 Tz=19.07 Mx=-0.01 Mz=-7.83
Sollecitazioni agenti localmente: Ty_l=-1633.42 Mx_l=-32.67
Tensioni nella sezione: σ=395.98 τ=49.50
CC 31 SLV (Collegamento -041_-375)
Azioni sul collegamento: N=-8983.80 Ty=-13.31 Tz=9.29 Mx=-0.01 Mz=-12.93
Sollecitazioni agenti localmente: Ty_l=-1633.42 Mx_l=-32.67
Tensioni nella sezione: σ=395.98 τ=49.50
CC 31 SLV (Collegamento -041_-375)
Azioni sul collegamento: N=-8983.80 Ty=-9.43 Tz=9.29 Mx=-0.01 Mz=-7.83
Sollecitazioni agenti localmente: Ty_l=-1633.42 Mx_l=-32.67
Tensioni nella sezione: σ=395.98 τ=49.50
CC 32 SLD (Collegamento -041_-375)
Azioni sul collegamento: N=-10431.00 Ty=-11.04 Tz=15.29 Mx=-0.00 Mz=-9.01
Sollecitazioni agenti localmente: Ty_l=-1896.55 Mx_l=-37.93
Tensioni nella sezione: σ=459.77 τ=57.47
CC 32 SLD (Collegamento -041_-375)
Azioni sul collegamento: N=-10431.00 Ty=-9.85 Tz=15.29 Mx=-0.00 Mz=-7.46
Sollecitazioni agenti localmente: Ty_l=-1896.55 Mx_l=-37.93
Tensioni nella sezione: σ=459.77 τ=57.47
CC 32 SLD (Collegamento -041_-375)
Azioni sul collegamento: N=-10431.00 Ty=-11.04 Tz=12.31 Mx=-0.00 Mz=-9.01
Sollecitazioni agenti localmente: Ty_l=-1896.55 Mx_l=-37.93
Tensioni nella sezione: σ=459.77 τ=57.47
CC 32 SLD (Collegamento -041_-375)
Azioni sul collegamento: N=-10431.00 Ty=-9.85 Tz=12.31 Mx=-0.00 Mz=-7.46
Sollecitazioni agenti localmente: Ty_l=-1896.55 Mx_l=-37.93
Tensioni nella sezione: σ=459.77 τ=57.47
CC 32 SLD (Collegamento -041_-375)
Azioni sul collegamento: N=-9709.05 Ty=-11.04 Tz=15.29 Mx=-0.00 Mz=-9.01
Sollecitazioni agenti localmente: Ty_l=-1765.28 Mx_l=-35.31
Tensioni nella sezione: σ=427.95 τ=53.49
CC 32 SLD (Collegamento -041_-375)
Azioni sul collegamento: N=-9709.05 Ty=-9.85 Tz=15.29 Mx=-0.00 Mz=-7.46
Sollecitazioni agenti localmente: Ty_l=-1765.28 Mx_l=-35.31
Tensioni nella sezione: σ=427.95 τ=53.49
CC 32 SLD (Collegamento -041_-375)
Azioni sul collegamento: N=-9709.05 Ty=-11.04 Tz=12.31 Mx=-0.00 Mz=-9.01
Sollecitazioni agenti localmente: Ty_l=-1765.28 Mx_l=-35.31
Tensioni nella sezione: σ=427.95 τ=53.49
CC 32 SLD (Collegamento -041_-375)
Azioni sul collegamento: N=-9709.05 Ty=-9.85 Tz=12.31 Mx=-0.00 Mz=-7.46
Sollecitazioni agenti localmente: Ty_l=-1765.28 Mx_l=-35.31
Tensioni nella sezione: σ=427.95 τ=53.49

CC 33 SLU (Collegamento -041_-375)
Azioni sul collegamento: N=-36642.60 Ty=-20.20 Tz=103.27 Mx=-0.00 Mz=-14.84
Sollecitazioni agenti localmente: Ty_l=-6662.28 Mx_l=-133.25
Tensioni nella sezione: σ=1615.10 τ=201.89
CC 34 SLU (Collegamento -041_-375)
Azioni sul collegamento: N=-37458.50 Ty=-20.96 Tz=106.28 Mx=-0.00 Mz=-15.40
Sollecitazioni agenti localmente: Ty_l=-6810.65 Mx_l=-136.21
Tensioni nella sezione: σ=1651.06 τ=206.38
CC 35 SLU (Collegamento -041_-375)
Azioni sul collegamento: N=-37049.70 Ty=-20.49 Tz=104.83 Mx=-0.01 Mz=-14.94
Sollecitazioni agenti localmente: Ty_l=-6736.30 Mx_l=-134.73
Tensioni nella sezione: σ=1633.04 τ=204.13
CC 36 SLU (Collegamento -041_-375)
Azioni sul collegamento: N=-37051.40 Ty=-20.67 Tz=104.72 Mx=-0.00 Mz=-15.30
Sollecitazioni agenti localmente: Ty_l=-6736.63 Mx_l=-134.73
Tensioni nella sezione: σ=1633.12 τ=204.14
CC 37 SLU (Collegamento -041_-375)
Azioni sul collegamento: N=-29860.20 Ty=10.64 Tz=77.84 Mx=-0.00 Mz=8.54
Sollecitazioni agenti localmente: Ty_l=-5429.13 Mx_l=-108.58
Tensioni nella sezione: σ=1316.15 τ=164.52
CC 38 SLU (Collegamento -041_-375)
Azioni sul collegamento: N=-30676.20 Ty=9.89 Tz=80.85 Mx=-0.00 Mz=7.98
Sollecitazioni agenti localmente: Ty_l=-5577.49 Mx_l=-111.55
Tensioni nella sezione: σ=1352.12 τ=169.01
CC 39 SLU (Collegamento -041_-375)
Azioni sul collegamento: N=-30267.30 Ty=10.35 Tz=79.40 Mx=-0.01 Mz=8.45
Sollecitazioni agenti localmente: Ty_l=-5503.15 Mx_l=-110.06
Tensioni nella sezione: σ=1334.09 τ=166.76
CC 40 SLU (Collegamento -041_-375)
Azioni sul collegamento: N=-30269.10 Ty=10.18 Tz=79.28 Mx=-0.00 Mz=8.08
Sollecitazioni agenti localmente: Ty_l=-5503.47 Mx_l=-110.07
Tensioni nella sezione: σ=1334.17 τ=166.77
CC 41 SLU (Collegamento -041_-375)
Azioni sul collegamento: N=-27459.80 Ty=-19.36 Tz=69.55 Mx=-0.00 Mz=-14.09
Sollecitazioni agenti localmente: Ty_l=-4992.68 Mx_l=-99.85
Tensioni nella sezione: σ=1210.34 τ=151.29
CC 42 SLU (Collegamento -041_-375)
Azioni sul collegamento: N=-28275.70 Ty=-20.11 Tz=72.57 Mx=-0.00 Mz=-14.65
Sollecitazioni agenti localmente: Ty_l=-5141.04 Mx_l=-102.82
Tensioni nella sezione: σ=1246.31 τ=155.79
CC 43 SLU (Collegamento -041_-375)
Azioni sul collegamento: N=-27866.90 Ty=-19.65 Tz=71.12 Mx=-0.01 Mz=-14.19
Sollecitazioni agenti localmente: Ty_l=-5066.70 Mx_l=-101.33
Tensioni nella sezione: σ=1228.29 τ=153.54
CC 44 SLU (Collegamento -041_-375)
Azioni sul collegamento: N=-27868.60 Ty=-19.82 Tz=71.00 Mx=-0.00 Mz=-14.55
Sollecitazioni agenti localmente: Ty_l=-5067.02 Mx_l=-101.34
Tensioni nella sezione: σ=1228.37 τ=153.55
CC 45 SLU (Collegamento -041_-375)
Azioni sul collegamento: N=-29479.00 Ty=-19.57 Tz=76.97 Mx=-0.00 Mz=-14.38
Sollecitazioni agenti localmente: Ty_l=-5359.82 Mx_l=-107.20
Tensioni nella sezione: σ=1299.35 τ=162.42
CC 46 SLU (Collegamento -041_-375)
Azioni sul collegamento: N=-30295.00 Ty=-20.33 Tz=79.99 Mx=-0.00 Mz=-14.94
Sollecitazioni agenti localmente: Ty_l=-5508.19 Mx_l=-110.16
Tensioni nella sezione: σ=1335.32 τ=166.91
CC 47 SLU (Collegamento -041_-375)
Azioni sul collegamento: N=-29886.10 Ty=-19.86 Tz=78.54 Mx=-0.00 Mz=-14.48
Sollecitazioni agenti localmente: Ty_l=-5433.85 Mx_l=-108.68
Tensioni nella sezione: σ=1317.29 τ=164.66
CC 48 SLU (Collegamento -041_-375)
Azioni sul collegamento: N=-29887.90 Ty=-20.04 Tz=78.42 Mx=-0.00 Mz=-14.84
Sollecitazioni agenti localmente: Ty_l=-5434.17 Mx_l=-108.68
Tensioni nella sezione: σ=1317.37 τ=164.67
CC 49 SLU (Collegamento -041_-375)
Azioni sul collegamento: N=-24404.80 Ty=3.50 Tz=57.94 Mx=-0.00 Mz=3.11
Sollecitazioni agenti localmente: Ty_l=-4437.24 Mx_l=-88.74
Tensioni nella sezione: σ=1075.69 τ=134.46
CC 50 SLU (Collegamento -041_-375)
Azioni sul collegamento: N=-25220.80 Ty=2.75 Tz=60.96 Mx=-0.00 Mz=2.55
Sollecitazioni agenti localmente: Ty_l=-4585.60 Mx_l=-91.71
Tensioni nella sezione: σ=1111.66 τ=138.96
CC 51 SLU (Collegamento -041_-375)
Azioni sul collegamento: N=-24811.90 Ty=3.21 Tz=59.51 Mx=-0.00 Mz=3.02
Sollecitazioni agenti localmente: Ty_l=-4511.26 Mx_l=-90.22
Tensioni nella sezione: σ=1093.64 τ=136.71
CC 52 SLU (Collegamento -041_-375)
Azioni sul collegamento: N=-24813.70 Ty=3.04 Tz=59.39 Mx=-0.00 Mz=2.65
Sollecitazioni agenti localmente: Ty_l=-4511.58 Mx_l=-90.23

Tensioni nella sezione: σ=1093.72 τ=136.72
CC 53 SLU (Collegamento -041_-375)
Azioni sul collegamento: N=-22608.90 Ty=-18.94 Tz=51.75 Mx=-0.00 Mz=-13.82
Sollecitazioni agenti localmente: Ty_l=-4110.72 Mx_l=-82.21
Tensioni nella sezione: σ=996.53 τ=124.57
CC 54 SLU (Collegamento -041_-375)
Azioni sul collegamento: N=-23424.90 Ty=-19.70 Tz=54.76 Mx=-0.00 Mz=-14.38
Sollecitazioni agenti localmente: Ty_l=-4259.08 Mx_l=-85.18
Tensioni nella sezione: σ=1032.50 τ=129.06
CC 55 SLU (Collegamento -041_-375)
Azioni sul collegamento: N=-23016.00 Ty=-19.23 Tz=53.31 Mx=-0.00 Mz=-13.92
Sollecitazioni agenti localmente: Ty_l=-4184.74 Mx_l=-83.69
Tensioni nella sezione: σ=1014.48 τ=126.81
CC 56 SLU (Collegamento -041_-375)
Azioni sul collegamento: N=-23017.80 Ty=-19.41 Tz=53.20 Mx=-0.00 Mz=-14.28
Sollecitazioni agenti localmente: Ty_l=-4185.06 Mx_l=-83.70
Tensioni nella sezione: σ=1014.56 τ=126.82
CC 57 SLU (Collegamento -041_-375)
Azioni sul collegamento: N=-30221.30 Ty=-20.56 Tz=79.74 Mx=-0.00 Mz=-15.10
Sollecitazioni agenti localmente: Ty_l=-5494.77 Mx_l=-109.89
Tensioni nella sezione: σ=1332.06 τ=166.51
CC 58 SLU (Collegamento -041_-375)
Azioni sul collegamento: N=-31037.20 Ty=-21.31 Tz=82.75 Mx=-0.00 Mz=-15.66
Sollecitazioni agenti localmente: Ty_l=-5643.13 Mx_l=-112.86
Tensioni nella sezione: σ=1368.03 τ=171.00
CC 59 SLU (Collegamento -041_-375)
Azioni sul collegamento: N=-30628.40 Ty=-20.85 Tz=81.31 Mx=-0.00 Mz=-15.20
Sollecitazioni agenti localmente: Ty_l=-5568.79 Mx_l=-111.38
Tensioni nella sezione: σ=1350.01 τ=168.75
CC 60 SLU (Collegamento -041_-375)
Azioni sul collegamento: N=-30630.10 Ty=-21.02 Tz=81.19 Mx=-0.00 Mz=-15.57
Sollecitazioni agenti localmente: Ty_l=-5569.12 Mx_l=-111.38
Tensioni nella sezione: σ=1350.09 τ=168.76
CC 61 SLU (Collegamento -041_-375)
Azioni sul collegamento: N=-25147.00 Ty=2.52 Tz=60.71 Mx=-0.00 Mz=2.39
Sollecitazioni agenti localmente: Ty_l=-4572.19 Mx_l=-91.44
Tensioni nella sezione: σ=1108.41 τ=138.55
CC 62 SLU (Collegamento -041_-375)
Azioni sul collegamento: N=-25963.00 Ty=1.76 Tz=63.73 Mx=-0.00 Mz=1.83
Sollecitazioni agenti localmente: Ty_l=-4720.55 Mx_l=-94.41
Tensioni nella sezione: σ=1144.37 τ=143.05
CC 63 SLU (Collegamento -041_-375)
Azioni sul collegamento: N=-25554.10 Ty=2.23 Tz=62.28 Mx=-0.00 Mz=2.29
Sollecitazioni agenti localmente: Ty_l=-4646.21 Mx_l=-92.92
Tensioni nella sezione: σ=1126.35 τ=140.79
CC 64 SLU (Collegamento -041_-375)
Azioni sul collegamento: N=-25555.90 Ty=2.05 Tz=62.16 Mx=-0.00 Mz=1.93
Sollecitazioni agenti localmente: Ty_l=-4646.53 Mx_l=-92.93
Tensioni nella sezione: σ=1126.43 τ=140.80
CC 65 SLU (Collegamento -041_-375)
Azioni sul collegamento: N=-23351.20 Ty=-19.92 Tz=54.52 Mx=-0.00 Mz=-14.54
Sollecitazioni agenti localmente: Ty_l=-4245.66 Mx_l=-84.91
Tensioni nella sezione: σ=1029.25 τ=128.66
CC 66 SLU (Collegamento -041_-375)
Azioni sul collegamento: N=-24167.10 Ty=-20.68 Tz=57.53 Mx=-0.00 Mz=-15.10
Sollecitazioni agenti localmente: Ty_l=-4394.03 Mx_l=-87.88
Tensioni nella sezione: σ=1065.22 τ=133.15
CC 67 SLU (Collegamento -041_-375)
Azioni sul collegamento: N=-23758.30 Ty=-20.21 Tz=56.08 Mx=-0.00 Mz=-14.64
Sollecitazioni agenti localmente: Ty_l=-4319.69 Mx_l=-86.39
Tensioni nella sezione: σ=1047.19 τ=130.90
CC 68 SLU (Collegamento -041_-375)
Azioni sul collegamento: N=-23760.00 Ty=-20.39 Tz=55.97 Mx=-0.00 Mz=-15.01
Sollecitazioni agenti localmente: Ty_l=-4320.01 Mx_l=-86.40
Tensioni nella sezione: σ=1047.27 τ=130.91
CC 97 SLU (Collegamento -041_-375)
Azioni sul collegamento: N=-31084.20 Ty=-25.01 Tz=90.82 Mx=0.05 Mz=-11.42
Sollecitazioni agenti localmente: Ty_l=-5651.68 Mx_l=-113.03
Tensioni nella sezione: σ=1370.10 τ=171.26
CC 98 SLU (Collegamento -041_-375)
Azioni sul collegamento: N=-31900.20 Ty=-25.76 Tz=93.83 Mx=0.05 Mz=-11.97
Sollecitazioni agenti localmente: Ty_l=-5800.04 Mx_l=-116.00
Tensioni nella sezione: σ=1406.07 τ=175.76
CC 99 SLU (Collegamento -041_-375)
Azioni sul collegamento: N=-31491.30 Ty=-25.30 Tz=92.39 Mx=0.05 Mz=-11.51
Sollecitazioni agenti localmente: Ty_l=-5725.70 Mx_l=-114.51
Tensioni nella sezione: σ=1388.05 τ=173.51
CC 100 SLU (Collegamento -041_-375)
Azioni sul collegamento: N=-31493.10 Ty=-25.48 Tz=92.27 Mx=0.05 Mz=-11.88

Sollecitazioni agenti localmente: Ty_l=-5726.02 Mx_l=-114.52
Tensioni nella sezione: σ=1388.12 τ=173.52
CC 101 SLU (Collegamento -041_-375)
Azioni sul collegamento: N=-8294.89 Ty=-5.21 Tz=7.37 Mx=-0.01 Mz=-4.43
Sollecitazioni agenti localmente: Ty_l=-1508.16 Mx_l=-30.16
Tensioni nella sezione: σ=365.61 τ=45.70
CC 102 SLU (Collegamento -041_-375)
Azioni sul collegamento: N=-9110.88 Ty=-5.97 Tz=10.39 Mx=-0.01 Mz=-4.99
Sollecitazioni agenti localmente: Ty_l=-1656.52 Mx_l=-33.13
Tensioni nella sezione: σ=401.58 τ=50.20
CC 103 SLU (Collegamento -041_-375)
Azioni sul collegamento: N=-8702.00 Ty=-5.50 Tz=8.94 Mx=-0.01 Mz=-4.53
Sollecitazioni agenti localmente: Ty_l=-1582.18 Mx_l=-31.64
Tensioni nella sezione: σ=383.56 τ=47.94
CC 104 SLU (Collegamento -041_-375)
Azioni sul collegamento: N=-8703.78 Ty=-5.68 Tz=8.82 Mx=-0.01 Mz=-4.89
Sollecitazioni agenti localmente: Ty_l=-1582.50 Mx_l=-31.65
Tensioni nella sezione: σ=383.64 τ=47.95

Flessione attacco destro piastra

Bnetta=220.00 Hnetta=15.00
CC 1 SLV (Collegamento -041_-375)
Azioni sul collegamento: N=-5965.50 Ty=-4.83 Tz=-1.56 Mx=0.01 Mz=-1.02
Sollecitazioni agenti localmente: Ty_l=-1053.47 My_l=-21.59
Tensioni nella sezione: σ=261.70 τ=31.92
CC 1 SLV (Collegamento -041_-375)
Azioni sul collegamento: N=-5965.50 Ty=-12.58 Tz=-1.56 Mx=0.01 Mz=-7.43
Sollecitazioni agenti localmente: Ty_l=-1027.98 My_l=-21.03
Tensioni nella sezione: σ=254.94 τ=31.15
CC 1 SLV (Collegamento -041_-375)
Azioni sul collegamento: N=-5965.50 Ty=-4.83 Tz=27.71 Mx=0.01 Mz=-1.02
Sollecitazioni agenti localmente: Ty_l=-1053.47 My_l=-21.59
Tensioni nella sezione: σ=261.70 τ=31.92
CC 1 SLV (Collegamento -041_-375)
Azioni sul collegamento: N=-5965.50 Ty=-12.58 Tz=27.71 Mx=0.01 Mz=-7.43
Sollecitazioni agenti localmente: Ty_l=-1027.98 My_l=-21.03
Tensioni nella sezione: σ=254.94 τ=31.15
CC 1 SLV (Collegamento -041_-375)
Azioni sul collegamento: N=-13808.10 Ty=-4.83 Tz=-1.56 Mx=0.01 Mz=-1.02
Sollecitazioni agenti localmente: Ty_l=-2443.75 My_l=-50.09
Tensioni nella sezione: σ=607.17 τ=74.05
CC 1 SLV (Collegamento -041_-375)
Azioni sul collegamento: N=-13808.10 Ty=-12.58 Tz=-1.56 Mx=0.01 Mz=-7.43
Sollecitazioni agenti localmente: Ty_l=-2418.27 My_l=-49.53
Tensioni nella sezione: σ=600.40 τ=73.28
CC 1 SLV (Collegamento -041_-375)
Azioni sul collegamento: N=-13808.10 Ty=-4.83 Tz=27.71 Mx=0.01 Mz=-1.02
Sollecitazioni agenti localmente: Ty_l=-2443.75 My_l=-50.09
Tensioni nella sezione: σ=607.17 τ=74.05
CC 1 SLV (Collegamento -041_-375)
Azioni sul collegamento: N=-13808.10 Ty=-12.58 Tz=27.71 Mx=0.01 Mz=-7.43
Sollecitazioni agenti localmente: Ty_l=-2418.27 My_l=-49.53
Tensioni nella sezione: σ=600.40 τ=73.28
CC 2 SLD (Collegamento -041_-375)
Azioni sul collegamento: N=-8788.68 Ty=-8.45 Tz=9.00 Mx=0.00 Mz=-5.38
Sollecitazioni agenti localmente: Ty_l=-1536.58 My_l=-31.47
Tensioni nella sezione: σ=381.45 τ=46.56
CC 2 SLD (Collegamento -041_-375)
Azioni sul collegamento: N=-8788.68 Ty=-10.81 Tz=9.00 Mx=0.00 Mz=-7.34
Sollecitazioni agenti localmente: Ty_l=-1528.81 My_l=-31.30
Tensioni nella sezione: σ=379.39 τ=46.33
CC 2 SLD (Collegamento -041_-375)
Azioni sul collegamento: N=-8788.68 Ty=-8.45 Tz=17.92 Mx=0.00 Mz=-5.38
Sollecitazioni agenti localmente: Ty_l=-1536.58 My_l=-31.47
Tensioni nella sezione: σ=381.45 τ=46.56
CC 2 SLD (Collegamento -041_-375)
Azioni sul collegamento: N=-8788.68 Ty=-10.81 Tz=17.92 Mx=0.00 Mz=-7.34
Sollecitazioni agenti localmente: Ty_l=-1528.81 My_l=-31.30
Tensioni nella sezione: σ=379.39 τ=46.33
CC 2 SLD (Collegamento -041_-375)
Azioni sul collegamento: N=-11180.10 Ty=-8.45 Tz=8.99 Mx=0.00 Mz=-5.38
Sollecitazioni agenti localmente: Ty_l=-1960.52 My_l=-40.16
Tensioni nella sezione: σ=486.80 τ=59.41
CC 2 SLD (Collegamento -041_-375)
Azioni sul collegamento: N=-11180.10 Ty=-10.81 Tz=8.99 Mx=0.00 Mz=-7.34
Sollecitazioni agenti localmente: Ty_l=-1952.75 My_l=-39.99
Tensioni nella sezione: σ=484.73 τ=59.17
CC 2 SLD (Collegamento -041_-375)

Azioni sul collegamento: N=-11180.10 Ty=-8.45 Tz=17.92 Mx=0.00 Mz=-5.38
Sollecitazioni agenti localmente: Ty_l=-1960.52 My_l=-40.16
Tensioni nella sezione: σ=486.80 τ=59.41
CC 2 SLD (Collegamento -041_-375)
Azioni sul collegamento: N=-11180.10 Ty=-10.81 Tz=17.92 Mx=0.00 Mz=-7.34
Sollecitazioni agenti localmente: Ty_l=-1952.75 My_l=-39.99
Tensioni nella sezione: σ=484.73 τ=59.17
CC 3 SLV (Collegamento -041_-375)
Azioni sul collegamento: N=-5970.40 Ty=-5.34 Tz=-1.24 Mx=0.01 Mz=-2.07
Sollecitazioni agenti localmente: Ty_l=-1050.17 My_l=-21.52
Tensioni nella sezione: σ=260.81 τ=31.82
CC 3 SLV (Collegamento -041_-375)
Azioni sul collegamento: N=-5970.40 Ty=-12.07 Tz=-1.24 Mx=0.01 Mz=-6.38
Sollecitazioni agenti localmente: Ty_l=-1033.02 My_l=-21.14
Tensioni nella sezione: σ=256.26 τ=31.30
CC 3 SLV (Collegamento -041_-375)
Azioni sul collegamento: N=-5970.40 Ty=-5.34 Tz=27.38 Mx=0.01 Mz=-2.07
Sollecitazioni agenti localmente: Ty_l=-1050.17 My_l=-21.52
Tensioni nella sezione: σ=260.81 τ=31.82
CC 3 SLV (Collegamento -041_-375)
Azioni sul collegamento: N=-5970.40 Ty=-12.07 Tz=27.38 Mx=0.01 Mz=-6.38
Sollecitazioni agenti localmente: Ty_l=-1033.02 My_l=-21.14
Tensioni nella sezione: σ=256.26 τ=31.30
CC 3 SLV (Collegamento -041_-375)
Azioni sul collegamento: N=-13803.30 Ty=-5.34 Tz=-1.24 Mx=0.01 Mz=-2.07
Sollecitazioni agenti localmente: Ty_l=-2438.72 My_l=-49.98
Tensioni nella sezione: σ=605.85 τ=73.90
CC 3 SLV (Collegamento -041_-375)
Azioni sul collegamento: N=-13803.30 Ty=-12.07 Tz=-1.24 Mx=0.01 Mz=-6.38
Sollecitazioni agenti localmente: Ty_l=-2421.57 My_l=-49.61
Tensioni nella sezione: σ=601.29 τ=73.38
CC 3 SLV (Collegamento -041_-375)
Azioni sul collegamento: N=-13803.30 Ty=-5.34 Tz=27.38 Mx=0.01 Mz=-2.07
Sollecitazioni agenti localmente: Ty_l=-2438.72 My_l=-49.98
Tensioni nella sezione: σ=605.85 τ=73.90
CC 3 SLV (Collegamento -041_-375)
Azioni sul collegamento: N=-13803.30 Ty=-12.07 Tz=27.38 Mx=0.01 Mz=-6.38
Sollecitazioni agenti localmente: Ty_l=-2421.57 My_l=-49.61
Tensioni nella sezione: σ=601.29 τ=73.38
CC 4 SLD (Collegamento -041_-375)
Azioni sul collegamento: N=-8790.17 Ty=-8.61 Tz=9.10 Mx=0.00 Mz=-5.70
Sollecitazioni agenti localmente: Ty_l=-1535.57 My_l=-31.45
Tensioni nella sezione: σ=381.18 τ=46.53
CC 4 SLD (Collegamento -041_-375)
Azioni sul collegamento: N=-8790.17 Ty=-10.66 Tz=9.10 Mx=0.00 Mz=-7.02
Sollecitazioni agenti localmente: Ty_l=-1530.34 My_l=-31.33
Tensioni nella sezione: σ=379.79 τ=46.37
CC 4 SLD (Collegamento -041_-375)
Azioni sul collegamento: N=-8790.17 Ty=-8.61 Tz=17.82 Mx=0.00 Mz=-5.70
Sollecitazioni agenti localmente: Ty_l=-1535.57 My_l=-31.45
Tensioni nella sezione: σ=381.18 τ=46.53
CC 4 SLD (Collegamento -041_-375)
Azioni sul collegamento: N=-8790.17 Ty=-10.66 Tz=17.82 Mx=0.00 Mz=-7.02
Sollecitazioni agenti localmente: Ty_l=-1530.34 My_l=-31.33
Tensioni nella sezione: σ=379.79 τ=46.37
CC 4 SLD (Collegamento -041_-375)
Azioni sul collegamento: N=-11178.70 Ty=-8.61 Tz=9.09 Mx=0.00 Mz=-5.70
Sollecitazioni agenti localmente: Ty_l=-1958.98 My_l=-40.13
Tensioni nella sezione: σ=486.39 τ=59.36
CC 4 SLD (Collegamento -041_-375)
Azioni sul collegamento: N=-11178.70 Ty=-10.66 Tz=9.09 Mx=0.00 Mz=-7.02
Sollecitazioni agenti localmente: Ty_l=-1953.76 My_l=-40.01
Tensioni nella sezione: σ=485.00 τ=59.20
CC 4 SLD (Collegamento -041_-375)
Azioni sul collegamento: N=-11178.70 Ty=-8.61 Tz=17.82 Mx=0.00 Mz=-5.70
Sollecitazioni agenti localmente: Ty_l=-1958.98 My_l=-40.13
Tensioni nella sezione: σ=486.39 τ=59.36
CC 4 SLD (Collegamento -041_-375)
Azioni sul collegamento: N=-11178.70 Ty=-10.66 Tz=17.82 Mx=0.00 Mz=-7.02
Sollecitazioni agenti localmente: Ty_l=-1953.76 My_l=-40.01
Tensioni nella sezione: σ=485.00 τ=59.20
CC 5 SLV (Collegamento -041_-375)
Azioni sul collegamento: N=-13803.30 Ty=-12.07 Tz=27.38 Mx=0.01 Mz=-6.38
Sollecitazioni agenti localmente: Ty_l=-2421.57 My_l=-49.61
Tensioni nella sezione: σ=601.29 τ=73.38
CC 5 SLV (Collegamento -041_-375)
Azioni sul collegamento: N=-13803.30 Ty=-5.34 Tz=27.38 Mx=0.01 Mz=-2.07
Sollecitazioni agenti localmente: Ty_l=-2438.72 My_l=-49.98
Tensioni nella sezione: σ=605.85 τ=73.90

CC 5 SLV (Collegamento -041_-375)
Azioni sul collegamento: N=-13803.30 Ty=-12.07 Tz=-1.24 Mx=0.01 Mz=-6.38
Sollecitazioni agenti localmente: Ty_l=-2421.57 My_l=-49.61
Tensioni nella sezione: σ=601.29 τ=73.38
CC 5 SLV (Collegamento -041_-375)
Azioni sul collegamento: N=-13803.30 Ty=-5.34 Tz=-1.24 Mx=0.01 Mz=-2.07
Sollecitazioni agenti localmente: Ty_l=-2438.72 My_l=-49.98
Tensioni nella sezione: σ=605.85 τ=73.90
CC 5 SLV (Collegamento -041_-375)
Azioni sul collegamento: N=-5970.40 Ty=-12.07 Tz=27.38 Mx=0.01 Mz=-6.38
Sollecitazioni agenti localmente: Ty_l=-1033.02 My_l=-21.14
Tensioni nella sezione: σ=256.26 τ=31.30
CC 5 SLV (Collegamento -041_-375)
Azioni sul collegamento: N=-5970.40 Ty=-5.34 Tz=27.38 Mx=0.01 Mz=-2.07
Sollecitazioni agenti localmente: Ty_l=-1050.17 My_l=-21.52
Tensioni nella sezione: σ=260.81 τ=31.82
CC 5 SLV (Collegamento -041_-375)
Azioni sul collegamento: N=-5970.40 Ty=-12.07 Tz=-1.24 Mx=0.01 Mz=-6.38
Sollecitazioni agenti localmente: Ty_l=-1033.02 My_l=-21.14
Tensioni nella sezione: σ=256.26 τ=31.30
CC 5 SLV (Collegamento -041_-375)
Azioni sul collegamento: N=-5970.40 Ty=-5.34 Tz=-1.24 Mx=0.01 Mz=-2.07
Sollecitazioni agenti localmente: Ty_l=-1050.17 My_l=-21.52
Tensioni nella sezione: σ=260.81 τ=31.82
CC 6 SLD (Collegamento -041_-375)
Azioni sul collegamento: N=-11178.70 Ty=-10.66 Tz=17.82 Mx=0.00 Mz=-7.02
Sollecitazioni agenti localmente: Ty_l=-1953.76 My_l=-40.01
Tensioni nella sezione: σ=485.00 τ=59.20
CC 6 SLD (Collegamento -041_-375)
Azioni sul collegamento: N=-11178.70 Ty=-8.61 Tz=17.82 Mx=0.00 Mz=-5.70
Sollecitazioni agenti localmente: Ty_l=-1958.98 My_l=-40.13
Tensioni nella sezione: σ=486.39 τ=59.36
CC 6 SLD (Collegamento -041_-375)
Azioni sul collegamento: N=-11178.70 Ty=-10.66 Tz=9.09 Mx=0.00 Mz=-7.02
Sollecitazioni agenti localmente: Ty_l=-1953.76 My_l=-40.01
Tensioni nella sezione: σ=485.00 τ=59.20
CC 6 SLD (Collegamento -041_-375)
Azioni sul collegamento: N=-11178.70 Ty=-8.61 Tz=9.09 Mx=0.00 Mz=-5.70
Sollecitazioni agenti localmente: Ty_l=-1958.98 My_l=-40.13
Tensioni nella sezione: σ=486.39 τ=59.36
CC 6 SLD (Collegamento -041_-375)
Azioni sul collegamento: N=-8790.17 Ty=-10.66 Tz=17.82 Mx=0.00 Mz=-7.02
Sollecitazioni agenti localmente: Ty_l=-1530.34 My_l=-31.33
Tensioni nella sezione: σ=379.79 τ=46.37
CC 6 SLD (Collegamento -041_-375)
Azioni sul collegamento: N=-8790.17 Ty=-8.61 Tz=17.82 Mx=0.00 Mz=-5.70
Sollecitazioni agenti localmente: Ty_l=-1535.57 My_l=-31.45
Tensioni nella sezione: σ=381.18 τ=46.53
CC 6 SLD (Collegamento -041_-375)
Azioni sul collegamento: N=-8790.17 Ty=-10.66 Tz=9.10 Mx=0.00 Mz=-7.02
Sollecitazioni agenti localmente: Ty_l=-1530.34 My_l=-31.33
Tensioni nella sezione: σ=379.79 τ=46.37
CC 6 SLD (Collegamento -041_-375)
Azioni sul collegamento: N=-8790.17 Ty=-8.61 Tz=9.10 Mx=0.00 Mz=-5.70
Sollecitazioni agenti localmente: Ty_l=-1535.57 My_l=-31.45
Tensioni nella sezione: σ=381.18 τ=46.53
CC 7 SLV (Collegamento -041_-375)
Azioni sul collegamento: N=-13808.10 Ty=-12.58 Tz=27.71 Mx=0.01 Mz=-7.43
Sollecitazioni agenti localmente: Ty_l=-2418.27 My_l=-49.53
Tensioni nella sezione: σ=600.40 τ=73.28
CC 7 SLV (Collegamento -041_-375)
Azioni sul collegamento: N=-13808.10 Ty=-4.83 Tz=27.71 Mx=0.01 Mz=-1.02
Sollecitazioni agenti localmente: Ty_l=-2443.75 My_l=-50.09
Tensioni nella sezione: σ=607.17 τ=74.05
CC 7 SLV (Collegamento -041_-375)
Azioni sul collegamento: N=-13808.10 Ty=-12.58 Tz=-1.56 Mx=0.01 Mz=-7.43
Sollecitazioni agenti localmente: Ty_l=-2418.27 My_l=-49.53
Tensioni nella sezione: σ=600.40 τ=73.28
CC 7 SLV (Collegamento -041_-375)
Azioni sul collegamento: N=-13808.10 Ty=-4.83 Tz=-1.56 Mx=0.01 Mz=-1.02
Sollecitazioni agenti localmente: Ty_l=-2443.75 My_l=-50.09
Tensioni nella sezione: σ=607.17 τ=74.05
CC 7 SLV (Collegamento -041_-375)
Azioni sul collegamento: N=-5965.50 Ty=-12.58 Tz=27.71 Mx=0.01 Mz=-7.43
Sollecitazioni agenti localmente: Ty_l=-1027.98 My_l=-21.03
Tensioni nella sezione: σ=254.94 τ=31.15
CC 7 SLV (Collegamento -041_-375)
Azioni sul collegamento: N=-5965.50 Ty=-4.83 Tz=27.71 Mx=0.01 Mz=-1.02
Sollecitazioni agenti localmente: Ty_l=-1053.47 My_l=-21.59

Tensioni nella sezione: σ=261.70 τ=31.92
CC 7 SLV (Collegamento -041_-375)
Azioni sul collegamento: N=-5965.50 Ty=-12.58 Tz=-1.56 Mx=0.01 Mz=-7.43
Sollecitazioni agenti localmente: Ty_l=-1027.98 My_l=-21.03
Tensioni nella sezione: σ=254.94 τ=31.15
CC 7 SLV (Collegamento -041_-375)
Azioni sul collegamento: N=-5965.50 Ty=-4.83 Tz=-1.56 Mx=0.01 Mz=-1.02
Sollecitazioni agenti localmente: Ty_l=-1053.47 My_l=-21.59
Tensioni nella sezione: σ=261.70 τ=31.92
CC 8 SLD (Collegamento -041_-375)
Azioni sul collegamento: N=-11180.10 Ty=-10.81 Tz=17.92 Mx=0.00 Mz=-7.34
Sollecitazioni agenti localmente: Ty_l=-1952.75 My_l=-39.99
Tensioni nella sezione: σ=484.73 τ=59.17
CC 8 SLD (Collegamento -041_-375)
Azioni sul collegamento: N=-11180.10 Ty=-8.45 Tz=17.92 Mx=0.00 Mz=-5.38
Sollecitazioni agenti localmente: Ty_l=-1960.52 My_l=-40.16
Tensioni nella sezione: σ=486.80 τ=59.41
CC 8 SLD (Collegamento -041_-375)
Azioni sul collegamento: N=-11180.10 Ty=-10.81 Tz=8.99 Mx=0.00 Mz=-7.34
Sollecitazioni agenti localmente: Ty_l=-1952.75 My_l=-39.99
Tensioni nella sezione: σ=484.73 τ=59.17
CC 8 SLD (Collegamento -041_-375)
Azioni sul collegamento: N=-11180.10 Ty=-8.45 Tz=8.99 Mx=0.00 Mz=-5.38
Sollecitazioni agenti localmente: Ty_l=-1960.52 My_l=-40.16
Tensioni nella sezione: σ=486.80 τ=59.41
CC 8 SLD (Collegamento -041_-375)
Azioni sul collegamento: N=-8788.68 Ty=-10.81 Tz=17.92 Mx=0.00 Mz=-7.34
Sollecitazioni agenti localmente: Ty_l=-1528.81 My_l=-31.30
Tensioni nella sezione: σ=379.39 τ=46.33
CC 8 SLD (Collegamento -041_-375)
Azioni sul collegamento: N=-8788.68 Ty=-8.45 Tz=17.92 Mx=0.00 Mz=-5.38
Sollecitazioni agenti localmente: Ty_l=-1536.58 My_l=-31.47
Tensioni nella sezione: σ=381.45 τ=46.56
CC 8 SLD (Collegamento -041_-375)
Azioni sul collegamento: N=-8788.68 Ty=-10.81 Tz=9.00 Mx=0.00 Mz=-7.34
Sollecitazioni agenti localmente: Ty_l=-1528.81 My_l=-31.30
Tensioni nella sezione: σ=379.39 τ=46.33
CC 8 SLD (Collegamento -041_-375)
Azioni sul collegamento: N=-8788.68 Ty=-8.45 Tz=9.00 Mx=0.00 Mz=-5.38
Sollecitazioni agenti localmente: Ty_l=-1536.58 My_l=-31.47
Tensioni nella sezione: σ=381.45 τ=46.56
CC 9 SLV (Collegamento -041_-375)
Azioni sul collegamento: N=-8703.00 Ty=-6.76 Tz=8.19 Mx=0.02 Mz=-1.67
Sollecitazioni agenti localmente: Ty_l=-1536.15 My_l=-31.48
Tensioni nella sezione: σ=381.60 τ=46.55
CC 9 SLV (Collegamento -041_-375)
Azioni sul collegamento: N=-8703.00 Ty=-10.65 Tz=8.19 Mx=0.02 Mz=-6.77
Sollecitazioni agenti localmente: Ty_l=-1515.87 My_l=-31.04
Tensioni nella sezione: σ=376.21 τ=45.94
CC 9 SLV (Collegamento -041_-375)
Azioni sul collegamento: N=-8703.00 Ty=-6.76 Tz=17.96 Mx=0.02 Mz=-1.67
Sollecitazioni agenti localmente: Ty_l=-1536.15 My_l=-31.48
Tensioni nella sezione: σ=381.60 τ=46.55
CC 9 SLV (Collegamento -041_-375)
Azioni sul collegamento: N=-8703.00 Ty=-10.65 Tz=17.96 Mx=0.02 Mz=-6.77
Sollecitazioni agenti localmente: Ty_l=-1515.87 My_l=-31.04
Tensioni nella sezione: σ=376.21 τ=45.94
CC 9 SLV (Collegamento -041_-375)
Azioni sul collegamento: N=-11070.70 Ty=-6.76 Tz=8.19 Mx=0.02 Mz=-1.67
Sollecitazioni agenti localmente: Ty_l=-1955.87 My_l=-40.09
Tensioni nella sezione: σ=485.89 τ=59.27
CC 9 SLV (Collegamento -041_-375)
Azioni sul collegamento: N=-11070.70 Ty=-10.65 Tz=8.19 Mx=0.02 Mz=-6.77
Sollecitazioni agenti localmente: Ty_l=-1935.59 My_l=-39.64
Tensioni nella sezione: σ=480.51 τ=58.65
CC 9 SLV (Collegamento -041_-375)
Azioni sul collegamento: N=-11070.70 Ty=-6.76 Tz=17.96 Mx=0.02 Mz=-1.67
Sollecitazioni agenti localmente: Ty_l=-1955.87 My_l=-40.09
Tensioni nella sezione: σ=485.89 τ=59.27
CC 9 SLV (Collegamento -041_-375)
Azioni sul collegamento: N=-11070.70 Ty=-10.65 Tz=17.96 Mx=0.02 Mz=-6.77
Sollecitazioni agenti localmente: Ty_l=-1935.59 My_l=-39.64
Tensioni nella sezione: σ=480.51 τ=58.65
CC 10 SLD (Collegamento -041_-375)
Azioni sul collegamento: N=-9623.43 Ty=-9.04 Tz=11.97 Mx=0.00 Mz=-5.58
Sollecitazioni agenti localmente: Ty_l=-1683.76 My_l=-34.49
Tensioni nella sezione: σ=418.01 τ=51.02
CC 10 SLD (Collegamento -041_-375)
Azioni sul collegamento: N=-9623.43 Ty=-10.22 Tz=11.97 Mx=0.00 Mz=-7.14

Sollecitazioni agenti localmente: Ty_l=-1677.58 My_l=-34.35
Tensioni nella sezione: σ=416.37 τ=50.84
CC 10 SLD (Collegamento -041_-375)
Azioni sul collegamento: N=-9623.43 Ty=-9.04 Tz=14.95 Mx=0.00 Mz=-5.58
Sollecitazioni agenti localmente: Ty_l=-1683.76 My_l=-34.49
Tensioni nella sezione: σ=418.01 τ=51.02
CC 10 SLD (Collegamento -041_-375)
Azioni sul collegamento: N=-9623.43 Ty=-10.22 Tz=14.95 Mx=0.00 Mz=-7.14
Sollecitazioni agenti localmente: Ty_l=-1677.58 My_l=-34.35
Tensioni nella sezione: σ=416.37 τ=50.84
CC 10 SLD (Collegamento -041_-375)
Azioni sul collegamento: N=-10345.40 Ty=-9.04 Tz=11.97 Mx=0.00 Mz=-5.58
Sollecitazioni agenti localmente: Ty_l=-1811.75 My_l=-37.11
Tensioni nella sezione: σ=449.81 τ=54.90
CC 10 SLD (Collegamento -041_-375)
Azioni sul collegamento: N=-10345.40 Ty=-10.22 Tz=11.97 Mx=0.00 Mz=-7.14
Sollecitazioni agenti localmente: Ty_l=-1805.56 My_l=-36.97
Tensioni nella sezione: σ=448.17 τ=54.71
CC 10 SLD (Collegamento -041_-375)
Azioni sul collegamento: N=-10345.40 Ty=-9.04 Tz=14.95 Mx=0.00 Mz=-5.58
Sollecitazioni agenti localmente: Ty_l=-1811.75 My_l=-37.11
Tensioni nella sezione: σ=449.81 τ=54.90
CC 10 SLD (Collegamento -041_-375)
Azioni sul collegamento: N=-10345.40 Ty=-10.22 Tz=14.95 Mx=0.00 Mz=-7.14
Sollecitazioni agenti localmente: Ty_l=-1805.56 My_l=-36.97
Tensioni nella sezione: σ=448.17 τ=54.71
CC 11 SLV (Collegamento -041_-375)
Azioni sul collegamento: N=-11054.30 Ty=-8.94 Tz=16.87 Mx=0.02 Mz=-3.28
Sollecitazioni agenti localmente: Ty_l=-1946.58 My_l=-39.89
Tensioni nella sezione: σ=483.48 τ=58.99
CC 11 SLV (Collegamento -041_-375)
Azioni sul collegamento: N=-11054.30 Ty=-8.48 Tz=16.87 Mx=0.02 Mz=-5.16
Sollecitazioni agenti localmente: Ty_l=-1939.09 My_l=-39.72
Tensioni nella sezione: σ=481.49 τ=58.76
CC 11 SLV (Collegamento -041_-375)
Azioni sul collegamento: N=-11054.30 Ty=-8.94 Tz=9.28 Mx=0.02 Mz=-3.28
Sollecitazioni agenti localmente: Ty_l=-1946.58 My_l=-39.89
Tensioni nella sezione: σ=483.48 τ=58.99
CC 11 SLV (Collegamento -041_-375)
Azioni sul collegamento: N=-11054.30 Ty=-8.48 Tz=9.28 Mx=0.02 Mz=-5.16
Sollecitazioni agenti localmente: Ty_l=-1939.09 My_l=-39.72
Tensioni nella sezione: σ=481.49 τ=58.76
CC 11 SLV (Collegamento -041_-375)
Azioni sul collegamento: N=-8719.33 Ty=-8.94 Tz=16.87 Mx=0.02 Mz=-3.28
Sollecitazioni agenti localmente: Ty_l=-1532.65 My_l=-31.40
Tensioni nella sezione: σ=380.62 τ=46.44
CC 11 SLV (Collegamento -041_-375)
Azioni sul collegamento: N=-8719.33 Ty=-8.48 Tz=16.87 Mx=0.02 Mz=-5.16
Sollecitazioni agenti localmente: Ty_l=-1525.16 My_l=-31.24
Tensioni nella sezione: σ=378.63 τ=46.22
CC 11 SLV (Collegamento -041_-375)
Azioni sul collegamento: N=-8719.33 Ty=-8.94 Tz=9.28 Mx=0.02 Mz=-3.28
Sollecitazioni agenti localmente: Ty_l=-1532.65 My_l=-31.40
Tensioni nella sezione: σ=380.62 τ=46.44
CC 11 SLV (Collegamento -041_-375)
Azioni sul collegamento: N=-8719.33 Ty=-8.48 Tz=9.28 Mx=0.02 Mz=-5.16
Sollecitazioni agenti localmente: Ty_l=-1525.16 My_l=-31.24
Tensioni nella sezione: σ=378.63 τ=46.22
CC 12 SLD (Collegamento -041_-375)
Azioni sul collegamento: N=-10340.40 Ty=-9.70 Tz=14.62 Mx=0.00 Mz=-6.07
Sollecitazioni agenti localmente: Ty_l=-1808.92 My_l=-37.05
Tensioni nella sezione: σ=449.08 τ=54.82
CC 12 SLD (Collegamento -041_-375)
Azioni sul collegamento: N=-10340.40 Ty=-9.56 Tz=14.62 Mx=0.00 Mz=-6.65
Sollecitazioni agenti localmente: Ty_l=-1806.63 My_l=-37.00
Tensioni nella sezione: σ=448.47 τ=54.75
CC 12 SLD (Collegamento -041_-375)
Azioni sul collegamento: N=-10340.40 Ty=-9.70 Tz=12.30 Mx=0.00 Mz=-6.07
Sollecitazioni agenti localmente: Ty_l=-1808.92 My_l=-37.05
Tensioni nella sezione: σ=449.08 τ=54.82
CC 12 SLD (Collegamento -041_-375)
Azioni sul collegamento: N=-10340.40 Ty=-9.56 Tz=12.30 Mx=0.00 Mz=-6.65
Sollecitazioni agenti localmente: Ty_l=-1806.63 My_l=-37.00
Tensioni nella sezione: σ=448.47 τ=54.75
CC 12 SLD (Collegamento -041_-375)
Azioni sul collegamento: N=-9628.41 Ty=-9.70 Tz=14.62 Mx=0.00 Mz=-6.07
Sollecitazioni agenti localmente: Ty_l=-1682.70 My_l=-34.46
Tensioni nella sezione: σ=417.71 τ=50.99
CC 12 SLD (Collegamento -041_-375)

Azioni sul collegamento: N=-9628.41 Ty=-9.56 Tz=14.62 Mx=0.00 Mz=-6.65
Sollecitazioni agenti localmente: Ty_l=-1680.41 My_l=-34.41
Tensioni nella sezione: σ=417.11 τ=50.92
CC 12 SLD (Collegamento -041_-375)
Azioni sul collegamento: N=-9628.40 Ty=-9.70 Tz=12.30 Mx=0.00 Mz=-6.07
Sollecitazioni agenti localmente: Ty_l=-1682.70 My_l=-34.46
Tensioni nella sezione: σ=417.71 τ=50.99
CC 12 SLD (Collegamento -041_-375)
Azioni sul collegamento: N=-9628.40 Ty=-9.56 Tz=12.30 Mx=0.00 Mz=-6.65
Sollecitazioni agenti localmente: Ty_l=-1680.41 My_l=-34.41
Tensioni nella sezione: σ=417.11 τ=50.92
CC 13 SLV (Collegamento -041_-375)
Azioni sul collegamento: N=-8719.33 Ty=-8.48 Tz=9.28 Mx=0.00 Mz=-5.16
Sollecitazioni agenti localmente: Ty_l=-1525.16 My_l=-31.24
Tensioni nella sezione: σ=378.63 τ=46.22
CC 13 SLV (Collegamento -041_-375)
Azioni sul collegamento: N=-8719.33 Ty=-8.94 Tz=9.28 Mx=0.00 Mz=-3.28
Sollecitazioni agenti localmente: Ty_l=-1532.65 My_l=-31.40
Tensioni nella sezione: σ=380.62 τ=46.44
CC 13 SLV (Collegamento -041_-375)
Azioni sul collegamento: N=-8719.33 Ty=-8.48 Tz=16.87 Mx=0.00 Mz=-5.16
Sollecitazioni agenti localmente: Ty_l=-1525.16 My_l=-31.24
Tensioni nella sezione: σ=378.63 τ=46.22
CC 13 SLV (Collegamento -041_-375)
Azioni sul collegamento: N=-8719.33 Ty=-8.94 Tz=16.87 Mx=0.00 Mz=-3.28
Sollecitazioni agenti localmente: Ty_l=-1532.65 My_l=-31.40
Tensioni nella sezione: σ=380.62 τ=46.44
CC 13 SLV (Collegamento -041_-375)
Azioni sul collegamento: N=-11054.30 Ty=-8.48 Tz=9.28 Mx=0.00 Mz=-5.16
Sollecitazioni agenti localmente: Ty_l=-1939.09 My_l=-39.72
Tensioni nella sezione: σ=481.49 τ=58.76
CC 13 SLV (Collegamento -041_-375)
Azioni sul collegamento: N=-11054.30 Ty=-8.94 Tz=9.28 Mx=0.00 Mz=-3.28
Sollecitazioni agenti localmente: Ty_l=-1946.58 My_l=-39.89
Tensioni nella sezione: σ=483.48 τ=58.99
CC 13 SLV (Collegamento -041_-375)
Azioni sul collegamento: N=-11054.30 Ty=-8.48 Tz=16.87 Mx=0.00 Mz=-5.16
Sollecitazioni agenti localmente: Ty_l=-1939.09 My_l=-39.72
Tensioni nella sezione: σ=481.49 τ=58.76
CC 13 SLV (Collegamento -041_-375)
Azioni sul collegamento: N=-11054.30 Ty=-8.94 Tz=16.87 Mx=0.00 Mz=-3.28
Sollecitazioni agenti localmente: Ty_l=-1946.58 My_l=-39.89
Tensioni nella sezione: σ=483.48 τ=58.99
CC 14 SLD (Collegamento -041_-375)
Azioni sul collegamento: N=-9628.40 Ty=-9.56 Tz=12.30 Mx=-0.00 Mz=-6.65
Sollecitazioni agenti localmente: Ty_l=-1680.41 My_l=-34.41
Tensioni nella sezione: σ=417.11 τ=50.92
CC 14 SLD (Collegamento -041_-375)
Azioni sul collegamento: N=-9628.40 Ty=-9.70 Tz=12.30 Mx=-0.00 Mz=-6.07
Sollecitazioni agenti localmente: Ty_l=-1682.70 My_l=-34.46
Tensioni nella sezione: σ=417.71 τ=50.99
CC 14 SLD (Collegamento -041_-375)
Azioni sul collegamento: N=-9628.41 Ty=-9.56 Tz=14.62 Mx=-0.00 Mz=-6.65
Sollecitazioni agenti localmente: Ty_l=-1680.41 My_l=-34.41
Tensioni nella sezione: σ=417.11 τ=50.92
CC 14 SLD (Collegamento -041_-375)
Azioni sul collegamento: N=-9628.41 Ty=-9.70 Tz=14.62 Mx=-0.00 Mz=-6.07
Sollecitazioni agenti localmente: Ty_l=-1682.70 My_l=-34.46
Tensioni nella sezione: σ=417.71 τ=50.99
CC 14 SLD (Collegamento -041_-375)
Azioni sul collegamento: N=-10340.40 Ty=-9.56 Tz=12.30 Mx=-0.00 Mz=-6.65
Sollecitazioni agenti localmente: Ty_l=-1806.63 My_l=-37.00
Tensioni nella sezione: σ=448.47 τ=54.75
CC 14 SLD (Collegamento -041_-375)
Azioni sul collegamento: N=-10340.40 Ty=-9.70 Tz=12.30 Mx=-0.00 Mz=-6.07
Sollecitazioni agenti localmente: Ty_l=-1808.92 My_l=-37.05
Tensioni nella sezione: σ=449.08 τ=54.82
CC 14 SLD (Collegamento -041_-375)
Azioni sul collegamento: N=-10340.40 Ty=-9.56 Tz=14.62 Mx=-0.00 Mz=-6.65
Sollecitazioni agenti localmente: Ty_l=-1806.63 My_l=-37.00
Tensioni nella sezione: σ=448.47 τ=54.75
CC 14 SLD (Collegamento -041_-375)
Azioni sul collegamento: N=-10340.40 Ty=-9.70 Tz=14.62 Mx=-0.00 Mz=-6.07
Sollecitazioni agenti localmente: Ty_l=-1808.92 My_l=-37.05
Tensioni nella sezione: σ=449.08 τ=54.82
CC 15 SLV (Collegamento -041_-375)
Azioni sul collegamento: N=-11070.70 Ty=-10.65 Tz=17.96 Mx=0.00 Mz=-6.77
Sollecitazioni agenti localmente: Ty_l=-1935.59 My_l=-39.64
Tensioni nella sezione: σ=480.51 τ=58.65

CC 15 SLV (Collegamento -041_-375)
Azioni sul collegamento: N=-11070.70 Ty=-6.76 Tz=17.96 Mx=0.00 Mz=-1.67
Sollecitazioni agenti localmente: Ty_l=-1955.87 My_l=-40.09
Tensioni nella sezione: σ=485.89 τ=59.27
CC 15 SLV (Collegamento -041_-375)
Azioni sul collegamento: N=-11070.70 Ty=-10.65 Tz=8.19 Mx=0.00 Mz=-6.77
Sollecitazioni agenti localmente: Ty_l=-1935.59 My_l=-39.64
Tensioni nella sezione: σ=480.51 τ=58.65
CC 15 SLV (Collegamento -041_-375)
Azioni sul collegamento: N=-11070.70 Ty=-6.76 Tz=8.19 Mx=0.00 Mz=-1.67
Sollecitazioni agenti localmente: Ty_l=-1955.87 My_l=-40.09
Tensioni nella sezione: σ=485.89 τ=59.27
CC 15 SLV (Collegamento -041_-375)
Azioni sul collegamento: N=-8703.00 Ty=-10.65 Tz=17.96 Mx=0.00 Mz=-6.77
Sollecitazioni agenti localmente: Ty_l=-1515.87 My_l=-31.04
Tensioni nella sezione: σ=376.21 τ=45.94
CC 15 SLV (Collegamento -041_-375)
Azioni sul collegamento: N=-8703.00 Ty=-6.76 Tz=17.96 Mx=0.00 Mz=-1.67
Sollecitazioni agenti localmente: Ty_l=-1536.15 My_l=-31.48
Tensioni nella sezione: σ=381.60 τ=46.55
CC 15 SLV (Collegamento -041_-375)
Azioni sul collegamento: N=-8703.00 Ty=-10.65 Tz=8.19 Mx=0.00 Mz=-6.77
Sollecitazioni agenti localmente: Ty_l=-1515.87 My_l=-31.04
Tensioni nella sezione: σ=376.21 τ=45.94
CC 15 SLV (Collegamento -041_-375)
Azioni sul collegamento: N=-8703.00 Ty=-6.76 Tz=8.19 Mx=0.00 Mz=-1.67
Sollecitazioni agenti localmente: Ty_l=-1536.15 My_l=-31.48
Tensioni nella sezione: σ=381.60 τ=46.55
CC 16 SLD (Collegamento -041_-375)
Azioni sul collegamento: N=-10345.40 Ty=-10.22 Tz=14.95 Mx=-0.00 Mz=-7.14
Sollecitazioni agenti localmente: Ty_l=-1805.56 My_l=-36.97
Tensioni nella sezione: σ=448.17 τ=54.71
CC 16 SLD (Collegamento -041_-375)
Azioni sul collegamento: N=-10345.40 Ty=-9.04 Tz=14.95 Mx=-0.00 Mz=-5.58
Sollecitazioni agenti localmente: Ty_l=-1811.75 My_l=-37.11
Tensioni nella sezione: σ=449.81 τ=54.90
CC 16 SLD (Collegamento -041_-375)
Azioni sul collegamento: N=-10345.40 Ty=-10.22 Tz=11.97 Mx=-0.00 Mz=-7.14
Sollecitazioni agenti localmente: Ty_l=-1805.56 My_l=-36.97
Tensioni nella sezione: σ=448.17 τ=54.71
CC 16 SLD (Collegamento -041_-375)
Azioni sul collegamento: N=-10345.40 Ty=-9.04 Tz=11.97 Mx=-0.00 Mz=-5.58
Sollecitazioni agenti localmente: Ty_l=-1811.75 My_l=-37.11
Tensioni nella sezione: σ=449.81 τ=54.90
CC 16 SLD (Collegamento -041_-375)
Azioni sul collegamento: N=-9623.43 Ty=-10.22 Tz=14.95 Mx=-0.00 Mz=-7.14
Sollecitazioni agenti localmente: Ty_l=-1677.58 My_l=-34.35
Tensioni nella sezione: σ=416.37 τ=50.84
CC 16 SLD (Collegamento -041_-375)
Azioni sul collegamento: N=-9623.43 Ty=-9.04 Tz=14.95 Mx=-0.00 Mz=-5.58
Sollecitazioni agenti localmente: Ty_l=-1683.76 My_l=-34.49
Tensioni nella sezione: σ=418.01 τ=51.02
CC 16 SLD (Collegamento -041_-375)
Azioni sul collegamento: N=-9623.43 Ty=-10.22 Tz=11.97 Mx=-0.00 Mz=-7.14
Sollecitazioni agenti localmente: Ty_l=-1677.58 My_l=-34.35
Tensioni nella sezione: σ=416.37 τ=50.84
CC 16 SLD (Collegamento -041_-375)
Azioni sul collegamento: N=-9623.43 Ty=-9.04 Tz=11.97 Mx=-0.00 Mz=-5.58
Sollecitazioni agenti localmente: Ty_l=-1683.76 My_l=-34.49
Tensioni nella sezione: σ=418.01 τ=51.02
CC 17 SLV (Collegamento -041_-375)
Azioni sul collegamento: N=-6246.30 Ty=-7.49 Tz=-0.46 Mx=-0.02 Mz=-7.17
Sollecitazioni agenti localmente: Ty_l=-1078.77 My_l=-22.07
Tensioni nella sezione: σ=267.57 τ=32.69
CC 17 SLV (Collegamento -041_-375)
Azioni sul collegamento: N=-6246.30 Ty=-15.25 Tz=-0.46 Mx=-0.02 Mz=-13.58
Sollecitazioni agenti localmente: Ty_l=-1053.29 My_l=-21.52
Tensioni nella sezione: σ=260.81 τ=31.92
CC 17 SLV (Collegamento -041_-375)
Azioni sul collegamento: N=-6246.30 Ty=-7.49 Tz=28.82 Mx=-0.02 Mz=-7.17
Sollecitazioni agenti localmente: Ty_l=-1078.77 My_l=-22.07
Tensioni nella sezione: σ=267.57 τ=32.69
CC 17 SLV (Collegamento -041_-375)
Azioni sul collegamento: N=-6246.30 Ty=-15.25 Tz=28.82 Mx=-0.02 Mz=-13.58
Sollecitazioni agenti localmente: Ty_l=-1053.29 My_l=-21.52
Tensioni nella sezione: σ=260.81 τ=31.92
CC 17 SLV (Collegamento -041_-375)
Azioni sul collegamento: N=-14088.90 Ty=-7.49 Tz=-0.46 Mx=-0.02 Mz=-7.17
Sollecitazioni agenti localmente: Ty_l=-2469.06 My_l=-50.58

Tensioni nella sezione: σ=613.04 τ=74.82
CC 17 SLV (Collegamento -041_-375)
Azioni sul collegamento: N=-14088.90 Ty=-15.25 Tz=-0.46 Mx=-0.02 Mz=-13.58
Sollecitazioni agenti localmente: Ty_l=-2443.58 My_l=-50.02
Tensioni nella sezione: σ=606.27 τ=74.05
CC 17 SLV (Collegamento -041_-375)
Azioni sul collegamento: N=-14088.90 Ty=-7.49 Tz=28.82 Mx=-0.02 Mz=-7.17
Sollecitazioni agenti localmente: Ty_l=-2469.06 My_l=-50.58
Tensioni nella sezione: σ=613.04 τ=74.82
CC 17 SLV (Collegamento -041_-375)
Azioni sul collegamento: N=-14088.90 Ty=-15.25 Tz=28.82 Mx=-0.02 Mz=-13.58
Sollecitazioni agenti localmente: Ty_l=-2443.58 My_l=-50.02
Tensioni nella sezione: σ=606.27 τ=74.05
CC 18 SLD (Collegamento -041_-375)
Azioni sul collegamento: N=-8874.30 Ty=-9.26 Tz=9.33 Mx=-0.01 Mz=-7.26
Sollecitazioni agenti localmente: Ty_l=-1544.29 My_l=-31.62
Tensioni nella sezione: σ=383.24 τ=46.80
CC 18 SLD (Collegamento -041_-375)
Azioni sul collegamento: N=-8874.30 Ty=-11.63 Tz=9.33 Mx=-0.01 Mz=-9.21
Sollecitazioni agenti localmente: Ty_l=-1536.52 My_l=-31.45
Tensioni nella sezione: σ=381.18 τ=46.56
CC 18 SLD (Collegamento -041_-375)
Azioni sul collegamento: N=-8874.30 Ty=-9.26 Tz=18.26 Mx=-0.01 Mz=-7.26
Sollecitazioni agenti localmente: Ty_l=-1544.29 My_l=-31.62
Tensioni nella sezione: σ=383.24 τ=46.80
CC 18 SLD (Collegamento -041_-375)
Azioni sul collegamento: N=-8874.30 Ty=-11.63 Tz=18.26 Mx=-0.01 Mz=-9.21
Sollecitazioni agenti localmente: Ty_l=-1536.52 My_l=-31.45
Tensioni nella sezione: σ=381.18 τ=46.56
CC 18 SLD (Collegamento -041_-375)
Azioni sul collegamento: N=-11265.80 Ty=-9.26 Tz=9.33 Mx=-0.01 Mz=-7.26
Sollecitazioni agenti localmente: Ty_l=-1968.24 My_l=-40.31
Tensioni nella sezione: σ=488.59 τ=59.64
CC 18 SLD (Collegamento -041_-375)
Azioni sul collegamento: N=-11265.80 Ty=-11.63 Tz=9.33 Mx=-0.01 Mz=-9.21
Sollecitazioni agenti localmente: Ty_l=-1960.47 My_l=-40.14
Tensioni nella sezione: σ=486.52 τ=59.41
CC 18 SLD (Collegamento -041_-375)
Azioni sul collegamento: N=-11265.80 Ty=-9.26 Tz=18.26 Mx=-0.01 Mz=-7.26
Sollecitazioni agenti localmente: Ty_l=-1968.24 My_l=-40.31
Tensioni nella sezione: σ=488.59 τ=59.64
CC 18 SLD (Collegamento -041_-375)
Azioni sul collegamento: N=-11265.80 Ty=-11.63 Tz=18.26 Mx=-0.01 Mz=-9.21
Sollecitazioni agenti localmente: Ty_l=-1960.47 My_l=-40.14
Tensioni nella sezione: σ=486.52 τ=59.41
CC 19 SLV (Collegamento -041_-375)
Azioni sul collegamento: N=-6251.20 Ty=-8.00 Tz=-0.13 Mx=-0.01 Mz=-8.22
Sollecitazioni agenti localmente: Ty_l=-1075.47 My_l=-22.00
Tensioni nella sezione: σ=266.68 τ=32.59
CC 19 SLV (Collegamento -041_-375)
Azioni sul collegamento: N=-6251.20 Ty=-14.73 Tz=-0.13 Mx=-0.01 Mz=-12.53
Sollecitazioni agenti localmente: Ty_l=-1058.32 My_l=-21.63
Tensioni nella sezione: σ=262.13 τ=32.07
CC 19 SLV (Collegamento -041_-375)
Azioni sul collegamento: N=-6251.20 Ty=-8.00 Tz=28.49 Mx=-0.01 Mz=-8.22
Sollecitazioni agenti localmente: Ty_l=-1075.47 My_l=-22.00
Tensioni nella sezione: σ=266.68 τ=32.59
CC 19 SLV (Collegamento -041_-375)
Azioni sul collegamento: N=-6251.20 Ty=-14.73 Tz=28.49 Mx=-0.01 Mz=-12.53
Sollecitazioni agenti localmente: Ty_l=-1058.32 My_l=-21.63
Tensioni nella sezione: σ=262.13 τ=32.07
CC 19 SLV (Collegamento -041_-375)
Azioni sul collegamento: N=-14084.00 Ty=-8.00 Tz=-0.13 Mx=-0.01 Mz=-8.22
Sollecitazioni agenti localmente: Ty_l=-2464.02 My_l=-50.47
Tensioni nella sezione: σ=611.72 τ=74.67
CC 19 SLV (Collegamento -041_-375)
Azioni sul collegamento: N=-14084.00 Ty=-14.73 Tz=-0.13 Mx=-0.01 Mz=-12.53
Sollecitazioni agenti localmente: Ty_l=-2446.88 My_l=-50.09
Tensioni nella sezione: σ=607.17 τ=74.15
CC 19 SLV (Collegamento -041_-375)
Azioni sul collegamento: N=-14084.00 Ty=-8.00 Tz=28.49 Mx=-0.01 Mz=-8.22
Sollecitazioni agenti localmente: Ty_l=-2464.02 My_l=-50.47
Tensioni nella sezione: σ=611.72 τ=74.67
CC 19 SLV (Collegamento -041_-375)
Azioni sul collegamento: N=-14084.00 Ty=-14.73 Tz=28.49 Mx=-0.01 Mz=-12.53
Sollecitazioni agenti localmente: Ty_l=-2446.87 My_l=-50.09
Tensioni nella sezione: σ=607.17 τ=74.15
CC 20 SLD (Collegamento -041_-375)
Azioni sul collegamento: N=-8875.79 Ty=-9.42 Tz=9.43 Mx=-0.01 Mz=-7.58

Sollecitazioni agenti localmente: Ty_l=-1543.29 My_l=-31.60
Tensioni nella sezione: σ=382.97 τ=46.77
CC 20 SLD (Collegamento -041_-375)
Azioni sul collegamento: N=-8875.79 Ty=-11.47 Tz=9.43 Mx=-0.01 Mz=-8.89
Sollecitazioni agenti localmente: Ty_l=-1538.06 My_l=-31.48
Tensioni nella sezione: σ=381.58 τ=46.61
CC 20 SLD (Collegamento -041_-375)
Azioni sul collegamento: N=-8875.80 Ty=-9.42 Tz=18.16 Mx=-0.01 Mz=-7.58
Sollecitazioni agenti localmente: Ty_l=-1543.29 My_l=-31.60
Tensioni nella sezione: σ=382.97 τ=46.77
CC 20 SLD (Collegamento -041_-375)
Azioni sul collegamento: N=-8875.80 Ty=-11.47 Tz=18.16 Mx=-0.01 Mz=-8.89
Sollecitazioni agenti localmente: Ty_l=-1538.06 My_l=-31.48
Tensioni nella sezione: σ=381.58 τ=46.61
CC 20 SLD (Collegamento -041_-375)
Azioni sul collegamento: N=-11264.30 Ty=-9.42 Tz=9.43 Mx=-0.01 Mz=-7.58
Sollecitazioni agenti localmente: Ty_l=-1966.70 My_l=-40.28
Tensioni nella sezione: σ=488.18 τ=59.60
CC 20 SLD (Collegamento -041_-375)
Azioni sul collegamento: N=-11264.30 Ty=-11.47 Tz=9.43 Mx=-0.01 Mz=-8.89
Sollecitazioni agenti localmente: Ty_l=-1961.47 My_l=-40.16
Tensioni nella sezione: σ=486.80 τ=59.44
CC 20 SLD (Collegamento -041_-375)
Azioni sul collegamento: N=-11264.30 Ty=-9.42 Tz=18.16 Mx=-0.01 Mz=-7.58
Sollecitazioni agenti localmente: Ty_l=-1966.70 My_l=-40.28
Tensioni nella sezione: σ=488.18 τ=59.60
CC 20 SLD (Collegamento -041_-375)
Azioni sul collegamento: N=-11264.30 Ty=-11.47 Tz=18.16 Mx=-0.01 Mz=-8.89
Sollecitazioni agenti localmente: Ty_l=-1961.47 My_l=-40.16
Tensioni nella sezione: σ=486.80 τ=59.44
CC 21 SLV (Collegamento -041_-375)
Azioni sul collegamento: N=-14084.00 Ty=-14.73 Tz=28.49 Mx=-0.02 Mz=-12.53
Sollecitazioni agenti localmente: Ty_l=-2446.87 My_l=-50.09
Tensioni nella sezione: σ=607.17 τ=74.15
CC 21 SLV (Collegamento -041_-375)
Azioni sul collegamento: N=-14084.00 Ty=-8.00 Tz=28.49 Mx=-0.02 Mz=-8.22
Sollecitazioni agenti localmente: Ty_l=-2464.02 My_l=-50.47
Tensioni nella sezione: σ=611.72 τ=74.67
CC 21 SLV (Collegamento -041_-375)
Azioni sul collegamento: N=-14084.00 Ty=-14.73 Tz=-0.13 Mx=-0.02 Mz=-12.53
Sollecitazioni agenti localmente: Ty_l=-2446.88 My_l=-50.09
Tensioni nella sezione: σ=607.17 τ=74.15
CC 21 SLV (Collegamento -041_-375)
Azioni sul collegamento: N=-14084.00 Ty=-8.00 Tz=-0.13 Mx=-0.02 Mz=-8.22
Sollecitazioni agenti localmente: Ty_l=-2464.02 My_l=-50.47
Tensioni nella sezione: σ=611.72 τ=74.67
CC 21 SLV (Collegamento -041_-375)
Azioni sul collegamento: N=-6251.20 Ty=-14.73 Tz=28.49 Mx=-0.02 Mz=-12.53
Sollecitazioni agenti localmente: Ty_l=-1058.32 My_l=-21.63
Tensioni nella sezione: σ=262.13 τ=32.07
CC 21 SLV (Collegamento -041_-375)
Azioni sul collegamento: N=-6251.20 Ty=-8.00 Tz=28.49 Mx=-0.02 Mz=-8.22
Sollecitazioni agenti localmente: Ty_l=-1075.47 My_l=-22.00
Tensioni nella sezione: σ=266.68 τ=32.59
CC 21 SLV (Collegamento -041_-375)
Azioni sul collegamento: N=-6251.20 Ty=-14.73 Tz=-0.13 Mx=-0.02 Mz=-12.53
Sollecitazioni agenti localmente: Ty_l=-1058.32 My_l=-21.63
Tensioni nella sezione: σ=262.13 τ=32.07
CC 21 SLV (Collegamento -041_-375)
Azioni sul collegamento: N=-6251.20 Ty=-8.00 Tz=-0.13 Mx=-0.02 Mz=-8.22
Sollecitazioni agenti localmente: Ty_l=-1075.47 My_l=-22.00
Tensioni nella sezione: σ=266.68 τ=32.59
CC 22 SLD (Collegamento -041_-375)
Azioni sul collegamento: N=-11264.30 Ty=-11.47 Tz=18.16 Mx=-0.01 Mz=-8.89
Sollecitazioni agenti localmente: Ty_l=-1961.47 My_l=-40.16
Tensioni nella sezione: σ=486.80 τ=59.44
CC 22 SLD (Collegamento -041_-375)
Azioni sul collegamento: N=-11264.30 Ty=-9.42 Tz=18.16 Mx=-0.01 Mz=-7.58
Sollecitazioni agenti localmente: Ty_l=-1966.70 My_l=-40.28
Tensioni nella sezione: σ=488.18 τ=59.60
CC 22 SLD (Collegamento -041_-375)
Azioni sul collegamento: N=-11264.30 Ty=-11.47 Tz=9.43 Mx=-0.01 Mz=-8.89
Sollecitazioni agenti localmente: Ty_l=-1961.47 My_l=-40.16
Tensioni nella sezione: σ=486.80 τ=59.44
CC 22 SLD (Collegamento -041_-375)
Azioni sul collegamento: N=-11264.30 Ty=-9.42 Tz=9.43 Mx=-0.01 Mz=-7.58
Sollecitazioni agenti localmente: Ty_l=-1966.70 My_l=-40.28
Tensioni nella sezione: σ=488.18 τ=59.60
CC 22 SLD (Collegamento -041_-375)

Azioni sul collegamento: N=-8875.80 Ty=-11.47 Tz=18.16 Mx=-0.01 Mz=-8.89
Sollecitazioni agenti localmente: Ty_l=-1538.06 My_l=-31.48
Tensioni nella sezione: σ=381.58 τ=46.61
CC 22 SLD (Collegamento -041_-375)
Azioni sul collegamento: N=-8875.80 Ty=-9.42 Tz=18.16 Mx=-0.01 Mz=-7.58
Sollecitazioni agenti localmente: Ty_l=-1543.29 My_l=-31.60
Tensioni nella sezione: σ=382.97 τ=46.77
CC 22 SLD (Collegamento -041_-375)
Azioni sul collegamento: N=-8875.79 Ty=-11.47 Tz=9.43 Mx=-0.01 Mz=-8.89
Sollecitazioni agenti localmente: Ty_l=-1538.06 My_l=-31.48
Tensioni nella sezione: σ=381.58 τ=46.61
CC 22 SLD (Collegamento -041_-375)
Azioni sul collegamento: N=-8875.79 Ty=-9.42 Tz=9.43 Mx=-0.01 Mz=-7.58
Sollecitazioni agenti localmente: Ty_l=-1543.29 My_l=-31.60
Tensioni nella sezione: σ=382.97 τ=46.77
CC 23 SLV (Collegamento -041_-375)
Azioni sul collegamento: N=-14088.90 Ty=-15.25 Tz=28.82 Mx=-0.01 Mz=-13.58
Sollecitazioni agenti localmente: Ty_l=-2443.58 My_l=-50.02
Tensioni nella sezione: σ=606.27 τ=74.05
CC 23 SLV (Collegamento -041_-375)
Azioni sul collegamento: N=-14088.90 Ty=-7.49 Tz=28.82 Mx=-0.01 Mz=-7.17
Sollecitazioni agenti localmente: Ty_l=-2469.06 My_l=-50.58
Tensioni nella sezione: σ=613.04 τ=74.82
CC 23 SLV (Collegamento -041_-375)
Azioni sul collegamento: N=-14088.90 Ty=-15.25 Tz=-0.46 Mx=-0.01 Mz=-13.58
Sollecitazioni agenti localmente: Ty_l=-2443.58 My_l=-50.02
Tensioni nella sezione: σ=606.27 τ=74.05
CC 23 SLV (Collegamento -041_-375)
Azioni sul collegamento: N=-14088.90 Ty=-7.49 Tz=-0.46 Mx=-0.01 Mz=-7.17
Sollecitazioni agenti localmente: Ty_l=-2469.06 My_l=-50.58
Tensioni nella sezione: σ=613.04 τ=74.82
CC 23 SLV (Collegamento -041_-375)
Azioni sul collegamento: N=-6246.30 Ty=-15.25 Tz=28.82 Mx=-0.01 Mz=-13.58
Sollecitazioni agenti localmente: Ty_l=-1053.29 My_l=-21.52
Tensioni nella sezione: σ=260.81 τ=31.92
CC 23 SLV (Collegamento -041_-375)
Azioni sul collegamento: N=-6246.30 Ty=-7.49 Tz=28.82 Mx=-0.01 Mz=-7.17
Sollecitazioni agenti localmente: Ty_l=-1078.77 My_l=-22.07
Tensioni nella sezione: σ=267.57 τ=32.69
CC 23 SLV (Collegamento -041_-375)
Azioni sul collegamento: N=-6246.30 Ty=-15.25 Tz=-0.46 Mx=-0.01 Mz=-13.58
Sollecitazioni agenti localmente: Ty_l=-1053.29 My_l=-21.52
Tensioni nella sezione: σ=260.81 τ=31.92
CC 23 SLV (Collegamento -041_-375)
Azioni sul collegamento: N=-6246.30 Ty=-7.49 Tz=-0.46 Mx=-0.01 Mz=-7.17
Sollecitazioni agenti localmente: Ty_l=-1078.77 My_l=-22.07
Tensioni nella sezione: σ=267.57 τ=32.69
CC 24 SLD (Collegamento -041_-375)
Azioni sul collegamento: N=-11265.80 Ty=-11.63 Tz=18.26 Mx=-0.01 Mz=-9.21
Sollecitazioni agenti localmente: Ty_l=-1960.47 My_l=-40.14
Tensioni nella sezione: σ=486.52 τ=59.41
CC 24 SLD (Collegamento -041_-375)
Azioni sul collegamento: N=-11265.80 Ty=-9.26 Tz=18.26 Mx=-0.01 Mz=-7.26
Sollecitazioni agenti localmente: Ty_l=-1968.24 My_l=-40.31
Tensioni nella sezione: σ=488.59 τ=59.64
CC 24 SLD (Collegamento -041_-375)
Azioni sul collegamento: N=-11265.80 Ty=-11.63 Tz=9.33 Mx=-0.01 Mz=-9.21
Sollecitazioni agenti localmente: Ty_l=-1960.47 My_l=-40.14
Tensioni nella sezione: σ=486.52 τ=59.41
CC 24 SLD (Collegamento -041_-375)
Azioni sul collegamento: N=-11265.80 Ty=-9.26 Tz=9.33 Mx=-0.01 Mz=-7.26
Sollecitazioni agenti localmente: Ty_l=-1968.24 My_l=-40.31
Tensioni nella sezione: σ=488.59 τ=59.64
CC 24 SLD (Collegamento -041_-375)
Azioni sul collegamento: N=-8874.30 Ty=-11.63 Tz=18.26 Mx=-0.01 Mz=-9.21
Sollecitazioni agenti localmente: Ty_l=-1536.52 My_l=-31.45
Tensioni nella sezione: σ=381.18 τ=46.56
CC 24 SLD (Collegamento -041_-375)
Azioni sul collegamento: N=-8874.30 Ty=-9.26 Tz=18.26 Mx=-0.01 Mz=-7.26
Sollecitazioni agenti localmente: Ty_l=-1544.29 My_l=-31.62
Tensioni nella sezione: σ=383.24 τ=46.80
CC 24 SLD (Collegamento -041_-375)
Azioni sul collegamento: N=-8874.30 Ty=-11.63 Tz=9.33 Mx=-0.01 Mz=-9.21
Sollecitazioni agenti localmente: Ty_l=-1536.52 My_l=-31.45
Tensioni nella sezione: σ=381.18 τ=46.56
CC 24 SLD (Collegamento -041_-375)
Azioni sul collegamento: N=-8874.30 Ty=-9.26 Tz=9.33 Mx=-0.01 Mz=-7.26
Sollecitazioni agenti localmente: Ty_l=-1544.29 My_l=-31.62
Tensioni nella sezione: σ=383.24 τ=46.80

CC 25 SLV (Collegamento -041_-375)
Azioni sul collegamento: N=-8983.80 Ty=-9.43 Tz=9.29 Mx=-0.02 Mz=-7.83
Sollecitazioni agenti localmente: Ty_l=-1561.46 My_l=-31.97
Tensioni nella sezione: σ=387.47 τ=47.32
CC 25 SLV (Collegamento -041_-375)
Azioni sul collegamento: N=-8983.80 Ty=-13.31 Tz=9.29 Mx=-0.02 Mz=-12.93
Sollecitazioni agenti localmente: Ty_l=-1541.17 My_l=-31.52
Tensioni nella sezione: σ=382.08 τ=46.70
CC 25 SLV (Collegamento -041_-375)
Azioni sul collegamento: N=-8983.80 Ty=-9.43 Tz=19.07 Mx=-0.02 Mz=-7.83
Sollecitazioni agenti localmente: Ty_l=-1561.46 My_l=-31.97
Tensioni nella sezione: σ=387.47 τ=47.32
CC 25 SLV (Collegamento -041_-375)
Azioni sul collegamento: N=-8983.80 Ty=-13.31 Tz=19.07 Mx=-0.02 Mz=-12.93
Sollecitazioni agenti localmente: Ty_l=-1541.17 My_l=-31.52
Tensioni nella sezione: σ=382.08 τ=46.70
CC 25 SLV (Collegamento -041_-375)
Azioni sul collegamento: N=-11351.50 Ty=-9.43 Tz=9.29 Mx=-0.02 Mz=-7.83
Sollecitazioni agenti localmente: Ty_l=-1981.18 My_l=-40.57
Tensioni nella sezione: σ=491.76 τ=60.04
CC 25 SLV (Collegamento -041_-375)
Azioni sul collegamento: N=-11351.50 Ty=-13.31 Tz=9.29 Mx=-0.02 Mz=-12.93
Sollecitazioni agenti localmente: Ty_l=-1960.89 My_l=-40.13
Tensioni nella sezione: σ=486.38 τ=59.42
CC 25 SLV (Collegamento -041_-375)
Azioni sul collegamento: N=-11351.50 Ty=-9.43 Tz=19.07 Mx=-0.02 Mz=-7.83
Sollecitazioni agenti localmente: Ty_l=-1981.18 My_l=-40.57
Tensioni nella sezione: σ=491.76 τ=60.04
CC 25 SLV (Collegamento -041_-375)
Azioni sul collegamento: N=-11351.50 Ty=-13.31 Tz=19.07 Mx=-0.02 Mz=-12.93
Sollecitazioni agenti localmente: Ty_l=-1960.89 My_l=-40.13
Tensioni nella sezione: σ=486.38 τ=59.42
CC 26 SLD (Collegamento -041_-375)
Azioni sul collegamento: N=-9709.05 Ty=-9.85 Tz=12.31 Mx=-0.01 Mz=-7.46
Sollecitazioni agenti localmente: Ty_l=-1691.48 My_l=-34.63
Tensioni nella sezione: σ=419.80 τ=51.26
CC 26 SLD (Collegamento -041_-375)
Azioni sul collegamento: N=-9709.05 Ty=-11.04 Tz=12.31 Mx=-0.01 Mz=-9.01
Sollecitazioni agenti localmente: Ty_l=-1685.29 My_l=-34.50
Tensioni nella sezione: σ=418.16 τ=51.07
CC 26 SLD (Collegamento -041_-375)
Azioni sul collegamento: N=-9709.05 Ty=-9.85 Tz=15.29 Mx=-0.01 Mz=-7.46
Sollecitazioni agenti localmente: Ty_l=-1691.48 My_l=-34.63
Tensioni nella sezione: σ=419.80 τ=51.26
CC 26 SLD (Collegamento -041_-375)
Azioni sul collegamento: N=-9709.05 Ty=-11.04 Tz=15.29 Mx=-0.01 Mz=-9.01
Sollecitazioni agenti localmente: Ty_l=-1685.29 My_l=-34.50
Tensioni nella sezione: σ=418.16 τ=51.07
CC 26 SLD (Collegamento -041_-375)
Azioni sul collegamento: N=-10431.00 Ty=-9.85 Tz=12.31 Mx=-0.01 Mz=-7.46
Sollecitazioni agenti localmente: Ty_l=-1819.46 My_l=-37.26
Tensioni nella sezione: σ=451.61 τ=55.14
CC 26 SLD (Collegamento -041_-375)
Azioni sul collegamento: N=-10431.00 Ty=-11.04 Tz=12.31 Mx=-0.01 Mz=-9.01
Sollecitazioni agenti localmente: Ty_l=-1813.28 My_l=-37.12
Tensioni nella sezione: σ=449.96 τ=54.95
CC 26 SLD (Collegamento -041_-375)
Azioni sul collegamento: N=-10431.00 Ty=-9.85 Tz=15.29 Mx=-0.01 Mz=-7.46
Sollecitazioni agenti localmente: Ty_l=-1819.46 My_l=-37.26
Tensioni nella sezione: σ=451.61 τ=55.14
CC 26 SLD (Collegamento -041_-375)
Azioni sul collegamento: N=-10431.00 Ty=-11.04 Tz=15.29 Mx=-0.01 Mz=-9.01
Sollecitazioni agenti localmente: Ty_l=-1813.28 My_l=-37.12
Tensioni nella sezione: σ=449.96 τ=54.95
CC 27 SLV (Collegamento -041_-375)
Azioni sul collegamento: N=-11335.10 Ty=-11.60 Tz=17.98 Mx=-0.02 Mz=-9.43
Sollecitazioni agenti localmente: Ty_l=-1971.89 My_l=-40.37
Tensioni nella sezione: σ=489.35 τ=59.75
CC 27 SLV (Collegamento -041_-375)
Azioni sul collegamento: N=-11335.10 Ty=-11.14 Tz=17.98 Mx=-0.02 Mz=-11.32
Sollecitazioni agenti localmente: Ty_l=-1964.39 My_l=-40.21
Tensioni nella sezione: σ=487.36 τ=59.53
CC 27 SLV (Collegamento -041_-375)
Azioni sul collegamento: N=-11335.10 Ty=-11.60 Tz=10.38 Mx=-0.02 Mz=-9.43
Sollecitazioni agenti localmente: Ty_l=-1971.89 My_l=-40.37
Tensioni nella sezione: σ=489.35 τ=59.75
CC 27 SLV (Collegamento -041_-375)
Azioni sul collegamento: N=-11335.10 Ty=-11.14 Tz=10.38 Mx=-0.02 Mz=-11.32
Sollecitazioni agenti localmente: Ty_l=-1964.39 My_l=-40.21

Tensioni nella sezione: σ=487.36 τ=59.53
CC 27 SLV (Collegamento -041_-375)
Azioni sul collegamento: N=-9000.13 Ty=-11.60 Tz=17.98 Mx=-0.02 Mz=-9.43
Sollecitazioni agenti localmente: Ty_l=-1557.96 My_l=-31.89
Tensioni nella sezione: σ=386.49 τ=47.21
CC 27 SLV (Collegamento -041_-375)
Azioni sul collegamento: N=-9000.13 Ty=-11.14 Tz=17.98 Mx=-0.02 Mz=-11.32
Sollecitazioni agenti localmente: Ty_l=-1550.46 My_l=-31.72
Tensioni nella sezione: σ=384.50 τ=46.98
CC 27 SLV (Collegamento -041_-375)
Azioni sul collegamento: N=-9000.13 Ty=-11.60 Tz=10.38 Mx=-0.02 Mz=-9.43
Sollecitazioni agenti localmente: Ty_l=-1557.96 My_l=-31.89
Tensioni nella sezione: σ=386.49 τ=47.21
CC 27 SLV (Collegamento -041_-375)
Azioni sul collegamento: N=-9000.13 Ty=-11.14 Tz=10.38 Mx=-0.02 Mz=-11.32
Sollecitazioni agenti localmente: Ty_l=-1550.46 My_l=-31.72
Tensioni nella sezione: σ=384.50 τ=46.98
CC 28 SLD (Collegamento -041_-375)
Azioni sul collegamento: N=-10426.00 Ty=-10.51 Tz=14.95 Mx=-0.01 Mz=-7.95
Sollecitazioni agenti localmente: Ty_l=-1816.63 My_l=-37.20
Tensioni nella sezione: σ=450.87 τ=55.05
CC 28 SLD (Collegamento -041_-375)
Azioni sul collegamento: N=-10426.00 Ty=-10.37 Tz=14.95 Mx=-0.01 Mz=-8.52
Sollecitazioni agenti localmente: Ty_l=-1814.35 My_l=-37.15
Tensioni nella sezione: σ=450.26 τ=54.98
CC 28 SLD (Collegamento -041_-375)
Azioni sul collegamento: N=-10426.00 Ty=-10.51 Tz=12.64 Mx=-0.01 Mz=-7.95
Sollecitazioni agenti localmente: Ty_l=-1816.63 My_l=-37.20
Tensioni nella sezione: σ=450.87 τ=55.05
CC 28 SLD (Collegamento -041_-375)
Azioni sul collegamento: N=-10426.00 Ty=-10.37 Tz=12.64 Mx=-0.01 Mz=-8.52
Sollecitazioni agenti localmente: Ty_l=-1814.35 My_l=-37.15
Tensioni nella sezione: σ=450.26 τ=54.98
CC 28 SLD (Collegamento -041_-375)
Azioni sul collegamento: N=-9714.03 Ty=-10.51 Tz=14.95 Mx=-0.01 Mz=-7.95
Sollecitazioni agenti localmente: Ty_l=-1690.41 My_l=-34.61
Tensioni nella sezione: σ=419.50 τ=51.22
CC 28 SLD (Collegamento -041_-375)
Azioni sul collegamento: N=-9714.03 Ty=-10.37 Tz=14.95 Mx=-0.01 Mz=-8.52
Sollecitazioni agenti localmente: Ty_l=-1688.13 My_l=-34.56
Tensioni nella sezione: σ=418.90 τ=51.16
CC 28 SLD (Collegamento -041_-375)
Azioni sul collegamento: N=-9714.03 Ty=-10.51 Tz=12.64 Mx=-0.01 Mz=-7.95
Sollecitazioni agenti localmente: Ty_l=-1690.41 My_l=-34.61
Tensioni nella sezione: σ=419.50 τ=51.22
CC 28 SLD (Collegamento -041_-375)
Azioni sul collegamento: N=-9714.03 Ty=-10.37 Tz=12.64 Mx=-0.01 Mz=-8.52
Sollecitazioni agenti localmente: Ty_l=-1688.13 My_l=-34.56
Tensioni nella sezione: σ=418.90 τ=51.16
CC 29 SLV (Collegamento -041_-375)
Azioni sul collegamento: N=-9000.13 Ty=-11.14 Tz=10.38 Mx=-0.01 Mz=-11.32
Sollecitazioni agenti localmente: Ty_l=-1550.46 My_l=-31.72
Tensioni nella sezione: σ=384.50 τ=46.98
CC 29 SLV (Collegamento -041_-375)
Azioni sul collegamento: N=-9000.13 Ty=-11.60 Tz=10.38 Mx=-0.01 Mz=-9.43
Sollecitazioni agenti localmente: Ty_l=-1557.96 My_l=-31.89
Tensioni nella sezione: σ=386.49 τ=47.21
CC 29 SLV (Collegamento -041_-375)
Azioni sul collegamento: N=-9000.13 Ty=-11.14 Tz=17.98 Mx=-0.01 Mz=-11.32
Sollecitazioni agenti localmente: Ty_l=-1550.46 My_l=-31.72
Tensioni nella sezione: σ=384.50 τ=46.98
CC 29 SLV (Collegamento -041_-375)
Azioni sul collegamento: N=-9000.13 Ty=-11.60 Tz=17.98 Mx=-0.01 Mz=-9.43
Sollecitazioni agenti localmente: Ty_l=-1557.96 My_l=-31.89
Tensioni nella sezione: σ=386.49 τ=47.21
CC 29 SLV (Collegamento -041_-375)
Azioni sul collegamento: N=-11335.10 Ty=-11.14 Tz=10.38 Mx=-0.01 Mz=-11.32
Sollecitazioni agenti localmente: Ty_l=-1964.39 My_l=-40.21
Tensioni nella sezione: σ=487.36 τ=59.53
CC 29 SLV (Collegamento -041_-375)
Azioni sul collegamento: N=-11335.10 Ty=-11.60 Tz=10.38 Mx=-0.01 Mz=-9.43
Sollecitazioni agenti localmente: Ty_l=-1971.89 My_l=-40.37
Tensioni nella sezione: σ=489.35 τ=59.75
CC 29 SLV (Collegamento -041_-375)
Azioni sul collegamento: N=-11335.10 Ty=-11.14 Tz=17.98 Mx=-0.01 Mz=-11.32
Sollecitazioni agenti localmente: Ty_l=-1964.39 My_l=-40.21
Tensioni nella sezione: σ=487.36 τ=59.53
CC 29 SLV (Collegamento -041_-375)
Azioni sul collegamento: N=-11335.10 Ty=-11.60 Tz=17.98 Mx=-0.01 Mz=-9.43

Sollecitazioni agenti localmente: Ty_l=-1971.89 My_l=-40.37
Tensioni nella sezione: σ=489.35 τ=59.75
CC 30 SLD (Collegamento -041_-375)
Azioni sul collegamento: N=-9714.03 Ty=-10.37 Tz=12.64 Mx=-0.00 Mz=-8.52
Sollecitazioni agenti localmente: Ty_l=-1688.13 My_l=-34.56
Tensioni nella sezione: σ=418.90 τ=51.16
CC 30 SLD (Collegamento -041_-375)
Azioni sul collegamento: N=-9714.03 Ty=-10.51 Tz=12.64 Mx=-0.00 Mz=-7.95
Sollecitazioni agenti localmente: Ty_l=-1690.41 My_l=-34.61
Tensioni nella sezione: σ=419.50 τ=51.22
CC 30 SLD (Collegamento -041_-375)
Azioni sul collegamento: N=-9714.03 Ty=-10.37 Tz=14.95 Mx=-0.00 Mz=-8.52
Sollecitazioni agenti localmente: Ty_l=-1688.13 My_l=-34.56
Tensioni nella sezione: σ=418.90 τ=51.16
CC 30 SLD (Collegamento -041_-375)
Azioni sul collegamento: N=-9714.03 Ty=-10.51 Tz=14.95 Mx=-0.00 Mz=-7.95
Sollecitazioni agenti localmente: Ty_l=-1690.41 My_l=-34.61
Tensioni nella sezione: σ=419.50 τ=51.22
CC 30 SLD (Collegamento -041_-375)
Azioni sul collegamento: N=-10426.00 Ty=-10.37 Tz=12.64 Mx=-0.00 Mz=-8.52
Sollecitazioni agenti localmente: Ty_l=-1814.35 My_l=-37.15
Tensioni nella sezione: σ=450.26 τ=54.98
CC 30 SLD (Collegamento -041_-375)
Azioni sul collegamento: N=-10426.00 Ty=-10.51 Tz=12.64 Mx=-0.00 Mz=-7.95
Sollecitazioni agenti localmente: Ty_l=-1816.63 My_l=-37.20
Tensioni nella sezione: σ=450.87 τ=55.05
CC 30 SLD (Collegamento -041_-375)
Azioni sul collegamento: N=-10426.00 Ty=-10.37 Tz=14.95 Mx=-0.00 Mz=-8.52
Sollecitazioni agenti localmente: Ty_l=-1814.35 My_l=-37.15
Tensioni nella sezione: σ=450.26 τ=54.98
CC 30 SLD (Collegamento -041_-375)
Azioni sul collegamento: N=-10426.00 Ty=-10.51 Tz=14.95 Mx=-0.00 Mz=-7.95
Sollecitazioni agenti localmente: Ty_l=-1816.63 My_l=-37.20
Tensioni nella sezione: σ=450.87 τ=55.05
CC 31 SLV (Collegamento -041_-375)
Azioni sul collegamento: N=-11351.50 Ty=-13.31 Tz=19.07 Mx=-0.01 Mz=-12.93
Sollecitazioni agenti localmente: Ty_l=-1960.89 My_l=-40.13
Tensioni nella sezione: σ=486.38 τ=59.42
CC 31 SLV (Collegamento -041_-375)
Azioni sul collegamento: N=-11351.50 Ty=-9.43 Tz=19.07 Mx=-0.01 Mz=-7.83
Sollecitazioni agenti localmente: Ty_l=-1981.18 My_l=-40.57
Tensioni nella sezione: σ=491.76 τ=60.04
CC 31 SLV (Collegamento -041_-375)
Azioni sul collegamento: N=-11351.50 Ty=-13.31 Tz=9.29 Mx=-0.01 Mz=-12.93
Sollecitazioni agenti localmente: Ty_l=-1960.89 My_l=-40.13
Tensioni nella sezione: σ=486.38 τ=59.42
CC 31 SLV (Collegamento -041_-375)
Azioni sul collegamento: N=-11351.50 Ty=-9.43 Tz=9.29 Mx=-0.01 Mz=-7.83
Sollecitazioni agenti localmente: Ty_l=-1981.18 My_l=-40.57
Tensioni nella sezione: σ=491.76 τ=60.04
CC 31 SLV (Collegamento -041_-375)
Azioni sul collegamento: N=-8983.80 Ty=-13.31 Tz=19.07 Mx=-0.01 Mz=-12.93
Sollecitazioni agenti localmente: Ty_l=-1541.17 My_l=-31.52
Tensioni nella sezione: σ=382.08 τ=46.70
CC 31 SLV (Collegamento -041_-375)
Azioni sul collegamento: N=-8983.80 Ty=-9.43 Tz=19.07 Mx=-0.01 Mz=-7.83
Sollecitazioni agenti localmente: Ty_l=-1561.46 My_l=-31.97
Tensioni nella sezione: σ=387.47 τ=47.32
CC 31 SLV (Collegamento -041_-375)
Azioni sul collegamento: N=-8983.80 Ty=-13.31 Tz=9.29 Mx=-0.01 Mz=-12.93
Sollecitazioni agenti localmente: Ty_l=-1541.17 My_l=-31.52
Tensioni nella sezione: σ=382.08 τ=46.70
CC 31 SLV (Collegamento -041_-375)
Azioni sul collegamento: N=-8983.80 Ty=-9.43 Tz=9.29 Mx=-0.01 Mz=-7.83
Sollecitazioni agenti localmente: Ty_l=-1561.46 My_l=-31.97
Tensioni nella sezione: σ=387.47 τ=47.32
CC 32 SLD (Collegamento -041_-375)
Azioni sul collegamento: N=-10431.00 Ty=-11.04 Tz=15.29 Mx=-0.00 Mz=-9.01
Sollecitazioni agenti localmente: Ty_l=-1813.28 My_l=-37.12
Tensioni nella sezione: σ=449.96 τ=54.95
CC 32 SLD (Collegamento -041_-375)
Azioni sul collegamento: N=-10431.00 Ty=-9.85 Tz=15.29 Mx=-0.00 Mz=-7.46
Sollecitazioni agenti localmente: Ty_l=-1819.46 My_l=-37.26
Tensioni nella sezione: σ=451.61 τ=55.14
CC 32 SLD (Collegamento -041_-375)
Azioni sul collegamento: N=-10431.00 Ty=-11.04 Tz=12.31 Mx=-0.00 Mz=-9.01
Sollecitazioni agenti localmente: Ty_l=-1813.28 My_l=-37.12
Tensioni nella sezione: σ=449.96 τ=54.95
CC 32 SLD (Collegamento -041_-375)

Azioni sul collegamento: N=-10431.00 Ty=-9.85 Tz=12.31 Mx=-0.00 Mz=-7.46
Sollecitazioni agenti localmente: Ty_l=-1819.46 My_l=-37.26
Tensioni nella sezione: σ=451.61 τ=55.14
CC 32 SLD (Collegamento -041_-375)
Azioni sul collegamento: N=-9709.05 Ty=-11.04 Tz=15.29 Mx=-0.00 Mz=-9.01
Sollecitazioni agenti localmente: Ty_l=-1685.29 My_l=-34.50
Tensioni nella sezione: σ=418.16 τ=51.07
CC 32 SLD (Collegamento -041_-375)
Azioni sul collegamento: N=-9709.05 Ty=-9.85 Tz=15.29 Mx=-0.00 Mz=-7.46
Sollecitazioni agenti localmente: Ty_l=-1691.48 My_l=-34.63
Tensioni nella sezione: σ=419.80 τ=51.26
CC 32 SLD (Collegamento -041_-375)
Azioni sul collegamento: N=-9709.05 Ty=-11.04 Tz=12.31 Mx=-0.00 Mz=-9.01
Sollecitazioni agenti localmente: Ty_l=-1685.29 My_l=-34.50
Tensioni nella sezione: σ=418.16 τ=51.07
CC 32 SLD (Collegamento -041_-375)
Azioni sul collegamento: N=-9709.05 Ty=-9.85 Tz=12.31 Mx=-0.00 Mz=-7.46
Sollecitazioni agenti localmente: Ty_l=-1691.48 My_l=-34.63
Tensioni nella sezione: σ=419.80 τ=51.26
CC 33 SLU (Collegamento -041_-375)
Azioni sul collegamento: N=-36642.60 Ty=-20.20 Tz=103.27 Mx=-0.00 Mz=-14.84
Sollecitazioni agenti localmente: Ty_l=-6436.70 My_l=-131.87
Tensioni nella sezione: σ=1598.42 τ=195.05
CC 34 SLU (Collegamento -041_-375)
Azioni sul collegamento: N=-37458.50 Ty=-20.96 Tz=106.28 Mx=-0.00 Mz=-15.40
Sollecitazioni agenti localmente: Ty_l=-6579.14 My_l=-134.79
Tensioni nella sezione: σ=1633.78 τ=199.37
CC 35 SLU (Collegamento -041_-375)
Azioni sul collegamento: N=-37049.70 Ty=-20.49 Tz=104.83 Mx=-0.01 Mz=-14.94
Sollecitazioni agenti localmente: Ty_l=-6508.49 My_l=-133.34
Tensioni nella sezione: σ=1616.25 τ=197.23
CC 36 SLU (Collegamento -041_-375)
Azioni sul collegamento: N=-37051.40 Ty=-20.67 Tz=104.72 Mx=-0.00 Mz=-15.30
Sollecitazioni agenti localmente: Ty_l=-6507.35 My_l=-133.32
Tensioni nella sezione: σ=1615.95 τ=197.19
CC 37 SLU (Collegamento -041_-375)
Azioni sul collegamento: N=-29860.20 Ty=10.64 Tz=77.84 Mx=-0.00 Mz=8.54
Sollecitazioni agenti localmente: Ty_l=-5327.38 My_l=-109.26
Tensioni nella sezione: σ=1324.35 τ=161.44
CC 38 SLU (Collegamento -041_-375)
Azioni sul collegamento: N=-30676.20 Ty=9.89 Tz=80.85 Mx=-0.00 Mz=7.98
Sollecitazioni agenti localmente: Ty_l=-5469.81 My_l=-112.18
Tensioni nella sezione: σ=1359.70 τ=165.75
CC 39 SLU (Collegamento -041_-375)
Azioni sul collegamento: N=-30267.30 Ty=10.35 Tz=79.40 Mx=-0.01 Mz=8.45
Sollecitazioni agenti localmente: Ty_l=-5399.16 My_l=-110.73
Tensioni nella sezione: σ=1342.18 τ=163.61
CC 40 SLU (Collegamento -041_-375)
Azioni sul collegamento: N=-30269.10 Ty=10.18 Tz=79.28 Mx=-0.00 Mz=8.08
Sollecitazioni agenti localmente: Ty_l=-5398.03 My_l=-110.70
Tensioni nella sezione: σ=1341.87 τ=163.58
CC 41 SLU (Collegamento -041_-375)
Azioni sul collegamento: N=-27459.80 Ty=-19.36 Tz=69.55 Mx=-0.00 Mz=-14.09
Sollecitazioni agenti localmente: Ty_l=-4811.82 My_l=-98.56
Tensioni nella sezione: σ=1194.71 τ=145.81
CC 42 SLU (Collegamento -041_-375)
Azioni sul collegamento: N=-28275.70 Ty=-20.11 Tz=72.57 Mx=-0.00 Mz=-14.65
Sollecitazioni agenti localmente: Ty_l=-4954.25 My_l=-101.48
Tensioni nella sezione: σ=1230.07 τ=150.13
CC 43 SLU (Collegamento -041_-375)
Azioni sul collegamento: N=-27866.90 Ty=-19.65 Tz=71.12 Mx=-0.01 Mz=-14.19
Sollecitazioni agenti localmente: Ty_l=-4883.60 My_l=-100.03
Tensioni nella sezione: σ=1212.54 τ=147.99
CC 44 SLU (Collegamento -041_-375)
Azioni sul collegamento: N=-27868.60 Ty=-19.82 Tz=71.00 Mx=-0.00 Mz=-14.55
Sollecitazioni agenti localmente: Ty_l=-4882.47 My_l=-100.01
Tensioni nella sezione: σ=1212.24 τ=147.95
CC 45 SLU (Collegamento -041_-375)
Azioni sul collegamento: N=-29479.00 Ty=-19.57 Tz=76.97 Mx=-0.00 Mz=-14.38
Sollecitazioni agenti localmente: Ty_l=-5168.63 My_l=-105.88
Tensioni nella sezione: σ=1283.36 τ=156.63
CC 46 SLU (Collegamento -041_-375)
Azioni sul collegamento: N=-30295.00 Ty=-20.33 Tz=79.99 Mx=-0.00 Mz=-14.94
Sollecitazioni agenti localmente: Ty_l=-5311.06 My_l=-108.79
Tensioni nella sezione: σ=1318.71 τ=160.94
CC 47 SLU (Collegamento -041_-375)
Azioni sul collegamento: N=-29886.10 Ty=-19.86 Tz=78.54 Mx=-0.00 Mz=-14.48
Sollecitazioni agenti localmente: Ty_l=-5240.41 My_l=-107.35
Tensioni nella sezione: σ=1301.19 τ=158.80

CC 48 SLU (Collegamento -041_-375)
Azioni sul collegamento: N=-29887.90 Ty=-20.04 Tz=78.42 Mx=-0.00 Mz=-14.84
Sollecitazioni agenti localmente: Ty_l=-5239.28 My_l=-107.32
Tensioni nella sezione: σ=1300.88 τ=158.77
CC 49 SLU (Collegamento -041_-375)
Azioni sul collegamento: N=-24404.80 Ty=3.50 Tz=57.94 Mx=-0.00 Mz=3.11
Sollecitazioni agenti localmente: Ty_l=-4338.69 My_l=-88.96
Tensioni nella sezione: σ=1078.31 τ=131.47
CC 50 SLU (Collegamento -041_-375)
Azioni sul collegamento: N=-25220.80 Ty=2.75 Tz=60.96 Mx=-0.00 Mz=2.55
Sollecitazioni agenti localmente: Ty_l=-4481.12 My_l=-91.88
Tensioni nella sezione: σ=1113.66 τ=135.79
CC 51 SLU (Collegamento -041_-375)
Azioni sul collegamento: N=-24811.90 Ty=3.21 Tz=59.51 Mx=-0.00 Mz=3.02
Sollecitazioni agenti localmente: Ty_l=-4410.48 My_l=-90.43
Tensioni nella sezione: σ=1096.14 τ=133.65
CC 52 SLU (Collegamento -041_-375)
Azioni sul collegamento: N=-24813.70 Ty=3.04 Tz=59.39 Mx=-0.00 Mz=2.65
Sollecitazioni agenti localmente: Ty_l=-4409.34 My_l=-90.41
Tensioni nella sezione: σ=1095.83 τ=133.62
CC 53 SLU (Collegamento -041_-375)
Azioni sul collegamento: N=-22608.90 Ty=-18.94 Tz=51.75 Mx=-0.00 Mz=-13.82
Sollecitazioni agenti localmente: Ty_l=-3952.98 My_l=-80.96
Tensioni nella sezione: σ=981.32 τ=119.79
CC 54 SLU (Collegamento -041_-375)
Azioni sul collegamento: N=-23424.90 Ty=-19.70 Tz=54.76 Mx=-0.00 Mz=-14.38
Sollecitazioni agenti localmente: Ty_l=-4095.41 My_l=-83.88
Tensioni nella sezione: σ=1016.68 τ=124.10
CC 55 SLU (Collegamento -041_-375)
Azioni sul collegamento: N=-23016.00 Ty=-19.23 Tz=53.31 Mx=-0.00 Mz=-13.92
Sollecitazioni agenti localmente: Ty_l=-4024.76 My_l=-82.43
Tensioni nella sezione: σ=999.15 τ=121.96
CC 56 SLU (Collegamento -041_-375)
Azioni sul collegamento: N=-23017.80 Ty=-19.41 Tz=53.20 Mx=-0.00 Mz=-14.28
Sollecitazioni agenti localmente: Ty_l=-4023.62 My_l=-82.40
Tensioni nella sezione: σ=998.85 τ=121.93
CC 57 SLU (Collegamento -041_-375)
Azioni sul collegamento: N=-30221.30 Ty=-20.56 Tz=79.74 Mx=-0.00 Mz=-15.10
Sollecitazioni agenti localmente: Ty_l=-5297.33 My_l=-108.51
Tensioni nella sezione: σ=1315.29 τ=160.53
CC 58 SLU (Collegamento -041_-375)
Azioni sul collegamento: N=-31037.20 Ty=-21.31 Tz=82.75 Mx=-0.00 Mz=-15.66
Sollecitazioni agenti localmente: Ty_l=-5439.76 My_l=-111.43
Tensioni nella sezione: σ=1350.64 τ=164.84
CC 59 SLU (Collegamento -041_-375)
Azioni sul collegamento: N=-30628.40 Ty=-20.85 Tz=81.31 Mx=-0.00 Mz=-15.20
Sollecitazioni agenti localmente: Ty_l=-5369.11 My_l=-109.98
Tensioni nella sezione: σ=1333.12 τ=162.70
CC 60 SLU (Collegamento -041_-375)
Azioni sul collegamento: N=-30630.10 Ty=-21.02 Tz=81.19 Mx=-0.00 Mz=-15.57
Sollecitazioni agenti localmente: Ty_l=-5367.97 My_l=-109.96
Tensioni nella sezione: σ=1332.81 τ=162.67
CC 61 SLU (Collegamento -041_-375)
Azioni sul collegamento: N=-25147.00 Ty=2.52 Tz=60.71 Mx=-0.00 Mz=2.39
Sollecitazioni agenti localmente: Ty_l=-4467.39 My_l=-91.59
Tensioni nella sezione: σ=1110.24 τ=135.38
CC 62 SLU (Collegamento -041_-375)
Azioni sul collegamento: N=-25963.00 Ty=1.76 Tz=63.73 Mx=-0.00 Mz=1.83
Sollecitazioni agenti localmente: Ty_l=-4609.82 My_l=-94.51
Tensioni nella sezione: σ=1145.59 τ=139.69
CC 63 SLU (Collegamento -041_-375)
Azioni sul collegamento: N=-25554.10 Ty=2.23 Tz=62.28 Mx=-0.00 Mz=2.29
Sollecitazioni agenti localmente: Ty_l=-4539.17 My_l=-93.07
Tensioni nella sezione: σ=1128.07 τ=137.55
CC 64 SLU (Collegamento -041_-375)
Azioni sul collegamento: N=-25555.90 Ty=2.05 Tz=62.16 Mx=-0.00 Mz=1.93
Sollecitazioni agenti localmente: Ty_l=-4538.03 My_l=-93.04
Tensioni nella sezione: σ=1127.76 τ=137.52
CC 65 SLU (Collegamento -041_-375)
Azioni sul collegamento: N=-23351.20 Ty=-19.92 Tz=54.52 Mx=-0.00 Mz=-14.54
Sollecitazioni agenti localmente: Ty_l=-4081.67 My_l=-83.59
Tensioni nella sezione: σ=1013.25 τ=123.69
CC 66 SLU (Collegamento -041_-375)
Azioni sul collegamento: N=-24167.10 Ty=-20.68 Tz=57.53 Mx=-0.00 Mz=-15.10
Sollecitazioni agenti localmente: Ty_l=-4224.10 My_l=-86.51
Tensioni nella sezione: σ=1048.61 τ=128.00
CC 67 SLU (Collegamento -041_-375)
Azioni sul collegamento: N=-23758.30 Ty=-20.21 Tz=56.08 Mx=-0.00 Mz=-14.64
Sollecitazioni agenti localmente: Ty_l=-4153.46 My_l=-85.06

Tensioni nella sezione: σ=1031.08 τ=125.86
CC 68 SLU (Collegamento -041_-375)
Azioni sul collegamento: N=-23760.00 Ty=-20.39 Tz=55.97 Mx=-0.00 Mz=-15.01
Sollecitazioni agenti localmente: Ty_l=-4152.32 My_l=-85.04
Tensioni nella sezione: σ=1030.78 τ=125.83
CC 97 SLU (Collegamento -041_-375)
Azioni sul collegamento: N=-31084.20 Ty=-25.01 Tz=90.82 Mx=0.05 Mz=-11.42
Sollecitazioni agenti localmente: Ty_l=-5464.97 My_l=-111.97
Tensioni nella sezione: σ=1357.19 τ=165.60
CC 98 SLU (Collegamento -041_-375)
Azioni sul collegamento: N=-31900.20 Ty=-25.76 Tz=93.83 Mx=0.05 Mz=-11.97
Sollecitazioni agenti localmente: Ty_l=-5607.41 My_l=-114.89
Tensioni nella sezione: σ=1392.55 τ=169.92
CC 99 SLU (Collegamento -041_-375)
Azioni sul collegamento: N=-31491.30 Ty=-25.30 Tz=92.39 Mx=0.05 Mz=-11.51
Sollecitazioni agenti localmente: Ty_l=-5536.76 My_l=-113.44
Tensioni nella sezione: σ=1375.02 τ=167.78
CC 100 SLU (Collegamento -041_-375)
Azioni sul collegamento: N=-31493.10 Ty=-25.48 Tz=92.27 Mx=0.05 Mz=-11.88
Sollecitazioni agenti localmente: Ty_l=-5535.62 My_l=-113.41
Tensioni nella sezione: σ=1374.72 τ=167.75
CC 101 SLU (Collegamento -041_-375)
Azioni sul collegamento: N=-8294.89 Ty=-5.21 Tz=7.37 Mx=-0.01 Mz=-4.43
Sollecitazioni agenti localmente: Ty_l=-1452.83 My_l=-29.76
Tensioni nella sezione: σ=360.71 τ=44.03
CC 102 SLU (Collegamento -041_-375)
Azioni sul collegamento: N=-9110.88 Ty=-5.97 Tz=10.39 Mx=-0.01 Mz=-4.99
Sollecitazioni agenti localmente: Ty_l=-1595.26 My_l=-32.68
Tensioni nella sezione: σ=396.06 τ=48.34
CC 103 SLU (Collegamento -041_-375)
Azioni sul collegamento: N=-8702.00 Ty=-5.50 Tz=8.94 Mx=-0.01 Mz=-4.53
Sollecitazioni agenti localmente: Ty_l=-1524.62 My_l=-31.23
Tensioni nella sezione: σ=378.54 τ=46.20
CC 104 SLU (Collegamento -041_-375)
Azioni sul collegamento: N=-8703.78 Ty=-5.68 Tz=8.82 Mx=-0.01 Mz=-4.89
Sollecitazioni agenti localmente: Ty_l=-1523.48 My_l=-31.20
Tensioni nella sezione: σ=378.23 τ=46.17

Flessione attacco sinistro piastra

Bnetta=220.00 Hnetta=15.00
CC 1 SLV (Collegamento -041_-375)
Azioni sul collegamento: N=-5965.50 Ty=-4.83 Tz=-1.56 Mx=0.01 Mz=-1.02
Sollecitazioni agenti localmente: Ty_l=-1061.58 My_l=-21.77
Tensioni nella sezione: σ=263.85 τ=32.17
CC 1 SLV (Collegamento -041_-375)
Azioni sul collegamento: N=-5965.50 Ty=-12.58 Tz=-1.56 Mx=0.01 Mz=-7.43
Sollecitazioni agenti localmente: Ty_l=-1087.06 My_l=-22.33
Tensioni nella sezione: σ=270.62 τ=32.94
CC 1 SLV (Collegamento -041_-375)
Azioni sul collegamento: N=-5965.50 Ty=-4.83 Tz=27.71 Mx=0.01 Mz=-1.02
Sollecitazioni agenti localmente: Ty_l=-1061.58 My_l=-21.77
Tensioni nella sezione: σ=263.85 τ=32.17
CC 1 SLV (Collegamento -041_-375)
Azioni sul collegamento: N=-5965.50 Ty=-12.58 Tz=27.71 Mx=0.01 Mz=-7.43
Sollecitazioni agenti localmente: Ty_l=-1087.06 My_l=-22.33
Tensioni nella sezione: σ=270.62 τ=32.94
CC 1 SLV (Collegamento -041_-375)
Azioni sul collegamento: N=-13808.10 Ty=-4.83 Tz=-1.56 Mx=0.01 Mz=-1.02
Sollecitazioni agenti localmente: Ty_l=-2451.86 My_l=-50.27
Tensioni nella sezione: σ=609.32 τ=74.30
CC 1 SLV (Collegamento -041_-375)
Azioni sul collegamento: N=-13808.10 Ty=-12.58 Tz=-1.56 Mx=0.01 Mz=-7.43
Sollecitazioni agenti localmente: Ty_l=-2477.34 My_l=-50.83
Tensioni nella sezione: σ=616.08 τ=75.07
CC 1 SLV (Collegamento -041_-375)
Azioni sul collegamento: N=-13808.10 Ty=-4.83 Tz=27.71 Mx=0.01 Mz=-1.02
Sollecitazioni agenti localmente: Ty_l=-2451.86 My_l=-50.27
Tensioni nella sezione: σ=609.32 τ=74.30
CC 1 SLV (Collegamento -041_-375)
Azioni sul collegamento: N=-13808.10 Ty=-12.58 Tz=27.71 Mx=0.01 Mz=-7.43
Sollecitazioni agenti localmente: Ty_l=-2477.34 My_l=-50.83
Tensioni nella sezione: σ=616.08 τ=75.07
CC 2 SLD (Collegamento -041_-375)
Azioni sul collegamento: N=-8788.68 Ty=-8.45 Tz=9.00 Mx=0.00 Mz=-5.38
Sollecitazioni agenti localmente: Ty_l=-1579.41 My_l=-32.41
Tensioni nella sezione: σ=392.82 τ=47.86
CC 2 SLD (Collegamento -041_-375)
Azioni sul collegamento: N=-8788.68 Ty=-10.81 Tz=9.00 Mx=0.00 Mz=-7.34

Sollecitazioni agenti localmente: Ty_l=-1587.18 My_l=-32.58
Tensioni nella sezione: σ=394.88 τ=48.10
CC 2 SLD (Collegamento -041_-375)
Azioni sul collegamento: N=-8788.68 Ty=-8.45 Tz=17.92 Mx=0.00 Mz=-5.38
Sollecitazioni agenti localmente: Ty_l=-1579.41 My_l=-32.41
Tensioni nella sezione: σ=392.82 τ=47.86
CC 2 SLD (Collegamento -041_-375)
Azioni sul collegamento: N=-8788.68 Ty=-10.81 Tz=17.92 Mx=0.00 Mz=-7.34
Sollecitazioni agenti localmente: Ty_l=-1587.18 My_l=-32.58
Tensioni nella sezione: σ=394.88 τ=48.10
CC 2 SLD (Collegamento -041_-375)
Azioni sul collegamento: N=-11180.10 Ty=-8.45 Tz=8.99 Mx=0.00 Mz=-5.38
Sollecitazioni agenti localmente: Ty_l=-2003.35 My_l=-41.10
Tensioni nella sezione: σ=498.17 τ=60.71
CC 2 SLD (Collegamento -041_-375)
Azioni sul collegamento: N=-11180.10 Ty=-10.81 Tz=8.99 Mx=0.00 Mz=-7.34
Sollecitazioni agenti localmente: Ty_l=-2011.12 My_l=-41.27
Tensioni nella sezione: σ=500.23 τ=60.94
CC 2 SLD (Collegamento -041_-375)
Azioni sul collegamento: N=-11180.10 Ty=-8.45 Tz=17.92 Mx=0.00 Mz=-5.38
Sollecitazioni agenti localmente: Ty_l=-2003.35 My_l=-41.10
Tensioni nella sezione: σ=498.17 τ=60.71
CC 2 SLD (Collegamento -041_-375)
Azioni sul collegamento: N=-11180.10 Ty=-10.81 Tz=17.92 Mx=0.00 Mz=-7.34
Sollecitazioni agenti localmente: Ty_l=-2011.12 My_l=-41.27
Tensioni nella sezione: σ=500.23 τ=60.94
CC 3 SLV (Collegamento -041_-375)
Azioni sul collegamento: N=-5970.40 Ty=-5.34 Tz=-1.24 Mx=0.01 Mz=-2.07
Sollecitazioni agenti localmente: Ty_l=-1066.61 My_l=-21.88
Tensioni nella sezione: σ=265.18 τ=32.32
CC 3 SLV (Collegamento -041_-375)
Azioni sul collegamento: N=-5970.40 Ty=-12.07 Tz=-1.24 Mx=0.01 Mz=-6.38
Sollecitazioni agenti localmente: Ty_l=-1083.76 My_l=-22.25
Tensioni nella sezione: σ=269.73 τ=32.84
CC 3 SLV (Collegamento -041_-375)
Azioni sul collegamento: N=-5970.40 Ty=-5.34 Tz=27.38 Mx=0.01 Mz=-2.07
Sollecitazioni agenti localmente: Ty_l=-1066.61 My_l=-21.88
Tensioni nella sezione: σ=265.18 τ=32.32
CC 3 SLV (Collegamento -041_-375)
Azioni sul collegamento: N=-5970.40 Ty=-12.07 Tz=27.38 Mx=0.01 Mz=-6.38
Sollecitazioni agenti localmente: Ty_l=-1083.76 My_l=-22.25
Tensioni nella sezione: σ=269.73 τ=32.84
CC 3 SLV (Collegamento -041_-375)
Azioni sul collegamento: N=-13803.30 Ty=-5.34 Tz=-1.24 Mx=0.01 Mz=-2.07
Sollecitazioni agenti localmente: Ty_l=-2455.16 My_l=-50.34
Tensioni nella sezione: σ=610.21 τ=74.40
CC 3 SLV (Collegamento -041_-375)
Azioni sul collegamento: N=-13803.30 Ty=-12.07 Tz=-1.24 Mx=0.01 Mz=-6.38
Sollecitazioni agenti localmente: Ty_l=-2472.31 My_l=-50.72
Tensioni nella sezione: σ=614.76 τ=74.92
CC 3 SLV (Collegamento -041_-375)
Azioni sul collegamento: N=-13803.30 Ty=-5.34 Tz=27.38 Mx=0.01 Mz=-2.07
Sollecitazioni agenti localmente: Ty_l=-2455.16 My_l=-50.34
Tensioni nella sezione: σ=610.21 τ=74.40
CC 3 SLV (Collegamento -041_-375)
Azioni sul collegamento: N=-13803.30 Ty=-12.07 Tz=27.38 Mx=0.01 Mz=-6.38
Sollecitazioni agenti localmente: Ty_l=-2472.31 My_l=-50.72
Tensioni nella sezione: σ=614.76 τ=74.92
CC 4 SLD (Collegamento -041_-375)
Azioni sul collegamento: N=-8790.17 Ty=-8.61 Tz=9.10 Mx=0.00 Mz=-5.70
Sollecitazioni agenti localmente: Ty_l=-1580.94 My_l=-32.44
Tensioni nella sezione: σ=393.23 τ=47.91
CC 4 SLD (Collegamento -041_-375)
Azioni sul collegamento: N=-8790.17 Ty=-10.66 Tz=9.10 Mx=0.00 Mz=-7.02
Sollecitazioni agenti localmente: Ty_l=-1586.17 My_l=-32.56
Tensioni nella sezione: σ=394.61 τ=48.07
CC 4 SLD (Collegamento -041_-375)
Azioni sul collegamento: N=-8790.17 Ty=-8.61 Tz=17.82 Mx=0.00 Mz=-5.70
Sollecitazioni agenti localmente: Ty_l=-1580.94 My_l=-32.44
Tensioni nella sezione: σ=393.23 τ=47.91
CC 4 SLD (Collegamento -041_-375)
Azioni sul collegamento: N=-8790.17 Ty=-10.66 Tz=17.82 Mx=0.00 Mz=-7.02
Sollecitazioni agenti localmente: Ty_l=-1586.17 My_l=-32.56
Tensioni nella sezione: σ=394.61 τ=48.07
CC 4 SLD (Collegamento -041_-375)
Azioni sul collegamento: N=-11178.70 Ty=-8.61 Tz=9.09 Mx=0.00 Mz=-5.70
Sollecitazioni agenti localmente: Ty_l=-2004.36 My_l=-41.12
Tensioni nella sezione: σ=498.44 τ=60.74
CC 4 SLD (Collegamento -041_-375)

Azioni sul collegamento: N=-11178.70 Ty=-10.66 Tz=9.09 Mx=0.00 Mz=-7.02
Sollecitazioni agenti localmente: Ty_l=-2009.59 My_l=-41.24
Tensioni nella sezione: σ=499.82 τ=60.90
CC 4 SLD (Collegamento -041_-375)
Azioni sul collegamento: N=-11178.70 Ty=-8.61 Tz=17.82 Mx=0.00 Mz=-5.70
Sollecitazioni agenti localmente: Ty_l=-2004.36 My_l=-41.12
Tensioni nella sezione: σ=498.44 τ=60.74
CC 4 SLD (Collegamento -041_-375)
Azioni sul collegamento: N=-11178.70 Ty=-10.66 Tz=17.82 Mx=0.00 Mz=-7.02
Sollecitazioni agenti localmente: Ty_l=-2009.59 My_l=-41.24
Tensioni nella sezione: σ=499.82 τ=60.90
CC 5 SLV (Collegamento -041_-375)
Azioni sul collegamento: N=-13803.30 Ty=-12.07 Tz=27.38 Mx=0.01 Mz=-6.38
Sollecitazioni agenti localmente: Ty_l=-2472.31 My_l=-50.72
Tensioni nella sezione: σ=614.76 τ=74.92
CC 5 SLV (Collegamento -041_-375)
Azioni sul collegamento: N=-13803.30 Ty=-5.34 Tz=27.38 Mx=0.01 Mz=-2.07
Sollecitazioni agenti localmente: Ty_l=-2455.16 My_l=-50.34
Tensioni nella sezione: σ=610.21 τ=74.40
CC 5 SLV (Collegamento -041_-375)
Azioni sul collegamento: N=-13803.30 Ty=-12.07 Tz=-1.24 Mx=0.01 Mz=-6.38
Sollecitazioni agenti localmente: Ty_l=-2472.31 My_l=-50.72
Tensioni nella sezione: σ=614.76 τ=74.92
CC 5 SLV (Collegamento -041_-375)
Azioni sul collegamento: N=-13803.30 Ty=-5.34 Tz=-1.24 Mx=0.01 Mz=-2.07
Sollecitazioni agenti localmente: Ty_l=-2455.16 My_l=-50.34
Tensioni nella sezione: σ=610.21 τ=74.40
CC 5 SLV (Collegamento -041_-375)
Azioni sul collegamento: N=-5970.40 Ty=-12.07 Tz=27.38 Mx=0.01 Mz=-6.38
Sollecitazioni agenti localmente: Ty_l=-1083.76 My_l=-22.25
Tensioni nella sezione: σ=269.73 τ=32.84
CC 5 SLV (Collegamento -041_-375)
Azioni sul collegamento: N=-5970.40 Ty=-5.34 Tz=27.38 Mx=0.01 Mz=-2.07
Sollecitazioni agenti localmente: Ty_l=-1066.61 My_l=-21.88
Tensioni nella sezione: σ=265.18 τ=32.32
CC 5 SLV (Collegamento -041_-375)
Azioni sul collegamento: N=-5970.40 Ty=-12.07 Tz=-1.24 Mx=0.01 Mz=-6.38
Sollecitazioni agenti localmente: Ty_l=-1083.76 My_l=-22.25
Tensioni nella sezione: σ=269.73 τ=32.84
CC 5 SLV (Collegamento -041_-375)
Azioni sul collegamento: N=-5970.40 Ty=-5.34 Tz=-1.24 Mx=0.01 Mz=-2.07
Sollecitazioni agenti localmente: Ty_l=-1066.61 My_l=-21.88
Tensioni nella sezione: σ=265.18 τ=32.32
CC 6 SLD (Collegamento -041_-375)
Azioni sul collegamento: N=-11178.70 Ty=-10.66 Tz=17.82 Mx=0.00 Mz=-7.02
Sollecitazioni agenti localmente: Ty_l=-2009.59 My_l=-41.24
Tensioni nella sezione: σ=499.82 τ=60.90
CC 6 SLD (Collegamento -041_-375)
Azioni sul collegamento: N=-11178.70 Ty=-8.61 Tz=17.82 Mx=0.00 Mz=-5.70
Sollecitazioni agenti localmente: Ty_l=-2004.36 My_l=-41.12
Tensioni nella sezione: σ=498.44 τ=60.74
CC 6 SLD (Collegamento -041_-375)
Azioni sul collegamento: N=-11178.70 Ty=-10.66 Tz=9.09 Mx=0.00 Mz=-7.02
Sollecitazioni agenti localmente: Ty_l=-2009.59 My_l=-41.24
Tensioni nella sezione: σ=499.82 τ=60.90
CC 6 SLD (Collegamento -041_-375)
Azioni sul collegamento: N=-11178.70 Ty=-8.61 Tz=9.09 Mx=0.00 Mz=-5.70
Sollecitazioni agenti localmente: Ty_l=-2004.36 My_l=-41.12
Tensioni nella sezione: σ=498.44 τ=60.74
CC 6 SLD (Collegamento -041_-375)
Azioni sul collegamento: N=-8790.17 Ty=-10.66 Tz=17.82 Mx=0.00 Mz=-7.02
Sollecitazioni agenti localmente: Ty_l=-1586.17 My_l=-32.56
Tensioni nella sezione: σ=394.61 τ=48.07
CC 6 SLD (Collegamento -041_-375)
Azioni sul collegamento: N=-8790.17 Ty=-8.61 Tz=17.82 Mx=0.00 Mz=-5.70
Sollecitazioni agenti localmente: Ty_l=-1580.94 My_l=-32.44
Tensioni nella sezione: σ=393.23 τ=47.91
CC 6 SLD (Collegamento -041_-375)
Azioni sul collegamento: N=-8790.17 Ty=-10.66 Tz=9.10 Mx=0.00 Mz=-7.02
Sollecitazioni agenti localmente: Ty_l=-1586.17 My_l=-32.56
Tensioni nella sezione: σ=394.61 τ=48.07
CC 6 SLD (Collegamento -041_-375)
Azioni sul collegamento: N=-8790.17 Ty=-8.61 Tz=9.10 Mx=0.00 Mz=-5.70
Sollecitazioni agenti localmente: Ty_l=-1580.94 My_l=-32.44
Tensioni nella sezione: σ=393.23 τ=47.91
CC 7 SLV (Collegamento -041_-375)
Azioni sul collegamento: N=-13808.10 Ty=-12.58 Tz=27.71 Mx=0.01 Mz=-7.43
Sollecitazioni agenti localmente: Ty_l=-2477.34 My_l=-50.83
Tensioni nella sezione: σ=616.08 τ=75.07

CC 7 SLV (Collegamento -041_-375)
Azioni sul collegamento: N=-13808.10 Ty=-4.83 Tz=27.71 Mx=0.01 Mz=-1.02
Sollecitazioni agenti localmente: Ty_l=-2451.86 My_l=-50.27
Tensioni nella sezione: σ=609.32 τ=74.30
CC 7 SLV (Collegamento -041_-375)
Azioni sul collegamento: N=-13808.10 Ty=-12.58 Tz=-1.56 Mx=0.01 Mz=-7.43
Sollecitazioni agenti localmente: Ty_l=-2477.34 My_l=-50.83
Tensioni nella sezione: σ=616.08 τ=75.07
CC 7 SLV (Collegamento -041_-375)
Azioni sul collegamento: N=-13808.10 Ty=-4.83 Tz=-1.56 Mx=0.01 Mz=-1.02
Sollecitazioni agenti localmente: Ty_l=-2451.86 My_l=-50.27
Tensioni nella sezione: σ=609.32 τ=74.30
CC 7 SLV (Collegamento -041_-375)
Azioni sul collegamento: N=-5965.50 Ty=-12.58 Tz=27.71 Mx=0.01 Mz=-7.43
Sollecitazioni agenti localmente: Ty_l=-1087.06 My_l=-22.33
Tensioni nella sezione: σ=270.62 τ=32.94
CC 7 SLV (Collegamento -041_-375)
Azioni sul collegamento: N=-5965.50 Ty=-4.83 Tz=27.71 Mx=0.01 Mz=-1.02
Sollecitazioni agenti localmente: Ty_l=-1061.58 My_l=-21.77
Tensioni nella sezione: σ=263.85 τ=32.17
CC 7 SLV (Collegamento -041_-375)
Azioni sul collegamento: N=-5965.50 Ty=-12.58 Tz=-1.56 Mx=0.01 Mz=-7.43
Sollecitazioni agenti localmente: Ty_l=-1087.06 My_l=-22.33
Tensioni nella sezione: σ=270.62 τ=32.94
CC 7 SLV (Collegamento -041_-375)
Azioni sul collegamento: N=-5965.50 Ty=-4.83 Tz=-1.56 Mx=0.01 Mz=-1.02
Sollecitazioni agenti localmente: Ty_l=-1061.58 My_l=-21.77
Tensioni nella sezione: σ=263.85 τ=32.17
CC 8 SLD (Collegamento -041_-375)
Azioni sul collegamento: N=-11180.10 Ty=-10.81 Tz=17.92 Mx=0.00 Mz=-7.34
Sollecitazioni agenti localmente: Ty_l=-2011.12 My_l=-41.27
Tensioni nella sezione: σ=500.23 τ=60.94
CC 8 SLD (Collegamento -041_-375)
Azioni sul collegamento: N=-11180.10 Ty=-8.45 Tz=17.92 Mx=0.00 Mz=-5.38
Sollecitazioni agenti localmente: Ty_l=-2003.35 My_l=-41.10
Tensioni nella sezione: σ=498.17 τ=60.71
CC 8 SLD (Collegamento -041_-375)
Azioni sul collegamento: N=-11180.10 Ty=-10.81 Tz=8.99 Mx=0.00 Mz=-7.34
Sollecitazioni agenti localmente: Ty_l=-2011.12 My_l=-41.27
Tensioni nella sezione: σ=500.23 τ=60.94
CC 8 SLD (Collegamento -041_-375)
Azioni sul collegamento: N=-11180.10 Ty=-8.45 Tz=8.99 Mx=0.00 Mz=-5.38
Sollecitazioni agenti localmente: Ty_l=-2003.35 My_l=-41.10
Tensioni nella sezione: σ=498.17 τ=60.71
CC 8 SLD (Collegamento -041_-375)
Azioni sul collegamento: N=-8788.68 Ty=-10.81 Tz=17.92 Mx=0.00 Mz=-7.34
Sollecitazioni agenti localmente: Ty_l=-1587.18 My_l=-32.58
Tensioni nella sezione: σ=394.88 τ=48.10
CC 8 SLD (Collegamento -041_-375)
Azioni sul collegamento: N=-8788.68 Ty=-8.45 Tz=17.92 Mx=0.00 Mz=-5.38
Sollecitazioni agenti localmente: Ty_l=-1579.41 My_l=-32.41
Tensioni nella sezione: σ=392.82 τ=47.86
CC 8 SLD (Collegamento -041_-375)
Azioni sul collegamento: N=-8788.68 Ty=-10.81 Tz=9.00 Mx=0.00 Mz=-7.34
Sollecitazioni agenti localmente: Ty_l=-1587.18 My_l=-32.58
Tensioni nella sezione: σ=394.88 τ=48.10
CC 8 SLD (Collegamento -041_-375)
Azioni sul collegamento: N=-8788.68 Ty=-8.45 Tz=9.00 Mx=0.00 Mz=-5.38
Sollecitazioni agenti localmente: Ty_l=-1579.41 My_l=-32.41
Tensioni nella sezione: σ=392.82 τ=47.86
CC 9 SLV (Collegamento -041_-375)
Azioni sul collegamento: N=-8703.00 Ty=-6.76 Tz=8.19 Mx=0.02 Mz=-1.67
Sollecitazioni agenti localmente: Ty_l=-1549.46 My_l=-31.77
Tensioni nella sezione: σ=385.13 τ=46.95
CC 9 SLV (Collegamento -041_-375)
Azioni sul collegamento: N=-8703.00 Ty=-10.65 Tz=8.19 Mx=0.02 Mz=-6.77
Sollecitazioni agenti localmente: Ty_l=-1569.74 My_l=-32.22
Tensioni nella sezione: σ=390.51 τ=47.57
CC 9 SLV (Collegamento -041_-375)
Azioni sul collegamento: N=-8703.00 Ty=-6.76 Tz=17.96 Mx=0.02 Mz=-1.67
Sollecitazioni agenti localmente: Ty_l=-1549.46 My_l=-31.77
Tensioni nella sezione: σ=385.13 τ=46.95
CC 9 SLV (Collegamento -041_-375)
Azioni sul collegamento: N=-8703.00 Ty=-10.65 Tz=17.96 Mx=0.02 Mz=-6.77
Sollecitazioni agenti localmente: Ty_l=-1569.74 My_l=-32.22
Tensioni nella sezione: σ=390.51 τ=47.57
CC 9 SLV (Collegamento -041_-375)
Azioni sul collegamento: N=-11070.70 Ty=-6.76 Tz=8.19 Mx=0.02 Mz=-1.67
Sollecitazioni agenti localmente: Ty_l=-1969.18 My_l=-40.38

Tensioni nella sezione: σ=489.42 τ=59.67
CC 9 SLV (Collegamento -041_-375)
Azioni sul collegamento: N=-11070.70 Ty=-10.65 Tz=8.19 Mx=0.02 Mz=-6.77
Sollecitazioni agenti localmente: Ty_l=-1989.46 My_l=-40.82
Tensioni nella sezione: σ=494.81 τ=60.29
CC 9 SLV (Collegamento -041_-375)
Azioni sul collegamento: N=-11070.70 Ty=-6.76 Tz=17.96 Mx=0.02 Mz=-1.67
Sollecitazioni agenti localmente: Ty_l=-1969.18 My_l=-40.38
Tensioni nella sezione: σ=489.42 τ=59.67
CC 9 SLV (Collegamento -041_-375)
Azioni sul collegamento: N=-11070.70 Ty=-10.65 Tz=17.96 Mx=0.02 Mz=-6.77
Sollecitazioni agenti localmente: Ty_l=-1989.46 My_l=-40.82
Tensioni nella sezione: σ=494.81 τ=60.29
CC 10 SLD (Collegamento -041_-375)
Azioni sul collegamento: N=-9623.43 Ty=-9.04 Tz=11.97 Mx=0.00 Mz=-5.58
Sollecitazioni agenti localmente: Ty_l=-1728.18 My_l=-35.46
Tensioni nella sezione: σ=429.80 τ=52.37
CC 10 SLD (Collegamento -041_-375)
Azioni sul collegamento: N=-9623.43 Ty=-10.22 Tz=11.97 Mx=0.00 Mz=-7.14
Sollecitazioni agenti localmente: Ty_l=-1734.36 My_l=-35.59
Tensioni nella sezione: σ=431.44 τ=52.56
CC 10 SLD (Collegamento -041_-375)
Azioni sul collegamento: N=-9623.43 Ty=-9.04 Tz=14.95 Mx=0.00 Mz=-5.58
Sollecitazioni agenti localmente: Ty_l=-1728.18 My_l=-35.46
Tensioni nella sezione: σ=429.80 τ=52.37
CC 10 SLD (Collegamento -041_-375)
Azioni sul collegamento: N=-9623.43 Ty=-10.22 Tz=14.95 Mx=0.00 Mz=-7.14
Sollecitazioni agenti localmente: Ty_l=-1734.36 My_l=-35.59
Tensioni nella sezione: σ=431.44 τ=52.56
CC 10 SLD (Collegamento -041_-375)
Azioni sul collegamento: N=-10345.40 Ty=-9.04 Tz=11.97 Mx=0.00 Mz=-5.58
Sollecitazioni agenti localmente: Ty_l=-1856.17 My_l=-38.08
Tensioni nella sezione: σ=461.61 τ=56.25
CC 10 SLD (Collegamento -041_-375)
Azioni sul collegamento: N=-10345.40 Ty=-10.22 Tz=11.97 Mx=0.00 Mz=-7.14
Sollecitazioni agenti localmente: Ty_l=-1862.35 My_l=-38.22
Tensioni nella sezione: σ=463.25 τ=56.43
CC 10 SLD (Collegamento -041_-375)
Azioni sul collegamento: N=-10345.40 Ty=-9.04 Tz=14.95 Mx=0.00 Mz=-5.58
Sollecitazioni agenti localmente: Ty_l=-1856.17 My_l=-38.08
Tensioni nella sezione: σ=461.61 τ=56.25
CC 10 SLD (Collegamento -041_-375)
Azioni sul collegamento: N=-10345.40 Ty=-10.22 Tz=14.95 Mx=0.00 Mz=-7.14
Sollecitazioni agenti localmente: Ty_l=-1862.35 My_l=-38.22
Tensioni nella sezione: σ=463.25 τ=56.43
CC 11 SLV (Collegamento -041_-375)
Azioni sul collegamento: N=-11054.30 Ty=-8.94 Tz=16.87 Mx=0.02 Mz=-3.28
Sollecitazioni agenti localmente: Ty_l=-1972.68 My_l=-40.46
Tensioni nella sezione: σ=490.40 τ=59.78
CC 11 SLV (Collegamento -041_-375)
Azioni sul collegamento: N=-11054.30 Ty=-8.48 Tz=16.87 Mx=0.02 Mz=-5.16
Sollecitazioni agenti localmente: Ty_l=-1980.17 My_l=-40.62
Tensioni nella sezione: σ=492.39 τ=60.01
CC 11 SLV (Collegamento -041_-375)
Azioni sul collegamento: N=-11054.30 Ty=-8.94 Tz=9.28 Mx=0.02 Mz=-3.28
Sollecitazioni agenti localmente: Ty_l=-1972.68 My_l=-40.46
Tensioni nella sezione: σ=490.40 τ=59.78
CC 11 SLV (Collegamento -041_-375)
Azioni sul collegamento: N=-11054.30 Ty=-8.48 Tz=9.28 Mx=0.02 Mz=-5.16
Sollecitazioni agenti localmente: Ty_l=-1980.17 My_l=-40.62
Tensioni nella sezione: σ=492.39 τ=60.01
CC 11 SLV (Collegamento -041_-375)
Azioni sul collegamento: N=-8719.33 Ty=-8.94 Tz=16.87 Mx=0.02 Mz=-3.28
Sollecitazioni agenti localmente: Ty_l=-1558.75 My_l=-31.97
Tensioni nella sezione: σ=387.55 τ=47.23
CC 11 SLV (Collegamento -041_-375)
Azioni sul collegamento: N=-8719.33 Ty=-8.48 Tz=16.87 Mx=0.02 Mz=-5.16
Sollecitazioni agenti localmente: Ty_l=-1566.24 My_l=-32.14
Tensioni nella sezione: σ=389.54 τ=47.46
CC 11 SLV (Collegamento -041_-375)
Azioni sul collegamento: N=-8719.33 Ty=-8.94 Tz=9.28 Mx=0.02 Mz=-3.28
Sollecitazioni agenti localmente: Ty_l=-1558.75 My_l=-31.97
Tensioni nella sezione: σ=387.55 τ=47.23
CC 11 SLV (Collegamento -041_-375)
Azioni sul collegamento: N=-8719.33 Ty=-8.48 Tz=9.28 Mx=0.02 Mz=-5.16
Sollecitazioni agenti localmente: Ty_l=-1566.24 My_l=-32.14
Tensioni nella sezione: σ=389.54 τ=47.46
CC 12 SLD (Collegamento -041_-375)
Azioni sul collegamento: N=-10340.40 Ty=-9.70 Tz=14.62 Mx=0.00 Mz=-6.07

Sollecitazioni agenti localmente: Ty_l=-1857.23 My_l=-38.11
Tensioni nella sezione: σ=461.90 τ=56.28
CC 12 SLD (Collegamento -041_-375)
Azioni sul collegamento: N=-10340.40 Ty=-9.56 Tz=14.62 Mx=0.00 Mz=-6.65
Sollecitazioni agenti localmente: Ty_l=-1859.52 My_l=-38.16
Tensioni nella sezione: σ=462.51 τ=56.35
CC 12 SLD (Collegamento -041_-375)
Azioni sul collegamento: N=-10340.40 Ty=-9.70 Tz=12.30 Mx=0.00 Mz=-6.07
Sollecitazioni agenti localmente: Ty_l=-1857.23 My_l=-38.11
Tensioni nella sezione: σ=461.90 τ=56.28
CC 12 SLD (Collegamento -041_-375)
Azioni sul collegamento: N=-10340.40 Ty=-9.56 Tz=12.30 Mx=0.00 Mz=-6.65
Sollecitazioni agenti localmente: Ty_l=-1859.52 My_l=-38.16
Tensioni nella sezione: σ=462.51 τ=56.35
CC 12 SLD (Collegamento -041_-375)
Azioni sul collegamento: N=-9628.41 Ty=-9.70 Tz=14.62 Mx=0.00 Mz=-6.07
Sollecitazioni agenti localmente: Ty_l=-1731.01 My_l=-35.52
Tensioni nella sezione: σ=430.54 τ=52.45
CC 12 SLD (Collegamento -041_-375)
Azioni sul collegamento: N=-9628.41 Ty=-9.56 Tz=14.62 Mx=0.00 Mz=-6.65
Sollecitazioni agenti localmente: Ty_l=-1733.30 My_l=-35.57
Tensioni nella sezione: σ=431.15 τ=52.52
CC 12 SLD (Collegamento -041_-375)
Azioni sul collegamento: N=-9628.40 Ty=-9.70 Tz=12.30 Mx=0.00 Mz=-6.07
Sollecitazioni agenti localmente: Ty_l=-1731.01 My_l=-35.52
Tensioni nella sezione: σ=430.54 τ=52.45
CC 12 SLD (Collegamento -041_-375)
Azioni sul collegamento: N=-9628.40 Ty=-9.56 Tz=12.30 Mx=0.00 Mz=-6.65
Sollecitazioni agenti localmente: Ty_l=-1733.30 My_l=-35.57
Tensioni nella sezione: σ=431.15 τ=52.52
CC 13 SLV (Collegamento -041_-375)
Azioni sul collegamento: N=-8719.33 Ty=-8.48 Tz=9.28 Mx=0.00 Mz=-5.16
Sollecitazioni agenti localmente: Ty_l=-1566.24 My_l=-32.14
Tensioni nella sezione: σ=389.54 τ=47.46
CC 13 SLV (Collegamento -041_-375)
Azioni sul collegamento: N=-8719.33 Ty=-8.94 Tz=9.28 Mx=0.00 Mz=-3.28
Sollecitazioni agenti localmente: Ty_l=-1558.75 My_l=-31.97
Tensioni nella sezione: σ=387.55 τ=47.23
CC 13 SLV (Collegamento -041_-375)
Azioni sul collegamento: N=-8719.33 Ty=-8.48 Tz=16.87 Mx=0.00 Mz=-5.16
Sollecitazioni agenti localmente: Ty_l=-1566.24 My_l=-32.14
Tensioni nella sezione: σ=389.54 τ=47.46
CC 13 SLV (Collegamento -041_-375)
Azioni sul collegamento: N=-8719.33 Ty=-8.94 Tz=16.87 Mx=0.00 Mz=-3.28
Sollecitazioni agenti localmente: Ty_l=-1558.75 My_l=-31.97
Tensioni nella sezione: σ=387.55 τ=47.23
CC 13 SLV (Collegamento -041_-375)
Azioni sul collegamento: N=-11054.30 Ty=-8.48 Tz=9.28 Mx=0.00 Mz=-5.16
Sollecitazioni agenti localmente: Ty_l=-1980.17 My_l=-40.62
Tensioni nella sezione: σ=492.39 τ=60.01
CC 13 SLV (Collegamento -041_-375)
Azioni sul collegamento: N=-11054.30 Ty=-8.94 Tz=9.28 Mx=0.00 Mz=-3.28
Sollecitazioni agenti localmente: Ty_l=-1972.68 My_l=-40.46
Tensioni nella sezione: σ=490.40 τ=59.78
CC 13 SLV (Collegamento -041_-375)
Azioni sul collegamento: N=-11054.30 Ty=-8.48 Tz=16.87 Mx=0.00 Mz=-5.16
Sollecitazioni agenti localmente: Ty_l=-1980.17 My_l=-40.62
Tensioni nella sezione: σ=492.39 τ=60.01
CC 13 SLV (Collegamento -041_-375)
Azioni sul collegamento: N=-11054.30 Ty=-8.94 Tz=16.87 Mx=0.00 Mz=-3.28
Sollecitazioni agenti localmente: Ty_l=-1972.68 My_l=-40.46
Tensioni nella sezione: σ=490.40 τ=59.78
CC 14 SLD (Collegamento -041_-375)
Azioni sul collegamento: N=-9628.40 Ty=-9.56 Tz=12.30 Mx=-0.00 Mz=-6.65
Sollecitazioni agenti localmente: Ty_l=-1733.30 My_l=-35.57
Tensioni nella sezione: σ=431.15 τ=52.52
CC 14 SLD (Collegamento -041_-375)
Azioni sul collegamento: N=-9628.40 Ty=-9.70 Tz=12.30 Mx=-0.00 Mz=-6.07
Sollecitazioni agenti localmente: Ty_l=-1731.01 My_l=-35.52
Tensioni nella sezione: σ=430.54 τ=52.45
CC 14 SLD (Collegamento -041_-375)
Azioni sul collegamento: N=-9628.41 Ty=-9.56 Tz=14.62 Mx=-0.00 Mz=-6.65
Sollecitazioni agenti localmente: Ty_l=-1733.30 My_l=-35.57
Tensioni nella sezione: σ=431.15 τ=52.52
CC 14 SLD (Collegamento -041_-375)
Azioni sul collegamento: N=-9628.41 Ty=-9.70 Tz=14.62 Mx=-0.00 Mz=-6.07
Sollecitazioni agenti localmente: Ty_l=-1731.01 My_l=-35.52
Tensioni nella sezione: σ=430.54 τ=52.45
CC 14 SLD (Collegamento -041_-375)

Azioni sul collegamento: N=-10340.40 Ty=-9.56 Tz=12.30 Mx=-0.00 Mz=-6.65
Sollecitazioni agenti localmente: Ty_l=-1859.52 My_l=-38.16
Tensioni nella sezione: σ=462.51 τ=56.35
CC 14 SLD (Collegamento -041_-375)
Azioni sul collegamento: N=-10340.40 Ty=-9.70 Tz=12.30 Mx=-0.00 Mz=-6.07
Sollecitazioni agenti localmente: Ty_l=-1857.23 My_l=-38.11
Tensioni nella sezione: σ=461.90 τ=56.28
CC 14 SLD (Collegamento -041_-375)
Azioni sul collegamento: N=-10340.40 Ty=-9.56 Tz=14.62 Mx=-0.00 Mz=-6.65
Sollecitazioni agenti localmente: Ty_l=-1859.52 My_l=-38.16
Tensioni nella sezione: σ=462.51 τ=56.35
CC 14 SLD (Collegamento -041_-375)
Azioni sul collegamento: N=-10340.40 Ty=-9.70 Tz=14.62 Mx=-0.00 Mz=-6.07
Sollecitazioni agenti localmente: Ty_l=-1857.23 My_l=-38.11
Tensioni nella sezione: σ=461.90 τ=56.28
CC 15 SLV (Collegamento -041_-375)
Azioni sul collegamento: N=-11070.70 Ty=-10.65 Tz=17.96 Mx=0.00 Mz=-6.77
Sollecitazioni agenti localmente: Ty_l=-1989.46 My_l=-40.82
Tensioni nella sezione: σ=494.81 τ=60.29
CC 15 SLV (Collegamento -041_-375)
Azioni sul collegamento: N=-11070.70 Ty=-6.76 Tz=17.96 Mx=0.00 Mz=-1.67
Sollecitazioni agenti localmente: Ty_l=-1969.18 My_l=-40.38
Tensioni nella sezione: σ=489.42 τ=59.67
CC 15 SLV (Collegamento -041_-375)
Azioni sul collegamento: N=-11070.70 Ty=-10.65 Tz=8.19 Mx=0.00 Mz=-6.77
Sollecitazioni agenti localmente: Ty_l=-1989.46 My_l=-40.82
Tensioni nella sezione: σ=494.81 τ=60.29
CC 15 SLV (Collegamento -041_-375)
Azioni sul collegamento: N=-11070.70 Ty=-6.76 Tz=8.19 Mx=0.00 Mz=-1.67
Sollecitazioni agenti localmente: Ty_l=-1969.18 My_l=-40.38
Tensioni nella sezione: σ=489.42 τ=59.67
CC 15 SLV (Collegamento -041_-375)
Azioni sul collegamento: N=-8703.00 Ty=-10.65 Tz=17.96 Mx=0.00 Mz=-6.77
Sollecitazioni agenti localmente: Ty_l=-1569.74 My_l=-32.22
Tensioni nella sezione: σ=390.51 τ=47.57
CC 15 SLV (Collegamento -041_-375)
Azioni sul collegamento: N=-8703.00 Ty=-6.76 Tz=17.96 Mx=0.00 Mz=-1.67
Sollecitazioni agenti localmente: Ty_l=-1549.46 My_l=-31.77
Tensioni nella sezione: σ=385.13 τ=46.95
CC 15 SLV (Collegamento -041_-375)
Azioni sul collegamento: N=-8703.00 Ty=-10.65 Tz=8.19 Mx=0.00 Mz=-6.77
Sollecitazioni agenti localmente: Ty_l=-1569.74 My_l=-32.22
Tensioni nella sezione: σ=390.51 τ=47.57
CC 15 SLV (Collegamento -041_-375)
Azioni sul collegamento: N=-8703.00 Ty=-6.76 Tz=8.19 Mx=0.00 Mz=-1.67
Sollecitazioni agenti localmente: Ty_l=-1549.46 My_l=-31.77
Tensioni nella sezione: σ=385.13 τ=46.95
CC 16 SLD (Collegamento -041_-375)
Azioni sul collegamento: N=-10345.40 Ty=-10.22 Tz=14.95 Mx=-0.00 Mz=-7.14
Sollecitazioni agenti localmente: Ty_l=-1862.35 My_l=-38.22
Tensioni nella sezione: σ=463.25 τ=56.43
CC 16 SLD (Collegamento -041_-375)
Azioni sul collegamento: N=-10345.40 Ty=-9.04 Tz=14.95 Mx=-0.00 Mz=-5.58
Sollecitazioni agenti localmente: Ty_l=-1856.17 My_l=-38.08
Tensioni nella sezione: σ=461.61 τ=56.25
CC 16 SLD (Collegamento -041_-375)
Azioni sul collegamento: N=-10345.40 Ty=-10.22 Tz=11.97 Mx=-0.00 Mz=-7.14
Sollecitazioni agenti localmente: Ty_l=-1862.35 My_l=-38.22
Tensioni nella sezione: σ=463.25 τ=56.43
CC 16 SLD (Collegamento -041_-375)
Azioni sul collegamento: N=-10345.40 Ty=-9.04 Tz=11.97 Mx=-0.00 Mz=-5.58
Sollecitazioni agenti localmente: Ty_l=-1856.17 My_l=-38.08
Tensioni nella sezione: σ=461.61 τ=56.25
CC 16 SLD (Collegamento -041_-375)
Azioni sul collegamento: N=-9623.43 Ty=-10.22 Tz=14.95 Mx=-0.00 Mz=-7.14
Sollecitazioni agenti localmente: Ty_l=-1734.36 My_l=-35.59
Tensioni nella sezione: σ=431.44 τ=52.56
CC 16 SLD (Collegamento -041_-375)
Azioni sul collegamento: N=-9623.43 Ty=-9.04 Tz=14.95 Mx=-0.00 Mz=-5.58
Sollecitazioni agenti localmente: Ty_l=-1728.18 My_l=-35.46
Tensioni nella sezione: σ=429.80 τ=52.37
CC 16 SLD (Collegamento -041_-375)
Azioni sul collegamento: N=-9623.43 Ty=-10.22 Tz=11.97 Mx=-0.00 Mz=-7.14
Sollecitazioni agenti localmente: Ty_l=-1734.36 My_l=-35.59
Tensioni nella sezione: σ=431.44 τ=52.56
CC 16 SLD (Collegamento -041_-375)
Azioni sul collegamento: N=-9623.43 Ty=-9.04 Tz=11.97 Mx=-0.00 Mz=-5.58
Sollecitazioni agenti localmente: Ty_l=-1728.18 My_l=-35.46
Tensioni nella sezione: σ=429.80 τ=52.37

CC 17 SLV (Collegamento -041_-375)
Azioni sul collegamento: N=-6246.30 Ty=-7.49 Tz=-0.46 Mx=-0.02 Mz=-7.17
Sollecitazioni agenti localmente: Ty_l=-1135.83 My_l=-23.32
Tensioni nella sezione: σ=282.72 τ=34.42
CC 17 SLV (Collegamento -041_-375)
Azioni sul collegamento: N=-6246.30 Ty=-15.25 Tz=-0.46 Mx=-0.02 Mz=-13.58
Sollecitazioni agenti localmente: Ty_l=-1161.31 My_l=-23.88
Tensioni nella sezione: σ=289.48 τ=35.19
CC 17 SLV (Collegamento -041_-375)
Azioni sul collegamento: N=-6246.30 Ty=-7.49 Tz=28.82 Mx=-0.02 Mz=-7.17
Sollecitazioni agenti localmente: Ty_l=-1135.83 My_l=-23.32
Tensioni nella sezione: σ=282.72 τ=34.42
CC 17 SLV (Collegamento -041_-375)
Azioni sul collegamento: N=-6246.30 Ty=-15.25 Tz=28.82 Mx=-0.02 Mz=-13.58
Sollecitazioni agenti localmente: Ty_l=-1161.31 My_l=-23.88
Tensioni nella sezione: σ=289.48 τ=35.19
CC 17 SLV (Collegamento -041_-375)
Azioni sul collegamento: N=-14088.90 Ty=-7.49 Tz=-0.46 Mx=-0.02 Mz=-7.17
Sollecitazioni agenti localmente: Ty_l=-2526.11 My_l=-51.83
Tensioni nella sezione: σ=628.18 τ=76.55
CC 17 SLV (Collegamento -041_-375)
Azioni sul collegamento: N=-14088.90 Ty=-15.25 Tz=-0.46 Mx=-0.02 Mz=-13.58
Sollecitazioni agenti localmente: Ty_l=-2551.60 My_l=-52.38
Tensioni nella sezione: σ=634.95 τ=77.32
CC 17 SLV (Collegamento -041_-375)
Azioni sul collegamento: N=-14088.90 Ty=-7.49 Tz=28.82 Mx=-0.02 Mz=-7.17
Sollecitazioni agenti localmente: Ty_l=-2526.11 My_l=-51.83
Tensioni nella sezione: σ=628.18 τ=76.55
CC 17 SLV (Collegamento -041_-375)
Azioni sul collegamento: N=-14088.90 Ty=-15.25 Tz=28.82 Mx=-0.02 Mz=-13.58
Sollecitazioni agenti localmente: Ty_l=-2551.60 My_l=-52.38
Tensioni nella sezione: σ=634.95 τ=77.32
CC 18 SLD (Collegamento -041_-375)
Azioni sul collegamento: N=-8874.30 Ty=-9.26 Tz=9.33 Mx=-0.01 Mz=-7.26
Sollecitazioni agenti localmente: Ty_l=-1602.05 My_l=-32.88
Tensioni nella sezione: σ=398.57 τ=48.55
CC 18 SLD (Collegamento -041_-375)
Azioni sul collegamento: N=-8874.30 Ty=-11.63 Tz=9.33 Mx=-0.01 Mz=-9.21
Sollecitazioni agenti localmente: Ty_l=-1609.82 My_l=-33.05
Tensioni nella sezione: σ=400.64 τ=48.78
CC 18 SLD (Collegamento -041_-375)
Azioni sul collegamento: N=-8874.30 Ty=-9.26 Tz=18.26 Mx=-0.01 Mz=-7.26
Sollecitazioni agenti localmente: Ty_l=-1602.05 My_l=-32.88
Tensioni nella sezione: σ=398.57 τ=48.55
CC 18 SLD (Collegamento -041_-375)
Azioni sul collegamento: N=-8874.30 Ty=-11.63 Tz=18.26 Mx=-0.01 Mz=-9.21
Sollecitazioni agenti localmente: Ty_l=-1609.82 My_l=-33.05
Tensioni nella sezione: σ=400.64 τ=48.78
CC 18 SLD (Collegamento -041_-375)
Azioni sul collegamento: N=-11265.80 Ty=-9.26 Tz=9.33 Mx=-0.01 Mz=-7.26
Sollecitazioni agenti localmente: Ty_l=-2025.99 My_l=-41.57
Tensioni nella sezione: σ=503.92 τ=61.39
CC 18 SLD (Collegamento -041_-375)
Azioni sul collegamento: N=-11265.80 Ty=-11.63 Tz=9.33 Mx=-0.01 Mz=-9.21
Sollecitazioni agenti localmente: Ty_l=-2033.76 My_l=-41.74
Tensioni nella sezione: σ=505.98 τ=61.63
CC 18 SLD (Collegamento -041_-375)
Azioni sul collegamento: N=-11265.80 Ty=-9.26 Tz=18.26 Mx=-0.01 Mz=-7.26
Sollecitazioni agenti localmente: Ty_l=-2025.99 My_l=-41.57
Tensioni nella sezione: σ=503.92 τ=61.39
CC 18 SLD (Collegamento -041_-375)
Azioni sul collegamento: N=-11265.80 Ty=-11.63 Tz=18.26 Mx=-0.01 Mz=-9.21
Sollecitazioni agenti localmente: Ty_l=-2033.76 My_l=-41.74
Tensioni nella sezione: σ=505.98 τ=61.63
CC 19 SLV (Collegamento -041_-375)
Azioni sul collegamento: N=-6251.20 Ty=-8.00 Tz=-0.13 Mx=-0.01 Mz=-8.22
Sollecitazioni agenti localmente: Ty_l=-1140.86 My_l=-23.43
Tensioni nella sezione: σ=284.04 τ=34.57
CC 19 SLV (Collegamento -041_-375)
Azioni sul collegamento: N=-6251.20 Ty=-14.73 Tz=-0.13 Mx=-0.01 Mz=-12.53
Sollecitazioni agenti localmente: Ty_l=-1158.01 My_l=-23.81
Tensioni nella sezione: σ=288.59 τ=35.09
CC 19 SLV (Collegamento -041_-375)
Azioni sul collegamento: N=-6251.20 Ty=-8.00 Tz=28.49 Mx=-0.01 Mz=-8.22
Sollecitazioni agenti localmente: Ty_l=-1140.86 My_l=-23.43
Tensioni nella sezione: σ=284.04 τ=34.57
CC 19 SLV (Collegamento -041_-375)
Azioni sul collegamento: N=-6251.20 Ty=-14.73 Tz=28.49 Mx=-0.01 Mz=-12.53
Sollecitazioni agenti localmente: Ty_l=-1158.01 My_l=-23.81

Tensioni nella sezione: σ=288.59 τ=35.09
CC 19 SLV (Collegamento -041_-375)
Azioni sul collegamento: N=-14084.00 Ty=-8.00 Tz=-0.13 Mx=-0.01 Mz=-8.22
Sollecitazioni agenti localmente: Ty_l=-2529.41 My_l=-51.90
Tensioni nella sezione: σ=629.08 τ=76.65
CC 19 SLV (Collegamento -041_-375)
Azioni sul collegamento: N=-14084.00 Ty=-14.73 Tz=-0.13 Mx=-0.01 Mz=-12.53
Sollecitazioni agenti localmente: Ty_l=-2546.56 My_l=-52.27
Tensioni nella sezione: σ=633.63 τ=77.17
CC 19 SLV (Collegamento -041_-375)
Azioni sul collegamento: N=-14084.00 Ty=-8.00 Tz=28.49 Mx=-0.01 Mz=-8.22
Sollecitazioni agenti localmente: Ty_l=-2529.41 My_l=-51.90
Tensioni nella sezione: σ=629.08 τ=76.65
CC 19 SLV (Collegamento -041_-375)
Azioni sul collegamento: N=-14084.00 Ty=-14.73 Tz=28.49 Mx=-0.01 Mz=-12.53
Sollecitazioni agenti localmente: Ty_l=-2546.56 My_l=-52.27
Tensioni nella sezione: σ=633.63 τ=77.17
CC 20 SLD (Collegamento -041_-375)
Azioni sul collegamento: N=-8875.79 Ty=-9.42 Tz=9.43 Mx=-0.01 Mz=-7.58
Sollecitazioni agenti localmente: Ty_l=-1603.59 My_l=-32.92
Tensioni nella sezione: σ=398.98 τ=48.59
CC 20 SLD (Collegamento -041_-375)
Azioni sul collegamento: N=-8875.79 Ty=-11.47 Tz=9.43 Mx=-0.01 Mz=-8.89
Sollecitazioni agenti localmente: Ty_l=-1608.81 My_l=-33.03
Tensioni nella sezione: σ=400.37 τ=48.75
CC 20 SLD (Collegamento -041_-375)
Azioni sul collegamento: N=-8875.80 Ty=-9.42 Tz=18.16 Mx=-0.01 Mz=-7.58
Sollecitazioni agenti localmente: Ty_l=-1603.59 My_l=-32.92
Tensioni nella sezione: σ=398.98 τ=48.59
CC 20 SLD (Collegamento -041_-375)
Azioni sul collegamento: N=-8875.80 Ty=-11.47 Tz=18.16 Mx=-0.01 Mz=-8.89
Sollecitazioni agenti localmente: Ty_l=-1608.81 My_l=-33.03
Tensioni nella sezione: σ=400.37 τ=48.75
CC 20 SLD (Collegamento -041_-375)
Azioni sul collegamento: N=-11264.30 Ty=-9.42 Tz=9.43 Mx=-0.01 Mz=-7.58
Sollecitazioni agenti localmente: Ty_l=-2027.00 My_l=-41.60
Tensioni nella sezione: σ=504.19 τ=61.42
CC 20 SLD (Collegamento -041_-375)
Azioni sul collegamento: N=-11264.30 Ty=-11.47 Tz=9.43 Mx=-0.01 Mz=-8.89
Sollecitazioni agenti localmente: Ty_l=-2032.23 My_l=-41.71
Tensioni nella sezione: σ=505.58 τ=61.58
CC 20 SLD (Collegamento -041_-375)
Azioni sul collegamento: N=-11264.30 Ty=-9.42 Tz=18.16 Mx=-0.01 Mz=-7.58
Sollecitazioni agenti localmente: Ty_l=-2027.00 My_l=-41.60
Tensioni nella sezione: σ=504.19 τ=61.42
CC 20 SLD (Collegamento -041_-375)
Azioni sul collegamento: N=-11264.30 Ty=-11.47 Tz=18.16 Mx=-0.01 Mz=-8.89
Sollecitazioni agenti localmente: Ty_l=-2032.23 My_l=-41.71
Tensioni nella sezione: σ=505.58 τ=61.58
CC 21 SLV (Collegamento -041_-375)
Azioni sul collegamento: N=-14084.00 Ty=-14.73 Tz=28.49 Mx=-0.02 Mz=-12.53
Sollecitazioni agenti localmente: Ty_l=-2546.56 My_l=-52.27
Tensioni nella sezione: σ=633.63 τ=77.17
CC 21 SLV (Collegamento -041_-375)
Azioni sul collegamento: N=-14084.00 Ty=-8.00 Tz=28.49 Mx=-0.02 Mz=-8.22
Sollecitazioni agenti localmente: Ty_l=-2529.41 My_l=-51.90
Tensioni nella sezione: σ=629.08 τ=76.65
CC 21 SLV (Collegamento -041_-375)
Azioni sul collegamento: N=-14084.00 Ty=-14.73 Tz=-0.13 Mx=-0.02 Mz=-12.53
Sollecitazioni agenti localmente: Ty_l=-2546.56 My_l=-52.27
Tensioni nella sezione: σ=633.63 τ=77.17
CC 21 SLV (Collegamento -041_-375)
Azioni sul collegamento: N=-14084.00 Ty=-8.00 Tz=-0.13 Mx=-0.02 Mz=-8.22
Sollecitazioni agenti localmente: Ty_l=-2529.41 My_l=-51.90
Tensioni nella sezione: σ=629.08 τ=76.65
CC 21 SLV (Collegamento -041_-375)
Azioni sul collegamento: N=-6251.20 Ty=-14.73 Tz=28.49 Mx=-0.02 Mz=-12.53
Sollecitazioni agenti localmente: Ty_l=-1158.01 My_l=-23.81
Tensioni nella sezione: σ=288.59 τ=35.09
CC 21 SLV (Collegamento -041_-375)
Azioni sul collegamento: N=-6251.20 Ty=-8.00 Tz=28.49 Mx=-0.02 Mz=-8.22
Sollecitazioni agenti localmente: Ty_l=-1140.86 My_l=-23.43
Tensioni nella sezione: σ=284.04 τ=34.57
CC 21 SLV (Collegamento -041_-375)
Azioni sul collegamento: N=-6251.20 Ty=-14.73 Tz=-0.13 Mx=-0.02 Mz=-12.53
Sollecitazioni agenti localmente: Ty_l=-1158.01 My_l=-23.81
Tensioni nella sezione: σ=288.59 τ=35.09
CC 21 SLV (Collegamento -041_-375)
Azioni sul collegamento: N=-6251.20 Ty=-8.00 Tz=-0.13 Mx=-0.02 Mz=-8.22

Sollecitazioni agenti localmente: Ty_l=-1140.86 My_l=-23.43
Tensioni nella sezione: σ=284.04 τ=34.57
CC 22 SLD (Collegamento -041_-375)
Azioni sul collegamento: N=-11264.30 Ty=-11.47 Tz=18.16 Mx=-0.01 Mz=-8.89
Sollecitazioni agenti localmente: Ty_l=-2032.23 My_l=-41.71
Tensioni nella sezione: σ=505.58 τ=61.58
CC 22 SLD (Collegamento -041_-375)
Azioni sul collegamento: N=-11264.30 Ty=-9.42 Tz=18.16 Mx=-0.01 Mz=-7.58
Sollecitazioni agenti localmente: Ty_l=-2027.00 My_l=-41.60
Tensioni nella sezione: σ=504.19 τ=61.42
CC 22 SLD (Collegamento -041_-375)
Azioni sul collegamento: N=-11264.30 Ty=-11.47 Tz=9.43 Mx=-0.01 Mz=-8.89
Sollecitazioni agenti localmente: Ty_l=-2032.23 My_l=-41.71
Tensioni nella sezione: σ=505.58 τ=61.58
CC 22 SLD (Collegamento -041_-375)
Azioni sul collegamento: N=-11264.30 Ty=-9.42 Tz=9.43 Mx=-0.01 Mz=-7.58
Sollecitazioni agenti localmente: Ty_l=-2027.00 My_l=-41.60
Tensioni nella sezione: σ=504.19 τ=61.42
CC 22 SLD (Collegamento -041_-375)
Azioni sul collegamento: N=-8875.80 Ty=-11.47 Tz=18.16 Mx=-0.01 Mz=-8.89
Sollecitazioni agenti localmente: Ty_l=-1608.81 My_l=-33.03
Tensioni nella sezione: σ=400.37 τ=48.75
CC 22 SLD (Collegamento -041_-375)
Azioni sul collegamento: N=-8875.80 Ty=-9.42 Tz=18.16 Mx=-0.01 Mz=-7.58
Sollecitazioni agenti localmente: Ty_l=-1603.59 My_l=-32.92
Tensioni nella sezione: σ=398.98 τ=48.59
CC 22 SLD (Collegamento -041_-375)
Azioni sul collegamento: N=-8875.79 Ty=-11.47 Tz=9.43 Mx=-0.01 Mz=-8.89
Sollecitazioni agenti localmente: Ty_l=-1608.81 My_l=-33.03
Tensioni nella sezione: σ=400.37 τ=48.75
CC 22 SLD (Collegamento -041_-375)
Azioni sul collegamento: N=-8875.79 Ty=-9.42 Tz=9.43 Mx=-0.01 Mz=-7.58
Sollecitazioni agenti localmente: Ty_l=-1603.59 My_l=-32.92
Tensioni nella sezione: σ=398.98 τ=48.59
CC 23 SLV (Collegamento -041_-375)
Azioni sul collegamento: N=-14088.90 Ty=-15.25 Tz=28.82 Mx=-0.01 Mz=-13.58
Sollecitazioni agenti localmente: Ty_l=-2551.60 My_l=-52.38
Tensioni nella sezione: σ=634.95 τ=77.32
CC 23 SLV (Collegamento -041_-375)
Azioni sul collegamento: N=-14088.90 Ty=-7.49 Tz=28.82 Mx=-0.01 Mz=-7.17
Sollecitazioni agenti localmente: Ty_l=-2526.11 My_l=-51.83
Tensioni nella sezione: σ=628.18 τ=76.55
CC 23 SLV (Collegamento -041_-375)
Azioni sul collegamento: N=-14088.90 Ty=-15.25 Tz=-0.46 Mx=-0.01 Mz=-13.58
Sollecitazioni agenti localmente: Ty_l=-2551.60 My_l=-52.38
Tensioni nella sezione: σ=634.95 τ=77.32
CC 23 SLV (Collegamento -041_-375)
Azioni sul collegamento: N=-14088.90 Ty=-7.49 Tz=-0.46 Mx=-0.01 Mz=-7.17
Sollecitazioni agenti localmente: Ty_l=-2526.11 My_l=-51.83
Tensioni nella sezione: σ=628.18 τ=76.55
CC 23 SLV (Collegamento -041_-375)
Azioni sul collegamento: N=-6246.30 Ty=-15.25 Tz=28.82 Mx=-0.01 Mz=-13.58
Sollecitazioni agenti localmente: Ty_l=-1161.31 My_l=-23.88
Tensioni nella sezione: σ=289.48 τ=35.19
CC 23 SLV (Collegamento -041_-375)
Azioni sul collegamento: N=-6246.30 Ty=-7.49 Tz=28.82 Mx=-0.01 Mz=-7.17
Sollecitazioni agenti localmente: Ty_l=-1135.83 My_l=-23.32
Tensioni nella sezione: σ=282.72 τ=34.42
CC 23 SLV (Collegamento -041_-375)
Azioni sul collegamento: N=-6246.30 Ty=-15.25 Tz=-0.46 Mx=-0.01 Mz=-13.58
Sollecitazioni agenti localmente: Ty_l=-1161.31 My_l=-23.88
Tensioni nella sezione: σ=289.48 τ=35.19
CC 23 SLV (Collegamento -041_-375)
Azioni sul collegamento: N=-6246.30 Ty=-7.49 Tz=-0.46 Mx=-0.01 Mz=-7.17
Sollecitazioni agenti localmente: Ty_l=-1135.83 My_l=-23.32
Tensioni nella sezione: σ=282.72 τ=34.42
CC 24 SLD (Collegamento -041_-375)
Azioni sul collegamento: N=-11265.80 Ty=-11.63 Tz=18.26 Mx=-0.01 Mz=-9.21
Sollecitazioni agenti localmente: Ty_l=-2033.76 My_l=-41.74
Tensioni nella sezione: σ=505.98 τ=61.63
CC 24 SLD (Collegamento -041_-375)
Azioni sul collegamento: N=-11265.80 Ty=-9.26 Tz=18.26 Mx=-0.01 Mz=-7.26
Sollecitazioni agenti localmente: Ty_l=-2025.99 My_l=-41.57
Tensioni nella sezione: σ=503.92 τ=61.39
CC 24 SLD (Collegamento -041_-375)
Azioni sul collegamento: N=-11265.80 Ty=-11.63 Tz=9.33 Mx=-0.01 Mz=-9.21
Sollecitazioni agenti localmente: Ty_l=-2033.76 My_l=-41.74
Tensioni nella sezione: σ=505.98 τ=61.63
CC 24 SLD (Collegamento -041_-375)

Azioni sul collegamento: N=-11265.80 Ty=-9.26 Tz=9.33 Mx=-0.01 Mz=-7.26
Sollecitazioni agenti localmente: Ty_l=-2025.99 My_l=-41.57
Tensioni nella sezione: σ=503.92 τ=61.39
CC 24 SLD (Collegamento -041_-375)
Azioni sul collegamento: N=-8874.30 Ty=-11.63 Tz=18.26 Mx=-0.01 Mz=-9.21
Sollecitazioni agenti localmente: Ty_l=-1609.82 My_l=-33.05
Tensioni nella sezione: σ=400.64 τ=48.78
CC 24 SLD (Collegamento -041_-375)
Azioni sul collegamento: N=-8874.30 Ty=-9.26 Tz=18.26 Mx=-0.01 Mz=-7.26
Sollecitazioni agenti localmente: Ty_l=-1602.05 My_l=-32.88
Tensioni nella sezione: σ=398.57 τ=48.55
CC 24 SLD (Collegamento -041_-375)
Azioni sul collegamento: N=-8874.30 Ty=-11.63 Tz=9.33 Mx=-0.01 Mz=-9.21
Sollecitazioni agenti localmente: Ty_l=-1609.82 My_l=-33.05
Tensioni nella sezione: σ=400.64 τ=48.78
CC 24 SLD (Collegamento -041_-375)
Azioni sul collegamento: N=-8874.30 Ty=-9.26 Tz=9.33 Mx=-0.01 Mz=-7.26
Sollecitazioni agenti localmente: Ty_l=-1602.05 My_l=-32.88
Tensioni nella sezione: σ=398.57 τ=48.55
CC 25 SLV (Collegamento -041_-375)
Azioni sul collegamento: N=-8983.80 Ty=-9.43 Tz=9.29 Mx=-0.02 Mz=-7.83
Sollecitazioni agenti localmente: Ty_l=-1623.71 My_l=-33.33
Tensioni nella sezione: σ=404.00 τ=49.20
CC 25 SLV (Collegamento -041_-375)
Azioni sul collegamento: N=-8983.80 Ty=-13.31 Tz=9.29 Mx=-0.02 Mz=-12.93
Sollecitazioni agenti localmente: Ty_l=-1643.99 My_l=-33.77
Tensioni nella sezione: σ=409.38 τ=49.82
CC 25 SLV (Collegamento -041_-375)
Azioni sul collegamento: N=-8983.80 Ty=-9.43 Tz=19.07 Mx=-0.02 Mz=-7.83
Sollecitazioni agenti localmente: Ty_l=-1623.71 My_l=-33.33
Tensioni nella sezione: σ=404.00 τ=49.20
CC 25 SLV (Collegamento -041_-375)
Azioni sul collegamento: N=-8983.80 Ty=-13.31 Tz=19.07 Mx=-0.02 Mz=-12.93
Sollecitazioni agenti localmente: Ty_l=-1643.99 My_l=-33.77
Tensioni nella sezione: σ=409.38 τ=49.82
CC 25 SLV (Collegamento -041_-375)
Azioni sul collegamento: N=-11351.50 Ty=-9.43 Tz=9.29 Mx=-0.02 Mz=-7.83
Sollecitazioni agenti localmente: Ty_l=-2043.43 My_l=-41.93
Tensioni nella sezione: σ=508.29 τ=61.92
CC 25 SLV (Collegamento -041_-375)
Azioni sul collegamento: N=-11351.50 Ty=-13.31 Tz=9.29 Mx=-0.02 Mz=-12.93
Sollecitazioni agenti localmente: Ty_l=-2063.71 My_l=-42.38
Tensioni nella sezione: σ=513.67 τ=62.54
CC 25 SLV (Collegamento -041_-375)
Azioni sul collegamento: N=-11351.50 Ty=-9.43 Tz=19.07 Mx=-0.02 Mz=-7.83
Sollecitazioni agenti localmente: Ty_l=-2043.43 My_l=-41.93
Tensioni nella sezione: σ=508.29 τ=61.92
CC 25 SLV (Collegamento -041_-375)
Azioni sul collegamento: N=-11351.50 Ty=-13.31 Tz=19.07 Mx=-0.02 Mz=-12.93
Sollecitazioni agenti localmente: Ty_l=-2063.71 My_l=-42.38
Tensioni nella sezione: σ=513.67 τ=62.54
CC 26 SLD (Collegamento -041_-375)
Azioni sul collegamento: N=-9709.05 Ty=-9.85 Tz=12.31 Mx=-0.01 Mz=-7.46
Sollecitazioni agenti localmente: Ty_l=-1750.82 My_l=-35.93
Tensioni nella sezione: σ=435.56 τ=53.06
CC 26 SLD (Collegamento -041_-375)
Azioni sul collegamento: N=-9709.05 Ty=-11.04 Tz=12.31 Mx=-0.01 Mz=-9.01
Sollecitazioni agenti localmente: Ty_l=-1757.01 My_l=-36.07
Tensioni nella sezione: σ=437.20 τ=53.24
CC 26 SLD (Collegamento -041_-375)
Azioni sul collegamento: N=-9709.05 Ty=-9.85 Tz=15.29 Mx=-0.01 Mz=-7.46
Sollecitazioni agenti localmente: Ty_l=-1750.82 My_l=-35.93
Tensioni nella sezione: σ=435.56 τ=53.06
CC 26 SLD (Collegamento -041_-375)
Azioni sul collegamento: N=-9709.05 Ty=-11.04 Tz=15.29 Mx=-0.01 Mz=-9.01
Sollecitazioni agenti localmente: Ty_l=-1757.01 My_l=-36.07
Tensioni nella sezione: σ=437.20 τ=53.24
CC 26 SLD (Collegamento -041_-375)
Azioni sul collegamento: N=-10431.00 Ty=-9.85 Tz=12.31 Mx=-0.01 Mz=-7.46
Sollecitazioni agenti localmente: Ty_l=-1878.81 My_l=-38.56
Tensioni nella sezione: σ=467.36 τ=56.93
CC 26 SLD (Collegamento -041_-375)
Azioni sul collegamento: N=-10431.00 Ty=-11.04 Tz=12.31 Mx=-0.01 Mz=-9.01
Sollecitazioni agenti localmente: Ty_l=-1884.99 My_l=-38.69
Tensioni nella sezione: σ=469.00 τ=57.12
CC 26 SLD (Collegamento -041_-375)
Azioni sul collegamento: N=-10431.00 Ty=-9.85 Tz=15.29 Mx=-0.01 Mz=-7.46
Sollecitazioni agenti localmente: Ty_l=-1878.81 My_l=-38.56
Tensioni nella sezione: σ=467.36 τ=56.93

CC 26 SLD (Collegamento -041_-375)
Azioni sul collegamento: N=-10431.00 Ty=-11.04 Tz=15.29 Mx=-0.01 Mz=-9.01
Sollecitazioni agenti localmente: Ty_l=-1884.99 My_l=-38.69
Tensioni nella sezione: σ=469.00 τ=57.12
CC 27 SLV (Collegamento -041_-375)
Azioni sul collegamento: N=-11335.10 Ty=-11.60 Tz=17.98 Mx=-0.02 Mz=-9.43
Sollecitazioni agenti localmente: Ty_l=-2046.93 My_l=-42.01
Tensioni nella sezione: σ=509.27 τ=62.03
CC 27 SLV (Collegamento -041_-375)
Azioni sul collegamento: N=-11335.10 Ty=-11.14 Tz=17.98 Mx=-0.02 Mz=-11.32
Sollecitazioni agenti localmente: Ty_l=-2054.42 My_l=-42.18
Tensioni nella sezione: σ=511.26 τ=62.26
CC 27 SLV (Collegamento -041_-375)
Azioni sul collegamento: N=-11335.10 Ty=-11.60 Tz=10.38 Mx=-0.02 Mz=-9.43
Sollecitazioni agenti localmente: Ty_l=-2046.93 My_l=-42.01
Tensioni nella sezione: σ=509.27 τ=62.03
CC 27 SLV (Collegamento -041_-375)
Azioni sul collegamento: N=-11335.10 Ty=-11.14 Tz=10.38 Mx=-0.02 Mz=-11.32
Sollecitazioni agenti localmente: Ty_l=-2054.42 My_l=-42.18
Tensioni nella sezione: σ=511.26 τ=62.26
CC 27 SLV (Collegamento -041_-375)
Azioni sul collegamento: N=-9000.13 Ty=-11.60 Tz=17.98 Mx=-0.02 Mz=-9.43
Sollecitazioni agenti localmente: Ty_l=-1633.00 My_l=-33.53
Tensioni nella sezione: σ=406.41 τ=49.48
CC 27 SLV (Collegamento -041_-375)
Azioni sul collegamento: N=-9000.13 Ty=-11.14 Tz=17.98 Mx=-0.02 Mz=-11.32
Sollecitazioni agenti localmente: Ty_l=-1640.49 My_l=-33.69
Tensioni nella sezione: σ=408.40 τ=49.71
CC 27 SLV (Collegamento -041_-375)
Azioni sul collegamento: N=-9000.13 Ty=-11.60 Tz=10.38 Mx=-0.02 Mz=-9.43
Sollecitazioni agenti localmente: Ty_l=-1633.00 My_l=-33.53
Tensioni nella sezione: σ=406.41 τ=49.48
CC 27 SLV (Collegamento -041_-375)
Azioni sul collegamento: N=-9000.13 Ty=-11.14 Tz=10.38 Mx=-0.02 Mz=-11.32
Sollecitazioni agenti localmente: Ty_l=-1640.49 My_l=-33.69
Tensioni nella sezione: σ=408.40 τ=49.71
CC 28 SLD (Collegamento -041_-375)
Azioni sul collegamento: N=-10426.00 Ty=-10.51 Tz=14.95 Mx=-0.01 Mz=-7.95
Sollecitazioni agenti localmente: Ty_l=-1879.87 My_l=-38.58
Tensioni nella sezione: σ=467.66 τ=56.97
CC 28 SLD (Collegamento -041_-375)
Azioni sul collegamento: N=-10426.00 Ty=-10.37 Tz=14.95 Mx=-0.01 Mz=-8.52
Sollecitazioni agenti localmente: Ty_l=-1882.16 My_l=-38.63
Tensioni nella sezione: σ=468.26 τ=57.04
CC 28 SLD (Collegamento -041_-375)
Azioni sul collegamento: N=-10426.00 Ty=-10.51 Tz=12.64 Mx=-0.01 Mz=-7.95
Sollecitazioni agenti localmente: Ty_l=-1879.87 My_l=-38.58
Tensioni nella sezione: σ=467.66 τ=56.97
CC 28 SLD (Collegamento -041_-375)
Azioni sul collegamento: N=-10426.00 Ty=-10.37 Tz=12.64 Mx=-0.01 Mz=-8.52
Sollecitazioni agenti localmente: Ty_l=-1882.16 My_l=-38.63
Tensioni nella sezione: σ=468.26 τ=57.04
CC 28 SLD (Collegamento -041_-375)
Azioni sul collegamento: N=-9714.03 Ty=-10.51 Tz=14.95 Mx=-0.01 Mz=-7.95
Sollecitazioni agenti localmente: Ty_l=-1753.65 My_l=-35.99
Tensioni nella sezione: σ=436.29 τ=53.14
CC 28 SLD (Collegamento -041_-375)
Azioni sul collegamento: N=-9714.03 Ty=-10.37 Tz=14.95 Mx=-0.01 Mz=-8.52
Sollecitazioni agenti localmente: Ty_l=-1755.94 My_l=-36.04
Tensioni nella sezione: σ=436.90 τ=53.21
CC 28 SLD (Collegamento -041_-375)
Azioni sul collegamento: N=-9714.03 Ty=-10.51 Tz=12.64 Mx=-0.01 Mz=-7.95
Sollecitazioni agenti localmente: Ty_l=-1753.65 My_l=-35.99
Tensioni nella sezione: σ=436.29 τ=53.14
CC 28 SLD (Collegamento -041_-375)
Azioni sul collegamento: N=-9714.03 Ty=-10.37 Tz=12.64 Mx=-0.01 Mz=-8.52
Sollecitazioni agenti localmente: Ty_l=-1755.94 My_l=-36.04
Tensioni nella sezione: σ=436.90 τ=53.21
CC 29 SLV (Collegamento -041_-375)
Azioni sul collegamento: N=-9000.13 Ty=-11.14 Tz=10.38 Mx=-0.01 Mz=-11.32
Sollecitazioni agenti localmente: Ty_l=-1640.49 My_l=-33.69
Tensioni nella sezione: σ=408.40 τ=49.71
CC 29 SLV (Collegamento -041_-375)
Azioni sul collegamento: N=-9000.13 Ty=-11.60 Tz=10.38 Mx=-0.01 Mz=-9.43
Sollecitazioni agenti localmente: Ty_l=-1633.00 My_l=-33.53
Tensioni nella sezione: σ=406.41 τ=49.48
CC 29 SLV (Collegamento -041_-375)
Azioni sul collegamento: N=-9000.13 Ty=-11.14 Tz=17.98 Mx=-0.01 Mz=-11.32
Sollecitazioni agenti localmente: Ty_l=-1640.49 My_l=-33.69

Tensioni nella sezione: σ=408.40 τ=49.71
CC 29 SLV (Collegamento -041_-375)
Azioni sul collegamento: N=-9000.13 Ty=-11.60 Tz=17.98 Mx=-0.01 Mz=-9.43
Sollecitazioni agenti localmente: Ty_l=-1633.00 My_l=-33.53
Tensioni nella sezione: σ=406.41 τ=49.48
CC 29 SLV (Collegamento -041_-375)
Azioni sul collegamento: N=-11335.10 Ty=-11.14 Tz=10.38 Mx=-0.01 Mz=-11.32
Sollecitazioni agenti localmente: Ty_l=-2054.43 My_l=-42.18
Tensioni nella sezione: σ=511.26 τ=62.26
CC 29 SLV (Collegamento -041_-375)
Azioni sul collegamento: N=-11335.10 Ty=-11.60 Tz=10.38 Mx=-0.01 Mz=-9.43
Sollecitazioni agenti localmente: Ty_l=-2046.93 My_l=-42.01
Tensioni nella sezione: σ=509.27 τ=62.03
CC 29 SLV (Collegamento -041_-375)
Azioni sul collegamento: N=-11335.10 Ty=-11.14 Tz=17.98 Mx=-0.01 Mz=-11.32
Sollecitazioni agenti localmente: Ty_l=-2054.43 My_l=-42.18
Tensioni nella sezione: σ=511.26 τ=62.26
CC 29 SLV (Collegamento -041_-375)
Azioni sul collegamento: N=-11335.10 Ty=-11.60 Tz=17.98 Mx=-0.01 Mz=-9.43
Sollecitazioni agenti localmente: Ty_l=-2046.93 My_l=-42.01
Tensioni nella sezione: σ=509.27 τ=62.03
CC 30 SLD (Collegamento -041_-375)
Azioni sul collegamento: N=-9714.03 Ty=-10.37 Tz=12.64 Mx=-0.00 Mz=-8.52
Sollecitazioni agenti localmente: Ty_l=-1755.94 My_l=-36.04
Tensioni nella sezione: σ=436.90 τ=53.21
CC 30 SLD (Collegamento -041_-375)
Azioni sul collegamento: N=-9714.03 Ty=-10.51 Tz=12.64 Mx=-0.00 Mz=-7.95
Sollecitazioni agenti localmente: Ty_l=-1753.65 My_l=-35.99
Tensioni nella sezione: σ=436.29 τ=53.14
CC 30 SLD (Collegamento -041_-375)
Azioni sul collegamento: N=-9714.03 Ty=-10.37 Tz=14.95 Mx=-0.00 Mz=-8.52
Sollecitazioni agenti localmente: Ty_l=-1755.94 My_l=-36.04
Tensioni nella sezione: σ=436.90 τ=53.21
CC 30 SLD (Collegamento -041_-375)
Azioni sul collegamento: N=-9714.03 Ty=-10.51 Tz=14.95 Mx=-0.00 Mz=-7.95
Sollecitazioni agenti localmente: Ty_l=-1753.65 My_l=-35.99
Tensioni nella sezione: σ=436.29 τ=53.14
CC 30 SLD (Collegamento -041_-375)
Azioni sul collegamento: N=-10426.00 Ty=-10.37 Tz=12.64 Mx=-0.00 Mz=-8.52
Sollecitazioni agenti localmente: Ty_l=-1882.16 My_l=-38.63
Tensioni nella sezione: σ=468.26 τ=57.04
CC 30 SLD (Collegamento -041_-375)
Azioni sul collegamento: N=-10426.00 Ty=-10.51 Tz=12.64 Mx=-0.00 Mz=-7.95
Sollecitazioni agenti localmente: Ty_l=-1879.87 My_l=-38.58
Tensioni nella sezione: σ=467.66 τ=56.97
CC 30 SLD (Collegamento -041_-375)
Azioni sul collegamento: N=-10426.00 Ty=-10.37 Tz=14.95 Mx=-0.00 Mz=-8.52
Sollecitazioni agenti localmente: Ty_l=-1882.16 My_l=-38.63
Tensioni nella sezione: σ=468.26 τ=57.04
CC 30 SLD (Collegamento -041_-375)
Azioni sul collegamento: N=-10426.00 Ty=-10.51 Tz=14.95 Mx=-0.00 Mz=-7.95
Sollecitazioni agenti localmente: Ty_l=-1879.87 My_l=-38.58
Tensioni nella sezione: σ=467.66 τ=56.97
CC 31 SLV (Collegamento -041_-375)
Azioni sul collegamento: N=-11351.50 Ty=-13.31 Tz=19.07 Mx=-0.01 Mz=-12.93
Sollecitazioni agenti localmente: Ty_l=-2063.71 My_l=-42.38
Tensioni nella sezione: σ=513.67 τ=62.54
CC 31 SLV (Collegamento -041_-375)
Azioni sul collegamento: N=-11351.50 Ty=-9.43 Tz=19.07 Mx=-0.01 Mz=-7.83
Sollecitazioni agenti localmente: Ty_l=-2043.43 My_l=-41.93
Tensioni nella sezione: σ=508.29 τ=61.92
CC 31 SLV (Collegamento -041_-375)
Azioni sul collegamento: N=-11351.50 Ty=-13.31 Tz=9.29 Mx=-0.01 Mz=-12.93
Sollecitazioni agenti localmente: Ty_l=-2063.71 My_l=-42.38
Tensioni nella sezione: σ=513.67 τ=62.54
CC 31 SLV (Collegamento -041_-375)
Azioni sul collegamento: N=-11351.50 Ty=-9.43 Tz=9.29 Mx=-0.01 Mz=-7.83
Sollecitazioni agenti localmente: Ty_l=-2043.43 My_l=-41.93
Tensioni nella sezione: σ=508.29 τ=61.92
CC 31 SLV (Collegamento -041_-375)
Azioni sul collegamento: N=-8983.80 Ty=-13.31 Tz=19.07 Mx=-0.01 Mz=-12.93
Sollecitazioni agenti localmente: Ty_l=-1643.99 My_l=-33.77
Tensioni nella sezione: σ=409.38 τ=49.82
CC 31 SLV (Collegamento -041_-375)
Azioni sul collegamento: N=-8983.80 Ty=-9.43 Tz=19.07 Mx=-0.01 Mz=-7.83
Sollecitazioni agenti localmente: Ty_l=-1623.71 My_l=-33.33
Tensioni nella sezione: σ=404.00 τ=49.20
CC 31 SLV (Collegamento -041_-375)
Azioni sul collegamento: N=-8983.80 Ty=-13.31 Tz=9.29 Mx=-0.01 Mz=-12.93

Sollecitazioni agenti localmente: Ty_l=-1643.99 My_l=-33.77
Tensioni nella sezione: σ=409.38 τ=49.82
CC 31 SLV (Collegamento -041_-375)
Azioni sul collegamento: N=-8983.80 Ty=-9.43 Tz=9.29 Mx=-0.01 Mz=-7.83
Sollecitazioni agenti localmente: Ty_l=-1623.71 My_l=-33.33
Tensioni nella sezione: σ=404.00 τ=49.20
CC 32 SLD (Collegamento -041_-375)
Azioni sul collegamento: N=-10431.00 Ty=-11.04 Tz=15.29 Mx=-0.00 Mz=-9.01
Sollecitazioni agenti localmente: Ty_l=-1884.99 My_l=-38.69
Tensioni nella sezione: σ=469.00 τ=57.12
CC 32 SLD (Collegamento -041_-375)
Azioni sul collegamento: N=-10431.00 Ty=-9.85 Tz=15.29 Mx=-0.00 Mz=-7.46
Sollecitazioni agenti localmente: Ty_l=-1878.81 My_l=-38.56
Tensioni nella sezione: σ=467.36 τ=56.93
CC 32 SLD (Collegamento -041_-375)
Azioni sul collegamento: N=-10431.00 Ty=-11.04 Tz=12.31 Mx=-0.00 Mz=-9.01
Sollecitazioni agenti localmente: Ty_l=-1884.99 My_l=-38.69
Tensioni nella sezione: σ=469.00 τ=57.12
CC 32 SLD (Collegamento -041_-375)
Azioni sul collegamento: N=-10431.00 Ty=-9.85 Tz=12.31 Mx=-0.00 Mz=-7.46
Sollecitazioni agenti localmente: Ty_l=-1878.81 My_l=-38.56
Tensioni nella sezione: σ=467.36 τ=56.93
CC 32 SLD (Collegamento -041_-375)
Azioni sul collegamento: N=-9709.05 Ty=-11.04 Tz=15.29 Mx=-0.00 Mz=-9.01
Sollecitazioni agenti localmente: Ty_l=-1757.01 My_l=-36.07
Tensioni nella sezione: σ=437.20 τ=53.24
CC 32 SLD (Collegamento -041_-375)
Azioni sul collegamento: N=-9709.05 Ty=-9.85 Tz=15.29 Mx=-0.00 Mz=-7.46
Sollecitazioni agenti localmente: Ty_l=-1750.82 My_l=-35.93
Tensioni nella sezione: σ=435.56 τ=53.06
CC 32 SLD (Collegamento -041_-375)
Azioni sul collegamento: N=-9709.05 Ty=-11.04 Tz=12.31 Mx=-0.00 Mz=-9.01
Sollecitazioni agenti localmente: Ty_l=-1757.01 My_l=-36.07
Tensioni nella sezione: σ=437.20 τ=53.24
CC 32 SLD (Collegamento -041_-375)
Azioni sul collegamento: N=-9709.05 Ty=-9.85 Tz=12.31 Mx=-0.00 Mz=-7.46
Sollecitazioni agenti localmente: Ty_l=-1750.82 My_l=-35.93
Tensioni nella sezione: σ=435.56 τ=53.06
CC 33 SLU (Collegamento -041_-375)
Azioni sul collegamento: N=-36642.60 Ty=-20.20 Tz=103.27 Mx=-0.00 Mz=-14.84
Sollecitazioni agenti localmente: Ty_l=-6554.75 My_l=-134.46
Tensioni nella sezione: σ=1629.76 τ=198.63
CC 34 SLU (Collegamento -041_-375)
Azioni sul collegamento: N=-37458.50 Ty=-20.96 Tz=106.28 Mx=-0.00 Mz=-15.40
Sollecitazioni agenti localmente: Ty_l=-6701.62 My_l=-137.47
Tensioni nella sezione: σ=1666.29 τ=203.08
CC 35 SLU (Collegamento -041_-375)
Azioni sul collegamento: N=-37049.70 Ty=-20.49 Tz=104.83 Mx=-0.01 Mz=-14.94
Sollecitazioni agenti localmente: Ty_l=-6627.30 My_l=-135.94
Tensioni nella sezione: σ=1647.79 τ=200.83
CC 36 SLU (Collegamento -041_-375)
Azioni sul collegamento: N=-37051.40 Ty=-20.67 Tz=104.72 Mx=-0.00 Mz=-15.30
Sollecitazioni agenti localmente: Ty_l=-6629.07 My_l=-135.98
Tensioni nella sezione: σ=1648.26 τ=200.88
CC 37 SLU (Collegamento -041_-375)
Azioni sul collegamento: N=-29860.20 Ty=10.64 Tz=77.84 Mx=-0.00 Mz=8.54
Sollecitazioni agenti localmente: Ty_l=-5259.42 My_l=-107.77
Tensioni nella sezione: σ=1306.31 τ=159.38
CC 38 SLU (Collegamento -041_-375)
Azioni sul collegamento: N=-30676.20 Ty=9.89 Tz=80.85 Mx=-0.00 Mz=7.98
Sollecitazioni agenti localmente: Ty_l=-5406.29 My_l=-110.78
Tensioni nella sezione: σ=1342.84 τ=163.83
CC 39 SLU (Collegamento -041_-375)
Azioni sul collegamento: N=-30267.30 Ty=10.35 Tz=79.40 Mx=-0.01 Mz=8.45
Sollecitazioni agenti localmente: Ty_l=-5331.97 My_l=-109.26
Tensioni nella sezione: σ=1324.34 τ=161.57
CC 40 SLU (Collegamento -041_-375)
Azioni sul collegamento: N=-30269.10 Ty=10.18 Tz=79.28 Mx=-0.00 Mz=8.08
Sollecitazioni agenti localmente: Ty_l=-5333.74 My_l=-109.30
Tensioni nella sezione: σ=1324.81 τ=161.63
CC 41 SLU (Collegamento -041_-375)
Azioni sul collegamento: N=-27459.80 Ty=-19.36 Tz=69.55 Mx=-0.00 Mz=-14.09
Sollecitazioni agenti localmente: Ty_l=-4923.91 My_l=-101.02
Tensioni nella sezione: σ=1224.47 τ=149.21
CC 42 SLU (Collegamento -041_-375)
Azioni sul collegamento: N=-28275.70 Ty=-20.11 Tz=72.57 Mx=-0.00 Mz=-14.65
Sollecitazioni agenti localmente: Ty_l=-5070.78 My_l=-104.03
Tensioni nella sezione: σ=1261.00 τ=153.66
CC 43 SLU (Collegamento -041_-375)

Azioni sul collegamento: N=-27866.90 Ty=-19.65 Tz=71.12 Mx=-0.01 Mz=-14.19
Sollecitazioni agenti localmente: Ty_l=-4996.46 My_l=-102.51
Tensioni nella sezione: σ=1242.50 τ=151.41
CC 44 SLU (Collegamento -041_-375)
Azioni sul collegamento: N=-27868.60 Ty=-19.82 Tz=71.00 Mx=-0.00 Mz=-14.55
Sollecitazioni agenti localmente: Ty_l=-4998.23 My_l=-102.55
Tensioni nella sezione: σ=1242.97 τ=151.46
CC 45 SLU (Collegamento -041_-375)
Azioni sul collegamento: N=-29479.00 Ty=-19.57 Tz=76.97 Mx=-0.00 Mz=-14.38
Sollecitazioni agenti localmente: Ty_l=-5283.03 My_l=-108.38
Tensioni nella sezione: σ=1313.72 τ=160.09
CC 46 SLU (Collegamento -041_-375)
Azioni sul collegamento: N=-30295.00 Ty=-20.33 Tz=79.99 Mx=-0.00 Mz=-14.94
Sollecitazioni agenti localmente: Ty_l=-5429.90 My_l=-111.40
Tensioni nella sezione: σ=1350.26 τ=164.54
CC 47 SLU (Collegamento -041_-375)
Azioni sul collegamento: N=-29886.10 Ty=-19.86 Tz=78.54 Mx=-0.00 Mz=-14.48
Sollecitazioni agenti localmente: Ty_l=-5355.58 My_l=-109.87
Tensioni nella sezione: σ=1331.76 τ=162.29
CC 48 SLU (Collegamento -041_-375)
Azioni sul collegamento: N=-29887.90 Ty=-20.04 Tz=78.42 Mx=-0.00 Mz=-14.84
Sollecitazioni agenti localmente: Ty_l=-5357.35 My_l=-109.91
Tensioni nella sezione: σ=1332.22 τ=162.34
CC 49 SLU (Collegamento -041_-375)
Azioni sul collegamento: N=-24404.80 Ty=3.50 Tz=57.94 Mx=-0.00 Mz=3.11
Sollecitazioni agenti localmente: Ty_l=-4313.93 My_l=-88.42
Tensioni nella sezione: σ=1071.74 τ=130.72
CC 50 SLU (Collegamento -041_-375)
Azioni sul collegamento: N=-25220.80 Ty=2.75 Tz=60.96 Mx=-0.00 Mz=2.55
Sollecitazioni agenti localmente: Ty_l=-4460.80 My_l=-91.43
Tensioni nella sezione: σ=1108.27 τ=135.18
CC 51 SLU (Collegamento -041_-375)
Azioni sul collegamento: N=-24811.90 Ty=3.21 Tz=59.51 Mx=-0.00 Mz=3.02
Sollecitazioni agenti localmente: Ty_l=-4386.48 My_l=-89.91
Tensioni nella sezione: σ=1089.77 τ=132.92
CC 52 SLU (Collegamento -041_-375)
Azioni sul collegamento: N=-24813.70 Ty=3.04 Tz=59.39 Mx=-0.00 Mz=2.65
Sollecitazioni agenti localmente: Ty_l=-4388.25 My_l=-89.94
Tensioni nella sezione: σ=1090.23 τ=132.98
CC 53 SLU (Collegamento -041_-375)
Azioni sul collegamento: N=-22608.90 Ty=-18.94 Tz=51.75 Mx=-0.00 Mz=-13.82
Sollecitazioni agenti localmente: Ty_l=-4062.92 My_l=-83.37
Tensioni nella sezione: σ=1010.51 τ=123.12
CC 54 SLU (Collegamento -041_-375)
Azioni sul collegamento: N=-23424.90 Ty=-19.70 Tz=54.76 Mx=-0.00 Mz=-14.38
Sollecitazioni agenti localmente: Ty_l=-4209.79 My_l=-86.38
Tensioni nella sezione: σ=1047.04 τ=127.57
CC 55 SLU (Collegamento -041_-375)
Azioni sul collegamento: N=-23016.00 Ty=-19.23 Tz=53.31 Mx=-0.00 Mz=-13.92
Sollecitazioni agenti localmente: Ty_l=-4135.47 My_l=-84.85
Tensioni nella sezione: σ=1028.54 τ=125.32
CC 56 SLU (Collegamento -041_-375)
Azioni sul collegamento: N=-23017.80 Ty=-19.41 Tz=53.20 Mx=-0.00 Mz=-14.28
Sollecitazioni agenti localmente: Ty_l=-4137.24 My_l=-84.89
Tensioni nella sezione: σ=1029.01 τ=125.37
CC 57 SLU (Collegamento -041_-375)
Azioni sul collegamento: N=-30221.30 Ty=-20.56 Tz=79.74 Mx=-0.00 Mz=-15.10
Sollecitazioni agenti localmente: Ty_l=-5417.48 My_l=-111.14
Tensioni nella sezione: σ=1347.18 τ=164.17
CC 58 SLU (Collegamento -041_-375)
Azioni sul collegamento: N=-31037.20 Ty=-21.31 Tz=82.75 Mx=-0.00 Mz=-15.66
Sollecitazioni agenti localmente: Ty_l=-5564.35 My_l=-114.16
Tensioni nella sezione: σ=1383.71 τ=168.62
CC 59 SLU (Collegamento -041_-375)
Azioni sul collegamento: N=-30628.40 Ty=-20.85 Tz=81.31 Mx=-0.00 Mz=-15.20
Sollecitazioni agenti localmente: Ty_l=-5490.03 My_l=-112.63
Tensioni nella sezione: σ=1365.22 τ=166.37
CC 60 SLU (Collegamento -041_-375)
Azioni sul collegamento: N=-30630.10 Ty=-21.02 Tz=81.19 Mx=-0.00 Mz=-15.57
Sollecitazioni agenti localmente: Ty_l=-5491.80 My_l=-112.67
Tensioni nella sezione: σ=1365.68 τ=166.42
CC 61 SLU (Collegamento -041_-375)
Azioni sul collegamento: N=-25147.00 Ty=2.52 Tz=60.71 Mx=-0.00 Mz=2.39
Sollecitazioni agenti localmente: Ty_l=-4448.38 My_l=-91.18
Tensioni nella sezione: σ=1105.19 τ=134.80
CC 62 SLU (Collegamento -041_-375)
Azioni sul collegamento: N=-25963.00 Ty=1.76 Tz=63.73 Mx=-0.00 Mz=1.83
Sollecitazioni agenti localmente: Ty_l=-4595.25 My_l=-94.19
Tensioni nella sezione: σ=1141.73 τ=139.25

CC 63 SLU (Collegamento -041_-375)
Azioni sul collegamento: N=-25554.10 Ty=2.23 Tz=62.28 Mx=-0.00 Mz=2.29
Sollecitazioni agenti localmente: Ty_l=-4520.94 My_l=-92.67
Tensioni nella sezione: σ=1123.23 τ=137.00
CC 64 SLU (Collegamento -041_-375)
Azioni sul collegamento: N=-25555.90 Ty=2.05 Tz=62.16 Mx=-0.00 Mz=1.93
Sollecitazioni agenti localmente: Ty_l=-4522.70 My_l=-92.70
Tensioni nella sezione: σ=1123.69 τ=137.05
CC 65 SLU (Collegamento -041_-375)
Azioni sul collegamento: N=-23351.20 Ty=-19.92 Tz=54.52 Mx=-0.00 Mz=-14.54
Sollecitazioni agenti localmente: Ty_l=-4197.38 My_l=-86.13
Tensioni nella sezione: σ=1043.97 τ=127.19
CC 66 SLU (Collegamento -041_-375)
Azioni sul collegamento: N=-24167.10 Ty=-20.68 Tz=57.53 Mx=-0.00 Mz=-15.10
Sollecitazioni agenti localmente: Ty_l=-4344.25 My_l=-89.14
Tensioni nella sezione: σ=1080.50 τ=131.64
CC 67 SLU (Collegamento -041_-375)
Azioni sul collegamento: N=-23758.30 Ty=-20.21 Tz=56.08 Mx=-0.00 Mz=-14.64
Sollecitazioni agenti localmente: Ty_l=-4269.93 My_l=-87.61
Tensioni nella sezione: σ=1062.00 τ=129.39
CC 68 SLU (Collegamento -041_-375)
Azioni sul collegamento: N=-23760.00 Ty=-20.39 Tz=55.97 Mx=-0.00 Mz=-15.01
Sollecitazioni agenti localmente: Ty_l=-4271.69 My_l=-87.65
Tensioni nella sezione: σ=1062.46 τ=129.44
CC 97 SLU (Collegamento -041_-375)
Azioni sul collegamento: N=-31084.20 Ty=-25.01 Tz=90.82 Mx=0.05 Mz=-11.42
Sollecitazioni agenti localmente: Ty_l=-5555.80 My_l=-113.96
Tensioni nella sezione: σ=1381.30 τ=168.36
CC 98 SLU (Collegamento -041_-375)
Azioni sul collegamento: N=-31900.20 Ty=-25.76 Tz=93.83 Mx=0.05 Mz=-11.97
Sollecitazioni agenti localmente: Ty_l=-5702.67 My_l=-116.97
Tensioni nella sezione: σ=1417.83 τ=172.81
CC 99 SLU (Collegamento -041_-375)
Azioni sul collegamento: N=-31491.30 Ty=-25.30 Tz=92.39 Mx=0.05 Mz=-11.51
Sollecitazioni agenti localmente: Ty_l=-5628.35 My_l=-115.44
Tensioni nella sezione: σ=1399.34 τ=170.56
CC 100 SLU (Collegamento -041_-375)
Azioni sul collegamento: N=-31493.10 Ty=-25.48 Tz=92.27 Mx=0.05 Mz=-11.88
Sollecitazioni agenti localmente: Ty_l=-5630.12 My_l=-115.48
Tensioni nella sezione: σ=1399.80 τ=170.61
CC 101 SLU (Collegamento -041_-375)
Azioni sul collegamento: N=-8294.89 Ty=-5.21 Tz=7.37 Mx=-0.01 Mz=-4.43
Sollecitazioni agenti localmente: Ty_l=-1488.09 My_l=-30.53
Tensioni nella sezione: σ=370.07 τ=45.09
CC 102 SLU (Collegamento -041_-375)
Azioni sul collegamento: N=-9110.88 Ty=-5.97 Tz=10.39 Mx=-0.01 Mz=-4.99
Sollecitazioni agenti localmente: Ty_l=-1634.96 My_l=-33.54
Tensioni nella sezione: σ=406.60 τ=49.54
CC 103 SLU (Collegamento -041_-375)
Azioni sul collegamento: N=-8702.00 Ty=-5.50 Tz=8.94 Mx=-0.01 Mz=-4.53
Sollecitazioni agenti localmente: Ty_l=-1560.64 My_l=-32.02
Tensioni nella sezione: σ=388.10 τ=47.29
CC 104 SLU (Collegamento -041_-375)
Azioni sul collegamento: N=-8703.78 Ty=-5.68 Tz=8.82 Mx=-0.01 Mz=-4.89
Sollecitazioni agenti localmente: Ty_l=-1562.41 My_l=-32.06
Tensioni nella sezione: σ=388.56 τ=47.35

Collegamento -044_-376

Piastra 220.00 x 220.00 s=15.00 - 6 Tirafondi ϕ 16 - Profondità di infissione: 350.00
3 righe ad interasse 89.00
2 colonne ad interasse 178.00
Altezza di gola saldature: anima 7.07 - ala 7.07

Tirafondi e calcestruzzo

CC 1 SLV (Collegamento -044_-376)
Azioni sul collegamento: N=-6246.31 Ty=15.25 Tz=-0.46 Mx=0.02 Mz=13.58
Sollecitazioni agenti localmente: Tx_l=15.25 Ty_l=-0.46 N_l=-6246.31 Mx_l=-0.00 My_l=13.58 Mz_l=0.02
Taglio nei bulloni: Fv,Ed=2.56 Fv,Rd=7720.78
Rifollamento lato piastra: Fb,Ed,p=2.56 Fb,Rd,p=5991.65
Tirafondi:LT=0.45 (0.31) $σ_{cR}$=0.00 $σ_{fR}$=0.00
Compressione nel calcestruzzo: $σ_c$=13.67
CC 1 SLV (Collegamento -044_-376)
Azioni sul collegamento: N=-6246.31 Ty=7.49 Tz=-0.46 Mx=0.02 Mz=7.17
Sollecitazioni agenti localmente: Tx_l=7.49 Ty_l=-0.46 N_l=-6246.31 Mx_l=-0.00 My_l=7.17 Mz_l=0.02
Taglio nei bulloni: Fv,Ed=1.27 Fv,Rd=7720.78
Rifollamento lato piastra: Fb,Ed,p=1.27 Fb,Rd,p=6030.04
Tirafondi:LT=0.45 (0.31) $σ_{cR}$=0.00 $σ_{fR}$=0.00

Compressione nel calcestruzzo: σ_c=13.31
CC 1 SLV (Collegamento -044_-376)
Azioni sul collegamento: N=-6246.31 Ty=15.25 Tz=28.82 Mx=0.02 Mz=13.58
Sollecitazioni agenti localmente: Tx_l=15.25 Ty_l=28.82 N_l=-6246.31 Mx_l=-0.00 My_l=13.58 Mz_l=0.02
Taglio nei bulloni: Fv,Ed=5.46 Fv,Rd=7720.78
Rifollamento lato piastra: Fb,Ed,p=5.46 Fb,Rd,p=8530.43
Tirafondi:LT=0.45 (0.31) σ_{cR}=0.00 σ_{fR}=0.00
Compressione nel calcestruzzo: σ_c=13.67
CC 1 SLV (Collegamento -044_-376)
Azioni sul collegamento: N=-6246.31 Ty=7.49 Tz=28.82 Mx=0.02 Mz=7.17
Sollecitazioni agenti localmente: Tx_l=7.49 Ty_l=28.82 N_l=-6246.31 Mx_l=-0.00 My_l=7.17 Mz_l=0.02
Taglio nei bulloni: Fv,Ed=4.99 Fv,Rd=7720.78
Rifollamento lato piastra: Fb,Ed,p=4.99 Fb,Rd,p=6595.89
Tirafondi:LT=0.45 (0.31) σ_{cR}=0.00 σ_{fR}=0.00
Compressione nel calcestruzzo: σ_c=13.31
CC 1 SLV (Collegamento -044_-376)
Azioni sul collegamento: N=-14088.90 Ty=15.25 Tz=-0.46 Mx=0.02 Mz=13.58
Sollecitazioni agenti localmente: Tx_l=15.25 Ty_l=-0.46 N_l=-14088.90 Mx_l=-0.00 My_l=13.58 Mz_l=0.02
Taglio nei bulloni: Fv,Ed=2.56 Fv,Rd=7720.78
Rifollamento lato piastra: Fb,Ed,p=2.56 Fb,Rd,p=5991.67
Tirafondi:LT=0.45 (0.31) σ_{cR}=0.00 σ_{fR}=0.00
Compressione nel calcestruzzo: σ_c=29.87
CC 1 SLV (Collegamento -044_-376)
Azioni sul collegamento: N=-14088.90 Ty=7.49 Tz=-0.46 Mx=0.02 Mz=7.17
Sollecitazioni agenti localmente: Tx_l=7.49 Ty_l=-0.46 N_l=-14088.90 Mx_l=-0.00 My_l=7.17 Mz_l=0.02
Taglio nei bulloni: Fv,Ed=1.27 Fv,Rd=7720.78
Rifollamento lato piastra: Fb,Ed,p=1.27 Fb,Rd,p=6030.13
Tirafondi:LT=0.45 (0.31) σ_{cR}=0.00 σ_{fR}=0.00
Compressione nel calcestruzzo: σ_c=29.51
CC 1 SLV (Collegamento -044_-376)
Azioni sul collegamento: N=-14088.90 Ty=15.25 Tz=28.82 Mx=0.02 Mz=13.58
Sollecitazioni agenti localmente: Tx_l=15.25 Ty_l=28.82 N_l=-14088.90 Mx_l=-0.00 My_l=13.58 Mz_l=0.02
Taglio nei bulloni: Fv,Ed=5.46 Fv,Rd=7720.78
Rifollamento lato piastra: Fb,Ed,p=5.46 Fb,Rd,p=8530.47
Tirafondi:LT=0.45 (0.31) σ_{cR}=0.00 σ_{fR}=0.00
Compressione nel calcestruzzo: σ_c=29.87
CC 1 SLV (Collegamento -044_-376)
Azioni sul collegamento: N=-14088.90 Ty=7.49 Tz=28.82 Mx=0.02 Mz=7.17
Sollecitazioni agenti localmente: Tx_l=7.49 Ty_l=28.82 N_l=-14088.90 Mx_l=-0.00 My_l=7.17 Mz_l=0.02
Taglio nei bulloni: Fv,Ed=4.99 Fv,Rd=7720.78
Rifollamento lato piastra: Fb,Ed,p=4.99 Fb,Rd,p=6595.90
Tirafondi:LT=0.45 (0.31) σ_{cR}=0.00 σ_{fR}=0.00
Compressione nel calcestruzzo: σ_c=29.51
CC 2 SLD (Collegamento -044_-376)
Azioni sul collegamento: N=-8874.30 Ty=11.63 Tz=9.33 Mx=0.01 Mz=9.21
Sollecitazioni agenti localmente: Tx_l=11.63 Ty_l=9.33 N_l=-8874.30 Mx_l=-0.00 My_l=9.21 Mz_l=0.01
Taglio nei bulloni: Fv,Ed=2.50 Fv,Rd=9650.97
Rifollamento lato piastra: Fb,Ed,p=2.49 Fb,Rd,p=13573.20
Tirafondi:LT=0.45 (0.31) σ_{cR}=0.00 σ_{fR}=0.00
Compressione nel calcestruzzo: σ_c=18.85
CC 2 SLD (Collegamento -044_-376)
Azioni sul collegamento: N=-8874.30 Ty=9.26 Tz=9.33 Mx=0.01 Mz=7.26
Sollecitazioni agenti localmente: Tx_l=9.26 Ty_l=9.33 N_l=-8874.30 Mx_l=-0.00 My_l=7.26 Mz_l=0.01
Taglio nei bulloni: Fv,Ed=2.20 Fv,Rd=9650.97
Rifollamento lato piastra: Fb,Ed,p=2.20 Fb,Rd,p=14966.60
Tirafondi:LT=0.45 (0.31) σ_{cR}=0.00 σ_{fR}=0.00
Compressione nel calcestruzzo: σ_c=18.74
CC 2 SLD (Collegamento -044_-376)
Azioni sul collegamento: N=-8874.30 Ty=11.63 Tz=18.26 Mx=0.01 Mz=9.21
Sollecitazioni agenti localmente: Tx_l=11.63 Ty_l=18.26 N_l=-8874.30 Mx_l=-0.00 My_l=9.21 Mz_l=0.01
Taglio nei bulloni: Fv,Ed=3.62 Fv,Rd=9650.97
Rifollamento lato piastra: Fb,Ed,p=3.62 Fb,Rd,p=12106.90
Tirafondi:LT=0.45 (0.31) σ_{cR}=0.00 σ_{fR}=0.00
Compressione nel calcestruzzo: σ_c=18.85
CC 2 SLD (Collegamento -044_-376)
Azioni sul collegamento: N=-8874.30 Ty=9.26 Tz=18.26 Mx=0.01 Mz=7.26
Sollecitazioni agenti localmente: Tx_l=9.26 Ty_l=18.26 N_l=-8874.30 Mx_l=-0.00 My_l=7.26 Mz_l=0.01
Taglio nei bulloni: Fv,Ed=3.42 Fv,Rd=9650.97
Rifollamento lato piastra: Fb,Ed,p=3.42 Fb,Rd,p=10394.20
Tirafondi:LT=0.45 (0.31) σ_{cR}=0.00 σ_{fR}=0.00
Compressione nel calcestruzzo: σ_c=18.74
CC 2 SLD (Collegamento -044_-376)
Azioni sul collegamento: N=-11265.80 Ty=11.63 Tz=9.33 Mx=0.01 Mz=9.21
Sollecitazioni agenti localmente: Tx_l=11.63 Ty_l=9.33 N_l=-11265.80 Mx_l=-0.00 My_l=9.21 Mz_l=0.01
Taglio nei bulloni: Fv,Ed=2.50 Fv,Rd=9650.97
Rifollamento lato piastra: Fb,Ed,p=2.49 Fb,Rd,p=13573.20
Tirafondi:LT=0.45 (0.31) σ_{cR}=0.00 σ_{fR}=0.00
Compressione nel calcestruzzo: σ_c=23.80

CC 2 SLD (Collegamento -044_-376)
Azioni sul collegamento: N=-11265.80 Ty=9.26 Tz=9.33 Mx=0.01 Mz=7.26
Sollecitazioni agenti localmente: Tx_l=9.26 Ty_l=9.33 N_l=-11265.80 Mx_l=-0.00 My_l=7.26 Mz_l=0.01
Taglio nei bulloni: Fv,Ed=2.20 Fv,Rd=9650.97
Rifollamento lato piastra: Fb,Ed,p=2.20 Fb,Rd,p=14966.70
Tirafondi:LT=0.45 (0.31) σ_{cR}=0.00 σ_{fR}=0.00
Compressione nel calcestruzzo: σ_c=23.69
CC 2 SLD (Collegamento -044_-376)
Azioni sul collegamento: N=-11265.80 Ty=11.63 Tz=18.26 Mx=0.01 Mz=9.21
Sollecitazioni agenti localmente: Tx_l=11.63 Ty_l=18.26 N_l=-11265.80 Mx_l=-0.00 My_l=9.21 Mz_l=0.01
Taglio nei bulloni: Fv,Ed=3.62 Fv,Rd=9650.97
Rifollamento lato piastra: Fb,Ed,p=3.62 Fb,Rd,p=12106.70
Tirafondi:LT=0.45 (0.31) σ_{cR}=0.00 σ_{fR}=0.00
Compressione nel calcestruzzo: σ_c=23.80
CC 2 SLD (Collegamento -044_-376)
Azioni sul collegamento: N=-11265.80 Ty=9.26 Tz=18.26 Mx=0.01 Mz=7.26
Sollecitazioni agenti localmente: Tx_l=9.26 Ty_l=18.26 N_l=-11265.80 Mx_l=-0.00 My_l=7.26 Mz_l=0.01
Taglio nei bulloni: Fv,Ed=3.42 Fv,Rd=9650.97
Rifollamento lato piastra: Fb,Ed,p=3.42 Fb,Rd,p=10394.10
Tirafondi:LT=0.45 (0.31) σ_{cR}=0.00 σ_{fR}=0.00
Compressione nel calcestruzzo: σ_c=23.69
CC 3 SLV (Collegamento -044_-376)
Azioni sul collegamento: N=-6251.19 Ty=14.73 Tz=-0.13 Mx=0.01 Mz=12.53
Sollecitazioni agenti localmente: Tx_l=14.73 Ty_l=-0.13 N_l=-6251.19 Mx_l=-0.00 My_l=12.53 Mz_l=0.01
Taglio nei bulloni: Fv,Ed=2.47 Fv,Rd=7720.78
Rifollamento lato piastra: Fb,Ed,p=2.47 Fb,Rd,p=5981.08
Tirafondi:LT=0.45 (0.31) σ_{cR}=0.00 σ_{fR}=0.00
Compressione nel calcestruzzo: σ_c=13.62
CC 3 SLV (Collegamento -044_-376)
Azioni sul collegamento: N=-6251.19 Ty=8.00 Tz=-0.13 Mx=0.01 Mz=8.22
Sollecitazioni agenti localmente: Tx_l=8.00 Ty_l=-0.13 N_l=-6251.19 Mx_l=-0.00 My_l=8.22 Mz_l=0.01
Taglio nei bulloni: Fv,Ed=1.35 Fv,Rd=7720.78
Rifollamento lato piastra: Fb,Ed,p=1.35 Fb,Rd,p=5985.56
Tirafondi:LT=0.45 (0.31) σ_{cR}=0.00 σ_{fR}=0.00
Compressione nel calcestruzzo: σ_c=13.38
CC 3 SLV (Collegamento -044_-376)
Azioni sul collegamento: N=-6251.19 Ty=14.73 Tz=28.49 Mx=0.01 Mz=12.53
Sollecitazioni agenti localmente: Tx_l=14.73 Ty_l=28.49 N_l=-6251.19 Mx_l=-0.00 My_l=12.53 Mz_l=0.01
Taglio nei bulloni: Fv,Ed=5.36 Fv,Rd=7720.78
Rifollamento lato piastra: Fb,Ed,p=5.36 Fb,Rd,p=8410.48
Tirafondi:LT=0.45 (0.31) σ_{cR}=0.00 σ_{fR}=0.00
Compressione nel calcestruzzo: σ_c=13.62
CC 3 SLV (Collegamento -044_-376)
Azioni sul collegamento: N=-6251.19 Ty=8.00 Tz=28.49 Mx=0.01 Mz=8.22
Sollecitazioni agenti localmente: Tx_l=8.00 Ty_l=28.49 N_l=-6251.19 Mx_l=-0.00 My_l=8.22 Mz_l=0.01
Taglio nei bulloni: Fv,Ed=4.95 Fv,Rd=7720.78
Rifollamento lato piastra: Fb,Ed,p=4.95 Fb,Rd,p=6694.64
Tirafondi:LT=0.45 (0.31) σ_{cR}=0.00 σ_{fR}=0.00
Compressione nel calcestruzzo: σ_c=13.38
CC 3 SLV (Collegamento -044_-376)
Azioni sul collegamento: N=-14084.10 Ty=14.73 Tz=-0.13 Mx=0.01 Mz=12.53
Sollecitazioni agenti localmente: Tx_l=14.73 Ty_l=-0.13 N_l=-14084.10 Mx_l=-0.00 My_l=12.53 Mz_l=0.01
Taglio nei bulloni: Fv,Ed=2.47 Fv,Rd=7720.78
Rifollamento lato piastra: Fb,Ed,p=2.47 Fb,Rd,p=5981.08
Tirafondi:LT=0.45 (0.31) σ_{cR}=0.00 σ_{fR}=0.00
Compressione nel calcestruzzo: σ_c=29.81
CC 3 SLV (Collegamento -044_-376)
Azioni sul collegamento: N=-14084.10 Ty=8.00 Tz=-0.13 Mx=0.01 Mz=8.22
Sollecitazioni agenti localmente: Tx_l=8.00 Ty_l=-0.13 N_l=-14084.10 Mx_l=-0.00 My_l=8.22 Mz_l=0.01
Taglio nei bulloni: Fv,Ed=1.35 Fv,Rd=7720.78
Rifollamento lato piastra: Fb,Ed,p=1.35 Fb,Rd,p=5985.57
Tirafondi:LT=0.45 (0.31) σ_{cR}=0.00 σ_{fR}=0.00
Compressione nel calcestruzzo: σ_c=29.56
CC 3 SLV (Collegamento -044_-376)
Azioni sul collegamento: N=-14084.10 Ty=14.73 Tz=28.49 Mx=0.01 Mz=12.53
Sollecitazioni agenti localmente: Tx_l=14.73 Ty_l=28.49 N_l=-14084.10 Mx_l=-0.00 My_l=12.53 Mz_l=0.01
Taglio nei bulloni: Fv,Ed=5.37 Fv,Rd=7720.78
Rifollamento lato piastra: Fb,Ed,p=5.37 Fb,Rd,p=8410.39
Tirafondi:LT=0.45 (0.31) σ_{cR}=0.00 σ_{fR}=0.00
Compressione nel calcestruzzo: σ_c=29.81
CC 3 SLV (Collegamento -044_-376)
Azioni sul collegamento: N=-14084.10 Ty=8.00 Tz=28.49 Mx=0.01 Mz=8.22
Sollecitazioni agenti localmente: Tx_l=8.00 Ty_l=28.49 N_l=-14084.10 Mx_l=-0.00 My_l=8.22 Mz_l=0.01
Taglio nei bulloni: Fv,Ed=4.95 Fv,Rd=7720.78
Rifollamento lato piastra: Fb,Ed,p=4.95 Fb,Rd,p=6694.61
Tirafondi:LT=0.45 (0.31) σ_{cR}=0.00 σ_{fR}=0.00
Compressione nel calcestruzzo: σ_c=29.56
CC 4 SLD (Collegamento -044_-376)

Azioni sul collegamento: N=-8875.79 Ty=11.47 Tz=9.43 Mx=0.01 Mz=8.89
Sollecitazioni agenti localmente: Tx_l=11.47 Ty_l=9.43 N_l=-8875.79 Mx_l=-0.00 My_l=8.89 Mz_l=0.01
Taglio nei bulloni: Fv,Ed=2.48 Fv,Rd=9650.97
Rifollamento lato piastra: Fb,Ed,p=2.48 Fb,Rd,p=13713.10
Tirafondi:LT=0.45 (0.31) σ_{cR}=0.00 σ_{fR}=0.00
Compressione nel calcestruzzo: σ_c=18.84
CC 4 SLD (Collegamento -044_-376)
Azioni sul collegamento: N=-8875.79 Ty=9.42 Tz=9.43 Mx=0.01 Mz=7.58
Sollecitazioni agenti localmente: Tx_l=9.42 Ty_l=9.43 N_l=-8875.79 Mx_l=-0.00 My_l=7.58 Mz_l=0.01
Taglio nei bulloni: Fv,Ed=2.23 Fv,Rd=9650.97
Rifollamento lato piastra: Fb,Ed,p=2.23 Fb,Rd,p=15012.50
Tirafondi:LT=0.45 (0.31) σ_{cR}=0.00 σ_{fR}=0.00
Compressione nel calcestruzzo: σ_c=18.77
CC 4 SLD (Collegamento -044_-376)
Azioni sul collegamento: N=-8875.79 Ty=11.47 Tz=18.16 Mx=0.01 Mz=8.89
Sollecitazioni agenti localmente: Tx_l=11.47 Ty_l=18.16 N_l=-8875.79 Mx_l=-0.00 My_l=8.89 Mz_l=0.01
Taglio nei bulloni: Fv,Ed=3.59 Fv,Rd=9650.97
Rifollamento lato piastra: Fb,Ed,p=3.59 Fb,Rd,p=12028.20
Tirafondi:LT=0.45 (0.31) σ_{cR}=0.00 σ_{fR}=0.00
Compressione nel calcestruzzo: σ_c=18.84
CC 4 SLD (Collegamento -044_-376)
Azioni sul collegamento: N=-8875.79 Ty=9.42 Tz=18.16 Mx=0.01 Mz=7.58
Sollecitazioni agenti localmente: Tx_l=9.42 Ty_l=18.16 N_l=-8875.79 Mx_l=-0.00 My_l=7.58 Mz_l=0.01
Taglio nei bulloni: Fv,Ed=3.42 Fv,Rd=9650.97
Rifollamento lato piastra: Fb,Ed,p=3.42 Fb,Rd,p=10525.50
Tirafondi:LT=0.45 (0.31) σ_{cR}=0.00 σ_{fR}=0.00
Compressione nel calcestruzzo: σ_c=18.77
CC 4 SLD (Collegamento -044_-376)
Azioni sul collegamento: N=-11264.30 Ty=11.47 Tz=9.43 Mx=0.01 Mz=8.89
Sollecitazioni agenti localmente: Tx_l=11.47 Ty_l=9.43 N_l=-11264.30 Mx_l=-0.00 My_l=8.89 Mz_l=0.01
Taglio nei bulloni: Fv,Ed=2.48 Fv,Rd=9650.97
Rifollamento lato piastra: Fb,Ed,p=2.48 Fb,Rd,p=13713.30
Tirafondi:LT=0.45 (0.31) σ_{cR}=0.00 σ_{fR}=0.00
Compressione nel calcestruzzo: σ_c=23.77
CC 4 SLD (Collegamento -044_-376)
Azioni sul collegamento: N=-11264.30 Ty=9.42 Tz=9.43 Mx=0.01 Mz=7.58
Sollecitazioni agenti localmente: Tx_l=9.42 Ty_l=9.43 N_l=-11264.30 Mx_l=-0.00 My_l=7.58 Mz_l=0.01
Taglio nei bulloni: Fv,Ed=2.23 Fv,Rd=9650.97
Rifollamento lato piastra: Fb,Ed,p=2.23 Fb,Rd,p=15012.30
Tirafondi:LT=0.45 (0.31) σ_{cR}=0.00 σ_{fR}=0.00
Compressione nel calcestruzzo: σ_c=23.70
CC 4 SLD (Collegamento -044_-376)
Azioni sul collegamento: N=-11264.30 Ty=11.47 Tz=18.16 Mx=0.01 Mz=8.89
Sollecitazioni agenti localmente: Tx_l=11.47 Ty_l=18.16 N_l=-11264.30 Mx_l=-0.00 My_l=8.89 Mz_l=0.01
Taglio nei bulloni: Fv,Ed=3.59 Fv,Rd=9650.97
Rifollamento lato piastra: Fb,Ed,p=3.59 Fb,Rd,p=12028.20
Tirafondi:LT=0.45 (0.31) σ_{cR}=0.00 σ_{fR}=0.00
Compressione nel calcestruzzo: σ_c=23.77
CC 4 SLD (Collegamento -044_-376)
Azioni sul collegamento: N=-11264.30 Ty=9.42 Tz=18.16 Mx=0.01 Mz=7.58
Sollecitazioni agenti localmente: Tx_l=9.42 Ty_l=18.16 N_l=-11264.30 Mx_l=-0.00 My_l=7.58 Mz_l=0.01
Taglio nei bulloni: Fv,Ed=3.42 Fv,Rd=9650.97
Rifollamento lato piastra: Fb,Ed,p=3.42 Fb,Rd,p=10525.50
Tirafondi:LT=0.45 (0.31) σ_{cR}=0.00 σ_{fR}=0.00
Compressione nel calcestruzzo: σ_c=23.70
CC 5 SLV (Collegamento -044_-376)
Azioni sul collegamento: N=-14084.10 Ty=8.00 Tz=28.49 Mx=0.02 Mz=8.22
Sollecitazioni agenti localmente: Tx_l=8.00 Ty_l=28.49 N_l=-14084.10 Mx_l=-0.00 My_l=8.22 Mz_l=0.02
Taglio nei bulloni: Fv,Ed=4.96 Fv,Rd=7720.78
Rifollamento lato piastra: Fb,Ed,p=4.96 Fb,Rd,p=6698.48
Tirafondi:LT=0.45 (0.31) σ_{cR}=0.00 σ_{fR}=0.00
Compressione nel calcestruzzo: σ_c=29.56
CC 5 SLV (Collegamento -044_-376)
Azioni sul collegamento: N=-14084.10 Ty=14.73 Tz=28.49 Mx=0.02 Mz=12.53
Sollecitazioni agenti localmente: Tx_l=14.73 Ty_l=28.49 N_l=-14084.10 Mx_l=-0.00 My_l=12.53 Mz_l=0.02
Taglio nei bulloni: Fv,Ed=5.37 Fv,Rd=7720.78
Rifollamento lato piastra: Fb,Ed,p=5.37 Fb,Rd,p=8415.25
Tirafondi:LT=0.45 (0.31) σ_{cR}=0.00 σ_{fR}=0.00
Compressione nel calcestruzzo: σ_c=29.81
CC 5 SLV (Collegamento -044_-376)
Azioni sul collegamento: N=-14084.10 Ty=8.00 Tz=-0.13 Mx=0.02 Mz=8.22
Sollecitazioni agenti localmente: Tx_l=8.00 Ty_l=-0.13 N_l=-14084.10 Mx_l=-0.00 My_l=8.22 Mz_l=0.02
Taglio nei bulloni: Fv,Ed=1.35 Fv,Rd=7720.78
Rifollamento lato piastra: Fb,Ed,p=1.35 Fb,Rd,p=5987.41
Tirafondi:LT=0.45 (0.31) σ_{cR}=0.00 σ_{fR}=0.00
Compressione nel calcestruzzo: σ_c=29.56
CC 5 SLV (Collegamento -044_-376)
Azioni sul collegamento: N=-14084.10 Ty=14.73 Tz=-0.13 Mx=0.02 Mz=12.53

Sollecitazioni agenti localmente: Tx_l=14.73 Ty_l=-0.13 N_l=-14084.10 Mx_l=-0.00 My_l=12.53 Mz_l=0.02
Taglio nei bulloni: Fv,Ed=2.48 Fv,Rd=7720.78
Rifollamento lato piastra: Fb,Ed,p=2.48 Fb,Rd,p=5981.64
Tirafondi:LT=0.45 (0.31) σ_{cR}=0.00 σ_{fR}=0.00
Compressione nel calcestruzzo: σ_c=29.81
CC 5 SLV (Collegamento -044_-376)
Azioni sul collegamento: N=-6251.19 Ty=8.00 Tz=28.49 Mx=0.02 Mz=8.22
Sollecitazioni agenti localmente: Tx_l=8.00 Ty_l=28.49 N_l=-6251.19 Mx_l=-0.00 My_l=8.22 Mz_l=0.02
Taglio nei bulloni: Fv,Ed=4.96 Fv,Rd=7720.78
Rifollamento lato piastra: Fb,Ed,p=4.96 Fb,Rd,p=6698.50
Tirafondi:LT=0.45 (0.31) σ_{cR}=0.00 σ_{fR}=0.00
Compressione nel calcestruzzo: σ_c=13.38
CC 5 SLV (Collegamento -044_-376)
Azioni sul collegamento: N=-6251.19 Ty=14.73 Tz=28.49 Mx=0.02 Mz=12.53
Sollecitazioni agenti localmente: Tx_l=14.73 Ty_l=28.49 N_l=-6251.19 Mx_l=-0.00 My_l=12.53 Mz_l=0.02
Taglio nei bulloni: Fv,Ed=5.37 Fv,Rd=7720.78
Rifollamento lato piastra: Fb,Ed,p=5.37 Fb,Rd,p=8415.34
Tirafondi:LT=0.45 (0.31) σ_{cR}=0.00 σ_{fR}=0.00
Compressione nel calcestruzzo: σ_c=13.62
CC 5 SLV (Collegamento -044_-376)
Azioni sul collegamento: N=-6251.19 Ty=8.00 Tz=-0.13 Mx=0.02 Mz=8.22
Sollecitazioni agenti localmente: Tx_l=8.00 Ty_l=-0.13 N_l=-6251.19 Mx_l=-0.00 My_l=8.22 Mz_l=0.02
Taglio nei bulloni: Fv,Ed=1.35 Fv,Rd=7720.78
Rifollamento lato piastra: Fb,Ed,p=1.35 Fb,Rd,p=5987.40
Tirafondi:LT=0.45 (0.31) σ_{cR}=0.00 σ_{fR}=0.00
Compressione nel calcestruzzo: σ_c=13.38
CC 5 SLV (Collegamento -044_-376)
Azioni sul collegamento: N=-6251.19 Ty=14.73 Tz=-0.13 Mx=0.02 Mz=12.53
Sollecitazioni agenti localmente: Tx_l=14.73 Ty_l=-0.13 N_l=-6251.19 Mx_l=-0.00 My_l=12.53 Mz_l=0.02
Taglio nei bulloni: Fv,Ed=2.48 Fv,Rd=7720.78
Rifollamento lato piastra: Fb,Ed,p=2.48 Fb,Rd,p=5981.63
Tirafondi:LT=0.45 (0.31) σ_{cR}=0.00 σ_{fR}=0.00
Compressione nel calcestruzzo: σ_c=13.62
CC 6 SLD (Collegamento -044_-376)
Azioni sul collegamento: N=-11264.30 Ty=9.42 Tz=18.16 Mx=0.01 Mz=7.58
Sollecitazioni agenti localmente: Tx_l=9.42 Ty_l=18.16 N_l=-11264.30 Mx_l=-0.00 My_l=7.58 Mz_l=0.01
Taglio nei bulloni: Fv,Ed=3.42 Fv,Rd=9650.97
Rifollamento lato piastra: Fb,Ed,p=3.42 Fb,Rd,p=10528.40
Tirafondi:LT=0.45 (0.31) σ_{cR}=0.00 σ_{fR}=0.00
Compressione nel calcestruzzo: σ_c=23.70
CC 6 SLD (Collegamento -044_-376)
Azioni sul collegamento: N=-11264.30 Ty=11.47 Tz=18.16 Mx=0.01 Mz=8.89
Sollecitazioni agenti localmente: Tx_l=11.47 Ty_l=18.16 N_l=-11264.30 Mx_l=-0.00 My_l=8.89 Mz_l=0.01
Taglio nei bulloni: Fv,Ed=3.59 Fv,Rd=9650.97
Rifollamento lato piastra: Fb,Ed,p=3.59 Fb,Rd,p=12031.00
Tirafondi:LT=0.45 (0.31) σ_{cR}=0.00 σ_{fR}=0.00
Compressione nel calcestruzzo: σ_c=23.77
CC 6 SLD (Collegamento -044_-376)
Azioni sul collegamento: N=-11264.30 Ty=9.42 Tz=9.43 Mx=0.01 Mz=7.58
Sollecitazioni agenti localmente: Tx_l=9.42 Ty_l=9.43 N_l=-11264.30 Mx_l=-0.00 My_l=7.58 Mz_l=0.01
Taglio nei bulloni: Fv,Ed=2.23 Fv,Rd=9650.97
Rifollamento lato piastra: Fb,Ed,p=2.23 Fb,Rd,p=15012.30
Tirafondi:LT=0.45 (0.31) σ_{cR}=0.00 σ_{fR}=0.00
Compressione nel calcestruzzo: σ_c=23.70
CC 6 SLD (Collegamento -044_-376)
Azioni sul collegamento: N=-11264.30 Ty=11.47 Tz=9.43 Mx=0.01 Mz=8.89
Sollecitazioni agenti localmente: Tx_l=11.47 Ty_l=9.43 N_l=-11264.30 Mx_l=-0.00 My_l=8.89 Mz_l=0.01
Taglio nei bulloni: Fv,Ed=2.49 Fv,Rd=9650.97
Rifollamento lato piastra: Fb,Ed,p=2.48 Fb,Rd,p=13703.50
Tirafondi:LT=0.45 (0.31) σ_{cR}=0.00 σ_{fR}=0.00
Compressione nel calcestruzzo: σ_c=23.77
CC 6 SLD (Collegamento -044_-376)
Azioni sul collegamento: N=-8875.79 Ty=9.42 Tz=18.16 Mx=0.01 Mz=7.58
Sollecitazioni agenti localmente: Tx_l=9.42 Ty_l=18.16 N_l=-8875.79 Mx_l=-0.00 My_l=7.58 Mz_l=0.01
Taglio nei bulloni: Fv,Ed=3.42 Fv,Rd=9650.97
Rifollamento lato piastra: Fb,Ed,p=3.42 Fb,Rd,p=10528.40
Tirafondi:LT=0.45 (0.31) σ_{cR}=0.00 σ_{fR}=0.00
Compressione nel calcestruzzo: σ_c=18.77
CC 6 SLD (Collegamento -044_-376)
Azioni sul collegamento: N=-8875.79 Ty=11.47 Tz=18.16 Mx=0.01 Mz=8.89
Sollecitazioni agenti localmente: Tx_l=11.47 Ty_l=18.16 N_l=-8875.79 Mx_l=-0.00 My_l=8.89 Mz_l=0.01
Taglio nei bulloni: Fv,Ed=3.59 Fv,Rd=9650.97
Rifollamento lato piastra: Fb,Ed,p=3.59 Fb,Rd,p=12030.90
Tirafondi:LT=0.45 (0.31) σ_{cR}=0.00 σ_{fR}=0.00
Compressione nel calcestruzzo: σ_c=18.84
CC 6 SLD (Collegamento -044_-376)
Azioni sul collegamento: N=-8875.79 Ty=9.42 Tz=9.43 Mx=0.01 Mz=7.58
Sollecitazioni agenti localmente: Tx_l=9.42 Ty_l=9.43 N_l=-8875.79 Mx_l=-0.00 My_l=7.58 Mz_l=0.01

Taglio nei bulloni: Fv,Ed=2.23 Fv,Rd=9650.97
Rifollamento lato piastra: Fb,Ed,p=2.23 Fb,Rd,p=15012.50
Tirafondi:LT=0.45 (0.31) σ_{cR}=0.00 σ_{fR}=0.00
Compressione nel calcestruzzo: σ_c=18.77
CC 6 SLD (Collegamento -044_-376)
Azioni sul collegamento: N=-8875.79 Ty=11.47 Tz=9.43 Mx=0.01 Mz=8.89
Sollecitazioni agenti localmente: Tx_l=11.47 Ty_l=9.43 N_l=-8875.79 Mx_l=-0.00 My_l=8.89 Mz_l=0.01
Taglio nei bulloni: Fv,Ed=2.49 Fv,Rd=9650.97
Rifollamento lato piastra: Fb,Ed,p=2.48 Fb,Rd,p=13703.30
Tirafondi:LT=0.45 (0.31) σ_{cR}=0.00 σ_{fR}=0.00
Compressione nel calcestruzzo: σ_c=18.84
CC 7 SLV (Collegamento -044_-376)
Azioni sul collegamento: N=-14088.90 Ty=7.49 Tz=28.82 Mx=0.01 Mz=7.17
Sollecitazioni agenti localmente: Tx_l=7.49 Ty_l=28.82 N_l=-14088.90 Mx_l=-0.00 My_l=7.17 Mz_l=0.01
Taglio nei bulloni: Fv,Ed=4.98 Fv,Rd=7720.78
Rifollamento lato piastra: Fb,Ed,p=4.98 Fb,Rd,p=6591.81
Tirafondi:LT=0.45 (0.31) σ_{cR}=0.00 σ_{fR}=0.00
Compressione nel calcestruzzo: σ_c=29.51
CC 7 SLV (Collegamento -044_-376)
Azioni sul collegamento: N=-14088.90 Ty=15.25 Tz=28.82 Mx=0.01 Mz=13.58
Sollecitazioni agenti localmente: Tx_l=15.25 Ty_l=28.82 N_l=-14088.90 Mx_l=-0.00 My_l=13.58 Mz_l=0.01
Taglio nei bulloni: Fv,Ed=5.45 Fv,Rd=7720.78
Rifollamento lato piastra: Fb,Ed,p=5.45 Fb,Rd,p=8525.07
Tirafondi:LT=0.45 (0.31) σ_{cR}=0.00 σ_{fR}=0.00
Compressione nel calcestruzzo: σ_c=29.87
CC 7 SLV (Collegamento -044_-376)
Azioni sul collegamento: N=-14088.90 Ty=7.49 Tz=-0.46 Mx=0.01 Mz=7.17
Sollecitazioni agenti localmente: Tx_l=7.49 Ty_l=-0.46 N_l=-14088.90 Mx_l=-0.00 My_l=7.17 Mz_l=0.01
Taglio nei bulloni: Fv,Ed=1.27 Fv,Rd=7720.78
Rifollamento lato piastra: Fb,Ed,p=1.27 Fb,Rd,p=6024.69
Tirafondi:LT=0.45 (0.31) σ_{cR}=0.00 σ_{fR}=0.00
Compressione nel calcestruzzo: σ_c=29.51
CC 7 SLV (Collegamento -044_-376)
Azioni sul collegamento: N=-14088.90 Ty=15.25 Tz=-0.46 Mx=0.01 Mz=13.58
Sollecitazioni agenti localmente: Tx_l=15.25 Ty_l=-0.46 N_l=-14088.90 Mx_l=-0.00 My_l=13.58 Mz_l=0.01
Taglio nei bulloni: Fv,Ed=2.56 Fv,Rd=7720.78
Rifollamento lato piastra: Fb,Ed,p=2.56 Fb,Rd,p=5990.28
Tirafondi:LT=0.45 (0.31) σ_{cR}=0.00 σ_{fR}=0.00
Compressione nel calcestruzzo: σ_c=29.87
CC 7 SLV (Collegamento -044_-376)
Azioni sul collegamento: N=-6246.31 Ty=7.49 Tz=28.82 Mx=0.01 Mz=7.17
Sollecitazioni agenti localmente: Tx_l=7.49 Ty_l=28.82 N_l=-6246.31 Mx_l=-0.00 My_l=7.17 Mz_l=0.01
Taglio nei bulloni: Fv,Ed=4.98 Fv,Rd=7720.78
Rifollamento lato piastra: Fb,Ed,p=4.98 Fb,Rd,p=6591.80
Tirafondi:LT=0.45 (0.31) σ_{cR}=0.00 σ_{fR}=0.00
Compressione nel calcestruzzo: σ_c=13.31
CC 7 SLV (Collegamento -044_-376)
Azioni sul collegamento: N=-6246.31 Ty=15.25 Tz=28.82 Mx=0.01 Mz=13.58
Sollecitazioni agenti localmente: Tx_l=15.25 Ty_l=28.82 N_l=-6246.31 Mx_l=-0.00 My_l=13.58 Mz_l=0.01
Taglio nei bulloni: Fv,Ed=5.45 Fv,Rd=7720.78
Rifollamento lato piastra: Fb,Ed,p=5.45 Fb,Rd,p=8525.03
Tirafondi:LT=0.45 (0.31) σ_{cR}=0.00 σ_{fR}=0.00
Compressione nel calcestruzzo: σ_c=13.67
CC 7 SLV (Collegamento -044_-376)
Azioni sul collegamento: N=-6246.31 Ty=7.49 Tz=-0.46 Mx=0.01 Mz=7.17
Sollecitazioni agenti localmente: Tx_l=7.49 Ty_l=-0.46 N_l=-6246.31 Mx_l=-0.00 My_l=7.17 Mz_l=0.01
Taglio nei bulloni: Fv,Ed=1.27 Fv,Rd=7720.78
Rifollamento lato piastra: Fb,Ed,p=1.27 Fb,Rd,p=6024.60
Tirafondi:LT=0.45 (0.31) σ_{cR}=0.00 σ_{fR}=0.00
Compressione nel calcestruzzo: σ_c=13.31
CC 7 SLV (Collegamento -044_-376)
Azioni sul collegamento: N=-6246.31 Ty=15.25 Tz=-0.46 Mx=0.01 Mz=13.58
Sollecitazioni agenti localmente: Tx_l=15.25 Ty_l=-0.46 N_l=-6246.31 Mx_l=-0.00 My_l=13.58 Mz_l=0.01
Taglio nei bulloni: Fv,Ed=2.56 Fv,Rd=7720.78
Rifollamento lato piastra: Fb,Ed,p=2.56 Fb,Rd,p=5990.26
Tirafondi:LT=0.45 (0.31) σ_{cR}=0.00 σ_{fR}=0.00
Compressione nel calcestruzzo: σ_c=13.67
CC 8 SLD (Collegamento -044_-376)
Azioni sul collegamento: N=-11265.80 Ty=9.26 Tz=18.26 Mx=0.01 Mz=7.26
Sollecitazioni agenti localmente: Tx_l=9.26 Ty_l=18.26 N_l=-11265.80 Mx_l=-0.00 My_l=7.26 Mz_l=0.01
Taglio nei bulloni: Fv,Ed=3.42 Fv,Rd=9650.97
Rifollamento lato piastra: Fb,Ed,p=3.42 Fb,Rd,p=10390.80
Tirafondi:LT=0.45 (0.31) σ_{cR}=0.00 σ_{fR}=0.00
Compressione nel calcestruzzo: σ_c=23.69
CC 8 SLD (Collegamento -044_-376)
Azioni sul collegamento: N=-11265.80 Ty=11.63 Tz=18.26 Mx=0.01 Mz=9.21
Sollecitazioni agenti localmente: Tx_l=11.63 Ty_l=18.26 N_l=-11265.80 Mx_l=-0.00 My_l=9.21 Mz_l=0.01
Taglio nei bulloni: Fv,Ed=3.62 Fv,Rd=9650.97

Rifollamento lato piastra: Fb,Ed,p=3.62 Fb,Rd,p=12103.70
Tirafondi:LT=0.45 (0.31) σ_{cR}=0.00 σ_{fR}=0.00
Compressione nel calcestruzzo: σ_c=23.80
CC 8 SLD (Collegamento -044_-376)
Azioni sul collegamento: N=-11265.80 Ty=9.26 Tz=9.33 Mx=0.01 Mz=7.26
Sollecitazioni agenti localmente: Tx_l=9.26 Ty_l=9.33 N_l=-11265.80 Mx_l=-0.00 My_l=7.26 Mz_l=0.01
Taglio nei bulloni: Fv,Ed=2.20 Fv,Rd=9650.97
Rifollamento lato piastra: Fb,Ed,p=2.20 Fb,Rd,p=14966.60
Tirafondi:LT=0.45 (0.31) σ_{cR}=0.00 σ_{fR}=0.00
Compressione nel calcestruzzo: σ_c=23.69
CC 8 SLD (Collegamento -044_-376)
Azioni sul collegamento: N=-11265.80 Ty=11.63 Tz=9.33 Mx=0.01 Mz=9.21
Sollecitazioni agenti localmente: Tx_l=11.63 Ty_l=9.33 N_l=-11265.80 Mx_l=-0.00 My_l=9.21 Mz_l=0.01
Taglio nei bulloni: Fv,Ed=2.49 Fv,Rd=9650.97
Rifollamento lato piastra: Fb,Ed,p=2.49 Fb,Rd,p=13583.70
Tirafondi:LT=0.45 (0.31) σ_{cR}=0.00 σ_{fR}=0.00
Compressione nel calcestruzzo: σ_c=23.80
CC 8 SLD (Collegamento -044_-376)
Azioni sul collegamento: N=-8874.30 Ty=9.26 Tz=18.26 Mx=0.01 Mz=7.26
Sollecitazioni agenti localmente: Tx_l=9.26 Ty_l=18.26 N_l=-8874.30 Mx_l=-0.00 My_l=7.26 Mz_l=0.01
Taglio nei bulloni: Fv,Ed=3.42 Fv,Rd=9650.97
Rifollamento lato piastra: Fb,Ed,p=3.42 Fb,Rd,p=10390.90
Tirafondi:LT=0.45 (0.31) σ_{cR}=0.00 σ_{fR}=0.00
Compressione nel calcestruzzo: σ_c=18.74
CC 8 SLD (Collegamento -044_-376)
Azioni sul collegamento: N=-8874.30 Ty=11.63 Tz=18.26 Mx=0.01 Mz=9.21
Sollecitazioni agenti localmente: Tx_l=11.63 Ty_l=18.26 N_l=-8874.30 Mx_l=-0.00 My_l=9.21 Mz_l=0.01
Taglio nei bulloni: Fv,Ed=3.62 Fv,Rd=9650.97
Rifollamento lato piastra: Fb,Ed,p=3.62 Fb,Rd,p=12103.80
Tirafondi:LT=0.45 (0.31) σ_{cR}=0.00 σ_{fR}=0.00
Compressione nel calcestruzzo: σ_c=18.85
CC 8 SLD (Collegamento -044_-376)
Azioni sul collegamento: N=-8874.30 Ty=9.26 Tz=9.33 Mx=0.01 Mz=7.26
Sollecitazioni agenti localmente: Tx_l=9.26 Ty_l=9.33 N_l=-8874.30 Mx_l=-0.00 My_l=7.26 Mz_l=0.01
Taglio nei bulloni: Fv,Ed=2.20 Fv,Rd=9650.97
Rifollamento lato piastra: Fb,Ed,p=2.20 Fb,Rd,p=14966.60
Tirafondi:LT=0.45 (0.31) σ_{cR}=0.00 σ_{fR}=0.00
Compressione nel calcestruzzo: σ_c=18.74
CC 8 SLD (Collegamento -044_-376)
Azioni sul collegamento: N=-8874.30 Ty=11.63 Tz=9.33 Mx=0.01 Mz=9.21
Sollecitazioni agenti localmente: Tx_l=11.63 Ty_l=9.33 N_l=-8874.30 Mx_l=-0.00 My_l=9.21 Mz_l=0.01
Taglio nei bulloni: Fv,Ed=2.49 Fv,Rd=9650.97
Rifollamento lato piastra: Fb,Ed,p=2.49 Fb,Rd,p=13583.80
Tirafondi:LT=0.45 (0.31) σ_{cR}=0.00 σ_{fR}=0.00
Compressione nel calcestruzzo: σ_c=18.85
CC 9 SLV (Collegamento -044_-376)
Azioni sul collegamento: N=-8983.82 Ty=13.31 Tz=9.29 Mx=0.02 Mz=12.92
Sollecitazioni agenti localmente: Tx_l=13.31 Ty_l=9.29 N_l=-8983.82 Mx_l=-0.00 My_l=12.92 Mz_l=0.02
Taglio nei bulloni: Fv,Ed=2.74 Fv,Rd=7720.78
Rifollamento lato piastra: Fb,Ed,p=2.71 Fb,Rd,p=10187.60
Tirafondi:LT=0.45 (0.31) σ_{cR}=0.00 σ_{fR}=0.00
Compressione nel calcestruzzo: σ_c=19.29
CC 9 SLV (Collegamento -044_-376)
Azioni sul collegamento: N=-8983.82 Ty=9.43 Tz=9.29 Mx=0.02 Mz=7.83
Sollecitazioni agenti localmente: Tx_l=9.43 Ty_l=9.29 N_l=-8983.82 Mx_l=-0.00 My_l=7.83 Mz_l=0.02
Taglio nei bulloni: Fv,Ed=2.24 Fv,Rd=7720.78
Rifollamento lato piastra: Fb,Ed,p=2.21 Fb,Rd,p=11743.50
Tirafondi:LT=0.45 (0.31) σ_{cR}=0.00 σ_{fR}=0.00
Compressione nel calcestruzzo: σ_c=19.00
CC 9 SLV (Collegamento -044_-376)
Azioni sul collegamento: N=-8983.82 Ty=13.31 Tz=19.07 Mx=0.02 Mz=12.92
Sollecitazioni agenti localmente: Tx_l=13.31 Ty_l=19.07 N_l=-8983.82 Mx_l=-0.00 My_l=12.92 Mz_l=0.02
Taglio nei bulloni: Fv,Ed=3.91 Fv,Rd=7720.78
Rifollamento lato piastra: Fb,Ed,p=3.91 Fb,Rd,p=10376.90
Tirafondi:LT=0.45 (0.31) σ_{cR}=0.00 σ_{fR}=0.00
Compressione nel calcestruzzo: σ_c=19.29
CC 9 SLV (Collegamento -044_-376)
Azioni sul collegamento: N=-8983.82 Ty=9.43 Tz=19.07 Mx=0.02 Mz=7.83
Sollecitazioni agenti localmente: Tx_l=9.43 Ty_l=19.07 N_l=-8983.82 Mx_l=-0.00 My_l=7.83 Mz_l=0.02
Taglio nei bulloni: Fv,Ed=3.58 Fv,Rd=7720.78
Rifollamento lato piastra: Fb,Ed,p=3.58 Fb,Rd,p=8222.71
Tirafondi:LT=0.45 (0.31) σ_{cR}=0.00 σ_{fR}=0.00
Compressione nel calcestruzzo: σ_c=19.00
CC 9 SLV (Collegamento -044_-376)
Azioni sul collegamento: N=-11351.40 Ty=13.31 Tz=9.29 Mx=0.02 Mz=12.92
Sollecitazioni agenti localmente: Tx_l=13.31 Ty_l=9.29 N_l=-11351.40 Mx_l=-0.00 My_l=12.92 Mz_l=0.02
Taglio nei bulloni: Fv,Ed=2.74 Fv,Rd=7720.78
Rifollamento lato piastra: Fb,Ed,p=2.71 Fb,Rd,p=10187.90

Tirafondi:LT=0.45 (0.31) σ_{cR}=0.00 σ_{fR}=0.00
Compressione nel calcestruzzo: σ_c=24.18
CC 9 SLV (Collegamento -044_-376)
Azioni sul collegamento: N=-11351.40 Ty=9.43 Tz=9.29 Mx=0.02 Mz=7.83
Sollecitazioni agenti localmente: Tx_l=9.43 Ty_l=9.29 N_l=-11351.40 Mx_l=-0.00 My_l=7.83 Mz_l=0.02
Taglio nei bulloni: Fv,Ed=2.24 Fv,Rd=7720.78
Rifollamento lato piastra: Fb,Ed,p=2.21 Fb,Rd,p=11743.70
Tirafondi:LT=0.45 (0.31) σ_{cR}=0.00 σ_{fR}=0.00
Compressione nel calcestruzzo: σ_c=23.89
CC 9 SLV (Collegamento -044_-376)
Azioni sul collegamento: N=-11351.40 Ty=13.31 Tz=19.07 Mx=0.02 Mz=12.92
Sollecitazioni agenti localmente: Tx_l=13.31 Ty_l=19.07 N_l=-11351.40 Mx_l=-0.00 My_l=12.92 Mz_l=0.02
Taglio nei bulloni: Fv,Ed=3.91 Fv,Rd=7720.78
Rifollamento lato piastra: Fb,Ed,p=3.91 Fb,Rd,p=10376.90
Tirafondi:LT=0.45 (0.31) σ_{cR}=0.00 σ_{fR}=0.00
Compressione nel calcestruzzo: σ_c=24.18
CC 9 SLV (Collegamento -044_-376)
Azioni sul collegamento: N=-11351.40 Ty=9.43 Tz=19.07 Mx=0.02 Mz=7.83
Sollecitazioni agenti localmente: Tx_l=9.43 Ty_l=19.07 N_l=-11351.40 Mx_l=-0.00 My_l=7.83 Mz_l=0.02
Taglio nei bulloni: Fv,Ed=3.58 Fv,Rd=7720.78
Rifollamento lato piastra: Fb,Ed,p=3.58 Fb,Rd,p=8222.72
Tirafondi:LT=0.45 (0.31) σ_{cR}=0.00 σ_{fR}=0.00
Compressione nel calcestruzzo: σ_c=23.89
CC 10 SLD (Collegamento -044_-376)
Azioni sul collegamento: N=-9709.06 Ty=11.04 Tz=12.31 Mx=0.01 Mz=9.01
Sollecitazioni agenti localmente: Tx_l=11.04 Ty_l=12.31 N_l=-9709.06 Mx_l=-0.00 My_l=9.01 Mz_l=0.01
Taglio nei bulloni: Fv,Ed=2.77 Fv,Rd=9650.97
Rifollamento lato piastra: Fb,Ed,p=2.77 Fb,Rd,p=14273.20
Tirafondi:LT=0.45 (0.31) σ_{cR}=0.00 σ_{fR}=0.00
Compressione nel calcestruzzo: σ_c=20.57
CC 10 SLD (Collegamento -044_-376)
Azioni sul collegamento: N=-9709.06 Ty=9.85 Tz=12.31 Mx=0.01 Mz=7.46
Sollecitazioni agenti localmente: Tx_l=9.85 Ty_l=12.31 N_l=-9709.06 Mx_l=-0.00 My_l=7.46 Mz_l=0.01
Taglio nei bulloni: Fv,Ed=2.64 Fv,Rd=9650.97
Rifollamento lato piastra: Fb,Ed,p=2.64 Fb,Rd,p=13614.70
Tirafondi:LT=0.45 (0.31) σ_{cR}=0.00 σ_{fR}=0.00
Compressione nel calcestruzzo: σ_c=20.48
CC 10 SLD (Collegamento -044_-376)
Azioni sul collegamento: N=-9709.06 Ty=11.04 Tz=15.29 Mx=0.01 Mz=9.01
Sollecitazioni agenti localmente: Tx_l=11.04 Ty_l=15.29 N_l=-9709.06 Mx_l=-0.00 My_l=9.01 Mz_l=0.01
Taglio nei bulloni: Fv,Ed=3.16 Fv,Rd=9650.97
Rifollamento lato piastra: Fb,Ed,p=3.16 Fb,Rd,p=13109.50
Tirafondi:LT=0.45 (0.31) σ_{cR}=0.00 σ_{fR}=0.00
Compressione nel calcestruzzo: σ_c=20.57
CC 10 SLD (Collegamento -044_-376)
Azioni sul collegamento: N=-9709.06 Ty=9.85 Tz=15.29 Mx=0.01 Mz=7.46
Sollecitazioni agenti localmente: Tx_l=9.85 Ty_l=15.29 N_l=-9709.06 Mx_l=-0.00 My_l=7.46 Mz_l=0.01
Taglio nei bulloni: Fv,Ed=3.04 Fv,Rd=9650.97
Rifollamento lato piastra: Fb,Ed,p=3.04 Fb,Rd,p=12229.00
Tirafondi:LT=0.45 (0.31) σ_{cR}=0.00 σ_{fR}=0.00
Compressione nel calcestruzzo: σ_c=20.48
CC 10 SLD (Collegamento -044_-376)
Azioni sul collegamento: N=-10431.00 Ty=11.04 Tz=12.31 Mx=0.01 Mz=9.01
Sollecitazioni agenti localmente: Tx_l=11.04 Ty_l=12.31 N_l=-10431.00 Mx_l=-0.00 My_l=9.01 Mz_l=0.01
Taglio nei bulloni: Fv,Ed=2.77 Fv,Rd=9650.97
Rifollamento lato piastra: Fb,Ed,p=2.77 Fb,Rd,p=14273.30
Tirafondi:LT=0.45 (0.31) σ_{cR}=0.00 σ_{fR}=0.00
Compressione nel calcestruzzo: σ_c=22.06
CC 10 SLD (Collegamento -044_-376)
Azioni sul collegamento: N=-10431.00 Ty=9.85 Tz=12.31 Mx=0.01 Mz=7.46
Sollecitazioni agenti localmente: Tx_l=9.85 Ty_l=12.31 N_l=-10431.00 Mx_l=-0.00 My_l=7.46 Mz_l=0.01
Taglio nei bulloni: Fv,Ed=2.64 Fv,Rd=9650.97
Rifollamento lato piastra: Fb,Ed,p=2.64 Fb,Rd,p=13614.70
Tirafondi:LT=0.45 (0.31) σ_{cR}=0.00 σ_{fR}=0.00
Compressione nel calcestruzzo: σ_c=21.97
CC 10 SLD (Collegamento -044_-376)
Azioni sul collegamento: N=-10431.00 Ty=11.04 Tz=15.29 Mx=0.01 Mz=9.01
Sollecitazioni agenti localmente: Tx_l=11.04 Ty_l=15.29 N_l=-10431.00 Mx_l=-0.00 My_l=9.01 Mz_l=0.01
Taglio nei bulloni: Fv,Ed=3.16 Fv,Rd=9650.97
Rifollamento lato piastra: Fb,Ed,p=3.16 Fb,Rd,p=13109.50
Tirafondi:LT=0.45 (0.31) σ_{cR}=0.00 σ_{fR}=0.00
Compressione nel calcestruzzo: σ_c=22.06
CC 10 SLD (Collegamento -044_-376)
Azioni sul collegamento: N=-10431.00 Ty=9.85 Tz=15.29 Mx=0.01 Mz=7.46
Sollecitazioni agenti localmente: Tx_l=9.85 Ty_l=15.29 N_l=-10431.00 Mx_l=-0.00 My_l=7.46 Mz_l=0.01
Taglio nei bulloni: Fv,Ed=3.04 Fv,Rd=9650.97
Rifollamento lato piastra: Fb,Ed,p=3.04 Fb,Rd,p=12229.00
Tirafondi:LT=0.45 (0.31) σ_{cR}=0.00 σ_{fR}=0.00

Compressione nel calcestruzzo: σ_c=21.97
CC 11 SLV (Collegamento -044_-376)
Azioni sul collegamento: N=-11335.10 Ty=11.14 Tz=17.98 Mx=0.02 Mz=11.32
Sollecitazioni agenti localmente: Tx_l=11.14 Ty_l=17.98 N_l=-11335.10 Mx_l=-0.00 My_l=11.32 Mz_l=0.02
Taglio nei bulloni: Fv,Ed=3.56 Fv,Rd=7720.78
Rifollamento lato piastra: Fb,Ed,p=3.56 Fb,Rd,p=9511.56
Tirafondi:LT=0.45 (0.31) σ_{cR}=0.00 σ_{fR}=0.00
Compressione nel calcestruzzo: σ_c=24.06
CC 11 SLV (Collegamento -044_-376)
Azioni sul collegamento: N=-11335.10 Ty=11.60 Tz=17.98 Mx=0.02 Mz=9.43
Sollecitazioni agenti localmente: Tx_l=11.60 Ty_l=17.98 N_l=-11335.10 Mx_l=-0.00 My_l=9.43 Mz_l=0.02
Taglio nei bulloni: Fv,Ed=3.60 Fv,Rd=7720.78
Rifollamento lato piastra: Fb,Ed,p=3.60 Fb,Rd,p=9812.38
Tirafondi:LT=0.45 (0.31) σ_{cR}=0.00 σ_{fR}=0.00
Compressione nel calcestruzzo: σ_c=23.95
CC 11 SLV (Collegamento -044_-376)
Azioni sul collegamento: N=-11335.10 Ty=11.14 Tz=10.38 Mx=0.02 Mz=11.32
Sollecitazioni agenti localmente: Tx_l=11.14 Ty_l=10.38 N_l=-11335.10 Mx_l=-0.00 My_l=11.32 Mz_l=0.02
Taglio nei bulloni: Fv,Ed=2.57 Fv,Rd=7720.78
Rifollamento lato piastra: Fb,Ed,p=2.54 Fb,Rd,p=11465.80
Tirafondi:LT=0.45 (0.31) σ_{cR}=0.00 σ_{fR}=0.00
Compressione nel calcestruzzo: σ_c=24.06
CC 11 SLV (Collegamento -044_-376)
Azioni sul collegamento: N=-11335.10 Ty=11.60 Tz=10.38 Mx=0.02 Mz=9.43
Sollecitazioni agenti localmente: Tx_l=11.60 Ty_l=10.38 N_l=-11335.10 Mx_l=-0.00 My_l=9.43 Mz_l=0.02
Taglio nei bulloni: Fv,Ed=2.63 Fv,Rd=7720.78
Rifollamento lato piastra: Fb,Ed,p=2.60 Fb,Rd,p=11265.60
Tirafondi:LT=0.45 (0.31) σ_{cR}=0.00 σ_{fR}=0.00
Compressione nel calcestruzzo: σ_c=23.95
CC 11 SLV (Collegamento -044_-376)
Azioni sul collegamento: N=-9000.10 Ty=11.14 Tz=17.98 Mx=0.02 Mz=11.32
Sollecitazioni agenti localmente: Tx_l=11.14 Ty_l=17.98 N_l=-9000.10 Mx_l=-0.00 My_l=11.32 Mz_l=0.02
Taglio nei bulloni: Fv,Ed=3.56 Fv,Rd=7720.78
Rifollamento lato piastra: Fb,Ed,p=3.56 Fb,Rd,p=9511.46
Tirafondi:LT=0.45 (0.31) σ_{cR}=0.00 σ_{fR}=0.00
Compressione nel calcestruzzo: σ_c=19.23
CC 11 SLV (Collegamento -044_-376)
Azioni sul collegamento: N=-9000.10 Ty=11.60 Tz=17.98 Mx=0.02 Mz=9.43
Sollecitazioni agenti localmente: Tx_l=11.60 Ty_l=17.98 N_l=-9000.10 Mx_l=-0.00 My_l=9.43 Mz_l=0.02
Taglio nei bulloni: Fv,Ed=3.60 Fv,Rd=7720.78
Rifollamento lato piastra: Fb,Ed,p=3.60 Fb,Rd,p=9812.27
Tirafondi:LT=0.45 (0.31) σ_{cR}=0.00 σ_{fR}=0.00
Compressione nel calcestruzzo: σ_c=19.13
CC 11 SLV (Collegamento -044_-376)
Azioni sul collegamento: N=-9000.10 Ty=11.14 Tz=10.38 Mx=0.02 Mz=11.32
Sollecitazioni agenti localmente: Tx_l=11.14 Ty_l=10.38 N_l=-9000.10 Mx_l=-0.00 My_l=11.32 Mz_l=0.02
Taglio nei bulloni: Fv,Ed=2.57 Fv,Rd=7720.78
Rifollamento lato piastra: Fb,Ed,p=2.54 Fb,Rd,p=11465.90
Tirafondi:LT=0.45 (0.31) σ_{cR}=0.00 σ_{fR}=0.00
Compressione nel calcestruzzo: σ_c=19.23
CC 11 SLV (Collegamento -044_-376)
Azioni sul collegamento: N=-9000.10 Ty=11.60 Tz=10.38 Mx=0.02 Mz=9.43
Sollecitazioni agenti localmente: Tx_l=11.60 Ty_l=10.38 N_l=-9000.10 Mx_l=-0.00 My_l=9.43 Mz_l=0.02
Taglio nei bulloni: Fv,Ed=2.63 Fv,Rd=7720.78
Rifollamento lato piastra: Fb,Ed,p=2.60 Fb,Rd,p=11265.70
Tirafondi:LT=0.45 (0.31) σ_{cR}=0.00 σ_{fR}=0.00
Compressione nel calcestruzzo: σ_c=19.13
CC 12 SLD (Collegamento -044_-376)
Azioni sul collegamento: N=-10426.00 Ty=10.37 Tz=14.95 Mx=0.01 Mz=8.52
Sollecitazioni agenti localmente: Tx_l=10.37 Ty_l=14.95 N_l=-10426.00 Mx_l=-0.00 My_l=8.52 Mz_l=0.01
Taglio nei bulloni: Fv,Ed=3.05 Fv,Rd=9650.97
Rifollamento lato piastra: Fb,Ed,p=3.05 Fb,Rd,p=12936.60
Tirafondi:LT=0.45 (0.31) σ_{cR}=0.00 σ_{fR}=0.00
Compressione nel calcestruzzo: σ_c=22.02
CC 12 SLD (Collegamento -044_-376)
Azioni sul collegamento: N=-10426.00 Ty=10.51 Tz=14.95 Mx=0.01 Mz=7.95
Sollecitazioni agenti localmente: Tx_l=10.51 Ty_l=14.95 N_l=-10426.00 Mx_l=-0.00 My_l=7.95 Mz_l=0.01
Taglio nei bulloni: Fv,Ed=3.06 Fv,Rd=9650.97
Rifollamento lato piastra: Fb,Ed,p=3.06 Fb,Rd,p=12993.60
Tirafondi:LT=0.45 (0.31) σ_{cR}=0.00 σ_{fR}=0.00
Compressione nel calcestruzzo: σ_c=21.99
CC 12 SLD (Collegamento -044_-376)
Azioni sul collegamento: N=-10426.00 Ty=10.37 Tz=12.64 Mx=0.01 Mz=8.52
Sollecitazioni agenti localmente: Tx_l=10.37 Ty_l=12.64 N_l=-10426.00 Mx_l=-0.00 My_l=8.52 Mz_l=0.01
Taglio nei bulloni: Fv,Ed=2.74 Fv,Rd=9650.97
Rifollamento lato piastra: Fb,Ed,p=2.74 Fb,Rd,p=13749.50
Tirafondi:LT=0.45 (0.31) σ_{cR}=0.00 σ_{fR}=0.00
Compressione nel calcestruzzo: σ_c=22.02

CC 12 SLD (Collegamento -044_-376)
Azioni sul collegamento: N=-10426.00 Ty=10.51 Tz=12.64 Mx=0.01 Mz=7.95
Sollecitazioni agenti localmente: Tx_l=10.51 Ty_l=12.64 N_l=-10426.00 Mx_l=-0.00 My_l=7.95 Mz_l=0.01
Taglio nei bulloni: Fv,Ed=2.75 Fv,Rd=9650.97
Rifollamento lato piastra: Fb,Ed,p=2.75 Fb,Rd,p=13824.40
Tirafondi:LT=0.45 (0.31) σ_{cR}=0.00 σ_{fR}=0.00
Compressione nel calcestruzzo: σ_c=21.99
CC 12 SLD (Collegamento -044_-376)
Azioni sul collegamento: N=-9714.02 Ty=10.37 Tz=14.95 Mx=0.01 Mz=8.52
Sollecitazioni agenti localmente: Tx_l=10.37 Ty_l=14.95 N_l=-9714.02 Mx_l=-0.00 My_l=8.52 Mz_l=0.01
Taglio nei bulloni: Fv,Ed=3.05 Fv,Rd=9650.97
Rifollamento lato piastra: Fb,Ed,p=3.05 Fb,Rd,p=12936.70
Tirafondi:LT=0.45 (0.31) σ_{cR}=0.00 σ_{fR}=0.00
Compressione nel calcestruzzo: σ_c=20.55
CC 12 SLD (Collegamento -044_-376)
Azioni sul collegamento: N=-9714.02 Ty=10.51 Tz=14.95 Mx=0.01 Mz=7.95
Sollecitazioni agenti localmente: Tx_l=10.51 Ty_l=14.95 N_l=-9714.02 Mx_l=-0.00 My_l=7.95 Mz_l=0.01
Taglio nei bulloni: Fv,Ed=3.06 Fv,Rd=9650.97
Rifollamento lato piastra: Fb,Ed,p=3.06 Fb,Rd,p=12993.60
Tirafondi:LT=0.45 (0.31) σ_{cR}=0.00 σ_{fR}=0.00
Compressione nel calcestruzzo: σ_c=20.52
CC 12 SLD (Collegamento -044_-376)
Azioni sul collegamento: N=-9714.02 Ty=10.37 Tz=12.64 Mx=0.01 Mz=8.52
Sollecitazioni agenti localmente: Tx_l=10.37 Ty_l=12.64 N_l=-9714.02 Mx_l=-0.00 My_l=8.52 Mz_l=0.01
Taglio nei bulloni: Fv,Ed=2.74 Fv,Rd=9650.97
Rifollamento lato piastra: Fb,Ed,p=2.74 Fb,Rd,p=13749.60
Tirafondi:LT=0.45 (0.31) σ_{cR}=0.00 σ_{fR}=0.00
Compressione nel calcestruzzo: σ_c=20.55
CC 12 SLD (Collegamento -044_-376)
Azioni sul collegamento: N=-9714.02 Ty=10.51 Tz=12.64 Mx=0.01 Mz=7.95
Sollecitazioni agenti localmente: Tx_l=10.51 Ty_l=12.64 N_l=-9714.02 Mx_l=-0.00 My_l=7.95 Mz_l=0.01
Taglio nei bulloni: Fv,Ed=2.75 Fv,Rd=9650.97
Rifollamento lato piastra: Fb,Ed,p=2.75 Fb,Rd,p=13824.50
Tirafondi:LT=0.45 (0.31) σ_{cR}=0.00 σ_{fR}=0.00
Compressione nel calcestruzzo: σ_c=20.52
CC 13 SLV (Collegamento -044_-376)
Azioni sul collegamento: N=-9000.10 Ty=11.60 Tz=10.38 Mx=0.01 Mz=9.43
Sollecitazioni agenti localmente: Tx_l=11.60 Ty_l=10.38 N_l=-9000.10 Mx_l=-0.00 My_l=9.43 Mz_l=0.01
Taglio nei bulloni: Fv,Ed=2.61 Fv,Rd=7720.78
Rifollamento lato piastra: Fb,Ed,p=2.60 Fb,Rd,p=11361.90
Tirafondi:LT=0.45 (0.31) σ_{cR}=0.00 σ_{fR}=0.00
Compressione nel calcestruzzo: σ_c=19.13
CC 13 SLV (Collegamento -044_-376)
Azioni sul collegamento: N=-9000.10 Ty=11.14 Tz=10.38 Mx=0.01 Mz=11.32
Sollecitazioni agenti localmente: Tx_l=11.14 Ty_l=10.38 N_l=-9000.10 Mx_l=-0.00 My_l=11.32 Mz_l=0.01
Taglio nei bulloni: Fv,Ed=2.55 Fv,Rd=7720.78
Rifollamento lato piastra: Fb,Ed,p=2.54 Fb,Rd,p=11570.10
Tirafondi:LT=0.45 (0.31) σ_{cR}=0.00 σ_{fR}=0.00
Compressione nel calcestruzzo: σ_c=19.23
CC 13 SLV (Collegamento -044_-376)
Azioni sul collegamento: N=-9000.10 Ty=11.60 Tz=17.98 Mx=0.01 Mz=9.43
Sollecitazioni agenti localmente: Tx_l=11.60 Ty_l=17.98 N_l=-9000.10 Mx_l=-0.00 My_l=9.43 Mz_l=0.01
Taglio nei bulloni: Fv,Ed=3.58 Fv,Rd=7720.78
Rifollamento lato piastra: Fb,Ed,p=3.58 Fb,Rd,p=9787.11
Tirafondi:LT=0.45 (0.31) σ_{cR}=0.00 σ_{fR}=0.00
Compressione nel calcestruzzo: σ_c=19.13
CC 13 SLV (Collegamento -044_-376)
Azioni sul collegamento: N=-9000.10 Ty=11.14 Tz=17.98 Mx=0.01 Mz=11.32
Sollecitazioni agenti localmente: Tx_l=11.14 Ty_l=17.98 N_l=-9000.10 Mx_l=-0.00 My_l=11.32 Mz_l=0.01
Taglio nei bulloni: Fv,Ed=3.54 Fv,Rd=7720.78
Rifollamento lato piastra: Fb,Ed,p=3.54 Fb,Rd,p=9485.63
Tirafondi:LT=0.45 (0.31) σ_{cR}=0.00 σ_{fR}=0.00
Compressione nel calcestruzzo: σ_c=19.23
CC 13 SLV (Collegamento -044_-376)
Azioni sul collegamento: N=-11335.10 Ty=11.60 Tz=10.38 Mx=0.01 Mz=9.43
Sollecitazioni agenti localmente: Tx_l=11.60 Ty_l=10.38 N_l=-11335.10 Mx_l=-0.00 My_l=9.43 Mz_l=0.01
Taglio nei bulloni: Fv,Ed=2.61 Fv,Rd=7720.78
Rifollamento lato piastra: Fb,Ed,p=2.60 Fb,Rd,p=11361.70
Tirafondi:LT=0.45 (0.31) σ_{cR}=0.00 σ_{fR}=0.00
Compressione nel calcestruzzo: σ_c=23.95
CC 13 SLV (Collegamento -044_-376)
Azioni sul collegamento: N=-11335.10 Ty=11.14 Tz=10.38 Mx=0.01 Mz=11.32
Sollecitazioni agenti localmente: Tx_l=11.14 Ty_l=10.38 N_l=-11335.10 Mx_l=-0.00 My_l=11.32 Mz_l=0.01
Taglio nei bulloni: Fv,Ed=2.55 Fv,Rd=7720.78
Rifollamento lato piastra: Fb,Ed,p=2.54 Fb,Rd,p=11570.00
Tirafondi:LT=0.45 (0.31) σ_{cR}=0.00 σ_{fR}=0.00
Compressione nel calcestruzzo: σ_c=24.06
CC 13 SLV (Collegamento -044_-376)

Azioni sul collegamento: N=-11335.10 Ty=11.60 Tz=17.98 Mx=0.01 Mz=9.43
Sollecitazioni agenti localmente: Tx_l=11.60 Ty_l=17.98 N_l=-11335.10 Mx_l=-0.00 My_l=9.43 Mz_l=0.01
Taglio nei bulloni: Fv,Ed=3.58 Fv,Rd=7720.78
Rifollamento lato piastra: Fb,Ed,p=3.58 Fb,Rd,p=9787.22
Tirafondi:LT=0.45 (0.31) σ_{cR}=0.00 σ_{fR}=0.00
Compressione nel calcestruzzo: σ_c=23.95
CC 13 SLV (Collegamento -044_-376)
Azioni sul collegamento: N=-11335.10 Ty=11.14 Tz=17.98 Mx=0.01 Mz=11.32
Sollecitazioni agenti localmente: Tx_l=11.14 Ty_l=17.98 N_l=-11335.10 Mx_l=-0.00 My_l=11.32 Mz_l=0.01
Taglio nei bulloni: Fv,Ed=3.54 Fv,Rd=7720.78
Rifollamento lato piastra: Fb,Ed,p=3.54 Fb,Rd,p=9485.73
Tirafondi:LT=0.45 (0.31) σ_{cR}=0.00 σ_{fR}=0.00
Compressione nel calcestruzzo: σ_c=24.06
CC 14 SLD (Collegamento -044_-376)
Azioni sul collegamento: N=-9714.02 Ty=10.51 Tz=12.64 Mx=0.00 Mz=7.95
Sollecitazioni agenti localmente: Tx_l=10.51 Ty_l=12.64 N_l=-9714.02 Mx_l=-0.00 My_l=7.95 Mz_l=0.00
Taglio nei bulloni: Fv,Ed=2.75 Fv,Rd=9650.97
Rifollamento lato piastra: Fb,Ed,p=2.75 Fb,Rd,p=13821.60
Tirafondi:LT=0.45 (0.31) σ_{cR}=0.00 σ_{fR}=0.00
Compressione nel calcestruzzo: σ_c=20.52
CC 14 SLD (Collegamento -044_-376)
Azioni sul collegamento: N=-9714.02 Ty=10.37 Tz=12.64 Mx=0.00 Mz=8.52
Sollecitazioni agenti localmente: Tx_l=10.37 Ty_l=12.64 N_l=-9714.02 Mx_l=-0.00 My_l=8.52 Mz_l=0.00
Taglio nei bulloni: Fv,Ed=2.73 Fv,Rd=9650.97
Rifollamento lato piastra: Fb,Ed,p=2.73 Fb,Rd,p=13746.50
Tirafondi:LT=0.45 (0.31) σ_{cR}=0.00 σ_{fR}=0.00
Compressione nel calcestruzzo: σ_c=20.55
CC 14 SLD (Collegamento -044_-376)
Azioni sul collegamento: N=-9714.02 Ty=10.51 Tz=14.95 Mx=0.00 Mz=7.95
Sollecitazioni agenti localmente: Tx_l=10.51 Ty_l=14.95 N_l=-9714.02 Mx_l=-0.00 My_l=7.95 Mz_l=0.00
Taglio nei bulloni: Fv,Ed=3.05 Fv,Rd=9650.97
Rifollamento lato piastra: Fb,Ed,p=3.05 Fb,Rd,p=12989.70
Tirafondi:LT=0.45 (0.31) σ_{cR}=0.00 σ_{fR}=0.00
Compressione nel calcestruzzo: σ_c=20.52
CC 14 SLD (Collegamento -044_-376)
Azioni sul collegamento: N=-9714.02 Ty=10.37 Tz=14.95 Mx=0.00 Mz=8.52
Sollecitazioni agenti localmente: Tx_l=10.37 Ty_l=14.95 N_l=-9714.02 Mx_l=-0.00 My_l=8.52 Mz_l=0.00
Taglio nei bulloni: Fv,Ed=3.04 Fv,Rd=9650.97
Rifollamento lato piastra: Fb,Ed,p=3.04 Fb,Rd,p=12932.70
Tirafondi:LT=0.45 (0.31) σ_{cR}=0.00 σ_{fR}=0.00
Compressione nel calcestruzzo: σ_c=20.55
CC 14 SLD (Collegamento -044_-376)
Azioni sul collegamento: N=-10426.00 Ty=10.51 Tz=12.64 Mx=0.00 Mz=7.95
Sollecitazioni agenti localmente: Tx_l=10.51 Ty_l=12.64 N_l=-10426.00 Mx_l=-0.00 My_l=7.95 Mz_l=0.00
Taglio nei bulloni: Fv,Ed=2.75 Fv,Rd=9650.97
Rifollamento lato piastra: Fb,Ed,p=2.75 Fb,Rd,p=13821.50
Tirafondi:LT=0.45 (0.31) σ_{cR}=0.00 σ_{fR}=0.00
Compressione nel calcestruzzo: σ_c=21.99
CC 14 SLD (Collegamento -044_-376)
Azioni sul collegamento: N=-10426.00 Ty=10.37 Tz=12.64 Mx=0.00 Mz=8.52
Sollecitazioni agenti localmente: Tx_l=10.37 Ty_l=12.64 N_l=-10426.00 Mx_l=-0.00 My_l=8.52 Mz_l=0.00
Taglio nei bulloni: Fv,Ed=2.73 Fv,Rd=9650.97
Rifollamento lato piastra: Fb,Ed,p=2.73 Fb,Rd,p=13746.40
Tirafondi:LT=0.45 (0.31) σ_{cR}=0.00 σ_{fR}=0.00
Compressione nel calcestruzzo: σ_c=22.02
CC 14 SLD (Collegamento -044_-376)
Azioni sul collegamento: N=-10426.00 Ty=10.51 Tz=14.95 Mx=0.00 Mz=7.95
Sollecitazioni agenti localmente: Tx_l=10.51 Ty_l=14.95 N_l=-10426.00 Mx_l=-0.00 My_l=7.95 Mz_l=0.00
Taglio nei bulloni: Fv,Ed=3.05 Fv,Rd=9650.97
Rifollamento lato piastra: Fb,Ed,p=3.05 Fb,Rd,p=12989.70
Tirafondi:LT=0.45 (0.31) σ_{cR}=0.00 σ_{fR}=0.00
Compressione nel calcestruzzo: σ_c=21.99
CC 14 SLD (Collegamento -044_-376)
Azioni sul collegamento: N=-10426.00 Ty=10.37 Tz=14.95 Mx=0.00 Mz=8.52
Sollecitazioni agenti localmente: Tx_l=10.37 Ty_l=14.95 N_l=-10426.00 Mx_l=-0.00 My_l=8.52 Mz_l=0.00
Taglio nei bulloni: Fv,Ed=3.04 Fv,Rd=9650.97
Rifollamento lato piastra: Fb,Ed,p=3.04 Fb,Rd,p=12932.60
Tirafondi:LT=0.45 (0.31) σ_{cR}=0.00 σ_{fR}=0.00
Compressione nel calcestruzzo: σ_c=22.02
CC 15 SLV (Collegamento -044_-376)
Azioni sul collegamento: N=-11351.40 Ty=9.43 Tz=19.07 Mx=0.01 Mz=7.83
Sollecitazioni agenti localmente: Tx_l=9.43 Ty_l=19.07 N_l=-11351.40 Mx_l=-0.00 My_l=7.83 Mz_l=0.01
Taglio nei bulloni: Fv,Ed=3.56 Fv,Rd=7720.78
Rifollamento lato piastra: Fb,Ed,p=3.56 Fb,Rd,p=8196.94
Tirafondi:LT=0.45 (0.31) σ_{cR}=0.00 σ_{fR}=0.00
Compressione nel calcestruzzo: σ_c=23.89
CC 15 SLV (Collegamento -044_-376)
Azioni sul collegamento: N=-11351.40 Ty=13.31 Tz=19.07 Mx=0.01 Mz=12.92

Sollecitazioni agenti localmente: Tx_l=13.31 Ty_l=19.07 N_l=-11351.40 Mx_l=-0.00 My_l=12.92 Mz_l=0.01
Taglio nei bulloni: Fv,Ed=3.89 Fv,Rd=7720.78
Rifollamento lato piastra: Fb,Ed,p=3.89 Fb,Rd,p=10368.70
Tirafondi:LT=0.45 (0.31) σ_{cR}=0.00 σ_{fR}=0.00
Compressione nel calcestruzzo: σ_c=24.18
CC 15 SLV (Collegamento -044_-376)
Azioni sul collegamento: N=-11351.40 Ty=9.43 Tz=9.29 Mx=0.01 Mz=7.83
Sollecitazioni agenti localmente: Tx_l=9.43 Ty_l=9.29 N_l=-11351.40 Mx_l=-0.00 My_l=7.83 Mz_l=0.01
Taglio nei bulloni: Fv,Ed=2.22 Fv,Rd=7720.78
Rifollamento lato piastra: Fb,Ed,p=2.21 Fb,Rd,p=11874.90
Tirafondi:LT=0.45 (0.31) σ_{cR}=0.00 σ_{fR}=0.00
Compressione nel calcestruzzo: σ_c=23.89
CC 15 SLV (Collegamento -044_-376)
Azioni sul collegamento: N=-11351.40 Ty=13.31 Tz=9.29 Mx=0.01 Mz=12.92
Sollecitazioni agenti localmente: Tx_l=13.31 Ty_l=9.29 N_l=-11351.40 Mx_l=-0.00 My_l=12.92 Mz_l=0.01
Taglio nei bulloni: Fv,Ed=2.72 Fv,Rd=7720.78
Rifollamento lato piastra: Fb,Ed,p=2.71 Fb,Rd,p=10335.70
Tirafondi:LT=0.45 (0.31) σ_{cR}=0.00 σ_{fR}=0.00
Compressione nel calcestruzzo: σ_c=24.18
CC 15 SLV (Collegamento -044_-376)
Azioni sul collegamento: N=-8983.82 Ty=9.43 Tz=19.07 Mx=0.01 Mz=7.83
Sollecitazioni agenti localmente: Tx_l=9.43 Ty_l=19.07 N_l=-8983.82 Mx_l=-0.00 My_l=7.83 Mz_l=0.01
Taglio nei bulloni: Fv,Ed=3.56 Fv,Rd=7720.78
Rifollamento lato piastra: Fb,Ed,p=3.56 Fb,Rd,p=8196.92
Tirafondi:LT=0.45 (0.31) σ_{cR}=0.00 σ_{fR}=0.00
Compressione nel calcestruzzo: σ_c=19.00
CC 15 SLV (Collegamento -044_-376)
Azioni sul collegamento: N=-8983.82 Ty=13.31 Tz=19.07 Mx=0.01 Mz=12.92
Sollecitazioni agenti localmente: Tx_l=13.31 Ty_l=19.07 N_l=-8983.82 Mx_l=-0.00 My_l=12.92 Mz_l=0.01
Taglio nei bulloni: Fv,Ed=3.89 Fv,Rd=7720.78
Rifollamento lato piastra: Fb,Ed,p=3.89 Fb,Rd,p=10368.70
Tirafondi:LT=0.45 (0.31) σ_{cR}=0.00 σ_{fR}=0.00
Compressione nel calcestruzzo: σ_c=19.29
CC 15 SLV (Collegamento -044_-376)
Azioni sul collegamento: N=-8983.82 Ty=9.43 Tz=9.29 Mx=0.01 Mz=7.83
Sollecitazioni agenti localmente: Tx_l=9.43 Ty_l=9.29 N_l=-8983.82 Mx_l=-0.00 My_l=7.83 Mz_l=0.01
Taglio nei bulloni: Fv,Ed=2.22 Fv,Rd=7720.78
Rifollamento lato piastra: Fb,Ed,p=2.21 Fb,Rd,p=11874.70
Tirafondi:LT=0.45 (0.31) σ_{cR}=0.00 σ_{fR}=0.00
Compressione nel calcestruzzo: σ_c=19.00
CC 15 SLV (Collegamento -044_-376)
Azioni sul collegamento: N=-8983.82 Ty=13.31 Tz=9.29 Mx=0.01 Mz=12.92
Sollecitazioni agenti localmente: Tx_l=13.31 Ty_l=9.29 N_l=-8983.82 Mx_l=-0.00 My_l=12.92 Mz_l=0.01
Taglio nei bulloni: Fv,Ed=2.72 Fv,Rd=7720.78
Rifollamento lato piastra: Fb,Ed,p=2.71 Fb,Rd,p=10335.60
Tirafondi:LT=0.45 (0.31) σ_{cR}=0.00 σ_{fR}=0.00
Compressione nel calcestruzzo: σ_c=19.29
CC 16 SLD (Collegamento -044_-376)
Azioni sul collegamento: N=-10431.00 Ty=9.85 Tz=15.29 Mx=0.00 Mz=7.46
Sollecitazioni agenti localmente: Tx_l=9.85 Ty_l=15.29 N_l=-10431.00 Mx_l=-0.00 My_l=7.46 Mz_l=0.00
Taglio nei bulloni: Fv,Ed=3.04 Fv,Rd=9650.97
Rifollamento lato piastra: Fb,Ed,p=3.04 Fb,Rd,p=12217.60
Tirafondi:LT=0.45 (0.31) σ_{cR}=0.00 σ_{fR}=0.00
Compressione nel calcestruzzo: σ_c=21.97
CC 16 SLD (Collegamento -044_-376)
Azioni sul collegamento: N=-10431.00 Ty=11.04 Tz=15.29 Mx=0.00 Mz=9.01
Sollecitazioni agenti localmente: Tx_l=11.04 Ty_l=15.29 N_l=-10431.00 Mx_l=-0.00 My_l=9.01 Mz_l=0.00
Taglio nei bulloni: Fv,Ed=3.15 Fv,Rd=9650.97
Rifollamento lato piastra: Fb,Ed,p=3.15 Fb,Rd,p=13105.80
Tirafondi:LT=0.45 (0.31) σ_{cR}=0.00 σ_{fR}=0.00
Compressione nel calcestruzzo: σ_c=22.06
CC 16 SLD (Collegamento -044_-376)
Azioni sul collegamento: N=-10431.00 Ty=9.85 Tz=12.31 Mx=0.00 Mz=7.46
Sollecitazioni agenti localmente: Tx_l=9.85 Ty_l=12.31 N_l=-10431.00 Mx_l=-0.00 My_l=7.46 Mz_l=0.00
Taglio nei bulloni: Fv,Ed=2.63 Fv,Rd=9650.97
Rifollamento lato piastra: Fb,Ed,p=2.63 Fb,Rd,p=13611.20
Tirafondi:LT=0.45 (0.31) σ_{cR}=0.00 σ_{fR}=0.00
Compressione nel calcestruzzo: σ_c=21.97
CC 16 SLD (Collegamento -044_-376)
Azioni sul collegamento: N=-10431.00 Ty=11.04 Tz=12.31 Mx=0.00 Mz=9.01
Sollecitazioni agenti localmente: Tx_l=11.04 Ty_l=12.31 N_l=-10431.00 Mx_l=-0.00 My_l=9.01 Mz_l=0.00
Taglio nei bulloni: Fv,Ed=2.76 Fv,Rd=9650.97
Rifollamento lato piastra: Fb,Ed,p=2.76 Fb,Rd,p=14271.30
Tirafondi:LT=0.45 (0.31) σ_{cR}=0.00 σ_{fR}=0.00
Compressione nel calcestruzzo: σ_c=22.06
CC 16 SLD (Collegamento -044_-376)
Azioni sul collegamento: N=-9709.06 Ty=9.85 Tz=15.29 Mx=0.00 Mz=7.46
Sollecitazioni agenti localmente: Tx_l=9.85 Ty_l=15.29 N_l=-9709.06 Mx_l=-0.00 My_l=7.46 Mz_l=0.00

Taglio nei bulloni: Fv,Ed=3.04 Fv,Rd=9650.97
Rifollamento lato piastra: Fb,Ed,p=3.04 Fb,Rd,p=12217.50
Tirafondi:LT=0.45 (0.31) σ_{cR}=0.00 σ_{fR}=0.00
Compressione nel calcestruzzo: σ_c=20.48
CC 16 SLD (Collegamento -044_-376)
Azioni sul collegamento: N=-9709.06 Ty=11.04 Tz=15.29 Mx=0.00 Mz=9.01
Sollecitazioni agenti localmente: Tx_l=11.04 Ty_l=15.29 N_l=-9709.06 Mx_l=-0.00 My_l=9.01 Mz_l=0.00
Taglio nei bulloni: Fv,Ed=3.15 Fv,Rd=9650.97
Rifollamento lato piastra: Fb,Ed,p=3.15 Fb,Rd,p=13105.80
Tirafondi:LT=0.45 (0.31) σ_{cR}=0.00 σ_{fR}=0.00
Compressione nel calcestruzzo: σ_c=20.57
CC 16 SLD (Collegamento -044_-376)
Azioni sul collegamento: N=-9709.06 Ty=9.85 Tz=12.31 Mx=0.00 Mz=7.46
Sollecitazioni agenti localmente: Tx_l=9.85 Ty_l=12.31 N_l=-9709.06 Mx_l=-0.00 My_l=7.46 Mz_l=0.00
Taglio nei bulloni: Fv,Ed=2.63 Fv,Rd=9650.97
Rifollamento lato piastra: Fb,Ed,p=2.63 Fb,Rd,p=13611.20
Tirafondi:LT=0.45 (0.31) σ_{cR}=0.00 σ_{fR}=0.00
Compressione nel calcestruzzo: σ_c=20.48
CC 16 SLD (Collegamento -044_-376)
Azioni sul collegamento: N=-9709.06 Ty=11.04 Tz=12.31 Mx=0.00 Mz=9.01
Sollecitazioni agenti localmente: Tx_l=11.04 Ty_l=12.31 N_l=-9709.06 Mx_l=-0.00 My_l=9.01 Mz_l=0.00
Taglio nei bulloni: Fv,Ed=2.76 Fv,Rd=9650.97
Rifollamento lato piastra: Fb,Ed,p=2.76 Fb,Rd,p=14271.30
Tirafondi:LT=0.45 (0.31) σ_{cR}=0.00 σ_{fR}=0.00
Compressione nel calcestruzzo: σ_c=20.57
CC 17 SLV (Collegamento -044_-376)
Azioni sul collegamento: N=-5965.51 Ty=12.58 Tz=-1.56 Mx=-0.01 Mz=7.43
Sollecitazioni agenti localmente: Tx_l=12.58 Ty_l=-1.56 N_l=-5965.51 Mx_l=-0.00 My_l=7.43 Mz_l=-0.01
Taglio nei bulloni: Fv,Ed=2.13 Fv,Rd=7720.78
Rifollamento lato piastra: Fb,Ed,p=2.13 Fb,Rd,p=6100.35
Tirafondi:LT=0.45 (0.31) σ_{cR}=0.00 σ_{fR}=0.00
Compressione nel calcestruzzo: σ_c=12.74
CC 17 SLV (Collegamento -044_-376)
Azioni sul collegamento: N=-5965.51 Ty=4.83 Tz=-1.56 Mx=-0.01 Mz=1.02
Sollecitazioni agenti localmente: Tx_l=4.83 Ty_l=-1.56 N_l=-5965.51 Mx_l=-0.00 My_l=1.02 Mz_l=-0.01
Taglio nei bulloni: Fv,Ed=0.86 Fv,Rd=7720.78
Rifollamento lato piastra: Fb,Ed,p=0.85 Fb,Rd,p=6790.22
Tirafondi:LT=0.45 (0.31) σ_{cR}=0.00 σ_{fR}=0.00
Compressione nel calcestruzzo: σ_c=12.38
CC 17 SLV (Collegamento -044_-376)
Azioni sul collegamento: N=-5965.51 Ty=12.58 Tz=27.71 Mx=-0.01 Mz=7.43
Sollecitazioni agenti localmente: Tx_l=12.58 Ty_l=27.71 N_l=-5965.51 Mx_l=-0.00 My_l=7.43 Mz_l=-0.01
Taglio nei bulloni: Fv,Ed=5.09 Fv,Rd=7720.78
Rifollamento lato piastra: Fb,Ed,p=5.08 Fb,Rd,p=7799.99
Tirafondi:LT=0.45 (0.31) σ_{cR}=0.00 σ_{fR}=0.00
Compressione nel calcestruzzo: σ_c=12.74
CC 17 SLV (Collegamento -044_-376)
Azioni sul collegamento: N=-5965.51 Ty=4.83 Tz=27.71 Mx=-0.01 Mz=1.02
Sollecitazioni agenti localmente: Tx_l=4.83 Ty_l=27.71 N_l=-5965.51 Mx_l=-0.00 My_l=1.02 Mz_l=-0.01
Taglio nei bulloni: Fv,Ed=4.70 Fv,Rd=7720.78
Rifollamento lato piastra: Fb,Ed,p=4.70 Fb,Rd,p=6238.27
Tirafondi:LT=0.45 (0.31) σ_{cR}=0.00 σ_{fR}=0.00
Compressione nel calcestruzzo: σ_c=12.38
CC 17 SLV (Collegamento -044_-376)
Azioni sul collegamento: N=-13808.10 Ty=12.58 Tz=-1.56 Mx=-0.01 Mz=7.43
Sollecitazioni agenti localmente: Tx_l=12.58 Ty_l=-1.56 N_l=-13808.10 Mx_l=-0.00 My_l=7.43 Mz_l=-0.01
Taglio nei bulloni: Fv,Ed=2.13 Fv,Rd=7720.78
Rifollamento lato piastra: Fb,Ed,p=2.13 Fb,Rd,p=6100.29
Tirafondi:LT=0.45 (0.31) σ_{cR}=0.00 σ_{fR}=0.00
Compressione nel calcestruzzo: σ_c=28.95
CC 17 SLV (Collegamento -044_-376)
Azioni sul collegamento: N=-13808.10 Ty=4.83 Tz=-1.56 Mx=-0.01 Mz=1.02
Sollecitazioni agenti localmente: Tx_l=4.83 Ty_l=-1.56 N_l=-13808.10 Mx_l=-0.00 My_l=1.02 Mz_l=-0.01
Taglio nei bulloni: Fv,Ed=0.86 Fv,Rd=7720.78
Rifollamento lato piastra: Fb,Ed,p=0.85 Fb,Rd,p=6789.83
Tirafondi:LT=0.45 (0.31) σ_{cR}=0.00 σ_{fR}=0.00
Compressione nel calcestruzzo: σ_c=28.59
CC 17 SLV (Collegamento -044_-376)
Azioni sul collegamento: N=-13808.10 Ty=12.58 Tz=27.71 Mx=-0.01 Mz=7.43
Sollecitazioni agenti localmente: Tx_l=12.58 Ty_l=27.71 N_l=-13808.10 Mx_l=-0.00 My_l=7.43 Mz_l=-0.01
Taglio nei bulloni: Fv,Ed=5.09 Fv,Rd=7720.78
Rifollamento lato piastra: Fb,Ed,p=5.08 Fb,Rd,p=7800.00
Tirafondi:LT=0.45 (0.31) σ_{cR}=0.00 σ_{fR}=0.00
Compressione nel calcestruzzo: σ_c=28.95
CC 17 SLV (Collegamento -044_-376)
Azioni sul collegamento: N=-13808.10 Ty=4.83 Tz=27.71 Mx=-0.01 Mz=1.02
Sollecitazioni agenti localmente: Tx_l=4.83 Ty_l=27.71 N_l=-13808.10 Mx_l=-0.00 My_l=1.02 Mz_l=-0.01
Taglio nei bulloni: Fv,Ed=4.70 Fv,Rd=7720.78

Rifollamento lato piastra: Fb,Ed,p=4.70 Fb,Rd,p=6238.28
Tirafondi:LT=0.45 (0.31) σ_{cR}=0.00 σ_{fR}=0.00
Compressione nel calcestruzzo: σ_c=28.59
CC 18 SLD (Collegamento -044_-376)
Azioni sul collegamento: N=-8788.68 Ty=10.81 Tz=9.00 Mx=-0.00 Mz=7.34
Sollecitazioni agenti localmente: Tx_l=10.81 Ty_l=9.00 N_l=-8788.68 Mx_l=-0.00 My_l=7.34 Mz_l=-0.00
Taglio nei bulloni: Fv,Ed=2.35 Fv,Rd=9650.97
Rifollamento lato piastra: Fb,Ed,p=2.35 Fb,Rd,p=13820.10
Tirafondi:LT=0.45 (0.31) σ_{cR}=0.00 σ_{fR}=0.00
Compressione nel calcestruzzo: σ_c=18.57
CC 18 SLD (Collegamento -044_-376)
Azioni sul collegamento: N=-8788.68 Ty=8.45 Tz=9.00 Mx=-0.00 Mz=5.38
Sollecitazioni agenti localmente: Tx_l=8.45 Ty_l=9.00 N_l=-8788.68 Mx_l=-0.00 My_l=5.38 Mz_l=-0.00
Taglio nei bulloni: Fv,Ed=2.06 Fv,Rd=9650.97
Rifollamento lato piastra: Fb,Ed,p=2.06 Fb,Rd,p=14554.70
Tirafondi:LT=0.45 (0.31) σ_{cR}=0.00 σ_{fR}=0.00
Compressione nel calcestruzzo: σ_c=18.46
CC 18 SLD (Collegamento -044_-376)
Azioni sul collegamento: N=-8788.68 Ty=10.81 Tz=17.92 Mx=-0.00 Mz=7.34
Sollecitazioni agenti localmente: Tx_l=10.81 Ty_l=17.92 N_l=-8788.68 Mx_l=-0.00 My_l=7.34 Mz_l=-0.00
Taglio nei bulloni: Fv,Ed=3.49 Fv,Rd=9650.97
Rifollamento lato piastra: Fb,Ed,p=3.49 Fb,Rd,p=11595.70
Tirafondi:LT=0.45 (0.31) σ_{cR}=0.00 σ_{fR}=0.00
Compressione nel calcestruzzo: σ_c=18.57
CC 18 SLD (Collegamento -044_-376)
Azioni sul collegamento: N=-8788.68 Ty=8.45 Tz=17.92 Mx=-0.00 Mz=5.38
Sollecitazioni agenti localmente: Tx_l=8.45 Ty_l=17.92 N_l=-8788.68 Mx_l=-0.00 My_l=5.38 Mz_l=-0.00
Taglio nei bulloni: Fv,Ed=3.31 Fv,Rd=9650.97
Rifollamento lato piastra: Fb,Ed,p=3.30 Fb,Rd,p=9966.60
Tirafondi:LT=0.45 (0.31) σ_{cR}=0.00 σ_{fR}=0.00
Compressione nel calcestruzzo: σ_c=18.46
CC 18 SLD (Collegamento -044_-376)
Azioni sul collegamento: N=-11180.10 Ty=10.81 Tz=9.00 Mx=-0.00 Mz=7.34
Sollecitazioni agenti localmente: Tx_l=10.81 Ty_l=9.00 N_l=-11180.10 Mx_l=-0.00 My_l=7.34 Mz_l=-0.00
Taglio nei bulloni: Fv,Ed=2.35 Fv,Rd=9650.97
Rifollamento lato piastra: Fb,Ed,p=2.35 Fb,Rd,p=13820.20
Tirafondi:LT=0.45 (0.31) σ_{cR}=0.00 σ_{fR}=0.00
Compressione nel calcestruzzo: σ_c=23.51
CC 18 SLD (Collegamento -044_-376)
Azioni sul collegamento: N=-11180.10 Ty=8.45 Tz=9.00 Mx=-0.00 Mz=5.38
Sollecitazioni agenti localmente: Tx_l=8.45 Ty_l=9.00 N_l=-11180.10 Mx_l=-0.00 My_l=5.38 Mz_l=-0.00
Taglio nei bulloni: Fv,Ed=2.06 Fv,Rd=9650.97
Rifollamento lato piastra: Fb,Ed,p=2.06 Fb,Rd,p=14554.50
Tirafondi:LT=0.45 (0.31) σ_{cR}=0.00 σ_{fR}=0.00
Compressione nel calcestruzzo: σ_c=23.40
CC 18 SLD (Collegamento -044_-376)
Azioni sul collegamento: N=-11180.10 Ty=10.81 Tz=17.92 Mx=-0.00 Mz=7.34
Sollecitazioni agenti localmente: Tx_l=10.81 Ty_l=17.92 N_l=-11180.10 Mx_l=-0.00 My_l=7.34 Mz_l=-0.00
Taglio nei bulloni: Fv,Ed=3.49 Fv,Rd=9650.97
Rifollamento lato piastra: Fb,Ed,p=3.49 Fb,Rd,p=11595.60
Tirafondi:LT=0.45 (0.31) σ_{cR}=0.00 σ_{fR}=0.00
Compressione nel calcestruzzo: σ_c=23.51
CC 18 SLD (Collegamento -044_-376)
Azioni sul collegamento: N=-11180.10 Ty=8.45 Tz=17.92 Mx=-0.00 Mz=5.38
Sollecitazioni agenti localmente: Tx_l=8.45 Ty_l=17.92 N_l=-11180.10 Mx_l=-0.00 My_l=5.38 Mz_l=-0.00
Taglio nei bulloni: Fv,Ed=3.31 Fv,Rd=9650.97
Rifollamento lato piastra: Fb,Ed,p=3.30 Fb,Rd,p=9966.54
Tirafondi:LT=0.45 (0.31) σ_{cR}=0.00 σ_{fR}=0.00
Compressione nel calcestruzzo: σ_c=23.40
CC 19 SLV (Collegamento -044_-376)
Azioni sul collegamento: N=-5970.39 Ty=12.07 Tz=-1.24 Mx=-0.01 Mz=6.38
Sollecitazioni agenti localmente: Tx_l=12.07 Ty_l=-1.24 N_l=-5970.39 Mx_l=-0.00 My_l=6.38 Mz_l=-0.01
Taglio nei bulloni: Fv,Ed=2.03 Fv,Rd=7720.78
Rifollamento lato piastra: Fb,Ed,p=2.03 Fb,Rd,p=6064.01
Tirafondi:LT=0.45 (0.31) σ_{cR}=0.00 σ_{fR}=0.00
Compressione nel calcestruzzo: σ_c=12.69
CC 19 SLV (Collegamento -044_-376)
Azioni sul collegamento: N=-5970.39 Ty=5.34 Tz=-1.24 Mx=-0.01 Mz=2.07
Sollecitazioni agenti localmente: Tx_l=5.34 Ty_l=-1.24 N_l=-5970.39 Mx_l=-0.00 My_l=2.07 Mz_l=-0.01
Taglio nei bulloni: Fv,Ed=0.92 Fv,Rd=7720.78
Rifollamento lato piastra: Fb,Ed,p=0.92 Fb,Rd,p=6409.15
Tirafondi:LT=0.45 (0.31) σ_{cR}=0.00 σ_{fR}=0.00
Compressione nel calcestruzzo: σ_c=12.45
CC 19 SLV (Collegamento -044_-376)
Azioni sul collegamento: N=-5970.39 Ty=12.07 Tz=27.38 Mx=-0.01 Mz=6.38
Sollecitazioni agenti localmente: Tx_l=12.07 Ty_l=27.38 N_l=-5970.39 Mx_l=-0.00 My_l=6.38 Mz_l=-0.01
Taglio nei bulloni: Fv,Ed=5.00 Fv,Rd=7720.78
Rifollamento lato piastra: Fb,Ed,p=4.99 Fb,Rd,p=7705.58

Tirafondi:LT=0.45 (0.31) σ_{cR}=0.00 σ_{fR}=0.00
Compressione nel calcestruzzo: σ_c=12.69
CC 19 SLV (Collegamento -044_-376)
Azioni sul collegamento: N=-5970.39 Ty=5.34 Tz=27.38 Mx=-0.01 Mz=2.07
Sollecitazioni agenti localmente: Tx_l=5.34 Ty_l=27.38 N_l=-5970.39 Mx_l=-0.00 My_l=2.07 Mz_l=-0.01
Taglio nei bulloni: Fv,Ed=4.66 Fv,Rd=7720.78
Rifollamento lato piastra: Fb,Ed,p=4.66 Fb,Rd,p=6310.00
Tirafondi:LT=0.45 (0.31) σ_{cR}=0.00 σ_{fR}=0.00
Compressione nel calcestruzzo: σ_c=12.45
CC 19 SLV (Collegamento -044_-376)
Azioni sul collegamento: N=-13803.30 Ty=12.07 Tz=-1.24 Mx=-0.01 Mz=6.38
Sollecitazioni agenti localmente: Tx_l=12.07 Ty_l=-1.24 N_l=-13803.30 Mx_l=-0.00 My_l=6.38 Mz_l=-0.01
Taglio nei bulloni: Fv,Ed=2.03 Fv,Rd=7720.78
Rifollamento lato piastra: Fb,Ed,p=2.03 Fb,Rd,p=6064.00
Tirafondi:LT=0.45 (0.31) σ_{cR}=0.00 σ_{fR}=0.00
Compressione nel calcestruzzo: σ_c=28.88
CC 19 SLV (Collegamento -044_-376)
Azioni sul collegamento: N=-13803.30 Ty=5.34 Tz=-1.24 Mx=-0.01 Mz=2.07
Sollecitazioni agenti localmente: Tx_l=5.34 Ty_l=-1.24 N_l=-13803.30 Mx_l=-0.00 My_l=2.07 Mz_l=-0.01
Taglio nei bulloni: Fv,Ed=0.92 Fv,Rd=7720.78
Rifollamento lato piastra: Fb,Ed,p=0.92 Fb,Rd,p=6409.11
Tirafondi:LT=0.45 (0.31) σ_{cR}=0.00 σ_{fR}=0.00
Compressione nel calcestruzzo: σ_c=28.64
CC 19 SLV (Collegamento -044_-376)
Azioni sul collegamento: N=-13803.30 Ty=12.07 Tz=27.38 Mx=-0.01 Mz=6.38
Sollecitazioni agenti localmente: Tx_l=12.07 Ty_l=27.38 N_l=-13803.30 Mx_l=-0.00 My_l=6.38 Mz_l=-0.01
Taglio nei bulloni: Fv,Ed=5.00 Fv,Rd=7720.78
Rifollamento lato piastra: Fb,Ed,p=4.99 Fb,Rd,p=7705.62
Tirafondi:LT=0.45 (0.31) σ_{cR}=0.00 σ_{fR}=0.00
Compressione nel calcestruzzo: σ_c=28.88
CC 19 SLV (Collegamento -044_-376)
Azioni sul collegamento: N=-13803.30 Ty=5.34 Tz=27.38 Mx=-0.01 Mz=2.07
Sollecitazioni agenti localmente: Tx_l=5.34 Ty_l=27.38 N_l=-13803.30 Mx_l=-0.00 My_l=2.07 Mz_l=-0.01
Taglio nei bulloni: Fv,Ed=4.66 Fv,Rd=7720.78
Rifollamento lato piastra: Fb,Ed,p=4.66 Fb,Rd,p=6310.01
Tirafondi:LT=0.45 (0.31) σ_{cR}=0.00 σ_{fR}=0.00
Compressione nel calcestruzzo: σ_c=28.64
CC 20 SLD (Collegamento -044_-376)
Azioni sul collegamento: N=-8790.17 Ty=10.66 Tz=9.09 Mx=-0.00 Mz=7.02
Sollecitazioni agenti localmente: Tx_l=10.66 Ty_l=9.09 N_l=-8790.17 Mx_l=-0.00 My_l=7.02 Mz_l=-0.00
Taglio nei bulloni: Fv,Ed=2.34 Fv,Rd=9650.97
Rifollamento lato piastra: Fb,Ed,p=2.34 Fb,Rd,p=13966.70
Tirafondi:LT=0.45 (0.31) σ_{cR}=0.00 σ_{fR}=0.00
Compressione nel calcestruzzo: σ_c=18.56
CC 20 SLD (Collegamento -044_-376)
Azioni sul collegamento: N=-8790.17 Ty=8.61 Tz=9.09 Mx=-0.00 Mz=5.70
Sollecitazioni agenti localmente: Tx_l=8.61 Ty_l=9.09 N_l=-8790.17 Mx_l=-0.00 My_l=5.70 Mz_l=-0.00
Taglio nei bulloni: Fv,Ed=2.09 Fv,Rd=9650.97
Rifollamento lato piastra: Fb,Ed,p=2.09 Fb,Rd,p=14620.50
Tirafondi:LT=0.45 (0.31) σ_{cR}=0.00 σ_{fR}=0.00
Compressione nel calcestruzzo: σ_c=18.48
CC 20 SLD (Collegamento -044_-376)
Azioni sul collegamento: N=-8790.17 Ty=10.66 Tz=17.82 Mx=-0.00 Mz=7.02
Sollecitazioni agenti localmente: Tx_l=10.66 Ty_l=17.82 N_l=-8790.17 Mx_l=-0.00 My_l=7.02 Mz_l=-0.00
Taglio nei bulloni: Fv,Ed=3.46 Fv,Rd=9650.97
Rifollamento lato piastra: Fb,Ed,p=3.46 Fb,Rd,p=11532.60
Tirafondi:LT=0.45 (0.31) σ_{cR}=0.00 σ_{fR}=0.00
Compressione nel calcestruzzo: σ_c=18.56
CC 20 SLD (Collegamento -044_-376)
Azioni sul collegamento: N=-8790.17 Ty=8.61 Tz=17.82 Mx=-0.00 Mz=5.70
Sollecitazioni agenti localmente: Tx_l=8.61 Ty_l=17.82 N_l=-8790.17 Mx_l=-0.00 My_l=5.70 Mz_l=-0.00
Taglio nei bulloni: Fv,Ed=3.30 Fv,Rd=9650.97
Rifollamento lato piastra: Fb,Ed,p=3.30 Fb,Rd,p=10099.90
Tirafondi:LT=0.45 (0.31) σ_{cR}=0.00 σ_{fR}=0.00
Compressione nel calcestruzzo: σ_c=18.48
CC 20 SLD (Collegamento -044_-376)
Azioni sul collegamento: N=-11178.70 Ty=10.66 Tz=9.10 Mx=-0.00 Mz=7.02
Sollecitazioni agenti localmente: Tx_l=10.66 Ty_l=9.10 N_l=-11178.70 Mx_l=-0.00 My_l=7.02 Mz_l=-0.00
Taglio nei bulloni: Fv,Ed=2.34 Fv,Rd=9650.97
Rifollamento lato piastra: Fb,Ed,p=2.34 Fb,Rd,p=13966.90
Tirafondi:LT=0.45 (0.31) σ_{cR}=0.00 σ_{fR}=0.00
Compressione nel calcestruzzo: σ_c=23.49
CC 20 SLD (Collegamento -044_-376)
Azioni sul collegamento: N=-11178.70 Ty=8.61 Tz=9.10 Mx=-0.00 Mz=5.70
Sollecitazioni agenti localmente: Tx_l=8.61 Ty_l=9.10 N_l=-11178.70 Mx_l=-0.00 My_l=5.70 Mz_l=-0.00
Taglio nei bulloni: Fv,Ed=2.09 Fv,Rd=9650.97
Rifollamento lato piastra: Fb,Ed,p=2.09 Fb,Rd,p=14620.30
Tirafondi:LT=0.45 (0.31) σ_{cR}=0.00 σ_{fR}=0.00

Compressione nel calcestruzzo: σ_c=23.42
CC 20 SLD (Collegamento -044_-376)
Azioni sul collegamento: N=-11178.70 Ty=10.66 Tz=17.82 Mx=-0.00 Mz=7.02
Sollecitazioni agenti localmente: Tx_l=10.66 Ty_l=17.82 N_l=-11178.70 Mx_l=-0.00 My_l=7.02 Mz_l=-0.00
Taglio nei bulloni: Fv,Ed=3.46 Fv,Rd=9650.97
Rifollamento lato piastra: Fb,Ed,p=3.46 Fb,Rd,p=11532.50
Tirafondi:LT=0.45 (0.31) σ_{cR}=0.00 σ_{fR}=0.00
Compressione nel calcestruzzo: σ_c=23.49
CC 20 SLD (Collegamento -044_-376)
Azioni sul collegamento: N=-11178.70 Ty=8.61 Tz=17.82 Mx=-0.00 Mz=5.70
Sollecitazioni agenti localmente: Tx_l=8.61 Ty_l=17.82 N_l=-11178.70 Mx_l=-0.00 My_l=5.70 Mz_l=-0.00
Taglio nei bulloni: Fv,Ed=3.30 Fv,Rd=9650.97
Rifollamento lato piastra: Fb,Ed,p=3.30 Fb,Rd,p=10099.80
Tirafondi:LT=0.45 (0.31) σ_{cR}=0.00 σ_{fR}=0.00
Compressione nel calcestruzzo: σ_c=23.42
CC 21 SLV (Collegamento -044_-376)
Azioni sul collegamento: N=-13803.30 Ty=5.34 Tz=27.38 Mx=-0.01 Mz=2.07
Sollecitazioni agenti localmente: Tx_l=5.34 Ty_l=27.38 N_l=-13803.30 Mx_l=-0.00 My_l=2.07 Mz_l=-0.01
Taglio nei bulloni: Fv,Ed=4.67 Fv,Rd=7720.78
Rifollamento lato piastra: Fb,Ed,p=4.66 Fb,Rd,p=6305.50
Tirafondi:LT=0.45 (0.31) σ_{cR}=0.00 σ_{fR}=0.00
Compressione nel calcestruzzo: σ_c=28.64
CC 21 SLV (Collegamento -044_-376)
Azioni sul collegamento: N=-13803.30 Ty=12.07 Tz=27.38 Mx=-0.01 Mz=6.38
Sollecitazioni agenti localmente: Tx_l=12.07 Ty_l=27.38 N_l=-13803.30 Mx_l=-0.00 My_l=6.38 Mz_l=-0.01
Taglio nei bulloni: Fv,Ed=5.01 Fv,Rd=7720.78
Rifollamento lato piastra: Fb,Ed,p=4.99 Fb,Rd,p=7692.98
Tirafondi:LT=0.45 (0.31) σ_{cR}=0.00 σ_{fR}=0.00
Compressione nel calcestruzzo: σ_c=28.88
CC 21 SLV (Collegamento -044_-376)
Azioni sul collegamento: N=-13803.30 Ty=5.34 Tz=-1.24 Mx=-0.01 Mz=2.07
Sollecitazioni agenti localmente: Tx_l=5.34 Ty_l=-1.24 N_l=-13803.30 Mx_l=-0.00 My_l=2.07 Mz_l=-0.01
Taglio nei bulloni: Fv,Ed=0.93 Fv,Rd=7720.78
Rifollamento lato piastra: Fb,Ed,p=0.92 Fb,Rd,p=6382.76
Tirafondi:LT=0.45 (0.31) σ_{cR}=0.00 σ_{fR}=0.00
Compressione nel calcestruzzo: σ_c=28.64
CC 21 SLV (Collegamento -044_-376)
Azioni sul collegamento: N=-13803.30 Ty=12.07 Tz=-1.24 Mx=-0.01 Mz=6.38
Sollecitazioni agenti localmente: Tx_l=12.07 Ty_l=-1.24 N_l=-13803.30 Mx_l=-0.00 My_l=6.38 Mz_l=-0.01
Taglio nei bulloni: Fv,Ed=2.04 Fv,Rd=7720.78
Rifollamento lato piastra: Fb,Ed,p=2.03 Fb,Rd,p=6059.31
Tirafondi:LT=0.45 (0.31) σ_{cR}=0.00 σ_{fR}=0.00
Compressione nel calcestruzzo: σ_c=28.88
CC 21 SLV (Collegamento -044_-376)
Azioni sul collegamento: N=-5970.39 Ty=5.34 Tz=27.38 Mx=-0.01 Mz=2.07
Sollecitazioni agenti localmente: Tx_l=5.34 Ty_l=27.38 N_l=-5970.39 Mx_l=-0.00 My_l=2.07 Mz_l=-0.01
Taglio nei bulloni: Fv,Ed=4.67 Fv,Rd=7720.78
Rifollamento lato piastra: Fb,Ed,p=4.66 Fb,Rd,p=6305.49
Tirafondi:LT=0.45 (0.31) σ_{cR}=0.00 σ_{fR}=0.00
Compressione nel calcestruzzo: σ_c=12.45
CC 21 SLV (Collegamento -044_-376)
Azioni sul collegamento: N=-5970.39 Ty=12.07 Tz=27.38 Mx=-0.01 Mz=6.38
Sollecitazioni agenti localmente: Tx_l=12.07 Ty_l=27.38 N_l=-5970.39 Mx_l=-0.00 My_l=6.38 Mz_l=-0.01
Taglio nei bulloni: Fv,Ed=5.01 Fv,Rd=7720.78
Rifollamento lato piastra: Fb,Ed,p=4.99 Fb,Rd,p=7692.94
Tirafondi:LT=0.45 (0.31) σ_{cR}=0.00 σ_{fR}=0.00
Compressione nel calcestruzzo: σ_c=12.69
CC 21 SLV (Collegamento -044_-376)
Azioni sul collegamento: N=-5970.39 Ty=5.34 Tz=-1.24 Mx=-0.01 Mz=2.07
Sollecitazioni agenti localmente: Tx_l=5.34 Ty_l=-1.24 N_l=-5970.39 Mx_l=-0.00 My_l=2.07 Mz_l=-0.01
Taglio nei bulloni: Fv,Ed=0.93 Fv,Rd=7720.78
Rifollamento lato piastra: Fb,Ed,p=0.92 Fb,Rd,p=6382.81
Tirafondi:LT=0.45 (0.31) σ_{cR}=0.00 σ_{fR}=0.00
Compressione nel calcestruzzo: σ_c=12.45
CC 21 SLV (Collegamento -044_-376)
Azioni sul collegamento: N=-5970.39 Ty=12.07 Tz=-1.24 Mx=-0.01 Mz=6.38
Sollecitazioni agenti localmente: Tx_l=12.07 Ty_l=-1.24 N_l=-5970.39 Mx_l=-0.00 My_l=6.38 Mz_l=-0.01
Taglio nei bulloni: Fv,Ed=2.04 Fv,Rd=7720.78
Rifollamento lato piastra: Fb,Ed,p=2.03 Fb,Rd,p=6059.32
Tirafondi:LT=0.45 (0.31) σ_{cR}=0.00 σ_{fR}=0.00
Compressione nel calcestruzzo: σ_c=12.69
CC 22 SLD (Collegamento -044_-376)
Azioni sul collegamento: N=-11178.70 Ty=8.61 Tz=17.82 Mx=-0.00 Mz=5.70
Sollecitazioni agenti localmente: Tx_l=8.61 Ty_l=17.82 N_l=-11178.70 Mx_l=-0.00 My_l=5.70 Mz_l=-0.00
Taglio nei bulloni: Fv,Ed=3.30 Fv,Rd=9650.97
Rifollamento lato piastra: Fb,Ed,p=3.30 Fb,Rd,p=10091.30
Tirafondi:LT=0.45 (0.31) σ_{cR}=0.00 σ_{fR}=0.00
Compressione nel calcestruzzo: σ_c=23.42

CC 22 SLD (Collegamento -044_-376)
Azioni sul collegamento: N=-11178.70 Ty=10.66 Tz=17.82 Mx=-0.00 Mz=7.02
Sollecitazioni agenti localmente: Tx_l=10.66 Ty_l=17.82 N_l=-11178.70 Mx_l=-0.00 My_l=7.02 Mz_l=-0.00
Taglio nei bulloni: Fv,Ed=3.46 Fv,Rd=9650.97
Rifollamento lato piastra: Fb,Ed,p=3.46 Fb,Rd,p=11521.10
Tirafondi:LT=0.45 (0.31) σ_{cR}=0.00 σ_{fR}=0.00
Compressione nel calcestruzzo: σ_c=23.49
CC 22 SLD (Collegamento -044_-376)
Azioni sul collegamento: N=-11178.70 Ty=8.61 Tz=9.10 Mx=-0.00 Mz=5.70
Sollecitazioni agenti localmente: Tx_l=8.61 Ty_l=9.10 N_l=-11178.70 Mx_l=-0.00 My_l=5.70 Mz_l=-0.00
Taglio nei bulloni: Fv,Ed=2.09 Fv,Rd=9650.97
Rifollamento lato piastra: Fb,Ed,p=2.09 Fb,Rd,p=14605.90
Tirafondi:LT=0.45 (0.31) σ_{cR}=0.00 σ_{fR}=0.00
Compressione nel calcestruzzo: σ_c=23.42
CC 22 SLD (Collegamento -044_-376)
Azioni sul collegamento: N=-11178.70 Ty=10.66 Tz=9.10 Mx=-0.00 Mz=7.02
Sollecitazioni agenti localmente: Tx_l=10.66 Ty_l=9.10 N_l=-11178.70 Mx_l=-0.00 My_l=7.02 Mz_l=-0.00
Taglio nei bulloni: Fv,Ed=2.34 Fv,Rd=9650.97
Rifollamento lato piastra: Fb,Ed,p=2.34 Fb,Rd,p=13967.80
Tirafondi:LT=0.45 (0.31) σ_{cR}=0.00 σ_{fR}=0.00
Compressione nel calcestruzzo: σ_c=23.49
CC 22 SLD (Collegamento -044_-376)
Azioni sul collegamento: N=-8790.17 Ty=8.61 Tz=17.82 Mx=-0.00 Mz=5.70
Sollecitazioni agenti localmente: Tx_l=8.61 Ty_l=17.82 N_l=-8790.17 Mx_l=-0.00 My_l=5.70 Mz_l=-0.00
Taglio nei bulloni: Fv,Ed=3.30 Fv,Rd=9650.97
Rifollamento lato piastra: Fb,Ed,p=3.30 Fb,Rd,p=10091.40
Tirafondi:LT=0.45 (0.31) σ_{cR}=0.00 σ_{fR}=0.00
Compressione nel calcestruzzo: σ_c=18.48
CC 22 SLD (Collegamento -044_-376)
Azioni sul collegamento: N=-8790.17 Ty=10.66 Tz=17.82 Mx=-0.00 Mz=7.02
Sollecitazioni agenti localmente: Tx_l=10.66 Ty_l=17.82 N_l=-8790.17 Mx_l=-0.00 My_l=7.02 Mz_l=-0.00
Taglio nei bulloni: Fv,Ed=3.46 Fv,Rd=9650.97
Rifollamento lato piastra: Fb,Ed,p=3.46 Fb,Rd,p=11521.20
Tirafondi:LT=0.45 (0.31) σ_{cR}=0.00 σ_{fR}=0.00
Compressione nel calcestruzzo: σ_c=18.56
CC 22 SLD (Collegamento -044_-376)
Azioni sul collegamento: N=-8790.17 Ty=8.61 Tz=9.09 Mx=-0.00 Mz=5.70
Sollecitazioni agenti localmente: Tx_l=8.61 Ty_l=9.09 N_l=-8790.17 Mx_l=-0.00 My_l=5.70 Mz_l=-0.00
Taglio nei bulloni: Fv,Ed=2.09 Fv,Rd=9650.97
Rifollamento lato piastra: Fb,Ed,p=2.09 Fb,Rd,p=14606.10
Tirafondi:LT=0.45 (0.31) σ_{cR}=0.00 σ_{fR}=0.00
Compressione nel calcestruzzo: σ_c=18.48
CC 22 SLD (Collegamento -044_-376)
Azioni sul collegamento: N=-8790.17 Ty=10.66 Tz=9.09 Mx=-0.00 Mz=7.02
Sollecitazioni agenti localmente: Tx_l=10.66 Ty_l=9.09 N_l=-8790.17 Mx_l=-0.00 My_l=7.02 Mz_l=-0.00
Taglio nei bulloni: Fv,Ed=2.34 Fv,Rd=9650.97
Rifollamento lato piastra: Fb,Ed,p=2.34 Fb,Rd,p=13967.60
Tirafondi:LT=0.45 (0.31) σ_{cR}=0.00 σ_{fR}=0.00
Compressione nel calcestruzzo: σ_c=18.56
CC 23 SLV (Collegamento -044_-376)
Azioni sul collegamento: N=-13808.10 Ty=4.83 Tz=27.71 Mx=-0.01 Mz=1.02
Sollecitazioni agenti localmente: Tx_l=4.83 Ty_l=27.71 N_l=-13808.10 Mx_l=-0.00 My_l=1.02 Mz_l=-0.01
Taglio nei bulloni: Fv,Ed=4.70 Fv,Rd=7720.78
Rifollamento lato piastra: Fb,Ed,p=4.69 Fb,Rd,p=6242.66
Tirafondi:LT=0.45 (0.31) σ_{cR}=0.00 σ_{fR}=0.00
Compressione nel calcestruzzo: σ_c=28.59
CC 23 SLV (Collegamento -044_-376)
Azioni sul collegamento: N=-13808.10 Ty=12.58 Tz=27.71 Mx=-0.01 Mz=7.43
Sollecitazioni agenti localmente: Tx_l=12.58 Ty_l=27.71 N_l=-13808.10 Mx_l=-0.00 My_l=7.43 Mz_l=-0.01
Taglio nei bulloni: Fv,Ed=5.08 Fv,Rd=7720.78
Rifollamento lato piastra: Fb,Ed,p=5.08 Fb,Rd,p=7814.63
Tirafondi:LT=0.45 (0.31) σ_{cR}=0.00 σ_{fR}=0.00
Compressione nel calcestruzzo: σ_c=28.95
CC 23 SLV (Collegamento -044_-376)
Azioni sul collegamento: N=-13808.10 Ty=4.83 Tz=-1.56 Mx=-0.01 Mz=1.02
Sollecitazioni agenti localmente: Tx_l=4.83 Ty_l=-1.56 N_l=-13808.10 Mx_l=-0.00 My_l=1.02 Mz_l=-0.01
Taglio nei bulloni: Fv,Ed=0.86 Fv,Rd=7720.78
Rifollamento lato piastra: Fb,Ed,p=0.85 Fb,Rd,p=6839.84
Tirafondi:LT=0.45 (0.31) σ_{cR}=0.00 σ_{fR}=0.00
Compressione nel calcestruzzo: σ_c=28.59
CC 23 SLV (Collegamento -044_-376)
Azioni sul collegamento: N=-13808.10 Ty=12.58 Tz=-1.56 Mx=-0.01 Mz=7.43
Sollecitazioni agenti localmente: Tx_l=12.58 Ty_l=-1.56 N_l=-13808.10 Mx_l=-0.00 My_l=7.43 Mz_l=-0.01
Taglio nei bulloni: Fv,Ed=2.12 Fv,Rd=7720.78
Rifollamento lato piastra: Fb,Ed,p=2.12 Fb,Rd,p=6106.63
Tirafondi:LT=0.45 (0.31) σ_{cR}=0.00 σ_{fR}=0.00
Compressione nel calcestruzzo: σ_c=28.95
CC 23 SLV (Collegamento -044_-376)

Azioni sul collegamento: N=-5965.51 Ty=4.83 Tz=27.71 Mx=-0.01 Mz=1.02
Sollecitazioni agenti localmente: Tx_l=4.83 Ty_l=27.71 N_l=-5965.51 Mx_l=-0.00 My_l=1.02 Mz_l=-0.01
Taglio nei bulloni: Fv,Ed=4.70 Fv,Rd=7720.78
Rifollamento lato piastra: Fb,Ed,p=4.69 Fb,Rd,p=6242.67
Tirafondi:LT=0.45 (0.31) σ_{cR}=0.00 σ_{fR}=0.00
Compressione nel calcestruzzo: σ_c=12.38
CC 23 SLV (Collegamento -044_-376)
Azioni sul collegamento: N=-5965.51 Ty=12.58 Tz=27.71 Mx=-0.01 Mz=7.43
Sollecitazioni agenti localmente: Tx_l=12.58 Ty_l=27.71 N_l=-5965.51 Mx_l=-0.00 My_l=7.43 Mz_l=-0.01
Taglio nei bulloni: Fv,Ed=5.08 Fv,Rd=7720.78
Rifollamento lato piastra: Fb,Ed,p=5.08 Fb,Rd,p=7814.62
Tirafondi:LT=0.45 (0.31) σ_{cR}=0.00 σ_{fR}=0.00
Compressione nel calcestruzzo: σ_c=12.74
CC 23 SLV (Collegamento -044_-376)
Azioni sul collegamento: N=-5965.51 Ty=4.83 Tz=-1.56 Mx=-0.01 Mz=1.02
Sollecitazioni agenti localmente: Tx_l=4.83 Ty_l=-1.56 N_l=-5965.51 Mx_l=-0.00 My_l=1.02 Mz_l=-0.01
Taglio nei bulloni: Fv,Ed=0.86 Fv,Rd=7720.78
Rifollamento lato piastra: Fb,Ed,p=0.85 Fb,Rd,p=6840.25
Tirafondi:LT=0.45 (0.31) σ_{cR}=0.00 σ_{fR}=0.00
Compressione nel calcestruzzo: σ_c=12.38
CC 23 SLV (Collegamento -044_-376)
Azioni sul collegamento: N=-5965.51 Ty=12.58 Tz=-1.56 Mx=-0.01 Mz=7.43
Sollecitazioni agenti localmente: Tx_l=12.58 Ty_l=-1.56 N_l=-5965.51 Mx_l=-0.00 My_l=7.43 Mz_l=-0.01
Taglio nei bulloni: Fv,Ed=2.12 Fv,Rd=7720.78
Rifollamento lato piastra: Fb,Ed,p=2.12 Fb,Rd,p=6106.69
Tirafondi:LT=0.45 (0.31) σ_{cR}=0.00 σ_{fR}=0.00
Compressione nel calcestruzzo: σ_c=12.74
CC 24 SLD (Collegamento -044_-376)
Azioni sul collegamento: N=-11180.10 Ty=8.45 Tz=17.92 Mx=-0.00 Mz=5.38
Sollecitazioni agenti localmente: Tx_l=8.45 Ty_l=17.92 N_l=-11180.10 Mx_l=-0.00 My_l=5.38 Mz_l=-0.00
Taglio nei bulloni: Fv,Ed=3.30 Fv,Rd=9650.97
Rifollamento lato piastra: Fb,Ed,p=3.30 Fb,Rd,p=9975.72
Tirafondi:LT=0.45 (0.31) σ_{cR}=0.00 σ_{fR}=0.00
Compressione nel calcestruzzo: σ_c=23.40
CC 24 SLD (Collegamento -044_-376)
Azioni sul collegamento: N=-11180.10 Ty=10.81 Tz=17.92 Mx=-0.00 Mz=7.34
Sollecitazioni agenti localmente: Tx_l=10.81 Ty_l=17.92 N_l=-11180.10 Mx_l=-0.00 My_l=7.34 Mz_l=-0.00
Taglio nei bulloni: Fv,Ed=3.49 Fv,Rd=9650.97
Rifollamento lato piastra: Fb,Ed,p=3.49 Fb,Rd,p=11608.60
Tirafondi:LT=0.45 (0.31) σ_{cR}=0.00 σ_{fR}=0.00
Compressione nel calcestruzzo: σ_c=23.51
CC 24 SLD (Collegamento -044_-376)
Azioni sul collegamento: N=-11180.10 Ty=8.45 Tz=9.00 Mx=-0.00 Mz=5.38
Sollecitazioni agenti localmente: Tx_l=8.45 Ty_l=9.00 N_l=-11180.10 Mx_l=-0.00 My_l=5.38 Mz_l=-0.00
Taglio nei bulloni: Fv,Ed=2.06 Fv,Rd=9650.97
Rifollamento lato piastra: Fb,Ed,p=2.06 Fb,Rd,p=14570.70
Tirafondi:LT=0.45 (0.31) σ_{cR}=0.00 σ_{fR}=0.00
Compressione nel calcestruzzo: σ_c=23.40
CC 24 SLD (Collegamento -044_-376)
Azioni sul collegamento: N=-11180.10 Ty=10.81 Tz=9.00 Mx=-0.00 Mz=7.34
Sollecitazioni agenti localmente: Tx_l=10.81 Ty_l=9.00 N_l=-11180.10 Mx_l=-0.00 My_l=7.34 Mz_l=-0.00
Taglio nei bulloni: Fv,Ed=2.34 Fv,Rd=9650.97
Rifollamento lato piastra: Fb,Ed,p=2.34 Fb,Rd,p=13819.10
Tirafondi:LT=0.45 (0.31) σ_{cR}=0.00 σ_{fR}=0.00
Compressione nel calcestruzzo: σ_c=23.51
CC 24 SLD (Collegamento -044_-376)
Azioni sul collegamento: N=-8788.68 Ty=8.45 Tz=17.92 Mx=-0.00 Mz=5.38
Sollecitazioni agenti localmente: Tx_l=8.45 Ty_l=17.92 N_l=-8788.68 Mx_l=-0.00 My_l=5.38 Mz_l=-0.00
Taglio nei bulloni: Fv,Ed=3.30 Fv,Rd=9650.97
Rifollamento lato piastra: Fb,Ed,p=3.30 Fb,Rd,p=9975.78
Tirafondi:LT=0.45 (0.31) σ_{cR}=0.00 σ_{fR}=0.00
Compressione nel calcestruzzo: σ_c=18.46
CC 24 SLD (Collegamento -044_-376)
Azioni sul collegamento: N=-8788.68 Ty=10.81 Tz=17.92 Mx=-0.00 Mz=7.34
Sollecitazioni agenti localmente: Tx_l=10.81 Ty_l=17.92 N_l=-8788.68 Mx_l=-0.00 My_l=7.34 Mz_l=-0.00
Taglio nei bulloni: Fv,Ed=3.49 Fv,Rd=9650.97
Rifollamento lato piastra: Fb,Ed,p=3.49 Fb,Rd,p=11608.80
Tirafondi:LT=0.45 (0.31) σ_{cR}=0.00 σ_{fR}=0.00
Compressione nel calcestruzzo: σ_c=18.57
CC 24 SLD (Collegamento -044_-376)
Azioni sul collegamento: N=-8788.68 Ty=8.45 Tz=9.00 Mx=-0.00 Mz=5.38
Sollecitazioni agenti localmente: Tx_l=8.45 Ty_l=9.00 N_l=-8788.68 Mx_l=-0.00 My_l=5.38 Mz_l=-0.00
Taglio nei bulloni: Fv,Ed=2.06 Fv,Rd=9650.97
Rifollamento lato piastra: Fb,Ed,p=2.06 Fb,Rd,p=14570.90
Tirafondi:LT=0.45 (0.31) σ_{cR}=0.00 σ_{fR}=0.00
Compressione nel calcestruzzo: σ_c=18.46
CC 24 SLD (Collegamento -044_-376)
Azioni sul collegamento: N=-8788.68 Ty=10.81 Tz=9.00 Mx=-0.00 Mz=7.34

Sollecitazioni agenti localmente: Tx_l=10.81 Ty_l=9.00 N_l=-8788.68 Mx_l=-0.00 My_l=7.34 Mz_l=-0.00
Taglio nei bulloni: Fv,Ed=2.34 Fv,Rd=9650.97
Rifollamento lato piastra: Fb,Ed,p=2.34 Fb,Rd,p=13819.00
Tirafondi:LT=0.45 (0.31) σ_{cR}=0.00 σ_{fR}=0.00
Compressione nel calcestruzzo: σ_c=18.57
CC 25 SLV (Collegamento -044_-376)
Azioni sul collegamento: N=-8703.02 Ty=10.65 Tz=8.19 Mx=-0.02 Mz=6.77
Sollecitazioni agenti localmente: Tx_l=10.65 Ty_l=8.19 N_l=-8703.02 Mx_l=-0.00 My_l=6.77 Mz_l=-0.02
Taglio nei bulloni: Fv,Ed=2.27 Fv,Rd=7720.78
Rifollamento lato piastra: Fb,Ed,p=2.27 Fb,Rd,p=10734.30
Tirafondi:LT=0.45 (0.31) σ_{cR}=0.00 σ_{fR}=0.00
Compressione nel calcestruzzo: σ_c=18.36
CC 25 SLV (Collegamento -044_-376)
Azioni sul collegamento: N=-8703.02 Ty=6.76 Tz=8.19 Mx=-0.02 Mz=1.67
Sollecitazioni agenti localmente: Tx_l=6.76 Ty_l=8.19 N_l=-8703.02 Mx_l=-0.00 My_l=1.67 Mz_l=-0.02
Taglio nei bulloni: Fv,Ed=1.80 Fv,Rd=7720.78
Rifollamento lato piastra: Fb,Ed,p=1.77 Fb,Rd,p=10882.40
Tirafondi:LT=0.45 (0.31) σ_{cR}=0.00 σ_{fR}=0.00
Compressione nel calcestruzzo: σ_c=18.08
CC 25 SLV (Collegamento -044_-376)
Azioni sul collegamento: N=-8703.02 Ty=10.65 Tz=17.96 Mx=-0.02 Mz=6.77
Sollecitazioni agenti localmente: Tx_l=10.65 Ty_l=17.96 N_l=-8703.02 Mx_l=-0.00 My_l=6.77 Mz_l=-0.02
Taglio nei bulloni: Fv,Ed=3.51 Fv,Rd=7720.78
Rifollamento lato piastra: Fb,Ed,p=3.49 Fb,Rd,p=9057.55
Tirafondi:LT=0.45 (0.31) σ_{cR}=0.00 σ_{fR}=0.00
Compressione nel calcestruzzo: σ_c=18.36
CC 25 SLV (Collegamento -044_-376)
Azioni sul collegamento: N=-8703.02 Ty=6.76 Tz=17.96 Mx=-0.02 Mz=1.67
Sollecitazioni agenti localmente: Tx_l=6.76 Ty_l=17.96 N_l=-8703.02 Mx_l=-0.00 My_l=1.67 Mz_l=-0.02
Taglio nei bulloni: Fv,Ed=3.22 Fv,Rd=7720.78
Rifollamento lato piastra: Fb,Ed,p=3.21 Fb,Rd,p=7188.91
Tirafondi:LT=0.45 (0.31) σ_{cR}=0.00 σ_{fR}=0.00
Compressione nel calcestruzzo: σ_c=18.08
CC 25 SLV (Collegamento -044_-376)
Azioni sul collegamento: N=-11070.60 Ty=10.65 Tz=8.19 Mx=-0.02 Mz=6.77
Sollecitazioni agenti localmente: Tx_l=10.65 Ty_l=8.19 N_l=-11070.60 Mx_l=-0.00 My_l=6.77 Mz_l=-0.02
Taglio nei bulloni: Fv,Ed=2.27 Fv,Rd=7720.78
Rifollamento lato piastra: Fb,Ed,p=2.27 Fb,Rd,p=10734.10
Tirafondi:LT=0.45 (0.31) σ_{cR}=0.00 σ_{fR}=0.00
Compressione nel calcestruzzo: σ_c=23.25
CC 25 SLV (Collegamento -044_-376)
Azioni sul collegamento: N=-11070.60 Ty=6.76 Tz=8.19 Mx=-0.02 Mz=1.67
Sollecitazioni agenti localmente: Tx_l=6.76 Ty_l=8.19 N_l=-11070.60 Mx_l=-0.00 My_l=1.67 Mz_l=-0.02
Taglio nei bulloni: Fv,Ed=1.80 Fv,Rd=7720.78
Rifollamento lato piastra: Fb,Ed,p=1.77 Fb,Rd,p=10882.60
Tirafondi:LT=0.45 (0.31) σ_{cR}=0.00 σ_{fR}=0.00
Compressione nel calcestruzzo: σ_c=22.97
CC 25 SLV (Collegamento -044_-376)
Azioni sul collegamento: N=-11070.60 Ty=10.65 Tz=17.96 Mx=-0.02 Mz=6.77
Sollecitazioni agenti localmente: Tx_l=10.65 Ty_l=17.96 N_l=-11070.60 Mx_l=-0.00 My_l=6.77 Mz_l=-0.02
Taglio nei bulloni: Fv,Ed=3.51 Fv,Rd=7720.78
Rifollamento lato piastra: Fb,Ed,p=3.49 Fb,Rd,p=9057.46
Tirafondi:LT=0.45 (0.31) σ_{cR}=0.00 σ_{fR}=0.00
Compressione nel calcestruzzo: σ_c=23.25
CC 25 SLV (Collegamento -044_-376)
Azioni sul collegamento: N=-11070.60 Ty=6.76 Tz=17.96 Mx=-0.02 Mz=1.67
Sollecitazioni agenti localmente: Tx_l=6.76 Ty_l=17.96 N_l=-11070.60 Mx_l=-0.00 My_l=1.67 Mz_l=-0.02
Taglio nei bulloni: Fv,Ed=3.22 Fv,Rd=7720.78
Rifollamento lato piastra: Fb,Ed,p=3.21 Fb,Rd,p=7188.88
Tirafondi:LT=0.45 (0.31) σ_{cR}=0.00 σ_{fR}=0.00
Compressione nel calcestruzzo: σ_c=22.97
CC 26 SLD (Collegamento -044_-376)
Azioni sul collegamento: N=-9623.43 Ty=10.22 Tz=11.97 Mx=-0.00 Mz=7.14
Sollecitazioni agenti localmente: Tx_l=10.22 Ty_l=11.97 N_l=-9623.43 Mx_l=-0.00 My_l=7.14 Mz_l=-0.00
Taglio nei bulloni: Fv,Ed=2.63 Fv,Rd=9650.97
Rifollamento lato piastra: Fb,Ed,p=2.62 Fb,Rd,p=13946.20
Tirafondi:LT=0.45 (0.31) σ_{cR}=0.00 σ_{fR}=0.00
Compressione nel calcestruzzo: σ_c=20.29
CC 26 SLD (Collegamento -044_-376)
Azioni sul collegamento: N=-9623.43 Ty=9.04 Tz=11.97 Mx=-0.00 Mz=5.58
Sollecitazioni agenti localmente: Tx_l=9.04 Ty_l=11.97 N_l=-9623.43 Mx_l=-0.00 My_l=5.58 Mz_l=-0.00
Taglio nei bulloni: Fv,Ed=2.51 Fv,Rd=9650.97
Rifollamento lato piastra: Fb,Ed,p=2.50 Fb,Rd,p=13290.40
Tirafondi:LT=0.45 (0.31) σ_{cR}=0.00 σ_{fR}=0.00
Compressione nel calcestruzzo: σ_c=20.20
CC 26 SLD (Collegamento -044_-376)
Azioni sul collegamento: N=-9623.43 Ty=10.22 Tz=14.95 Mx=-0.00 Mz=7.14
Sollecitazioni agenti localmente: Tx_l=10.22 Ty_l=14.95 N_l=-9623.43 Mx_l=-0.00 My_l=7.14 Mz_l=-0.00

Taglio nei bulloni: Fv,Ed=3.02 Fv,Rd=9650.97
Rifollamento lato piastra: Fb,Ed,p=3.02 Fb,Rd,p=12777.30
Tirafondi:LT=0.45 (0.31) σ_{cR}=0.00 σ_{fR}=0.00
Compressione nel calcestruzzo: σ_c=20.29
CC 26 SLD (Collegamento -044_-376)
Azioni sul collegamento: N=-9623.43 Ty=9.04 Tz=14.95 Mx=-0.00 Mz=5.58
Sollecitazioni agenti localmente: Tx_l=9.04 Ty_l=14.95 N_l=-9623.43 Mx_l=-0.00 My_l=5.58 Mz_l=-0.00
Taglio nei bulloni: Fv,Ed=2.92 Fv,Rd=9650.97
Rifollamento lato piastra: Fb,Ed,p=2.91 Fb,Rd,p=11593.70
Tirafondi:LT=0.45 (0.31) σ_{cR}=0.00 σ_{fR}=0.00
Compressione nel calcestruzzo: σ_c=20.20
CC 26 SLD (Collegamento -044_-376)
Azioni sul collegamento: N=-10345.40 Ty=10.22 Tz=11.97 Mx=-0.00 Mz=7.14
Sollecitazioni agenti localmente: Tx_l=10.22 Ty_l=11.97 N_l=-10345.40 Mx_l=-0.00 My_l=7.14 Mz_l=-0.00
Taglio nei bulloni: Fv,Ed=2.63 Fv,Rd=9650.97
Rifollamento lato piastra: Fb,Ed,p=2.62 Fb,Rd,p=13946.00
Tirafondi:LT=0.45 (0.31) σ_{cR}=0.00 σ_{fR}=0.00
Compressione nel calcestruzzo: σ_c=21.78
CC 26 SLD (Collegamento -044_-376)
Azioni sul collegamento: N=-10345.40 Ty=9.04 Tz=11.97 Mx=-0.00 Mz=5.58
Sollecitazioni agenti localmente: Tx_l=9.04 Ty_l=11.97 N_l=-10345.40 Mx_l=-0.00 My_l=5.58 Mz_l=-0.00
Taglio nei bulloni: Fv,Ed=2.51 Fv,Rd=9650.97
Rifollamento lato piastra: Fb,Ed,p=2.50 Fb,Rd,p=13290.30
Tirafondi:LT=0.45 (0.31) σ_{cR}=0.00 σ_{fR}=0.00
Compressione nel calcestruzzo: σ_c=21.69
CC 26 SLD (Collegamento -044_-376)
Azioni sul collegamento: N=-10345.40 Ty=10.22 Tz=14.95 Mx=-0.00 Mz=7.14
Sollecitazioni agenti localmente: Tx_l=10.22 Ty_l=14.95 N_l=-10345.40 Mx_l=-0.00 My_l=7.14 Mz_l=-0.00
Taglio nei bulloni: Fv,Ed=3.02 Fv,Rd=9650.97
Rifollamento lato piastra: Fb,Ed,p=3.02 Fb,Rd,p=12777.40
Tirafondi:LT=0.45 (0.31) σ_{cR}=0.00 σ_{fR}=0.00
Compressione nel calcestruzzo: σ_c=21.78
CC 26 SLD (Collegamento -044_-376)
Azioni sul collegamento: N=-10345.40 Ty=9.04 Tz=14.95 Mx=-0.00 Mz=5.58
Sollecitazioni agenti localmente: Tx_l=9.04 Ty_l=14.95 N_l=-10345.40 Mx_l=-0.00 My_l=5.58 Mz_l=-0.00
Taglio nei bulloni: Fv,Ed=2.92 Fv,Rd=9650.97
Rifollamento lato piastra: Fb,Ed,p=2.91 Fb,Rd,p=11593.70
Tirafondi:LT=0.45 (0.31) σ_{cR}=0.00 σ_{fR}=0.00
Compressione nel calcestruzzo: σ_c=21.69
CC 27 SLV (Collegamento -044_-376)
Azioni sul collegamento: N=-11054.30 Ty=8.48 Tz=16.87 Mx=-0.02 Mz=5.16
Sollecitazioni agenti localmente: Tx_l=8.48 Ty_l=16.87 N_l=-11054.30 Mx_l=-0.00 My_l=5.16 Mz_l=-0.02
Taglio nei bulloni: Fv,Ed=3.17 Fv,Rd=7720.78
Rifollamento lato piastra: Fb,Ed,p=3.16 Fb,Rd,p=8162.14
Tirafondi:LT=0.45 (0.31) σ_{cR}=0.00 σ_{fR}=0.00
Compressione nel calcestruzzo: σ_c=23.13
CC 27 SLV (Collegamento -044_-376)
Azioni sul collegamento: N=-11054.30 Ty=8.94 Tz=16.87 Mx=-0.02 Mz=3.28
Sollecitazioni agenti localmente: Tx_l=8.94 Ty_l=16.87 N_l=-11054.30 Mx_l=-0.00 My_l=3.28 Mz_l=-0.02
Taglio nei bulloni: Fv,Ed=3.21 Fv,Rd=7720.78
Rifollamento lato piastra: Fb,Ed,p=3.19 Fb,Rd,p=8413.54
Tirafondi:LT=0.45 (0.31) σ_{cR}=0.00 σ_{fR}=0.00
Compressione nel calcestruzzo: σ_c=23.02
CC 27 SLV (Collegamento -044_-376)
Azioni sul collegamento: N=-11054.30 Ty=8.48 Tz=9.28 Mx=-0.02 Mz=5.16
Sollecitazioni agenti localmente: Tx_l=8.48 Ty_l=9.28 N_l=-11054.30 Mx_l=-0.00 My_l=5.16 Mz_l=-0.02
Taglio nei bulloni: Fv,Ed=2.12 Fv,Rd=7720.78
Rifollamento lato piastra: Fb,Ed,p=2.10 Fb,Rd,p=11373.40
Tirafondi:LT=0.45 (0.31) σ_{cR}=0.00 σ_{fR}=0.00
Compressione nel calcestruzzo: σ_c=23.13
CC 27 SLV (Collegamento -044_-376)
Azioni sul collegamento: N=-11054.30 Ty=8.94 Tz=9.28 Mx=-0.02 Mz=3.28
Sollecitazioni agenti localmente: Tx_l=8.94 Ty_l=9.28 N_l=-11054.30 Mx_l=-0.00 My_l=3.28 Mz_l=-0.02
Taglio nei bulloni: Fv,Ed=2.17 Fv,Rd=7720.78
Rifollamento lato piastra: Fb,Ed,p=2.15 Fb,Rd,p=11654.30
Tirafondi:LT=0.45 (0.31) σ_{cR}=0.00 σ_{fR}=0.00
Compressione nel calcestruzzo: σ_c=23.02
CC 27 SLV (Collegamento -044_-376)
Azioni sul collegamento: N=-8719.31 Ty=8.48 Tz=16.87 Mx=-0.02 Mz=5.16
Sollecitazioni agenti localmente: Tx_l=8.48 Ty_l=16.87 N_l=-8719.31 Mx_l=-0.00 My_l=5.16 Mz_l=-0.02
Taglio nei bulloni: Fv,Ed=3.17 Fv,Rd=7720.78
Rifollamento lato piastra: Fb,Ed,p=3.16 Fb,Rd,p=8162.15
Tirafondi:LT=0.45 (0.31) σ_{cR}=0.00 σ_{fR}=0.00
Compressione nel calcestruzzo: σ_c=18.31
CC 27 SLV (Collegamento -044_-376)
Azioni sul collegamento: N=-8719.31 Ty=8.94 Tz=16.87 Mx=-0.02 Mz=3.28
Sollecitazioni agenti localmente: Tx_l=8.94 Ty_l=16.87 N_l=-8719.31 Mx_l=-0.00 My_l=3.28 Mz_l=-0.02
Taglio nei bulloni: Fv,Ed=3.21 Fv,Rd=7720.78

Rifollamento lato piastra: Fb,Ed,p=3.19 Fb,Rd,p=8413.57
Tirafondi:LT=0.45 (0.31) σ_{cR}=0.00 σ_{fR}=0.00
Compressione nel calcestruzzo: σ_c=18.20
CC 27 SLV (Collegamento -044_-376)
Azioni sul collegamento: N=-8719.31 Ty=8.48 Tz=9.28 Mx=-0.02 Mz=5.16
Sollecitazioni agenti localmente: Tx_l=8.48 Ty_l=9.28 N_l=-8719.31 Mx_l=-0.00 My_l=5.16 Mz_l=-0.02
Taglio nei bulloni: Fv,Ed=2.12 Fv,Rd=7720.78
Rifollamento lato piastra: Fb,Ed,p=2.10 Fb,Rd,p=11373.60
Tirafondi:LT=0.45 (0.31) σ_{cR}=0.00 σ_{fR}=0.00
Compressione nel calcestruzzo: σ_c=18.31
CC 27 SLV (Collegamento -044_-376)
Azioni sul collegamento: N=-8719.31 Ty=8.94 Tz=9.28 Mx=-0.02 Mz=3.28
Sollecitazioni agenti localmente: Tx_l=8.94 Ty_l=9.28 N_l=-8719.31 Mx_l=-0.00 My_l=3.28 Mz_l=-0.02
Taglio nei bulloni: Fv,Ed=2.17 Fv,Rd=7720.78
Rifollamento lato piastra: Fb,Ed,p=2.15 Fb,Rd,p=11654.50
Tirafondi:LT=0.45 (0.31) σ_{cR}=0.00 σ_{fR}=0.00
Compressione nel calcestruzzo: σ_c=18.20
CC 28 SLD (Collegamento -044_-376)
Azioni sul collegamento: N=-10340.40 Ty=9.56 Tz=14.62 Mx=-0.00 Mz=6.65
Sollecitazioni agenti localmente: Tx_l=9.56 Ty_l=14.62 N_l=-10340.40 Mx_l=-0.00 My_l=6.65 Mz_l=-0.00
Taglio nei bulloni: Fv,Ed=2.92 Fv,Rd=9650.97
Rifollamento lato piastra: Fb,Ed,p=2.91 Fb,Rd,p=12313.60
Tirafondi:LT=0.45 (0.31) σ_{cR}=0.00 σ_{fR}=0.00
Compressione nel calcestruzzo: σ_c=21.74
CC 28 SLD (Collegamento -044_-376)
Azioni sul collegamento: N=-10340.40 Ty=9.70 Tz=14.62 Mx=-0.00 Mz=6.07
Sollecitazioni agenti localmente: Tx_l=9.70 Ty_l=14.62 N_l=-10340.40 Mx_l=-0.00 My_l=6.07 Mz_l=-0.00
Taglio nei bulloni: Fv,Ed=2.93 Fv,Rd=9650.97
Rifollamento lato piastra: Fb,Ed,p=2.92 Fb,Rd,p=12460.60
Tirafondi:LT=0.45 (0.31) σ_{cR}=0.00 σ_{fR}=0.00
Compressione nel calcestruzzo: σ_c=21.71
CC 28 SLD (Collegamento -044_-376)
Azioni sul collegamento: N=-10340.40 Ty=9.56 Tz=12.30 Mx=-0.00 Mz=6.65
Sollecitazioni agenti localmente: Tx_l=9.56 Ty_l=12.30 N_l=-10340.40 Mx_l=-0.00 My_l=6.65 Mz_l=-0.00
Taglio nei bulloni: Fv,Ed=2.60 Fv,Rd=9650.97
Rifollamento lato piastra: Fb,Ed,p=2.60 Fb,Rd,p=13432.90
Tirafondi:LT=0.45 (0.31) σ_{cR}=0.00 σ_{fR}=0.00
Compressione nel calcestruzzo: σ_c=21.74
CC 28 SLD (Collegamento -044_-376)
Azioni sul collegamento: N=-10340.40 Ty=9.70 Tz=12.30 Mx=-0.00 Mz=6.07
Sollecitazioni agenti localmente: Tx_l=9.70 Ty_l=12.30 N_l=-10340.40 Mx_l=-0.00 My_l=6.07 Mz_l=-0.00
Taglio nei bulloni: Fv,Ed=2.62 Fv,Rd=9650.97
Rifollamento lato piastra: Fb,Ed,p=2.61 Fb,Rd,p=13507.30
Tirafondi:LT=0.45 (0.31) σ_{cR}=0.00 σ_{fR}=0.00
Compressione nel calcestruzzo: σ_c=21.71
CC 28 SLD (Collegamento -044_-376)
Azioni sul collegamento: N=-9628.40 Ty=9.56 Tz=14.62 Mx=-0.00 Mz=6.65
Sollecitazioni agenti localmente: Tx_l=9.56 Ty_l=14.62 N_l=-9628.40 Mx_l=-0.00 My_l=6.65 Mz_l=-0.00
Taglio nei bulloni: Fv,Ed=2.92 Fv,Rd=9650.97
Rifollamento lato piastra: Fb,Ed,p=2.91 Fb,Rd,p=12313.70
Tirafondi:LT=0.45 (0.31) σ_{cR}=0.00 σ_{fR}=0.00
Compressione nel calcestruzzo: σ_c=20.27
CC 28 SLD (Collegamento -044_-376)
Azioni sul collegamento: N=-9628.40 Ty=9.70 Tz=14.62 Mx=-0.00 Mz=6.07
Sollecitazioni agenti localmente: Tx_l=9.70 Ty_l=14.62 N_l=-9628.40 Mx_l=-0.00 My_l=6.07 Mz_l=-0.00
Taglio nei bulloni: Fv,Ed=2.93 Fv,Rd=9650.97
Rifollamento lato piastra: Fb,Ed,p=2.92 Fb,Rd,p=12460.70
Tirafondi:LT=0.45 (0.31) σ_{cR}=0.00 σ_{fR}=0.00
Compressione nel calcestruzzo: σ_c=20.24
CC 28 SLD (Collegamento -044_-376)
Azioni sul collegamento: N=-9628.40 Ty=9.56 Tz=12.30 Mx=-0.00 Mz=6.65
Sollecitazioni agenti localmente: Tx_l=9.56 Ty_l=12.30 N_l=-9628.40 Mx_l=-0.00 My_l=6.65 Mz_l=-0.00
Taglio nei bulloni: Fv,Ed=2.60 Fv,Rd=9650.97
Rifollamento lato piastra: Fb,Ed,p=2.60 Fb,Rd,p=13432.90
Tirafondi:LT=0.45 (0.31) σ_{cR}=0.00 σ_{fR}=0.00
Compressione nel calcestruzzo: σ_c=20.27
CC 28 SLD (Collegamento -044_-376)
Azioni sul collegamento: N=-9628.40 Ty=9.70 Tz=12.30 Mx=-0.00 Mz=6.07
Sollecitazioni agenti localmente: Tx_l=9.70 Ty_l=12.30 N_l=-9628.40 Mx_l=-0.00 My_l=6.07 Mz_l=-0.00
Taglio nei bulloni: Fv,Ed=2.62 Fv,Rd=9650.97
Rifollamento lato piastra: Fb,Ed,p=2.61 Fb,Rd,p=13507.30
Tirafondi:LT=0.45 (0.31) σ_{cR}=0.00 σ_{fR}=0.00
Compressione nel calcestruzzo: σ_c=20.24
CC 29 SLV (Collegamento -044_-376)
Azioni sul collegamento: N=-8719.31 Ty=8.94 Tz=9.28 Mx=-0.00 Mz=3.28
Sollecitazioni agenti localmente: Tx_l=8.94 Ty_l=9.28 N_l=-8719.31 Mx_l=-0.00 My_l=3.28 Mz_l=-0.00
Taglio nei bulloni: Fv,Ed=2.15 Fv,Rd=7720.78
Rifollamento lato piastra: Fb,Ed,p=2.14 Fb,Rd,p=11799.80

Tirafondi:LT=0.45 (0.31) σ_{cR}=0.00 σ_{fR}=0.00
Compressione nel calcestruzzo: σ_c=18.20
CC 29 SLV (Collegamento -044_-376)
Azioni sul collegamento: N=-8719.31 Ty=8.48 Tz=9.28 Mx=-0.00 Mz=5.16
Sollecitazioni agenti localmente: Tx_l=8.48 Ty_l=9.28 N_l=-8719.31 Mx_l=-0.00 My_l=5.16 Mz_l=-0.00
Taglio nei bulloni: Fv,Ed=2.10 Fv,Rd=7720.78
Rifollamento lato piastra: Fb,Ed,p=2.09 Fb,Rd,p=11497.00
Tirafondi:LT=0.45 (0.31) σ_{cR}=0.00 σ_{fR}=0.00
Compressione nel calcestruzzo: σ_c=18.31
CC 29 SLV (Collegamento -044_-376)
Azioni sul collegamento: N=-8719.31 Ty=8.94 Tz=16.87 Mx=-0.00 Mz=3.28
Sollecitazioni agenti localmente: Tx_l=8.94 Ty_l=16.87 N_l=-8719.31 Mx_l=-0.00 My_l=3.28 Mz_l=-0.00
Taglio nei bulloni: Fv,Ed=3.18 Fv,Rd=7720.78
Rifollamento lato piastra: Fb,Ed,p=3.18 Fb,Rd,p=8506.04
Tirafondi:LT=0.45 (0.31) σ_{cR}=0.00 σ_{fR}=0.00
Compressione nel calcestruzzo: σ_c=18.20
CC 29 SLV (Collegamento -044_-376)
Azioni sul collegamento: N=-8719.31 Ty=8.48 Tz=16.87 Mx=-0.00 Mz=5.16
Sollecitazioni agenti localmente: Tx_l=8.48 Ty_l=16.87 N_l=-8719.31 Mx_l=-0.00 My_l=5.16 Mz_l=-0.00
Taglio nei bulloni: Fv,Ed=3.15 Fv,Rd=7720.78
Rifollamento lato piastra: Fb,Ed,p=3.15 Fb,Rd,p=8248.00
Tirafondi:LT=0.45 (0.31) σ_{cR}=0.00 σ_{fR}=0.00
Compressione nel calcestruzzo: σ_c=18.31
CC 29 SLV (Collegamento -044_-376)
Azioni sul collegamento: N=-11054.30 Ty=8.94 Tz=9.28 Mx=-0.00 Mz=3.28
Sollecitazioni agenti localmente: Tx_l=8.94 Ty_l=9.28 N_l=-11054.30 Mx_l=-0.00 My_l=3.28 Mz_l=-0.00
Taglio nei bulloni: Fv,Ed=2.15 Fv,Rd=7720.78
Rifollamento lato piastra: Fb,Ed,p=2.14 Fb,Rd,p=11799.50
Tirafondi:LT=0.45 (0.31) σ_{cR}=0.00 σ_{fR}=0.00
Compressione nel calcestruzzo: σ_c=23.02
CC 29 SLV (Collegamento -044_-376)
Azioni sul collegamento: N=-11054.30 Ty=8.48 Tz=9.28 Mx=-0.00 Mz=5.16
Sollecitazioni agenti localmente: Tx_l=8.48 Ty_l=9.28 N_l=-11054.30 Mx_l=-0.00 My_l=5.16 Mz_l=-0.00
Taglio nei bulloni: Fv,Ed=2.10 Fv,Rd=7720.78
Rifollamento lato piastra: Fb,Ed,p=2.09 Fb,Rd,p=11496.70
Tirafondi:LT=0.45 (0.31) σ_{cR}=0.00 σ_{fR}=0.00
Compressione nel calcestruzzo: σ_c=23.13
CC 29 SLV (Collegamento -044_-376)
Azioni sul collegamento: N=-11054.30 Ty=8.94 Tz=16.87 Mx=-0.00 Mz=3.28
Sollecitazioni agenti localmente: Tx_l=8.94 Ty_l=16.87 N_l=-11054.30 Mx_l=-0.00 My_l=3.28 Mz_l=-0.00
Taglio nei bulloni: Fv,Ed=3.18 Fv,Rd=7720.78
Rifollamento lato piastra: Fb,Ed,p=3.18 Fb,Rd,p=8506.02
Tirafondi:LT=0.45 (0.31) σ_{cR}=0.00 σ_{fR}=0.00
Compressione nel calcestruzzo: σ_c=23.02
CC 29 SLV (Collegamento -044_-376)
Azioni sul collegamento: N=-11054.30 Ty=8.48 Tz=16.87 Mx=-0.00 Mz=5.16
Sollecitazioni agenti localmente: Tx_l=8.48 Ty_l=16.87 N_l=-11054.30 Mx_l=-0.00 My_l=5.16 Mz_l=-0.00
Taglio nei bulloni: Fv,Ed=3.15 Fv,Rd=7720.78
Rifollamento lato piastra: Fb,Ed,p=3.15 Fb,Rd,p=8247.98
Tirafondi:LT=0.45 (0.31) σ_{cR}=0.00 σ_{fR}=0.00
Compressione nel calcestruzzo: σ_c=23.13
CC 30 SLD (Collegamento -044_-376)
Azioni sul collegamento: N=-9628.40 Ty=9.70 Tz=12.30 Mx=0.00 Mz=6.07
Sollecitazioni agenti localmente: Tx_l=9.70 Ty_l=12.30 N_l=-9628.40 Mx_l=-0.00 My_l=6.07 Mz_l=0.00
Taglio nei bulloni: Fv,Ed=2.61 Fv,Rd=9650.97
Rifollamento lato piastra: Fb,Ed,p=2.61 Fb,Rd,p=13530.90
Tirafondi:LT=0.45 (0.31) σ_{cR}=0.00 σ_{fR}=0.00
Compressione nel calcestruzzo: σ_c=20.24
CC 30 SLD (Collegamento -044_-376)
Azioni sul collegamento: N=-9628.40 Ty=9.56 Tz=12.30 Mx=0.00 Mz=6.65
Sollecitazioni agenti localmente: Tx_l=9.56 Ty_l=12.30 N_l=-9628.40 Mx_l=-0.00 My_l=6.65 Mz_l=0.00
Taglio nei bulloni: Fv,Ed=2.60 Fv,Rd=9650.97
Rifollamento lato piastra: Fb,Ed,p=2.60 Fb,Rd,p=13456.20
Tirafondi:LT=0.45 (0.31) σ_{cR}=0.00 σ_{fR}=0.00
Compressione nel calcestruzzo: σ_c=20.27
CC 30 SLD (Collegamento -044_-376)
Azioni sul collegamento: N=-9628.40 Ty=9.70 Tz=14.62 Mx=0.00 Mz=6.07
Sollecitazioni agenti localmente: Tx_l=9.70 Ty_l=14.62 N_l=-9628.40 Mx_l=-0.00 My_l=6.07 Mz_l=0.00
Taglio nei bulloni: Fv,Ed=2.93 Fv,Rd=9650.97
Rifollamento lato piastra: Fb,Ed,p=2.93 Fb,Rd,p=12505.60
Tirafondi:LT=0.45 (0.31) σ_{cR}=0.00 σ_{fR}=0.00
Compressione nel calcestruzzo: σ_c=20.24
CC 30 SLD (Collegamento -044_-376)
Azioni sul collegamento: N=-9628.40 Ty=9.56 Tz=14.62 Mx=0.00 Mz=6.65
Sollecitazioni agenti localmente: Tx_l=9.56 Ty_l=14.62 N_l=-9628.40 Mx_l=-0.00 My_l=6.65 Mz_l=0.00
Taglio nei bulloni: Fv,Ed=2.91 Fv,Rd=9650.97
Rifollamento lato piastra: Fb,Ed,p=2.91 Fb,Rd,p=12357.80
Tirafondi:LT=0.45 (0.31) σ_{cR}=0.00 σ_{fR}=0.00

Compressione nel calcestruzzo: σ_c=20.27
CC 30 SLD (Collegamento -044_-376)
Azioni sul collegamento: N=-10340.40 Ty=9.70 Tz=12.30 Mx=0.00 Mz=6.07
Sollecitazioni agenti localmente: Tx_l=9.70 Ty_l=12.30 N_l=-10340.40 Mx_l=-0.00 My_l=6.07 Mz_l=0.00
Taglio nei bulloni: Fv,Ed=2.61 Fv,Rd=9650.97
Rifollamento lato piastra: Fb,Ed,p=2.61 Fb,Rd,p=13531.00
Tirafondi:LT=0.45 (0.31) σ_{cR}=0.00 σ_{fR}=0.00
Compressione nel calcestruzzo: σ_c=21.71
CC 30 SLD (Collegamento -044_-376)
Azioni sul collegamento: N=-10340.40 Ty=9.56 Tz=12.30 Mx=0.00 Mz=6.65
Sollecitazioni agenti localmente: Tx_l=9.56 Ty_l=12.30 N_l=-10340.40 Mx_l=-0.00 My_l=6.65 Mz_l=0.00
Taglio nei bulloni: Fv,Ed=2.60 Fv,Rd=9650.97
Rifollamento lato piastra: Fb,Ed,p=2.60 Fb,Rd,p=13456.30
Tirafondi:LT=0.45 (0.31) σ_{cR}=0.00 σ_{fR}=0.00
Compressione nel calcestruzzo: σ_c=21.74
CC 30 SLD (Collegamento -044_-376)
Azioni sul collegamento: N=-10340.40 Ty=9.70 Tz=14.62 Mx=0.00 Mz=6.07
Sollecitazioni agenti localmente: Tx_l=9.70 Ty_l=14.62 N_l=-10340.40 Mx_l=-0.00 My_l=6.07 Mz_l=0.00
Taglio nei bulloni: Fv,Ed=2.93 Fv,Rd=9650.97
Rifollamento lato piastra: Fb,Ed,p=2.93 Fb,Rd,p=12505.50
Tirafondi:LT=0.45 (0.31) σ_{cR}=0.00 σ_{fR}=0.00
Compressione nel calcestruzzo: σ_c=21.71
CC 30 SLD (Collegamento -044_-376)
Azioni sul collegamento: N=-10340.40 Ty=9.56 Tz=14.62 Mx=0.00 Mz=6.65
Sollecitazioni agenti localmente: Tx_l=9.56 Ty_l=14.62 N_l=-10340.40 Mx_l=-0.00 My_l=6.65 Mz_l=0.00
Taglio nei bulloni: Fv,Ed=2.91 Fv,Rd=9650.97
Rifollamento lato piastra: Fb,Ed,p=2.91 Fb,Rd,p=12357.70
Tirafondi:LT=0.45 (0.31) σ_{cR}=0.00 σ_{fR}=0.00
Compressione nel calcestruzzo: σ_c=21.74
CC 31 SLV (Collegamento -044_-376)
Azioni sul collegamento: N=-11070.60 Ty=6.76 Tz=17.96 Mx=-0.00 Mz=1.67
Sollecitazioni agenti localmente: Tx_l=6.76 Ty_l=17.96 N_l=-11070.60 Mx_l=-0.00 My_l=1.67 Mz_l=-0.00
Taglio nei bulloni: Fv,Ed=3.20 Fv,Rd=7720.78
Rifollamento lato piastra: Fb,Ed,p=3.20 Fb,Rd,p=7244.04
Tirafondi:LT=0.45 (0.31) σ_{cR}=0.00 σ_{fR}=0.00
Compressione nel calcestruzzo: σ_c=22.97
CC 31 SLV (Collegamento -044_-376)
Azioni sul collegamento: N=-11070.60 Ty=10.65 Tz=17.96 Mx=-0.00 Mz=6.77
Sollecitazioni agenti localmente: Tx_l=10.65 Ty_l=17.96 N_l=-11070.60 Mx_l=-0.00 My_l=6.77 Mz_l=-0.00
Taglio nei bulloni: Fv,Ed=3.48 Fv,Rd=7720.78
Rifollamento lato piastra: Fb,Ed,p=3.48 Fb,Rd,p=9160.73
Tirafondi:LT=0.45 (0.31) σ_{cR}=0.00 σ_{fR}=0.00
Compressione nel calcestruzzo: σ_c=23.25
CC 31 SLV (Collegamento -044_-376)
Azioni sul collegamento: N=-11070.60 Ty=6.76 Tz=8.19 Mx=-0.00 Mz=1.67
Sollecitazioni agenti localmente: Tx_l=6.76 Ty_l=8.19 N_l=-11070.60 Mx_l=-0.00 My_l=1.67 Mz_l=-0.00
Taglio nei bulloni: Fv,Ed=1.77 Fv,Rd=7720.78
Rifollamento lato piastra: Fb,Ed,p=1.77 Fb,Rd,p=11009.40
Tirafondi:LT=0.45 (0.31) σ_{cR}=0.00 σ_{fR}=0.00
Compressione nel calcestruzzo: σ_c=22.97
CC 31 SLV (Collegamento -044_-376)
Azioni sul collegamento: N=-11070.60 Ty=10.65 Tz=8.19 Mx=-0.00 Mz=6.77
Sollecitazioni agenti localmente: Tx_l=10.65 Ty_l=8.19 N_l=-11070.60 Mx_l=-0.00 My_l=6.77 Mz_l=-0.00
Taglio nei bulloni: Fv,Ed=2.24 Fv,Rd=7720.78
Rifollamento lato piastra: Fb,Ed,p=2.24 Fb,Rd,p=10722.10
Tirafondi:LT=0.45 (0.31) σ_{cR}=0.00 σ_{fR}=0.00
Compressione nel calcestruzzo: σ_c=23.25
CC 31 SLV (Collegamento -044_-376)
Azioni sul collegamento: N=-8703.02 Ty=6.76 Tz=17.96 Mx=-0.00 Mz=1.67
Sollecitazioni agenti localmente: Tx_l=6.76 Ty_l=17.96 N_l=-8703.02 Mx_l=-0.00 My_l=1.67 Mz_l=-0.00
Taglio nei bulloni: Fv,Ed=3.20 Fv,Rd=7720.78
Rifollamento lato piastra: Fb,Ed,p=3.20 Fb,Rd,p=7244.08
Tirafondi:LT=0.45 (0.31) σ_{cR}=0.00 σ_{fR}=0.00
Compressione nel calcestruzzo: σ_c=18.08
CC 31 SLV (Collegamento -044_-376)
Azioni sul collegamento: N=-8703.02 Ty=10.65 Tz=17.96 Mx=-0.00 Mz=6.77
Sollecitazioni agenti localmente: Tx_l=10.65 Ty_l=17.96 N_l=-8703.02 Mx_l=-0.00 My_l=6.77 Mz_l=-0.00
Taglio nei bulloni: Fv,Ed=3.48 Fv,Rd=7720.78
Rifollamento lato piastra: Fb,Ed,p=3.48 Fb,Rd,p=9160.83
Tirafondi:LT=0.45 (0.31) σ_{cR}=0.00 σ_{fR}=0.00
Compressione nel calcestruzzo: σ_c=18.36
CC 31 SLV (Collegamento -044_-376)
Azioni sul collegamento: N=-8703.02 Ty=6.76 Tz=8.19 Mx=-0.00 Mz=1.67
Sollecitazioni agenti localmente: Tx_l=6.76 Ty_l=8.19 N_l=-8703.02 Mx_l=-0.00 My_l=1.67 Mz_l=-0.00
Taglio nei bulloni: Fv,Ed=1.77 Fv,Rd=7720.78
Rifollamento lato piastra: Fb,Ed,p=1.77 Fb,Rd,p=11009.20
Tirafondi:LT=0.45 (0.31) σ_{cR}=0.00 σ_{fR}=0.00
Compressione nel calcestruzzo: σ_c=18.08

CC 31 SLV (Collegamento -044_-376)
Azioni sul collegamento: N=-8703.02 Ty=10.65 Tz=8.19 Mx=-0.00 Mz=6.77
Sollecitazioni agenti localmente: Tx_l=10.65 Ty_l=8.19 N_l=-8703.02 Mx_l=-0.00 My_l=6.77 Mz_l=-0.00
Taglio nei bulloni: Fv,Ed=2.24 Fv,Rd=7720.78
Rifollamento lato piastra: Fb,Ed,p=2.24 Fb,Rd,p=10722.30
Tirafondi:LT=0.45 (0.31) σ_{cR}=0.00 σ_{fR}=0.00
Compressione nel calcestruzzo: σ_c=18.36
CC 32 SLD (Collegamento -044_-376)
Azioni sul collegamento: N=-10345.40 Ty=9.04 Tz=14.95 Mx=0.00 Mz=5.58
Sollecitazioni agenti localmente: Tx_l=9.04 Ty_l=14.95 N_l=-10345.40 Mx_l=-0.00 My_l=5.58 Mz_l=0.00
Taglio nei bulloni: Fv,Ed=2.91 Fv,Rd=9650.97
Rifollamento lato piastra: Fb,Ed,p=2.91 Fb,Rd,p=11633.00
Tirafondi:LT=0.45 (0.31) σ_{cR}=0.00 σ_{fR}=0.00
Compressione nel calcestruzzo: σ_c=21.69
CC 32 SLD (Collegamento -044_-376)
Azioni sul collegamento: N=-10345.40 Ty=10.22 Tz=14.95 Mx=0.00 Mz=7.14
Sollecitazioni agenti localmente: Tx_l=10.22 Ty_l=14.95 N_l=-10345.40 Mx_l=-0.00 My_l=7.14 Mz_l=0.00
Taglio nei bulloni: Fv,Ed=3.02 Fv,Rd=9650.97
Rifollamento lato piastra: Fb,Ed,p=3.02 Fb,Rd,p=12823.50
Tirafondi:LT=0.45 (0.31) σ_{cR}=0.00 σ_{fR}=0.00
Compressione nel calcestruzzo: σ_c=21.78
CC 32 SLD (Collegamento -044_-376)
Azioni sul collegamento: N=-10345.40 Ty=9.04 Tz=11.97 Mx=0.00 Mz=5.58
Sollecitazioni agenti localmente: Tx_l=9.04 Ty_l=11.97 N_l=-10345.40 Mx_l=-0.00 My_l=5.58 Mz_l=0.00
Taglio nei bulloni: Fv,Ed=2.50 Fv,Rd=9650.97
Rifollamento lato piastra: Fb,Ed,p=2.50 Fb,Rd,p=13313.80
Tirafondi:LT=0.45 (0.31) σ_{cR}=0.00 σ_{fR}=0.00
Compressione nel calcestruzzo: σ_c=21.69
CC 32 SLD (Collegamento -044_-376)
Azioni sul collegamento: N=-10345.40 Ty=10.22 Tz=11.97 Mx=0.00 Mz=7.14
Sollecitazioni agenti localmente: Tx_l=10.22 Ty_l=11.97 N_l=-10345.40 Mx_l=-0.00 My_l=7.14 Mz_l=0.00
Taglio nei bulloni: Fv,Ed=2.63 Fv,Rd=9650.97
Rifollamento lato piastra: Fb,Ed,p=2.63 Fb,Rd,p=13972.30
Tirafondi:LT=0.45 (0.31) σ_{cR}=0.00 σ_{fR}=0.00
Compressione nel calcestruzzo: σ_c=21.78
CC 32 SLD (Collegamento -044_-376)
Azioni sul collegamento: N=-9623.43 Ty=9.04 Tz=14.95 Mx=0.00 Mz=5.58
Sollecitazioni agenti localmente: Tx_l=9.04 Ty_l=14.95 N_l=-9623.43 Mx_l=-0.00 My_l=5.58 Mz_l=0.00
Taglio nei bulloni: Fv,Ed=2.91 Fv,Rd=9650.97
Rifollamento lato piastra: Fb,Ed,p=2.91 Fb,Rd,p=11632.90
Tirafondi:LT=0.45 (0.31) σ_{cR}=0.00 σ_{fR}=0.00
Compressione nel calcestruzzo: σ_c=20.20
CC 32 SLD (Collegamento -044_-376)
Azioni sul collegamento: N=-9623.43 Ty=10.22 Tz=14.95 Mx=0.00 Mz=7.14
Sollecitazioni agenti localmente: Tx_l=10.22 Ty_l=14.95 N_l=-9623.43 Mx_l=-0.00 My_l=7.14 Mz_l=0.00
Taglio nei bulloni: Fv,Ed=3.02 Fv,Rd=9650.97
Rifollamento lato piastra: Fb,Ed,p=3.02 Fb,Rd,p=12823.50
Tirafondi:LT=0.45 (0.31) σ_{cR}=0.00 σ_{fR}=0.00
Compressione nel calcestruzzo: σ_c=20.29
CC 32 SLD (Collegamento -044_-376)
Azioni sul collegamento: N=-9623.43 Ty=9.04 Tz=11.97 Mx=0.00 Mz=5.58
Sollecitazioni agenti localmente: Tx_l=9.04 Ty_l=11.97 N_l=-9623.43 Mx_l=-0.00 My_l=5.58 Mz_l=0.00
Taglio nei bulloni: Fv,Ed=2.50 Fv,Rd=9650.97
Rifollamento lato piastra: Fb,Ed,p=2.50 Fb,Rd,p=13314.00
Tirafondi:LT=0.45 (0.31) σ_{cR}=0.00 σ_{fR}=0.00
Compressione nel calcestruzzo: σ_c=20.20
CC 32 SLD (Collegamento -044_-376)
Azioni sul collegamento: N=-9623.43 Ty=10.22 Tz=11.97 Mx=0.00 Mz=7.14
Sollecitazioni agenti localmente: Tx_l=10.22 Ty_l=11.97 N_l=-9623.43 Mx_l=-0.00 My_l=7.14 Mz_l=0.00
Taglio nei bulloni: Fv,Ed=2.63 Fv,Rd=9650.97
Rifollamento lato piastra: Fb,Ed,p=2.63 Fb,Rd,p=13972.40
Tirafondi:LT=0.45 (0.31) σ_{cR}=0.00 σ_{fR}=0.00
Compressione nel calcestruzzo: σ_c=20.29
CC 33 SLU (Collegamento -044_-376)
Azioni sul collegamento: N=-37458.50 Ty=20.96 Tz=106.28 Mx=0.00 Mz=15.40
Sollecitazioni agenti localmente: Tx_l=20.96 Ty_l=106.28 N_l=-37458.50 Mx_l=-0.00 My_l=15.40 Mz_l=0.00
Taglio nei bulloni: Fv,Ed=18.06 Fv,Rd=7720.78
Rifollamento lato piastra: Fb,Ed,p=18.06 Fb,Rd,p=6325.89
Tirafondi:LT=0.45 (0.31) σ_{cR}=0.00 σ_{fR}=0.00
Compressione nel calcestruzzo: σ_c=78.26
CC 34 SLU (Collegamento -044_-376)
Azioni sul collegamento: N=-36642.60 Ty=20.20 Tz=103.27 Mx=0.00 Mz=14.84
Sollecitazioni agenti localmente: Tx_l=20.20 Ty_l=103.27 N_l=-36642.60 Mx_l=-0.00 My_l=14.84 Mz_l=0.00
Taglio nei bulloni: Fv,Ed=17.54 Fv,Rd=7720.78
Rifollamento lato piastra: Fb,Ed,p=17.54 Fb,Rd,p=6320.46
Tirafondi:LT=0.45 (0.31) σ_{cR}=0.00 σ_{fR}=0.00
Compressione nel calcestruzzo: σ_c=76.54
CC 35 SLU (Collegamento -044_-376)

Azioni sul collegamento: N=-37049.70 Ty=20.49 Tz=104.83 Mx=0.01 Mz=14.94
Sollecitazioni agenti localmente: Tx_l=20.49 Ty_l=104.83 N_l=-37049.70 Mx_l=-0.00 My_l=14.94 Mz_l=0.01
Taglio nei bulloni: Fv,Ed=17.81 Fv,Rd=7720.78
Rifollamento lato piastra: Fb,Ed,p=17.81 Fb,Rd,p=6320.01
Tirafondi:LT=0.45 (0.31) σ_{cR}=0.00 σ_{fR}=0.00
Compressione nel calcestruzzo: σ_c=77.39
CC 36 SLU (Collegamento -044_-376)
Azioni sul collegamento: N=-37051.40 Ty=20.67 Tz=104.72 Mx=0.00 Mz=15.30
Sollecitazioni agenti localmente: Tx_l=20.67 Ty_l=104.72 N_l=-37051.40 Mx_l=-0.00 My_l=15.30 Mz_l=0.00
Taglio nei bulloni: Fv,Ed=17.79 Fv,Rd=7720.78
Rifollamento lato piastra: Fb,Ed,p=17.79 Fb,Rd,p=6326.43
Tirafondi:LT=0.45 (0.31) σ_{cR}=0.00 σ_{fR}=0.00
Compressione nel calcestruzzo: σ_c=77.41
CC 37 SLU (Collegamento -044_-376)
Azioni sul collegamento: N=-28275.70 Ty=20.11 Tz=72.57 Mx=0.00 Mz=14.65
Sollecitazioni agenti localmente: Tx_l=20.11 Ty_l=72.57 N_l=-28275.70 Mx_l=-0.00 My_l=14.65 Mz_l=0.00
Taglio nei bulloni: Fv,Ed=12.56 Fv,Rd=7720.78
Rifollamento lato piastra: Fb,Ed,p=12.56 Fb,Rd,p=6665.94
Tirafondi:LT=0.45 (0.31) σ_{cR}=0.00 σ_{fR}=0.00
Compressione nel calcestruzzo: σ_c=59.25
CC 38 SLU (Collegamento -044_-376)
Azioni sul collegamento: N=-27459.70 Ty=19.36 Tz=69.55 Mx=0.00 Mz=14.09
Sollecitazioni agenti localmente: Tx_l=19.36 Ty_l=69.55 N_l=-27459.70 Mx_l=-0.00 My_l=14.09 Mz_l=0.00
Taglio nei bulloni: Fv,Ed=12.04 Fv,Rd=7720.78
Rifollamento lato piastra: Fb,Ed,p=12.04 Fb,Rd,p=6671.76
Tirafondi:LT=0.45 (0.31) σ_{cR}=0.00 σ_{fR}=0.00
Compressione nel calcestruzzo: σ_c=57.53
CC 39 SLU (Collegamento -044_-376)
Azioni sul collegamento: N=-27866.80 Ty=19.65 Tz=71.12 Mx=0.01 Mz=14.19
Sollecitazioni agenti localmente: Tx_l=19.65 Ty_l=71.12 N_l=-27866.80 Mx_l=-0.00 My_l=14.19 Mz_l=0.01
Taglio nei bulloni: Fv,Ed=12.30 Fv,Rd=7720.78
Rifollamento lato piastra: Fb,Ed,p=12.30 Fb,Rd,p=6661.72
Tirafondi:LT=0.45 (0.31) σ_{cR}=0.00 σ_{fR}=0.00
Compressione nel calcestruzzo: σ_c=58.38
CC 40 SLU (Collegamento -044_-376)
Azioni sul collegamento: N=-27868.60 Ty=19.82 Tz=71.00 Mx=0.00 Mz=14.55
Sollecitazioni agenti localmente: Tx_l=19.82 Ty_l=71.00 N_l=-27868.60 Mx_l=-0.00 My_l=14.55 Mz_l=0.00
Taglio nei bulloni: Fv,Ed=12.29 Fv,Rd=7720.78
Rifollamento lato piastra: Fb,Ed,p=12.29 Fb,Rd,p=6675.92
Tirafondi:LT=0.45 (0.31) σ_{cR}=0.00 σ_{fR}=0.00
Compressione nel calcestruzzo: σ_c=58.40
CC 41 SLU (Collegamento -044_-376)
Azioni sul collegamento: N=-30676.20 Ty=-9.89 Tz=80.85 Mx=0.00 Mz=-7.99
Sollecitazioni agenti localmente: Tx_l=-9.89 Ty_l=80.85 N_l=-30676.20 Mx_l=-0.00 My_l=-7.99 Mz_l=0.00
Taglio nei bulloni: Fv,Ed=13.58 Fv,Rd=7720.78
Rifollamento lato piastra: Fb,Ed,p=13.58 Fb,Rd,p=6111.02
Tirafondi:LT=0.45 (0.31) σ_{cR}=0.00 σ_{fR}=0.00
Compressione nel calcestruzzo: σ_c=63.83
CC 42 SLU (Collegamento -044_-376)
Azioni sul collegamento: N=-29860.20 Ty=-10.64 Tz=77.84 Mx=0.00 Mz=-8.54
Sollecitazioni agenti localmente: Tx_l=-10.64 Ty_l=77.84 N_l=-29860.20 Mx_l=-0.00 My_l=-8.54 Mz_l=0.00
Taglio nei bulloni: Fv,Ed=13.10 Fv,Rd=7720.78
Rifollamento lato piastra: Fb,Ed,p=13.10 Fb,Rd,p=6144.10
Tirafondi:LT=0.45 (0.31) σ_{cR}=0.00 σ_{fR}=0.00
Compressione nel calcestruzzo: σ_c=62.18
CC 43 SLU (Collegamento -044_-376)
Azioni sul collegamento: N=-30267.40 Ty=-10.35 Tz=79.40 Mx=0.01 Mz=-8.45
Sollecitazioni agenti localmente: Tx_l=-10.35 Ty_l=79.40 N_l=-30267.40 Mx_l=-0.00 My_l=-8.45 Mz_l=0.01
Taglio nei bulloni: Fv,Ed=13.35 Fv,Rd=7720.78
Rifollamento lato piastra: Fb,Ed,p=13.35 Fb,Rd,p=6128.96
Tirafondi:LT=0.45 (0.31) σ_{cR}=0.00 σ_{fR}=0.00
Compressione nel calcestruzzo: σ_c=63.01
CC 44 SLU (Collegamento -044_-376)
Azioni sul collegamento: N=-30269.10 Ty=-10.18 Tz=79.28 Mx=0.00 Mz=-8.08
Sollecitazioni agenti localmente: Tx_l=-10.18 Ty_l=79.28 N_l=-30269.10 Mx_l=-0.00 My_l=-8.08 Mz_l=0.00
Taglio nei bulloni: Fv,Ed=13.33 Fv,Rd=7720.78
Rifollamento lato piastra: Fb,Ed,p=13.33 Fb,Rd,p=6124.62
Tirafondi:LT=0.45 (0.31) σ_{cR}=0.00 σ_{fR}=0.00
Compressione nel calcestruzzo: σ_c=62.99
CC 45 SLU (Collegamento -044_-376)
Azioni sul collegamento: N=-30295.00 Ty=20.33 Tz=79.99 Mx=0.00 Mz=14.94
Sollecitazioni agenti localmente: Tx_l=20.33 Ty_l=79.99 N_l=-30295.00 Mx_l=-0.00 My_l=14.94 Mz_l=0.00
Taglio nei bulloni: Fv,Ed=13.76 Fv,Rd=7720.78
Rifollamento lato piastra: Fb,Ed,p=13.76 Fb,Rd,p=6556.04
Tirafondi:LT=0.45 (0.31) σ_{cR}=0.00 σ_{fR}=0.00
Compressione nel calcestruzzo: σ_c=63.43
CC 46 SLU (Collegamento -044_-376)
Azioni sul collegamento: N=-29479.00 Ty=19.57 Tz=76.97 Mx=0.00 Mz=14.38

Sollecitazioni agenti localmente: Tx_l=19.57 Ty_l=76.97 N_l=-29479.00 Mx_l=-0.00 My_l=14.38 Mz_l=0.00
Taglio nei bulloni: Fv,Ed=13.24 Fv,Rd=7720.78
Rifollamento lato piastra: Fb,Ed,p=13.24 Fb,Rd,p=6556.74
Tirafondi:LT=0.45 (0.31) σ_{cR}=0.00 σ_{fR}=0.00
Compressione nel calcestruzzo: σ_c=61.72
CC 47 SLU (Collegamento -044_-376)
Azioni sul collegamento: N=-29886.10 Ty=19.86 Tz=78.54 Mx=0.00 Mz=14.48
Sollecitazioni agenti localmente: Tx_l=19.86 Ty_l=78.54 N_l=-29886.10 Mx_l=-0.00 My_l=14.48 Mz_l=0.00
Taglio nei bulloni: Fv,Ed=13.51 Fv,Rd=7720.78
Rifollamento lato piastra: Fb,Ed,p=13.51 Fb,Rd,p=6550.62
Tirafondi:LT=0.45 (0.31) σ_{cR}=0.00 σ_{fR}=0.00
Compressione nel calcestruzzo: σ_c=62.56
CC 48 SLU (Collegamento -044_-376)
Azioni sul collegamento: N=-29887.90 Ty=20.04 Tz=78.42 Mx=0.00 Mz=14.84
Sollecitazioni agenti localmente: Tx_l=20.04 Ty_l=78.42 N_l=-29887.90 Mx_l=-0.00 My_l=14.84 Mz_l=0.00
Taglio nei bulloni: Fv,Ed=13.49 Fv,Rd=7720.78
Rifollamento lato piastra: Fb,Ed,p=13.49 Fb,Rd,p=6562.18
Tirafondi:LT=0.45 (0.31) σ_{cR}=0.00 σ_{fR}=0.00
Compressione nel calcestruzzo: σ_c=62.59
CC 49 SLU (Collegamento -044_-376)
Azioni sul collegamento: N=-23424.90 Ty=19.70 Tz=54.76 Mx=0.00 Mz=14.38
Sollecitazioni agenti localmente: Tx_l=19.70 Ty_l=54.76 N_l=-23424.90 Mx_l=-0.00 My_l=14.38 Mz_l=0.00
Taglio nei bulloni: Fv,Ed=9.71 Fv,Rd=7720.78
Rifollamento lato piastra: Fb,Ed,p=9.71 Fb,Rd,p=7139.63
Tirafondi:LT=0.45 (0.31) σ_{cR}=0.00 σ_{fR}=0.00
Compressione nel calcestruzzo: σ_c=49.21
CC 50 SLU (Collegamento -044_-376)
Azioni sul collegamento: N=-22608.90 Ty=18.94 Tz=51.75 Mx=0.00 Mz=13.82
Sollecitazioni agenti localmente: Tx_l=18.94 Ty_l=51.75 N_l=-22608.90 Mx_l=-0.00 My_l=13.82 Mz_l=0.00
Taglio nei bulloni: Fv,Ed=9.19 Fv,Rd=7720.78
Rifollamento lato piastra: Fb,Ed,p=9.19 Fb,Rd,p=7181.48
Tirafondi:LT=0.45 (0.31) σ_{cR}=0.00 σ_{fR}=0.00
Compressione nel calcestruzzo: σ_c=47.49
CC 51 SLU (Collegamento -044_-376)
Azioni sul collegamento: N=-23016.00 Ty=19.23 Tz=53.31 Mx=0.00 Mz=13.92
Sollecitazioni agenti localmente: Tx_l=19.23 Ty_l=53.31 N_l=-23016.00 Mx_l=-0.00 My_l=13.92 Mz_l=0.00
Taglio nei bulloni: Fv,Ed=9.45 Fv,Rd=7720.78
Rifollamento lato piastra: Fb,Ed,p=9.45 Fb,Rd,p=7146.81
Tirafondi:LT=0.45 (0.31) σ_{cR}=0.00 σ_{fR}=0.00
Compressione nel calcestruzzo: σ_c=48.34
CC 52 SLU (Collegamento -044_-376)
Azioni sul collegamento: N=-23017.80 Ty=19.41 Tz=53.20 Mx=0.00 Mz=14.28
Sollecitazioni agenti localmente: Tx_l=19.41 Ty_l=53.20 N_l=-23017.80 Mx_l=-0.00 My_l=14.28 Mz_l=0.00
Taglio nei bulloni: Fv,Ed=9.44 Fv,Rd=7720.78
Rifollamento lato piastra: Fb,Ed,p=9.44 Fb,Rd,p=7173.07
Tirafondi:LT=0.45 (0.31) σ_{cR}=0.00 σ_{fR}=0.00
Compressione nel calcestruzzo: σ_c=48.36
CC 53 SLU (Collegamento -044_-376)
Azioni sul collegamento: N=-25220.90 Ty=-2.75 Tz=60.96 Mx=0.00 Mz=-2.55
Sollecitazioni agenti localmente: Tx_l=-2.75 Ty_l=60.96 N_l=-25220.90 Mx_l=-0.00 My_l=-2.55 Mz_l=0.00
Taglio nei bulloni: Fv,Ed=10.17 Fv,Rd=7720.78
Rifollamento lato piastra: Fb,Ed,p=10.17 Fb,Rd,p=5996.83
Tirafondi:LT=0.45 (0.31) σ_{cR}=0.00 σ_{fR}=0.00
Compressione nel calcestruzzo: σ_c=52.25
CC 54 SLU (Collegamento -044_-376)
Azioni sul collegamento: N=-24404.90 Ty=-3.50 Tz=57.94 Mx=0.00 Mz=-3.11
Sollecitazioni agenti localmente: Tx_l=-3.50 Ty_l=57.94 N_l=-24404.90 Mx_l=-0.00 My_l=-3.11 Mz_l=0.00
Taglio nei bulloni: Fv,Ed=9.68 Fv,Rd=7720.78
Rifollamento lato piastra: Fb,Ed,p=9.68 Fb,Rd,p=6011.06
Tirafondi:LT=0.45 (0.31) σ_{cR}=0.00 σ_{fR}=0.00
Compressione nel calcestruzzo: σ_c=50.60
CC 55 SLU (Collegamento -044_-376)
Azioni sul collegamento: N=-24812.00 Ty=-3.21 Tz=59.51 Mx=0.00 Mz=-3.02
Sollecitazioni agenti localmente: Tx_l=-3.21 Ty_l=59.51 N_l=-24812.00 Mx_l=-0.00 My_l=-3.02 Mz_l=0.00
Taglio nei bulloni: Fv,Ed=9.94 Fv,Rd=7720.78
Rifollamento lato piastra: Fb,Ed,p=9.94 Fb,Rd,p=6004.50
Tirafondi:LT=0.45 (0.31) σ_{cR}=0.00 σ_{fR}=0.00
Compressione nel calcestruzzo: σ_c=51.43
CC 56 SLU (Collegamento -044_-376)
Azioni sul collegamento: N=-24813.70 Ty=-3.04 Tz=59.39 Mx=0.00 Mz=-2.65
Sollecitazioni agenti localmente: Tx_l=-3.04 Ty_l=59.39 N_l=-24813.70 Mx_l=-0.00 My_l=-2.65 Mz_l=0.00
Taglio nei bulloni: Fv,Ed=9.92 Fv,Rd=7720.78
Rifollamento lato piastra: Fb,Ed,p=9.92 Fb,Rd,p=6002.01
Tirafondi:LT=0.45 (0.31) σ_{cR}=0.00 σ_{fR}=0.00
Compressione nel calcestruzzo: σ_c=51.42
CC 57 SLU (Collegamento -044_-376)
Azioni sul collegamento: N=-28074.70 Ty=18.58 Tz=71.81 Mx=0.00 Mz=13.65
Sollecitazioni agenti localmente: Tx_l=18.58 Ty_l=71.81 N_l=-28074.70 Mx_l=-0.00 My_l=13.65 Mz_l=0.00

Taglio nei bulloni: Fv,Ed=12.37 Fv,Rd=7720.78
Rifollamento lato piastra: Fb,Ed,p=12.37 Fb,Rd,p=6577.01
Tirafondi:LT=0.45 (0.31) σ_{cR}=0.00 σ_{fR}=0.00
Compressione nel calcestruzzo: σ_c=58.77
CC 58 SLU (Collegamento -044_-376)
Azioni sul collegamento: N=-27258.70 Ty=17.82 Tz=68.80 Mx=0.00 Mz=13.09
Sollecitazioni agenti localmente: Tx_l=17.82 Ty_l=68.80 N_l=-27258.70 Mx_l=-0.00 My_l=13.09 Mz_l=0.00
Taglio nei bulloni: Fv,Ed=11.85 Fv,Rd=7720.78
Rifollamento lato piastra: Fb,Ed,p=11.85 Fb,Rd,p=6578.74
Tirafondi:LT=0.45 (0.31) σ_{cR}=0.00 σ_{fR}=0.00
Compressione nel calcestruzzo: σ_c=57.06
CC 59 SLU (Collegamento -044_-376)
Azioni sul collegamento: N=-27665.80 Ty=18.11 Tz=70.37 Mx=0.00 Mz=13.19
Sollecitazioni agenti localmente: Tx_l=18.11 Ty_l=70.37 N_l=-27665.80 Mx_l=-0.00 My_l=13.19 Mz_l=0.00
Taglio nei bulloni: Fv,Ed=12.12 Fv,Rd=7720.78
Rifollamento lato piastra: Fb,Ed,p=12.12 Fb,Rd,p=6571.24
Tirafondi:LT=0.45 (0.31) σ_{cR}=0.00 σ_{fR}=0.00
Compressione nel calcestruzzo: σ_c=57.90
CC 60 SLU (Collegamento -044_-376)
Azioni sul collegamento: N=-27667.60 Ty=18.29 Tz=70.25 Mx=0.00 Mz=13.55
Sollecitazioni agenti localmente: Tx_l=18.29 Ty_l=70.25 N_l=-27667.60 Mx_l=-0.00 My_l=13.55 Mz_l=0.00
Taglio nei bulloni: Fv,Ed=12.10 Fv,Rd=7720.78
Rifollamento lato piastra: Fb,Ed,p=12.10 Fb,Rd,p=6584.47
Tirafondi:LT=0.45 (0.31) σ_{cR}=0.00 σ_{fR}=0.00
Compressione nel calcestruzzo: σ_c=57.93
CC 61 SLU (Collegamento -044_-376)
Azioni sul collegamento: N=-21204.60 Ty=17.94 Tz=46.59 Mx=0.00 Mz=13.09
Sollecitazioni agenti localmente: Tx_l=17.94 Ty_l=46.59 N_l=-21204.60 Mx_l=-0.00 My_l=13.09 Mz_l=0.00
Taglio nei bulloni: Fv,Ed=8.33 Fv,Rd=7720.78
Rifollamento lato piastra: Fb,Ed,p=8.33 Fb,Rd,p=7311.85
Tirafondi:LT=0.45 (0.31) σ_{cR}=0.00 σ_{fR}=0.00
Compressione nel calcestruzzo: σ_c=44.55
CC 62 SLU (Collegamento -044_-376)
Azioni sul collegamento: N=-20388.60 Ty=17.19 Tz=43.58 Mx=0.00 Mz=12.53
Sollecitazioni agenti localmente: Tx_l=17.19 Ty_l=43.58 N_l=-20388.60 Mx_l=-0.00 My_l=12.53 Mz_l=0.00
Taglio nei bulloni: Fv,Ed=7.81 Fv,Rd=7720.78
Rifollamento lato piastra: Fb,Ed,p=7.81 Fb,Rd,p=7377.83
Tirafondi:LT=0.45 (0.31) σ_{cR}=0.00 σ_{fR}=0.00
Compressione nel calcestruzzo: σ_c=42.83
CC 63 SLU (Collegamento -044_-376)
Azioni sul collegamento: N=-20795.70 Ty=17.48 Tz=45.14 Mx=0.00 Mz=12.63
Sollecitazioni agenti localmente: Tx_l=17.48 Ty_l=45.14 N_l=-20795.70 Mx_l=-0.00 My_l=12.63 Mz_l=0.00
Taglio nei bulloni: Fv,Ed=8.07 Fv,Rd=7720.78
Rifollamento lato piastra: Fb,Ed,p=8.07 Fb,Rd,p=7326.64
Tirafondi:LT=0.45 (0.31) σ_{cR}=0.00 σ_{fR}=0.00
Compressione nel calcestruzzo: σ_c=43.68
CC 64 SLU (Collegamento -044_-376)
Azioni sul collegamento: N=-20797.50 Ty=17.66 Tz=45.03 Mx=0.00 Mz=12.99
Sollecitazioni agenti localmente: Tx_l=17.66 Ty_l=45.03 N_l=-20797.50 Mx_l=-0.00 My_l=12.99 Mz_l=0.00
Taglio nei bulloni: Fv,Ed=8.06 Fv,Rd=7720.78
Rifollamento lato piastra: Fb,Ed,p=8.06 Fb,Rd,p=7360.58
Tirafondi:LT=0.45 (0.31) σ_{cR}=0.00 σ_{fR}=0.00
Compressione nel calcestruzzo: σ_c=43.70
CC 65 SLU (Collegamento -044_-376)
Azioni sul collegamento: N=-23000.50 Ty=-4.50 Tz=52.79 Mx=0.00 Mz=-3.84
Sollecitazioni agenti localmente: Tx_l=-4.50 Ty_l=52.79 N_l=-23000.50 Mx_l=-0.00 My_l=-3.84 Mz_l=0.00
Taglio nei bulloni: Fv,Ed=8.83 Fv,Rd=7720.78
Rifollamento lato piastra: Fb,Ed,p=8.83 Fb,Rd,p=6042.82
Tirafondi:LT=0.45 (0.31) σ_{cR}=0.00 σ_{fR}=0.00
Compressione nel calcestruzzo: σ_c=47.74
CC 66 SLU (Collegamento -044_-376)
Azioni sul collegamento: N=-22184.60 Ty=-5.26 Tz=49.77 Mx=0.00 Mz=-4.40
Sollecitazioni agenti localmente: Tx_l=-5.26 Ty_l=49.77 N_l=-22184.60 Mx_l=-0.00 My_l=-4.40 Mz_l=0.00
Taglio nei bulloni: Fv,Ed=8.35 Fv,Rd=7720.78
Rifollamento lato piastra: Fb,Ed,p=8.35 Fb,Rd,p=6076.99
Tirafondi:LT=0.45 (0.31) σ_{cR}=0.00 σ_{fR}=0.00
Compressione nel calcestruzzo: σ_c=46.08
CC 67 SLU (Collegamento -044_-376)
Azioni sul collegamento: N=-22591.70 Ty=-4.97 Tz=51.34 Mx=0.00 Mz=-4.30
Sollecitazioni agenti localmente: Tx_l=-4.97 Ty_l=51.34 N_l=-22591.70 Mx_l=-0.00 My_l=-4.30 Mz_l=0.00
Taglio nei bulloni: Fv,Ed=8.60 Fv,Rd=7720.78
Rifollamento lato piastra: Fb,Ed,p=8.60 Fb,Rd,p=6061.04
Tirafondi:LT=0.45 (0.31) σ_{cR}=0.00 σ_{fR}=0.00
Compressione nel calcestruzzo: σ_c=46.92
CC 68 SLU (Collegamento -044_-376)
Azioni sul collegamento: N=-22593.40 Ty=-4.79 Tz=51.22 Mx=0.00 Mz=-3.94
Sollecitazioni agenti localmente: Tx_l=-4.79 Ty_l=51.22 N_l=-22593.40 Mx_l=-0.00 My_l=-3.94 Mz_l=0.00
Taglio nei bulloni: Fv,Ed=8.58 Fv,Rd=7720.78

Rifollamento lato piastra: Fb,Ed,p=8.58 Fb,Rd,p=6055.97
Tirafondi:LT=0.45 (0.31) σ_{cR}=0.00 σ_{fR}=0.00
Compressione nel calcestruzzo: σ_c=46.90
CC 97 SLU (Collegamento -044_-376)
Azioni sul collegamento: N=-32775.80 Ty=25.16 Tz=97.03 Mx=-0.05 Mz=10.53
Sollecitazioni agenti localmente: Tx_l=25.16 Ty_l=97.03 N_l=-32775.80 Mx_l=-0.00 My_l=10.53 Mz_l=-0.05
Taglio nei bulloni: Fv,Ed=16.78 Fv,Rd=7720.78
Rifollamento lato piastra: Fb,Ed,p=16.75 Fb,Rd,p=6557.48
Tirafondi:LT=0.45 (0.31) σ_{cR}=0.00 σ_{fR}=0.00
Compressione nel calcestruzzo: σ_c=68.31
CC 98 SLU (Collegamento -044_-376)
Azioni sul collegamento: N=-31959.80 Ty=24.41 Tz=94.02 Mx=-0.05 Mz=9.97
Sollecitazioni agenti localmente: Tx_l=24.41 Ty_l=94.02 N_l=-31959.80 Mx_l=-0.00 My_l=9.97 Mz_l=-0.05
Taglio nei bulloni: Fv,Ed=16.26 Fv,Rd=7720.78
Rifollamento lato piastra: Fb,Ed,p=16.23 Fb,Rd,p=6558.09
Tirafondi:LT=0.45 (0.31) σ_{cR}=0.00 σ_{fR}=0.00
Compressione nel calcestruzzo: σ_c=66.59
CC 99 SLU (Collegamento -044_-376)
Azioni sul collegamento: N=-32366.90 Ty=24.69 Tz=95.58 Mx=-0.05 Mz=10.07
Sollecitazioni agenti localmente: Tx_l=24.69 Ty_l=95.58 N_l=-32366.90 Mx_l=-0.00 My_l=10.07 Mz_l=-0.05
Taglio nei bulloni: Fv,Ed=16.52 Fv,Rd=7720.78
Rifollamento lato piastra: Fb,Ed,p=16.50 Fb,Rd,p=6553.17
Tirafondi:LT=0.45 (0.31) σ_{cR}=0.00 σ_{fR}=0.00
Compressione nel calcestruzzo: σ_c=67.44
CC 100 SLU (Collegamento -044_-376)
Azioni sul collegamento: N=-32368.70 Ty=24.87 Tz=95.47 Mx=-0.05 Mz=10.43
Sollecitazioni agenti localmente: Tx_l=24.87 Ty_l=95.47 N_l=-32368.70 Mx_l=-0.00 My_l=10.43 Mz_l=-0.05
Taglio nei bulloni: Fv,Ed=16.52 Fv,Rd=7720.78
Rifollamento lato piastra: Fb,Ed,p=16.49 Fb,Rd,p=6562.39
Tirafondi:LT=0.45 (0.31) σ_{cR}=0.00 σ_{fR}=0.00
Compressione nel calcestruzzo: σ_c=67.47
CC 101 SLU (Collegamento -044_-376)
Azioni sul collegamento: N=-9110.88 Ty=5.97 Tz=10.39 Mx=0.01 Mz=4.99
Sollecitazioni agenti localmente: Tx_l=5.97 Ty_l=10.39 N_l=-9110.88 Mx_l=-0.00 My_l=4.99 Mz_l=0.01
Taglio nei bulloni: Fv,Ed=2.01 Fv,Rd=7720.78
Rifollamento lato piastra: Fb,Ed,p=2.01 Fb,Rd,p=8996.52
Tirafondi:LT=0.45 (0.31) σ_{cR}=0.00 σ_{fR}=0.00
Compressione nel calcestruzzo: σ_c=19.11
CC 102 SLU (Collegamento -044_-376)
Azioni sul collegamento: N=-8294.89 Ty=5.21 Tz=7.37 Mx=0.01 Mz=4.43
Sollecitazioni agenti localmente: Tx_l=5.21 Ty_l=7.37 N_l=-8294.89 Mx_l=-0.00 My_l=4.43 Mz_l=0.01
Taglio nei bulloni: Fv,Ed=1.52 Fv,Rd=7720.78
Rifollamento lato piastra: Fb,Ed,p=1.52 Fb,Rd,p=10418.20
Tirafondi:LT=0.45 (0.31) σ_{cR}=0.00 σ_{fR}=0.00
Compressione nel calcestruzzo: σ_c=17.39
CC 103 SLU (Collegamento -044_-376)
Azioni sul collegamento: N=-8702.00 Ty=5.50 Tz=8.94 Mx=0.01 Mz=4.53
Sollecitazioni agenti localmente: Tx_l=5.50 Ty_l=8.94 N_l=-8702.00 Mx_l=-0.00 My_l=4.53 Mz_l=0.01
Taglio nei bulloni: Fv,Ed=1.76 Fv,Rd=7720.78
Rifollamento lato piastra: Fb,Ed,p=1.76 Fb,Rd,p=9453.96
Tirafondi:LT=0.45 (0.31) σ_{cR}=0.00 σ_{fR}=0.00
Compressione nel calcestruzzo: σ_c=18.23
CC 104 SLU (Collegamento -044_-376)
Azioni sul collegamento: N=-8703.77 Ty=5.68 Tz=8.82 Mx=0.01 Mz=4.89
Sollecitazioni agenti localmente: Tx_l=5.68 Ty_l=8.82 N_l=-8703.77 Mx_l=-0.00 My_l=4.89 Mz_l=0.01
Taglio nei bulloni: Fv,Ed=1.76 Fv,Rd=7720.78
Rifollamento lato piastra: Fb,Ed,p=1.76 Fb,Rd,p=9780.06
Tirafondi:LT=0.45 (0.31) σ_{cR}=0.00 σ_{fR}=0.00
Compressione nel calcestruzzo: σ_c=18.26

Saldatura profilo-piastra

CC 1 SLV (Collegamento -044_-376)
Azioni sul collegamento: N=-6246.31 Ty=15.25 Tz=-0.46 Mx=0.02 Mz=13.58
Sollecitazioni agenti localmente: Tx_l=15.25 Ty_l=-0.46 N_l=-6246.31 My_l=-13.58 Mz_l=0.02
Azioni sul cordone: TP=1.11 TO=-0.02 NO=-461.73
Tensioni nel cordone: τ_P=0.35 τ_O=6.25E-03 σ_O=166.60 σ_{ID}=166.60 Σ_T=166.60
CC 1 SLV (Collegamento -044_-376)
Azioni sul collegamento: N=-6246.31 Ty=7.49 Tz=-0.46 Mx=0.02 Mz=7.17
Sollecitazioni agenti localmente: Tx_l=7.49 Ty_l=-0.46 N_l=-6246.31 My_l=-7.17 Mz_l=0.02
Azioni sul cordone: TP=0.53 TO=-0.02 NO=-461.73
Tensioni nel cordone: τ_P=0.17 τ_O=6.25E-03 σ_O=157.24 σ_{ID}=157.24 Σ_T=157.24
CC 1 SLV (Collegamento -044_-376)
Azioni sul collegamento: N=-6246.31 Ty=15.25 Tz=28.82 Mx=0.02 Mz=13.58
Sollecitazioni agenti localmente: Tx_l=15.25 Ty_l=28.82 N_l=-6246.31 My_l=-13.58 Mz_l=0.02
Azioni sul cordone: TP=1.11 TO=2.14 NO=-461.73
Tensioni nel cordone: τ_P=0.35 τ_O=0.68 σ_O=166.60 σ_{ID}=166.60 Σ_T=167.28
CC 1 SLV (Collegamento -044_-376)

Azioni sul collegamento: N=-6246.31 Ty=7.49 Tz=28.82 Mx=0.02 Mz=7.17
Sollecitazioni agenti localmente: Tx_l=7.49 Ty_l=28.82 N_l=-6246.31 My_l=-7.17 Mz_l=0.02
Azioni sul cordone: TP=0.53 TO=2.14 NO=-461.73
Tensioni nel cordone: τ_P=0.17 τ_0=0.68 σ_0=157.24 σ_{ID}=157.24 Σ_T=157.92
CC 1 SLV (Collegamento -044_-376)
Azioni sul collegamento: N=-14088.90 Ty=15.25 Tz=-0.46 Mx=0.02 Mz=13.58
Sollecitazioni agenti localmente: Tx_l=15.25 Ty_l=-0.46 N_l=-14088.90 My_l=-13.58 Mz_l=0.02
Azioni sul cordone: TP=1.11 TO=-0.02 NO=-1041.46
Tensioni nel cordone: τ_P=0.35 τ_0=6.26E-03 σ_0=350.86 σ_{ID}=350.86 Σ_T=350.87
CC 1 SLV (Collegamento -044_-376)
Azioni sul collegamento: N=-14088.90 Ty=7.49 Tz=-0.46 Mx=0.02 Mz=7.17
Sollecitazioni agenti localmente: Tx_l=7.49 Ty_l=-0.46 N_l=-14088.90 My_l=-7.17 Mz_l=0.02
Azioni sul cordone: TP=0.53 TO=-0.02 NO=-1041.46
Tensioni nel cordone: τ_P=0.17 τ_0=6.26E-03 σ_0=341.50 σ_{ID}=341.50 Σ_T=341.51
CC 1 SLV (Collegamento -044_-376)
Azioni sul collegamento: N=-14088.90 Ty=15.25 Tz=28.82 Mx=0.02 Mz=13.58
Sollecitazioni agenti localmente: Tx_l=15.25 Ty_l=28.82 N_l=-14088.90 My_l=-13.58 Mz_l=0.02
Azioni sul cordone: TP=1.11 TO=2.14 NO=-1041.46
Tensioni nel cordone: τ_P=0.35 τ_0=0.68 σ_0=350.86 σ_{ID}=350.86 Σ_T=351.55
CC 1 SLV (Collegamento -044_-376)
Azioni sul collegamento: N=-14088.90 Ty=7.49 Tz=28.82 Mx=0.02 Mz=7.17
Sollecitazioni agenti localmente: Tx_l=7.49 Ty_l=28.82 N_l=-14088.90 My_l=-7.17 Mz_l=0.02
Azioni sul cordone: TP=0.53 TO=2.14 NO=-1041.46
Tensioni nel cordone: τ_P=0.17 τ_0=0.68 σ_0=341.50 σ_{ID}=341.50 Σ_T=342.19
CC 2 SLD (Collegamento -044_-376)
Azioni sul collegamento: N=-8874.30 Ty=11.63 Tz=9.33 Mx=0.01 Mz=9.21
Sollecitazioni agenti localmente: Tx_l=11.63 Ty_l=9.33 N_l=-8874.30 My_l=-9.21 Mz_l=0.01
Azioni sul cordone: TP=0.85 TO=0.70 NO=-655.99
Tensioni nel cordone: τ_P=0.27 τ_0=0.22 σ_0=221.97 σ_{ID}=221.97 Σ_T=222.19
CC 2 SLD (Collegamento -044_-376)
Azioni sul collegamento: N=-8874.30 Ty=9.26 Tz=9.33 Mx=0.01 Mz=7.26
Sollecitazioni agenti localmente: Tx_l=9.26 Ty_l=9.33 N_l=-8874.30 My_l=-7.26 Mz_l=0.01
Azioni sul cordone: TP=0.68 TO=0.70 NO=-655.99
Tensioni nel cordone: τ_P=0.21 τ_0=0.22 σ_0=219.11 σ_{ID}=219.11 Σ_T=219.33
CC 2 SLD (Collegamento -044_-376)
Azioni sul collegamento: N=-8874.30 Ty=11.63 Tz=18.26 Mx=0.01 Mz=9.21
Sollecitazioni agenti localmente: Tx_l=11.63 Ty_l=18.26 N_l=-8874.30 My_l=-9.21 Mz_l=0.01
Azioni sul cordone: TP=0.85 TO=1.36 NO=-655.99
Tensioni nel cordone: τ_P=0.27 τ_0=0.43 σ_0=221.97 σ_{ID}=221.97 Σ_T=222.40
CC 2 SLD (Collegamento -044_-376)
Azioni sul collegamento: N=-8874.30 Ty=9.26 Tz=18.26 Mx=0.01 Mz=7.26
Sollecitazioni agenti localmente: Tx_l=9.26 Ty_l=18.26 N_l=-8874.30 My_l=-7.26 Mz_l=0.01
Azioni sul cordone: TP=0.68 TO=1.36 NO=-655.99
Tensioni nel cordone: τ_P=0.21 τ_0=0.43 σ_0=219.11 σ_{ID}=219.11 Σ_T=219.54
CC 2 SLD (Collegamento -044_-376)
Azioni sul collegamento: N=-11265.80 Ty=11.63 Tz=9.33 Mx=0.01 Mz=9.21
Sollecitazioni agenti localmente: Tx_l=11.63 Ty_l=9.33 N_l=-11265.80 My_l=-9.21 Mz_l=0.01
Azioni sul cordone: TP=0.85 TO=0.70 NO=-832.77
Tensioni nel cordone: τ_P=0.27 τ_0=0.22 σ_0=278.15 σ_{ID}=278.15 Σ_T=278.38
CC 2 SLD (Collegamento -044_-376)
Azioni sul collegamento: N=-11265.80 Ty=9.26 Tz=9.33 Mx=0.01 Mz=7.26
Sollecitazioni agenti localmente: Tx_l=9.26 Ty_l=9.33 N_l=-11265.80 My_l=-7.26 Mz_l=0.01
Azioni sul cordone: TP=0.68 TO=0.70 NO=-832.77
Tensioni nel cordone: τ_P=0.21 τ_0=0.22 σ_0=275.30 σ_{ID}=275.30 Σ_T=275.52
CC 2 SLD (Collegamento -044_-376)
Azioni sul collegamento: N=-11265.80 Ty=11.63 Tz=18.26 Mx=0.01 Mz=9.21
Sollecitazioni agenti localmente: Tx_l=11.63 Ty_l=18.26 N_l=-11265.80 My_l=-9.21 Mz_l=0.01
Azioni sul cordone: TP=0.85 TO=1.36 NO=-832.77
Tensioni nel cordone: τ_P=0.27 τ_0=0.43 σ_0=278.15 σ_{ID}=278.15 Σ_T=278.59
CC 2 SLD (Collegamento -044_-376)
Azioni sul collegamento: N=-11265.80 Ty=9.26 Tz=18.26 Mx=0.01 Mz=7.26
Sollecitazioni agenti localmente: Tx_l=9.26 Ty_l=18.26 N_l=-11265.80 My_l=-7.26 Mz_l=0.01
Azioni sul cordone: TP=0.68 TO=1.36 NO=-832.77
Tensioni nel cordone: τ_P=0.21 τ_0=0.43 σ_0=275.30 σ_{ID}=275.30 Σ_T=275.73
CC 3 SLV (Collegamento -044_-376)
Azioni sul collegamento: N=-6251.19 Ty=14.73 Tz=-0.13 Mx=0.01 Mz=12.53
Sollecitazioni agenti localmente: Tx_l=14.73 Ty_l=-0.13 N_l=-6251.19 My_l=-12.53 Mz_l=0.01
Azioni sul cordone: TP=1.07 TO=0.00 NO=-462.09
Tensioni nel cordone: τ_P=0.34 τ_0=2.10E-04 σ_0=165.18 σ_{ID}=165.18 Σ_T=165.18
CC 3 SLV (Collegamento -044_-376)
Azioni sul collegamento: N=-6251.19 Ty=8.00 Tz=-0.13 Mx=0.01 Mz=8.22
Sollecitazioni agenti localmente: Tx_l=8.00 Ty_l=-0.13 N_l=-6251.19 My_l=-8.22 Mz_l=0.01
Azioni sul cordone: TP=0.58 TO=0.00 NO=-462.09
Tensioni nel cordone: τ_P=0.18 τ_0=2.10E-04 σ_0=158.88 σ_{ID}=158.88 Σ_T=158.88
CC 3 SLV (Collegamento -044_-376)
Azioni sul collegamento: N=-6251.19 Ty=14.73 Tz=28.49 Mx=0.01 Mz=12.53
Sollecitazioni agenti localmente: Tx_l=14.73 Ty_l=28.49 N_l=-6251.19 My_l=-12.53 Mz_l=0.01
Azioni sul cordone: TP=1.07 TO=2.12 NO=-462.09
Tensioni nel cordone: τ_P=0.34 τ_0=0.67 σ_0=165.18 σ_{ID}=165.18 Σ_T=165.85

CC 3 SLV (Collegamento -044_-376)
Azioni sul collegamento: N=-6251.19 Ty=8.00 Tz=28.49 Mx=0.01 Mz=8.22
Sollecitazioni agenti localmente: Tx_l=8.00 Ty_l=28.49 N_l=-6251.19 My_l=-8.22 Mz_l=0.01
Azioni sul cordone: TP=0.58 TO=2.12 NO=-462.09
Tensioni nel cordone: τ_P=0.18 τ_0=0.67 σ_0=158.88 σ_{ID}=158.88 Σ_T=159.56
CC 3 SLV (Collegamento -044_-376)
Azioni sul collegamento: N=-14084.10 Ty=14.73 Tz=-0.13 Mx=0.01 Mz=12.53
Sollecitazioni agenti localmente: Tx_l=14.73 Ty_l=-0.13 N_l=-14084.10 My_l=-12.53 Mz_l=0.01
Azioni sul cordone: TP=1.07 TO=0.00 NO=-1041.10
Tensioni nel cordone: τ_P=0.34 τ_0=2.06E-04 σ_0=349.22 σ_{ID}=349.22 Σ_T=349.22
CC 3 SLV (Collegamento -044_-376)
Azioni sul collegamento: N=-14084.10 Ty=8.00 Tz=-0.13 Mx=0.01 Mz=8.22
Sollecitazioni agenti localmente: Tx_l=8.00 Ty_l=-0.13 N_l=-14084.10 My_l=-8.22 Mz_l=0.01
Azioni sul cordone: TP=0.58 TO=0.00 NO=-1041.10
Tensioni nel cordone: τ_P=0.18 τ_0=2.06E-04 σ_0=342.92 σ_{ID}=342.92 Σ_T=342.92
CC 3 SLV (Collegamento -044_-376)
Azioni sul collegamento: N=-14084.10 Ty=14.73 Tz=28.49 Mx=0.01 Mz=12.53
Sollecitazioni agenti localmente: Tx_l=14.73 Ty_l=28.49 N_l=-14084.10 My_l=-12.53 Mz_l=0.01
Azioni sul cordone: TP=1.07 TO=2.12 NO=-1041.10
Tensioni nel cordone: τ_P=0.34 τ_0=0.67 σ_0=349.22 σ_{ID}=349.22 Σ_T=349.89
CC 3 SLV (Collegamento -044_-376)
Azioni sul collegamento: N=-14084.10 Ty=8.00 Tz=28.49 Mx=0.01 Mz=8.22
Sollecitazioni agenti localmente: Tx_l=8.00 Ty_l=28.49 N_l=-14084.10 My_l=-8.22 Mz_l=0.01
Azioni sul cordone: TP=0.58 TO=2.12 NO=-1041.10
Tensioni nel cordone: τ_P=0.18 τ_0=0.67 σ_0=342.92 σ_{ID}=342.92 Σ_T=343.59
CC 4 SLD (Collegamento -044_-376)
Azioni sul collegamento: N=-8875.79 Ty=11.47 Tz=9.43 Mx=0.01 Mz=8.89
Sollecitazioni agenti localmente: Tx_l=11.47 Ty_l=9.43 N_l=-8875.79 My_l=-8.89 Mz_l=0.01
Azioni sul cordone: TP=0.84 TO=0.70 NO=-656.10
Tensioni nel cordone: τ_P=0.27 τ_0=0.22 σ_0=221.53 σ_{ID}=221.53 Σ_T=221.76
CC 4 SLD (Collegamento -044_-376)
Azioni sul collegamento: N=-8875.79 Ty=9.42 Tz=9.43 Mx=0.01 Mz=7.58
Sollecitazioni agenti localmente: Tx_l=9.42 Ty_l=9.43 N_l=-8875.79 My_l=-7.58 Mz_l=0.01
Azioni sul cordone: TP=0.69 TO=0.70 NO=-656.10
Tensioni nel cordone: τ_P=0.22 τ_0=0.22 σ_0=219.61 σ_{ID}=219.61 Σ_T=219.84
CC 4 SLD (Collegamento -044_-376)
Azioni sul collegamento: N=-8875.79 Ty=11.47 Tz=18.16 Mx=0.01 Mz=8.89
Sollecitazioni agenti localmente: Tx_l=11.47 Ty_l=18.16 N_l=-8875.79 My_l=-8.89 Mz_l=0.01
Azioni sul cordone: TP=0.84 TO=1.35 NO=-656.10
Tensioni nel cordone: τ_P=0.27 τ_0=0.43 σ_0=221.53 σ_{ID}=221.53 Σ_T=221.96
CC 4 SLD (Collegamento -044_-376)
Azioni sul collegamento: N=-8875.79 Ty=9.42 Tz=18.16 Mx=0.01 Mz=7.58
Sollecitazioni agenti localmente: Tx_l=9.42 Ty_l=18.16 N_l=-8875.79 My_l=-7.58 Mz_l=0.01
Azioni sul cordone: TP=0.69 TO=1.35 NO=-656.10
Tensioni nel cordone: τ_P=0.22 τ_0=0.43 σ_0=219.61 σ_{ID}=219.62 Σ_T=220.04
CC 4 SLD (Collegamento -044_-376)
Azioni sul collegamento: N=-11264.30 Ty=11.47 Tz=9.43 Mx=0.01 Mz=8.89
Sollecitazioni agenti localmente: Tx_l=11.47 Ty_l=9.43 N_l=-11264.30 My_l=-8.89 Mz_l=0.01
Azioni sul cordone: TP=0.84 TO=0.70 NO=-832.66
Tensioni nel cordone: τ_P=0.27 τ_0=0.22 σ_0=277.65 σ_{ID}=277.65 Σ_T=277.88
CC 4 SLD (Collegamento -044_-376)
Azioni sul collegamento: N=-11264.30 Ty=9.42 Tz=9.43 Mx=0.01 Mz=7.58
Sollecitazioni agenti localmente: Tx_l=9.42 Ty_l=9.43 N_l=-11264.30 My_l=-7.58 Mz_l=0.01
Azioni sul cordone: TP=0.69 TO=0.70 NO=-832.66
Tensioni nel cordone: τ_P=0.22 τ_0=0.22 σ_0=275.73 σ_{ID}=275.73 Σ_T=275.96
CC 4 SLD (Collegamento -044_-376)
Azioni sul collegamento: N=-11264.30 Ty=11.47 Tz=18.16 Mx=0.01 Mz=8.89
Sollecitazioni agenti localmente: Tx_l=11.47 Ty_l=18.16 N_l=-11264.30 My_l=-8.89 Mz_l=0.01
Azioni sul cordone: TP=0.84 TO=1.35 NO=-832.66
Tensioni nel cordone: τ_P=0.27 τ_0=0.43 σ_0=277.65 σ_{ID}=277.65 Σ_T=278.08
CC 4 SLD (Collegamento -044_-376)
Azioni sul collegamento: N=-11264.30 Ty=9.42 Tz=18.16 Mx=0.01 Mz=7.58
Sollecitazioni agenti localmente: Tx_l=9.42 Ty_l=18.16 N_l=-11264.30 My_l=-7.58 Mz_l=0.01
Azioni sul cordone: TP=0.69 TO=1.35 NO=-832.66
Tensioni nel cordone: τ_P=0.22 τ_0=0.43 σ_0=275.73 σ_{ID}=275.73 Σ_T=276.16
CC 5 SLV (Collegamento -044_-376)
Azioni sul collegamento: N=-14084.10 Ty=8.00 Tz=28.49 Mx=0.02 Mz=8.22
Sollecitazioni agenti localmente: Tx_l=8.00 Ty_l=28.49 N_l=-14084.10 My_l=-8.22 Mz_l=0.02
Azioni sul cordone: TP=0.57 TO=2.12 NO=-1041.10
Tensioni nel cordone: τ_P=0.18 τ_0=0.67 σ_0=342.92 σ_{ID}=342.92 Σ_T=343.59
CC 5 SLV (Collegamento -044_-376)
Azioni sul collegamento: N=-14084.10 Ty=14.73 Tz=28.49 Mx=0.02 Mz=12.53
Sollecitazioni agenti localmente: Tx_l=14.73 Ty_l=28.49 N_l=-14084.10 My_l=-12.53 Mz_l=0.02
Azioni sul cordone: TP=1.07 TO=2.12 NO=-1041.10
Tensioni nel cordone: τ_P=0.34 τ_0=0.67 σ_0=349.22 σ_{ID}=349.22 Σ_T=349.89
CC 5 SLV (Collegamento -044_-376)
Azioni sul collegamento: N=-14084.10 Ty=8.00 Tz=-0.13 Mx=0.02 Mz=8.22
Sollecitazioni agenti localmente: Tx_l=8.00 Ty_l=-0.13 N_l=-14084.10 My_l=-8.22 Mz_l=0.02
Azioni sul cordone: TP=0.57 TO=0.00 NO=-1041.10

Tensioni nel cordone: τ_P=0.18 τ_0=1.35E-03 σ_0=342.92 σ_{ID}=342.92 Σ_T=342.92
CC 5 SLV (Collegamento -044_-376)
Azioni sul collegamento: N=-14084.10 Ty=14.73 Tz=-0.13 Mx=0.02 Mz=12.53
Sollecitazioni agenti localmente: Tx_l=14.73 Ty_l=-0.13 N_l=-14084.10 My_l=-12.53 Mz_l=0.02
Azioni sul cordone: TP=1.07 TO=0.00 NO=-1041.10
Tensioni nel cordone: τ_P=0.34 τ_0=1.35E-03 σ_0=349.22 σ_{ID}=349.22 Σ_T=349.22
CC 5 SLV (Collegamento -044_-376)
Azioni sul collegamento: N=-6251.19 Ty=8.00 Tz=28.49 Mx=0.02 Mz=8.22
Sollecitazioni agenti localmente: Tx_l=8.00 Ty_l=28.49 N_l=-6251.19 My_l=-8.22 Mz_l=0.02
Azioni sul cordone: TP=0.57 TO=2.12 NO=-462.09
Tensioni nel cordone: τ_P=0.18 τ_0=0.67 σ_0=158.88 σ_{ID}=158.88 Σ_T=159.56
CC 5 SLV (Collegamento -044_-376)
Azioni sul collegamento: N=-6251.19 Ty=14.73 Tz=28.49 Mx=0.02 Mz=12.53
Sollecitazioni agenti localmente: Tx_l=14.73 Ty_l=28.49 N_l=-6251.19 My_l=-12.53 Mz_l=0.02
Azioni sul cordone: TP=1.07 TO=2.12 NO=-462.09
Tensioni nel cordone: τ_P=0.34 τ_0=0.67 σ_0=165.18 σ_{ID}=165.18 Σ_T=165.85
CC 5 SLV (Collegamento -044_-376)
Azioni sul collegamento: N=-6251.19 Ty=8.00 Tz=-0.13 Mx=0.02 Mz=8.22
Sollecitazioni agenti localmente: Tx_l=8.00 Ty_l=-0.13 N_l=-6251.19 My_l=-8.22 Mz_l=0.02
Azioni sul cordone: TP=0.57 TO=0.00 NO=-462.09
Tensioni nel cordone: τ_P=0.18 τ_0=1.36E-03 σ_0=158.88 σ_{ID}=158.88 Σ_T=158.88
CC 5 SLV (Collegamento -044_-376)
Azioni sul collegamento: N=-6251.19 Ty=14.73 Tz=-0.13 Mx=0.02 Mz=12.53
Sollecitazioni agenti localmente: Tx_l=14.73 Ty_l=-0.13 N_l=-6251.19 My_l=-12.53 Mz_l=0.02
Azioni sul cordone: TP=1.07 TO=0.00 NO=-462.09
Tensioni nel cordone: τ_P=0.34 τ_0=1.36E-03 σ_0=165.18 σ_{ID}=165.18 Σ_T=165.18
CC 6 SLD (Collegamento -044_-376)
Azioni sul collegamento: N=-11264.30 Ty=9.42 Tz=18.16 Mx=0.01 Mz=7.58
Sollecitazioni agenti localmente: Tx_l=9.42 Ty_l=18.16 N_l=-11264.30 My_l=-7.58 Mz_l=0.01
Azioni sul cordone: TP=0.69 TO=1.35 NO=-832.66
Tensioni nel cordone: τ_P=0.22 τ_0=0.43 σ_0=275.73 σ_{ID}=275.73 Σ_T=276.16
CC 6 SLD (Collegamento -044_-376)
Azioni sul collegamento: N=-11264.30 Ty=11.47 Tz=18.16 Mx=0.01 Mz=8.89
Sollecitazioni agenti localmente: Tx_l=11.47 Ty_l=18.16 N_l=-11264.30 My_l=-8.89 Mz_l=0.01
Azioni sul cordone: TP=0.84 TO=1.35 NO=-832.66
Tensioni nel cordone: τ_P=0.27 τ_0=0.43 σ_0=277.65 σ_{ID}=277.65 Σ_T=278.08
CC 6 SLD (Collegamento -044_-376)
Azioni sul collegamento: N=-11264.30 Ty=9.42 Tz=9.43 Mx=0.01 Mz=7.58
Sollecitazioni agenti localmente: Tx_l=9.42 Ty_l=9.43 N_l=-11264.30 My_l=-7.58 Mz_l=0.01
Azioni sul cordone: TP=0.69 TO=0.70 NO=-832.66
Tensioni nel cordone: τ_P=0.22 τ_0=0.22 σ_0=275.73 σ_{ID}=275.73 Σ_T=275.96
CC 6 SLD (Collegamento -044_-376)
Azioni sul collegamento: N=-11264.30 Ty=11.47 Tz=9.43 Mx=0.01 Mz=8.89
Sollecitazioni agenti localmente: Tx_l=11.47 Ty_l=9.43 N_l=-11264.30 My_l=-8.89 Mz_l=0.01
Azioni sul cordone: TP=0.84 TO=0.70 NO=-832.66
Tensioni nel cordone: τ_P=0.27 τ_0=0.22 σ_0=277.65 σ_{ID}=277.65 Σ_T=277.88
CC 6 SLD (Collegamento -044_-376)
Azioni sul collegamento: N=-8875.79 Ty=9.42 Tz=18.16 Mx=0.01 Mz=7.58
Sollecitazioni agenti localmente: Tx_l=9.42 Ty_l=18.16 N_l=-8875.79 My_l=-7.58 Mz_l=0.01
Azioni sul cordone: TP=0.69 TO=1.35 NO=-656.10
Tensioni nel cordone: τ_P=0.22 τ_0=0.43 σ_0=219.61 σ_{ID}=219.62 Σ_T=220.04
CC 6 SLD (Collegamento -044_-376)
Azioni sul collegamento: N=-8875.79 Ty=11.47 Tz=18.16 Mx=0.01 Mz=8.89
Sollecitazioni agenti localmente: Tx_l=11.47 Ty_l=18.16 N_l=-8875.79 My_l=-8.89 Mz_l=0.01
Azioni sul cordone: TP=0.84 TO=1.35 NO=-656.10
Tensioni nel cordone: τ_P=0.27 τ_0=0.43 σ_0=221.53 σ_{ID}=221.53 Σ_T=221.96
CC 6 SLD (Collegamento -044_-376)
Azioni sul collegamento: N=-8875.79 Ty=9.42 Tz=9.43 Mx=0.01 Mz=7.58
Sollecitazioni agenti localmente: Tx_l=9.42 Ty_l=9.43 N_l=-8875.79 My_l=-7.58 Mz_l=0.01
Azioni sul cordone: TP=0.69 TO=0.70 NO=-656.10
Tensioni nel cordone: τ_P=0.22 τ_0=0.22 σ_0=219.61 σ_{ID}=219.61 Σ_T=219.84
CC 6 SLD (Collegamento -044_-376)
Azioni sul collegamento: N=-8875.79 Ty=11.47 Tz=9.43 Mx=0.01 Mz=8.89
Sollecitazioni agenti localmente: Tx_l=11.47 Ty_l=9.43 N_l=-8875.79 My_l=-8.89 Mz_l=0.01
Azioni sul cordone: TP=0.84 TO=0.70 NO=-656.10
Tensioni nel cordone: τ_P=0.27 τ_0=0.22 σ_0=221.53 σ_{ID}=221.53 Σ_T=221.76
CC 7 SLV (Collegamento -044_-376)
Azioni sul collegamento: N=-14088.90 Ty=7.49 Tz=28.82 Mx=0.01 Mz=7.17
Sollecitazioni agenti localmente: Tx_l=7.49 Ty_l=28.82 N_l=-14088.90 My_l=-7.17 Mz_l=0.01
Azioni sul cordone: TP=0.54 TO=2.14 NO=-1041.46
Tensioni nel cordone: τ_P=0.17 τ_0=0.68 σ_0=341.50 σ_{ID}=341.50 Σ_T=342.19
CC 7 SLV (Collegamento -044_-376)
Azioni sul collegamento: N=-14088.90 Ty=15.25 Tz=28.82 Mx=0.01 Mz=13.58
Sollecitazioni agenti localmente: Tx_l=15.25 Ty_l=28.82 N_l=-14088.90 My_l=-13.58 Mz_l=0.01
Azioni sul cordone: TP=1.11 TO=2.14 NO=-1041.46
Tensioni nel cordone: τ_P=0.35 τ_0=0.68 σ_0=350.86 σ_{ID}=350.86 Σ_T=351.54
CC 7 SLV (Collegamento -044_-376)
Azioni sul collegamento: N=-14088.90 Ty=7.49 Tz=-0.46 Mx=0.01 Mz=7.17
Sollecitazioni agenti localmente: Tx_l=7.49 Ty_l=-0.46 N_l=-14088.90 My_l=-7.17 Mz_l=0.01

Azioni sul cordone: TP=0.54 TO=-0.02 NO=-1041.46
Tensioni nel cordone: τ_P=0.17 τ_O=7.56E-03 σ_O=341.50 σ_{ID}=341.50 Σ_T=341.51
CC 7 SLV (Collegamento -044_-376)
Azioni sul collegamento: N=-14088.90 Ty=15.25 Tz=-0.46 Mx=0.01 Mz=13.58
Sollecitazioni agenti localmente: Tx_l=15.25 Ty_l=-0.46 N_l=-14088.90 My_l=-13.58 Mz_l=0.01
Azioni sul cordone: TP=1.11 TO=-0.02 NO=-1041.46
Tensioni nel cordone: τ_P=0.35 τ_O=7.56E-03 σ_O=350.86 σ_{ID}=350.86 Σ_T=350.87
CC 7 SLV (Collegamento -044_-376)
Azioni sul collegamento: N=-6246.31 Ty=7.49 Tz=28.82 Mx=0.01 Mz=7.17
Sollecitazioni agenti localmente: Tx_l=7.49 Ty_l=28.82 N_l=-6246.31 My_l=-7.17 Mz_l=0.01
Azioni sul cordone: TP=0.54 TO=2.14 NO=-461.73
Tensioni nel cordone: τ_P=0.17 τ_O=0.68 σ_O=157.24 σ_{ID}=157.24 Σ_T=157.92
CC 7 SLV (Collegamento -044_-376)
Azioni sul collegamento: N=-6246.31 Ty=15.25 Tz=28.82 Mx=0.01 Mz=13.58
Sollecitazioni agenti localmente: Tx_l=15.25 Ty_l=28.82 N_l=-6246.31 My_l=-13.58 Mz_l=0.01
Azioni sul cordone: TP=1.11 TO=2.14 NO=-461.73
Tensioni nel cordone: τ_P=0.35 τ_O=0.68 σ_O=166.60 σ_{ID}=166.60 Σ_T=167.28
CC 7 SLV (Collegamento -044_-376)
Azioni sul collegamento: N=-6246.31 Ty=7.49 Tz=-0.46 Mx=0.01 Mz=7.17
Sollecitazioni agenti localmente: Tx_l=7.49 Ty_l=-0.46 N_l=-6246.31 My_l=-7.17 Mz_l=0.01
Azioni sul cordone: TP=0.54 TO=-0.02 NO=-461.73
Tensioni nel cordone: τ_P=0.17 τ_O=7.54E-03 σ_O=157.24 σ_{ID}=157.24 Σ_T=157.25
CC 7 SLV (Collegamento -044_-376)
Azioni sul collegamento: N=-6246.31 Ty=15.25 Tz=-0.46 Mx=0.01 Mz=13.58
Sollecitazioni agenti localmente: Tx_l=15.25 Ty_l=-0.46 N_l=-6246.31 My_l=-13.58 Mz_l=0.01
Azioni sul cordone: TP=1.11 TO=-0.02 NO=-461.73
Tensioni nel cordone: τ_P=0.35 τ_O=7.54E-03 σ_O=166.60 σ_{ID}=166.60 Σ_T=166.60
CC 8 SLD (Collegamento -044_-376)
Azioni sul collegamento: N=-11265.80 Ty=9.26 Tz=18.26 Mx=0.01 Mz=7.26
Sollecitazioni agenti localmente: Tx_l=9.26 Ty_l=18.26 N_l=-11265.80 My_l=-7.26 Mz_l=0.01
Azioni sul cordone: TP=0.68 TO=1.35 NO=-832.77
Tensioni nel cordone: τ_P=0.22 τ_O=0.43 σ_O=275.30 σ_{ID}=275.30 Σ_T=275.73
CC 8 SLD (Collegamento -044_-376)
Azioni sul collegamento: N=-11265.80 Ty=11.63 Tz=18.26 Mx=0.01 Mz=9.21
Sollecitazioni agenti localmente: Tx_l=11.63 Ty_l=18.26 N_l=-11265.80 My_l=-9.21 Mz_l=0.01
Azioni sul cordone: TP=0.85 TO=1.35 NO=-832.77
Tensioni nel cordone: τ_P=0.27 τ_O=0.43 σ_O=278.15 σ_{ID}=278.15 Σ_T=278.58
CC 8 SLD (Collegamento -044_-376)
Azioni sul collegamento: N=-11265.80 Ty=9.26 Tz=9.33 Mx=0.01 Mz=7.26
Sollecitazioni agenti localmente: Tx_l=9.26 Ty_l=9.33 N_l=-11265.80 My_l=-7.26 Mz_l=0.01
Azioni sul cordone: TP=0.68 TO=0.69 NO=-832.77
Tensioni nel cordone: τ_P=0.22 τ_O=0.22 σ_O=275.30 σ_{ID}=275.30 Σ_T=275.52
CC 8 SLD (Collegamento -044_-376)
Azioni sul collegamento: N=-11265.80 Ty=11.63 Tz=9.33 Mx=0.01 Mz=9.21
Sollecitazioni agenti localmente: Tx_l=11.63 Ty_l=9.33 N_l=-11265.80 My_l=-9.21 Mz_l=0.01
Azioni sul cordone: TP=0.85 TO=0.69 NO=-832.77
Tensioni nel cordone: τ_P=0.27 τ_O=0.22 σ_O=278.15 σ_{ID}=278.15 Σ_T=278.38
CC 8 SLD (Collegamento -044_-376)
Azioni sul collegamento: N=-8874.30 Ty=9.26 Tz=18.26 Mx=0.01 Mz=7.26
Sollecitazioni agenti localmente: Tx_l=9.26 Ty_l=18.26 N_l=-8874.30 My_l=-7.26 Mz_l=0.01
Azioni sul cordone: TP=0.68 TO=1.35 NO=-655.99
Tensioni nel cordone: τ_P=0.22 τ_O=0.43 σ_O=219.11 σ_{ID}=219.11 Σ_T=219.54
CC 8 SLD (Collegamento -044_-376)
Azioni sul collegamento: N=-8874.30 Ty=11.63 Tz=18.26 Mx=0.01 Mz=9.21
Sollecitazioni agenti localmente: Tx_l=11.63 Ty_l=18.26 N_l=-8874.30 My_l=-9.21 Mz_l=0.01
Azioni sul cordone: TP=0.85 TO=1.35 NO=-655.99
Tensioni nel cordone: τ_P=0.27 τ_O=0.43 σ_O=221.97 σ_{ID}=221.97 Σ_T=222.40
CC 8 SLD (Collegamento -044_-376)
Azioni sul collegamento: N=-8874.30 Ty=9.26 Tz=9.33 Mx=0.01 Mz=7.26
Sollecitazioni agenti localmente: Tx_l=9.26 Ty_l=9.33 N_l=-8874.30 My_l=-7.26 Mz_l=0.01
Azioni sul cordone: TP=0.68 TO=0.69 NO=-655.99
Tensioni nel cordone: τ_P=0.22 τ_O=0.22 σ_O=219.11 σ_{ID}=219.11 Σ_T=219.33
CC 8 SLD (Collegamento -044_-376)
Azioni sul collegamento: N=-8874.30 Ty=11.63 Tz=9.33 Mx=0.01 Mz=9.21
Sollecitazioni agenti localmente: Tx_l=11.63 Ty_l=9.33 N_l=-8874.30 My_l=-9.21 Mz_l=0.01
Azioni sul cordone: TP=0.85 TO=0.69 NO=-655.99
Tensioni nel cordone: τ_P=0.27 τ_O=0.22 σ_O=221.97 σ_{ID}=221.97 Σ_T=222.19
CC 9 SLV (Collegamento -044_-376)
Azioni sul collegamento: N=-8983.82 Ty=13.31 Tz=9.29 Mx=0.02 Mz=12.92
Sollecitazioni agenti localmente: Tx_l=13.31 Ty_l=9.29 N_l=-8983.82 My_l=-12.92 Mz_l=0.02
Azioni sul cordone: TP=0.96 TO=0.71 NO=-664.09
Tensioni nel cordone: τ_P=0.30 τ_O=0.22 σ_O=229.96 σ_{ID}=229.96 Σ_T=230.19
CC 9 SLV (Collegamento -044_-376)
Azioni sul collegamento: N=-8983.82 Ty=9.43 Tz=9.29 Mx=0.02 Mz=7.83
Sollecitazioni agenti localmente: Tx_l=9.43 Ty_l=9.29 N_l=-8983.82 My_l=-7.83 Mz_l=0.02
Azioni sul cordone: TP=0.67 TO=0.71 NO=-664.09
Tensioni nel cordone: τ_P=0.21 τ_O=0.22 σ_O=222.51 σ_{ID}=222.51 Σ_T=222.74
CC 9 SLV (Collegamento -044_-376)
Azioni sul collegamento: N=-8983.82 Ty=13.31 Tz=19.07 Mx=0.02 Mz=12.92

Sollecitazioni agenti localmente: Tx_l=13.31 Ty_l=19.07 N_l=-8983.82 My_l=-12.92 Mz_l=0.02
Azioni sul cordone: TP=0.96 TO=1.43 NO=-664.09
Tensioni nel cordone: τ_P=0.30 τ_0=0.45 σ_0=229.96 σ_{ID}=229.96 Σ_T=230.41
CC 9 SLV (Collegamento -044_-376)
Azioni sul collegamento: N=-8983.82 Ty=9.43 Tz=19.07 Mx=0.02 Mz=7.83
Sollecitazioni agenti localmente: Tx_l=9.43 Ty_l=19.07 N_l=-8983.82 My_l=-7.83 Mz_l=0.02
Azioni sul cordone: TP=0.67 TO=1.43 NO=-664.09
Tensioni nel cordone: τ_P=0.21 τ_0=0.45 σ_0=222.51 σ_{ID}=222.51 Σ_T=222.97
CC 9 SLV (Collegamento -044_-376)
Azioni sul collegamento: N=-11351.40 Ty=13.31 Tz=9.29 Mx=0.02 Mz=12.92
Sollecitazioni agenti localmente: Tx_l=13.31 Ty_l=9.29 N_l=-11351.40 My_l=-12.92 Mz_l=0.02
Azioni sul cordone: TP=0.96 TO=0.71 NO=-839.10
Tensioni nel cordone: τ_P=0.30 τ_0=0.22 σ_0=285.59 σ_{ID}=285.59 Σ_T=285.81
CC 9 SLV (Collegamento -044_-376)
Azioni sul collegamento: N=-11351.40 Ty=9.43 Tz=9.29 Mx=0.02 Mz=7.83
Sollecitazioni agenti localmente: Tx_l=9.43 Ty_l=9.29 N_l=-11351.40 My_l=-7.83 Mz_l=0.02
Azioni sul cordone: TP=0.67 TO=0.71 NO=-839.10
Tensioni nel cordone: τ_P=0.21 τ_0=0.22 σ_0=278.14 σ_{ID}=278.14 Σ_T=278.36
CC 9 SLV (Collegamento -044_-376)
Azioni sul collegamento: N=-11351.40 Ty=13.31 Tz=19.07 Mx=0.02 Mz=12.92
Sollecitazioni agenti localmente: Tx_l=13.31 Ty_l=19.07 N_l=-11351.40 My_l=-12.92 Mz_l=0.02
Azioni sul cordone: TP=0.96 TO=1.43 NO=-839.10
Tensioni nel cordone: τ_P=0.30 τ_0=0.45 σ_0=285.59 σ_{ID}=285.59 Σ_T=286.04
CC 9 SLV (Collegamento -044_-376)
Azioni sul collegamento: N=-11351.40 Ty=9.43 Tz=19.07 Mx=0.02 Mz=7.83
Sollecitazioni agenti localmente: Tx_l=9.43 Ty_l=19.07 N_l=-11351.40 My_l=-7.83 Mz_l=0.02
Azioni sul cordone: TP=0.67 TO=1.43 NO=-839.10
Tensioni nel cordone: τ_P=0.21 τ_0=0.45 σ_0=278.14 σ_{ID}=278.14 Σ_T=278.59
CC 10 SLD (Collegamento -044_-376)
Azioni sul collegamento: N=-9709.06 Ty=11.04 Tz=12.31 Mx=0.01 Mz=9.01
Sollecitazioni agenti localmente: Tx_l=11.04 Ty_l=12.31 N_l=-9709.06 My_l=-9.01 Mz_l=0.01
Azioni sul cordone: TP=0.81 TO=0.92 NO=-717.70
Tensioni nel cordone: τ_P=0.26 τ_0=0.29 σ_0=241.29 σ_{ID}=241.29 Σ_T=241.58
CC 10 SLD (Collegamento -044_-376)
Azioni sul collegamento: N=-9709.06 Ty=9.85 Tz=12.31 Mx=0.01 Mz=7.46
Sollecitazioni agenti localmente: Tx_l=9.85 Ty_l=12.31 N_l=-9709.06 My_l=-7.46 Mz_l=0.01
Azioni sul cordone: TP=0.72 TO=0.92 NO=-717.70
Tensioni nel cordone: τ_P=0.23 τ_0=0.29 σ_0=239.02 σ_{ID}=239.02 Σ_T=239.31
CC 10 SLD (Collegamento -044_-376)
Azioni sul collegamento: N=-9709.06 Ty=11.04 Tz=15.29 Mx=0.01 Mz=9.01
Sollecitazioni agenti localmente: Tx_l=11.04 Ty_l=15.29 N_l=-9709.06 My_l=-9.01 Mz_l=0.01
Azioni sul cordone: TP=0.81 TO=1.14 NO=-717.70
Tensioni nel cordone: τ_P=0.26 τ_0=0.36 σ_0=241.29 σ_{ID}=241.29 Σ_T=241.65
CC 10 SLD (Collegamento -044_-376)
Azioni sul collegamento: N=-9709.06 Ty=9.85 Tz=15.29 Mx=0.01 Mz=7.46
Sollecitazioni agenti localmente: Tx_l=9.85 Ty_l=15.29 N_l=-9709.06 My_l=-7.46 Mz_l=0.01
Azioni sul cordone: TP=0.72 TO=1.14 NO=-717.70
Tensioni nel cordone: τ_P=0.23 τ_0=0.36 σ_0=239.02 σ_{ID}=239.02 Σ_T=239.38
CC 10 SLD (Collegamento -044_-376)
Azioni sul collegamento: N=-10431.00 Ty=11.04 Tz=12.31 Mx=0.01 Mz=9.01
Sollecitazioni agenti localmente: Tx_l=11.04 Ty_l=12.31 N_l=-10431.00 My_l=-9.01 Mz_l=0.01
Azioni sul cordone: TP=0.81 TO=0.92 NO=-771.06
Tensioni nel cordone: τ_P=0.26 τ_0=0.29 σ_0=258.25 σ_{ID}=258.25 Σ_T=258.54
CC 10 SLD (Collegamento -044_-376)
Azioni sul collegamento: N=-10431.00 Ty=9.85 Tz=12.31 Mx=0.01 Mz=7.46
Sollecitazioni agenti localmente: Tx_l=9.85 Ty_l=12.31 N_l=-10431.00 My_l=-7.46 Mz_l=0.01
Azioni sul cordone: TP=0.72 TO=0.92 NO=-771.06
Tensioni nel cordone: τ_P=0.23 τ_0=0.29 σ_0=255.98 σ_{ID}=255.98 Σ_T=256.27
CC 10 SLD (Collegamento -044_-376)
Azioni sul collegamento: N=-10431.00 Ty=11.04 Tz=15.29 Mx=0.01 Mz=9.01
Sollecitazioni agenti localmente: Tx_l=11.04 Ty_l=15.29 N_l=-10431.00 My_l=-9.01 Mz_l=0.01
Azioni sul cordone: TP=0.81 TO=1.14 NO=-771.06
Tensioni nel cordone: τ_P=0.26 τ_0=0.36 σ_0=258.25 σ_{ID}=258.25 Σ_T=258.61
CC 10 SLD (Collegamento -044_-376)
Azioni sul collegamento: N=-10431.00 Ty=9.85 Tz=15.29 Mx=0.01 Mz=7.46
Sollecitazioni agenti localmente: Tx_l=9.85 Ty_l=15.29 N_l=-10431.00 My_l=-7.46 Mz_l=0.01
Azioni sul cordone: TP=0.72 TO=1.14 NO=-771.06
Tensioni nel cordone: τ_P=0.23 τ_0=0.36 σ_0=255.98 σ_{ID}=255.98 Σ_T=256.34
CC 11 SLV (Collegamento -044_-376)
Azioni sul collegamento: N=-11335.10 Ty=11.14 Tz=17.98 Mx=0.02 Mz=11.32
Sollecitazioni agenti localmente: Tx_l=11.14 Ty_l=17.98 N_l=-11335.10 My_l=-11.32 Mz_l=0.02
Azioni sul cordone: TP=0.80 TO=1.35 NO=-837.90
Tensioni nel cordone: τ_P=0.25 τ_0=0.43 σ_0=282.86 σ_{ID}=282.86 Σ_T=283.29
CC 11 SLV (Collegamento -044_-376)
Azioni sul collegamento: N=-11335.10 Ty=11.60 Tz=17.98 Mx=0.02 Mz=9.43
Sollecitazioni agenti localmente: Tx_l=11.60 Ty_l=17.98 N_l=-11335.10 My_l=-9.43 Mz_l=0.02
Azioni sul cordone: TP=0.83 TO=1.35 NO=-837.90
Tensioni nel cordone: τ_P=0.26 τ_0=0.43 σ_0=280.11 σ_{ID}=280.11 Σ_T=280.53
CC 11 SLV (Collegamento -044_-376)

Azioni sul collegamento: N=-11335.10 Ty=11.14 Tz=10.38 Mx=0.02 Mz=11.32
Sollecitazioni agenti localmente: Tx_l=11.14 Ty_l=10.38 N_l=-11335.10 My_l=-11.32 Mz_l=0.02
Azioni sul cordone: TP=0.80 TO=0.79 NO=-837.90
Tensioni nel cordone: τ_P=0.25 τ_O=0.25 σ_O=282.86 σ_{ID}=282.86 Σ_T=283.11
CC 11 SLV (Collegamento -044_-376)
Azioni sul collegamento: N=-11335.10 Ty=11.60 Tz=10.38 Mx=0.02 Mz=9.43
Sollecitazioni agenti localmente: Tx_l=11.60 Ty_l=10.38 N_l=-11335.10 My_l=-9.43 Mz_l=0.02
Azioni sul cordone: TP=0.83 TO=0.79 NO=-837.90
Tensioni nel cordone: τ_P=0.26 τ_O=0.25 σ_O=280.11 σ_{ID}=280.11 Σ_T=280.36
CC 11 SLV (Collegamento -044_-376)
Azioni sul collegamento: N=-9000.10 Ty=11.14 Tz=17.98 Mx=0.02 Mz=11.32
Sollecitazioni agenti localmente: Tx_l=11.14 Ty_l=17.98 N_l=-9000.10 My_l=-11.32 Mz_l=0.02
Azioni sul cordone: TP=0.80 TO=1.35 NO=-665.29
Tensioni nel cordone: τ_P=0.25 τ_O=0.43 σ_O=228.00 σ_{ID}=228.00 Σ_T=228.42
CC 11 SLV (Collegamento -044_-376)
Azioni sul collegamento: N=-9000.10 Ty=11.60 Tz=17.98 Mx=0.02 Mz=9.43
Sollecitazioni agenti localmente: Tx_l=11.60 Ty_l=17.98 N_l=-9000.10 My_l=-9.43 Mz_l=0.02
Azioni sul cordone: TP=0.83 TO=1.35 NO=-665.29
Tensioni nel cordone: τ_P=0.26 τ_O=0.43 σ_O=225.24 σ_{ID}=225.24 Σ_T=225.67
CC 11 SLV (Collegamento -044_-376)
Azioni sul collegamento: N=-9000.10 Ty=11.14 Tz=10.38 Mx=0.02 Mz=11.32
Sollecitazioni agenti localmente: Tx_l=11.14 Ty_l=10.38 N_l=-9000.10 My_l=-11.32 Mz_l=0.02
Azioni sul cordone: TP=0.80 TO=0.79 NO=-665.29
Tensioni nel cordone: τ_P=0.25 τ_O=0.25 σ_O=228.00 σ_{ID}=228.00 Σ_T=228.25
CC 11 SLV (Collegamento -044_-376)
Azioni sul collegamento: N=-9000.10 Ty=11.60 Tz=10.38 Mx=0.02 Mz=9.43
Sollecitazioni agenti localmente: Tx_l=11.60 Ty_l=10.38 N_l=-9000.10 My_l=-9.43 Mz_l=0.02
Azioni sul cordone: TP=0.83 TO=0.79 NO=-665.29
Tensioni nel cordone: τ_P=0.26 τ_O=0.25 σ_O=225.24 σ_{ID}=225.24 Σ_T=225.49
CC 12 SLD (Collegamento -044_-376)
Azioni sul collegamento: N=-10426.00 Ty=10.37 Tz=14.95 Mx=0.01 Mz=8.52
Sollecitazioni agenti localmente: Tx_l=10.37 Ty_l=14.95 N_l=-10426.00 My_l=-8.52 Mz_l=0.01
Azioni sul cordone: TP=0.76 TO=1.11 NO=-770.70
Tensioni nel cordone: τ_P=0.24 τ_O=0.35 σ_O=257.42 σ_{ID}=257.42 Σ_T=257.77
CC 12 SLD (Collegamento -044_-376)
Azioni sul collegamento: N=-10426.00 Ty=10.51 Tz=14.95 Mx=0.01 Mz=7.95
Sollecitazioni agenti localmente: Tx_l=10.51 Ty_l=14.95 N_l=-10426.00 My_l=-7.95 Mz_l=0.01
Azioni sul cordone: TP=0.77 TO=1.11 NO=-770.70
Tensioni nel cordone: τ_P=0.24 τ_O=0.35 σ_O=256.58 σ_{ID}=256.58 Σ_T=256.93
CC 12 SLD (Collegamento -044_-376)
Azioni sul collegamento: N=-10426.00 Ty=10.37 Tz=12.64 Mx=0.01 Mz=8.52
Sollecitazioni agenti localmente: Tx_l=10.37 Ty_l=12.64 N_l=-10426.00 My_l=-8.52 Mz_l=0.01
Azioni sul cordone: TP=0.76 TO=0.94 NO=-770.70
Tensioni nel cordone: τ_P=0.24 τ_O=0.30 σ_O=257.42 σ_{ID}=257.42 Σ_T=257.72
CC 12 SLD (Collegamento -044_-376)
Azioni sul collegamento: N=-10426.00 Ty=10.51 Tz=12.64 Mx=0.01 Mz=7.95
Sollecitazioni agenti localmente: Tx_l=10.51 Ty_l=12.64 N_l=-10426.00 My_l=-7.95 Mz_l=0.01
Azioni sul cordone: TP=0.77 TO=0.94 NO=-770.70
Tensioni nel cordone: τ_P=0.24 τ_O=0.30 σ_O=256.58 σ_{ID}=256.58 Σ_T=256.88
CC 12 SLD (Collegamento -044_-376)
Azioni sul collegamento: N=-9714.02 Ty=10.37 Tz=14.95 Mx=0.01 Mz=8.52
Sollecitazioni agenti localmente: Tx_l=10.37 Ty_l=14.95 N_l=-9714.02 My_l=-8.52 Mz_l=0.01
Azioni sul cordone: TP=0.76 TO=1.11 NO=-718.06
Tensioni nel cordone: τ_P=0.24 τ_O=0.35 σ_O=240.69 σ_{ID}=240.69 Σ_T=241.04
CC 12 SLD (Collegamento -044_-376)
Azioni sul collegamento: N=-9714.02 Ty=10.51 Tz=14.95 Mx=0.01 Mz=7.95
Sollecitazioni agenti localmente: Tx_l=10.51 Ty_l=14.95 N_l=-9714.02 My_l=-7.95 Mz_l=0.01
Azioni sul cordone: TP=0.77 TO=1.11 NO=-718.06
Tensioni nel cordone: τ_P=0.24 τ_O=0.35 σ_O=239.85 σ_{ID}=239.85 Σ_T=240.20
CC 12 SLD (Collegamento -044_-376)
Azioni sul collegamento: N=-9714.02 Ty=10.37 Tz=12.64 Mx=0.01 Mz=8.52
Sollecitazioni agenti localmente: Tx_l=10.37 Ty_l=12.64 N_l=-9714.02 My_l=-8.52 Mz_l=0.01
Azioni sul cordone: TP=0.76 TO=0.94 NO=-718.06
Tensioni nel cordone: τ_P=0.24 τ_O=0.30 σ_O=240.69 σ_{ID}=240.69 Σ_T=240.99
CC 12 SLD (Collegamento -044_-376)
Azioni sul collegamento: N=-9714.02 Ty=10.51 Tz=12.64 Mx=0.01 Mz=7.95
Sollecitazioni agenti localmente: Tx_l=10.51 Ty_l=12.64 N_l=-9714.02 My_l=-7.95 Mz_l=0.01
Azioni sul cordone: TP=0.77 TO=0.94 NO=-718.06
Tensioni nel cordone: τ_P=0.24 τ_O=0.30 σ_O=239.85 σ_{ID}=239.85 Σ_T=240.15
CC 13 SLV (Collegamento -044_-376)
Azioni sul collegamento: N=-9000.10 Ty=11.60 Tz=10.38 Mx=0.01 Mz=9.43
Sollecitazioni agenti localmente: Tx_l=11.60 Ty_l=10.38 N_l=-9000.10 My_l=-9.43 Mz_l=0.01
Azioni sul cordone: TP=0.85 TO=0.77 NO=-665.29
Tensioni nel cordone: τ_P=0.27 τ_O=0.25 σ_O=225.24 σ_{ID}=225.24 Σ_T=225.49
CC 13 SLV (Collegamento -044_-376)
Azioni sul collegamento: N=-9000.10 Ty=11.14 Tz=10.38 Mx=0.01 Mz=11.32
Sollecitazioni agenti localmente: Tx_l=11.14 Ty_l=10.38 N_l=-9000.10 My_l=-11.32 Mz_l=0.01
Azioni sul cordone: TP=0.82 TO=0.77 NO=-665.29
Tensioni nel cordone: τ_P=0.26 τ_O=0.25 σ_O=228.00 σ_{ID}=228.00 Σ_T=228.24

CC 13 SLV (Collegamento -044_-376)
Azioni sul collegamento: N=-9000.10 Ty=11.60 Tz=17.98 Mx=0.01 Mz=9.43
Sollecitazioni agenti localmente: Tx_l=11.60 Ty_l=17.98 N_l=-9000.10 My_l=-9.43 Mz_l=0.01
Azioni sul cordone: TP=0.85 TO=1.33 NO=-665.29
Tensioni nel cordone: τ_P=0.27 τ_0=0.42 σ_0=225.24 σ_{ID}=225.24 Σ_T=225.67
CC 13 SLV (Collegamento -044_-376)
Azioni sul collegamento: N=-9000.10 Ty=11.14 Tz=17.98 Mx=0.01 Mz=11.32
Sollecitazioni agenti localmente: Tx_l=11.14 Ty_l=17.98 N_l=-9000.10 My_l=-11.32 Mz_l=0.01
Azioni sul cordone: TP=0.82 TO=1.33 NO=-665.29
Tensioni nel cordone: τ_P=0.26 τ_0=0.42 σ_0=228.00 σ_{ID}=228.00 Σ_T=228.42
CC 13 SLV (Collegamento -044_-376)
Azioni sul collegamento: N=-11335.10 Ty=11.60 Tz=10.38 Mx=0.01 Mz=9.43
Sollecitazioni agenti localmente: Tx_l=11.60 Ty_l=10.38 N_l=-11335.10 My_l=-9.43 Mz_l=0.01
Azioni sul cordone: TP=0.85 TO=0.77 NO=-837.90
Tensioni nel cordone: τ_P=0.27 τ_0=0.25 σ_0=280.11 σ_{ID}=280.11 Σ_T=280.35
CC 13 SLV (Collegamento -044_-376)
Azioni sul collegamento: N=-11335.10 Ty=11.14 Tz=10.38 Mx=0.01 Mz=11.32
Sollecitazioni agenti localmente: Tx_l=11.14 Ty_l=10.38 N_l=-11335.10 My_l=-11.32 Mz_l=0.01
Azioni sul cordone: TP=0.82 TO=0.77 NO=-837.90
Tensioni nel cordone: τ_P=0.26 τ_0=0.25 σ_0=282.86 σ_{ID}=282.86 Σ_T=283.10
CC 13 SLV (Collegamento -044_-376)
Azioni sul collegamento: N=-11335.10 Ty=11.60 Tz=17.98 Mx=0.01 Mz=9.43
Sollecitazioni agenti localmente: Tx_l=11.60 Ty_l=17.98 N_l=-11335.10 My_l=-9.43 Mz_l=0.01
Azioni sul cordone: TP=0.85 TO=1.33 NO=-837.90
Tensioni nel cordone: τ_P=0.27 τ_0=0.42 σ_0=280.11 σ_{ID}=280.11 Σ_T=280.53
CC 13 SLV (Collegamento -044_-376)
Azioni sul collegamento: N=-11335.10 Ty=11.14 Tz=17.98 Mx=0.01 Mz=11.32
Sollecitazioni agenti localmente: Tx_l=11.14 Ty_l=17.98 N_l=-11335.10 My_l=-11.32 Mz_l=0.01
Azioni sul cordone: TP=0.82 TO=1.33 NO=-837.90
Tensioni nel cordone: τ_P=0.26 τ_0=0.42 σ_0=282.86 σ_{ID}=282.86 Σ_T=283.28
CC 14 SLD (Collegamento -044_-376)
Azioni sul collegamento: N=-9714.02 Ty=10.51 Tz=12.64 Mx=0.00 Mz=7.95
Sollecitazioni agenti localmente: Tx_l=10.51 Ty_l=12.64 N_l=-9714.02 My_l=-7.95 Mz_l=0.00
Azioni sul cordone: TP=0.77 TO=0.94 NO=-718.06
Tensioni nel cordone: τ_P=0.25 τ_0=0.30 σ_0=239.85 σ_{ID}=239.85 Σ_T=240.15
CC 14 SLD (Collegamento -044_-376)
Azioni sul collegamento: N=-9714.02 Ty=10.37 Tz=12.64 Mx=0.00 Mz=8.52
Sollecitazioni agenti localmente: Tx_l=10.37 Ty_l=12.64 N_l=-9714.02 My_l=-8.52 Mz_l=0.00
Azioni sul cordone: TP=0.76 TO=0.94 NO=-718.06
Tensioni nel cordone: τ_P=0.24 τ_0=0.30 σ_0=240.69 σ_{ID}=240.69 Σ_T=240.99
CC 14 SLD (Collegamento -044_-376)
Azioni sul collegamento: N=-9714.02 Ty=10.51 Tz=14.95 Mx=0.00 Mz=7.95
Sollecitazioni agenti localmente: Tx_l=10.51 Ty_l=14.95 N_l=-9714.02 My_l=-7.95 Mz_l=0.00
Azioni sul cordone: TP=0.77 TO=1.11 NO=-718.06
Tensioni nel cordone: τ_P=0.25 τ_0=0.35 σ_0=239.85 σ_{ID}=239.85 Σ_T=240.20
CC 14 SLD (Collegamento -044_-376)
Azioni sul collegamento: N=-9714.02 Ty=10.37 Tz=14.95 Mx=0.00 Mz=8.52
Sollecitazioni agenti localmente: Tx_l=10.37 Ty_l=14.95 N_l=-9714.02 My_l=-8.52 Mz_l=0.00
Azioni sul cordone: TP=0.76 TO=1.11 NO=-718.06
Tensioni nel cordone: τ_P=0.24 τ_0=0.35 σ_0=240.69 σ_{ID}=240.69 Σ_T=241.04
CC 14 SLD (Collegamento -044_-376)
Azioni sul collegamento: N=-10426.00 Ty=10.51 Tz=12.64 Mx=0.00 Mz=7.95
Sollecitazioni agenti localmente: Tx_l=10.51 Ty_l=12.64 N_l=-10426.00 My_l=-7.95 Mz_l=0.00
Azioni sul cordone: TP=0.77 TO=0.94 NO=-770.70
Tensioni nel cordone: τ_P=0.25 τ_0=0.30 σ_0=256.58 σ_{ID}=256.58 Σ_T=256.88
CC 14 SLD (Collegamento -044_-376)
Azioni sul collegamento: N=-10426.00 Ty=10.37 Tz=12.64 Mx=0.00 Mz=8.52
Sollecitazioni agenti localmente: Tx_l=10.37 Ty_l=12.64 N_l=-10426.00 My_l=-8.52 Mz_l=0.00
Azioni sul cordone: TP=0.76 TO=0.94 NO=-770.70
Tensioni nel cordone: τ_P=0.24 τ_0=0.30 σ_0=257.42 σ_{ID}=257.42 Σ_T=257.72
CC 14 SLD (Collegamento -044_-376)
Azioni sul collegamento: N=-10426.00 Ty=10.51 Tz=14.95 Mx=0.00 Mz=7.95
Sollecitazioni agenti localmente: Tx_l=10.51 Ty_l=14.95 N_l=-10426.00 My_l=-7.95 Mz_l=0.00
Azioni sul cordone: TP=0.77 TO=1.11 NO=-770.70
Tensioni nel cordone: τ_P=0.25 τ_0=0.35 σ_0=256.58 σ_{ID}=256.58 Σ_T=256.93
CC 14 SLD (Collegamento -044_-376)
Azioni sul collegamento: N=-10426.00 Ty=10.37 Tz=14.95 Mx=0.00 Mz=8.52
Sollecitazioni agenti localmente: Tx_l=10.37 Ty_l=14.95 N_l=-10426.00 My_l=-8.52 Mz_l=0.00
Azioni sul cordone: TP=0.76 TO=1.11 NO=-770.70
Tensioni nel cordone: τ_P=0.24 τ_0=0.35 σ_0=257.42 σ_{ID}=257.42 Σ_T=257.77
CC 15 SLV (Collegamento -044_-376)
Azioni sul collegamento: N=-11351.40 Ty=9.43 Tz=19.07 Mx=0.01 Mz=7.83
Sollecitazioni agenti localmente: Tx_l=9.43 Ty_l=19.07 N_l=-11351.40 My_l=-7.83 Mz_l=0.01
Azioni sul cordone: TP=0.69 TO=1.42 NO=-839.10
Tensioni nel cordone: τ_P=0.22 τ_0=0.45 σ_0=278.14 σ_{ID}=278.14 Σ_T=278.59
CC 15 SLV (Collegamento -044_-376)
Azioni sul collegamento: N=-11351.40 Ty=13.31 Tz=19.07 Mx=0.01 Mz=12.92
Sollecitazioni agenti localmente: Tx_l=13.31 Ty_l=19.07 N_l=-11351.40 My_l=-12.92 Mz_l=0.01
Azioni sul cordone: TP=0.98 TO=1.42 NO=-839.10

Tensioni nel cordone: τ_P=0.31 τ_0=0.45 σ_0=285.59 σ_{ID}=285.59 Σ_T=286.04
CC 15 SLV (Collegamento -044_-376)
Azioni sul collegamento: N=-11351.40 Ty=9.43 Tz=9.29 Mx=0.01 Mz=7.83
Sollecitazioni agenti localmente: Tx_l=9.43 Ty_l=9.29 N_l=-11351.40 My_l=-7.83 Mz_l=0.01
Azioni sul cordone: TP=0.69 TO=0.69 NO=-839.10
Tensioni nel cordone: τ_P=0.22 τ_0=0.22 σ_0=278.14 σ_{ID}=278.14 Σ_T=278.36
CC 15 SLV (Collegamento -044_-376)
Azioni sul collegamento: N=-11351.40 Ty=13.31 Tz=9.29 Mx=0.01 Mz=12.92
Sollecitazioni agenti localmente: Tx_l=13.31 Ty_l=9.29 N_l=-11351.40 My_l=-12.92 Mz_l=0.01
Azioni sul cordone: TP=0.98 TO=0.69 NO=-839.10
Tensioni nel cordone: τ_P=0.31 τ_0=0.22 σ_0=285.59 σ_{ID}=285.59 Σ_T=285.81
CC 15 SLV (Collegamento -044_-376)
Azioni sul collegamento: N=-8983.82 Ty=9.43 Tz=19.07 Mx=0.01 Mz=7.83
Sollecitazioni agenti localmente: Tx_l=9.43 Ty_l=19.07 N_l=-8983.82 My_l=-7.83 Mz_l=0.01
Azioni sul cordone: TP=0.69 TO=1.42 NO=-664.09
Tensioni nel cordone: τ_P=0.22 τ_0=0.45 σ_0=222.51 σ_{ID}=222.51 Σ_T=222.96
CC 15 SLV (Collegamento -044_-376)
Azioni sul collegamento: N=-8983.82 Ty=13.31 Tz=19.07 Mx=0.01 Mz=12.92
Sollecitazioni agenti localmente: Tx_l=13.31 Ty_l=19.07 N_l=-8983.82 My_l=-12.92 Mz_l=0.01
Azioni sul cordone: TP=0.98 TO=1.42 NO=-664.09
Tensioni nel cordone: τ_P=0.31 τ_0=0.45 σ_0=229.96 σ_{ID}=229.96 Σ_T=230.41
CC 15 SLV (Collegamento -044_-376)
Azioni sul collegamento: N=-8983.82 Ty=9.43 Tz=9.29 Mx=0.01 Mz=7.83
Sollecitazioni agenti localmente: Tx_l=9.43 Ty_l=9.29 N_l=-8983.82 My_l=-7.83 Mz_l=0.01
Azioni sul cordone: TP=0.69 TO=0.69 NO=-664.09
Tensioni nel cordone: τ_P=0.22 τ_0=0.22 σ_0=222.51 σ_{ID}=222.51 Σ_T=222.73
CC 15 SLV (Collegamento -044_-376)
Azioni sul collegamento: N=-8983.82 Ty=13.31 Tz=9.29 Mx=0.01 Mz=12.92
Sollecitazioni agenti localmente: Tx_l=13.31 Ty_l=9.29 N_l=-8983.82 My_l=-12.92 Mz_l=0.01
Azioni sul cordone: TP=0.98 TO=0.69 NO=-664.09
Tensioni nel cordone: τ_P=0.31 τ_0=0.22 σ_0=229.96 σ_{ID}=229.96 Σ_T=230.18
CC 16 SLD (Collegamento -044_-376)
Azioni sul collegamento: N=-10431.00 Ty=9.85 Tz=15.29 Mx=0.00 Mz=7.46
Sollecitazioni agenti localmente: Tx_l=9.85 Ty_l=15.29 N_l=-10431.00 My_l=-7.46 Mz_l=0.00
Azioni sul cordone: TP=0.72 TO=1.13 NO=-771.06
Tensioni nel cordone: τ_P=0.23 τ_0=0.36 σ_0=255.98 σ_{ID}=255.98 Σ_T=256.34
CC 16 SLD (Collegamento -044_-376)
Azioni sul collegamento: N=-10431.00 Ty=11.04 Tz=15.29 Mx=0.00 Mz=9.01
Sollecitazioni agenti localmente: Tx_l=11.04 Ty_l=15.29 N_l=-10431.00 My_l=-9.01 Mz_l=0.00
Azioni sul cordone: TP=0.81 TO=1.13 NO=-771.06
Tensioni nel cordone: τ_P=0.26 τ_0=0.36 σ_0=258.25 σ_{ID}=258.25 Σ_T=258.61
CC 16 SLD (Collegamento -044_-376)
Azioni sul collegamento: N=-10431.00 Ty=9.85 Tz=12.31 Mx=0.00 Mz=7.46
Sollecitazioni agenti localmente: Tx_l=9.85 Ty_l=12.31 N_l=-10431.00 My_l=-7.46 Mz_l=0.00
Azioni sul cordone: TP=0.72 TO=0.91 NO=-771.06
Tensioni nel cordone: τ_P=0.23 τ_0=0.29 σ_0=255.98 σ_{ID}=255.98 Σ_T=256.27
CC 16 SLD (Collegamento -044_-376)
Azioni sul collegamento: N=-10431.00 Ty=11.04 Tz=12.31 Mx=0.00 Mz=9.01
Sollecitazioni agenti localmente: Tx_l=11.04 Ty_l=12.31 N_l=-10431.00 My_l=-9.01 Mz_l=0.00
Azioni sul cordone: TP=0.81 TO=0.91 NO=-771.06
Tensioni nel cordone: τ_P=0.26 τ_0=0.29 σ_0=258.25 σ_{ID}=258.25 Σ_T=258.54
CC 16 SLD (Collegamento -044_-376)
Azioni sul collegamento: N=-9709.06 Ty=9.85 Tz=15.29 Mx=0.00 Mz=7.46
Sollecitazioni agenti localmente: Tx_l=9.85 Ty_l=15.29 N_l=-9709.06 My_l=-7.46 Mz_l=0.00
Azioni sul cordone: TP=0.72 TO=1.13 NO=-717.70
Tensioni nel cordone: τ_P=0.23 τ_0=0.36 σ_0=239.02 σ_{ID}=239.02 Σ_T=239.38
CC 16 SLD (Collegamento -044_-376)
Azioni sul collegamento: N=-9709.06 Ty=11.04 Tz=15.29 Mx=0.00 Mz=9.01
Sollecitazioni agenti localmente: Tx_l=11.04 Ty_l=15.29 N_l=-9709.06 My_l=-9.01 Mz_l=0.00
Azioni sul cordone: TP=0.81 TO=1.13 NO=-717.70
Tensioni nel cordone: τ_P=0.26 τ_0=0.36 σ_0=241.29 σ_{ID}=241.29 Σ_T=241.65
CC 16 SLD (Collegamento -044_-376)
Azioni sul collegamento: N=-9709.06 Ty=9.85 Tz=12.31 Mx=0.00 Mz=7.46
Sollecitazioni agenti localmente: Tx_l=9.85 Ty_l=12.31 N_l=-9709.06 My_l=-7.46 Mz_l=0.00
Azioni sul cordone: TP=0.72 TO=0.91 NO=-717.70
Tensioni nel cordone: τ_P=0.23 τ_0=0.29 σ_0=239.02 σ_{ID}=239.02 Σ_T=239.31
CC 16 SLD (Collegamento -044_-376)
Azioni sul collegamento: N=-9709.06 Ty=11.04 Tz=12.31 Mx=0.00 Mz=9.01
Sollecitazioni agenti localmente: Tx_l=11.04 Ty_l=12.31 N_l=-9709.06 My_l=-9.01 Mz_l=0.00
Azioni sul cordone: TP=0.81 TO=0.91 NO=-717.70
Tensioni nel cordone: τ_P=0.26 τ_0=0.29 σ_0=241.29 σ_{ID}=241.29 Σ_T=241.58
CC 17 SLV (Collegamento -044_-376)
Azioni sul collegamento: N=-5965.51 Ty=12.58 Tz=-1.56 Mx=-0.01 Mz=7.43
Sollecitazioni agenti localmente: Tx_l=12.58 Ty_l=-1.56 N_l=-5965.51 My_l=-7.43 Mz_l=-0.01
Azioni sul cordone: TP=0.94 TO=-0.13 NO=-440.97
Tensioni nel cordone: τ_P=0.30 τ_0= 0.04 σ_0=151.01 σ_{ID}=151.01 Σ_T=151.05
CC 17 SLV (Collegamento -044_-376)
Azioni sul collegamento: N=-5965.51 Ty=4.83 Tz=-1.56 Mx=-0.01 Mz=1.02
Sollecitazioni agenti localmente: Tx_l=4.83 Ty_l=-1.56 N_l=-5965.51 My_l=-1.02 Mz_l=-0.01

Azioni sul cordone: TP=0.37 TO=-0.13 NO=-440.97
Tensioni nel cordone: τ_P=0.12 τ_0= 0.04 σ_0=141.65 σ_{ID}=141.65 Σ_T=141.69
CC 17 SLV (Collegamento -044_-376)
Azioni sul collegamento: N=-5965.51 Ty=12.58 Tz=27.71 Mx=-0.01 Mz=7.43
Sollecitazioni agenti localmente: Tx_l=12.58 Ty_l=27.71 N_l=-5965.51 My_l=-7.43 Mz_l=-0.01
Azioni sul cordone: TP=0.94 TO=2.04 NO=-440.97
Tensioni nel cordone: τ_P=0.30 τ_0=0.65 σ_0=151.01 σ_{ID}=151.01 Σ_T=151.66
CC 17 SLV (Collegamento -044_-376)
Azioni sul collegamento: N=-5965.51 Ty=4.83 Tz=27.71 Mx=-0.01 Mz=1.02
Sollecitazioni agenti localmente: Tx_l=4.83 Ty_l=27.71 N_l=-5965.51 My_l=-1.02 Mz_l=-0.01
Azioni sul cordone: TP=0.37 TO=2.04 NO=-440.97
Tensioni nel cordone: τ_P=0.12 τ_0=0.65 σ_0=141.65 σ_{ID}=141.65 Σ_T=142.30
CC 17 SLV (Collegamento -044_-376)
Azioni sul collegamento: N=-13808.10 Ty=12.58 Tz=-1.56 Mx=-0.01 Mz=7.43
Sollecitazioni agenti localmente: Tx_l=12.58 Ty_l=-1.56 N_l=-13808.10 My_l=-7.43 Mz_l=-0.01
Azioni sul cordone: TP=0.94 TO=-0.13 NO=-1020.70
Tensioni nel cordone: τ_P=0.30 τ_0= 0.04 σ_0=335.28 σ_{ID}=335.28 Σ_T=335.32
CC 17 SLV (Collegamento -044_-376)
Azioni sul collegamento: N=-13808.10 Ty=4.83 Tz=-1.56 Mx=-0.01 Mz=1.02
Sollecitazioni agenti localmente: Tx_l=4.83 Ty_l=-1.56 N_l=-13808.10 My_l=-1.02 Mz_l=-0.01
Azioni sul cordone: TP=0.37 TO=-0.13 NO=-1020.70
Tensioni nel cordone: τ_P=0.12 τ_0= 0.04 σ_0=325.92 σ_{ID}=325.92 Σ_T=325.96
CC 17 SLV (Collegamento -044_-376)
Azioni sul collegamento: N=-13808.10 Ty=12.58 Tz=27.71 Mx=-0.01 Mz=7.43
Sollecitazioni agenti localmente: Tx_l=12.58 Ty_l=27.71 N_l=-13808.10 My_l=-7.43 Mz_l=-0.01
Azioni sul cordone: TP=0.94 TO=2.04 NO=-1020.70
Tensioni nel cordone: τ_P=0.30 τ_0=0.65 σ_0=335.28 σ_{ID}=335.28 Σ_T=335.93
CC 17 SLV (Collegamento -044_-376)
Azioni sul collegamento: N=-13808.10 Ty=4.83 Tz=27.71 Mx=-0.01 Mz=1.02
Sollecitazioni agenti localmente: Tx_l=4.83 Ty_l=27.71 N_l=-13808.10 My_l=-1.02 Mz_l=-0.01
Azioni sul cordone: TP=0.37 TO=2.04 NO=-1020.70
Tensioni nel cordone: τ_P=0.12 τ_0=0.65 σ_0=325.92 σ_{ID}=325.92 Σ_T=326.57
CC 18 SLD (Collegamento -044_-376)
Azioni sul collegamento: N=-8788.68 Ty=10.81 Tz=9.00 Mx=-0.00 Mz=7.34
Sollecitazioni agenti localmente: Tx_l=10.81 Ty_l=9.00 N_l=-8788.68 My_l=-7.34 Mz_l=-0.00
Azioni sul cordone: TP=0.80 TO=0.66 NO=-649.66
Tensioni nel cordone: τ_P=0.25 τ_0=0.21 σ_0=217.21 σ_{ID}=217.21 Σ_T=217.42
CC 18 SLD (Collegamento -044_-376)
Azioni sul collegamento: N=-8788.68 Ty=8.45 Tz=9.00 Mx=-0.00 Mz=5.38
Sollecitazioni agenti localmente: Tx_l=8.45 Ty_l=9.00 N_l=-8788.68 My_l=-5.38 Mz_l=-0.00
Azioni sul cordone: TP=0.63 TO=0.66 NO=-649.66
Tensioni nel cordone: τ_P=0.20 τ_0=0.21 σ_0=214.36 σ_{ID}=214.36 Σ_T=214.57
CC 18 SLD (Collegamento -044_-376)
Azioni sul collegamento: N=-8788.68 Ty=10.81 Tz=17.92 Mx=-0.00 Mz=7.34
Sollecitazioni agenti localmente: Tx_l=10.81 Ty_l=17.92 N_l=-8788.68 My_l=-7.34 Mz_l=-0.00
Azioni sul cordone: TP=0.80 TO=1.32 NO=-649.66
Tensioni nel cordone: τ_P=0.25 τ_0=0.42 σ_0=217.21 σ_{ID}=217.21 Σ_T=217.63
CC 18 SLD (Collegamento -044_-376)
Azioni sul collegamento: N=-8788.68 Ty=8.45 Tz=17.92 Mx=-0.00 Mz=5.38
Sollecitazioni agenti localmente: Tx_l=8.45 Ty_l=17.92 N_l=-8788.68 My_l=-5.38 Mz_l=-0.00
Azioni sul cordone: TP=0.63 TO=1.32 NO=-649.66
Tensioni nel cordone: τ_P=0.20 τ_0=0.42 σ_0=214.36 σ_{ID}=214.36 Σ_T=214.78
CC 18 SLD (Collegamento -044_-376)
Azioni sul collegamento: N=-11180.10 Ty=10.81 Tz=9.00 Mx=-0.00 Mz=7.34
Sollecitazioni agenti localmente: Tx_l=10.81 Ty_l=9.00 N_l=-11180.10 My_l=-7.34 Mz_l=-0.00
Azioni sul cordone: TP=0.80 TO=0.66 NO=-826.44
Tensioni nel cordone: τ_P=0.25 τ_0=0.21 σ_0=273.40 σ_{ID}=273.40 Σ_T=273.61
CC 18 SLD (Collegamento -044_-376)
Azioni sul collegamento: N=-11180.10 Ty=8.45 Tz=9.00 Mx=-0.00 Mz=5.38
Sollecitazioni agenti localmente: Tx_l=8.45 Ty_l=9.00 N_l=-11180.10 My_l=-5.38 Mz_l=-0.00
Azioni sul cordone: TP=0.63 TO=0.66 NO=-826.44
Tensioni nel cordone: τ_P=0.20 τ_0=0.21 σ_0=270.55 σ_{ID}=270.55 Σ_T=270.76
CC 18 SLD (Collegamento -044_-376)
Azioni sul collegamento: N=-11180.10 Ty=10.81 Tz=17.92 Mx=-0.00 Mz=7.34
Sollecitazioni agenti localmente: Tx_l=10.81 Ty_l=17.92 N_l=-11180.10 My_l=-7.34 Mz_l=-0.00
Azioni sul cordone: TP=0.80 TO=1.32 NO=-826.44
Tensioni nel cordone: τ_P=0.25 τ_0=0.42 σ_0=273.40 σ_{ID}=273.40 Σ_T=273.82
CC 18 SLD (Collegamento -044_-376)
Azioni sul collegamento: N=-11180.10 Ty=8.45 Tz=17.92 Mx=-0.00 Mz=5.38
Sollecitazioni agenti localmente: Tx_l=8.45 Ty_l=17.92 N_l=-11180.10 My_l=-5.38 Mz_l=-0.00
Azioni sul cordone: TP=0.63 TO=1.32 NO=-826.44
Tensioni nel cordone: τ_P=0.20 τ_0=0.42 σ_0=270.55 σ_{ID}=270.55 Σ_T=270.97
CC 19 SLV (Collegamento -044_-376)
Azioni sul collegamento: N=-5970.39 Ty=12.07 Tz=-1.24 Mx=-0.01 Mz=6.38
Sollecitazioni agenti localmente: Tx_l=12.07 Ty_l=-1.24 N_l=-5970.39 My_l=-6.38 Mz_l=-0.01
Azioni sul cordone: TP=0.90 TO=-0.10 NO=-441.33
Tensioni nel cordone: τ_P=0.29 τ_0= 0.03 σ_0=149.59 σ_{ID}=149.59 Σ_T=149.63
CC 19 SLV (Collegamento -044_-376)
Azioni sul collegamento: N=-5970.39 Ty=5.34 Tz=-1.24 Mx=-0.01 Mz=2.07

Sollecitazioni agenti localmente: Tx_l=5.34 Ty_l=-1.24 N_l=-5970.39 My_l=-2.07 Mz_l=-0.01
Azioni sul cordone: TP=0.40 TO=-0.10 NO=-441.33
Tensioni nel cordone: τ_P=0.13 τ_0= 0.03 σ_0=143.30 σ_{ID}=143.30 Σ_T=143.33
CC 19 SLV (Collegamento -044_-376)
Azioni sul collegamento: N=-5970.39 Ty=12.07 Tz=27.38 Mx=-0.01 Mz=6.38
Sollecitazioni agenti localmente: Tx_l=12.07 Ty_l=27.38 N_l=-5970.39 My_l=-6.38 Mz_l=-0.01
Azioni sul cordone: TP=0.90 TO=2.02 NO=-441.33
Tensioni nel cordone: τ_P=0.29 τ_0=0.64 σ_0=149.59 σ_{ID}=149.60 Σ_T=150.24
CC 19 SLV (Collegamento -044_-376)
Azioni sul collegamento: N=-5970.39 Ty=5.34 Tz=27.38 Mx=-0.01 Mz=2.07
Sollecitazioni agenti localmente: Tx_l=5.34 Ty_l=27.38 N_l=-5970.39 My_l=-2.07 Mz_l=-0.01
Azioni sul cordone: TP=0.40 TO=2.02 NO=-441.33
Tensioni nel cordone: τ_P=0.13 τ_0=0.64 σ_0=143.30 σ_{ID}=143.30 Σ_T=143.94
CC 19 SLV (Collegamento -044_-376)
Azioni sul collegamento: N=-13803.30 Ty=12.07 Tz=-1.24 Mx=-0.01 Mz=6.38
Sollecitazioni agenti localmente: Tx_l=12.07 Ty_l=-1.24 N_l=-13803.30 My_l=-6.38 Mz_l=-0.01
Azioni sul cordone: TP=0.90 TO=-0.10 NO=-1020.34
Tensioni nel cordone: τ_P=0.29 τ_0= 0.03 σ_0=333.63 σ_{ID}=333.63 Σ_T=333.66
CC 19 SLV (Collegamento -044_-376)
Azioni sul collegamento: N=-13803.30 Ty=5.34 Tz=-1.24 Mx=-0.01 Mz=2.07
Sollecitazioni agenti localmente: Tx_l=5.34 Ty_l=-1.24 N_l=-13803.30 My_l=-2.07 Mz_l=-0.01
Azioni sul cordone: TP=0.40 TO=-0.10 NO=-1020.34
Tensioni nel cordone: τ_P=0.13 τ_0= 0.03 σ_0=327.33 σ_{ID}=327.33 Σ_T=327.36
CC 19 SLV (Collegamento -044_-376)
Azioni sul collegamento: N=-13803.30 Ty=12.07 Tz=27.38 Mx=-0.01 Mz=6.38
Sollecitazioni agenti localmente: Tx_l=12.07 Ty_l=27.38 N_l=-13803.30 My_l=-6.38 Mz_l=-0.01
Azioni sul cordone: TP=0.90 TO=2.02 NO=-1020.34
Tensioni nel cordone: τ_P=0.29 τ_0=0.64 σ_0=333.63 σ_{ID}=333.63 Σ_T=334.27
CC 19 SLV (Collegamento -044_-376)
Azioni sul collegamento: N=-13803.30 Ty=5.34 Tz=27.38 Mx=-0.01 Mz=2.07
Sollecitazioni agenti localmente: Tx_l=5.34 Ty_l=27.38 N_l=-13803.30 My_l=-2.07 Mz_l=-0.01
Azioni sul cordone: TP=0.40 TO=2.02 NO=-1020.34
Tensioni nel cordone: τ_P=0.13 τ_0=0.64 σ_0=327.33 σ_{ID}=327.33 Σ_T=327.98
CC 20 SLD (Collegamento -044_-376)
Azioni sul collegamento: N=-8790.17 Ty=10.66 Tz=9.09 Mx=-0.00 Mz=7.02
Sollecitazioni agenti localmente: Tx_l=10.66 Ty_l=9.09 N_l=-8790.17 My_l=-7.02 Mz_l=-0.00
Azioni sul cordone: TP=0.79 TO=0.67 NO=-649.77
Tensioni nel cordone: τ_P=0.25 τ_0=0.21 σ_0=216.78 σ_{ID}=216.78 Σ_T=217.00
CC 20 SLD (Collegamento -044_-376)
Azioni sul collegamento: N=-8790.17 Ty=8.61 Tz=9.09 Mx=-0.00 Mz=5.70
Sollecitazioni agenti localmente: Tx_l=8.61 Ty_l=9.09 N_l=-8790.17 My_l=-5.70 Mz_l=-0.00
Azioni sul cordone: TP=0.64 TO=0.67 NO=-649.77
Tensioni nel cordone: τ_P=0.20 τ_0=0.21 σ_0=214.86 σ_{ID}=214.86 Σ_T=215.07
CC 20 SLD (Collegamento -044_-376)
Azioni sul collegamento: N=-8790.17 Ty=10.66 Tz=17.82 Mx=-0.00 Mz=7.02
Sollecitazioni agenti localmente: Tx_l=10.66 Ty_l=17.82 N_l=-8790.17 My_l=-7.02 Mz_l=-0.00
Azioni sul cordone: TP=0.79 TO=1.32 NO=-649.77
Tensioni nel cordone: τ_P=0.25 τ_0=0.42 σ_0=216.78 σ_{ID}=216.78 Σ_T=217.20
CC 20 SLD (Collegamento -044_-376)
Azioni sul collegamento: N=-8790.17 Ty=8.61 Tz=17.82 Mx=-0.00 Mz=5.70
Sollecitazioni agenti localmente: Tx_l=8.61 Ty_l=17.82 N_l=-8790.17 My_l=-5.70 Mz_l=-0.00
Azioni sul cordone: TP=0.64 TO=1.32 NO=-649.77
Tensioni nel cordone: τ_P=0.20 τ_0=0.42 σ_0=214.86 σ_{ID}=214.86 Σ_T=215.28
CC 20 SLD (Collegamento -044_-376)
Azioni sul collegamento: N=-11178.70 Ty=10.66 Tz=9.10 Mx=-0.00 Mz=7.02
Sollecitazioni agenti localmente: Tx_l=10.66 Ty_l=9.10 N_l=-11178.70 My_l=-7.02 Mz_l=-0.00
Azioni sul cordone: TP=0.79 TO=0.67 NO=-826.33
Tensioni nel cordone: τ_P=0.25 τ_0=0.21 σ_0=272.90 σ_{ID}=272.90 Σ_T=273.11
CC 20 SLD (Collegamento -044_-376)
Azioni sul collegamento: N=-11178.70 Ty=8.61 Tz=9.10 Mx=-0.00 Mz=5.70
Sollecitazioni agenti localmente: Tx_l=8.61 Ty_l=9.10 N_l=-11178.70 My_l=-5.70 Mz_l=-0.00
Azioni sul cordone: TP=0.64 TO=0.67 NO=-826.33
Tensioni nel cordone: τ_P=0.20 τ_0=0.21 σ_0=270.98 σ_{ID}=270.98 Σ_T=271.19
CC 20 SLD (Collegamento -044_-376)
Azioni sul collegamento: N=-11178.70 Ty=10.66 Tz=17.82 Mx=-0.00 Mz=7.02
Sollecitazioni agenti localmente: Tx_l=10.66 Ty_l=17.82 N_l=-11178.70 My_l=-7.02 Mz_l=-0.00
Azioni sul cordone: TP=0.79 TO=1.32 NO=-826.33
Tensioni nel cordone: τ_P=0.25 τ_0=0.42 σ_0=272.90 σ_{ID}=272.90 Σ_T=273.32
CC 20 SLD (Collegamento -044_-376)
Azioni sul collegamento: N=-11178.70 Ty=8.61 Tz=17.82 Mx=-0.00 Mz=5.70
Sollecitazioni agenti localmente: Tx_l=8.61 Ty_l=17.82 N_l=-11178.70 My_l=-5.70 Mz_l=-0.00
Azioni sul cordone: TP=0.64 TO=1.32 NO=-826.33
Tensioni nel cordone: τ_P=0.20 τ_0=0.42 σ_0=270.98 σ_{ID}=270.98 Σ_T=271.40
CC 21 SLV (Collegamento -044_-376)
Azioni sul collegamento: N=-13803.30 Ty=5.34 Tz=27.38 Mx=-0.01 Mz=2.07
Sollecitazioni agenti localmente: Tx_l=5.34 Ty_l=27.38 N_l=-13803.30 My_l=-2.07 Mz_l=-0.01
Azioni sul cordone: TP=0.41 TO=2.01 NO=-1020.34
Tensioni nel cordone: τ_P=0.13 τ_0=0.64 σ_0=327.33 σ_{ID}=327.33 Σ_T=327.97
CC 21 SLV (Collegamento -044_-376)

Azioni sul collegamento: N=-13803.30 Ty=12.07 Tz=27.38 Mx=-0.01 Mz=6.38
Sollecitazioni agenti localmente: Tx_l=12.07 Ty_l=27.38 N_l=-13803.30 My_l=-6.38 Mz_l=-0.01
Azioni sul cordone: TP=0.91 TO=2.01 NO=-1020.34
Tensioni nel cordone: τ_P=0.29 τ_0=0.64 σ_0=333.63 σ_{ID}=333.63 Σ_T=334.27
CC 21 SLV (Collegamento -044_-376)
Azioni sul collegamento: N=-13803.30 Ty=5.34 Tz=-1.24 Mx=-0.01 Mz=2.07
Sollecitazioni agenti localmente: Tx_l=5.34 Ty_l=-1.24 N_l=-13803.30 My_l=-2.07 Mz_l=-0.01
Azioni sul cordone: TP=0.41 TO=-0.10 NO=-1020.34
Tensioni nel cordone: τ_P=0.13 τ_0= 0.03 σ_0=327.33 σ_{ID}=327.33 Σ_T=327.37
CC 21 SLV (Collegamento -044_-376)
Azioni sul collegamento: N=-13803.30 Ty=12.07 Tz=-1.24 Mx=-0.01 Mz=6.38
Sollecitazioni agenti localmente: Tx_l=12.07 Ty_l=-1.24 N_l=-13803.30 My_l=-6.38 Mz_l=-0.01
Azioni sul cordone: TP=0.91 TO=-0.10 NO=-1020.34
Tensioni nel cordone: τ_P=0.29 τ_0= 0.03 σ_0=333.63 σ_{ID}=333.63 Σ_T=333.66
CC 21 SLV (Collegamento -044_-376)
Azioni sul collegamento: N=-5970.39 Ty=5.34 Tz=27.38 Mx=-0.01 Mz=2.07
Sollecitazioni agenti localmente: Tx_l=5.34 Ty_l=27.38 N_l=-5970.39 My_l=-2.07 Mz_l=-0.01
Azioni sul cordone: TP=0.41 TO=2.01 NO=-441.33
Tensioni nel cordone: τ_P=0.13 τ_0=0.64 σ_0=143.30 σ_{ID}=143.30 Σ_T=143.94
CC 21 SLV (Collegamento -044_-376)
Azioni sul collegamento: N=-5970.39 Ty=12.07 Tz=27.38 Mx=-0.01 Mz=6.38
Sollecitazioni agenti localmente: Tx_l=12.07 Ty_l=27.38 N_l=-5970.39 My_l=-6.38 Mz_l=-0.01
Azioni sul cordone: TP=0.91 TO=2.01 NO=-441.33
Tensioni nel cordone: τ_P=0.29 τ_0=0.64 σ_0=149.59 σ_{ID}=149.60 Σ_T=150.24
CC 21 SLV (Collegamento -044_-376)
Azioni sul collegamento: N=-5970.39 Ty=5.34 Tz=-1.24 Mx=-0.01 Mz=2.07
Sollecitazioni agenti localmente: Tx_l=5.34 Ty_l=-1.24 N_l=-5970.39 My_l=-2.07 Mz_l=-0.01
Azioni sul cordone: TP=0.41 TO=-0.10 NO=-441.33
Tensioni nel cordone: τ_P=0.13 τ_0= 0.03 σ_0=143.30 σ_{ID}=143.30 Σ_T=143.33
CC 21 SLV (Collegamento -044_-376)
Azioni sul collegamento: N=-5970.39 Ty=12.07 Tz=-1.24 Mx=-0.01 Mz=6.38
Sollecitazioni agenti localmente: Tx_l=12.07 Ty_l=-1.24 N_l=-5970.39 My_l=-6.38 Mz_l=-0.01
Azioni sul cordone: TP=0.91 TO=-0.10 NO=-441.33
Tensioni nel cordone: τ_P=0.29 τ_0= 0.03 σ_0=149.59 σ_{ID}=149.59 Σ_T=149.63
CC 22 SLD (Collegamento -044_-376)
Azioni sul collegamento: N=-11178.70 Ty=8.61 Tz=17.82 Mx=-0.00 Mz=5.70
Sollecitazioni agenti localmente: Tx_l=8.61 Ty_l=17.82 N_l=-11178.70 My_l=-5.70 Mz_l=-0.00
Azioni sul cordone: TP=0.64 TO=1.32 NO=-826.33
Tensioni nel cordone: τ_P=0.20 τ_0=0.42 σ_0=270.98 σ_{ID}=270.98 Σ_T=271.40
CC 22 SLD (Collegamento -044_-376)
Azioni sul collegamento: N=-11178.70 Ty=10.66 Tz=17.82 Mx=-0.00 Mz=7.02
Sollecitazioni agenti localmente: Tx_l=10.66 Ty_l=17.82 N_l=-11178.70 My_l=-7.02 Mz_l=-0.00
Azioni sul cordone: TP=0.79 TO=1.32 NO=-826.33
Tensioni nel cordone: τ_P=0.25 τ_0=0.42 σ_0=272.90 σ_{ID}=272.90 Σ_T=273.32
CC 22 SLD (Collegamento -044_-376)
Azioni sul collegamento: N=-11178.70 Ty=8.61 Tz=9.10 Mx=-0.00 Mz=5.70
Sollecitazioni agenti localmente: Tx_l=8.61 Ty_l=9.10 N_l=-11178.70 My_l=-5.70 Mz_l=-0.00
Azioni sul cordone: TP=0.64 TO=0.67 NO=-826.33
Tensioni nel cordone: τ_P=0.20 τ_0=0.21 σ_0=270.98 σ_{ID}=270.98 Σ_T=271.19
CC 22 SLD (Collegamento -044_-376)
Azioni sul collegamento: N=-11178.70 Ty=10.66 Tz=9.10 Mx=-0.00 Mz=7.02
Sollecitazioni agenti localmente: Tx_l=10.66 Ty_l=9.10 N_l=-11178.70 My_l=-7.02 Mz_l=-0.00
Azioni sul cordone: TP=0.79 TO=0.67 NO=-826.33
Tensioni nel cordone: τ_P=0.25 τ_0=0.21 σ_0=272.90 σ_{ID}=272.90 Σ_T=273.11
CC 22 SLD (Collegamento -044_-376)
Azioni sul collegamento: N=-8790.17 Ty=8.61 Tz=17.82 Mx=-0.00 Mz=5.70
Sollecitazioni agenti localmente: Tx_l=8.61 Ty_l=17.82 N_l=-8790.17 My_l=-5.70 Mz_l=-0.00
Azioni sul cordone: TP=0.64 TO=1.32 NO=-649.77
Tensioni nel cordone: τ_P=0.20 τ_0=0.42 σ_0=214.86 σ_{ID}=214.86 Σ_T=215.28
CC 22 SLD (Collegamento -044_-376)
Azioni sul collegamento: N=-8790.17 Ty=10.66 Tz=17.82 Mx=-0.00 Mz=7.02
Sollecitazioni agenti localmente: Tx_l=10.66 Ty_l=17.82 N_l=-8790.17 My_l=-7.02 Mz_l=-0.00
Azioni sul cordone: TP=0.79 TO=1.32 NO=-649.77
Tensioni nel cordone: τ_P=0.25 τ_0=0.42 σ_0=216.78 σ_{ID}=216.78 Σ_T=217.20
CC 22 SLD (Collegamento -044_-376)
Azioni sul collegamento: N=-8790.17 Ty=8.61 Tz=9.09 Mx=-0.00 Mz=5.70
Sollecitazioni agenti localmente: Tx_l=8.61 Ty_l=9.09 N_l=-8790.17 My_l=-5.70 Mz_l=-0.00
Azioni sul cordone: TP=0.64 TO=0.67 NO=-649.77
Tensioni nel cordone: τ_P=0.20 τ_0=0.21 σ_0=214.86 σ_{ID}=214.86 Σ_T=215.07
CC 22 SLD (Collegamento -044_-376)
Azioni sul collegamento: N=-8790.17 Ty=10.66 Tz=9.09 Mx=-0.00 Mz=7.02
Sollecitazioni agenti localmente: Tx_l=10.66 Ty_l=9.09 N_l=-8790.17 My_l=-7.02 Mz_l=-0.00
Azioni sul cordone: TP=0.79 TO=0.67 NO=-649.77
Tensioni nel cordone: τ_P=0.25 τ_0=0.21 σ_0=216.78 σ_{ID}=216.78 Σ_T=217.00
CC 23 SLV (Collegamento -044_-376)
Azioni sul collegamento: N=-13808.10 Ty=4.83 Tz=27.71 Mx=-0.01 Mz=1.02
Sollecitazioni agenti localmente: Tx_l=4.83 Ty_l=27.71 N_l=-13808.10 My_l=-1.02 Mz_l=-0.01
Azioni sul cordone: TP=0.37 TO=2.04 NO=-1020.70
Tensioni nel cordone: τ_P=0.12 τ_0=0.65 σ_0=325.92 σ_{ID}=325.92 Σ_T=326.57

CC 23 SLV (Collegamento -044_-376)
Azioni sul collegamento: N=-13808.10 Ty=12.58 Tz=27.71 Mx=-0.01 Mz=7.43
Sollecitazioni agenti localmente: Tx_l=12.58 Ty_l=27.71 N_l=-13808.10 My_l=-7.43 Mz_l=-0.01
Azioni sul cordone: TP=0.94 TO=2.04 NO=-1020.70
Tensioni nel cordone: τ_P=0.30 τ_0=0.65 σ_0=335.28 σ_{ID}=335.28 Σ_T=335.93
CC 23 SLV (Collegamento -044_-376)
Azioni sul collegamento: N=-13808.10 Ty=4.83 Tz=-1.56 Mx=-0.01 Mz=1.02
Sollecitazioni agenti localmente: Tx_l=4.83 Ty_l=-1.56 N_l=-13808.10 My_l=-1.02 Mz_l=-0.01
Azioni sul cordone: TP=0.37 TO=-0.12 NO=-1020.70
Tensioni nel cordone: τ_P=0.12 τ_0= 0.04 σ_0=325.92 σ_{ID}=325.92 Σ_T=325.96
CC 23 SLV (Collegamento -044_-376)
Azioni sul collegamento: N=-13808.10 Ty=12.58 Tz=-1.56 Mx=-0.01 Mz=7.43
Sollecitazioni agenti localmente: Tx_l=12.58 Ty_l=-1.56 N_l=-13808.10 My_l=-7.43 Mz_l=-0.01
Azioni sul cordone: TP=0.94 TO=-0.12 NO=-1020.70
Tensioni nel cordone: τ_P=0.30 τ_0= 0.04 σ_0=335.28 σ_{ID}=335.28 Σ_T=335.31
CC 23 SLV (Collegamento -044_-376)
Azioni sul collegamento: N=-5965.51 Ty=4.83 Tz=27.71 Mx=-0.01 Mz=1.02
Sollecitazioni agenti localmente: Tx_l=4.83 Ty_l=27.71 N_l=-5965.51 My_l=-1.02 Mz_l=-0.01
Azioni sul cordone: TP=0.37 TO=2.04 NO=-440.97
Tensioni nel cordone: τ_P=0.12 τ_0=0.65 σ_0=141.65 σ_{ID}=141.65 Σ_T=142.30
CC 23 SLV (Collegamento -044_-376)
Azioni sul collegamento: N=-5965.51 Ty=12.58 Tz=27.71 Mx=-0.01 Mz=7.43
Sollecitazioni agenti localmente: Tx_l=12.58 Ty_l=27.71 N_l=-5965.51 My_l=-7.43 Mz_l=-0.01
Azioni sul cordone: TP=0.94 TO=2.04 NO=-440.97
Tensioni nel cordone: τ_P=0.30 τ_0=0.65 σ_0=151.01 σ_{ID}=151.01 Σ_T=151.66
CC 23 SLV (Collegamento -044_-376)
Azioni sul collegamento: N=-5965.51 Ty=4.83 Tz=-1.56 Mx=-0.01 Mz=1.02
Sollecitazioni agenti localmente: Tx_l=4.83 Ty_l=-1.56 N_l=-5965.51 My_l=-1.02 Mz_l=-0.01
Azioni sul cordone: TP=0.37 TO=-0.12 NO=-440.97
Tensioni nel cordone: τ_P=0.12 τ_0= 0.04 σ_0=141.65 σ_{ID}=141.65 Σ_T=141.69
CC 23 SLV (Collegamento -044_-376)
Azioni sul collegamento: N=-5965.51 Ty=12.58 Tz=-1.56 Mx=-0.01 Mz=7.43
Sollecitazioni agenti localmente: Tx_l=12.58 Ty_l=-1.56 N_l=-5965.51 My_l=-7.43 Mz_l=-0.01
Azioni sul cordone: TP=0.94 TO=-0.12 NO=-440.97
Tensioni nel cordone: τ_P=0.30 τ_0= 0.04 σ_0=151.01 σ_{ID}=151.01 Σ_T=151.05
CC 24 SLD (Collegamento -044_-376)
Azioni sul collegamento: N=-11180.10 Ty=8.45 Tz=17.92 Mx=-0.00 Mz=5.38
Sollecitazioni agenti localmente: Tx_l=8.45 Ty_l=17.92 N_l=-11180.10 My_l=-5.38 Mz_l=-0.00
Azioni sul cordone: TP=0.62 TO=1.32 NO=-826.44
Tensioni nel cordone: τ_P=0.20 τ_0=0.42 σ_0=270.55 σ_{ID}=270.55 Σ_T=270.97
CC 24 SLD (Collegamento -044_-376)
Azioni sul collegamento: N=-11180.10 Ty=10.81 Tz=17.92 Mx=-0.00 Mz=7.34
Sollecitazioni agenti localmente: Tx_l=10.81 Ty_l=17.92 N_l=-11180.10 My_l=-7.34 Mz_l=-0.00
Azioni sul cordone: TP=0.80 TO=1.32 NO=-826.44
Tensioni nel cordone: τ_P=0.25 τ_0=0.42 σ_0=273.40 σ_{ID}=273.40 Σ_T=273.82
CC 24 SLD (Collegamento -044_-376)
Azioni sul collegamento: N=-11180.10 Ty=8.45 Tz=9.00 Mx=-0.00 Mz=5.38
Sollecitazioni agenti localmente: Tx_l=8.45 Ty_l=9.00 N_l=-11180.10 My_l=-5.38 Mz_l=-0.00
Azioni sul cordone: TP=0.62 TO=0.66 NO=-826.44
Tensioni nel cordone: τ_P=0.20 τ_0=0.21 σ_0=270.55 σ_{ID}=270.55 Σ_T=270.76
CC 24 SLD (Collegamento -044_-376)
Azioni sul collegamento: N=-11180.10 Ty=10.81 Tz=9.00 Mx=-0.00 Mz=7.34
Sollecitazioni agenti localmente: Tx_l=10.81 Ty_l=9.00 N_l=-11180.10 My_l=-7.34 Mz_l=-0.00
Azioni sul cordone: TP=0.80 TO=0.66 NO=-826.44
Tensioni nel cordone: τ_P=0.25 τ_0=0.21 σ_0=273.40 σ_{ID}=273.40 Σ_T=273.61
CC 24 SLD (Collegamento -044_-376)
Azioni sul collegamento: N=-8788.68 Ty=8.45 Tz=17.92 Mx=-0.00 Mz=5.38
Sollecitazioni agenti localmente: Tx_l=8.45 Ty_l=17.92 N_l=-8788.68 My_l=-5.38 Mz_l=-0.00
Azioni sul cordone: TP=0.62 TO=1.32 NO=-649.66
Tensioni nel cordone: τ_P=0.20 τ_0=0.42 σ_0=214.36 σ_{ID}=214.36 Σ_T=214.78
CC 24 SLD (Collegamento -044_-376)
Azioni sul collegamento: N=-8788.68 Ty=10.81 Tz=17.92 Mx=-0.00 Mz=7.34
Sollecitazioni agenti localmente: Tx_l=10.81 Ty_l=17.92 N_l=-8788.68 My_l=-7.34 Mz_l=-0.00
Azioni sul cordone: TP=0.80 TO=1.32 NO=-649.66
Tensioni nel cordone: τ_P=0.25 τ_0=0.42 σ_0=217.21 σ_{ID}=217.21 Σ_T=217.63
CC 24 SLD (Collegamento -044_-376)
Azioni sul collegamento: N=-8788.68 Ty=8.45 Tz=9.00 Mx=-0.00 Mz=5.38
Sollecitazioni agenti localmente: Tx_l=8.45 Ty_l=9.00 N_l=-8788.68 My_l=-5.38 Mz_l=-0.00
Azioni sul cordone: TP=0.62 TO=0.66 NO=-649.66
Tensioni nel cordone: τ_P=0.20 τ_0=0.21 σ_0=214.36 σ_{ID}=214.36 Σ_T=214.57
CC 24 SLD (Collegamento -044_-376)
Azioni sul collegamento: N=-8788.68 Ty=10.81 Tz=9.00 Mx=-0.00 Mz=7.34
Sollecitazioni agenti localmente: Tx_l=10.81 Ty_l=9.00 N_l=-8788.68 My_l=-7.34 Mz_l=-0.00
Azioni sul cordone: TP=0.80 TO=0.66 NO=-649.66
Tensioni nel cordone: τ_P=0.25 τ_0=0.21 σ_0=217.21 σ_{ID}=217.21 Σ_T=217.43
CC 25 SLV (Collegamento -044_-376)
Azioni sul collegamento: N=-8703.02 Ty=10.65 Tz=8.19 Mx=-0.02 Mz=6.77
Sollecitazioni agenti localmente: Tx_l=10.65 Ty_l=8.19 N_l=-8703.02 My_l=-6.77 Mz_l=-0.02
Azioni sul cordone: TP=0.81 TO=0.59 NO=-643.33

Tensioni nel cordone: τ_P=0.26 τ_0=0.19 σ_0=214.38 σ_{ID}=214.38 Σ_T=214.56
CC 25 SLV (Collegamento -044_-376)
Azioni sul collegamento: N=-8703.02 Ty=6.76 Tz=8.19 Mx=-0.02 Mz=1.67
Sollecitazioni agenti localmente: Tx_l=6.76 Ty_l=8.19 N_l=-8703.02 My_l=-1.67 Mz_l=-0.02
Azioni sul cordone: TP=0.52 TO=0.59 NO=-643.33
Tensioni nel cordone: τ_P=0.17 τ_0=0.19 σ_0=206.93 σ_{ID}=206.93 Σ_T=207.11
CC 25 SLV (Collegamento -044_-376)
Azioni sul collegamento: N=-8703.02 Ty=10.65 Tz=17.96 Mx=-0.02 Mz=6.77
Sollecitazioni agenti localmente: Tx_l=10.65 Ty_l=17.96 N_l=-8703.02 My_l=-6.77 Mz_l=-0.02
Azioni sul cordone: TP=0.81 TO=1.31 NO=-643.33
Tensioni nel cordone: τ_P=0.26 τ_0=0.42 σ_0=214.38 σ_{ID}=214.38 Σ_T=214.79
CC 25 SLV (Collegamento -044_-376)
Azioni sul collegamento: N=-8703.02 Ty=6.76 Tz=17.96 Mx=-0.02 Mz=1.67
Sollecitazioni agenti localmente: Tx_l=6.76 Ty_l=17.96 N_l=-8703.02 My_l=-1.67 Mz_l=-0.02
Azioni sul cordone: TP=0.52 TO=1.31 NO=-643.33
Tensioni nel cordone: τ_P=0.17 τ_0=0.42 σ_0=206.93 σ_{ID}=206.93 Σ_T=207.34
CC 25 SLV (Collegamento -044_-376)
Azioni sul collegamento: N=-11070.60 Ty=10.65 Tz=8.19 Mx=-0.02 Mz=6.77
Sollecitazioni agenti localmente: Tx_l=10.65 Ty_l=8.19 N_l=-11070.60 My_l=-6.77 Mz_l=-0.02
Azioni sul cordone: TP=0.81 TO=0.59 NO=-818.34
Tensioni nel cordone: τ_P=0.26 τ_0=0.19 σ_0=270.00 σ_{ID}=270.00 Σ_T=270.19
CC 25 SLV (Collegamento -044_-376)
Azioni sul collegamento: N=-11070.60 Ty=6.76 Tz=8.19 Mx=-0.02 Mz=1.67
Sollecitazioni agenti localmente: Tx_l=6.76 Ty_l=8.19 N_l=-11070.60 My_l=-1.67 Mz_l=-0.02
Azioni sul cordone: TP=0.52 TO=0.59 NO=-818.34
Tensioni nel cordone: τ_P=0.17 τ_0=0.19 σ_0=262.55 σ_{ID}=262.55 Σ_T=262.74
CC 25 SLV (Collegamento -044_-376)
Azioni sul collegamento: N=-11070.60 Ty=10.65 Tz=17.96 Mx=-0.02 Mz=6.77
Sollecitazioni agenti localmente: Tx_l=10.65 Ty_l=17.96 N_l=-11070.60 My_l=-6.77 Mz_l=-0.02
Azioni sul cordone: TP=0.81 TO=1.31 NO=-818.34
Tensioni nel cordone: τ_P=0.26 τ_0=0.42 σ_0=270.00 σ_{ID}=270.00 Σ_T=270.42
CC 25 SLV (Collegamento -044_-376)
Azioni sul collegamento: N=-11070.60 Ty=6.76 Tz=17.96 Mx=-0.02 Mz=1.67
Sollecitazioni agenti localmente: Tx_l=6.76 Ty_l=17.96 N_l=-11070.60 My_l=-1.67 Mz_l=-0.02
Azioni sul cordone: TP=0.52 TO=1.31 NO=-818.34
Tensioni nel cordone: τ_P=0.17 τ_0=0.42 σ_0=262.55 σ_{ID}=262.55 Σ_T=262.97
CC 26 SLD (Collegamento -044_-376)
Azioni sul collegamento: N=-9623.43 Ty=10.22 Tz=11.97 Mx=-0.00 Mz=7.14
Sollecitazioni agenti localmente: Tx_l=10.22 Ty_l=11.97 N_l=-9623.43 My_l=-7.14 Mz_l=-0.00
Azioni sul cordone: TP=0.76 TO=0.88 NO=-711.37
Tensioni nel cordone: τ_P=0.24 τ_0=0.28 σ_0=236.53 σ_{ID}=236.54 Σ_T=236.82
CC 26 SLD (Collegamento -044_-376)
Azioni sul collegamento: N=-9623.43 Ty=9.04 Tz=11.97 Mx=-0.00 Mz=5.58
Sollecitazioni agenti localmente: Tx_l=9.04 Ty_l=11.97 N_l=-9623.43 My_l=-5.58 Mz_l=-0.00
Azioni sul cordone: TP=0.67 TO=0.88 NO=-711.37
Tensioni nel cordone: τ_P=0.21 τ_0=0.28 σ_0=234.26 σ_{ID}=234.26 Σ_T=234.54
CC 26 SLD (Collegamento -044_-376)
Azioni sul collegamento: N=-9623.43 Ty=10.22 Tz=14.95 Mx=-0.00 Mz=7.14
Sollecitazioni agenti localmente: Tx_l=10.22 Ty_l=14.95 N_l=-9623.43 My_l=-7.14 Mz_l=-0.00
Azioni sul cordone: TP=0.76 TO=1.10 NO=-711.37
Tensioni nel cordone: τ_P=0.24 τ_0=0.35 σ_0=236.53 σ_{ID}=236.54 Σ_T=236.89
CC 26 SLD (Collegamento -044_-376)
Azioni sul collegamento: N=-9623.43 Ty=9.04 Tz=14.95 Mx=-0.00 Mz=5.58
Sollecitazioni agenti localmente: Tx_l=9.04 Ty_l=14.95 N_l=-9623.43 My_l=-5.58 Mz_l=-0.00
Azioni sul cordone: TP=0.67 TO=1.10 NO=-711.37
Tensioni nel cordone: τ_P=0.21 τ_0=0.35 σ_0=234.26 σ_{ID}=234.26 Σ_T=234.61
CC 26 SLD (Collegamento -044_-376)
Azioni sul collegamento: N=-10345.40 Ty=10.22 Tz=11.97 Mx=-0.00 Mz=7.14
Sollecitazioni agenti localmente: Tx_l=10.22 Ty_l=11.97 N_l=-10345.40 My_l=-7.14 Mz_l=-0.00
Azioni sul cordone: TP=0.76 TO=0.88 NO=-764.73
Tensioni nel cordone: τ_P=0.24 τ_0=0.28 σ_0=253.50 σ_{ID}=253.50 Σ_T=253.78
CC 26 SLD (Collegamento -044_-376)
Azioni sul collegamento: N=-10345.40 Ty=9.04 Tz=11.97 Mx=-0.00 Mz=5.58
Sollecitazioni agenti localmente: Tx_l=9.04 Ty_l=11.97 N_l=-10345.40 My_l=-5.58 Mz_l=-0.00
Azioni sul cordone: TP=0.67 TO=0.88 NO=-764.73
Tensioni nel cordone: τ_P=0.21 τ_0=0.28 σ_0=251.23 σ_{ID}=251.23 Σ_T=251.51
CC 26 SLD (Collegamento -044_-376)
Azioni sul collegamento: N=-10345.40 Ty=10.22 Tz=14.95 Mx=-0.00 Mz=7.14
Sollecitazioni agenti localmente: Tx_l=10.22 Ty_l=14.95 N_l=-10345.40 My_l=-7.14 Mz_l=-0.00
Azioni sul cordone: TP=0.76 TO=1.10 NO=-764.73
Tensioni nel cordone: τ_P=0.24 τ_0=0.35 σ_0=253.50 σ_{ID}=253.50 Σ_T=253.85
CC 26 SLD (Collegamento -044_-376)
Azioni sul collegamento: N=-10345.40 Ty=9.04 Tz=14.95 Mx=-0.00 Mz=5.58
Sollecitazioni agenti localmente: Tx_l=9.04 Ty_l=14.95 N_l=-10345.40 My_l=-5.58 Mz_l=-0.00
Azioni sul cordone: TP=0.67 TO=1.10 NO=-764.73
Tensioni nel cordone: τ_P=0.21 τ_0=0.35 σ_0=251.23 σ_{ID}=251.23 Σ_T=251.58
CC 27 SLV (Collegamento -044_-376)
Azioni sul collegamento: N=-11054.30 Ty=8.48 Tz=16.87 Mx=-0.02 Mz=5.16
Sollecitazioni agenti localmente: Tx_l=8.48 Ty_l=16.87 N_l=-11054.30 My_l=-5.16 Mz_l=-0.02

Azioni sul cordone: TP=0.65 TO=1.23 NO=-817.14
Tensioni nel cordone: τ_P=0.21 τ_O=0.39 σ_O=267.27 σ_{ID}=267.27 Σ_T=267.66
CC 27 SLV (Collegamento -044_-376)
Azioni sul collegamento: N=-11054.30 Ty=8.94 Tz=16.87 Mx=-0.02 Mz=3.28
Sollecitazioni agenti localmente: Tx_l=8.94 Ty_l=16.87 N_l=-11054.30 My_l=-3.28 Mz_l=-0.02
Azioni sul cordone: TP=0.68 TO=1.23 NO=-817.14
Tensioni nel cordone: τ_P=0.22 τ_O=0.39 σ_O=264.52 σ_{ID}=264.52 Σ_T=264.91
CC 27 SLV (Collegamento -044_-376)
Azioni sul collegamento: N=-11054.30 Ty=8.48 Tz=9.28 Mx=-0.02 Mz=5.16
Sollecitazioni agenti localmente: Tx_l=8.48 Ty_l=9.28 N_l=-11054.30 My_l=-5.16 Mz_l=-0.02
Azioni sul cordone: TP=0.65 TO=0.67 NO=-817.14
Tensioni nel cordone: τ_P=0.21 τ_O=0.21 σ_O=267.27 σ_{ID}=267.27 Σ_T=267.49
CC 27 SLV (Collegamento -044_-376)
Azioni sul collegamento: N=-11054.30 Ty=8.94 Tz=9.28 Mx=-0.02 Mz=3.28
Sollecitazioni agenti localmente: Tx_l=8.94 Ty_l=9.28 N_l=-11054.30 My_l=-3.28 Mz_l=-0.02
Azioni sul cordone: TP=0.68 TO=0.67 NO=-817.14
Tensioni nel cordone: τ_P=0.22 τ_O=0.21 σ_O=264.52 σ_{ID}=264.52 Σ_T=264.73
CC 27 SLV (Collegamento -044_-376)
Azioni sul collegamento: N=-8719.31 Ty=8.48 Tz=16.87 Mx=-0.02 Mz=5.16
Sollecitazioni agenti localmente: Tx_l=8.48 Ty_l=16.87 N_l=-8719.31 My_l=-5.16 Mz_l=-0.02
Azioni sul cordone: TP=0.65 TO=1.23 NO=-644.53
Tensioni nel cordone: τ_P=0.21 τ_O=0.39 σ_O=212.41 σ_{ID}=212.41 Σ_T=212.80
CC 27 SLV (Collegamento -044_-376)
Azioni sul collegamento: N=-8719.31 Ty=8.94 Tz=16.87 Mx=-0.02 Mz=3.28
Sollecitazioni agenti localmente: Tx_l=8.94 Ty_l=16.87 N_l=-8719.31 My_l=-3.28 Mz_l=-0.02
Azioni sul cordone: TP=0.68 TO=1.23 NO=-644.53
Tensioni nel cordone: τ_P=0.22 τ_O=0.39 σ_O=209.66 σ_{ID}=209.66 Σ_T=210.05
CC 27 SLV (Collegamento -044_-376)
Azioni sul collegamento: N=-8719.31 Ty=8.48 Tz=9.28 Mx=-0.02 Mz=5.16
Sollecitazioni agenti localmente: Tx_l=8.48 Ty_l=9.28 N_l=-8719.31 My_l=-5.16 Mz_l=-0.02
Azioni sul cordone: TP=0.65 TO=0.67 NO=-644.53
Tensioni nel cordone: τ_P=0.21 τ_O=0.21 σ_O=212.41 σ_{ID}=212.41 Σ_T=212.62
CC 27 SLV (Collegamento -044_-376)
Azioni sul collegamento: N=-8719.31 Ty=8.94 Tz=9.28 Mx=-0.02 Mz=3.28
Sollecitazioni agenti localmente: Tx_l=8.94 Ty_l=9.28 N_l=-8719.31 My_l=-3.28 Mz_l=-0.02
Azioni sul cordone: TP=0.68 TO=0.67 NO=-644.53
Tensioni nel cordone: τ_P=0.22 τ_O=0.21 σ_O=209.66 σ_{ID}=209.66 Σ_T=209.87
CC 28 SLD (Collegamento -044_-376)
Azioni sul collegamento: N=-10340.40 Ty=9.56 Tz=14.62 Mx=-0.00 Mz=6.65
Sollecitazioni agenti localmente: Tx_l=9.56 Ty_l=14.62 N_l=-10340.40 My_l=-6.65 Mz_l=-0.00
Azioni sul cordone: TP=0.71 TO=1.08 NO=-764.37
Tensioni nel cordone: τ_P=0.23 τ_O=0.34 σ_O=252.66 σ_{ID}=252.67 Σ_T=253.01
CC 28 SLD (Collegamento -044_-376)
Azioni sul collegamento: N=-10340.40 Ty=9.70 Tz=14.62 Mx=-0.00 Mz=6.07
Sollecitazioni agenti localmente: Tx_l=9.70 Ty_l=14.62 N_l=-10340.40 My_l=-6.07 Mz_l=-0.00
Azioni sul cordone: TP=0.72 TO=1.08 NO=-764.37
Tensioni nel cordone: τ_P=0.23 τ_O=0.34 σ_O=251.83 σ_{ID}=251.83 Σ_T=252.17
CC 28 SLD (Collegamento -044_-376)
Azioni sul collegamento: N=-10340.40 Ty=9.56 Tz=12.30 Mx=-0.00 Mz=6.65
Sollecitazioni agenti localmente: Tx_l=9.56 Ty_l=12.30 N_l=-10340.40 My_l=-6.65 Mz_l=-0.00
Azioni sul cordone: TP=0.71 TO=0.91 NO=-764.37
Tensioni nel cordone: τ_P=0.23 τ_O=0.29 σ_O=252.66 σ_{ID}=252.67 Σ_T=252.95
CC 28 SLD (Collegamento -044_-376)
Azioni sul collegamento: N=-10340.40 Ty=9.70 Tz=12.30 Mx=-0.00 Mz=6.07
Sollecitazioni agenti localmente: Tx_l=9.70 Ty_l=12.30 N_l=-10340.40 My_l=-6.07 Mz_l=-0.00
Azioni sul cordone: TP=0.72 TO=0.91 NO=-764.37
Tensioni nel cordone: τ_P=0.23 τ_O=0.29 σ_O=251.83 σ_{ID}=251.83 Σ_T=252.11
CC 28 SLD (Collegamento -044_-376)
Azioni sul collegamento: N=-9628.40 Ty=9.56 Tz=14.62 Mx=-0.00 Mz=6.65
Sollecitazioni agenti localmente: Tx_l=9.56 Ty_l=14.62 N_l=-9628.40 My_l=-6.65 Mz_l=-0.00
Azioni sul cordone: TP=0.71 TO=1.08 NO=-711.73
Tensioni nel cordone: τ_P=0.23 τ_O=0.34 σ_O=235.94 σ_{ID}=235.94 Σ_T=236.28
CC 28 SLD (Collegamento -044_-376)
Azioni sul collegamento: N=-9628.40 Ty=9.70 Tz=14.62 Mx=-0.00 Mz=6.07
Sollecitazioni agenti localmente: Tx_l=9.70 Ty_l=14.62 N_l=-9628.40 My_l=-6.07 Mz_l=-0.00
Azioni sul cordone: TP=0.72 TO=1.08 NO=-711.73
Tensioni nel cordone: τ_P=0.23 τ_O=0.34 σ_O=235.10 σ_{ID}=235.10 Σ_T=235.44
CC 28 SLD (Collegamento -044_-376)
Azioni sul collegamento: N=-9628.40 Ty=9.56 Tz=12.30 Mx=-0.00 Mz=6.65
Sollecitazioni agenti localmente: Tx_l=9.56 Ty_l=12.30 N_l=-9628.40 My_l=-6.65 Mz_l=-0.00
Azioni sul cordone: TP=0.71 TO=0.91 NO=-711.73
Tensioni nel cordone: τ_P=0.23 τ_O=0.29 σ_O=235.94 σ_{ID}=235.94 Σ_T=236.22
CC 28 SLD (Collegamento -044_-376)
Azioni sul collegamento: N=-9628.40 Ty=9.70 Tz=12.30 Mx=-0.00 Mz=6.07
Sollecitazioni agenti localmente: Tx_l=9.70 Ty_l=12.30 N_l=-9628.40 My_l=-6.07 Mz_l=-0.00
Azioni sul cordone: TP=0.72 TO=0.91 NO=-711.73
Tensioni nel cordone: τ_P=0.23 τ_O=0.29 σ_O=235.10 σ_{ID}=235.10 Σ_T=235.38
CC 29 SLV (Collegamento -044_-376)
Azioni sul collegamento: N=-8719.31 Ty=8.94 Tz=9.28 Mx=-0.00 Mz=3.28

Sollecitazioni agenti localmente: Tx_l=8.94 Ty_l=9.28 N_l=-8719.31 My_l=-3.28 Mz_l=-0.00
Azioni sul cordone: TP=0.66 TO=0.68 NO=-644.53
Tensioni nel cordone: τ_P=0.21 τ_0=0.22 σ_0=209.66 σ_{ID}=209.66 Σ_T=209.88
CC 29 SLV (Collegamento -044_-376)
Azioni sul collegamento: N=-8719.31 Ty=8.48 Tz=9.28 Mx=-0.00 Mz=5.16
Sollecitazioni agenti localmente: Tx_l=8.48 Ty_l=9.28 N_l=-8719.31 My_l=-5.16 Mz_l=-0.00
Azioni sul cordone: TP=0.63 TO=0.68 NO=-644.53
Tensioni nel cordone: τ_P=0.20 τ_0=0.22 σ_0=212.41 σ_{ID}=212.41 Σ_T=212.63
CC 29 SLV (Collegamento -044_-376)
Azioni sul collegamento: N=-8719.31 Ty=8.94 Tz=16.87 Mx=-0.00 Mz=3.28
Sollecitazioni agenti localmente: Tx_l=8.94 Ty_l=16.87 N_l=-8719.31 My_l=-3.28 Mz_l=-0.00
Azioni sul cordone: TP=0.66 TO=1.25 NO=-644.53
Tensioni nel cordone: τ_P=0.21 τ_0=0.40 σ_0=209.66 σ_{ID}=209.66 Σ_T=210.05
CC 29 SLV (Collegamento -044_-376)
Azioni sul collegamento: N=-8719.31 Ty=8.48 Tz=16.87 Mx=-0.00 Mz=5.16
Sollecitazioni agenti localmente: Tx_l=8.48 Ty_l=16.87 N_l=-8719.31 My_l=-5.16 Mz_l=-0.00
Azioni sul cordone: TP=0.63 TO=1.25 NO=-644.53
Tensioni nel cordone: τ_P=0.20 τ_0=0.40 σ_0=212.41 σ_{ID}=212.41 Σ_T=212.81
CC 29 SLV (Collegamento -044_-376)
Azioni sul collegamento: N=-11054.30 Ty=8.94 Tz=9.28 Mx=-0.00 Mz=3.28
Sollecitazioni agenti localmente: Tx_l=8.94 Ty_l=9.28 N_l=-11054.30 My_l=-3.28 Mz_l=-0.00
Azioni sul cordone: TP=0.66 TO=0.68 NO=-817.14
Tensioni nel cordone: τ_P=0.21 τ_0=0.22 σ_0=264.52 σ_{ID}=264.52 Σ_T=264.74
CC 29 SLV (Collegamento -044_-376)
Azioni sul collegamento: N=-11054.30 Ty=8.48 Tz=9.28 Mx=-0.00 Mz=5.16
Sollecitazioni agenti localmente: Tx_l=8.48 Ty_l=9.28 N_l=-11054.30 My_l=-5.16 Mz_l=-0.00
Azioni sul cordone: TP=0.63 TO=0.68 NO=-817.14
Tensioni nel cordone: τ_P=0.20 τ_0=0.22 σ_0=267.27 σ_{ID}=267.27 Σ_T=267.49
CC 29 SLV (Collegamento -044_-376)
Azioni sul collegamento: N=-11054.30 Ty=8.94 Tz=16.87 Mx=-0.00 Mz=3.28
Sollecitazioni agenti localmente: Tx_l=8.94 Ty_l=16.87 N_l=-11054.30 My_l=-3.28 Mz_l=-0.00
Azioni sul cordone: TP=0.66 TO=1.25 NO=-817.14
Tensioni nel cordone: τ_P=0.21 τ_0=0.40 σ_0=264.52 σ_{ID}=264.52 Σ_T=264.92
CC 29 SLV (Collegamento -044_-376)
Azioni sul collegamento: N=-11054.30 Ty=8.48 Tz=16.87 Mx=-0.00 Mz=5.16
Sollecitazioni agenti localmente: Tx_l=8.48 Ty_l=16.87 N_l=-11054.30 My_l=-5.16 Mz_l=-0.00
Azioni sul cordone: TP=0.63 TO=1.25 NO=-817.14
Tensioni nel cordone: τ_P=0.20 τ_0=0.40 σ_0=267.27 σ_{ID}=267.27 Σ_T=267.67
CC 30 SLD (Collegamento -044_-376)
Azioni sul collegamento: N=-9628.40 Ty=9.70 Tz=12.30 Mx=0.00 Mz=6.07
Sollecitazioni agenti localmente: Tx_l=9.70 Ty_l=12.30 N_l=-9628.40 My_l=-6.07 Mz_l=0.00
Azioni sul cordone: TP=0.72 TO=0.91 NO=-711.73
Tensioni nel cordone: τ_P=0.23 τ_0=0.29 σ_0=235.10 σ_{ID}=235.10 Σ_T=235.39
CC 30 SLD (Collegamento -044_-376)
Azioni sul collegamento: N=-9628.40 Ty=9.56 Tz=12.30 Mx=0.00 Mz=6.65
Sollecitazioni agenti localmente: Tx_l=9.56 Ty_l=12.30 N_l=-9628.40 My_l=-6.65 Mz_l=0.00
Azioni sul cordone: TP=0.71 TO=0.91 NO=-711.73
Tensioni nel cordone: τ_P=0.22 τ_0=0.29 σ_0=235.94 σ_{ID}=235.94 Σ_T=236.22
CC 30 SLD (Collegamento -044_-376)
Azioni sul collegamento: N=-9628.40 Ty=9.70 Tz=14.62 Mx=0.00 Mz=6.07
Sollecitazioni agenti localmente: Tx_l=9.70 Ty_l=14.62 N_l=-9628.40 My_l=-6.07 Mz_l=0.00
Azioni sul cordone: TP=0.72 TO=1.08 NO=-711.73
Tensioni nel cordone: τ_P=0.23 τ_0=0.34 σ_0=235.10 σ_{ID}=235.10 Σ_T=235.44
CC 30 SLD (Collegamento -044_-376)
Azioni sul collegamento: N=-9628.40 Ty=9.56 Tz=14.62 Mx=0.00 Mz=6.65
Sollecitazioni agenti localmente: Tx_l=9.56 Ty_l=14.62 N_l=-9628.40 My_l=-6.65 Mz_l=0.00
Azioni sul cordone: TP=0.71 TO=1.08 NO=-711.73
Tensioni nel cordone: τ_P=0.22 τ_0=0.34 σ_0=235.94 σ_{ID}=235.94 Σ_T=236.28
CC 30 SLD (Collegamento -044_-376)
Azioni sul collegamento: N=-10340.40 Ty=9.70 Tz=12.30 Mx=0.00 Mz=6.07
Sollecitazioni agenti localmente: Tx_l=9.70 Ty_l=12.30 N_l=-10340.40 My_l=-6.07 Mz_l=0.00
Azioni sul cordone: TP=0.72 TO=0.91 NO=-764.37
Tensioni nel cordone: τ_P=0.23 τ_0=0.29 σ_0=251.83 σ_{ID}=251.83 Σ_T=252.12
CC 30 SLD (Collegamento -044_-376)
Azioni sul collegamento: N=-10340.40 Ty=9.56 Tz=12.30 Mx=0.00 Mz=6.65
Sollecitazioni agenti localmente: Tx_l=9.56 Ty_l=12.30 N_l=-10340.40 My_l=-6.65 Mz_l=0.00
Azioni sul cordone: TP=0.71 TO=0.91 NO=-764.37
Tensioni nel cordone: τ_P=0.22 τ_0=0.29 σ_0=252.66 σ_{ID}=252.67 Σ_T=252.96
CC 30 SLD (Collegamento -044_-376)
Azioni sul collegamento: N=-10340.40 Ty=9.70 Tz=14.62 Mx=0.00 Mz=6.07
Sollecitazioni agenti localmente: Tx_l=9.70 Ty_l=14.62 N_l=-10340.40 My_l=-6.07 Mz_l=0.00
Azioni sul cordone: TP=0.72 TO=1.08 NO=-764.37
Tensioni nel cordone: τ_P=0.23 τ_0=0.34 σ_0=251.83 σ_{ID}=251.83 Σ_T=252.17
CC 30 SLD (Collegamento -044_-376)
Azioni sul collegamento: N=-10340.40 Ty=9.56 Tz=14.62 Mx=0.00 Mz=6.65
Sollecitazioni agenti localmente: Tx_l=9.56 Ty_l=14.62 N_l=-10340.40 My_l=-6.65 Mz_l=0.00
Azioni sul cordone: TP=0.71 TO=1.08 NO=-764.37
Tensioni nel cordone: τ_P=0.22 τ_0=0.34 σ_0=252.66 σ_{ID}=252.67 Σ_T=253.01
CC 31 SLV (Collegamento -044_-376)

Azioni sul collegamento: N=-11070.60 Ty=6.76 Tz=17.96 Mx=-0.00 Mz=1.67
Sollecitazioni agenti localmente: Tx_l=6.76 Ty_l=17.96 N_l=-11070.60 My_l=-1.67 Mz_l=-0.00
Azioni sul cordone: TP=0.50 TO=1.33 NO=-818.34
Tensioni nel cordone: τ_P=0.16 τ_0=0.42 σ_0=262.55 σ_{ID}=262.55 Σ_T=262.98
CC 31 SLV (Collegamento -044_-376)
Azioni sul collegamento: N=-11070.60 Ty=10.65 Tz=17.96 Mx=-0.00 Mz=6.77
Sollecitazioni agenti localmente: Tx_l=10.65 Ty_l=17.96 N_l=-11070.60 My_l=-6.77 Mz_l=-0.00
Azioni sul cordone: TP=0.79 TO=1.33 NO=-818.34
Tensioni nel cordone: τ_P=0.25 τ_0=0.42 σ_0=270.00 σ_{ID}=270.00 Σ_T=270.42
CC 31 SLV (Collegamento -044_-376)
Azioni sul collegamento: N=-11070.60 Ty=6.76 Tz=8.19 Mx=-0.00 Mz=1.67
Sollecitazioni agenti localmente: Tx_l=6.76 Ty_l=8.19 N_l=-11070.60 My_l=-1.67 Mz_l=-0.00
Azioni sul cordone: TP=0.50 TO=0.60 NO=-818.34
Tensioni nel cordone: τ_P=0.16 τ_0=0.19 σ_0=262.55 σ_{ID}=262.55 Σ_T=262.75
CC 31 SLV (Collegamento -044_-376)
Azioni sul collegamento: N=-11070.60 Ty=10.65 Tz=8.19 Mx=-0.00 Mz=6.77
Sollecitazioni agenti localmente: Tx_l=10.65 Ty_l=8.19 N_l=-11070.60 My_l=-6.77 Mz_l=-0.00
Azioni sul cordone: TP=0.79 TO=0.60 NO=-818.34
Tensioni nel cordone: τ_P=0.25 τ_0=0.19 σ_0=270.00 σ_{ID}=270.00 Σ_T=270.19
CC 31 SLV (Collegamento -044_-376)
Azioni sul collegamento: N=-8703.02 Ty=6.76 Tz=17.96 Mx=-0.00 Mz=1.67
Sollecitazioni agenti localmente: Tx_l=6.76 Ty_l=17.96 N_l=-8703.02 My_l=-1.67 Mz_l=-0.00
Azioni sul cordone: TP=0.50 TO=1.33 NO=-643.33
Tensioni nel cordone: τ_P=0.16 τ_0=0.42 σ_0=206.93 σ_{ID}=206.93 Σ_T=207.35
CC 31 SLV (Collegamento -044_-376)
Azioni sul collegamento: N=-8703.02 Ty=10.65 Tz=17.96 Mx=-0.00 Mz=6.77
Sollecitazioni agenti localmente: Tx_l=10.65 Ty_l=17.96 N_l=-8703.02 My_l=-6.77 Mz_l=-0.00
Azioni sul cordone: TP=0.79 TO=1.33 NO=-643.33
Tensioni nel cordone: τ_P=0.25 τ_0=0.42 σ_0=214.38 σ_{ID}=214.38 Σ_T=214.80
CC 31 SLV (Collegamento -044_-376)
Azioni sul collegamento: N=-8703.02 Ty=6.76 Tz=8.19 Mx=-0.00 Mz=1.67
Sollecitazioni agenti localmente: Tx_l=6.76 Ty_l=8.19 N_l=-8703.02 My_l=-1.67 Mz_l=-0.00
Azioni sul cordone: TP=0.50 TO=0.60 NO=-643.33
Tensioni nel cordone: τ_P=0.16 τ_0=0.19 σ_0=206.93 σ_{ID}=206.93 Σ_T=207.12
CC 31 SLV (Collegamento -044_-376)
Azioni sul collegamento: N=-8703.02 Ty=10.65 Tz=8.19 Mx=-0.00 Mz=6.77
Sollecitazioni agenti localmente: Tx_l=10.65 Ty_l=8.19 N_l=-8703.02 My_l=-6.77 Mz_l=-0.00
Azioni sul cordone: TP=0.79 TO=0.60 NO=-643.33
Tensioni nel cordone: τ_P=0.25 τ_0=0.19 σ_0=214.38 σ_{ID}=214.38 Σ_T=214.57
CC 32 SLD (Collegamento -044_-376)
Azioni sul collegamento: N=-10345.40 Ty=9.04 Tz=14.95 Mx=0.00 Mz=5.58
Sollecitazioni agenti localmente: Tx_l=9.04 Ty_l=14.95 N_l=-10345.40 My_l=-5.58 Mz_l=0.00
Azioni sul cordone: TP=0.67 TO=1.11 NO=-764.73
Tensioni nel cordone: τ_P=0.21 τ_0=0.35 σ_0=251.23 σ_{ID}=251.23 Σ_T=251.58
CC 32 SLD (Collegamento -044_-376)
Azioni sul collegamento: N=-10345.40 Ty=10.22 Tz=14.95 Mx=0.00 Mz=7.14
Sollecitazioni agenti localmente: Tx_l=10.22 Ty_l=14.95 N_l=-10345.40 My_l=-7.14 Mz_l=0.00
Azioni sul cordone: TP=0.75 TO=1.11 NO=-764.73
Tensioni nel cordone: τ_P=0.24 τ_0=0.35 σ_0=253.50 σ_{ID}=253.50 Σ_T=253.85
CC 32 SLD (Collegamento -044_-376)
Azioni sul collegamento: N=-10345.40 Ty=9.04 Tz=11.97 Mx=0.00 Mz=5.58
Sollecitazioni agenti localmente: Tx_l=9.04 Ty_l=11.97 N_l=-10345.40 My_l=-5.58 Mz_l=0.00
Azioni sul cordone: TP=0.67 TO=0.89 NO=-764.73
Tensioni nel cordone: τ_P=0.21 τ_0=0.28 σ_0=251.23 σ_{ID}=251.23 Σ_T=251.51
CC 32 SLD (Collegamento -044_-376)
Azioni sul collegamento: N=-10345.40 Ty=10.22 Tz=11.97 Mx=0.00 Mz=7.14
Sollecitazioni agenti localmente: Tx_l=10.22 Ty_l=11.97 N_l=-10345.40 My_l=-7.14 Mz_l=0.00
Azioni sul cordone: TP=0.75 TO=0.89 NO=-764.73
Tensioni nel cordone: τ_P=0.24 τ_0=0.28 σ_0=253.50 σ_{ID}=253.50 Σ_T=253.78
CC 32 SLD (Collegamento -044_-376)
Azioni sul collegamento: N=-9623.43 Ty=9.04 Tz=14.95 Mx=0.00 Mz=5.58
Sollecitazioni agenti localmente: Tx_l=9.04 Ty_l=14.95 N_l=-9623.43 My_l=-5.58 Mz_l=0.00
Azioni sul cordone: TP=0.67 TO=1.11 NO=-711.37
Tensioni nel cordone: τ_P=0.21 τ_0=0.35 σ_0=234.26 σ_{ID}=234.26 Σ_T=234.62
CC 32 SLD (Collegamento -044_-376)
Azioni sul collegamento: N=-9623.43 Ty=10.22 Tz=14.95 Mx=0.00 Mz=7.14
Sollecitazioni agenti localmente: Tx_l=10.22 Ty_l=14.95 N_l=-9623.43 My_l=-7.14 Mz_l=0.00
Azioni sul cordone: TP=0.75 TO=1.11 NO=-711.37
Tensioni nel cordone: τ_P=0.24 τ_0=0.35 σ_0=236.53 σ_{ID}=236.54 Σ_T=236.89
CC 32 SLD (Collegamento -044_-376)
Azioni sul collegamento: N=-9623.43 Ty=9.04 Tz=11.97 Mx=0.00 Mz=5.58
Sollecitazioni agenti localmente: Tx_l=9.04 Ty_l=11.97 N_l=-9623.43 My_l=-5.58 Mz_l=0.00
Azioni sul cordone: TP=0.67 TO=0.89 NO=-711.37
Tensioni nel cordone: τ_P=0.21 τ_0=0.28 σ_0=234.26 σ_{ID}=234.26 Σ_T=234.55
CC 32 SLD (Collegamento -044_-376)
Azioni sul collegamento: N=-9623.43 Ty=10.22 Tz=11.97 Mx=0.00 Mz=7.14
Sollecitazioni agenti localmente: Tx_l=10.22 Ty_l=11.97 N_l=-9623.43 My_l=-7.14 Mz_l=0.00
Azioni sul cordone: TP=0.75 TO=0.89 NO=-711.37
Tensioni nel cordone: τ_P=0.24 τ_0=0.28 σ_0=236.53 σ_{ID}=236.54 Σ_T=236.82

CC 33 SLU (Collegamento -044_-376)
Azioni sul collegamento: N=-37458.50 Ty=20.96 Tz=106.28 Mx=0.00 Mz=15.40
Sollecitazioni agenti localmente: Tx_l=20.96 Ty_l=106.28 N_l=-37458.50 My_l=-15.40 Mz_l=0.00
Azioni sul cordone: TP=1.54 TO=7.86 NO=-2768.95
Tensioni nel cordone: τ_P=0.49 τ_0=2.50 σ_0=902.60 σ_{ID}=902.60 Σ_T=905.10
CC 34 SLU (Collegamento -044_-376)
Azioni sul collegamento: N=-36642.60 Ty=20.20 Tz=103.27 Mx=0.00 Mz=14.84
Sollecitazioni agenti localmente: Tx_l=20.20 Ty_l=103.27 N_l=-36642.60 My_l=-14.84 Mz_l=0.00
Azioni sul cordone: TP=1.49 TO=7.64 NO=-2708.63
Tensioni nel cordone: τ_P=0.47 τ_0=2.43 σ_0=882.61 σ_{ID}=882.62 Σ_T=885.04
CC 35 SLU (Collegamento -044_-376)
Azioni sul collegamento: N=-37049.70 Ty=20.49 Tz=104.83 Mx=0.01 Mz=14.94
Sollecitazioni agenti localmente: Tx_l=20.49 Ty_l=104.83 N_l=-37049.70 My_l=-14.94 Mz_l=0.01
Azioni sul cordone: TP=1.51 TO=7.75 NO=-2738.72
Tensioni nel cordone: τ_P=0.48 τ_0=2.46 σ_0=892.32 σ_{ID}=892.32 Σ_T=894.78
CC 36 SLU (Collegamento -044_-376)
Azioni sul collegamento: N=-37051.40 Ty=20.67 Tz=104.72 Mx=0.00 Mz=15.30
Sollecitazioni agenti localmente: Tx_l=20.67 Ty_l=104.72 N_l=-37051.40 My_l=-15.30 Mz_l=0.00
Azioni sul cordone: TP=1.52 TO=7.74 NO=-2738.85
Tensioni nel cordone: τ_P=0.48 τ_0=2.46 σ_0=892.89 σ_{ID}=892.90 Σ_T=895.35
CC 37 SLU (Collegamento -044_-376)
Azioni sul collegamento: N=-28275.70 Ty=20.11 Tz=72.57 Mx=0.00 Mz=14.65
Sollecitazioni agenti localmente: Tx_l=20.11 Ty_l=72.57 N_l=-28275.70 My_l=-14.65 Mz_l=0.00
Azioni sul cordone: TP=1.48 TO=5.37 NO=-2090.15
Tensioni nel cordone: τ_P=0.47 τ_0=1.71 σ_0=685.75 σ_{ID}=685.75 Σ_T=687.46
CC 38 SLU (Collegamento -044_-376)
Azioni sul collegamento: N=-27459.70 Ty=19.36 Tz=69.55 Mx=0.00 Mz=14.09
Sollecitazioni agenti localmente: Tx_l=19.36 Ty_l=69.55 N_l=-27459.70 My_l=-14.09 Mz_l=0.00
Azioni sul cordone: TP=1.43 TO=5.14 NO=-2029.83
Tensioni nel cordone: τ_P=0.45 τ_0=1.64 σ_0=665.76 σ_{ID}=665.77 Σ_T=667.40
CC 39 SLU (Collegamento -044_-376)
Azioni sul collegamento: N=-27866.80 Ty=19.65 Tz=71.12 Mx=0.01 Mz=14.19
Sollecitazioni agenti localmente: Tx_l=19.65 Ty_l=71.12 N_l=-27866.80 My_l=-14.19 Mz_l=0.01
Azioni sul cordone: TP=1.45 TO=5.26 NO=-2059.92
Tensioni nel cordone: τ_P=0.46 τ_0=1.67 σ_0=675.47 σ_{ID}=675.47 Σ_T=677.14
CC 40 SLU (Collegamento -044_-376)
Azioni sul collegamento: N=-27868.60 Ty=19.82 Tz=71.00 Mx=0.00 Mz=14.55
Sollecitazioni agenti localmente: Tx_l=19.82 Ty_l=71.00 N_l=-27868.60 My_l=-14.55 Mz_l=0.00
Azioni sul cordone: TP=1.46 TO=5.25 NO=-2060.06
Tensioni nel cordone: τ_P=0.46 τ_0=1.67 σ_0=676.04 σ_{ID}=676.05 Σ_T=677.71
CC 41 SLU (Collegamento -044_-376)
Azioni sul collegamento: N=-30676.20 Ty=-9.89 Tz=80.85 Mx=0.00 Mz=-7.99
Sollecitazioni agenti localmente: Tx_l=-9.89 Ty_l=80.85 N_l=-30676.20 My_l=7.99 Mz_l=0.00
Azioni sul cordone: TP=-0.74 TO=5.97 NO=-2267.60
Tensioni nel cordone: τ_P=0.23 τ_0=1.90 σ_0=732.42 σ_{ID}=732.42 Σ_T=734.32
CC 42 SLU (Collegamento -044_-376)
Azioni sul collegamento: N=-29860.20 Ty=-10.64 Tz=77.84 Mx=0.00 Mz=-8.54
Sollecitazioni agenti localmente: Tx_l=-10.64 Ty_l=77.84 N_l=-29860.20 My_l=8.54 Mz_l=0.00
Azioni sul cordone: TP=-0.79 TO=5.75 NO=-2207.28
Tensioni nel cordone: τ_P=0.25 τ_0=1.83 σ_0=714.06 σ_{ID}=714.06 Σ_T=715.89
CC 43 SLU (Collegamento -044_-376)
Azioni sul collegamento: N=-30267.40 Ty=-10.35 Tz=79.40 Mx=0.01 Mz=-8.45
Sollecitazioni agenti localmente: Tx_l=-10.35 Ty_l=79.40 N_l=-30267.40 My_l=8.45 Mz_l=0.01
Azioni sul cordone: TP=-0.77 TO=5.86 NO=-2237.37
Tensioni nel cordone: τ_P=0.25 τ_0=1.86 σ_0=723.49 σ_{ID}=723.49 Σ_T=725.35
CC 44 SLU (Collegamento -044_-376)
Azioni sul collegamento: N=-30269.10 Ty=-10.18 Tz=79.28 Mx=0.00 Mz=-8.08
Sollecitazioni agenti localmente: Tx_l=-10.18 Ty_l=79.28 N_l=-30269.10 My_l=8.08 Mz_l=0.00
Azioni sul cordone: TP=-0.76 TO=5.86 NO=-2237.50
Tensioni nel cordone: τ_P=0.24 τ_0=1.86 σ_0=722.99 σ_{ID}=723.00 Σ_T=724.86
CC 45 SLU (Collegamento -044_-376)
Azioni sul collegamento: N=-30295.00 Ty=20.33 Tz=79.99 Mx=0.00 Mz=14.94
Sollecitazioni agenti localmente: Tx_l=20.33 Ty_l=79.99 N_l=-30295.00 My_l=-14.94 Mz_l=0.00
Azioni sul cordone: TP=1.50 TO=5.92 NO=-2239.42
Tensioni nel cordone: τ_P=0.48 τ_0=1.88 σ_0=733.62 σ_{ID}=733.62 Σ_T=735.50
CC 46 SLU (Collegamento -044_-376)
Azioni sul collegamento: N=-29479.00 Ty=19.57 Tz=76.97 Mx=0.00 Mz=14.38
Sollecitazioni agenti localmente: Tx_l=19.57 Ty_l=76.97 N_l=-29479.00 My_l=-14.38 Mz_l=0.00
Azioni sul cordone: TP=1.44 TO=5.69 NO=-2179.10
Tensioni nel cordone: τ_P=0.46 τ_0=1.81 σ_0=713.63 σ_{ID}=713.63 Σ_T=715.44
CC 47 SLU (Collegamento -044_-376)
Azioni sul collegamento: N=-29886.10 Ty=19.86 Tz=78.54 Mx=0.00 Mz=14.48
Sollecitazioni agenti localmente: Tx_l=19.86 Ty_l=78.54 N_l=-29886.10 My_l=-14.48 Mz_l=0.00
Azioni sul cordone: TP=1.46 TO=5.81 NO=-2209.19
Tensioni nel cordone: τ_P=0.46 τ_0=1.85 σ_0=723.34 σ_{ID}=723.34 Σ_T=725.18
CC 48 SLU (Collegamento -044_-376)
Azioni sul collegamento: N=-29887.90 Ty=20.04 Tz=78.42 Mx=0.00 Mz=14.84
Sollecitazioni agenti localmente: Tx_l=20.04 Ty_l=78.42 N_l=-29887.90 My_l=-14.84 Mz_l=0.00
Azioni sul cordone: TP=1.48 TO=5.80 NO=-2209.32

Tensioni nel cordone: τ_P=0.47 τ_0=1.84 σ_0=723.91 σ_{ID}=723.92 Σ_T=725.76
CC 49 SLU (Collegamento -044_-376)
Azioni sul collegamento: N=-23424.90 Ty=19.70 Tz=54.76 Mx=0.00 Mz=14.38
Sollecitazioni agenti localmente: Tx_l=19.70 Ty_l=54.76 N_l=-23424.90 My_l=-14.38 Mz_l=0.00
Azioni sul cordone: TP=1.45 TO=4.05 NO=-1731.58
Tensioni nel cordone: τ_P=0.46 τ_0=1.29 σ_0=571.38 σ_{ID}=571.39 Σ_T=572.67
CC 50 SLU (Collegamento -044_-376)
Azioni sul collegamento: N=-22608.90 Ty=18.94 Tz=51.75 Mx=0.00 Mz=13.82
Sollecitazioni agenti localmente: Tx_l=18.94 Ty_l=51.75 N_l=-22608.90 My_l=-13.82 Mz_l=0.00
Azioni sul cordone: TP=1.40 TO=3.83 NO=-1671.26
Tensioni nel cordone: τ_P=0.44 τ_0=1.22 σ_0=551.40 σ_{ID}=551.40 Σ_T=552.62
CC 51 SLU (Collegamento -044_-376)
Azioni sul collegamento: N=-23016.00 Ty=19.23 Tz=53.31 Mx=0.00 Mz=13.92
Sollecitazioni agenti localmente: Tx_l=19.23 Ty_l=53.31 N_l=-23016.00 My_l=-13.92 Mz_l=0.00
Azioni sul cordone: TP=1.42 TO=3.94 NO=-1701.35
Tensioni nel cordone: τ_P=0.45 τ_0=1.25 σ_0=561.10 σ_{ID}=561.11 Σ_T=562.36
CC 52 SLU (Collegamento -044_-376)
Azioni sul collegamento: N=-23017.80 Ty=19.41 Tz=53.20 Mx=0.00 Mz=14.28
Sollecitazioni agenti localmente: Tx_l=19.41 Ty_l=53.20 N_l=-23017.80 My_l=-14.28 Mz_l=0.00
Azioni sul cordone: TP=1.43 TO=3.93 NO=-1701.48
Tensioni nel cordone: τ_P=0.45 τ_0=1.25 σ_0=561.68 σ_{ID}=561.68 Σ_T=562.93
CC 53 SLU (Collegamento -044_-376)
Azioni sul collegamento: N=-25220.90 Ty=-2.75 Tz=60.96 Mx=0.00 Mz=-2.55
Sollecitazioni agenti localmente: Tx_l=-2.75 Ty_l=60.96 N_l=-25220.90 My_l=2.55 Mz_l=0.00
Azioni sul cordone: TP=-0.21 TO=4.50 NO=-1864.33
Tensioni nel cordone: τ_P= 0.07 τ_0=1.43 σ_0=596.31 σ_{ID}=596.31 Σ_T=597.74
CC 54 SLU (Collegamento -044_-376)
Azioni sul collegamento: N=-24404.90 Ty=-3.50 Tz=57.94 Mx=0.00 Mz=-3.11
Sollecitazioni agenti localmente: Tx_l=-3.50 Ty_l=57.94 N_l=-24404.90 My_l=3.11 Mz_l=0.00
Azioni sul cordone: TP=-0.26 TO=4.28 NO=-1804.01
Tensioni nel cordone: τ_P= 0.08 τ_0=1.36 σ_0=577.95 σ_{ID}=577.95 Σ_T=579.31
CC 55 SLU (Collegamento -044_-376)
Azioni sul collegamento: N=-24812.00 Ty=-3.21 Tz=59.51 Mx=0.00 Mz=-3.02
Sollecitazioni agenti localmente: Tx_l=-3.21 Ty_l=59.51 N_l=-24812.00 My_l=3.02 Mz_l=0.00
Azioni sul cordone: TP=-0.24 TO=4.40 NO=-1834.11
Tensioni nel cordone: τ_P= 0.08 τ_0=1.40 σ_0=587.38 σ_{ID}=587.38 Σ_T=588.77
CC 56 SLU (Collegamento -044_-376)
Azioni sul collegamento: N=-24813.70 Ty=-3.04 Tz=59.39 Mx=0.00 Mz=-2.65
Sollecitazioni agenti localmente: Tx_l=-3.04 Ty_l=59.39 N_l=-24813.70 My_l=2.65 Mz_l=0.00
Azioni sul cordone: TP=-0.23 TO=4.39 NO=-1834.24
Tensioni nel cordone: τ_P= 0.07 τ_0=1.39 σ_0=586.88 σ_{ID}=586.89 Σ_T=588.28
CC 57 SLU (Collegamento -044_-376)
Azioni sul collegamento: N=-28074.70 Ty=18.58 Tz=71.81 Mx=0.00 Mz=13.65
Sollecitazioni agenti localmente: Tx_l=18.58 Ty_l=71.81 N_l=-28074.70 My_l=-13.65 Mz_l=0.00
Azioni sul cordone: TP=1.37 TO=5.31 NO=-2075.29
Tensioni nel cordone: τ_P=0.44 τ_0=1.69 σ_0=679.57 σ_{ID}=679.57 Σ_T=681.26
CC 58 SLU (Collegamento -044_-376)
Azioni sul collegamento: N=-27258.70 Ty=17.82 Tz=68.80 Mx=0.00 Mz=13.09
Sollecitazioni agenti localmente: Tx_l=17.82 Ty_l=68.80 N_l=-27258.70 My_l=-13.09 Mz_l=0.00
Azioni sul cordone: TP=1.31 TO=5.09 NO=-2014.97
Tensioni nel cordone: τ_P=0.42 τ_0=1.62 σ_0=659.58 σ_{ID}=659.59 Σ_T=661.20
CC 59 SLU (Collegamento -044_-376)
Azioni sul collegamento: N=-27665.80 Ty=18.11 Tz=70.37 Mx=0.00 Mz=13.19
Sollecitazioni agenti localmente: Tx_l=18.11 Ty_l=70.37 N_l=-27665.80 My_l=-13.19 Mz_l=0.00
Azioni sul cordone: TP=1.33 TO=5.21 NO=-2045.07
Tensioni nel cordone: τ_P=0.42 τ_0=1.65 σ_0=669.29 σ_{ID}=669.29 Σ_T=670.94
CC 60 SLU (Collegamento -044_-376)
Azioni sul collegamento: N=-27667.60 Ty=18.29 Tz=70.25 Mx=0.00 Mz=13.55
Sollecitazioni agenti localmente: Tx_l=18.29 Ty_l=70.25 N_l=-27667.60 My_l=-13.55 Mz_l=0.00
Azioni sul cordone: TP=1.35 TO=5.20 NO=-2045.20
Tensioni nel cordone: τ_P=0.43 τ_0=1.65 σ_0=669.86 σ_{ID}=669.87 Σ_T=671.52
CC 61 SLU (Collegamento -044_-376)
Azioni sul collegamento: N=-21204.60 Ty=17.94 Tz=46.59 Mx=0.00 Mz=13.09
Sollecitazioni agenti localmente: Tx_l=17.94 Ty_l=46.59 N_l=-21204.60 My_l=-13.09 Mz_l=0.00
Azioni sul cordone: TP=1.32 TO=3.45 NO=-1567.45
Tensioni nel cordone: τ_P=0.42 τ_0=1.10 σ_0=517.34 σ_{ID}=517.34 Σ_T=518.43
CC 62 SLU (Collegamento -044_-376)
Azioni sul collegamento: N=-20388.60 Ty=17.19 Tz=43.58 Mx=0.00 Mz=12.53
Sollecitazioni agenti localmente: Tx_l=17.19 Ty_l=43.58 N_l=-20388.60 My_l=-12.53 Mz_l=0.00
Azioni sul cordone: TP=1.27 TO=3.22 NO=-1507.13
Tensioni nel cordone: τ_P=0.40 τ_0=1.02 σ_0=497.35 σ_{ID}=497.35 Σ_T=498.37
CC 63 SLU (Collegamento -044_-376)
Azioni sul collegamento: N=-20795.70 Ty=17.48 Tz=45.14 Mx=0.00 Mz=12.63
Sollecitazioni agenti localmente: Tx_l=17.48 Ty_l=45.14 N_l=-20795.70 My_l=-12.63 Mz_l=0.00
Azioni sul cordone: TP=1.29 TO=3.34 NO=-1537.23
Tensioni nel cordone: τ_P=0.41 τ_0=1.06 σ_0=507.06 σ_{ID}=507.06 Σ_T=508.12
CC 64 SLU (Collegamento -044_-376)
Azioni sul collegamento: N=-20797.50 Ty=17.66 Tz=45.03 Mx=0.00 Mz=12.99
Sollecitazioni agenti localmente: Tx_l=17.66 Ty_l=45.03 N_l=-20797.50 My_l=-12.99 Mz_l=0.00

Azioni sul cordone: TP=1.30 TO=3.33 NO=-1537.36
Tensioni nel cordone: τ_P=0.41 τ_O=1.06 σ_O=507.63 σ_{ID}=507.63 Σ_T=508.69
CC 65 SLU (Collegamento -044_-376)
Azioni sul collegamento: N=-23000.50 Ty=-4.50 Tz=52.79 Mx=0.00 Mz=-3.84
Sollecitazioni agenti localmente: Tx_l=-4.50 Ty_l=52.79 N_l=-23000.50 My_l=3.84 Mz_l=0.00
Azioni sul cordone: TP=-0.34 TO=3.90 NO=-1700.21
Tensioni nel cordone: τ_P=0.11 τ_O=1.24 σ_O=546.02 σ_{ID}=546.02 Σ_T=547.26
CC 66 SLU (Collegamento -044_-376)
Azioni sul collegamento: N=-22184.60 Ty=-5.26 Tz=49.77 Mx=0.00 Mz=-4.40
Sollecitazioni agenti localmente: Tx_l=-5.26 Ty_l=49.77 N_l=-22184.60 My_l=4.40 Mz_l=0.00
Azioni sul cordone: TP=-0.39 TO=3.68 NO=-1639.89
Tensioni nel cordone: τ_P=0.12 τ_O=1.17 σ_O=527.67 σ_{ID}=527.67 Σ_T=528.83
CC 67 SLU (Collegamento -044_-376)
Azioni sul collegamento: N=-22591.70 Ty=-4.97 Tz=51.34 Mx=0.00 Mz=-4.30
Sollecitazioni agenti localmente: Tx_l=-4.97 Ty_l=51.34 N_l=-22591.70 My_l=4.30 Mz_l=0.00
Azioni sul cordone: TP=-0.37 TO=3.79 NO=-1669.98
Tensioni nel cordone: τ_P=0.12 τ_O=1.20 σ_O=537.09 σ_{ID}=537.09 Σ_T=538.29
CC 68 SLU (Collegamento -044_-376)
Azioni sul collegamento: N=-22593.40 Ty=-4.79 Tz=51.22 Mx=0.00 Mz=-3.94
Sollecitazioni agenti localmente: Tx_l=-4.79 Ty_l=51.22 N_l=-22593.40 My_l=3.94 Mz_l=0.00
Azioni sul cordone: TP=-0.36 TO=3.78 NO=-1670.11
Tensioni nel cordone: τ_P=0.11 τ_O=1.20 σ_O=536.60 σ_{ID}=536.60 Σ_T=537.80
CC 97 SLU (Collegamento -044_-376)
Azioni sul collegamento: N=-32775.80 Ty=25.16 Tz=97.03 Mx=-0.05 Mz=10.53
Sollecitazioni agenti localmente: Tx_l=25.16 Ty_l=97.03 N_l=-32775.80 My_l=-10.53 Mz_l=-0.05
Azioni sul cordone: TP=1.92 TO=7.13 NO=-2422.79
Tensioni nel cordone: τ_P=0.61 τ_O=2.27 σ_O=785.46 σ_{ID}=785.47 Σ_T=787.73
CC 98 SLU (Collegamento -044_-376)
Azioni sul collegamento: N=-31959.80 Ty=24.41 Tz=94.02 Mx=-0.05 Mz=9.97
Sollecitazioni agenti localmente: Tx_l=24.41 Ty_l=94.02 N_l=-31959.80 My_l=-9.97 Mz_l=-0.05
Azioni sul cordone: TP=1.87 TO=6.91 NO=-2362.48
Tensioni nel cordone: τ_P=0.59 τ_O=2.20 σ_O=765.48 σ_{ID}=765.48 Σ_T=767.67
CC 99 SLU (Collegamento -044_-376)
Azioni sul collegamento: N=-32366.90 Ty=24.69 Tz=95.58 Mx=-0.05 Mz=10.07
Sollecitazioni agenti localmente: Tx_l=24.69 Ty_l=95.58 N_l=-32366.90 My_l=-10.07 Mz_l=-0.05
Azioni sul cordone: TP=1.89 TO=7.02 NO=-2392.57
Tensioni nel cordone: τ_P=0.60 τ_O=2.23 σ_O=775.18 σ_{ID}=775.19 Σ_T=777.41
CC 100 SLU (Collegamento -044_-376)
Azioni sul collegamento: N=-32368.70 Ty=24.87 Tz=95.47 Mx=-0.05 Mz=10.43
Sollecitazioni agenti localmente: Tx_l=24.87 Ty_l=95.47 N_l=-32368.70 My_l=-10.43 Mz_l=-0.05
Azioni sul cordone: TP=1.90 TO=7.01 NO=-2392.70
Tensioni nel cordone: τ_P=0.60 τ_O=2.23 σ_O=775.76 σ_{ID}=775.76 Σ_T=777.99
CC 101 SLU (Collegamento -044_-376)
Azioni sul collegamento: N=-9110.88 Ty=5.97 Tz=10.39 Mx=0.01 Mz=4.99
Sollecitazioni agenti localmente: Tx_l=5.97 Ty_l=10.39 N_l=-9110.88 My_l=-4.99 Mz_l=0.01
Azioni sul cordone: TP=0.43 TO=0.77 NO=-673.48
Tensioni nel cordone: τ_P=0.14 τ_O=0.25 σ_O=221.35 σ_{ID}=221.35 Σ_T=221.60
CC 102 SLU (Collegamento -044_-376)
Azioni sul collegamento: N=-8294.89 Ty=5.21 Tz=7.37 Mx=0.01 Mz=4.43
Sollecitazioni agenti localmente: Tx_l=5.21 Ty_l=7.37 N_l=-8294.89 My_l=-4.43 Mz_l=0.01
Azioni sul cordone: TP=0.38 TO=0.55 NO=-613.16
Tensioni nel cordone: τ_P=0.12 τ_O=0.18 σ_O=201.37 σ_{ID}=201.37 Σ_T=201.54
CC 103 SLU (Collegamento -044_-376)
Azioni sul collegamento: N=-8702.00 Ty=5.50 Tz=8.94 Mx=0.01 Mz=4.53
Sollecitazioni agenti localmente: Tx_l=5.50 Ty_l=8.94 N_l=-8702.00 My_l=-4.53 Mz_l=0.01
Azioni sul cordone: TP=0.40 TO=0.67 NO=-643.25
Tensioni nel cordone: τ_P=0.13 τ_O=0.21 σ_O=211.07 σ_{ID}=211.07 Σ_T=211.28
CC 104 SLU (Collegamento -044_-376)
Azioni sul collegamento: N=-8703.77 Ty=5.68 Tz=8.82 Mx=0.01 Mz=4.89
Sollecitazioni agenti localmente: Tx_l=5.68 Ty_l=8.82 N_l=-8703.77 My_l=-4.89 Mz_l=0.01
Azioni sul cordone: TP=0.41 TO=0.66 NO=-643.38
Tensioni nel cordone: τ_P=0.13 τ_O=0.21 σ_O=211.65 σ_{ID}=211.65 Σ_T=211.86

Flessione attacco superiore piastra

Bnetta=220.00 Hnetta=15.00
CC 1 SLV (Collegamento -044_-376)
Azioni sul collegamento: N=-6246.31 Ty=15.25 Tz=-0.46 Mx=0.02 Mz=13.58
Sollecitazioni agenti localmente: Ty_l=-1135.69 Mx_l=-22.71
Tensioni nella sezione: σ=275.32 τ=34.41
CC 1 SLV (Collegamento -044_-376)
Azioni sul collegamento: N=-6246.31 Ty=7.49 Tz=-0.46 Mx=0.02 Mz=7.17
Sollecitazioni agenti localmente: Ty_l=-1135.69 Mx_l=-22.71
Tensioni nella sezione: σ=275.32 τ=34.41
CC 1 SLV (Collegamento -044_-376)
Azioni sul collegamento: N=-6246.31 Ty=15.25 Tz=28.82 Mx=0.02 Mz=13.58
Sollecitazioni agenti localmente: Ty_l=-1135.69 Mx_l=-22.71
Tensioni nella sezione: σ=275.32 τ=34.41
CC 1 SLV (Collegamento -044_-376)

Azioni sul collegamento: N=-6246.31 Ty=7.49 Tz=28.82 Mx=0.02 Mz=7.17
Sollecitazioni agenti localmente: Ty_l=-1135.69 Mx_l=-22.71
Tensioni nella sezione: σ=275.32 τ=34.41
CC 1 SLV (Collegamento -044_-376)
Azioni sul collegamento: N=-14088.90 Ty=15.25 Tz=-0.46 Mx=0.02 Mz=13.58
Sollecitazioni agenti localmente: Ty_l=-2561.62 Mx_l=-51.23
Tensioni nella sezione: σ=621.00 τ=77.63
CC 1 SLV (Collegamento -044_-376)
Azioni sul collegamento: N=-14088.90 Ty=7.49 Tz=-0.46 Mx=0.02 Mz=7.17
Sollecitazioni agenti localmente: Ty_l=-2561.62 Mx_l=-51.23
Tensioni nella sezione: σ=621.00 τ=77.63
CC 1 SLV (Collegamento -044_-376)
Azioni sul collegamento: N=-14088.90 Ty=15.25 Tz=28.82 Mx=0.02 Mz=13.58
Sollecitazioni agenti localmente: Ty_l=-2561.62 Mx_l=-51.23
Tensioni nella sezione: σ=621.00 τ=77.63
CC 1 SLV (Collegamento -044_-376)
Azioni sul collegamento: N=-14088.90 Ty=7.49 Tz=28.82 Mx=0.02 Mz=7.17
Sollecitazioni agenti localmente: Ty_l=-2561.62 Mx_l=-51.23
Tensioni nella sezione: σ=621.00 τ=77.63
CC 2 SLD (Collegamento -044_-376)
Azioni sul collegamento: N=-8874.30 Ty=11.63 Tz=9.33 Mx=0.01 Mz=9.21
Sollecitazioni agenti localmente: Ty_l=-1613.51 Mx_l=-32.27
Tensioni nella sezione: σ=391.15 τ=48.89
CC 2 SLD (Collegamento -044_-376)
Azioni sul collegamento: N=-8874.30 Ty=9.26 Tz=9.33 Mx=0.01 Mz=7.26
Sollecitazioni agenti localmente: Ty_l=-1613.51 Mx_l=-32.27
Tensioni nella sezione: σ=391.15 τ=48.89
CC 2 SLD (Collegamento -044_-376)
Azioni sul collegamento: N=-8874.30 Ty=11.63 Tz=18.26 Mx=0.01 Mz=9.21
Sollecitazioni agenti localmente: Ty_l=-1613.51 Mx_l=-32.27
Tensioni nella sezione: σ=391.15 τ=48.89
CC 2 SLD (Collegamento -044_-376)
Azioni sul collegamento: N=-8874.30 Ty=9.26 Tz=18.26 Mx=0.01 Mz=7.26
Sollecitazioni agenti localmente: Ty_l=-1613.51 Mx_l=-32.27
Tensioni nella sezione: σ=391.15 τ=48.89
CC 2 SLD (Collegamento -044_-376)
Azioni sul collegamento: N=-11265.80 Ty=11.63 Tz=9.33 Mx=0.01 Mz=9.21
Sollecitazioni agenti localmente: Ty_l=-2048.32 Mx_l=-40.97
Tensioni nella sezione: σ=496.56 τ=62.07
CC 2 SLD (Collegamento -044_-376)
Azioni sul collegamento: N=-11265.80 Ty=9.26 Tz=9.33 Mx=0.01 Mz=7.26
Sollecitazioni agenti localmente: Ty_l=-2048.32 Mx_l=-40.97
Tensioni nella sezione: σ=496.56 τ=62.07
CC 2 SLD (Collegamento -044_-376)
Azioni sul collegamento: N=-11265.80 Ty=11.63 Tz=18.26 Mx=0.01 Mz=9.21
Sollecitazioni agenti localmente: Ty_l=-2048.32 Mx_l=-40.97
Tensioni nella sezione: σ=496.56 τ=62.07
CC 2 SLD (Collegamento -044_-376)
Azioni sul collegamento: N=-11265.80 Ty=9.26 Tz=18.26 Mx=0.01 Mz=7.26
Sollecitazioni agenti localmente: Ty_l=-2048.32 Mx_l=-40.97
Tensioni nella sezione: σ=496.56 τ=62.07
CC 3 SLV (Collegamento -044_-376)
Azioni sul collegamento: N=-6251.19 Ty=14.73 Tz=-0.13 Mx=0.01 Mz=12.53
Sollecitazioni agenti localmente: Ty_l=-1136.58 Mx_l=-22.73
Tensioni nella sezione: σ=275.53 τ=34.44
CC 3 SLV (Collegamento -044_-376)
Azioni sul collegamento: N=-6251.19 Ty=8.00 Tz=-0.13 Mx=0.01 Mz=8.22
Sollecitazioni agenti localmente: Ty_l=-1136.58 Mx_l=-22.73
Tensioni nella sezione: σ=275.53 τ=34.44
CC 3 SLV (Collegamento -044_-376)
Azioni sul collegamento: N=-6251.19 Ty=14.73 Tz=28.49 Mx=0.01 Mz=12.53
Sollecitazioni agenti localmente: Ty_l=-1136.58 Mx_l=-22.73
Tensioni nella sezione: σ=275.53 τ=34.44
CC 3 SLV (Collegamento -044_-376)
Azioni sul collegamento: N=-6251.19 Ty=8.00 Tz=28.49 Mx=0.01 Mz=8.22
Sollecitazioni agenti localmente: Ty_l=-1136.58 Mx_l=-22.73
Tensioni nella sezione: σ=275.53 τ=34.44
CC 3 SLV (Collegamento -044_-376)
Azioni sul collegamento: N=-14084.10 Ty=14.73 Tz=-0.13 Mx=0.01 Mz=12.53
Sollecitazioni agenti localmente: Ty_l=-2560.74 Mx_l=-51.21
Tensioni nella sezione: σ=620.78 τ=77.60
CC 3 SLV (Collegamento -044_-376)
Azioni sul collegamento: N=-14084.10 Ty=8.00 Tz=-0.13 Mx=0.01 Mz=8.22
Sollecitazioni agenti localmente: Ty_l=-2560.74 Mx_l=-51.21
Tensioni nella sezione: σ=620.78 τ=77.60
CC 3 SLV (Collegamento -044_-376)
Azioni sul collegamento: N=-14084.10 Ty=14.73 Tz=28.49 Mx=0.01 Mz=12.53
Sollecitazioni agenti localmente: Ty_l=-2560.74 Mx_l=-51.21
Tensioni nella sezione: σ=620.78 τ=77.60

CC 3 SLV (Collegamento -044_-376)
Azioni sul collegamento: N=-14084.10 Ty=8.00 Tz=28.49 Mx=0.01 Mz=8.22
Sollecitazioni agenti localmente: Ty_l=-2560.74 Mx_l=-51.21
Tensioni nella sezione: σ=620.78 τ=77.60
CC 4 SLD (Collegamento -044_-376)
Azioni sul collegamento: N=-8875.79 Ty=11.47 Tz=9.43 Mx=0.01 Mz=8.89
Sollecitazioni agenti localmente: Ty_l=-1613.78 Mx_l=-32.28
Tensioni nella sezione: σ=391.22 τ=48.90
CC 4 SLD (Collegamento -044_-376)
Azioni sul collegamento: N=-8875.79 Ty=9.42 Tz=9.43 Mx=0.01 Mz=7.58
Sollecitazioni agenti localmente: Ty_l=-1613.78 Mx_l=-32.28
Tensioni nella sezione: σ=391.22 τ=48.90
CC 4 SLD (Collegamento -044_-376)
Azioni sul collegamento: N=-8875.79 Ty=11.47 Tz=18.16 Mx=0.01 Mz=8.89
Sollecitazioni agenti localmente: Ty_l=-1613.78 Mx_l=-32.28
Tensioni nella sezione: σ=391.22 τ=48.90
CC 4 SLD (Collegamento -044_-376)
Azioni sul collegamento: N=-8875.79 Ty=9.42 Tz=18.16 Mx=0.01 Mz=7.58
Sollecitazioni agenti localmente: Ty_l=-1613.78 Mx_l=-32.28
Tensioni nella sezione: σ=391.22 τ=48.90
CC 4 SLD (Collegamento -044_-376)
Azioni sul collegamento: N=-11264.30 Ty=11.47 Tz=9.43 Mx=0.01 Mz=8.89
Sollecitazioni agenti localmente: Ty_l=-2048.05 Mx_l=-40.96
Tensioni nella sezione: σ=496.50 τ=62.06
CC 4 SLD (Collegamento -044_-376)
Azioni sul collegamento: N=-11264.30 Ty=9.42 Tz=9.43 Mx=0.01 Mz=7.58
Sollecitazioni agenti localmente: Ty_l=-2048.05 Mx_l=-40.96
Tensioni nella sezione: σ=496.50 τ=62.06
CC 4 SLD (Collegamento -044_-376)
Azioni sul collegamento: N=-11264.30 Ty=11.47 Tz=18.16 Mx=0.01 Mz=8.89
Sollecitazioni agenti localmente: Ty_l=-2048.05 Mx_l=-40.96
Tensioni nella sezione: σ=496.50 τ=62.06
CC 4 SLD (Collegamento -044_-376)
Azioni sul collegamento: N=-11264.30 Ty=9.42 Tz=18.16 Mx=0.01 Mz=7.58
Sollecitazioni agenti localmente: Ty_l=-2048.05 Mx_l=-40.96
Tensioni nella sezione: σ=496.50 τ=62.06
CC 5 SLV (Collegamento -044_-376)
Azioni sul collegamento: N=-14084.10 Ty=8.00 Tz=28.49 Mx=0.02 Mz=8.22
Sollecitazioni agenti localmente: Ty_l=-2560.74 Mx_l=-51.21
Tensioni nella sezione: σ=620.78 τ=77.60
CC 5 SLV (Collegamento -044_-376)
Azioni sul collegamento: N=-14084.10 Ty=14.73 Tz=28.49 Mx=0.02 Mz=12.53
Sollecitazioni agenti localmente: Ty_l=-2560.74 Mx_l=-51.21
Tensioni nella sezione: σ=620.78 τ=77.60
CC 5 SLV (Collegamento -044_-376)
Azioni sul collegamento: N=-14084.10 Ty=8.00 Tz=-0.13 Mx=0.02 Mz=8.22
Sollecitazioni agenti localmente: Ty_l=-2560.74 Mx_l=-51.21
Tensioni nella sezione: σ=620.78 τ=77.60
CC 5 SLV (Collegamento -044_-376)
Azioni sul collegamento: N=-14084.10 Ty=14.73 Tz=-0.13 Mx=0.02 Mz=12.53
Sollecitazioni agenti localmente: Ty_l=-2560.74 Mx_l=-51.21
Tensioni nella sezione: σ=620.78 τ=77.60
CC 5 SLV (Collegamento -044_-376)
Azioni sul collegamento: N=-6251.19 Ty=8.00 Tz=28.49 Mx=0.02 Mz=8.22
Sollecitazioni agenti localmente: Ty_l=-1136.58 Mx_l=-22.73
Tensioni nella sezione: σ=275.53 τ=34.44
CC 5 SLV (Collegamento -044_-376)
Azioni sul collegamento: N=-6251.19 Ty=14.73 Tz=28.49 Mx=0.02 Mz=12.53
Sollecitazioni agenti localmente: Ty_l=-1136.58 Mx_l=-22.73
Tensioni nella sezione: σ=275.53 τ=34.44
CC 5 SLV (Collegamento -044_-376)
Azioni sul collegamento: N=-6251.19 Ty=8.00 Tz=-0.13 Mx=0.02 Mz=8.22
Sollecitazioni agenti localmente: Ty_l=-1136.58 Mx_l=-22.73
Tensioni nella sezione: σ=275.53 τ=34.44
CC 5 SLV (Collegamento -044_-376)
Azioni sul collegamento: N=-6251.19 Ty=14.73 Tz=-0.13 Mx=0.02 Mz=12.53
Sollecitazioni agenti localmente: Ty_l=-1136.58 Mx_l=-22.73
Tensioni nella sezione: σ=275.53 τ=34.44
CC 6 SLD (Collegamento -044_-376)
Azioni sul collegamento: N=-11264.30 Ty=9.42 Tz=18.16 Mx=0.01 Mz=7.58
Sollecitazioni agenti localmente: Ty_l=-2048.05 Mx_l=-40.96
Tensioni nella sezione: σ=496.50 τ=62.06
CC 6 SLD (Collegamento -044_-376)
Azioni sul collegamento: N=-11264.30 Ty=11.47 Tz=18.16 Mx=0.01 Mz=8.89
Sollecitazioni agenti localmente: Ty_l=-2048.05 Mx_l=-40.96
Tensioni nella sezione: σ=496.50 τ=62.06
CC 6 SLD (Collegamento -044_-376)
Azioni sul collegamento: N=-11264.30 Ty=9.42 Tz=9.43 Mx=0.01 Mz=7.58
Sollecitazioni agenti localmente: Ty_l=-2048.05 Mx_l=-40.96

Tensioni nella sezione: σ=496.50 τ=62.06
CC 6 SLD (Collegamento -044_-376)
Azioni sul collegamento: N=-11264.30 Ty=11.47 Tz=9.43 Mx=0.01 Mz=8.89
Sollecitazioni agenti localmente: Ty_l=-2048.05 Mx_l=-40.96
Tensioni nella sezione: σ=496.50 τ=62.06
CC 6 SLD (Collegamento -044_-376)
Azioni sul collegamento: N=-8875.79 Ty=9.42 Tz=18.16 Mx=0.01 Mz=7.58
Sollecitazioni agenti localmente: Ty_l=-1613.78 Mx_l=-32.28
Tensioni nella sezione: σ=391.22 τ=48.90
CC 6 SLD (Collegamento -044_-376)
Azioni sul collegamento: N=-8875.79 Ty=11.47 Tz=18.16 Mx=0.01 Mz=8.89
Sollecitazioni agenti localmente: Ty_l=-1613.78 Mx_l=-32.28
Tensioni nella sezione: σ=391.22 τ=48.90
CC 6 SLD (Collegamento -044_-376)
Azioni sul collegamento: N=-8875.79 Ty=9.42 Tz=9.43 Mx=0.01 Mz=7.58
Sollecitazioni agenti localmente: Ty_l=-1613.78 Mx_l=-32.28
Tensioni nella sezione: σ=391.22 τ=48.90
CC 6 SLD (Collegamento -044_-376)
Azioni sul collegamento: N=-8875.79 Ty=11.47 Tz=9.43 Mx=0.01 Mz=8.89
Sollecitazioni agenti localmente: Ty_l=-1613.78 Mx_l=-32.28
Tensioni nella sezione: σ=391.22 τ=48.90
CC 7 SLV (Collegamento -044_-376)
Azioni sul collegamento: N=-14088.90 Ty=7.49 Tz=28.82 Mx=0.01 Mz=7.17
Sollecitazioni agenti localmente: Ty_l=-2561.62 Mx_l=-51.23
Tensioni nella sezione: σ=621.00 τ=77.63
CC 7 SLV (Collegamento -044_-376)
Azioni sul collegamento: N=-14088.90 Ty=15.25 Tz=28.82 Mx=0.01 Mz=13.58
Sollecitazioni agenti localmente: Ty_l=-2561.62 Mx_l=-51.23
Tensioni nella sezione: σ=621.00 τ=77.63
CC 7 SLV (Collegamento -044_-376)
Azioni sul collegamento: N=-14088.90 Ty=7.49 Tz=-0.46 Mx=0.01 Mz=7.17
Sollecitazioni agenti localmente: Ty_l=-2561.62 Mx_l=-51.23
Tensioni nella sezione: σ=621.00 τ=77.63
CC 7 SLV (Collegamento -044_-376)
Azioni sul collegamento: N=-14088.90 Ty=15.25 Tz=-0.46 Mx=0.01 Mz=13.58
Sollecitazioni agenti localmente: Ty_l=-2561.62 Mx_l=-51.23
Tensioni nella sezione: σ=621.00 τ=77.63
CC 7 SLV (Collegamento -044_-376)
Azioni sul collegamento: N=-6246.31 Ty=7.49 Tz=28.82 Mx=0.01 Mz=7.17
Sollecitazioni agenti localmente: Ty_l=-1135.69 Mx_l=-22.71
Tensioni nella sezione: σ=275.32 τ=34.41
CC 7 SLV (Collegamento -044_-376)
Azioni sul collegamento: N=-6246.31 Ty=15.25 Tz=28.82 Mx=0.01 Mz=13.58
Sollecitazioni agenti localmente: Ty_l=-1135.69 Mx_l=-22.71
Tensioni nella sezione: σ=275.32 τ=34.41
CC 7 SLV (Collegamento -044_-376)
Azioni sul collegamento: N=-6246.31 Ty=7.49 Tz=-0.46 Mx=0.01 Mz=7.17
Sollecitazioni agenti localmente: Ty_l=-1135.69 Mx_l=-22.71
Tensioni nella sezione: σ=275.32 τ=34.41
CC 7 SLV (Collegamento -044_-376)
Azioni sul collegamento: N=-6246.31 Ty=15.25 Tz=-0.46 Mx=0.01 Mz=13.58
Sollecitazioni agenti localmente: Ty_l=-1135.69 Mx_l=-22.71
Tensioni nella sezione: σ=275.32 τ=34.41
CC 8 SLD (Collegamento -044_-376)
Azioni sul collegamento: N=-11265.80 Ty=9.26 Tz=18.26 Mx=0.01 Mz=7.26
Sollecitazioni agenti localmente: Ty_l=-2048.32 Mx_l=-40.97
Tensioni nella sezione: σ=496.56 τ=62.07
CC 8 SLD (Collegamento -044_-376)
Azioni sul collegamento: N=-11265.80 Ty=11.63 Tz=18.26 Mx=0.01 Mz=9.21
Sollecitazioni agenti localmente: Ty_l=-2048.32 Mx_l=-40.97
Tensioni nella sezione: σ=496.56 τ=62.07
CC 8 SLD (Collegamento -044_-376)
Azioni sul collegamento: N=-11265.80 Ty=9.26 Tz=9.33 Mx=0.01 Mz=7.26
Sollecitazioni agenti localmente: Ty_l=-2048.32 Mx_l=-40.97
Tensioni nella sezione: σ=496.56 τ=62.07
CC 8 SLD (Collegamento -044_-376)
Azioni sul collegamento: N=-11265.80 Ty=11.63 Tz=9.33 Mx=0.01 Mz=9.21
Sollecitazioni agenti localmente: Ty_l=-2048.32 Mx_l=-40.97
Tensioni nella sezione: σ=496.56 τ=62.07
CC 8 SLD (Collegamento -044_-376)
Azioni sul collegamento: N=-8874.30 Ty=9.26 Tz=18.26 Mx=0.01 Mz=7.26
Sollecitazioni agenti localmente: Ty_l=-1613.51 Mx_l=-32.27
Tensioni nella sezione: σ=391.15 τ=48.89
CC 8 SLD (Collegamento -044_-376)
Azioni sul collegamento: N=-8874.30 Ty=11.63 Tz=18.26 Mx=0.01 Mz=9.21
Sollecitazioni agenti localmente: Ty_l=-1613.51 Mx_l=-32.27
Tensioni nella sezione: σ=391.15 τ=48.89
CC 8 SLD (Collegamento -044_-376)
Azioni sul collegamento: N=-8874.30 Ty=9.26 Tz=9.33 Mx=0.01 Mz=7.26

Sollecitazioni agenti localmente: Ty_l=-1613.51 Mx_l=-32.27
Tensioni nella sezione: σ=391.15 τ=48.89
CC 8 SLD (Collegamento -044_-376)
Azioni sul collegamento: N=-8874.30 Ty=11.63 Tz=9.33 Mx=0.01 Mz=9.21
Sollecitazioni agenti localmente: Ty_l=-1613.51 Mx_l=-32.27
Tensioni nella sezione: σ=391.15 τ=48.89
CC 9 SLV (Collegamento -044_-376)
Azioni sul collegamento: N=-8983.82 Ty=13.31 Tz=9.29 Mx=0.02 Mz=12.92
Sollecitazioni agenti localmente: Ty_l=-1633.42 Mx_l=-32.67
Tensioni nella sezione: σ=395.98 τ=49.50
CC 9 SLV (Collegamento -044_-376)
Azioni sul collegamento: N=-8983.82 Ty=9.43 Tz=9.29 Mx=0.02 Mz=7.83
Sollecitazioni agenti localmente: Ty_l=-1633.42 Mx_l=-32.67
Tensioni nella sezione: σ=395.98 τ=49.50
CC 9 SLV (Collegamento -044_-376)
Azioni sul collegamento: N=-8983.82 Ty=13.31 Tz=19.07 Mx=0.02 Mz=12.92
Sollecitazioni agenti localmente: Ty_l=-1633.42 Mx_l=-32.67
Tensioni nella sezione: σ=395.98 τ=49.50
CC 9 SLV (Collegamento -044_-376)
Azioni sul collegamento: N=-8983.82 Ty=9.43 Tz=19.07 Mx=0.02 Mz=7.83
Sollecitazioni agenti localmente: Ty_l=-1633.42 Mx_l=-32.67
Tensioni nella sezione: σ=395.98 τ=49.50
CC 9 SLV (Collegamento -044_-376)
Azioni sul collegamento: N=-11351.40 Ty=13.31 Tz=9.29 Mx=0.02 Mz=12.92
Sollecitazioni agenti localmente: Ty_l=-2063.90 Mx_l=-41.28
Tensioni nella sezione: σ=500.34 τ=62.54
CC 9 SLV (Collegamento -044_-376)
Azioni sul collegamento: N=-11351.40 Ty=9.43 Tz=9.29 Mx=0.02 Mz=7.83
Sollecitazioni agenti localmente: Ty_l=-2063.90 Mx_l=-41.28
Tensioni nella sezione: σ=500.34 τ=62.54
CC 9 SLV (Collegamento -044_-376)
Azioni sul collegamento: N=-11351.40 Ty=13.31 Tz=19.07 Mx=0.02 Mz=12.92
Sollecitazioni agenti localmente: Ty_l=-2063.90 Mx_l=-41.28
Tensioni nella sezione: σ=500.34 τ=62.54
CC 9 SLV (Collegamento -044_-376)
Azioni sul collegamento: N=-11351.40 Ty=9.43 Tz=19.07 Mx=0.02 Mz=7.83
Sollecitazioni agenti localmente: Ty_l=-2063.90 Mx_l=-41.28
Tensioni nella sezione: σ=500.34 τ=62.54
CC 10 SLD (Collegamento -044_-376)
Azioni sul collegamento: N=-9709.06 Ty=11.04 Tz=12.31 Mx=0.01 Mz=9.01
Sollecitazioni agenti localmente: Ty_l=-1765.28 Mx_l=-35.31
Tensioni nella sezione: σ=427.95 τ=53.49
CC 10 SLD (Collegamento -044_-376)
Azioni sul collegamento: N=-9709.06 Ty=9.85 Tz=12.31 Mx=0.01 Mz=7.46
Sollecitazioni agenti localmente: Ty_l=-1765.28 Mx_l=-35.31
Tensioni nella sezione: σ=427.95 τ=53.49
CC 10 SLD (Collegamento -044_-376)
Azioni sul collegamento: N=-9709.06 Ty=11.04 Tz=15.29 Mx=0.01 Mz=9.01
Sollecitazioni agenti localmente: Ty_l=-1765.28 Mx_l=-35.31
Tensioni nella sezione: σ=427.95 τ=53.49
CC 10 SLD (Collegamento -044_-376)
Azioni sul collegamento: N=-9709.06 Ty=9.85 Tz=15.29 Mx=0.01 Mz=7.46
Sollecitazioni agenti localmente: Ty_l=-1765.28 Mx_l=-35.31
Tensioni nella sezione: σ=427.95 τ=53.49
CC 10 SLD (Collegamento -044_-376)
Azioni sul collegamento: N=-10431.00 Ty=11.04 Tz=12.31 Mx=0.01 Mz=9.01
Sollecitazioni agenti localmente: Ty_l=-1896.55 Mx_l=-37.93
Tensioni nella sezione: σ=459.77 τ=57.47
CC 10 SLD (Collegamento -044_-376)
Azioni sul collegamento: N=-10431.00 Ty=9.85 Tz=12.31 Mx=0.01 Mz=7.46
Sollecitazioni agenti localmente: Ty_l=-1896.55 Mx_l=-37.93
Tensioni nella sezione: σ=459.77 τ=57.47
CC 10 SLD (Collegamento -044_-376)
Azioni sul collegamento: N=-10431.00 Ty=11.04 Tz=15.29 Mx=0.01 Mz=9.01
Sollecitazioni agenti localmente: Ty_l=-1896.55 Mx_l=-37.93
Tensioni nella sezione: σ=459.77 τ=57.47
CC 10 SLD (Collegamento -044_-376)
Azioni sul collegamento: N=-10431.00 Ty=9.85 Tz=15.29 Mx=0.01 Mz=7.46
Sollecitazioni agenti localmente: Ty_l=-1896.55 Mx_l=-37.93
Tensioni nella sezione: σ=459.77 τ=57.47
CC 11 SLV (Collegamento -044_-376)
Azioni sul collegamento: N=-11335.10 Ty=11.14 Tz=17.98 Mx=0.02 Mz=11.32
Sollecitazioni agenti localmente: Ty_l=-2060.93 Mx_l=-41.22
Tensioni nella sezione: σ=499.62 τ=62.45
CC 11 SLV (Collegamento -044_-376)
Azioni sul collegamento: N=-11335.10 Ty=11.60 Tz=17.98 Mx=0.02 Mz=9.43
Sollecitazioni agenti localmente: Ty_l=-2060.93 Mx_l=-41.22
Tensioni nella sezione: σ=499.62 τ=62.45
CC 11 SLV (Collegamento -044_-376)

Azioni sul collegamento: N=-11335.10 Ty=11.14 Tz=10.38 Mx=0.02 Mz=11.32
Sollecitazioni agenti localmente: Ty_l=-2060.93 Mx_l=-41.22
Tensioni nella sezione: σ=499.62 τ=62.45
CC 11 SLV (Collegamento -044_-376)
Azioni sul collegamento: N=-11335.10 Ty=11.60 Tz=10.38 Mx=0.02 Mz=9.43
Sollecitazioni agenti localmente: Ty_l=-2060.93 Mx_l=-41.22
Tensioni nella sezione: σ=499.62 τ=62.45
CC 11 SLV (Collegamento -044_-376)
Azioni sul collegamento: N=-9000.10 Ty=11.14 Tz=17.98 Mx=0.02 Mz=11.32
Sollecitazioni agenti localmente: Ty_l=-1636.38 Mx_l=-32.73
Tensioni nella sezione: σ=396.70 τ=49.59
CC 11 SLV (Collegamento -044_-376)
Azioni sul collegamento: N=-9000.10 Ty=11.60 Tz=17.98 Mx=0.02 Mz=9.43
Sollecitazioni agenti localmente: Ty_l=-1636.38 Mx_l=-32.73
Tensioni nella sezione: σ=396.70 τ=49.59
CC 11 SLV (Collegamento -044_-376)
Azioni sul collegamento: N=-9000.10 Ty=11.14 Tz=10.38 Mx=0.02 Mz=11.32
Sollecitazioni agenti localmente: Ty_l=-1636.38 Mx_l=-32.73
Tensioni nella sezione: σ=396.70 τ=49.59
CC 11 SLV (Collegamento -044_-376)
Azioni sul collegamento: N=-9000.10 Ty=11.60 Tz=10.38 Mx=0.02 Mz=9.43
Sollecitazioni agenti localmente: Ty_l=-1636.38 Mx_l=-32.73
Tensioni nella sezione: σ=396.70 τ=49.59
CC 12 SLD (Collegamento -044_-376)
Azioni sul collegamento: N=-10426.00 Ty=10.37 Tz=14.95 Mx=0.01 Mz=8.52
Sollecitazioni agenti localmente: Ty_l=-1895.64 Mx_l=-37.91
Tensioni nella sezione: σ=459.55 τ=57.44
CC 12 SLD (Collegamento -044_-376)
Azioni sul collegamento: N=-10426.00 Ty=10.51 Tz=14.95 Mx=0.01 Mz=7.95
Sollecitazioni agenti localmente: Ty_l=-1895.64 Mx_l=-37.91
Tensioni nella sezione: σ=459.55 τ=57.44
CC 12 SLD (Collegamento -044_-376)
Azioni sul collegamento: N=-10426.00 Ty=10.37 Tz=12.64 Mx=0.01 Mz=8.52
Sollecitazioni agenti localmente: Ty_l=-1895.64 Mx_l=-37.91
Tensioni nella sezione: σ=459.55 τ=57.44
CC 12 SLD (Collegamento -044_-376)
Azioni sul collegamento: N=-10426.00 Ty=10.51 Tz=12.64 Mx=0.01 Mz=7.95
Sollecitazioni agenti localmente: Ty_l=-1895.64 Mx_l=-37.91
Tensioni nella sezione: σ=459.55 τ=57.44
CC 12 SLD (Collegamento -044_-376)
Azioni sul collegamento: N=-9714.02 Ty=10.37 Tz=14.95 Mx=0.01 Mz=8.52
Sollecitazioni agenti localmente: Ty_l=-1766.19 Mx_l=-35.32
Tensioni nella sezione: σ=428.17 τ=53.52
CC 12 SLD (Collegamento -044_-376)
Azioni sul collegamento: N=-9714.02 Ty=10.51 Tz=14.95 Mx=0.01 Mz=7.95
Sollecitazioni agenti localmente: Ty_l=-1766.19 Mx_l=-35.32
Tensioni nella sezione: σ=428.17 τ=53.52
CC 12 SLD (Collegamento -044_-376)
Azioni sul collegamento: N=-9714.02 Ty=10.37 Tz=12.64 Mx=0.01 Mz=8.52
Sollecitazioni agenti localmente: Ty_l=-1766.19 Mx_l=-35.32
Tensioni nella sezione: σ=428.17 τ=53.52
CC 12 SLD (Collegamento -044_-376)
Azioni sul collegamento: N=-9714.02 Ty=10.51 Tz=12.64 Mx=0.01 Mz=7.95
Sollecitazioni agenti localmente: Ty_l=-1766.19 Mx_l=-35.32
Tensioni nella sezione: σ=428.17 τ=53.52
CC 13 SLV (Collegamento -044_-376)
Azioni sul collegamento: N=-9000.10 Ty=11.60 Tz=10.38 Mx=0.01 Mz=9.43
Sollecitazioni agenti localmente: Ty_l=-1636.38 Mx_l=-32.73
Tensioni nella sezione: σ=396.70 τ=49.59
CC 13 SLV (Collegamento -044_-376)
Azioni sul collegamento: N=-9000.10 Ty=11.14 Tz=10.38 Mx=0.01 Mz=11.32
Sollecitazioni agenti localmente: Ty_l=-1636.38 Mx_l=-32.73
Tensioni nella sezione: σ=396.70 τ=49.59
CC 13 SLV (Collegamento -044_-376)
Azioni sul collegamento: N=-9000.10 Ty=11.60 Tz=17.98 Mx=0.01 Mz=9.43
Sollecitazioni agenti localmente: Ty_l=-1636.38 Mx_l=-32.73
Tensioni nella sezione: σ=396.70 τ=49.59
CC 13 SLV (Collegamento -044_-376)
Azioni sul collegamento: N=-9000.10 Ty=11.14 Tz=17.98 Mx=0.01 Mz=11.32
Sollecitazioni agenti localmente: Ty_l=-1636.38 Mx_l=-32.73
Tensioni nella sezione: σ=396.70 τ=49.59
CC 13 SLV (Collegamento -044_-376)
Azioni sul collegamento: N=-11335.10 Ty=11.60 Tz=10.38 Mx=0.01 Mz=9.43
Sollecitazioni agenti localmente: Ty_l=-2060.93 Mx_l=-41.22
Tensioni nella sezione: σ=499.62 τ=62.45
CC 13 SLV (Collegamento -044_-376)
Azioni sul collegamento: N=-11335.10 Ty=11.14 Tz=10.38 Mx=0.01 Mz=11.32
Sollecitazioni agenti localmente: Ty_l=-2060.93 Mx_l=-41.22
Tensioni nella sezione: σ=499.62 τ=62.45

CC 13 SLV (Collegamento -044_-376)
Azioni sul collegamento: N=-11335.10 Ty=11.60 Tz=17.98 Mx=0.01 Mz=9.43
Sollecitazioni agenti localmente: Ty_l=-2060.93 Mx_l=-41.22
Tensioni nella sezione: σ=499.62 τ=62.45
CC 13 SLV (Collegamento -044_-376)
Azioni sul collegamento: N=-11335.10 Ty=11.14 Tz=17.98 Mx=0.01 Mz=11.32
Sollecitazioni agenti localmente: Ty_l=-2060.93 Mx_l=-41.22
Tensioni nella sezione: σ=499.62 τ=62.45
CC 14 SLD (Collegamento -044_-376)
Azioni sul collegamento: N=-9714.02 Ty=10.51 Tz=12.64 Mx=0.00 Mz=7.95
Sollecitazioni agenti localmente: Ty_l=-1766.19 Mx_l=-35.32
Tensioni nella sezione: σ=428.17 τ=53.52
CC 14 SLD (Collegamento -044_-376)
Azioni sul collegamento: N=-9714.02 Ty=10.37 Tz=12.64 Mx=0.00 Mz=8.52
Sollecitazioni agenti localmente: Ty_l=-1766.19 Mx_l=-35.32
Tensioni nella sezione: σ=428.17 τ=53.52
CC 14 SLD (Collegamento -044_-376)
Azioni sul collegamento: N=-9714.02 Ty=10.51 Tz=14.95 Mx=0.00 Mz=7.95
Sollecitazioni agenti localmente: Ty_l=-1766.19 Mx_l=-35.32
Tensioni nella sezione: σ=428.17 τ=53.52
CC 14 SLD (Collegamento -044_-376)
Azioni sul collegamento: N=-9714.02 Ty=10.37 Tz=14.95 Mx=0.00 Mz=8.52
Sollecitazioni agenti localmente: Ty_l=-1766.19 Mx_l=-35.32
Tensioni nella sezione: σ=428.17 τ=53.52
CC 14 SLD (Collegamento -044_-376)
Azioni sul collegamento: N=-10426.00 Ty=10.51 Tz=12.64 Mx=0.00 Mz=7.95
Sollecitazioni agenti localmente: Ty_l=-1895.64 Mx_l=-37.91
Tensioni nella sezione: σ=459.55 τ=57.44
CC 14 SLD (Collegamento -044_-376)
Azioni sul collegamento: N=-10426.00 Ty=10.37 Tz=12.64 Mx=0.00 Mz=8.52
Sollecitazioni agenti localmente: Ty_l=-1895.64 Mx_l=-37.91
Tensioni nella sezione: σ=459.55 τ=57.44
CC 14 SLD (Collegamento -044_-376)
Azioni sul collegamento: N=-10426.00 Ty=10.51 Tz=14.95 Mx=0.00 Mz=7.95
Sollecitazioni agenti localmente: Ty_l=-1895.64 Mx_l=-37.91
Tensioni nella sezione: σ=459.55 τ=57.44
CC 14 SLD (Collegamento -044_-376)
Azioni sul collegamento: N=-10426.00 Ty=10.37 Tz=14.95 Mx=0.00 Mz=8.52
Sollecitazioni agenti localmente: Ty_l=-1895.64 Mx_l=-37.91
Tensioni nella sezione: σ=459.55 τ=57.44
CC 15 SLV (Collegamento -044_-376)
Azioni sul collegamento: N=-11351.40 Ty=9.43 Tz=19.07 Mx=0.01 Mz=7.83
Sollecitazioni agenti localmente: Ty_l=-2063.90 Mx_l=-41.28
Tensioni nella sezione: σ=500.34 τ=62.54
CC 15 SLV (Collegamento -044_-376)
Azioni sul collegamento: N=-11351.40 Ty=13.31 Tz=19.07 Mx=0.01 Mz=12.92
Sollecitazioni agenti localmente: Ty_l=-2063.90 Mx_l=-41.28
Tensioni nella sezione: σ=500.34 τ=62.54
CC 15 SLV (Collegamento -044_-376)
Azioni sul collegamento: N=-11351.40 Ty=9.43 Tz=9.29 Mx=0.01 Mz=7.83
Sollecitazioni agenti localmente: Ty_l=-2063.90 Mx_l=-41.28
Tensioni nella sezione: σ=500.34 τ=62.54
CC 15 SLV (Collegamento -044_-376)
Azioni sul collegamento: N=-11351.40 Ty=13.31 Tz=9.29 Mx=0.01 Mz=12.92
Sollecitazioni agenti localmente: Ty_l=-2063.90 Mx_l=-41.28
Tensioni nella sezione: σ=500.34 τ=62.54
CC 15 SLV (Collegamento -044_-376)
Azioni sul collegamento: N=-8983.82 Ty=9.43 Tz=19.07 Mx=0.01 Mz=7.83
Sollecitazioni agenti localmente: Ty_l=-1633.42 Mx_l=-32.67
Tensioni nella sezione: σ=395.98 τ=49.50
CC 15 SLV (Collegamento -044_-376)
Azioni sul collegamento: N=-8983.82 Ty=13.31 Tz=19.07 Mx=0.01 Mz=12.92
Sollecitazioni agenti localmente: Ty_l=-1633.42 Mx_l=-32.67
Tensioni nella sezione: σ=395.98 τ=49.50
CC 15 SLV (Collegamento -044_-376)
Azioni sul collegamento: N=-8983.82 Ty=9.43 Tz=9.29 Mx=0.01 Mz=7.83
Sollecitazioni agenti localmente: Ty_l=-1633.42 Mx_l=-32.67
Tensioni nella sezione: σ=395.98 τ=49.50
CC 15 SLV (Collegamento -044_-376)
Azioni sul collegamento: N=-8983.82 Ty=13.31 Tz=9.29 Mx=0.01 Mz=12.92
Sollecitazioni agenti localmente: Ty_l=-1633.42 Mx_l=-32.67
Tensioni nella sezione: σ=395.98 τ=49.50
CC 16 SLD (Collegamento -044_-376)
Azioni sul collegamento: N=-10431.00 Ty=9.85 Tz=15.29 Mx=0.00 Mz=7.46
Sollecitazioni agenti localmente: Ty_l=-1896.55 Mx_l=-37.93
Tensioni nella sezione: σ=459.77 τ=57.47
CC 16 SLD (Collegamento -044_-376)
Azioni sul collegamento: N=-10431.00 Ty=11.04 Tz=15.29 Mx=0.00 Mz=9.01
Sollecitazioni agenti localmente: Ty_l=-1896.55 Mx_l=-37.93

Tensioni nella sezione: σ=459.77 τ=57.47
CC 16 SLD (Collegamento -044_-376)
Azioni sul collegamento: N=-10431.00 Ty=9.85 Tz=12.31 Mx=0.00 Mz=7.46
Sollecitazioni agenti localmente: Ty_l=-1896.55 Mx_l=-37.93
Tensioni nella sezione: σ=459.77 τ=57.47
CC 16 SLD (Collegamento -044_-376)
Azioni sul collegamento: N=-10431.00 Ty=11.04 Tz=12.31 Mx=0.00 Mz=9.01
Sollecitazioni agenti localmente: Ty_l=-1896.55 Mx_l=-37.93
Tensioni nella sezione: σ=459.77 τ=57.47
CC 16 SLD (Collegamento -044_-376)
Azioni sul collegamento: N=-9709.06 Ty=9.85 Tz=15.29 Mx=0.00 Mz=7.46
Sollecitazioni agenti localmente: Ty_l=-1765.28 Mx_l=-35.31
Tensioni nella sezione: σ=427.95 τ=53.49
CC 16 SLD (Collegamento -044_-376)
Azioni sul collegamento: N=-9709.06 Ty=11.04 Tz=15.29 Mx=0.00 Mz=9.01
Sollecitazioni agenti localmente: Ty_l=-1765.28 Mx_l=-35.31
Tensioni nella sezione: σ=427.95 τ=53.49
CC 16 SLD (Collegamento -044_-376)
Azioni sul collegamento: N=-9709.06 Ty=9.85 Tz=12.31 Mx=0.00 Mz=7.46
Sollecitazioni agenti localmente: Ty_l=-1765.28 Mx_l=-35.31
Tensioni nella sezione: σ=427.95 τ=53.49
CC 16 SLD (Collegamento -044_-376)
Azioni sul collegamento: N=-9709.06 Ty=11.04 Tz=12.31 Mx=0.00 Mz=9.01
Sollecitazioni agenti localmente: Ty_l=-1765.28 Mx_l=-35.31
Tensioni nella sezione: σ=427.95 τ=53.49
CC 17 SLV (Collegamento -044_-376)
Azioni sul collegamento: N=-5965.51 Ty=12.58 Tz=-1.56 Mx=-0.01 Mz=7.43
Sollecitazioni agenti localmente: Ty_l=-1084.64 Mx_l=-21.69
Tensioni nella sezione: σ=262.94 τ=32.87
CC 17 SLV (Collegamento -044_-376)
Azioni sul collegamento: N=-5965.51 Ty=4.83 Tz=-1.56 Mx=-0.01 Mz=1.02
Sollecitazioni agenti localmente: Ty_l=-1084.64 Mx_l=-21.69
Tensioni nella sezione: σ=262.94 τ=32.87
CC 17 SLV (Collegamento -044_-376)
Azioni sul collegamento: N=-5965.51 Ty=12.58 Tz=27.71 Mx=-0.01 Mz=7.43
Sollecitazioni agenti localmente: Ty_l=-1084.64 Mx_l=-21.69
Tensioni nella sezione: σ=262.94 τ=32.87
CC 17 SLV (Collegamento -044_-376)
Azioni sul collegamento: N=-5965.51 Ty=4.83 Tz=27.71 Mx=-0.01 Mz=1.02
Sollecitazioni agenti localmente: Ty_l=-1084.64 Mx_l=-21.69
Tensioni nella sezione: σ=262.94 τ=32.87
CC 17 SLV (Collegamento -044_-376)
Azioni sul collegamento: N=-13808.10 Ty=12.58 Tz=-1.56 Mx=-0.01 Mz=7.43
Sollecitazioni agenti localmente: Ty_l=-2510.57 Mx_l=-50.21
Tensioni nella sezione: σ=608.62 τ=76.08
CC 17 SLV (Collegamento -044_-376)
Azioni sul collegamento: N=-13808.10 Ty=4.83 Tz=-1.56 Mx=-0.01 Mz=1.02
Sollecitazioni agenti localmente: Ty_l=-2510.57 Mx_l=-50.21
Tensioni nella sezione: σ=608.62 τ=76.08
CC 17 SLV (Collegamento -044_-376)
Azioni sul collegamento: N=-13808.10 Ty=12.58 Tz=27.71 Mx=-0.01 Mz=7.43
Sollecitazioni agenti localmente: Ty_l=-2510.57 Mx_l=-50.21
Tensioni nella sezione: σ=608.62 τ=76.08
CC 17 SLV (Collegamento -044_-376)
Azioni sul collegamento: N=-13808.10 Ty=4.83 Tz=27.71 Mx=-0.01 Mz=1.02
Sollecitazioni agenti localmente: Ty_l=-2510.57 Mx_l=-50.21
Tensioni nella sezione: σ=608.62 τ=76.08
CC 18 SLD (Collegamento -044_-376)
Azioni sul collegamento: N=-8788.68 Ty=10.81 Tz=9.00 Mx=-0.00 Mz=7.34
Sollecitazioni agenti localmente: Ty_l=-1597.94 Mx_l=-31.96
Tensioni nella sezione: σ=387.38 τ=48.42
CC 18 SLD (Collegamento -044_-376)
Azioni sul collegamento: N=-8788.68 Ty=8.45 Tz=9.00 Mx=-0.00 Mz=5.38
Sollecitazioni agenti localmente: Ty_l=-1597.94 Mx_l=-31.96
Tensioni nella sezione: σ=387.38 τ=48.42
CC 18 SLD (Collegamento -044_-376)
Azioni sul collegamento: N=-8788.68 Ty=10.81 Tz=17.92 Mx=-0.00 Mz=7.34
Sollecitazioni agenti localmente: Ty_l=-1597.94 Mx_l=-31.96
Tensioni nella sezione: σ=387.38 τ=48.42
CC 18 SLD (Collegamento -044_-376)
Azioni sul collegamento: N=-8788.68 Ty=8.45 Tz=17.92 Mx=-0.00 Mz=5.38
Sollecitazioni agenti localmente: Ty_l=-1597.94 Mx_l=-31.96
Tensioni nella sezione: σ=387.38 τ=48.42
CC 18 SLD (Collegamento -044_-376)
Azioni sul collegamento: N=-11180.10 Ty=10.81 Tz=9.00 Mx=-0.00 Mz=7.34
Sollecitazioni agenti localmente: Ty_l=-2032.75 Mx_l=-40.66
Tensioni nella sezione: σ=492.79 τ=61.60
CC 18 SLD (Collegamento -044_-376)
Azioni sul collegamento: N=-11180.10 Ty=8.45 Tz=9.00 Mx=-0.00 Mz=5.38

Sollecitazioni agenti localmente: Ty_l=-2032.75 Mx_l=-40.66
Tensioni nella sezione: σ=492.79 τ=61.60
CC 18 SLD (Collegamento -044_-376)
Azioni sul collegamento: N=-11180.10 Ty=10.81 Tz=17.92 Mx=-0.00 Mz=7.34
Sollecitazioni agenti localmente: Ty_l=-2032.75 Mx_l=-40.66
Tensioni nella sezione: σ=492.79 τ=61.60
CC 18 SLD (Collegamento -044_-376)
Azioni sul collegamento: N=-11180.10 Ty=8.45 Tz=17.92 Mx=-0.00 Mz=5.38
Sollecitazioni agenti localmente: Ty_l=-2032.75 Mx_l=-40.66
Tensioni nella sezione: σ=492.79 τ=61.60
CC 19 SLV (Collegamento -044_-376)
Azioni sul collegamento: N=-5970.39 Ty=12.07 Tz=-1.24 Mx=-0.01 Mz=6.38
Sollecitazioni agenti localmente: Ty_l=-1085.53 Mx_l=-21.71
Tensioni nella sezione: σ=263.16 τ=32.89
CC 19 SLV (Collegamento -044_-376)
Azioni sul collegamento: N=-5970.39 Ty=5.34 Tz=-1.24 Mx=-0.01 Mz=2.07
Sollecitazioni agenti localmente: Ty_l=-1085.53 Mx_l=-21.71
Tensioni nella sezione: σ=263.16 τ=32.89
CC 19 SLV (Collegamento -044_-376)
Azioni sul collegamento: N=-5970.39 Ty=12.07 Tz=27.38 Mx=-0.01 Mz=6.38
Sollecitazioni agenti localmente: Ty_l=-1085.53 Mx_l=-21.71
Tensioni nella sezione: σ=263.16 τ=32.89
CC 19 SLV (Collegamento -044_-376)
Azioni sul collegamento: N=-5970.39 Ty=5.34 Tz=27.38 Mx=-0.01 Mz=2.07
Sollecitazioni agenti localmente: Ty_l=-1085.53 Mx_l=-21.71
Tensioni nella sezione: σ=263.16 τ=32.89
CC 19 SLV (Collegamento -044_-376)
Azioni sul collegamento: N=-13803.30 Ty=12.07 Tz=-1.24 Mx=-0.01 Mz=6.38
Sollecitazioni agenti localmente: Ty_l=-2509.68 Mx_l=-50.19
Tensioni nella sezione: σ=608.41 τ=76.05
CC 19 SLV (Collegamento -044_-376)
Azioni sul collegamento: N=-13803.30 Ty=5.34 Tz=-1.24 Mx=-0.01 Mz=2.07
Sollecitazioni agenti localmente: Ty_l=-2509.68 Mx_l=-50.19
Tensioni nella sezione: σ=608.41 τ=76.05
CC 19 SLV (Collegamento -044_-376)
Azioni sul collegamento: N=-13803.30 Ty=12.07 Tz=27.38 Mx=-0.01 Mz=6.38
Sollecitazioni agenti localmente: Ty_l=-2509.68 Mx_l=-50.19
Tensioni nella sezione: σ=608.41 τ=76.05
CC 19 SLV (Collegamento -044_-376)
Azioni sul collegamento: N=-13803.30 Ty=5.34 Tz=27.38 Mx=-0.01 Mz=2.07
Sollecitazioni agenti localmente: Ty_l=-2509.68 Mx_l=-50.19
Tensioni nella sezione: σ=608.41 τ=76.05
CC 20 SLD (Collegamento -044_-376)
Azioni sul collegamento: N=-8790.17 Ty=10.66 Tz=9.09 Mx=-0.00 Mz=7.02
Sollecitazioni agenti localmente: Ty_l=-1598.21 Mx_l=-31.96
Tensioni nella sezione: σ=387.44 τ=48.43
CC 20 SLD (Collegamento -044_-376)
Azioni sul collegamento: N=-8790.17 Ty=8.61 Tz=9.09 Mx=-0.00 Mz=5.70
Sollecitazioni agenti localmente: Ty_l=-1598.21 Mx_l=-31.96
Tensioni nella sezione: σ=387.44 τ=48.43
CC 20 SLD (Collegamento -044_-376)
Azioni sul collegamento: N=-8790.17 Ty=10.66 Tz=17.82 Mx=-0.00 Mz=7.02
Sollecitazioni agenti localmente: Ty_l=-1598.21 Mx_l=-31.96
Tensioni nella sezione: σ=387.44 τ=48.43
CC 20 SLD (Collegamento -044_-376)
Azioni sul collegamento: N=-8790.17 Ty=8.61 Tz=17.82 Mx=-0.00 Mz=5.70
Sollecitazioni agenti localmente: Ty_l=-1598.21 Mx_l=-31.96
Tensioni nella sezione: σ=387.44 τ=48.43
CC 20 SLD (Collegamento -044_-376)
Azioni sul collegamento: N=-11178.70 Ty=10.66 Tz=9.10 Mx=-0.00 Mz=7.02
Sollecitazioni agenti localmente: Ty_l=-2032.48 Mx_l=-40.65
Tensioni nella sezione: σ=492.72 τ=61.59
CC 20 SLD (Collegamento -044_-376)
Azioni sul collegamento: N=-11178.70 Ty=8.61 Tz=9.10 Mx=-0.00 Mz=5.70
Sollecitazioni agenti localmente: Ty_l=-2032.48 Mx_l=-40.65
Tensioni nella sezione: σ=492.72 τ=61.59
CC 20 SLD (Collegamento -044_-376)
Azioni sul collegamento: N=-11178.70 Ty=10.66 Tz=17.82 Mx=-0.00 Mz=7.02
Sollecitazioni agenti localmente: Ty_l=-2032.48 Mx_l=-40.65
Tensioni nella sezione: σ=492.72 τ=61.59
CC 20 SLD (Collegamento -044_-376)
Azioni sul collegamento: N=-11178.70 Ty=8.61 Tz=17.82 Mx=-0.00 Mz=5.70
Sollecitazioni agenti localmente: Ty_l=-2032.48 Mx_l=-40.65
Tensioni nella sezione: σ=492.72 τ=61.59
CC 21 SLV (Collegamento -044_-376)
Azioni sul collegamento: N=-13803.30 Ty=5.34 Tz=27.38 Mx=-0.01 Mz=2.07
Sollecitazioni agenti localmente: Ty_l=-2509.68 Mx_l=-50.19
Tensioni nella sezione: σ=608.41 τ=76.05
CC 21 SLV (Collegamento -044_-376)

Azioni sul collegamento: N=-13803.30 Ty=12.07 Tz=27.38 Mx=-0.01 Mz=6.38
Sollecitazioni agenti localmente: Ty_l=-2509.68 Mx_l=-50.19
Tensioni nella sezione: σ=608.41 τ=76.05
CC 21 SLV (Collegamento -044_-376)
Azioni sul collegamento: N=-13803.30 Ty=5.34 Tz=-1.24 Mx=-0.01 Mz=2.07
Sollecitazioni agenti localmente: Ty_l=-2509.68 Mx_l=-50.19
Tensioni nella sezione: σ=608.41 τ=76.05
CC 21 SLV (Collegamento -044_-376)
Azioni sul collegamento: N=-13803.30 Ty=12.07 Tz=-1.24 Mx=-0.01 Mz=6.38
Sollecitazioni agenti localmente: Ty_l=-2509.68 Mx_l=-50.19
Tensioni nella sezione: σ=608.41 τ=76.05
CC 21 SLV (Collegamento -044_-376)
Azioni sul collegamento: N=-5970.39 Ty=5.34 Tz=27.38 Mx=-0.01 Mz=2.07
Sollecitazioni agenti localmente: Ty_l=-1085.53 Mx_l=-21.71
Tensioni nella sezione: σ=263.16 τ=32.89
CC 21 SLV (Collegamento -044_-376)
Azioni sul collegamento: N=-5970.39 Ty=12.07 Tz=27.38 Mx=-0.01 Mz=6.38
Sollecitazioni agenti localmente: Ty_l=-1085.53 Mx_l=-21.71
Tensioni nella sezione: σ=263.16 τ=32.89
CC 21 SLV (Collegamento -044_-376)
Azioni sul collegamento: N=-5970.39 Ty=5.34 Tz=-1.24 Mx=-0.01 Mz=2.07
Sollecitazioni agenti localmente: Ty_l=-1085.53 Mx_l=-21.71
Tensioni nella sezione: σ=263.16 τ=32.89
CC 21 SLV (Collegamento -044_-376)
Azioni sul collegamento: N=-5970.39 Ty=12.07 Tz=-1.24 Mx=-0.01 Mz=6.38
Sollecitazioni agenti localmente: Ty_l=-1085.53 Mx_l=-21.71
Tensioni nella sezione: σ=263.16 τ=32.89
CC 22 SLD (Collegamento -044_-376)
Azioni sul collegamento: N=-11178.70 Ty=8.61 Tz=17.82 Mx=-0.00 Mz=5.70
Sollecitazioni agenti localmente: Ty_l=-2032.48 Mx_l=-40.65
Tensioni nella sezione: σ=492.72 τ=61.59
CC 22 SLD (Collegamento -044_-376)
Azioni sul collegamento: N=-11178.70 Ty=10.66 Tz=17.82 Mx=-0.00 Mz=7.02
Sollecitazioni agenti localmente: Ty_l=-2032.48 Mx_l=-40.65
Tensioni nella sezione: σ=492.72 τ=61.59
CC 22 SLD (Collegamento -044_-376)
Azioni sul collegamento: N=-11178.70 Ty=8.61 Tz=9.10 Mx=-0.00 Mz=5.70
Sollecitazioni agenti localmente: Ty_l=-2032.48 Mx_l=-40.65
Tensioni nella sezione: σ=492.72 τ=61.59
CC 22 SLD (Collegamento -044_-376)
Azioni sul collegamento: N=-11178.70 Ty=10.66 Tz=9.10 Mx=-0.00 Mz=7.02
Sollecitazioni agenti localmente: Ty_l=-2032.48 Mx_l=-40.65
Tensioni nella sezione: σ=492.72 τ=61.59
CC 22 SLD (Collegamento -044_-376)
Azioni sul collegamento: N=-8790.17 Ty=8.61 Tz=17.82 Mx=-0.00 Mz=5.70
Sollecitazioni agenti localmente: Ty_l=-1598.21 Mx_l=-31.96
Tensioni nella sezione: σ=387.44 τ=48.43
CC 22 SLD (Collegamento -044_-376)
Azioni sul collegamento: N=-8790.17 Ty=10.66 Tz=17.82 Mx=-0.00 Mz=7.02
Sollecitazioni agenti localmente: Ty_l=-1598.21 Mx_l=-31.96
Tensioni nella sezione: σ=387.44 τ=48.43
CC 22 SLD (Collegamento -044_-376)
Azioni sul collegamento: N=-8790.17 Ty=8.61 Tz=9.09 Mx=-0.00 Mz=5.70
Sollecitazioni agenti localmente: Ty_l=-1598.21 Mx_l=-31.96
Tensioni nella sezione: σ=387.44 τ=48.43
CC 22 SLD (Collegamento -044_-376)
Azioni sul collegamento: N=-8790.17 Ty=10.66 Tz=9.09 Mx=-0.00 Mz=7.02
Sollecitazioni agenti localmente: Ty_l=-1598.21 Mx_l=-31.96
Tensioni nella sezione: σ=387.44 τ=48.43
CC 23 SLV (Collegamento -044_-376)
Azioni sul collegamento: N=-13808.10 Ty=4.83 Tz=27.71 Mx=-0.01 Mz=1.02
Sollecitazioni agenti localmente: Ty_l=-2510.57 Mx_l=-50.21
Tensioni nella sezione: σ=608.62 τ=76.08
CC 23 SLV (Collegamento -044_-376)
Azioni sul collegamento: N=-13808.10 Ty=12.58 Tz=27.71 Mx=-0.01 Mz=7.43
Sollecitazioni agenti localmente: Ty_l=-2510.57 Mx_l=-50.21
Tensioni nella sezione: σ=608.62 τ=76.08
CC 23 SLV (Collegamento -044_-376)
Azioni sul collegamento: N=-13808.10 Ty=4.83 Tz=-1.56 Mx=-0.01 Mz=1.02
Sollecitazioni agenti localmente: Ty_l=-2510.57 Mx_l=-50.21
Tensioni nella sezione: σ=608.62 τ=76.08
CC 23 SLV (Collegamento -044_-376)
Azioni sul collegamento: N=-13808.10 Ty=12.58 Tz=-1.56 Mx=-0.01 Mz=7.43
Sollecitazioni agenti localmente: Ty_l=-2510.57 Mx_l=-50.21
Tensioni nella sezione: σ=608.62 τ=76.08
CC 23 SLV (Collegamento -044_-376)
Azioni sul collegamento: N=-5965.51 Ty=4.83 Tz=27.71 Mx=-0.01 Mz=1.02
Sollecitazioni agenti localmente: Ty_l=-1084.64 Mx_l=-21.69
Tensioni nella sezione: σ=262.94 τ=32.87

CC 23 SLV (Collegamento -044_-376)
Azioni sul collegamento: N=-5965.51 Ty=12.58 Tz=27.71 Mx=-0.01 Mz=7.43
Sollecitazioni agenti localmente: Ty_l=-1084.64 Mx_l=-21.69
Tensioni nella sezione: σ=262.94 τ=32.87
CC 23 SLV (Collegamento -044_-376)
Azioni sul collegamento: N=-5965.51 Ty=4.83 Tz=-1.56 Mx=-0.01 Mz=1.02
Sollecitazioni agenti localmente: Ty_l=-1084.64 Mx_l=-21.69
Tensioni nella sezione: σ=262.94 τ=32.87
CC 23 SLV (Collegamento -044_-376)
Azioni sul collegamento: N=-5965.51 Ty=12.58 Tz=-1.56 Mx=-0.01 Mz=7.43
Sollecitazioni agenti localmente: Ty_l=-1084.64 Mx_l=-21.69
Tensioni nella sezione: σ=262.94 τ=32.87
CC 24 SLD (Collegamento -044_-376)
Azioni sul collegamento: N=-11180.10 Ty=8.45 Tz=17.92 Mx=-0.00 Mz=5.38
Sollecitazioni agenti localmente: Ty_l=-2032.75 Mx_l=-40.66
Tensioni nella sezione: σ=492.79 τ=61.60
CC 24 SLD (Collegamento -044_-376)
Azioni sul collegamento: N=-11180.10 Ty=10.81 Tz=17.92 Mx=-0.00 Mz=7.34
Sollecitazioni agenti localmente: Ty_l=-2032.75 Mx_l=-40.66
Tensioni nella sezione: σ=492.79 τ=61.60
CC 24 SLD (Collegamento -044_-376)
Azioni sul collegamento: N=-11180.10 Ty=8.45 Tz=9.00 Mx=-0.00 Mz=5.38
Sollecitazioni agenti localmente: Ty_l=-2032.75 Mx_l=-40.66
Tensioni nella sezione: σ=492.79 τ=61.60
CC 24 SLD (Collegamento -044_-376)
Azioni sul collegamento: N=-11180.10 Ty=10.81 Tz=9.00 Mx=-0.00 Mz=7.34
Sollecitazioni agenti localmente: Ty_l=-2032.75 Mx_l=-40.66
Tensioni nella sezione: σ=492.79 τ=61.60
CC 24 SLD (Collegamento -044_-376)
Azioni sul collegamento: N=-8788.68 Ty=8.45 Tz=17.92 Mx=-0.00 Mz=5.38
Sollecitazioni agenti localmente: Ty_l=-1597.94 Mx_l=-31.96
Tensioni nella sezione: σ=387.38 τ=48.42
CC 24 SLD (Collegamento -044_-376)
Azioni sul collegamento: N=-8788.68 Ty=10.81 Tz=17.92 Mx=-0.00 Mz=7.34
Sollecitazioni agenti localmente: Ty_l=-1597.94 Mx_l=-31.96
Tensioni nella sezione: σ=387.38 τ=48.42
CC 24 SLD (Collegamento -044_-376)
Azioni sul collegamento: N=-8788.68 Ty=8.45 Tz=9.00 Mx=-0.00 Mz=5.38
Sollecitazioni agenti localmente: Ty_l=-1597.94 Mx_l=-31.96
Tensioni nella sezione: σ=387.38 τ=48.42
CC 24 SLD (Collegamento -044_-376)
Azioni sul collegamento: N=-8788.68 Ty=10.81 Tz=9.00 Mx=-0.00 Mz=7.34
Sollecitazioni agenti localmente: Ty_l=-1597.94 Mx_l=-31.96
Tensioni nella sezione: σ=387.38 τ=48.42
CC 25 SLV (Collegamento -044_-376)
Azioni sul collegamento: N=-8703.02 Ty=10.65 Tz=8.19 Mx=-0.02 Mz=6.77
Sollecitazioni agenti localmente: Ty_l=-1582.37 Mx_l=-31.65
Tensioni nella sezione: σ=383.60 τ=47.95
CC 25 SLV (Collegamento -044_-376)
Azioni sul collegamento: N=-8703.02 Ty=6.76 Tz=8.19 Mx=-0.02 Mz=1.67
Sollecitazioni agenti localmente: Ty_l=-1582.37 Mx_l=-31.65
Tensioni nella sezione: σ=383.60 τ=47.95
CC 25 SLV (Collegamento -044_-376)
Azioni sul collegamento: N=-8703.02 Ty=10.65 Tz=17.96 Mx=-0.02 Mz=6.77
Sollecitazioni agenti localmente: Ty_l=-1582.37 Mx_l=-31.65
Tensioni nella sezione: σ=383.60 τ=47.95
CC 25 SLV (Collegamento -044_-376)
Azioni sul collegamento: N=-8703.02 Ty=6.76 Tz=17.96 Mx=-0.02 Mz=1.67
Sollecitazioni agenti localmente: Ty_l=-1582.37 Mx_l=-31.65
Tensioni nella sezione: σ=383.60 τ=47.95
CC 25 SLV (Collegamento -044_-376)
Azioni sul collegamento: N=-11070.60 Ty=10.65 Tz=8.19 Mx=-0.02 Mz=6.77
Sollecitazioni agenti localmente: Ty_l=-2012.84 Mx_l=-40.26
Tensioni nella sezione: σ=487.96 τ=61.00
CC 25 SLV (Collegamento -044_-376)
Azioni sul collegamento: N=-11070.60 Ty=6.76 Tz=8.19 Mx=-0.02 Mz=1.67
Sollecitazioni agenti localmente: Ty_l=-2012.84 Mx_l=-40.26
Tensioni nella sezione: σ=487.96 τ=61.00
CC 25 SLV (Collegamento -044_-376)
Azioni sul collegamento: N=-11070.60 Ty=10.65 Tz=17.96 Mx=-0.02 Mz=6.77
Sollecitazioni agenti localmente: Ty_l=-2012.84 Mx_l=-40.26
Tensioni nella sezione: σ=487.96 τ=61.00
CC 25 SLV (Collegamento -044_-376)
Azioni sul collegamento: N=-11070.60 Ty=6.76 Tz=17.96 Mx=-0.02 Mz=1.67
Sollecitazioni agenti localmente: Ty_l=-2012.84 Mx_l=-40.26
Tensioni nella sezione: σ=487.96 τ=61.00
CC 26 SLD (Collegamento -044_-376)
Azioni sul collegamento: N=-9623.43 Ty=10.22 Tz=11.97 Mx=-0.00 Mz=7.14
Sollecitazioni agenti localmente: Ty_l=-1749.72 Mx_l=-34.99

Tensioni nella sezione: σ=424.17 τ=53.02
CC 26 SLD (Collegamento -044_-376)
Azioni sul collegamento: N=-9623.43 Ty=9.04 Tz=11.97 Mx=-0.00 Mz=5.58
Sollecitazioni agenti localmente: Ty_l=-1749.72 Mx_l=-34.99
Tensioni nella sezione: σ=424.17 τ=53.02
CC 26 SLD (Collegamento -044_-376)
Azioni sul collegamento: N=-9623.43 Ty=10.22 Tz=14.95 Mx=-0.00 Mz=7.14
Sollecitazioni agenti localmente: Ty_l=-1749.71 Mx_l=-34.99
Tensioni nella sezione: σ=424.17 τ=53.02
CC 26 SLD (Collegamento -044_-376)
Azioni sul collegamento: N=-9623.43 Ty=9.04 Tz=14.95 Mx=-0.00 Mz=5.58
Sollecitazioni agenti localmente: Ty_l=-1749.71 Mx_l=-34.99
Tensioni nella sezione: σ=424.17 τ=53.02
CC 26 SLD (Collegamento -044_-376)
Azioni sul collegamento: N=-10345.40 Ty=10.22 Tz=11.97 Mx=-0.00 Mz=7.14
Sollecitazioni agenti localmente: Ty_l=-1880.98 Mx_l=-37.62
Tensioni nella sezione: σ=455.99 τ=57.00
CC 26 SLD (Collegamento -044_-376)
Azioni sul collegamento: N=-10345.40 Ty=9.04 Tz=11.97 Mx=-0.00 Mz=5.58
Sollecitazioni agenti localmente: Ty_l=-1880.98 Mx_l=-37.62
Tensioni nella sezione: σ=455.99 τ=57.00
CC 26 SLD (Collegamento -044_-376)
Azioni sul collegamento: N=-10345.40 Ty=10.22 Tz=14.95 Mx=-0.00 Mz=7.14
Sollecitazioni agenti localmente: Ty_l=-1880.98 Mx_l=-37.62
Tensioni nella sezione: σ=455.99 τ=57.00
CC 26 SLD (Collegamento -044_-376)
Azioni sul collegamento: N=-10345.40 Ty=9.04 Tz=14.95 Mx=-0.00 Mz=5.58
Sollecitazioni agenti localmente: Ty_l=-1880.98 Mx_l=-37.62
Tensioni nella sezione: σ=455.99 τ=57.00
CC 27 SLV (Collegamento -044_-376)
Azioni sul collegamento: N=-11054.30 Ty=8.48 Tz=16.87 Mx=-0.02 Mz=5.16
Sollecitazioni agenti localmente: Ty_l=-2009.88 Mx_l=-40.20
Tensioni nella sezione: σ=487.24 τ=60.91
CC 27 SLV (Collegamento -044_-376)
Azioni sul collegamento: N=-11054.30 Ty=8.94 Tz=16.87 Mx=-0.02 Mz=3.28
Sollecitazioni agenti localmente: Ty_l=-2009.88 Mx_l=-40.20
Tensioni nella sezione: σ=487.24 τ=60.91
CC 27 SLV (Collegamento -044_-376)
Azioni sul collegamento: N=-11054.30 Ty=8.48 Tz=9.28 Mx=-0.02 Mz=5.16
Sollecitazioni agenti localmente: Ty_l=-2009.88 Mx_l=-40.20
Tensioni nella sezione: σ=487.24 τ=60.91
CC 27 SLV (Collegamento -044_-376)
Azioni sul collegamento: N=-11054.30 Ty=8.94 Tz=9.28 Mx=-0.02 Mz=3.28
Sollecitazioni agenti localmente: Ty_l=-2009.88 Mx_l=-40.20
Tensioni nella sezione: σ=487.24 τ=60.91
CC 27 SLV (Collegamento -044_-376)
Azioni sul collegamento: N=-8719.31 Ty=8.48 Tz=16.87 Mx=-0.02 Mz=5.16
Sollecitazioni agenti localmente: Ty_l=-1585.33 Mx_l=-31.71
Tensioni nella sezione: σ=384.32 τ=48.04
CC 27 SLV (Collegamento -044_-376)
Azioni sul collegamento: N=-8719.31 Ty=8.94 Tz=16.87 Mx=-0.02 Mz=3.28
Sollecitazioni agenti localmente: Ty_l=-1585.33 Mx_l=-31.71
Tensioni nella sezione: σ=384.32 τ=48.04
CC 27 SLV (Collegamento -044_-376)
Azioni sul collegamento: N=-8719.31 Ty=8.48 Tz=9.28 Mx=-0.02 Mz=5.16
Sollecitazioni agenti localmente: Ty_l=-1585.33 Mx_l=-31.71
Tensioni nella sezione: σ=384.32 τ=48.04
CC 27 SLV (Collegamento -044_-376)
Azioni sul collegamento: N=-8719.31 Ty=8.94 Tz=9.28 Mx=-0.02 Mz=3.28
Sollecitazioni agenti localmente: Ty_l=-1585.33 Mx_l=-31.71
Tensioni nella sezione: σ=384.32 τ=48.04
CC 28 SLD (Collegamento -044_-376)
Azioni sul collegamento: N=-10340.40 Ty=9.56 Tz=14.62 Mx=-0.00 Mz=6.65
Sollecitazioni agenti localmente: Ty_l=-1880.08 Mx_l=-37.60
Tensioni nella sezione: σ=455.77 τ=56.97
CC 28 SLD (Collegamento -044_-376)
Azioni sul collegamento: N=-10340.40 Ty=9.70 Tz=14.62 Mx=-0.00 Mz=6.07
Sollecitazioni agenti localmente: Ty_l=-1880.08 Mx_l=-37.60
Tensioni nella sezione: σ=455.77 τ=56.97
CC 28 SLD (Collegamento -044_-376)
Azioni sul collegamento: N=-10340.40 Ty=9.56 Tz=12.30 Mx=-0.00 Mz=6.65
Sollecitazioni agenti localmente: Ty_l=-1880.08 Mx_l=-37.60
Tensioni nella sezione: σ=455.77 τ=56.97
CC 28 SLD (Collegamento -044_-376)
Azioni sul collegamento: N=-10340.40 Ty=9.70 Tz=12.30 Mx=-0.00 Mz=6.07
Sollecitazioni agenti localmente: Ty_l=-1880.08 Mx_l=-37.60
Tensioni nella sezione: σ=455.77 τ=56.97
CC 28 SLD (Collegamento -044_-376)
Azioni sul collegamento: N=-9628.40 Ty=9.56 Tz=14.62 Mx=-0.00 Mz=6.65

Sollecitazioni agenti localmente: Ty_l=-1750.62 Mx_l=-35.01
Tensioni nella sezione: σ=424.39 τ=53.05
CC 28 SLD (Collegamento -044_-376)
Azioni sul collegamento: N=-9628.40 Ty=9.70 Tz=14.62 Mx=-0.00 Mz=6.07
Sollecitazioni agenti localmente: Ty_l=-1750.62 Mx_l=-35.01
Tensioni nella sezione: σ=424.39 τ=53.05
CC 28 SLD (Collegamento -044_-376)
Azioni sul collegamento: N=-9628.40 Ty=9.56 Tz=12.30 Mx=-0.00 Mz=6.65
Sollecitazioni agenti localmente: Ty_l=-1750.62 Mx_l=-35.01
Tensioni nella sezione: σ=424.39 τ=53.05
CC 28 SLD (Collegamento -044_-376)
Azioni sul collegamento: N=-9628.40 Ty=9.70 Tz=12.30 Mx=-0.00 Mz=6.07
Sollecitazioni agenti localmente: Ty_l=-1750.62 Mx_l=-35.01
Tensioni nella sezione: σ=424.39 τ=53.05
CC 29 SLV (Collegamento -044_-376)
Azioni sul collegamento: N=-8719.31 Ty=8.94 Tz=9.28 Mx=-0.00 Mz=3.28
Sollecitazioni agenti localmente: Ty_l=-1585.33 Mx_l=-31.71
Tensioni nella sezione: σ=384.32 τ=48.04
CC 29 SLV (Collegamento -044_-376)
Azioni sul collegamento: N=-8719.31 Ty=8.48 Tz=9.28 Mx=-0.00 Mz=5.16
Sollecitazioni agenti localmente: Ty_l=-1585.33 Mx_l=-31.71
Tensioni nella sezione: σ=384.32 τ=48.04
CC 29 SLV (Collegamento -044_-376)
Azioni sul collegamento: N=-8719.31 Ty=8.94 Tz=16.87 Mx=-0.00 Mz=3.28
Sollecitazioni agenti localmente: Ty_l=-1585.33 Mx_l=-31.71
Tensioni nella sezione: σ=384.32 τ=48.04
CC 29 SLV (Collegamento -044_-376)
Azioni sul collegamento: N=-8719.31 Ty=8.48 Tz=16.87 Mx=-0.00 Mz=5.16
Sollecitazioni agenti localmente: Ty_l=-1585.33 Mx_l=-31.71
Tensioni nella sezione: σ=384.32 τ=48.04
CC 29 SLV (Collegamento -044_-376)
Azioni sul collegamento: N=-11054.30 Ty=8.94 Tz=9.28 Mx=-0.00 Mz=3.28
Sollecitazioni agenti localmente: Ty_l=-2009.88 Mx_l=-40.20
Tensioni nella sezione: σ=487.24 τ=60.91
CC 29 SLV (Collegamento -044_-376)
Azioni sul collegamento: N=-11054.30 Ty=8.48 Tz=9.28 Mx=-0.00 Mz=5.16
Sollecitazioni agenti localmente: Ty_l=-2009.88 Mx_l=-40.20
Tensioni nella sezione: σ=487.24 τ=60.91
CC 29 SLV (Collegamento -044_-376)
Azioni sul collegamento: N=-11054.30 Ty=8.94 Tz=16.87 Mx=-0.00 Mz=3.28
Sollecitazioni agenti localmente: Ty_l=-2009.88 Mx_l=-40.20
Tensioni nella sezione: σ=487.24 τ=60.91
CC 29 SLV (Collegamento -044_-376)
Azioni sul collegamento: N=-11054.30 Ty=8.48 Tz=16.87 Mx=-0.00 Mz=5.16
Sollecitazioni agenti localmente: Ty_l=-2009.88 Mx_l=-40.20
Tensioni nella sezione: σ=487.24 τ=60.91
CC 30 SLD (Collegamento -044_-376)
Azioni sul collegamento: N=-9628.40 Ty=9.70 Tz=12.30 Mx=0.00 Mz=6.07
Sollecitazioni agenti localmente: Ty_l=-1750.62 Mx_l=-35.01
Tensioni nella sezione: σ=424.39 τ=53.05
CC 30 SLD (Collegamento -044_-376)
Azioni sul collegamento: N=-9628.40 Ty=9.56 Tz=12.30 Mx=0.00 Mz=6.65
Sollecitazioni agenti localmente: Ty_l=-1750.62 Mx_l=-35.01
Tensioni nella sezione: σ=424.39 τ=53.05
CC 30 SLD (Collegamento -044_-376)
Azioni sul collegamento: N=-9628.40 Ty=9.70 Tz=14.62 Mx=0.00 Mz=6.07
Sollecitazioni agenti localmente: Ty_l=-1750.62 Mx_l=-35.01
Tensioni nella sezione: σ=424.39 τ=53.05
CC 30 SLD (Collegamento -044_-376)
Azioni sul collegamento: N=-9628.40 Ty=9.56 Tz=14.62 Mx=0.00 Mz=6.65
Sollecitazioni agenti localmente: Ty_l=-1750.62 Mx_l=-35.01
Tensioni nella sezione: σ=424.39 τ=53.05
CC 30 SLD (Collegamento -044_-376)
Azioni sul collegamento: N=-10340.40 Ty=9.70 Tz=12.30 Mx=0.00 Mz=6.07
Sollecitazioni agenti localmente: Ty_l=-1880.08 Mx_l=-37.60
Tensioni nella sezione: σ=455.77 τ=56.97
CC 30 SLD (Collegamento -044_-376)
Azioni sul collegamento: N=-10340.40 Ty=9.56 Tz=12.30 Mx=0.00 Mz=6.65
Sollecitazioni agenti localmente: Ty_l=-1880.08 Mx_l=-37.60
Tensioni nella sezione: σ=455.77 τ=56.97
CC 30 SLD (Collegamento -044_-376)
Azioni sul collegamento: N=-10340.40 Ty=9.70 Tz=14.62 Mx=0.00 Mz=6.07
Sollecitazioni agenti localmente: Ty_l=-1880.08 Mx_l=-37.60
Tensioni nella sezione: σ=455.77 τ=56.97
CC 30 SLD (Collegamento -044_-376)
Azioni sul collegamento: N=-10340.40 Ty=9.56 Tz=14.62 Mx=0.00 Mz=6.65
Sollecitazioni agenti localmente: Ty_l=-1880.08 Mx_l=-37.60
Tensioni nella sezione: σ=455.77 τ=56.97
CC 31 SLV (Collegamento -044_-376)

Azioni sul collegamento: N=-11070.60 Ty=6.76 Tz=17.96 Mx=-0.00 Mz=1.67
Sollecitazioni agenti localmente: Ty_l=-2012.84 Mx_l=-40.26
Tensioni nella sezione: σ=487.96 τ=61.00
CC 31 SLV (Collegamento -044_-376)
Azioni sul collegamento: N=-11070.60 Ty=10.65 Tz=17.96 Mx=-0.00 Mz=6.77
Sollecitazioni agenti localmente: Ty_l=-2012.84 Mx_l=-40.26
Tensioni nella sezione: σ=487.96 τ=61.00
CC 31 SLV (Collegamento -044_-376)
Azioni sul collegamento: N=-11070.60 Ty=6.76 Tz=8.19 Mx=-0.00 Mz=1.67
Sollecitazioni agenti localmente: Ty_l=-2012.84 Mx_l=-40.26
Tensioni nella sezione: σ=487.96 τ=61.00
CC 31 SLV (Collegamento -044_-376)
Azioni sul collegamento: N=-11070.60 Ty=10.65 Tz=8.19 Mx=-0.00 Mz=6.77
Sollecitazioni agenti localmente: Ty_l=-2012.84 Mx_l=-40.26
Tensioni nella sezione: σ=487.96 τ=61.00
CC 31 SLV (Collegamento -044_-376)
Azioni sul collegamento: N=-8703.02 Ty=6.76 Tz=17.96 Mx=-0.00 Mz=1.67
Sollecitazioni agenti localmente: Ty_l=-1582.37 Mx_l=-31.65
Tensioni nella sezione: σ=383.60 τ=47.95
CC 31 SLV (Collegamento -044_-376)
Azioni sul collegamento: N=-8703.02 Ty=10.65 Tz=17.96 Mx=-0.00 Mz=6.77
Sollecitazioni agenti localmente: Ty_l=-1582.37 Mx_l=-31.65
Tensioni nella sezione: σ=383.60 τ=47.95
CC 31 SLV (Collegamento -044_-376)
Azioni sul collegamento: N=-8703.02 Ty=6.76 Tz=8.19 Mx=-0.00 Mz=1.67
Sollecitazioni agenti localmente: Ty_l=-1582.37 Mx_l=-31.65
Tensioni nella sezione: σ=383.60 τ=47.95
CC 31 SLV (Collegamento -044_-376)
Azioni sul collegamento: N=-8703.02 Ty=10.65 Tz=8.19 Mx=-0.00 Mz=6.77
Sollecitazioni agenti localmente: Ty_l=-1582.37 Mx_l=-31.65
Tensioni nella sezione: σ=383.60 τ=47.95
CC 32 SLD (Collegamento -044_-376)
Azioni sul collegamento: N=-10345.40 Ty=9.04 Tz=14.95 Mx=0.00 Mz=5.58
Sollecitazioni agenti localmente: Ty_l=-1880.98 Mx_l=-37.62
Tensioni nella sezione: σ=455.99 τ=57.00
CC 32 SLD (Collegamento -044_-376)
Azioni sul collegamento: N=-10345.40 Ty=10.22 Tz=14.95 Mx=0.00 Mz=7.14
Sollecitazioni agenti localmente: Ty_l=-1880.98 Mx_l=-37.62
Tensioni nella sezione: σ=455.99 τ=57.00
CC 32 SLD (Collegamento -044_-376)
Azioni sul collegamento: N=-10345.40 Ty=9.04 Tz=11.97 Mx=0.00 Mz=5.58
Sollecitazioni agenti localmente: Ty_l=-1880.98 Mx_l=-37.62
Tensioni nella sezione: σ=455.99 τ=57.00
CC 32 SLD (Collegamento -044_-376)
Azioni sul collegamento: N=-10345.40 Ty=10.22 Tz=11.97 Mx=0.00 Mz=7.14
Sollecitazioni agenti localmente: Ty_l=-1880.98 Mx_l=-37.62
Tensioni nella sezione: σ=455.99 τ=57.00
CC 32 SLD (Collegamento -044_-376)
Azioni sul collegamento: N=-9623.43 Ty=9.04 Tz=14.95 Mx=0.00 Mz=5.58
Sollecitazioni agenti localmente: Ty_l=-1749.71 Mx_l=-34.99
Tensioni nella sezione: σ=424.17 τ=53.02
CC 32 SLD (Collegamento -044_-376)
Azioni sul collegamento: N=-9623.43 Ty=10.22 Tz=14.95 Mx=0.00 Mz=7.14
Sollecitazioni agenti localmente: Ty_l=-1749.71 Mx_l=-34.99
Tensioni nella sezione: σ=424.17 τ=53.02
CC 32 SLD (Collegamento -044_-376)
Azioni sul collegamento: N=-9623.43 Ty=9.04 Tz=11.97 Mx=0.00 Mz=5.58
Sollecitazioni agenti localmente: Ty_l=-1749.72 Mx_l=-34.99
Tensioni nella sezione: σ=424.17 τ=53.02
CC 32 SLD (Collegamento -044_-376)
Azioni sul collegamento: N=-9623.43 Ty=10.22 Tz=11.97 Mx=0.00 Mz=7.14
Sollecitazioni agenti localmente: Ty_l=-1749.72 Mx_l=-34.99
Tensioni nella sezione: σ=424.17 τ=53.02
CC 33 SLU (Collegamento -044_-376)
Azioni sul collegamento: N=-37458.50 Ty=20.96 Tz=106.28 Mx=0.00 Mz=15.40
Sollecitazioni agenti localmente: Ty_l=-6810.64 Mx_l=-136.21
Tensioni nella sezione: σ=1651.06 τ=206.38
CC 34 SLU (Collegamento -044_-376)
Azioni sul collegamento: N=-36642.60 Ty=20.20 Tz=103.27 Mx=0.00 Mz=14.84
Sollecitazioni agenti localmente: Ty_l=-6662.28 Mx_l=-133.25
Tensioni nella sezione: σ=1615.10 τ=201.89
CC 35 SLU (Collegamento -044_-376)
Azioni sul collegamento: N=-37049.70 Ty=20.49 Tz=104.83 Mx=0.01 Mz=14.94
Sollecitazioni agenti localmente: Ty_l=-6736.30 Mx_l=-134.73
Tensioni nella sezione: σ=1633.04 τ=204.13
CC 36 SLU (Collegamento -044_-376)
Azioni sul collegamento: N=-37051.40 Ty=20.67 Tz=104.72 Mx=0.00 Mz=15.30
Sollecitazioni agenti localmente: Ty_l=-6736.62 Mx_l=-134.73
Tensioni nella sezione: σ=1633.12 τ=204.14

CC 37 SLU (Collegamento -044_-376)
Azioni sul collegamento: N=-28275.70 Ty=20.11 Tz=72.57 Mx=0.00 Mz=14.65
Sollecitazioni agenti localmente: Ty_l=-5141.04 Mx_l=-102.82
Tensioni nella sezione: σ=1246.31 τ=155.79
CC 38 SLU (Collegamento -044_-376)
Azioni sul collegamento: N=-27459.70 Ty=19.36 Tz=69.55 Mx=0.00 Mz=14.09
Sollecitazioni agenti localmente: Ty_l=-4992.68 Mx_l=-99.85
Tensioni nella sezione: σ=1210.34 τ=151.29
CC 39 SLU (Collegamento -044_-376)
Azioni sul collegamento: N=-27866.80 Ty=19.65 Tz=71.12 Mx=0.01 Mz=14.19
Sollecitazioni agenti localmente: Ty_l=-5066.70 Mx_l=-101.33
Tensioni nella sezione: σ=1228.29 τ=153.54
CC 40 SLU (Collegamento -044_-376)
Azioni sul collegamento: N=-27868.60 Ty=19.82 Tz=71.00 Mx=0.00 Mz=14.55
Sollecitazioni agenti localmente: Ty_l=-5067.02 Mx_l=-101.34
Tensioni nella sezione: σ=1228.37 τ=153.55
CC 41 SLU (Collegamento -044_-376)
Azioni sul collegamento: N=-30676.20 Ty=-9.89 Tz=80.85 Mx=0.00 Mz=-7.99
Sollecitazioni agenti localmente: Ty_l=-5577.50 Mx_l=-111.55
Tensioni nella sezione: σ=1352.12 τ=169.01
CC 42 SLU (Collegamento -044_-376)
Azioni sul collegamento: N=-29860.20 Ty=-10.64 Tz=77.84 Mx=0.00 Mz=-8.54
Sollecitazioni agenti localmente: Ty_l=-5429.13 Mx_l=-108.58
Tensioni nella sezione: σ=1316.15 τ=164.52
CC 43 SLU (Collegamento -044_-376)
Azioni sul collegamento: N=-30267.40 Ty=-10.35 Tz=79.40 Mx=0.01 Mz=-8.45
Sollecitazioni agenti localmente: Ty_l=-5503.15 Mx_l=-110.06
Tensioni nella sezione: σ=1334.09 τ=166.76
CC 44 SLU (Collegamento -044_-376)
Azioni sul collegamento: N=-30269.10 Ty=-10.18 Tz=79.28 Mx=0.00 Mz=-8.08
Sollecitazioni agenti localmente: Ty_l=-5503.48 Mx_l=-110.07
Tensioni nella sezione: σ=1334.17 τ=166.77
CC 45 SLU (Collegamento -044_-376)
Azioni sul collegamento: N=-30295.00 Ty=20.33 Tz=79.99 Mx=0.00 Mz=14.94
Sollecitazioni agenti localmente: Ty_l=-5508.18 Mx_l=-110.16
Tensioni nella sezione: σ=1335.32 τ=166.91
CC 46 SLU (Collegamento -044_-376)
Azioni sul collegamento: N=-29479.00 Ty=19.57 Tz=76.97 Mx=0.00 Mz=14.38
Sollecitazioni agenti localmente: Ty_l=-5359.82 Mx_l=-107.20
Tensioni nella sezione: σ=1299.35 τ=162.42
CC 47 SLU (Collegamento -044_-376)
Azioni sul collegamento: N=-29886.10 Ty=19.86 Tz=78.54 Mx=0.00 Mz=14.48
Sollecitazioni agenti localmente: Ty_l=-5433.85 Mx_l=-108.68
Tensioni nella sezione: σ=1317.29 τ=164.66
CC 48 SLU (Collegamento -044_-376)
Azioni sul collegamento: N=-29887.90 Ty=20.04 Tz=78.42 Mx=0.00 Mz=14.84
Sollecitazioni agenti localmente: Ty_l=-5434.17 Mx_l=-108.68
Tensioni nella sezione: σ=1317.37 τ=164.67
CC 49 SLU (Collegamento -044_-376)
Azioni sul collegamento: N=-23424.90 Ty=19.70 Tz=54.76 Mx=0.00 Mz=14.38
Sollecitazioni agenti localmente: Ty_l=-4259.07 Mx_l=-85.18
Tensioni nella sezione: σ=1032.50 τ=129.06
CC 50 SLU (Collegamento -044_-376)
Azioni sul collegamento: N=-22608.90 Ty=18.94 Tz=51.75 Mx=0.00 Mz=13.82
Sollecitazioni agenti localmente: Ty_l=-4110.71 Mx_l=-82.21
Tensioni nella sezione: σ=996.53 τ=124.57
CC 51 SLU (Collegamento -044_-376)
Azioni sul collegamento: N=-23016.00 Ty=19.23 Tz=53.31 Mx=0.00 Mz=13.92
Sollecitazioni agenti localmente: Ty_l=-4184.73 Mx_l=-83.69
Tensioni nella sezione: σ=1014.48 τ=126.81
CC 52 SLU (Collegamento -044_-376)
Azioni sul collegamento: N=-23017.80 Ty=19.41 Tz=53.20 Mx=0.00 Mz=14.28
Sollecitazioni agenti localmente: Ty_l=-4185.06 Mx_l=-83.70
Tensioni nella sezione: σ=1014.56 τ=126.82
CC 53 SLU (Collegamento -044_-376)
Azioni sul collegamento: N=-25220.90 Ty=-2.75 Tz=60.96 Mx=0.00 Mz=-2.55
Sollecitazioni agenti localmente: Ty_l=-4585.61 Mx_l=-91.71
Tensioni nella sezione: σ=1111.66 τ=138.96
CC 54 SLU (Collegamento -044_-376)
Azioni sul collegamento: N=-24404.90 Ty=-3.50 Tz=57.94 Mx=0.00 Mz=-3.11
Sollecitazioni agenti localmente: Ty_l=-4437.25 Mx_l=-88.74
Tensioni nella sezione: σ=1075.69 τ=134.46
CC 55 SLU (Collegamento -044_-376)
Azioni sul collegamento: N=-24812.00 Ty=-3.21 Tz=59.51 Mx=0.00 Mz=-3.02
Sollecitazioni agenti localmente: Ty_l=-4511.27 Mx_l=-90.23
Tensioni nella sezione: σ=1093.64 τ=136.71
CC 56 SLU (Collegamento -044_-376)
Azioni sul collegamento: N=-24813.70 Ty=-3.04 Tz=59.39 Mx=0.00 Mz=-2.65
Sollecitazioni agenti localmente: Ty_l=-4511.59 Mx_l=-90.23

Tensioni nella sezione: σ=1093.72 τ=136.72
CC 57 SLU (Collegamento -044_-376)
Azioni sul collegamento: N=-28074.70 Ty=18.58 Tz=71.81 Mx=0.00 Mz=13.65
Sollecitazioni agenti localmente: Ty_l=-5104.49 Mx_l=-102.09
Tensioni nella sezione: σ=1237.45 τ=154.68
CC 58 SLU (Collegamento -044_-376)
Azioni sul collegamento: N=-27258.70 Ty=17.82 Tz=68.80 Mx=0.00 Mz=13.09
Sollecitazioni agenti localmente: Ty_l=-4956.13 Mx_l=-99.12
Tensioni nella sezione: σ=1201.48 τ=150.19
CC 59 SLU (Collegamento -044_-376)
Azioni sul collegamento: N=-27665.80 Ty=18.11 Tz=70.37 Mx=0.00 Mz=13.19
Sollecitazioni agenti localmente: Ty_l=-5030.15 Mx_l=-100.60
Tensioni nella sezione: σ=1219.43 τ=152.43
CC 60 SLU (Collegamento -044_-376)
Azioni sul collegamento: N=-27667.60 Ty=18.29 Tz=70.25 Mx=0.00 Mz=13.55
Sollecitazioni agenti localmente: Ty_l=-5030.47 Mx_l=-100.61
Tensioni nella sezione: σ=1219.51 τ=152.44
CC 61 SLU (Collegamento -044_-376)
Azioni sul collegamento: N=-21204.60 Ty=17.94 Tz=46.59 Mx=0.00 Mz=13.09
Sollecitazioni agenti localmente: Ty_l=-3855.38 Mx_l=-77.11
Tensioni nella sezione: σ=934.64 τ=116.83
CC 62 SLU (Collegamento -044_-376)
Azioni sul collegamento: N=-20388.60 Ty=17.19 Tz=43.58 Mx=0.00 Mz=12.53
Sollecitazioni agenti localmente: Ty_l=-3707.02 Mx_l=-74.14
Tensioni nella sezione: σ=898.67 τ=112.33
CC 63 SLU (Collegamento -044_-376)
Azioni sul collegamento: N=-20795.70 Ty=17.48 Tz=45.14 Mx=0.00 Mz=12.63
Sollecitazioni agenti localmente: Ty_l=-3781.04 Mx_l=-75.62
Tensioni nella sezione: σ=916.61 τ=114.58
CC 64 SLU (Collegamento -044_-376)
Azioni sul collegamento: N=-20797.50 Ty=17.66 Tz=45.03 Mx=0.00 Mz=12.99
Sollecitazioni agenti localmente: Ty_l=-3781.36 Mx_l=-75.63
Tensioni nella sezione: σ=916.69 τ=114.59
CC 65 SLU (Collegamento -044_-376)
Azioni sul collegamento: N=-23000.50 Ty=-4.50 Tz=52.79 Mx=0.00 Mz=-3.84
Sollecitazioni agenti localmente: Ty_l=-4181.91 Mx_l=-83.64
Tensioni nella sezione: σ=1013.80 τ=126.72
CC 66 SLU (Collegamento -044_-376)
Azioni sul collegamento: N=-22184.60 Ty=-5.26 Tz=49.77 Mx=0.00 Mz=-4.40
Sollecitazioni agenti localmente: Ty_l=-4033.55 Mx_l=-80.67
Tensioni nella sezione: σ=977.83 τ=122.23
CC 67 SLU (Collegamento -044_-376)
Azioni sul collegamento: N=-22591.70 Ty=-4.97 Tz=51.34 Mx=0.00 Mz=-4.30
Sollecitazioni agenti localmente: Ty_l=-4107.58 Mx_l=-82.15
Tensioni nella sezione: σ=995.77 τ=124.47
CC 68 SLU (Collegamento -044_-376)
Azioni sul collegamento: N=-22593.40 Ty=-4.79 Tz=51.22 Mx=0.00 Mz=-3.94
Sollecitazioni agenti localmente: Ty_l=-4107.89 Mx_l=-82.16
Tensioni nella sezione: σ=995.85 τ=124.48
CC 97 SLU (Collegamento -044_-376)
Azioni sul collegamento: N=-32775.80 Ty=25.16 Tz=97.03 Mx=-0.05 Mz=10.53
Sollecitazioni agenti localmente: Ty_l=-5959.23 Mx_l=-119.18
Tensioni nella sezione: σ=1444.66 τ=180.58
CC 98 SLU (Collegamento -044_-376)
Azioni sul collegamento: N=-31959.80 Ty=24.41 Tz=94.02 Mx=-0.05 Mz=9.97
Sollecitazioni agenti localmente: Ty_l=-5810.87 Mx_l=-116.22
Tensioni nella sezione: σ=1408.69 τ=176.09
CC 99 SLU (Collegamento -044_-376)
Azioni sul collegamento: N=-32366.90 Ty=24.69 Tz=95.58 Mx=-0.05 Mz=10.07
Sollecitazioni agenti localmente: Ty_l=-5884.88 Mx_l=-117.70
Tensioni nella sezione: σ=1426.64 τ=178.33
CC 100 SLU (Collegamento -044_-376)
Azioni sul collegamento: N=-32368.70 Ty=24.87 Tz=95.47 Mx=-0.05 Mz=10.43
Sollecitazioni agenti localmente: Ty_l=-5885.21 Mx_l=-117.70
Tensioni nella sezione: σ=1426.71 τ=178.34
CC 101 SLU (Collegamento -044_-376)
Azioni sul collegamento: N=-9110.88 Ty=5.97 Tz=10.39 Mx=0.01 Mz=4.99
Sollecitazioni agenti localmente: Ty_l=-1656.52 Mx_l=-33.13
Tensioni nella sezione: σ=401.58 τ=50.20
CC 102 SLU (Collegamento -044_-376)
Azioni sul collegamento: N=-8294.89 Ty=5.21 Tz=7.37 Mx=0.01 Mz=4.43
Sollecitazioni agenti localmente: Ty_l=-1508.16 Mx_l=-30.16
Tensioni nella sezione: σ=365.61 τ=45.70
CC 103 SLU (Collegamento -044_-376)
Azioni sul collegamento: N=-8702.00 Ty=5.50 Tz=8.94 Mx=0.01 Mz=4.53
Sollecitazioni agenti localmente: Ty_l=-1582.18 Mx_l=-31.64
Tensioni nella sezione: σ=383.56 τ=47.94
CC 104 SLU (Collegamento -044_-376)
Azioni sul collegamento: N=-8703.77 Ty=5.68 Tz=8.82 Mx=0.01 Mz=4.89

Sollecitazioni agenti localmente: Ty_l=-1582.50 Mx_l=-31.65
Tensioni nella sezione: σ=383.64 τ=47.95

Flessione attacco inferiore piastra

Bnetta=220.00 Hnetta=15.00
CC 1 SLV (Collegamento -044_-376)
Azioni sul collegamento: N=-6246.31 Ty=15.25 Tz=-0.46 Mx=0.02 Mz=13.58
Sollecitazioni agenti localmente: Ty_l=-1135.69 Mx_l=-22.71
Tensioni nella sezione: σ=275.32 τ=34.41
CC 1 SLV (Collegamento -044_-376)
Azioni sul collegamento: N=-6246.31 Ty=7.49 Tz=-0.46 Mx=0.02 Mz=7.17
Sollecitazioni agenti localmente: Ty_l=-1135.69 Mx_l=-22.71
Tensioni nella sezione: σ=275.32 τ=34.41
CC 1 SLV (Collegamento -044_-376)
Azioni sul collegamento: N=-6246.31 Ty=15.25 Tz=28.82 Mx=0.02 Mz=13.58
Sollecitazioni agenti localmente: Ty_l=-1135.69 Mx_l=-22.71
Tensioni nella sezione: σ=275.32 τ=34.41
CC 1 SLV (Collegamento -044_-376)
Azioni sul collegamento: N=-6246.31 Ty=7.49 Tz=28.82 Mx=0.02 Mz=7.17
Sollecitazioni agenti localmente: Ty_l=-1135.69 Mx_l=-22.71
Tensioni nella sezione: σ=275.32 τ=34.41
CC 1 SLV (Collegamento -044_-376)
Azioni sul collegamento: N=-14088.90 Ty=15.25 Tz=-0.46 Mx=0.02 Mz=13.58
Sollecitazioni agenti localmente: Ty_l=-2561.63 Mx_l=-51.23
Tensioni nella sezione: σ=621.00 τ=77.63
CC 1 SLV (Collegamento -044_-376)
Azioni sul collegamento: N=-14088.90 Ty=7.49 Tz=-0.46 Mx=0.02 Mz=7.17
Sollecitazioni agenti localmente: Ty_l=-2561.63 Mx_l=-51.23
Tensioni nella sezione: σ=621.00 τ=77.63
CC 1 SLV (Collegamento -044_-376)
Azioni sul collegamento: N=-14088.90 Ty=15.25 Tz=28.82 Mx=0.02 Mz=13.58
Sollecitazioni agenti localmente: Ty_l=-2561.63 Mx_l=-51.23
Tensioni nella sezione: σ=621.00 τ=77.63
CC 1 SLV (Collegamento -044_-376)
Azioni sul collegamento: N=-14088.90 Ty=7.49 Tz=28.82 Mx=0.02 Mz=7.17
Sollecitazioni agenti localmente: Ty_l=-2561.63 Mx_l=-51.23
Tensioni nella sezione: σ=621.00 τ=77.63
CC 2 SLD (Collegamento -044_-376)
Azioni sul collegamento: N=-8874.30 Ty=11.63 Tz=9.33 Mx=0.01 Mz=9.21
Sollecitazioni agenti localmente: Ty_l=-1613.51 Mx_l=-32.27
Tensioni nella sezione: σ=391.15 τ=48.89
CC 2 SLD (Collegamento -044_-376)
Azioni sul collegamento: N=-8874.30 Ty=9.26 Tz=9.33 Mx=0.01 Mz=7.26
Sollecitazioni agenti localmente: Ty_l=-1613.51 Mx_l=-32.27
Tensioni nella sezione: σ=391.15 τ=48.89
CC 2 SLD (Collegamento -044_-376)
Azioni sul collegamento: N=-8874.30 Ty=11.63 Tz=18.26 Mx=0.01 Mz=9.21
Sollecitazioni agenti localmente: Ty_l=-1613.51 Mx_l=-32.27
Tensioni nella sezione: σ=391.15 τ=48.89
CC 2 SLD (Collegamento -044_-376)
Azioni sul collegamento: N=-8874.30 Ty=9.26 Tz=18.26 Mx=0.01 Mz=7.26
Sollecitazioni agenti localmente: Ty_l=-1613.51 Mx_l=-32.27
Tensioni nella sezione: σ=391.15 τ=48.89
CC 2 SLD (Collegamento -044_-376)
Azioni sul collegamento: N=-11265.80 Ty=11.63 Tz=9.33 Mx=0.01 Mz=9.21
Sollecitazioni agenti localmente: Ty_l=-2048.32 Mx_l=-40.97
Tensioni nella sezione: σ=496.56 τ=62.07
CC 2 SLD (Collegamento -044_-376)
Azioni sul collegamento: N=-11265.80 Ty=9.26 Tz=9.33 Mx=0.01 Mz=7.26
Sollecitazioni agenti localmente: Ty_l=-2048.32 Mx_l=-40.97
Tensioni nella sezione: σ=496.56 τ=62.07
CC 2 SLD (Collegamento -044_-376)
Azioni sul collegamento: N=-11265.80 Ty=11.63 Tz=18.26 Mx=0.01 Mz=9.21
Sollecitazioni agenti localmente: Ty_l=-2048.32 Mx_l=-40.97
Tensioni nella sezione: σ=496.56 τ=62.07
CC 2 SLD (Collegamento -044_-376)
Azioni sul collegamento: N=-11265.80 Ty=9.26 Tz=18.26 Mx=0.01 Mz=7.26
Sollecitazioni agenti localmente: Ty_l=-2048.32 Mx_l=-40.97
Tensioni nella sezione: σ=496.56 τ=62.07
CC 3 SLV (Collegamento -044_-376)
Azioni sul collegamento: N=-6251.19 Ty=14.73 Tz=-0.13 Mx=0.01 Mz=12.53
Sollecitazioni agenti localmente: Ty_l=-1136.58 Mx_l=-22.73
Tensioni nella sezione: σ=275.53 τ=34.44
CC 3 SLV (Collegamento -044_-376)
Azioni sul collegamento: N=-6251.19 Ty=8.00 Tz=-0.13 Mx=0.01 Mz=8.22
Sollecitazioni agenti localmente: Ty_l=-1136.58 Mx_l=-22.73
Tensioni nella sezione: σ=275.53 τ=34.44
CC 3 SLV (Collegamento -044_-376)

Azioni sul collegamento: N=-6251.19 Ty=14.73 Tz=28.49 Mx=0.01 Mz=12.53
Sollecitazioni agenti localmente: Ty_l=-1136.58 Mx_l=-22.73
Tensioni nella sezione: σ=275.53 τ=34.44
CC 3 SLV (Collegamento -044_-376)
Azioni sul collegamento: N=-6251.19 Ty=8.00 Tz=28.49 Mx=0.01 Mz=8.22
Sollecitazioni agenti localmente: Ty_l=-1136.58 Mx_l=-22.73
Tensioni nella sezione: σ=275.53 τ=34.44
CC 3 SLV (Collegamento -044_-376)
Azioni sul collegamento: N=-14084.10 Ty=14.73 Tz=-0.13 Mx=0.01 Mz=12.53
Sollecitazioni agenti localmente: Ty_l=-2560.74 Mx_l=-51.21
Tensioni nella sezione: σ=620.78 τ=77.60
CC 3 SLV (Collegamento -044_-376)
Azioni sul collegamento: N=-14084.10 Ty=8.00 Tz=-0.13 Mx=0.01 Mz=8.22
Sollecitazioni agenti localmente: Ty_l=-2560.74 Mx_l=-51.21
Tensioni nella sezione: σ=620.78 τ=77.60
CC 3 SLV (Collegamento -044_-376)
Azioni sul collegamento: N=-14084.10 Ty=14.73 Tz=28.49 Mx=0.01 Mz=12.53
Sollecitazioni agenti localmente: Ty_l=-2560.74 Mx_l=-51.21
Tensioni nella sezione: σ=620.78 τ=77.60
CC 3 SLV (Collegamento -044_-376)
Azioni sul collegamento: N=-14084.10 Ty=8.00 Tz=28.49 Mx=0.01 Mz=8.22
Sollecitazioni agenti localmente: Ty_l=-2560.74 Mx_l=-51.21
Tensioni nella sezione: σ=620.78 τ=77.60
CC 4 SLD (Collegamento -044_-376)
Azioni sul collegamento: N=-8875.79 Ty=11.47 Tz=9.43 Mx=0.01 Mz=8.89
Sollecitazioni agenti localmente: Ty_l=-1613.78 Mx_l=-32.28
Tensioni nella sezione: σ=391.22 τ=48.90
CC 4 SLD (Collegamento -044_-376)
Azioni sul collegamento: N=-8875.79 Ty=9.42 Tz=9.43 Mx=0.01 Mz=7.58
Sollecitazioni agenti localmente: Ty_l=-1613.78 Mx_l=-32.28
Tensioni nella sezione: σ=391.22 τ=48.90
CC 4 SLD (Collegamento -044_-376)
Azioni sul collegamento: N=-8875.79 Ty=11.47 Tz=18.16 Mx=0.01 Mz=8.89
Sollecitazioni agenti localmente: Ty_l=-1613.78 Mx_l=-32.28
Tensioni nella sezione: σ=391.22 τ=48.90
CC 4 SLD (Collegamento -044_-376)
Azioni sul collegamento: N=-8875.79 Ty=9.42 Tz=18.16 Mx=0.01 Mz=7.58
Sollecitazioni agenti localmente: Ty_l=-1613.78 Mx_l=-32.28
Tensioni nella sezione: σ=391.22 τ=48.90
CC 4 SLD (Collegamento -044_-376)
Azioni sul collegamento: N=-11264.30 Ty=11.47 Tz=9.43 Mx=0.01 Mz=8.89
Sollecitazioni agenti localmente: Ty_l=-2048.05 Mx_l=-40.96
Tensioni nella sezione: σ=496.50 τ=62.06
CC 4 SLD (Collegamento -044_-376)
Azioni sul collegamento: N=-11264.30 Ty=9.42 Tz=9.43 Mx=0.01 Mz=7.58
Sollecitazioni agenti localmente: Ty_l=-2048.05 Mx_l=-40.96
Tensioni nella sezione: σ=496.50 τ=62.06
CC 4 SLD (Collegamento -044_-376)
Azioni sul collegamento: N=-11264.30 Ty=11.47 Tz=18.16 Mx=0.01 Mz=8.89
Sollecitazioni agenti localmente: Ty_l=-2048.05 Mx_l=-40.96
Tensioni nella sezione: σ=496.50 τ=62.06
CC 4 SLD (Collegamento -044_-376)
Azioni sul collegamento: N=-11264.30 Ty=9.42 Tz=18.16 Mx=0.01 Mz=7.58
Sollecitazioni agenti localmente: Ty_l=-2048.05 Mx_l=-40.96
Tensioni nella sezione: σ=496.50 τ=62.06
CC 5 SLV (Collegamento -044_-376)
Azioni sul collegamento: N=-14084.10 Ty=8.00 Tz=28.49 Mx=0.02 Mz=8.22
Sollecitazioni agenti localmente: Ty_l=-2560.74 Mx_l=-51.21
Tensioni nella sezione: σ=620.78 τ=77.60
CC 5 SLV (Collegamento -044_-376)
Azioni sul collegamento: N=-14084.10 Ty=14.73 Tz=28.49 Mx=0.02 Mz=12.53
Sollecitazioni agenti localmente: Ty_l=-2560.74 Mx_l=-51.21
Tensioni nella sezione: σ=620.78 τ=77.60
CC 5 SLV (Collegamento -044_-376)
Azioni sul collegamento: N=-14084.10 Ty=8.00 Tz=-0.13 Mx=0.02 Mz=8.22
Sollecitazioni agenti localmente: Ty_l=-2560.74 Mx_l=-51.21
Tensioni nella sezione: σ=620.78 τ=77.60
CC 5 SLV (Collegamento -044_-376)
Azioni sul collegamento: N=-14084.10 Ty=14.73 Tz=-0.13 Mx=0.02 Mz=12.53
Sollecitazioni agenti localmente: Ty_l=-2560.74 Mx_l=-51.21
Tensioni nella sezione: σ=620.78 τ=77.60
CC 5 SLV (Collegamento -044_-376)
Azioni sul collegamento: N=-6251.19 Ty=8.00 Tz=28.49 Mx=0.02 Mz=8.22
Sollecitazioni agenti localmente: Ty_l=-1136.58 Mx_l=-22.73
Tensioni nella sezione: σ=275.53 τ=34.44
CC 5 SLV (Collegamento -044_-376)
Azioni sul collegamento: N=-6251.19 Ty=14.73 Tz=28.49 Mx=0.02 Mz=12.53
Sollecitazioni agenti localmente: Ty_l=-1136.58 Mx_l=-22.73
Tensioni nella sezione: σ=275.53 τ=34.44

CC 5 SLV (Collegamento -044_-376)
Azioni sul collegamento: N=-6251.19 Ty=8.00 Tz=-0.13 Mx=0.02 Mz=8.22
Sollecitazioni agenti localmente: Ty_l=-1136.58 Mx_l=-22.73
Tensioni nella sezione: σ=275.53 τ=34.44
CC 5 SLV (Collegamento -044_-376)
Azioni sul collegamento: N=-6251.19 Ty=14.73 Tz=-0.13 Mx=0.02 Mz=12.53
Sollecitazioni agenti localmente: Ty_l=-1136.58 Mx_l=-22.73
Tensioni nella sezione: σ=275.53 τ=34.44
CC 6 SLD (Collegamento -044_-376)
Azioni sul collegamento: N=-11264.30 Ty=9.42 Tz=18.16 Mx=0.01 Mz=7.58
Sollecitazioni agenti localmente: Ty_l=-2048.05 Mx_l=-40.96
Tensioni nella sezione: σ=496.50 τ=62.06
CC 6 SLD (Collegamento -044_-376)
Azioni sul collegamento: N=-11264.30 Ty=11.47 Tz=18.16 Mx=0.01 Mz=8.89
Sollecitazioni agenti localmente: Ty_l=-2048.05 Mx_l=-40.96
Tensioni nella sezione: σ=496.50 τ=62.06
CC 6 SLD (Collegamento -044_-376)
Azioni sul collegamento: N=-11264.30 Ty=9.42 Tz=9.43 Mx=0.01 Mz=7.58
Sollecitazioni agenti localmente: Ty_l=-2048.05 Mx_l=-40.96
Tensioni nella sezione: σ=496.50 τ=62.06
CC 6 SLD (Collegamento -044_-376)
Azioni sul collegamento: N=-11264.30 Ty=11.47 Tz=9.43 Mx=0.01 Mz=8.89
Sollecitazioni agenti localmente: Ty_l=-2048.05 Mx_l=-40.96
Tensioni nella sezione: σ=496.50 τ=62.06
CC 6 SLD (Collegamento -044_-376)
Azioni sul collegamento: N=-8875.79 Ty=9.42 Tz=18.16 Mx=0.01 Mz=7.58
Sollecitazioni agenti localmente: Ty_l=-1613.78 Mx_l=-32.28
Tensioni nella sezione: σ=391.22 τ=48.90
CC 6 SLD (Collegamento -044_-376)
Azioni sul collegamento: N=-8875.79 Ty=11.47 Tz=18.16 Mx=0.01 Mz=8.89
Sollecitazioni agenti localmente: Ty_l=-1613.78 Mx_l=-32.28
Tensioni nella sezione: σ=391.22 τ=48.90
CC 6 SLD (Collegamento -044_-376)
Azioni sul collegamento: N=-8875.79 Ty=9.42 Tz=9.43 Mx=0.01 Mz=7.58
Sollecitazioni agenti localmente: Ty_l=-1613.78 Mx_l=-32.28
Tensioni nella sezione: σ=391.22 τ=48.90
CC 6 SLD (Collegamento -044_-376)
Azioni sul collegamento: N=-8875.79 Ty=11.47 Tz=9.43 Mx=0.01 Mz=8.89
Sollecitazioni agenti localmente: Ty_l=-1613.78 Mx_l=-32.28
Tensioni nella sezione: σ=391.22 τ=48.90
CC 7 SLV (Collegamento -044_-376)
Azioni sul collegamento: N=-14088.90 Ty=7.49 Tz=28.82 Mx=0.01 Mz=7.17
Sollecitazioni agenti localmente: Ty_l=-2561.63 Mx_l=-51.23
Tensioni nella sezione: σ=621.00 τ=77.63
CC 7 SLV (Collegamento -044_-376)
Azioni sul collegamento: N=-14088.90 Ty=15.25 Tz=28.82 Mx=0.01 Mz=13.58
Sollecitazioni agenti localmente: Ty_l=-2561.63 Mx_l=-51.23
Tensioni nella sezione: σ=621.00 τ=77.63
CC 7 SLV (Collegamento -044_-376)
Azioni sul collegamento: N=-14088.90 Ty=7.49 Tz=-0.46 Mx=0.01 Mz=7.17
Sollecitazioni agenti localmente: Ty_l=-2561.63 Mx_l=-51.23
Tensioni nella sezione: σ=621.00 τ=77.63
CC 7 SLV (Collegamento -044_-376)
Azioni sul collegamento: N=-14088.90 Ty=15.25 Tz=-0.46 Mx=0.01 Mz=13.58
Sollecitazioni agenti localmente: Ty_l=-2561.63 Mx_l=-51.23
Tensioni nella sezione: σ=621.00 τ=77.63
CC 7 SLV (Collegamento -044_-376)
Azioni sul collegamento: N=-6246.31 Ty=7.49 Tz=28.82 Mx=0.01 Mz=7.17
Sollecitazioni agenti localmente: Ty_l=-1135.69 Mx_l=-22.71
Tensioni nella sezione: σ=275.32 τ=34.41
CC 7 SLV (Collegamento -044_-376)
Azioni sul collegamento: N=-6246.31 Ty=15.25 Tz=28.82 Mx=0.01 Mz=13.58
Sollecitazioni agenti localmente: Ty_l=-1135.69 Mx_l=-22.71
Tensioni nella sezione: σ=275.32 τ=34.41
CC 7 SLV (Collegamento -044_-376)
Azioni sul collegamento: N=-6246.31 Ty=7.49 Tz=-0.46 Mx=0.01 Mz=7.17
Sollecitazioni agenti localmente: Ty_l=-1135.69 Mx_l=-22.71
Tensioni nella sezione: σ=275.32 τ=34.41
CC 7 SLV (Collegamento -044_-376)
Azioni sul collegamento: N=-6246.31 Ty=15.25 Tz=-0.46 Mx=0.01 Mz=13.58
Sollecitazioni agenti localmente: Ty_l=-1135.69 Mx_l=-22.71
Tensioni nella sezione: σ=275.32 τ=34.41
CC 8 SLD (Collegamento -044_-376)
Azioni sul collegamento: N=-11265.80 Ty=9.26 Tz=18.26 Mx=0.01 Mz=7.26
Sollecitazioni agenti localmente: Ty_l=-2048.32 Mx_l=-40.97
Tensioni nella sezione: σ=496.56 τ=62.07
CC 8 SLD (Collegamento -044_-376)
Azioni sul collegamento: N=-11265.80 Ty=11.63 Tz=18.26 Mx=0.01 Mz=9.21
Sollecitazioni agenti localmente: Ty_l=-2048.32 Mx_l=-40.97

Tensioni nella sezione: σ=496.56 τ=62.07
CC 8 SLD (Collegamento -044_-376)
Azioni sul collegamento: N=-11265.80 Ty=9.26 Tz=9.33 Mx=0.01 Mz=7.26
Sollecitazioni agenti localmente: Ty_l=-2048.32 Mx_l=-40.97
Tensioni nella sezione: σ=496.56 τ=62.07
CC 8 SLD (Collegamento -044_-376)
Azioni sul collegamento: N=-11265.80 Ty=11.63 Tz=9.33 Mx=0.01 Mz=9.21
Sollecitazioni agenti localmente: Ty_l=-2048.32 Mx_l=-40.97
Tensioni nella sezione: σ=496.56 τ=62.07
CC 8 SLD (Collegamento -044_-376)
Azioni sul collegamento: N=-8874.30 Ty=9.26 Tz=18.26 Mx=0.01 Mz=7.26
Sollecitazioni agenti localmente: Ty_l=-1613.51 Mx_l=-32.27
Tensioni nella sezione: σ=391.15 τ=48.89
CC 8 SLD (Collegamento -044_-376)
Azioni sul collegamento: N=-8874.30 Ty=11.63 Tz=18.26 Mx=0.01 Mz=9.21
Sollecitazioni agenti localmente: Ty_l=-1613.51 Mx_l=-32.27
Tensioni nella sezione: σ=391.15 τ=48.89
CC 8 SLD (Collegamento -044_-376)
Azioni sul collegamento: N=-8874.30 Ty=9.26 Tz=9.33 Mx=0.01 Mz=7.26
Sollecitazioni agenti localmente: Ty_l=-1613.51 Mx_l=-32.27
Tensioni nella sezione: σ=391.15 τ=48.89
CC 8 SLD (Collegamento -044_-376)
Azioni sul collegamento: N=-8874.30 Ty=11.63 Tz=9.33 Mx=0.01 Mz=9.21
Sollecitazioni agenti localmente: Ty_l=-1613.51 Mx_l=-32.27
Tensioni nella sezione: σ=391.15 τ=48.89
CC 9 SLV (Collegamento -044_-376)
Azioni sul collegamento: N=-8983.82 Ty=13.31 Tz=9.29 Mx=0.02 Mz=12.92
Sollecitazioni agenti localmente: Ty_l=-1633.42 Mx_l=-32.67
Tensioni nella sezione: σ=395.98 τ=49.50
CC 9 SLV (Collegamento -044_-376)
Azioni sul collegamento: N=-8983.82 Ty=9.43 Tz=9.29 Mx=0.02 Mz=7.83
Sollecitazioni agenti localmente: Ty_l=-1633.42 Mx_l=-32.67
Tensioni nella sezione: σ=395.98 τ=49.50
CC 9 SLV (Collegamento -044_-376)
Azioni sul collegamento: N=-8983.82 Ty=13.31 Tz=19.07 Mx=0.02 Mz=12.92
Sollecitazioni agenti localmente: Ty_l=-1633.42 Mx_l=-32.67
Tensioni nella sezione: σ=395.98 τ=49.50
CC 9 SLV (Collegamento -044_-376)
Azioni sul collegamento: N=-8983.82 Ty=9.43 Tz=19.07 Mx=0.02 Mz=7.83
Sollecitazioni agenti localmente: Ty_l=-1633.42 Mx_l=-32.67
Tensioni nella sezione: σ=395.98 τ=49.50
CC 9 SLV (Collegamento -044_-376)
Azioni sul collegamento: N=-11351.40 Ty=13.31 Tz=9.29 Mx=0.02 Mz=12.92
Sollecitazioni agenti localmente: Ty_l=-2063.90 Mx_l=-41.28
Tensioni nella sezione: σ=500.34 τ=62.54
CC 9 SLV (Collegamento -044_-376)
Azioni sul collegamento: N=-11351.40 Ty=9.43 Tz=9.29 Mx=0.02 Mz=7.83
Sollecitazioni agenti localmente: Ty_l=-2063.90 Mx_l=-41.28
Tensioni nella sezione: σ=500.34 τ=62.54
CC 9 SLV (Collegamento -044_-376)
Azioni sul collegamento: N=-11351.40 Ty=13.31 Tz=19.07 Mx=0.02 Mz=12.92
Sollecitazioni agenti localmente: Ty_l=-2063.90 Mx_l=-41.28
Tensioni nella sezione: σ=500.34 τ=62.54
CC 9 SLV (Collegamento -044_-376)
Azioni sul collegamento: N=-11351.40 Ty=9.43 Tz=19.07 Mx=0.02 Mz=7.83
Sollecitazioni agenti localmente: Ty_l=-2063.90 Mx_l=-41.28
Tensioni nella sezione: σ=500.34 τ=62.54
CC 10 SLD (Collegamento -044_-376)
Azioni sul collegamento: N=-9709.06 Ty=11.04 Tz=12.31 Mx=0.01 Mz=9.01
Sollecitazioni agenti localmente: Ty_l=-1765.28 Mx_l=-35.31
Tensioni nella sezione: σ=427.95 τ=53.49
CC 10 SLD (Collegamento -044_-376)
Azioni sul collegamento: N=-9709.06 Ty=9.85 Tz=12.31 Mx=0.01 Mz=7.46
Sollecitazioni agenti localmente: Ty_l=-1765.28 Mx_l=-35.31
Tensioni nella sezione: σ=427.95 τ=53.49
CC 10 SLD (Collegamento -044_-376)
Azioni sul collegamento: N=-9709.06 Ty=11.04 Tz=15.29 Mx=0.01 Mz=9.01
Sollecitazioni agenti localmente: Ty_l=-1765.28 Mx_l=-35.31
Tensioni nella sezione: σ=427.95 τ=53.49
CC 10 SLD (Collegamento -044_-376)
Azioni sul collegamento: N=-9709.06 Ty=9.85 Tz=15.29 Mx=0.01 Mz=7.46
Sollecitazioni agenti localmente: Ty_l=-1765.28 Mx_l=-35.31
Tensioni nella sezione: σ=427.95 τ=53.49
CC 10 SLD (Collegamento -044_-376)
Azioni sul collegamento: N=-10431.00 Ty=11.04 Tz=12.31 Mx=0.01 Mz=9.01
Sollecitazioni agenti localmente: Ty_l=-1896.55 Mx_l=-37.93
Tensioni nella sezione: σ=459.77 τ=57.47
CC 10 SLD (Collegamento -044_-376)
Azioni sul collegamento: N=-10431.00 Ty=9.85 Tz=12.31 Mx=0.01 Mz=7.46

Sollecitazioni agenti localmente: Ty_l=-1896.55 Mx_l=-37.93
Tensioni nella sezione: σ=459.77 τ=57.47
CC 10 SLD (Collegamento -044_-376)
Azioni sul collegamento: N=-10431.00 Ty=11.04 Tz=15.29 Mx=0.01 Mz=9.01
Sollecitazioni agenti localmente: Ty_l=-1896.55 Mx_l=-37.93
Tensioni nella sezione: σ=459.77 τ=57.47
CC 10 SLD (Collegamento -044_-376)
Azioni sul collegamento: N=-10431.00 Ty=9.85 Tz=15.29 Mx=0.01 Mz=7.46
Sollecitazioni agenti localmente: Ty_l=-1896.55 Mx_l=-37.93
Tensioni nella sezione: σ=459.77 τ=57.47
CC 11 SLV (Collegamento -044_-376)
Azioni sul collegamento: N=-11335.10 Ty=11.14 Tz=17.98 Mx=0.02 Mz=11.32
Sollecitazioni agenti localmente: Ty_l=-2060.94 Mx_l=-41.22
Tensioni nella sezione: σ=499.62 τ=62.45
CC 11 SLV (Collegamento -044_-376)
Azioni sul collegamento: N=-11335.10 Ty=11.60 Tz=17.98 Mx=0.02 Mz=9.43
Sollecitazioni agenti localmente: Ty_l=-2060.94 Mx_l=-41.22
Tensioni nella sezione: σ=499.62 τ=62.45
CC 11 SLV (Collegamento -044_-376)
Azioni sul collegamento: N=-11335.10 Ty=11.14 Tz=10.38 Mx=0.02 Mz=11.32
Sollecitazioni agenti localmente: Ty_l=-2060.94 Mx_l=-41.22
Tensioni nella sezione: σ=499.62 τ=62.45
CC 11 SLV (Collegamento -044_-376)
Azioni sul collegamento: N=-11335.10 Ty=11.60 Tz=10.38 Mx=0.02 Mz=9.43
Sollecitazioni agenti localmente: Ty_l=-2060.94 Mx_l=-41.22
Tensioni nella sezione: σ=499.62 τ=62.45
CC 11 SLV (Collegamento -044_-376)
Azioni sul collegamento: N=-9000.10 Ty=11.14 Tz=17.98 Mx=0.02 Mz=11.32
Sollecitazioni agenti localmente: Ty_l=-1636.38 Mx_l=-32.73
Tensioni nella sezione: σ=396.70 τ=49.59
CC 11 SLV (Collegamento -044_-376)
Azioni sul collegamento: N=-9000.10 Ty=11.60 Tz=17.98 Mx=0.02 Mz=9.43
Sollecitazioni agenti localmente: Ty_l=-1636.38 Mx_l=-32.73
Tensioni nella sezione: σ=396.70 τ=49.59
CC 11 SLV (Collegamento -044_-376)
Azioni sul collegamento: N=-9000.10 Ty=11.14 Tz=10.38 Mx=0.02 Mz=11.32
Sollecitazioni agenti localmente: Ty_l=-1636.38 Mx_l=-32.73
Tensioni nella sezione: σ=396.70 τ=49.59
CC 11 SLV (Collegamento -044_-376)
Azioni sul collegamento: N=-9000.10 Ty=11.60 Tz=10.38 Mx=0.02 Mz=9.43
Sollecitazioni agenti localmente: Ty_l=-1636.38 Mx_l=-32.73
Tensioni nella sezione: σ=396.70 τ=49.59
CC 12 SLD (Collegamento -044_-376)
Azioni sul collegamento: N=-10426.00 Ty=10.37 Tz=14.95 Mx=0.01 Mz=8.52
Sollecitazioni agenti localmente: Ty_l=-1895.64 Mx_l=-37.91
Tensioni nella sezione: σ=459.55 τ=57.44
CC 12 SLD (Collegamento -044_-376)
Azioni sul collegamento: N=-10426.00 Ty=10.51 Tz=14.95 Mx=0.01 Mz=7.95
Sollecitazioni agenti localmente: Ty_l=-1895.64 Mx_l=-37.91
Tensioni nella sezione: σ=459.55 τ=57.44
CC 12 SLD (Collegamento -044_-376)
Azioni sul collegamento: N=-10426.00 Ty=10.37 Tz=12.64 Mx=0.01 Mz=8.52
Sollecitazioni agenti localmente: Ty_l=-1895.64 Mx_l=-37.91
Tensioni nella sezione: σ=459.55 τ=57.44
CC 12 SLD (Collegamento -044_-376)
Azioni sul collegamento: N=-10426.00 Ty=10.51 Tz=12.64 Mx=0.01 Mz=7.95
Sollecitazioni agenti localmente: Ty_l=-1895.64 Mx_l=-37.91
Tensioni nella sezione: σ=459.55 τ=57.44
CC 12 SLD (Collegamento -044_-376)
Azioni sul collegamento: N=-9714.02 Ty=10.37 Tz=14.95 Mx=0.01 Mz=8.52
Sollecitazioni agenti localmente: Ty_l=-1766.19 Mx_l=-35.32
Tensioni nella sezione: σ=428.17 τ=53.52
CC 12 SLD (Collegamento -044_-376)
Azioni sul collegamento: N=-9714.02 Ty=10.51 Tz=14.95 Mx=0.01 Mz=7.95
Sollecitazioni agenti localmente: Ty_l=-1766.19 Mx_l=-35.32
Tensioni nella sezione: σ=428.17 τ=53.52
CC 12 SLD (Collegamento -044_-376)
Azioni sul collegamento: N=-9714.02 Ty=10.37 Tz=12.64 Mx=0.01 Mz=8.52
Sollecitazioni agenti localmente: Ty_l=-1766.19 Mx_l=-35.32
Tensioni nella sezione: σ=428.17 τ=53.52
CC 12 SLD (Collegamento -044_-376)
Azioni sul collegamento: N=-9714.02 Ty=10.51 Tz=12.64 Mx=0.01 Mz=7.95
Sollecitazioni agenti localmente: Ty_l=-1766.19 Mx_l=-35.32
Tensioni nella sezione: σ=428.17 τ=53.52
CC 13 SLV (Collegamento -044_-376)
Azioni sul collegamento: N=-9000.10 Ty=11.60 Tz=10.38 Mx=0.01 Mz=9.43
Sollecitazioni agenti localmente: Ty_l=-1636.38 Mx_l=-32.73
Tensioni nella sezione: σ=396.70 τ=49.59
CC 13 SLV (Collegamento -044_-376)

Azioni sul collegamento: N=-9000.10 Ty=11.14 Tz=10.38 Mx=0.01 Mz=11.32
Sollecitazioni agenti localmente: Ty_l=-1636.38 Mx_l=-32.73
Tensioni nella sezione: σ=396.70 τ=49.59
CC 13 SLV (Collegamento -044_-376)
Azioni sul collegamento: N=-9000.10 Ty=11.60 Tz=17.98 Mx=0.01 Mz=9.43
Sollecitazioni agenti localmente: Ty_l=-1636.38 Mx_l=-32.73
Tensioni nella sezione: σ=396.70 τ=49.59
CC 13 SLV (Collegamento -044_-376)
Azioni sul collegamento: N=-9000.10 Ty=11.14 Tz=17.98 Mx=0.01 Mz=11.32
Sollecitazioni agenti localmente: Ty_l=-1636.38 Mx_l=-32.73
Tensioni nella sezione: σ=396.70 τ=49.59
CC 13 SLV (Collegamento -044_-376)
Azioni sul collegamento: N=-11335.10 Ty=11.60 Tz=10.38 Mx=0.01 Mz=9.43
Sollecitazioni agenti localmente: Ty_l=-2060.94 Mx_l=-41.22
Tensioni nella sezione: σ=499.62 τ=62.45
CC 13 SLV (Collegamento -044_-376)
Azioni sul collegamento: N=-11335.10 Ty=11.14 Tz=10.38 Mx=0.01 Mz=11.32
Sollecitazioni agenti localmente: Ty_l=-2060.94 Mx_l=-41.22
Tensioni nella sezione: σ=499.62 τ=62.45
CC 13 SLV (Collegamento -044_-376)
Azioni sul collegamento: N=-11335.10 Ty=11.60 Tz=17.98 Mx=0.01 Mz=9.43
Sollecitazioni agenti localmente: Ty_l=-2060.94 Mx_l=-41.22
Tensioni nella sezione: σ=499.62 τ=62.45
CC 13 SLV (Collegamento -044_-376)
Azioni sul collegamento: N=-11335.10 Ty=11.14 Tz=17.98 Mx=0.01 Mz=11.32
Sollecitazioni agenti localmente: Ty_l=-2060.94 Mx_l=-41.22
Tensioni nella sezione: σ=499.62 τ=62.45
CC 14 SLD (Collegamento -044_-376)
Azioni sul collegamento: N=-9714.02 Ty=10.51 Tz=12.64 Mx=0.00 Mz=7.95
Sollecitazioni agenti localmente: Ty_l=-1766.19 Mx_l=-35.32
Tensioni nella sezione: σ=428.17 τ=53.52
CC 14 SLD (Collegamento -044_-376)
Azioni sul collegamento: N=-9714.02 Ty=10.37 Tz=12.64 Mx=0.00 Mz=8.52
Sollecitazioni agenti localmente: Ty_l=-1766.19 Mx_l=-35.32
Tensioni nella sezione: σ=428.17 τ=53.52
CC 14 SLD (Collegamento -044_-376)
Azioni sul collegamento: N=-9714.02 Ty=10.51 Tz=14.95 Mx=0.00 Mz=7.95
Sollecitazioni agenti localmente: Ty_l=-1766.19 Mx_l=-35.32
Tensioni nella sezione: σ=428.17 τ=53.52
CC 14 SLD (Collegamento -044_-376)
Azioni sul collegamento: N=-9714.02 Ty=10.37 Tz=14.95 Mx=0.00 Mz=8.52
Sollecitazioni agenti localmente: Ty_l=-1766.19 Mx_l=-35.32
Tensioni nella sezione: σ=428.17 τ=53.52
CC 14 SLD (Collegamento -044_-376)
Azioni sul collegamento: N=-10426.00 Ty=10.51 Tz=12.64 Mx=0.00 Mz=7.95
Sollecitazioni agenti localmente: Ty_l=-1895.64 Mx_l=-37.91
Tensioni nella sezione: σ=459.55 τ=57.44
CC 14 SLD (Collegamento -044_-376)
Azioni sul collegamento: N=-10426.00 Ty=10.37 Tz=12.64 Mx=0.00 Mz=8.52
Sollecitazioni agenti localmente: Ty_l=-1895.64 Mx_l=-37.91
Tensioni nella sezione: σ=459.55 τ=57.44
CC 14 SLD (Collegamento -044_-376)
Azioni sul collegamento: N=-10426.00 Ty=10.51 Tz=14.95 Mx=0.00 Mz=7.95
Sollecitazioni agenti localmente: Ty_l=-1895.64 Mx_l=-37.91
Tensioni nella sezione: σ=459.55 τ=57.44
CC 14 SLD (Collegamento -044_-376)
Azioni sul collegamento: N=-10426.00 Ty=10.37 Tz=14.95 Mx=0.00 Mz=8.52
Sollecitazioni agenti localmente: Ty_l=-1895.64 Mx_l=-37.91
Tensioni nella sezione: σ=459.55 τ=57.44
CC 15 SLV (Collegamento -044_-376)
Azioni sul collegamento: N=-11351.40 Ty=9.43 Tz=19.07 Mx=0.01 Mz=7.83
Sollecitazioni agenti localmente: Ty_l=-2063.90 Mx_l=-41.28
Tensioni nella sezione: σ=500.34 τ=62.54
CC 15 SLV (Collegamento -044_-376)
Azioni sul collegamento: N=-11351.40 Ty=13.31 Tz=19.07 Mx=0.01 Mz=12.92
Sollecitazioni agenti localmente: Ty_l=-2063.90 Mx_l=-41.28
Tensioni nella sezione: σ=500.34 τ=62.54
CC 15 SLV (Collegamento -044_-376)
Azioni sul collegamento: N=-11351.40 Ty=9.43 Tz=9.29 Mx=0.01 Mz=7.83
Sollecitazioni agenti localmente: Ty_l=-2063.90 Mx_l=-41.28
Tensioni nella sezione: σ=500.34 τ=62.54
CC 15 SLV (Collegamento -044_-376)
Azioni sul collegamento: N=-11351.40 Ty=13.31 Tz=9.29 Mx=0.01 Mz=12.92
Sollecitazioni agenti localmente: Ty_l=-2063.90 Mx_l=-41.28
Tensioni nella sezione: σ=500.34 τ=62.54
CC 15 SLV (Collegamento -044_-376)
Azioni sul collegamento: N=-8983.82 Ty=9.43 Tz=19.07 Mx=0.01 Mz=7.83
Sollecitazioni agenti localmente: Ty_l=-1633.42 Mx_l=-32.67
Tensioni nella sezione: σ=395.98 τ=49.50

CC 15 SLV (Collegamento -044_-376)
Azioni sul collegamento: N=-8983.82 Ty=13.31 Tz=19.07 Mx=0.01 Mz=12.92
Sollecitazioni agenti localmente: Ty_l=-1633.42 Mx_l=-32.67
Tensioni nella sezione: σ=395.98 τ=49.50
CC 15 SLV (Collegamento -044_-376)
Azioni sul collegamento: N=-8983.82 Ty=9.43 Tz=9.29 Mx=0.01 Mz=7.83
Sollecitazioni agenti localmente: Ty_l=-1633.42 Mx_l=-32.67
Tensioni nella sezione: σ=395.98 τ=49.50
CC 15 SLV (Collegamento -044_-376)
Azioni sul collegamento: N=-8983.82 Ty=13.31 Tz=9.29 Mx=0.01 Mz=12.92
Sollecitazioni agenti localmente: Ty_l=-1633.42 Mx_l=-32.67
Tensioni nella sezione: σ=395.98 τ=49.50
CC 16 SLD (Collegamento -044_-376)
Azioni sul collegamento: N=-10431.00 Ty=9.85 Tz=15.29 Mx=0.00 Mz=7.46
Sollecitazioni agenti localmente: Ty_l=-1896.55 Mx_l=-37.93
Tensioni nella sezione: σ=459.77 τ=57.47
CC 16 SLD (Collegamento -044_-376)
Azioni sul collegamento: N=-10431.00 Ty=11.04 Tz=15.29 Mx=0.00 Mz=9.01
Sollecitazioni agenti localmente: Ty_l=-1896.55 Mx_l=-37.93
Tensioni nella sezione: σ=459.77 τ=57.47
CC 16 SLD (Collegamento -044_-376)
Azioni sul collegamento: N=-10431.00 Ty=9.85 Tz=12.31 Mx=0.00 Mz=7.46
Sollecitazioni agenti localmente: Ty_l=-1896.55 Mx_l=-37.93
Tensioni nella sezione: σ=459.77 τ=57.47
CC 16 SLD (Collegamento -044_-376)
Azioni sul collegamento: N=-10431.00 Ty=11.04 Tz=12.31 Mx=0.00 Mz=9.01
Sollecitazioni agenti localmente: Ty_l=-1896.55 Mx_l=-37.93
Tensioni nella sezione: σ=459.77 τ=57.47
CC 16 SLD (Collegamento -044_-376)
Azioni sul collegamento: N=-9709.06 Ty=9.85 Tz=15.29 Mx=0.00 Mz=7.46
Sollecitazioni agenti localmente: Ty_l=-1765.28 Mx_l=-35.31
Tensioni nella sezione: σ=427.95 τ=53.49
CC 16 SLD (Collegamento -044_-376)
Azioni sul collegamento: N=-9709.06 Ty=11.04 Tz=15.29 Mx=0.00 Mz=9.01
Sollecitazioni agenti localmente: Ty_l=-1765.28 Mx_l=-35.31
Tensioni nella sezione: σ=427.95 τ=53.49
CC 16 SLD (Collegamento -044_-376)
Azioni sul collegamento: N=-9709.06 Ty=9.85 Tz=12.31 Mx=0.00 Mz=7.46
Sollecitazioni agenti localmente: Ty_l=-1765.28 Mx_l=-35.31
Tensioni nella sezione: σ=427.95 τ=53.49
CC 16 SLD (Collegamento -044_-376)
Azioni sul collegamento: N=-9709.06 Ty=11.04 Tz=12.31 Mx=0.00 Mz=9.01
Sollecitazioni agenti localmente: Ty_l=-1765.28 Mx_l=-35.31
Tensioni nella sezione: σ=427.95 τ=53.49
CC 17 SLV (Collegamento -044_-376)
Azioni sul collegamento: N=-5965.51 Ty=12.58 Tz=-1.56 Mx=-0.01 Mz=7.43
Sollecitazioni agenti localmente: Ty_l=-1084.64 Mx_l=-21.69
Tensioni nella sezione: σ=262.94 τ=32.87
CC 17 SLV (Collegamento -044_-376)
Azioni sul collegamento: N=-5965.51 Ty=4.83 Tz=-1.56 Mx=-0.01 Mz=1.02
Sollecitazioni agenti localmente: Ty_l=-1084.64 Mx_l=-21.69
Tensioni nella sezione: σ=262.94 τ=32.87
CC 17 SLV (Collegamento -044_-376)
Azioni sul collegamento: N=-5965.51 Ty=12.58 Tz=27.71 Mx=-0.01 Mz=7.43
Sollecitazioni agenti localmente: Ty_l=-1084.64 Mx_l=-21.69
Tensioni nella sezione: σ=262.94 τ=32.87
CC 17 SLV (Collegamento -044_-376)
Azioni sul collegamento: N=-5965.51 Ty=4.83 Tz=27.71 Mx=-0.01 Mz=1.02
Sollecitazioni agenti localmente: Ty_l=-1084.64 Mx_l=-21.69
Tensioni nella sezione: σ=262.94 τ=32.87
CC 17 SLV (Collegamento -044_-376)
Azioni sul collegamento: N=-13808.10 Ty=12.58 Tz=-1.56 Mx=-0.01 Mz=7.43
Sollecitazioni agenti localmente: Ty_l=-2510.57 Mx_l=-50.21
Tensioni nella sezione: σ=608.62 τ=76.08
CC 17 SLV (Collegamento -044_-376)
Azioni sul collegamento: N=-13808.10 Ty=4.83 Tz=-1.56 Mx=-0.01 Mz=1.02
Sollecitazioni agenti localmente: Ty_l=-2510.57 Mx_l=-50.21
Tensioni nella sezione: σ=608.62 τ=76.08
CC 17 SLV (Collegamento -044_-376)
Azioni sul collegamento: N=-13808.10 Ty=12.58 Tz=27.71 Mx=-0.01 Mz=7.43
Sollecitazioni agenti localmente: Ty_l=-2510.57 Mx_l=-50.21
Tensioni nella sezione: σ=608.62 τ=76.08
CC 17 SLV (Collegamento -044_-376)
Azioni sul collegamento: N=-13808.10 Ty=4.83 Tz=27.71 Mx=-0.01 Mz=1.02
Sollecitazioni agenti localmente: Ty_l=-2510.57 Mx_l=-50.21
Tensioni nella sezione: σ=608.62 τ=76.08
CC 18 SLD (Collegamento -044_-376)
Azioni sul collegamento: N=-8788.68 Ty=10.81 Tz=9.00 Mx=-0.00 Mz=7.34
Sollecitazioni agenti localmente: Ty_l=-1597.94 Mx_l=-31.96

Tensioni nella sezione: σ=387.38 τ=48.42
CC 18 SLD (Collegamento -044_-376)
Azioni sul collegamento: N=-8788.68 Ty=8.45 Tz=9.00 Mx=-0.00 Mz=5.38
Sollecitazioni agenti localmente: Ty_l=-1597.94 Mx_l=-31.96
Tensioni nella sezione: σ=387.38 τ=48.42
CC 18 SLD (Collegamento -044_-376)
Azioni sul collegamento: N=-8788.68 Ty=10.81 Tz=17.92 Mx=-0.00 Mz=7.34
Sollecitazioni agenti localmente: Ty_l=-1597.94 Mx_l=-31.96
Tensioni nella sezione: σ=387.38 τ=48.42
CC 18 SLD (Collegamento -044_-376)
Azioni sul collegamento: N=-8788.68 Ty=8.45 Tz=17.92 Mx=-0.00 Mz=5.38
Sollecitazioni agenti localmente: Ty_l=-1597.94 Mx_l=-31.96
Tensioni nella sezione: σ=387.38 τ=48.42
CC 18 SLD (Collegamento -044_-376)
Azioni sul collegamento: N=-11180.10 Ty=10.81 Tz=9.00 Mx=-0.00 Mz=7.34
Sollecitazioni agenti localmente: Ty_l=-2032.75 Mx_l=-40.66
Tensioni nella sezione: σ=492.79 τ=61.60
CC 18 SLD (Collegamento -044_-376)
Azioni sul collegamento: N=-11180.10 Ty=8.45 Tz=9.00 Mx=-0.00 Mz=5.38
Sollecitazioni agenti localmente: Ty_l=-2032.75 Mx_l=-40.66
Tensioni nella sezione: σ=492.79 τ=61.60
CC 18 SLD (Collegamento -044_-376)
Azioni sul collegamento: N=-11180.10 Ty=10.81 Tz=17.92 Mx=-0.00 Mz=7.34
Sollecitazioni agenti localmente: Ty_l=-2032.75 Mx_l=-40.66
Tensioni nella sezione: σ=492.79 τ=61.60
CC 18 SLD (Collegamento -044_-376)
Azioni sul collegamento: N=-11180.10 Ty=8.45 Tz=17.92 Mx=-0.00 Mz=5.38
Sollecitazioni agenti localmente: Ty_l=-2032.75 Mx_l=-40.66
Tensioni nella sezione: σ=492.79 τ=61.60
CC 19 SLV (Collegamento -044_-376)
Azioni sul collegamento: N=-5970.39 Ty=12.07 Tz=-1.24 Mx=-0.01 Mz=6.38
Sollecitazioni agenti localmente: Ty_l=-1085.53 Mx_l=-21.71
Tensioni nella sezione: σ=263.16 τ=32.89
CC 19 SLV (Collegamento -044_-376)
Azioni sul collegamento: N=-5970.39 Ty=5.34 Tz=-1.24 Mx=-0.01 Mz=2.07
Sollecitazioni agenti localmente: Ty_l=-1085.53 Mx_l=-21.71
Tensioni nella sezione: σ=263.16 τ=32.89
CC 19 SLV (Collegamento -044_-376)
Azioni sul collegamento: N=-5970.39 Ty=12.07 Tz=27.38 Mx=-0.01 Mz=6.38
Sollecitazioni agenti localmente: Ty_l=-1085.53 Mx_l=-21.71
Tensioni nella sezione: σ=263.16 τ=32.89
CC 19 SLV (Collegamento -044_-376)
Azioni sul collegamento: N=-5970.39 Ty=5.34 Tz=27.38 Mx=-0.01 Mz=2.07
Sollecitazioni agenti localmente: Ty_l=-1085.53 Mx_l=-21.71
Tensioni nella sezione: σ=263.16 τ=32.89
CC 19 SLV (Collegamento -044_-376)
Azioni sul collegamento: N=-13803.30 Ty=12.07 Tz=-1.24 Mx=-0.01 Mz=6.38
Sollecitazioni agenti localmente: Ty_l=-2509.68 Mx_l=-50.19
Tensioni nella sezione: σ=608.41 τ=76.05
CC 19 SLV (Collegamento -044_-376)
Azioni sul collegamento: N=-13803.30 Ty=5.34 Tz=-1.24 Mx=-0.01 Mz=2.07
Sollecitazioni agenti localmente: Ty_l=-2509.68 Mx_l=-50.19
Tensioni nella sezione: σ=608.41 τ=76.05
CC 19 SLV (Collegamento -044_-376)
Azioni sul collegamento: N=-13803.30 Ty=12.07 Tz=27.38 Mx=-0.01 Mz=6.38
Sollecitazioni agenti localmente: Ty_l=-2509.68 Mx_l=-50.19
Tensioni nella sezione: σ=608.41 τ=76.05
CC 19 SLV (Collegamento -044_-376)
Azioni sul collegamento: N=-13803.30 Ty=5.34 Tz=27.38 Mx=-0.01 Mz=2.07
Sollecitazioni agenti localmente: Ty_l=-2509.68 Mx_l=-50.19
Tensioni nella sezione: σ=608.41 τ=76.05
CC 20 SLD (Collegamento -044_-376)
Azioni sul collegamento: N=-8790.17 Ty=10.66 Tz=9.09 Mx=-0.00 Mz=7.02
Sollecitazioni agenti localmente: Ty_l=-1598.21 Mx_l=-31.96
Tensioni nella sezione: σ=387.44 τ=48.43
CC 20 SLD (Collegamento -044_-376)
Azioni sul collegamento: N=-8790.17 Ty=8.61 Tz=9.09 Mx=-0.00 Mz=5.70
Sollecitazioni agenti localmente: Ty_l=-1598.21 Mx_l=-31.96
Tensioni nella sezione: σ=387.44 τ=48.43
CC 20 SLD (Collegamento -044_-376)
Azioni sul collegamento: N=-8790.17 Ty=10.66 Tz=17.82 Mx=-0.00 Mz=7.02
Sollecitazioni agenti localmente: Ty_l=-1598.21 Mx_l=-31.96
Tensioni nella sezione: σ=387.44 τ=48.43
CC 20 SLD (Collegamento -044_-376)
Azioni sul collegamento: N=-8790.17 Ty=8.61 Tz=17.82 Mx=-0.00 Mz=5.70
Sollecitazioni agenti localmente: Ty_l=-1598.21 Mx_l=-31.96
Tensioni nella sezione: σ=387.44 τ=48.43
CC 20 SLD (Collegamento -044_-376)
Azioni sul collegamento: N=-11178.70 Ty=10.66 Tz=9.10 Mx=-0.00 Mz=7.02

Sollecitazioni agenti localmente: Ty_l=-2032.48 Mx_l=-40.65
Tensioni nella sezione: σ=492.72 τ=61.59
CC 20 SLD (Collegamento -044_-376)
Azioni sul collegamento: N=-11178.70 Ty=8.61 Tz=9.10 Mx=-0.00 Mz=5.70
Sollecitazioni agenti localmente: Ty_l=-2032.48 Mx_l=-40.65
Tensioni nella sezione: σ=492.72 τ=61.59
CC 20 SLD (Collegamento -044_-376)
Azioni sul collegamento: N=-11178.70 Ty=10.66 Tz=17.82 Mx=-0.00 Mz=7.02
Sollecitazioni agenti localmente: Ty_l=-2032.48 Mx_l=-40.65
Tensioni nella sezione: σ=492.72 τ=61.59
CC 20 SLD (Collegamento -044_-376)
Azioni sul collegamento: N=-11178.70 Ty=8.61 Tz=17.82 Mx=-0.00 Mz=5.70
Sollecitazioni agenti localmente: Ty_l=-2032.48 Mx_l=-40.65
Tensioni nella sezione: σ=492.72 τ=61.59
CC 21 SLV (Collegamento -044_-376)
Azioni sul collegamento: N=-13803.30 Ty=5.34 Tz=27.38 Mx=-0.01 Mz=2.07
Sollecitazioni agenti localmente: Ty_l=-2509.68 Mx_l=-50.19
Tensioni nella sezione: σ=608.41 τ=76.05
CC 21 SLV (Collegamento -044_-376)
Azioni sul collegamento: N=-13803.30 Ty=12.07 Tz=27.38 Mx=-0.01 Mz=6.38
Sollecitazioni agenti localmente: Ty_l=-2509.68 Mx_l=-50.19
Tensioni nella sezione: σ=608.41 τ=76.05
CC 21 SLV (Collegamento -044_-376)
Azioni sul collegamento: N=-13803.30 Ty=5.34 Tz=-1.24 Mx=-0.01 Mz=2.07
Sollecitazioni agenti localmente: Ty_l=-2509.68 Mx_l=-50.19
Tensioni nella sezione: σ=608.41 τ=76.05
CC 21 SLV (Collegamento -044_-376)
Azioni sul collegamento: N=-13803.30 Ty=12.07 Tz=-1.24 Mx=-0.01 Mz=6.38
Sollecitazioni agenti localmente: Ty_l=-2509.68 Mx_l=-50.19
Tensioni nella sezione: σ=608.41 τ=76.05
CC 21 SLV (Collegamento -044_-376)
Azioni sul collegamento: N=-5970.39 Ty=5.34 Tz=27.38 Mx=-0.01 Mz=2.07
Sollecitazioni agenti localmente: Ty_l=-1085.53 Mx_l=-21.71
Tensioni nella sezione: σ=263.16 τ=32.89
CC 21 SLV (Collegamento -044_-376)
Azioni sul collegamento: N=-5970.39 Ty=12.07 Tz=27.38 Mx=-0.01 Mz=6.38
Sollecitazioni agenti localmente: Ty_l=-1085.53 Mx_l=-21.71
Tensioni nella sezione: σ=263.16 τ=32.89
CC 21 SLV (Collegamento -044_-376)
Azioni sul collegamento: N=-5970.39 Ty=5.34 Tz=-1.24 Mx=-0.01 Mz=2.07
Sollecitazioni agenti localmente: Ty_l=-1085.53 Mx_l=-21.71
Tensioni nella sezione: σ=263.16 τ=32.89
CC 21 SLV (Collegamento -044_-376)
Azioni sul collegamento: N=-5970.39 Ty=12.07 Tz=-1.24 Mx=-0.01 Mz=6.38
Sollecitazioni agenti localmente: Ty_l=-1085.53 Mx_l=-21.71
Tensioni nella sezione: σ=263.16 τ=32.89
CC 22 SLD (Collegamento -044_-376)
Azioni sul collegamento: N=-11178.70 Ty=8.61 Tz=17.82 Mx=-0.00 Mz=5.70
Sollecitazioni agenti localmente: Ty_l=-2032.48 Mx_l=-40.65
Tensioni nella sezione: σ=492.72 τ=61.59
CC 22 SLD (Collegamento -044_-376)
Azioni sul collegamento: N=-11178.70 Ty=10.66 Tz=17.82 Mx=-0.00 Mz=7.02
Sollecitazioni agenti localmente: Ty_l=-2032.48 Mx_l=-40.65
Tensioni nella sezione: σ=492.72 τ=61.59
CC 22 SLD (Collegamento -044_-376)
Azioni sul collegamento: N=-11178.70 Ty=8.61 Tz=9.10 Mx=-0.00 Mz=5.70
Sollecitazioni agenti localmente: Ty_l=-2032.48 Mx_l=-40.65
Tensioni nella sezione: σ=492.72 τ=61.59
CC 22 SLD (Collegamento -044_-376)
Azioni sul collegamento: N=-11178.70 Ty=10.66 Tz=9.10 Mx=-0.00 Mz=7.02
Sollecitazioni agenti localmente: Ty_l=-2032.48 Mx_l=-40.65
Tensioni nella sezione: σ=492.72 τ=61.59
CC 22 SLD (Collegamento -044_-376)
Azioni sul collegamento: N=-8790.17 Ty=8.61 Tz=17.82 Mx=-0.00 Mz=5.70
Sollecitazioni agenti localmente: Ty_l=-1598.21 Mx_l=-31.96
Tensioni nella sezione: σ=387.44 τ=48.43
CC 22 SLD (Collegamento -044_-376)
Azioni sul collegamento: N=-8790.17 Ty=10.66 Tz=17.82 Mx=-0.00 Mz=7.02
Sollecitazioni agenti localmente: Ty_l=-1598.21 Mx_l=-31.96
Tensioni nella sezione: σ=387.44 τ=48.43
CC 22 SLD (Collegamento -044_-376)
Azioni sul collegamento: N=-8790.17 Ty=8.61 Tz=9.09 Mx=-0.00 Mz=5.70
Sollecitazioni agenti localmente: Ty_l=-1598.21 Mx_l=-31.96
Tensioni nella sezione: σ=387.44 τ=48.43
CC 22 SLD (Collegamento -044_-376)
Azioni sul collegamento: N=-8790.17 Ty=10.66 Tz=9.09 Mx=-0.00 Mz=7.02
Sollecitazioni agenti localmente: Ty_l=-1598.21 Mx_l=-31.96
Tensioni nella sezione: σ=387.44 τ=48.43
CC 23 SLV (Collegamento -044_-376)

Azioni sul collegamento: N=-13808.10 Ty=4.83 Tz=27.71 Mx=-0.01 Mz=1.02
Sollecitazioni agenti localmente: Ty_l=-2510.57 Mx_l=-50.21
Tensioni nella sezione: σ=608.62 τ=76.08
CC 23 SLV (Collegamento -044_-376)
Azioni sul collegamento: N=-13808.10 Ty=12.58 Tz=27.71 Mx=-0.01 Mz=7.43
Sollecitazioni agenti localmente: Ty_l=-2510.57 Mx_l=-50.21
Tensioni nella sezione: σ=608.62 τ=76.08
CC 23 SLV (Collegamento -044_-376)
Azioni sul collegamento: N=-13808.10 Ty=4.83 Tz=-1.56 Mx=-0.01 Mz=1.02
Sollecitazioni agenti localmente: Ty_l=-2510.57 Mx_l=-50.21
Tensioni nella sezione: σ=608.62 τ=76.08
CC 23 SLV (Collegamento -044_-376)
Azioni sul collegamento: N=-13808.10 Ty=12.58 Tz=-1.56 Mx=-0.01 Mz=7.43
Sollecitazioni agenti localmente: Ty_l=-2510.57 Mx_l=-50.21
Tensioni nella sezione: σ=608.62 τ=76.08
CC 23 SLV (Collegamento -044_-376)
Azioni sul collegamento: N=-5965.51 Ty=4.83 Tz=27.71 Mx=-0.01 Mz=1.02
Sollecitazioni agenti localmente: Ty_l=-1084.64 Mx_l=-21.69
Tensioni nella sezione: σ=262.94 τ=32.87
CC 23 SLV (Collegamento -044_-376)
Azioni sul collegamento: N=-5965.51 Ty=12.58 Tz=27.71 Mx=-0.01 Mz=7.43
Sollecitazioni agenti localmente: Ty_l=-1084.64 Mx_l=-21.69
Tensioni nella sezione: σ=262.94 τ=32.87
CC 23 SLV (Collegamento -044_-376)
Azioni sul collegamento: N=-5965.51 Ty=4.83 Tz=-1.56 Mx=-0.01 Mz=1.02
Sollecitazioni agenti localmente: Ty_l=-1084.64 Mx_l=-21.69
Tensioni nella sezione: σ=262.94 τ=32.87
CC 23 SLV (Collegamento -044_-376)
Azioni sul collegamento: N=-5965.51 Ty=12.58 Tz=-1.56 Mx=-0.01 Mz=7.43
Sollecitazioni agenti localmente: Ty_l=-1084.64 Mx_l=-21.69
Tensioni nella sezione: σ=262.94 τ=32.87
CC 24 SLD (Collegamento -044_-376)
Azioni sul collegamento: N=-11180.10 Ty=8.45 Tz=17.92 Mx=-0.00 Mz=5.38
Sollecitazioni agenti localmente: Ty_l=-2032.75 Mx_l=-40.66
Tensioni nella sezione: σ=492.79 τ=61.60
CC 24 SLD (Collegamento -044_-376)
Azioni sul collegamento: N=-11180.10 Ty=10.81 Tz=17.92 Mx=-0.00 Mz=7.34
Sollecitazioni agenti localmente: Ty_l=-2032.75 Mx_l=-40.66
Tensioni nella sezione: σ=492.79 τ=61.60
CC 24 SLD (Collegamento -044_-376)
Azioni sul collegamento: N=-11180.10 Ty=8.45 Tz=9.00 Mx=-0.00 Mz=5.38
Sollecitazioni agenti localmente: Ty_l=-2032.75 Mx_l=-40.66
Tensioni nella sezione: σ=492.79 τ=61.60
CC 24 SLD (Collegamento -044_-376)
Azioni sul collegamento: N=-11180.10 Ty=10.81 Tz=9.00 Mx=-0.00 Mz=7.34
Sollecitazioni agenti localmente: Ty_l=-2032.75 Mx_l=-40.66
Tensioni nella sezione: σ=492.79 τ=61.60
CC 24 SLD (Collegamento -044_-376)
Azioni sul collegamento: N=-8788.68 Ty=8.45 Tz=17.92 Mx=-0.00 Mz=5.38
Sollecitazioni agenti localmente: Ty_l=-1597.94 Mx_l=-31.96
Tensioni nella sezione: σ=387.38 τ=48.42
CC 24 SLD (Collegamento -044_-376)
Azioni sul collegamento: N=-8788.68 Ty=10.81 Tz=17.92 Mx=-0.00 Mz=7.34
Sollecitazioni agenti localmente: Ty_l=-1597.94 Mx_l=-31.96
Tensioni nella sezione: σ=387.38 τ=48.42
CC 24 SLD (Collegamento -044_-376)
Azioni sul collegamento: N=-8788.68 Ty=8.45 Tz=9.00 Mx=-0.00 Mz=5.38
Sollecitazioni agenti localmente: Ty_l=-1597.94 Mx_l=-31.96
Tensioni nella sezione: σ=387.38 τ=48.42
CC 24 SLD (Collegamento -044_-376)
Azioni sul collegamento: N=-8788.68 Ty=10.81 Tz=9.00 Mx=-0.00 Mz=7.34
Sollecitazioni agenti localmente: Ty_l=-1597.94 Mx_l=-31.96
Tensioni nella sezione: σ=387.38 τ=48.42
CC 25 SLV (Collegamento -044_-376)
Azioni sul collegamento: N=-8703.02 Ty=10.65 Tz=8.19 Mx=-0.02 Mz=6.77
Sollecitazioni agenti localmente: Ty_l=-1582.37 Mx_l=-31.65
Tensioni nella sezione: σ=383.60 τ=47.95
CC 25 SLV (Collegamento -044_-376)
Azioni sul collegamento: N=-8703.02 Ty=6.76 Tz=8.19 Mx=-0.02 Mz=1.67
Sollecitazioni agenti localmente: Ty_l=-1582.37 Mx_l=-31.65
Tensioni nella sezione: σ=383.60 τ=47.95
CC 25 SLV (Collegamento -044_-376)
Azioni sul collegamento: N=-8703.02 Ty=10.65 Tz=17.96 Mx=-0.02 Mz=6.77
Sollecitazioni agenti localmente: Ty_l=-1582.37 Mx_l=-31.65
Tensioni nella sezione: σ=383.60 τ=47.95
CC 25 SLV (Collegamento -044_-376)
Azioni sul collegamento: N=-8703.02 Ty=6.76 Tz=17.96 Mx=-0.02 Mz=1.67
Sollecitazioni agenti localmente: Ty_l=-1582.37 Mx_l=-31.65
Tensioni nella sezione: σ=383.60 τ=47.95

CC 25 SLV (Collegamento -044_-376)
Azioni sul collegamento: N=-11070.60 Ty=10.65 Tz=8.19 Mx=-0.02 Mz=6.77
Sollecitazioni agenti localmente: Ty_l=-2012.84 Mx_l=-40.26
Tensioni nella sezione: σ=487.96 τ=61.00
CC 25 SLV (Collegamento -044_-376)
Azioni sul collegamento: N=-11070.60 Ty=6.76 Tz=8.19 Mx=-0.02 Mz=1.67
Sollecitazioni agenti localmente: Ty_l=-2012.84 Mx_l=-40.26
Tensioni nella sezione: σ=487.96 τ=61.00
CC 25 SLV (Collegamento -044_-376)
Azioni sul collegamento: N=-11070.60 Ty=10.65 Tz=17.96 Mx=-0.02 Mz=6.77
Sollecitazioni agenti localmente: Ty_l=-2012.84 Mx_l=-40.26
Tensioni nella sezione: σ=487.96 τ=61.00
CC 25 SLV (Collegamento -044_-376)
Azioni sul collegamento: N=-11070.60 Ty=6.76 Tz=17.96 Mx=-0.02 Mz=1.67
Sollecitazioni agenti localmente: Ty_l=-2012.84 Mx_l=-40.26
Tensioni nella sezione: σ=487.96 τ=61.00
CC 26 SLD (Collegamento -044_-376)
Azioni sul collegamento: N=-9623.43 Ty=10.22 Tz=11.97 Mx=-0.00 Mz=7.14
Sollecitazioni agenti localmente: Ty_l=-1749.72 Mx_l=-34.99
Tensioni nella sezione: σ=424.17 τ=53.02
CC 26 SLD (Collegamento -044_-376)
Azioni sul collegamento: N=-9623.43 Ty=9.04 Tz=11.97 Mx=-0.00 Mz=5.58
Sollecitazioni agenti localmente: Ty_l=-1749.72 Mx_l=-34.99
Tensioni nella sezione: σ=424.17 τ=53.02
CC 26 SLD (Collegamento -044_-376)
Azioni sul collegamento: N=-9623.43 Ty=10.22 Tz=14.95 Mx=-0.00 Mz=7.14
Sollecitazioni agenti localmente: Ty_l=-1749.72 Mx_l=-34.99
Tensioni nella sezione: σ=424.17 τ=53.02
CC 26 SLD (Collegamento -044_-376)
Azioni sul collegamento: N=-9623.43 Ty=9.04 Tz=14.95 Mx=-0.00 Mz=5.58
Sollecitazioni agenti localmente: Ty_l=-1749.72 Mx_l=-34.99
Tensioni nella sezione: σ=424.17 τ=53.02
CC 26 SLD (Collegamento -044_-376)
Azioni sul collegamento: N=-10345.40 Ty=10.22 Tz=11.97 Mx=-0.00 Mz=7.14
Sollecitazioni agenti localmente: Ty_l=-1880.98 Mx_l=-37.62
Tensioni nella sezione: σ=455.99 τ=57.00
CC 26 SLD (Collegamento -044_-376)
Azioni sul collegamento: N=-10345.40 Ty=9.04 Tz=11.97 Mx=-0.00 Mz=5.58
Sollecitazioni agenti localmente: Ty_l=-1880.98 Mx_l=-37.62
Tensioni nella sezione: σ=455.99 τ=57.00
CC 26 SLD (Collegamento -044_-376)
Azioni sul collegamento: N=-10345.40 Ty=10.22 Tz=14.95 Mx=-0.00 Mz=7.14
Sollecitazioni agenti localmente: Ty_l=-1880.98 Mx_l=-37.62
Tensioni nella sezione: σ=455.99 τ=57.00
CC 26 SLD (Collegamento -044_-376)
Azioni sul collegamento: N=-10345.40 Ty=9.04 Tz=14.95 Mx=-0.00 Mz=5.58
Sollecitazioni agenti localmente: Ty_l=-1880.98 Mx_l=-37.62
Tensioni nella sezione: σ=455.99 τ=57.00
CC 27 SLV (Collegamento -044_-376)
Azioni sul collegamento: N=-11054.30 Ty=8.48 Tz=16.87 Mx=-0.02 Mz=5.16
Sollecitazioni agenti localmente: Ty_l=-2009.88 Mx_l=-40.20
Tensioni nella sezione: σ=487.24 τ=60.91
CC 27 SLV (Collegamento -044_-376)
Azioni sul collegamento: N=-11054.30 Ty=8.94 Tz=16.87 Mx=-0.02 Mz=3.28
Sollecitazioni agenti localmente: Ty_l=-2009.88 Mx_l=-40.20
Tensioni nella sezione: σ=487.24 τ=60.91
CC 27 SLV (Collegamento -044_-376)
Azioni sul collegamento: N=-11054.30 Ty=8.48 Tz=9.28 Mx=-0.02 Mz=5.16
Sollecitazioni agenti localmente: Ty_l=-2009.88 Mx_l=-40.20
Tensioni nella sezione: σ=487.24 τ=60.91
CC 27 SLV (Collegamento -044_-376)
Azioni sul collegamento: N=-11054.30 Ty=8.94 Tz=9.28 Mx=-0.02 Mz=3.28
Sollecitazioni agenti localmente: Ty_l=-2009.88 Mx_l=-40.20
Tensioni nella sezione: σ=487.24 τ=60.91
CC 27 SLV (Collegamento -044_-376)
Azioni sul collegamento: N=-8719.31 Ty=8.48 Tz=16.87 Mx=-0.02 Mz=5.16
Sollecitazioni agenti localmente: Ty_l=-1585.33 Mx_l=-31.71
Tensioni nella sezione: σ=384.32 τ=48.04
CC 27 SLV (Collegamento -044_-376)
Azioni sul collegamento: N=-8719.31 Ty=8.94 Tz=16.87 Mx=-0.02 Mz=3.28
Sollecitazioni agenti localmente: Ty_l=-1585.33 Mx_l=-31.71
Tensioni nella sezione: σ=384.32 τ=48.04
CC 27 SLV (Collegamento -044_-376)
Azioni sul collegamento: N=-8719.31 Ty=8.48 Tz=9.28 Mx=-0.02 Mz=5.16
Sollecitazioni agenti localmente: Ty_l=-1585.33 Mx_l=-31.71
Tensioni nella sezione: σ=384.32 τ=48.04
CC 27 SLV (Collegamento -044_-376)
Azioni sul collegamento: N=-8719.31 Ty=8.94 Tz=9.28 Mx=-0.02 Mz=3.28
Sollecitazioni agenti localmente: Ty_l=-1585.33 Mx_l=-31.71

Tensioni nella sezione: σ=384.32 τ=48.04
CC 28 SLD (Collegamento -044_-376)
Azioni sul collegamento: N=-10340.40 Ty=9.56 Tz=14.62 Mx=-0.00 Mz=6.65
Sollecitazioni agenti localmente: Ty_l=-1880.08 Mx_l=-37.60
Tensioni nella sezione: σ=455.78 τ=56.97
CC 28 SLD (Collegamento -044_-376)
Azioni sul collegamento: N=-10340.40 Ty=9.70 Tz=14.62 Mx=-0.00 Mz=6.07
Sollecitazioni agenti localmente: Ty_l=-1880.08 Mx_l=-37.60
Tensioni nella sezione: σ=455.78 τ=56.97
CC 28 SLD (Collegamento -044_-376)
Azioni sul collegamento: N=-10340.40 Ty=9.56 Tz=12.30 Mx=-0.00 Mz=6.65
Sollecitazioni agenti localmente: Ty_l=-1880.08 Mx_l=-37.60
Tensioni nella sezione: σ=455.78 τ=56.97
CC 28 SLD (Collegamento -044_-376)
Azioni sul collegamento: N=-10340.40 Ty=9.70 Tz=12.30 Mx=-0.00 Mz=6.07
Sollecitazioni agenti localmente: Ty_l=-1880.08 Mx_l=-37.60
Tensioni nella sezione: σ=455.78 τ=56.97
CC 28 SLD (Collegamento -044_-376)
Azioni sul collegamento: N=-9628.40 Ty=9.56 Tz=14.62 Mx=-0.00 Mz=6.65
Sollecitazioni agenti localmente: Ty_l=-1750.62 Mx_l=-35.01
Tensioni nella sezione: σ=424.39 τ=53.05
CC 28 SLD (Collegamento -044_-376)
Azioni sul collegamento: N=-9628.40 Ty=9.70 Tz=14.62 Mx=-0.00 Mz=6.07
Sollecitazioni agenti localmente: Ty_l=-1750.62 Mx_l=-35.01
Tensioni nella sezione: σ=424.39 τ=53.05
CC 28 SLD (Collegamento -044_-376)
Azioni sul collegamento: N=-9628.40 Ty=9.56 Tz=12.30 Mx=-0.00 Mz=6.65
Sollecitazioni agenti localmente: Ty_l=-1750.62 Mx_l=-35.01
Tensioni nella sezione: σ=424.39 τ=53.05
CC 28 SLD (Collegamento -044_-376)
Azioni sul collegamento: N=-9628.40 Ty=9.70 Tz=12.30 Mx=-0.00 Mz=6.07
Sollecitazioni agenti localmente: Ty_l=-1750.62 Mx_l=-35.01
Tensioni nella sezione: σ=424.39 τ=53.05
CC 29 SLV (Collegamento -044_-376)
Azioni sul collegamento: N=-8719.31 Ty=8.94 Tz=9.28 Mx=-0.00 Mz=3.28
Sollecitazioni agenti localmente: Ty_l=-1585.33 Mx_l=-31.71
Tensioni nella sezione: σ=384.32 τ=48.04
CC 29 SLV (Collegamento -044_-376)
Azioni sul collegamento: N=-8719.31 Ty=8.48 Tz=9.28 Mx=-0.00 Mz=5.16
Sollecitazioni agenti localmente: Ty_l=-1585.33 Mx_l=-31.71
Tensioni nella sezione: σ=384.32 τ=48.04
CC 29 SLV (Collegamento -044_-376)
Azioni sul collegamento: N=-8719.31 Ty=8.94 Tz=16.87 Mx=-0.00 Mz=3.28
Sollecitazioni agenti localmente: Ty_l=-1585.33 Mx_l=-31.71
Tensioni nella sezione: σ=384.32 τ=48.04
CC 29 SLV (Collegamento -044_-376)
Azioni sul collegamento: N=-8719.31 Ty=8.48 Tz=16.87 Mx=-0.00 Mz=5.16
Sollecitazioni agenti localmente: Ty_l=-1585.33 Mx_l=-31.71
Tensioni nella sezione: σ=384.32 τ=48.04
CC 29 SLV (Collegamento -044_-376)
Azioni sul collegamento: N=-11054.30 Ty=8.94 Tz=9.28 Mx=-0.00 Mz=3.28
Sollecitazioni agenti localmente: Ty_l=-2009.88 Mx_l=-40.20
Tensioni nella sezione: σ=487.24 τ=60.91
CC 29 SLV (Collegamento -044_-376)
Azioni sul collegamento: N=-11054.30 Ty=8.48 Tz=9.28 Mx=-0.00 Mz=5.16
Sollecitazioni agenti localmente: Ty_l=-2009.88 Mx_l=-40.20
Tensioni nella sezione: σ=487.24 τ=60.91
CC 29 SLV (Collegamento -044_-376)
Azioni sul collegamento: N=-11054.30 Ty=8.94 Tz=16.87 Mx=-0.00 Mz=3.28
Sollecitazioni agenti localmente: Ty_l=-2009.88 Mx_l=-40.20
Tensioni nella sezione: σ=487.24 τ=60.91
CC 29 SLV (Collegamento -044_-376)
Azioni sul collegamento: N=-11054.30 Ty=8.48 Tz=16.87 Mx=-0.00 Mz=5.16
Sollecitazioni agenti localmente: Ty_l=-2009.88 Mx_l=-40.20
Tensioni nella sezione: σ=487.24 τ=60.91
CC 30 SLD (Collegamento -044_-376)
Azioni sul collegamento: N=-9628.40 Ty=9.70 Tz=12.30 Mx=0.00 Mz=6.07
Sollecitazioni agenti localmente: Ty_l=-1750.62 Mx_l=-35.01
Tensioni nella sezione: σ=424.39 τ=53.05
CC 30 SLD (Collegamento -044_-376)
Azioni sul collegamento: N=-9628.40 Ty=9.56 Tz=12.30 Mx=0.00 Mz=6.65
Sollecitazioni agenti localmente: Ty_l=-1750.62 Mx_l=-35.01
Tensioni nella sezione: σ=424.39 τ=53.05
CC 30 SLD (Collegamento -044_-376)
Azioni sul collegamento: N=-9628.40 Ty=9.70 Tz=14.62 Mx=0.00 Mz=6.07
Sollecitazioni agenti localmente: Ty_l=-1750.62 Mx_l=-35.01
Tensioni nella sezione: σ=424.39 τ=53.05
CC 30 SLD (Collegamento -044_-376)
Azioni sul collegamento: N=-9628.40 Ty=9.56 Tz=14.62 Mx=0.00 Mz=6.65

Sollecitazioni agenti localmente: Ty_l=-1750.62 Mx_l=-35.01
Tensioni nella sezione: σ=424.39 τ=53.05
CC 30 SLD (Collegamento -044_-376)
Azioni sul collegamento: N=-10340.40 Ty=9.70 Tz=12.30 Mx=0.00 Mz=6.07
Sollecitazioni agenti localmente: Ty_l=-1880.08 Mx_l=-37.60
Tensioni nella sezione: σ=455.78 τ=56.97
CC 30 SLD (Collegamento -044_-376)
Azioni sul collegamento: N=-10340.40 Ty=9.56 Tz=12.30 Mx=0.00 Mz=6.65
Sollecitazioni agenti localmente: Ty_l=-1880.08 Mx_l=-37.60
Tensioni nella sezione: σ=455.78 τ=56.97
CC 30 SLD (Collegamento -044_-376)
Azioni sul collegamento: N=-10340.40 Ty=9.70 Tz=14.62 Mx=0.00 Mz=6.07
Sollecitazioni agenti localmente: Ty_l=-1880.08 Mx_l=-37.60
Tensioni nella sezione: σ=455.78 τ=56.97
CC 30 SLD (Collegamento -044_-376)
Azioni sul collegamento: N=-10340.40 Ty=9.56 Tz=14.62 Mx=0.00 Mz=6.65
Sollecitazioni agenti localmente: Ty_l=-1880.08 Mx_l=-37.60
Tensioni nella sezione: σ=455.78 τ=56.97
CC 31 SLV (Collegamento -044_-376)
Azioni sul collegamento: N=-11070.60 Ty=6.76 Tz=17.96 Mx=-0.00 Mz=1.67
Sollecitazioni agenti localmente: Ty_l=-2012.84 Mx_l=-40.26
Tensioni nella sezione: σ=487.96 τ=61.00
CC 31 SLV (Collegamento -044_-376)
Azioni sul collegamento: N=-11070.60 Ty=10.65 Tz=17.96 Mx=-0.00 Mz=6.77
Sollecitazioni agenti localmente: Ty_l=-2012.84 Mx_l=-40.26
Tensioni nella sezione: σ=487.96 τ=61.00
CC 31 SLV (Collegamento -044_-376)
Azioni sul collegamento: N=-11070.60 Ty=6.76 Tz=8.19 Mx=-0.00 Mz=1.67
Sollecitazioni agenti localmente: Ty_l=-2012.84 Mx_l=-40.26
Tensioni nella sezione: σ=487.96 τ=61.00
CC 31 SLV (Collegamento -044_-376)
Azioni sul collegamento: N=-11070.60 Ty=10.65 Tz=8.19 Mx=-0.00 Mz=6.77
Sollecitazioni agenti localmente: Ty_l=-2012.84 Mx_l=-40.26
Tensioni nella sezione: σ=487.96 τ=61.00
CC 31 SLV (Collegamento -044_-376)
Azioni sul collegamento: N=-8703.02 Ty=6.76 Tz=17.96 Mx=-0.00 Mz=1.67
Sollecitazioni agenti localmente: Ty_l=-1582.37 Mx_l=-31.65
Tensioni nella sezione: σ=383.60 τ=47.95
CC 31 SLV (Collegamento -044_-376)
Azioni sul collegamento: N=-8703.02 Ty=10.65 Tz=17.96 Mx=-0.00 Mz=6.77
Sollecitazioni agenti localmente: Ty_l=-1582.37 Mx_l=-31.65
Tensioni nella sezione: σ=383.60 τ=47.95
CC 31 SLV (Collegamento -044_-376)
Azioni sul collegamento: N=-8703.02 Ty=6.76 Tz=8.19 Mx=-0.00 Mz=1.67
Sollecitazioni agenti localmente: Ty_l=-1582.37 Mx_l=-31.65
Tensioni nella sezione: σ=383.60 τ=47.95
CC 31 SLV (Collegamento -044_-376)
Azioni sul collegamento: N=-8703.02 Ty=10.65 Tz=8.19 Mx=-0.00 Mz=6.77
Sollecitazioni agenti localmente: Ty_l=-1582.37 Mx_l=-31.65
Tensioni nella sezione: σ=383.60 τ=47.95
CC 32 SLD (Collegamento -044_-376)
Azioni sul collegamento: N=-10345.40 Ty=9.04 Tz=14.95 Mx=0.00 Mz=5.58
Sollecitazioni agenti localmente: Ty_l=-1880.98 Mx_l=-37.62
Tensioni nella sezione: σ=455.99 τ=57.00
CC 32 SLD (Collegamento -044_-376)
Azioni sul collegamento: N=-10345.40 Ty=10.22 Tz=14.95 Mx=0.00 Mz=7.14
Sollecitazioni agenti localmente: Ty_l=-1880.98 Mx_l=-37.62
Tensioni nella sezione: σ=455.99 τ=57.00
CC 32 SLD (Collegamento -044_-376)
Azioni sul collegamento: N=-10345.40 Ty=9.04 Tz=11.97 Mx=0.00 Mz=5.58
Sollecitazioni agenti localmente: Ty_l=-1880.98 Mx_l=-37.62
Tensioni nella sezione: σ=455.99 τ=57.00
CC 32 SLD (Collegamento -044_-376)
Azioni sul collegamento: N=-10345.40 Ty=10.22 Tz=11.97 Mx=0.00 Mz=7.14
Sollecitazioni agenti localmente: Ty_l=-1880.98 Mx_l=-37.62
Tensioni nella sezione: σ=455.99 τ=57.00
CC 32 SLD (Collegamento -044_-376)
Azioni sul collegamento: N=-9623.43 Ty=9.04 Tz=14.95 Mx=0.00 Mz=5.58
Sollecitazioni agenti localmente: Ty_l=-1749.72 Mx_l=-34.99
Tensioni nella sezione: σ=424.17 τ=53.02
CC 32 SLD (Collegamento -044_-376)
Azioni sul collegamento: N=-9623.43 Ty=10.22 Tz=14.95 Mx=0.00 Mz=7.14
Sollecitazioni agenti localmente: Ty_l=-1749.72 Mx_l=-34.99
Tensioni nella sezione: σ=424.17 τ=53.02
CC 32 SLD (Collegamento -044_-376)
Azioni sul collegamento: N=-9623.43 Ty=9.04 Tz=11.97 Mx=0.00 Mz=5.58
Sollecitazioni agenti localmente: Ty_l=-1749.72 Mx_l=-34.99
Tensioni nella sezione: σ=424.17 τ=53.02
CC 32 SLD (Collegamento -044_-376)

Azioni sul collegamento: N=-9623.43 Ty=10.22 Tz=11.97 Mx=0.00 Mz=7.14
Sollecitazioni agenti localmente: Ty_l=-1749.72 Mx_l=-34.99
Tensioni nella sezione: σ=424.17 τ=53.02
CC 33 SLU (Collegamento -044_-376)
Azioni sul collegamento: N=-37458.50 Ty=20.96 Tz=106.28 Mx=0.00 Mz=15.40
Sollecitazioni agenti localmente: Ty_l=-6810.65 Mx_l=-136.21
Tensioni nella sezione: σ=1651.06 τ=206.38
CC 34 SLU (Collegamento -044_-376)
Azioni sul collegamento: N=-36642.60 Ty=20.20 Tz=103.27 Mx=0.00 Mz=14.84
Sollecitazioni agenti localmente: Ty_l=-6662.28 Mx_l=-133.25
Tensioni nella sezione: σ=1615.10 τ=201.89
CC 35 SLU (Collegamento -044_-376)
Azioni sul collegamento: N=-37049.70 Ty=20.49 Tz=104.83 Mx=0.01 Mz=14.94
Sollecitazioni agenti localmente: Ty_l=-6736.31 Mx_l=-134.73
Tensioni nella sezione: σ=1633.04 τ=204.13
CC 36 SLU (Collegamento -044_-376)
Azioni sul collegamento: N=-37051.40 Ty=20.67 Tz=104.72 Mx=0.00 Mz=15.30
Sollecitazioni agenti localmente: Ty_l=-6736.63 Mx_l=-134.73
Tensioni nella sezione: σ=1633.12 τ=204.14
CC 37 SLU (Collegamento -044_-376)
Azioni sul collegamento: N=-28275.70 Ty=20.11 Tz=72.57 Mx=0.00 Mz=14.65
Sollecitazioni agenti localmente: Ty_l=-5141.04 Mx_l=-102.82
Tensioni nella sezione: σ=1246.31 τ=155.79
CC 38 SLU (Collegamento -044_-376)
Azioni sul collegamento: N=-27459.70 Ty=19.36 Tz=69.55 Mx=0.00 Mz=14.09
Sollecitazioni agenti localmente: Ty_l=-4992.68 Mx_l=-99.85
Tensioni nella sezione: σ=1210.34 τ=151.29
CC 39 SLU (Collegamento -044_-376)
Azioni sul collegamento: N=-27866.80 Ty=19.65 Tz=71.12 Mx=0.01 Mz=14.19
Sollecitazioni agenti localmente: Ty_l=-5066.70 Mx_l=-101.33
Tensioni nella sezione: σ=1228.29 τ=153.54
CC 40 SLU (Collegamento -044_-376)
Azioni sul collegamento: N=-27868.60 Ty=19.82 Tz=71.00 Mx=0.00 Mz=14.55
Sollecitazioni agenti localmente: Ty_l=-5067.02 Mx_l=-101.34
Tensioni nella sezione: σ=1228.37 τ=153.55
CC 41 SLU (Collegamento -044_-376)
Azioni sul collegamento: N=-30676.20 Ty=-9.89 Tz=80.85 Mx=0.00 Mz=-7.99
Sollecitazioni agenti localmente: Ty_l=-5577.50 Mx_l=-111.55
Tensioni nella sezione: σ=1352.12 τ=169.01
CC 42 SLU (Collegamento -044_-376)
Azioni sul collegamento: N=-29860.20 Ty=-10.64 Tz=77.84 Mx=0.00 Mz=-8.54
Sollecitazioni agenti localmente: Ty_l=-5429.14 Mx_l=-108.58
Tensioni nella sezione: σ=1316.15 τ=164.52
CC 43 SLU (Collegamento -044_-376)
Azioni sul collegamento: N=-30267.40 Ty=-10.35 Tz=79.40 Mx=0.01 Mz=-8.45
Sollecitazioni agenti localmente: Ty_l=-5503.16 Mx_l=-110.06
Tensioni nella sezione: σ=1334.10 τ=166.76
CC 44 SLU (Collegamento -044_-376)
Azioni sul collegamento: N=-30269.10 Ty=-10.18 Tz=79.28 Mx=0.00 Mz=-8.08
Sollecitazioni agenti localmente: Ty_l=-5503.48 Mx_l=-110.07
Tensioni nella sezione: σ=1334.17 τ=166.77
CC 45 SLU (Collegamento -044_-376)
Azioni sul collegamento: N=-30295.00 Ty=20.33 Tz=79.99 Mx=0.00 Mz=14.94
Sollecitazioni agenti localmente: Ty_l=-5508.19 Mx_l=-110.16
Tensioni nella sezione: σ=1335.32 τ=166.91
CC 46 SLU (Collegamento -044_-376)
Azioni sul collegamento: N=-29479.00 Ty=19.57 Tz=76.97 Mx=0.00 Mz=14.38
Sollecitazioni agenti localmente: Ty_l=-5359.82 Mx_l=-107.20
Tensioni nella sezione: σ=1299.35 τ=162.42
CC 47 SLU (Collegamento -044_-376)
Azioni sul collegamento: N=-29886.10 Ty=19.86 Tz=78.54 Mx=0.00 Mz=14.48
Sollecitazioni agenti localmente: Ty_l=-5433.85 Mx_l=-108.68
Tensioni nella sezione: σ=1317.29 τ=164.66
CC 48 SLU (Collegamento -044_-376)
Azioni sul collegamento: N=-29887.90 Ty=20.04 Tz=78.42 Mx=0.00 Mz=14.84
Sollecitazioni agenti localmente: Ty_l=-5434.17 Mx_l=-108.68
Tensioni nella sezione: σ=1317.37 τ=164.67
CC 49 SLU (Collegamento -044_-376)
Azioni sul collegamento: N=-23424.90 Ty=19.70 Tz=54.76 Mx=0.00 Mz=14.38
Sollecitazioni agenti localmente: Ty_l=-4259.07 Mx_l=-85.18
Tensioni nella sezione: σ=1032.50 τ=129.06
CC 50 SLU (Collegamento -044_-376)
Azioni sul collegamento: N=-22608.90 Ty=18.94 Tz=51.75 Mx=0.00 Mz=13.82
Sollecitazioni agenti localmente: Ty_l=-4110.71 Mx_l=-82.21
Tensioni nella sezione: σ=996.53 τ=124.57
CC 51 SLU (Collegamento -044_-376)
Azioni sul collegamento: N=-23016.00 Ty=19.23 Tz=53.31 Mx=0.00 Mz=13.92
Sollecitazioni agenti localmente: Ty_l=-4184.73 Mx_l=-83.69
Tensioni nella sezione: σ=1014.48 τ=126.81

CC 52 SLU (Collegamento -044_-376)
Azioni sul collegamento: N=-23017.80 Ty=19.41 Tz=53.20 Mx=0.00 Mz=14.28
Sollecitazioni agenti localmente: Ty_l=-4185.06 Mx_l=-83.70
Tensioni nella sezione: σ=1014.56 τ=126.82
CC 53 SLU (Collegamento -044_-376)
Azioni sul collegamento: N=-25220.90 Ty=-2.75 Tz=60.96 Mx=0.00 Mz=-2.55
Sollecitazioni agenti localmente: Ty_l=-4585.61 Mx_l=-91.71
Tensioni nella sezione: σ=1111.66 τ=138.96
CC 54 SLU (Collegamento -044_-376)
Azioni sul collegamento: N=-24404.90 Ty=-3.50 Tz=57.94 Mx=0.00 Mz=-3.11
Sollecitazioni agenti localmente: Ty_l=-4437.25 Mx_l=-88.74
Tensioni nella sezione: σ=1075.69 τ=134.46
CC 55 SLU (Collegamento -044_-376)
Azioni sul collegamento: N=-24812.00 Ty=-3.21 Tz=59.51 Mx=0.00 Mz=-3.02
Sollecitazioni agenti localmente: Ty_l=-4511.27 Mx_l=-90.23
Tensioni nella sezione: σ=1093.64 τ=136.71
CC 56 SLU (Collegamento -044_-376)
Azioni sul collegamento: N=-24813.70 Ty=-3.04 Tz=59.39 Mx=0.00 Mz=-2.65
Sollecitazioni agenti localmente: Ty_l=-4511.59 Mx_l=-90.23
Tensioni nella sezione: σ=1093.72 τ=136.72
CC 57 SLU (Collegamento -044_-376)
Azioni sul collegamento: N=-28074.70 Ty=18.58 Tz=71.81 Mx=0.00 Mz=13.65
Sollecitazioni agenti localmente: Ty_l=-5104.49 Mx_l=-102.09
Tensioni nella sezione: σ=1237.45 τ=154.68
CC 58 SLU (Collegamento -044_-376)
Azioni sul collegamento: N=-27258.70 Ty=17.82 Tz=68.80 Mx=0.00 Mz=13.09
Sollecitazioni agenti localmente: Ty_l=-4956.13 Mx_l=-99.12
Tensioni nella sezione: σ=1201.48 τ=150.19
CC 59 SLU (Collegamento -044_-376)
Azioni sul collegamento: N=-27665.80 Ty=18.11 Tz=70.37 Mx=0.00 Mz=13.19
Sollecitazioni agenti localmente: Ty_l=-5030.15 Mx_l=-100.60
Tensioni nella sezione: σ=1219.43 τ=152.43
CC 60 SLU (Collegamento -044_-376)
Azioni sul collegamento: N=-27667.60 Ty=18.29 Tz=70.25 Mx=0.00 Mz=13.55
Sollecitazioni agenti localmente: Ty_l=-5030.47 Mx_l=-100.61
Tensioni nella sezione: σ=1219.51 τ=152.44
CC 61 SLU (Collegamento -044_-376)
Azioni sul collegamento: N=-21204.60 Ty=17.94 Tz=46.59 Mx=0.00 Mz=13.09
Sollecitazioni agenti localmente: Ty_l=-3855.38 Mx_l=-77.11
Tensioni nella sezione: σ=934.64 τ=116.83
CC 62 SLU (Collegamento -044_-376)
Azioni sul collegamento: N=-20388.60 Ty=17.19 Tz=43.58 Mx=0.00 Mz=12.53
Sollecitazioni agenti localmente: Ty_l=-3707.02 Mx_l=-74.14
Tensioni nella sezione: σ=898.67 τ=112.33
CC 63 SLU (Collegamento -044_-376)
Azioni sul collegamento: N=-20795.70 Ty=17.48 Tz=45.14 Mx=0.00 Mz=12.63
Sollecitazioni agenti localmente: Ty_l=-3781.04 Mx_l=-75.62
Tensioni nella sezione: σ=916.61 τ=114.58
CC 64 SLU (Collegamento -044_-376)
Azioni sul collegamento: N=-20797.50 Ty=17.66 Tz=45.03 Mx=0.00 Mz=12.99
Sollecitazioni agenti localmente: Ty_l=-3781.36 Mx_l=-75.63
Tensioni nella sezione: σ=916.69 τ=114.59
CC 65 SLU (Collegamento -044_-376)
Azioni sul collegamento: N=-23000.50 Ty=-4.50 Tz=52.79 Mx=0.00 Mz=-3.84
Sollecitazioni agenti localmente: Ty_l=-4181.92 Mx_l=-83.64
Tensioni nella sezione: σ=1013.80 τ=126.72
CC 66 SLU (Collegamento -044_-376)
Azioni sul collegamento: N=-22184.60 Ty=-5.26 Tz=49.77 Mx=0.00 Mz=-4.40
Sollecitazioni agenti localmente: Ty_l=-4033.55 Mx_l=-80.67
Tensioni nella sezione: σ=977.83 τ=122.23
CC 67 SLU (Collegamento -044_-376)
Azioni sul collegamento: N=-22591.70 Ty=-4.97 Tz=51.34 Mx=0.00 Mz=-4.30
Sollecitazioni agenti localmente: Ty_l=-4107.58 Mx_l=-82.15
Tensioni nella sezione: σ=995.77 τ=124.47
CC 68 SLU (Collegamento -044_-376)
Azioni sul collegamento: N=-22593.40 Ty=-4.79 Tz=51.22 Mx=0.00 Mz=-3.94
Sollecitazioni agenti localmente: Ty_l=-4107.90 Mx_l=-82.16
Tensioni nella sezione: σ=995.85 τ=124.48
CC 97 SLU (Collegamento -044_-376)
Azioni sul collegamento: N=-32775.80 Ty=25.16 Tz=97.03 Mx=-0.05 Mz=10.53
Sollecitazioni agenti localmente: Ty_l=-5959.23 Mx_l=-119.18
Tensioni nella sezione: σ=1444.66 τ=180.58
CC 98 SLU (Collegamento -044_-376)
Azioni sul collegamento: N=-31959.80 Ty=24.41 Tz=94.02 Mx=-0.05 Mz=9.97
Sollecitazioni agenti localmente: Ty_l=-5810.87 Mx_l=-116.22
Tensioni nella sezione: σ=1408.69 τ=176.09
CC 99 SLU (Collegamento -044_-376)
Azioni sul collegamento: N=-32366.90 Ty=24.69 Tz=95.58 Mx=-0.05 Mz=10.07
Sollecitazioni agenti localmente: Ty_l=-5884.89 Mx_l=-117.70

Tensioni nella sezione: σ=1426.64 τ=178.33
CC 100 SLU (Collegamento -044_-376)
Azioni sul collegamento: N=-32368.70 Ty=24.87 Tz=95.47 Mx=-0.05 Mz=10.43
Sollecitazioni agenti localmente: Ty_l=-5885.21 Mx_l=-117.70
Tensioni nella sezione: σ=1426.72 τ=178.34
CC 101 SLU (Collegamento -044_-376)
Azioni sul collegamento: N=-9110.88 Ty=5.97 Tz=10.39 Mx=0.01 Mz=4.99
Sollecitazioni agenti localmente: Ty_l=-1656.52 Mx_l=-33.13
Tensioni nella sezione: σ=401.58 τ=50.20
CC 102 SLU (Collegamento -044_-376)
Azioni sul collegamento: N=-8294.89 Ty=5.21 Tz=7.37 Mx=0.01 Mz=4.43
Sollecitazioni agenti localmente: Ty_l=-1508.16 Mx_l=-30.16
Tensioni nella sezione: σ=365.61 τ=45.70
CC 103 SLU (Collegamento -044_-376)
Azioni sul collegamento: N=-8702.00 Ty=5.50 Tz=8.94 Mx=0.01 Mz=4.53
Sollecitazioni agenti localmente: Ty_l=-1582.18 Mx_l=-31.64
Tensioni nella sezione: σ=383.56 τ=47.94
CC 104 SLU (Collegamento -044_-376)
Azioni sul collegamento: N=-8703.77 Ty=5.68 Tz=8.82 Mx=0.01 Mz=4.89
Sollecitazioni agenti localmente: Ty_l=-1582.50 Mx_l=-31.65
Tensioni nella sezione: σ=383.64 τ=47.95

Flessione attacco destro piastra

Bnetta=220.00 Hnetta=15.00
CC 1 SLV (Collegamento -044_-376)
Azioni sul collegamento: N=-6246.31 Ty=15.25 Tz=-0.46 Mx=0.02 Mz=13.58
Sollecitazioni agenti localmente: Ty_l=-1161.31 My_l=-23.88
Tensioni nella sezione: σ=289.48 τ=35.19
CC 1 SLV (Collegamento -044_-376)
Azioni sul collegamento: N=-6246.31 Ty=7.49 Tz=-0.46 Mx=0.02 Mz=7.17
Sollecitazioni agenti localmente: Ty_l=-1135.83 My_l=-23.32
Tensioni nella sezione: σ=282.72 τ=34.42
CC 1 SLV (Collegamento -044_-376)
Azioni sul collegamento: N=-6246.31 Ty=15.25 Tz=28.82 Mx=0.02 Mz=13.58
Sollecitazioni agenti localmente: Ty_l=-1161.31 My_l=-23.88
Tensioni nella sezione: σ=289.48 τ=35.19
CC 1 SLV (Collegamento -044_-376)
Azioni sul collegamento: N=-6246.31 Ty=7.49 Tz=28.82 Mx=0.02 Mz=7.17
Sollecitazioni agenti localmente: Ty_l=-1135.83 My_l=-23.32
Tensioni nella sezione: σ=282.72 τ=34.42
CC 1 SLV (Collegamento -044_-376)
Azioni sul collegamento: N=-14088.90 Ty=15.25 Tz=-0.46 Mx=0.02 Mz=13.58
Sollecitazioni agenti localmente: Ty_l=-2551.59 My_l=-52.38
Tensioni nella sezione: σ=634.95 τ=77.32
CC 1 SLV (Collegamento -044_-376)
Azioni sul collegamento: N=-14088.90 Ty=7.49 Tz=-0.46 Mx=0.02 Mz=7.17
Sollecitazioni agenti localmente: Ty_l=-2526.11 My_l=-51.83
Tensioni nella sezione: σ=628.18 τ=76.55
CC 1 SLV (Collegamento -044_-376)
Azioni sul collegamento: N=-14088.90 Ty=15.25 Tz=28.82 Mx=0.02 Mz=13.58
Sollecitazioni agenti localmente: Ty_l=-2551.59 My_l=-52.38
Tensioni nella sezione: σ=634.95 τ=77.32
CC 1 SLV (Collegamento -044_-376)
Azioni sul collegamento: N=-14088.90 Ty=7.49 Tz=28.82 Mx=0.02 Mz=7.17
Sollecitazioni agenti localmente: Ty_l=-2526.11 My_l=-51.83
Tensioni nella sezione: σ=628.18 τ=76.55
CC 2 SLD (Collegamento -044_-376)
Azioni sul collegamento: N=-8874.30 Ty=11.63 Tz=9.33 Mx=0.01 Mz=9.21
Sollecitazioni agenti localmente: Ty_l=-1609.82 My_l=-33.05
Tensioni nella sezione: σ=400.64 τ=48.78
CC 2 SLD (Collegamento -044_-376)
Azioni sul collegamento: N=-8874.30 Ty=9.26 Tz=9.33 Mx=0.01 Mz=7.26
Sollecitazioni agenti localmente: Ty_l=-1602.05 My_l=-32.88
Tensioni nella sezione: σ=398.57 τ=48.55
CC 2 SLD (Collegamento -044_-376)
Azioni sul collegamento: N=-8874.30 Ty=11.63 Tz=18.26 Mx=0.01 Mz=9.21
Sollecitazioni agenti localmente: Ty_l=-1609.82 My_l=-33.05
Tensioni nella sezione: σ=400.64 τ=48.78
CC 2 SLD (Collegamento -044_-376)
Azioni sul collegamento: N=-8874.30 Ty=9.26 Tz=18.26 Mx=0.01 Mz=7.26
Sollecitazioni agenti localmente: Ty_l=-1602.05 My_l=-32.88
Tensioni nella sezione: σ=398.57 τ=48.55
CC 2 SLD (Collegamento -044_-376)
Azioni sul collegamento: N=-11265.80 Ty=11.63 Tz=9.33 Mx=0.01 Mz=9.21
Sollecitazioni agenti localmente: Ty_l=-2033.76 My_l=-41.74
Tensioni nella sezione: σ=505.98 τ=61.63
CC 2 SLD (Collegamento -044_-376)
Azioni sul collegamento: N=-11265.80 Ty=9.26 Tz=9.33 Mx=0.01 Mz=7.26

Sollecitazioni agenti localmente: Ty_l=-2025.99 My_l=-41.57
Tensioni nella sezione: σ=503.92 τ=61.39
CC 2 SLD (Collegamento -044_-376)
Azioni sul collegamento: N=-11265.80 Ty=11.63 Tz=18.26 Mx=0.01 Mz=9.21
Sollecitazioni agenti localmente: Ty_l=-2033.76 My_l=-41.74
Tensioni nella sezione: σ=505.98 τ=61.63
CC 2 SLD (Collegamento -044_-376)
Azioni sul collegamento: N=-11265.80 Ty=9.26 Tz=18.26 Mx=0.01 Mz=7.26
Sollecitazioni agenti localmente: Ty_l=-2025.99 My_l=-41.57
Tensioni nella sezione: σ=503.92 τ=61.39
CC 3 SLV (Collegamento -044_-376)
Azioni sul collegamento: N=-6251.19 Ty=14.73 Tz=-0.13 Mx=0.01 Mz=12.53
Sollecitazioni agenti localmente: Ty_l=-1158.01 My_l=-23.81
Tensioni nella sezione: σ=288.59 τ=35.09
CC 3 SLV (Collegamento -044_-376)
Azioni sul collegamento: N=-6251.19 Ty=8.00 Tz=-0.13 Mx=0.01 Mz=8.22
Sollecitazioni agenti localmente: Ty_l=-1140.86 My_l=-23.43
Tensioni nella sezione: σ=284.04 τ=34.57
CC 3 SLV (Collegamento -044_-376)
Azioni sul collegamento: N=-6251.19 Ty=14.73 Tz=28.49 Mx=0.01 Mz=12.53
Sollecitazioni agenti localmente: Ty_l=-1158.01 My_l=-23.81
Tensioni nella sezione: σ=288.59 τ=35.09
CC 3 SLV (Collegamento -044_-376)
Azioni sul collegamento: N=-6251.19 Ty=8.00 Tz=28.49 Mx=0.01 Mz=8.22
Sollecitazioni agenti localmente: Ty_l=-1140.86 My_l=-23.43
Tensioni nella sezione: σ=284.04 τ=34.57
CC 3 SLV (Collegamento -044_-376)
Azioni sul collegamento: N=-14084.10 Ty=14.73 Tz=-0.13 Mx=0.01 Mz=12.53
Sollecitazioni agenti localmente: Ty_l=-2546.56 My_l=-52.27
Tensioni nella sezione: σ=633.63 τ=77.17
CC 3 SLV (Collegamento -044_-376)
Azioni sul collegamento: N=-14084.10 Ty=8.00 Tz=-0.13 Mx=0.01 Mz=8.22
Sollecitazioni agenti localmente: Ty_l=-2529.41 My_l=-51.90
Tensioni nella sezione: σ=629.08 τ=76.65
CC 3 SLV (Collegamento -044_-376)
Azioni sul collegamento: N=-14084.10 Ty=14.73 Tz=28.49 Mx=0.01 Mz=12.53
Sollecitazioni agenti localmente: Ty_l=-2546.56 My_l=-52.27
Tensioni nella sezione: σ=633.63 τ=77.17
CC 3 SLV (Collegamento -044_-376)
Azioni sul collegamento: N=-14084.10 Ty=8.00 Tz=28.49 Mx=0.01 Mz=8.22
Sollecitazioni agenti localmente: Ty_l=-2529.41 My_l=-51.90
Tensioni nella sezione: σ=629.08 τ=76.65
CC 4 SLD (Collegamento -044_-376)
Azioni sul collegamento: N=-8875.79 Ty=11.47 Tz=9.43 Mx=0.01 Mz=8.89
Sollecitazioni agenti localmente: Ty_l=-1608.81 My_l=-33.03
Tensioni nella sezione: σ=400.37 τ=48.75
CC 4 SLD (Collegamento -044_-376)
Azioni sul collegamento: N=-8875.79 Ty=9.42 Tz=9.43 Mx=0.01 Mz=7.58
Sollecitazioni agenti localmente: Ty_l=-1603.58 My_l=-32.92
Tensioni nella sezione: σ=398.98 τ=48.59
CC 4 SLD (Collegamento -044_-376)
Azioni sul collegamento: N=-8875.79 Ty=11.47 Tz=18.16 Mx=0.01 Mz=8.89
Sollecitazioni agenti localmente: Ty_l=-1608.81 My_l=-33.03
Tensioni nella sezione: σ=400.37 τ=48.75
CC 4 SLD (Collegamento -044_-376)
Azioni sul collegamento: N=-8875.79 Ty=9.42 Tz=18.16 Mx=0.01 Mz=7.58
Sollecitazioni agenti localmente: Ty_l=-1603.58 My_l=-32.92
Tensioni nella sezione: σ=398.98 τ=48.59
CC 4 SLD (Collegamento -044_-376)
Azioni sul collegamento: N=-11264.30 Ty=11.47 Tz=9.43 Mx=0.01 Mz=8.89
Sollecitazioni agenti localmente: Ty_l=-2032.23 My_l=-41.71
Tensioni nella sezione: σ=505.58 τ=61.58
CC 4 SLD (Collegamento -044_-376)
Azioni sul collegamento: N=-11264.30 Ty=9.42 Tz=9.43 Mx=0.01 Mz=7.58
Sollecitazioni agenti localmente: Ty_l=-2027.00 My_l=-41.60
Tensioni nella sezione: σ=504.19 τ=61.42
CC 4 SLD (Collegamento -044_-376)
Azioni sul collegamento: N=-11264.30 Ty=11.47 Tz=18.16 Mx=0.01 Mz=8.89
Sollecitazioni agenti localmente: Ty_l=-2032.23 My_l=-41.71
Tensioni nella sezione: σ=505.58 τ=61.58
CC 4 SLD (Collegamento -044_-376)
Azioni sul collegamento: N=-11264.30 Ty=9.42 Tz=18.16 Mx=0.01 Mz=7.58
Sollecitazioni agenti localmente: Ty_l=-2027.00 My_l=-41.60
Tensioni nella sezione: σ=504.19 τ=61.42
CC 5 SLV (Collegamento -044_-376)
Azioni sul collegamento: N=-14084.10 Ty=8.00 Tz=28.49 Mx=0.02 Mz=8.22
Sollecitazioni agenti localmente: Ty_l=-2529.41 My_l=-51.90
Tensioni nella sezione: σ=629.08 τ=76.65
CC 5 SLV (Collegamento -044_-376)

Azioni sul collegamento: N=-14084.10 Ty=14.73 Tz=28.49 Mx=0.02 Mz=12.53
Sollecitazioni agenti localmente: Ty_l=-2546.56 My_l=-52.27
Tensioni nella sezione: σ=633.63 τ=77.17
CC 5 SLV (Collegamento -044_-376)
Azioni sul collegamento: N=-14084.10 Ty=8.00 Tz=-0.13 Mx=0.02 Mz=8.22
Sollecitazioni agenti localmente: Ty_l=-2529.41 My_l=-51.90
Tensioni nella sezione: σ=629.08 τ=76.65
CC 5 SLV (Collegamento -044_-376)
Azioni sul collegamento: N=-14084.10 Ty=14.73 Tz=-0.13 Mx=0.02 Mz=12.53
Sollecitazioni agenti localmente: Ty_l=-2546.56 My_l=-52.27
Tensioni nella sezione: σ=633.63 τ=77.17
CC 5 SLV (Collegamento -044_-376)
Azioni sul collegamento: N=-6251.19 Ty=8.00 Tz=28.49 Mx=0.02 Mz=8.22
Sollecitazioni agenti localmente: Ty_l=-1140.86 My_l=-23.43
Tensioni nella sezione: σ=284.04 τ=34.57
CC 5 SLV (Collegamento -044_-376)
Azioni sul collegamento: N=-6251.19 Ty=14.73 Tz=28.49 Mx=0.02 Mz=12.53
Sollecitazioni agenti localmente: Ty_l=-1158.01 My_l=-23.81
Tensioni nella sezione: σ=288.59 τ=35.09
CC 5 SLV (Collegamento -044_-376)
Azioni sul collegamento: N=-6251.19 Ty=8.00 Tz=-0.13 Mx=0.02 Mz=8.22
Sollecitazioni agenti localmente: Ty_l=-1140.86 My_l=-23.43
Tensioni nella sezione: σ=284.04 τ=34.57
CC 5 SLV (Collegamento -044_-376)
Azioni sul collegamento: N=-6251.19 Ty=14.73 Tz=-0.13 Mx=0.02 Mz=12.53
Sollecitazioni agenti localmente: Ty_l=-1158.01 My_l=-23.81
Tensioni nella sezione: σ=288.59 τ=35.09
CC 6 SLD (Collegamento -044_-376)
Azioni sul collegamento: N=-11264.30 Ty=9.42 Tz=18.16 Mx=0.01 Mz=7.58
Sollecitazioni agenti localmente: Ty_l=-2027.00 My_l=-41.60
Tensioni nella sezione: σ=504.19 τ=61.42
CC 6 SLD (Collegamento -044_-376)
Azioni sul collegamento: N=-11264.30 Ty=11.47 Tz=18.16 Mx=0.01 Mz=8.89
Sollecitazioni agenti localmente: Ty_l=-2032.23 My_l=-41.71
Tensioni nella sezione: σ=505.58 τ=61.58
CC 6 SLD (Collegamento -044_-376)
Azioni sul collegamento: N=-11264.30 Ty=9.42 Tz=9.43 Mx=0.01 Mz=7.58
Sollecitazioni agenti localmente: Ty_l=-2027.00 My_l=-41.60
Tensioni nella sezione: σ=504.19 τ=61.42
CC 6 SLD (Collegamento -044_-376)
Azioni sul collegamento: N=-11264.30 Ty=11.47 Tz=9.43 Mx=0.01 Mz=8.89
Sollecitazioni agenti localmente: Ty_l=-2032.23 My_l=-41.71
Tensioni nella sezione: σ=505.58 τ=61.58
CC 6 SLD (Collegamento -044_-376)
Azioni sul collegamento: N=-8875.79 Ty=9.42 Tz=18.16 Mx=0.01 Mz=7.58
Sollecitazioni agenti localmente: Ty_l=-1603.58 My_l=-32.92
Tensioni nella sezione: σ=398.98 τ=48.59
CC 6 SLD (Collegamento -044_-376)
Azioni sul collegamento: N=-8875.79 Ty=11.47 Tz=18.16 Mx=0.01 Mz=8.89
Sollecitazioni agenti localmente: Ty_l=-1608.81 My_l=-33.03
Tensioni nella sezione: σ=400.37 τ=48.75
CC 6 SLD (Collegamento -044_-376)
Azioni sul collegamento: N=-8875.79 Ty=9.42 Tz=9.43 Mx=0.01 Mz=7.58
Sollecitazioni agenti localmente: Ty_l=-1603.58 My_l=-32.92
Tensioni nella sezione: σ=398.98 τ=48.59
CC 6 SLD (Collegamento -044_-376)
Azioni sul collegamento: N=-8875.79 Ty=11.47 Tz=9.43 Mx=0.01 Mz=8.89
Sollecitazioni agenti localmente: Ty_l=-1608.81 My_l=-33.03
Tensioni nella sezione: σ=400.37 τ=48.75
CC 7 SLV (Collegamento -044_-376)
Azioni sul collegamento: N=-14088.90 Ty=7.49 Tz=28.82 Mx=0.01 Mz=7.17
Sollecitazioni agenti localmente: Ty_l=-2526.11 My_l=-51.83
Tensioni nella sezione: σ=628.18 τ=76.55
CC 7 SLV (Collegamento -044_-376)
Azioni sul collegamento: N=-14088.90 Ty=15.25 Tz=28.82 Mx=0.01 Mz=13.58
Sollecitazioni agenti localmente: Ty_l=-2551.59 My_l=-52.38
Tensioni nella sezione: σ=634.95 τ=77.32
CC 7 SLV (Collegamento -044_-376)
Azioni sul collegamento: N=-14088.90 Ty=7.49 Tz=-0.46 Mx=0.01 Mz=7.17
Sollecitazioni agenti localmente: Ty_l=-2526.11 My_l=-51.83
Tensioni nella sezione: σ=628.18 τ=76.55
CC 7 SLV (Collegamento -044_-376)
Azioni sul collegamento: N=-14088.90 Ty=15.25 Tz=-0.46 Mx=0.01 Mz=13.58
Sollecitazioni agenti localmente: Ty_l=-2551.59 My_l=-52.38
Tensioni nella sezione: σ=634.95 τ=77.32
CC 7 SLV (Collegamento -044_-376)
Azioni sul collegamento: N=-6246.31 Ty=7.49 Tz=28.82 Mx=0.01 Mz=7.17
Sollecitazioni agenti localmente: Ty_l=-1135.83 My_l=-23.32
Tensioni nella sezione: σ=282.72 τ=34.42

CC 7 SLV (Collegamento -044_-376)
Azioni sul collegamento: N=-6246.31 Ty=15.25 Tz=28.82 Mx=0.01 Mz=13.58
Sollecitazioni agenti localmente: Ty_l=-1161.31 My_l=-23.88
Tensioni nella sezione: σ=289.48 τ=35.19
CC 7 SLV (Collegamento -044_-376)
Azioni sul collegamento: N=-6246.31 Ty=7.49 Tz=-0.46 Mx=0.01 Mz=7.17
Sollecitazioni agenti localmente: Ty_l=-1135.83 My_l=-23.32
Tensioni nella sezione: σ=282.72 τ=34.42
CC 7 SLV (Collegamento -044_-376)
Azioni sul collegamento: N=-6246.31 Ty=15.25 Tz=-0.46 Mx=0.01 Mz=13.58
Sollecitazioni agenti localmente: Ty_l=-1161.31 My_l=-23.88
Tensioni nella sezione: σ=289.48 τ=35.19
CC 8 SLD (Collegamento -044_-376)
Azioni sul collegamento: N=-11265.80 Ty=9.26 Tz=18.26 Mx=0.01 Mz=7.26
Sollecitazioni agenti localmente: Ty_l=-2025.99 My_l=-41.57
Tensioni nella sezione: σ=503.92 τ=61.39
CC 8 SLD (Collegamento -044_-376)
Azioni sul collegamento: N=-11265.80 Ty=11.63 Tz=18.26 Mx=0.01 Mz=9.21
Sollecitazioni agenti localmente: Ty_l=-2033.76 My_l=-41.74
Tensioni nella sezione: σ=505.98 τ=61.63
CC 8 SLD (Collegamento -044_-376)
Azioni sul collegamento: N=-11265.80 Ty=9.26 Tz=9.33 Mx=0.01 Mz=7.26
Sollecitazioni agenti localmente: Ty_l=-2025.99 My_l=-41.57
Tensioni nella sezione: σ=503.92 τ=61.39
CC 8 SLD (Collegamento -044_-376)
Azioni sul collegamento: N=-11265.80 Ty=11.63 Tz=9.33 Mx=0.01 Mz=9.21
Sollecitazioni agenti localmente: Ty_l=-2033.76 My_l=-41.74
Tensioni nella sezione: σ=505.98 τ=61.63
CC 8 SLD (Collegamento -044_-376)
Azioni sul collegamento: N=-8874.30 Ty=9.26 Tz=18.26 Mx=0.01 Mz=7.26
Sollecitazioni agenti localmente: Ty_l=-1602.05 My_l=-32.88
Tensioni nella sezione: σ=398.57 τ=48.55
CC 8 SLD (Collegamento -044_-376)
Azioni sul collegamento: N=-8874.30 Ty=11.63 Tz=18.26 Mx=0.01 Mz=9.21
Sollecitazioni agenti localmente: Ty_l=-1609.82 My_l=-33.05
Tensioni nella sezione: σ=400.64 τ=48.78
CC 8 SLD (Collegamento -044_-376)
Azioni sul collegamento: N=-8874.30 Ty=9.26 Tz=9.33 Mx=0.01 Mz=7.26
Sollecitazioni agenti localmente: Ty_l=-1602.05 My_l=-32.88
Tensioni nella sezione: σ=398.57 τ=48.55
CC 8 SLD (Collegamento -044_-376)
Azioni sul collegamento: N=-8874.30 Ty=11.63 Tz=9.33 Mx=0.01 Mz=9.21
Sollecitazioni agenti localmente: Ty_l=-1609.82 My_l=-33.05
Tensioni nella sezione: σ=400.64 τ=48.78
CC 9 SLV (Collegamento -044_-376)
Azioni sul collegamento: N=-8983.82 Ty=13.31 Tz=9.29 Mx=0.02 Mz=12.92
Sollecitazioni agenti localmente: Ty_l=-1644.00 My_l=-33.77
Tensioni nella sezione: σ=409.38 τ=49.82
CC 9 SLV (Collegamento -044_-376)
Azioni sul collegamento: N=-8983.82 Ty=9.43 Tz=9.29 Mx=0.02 Mz=7.83
Sollecitazioni agenti localmente: Ty_l=-1623.71 My_l=-33.33
Tensioni nella sezione: σ=404.00 τ=49.20
CC 9 SLV (Collegamento -044_-376)
Azioni sul collegamento: N=-8983.82 Ty=13.31 Tz=19.07 Mx=0.02 Mz=12.92
Sollecitazioni agenti localmente: Ty_l=-1644.00 My_l=-33.77
Tensioni nella sezione: σ=409.38 τ=49.82
CC 9 SLV (Collegamento -044_-376)
Azioni sul collegamento: N=-8983.82 Ty=9.43 Tz=19.07 Mx=0.02 Mz=7.83
Sollecitazioni agenti localmente: Ty_l=-1623.71 My_l=-33.33
Tensioni nella sezione: σ=404.00 τ=49.20
CC 9 SLV (Collegamento -044_-376)
Azioni sul collegamento: N=-11351.40 Ty=13.31 Tz=9.29 Mx=0.02 Mz=12.92
Sollecitazioni agenti localmente: Ty_l=-2063.71 My_l=-42.38
Tensioni nella sezione: σ=513.67 τ=62.54
CC 9 SLV (Collegamento -044_-376)
Azioni sul collegamento: N=-11351.40 Ty=9.43 Tz=9.29 Mx=0.02 Mz=7.83
Sollecitazioni agenti localmente: Ty_l=-2043.43 My_l=-41.93
Tensioni nella sezione: σ=508.29 τ=61.92
CC 9 SLV (Collegamento -044_-376)
Azioni sul collegamento: N=-11351.40 Ty=13.31 Tz=19.07 Mx=0.02 Mz=12.92
Sollecitazioni agenti localmente: Ty_l=-2063.71 My_l=-42.38
Tensioni nella sezione: σ=513.67 τ=62.54
CC 9 SLV (Collegamento -044_-376)
Azioni sul collegamento: N=-11351.40 Ty=9.43 Tz=19.07 Mx=0.02 Mz=7.83
Sollecitazioni agenti localmente: Ty_l=-2043.43 My_l=-41.93
Tensioni nella sezione: σ=508.29 τ=61.92
CC 10 SLD (Collegamento -044_-376)
Azioni sul collegamento: N=-9709.06 Ty=11.04 Tz=12.31 Mx=0.01 Mz=9.01
Sollecitazioni agenti localmente: Ty_l=-1757.01 My_l=-36.07

Tensioni nella sezione: σ=437.20 τ=53.24
CC 10 SLD (Collegamento -044_-376)
Azioni sul collegamento: N=-9709.06 Ty=9.85 Tz=12.31 Mx=0.01 Mz=7.46
Sollecitazioni agenti localmente: Ty_l=-1750.82 My_l=-35.93
Tensioni nella sezione: σ=435.56 τ=53.06
CC 10 SLD (Collegamento -044_-376)
Azioni sul collegamento: N=-9709.06 Ty=11.04 Tz=15.29 Mx=0.01 Mz=9.01
Sollecitazioni agenti localmente: Ty_l=-1757.01 My_l=-36.07
Tensioni nella sezione: σ=437.20 τ=53.24
CC 10 SLD (Collegamento -044_-376)
Azioni sul collegamento: N=-9709.06 Ty=9.85 Tz=15.29 Mx=0.01 Mz=7.46
Sollecitazioni agenti localmente: Ty_l=-1750.82 My_l=-35.93
Tensioni nella sezione: σ=435.56 τ=53.06
CC 10 SLD (Collegamento -044_-376)
Azioni sul collegamento: N=-10431.00 Ty=11.04 Tz=12.31 Mx=0.01 Mz=9.01
Sollecitazioni agenti localmente: Ty_l=-1884.99 My_l=-38.69
Tensioni nella sezione: σ=469.00 τ=57.12
CC 10 SLD (Collegamento -044_-376)
Azioni sul collegamento: N=-10431.00 Ty=9.85 Tz=12.31 Mx=0.01 Mz=7.46
Sollecitazioni agenti localmente: Ty_l=-1878.81 My_l=-38.56
Tensioni nella sezione: σ=467.36 τ=56.93
CC 10 SLD (Collegamento -044_-376)
Azioni sul collegamento: N=-10431.00 Ty=11.04 Tz=15.29 Mx=0.01 Mz=9.01
Sollecitazioni agenti localmente: Ty_l=-1884.99 My_l=-38.69
Tensioni nella sezione: σ=469.00 τ=57.12
CC 10 SLD (Collegamento -044_-376)
Azioni sul collegamento: N=-10431.00 Ty=9.85 Tz=15.29 Mx=0.01 Mz=7.46
Sollecitazioni agenti localmente: Ty_l=-1878.81 My_l=-38.56
Tensioni nella sezione: σ=467.36 τ=56.93
CC 11 SLV (Collegamento -044_-376)
Azioni sul collegamento: N=-11335.10 Ty=11.14 Tz=17.98 Mx=0.02 Mz=11.32
Sollecitazioni agenti localmente: Ty_l=-2054.43 My_l=-42.18
Tensioni nella sezione: σ=511.26 τ=62.26
CC 11 SLV (Collegamento -044_-376)
Azioni sul collegamento: N=-11335.10 Ty=11.60 Tz=17.98 Mx=0.02 Mz=9.43
Sollecitazioni agenti localmente: Ty_l=-2046.93 My_l=-42.01
Tensioni nella sezione: σ=509.27 τ=62.03
CC 11 SLV (Collegamento -044_-376)
Azioni sul collegamento: N=-11335.10 Ty=11.14 Tz=10.38 Mx=0.02 Mz=11.32
Sollecitazioni agenti localmente: Ty_l=-2054.43 My_l=-42.18
Tensioni nella sezione: σ=511.26 τ=62.26
CC 11 SLV (Collegamento -044_-376)
Azioni sul collegamento: N=-11335.10 Ty=11.60 Tz=10.38 Mx=0.02 Mz=9.43
Sollecitazioni agenti localmente: Ty_l=-2046.93 My_l=-42.01
Tensioni nella sezione: σ=509.27 τ=62.03
CC 11 SLV (Collegamento -044_-376)
Azioni sul collegamento: N=-9000.10 Ty=11.14 Tz=17.98 Mx=0.02 Mz=11.32
Sollecitazioni agenti localmente: Ty_l=-1640.49 My_l=-33.69
Tensioni nella sezione: σ=408.40 τ=49.71
CC 11 SLV (Collegamento -044_-376)
Azioni sul collegamento: N=-9000.10 Ty=11.60 Tz=17.98 Mx=0.02 Mz=9.43
Sollecitazioni agenti localmente: Ty_l=-1633.00 My_l=-33.53
Tensioni nella sezione: σ=406.41 τ=49.48
CC 11 SLV (Collegamento -044_-376)
Azioni sul collegamento: N=-9000.10 Ty=11.14 Tz=10.38 Mx=0.02 Mz=11.32
Sollecitazioni agenti localmente: Ty_l=-1640.49 My_l=-33.69
Tensioni nella sezione: σ=408.40 τ=49.71
CC 11 SLV (Collegamento -044_-376)
Azioni sul collegamento: N=-9000.10 Ty=11.60 Tz=10.38 Mx=0.02 Mz=9.43
Sollecitazioni agenti localmente: Ty_l=-1633.00 My_l=-33.53
Tensioni nella sezione: σ=406.41 τ=49.48
CC 12 SLD (Collegamento -044_-376)
Azioni sul collegamento: N=-10426.00 Ty=10.37 Tz=14.95 Mx=0.01 Mz=8.52
Sollecitazioni agenti localmente: Ty_l=-1882.16 My_l=-38.63
Tensioni nella sezione: σ=468.26 τ=57.04
CC 12 SLD (Collegamento -044_-376)
Azioni sul collegamento: N=-10426.00 Ty=10.51 Tz=14.95 Mx=0.01 Mz=7.95
Sollecitazioni agenti localmente: Ty_l=-1879.88 My_l=-38.58
Tensioni nella sezione: σ=467.66 τ=56.97
CC 12 SLD (Collegamento -044_-376)
Azioni sul collegamento: N=-10426.00 Ty=10.37 Tz=12.64 Mx=0.01 Mz=8.52
Sollecitazioni agenti localmente: Ty_l=-1882.16 My_l=-38.63
Tensioni nella sezione: σ=468.26 τ=57.04
CC 12 SLD (Collegamento -044_-376)
Azioni sul collegamento: N=-10426.00 Ty=10.51 Tz=12.64 Mx=0.01 Mz=7.95
Sollecitazioni agenti localmente: Ty_l=-1879.88 My_l=-38.58
Tensioni nella sezione: σ=467.66 τ=56.97
CC 12 SLD (Collegamento -044_-376)
Azioni sul collegamento: N=-9714.02 Ty=10.37 Tz=14.95 Mx=0.01 Mz=8.52

Sollecitazioni agenti localmente: Ty_l=-1755.94 My_l=-36.04
Tensioni nella sezione: σ=436.90 τ=53.21
CC 12 SLD (Collegamento -044_-376)
Azioni sul collegamento: N=-9714.02 Ty=10.51 Tz=14.95 Mx=0.01 Mz=7.95
Sollecitazioni agenti localmente: Ty_l=-1753.65 My_l=-35.99
Tensioni nella sezione: σ=436.29 τ=53.14
CC 12 SLD (Collegamento -044_-376)
Azioni sul collegamento: N=-9714.02 Ty=10.37 Tz=12.64 Mx=0.01 Mz=8.52
Sollecitazioni agenti localmente: Ty_l=-1755.94 My_l=-36.04
Tensioni nella sezione: σ=436.90 τ=53.21
CC 12 SLD (Collegamento -044_-376)
Azioni sul collegamento: N=-9714.02 Ty=10.51 Tz=12.64 Mx=0.01 Mz=7.95
Sollecitazioni agenti localmente: Ty_l=-1753.65 My_l=-35.99
Tensioni nella sezione: σ=436.29 τ=53.14
CC 13 SLV (Collegamento -044_-376)
Azioni sul collegamento: N=-9000.10 Ty=11.60 Tz=10.38 Mx=0.01 Mz=9.43
Sollecitazioni agenti localmente: Ty_l=-1633.00 My_l=-33.53
Tensioni nella sezione: σ=406.41 τ=49.48
CC 13 SLV (Collegamento -044_-376)
Azioni sul collegamento: N=-9000.10 Ty=11.14 Tz=10.38 Mx=0.01 Mz=11.32
Sollecitazioni agenti localmente: Ty_l=-1640.49 My_l=-33.69
Tensioni nella sezione: σ=408.40 τ=49.71
CC 13 SLV (Collegamento -044_-376)
Azioni sul collegamento: N=-9000.10 Ty=11.60 Tz=17.98 Mx=0.01 Mz=9.43
Sollecitazioni agenti localmente: Ty_l=-1633.00 My_l=-33.53
Tensioni nella sezione: σ=406.41 τ=49.48
CC 13 SLV (Collegamento -044_-376)
Azioni sul collegamento: N=-9000.10 Ty=11.14 Tz=17.98 Mx=0.01 Mz=11.32
Sollecitazioni agenti localmente: Ty_l=-1640.49 My_l=-33.69
Tensioni nella sezione: σ=408.40 τ=49.71
CC 13 SLV (Collegamento -044_-376)
Azioni sul collegamento: N=-11335.10 Ty=11.60 Tz=10.38 Mx=0.01 Mz=9.43
Sollecitazioni agenti localmente: Ty_l=-2046.93 My_l=-42.01
Tensioni nella sezione: σ=509.27 τ=62.03
CC 13 SLV (Collegamento -044_-376)
Azioni sul collegamento: N=-11335.10 Ty=11.14 Tz=10.38 Mx=0.01 Mz=11.32
Sollecitazioni agenti localmente: Ty_l=-2054.43 My_l=-42.18
Tensioni nella sezione: σ=511.26 τ=62.26
CC 13 SLV (Collegamento -044_-376)
Azioni sul collegamento: N=-11335.10 Ty=11.60 Tz=17.98 Mx=0.01 Mz=9.43
Sollecitazioni agenti localmente: Ty_l=-2046.93 My_l=-42.01
Tensioni nella sezione: σ=509.27 τ=62.03
CC 13 SLV (Collegamento -044_-376)
Azioni sul collegamento: N=-11335.10 Ty=11.14 Tz=17.98 Mx=0.01 Mz=11.32
Sollecitazioni agenti localmente: Ty_l=-2054.43 My_l=-42.18
Tensioni nella sezione: σ=511.26 τ=62.26
CC 14 SLD (Collegamento -044_-376)
Azioni sul collegamento: N=-9714.02 Ty=10.51 Tz=12.64 Mx=0.00 Mz=7.95
Sollecitazioni agenti localmente: Ty_l=-1753.65 My_l=-35.99
Tensioni nella sezione: σ=436.29 τ=53.14
CC 14 SLD (Collegamento -044_-376)
Azioni sul collegamento: N=-9714.02 Ty=10.37 Tz=12.64 Mx=0.00 Mz=8.52
Sollecitazioni agenti localmente: Ty_l=-1755.94 My_l=-36.04
Tensioni nella sezione: σ=436.90 τ=53.21
CC 14 SLD (Collegamento -044_-376)
Azioni sul collegamento: N=-9714.02 Ty=10.51 Tz=14.95 Mx=0.00 Mz=7.95
Sollecitazioni agenti localmente: Ty_l=-1753.65 My_l=-35.99
Tensioni nella sezione: σ=436.29 τ=53.14
CC 14 SLD (Collegamento -044_-376)
Azioni sul collegamento: N=-9714.02 Ty=10.37 Tz=14.95 Mx=0.00 Mz=8.52
Sollecitazioni agenti localmente: Ty_l=-1755.94 My_l=-36.04
Tensioni nella sezione: σ=436.90 τ=53.21
CC 14 SLD (Collegamento -044_-376)
Azioni sul collegamento: N=-10426.00 Ty=10.51 Tz=12.64 Mx=0.00 Mz=7.95
Sollecitazioni agenti localmente: Ty_l=-1879.88 My_l=-38.58
Tensioni nella sezione: σ=467.66 τ=56.97
CC 14 SLD (Collegamento -044_-376)
Azioni sul collegamento: N=-10426.00 Ty=10.37 Tz=12.64 Mx=0.00 Mz=8.52
Sollecitazioni agenti localmente: Ty_l=-1882.16 My_l=-38.63
Tensioni nella sezione: σ=468.26 τ=57.04
CC 14 SLD (Collegamento -044_-376)
Azioni sul collegamento: N=-10426.00 Ty=10.51 Tz=14.95 Mx=0.00 Mz=7.95
Sollecitazioni agenti localmente: Ty_l=-1879.88 My_l=-38.58
Tensioni nella sezione: σ=467.66 τ=56.97
CC 14 SLD (Collegamento -044_-376)
Azioni sul collegamento: N=-10426.00 Ty=10.37 Tz=14.95 Mx=0.00 Mz=8.52
Sollecitazioni agenti localmente: Ty_l=-1882.16 My_l=-38.63
Tensioni nella sezione: σ=468.26 τ=57.04
CC 15 SLV (Collegamento -044_-376)

Azioni sul collegamento: N=-11351.40 Ty=9.43 Tz=19.07 Mx=0.01 Mz=7.83
Sollecitazioni agenti localmente: Ty_l=-2043.43 My_l=-41.93
Tensioni nella sezione: σ=508.29 τ=61.92
CC 15 SLV (Collegamento -044_-376)
Azioni sul collegamento: N=-11351.40 Ty=13.31 Tz=19.07 Mx=0.01 Mz=12.92
Sollecitazioni agenti localmente: Ty_l=-2063.71 My_l=-42.38
Tensioni nella sezione: σ=513.67 τ=62.54
CC 15 SLV (Collegamento -044_-376)
Azioni sul collegamento: N=-11351.40 Ty=9.43 Tz=9.29 Mx=0.01 Mz=7.83
Sollecitazioni agenti localmente: Ty_l=-2043.43 My_l=-41.93
Tensioni nella sezione: σ=508.29 τ=61.92
CC 15 SLV (Collegamento -044_-376)
Azioni sul collegamento: N=-11351.40 Ty=13.31 Tz=9.29 Mx=0.01 Mz=12.92
Sollecitazioni agenti localmente: Ty_l=-2063.71 My_l=-42.38
Tensioni nella sezione: σ=513.67 τ=62.54
CC 15 SLV (Collegamento -044_-376)
Azioni sul collegamento: N=-8983.82 Ty=9.43 Tz=19.07 Mx=0.01 Mz=7.83
Sollecitazioni agenti localmente: Ty_l=-1623.71 My_l=-33.33
Tensioni nella sezione: σ=404.00 τ=49.20
CC 15 SLV (Collegamento -044_-376)
Azioni sul collegamento: N=-8983.82 Ty=13.31 Tz=19.07 Mx=0.01 Mz=12.92
Sollecitazioni agenti localmente: Ty_l=-1644.00 My_l=-33.77
Tensioni nella sezione: σ=409.38 τ=49.82
CC 15 SLV (Collegamento -044_-376)
Azioni sul collegamento: N=-8983.82 Ty=9.43 Tz=9.29 Mx=0.01 Mz=7.83
Sollecitazioni agenti localmente: Ty_l=-1623.71 My_l=-33.33
Tensioni nella sezione: σ=404.00 τ=49.20
CC 15 SLV (Collegamento -044_-376)
Azioni sul collegamento: N=-8983.82 Ty=13.31 Tz=9.29 Mx=0.01 Mz=12.92
Sollecitazioni agenti localmente: Ty_l=-1644.00 My_l=-33.77
Tensioni nella sezione: σ=409.38 τ=49.82
CC 16 SLD (Collegamento -044_-376)
Azioni sul collegamento: N=-10431.00 Ty=9.85 Tz=15.29 Mx=0.00 Mz=7.46
Sollecitazioni agenti localmente: Ty_l=-1878.81 My_l=-38.56
Tensioni nella sezione: σ=467.36 τ=56.93
CC 16 SLD (Collegamento -044_-376)
Azioni sul collegamento: N=-10431.00 Ty=11.04 Tz=15.29 Mx=0.00 Mz=9.01
Sollecitazioni agenti localmente: Ty_l=-1884.99 My_l=-38.69
Tensioni nella sezione: σ=469.00 τ=57.12
CC 16 SLD (Collegamento -044_-376)
Azioni sul collegamento: N=-10431.00 Ty=9.85 Tz=12.31 Mx=0.00 Mz=7.46
Sollecitazioni agenti localmente: Ty_l=-1878.81 My_l=-38.56
Tensioni nella sezione: σ=467.36 τ=56.93
CC 16 SLD (Collegamento -044_-376)
Azioni sul collegamento: N=-10431.00 Ty=11.04 Tz=12.31 Mx=0.00 Mz=9.01
Sollecitazioni agenti localmente: Ty_l=-1884.99 My_l=-38.69
Tensioni nella sezione: σ=469.00 τ=57.12
CC 16 SLD (Collegamento -044_-376)
Azioni sul collegamento: N=-9709.06 Ty=9.85 Tz=15.29 Mx=0.00 Mz=7.46
Sollecitazioni agenti localmente: Ty_l=-1750.82 My_l=-35.93
Tensioni nella sezione: σ=435.56 τ=53.06
CC 16 SLD (Collegamento -044_-376)
Azioni sul collegamento: N=-9709.06 Ty=11.04 Tz=15.29 Mx=0.00 Mz=9.01
Sollecitazioni agenti localmente: Ty_l=-1757.01 My_l=-36.07
Tensioni nella sezione: σ=437.20 τ=53.24
CC 16 SLD (Collegamento -044_-376)
Azioni sul collegamento: N=-9709.06 Ty=9.85 Tz=12.31 Mx=0.00 Mz=7.46
Sollecitazioni agenti localmente: Ty_l=-1750.82 My_l=-35.93
Tensioni nella sezione: σ=435.56 τ=53.06
CC 16 SLD (Collegamento -044_-376)
Azioni sul collegamento: N=-9709.06 Ty=11.04 Tz=12.31 Mx=0.00 Mz=9.01
Sollecitazioni agenti localmente: Ty_l=-1757.01 My_l=-36.07
Tensioni nella sezione: σ=437.20 τ=53.24
CC 17 SLV (Collegamento -044_-376)
Azioni sul collegamento: N=-5965.51 Ty=12.58 Tz=-1.56 Mx=-0.01 Mz=7.43
Sollecitazioni agenti localmente: Ty_l=-1087.06 My_l=-22.33
Tensioni nella sezione: σ=270.62 τ=32.94
CC 17 SLV (Collegamento -044_-376)
Azioni sul collegamento: N=-5965.51 Ty=4.83 Tz=-1.56 Mx=-0.01 Mz=1.02
Sollecitazioni agenti localmente: Ty_l=-1061.58 My_l=-21.77
Tensioni nella sezione: σ=263.86 τ=32.17
CC 17 SLV (Collegamento -044_-376)
Azioni sul collegamento: N=-5965.51 Ty=12.58 Tz=27.71 Mx=-0.01 Mz=7.43
Sollecitazioni agenti localmente: Ty_l=-1087.06 My_l=-22.33
Tensioni nella sezione: σ=270.62 τ=32.94
CC 17 SLV (Collegamento -044_-376)
Azioni sul collegamento: N=-5965.51 Ty=4.83 Tz=27.71 Mx=-0.01 Mz=1.02
Sollecitazioni agenti localmente: Ty_l=-1061.58 My_l=-21.77
Tensioni nella sezione: σ=263.86 τ=32.17

CC 17 SLV (Collegamento -044_-376)
Azioni sul collegamento: N=-13808.10 Ty=12.58 Tz=-1.56 Mx=-0.01 Mz=7.43
Sollecitazioni agenti localmente: Ty_l=-2477.34 My_l=-50.83
Tensioni nella sezione: σ=616.08 τ=75.07
CC 17 SLV (Collegamento -044_-376)
Azioni sul collegamento: N=-13808.10 Ty=4.83 Tz=-1.56 Mx=-0.01 Mz=1.02
Sollecitazioni agenti localmente: Ty_l=-2451.86 My_l=-50.27
Tensioni nella sezione: σ=609.32 τ=74.30
CC 17 SLV (Collegamento -044_-376)
Azioni sul collegamento: N=-13808.10 Ty=12.58 Tz=27.71 Mx=-0.01 Mz=7.43
Sollecitazioni agenti localmente: Ty_l=-2477.34 My_l=-50.83
Tensioni nella sezione: σ=616.08 τ=75.07
CC 17 SLV (Collegamento -044_-376)
Azioni sul collegamento: N=-13808.10 Ty=4.83 Tz=27.71 Mx=-0.01 Mz=1.02
Sollecitazioni agenti localmente: Ty_l=-2451.86 My_l=-50.27
Tensioni nella sezione: σ=609.32 τ=74.30
CC 18 SLD (Collegamento -044_-376)
Azioni sul collegamento: N=-8788.68 Ty=10.81 Tz=9.00 Mx=-0.00 Mz=7.34
Sollecitazioni agenti localmente: Ty_l=-1587.18 My_l=-32.58
Tensioni nella sezione: σ=394.88 τ=48.10
CC 18 SLD (Collegamento -044_-376)
Azioni sul collegamento: N=-8788.68 Ty=8.45 Tz=9.00 Mx=-0.00 Mz=5.38
Sollecitazioni agenti localmente: Ty_l=-1579.41 My_l=-32.41
Tensioni nella sezione: σ=392.82 τ=47.86
CC 18 SLD (Collegamento -044_-376)
Azioni sul collegamento: N=-8788.68 Ty=10.81 Tz=17.92 Mx=-0.00 Mz=7.34
Sollecitazioni agenti localmente: Ty_l=-1587.18 My_l=-32.58
Tensioni nella sezione: σ=394.88 τ=48.10
CC 18 SLD (Collegamento -044_-376)
Azioni sul collegamento: N=-8788.68 Ty=8.45 Tz=17.92 Mx=-0.00 Mz=5.38
Sollecitazioni agenti localmente: Ty_l=-1579.41 My_l=-32.41
Tensioni nella sezione: σ=392.82 τ=47.86
CC 18 SLD (Collegamento -044_-376)
Azioni sul collegamento: N=-11180.10 Ty=10.81 Tz=9.00 Mx=-0.00 Mz=7.34
Sollecitazioni agenti localmente: Ty_l=-2011.12 My_l=-41.27
Tensioni nella sezione: σ=500.23 τ=60.94
CC 18 SLD (Collegamento -044_-376)
Azioni sul collegamento: N=-11180.10 Ty=8.45 Tz=9.00 Mx=-0.00 Mz=5.38
Sollecitazioni agenti localmente: Ty_l=-2003.35 My_l=-41.10
Tensioni nella sezione: σ=498.17 τ=60.71
CC 18 SLD (Collegamento -044_-376)
Azioni sul collegamento: N=-11180.10 Ty=10.81 Tz=17.92 Mx=-0.00 Mz=7.34
Sollecitazioni agenti localmente: Ty_l=-2011.12 My_l=-41.27
Tensioni nella sezione: σ=500.23 τ=60.94
CC 18 SLD (Collegamento -044_-376)
Azioni sul collegamento: N=-11180.10 Ty=8.45 Tz=17.92 Mx=-0.00 Mz=5.38
Sollecitazioni agenti localmente: Ty_l=-2003.35 My_l=-41.10
Tensioni nella sezione: σ=498.17 τ=60.71
CC 19 SLV (Collegamento -044_-376)
Azioni sul collegamento: N=-5970.39 Ty=12.07 Tz=-1.24 Mx=-0.01 Mz=6.38
Sollecitazioni agenti localmente: Ty_l=-1083.76 My_l=-22.25
Tensioni nella sezione: σ=269.73 τ=32.84
CC 19 SLV (Collegamento -044_-376)
Azioni sul collegamento: N=-5970.39 Ty=5.34 Tz=-1.24 Mx=-0.01 Mz=2.07
Sollecitazioni agenti localmente: Ty_l=-1066.61 My_l=-21.88
Tensioni nella sezione: σ=265.18 τ=32.32
CC 19 SLV (Collegamento -044_-376)
Azioni sul collegamento: N=-5970.39 Ty=12.07 Tz=27.38 Mx=-0.01 Mz=6.38
Sollecitazioni agenti localmente: Ty_l=-1083.76 My_l=-22.25
Tensioni nella sezione: σ=269.73 τ=32.84
CC 19 SLV (Collegamento -044_-376)
Azioni sul collegamento: N=-5970.39 Ty=5.34 Tz=27.38 Mx=-0.01 Mz=2.07
Sollecitazioni agenti localmente: Ty_l=-1066.61 My_l=-21.88
Tensioni nella sezione: σ=265.18 τ=32.32
CC 19 SLV (Collegamento -044_-376)
Azioni sul collegamento: N=-13803.30 Ty=12.07 Tz=-1.24 Mx=-0.01 Mz=6.38
Sollecitazioni agenti localmente: Ty_l=-2472.31 My_l=-50.72
Tensioni nella sezione: σ=614.76 τ=74.92
CC 19 SLV (Collegamento -044_-376)
Azioni sul collegamento: N=-13803.30 Ty=5.34 Tz=-1.24 Mx=-0.01 Mz=2.07
Sollecitazioni agenti localmente: Ty_l=-2455.16 My_l=-50.34
Tensioni nella sezione: σ=610.21 τ=74.40
CC 19 SLV (Collegamento -044_-376)
Azioni sul collegamento: N=-13803.30 Ty=12.07 Tz=27.38 Mx=-0.01 Mz=6.38
Sollecitazioni agenti localmente: Ty_l=-2472.31 My_l=-50.72
Tensioni nella sezione: σ=614.76 τ=74.92
CC 19 SLV (Collegamento -044_-376)
Azioni sul collegamento: N=-13803.30 Ty=5.34 Tz=27.38 Mx=-0.01 Mz=2.07
Sollecitazioni agenti localmente: Ty_l=-2455.16 My_l=-50.34

Tensioni nella sezione: σ=610.21 τ=74.40
CC 20 SLD (Collegamento -044_-376)
Azioni sul collegamento: N=-8790.17 Ty=10.66 Tz=9.09 Mx=-0.00 Mz=7.02
Sollecitazioni agenti localmente: Ty_l=-1586.17 My_l=-32.56
Tensioni nella sezione: σ=394.61 τ=48.07
CC 20 SLD (Collegamento -044_-376)
Azioni sul collegamento: N=-8790.17 Ty=8.61 Tz=9.09 Mx=-0.00 Mz=5.70
Sollecitazioni agenti localmente: Ty_l=-1580.94 My_l=-32.44
Tensioni nella sezione: σ=393.23 τ=47.91
CC 20 SLD (Collegamento -044_-376)
Azioni sul collegamento: N=-8790.17 Ty=10.66 Tz=17.82 Mx=-0.00 Mz=7.02
Sollecitazioni agenti localmente: Ty_l=-1586.17 My_l=-32.56
Tensioni nella sezione: σ=394.61 τ=48.07
CC 20 SLD (Collegamento -044_-376)
Azioni sul collegamento: N=-8790.17 Ty=8.61 Tz=17.82 Mx=-0.00 Mz=5.70
Sollecitazioni agenti localmente: Ty_l=-1580.94 My_l=-32.44
Tensioni nella sezione: σ=393.23 τ=47.91
CC 20 SLD (Collegamento -044_-376)
Azioni sul collegamento: N=-11178.70 Ty=10.66 Tz=9.10 Mx=-0.00 Mz=7.02
Sollecitazioni agenti localmente: Ty_l=-2009.59 My_l=-41.24
Tensioni nella sezione: σ=499.82 τ=60.90
CC 20 SLD (Collegamento -044_-376)
Azioni sul collegamento: N=-11178.70 Ty=8.61 Tz=9.10 Mx=-0.00 Mz=5.70
Sollecitazioni agenti localmente: Ty_l=-2004.36 My_l=-41.12
Tensioni nella sezione: σ=498.44 τ=60.74
CC 20 SLD (Collegamento -044_-376)
Azioni sul collegamento: N=-11178.70 Ty=10.66 Tz=17.82 Mx=-0.00 Mz=7.02
Sollecitazioni agenti localmente: Ty_l=-2009.59 My_l=-41.24
Tensioni nella sezione: σ=499.82 τ=60.90
CC 20 SLD (Collegamento -044_-376)
Azioni sul collegamento: N=-11178.70 Ty=8.61 Tz=17.82 Mx=-0.00 Mz=5.70
Sollecitazioni agenti localmente: Ty_l=-2004.36 My_l=-41.12
Tensioni nella sezione: σ=498.44 τ=60.74
CC 21 SLV (Collegamento -044_-376)
Azioni sul collegamento: N=-13803.30 Ty=5.34 Tz=27.38 Mx=-0.01 Mz=2.07
Sollecitazioni agenti localmente: Ty_l=-2455.16 My_l=-50.34
Tensioni nella sezione: σ=610.21 τ=74.40
CC 21 SLV (Collegamento -044_-376)
Azioni sul collegamento: N=-13803.30 Ty=12.07 Tz=27.38 Mx=-0.01 Mz=6.38
Sollecitazioni agenti localmente: Ty_l=-2472.31 My_l=-50.72
Tensioni nella sezione: σ=614.76 τ=74.92
CC 21 SLV (Collegamento -044_-376)
Azioni sul collegamento: N=-13803.30 Ty=5.34 Tz=-1.24 Mx=-0.01 Mz=2.07
Sollecitazioni agenti localmente: Ty_l=-2455.16 My_l=-50.34
Tensioni nella sezione: σ=610.21 τ=74.40
CC 21 SLV (Collegamento -044_-376)
Azioni sul collegamento: N=-13803.30 Ty=12.07 Tz=-1.24 Mx=-0.01 Mz=6.38
Sollecitazioni agenti localmente: Ty_l=-2472.31 My_l=-50.72
Tensioni nella sezione: σ=614.76 τ=74.92
CC 21 SLV (Collegamento -044_-376)
Azioni sul collegamento: N=-5970.39 Ty=5.34 Tz=27.38 Mx=-0.01 Mz=2.07
Sollecitazioni agenti localmente: Ty_l=-1066.61 My_l=-21.88
Tensioni nella sezione: σ=265.18 τ=32.32
CC 21 SLV (Collegamento -044_-376)
Azioni sul collegamento: N=-5970.39 Ty=12.07 Tz=27.38 Mx=-0.01 Mz=6.38
Sollecitazioni agenti localmente: Ty_l=-1083.76 My_l=-22.25
Tensioni nella sezione: σ=269.73 τ=32.84
CC 21 SLV (Collegamento -044_-376)
Azioni sul collegamento: N=-5970.39 Ty=5.34 Tz=-1.24 Mx=-0.01 Mz=2.07
Sollecitazioni agenti localmente: Ty_l=-1066.61 My_l=-21.88
Tensioni nella sezione: σ=265.18 τ=32.32
CC 21 SLV (Collegamento -044_-376)
Azioni sul collegamento: N=-5970.39 Ty=12.07 Tz=-1.24 Mx=-0.01 Mz=6.38
Sollecitazioni agenti localmente: Ty_l=-1083.76 My_l=-22.25
Tensioni nella sezione: σ=269.73 τ=32.84
CC 22 SLD (Collegamento -044_-376)
Azioni sul collegamento: N=-11178.70 Ty=8.61 Tz=17.82 Mx=-0.00 Mz=5.70
Sollecitazioni agenti localmente: Ty_l=-2004.36 My_l=-41.12
Tensioni nella sezione: σ=498.44 τ=60.74
CC 22 SLD (Collegamento -044_-376)
Azioni sul collegamento: N=-11178.70 Ty=10.66 Tz=17.82 Mx=-0.00 Mz=7.02
Sollecitazioni agenti localmente: Ty_l=-2009.59 My_l=-41.24
Tensioni nella sezione: σ=499.82 τ=60.90
CC 22 SLD (Collegamento -044_-376)
Azioni sul collegamento: N=-11178.70 Ty=8.61 Tz=9.10 Mx=-0.00 Mz=5.70
Sollecitazioni agenti localmente: Ty_l=-2004.36 My_l=-41.12
Tensioni nella sezione: σ=498.44 τ=60.74
CC 22 SLD (Collegamento -044_-376)
Azioni sul collegamento: N=-11178.70 Ty=10.66 Tz=9.10 Mx=-0.00 Mz=7.02

Sollecitazioni agenti localmente: Ty_l=-2009.59 My_l=-41.24
Tensioni nella sezione: σ=499.82 τ=60.90
CC 22 SLD (Collegamento -044_-376)
Azioni sul collegamento: N=-8790.17 Ty=8.61 Tz=17.82 Mx=-0.00 Mz=5.70
Sollecitazioni agenti localmente: Ty_l=-1580.94 My_l=-32.44
Tensioni nella sezione: σ=393.23 τ=47.91
CC 22 SLD (Collegamento -044_-376)
Azioni sul collegamento: N=-8790.17 Ty=10.66 Tz=17.82 Mx=-0.00 Mz=7.02
Sollecitazioni agenti localmente: Ty_l=-1586.17 My_l=-32.56
Tensioni nella sezione: σ=394.61 τ=48.07
CC 22 SLD (Collegamento -044_-376)
Azioni sul collegamento: N=-8790.17 Ty=8.61 Tz=9.09 Mx=-0.00 Mz=5.70
Sollecitazioni agenti localmente: Ty_l=-1580.94 My_l=-32.44
Tensioni nella sezione: σ=393.23 τ=47.91
CC 22 SLD (Collegamento -044_-376)
Azioni sul collegamento: N=-8790.17 Ty=10.66 Tz=9.09 Mx=-0.00 Mz=7.02
Sollecitazioni agenti localmente: Ty_l=-1586.17 My_l=-32.56
Tensioni nella sezione: σ=394.61 τ=48.07
CC 23 SLV (Collegamento -044_-376)
Azioni sul collegamento: N=-13808.10 Ty=4.83 Tz=27.71 Mx=-0.01 Mz=1.02
Sollecitazioni agenti localmente: Ty_l=-2451.86 My_l=-50.27
Tensioni nella sezione: σ=609.32 τ=74.30
CC 23 SLV (Collegamento -044_-376)
Azioni sul collegamento: N=-13808.10 Ty=12.58 Tz=27.71 Mx=-0.01 Mz=7.43
Sollecitazioni agenti localmente: Ty_l=-2477.34 My_l=-50.83
Tensioni nella sezione: σ=616.08 τ=75.07
CC 23 SLV (Collegamento -044_-376)
Azioni sul collegamento: N=-13808.10 Ty=4.83 Tz=-1.56 Mx=-0.01 Mz=1.02
Sollecitazioni agenti localmente: Ty_l=-2451.86 My_l=-50.27
Tensioni nella sezione: σ=609.32 τ=74.30
CC 23 SLV (Collegamento -044_-376)
Azioni sul collegamento: N=-13808.10 Ty=12.58 Tz=-1.56 Mx=-0.01 Mz=7.43
Sollecitazioni agenti localmente: Ty_l=-2477.34 My_l=-50.83
Tensioni nella sezione: σ=616.08 τ=75.07
CC 23 SLV (Collegamento -044_-376)
Azioni sul collegamento: N=-5965.51 Ty=4.83 Tz=27.71 Mx=-0.01 Mz=1.02
Sollecitazioni agenti localmente: Ty_l=-1061.58 My_l=-21.77
Tensioni nella sezione: σ=263.86 τ=32.17
CC 23 SLV (Collegamento -044_-376)
Azioni sul collegamento: N=-5965.51 Ty=12.58 Tz=27.71 Mx=-0.01 Mz=7.43
Sollecitazioni agenti localmente: Ty_l=-1087.06 My_l=-22.33
Tensioni nella sezione: σ=270.62 τ=32.94
CC 23 SLV (Collegamento -044_-376)
Azioni sul collegamento: N=-5965.51 Ty=4.83 Tz=-1.56 Mx=-0.01 Mz=1.02
Sollecitazioni agenti localmente: Ty_l=-1061.58 My_l=-21.77
Tensioni nella sezione: σ=263.86 τ=32.17
CC 23 SLV (Collegamento -044_-376)
Azioni sul collegamento: N=-5965.51 Ty=12.58 Tz=-1.56 Mx=-0.01 Mz=7.43
Sollecitazioni agenti localmente: Ty_l=-1087.06 My_l=-22.33
Tensioni nella sezione: σ=270.62 τ=32.94
CC 24 SLD (Collegamento -044_-376)
Azioni sul collegamento: N=-11180.10 Ty=8.45 Tz=17.92 Mx=-0.00 Mz=5.38
Sollecitazioni agenti localmente: Ty_l=-2003.35 My_l=-41.10
Tensioni nella sezione: σ=498.17 τ=60.71
CC 24 SLD (Collegamento -044_-376)
Azioni sul collegamento: N=-11180.10 Ty=10.81 Tz=17.92 Mx=-0.00 Mz=7.34
Sollecitazioni agenti localmente: Ty_l=-2011.12 My_l=-41.27
Tensioni nella sezione: σ=500.23 τ=60.94
CC 24 SLD (Collegamento -044_-376)
Azioni sul collegamento: N=-11180.10 Ty=8.45 Tz=9.00 Mx=-0.00 Mz=5.38
Sollecitazioni agenti localmente: Ty_l=-2003.35 My_l=-41.10
Tensioni nella sezione: σ=498.17 τ=60.71
CC 24 SLD (Collegamento -044_-376)
Azioni sul collegamento: N=-11180.10 Ty=10.81 Tz=9.00 Mx=-0.00 Mz=7.34
Sollecitazioni agenti localmente: Ty_l=-2011.12 My_l=-41.27
Tensioni nella sezione: σ=500.23 τ=60.94
CC 24 SLD (Collegamento -044_-376)
Azioni sul collegamento: N=-8788.68 Ty=8.45 Tz=17.92 Mx=-0.00 Mz=5.38
Sollecitazioni agenti localmente: Ty_l=-1579.41 My_l=-32.41
Tensioni nella sezione: σ=392.82 τ=47.86
CC 24 SLD (Collegamento -044_-376)
Azioni sul collegamento: N=-8788.68 Ty=10.81 Tz=17.92 Mx=-0.00 Mz=7.34
Sollecitazioni agenti localmente: Ty_l=-1587.18 My_l=-32.58
Tensioni nella sezione: σ=394.88 τ=48.10
CC 24 SLD (Collegamento -044_-376)
Azioni sul collegamento: N=-8788.68 Ty=8.45 Tz=9.00 Mx=-0.00 Mz=5.38
Sollecitazioni agenti localmente: Ty_l=-1579.41 My_l=-32.41
Tensioni nella sezione: σ=392.82 τ=47.86
CC 24 SLD (Collegamento -044_-376)

Azioni sul collegamento: N=-8788.68 Ty=10.81 Tz=9.00 Mx=-0.00 Mz=7.34
Sollecitazioni agenti localmente: Ty_l=-1587.18 My_l=-32.58
Tensioni nella sezione: σ=394.88 τ=48.10
CC 25 SLV (Collegamento -044_-376)
Azioni sul collegamento: N=-8703.02 Ty=10.65 Tz=8.19 Mx=-0.02 Mz=6.77
Sollecitazioni agenti localmente: Ty_l=-1569.74 My_l=-32.22
Tensioni nella sezione: σ=390.51 τ=47.57
CC 25 SLV (Collegamento -044_-376)
Azioni sul collegamento: N=-8703.02 Ty=6.76 Tz=8.19 Mx=-0.02 Mz=1.67
Sollecitazioni agenti localmente: Ty_l=-1549.46 My_l=-31.77
Tensioni nella sezione: σ=385.13 τ=46.95
CC 25 SLV (Collegamento -044_-376)
Azioni sul collegamento: N=-8703.02 Ty=10.65 Tz=17.96 Mx=-0.02 Mz=6.77
Sollecitazioni agenti localmente: Ty_l=-1569.74 My_l=-32.22
Tensioni nella sezione: σ=390.51 τ=47.57
CC 25 SLV (Collegamento -044_-376)
Azioni sul collegamento: N=-8703.02 Ty=6.76 Tz=17.96 Mx=-0.02 Mz=1.67
Sollecitazioni agenti localmente: Ty_l=-1549.46 My_l=-31.77
Tensioni nella sezione: σ=385.13 τ=46.95
CC 25 SLV (Collegamento -044_-376)
Azioni sul collegamento: N=-11070.60 Ty=10.65 Tz=8.19 Mx=-0.02 Mz=6.77
Sollecitazioni agenti localmente: Ty_l=-1989.46 My_l=-40.82
Tensioni nella sezione: σ=494.81 τ=60.29
CC 25 SLV (Collegamento -044_-376)
Azioni sul collegamento: N=-11070.60 Ty=6.76 Tz=8.19 Mx=-0.02 Mz=1.67
Sollecitazioni agenti localmente: Ty_l=-1969.18 My_l=-40.38
Tensioni nella sezione: σ=489.42 τ=59.67
CC 25 SLV (Collegamento -044_-376)
Azioni sul collegamento: N=-11070.60 Ty=10.65 Tz=17.96 Mx=-0.02 Mz=6.77
Sollecitazioni agenti localmente: Ty_l=-1989.46 My_l=-40.82
Tensioni nella sezione: σ=494.81 τ=60.29
CC 25 SLV (Collegamento -044_-376)
Azioni sul collegamento: N=-11070.60 Ty=6.76 Tz=17.96 Mx=-0.02 Mz=1.67
Sollecitazioni agenti localmente: Ty_l=-1969.18 My_l=-40.38
Tensioni nella sezione: σ=489.42 τ=59.67
CC 26 SLD (Collegamento -044_-376)
Azioni sul collegamento: N=-9623.43 Ty=10.22 Tz=11.97 Mx=-0.00 Mz=7.14
Sollecitazioni agenti localmente: Ty_l=-1734.36 My_l=-35.59
Tensioni nella sezione: σ=431.44 τ=52.56
CC 26 SLD (Collegamento -044_-376)
Azioni sul collegamento: N=-9623.43 Ty=9.04 Tz=11.97 Mx=-0.00 Mz=5.58
Sollecitazioni agenti localmente: Ty_l=-1728.18 My_l=-35.46
Tensioni nella sezione: σ=429.80 τ=52.37
CC 26 SLD (Collegamento -044_-376)
Azioni sul collegamento: N=-9623.43 Ty=10.22 Tz=14.95 Mx=-0.00 Mz=7.14
Sollecitazioni agenti localmente: Ty_l=-1734.36 My_l=-35.59
Tensioni nella sezione: σ=431.44 τ=52.56
CC 26 SLD (Collegamento -044_-376)
Azioni sul collegamento: N=-9623.43 Ty=9.04 Tz=14.95 Mx=-0.00 Mz=5.58
Sollecitazioni agenti localmente: Ty_l=-1728.18 My_l=-35.46
Tensioni nella sezione: σ=429.80 τ=52.37
CC 26 SLD (Collegamento -044_-376)
Azioni sul collegamento: N=-10345.40 Ty=10.22 Tz=11.97 Mx=-0.00 Mz=7.14
Sollecitazioni agenti localmente: Ty_l=-1862.35 My_l=-38.22
Tensioni nella sezione: σ=463.25 τ=56.43
CC 26 SLD (Collegamento -044_-376)
Azioni sul collegamento: N=-10345.40 Ty=9.04 Tz=11.97 Mx=-0.00 Mz=5.58
Sollecitazioni agenti localmente: Ty_l=-1856.16 My_l=-38.08
Tensioni nella sezione: σ=461.61 τ=56.25
CC 26 SLD (Collegamento -044_-376)
Azioni sul collegamento: N=-10345.40 Ty=10.22 Tz=14.95 Mx=-0.00 Mz=7.14
Sollecitazioni agenti localmente: Ty_l=-1862.35 My_l=-38.22
Tensioni nella sezione: σ=463.25 τ=56.43
CC 26 SLD (Collegamento -044_-376)
Azioni sul collegamento: N=-10345.40 Ty=9.04 Tz=14.95 Mx=-0.00 Mz=5.58
Sollecitazioni agenti localmente: Ty_l=-1856.16 My_l=-38.08
Tensioni nella sezione: σ=461.61 τ=56.25
CC 27 SLV (Collegamento -044_-376)
Azioni sul collegamento: N=-11054.30 Ty=8.48 Tz=16.87 Mx=-0.02 Mz=5.16
Sollecitazioni agenti localmente: Ty_l=-1980.17 My_l=-40.62
Tensioni nella sezione: σ=492.39 τ=60.01
CC 27 SLV (Collegamento -044_-376)
Azioni sul collegamento: N=-11054.30 Ty=8.94 Tz=16.87 Mx=-0.02 Mz=3.28
Sollecitazioni agenti localmente: Ty_l=-1972.68 My_l=-40.46
Tensioni nella sezione: σ=490.40 τ=59.78
CC 27 SLV (Collegamento -044_-376)
Azioni sul collegamento: N=-11054.30 Ty=8.48 Tz=9.28 Mx=-0.02 Mz=5.16
Sollecitazioni agenti localmente: Ty_l=-1980.17 My_l=-40.62
Tensioni nella sezione: σ=492.39 τ=60.01

CC 27 SLV (Collegamento -044_-376)
Azioni sul collegamento: N=-11054.30 Ty=8.94 Tz=9.28 Mx=-0.02 Mz=3.28
Sollecitazioni agenti localmente: Ty_l=-1972.68 My_l=-40.46
Tensioni nella sezione: σ=490.40 τ=59.78
CC 27 SLV (Collegamento -044_-376)
Azioni sul collegamento: N=-8719.31 Ty=8.48 Tz=16.87 Mx=-0.02 Mz=5.16
Sollecitazioni agenti localmente: Ty_l=-1566.24 My_l=-32.14
Tensioni nella sezione: σ=389.54 τ=47.46
CC 27 SLV (Collegamento -044_-376)
Azioni sul collegamento: N=-8719.31 Ty=8.94 Tz=16.87 Mx=-0.02 Mz=3.28
Sollecitazioni agenti localmente: Ty_l=-1558.74 My_l=-31.97
Tensioni nella sezione: σ=387.55 τ=47.23
CC 27 SLV (Collegamento -044_-376)
Azioni sul collegamento: N=-8719.31 Ty=8.48 Tz=9.28 Mx=-0.02 Mz=5.16
Sollecitazioni agenti localmente: Ty_l=-1566.24 My_l=-32.14
Tensioni nella sezione: σ=389.54 τ=47.46
CC 27 SLV (Collegamento -044_-376)
Azioni sul collegamento: N=-8719.31 Ty=8.94 Tz=9.28 Mx=-0.02 Mz=3.28
Sollecitazioni agenti localmente: Ty_l=-1558.74 My_l=-31.97
Tensioni nella sezione: σ=387.55 τ=47.23
CC 28 SLD (Collegamento -044_-376)
Azioni sul collegamento: N=-10340.40 Ty=9.56 Tz=14.62 Mx=-0.00 Mz=6.65
Sollecitazioni agenti localmente: Ty_l=-1859.52 My_l=-38.16
Tensioni nella sezione: σ=462.51 τ=56.35
CC 28 SLD (Collegamento -044_-376)
Azioni sul collegamento: N=-10340.40 Ty=9.70 Tz=14.62 Mx=-0.00 Mz=6.07
Sollecitazioni agenti localmente: Ty_l=-1857.23 My_l=-38.11
Tensioni nella sezione: σ=461.90 τ=56.28
CC 28 SLD (Collegamento -044_-376)
Azioni sul collegamento: N=-10340.40 Ty=9.56 Tz=12.30 Mx=-0.00 Mz=6.65
Sollecitazioni agenti localmente: Ty_l=-1859.52 My_l=-38.16
Tensioni nella sezione: σ=462.51 τ=56.35
CC 28 SLD (Collegamento -044_-376)
Azioni sul collegamento: N=-10340.40 Ty=9.70 Tz=12.30 Mx=-0.00 Mz=6.07
Sollecitazioni agenti localmente: Ty_l=-1857.23 My_l=-38.11
Tensioni nella sezione: σ=461.90 τ=56.28
CC 28 SLD (Collegamento -044_-376)
Azioni sul collegamento: N=-9628.40 Ty=9.56 Tz=14.62 Mx=-0.00 Mz=6.65
Sollecitazioni agenti localmente: Ty_l=-1733.30 My_l=-35.57
Tensioni nella sezione: σ=431.15 τ=52.52
CC 28 SLD (Collegamento -044_-376)
Azioni sul collegamento: N=-9628.40 Ty=9.70 Tz=14.62 Mx=-0.00 Mz=6.07
Sollecitazioni agenti localmente: Ty_l=-1731.01 My_l=-35.52
Tensioni nella sezione: σ=430.54 τ=52.45
CC 28 SLD (Collegamento -044_-376)
Azioni sul collegamento: N=-9628.40 Ty=9.56 Tz=12.30 Mx=-0.00 Mz=6.65
Sollecitazioni agenti localmente: Ty_l=-1733.30 My_l=-35.57
Tensioni nella sezione: σ=431.15 τ=52.52
CC 28 SLD (Collegamento -044_-376)
Azioni sul collegamento: N=-9628.40 Ty=9.70 Tz=12.30 Mx=-0.00 Mz=6.07
Sollecitazioni agenti localmente: Ty_l=-1731.01 My_l=-35.52
Tensioni nella sezione: σ=430.54 τ=52.45
CC 29 SLV (Collegamento -044_-376)
Azioni sul collegamento: N=-8719.31 Ty=8.94 Tz=9.28 Mx=-0.00 Mz=3.28
Sollecitazioni agenti localmente: Ty_l=-1558.74 My_l=-31.97
Tensioni nella sezione: σ=387.55 τ=47.23
CC 29 SLV (Collegamento -044_-376)
Azioni sul collegamento: N=-8719.31 Ty=8.48 Tz=9.28 Mx=-0.00 Mz=5.16
Sollecitazioni agenti localmente: Ty_l=-1566.24 My_l=-32.14
Tensioni nella sezione: σ=389.54 τ=47.46
CC 29 SLV (Collegamento -044_-376)
Azioni sul collegamento: N=-8719.31 Ty=8.94 Tz=16.87 Mx=-0.00 Mz=3.28
Sollecitazioni agenti localmente: Ty_l=-1558.74 My_l=-31.97
Tensioni nella sezione: σ=387.55 τ=47.23
CC 29 SLV (Collegamento -044_-376)
Azioni sul collegamento: N=-8719.31 Ty=8.48 Tz=16.87 Mx=-0.00 Mz=5.16
Sollecitazioni agenti localmente: Ty_l=-1566.24 My_l=-32.14
Tensioni nella sezione: σ=389.54 τ=47.46
CC 29 SLV (Collegamento -044_-376)
Azioni sul collegamento: N=-11054.30 Ty=8.94 Tz=9.28 Mx=-0.00 Mz=3.28
Sollecitazioni agenti localmente: Ty_l=-1972.68 My_l=-40.46
Tensioni nella sezione: σ=490.40 τ=59.78
CC 29 SLV (Collegamento -044_-376)
Azioni sul collegamento: N=-11054.30 Ty=8.48 Tz=9.28 Mx=-0.00 Mz=5.16
Sollecitazioni agenti localmente: Ty_l=-1980.17 My_l=-40.62
Tensioni nella sezione: σ=492.39 τ=60.01
CC 29 SLV (Collegamento -044_-376)
Azioni sul collegamento: N=-11054.30 Ty=8.94 Tz=16.87 Mx=-0.00 Mz=3.28
Sollecitazioni agenti localmente: Ty_l=-1972.68 My_l=-40.46

Tensioni nella sezione: σ=490.40 τ=59.78
CC 29 SLV (Collegamento -044_-376)
Azioni sul collegamento: N=-11054.30 Ty=8.48 Tz=16.87 Mx=-0.00 Mz=5.16
Sollecitazioni agenti localmente: Ty_l=-1980.17 My_l=-40.62
Tensioni nella sezione: σ=492.39 τ=60.01
CC 30 SLD (Collegamento -044_-376)
Azioni sul collegamento: N=-9628.40 Ty=9.70 Tz=12.30 Mx=0.00 Mz=6.07
Sollecitazioni agenti localmente: Ty_l=-1731.01 My_l=-35.52
Tensioni nella sezione: σ=430.54 τ=52.45
CC 30 SLD (Collegamento -044_-376)
Azioni sul collegamento: N=-9628.40 Ty=9.56 Tz=12.30 Mx=0.00 Mz=6.65
Sollecitazioni agenti localmente: Ty_l=-1733.30 My_l=-35.57
Tensioni nella sezione: σ=431.15 τ=52.52
CC 30 SLD (Collegamento -044_-376)
Azioni sul collegamento: N=-9628.40 Ty=9.70 Tz=14.62 Mx=0.00 Mz=6.07
Sollecitazioni agenti localmente: Ty_l=-1731.01 My_l=-35.52
Tensioni nella sezione: σ=430.54 τ=52.45
CC 30 SLD (Collegamento -044_-376)
Azioni sul collegamento: N=-9628.40 Ty=9.56 Tz=14.62 Mx=0.00 Mz=6.65
Sollecitazioni agenti localmente: Ty_l=-1733.30 My_l=-35.57
Tensioni nella sezione: σ=431.15 τ=52.52
CC 30 SLD (Collegamento -044_-376)
Azioni sul collegamento: N=-10340.40 Ty=9.70 Tz=12.30 Mx=0.00 Mz=6.07
Sollecitazioni agenti localmente: Ty_l=-1857.23 My_l=-38.11
Tensioni nella sezione: σ=461.90 τ=56.28
CC 30 SLD (Collegamento -044_-376)
Azioni sul collegamento: N=-10340.40 Ty=9.56 Tz=12.30 Mx=0.00 Mz=6.65
Sollecitazioni agenti localmente: Ty_l=-1859.52 My_l=-38.16
Tensioni nella sezione: σ=462.51 τ=56.35
CC 30 SLD (Collegamento -044_-376)
Azioni sul collegamento: N=-10340.40 Ty=9.70 Tz=14.62 Mx=0.00 Mz=6.07
Sollecitazioni agenti localmente: Ty_l=-1857.23 My_l=-38.11
Tensioni nella sezione: σ=461.90 τ=56.28
CC 30 SLD (Collegamento -044_-376)
Azioni sul collegamento: N=-10340.40 Ty=9.56 Tz=14.62 Mx=0.00 Mz=6.65
Sollecitazioni agenti localmente: Ty_l=-1859.52 My_l=-38.16
Tensioni nella sezione: σ=462.51 τ=56.35
CC 31 SLV (Collegamento -044_-376)
Azioni sul collegamento: N=-11070.60 Ty=6.76 Tz=17.96 Mx=-0.00 Mz=1.67
Sollecitazioni agenti localmente: Ty_l=-1969.18 My_l=-40.38
Tensioni nella sezione: σ=489.42 τ=59.67
CC 31 SLV (Collegamento -044_-376)
Azioni sul collegamento: N=-11070.60 Ty=10.65 Tz=17.96 Mx=-0.00 Mz=6.77
Sollecitazioni agenti localmente: Ty_l=-1989.46 My_l=-40.82
Tensioni nella sezione: σ=494.81 τ=60.29
CC 31 SLV (Collegamento -044_-376)
Azioni sul collegamento: N=-11070.60 Ty=6.76 Tz=8.19 Mx=-0.00 Mz=1.67
Sollecitazioni agenti localmente: Ty_l=-1969.18 My_l=-40.38
Tensioni nella sezione: σ=489.42 τ=59.67
CC 31 SLV (Collegamento -044_-376)
Azioni sul collegamento: N=-11070.60 Ty=10.65 Tz=8.19 Mx=-0.00 Mz=6.77
Sollecitazioni agenti localmente: Ty_l=-1989.46 My_l=-40.82
Tensioni nella sezione: σ=494.81 τ=60.29
CC 31 SLV (Collegamento -044_-376)
Azioni sul collegamento: N=-8703.02 Ty=6.76 Tz=17.96 Mx=-0.00 Mz=1.67
Sollecitazioni agenti localmente: Ty_l=-1549.46 My_l=-31.77
Tensioni nella sezione: σ=385.13 τ=46.95
CC 31 SLV (Collegamento -044_-376)
Azioni sul collegamento: N=-8703.02 Ty=10.65 Tz=17.96 Mx=-0.00 Mz=6.77
Sollecitazioni agenti localmente: Ty_l=-1569.74 My_l=-32.22
Tensioni nella sezione: σ=390.51 τ=47.57
CC 31 SLV (Collegamento -044_-376)
Azioni sul collegamento: N=-8703.02 Ty=6.76 Tz=8.19 Mx=-0.00 Mz=1.67
Sollecitazioni agenti localmente: Ty_l=-1549.46 My_l=-31.77
Tensioni nella sezione: σ=385.13 τ=46.95
CC 31 SLV (Collegamento -044_-376)
Azioni sul collegamento: N=-8703.02 Ty=10.65 Tz=8.19 Mx=-0.00 Mz=6.77
Sollecitazioni agenti localmente: Ty_l=-1569.74 My_l=-32.22
Tensioni nella sezione: σ=390.51 τ=47.57
CC 32 SLD (Collegamento -044_-376)
Azioni sul collegamento: N=-10345.40 Ty=9.04 Tz=14.95 Mx=0.00 Mz=5.58
Sollecitazioni agenti localmente: Ty_l=-1856.16 My_l=-38.08
Tensioni nella sezione: σ=461.61 τ=56.25
CC 32 SLD (Collegamento -044_-376)
Azioni sul collegamento: N=-10345.40 Ty=10.22 Tz=14.95 Mx=0.00 Mz=7.14
Sollecitazioni agenti localmente: Ty_l=-1862.35 My_l=-38.22
Tensioni nella sezione: σ=463.25 τ=56.43
CC 32 SLD (Collegamento -044_-376)
Azioni sul collegamento: N=-10345.40 Ty=9.04 Tz=11.97 Mx=0.00 Mz=5.58

Sollecitazioni agenti localmente: Ty_l=-1856.16 My_l=-38.08
Tensioni nella sezione: σ=461.61 τ=56.25
CC 32 SLD (Collegamento -044_-376)
Azioni sul collegamento: N=-10345.40 Ty=10.22 Tz=11.97 Mx=0.00 Mz=7.14
Sollecitazioni agenti localmente: Ty_l=-1862.35 My_l=-38.22
Tensioni nella sezione: σ=463.25 τ=56.43
CC 32 SLD (Collegamento -044_-376)
Azioni sul collegamento: N=-9623.43 Ty=9.04 Tz=14.95 Mx=0.00 Mz=5.58
Sollecitazioni agenti localmente: Ty_l=-1728.18 My_l=-35.46
Tensioni nella sezione: σ=429.80 τ=52.37
CC 32 SLD (Collegamento -044_-376)
Azioni sul collegamento: N=-9623.43 Ty=10.22 Tz=14.95 Mx=0.00 Mz=7.14
Sollecitazioni agenti localmente: Ty_l=-1734.36 My_l=-35.59
Tensioni nella sezione: σ=431.44 τ=52.56
CC 32 SLD (Collegamento -044_-376)
Azioni sul collegamento: N=-9623.43 Ty=9.04 Tz=11.97 Mx=0.00 Mz=5.58
Sollecitazioni agenti localmente: Ty_l=-1728.18 My_l=-35.46
Tensioni nella sezione: σ=429.80 τ=52.37
CC 32 SLD (Collegamento -044_-376)
Azioni sul collegamento: N=-9623.43 Ty=10.22 Tz=11.97 Mx=0.00 Mz=7.14
Sollecitazioni agenti localmente: Ty_l=-1734.36 My_l=-35.59
Tensioni nella sezione: σ=431.44 τ=52.56
CC 33 SLU (Collegamento -044_-376)
Azioni sul collegamento: N=-37458.50 Ty=20.96 Tz=106.28 Mx=0.00 Mz=15.40
Sollecitazioni agenti localmente: Ty_l=-6701.62 My_l=-137.47
Tensioni nella sezione: σ=1666.29 τ=203.08
CC 34 SLU (Collegamento -044_-376)
Azioni sul collegamento: N=-36642.60 Ty=20.20 Tz=103.27 Mx=0.00 Mz=14.84
Sollecitazioni agenti localmente: Ty_l=-6554.75 My_l=-134.46
Tensioni nella sezione: σ=1629.76 τ=198.63
CC 35 SLU (Collegamento -044_-376)
Azioni sul collegamento: N=-37049.70 Ty=20.49 Tz=104.83 Mx=0.01 Mz=14.94
Sollecitazioni agenti localmente: Ty_l=-6627.30 My_l=-135.94
Tensioni nella sezione: σ=1647.79 τ=200.83
CC 36 SLU (Collegamento -044_-376)
Azioni sul collegamento: N=-37051.40 Ty=20.67 Tz=104.72 Mx=0.00 Mz=15.30
Sollecitazioni agenti localmente: Ty_l=-6629.07 My_l=-135.98
Tensioni nella sezione: σ=1648.26 τ=200.88
CC 37 SLU (Collegamento -044_-376)
Azioni sul collegamento: N=-28275.70 Ty=20.11 Tz=72.57 Mx=0.00 Mz=14.65
Sollecitazioni agenti localmente: Ty_l=-5070.78 My_l=-104.03
Tensioni nella sezione: σ=1261.00 τ=153.66
CC 38 SLU (Collegamento -044_-376)
Azioni sul collegamento: N=-27459.70 Ty=19.36 Tz=69.55 Mx=0.00 Mz=14.09
Sollecitazioni agenti localmente: Ty_l=-4923.91 My_l=-101.02
Tensioni nella sezione: σ=1224.47 τ=149.21
CC 39 SLU (Collegamento -044_-376)
Azioni sul collegamento: N=-27866.80 Ty=19.65 Tz=71.12 Mx=0.01 Mz=14.19
Sollecitazioni agenti localmente: Ty_l=-4996.46 My_l=-102.51
Tensioni nella sezione: σ=1242.50 τ=151.41
CC 40 SLU (Collegamento -044_-376)
Azioni sul collegamento: N=-27868.60 Ty=19.82 Tz=71.00 Mx=0.00 Mz=14.55
Sollecitazioni agenti localmente: Ty_l=-4998.22 My_l=-102.55
Tensioni nella sezione: σ=1242.97 τ=151.46
CC 41 SLU (Collegamento -044_-376)
Azioni sul collegamento: N=-30676.20 Ty=-9.89 Tz=80.85 Mx=0.00 Mz=-7.99
Sollecitazioni agenti localmente: Ty_l=-5406.30 My_l=-110.78
Tensioni nella sezione: σ=1342.84 τ=163.83
CC 42 SLU (Collegamento -044_-376)
Azioni sul collegamento: N=-29860.20 Ty=-10.64 Tz=77.84 Mx=0.00 Mz=-8.54
Sollecitazioni agenti localmente: Ty_l=-5259.43 My_l=-107.77
Tensioni nella sezione: σ=1306.31 τ=159.38
CC 43 SLU (Collegamento -044_-376)
Azioni sul collegamento: N=-30267.40 Ty=-10.35 Tz=79.40 Mx=0.01 Mz=-8.45
Sollecitazioni agenti localmente: Ty_l=-5331.98 My_l=-109.26
Tensioni nella sezione: σ=1324.35 τ=161.57
CC 44 SLU (Collegamento -044_-376)
Azioni sul collegamento: N=-30269.10 Ty=-10.18 Tz=79.28 Mx=0.00 Mz=-8.08
Sollecitazioni agenti localmente: Ty_l=-5333.74 My_l=-109.30
Tensioni nella sezione: σ=1324.81 τ=161.63
CC 45 SLU (Collegamento -044_-376)
Azioni sul collegamento: N=-30295.00 Ty=20.33 Tz=79.99 Mx=0.00 Mz=14.94
Sollecitazioni agenti localmente: Ty_l=-5429.90 My_l=-111.40
Tensioni nella sezione: σ=1350.26 τ=164.54
CC 46 SLU (Collegamento -044_-376)
Azioni sul collegamento: N=-29479.00 Ty=19.57 Tz=76.97 Mx=0.00 Mz=14.38
Sollecitazioni agenti localmente: Ty_l=-5283.03 My_l=-108.38
Tensioni nella sezione: σ=1313.72 τ=160.09
CC 47 SLU (Collegamento -044_-376)

Azioni sul collegamento: N=-29886.10 Ty=19.86 Tz=78.54 Mx=0.00 Mz=14.48
Sollecitazioni agenti localmente: Ty_l=-5355.58 My_l=-109.87
Tensioni nella sezione: σ=1331.76 τ=162.29
CC 48 SLU (Collegamento -044_-376)
Azioni sul collegamento: N=-29887.90 Ty=20.04 Tz=78.42 Mx=0.00 Mz=14.84
Sollecitazioni agenti localmente: Ty_l=-5357.35 My_l=-109.91
Tensioni nella sezione: σ=1332.22 τ=162.34
CC 49 SLU (Collegamento -044_-376)
Azioni sul collegamento: N=-23424.90 Ty=19.70 Tz=54.76 Mx=0.00 Mz=14.38
Sollecitazioni agenti localmente: Ty_l=-4209.79 My_l=-86.38
Tensioni nella sezione: σ=1047.04 τ=127.57
CC 50 SLU (Collegamento -044_-376)
Azioni sul collegamento: N=-22608.90 Ty=18.94 Tz=51.75 Mx=0.00 Mz=13.82
Sollecitazioni agenti localmente: Ty_l=-4062.92 My_l=-83.37
Tensioni nella sezione: σ=1010.51 τ=123.12
CC 51 SLU (Collegamento -044_-376)
Azioni sul collegamento: N=-23016.00 Ty=19.23 Tz=53.31 Mx=0.00 Mz=13.92
Sollecitazioni agenti localmente: Ty_l=-4135.47 My_l=-84.85
Tensioni nella sezione: σ=1028.54 τ=125.32
CC 52 SLU (Collegamento -044_-376)
Azioni sul collegamento: N=-23017.80 Ty=19.41 Tz=53.20 Mx=0.00 Mz=14.28
Sollecitazioni agenti localmente: Ty_l=-4137.24 My_l=-84.89
Tensioni nella sezione: σ=1029.00 τ=125.37
CC 53 SLU (Collegamento -044_-376)
Azioni sul collegamento: N=-25220.90 Ty=-2.75 Tz=60.96 Mx=0.00 Mz=-2.55
Sollecitazioni agenti localmente: Ty_l=-4460.81 My_l=-91.43
Tensioni nella sezione: σ=1108.27 τ=135.18
CC 54 SLU (Collegamento -044_-376)
Azioni sul collegamento: N=-24404.90 Ty=-3.50 Tz=57.94 Mx=0.00 Mz=-3.11
Sollecitazioni agenti localmente: Ty_l=-4313.94 My_l=-88.42
Tensioni nella sezione: σ=1071.74 τ=130.72
CC 55 SLU (Collegamento -044_-376)
Azioni sul collegamento: N=-24812.00 Ty=-3.21 Tz=59.51 Mx=0.00 Mz=-3.02
Sollecitazioni agenti localmente: Ty_l=-4386.49 My_l=-89.91
Tensioni nella sezione: σ=1089.77 τ=132.92
CC 56 SLU (Collegamento -044_-376)
Azioni sul collegamento: N=-24813.70 Ty=-3.04 Tz=59.39 Mx=0.00 Mz=-2.65
Sollecitazioni agenti localmente: Ty_l=-4388.25 My_l=-89.94
Tensioni nella sezione: σ=1090.24 τ=132.98
CC 57 SLU (Collegamento -044_-376)
Azioni sul collegamento: N=-28074.70 Ty=18.58 Tz=71.81 Mx=0.00 Mz=13.65
Sollecitazioni agenti localmente: Ty_l=-5031.17 My_l=-103.22
Tensioni nella sezione: σ=1251.09 τ=152.46
CC 58 SLU (Collegamento -044_-376)
Azioni sul collegamento: N=-27258.70 Ty=17.82 Tz=68.80 Mx=0.00 Mz=13.09
Sollecitazioni agenti localmente: Ty_l=-4884.30 My_l=-100.20
Tensioni nella sezione: σ=1214.56 τ=148.01
CC 59 SLU (Collegamento -044_-376)
Azioni sul collegamento: N=-27665.80 Ty=18.11 Tz=70.37 Mx=0.00 Mz=13.19
Sollecitazioni agenti localmente: Ty_l=-4956.86 My_l=-101.69
Tensioni nella sezione: σ=1232.59 τ=150.21
CC 60 SLU (Collegamento -044_-376)
Azioni sul collegamento: N=-27667.60 Ty=18.29 Tz=70.25 Mx=0.00 Mz=13.55
Sollecitazioni agenti localmente: Ty_l=-4958.62 My_l=-101.73
Tensioni nella sezione: σ=1233.06 τ=150.26
CC 61 SLU (Collegamento -044_-376)
Azioni sul collegamento: N=-21204.60 Ty=17.94 Tz=46.59 Mx=0.00 Mz=13.09
Sollecitazioni agenti localmente: Ty_l=-3811.06 My_l=-78.20
Tensioni nella sezione: σ=947.88 τ=115.49
CC 62 SLU (Collegamento -044_-376)
Azioni sul collegamento: N=-20388.60 Ty=17.19 Tz=43.58 Mx=0.00 Mz=12.53
Sollecitazioni agenti localmente: Ty_l=-3664.19 My_l=-75.19
Tensioni nella sezione: σ=911.34 τ=111.04
CC 63 SLU (Collegamento -044_-376)
Azioni sul collegamento: N=-20795.70 Ty=17.48 Tz=45.14 Mx=0.00 Mz=12.63
Sollecitazioni agenti localmente: Ty_l=-3736.75 My_l=-76.67
Tensioni nella sezione: σ=929.38 τ=113.23
CC 64 SLU (Collegamento -044_-376)
Azioni sul collegamento: N=-20797.50 Ty=17.66 Tz=45.03 Mx=0.00 Mz=12.99
Sollecitazioni agenti localmente: Ty_l=-3738.51 My_l=-76.71
Tensioni nella sezione: σ=929.84 τ=113.29
CC 65 SLU (Collegamento -044_-376)
Azioni sul collegamento: N=-23000.50 Ty=-4.50 Tz=52.79 Mx=0.00 Mz=-3.84
Sollecitazioni agenti localmente: Ty_l=-4062.08 My_l=-83.25
Tensioni nella sezione: σ=1009.11 τ=123.09
CC 66 SLU (Collegamento -044_-376)
Azioni sul collegamento: N=-22184.60 Ty=-5.26 Tz=49.77 Mx=0.00 Mz=-4.40
Sollecitazioni agenti localmente: Ty_l=-3915.21 My_l=-80.24
Tensioni nella sezione: σ=972.57 τ=118.64

CC 67 SLU (Collegamento -044_-376)
Azioni sul collegamento: N=-22591.70 Ty=-4.97 Tz=51.34 Mx=0.00 Mz=-4.30
Sollecitazioni agenti localmente: Ty_l=-3987.76 My_l=-81.73
Tensioni nella sezione: σ=990.61 τ=120.84
CC 68 SLU (Collegamento -044_-376)
Azioni sul collegamento: N=-22593.40 Ty=-4.79 Tz=51.22 Mx=0.00 Mz=-3.94
Sollecitazioni agenti localmente: Ty_l=-3989.53 My_l=-81.76
Tensioni nella sezione: σ=991.07 τ=120.89
CC 97 SLU (Collegamento -044_-376)
Azioni sul collegamento: N=-32775.80 Ty=25.16 Tz=97.03 Mx=-0.05 Mz=10.53
Sollecitazioni agenti localmente: Ty_l=-5852.13 My_l=-120.03
Tensioni nella sezione: σ=1454.88 τ=177.34
CC 98 SLU (Collegamento -044_-376)
Azioni sul collegamento: N=-31959.80 Ty=24.41 Tz=94.02 Mx=-0.05 Mz=9.97
Sollecitazioni agenti localmente: Ty_l=-5705.26 My_l=-117.01
Tensioni nella sezione: σ=1418.34 τ=172.89
CC 99 SLU (Collegamento -044_-376)
Azioni sul collegamento: N=-32366.90 Ty=24.69 Tz=95.58 Mx=-0.05 Mz=10.07
Sollecitazioni agenti localmente: Ty_l=-5777.81 My_l=-118.50
Tensioni nella sezione: σ=1436.38 τ=175.09
CC 100 SLU (Collegamento -044_-376)
Azioni sul collegamento: N=-32368.70 Ty=24.87 Tz=95.47 Mx=-0.05 Mz=10.43
Sollecitazioni agenti localmente: Ty_l=-5779.57 My_l=-118.54
Tensioni nella sezione: σ=1436.84 τ=175.14
CC 101 SLU (Collegamento -044_-376)
Azioni sul collegamento: N=-9110.88 Ty=5.97 Tz=10.39 Mx=0.01 Mz=4.99
Sollecitazioni agenti localmente: Ty_l=-1634.96 My_l=-33.54
Tensioni nella sezione: σ=406.60 τ=49.54
CC 102 SLU (Collegamento -044_-376)
Azioni sul collegamento: N=-8294.89 Ty=5.21 Tz=7.37 Mx=0.01 Mz=4.43
Sollecitazioni agenti localmente: Ty_l=-1488.09 My_l=-30.53
Tensioni nella sezione: σ=370.07 τ=45.09
CC 103 SLU (Collegamento -044_-376)
Azioni sul collegamento: N=-8702.00 Ty=5.50 Tz=8.94 Mx=0.01 Mz=4.53
Sollecitazioni agenti localmente: Ty_l=-1560.64 My_l=-32.02
Tensioni nella sezione: σ=388.10 τ=47.29
CC 104 SLU (Collegamento -044_-376)
Azioni sul collegamento: N=-8703.77 Ty=5.68 Tz=8.82 Mx=0.01 Mz=4.89
Sollecitazioni agenti localmente: Ty_l=-1562.40 My_l=-32.06
Tensioni nella sezione: σ=388.56 τ=47.35

Flessione attacco sinistro piastra

Bnetta=220.00 Hnetta=15.00
CC 1 SLV (Collegamento -044_-376)
Azioni sul collegamento: N=-6246.31 Ty=15.25 Tz=-0.46 Mx=0.02 Mz=13.58
Sollecitazioni agenti localmente: Ty_l=-1053.29 My_l=-21.52
Tensioni nella sezione: σ=260.81 τ=31.92
CC 1 SLV (Collegamento -044_-376)
Azioni sul collegamento: N=-6246.31 Ty=7.49 Tz=-0.46 Mx=0.02 Mz=7.17
Sollecitazioni agenti localmente: Ty_l=-1078.77 My_l=-22.07
Tensioni nella sezione: σ=267.57 τ=32.69
CC 1 SLV (Collegamento -044_-376)
Azioni sul collegamento: N=-6246.31 Ty=15.25 Tz=28.82 Mx=0.02 Mz=13.58
Sollecitazioni agenti localmente: Ty_l=-1053.29 My_l=-21.52
Tensioni nella sezione: σ=260.81 τ=31.92
CC 1 SLV (Collegamento -044_-376)
Azioni sul collegamento: N=-6246.31 Ty=7.49 Tz=28.82 Mx=0.02 Mz=7.17
Sollecitazioni agenti localmente: Ty_l=-1078.77 My_l=-22.07
Tensioni nella sezione: σ=267.57 τ=32.69
CC 1 SLV (Collegamento -044_-376)
Azioni sul collegamento: N=-14088.90 Ty=15.25 Tz=-0.46 Mx=0.02 Mz=13.58
Sollecitazioni agenti localmente: Ty_l=-2443.58 My_l=-50.02
Tensioni nella sezione: σ=606.27 τ=74.05
CC 1 SLV (Collegamento -044_-376)
Azioni sul collegamento: N=-14088.90 Ty=7.49 Tz=-0.46 Mx=0.02 Mz=7.17
Sollecitazioni agenti localmente: Ty_l=-2469.06 My_l=-50.58
Tensioni nella sezione: σ=613.04 τ=74.82
CC 1 SLV (Collegamento -044_-376)
Azioni sul collegamento: N=-14088.90 Ty=15.25 Tz=28.82 Mx=0.02 Mz=13.58
Sollecitazioni agenti localmente: Ty_l=-2443.58 My_l=-50.02
Tensioni nella sezione: σ=606.27 τ=74.05
CC 1 SLV (Collegamento -044_-376)
Azioni sul collegamento: N=-14088.90 Ty=7.49 Tz=28.82 Mx=0.02 Mz=7.17
Sollecitazioni agenti localmente: Ty_l=-2469.06 My_l=-50.58
Tensioni nella sezione: σ=613.04 τ=74.82
CC 2 SLD (Collegamento -044_-376)
Azioni sul collegamento: N=-8874.30 Ty=11.63 Tz=9.33 Mx=0.01 Mz=9.21
Sollecitazioni agenti localmente: Ty_l=-1536.52 My_l=-31.45

Tensioni nella sezione: σ=381.18 τ=46.56
CC 2 SLD (Collegamento -044_-376)
Azioni sul collegamento: N=-8874.30 Ty=9.26 Tz=9.33 Mx=0.01 Mz=7.26
Sollecitazioni agenti localmente: Ty_l=-1544.29 My_l=-31.62
Tensioni nella sezione: σ=383.24 τ=46.80
CC 2 SLD (Collegamento -044_-376)
Azioni sul collegamento: N=-8874.30 Ty=11.63 Tz=18.26 Mx=0.01 Mz=9.21
Sollecitazioni agenti localmente: Ty_l=-1536.52 My_l=-31.45
Tensioni nella sezione: σ=381.18 τ=46.56
CC 2 SLD (Collegamento -044_-376)
Azioni sul collegamento: N=-8874.30 Ty=9.26 Tz=18.26 Mx=0.01 Mz=7.26
Sollecitazioni agenti localmente: Ty_l=-1544.29 My_l=-31.62
Tensioni nella sezione: σ=383.24 τ=46.80
CC 2 SLD (Collegamento -044_-376)
Azioni sul collegamento: N=-11265.80 Ty=11.63 Tz=9.33 Mx=0.01 Mz=9.21
Sollecitazioni agenti localmente: Ty_l=-1960.46 My_l=-40.14
Tensioni nella sezione: σ=486.52 τ=59.41
CC 2 SLD (Collegamento -044_-376)
Azioni sul collegamento: N=-11265.80 Ty=9.26 Tz=9.33 Mx=0.01 Mz=7.26
Sollecitazioni agenti localmente: Ty_l=-1968.23 My_l=-40.31
Tensioni nella sezione: σ=488.59 τ=59.64
CC 2 SLD (Collegamento -044_-376)
Azioni sul collegamento: N=-11265.80 Ty=11.63 Tz=18.26 Mx=0.01 Mz=9.21
Sollecitazioni agenti localmente: Ty_l=-1960.47 My_l=-40.14
Tensioni nella sezione: σ=486.52 τ=59.41
CC 2 SLD (Collegamento -044_-376)
Azioni sul collegamento: N=-11265.80 Ty=9.26 Tz=18.26 Mx=0.01 Mz=7.26
Sollecitazioni agenti localmente: Ty_l=-1968.24 My_l=-40.31
Tensioni nella sezione: σ=488.59 τ=59.64
CC 3 SLV (Collegamento -044_-376)
Azioni sul collegamento: N=-6251.19 Ty=14.73 Tz=-0.13 Mx=0.01 Mz=12.53
Sollecitazioni agenti localmente: Ty_l=-1058.32 My_l=-21.63
Tensioni nella sezione: σ=262.13 τ=32.07
CC 3 SLV (Collegamento -044_-376)
Azioni sul collegamento: N=-6251.19 Ty=8.00 Tz=-0.13 Mx=0.01 Mz=8.22
Sollecitazioni agenti localmente: Ty_l=-1075.47 My_l=-22.00
Tensioni nella sezione: σ=266.68 τ=32.59
CC 3 SLV (Collegamento -044_-376)
Azioni sul collegamento: N=-6251.19 Ty=14.73 Tz=28.49 Mx=0.01 Mz=12.53
Sollecitazioni agenti localmente: Ty_l=-1058.32 My_l=-21.63
Tensioni nella sezione: σ=262.13 τ=32.07
CC 3 SLV (Collegamento -044_-376)
Azioni sul collegamento: N=-6251.19 Ty=8.00 Tz=28.49 Mx=0.01 Mz=8.22
Sollecitazioni agenti localmente: Ty_l=-1075.47 My_l=-22.00
Tensioni nella sezione: σ=266.68 τ=32.59
CC 3 SLV (Collegamento -044_-376)
Azioni sul collegamento: N=-14084.10 Ty=14.73 Tz=-0.13 Mx=0.01 Mz=12.53
Sollecitazioni agenti localmente: Ty_l=-2446.88 My_l=-50.09
Tensioni nella sezione: σ=607.17 τ=74.15
CC 3 SLV (Collegamento -044_-376)
Azioni sul collegamento: N=-14084.10 Ty=8.00 Tz=-0.13 Mx=0.01 Mz=8.22
Sollecitazioni agenti localmente: Ty_l=-2464.02 My_l=-50.47
Tensioni nella sezione: σ=611.72 τ=74.67
CC 3 SLV (Collegamento -044_-376)
Azioni sul collegamento: N=-14084.10 Ty=14.73 Tz=28.49 Mx=0.01 Mz=12.53
Sollecitazioni agenti localmente: Ty_l=-2446.88 My_l=-50.09
Tensioni nella sezione: σ=607.17 τ=74.15
CC 3 SLV (Collegamento -044_-376)
Azioni sul collegamento: N=-14084.10 Ty=8.00 Tz=28.49 Mx=0.01 Mz=8.22
Sollecitazioni agenti localmente: Ty_l=-2464.02 My_l=-50.47
Tensioni nella sezione: σ=611.72 τ=74.67
CC 4 SLD (Collegamento -044_-376)
Azioni sul collegamento: N=-8875.79 Ty=11.47 Tz=9.43 Mx=0.01 Mz=8.89
Sollecitazioni agenti localmente: Ty_l=-1538.06 My_l=-31.48
Tensioni nella sezione: σ=381.58 τ=46.61
CC 4 SLD (Collegamento -044_-376)
Azioni sul collegamento: N=-8875.79 Ty=9.42 Tz=9.43 Mx=0.01 Mz=7.58
Sollecitazioni agenti localmente: Ty_l=-1543.29 My_l=-31.60
Tensioni nella sezione: σ=382.97 τ=46.77
CC 4 SLD (Collegamento -044_-376)
Azioni sul collegamento: N=-8875.79 Ty=11.47 Tz=18.16 Mx=0.01 Mz=8.89
Sollecitazioni agenti localmente: Ty_l=-1538.06 My_l=-31.48
Tensioni nella sezione: σ=381.58 τ=46.61
CC 4 SLD (Collegamento -044_-376)
Azioni sul collegamento: N=-8875.79 Ty=9.42 Tz=18.16 Mx=0.01 Mz=7.58
Sollecitazioni agenti localmente: Ty_l=-1543.29 My_l=-31.60
Tensioni nella sezione: σ=382.97 τ=46.77
CC 4 SLD (Collegamento -044_-376)
Azioni sul collegamento: N=-11264.30 Ty=11.47 Tz=9.43 Mx=0.01 Mz=8.89

Sollecitazioni agenti localmente: Ty_l=-1961.47 My_l=-40.16
Tensioni nella sezione: σ=486.80 τ=59.44
CC 4 SLD (Collegamento -044_-376)
Azioni sul collegamento: N=-11264.30 Ty=9.42 Tz=9.43 Mx=0.01 Mz=7.58
Sollecitazioni agenti localmente: Ty_l=-1966.70 My_l=-40.28
Tensioni nella sezione: σ=488.18 τ=59.60
CC 4 SLD (Collegamento -044_-376)
Azioni sul collegamento: N=-11264.30 Ty=11.47 Tz=18.16 Mx=0.01 Mz=8.89
Sollecitazioni agenti localmente: Ty_l=-1961.47 My_l=-40.16
Tensioni nella sezione: σ=486.80 τ=59.44
CC 4 SLD (Collegamento -044_-376)
Azioni sul collegamento: N=-11264.30 Ty=9.42 Tz=18.16 Mx=0.01 Mz=7.58
Sollecitazioni agenti localmente: Ty_l=-1966.70 My_l=-40.28
Tensioni nella sezione: σ=488.18 τ=59.60
CC 5 SLV (Collegamento -044_-376)
Azioni sul collegamento: N=-14084.10 Ty=8.00 Tz=28.49 Mx=0.02 Mz=8.22
Sollecitazioni agenti localmente: Ty_l=-2464.02 My_l=-50.47
Tensioni nella sezione: σ=611.72 τ=74.67
CC 5 SLV (Collegamento -044_-376)
Azioni sul collegamento: N=-14084.10 Ty=14.73 Tz=28.49 Mx=0.02 Mz=12.53
Sollecitazioni agenti localmente: Ty_l=-2446.88 My_l=-50.09
Tensioni nella sezione: σ=607.17 τ=74.15
CC 5 SLV (Collegamento -044_-376)
Azioni sul collegamento: N=-14084.10 Ty=8.00 Tz=-0.13 Mx=0.02 Mz=8.22
Sollecitazioni agenti localmente: Ty_l=-2464.02 My_l=-50.47
Tensioni nella sezione: σ=611.72 τ=74.67
CC 5 SLV (Collegamento -044_-376)
Azioni sul collegamento: N=-14084.10 Ty=14.73 Tz=-0.13 Mx=0.02 Mz=12.53
Sollecitazioni agenti localmente: Ty_l=-2446.88 My_l=-50.09
Tensioni nella sezione: σ=607.17 τ=74.15
CC 5 SLV (Collegamento -044_-376)
Azioni sul collegamento: N=-6251.19 Ty=8.00 Tz=28.49 Mx=0.02 Mz=8.22
Sollecitazioni agenti localmente: Ty_l=-1075.47 My_l=-22.00
Tensioni nella sezione: σ=266.68 τ=32.59
CC 5 SLV (Collegamento -044_-376)
Azioni sul collegamento: N=-6251.19 Ty=14.73 Tz=28.49 Mx=0.02 Mz=12.53
Sollecitazioni agenti localmente: Ty_l=-1058.32 My_l=-21.63
Tensioni nella sezione: σ=262.13 τ=32.07
CC 5 SLV (Collegamento -044_-376)
Azioni sul collegamento: N=-6251.19 Ty=8.00 Tz=-0.13 Mx=0.02 Mz=8.22
Sollecitazioni agenti localmente: Ty_l=-1075.47 My_l=-22.00
Tensioni nella sezione: σ=266.68 τ=32.59
CC 5 SLV (Collegamento -044_-376)
Azioni sul collegamento: N=-6251.19 Ty=14.73 Tz=-0.13 Mx=0.02 Mz=12.53
Sollecitazioni agenti localmente: Ty_l=-1058.32 My_l=-21.63
Tensioni nella sezione: σ=262.13 τ=32.07
CC 6 SLD (Collegamento -044_-376)
Azioni sul collegamento: N=-11264.30 Ty=9.42 Tz=18.16 Mx=0.01 Mz=7.58
Sollecitazioni agenti localmente: Ty_l=-1966.70 My_l=-40.28
Tensioni nella sezione: σ=488.18 τ=59.60
CC 6 SLD (Collegamento -044_-376)
Azioni sul collegamento: N=-11264.30 Ty=11.47 Tz=18.16 Mx=0.01 Mz=8.89
Sollecitazioni agenti localmente: Ty_l=-1961.47 My_l=-40.16
Tensioni nella sezione: σ=486.80 τ=59.44
CC 6 SLD (Collegamento -044_-376)
Azioni sul collegamento: N=-11264.30 Ty=9.42 Tz=9.43 Mx=0.01 Mz=7.58
Sollecitazioni agenti localmente: Ty_l=-1966.70 My_l=-40.28
Tensioni nella sezione: σ=488.18 τ=59.60
CC 6 SLD (Collegamento -044_-376)
Azioni sul collegamento: N=-11264.30 Ty=11.47 Tz=9.43 Mx=0.01 Mz=8.89
Sollecitazioni agenti localmente: Ty_l=-1961.47 My_l=-40.16
Tensioni nella sezione: σ=486.80 τ=59.44
CC 6 SLD (Collegamento -044_-376)
Azioni sul collegamento: N=-8875.79 Ty=9.42 Tz=18.16 Mx=0.01 Mz=7.58
Sollecitazioni agenti localmente: Ty_l=-1543.29 My_l=-31.60
Tensioni nella sezione: σ=382.97 τ=46.77
CC 6 SLD (Collegamento -044_-376)
Azioni sul collegamento: N=-8875.79 Ty=11.47 Tz=18.16 Mx=0.01 Mz=8.89
Sollecitazioni agenti localmente: Ty_l=-1538.06 My_l=-31.48
Tensioni nella sezione: σ=381.58 τ=46.61
CC 6 SLD (Collegamento -044_-376)
Azioni sul collegamento: N=-8875.79 Ty=9.42 Tz=9.43 Mx=0.01 Mz=7.58
Sollecitazioni agenti localmente: Ty_l=-1543.29 My_l=-31.60
Tensioni nella sezione: σ=382.97 τ=46.77
CC 6 SLD (Collegamento -044_-376)
Azioni sul collegamento: N=-8875.79 Ty=11.47 Tz=9.43 Mx=0.01 Mz=8.89
Sollecitazioni agenti localmente: Ty_l=-1538.06 My_l=-31.48
Tensioni nella sezione: σ=381.58 τ=46.61
CC 7 SLV (Collegamento -044_-376)

Azioni sul collegamento: N=-14088.90 Ty=7.49 Tz=28.82 Mx=0.01 Mz=7.17
Sollecitazioni agenti localmente: Ty_l=-2469.06 My_l=-50.58
Tensioni nella sezione: σ=613.04 τ=74.82
CC 7 SLV (Collegamento -044_-376)
Azioni sul collegamento: N=-14088.90 Ty=15.25 Tz=28.82 Mx=0.01 Mz=13.58
Sollecitazioni agenti localmente: Ty_l=-2443.58 My_l=-50.02
Tensioni nella sezione: σ=606.27 τ=74.05
CC 7 SLV (Collegamento -044_-376)
Azioni sul collegamento: N=-14088.90 Ty=7.49 Tz=-0.46 Mx=0.01 Mz=7.17
Sollecitazioni agenti localmente: Ty_l=-2469.06 My_l=-50.58
Tensioni nella sezione: σ=613.04 τ=74.82
CC 7 SLV (Collegamento -044_-376)
Azioni sul collegamento: N=-14088.90 Ty=15.25 Tz=-0.46 Mx=0.01 Mz=13.58
Sollecitazioni agenti localmente: Ty_l=-2443.58 My_l=-50.02
Tensioni nella sezione: σ=606.27 τ=74.05
CC 7 SLV (Collegamento -044_-376)
Azioni sul collegamento: N=-6246.31 Ty=7.49 Tz=28.82 Mx=0.01 Mz=7.17
Sollecitazioni agenti localmente: Ty_l=-1078.77 My_l=-22.07
Tensioni nella sezione: σ=267.57 τ=32.69
CC 7 SLV (Collegamento -044_-376)
Azioni sul collegamento: N=-6246.31 Ty=15.25 Tz=28.82 Mx=0.01 Mz=13.58
Sollecitazioni agenti localmente: Ty_l=-1053.29 My_l=-21.52
Tensioni nella sezione: σ=260.81 τ=31.92
CC 7 SLV (Collegamento -044_-376)
Azioni sul collegamento: N=-6246.31 Ty=7.49 Tz=-0.46 Mx=0.01 Mz=7.17
Sollecitazioni agenti localmente: Ty_l=-1078.77 My_l=-22.07
Tensioni nella sezione: σ=267.57 τ=32.69
CC 7 SLV (Collegamento -044_-376)
Azioni sul collegamento: N=-6246.31 Ty=15.25 Tz=-0.46 Mx=0.01 Mz=13.58
Sollecitazioni agenti localmente: Ty_l=-1053.29 My_l=-21.52
Tensioni nella sezione: σ=260.81 τ=31.92
CC 8 SLD (Collegamento -044_-376)
Azioni sul collegamento: N=-11265.80 Ty=9.26 Tz=18.26 Mx=0.01 Mz=7.26
Sollecitazioni agenti localmente: Ty_l=-1968.24 My_l=-40.31
Tensioni nella sezione: σ=488.59 τ=59.64
CC 8 SLD (Collegamento -044_-376)
Azioni sul collegamento: N=-11265.80 Ty=11.63 Tz=18.26 Mx=0.01 Mz=9.21
Sollecitazioni agenti localmente: Ty_l=-1960.47 My_l=-40.14
Tensioni nella sezione: σ=486.52 τ=59.41
CC 8 SLD (Collegamento -044_-376)
Azioni sul collegamento: N=-11265.80 Ty=9.26 Tz=9.33 Mx=0.01 Mz=7.26
Sollecitazioni agenti localmente: Ty_l=-1968.23 My_l=-40.31
Tensioni nella sezione: σ=488.59 τ=59.64
CC 8 SLD (Collegamento -044_-376)
Azioni sul collegamento: N=-11265.80 Ty=11.63 Tz=9.33 Mx=0.01 Mz=9.21
Sollecitazioni agenti localmente: Ty_l=-1960.46 My_l=-40.14
Tensioni nella sezione: σ=486.52 τ=59.41
CC 8 SLD (Collegamento -044_-376)
Azioni sul collegamento: N=-8874.30 Ty=9.26 Tz=18.26 Mx=0.01 Mz=7.26
Sollecitazioni agenti localmente: Ty_l=-1544.29 My_l=-31.62
Tensioni nella sezione: σ=383.24 τ=46.80
CC 8 SLD (Collegamento -044_-376)
Azioni sul collegamento: N=-8874.30 Ty=11.63 Tz=18.26 Mx=0.01 Mz=9.21
Sollecitazioni agenti localmente: Ty_l=-1536.52 My_l=-31.45
Tensioni nella sezione: σ=381.18 τ=46.56
CC 8 SLD (Collegamento -044_-376)
Azioni sul collegamento: N=-8874.30 Ty=9.26 Tz=9.33 Mx=0.01 Mz=7.26
Sollecitazioni agenti localmente: Ty_l=-1544.29 My_l=-31.62
Tensioni nella sezione: σ=383.24 τ=46.80
CC 8 SLD (Collegamento -044_-376)
Azioni sul collegamento: N=-8874.30 Ty=11.63 Tz=9.33 Mx=0.01 Mz=9.21
Sollecitazioni agenti localmente: Ty_l=-1536.52 My_l=-31.45
Tensioni nella sezione: σ=381.18 τ=46.56
CC 9 SLV (Collegamento -044_-376)
Azioni sul collegamento: N=-8983.82 Ty=13.31 Tz=9.29 Mx=0.02 Mz=12.92
Sollecitazioni agenti localmente: Ty_l=-1541.18 My_l=-31.52
Tensioni nella sezione: σ=382.09 τ=46.70
CC 9 SLV (Collegamento -044_-376)
Azioni sul collegamento: N=-8983.82 Ty=9.43 Tz=9.29 Mx=0.02 Mz=7.83
Sollecitazioni agenti localmente: Ty_l=-1561.46 My_l=-31.97
Tensioni nella sezione: σ=387.47 τ=47.32
CC 9 SLV (Collegamento -044_-376)
Azioni sul collegamento: N=-8983.82 Ty=13.31 Tz=19.07 Mx=0.02 Mz=12.92
Sollecitazioni agenti localmente: Ty_l=-1541.18 My_l=-31.52
Tensioni nella sezione: σ=382.09 τ=46.70
CC 9 SLV (Collegamento -044_-376)
Azioni sul collegamento: N=-8983.82 Ty=9.43 Tz=19.07 Mx=0.02 Mz=7.83
Sollecitazioni agenti localmente: Ty_l=-1561.46 My_l=-31.97
Tensioni nella sezione: σ=387.47 τ=47.32

CC 9 SLV (Collegamento -044_-376)
Azioni sul collegamento: N=-11351.40 Ty=13.31 Tz=9.29 Mx=0.02 Mz=12.92
Sollecitazioni agenti localmente: Ty_l=-1960.89 My_l=-40.13
Tensioni nella sezione: σ=486.38 τ=59.42
CC 9 SLV (Collegamento -044_-376)
Azioni sul collegamento: N=-11351.40 Ty=9.43 Tz=9.29 Mx=0.02 Mz=7.83
Sollecitazioni agenti localmente: Ty_l=-1981.17 My_l=-40.57
Tensioni nella sezione: σ=491.76 τ=60.04
CC 9 SLV (Collegamento -044_-376)
Azioni sul collegamento: N=-11351.40 Ty=13.31 Tz=19.07 Mx=0.02 Mz=12.92
Sollecitazioni agenti localmente: Ty_l=-1960.89 My_l=-40.13
Tensioni nella sezione: σ=486.38 τ=59.42
CC 9 SLV (Collegamento -044_-376)
Azioni sul collegamento: N=-11351.40 Ty=9.43 Tz=19.07 Mx=0.02 Mz=7.83
Sollecitazioni agenti localmente: Ty_l=-1981.17 My_l=-40.57
Tensioni nella sezione: σ=491.76 τ=60.04
CC 10 SLD (Collegamento -044_-376)
Azioni sul collegamento: N=-9709.06 Ty=11.04 Tz=12.31 Mx=0.01 Mz=9.01
Sollecitazioni agenti localmente: Ty_l=-1685.29 My_l=-34.50
Tensioni nella sezione: σ=418.16 τ=51.07
CC 10 SLD (Collegamento -044_-376)
Azioni sul collegamento: N=-9709.06 Ty=9.85 Tz=12.31 Mx=0.01 Mz=7.46
Sollecitazioni agenti localmente: Ty_l=-1691.48 My_l=-34.63
Tensioni nella sezione: σ=419.80 τ=51.26
CC 10 SLD (Collegamento -044_-376)
Azioni sul collegamento: N=-9709.06 Ty=11.04 Tz=15.29 Mx=0.01 Mz=9.01
Sollecitazioni agenti localmente: Ty_l=-1685.29 My_l=-34.50
Tensioni nella sezione: σ=418.16 τ=51.07
CC 10 SLD (Collegamento -044_-376)
Azioni sul collegamento: N=-9709.06 Ty=9.85 Tz=15.29 Mx=0.01 Mz=7.46
Sollecitazioni agenti localmente: Ty_l=-1691.48 My_l=-34.63
Tensioni nella sezione: σ=419.80 τ=51.26
CC 10 SLD (Collegamento -044_-376)
Azioni sul collegamento: N=-10431.00 Ty=11.04 Tz=12.31 Mx=0.01 Mz=9.01
Sollecitazioni agenti localmente: Ty_l=-1813.28 My_l=-37.12
Tensioni nella sezione: σ=449.96 τ=54.95
CC 10 SLD (Collegamento -044_-376)
Azioni sul collegamento: N=-10431.00 Ty=9.85 Tz=12.31 Mx=0.01 Mz=7.46
Sollecitazioni agenti localmente: Ty_l=-1819.46 My_l=-37.26
Tensioni nella sezione: σ=451.61 τ=55.14
CC 10 SLD (Collegamento -044_-376)
Azioni sul collegamento: N=-10431.00 Ty=11.04 Tz=15.29 Mx=0.01 Mz=9.01
Sollecitazioni agenti localmente: Ty_l=-1813.28 My_l=-37.12
Tensioni nella sezione: σ=449.96 τ=54.95
CC 10 SLD (Collegamento -044_-376)
Azioni sul collegamento: N=-10431.00 Ty=9.85 Tz=15.29 Mx=0.01 Mz=7.46
Sollecitazioni agenti localmente: Ty_l=-1819.46 My_l=-37.26
Tensioni nella sezione: σ=451.61 τ=55.14
CC 11 SLV (Collegamento -044_-376)
Azioni sul collegamento: N=-11335.10 Ty=11.14 Tz=17.98 Mx=0.02 Mz=11.32
Sollecitazioni agenti localmente: Ty_l=-1964.40 My_l=-40.21
Tensioni nella sezione: σ=487.36 τ=59.53
CC 11 SLV (Collegamento -044_-376)
Azioni sul collegamento: N=-11335.10 Ty=11.60 Tz=17.98 Mx=0.02 Mz=9.43
Sollecitazioni agenti localmente: Ty_l=-1971.89 My_l=-40.37
Tensioni nella sezione: σ=489.35 τ=59.75
CC 11 SLV (Collegamento -044_-376)
Azioni sul collegamento: N=-11335.10 Ty=11.14 Tz=10.38 Mx=0.02 Mz=11.32
Sollecitazioni agenti localmente: Ty_l=-1964.40 My_l=-40.21
Tensioni nella sezione: σ=487.36 τ=59.53
CC 11 SLV (Collegamento -044_-376)
Azioni sul collegamento: N=-11335.10 Ty=11.60 Tz=10.38 Mx=0.02 Mz=9.43
Sollecitazioni agenti localmente: Ty_l=-1971.89 My_l=-40.37
Tensioni nella sezione: σ=489.35 τ=59.75
CC 11 SLV (Collegamento -044_-376)
Azioni sul collegamento: N=-9000.10 Ty=11.14 Tz=17.98 Mx=0.02 Mz=11.32
Sollecitazioni agenti localmente: Ty_l=-1550.46 My_l=-31.72
Tensioni nella sezione: σ=384.50 τ=46.98
CC 11 SLV (Collegamento -044_-376)
Azioni sul collegamento: N=-9000.10 Ty=11.60 Tz=17.98 Mx=0.02 Mz=9.43
Sollecitazioni agenti localmente: Ty_l=-1557.95 My_l=-31.89
Tensioni nella sezione: σ=386.49 τ=47.21
CC 11 SLV (Collegamento -044_-376)
Azioni sul collegamento: N=-9000.10 Ty=11.14 Tz=10.38 Mx=0.02 Mz=11.32
Sollecitazioni agenti localmente: Ty_l=-1550.46 My_l=-31.72
Tensioni nella sezione: σ=384.50 τ=46.98
CC 11 SLV (Collegamento -044_-376)
Azioni sul collegamento: N=-9000.10 Ty=11.60 Tz=10.38 Mx=0.02 Mz=9.43
Sollecitazioni agenti localmente: Ty_l=-1557.95 My_l=-31.89

Tensioni nella sezione: σ=386.49 τ=47.21
CC 12 SLD (Collegamento -044_-376)
Azioni sul collegamento: N=-10426.00 Ty=10.37 Tz=14.95 Mx=0.01 Mz=8.52
Sollecitazioni agenti localmente: Ty_l=-1814.35 My_l=-37.15
Tensioni nella sezione: σ=450.26 τ=54.98
CC 12 SLD (Collegamento -044_-376)
Azioni sul collegamento: N=-10426.00 Ty=10.51 Tz=14.95 Mx=0.01 Mz=7.95
Sollecitazioni agenti localmente: Ty_l=-1816.63 My_l=-37.20
Tensioni nella sezione: σ=450.87 τ=55.05
CC 12 SLD (Collegamento -044_-376)
Azioni sul collegamento: N=-10426.00 Ty=10.37 Tz=12.64 Mx=0.01 Mz=8.52
Sollecitazioni agenti localmente: Ty_l=-1814.35 My_l=-37.15
Tensioni nella sezione: σ=450.26 τ=54.98
CC 12 SLD (Collegamento -044_-376)
Azioni sul collegamento: N=-10426.00 Ty=10.51 Tz=12.64 Mx=0.01 Mz=7.95
Sollecitazioni agenti localmente: Ty_l=-1816.63 My_l=-37.20
Tensioni nella sezione: σ=450.87 τ=55.05
CC 12 SLD (Collegamento -044_-376)
Azioni sul collegamento: N=-9714.02 Ty=10.37 Tz=14.95 Mx=0.01 Mz=8.52
Sollecitazioni agenti localmente: Ty_l=-1688.13 My_l=-34.56
Tensioni nella sezione: σ=418.90 τ=51.16
CC 12 SLD (Collegamento -044_-376)
Azioni sul collegamento: N=-9714.02 Ty=10.51 Tz=14.95 Mx=0.01 Mz=7.95
Sollecitazioni agenti localmente: Ty_l=-1690.41 My_l=-34.61
Tensioni nella sezione: σ=419.50 τ=51.22
CC 12 SLD (Collegamento -044_-376)
Azioni sul collegamento: N=-9714.02 Ty=10.37 Tz=12.64 Mx=0.01 Mz=8.52
Sollecitazioni agenti localmente: Ty_l=-1688.13 My_l=-34.56
Tensioni nella sezione: σ=418.90 τ=51.16
CC 12 SLD (Collegamento -044_-376)
Azioni sul collegamento: N=-9714.02 Ty=10.51 Tz=12.64 Mx=0.01 Mz=7.95
Sollecitazioni agenti localmente: Ty_l=-1690.41 My_l=-34.61
Tensioni nella sezione: σ=419.50 τ=51.22
CC 13 SLV (Collegamento -044_-376)
Azioni sul collegamento: N=-9000.10 Ty=11.60 Tz=10.38 Mx=0.01 Mz=9.43
Sollecitazioni agenti localmente: Ty_l=-1557.95 My_l=-31.89
Tensioni nella sezione: σ=386.49 τ=47.21
CC 13 SLV (Collegamento -044_-376)
Azioni sul collegamento: N=-9000.10 Ty=11.14 Tz=10.38 Mx=0.01 Mz=11.32
Sollecitazioni agenti localmente: Ty_l=-1550.46 My_l=-31.72
Tensioni nella sezione: σ=384.50 τ=46.98
CC 13 SLV (Collegamento -044_-376)
Azioni sul collegamento: N=-9000.10 Ty=11.60 Tz=17.98 Mx=0.01 Mz=9.43
Sollecitazioni agenti localmente: Ty_l=-1557.95 My_l=-31.89
Tensioni nella sezione: σ=386.49 τ=47.21
CC 13 SLV (Collegamento -044_-376)
Azioni sul collegamento: N=-9000.10 Ty=11.14 Tz=17.98 Mx=0.01 Mz=11.32
Sollecitazioni agenti localmente: Ty_l=-1550.46 My_l=-31.72
Tensioni nella sezione: σ=384.50 τ=46.98
CC 13 SLV (Collegamento -044_-376)
Azioni sul collegamento: N=-11335.10 Ty=11.60 Tz=10.38 Mx=0.01 Mz=9.43
Sollecitazioni agenti localmente: Ty_l=-1971.89 My_l=-40.37
Tensioni nella sezione: σ=489.35 τ=59.75
CC 13 SLV (Collegamento -044_-376)
Azioni sul collegamento: N=-11335.10 Ty=11.14 Tz=10.38 Mx=0.01 Mz=11.32
Sollecitazioni agenti localmente: Ty_l=-1964.40 My_l=-40.21
Tensioni nella sezione: σ=487.36 τ=59.53
CC 13 SLV (Collegamento -044_-376)
Azioni sul collegamento: N=-11335.10 Ty=11.60 Tz=17.98 Mx=0.01 Mz=9.43
Sollecitazioni agenti localmente: Ty_l=-1971.89 My_l=-40.37
Tensioni nella sezione: σ=489.35 τ=59.75
CC 13 SLV (Collegamento -044_-376)
Azioni sul collegamento: N=-11335.10 Ty=11.14 Tz=17.98 Mx=0.01 Mz=11.32
Sollecitazioni agenti localmente: Ty_l=-1964.40 My_l=-40.21
Tensioni nella sezione: σ=487.36 τ=59.53
CC 14 SLD (Collegamento -044_-376)
Azioni sul collegamento: N=-9714.02 Ty=10.51 Tz=12.64 Mx=0.00 Mz=7.95
Sollecitazioni agenti localmente: Ty_l=-1690.41 My_l=-34.61
Tensioni nella sezione: σ=419.50 τ=51.22
CC 14 SLD (Collegamento -044_-376)
Azioni sul collegamento: N=-9714.02 Ty=10.37 Tz=12.64 Mx=0.00 Mz=8.52
Sollecitazioni agenti localmente: Ty_l=-1688.13 My_l=-34.56
Tensioni nella sezione: σ=418.90 τ=51.16
CC 14 SLD (Collegamento -044_-376)
Azioni sul collegamento: N=-9714.02 Ty=10.51 Tz=14.95 Mx=0.00 Mz=7.95
Sollecitazioni agenti localmente: Ty_l=-1690.41 My_l=-34.61
Tensioni nella sezione: σ=419.50 τ=51.22
CC 14 SLD (Collegamento -044_-376)
Azioni sul collegamento: N=-9714.02 Ty=10.37 Tz=14.95 Mx=0.00 Mz=8.52

Sollecitazioni agenti localmente: Ty_l=-1688.13 My_l=-34.56
Tensioni nella sezione: σ=418.90 τ=51.16
CC 14 SLD (Collegamento -044_-376)
Azioni sul collegamento: N=-10426.00 Ty=10.51 Tz=12.64 Mx=0.00 Mz=7.95
Sollecitazioni agenti localmente: Ty_l=-1816.63 My_l=-37.20
Tensioni nella sezione: σ=450.87 τ=55.05
CC 14 SLD (Collegamento -044_-376)
Azioni sul collegamento: N=-10426.00 Ty=10.37 Tz=12.64 Mx=0.00 Mz=8.52
Sollecitazioni agenti localmente: Ty_l=-1814.35 My_l=-37.15
Tensioni nella sezione: σ=450.26 τ=54.98
CC 14 SLD (Collegamento -044_-376)
Azioni sul collegamento: N=-10426.00 Ty=10.51 Tz=14.95 Mx=0.00 Mz=7.95
Sollecitazioni agenti localmente: Ty_l=-1816.63 My_l=-37.20
Tensioni nella sezione: σ=450.87 τ=55.05
CC 14 SLD (Collegamento -044_-376)
Azioni sul collegamento: N=-10426.00 Ty=10.37 Tz=14.95 Mx=0.00 Mz=8.52
Sollecitazioni agenti localmente: Ty_l=-1814.35 My_l=-37.15
Tensioni nella sezione: σ=450.26 τ=54.98
CC 15 SLV (Collegamento -044_-376)
Azioni sul collegamento: N=-11351.40 Ty=9.43 Tz=19.07 Mx=0.01 Mz=7.83
Sollecitazioni agenti localmente: Ty_l=-1981.17 My_l=-40.57
Tensioni nella sezione: σ=491.76 τ=60.04
CC 15 SLV (Collegamento -044_-376)
Azioni sul collegamento: N=-11351.40 Ty=13.31 Tz=19.07 Mx=0.01 Mz=12.92
Sollecitazioni agenti localmente: Ty_l=-1960.89 My_l=-40.13
Tensioni nella sezione: σ=486.38 τ=59.42
CC 15 SLV (Collegamento -044_-376)
Azioni sul collegamento: N=-11351.40 Ty=9.43 Tz=9.29 Mx=0.01 Mz=7.83
Sollecitazioni agenti localmente: Ty_l=-1981.17 My_l=-40.57
Tensioni nella sezione: σ=491.76 τ=60.04
CC 15 SLV (Collegamento -044_-376)
Azioni sul collegamento: N=-11351.40 Ty=13.31 Tz=9.29 Mx=0.01 Mz=12.92
Sollecitazioni agenti localmente: Ty_l=-1960.89 My_l=-40.13
Tensioni nella sezione: σ=486.38 τ=59.42
CC 15 SLV (Collegamento -044_-376)
Azioni sul collegamento: N=-8983.82 Ty=9.43 Tz=19.07 Mx=0.01 Mz=7.83
Sollecitazioni agenti localmente: Ty_l=-1561.46 My_l=-31.97
Tensioni nella sezione: σ=387.47 τ=47.32
CC 15 SLV (Collegamento -044_-376)
Azioni sul collegamento: N=-8983.82 Ty=13.31 Tz=19.07 Mx=0.01 Mz=12.92
Sollecitazioni agenti localmente: Ty_l=-1541.18 My_l=-31.52
Tensioni nella sezione: σ=382.09 τ=46.70
CC 15 SLV (Collegamento -044_-376)
Azioni sul collegamento: N=-8983.82 Ty=9.43 Tz=9.29 Mx=0.01 Mz=7.83
Sollecitazioni agenti localmente: Ty_l=-1561.46 My_l=-31.97
Tensioni nella sezione: σ=387.47 τ=47.32
CC 15 SLV (Collegamento -044_-376)
Azioni sul collegamento: N=-8983.82 Ty=13.31 Tz=9.29 Mx=0.01 Mz=12.92
Sollecitazioni agenti localmente: Ty_l=-1541.18 My_l=-31.52
Tensioni nella sezione: σ=382.09 τ=46.70
CC 16 SLD (Collegamento -044_-376)
Azioni sul collegamento: N=-10431.00 Ty=9.85 Tz=15.29 Mx=0.00 Mz=7.46
Sollecitazioni agenti localmente: Ty_l=-1819.46 My_l=-37.26
Tensioni nella sezione: σ=451.61 τ=55.14
CC 16 SLD (Collegamento -044_-376)
Azioni sul collegamento: N=-10431.00 Ty=11.04 Tz=15.29 Mx=0.00 Mz=9.01
Sollecitazioni agenti localmente: Ty_l=-1813.28 My_l=-37.12
Tensioni nella sezione: σ=449.96 τ=54.95
CC 16 SLD (Collegamento -044_-376)
Azioni sul collegamento: N=-10431.00 Ty=9.85 Tz=12.31 Mx=0.00 Mz=7.46
Sollecitazioni agenti localmente: Ty_l=-1819.46 My_l=-37.26
Tensioni nella sezione: σ=451.61 τ=55.14
CC 16 SLD (Collegamento -044_-376)
Azioni sul collegamento: N=-10431.00 Ty=11.04 Tz=12.31 Mx=0.00 Mz=9.01
Sollecitazioni agenti localmente: Ty_l=-1813.28 My_l=-37.12
Tensioni nella sezione: σ=449.96 τ=54.95
CC 16 SLD (Collegamento -044_-376)
Azioni sul collegamento: N=-9709.06 Ty=9.85 Tz=15.29 Mx=0.00 Mz=7.46
Sollecitazioni agenti localmente: Ty_l=-1691.48 My_l=-34.63
Tensioni nella sezione: σ=419.80 τ=51.26
CC 16 SLD (Collegamento -044_-376)
Azioni sul collegamento: N=-9709.06 Ty=11.04 Tz=15.29 Mx=0.00 Mz=9.01
Sollecitazioni agenti localmente: Ty_l=-1685.29 My_l=-34.50
Tensioni nella sezione: σ=418.16 τ=51.07
CC 16 SLD (Collegamento -044_-376)
Azioni sul collegamento: N=-9709.06 Ty=9.85 Tz=12.31 Mx=0.00 Mz=7.46
Sollecitazioni agenti localmente: Ty_l=-1691.48 My_l=-34.63
Tensioni nella sezione: σ=419.80 τ=51.26
CC 16 SLD (Collegamento -044_-376)

Azioni sul collegamento: N=-9709.06 Ty=11.04 Tz=12.31 Mx=0.00 Mz=9.01
Sollecitazioni agenti localmente: Ty_l=-1685.29 My_l=-34.50
Tensioni nella sezione: σ=418.16 τ=51.07
CC 17 SLV (Collegamento -044_-376)
Azioni sul collegamento: N=-5965.51 Ty=12.58 Tz=-1.56 Mx=-0.01 Mz=7.43
Sollecitazioni agenti localmente: Ty_l=-1027.99 My_l=-21.03
Tensioni nella sezione: σ=254.94 τ=31.15
CC 17 SLV (Collegamento -044_-376)
Azioni sul collegamento: N=-5965.51 Ty=4.83 Tz=-1.56 Mx=-0.01 Mz=1.02
Sollecitazioni agenti localmente: Ty_l=-1053.47 My_l=-21.59
Tensioni nella sezione: σ=261.70 τ=31.92
CC 17 SLV (Collegamento -044_-376)
Azioni sul collegamento: N=-5965.51 Ty=12.58 Tz=27.71 Mx=-0.01 Mz=7.43
Sollecitazioni agenti localmente: Ty_l=-1027.99 My_l=-21.03
Tensioni nella sezione: σ=254.94 τ=31.15
CC 17 SLV (Collegamento -044_-376)
Azioni sul collegamento: N=-5965.51 Ty=4.83 Tz=27.71 Mx=-0.01 Mz=1.02
Sollecitazioni agenti localmente: Ty_l=-1053.47 My_l=-21.59
Tensioni nella sezione: σ=261.70 τ=31.92
CC 17 SLV (Collegamento -044_-376)
Azioni sul collegamento: N=-13808.10 Ty=12.58 Tz=-1.56 Mx=-0.01 Mz=7.43
Sollecitazioni agenti localmente: Ty_l=-2418.27 My_l=-49.53
Tensioni nella sezione: σ=600.40 τ=73.28
CC 17 SLV (Collegamento -044_-376)
Azioni sul collegamento: N=-13808.10 Ty=4.83 Tz=-1.56 Mx=-0.01 Mz=1.02
Sollecitazioni agenti localmente: Ty_l=-2443.75 My_l=-50.09
Tensioni nella sezione: σ=607.17 τ=74.05
CC 17 SLV (Collegamento -044_-376)
Azioni sul collegamento: N=-13808.10 Ty=12.58 Tz=27.71 Mx=-0.01 Mz=7.43
Sollecitazioni agenti localmente: Ty_l=-2418.27 My_l=-49.53
Tensioni nella sezione: σ=600.40 τ=73.28
CC 17 SLV (Collegamento -044_-376)
Azioni sul collegamento: N=-13808.10 Ty=4.83 Tz=27.71 Mx=-0.01 Mz=1.02
Sollecitazioni agenti localmente: Ty_l=-2443.75 My_l=-50.09
Tensioni nella sezione: σ=607.17 τ=74.05
CC 18 SLD (Collegamento -044_-376)
Azioni sul collegamento: N=-8788.68 Ty=10.81 Tz=9.00 Mx=-0.00 Mz=7.34
Sollecitazioni agenti localmente: Ty_l=-1528.81 My_l=-31.30
Tensioni nella sezione: σ=379.39 τ=46.33
CC 18 SLD (Collegamento -044_-376)
Azioni sul collegamento: N=-8788.68 Ty=8.45 Tz=9.00 Mx=-0.00 Mz=5.38
Sollecitazioni agenti localmente: Ty_l=-1536.58 My_l=-31.47
Tensioni nella sezione: σ=381.45 τ=46.56
CC 18 SLD (Collegamento -044_-376)
Azioni sul collegamento: N=-8788.68 Ty=10.81 Tz=17.92 Mx=-0.00 Mz=7.34
Sollecitazioni agenti localmente: Ty_l=-1528.81 My_l=-31.30
Tensioni nella sezione: σ=379.39 τ=46.33
CC 18 SLD (Collegamento -044_-376)
Azioni sul collegamento: N=-8788.68 Ty=8.45 Tz=17.92 Mx=-0.00 Mz=5.38
Sollecitazioni agenti localmente: Ty_l=-1536.58 My_l=-31.47
Tensioni nella sezione: σ=381.45 τ=46.56
CC 18 SLD (Collegamento -044_-376)
Azioni sul collegamento: N=-11180.10 Ty=10.81 Tz=9.00 Mx=-0.00 Mz=7.34
Sollecitazioni agenti localmente: Ty_l=-1952.75 My_l=-39.99
Tensioni nella sezione: σ=484.73 τ=59.17
CC 18 SLD (Collegamento -044_-376)
Azioni sul collegamento: N=-11180.10 Ty=8.45 Tz=9.00 Mx=-0.00 Mz=5.38
Sollecitazioni agenti localmente: Ty_l=-1960.52 My_l=-40.16
Tensioni nella sezione: σ=486.80 τ=59.41
CC 18 SLD (Collegamento -044_-376)
Azioni sul collegamento: N=-11180.10 Ty=10.81 Tz=17.92 Mx=-0.00 Mz=7.34
Sollecitazioni agenti localmente: Ty_l=-1952.75 My_l=-39.99
Tensioni nella sezione: σ=484.73 τ=59.17
CC 18 SLD (Collegamento -044_-376)
Azioni sul collegamento: N=-11180.10 Ty=8.45 Tz=17.92 Mx=-0.00 Mz=5.38
Sollecitazioni agenti localmente: Ty_l=-1960.52 My_l=-40.16
Tensioni nella sezione: σ=486.80 τ=59.41
CC 19 SLV (Collegamento -044_-376)
Azioni sul collegamento: N=-5970.39 Ty=12.07 Tz=-1.24 Mx=-0.01 Mz=6.38
Sollecitazioni agenti localmente: Ty_l=-1033.02 My_l=-21.14
Tensioni nella sezione: σ=256.26 τ=31.30
CC 19 SLV (Collegamento -044_-376)
Azioni sul collegamento: N=-5970.39 Ty=5.34 Tz=-1.24 Mx=-0.01 Mz=2.07
Sollecitazioni agenti localmente: Ty_l=-1050.17 My_l=-21.52
Tensioni nella sezione: σ=260.81 τ=31.82
CC 19 SLV (Collegamento -044_-376)
Azioni sul collegamento: N=-5970.39 Ty=12.07 Tz=27.38 Mx=-0.01 Mz=6.38
Sollecitazioni agenti localmente: Ty_l=-1033.02 My_l=-21.14
Tensioni nella sezione: σ=256.26 τ=31.30

CC 19 SLV (Collegamento -044_-376)
Azioni sul collegamento: N=-5970.39 Ty=5.34 Tz=27.38 Mx=-0.01 Mz=2.07
Sollecitazioni agenti localmente: Ty_l=-1050.17 My_l=-21.52
Tensioni nella sezione: σ=260.81 τ=31.82
CC 19 SLV (Collegamento -044_-376)
Azioni sul collegamento: N=-13803.30 Ty=12.07 Tz=-1.24 Mx=-0.01 Mz=6.38
Sollecitazioni agenti localmente: Ty_l=-2421.57 My_l=-49.61
Tensioni nella sezione: σ=601.29 τ=73.38
CC 19 SLV (Collegamento -044_-376)
Azioni sul collegamento: N=-13803.30 Ty=5.34 Tz=-1.24 Mx=-0.01 Mz=2.07
Sollecitazioni agenti localmente: Ty_l=-2438.72 My_l=-49.98
Tensioni nella sezione: σ=605.85 τ=73.90
CC 19 SLV (Collegamento -044_-376)
Azioni sul collegamento: N=-13803.30 Ty=12.07 Tz=27.38 Mx=-0.01 Mz=6.38
Sollecitazioni agenti localmente: Ty_l=-2421.57 My_l=-49.61
Tensioni nella sezione: σ=601.29 τ=73.38
CC 19 SLV (Collegamento -044_-376)
Azioni sul collegamento: N=-13803.30 Ty=5.34 Tz=27.38 Mx=-0.01 Mz=2.07
Sollecitazioni agenti localmente: Ty_l=-2438.72 My_l=-49.98
Tensioni nella sezione: σ=605.85 τ=73.90
CC 20 SLD (Collegamento -044_-376)
Azioni sul collegamento: N=-8790.17 Ty=10.66 Tz=9.09 Mx=-0.00 Mz=7.02
Sollecitazioni agenti localmente: Ty_l=-1530.34 My_l=-31.33
Tensioni nella sezione: σ=379.79 τ=46.37
CC 20 SLD (Collegamento -044_-376)
Azioni sul collegamento: N=-8790.17 Ty=8.61 Tz=9.09 Mx=-0.00 Mz=5.70
Sollecitazioni agenti localmente: Ty_l=-1535.57 My_l=-31.45
Tensioni nella sezione: σ=381.18 τ=46.53
CC 20 SLD (Collegamento -044_-376)
Azioni sul collegamento: N=-8790.17 Ty=10.66 Tz=17.82 Mx=-0.00 Mz=7.02
Sollecitazioni agenti localmente: Ty_l=-1530.34 My_l=-31.33
Tensioni nella sezione: σ=379.79 τ=46.37
CC 20 SLD (Collegamento -044_-376)
Azioni sul collegamento: N=-8790.17 Ty=8.61 Tz=17.82 Mx=-0.00 Mz=5.70
Sollecitazioni agenti localmente: Ty_l=-1535.57 My_l=-31.45
Tensioni nella sezione: σ=381.18 τ=46.53
CC 20 SLD (Collegamento -044_-376)
Azioni sul collegamento: N=-11178.70 Ty=10.66 Tz=9.10 Mx=-0.00 Mz=7.02
Sollecitazioni agenti localmente: Ty_l=-1953.76 My_l=-40.01
Tensioni nella sezione: σ=485.00 τ=59.20
CC 20 SLD (Collegamento -044_-376)
Azioni sul collegamento: N=-11178.70 Ty=8.61 Tz=9.10 Mx=-0.00 Mz=5.70
Sollecitazioni agenti localmente: Ty_l=-1958.98 My_l=-40.13
Tensioni nella sezione: σ=486.39 τ=59.36
CC 20 SLD (Collegamento -044_-376)
Azioni sul collegamento: N=-11178.70 Ty=10.66 Tz=17.82 Mx=-0.00 Mz=7.02
Sollecitazioni agenti localmente: Ty_l=-1953.76 My_l=-40.01
Tensioni nella sezione: σ=485.00 τ=59.20
CC 20 SLD (Collegamento -044_-376)
Azioni sul collegamento: N=-11178.70 Ty=8.61 Tz=17.82 Mx=-0.00 Mz=5.70
Sollecitazioni agenti localmente: Ty_l=-1958.98 My_l=-40.13
Tensioni nella sezione: σ=486.39 τ=59.36
CC 21 SLV (Collegamento -044_-376)
Azioni sul collegamento: N=-13803.30 Ty=5.34 Tz=27.38 Mx=-0.01 Mz=2.07
Sollecitazioni agenti localmente: Ty_l=-2438.72 My_l=-49.98
Tensioni nella sezione: σ=605.85 τ=73.90
CC 21 SLV (Collegamento -044_-376)
Azioni sul collegamento: N=-13803.30 Ty=12.07 Tz=27.38 Mx=-0.01 Mz=6.38
Sollecitazioni agenti localmente: Ty_l=-2421.57 My_l=-49.61
Tensioni nella sezione: σ=601.29 τ=73.38
CC 21 SLV (Collegamento -044_-376)
Azioni sul collegamento: N=-13803.30 Ty=5.34 Tz=-1.24 Mx=-0.01 Mz=2.07
Sollecitazioni agenti localmente: Ty_l=-2438.72 My_l=-49.98
Tensioni nella sezione: σ=605.85 τ=73.90
CC 21 SLV (Collegamento -044_-376)
Azioni sul collegamento: N=-13803.30 Ty=12.07 Tz=-1.24 Mx=-0.01 Mz=6.38
Sollecitazioni agenti localmente: Ty_l=-2421.57 My_l=-49.61
Tensioni nella sezione: σ=601.29 τ=73.38
CC 21 SLV (Collegamento -044_-376)
Azioni sul collegamento: N=-5970.39 Ty=5.34 Tz=27.38 Mx=-0.01 Mz=2.07
Sollecitazioni agenti localmente: Ty_l=-1050.17 My_l=-21.52
Tensioni nella sezione: σ=260.81 τ=31.82
CC 21 SLV (Collegamento -044_-376)
Azioni sul collegamento: N=-5970.39 Ty=12.07 Tz=27.38 Mx=-0.01 Mz=6.38
Sollecitazioni agenti localmente: Ty_l=-1033.02 My_l=-21.14
Tensioni nella sezione: σ=256.26 τ=31.30
CC 21 SLV (Collegamento -044_-376)
Azioni sul collegamento: N=-5970.39 Ty=5.34 Tz=-1.24 Mx=-0.01 Mz=2.07
Sollecitazioni agenti localmente: Ty_l=-1050.17 My_l=-21.52

Tensioni nella sezione: σ=260.81 τ=31.82
CC 21 SLV (Collegamento -044_-376)
Azioni sul collegamento: N=-5970.39 Ty=12.07 Tz=-1.24 Mx=-0.01 Mz=6.38
Sollecitazioni agenti localmente: Ty_l=-1033.02 My_l=-21.14
Tensioni nella sezione: σ=256.26 τ=31.30
CC 22 SLD (Collegamento -044_-376)
Azioni sul collegamento: N=-11178.70 Ty=8.61 Tz=17.82 Mx=-0.00 Mz=5.70
Sollecitazioni agenti localmente: Ty_l=-1958.98 My_l=-40.13
Tensioni nella sezione: σ=486.39 τ=59.36
CC 22 SLD (Collegamento -044_-376)
Azioni sul collegamento: N=-11178.70 Ty=10.66 Tz=17.82 Mx=-0.00 Mz=7.02
Sollecitazioni agenti localmente: Ty_l=-1953.76 My_l=-40.01
Tensioni nella sezione: σ=485.00 τ=59.20
CC 22 SLD (Collegamento -044_-376)
Azioni sul collegamento: N=-11178.70 Ty=8.61 Tz=9.10 Mx=-0.00 Mz=5.70
Sollecitazioni agenti localmente: Ty_l=-1958.98 My_l=-40.13
Tensioni nella sezione: σ=486.39 τ=59.36
CC 22 SLD (Collegamento -044_-376)
Azioni sul collegamento: N=-11178.70 Ty=10.66 Tz=9.10 Mx=-0.00 Mz=7.02
Sollecitazioni agenti localmente: Ty_l=-1953.76 My_l=-40.01
Tensioni nella sezione: σ=485.00 τ=59.20
CC 22 SLD (Collegamento -044_-376)
Azioni sul collegamento: N=-8790.17 Ty=8.61 Tz=17.82 Mx=-0.00 Mz=5.70
Sollecitazioni agenti localmente: Ty_l=-1535.57 My_l=-31.45
Tensioni nella sezione: σ=381.18 τ=46.53
CC 22 SLD (Collegamento -044_-376)
Azioni sul collegamento: N=-8790.17 Ty=10.66 Tz=17.82 Mx=-0.00 Mz=7.02
Sollecitazioni agenti localmente: Ty_l=-1530.34 My_l=-31.33
Tensioni nella sezione: σ=379.79 τ=46.37
CC 22 SLD (Collegamento -044_-376)
Azioni sul collegamento: N=-8790.17 Ty=8.61 Tz=9.09 Mx=-0.00 Mz=5.70
Sollecitazioni agenti localmente: Ty_l=-1535.57 My_l=-31.45
Tensioni nella sezione: σ=381.18 τ=46.53
CC 22 SLD (Collegamento -044_-376)
Azioni sul collegamento: N=-8790.17 Ty=10.66 Tz=9.09 Mx=-0.00 Mz=7.02
Sollecitazioni agenti localmente: Ty_l=-1530.34 My_l=-31.33
Tensioni nella sezione: σ=379.79 τ=46.37
CC 23 SLV (Collegamento -044_-376)
Azioni sul collegamento: N=-13808.10 Ty=4.83 Tz=27.71 Mx=-0.01 Mz=1.02
Sollecitazioni agenti localmente: Ty_l=-2443.75 My_l=-50.09
Tensioni nella sezione: σ=607.17 τ=74.05
CC 23 SLV (Collegamento -044_-376)
Azioni sul collegamento: N=-13808.10 Ty=12.58 Tz=27.71 Mx=-0.01 Mz=7.43
Sollecitazioni agenti localmente: Ty_l=-2418.27 My_l=-49.53
Tensioni nella sezione: σ=600.40 τ=73.28
CC 23 SLV (Collegamento -044_-376)
Azioni sul collegamento: N=-13808.10 Ty=4.83 Tz=-1.56 Mx=-0.01 Mz=1.02
Sollecitazioni agenti localmente: Ty_l=-2443.75 My_l=-50.09
Tensioni nella sezione: σ=607.17 τ=74.05
CC 23 SLV (Collegamento -044_-376)
Azioni sul collegamento: N=-13808.10 Ty=12.58 Tz=-1.56 Mx=-0.01 Mz=7.43
Sollecitazioni agenti localmente: Ty_l=-2418.27 My_l=-49.53
Tensioni nella sezione: σ=600.40 τ=73.28
CC 23 SLV (Collegamento -044_-376)
Azioni sul collegamento: N=-5965.51 Ty=4.83 Tz=27.71 Mx=-0.01 Mz=1.02
Sollecitazioni agenti localmente: Ty_l=-1053.47 My_l=-21.59
Tensioni nella sezione: σ=261.70 τ=31.92
CC 23 SLV (Collegamento -044_-376)
Azioni sul collegamento: N=-5965.51 Ty=12.58 Tz=27.71 Mx=-0.01 Mz=7.43
Sollecitazioni agenti localmente: Ty_l=-1027.99 My_l=-21.03
Tensioni nella sezione: σ=254.94 τ=31.15
CC 23 SLV (Collegamento -044_-376)
Azioni sul collegamento: N=-5965.51 Ty=4.83 Tz=-1.56 Mx=-0.01 Mz=1.02
Sollecitazioni agenti localmente: Ty_l=-1053.47 My_l=-21.59
Tensioni nella sezione: σ=261.70 τ=31.92
CC 23 SLV (Collegamento -044_-376)
Azioni sul collegamento: N=-5965.51 Ty=12.58 Tz=-1.56 Mx=-0.01 Mz=7.43
Sollecitazioni agenti localmente: Ty_l=-1027.99 My_l=-21.03
Tensioni nella sezione: σ=254.94 τ=31.15
CC 24 SLD (Collegamento -044_-376)
Azioni sul collegamento: N=-11180.10 Ty=8.45 Tz=17.92 Mx=-0.00 Mz=5.38
Sollecitazioni agenti localmente: Ty_l=-1960.52 My_l=-40.16
Tensioni nella sezione: σ=486.80 τ=59.41
CC 24 SLD (Collegamento -044_-376)
Azioni sul collegamento: N=-11180.10 Ty=10.81 Tz=17.92 Mx=-0.00 Mz=7.34
Sollecitazioni agenti localmente: Ty_l=-1952.75 My_l=-39.99
Tensioni nella sezione: σ=484.73 τ=59.17
CC 24 SLD (Collegamento -044_-376)
Azioni sul collegamento: N=-11180.10 Ty=8.45 Tz=9.00 Mx=-0.00 Mz=5.38

Sollecitazioni agenti localmente: Ty_l=-1960.52 My_l=-40.16
Tensioni nella sezione: σ=486.80 τ=59.41
CC 24 SLD (Collegamento -044_-376)
Azioni sul collegamento: N=-11180.10 Ty=10.81 Tz=9.00 Mx=-0.00 Mz=7.34
Sollecitazioni agenti localmente: Ty_l=-1952.75 My_l=-39.99
Tensioni nella sezione: σ=484.73 τ=59.17
CC 24 SLD (Collegamento -044_-376)
Azioni sul collegamento: N=-8788.68 Ty=8.45 Tz=17.92 Mx=-0.00 Mz=5.38
Sollecitazioni agenti localmente: Ty_l=-1536.58 My_l=-31.47
Tensioni nella sezione: σ=381.45 τ=46.56
CC 24 SLD (Collegamento -044_-376)
Azioni sul collegamento: N=-8788.68 Ty=10.81 Tz=17.92 Mx=-0.00 Mz=7.34
Sollecitazioni agenti localmente: Ty_l=-1528.81 My_l=-31.30
Tensioni nella sezione: σ=379.39 τ=46.33
CC 24 SLD (Collegamento -044_-376)
Azioni sul collegamento: N=-8788.68 Ty=8.45 Tz=9.00 Mx=-0.00 Mz=5.38
Sollecitazioni agenti localmente: Ty_l=-1536.58 My_l=-31.47
Tensioni nella sezione: σ=381.45 τ=46.56
CC 24 SLD (Collegamento -044_-376)
Azioni sul collegamento: N=-8788.68 Ty=10.81 Tz=9.00 Mx=-0.00 Mz=7.34
Sollecitazioni agenti localmente: Ty_l=-1528.81 My_l=-31.30
Tensioni nella sezione: σ=379.39 τ=46.33
CC 25 SLV (Collegamento -044_-376)
Azioni sul collegamento: N=-8703.02 Ty=10.65 Tz=8.19 Mx=-0.02 Mz=6.77
Sollecitazioni agenti localmente: Ty_l=-1515.87 My_l=-31.04
Tensioni nella sezione: σ=376.21 τ=45.94
CC 25 SLV (Collegamento -044_-376)
Azioni sul collegamento: N=-8703.02 Ty=6.76 Tz=8.19 Mx=-0.02 Mz=1.67
Sollecitazioni agenti localmente: Ty_l=-1536.15 My_l=-31.48
Tensioni nella sezione: σ=381.60 τ=46.55
CC 25 SLV (Collegamento -044_-376)
Azioni sul collegamento: N=-8703.02 Ty=10.65 Tz=17.96 Mx=-0.02 Mz=6.77
Sollecitazioni agenti localmente: Ty_l=-1515.87 My_l=-31.04
Tensioni nella sezione: σ=376.21 τ=45.94
CC 25 SLV (Collegamento -044_-376)
Azioni sul collegamento: N=-8703.02 Ty=6.76 Tz=17.96 Mx=-0.02 Mz=1.67
Sollecitazioni agenti localmente: Ty_l=-1536.15 My_l=-31.48
Tensioni nella sezione: σ=381.60 τ=46.55
CC 25 SLV (Collegamento -044_-376)
Azioni sul collegamento: N=-11070.60 Ty=10.65 Tz=8.19 Mx=-0.02 Mz=6.77
Sollecitazioni agenti localmente: Ty_l=-1935.58 My_l=-39.64
Tensioni nella sezione: σ=480.51 τ=58.65
CC 25 SLV (Collegamento -044_-376)
Azioni sul collegamento: N=-11070.60 Ty=6.76 Tz=8.19 Mx=-0.02 Mz=1.67
Sollecitazioni agenti localmente: Ty_l=-1955.87 My_l=-40.09
Tensioni nella sezione: σ=485.89 τ=59.27
CC 25 SLV (Collegamento -044_-376)
Azioni sul collegamento: N=-11070.60 Ty=10.65 Tz=17.96 Mx=-0.02 Mz=6.77
Sollecitazioni agenti localmente: Ty_l=-1935.58 My_l=-39.64
Tensioni nella sezione: σ=480.51 τ=58.65
CC 25 SLV (Collegamento -044_-376)
Azioni sul collegamento: N=-11070.60 Ty=6.76 Tz=17.96 Mx=-0.02 Mz=1.67
Sollecitazioni agenti localmente: Ty_l=-1955.87 My_l=-40.09
Tensioni nella sezione: σ=485.89 τ=59.27
CC 26 SLD (Collegamento -044_-376)
Azioni sul collegamento: N=-9623.43 Ty=10.22 Tz=11.97 Mx=-0.00 Mz=7.14
Sollecitazioni agenti localmente: Ty_l=-1677.58 My_l=-34.35
Tensioni nella sezione: σ=416.37 τ=50.84
CC 26 SLD (Collegamento -044_-376)
Azioni sul collegamento: N=-9623.43 Ty=9.04 Tz=11.97 Mx=-0.00 Mz=5.58
Sollecitazioni agenti localmente: Ty_l=-1683.76 My_l=-34.49
Tensioni nella sezione: σ=418.01 τ=51.02
CC 26 SLD (Collegamento -044_-376)
Azioni sul collegamento: N=-9623.43 Ty=10.22 Tz=14.95 Mx=-0.00 Mz=7.14
Sollecitazioni agenti localmente: Ty_l=-1677.58 My_l=-34.35
Tensioni nella sezione: σ=416.37 τ=50.84
CC 26 SLD (Collegamento -044_-376)
Azioni sul collegamento: N=-9623.43 Ty=9.04 Tz=14.95 Mx=-0.00 Mz=5.58
Sollecitazioni agenti localmente: Ty_l=-1683.76 My_l=-34.49
Tensioni nella sezione: σ=418.01 τ=51.02
CC 26 SLD (Collegamento -044_-376)
Azioni sul collegamento: N=-10345.40 Ty=10.22 Tz=11.97 Mx=-0.00 Mz=7.14
Sollecitazioni agenti localmente: Ty_l=-1805.56 My_l=-36.97
Tensioni nella sezione: σ=448.17 τ=54.71
CC 26 SLD (Collegamento -044_-376)
Azioni sul collegamento: N=-10345.40 Ty=9.04 Tz=11.97 Mx=-0.00 Mz=5.58
Sollecitazioni agenti localmente: Ty_l=-1811.75 My_l=-37.11
Tensioni nella sezione: σ=449.81 τ=54.90
CC 26 SLD (Collegamento -044_-376)

Azioni sul collegamento: N=-10345.40 Ty=10.22 Tz=14.95 Mx=-0.00 Mz=7.14
Sollecitazioni agenti localmente: Ty_l=-1805.56 My_l=-36.97
Tensioni nella sezione: σ=448.17 τ=54.71
CC 26 SLD (Collegamento -044_-376)
Azioni sul collegamento: N=-10345.40 Ty=9.04 Tz=14.95 Mx=-0.00 Mz=5.58
Sollecitazioni agenti localmente: Ty_l=-1811.75 My_l=-37.11
Tensioni nella sezione: σ=449.81 τ=54.90
CC 27 SLV (Collegamento -044_-376)
Azioni sul collegamento: N=-11054.30 Ty=8.48 Tz=16.87 Mx=-0.02 Mz=5.16
Sollecitazioni agenti localmente: Ty_l=-1939.09 My_l=-39.72
Tensioni nella sezione: σ=481.49 τ=58.76
CC 27 SLV (Collegamento -044_-376)
Azioni sul collegamento: N=-11054.30 Ty=8.94 Tz=16.87 Mx=-0.02 Mz=3.28
Sollecitazioni agenti localmente: Ty_l=-1946.58 My_l=-39.89
Tensioni nella sezione: σ=483.48 τ=58.99
CC 27 SLV (Collegamento -044_-376)
Azioni sul collegamento: N=-11054.30 Ty=8.48 Tz=9.28 Mx=-0.02 Mz=5.16
Sollecitazioni agenti localmente: Ty_l=-1939.09 My_l=-39.72
Tensioni nella sezione: σ=481.49 τ=58.76
CC 27 SLV (Collegamento -044_-376)
Azioni sul collegamento: N=-11054.30 Ty=8.94 Tz=9.28 Mx=-0.02 Mz=3.28
Sollecitazioni agenti localmente: Ty_l=-1946.58 My_l=-39.89
Tensioni nella sezione: σ=483.48 τ=58.99
CC 27 SLV (Collegamento -044_-376)
Azioni sul collegamento: N=-8719.31 Ty=8.48 Tz=16.87 Mx=-0.02 Mz=5.16
Sollecitazioni agenti localmente: Ty_l=-1525.15 My_l=-31.24
Tensioni nella sezione: σ=378.63 τ=46.22
CC 27 SLV (Collegamento -044_-376)
Azioni sul collegamento: N=-8719.31 Ty=8.94 Tz=16.87 Mx=-0.02 Mz=3.28
Sollecitazioni agenti localmente: Ty_l=-1532.65 My_l=-31.40
Tensioni nella sezione: σ=380.62 τ=46.44
CC 27 SLV (Collegamento -044_-376)
Azioni sul collegamento: N=-8719.31 Ty=8.48 Tz=9.28 Mx=-0.02 Mz=5.16
Sollecitazioni agenti localmente: Ty_l=-1525.15 My_l=-31.24
Tensioni nella sezione: σ=378.63 τ=46.22
CC 27 SLV (Collegamento -044_-376)
Azioni sul collegamento: N=-8719.31 Ty=8.94 Tz=9.28 Mx=-0.02 Mz=3.28
Sollecitazioni agenti localmente: Ty_l=-1532.65 My_l=-31.40
Tensioni nella sezione: σ=380.62 τ=46.44
CC 28 SLD (Collegamento -044_-376)
Azioni sul collegamento: N=-10340.40 Ty=9.56 Tz=14.62 Mx=-0.00 Mz=6.65
Sollecitazioni agenti localmente: Ty_l=-1806.63 My_l=-37.00
Tensioni nella sezione: σ=448.47 τ=54.75
CC 28 SLD (Collegamento -044_-376)
Azioni sul collegamento: N=-10340.40 Ty=9.70 Tz=14.62 Mx=-0.00 Mz=6.07
Sollecitazioni agenti localmente: Ty_l=-1808.92 My_l=-37.05
Tensioni nella sezione: σ=449.08 τ=54.82
CC 28 SLD (Collegamento -044_-376)
Azioni sul collegamento: N=-10340.40 Ty=9.56 Tz=12.30 Mx=-0.00 Mz=6.65
Sollecitazioni agenti localmente: Ty_l=-1806.63 My_l=-37.00
Tensioni nella sezione: σ=448.47 τ=54.75
CC 28 SLD (Collegamento -044_-376)
Azioni sul collegamento: N=-10340.40 Ty=9.70 Tz=12.30 Mx=-0.00 Mz=6.07
Sollecitazioni agenti localmente: Ty_l=-1808.92 My_l=-37.05
Tensioni nella sezione: σ=449.08 τ=54.82
CC 28 SLD (Collegamento -044_-376)
Azioni sul collegamento: N=-9628.40 Ty=9.56 Tz=14.62 Mx=-0.00 Mz=6.65
Sollecitazioni agenti localmente: Ty_l=-1680.41 My_l=-34.41
Tensioni nella sezione: σ=417.11 τ=50.92
CC 28 SLD (Collegamento -044_-376)
Azioni sul collegamento: N=-9628.40 Ty=9.70 Tz=14.62 Mx=-0.00 Mz=6.07
Sollecitazioni agenti localmente: Ty_l=-1682.69 My_l=-34.46
Tensioni nella sezione: σ=417.71 τ=50.99
CC 28 SLD (Collegamento -044_-376)
Azioni sul collegamento: N=-9628.40 Ty=9.56 Tz=12.30 Mx=-0.00 Mz=6.65
Sollecitazioni agenti localmente: Ty_l=-1680.41 My_l=-34.41
Tensioni nella sezione: σ=417.11 τ=50.92
CC 28 SLD (Collegamento -044_-376)
Azioni sul collegamento: N=-9628.40 Ty=9.70 Tz=12.30 Mx=-0.00 Mz=6.07
Sollecitazioni agenti localmente: Ty_l=-1682.69 My_l=-34.46
Tensioni nella sezione: σ=417.71 τ=50.99
CC 29 SLV (Collegamento -044_-376)
Azioni sul collegamento: N=-8719.31 Ty=8.94 Tz=9.28 Mx=-0.00 Mz=3.28
Sollecitazioni agenti localmente: Ty_l=-1532.65 My_l=-31.40
Tensioni nella sezione: σ=380.62 τ=46.44
CC 29 SLV (Collegamento -044_-376)
Azioni sul collegamento: N=-8719.31 Ty=8.48 Tz=9.28 Mx=-0.00 Mz=5.16
Sollecitazioni agenti localmente: Ty_l=-1525.15 My_l=-31.24
Tensioni nella sezione: σ=378.63 τ=46.22

CC 29 SLV (Collegamento -044_-376)
Azioni sul collegamento: N=-8719.31 Ty=8.94 Tz=16.87 Mx=-0.00 Mz=3.28
Sollecitazioni agenti localmente: Ty_l=-1532.65 My_l=-31.40
Tensioni nella sezione: σ=380.62 τ=46.44
CC 29 SLV (Collegamento -044_-376)
Azioni sul collegamento: N=-8719.31 Ty=8.48 Tz=16.87 Mx=-0.00 Mz=5.16
Sollecitazioni agenti localmente: Ty_l=-1525.15 My_l=-31.24
Tensioni nella sezione: σ=378.63 τ=46.22
CC 29 SLV (Collegamento -044_-376)
Azioni sul collegamento: N=-11054.30 Ty=8.94 Tz=9.28 Mx=-0.00 Mz=3.28
Sollecitazioni agenti localmente: Ty_l=-1946.58 My_l=-39.89
Tensioni nella sezione: σ=483.48 τ=58.99
CC 29 SLV (Collegamento -044_-376)
Azioni sul collegamento: N=-11054.30 Ty=8.48 Tz=9.28 Mx=-0.00 Mz=5.16
Sollecitazioni agenti localmente: Ty_l=-1939.09 My_l=-39.72
Tensioni nella sezione: σ=481.49 τ=58.76
CC 29 SLV (Collegamento -044_-376)
Azioni sul collegamento: N=-11054.30 Ty=8.94 Tz=16.87 Mx=-0.00 Mz=3.28
Sollecitazioni agenti localmente: Ty_l=-1946.58 My_l=-39.89
Tensioni nella sezione: σ=483.48 τ=58.99
CC 29 SLV (Collegamento -044_-376)
Azioni sul collegamento: N=-11054.30 Ty=8.48 Tz=16.87 Mx=-0.00 Mz=5.16
Sollecitazioni agenti localmente: Ty_l=-1939.09 My_l=-39.72
Tensioni nella sezione: σ=481.49 τ=58.76
CC 30 SLD (Collegamento -044_-376)
Azioni sul collegamento: N=-9628.40 Ty=9.70 Tz=12.30 Mx=0.00 Mz=6.07
Sollecitazioni agenti localmente: Ty_l=-1682.69 My_l=-34.46
Tensioni nella sezione: σ=417.71 τ=50.99
CC 30 SLD (Collegamento -044_-376)
Azioni sul collegamento: N=-9628.40 Ty=9.56 Tz=12.30 Mx=0.00 Mz=6.65
Sollecitazioni agenti localmente: Ty_l=-1680.41 My_l=-34.41
Tensioni nella sezione: σ=417.11 τ=50.92
CC 30 SLD (Collegamento -044_-376)
Azioni sul collegamento: N=-9628.40 Ty=9.70 Tz=14.62 Mx=0.00 Mz=6.07
Sollecitazioni agenti localmente: Ty_l=-1682.69 My_l=-34.46
Tensioni nella sezione: σ=417.71 τ=50.99
CC 30 SLD (Collegamento -044_-376)
Azioni sul collegamento: N=-9628.40 Ty=9.56 Tz=14.62 Mx=0.00 Mz=6.65
Sollecitazioni agenti localmente: Ty_l=-1680.41 My_l=-34.41
Tensioni nella sezione: σ=417.11 τ=50.92
CC 30 SLD (Collegamento -044_-376)
Azioni sul collegamento: N=-10340.40 Ty=9.70 Tz=12.30 Mx=0.00 Mz=6.07
Sollecitazioni agenti localmente: Ty_l=-1808.92 My_l=-37.05
Tensioni nella sezione: σ=449.08 τ=54.82
CC 30 SLD (Collegamento -044_-376)
Azioni sul collegamento: N=-10340.40 Ty=9.56 Tz=12.30 Mx=0.00 Mz=6.65
Sollecitazioni agenti localmente: Ty_l=-1806.63 My_l=-37.00
Tensioni nella sezione: σ=448.47 τ=54.75
CC 30 SLD (Collegamento -044_-376)
Azioni sul collegamento: N=-10340.40 Ty=9.70 Tz=14.62 Mx=0.00 Mz=6.07
Sollecitazioni agenti localmente: Ty_l=-1808.92 My_l=-37.05
Tensioni nella sezione: σ=449.08 τ=54.82
CC 30 SLD (Collegamento -044_-376)
Azioni sul collegamento: N=-10340.40 Ty=9.56 Tz=14.62 Mx=0.00 Mz=6.65
Sollecitazioni agenti localmente: Ty_l=-1806.63 My_l=-37.00
Tensioni nella sezione: σ=448.47 τ=54.75
CC 31 SLV (Collegamento -044_-376)
Azioni sul collegamento: N=-11070.60 Ty=6.76 Tz=17.96 Mx=-0.00 Mz=1.67
Sollecitazioni agenti localmente: Ty_l=-1955.87 My_l=-40.09
Tensioni nella sezione: σ=485.89 τ=59.27
CC 31 SLV (Collegamento -044_-376)
Azioni sul collegamento: N=-11070.60 Ty=10.65 Tz=17.96 Mx=-0.00 Mz=6.77
Sollecitazioni agenti localmente: Ty_l=-1935.58 My_l=-39.64
Tensioni nella sezione: σ=480.51 τ=58.65
CC 31 SLV (Collegamento -044_-376)
Azioni sul collegamento: N=-11070.60 Ty=6.76 Tz=8.19 Mx=-0.00 Mz=1.67
Sollecitazioni agenti localmente: Ty_l=-1955.87 My_l=-40.09
Tensioni nella sezione: σ=485.89 τ=59.27
CC 31 SLV (Collegamento -044_-376)
Azioni sul collegamento: N=-11070.60 Ty=10.65 Tz=8.19 Mx=-0.00 Mz=6.77
Sollecitazioni agenti localmente: Ty_l=-1935.58 My_l=-39.64
Tensioni nella sezione: σ=480.51 τ=58.65
CC 31 SLV (Collegamento -044_-376)
Azioni sul collegamento: N=-8703.02 Ty=6.76 Tz=17.96 Mx=-0.00 Mz=1.67
Sollecitazioni agenti localmente: Ty_l=-1536.15 My_l=-31.48
Tensioni nella sezione: σ=381.60 τ=46.55
CC 31 SLV (Collegamento -044_-376)
Azioni sul collegamento: N=-8703.02 Ty=10.65 Tz=17.96 Mx=-0.00 Mz=6.77
Sollecitazioni agenti localmente: Ty_l=-1515.87 My_l=-31.04

Tensioni nella sezione: σ=376.21 τ=45.94
CC 31 SLV (Collegamento -044_-376)
Azioni sul collegamento: N=-8703.02 Ty=6.76 Tz=8.19 Mx=-0.00 Mz=1.67
Sollecitazioni agenti localmente: Ty_l=-1536.15 My_l=-31.48
Tensioni nella sezione: σ=381.60 τ=46.55
CC 31 SLV (Collegamento -044_-376)
Azioni sul collegamento: N=-8703.02 Ty=10.65 Tz=8.19 Mx=-0.00 Mz=6.77
Sollecitazioni agenti localmente: Ty_l=-1515.87 My_l=-31.04
Tensioni nella sezione: σ=376.21 τ=45.94
CC 32 SLD (Collegamento -044_-376)
Azioni sul collegamento: N=-10345.40 Ty=9.04 Tz=14.95 Mx=0.00 Mz=5.58
Sollecitazioni agenti localmente: Ty_l=-1811.75 My_l=-37.11
Tensioni nella sezione: σ=449.81 τ=54.90
CC 32 SLD (Collegamento -044_-376)
Azioni sul collegamento: N=-10345.40 Ty=10.22 Tz=14.95 Mx=0.00 Mz=7.14
Sollecitazioni agenti localmente: Ty_l=-1805.56 My_l=-36.97
Tensioni nella sezione: σ=448.17 τ=54.71
CC 32 SLD (Collegamento -044_-376)
Azioni sul collegamento: N=-10345.40 Ty=9.04 Tz=11.97 Mx=0.00 Mz=5.58
Sollecitazioni agenti localmente: Ty_l=-1811.75 My_l=-37.11
Tensioni nella sezione: σ=449.81 τ=54.90
CC 32 SLD (Collegamento -044_-376)
Azioni sul collegamento: N=-10345.40 Ty=10.22 Tz=11.97 Mx=0.00 Mz=7.14
Sollecitazioni agenti localmente: Ty_l=-1805.56 My_l=-36.97
Tensioni nella sezione: σ=448.17 τ=54.71
CC 32 SLD (Collegamento -044_-376)
Azioni sul collegamento: N=-9623.43 Ty=9.04 Tz=14.95 Mx=0.00 Mz=5.58
Sollecitazioni agenti localmente: Ty_l=-1683.76 My_l=-34.49
Tensioni nella sezione: σ=418.01 τ=51.02
CC 32 SLD (Collegamento -044_-376)
Azioni sul collegamento: N=-9623.43 Ty=10.22 Tz=14.95 Mx=0.00 Mz=7.14
Sollecitazioni agenti localmente: Ty_l=-1677.58 My_l=-34.35
Tensioni nella sezione: σ=416.37 τ=50.84
CC 32 SLD (Collegamento -044_-376)
Azioni sul collegamento: N=-9623.43 Ty=9.04 Tz=11.97 Mx=0.00 Mz=5.58
Sollecitazioni agenti localmente: Ty_l=-1683.76 My_l=-34.49
Tensioni nella sezione: σ=418.01 τ=51.02
CC 32 SLD (Collegamento -044_-376)
Azioni sul collegamento: N=-9623.43 Ty=10.22 Tz=11.97 Mx=0.00 Mz=7.14
Sollecitazioni agenti localmente: Ty_l=-1677.58 My_l=-34.35
Tensioni nella sezione: σ=416.37 τ=50.84
CC 33 SLU (Collegamento -044_-376)
Azioni sul collegamento: N=-37458.50 Ty=20.96 Tz=106.28 Mx=0.00 Mz=15.40
Sollecitazioni agenti localmente: Ty_l=-6579.14 My_l=-134.79
Tensioni nella sezione: σ=1633.78 τ=199.37
CC 34 SLU (Collegamento -044_-376)
Azioni sul collegamento: N=-36642.60 Ty=20.20 Tz=103.27 Mx=0.00 Mz=14.84
Sollecitazioni agenti localmente: Ty_l=-6436.70 My_l=-131.87
Tensioni nella sezione: σ=1598.42 τ=195.05
CC 35 SLU (Collegamento -044_-376)
Azioni sul collegamento: N=-37049.70 Ty=20.49 Tz=104.83 Mx=0.01 Mz=14.94
Sollecitazioni agenti localmente: Ty_l=-6508.49 My_l=-133.34
Tensioni nella sezione: σ=1616.25 τ=197.23
CC 36 SLU (Collegamento -044_-376)
Azioni sul collegamento: N=-37051.40 Ty=20.67 Tz=104.72 Mx=0.00 Mz=15.30
Sollecitazioni agenti localmente: Ty_l=-6507.35 My_l=-133.32
Tensioni nella sezione: σ=1615.95 τ=197.19
CC 37 SLU (Collegamento -044_-376)
Azioni sul collegamento: N=-28275.70 Ty=20.11 Tz=72.57 Mx=0.00 Mz=14.65
Sollecitazioni agenti localmente: Ty_l=-4954.25 My_l=-101.48
Tensioni nella sezione: σ=1230.07 τ=150.13
CC 38 SLU (Collegamento -044_-376)
Azioni sul collegamento: N=-27459.70 Ty=19.36 Tz=69.55 Mx=0.00 Mz=14.09
Sollecitazioni agenti localmente: Ty_l=-4811.81 My_l=-98.56
Tensioni nella sezione: σ=1194.71 τ=145.81
CC 39 SLU (Collegamento -044_-376)
Azioni sul collegamento: N=-27866.80 Ty=19.65 Tz=71.12 Mx=0.01 Mz=14.19
Sollecitazioni agenti localmente: Ty_l=-4883.60 My_l=-100.03
Tensioni nella sezione: σ=1212.54 τ=147.99
CC 40 SLU (Collegamento -044_-376)
Azioni sul collegamento: N=-27868.60 Ty=19.82 Tz=71.00 Mx=0.00 Mz=14.55
Sollecitazioni agenti localmente: Ty_l=-4882.46 My_l=-100.01
Tensioni nella sezione: σ=1212.24 τ=147.95
CC 41 SLU (Collegamento -044_-376)
Azioni sul collegamento: N=-30676.20 Ty=-9.89 Tz=80.85 Mx=0.00 Mz=-7.99
Sollecitazioni agenti localmente: Ty_l=-5469.82 My_l=-112.18
Tensioni nella sezione: σ=1359.71 τ=165.75
CC 42 SLU (Collegamento -044_-376)
Azioni sul collegamento: N=-29860.20 Ty=-10.64 Tz=77.84 Mx=0.00 Mz=-8.54

Sollecitazioni agenti localmente: Ty_l=-5327.39 My_l=-109.26
Tensioni nella sezione: σ=1324.35 τ=161.44
CC 43 SLU (Collegamento -044_-376)
Azioni sul collegamento: N=-30267.40 Ty=-10.35 Tz=79.40 Mx=0.01 Mz=-8.45
Sollecitazioni agenti localmente: Ty_l=-5399.17 My_l=-110.73
Tensioni nella sezione: σ=1342.18 τ=163.61
CC 44 SLU (Collegamento -044_-376)
Azioni sul collegamento: N=-30269.10 Ty=-10.18 Tz=79.28 Mx=0.00 Mz=-8.08
Sollecitazioni agenti localmente: Ty_l=-5398.04 My_l=-110.70
Tensioni nella sezione: σ=1341.88 τ=163.58
CC 45 SLU (Collegamento -044_-376)
Azioni sul collegamento: N=-30295.00 Ty=20.33 Tz=79.99 Mx=0.00 Mz=14.94
Sollecitazioni agenti localmente: Ty_l=-5311.06 My_l=-108.79
Tensioni nella sezione: σ=1318.71 τ=160.94
CC 46 SLU (Collegamento -044_-376)
Azioni sul collegamento: N=-29479.00 Ty=19.57 Tz=76.97 Mx=0.00 Mz=14.38
Sollecitazioni agenti localmente: Ty_l=-5168.63 My_l=-105.88
Tensioni nella sezione: σ=1283.36 τ=156.63
CC 47 SLU (Collegamento -044_-376)
Azioni sul collegamento: N=-29886.10 Ty=19.86 Tz=78.54 Mx=0.00 Mz=14.48
Sollecitazioni agenti localmente: Ty_l=-5240.41 My_l=-107.35
Tensioni nella sezione: σ=1301.19 τ=158.80
CC 48 SLU (Collegamento -044_-376)
Azioni sul collegamento: N=-29887.90 Ty=20.04 Tz=78.42 Mx=0.00 Mz=14.84
Sollecitazioni agenti localmente: Ty_l=-5239.28 My_l=-107.32
Tensioni nella sezione: σ=1300.88 τ=158.77
CC 49 SLU (Collegamento -044_-376)
Azioni sul collegamento: N=-23424.90 Ty=19.70 Tz=54.76 Mx=0.00 Mz=14.38
Sollecitazioni agenti localmente: Ty_l=-4095.40 My_l=-83.88
Tensioni nella sezione: σ=1016.68 τ=124.10
CC 50 SLU (Collegamento -044_-376)
Azioni sul collegamento: N=-22608.90 Ty=18.94 Tz=51.75 Mx=0.00 Mz=13.82
Sollecitazioni agenti localmente: Ty_l=-3952.97 My_l=-80.96
Tensioni nella sezione: σ=981.32 τ=119.79
CC 51 SLU (Collegamento -044_-376)
Azioni sul collegamento: N=-23016.00 Ty=19.23 Tz=53.31 Mx=0.00 Mz=13.92
Sollecitazioni agenti localmente: Ty_l=-4024.76 My_l=-82.43
Tensioni nella sezione: σ=999.15 τ=121.96
CC 52 SLU (Collegamento -044_-376)
Azioni sul collegamento: N=-23017.80 Ty=19.41 Tz=53.20 Mx=0.00 Mz=14.28
Sollecitazioni agenti localmente: Ty_l=-4023.62 My_l=-82.40
Tensioni nella sezione: σ=998.85 τ=121.93
CC 53 SLU (Collegamento -044_-376)
Azioni sul collegamento: N=-25220.90 Ty=-2.75 Tz=60.96 Mx=0.00 Mz=-2.55
Sollecitazioni agenti localmente: Ty_l=-4481.13 My_l=-91.88
Tensioni nella sezione: σ=1113.67 τ=135.79
CC 54 SLU (Collegamento -044_-376)
Azioni sul collegamento: N=-24404.90 Ty=-3.50 Tz=57.94 Mx=0.00 Mz=-3.11
Sollecitazioni agenti localmente: Ty_l=-4338.70 My_l=-88.96
Tensioni nella sezione: σ=1078.31 τ=131.48
CC 55 SLU (Collegamento -044_-376)
Azioni sul collegamento: N=-24812.00 Ty=-3.21 Tz=59.51 Mx=0.00 Mz=-3.02
Sollecitazioni agenti localmente: Ty_l=-4410.48 My_l=-90.43
Tensioni nella sezione: σ=1096.14 τ=133.65
CC 56 SLU (Collegamento -044_-376)
Azioni sul collegamento: N=-24813.70 Ty=-3.04 Tz=59.39 Mx=0.00 Mz=-2.65
Sollecitazioni agenti localmente: Ty_l=-4409.35 My_l=-90.41
Tensioni nella sezione: σ=1095.83 τ=133.62
CC 57 SLU (Collegamento -044_-376)
Azioni sul collegamento: N=-28074.70 Ty=18.58 Tz=71.81 Mx=0.00 Mz=13.65
Sollecitazioni agenti localmente: Ty_l=-4922.59 My_l=-100.84
Tensioni nella sezione: σ=1222.27 τ=149.17
CC 58 SLU (Collegamento -044_-376)
Azioni sul collegamento: N=-27258.70 Ty=17.82 Tz=68.80 Mx=0.00 Mz=13.09
Sollecitazioni agenti localmente: Ty_l=-4780.15 My_l=-97.92
Tensioni nella sezione: σ=1186.91 τ=144.85
CC 59 SLU (Collegamento -044_-376)
Azioni sul collegamento: N=-27665.80 Ty=18.11 Tz=70.37 Mx=0.00 Mz=13.19
Sollecitazioni agenti localmente: Ty_l=-4851.94 My_l=-99.39
Tensioni nella sezione: σ=1204.74 τ=147.03
CC 60 SLU (Collegamento -044_-376)
Azioni sul collegamento: N=-27667.60 Ty=18.29 Tz=70.25 Mx=0.00 Mz=13.55
Sollecitazioni agenti localmente: Ty_l=-4850.80 My_l=-99.37
Tensioni nella sezione: σ=1204.44 τ=146.99
CC 61 SLU (Collegamento -044_-376)
Azioni sul collegamento: N=-21204.60 Ty=17.94 Tz=46.59 Mx=0.00 Mz=13.09
Sollecitazioni agenti localmente: Ty_l=-3706.93 My_l=-75.92
Tensioni nella sezione: σ=920.23 τ=112.33
CC 62 SLU (Collegamento -044_-376)

Azioni sul collegamento: N=-20388.60 Ty=17.19 Tz=43.58 Mx=0.00 Mz=12.53
Sollecitazioni agenti localmente: Ty_l=-3564.49 My_l=-73.00
Tensioni nella sezione: σ=884.88 τ=108.02
CC 63 SLU (Collegamento -044_-376)
Azioni sul collegamento: N=-20795.70 Ty=17.48 Tz=45.14 Mx=0.00 Mz=12.63
Sollecitazioni agenti localmente: Ty_l=-3636.28 My_l=-74.47
Tensioni nella sezione: σ=902.71 τ=110.19
CC 64 SLU (Collegamento -044_-376)
Azioni sul collegamento: N=-20797.50 Ty=17.66 Tz=45.03 Mx=0.00 Mz=12.99
Sollecitazioni agenti localmente: Ty_l=-3635.14 My_l=-74.45
Tensioni nella sezione: σ=902.40 τ=110.16
CC 65 SLU (Collegamento -044_-376)
Azioni sul collegamento: N=-23000.50 Ty=-4.50 Tz=52.79 Mx=0.00 Mz=-3.84
Sollecitazioni agenti localmente: Ty_l=-4092.65 My_l=-83.92
Tensioni nella sezione: σ=1017.22 τ=124.02
CC 66 SLU (Collegamento -044_-376)
Azioni sul collegamento: N=-22184.60 Ty=-5.26 Tz=49.77 Mx=0.00 Mz=-4.40
Sollecitazioni agenti localmente: Ty_l=-3950.22 My_l=-81.00
Tensioni nella sezione: σ=981.87 τ=119.70
CC 67 SLU (Collegamento -044_-376)
Azioni sul collegamento: N=-22591.70 Ty=-4.97 Tz=51.34 Mx=0.00 Mz=-4.30
Sollecitazioni agenti localmente: Ty_l=-4022.00 My_l=-82.47
Tensioni nella sezione: σ=999.70 τ=121.88
CC 68 SLU (Collegamento -044_-376)
Azioni sul collegamento: N=-22593.40 Ty=-4.79 Tz=51.22 Mx=0.00 Mz=-3.94
Sollecitazioni agenti localmente: Ty_l=-4020.87 My_l=-82.45
Tensioni nella sezione: σ=999.39 τ=121.84
CC 97 SLU (Collegamento -044_-376)
Azioni sul collegamento: N=-32775.80 Ty=25.16 Tz=97.03 Mx=-0.05 Mz=10.53
Sollecitazioni agenti localmente: Ty_l=-5768.37 My_l=-118.19
Tensioni nella sezione: σ=1432.64 τ=174.80
CC 98 SLU (Collegamento -044_-376)
Azioni sul collegamento: N=-31959.80 Ty=24.41 Tz=94.02 Mx=-0.05 Mz=9.97
Sollecitazioni agenti localmente: Ty_l=-5625.94 My_l=-115.28
Tensioni nella sezione: σ=1397.29 τ=170.48
CC 99 SLU (Collegamento -044_-376)
Azioni sul collegamento: N=-32366.90 Ty=24.69 Tz=95.58 Mx=-0.05 Mz=10.07
Sollecitazioni agenti localmente: Ty_l=-5697.72 My_l=-116.75
Tensioni nella sezione: σ=1415.12 τ=172.66
CC 100 SLU (Collegamento -044_-376)
Azioni sul collegamento: N=-32368.70 Ty=24.87 Tz=95.47 Mx=-0.05 Mz=10.43
Sollecitazioni agenti localmente: Ty_l=-5696.59 My_l=-116.72
Tensioni nella sezione: σ=1414.81 τ=172.62
CC 101 SLU (Collegamento -044_-376)
Azioni sul collegamento: N=-9110.88 Ty=5.97 Tz=10.39 Mx=0.01 Mz=4.99
Sollecitazioni agenti localmente: Ty_l=-1595.26 My_l=-32.68
Tensioni nella sezione: σ=396.06 τ=48.34
CC 102 SLU (Collegamento -044_-376)
Azioni sul collegamento: N=-8294.89 Ty=5.21 Tz=7.37 Mx=0.01 Mz=4.43
Sollecitazioni agenti localmente: Ty_l=-1452.83 My_l=-29.76
Tensioni nella sezione: σ=360.71 τ=44.03
CC 103 SLU (Collegamento -044_-376)
Azioni sul collegamento: N=-8702.00 Ty=5.50 Tz=8.94 Mx=0.01 Mz=4.53
Sollecitazioni agenti localmente: Ty_l=-1524.62 My_l=-31.23
Tensioni nella sezione: σ=378.54 τ=46.20
CC 104 SLU (Collegamento -044_-376)
Azioni sul collegamento: N=-8703.77 Ty=5.68 Tz=8.82 Mx=0.01 Mz=4.89
Sollecitazioni agenti localmente: Ty_l=-1523.48 My_l=-31.20
Tensioni nella sezione: σ=378.23 τ=46.17

Collegamento -1073_-1074

Piastre anima 300.00 x 186.00 s= 12.00 - 8+8 bulloni ϕ 16
2 righe ad interasse 79.00
4 colonne ad interasse variabile
Piastre ala 650.00 x 120.00 s= 12.00 - 10+10 bulloni ϕ 16
5 righe ad interasse 67.00
2 colonne ad interasse 78.00
Piastre inferiori ala 650.00 x 41.00 s= 12.00

Bullonatura sull'anima

CC 97 SLU
Azioni sul collegamento: N=3914.93 Ty=3.46 Tz=-3076.75 My=486.89 Mz=4.22
Sollecitazioni agenti localmente: Tx_l=1438.67 Ty_l=-3076.75 Mz_l=314.93
Taglio nei bulloni: Fv,Ed=566.28 Fv,Rd=6028.80
Azione di rifollamento di progetto lato asta: Fb,Ed,a=831.60 Fb,Rd,a=5234.44
Rifollamento lato piastra: Fb,Ed,p=566.28 Fb,Rd,p=10613.60

Piastra di anima

Bnetta=24.00 Hnetta=186.00
CC 97 SLU
Azioni sul collegamento: N=3914.93 Ty=3.46 Tz=-3076.75 My=486.89 Mz=4.22
Sollecitazioni agenti localmente: Tx_l=1438.67 Ty_l=-3076.75 Mz_l=314.93
Tensioni nella sezione: σ=259.80 τ=68.92
CC 98 SLU
Azioni sul collegamento: N=3688.11 Ty=3.50 Tz=-3116.43 My=426.83 Mz=4.34
Sollecitazioni agenti localmente: Tx_l=1355.32 Ty_l=-3116.43 Mz_l=308.99
Tensioni nella sezione: σ=253.65 τ=69.81

Verifica a taglio anima forata

Bnetta=6.20 Hnetta=152.40
CC 98 SLU
Azioni sul collegamento: N=3688.11 Ty=3.50 Tz=-3116.43 My=426.83 Mz=4.34
Sollecitazioni agenti localmente: Ty_l=-1558.21
Tensioni nella sezione: σ=0.00 τ=164.91

Bullonatura ali superiori

CC 130 SLU (Collegamento -1073_-1074)
Azioni sul collegamento: N=-930.27 Ty=3.39 Tz=-1315.98 My=-616.98 Mz=3.30
Sollecitazioni agenti localmente: Tx_l=1981.90 Ty_l=1.70 Mz_l=1.93
Taglio nei bulloni: Fv,Ed=99.46 Fv,Rd=6028.80
Azione di rifollamento di progetto lato asta: Fb,Ed,a=198.93 Fb,Rd,a=6140.21
Rifollamento lato piastra: Fb,Ed,p=99.46 Fb,Rd,p=5012.10
CC 101 SLU
Azioni sul collegamento: N=5146.11 Ty=-2.67 Tz=-609.78 My=1295.25 Mz=-2.17
Sollecitazioni agenti localmente: Tx_l=-3150.86 Ty_l=-1.33 Mz_l=-1.31
Taglio nei bulloni: Fv,Ed=157.79 Fv,Rd=6028.80
Azione di rifollamento di progetto lato asta: Fb,Ed,a=315.57 Fb,Rd,a=9486.95
Rifollamento lato piastra: Fb,Ed,p=157.79 Fb,Rd,p=11616.70

Bullonatura ali inferiori

CC 101 SLU
Azioni sul collegamento: N=5146.11 Ty=-2.67 Tz=-609.78 My=1295.25 Mz=-2.17
Sollecitazioni agenti localmente: Tx_l=6405.86 Ty_l=-1.33 Mz_l=-1.31
Taglio nei bulloni: Fv,Ed=320.54 Fv,Rd=6028.80
Azione di rifollamento di progetto lato asta: Fb,Ed,a=641.07 Fb,Rd,a=6138.68
Rifollamento lato piastra: Fb,Ed,p=320.54 Fb,Rd,p=5011.16

Piastre esterne sulle ali

Bnetta=12.00 Hnetta=120.00
CC 98 SLU (Collegamento -1073_-1074)
Azioni sul collegamento: N=5260.40 Ty=5.49 Tz=-2796.96 My=252.52 Mz=4.77
Sollecitazioni agenti localmente: Tx_l=434.90 Ty_l=1.63 Mz_l=2.39
Tensioni nella sezione: σ=38.49 τ=0.11
CC 101 SLU
Azioni sul collegamento: N=5146.11 Ty=-2.67 Tz=-609.78 My=1295.25 Mz=-2.17
Sollecitazioni agenti localmente: Tx_l=3805.46 Ty_l=-0.79 Mz_l=-1.08
Tensioni nella sezione: σ=268.03 τ= 0.06

Piastre interne sulle ali

Bnetta=12.00 Hnetta=41.00
CC 98 SLU (Collegamento -1073_-1074)
Azioni sul collegamento: N=5260.40 Ty=5.49 Tz=-2796.96 My=252.52 Mz=4.77
Sollecitazioni agenti localmente: Tx_l=148.59 Ty_l=0.56
Tensioni nella sezione: σ=30.20 τ=0.11
CC 101 SLU
Azioni sul collegamento: N=5146.11 Ty=-2.67 Tz=-609.78 My=1295.25 Mz=-2.17
Sollecitazioni agenti localmente: Tx_l=1300.20 Ty_l=-0.27
Tensioni nella sezione: σ=264.27 τ= 0.06

Collegamento -1087_-1088

Piastre anima 300.00 x 186.00 s= 12.00 - 8+8 bulloni ϕ 16
2 righe ad interasse 79.00
4 colonne ad interasse variabile
Piastre ala 650.00 x 120.00 s= 12.00 - 10+10 bulloni ϕ 16
5 righe ad interasse 67.00
2 colonne ad interasse 78.00
Piastre inferiori ala 650.00 x 41.00 s= 12.00

Bullonatura sull'anima

CC 98 SLU (Collegamento -1087_-1088)
Azioni sul collegamento: N=3914.92 Ty=-3.46 Tz=3076.75 My=486.89 Mz=4.22
Sollecitazioni agenti localmente: Tx_l=1438.67 Ty_l=3076.75 Mz_l=314.93
Taglio nei bulloni: Fv,Ed=566.28 Fv,Rd=6028.80
Azione di rifollamento di progetto lato asta: Fb,Ed,a=1132.55 Fb,Rd,a=6845.03
Rifollamento lato piastra: Fb,Ed,p=415.80 Fb,Rd,p=7793.21

Piastra di anima

Bnetta=24.00 Hnetta=186.00
CC 97 SLU (Collegamento -1087_-1088)
Azioni sul collegamento: N=3688.10 Ty=-3.50 Tz=3116.43 My=426.83 Mz=4.34
Sollecitazioni agenti localmente: Tx_l=1355.32 Ty_l=3116.43 Mz_l=308.99
Tensioni nella sezione: σ=253.65 τ=69.81
CC 98 SLU (Collegamento -1087_-1088)
Azioni sul collegamento: N=3914.92 Ty=-3.46 Tz=3076.75 My=486.89 Mz=4.22
Sollecitazioni agenti localmente: Tx_l=1438.67 Ty_l=3076.75 Mz_l=314.93
Tensioni nella sezione: σ=259.80 τ=68.92

Verifica a taglio anima forata

Bnetta=6.20 Hnetta=152.40
CC 97 SLU (Collegamento -1087_-1088)
Azioni sul collegamento: N=3688.10 Ty=-3.50 Tz=3116.43 My=426.83 Mz=4.34
Sollecitazioni agenti localmente: Ty_l=1558.21
Tensioni nella sezione: σ=0.00 τ=164.91

Bullonatura ali superiori

CC 106 SLU (Collegamento -1087_-1088)
Azioni sul collegamento: N=5145.94 Ty=2.67 Tz=609.80 My=1295.22 Mz=-2.17
Sollecitazioni agenti localmente: Tx_l=-3150.81 Ty_l=1.33 Mz_l=-0.86
Taglio nei bulloni: Fv,Ed=157.70 Fv,Rd=6028.80
Azione di rifollamento di progetto lato asta: Fb,Ed,a=315.40 Fb,Rd,a=9486.95
Rifollamento lato piastra: Fb,Ed,p=157.70 Fb,Rd,p=11616.70
CC 49 SLV
Azioni sul collegamento: N=2246.44 Ty=-2.37 Tz=219.87 My=-287.23 Mz=2.09
Sollecitazioni agenti localmente: Tx_l=1770.09 Ty_l=-1.19 Mz_l=0.85
Taglio nei bulloni: Fv,Ed=88.66 Fv,Rd=6028.80
Azione di rifollamento di progetto lato asta: Fb,Ed,a=177.33 Fb,Rd,a=6138.88
Rifollamento lato piastra: Fb,Ed,p=88.66 Fb,Rd,p=5011.45

Bullonatura ali inferiori

CC 106 SLU (Collegamento -1087_-1088)
Azioni sul collegamento: N=5145.94 Ty=2.67 Tz=609.80 My=1295.22 Mz=-2.17
Sollecitazioni agenti localmente: Tx_l=6405.70 Ty_l=1.33 Mz_l=-0.86
Taglio nei bulloni: Fv,Ed=320.44 Fv,Rd=6028.80
Azione di rifollamento di progetto lato asta: Fb,Ed,a=640.89 Fb,Rd,a=6138.63
Rifollamento lato piastra: Fb,Ed,p=320.44 Fb,Rd,p=5011.14

Piastre esterne sulle ali

Bnetta=12.00 Hnetta=120.00
CC 106 SLU (Collegamento -1087_-1088)
Azioni sul collegamento: N=5145.94 Ty=2.67 Tz=609.80 My=1295.22 Mz=-2.17
Sollecitazioni agenti localmente: Tx_l=3805.37 Ty_l=0.79 Mz_l=-1.08
Tensioni nella sezione: σ=268.02 τ= 0.06
CC 97 SLU
Azioni sul collegamento: N=5260.40 Ty=-5.49 Tz=2796.96 My=252.52 Mz=4.77
Sollecitazioni agenti localmente: Tx_l=434.89 Ty_l=-1.63 Mz_l=2.39
Tensioni nella sezione: σ=38.48 τ=0.11

Piastre interne sulle ali

Bnetta=12.00 Hnetta=41.00
CC 106 SLU (Collegamento -1087_-1088)
Azioni sul collegamento: N=5145.94 Ty=2.67 Tz=609.80 My=1295.22 Mz=-2.17
Sollecitazioni agenti localmente: Tx_l=1300.17 Ty_l=0.27
Tensioni nella sezione: σ=264.26 τ= 0.06
CC 97 SLU
Azioni sul collegamento: N=5260.40 Ty=-5.49 Tz=2796.96 My=252.52 Mz=4.77
Sollecitazioni agenti localmente: Tx_l=148.59 Ty_l=-0.56
Tensioni nella sezione: σ=30.20 τ=0.11

Collegamento -1160_-1161

Piastre anima 300.00 x 186.00 s= 12.00 - 8+8 bulloni ϕ 16
2 righe ad interasse 79.00
4 colonne ad interasse variabile

Piastre ala 650.00 x 120.00 s= 12.00 - 10+10 bulloni ϕ 16
5 righe ad interasse 67.00
2 colonne ad interasse 78.00
Piastre inferiori ala 650.00 x 41.00 s= 12.00

Bullonatura sull'anima

CC 97 SLU
Azioni sul collegamento: N=3926.81 Ty=2.63 Tz=-3135.66 My=593.32 Mz=6.10
Sollecitazioni agenti localmente: Tx_l=1443.04 Ty_l=-3135.66 Mz_l=335.60
Taglio nei bulloni: Fv,Ed=593.25 Fv,Rd=6028.80
Azione di rifollamento di progetto lato asta: Fb,Ed,a=875.10 Fb,Rd,a=5235.49
Rifollamento lato piastra: Fb,Ed,p=593.25 Fb,Rd,p=10568.50

Piastra di anima

Bnetta=24.00 Hnetta=186.00
CC 97 SLU
Azioni sul collegamento: N=3926.81 Ty=2.63 Tz=-3135.66 My=593.32 Mz=6.10
Sollecitazioni agenti localmente: Tx_l=1443.04 Ty_l=-3135.66 Mz_l=335.60
Tensioni nella sezione: σ=274.84 τ=70.24
CC 98 SLU
Azioni sul collegamento: N=3702.79 Ty=2.67 Tz=-3174.75 My=534.94 Mz=6.25
Sollecitazioni agenti localmente: Tx_l=1360.72 Ty_l=-3174.75 Mz_l=329.87
Tensioni nella sezione: σ=268.85 τ=71.12

Verifica a taglio anima forata

Bnetta=6.20 Hnetta=152.40
CC 98 SLU
Azioni sul collegamento: N=3702.79 Ty=2.67 Tz=-3174.75 My=534.94 Mz=6.25
Sollecitazioni agenti localmente: Ty_l=-1587.38
Tensioni nella sezione: σ=0.00 τ=168.00

Bullonatura ali superiori

CC 130 SLU (Collegamento -1160_-1161)
Azioni sul collegamento: N=-861.57 Ty=4.09 Tz=-1279.34 My=-585.95 Mz=3.88
Sollecitazioni agenti localmente: Tx_l=1889.16 Ty_l=2.04 Mz_l=2.28
Taglio nei bulloni: Fv,Ed=94.89 Fv,Rd=6028.80
Azione di rifollamento di progetto lato asta: Fb,Ed,a=189.79 Fb,Rd,a=6141.07
Rifollamento lato piastra: Fb,Ed,p=94.89 Fb,Rd,p=5012.63
CC 101 SLU
Azioni sul collegamento: N=5076.42 Ty=-4.85 Tz=-686.77 My=1356.68 Mz=-3.59
Sollecitazioni agenti localmente: Tx_l=-3399.51 Ty_l=-2.42 Mz_l=-2.20
Taglio nei bulloni: Fv,Ed=170.39 Fv,Rd=6028.80
Azione di rifollamento di progetto lato asta: Fb,Ed,a=340.77 Fb,Rd,a=9486.96
Rifollamento lato piastra: Fb,Ed,p=170.38 Fb,Rd,p=11616.70

Bullonatura ali inferiori

CC 101 SLU
Azioni sul collegamento: N=5076.42 Ty=-4.85 Tz=-686.77 My=1356.68 Mz=-3.59
Sollecitazioni agenti localmente: Tx_l=6610.43 Ty_l=-2.42 Mz_l=-2.20
Taglio nei bulloni: Fv,Ed=330.93 Fv,Rd=6028.80
Azione di rifollamento di progetto lato asta: Fb,Ed,a=661.87 Fb,Rd,a=6138.81
Rifollamento lato piastra: Fb,Ed,p=330.93 Fb,Rd,p=5011.22

Piastre esterne sulle ali

Bnetta=12.00 Hnetta=120.00
CC 98 SLU (Collegamento -1160_-1161)
Azioni sul collegamento: N=5236.12 Ty=5.36 Tz=-2863.24 My=365.10 Mz=6.76
Sollecitazioni agenti localmente: Tx_l=183.60 Ty_l=1.59 Mz_l=3.38
Tensioni nella sezione: σ=24.48 τ=0.11
CC 101 SLU
Azioni sul collegamento: N=5076.42 Ty=-4.85 Tz=-686.77 My=1356.68 Mz=-3.59
Sollecitazioni agenti localmente: Tx_l=3926.99 Ty_l=-1.44 Mz_l=-1.79
Tensioni nella sezione: σ=278.93 τ= 0.10

Piastre interne sulle ali

Bnetta=12.00 Hnetta=41.00
CC 98 SLU (Collegamento -1160_-1161)
Azioni sul collegamento: N=5236.12 Ty=5.36 Tz=-2863.24 My=365.10 Mz=6.76
Sollecitazioni agenti localmente: Tx_l=62.73 Ty_l=0.54
Tensioni nella sezione: σ=12.75 τ=0.11
CC 101 SLU
Azioni sul collegamento: N=5076.42 Ty=-4.85 Tz=-686.77 My=1356.68 Mz=-3.59
Sollecitazioni agenti localmente: Tx_l=1341.72 Ty_l=-0.49

Tensioni nella sezione: σ=272.71 τ= 0.10

Collegamento -1174_-1173

Piastre anima 300.00 x 186.00 s= 12.00 - 8+8 bulloni ϕ 16
2 righe ad interasse 79.00
4 colonne ad interasse variabile
Piastre ala 650.00 x 120.00 s= 12.00 - 10+10 bulloni ϕ 16
5 righe ad interasse 67.00
2 colonne ad interasse 78.00
Piastre inferiori ala 650.00 x 41.00 s= 12.00

Bullonatura sull'anima

CC 98 SLU
Azioni sul collegamento: N=10.95 Ty=0.00 Tz=-1187.40 My=371.82 Mz=-0.01
Sollecitazioni agenti localmente: Tx_l=4.03 Ty_l=-1187.40 Mz_l=149.27
Taglio nei bulloni: Fv,Ed=226.38 Fv,Rd=6028.80
Azione di rifollamento di progetto lato asta: Fb,Ed,a=452.08 Fb,Rd,a=6845.03
Rifollamento lato piastra: Fb,Ed,p=226.38 Fb,Rd,p=11403.70

Piastra di anima

Bnetta=24.00 Hnetta=186.00
CC 97 SLU
Azioni sul collegamento: N=10.95 Ty=-0.00 Tz=-1225.64 My=272.40 Mz=-0.04
Sollecitazioni agenti localmente: Tx_l=4.03 Ty_l=-1225.64 Mz_l=137.28
Tensioni nella sezione: σ=99.29 τ=27.46
CC 98 SLU
Azioni sul collegamento: N=10.95 Ty=0.00 Tz=-1187.40 My=371.82 Mz=-0.01
Sollecitazioni agenti localmente: Tx_l=4.03 Ty_l=-1187.40 Mz_l=149.27
Tensioni nella sezione: σ=107.95 τ=26.60

Verifica a taglio anima forata

Bnetta=6.20 Hnetta=152.40
CC 97 SLU
Azioni sul collegamento: N=10.95 Ty=-0.00 Tz=-1225.64 My=272.40 Mz=-0.04
Sollecitazioni agenti localmente: Ty_l=-612.82
Tensioni nella sezione: σ=0.00 τ=64.86

Bullonatura ali superiori

CC 98 SLU (Collegamento -1174_-1173)
Azioni sul collegamento: N=10.95 Ty=0.00 Tz=-1031.40 My=371.86 Mz=-0.01
Sollecitazioni agenti localmente: Tx_l=-1368.37 Ty_l=0.00 Mz_l=-0.01
Taglio nei bulloni: Fv,Ed=68.42 Fv,Rd=6028.80
Azione di rifollamento di progetto lato asta: Fb,Ed,a=136.84 Fb,Rd,a=9486.95
Rifollamento lato piastra: Fb,Ed,p=68.42 Fb,Rd,p=11616.70

Bullonatura ali inferiori

CC 98 SLU (Collegamento -1174_-1173)
Azioni sul collegamento: N=10.95 Ty=0.00 Tz=-1031.40 My=371.86 Mz=-0.01
Sollecitazioni agenti localmente: Tx_l=1375.30 Ty_l=0.00 Mz_l=-0.01
Taglio nei bulloni: Fv,Ed=68.77 Fv,Rd=6028.80
Azione di rifollamento di progetto lato asta: Fb,Ed,a=137.53 Fb,Rd,a=6138.61
Rifollamento lato piastra: Fb,Ed,p=68.77 Fb,Rd,p=5011.11

Piastre esterne sulle ali

Bnetta=12.00 Hnetta=120.00
CC 98 SLU (Collegamento -1174_-1173)
Azioni sul collegamento: N=10.95 Ty=0.00 Tz=-1031.40 My=371.86 Mz=-0.01
Sollecitazioni agenti localmente: Tx_l=817.01 Ty_l=0.00 Mz_l=-0.01
Tensioni nella sezione: σ=56.76 τ=9.51E-05
CC 49 SLV
Azioni sul collegamento: N=7.49 Ty=0.06 Tz=-858.61 My=220.23 Mz=0.13
Sollecitazioni agenti localmente: Tx_l=-481.24 Ty_l=0.02 Mz_l=0.07
Tensioni nella sezione: σ=33.65 τ=1.19E-03

Piastre interne sulle ali

Bnetta=12.00 Hnetta=41.00
CC 98 SLU (Collegamento -1174_-1173)
Azioni sul collegamento: N=10.95 Ty=0.00 Tz=-1031.40 My=371.86 Mz=-0.01
Sollecitazioni agenti localmente: Tx_l=279.14 Ty_l=0.00
Tensioni nella sezione: σ=56.74 τ=9.51E-05
CC 49 SLV
Azioni sul collegamento: N=7.49 Ty=0.06 Tz=-858.61 My=220.23 Mz=0.13

Sollecitazioni agenti localmente: Tx_l=-164.42 Ty_l=0.01
Tensioni nella sezione: σ=33.42 τ=1.19E-03

Collegamento -1174_-1175

Piastre anima 300.00 x 186.00 s= 12.00 - 8+8 bulloni ϕ 16
2 righe ad interasse 79.00
4 colonne ad interasse variabile
Piastre ala 650.00 x 120.00 s= 12.00 - 10+10 bulloni ϕ 16
5 righe ad interasse 67.00
2 colonne ad interasse 78.00
Piastre inferiori ala 650.00 x 41.00 s= 12.00

Bullonatura sull'anima

CC 98 SLU (Collegamento -1174_-1175)
Azioni sul collegamento: N=3926.80 Ty=-2.63 Tz=3135.66 My=593.33 Mz=6.10
Sollecitazioni agenti localmente: Tx_l=1443.03 Ty_l=3135.66 Mz_l=335.60
Taglio nei bulloni: Fv,Ed=593.25 Fv,Rd=6028.80
Azione di rifollamento di progetto lato asta: Fb,Ed,a=1186.50 Fb,Rd,a=6845.03
Rifollamento lato piastra: Fb,Ed,p=437.55 Fb,Rd,p=7794.77

Piastra di anima

Bnetta=24.00 Hnetta=186.00
CC 97 SLU (Collegamento -1174_-1175)
Azioni sul collegamento: N=3702.78 Ty=-2.67 Tz=3174.75 My=534.94 Mz=6.25
Sollecitazioni agenti localmente: Tx_l=1360.71 Ty_l=3174.75 Mz_l=329.87
Tensioni nella sezione: σ=268.85 τ=71.12
CC 98 SLU (Collegamento -1174_-1175)
Azioni sul collegamento: N=3926.80 Ty=-2.63 Tz=3135.66 My=593.33 Mz=6.10
Sollecitazioni agenti localmente: Tx_l=1443.03 Ty_l=3135.66 Mz_l=335.60
Tensioni nella sezione: σ=274.84 τ=70.24

Verifica a taglio anima forata

Bnetta=6.20 Hnetta=152.40
CC 97 SLU (Collegamento -1174_-1175)
Azioni sul collegamento: N=3702.78 Ty=-2.67 Tz=3174.75 My=534.94 Mz=6.25
Sollecitazioni agenti localmente: Ty_l=1587.37
Tensioni nella sezione: σ=0.00 τ=168.00

Bullonatura ali superiori

CC 106 SLU (Collegamento -1174_-1175)
Azioni sul collegamento: N=5076.25 Ty=4.85 Tz=686.79 My=1356.65 Mz=-3.59
Sollecitazioni agenti localmente: Tx_l=-3399.45 Ty_l=2.42 Mz_l=-1.39
Taglio nei bulloni: Fv,Ed=170.23 Fv,Rd=6028.80
Azione di rifollamento di progetto lato asta: Fb,Ed,a=340.46 Fb,Rd,a=9486.96
Rifollamento lato piastra: Fb,Ed,p=170.23 Fb,Rd,p=11616.70
CC 49 SLV
Azioni sul collegamento: N=2313.40 Ty=-2.61 Tz=198.55 My=-278.05 Mz=2.64
Sollecitazioni agenti localmente: Tx_l=1757.40 Ty_l=-1.31 Mz_l=1.10
Taglio nei bulloni: Fv,Ed=88.08 Fv,Rd=6028.80
Azione di rifollamento di progetto lato asta: Fb,Ed,a=176.16 Fb,Rd,a=6139.09
Rifollamento lato piastra: Fb,Ed,p=88.08 Fb,Rd,p=5011.68

Bullonatura ali inferiori

CC 106 SLU (Collegamento -1174_-1175)
Azioni sul collegamento: N=5076.25 Ty=4.85 Tz=686.79 My=1356.65 Mz=-3.59
Sollecitazioni agenti localmente: Tx_l=6610.26 Ty_l=2.42 Mz_l=-1.39
Taglio nei bulloni: Fv,Ed=330.77 Fv,Rd=6028.80
Azione di rifollamento di progetto lato asta: Fb,Ed,a=661.54 Fb,Rd,a=6138.66
Rifollamento lato piastra: Fb,Ed,p=330.77 Fb,Rd,p=5011.18

Piastre esterne sulle ali

Bnetta=12.00 Hnetta=120.00
CC 106 SLU (Collegamento -1174_-1175)
Azioni sul collegamento: N=5076.25 Ty=4.85 Tz=686.79 My=1356.65 Mz=-3.59
Sollecitazioni agenti localmente: Tx_l=3926.89 Ty_l=1.44 Mz_l=-1.79
Tensioni nella sezione: σ=278.93 τ= 0.10
CC 97 SLU
Azioni sul collegamento: N=5236.11 Ty=-5.36 Tz=2863.24 My=365.10 Mz=6.76
Sollecitazioni agenti localmente: Tx_l=183.59 Ty_l=-1.59 Mz_l=3.38
Tensioni nella sezione: σ=24.48 τ=0.11

Piastre interne sulle ali

Bnetta=12.00 Hnetta=41.00
CC 106 SLU (Collegamento -1174_-1175)
Azioni sul collegamento: N=5076.25 Ty=4.85 Tz=686.79 My=1356.65 Mz=-3.59
Sollecitazioni agenti localmente: Tx_l=1341.69 Ty_l=0.49
Tensioni nella sezione: σ=272.70 τ= 0.10
CC 97 SLU
Azioni sul collegamento: N=5236.11 Ty=-5.36 Tz=2863.24 My=365.10 Mz=6.76
Sollecitazioni agenti localmente: Tx_l=62.73 Ty_l=-0.54
Tensioni nella sezione: σ=12.75 τ=0.11

Collegamento -1201_-1202

Piastre anima 300.00 x 186.00 s= 12.00 - 8+8 bulloni ϕ 16
2 righe ad interasse 79.00
4 colonne ad interasse variabile
Piastre ala 650.00 x 120.00 s= 12.00 - 10+10 bulloni ϕ 16
5 righe ad interasse 67.00
2 colonne ad interasse 78.00
Piastre inferiori ala 650.00 x 41.00 s= 12.00

Bullonatura sull'anima

CC 97 SLU
Azioni sul collegamento: N=3926.69 Ty=2.42 Tz=-3599.79 My=648.18 Mz=5.87
Sollecitazioni agenti localmente: Tx_l=1443.00 Ty_l=-3599.79 Mz_l=380.30
Taglio nei bulloni: Fv,Ed=665.45 Fv,Rd=6028.80
Azione di rifollamento di progetto lato asta: Fb,Ed,a=967.54 Fb,Rd,a=5234.99
Rifollamento lato piastra: Fb,Ed,p=665.45 Fb,Rd,p=10721.10

Piastra di anima

Bnetta=24.00 Hnetta=186.00
CC 97 SLU
Azioni sul collegamento: N=3926.69 Ty=2.42 Tz=-3599.79 My=648.18 Mz=5.87
Sollecitazioni agenti localmente: Tx_l=1443.00 Ty_l=-3599.79 Mz_l=380.30
Tensioni nella sezione: σ=307.14 τ=80.64
CC 98 SLU
Azioni sul collegamento: N=3696.28 Ty=2.47 Tz=-3643.29 My=589.83 Mz=6.00
Sollecitazioni agenti localmente: Tx_l=1358.32 Ty_l=-3643.29 Mz_l=374.92
Tensioni nella sezione: σ=301.36 τ=81.61

Verifica a taglio anima forata

Bnetta=6.20 Hnetta=152.40
CC 98 SLU
Azioni sul collegamento: N=3696.28 Ty=2.47 Tz=-3643.29 My=589.83 Mz=6.00
Sollecitazioni agenti localmente: Ty_l=-1821.64
Tensioni nella sezione: σ=0.00 τ=192.79

Bullonatura ali superiori

CC 130 SLU (Collegamento -1201_-1202)
Azioni sul collegamento: N=-962.87 Ty=3.65 Tz=-1402.67 My=-600.16 Mz=3.60
Sollecitazioni agenti localmente: Tx_l=1909.57 Ty_l=1.82 Mz_l=2.11
Taglio nei bulloni: Fv,Ed=95.88 Fv,Rd=6028.80
Azione di rifollamento di progetto lato asta: Fb,Ed,a=191.76 Fb,Rd,a=6140.65
Rifollamento lato piastra: Fb,Ed,p=95.88 Fb,Rd,p=5012.38
CC 101 SLU
Azioni sul collegamento: N=5100.09 Ty=-3.31 Tz=-1108.16 My=1340.04 Mz=-3.88
Sollecitazioni agenti localmente: Tx_l=-3330.67 Ty_l=-1.65 Mz_l=-2.22
Taglio nei bulloni: Fv,Ed=166.95 Fv,Rd=6028.80
Azione di rifollamento di progetto lato asta: Fb,Ed,a=333.89 Fb,Rd,a=9486.95
Rifollamento lato piastra: Fb,Ed,p=166.94 Fb,Rd,p=11616.70

Bullonatura ali inferiori

CC 101 SLU
Azioni sul collegamento: N=5100.09 Ty=-3.31 Tz=-1108.16 My=1340.04 Mz=-3.88
Sollecitazioni agenti localmente: Tx_l=6556.55 Ty_l=-1.65 Mz_l=-2.22
Taglio nei bulloni: Fv,Ed=328.24 Fv,Rd=6028.80
Azione di rifollamento di progetto lato asta: Fb,Ed,a=656.49 Fb,Rd,a=6138.80
Rifollamento lato piastra: Fb,Ed,p=328.24 Fb,Rd,p=5011.23

Piastre esterne sulle ali

Bnetta=12.00 Hnetta=120.00
CC 101 SLU (Collegamento -1201_-1202)
Azioni sul collegamento: N=5428.59 Ty=-5.01 Tz=-738.88 My=1303.68 Mz=-3.81
Sollecitazioni agenti localmente: Tx_l=-1837.20 Ty_l=-1.49 Mz_l=-1.91
Tensioni nella sezione: σ=134.20 τ=0.10

CC 101 SLU
Azioni sul collegamento: N=5100.09 Ty=-3.31 Tz=-1108.16 My=1340.04 Mz=-3.88
Sollecitazioni agenti localmente: Tx_l=3894.98 Ty_l=-0.98 Mz_l=-1.94
Tensioni nella sezione: σ=277.23 τ= 0.07

Piastre interne sulle ali

Bnetta=12.00 Hnetta=41.00
CC 101 SLU (Collegamento -1201_-1202)
Azioni sul collegamento: N=5428.59 Ty=-5.01 Tz=-738.88 My=1303.68 Mz=-3.81
Sollecitazioni agenti localmente: Tx_l=-627.71 Ty_l=-0.51
Tensioni nella sezione: σ=127.58 τ=0.10
CC 101 SLU
Azioni sul collegamento: N=5100.09 Ty=-3.31 Tz=-1108.16 My=1340.04 Mz=-3.88
Sollecitazioni agenti localmente: Tx_l=1330.79 Ty_l=-0.34
Tensioni nella sezione: σ=270.49 τ= 0.07

Collegamento -1212_-1213

Piastre anima 300.00 x 186.00 s= 12.00 - 8+8 bulloni ϕ 16
2 righe ad interasse 79.00
4 colonne ad interasse variabile
Piastre ala 650.00 x 120.00 s= 12.00 - 10+10 bulloni ϕ 16
5 righe ad interasse 67.00
2 colonne ad interasse 78.00
Piastre inferiori ala 650.00 x 41.00 s= 12.00

Bullonatura sull'anima

CC 98 SLU (Collegamento -1212_-1213)
Azioni sul collegamento: N=3926.69 Ty=-2.42 Tz=3599.79 My=648.18 Mz=5.87
Sollecitazioni agenti localmente: Tx_l=1442.99 Ty_l=3599.79 Mz_l=380.30
Taglio nei bulloni: Fv,Ed=665.45 Fv,Rd=6028.80
Azione di rifollamento di progetto lato asta: Fb,Ed,a=1330.90 Fb,Rd,a=6845.03
Rifollamento lato piastra: Fb,Ed,p=483.77 Fb,Rd,p=7794.03

Piastra di anima

Bnetta=24.00 Hnetta=186.00
CC 97 SLU (Collegamento -1212_-1213)
Azioni sul collegamento: N=3696.27 Ty=-2.47 Tz=3643.29 My=589.84 Mz=6.00
Sollecitazioni agenti localmente: Tx_l=1358.32 Ty_l=3643.29 Mz_l=374.92
Tensioni nella sezione: σ=301.36 τ=81.61
CC 98 SLU (Collegamento -1212_-1213)
Azioni sul collegamento: N=3926.69 Ty=-2.42 Tz=3599.79 My=648.18 Mz=5.87
Sollecitazioni agenti localmente: Tx_l=1442.99 Ty_l=3599.79 Mz_l=380.30
Tensioni nella sezione: σ=307.14 τ=80.64

Verifica a taglio anima forata

Bnetta=6.20 Hnetta=152.40
CC 97 SLU (Collegamento -1212_-1213)
Azioni sul collegamento: N=3696.27 Ty=-2.47 Tz=3643.29 My=589.84 Mz=6.00
Sollecitazioni agenti localmente: Ty_l=1821.65
Tensioni nella sezione: σ=0.00 τ=192.79

Bullonatura ali superiori

CC 106 SLU (Collegamento -1212_-1213)
Azioni sul collegamento: N=5099.92 Ty=3.31 Tz=1108.19 My=1340.01 Mz=-3.88
Sollecitazioni agenti localmente: Tx_l=-3330.60 Ty_l=1.65 Mz_l=-1.67
Taglio nei bulloni: Fv,Ed=166.84 Fv,Rd=6028.80
Azione di rifollamento di progetto lato asta: Fb,Ed,a=333.68 Fb,Rd,a=9486.95
Rifollamento lato piastra: Fb,Ed,p=166.84 Fb,Rd,p=11616.70
CC 49 SLV
Azioni sul collegamento: N=2426.68 Ty=-2.56 Tz=214.22 My=-286.78 Mz=2.64
Sollecitazioni agenti localmente: Tx_l=1825.43 Ty_l=-1.28 Mz_l=1.10
Taglio nei bulloni: Fv,Ed=91.48 Fv,Rd=6028.80
Azione di rifollamento di progetto lato asta: Fb,Ed,a=182.96 Fb,Rd,a=6139.06
Rifollamento lato piastra: Fb,Ed,p=91.48 Fb,Rd,p=5011.64

Bullonatura ali inferiori

CC 106 SLU (Collegamento -1212_-1213)
Azioni sul collegamento: N=5099.92 Ty=3.31 Tz=1108.19 My=1340.01 Mz=-3.88
Sollecitazioni agenti localmente: Tx_l=6556.38 Ty_l=1.65 Mz_l=-1.67
Taglio nei bulloni: Fv,Ed=328.13 Fv,Rd=6028.80
Azione di rifollamento di progetto lato asta: Fb,Ed,a=656.26 Fb,Rd,a=6138.69
Rifollamento lato piastra: Fb,Ed,p=328.13 Fb,Rd,p=5011.20

Piastre esterne sulle ali

Bnetta=12.00 Hnetta=120.00
CC 106 SLU (Collegamento -1212_-1213)
Azioni sul collegamento: N=5099.92 Ty=3.31 Tz=1108.19 My=1340.01 Mz=-3.88
Sollecitazioni agenti localmente: Tx_l=3894.88 Ty_l=0.98 Mz_l=-1.94
Tensioni nella sezione: σ=277.22 τ= 0.07
CC 106 SLU
Azioni sul collegamento: N=5428.44 Ty=5.01 Tz=738.92 My=1303.64 Mz=-3.81
Sollecitazioni agenti localmente: Tx_l=-1837.15 Ty_l=1.49 Mz_l=-1.91
Tensioni nella sezione: σ=134.20 τ=0.10

Piastre interne sulle ali

Bnetta=12.00 Hnetta=41.00
CC 106 SLU (Collegamento -1212_-1213)
Azioni sul collegamento: N=5099.92 Ty=3.31 Tz=1108.19 My=1340.01 Mz=-3.88
Sollecitazioni agenti localmente: Tx_l=1330.75 Ty_l=0.34
Tensioni nella sezione: σ=270.48 τ= 0.07
CC 106 SLU
Azioni sul collegamento: N=5428.44 Ty=5.01 Tz=738.92 My=1303.64 Mz=-3.81
Sollecitazioni agenti localmente: Tx_l=-627.69 Ty_l=0.51
Tensioni nella sezione: σ=127.58 τ=0.10

Collegamento -179_-383

Piastra 220.00 x 220.00 s=15.00 - 6 Tirafondi ϕ 16 - Profondità di infissione: 350.00
3 righe ad interasse 89.00
2 colonne ad interasse 178.00
Altezza di gola saldature: anima 7.07 - ala 7.07

Tirafondi e calcestruzzo

CC 1 SLV (Collegamento -179_-383)
Azioni sul collegamento: N=-6136.64 Ty=15.19 Tz=-0.86 Mx=0.02 Mz=13.60
Sollecitazioni agenti localmente: Tx_l=15.19 Ty_l=-0.86 N_l=-6136.64 Mx_l=-0.00 My_l=13.60 Mz_l=0.02
Taglio nei bulloni: Fv,Ed=2.56 Fv,Rd=7720.78
Rifollamento lato piastra: Fb,Ed,p=2.56 Fb,Rd,p=6015.41
Tirafondi:LT=0.45 (0.31) σ_{cR}=0.00 σ_{fR}=0.00
Compressione nel calcestruzzo: σ_c=13.45
CC 1 SLV (Collegamento -179_-383)
Azioni sul collegamento: N=-6136.64 Ty=7.48 Tz=-0.86 Mx=0.02 Mz=7.28
Sollecitazioni agenti localmente: Tx_l=7.48 Ty_l=-0.86 N_l=-6136.64 Mx_l=-0.00 My_l=7.28 Mz_l=0.02
Taglio nei bulloni: Fv,Ed=1.28 Fv,Rd=7720.78
Rifollamento lato piastra: Fb,Ed,p=1.28 Fb,Rd,p=6126.38
Tirafondi:LT=0.45 (0.31) σ_{cR}=0.00 σ_{fR}=0.00
Compressione nel calcestruzzo: σ_c=13.09
CC 1 SLV (Collegamento -179_-383)
Azioni sul collegamento: N=-6136.64 Ty=15.19 Tz=28.35 Mx=0.02 Mz=13.60
Sollecitazioni agenti localmente: Tx_l=15.19 Ty_l=28.35 N_l=-6136.64 Mx_l=-0.00 My_l=13.60 Mz_l=0.02
Taglio nei bulloni: Fv,Ed=5.39 Fv,Rd=7720.78
Rifollamento lato piastra: Fb,Ed,p=5.39 Fb,Rd,p=8597.84
Tirafondi:LT=0.45 (0.31) σ_{cR}=0.00 σ_{fR}=0.00
Compressione nel calcestruzzo: σ_c=13.45
CC 1 SLV (Collegamento -179_-383)
Azioni sul collegamento: N=-6136.64 Ty=7.48 Tz=28.35 Mx=0.02 Mz=7.28
Sollecitazioni agenti localmente: Tx_l=7.48 Ty_l=28.35 N_l=-6136.64 Mx_l=-0.00 My_l=7.28 Mz_l=0.02
Taglio nei bulloni: Fv,Ed=4.91 Fv,Rd=7720.78
Rifollamento lato piastra: Fb,Ed,p=4.91 Fb,Rd,p=6614.95
Tirafondi:LT=0.45 (0.31) σ_{cR}=0.00 σ_{fR}=0.00
Compressione nel calcestruzzo: σ_c=13.09
CC 1 SLV (Collegamento -179_-383)
Azioni sul collegamento: N=-13961.30 Ty=15.19 Tz=-0.86 Mx=0.02 Mz=13.60
Sollecitazioni agenti localmente: Tx_l=15.19 Ty_l=-0.86 N_l=-13961.30 Mx_l=-0.00 My_l=13.60 Mz_l=0.02
Taglio nei bulloni: Fv,Ed=2.56 Fv,Rd=7720.78
Rifollamento lato piastra: Fb,Ed,p=2.56 Fb,Rd,p=6015.41
Tirafondi:LT=0.45 (0.31) σ_{cR}=0.00 σ_{fR}=0.00
Compressione nel calcestruzzo: σ_c=29.61
CC 1 SLV (Collegamento -179_-383)
Azioni sul collegamento: N=-13961.30 Ty=7.48 Tz=-0.86 Mx=0.02 Mz=7.28
Sollecitazioni agenti localmente: Tx_l=7.48 Ty_l=-0.86 N_l=-13961.30 Mx_l=-0.00 My_l=7.28 Mz_l=0.02
Taglio nei bulloni: Fv,Ed=1.28 Fv,Rd=7720.78
Rifollamento lato piastra: Fb,Ed,p=1.28 Fb,Rd,p=6126.36
Tirafondi:LT=0.45 (0.31) σ_{cR}=0.00 σ_{fR}=0.00
Compressione nel calcestruzzo: σ_c=29.26
CC 1 SLV (Collegamento -179_-383)
Azioni sul collegamento: N=-13961.30 Ty=15.19 Tz=28.35 Mx=0.02 Mz=13.60
Sollecitazioni agenti localmente: Tx_l=15.19 Ty_l=28.35 N_l=-13961.30 Mx_l=-0.00 My_l=13.60 Mz_l=0.02
Taglio nei bulloni: Fv,Ed=5.39 Fv,Rd=7720.78

Rifollamento lato piastra: Fb,Ed,p=5.39 Fb,Rd,p=8597.92
Tirafondi:LT=0.45 (0.31) σ_{cR}=0.00 σ_{fR}=0.00
Compressione nel calcestruzzo: σ_c=29.61
CC 1 SLV (Collegamento -179_-383)
Azioni sul collegamento: N=-13961.30 Ty=7.48 Tz=28.35 Mx=0.02 Mz=7.28
Sollecitazioni agenti localmente: Tx_l=7.48 Ty_l=28.35 N_l=-13961.30 Mx_l=-0.00 My_l=7.28 Mz_l=0.02
Taglio nei bulloni: Fv,Ed=4.91 Fv,Rd=7720.78
Rifollamento lato piastra: Fb,Ed,p=4.91 Fb,Rd,p=6614.96
Tirafondi:LT=0.45 (0.31) σ_{cR}=0.00 σ_{fR}=0.00
Compressione nel calcestruzzo: σ_c=29.26
CC 2 SLD (Collegamento -179_-383)
Azioni sul collegamento: N=-8758.64 Ty=11.59 Tz=8.91 Mx=0.01 Mz=9.27
Sollecitazioni agenti localmente: Tx_l=11.59 Ty_l=8.91 N_l=-8758.64 Mx_l=-0.00 My_l=9.27 Mz_l=0.01
Taglio nei bulloni: Fv,Ed=2.45 Fv,Rd=9650.97
Rifollamento lato piastra: Fb,Ed,p=2.44 Fb,Rd,p=13350.00
Tirafondi:LT=0.45 (0.31) σ_{cR}=0.00 σ_{fR}=0.00
Compressione nel calcestruzzo: σ_c=18.62
CC 2 SLD (Collegamento -179_-383)
Azioni sul collegamento: N=-8758.64 Ty=9.24 Tz=8.91 Mx=0.01 Mz=7.34
Sollecitazioni agenti localmente: Tx_l=9.24 Ty_l=8.91 N_l=-8758.64 Mx_l=-0.00 My_l=7.34 Mz_l=0.01
Taglio nei bulloni: Fv,Ed=2.15 Fv,Rd=9650.97
Rifollamento lato piastra: Fb,Ed,p=2.14 Fb,Rd,p=14680.20
Tirafondi:LT=0.45 (0.31) σ_{cR}=0.00 σ_{fR}=0.00
Compressione nel calcestruzzo: σ_c=18.51
CC 2 SLD (Collegamento -179_-383)
Azioni sul collegamento: N=-8758.64 Ty=11.59 Tz=17.82 Mx=0.01 Mz=9.27
Sollecitazioni agenti localmente: Tx_l=11.59 Ty_l=17.82 N_l=-8758.64 Mx_l=-0.00 My_l=9.27 Mz_l=0.01
Taglio nei bulloni: Fv,Ed=3.55 Fv,Rd=9650.97
Rifollamento lato piastra: Fb,Ed,p=3.55 Fb,Rd,p=12313.10
Tirafondi:LT=0.45 (0.31) σ_{cR}=0.00 σ_{fR}=0.00
Compressione nel calcestruzzo: σ_c=18.62
CC 2 SLD (Collegamento -179_-383)
Azioni sul collegamento: N=-8758.64 Ty=9.24 Tz=17.82 Mx=0.01 Mz=7.34
Sollecitazioni agenti localmente: Tx_l=9.24 Ty_l=17.82 N_l=-8758.64 Mx_l=-0.00 My_l=7.34 Mz_l=0.01
Taglio nei bulloni: Fv,Ed=3.36 Fv,Rd=9650.97
Rifollamento lato piastra: Fb,Ed,p=3.36 Fb,Rd,p=10527.50
Tirafondi:LT=0.45 (0.31) σ_{cR}=0.00 σ_{fR}=0.00
Compressione nel calcestruzzo: σ_c=18.51
CC 2 SLD (Collegamento -179_-383)
Azioni sul collegamento: N=-11144.60 Ty=11.59 Tz=8.91 Mx=0.01 Mz=9.27
Sollecitazioni agenti localmente: Tx_l=11.59 Ty_l=8.91 N_l=-11144.60 Mx_l=-0.00 My_l=9.27 Mz_l=0.01
Taglio nei bulloni: Fv,Ed=2.45 Fv,Rd=9650.97
Rifollamento lato piastra: Fb,Ed,p=2.44 Fb,Rd,p=13350.20
Tirafondi:LT=0.45 (0.31) σ_{cR}=0.00 σ_{fR}=0.00
Compressione nel calcestruzzo: σ_c=23.55
CC 2 SLD (Collegamento -179_-383)
Azioni sul collegamento: N=-11144.60 Ty=9.24 Tz=8.91 Mx=0.01 Mz=7.34
Sollecitazioni agenti localmente: Tx_l=9.24 Ty_l=8.91 N_l=-11144.60 Mx_l=-0.00 My_l=7.34 Mz_l=0.01
Taglio nei bulloni: Fv,Ed=2.15 Fv,Rd=9650.97
Rifollamento lato piastra: Fb,Ed,p=2.14 Fb,Rd,p=14680.50
Tirafondi:LT=0.45 (0.31) σ_{cR}=0.00 σ_{fR}=0.00
Compressione nel calcestruzzo: σ_c=23.44
CC 2 SLD (Collegamento -179_-383)
Azioni sul collegamento: N=-11144.60 Ty=11.59 Tz=17.82 Mx=0.01 Mz=9.27
Sollecitazioni agenti localmente: Tx_l=11.59 Ty_l=17.82 N_l=-11144.60 Mx_l=-0.00 My_l=9.27 Mz_l=0.01
Taglio nei bulloni: Fv,Ed=3.55 Fv,Rd=9650.97
Rifollamento lato piastra: Fb,Ed,p=3.55 Fb,Rd,p=12313.10
Tirafondi:LT=0.45 (0.31) σ_{cR}=0.00 σ_{fR}=0.00
Compressione nel calcestruzzo: σ_c=23.55
CC 2 SLD (Collegamento -179_-383)
Azioni sul collegamento: N=-11144.60 Ty=9.24 Tz=17.82 Mx=0.01 Mz=7.34
Sollecitazioni agenti localmente: Tx_l=9.24 Ty_l=17.82 N_l=-11144.60 Mx_l=-0.00 My_l=7.34 Mz_l=0.01
Taglio nei bulloni: Fv,Ed=3.36 Fv,Rd=9650.97
Rifollamento lato piastra: Fb,Ed,p=3.36 Fb,Rd,p=10527.50
Tirafondi:LT=0.45 (0.31) σ_{cR}=0.00 σ_{fR}=0.00
Compressione nel calcestruzzo: σ_c=23.44
CC 3 SLV (Collegamento -179_-383)
Azioni sul collegamento: N=-6141.51 Ty=14.68 Tz=-0.53 Mx=0.01 Mz=12.56
Sollecitazioni agenti localmente: Tx_l=14.68 Ty_l=-0.53 N_l=-6141.51 Mx_l=-0.00 My_l=12.56 Mz_l=0.01
Taglio nei bulloni: Fv,Ed=2.46 Fv,Rd=7720.78
Rifollamento lato piastra: Fb,Ed,p=2.46 Fb,Rd,p=5994.78
Tirafondi:LT=0.45 (0.31) σ_{cR}=0.00 σ_{fR}=0.00
Compressione nel calcestruzzo: σ_c=13.40
CC 3 SLV (Collegamento -179_-383)
Azioni sul collegamento: N=-6141.51 Ty=7.99 Tz=-0.53 Mx=0.01 Mz=8.33
Sollecitazioni agenti localmente: Tx_l=7.99 Ty_l=-0.53 N_l=-6141.51 Mx_l=-0.00 My_l=8.33 Mz_l=0.01
Taglio nei bulloni: Fv,Ed=1.35 Fv,Rd=7720.78
Rifollamento lato piastra: Fb,Ed,p=1.35 Fb,Rd,p=6031.29

Tirafondi:LT=0.45 (0.31) σ_{cR}=0.00 σ_{fR}=0.00
Compressione nel calcestruzzo: σ_c=13.16
CC 3 SLV (Collegamento -179_-383)
Azioni sul collegamento: N=-6141.51 Ty=14.68 Tz=28.02 Mx=0.01 Mz=12.56
Sollecitazioni agenti localmente: Tx_l=14.68 Ty_l=28.02 N_l=-6141.51 Mx_l=-0.00 My_l=12.56 Mz_l=0.01
Taglio nei bulloni: Fv,Ed=5.29 Fv,Rd=7720.78
Rifollamento lato piastra: Fb,Ed,p=5.29 Fb,Rd,p=8475.07
Tirafondi:LT=0.45 (0.31) σ_{cR}=0.00 σ_{fR}=0.00
Compressione nel calcestruzzo: σ_c=13.40
CC 3 SLV (Collegamento -179_-383)
Azioni sul collegamento: N=-6141.51 Ty=7.99 Tz=28.02 Mx=0.01 Mz=8.33
Sollecitazioni agenti localmente: Tx_l=7.99 Ty_l=28.02 N_l=-6141.51 Mx_l=-0.00 My_l=8.33 Mz_l=0.01
Taglio nei bulloni: Fv,Ed=4.88 Fv,Rd=7720.78
Rifollamento lato piastra: Fb,Ed,p=4.88 Fb,Rd,p=6717.12
Tirafondi:LT=0.45 (0.31) σ_{cR}=0.00 σ_{fR}=0.00
Compressione nel calcestruzzo: σ_c=13.16
CC 3 SLV (Collegamento -179_-383)
Azioni sul collegamento: N=-13956.40 Ty=14.68 Tz=-0.53 Mx=0.01 Mz=12.56
Sollecitazioni agenti localmente: Tx_l=14.68 Ty_l=-0.53 N_l=-13956.40 Mx_l=-0.00 My_l=12.56 Mz_l=0.01
Taglio nei bulloni: Fv,Ed=2.46 Fv,Rd=7720.78
Rifollamento lato piastra: Fb,Ed,p=2.46 Fb,Rd,p=5994.78
Tirafondi:LT=0.45 (0.31) σ_{cR}=0.00 σ_{fR}=0.00
Compressione nel calcestruzzo: σ_c=29.54
CC 3 SLV (Collegamento -179_-383)
Azioni sul collegamento: N=-13956.40 Ty=7.99 Tz=-0.53 Mx=0.01 Mz=8.33
Sollecitazioni agenti localmente: Tx_l=7.99 Ty_l=-0.53 N_l=-13956.40 Mx_l=-0.00 My_l=8.33 Mz_l=0.01
Taglio nei bulloni: Fv,Ed=1.35 Fv,Rd=7720.78
Rifollamento lato piastra: Fb,Ed,p=1.35 Fb,Rd,p=6031.27
Tirafondi:LT=0.45 (0.31) σ_{cR}=0.00 σ_{fR}=0.00
Compressione nel calcestruzzo: σ_c=29.30
CC 3 SLV (Collegamento -179_-383)
Azioni sul collegamento: N=-13956.40 Ty=14.68 Tz=28.02 Mx=0.01 Mz=12.56
Sollecitazioni agenti localmente: Tx_l=14.68 Ty_l=28.02 N_l=-13956.40 Mx_l=-0.00 My_l=12.56 Mz_l=0.01
Taglio nei bulloni: Fv,Ed=5.29 Fv,Rd=7720.78
Rifollamento lato piastra: Fb,Ed,p=5.29 Fb,Rd,p=8474.99
Tirafondi:LT=0.45 (0.31) σ_{cR}=0.00 σ_{fR}=0.00
Compressione nel calcestruzzo: σ_c=29.54
CC 3 SLV (Collegamento -179_-383)
Azioni sul collegamento: N=-13956.40 Ty=7.99 Tz=28.02 Mx=0.01 Mz=8.33
Sollecitazioni agenti localmente: Tx_l=7.99 Ty_l=28.02 N_l=-13956.40 Mx_l=-0.00 My_l=8.33 Mz_l=0.01
Taglio nei bulloni: Fv,Ed=4.88 Fv,Rd=7720.78
Rifollamento lato piastra: Fb,Ed,p=4.88 Fb,Rd,p=6717.10
Tirafondi:LT=0.45 (0.31) σ_{cR}=0.00 σ_{fR}=0.00
Compressione nel calcestruzzo: σ_c=29.30
CC 4 SLD (Collegamento -179_-383)
Azioni sul collegamento: N=-8760.13 Ty=11.43 Tz=9.01 Mx=0.01 Mz=8.95
Sollecitazioni agenti localmente: Tx_l=11.43 Ty_l=9.01 N_l=-8760.13 Mx_l=-0.00 My_l=8.95 Mz_l=0.01
Taglio nei bulloni: Fv,Ed=2.44 Fv,Rd=9650.97
Rifollamento lato piastra: Fb,Ed,p=2.43 Fb,Rd,p=13483.40
Tirafondi:LT=0.45 (0.31) σ_{cR}=0.00 σ_{fR}=0.00
Compressione nel calcestruzzo: σ_c=18.60
CC 4 SLD (Collegamento -179_-383)
Azioni sul collegamento: N=-8760.13 Ty=9.39 Tz=9.01 Mx=0.01 Mz=7.66
Sollecitazioni agenti localmente: Tx_l=9.39 Ty_l=9.01 N_l=-8760.13 Mx_l=-0.00 My_l=7.66 Mz_l=0.01
Taglio nei bulloni: Fv,Ed=2.18 Fv,Rd=9650.97
Rifollamento lato piastra: Fb,Ed,p=2.17 Fb,Rd,p=14656.40
Tirafondi:LT=0.45 (0.31) σ_{cR}=0.00 σ_{fR}=0.00
Compressione nel calcestruzzo: σ_c=18.53
CC 4 SLD (Collegamento -179_-383)
Azioni sul collegamento: N=-8760.13 Ty=11.43 Tz=17.72 Mx=0.01 Mz=8.95
Sollecitazioni agenti localmente: Tx_l=11.43 Ty_l=17.72 N_l=-8760.13 Mx_l=-0.00 My_l=8.95 Mz_l=0.01
Taglio nei bulloni: Fv,Ed=3.52 Fv,Rd=9650.97
Rifollamento lato piastra: Fb,Ed,p=3.52 Fb,Rd,p=12232.00
Tirafondi:LT=0.45 (0.31) σ_{cR}=0.00 σ_{fR}=0.00
Compressione nel calcestruzzo: σ_c=18.60
CC 4 SLD (Collegamento -179_-383)
Azioni sul collegamento: N=-8760.13 Ty=9.39 Tz=17.72 Mx=0.01 Mz=7.66
Sollecitazioni agenti localmente: Tx_l=9.39 Ty_l=17.72 N_l=-8760.13 Mx_l=-0.00 My_l=7.66 Mz_l=0.01
Taglio nei bulloni: Fv,Ed=3.35 Fv,Rd=9650.97
Rifollamento lato piastra: Fb,Ed,p=3.35 Fb,Rd,p=10666.10
Tirafondi:LT=0.45 (0.31) σ_{cR}=0.00 σ_{fR}=0.00
Compressione nel calcestruzzo: σ_c=18.53
CC 4 SLD (Collegamento -179_-383)
Azioni sul collegamento: N=-11143.10 Ty=11.43 Tz=9.01 Mx=0.01 Mz=8.95
Sollecitazioni agenti localmente: Tx_l=11.43 Ty_l=9.01 N_l=-11143.10 Mx_l=-0.00 My_l=8.95 Mz_l=0.01
Taglio nei bulloni: Fv,Ed=2.44 Fv,Rd=9650.97
Rifollamento lato piastra: Fb,Ed,p=2.43 Fb,Rd,p=13483.60
Tirafondi:LT=0.45 (0.31) σ_{cR}=0.00 σ_{fR}=0.00

Compressione nel calcestruzzo: σ_c=23.53
CC 4 SLD (Collegamento -179_-383)
Azioni sul collegamento: N=-11143.10 Ty=9.39 Tz=9.01 Mx=0.01 Mz=7.66
Sollecitazioni agenti localmente: Tx_l=9.39 Ty_l=9.01 N_l=-11143.10 Mx_l=-0.00 My_l=7.66 Mz_l=0.01
Taglio nei bulloni: Fv,Ed=2.18 Fv,Rd=9650.97
Rifollamento lato piastra: Fb,Ed,p=2.17 Fb,Rd,p=14656.70
Tirafondi:LT=0.45 (0.31) σ_{cR}=0.00 σ_{fR}=0.00
Compressione nel calcestruzzo: σ_c=23.45
CC 4 SLD (Collegamento -179_-383)
Azioni sul collegamento: N=-11143.10 Ty=11.43 Tz=17.72 Mx=0.01 Mz=8.95
Sollecitazioni agenti localmente: Tx_l=11.43 Ty_l=17.72 N_l=-11143.10 Mx_l=-0.00 My_l=8.95 Mz_l=0.01
Taglio nei bulloni: Fv,Ed=3.52 Fv,Rd=9650.97
Rifollamento lato piastra: Fb,Ed,p=3.52 Fb,Rd,p=12232.10
Tirafondi:LT=0.45 (0.31) σ_{cR}=0.00 σ_{fR}=0.00
Compressione nel calcestruzzo: σ_c=23.53
CC 4 SLD (Collegamento -179_-383)
Azioni sul collegamento: N=-11143.10 Ty=9.39 Tz=17.72 Mx=0.01 Mz=7.66
Sollecitazioni agenti localmente: Tx_l=9.39 Ty_l=17.72 N_l=-11143.10 Mx_l=-0.00 My_l=7.66 Mz_l=0.01
Taglio nei bulloni: Fv,Ed=3.35 Fv,Rd=9650.97
Rifollamento lato piastra: Fb,Ed,p=3.35 Fb,Rd,p=10666.20
Tirafondi:LT=0.45 (0.31) σ_{cR}=0.00 σ_{fR}=0.00
Compressione nel calcestruzzo: σ_c=23.45
CC 5 SLV (Collegamento -179_-383)
Azioni sul collegamento: N=-13956.40 Ty=7.99 Tz=28.02 Mx=0.02 Mz=8.33
Sollecitazioni agenti localmente: Tx_l=7.99 Ty_l=28.02 N_l=-13956.40 Mx_l=-0.00 My_l=8.33 Mz_l=0.02
Taglio nei bulloni: Fv,Ed=4.88 Fv,Rd=7720.78
Rifollamento lato piastra: Fb,Ed,p=4.88 Fb,Rd,p=6721.24
Tirafondi:LT=0.45 (0.31) σ_{cR}=0.00 σ_{fR}=0.00
Compressione nel calcestruzzo: σ_c=29.30
CC 5 SLV (Collegamento -179_-383)
Azioni sul collegamento: N=-13956.40 Ty=14.68 Tz=28.02 Mx=0.02 Mz=12.56
Sollecitazioni agenti localmente: Tx_l=14.68 Ty_l=28.02 N_l=-13956.40 Mx_l=-0.00 My_l=12.56 Mz_l=0.02
Taglio nei bulloni: Fv,Ed=5.30 Fv,Rd=7720.78
Rifollamento lato piastra: Fb,Ed,p=5.30 Fb,Rd,p=8480.15
Tirafondi:LT=0.45 (0.31) σ_{cR}=0.00 σ_{fR}=0.00
Compressione nel calcestruzzo: σ_c=29.54
CC 5 SLV (Collegamento -179_-383)
Azioni sul collegamento: N=-13956.40 Ty=7.99 Tz=-0.53 Mx=0.02 Mz=8.33
Sollecitazioni agenti localmente: Tx_l=7.99 Ty_l=-0.53 N_l=-13956.40 Mx_l=-0.00 My_l=8.33 Mz_l=0.02
Taglio nei bulloni: Fv,Ed=1.36 Fv,Rd=7720.78
Rifollamento lato piastra: Fb,Ed,p=1.36 Fb,Rd,p=6036.29
Tirafondi:LT=0.45 (0.31) σ_{cR}=0.00 σ_{fR}=0.00
Compressione nel calcestruzzo: σ_c=29.30
CC 5 SLV (Collegamento -179_-383)
Azioni sul collegamento: N=-13956.40 Ty=14.68 Tz=-0.53 Mx=0.02 Mz=12.56
Sollecitazioni agenti localmente: Tx_l=14.68 Ty_l=-0.53 N_l=-13956.40 Mx_l=-0.00 My_l=12.56 Mz_l=0.02
Taglio nei bulloni: Fv,Ed=2.47 Fv,Rd=7720.78
Rifollamento lato piastra: Fb,Ed,p=2.47 Fb,Rd,p=5996.34
Tirafondi:LT=0.45 (0.31) σ_{cR}=0.00 σ_{fR}=0.00
Compressione nel calcestruzzo: σ_c=29.54
CC 5 SLV (Collegamento -179_-383)
Azioni sul collegamento: N=-6141.51 Ty=7.99 Tz=28.02 Mx=0.02 Mz=8.33
Sollecitazioni agenti localmente: Tx_l=7.99 Ty_l=28.02 N_l=-6141.51 Mx_l=-0.00 My_l=8.33 Mz_l=0.02
Taglio nei bulloni: Fv,Ed=4.88 Fv,Rd=7720.78
Rifollamento lato piastra: Fb,Ed,p=4.88 Fb,Rd,p=6721.26
Tirafondi:LT=0.45 (0.31) σ_{cR}=0.00 σ_{fR}=0.00
Compressione nel calcestruzzo: σ_c=13.16
CC 5 SLV (Collegamento -179_-383)
Azioni sul collegamento: N=-6141.51 Ty=14.68 Tz=28.02 Mx=0.02 Mz=12.56
Sollecitazioni agenti localmente: Tx_l=14.68 Ty_l=28.02 N_l=-6141.51 Mx_l=-0.00 My_l=12.56 Mz_l=0.02
Taglio nei bulloni: Fv,Ed=5.30 Fv,Rd=7720.78
Rifollamento lato piastra: Fb,Ed,p=5.30 Fb,Rd,p=8480.23
Tirafondi:LT=0.45 (0.31) σ_{cR}=0.00 σ_{fR}=0.00
Compressione nel calcestruzzo: σ_c=13.40
CC 5 SLV (Collegamento -179_-383)
Azioni sul collegamento: N=-6141.51 Ty=7.99 Tz=-0.53 Mx=0.02 Mz=8.33
Sollecitazioni agenti localmente: Tx_l=7.99 Ty_l=-0.53 N_l=-6141.51 Mx_l=-0.00 My_l=8.33 Mz_l=0.02
Taglio nei bulloni: Fv,Ed=1.36 Fv,Rd=7720.78
Rifollamento lato piastra: Fb,Ed,p=1.36 Fb,Rd,p=6036.29
Tirafondi:LT=0.45 (0.31) σ_{cR}=0.00 σ_{fR}=0.00
Compressione nel calcestruzzo: σ_c=13.16
CC 5 SLV (Collegamento -179_-383)
Azioni sul collegamento: N=-6141.51 Ty=14.68 Tz=-0.53 Mx=0.02 Mz=12.56
Sollecitazioni agenti localmente: Tx_l=14.68 Ty_l=-0.53 N_l=-6141.51 Mx_l=-0.00 My_l=12.56 Mz_l=0.02
Taglio nei bulloni: Fv,Ed=2.47 Fv,Rd=7720.78
Rifollamento lato piastra: Fb,Ed,p=2.47 Fb,Rd,p=5996.34
Tirafondi:LT=0.45 (0.31) σ_{cR}=0.00 σ_{fR}=0.00
Compressione nel calcestruzzo: σ_c=13.40

CC 6 SLD (Collegamento -179_-383)
Azioni sul collegamento: N=-11143.10 Ty=9.39 Tz=17.72 Mx=0.01 Mz=7.66
Sollecitazioni agenti localmente: Tx_l=9.39 Ty_l=17.72 N_l=-11143.10 Mx_l=-0.00 My_l=7.66 Mz_l=0.01
Taglio nei bulloni: Fv,Ed=3.35 Fv,Rd=9650.97
Rifollamento lato piastra: Fb,Ed,p=3.35 Fb,Rd,p=10669.30
Tirafondi:LT=0.45 (0.31) σ_{cR}=0.00 σ_{fR}=0.00
Compressione nel calcestruzzo: σ_c=23.45
CC 6 SLD (Collegamento -179_-383)
Azioni sul collegamento: N=-11143.10 Ty=11.43 Tz=17.72 Mx=0.01 Mz=8.95
Sollecitazioni agenti localmente: Tx_l=11.43 Ty_l=17.72 N_l=-11143.10 Mx_l=-0.00 My_l=8.95 Mz_l=0.01
Taglio nei bulloni: Fv,Ed=3.53 Fv,Rd=9650.97
Rifollamento lato piastra: Fb,Ed,p=3.53 Fb,Rd,p=12235.00
Tirafondi:LT=0.45 (0.31) σ_{cR}=0.00 σ_{fR}=0.00
Compressione nel calcestruzzo: σ_c=23.53
CC 6 SLD (Collegamento -179_-383)
Azioni sul collegamento: N=-11143.10 Ty=9.39 Tz=9.01 Mx=0.01 Mz=7.66
Sollecitazioni agenti localmente: Tx_l=9.39 Ty_l=9.01 N_l=-11143.10 Mx_l=-0.00 My_l=7.66 Mz_l=0.01
Taglio nei bulloni: Fv,Ed=2.18 Fv,Rd=9650.97
Rifollamento lato piastra: Fb,Ed,p=2.17 Fb,Rd,p=14642.20
Tirafondi:LT=0.45 (0.31) σ_{cR}=0.00 σ_{fR}=0.00
Compressione nel calcestruzzo: σ_c=23.45
CC 6 SLD (Collegamento -179_-383)
Azioni sul collegamento: N=-11143.10 Ty=11.43 Tz=9.01 Mx=0.01 Mz=8.95
Sollecitazioni agenti localmente: Tx_l=11.43 Ty_l=9.01 N_l=-11143.10 Mx_l=-0.00 My_l=8.95 Mz_l=0.01
Taglio nei bulloni: Fv,Ed=2.44 Fv,Rd=9650.97
Rifollamento lato piastra: Fb,Ed,p=2.43 Fb,Rd,p=13473.90
Tirafondi:LT=0.45 (0.31) σ_{cR}=0.00 σ_{fR}=0.00
Compressione nel calcestruzzo: σ_c=23.53
CC 6 SLD (Collegamento -179_-383)
Azioni sul collegamento: N=-8760.13 Ty=9.39 Tz=17.72 Mx=0.01 Mz=7.66
Sollecitazioni agenti localmente: Tx_l=9.39 Ty_l=17.72 N_l=-8760.13 Mx_l=-0.00 My_l=7.66 Mz_l=0.01
Taglio nei bulloni: Fv,Ed=3.35 Fv,Rd=9650.97
Rifollamento lato piastra: Fb,Ed,p=3.35 Fb,Rd,p=10669.20
Tirafondi:LT=0.45 (0.31) σ_{cR}=0.00 σ_{fR}=0.00
Compressione nel calcestruzzo: σ_c=18.53
CC 6 SLD (Collegamento -179_-383)
Azioni sul collegamento: N=-8760.13 Ty=11.43 Tz=17.72 Mx=0.01 Mz=8.95
Sollecitazioni agenti localmente: Tx_l=11.43 Ty_l=17.72 N_l=-8760.13 Mx_l=-0.00 My_l=8.95 Mz_l=0.01
Taglio nei bulloni: Fv,Ed=3.53 Fv,Rd=9650.97
Rifollamento lato piastra: Fb,Ed,p=3.53 Fb,Rd,p=12234.90
Tirafondi:LT=0.45 (0.31) σ_{cR}=0.00 σ_{fR}=0.00
Compressione nel calcestruzzo: σ_c=18.60
CC 6 SLD (Collegamento -179_-383)
Azioni sul collegamento: N=-8760.13 Ty=9.39 Tz=9.01 Mx=0.01 Mz=7.66
Sollecitazioni agenti localmente: Tx_l=9.39 Ty_l=9.01 N_l=-8760.13 Mx_l=-0.00 My_l=7.66 Mz_l=0.01
Taglio nei bulloni: Fv,Ed=2.18 Fv,Rd=9650.97
Rifollamento lato piastra: Fb,Ed,p=2.17 Fb,Rd,p=14641.90
Tirafondi:LT=0.45 (0.31) σ_{cR}=0.00 σ_{fR}=0.00
Compressione nel calcestruzzo: σ_c=18.53
CC 6 SLD (Collegamento -179_-383)
Azioni sul collegamento: N=-8760.13 Ty=11.43 Tz=9.01 Mx=0.01 Mz=8.95
Sollecitazioni agenti localmente: Tx_l=11.43 Ty_l=9.01 N_l=-8760.13 Mx_l=-0.00 My_l=8.95 Mz_l=0.01
Taglio nei bulloni: Fv,Ed=2.44 Fv,Rd=9650.97
Rifollamento lato piastra: Fb,Ed,p=2.43 Fb,Rd,p=13473.60
Tirafondi:LT=0.45 (0.31) σ_{cR}=0.00 σ_{fR}=0.00
Compressione nel calcestruzzo: σ_c=18.60
CC 7 SLV (Collegamento -179_-383)
Azioni sul collegamento: N=-13961.30 Ty=7.48 Tz=28.35 Mx=0.01 Mz=7.28
Sollecitazioni agenti localmente: Tx_l=7.48 Ty_l=28.35 N_l=-13961.30 Mx_l=-0.00 My_l=7.28 Mz_l=0.01
Taglio nei bulloni: Fv,Ed=4.90 Fv,Rd=7720.78
Rifollamento lato piastra: Fb,Ed,p=4.90 Fb,Rd,p=6610.94
Tirafondi:LT=0.45 (0.31) σ_{cR}=0.00 σ_{fR}=0.00
Compressione nel calcestruzzo: σ_c=29.26
CC 7 SLV (Collegamento -179_-383)
Azioni sul collegamento: N=-13961.30 Ty=15.19 Tz=28.35 Mx=0.01 Mz=13.60
Sollecitazioni agenti localmente: Tx_l=15.19 Ty_l=28.35 N_l=-13961.30 Mx_l=-0.00 My_l=13.60 Mz_l=0.01
Taglio nei bulloni: Fv,Ed=5.38 Fv,Rd=7720.78
Rifollamento lato piastra: Fb,Ed,p=5.38 Fb,Rd,p=8592.65
Tirafondi:LT=0.45 (0.31) σ_{cR}=0.00 σ_{fR}=0.00
Compressione nel calcestruzzo: σ_c=29.61
CC 7 SLV (Collegamento -179_-383)
Azioni sul collegamento: N=-13961.30 Ty=7.48 Tz=-0.86 Mx=0.01 Mz=7.28
Sollecitazioni agenti localmente: Tx_l=7.48 Ty_l=-0.86 N_l=-13961.30 Mx_l=-0.00 My_l=7.28 Mz_l=0.01
Taglio nei bulloni: Fv,Ed=1.27 Fv,Rd=7720.78
Rifollamento lato piastra: Fb,Ed,p=1.27 Fb,Rd,p=6117.87
Tirafondi:LT=0.45 (0.31) σ_{cR}=0.00 σ_{fR}=0.00
Compressione nel calcestruzzo: σ_c=29.26
CC 7 SLV (Collegamento -179_-383)

Azioni sul collegamento: N=-13961.30 Ty=15.19 Tz=-0.86 Mx=0.01 Mz=13.60
Sollecitazioni agenti localmente: Tx_l=15.19 Ty_l=-0.86 N_l=-13961.30 Mx_l=-0.00 My_l=13.60 Mz_l=0.01
Taglio nei bulloni: Fv,Ed=2.55 Fv,Rd=7720.78
Rifollamento lato piastra: Fb,Ed,p=2.55 Fb,Rd,p=6013.17
Tirafondi:LT=0.45 (0.31) σ_{cR}=0.00 σ_{fR}=0.00
Compressione nel calcestruzzo: σ_c=29.61
CC 7 SLV (Collegamento -179_-383)
Azioni sul collegamento: N=-6136.64 Ty=7.48 Tz=28.35 Mx=0.01 Mz=7.28
Sollecitazioni agenti localmente: Tx_l=7.48 Ty_l=28.35 N_l=-6136.64 Mx_l=-0.00 My_l=7.28 Mz_l=0.01
Taglio nei bulloni: Fv,Ed=4.90 Fv,Rd=7720.78
Rifollamento lato piastra: Fb,Ed,p=4.90 Fb,Rd,p=6610.92
Tirafondi:LT=0.45 (0.31) σ_{cR}=0.00 σ_{fR}=0.00
Compressione nel calcestruzzo: σ_c=13.09
CC 7 SLV (Collegamento -179_-383)
Azioni sul collegamento: N=-6136.64 Ty=15.19 Tz=28.35 Mx=0.01 Mz=13.60
Sollecitazioni agenti localmente: Tx_l=15.19 Ty_l=28.35 N_l=-6136.64 Mx_l=-0.00 My_l=13.60 Mz_l=0.01
Taglio nei bulloni: Fv,Ed=5.38 Fv,Rd=7720.78
Rifollamento lato piastra: Fb,Ed,p=5.38 Fb,Rd,p=8592.58
Tirafondi:LT=0.45 (0.31) σ_{cR}=0.00 σ_{fR}=0.00
Compressione nel calcestruzzo: σ_c=13.45
CC 7 SLV (Collegamento -179_-383)
Azioni sul collegamento: N=-6136.64 Ty=7.48 Tz=-0.86 Mx=0.01 Mz=7.28
Sollecitazioni agenti localmente: Tx_l=7.48 Ty_l=-0.86 N_l=-6136.64 Mx_l=-0.00 My_l=7.28 Mz_l=0.01
Taglio nei bulloni: Fv,Ed=1.27 Fv,Rd=7720.78
Rifollamento lato piastra: Fb,Ed,p=1.27 Fb,Rd,p=6117.88
Tirafondi:LT=0.45 (0.31) σ_{cR}=0.00 σ_{fR}=0.00
Compressione nel calcestruzzo: σ_c=13.09
CC 7 SLV (Collegamento -179_-383)
Azioni sul collegamento: N=-6136.64 Ty=15.19 Tz=-0.86 Mx=0.01 Mz=13.60
Sollecitazioni agenti localmente: Tx_l=15.19 Ty_l=-0.86 N_l=-6136.64 Mx_l=-0.00 My_l=13.60 Mz_l=0.01
Taglio nei bulloni: Fv,Ed=2.55 Fv,Rd=7720.78
Rifollamento lato piastra: Fb,Ed,p=2.55 Fb,Rd,p=6013.17
Tirafondi:LT=0.45 (0.31) σ_{cR}=0.00 σ_{fR}=0.00
Compressione nel calcestruzzo: σ_c=13.45
CC 8 SLD (Collegamento -179_-383)
Azioni sul collegamento: N=-11144.60 Ty=9.24 Tz=17.82 Mx=0.01 Mz=7.34
Sollecitazioni agenti localmente: Tx_l=9.24 Ty_l=17.82 N_l=-11144.60 Mx_l=-0.00 My_l=7.34 Mz_l=0.01
Taglio nei bulloni: Fv,Ed=3.35 Fv,Rd=9650.97
Rifollamento lato piastra: Fb,Ed,p=3.35 Fb,Rd,p=10524.30
Tirafondi:LT=0.45 (0.31) σ_{cR}=0.00 σ_{fR}=0.00
Compressione nel calcestruzzo: σ_c=23.44
CC 8 SLD (Collegamento -179_-383)
Azioni sul collegamento: N=-11144.60 Ty=11.59 Tz=17.82 Mx=0.01 Mz=9.27
Sollecitazioni agenti localmente: Tx_l=11.59 Ty_l=17.82 N_l=-11144.60 Mx_l=-0.00 My_l=9.27 Mz_l=0.01
Taglio nei bulloni: Fv,Ed=3.55 Fv,Rd=9650.97
Rifollamento lato piastra: Fb,Ed,p=3.55 Fb,Rd,p=12310.10
Tirafondi:LT=0.45 (0.31) σ_{cR}=0.00 σ_{fR}=0.00
Compressione nel calcestruzzo: σ_c=23.55
CC 8 SLD (Collegamento -179_-383)
Azioni sul collegamento: N=-11144.60 Ty=9.24 Tz=8.91 Mx=0.01 Mz=7.34
Sollecitazioni agenti localmente: Tx_l=9.24 Ty_l=8.91 N_l=-11144.60 Mx_l=-0.00 My_l=7.34 Mz_l=0.01
Taglio nei bulloni: Fv,Ed=2.15 Fv,Rd=9650.97
Rifollamento lato piastra: Fb,Ed,p=2.14 Fb,Rd,p=14695.90
Tirafondi:LT=0.45 (0.31) σ_{cR}=0.00 σ_{fR}=0.00
Compressione nel calcestruzzo: σ_c=23.44
CC 8 SLD (Collegamento -179_-383)
Azioni sul collegamento: N=-11144.60 Ty=11.59 Tz=8.91 Mx=0.01 Mz=9.27
Sollecitazioni agenti localmente: Tx_l=11.59 Ty_l=8.91 N_l=-11144.60 Mx_l=-0.00 My_l=9.27 Mz_l=0.01
Taglio nei bulloni: Fv,Ed=2.45 Fv,Rd=9650.97
Rifollamento lato piastra: Fb,Ed,p=2.44 Fb,Rd,p=13359.90
Tirafondi:LT=0.45 (0.31) σ_{cR}=0.00 σ_{fR}=0.00
Compressione nel calcestruzzo: σ_c=23.55
CC 8 SLD (Collegamento -179_-383)
Azioni sul collegamento: N=-8758.64 Ty=9.24 Tz=17.82 Mx=0.01 Mz=7.34
Sollecitazioni agenti localmente: Tx_l=9.24 Ty_l=17.82 N_l=-8758.64 Mx_l=-0.00 My_l=7.34 Mz_l=0.01
Taglio nei bulloni: Fv,Ed=3.35 Fv,Rd=9650.97
Rifollamento lato piastra: Fb,Ed,p=3.35 Fb,Rd,p=10524.30
Tirafondi:LT=0.45 (0.31) σ_{cR}=0.00 σ_{fR}=0.00
Compressione nel calcestruzzo: σ_c=18.51
CC 8 SLD (Collegamento -179_-383)
Azioni sul collegamento: N=-8758.64 Ty=11.59 Tz=17.82 Mx=0.01 Mz=9.27
Sollecitazioni agenti localmente: Tx_l=11.59 Ty_l=17.82 N_l=-8758.64 Mx_l=-0.00 My_l=9.27 Mz_l=0.01
Taglio nei bulloni: Fv,Ed=3.55 Fv,Rd=9650.97
Rifollamento lato piastra: Fb,Ed,p=3.55 Fb,Rd,p=12310.10
Tirafondi:LT=0.45 (0.31) σ_{cR}=0.00 σ_{fR}=0.00
Compressione nel calcestruzzo: σ_c=18.62
CC 8 SLD (Collegamento -179_-383)
Azioni sul collegamento: N=-8758.64 Ty=9.24 Tz=8.91 Mx=0.01 Mz=7.34

Sollecitazioni agenti localmente: Tx_l=9.24 Ty_l=8.91 N_l=-8758.64 Mx_l=-0.00 My_l=7.34 Mz_l=0.01
Taglio nei bulloni: Fv,Ed=2.15 Fv,Rd=9650.97
Rifollamento lato piastra: Fb,Ed,p=2.14 Fb,Rd,p=14695.60
Tirafondi:LT=0.45 (0.31) σ_{cR}=0.00 σ_{fR}=0.00
Compressione nel calcestruzzo: σ_c=18.51
CC 8 SLD (Collegamento -179_-383)
Azioni sul collegamento: N=-8758.64 Ty=11.59 Tz=8.91 Mx=0.01 Mz=9.27
Sollecitazioni agenti localmente: Tx_l=11.59 Ty_l=8.91 N_l=-8758.64 Mx_l=-0.00 My_l=9.27 Mz_l=0.01
Taglio nei bulloni: Fv,Ed=2.45 Fv,Rd=9650.97
Rifollamento lato piastra: Fb,Ed,p=2.44 Fb,Rd,p=13359.70
Tirafondi:LT=0.45 (0.31) σ_{cR}=0.00 σ_{fR}=0.00
Compressione nel calcestruzzo: σ_c=18.62
CC 9 SLV (Collegamento -179_-383)
Azioni sul collegamento: N=-8867.90 Ty=13.27 Tz=8.87 Mx=0.02 Mz=12.98
Sollecitazioni agenti localmente: Tx_l=13.27 Ty_l=8.87 N_l=-8867.90 Mx_l=-0.00 My_l=12.98 Mz_l=0.02
Taglio nei bulloni: Fv,Ed=2.70 Fv,Rd=7720.78
Rifollamento lato piastra: Fb,Ed,p=2.67 Fb,Rd,p=9815.62
Tirafondi:LT=0.45 (0.31) σ_{cR}=0.00 σ_{fR}=0.00
Compressione nel calcestruzzo: σ_c=19.05
CC 9 SLV (Collegamento -179_-383)
Azioni sul collegamento: N=-8867.90 Ty=9.40 Tz=8.87 Mx=0.02 Mz=7.91
Sollecitazioni agenti localmente: Tx_l=9.40 Ty_l=8.87 N_l=-8867.90 Mx_l=-0.00 My_l=7.91 Mz_l=0.02
Taglio nei bulloni: Fv,Ed=2.19 Fv,Rd=7720.78
Rifollamento lato piastra: Fb,Ed,p=2.16 Fb,Rd,p=11497.60
Tirafondi:LT=0.45 (0.31) σ_{cR}=0.00 σ_{fR}=0.00
Compressione nel calcestruzzo: σ_c=18.77
CC 9 SLV (Collegamento -179_-383)
Azioni sul collegamento: N=-8867.90 Ty=13.27 Tz=18.62 Mx=0.02 Mz=12.98
Sollecitazioni agenti localmente: Tx_l=13.27 Ty_l=18.62 N_l=-8867.90 Mx_l=-0.00 My_l=12.98 Mz_l=0.02
Taglio nei bulloni: Fv,Ed=3.85 Fv,Rd=7720.78
Rifollamento lato piastra: Fb,Ed,p=3.85 Fb,Rd,p=10448.10
Tirafondi:LT=0.45 (0.31) σ_{cR}=0.00 σ_{fR}=0.00
Compressione nel calcestruzzo: σ_c=19.05
CC 9 SLV (Collegamento -179_-383)
Azioni sul collegamento: N=-8867.90 Ty=9.40 Tz=18.62 Mx=0.02 Mz=7.91
Sollecitazioni agenti localmente: Tx_l=9.40 Ty_l=18.62 N_l=-8867.90 Mx_l=-0.00 My_l=7.91 Mz_l=0.02
Taglio nei bulloni: Fv,Ed=3.51 Fv,Rd=7720.78
Rifollamento lato piastra: Fb,Ed,p=3.51 Fb,Rd,p=8319.59
Tirafondi:LT=0.45 (0.31) σ_{cR}=0.00 σ_{fR}=0.00
Compressione nel calcestruzzo: σ_c=18.77
CC 9 SLV (Collegamento -179_-383)
Azioni sul collegamento: N=-11230.10 Ty=13.27 Tz=8.87 Mx=0.02 Mz=12.98
Sollecitazioni agenti localmente: Tx_l=13.27 Ty_l=8.87 N_l=-11230.10 Mx_l=-0.00 My_l=12.98 Mz_l=0.02
Taglio nei bulloni: Fv,Ed=2.70 Fv,Rd=7720.78
Rifollamento lato piastra: Fb,Ed,p=2.67 Fb,Rd,p=9815.91
Tirafondi:LT=0.45 (0.31) σ_{cR}=0.00 σ_{fR}=0.00
Compressione nel calcestruzzo: σ_c=23.93
CC 9 SLV (Collegamento -179_-383)
Azioni sul collegamento: N=-11230.10 Ty=9.40 Tz=8.87 Mx=0.02 Mz=7.91
Sollecitazioni agenti localmente: Tx_l=9.40 Ty_l=8.87 N_l=-11230.10 Mx_l=-0.00 My_l=7.91 Mz_l=0.02
Taglio nei bulloni: Fv,Ed=2.19 Fv,Rd=7720.78
Rifollamento lato piastra: Fb,Ed,p=2.16 Fb,Rd,p=11497.80
Tirafondi:LT=0.45 (0.31) σ_{cR}=0.00 σ_{fR}=0.00
Compressione nel calcestruzzo: σ_c=23.65
CC 9 SLV (Collegamento -179_-383)
Azioni sul collegamento: N=-11230.10 Ty=13.27 Tz=18.62 Mx=0.02 Mz=12.98
Sollecitazioni agenti localmente: Tx_l=13.27 Ty_l=18.62 N_l=-11230.10 Mx_l=-0.00 My_l=12.98 Mz_l=0.02
Taglio nei bulloni: Fv,Ed=3.85 Fv,Rd=7720.78
Rifollamento lato piastra: Fb,Ed,p=3.85 Fb,Rd,p=10448.10
Tirafondi:LT=0.45 (0.31) σ_{cR}=0.00 σ_{fR}=0.00
Compressione nel calcestruzzo: σ_c=23.93
CC 9 SLV (Collegamento -179_-383)
Azioni sul collegamento: N=-11230.10 Ty=9.40 Tz=18.62 Mx=0.02 Mz=7.91
Sollecitazioni agenti localmente: Tx_l=9.40 Ty_l=18.62 N_l=-11230.10 Mx_l=-0.00 My_l=7.91 Mz_l=0.02
Taglio nei bulloni: Fv,Ed=3.51 Fv,Rd=7720.78
Rifollamento lato piastra: Fb,Ed,p=3.51 Fb,Rd,p=8319.51
Tirafondi:LT=0.45 (0.31) σ_{cR}=0.00 σ_{fR}=0.00
Compressione nel calcestruzzo: σ_c=23.65
CC 10 SLD (Collegamento -179_-383)
Azioni sul collegamento: N=-9591.49 Ty=11.00 Tz=11.88 Mx=0.01 Mz=9.08
Sollecitazioni agenti localmente: Tx_l=11.00 Ty_l=11.88 N_l=-9591.49 Mx_l=-0.00 My_l=9.08 Mz_l=0.01
Taglio nei bulloni: Fv,Ed=2.71 Fv,Rd=9650.97
Rifollamento lato piastra: Fb,Ed,p=2.71 Fb,Rd,p=14484.10
Tirafondi:LT=0.45 (0.31) σ_{cR}=0.00 σ_{fR}=0.00
Compressione nel calcestruzzo: σ_c=20.33
CC 10 SLD (Collegamento -179_-383)
Azioni sul collegamento: N=-9591.49 Ty=9.82 Tz=11.88 Mx=0.01 Mz=7.53
Sollecitazioni agenti localmente: Tx_l=9.82 Ty_l=11.88 N_l=-9591.49 Mx_l=-0.00 My_l=7.53 Mz_l=0.01

Taglio nei bulloni: Fv,Ed=2.58 Fv,Rd=9650.97
Rifollamento lato piastra: Fb,Ed,p=2.58 Fb,Rd,p=13791.70
Tirafondi:LT=0.45 (0.31) σ_{cR}=0.00 σ_{fR}=0.00
Compressione nel calcestruzzo: σ_c=20.24
CC 10 SLD (Collegamento -179_-383)
Azioni sul collegamento: N=-9591.49 Ty=11.00 Tz=14.85 Mx=0.01 Mz=9.08
Sollecitazioni agenti localmente: Tx_l=11.00 Ty_l=14.85 N_l=-9591.49 Mx_l=-0.00 My_l=9.08 Mz_l=0.01
Taglio nei bulloni: Fv,Ed=3.10 Fv,Rd=9650.97
Rifollamento lato piastra: Fb,Ed,p=3.10 Fb,Rd,p=13228.20
Tirafondi:LT=0.45 (0.31) σ_{cR}=0.00 σ_{fR}=0.00
Compressione nel calcestruzzo: σ_c=20.33
CC 10 SLD (Collegamento -179_-383)
Azioni sul collegamento: N=-9591.49 Ty=9.82 Tz=14.85 Mx=0.01 Mz=7.53
Sollecitazioni agenti localmente: Tx_l=9.82 Ty_l=14.85 N_l=-9591.49 Mx_l=-0.00 My_l=7.53 Mz_l=0.01
Taglio nei bulloni: Fv,Ed=2.98 Fv,Rd=9650.97
Rifollamento lato piastra: Fb,Ed,p=2.98 Fb,Rd,p=12487.90
Tirafondi:LT=0.45 (0.31) σ_{cR}=0.00 σ_{fR}=0.00
Compressione nel calcestruzzo: σ_c=20.24
CC 10 SLD (Collegamento -179_-383)
Azioni sul collegamento: N=-10311.80 Ty=11.00 Tz=11.88 Mx=0.01 Mz=9.08
Sollecitazioni agenti localmente: Tx_l=11.00 Ty_l=11.88 N_l=-10311.80 Mx_l=-0.00 My_l=9.08 Mz_l=0.01
Taglio nei bulloni: Fv,Ed=2.71 Fv,Rd=9650.97
Rifollamento lato piastra: Fb,Ed,p=2.71 Fb,Rd,p=14484.10
Tirafondi:LT=0.45 (0.31) σ_{cR}=0.00 σ_{fR}=0.00
Compressione nel calcestruzzo: σ_c=21.82
CC 10 SLD (Collegamento -179_-383)
Azioni sul collegamento: N=-10311.80 Ty=9.82 Tz=11.88 Mx=0.01 Mz=7.53
Sollecitazioni agenti localmente: Tx_l=9.82 Ty_l=11.88 N_l=-10311.80 Mx_l=-0.00 My_l=7.53 Mz_l=0.01
Taglio nei bulloni: Fv,Ed=2.58 Fv,Rd=9650.97
Rifollamento lato piastra: Fb,Ed,p=2.58 Fb,Rd,p=13791.70
Tirafondi:LT=0.45 (0.31) σ_{cR}=0.00 σ_{fR}=0.00
Compressione nel calcestruzzo: σ_c=21.73
CC 10 SLD (Collegamento -179_-383)
Azioni sul collegamento: N=-10311.80 Ty=11.00 Tz=14.85 Mx=0.01 Mz=9.08
Sollecitazioni agenti localmente: Tx_l=11.00 Ty_l=14.85 N_l=-10311.80 Mx_l=-0.00 My_l=9.08 Mz_l=0.01
Taglio nei bulloni: Fv,Ed=3.10 Fv,Rd=9650.97
Rifollamento lato piastra: Fb,Ed,p=3.10 Fb,Rd,p=13228.20
Tirafondi:LT=0.45 (0.31) σ_{cR}=0.00 σ_{fR}=0.00
Compressione nel calcestruzzo: σ_c=21.82
CC 10 SLD (Collegamento -179_-383)
Azioni sul collegamento: N=-10311.80 Ty=9.82 Tz=14.85 Mx=0.01 Mz=7.53
Sollecitazioni agenti localmente: Tx_l=9.82 Ty_l=14.85 N_l=-10311.80 Mx_l=-0.00 My_l=7.53 Mz_l=0.01
Taglio nei bulloni: Fv,Ed=2.98 Fv,Rd=9650.97
Rifollamento lato piastra: Fb,Ed,p=2.98 Fb,Rd,p=12487.90
Tirafondi:LT=0.45 (0.31) σ_{cR}=0.00 σ_{fR}=0.00
Compressione nel calcestruzzo: σ_c=21.73
CC 11 SLV (Collegamento -179_-383)
Azioni sul collegamento: N=-11213.80 Ty=11.11 Tz=17.53 Mx=0.02 Mz=11.40
Sollecitazioni agenti localmente: Tx_l=11.11 Ty_l=17.53 N_l=-11213.80 Mx_l=-0.00 My_l=11.40 Mz_l=0.02
Taglio nei bulloni: Fv,Ed=3.50 Fv,Rd=7720.78
Rifollamento lato piastra: Fb,Ed,p=3.50 Fb,Rd,p=9678.16
Tirafondi:LT=0.45 (0.31) σ_{cR}=0.00 σ_{fR}=0.00
Compressione nel calcestruzzo: σ_c=23.81
CC 11 SLV (Collegamento -179_-383)
Azioni sul collegamento: N=-11213.80 Ty=11.56 Tz=17.53 Mx=0.02 Mz=9.49
Sollecitazioni agenti localmente: Tx_l=11.56 Ty_l=17.53 N_l=-11213.80 Mx_l=-0.00 My_l=9.49 Mz_l=0.02
Taglio nei bulloni: Fv,Ed=3.54 Fv,Rd=7720.78
Rifollamento lato piastra: Fb,Ed,p=3.54 Fb,Rd,p=9985.13
Tirafondi:LT=0.45 (0.31) σ_{cR}=0.00 σ_{fR}=0.00
Compressione nel calcestruzzo: σ_c=23.70
CC 11 SLV (Collegamento -179_-383)
Azioni sul collegamento: N=-11213.80 Ty=11.11 Tz=9.96 Mx=0.02 Mz=11.40
Sollecitazioni agenti localmente: Tx_l=11.11 Ty_l=9.96 N_l=-11213.80 Mx_l=-0.00 My_l=11.40 Mz_l=0.02
Taglio nei bulloni: Fv,Ed=2.52 Fv,Rd=7720.78
Rifollamento lato piastra: Fb,Ed,p=2.49 Fb,Rd,p=11262.40
Tirafondi:LT=0.45 (0.31) σ_{cR}=0.00 σ_{fR}=0.00
Compressione nel calcestruzzo: σ_c=23.81
CC 11 SLV (Collegamento -179_-383)
Azioni sul collegamento: N=-11213.80 Ty=11.56 Tz=9.96 Mx=0.02 Mz=9.49
Sollecitazioni agenti localmente: Tx_l=11.56 Ty_l=9.96 N_l=-11213.80 Mx_l=-0.00 My_l=9.49 Mz_l=0.02
Taglio nei bulloni: Fv,Ed=2.58 Fv,Rd=7720.78
Rifollamento lato piastra: Fb,Ed,p=2.55 Fb,Rd,p=11079.20
Tirafondi:LT=0.45 (0.31) σ_{cR}=0.00 σ_{fR}=0.00
Compressione nel calcestruzzo: σ_c=23.70
CC 11 SLV (Collegamento -179_-383)
Azioni sul collegamento: N=-8884.11 Ty=11.11 Tz=17.53 Mx=0.02 Mz=11.40
Sollecitazioni agenti localmente: Tx_l=11.11 Ty_l=17.53 N_l=-8884.11 Mx_l=-0.00 My_l=11.40 Mz_l=0.02
Taglio nei bulloni: Fv,Ed=3.50 Fv,Rd=7720.78

Rifollamento lato piastra: Fb,Ed,p=3.50 Fb,Rd,p=9678.01
Tirafondi:LT=0.45 (0.31) σ_{cR}=0.00 σ_{fR}=0.00
Compressione nel calcestruzzo: σ_c=19.00
CC 11 SLV (Collegamento -179_-383)
Azioni sul collegamento: N=-8884.11 Ty=11.56 Tz=17.53 Mx=0.02 Mz=9.49
Sollecitazioni agenti localmente: Tx_l=11.56 Ty_l=17.53 N_l=-8884.11 Mx_l=-0.00 My_l=9.49 Mz_l=0.02
Taglio nei bulloni: Fv,Ed=3.54 Fv,Rd=7720.78
Rifollamento lato piastra: Fb,Ed,p=3.54 Fb,Rd,p=9984.96
Tirafondi:LT=0.45 (0.31) σ_{cR}=0.00 σ_{fR}=0.00
Compressione nel calcestruzzo: σ_c=18.89
CC 11 SLV (Collegamento -179_-383)
Azioni sul collegamento: N=-8884.11 Ty=11.11 Tz=9.96 Mx=0.02 Mz=11.40
Sollecitazioni agenti localmente: Tx_l=11.11 Ty_l=9.96 N_l=-8884.11 Mx_l=-0.00 My_l=11.40 Mz_l=0.02
Taglio nei bulloni: Fv,Ed=2.52 Fv,Rd=7720.78
Rifollamento lato piastra: Fb,Ed,p=2.49 Fb,Rd,p=11262.30
Tirafondi:LT=0.45 (0.31) σ_{cR}=0.00 σ_{fR}=0.00
Compressione nel calcestruzzo: σ_c=19.00
CC 11 SLV (Collegamento -179_-383)
Azioni sul collegamento: N=-8884.11 Ty=11.56 Tz=9.96 Mx=0.02 Mz=9.49
Sollecitazioni agenti localmente: Tx_l=11.56 Ty_l=9.96 N_l=-8884.11 Mx_l=-0.00 My_l=9.49 Mz_l=0.02
Taglio nei bulloni: Fv,Ed=2.58 Fv,Rd=7720.78
Rifollamento lato piastra: Fb,Ed,p=2.55 Fb,Rd,p=11079.10
Tirafondi:LT=0.45 (0.31) σ_{cR}=0.00 σ_{fR}=0.00
Compressione nel calcestruzzo: σ_c=18.89
CC 12 SLD (Collegamento -179_-383)
Azioni sul collegamento: N=-10306.80 Ty=10.34 Tz=14.52 Mx=0.01 Mz=8.60
Sollecitazioni agenti localmente: Tx_l=10.34 Ty_l=14.52 N_l=-10306.80 Mx_l=-0.00 My_l=8.60 Mz_l=0.01
Taglio nei bulloni: Fv,Ed=2.99 Fv,Rd=9650.97
Rifollamento lato piastra: Fb,Ed,p=2.99 Fb,Rd,p=13051.70
Tirafondi:LT=0.45 (0.31) σ_{cR}=0.00 σ_{fR}=0.00
Compressione nel calcestruzzo: σ_c=21.78
CC 12 SLD (Collegamento -179_-383)
Azioni sul collegamento: N=-10306.80 Ty=10.48 Tz=14.52 Mx=0.01 Mz=8.01
Sollecitazioni agenti localmente: Tx_l=10.48 Ty_l=14.52 N_l=-10306.80 Mx_l=-0.00 My_l=8.01 Mz_l=0.01
Taglio nei bulloni: Fv,Ed=3.00 Fv,Rd=9650.97
Rifollamento lato piastra: Fb,Ed,p=3.00 Fb,Rd,p=13109.80
Tirafondi:LT=0.45 (0.31) σ_{cR}=0.00 σ_{fR}=0.00
Compressione nel calcestruzzo: σ_c=21.75
CC 12 SLD (Collegamento -179_-383)
Azioni sul collegamento: N=-10306.80 Ty=10.34 Tz=12.21 Mx=0.01 Mz=8.60
Sollecitazioni agenti localmente: Tx_l=10.34 Ty_l=12.21 N_l=-10306.80 Mx_l=-0.00 My_l=8.60 Mz_l=0.01
Taglio nei bulloni: Fv,Ed=2.68 Fv,Rd=9650.97
Rifollamento lato piastra: Fb,Ed,p=2.68 Fb,Rd,p=13929.10
Tirafondi:LT=0.45 (0.31) σ_{cR}=0.00 σ_{fR}=0.00
Compressione nel calcestruzzo: σ_c=21.78
CC 12 SLD (Collegamento -179_-383)
Azioni sul collegamento: N=-10306.80 Ty=10.48 Tz=12.21 Mx=0.01 Mz=8.01
Sollecitazioni agenti localmente: Tx_l=10.48 Ty_l=12.21 N_l=-10306.80 Mx_l=-0.00 My_l=8.01 Mz_l=0.01
Taglio nei bulloni: Fv,Ed=2.70 Fv,Rd=9650.97
Rifollamento lato piastra: Fb,Ed,p=2.70 Fb,Rd,p=14005.80
Tirafondi:LT=0.45 (0.31) σ_{cR}=0.00 σ_{fR}=0.00
Compressione nel calcestruzzo: σ_c=21.75
CC 12 SLD (Collegamento -179_-383)
Azioni sul collegamento: N=-9596.43 Ty=10.34 Tz=14.52 Mx=0.01 Mz=8.60
Sollecitazioni agenti localmente: Tx_l=10.34 Ty_l=14.52 N_l=-9596.43 Mx_l=-0.00 My_l=8.60 Mz_l=0.01
Taglio nei bulloni: Fv,Ed=2.99 Fv,Rd=9650.97
Rifollamento lato piastra: Fb,Ed,p=2.99 Fb,Rd,p=13051.60
Tirafondi:LT=0.45 (0.31) σ_{cR}=0.00 σ_{fR}=0.00
Compressione nel calcestruzzo: σ_c=20.31
CC 12 SLD (Collegamento -179_-383)
Azioni sul collegamento: N=-9596.43 Ty=10.48 Tz=14.52 Mx=0.01 Mz=8.01
Sollecitazioni agenti localmente: Tx_l=10.48 Ty_l=14.52 N_l=-9596.43 Mx_l=-0.00 My_l=8.01 Mz_l=0.01
Taglio nei bulloni: Fv,Ed=3.00 Fv,Rd=9650.97
Rifollamento lato piastra: Fb,Ed,p=3.00 Fb,Rd,p=13109.70
Tirafondi:LT=0.45 (0.31) σ_{cR}=0.00 σ_{fR}=0.00
Compressione nel calcestruzzo: σ_c=20.28
CC 12 SLD (Collegamento -179_-383)
Azioni sul collegamento: N=-9596.43 Ty=10.34 Tz=12.21 Mx=0.01 Mz=8.60
Sollecitazioni agenti localmente: Tx_l=10.34 Ty_l=12.21 N_l=-9596.43 Mx_l=-0.00 My_l=8.60 Mz_l=0.01
Taglio nei bulloni: Fv,Ed=2.68 Fv,Rd=9650.97
Rifollamento lato piastra: Fb,Ed,p=2.68 Fb,Rd,p=13928.90
Tirafondi:LT=0.45 (0.31) σ_{cR}=0.00 σ_{fR}=0.00
Compressione nel calcestruzzo: σ_c=20.31
CC 12 SLD (Collegamento -179_-383)
Azioni sul collegamento: N=-9596.43 Ty=10.48 Tz=12.21 Mx=0.01 Mz=8.01
Sollecitazioni agenti localmente: Tx_l=10.48 Ty_l=12.21 N_l=-9596.43 Mx_l=-0.00 My_l=8.01 Mz_l=0.01
Taglio nei bulloni: Fv,Ed=2.70 Fv,Rd=9650.97
Rifollamento lato piastra: Fb,Ed,p=2.70 Fb,Rd,p=14005.60

Tirafondi:LT=0.45 (0.31) σ_{cR}=0.00 σ_{fR}=0.00
Compressione nel calcestruzzo: σ_c=20.28
CC 13 SLV (Collegamento -179_-383)
Azioni sul collegamento: N=-8884.11 Ty=11.56 Tz=9.96 Mx=0.01 Mz=9.49
Sollecitazioni agenti localmente: Tx_l=11.56 Ty_l=9.96 N_l=-8884.11 Mx_l=-0.00 My_l=9.49 Mz_l=0.01
Taglio nei bulloni: Fv,Ed=2.56 Fv,Rd=7720.78
Rifollamento lato piastra: Fb,Ed,p=2.54 Fb,Rd,p=11171.90
Tirafondi:LT=0.45 (0.31) σ_{cR}=0.00 σ_{fR}=0.00
Compressione nel calcestruzzo: σ_c=18.89
CC 13 SLV (Collegamento -179_-383)
Azioni sul collegamento: N=-8884.11 Ty=11.11 Tz=9.96 Mx=0.01 Mz=11.40
Sollecitazioni agenti localmente: Tx_l=11.11 Ty_l=9.96 N_l=-8884.11 Mx_l=-0.00 My_l=11.40 Mz_l=0.01
Taglio nei bulloni: Fv,Ed=2.50 Fv,Rd=7720.78
Rifollamento lato piastra: Fb,Ed,p=2.49 Fb,Rd,p=11362.80
Tirafondi:LT=0.45 (0.31) σ_{cR}=0.00 σ_{fR}=0.00
Compressione nel calcestruzzo: σ_c=19.00
CC 13 SLV (Collegamento -179_-383)
Azioni sul collegamento: N=-8884.11 Ty=11.56 Tz=17.53 Mx=0.01 Mz=9.49
Sollecitazioni agenti localmente: Tx_l=11.56 Ty_l=17.53 N_l=-8884.11 Mx_l=-0.00 My_l=9.49 Mz_l=0.01
Taglio nei bulloni: Fv,Ed=3.51 Fv,Rd=7720.78
Rifollamento lato piastra: Fb,Ed,p=3.51 Fb,Rd,p=9959.54
Tirafondi:LT=0.45 (0.31) σ_{cR}=0.00 σ_{fR}=0.00
Compressione nel calcestruzzo: σ_c=18.89
CC 13 SLV (Collegamento -179_-383)
Azioni sul collegamento: N=-8884.11 Ty=11.11 Tz=17.53 Mx=0.01 Mz=11.40
Sollecitazioni agenti localmente: Tx_l=11.11 Ty_l=17.53 N_l=-8884.11 Mx_l=-0.00 My_l=11.40 Mz_l=0.01
Taglio nei bulloni: Fv,Ed=3.47 Fv,Rd=7720.78
Rifollamento lato piastra: Fb,Ed,p=3.47 Fb,Rd,p=9651.81
Tirafondi:LT=0.45 (0.31) σ_{cR}=0.00 σ_{fR}=0.00
Compressione nel calcestruzzo: σ_c=19.00
CC 13 SLV (Collegamento -179_-383)
Azioni sul collegamento: N=-11213.80 Ty=11.56 Tz=9.96 Mx=0.01 Mz=9.49
Sollecitazioni agenti localmente: Tx_l=11.56 Ty_l=9.96 N_l=-11213.80 Mx_l=-0.00 My_l=9.49 Mz_l=0.01
Taglio nei bulloni: Fv,Ed=2.56 Fv,Rd=7720.78
Rifollamento lato piastra: Fb,Ed,p=2.54 Fb,Rd,p=11172.10
Tirafondi:LT=0.45 (0.31) σ_{cR}=0.00 σ_{fR}=0.00
Compressione nel calcestruzzo: σ_c=23.70
CC 13 SLV (Collegamento -179_-383)
Azioni sul collegamento: N=-11213.80 Ty=11.11 Tz=9.96 Mx=0.01 Mz=11.40
Sollecitazioni agenti localmente: Tx_l=11.11 Ty_l=9.96 N_l=-11213.80 Mx_l=-0.00 My_l=11.40 Mz_l=0.01
Taglio nei bulloni: Fv,Ed=2.50 Fv,Rd=7720.78
Rifollamento lato piastra: Fb,Ed,p=2.49 Fb,Rd,p=11363.00
Tirafondi:LT=0.45 (0.31) σ_{cR}=0.00 σ_{fR}=0.00
Compressione nel calcestruzzo: σ_c=23.81
CC 13 SLV (Collegamento -179_-383)
Azioni sul collegamento: N=-11213.80 Ty=11.56 Tz=17.53 Mx=0.01 Mz=9.49
Sollecitazioni agenti localmente: Tx_l=11.56 Ty_l=17.53 N_l=-11213.80 Mx_l=-0.00 My_l=9.49 Mz_l=0.01
Taglio nei bulloni: Fv,Ed=3.51 Fv,Rd=7720.78
Rifollamento lato piastra: Fb,Ed,p=3.51 Fb,Rd,p=9959.71
Tirafondi:LT=0.45 (0.31) σ_{cR}=0.00 σ_{fR}=0.00
Compressione nel calcestruzzo: σ_c=23.70
CC 13 SLV (Collegamento -179_-383)
Azioni sul collegamento: N=-11213.80 Ty=11.11 Tz=17.53 Mx=0.01 Mz=11.40
Sollecitazioni agenti localmente: Tx_l=11.11 Ty_l=17.53 N_l=-11213.80 Mx_l=-0.00 My_l=11.40 Mz_l=0.01
Taglio nei bulloni: Fv,Ed=3.47 Fv,Rd=7720.78
Rifollamento lato piastra: Fb,Ed,p=3.47 Fb,Rd,p=9651.96
Tirafondi:LT=0.45 (0.31) σ_{cR}=0.00 σ_{fR}=0.00
Compressione nel calcestruzzo: σ_c=23.81
CC 14 SLD (Collegamento -179_-383)
Azioni sul collegamento: N=-9596.43 Ty=10.48 Tz=12.21 Mx=0.00 Mz=8.01
Sollecitazioni agenti localmente: Tx_l=10.48 Ty_l=12.21 N_l=-9596.43 Mx_l=-0.00 My_l=8.01 Mz_l=0.00
Taglio nei bulloni: Fv,Ed=2.69 Fv,Rd=9650.97
Rifollamento lato piastra: Fb,Ed,p=2.69 Fb,Rd,p=14003.10
Tirafondi:LT=0.45 (0.31) σ_{cR}=0.00 σ_{fR}=0.00
Compressione nel calcestruzzo: σ_c=20.28
CC 14 SLD (Collegamento -179_-383)
Azioni sul collegamento: N=-9596.43 Ty=10.34 Tz=12.21 Mx=0.00 Mz=8.60
Sollecitazioni agenti localmente: Tx_l=10.34 Ty_l=12.21 N_l=-9596.43 Mx_l=-0.00 My_l=8.60 Mz_l=0.00
Taglio nei bulloni: Fv,Ed=2.67 Fv,Rd=9650.97
Rifollamento lato piastra: Fb,Ed,p=2.67 Fb,Rd,p=13926.10
Tirafondi:LT=0.45 (0.31) σ_{cR}=0.00 σ_{fR}=0.00
Compressione nel calcestruzzo: σ_c=20.31
CC 14 SLD (Collegamento -179_-383)
Azioni sul collegamento: N=-9596.43 Ty=10.48 Tz=14.52 Mx=0.00 Mz=8.01
Sollecitazioni agenti localmente: Tx_l=10.48 Ty_l=14.52 N_l=-9596.43 Mx_l=-0.00 My_l=8.01 Mz_l=0.00
Taglio nei bulloni: Fv,Ed=2.99 Fv,Rd=9650.97
Rifollamento lato piastra: Fb,Ed,p=2.99 Fb,Rd,p=13105.80
Tirafondi:LT=0.45 (0.31) σ_{cR}=0.00 σ_{fR}=0.00

Compressione nel calcestruzzo: σ_c=20.28
CC 14 SLD (Collegamento -179_-383)
Azioni sul collegamento: N=-9596.43 Ty=10.34 Tz=14.52 Mx=0.00 Mz=8.60
Sollecitazioni agenti localmente: Tx_l=10.34 Ty_l=14.52 N_l=-9596.43 Mx_l=-0.00 My_l=8.60 Mz_l=0.00
Taglio nei bulloni: Fv,Ed=2.98 Fv,Rd=9650.97
Rifollamento lato piastra: Fb,Ed,p=2.98 Fb,Rd,p=13047.70
Tirafondi:LT=0.45 (0.31) σ_{cR}=0.00 σ_{fR}=0.00
Compressione nel calcestruzzo: σ_c=20.31
CC 14 SLD (Collegamento -179_-383)
Azioni sul collegamento: N=-10306.80 Ty=10.48 Tz=12.21 Mx=0.00 Mz=8.01
Sollecitazioni agenti localmente: Tx_l=10.48 Ty_l=12.21 N_l=-10306.80 Mx_l=-0.00 My_l=8.01 Mz_l=0.00
Taglio nei bulloni: Fv,Ed=2.69 Fv,Rd=9650.97
Rifollamento lato piastra: Fb,Ed,p=2.69 Fb,Rd,p=14003.20
Tirafondi:LT=0.45 (0.31) σ_{cR}=0.00 σ_{fR}=0.00
Compressione nel calcestruzzo: σ_c=21.75
CC 14 SLD (Collegamento -179_-383)
Azioni sul collegamento: N=-10306.80 Ty=10.34 Tz=12.21 Mx=0.00 Mz=8.60
Sollecitazioni agenti localmente: Tx_l=10.34 Ty_l=12.21 N_l=-10306.80 Mx_l=-0.00 My_l=8.60 Mz_l=0.00
Taglio nei bulloni: Fv,Ed=2.67 Fv,Rd=9650.97
Rifollamento lato piastra: Fb,Ed,p=2.67 Fb,Rd,p=13926.30
Tirafondi:LT=0.45 (0.31) σ_{cR}=0.00 σ_{fR}=0.00
Compressione nel calcestruzzo: σ_c=21.78
CC 14 SLD (Collegamento -179_-383)
Azioni sul collegamento: N=-10306.80 Ty=10.48 Tz=14.52 Mx=0.00 Mz=8.01
Sollecitazioni agenti localmente: Tx_l=10.48 Ty_l=14.52 N_l=-10306.80 Mx_l=-0.00 My_l=8.01 Mz_l=0.00
Taglio nei bulloni: Fv,Ed=2.99 Fv,Rd=9650.97
Rifollamento lato piastra: Fb,Ed,p=2.99 Fb,Rd,p=13105.90
Tirafondi:LT=0.45 (0.31) σ_{cR}=0.00 σ_{fR}=0.00
Compressione nel calcestruzzo: σ_c=21.75
CC 14 SLD (Collegamento -179_-383)
Azioni sul collegamento: N=-10306.80 Ty=10.34 Tz=14.52 Mx=0.00 Mz=8.60
Sollecitazioni agenti localmente: Tx_l=10.34 Ty_l=14.52 N_l=-10306.80 Mx_l=-0.00 My_l=8.60 Mz_l=0.00
Taglio nei bulloni: Fv,Ed=2.98 Fv,Rd=9650.97
Rifollamento lato piastra: Fb,Ed,p=2.98 Fb,Rd,p=13047.80
Tirafondi:LT=0.45 (0.31) σ_{cR}=0.00 σ_{fR}=0.00
Compressione nel calcestruzzo: σ_c=21.78
CC 15 SLV (Collegamento -179_-383)
Azioni sul collegamento: N=-11230.10 Ty=9.40 Tz=18.62 Mx=0.01 Mz=7.91
Sollecitazioni agenti localmente: Tx_l=9.40 Ty_l=18.62 N_l=-11230.10 Mx_l=-0.00 My_l=7.91 Mz_l=0.01
Taglio nei bulloni: Fv,Ed=3.49 Fv,Rd=7720.78
Rifollamento lato piastra: Fb,Ed,p=3.49 Fb,Rd,p=8293.18
Tirafondi:LT=0.45 (0.31) σ_{cR}=0.00 σ_{fR}=0.00
Compressione nel calcestruzzo: σ_c=23.65
CC 15 SLV (Collegamento -179_-383)
Azioni sul collegamento: N=-11230.10 Ty=13.27 Tz=18.62 Mx=0.01 Mz=12.98
Sollecitazioni agenti localmente: Tx_l=13.27 Ty_l=18.62 N_l=-11230.10 Mx_l=-0.00 My_l=12.98 Mz_l=0.01
Taglio nei bulloni: Fv,Ed=3.82 Fv,Rd=7720.78
Rifollamento lato piastra: Fb,Ed,p=3.82 Fb,Rd,p=10440.00
Tirafondi:LT=0.45 (0.31) σ_{cR}=0.00 σ_{fR}=0.00
Compressione nel calcestruzzo: σ_c=23.93
CC 15 SLV (Collegamento -179_-383)
Azioni sul collegamento: N=-11230.10 Ty=9.40 Tz=8.87 Mx=0.01 Mz=7.91
Sollecitazioni agenti localmente: Tx_l=9.40 Ty_l=8.87 N_l=-11230.10 Mx_l=-0.00 My_l=7.91 Mz_l=0.01
Taglio nei bulloni: Fv,Ed=2.17 Fv,Rd=7720.78
Rifollamento lato piastra: Fb,Ed,p=2.15 Fb,Rd,p=11622.90
Tirafondi:LT=0.45 (0.31) σ_{cR}=0.00 σ_{fR}=0.00
Compressione nel calcestruzzo: σ_c=23.65
CC 15 SLV (Collegamento -179_-383)
Azioni sul collegamento: N=-11230.10 Ty=13.27 Tz=8.87 Mx=0.01 Mz=12.98
Sollecitazioni agenti localmente: Tx_l=13.27 Ty_l=8.87 N_l=-11230.10 Mx_l=-0.00 My_l=12.98 Mz_l=0.01
Taglio nei bulloni: Fv,Ed=2.67 Fv,Rd=7720.78
Rifollamento lato piastra: Fb,Ed,p=2.66 Fb,Rd,p=9978.59
Tirafondi:LT=0.45 (0.31) σ_{cR}=0.00 σ_{fR}=0.00
Compressione nel calcestruzzo: σ_c=23.93
CC 15 SLV (Collegamento -179_-383)
Azioni sul collegamento: N=-8867.90 Ty=9.40 Tz=18.62 Mx=0.01 Mz=7.91
Sollecitazioni agenti localmente: Tx_l=9.40 Ty_l=18.62 N_l=-8867.90 Mx_l=-0.00 My_l=7.91 Mz_l=0.01
Taglio nei bulloni: Fv,Ed=3.49 Fv,Rd=7720.78
Rifollamento lato piastra: Fb,Ed,p=3.49 Fb,Rd,p=8293.27
Tirafondi:LT=0.45 (0.31) σ_{cR}=0.00 σ_{fR}=0.00
Compressione nel calcestruzzo: σ_c=18.77
CC 15 SLV (Collegamento -179_-383)
Azioni sul collegamento: N=-8867.90 Ty=13.27 Tz=18.62 Mx=0.01 Mz=12.98
Sollecitazioni agenti localmente: Tx_l=13.27 Ty_l=18.62 N_l=-8867.90 Mx_l=-0.00 My_l=12.98 Mz_l=0.01
Taglio nei bulloni: Fv,Ed=3.82 Fv,Rd=7720.78
Rifollamento lato piastra: Fb,Ed,p=3.82 Fb,Rd,p=10440.00
Tirafondi:LT=0.45 (0.31) σ_{cR}=0.00 σ_{fR}=0.00
Compressione nel calcestruzzo: σ_c=19.05

CC 15 SLV (Collegamento -179_-383)
Azioni sul collegamento: N=-8867.90 Ty=9.40 Tz=8.87 Mx=0.01 Mz=7.91
Sollecitazioni agenti localmente: Tx_l=9.40 Ty_l=8.87 N_l=-8867.90 Mx_l=-0.00 My_l=7.91 Mz_l=0.01
Taglio nei bulloni: Fv,Ed=2.17 Fv,Rd=7720.78
Rifollamento lato piastra: Fb,Ed,p=2.15 Fb,Rd,p=11622.70
Tirafondi:LT=0.45 (0.31) σ_{cR}=0.00 σ_{fR}=0.00
Compressione nel calcestruzzo: σ_c=18.77
CC 15 SLV (Collegamento -179_-383)
Azioni sul collegamento: N=-8867.90 Ty=13.27 Tz=8.87 Mx=0.01 Mz=12.98
Sollecitazioni agenti localmente: Tx_l=13.27 Ty_l=8.87 N_l=-8867.90 Mx_l=-0.00 My_l=12.98 Mz_l=0.01
Taglio nei bulloni: Fv,Ed=2.67 Fv,Rd=7720.78
Rifollamento lato piastra: Fb,Ed,p=2.66 Fb,Rd,p=9978.29
Tirafondi:LT=0.45 (0.31) σ_{cR}=0.00 σ_{fR}=0.00
Compressione nel calcestruzzo: σ_c=19.05
CC 16 SLD (Collegamento -179_-383)
Azioni sul collegamento: N=-10311.80 Ty=9.82 Tz=14.85 Mx=0.00 Mz=7.53
Sollecitazioni agenti localmente: Tx_l=9.82 Ty_l=14.85 N_l=-10311.80 Mx_l=-0.00 My_l=7.53 Mz_l=0.00
Taglio nei bulloni: Fv,Ed=2.97 Fv,Rd=9650.97
Rifollamento lato piastra: Fb,Ed,p=2.97 Fb,Rd,p=12476.40
Tirafondi:LT=0.45 (0.31) σ_{cR}=0.00 σ_{fR}=0.00
Compressione nel calcestruzzo: σ_c=21.73
CC 16 SLD (Collegamento -179_-383)
Azioni sul collegamento: N=-10311.80 Ty=11.00 Tz=14.85 Mx=0.00 Mz=9.08
Sollecitazioni agenti localmente: Tx_l=11.00 Ty_l=14.85 N_l=-10311.80 Mx_l=-0.00 My_l=9.08 Mz_l=0.00
Taglio nei bulloni: Fv,Ed=3.09 Fv,Rd=9650.97
Rifollamento lato piastra: Fb,Ed,p=3.09 Fb,Rd,p=13224.60
Tirafondi:LT=0.45 (0.31) σ_{cR}=0.00 σ_{fR}=0.00
Compressione nel calcestruzzo: σ_c=21.82
CC 16 SLD (Collegamento -179_-383)
Azioni sul collegamento: N=-10311.80 Ty=9.82 Tz=11.88 Mx=0.00 Mz=7.53
Sollecitazioni agenti localmente: Tx_l=9.82 Ty_l=11.88 N_l=-10311.80 Mx_l=-0.00 My_l=7.53 Mz_l=0.00
Taglio nei bulloni: Fv,Ed=2.58 Fv,Rd=9650.97
Rifollamento lato piastra: Fb,Ed,p=2.58 Fb,Rd,p=13788.50
Tirafondi:LT=0.45 (0.31) σ_{cR}=0.00 σ_{fR}=0.00
Compressione nel calcestruzzo: σ_c=21.73
CC 16 SLD (Collegamento -179_-383)
Azioni sul collegamento: N=-10311.80 Ty=11.00 Tz=11.88 Mx=0.00 Mz=9.08
Sollecitazioni agenti localmente: Tx_l=11.00 Ty_l=11.88 N_l=-10311.80 Mx_l=-0.00 My_l=9.08 Mz_l=0.00
Taglio nei bulloni: Fv,Ed=2.71 Fv,Rd=9650.97
Rifollamento lato piastra: Fb,Ed,p=2.71 Fb,Rd,p=14482.70
Tirafondi:LT=0.45 (0.31) σ_{cR}=0.00 σ_{fR}=0.00
Compressione nel calcestruzzo: σ_c=21.82
CC 16 SLD (Collegamento -179_-383)
Azioni sul collegamento: N=-9591.49 Ty=9.82 Tz=14.85 Mx=0.00 Mz=7.53
Sollecitazioni agenti localmente: Tx_l=9.82 Ty_l=14.85 N_l=-9591.49 Mx_l=-0.00 My_l=7.53 Mz_l=0.00
Taglio nei bulloni: Fv,Ed=2.97 Fv,Rd=9650.97
Rifollamento lato piastra: Fb,Ed,p=2.97 Fb,Rd,p=12476.40
Tirafondi:LT=0.45 (0.31) σ_{cR}=0.00 σ_{fR}=0.00
Compressione nel calcestruzzo: σ_c=20.24
CC 16 SLD (Collegamento -179_-383)
Azioni sul collegamento: N=-9591.49 Ty=11.00 Tz=14.85 Mx=0.00 Mz=9.08
Sollecitazioni agenti localmente: Tx_l=11.00 Ty_l=14.85 N_l=-9591.49 Mx_l=-0.00 My_l=9.08 Mz_l=0.00
Taglio nei bulloni: Fv,Ed=3.09 Fv,Rd=9650.97
Rifollamento lato piastra: Fb,Ed,p=3.09 Fb,Rd,p=13224.60
Tirafondi:LT=0.45 (0.31) σ_{cR}=0.00 σ_{fR}=0.00
Compressione nel calcestruzzo: σ_c=20.33
CC 16 SLD (Collegamento -179_-383)
Azioni sul collegamento: N=-9591.49 Ty=9.82 Tz=11.88 Mx=0.00 Mz=7.53
Sollecitazioni agenti localmente: Tx_l=9.82 Ty_l=11.88 N_l=-9591.49 Mx_l=-0.00 My_l=7.53 Mz_l=0.00
Taglio nei bulloni: Fv,Ed=2.58 Fv,Rd=9650.97
Rifollamento lato piastra: Fb,Ed,p=2.58 Fb,Rd,p=13788.50
Tirafondi:LT=0.45 (0.31) σ_{cR}=0.00 σ_{fR}=0.00
Compressione nel calcestruzzo: σ_c=20.24
CC 16 SLD (Collegamento -179_-383)
Azioni sul collegamento: N=-9591.49 Ty=11.00 Tz=11.88 Mx=0.00 Mz=9.08
Sollecitazioni agenti localmente: Tx_l=11.00 Ty_l=11.88 N_l=-9591.49 Mx_l=-0.00 My_l=9.08 Mz_l=0.00
Taglio nei bulloni: Fv,Ed=2.71 Fv,Rd=9650.97
Rifollamento lato piastra: Fb,Ed,p=2.71 Fb,Rd,p=14482.70
Tirafondi:LT=0.45 (0.31) σ_{cR}=0.00 σ_{fR}=0.00
Compressione nel calcestruzzo: σ_c=20.33
CC 17 SLV (Collegamento -179_-383)
Azioni sul collegamento: N=-5856.57 Ty=12.53 Tz=-1.96 Mx=-0.01 Mz=7.45
Sollecitazioni agenti localmente: Tx_l=12.53 Ty_l=-1.96 N_l=-5856.57 Mx_l=-0.00 My_l=7.45 Mz_l=-0.01
Taglio nei bulloni: Fv,Ed=2.13 Fv,Rd=7720.78
Rifollamento lato piastra: Fb,Ed,p=2.12 Fb,Rd,p=6176.88
Tirafondi:LT=0.45 (0.31) σ_{cR}=0.00 σ_{fR}=0.00
Compressione nel calcestruzzo: σ_c=12.52
CC 17 SLV (Collegamento -179_-383)

Azioni sul collegamento: N=-5856.57 Ty=4.82 Tz=-1.96 Mx=-0.01 Mz=1.13
Sollecitazioni agenti localmente: Tx_l=4.82 Ty_l=-1.96 N_l=-5856.57 Mx_l=-0.00 My_l=1.13 Mz_l=-0.01
Taglio nei bulloni: Fv,Ed=0.88 Fv,Rd=7720.78
Rifollamento lato piastra: Fb,Ed,p=0.87 Fb,Rd,p=7301.85
Tirafondi:LT=0.45 (0.31) σ_{cR}=0.00 σ_{fR}=0.00
Compressione nel calcestruzzo: σ_c=12.16
CC 17 SLV (Collegamento -179_-383)
Azioni sul collegamento: N=-5856.57 Ty=12.53 Tz=27.25 Mx=-0.01 Mz=7.45
Sollecitazioni agenti localmente: Tx_l=12.53 Ty_l=27.25 N_l=-5856.57 Mx_l=-0.00 My_l=7.45 Mz_l=-0.01
Taglio nei bulloni: Fv,Ed=5.02 Fv,Rd=7720.78
Rifollamento lato piastra: Fb,Ed,p=5.01 Fb,Rd,p=7849.70
Tirafondi:LT=0.45 (0.31) σ_{cR}=0.00 σ_{fR}=0.00
Compressione nel calcestruzzo: σ_c=12.52
CC 17 SLV (Collegamento -179_-383)
Azioni sul collegamento: N=-5856.57 Ty=4.82 Tz=27.25 Mx=-0.01 Mz=1.13
Sollecitazioni agenti localmente: Tx_l=4.82 Ty_l=27.25 N_l=-5856.57 Mx_l=-0.00 My_l=1.13 Mz_l=-0.01
Taglio nei bulloni: Fv,Ed=4.63 Fv,Rd=7720.78
Rifollamento lato piastra: Fb,Ed,p=4.62 Fb,Rd,p=6246.92
Tirafondi:LT=0.45 (0.31) σ_{cR}=0.00 σ_{fR}=0.00
Compressione nel calcestruzzo: σ_c=12.16
CC 17 SLV (Collegamento -179_-383)
Azioni sul collegamento: N=-13681.20 Ty=12.53 Tz=-1.96 Mx=-0.01 Mz=7.45
Sollecitazioni agenti localmente: Tx_l=12.53 Ty_l=-1.96 N_l=-13681.20 Mx_l=-0.00 My_l=7.45 Mz_l=-0.01
Taglio nei bulloni: Fv,Ed=2.13 Fv,Rd=7720.78
Rifollamento lato piastra: Fb,Ed,p=2.12 Fb,Rd,p=6176.94
Tirafondi:LT=0.45 (0.31) σ_{cR}=0.00 σ_{fR}=0.00
Compressione nel calcestruzzo: σ_c=28.69
CC 17 SLV (Collegamento -179_-383)
Azioni sul collegamento: N=-13681.20 Ty=4.82 Tz=-1.96 Mx=-0.01 Mz=1.13
Sollecitazioni agenti localmente: Tx_l=4.82 Ty_l=-1.96 N_l=-13681.20 Mx_l=-0.00 My_l=1.13 Mz_l=-0.01
Taglio nei bulloni: Fv,Ed=0.88 Fv,Rd=7720.78
Rifollamento lato piastra: Fb,Ed,p=0.87 Fb,Rd,p=7302.22
Tirafondi:LT=0.45 (0.31) σ_{cR}=0.00 σ_{fR}=0.00
Compressione nel calcestruzzo: σ_c=28.33
CC 17 SLV (Collegamento -179_-383)
Azioni sul collegamento: N=-13681.20 Ty=12.53 Tz=27.25 Mx=-0.01 Mz=7.45
Sollecitazioni agenti localmente: Tx_l=12.53 Ty_l=27.25 N_l=-13681.20 Mx_l=-0.00 My_l=7.45 Mz_l=-0.01
Taglio nei bulloni: Fv,Ed=5.02 Fv,Rd=7720.78
Rifollamento lato piastra: Fb,Ed,p=5.01 Fb,Rd,p=7849.74
Tirafondi:LT=0.45 (0.31) σ_{cR}=0.00 σ_{fR}=0.00
Compressione nel calcestruzzo: σ_c=28.69
CC 17 SLV (Collegamento -179_-383)
Azioni sul collegamento: N=-13681.20 Ty=4.82 Tz=27.25 Mx=-0.01 Mz=1.13
Sollecitazioni agenti localmente: Tx_l=4.82 Ty_l=27.25 N_l=-13681.20 Mx_l=-0.00 My_l=1.13 Mz_l=-0.01
Taglio nei bulloni: Fv,Ed=4.63 Fv,Rd=7720.78
Rifollamento lato piastra: Fb,Ed,p=4.62 Fb,Rd,p=6246.92
Tirafondi:LT=0.45 (0.31) σ_{cR}=0.00 σ_{fR}=0.00
Compressione nel calcestruzzo: σ_c=28.33
CC 18 SLD (Collegamento -179_-383)
Azioni sul collegamento: N=-8673.24 Ty=10.78 Tz=8.57 Mx=-0.00 Mz=7.39
Sollecitazioni agenti localmente: Tx_l=10.78 Ty_l=8.57 N_l=-8673.24 Mx_l=-0.00 My_l=7.39 Mz_l=-0.00
Taglio nei bulloni: Fv,Ed=2.30 Fv,Rd=9650.97
Rifollamento lato piastra: Fb,Ed,p=2.30 Fb,Rd,p=13577.20
Tirafondi:LT=0.45 (0.31) σ_{cR}=0.00 σ_{fR}=0.00
Compressione nel calcestruzzo: σ_c=18.34
CC 18 SLD (Collegamento -179_-383)
Azioni sul collegamento: N=-8673.24 Ty=8.42 Tz=8.57 Mx=-0.00 Mz=5.47
Sollecitazioni agenti localmente: Tx_l=8.42 Ty_l=8.57 N_l=-8673.24 Mx_l=-0.00 My_l=5.47 Mz_l=-0.00
Taglio nei bulloni: Fv,Ed=2.01 Fv,Rd=9650.97
Rifollamento lato piastra: Fb,Ed,p=2.00 Fb,Rd,p=14893.20
Tirafondi:LT=0.45 (0.31) σ_{cR}=0.00 σ_{fR}=0.00
Compressione nel calcestruzzo: σ_c=18.23
CC 18 SLD (Collegamento -179_-383)
Azioni sul collegamento: N=-8673.24 Ty=10.78 Tz=17.48 Mx=-0.00 Mz=7.39
Sollecitazioni agenti localmente: Tx_l=10.78 Ty_l=17.48 N_l=-8673.24 Mx_l=-0.00 My_l=7.39 Mz_l=-0.00
Taglio nei bulloni: Fv,Ed=3.42 Fv,Rd=9650.97
Rifollamento lato piastra: Fb,Ed,p=3.42 Fb,Rd,p=11786.10
Tirafondi:LT=0.45 (0.31) σ_{cR}=0.00 σ_{fR}=0.00
Compressione nel calcestruzzo: σ_c=18.34
CC 18 SLD (Collegamento -179_-383)
Azioni sul collegamento: N=-8673.24 Ty=8.42 Tz=17.48 Mx=-0.00 Mz=5.47
Sollecitazioni agenti localmente: Tx_l=8.42 Ty_l=17.48 N_l=-8673.24 Mx_l=-0.00 My_l=5.47 Mz_l=-0.00
Taglio nei bulloni: Fv,Ed=3.24 Fv,Rd=9650.97
Rifollamento lato piastra: Fb,Ed,p=3.23 Fb,Rd,p=10084.80
Tirafondi:LT=0.45 (0.31) σ_{cR}=0.00 σ_{fR}=0.00
Compressione nel calcestruzzo: σ_c=18.23
CC 18 SLD (Collegamento -179_-383)
Azioni sul collegamento: N=-11059.20 Ty=10.78 Tz=8.57 Mx=-0.00 Mz=7.39

Sollecitazioni agenti localmente: Tx_l=10.78 Ty_l=8.57 N_l=-11059.20 Mx_l=-0.00 My_l=7.39 Mz_l=-0.00
Taglio nei bulloni: Fv,Ed=2.30 Fv,Rd=9650.97
Rifollamento lato piastra: Fb,Ed,p=2.30 Fb,Rd,p=13577.40
Tirafondi:LT=0.45 (0.31) σ_{cR}=0.00 σ_{fR}=0.00
Compressione nel calcestruzzo: σ_c=23.27
CC 18 SLD (Collegamento -179_-383)
Azioni sul collegamento: N=-11059.20 Ty=8.42 Tz=8.57 Mx=-0.00 Mz=5.47
Sollecitazioni agenti localmente: Tx_l=8.42 Ty_l=8.57 N_l=-11059.20 Mx_l=-0.00 My_l=5.47 Mz_l=-0.00
Taglio nei bulloni: Fv,Ed=2.01 Fv,Rd=9650.97
Rifollamento lato piastra: Fb,Ed,p=2.00 Fb,Rd,p=14892.90
Tirafondi:LT=0.45 (0.31) σ_{cR}=0.00 σ_{fR}=0.00
Compressione nel calcestruzzo: σ_c=23.16
CC 18 SLD (Collegamento -179_-383)
Azioni sul collegamento: N=-11059.20 Ty=10.78 Tz=17.48 Mx=-0.00 Mz=7.39
Sollecitazioni agenti localmente: Tx_l=10.78 Ty_l=17.48 N_l=-11059.20 Mx_l=-0.00 My_l=7.39 Mz_l=-0.00
Taglio nei bulloni: Fv,Ed=3.42 Fv,Rd=9650.97
Rifollamento lato piastra: Fb,Ed,p=3.42 Fb,Rd,p=11786.10
Tirafondi:LT=0.45 (0.31) σ_{cR}=0.00 σ_{fR}=0.00
Compressione nel calcestruzzo: σ_c=23.27
CC 18 SLD (Collegamento -179_-383)
Azioni sul collegamento: N=-11059.20 Ty=8.42 Tz=17.48 Mx=-0.00 Mz=5.47
Sollecitazioni agenti localmente: Tx_l=8.42 Ty_l=17.48 N_l=-11059.20 Mx_l=-0.00 My_l=5.47 Mz_l=-0.00
Taglio nei bulloni: Fv,Ed=3.24 Fv,Rd=9650.97
Rifollamento lato piastra: Fb,Ed,p=3.23 Fb,Rd,p=10084.80
Tirafondi:LT=0.45 (0.31) σ_{cR}=0.00 σ_{fR}=0.00
Compressione nel calcestruzzo: σ_c=23.16
CC 19 SLV (Collegamento -179_-383)
Azioni sul collegamento: N=-5861.43 Ty=12.02 Tz=-1.63 Mx=-0.01 Mz=6.41
Sollecitazioni agenti localmente: Tx_l=12.02 Ty_l=-1.63 N_l=-5861.43 Mx_l=-0.00 My_l=6.41 Mz_l=-0.01
Taglio nei bulloni: Fv,Ed=2.03 Fv,Rd=7720.78
Rifollamento lato piastra: Fb,Ed,p=2.03 Fb,Rd,p=6132.69
Tirafondi:LT=0.45 (0.31) σ_{cR}=0.00 σ_{fR}=0.00
Compressione nel calcestruzzo: σ_c=12.47
CC 19 SLV (Collegamento -179_-383)
Azioni sul collegamento: N=-5861.43 Ty=5.33 Tz=-1.63 Mx=-0.01 Mz=2.18
Sollecitazioni agenti localmente: Tx_l=5.33 Ty_l=-1.63 N_l=-5861.43 Mx_l=-0.00 My_l=2.18 Mz_l=-0.01
Taglio nei bulloni: Fv,Ed=0.94 Fv,Rd=7720.78
Rifollamento lato piastra: Fb,Ed,p=0.93 Fb,Rd,p=6755.46
Tirafondi:LT=0.45 (0.31) σ_{cR}=0.00 σ_{fR}=0.00
Compressione nel calcestruzzo: σ_c=12.23
CC 19 SLV (Collegamento -179_-383)
Azioni sul collegamento: N=-5861.43 Ty=12.02 Tz=26.92 Mx=-0.01 Mz=6.41
Sollecitazioni agenti localmente: Tx_l=12.02 Ty_l=26.92 N_l=-5861.43 Mx_l=-0.00 My_l=6.41 Mz_l=-0.01
Taglio nei bulloni: Fv,Ed=4.92 Fv,Rd=7720.78
Rifollamento lato piastra: Fb,Ed,p=4.92 Fb,Rd,p=7753.01
Tirafondi:LT=0.45 (0.31) σ_{cR}=0.00 σ_{fR}=0.00
Compressione nel calcestruzzo: σ_c=12.47
CC 19 SLV (Collegamento -179_-383)
Azioni sul collegamento: N=-5861.43 Ty=5.33 Tz=26.92 Mx=-0.01 Mz=2.18
Sollecitazioni agenti localmente: Tx_l=5.33 Ty_l=26.92 N_l=-5861.43 Mx_l=-0.00 My_l=2.18 Mz_l=-0.01
Taglio nei bulloni: Fv,Ed=4.58 Fv,Rd=7720.78
Rifollamento lato piastra: Fb,Ed,p=4.58 Fb,Rd,p=6321.24
Tirafondi:LT=0.45 (0.31) σ_{cR}=0.00 σ_{fR}=0.00
Compressione nel calcestruzzo: σ_c=12.23
CC 19 SLV (Collegamento -179_-383)
Azioni sul collegamento: N=-13676.40 Ty=12.02 Tz=-1.63 Mx=-0.01 Mz=6.41
Sollecitazioni agenti localmente: Tx_l=12.02 Ty_l=-1.63 N_l=-13676.40 Mx_l=-0.00 My_l=6.41 Mz_l=-0.01
Taglio nei bulloni: Fv,Ed=2.03 Fv,Rd=7720.78
Rifollamento lato piastra: Fb,Ed,p=2.03 Fb,Rd,p=6132.74
Tirafondi:LT=0.45 (0.31) σ_{cR}=0.00 σ_{fR}=0.00
Compressione nel calcestruzzo: σ_c=28.62
CC 19 SLV (Collegamento -179_-383)
Azioni sul collegamento: N=-13676.40 Ty=5.33 Tz=-1.63 Mx=-0.01 Mz=2.18
Sollecitazioni agenti localmente: Tx_l=5.33 Ty_l=-1.63 N_l=-13676.40 Mx_l=-0.00 My_l=2.18 Mz_l=-0.01
Taglio nei bulloni: Fv,Ed=0.94 Fv,Rd=7720.78
Rifollamento lato piastra: Fb,Ed,p=0.93 Fb,Rd,p=6755.71
Tirafondi:LT=0.45 (0.31) σ_{cR}=0.00 σ_{fR}=0.00
Compressione nel calcestruzzo: σ_c=28.38
CC 19 SLV (Collegamento -179_-383)
Azioni sul collegamento: N=-13676.40 Ty=12.02 Tz=26.92 Mx=-0.01 Mz=6.41
Sollecitazioni agenti localmente: Tx_l=12.02 Ty_l=26.92 N_l=-13676.40 Mx_l=-0.00 My_l=6.41 Mz_l=-0.01
Taglio nei bulloni: Fv,Ed=4.92 Fv,Rd=7720.78
Rifollamento lato piastra: Fb,Ed,p=4.92 Fb,Rd,p=7752.99
Tirafondi:LT=0.45 (0.31) σ_{cR}=0.00 σ_{fR}=0.00
Compressione nel calcestruzzo: σ_c=28.62
CC 19 SLV (Collegamento -179_-383)
Azioni sul collegamento: N=-13676.40 Ty=5.33 Tz=26.92 Mx=-0.01 Mz=2.18
Sollecitazioni agenti localmente: Tx_l=5.33 Ty_l=26.92 N_l=-13676.40 Mx_l=-0.00 My_l=2.18 Mz_l=-0.01

Taglio nei bulloni: Fv,Ed=4.58 Fv,Rd=7720.78
Rifollamento lato piastra: Fb,Ed,p=4.58 Fb,Rd,p=6321.24
Tirafondi:LT=0.45 (0.31) σ_{cR}=0.00 σ_{fR}=0.00
Compressione nel calcestruzzo: σ_c=28.38
CC 20 SLD (Collegamento -179_-383)
Azioni sul collegamento: N=-8674.72 Ty=10.62 Tz=8.67 Mx=0.00 Mz=7.07
Sollecitazioni agenti localmente: Tx_l=10.62 Ty_l=8.67 N_l=-8674.72 Mx_l=-0.00 My_l=7.07 Mz_l=0.00
Taglio nei bulloni: Fv,Ed=2.29 Fv,Rd=9650.97
Rifollamento lato piastra: Fb,Ed,p=2.29 Fb,Rd,p=13715.40
Tirafondi:LT=0.45 (0.31) σ_{cR}=0.00 σ_{fR}=0.00
Compressione nel calcestruzzo: σ_c=18.32
CC 20 SLD (Collegamento -179_-383)
Azioni sul collegamento: N=-8674.72 Ty=8.58 Tz=8.67 Mx=0.00 Mz=5.79
Sollecitazioni agenti localmente: Tx_l=8.58 Ty_l=8.67 N_l=-8674.72 Mx_l=-0.00 My_l=5.79 Mz_l=0.00
Taglio nei bulloni: Fv,Ed=2.03 Fv,Rd=9650.97
Rifollamento lato piastra: Fb,Ed,p=2.03 Fb,Rd,p=14943.90
Tirafondi:LT=0.45 (0.31) σ_{cR}=0.00 σ_{fR}=0.00
Compressione nel calcestruzzo: σ_c=18.25
CC 20 SLD (Collegamento -179_-383)
Azioni sul collegamento: N=-8674.72 Ty=10.62 Tz=17.38 Mx=0.00 Mz=7.07
Sollecitazioni agenti localmente: Tx_l=10.62 Ty_l=17.38 N_l=-8674.72 Mx_l=-0.00 My_l=7.07 Mz_l=0.00
Taglio nei bulloni: Fv,Ed=3.40 Fv,Rd=9650.97
Rifollamento lato piastra: Fb,Ed,p=3.40 Fb,Rd,p=11719.70
Tirafondi:LT=0.45 (0.31) σ_{cR}=0.00 σ_{fR}=0.00
Compressione nel calcestruzzo: σ_c=18.32
CC 20 SLD (Collegamento -179_-383)
Azioni sul collegamento: N=-8674.72 Ty=8.58 Tz=17.38 Mx=0.00 Mz=5.79
Sollecitazioni agenti localmente: Tx_l=8.58 Ty_l=17.38 N_l=-8674.72 Mx_l=-0.00 My_l=5.79 Mz_l=0.00
Taglio nei bulloni: Fv,Ed=3.23 Fv,Rd=9650.97
Rifollamento lato piastra: Fb,Ed,p=3.23 Fb,Rd,p=10224.70
Tirafondi:LT=0.45 (0.31) σ_{cR}=0.00 σ_{fR}=0.00
Compressione nel calcestruzzo: σ_c=18.25
CC 20 SLD (Collegamento -179_-383)
Azioni sul collegamento: N=-11057.70 Ty=10.62 Tz=8.67 Mx=0.00 Mz=7.07
Sollecitazioni agenti localmente: Tx_l=10.62 Ty_l=8.67 N_l=-11057.70 Mx_l=-0.00 My_l=7.07 Mz_l=0.00
Taglio nei bulloni: Fv,Ed=2.29 Fv,Rd=9650.97
Rifollamento lato piastra: Fb,Ed,p=2.29 Fb,Rd,p=13715.60
Tirafondi:LT=0.45 (0.31) σ_{cR}=0.00 σ_{fR}=0.00
Compressione nel calcestruzzo: σ_c=23.25
CC 20 SLD (Collegamento -179_-383)
Azioni sul collegamento: N=-11057.70 Ty=8.58 Tz=8.67 Mx=0.00 Mz=5.79
Sollecitazioni agenti localmente: Tx_l=8.58 Ty_l=8.67 N_l=-11057.70 Mx_l=-0.00 My_l=5.79 Mz_l=0.00
Taglio nei bulloni: Fv,Ed=2.03 Fv,Rd=9650.97
Rifollamento lato piastra: Fb,Ed,p=2.03 Fb,Rd,p=14943.60
Tirafondi:LT=0.45 (0.31) σ_{cR}=0.00 σ_{fR}=0.00
Compressione nel calcestruzzo: σ_c=23.17
CC 20 SLD (Collegamento -179_-383)
Azioni sul collegamento: N=-11057.70 Ty=10.62 Tz=17.38 Mx=0.00 Mz=7.07
Sollecitazioni agenti localmente: Tx_l=10.62 Ty_l=17.38 N_l=-11057.70 Mx_l=-0.00 My_l=7.07 Mz_l=0.00
Taglio nei bulloni: Fv,Ed=3.40 Fv,Rd=9650.97
Rifollamento lato piastra: Fb,Ed,p=3.40 Fb,Rd,p=11719.80
Tirafondi:LT=0.45 (0.31) σ_{cR}=0.00 σ_{fR}=0.00
Compressione nel calcestruzzo: σ_c=23.25
CC 20 SLD (Collegamento -179_-383)
Azioni sul collegamento: N=-11057.70 Ty=8.58 Tz=17.38 Mx=0.00 Mz=5.79
Sollecitazioni agenti localmente: Tx_l=8.58 Ty_l=17.38 N_l=-11057.70 Mx_l=-0.00 My_l=5.79 Mz_l=0.00
Taglio nei bulloni: Fv,Ed=3.23 Fv,Rd=9650.97
Rifollamento lato piastra: Fb,Ed,p=3.23 Fb,Rd,p=10224.80
Tirafondi:LT=0.45 (0.31) σ_{cR}=0.00 σ_{fR}=0.00
Compressione nel calcestruzzo: σ_c=23.17
CC 21 SLV (Collegamento -179_-383)
Azioni sul collegamento: N=-13676.40 Ty=5.33 Tz=26.92 Mx=-0.01 Mz=2.18
Sollecitazioni agenti localmente: Tx_l=5.33 Ty_l=26.92 N_l=-13676.40 Mx_l=-0.00 My_l=2.18 Mz_l=-0.01
Taglio nei bulloni: Fv,Ed=4.59 Fv,Rd=7720.78
Rifollamento lato piastra: Fb,Ed,p=4.58 Fb,Rd,p=6316.35
Tirafondi:LT=0.45 (0.31) σ_{cR}=0.00 σ_{fR}=0.00
Compressione nel calcestruzzo: σ_c=28.38
CC 21 SLV (Collegamento -179_-383)
Azioni sul collegamento: N=-13676.40 Ty=12.02 Tz=26.92 Mx=-0.01 Mz=6.41
Sollecitazioni agenti localmente: Tx_l=12.02 Ty_l=26.92 N_l=-13676.40 Mx_l=-0.00 My_l=6.41 Mz_l=-0.01
Taglio nei bulloni: Fv,Ed=4.93 Fv,Rd=7720.78
Rifollamento lato piastra: Fb,Ed,p=4.92 Fb,Rd,p=7739.33
Tirafondi:LT=0.45 (0.31) σ_{cR}=0.00 σ_{fR}=0.00
Compressione nel calcestruzzo: σ_c=28.62
CC 21 SLV (Collegamento -179_-383)
Azioni sul collegamento: N=-13676.40 Ty=5.33 Tz=-1.63 Mx=-0.01 Mz=2.18
Sollecitazioni agenti localmente: Tx_l=5.33 Ty_l=-1.63 N_l=-13676.40 Mx_l=-0.00 My_l=2.18 Mz_l=-0.01
Taglio nei bulloni: Fv,Ed=0.95 Fv,Rd=7720.78

Rifollamento lato piastra: Fb,Ed,p=0.94 Fb,Rd,p=6716.11
Tirafondi:LT=0.45 (0.31) σ_{cR}=0.00 σ_{fR}=0.00
Compressione nel calcestruzzo: σ_c=28.38
CC 21 SLV (Collegamento -179_-383)
Azioni sul collegamento: N=-13676.40 Ty=12.02 Tz=-1.63 Mx=-0.01 Mz=6.41
Sollecitazioni agenti localmente: Tx_l=12.02 Ty_l=-1.63 N_l=-13676.40 Mx_l=-0.00 My_l=6.41 Mz_l=-0.01
Taglio nei bulloni: Fv,Ed=2.04 Fv,Rd=7720.78
Rifollamento lato piastra: Fb,Ed,p=2.03 Fb,Rd,p=6125.90
Tirafondi:LT=0.45 (0.31) σ_{cR}=0.00 σ_{fR}=0.00
Compressione nel calcestruzzo: σ_c=28.62
CC 21 SLV (Collegamento -179_-383)
Azioni sul collegamento: N=-5861.43 Ty=5.33 Tz=26.92 Mx=-0.01 Mz=2.18
Sollecitazioni agenti localmente: Tx_l=5.33 Ty_l=26.92 N_l=-5861.43 Mx_l=-0.00 My_l=2.18 Mz_l=-0.01
Taglio nei bulloni: Fv,Ed=4.59 Fv,Rd=7720.78
Rifollamento lato piastra: Fb,Ed,p=4.58 Fb,Rd,p=6316.36
Tirafondi:LT=0.45 (0.31) σ_{cR}=0.00 σ_{fR}=0.00
Compressione nel calcestruzzo: σ_c=12.23
CC 21 SLV (Collegamento -179_-383)
Azioni sul collegamento: N=-5861.43 Ty=12.02 Tz=26.92 Mx=-0.01 Mz=6.41
Sollecitazioni agenti localmente: Tx_l=12.02 Ty_l=26.92 N_l=-5861.43 Mx_l=-0.00 My_l=6.41 Mz_l=-0.01
Taglio nei bulloni: Fv,Ed=4.93 Fv,Rd=7720.78
Rifollamento lato piastra: Fb,Ed,p=4.92 Fb,Rd,p=7739.34
Tirafondi:LT=0.45 (0.31) σ_{cR}=0.00 σ_{fR}=0.00
Compressione nel calcestruzzo: σ_c=12.47
CC 21 SLV (Collegamento -179_-383)
Azioni sul collegamento: N=-5861.43 Ty=5.33 Tz=-1.63 Mx=-0.01 Mz=2.18
Sollecitazioni agenti localmente: Tx_l=5.33 Ty_l=-1.63 N_l=-5861.43 Mx_l=-0.00 My_l=2.18 Mz_l=-0.01
Taglio nei bulloni: Fv,Ed=0.95 Fv,Rd=7720.78
Rifollamento lato piastra: Fb,Ed,p=0.94 Fb,Rd,p=6715.86
Tirafondi:LT=0.45 (0.31) σ_{cR}=0.00 σ_{fR}=0.00
Compressione nel calcestruzzo: σ_c=12.23
CC 21 SLV (Collegamento -179_-383)
Azioni sul collegamento: N=-5861.43 Ty=12.02 Tz=-1.63 Mx=-0.01 Mz=6.41
Sollecitazioni agenti localmente: Tx_l=12.02 Ty_l=-1.63 N_l=-5861.43 Mx_l=-0.00 My_l=6.41 Mz_l=-0.01
Taglio nei bulloni: Fv,Ed=2.04 Fv,Rd=7720.78
Rifollamento lato piastra: Fb,Ed,p=2.03 Fb,Rd,p=6125.85
Tirafondi:LT=0.45 (0.31) σ_{cR}=0.00 σ_{fR}=0.00
Compressione nel calcestruzzo: σ_c=12.47
CC 22 SLD (Collegamento -179_-383)
Azioni sul collegamento: N=-11057.70 Ty=8.58 Tz=17.38 Mx=-0.00 Mz=5.79
Sollecitazioni agenti localmente: Tx_l=8.58 Ty_l=17.38 N_l=-11057.70 Mx_l=-0.00 My_l=5.79 Mz_l=-0.00
Taglio nei bulloni: Fv,Ed=3.23 Fv,Rd=9650.97
Rifollamento lato piastra: Fb,Ed,p=3.23 Fb,Rd,p=10216.20
Tirafondi:LT=0.45 (0.31) σ_{cR}=0.00 σ_{fR}=0.00
Compressione nel calcestruzzo: σ_c=23.17
CC 22 SLD (Collegamento -179_-383)
Azioni sul collegamento: N=-11057.70 Ty=10.62 Tz=17.38 Mx=-0.00 Mz=7.07
Sollecitazioni agenti localmente: Tx_l=10.62 Ty_l=17.38 N_l=-11057.70 Mx_l=-0.00 My_l=7.07 Mz_l=-0.00
Taglio nei bulloni: Fv,Ed=3.40 Fv,Rd=9650.97
Rifollamento lato piastra: Fb,Ed,p=3.40 Fb,Rd,p=11708.50
Tirafondi:LT=0.45 (0.31) σ_{cR}=0.00 σ_{fR}=0.00
Compressione nel calcestruzzo: σ_c=23.25
CC 22 SLD (Collegamento -179_-383)
Azioni sul collegamento: N=-11057.70 Ty=8.58 Tz=8.67 Mx=-0.00 Mz=5.79
Sollecitazioni agenti localmente: Tx_l=8.58 Ty_l=8.67 N_l=-11057.70 Mx_l=-0.00 My_l=5.79 Mz_l=-0.00
Taglio nei bulloni: Fv,Ed=2.04 Fv,Rd=9650.97
Rifollamento lato piastra: Fb,Ed,p=2.03 Fb,Rd,p=14943.50
Tirafondi:LT=0.45 (0.31) σ_{cR}=0.00 σ_{fR}=0.00
Compressione nel calcestruzzo: σ_c=23.17
CC 22 SLD (Collegamento -179_-383)
Azioni sul collegamento: N=-11057.70 Ty=10.62 Tz=8.67 Mx=-0.00 Mz=7.07
Sollecitazioni agenti localmente: Tx_l=10.62 Ty_l=8.67 N_l=-11057.70 Mx_l=-0.00 My_l=7.07 Mz_l=-0.00
Taglio nei bulloni: Fv,Ed=2.29 Fv,Rd=9650.97
Rifollamento lato piastra: Fb,Ed,p=2.29 Fb,Rd,p=13718.00
Tirafondi:LT=0.45 (0.31) σ_{cR}=0.00 σ_{fR}=0.00
Compressione nel calcestruzzo: σ_c=23.25
CC 22 SLD (Collegamento -179_-383)
Azioni sul collegamento: N=-8674.72 Ty=8.58 Tz=17.38 Mx=-0.00 Mz=5.79
Sollecitazioni agenti localmente: Tx_l=8.58 Ty_l=17.38 N_l=-8674.72 Mx_l=-0.00 My_l=5.79 Mz_l=-0.00
Taglio nei bulloni: Fv,Ed=3.23 Fv,Rd=9650.97
Rifollamento lato piastra: Fb,Ed,p=3.23 Fb,Rd,p=10216.10
Tirafondi:LT=0.45 (0.31) σ_{cR}=0.00 σ_{fR}=0.00
Compressione nel calcestruzzo: σ_c=18.25
CC 22 SLD (Collegamento -179_-383)
Azioni sul collegamento: N=-8674.72 Ty=10.62 Tz=17.38 Mx=-0.00 Mz=7.07
Sollecitazioni agenti localmente: Tx_l=10.62 Ty_l=17.38 N_l=-8674.72 Mx_l=-0.00 My_l=7.07 Mz_l=-0.00
Taglio nei bulloni: Fv,Ed=3.40 Fv,Rd=9650.97
Rifollamento lato piastra: Fb,Ed,p=3.40 Fb,Rd,p=11708.30

Tirafondi:LT=0.45 (0.31) σ_{cR}=0.00 σ_{fR}=0.00
Compressione nel calcestruzzo: σ_c=18.32
CC 22 SLD (Collegamento -179_-383)
Azioni sul collegamento: N=-8674.72 Ty=8.58 Tz=8.67 Mx=-0.00 Mz=5.79
Sollecitazioni agenti localmente: Tx_l=8.58 Ty_l=8.67 N_l=-8674.72 Mx_l=-0.00 My_l=5.79 Mz_l=-0.00
Taglio nei bulloni: Fv,Ed=2.04 Fv,Rd=9650.97
Rifollamento lato piastra: Fb,Ed,p=2.03 Fb,Rd,p=14943.80
Tirafondi:LT=0.45 (0.31) σ_{cR}=0.00 σ_{fR}=0.00
Compressione nel calcestruzzo: σ_c=18.25
CC 22 SLD (Collegamento -179_-383)
Azioni sul collegamento: N=-8674.72 Ty=10.62 Tz=8.67 Mx=-0.00 Mz=7.07
Sollecitazioni agenti localmente: Tx_l=10.62 Ty_l=8.67 N_l=-8674.72 Mx_l=-0.00 My_l=7.07 Mz_l=-0.00
Taglio nei bulloni: Fv,Ed=2.29 Fv,Rd=9650.97
Rifollamento lato piastra: Fb,Ed,p=2.29 Fb,Rd,p=13717.80
Tirafondi:LT=0.45 (0.31) σ_{cR}=0.00 σ_{fR}=0.00
Compressione nel calcestruzzo: σ_c=18.32
CC 23 SLV (Collegamento -179_-383)
Azioni sul collegamento: N=-13681.20 Ty=4.82 Tz=27.25 Mx=-0.01 Mz=1.13
Sollecitazioni agenti localmente: Tx_l=4.82 Ty_l=27.25 N_l=-13681.20 Mx_l=-0.00 My_l=1.13 Mz_l=-0.01
Taglio nei bulloni: Fv,Ed=4.62 Fv,Rd=7720.78
Rifollamento lato piastra: Fb,Ed,p=4.62 Fb,Rd,p=6251.30
Tirafondi:LT=0.45 (0.31) σ_{cR}=0.00 σ_{fR}=0.00
Compressione nel calcestruzzo: σ_c=28.33
CC 23 SLV (Collegamento -179_-383)
Azioni sul collegamento: N=-13681.20 Ty=12.53 Tz=27.25 Mx=-0.01 Mz=7.45
Sollecitazioni agenti localmente: Tx_l=12.53 Ty_l=27.25 N_l=-13681.20 Mx_l=-0.00 My_l=7.45 Mz_l=-0.01
Taglio nei bulloni: Fv,Ed=5.01 Fv,Rd=7720.78
Rifollamento lato piastra: Fb,Ed,p=5.00 Fb,Rd,p=7864.29
Tirafondi:LT=0.45 (0.31) σ_{cR}=0.00 σ_{fR}=0.00
Compressione nel calcestruzzo: σ_c=28.69
CC 23 SLV (Collegamento -179_-383)
Azioni sul collegamento: N=-13681.20 Ty=4.82 Tz=-1.96 Mx=-0.01 Mz=1.13
Sollecitazioni agenti localmente: Tx_l=4.82 Ty_l=-1.96 N_l=-13681.20 Mx_l=-0.00 My_l=1.13 Mz_l=-0.01
Taglio nei bulloni: Fv,Ed=0.88 Fv,Rd=7720.78
Rifollamento lato piastra: Fb,Ed,p=0.87 Fb,Rd,p=7367.82
Tirafondi:LT=0.45 (0.31) σ_{cR}=0.00 σ_{fR}=0.00
Compressione nel calcestruzzo: σ_c=28.33
CC 23 SLV (Collegamento -179_-383)
Azioni sul collegamento: N=-13681.20 Ty=12.53 Tz=-1.96 Mx=-0.01 Mz=7.45
Sollecitazioni agenti localmente: Tx_l=12.53 Ty_l=-1.96 N_l=-13681.20 Mx_l=-0.00 My_l=7.45 Mz_l=-0.01
Taglio nei bulloni: Fv,Ed=2.12 Fv,Rd=7720.78
Rifollamento lato piastra: Fb,Ed,p=2.12 Fb,Rd,p=6184.96
Tirafondi:LT=0.45 (0.31) σ_{cR}=0.00 σ_{fR}=0.00
Compressione nel calcestruzzo: σ_c=28.69
CC 23 SLV (Collegamento -179_-383)
Azioni sul collegamento: N=-5856.57 Ty=4.82 Tz=27.25 Mx=-0.01 Mz=1.13
Sollecitazioni agenti localmente: Tx_l=4.82 Ty_l=27.25 N_l=-5856.57 Mx_l=-0.00 My_l=1.13 Mz_l=-0.01
Taglio nei bulloni: Fv,Ed=4.62 Fv,Rd=7720.78
Rifollamento lato piastra: Fb,Ed,p=4.62 Fb,Rd,p=6251.29
Tirafondi:LT=0.45 (0.31) σ_{cR}=0.00 σ_{fR}=0.00
Compressione nel calcestruzzo: σ_c=12.16
CC 23 SLV (Collegamento -179_-383)
Azioni sul collegamento: N=-5856.57 Ty=12.53 Tz=27.25 Mx=-0.01 Mz=7.45
Sollecitazioni agenti localmente: Tx_l=12.53 Ty_l=27.25 N_l=-5856.57 Mx_l=-0.00 My_l=7.45 Mz_l=-0.01
Taglio nei bulloni: Fv,Ed=5.01 Fv,Rd=7720.78
Rifollamento lato piastra: Fb,Ed,p=5.00 Fb,Rd,p=7864.25
Tirafondi:LT=0.45 (0.31) σ_{cR}=0.00 σ_{fR}=0.00
Compressione nel calcestruzzo: σ_c=12.52
CC 23 SLV (Collegamento -179_-383)
Azioni sul collegamento: N=-5856.57 Ty=4.82 Tz=-1.96 Mx=-0.01 Mz=1.13
Sollecitazioni agenti localmente: Tx_l=4.82 Ty_l=-1.96 N_l=-5856.57 Mx_l=-0.00 My_l=1.13 Mz_l=-0.01
Taglio nei bulloni: Fv,Ed=0.88 Fv,Rd=7720.78
Rifollamento lato piastra: Fb,Ed,p=0.87 Fb,Rd,p=7367.43
Tirafondi:LT=0.45 (0.31) σ_{cR}=0.00 σ_{fR}=0.00
Compressione nel calcestruzzo: σ_c=12.16
CC 23 SLV (Collegamento -179_-383)
Azioni sul collegamento: N=-5856.57 Ty=12.53 Tz=-1.96 Mx=-0.01 Mz=7.45
Sollecitazioni agenti localmente: Tx_l=12.53 Ty_l=-1.96 N_l=-5856.57 Mx_l=-0.00 My_l=7.45 Mz_l=-0.01
Taglio nei bulloni: Fv,Ed=2.12 Fv,Rd=7720.78
Rifollamento lato piastra: Fb,Ed,p=2.12 Fb,Rd,p=6184.90
Tirafondi:LT=0.45 (0.31) σ_{cR}=0.00 σ_{fR}=0.00
Compressione nel calcestruzzo: σ_c=12.52
CC 24 SLD (Collegamento -179_-383)
Azioni sul collegamento: N=-11059.20 Ty=8.42 Tz=17.48 Mx=0.00 Mz=5.47
Sollecitazioni agenti localmente: Tx_l=8.42 Ty_l=17.48 N_l=-11059.20 Mx_l=-0.00 My_l=5.47 Mz_l=0.00
Taglio nei bulloni: Fv,Ed=3.23 Fv,Rd=9650.97
Rifollamento lato piastra: Fb,Ed,p=3.23 Fb,Rd,p=10093.20
Tirafondi:LT=0.45 (0.31) σ_{cR}=0.00 σ_{fR}=0.00

Compressione nel calcestruzzo: σ_c=23.16
CC 24 SLD (Collegamento -179_-383)
Azioni sul collegamento: N=-11059.20 Ty=10.78 Tz=17.48 Mx=0.00 Mz=7.39
Sollecitazioni agenti localmente: Tx_l=10.78 Ty_l=17.48 N_l=-11059.20 Mx_l=-0.00 My_l=7.39 Mz_l=0.00
Taglio nei bulloni: Fv,Ed=3.42 Fv,Rd=9650.97
Rifollamento lato piastra: Fb,Ed,p=3.42 Fb,Rd,p=11797.90
Tirafondi:LT=0.45 (0.31) σ_{cR}=0.00 σ_{fR}=0.00
Compressione nel calcestruzzo: σ_c=23.27
CC 24 SLD (Collegamento -179_-383)
Azioni sul collegamento: N=-11059.20 Ty=8.42 Tz=8.57 Mx=0.00 Mz=5.47
Sollecitazioni agenti localmente: Tx_l=8.42 Ty_l=8.57 N_l=-11059.20 Mx_l=-0.00 My_l=5.47 Mz_l=0.00
Taglio nei bulloni: Fv,Ed=2.00 Fv,Rd=9650.97
Rifollamento lato piastra: Fb,Ed,p=2.00 Fb,Rd,p=14893.10
Tirafondi:LT=0.45 (0.31) σ_{cR}=0.00 σ_{fR}=0.00
Compressione nel calcestruzzo: σ_c=23.16
CC 24 SLD (Collegamento -179_-383)
Azioni sul collegamento: N=-11059.20 Ty=10.78 Tz=8.57 Mx=0.00 Mz=7.39
Sollecitazioni agenti localmente: Tx_l=10.78 Ty_l=8.57 N_l=-11059.20 Mx_l=-0.00 My_l=7.39 Mz_l=0.00
Taglio nei bulloni: Fv,Ed=2.30 Fv,Rd=9650.97
Rifollamento lato piastra: Fb,Ed,p=2.30 Fb,Rd,p=13574.70
Tirafondi:LT=0.45 (0.31) σ_{cR}=0.00 σ_{fR}=0.00
Compressione nel calcestruzzo: σ_c=23.27
CC 24 SLD (Collegamento -179_-383)
Azioni sul collegamento: N=-8673.24 Ty=8.42 Tz=17.48 Mx=0.00 Mz=5.47
Sollecitazioni agenti localmente: Tx_l=8.42 Ty_l=17.48 N_l=-8673.24 Mx_l=-0.00 My_l=5.47 Mz_l=0.00
Taglio nei bulloni: Fv,Ed=3.23 Fv,Rd=9650.97
Rifollamento lato piastra: Fb,Ed,p=3.23 Fb,Rd,p=10093.20
Tirafondi:LT=0.45 (0.31) σ_{cR}=0.00 σ_{fR}=0.00
Compressione nel calcestruzzo: σ_c=18.23
CC 24 SLD (Collegamento -179_-383)
Azioni sul collegamento: N=-8673.24 Ty=10.78 Tz=17.48 Mx=0.00 Mz=7.39
Sollecitazioni agenti localmente: Tx_l=10.78 Ty_l=17.48 N_l=-8673.24 Mx_l=-0.00 My_l=7.39 Mz_l=0.00
Taglio nei bulloni: Fv,Ed=3.42 Fv,Rd=9650.97
Rifollamento lato piastra: Fb,Ed,p=3.42 Fb,Rd,p=11797.90
Tirafondi:LT=0.45 (0.31) σ_{cR}=0.00 σ_{fR}=0.00
Compressione nel calcestruzzo: σ_c=18.34
CC 24 SLD (Collegamento -179_-383)
Azioni sul collegamento: N=-8673.24 Ty=8.42 Tz=8.57 Mx=0.00 Mz=5.47
Sollecitazioni agenti localmente: Tx_l=8.42 Ty_l=8.57 N_l=-8673.24 Mx_l=-0.00 My_l=5.47 Mz_l=0.00
Taglio nei bulloni: Fv,Ed=2.00 Fv,Rd=9650.97
Rifollamento lato piastra: Fb,Ed,p=2.00 Fb,Rd,p=14893.40
Tirafondi:LT=0.45 (0.31) σ_{cR}=0.00 σ_{fR}=0.00
Compressione nel calcestruzzo: σ_c=18.23
CC 24 SLD (Collegamento -179_-383)
Azioni sul collegamento: N=-8673.24 Ty=10.78 Tz=8.57 Mx=0.00 Mz=7.39
Sollecitazioni agenti localmente: Tx_l=10.78 Ty_l=8.57 N_l=-8673.24 Mx_l=-0.00 My_l=7.39 Mz_l=0.00
Taglio nei bulloni: Fv,Ed=2.30 Fv,Rd=9650.97
Rifollamento lato piastra: Fb,Ed,p=2.30 Fb,Rd,p=13574.50
Tirafondi:LT=0.45 (0.31) σ_{cR}=0.00 σ_{fR}=0.00
Compressione nel calcestruzzo: σ_c=18.34
CC 25 SLV (Collegamento -179_-383)
Azioni sul collegamento: N=-8587.82 Ty=10.61 Tz=7.77 Mx=-0.02 Mz=6.83
Sollecitazioni agenti localmente: Tx_l=10.61 Ty_l=7.77 N_l=-8587.82 Mx_l=-0.00 My_l=6.83 Mz_l=-0.02
Taglio nei bulloni: Fv,Ed=2.22 Fv,Rd=7720.78
Rifollamento lato piastra: Fb,Ed,p=2.22 Fb,Rd,p=10546.80
Tirafondi:LT=0.45 (0.31) σ_{cR}=0.00 σ_{fR}=0.00
Compressione nel calcestruzzo: σ_c=18.13
CC 25 SLV (Collegamento -179_-383)
Azioni sul collegamento: N=-8587.82 Ty=6.74 Tz=7.77 Mx=-0.02 Mz=1.76
Sollecitazioni agenti localmente: Tx_l=6.74 Ty_l=7.77 N_l=-8587.82 Mx_l=-0.00 My_l=1.76 Mz_l=-0.02
Taglio nei bulloni: Fv,Ed=1.74 Fv,Rd=7720.78
Rifollamento lato piastra: Fb,Ed,p=1.72 Fb,Rd,p=11101.80
Tirafondi:LT=0.45 (0.31) σ_{cR}=0.00 σ_{fR}=0.00
Compressione nel calcestruzzo: σ_c=17.84
CC 25 SLV (Collegamento -179_-383)
Azioni sul collegamento: N=-8587.82 Ty=10.61 Tz=17.52 Mx=-0.02 Mz=6.83
Sollecitazioni agenti localmente: Tx_l=10.61 Ty_l=17.52 N_l=-8587.82 Mx_l=-0.00 My_l=6.83 Mz_l=-0.02
Taglio nei bulloni: Fv,Ed=3.44 Fv,Rd=7720.78
Rifollamento lato piastra: Fb,Ed,p=3.42 Fb,Rd,p=9197.99
Tirafondi:LT=0.45 (0.31) σ_{cR}=0.00 σ_{fR}=0.00
Compressione nel calcestruzzo: σ_c=18.13
CC 25 SLV (Collegamento -179_-383)
Azioni sul collegamento: N=-8587.82 Ty=6.74 Tz=17.52 Mx=-0.02 Mz=1.76
Sollecitazioni agenti localmente: Tx_l=6.74 Ty_l=17.52 N_l=-8587.82 Mx_l=-0.00 My_l=1.76 Mz_l=-0.02
Taglio nei bulloni: Fv,Ed=3.15 Fv,Rd=7720.78
Rifollamento lato piastra: Fb,Ed,p=3.14 Fb,Rd,p=7244.12
Tirafondi:LT=0.45 (0.31) σ_{cR}=0.00 σ_{fR}=0.00
Compressione nel calcestruzzo: σ_c=17.84

CC 25 SLV (Collegamento -179_-383)
Azioni sul collegamento: N=-10950.00 Ty=10.61 Tz=7.77 Mx=-0.02 Mz=6.83
Sollecitazioni agenti localmente: Tx_l=10.61 Ty_l=7.77 N_l=-10950.00 Mx_l=-0.00 My_l=6.83 Mz_l=-0.02
Taglio nei bulloni: Fv,Ed=2.22 Fv,Rd=7720.78
Rifollamento lato piastra: Fb,Ed,p=2.22 Fb,Rd,p=10546.60
Tirafondi:LT=0.45 (0.31) σ_{cR}=0.00 σ_{fR}=0.00
Compressione nel calcestruzzo: σ_c=23.01
CC 25 SLV (Collegamento -179_-383)
Azioni sul collegamento: N=-10950.00 Ty=6.74 Tz=7.77 Mx=-0.02 Mz=1.76
Sollecitazioni agenti localmente: Tx_l=6.74 Ty_l=7.77 N_l=-10950.00 Mx_l=-0.00 My_l=1.76 Mz_l=-0.02
Taglio nei bulloni: Fv,Ed=1.74 Fv,Rd=7720.78
Rifollamento lato piastra: Fb,Ed,p=1.72 Fb,Rd,p=11102.00
Tirafondi:LT=0.45 (0.31) σ_{cR}=0.00 σ_{fR}=0.00
Compressione nel calcestruzzo: σ_c=22.72
CC 25 SLV (Collegamento -179_-383)
Azioni sul collegamento: N=-10950.00 Ty=10.61 Tz=17.52 Mx=-0.02 Mz=6.83
Sollecitazioni agenti localmente: Tx_l=10.61 Ty_l=17.52 N_l=-10950.00 Mx_l=-0.00 My_l=6.83 Mz_l=-0.02
Taglio nei bulloni: Fv,Ed=3.44 Fv,Rd=7720.78
Rifollamento lato piastra: Fb,Ed,p=3.42 Fb,Rd,p=9197.87
Tirafondi:LT=0.45 (0.31) σ_{cR}=0.00 σ_{fR}=0.00
Compressione nel calcestruzzo: σ_c=23.01
CC 25 SLV (Collegamento -179_-383)
Azioni sul collegamento: N=-10950.00 Ty=6.74 Tz=17.52 Mx=-0.02 Mz=1.76
Sollecitazioni agenti localmente: Tx_l=6.74 Ty_l=17.52 N_l=-10950.00 Mx_l=-0.00 My_l=1.76 Mz_l=-0.02
Taglio nei bulloni: Fv,Ed=3.15 Fv,Rd=7720.78
Rifollamento lato piastra: Fb,Ed,p=3.14 Fb,Rd,p=7244.07
Tirafondi:LT=0.45 (0.31) σ_{cR}=0.00 σ_{fR}=0.00
Compressione nel calcestruzzo: σ_c=22.72
CC 26 SLD (Collegamento -179_-383)
Azioni sul collegamento: N=-9506.09 Ty=10.19 Tz=11.54 Mx=-0.00 Mz=7.20
Sollecitazioni agenti localmente: Tx_l=10.19 Ty_l=11.54 N_l=-9506.09 Mx_l=-0.00 My_l=7.20 Mz_l=-0.00
Taglio nei bulloni: Fv,Ed=2.57 Fv,Rd=9650.97
Rifollamento lato piastra: Fb,Ed,p=2.57 Fb,Rd,p=14149.90
Tirafondi:LT=0.45 (0.31) σ_{cR}=0.00 σ_{fR}=0.00
Compressione nel calcestruzzo: σ_c=20.05
CC 26 SLD (Collegamento -179_-383)
Azioni sul collegamento: N=-9506.09 Ty=9.01 Tz=11.54 Mx=-0.00 Mz=5.66
Sollecitazioni agenti localmente: Tx_l=9.01 Ty_l=11.54 N_l=-9506.09 Mx_l=-0.00 My_l=5.66 Mz_l=-0.00
Taglio nei bulloni: Fv,Ed=2.44 Fv,Rd=9650.97
Rifollamento lato piastra: Fb,Ed,p=2.44 Fb,Rd,p=13458.00
Tirafondi:LT=0.45 (0.31) σ_{cR}=0.00 σ_{fR}=0.00
Compressione nel calcestruzzo: σ_c=19.96
CC 26 SLD (Collegamento -179_-383)
Azioni sul collegamento: N=-9506.09 Ty=10.19 Tz=14.51 Mx=-0.00 Mz=7.20
Sollecitazioni agenti localmente: Tx_l=10.19 Ty_l=14.51 N_l=-9506.09 Mx_l=-0.00 My_l=7.20 Mz_l=-0.00
Taglio nei bulloni: Fv,Ed=2.96 Fv,Rd=9650.97
Rifollamento lato piastra: Fb,Ed,p=2.96 Fb,Rd,p=12966.30
Tirafondi:LT=0.45 (0.31) σ_{cR}=0.00 σ_{fR}=0.00
Compressione nel calcestruzzo: σ_c=20.05
CC 26 SLD (Collegamento -179_-383)
Azioni sul collegamento: N=-9506.09 Ty=9.01 Tz=14.51 Mx=-0.00 Mz=5.66
Sollecitazioni agenti localmente: Tx_l=9.01 Ty_l=14.51 N_l=-9506.09 Mx_l=-0.00 My_l=5.66 Mz_l=-0.00
Taglio nei bulloni: Fv,Ed=2.85 Fv,Rd=9650.97
Rifollamento lato piastra: Fb,Ed,p=2.85 Fb,Rd,p=11827.20
Tirafondi:LT=0.45 (0.31) σ_{cR}=0.00 σ_{fR}=0.00
Compressione nel calcestruzzo: σ_c=19.96
CC 26 SLD (Collegamento -179_-383)
Azioni sul collegamento: N=-10226.40 Ty=10.19 Tz=11.54 Mx=-0.00 Mz=7.20
Sollecitazioni agenti localmente: Tx_l=10.19 Ty_l=11.54 N_l=-10226.40 Mx_l=-0.00 My_l=7.20 Mz_l=-0.00
Taglio nei bulloni: Fv,Ed=2.57 Fv,Rd=9650.97
Rifollamento lato piastra: Fb,Ed,p=2.57 Fb,Rd,p=14149.90
Tirafondi:LT=0.45 (0.31) σ_{cR}=0.00 σ_{fR}=0.00
Compressione nel calcestruzzo: σ_c=21.53
CC 26 SLD (Collegamento -179_-383)
Azioni sul collegamento: N=-10226.40 Ty=9.01 Tz=11.54 Mx=-0.00 Mz=5.66
Sollecitazioni agenti localmente: Tx_l=9.01 Ty_l=11.54 N_l=-10226.40 Mx_l=-0.00 My_l=5.66 Mz_l=-0.00
Taglio nei bulloni: Fv,Ed=2.44 Fv,Rd=9650.97
Rifollamento lato piastra: Fb,Ed,p=2.44 Fb,Rd,p=13458.00
Tirafondi:LT=0.45 (0.31) σ_{cR}=0.00 σ_{fR}=0.00
Compressione nel calcestruzzo: σ_c=21.45
CC 26 SLD (Collegamento -179_-383)
Azioni sul collegamento: N=-10226.40 Ty=10.19 Tz=14.51 Mx=-0.00 Mz=7.20
Sollecitazioni agenti localmente: Tx_l=10.19 Ty_l=14.51 N_l=-10226.40 Mx_l=-0.00 My_l=7.20 Mz_l=-0.00
Taglio nei bulloni: Fv,Ed=2.96 Fv,Rd=9650.97
Rifollamento lato piastra: Fb,Ed,p=2.96 Fb,Rd,p=12966.30
Tirafondi:LT=0.45 (0.31) σ_{cR}=0.00 σ_{fR}=0.00
Compressione nel calcestruzzo: σ_c=21.53
CC 26 SLD (Collegamento -179_-383)

Azioni sul collegamento: N=-10226.40 Ty=9.01 Tz=14.51 Mx=-0.00 Mz=5.66
Sollecitazioni agenti localmente: Tx_l=9.01 Ty_l=14.51 N_l=-10226.40 Mx_l=-0.00 My_l=5.66 Mz_l=-0.00
Taglio nei bulloni: Fv,Ed=2.85 Fv,Rd=9650.97
Rifollamento lato piastra: Fb,Ed,p=2.85 Fb,Rd,p=11827.20
Tirafondi:LT=0.45 (0.31) σ_{cR}=0.00 σ_{fR}=0.00
Compressione nel calcestruzzo: σ_c=21.45
CC 27 SLV (Collegamento -179_-383)
Azioni sul collegamento: N=-10933.80 Ty=8.45 Tz=16.43 Mx=-0.02 Mz=5.25
Sollecitazioni agenti localmente: Tx_l=8.45 Ty_l=16.43 N_l=-10933.80 Mx_l=-0.00 My_l=5.25 Mz_l=-0.02
Taglio nei bulloni: Fv,Ed=3.11 Fv,Rd=7720.78
Rifollamento lato piastra: Fb,Ed,p=3.09 Fb,Rd,p=8272.19
Tirafondi:LT=0.45 (0.31) σ_{cR}=0.00 σ_{fR}=0.00
Compressione nel calcestruzzo: σ_c=22.89
CC 27 SLV (Collegamento -179_-383)
Azioni sul collegamento: N=-10933.80 Ty=8.90 Tz=16.43 Mx=-0.02 Mz=3.34
Sollecitazioni agenti localmente: Tx_l=8.90 Ty_l=16.43 N_l=-10933.80 Mx_l=-0.00 My_l=3.34 Mz_l=-0.02
Taglio nei bulloni: Fv,Ed=3.14 Fv,Rd=7720.78
Rifollamento lato piastra: Fb,Ed,p=3.12 Fb,Rd,p=8529.55
Tirafondi:LT=0.45 (0.31) σ_{cR}=0.00 σ_{fR}=0.00
Compressione nel calcestruzzo: σ_c=22.78
CC 27 SLV (Collegamento -179_-383)
Azioni sul collegamento: N=-10933.80 Ty=8.45 Tz=8.86 Mx=-0.02 Mz=5.25
Sollecitazioni agenti localmente: Tx_l=8.45 Ty_l=8.86 N_l=-10933.80 Mx_l=-0.00 My_l=5.25 Mz_l=-0.02
Taglio nei bulloni: Fv,Ed=2.07 Fv,Rd=7720.78
Rifollamento lato piastra: Fb,Ed,p=2.04 Fb,Rd,p=11601.20
Tirafondi:LT=0.45 (0.31) σ_{cR}=0.00 σ_{fR}=0.00
Compressione nel calcestruzzo: σ_c=22.89
CC 27 SLV (Collegamento -179_-383)
Azioni sul collegamento: N=-10933.80 Ty=8.90 Tz=8.86 Mx=-0.02 Mz=3.34
Sollecitazioni agenti localmente: Tx_l=8.90 Ty_l=8.86 N_l=-10933.80 Mx_l=-0.00 My_l=3.34 Mz_l=-0.02
Taglio nei bulloni: Fv,Ed=2.12 Fv,Rd=7720.78
Rifollamento lato piastra: Fb,Ed,p=2.12 Fb,Rd,p=11991.00
Tirafondi:LT=0.45 (0.31) σ_{cR}=0.00 σ_{fR}=0.00
Compressione nel calcestruzzo: σ_c=22.78
CC 27 SLV (Collegamento -179_-383)
Azioni sul collegamento: N=-8604.03 Ty=8.45 Tz=16.43 Mx=-0.02 Mz=5.25
Sollecitazioni agenti localmente: Tx_l=8.45 Ty_l=16.43 N_l=-8604.03 Mx_l=-0.00 My_l=5.25 Mz_l=-0.02
Taglio nei bulloni: Fv,Ed=3.11 Fv,Rd=7720.78
Rifollamento lato piastra: Fb,Ed,p=3.09 Fb,Rd,p=8272.17
Tirafondi:LT=0.45 (0.31) σ_{cR}=0.00 σ_{fR}=0.00
Compressione nel calcestruzzo: σ_c=18.07
CC 27 SLV (Collegamento -179_-383)
Azioni sul collegamento: N=-8604.03 Ty=8.90 Tz=16.43 Mx=-0.02 Mz=3.34
Sollecitazioni agenti localmente: Tx_l=8.90 Ty_l=16.43 N_l=-8604.03 Mx_l=-0.00 My_l=3.34 Mz_l=-0.02
Taglio nei bulloni: Fv,Ed=3.14 Fv,Rd=7720.78
Rifollamento lato piastra: Fb,Ed,p=3.12 Fb,Rd,p=8529.54
Tirafondi:LT=0.45 (0.31) σ_{cR}=0.00 σ_{fR}=0.00
Compressione nel calcestruzzo: σ_c=17.96
CC 27 SLV (Collegamento -179_-383)
Azioni sul collegamento: N=-8604.03 Ty=8.45 Tz=8.86 Mx=-0.02 Mz=5.25
Sollecitazioni agenti localmente: Tx_l=8.45 Ty_l=8.86 N_l=-8604.03 Mx_l=-0.00 My_l=5.25 Mz_l=-0.02
Taglio nei bulloni: Fv,Ed=2.07 Fv,Rd=7720.78
Rifollamento lato piastra: Fb,Ed,p=2.04 Fb,Rd,p=11601.50
Tirafondi:LT=0.45 (0.31) σ_{cR}=0.00 σ_{fR}=0.00
Compressione nel calcestruzzo: σ_c=18.07
CC 27 SLV (Collegamento -179_-383)
Azioni sul collegamento: N=-8604.03 Ty=8.90 Tz=8.86 Mx=-0.02 Mz=3.34
Sollecitazioni agenti localmente: Tx_l=8.90 Ty_l=8.86 N_l=-8604.03 Mx_l=-0.00 My_l=3.34 Mz_l=-0.02
Taglio nei bulloni: Fv,Ed=2.12 Fv,Rd=7720.78
Rifollamento lato piastra: Fb,Ed,p=2.12 Fb,Rd,p=11990.60
Tirafondi:LT=0.45 (0.31) σ_{cR}=0.00 σ_{fR}=0.00
Compressione nel calcestruzzo: σ_c=17.96
CC 28 SLD (Collegamento -179_-383)
Azioni sul collegamento: N=-10221.40 Ty=9.53 Tz=14.18 Mx=-0.00 Mz=6.72
Sollecitazioni agenti localmente: Tx_l=9.53 Ty_l=14.18 N_l=-10221.40 Mx_l=-0.00 My_l=6.72 Mz_l=-0.00
Taglio nei bulloni: Fv,Ed=2.85 Fv,Rd=9650.97
Rifollamento lato piastra: Fb,Ed,p=2.85 Fb,Rd,p=12597.30
Tirafondi:LT=0.45 (0.31) σ_{cR}=0.00 σ_{fR}=0.00
Compressione nel calcestruzzo: σ_c=21.50
CC 28 SLD (Collegamento -179_-383)
Azioni sul collegamento: N=-10221.40 Ty=9.67 Tz=14.18 Mx=-0.00 Mz=6.14
Sollecitazioni agenti localmente: Tx_l=9.67 Ty_l=14.18 N_l=-10221.40 Mx_l=-0.00 My_l=6.14 Mz_l=-0.00
Taglio nei bulloni: Fv,Ed=2.87 Fv,Rd=9650.97
Rifollamento lato piastra: Fb,Ed,p=2.86 Fb,Rd,p=12749.10
Tirafondi:LT=0.45 (0.31) σ_{cR}=0.00 σ_{fR}=0.00
Compressione nel calcestruzzo: σ_c=21.46
CC 28 SLD (Collegamento -179_-383)
Azioni sul collegamento: N=-10221.40 Ty=9.53 Tz=11.87 Mx=-0.00 Mz=6.72

Sollecitazioni agenti localmente: Tx_l=9.53 Ty_l=11.87 N_l=-10221.40 Mx_l=-0.00 My_l=6.72 Mz_l=-0.00
Taglio nei bulloni: Fv,Ed=2.54 Fv,Rd=9650.97
Rifollamento lato piastra: Fb,Ed,p=2.54 Fb,Rd,p=13603.90
Tirafondi:LT=0.45 (0.31) σ_{cR}=0.00 σ_{fR}=0.00
Compressione nel calcestruzzo: σ_c=21.50
CC 28 SLD (Collegamento -179_-383)
Azioni sul collegamento: N=-10221.40 Ty=9.67 Tz=11.87 Mx=-0.00 Mz=6.14
Sollecitazioni agenti localmente: Tx_l=9.67 Ty_l=11.87 N_l=-10221.40 Mx_l=-0.00 My_l=6.14 Mz_l=-0.00
Taglio nei bulloni: Fv,Ed=2.56 Fv,Rd=9650.97
Rifollamento lato piastra: Fb,Ed,p=2.55 Fb,Rd,p=13680.40
Tirafondi:LT=0.45 (0.31) σ_{cR}=0.00 σ_{fR}=0.00
Compressione nel calcestruzzo: σ_c=21.46
CC 28 SLD (Collegamento -179_-383)
Azioni sul collegamento: N=-9511.03 Ty=9.53 Tz=14.18 Mx=-0.00 Mz=6.72
Sollecitazioni agenti localmente: Tx_l=9.53 Ty_l=14.18 N_l=-9511.03 Mx_l=-0.00 My_l=6.72 Mz_l=-0.00
Taglio nei bulloni: Fv,Ed=2.85 Fv,Rd=9650.97
Rifollamento lato piastra: Fb,Ed,p=2.85 Fb,Rd,p=12597.10
Tirafondi:LT=0.45 (0.31) σ_{cR}=0.00 σ_{fR}=0.00
Compressione nel calcestruzzo: σ_c=20.03
CC 28 SLD (Collegamento -179_-383)
Azioni sul collegamento: N=-9511.03 Ty=9.67 Tz=14.18 Mx=-0.00 Mz=6.14
Sollecitazioni agenti localmente: Tx_l=9.67 Ty_l=14.18 N_l=-9511.03 Mx_l=-0.00 My_l=6.14 Mz_l=-0.00
Taglio nei bulloni: Fv,Ed=2.87 Fv,Rd=9650.97
Rifollamento lato piastra: Fb,Ed,p=2.86 Fb,Rd,p=12748.90
Tirafondi:LT=0.45 (0.31) σ_{cR}=0.00 σ_{fR}=0.00
Compressione nel calcestruzzo: σ_c=20.00
CC 28 SLD (Collegamento -179_-383)
Azioni sul collegamento: N=-9511.03 Ty=9.53 Tz=11.87 Mx=-0.00 Mz=6.72
Sollecitazioni agenti localmente: Tx_l=9.53 Ty_l=11.87 N_l=-9511.03 Mx_l=-0.00 My_l=6.72 Mz_l=-0.00
Taglio nei bulloni: Fv,Ed=2.54 Fv,Rd=9650.97
Rifollamento lato piastra: Fb,Ed,p=2.54 Fb,Rd,p=13603.80
Tirafondi:LT=0.45 (0.31) σ_{cR}=0.00 σ_{fR}=0.00
Compressione nel calcestruzzo: σ_c=20.03
CC 28 SLD (Collegamento -179_-383)
Azioni sul collegamento: N=-9511.03 Ty=9.67 Tz=11.87 Mx=-0.00 Mz=6.14
Sollecitazioni agenti localmente: Tx_l=9.67 Ty_l=11.87 N_l=-9511.03 Mx_l=-0.00 My_l=6.14 Mz_l=-0.00
Taglio nei bulloni: Fv,Ed=2.56 Fv,Rd=9650.97
Rifollamento lato piastra: Fb,Ed,p=2.55 Fb,Rd,p=13680.30
Tirafondi:LT=0.45 (0.31) σ_{cR}=0.00 σ_{fR}=0.00
Compressione nel calcestruzzo: σ_c=20.00
CC 29 SLV (Collegamento -179_-383)
Azioni sul collegamento: N=-8604.03 Ty=8.90 Tz=8.86 Mx=-0.00 Mz=3.34
Sollecitazioni agenti localmente: Tx_l=8.90 Ty_l=8.86 N_l=-8604.03 Mx_l=-0.00 My_l=3.34 Mz_l=-0.00
Taglio nei bulloni: Fv,Ed=2.09 Fv,Rd=7720.78
Rifollamento lato piastra: Fb,Ed,p=2.09 Fb,Rd,p=11990.20
Tirafondi:LT=0.45 (0.31) σ_{cR}=0.00 σ_{fR}=0.00
Compressione nel calcestruzzo: σ_c=17.96
CC 29 SLV (Collegamento -179_-383)
Azioni sul collegamento: N=-8604.03 Ty=8.45 Tz=8.86 Mx=-0.00 Mz=5.25
Sollecitazioni agenti localmente: Tx_l=8.45 Ty_l=8.86 N_l=-8604.03 Mx_l=-0.00 My_l=5.25 Mz_l=-0.00
Taglio nei bulloni: Fv,Ed=2.04 Fv,Rd=7720.78
Rifollamento lato piastra: Fb,Ed,p=2.04 Fb,Rd,p=11737.30
Tirafondi:LT=0.45 (0.31) σ_{cR}=0.00 σ_{fR}=0.00
Compressione nel calcestruzzo: σ_c=18.07
CC 29 SLV (Collegamento -179_-383)
Azioni sul collegamento: N=-8604.03 Ty=8.90 Tz=16.43 Mx=-0.00 Mz=3.34
Sollecitazioni agenti localmente: Tx_l=8.90 Ty_l=16.43 N_l=-8604.03 Mx_l=-0.00 My_l=3.34 Mz_l=-0.00
Taglio nei bulloni: Fv,Ed=3.12 Fv,Rd=7720.78
Rifollamento lato piastra: Fb,Ed,p=3.12 Fb,Rd,p=8627.99
Tirafondi:LT=0.45 (0.31) σ_{cR}=0.00 σ_{fR}=0.00
Compressione nel calcestruzzo: σ_c=17.96
CC 29 SLV (Collegamento -179_-383)
Azioni sul collegamento: N=-8604.03 Ty=8.45 Tz=16.43 Mx=-0.00 Mz=5.25
Sollecitazioni agenti localmente: Tx_l=8.45 Ty_l=16.43 N_l=-8604.03 Mx_l=-0.00 My_l=5.25 Mz_l=-0.00
Taglio nei bulloni: Fv,Ed=3.08 Fv,Rd=7720.78
Rifollamento lato piastra: Fb,Ed,p=3.08 Fb,Rd,p=8363.71
Tirafondi:LT=0.45 (0.31) σ_{cR}=0.00 σ_{fR}=0.00
Compressione nel calcestruzzo: σ_c=18.07
CC 29 SLV (Collegamento -179_-383)
Azioni sul collegamento: N=-10933.80 Ty=8.90 Tz=8.86 Mx=-0.00 Mz=3.34
Sollecitazioni agenti localmente: Tx_l=8.90 Ty_l=8.86 N_l=-10933.80 Mx_l=-0.00 My_l=3.34 Mz_l=-0.00
Taglio nei bulloni: Fv,Ed=2.09 Fv,Rd=7720.78
Rifollamento lato piastra: Fb,Ed,p=2.09 Fb,Rd,p=11990.70
Tirafondi:LT=0.45 (0.31) σ_{cR}=0.00 σ_{fR}=0.00
Compressione nel calcestruzzo: σ_c=22.78
CC 29 SLV (Collegamento -179_-383)
Azioni sul collegamento: N=-10933.80 Ty=8.45 Tz=8.86 Mx=-0.00 Mz=5.25
Sollecitazioni agenti localmente: Tx_l=8.45 Ty_l=8.86 N_l=-10933.80 Mx_l=-0.00 My_l=5.25 Mz_l=-0.00

Taglio nei bulloni: Fv,Ed=2.04 Fv,Rd=7720.78
Rifollamento lato piastra: Fb,Ed,p=2.04 Fb,Rd,p=11736.80
Tirafondi:LT=0.45 (0.31) σ_{cR}=0.00 σ_{fR}=0.00
Compressione nel calcestruzzo: σ_c=22.89
CC 29 SLV (Collegamento -179_-383)
Azioni sul collegamento: N=-10933.80 Ty=8.90 Tz=16.43 Mx=-0.00 Mz=3.34
Sollecitazioni agenti localmente: Tx_l=8.90 Ty_l=16.43 N_l=-10933.80 Mx_l=-0.00 My_l=3.34 Mz_l=-0.00
Taglio nei bulloni: Fv,Ed=3.12 Fv,Rd=7720.78
Rifollamento lato piastra: Fb,Ed,p=3.12 Fb,Rd,p=8628.00
Tirafondi:LT=0.45 (0.31) σ_{cR}=0.00 σ_{fR}=0.00
Compressione nel calcestruzzo: σ_c=22.78
CC 29 SLV (Collegamento -179_-383)
Azioni sul collegamento: N=-10933.80 Ty=8.45 Tz=16.43 Mx=-0.00 Mz=5.25
Sollecitazioni agenti localmente: Tx_l=8.45 Ty_l=16.43 N_l=-10933.80 Mx_l=-0.00 My_l=5.25 Mz_l=-0.00
Taglio nei bulloni: Fv,Ed=3.08 Fv,Rd=7720.78
Rifollamento lato piastra: Fb,Ed,p=3.08 Fb,Rd,p=8363.72
Tirafondi:LT=0.45 (0.31) σ_{cR}=0.00 σ_{fR}=0.00
Compressione nel calcestruzzo: σ_c=22.89
CC 30 SLD (Collegamento -179_-383)
Azioni sul collegamento: N=-9511.03 Ty=9.67 Tz=11.87 Mx=0.00 Mz=6.14
Sollecitazioni agenti localmente: Tx_l=9.67 Ty_l=11.87 N_l=-9511.03 Mx_l=-0.00 My_l=6.14 Mz_l=0.00
Taglio nei bulloni: Fv,Ed=2.55 Fv,Rd=9650.97
Rifollamento lato piastra: Fb,Ed,p=2.55 Fb,Rd,p=13702.00
Tirafondi:LT=0.45 (0.31) σ_{cR}=0.00 σ_{fR}=0.00
Compressione nel calcestruzzo: σ_c=20.00
CC 30 SLD (Collegamento -179_-383)
Azioni sul collegamento: N=-9511.03 Ty=9.53 Tz=11.87 Mx=0.00 Mz=6.72
Sollecitazioni agenti localmente: Tx_l=9.53 Ty_l=11.87 N_l=-9511.03 Mx_l=-0.00 My_l=6.72 Mz_l=0.00
Taglio nei bulloni: Fv,Ed=2.54 Fv,Rd=9650.97
Rifollamento lato piastra: Fb,Ed,p=2.54 Fb,Rd,p=13625.20
Tirafondi:LT=0.45 (0.31) σ_{cR}=0.00 σ_{fR}=0.00
Compressione nel calcestruzzo: σ_c=20.03
CC 30 SLD (Collegamento -179_-383)
Azioni sul collegamento: N=-9511.03 Ty=9.67 Tz=14.18 Mx=0.00 Mz=6.14
Sollecitazioni agenti localmente: Tx_l=9.67 Ty_l=14.18 N_l=-9511.03 Mx_l=-0.00 My_l=6.14 Mz_l=0.00
Taglio nei bulloni: Fv,Ed=2.86 Fv,Rd=9650.97
Rifollamento lato piastra: Fb,Ed,p=2.86 Fb,Rd,p=12791.00
Tirafondi:LT=0.45 (0.31) σ_{cR}=0.00 σ_{fR}=0.00
Compressione nel calcestruzzo: σ_c=20.00
CC 30 SLD (Collegamento -179_-383)
Azioni sul collegamento: N=-9511.03 Ty=9.53 Tz=14.18 Mx=0.00 Mz=6.72
Sollecitazioni agenti localmente: Tx_l=9.53 Ty_l=14.18 N_l=-9511.03 Mx_l=-0.00 My_l=6.72 Mz_l=0.00
Taglio nei bulloni: Fv,Ed=2.85 Fv,Rd=9650.97
Rifollamento lato piastra: Fb,Ed,p=2.85 Fb,Rd,p=12638.40
Tirafondi:LT=0.45 (0.31) σ_{cR}=0.00 σ_{fR}=0.00
Compressione nel calcestruzzo: σ_c=20.03
CC 30 SLD (Collegamento -179_-383)
Azioni sul collegamento: N=-10221.40 Ty=9.67 Tz=11.87 Mx=0.00 Mz=6.14
Sollecitazioni agenti localmente: Tx_l=9.67 Ty_l=11.87 N_l=-10221.40 Mx_l=-0.00 My_l=6.14 Mz_l=0.00
Taglio nei bulloni: Fv,Ed=2.55 Fv,Rd=9650.97
Rifollamento lato piastra: Fb,Ed,p=2.55 Fb,Rd,p=13702.10
Tirafondi:LT=0.45 (0.31) σ_{cR}=0.00 σ_{fR}=0.00
Compressione nel calcestruzzo: σ_c=21.46
CC 30 SLD (Collegamento -179_-383)
Azioni sul collegamento: N=-10221.40 Ty=9.53 Tz=11.87 Mx=0.00 Mz=6.72
Sollecitazioni agenti localmente: Tx_l=9.53 Ty_l=11.87 N_l=-10221.40 Mx_l=-0.00 My_l=6.72 Mz_l=0.00
Taglio nei bulloni: Fv,Ed=2.54 Fv,Rd=9650.97
Rifollamento lato piastra: Fb,Ed,p=2.54 Fb,Rd,p=13625.30
Tirafondi:LT=0.45 (0.31) σ_{cR}=0.00 σ_{fR}=0.00
Compressione nel calcestruzzo: σ_c=21.50
CC 30 SLD (Collegamento -179_-383)
Azioni sul collegamento: N=-10221.40 Ty=9.67 Tz=14.18 Mx=0.00 Mz=6.14
Sollecitazioni agenti localmente: Tx_l=9.67 Ty_l=14.18 N_l=-10221.40 Mx_l=-0.00 My_l=6.14 Mz_l=0.00
Taglio nei bulloni: Fv,Ed=2.86 Fv,Rd=9650.97
Rifollamento lato piastra: Fb,Ed,p=2.86 Fb,Rd,p=12791.20
Tirafondi:LT=0.45 (0.31) σ_{cR}=0.00 σ_{fR}=0.00
Compressione nel calcestruzzo: σ_c=21.46
CC 30 SLD (Collegamento -179_-383)
Azioni sul collegamento: N=-10221.40 Ty=9.53 Tz=14.18 Mx=0.00 Mz=6.72
Sollecitazioni agenti localmente: Tx_l=9.53 Ty_l=14.18 N_l=-10221.40 Mx_l=-0.00 My_l=6.72 Mz_l=0.00
Taglio nei bulloni: Fv,Ed=2.85 Fv,Rd=9650.97
Rifollamento lato piastra: Fb,Ed,p=2.85 Fb,Rd,p=12638.60
Tirafondi:LT=0.45 (0.31) σ_{cR}=0.00 σ_{fR}=0.00
Compressione nel calcestruzzo: σ_c=21.50
CC 31 SLV (Collegamento -179_-383)
Azioni sul collegamento: N=-10950.00 Ty=6.74 Tz=17.52 Mx=-0.00 Mz=1.76
Sollecitazioni agenti localmente: Tx_l=6.74 Ty_l=17.52 N_l=-10950.00 Mx_l=-0.00 My_l=1.76 Mz_l=-0.00
Taglio nei bulloni: Fv,Ed=3.13 Fv,Rd=7720.78

Rifollamento lato piastra: Fb,Ed,p=3.13 Fb,Rd,p=7302.07
Tirafondi:LT=0.45 (0.31) σ_{cR}=0.00 σ_{fR}=0.00
Compressione nel calcestruzzo: σ_c=22.72
CC 31 SLV (Collegamento -179_-383)
Azioni sul collegamento: N=-10950.00 Ty=10.61 Tz=17.52 Mx=-0.00 Mz=6.83
Sollecitazioni agenti localmente: Tx_l=10.61 Ty_l=17.52 N_l=-10950.00 Mx_l=-0.00 My_l=6.83 Mz_l=-0.00
Taglio nei bulloni: Fv,Ed=3.42 Fv,Rd=7720.78
Rifollamento lato piastra: Fb,Ed,p=3.41 Fb,Rd,p=9306.73
Tirafondi:LT=0.45 (0.31) σ_{cR}=0.00 σ_{fR}=0.00
Compressione nel calcestruzzo: σ_c=23.01
CC 31 SLV (Collegamento -179_-383)
Azioni sul collegamento: N=-10950.00 Ty=6.74 Tz=7.77 Mx=-0.00 Mz=1.76
Sollecitazioni agenti localmente: Tx_l=6.74 Ty_l=7.77 N_l=-10950.00 Mx_l=-0.00 My_l=1.76 Mz_l=-0.00
Taglio nei bulloni: Fv,Ed=1.72 Fv,Rd=7720.78
Rifollamento lato piastra: Fb,Ed,p=1.71 Fb,Rd,p=11242.30
Tirafondi:LT=0.45 (0.31) σ_{cR}=0.00 σ_{fR}=0.00
Compressione nel calcestruzzo: σ_c=22.72
CC 31 SLV (Collegamento -179_-383)
Azioni sul collegamento: N=-10950.00 Ty=10.61 Tz=7.77 Mx=-0.00 Mz=6.83
Sollecitazioni agenti localmente: Tx_l=10.61 Ty_l=7.77 N_l=-10950.00 Mx_l=-0.00 My_l=6.83 Mz_l=-0.00
Taglio nei bulloni: Fv,Ed=2.19 Fv,Rd=7720.78
Rifollamento lato piastra: Fb,Ed,p=2.19 Fb,Rd,p=10533.10
Tirafondi:LT=0.45 (0.31) σ_{cR}=0.00 σ_{fR}=0.00
Compressione nel calcestruzzo: σ_c=23.01
CC 31 SLV (Collegamento -179_-383)
Azioni sul collegamento: N=-8587.82 Ty=6.74 Tz=17.52 Mx=-0.00 Mz=1.76
Sollecitazioni agenti localmente: Tx_l=6.74 Ty_l=17.52 N_l=-8587.82 Mx_l=-0.00 My_l=1.76 Mz_l=-0.00
Taglio nei bulloni: Fv,Ed=3.13 Fv,Rd=7720.78
Rifollamento lato piastra: Fb,Ed,p=3.13 Fb,Rd,p=7302.12
Tirafondi:LT=0.45 (0.31) σ_{cR}=0.00 σ_{fR}=0.00
Compressione nel calcestruzzo: σ_c=17.84
CC 31 SLV (Collegamento -179_-383)
Azioni sul collegamento: N=-8587.82 Ty=10.61 Tz=17.52 Mx=-0.00 Mz=6.83
Sollecitazioni agenti localmente: Tx_l=10.61 Ty_l=17.52 N_l=-8587.82 Mx_l=-0.00 My_l=6.83 Mz_l=-0.00
Taglio nei bulloni: Fv,Ed=3.42 Fv,Rd=7720.78
Rifollamento lato piastra: Fb,Ed,p=3.41 Fb,Rd,p=9306.86
Tirafondi:LT=0.45 (0.31) σ_{cR}=0.00 σ_{fR}=0.00
Compressione nel calcestruzzo: σ_c=18.13
CC 31 SLV (Collegamento -179_-383)
Azioni sul collegamento: N=-8587.82 Ty=6.74 Tz=7.77 Mx=-0.00 Mz=1.76
Sollecitazioni agenti localmente: Tx_l=6.74 Ty_l=7.77 N_l=-8587.82 Mx_l=-0.00 My_l=1.76 Mz_l=-0.00
Taglio nei bulloni: Fv,Ed=1.72 Fv,Rd=7720.78
Rifollamento lato piastra: Fb,Ed,p=1.71 Fb,Rd,p=11242.10
Tirafondi:LT=0.45 (0.31) σ_{cR}=0.00 σ_{fR}=0.00
Compressione nel calcestruzzo: σ_c=17.84
CC 31 SLV (Collegamento -179_-383)
Azioni sul collegamento: N=-8587.82 Ty=10.61 Tz=7.77 Mx=-0.00 Mz=6.83
Sollecitazioni agenti localmente: Tx_l=10.61 Ty_l=7.77 N_l=-8587.82 Mx_l=-0.00 My_l=6.83 Mz_l=-0.00
Taglio nei bulloni: Fv,Ed=2.19 Fv,Rd=7720.78
Rifollamento lato piastra: Fb,Ed,p=2.19 Fb,Rd,p=10533.30
Tirafondi:LT=0.45 (0.31) σ_{cR}=0.00 σ_{fR}=0.00
Compressione nel calcestruzzo: σ_c=18.13
CC 32 SLD (Collegamento -179_-383)
Azioni sul collegamento: N=-10226.40 Ty=9.01 Tz=14.51 Mx=0.00 Mz=5.66
Sollecitazioni agenti localmente: Tx_l=9.01 Ty_l=14.51 N_l=-10226.40 Mx_l=-0.00 My_l=5.66 Mz_l=0.00
Taglio nei bulloni: Fv,Ed=2.85 Fv,Rd=9650.97
Rifollamento lato piastra: Fb,Ed,p=2.85 Fb,Rd,p=11864.10
Tirafondi:LT=0.45 (0.31) σ_{cR}=0.00 σ_{fR}=0.00
Compressione nel calcestruzzo: σ_c=21.45
CC 32 SLD (Collegamento -179_-383)
Azioni sul collegamento: N=-10226.40 Ty=10.19 Tz=14.51 Mx=0.00 Mz=7.20
Sollecitazioni agenti localmente: Tx_l=10.19 Ty_l=14.51 N_l=-10226.40 Mx_l=-0.00 My_l=7.20 Mz_l=0.00
Taglio nei bulloni: Fv,Ed=2.96 Fv,Rd=9650.97
Rifollamento lato piastra: Fb,Ed,p=2.96 Fb,Rd,p=12982.10
Tirafondi:LT=0.45 (0.31) σ_{cR}=0.00 σ_{fR}=0.00
Compressione nel calcestruzzo: σ_c=21.53
CC 32 SLD (Collegamento -179_-383)
Azioni sul collegamento: N=-10226.40 Ty=9.01 Tz=11.54 Mx=0.00 Mz=5.66
Sollecitazioni agenti localmente: Tx_l=9.01 Ty_l=11.54 N_l=-10226.40 Mx_l=-0.00 My_l=5.66 Mz_l=0.00
Taglio nei bulloni: Fv,Ed=2.44 Fv,Rd=9650.97
Rifollamento lato piastra: Fb,Ed,p=2.44 Fb,Rd,p=13479.60
Tirafondi:LT=0.45 (0.31) σ_{cR}=0.00 σ_{fR}=0.00
Compressione nel calcestruzzo: σ_c=21.45
CC 32 SLD (Collegamento -179_-383)
Azioni sul collegamento: N=-10226.40 Ty=10.19 Tz=11.54 Mx=0.00 Mz=7.20
Sollecitazioni agenti localmente: Tx_l=10.19 Ty_l=11.54 N_l=-10226.40 Mx_l=-0.00 My_l=7.20 Mz_l=0.00
Taglio nei bulloni: Fv,Ed=2.57 Fv,Rd=9650.97
Rifollamento lato piastra: Fb,Ed,p=2.57 Fb,Rd,p=14173.60

Tirafondi:LT=0.45 (0.31) σ_{cR}=0.00 σ_{fR}=0.00
Compressione nel calcestruzzo: σ_c=21.53
CC 32 SLD (Collegamento -179_-383)
Azioni sul collegamento: N=-9506.09 Ty=9.01 Tz=14.51 Mx=0.00 Mz=5.66
Sollecitazioni agenti localmente: Tx_l=9.01 Ty_l=14.51 N_l=-9506.09 Mx_l=-0.00 My_l=5.66 Mz_l=0.00
Taglio nei bulloni: Fv,Ed=2.85 Fv,Rd=9650.97
Rifollamento lato piastra: Fb,Ed,p=2.85 Fb,Rd,p=11864.00
Tirafondi:LT=0.45 (0.31) σ_{cR}=0.00 σ_{fR}=0.00
Compressione nel calcestruzzo: σ_c=19.96
CC 32 SLD (Collegamento -179_-383)
Azioni sul collegamento: N=-9506.09 Ty=10.19 Tz=14.51 Mx=0.00 Mz=7.20
Sollecitazioni agenti localmente: Tx_l=10.19 Ty_l=14.51 N_l=-9506.09 Mx_l=-0.00 My_l=7.20 Mz_l=0.00
Taglio nei bulloni: Fv,Ed=2.96 Fv,Rd=9650.97
Rifollamento lato piastra: Fb,Ed,p=2.96 Fb,Rd,p=12982.10
Tirafondi:LT=0.45 (0.31) σ_{cR}=0.00 σ_{fR}=0.00
Compressione nel calcestruzzo: σ_c=20.05
CC 32 SLD (Collegamento -179_-383)
Azioni sul collegamento: N=-9506.09 Ty=9.01 Tz=11.54 Mx=0.00 Mz=5.66
Sollecitazioni agenti localmente: Tx_l=9.01 Ty_l=11.54 N_l=-9506.09 Mx_l=-0.00 My_l=5.66 Mz_l=0.00
Taglio nei bulloni: Fv,Ed=2.44 Fv,Rd=9650.97
Rifollamento lato piastra: Fb,Ed,p=2.44 Fb,Rd,p=13479.60
Tirafondi:LT=0.45 (0.31) σ_{cR}=0.00 σ_{fR}=0.00
Compressione nel calcestruzzo: σ_c=19.96
CC 32 SLD (Collegamento -179_-383)
Azioni sul collegamento: N=-9506.09 Ty=10.19 Tz=11.54 Mx=0.00 Mz=7.20
Sollecitazioni agenti localmente: Tx_l=10.19 Ty_l=11.54 N_l=-9506.09 Mx_l=-0.00 My_l=7.20 Mz_l=0.00
Taglio nei bulloni: Fv,Ed=2.57 Fv,Rd=9650.97
Rifollamento lato piastra: Fb,Ed,p=2.57 Fb,Rd,p=14173.60
Tirafondi:LT=0.45 (0.31) σ_{cR}=0.00 σ_{fR}=0.00
Compressione nel calcestruzzo: σ_c=20.05
CC 33 SLU (Collegamento -179_-383)
Azioni sul collegamento: N=-36428.20 Ty=20.21 Tz=102.49 Mx=0.01 Mz=15.01
Sollecitazioni agenti localmente: Tx_l=20.21 Ty_l=102.49 N_l=-36428.20 Mx_l=-0.00 My_l=15.01 Mz_l=0.01
Taglio nei bulloni: Fv,Ed=17.42 Fv,Rd=7720.78
Rifollamento lato piastra: Fb,Ed,p=17.42 Fb,Rd,p=6326.05
Tirafondi:LT=0.45 (0.31) σ_{cR}=0.00 σ_{fR}=0.00
Compressione nel calcestruzzo: σ_c=76.11
CC 34 SLU (Collegamento -179_-383)
Azioni sul collegamento: N=-37242.40 Ty=20.96 Tz=105.49 Mx=0.01 Mz=15.56
Sollecitazioni agenti localmente: Tx_l=20.96 Ty_l=105.49 N_l=-37242.40 Mx_l=-0.00 My_l=15.56 Mz_l=0.01
Taglio nei bulloni: Fv,Ed=17.93 Fv,Rd=7720.78
Rifollamento lato piastra: Fb,Ed,p=17.93 Fb,Rd,p=6331.31
Tirafondi:LT=0.45 (0.31) σ_{cR}=0.00 σ_{fR}=0.00
Compressione nel calcestruzzo: σ_c=77.82
CC 35 SLU (Collegamento -179_-383)
Azioni sul collegamento: N=-36836.10 Ty=20.67 Tz=103.93 Mx=0.00 Mz=15.47
Sollecitazioni agenti localmente: Tx_l=20.67 Ty_l=103.93 N_l=-36836.10 Mx_l=-0.00 My_l=15.47 Mz_l=0.00
Taglio nei bulloni: Fv,Ed=17.67 Fv,Rd=7720.78
Rifollamento lato piastra: Fb,Ed,p=17.67 Fb,Rd,p=6331.98
Tirafondi:LT=0.45 (0.31) σ_{cR}=0.00 σ_{fR}=0.00
Compressione nel calcestruzzo: σ_c=76.98
CC 36 SLU (Collegamento -179_-383)
Azioni sul collegamento: N=-36834.40 Ty=20.49 Tz=104.05 Mx=0.01 Mz=15.10
Sollecitazioni agenti localmente: Tx_l=20.49 Ty_l=104.05 N_l=-36834.40 Mx_l=-0.00 My_l=15.10 Mz_l=0.01
Taglio nei bulloni: Fv,Ed=17.68 Fv,Rd=7720.78
Rifollamento lato piastra: Fb,Ed,p=17.68 Fb,Rd,p=6325.46
Tirafondi:LT=0.45 (0.31) σ_{cR}=0.00 σ_{fR}=0.00
Compressione nel calcestruzzo: σ_c=76.96
CC 37 SLU (Collegamento -179_-383)
Azioni sul collegamento: N=-29660.30 Ty=-10.68 Tz=77.11 Mx=0.01 Mz=-8.42
Sollecitazioni agenti localmente: Tx_l=-10.68 Ty_l=77.11 N_l=-29660.30 Mx_l=-0.00 My_l=-8.42 Mz_l=0.01
Taglio nei bulloni: Fv,Ed=12.98 Fv,Rd=7720.78
Rifollamento lato piastra: Fb,Ed,p=12.98 Fb,Rd,p=6148.12
Tirafondi:LT=0.45 (0.31) σ_{cR}=0.00 σ_{fR}=0.00
Compressione nel calcestruzzo: σ_c=61.76
CC 38 SLU (Collegamento -179_-383)
Azioni sul collegamento: N=-30474.50 Ty=-9.93 Tz=80.11 Mx=0.01 Mz=-7.87
Sollecitazioni agenti localmente: Tx_l=-9.93 Ty_l=80.11 N_l=-30474.50 Mx_l=-0.00 My_l=-7.87 Mz_l=0.01
Taglio nei bulloni: Fv,Ed=13.46 Fv,Rd=7720.78
Rifollamento lato piastra: Fb,Ed,p=13.46 Fb,Rd,p=6114.33
Tirafondi:LT=0.45 (0.31) σ_{cR}=0.00 σ_{fR}=0.00
Compressione nel calcestruzzo: σ_c=63.41
CC 39 SLU (Collegamento -179_-383)
Azioni sul collegamento: N=-30068.30 Ty=-10.21 Tz=78.55 Mx=0.00 Mz=-7.97
Sollecitazioni agenti localmente: Tx_l=-10.21 Ty_l=78.55 N_l=-30068.30 Mx_l=-0.00 My_l=-7.97 Mz_l=0.00
Taglio nei bulloni: Fv,Ed=13.21 Fv,Rd=7720.78
Rifollamento lato piastra: Fb,Ed,p=13.21 Fb,Rd,p=6128.22
Tirafondi:LT=0.45 (0.31) σ_{cR}=0.00 σ_{fR}=0.00

Compressione nel calcestruzzo: σ_c=62.57
CC 40 SLU (Collegamento -179_-383)
Azioni sul collegamento: N=-30066.50 Ty=-10.39 Tz=78.67 Mx=0.01 Mz=-8.33
Sollecitazioni agenti localmente: Tx_l=-10.39 Ty_l=78.67 N_l=-30066.50 Mx_l=-0.00 My_l=-8.33 Mz_l=0.01
Taglio nei bulloni: Fv,Ed=13.23 Fv,Rd=7720.78
Rifollamento lato piastra: Fb,Ed,p=13.23 Fb,Rd,p=6132.65
Tirafondi:LT=0.45 (0.31) σ_{cR}=0.00 σ_{fR}=0.00
Compressione nel calcestruzzo: σ_c=62.59
CC 41 SLU (Collegamento -179_-383)
Azioni sul collegamento: N=-27261.60 Ty=19.33 Tz=68.83 Mx=0.01 Mz=14.21
Sollecitazioni agenti localmente: Tx_l=19.33 Ty_l=68.83 N_l=-27261.60 Mx_l=-0.00 My_l=14.21 Mz_l=0.01
Taglio nei bulloni: Fv,Ed=11.92 Fv,Rd=7720.78
Rifollamento lato piastra: Fb,Ed,p=11.92 Fb,Rd,p=6684.65
Tirafondi:LT=0.45 (0.31) σ_{cR}=0.00 σ_{fR}=0.00
Compressione nel calcestruzzo: σ_c=57.13
CC 42 SLU (Collegamento -179_-383)
Azioni sul collegamento: N=-28075.80 Ty=20.08 Tz=71.84 Mx=0.01 Mz=14.76
Sollecitazioni agenti localmente: Tx_l=20.08 Ty_l=71.84 N_l=-28075.80 Mx_l=-0.00 My_l=14.76 Mz_l=0.01
Taglio nei bulloni: Fv,Ed=12.44 Fv,Rd=7720.78
Rifollamento lato piastra: Fb,Ed,p=12.44 Fb,Rd,p=6678.00
Tirafondi:LT=0.45 (0.31) σ_{cR}=0.00 σ_{fR}=0.00
Compressione nel calcestruzzo: σ_c=58.84
CC 43 SLU (Collegamento -179_-383)
Azioni sul collegamento: N=-27669.60 Ty=19.79 Tz=70.28 Mx=0.00 Mz=14.67
Sollecitazioni agenti localmente: Tx_l=19.79 Ty_l=70.28 N_l=-27669.60 Mx_l=-0.00 My_l=14.67 Mz_l=0.00
Taglio nei bulloni: Fv,Ed=12.17 Fv,Rd=7720.78
Rifollamento lato piastra: Fb,Ed,p=12.17 Fb,Rd,p=6688.52
Tirafondi:LT=0.45 (0.31) σ_{cR}=0.00 σ_{fR}=0.00
Compressione nel calcestruzzo: σ_c=58.00
CC 44 SLU (Collegamento -179_-383)
Azioni sul collegamento: N=-27667.80 Ty=19.61 Tz=70.39 Mx=0.01 Mz=14.31
Sollecitazioni agenti localmente: Tx_l=19.61 Ty_l=70.39 N_l=-27667.80 Mx_l=-0.00 My_l=14.31 Mz_l=0.01
Taglio nei bulloni: Fv,Ed=12.19 Fv,Rd=7720.78
Rifollamento lato piastra: Fb,Ed,p=12.19 Fb,Rd,p=6674.03
Tirafondi:LT=0.45 (0.31) σ_{cR}=0.00 σ_{fR}=0.00
Compressione nel calcestruzzo: σ_c=57.97
CC 45 SLU (Collegamento -179_-383)
Azioni sul collegamento: N=-29271.60 Ty=19.56 Tz=76.22 Mx=0.00 Mz=14.53
Sollecitazioni agenti localmente: Tx_l=19.56 Ty_l=76.22 N_l=-29271.60 Mx_l=-0.00 My_l=14.53 Mz_l=0.00
Taglio nei bulloni: Fv,Ed=13.12 Fv,Rd=7720.78
Rifollamento lato piastra: Fb,Ed,p=13.12 Fb,Rd,p=6567.61
Tirafondi:LT=0.45 (0.31) σ_{cR}=0.00 σ_{fR}=0.00
Compressione nel calcestruzzo: σ_c=61.30
CC 46 SLU (Collegamento -179_-383)
Azioni sul collegamento: N=-30085.80 Ty=20.31 Tz=79.22 Mx=0.00 Mz=15.08
Sollecitazioni agenti localmente: Tx_l=20.31 Ty_l=79.22 N_l=-30085.80 Mx_l=-0.00 My_l=15.08 Mz_l=0.00
Taglio nei bulloni: Fv,Ed=13.64 Fv,Rd=7720.78
Rifollamento lato piastra: Fb,Ed,p=13.64 Fb,Rd,p=6566.36
Tirafondi:LT=0.45 (0.31) σ_{cR}=0.00 σ_{fR}=0.00
Compressione nel calcestruzzo: σ_c=63.01
CC 47 SLU (Collegamento -179_-383)
Azioni sul collegamento: N=-29679.60 Ty=20.02 Tz=77.66 Mx=0.00 Mz=14.99
Sollecitazioni agenti localmente: Tx_l=20.02 Ty_l=77.66 N_l=-29679.60 Mx_l=-0.00 My_l=14.99 Mz_l=0.00
Taglio nei bulloni: Fv,Ed=13.37 Fv,Rd=7720.78
Rifollamento lato piastra: Fb,Ed,p=13.37 Fb,Rd,p=6572.91
Tirafondi:LT=0.45 (0.31) σ_{cR}=0.00 σ_{fR}=0.00
Compressione nel calcestruzzo: σ_c=62.17
CC 48 SLU (Collegamento -179_-383)
Azioni sul collegamento: N=-29677.80 Ty=19.84 Tz=77.78 Mx=0.01 Mz=14.62
Sollecitazioni agenti localmente: Tx_l=19.84 Ty_l=77.78 N_l=-29677.80 Mx_l=-0.00 My_l=14.62 Mz_l=0.01
Taglio nei bulloni: Fv,Ed=13.39 Fv,Rd=7720.78
Rifollamento lato piastra: Fb,Ed,p=13.39 Fb,Rd,p=6561.10
Tirafondi:LT=0.45 (0.31) σ_{cR}=0.00 σ_{fR}=0.00
Compressione nel calcestruzzo: σ_c=62.14
CC 49 SLU (Collegamento -179_-383)
Azioni sul collegamento: N=-24208.20 Ty=-3.55 Tz=57.23 Mx=0.01 Mz=-3.00
Sollecitazioni agenti localmente: Tx_l=-3.55 Ty_l=57.23 N_l=-24208.20 Mx_l=-0.00 My_l=-3.00 Mz_l=0.01
Taglio nei bulloni: Fv,Ed=9.56 Fv,Rd=7720.78
Rifollamento lato piastra: Fb,Ed,p=9.56 Fb,Rd,p=6012.61
Tirafondi:LT=0.45 (0.31) σ_{cR}=0.00 σ_{fR}=0.00
Compressione nel calcestruzzo: σ_c=50.19
CC 50 SLU (Collegamento -179_-383)
Azioni sul collegamento: N=-25022.40 Ty=-2.80 Tz=60.23 Mx=0.01 Mz=-2.45
Sollecitazioni agenti localmente: Tx_l=-2.80 Ty_l=60.23 N_l=-25022.40 Mx_l=-0.00 My_l=-2.45 Mz_l=0.01
Taglio nei bulloni: Fv,Ed=10.06 Fv,Rd=7720.78
Rifollamento lato piastra: Fb,Ed,p=10.06 Fb,Rd,p=5997.84
Tirafondi:LT=0.45 (0.31) σ_{cR}=0.00 σ_{fR}=0.00
Compressione nel calcestruzzo: σ_c=51.84

CC 51 SLU (Collegamento -179_-383)
Azioni sul collegamento: N=-24616.20 Ty=-3.08 Tz=58.67 Mx=0.00 Mz=-2.54
Sollecitazioni agenti localmente: Tx_l=-3.08 Ty_l=58.67 N_l=-24616.20 Mx_l=-0.00 My_l=-2.54 Mz_l=0.00
Taglio nei bulloni: Fv,Ed=9.80 Fv,Rd=7720.78
Rifollamento lato piastra: Fb,Ed,p=9.80 Fb,Rd,p=6003.23
Tirafondi:LT=0.45 (0.31) σ_{cR}=0.00 σ_{fR}=0.00
Compressione nel calcestruzzo: σ_c=51.00
CC 52 SLU (Collegamento -179_-383)
Azioni sul collegamento: N=-24614.40 Ty=-3.26 Tz=58.79 Mx=0.01 Mz=-2.91
Sollecitazioni agenti localmente: Tx_l=-3.26 Ty_l=58.79 N_l=-24614.40 Mx_l=-0.00 My_l=-2.91 Mz_l=0.01
Taglio nei bulloni: Fv,Ed=9.82 Fv,Rd=7720.78
Rifollamento lato piastra: Fb,Ed,p=9.82 Fb,Rd,p=6005.80
Tirafondi:LT=0.45 (0.31) σ_{cR}=0.00 σ_{fR}=0.00
Compressione nel calcestruzzo: σ_c=51.02
CC 53 SLU (Collegamento -179_-383)
Azioni sul collegamento: N=-22413.60 Ty=18.90 Tz=51.04 Mx=0.00 Mz=13.93
Sollecitazioni agenti localmente: Tx_l=18.90 Ty_l=51.04 N_l=-22413.60 Mx_l=-0.00 My_l=13.93 Mz_l=0.00
Taglio nei bulloni: Fv,Ed=9.08 Fv,Rd=7720.78
Rifollamento lato piastra: Fb,Ed,p=9.08 Fb,Rd,p=7210.55
Tirafondi:LT=0.45 (0.31) σ_{cR}=0.00 σ_{fR}=0.00
Compressione nel calcestruzzo: σ_c=47.09
CC 54 SLU (Collegamento -179_-383)
Azioni sul collegamento: N=-23227.90 Ty=19.65 Tz=54.04 Mx=0.00 Mz=14.49
Sollecitazioni agenti localmente: Tx_l=19.65 Ty_l=54.04 N_l=-23227.90 Mx_l=-0.00 My_l=14.49 Mz_l=0.00
Taglio nei bulloni: Fv,Ed=9.59 Fv,Rd=7720.78
Rifollamento lato piastra: Fb,Ed,p=9.59 Fb,Rd,p=7165.92
Tirafondi:LT=0.45 (0.31) σ_{cR}=0.00 σ_{fR}=0.00
Compressione nel calcestruzzo: σ_c=48.81
CC 55 SLU (Collegamento -179_-383)
Azioni sul collegamento: N=-22821.60 Ty=19.36 Tz=52.48 Mx=0.00 Mz=14.39
Sollecitazioni agenti localmente: Tx_l=19.36 Ty_l=52.48 N_l=-22821.60 Mx_l=-0.00 My_l=14.39 Mz_l=0.00
Taglio nei bulloni: Fv,Ed=9.33 Fv,Rd=7720.78
Rifollamento lato piastra: Fb,Ed,p=9.33 Fb,Rd,p=7201.05
Tirafondi:LT=0.45 (0.31) σ_{cR}=0.00 σ_{fR}=0.00
Compressione nel calcestruzzo: σ_c=47.96
CC 56 SLU (Collegamento -179_-383)
Azioni sul collegamento: N=-22819.90 Ty=19.19 Tz=52.60 Mx=0.01 Mz=14.03
Sollecitazioni agenti localmente: Tx_l=19.19 Ty_l=52.60 N_l=-22819.90 Mx_l=-0.00 My_l=14.03 Mz_l=0.01
Taglio nei bulloni: Fv,Ed=9.34 Fv,Rd=7720.78
Rifollamento lato piastra: Fb,Ed,p=9.34 Fb,Rd,p=7174.08
Tirafondi:LT=0.45 (0.31) σ_{cR}=0.00 σ_{fR}=0.00
Compressione nel calcestruzzo: σ_c=47.94
CC 57 SLU (Collegamento -179_-383)
Azioni sul collegamento: N=-30019.90 Ty=20.54 Tz=79.01 Mx=0.00 Mz=15.25
Sollecitazioni agenti localmente: Tx_l=20.54 Ty_l=79.01 N_l=-30019.90 Mx_l=-0.00 My_l=15.25 Mz_l=0.00
Taglio nei bulloni: Fv,Ed=13.61 Fv,Rd=7720.78
Rifollamento lato piastra: Fb,Ed,p=13.61 Fb,Rd,p=6583.32
Tirafondi:LT=0.45 (0.31) σ_{cR}=0.00 σ_{fR}=0.00
Compressione nel calcestruzzo: σ_c=62.88
CC 58 SLU (Collegamento -179_-383)
Azioni sul collegamento: N=-30834.10 Ty=21.29 Tz=82.01 Mx=0.00 Mz=15.80
Sollecitazioni agenti localmente: Tx_l=21.29 Ty_l=82.01 N_l=-30834.10 Mx_l=-0.00 My_l=15.80 Mz_l=0.00
Taglio nei bulloni: Fv,Ed=14.13 Fv,Rd=7720.78
Rifollamento lato piastra: Fb,Ed,p=14.13 Fb,Rd,p=6581.51
Tirafondi:LT=0.45 (0.31) σ_{cR}=0.00 σ_{fR}=0.00
Compressione nel calcestruzzo: σ_c=64.60
CC 59 SLU (Collegamento -179_-383)
Azioni sul collegamento: N=-30427.90 Ty=21.01 Tz=80.45 Mx=0.00 Mz=15.71
Sollecitazioni agenti localmente: Tx_l=21.01 Ty_l=80.45 N_l=-30427.90 Mx_l=-0.00 My_l=15.71 Mz_l=0.00
Taglio nei bulloni: Fv,Ed=13.86 Fv,Rd=7720.78
Rifollamento lato piastra: Fb,Ed,p=13.86 Fb,Rd,p=6588.21
Tirafondi:LT=0.45 (0.31) σ_{cR}=0.00 σ_{fR}=0.00
Compressione nel calcestruzzo: σ_c=63.75
CC 60 SLU (Collegamento -179_-383)
Azioni sul collegamento: N=-30426.20 Ty=20.83 Tz=80.57 Mx=0.01 Mz=15.34
Sollecitazioni agenti localmente: Tx_l=20.83 Ty_l=80.57 N_l=-30426.20 Mx_l=-0.00 My_l=15.34 Mz_l=0.01
Taglio nei bulloni: Fv,Ed=13.88 Fv,Rd=7720.78
Rifollamento lato piastra: Fb,Ed,p=13.88 Fb,Rd,p=6576.62
Tirafondi:LT=0.45 (0.31) σ_{cR}=0.00 σ_{fR}=0.00
Compressione nel calcestruzzo: σ_c=63.73
CC 61 SLU (Collegamento -179_-383)
Azioni sul collegamento: N=-24956.60 Ty=-2.56 Tz=60.02 Mx=0.00 Mz=-2.28
Sollecitazioni agenti localmente: Tx_l=-2.56 Ty_l=60.02 N_l=-24956.60 Mx_l=-0.00 My_l=-2.28 Mz_l=0.00
Taglio nei bulloni: Fv,Ed=10.02 Fv,Rd=7720.78
Rifollamento lato piastra: Fb,Ed,p=10.02 Fb,Rd,p=5994.93
Tirafondi:LT=0.45 (0.31) σ_{cR}=0.00 σ_{fR}=0.00
Compressione nel calcestruzzo: σ_c=51.69
CC 62 SLU (Collegamento -179_-383)

Azioni sul collegamento: N=-25770.80 Ty=-1.81 Tz=63.02 Mx=0.00 Mz=-1.73
Sollecitazioni agenti localmente: Tx_l=-1.81 Ty_l=63.02 N_l=-25770.80 Mx_l=-0.00 My_l=-1.73 Mz_l=0.00
Taglio nei bulloni: Fv,Ed=10.51 Fv,Rd=7720.78
Rifollamento lato piastra: Fb,Ed,p=10.51 Fb,Rd,p=5986.24
Tirafondi:LT=0.45 (0.31) σ_{cR}=0.00 σ_{fR}=0.00
Compressione nel calcestruzzo: σ_c=53.34
CC 63 SLU (Collegamento -179_-383)
Azioni sul collegamento: N=-25364.60 Ty=-2.10 Tz=61.46 Mx=0.00 Mz=-1.82
Sollecitazioni agenti localmente: Tx_l=-2.10 Ty_l=61.46 N_l=-25364.60 Mx_l=-0.00 My_l=-1.82 Mz_l=0.00
Taglio nei bulloni: Fv,Ed=10.25 Fv,Rd=7720.78
Rifollamento lato piastra: Fb,Ed,p=10.25 Fb,Rd,p=5989.24
Tirafondi:LT=0.45 (0.31) σ_{cR}=0.00 σ_{fR}=0.00
Compressione nel calcestruzzo: σ_c=52.51
CC 64 SLU (Collegamento -179_-383)
Azioni sul collegamento: N=-25362.80 Ty=-2.28 Tz=61.58 Mx=0.01 Mz=-2.19
Sollecitazioni agenti localmente: Tx_l=-2.28 Ty_l=61.58 N_l=-25362.80 Mx_l=-0.00 My_l=-2.19 Mz_l=0.01
Taglio nei bulloni: Fv,Ed=10.28 Fv,Rd=7720.78
Rifollamento lato piastra: Fb,Ed,p=10.28 Fb,Rd,p=5990.88
Tirafondi:LT=0.45 (0.31) σ_{cR}=0.00 σ_{fR}=0.00
Compressione nel calcestruzzo: σ_c=52.53
CC 65 SLU (Collegamento -179_-383)
Azioni sul collegamento: N=-23162.00 Ty=19.88 Tz=53.83 Mx=0.00 Mz=14.66
Sollecitazioni agenti localmente: Tx_l=19.88 Ty_l=53.83 N_l=-23162.00 Mx_l=-0.00 My_l=14.66 Mz_l=0.00
Taglio nei bulloni: Fv,Ed=9.57 Fv,Rd=7720.78
Rifollamento lato piastra: Fb,Ed,p=9.57 Fb,Rd,p=7204.38
Tirafondi:LT=0.45 (0.31) σ_{cR}=0.00 σ_{fR}=0.00
Compressione nel calcestruzzo: σ_c=48.68
CC 66 SLU (Collegamento -179_-383)
Azioni sul collegamento: N=-23976.20 Ty=20.63 Tz=56.84 Mx=0.00 Mz=15.21
Sollecitazioni agenti localmente: Tx_l=20.63 Ty_l=56.84 N_l=-23976.20 Mx_l=-0.00 My_l=15.21 Mz_l=0.00
Taglio nei bulloni: Fv,Ed=10.08 Fv,Rd=7720.78
Rifollamento lato piastra: Fb,Ed,p=10.08 Fb,Rd,p=7162.30
Tirafondi:LT=0.45 (0.31) σ_{cR}=0.00 σ_{fR}=0.00
Compressione nel calcestruzzo: σ_c=50.39
CC 67 SLU (Collegamento -179_-383)
Azioni sul collegamento: N=-23570.00 Ty=20.35 Tz=55.27 Mx=0.00 Mz=15.11
Sollecitazioni agenti localmente: Tx_l=20.35 Ty_l=55.27 N_l=-23570.00 Mx_l=-0.00 My_l=15.11 Mz_l=0.00
Taglio nei bulloni: Fv,Ed=9.82 Fv,Rd=7720.78
Rifollamento lato piastra: Fb,Ed,p=9.82 Fb,Rd,p=7195.54
Tirafondi:LT=0.45 (0.31) σ_{cR}=0.00 σ_{fR}=0.00
Compressione nel calcestruzzo: σ_c=49.55
CC 68 SLU (Collegamento -179_-383)
Azioni sul collegamento: N=-23568.20 Ty=20.17 Tz=55.39 Mx=0.01 Mz=14.75
Sollecitazioni agenti localmente: Tx_l=20.17 Ty_l=55.39 N_l=-23568.20 Mx_l=-0.00 My_l=14.75 Mz_l=0.01
Taglio nei bulloni: Fv,Ed=9.83 Fv,Rd=7720.78
Rifollamento lato piastra: Fb,Ed,p=9.83 Fb,Rd,p=7169.94
Tirafondi:LT=0.45 (0.31) σ_{cR}=0.00 σ_{fR}=0.00
Compressione nel calcestruzzo: σ_c=49.53
CC 97 SLU (Collegamento -179_-383)
Azioni sul collegamento: N=-12126.50 Ty=21.64 Tz=21.62 Mx=0.05 Mz=23.37
Sollecitazioni agenti localmente: Tx_l=21.64 Ty_l=21.62 N_l=-12126.50 Mx_l=-0.00 My_l=23.37 Mz_l=0.05
Taglio nei bulloni: Fv,Ed=5.18 Fv,Rd=7720.78
Rifollamento lato piastra: Fb,Ed,p=5.10 Fb,Rd,p=11832.80
Tirafondi:LT=0.45 (0.31) σ_{cR}=0.00 σ_{fR}=0.00
Compressione nel calcestruzzo: σ_c=26.37
CC 98 SLU (Collegamento -179_-383)
Azioni sul collegamento: N=-12940.70 Ty=22.39 Tz=24.63 Mx=0.05 Mz=23.92
Sollecitazioni agenti localmente: Tx_l=22.39 Ty_l=24.63 N_l=-12940.70 Mx_l=-0.00 My_l=23.92 Mz_l=0.05
Taglio nei bulloni: Fv,Ed=5.63 Fv,Rd=7720.78
Rifollamento lato piastra: Fb,Ed,p=5.63 Fb,Rd,p=11492.50
Tirafondi:LT=0.45 (0.31) σ_{cR}=0.00 σ_{fR}=0.00
Compressione nel calcestruzzo: σ_c=28.08
CC 99 SLU (Collegamento -179_-383)
Azioni sul collegamento: N=-12534.50 Ty=22.10 Tz=23.06 Mx=0.05 Mz=23.83
Sollecitazioni agenti localmente: Tx_l=22.10 Ty_l=23.06 N_l=-12534.50 Mx_l=-0.00 My_l=23.83 Mz_l=0.05
Taglio nei bulloni: Fv,Ed=5.40 Fv,Rd=7720.78
Rifollamento lato piastra: Fb,Ed,p=5.40 Fb,Rd,p=11773.90
Tirafondi:LT=0.45 (0.31) σ_{cR}=0.00 σ_{fR}=0.00
Compressione nel calcestruzzo: σ_c=27.24
CC 100 SLU (Collegamento -179_-383)
Azioni sul collegamento: N=-12532.70 Ty=21.92 Tz=23.18 Mx=0.05 Mz=23.46
Sollecitazioni agenti localmente: Tx_l=21.92 Ty_l=23.18 N_l=-12532.70 Mx_l=-0.00 My_l=23.46 Mz_l=0.05
Taglio nei bulloni: Fv,Ed=5.40 Fv,Rd=7720.78
Rifollamento lato piastra: Fb,Ed,p=5.40 Fb,Rd,p=11701.80
Tirafondi:LT=0.45 (0.31) σ_{cR}=0.00 σ_{fR}=0.00
Compressione nel calcestruzzo: σ_c=27.22
CC 101 SLU (Collegamento -179_-383)
Azioni sul collegamento: N=-9752.38 Ty=7.57 Tz=12.50 Mx=-0.00 Mz=4.76

Sollecitazioni agenti localmente: Tx_l=7.57 Ty_l=12.50 N_l=-9752.38 Mx_l=-0.00 My_l=4.76 Mz_l=-0.00
Taglio nei bulloni: Fv,Ed=2.44 Fv,Rd=7720.78
Rifollamento lato piastra: Fb,Ed,p=2.44 Fb,Rd,p=9285.15
Tirafondi:LT=0.45 (0.31) σ_{cR}=0.00 σ_{fR}=0.00
Compressione nel calcestruzzo: σ_c=20.42
CC 102 SLU (Collegamento -179_-383)
Azioni sul collegamento: N=-10566.60 Ty=8.33 Tz=15.50 Mx=-0.00 Mz=5.31
Sollecitazioni agenti localmente: Tx_l=8.33 Ty_l=15.50 N_l=-10566.60 Mx_l=-0.00 My_l=5.31 Mz_l=-0.00
Taglio nei bulloni: Fv,Ed=2.94 Fv,Rd=7720.78
Rifollamento lato piastra: Fb,Ed,p=2.93 Fb,Rd,p=8565.48
Tirafondi:LT=0.45 (0.31) σ_{cR}=0.00 σ_{fR}=0.00
Compressione nel calcestruzzo: σ_c=22.13
CC 103 SLU (Collegamento -179_-383)
Azioni sul collegamento: N=-10160.40 Ty=8.04 Tz=13.94 Mx=-0.00 Mz=5.22
Sollecitazioni agenti localmente: Tx_l=8.04 Ty_l=13.94 N_l=-10160.40 Mx_l=-0.00 My_l=5.22 Mz_l=-0.00
Taglio nei bulloni: Fv,Ed=2.69 Fv,Rd=7720.78
Rifollamento lato piastra: Fb,Ed,p=2.68 Fb,Rd,p=8960.54
Tirafondi:LT=0.45 (0.31) σ_{cR}=0.00 σ_{fR}=0.00
Compressione nel calcestruzzo: σ_c=21.29
CC 104 SLU (Collegamento -179_-383)
Azioni sul collegamento: N=-10158.60 Ty=7.86 Tz=14.06 Mx=-0.00 Mz=4.85
Sollecitazioni agenti localmente: Tx_l=7.86 Ty_l=14.06 N_l=-10158.60 Mx_l=-0.00 My_l=4.85 Mz_l=-0.00
Taglio nei bulloni: Fv,Ed=2.69 Fv,Rd=7720.78
Rifollamento lato piastra: Fb,Ed,p=2.69 Fb,Rd,p=8792.05
Tirafondi:LT=0.45 (0.31) σ_{cR}=0.00 σ_{fR}=0.00
Compressione nel calcestruzzo: σ_c=21.26

Saldatura profilo-piastra

CC 1 SLV (Collegamento -179_-383)
Azioni sul collegamento: N=-6136.64 Ty=15.19 Tz=-0.86 Mx=0.02 Mz=13.60
Sollecitazioni agenti localmente: Tx_l=15.19 Ty_l=-0.86 N_l=-6136.64 My_l=-13.60 Mz_l=0.02
Azioni sul cordone: TP=1.10 TO=-0.05 NO=-453.62
Tensioni nel cordone: τ_P=0.35 τ_0= 0.02 σ_0=164.06 σ_{ID}=164.06 Σ_T=164.07
CC 1 SLV (Collegamento -179_-383)
Azioni sul collegamento: N=-6136.64 Ty=7.48 Tz=-0.86 Mx=0.02 Mz=7.28
Sollecitazioni agenti localmente: Tx_l=7.48 Ty_l=-0.86 N_l=-6136.64 My_l=-7.28 Mz_l=0.02
Azioni sul cordone: TP=0.53 TO=-0.05 NO=-453.62
Tensioni nel cordone: τ_P=0.17 τ_0= 0.02 σ_0=154.82 σ_{ID}=154.82 Σ_T=154.84
CC 1 SLV (Collegamento -179_-383)
Azioni sul collegamento: N=-6136.64 Ty=15.19 Tz=28.35 Mx=0.02 Mz=13.60
Sollecitazioni agenti localmente: Tx_l=15.19 Ty_l=28.35 N_l=-6136.64 My_l=-13.60 Mz_l=0.02
Azioni sul cordone: TP=1.10 TO=2.11 NO=-453.62
Tensioni nel cordone: τ_P=0.35 τ_0=0.67 σ_0=164.06 σ_{ID}=164.06 Σ_T=164.73
CC 1 SLV (Collegamento -179_-383)
Azioni sul collegamento: N=-6136.64 Ty=7.48 Tz=28.35 Mx=0.02 Mz=7.28
Sollecitazioni agenti localmente: Tx_l=7.48 Ty_l=28.35 N_l=-6136.64 My_l=-7.28 Mz_l=0.02
Azioni sul cordone: TP=0.53 TO=2.11 NO=-453.62
Tensioni nel cordone: τ_P=0.17 τ_0=0.67 σ_0=154.82 σ_{ID}=154.82 Σ_T=155.49
CC 1 SLV (Collegamento -179_-383)
Azioni sul collegamento: N=-13961.30 Ty=15.19 Tz=-0.86 Mx=0.02 Mz=13.60
Sollecitazioni agenti localmente: Tx_l=15.19 Ty_l=-0.86 N_l=-13961.30 My_l=-13.60 Mz_l=0.02
Azioni sul cordone: TP=1.10 TO=-0.05 NO=-1032.02
Tensioni nel cordone: τ_P=0.35 τ_0= 0.02 σ_0=347.90 σ_{ID}=347.90 Σ_T=347.92
CC 1 SLV (Collegamento -179_-383)
Azioni sul collegamento: N=-13961.30 Ty=7.48 Tz=-0.86 Mx=0.02 Mz=7.28
Sollecitazioni agenti localmente: Tx_l=7.48 Ty_l=-0.86 N_l=-13961.30 My_l=-7.28 Mz_l=0.02
Azioni sul cordone: TP=0.53 TO=-0.05 NO=-1032.02
Tensioni nel cordone: τ_P=0.17 τ_0= 0.02 σ_0=338.67 σ_{ID}=338.67 Σ_T=338.68
CC 1 SLV (Collegamento -179_-383)
Azioni sul collegamento: N=-13961.30 Ty=15.19 Tz=28.35 Mx=0.02 Mz=13.60
Sollecitazioni agenti localmente: Tx_l=15.19 Ty_l=28.35 N_l=-13961.30 My_l=-13.60 Mz_l=0.02
Azioni sul cordone: TP=1.10 TO=2.11 NO=-1032.02
Tensioni nel cordone: τ_P=0.35 τ_0=0.67 σ_0=347.90 σ_{ID}=347.90 Σ_T=348.57
CC 1 SLV (Collegamento -179_-383)
Azioni sul collegamento: N=-13961.30 Ty=7.48 Tz=28.35 Mx=0.02 Mz=7.28
Sollecitazioni agenti localmente: Tx_l=7.48 Ty_l=28.35 N_l=-13961.30 My_l=-7.28 Mz_l=0.02
Azioni sul cordone: TP=0.53 TO=2.11 NO=-1032.02
Tensioni nel cordone: τ_P=0.17 τ_0=0.67 σ_0=338.67 σ_{ID}=338.67 Σ_T=339.34
CC 2 SLD (Collegamento -179_-383)
Azioni sul collegamento: N=-8758.64 Ty=11.59 Tz=8.91 Mx=0.01 Mz=9.27
Sollecitazioni agenti localmente: Tx_l=11.59 Ty_l=8.91 N_l=-8758.64 My_l=-9.27 Mz_l=0.01
Azioni sul cordone: TP=0.85 TO=0.66 NO=-647.44
Tensioni nel cordone: τ_P=0.27 τ_0=0.21 σ_0=219.33 σ_{ID}=219.33 Σ_T=219.54
CC 2 SLD (Collegamento -179_-383)
Azioni sul collegamento: N=-8758.64 Ty=9.24 Tz=8.91 Mx=0.01 Mz=7.34
Sollecitazioni agenti localmente: Tx_l=9.24 Ty_l=8.91 N_l=-8758.64 My_l=-7.34 Mz_l=0.01
Azioni sul cordone: TP=0.67 TO=0.66 NO=-647.44
Tensioni nel cordone: τ_P=0.21 τ_0=0.21 σ_0=216.51 σ_{ID}=216.51 Σ_T=216.72

CC 2 SLD (Collegamento -179_-383)
Azioni sul collegamento: N=-8758.64 Ty=11.59 Tz=17.82 Mx=0.01 Mz=9.27
Sollecitazioni agenti localmente: Tx_l=11.59 Ty_l=17.82 N_l=-8758.64 My_l=-9.27 Mz_l=0.01
Azioni sul cordone: TP=0.85 TO=1.32 NO=-647.44
Tensioni nel cordone: τ_P=0.27 τ_0=0.42 σ_0=219.33 σ_{ID}=219.33 Σ_T=219.75
CC 2 SLD (Collegamento -179_-383)
Azioni sul collegamento: N=-8758.64 Ty=9.24 Tz=17.82 Mx=0.01 Mz=7.34
Sollecitazioni agenti localmente: Tx_l=9.24 Ty_l=17.82 N_l=-8758.64 My_l=-7.34 Mz_l=0.01
Azioni sul cordone: TP=0.67 TO=1.32 NO=-647.44
Tensioni nel cordone: τ_P=0.21 τ_0=0.42 σ_0=216.51 σ_{ID}=216.51 Σ_T=216.93
CC 2 SLD (Collegamento -179_-383)
Azioni sul collegamento: N=-11144.60 Ty=11.59 Tz=8.91 Mx=0.01 Mz=9.27
Sollecitazioni agenti localmente: Tx_l=11.59 Ty_l=8.91 N_l=-11144.60 My_l=-9.27 Mz_l=0.01
Azioni sul cordone: TP=0.85 TO=0.66 NO=-823.81
Tensioni nel cordone: τ_P=0.27 τ_0=0.21 σ_0=275.39 σ_{ID}=275.39 Σ_T=275.60
CC 2 SLD (Collegamento -179_-383)
Azioni sul collegamento: N=-11144.60 Ty=9.24 Tz=8.91 Mx=0.01 Mz=7.34
Sollecitazioni agenti localmente: Tx_l=9.24 Ty_l=8.91 N_l=-11144.60 My_l=-7.34 Mz_l=0.01
Azioni sul cordone: TP=0.67 TO=0.66 NO=-823.81
Tensioni nel cordone: τ_P=0.21 τ_0=0.21 σ_0=272.57 σ_{ID}=272.57 Σ_T=272.79
CC 2 SLD (Collegamento -179_-383)
Azioni sul collegamento: N=-11144.60 Ty=11.59 Tz=17.82 Mx=0.01 Mz=9.27
Sollecitazioni agenti localmente: Tx_l=11.59 Ty_l=17.82 N_l=-11144.60 My_l=-9.27 Mz_l=0.01
Azioni sul cordone: TP=0.85 TO=1.32 NO=-823.82
Tensioni nel cordone: τ_P=0.27 τ_0=0.42 σ_0=275.39 σ_{ID}=275.39 Σ_T=275.81
CC 2 SLD (Collegamento -179_-383)
Azioni sul collegamento: N=-11144.60 Ty=9.24 Tz=17.82 Mx=0.01 Mz=7.34
Sollecitazioni agenti localmente: Tx_l=9.24 Ty_l=17.82 N_l=-11144.60 My_l=-7.34 Mz_l=0.01
Azioni sul cordone: TP=0.67 TO=1.32 NO=-823.82
Tensioni nel cordone: τ_P=0.21 τ_0=0.42 σ_0=272.57 σ_{ID}=272.57 Σ_T=272.99
CC 3 SLV (Collegamento -179_-383)
Azioni sul collegamento: N=-6141.51 Ty=14.68 Tz=-0.53 Mx=0.01 Mz=12.56
Sollecitazioni agenti localmente: Tx_l=14.68 Ty_l=-0.53 N_l=-6141.51 My_l=-12.56 Mz_l=0.01
Azioni sul cordone: TP=1.07 TO=-0.03 NO=-453.98
Tensioni nel cordone: τ_P=0.34 τ_0=9.04E-03 σ_0=162.64 σ_{ID}=162.64 Σ_T=162.65
CC 3 SLV (Collegamento -179_-383)
Azioni sul collegamento: N=-6141.51 Ty=7.99 Tz=-0.53 Mx=0.01 Mz=8.33
Sollecitazioni agenti localmente: Tx_l=7.99 Ty_l=-0.53 N_l=-6141.51 My_l=-8.33 Mz_l=0.01
Azioni sul cordone: TP=0.58 TO=-0.03 NO=-453.98
Tensioni nel cordone: τ_P=0.18 τ_0=9.04E-03 σ_0=156.47 σ_{ID}=156.47 Σ_T=156.47
CC 3 SLV (Collegamento -179_-383)
Azioni sul collegamento: N=-6141.51 Ty=14.68 Tz=28.02 Mx=0.01 Mz=12.56
Sollecitazioni agenti localmente: Tx_l=14.68 Ty_l=28.02 N_l=-6141.51 My_l=-12.56 Mz_l=0.01
Azioni sul cordone: TP=1.07 TO=2.08 NO=-453.98
Tensioni nel cordone: τ_P=0.34 τ_0=0.66 σ_0=162.64 σ_{ID}=162.64 Σ_T=163.30
CC 3 SLV (Collegamento -179_-383)
Azioni sul collegamento: N=-6141.51 Ty=7.99 Tz=28.02 Mx=0.01 Mz=8.33
Sollecitazioni agenti localmente: Tx_l=7.99 Ty_l=28.02 N_l=-6141.51 My_l=-8.33 Mz_l=0.01
Azioni sul cordone: TP=0.58 TO=2.08 NO=-453.98
Tensioni nel cordone: τ_P=0.18 τ_0=0.66 σ_0=156.47 σ_{ID}=156.47 Σ_T=157.13
CC 3 SLV (Collegamento -179_-383)
Azioni sul collegamento: N=-13956.40 Ty=14.68 Tz=-0.53 Mx=0.01 Mz=12.56
Sollecitazioni agenti localmente: Tx_l=14.68 Ty_l=-0.53 N_l=-13956.40 My_l=-12.56 Mz_l=0.01
Azioni sul cordone: TP=1.07 TO=-0.03 NO=-1031.66
Tensioni nel cordone: τ_P=0.34 τ_0=9.04E-03 σ_0=346.26 σ_{ID}=346.26 Σ_T=346.27
CC 3 SLV (Collegamento -179_-383)
Azioni sul collegamento: N=-13956.40 Ty=7.99 Tz=-0.53 Mx=0.01 Mz=8.33
Sollecitazioni agenti localmente: Tx_l=7.99 Ty_l=-0.53 N_l=-13956.40 My_l=-8.33 Mz_l=0.01
Azioni sul cordone: TP=0.58 TO=-0.03 NO=-1031.66
Tensioni nel cordone: τ_P=0.18 τ_0=9.04E-03 σ_0=340.08 σ_{ID}=340.08 Σ_T=340.09
CC 3 SLV (Collegamento -179_-383)
Azioni sul collegamento: N=-13956.40 Ty=14.68 Tz=28.02 Mx=0.01 Mz=12.56
Sollecitazioni agenti localmente: Tx_l=14.68 Ty_l=28.02 N_l=-13956.40 My_l=-12.56 Mz_l=0.01
Azioni sul cordone: TP=1.07 TO=2.08 NO=-1031.66
Tensioni nel cordone: τ_P=0.34 τ_0=0.66 σ_0=346.26 σ_{ID}=346.26 Σ_T=346.92
CC 3 SLV (Collegamento -179_-383)
Azioni sul collegamento: N=-13956.40 Ty=7.99 Tz=28.02 Mx=0.01 Mz=8.33
Sollecitazioni agenti localmente: Tx_l=7.99 Ty_l=28.02 N_l=-13956.40 My_l=-8.33 Mz_l=0.01
Azioni sul cordone: TP=0.58 TO=2.08 NO=-1031.66
Tensioni nel cordone: τ_P=0.18 τ_0=0.66 σ_0=340.08 σ_{ID}=340.08 Σ_T=340.74
CC 4 SLD (Collegamento -179_-383)
Azioni sul collegamento: N=-8760.13 Ty=11.43 Tz=9.01 Mx=0.01 Mz=8.95
Sollecitazioni agenti localmente: Tx_l=11.43 Ty_l=9.01 N_l=-8760.13 My_l=-8.95 Mz_l=0.01
Azioni sul cordone: TP=0.84 TO=0.67 NO=-647.55
Tensioni nel cordone: τ_P=0.27 τ_0=0.21 σ_0=218.90 σ_{ID}=218.90 Σ_T=219.11
CC 4 SLD (Collegamento -179_-383)
Azioni sul collegamento: N=-8760.13 Ty=9.39 Tz=9.01 Mx=0.01 Mz=7.66
Sollecitazioni agenti localmente: Tx_l=9.39 Ty_l=9.01 N_l=-8760.13 My_l=-7.66 Mz_l=0.01
Azioni sul cordone: TP=0.69 TO=0.67 NO=-647.55

Tensioni nel cordone: τ_P=0.22 τ_0=0.21 σ_0=217.01 σ_{ID}=217.01 Σ_T=217.23
CC 4 SLD (Collegamento -179_-383)
Azioni sul collegamento: N=-8760.13 Ty=11.43 Tz=17.72 Mx=0.01 Mz=8.95
Sollecitazioni agenti localmente: Tx_l=11.43 Ty_l=17.72 N_l=-8760.13 My_l=-8.95 Mz_l=0.01
Azioni sul cordone: TP=0.84 TO=1.31 NO=-647.55
Tensioni nel cordone: τ_P=0.27 τ_0=0.42 σ_0=218.90 σ_{ID}=218.90 Σ_T=219.32
CC 4 SLD (Collegamento -179_-383)
Azioni sul collegamento: N=-8760.13 Ty=9.39 Tz=17.72 Mx=0.01 Mz=7.66
Sollecitazioni agenti localmente: Tx_l=9.39 Ty_l=17.72 N_l=-8760.13 My_l=-7.66 Mz_l=0.01
Azioni sul cordone: TP=0.69 TO=1.31 NO=-647.55
Tensioni nel cordone: τ_P=0.22 τ_0=0.42 σ_0=217.01 σ_{ID}=217.01 Σ_T=217.43
CC 4 SLD (Collegamento -179_-383)
Azioni sul collegamento: N=-11143.10 Ty=11.43 Tz=9.01 Mx=0.01 Mz=8.95
Sollecitazioni agenti localmente: Tx_l=11.43 Ty_l=9.01 N_l=-11143.10 My_l=-8.95 Mz_l=0.01
Azioni sul cordone: TP=0.84 TO=0.67 NO=-823.71
Tensioni nel cordone: τ_P=0.27 τ_0=0.21 σ_0=274.89 σ_{ID}=274.89 Σ_T=275.10
CC 4 SLD (Collegamento -179_-383)
Azioni sul collegamento: N=-11143.10 Ty=9.39 Tz=9.01 Mx=0.01 Mz=7.66
Sollecitazioni agenti localmente: Tx_l=9.39 Ty_l=9.01 N_l=-11143.10 My_l=-7.66 Mz_l=0.01
Azioni sul cordone: TP=0.69 TO=0.67 NO=-823.71
Tensioni nel cordone: τ_P=0.22 τ_0=0.21 σ_0=273.00 σ_{ID}=273.00 Σ_T=273.22
CC 4 SLD (Collegamento -179_-383)
Azioni sul collegamento: N=-11143.10 Ty=11.43 Tz=17.72 Mx=0.01 Mz=8.95
Sollecitazioni agenti localmente: Tx_l=11.43 Ty_l=17.72 N_l=-11143.10 My_l=-8.95 Mz_l=0.01
Azioni sul cordone: TP=0.84 TO=1.31 NO=-823.71
Tensioni nel cordone: τ_P=0.27 τ_0=0.42 σ_0=274.89 σ_{ID}=274.89 Σ_T=275.31
CC 4 SLD (Collegamento -179_-383)
Azioni sul collegamento: N=-11143.10 Ty=9.39 Tz=17.72 Mx=0.01 Mz=7.66
Sollecitazioni agenti localmente: Tx_l=9.39 Ty_l=17.72 N_l=-11143.10 My_l=-7.66 Mz_l=0.01
Azioni sul cordone: TP=0.69 TO=1.31 NO=-823.71
Tensioni nel cordone: τ_P=0.22 τ_0=0.42 σ_0=273.00 σ_{ID}=273.00 Σ_T=273.42
CC 5 SLV (Collegamento -179_-383)
Azioni sul collegamento: N=-13956.40 Ty=7.99 Tz=28.02 Mx=0.02 Mz=8.33
Sollecitazioni agenti localmente: Tx_l=7.99 Ty_l=28.02 N_l=-13956.40 My_l=-8.33 Mz_l=0.02
Azioni sul cordone: TP=0.57 TO=2.09 NO=-1031.66
Tensioni nel cordone: τ_P=0.18 τ_0=0.66 σ_0=340.08 σ_{ID}=340.08 Σ_T=340.74
CC 5 SLV (Collegamento -179_-383)
Azioni sul collegamento: N=-13956.40 Ty=14.68 Tz=28.02 Mx=0.02 Mz=12.56
Sollecitazioni agenti localmente: Tx_l=14.68 Ty_l=28.02 N_l=-13956.40 My_l=-12.56 Mz_l=0.02
Azioni sul cordone: TP=1.06 TO=2.09 NO=-1031.66
Tensioni nel cordone: τ_P=0.34 τ_0=0.66 σ_0=346.26 σ_{ID}=346.26 Σ_T=346.92
CC 5 SLV (Collegamento -179_-383)
Azioni sul collegamento: N=-13956.40 Ty=7.99 Tz=-0.53 Mx=0.02 Mz=8.33
Sollecitazioni agenti localmente: Tx_l=7.99 Ty_l=-0.53 N_l=-13956.40 My_l=-8.33 Mz_l=0.02
Azioni sul cordone: TP=0.57 TO=-0.02 NO=-1031.66
Tensioni nel cordone: τ_P=0.18 τ_0=7.84E-03 σ_0=340.08 σ_{ID}=340.08 Σ_T=340.09
CC 5 SLV (Collegamento -179_-383)
Azioni sul collegamento: N=-13956.40 Ty=14.68 Tz=-0.53 Mx=0.02 Mz=12.56
Sollecitazioni agenti localmente: Tx_l=14.68 Ty_l=-0.53 N_l=-13956.40 My_l=-12.56 Mz_l=0.02
Azioni sul cordone: TP=1.06 TO=-0.02 NO=-1031.66
Tensioni nel cordone: τ_P=0.34 τ_0=7.84E-03 σ_0=346.26 σ_{ID}=346.26 Σ_T=346.26
CC 5 SLV (Collegamento -179_-383)
Azioni sul collegamento: N=-6141.51 Ty=7.99 Tz=28.02 Mx=0.02 Mz=8.33
Sollecitazioni agenti localmente: Tx_l=7.99 Ty_l=28.02 N_l=-6141.51 My_l=-8.33 Mz_l=0.02
Azioni sul cordone: TP=0.57 TO=2.09 NO=-453.98
Tensioni nel cordone: τ_P=0.18 τ_0=0.66 σ_0=156.47 σ_{ID}=156.47 Σ_T=157.13
CC 5 SLV (Collegamento -179_-383)
Azioni sul collegamento: N=-6141.51 Ty=14.68 Tz=28.02 Mx=0.02 Mz=12.56
Sollecitazioni agenti localmente: Tx_l=14.68 Ty_l=28.02 N_l=-6141.51 My_l=-12.56 Mz_l=0.02
Azioni sul cordone: TP=1.06 TO=2.09 NO=-453.98
Tensioni nel cordone: τ_P=0.34 τ_0=0.66 σ_0=162.64 σ_{ID}=162.64 Σ_T=163.30
CC 5 SLV (Collegamento -179_-383)
Azioni sul collegamento: N=-6141.51 Ty=7.99 Tz=-0.53 Mx=0.02 Mz=8.33
Sollecitazioni agenti localmente: Tx_l=7.99 Ty_l=-0.53 N_l=-6141.51 My_l=-8.33 Mz_l=0.02
Azioni sul cordone: TP=0.57 TO=-0.02 NO=-453.98
Tensioni nel cordone: τ_P=0.18 τ_0=7.84E-03 σ_0=156.47 σ_{ID}=156.47 Σ_T=156.47
CC 5 SLV (Collegamento -179_-383)
Azioni sul collegamento: N=-6141.51 Ty=14.68 Tz=-0.53 Mx=0.02 Mz=12.56
Sollecitazioni agenti localmente: Tx_l=14.68 Ty_l=-0.53 N_l=-6141.51 My_l=-12.56 Mz_l=0.02
Azioni sul cordone: TP=1.06 TO=-0.02 NO=-453.98
Tensioni nel cordone: τ_P=0.34 τ_0=7.84E-03 σ_0=162.64 σ_{ID}=162.64 Σ_T=162.65
CC 6 SLD (Collegamento -179_-383)
Azioni sul collegamento: N=-11143.10 Ty=9.39 Tz=17.72 Mx=0.01 Mz=7.66
Sollecitazioni agenti localmente: Tx_l=9.39 Ty_l=17.72 N_l=-11143.10 My_l=-7.66 Mz_l=0.01
Azioni sul cordone: TP=0.69 TO=1.32 NO=-823.71
Tensioni nel cordone: τ_P=0.22 τ_0=0.42 σ_0=273.00 σ_{ID}=273.00 Σ_T=273.42
CC 6 SLD (Collegamento -179_-383)
Azioni sul collegamento: N=-11143.10 Ty=11.43 Tz=17.72 Mx=0.01 Mz=8.95
Sollecitazioni agenti localmente: Tx_l=11.43 Ty_l=17.72 N_l=-11143.10 My_l=-8.95 Mz_l=0.01

Azioni sul cordone: TP=0.84 TO=1.32 NO=-823.71
Tensioni nel cordone: τ_P=0.27 τ_0=0.42 σ_0=274.89 σ_{ID}=274.89 Σ_T=275.31
CC 6 SLD (Collegamento -179_-383)
Azioni sul collegamento: N=-11143.10 Ty=9.39 Tz=9.01 Mx=0.01 Mz=7.66
Sollecitazioni agenti localmente: Tx_l=9.39 Ty_l=9.01 N_l=-11143.10 My_l=-7.66 Mz_l=0.01
Azioni sul cordone: TP=0.69 TO=0.67 NO=-823.71
Tensioni nel cordone: τ_P=0.22 τ_0=0.21 σ_0=273.00 σ_{ID}=273.00 Σ_T=273.22
CC 6 SLD (Collegamento -179_-383)
Azioni sul collegamento: N=-11143.10 Ty=11.43 Tz=9.01 Mx=0.01 Mz=8.95
Sollecitazioni agenti localmente: Tx_l=11.43 Ty_l=9.01 N_l=-11143.10 My_l=-8.95 Mz_l=0.01
Azioni sul cordone: TP=0.84 TO=0.67 NO=-823.71
Tensioni nel cordone: τ_P=0.27 τ_0=0.21 σ_0=274.89 σ_{ID}=274.89 Σ_T=275.10
CC 6 SLD (Collegamento -179_-383)
Azioni sul collegamento: N=-8760.13 Ty=9.39 Tz=17.72 Mx=0.01 Mz=7.66
Sollecitazioni agenti localmente: Tx_l=9.39 Ty_l=17.72 N_l=-8760.13 My_l=-7.66 Mz_l=0.01
Azioni sul cordone: TP=0.69 TO=1.32 NO=-647.55
Tensioni nel cordone: τ_P=0.22 τ_0=0.42 σ_0=217.01 σ_{ID}=217.01 Σ_T=217.43
CC 6 SLD (Collegamento -179_-383)
Azioni sul collegamento: N=-8760.13 Ty=11.43 Tz=17.72 Mx=0.01 Mz=8.95
Sollecitazioni agenti localmente: Tx_l=11.43 Ty_l=17.72 N_l=-8760.13 My_l=-8.95 Mz_l=0.01
Azioni sul cordone: TP=0.84 TO=1.32 NO=-647.55
Tensioni nel cordone: τ_P=0.27 τ_0=0.42 σ_0=218.90 σ_{ID}=218.90 Σ_T=219.32
CC 6 SLD (Collegamento -179_-383)
Azioni sul collegamento: N=-8760.13 Ty=9.39 Tz=9.01 Mx=0.01 Mz=7.66
Sollecitazioni agenti localmente: Tx_l=9.39 Ty_l=9.01 N_l=-8760.13 My_l=-7.66 Mz_l=0.01
Azioni sul cordone: TP=0.69 TO=0.67 NO=-647.55
Tensioni nel cordone: τ_P=0.22 τ_0=0.21 σ_0=217.01 σ_{ID}=217.01 Σ_T=217.23
CC 6 SLD (Collegamento -179_-383)
Azioni sul collegamento: N=-8760.13 Ty=11.43 Tz=9.01 Mx=0.01 Mz=8.95
Sollecitazioni agenti localmente: Tx_l=11.43 Ty_l=9.01 N_l=-8760.13 My_l=-8.95 Mz_l=0.01
Azioni sul cordone: TP=0.84 TO=0.67 NO=-647.55
Tensioni nel cordone: τ_P=0.27 τ_0=0.21 σ_0=218.90 σ_{ID}=218.90 Σ_T=219.11
CC 7 SLV (Collegamento -179_-383)
Azioni sul collegamento: N=-13961.30 Ty=7.48 Tz=28.35 Mx=0.01 Mz=7.28
Sollecitazioni agenti localmente: Tx_l=7.48 Ty_l=28.35 N_l=-13961.30 My_l=-7.28 Mz_l=0.01
Azioni sul cordone: TP=0.54 TO=2.11 NO=-1032.02
Tensioni nel cordone: τ_P=0.17 τ_0=0.67 σ_0=338.67 σ_{ID}=338.67 Σ_T=339.33
CC 7 SLV (Collegamento -179_-383)
Azioni sul collegamento: N=-13961.30 Ty=15.19 Tz=28.35 Mx=0.01 Mz=13.60
Sollecitazioni agenti localmente: Tx_l=15.19 Ty_l=28.35 N_l=-13961.30 My_l=-13.60 Mz_l=0.01
Azioni sul cordone: TP=1.11 TO=2.11 NO=-1032.02
Tensioni nel cordone: τ_P=0.35 τ_0=0.67 σ_0=347.90 σ_{ID}=347.90 Σ_T=348.57
CC 7 SLV (Collegamento -179_-383)
Azioni sul collegamento: N=-13961.30 Ty=7.48 Tz=-0.86 Mx=0.01 Mz=7.28
Sollecitazioni agenti localmente: Tx_l=7.48 Ty_l=-0.86 N_l=-13961.30 My_l=-7.28 Mz_l=0.01
Azioni sul cordone: TP=0.54 TO=-0.05 NO=-1032.02
Tensioni nel cordone: τ_P=0.17 τ_0= 0.02 σ_0=338.67 σ_{ID}=338.67 Σ_T=338.68
CC 7 SLV (Collegamento -179_-383)
Azioni sul collegamento: N=-13961.30 Ty=15.19 Tz=-0.86 Mx=0.01 Mz=13.60
Sollecitazioni agenti localmente: Tx_l=15.19 Ty_l=-0.86 N_l=-13961.30 My_l=-13.60 Mz_l=0.01
Azioni sul cordone: TP=1.11 TO=-0.05 NO=-1032.02
Tensioni nel cordone: τ_P=0.35 τ_0= 0.02 σ_0=347.90 σ_{ID}=347.90 Σ_T=347.92
CC 7 SLV (Collegamento -179_-383)
Azioni sul collegamento: N=-6136.64 Ty=7.48 Tz=28.35 Mx=0.01 Mz=7.28
Sollecitazioni agenti localmente: Tx_l=7.48 Ty_l=28.35 N_l=-6136.64 My_l=-7.28 Mz_l=0.01
Azioni sul cordone: TP=0.54 TO=2.11 NO=-453.62
Tensioni nel cordone: τ_P=0.17 τ_0=0.67 σ_0=154.82 σ_{ID}=154.82 Σ_T=155.49
CC 7 SLV (Collegamento -179_-383)
Azioni sul collegamento: N=-6136.64 Ty=15.19 Tz=28.35 Mx=0.01 Mz=13.60
Sollecitazioni agenti localmente: Tx_l=15.19 Ty_l=28.35 N_l=-6136.64 My_l=-13.60 Mz_l=0.01
Azioni sul cordone: TP=1.11 TO=2.11 NO=-453.62
Tensioni nel cordone: τ_P=0.35 τ_0=0.67 σ_0=164.06 σ_{ID}=164.06 Σ_T=164.73
CC 7 SLV (Collegamento -179_-383)
Azioni sul collegamento: N=-6136.64 Ty=7.48 Tz=-0.86 Mx=0.01 Mz=7.28
Sollecitazioni agenti localmente: Tx_l=7.48 Ty_l=-0.86 N_l=-6136.64 My_l=-7.28 Mz_l=0.01
Azioni sul cordone: TP=0.54 TO=-0.05 NO=-453.62
Tensioni nel cordone: τ_P=0.17 τ_0= 0.02 σ_0=154.82 σ_{ID}=154.82 Σ_T=154.84
CC 7 SLV (Collegamento -179_-383)
Azioni sul collegamento: N=-6136.64 Ty=15.19 Tz=-0.86 Mx=0.01 Mz=13.60
Sollecitazioni agenti localmente: Tx_l=15.19 Ty_l=-0.86 N_l=-6136.64 My_l=-13.60 Mz_l=0.01
Azioni sul cordone: TP=1.11 TO=-0.05 NO=-453.62
Tensioni nel cordone: τ_P=0.35 τ_0= 0.02 σ_0=164.06 σ_{ID}=164.06 Σ_T=164.07
CC 8 SLD (Collegamento -179_-383)
Azioni sul collegamento: N=-11144.60 Ty=9.24 Tz=17.82 Mx=0.01 Mz=7.34
Sollecitazioni agenti localmente: Tx_l=9.24 Ty_l=17.82 N_l=-11144.60 My_l=-7.34 Mz_l=0.01
Azioni sul cordone: TP=0.68 TO=1.32 NO=-823.82
Tensioni nel cordone: τ_P=0.21 τ_0=0.42 σ_0=272.57 σ_{ID}=272.57 Σ_T=272.99
CC 8 SLD (Collegamento -179_-383)
Azioni sul collegamento: N=-11144.60 Ty=11.59 Tz=17.82 Mx=0.01 Mz=9.27

Sollecitazioni agenti localmente: Tx_l=11.59 Ty_l=17.82 N_l=-11144.60 My_l=-9.27 Mz_l=0.01
Azioni sul cordone: TP=0.85 TO=1.32 NO=-823.82
Tensioni nel cordone: τ_P=0.27 τ_O=0.42 σ_O=275.39 σ_{ID}=275.39 Σ_T=275.81
CC 8 SLD (Collegamento -179_-383)
Azioni sul collegamento: N=-11144.60 Ty=9.24 Tz=8.91 Mx=0.01 Mz=7.34
Sollecitazioni agenti localmente: Tx_l=9.24 Ty_l=8.91 N_l=-11144.60 My_l=-7.34 Mz_l=0.01
Azioni sul cordone: TP=0.68 TO=0.66 NO=-823.81
Tensioni nel cordone: τ_P=0.21 τ_O=0.21 σ_O=272.57 σ_{ID}=272.57 Σ_T=272.78
CC 8 SLD (Collegamento -179_-383)
Azioni sul collegamento: N=-11144.60 Ty=11.59 Tz=8.91 Mx=0.01 Mz=9.27
Sollecitazioni agenti localmente: Tx_l=11.59 Ty_l=8.91 N_l=-11144.60 My_l=-9.27 Mz_l=0.01
Azioni sul cordone: TP=0.85 TO=0.66 NO=-823.81
Tensioni nel cordone: τ_P=0.27 τ_O=0.21 σ_O=275.39 σ_{ID}=275.39 Σ_T=275.60
CC 8 SLD (Collegamento -179_-383)
Azioni sul collegamento: N=-8758.64 Ty=9.24 Tz=17.82 Mx=0.01 Mz=7.34
Sollecitazioni agenti localmente: Tx_l=9.24 Ty_l=17.82 N_l=-8758.64 My_l=-7.34 Mz_l=0.01
Azioni sul cordone: TP=0.68 TO=1.32 NO=-647.44
Tensioni nel cordone: τ_P=0.21 τ_O=0.42 σ_O=216.51 σ_{ID}=216.51 Σ_T=216.93
CC 8 SLD (Collegamento -179_-383)
Azioni sul collegamento: N=-8758.64 Ty=11.59 Tz=17.82 Mx=0.01 Mz=9.27
Sollecitazioni agenti localmente: Tx_l=11.59 Ty_l=17.82 N_l=-8758.64 My_l=-9.27 Mz_l=0.01
Azioni sul cordone: TP=0.85 TO=1.32 NO=-647.44
Tensioni nel cordone: τ_P=0.27 τ_O=0.42 σ_O=219.33 σ_{ID}=219.33 Σ_T=219.75
CC 8 SLD (Collegamento -179_-383)
Azioni sul collegamento: N=-8758.64 Ty=9.24 Tz=8.91 Mx=0.01 Mz=7.34
Sollecitazioni agenti localmente: Tx_l=9.24 Ty_l=8.91 N_l=-8758.64 My_l=-7.34 Mz_l=0.01
Azioni sul cordone: TP=0.68 TO=0.66 NO=-647.44
Tensioni nel cordone: τ_P=0.21 τ_O=0.21 σ_O=216.51 σ_{ID}=216.51 Σ_T=216.72
CC 8 SLD (Collegamento -179_-383)
Azioni sul collegamento: N=-8758.64 Ty=11.59 Tz=8.91 Mx=0.01 Mz=9.27
Sollecitazioni agenti localmente: Tx_l=11.59 Ty_l=8.91 N_l=-8758.64 My_l=-9.27 Mz_l=0.01
Azioni sul cordone: TP=0.85 TO=0.66 NO=-647.44
Tensioni nel cordone: τ_P=0.27 τ_O=0.21 σ_O=219.33 σ_{ID}=219.33 Σ_T=219.54
CC 9 SLV (Collegamento -179_-383)
Azioni sul collegamento: N=-8867.90 Ty=13.27 Tz=8.87 Mx=0.02 Mz=12.98
Sollecitazioni agenti localmente: Tx_l=13.27 Ty_l=8.87 N_l=-8867.90 My_l=-12.98 Mz_l=0.02
Azioni sul cordone: TP=0.95 TO=0.67 NO=-655.52
Tensioni nel cordone: τ_P=0.30 τ_O=0.21 σ_O=227.32 σ_{ID}=227.32 Σ_T=227.53
CC 9 SLV (Collegamento -179_-383)
Azioni sul collegamento: N=-8867.90 Ty=9.40 Tz=8.87 Mx=0.02 Mz=7.91
Sollecitazioni agenti localmente: Tx_l=9.40 Ty_l=8.87 N_l=-8867.90 My_l=-7.91 Mz_l=0.02
Azioni sul cordone: TP=0.67 TO=0.67 NO=-655.52
Tensioni nel cordone: τ_P=0.21 τ_O=0.21 σ_O=219.91 σ_{ID}=219.91 Σ_T=220.12
CC 9 SLV (Collegamento -179_-383)
Azioni sul collegamento: N=-8867.90 Ty=13.27 Tz=18.62 Mx=0.02 Mz=12.98
Sollecitazioni agenti localmente: Tx_l=13.27 Ty_l=18.62 N_l=-8867.90 My_l=-12.98 Mz_l=0.02
Azioni sul cordone: TP=0.95 TO=1.40 NO=-655.52
Tensioni nel cordone: τ_P=0.30 τ_O=0.44 σ_O=227.32 σ_{ID}=227.32 Σ_T=227.76
CC 9 SLV (Collegamento -179_-383)
Azioni sul collegamento: N=-8867.90 Ty=9.40 Tz=18.62 Mx=0.02 Mz=7.91
Sollecitazioni agenti localmente: Tx_l=9.40 Ty_l=18.62 N_l=-8867.90 My_l=-7.91 Mz_l=0.02
Azioni sul cordone: TP=0.67 TO=1.40 NO=-655.52
Tensioni nel cordone: τ_P=0.21 τ_O=0.44 σ_O=219.91 σ_{ID}=219.91 Σ_T=220.35
CC 9 SLV (Collegamento -179_-383)
Azioni sul collegamento: N=-11230.10 Ty=13.27 Tz=8.87 Mx=0.02 Mz=12.98
Sollecitazioni agenti localmente: Tx_l=13.27 Ty_l=8.87 N_l=-11230.10 My_l=-12.98 Mz_l=0.02
Azioni sul cordone: TP=0.95 TO=0.67 NO=-830.13
Tensioni nel cordone: τ_P=0.30 τ_O=0.21 σ_O=282.82 σ_{ID}=282.82 Σ_T=283.03
CC 9 SLV (Collegamento -179_-383)
Azioni sul collegamento: N=-11230.10 Ty=9.40 Tz=8.87 Mx=0.02 Mz=7.91
Sollecitazioni agenti localmente: Tx_l=9.40 Ty_l=8.87 N_l=-11230.10 My_l=-7.91 Mz_l=0.02
Azioni sul cordone: TP=0.67 TO=0.67 NO=-830.13
Tensioni nel cordone: τ_P=0.21 τ_O=0.21 σ_O=275.40 σ_{ID}=275.40 Σ_T=275.62
CC 9 SLV (Collegamento -179_-383)
Azioni sul collegamento: N=-11230.10 Ty=13.27 Tz=18.62 Mx=0.02 Mz=12.98
Sollecitazioni agenti localmente: Tx_l=13.27 Ty_l=18.62 N_l=-11230.10 My_l=-12.98 Mz_l=0.02
Azioni sul cordone: TP=0.95 TO=1.40 NO=-830.13
Tensioni nel cordone: τ_P=0.30 τ_O=0.44 σ_O=282.82 σ_{ID}=282.82 Σ_T=283.26
CC 9 SLV (Collegamento -179_-383)
Azioni sul collegamento: N=-11230.10 Ty=9.40 Tz=18.62 Mx=0.02 Mz=7.91
Sollecitazioni agenti localmente: Tx_l=9.40 Ty_l=18.62 N_l=-11230.10 My_l=-7.91 Mz_l=0.02
Azioni sul cordone: TP=0.67 TO=1.40 NO=-830.13
Tensioni nel cordone: τ_P=0.21 τ_O=0.44 σ_O=275.40 σ_{ID}=275.40 Σ_T=275.85
CC 10 SLD (Collegamento -179_-383)
Azioni sul collegamento: N=-9591.49 Ty=11.00 Tz=11.88 Mx=0.01 Mz=9.08
Sollecitazioni agenti localmente: Tx_l=11.00 Ty_l=11.88 N_l=-9591.49 My_l=-9.08 Mz_l=0.01
Azioni sul cordone: TP=0.80 TO=0.89 NO=-709.01
Tensioni nel cordone: τ_P=0.26 τ_O=0.28 σ_O=238.62 σ_{ID}=238.62 Σ_T=238.90
CC 10 SLD (Collegamento -179_-383)

Azioni sul collegamento: N=-9591.49 Ty=9.82 Tz=11.88 Mx=0.01 Mz=7.53
Sollecitazioni agenti localmente: Tx_l=9.82 Ty_l=11.88 N_l=-9591.49 My_l=-7.53 Mz_l=0.01
Azioni sul cordone: TP=0.72 TO=0.89 NO=-709.01
Tensioni nel cordone: τ_P=0.23 τ_O=0.28 σ_O=236.36 σ_{ID}=236.36 Σ_T=236.64
CC 10 SLD (Collegamento -179_-383)
Azioni sul collegamento: N=-9591.49 Ty=11.00 Tz=14.85 Mx=0.01 Mz=9.08
Sollecitazioni agenti localmente: Tx_l=11.00 Ty_l=14.85 N_l=-9591.49 My_l=-9.08 Mz_l=0.01
Azioni sul cordone: TP=0.80 TO=1.11 NO=-709.01
Tensioni nel cordone: τ_P=0.26 τ_O=0.35 σ_O=238.62 σ_{ID}=238.62 Σ_T=238.97
CC 10 SLD (Collegamento -179_-383)
Azioni sul collegamento: N=-9591.49 Ty=9.82 Tz=14.85 Mx=0.01 Mz=7.53
Sollecitazioni agenti localmente: Tx_l=9.82 Ty_l=14.85 N_l=-9591.49 My_l=-7.53 Mz_l=0.01
Azioni sul cordone: TP=0.72 TO=1.11 NO=-709.01
Tensioni nel cordone: τ_P=0.23 τ_O=0.35 σ_O=236.36 σ_{ID}=236.36 Σ_T=236.71
CC 10 SLD (Collegamento -179_-383)
Azioni sul collegamento: N=-10311.80 Ty=11.00 Tz=11.88 Mx=0.01 Mz=9.08
Sollecitazioni agenti localmente: Tx_l=11.00 Ty_l=11.88 N_l=-10311.80 My_l=-9.08 Mz_l=0.01
Azioni sul cordone: TP=0.80 TO=0.89 NO=-762.25
Tensioni nel cordone: τ_P=0.26 τ_O=0.28 σ_O=255.54 σ_{ID}=255.54 Σ_T=255.82
CC 10 SLD (Collegamento -179_-383)
Azioni sul collegamento: N=-10311.80 Ty=9.82 Tz=11.88 Mx=0.01 Mz=7.53
Sollecitazioni agenti localmente: Tx_l=9.82 Ty_l=11.88 N_l=-10311.80 My_l=-7.53 Mz_l=0.01
Azioni sul cordone: TP=0.72 TO=0.89 NO=-762.25
Tensioni nel cordone: τ_P=0.23 τ_O=0.28 σ_O=253.28 σ_{ID}=253.28 Σ_T=253.56
CC 10 SLD (Collegamento -179_-383)
Azioni sul collegamento: N=-10311.80 Ty=11.00 Tz=14.85 Mx=0.01 Mz=9.08
Sollecitazioni agenti localmente: Tx_l=11.00 Ty_l=14.85 N_l=-10311.80 My_l=-9.08 Mz_l=0.01
Azioni sul cordone: TP=0.80 TO=1.11 NO=-762.25
Tensioni nel cordone: τ_P=0.26 τ_O=0.35 σ_O=255.54 σ_{ID}=255.54 Σ_T=255.90
CC 10 SLD (Collegamento -179_-383)
Azioni sul collegamento: N=-10311.80 Ty=9.82 Tz=14.85 Mx=0.01 Mz=7.53
Sollecitazioni agenti localmente: Tx_l=9.82 Ty_l=14.85 N_l=-10311.80 My_l=-7.53 Mz_l=0.01
Azioni sul cordone: TP=0.72 TO=1.11 NO=-762.25
Tensioni nel cordone: τ_P=0.23 τ_O=0.35 σ_O=253.28 σ_{ID}=253.28 Σ_T=253.63
CC 11 SLV (Collegamento -179_-383)
Azioni sul collegamento: N=-11213.80 Ty=11.11 Tz=17.53 Mx=0.02 Mz=11.40
Sollecitazioni agenti localmente: Tx_l=11.11 Ty_l=17.53 N_l=-11213.80 My_l=-11.40 Mz_l=0.02
Azioni sul cordone: TP=0.79 TO=1.32 NO=-828.93
Tensioni nel cordone: τ_P=0.25 τ_O=0.42 σ_O=280.12 σ_{ID}=280.13 Σ_T=280.54
CC 11 SLV (Collegamento -179_-383)
Azioni sul collegamento: N=-11213.80 Ty=11.56 Tz=17.53 Mx=0.02 Mz=9.49
Sollecitazioni agenti localmente: Tx_l=11.56 Ty_l=17.53 N_l=-11213.80 My_l=-9.49 Mz_l=0.02
Azioni sul cordone: TP=0.83 TO=1.32 NO=-828.93
Tensioni nel cordone: τ_P=0.26 τ_O=0.42 σ_O=277.34 σ_{ID}=277.34 Σ_T=277.75
CC 11 SLV (Collegamento -179_-383)
Azioni sul collegamento: N=-11213.80 Ty=11.11 Tz=9.96 Mx=0.02 Mz=11.40
Sollecitazioni agenti localmente: Tx_l=11.11 Ty_l=9.96 N_l=-11213.80 My_l=-11.40 Mz_l=0.02
Azioni sul cordone: TP=0.79 TO=0.76 NO=-828.93
Tensioni nel cordone: τ_P=0.25 τ_O=0.24 σ_O=280.12 σ_{ID}=280.13 Σ_T=280.36
CC 11 SLV (Collegamento -179_-383)
Azioni sul collegamento: N=-11213.80 Ty=11.56 Tz=9.96 Mx=0.02 Mz=9.49
Sollecitazioni agenti localmente: Tx_l=11.56 Ty_l=9.96 N_l=-11213.80 My_l=-9.49 Mz_l=0.02
Azioni sul cordone: TP=0.83 TO=0.76 NO=-828.93
Tensioni nel cordone: τ_P=0.26 τ_O=0.24 σ_O=277.34 σ_{ID}=277.34 Σ_T=277.58
CC 11 SLV (Collegamento -179_-383)
Azioni sul collegamento: N=-8884.11 Ty=11.11 Tz=17.53 Mx=0.02 Mz=11.40
Sollecitazioni agenti localmente: Tx_l=11.11 Ty_l=17.53 N_l=-8884.11 My_l=-11.40 Mz_l=0.02
Azioni sul cordone: TP=0.79 TO=1.32 NO=-656.72
Tensioni nel cordone: τ_P=0.25 τ_O=0.42 σ_O=225.39 σ_{ID}=225.39 Σ_T=225.80
CC 11 SLV (Collegamento -179_-383)
Azioni sul collegamento: N=-8884.11 Ty=11.56 Tz=17.53 Mx=0.02 Mz=9.49
Sollecitazioni agenti localmente: Tx_l=11.56 Ty_l=17.53 N_l=-8884.11 My_l=-9.49 Mz_l=0.02
Azioni sul cordone: TP=0.83 TO=1.32 NO=-656.72
Tensioni nel cordone: τ_P=0.26 τ_O=0.42 σ_O=222.60 σ_{ID}=222.60 Σ_T=223.02
CC 11 SLV (Collegamento -179_-383)
Azioni sul collegamento: N=-8884.11 Ty=11.11 Tz=9.96 Mx=0.02 Mz=11.40
Sollecitazioni agenti localmente: Tx_l=11.11 Ty_l=9.96 N_l=-8884.11 My_l=-11.40 Mz_l=0.02
Azioni sul cordone: TP=0.79 TO=0.76 NO=-656.72
Tensioni nel cordone: τ_P=0.25 τ_O=0.24 σ_O=225.39 σ_{ID}=225.39 Σ_T=225.63
CC 11 SLV (Collegamento -179_-383)
Azioni sul collegamento: N=-8884.11 Ty=11.56 Tz=9.96 Mx=0.02 Mz=9.49
Sollecitazioni agenti localmente: Tx_l=11.56 Ty_l=9.96 N_l=-8884.11 My_l=-9.49 Mz_l=0.02
Azioni sul cordone: TP=0.83 TO=0.76 NO=-656.72
Tensioni nel cordone: τ_P=0.26 τ_O=0.24 σ_O=222.60 σ_{ID}=222.60 Σ_T=222.84
CC 12 SLD (Collegamento -179_-383)
Azioni sul collegamento: N=-10306.80 Ty=10.34 Tz=14.52 Mx=0.01 Mz=8.60
Sollecitazioni agenti localmente: Tx_l=10.34 Ty_l=14.52 N_l=-10306.80 My_l=-8.60 Mz_l=0.01
Azioni sul cordone: TP=0.75 TO=1.08 NO=-761.88
Tensioni nel cordone: τ_P=0.24 τ_O=0.34 σ_O=254.72 σ_{ID}=254.72 Σ_T=255.07

CC 12 SLD (Collegamento -179_-383)
Azioni sul collegamento: N=-10306.80 Ty=10.48 Tz=14.52 Mx=0.01 Mz=8.01
Sollecitazioni agenti localmente: Tx_l=10.48 Ty_l=14.52 N_l=-10306.80 My_l=-8.01 Mz_l=0.01
Azioni sul cordone: TP=0.76 TO=1.08 NO=-761.88
Tensioni nel cordone: τ_P=0.24 τ_0=0.34 σ_0=253.87 σ_{ID}=253.87 Σ_T=254.22
CC 12 SLD (Collegamento -179_-383)
Azioni sul collegamento: N=-10306.80 Ty=10.34 Tz=12.21 Mx=0.01 Mz=8.60
Sollecitazioni agenti localmente: Tx_l=10.34 Ty_l=12.21 N_l=-10306.80 My_l=-8.60 Mz_l=0.01
Azioni sul cordone: TP=0.75 TO=0.91 NO=-761.88
Tensioni nel cordone: τ_P=0.24 τ_0=0.29 σ_0=254.72 σ_{ID}=254.72 Σ_T=255.01
CC 12 SLD (Collegamento -179_-383)
Azioni sul collegamento: N=-10306.80 Ty=10.48 Tz=12.21 Mx=0.01 Mz=8.01
Sollecitazioni agenti localmente: Tx_l=10.48 Ty_l=12.21 N_l=-10306.80 My_l=-8.01 Mz_l=0.01
Azioni sul cordone: TP=0.76 TO=0.91 NO=-761.88
Tensioni nel cordone: τ_P=0.24 τ_0=0.29 σ_0=253.87 σ_{ID}=253.87 Σ_T=254.16
CC 12 SLD (Collegamento -179_-383)
Azioni sul collegamento: N=-9596.43 Ty=10.34 Tz=14.52 Mx=0.01 Mz=8.60
Sollecitazioni agenti localmente: Tx_l=10.34 Ty_l=14.52 N_l=-9596.43 My_l=-8.60 Mz_l=0.01
Azioni sul cordone: TP=0.75 TO=1.08 NO=-709.37
Tensioni nel cordone: τ_P=0.24 τ_0=0.34 σ_0=238.03 σ_{ID}=238.03 Σ_T=238.37
CC 12 SLD (Collegamento -179_-383)
Azioni sul collegamento: N=-9596.43 Ty=10.48 Tz=14.52 Mx=0.01 Mz=8.01
Sollecitazioni agenti localmente: Tx_l=10.48 Ty_l=14.52 N_l=-9596.43 My_l=-8.01 Mz_l=0.01
Azioni sul cordone: TP=0.76 TO=1.08 NO=-709.37
Tensioni nel cordone: τ_P=0.24 τ_0=0.34 σ_0=237.18 σ_{ID}=237.18 Σ_T=237.52
CC 12 SLD (Collegamento -179_-383)
Azioni sul collegamento: N=-9596.43 Ty=10.34 Tz=12.21 Mx=0.01 Mz=8.60
Sollecitazioni agenti localmente: Tx_l=10.34 Ty_l=12.21 N_l=-9596.43 My_l=-8.60 Mz_l=0.01
Azioni sul cordone: TP=0.75 TO=0.91 NO=-709.37
Tensioni nel cordone: τ_P=0.24 τ_0=0.29 σ_0=238.03 σ_{ID}=238.03 Σ_T=238.32
CC 12 SLD (Collegamento -179_-383)
Azioni sul collegamento: N=-9596.43 Ty=10.48 Tz=12.21 Mx=0.01 Mz=8.01
Sollecitazioni agenti localmente: Tx_l=10.48 Ty_l=12.21 N_l=-9596.43 My_l=-8.01 Mz_l=0.01
Azioni sul cordone: TP=0.76 TO=0.91 NO=-709.37
Tensioni nel cordone: τ_P=0.24 τ_0=0.29 σ_0=237.18 σ_{ID}=237.18 Σ_T=237.47
CC 13 SLV (Collegamento -179_-383)
Azioni sul collegamento: N=-8884.11 Ty=11.56 Tz=9.96 Mx=0.01 Mz=9.49
Sollecitazioni agenti localmente: Tx_l=11.56 Ty_l=9.96 N_l=-8884.11 My_l=-9.49 Mz_l=0.01
Azioni sul cordone: TP=0.85 TO=0.74 NO=-656.72
Tensioni nel cordone: τ_P=0.27 τ_0=0.24 σ_0=222.60 σ_{ID}=222.60 Σ_T=222.83
CC 13 SLV (Collegamento -179_-383)
Azioni sul collegamento: N=-8884.11 Ty=11.11 Tz=9.96 Mx=0.01 Mz=11.40
Sollecitazioni agenti localmente: Tx_l=11.11 Ty_l=9.96 N_l=-8884.11 My_l=-11.40 Mz_l=0.01
Azioni sul cordone: TP=0.81 TO=0.74 NO=-656.72
Tensioni nel cordone: τ_P=0.26 τ_0=0.24 σ_0=225.39 σ_{ID}=225.39 Σ_T=225.62
CC 13 SLV (Collegamento -179_-383)
Azioni sul collegamento: N=-8884.11 Ty=11.56 Tz=17.53 Mx=0.01 Mz=9.49
Sollecitazioni agenti localmente: Tx_l=11.56 Ty_l=17.53 N_l=-8884.11 My_l=-9.49 Mz_l=0.01
Azioni sul cordone: TP=0.85 TO=1.30 NO=-656.72
Tensioni nel cordone: τ_P=0.27 τ_0=0.41 σ_0=222.60 σ_{ID}=222.60 Σ_T=223.01
CC 13 SLV (Collegamento -179_-383)
Azioni sul collegamento: N=-8884.11 Ty=11.11 Tz=17.53 Mx=0.01 Mz=11.40
Sollecitazioni agenti localmente: Tx_l=11.11 Ty_l=17.53 N_l=-8884.11 My_l=-11.40 Mz_l=0.01
Azioni sul cordone: TP=0.81 TO=1.30 NO=-656.72
Tensioni nel cordone: τ_P=0.26 τ_0=0.41 σ_0=225.39 σ_{ID}=225.39 Σ_T=225.80
CC 13 SLV (Collegamento -179_-383)
Azioni sul collegamento: N=-11213.80 Ty=11.56 Tz=9.96 Mx=0.01 Mz=9.49
Sollecitazioni agenti localmente: Tx_l=11.56 Ty_l=9.96 N_l=-11213.80 My_l=-9.49 Mz_l=0.01
Azioni sul cordone: TP=0.85 TO=0.74 NO=-828.93
Tensioni nel cordone: τ_P=0.27 τ_0=0.24 σ_0=277.34 σ_{ID}=277.34 Σ_T=277.57
CC 13 SLV (Collegamento -179_-383)
Azioni sul collegamento: N=-11213.80 Ty=11.11 Tz=9.96 Mx=0.01 Mz=11.40
Sollecitazioni agenti localmente: Tx_l=11.11 Ty_l=9.96 N_l=-11213.80 My_l=-11.40 Mz_l=0.01
Azioni sul cordone: TP=0.81 TO=0.74 NO=-828.93
Tensioni nel cordone: τ_P=0.26 τ_0=0.24 σ_0=280.12 σ_{ID}=280.13 Σ_T=280.36
CC 13 SLV (Collegamento -179_-383)
Azioni sul collegamento: N=-11213.80 Ty=11.56 Tz=17.53 Mx=0.01 Mz=9.49
Sollecitazioni agenti localmente: Tx_l=11.56 Ty_l=17.53 N_l=-11213.80 My_l=-9.49 Mz_l=0.01
Azioni sul cordone: TP=0.85 TO=1.30 NO=-828.93
Tensioni nel cordone: τ_P=0.27 τ_0=0.41 σ_0=277.34 σ_{ID}=277.34 Σ_T=277.75
CC 13 SLV (Collegamento -179_-383)
Azioni sul collegamento: N=-11213.80 Ty=11.11 Tz=17.53 Mx=0.01 Mz=11.40
Sollecitazioni agenti localmente: Tx_l=11.11 Ty_l=17.53 N_l=-11213.80 My_l=-11.40 Mz_l=0.01
Azioni sul cordone: TP=0.81 TO=1.30 NO=-828.93
Tensioni nel cordone: τ_P=0.26 τ_0=0.41 σ_0=280.12 σ_{ID}=280.13 Σ_T=280.54
CC 14 SLD (Collegamento -179_-383)
Azioni sul collegamento: N=-9596.43 Ty=10.48 Tz=12.21 Mx=0.00 Mz=8.01
Sollecitazioni agenti localmente: Tx_l=10.48 Ty_l=12.21 N_l=-9596.43 My_l=-8.01 Mz_l=0.00
Azioni sul cordone: TP=0.77 TO=0.91 NO=-709.37

Tensioni nel cordone: τ_P=0.24 τ_0=0.29 σ_0=237.18 σ_{ID}=237.18 Σ_T=237.47
CC 14 SLD (Collegamento -179_-383)
Azioni sul collegamento: N=-9596.43 Ty=10.34 Tz=12.21 Mx=0.00 Mz=8.60
Sollecitazioni agenti localmente: Tx_l=10.34 Ty_l=12.21 N_l=-9596.43 My_l=-8.60 Mz_l=0.00
Azioni sul cordone: TP=0.76 TO=0.91 NO=-709.37
Tensioni nel cordone: τ_P=0.24 τ_0=0.29 σ_0=238.03 σ_{ID}=238.03 Σ_T=238.32
CC 14 SLD (Collegamento -179_-383)
Azioni sul collegamento: N=-9596.43 Ty=10.48 Tz=14.52 Mx=0.00 Mz=8.01
Sollecitazioni agenti localmente: Tx_l=10.48 Ty_l=14.52 N_l=-9596.43 My_l=-8.01 Mz_l=0.00
Azioni sul cordone: TP=0.77 TO=1.08 NO=-709.37
Tensioni nel cordone: τ_P=0.24 τ_0=0.34 σ_0=237.18 σ_{ID}=237.18 Σ_T=237.52
CC 14 SLD (Collegamento -179_-383)
Azioni sul collegamento: N=-9596.43 Ty=10.34 Tz=14.52 Mx=0.00 Mz=8.60
Sollecitazioni agenti localmente: Tx_l=10.34 Ty_l=14.52 N_l=-9596.43 My_l=-8.60 Mz_l=0.00
Azioni sul cordone: TP=0.76 TO=1.08 NO=-709.37
Tensioni nel cordone: τ_P=0.24 τ_0=0.34 σ_0=238.03 σ_{ID}=238.03 Σ_T=238.37
CC 14 SLD (Collegamento -179_-383)
Azioni sul collegamento: N=-10306.80 Ty=10.48 Tz=12.21 Mx=0.00 Mz=8.01
Sollecitazioni agenti localmente: Tx_l=10.48 Ty_l=12.21 N_l=-10306.80 My_l=-8.01 Mz_l=0.00
Azioni sul cordone: TP=0.77 TO=0.91 NO=-761.88
Tensioni nel cordone: τ_P=0.24 τ_0=0.29 σ_0=253.87 σ_{ID}=253.87 Σ_T=254.16
CC 14 SLD (Collegamento -179_-383)
Azioni sul collegamento: N=-10306.80 Ty=10.34 Tz=12.21 Mx=0.00 Mz=8.60
Sollecitazioni agenti localmente: Tx_l=10.34 Ty_l=12.21 N_l=-10306.80 My_l=-8.60 Mz_l=0.00
Azioni sul cordone: TP=0.76 TO=0.91 NO=-761.88
Tensioni nel cordone: τ_P=0.24 τ_0=0.29 σ_0=254.72 σ_{ID}=254.72 Σ_T=255.01
CC 14 SLD (Collegamento -179_-383)
Azioni sul collegamento: N=-10306.80 Ty=10.48 Tz=14.52 Mx=0.00 Mz=8.01
Sollecitazioni agenti localmente: Tx_l=10.48 Ty_l=14.52 N_l=-10306.80 My_l=-8.01 Mz_l=0.00
Azioni sul cordone: TP=0.77 TO=1.08 NO=-761.88
Tensioni nel cordone: τ_P=0.24 τ_0=0.34 σ_0=253.87 σ_{ID}=253.87 Σ_T=254.21
CC 14 SLD (Collegamento -179_-383)
Azioni sul collegamento: N=-10306.80 Ty=10.34 Tz=14.52 Mx=0.00 Mz=8.60
Sollecitazioni agenti localmente: Tx_l=10.34 Ty_l=14.52 N_l=-10306.80 My_l=-8.60 Mz_l=0.00
Azioni sul cordone: TP=0.76 TO=1.08 NO=-761.88
Tensioni nel cordone: τ_P=0.24 τ_0=0.34 σ_0=254.72 σ_{ID}=254.72 Σ_T=255.06
CC 15 SLV (Collegamento -179_-383)
Azioni sul collegamento: N=-11230.10 Ty=9.40 Tz=18.62 Mx=0.01 Mz=7.91
Sollecitazioni agenti localmente: Tx_l=9.40 Ty_l=18.62 N_l=-11230.10 My_l=-7.91 Mz_l=0.01
Azioni sul cordone: TP=0.69 TO=1.38 NO=-830.13
Tensioni nel cordone: τ_P=0.22 τ_0=0.44 σ_0=275.40 σ_{ID}=275.40 Σ_T=275.84
CC 15 SLV (Collegamento -179_-383)
Azioni sul collegamento: N=-11230.10 Ty=13.27 Tz=18.62 Mx=0.01 Mz=12.98
Sollecitazioni agenti localmente: Tx_l=13.27 Ty_l=18.62 N_l=-11230.10 My_l=-12.98 Mz_l=0.01
Azioni sul cordone: TP=0.97 TO=1.38 NO=-830.13
Tensioni nel cordone: τ_P=0.31 τ_0=0.44 σ_0=282.82 σ_{ID}=282.82 Σ_T=283.26
CC 15 SLV (Collegamento -179_-383)
Azioni sul collegamento: N=-11230.10 Ty=9.40 Tz=8.87 Mx=0.01 Mz=7.91
Sollecitazioni agenti localmente: Tx_l=9.40 Ty_l=8.87 N_l=-11230.10 My_l=-7.91 Mz_l=0.01
Azioni sul cordone: TP=0.69 TO=0.66 NO=-830.13
Tensioni nel cordone: τ_P=0.22 τ_0=0.21 σ_0=275.40 σ_{ID}=275.40 Σ_T=275.62
CC 15 SLV (Collegamento -179_-383)
Azioni sul collegamento: N=-11230.10 Ty=13.27 Tz=8.87 Mx=0.01 Mz=12.98
Sollecitazioni agenti localmente: Tx_l=13.27 Ty_l=8.87 N_l=-11230.10 My_l=-12.98 Mz_l=0.01
Azioni sul cordone: TP=0.97 TO=0.66 NO=-830.13
Tensioni nel cordone: τ_P=0.31 τ_0=0.21 σ_0=282.82 σ_{ID}=282.82 Σ_T=283.03
CC 15 SLV (Collegamento -179_-383)
Azioni sul collegamento: N=-8867.90 Ty=9.40 Tz=18.62 Mx=0.01 Mz=7.91
Sollecitazioni agenti localmente: Tx_l=9.40 Ty_l=18.62 N_l=-8867.90 My_l=-7.91 Mz_l=0.01
Azioni sul cordone: TP=0.69 TO=1.38 NO=-655.52
Tensioni nel cordone: τ_P=0.22 τ_0=0.44 σ_0=219.91 σ_{ID}=219.91 Σ_T=220.34
CC 15 SLV (Collegamento -179_-383)
Azioni sul collegamento: N=-8867.90 Ty=13.27 Tz=18.62 Mx=0.01 Mz=12.98
Sollecitazioni agenti localmente: Tx_l=13.27 Ty_l=18.62 N_l=-8867.90 My_l=-12.98 Mz_l=0.01
Azioni sul cordone: TP=0.97 TO=1.38 NO=-655.52
Tensioni nel cordone: τ_P=0.31 τ_0=0.44 σ_0=227.32 σ_{ID}=227.32 Σ_T=227.76
CC 15 SLV (Collegamento -179_-383)
Azioni sul collegamento: N=-8867.90 Ty=9.40 Tz=8.87 Mx=0.01 Mz=7.91
Sollecitazioni agenti localmente: Tx_l=9.40 Ty_l=8.87 N_l=-8867.90 My_l=-7.91 Mz_l=0.01
Azioni sul cordone: TP=0.69 TO=0.66 NO=-655.52
Tensioni nel cordone: τ_P=0.22 τ_0=0.21 σ_0=219.91 σ_{ID}=219.91 Σ_T=220.12
CC 15 SLV (Collegamento -179_-383)
Azioni sul collegamento: N=-8867.90 Ty=13.27 Tz=8.87 Mx=0.01 Mz=12.98
Sollecitazioni agenti localmente: Tx_l=13.27 Ty_l=8.87 N_l=-8867.90 My_l=-12.98 Mz_l=0.01
Azioni sul cordone: TP=0.97 TO=0.66 NO=-655.52
Tensioni nel cordone: τ_P=0.31 τ_0=0.21 σ_0=227.32 σ_{ID}=227.32 Σ_T=227.53
CC 16 SLD (Collegamento -179_-383)
Azioni sul collegamento: N=-10311.80 Ty=9.82 Tz=14.85 Mx=0.00 Mz=7.53
Sollecitazioni agenti localmente: Tx_l=9.82 Ty_l=14.85 N_l=-10311.80 My_l=-7.53 Mz_l=0.00

Azioni sul cordone: TP=0.72 TO=1.10 NO=-762.25
Tensioni nel cordone: τ_P=0.23 τ_0=0.35 σ_0=253.28 σ_{ID}=253.28 Σ_T=253.63
CC 16 SLD (Collegamento -179_-383)
Azioni sul collegamento: N=-10311.80 Ty=11.00 Tz=14.85 Mx=0.00 Mz=9.08
Sollecitazioni agenti localmente: Tx_l=11.00 Ty_l=14.85 N_l=-10311.80 My_l=-9.08 Mz_l=0.00
Azioni sul cordone: TP=0.81 TO=1.10 NO=-762.25
Tensioni nel cordone: τ_P=0.26 τ_0=0.35 σ_0=255.54 σ_{ID}=255.54 Σ_T=255.89
CC 16 SLD (Collegamento -179_-383)
Azioni sul collegamento: N=-10311.80 Ty=9.82 Tz=11.88 Mx=0.00 Mz=7.53
Sollecitazioni agenti localmente: Tx_l=9.82 Ty_l=11.88 N_l=-10311.80 My_l=-7.53 Mz_l=0.00
Azioni sul cordone: TP=0.72 TO=0.88 NO=-762.25
Tensioni nel cordone: τ_P=0.23 τ_0=0.28 σ_0=253.28 σ_{ID}=253.28 Σ_T=253.56
CC 16 SLD (Collegamento -179_-383)
Azioni sul collegamento: N=-10311.80 Ty=11.00 Tz=11.88 Mx=0.00 Mz=9.08
Sollecitazioni agenti localmente: Tx_l=11.00 Ty_l=11.88 N_l=-10311.80 My_l=-9.08 Mz_l=0.00
Azioni sul cordone: TP=0.81 TO=0.88 NO=-762.25
Tensioni nel cordone: τ_P=0.26 τ_0=0.28 σ_0=255.54 σ_{ID}=255.54 Σ_T=255.82
CC 16 SLD (Collegamento -179_-383)
Azioni sul collegamento: N=-9591.49 Ty=9.82 Tz=14.85 Mx=0.00 Mz=7.53
Sollecitazioni agenti localmente: Tx_l=9.82 Ty_l=14.85 N_l=-9591.49 My_l=-7.53 Mz_l=0.00
Azioni sul cordone: TP=0.72 TO=1.10 NO=-709.01
Tensioni nel cordone: τ_P=0.23 τ_0=0.35 σ_0=236.36 σ_{ID}=236.36 Σ_T=236.71
CC 16 SLD (Collegamento -179_-383)
Azioni sul collegamento: N=-9591.49 Ty=11.00 Tz=14.85 Mx=0.00 Mz=9.08
Sollecitazioni agenti localmente: Tx_l=11.00 Ty_l=14.85 N_l=-9591.49 My_l=-9.08 Mz_l=0.00
Azioni sul cordone: TP=0.81 TO=1.10 NO=-709.01
Tensioni nel cordone: τ_P=0.26 τ_0=0.35 σ_0=238.62 σ_{ID}=238.62 Σ_T=238.97
CC 16 SLD (Collegamento -179_-383)
Azioni sul collegamento: N=-9591.49 Ty=9.82 Tz=11.88 Mx=0.00 Mz=7.53
Sollecitazioni agenti localmente: Tx_l=9.82 Ty_l=11.88 N_l=-9591.49 My_l=-7.53 Mz_l=0.00
Azioni sul cordone: TP=0.72 TO=0.88 NO=-709.01
Tensioni nel cordone: τ_P=0.23 τ_0=0.28 σ_0=236.36 σ_{ID}=236.36 Σ_T=236.64
CC 16 SLD (Collegamento -179_-383)
Azioni sul collegamento: N=-9591.49 Ty=11.00 Tz=11.88 Mx=0.00 Mz=9.08
Sollecitazioni agenti localmente: Tx_l=11.00 Ty_l=11.88 N_l=-9591.49 My_l=-9.08 Mz_l=0.00
Azioni sul cordone: TP=0.81 TO=0.88 NO=-709.01
Tensioni nel cordone: τ_P=0.26 τ_0=0.28 σ_0=238.62 σ_{ID}=238.62 Σ_T=238.90
CC 17 SLV (Collegamento -179_-383)
Azioni sul collegamento: N=-5856.57 Ty=12.53 Tz=-1.96 Mx=-0.01 Mz=7.45
Sollecitazioni agenti localmente: Tx_l=12.53 Ty_l=-1.96 N_l=-5856.57 My_l=-7.45 Mz_l=-0.01
Azioni sul cordone: TP=0.94 TO=-0.15 NO=-432.92
Tensioni nel cordone: τ_P=0.30 τ_0= 0.05 σ_0=148.49 σ_{ID}=148.49 Σ_T=148.54
CC 17 SLV (Collegamento -179_-383)
Azioni sul collegamento: N=-5856.57 Ty=4.82 Tz=-1.96 Mx=-0.01 Mz=1.13
Sollecitazioni agenti localmente: Tx_l=4.82 Ty_l=-1.96 N_l=-5856.57 My_l=-1.13 Mz_l=-0.01
Azioni sul cordone: TP=0.37 TO=-0.15 NO=-432.92
Tensioni nel cordone: τ_P=0.12 τ_0= 0.05 σ_0=139.25 σ_{ID}=139.25 Σ_T=139.30
CC 17 SLV (Collegamento -179_-383)
Azioni sul collegamento: N=-5856.57 Ty=12.53 Tz=27.25 Mx=-0.01 Mz=7.45
Sollecitazioni agenti localmente: Tx_l=12.53 Ty_l=27.25 N_l=-5856.57 My_l=-7.45 Mz_l=-0.01
Azioni sul cordone: TP=0.94 TO=2.00 NO=-432.92
Tensioni nel cordone: τ_P=0.30 τ_0=0.64 σ_0=148.49 σ_{ID}=148.49 Σ_T=149.13
CC 17 SLV (Collegamento -179_-383)
Azioni sul collegamento: N=-5856.57 Ty=4.82 Tz=27.25 Mx=-0.01 Mz=1.13
Sollecitazioni agenti localmente: Tx_l=4.82 Ty_l=27.25 N_l=-5856.57 My_l=-1.13 Mz_l=-0.01
Azioni sul cordone: TP=0.37 TO=2.00 NO=-432.92
Tensioni nel cordone: τ_P=0.12 τ_0=0.64 σ_0=139.25 σ_{ID}=139.26 Σ_T=139.89
CC 17 SLV (Collegamento -179_-383)
Azioni sul collegamento: N=-13681.20 Ty=12.53 Tz=-1.96 Mx=-0.01 Mz=7.45
Sollecitazioni agenti localmente: Tx_l=12.53 Ty_l=-1.96 N_l=-13681.20 My_l=-7.45 Mz_l=-0.01
Azioni sul cordone: TP=0.94 TO=-0.15 NO=-1011.32
Tensioni nel cordone: τ_P=0.30 τ_0= 0.05 σ_0=332.34 σ_{ID}=332.34 Σ_T=332.38
CC 17 SLV (Collegamento -179_-383)
Azioni sul collegamento: N=-13681.20 Ty=4.82 Tz=-1.96 Mx=-0.01 Mz=1.13
Sollecitazioni agenti localmente: Tx_l=4.82 Ty_l=-1.96 N_l=-13681.20 My_l=-1.13 Mz_l=-0.01
Azioni sul cordone: TP=0.37 TO=-0.15 NO=-1011.32
Tensioni nel cordone: τ_P=0.12 τ_0= 0.05 σ_0=323.10 σ_{ID}=323.10 Σ_T=323.15
CC 17 SLV (Collegamento -179_-383)
Azioni sul collegamento: N=-13681.20 Ty=12.53 Tz=27.25 Mx=-0.01 Mz=7.45
Sollecitazioni agenti localmente: Tx_l=12.53 Ty_l=27.25 N_l=-13681.20 My_l=-7.45 Mz_l=-0.01
Azioni sul cordone: TP=0.94 TO=2.00 NO=-1011.32
Tensioni nel cordone: τ_P=0.30 τ_0=0.64 σ_0=332.34 σ_{ID}=332.34 Σ_T=332.97
CC 17 SLV (Collegamento -179_-383)
Azioni sul collegamento: N=-13681.20 Ty=4.82 Tz=27.25 Mx=-0.01 Mz=1.13
Sollecitazioni agenti localmente: Tx_l=4.82 Ty_l=27.25 N_l=-13681.20 My_l=-1.13 Mz_l=-0.01
Azioni sul cordone: TP=0.37 TO=2.00 NO=-1011.32
Tensioni nel cordone: τ_P=0.12 τ_0=0.64 σ_0=323.10 σ_{ID}=323.10 Σ_T=323.74
CC 18 SLD (Collegamento -179_-383)
Azioni sul collegamento: N=-8673.24 Ty=10.78 Tz=8.57 Mx=-0.00 Mz=7.39

Sollecitazioni agenti localmente: Tx_l=10.78 Ty_l=8.57 N_l=-8673.24 My_l=-7.39 Mz_l=-0.00
Azioni sul cordone: TP=0.80 TO=0.63 NO=-641.13
Tensioni nel cordone: τ_P=0.25 τ_0=0.20 σ_0=214.58 σ_{ID}=214.58 Σ_T=214.78
CC 18 SLD (Collegamento -179_-383)
Azioni sul collegamento: N=-8673.24 Ty=8.42 Tz=8.57 Mx=-0.00 Mz=5.47
Sollecitazioni agenti localmente: Tx_l=8.42 Ty_l=8.57 N_l=-8673.24 My_l=-5.47 Mz_l=-0.00
Azioni sul cordone: TP=0.62 TO=0.63 NO=-641.13
Tensioni nel cordone: τ_P=0.20 τ_0=0.20 σ_0=211.77 σ_{ID}=211.77 Σ_T=211.97
CC 18 SLD (Collegamento -179_-383)
Azioni sul collegamento: N=-8673.24 Ty=10.78 Tz=17.48 Mx=-0.00 Mz=7.39
Sollecitazioni agenti localmente: Tx_l=10.78 Ty_l=17.48 N_l=-8673.24 My_l=-7.39 Mz_l=-0.00
Azioni sul cordone: TP=0.80 TO=1.29 NO=-641.13
Tensioni nel cordone: τ_P=0.25 τ_0=0.41 σ_0=214.58 σ_{ID}=214.58 Σ_T=214.99
CC 18 SLD (Collegamento -179_-383)
Azioni sul collegamento: N=-8673.24 Ty=8.42 Tz=17.48 Mx=-0.00 Mz=5.47
Sollecitazioni agenti localmente: Tx_l=8.42 Ty_l=17.48 N_l=-8673.24 My_l=-5.47 Mz_l=-0.00
Azioni sul cordone: TP=0.62 TO=1.29 NO=-641.13
Tensioni nel cordone: τ_P=0.20 τ_0=0.41 σ_0=211.77 σ_{ID}=211.77 Σ_T=212.18
CC 18 SLD (Collegamento -179_-383)
Azioni sul collegamento: N=-11059.20 Ty=10.78 Tz=8.57 Mx=-0.00 Mz=7.39
Sollecitazioni agenti localmente: Tx_l=10.78 Ty_l=8.57 N_l=-11059.20 My_l=-7.39 Mz_l=-0.00
Azioni sul cordone: TP=0.80 TO=0.63 NO=-817.50
Tensioni nel cordone: τ_P=0.25 τ_0=0.20 σ_0=270.64 σ_{ID}=270.64 Σ_T=270.84
CC 18 SLD (Collegamento -179_-383)
Azioni sul collegamento: N=-11059.20 Ty=8.42 Tz=8.57 Mx=-0.00 Mz=5.47
Sollecitazioni agenti localmente: Tx_l=8.42 Ty_l=8.57 N_l=-11059.20 My_l=-5.47 Mz_l=-0.00
Azioni sul cordone: TP=0.62 TO=0.63 NO=-817.50
Tensioni nel cordone: τ_P=0.20 τ_0=0.20 σ_0=267.83 σ_{ID}=267.83 Σ_T=268.03
CC 18 SLD (Collegamento -179_-383)
Azioni sul collegamento: N=-11059.20 Ty=10.78 Tz=17.48 Mx=-0.00 Mz=7.39
Sollecitazioni agenti localmente: Tx_l=10.78 Ty_l=17.48 N_l=-11059.20 My_l=-7.39 Mz_l=-0.00
Azioni sul cordone: TP=0.80 TO=1.29 NO=-817.50
Tensioni nel cordone: τ_P=0.25 τ_0=0.41 σ_0=270.64 σ_{ID}=270.64 Σ_T=271.05
CC 18 SLD (Collegamento -179_-383)
Azioni sul collegamento: N=-11059.20 Ty=8.42 Tz=17.48 Mx=-0.00 Mz=5.47
Sollecitazioni agenti localmente: Tx_l=8.42 Ty_l=17.48 N_l=-11059.20 My_l=-5.47 Mz_l=-0.00
Azioni sul cordone: TP=0.62 TO=1.29 NO=-817.50
Tensioni nel cordone: τ_P=0.20 τ_0=0.41 σ_0=267.83 σ_{ID}=267.83 Σ_T=268.24
CC 19 SLV (Collegamento -179_-383)
Azioni sul collegamento: N=-5861.43 Ty=12.02 Tz=-1.63 Mx=-0.01 Mz=6.41
Sollecitazioni agenti localmente: Tx_l=12.02 Ty_l=-1.63 N_l=-5861.43 My_l=-6.41 Mz_l=-0.01
Azioni sul cordone: TP=0.90 TO=-0.13 NO=-433.28
Tensioni nel cordone: τ_P=0.28 τ_0= 0.04 σ_0=147.08 σ_{ID}=147.08 Σ_T=147.12
CC 19 SLV (Collegamento -179_-383)
Azioni sul collegamento: N=-5861.43 Ty=5.33 Tz=-1.63 Mx=-0.01 Mz=2.18
Sollecitazioni agenti localmente: Tx_l=5.33 Ty_l=-1.63 N_l=-5861.43 My_l=-2.18 Mz_l=-0.01
Azioni sul cordone: TP=0.40 TO=-0.13 NO=-433.28
Tensioni nel cordone: τ_P=0.13 τ_0= 0.04 σ_0=140.90 σ_{ID}=140.90 Σ_T=140.94
CC 19 SLV (Collegamento -179_-383)
Azioni sul collegamento: N=-5861.43 Ty=12.02 Tz=26.92 Mx=-0.01 Mz=6.41
Sollecitazioni agenti localmente: Tx_l=12.02 Ty_l=26.92 N_l=-5861.43 My_l=-6.41 Mz_l=-0.01
Azioni sul cordone: TP=0.90 TO=1.98 NO=-433.28
Tensioni nel cordone: τ_P=0.28 τ_0=0.63 σ_0=147.08 σ_{ID}=147.08 Σ_T=147.71
CC 19 SLV (Collegamento -179_-383)
Azioni sul collegamento: N=-5861.43 Ty=5.33 Tz=26.92 Mx=-0.01 Mz=2.18
Sollecitazioni agenti localmente: Tx_l=5.33 Ty_l=26.92 N_l=-5861.43 My_l=-2.18 Mz_l=-0.01
Azioni sul cordone: TP=0.40 TO=1.98 NO=-433.28
Tensioni nel cordone: τ_P=0.13 τ_0=0.63 σ_0=140.90 σ_{ID}=140.90 Σ_T=141.53
CC 19 SLV (Collegamento -179_-383)
Azioni sul collegamento: N=-13676.40 Ty=12.02 Tz=-1.63 Mx=-0.01 Mz=6.41
Sollecitazioni agenti localmente: Tx_l=12.02 Ty_l=-1.63 N_l=-13676.40 My_l=-6.41 Mz_l=-0.01
Azioni sul cordone: TP=0.90 TO=-0.13 NO=-1010.96
Tensioni nel cordone: τ_P=0.28 τ_0= 0.04 σ_0=330.69 σ_{ID}=330.69 Σ_T=330.73
CC 19 SLV (Collegamento -179_-383)
Azioni sul collegamento: N=-13676.40 Ty=5.33 Tz=-1.63 Mx=-0.01 Mz=2.18
Sollecitazioni agenti localmente: Tx_l=5.33 Ty_l=-1.63 N_l=-13676.40 My_l=-2.18 Mz_l=-0.01
Azioni sul cordone: TP=0.40 TO=-0.13 NO=-1010.96
Tensioni nel cordone: τ_P=0.13 τ_0= 0.04 σ_0=324.51 σ_{ID}=324.51 Σ_T=324.56
CC 19 SLV (Collegamento -179_-383)
Azioni sul collegamento: N=-13676.40 Ty=12.02 Tz=26.92 Mx=-0.01 Mz=6.41
Sollecitazioni agenti localmente: Tx_l=12.02 Ty_l=26.92 N_l=-13676.40 My_l=-6.41 Mz_l=-0.01
Azioni sul cordone: TP=0.90 TO=1.98 NO=-1010.96
Tensioni nel cordone: τ_P=0.28 τ_0=0.63 σ_0=330.69 σ_{ID}=330.69 Σ_T=331.32
CC 19 SLV (Collegamento -179_-383)
Azioni sul collegamento: N=-13676.40 Ty=5.33 Tz=26.92 Mx=-0.01 Mz=2.18
Sollecitazioni agenti localmente: Tx_l=5.33 Ty_l=26.92 N_l=-13676.40 My_l=-2.18 Mz_l=-0.01
Azioni sul cordone: TP=0.40 TO=1.98 NO=-1010.96
Tensioni nel cordone: τ_P=0.13 τ_0=0.63 σ_0=324.51 σ_{ID}=324.52 Σ_T=325.15
CC 20 SLD (Collegamento -179_-383)

Azioni sul collegamento: N=-8674.72 Ty=10.62 Tz=8.67 Mx=0.00 Mz=7.07
Sollecitazioni agenti localmente: Tx_l=10.62 Ty_l=8.67 N_l=-8674.72 My_l=-7.07 Mz_l=0.00
Azioni sul cordone: TP=0.78 TO=0.64 NO=-641.24
Tensioni nel cordone: τ_P=0.25 τ_0=0.20 σ_0=214.15 σ_{ID}=214.15 Σ_T=214.35
CC 20 SLD (Collegamento -179_-383)
Azioni sul collegamento: N=-8674.72 Ty=8.58 Tz=8.67 Mx=0.00 Mz=5.79
Sollecitazioni agenti localmente: Tx_l=8.58 Ty_l=8.67 N_l=-8674.72 My_l=-5.79 Mz_l=0.00
Azioni sul cordone: TP=0.63 TO=0.64 NO=-641.24
Tensioni nel cordone: τ_P=0.20 τ_0=0.20 σ_0=212.27 σ_{ID}=212.27 Σ_T=212.47
CC 20 SLD (Collegamento -179_-383)
Azioni sul collegamento: N=-8674.72 Ty=10.62 Tz=17.38 Mx=0.00 Mz=7.07
Sollecitazioni agenti localmente: Tx_l=10.62 Ty_l=17.38 N_l=-8674.72 My_l=-7.07 Mz_l=0.00
Azioni sul cordone: TP=0.78 TO=1.28 NO=-641.24
Tensioni nel cordone: τ_P=0.25 τ_0=0.41 σ_0=214.15 σ_{ID}=214.15 Σ_T=214.56
CC 20 SLD (Collegamento -179_-383)
Azioni sul collegamento: N=-8674.72 Ty=8.58 Tz=17.38 Mx=0.00 Mz=5.79
Sollecitazioni agenti localmente: Tx_l=8.58 Ty_l=17.38 N_l=-8674.72 My_l=-5.79 Mz_l=0.00
Azioni sul cordone: TP=0.63 TO=1.28 NO=-641.24
Tensioni nel cordone: τ_P=0.20 τ_0=0.41 σ_0=212.27 σ_{ID}=212.27 Σ_T=212.68
CC 20 SLD (Collegamento -179_-383)
Azioni sul collegamento: N=-11057.70 Ty=10.62 Tz=8.67 Mx=0.00 Mz=7.07
Sollecitazioni agenti localmente: Tx_l=10.62 Ty_l=8.67 N_l=-11057.70 My_l=-7.07 Mz_l=0.00
Azioni sul cordone: TP=0.78 TO=0.64 NO=-817.39
Tensioni nel cordone: τ_P=0.25 τ_0=0.20 σ_0=270.14 σ_{ID}=270.14 Σ_T=270.35
CC 20 SLD (Collegamento -179_-383)
Azioni sul collegamento: N=-11057.70 Ty=8.58 Tz=8.67 Mx=0.00 Mz=5.79
Sollecitazioni agenti localmente: Tx_l=8.58 Ty_l=8.67 N_l=-11057.70 My_l=-5.79 Mz_l=0.00
Azioni sul cordone: TP=0.63 TO=0.64 NO=-817.39
Tensioni nel cordone: τ_P=0.20 τ_0=0.20 σ_0=268.26 σ_{ID}=268.26 Σ_T=268.46
CC 20 SLD (Collegamento -179_-383)
Azioni sul collegamento: N=-11057.70 Ty=10.62 Tz=17.38 Mx=0.00 Mz=7.07
Sollecitazioni agenti localmente: Tx_l=10.62 Ty_l=17.38 N_l=-11057.70 My_l=-7.07 Mz_l=0.00
Azioni sul cordone: TP=0.78 TO=1.28 NO=-817.39
Tensioni nel cordone: τ_P=0.25 τ_0=0.41 σ_0=270.14 σ_{ID}=270.14 Σ_T=270.55
CC 20 SLD (Collegamento -179_-383)
Azioni sul collegamento: N=-11057.70 Ty=8.58 Tz=17.38 Mx=0.00 Mz=5.79
Sollecitazioni agenti localmente: Tx_l=8.58 Ty_l=17.38 N_l=-11057.70 My_l=-5.79 Mz_l=0.00
Azioni sul cordone: TP=0.63 TO=1.28 NO=-817.39
Tensioni nel cordone: τ_P=0.20 τ_0=0.41 σ_0=268.26 σ_{ID}=268.26 Σ_T=268.67
CC 21 SLV (Collegamento -179_-383)
Azioni sul collegamento: N=-13676.40 Ty=5.33 Tz=26.92 Mx=-0.01 Mz=2.18
Sollecitazioni agenti localmente: Tx_l=5.33 Ty_l=26.92 N_l=-13676.40 My_l=-2.18 Mz_l=-0.01
Azioni sul cordone: TP=0.41 TO=1.98 NO=-1010.96
Tensioni nel cordone: τ_P=0.13 τ_0=0.63 σ_0=324.51 σ_{ID}=324.52 Σ_T=325.14
CC 21 SLV (Collegamento -179_-383)
Azioni sul collegamento: N=-13676.40 Ty=12.02 Tz=26.92 Mx=-0.01 Mz=6.41
Sollecitazioni agenti localmente: Tx_l=12.02 Ty_l=26.92 N_l=-13676.40 My_l=-6.41 Mz_l=-0.01
Azioni sul cordone: TP=0.90 TO=1.98 NO=-1010.96
Tensioni nel cordone: τ_P=0.29 τ_0=0.63 σ_0=330.69 σ_{ID}=330.69 Σ_T=331.32
CC 21 SLV (Collegamento -179_-383)
Azioni sul collegamento: N=-13676.40 Ty=5.33 Tz=-1.63 Mx=-0.01 Mz=2.18
Sollecitazioni agenti localmente: Tx_l=5.33 Ty_l=-1.63 N_l=-13676.40 My_l=-2.18 Mz_l=-0.01
Azioni sul cordone: TP=0.41 TO=-0.13 NO=-1010.96
Tensioni nel cordone: τ_P=0.13 τ_0= 0.04 σ_0=324.51 σ_{ID}=324.51 Σ_T=324.56
CC 21 SLV (Collegamento -179_-383)
Azioni sul collegamento: N=-13676.40 Ty=12.02 Tz=-1.63 Mx=-0.01 Mz=6.41
Sollecitazioni agenti localmente: Tx_l=12.02 Ty_l=-1.63 N_l=-13676.40 My_l=-6.41 Mz_l=-0.01
Azioni sul cordone: TP=0.90 TO=-0.13 NO=-1010.96
Tensioni nel cordone: τ_P=0.29 τ_0= 0.04 σ_0=330.69 σ_{ID}=330.69 Σ_T=330.73
CC 21 SLV (Collegamento -179_-383)
Azioni sul collegamento: N=-5861.43 Ty=5.33 Tz=26.92 Mx=-0.01 Mz=2.18
Sollecitazioni agenti localmente: Tx_l=5.33 Ty_l=26.92 N_l=-5861.43 My_l=-2.18 Mz_l=-0.01
Azioni sul cordone: TP=0.41 TO=1.98 NO=-433.28
Tensioni nel cordone: τ_P=0.13 τ_0=0.63 σ_0=140.90 σ_{ID}=140.90 Σ_T=141.53
CC 21 SLV (Collegamento -179_-383)
Azioni sul collegamento: N=-5861.43 Ty=12.02 Tz=26.92 Mx=-0.01 Mz=6.41
Sollecitazioni agenti localmente: Tx_l=12.02 Ty_l=26.92 N_l=-5861.43 My_l=-6.41 Mz_l=-0.01
Azioni sul cordone: TP=0.90 TO=1.98 NO=-433.28
Tensioni nel cordone: τ_P=0.29 τ_0=0.63 σ_0=147.08 σ_{ID}=147.08 Σ_T=147.71
CC 21 SLV (Collegamento -179_-383)
Azioni sul collegamento: N=-5861.43 Ty=5.33 Tz=-1.63 Mx=-0.01 Mz=2.18
Sollecitazioni agenti localmente: Tx_l=5.33 Ty_l=-1.63 N_l=-5861.43 My_l=-2.18 Mz_l=-0.01
Azioni sul cordone: TP=0.41 TO=-0.13 NO=-433.28
Tensioni nel cordone: τ_P=0.13 τ_0= 0.04 σ_0=140.90 σ_{ID}=140.90 Σ_T=140.94
CC 21 SLV (Collegamento -179_-383)
Azioni sul collegamento: N=-5861.43 Ty=12.02 Tz=-1.63 Mx=-0.01 Mz=6.41
Sollecitazioni agenti localmente: Tx_l=12.02 Ty_l=-1.63 N_l=-5861.43 My_l=-6.41 Mz_l=-0.01
Azioni sul cordone: TP=0.90 TO=-0.13 NO=-433.28
Tensioni nel cordone: τ_P=0.29 τ_0= 0.04 σ_0=147.08 σ_{ID}=147.08 Σ_T=147.12

CC 22 SLD (Collegamento -179_-383)
Azioni sul collegamento: N=-11057.70 Ty=8.58 Tz=17.38 Mx=-0.00 Mz=5.79
Sollecitazioni agenti localmente: Tx_l=8.58 Ty_l=17.38 N_l=-11057.70 My_l=-5.79 Mz_l=-0.00
Azioni sul cordone: TP=0.64 TO=1.28 NO=-817.39
Tensioni nel cordone: τ_P=0.20 τ_0=0.41 σ_0=268.26 σ_{ID}=268.26 Σ_T=268.67
CC 22 SLD (Collegamento -179_-383)
Azioni sul collegamento: N=-11057.70 Ty=10.62 Tz=17.38 Mx=-0.00 Mz=7.07
Sollecitazioni agenti localmente: Tx_l=10.62 Ty_l=17.38 N_l=-11057.70 My_l=-7.07 Mz_l=-0.00
Azioni sul cordone: TP=0.79 TO=1.28 NO=-817.39
Tensioni nel cordone: τ_P=0.25 τ_0=0.41 σ_0=270.14 σ_{ID}=270.14 Σ_T=270.55
CC 22 SLD (Collegamento -179_-383)
Azioni sul collegamento: N=-11057.70 Ty=8.58 Tz=8.67 Mx=-0.00 Mz=5.79
Sollecitazioni agenti localmente: Tx_l=8.58 Ty_l=8.67 N_l=-11057.70 My_l=-5.79 Mz_l=-0.00
Azioni sul cordone: TP=0.64 TO=0.64 NO=-817.39
Tensioni nel cordone: τ_P=0.20 τ_0=0.20 σ_0=268.26 σ_{ID}=268.26 Σ_T=268.46
CC 22 SLD (Collegamento -179_-383)
Azioni sul collegamento: N=-11057.70 Ty=10.62 Tz=8.67 Mx=-0.00 Mz=7.07
Sollecitazioni agenti localmente: Tx_l=10.62 Ty_l=8.67 N_l=-11057.70 My_l=-7.07 Mz_l=-0.00
Azioni sul cordone: TP=0.79 TO=0.64 NO=-817.39
Tensioni nel cordone: τ_P=0.25 τ_0=0.20 σ_0=270.14 σ_{ID}=270.14 Σ_T=270.35
CC 22 SLD (Collegamento -179_-383)
Azioni sul collegamento: N=-8674.72 Ty=8.58 Tz=17.38 Mx=-0.00 Mz=5.79
Sollecitazioni agenti localmente: Tx_l=8.58 Ty_l=17.38 N_l=-8674.72 My_l=-5.79 Mz_l=-0.00
Azioni sul cordone: TP=0.64 TO=1.28 NO=-641.24
Tensioni nel cordone: τ_P=0.20 τ_0=0.41 σ_0=212.27 σ_{ID}=212.27 Σ_T=212.68
CC 22 SLD (Collegamento -179_-383)
Azioni sul collegamento: N=-8674.72 Ty=10.62 Tz=17.38 Mx=-0.00 Mz=7.07
Sollecitazioni agenti localmente: Tx_l=10.62 Ty_l=17.38 N_l=-8674.72 My_l=-7.07 Mz_l=-0.00
Azioni sul cordone: TP=0.79 TO=1.28 NO=-641.24
Tensioni nel cordone: τ_P=0.25 τ_0=0.41 σ_0=214.15 σ_{ID}=214.15 Σ_T=214.56
CC 22 SLD (Collegamento -179_-383)
Azioni sul collegamento: N=-8674.72 Ty=8.58 Tz=8.67 Mx=-0.00 Mz=5.79
Sollecitazioni agenti localmente: Tx_l=8.58 Ty_l=8.67 N_l=-8674.72 My_l=-5.79 Mz_l=-0.00
Azioni sul cordone: TP=0.64 TO=0.64 NO=-641.24
Tensioni nel cordone: τ_P=0.20 τ_0=0.20 σ_0=212.27 σ_{ID}=212.27 Σ_T=212.47
CC 22 SLD (Collegamento -179_-383)
Azioni sul collegamento: N=-8674.72 Ty=10.62 Tz=8.67 Mx=-0.00 Mz=7.07
Sollecitazioni agenti localmente: Tx_l=10.62 Ty_l=8.67 N_l=-8674.72 My_l=-7.07 Mz_l=-0.00
Azioni sul cordone: TP=0.79 TO=0.64 NO=-641.24
Tensioni nel cordone: τ_P=0.25 τ_0=0.20 σ_0=214.15 σ_{ID}=214.15 Σ_T=214.35
CC 23 SLV (Collegamento -179_-383)
Azioni sul collegamento: N=-13681.20 Ty=4.82 Tz=27.25 Mx=-0.01 Mz=1.13
Sollecitazioni agenti localmente: Tx_l=4.82 Ty_l=27.25 N_l=-13681.20 My_l=-1.13 Mz_l=-0.01
Azioni sul cordone: TP=0.36 TO=2.01 NO=-1011.32
Tensioni nel cordone: τ_P=0.12 τ_0=0.64 σ_0=323.10 σ_{ID}=323.10 Σ_T=323.74
CC 23 SLV (Collegamento -179_-383)
Azioni sul collegamento: N=-13681.20 Ty=12.53 Tz=27.25 Mx=-0.01 Mz=7.45
Sollecitazioni agenti localmente: Tx_l=12.53 Ty_l=27.25 N_l=-13681.20 My_l=-7.45 Mz_l=-0.01
Azioni sul cordone: TP=0.93 TO=2.01 NO=-1011.32
Tensioni nel cordone: τ_P=0.30 τ_0=0.64 σ_0=332.34 σ_{ID}=332.34 Σ_T=332.97
CC 23 SLV (Collegamento -179_-383)
Azioni sul collegamento: N=-13681.20 Ty=4.82 Tz=-1.96 Mx=-0.01 Mz=1.13
Sollecitazioni agenti localmente: Tx_l=4.82 Ty_l=-1.96 N_l=-13681.20 My_l=-1.13 Mz_l=-0.01
Azioni sul cordone: TP=0.36 TO=-0.15 NO=-1011.32
Tensioni nel cordone: τ_P=0.12 τ_0= 0.05 σ_0=323.10 σ_{ID}=323.10 Σ_T=323.15
CC 23 SLV (Collegamento -179_-383)
Azioni sul collegamento: N=-13681.20 Ty=12.53 Tz=-1.96 Mx=-0.01 Mz=7.45
Sollecitazioni agenti localmente: Tx_l=12.53 Ty_l=-1.96 N_l=-13681.20 My_l=-7.45 Mz_l=-0.01
Azioni sul cordone: TP=0.93 TO=-0.15 NO=-1011.32
Tensioni nel cordone: τ_P=0.30 τ_0= 0.05 σ_0=332.34 σ_{ID}=332.34 Σ_T=332.38
CC 23 SLV (Collegamento -179_-383)
Azioni sul collegamento: N=-5856.57 Ty=4.82 Tz=27.25 Mx=-0.01 Mz=1.13
Sollecitazioni agenti localmente: Tx_l=4.82 Ty_l=27.25 N_l=-5856.57 My_l=-1.13 Mz_l=-0.01
Azioni sul cordone: TP=0.36 TO=2.01 NO=-432.92
Tensioni nel cordone: τ_P=0.12 τ_0=0.64 σ_0=139.25 σ_{ID}=139.26 Σ_T=139.89
CC 23 SLV (Collegamento -179_-383)
Azioni sul collegamento: N=-5856.57 Ty=12.53 Tz=27.25 Mx=-0.01 Mz=7.45
Sollecitazioni agenti localmente: Tx_l=12.53 Ty_l=27.25 N_l=-5856.57 My_l=-7.45 Mz_l=-0.01
Azioni sul cordone: TP=0.93 TO=2.01 NO=-432.92
Tensioni nel cordone: τ_P=0.30 τ_0=0.64 σ_0=148.49 σ_{ID}=148.49 Σ_T=149.13
CC 23 SLV (Collegamento -179_-383)
Azioni sul collegamento: N=-5856.57 Ty=4.82 Tz=-1.96 Mx=-0.01 Mz=1.13
Sollecitazioni agenti localmente: Tx_l=4.82 Ty_l=-1.96 N_l=-5856.57 My_l=-1.13 Mz_l=-0.01
Azioni sul cordone: TP=0.36 TO=-0.15 NO=-432.92
Tensioni nel cordone: τ_P=0.12 τ_0= 0.05 σ_0=139.25 σ_{ID}=139.25 Σ_T=139.30
CC 23 SLV (Collegamento -179_-383)
Azioni sul collegamento: N=-5856.57 Ty=12.53 Tz=-1.96 Mx=-0.01 Mz=7.45
Sollecitazioni agenti localmente: Tx_l=12.53 Ty_l=-1.96 N_l=-5856.57 My_l=-7.45 Mz_l=-0.01
Azioni sul cordone: TP=0.93 TO=-0.15 NO=-432.92

Tensioni nel cordone: τ_P=0.30 τ_0= 0.05 σ_0=148.49 σ_{ID}=148.49 Σ_T=148.54
CC 24 SLD (Collegamento -179_-383)
Azioni sul collegamento: N=-11059.20 Ty=8.42 Tz=17.48 Mx=0.00 Mz=5.47
Sollecitazioni agenti localmente: Tx_l=8.42 Ty_l=17.48 N_l=-11059.20 My_l=-5.47 Mz_l=0.00
Azioni sul cordone: TP=0.62 TO=1.29 NO=-817.50
Tensioni nel cordone: τ_P=0.20 τ_0=0.41 σ_0=267.83 σ_{ID}=267.83 Σ_T=268.24
CC 24 SLD (Collegamento -179_-383)
Azioni sul collegamento: N=-11059.20 Ty=10.78 Tz=17.48 Mx=0.00 Mz=7.39
Sollecitazioni agenti localmente: Tx_l=10.78 Ty_l=17.48 N_l=-11059.20 My_l=-7.39 Mz_l=0.00
Azioni sul cordone: TP=0.80 TO=1.29 NO=-817.50
Tensioni nel cordone: τ_P=0.25 τ_0=0.41 σ_0=270.64 σ_{ID}=270.64 Σ_T=271.05
CC 24 SLD (Collegamento -179_-383)
Azioni sul collegamento: N=-11059.20 Ty=8.42 Tz=8.57 Mx=0.00 Mz=5.47
Sollecitazioni agenti localmente: Tx_l=8.42 Ty_l=8.57 N_l=-11059.20 My_l=-5.47 Mz_l=0.00
Azioni sul cordone: TP=0.62 TO=0.63 NO=-817.50
Tensioni nel cordone: τ_P=0.20 τ_0=0.20 σ_0=267.83 σ_{ID}=267.83 Σ_T=268.03
CC 24 SLD (Collegamento -179_-383)
Azioni sul collegamento: N=-11059.20 Ty=10.78 Tz=8.57 Mx=0.00 Mz=7.39
Sollecitazioni agenti localmente: Tx_l=10.78 Ty_l=8.57 N_l=-11059.20 My_l=-7.39 Mz_l=0.00
Azioni sul cordone: TP=0.80 TO=0.63 NO=-817.50
Tensioni nel cordone: τ_P=0.25 τ_0=0.20 σ_0=270.64 σ_{ID}=270.64 Σ_T=270.85
CC 24 SLD (Collegamento -179_-383)
Azioni sul collegamento: N=-8673.24 Ty=8.42 Tz=17.48 Mx=0.00 Mz=5.47
Sollecitazioni agenti localmente: Tx_l=8.42 Ty_l=17.48 N_l=-8673.24 My_l=-5.47 Mz_l=0.00
Azioni sul cordone: TP=0.62 TO=1.29 NO=-641.13
Tensioni nel cordone: τ_P=0.20 τ_0=0.41 σ_0=211.77 σ_{ID}=211.77 Σ_T=212.18
CC 24 SLD (Collegamento -179_-383)
Azioni sul collegamento: N=-8673.24 Ty=10.78 Tz=17.48 Mx=0.00 Mz=7.39
Sollecitazioni agenti localmente: Tx_l=10.78 Ty_l=17.48 N_l=-8673.24 My_l=-7.39 Mz_l=0.00
Azioni sul cordone: TP=0.80 TO=1.29 NO=-641.13
Tensioni nel cordone: τ_P=0.25 τ_0=0.41 σ_0=214.58 σ_{ID}=214.58 Σ_T=214.99
CC 24 SLD (Collegamento -179_-383)
Azioni sul collegamento: N=-8673.24 Ty=8.42 Tz=8.57 Mx=0.00 Mz=5.47
Sollecitazioni agenti localmente: Tx_l=8.42 Ty_l=8.57 N_l=-8673.24 My_l=-5.47 Mz_l=0.00
Azioni sul cordone: TP=0.62 TO=0.63 NO=-641.13
Tensioni nel cordone: τ_P=0.20 τ_0=0.20 σ_0=211.77 σ_{ID}=211.77 Σ_T=211.97
CC 24 SLD (Collegamento -179_-383)
Azioni sul collegamento: N=-8673.24 Ty=10.78 Tz=8.57 Mx=0.00 Mz=7.39
Sollecitazioni agenti localmente: Tx_l=10.78 Ty_l=8.57 N_l=-8673.24 My_l=-7.39 Mz_l=0.00
Azioni sul cordone: TP=0.80 TO=0.63 NO=-641.13
Tensioni nel cordone: τ_P=0.25 τ_0=0.20 σ_0=214.58 σ_{ID}=214.58 Σ_T=214.78
CC 25 SLV (Collegamento -179_-383)
Azioni sul collegamento: N=-8587.82 Ty=10.61 Tz=7.77 Mx=-0.02 Mz=6.83
Sollecitazioni agenti localmente: Tx_l=10.61 Ty_l=7.77 N_l=-8587.82 My_l=-6.83 Mz_l=-0.02
Azioni sul cordone: TP=0.80 TO=0.56 NO=-634.81
Tensioni nel cordone: τ_P=0.26 τ_0=0.18 σ_0=211.75 σ_{ID}=211.75 Σ_T=211.93
CC 25 SLV (Collegamento -179_-383)
Azioni sul collegamento: N=-8587.82 Ty=6.74 Tz=7.77 Mx=-0.02 Mz=1.76
Sollecitazioni agenti localmente: Tx_l=6.74 Ty_l=7.77 N_l=-8587.82 My_l=-1.76 Mz_l=-0.02
Azioni sul cordone: TP=0.52 TO=0.56 NO=-634.81
Tensioni nel cordone: τ_P=0.16 τ_0=0.18 σ_0=204.34 σ_{ID}=204.34 Σ_T=204.52
CC 25 SLV (Collegamento -179_-383)
Azioni sul collegamento: N=-8587.82 Ty=10.61 Tz=17.52 Mx=-0.02 Mz=6.83
Sollecitazioni agenti localmente: Tx_l=10.61 Ty_l=17.52 N_l=-8587.82 My_l=-6.83 Mz_l=-0.02
Azioni sul cordone: TP=0.80 TO=1.28 NO=-634.81
Tensioni nel cordone: τ_P=0.26 τ_0=0.41 σ_0=211.75 σ_{ID}=211.75 Σ_T=212.16
CC 25 SLV (Collegamento -179_-383)
Azioni sul collegamento: N=-8587.82 Ty=6.74 Tz=17.52 Mx=-0.02 Mz=1.76
Sollecitazioni agenti localmente: Tx_l=6.74 Ty_l=17.52 N_l=-8587.82 My_l=-1.76 Mz_l=-0.02
Azioni sul cordone: TP=0.52 TO=1.28 NO=-634.81
Tensioni nel cordone: τ_P=0.16 τ_0=0.41 σ_0=204.34 σ_{ID}=204.34 Σ_T=204.75
CC 25 SLV (Collegamento -179_-383)
Azioni sul collegamento: N=-10950.00 Ty=10.61 Tz=7.77 Mx=-0.02 Mz=6.83
Sollecitazioni agenti localmente: Tx_l=10.61 Ty_l=7.77 N_l=-10950.00 My_l=-6.83 Mz_l=-0.02
Azioni sul cordone: TP=0.80 TO=0.56 NO=-809.42
Tensioni nel cordone: τ_P=0.26 τ_0=0.18 σ_0=267.25 σ_{ID}=267.25 Σ_T=267.43
CC 25 SLV (Collegamento -179_-383)
Azioni sul collegamento: N=-10950.00 Ty=6.74 Tz=7.77 Mx=-0.02 Mz=1.76
Sollecitazioni agenti localmente: Tx_l=6.74 Ty_l=7.77 N_l=-10950.00 My_l=-1.76 Mz_l=-0.02
Azioni sul cordone: TP=0.52 TO=0.56 NO=-809.42
Tensioni nel cordone: τ_P=0.16 τ_0=0.18 σ_0=259.84 σ_{ID}=259.84 Σ_T=260.02
CC 25 SLV (Collegamento -179_-383)
Azioni sul collegamento: N=-10950.00 Ty=10.61 Tz=17.52 Mx=-0.02 Mz=6.83
Sollecitazioni agenti localmente: Tx_l=10.61 Ty_l=17.52 N_l=-10950.00 My_l=-6.83 Mz_l=-0.02
Azioni sul cordone: TP=0.80 TO=1.28 NO=-809.42
Tensioni nel cordone: τ_P=0.26 τ_0=0.41 σ_0=267.25 σ_{ID}=267.25 Σ_T=267.66
CC 25 SLV (Collegamento -179_-383)
Azioni sul collegamento: N=-10950.00 Ty=6.74 Tz=17.52 Mx=-0.02 Mz=1.76
Sollecitazioni agenti localmente: Tx_l=6.74 Ty_l=17.52 N_l=-10950.00 My_l=-1.76 Mz_l=-0.02

Azioni sul cordone: TP=0.52 TO=1.28 NO=-809.42
Tensioni nel cordone: τ_P=0.16 τ_O=0.41 σ_O=259.84 σ_{ID}=259.84 Σ_T=260.25
CC 26 SLD (Collegamento -179_-383)
Azioni sul collegamento: N=-9506.09 Ty=10.19 Tz=11.54 Mx=-0.00 Mz=7.20
Sollecitazioni agenti localmente: Tx_l=10.19 Ty_l=11.54 N_l=-9506.09 My_l=-7.20 Mz_l=-0.00
Azioni sul cordone: TP=0.76 TO=0.85 NO=-702.69
Tensioni nel cordone: τ_P=0.24 τ_O=0.27 σ_O=233.87 σ_{ID}=233.87 Σ_T=234.14
CC 26 SLD (Collegamento -179_-383)
Azioni sul collegamento: N=-9506.09 Ty=9.01 Tz=11.54 Mx=-0.00 Mz=5.66
Sollecitazioni agenti localmente: Tx_l=9.01 Ty_l=11.54 N_l=-9506.09 My_l=-5.66 Mz_l=-0.00
Azioni sul cordone: TP=0.67 TO=0.85 NO=-702.69
Tensioni nel cordone: τ_P=0.21 τ_O=0.27 σ_O=231.61 σ_{ID}=231.61 Σ_T=231.88
CC 26 SLD (Collegamento -179_-383)
Azioni sul collegamento: N=-9506.09 Ty=10.19 Tz=14.51 Mx=-0.00 Mz=7.20
Sollecitazioni agenti localmente: Tx_l=10.19 Ty_l=14.51 N_l=-9506.09 My_l=-7.20 Mz_l=-0.00
Azioni sul cordone: TP=0.76 TO=1.07 NO=-702.69
Tensioni nel cordone: τ_P=0.24 τ_O=0.34 σ_O=233.87 σ_{ID}=233.87 Σ_T=234.21
CC 26 SLD (Collegamento -179_-383)
Azioni sul collegamento: N=-9506.09 Ty=9.01 Tz=14.51 Mx=-0.00 Mz=5.66
Sollecitazioni agenti localmente: Tx_l=9.01 Ty_l=14.51 N_l=-9506.09 My_l=-5.66 Mz_l=-0.00
Azioni sul cordone: TP=0.67 TO=1.07 NO=-702.69
Tensioni nel cordone: τ_P=0.21 τ_O=0.34 σ_O=231.61 σ_{ID}=231.61 Σ_T=231.95
CC 26 SLD (Collegamento -179_-383)
Azioni sul collegamento: N=-10226.40 Ty=10.19 Tz=11.54 Mx=-0.00 Mz=7.20
Sollecitazioni agenti localmente: Tx_l=10.19 Ty_l=11.54 N_l=-10226.40 My_l=-7.20 Mz_l=-0.00
Azioni sul cordone: TP=0.76 TO=0.85 NO=-755.94
Tensioni nel cordone: τ_P=0.24 τ_O=0.27 σ_O=250.80 σ_{ID}=250.80 Σ_T=251.07
CC 26 SLD (Collegamento -179_-383)
Azioni sul collegamento: N=-10226.40 Ty=9.01 Tz=11.54 Mx=-0.00 Mz=5.66
Sollecitazioni agenti localmente: Tx_l=9.01 Ty_l=11.54 N_l=-10226.40 My_l=-5.66 Mz_l=-0.00
Azioni sul cordone: TP=0.67 TO=0.85 NO=-755.94
Tensioni nel cordone: τ_P=0.21 τ_O=0.27 σ_O=248.54 σ_{ID}=248.54 Σ_T=248.81
CC 26 SLD (Collegamento -179_-383)
Azioni sul collegamento: N=-10226.40 Ty=10.19 Tz=14.51 Mx=-0.00 Mz=7.20
Sollecitazioni agenti localmente: Tx_l=10.19 Ty_l=14.51 N_l=-10226.40 My_l=-7.20 Mz_l=-0.00
Azioni sul cordone: TP=0.76 TO=1.07 NO=-755.94
Tensioni nel cordone: τ_P=0.24 τ_O=0.34 σ_O=250.80 σ_{ID}=250.80 Σ_T=251.14
CC 26 SLD (Collegamento -179_-383)
Azioni sul collegamento: N=-10226.40 Ty=9.01 Tz=14.51 Mx=-0.00 Mz=5.66
Sollecitazioni agenti localmente: Tx_l=9.01 Ty_l=14.51 N_l=-10226.40 My_l=-5.66 Mz_l=-0.00
Azioni sul cordone: TP=0.67 TO=1.07 NO=-755.94
Tensioni nel cordone: τ_P=0.21 τ_O=0.34 σ_O=248.54 σ_{ID}=248.54 Σ_T=248.88
CC 27 SLV (Collegamento -179_-383)
Azioni sul collegamento: N=-10933.80 Ty=8.45 Tz=16.43 Mx=-0.02 Mz=5.25
Sollecitazioni agenti localmente: Tx_l=8.45 Ty_l=16.43 N_l=-10933.80 My_l=-5.25 Mz_l=-0.02
Azioni sul cordone: TP=0.64 TO=1.20 NO=-808.23
Tensioni nel cordone: τ_P=0.20 τ_O=0.38 σ_O=264.56 σ_{ID}=264.56 Σ_T=264.94
CC 27 SLV (Collegamento -179_-383)
Azioni sul collegamento: N=-10933.80 Ty=8.90 Tz=16.43 Mx=-0.02 Mz=3.34
Sollecitazioni agenti localmente: Tx_l=8.90 Ty_l=16.43 N_l=-10933.80 My_l=-3.34 Mz_l=-0.02
Azioni sul cordone: TP=0.68 TO=1.20 NO=-808.23
Tensioni nel cordone: τ_P=0.22 τ_O=0.38 σ_O=261.77 σ_{ID}=261.77 Σ_T=262.15
CC 27 SLV (Collegamento -179_-383)
Azioni sul collegamento: N=-10933.80 Ty=8.45 Tz=8.86 Mx=-0.02 Mz=5.25
Sollecitazioni agenti localmente: Tx_l=8.45 Ty_l=8.86 N_l=-10933.80 My_l=-5.25 Mz_l=-0.02
Azioni sul cordone: TP=0.64 TO=0.64 NO=-808.23
Tensioni nel cordone: τ_P=0.20 τ_O=0.20 σ_O=264.56 σ_{ID}=264.56 Σ_T=264.76
CC 27 SLV (Collegamento -179_-383)
Azioni sul collegamento: N=-10933.80 Ty=8.90 Tz=8.86 Mx=-0.02 Mz=3.34
Sollecitazioni agenti localmente: Tx_l=8.90 Ty_l=8.86 N_l=-10933.80 My_l=-3.34 Mz_l=-0.02
Azioni sul cordone: TP=0.68 TO=0.64 NO=-808.23
Tensioni nel cordone: τ_P=0.22 τ_O=0.20 σ_O=261.77 σ_{ID}=261.77 Σ_T=261.97
CC 27 SLV (Collegamento -179_-383)
Azioni sul collegamento: N=-8604.03 Ty=8.45 Tz=16.43 Mx=-0.02 Mz=5.25
Sollecitazioni agenti localmente: Tx_l=8.45 Ty_l=16.43 N_l=-8604.03 My_l=-5.25 Mz_l=-0.02
Azioni sul cordone: TP=0.64 TO=1.20 NO=-636.01
Tensioni nel cordone: τ_P=0.20 τ_O=0.38 σ_O=209.82 σ_{ID}=209.82 Σ_T=210.20
CC 27 SLV (Collegamento -179_-383)
Azioni sul collegamento: N=-8604.03 Ty=8.90 Tz=16.43 Mx=-0.02 Mz=3.34
Sollecitazioni agenti localmente: Tx_l=8.90 Ty_l=16.43 N_l=-8604.03 My_l=-3.34 Mz_l=-0.02
Azioni sul cordone: TP=0.68 TO=1.20 NO=-636.01
Tensioni nel cordone: τ_P=0.22 τ_O=0.38 σ_O=207.03 σ_{ID}=207.03 Σ_T=207.41
CC 27 SLV (Collegamento -179_-383)
Azioni sul collegamento: N=-8604.03 Ty=8.45 Tz=8.86 Mx=-0.02 Mz=5.25
Sollecitazioni agenti localmente: Tx_l=8.45 Ty_l=8.86 N_l=-8604.03 My_l=-5.25 Mz_l=-0.02
Azioni sul cordone: TP=0.64 TO=0.64 NO=-636.01
Tensioni nel cordone: τ_P=0.20 τ_O=0.20 σ_O=209.82 σ_{ID}=209.82 Σ_T=210.02
CC 27 SLV (Collegamento -179_-383)
Azioni sul collegamento: N=-8604.03 Ty=8.90 Tz=8.86 Mx=-0.02 Mz=3.34

Sollecitazioni agenti localmente: Tx_l=8.90 Ty_l=8.86 N_l=-8604.03 My_l=-3.34 Mz_l=-0.02
Azioni sul cordone: TP=0.68 TO=0.64 NO=-636.01
Tensioni nel cordone: τ_P=0.22 τ_0=0.20 σ_0=207.03 σ_{ID}=207.03 Σ_T=207.24
CC 28 SLD (Collegamento -179_-383)
Azioni sul collegamento: N=-10221.40 Ty=9.53 Tz=14.18 Mx=-0.00 Mz=6.72
Sollecitazioni agenti localmente: Tx_l=9.53 Ty_l=14.18 N_l=-10221.40 My_l=-6.72 Mz_l=-0.00
Azioni sul cordone: TP=0.71 TO=1.05 NO=-755.57
Tensioni nel cordone: τ_P=0.23 τ_0=0.33 σ_0=249.98 σ_{ID}=249.98 Σ_T=250.31
CC 28 SLD (Collegamento -179_-383)
Azioni sul collegamento: N=-10221.40 Ty=9.67 Tz=14.18 Mx=-0.00 Mz=6.14
Sollecitazioni agenti localmente: Tx_l=9.67 Ty_l=14.18 N_l=-10221.40 My_l=-6.14 Mz_l=-0.00
Azioni sul cordone: TP=0.72 TO=1.05 NO=-755.57
Tensioni nel cordone: τ_P=0.23 τ_0=0.33 σ_0=249.13 σ_{ID}=249.13 Σ_T=249.46
CC 28 SLD (Collegamento -179_-383)
Azioni sul collegamento: N=-10221.40 Ty=9.53 Tz=11.87 Mx=-0.00 Mz=6.72
Sollecitazioni agenti localmente: Tx_l=9.53 Ty_l=11.87 N_l=-10221.40 My_l=-6.72 Mz_l=-0.00
Azioni sul cordone: TP=0.71 TO=0.88 NO=-755.57
Tensioni nel cordone: τ_P=0.23 τ_0=0.28 σ_0=249.98 σ_{ID}=249.98 Σ_T=250.25
CC 28 SLD (Collegamento -179_-383)
Azioni sul collegamento: N=-10221.40 Ty=9.67 Tz=11.87 Mx=-0.00 Mz=6.14
Sollecitazioni agenti localmente: Tx_l=9.67 Ty_l=11.87 N_l=-10221.40 My_l=-6.14 Mz_l=-0.00
Azioni sul cordone: TP=0.72 TO=0.88 NO=-755.57
Tensioni nel cordone: τ_P=0.23 τ_0=0.28 σ_0=249.13 σ_{ID}=249.13 Σ_T=249.40
CC 28 SLD (Collegamento -179_-383)
Azioni sul collegamento: N=-9511.03 Ty=9.53 Tz=14.18 Mx=-0.00 Mz=6.72
Sollecitazioni agenti localmente: Tx_l=9.53 Ty_l=14.18 N_l=-9511.03 My_l=-6.72 Mz_l=-0.00
Azioni sul cordone: TP=0.71 TO=1.05 NO=-703.06
Tensioni nel cordone: τ_P=0.23 τ_0=0.33 σ_0=233.28 σ_{ID}=233.28 Σ_T=233.62
CC 28 SLD (Collegamento -179_-383)
Azioni sul collegamento: N=-9511.03 Ty=9.67 Tz=14.18 Mx=-0.00 Mz=6.14
Sollecitazioni agenti localmente: Tx_l=9.67 Ty_l=14.18 N_l=-9511.03 My_l=-6.14 Mz_l=-0.00
Azioni sul cordone: TP=0.72 TO=1.05 NO=-703.06
Tensioni nel cordone: τ_P=0.23 τ_0=0.33 σ_0=232.43 σ_{ID}=232.43 Σ_T=232.77
CC 28 SLD (Collegamento -179_-383)
Azioni sul collegamento: N=-9511.03 Ty=9.53 Tz=11.87 Mx=-0.00 Mz=6.72
Sollecitazioni agenti localmente: Tx_l=9.53 Ty_l=11.87 N_l=-9511.03 My_l=-6.72 Mz_l=-0.00
Azioni sul cordone: TP=0.71 TO=0.88 NO=-703.06
Tensioni nel cordone: τ_P=0.23 τ_0=0.28 σ_0=233.28 σ_{ID}=233.28 Σ_T=233.56
CC 28 SLD (Collegamento -179_-383)
Azioni sul collegamento: N=-9511.03 Ty=9.67 Tz=11.87 Mx=-0.00 Mz=6.14
Sollecitazioni agenti localmente: Tx_l=9.67 Ty_l=11.87 N_l=-9511.03 My_l=-6.14 Mz_l=-0.00
Azioni sul cordone: TP=0.72 TO=0.88 NO=-703.06
Tensioni nel cordone: τ_P=0.23 τ_0=0.28 σ_0=232.43 σ_{ID}=232.43 Σ_T=232.71
CC 29 SLV (Collegamento -179_-383)
Azioni sul collegamento: N=-8604.03 Ty=8.90 Tz=8.86 Mx=-0.00 Mz=3.34
Sollecitazioni agenti localmente: Tx_l=8.90 Ty_l=8.86 N_l=-8604.03 My_l=-3.34 Mz_l=-0.00
Azioni sul cordone: TP=0.66 TO=0.65 NO=-636.01
Tensioni nel cordone: τ_P=0.21 τ_0=0.21 σ_0=207.03 σ_{ID}=207.03 Σ_T=207.24
CC 29 SLV (Collegamento -179_-383)
Azioni sul collegamento: N=-8604.03 Ty=8.45 Tz=8.86 Mx=-0.00 Mz=5.25
Sollecitazioni agenti localmente: Tx_l=8.45 Ty_l=8.86 N_l=-8604.03 My_l=-5.25 Mz_l=-0.00
Azioni sul cordone: TP=0.63 TO=0.65 NO=-636.01
Tensioni nel cordone: τ_P=0.20 τ_0=0.21 σ_0=209.82 σ_{ID}=209.82 Σ_T=210.03
CC 29 SLV (Collegamento -179_-383)
Azioni sul collegamento: N=-8604.03 Ty=8.90 Tz=16.43 Mx=-0.00 Mz=3.34
Sollecitazioni agenti localmente: Tx_l=8.90 Ty_l=16.43 N_l=-8604.03 My_l=-3.34 Mz_l=-0.00
Azioni sul cordone: TP=0.66 TO=1.21 NO=-636.01
Tensioni nel cordone: τ_P=0.21 τ_0=0.39 σ_0=207.03 σ_{ID}=207.03 Σ_T=207.42
CC 29 SLV (Collegamento -179_-383)
Azioni sul collegamento: N=-8604.03 Ty=8.45 Tz=16.43 Mx=-0.00 Mz=5.25
Sollecitazioni agenti localmente: Tx_l=8.45 Ty_l=16.43 N_l=-8604.03 My_l=-5.25 Mz_l=-0.00
Azioni sul cordone: TP=0.63 TO=1.21 NO=-636.01
Tensioni nel cordone: τ_P=0.20 τ_0=0.39 σ_0=209.82 σ_{ID}=209.82 Σ_T=210.21
CC 29 SLV (Collegamento -179_-383)
Azioni sul collegamento: N=-10933.80 Ty=8.90 Tz=8.86 Mx=-0.00 Mz=3.34
Sollecitazioni agenti localmente: Tx_l=8.90 Ty_l=8.86 N_l=-10933.80 My_l=-3.34 Mz_l=-0.00
Azioni sul cordone: TP=0.66 TO=0.65 NO=-808.23
Tensioni nel cordone: τ_P=0.21 τ_0=0.21 σ_0=261.77 σ_{ID}=261.77 Σ_T=261.98
CC 29 SLV (Collegamento -179_-383)
Azioni sul collegamento: N=-10933.80 Ty=8.45 Tz=8.86 Mx=-0.00 Mz=5.25
Sollecitazioni agenti localmente: Tx_l=8.45 Ty_l=8.86 N_l=-10933.80 My_l=-5.25 Mz_l=-0.00
Azioni sul cordone: TP=0.63 TO=0.65 NO=-808.23
Tensioni nel cordone: τ_P=0.20 τ_0=0.21 σ_0=264.56 σ_{ID}=264.56 Σ_T=264.77
CC 29 SLV (Collegamento -179_-383)
Azioni sul collegamento: N=-10933.80 Ty=8.90 Tz=16.43 Mx=-0.00 Mz=3.34
Sollecitazioni agenti localmente: Tx_l=8.90 Ty_l=16.43 N_l=-10933.80 My_l=-3.34 Mz_l=-0.00
Azioni sul cordone: TP=0.66 TO=1.21 NO=-808.23
Tensioni nel cordone: τ_P=0.21 τ_0=0.39 σ_0=261.77 σ_{ID}=261.77 Σ_T=262.16
CC 29 SLV (Collegamento -179_-383)

Azioni sul collegamento: N=-10933.80 Ty=8.45 Tz=16.43 Mx=-0.00 Mz=5.25
Sollecitazioni agenti localmente: Tx_l=8.45 Ty_l=16.43 N_l=-10933.80 My_l=-5.25 Mz_l=-0.00
Azioni sul cordone: TP=0.63 TO=1.21 NO=-808.23
Tensioni nel cordone: τ_P=0.20 τ_O=0.39 σ_O=264.56 σ_{ID}=264.56 Σ_T=264.94
CC 30 SLD (Collegamento -179_-383)
Azioni sul collegamento: N=-9511.03 Ty=9.67 Tz=11.87 Mx=0.00 Mz=6.14
Sollecitazioni agenti localmente: Tx_l=9.67 Ty_l=11.87 N_l=-9511.03 My_l=-6.14 Mz_l=0.00
Azioni sul cordone: TP=0.71 TO=0.88 NO=-703.06
Tensioni nel cordone: τ_P=0.23 τ_O=0.28 σ_O=232.43 σ_{ID}=232.43 Σ_T=232.71
CC 30 SLD (Collegamento -179_-383)
Azioni sul collegamento: N=-9511.03 Ty=9.53 Tz=11.87 Mx=0.00 Mz=6.72
Sollecitazioni agenti localmente: Tx_l=9.53 Ty_l=11.87 N_l=-9511.03 My_l=-6.72 Mz_l=0.00
Azioni sul cordone: TP=0.70 TO=0.88 NO=-703.06
Tensioni nel cordone: τ_P=0.22 τ_O=0.28 σ_O=233.28 σ_{ID}=233.28 Σ_T=233.56
CC 30 SLD (Collegamento -179_-383)
Azioni sul collegamento: N=-9511.03 Ty=9.67 Tz=14.18 Mx=0.00 Mz=6.14
Sollecitazioni agenti localmente: Tx_l=9.67 Ty_l=14.18 N_l=-9511.03 My_l=-6.14 Mz_l=0.00
Azioni sul cordone: TP=0.71 TO=1.05 NO=-703.06
Tensioni nel cordone: τ_P=0.23 τ_O=0.33 σ_O=232.43 σ_{ID}=232.43 Σ_T=232.77
CC 30 SLD (Collegamento -179_-383)
Azioni sul collegamento: N=-9511.03 Ty=9.53 Tz=14.18 Mx=0.00 Mz=6.72
Sollecitazioni agenti localmente: Tx_l=9.53 Ty_l=14.18 N_l=-9511.03 My_l=-6.72 Mz_l=0.00
Azioni sul cordone: TP=0.70 TO=1.05 NO=-703.06
Tensioni nel cordone: τ_P=0.22 τ_O=0.33 σ_O=233.28 σ_{ID}=233.28 Σ_T=233.62
CC 30 SLD (Collegamento -179_-383)
Azioni sul collegamento: N=-10221.40 Ty=9.67 Tz=11.87 Mx=0.00 Mz=6.14
Sollecitazioni agenti localmente: Tx_l=9.67 Ty_l=11.87 N_l=-10221.40 My_l=-6.14 Mz_l=0.00
Azioni sul cordone: TP=0.71 TO=0.88 NO=-755.57
Tensioni nel cordone: τ_P=0.23 τ_O=0.28 σ_O=249.13 σ_{ID}=249.13 Σ_T=249.41
CC 30 SLD (Collegamento -179_-383)
Azioni sul collegamento: N=-10221.40 Ty=9.53 Tz=11.87 Mx=0.00 Mz=6.72
Sollecitazioni agenti localmente: Tx_l=9.53 Ty_l=11.87 N_l=-10221.40 My_l=-6.72 Mz_l=0.00
Azioni sul cordone: TP=0.70 TO=0.88 NO=-755.57
Tensioni nel cordone: τ_P=0.22 τ_O=0.28 σ_O=249.98 σ_{ID}=249.98 Σ_T=250.25
CC 30 SLD (Collegamento -179_-383)
Azioni sul collegamento: N=-10221.40 Ty=9.67 Tz=14.18 Mx=0.00 Mz=6.14
Sollecitazioni agenti localmente: Tx_l=9.67 Ty_l=14.18 N_l=-10221.40 My_l=-6.14 Mz_l=0.00
Azioni sul cordone: TP=0.71 TO=1.05 NO=-755.57
Tensioni nel cordone: τ_P=0.23 τ_O=0.33 σ_O=249.13 σ_{ID}=249.13 Σ_T=249.46
CC 30 SLD (Collegamento -179_-383)
Azioni sul collegamento: N=-10221.40 Ty=9.53 Tz=14.18 Mx=0.00 Mz=6.72
Sollecitazioni agenti localmente: Tx_l=9.53 Ty_l=14.18 N_l=-10221.40 My_l=-6.72 Mz_l=0.00
Azioni sul cordone: TP=0.70 TO=1.05 NO=-755.57
Tensioni nel cordone: τ_P=0.22 τ_O=0.33 σ_O=249.98 σ_{ID}=249.98 Σ_T=250.31
CC 31 SLV (Collegamento -179_-383)
Azioni sul collegamento: N=-10950.00 Ty=6.74 Tz=17.52 Mx=-0.00 Mz=1.76
Sollecitazioni agenti localmente: Tx_l=6.74 Ty_l=17.52 N_l=-10950.00 My_l=-1.76 Mz_l=-0.00
Azioni sul cordone: TP=0.50 TO=1.29 NO=-809.42
Tensioni nel cordone: τ_P=0.16 τ_O=0.41 σ_O=259.84 σ_{ID}=259.84 Σ_T=260.25
CC 31 SLV (Collegamento -179_-383)
Azioni sul collegamento: N=-10950.00 Ty=10.61 Tz=17.52 Mx=-0.00 Mz=6.83
Sollecitazioni agenti localmente: Tx_l=10.61 Ty_l=17.52 N_l=-10950.00 My_l=-6.83 Mz_l=-0.00
Azioni sul cordone: TP=0.79 TO=1.29 NO=-809.42
Tensioni nel cordone: τ_P=0.25 τ_O=0.41 σ_O=267.25 σ_{ID}=267.25 Σ_T=267.66
CC 31 SLV (Collegamento -179_-383)
Azioni sul collegamento: N=-10950.00 Ty=6.74 Tz=7.77 Mx=-0.00 Mz=1.76
Sollecitazioni agenti localmente: Tx_l=6.74 Ty_l=7.77 N_l=-10950.00 My_l=-1.76 Mz_l=-0.00
Azioni sul cordone: TP=0.50 TO=0.57 NO=-809.42
Tensioni nel cordone: τ_P=0.16 τ_O=0.18 σ_O=259.84 σ_{ID}=259.84 Σ_T=260.02
CC 31 SLV (Collegamento -179_-383)
Azioni sul collegamento: N=-10950.00 Ty=10.61 Tz=7.77 Mx=-0.00 Mz=6.83
Sollecitazioni agenti localmente: Tx_l=10.61 Ty_l=7.77 N_l=-10950.00 My_l=-6.83 Mz_l=-0.00
Azioni sul cordone: TP=0.79 TO=0.57 NO=-809.42
Tensioni nel cordone: τ_P=0.25 τ_O=0.18 σ_O=267.25 σ_{ID}=267.25 Σ_T=267.43
CC 31 SLV (Collegamento -179_-383)
Azioni sul collegamento: N=-8587.82 Ty=6.74 Tz=17.52 Mx=-0.00 Mz=1.76
Sollecitazioni agenti localmente: Tx_l=6.74 Ty_l=17.52 N_l=-8587.82 My_l=-1.76 Mz_l=-0.00
Azioni sul cordone: TP=0.50 TO=1.29 NO=-634.81
Tensioni nel cordone: τ_P=0.16 τ_O=0.41 σ_O=204.34 σ_{ID}=204.34 Σ_T=204.75
CC 31 SLV (Collegamento -179_-383)
Azioni sul collegamento: N=-8587.82 Ty=10.61 Tz=17.52 Mx=-0.00 Mz=6.83
Sollecitazioni agenti localmente: Tx_l=10.61 Ty_l=17.52 N_l=-8587.82 My_l=-6.83 Mz_l=-0.00
Azioni sul cordone: TP=0.79 TO=1.29 NO=-634.81
Tensioni nel cordone: τ_P=0.25 τ_O=0.41 σ_O=211.75 σ_{ID}=211.75 Σ_T=212.16
CC 31 SLV (Collegamento -179_-383)
Azioni sul collegamento: N=-8587.82 Ty=6.74 Tz=7.77 Mx=-0.00 Mz=1.76
Sollecitazioni agenti localmente: Tx_l=6.74 Ty_l=7.77 N_l=-8587.82 My_l=-1.76 Mz_l=-0.00
Azioni sul cordone: TP=0.50 TO=0.57 NO=-634.81
Tensioni nel cordone: τ_P=0.16 τ_O=0.18 σ_O=204.34 σ_{ID}=204.34 Σ_T=204.52

CC 31 SLV (Collegamento -179_-383)
Azioni sul collegamento: N=-8587.82 Ty=10.61 Tz=7.77 Mx=-0.00 Mz=6.83
Sollecitazioni agenti localmente: Tx_l=10.61 Ty_l=7.77 N_l=-8587.82 My_l=-6.83 Mz_l=-0.00
Azioni sul cordone: TP=0.79 TO=0.57 NO=-634.81
Tensioni nel cordone: τ_P=0.25 τ_0=0.18 σ_0=211.75 σ_{ID}=211.75 Σ_T=211.93
CC 32 SLD (Collegamento -179_-383)
Azioni sul collegamento: N=-10226.40 Ty=9.01 Tz=14.51 Mx=0.00 Mz=5.66
Sollecitazioni agenti localmente: Tx_l=9.01 Ty_l=14.51 N_l=-10226.40 My_l=-5.66 Mz_l=0.00
Azioni sul cordone: TP=0.66 TO=1.07 NO=-755.94
Tensioni nel cordone: τ_P=0.21 τ_0=0.34 σ_0=248.54 σ_{ID}=248.54 Σ_T=248.88
CC 32 SLD (Collegamento -179_-383)
Azioni sul collegamento: N=-10226.40 Ty=10.19 Tz=14.51 Mx=0.00 Mz=7.20
Sollecitazioni agenti localmente: Tx_l=10.19 Ty_l=14.51 N_l=-10226.40 My_l=-7.20 Mz_l=0.00
Azioni sul cordone: TP=0.75 TO=1.07 NO=-755.94
Tensioni nel cordone: τ_P=0.24 τ_0=0.34 σ_0=250.80 σ_{ID}=250.80 Σ_T=251.14
CC 32 SLD (Collegamento -179_-383)
Azioni sul collegamento: N=-10226.40 Ty=9.01 Tz=11.54 Mx=0.00 Mz=5.66
Sollecitazioni agenti localmente: Tx_l=9.01 Ty_l=11.54 N_l=-10226.40 My_l=-5.66 Mz_l=0.00
Azioni sul cordone: TP=0.66 TO=0.85 NO=-755.94
Tensioni nel cordone: τ_P=0.21 τ_0=0.27 σ_0=248.54 σ_{ID}=248.54 Σ_T=248.81
CC 32 SLD (Collegamento -179_-383)
Azioni sul collegamento: N=-10226.40 Ty=10.19 Tz=11.54 Mx=0.00 Mz=7.20
Sollecitazioni agenti localmente: Tx_l=10.19 Ty_l=11.54 N_l=-10226.40 My_l=-7.20 Mz_l=0.00
Azioni sul cordone: TP=0.75 TO=0.85 NO=-755.94
Tensioni nel cordone: τ_P=0.24 τ_0=0.27 σ_0=250.80 σ_{ID}=250.80 Σ_T=251.07
CC 32 SLD (Collegamento -179_-383)
Azioni sul collegamento: N=-9506.09 Ty=9.01 Tz=14.51 Mx=0.00 Mz=5.66
Sollecitazioni agenti localmente: Tx_l=9.01 Ty_l=14.51 N_l=-9506.09 My_l=-5.66 Mz_l=0.00
Azioni sul cordone: TP=0.66 TO=1.07 NO=-702.69
Tensioni nel cordone: τ_P=0.21 τ_0=0.34 σ_0=231.61 σ_{ID}=231.61 Σ_T=231.96
CC 32 SLD (Collegamento -179_-383)
Azioni sul collegamento: N=-9506.09 Ty=10.19 Tz=14.51 Mx=0.00 Mz=7.20
Sollecitazioni agenti localmente: Tx_l=10.19 Ty_l=14.51 N_l=-9506.09 My_l=-7.20 Mz_l=0.00
Azioni sul cordone: TP=0.75 TO=1.07 NO=-702.69
Tensioni nel cordone: τ_P=0.24 τ_0=0.34 σ_0=233.87 σ_{ID}=233.87 Σ_T=234.22
CC 32 SLD (Collegamento -179_-383)
Azioni sul collegamento: N=-9506.09 Ty=9.01 Tz=11.54 Mx=0.00 Mz=5.66
Sollecitazioni agenti localmente: Tx_l=9.01 Ty_l=11.54 N_l=-9506.09 My_l=-5.66 Mz_l=0.00
Azioni sul cordone: TP=0.66 TO=0.85 NO=-702.69
Tensioni nel cordone: τ_P=0.21 τ_0=0.27 σ_0=231.61 σ_{ID}=231.61 Σ_T=231.88
CC 32 SLD (Collegamento -179_-383)
Azioni sul collegamento: N=-9506.09 Ty=10.19 Tz=11.54 Mx=0.00 Mz=7.20
Sollecitazioni agenti localmente: Tx_l=10.19 Ty_l=11.54 N_l=-9506.09 My_l=-7.20 Mz_l=0.00
Azioni sul cordone: TP=0.75 TO=0.85 NO=-702.69
Tensioni nel cordone: τ_P=0.24 τ_0=0.27 σ_0=233.87 σ_{ID}=233.87 Σ_T=234.15
CC 33 SLU (Collegamento -179_-383)
Azioni sul collegamento: N=-36428.20 Ty=20.21 Tz=102.49 Mx=0.01 Mz=15.01
Sollecitazioni agenti localmente: Tx_l=20.21 Ty_l=102.49 N_l=-36428.20 My_l=-15.01 Mz_l=0.01
Azioni sul cordone: TP=1.49 TO=7.58 NO=-2692.78
Tensioni nel cordone: τ_P=0.47 τ_0=2.41 σ_0=877.82 σ_{ID}=877.83 Σ_T=880.23
CC 34 SLU (Collegamento -179_-383)
Azioni sul collegamento: N=-37242.40 Ty=20.96 Tz=105.49 Mx=0.01 Mz=15.56
Sollecitazioni agenti localmente: Tx_l=20.96 Ty_l=105.49 N_l=-37242.40 My_l=-15.56 Mz_l=0.01
Azioni sul cordone: TP=1.54 TO=7.80 NO=-2752.97
Tensioni nel cordone: τ_P=0.49 τ_0=2.48 σ_0=897.76 σ_{ID}=897.76 Σ_T=900.24
CC 35 SLU (Collegamento -179_-383)
Azioni sul collegamento: N=-36836.10 Ty=20.67 Tz=103.93 Mx=0.00 Mz=15.47
Sollecitazioni agenti localmente: Tx_l=20.67 Ty_l=103.93 N_l=-36836.10 My_l=-15.47 Mz_l=0.00
Azioni sul cordone: TP=1.52 TO=7.69 NO=-2722.94
Tensioni nel cordone: τ_P=0.48 τ_0=2.44 σ_0=888.08 σ_{ID}=888.08 Σ_T=890.52
CC 36 SLU (Collegamento -179_-383)
Azioni sul collegamento: N=-36834.40 Ty=20.49 Tz=104.05 Mx=0.01 Mz=15.10
Sollecitazioni agenti localmente: Tx_l=20.49 Ty_l=104.05 N_l=-36834.40 My_l=-15.10 Mz_l=0.01
Azioni sul cordone: TP=1.51 TO=7.70 NO=-2722.81
Tensioni nel cordone: τ_P=0.48 τ_0=2.45 σ_0=887.50 σ_{ID}=887.51 Σ_T=889.95
CC 37 SLU (Collegamento -179_-383)
Azioni sul collegamento: N=-29660.30 Ty=-10.68 Tz=77.11 Mx=0.01 Mz=-8.42
Sollecitazioni agenti localmente: Tx_l=-10.68 Ty_l=77.11 N_l=-29660.30 My_l=8.42 Mz_l=0.01
Azioni sul cordone: TP=-0.80 TO=5.70 NO=-2192.50
Tensioni nel cordone: τ_P=0.25 τ_0=1.81 σ_0=709.19 σ_{ID}=709.19 Σ_T=711.00
CC 38 SLU (Collegamento -179_-383)
Azioni sul collegamento: N=-30474.50 Ty=-9.93 Tz=80.11 Mx=0.01 Mz=-7.87
Sollecitazioni agenti localmente: Tx_l=-9.93 Ty_l=80.11 N_l=-30474.50 My_l=7.87 Mz_l=0.01
Azioni sul cordone: TP=-0.74 TO=5.92 NO=-2252.68
Tensioni nel cordone: τ_P=0.24 τ_0=1.88 σ_0=727.51 σ_{ID}=727.51 Σ_T=729.39
CC 39 SLU (Collegamento -179_-383)
Azioni sul collegamento: N=-30068.30 Ty=-10.21 Tz=78.55 Mx=0.00 Mz=-7.97
Sollecitazioni agenti localmente: Tx_l=-10.21 Ty_l=78.55 N_l=-30068.30 My_l=7.97 Mz_l=0.00
Azioni sul cordone: TP=-0.76 TO=5.80 NO=-2222.65

Tensioni nel cordone: τ_P=0.24 τ_0=1.84 σ_0=718.10 σ_{ID}=718.11 Σ_T=719.95
CC 40 SLU (Collegamento -179_-383)
Azioni sul collegamento: N=-30066.50 Ty=-10.39 Tz=78.67 Mx=0.01 Mz=-8.33
Sollecitazioni agenti localmente: Tx_l=-10.39 Ty_l=78.67 N_l=-30066.50 My_l=8.33 Mz_l=0.01
Azioni sul cordone: TP=-0.78 TO=5.81 NO=-2222.52
Tensioni nel cordone: τ_P=0.25 τ_0=1.85 σ_0=718.60 σ_{ID}=718.60 Σ_T=720.44
CC 41 SLU (Collegamento -179_-383)
Azioni sul collegamento: N=-27261.60 Ty=19.33 Tz=68.83 Mx=0.01 Mz=14.21
Sollecitazioni agenti localmente: Tx_l=19.33 Ty_l=68.83 N_l=-27261.60 My_l=-14.21 Mz_l=0.01
Azioni sul cordone: TP=1.42 TO=5.09 NO=-2015.19
Tensioni nel cordone: τ_P=0.45 τ_0=1.62 σ_0=661.29 σ_{ID}=661.29 Σ_T=662.91
CC 42 SLU (Collegamento -179_-383)
Azioni sul collegamento: N=-28075.80 Ty=20.08 Tz=71.84 Mx=0.01 Mz=14.76
Sollecitazioni agenti localmente: Tx_l=20.08 Ty_l=71.84 N_l=-28075.80 My_l=-14.76 Mz_l=0.01
Azioni sul cordone: TP=1.48 TO=5.31 NO=-2075.37
Tensioni nel cordone: τ_P=0.47 τ_0=1.69 σ_0=681.22 σ_{ID}=681.23 Σ_T=682.91
CC 43 SLU (Collegamento -179_-383)
Azioni sul collegamento: N=-27669.60 Ty=19.79 Tz=70.28 Mx=0.00 Mz=14.67
Sollecitazioni agenti localmente: Tx_l=19.79 Ty_l=70.28 N_l=-27669.60 My_l=-14.67 Mz_l=0.00
Azioni sul cordone: TP=1.46 TO=5.20 NO=-2045.34
Tensioni nel cordone: τ_P=0.46 τ_0=1.65 σ_0=671.54 σ_{ID}=671.55 Σ_T=673.20
CC 44 SLU (Collegamento -179_-383)
Azioni sul collegamento: N=-27667.80 Ty=19.61 Tz=70.39 Mx=0.01 Mz=14.31
Sollecitazioni agenti localmente: Tx_l=19.61 Ty_l=70.39 N_l=-27667.80 My_l=-14.31 Mz_l=0.01
Azioni sul cordone: TP=1.44 TO=5.21 NO=-2045.21
Tensioni nel cordone: τ_P=0.46 τ_0=1.66 σ_0=670.97 σ_{ID}=670.97 Σ_T=672.63
CC 45 SLU (Collegamento -179_-383)
Azioni sul collegamento: N=-29271.60 Ty=19.56 Tz=76.22 Mx=0.00 Mz=14.53
Sollecitazioni agenti localmente: Tx_l=19.56 Ty_l=76.22 N_l=-29271.60 My_l=-14.53 Mz_l=0.00
Azioni sul cordone: TP=1.44 TO=5.64 NO=-2163.76
Tensioni nel cordone: τ_P=0.46 τ_0=1.79 σ_0=708.98 σ_{ID}=708.98 Σ_T=710.77
CC 46 SLU (Collegamento -179_-383)
Azioni sul collegamento: N=-30085.80 Ty=20.31 Tz=79.22 Mx=0.00 Mz=15.08
Sollecitazioni agenti localmente: Tx_l=20.31 Ty_l=79.22 N_l=-30085.80 My_l=-15.08 Mz_l=0.00
Azioni sul cordone: TP=1.50 TO=5.86 NO=-2223.95
Tensioni nel cordone: τ_P=0.48 τ_0=1.86 σ_0=728.91 σ_{ID}=728.91 Σ_T=730.77
CC 47 SLU (Collegamento -179_-383)
Azioni sul collegamento: N=-29679.60 Ty=20.02 Tz=77.66 Mx=0.00 Mz=14.99
Sollecitazioni agenti localmente: Tx_l=20.02 Ty_l=77.66 N_l=-29679.60 My_l=-14.99 Mz_l=0.00
Azioni sul cordone: TP=1.48 TO=5.74 NO=-2193.92
Tensioni nel cordone: τ_P=0.47 τ_0=1.83 σ_0=719.23 σ_{ID}=719.23 Σ_T=721.06
CC 48 SLU (Collegamento -179_-383)
Azioni sul collegamento: N=-29677.80 Ty=19.84 Tz=77.78 Mx=0.01 Mz=14.62
Sollecitazioni agenti localmente: Tx_l=19.84 Ty_l=77.78 N_l=-29677.80 My_l=-14.62 Mz_l=0.01
Azioni sul cordone: TP=1.46 TO=5.75 NO=-2193.79
Tensioni nel cordone: τ_P=0.46 τ_0=1.83 σ_0=718.66 σ_{ID}=718.66 Σ_T=720.49
CC 49 SLU (Collegamento -179_-383)
Azioni sul collegamento: N=-24208.20 Ty=-3.55 Tz=57.23 Mx=0.01 Mz=-3.00
Sollecitazioni agenti localmente: Tx_l=-3.55 Ty_l=57.23 N_l=-24208.20 My_l=3.00 Mz_l=0.01
Azioni sul cordone: TP=-0.27 TO=4.23 NO=-1789.48
Tensioni nel cordone: τ_P= 0.09 τ_0=1.34 σ_0=573.17 σ_{ID}=573.17 Σ_T=574.51
CC 50 SLU (Collegamento -179_-383)
Azioni sul collegamento: N=-25022.40 Ty=-2.80 Tz=60.23 Mx=0.01 Mz=-2.45
Sollecitazioni agenti localmente: Tx_l=-2.80 Ty_l=60.23 N_l=-25022.40 My_l=2.45 Mz_l=0.01
Azioni sul cordone: TP=-0.21 TO=4.45 NO=-1849.66
Tensioni nel cordone: τ_P= 0.07 τ_0=1.41 σ_0=591.49 σ_{ID}=591.49 Σ_T=592.91
CC 51 SLU (Collegamento -179_-383)
Azioni sul collegamento: N=-24616.20 Ty=-3.08 Tz=58.67 Mx=0.00 Mz=-2.54
Sollecitazioni agenti localmente: Tx_l=-3.08 Ty_l=58.67 N_l=-24616.20 My_l=2.54 Mz_l=0.00
Azioni sul cordone: TP=-0.23 TO=4.33 NO=-1819.64
Tensioni nel cordone: τ_P= 0.07 τ_0=1.38 σ_0=582.08 σ_{ID}=582.09 Σ_T=583.46
CC 52 SLU (Collegamento -179_-383)
Azioni sul collegamento: N=-24614.40 Ty=-3.26 Tz=58.79 Mx=0.01 Mz=-2.91
Sollecitazioni agenti localmente: Tx_l=-3.26 Ty_l=58.79 N_l=-24614.40 My_l=2.91 Mz_l=0.01
Azioni sul cordone: TP=-0.25 TO=4.34 NO=-1819.51
Tensioni nel cordone: τ_P= 0.08 τ_0=1.38 σ_0=582.58 σ_{ID}=582.58 Σ_T=583.96
CC 53 SLU (Collegamento -179_-383)
Azioni sul collegamento: N=-22413.60 Ty=18.90 Tz=51.04 Mx=0.00 Mz=13.93
Sollecitazioni agenti localmente: Tx_l=18.90 Ty_l=51.04 N_l=-22413.60 My_l=-13.93 Mz_l=0.00
Azioni sul cordone: TP=1.39 TO=3.78 NO=-1656.82
Tensioni nel cordone: τ_P=0.44 τ_0=1.20 σ_0=546.98 σ_{ID}=546.98 Σ_T=548.18
CC 54 SLU (Collegamento -179_-383)
Azioni sul collegamento: N=-23227.90 Ty=19.65 Tz=54.04 Mx=0.00 Mz=14.49
Sollecitazioni agenti localmente: Tx_l=19.65 Ty_l=54.04 N_l=-23227.90 My_l=-14.49 Mz_l=0.00
Azioni sul cordone: TP=1.45 TO=4.00 NO=-1717.01
Tensioni nel cordone: τ_P=0.46 τ_0=1.27 σ_0=566.91 σ_{ID}=566.91 Σ_T=568.18
CC 55 SLU (Collegamento -179_-383)
Azioni sul collegamento: N=-22821.60 Ty=19.36 Tz=52.48 Mx=0.00 Mz=14.39
Sollecitazioni agenti localmente: Tx_l=19.36 Ty_l=52.48 N_l=-22821.60 My_l=-14.39 Mz_l=0.00

Azioni sul cordone: TP=1.43 TO=3.88 NO=-1686.98
Tensioni nel cordone: τ_P=0.45 τ_0=1.23 σ_0=557.23 σ_{ID}=557.23 Σ_T=558.47
CC 56 SLU (Collegamento -179_-383)
Azioni sul collegamento: N=-22819.90 Ty=19.19 Tz=52.60 Mx=0.01 Mz=14.03
Sollecitazioni agenti localmente: Tx_l=19.19 Ty_l=52.60 N_l=-22819.90 My_l=-14.03 Mz_l=0.01
Azioni sul cordone: TP=1.41 TO=3.89 NO=-1686.85
Tensioni nel cordone: τ_P=0.45 τ_0=1.24 σ_0=556.66 σ_{ID}=556.66 Σ_T=557.89
CC 57 SLU (Collegamento -179_-383)
Azioni sul collegamento: N=-30019.90 Ty=20.54 Tz=79.01 Mx=0.00 Mz=15.25
Sollecitazioni agenti localmente: Tx_l=20.54 Ty_l=79.01 N_l=-30019.90 My_l=-15.25 Mz_l=0.00
Azioni sul cordone: TP=1.51 TO=5.84 NO=-2219.08
Tensioni nel cordone: τ_P=0.48 τ_0=1.86 σ_0=727.61 σ_{ID}=727.62 Σ_T=729.47
CC 58 SLU (Collegamento -179_-383)
Azioni sul collegamento: N=-30834.10 Ty=21.29 Tz=82.01 Mx=0.00 Mz=15.80
Sollecitazioni agenti localmente: Tx_l=21.29 Ty_l=82.01 N_l=-30834.10 My_l=-15.80 Mz_l=0.00
Azioni sul cordone: TP=1.57 TO=6.07 NO=-2279.27
Tensioni nel cordone: τ_P=0.50 τ_0=1.93 σ_0=747.55 σ_{ID}=747.55 Σ_T=749.48
CC 59 SLU (Collegamento -179_-383)
Azioni sul collegamento: N=-30427.90 Ty=21.01 Tz=80.45 Mx=0.00 Mz=15.71
Sollecitazioni agenti localmente: Tx_l=21.01 Ty_l=80.45 N_l=-30427.90 My_l=-15.71 Mz_l=0.00
Azioni sul cordone: TP=1.55 TO=5.95 NO=-2249.24
Tensioni nel cordone: τ_P=0.49 τ_0=1.89 σ_0=737.87 σ_{ID}=737.87 Σ_T=739.76
CC 60 SLU (Collegamento -179_-383)
Azioni sul collegamento: N=-30426.20 Ty=20.83 Tz=80.57 Mx=0.01 Mz=15.34
Sollecitazioni agenti localmente: Tx_l=20.83 Ty_l=80.57 N_l=-30426.20 My_l=-15.34 Mz_l=0.01
Azioni sul cordone: TP=1.53 TO=5.96 NO=-2249.11
Tensioni nel cordone: τ_P=0.49 τ_0=1.89 σ_0=737.29 σ_{ID}=737.29 Σ_T=739.19
CC 61 SLU (Collegamento -179_-383)
Azioni sul collegamento: N=-24956.60 Ty=-2.56 Tz=60.02 Mx=0.00 Mz=-2.28
Sollecitazioni agenti localmente: Tx_l=-2.56 Ty_l=60.02 N_l=-24956.60 My_l=2.28 Mz_l=0.00
Azioni sul cordone: TP=-0.20 TO=4.43 NO=-1844.80
Tensioni nel cordone: τ_P= 0.06 τ_0=1.41 σ_0=589.70 σ_{ID}=589.70 Σ_T=591.11
CC 62 SLU (Collegamento -179_-383)
Azioni sul collegamento: N=-25770.80 Ty=-1.81 Tz=63.02 Mx=0.00 Mz=-1.73
Sollecitazioni agenti localmente: Tx_l=-1.81 Ty_l=63.02 N_l=-25770.80 My_l=1.73 Mz_l=0.00
Azioni sul cordone: TP=-0.14 TO=4.65 NO=-1904.98
Tensioni nel cordone: τ_P= 0.04 τ_0=1.48 σ_0=608.02 σ_{ID}=608.02 Σ_T=609.50
CC 63 SLU (Collegamento -179_-383)
Azioni sul collegamento: N=-25364.60 Ty=-2.10 Tz=61.46 Mx=0.00 Mz=-1.82
Sollecitazioni agenti localmente: Tx_l=-2.10 Ty_l=61.46 N_l=-25364.60 My_l=1.82 Mz_l=0.00
Azioni sul cordone: TP=-0.16 TO=4.54 NO=-1874.96
Tensioni nel cordone: τ_P= 0.05 τ_0=1.44 σ_0=598.61 σ_{ID}=598.62 Σ_T=600.06
CC 64 SLU (Collegamento -179_-383)
Azioni sul collegamento: N=-25362.80 Ty=-2.28 Tz=61.58 Mx=0.01 Mz=-2.19
Sollecitazioni agenti localmente: Tx_l=-2.28 Ty_l=61.58 N_l=-25362.80 My_l=2.19 Mz_l=0.01
Azioni sul cordone: TP=-0.18 TO=4.55 NO=-1874.82
Tensioni nel cordone: τ_P= 0.06 τ_0=1.45 σ_0=599.11 σ_{ID}=599.11 Σ_T=600.55
CC 65 SLU (Collegamento -179_-383)
Azioni sul collegamento: N=-23162.00 Ty=19.88 Tz=53.83 Mx=0.00 Mz=14.66
Sollecitazioni agenti localmente: Tx_l=19.88 Ty_l=53.83 N_l=-23162.00 My_l=-14.66 Mz_l=0.00
Azioni sul cordone: TP=1.46 TO=3.98 NO=-1712.14
Tensioni nel cordone: τ_P=0.47 τ_0=1.27 σ_0=565.61 σ_{ID}=565.61 Σ_T=566.88
CC 66 SLU (Collegamento -179_-383)
Azioni sul collegamento: N=-23976.20 Ty=20.63 Tz=56.84 Mx=0.00 Mz=15.21
Sollecitazioni agenti localmente: Tx_l=20.63 Ty_l=56.84 N_l=-23976.20 My_l=-15.21 Mz_l=0.00
Azioni sul cordone: TP=1.52 TO=4.21 NO=-1772.33
Tensioni nel cordone: τ_P=0.48 τ_0=1.34 σ_0=585.55 σ_{ID}=585.55 Σ_T=586.88
CC 67 SLU (Collegamento -179_-383)
Azioni sul collegamento: N=-23570.00 Ty=20.35 Tz=55.27 Mx=0.00 Mz=15.11
Sollecitazioni agenti localmente: Tx_l=20.35 Ty_l=55.27 N_l=-23570.00 My_l=-15.11 Mz_l=0.00
Azioni sul cordone: TP=1.50 TO=4.09 NO=-1742.30
Tensioni nel cordone: τ_P=0.48 τ_0=1.30 σ_0=575.87 σ_{ID}=575.87 Σ_T=577.17
CC 68 SLU (Collegamento -179_-383)
Azioni sul collegamento: N=-23568.20 Ty=20.17 Tz=55.39 Mx=0.01 Mz=14.75
Sollecitazioni agenti localmente: Tx_l=20.17 Ty_l=55.39 N_l=-23568.20 My_l=-14.75 Mz_l=0.01
Azioni sul cordone: TP=1.48 TO=4.10 NO=-1742.17
Tensioni nel cordone: τ_P=0.47 τ_0=1.30 σ_0=575.29 σ_{ID}=575.29 Σ_T=576.60
CC 97 SLU (Collegamento -179_-383)
Azioni sul collegamento: N=-12126.50 Ty=21.64 Tz=21.62 Mx=0.05 Mz=23.37
Sollecitazioni agenti localmente: Tx_l=21.64 Ty_l=21.62 N_l=-12126.50 My_l=-23.37 Mz_l=0.05
Azioni sul cordone: TP=1.54 TO=1.64 NO=-896.39
Tensioni nel cordone: τ_P=0.49 τ_0=0.52 σ_0=319.06 σ_{ID}=319.06 Σ_T=319.58
CC 98 SLU (Collegamento -179_-383)
Azioni sul collegamento: N=-12940.70 Ty=22.39 Tz=24.63 Mx=0.05 Mz=23.92
Sollecitazioni agenti localmente: Tx_l=22.39 Ty_l=24.63 N_l=-12940.70 My_l=-23.92 Mz_l=0.05
Azioni sul cordone: TP=1.60 TO=1.86 NO=-956.58
Tensioni nel cordone: τ_P=0.51 τ_0=0.59 σ_0=339.00 σ_{ID}=339.00 Σ_T=339.59
CC 99 SLU (Collegamento -179_-383)
Azioni sul collegamento: N=-12534.50 Ty=22.10 Tz=23.06 Mx=0.05 Mz=23.83

Sollecitazioni agenti localmente: Tx_l=22.10 Ty_l=23.06 N_l=-12534.50 My_l=-23.83 Mz_l=0.05
Azioni sul cordone: TP=1.58 TO=1.74 NO=-926.55
Tensioni nel cordone: τ_P=0.50 τ_O=0.55 σ_O=329.31 σ_{ID}=329.31 Σ_T=329.87
CC 100 SLU (Collegamento -179_-383)
Azioni sul collegamento: N=-12532.70 Ty=21.92 Tz=23.18 Mx=0.05 Mz=23.46
Sollecitazioni agenti localmente: Tx_l=21.92 Ty_l=23.18 N_l=-12532.70 My_l=-23.46 Mz_l=0.05
Azioni sul cordone: TP=1.56 TO=1.75 NO=-926.42
Tensioni nel cordone: τ_P=0.50 τ_O=0.56 σ_O=328.74 σ_{ID}=328.74 Σ_T=329.30
CC 101 SLU (Collegamento -179_-383)
Azioni sul collegamento: N=-9752.38 Ty=7.57 Tz=12.50 Mx=-0.00 Mz=4.76
Sollecitazioni agenti localmente: Tx_l=7.57 Ty_l=12.50 N_l=-9752.38 My_l=-4.76 Mz_l=-0.00
Azioni sul cordone: TP=0.56 TO=0.92 NO=-720.90
Tensioni nel cordone: τ_P=0.18 τ_O=0.29 σ_O=236.09 σ_{ID}=236.09 Σ_T=236.39
CC 102 SLU (Collegamento -179_-383)
Azioni sul collegamento: N=-10566.60 Ty=8.33 Tz=15.50 Mx=-0.00 Mz=5.31
Sollecitazioni agenti localmente: Tx_l=8.33 Ty_l=15.50 N_l=-10566.60 My_l=-5.31 Mz_l=-0.00
Azioni sul cordone: TP=0.62 TO=1.14 NO=-781.09
Tensioni nel cordone: τ_P=0.20 τ_O=0.36 σ_O=256.03 σ_{ID}=256.03 Σ_T=256.39
CC 103 SLU (Collegamento -179_-383)
Azioni sul collegamento: N=-10160.40 Ty=8.04 Tz=13.94 Mx=-0.00 Mz=5.22
Sollecitazioni agenti localmente: Tx_l=8.04 Ty_l=13.94 N_l=-10160.40 My_l=-5.22 Mz_l=-0.00
Azioni sul cordone: TP=0.60 TO=1.03 NO=-751.06
Tensioni nel cordone: τ_P=0.19 τ_O=0.33 σ_O=246.35 σ_{ID}=246.35 Σ_T=246.67
CC 104 SLU (Collegamento -179_-383)
Azioni sul collegamento: N=-10158.60 Ty=7.86 Tz=14.06 Mx=-0.00 Mz=4.85
Sollecitazioni agenti localmente: Tx_l=7.86 Ty_l=14.06 N_l=-10158.60 My_l=-4.85 Mz_l=-0.00
Azioni sul cordone: TP=0.58 TO=1.04 NO=-750.93
Tensioni nel cordone: τ_P=0.19 τ_O=0.33 σ_O=245.77 σ_{ID}=245.77 Σ_T=246.10

Flessione attacco superiore piastra

Bnetta=220.00 Hnetta=15.00
CC 1 SLV (Collegamento -179_-383)
Azioni sul collegamento: N=-6136.64 Ty=15.19 Tz=-0.86 Mx=0.02 Mz=13.60
Sollecitazioni agenti localmente: Ty_l=-1115.75 Mx_l=-22.32
Tensioni nella sezione: σ=270.49 τ=33.81
CC 1 SLV (Collegamento -179_-383)
Azioni sul collegamento: N=-6136.64 Ty=7.48 Tz=-0.86 Mx=0.02 Mz=7.28
Sollecitazioni agenti localmente: Ty_l=-1115.75 Mx_l=-22.32
Tensioni nella sezione: σ=270.49 τ=33.81
CC 1 SLV (Collegamento -179_-383)
Azioni sul collegamento: N=-6136.64 Ty=15.19 Tz=28.35 Mx=0.02 Mz=13.60
Sollecitazioni agenti localmente: Ty_l=-1115.75 Mx_l=-22.32
Tensioni nella sezione: σ=270.49 τ=33.81
CC 1 SLV (Collegamento -179_-383)
Azioni sul collegamento: N=-6136.64 Ty=7.48 Tz=28.35 Mx=0.02 Mz=7.28
Sollecitazioni agenti localmente: Ty_l=-1115.75 Mx_l=-22.32
Tensioni nella sezione: σ=270.49 τ=33.81
CC 1 SLV (Collegamento -179_-383)
Azioni sul collegamento: N=-13961.30 Ty=15.19 Tz=-0.86 Mx=0.02 Mz=13.60
Sollecitazioni agenti localmente: Ty_l=-2538.42 Mx_l=-50.77
Tensioni nella sezione: σ=615.37 τ=76.92
CC 1 SLV (Collegamento -179_-383)
Azioni sul collegamento: N=-13961.30 Ty=7.48 Tz=-0.86 Mx=0.02 Mz=7.28
Sollecitazioni agenti localmente: Ty_l=-2538.42 Mx_l=-50.77
Tensioni nella sezione: σ=615.37 τ=76.92
CC 1 SLV (Collegamento -179_-383)
Azioni sul collegamento: N=-13961.30 Ty=15.19 Tz=28.35 Mx=0.02 Mz=13.60
Sollecitazioni agenti localmente: Ty_l=-2538.42 Mx_l=-50.77
Tensioni nella sezione: σ=615.37 τ=76.92
CC 1 SLV (Collegamento -179_-383)
Azioni sul collegamento: N=-13961.30 Ty=7.48 Tz=28.35 Mx=0.02 Mz=7.28
Sollecitazioni agenti localmente: Ty_l=-2538.42 Mx_l=-50.77
Tensioni nella sezione: σ=615.37 τ=76.92
CC 2 SLD (Collegamento -179_-383)
Azioni sul collegamento: N=-8758.64 Ty=11.59 Tz=8.91 Mx=0.01 Mz=9.27
Sollecitazioni agenti localmente: Ty_l=-1592.48 Mx_l=-31.85
Tensioni nella sezione: σ=386.06 τ=48.26
CC 2 SLD (Collegamento -179_-383)
Azioni sul collegamento: N=-8758.64 Ty=9.24 Tz=8.91 Mx=0.01 Mz=7.34
Sollecitazioni agenti localmente: Ty_l=-1592.48 Mx_l=-31.85
Tensioni nella sezione: σ=386.06 τ=48.26
CC 2 SLD (Collegamento -179_-383)
Azioni sul collegamento: N=-8758.64 Ty=11.59 Tz=17.82 Mx=0.01 Mz=9.27
Sollecitazioni agenti localmente: Ty_l=-1592.48 Mx_l=-31.85
Tensioni nella sezione: σ=386.06 τ=48.26
CC 2 SLD (Collegamento -179_-383)
Azioni sul collegamento: N=-8758.64 Ty=9.24 Tz=17.82 Mx=0.01 Mz=7.34
Sollecitazioni agenti localmente: Ty_l=-1592.48 Mx_l=-31.85

Tensioni nella sezione: σ=386.06 τ=48.26
CC 2 SLD (Collegamento -179_-383)
Azioni sul collegamento: N=-11144.60 Ty=11.59 Tz=8.91 Mx=0.01 Mz=9.27
Sollecitazioni agenti localmente: Ty_l=-2026.30 Mx_l=-40.53
Tensioni nella sezione: σ=491.22 τ=61.40
CC 2 SLD (Collegamento -179_-383)
Azioni sul collegamento: N=-11144.60 Ty=9.24 Tz=8.91 Mx=0.01 Mz=7.34
Sollecitazioni agenti localmente: Ty_l=-2026.30 Mx_l=-40.53
Tensioni nella sezione: σ=491.22 τ=61.40
CC 2 SLD (Collegamento -179_-383)
Azioni sul collegamento: N=-11144.60 Ty=11.59 Tz=17.82 Mx=0.01 Mz=9.27
Sollecitazioni agenti localmente: Ty_l=-2026.30 Mx_l=-40.53
Tensioni nella sezione: σ=491.22 τ=61.40
CC 2 SLD (Collegamento -179_-383)
Azioni sul collegamento: N=-11144.60 Ty=9.24 Tz=17.82 Mx=0.01 Mz=7.34
Sollecitazioni agenti localmente: Ty_l=-2026.30 Mx_l=-40.53
Tensioni nella sezione: σ=491.22 τ=61.40
CC 3 SLV (Collegamento -179_-383)
Azioni sul collegamento: N=-6141.51 Ty=14.68 Tz=-0.53 Mx=0.01 Mz=12.56
Sollecitazioni agenti localmente: Ty_l=-1116.64 Mx_l=-22.33
Tensioni nella sezione: σ=270.70 τ=33.84
CC 3 SLV (Collegamento -179_-383)
Azioni sul collegamento: N=-6141.51 Ty=7.99 Tz=-0.53 Mx=0.01 Mz=8.33
Sollecitazioni agenti localmente: Ty_l=-1116.64 Mx_l=-22.33
Tensioni nella sezione: σ=270.70 τ=33.84
CC 3 SLV (Collegamento -179_-383)
Azioni sul collegamento: N=-6141.51 Ty=14.68 Tz=28.02 Mx=0.01 Mz=12.56
Sollecitazioni agenti localmente: Ty_l=-1116.64 Mx_l=-22.33
Tensioni nella sezione: σ=270.70 τ=33.84
CC 3 SLV (Collegamento -179_-383)
Azioni sul collegamento: N=-6141.51 Ty=7.99 Tz=28.02 Mx=0.01 Mz=8.33
Sollecitazioni agenti localmente: Ty_l=-1116.64 Mx_l=-22.33
Tensioni nella sezione: σ=270.70 τ=33.84
CC 3 SLV (Collegamento -179_-383)
Azioni sul collegamento: N=-13956.40 Ty=14.68 Tz=-0.53 Mx=0.01 Mz=12.56
Sollecitazioni agenti localmente: Ty_l=-2537.54 Mx_l=-50.75
Tensioni nella sezione: σ=615.16 τ=76.89
CC 3 SLV (Collegamento -179_-383)
Azioni sul collegamento: N=-13956.40 Ty=7.99 Tz=-0.53 Mx=0.01 Mz=8.33
Sollecitazioni agenti localmente: Ty_l=-2537.54 Mx_l=-50.75
Tensioni nella sezione: σ=615.16 τ=76.89
CC 3 SLV (Collegamento -179_-383)
Azioni sul collegamento: N=-13956.40 Ty=14.68 Tz=28.02 Mx=0.01 Mz=12.56
Sollecitazioni agenti localmente: Ty_l=-2537.54 Mx_l=-50.75
Tensioni nella sezione: σ=615.16 τ=76.89
CC 3 SLV (Collegamento -179_-383)
Azioni sul collegamento: N=-13956.40 Ty=7.99 Tz=28.02 Mx=0.01 Mz=8.33
Sollecitazioni agenti localmente: Ty_l=-2537.54 Mx_l=-50.75
Tensioni nella sezione: σ=615.16 τ=76.89
CC 4 SLD (Collegamento -179_-383)
Azioni sul collegamento: N=-8760.13 Ty=11.43 Tz=9.01 Mx=0.01 Mz=8.95
Sollecitazioni agenti localmente: Ty_l=-1592.75 Mx_l=-31.85
Tensioni nella sezione: σ=386.12 τ=48.27
CC 4 SLD (Collegamento -179_-383)
Azioni sul collegamento: N=-8760.13 Ty=9.39 Tz=9.01 Mx=0.01 Mz=7.66
Sollecitazioni agenti localmente: Ty_l=-1592.75 Mx_l=-31.85
Tensioni nella sezione: σ=386.12 τ=48.27
CC 4 SLD (Collegamento -179_-383)
Azioni sul collegamento: N=-8760.13 Ty=11.43 Tz=17.72 Mx=0.01 Mz=8.95
Sollecitazioni agenti localmente: Ty_l=-1592.75 Mx_l=-31.85
Tensioni nella sezione: σ=386.12 τ=48.27
CC 4 SLD (Collegamento -179_-383)
Azioni sul collegamento: N=-8760.13 Ty=9.39 Tz=17.72 Mx=0.01 Mz=7.66
Sollecitazioni agenti localmente: Ty_l=-1592.75 Mx_l=-31.85
Tensioni nella sezione: σ=386.12 τ=48.27
CC 4 SLD (Collegamento -179_-383)
Azioni sul collegamento: N=-11143.10 Ty=11.43 Tz=9.01 Mx=0.01 Mz=8.95
Sollecitazioni agenti localmente: Ty_l=-2026.03 Mx_l=-40.52
Tensioni nella sezione: σ=491.16 τ=61.39
CC 4 SLD (Collegamento -179_-383)
Azioni sul collegamento: N=-11143.10 Ty=9.39 Tz=9.01 Mx=0.01 Mz=7.66
Sollecitazioni agenti localmente: Ty_l=-2026.03 Mx_l=-40.52
Tensioni nella sezione: σ=491.16 τ=61.39
CC 4 SLD (Collegamento -179_-383)
Azioni sul collegamento: N=-11143.10 Ty=11.43 Tz=17.72 Mx=0.01 Mz=8.95
Sollecitazioni agenti localmente: Ty_l=-2026.03 Mx_l=-40.52
Tensioni nella sezione: σ=491.16 τ=61.39
CC 4 SLD (Collegamento -179_-383)
Azioni sul collegamento: N=-11143.10 Ty=9.39 Tz=17.72 Mx=0.01 Mz=7.66

Sollecitazioni agenti localmente: Ty_l=-2026.03 Mx_l=-40.52
Tensioni nella sezione: σ=491.16 τ=61.39
CC 5 SLV (Collegamento -179_-383)
Azioni sul collegamento: N=-13956.40 Ty=7.99 Tz=28.02 Mx=0.02 Mz=8.33
Sollecitazioni agenti localmente: Ty_l=-2537.54 Mx_l=-50.75
Tensioni nella sezione: σ=615.16 τ=76.89
CC 5 SLV (Collegamento -179_-383)
Azioni sul collegamento: N=-13956.40 Ty=14.68 Tz=28.02 Mx=0.02 Mz=12.56
Sollecitazioni agenti localmente: Ty_l=-2537.54 Mx_l=-50.75
Tensioni nella sezione: σ=615.16 τ=76.89
CC 5 SLV (Collegamento -179_-383)
Azioni sul collegamento: N=-13956.40 Ty=7.99 Tz=-0.53 Mx=0.02 Mz=8.33
Sollecitazioni agenti localmente: Ty_l=-2537.54 Mx_l=-50.75
Tensioni nella sezione: σ=615.16 τ=76.89
CC 5 SLV (Collegamento -179_-383)
Azioni sul collegamento: N=-13956.40 Ty=14.68 Tz=-0.53 Mx=0.02 Mz=12.56
Sollecitazioni agenti localmente: Ty_l=-2537.54 Mx_l=-50.75
Tensioni nella sezione: σ=615.16 τ=76.89
CC 5 SLV (Collegamento -179_-383)
Azioni sul collegamento: N=-6141.51 Ty=7.99 Tz=28.02 Mx=0.02 Mz=8.33
Sollecitazioni agenti localmente: Ty_l=-1116.64 Mx_l=-22.33
Tensioni nella sezione: σ=270.70 τ=33.84
CC 5 SLV (Collegamento -179_-383)
Azioni sul collegamento: N=-6141.51 Ty=14.68 Tz=28.02 Mx=0.02 Mz=12.56
Sollecitazioni agenti localmente: Ty_l=-1116.64 Mx_l=-22.33
Tensioni nella sezione: σ=270.70 τ=33.84
CC 5 SLV (Collegamento -179_-383)
Azioni sul collegamento: N=-6141.51 Ty=7.99 Tz=-0.53 Mx=0.02 Mz=8.33
Sollecitazioni agenti localmente: Ty_l=-1116.64 Mx_l=-22.33
Tensioni nella sezione: σ=270.70 τ=33.84
CC 5 SLV (Collegamento -179_-383)
Azioni sul collegamento: N=-6141.51 Ty=14.68 Tz=-0.53 Mx=0.02 Mz=12.56
Sollecitazioni agenti localmente: Ty_l=-1116.64 Mx_l=-22.33
Tensioni nella sezione: σ=270.70 τ=33.84
CC 6 SLD (Collegamento -179_-383)
Azioni sul collegamento: N=-11143.10 Ty=9.39 Tz=17.72 Mx=0.01 Mz=7.66
Sollecitazioni agenti localmente: Ty_l=-2026.03 Mx_l=-40.52
Tensioni nella sezione: σ=491.16 τ=61.39
CC 6 SLD (Collegamento -179_-383)
Azioni sul collegamento: N=-11143.10 Ty=11.43 Tz=17.72 Mx=0.01 Mz=8.95
Sollecitazioni agenti localmente: Ty_l=-2026.03 Mx_l=-40.52
Tensioni nella sezione: σ=491.16 τ=61.39
CC 6 SLD (Collegamento -179_-383)
Azioni sul collegamento: N=-11143.10 Ty=9.39 Tz=9.01 Mx=0.01 Mz=7.66
Sollecitazioni agenti localmente: Ty_l=-2026.03 Mx_l=-40.52
Tensioni nella sezione: σ=491.16 τ=61.39
CC 6 SLD (Collegamento -179_-383)
Azioni sul collegamento: N=-11143.10 Ty=11.43 Tz=9.01 Mx=0.01 Mz=8.95
Sollecitazioni agenti localmente: Ty_l=-2026.03 Mx_l=-40.52
Tensioni nella sezione: σ=491.16 τ=61.39
CC 6 SLD (Collegamento -179_-383)
Azioni sul collegamento: N=-8760.13 Ty=9.39 Tz=17.72 Mx=0.01 Mz=7.66
Sollecitazioni agenti localmente: Ty_l=-1592.75 Mx_l=-31.85
Tensioni nella sezione: σ=386.12 τ=48.27
CC 6 SLD (Collegamento -179_-383)
Azioni sul collegamento: N=-8760.13 Ty=11.43 Tz=17.72 Mx=0.01 Mz=8.95
Sollecitazioni agenti localmente: Ty_l=-1592.75 Mx_l=-31.85
Tensioni nella sezione: σ=386.12 τ=48.27
CC 6 SLD (Collegamento -179_-383)
Azioni sul collegamento: N=-8760.13 Ty=9.39 Tz=9.01 Mx=0.01 Mz=7.66
Sollecitazioni agenti localmente: Ty_l=-1592.75 Mx_l=-31.85
Tensioni nella sezione: σ=386.12 τ=48.27
CC 6 SLD (Collegamento -179_-383)
Azioni sul collegamento: N=-8760.13 Ty=11.43 Tz=9.01 Mx=0.01 Mz=8.95
Sollecitazioni agenti localmente: Ty_l=-1592.75 Mx_l=-31.85
Tensioni nella sezione: σ=386.12 τ=48.27
CC 7 SLV (Collegamento -179_-383)
Azioni sul collegamento: N=-13961.30 Ty=7.48 Tz=28.35 Mx=0.01 Mz=7.28
Sollecitazioni agenti localmente: Ty_l=-2538.42 Mx_l=-50.77
Tensioni nella sezione: σ=615.37 τ=76.92
CC 7 SLV (Collegamento -179_-383)
Azioni sul collegamento: N=-13961.30 Ty=15.19 Tz=28.35 Mx=0.01 Mz=13.60
Sollecitazioni agenti localmente: Ty_l=-2538.42 Mx_l=-50.77
Tensioni nella sezione: σ=615.37 τ=76.92
CC 7 SLV (Collegamento -179_-383)
Azioni sul collegamento: N=-13961.30 Ty=7.48 Tz=-0.86 Mx=0.01 Mz=7.28
Sollecitazioni agenti localmente: Ty_l=-2538.42 Mx_l=-50.77
Tensioni nella sezione: σ=615.37 τ=76.92
CC 7 SLV (Collegamento -179_-383)

Azioni sul collegamento: N=-13961.30 Ty=15.19 Tz=-0.86 Mx=0.01 Mz=13.60
Sollecitazioni agenti localmente: Ty_l=-2538.42 Mx_l=-50.77
Tensioni nella sezione: σ=615.37 τ=76.92
CC 7 SLV (Collegamento -179_-383)
Azioni sul collegamento: N=-6136.64 Ty=7.48 Tz=28.35 Mx=0.01 Mz=7.28
Sollecitazioni agenti localmente: Ty_l=-1115.75 Mx_l=-22.32
Tensioni nella sezione: σ=270.49 τ=33.81
CC 7 SLV (Collegamento -179_-383)
Azioni sul collegamento: N=-6136.64 Ty=15.19 Tz=28.35 Mx=0.01 Mz=13.60
Sollecitazioni agenti localmente: Ty_l=-1115.75 Mx_l=-22.32
Tensioni nella sezione: σ=270.49 τ=33.81
CC 7 SLV (Collegamento -179_-383)
Azioni sul collegamento: N=-6136.64 Ty=7.48 Tz=-0.86 Mx=0.01 Mz=7.28
Sollecitazioni agenti localmente: Ty_l=-1115.75 Mx_l=-22.32
Tensioni nella sezione: σ=270.49 τ=33.81
CC 7 SLV (Collegamento -179_-383)
Azioni sul collegamento: N=-6136.64 Ty=15.19 Tz=-0.86 Mx=0.01 Mz=13.60
Sollecitazioni agenti localmente: Ty_l=-1115.75 Mx_l=-22.32
Tensioni nella sezione: σ=270.49 τ=33.81
CC 8 SLD (Collegamento -179_-383)
Azioni sul collegamento: N=-11144.60 Ty=9.24 Tz=17.82 Mx=0.01 Mz=7.34
Sollecitazioni agenti localmente: Ty_l=-2026.30 Mx_l=-40.53
Tensioni nella sezione: σ=491.22 τ=61.40
CC 8 SLD (Collegamento -179_-383)
Azioni sul collegamento: N=-11144.60 Ty=11.59 Tz=17.82 Mx=0.01 Mz=9.27
Sollecitazioni agenti localmente: Ty_l=-2026.30 Mx_l=-40.53
Tensioni nella sezione: σ=491.22 τ=61.40
CC 8 SLD (Collegamento -179_-383)
Azioni sul collegamento: N=-11144.60 Ty=9.24 Tz=8.91 Mx=0.01 Mz=7.34
Sollecitazioni agenti localmente: Ty_l=-2026.30 Mx_l=-40.53
Tensioni nella sezione: σ=491.22 τ=61.40
CC 8 SLD (Collegamento -179_-383)
Azioni sul collegamento: N=-11144.60 Ty=11.59 Tz=8.91 Mx=0.01 Mz=9.27
Sollecitazioni agenti localmente: Ty_l=-2026.30 Mx_l=-40.53
Tensioni nella sezione: σ=491.22 τ=61.40
CC 8 SLD (Collegamento -179_-383)
Azioni sul collegamento: N=-8758.64 Ty=9.24 Tz=17.82 Mx=0.01 Mz=7.34
Sollecitazioni agenti localmente: Ty_l=-1592.48 Mx_l=-31.85
Tensioni nella sezione: σ=386.06 τ=48.26
CC 8 SLD (Collegamento -179_-383)
Azioni sul collegamento: N=-8758.64 Ty=11.59 Tz=17.82 Mx=0.01 Mz=9.27
Sollecitazioni agenti localmente: Ty_l=-1592.48 Mx_l=-31.85
Tensioni nella sezione: σ=386.06 τ=48.26
CC 8 SLD (Collegamento -179_-383)
Azioni sul collegamento: N=-8758.64 Ty=9.24 Tz=8.91 Mx=0.01 Mz=7.34
Sollecitazioni agenti localmente: Ty_l=-1592.48 Mx_l=-31.85
Tensioni nella sezione: σ=386.06 τ=48.26
CC 8 SLD (Collegamento -179_-383)
Azioni sul collegamento: N=-8758.64 Ty=11.59 Tz=8.91 Mx=0.01 Mz=9.27
Sollecitazioni agenti localmente: Ty_l=-1592.48 Mx_l=-31.85
Tensioni nella sezione: σ=386.06 τ=48.26
CC 9 SLV (Collegamento -179_-383)
Azioni sul collegamento: N=-8867.90 Ty=13.27 Tz=8.87 Mx=0.02 Mz=12.98
Sollecitazioni agenti localmente: Ty_l=-1612.34 Mx_l=-32.25
Tensioni nella sezione: σ=390.87 τ=48.86
CC 9 SLV (Collegamento -179_-383)
Azioni sul collegamento: N=-8867.90 Ty=9.40 Tz=8.87 Mx=0.02 Mz=7.91
Sollecitazioni agenti localmente: Ty_l=-1612.34 Mx_l=-32.25
Tensioni nella sezione: σ=390.87 τ=48.86
CC 9 SLV (Collegamento -179_-383)
Azioni sul collegamento: N=-8867.90 Ty=13.27 Tz=18.62 Mx=0.02 Mz=12.98
Sollecitazioni agenti localmente: Ty_l=-1612.34 Mx_l=-32.25
Tensioni nella sezione: σ=390.87 τ=48.86
CC 9 SLV (Collegamento -179_-383)
Azioni sul collegamento: N=-8867.90 Ty=9.40 Tz=18.62 Mx=0.02 Mz=7.91
Sollecitazioni agenti localmente: Ty_l=-1612.34 Mx_l=-32.25
Tensioni nella sezione: σ=390.87 τ=48.86
CC 9 SLV (Collegamento -179_-383)
Azioni sul collegamento: N=-11230.10 Ty=13.27 Tz=8.87 Mx=0.02 Mz=12.98
Sollecitazioni agenti localmente: Ty_l=-2041.83 Mx_l=-40.84
Tensioni nella sezione: σ=494.99 τ=61.87
CC 9 SLV (Collegamento -179_-383)
Azioni sul collegamento: N=-11230.10 Ty=9.40 Tz=8.87 Mx=0.02 Mz=7.91
Sollecitazioni agenti localmente: Ty_l=-2041.83 Mx_l=-40.84
Tensioni nella sezione: σ=494.99 τ=61.87
CC 9 SLV (Collegamento -179_-383)
Azioni sul collegamento: N=-11230.10 Ty=13.27 Tz=18.62 Mx=0.02 Mz=12.98
Sollecitazioni agenti localmente: Ty_l=-2041.83 Mx_l=-40.84
Tensioni nella sezione: σ=494.99 τ=61.87

CC 9 SLV (Collegamento -179_-383)
Azioni sul collegamento: N=-11230.10 Ty=9.40 Tz=18.62 Mx=0.02 Mz=7.91
Sollecitazioni agenti localmente: Ty_l=-2041.83 Mx_l=-40.84
Tensioni nella sezione: σ=494.99 τ=61.87
CC 10 SLD (Collegamento -179_-383)
Azioni sul collegamento: N=-9591.49 Ty=11.00 Tz=11.88 Mx=0.01 Mz=9.08
Sollecitazioni agenti localmente: Ty_l=-1743.91 Mx_l=-34.88
Tensioni nella sezione: σ=422.76 τ=52.85
CC 10 SLD (Collegamento -179_-383)
Azioni sul collegamento: N=-9591.49 Ty=9.82 Tz=11.88 Mx=0.01 Mz=7.53
Sollecitazioni agenti localmente: Ty_l=-1743.91 Mx_l=-34.88
Tensioni nella sezione: σ=422.76 τ=52.85
CC 10 SLD (Collegamento -179_-383)
Azioni sul collegamento: N=-9591.49 Ty=11.00 Tz=14.85 Mx=0.01 Mz=9.08
Sollecitazioni agenti localmente: Ty_l=-1743.91 Mx_l=-34.88
Tensioni nella sezione: σ=422.76 τ=52.85
CC 10 SLD (Collegamento -179_-383)
Azioni sul collegamento: N=-9591.49 Ty=9.82 Tz=14.85 Mx=0.01 Mz=7.53
Sollecitazioni agenti localmente: Ty_l=-1743.91 Mx_l=-34.88
Tensioni nella sezione: σ=422.76 τ=52.85
CC 10 SLD (Collegamento -179_-383)
Azioni sul collegamento: N=-10311.80 Ty=11.00 Tz=11.88 Mx=0.01 Mz=9.08
Sollecitazioni agenti localmente: Ty_l=-1874.87 Mx_l=-37.50
Tensioni nella sezione: σ=454.51 τ=56.81
CC 10 SLD (Collegamento -179_-383)
Azioni sul collegamento: N=-10311.80 Ty=9.82 Tz=11.88 Mx=0.01 Mz=7.53
Sollecitazioni agenti localmente: Ty_l=-1874.87 Mx_l=-37.50
Tensioni nella sezione: σ=454.51 τ=56.81
CC 10 SLD (Collegamento -179_-383)
Azioni sul collegamento: N=-10311.80 Ty=11.00 Tz=14.85 Mx=0.01 Mz=9.08
Sollecitazioni agenti localmente: Ty_l=-1874.87 Mx_l=-37.50
Tensioni nella sezione: σ=454.51 τ=56.81
CC 10 SLD (Collegamento -179_-383)
Azioni sul collegamento: N=-10311.80 Ty=9.82 Tz=14.85 Mx=0.01 Mz=7.53
Sollecitazioni agenti localmente: Ty_l=-1874.87 Mx_l=-37.50
Tensioni nella sezione: σ=454.51 τ=56.81
CC 11 SLV (Collegamento -179_-383)
Azioni sul collegamento: N=-11213.80 Ty=11.11 Tz=17.53 Mx=0.02 Mz=11.40
Sollecitazioni agenti localmente: Ty_l=-2038.88 Mx_l=-40.78
Tensioni nella sezione: σ=494.27 τ=61.78
CC 11 SLV (Collegamento -179_-383)
Azioni sul collegamento: N=-11213.80 Ty=11.56 Tz=17.53 Mx=0.02 Mz=9.49
Sollecitazioni agenti localmente: Ty_l=-2038.88 Mx_l=-40.78
Tensioni nella sezione: σ=494.27 τ=61.78
CC 11 SLV (Collegamento -179_-383)
Azioni sul collegamento: N=-11213.80 Ty=11.11 Tz=9.96 Mx=0.02 Mz=11.40
Sollecitazioni agenti localmente: Ty_l=-2038.88 Mx_l=-40.78
Tensioni nella sezione: σ=494.27 τ=61.78
CC 11 SLV (Collegamento -179_-383)
Azioni sul collegamento: N=-11213.80 Ty=11.56 Tz=9.96 Mx=0.02 Mz=9.49
Sollecitazioni agenti localmente: Ty_l=-2038.88 Mx_l=-40.78
Tensioni nella sezione: σ=494.27 τ=61.78
CC 11 SLV (Collegamento -179_-383)
Azioni sul collegamento: N=-8884.11 Ty=11.11 Tz=17.53 Mx=0.02 Mz=11.40
Sollecitazioni agenti localmente: Ty_l=-1615.29 Mx_l=-32.31
Tensioni nella sezione: σ=391.58 τ=48.95
CC 11 SLV (Collegamento -179_-383)
Azioni sul collegamento: N=-8884.11 Ty=11.56 Tz=17.53 Mx=0.02 Mz=9.49
Sollecitazioni agenti localmente: Ty_l=-1615.29 Mx_l=-32.31
Tensioni nella sezione: σ=391.58 τ=48.95
CC 11 SLV (Collegamento -179_-383)
Azioni sul collegamento: N=-8884.11 Ty=11.11 Tz=9.96 Mx=0.02 Mz=11.40
Sollecitazioni agenti localmente: Ty_l=-1615.29 Mx_l=-32.31
Tensioni nella sezione: σ=391.58 τ=48.95
CC 11 SLV (Collegamento -179_-383)
Azioni sul collegamento: N=-8884.11 Ty=11.56 Tz=9.96 Mx=0.02 Mz=9.49
Sollecitazioni agenti localmente: Ty_l=-1615.29 Mx_l=-32.31
Tensioni nella sezione: σ=391.58 τ=48.95
CC 12 SLD (Collegamento -179_-383)
Azioni sul collegamento: N=-10306.80 Ty=10.34 Tz=14.52 Mx=0.01 Mz=8.60
Sollecitazioni agenti localmente: Ty_l=-1873.97 Mx_l=-37.48
Tensioni nella sezione: σ=454.30 τ=56.79
CC 12 SLD (Collegamento -179_-383)
Azioni sul collegamento: N=-10306.80 Ty=10.48 Tz=14.52 Mx=0.01 Mz=8.01
Sollecitazioni agenti localmente: Ty_l=-1873.97 Mx_l=-37.48
Tensioni nella sezione: σ=454.30 τ=56.79
CC 12 SLD (Collegamento -179_-383)
Azioni sul collegamento: N=-10306.80 Ty=10.34 Tz=12.21 Mx=0.01 Mz=8.60
Sollecitazioni agenti localmente: Ty_l=-1873.97 Mx_l=-37.48

Tensioni nella sezione: σ=454.30 τ=56.79
CC 12 SLD (Collegamento -179_-383)
Azioni sul collegamento: N=-10306.80 Ty=10.48 Tz=12.21 Mx=0.01 Mz=8.01
Sollecitazioni agenti localmente: Ty_l=-1873.97 Mx_l=-37.48
Tensioni nella sezione: σ=454.30 τ=56.79
CC 12 SLD (Collegamento -179_-383)
Azioni sul collegamento: N=-9596.43 Ty=10.34 Tz=14.52 Mx=0.01 Mz=8.60
Sollecitazioni agenti localmente: Ty_l=-1744.81 Mx_l=-34.90
Tensioni nella sezione: σ=422.98 τ=52.87
CC 12 SLD (Collegamento -179_-383)
Azioni sul collegamento: N=-9596.43 Ty=10.48 Tz=14.52 Mx=0.01 Mz=8.01
Sollecitazioni agenti localmente: Ty_l=-1744.81 Mx_l=-34.90
Tensioni nella sezione: σ=422.98 τ=52.87
CC 12 SLD (Collegamento -179_-383)
Azioni sul collegamento: N=-9596.43 Ty=10.34 Tz=12.21 Mx=0.01 Mz=8.60
Sollecitazioni agenti localmente: Ty_l=-1744.81 Mx_l=-34.90
Tensioni nella sezione: σ=422.98 τ=52.87
CC 12 SLD (Collegamento -179_-383)
Azioni sul collegamento: N=-9596.43 Ty=10.48 Tz=12.21 Mx=0.01 Mz=8.01
Sollecitazioni agenti localmente: Ty_l=-1744.81 Mx_l=-34.90
Tensioni nella sezione: σ=422.98 τ=52.87
CC 13 SLV (Collegamento -179_-383)
Azioni sul collegamento: N=-8884.11 Ty=11.56 Tz=9.96 Mx=0.01 Mz=9.49
Sollecitazioni agenti localmente: Ty_l=-1615.29 Mx_l=-32.31
Tensioni nella sezione: σ=391.58 τ=48.95
CC 13 SLV (Collegamento -179_-383)
Azioni sul collegamento: N=-8884.11 Ty=11.11 Tz=9.96 Mx=0.01 Mz=11.40
Sollecitazioni agenti localmente: Ty_l=-1615.29 Mx_l=-32.31
Tensioni nella sezione: σ=391.58 τ=48.95
CC 13 SLV (Collegamento -179_-383)
Azioni sul collegamento: N=-8884.11 Ty=11.56 Tz=17.53 Mx=0.01 Mz=9.49
Sollecitazioni agenti localmente: Ty_l=-1615.29 Mx_l=-32.31
Tensioni nella sezione: σ=391.58 τ=48.95
CC 13 SLV (Collegamento -179_-383)
Azioni sul collegamento: N=-8884.11 Ty=11.11 Tz=17.53 Mx=0.01 Mz=11.40
Sollecitazioni agenti localmente: Ty_l=-1615.29 Mx_l=-32.31
Tensioni nella sezione: σ=391.58 τ=48.95
CC 13 SLV (Collegamento -179_-383)
Azioni sul collegamento: N=-11213.80 Ty=11.56 Tz=9.96 Mx=0.01 Mz=9.49
Sollecitazioni agenti localmente: Ty_l=-2038.88 Mx_l=-40.78
Tensioni nella sezione: σ=494.27 τ=61.78
CC 13 SLV (Collegamento -179_-383)
Azioni sul collegamento: N=-11213.80 Ty=11.11 Tz=9.96 Mx=0.01 Mz=11.40
Sollecitazioni agenti localmente: Ty_l=-2038.88 Mx_l=-40.78
Tensioni nella sezione: σ=494.27 τ=61.78
CC 13 SLV (Collegamento -179_-383)
Azioni sul collegamento: N=-11213.80 Ty=11.56 Tz=17.53 Mx=0.01 Mz=9.49
Sollecitazioni agenti localmente: Ty_l=-2038.88 Mx_l=-40.78
Tensioni nella sezione: σ=494.27 τ=61.78
CC 13 SLV (Collegamento -179_-383)
Azioni sul collegamento: N=-11213.80 Ty=11.11 Tz=17.53 Mx=0.01 Mz=11.40
Sollecitazioni agenti localmente: Ty_l=-2038.88 Mx_l=-40.78
Tensioni nella sezione: σ=494.27 τ=61.78
CC 14 SLD (Collegamento -179_-383)
Azioni sul collegamento: N=-9596.43 Ty=10.48 Tz=12.21 Mx=0.00 Mz=8.01
Sollecitazioni agenti localmente: Ty_l=-1744.81 Mx_l=-34.90
Tensioni nella sezione: σ=422.98 τ=52.87
CC 14 SLD (Collegamento -179_-383)
Azioni sul collegamento: N=-9596.43 Ty=10.34 Tz=12.21 Mx=0.00 Mz=8.60
Sollecitazioni agenti localmente: Ty_l=-1744.81 Mx_l=-34.90
Tensioni nella sezione: σ=422.98 τ=52.87
CC 14 SLD (Collegamento -179_-383)
Azioni sul collegamento: N=-9596.43 Ty=10.48 Tz=14.52 Mx=0.00 Mz=8.01
Sollecitazioni agenti localmente: Ty_l=-1744.81 Mx_l=-34.90
Tensioni nella sezione: σ=422.98 τ=52.87
CC 14 SLD (Collegamento -179_-383)
Azioni sul collegamento: N=-9596.43 Ty=10.34 Tz=14.52 Mx=0.00 Mz=8.60
Sollecitazioni agenti localmente: Ty_l=-1744.81 Mx_l=-34.90
Tensioni nella sezione: σ=422.98 τ=52.87
CC 14 SLD (Collegamento -179_-383)
Azioni sul collegamento: N=-10306.80 Ty=10.48 Tz=12.21 Mx=0.00 Mz=8.01
Sollecitazioni agenti localmente: Ty_l=-1873.97 Mx_l=-37.48
Tensioni nella sezione: σ=454.30 τ=56.79
CC 14 SLD (Collegamento -179_-383)
Azioni sul collegamento: N=-10306.80 Ty=10.34 Tz=12.21 Mx=0.00 Mz=8.60
Sollecitazioni agenti localmente: Ty_l=-1873.97 Mx_l=-37.48
Tensioni nella sezione: σ=454.30 τ=56.79
CC 14 SLD (Collegamento -179_-383)
Azioni sul collegamento: N=-10306.80 Ty=10.48 Tz=14.52 Mx=0.00 Mz=8.01

Sollecitazioni agenti localmente: Ty_l=-1873.97 Mx_l=-37.48
Tensioni nella sezione: σ=454.30 τ=56.79
CC 14 SLD (Collegamento -179_-383)
Azioni sul collegamento: N=-10306.80 Ty=10.34 Tz=14.52 Mx=0.00 Mz=8.60
Sollecitazioni agenti localmente: Ty_l=-1873.97 Mx_l=-37.48
Tensioni nella sezione: σ=454.30 τ=56.79
CC 15 SLV (Collegamento -179_-383)
Azioni sul collegamento: N=-11230.10 Ty=9.40 Tz=18.62 Mx=0.01 Mz=7.91
Sollecitazioni agenti localmente: Ty_l=-2041.83 Mx_l=-40.84
Tensioni nella sezione: σ=494.99 τ=61.87
CC 15 SLV (Collegamento -179_-383)
Azioni sul collegamento: N=-11230.10 Ty=13.27 Tz=18.62 Mx=0.01 Mz=12.98
Sollecitazioni agenti localmente: Ty_l=-2041.83 Mx_l=-40.84
Tensioni nella sezione: σ=494.99 τ=61.87
CC 15 SLV (Collegamento -179_-383)
Azioni sul collegamento: N=-11230.10 Ty=9.40 Tz=8.87 Mx=0.01 Mz=7.91
Sollecitazioni agenti localmente: Ty_l=-2041.83 Mx_l=-40.84
Tensioni nella sezione: σ=494.99 τ=61.87
CC 15 SLV (Collegamento -179_-383)
Azioni sul collegamento: N=-11230.10 Ty=13.27 Tz=8.87 Mx=0.01 Mz=12.98
Sollecitazioni agenti localmente: Ty_l=-2041.83 Mx_l=-40.84
Tensioni nella sezione: σ=494.99 τ=61.87
CC 15 SLV (Collegamento -179_-383)
Azioni sul collegamento: N=-8867.90 Ty=9.40 Tz=18.62 Mx=0.01 Mz=7.91
Sollecitazioni agenti localmente: Ty_l=-1612.34 Mx_l=-32.25
Tensioni nella sezione: σ=390.87 τ=48.86
CC 15 SLV (Collegamento -179_-383)
Azioni sul collegamento: N=-8867.90 Ty=13.27 Tz=18.62 Mx=0.01 Mz=12.98
Sollecitazioni agenti localmente: Ty_l=-1612.34 Mx_l=-32.25
Tensioni nella sezione: σ=390.87 τ=48.86
CC 15 SLV (Collegamento -179_-383)
Azioni sul collegamento: N=-8867.90 Ty=9.40 Tz=8.87 Mx=0.01 Mz=7.91
Sollecitazioni agenti localmente: Ty_l=-1612.34 Mx_l=-32.25
Tensioni nella sezione: σ=390.87 τ=48.86
CC 15 SLV (Collegamento -179_-383)
Azioni sul collegamento: N=-8867.90 Ty=13.27 Tz=8.87 Mx=0.01 Mz=12.98
Sollecitazioni agenti localmente: Ty_l=-1612.34 Mx_l=-32.25
Tensioni nella sezione: σ=390.87 τ=48.86
CC 16 SLD (Collegamento -179_-383)
Azioni sul collegamento: N=-10311.80 Ty=9.82 Tz=14.85 Mx=0.00 Mz=7.53
Sollecitazioni agenti localmente: Ty_l=-1874.87 Mx_l=-37.50
Tensioni nella sezione: σ=454.51 τ=56.81
CC 16 SLD (Collegamento -179_-383)
Azioni sul collegamento: N=-10311.80 Ty=11.00 Tz=14.85 Mx=0.00 Mz=9.08
Sollecitazioni agenti localmente: Ty_l=-1874.87 Mx_l=-37.50
Tensioni nella sezione: σ=454.51 τ=56.81
CC 16 SLD (Collegamento -179_-383)
Azioni sul collegamento: N=-10311.80 Ty=9.82 Tz=11.88 Mx=0.00 Mz=7.53
Sollecitazioni agenti localmente: Ty_l=-1874.87 Mx_l=-37.50
Tensioni nella sezione: σ=454.51 τ=56.81
CC 16 SLD (Collegamento -179_-383)
Azioni sul collegamento: N=-10311.80 Ty=11.00 Tz=11.88 Mx=0.00 Mz=9.08
Sollecitazioni agenti localmente: Ty_l=-1874.87 Mx_l=-37.50
Tensioni nella sezione: σ=454.51 τ=56.81
CC 16 SLD (Collegamento -179_-383)
Azioni sul collegamento: N=-9591.49 Ty=9.82 Tz=14.85 Mx=0.00 Mz=7.53
Sollecitazioni agenti localmente: Ty_l=-1743.91 Mx_l=-34.88
Tensioni nella sezione: σ=422.76 τ=52.85
CC 16 SLD (Collegamento -179_-383)
Azioni sul collegamento: N=-9591.49 Ty=11.00 Tz=14.85 Mx=0.00 Mz=9.08
Sollecitazioni agenti localmente: Ty_l=-1743.91 Mx_l=-34.88
Tensioni nella sezione: σ=422.76 τ=52.85
CC 16 SLD (Collegamento -179_-383)
Azioni sul collegamento: N=-9591.49 Ty=9.82 Tz=11.88 Mx=0.00 Mz=7.53
Sollecitazioni agenti localmente: Ty_l=-1743.91 Mx_l=-34.88
Tensioni nella sezione: σ=422.76 τ=52.85
CC 16 SLD (Collegamento -179_-383)
Azioni sul collegamento: N=-9591.49 Ty=11.00 Tz=11.88 Mx=0.00 Mz=9.08
Sollecitazioni agenti localmente: Ty_l=-1743.91 Mx_l=-34.88
Tensioni nella sezione: σ=422.76 τ=52.85
CC 17 SLV (Collegamento -179_-383)
Azioni sul collegamento: N=-5856.57 Ty=12.53 Tz=-1.96 Mx=-0.01 Mz=7.45
Sollecitazioni agenti localmente: Ty_l=-1064.83 Mx_l=-21.30
Tensioni nella sezione: σ=258.14 τ=32.27
CC 17 SLV (Collegamento -179_-383)
Azioni sul collegamento: N=-5856.57 Ty=4.82 Tz=-1.96 Mx=-0.01 Mz=1.13
Sollecitazioni agenti localmente: Ty_l=-1064.83 Mx_l=-21.30
Tensioni nella sezione: σ=258.14 τ=32.27
CC 17 SLV (Collegamento -179_-383)

Azioni sul collegamento: N=-5856.57 Ty=12.53 Tz=27.25 Mx=-0.01 Mz=7.45
Sollecitazioni agenti localmente: Ty_l=-1064.83 Mx_l=-21.30
Tensioni nella sezione: σ=258.14 τ=32.27
CC 17 SLV (Collegamento -179_-383)
Azioni sul collegamento: N=-5856.57 Ty=4.82 Tz=27.25 Mx=-0.01 Mz=1.13
Sollecitazioni agenti localmente: Ty_l=-1064.83 Mx_l=-21.30
Tensioni nella sezione: σ=258.14 τ=32.27
CC 17 SLV (Collegamento -179_-383)
Azioni sul collegamento: N=-13681.20 Ty=12.53 Tz=-1.96 Mx=-0.01 Mz=7.45
Sollecitazioni agenti localmente: Ty_l=-2487.50 Mx_l=-49.75
Tensioni nella sezione: σ=603.03 τ=75.38
CC 17 SLV (Collegamento -179_-383)
Azioni sul collegamento: N=-13681.20 Ty=4.82 Tz=-1.96 Mx=-0.01 Mz=1.13
Sollecitazioni agenti localmente: Ty_l=-2487.50 Mx_l=-49.75
Tensioni nella sezione: σ=603.03 τ=75.38
CC 17 SLV (Collegamento -179_-383)
Azioni sul collegamento: N=-13681.20 Ty=12.53 Tz=27.25 Mx=-0.01 Mz=7.45
Sollecitazioni agenti localmente: Ty_l=-2487.50 Mx_l=-49.75
Tensioni nella sezione: σ=603.03 τ=75.38
CC 17 SLV (Collegamento -179_-383)
Azioni sul collegamento: N=-13681.20 Ty=4.82 Tz=27.25 Mx=-0.01 Mz=1.13
Sollecitazioni agenti localmente: Ty_l=-2487.50 Mx_l=-49.75
Tensioni nella sezione: σ=603.03 τ=75.38
CC 18 SLD (Collegamento -179_-383)
Azioni sul collegamento: N=-8673.24 Ty=10.78 Tz=8.57 Mx=-0.00 Mz=7.39
Sollecitazioni agenti localmente: Ty_l=-1576.95 Mx_l=-31.54
Tensioni nella sezione: σ=382.29 τ=47.79
CC 18 SLD (Collegamento -179_-383)
Azioni sul collegamento: N=-8673.24 Ty=8.42 Tz=8.57 Mx=-0.00 Mz=5.47
Sollecitazioni agenti localmente: Ty_l=-1576.95 Mx_l=-31.54
Tensioni nella sezione: σ=382.29 τ=47.79
CC 18 SLD (Collegamento -179_-383)
Azioni sul collegamento: N=-8673.24 Ty=10.78 Tz=17.48 Mx=-0.00 Mz=7.39
Sollecitazioni agenti localmente: Ty_l=-1576.95 Mx_l=-31.54
Tensioni nella sezione: σ=382.29 τ=47.79
CC 18 SLD (Collegamento -179_-383)
Azioni sul collegamento: N=-8673.24 Ty=8.42 Tz=17.48 Mx=-0.00 Mz=5.47
Sollecitazioni agenti localmente: Ty_l=-1576.95 Mx_l=-31.54
Tensioni nella sezione: σ=382.29 τ=47.79
CC 18 SLD (Collegamento -179_-383)
Azioni sul collegamento: N=-11059.20 Ty=10.78 Tz=8.57 Mx=-0.00 Mz=7.39
Sollecitazioni agenti localmente: Ty_l=-2010.77 Mx_l=-40.22
Tensioni nella sezione: σ=487.46 τ=60.93
CC 18 SLD (Collegamento -179_-383)
Azioni sul collegamento: N=-11059.20 Ty=8.42 Tz=8.57 Mx=-0.00 Mz=5.47
Sollecitazioni agenti localmente: Ty_l=-2010.77 Mx_l=-40.22
Tensioni nella sezione: σ=487.46 τ=60.93
CC 18 SLD (Collegamento -179_-383)
Azioni sul collegamento: N=-11059.20 Ty=10.78 Tz=17.48 Mx=-0.00 Mz=7.39
Sollecitazioni agenti localmente: Ty_l=-2010.77 Mx_l=-40.22
Tensioni nella sezione: σ=487.46 τ=60.93
CC 18 SLD (Collegamento -179_-383)
Azioni sul collegamento: N=-11059.20 Ty=8.42 Tz=17.48 Mx=-0.00 Mz=5.47
Sollecitazioni agenti localmente: Ty_l=-2010.77 Mx_l=-40.22
Tensioni nella sezione: σ=487.46 τ=60.93
CC 19 SLV (Collegamento -179_-383)
Azioni sul collegamento: N=-5861.43 Ty=12.02 Tz=-1.63 Mx=-0.01 Mz=6.41
Sollecitazioni agenti localmente: Ty_l=-1065.71 Mx_l=-21.31
Tensioni nella sezione: σ=258.35 τ=32.29
CC 19 SLV (Collegamento -179_-383)
Azioni sul collegamento: N=-5861.43 Ty=5.33 Tz=-1.63 Mx=-0.01 Mz=2.18
Sollecitazioni agenti localmente: Ty_l=-1065.71 Mx_l=-21.31
Tensioni nella sezione: σ=258.35 τ=32.29
CC 19 SLV (Collegamento -179_-383)
Azioni sul collegamento: N=-5861.43 Ty=12.02 Tz=26.92 Mx=-0.01 Mz=6.41
Sollecitazioni agenti localmente: Ty_l=-1065.71 Mx_l=-21.31
Tensioni nella sezione: σ=258.35 τ=32.29
CC 19 SLV (Collegamento -179_-383)
Azioni sul collegamento: N=-5861.43 Ty=5.33 Tz=26.92 Mx=-0.01 Mz=2.18
Sollecitazioni agenti localmente: Ty_l=-1065.71 Mx_l=-21.31
Tensioni nella sezione: σ=258.35 τ=32.29
CC 19 SLV (Collegamento -179_-383)
Azioni sul collegamento: N=-13676.40 Ty=12.02 Tz=-1.63 Mx=-0.01 Mz=6.41
Sollecitazioni agenti localmente: Ty_l=-2486.61 Mx_l=-49.73
Tensioni nella sezione: σ=602.81 τ=75.35
CC 19 SLV (Collegamento -179_-383)
Azioni sul collegamento: N=-13676.40 Ty=5.33 Tz=-1.63 Mx=-0.01 Mz=2.18
Sollecitazioni agenti localmente: Ty_l=-2486.61 Mx_l=-49.73
Tensioni nella sezione: σ=602.81 τ=75.35

CC 19 SLV (Collegamento -179_-383)
Azioni sul collegamento: N=-13676.40 Ty=12.02 Tz=26.92 Mx=-0.01 Mz=6.41
Sollecitazioni agenti localmente: Ty_l=-2486.61 Mx_l=-49.73
Tensioni nella sezione: σ=602.81 τ=75.35
CC 19 SLV (Collegamento -179_-383)
Azioni sul collegamento: N=-13676.40 Ty=5.33 Tz=26.92 Mx=-0.01 Mz=2.18
Sollecitazioni agenti localmente: Ty_l=-2486.61 Mx_l=-49.73
Tensioni nella sezione: σ=602.81 τ=75.35
CC 20 SLD (Collegamento -179_-383)
Azioni sul collegamento: N=-8674.72 Ty=10.62 Tz=8.67 Mx=0.00 Mz=7.07
Sollecitazioni agenti localmente: Ty_l=-1577.22 Mx_l=-31.54
Tensioni nella sezione: σ=382.36 τ=47.79
CC 20 SLD (Collegamento -179_-383)
Azioni sul collegamento: N=-8674.72 Ty=8.58 Tz=8.67 Mx=0.00 Mz=5.79
Sollecitazioni agenti localmente: Ty_l=-1577.22 Mx_l=-31.54
Tensioni nella sezione: σ=382.36 τ=47.79
CC 20 SLD (Collegamento -179_-383)
Azioni sul collegamento: N=-8674.72 Ty=10.62 Tz=17.38 Mx=0.00 Mz=7.07
Sollecitazioni agenti localmente: Ty_l=-1577.22 Mx_l=-31.54
Tensioni nella sezione: σ=382.36 τ=47.79
CC 20 SLD (Collegamento -179_-383)
Azioni sul collegamento: N=-8674.72 Ty=8.58 Tz=17.38 Mx=0.00 Mz=5.79
Sollecitazioni agenti localmente: Ty_l=-1577.22 Mx_l=-31.54
Tensioni nella sezione: σ=382.36 τ=47.79
CC 20 SLD (Collegamento -179_-383)
Azioni sul collegamento: N=-11057.70 Ty=10.62 Tz=8.67 Mx=0.00 Mz=7.07
Sollecitazioni agenti localmente: Ty_l=-2010.50 Mx_l=-40.21
Tensioni nella sezione: σ=487.39 τ=60.92
CC 20 SLD (Collegamento -179_-383)
Azioni sul collegamento: N=-11057.70 Ty=8.58 Tz=8.67 Mx=0.00 Mz=5.79
Sollecitazioni agenti localmente: Ty_l=-2010.50 Mx_l=-40.21
Tensioni nella sezione: σ=487.39 τ=60.92
CC 20 SLD (Collegamento -179_-383)
Azioni sul collegamento: N=-11057.70 Ty=10.62 Tz=17.38 Mx=0.00 Mz=7.07
Sollecitazioni agenti localmente: Ty_l=-2010.50 Mx_l=-40.21
Tensioni nella sezione: σ=487.39 τ=60.92
CC 20 SLD (Collegamento -179_-383)
Azioni sul collegamento: N=-11057.70 Ty=8.58 Tz=17.38 Mx=0.00 Mz=5.79
Sollecitazioni agenti localmente: Ty_l=-2010.50 Mx_l=-40.21
Tensioni nella sezione: σ=487.39 τ=60.92
CC 21 SLV (Collegamento -179_-383)
Azioni sul collegamento: N=-13676.40 Ty=5.33 Tz=26.92 Mx=-0.01 Mz=2.18
Sollecitazioni agenti localmente: Ty_l=-2486.61 Mx_l=-49.73
Tensioni nella sezione: σ=602.81 τ=75.35
CC 21 SLV (Collegamento -179_-383)
Azioni sul collegamento: N=-13676.40 Ty=12.02 Tz=26.92 Mx=-0.01 Mz=6.41
Sollecitazioni agenti localmente: Ty_l=-2486.61 Mx_l=-49.73
Tensioni nella sezione: σ=602.81 τ=75.35
CC 21 SLV (Collegamento -179_-383)
Azioni sul collegamento: N=-13676.40 Ty=5.33 Tz=-1.63 Mx=-0.01 Mz=2.18
Sollecitazioni agenti localmente: Ty_l=-2486.61 Mx_l=-49.73
Tensioni nella sezione: σ=602.81 τ=75.35
CC 21 SLV (Collegamento -179_-383)
Azioni sul collegamento: N=-13676.40 Ty=12.02 Tz=-1.63 Mx=-0.01 Mz=6.41
Sollecitazioni agenti localmente: Ty_l=-2486.61 Mx_l=-49.73
Tensioni nella sezione: σ=602.81 τ=75.35
CC 21 SLV (Collegamento -179_-383)
Azioni sul collegamento: N=-5861.43 Ty=5.33 Tz=26.92 Mx=-0.01 Mz=2.18
Sollecitazioni agenti localmente: Ty_l=-1065.71 Mx_l=-21.31
Tensioni nella sezione: σ=258.35 τ=32.29
CC 21 SLV (Collegamento -179_-383)
Azioni sul collegamento: N=-5861.43 Ty=12.02 Tz=26.92 Mx=-0.01 Mz=6.41
Sollecitazioni agenti localmente: Ty_l=-1065.71 Mx_l=-21.31
Tensioni nella sezione: σ=258.35 τ=32.29
CC 21 SLV (Collegamento -179_-383)
Azioni sul collegamento: N=-5861.43 Ty=5.33 Tz=-1.63 Mx=-0.01 Mz=2.18
Sollecitazioni agenti localmente: Ty_l=-1065.71 Mx_l=-21.31
Tensioni nella sezione: σ=258.35 τ=32.29
CC 21 SLV (Collegamento -179_-383)
Azioni sul collegamento: N=-5861.43 Ty=12.02 Tz=-1.63 Mx=-0.01 Mz=6.41
Sollecitazioni agenti localmente: Ty_l=-1065.71 Mx_l=-21.31
Tensioni nella sezione: σ=258.35 τ=32.29
CC 22 SLD (Collegamento -179_-383)
Azioni sul collegamento: N=-11057.70 Ty=8.58 Tz=17.38 Mx=-0.00 Mz=5.79
Sollecitazioni agenti localmente: Ty_l=-2010.50 Mx_l=-40.21
Tensioni nella sezione: σ=487.39 τ=60.92
CC 22 SLD (Collegamento -179_-383)
Azioni sul collegamento: N=-11057.70 Ty=10.62 Tz=17.38 Mx=-0.00 Mz=7.07
Sollecitazioni agenti localmente: Ty_l=-2010.50 Mx_l=-40.21

Tensioni nella sezione: σ=487.39 τ=60.92
CC 22 SLD (Collegamento -179_-383)
Azioni sul collegamento: N=-11057.70 Ty=8.58 Tz=8.67 Mx=-0.00 Mz=5.79
Sollecitazioni agenti localmente: Ty_l=-2010.50 Mx_l=-40.21
Tensioni nella sezione: σ=487.39 τ=60.92
CC 22 SLD (Collegamento -179_-383)
Azioni sul collegamento: N=-11057.70 Ty=10.62 Tz=8.67 Mx=-0.00 Mz=7.07
Sollecitazioni agenti localmente: Ty_l=-2010.50 Mx_l=-40.21
Tensioni nella sezione: σ=487.39 τ=60.92
CC 22 SLD (Collegamento -179_-383)
Azioni sul collegamento: N=-8674.72 Ty=8.58 Tz=17.38 Mx=-0.00 Mz=5.79
Sollecitazioni agenti localmente: Ty_l=-1577.22 Mx_l=-31.54
Tensioni nella sezione: σ=382.36 τ=47.79
CC 22 SLD (Collegamento -179_-383)
Azioni sul collegamento: N=-8674.72 Ty=10.62 Tz=17.38 Mx=-0.00 Mz=7.07
Sollecitazioni agenti localmente: Ty_l=-1577.22 Mx_l=-31.54
Tensioni nella sezione: σ=382.36 τ=47.79
CC 22 SLD (Collegamento -179_-383)
Azioni sul collegamento: N=-8674.72 Ty=8.58 Tz=8.67 Mx=-0.00 Mz=5.79
Sollecitazioni agenti localmente: Ty_l=-1577.22 Mx_l=-31.54
Tensioni nella sezione: σ=382.36 τ=47.79
CC 22 SLD (Collegamento -179_-383)
Azioni sul collegamento: N=-8674.72 Ty=10.62 Tz=8.67 Mx=-0.00 Mz=7.07
Sollecitazioni agenti localmente: Ty_l=-1577.22 Mx_l=-31.54
Tensioni nella sezione: σ=382.36 τ=47.79
CC 23 SLV (Collegamento -179_-383)
Azioni sul collegamento: N=-13681.20 Ty=4.82 Tz=27.25 Mx=-0.01 Mz=1.13
Sollecitazioni agenti localmente: Ty_l=-2487.50 Mx_l=-49.75
Tensioni nella sezione: σ=603.03 τ=75.38
CC 23 SLV (Collegamento -179_-383)
Azioni sul collegamento: N=-13681.20 Ty=12.53 Tz=27.25 Mx=-0.01 Mz=7.45
Sollecitazioni agenti localmente: Ty_l=-2487.50 Mx_l=-49.75
Tensioni nella sezione: σ=603.03 τ=75.38
CC 23 SLV (Collegamento -179_-383)
Azioni sul collegamento: N=-13681.20 Ty=4.82 Tz=-1.96 Mx=-0.01 Mz=1.13
Sollecitazioni agenti localmente: Ty_l=-2487.50 Mx_l=-49.75
Tensioni nella sezione: σ=603.03 τ=75.38
CC 23 SLV (Collegamento -179_-383)
Azioni sul collegamento: N=-13681.20 Ty=12.53 Tz=-1.96 Mx=-0.01 Mz=7.45
Sollecitazioni agenti localmente: Ty_l=-2487.50 Mx_l=-49.75
Tensioni nella sezione: σ=603.03 τ=75.38
CC 23 SLV (Collegamento -179_-383)
Azioni sul collegamento: N=-5856.57 Ty=4.82 Tz=27.25 Mx=-0.01 Mz=1.13
Sollecitazioni agenti localmente: Ty_l=-1064.83 Mx_l=-21.30
Tensioni nella sezione: σ=258.14 τ=32.27
CC 23 SLV (Collegamento -179_-383)
Azioni sul collegamento: N=-5856.57 Ty=12.53 Tz=27.25 Mx=-0.01 Mz=7.45
Sollecitazioni agenti localmente: Ty_l=-1064.83 Mx_l=-21.30
Tensioni nella sezione: σ=258.14 τ=32.27
CC 23 SLV (Collegamento -179_-383)
Azioni sul collegamento: N=-5856.57 Ty=4.82 Tz=-1.96 Mx=-0.01 Mz=1.13
Sollecitazioni agenti localmente: Ty_l=-1064.83 Mx_l=-21.30
Tensioni nella sezione: σ=258.14 τ=32.27
CC 23 SLV (Collegamento -179_-383)
Azioni sul collegamento: N=-5856.57 Ty=12.53 Tz=-1.96 Mx=-0.01 Mz=7.45
Sollecitazioni agenti localmente: Ty_l=-1064.83 Mx_l=-21.30
Tensioni nella sezione: σ=258.14 τ=32.27
CC 24 SLD (Collegamento -179_-383)
Azioni sul collegamento: N=-11059.20 Ty=8.42 Tz=17.48 Mx=0.00 Mz=5.47
Sollecitazioni agenti localmente: Ty_l=-2010.77 Mx_l=-40.22
Tensioni nella sezione: σ=487.46 τ=60.93
CC 24 SLD (Collegamento -179_-383)
Azioni sul collegamento: N=-11059.20 Ty=10.78 Tz=17.48 Mx=0.00 Mz=7.39
Sollecitazioni agenti localmente: Ty_l=-2010.77 Mx_l=-40.22
Tensioni nella sezione: σ=487.46 τ=60.93
CC 24 SLD (Collegamento -179_-383)
Azioni sul collegamento: N=-11059.20 Ty=8.42 Tz=8.57 Mx=0.00 Mz=5.47
Sollecitazioni agenti localmente: Ty_l=-2010.77 Mx_l=-40.22
Tensioni nella sezione: σ=487.46 τ=60.93
CC 24 SLD (Collegamento -179_-383)
Azioni sul collegamento: N=-11059.20 Ty=10.78 Tz=8.57 Mx=0.00 Mz=7.39
Sollecitazioni agenti localmente: Ty_l=-2010.77 Mx_l=-40.22
Tensioni nella sezione: σ=487.46 τ=60.93
CC 24 SLD (Collegamento -179_-383)
Azioni sul collegamento: N=-8673.24 Ty=8.42 Tz=17.48 Mx=0.00 Mz=5.47
Sollecitazioni agenti localmente: Ty_l=-1576.95 Mx_l=-31.54
Tensioni nella sezione: σ=382.29 τ=47.79
CC 24 SLD (Collegamento -179_-383)
Azioni sul collegamento: N=-8673.24 Ty=10.78 Tz=17.48 Mx=0.00 Mz=7.39

Sollecitazioni agenti localmente: T_{y_l}=-1576.95 M_{x_l}=-31.54
Tensioni nella sezione: σ=382.29 τ=47.79
CC 24 SLD (Collegamento -179_-383)
Azioni sul collegamento: N=-8673.24 Ty=8.42 Tz=8.57 Mx=0.00 Mz=5.47
Sollecitazioni agenti localmente: T_{y_l}=-1576.95 M_{x_l}=-31.54
Tensioni nella sezione: σ=382.29 τ=47.79
CC 24 SLD (Collegamento -179_-383)
Azioni sul collegamento: N=-8673.24 Ty=10.78 Tz=8.57 Mx=0.00 Mz=7.39
Sollecitazioni agenti localmente: T_{y_l}=-1576.95 M_{x_l}=-31.54
Tensioni nella sezione: σ=382.29 τ=47.79
CC 25 SLV (Collegamento -179_-383)
Azioni sul collegamento: N=-8587.82 Ty=10.61 Tz=7.77 Mx=-0.02 Mz=6.83
Sollecitazioni agenti localmente: T_{y_l}=-1561.42 M_{x_l}=-31.23
Tensioni nella sezione: σ=378.53 τ=47.32
CC 25 SLV (Collegamento -179_-383)
Azioni sul collegamento: N=-8587.82 Ty=6.74 Tz=7.77 Mx=-0.02 Mz=1.76
Sollecitazioni agenti localmente: T_{y_l}=-1561.42 M_{x_l}=-31.23
Tensioni nella sezione: σ=378.53 τ=47.32
CC 25 SLV (Collegamento -179_-383)
Azioni sul collegamento: N=-8587.82 Ty=10.61 Tz=17.52 Mx=-0.02 Mz=6.83
Sollecitazioni agenti localmente: T_{y_l}=-1561.42 M_{x_l}=-31.23
Tensioni nella sezione: σ=378.53 τ=47.32
CC 25 SLV (Collegamento -179_-383)
Azioni sul collegamento: N=-8587.82 Ty=6.74 Tz=17.52 Mx=-0.02 Mz=1.76
Sollecitazioni agenti localmente: T_{y_l}=-1561.42 M_{x_l}=-31.23
Tensioni nella sezione: σ=378.53 τ=47.32
CC 25 SLV (Collegamento -179_-383)
Azioni sul collegamento: N=-10950.00 Ty=10.61 Tz=7.77 Mx=-0.02 Mz=6.83
Sollecitazioni agenti localmente: T_{y_l}=-1990.90 M_{x_l}=-39.82
Tensioni nella sezione: σ=482.64 τ=60.33
CC 25 SLV (Collegamento -179_-383)
Azioni sul collegamento: N=-10950.00 Ty=6.74 Tz=7.77 Mx=-0.02 Mz=1.76
Sollecitazioni agenti localmente: T_{y_l}=-1990.90 M_{x_l}=-39.82
Tensioni nella sezione: σ=482.64 τ=60.33
CC 25 SLV (Collegamento -179_-383)
Azioni sul collegamento: N=-10950.00 Ty=10.61 Tz=17.52 Mx=-0.02 Mz=6.83
Sollecitazioni agenti localmente: T_{y_l}=-1990.90 M_{x_l}=-39.82
Tensioni nella sezione: σ=482.64 τ=60.33
CC 25 SLV (Collegamento -179_-383)
Azioni sul collegamento: N=-10950.00 Ty=6.74 Tz=17.52 Mx=-0.02 Mz=1.76
Sollecitazioni agenti localmente: T_{y_l}=-1990.90 M_{x_l}=-39.82
Tensioni nella sezione: σ=482.64 τ=60.33
CC 26 SLD (Collegamento -179_-383)
Azioni sul collegamento: N=-9506.09 Ty=10.19 Tz=11.54 Mx=-0.00 Mz=7.20
Sollecitazioni agenti localmente: T_{y_l}=-1728.38 M_{x_l}=-34.57
Tensioni nella sezione: σ=419.00 τ=52.38
CC 26 SLD (Collegamento -179_-383)
Azioni sul collegamento: N=-9506.09 Ty=9.01 Tz=11.54 Mx=-0.00 Mz=5.66
Sollecitazioni agenti localmente: T_{y_l}=-1728.38 M_{x_l}=-34.57
Tensioni nella sezione: σ=419.00 τ=52.38
CC 26 SLD (Collegamento -179_-383)
Azioni sul collegamento: N=-9506.09 Ty=10.19 Tz=14.51 Mx=-0.00 Mz=7.20
Sollecitazioni agenti localmente: T_{y_l}=-1728.38 M_{x_l}=-34.57
Tensioni nella sezione: σ=419.00 τ=52.38
CC 26 SLD (Collegamento -179_-383)
Azioni sul collegamento: N=-9506.09 Ty=9.01 Tz=14.51 Mx=-0.00 Mz=5.66
Sollecitazioni agenti localmente: T_{y_l}=-1728.38 M_{x_l}=-34.57
Tensioni nella sezione: σ=419.00 τ=52.38
CC 26 SLD (Collegamento -179_-383)
Azioni sul collegamento: N=-10226.40 Ty=10.19 Tz=11.54 Mx=-0.00 Mz=7.20
Sollecitazioni agenti localmente: T_{y_l}=-1859.34 M_{x_l}=-37.19
Tensioni nella sezione: σ=450.75 τ=56.34
CC 26 SLD (Collegamento -179_-383)
Azioni sul collegamento: N=-10226.40 Ty=9.01 Tz=11.54 Mx=-0.00 Mz=5.66
Sollecitazioni agenti localmente: T_{y_l}=-1859.34 M_{x_l}=-37.19
Tensioni nella sezione: σ=450.75 τ=56.34
CC 26 SLD (Collegamento -179_-383)
Azioni sul collegamento: N=-10226.40 Ty=10.19 Tz=14.51 Mx=-0.00 Mz=7.20
Sollecitazioni agenti localmente: T_{y_l}=-1859.34 M_{x_l}=-37.19
Tensioni nella sezione: σ=450.75 τ=56.34
CC 26 SLD (Collegamento -179_-383)
Azioni sul collegamento: N=-10226.40 Ty=9.01 Tz=14.51 Mx=-0.00 Mz=5.66
Sollecitazioni agenti localmente: T_{y_l}=-1859.34 M_{x_l}=-37.19
Tensioni nella sezione: σ=450.75 τ=56.34
CC 27 SLV (Collegamento -179_-383)
Azioni sul collegamento: N=-10933.80 Ty=8.45 Tz=16.43 Mx=-0.02 Mz=5.25
Sollecitazioni agenti localmente: T_{y_l}=-1987.96 M_{x_l}=-39.76
Tensioni nella sezione: σ=481.93 τ=60.24
CC 27 SLV (Collegamento -179_-383)

Azioni sul collegamento: N=-10933.80 Ty=8.90 Tz=16.43 Mx=-0.02 Mz=3.34
Sollecitazioni agenti localmente: Ty_l=-1987.96 Mx_l=-39.76
Tensioni nella sezione: σ=481.93 τ=60.24
CC 27 SLV (Collegamento -179_-383)
Azioni sul collegamento: N=-10933.80 Ty=8.45 Tz=8.86 Mx=-0.02 Mz=5.25
Sollecitazioni agenti localmente: Ty_l=-1987.96 Mx_l=-39.76
Tensioni nella sezione: σ=481.93 τ=60.24
CC 27 SLV (Collegamento -179_-383)
Azioni sul collegamento: N=-10933.80 Ty=8.90 Tz=8.86 Mx=-0.02 Mz=3.34
Sollecitazioni agenti localmente: Ty_l=-1987.96 Mx_l=-39.76
Tensioni nella sezione: σ=481.93 τ=60.24
CC 27 SLV (Collegamento -179_-383)
Azioni sul collegamento: N=-8604.03 Ty=8.45 Tz=16.43 Mx=-0.02 Mz=5.25
Sollecitazioni agenti localmente: Ty_l=-1564.37 Mx_l=-31.29
Tensioni nella sezione: σ=379.24 τ=47.41
CC 27 SLV (Collegamento -179_-383)
Azioni sul collegamento: N=-8604.03 Ty=8.90 Tz=16.43 Mx=-0.02 Mz=3.34
Sollecitazioni agenti localmente: Ty_l=-1564.37 Mx_l=-31.29
Tensioni nella sezione: σ=379.24 τ=47.41
CC 27 SLV (Collegamento -179_-383)
Azioni sul collegamento: N=-8604.03 Ty=8.45 Tz=8.86 Mx=-0.02 Mz=5.25
Sollecitazioni agenti localmente: Ty_l=-1564.37 Mx_l=-31.29
Tensioni nella sezione: σ=379.24 τ=47.41
CC 27 SLV (Collegamento -179_-383)
Azioni sul collegamento: N=-8604.03 Ty=8.90 Tz=8.86 Mx=-0.02 Mz=3.34
Sollecitazioni agenti localmente: Ty_l=-1564.37 Mx_l=-31.29
Tensioni nella sezione: σ=379.24 τ=47.41
CC 28 SLD (Collegamento -179_-383)
Azioni sul collegamento: N=-10221.40 Ty=9.53 Tz=14.18 Mx=-0.00 Mz=6.72
Sollecitazioni agenti localmente: Ty_l=-1858.44 Mx_l=-37.17
Tensioni nella sezione: σ=450.53 τ=56.32
CC 28 SLD (Collegamento -179_-383)
Azioni sul collegamento: N=-10221.40 Ty=9.67 Tz=14.18 Mx=-0.00 Mz=6.14
Sollecitazioni agenti localmente: Ty_l=-1858.44 Mx_l=-37.17
Tensioni nella sezione: σ=450.53 τ=56.32
CC 28 SLD (Collegamento -179_-383)
Azioni sul collegamento: N=-10221.40 Ty=9.53 Tz=11.87 Mx=-0.00 Mz=6.72
Sollecitazioni agenti localmente: Ty_l=-1858.44 Mx_l=-37.17
Tensioni nella sezione: σ=450.53 τ=56.32
CC 28 SLD (Collegamento -179_-383)
Azioni sul collegamento: N=-10221.40 Ty=9.67 Tz=11.87 Mx=-0.00 Mz=6.14
Sollecitazioni agenti localmente: Ty_l=-1858.44 Mx_l=-37.17
Tensioni nella sezione: σ=450.53 τ=56.32
CC 28 SLD (Collegamento -179_-383)
Azioni sul collegamento: N=-9511.03 Ty=9.53 Tz=14.18 Mx=-0.00 Mz=6.72
Sollecitazioni agenti localmente: Ty_l=-1729.28 Mx_l=-34.59
Tensioni nella sezione: σ=419.22 τ=52.40
CC 28 SLD (Collegamento -179_-383)
Azioni sul collegamento: N=-9511.03 Ty=9.67 Tz=14.18 Mx=-0.00 Mz=6.14
Sollecitazioni agenti localmente: Ty_l=-1729.28 Mx_l=-34.59
Tensioni nella sezione: σ=419.22 τ=52.40
CC 28 SLD (Collegamento -179_-383)
Azioni sul collegamento: N=-9511.03 Ty=9.53 Tz=11.87 Mx=-0.00 Mz=6.72
Sollecitazioni agenti localmente: Ty_l=-1729.28 Mx_l=-34.59
Tensioni nella sezione: σ=419.22 τ=52.40
CC 28 SLD (Collegamento -179_-383)
Azioni sul collegamento: N=-9511.03 Ty=9.67 Tz=11.87 Mx=-0.00 Mz=6.14
Sollecitazioni agenti localmente: Ty_l=-1729.28 Mx_l=-34.59
Tensioni nella sezione: σ=419.22 τ=52.40
CC 29 SLV (Collegamento -179_-383)
Azioni sul collegamento: N=-8604.03 Ty=8.90 Tz=8.86 Mx=-0.00 Mz=3.34
Sollecitazioni agenti localmente: Ty_l=-1564.37 Mx_l=-31.29
Tensioni nella sezione: σ=379.24 τ=47.41
CC 29 SLV (Collegamento -179_-383)
Azioni sul collegamento: N=-8604.03 Ty=8.45 Tz=8.86 Mx=-0.00 Mz=5.25
Sollecitazioni agenti localmente: Ty_l=-1564.37 Mx_l=-31.29
Tensioni nella sezione: σ=379.24 τ=47.41
CC 29 SLV (Collegamento -179_-383)
Azioni sul collegamento: N=-8604.03 Ty=8.90 Tz=16.43 Mx=-0.00 Mz=3.34
Sollecitazioni agenti localmente: Ty_l=-1564.37 Mx_l=-31.29
Tensioni nella sezione: σ=379.24 τ=47.41
CC 29 SLV (Collegamento -179_-383)
Azioni sul collegamento: N=-8604.03 Ty=8.45 Tz=16.43 Mx=-0.00 Mz=5.25
Sollecitazioni agenti localmente: Ty_l=-1564.37 Mx_l=-31.29
Tensioni nella sezione: σ=379.24 τ=47.41
CC 29 SLV (Collegamento -179_-383)
Azioni sul collegamento: N=-10933.80 Ty=8.90 Tz=8.86 Mx=-0.00 Mz=3.34
Sollecitazioni agenti localmente: Ty_l=-1987.96 Mx_l=-39.76
Tensioni nella sezione: σ=481.93 τ=60.24

CC 29 SLV (Collegamento -179_-383)
Azioni sul collegamento: N=-10933.80 Ty=8.45 Tz=8.86 Mx=-0.00 Mz=5.25
Sollecitazioni agenti localmente: Ty_l=-1987.96 Mx_l=-39.76
Tensioni nella sezione: σ=481.93 τ=60.24
CC 29 SLV (Collegamento -179_-383)
Azioni sul collegamento: N=-10933.80 Ty=8.90 Tz=16.43 Mx=-0.00 Mz=3.34
Sollecitazioni agenti localmente: Ty_l=-1987.96 Mx_l=-39.76
Tensioni nella sezione: σ=481.93 τ=60.24
CC 29 SLV (Collegamento -179_-383)
Azioni sul collegamento: N=-10933.80 Ty=8.45 Tz=16.43 Mx=-0.00 Mz=5.25
Sollecitazioni agenti localmente: Ty_l=-1987.96 Mx_l=-39.76
Tensioni nella sezione: σ=481.93 τ=60.24
CC 30 SLD (Collegamento -179_-383)
Azioni sul collegamento: N=-9511.03 Ty=9.67 Tz=11.87 Mx=0.00 Mz=6.14
Sollecitazioni agenti localmente: Ty_l=-1729.28 Mx_l=-34.59
Tensioni nella sezione: σ=419.22 τ=52.40
CC 30 SLD (Collegamento -179_-383)
Azioni sul collegamento: N=-9511.03 Ty=9.53 Tz=11.87 Mx=0.00 Mz=6.72
Sollecitazioni agenti localmente: Ty_l=-1729.28 Mx_l=-34.59
Tensioni nella sezione: σ=419.22 τ=52.40
CC 30 SLD (Collegamento -179_-383)
Azioni sul collegamento: N=-9511.03 Ty=9.67 Tz=14.18 Mx=0.00 Mz=6.14
Sollecitazioni agenti localmente: Ty_l=-1729.28 Mx_l=-34.59
Tensioni nella sezione: σ=419.22 τ=52.40
CC 30 SLD (Collegamento -179_-383)
Azioni sul collegamento: N=-9511.03 Ty=9.53 Tz=14.18 Mx=0.00 Mz=6.72
Sollecitazioni agenti localmente: Ty_l=-1729.28 Mx_l=-34.59
Tensioni nella sezione: σ=419.22 τ=52.40
CC 30 SLD (Collegamento -179_-383)
Azioni sul collegamento: N=-10221.40 Ty=9.67 Tz=11.87 Mx=0.00 Mz=6.14
Sollecitazioni agenti localmente: Ty_l=-1858.44 Mx_l=-37.17
Tensioni nella sezione: σ=450.53 τ=56.32
CC 30 SLD (Collegamento -179_-383)
Azioni sul collegamento: N=-10221.40 Ty=9.53 Tz=11.87 Mx=0.00 Mz=6.72
Sollecitazioni agenti localmente: Ty_l=-1858.44 Mx_l=-37.17
Tensioni nella sezione: σ=450.53 τ=56.32
CC 30 SLD (Collegamento -179_-383)
Azioni sul collegamento: N=-10221.40 Ty=9.67 Tz=14.18 Mx=0.00 Mz=6.14
Sollecitazioni agenti localmente: Ty_l=-1858.44 Mx_l=-37.17
Tensioni nella sezione: σ=450.53 τ=56.32
CC 30 SLD (Collegamento -179_-383)
Azioni sul collegamento: N=-10221.40 Ty=9.53 Tz=14.18 Mx=0.00 Mz=6.72
Sollecitazioni agenti localmente: Ty_l=-1858.44 Mx_l=-37.17
Tensioni nella sezione: σ=450.53 τ=56.32
CC 31 SLV (Collegamento -179_-383)
Azioni sul collegamento: N=-10950.00 Ty=6.74 Tz=17.52 Mx=-0.00 Mz=1.76
Sollecitazioni agenti localmente: Ty_l=-1990.90 Mx_l=-39.82
Tensioni nella sezione: σ=482.64 τ=60.33
CC 31 SLV (Collegamento -179_-383)
Azioni sul collegamento: N=-10950.00 Ty=10.61 Tz=17.52 Mx=-0.00 Mz=6.83
Sollecitazioni agenti localmente: Ty_l=-1990.90 Mx_l=-39.82
Tensioni nella sezione: σ=482.64 τ=60.33
CC 31 SLV (Collegamento -179_-383)
Azioni sul collegamento: N=-10950.00 Ty=6.74 Tz=7.77 Mx=-0.00 Mz=1.76
Sollecitazioni agenti localmente: Ty_l=-1990.90 Mx_l=-39.82
Tensioni nella sezione: σ=482.64 τ=60.33
CC 31 SLV (Collegamento -179_-383)
Azioni sul collegamento: N=-10950.00 Ty=10.61 Tz=7.77 Mx=-0.00 Mz=6.83
Sollecitazioni agenti localmente: Ty_l=-1990.90 Mx_l=-39.82
Tensioni nella sezione: σ=482.64 τ=60.33
CC 31 SLV (Collegamento -179_-383)
Azioni sul collegamento: N=-8587.82 Ty=6.74 Tz=17.52 Mx=-0.00 Mz=1.76
Sollecitazioni agenti localmente: Ty_l=-1561.42 Mx_l=-31.23
Tensioni nella sezione: σ=378.53 τ=47.32
CC 31 SLV (Collegamento -179_-383)
Azioni sul collegamento: N=-8587.82 Ty=10.61 Tz=17.52 Mx=-0.00 Mz=6.83
Sollecitazioni agenti localmente: Ty_l=-1561.42 Mx_l=-31.23
Tensioni nella sezione: σ=378.53 τ=47.32
CC 31 SLV (Collegamento -179_-383)
Azioni sul collegamento: N=-8587.82 Ty=6.74 Tz=7.77 Mx=-0.00 Mz=1.76
Sollecitazioni agenti localmente: Ty_l=-1561.42 Mx_l=-31.23
Tensioni nella sezione: σ=378.53 τ=47.32
CC 31 SLV (Collegamento -179_-383)
Azioni sul collegamento: N=-8587.82 Ty=10.61 Tz=7.77 Mx=-0.00 Mz=6.83
Sollecitazioni agenti localmente: Ty_l=-1561.42 Mx_l=-31.23
Tensioni nella sezione: σ=378.53 τ=47.32
CC 32 SLD (Collegamento -179_-383)
Azioni sul collegamento: N=-10226.40 Ty=9.01 Tz=14.51 Mx=0.00 Mz=5.66
Sollecitazioni agenti localmente: Ty_l=-1859.34 Mx_l=-37.19

Tensioni nella sezione: σ=450.75 τ=56.34
CC 32 SLD (Collegamento -179_-383)
Azioni sul collegamento: N=-10226.40 Ty=10.19 Tz=14.51 Mx=0.00 Mz=7.20
Sollecitazioni agenti localmente: Ty_l=-1859.34 Mx_l=-37.19
Tensioni nella sezione: σ=450.75 τ=56.34
CC 32 SLD (Collegamento -179_-383)
Azioni sul collegamento: N=-10226.40 Ty=9.01 Tz=11.54 Mx=0.00 Mz=5.66
Sollecitazioni agenti localmente: Ty_l=-1859.34 Mx_l=-37.19
Tensioni nella sezione: σ=450.75 τ=56.34
CC 32 SLD (Collegamento -179_-383)
Azioni sul collegamento: N=-10226.40 Ty=10.19 Tz=11.54 Mx=0.00 Mz=7.20
Sollecitazioni agenti localmente: Ty_l=-1859.34 Mx_l=-37.19
Tensioni nella sezione: σ=450.75 τ=56.34
CC 32 SLD (Collegamento -179_-383)
Azioni sul collegamento: N=-9506.09 Ty=9.01 Tz=14.51 Mx=0.00 Mz=5.66
Sollecitazioni agenti localmente: Ty_l=-1728.38 Mx_l=-34.57
Tensioni nella sezione: σ=419.00 τ=52.38
CC 32 SLD (Collegamento -179_-383)
Azioni sul collegamento: N=-9506.09 Ty=10.19 Tz=14.51 Mx=0.00 Mz=7.20
Sollecitazioni agenti localmente: Ty_l=-1728.38 Mx_l=-34.57
Tensioni nella sezione: σ=419.00 τ=52.38
CC 32 SLD (Collegamento -179_-383)
Azioni sul collegamento: N=-9506.09 Ty=9.01 Tz=11.54 Mx=0.00 Mz=5.66
Sollecitazioni agenti localmente: Ty_l=-1728.38 Mx_l=-34.57
Tensioni nella sezione: σ=419.00 τ=52.38
CC 32 SLD (Collegamento -179_-383)
Azioni sul collegamento: N=-9506.09 Ty=10.19 Tz=11.54 Mx=0.00 Mz=7.20
Sollecitazioni agenti localmente: Ty_l=-1728.38 Mx_l=-34.57
Tensioni nella sezione: σ=419.00 τ=52.38
CC 33 SLU (Collegamento -179_-383)
Azioni sul collegamento: N=-36428.20 Ty=20.21 Tz=102.49 Mx=0.01 Mz=15.01
Sollecitazioni agenti localmente: Ty_l=-6623.30 Mx_l=-132.47
Tensioni nella sezione: σ=1605.65 τ=200.71
CC 34 SLU (Collegamento -179_-383)
Azioni sul collegamento: N=-37242.40 Ty=20.96 Tz=105.49 Mx=0.01 Mz=15.56
Sollecitazioni agenti localmente: Ty_l=-6771.33 Mx_l=-135.43
Tensioni nella sezione: σ=1641.53 τ=205.19
CC 35 SLU (Collegamento -179_-383)
Azioni sul collegamento: N=-36836.10 Ty=20.67 Tz=103.93 Mx=0.00 Mz=15.47
Sollecitazioni agenti localmente: Ty_l=-6697.48 Mx_l=-133.95
Tensioni nella sezione: σ=1623.63 τ=202.95
CC 36 SLU (Collegamento -179_-383)
Azioni sul collegamento: N=-36834.40 Ty=20.49 Tz=104.05 Mx=0.01 Mz=15.10
Sollecitazioni agenti localmente: Ty_l=-6697.15 Mx_l=-133.94
Tensioni nella sezione: σ=1623.55 τ=202.94
CC 37 SLU (Collegamento -179_-383)
Azioni sul collegamento: N=-29660.30 Ty=-10.68 Tz=77.11 Mx=0.01 Mz=-8.42
Sollecitazioni agenti localmente: Ty_l=-5392.77 Mx_l=-107.86
Tensioni nella sezione: σ=1307.34 τ=163.42
CC 38 SLU (Collegamento -179_-383)
Azioni sul collegamento: N=-30474.50 Ty=-9.93 Tz=80.11 Mx=0.01 Mz=-7.87
Sollecitazioni agenti localmente: Ty_l=-5540.81 Mx_l=-110.82
Tensioni nella sezione: σ=1343.22 τ=167.90
CC 39 SLU (Collegamento -179_-383)
Azioni sul collegamento: N=-30068.30 Ty=-10.21 Tz=78.55 Mx=0.00 Mz=-7.97
Sollecitazioni agenti localmente: Ty_l=-5466.95 Mx_l=-109.34
Tensioni nella sezione: σ=1325.32 τ=165.66
CC 40 SLU (Collegamento -179_-383)
Azioni sul collegamento: N=-30066.50 Ty=-10.39 Tz=78.67 Mx=0.01 Mz=-8.33
Sollecitazioni agenti localmente: Ty_l=-5466.64 Mx_l=-109.33
Tensioni nella sezione: σ=1325.24 τ=165.66
CC 41 SLU (Collegamento -179_-383)
Azioni sul collegamento: N=-27261.60 Ty=19.33 Tz=68.83 Mx=0.01 Mz=14.21
Sollecitazioni agenti localmente: Ty_l=-4956.66 Mx_l=-99.13
Tensioni nella sezione: σ=1201.61 τ=150.20
CC 42 SLU (Collegamento -179_-383)
Azioni sul collegamento: N=-28075.80 Ty=20.08 Tz=71.84 Mx=0.01 Mz=14.76
Sollecitazioni agenti localmente: Ty_l=-5104.69 Mx_l=-102.09
Tensioni nella sezione: σ=1237.50 τ=154.69
CC 43 SLU (Collegamento -179_-383)
Azioni sul collegamento: N=-27669.60 Ty=19.79 Tz=70.28 Mx=0.00 Mz=14.67
Sollecitazioni agenti localmente: Ty_l=-5030.83 Mx_l=-100.62
Tensioni nella sezione: σ=1219.59 τ=152.45
CC 44 SLU (Collegamento -179_-383)
Azioni sul collegamento: N=-27667.80 Ty=19.61 Tz=70.39 Mx=0.01 Mz=14.31
Sollecitazioni agenti localmente: Ty_l=-5030.51 Mx_l=-100.61
Tensioni nella sezione: σ=1219.52 τ=152.44
CC 45 SLU (Collegamento -179_-383)
Azioni sul collegamento: N=-29271.60 Ty=19.56 Tz=76.22 Mx=0.00 Mz=14.53

Sollecitazioni agenti localmente: Ty_l=-5322.11 Mx_l=-106.44
Tensioni nella sezione: σ=1290.20 τ=161.28
CC 46 SLU (Collegamento -179_-383)
Azioni sul collegamento: N=-30085.80 Ty=20.31 Tz=79.22 Mx=0.00 Mz=15.08
Sollecitazioni agenti localmente: Ty_l=-5470.14 Mx_l=-109.40
Tensioni nella sezione: σ=1326.09 τ=165.76
CC 47 SLU (Collegamento -179_-383)
Azioni sul collegamento: N=-29679.60 Ty=20.02 Tz=77.66 Mx=0.00 Mz=14.99
Sollecitazioni agenti localmente: Ty_l=-5396.29 Mx_l=-107.92
Tensioni nella sezione: σ=1308.19 τ=163.52
CC 48 SLU (Collegamento -179_-383)
Azioni sul collegamento: N=-29677.80 Ty=19.84 Tz=77.78 Mx=0.01 Mz=14.62
Sollecitazioni agenti localmente: Ty_l=-5395.96 Mx_l=-107.92
Tensioni nella sezione: σ=1308.11 τ=163.51
CC 49 SLU (Collegamento -179_-383)
Azioni sul collegamento: N=-24208.20 Ty=-3.55 Tz=57.23 Mx=0.01 Mz=-3.00
Sollecitazioni agenti localmente: Ty_l=-4401.49 Mx_l=-88.03
Tensioni nella sezione: σ=1067.03 τ=133.38
CC 50 SLU (Collegamento -179_-383)
Azioni sul collegamento: N=-25022.40 Ty=-2.80 Tz=60.23 Mx=0.01 Mz=-2.45
Sollecitazioni agenti localmente: Ty_l=-4549.53 Mx_l=-90.99
Tensioni nella sezione: σ=1102.91 τ=137.87
CC 51 SLU (Collegamento -179_-383)
Azioni sul collegamento: N=-24616.20 Ty=-3.08 Tz=58.67 Mx=0.00 Mz=-2.54
Sollecitazioni agenti localmente: Ty_l=-4475.67 Mx_l=-89.51
Tensioni nella sezione: σ=1085.01 τ=135.63
CC 52 SLU (Collegamento -179_-383)
Azioni sul collegamento: N=-24614.40 Ty=-3.26 Tz=58.79 Mx=0.01 Mz=-2.91
Sollecitazioni agenti localmente: Ty_l=-4475.35 Mx_l=-89.51
Tensioni nella sezione: σ=1084.93 τ=135.62
CC 53 SLU (Collegamento -179_-383)
Azioni sul collegamento: N=-22413.60 Ty=18.90 Tz=51.04 Mx=0.00 Mz=13.93
Sollecitazioni agenti localmente: Ty_l=-4075.21 Mx_l=-81.50
Tensioni nella sezione: σ=987.93 τ=123.49
CC 54 SLU (Collegamento -179_-383)
Azioni sul collegamento: N=-23227.90 Ty=19.65 Tz=54.04 Mx=0.00 Mz=14.49
Sollecitazioni agenti localmente: Ty_l=-4223.24 Mx_l=-84.46
Tensioni nella sezione: σ=1023.81 τ=127.98
CC 55 SLU (Collegamento -179_-383)
Azioni sul collegamento: N=-22821.60 Ty=19.36 Tz=52.48 Mx=0.00 Mz=14.39
Sollecitazioni agenti localmente: Ty_l=-4149.39 Mx_l=-82.99
Tensioni nella sezione: σ=1005.91 τ=125.74
CC 56 SLU (Collegamento -179_-383)
Azioni sul collegamento: N=-22819.90 Ty=19.19 Tz=52.60 Mx=0.01 Mz=14.03
Sollecitazioni agenti localmente: Ty_l=-4149.06 Mx_l=-82.98
Tensioni nella sezione: σ=1005.83 τ=125.73
CC 57 SLU (Collegamento -179_-383)
Azioni sul collegamento: N=-30019.90 Ty=20.54 Tz=79.01 Mx=0.00 Mz=15.25
Sollecitazioni agenti localmente: Ty_l=-5458.17 Mx_l=-109.16
Tensioni nella sezione: σ=1323.19 τ=165.40
CC 58 SLU (Collegamento -179_-383)
Azioni sul collegamento: N=-30834.10 Ty=21.29 Tz=82.01 Mx=0.00 Mz=15.80
Sollecitazioni agenti localmente: Ty_l=-5606.21 Mx_l=-112.12
Tensioni nella sezione: σ=1359.08 τ=169.88
CC 59 SLU (Collegamento -179_-383)
Azioni sul collegamento: N=-30427.90 Ty=21.01 Tz=80.45 Mx=0.00 Mz=15.71
Sollecitazioni agenti localmente: Ty_l=-5532.35 Mx_l=-110.65
Tensioni nella sezione: σ=1341.17 τ=167.65
CC 60 SLU (Collegamento -179_-383)
Azioni sul collegamento: N=-30426.20 Ty=20.83 Tz=80.57 Mx=0.01 Mz=15.34
Sollecitazioni agenti localmente: Ty_l=-5532.03 Mx_l=-110.64
Tensioni nella sezione: σ=1341.10 τ=167.64
CC 61 SLU (Collegamento -179_-383)
Azioni sul collegamento: N=-24956.60 Ty=-2.56 Tz=60.02 Mx=0.00 Mz=-2.28
Sollecitazioni agenti localmente: Ty_l=-4537.56 Mx_l=-90.75
Tensioni nella sezione: σ=1100.01 τ=137.50
CC 62 SLU (Collegamento -179_-383)
Azioni sul collegamento: N=-25770.80 Ty=-1.81 Tz=63.02 Mx=0.00 Mz=-1.73
Sollecitazioni agenti localmente: Ty_l=-4685.59 Mx_l=-93.71
Tensioni nella sezione: σ=1135.90 τ=141.99
CC 63 SLU (Collegamento -179_-383)
Azioni sul collegamento: N=-25364.60 Ty=-2.10 Tz=61.46 Mx=0.00 Mz=-1.82
Sollecitazioni agenti localmente: Ty_l=-4611.74 Mx_l=-92.23
Tensioni nella sezione: σ=1117.99 τ=139.75
CC 64 SLU (Collegamento -179_-383)
Azioni sul collegamento: N=-25362.80 Ty=-2.28 Tz=61.58 Mx=0.01 Mz=-2.19
Sollecitazioni agenti localmente: Ty_l=-4611.41 Mx_l=-92.23
Tensioni nella sezione: σ=1117.92 τ=139.74
CC 65 SLU (Collegamento -179_-383)

Azioni sul collegamento: N=-23162.00 Ty=19.88 Tz=53.83 Mx=0.00 Mz=14.66
Sollecitazioni agenti localmente: Ty_l=-4211.27 Mx_l=-84.23
Tensioni nella sezione: σ=1020.91 τ=127.61
CC 66 SLU (Collegamento -179_-383)
Azioni sul collegamento: N=-23976.20 Ty=20.63 Tz=56.84 Mx=0.00 Mz=15.21
Sollecitazioni agenti localmente: Ty_l=-4359.31 Mx_l=-87.19
Tensioni nella sezione: σ=1056.80 τ=132.10
CC 67 SLU (Collegamento -179_-383)
Azioni sul collegamento: N=-23570.00 Ty=20.35 Tz=55.27 Mx=0.00 Mz=15.11
Sollecitazioni agenti localmente: Ty_l=-4285.45 Mx_l=-85.71
Tensioni nella sezione: σ=1038.90 τ=129.86
CC 68 SLU (Collegamento -179_-383)
Azioni sul collegamento: N=-23568.20 Ty=20.17 Tz=55.39 Mx=0.01 Mz=14.75
Sollecitazioni agenti localmente: Ty_l=-4285.13 Mx_l=-85.70
Tensioni nella sezione: σ=1038.82 τ=129.85
CC 97 SLU (Collegamento -179_-383)
Azioni sul collegamento: N=-12126.50 Ty=21.64 Tz=21.62 Mx=0.05 Mz=23.37
Sollecitazioni agenti localmente: Ty_l=-2204.81 Mx_l=-44.10
Tensioni nella sezione: σ=534.50 τ=66.81
CC 98 SLU (Collegamento -179_-383)
Azioni sul collegamento: N=-12940.70 Ty=22.39 Tz=24.63 Mx=0.05 Mz=23.92
Sollecitazioni agenti localmente: Ty_l=-2352.85 Mx_l=-47.06
Tensioni nella sezione: σ=570.39 τ=71.30
CC 99 SLU (Collegamento -179_-383)
Azioni sul collegamento: N=-12534.50 Ty=22.10 Tz=23.06 Mx=0.05 Mz=23.83
Sollecitazioni agenti localmente: Ty_l=-2278.99 Mx_l=-45.58
Tensioni nella sezione: σ=552.48 τ=69.06
CC 100 SLU (Collegamento -179_-383)
Azioni sul collegamento: N=-12532.70 Ty=21.92 Tz=23.18 Mx=0.05 Mz=23.46
Sollecitazioni agenti localmente: Ty_l=-2278.67 Mx_l=-45.57
Tensioni nella sezione: σ=552.40 τ=69.05
CC 101 SLU (Collegamento -179_-383)
Azioni sul collegamento: N=-9752.38 Ty=7.57 Tz=12.50 Mx=-0.00 Mz=4.76
Sollecitazioni agenti localmente: Ty_l=-1773.16 Mx_l=-35.46
Tensioni nella sezione: σ=429.86 τ=53.73
CC 102 SLU (Collegamento -179_-383)
Azioni sul collegamento: N=-10566.60 Ty=8.33 Tz=15.50 Mx=-0.00 Mz=5.31
Sollecitazioni agenti localmente: Ty_l=-1921.20 Mx_l=-38.42
Tensioni nella sezione: σ=465.74 τ=58.22
CC 103 SLU (Collegamento -179_-383)
Azioni sul collegamento: N=-10160.40 Ty=8.04 Tz=13.94 Mx=-0.00 Mz=5.22
Sollecitazioni agenti localmente: Ty_l=-1847.34 Mx_l=-36.95
Tensioni nella sezione: σ=447.84 τ=55.98
CC 104 SLU (Collegamento -179_-383)
Azioni sul collegamento: N=-10158.60 Ty=7.86 Tz=14.06 Mx=-0.00 Mz=4.85
Sollecitazioni agenti localmente: Ty_l=-1847.02 Mx_l=-36.94
Tensioni nella sezione: σ=447.76 τ=55.97

Flessione attacco inferiore piastra

Bnetta=220.00 Hnetta=15.00
CC 1 SLV (Collegamento -179_-383)
Azioni sul collegamento: N=-6136.64 Ty=15.19 Tz=-0.86 Mx=0.02 Mz=13.60
Sollecitazioni agenti localmente: Ty_l=-1115.75 Mx_l=-22.32
Tensioni nella sezione: σ=270.49 τ=33.81
CC 1 SLV (Collegamento -179_-383)
Azioni sul collegamento: N=-6136.64 Ty=7.48 Tz=-0.86 Mx=0.02 Mz=7.28
Sollecitazioni agenti localmente: Ty_l=-1115.75 Mx_l=-22.32
Tensioni nella sezione: σ=270.49 τ=33.81
CC 1 SLV (Collegamento -179_-383)
Azioni sul collegamento: N=-6136.64 Ty=15.19 Tz=28.35 Mx=0.02 Mz=13.60
Sollecitazioni agenti localmente: Ty_l=-1115.75 Mx_l=-22.32
Tensioni nella sezione: σ=270.49 τ=33.81
CC 1 SLV (Collegamento -179_-383)
Azioni sul collegamento: N=-6136.64 Ty=7.48 Tz=28.35 Mx=0.02 Mz=7.28
Sollecitazioni agenti localmente: Ty_l=-1115.75 Mx_l=-22.32
Tensioni nella sezione: σ=270.49 τ=33.81
CC 1 SLV (Collegamento -179_-383)
Azioni sul collegamento: N=-13961.30 Ty=15.19 Tz=-0.86 Mx=0.02 Mz=13.60
Sollecitazioni agenti localmente: Ty_l=-2538.42 Mx_l=-50.77
Tensioni nella sezione: σ=615.37 τ=76.92
CC 1 SLV (Collegamento -179_-383)
Azioni sul collegamento: N=-13961.30 Ty=7.48 Tz=-0.86 Mx=0.02 Mz=7.28
Sollecitazioni agenti localmente: Ty_l=-2538.42 Mx_l=-50.77
Tensioni nella sezione: σ=615.37 τ=76.92
CC 1 SLV (Collegamento -179_-383)
Azioni sul collegamento: N=-13961.30 Ty=15.19 Tz=28.35 Mx=0.02 Mz=13.60
Sollecitazioni agenti localmente: Ty_l=-2538.42 Mx_l=-50.77
Tensioni nella sezione: σ=615.37 τ=76.92

CC 1 SLV (Collegamento -179_-383)
Azioni sul collegamento: N=-13961.30 Ty=7.48 Tz=28.35 Mx=0.02 Mz=7.28
Sollecitazioni agenti localmente: Ty_l=-2538.42 Mx_l=-50.77
Tensioni nella sezione: σ=615.37 τ=76.92
CC 2 SLD (Collegamento -179_-383)
Azioni sul collegamento: N=-8758.64 Ty=11.59 Tz=8.91 Mx=0.01 Mz=9.27
Sollecitazioni agenti localmente: Ty_l=-1592.48 Mx_l=-31.85
Tensioni nella sezione: σ=386.06 τ=48.26
CC 2 SLD (Collegamento -179_-383)
Azioni sul collegamento: N=-8758.64 Ty=9.24 Tz=8.91 Mx=0.01 Mz=7.34
Sollecitazioni agenti localmente: Ty_l=-1592.48 Mx_l=-31.85
Tensioni nella sezione: σ=386.06 τ=48.26
CC 2 SLD (Collegamento -179_-383)
Azioni sul collegamento: N=-8758.64 Ty=11.59 Tz=17.82 Mx=0.01 Mz=9.27
Sollecitazioni agenti localmente: Ty_l=-1592.48 Mx_l=-31.85
Tensioni nella sezione: σ=386.06 τ=48.26
CC 2 SLD (Collegamento -179_-383)
Azioni sul collegamento: N=-8758.64 Ty=9.24 Tz=17.82 Mx=0.01 Mz=7.34
Sollecitazioni agenti localmente: Ty_l=-1592.48 Mx_l=-31.85
Tensioni nella sezione: σ=386.06 τ=48.26
CC 2 SLD (Collegamento -179_-383)
Azioni sul collegamento: N=-11144.60 Ty=11.59 Tz=8.91 Mx=0.01 Mz=9.27
Sollecitazioni agenti localmente: Ty_l=-2026.30 Mx_l=-40.53
Tensioni nella sezione: σ=491.22 τ=61.40
CC 2 SLD (Collegamento -179_-383)
Azioni sul collegamento: N=-11144.60 Ty=9.24 Tz=8.91 Mx=0.01 Mz=7.34
Sollecitazioni agenti localmente: Ty_l=-2026.30 Mx_l=-40.53
Tensioni nella sezione: σ=491.22 τ=61.40
CC 2 SLD (Collegamento -179_-383)
Azioni sul collegamento: N=-11144.60 Ty=11.59 Tz=17.82 Mx=0.01 Mz=9.27
Sollecitazioni agenti localmente: Ty_l=-2026.30 Mx_l=-40.53
Tensioni nella sezione: σ=491.22 τ=61.40
CC 2 SLD (Collegamento -179_-383)
Azioni sul collegamento: N=-11144.60 Ty=9.24 Tz=17.82 Mx=0.01 Mz=7.34
Sollecitazioni agenti localmente: Ty_l=-2026.30 Mx_l=-40.53
Tensioni nella sezione: σ=491.22 τ=61.40
CC 3 SLV (Collegamento -179_-383)
Azioni sul collegamento: N=-6141.51 Ty=14.68 Tz=-0.53 Mx=0.01 Mz=12.56
Sollecitazioni agenti localmente: Ty_l=-1116.64 Mx_l=-22.33
Tensioni nella sezione: σ=270.70 τ=33.84
CC 3 SLV (Collegamento -179_-383)
Azioni sul collegamento: N=-6141.51 Ty=7.99 Tz=-0.53 Mx=0.01 Mz=8.33
Sollecitazioni agenti localmente: Ty_l=-1116.64 Mx_l=-22.33
Tensioni nella sezione: σ=270.70 τ=33.84
CC 3 SLV (Collegamento -179_-383)
Azioni sul collegamento: N=-6141.51 Ty=14.68 Tz=28.02 Mx=0.01 Mz=12.56
Sollecitazioni agenti localmente: Ty_l=-1116.64 Mx_l=-22.33
Tensioni nella sezione: σ=270.70 τ=33.84
CC 3 SLV (Collegamento -179_-383)
Azioni sul collegamento: N=-6141.51 Ty=7.99 Tz=28.02 Mx=0.01 Mz=8.33
Sollecitazioni agenti localmente: Ty_l=-1116.64 Mx_l=-22.33
Tensioni nella sezione: σ=270.70 τ=33.84
CC 3 SLV (Collegamento -179_-383)
Azioni sul collegamento: N=-13956.40 Ty=14.68 Tz=-0.53 Mx=0.01 Mz=12.56
Sollecitazioni agenti localmente: Ty_l=-2537.54 Mx_l=-50.75
Tensioni nella sezione: σ=615.16 τ=76.89
CC 3 SLV (Collegamento -179_-383)
Azioni sul collegamento: N=-13956.40 Ty=7.99 Tz=-0.53 Mx=0.01 Mz=8.33
Sollecitazioni agenti localmente: Ty_l=-2537.54 Mx_l=-50.75
Tensioni nella sezione: σ=615.16 τ=76.89
CC 3 SLV (Collegamento -179_-383)
Azioni sul collegamento: N=-13956.40 Ty=14.68 Tz=28.02 Mx=0.01 Mz=12.56
Sollecitazioni agenti localmente: Ty_l=-2537.54 Mx_l=-50.75
Tensioni nella sezione: σ=615.16 τ=76.89
CC 3 SLV (Collegamento -179_-383)
Azioni sul collegamento: N=-13956.40 Ty=7.99 Tz=28.02 Mx=0.01 Mz=8.33
Sollecitazioni agenti localmente: Ty_l=-2537.54 Mx_l=-50.75
Tensioni nella sezione: σ=615.16 τ=76.89
CC 4 SLD (Collegamento -179_-383)
Azioni sul collegamento: N=-8760.13 Ty=11.43 Tz=9.01 Mx=0.01 Mz=8.95
Sollecitazioni agenti localmente: Ty_l=-1592.75 Mx_l=-31.85
Tensioni nella sezione: σ=386.12 τ=48.27
CC 4 SLD (Collegamento -179_-383)
Azioni sul collegamento: N=-8760.13 Ty=9.39 Tz=9.01 Mx=0.01 Mz=7.66
Sollecitazioni agenti localmente: Ty_l=-1592.75 Mx_l=-31.85
Tensioni nella sezione: σ=386.12 τ=48.27
CC 4 SLD (Collegamento -179_-383)
Azioni sul collegamento: N=-8760.13 Ty=11.43 Tz=17.72 Mx=0.01 Mz=8.95
Sollecitazioni agenti localmente: Ty_l=-1592.75 Mx_l=-31.85

Tensioni nella sezione: σ=386.12 τ=48.27
CC 4 SLD (Collegamento -179_-383)
Azioni sul collegamento: N=-8760.13 Ty=9.39 Tz=17.72 Mx=0.01 Mz=7.66
Sollecitazioni agenti localmente: Ty_l=-1592.75 Mx_l=-31.85
Tensioni nella sezione: σ=386.12 τ=48.27
CC 4 SLD (Collegamento -179_-383)
Azioni sul collegamento: N=-11143.10 Ty=11.43 Tz=9.01 Mx=0.01 Mz=8.95
Sollecitazioni agenti localmente: Ty_l=-2026.03 Mx_l=-40.52
Tensioni nella sezione: σ=491.16 τ=61.39
CC 4 SLD (Collegamento -179_-383)
Azioni sul collegamento: N=-11143.10 Ty=9.39 Tz=9.01 Mx=0.01 Mz=7.66
Sollecitazioni agenti localmente: Ty_l=-2026.03 Mx_l=-40.52
Tensioni nella sezione: σ=491.16 τ=61.39
CC 4 SLD (Collegamento -179_-383)
Azioni sul collegamento: N=-11143.10 Ty=11.43 Tz=17.72 Mx=0.01 Mz=8.95
Sollecitazioni agenti localmente: Ty_l=-2026.03 Mx_l=-40.52
Tensioni nella sezione: σ=491.16 τ=61.39
CC 4 SLD (Collegamento -179_-383)
Azioni sul collegamento: N=-11143.10 Ty=9.39 Tz=17.72 Mx=0.01 Mz=7.66
Sollecitazioni agenti localmente: Ty_l=-2026.03 Mx_l=-40.52
Tensioni nella sezione: σ=491.16 τ=61.39
CC 5 SLV (Collegamento -179_-383)
Azioni sul collegamento: N=-13956.40 Ty=7.99 Tz=28.02 Mx=0.02 Mz=8.33
Sollecitazioni agenti localmente: Ty_l=-2537.54 Mx_l=-50.75
Tensioni nella sezione: σ=615.16 τ=76.89
CC 5 SLV (Collegamento -179_-383)
Azioni sul collegamento: N=-13956.40 Ty=14.68 Tz=28.02 Mx=0.02 Mz=12.56
Sollecitazioni agenti localmente: Ty_l=-2537.54 Mx_l=-50.75
Tensioni nella sezione: σ=615.16 τ=76.89
CC 5 SLV (Collegamento -179_-383)
Azioni sul collegamento: N=-13956.40 Ty=7.99 Tz=-0.53 Mx=0.02 Mz=8.33
Sollecitazioni agenti localmente: Ty_l=-2537.54 Mx_l=-50.75
Tensioni nella sezione: σ=615.16 τ=76.89
CC 5 SLV (Collegamento -179_-383)
Azioni sul collegamento: N=-13956.40 Ty=14.68 Tz=-0.53 Mx=0.02 Mz=12.56
Sollecitazioni agenti localmente: Ty_l=-2537.54 Mx_l=-50.75
Tensioni nella sezione: σ=615.16 τ=76.89
CC 5 SLV (Collegamento -179_-383)
Azioni sul collegamento: N=-6141.51 Ty=7.99 Tz=28.02 Mx=0.02 Mz=8.33
Sollecitazioni agenti localmente: Ty_l=-1116.64 Mx_l=-22.33
Tensioni nella sezione: σ=270.70 τ=33.84
CC 5 SLV (Collegamento -179_-383)
Azioni sul collegamento: N=-6141.51 Ty=14.68 Tz=28.02 Mx=0.02 Mz=12.56
Sollecitazioni agenti localmente: Ty_l=-1116.64 Mx_l=-22.33
Tensioni nella sezione: σ=270.70 τ=33.84
CC 5 SLV (Collegamento -179_-383)
Azioni sul collegamento: N=-6141.51 Ty=7.99 Tz=-0.53 Mx=0.02 Mz=8.33
Sollecitazioni agenti localmente: Ty_l=-1116.64 Mx_l=-22.33
Tensioni nella sezione: σ=270.70 τ=33.84
CC 5 SLV (Collegamento -179_-383)
Azioni sul collegamento: N=-6141.51 Ty=14.68 Tz=-0.53 Mx=0.02 Mz=12.56
Sollecitazioni agenti localmente: Ty_l=-1116.64 Mx_l=-22.33
Tensioni nella sezione: σ=270.70 τ=33.84
CC 6 SLD (Collegamento -179_-383)
Azioni sul collegamento: N=-11143.10 Ty=9.39 Tz=17.72 Mx=0.01 Mz=7.66
Sollecitazioni agenti localmente: Ty_l=-2026.03 Mx_l=-40.52
Tensioni nella sezione: σ=491.16 τ=61.39
CC 6 SLD (Collegamento -179_-383)
Azioni sul collegamento: N=-11143.10 Ty=11.43 Tz=17.72 Mx=0.01 Mz=8.95
Sollecitazioni agenti localmente: Ty_l=-2026.03 Mx_l=-40.52
Tensioni nella sezione: σ=491.16 τ=61.39
CC 6 SLD (Collegamento -179_-383)
Azioni sul collegamento: N=-11143.10 Ty=9.39 Tz=9.01 Mx=0.01 Mz=7.66
Sollecitazioni agenti localmente: Ty_l=-2026.03 Mx_l=-40.52
Tensioni nella sezione: σ=491.16 τ=61.39
CC 6 SLD (Collegamento -179_-383)
Azioni sul collegamento: N=-11143.10 Ty=11.43 Tz=9.01 Mx=0.01 Mz=8.95
Sollecitazioni agenti localmente: Ty_l=-2026.03 Mx_l=-40.52
Tensioni nella sezione: σ=491.16 τ=61.39
CC 6 SLD (Collegamento -179_-383)
Azioni sul collegamento: N=-8760.13 Ty=9.39 Tz=17.72 Mx=0.01 Mz=7.66
Sollecitazioni agenti localmente: Ty_l=-1592.75 Mx_l=-31.85
Tensioni nella sezione: σ=386.12 τ=48.27
CC 6 SLD (Collegamento -179_-383)
Azioni sul collegamento: N=-8760.13 Ty=11.43 Tz=17.72 Mx=0.01 Mz=8.95
Sollecitazioni agenti localmente: Ty_l=-1592.75 Mx_l=-31.85
Tensioni nella sezione: σ=386.12 τ=48.27
CC 6 SLD (Collegamento -179_-383)
Azioni sul collegamento: N=-8760.13 Ty=9.39 Tz=9.01 Mx=0.01 Mz=7.66

Sollecitazioni agenti localmente: Ty_l=-1592.75 Mx_l=-31.85
Tensioni nella sezione: σ=386.12 τ=48.27
CC 6 SLD (Collegamento -179_-383)
Azioni sul collegamento: N=-8760.13 Ty=11.43 Tz=9.01 Mx=0.01 Mz=8.95
Sollecitazioni agenti localmente: Ty_l=-1592.75 Mx_l=-31.85
Tensioni nella sezione: σ=386.12 τ=48.27
CC 7 SLV (Collegamento -179_-383)
Azioni sul collegamento: N=-13961.30 Ty=7.48 Tz=28.35 Mx=0.01 Mz=7.28
Sollecitazioni agenti localmente: Ty_l=-2538.42 Mx_l=-50.77
Tensioni nella sezione: σ=615.37 τ=76.92
CC 7 SLV (Collegamento -179_-383)
Azioni sul collegamento: N=-13961.30 Ty=15.19 Tz=28.35 Mx=0.01 Mz=13.60
Sollecitazioni agenti localmente: Ty_l=-2538.42 Mx_l=-50.77
Tensioni nella sezione: σ=615.37 τ=76.92
CC 7 SLV (Collegamento -179_-383)
Azioni sul collegamento: N=-13961.30 Ty=7.48 Tz=-0.86 Mx=0.01 Mz=7.28
Sollecitazioni agenti localmente: Ty_l=-2538.42 Mx_l=-50.77
Tensioni nella sezione: σ=615.37 τ=76.92
CC 7 SLV (Collegamento -179_-383)
Azioni sul collegamento: N=-13961.30 Ty=15.19 Tz=-0.86 Mx=0.01 Mz=13.60
Sollecitazioni agenti localmente: Ty_l=-2538.42 Mx_l=-50.77
Tensioni nella sezione: σ=615.37 τ=76.92
CC 7 SLV (Collegamento -179_-383)
Azioni sul collegamento: N=-6136.64 Ty=7.48 Tz=28.35 Mx=0.01 Mz=7.28
Sollecitazioni agenti localmente: Ty_l=-1115.75 Mx_l=-22.32
Tensioni nella sezione: σ=270.49 τ=33.81
CC 7 SLV (Collegamento -179_-383)
Azioni sul collegamento: N=-6136.64 Ty=15.19 Tz=28.35 Mx=0.01 Mz=13.60
Sollecitazioni agenti localmente: Ty_l=-1115.75 Mx_l=-22.32
Tensioni nella sezione: σ=270.49 τ=33.81
CC 7 SLV (Collegamento -179_-383)
Azioni sul collegamento: N=-6136.64 Ty=7.48 Tz=-0.86 Mx=0.01 Mz=7.28
Sollecitazioni agenti localmente: Ty_l=-1115.75 Mx_l=-22.32
Tensioni nella sezione: σ=270.49 τ=33.81
CC 7 SLV (Collegamento -179_-383)
Azioni sul collegamento: N=-6136.64 Ty=15.19 Tz=-0.86 Mx=0.01 Mz=13.60
Sollecitazioni agenti localmente: Ty_l=-1115.75 Mx_l=-22.32
Tensioni nella sezione: σ=270.49 τ=33.81
CC 8 SLD (Collegamento -179_-383)
Azioni sul collegamento: N=-11144.60 Ty=9.24 Tz=17.82 Mx=0.01 Mz=7.34
Sollecitazioni agenti localmente: Ty_l=-2026.30 Mx_l=-40.53
Tensioni nella sezione: σ=491.22 τ=61.40
CC 8 SLD (Collegamento -179_-383)
Azioni sul collegamento: N=-11144.60 Ty=11.59 Tz=17.82 Mx=0.01 Mz=9.27
Sollecitazioni agenti localmente: Ty_l=-2026.30 Mx_l=-40.53
Tensioni nella sezione: σ=491.22 τ=61.40
CC 8 SLD (Collegamento -179_-383)
Azioni sul collegamento: N=-11144.60 Ty=9.24 Tz=8.91 Mx=0.01 Mz=7.34
Sollecitazioni agenti localmente: Ty_l=-2026.30 Mx_l=-40.53
Tensioni nella sezione: σ=491.22 τ=61.40
CC 8 SLD (Collegamento -179_-383)
Azioni sul collegamento: N=-11144.60 Ty=11.59 Tz=8.91 Mx=0.01 Mz=9.27
Sollecitazioni agenti localmente: Ty_l=-2026.30 Mx_l=-40.53
Tensioni nella sezione: σ=491.22 τ=61.40
CC 8 SLD (Collegamento -179_-383)
Azioni sul collegamento: N=-8758.64 Ty=9.24 Tz=17.82 Mx=0.01 Mz=7.34
Sollecitazioni agenti localmente: Ty_l=-1592.48 Mx_l=-31.85
Tensioni nella sezione: σ=386.06 τ=48.26
CC 8 SLD (Collegamento -179_-383)
Azioni sul collegamento: N=-8758.64 Ty=11.59 Tz=17.82 Mx=0.01 Mz=9.27
Sollecitazioni agenti localmente: Ty_l=-1592.48 Mx_l=-31.85
Tensioni nella sezione: σ=386.06 τ=48.26
CC 8 SLD (Collegamento -179_-383)
Azioni sul collegamento: N=-8758.64 Ty=9.24 Tz=8.91 Mx=0.01 Mz=7.34
Sollecitazioni agenti localmente: Ty_l=-1592.48 Mx_l=-31.85
Tensioni nella sezione: σ=386.06 τ=48.26
CC 8 SLD (Collegamento -179_-383)
Azioni sul collegamento: N=-8758.64 Ty=11.59 Tz=8.91 Mx=0.01 Mz=9.27
Sollecitazioni agenti localmente: Ty_l=-1592.48 Mx_l=-31.85
Tensioni nella sezione: σ=386.06 τ=48.26
CC 9 SLV (Collegamento -179_-383)
Azioni sul collegamento: N=-8867.90 Ty=13.27 Tz=8.87 Mx=0.02 Mz=12.98
Sollecitazioni agenti localmente: Ty_l=-1612.34 Mx_l=-32.25
Tensioni nella sezione: σ=390.87 τ=48.86
CC 9 SLV (Collegamento -179_-383)
Azioni sul collegamento: N=-8867.90 Ty=9.40 Tz=8.87 Mx=0.02 Mz=7.91
Sollecitazioni agenti localmente: Ty_l=-1612.34 Mx_l=-32.25
Tensioni nella sezione: σ=390.87 τ=48.86
CC 9 SLV (Collegamento -179_-383)

Azioni sul collegamento: N=-8867.90 Ty=13.27 Tz=18.62 Mx=0.02 Mz=12.98
Sollecitazioni agenti localmente: Ty_l=-1612.34 Mx_l=-32.25
Tensioni nella sezione: σ=390.87 τ=48.86
CC 9 SLV (Collegamento -179_-383)
Azioni sul collegamento: N=-8867.90 Ty=9.40 Tz=18.62 Mx=0.02 Mz=7.91
Sollecitazioni agenti localmente: Ty_l=-1612.34 Mx_l=-32.25
Tensioni nella sezione: σ=390.87 τ=48.86
CC 9 SLV (Collegamento -179_-383)
Azioni sul collegamento: N=-11230.10 Ty=13.27 Tz=8.87 Mx=0.02 Mz=12.98
Sollecitazioni agenti localmente: Ty_l=-2041.83 Mx_l=-40.84
Tensioni nella sezione: σ=494.99 τ=61.87
CC 9 SLV (Collegamento -179_-383)
Azioni sul collegamento: N=-11230.10 Ty=9.40 Tz=8.87 Mx=0.02 Mz=7.91
Sollecitazioni agenti localmente: Ty_l=-2041.83 Mx_l=-40.84
Tensioni nella sezione: σ=494.99 τ=61.87
CC 9 SLV (Collegamento -179_-383)
Azioni sul collegamento: N=-11230.10 Ty=13.27 Tz=18.62 Mx=0.02 Mz=12.98
Sollecitazioni agenti localmente: Ty_l=-2041.83 Mx_l=-40.84
Tensioni nella sezione: σ=494.99 τ=61.87
CC 9 SLV (Collegamento -179_-383)
Azioni sul collegamento: N=-11230.10 Ty=9.40 Tz=18.62 Mx=0.02 Mz=7.91
Sollecitazioni agenti localmente: Ty_l=-2041.83 Mx_l=-40.84
Tensioni nella sezione: σ=494.99 τ=61.87
CC 10 SLD (Collegamento -179_-383)
Azioni sul collegamento: N=-9591.49 Ty=11.00 Tz=11.88 Mx=0.01 Mz=9.08
Sollecitazioni agenti localmente: Ty_l=-1743.91 Mx_l=-34.88
Tensioni nella sezione: σ=422.76 τ=52.85
CC 10 SLD (Collegamento -179_-383)
Azioni sul collegamento: N=-9591.49 Ty=9.82 Tz=11.88 Mx=0.01 Mz=7.53
Sollecitazioni agenti localmente: Ty_l=-1743.91 Mx_l=-34.88
Tensioni nella sezione: σ=422.76 τ=52.85
CC 10 SLD (Collegamento -179_-383)
Azioni sul collegamento: N=-9591.49 Ty=11.00 Tz=14.85 Mx=0.01 Mz=9.08
Sollecitazioni agenti localmente: Ty_l=-1743.91 Mx_l=-34.88
Tensioni nella sezione: σ=422.76 τ=52.85
CC 10 SLD (Collegamento -179_-383)
Azioni sul collegamento: N=-9591.49 Ty=9.82 Tz=14.85 Mx=0.01 Mz=7.53
Sollecitazioni agenti localmente: Ty_l=-1743.91 Mx_l=-34.88
Tensioni nella sezione: σ=422.76 τ=52.85
CC 10 SLD (Collegamento -179_-383)
Azioni sul collegamento: N=-10311.80 Ty=11.00 Tz=11.88 Mx=0.01 Mz=9.08
Sollecitazioni agenti localmente: Ty_l=-1874.87 Mx_l=-37.50
Tensioni nella sezione: σ=454.51 τ=56.81
CC 10 SLD (Collegamento -179_-383)
Azioni sul collegamento: N=-10311.80 Ty=9.82 Tz=11.88 Mx=0.01 Mz=7.53
Sollecitazioni agenti localmente: Ty_l=-1874.87 Mx_l=-37.50
Tensioni nella sezione: σ=454.51 τ=56.81
CC 10 SLD (Collegamento -179_-383)
Azioni sul collegamento: N=-10311.80 Ty=11.00 Tz=14.85 Mx=0.01 Mz=9.08
Sollecitazioni agenti localmente: Ty_l=-1874.87 Mx_l=-37.50
Tensioni nella sezione: σ=454.51 τ=56.81
CC 10 SLD (Collegamento -179_-383)
Azioni sul collegamento: N=-10311.80 Ty=9.82 Tz=14.85 Mx=0.01 Mz=7.53
Sollecitazioni agenti localmente: Ty_l=-1874.87 Mx_l=-37.50
Tensioni nella sezione: σ=454.51 τ=56.81
CC 11 SLV (Collegamento -179_-383)
Azioni sul collegamento: N=-11213.80 Ty=11.11 Tz=17.53 Mx=0.02 Mz=11.40
Sollecitazioni agenti localmente: Ty_l=-2038.88 Mx_l=-40.78
Tensioni nella sezione: σ=494.27 τ=61.78
CC 11 SLV (Collegamento -179_-383)
Azioni sul collegamento: N=-11213.80 Ty=11.56 Tz=17.53 Mx=0.02 Mz=9.49
Sollecitazioni agenti localmente: Ty_l=-2038.88 Mx_l=-40.78
Tensioni nella sezione: σ=494.27 τ=61.78
CC 11 SLV (Collegamento -179_-383)
Azioni sul collegamento: N=-11213.80 Ty=11.11 Tz=9.96 Mx=0.02 Mz=11.40
Sollecitazioni agenti localmente: Ty_l=-2038.88 Mx_l=-40.78
Tensioni nella sezione: σ=494.27 τ=61.78
CC 11 SLV (Collegamento -179_-383)
Azioni sul collegamento: N=-11213.80 Ty=11.56 Tz=9.96 Mx=0.02 Mz=9.49
Sollecitazioni agenti localmente: Ty_l=-2038.88 Mx_l=-40.78
Tensioni nella sezione: σ=494.27 τ=61.78
CC 11 SLV (Collegamento -179_-383)
Azioni sul collegamento: N=-8884.11 Ty=11.11 Tz=17.53 Mx=0.02 Mz=11.40
Sollecitazioni agenti localmente: Ty_l=-1615.29 Mx_l=-32.31
Tensioni nella sezione: σ=391.58 τ=48.95
CC 11 SLV (Collegamento -179_-383)
Azioni sul collegamento: N=-8884.11 Ty=11.56 Tz=17.53 Mx=0.02 Mz=9.49
Sollecitazioni agenti localmente: Ty_l=-1615.29 Mx_l=-32.31
Tensioni nella sezione: σ=391.58 τ=48.95

CC 11 SLV (Collegamento -179_-383)
Azioni sul collegamento: N=-8884.11 Ty=11.11 Tz=9.96 Mx=0.02 Mz=11.40
Sollecitazioni agenti localmente: Ty_l=-1615.29 Mx_l=-32.31
Tensioni nella sezione: σ=391.58 τ=48.95
CC 11 SLV (Collegamento -179_-383)
Azioni sul collegamento: N=-8884.11 Ty=11.56 Tz=9.96 Mx=0.02 Mz=9.49
Sollecitazioni agenti localmente: Ty_l=-1615.29 Mx_l=-32.31
Tensioni nella sezione: σ=391.58 τ=48.95
CC 12 SLD (Collegamento -179_-383)
Azioni sul collegamento: N=-10306.80 Ty=10.34 Tz=14.52 Mx=0.01 Mz=8.60
Sollecitazioni agenti localmente: Ty_l=-1873.97 Mx_l=-37.48
Tensioni nella sezione: σ=454.30 τ=56.79
CC 12 SLD (Collegamento -179_-383)
Azioni sul collegamento: N=-10306.80 Ty=10.48 Tz=14.52 Mx=0.01 Mz=8.01
Sollecitazioni agenti localmente: Ty_l=-1873.97 Mx_l=-37.48
Tensioni nella sezione: σ=454.30 τ=56.79
CC 12 SLD (Collegamento -179_-383)
Azioni sul collegamento: N=-10306.80 Ty=10.34 Tz=12.21 Mx=0.01 Mz=8.60
Sollecitazioni agenti localmente: Ty_l=-1873.97 Mx_l=-37.48
Tensioni nella sezione: σ=454.30 τ=56.79
CC 12 SLD (Collegamento -179_-383)
Azioni sul collegamento: N=-10306.80 Ty=10.48 Tz=12.21 Mx=0.01 Mz=8.01
Sollecitazioni agenti localmente: Ty_l=-1873.97 Mx_l=-37.48
Tensioni nella sezione: σ=454.30 τ=56.79
CC 12 SLD (Collegamento -179_-383)
Azioni sul collegamento: N=-9596.43 Ty=10.34 Tz=14.52 Mx=0.01 Mz=8.60
Sollecitazioni agenti localmente: Ty_l=-1744.81 Mx_l=-34.90
Tensioni nella sezione: σ=422.98 τ=52.87
CC 12 SLD (Collegamento -179_-383)
Azioni sul collegamento: N=-9596.43 Ty=10.48 Tz=14.52 Mx=0.01 Mz=8.01
Sollecitazioni agenti localmente: Ty_l=-1744.81 Mx_l=-34.90
Tensioni nella sezione: σ=422.98 τ=52.87
CC 12 SLD (Collegamento -179_-383)
Azioni sul collegamento: N=-9596.43 Ty=10.34 Tz=12.21 Mx=0.01 Mz=8.60
Sollecitazioni agenti localmente: Ty_l=-1744.81 Mx_l=-34.90
Tensioni nella sezione: σ=422.98 τ=52.87
CC 12 SLD (Collegamento -179_-383)
Azioni sul collegamento: N=-9596.43 Ty=10.48 Tz=12.21 Mx=0.01 Mz=8.01
Sollecitazioni agenti localmente: Ty_l=-1744.81 Mx_l=-34.90
Tensioni nella sezione: σ=422.98 τ=52.87
CC 13 SLV (Collegamento -179_-383)
Azioni sul collegamento: N=-8884.11 Ty=11.56 Tz=9.96 Mx=0.01 Mz=9.49
Sollecitazioni agenti localmente: Ty_l=-1615.29 Mx_l=-32.31
Tensioni nella sezione: σ=391.58 τ=48.95
CC 13 SLV (Collegamento -179_-383)
Azioni sul collegamento: N=-8884.11 Ty=11.11 Tz=9.96 Mx=0.01 Mz=11.40
Sollecitazioni agenti localmente: Ty_l=-1615.29 Mx_l=-32.31
Tensioni nella sezione: σ=391.58 τ=48.95
CC 13 SLV (Collegamento -179_-383)
Azioni sul collegamento: N=-8884.11 Ty=11.56 Tz=17.53 Mx=0.01 Mz=9.49
Sollecitazioni agenti localmente: Ty_l=-1615.29 Mx_l=-32.31
Tensioni nella sezione: σ=391.58 τ=48.95
CC 13 SLV (Collegamento -179_-383)
Azioni sul collegamento: N=-8884.11 Ty=11.11 Tz=17.53 Mx=0.01 Mz=11.40
Sollecitazioni agenti localmente: Ty_l=-1615.29 Mx_l=-32.31
Tensioni nella sezione: σ=391.58 τ=48.95
CC 13 SLV (Collegamento -179_-383)
Azioni sul collegamento: N=-11213.80 Ty=11.56 Tz=9.96 Mx=0.01 Mz=9.49
Sollecitazioni agenti localmente: Ty_l=-2038.88 Mx_l=-40.78
Tensioni nella sezione: σ=494.27 τ=61.78
CC 13 SLV (Collegamento -179_-383)
Azioni sul collegamento: N=-11213.80 Ty=11.11 Tz=9.96 Mx=0.01 Mz=11.40
Sollecitazioni agenti localmente: Ty_l=-2038.88 Mx_l=-40.78
Tensioni nella sezione: σ=494.27 τ=61.78
CC 13 SLV (Collegamento -179_-383)
Azioni sul collegamento: N=-11213.80 Ty=11.56 Tz=17.53 Mx=0.01 Mz=9.49
Sollecitazioni agenti localmente: Ty_l=-2038.88 Mx_l=-40.78
Tensioni nella sezione: σ=494.27 τ=61.78
CC 13 SLV (Collegamento -179_-383)
Azioni sul collegamento: N=-11213.80 Ty=11.11 Tz=17.53 Mx=0.01 Mz=11.40
Sollecitazioni agenti localmente: Ty_l=-2038.88 Mx_l=-40.78
Tensioni nella sezione: σ=494.27 τ=61.78
CC 14 SLD (Collegamento -179_-383)
Azioni sul collegamento: N=-9596.43 Ty=10.48 Tz=12.21 Mx=0.00 Mz=8.01
Sollecitazioni agenti localmente: Ty_l=-1744.81 Mx_l=-34.90
Tensioni nella sezione: σ=422.98 τ=52.87
CC 14 SLD (Collegamento -179_-383)
Azioni sul collegamento: N=-9596.43 Ty=10.34 Tz=12.21 Mx=0.00 Mz=8.60
Sollecitazioni agenti localmente: Ty_l=-1744.81 Mx_l=-34.90

Tensioni nella sezione: σ=422.98 τ=52.87
CC 14 SLD (Collegamento -179_-383)
Azioni sul collegamento: N=-9596.43 Ty=10.48 Tz=14.52 Mx=0.00 Mz=8.01
Sollecitazioni agenti localmente: Ty_l=-1744.81 Mx_l=-34.90
Tensioni nella sezione: σ=422.98 τ=52.87
CC 14 SLD (Collegamento -179_-383)
Azioni sul collegamento: N=-9596.43 Ty=10.34 Tz=14.52 Mx=0.00 Mz=8.60
Sollecitazioni agenti localmente: Ty_l=-1744.81 Mx_l=-34.90
Tensioni nella sezione: σ=422.98 τ=52.87
CC 14 SLD (Collegamento -179_-383)
Azioni sul collegamento: N=-10306.80 Ty=10.48 Tz=12.21 Mx=0.00 Mz=8.01
Sollecitazioni agenti localmente: Ty_l=-1873.97 Mx_l=-37.48
Tensioni nella sezione: σ=454.30 τ=56.79
CC 14 SLD (Collegamento -179_-383)
Azioni sul collegamento: N=-10306.80 Ty=10.34 Tz=12.21 Mx=0.00 Mz=8.60
Sollecitazioni agenti localmente: Ty_l=-1873.97 Mx_l=-37.48
Tensioni nella sezione: σ=454.30 τ=56.79
CC 14 SLD (Collegamento -179_-383)
Azioni sul collegamento: N=-10306.80 Ty=10.48 Tz=14.52 Mx=0.00 Mz=8.01
Sollecitazioni agenti localmente: Ty_l=-1873.97 Mx_l=-37.48
Tensioni nella sezione: σ=454.30 τ=56.79
CC 14 SLD (Collegamento -179_-383)
Azioni sul collegamento: N=-10306.80 Ty=10.34 Tz=14.52 Mx=0.00 Mz=8.60
Sollecitazioni agenti localmente: Ty_l=-1873.97 Mx_l=-37.48
Tensioni nella sezione: σ=454.30 τ=56.79
CC 15 SLV (Collegamento -179_-383)
Azioni sul collegamento: N=-11230.10 Ty=9.40 Tz=18.62 Mx=0.01 Mz=7.91
Sollecitazioni agenti localmente: Ty_l=-2041.83 Mx_l=-40.84
Tensioni nella sezione: σ=494.99 τ=61.87
CC 15 SLV (Collegamento -179_-383)
Azioni sul collegamento: N=-11230.10 Ty=13.27 Tz=18.62 Mx=0.01 Mz=12.98
Sollecitazioni agenti localmente: Ty_l=-2041.83 Mx_l=-40.84
Tensioni nella sezione: σ=494.99 τ=61.87
CC 15 SLV (Collegamento -179_-383)
Azioni sul collegamento: N=-11230.10 Ty=9.40 Tz=8.87 Mx=0.01 Mz=7.91
Sollecitazioni agenti localmente: Ty_l=-2041.83 Mx_l=-40.84
Tensioni nella sezione: σ=494.99 τ=61.87
CC 15 SLV (Collegamento -179_-383)
Azioni sul collegamento: N=-11230.10 Ty=13.27 Tz=8.87 Mx=0.01 Mz=12.98
Sollecitazioni agenti localmente: Ty_l=-2041.83 Mx_l=-40.84
Tensioni nella sezione: σ=494.99 τ=61.87
CC 15 SLV (Collegamento -179_-383)
Azioni sul collegamento: N=-8867.90 Ty=9.40 Tz=18.62 Mx=0.01 Mz=7.91
Sollecitazioni agenti localmente: Ty_l=-1612.34 Mx_l=-32.25
Tensioni nella sezione: σ=390.87 τ=48.86
CC 15 SLV (Collegamento -179_-383)
Azioni sul collegamento: N=-8867.90 Ty=13.27 Tz=18.62 Mx=0.01 Mz=12.98
Sollecitazioni agenti localmente: Ty_l=-1612.34 Mx_l=-32.25
Tensioni nella sezione: σ=390.87 τ=48.86
CC 15 SLV (Collegamento -179_-383)
Azioni sul collegamento: N=-8867.90 Ty=9.40 Tz=8.87 Mx=0.01 Mz=7.91
Sollecitazioni agenti localmente: Ty_l=-1612.34 Mx_l=-32.25
Tensioni nella sezione: σ=390.87 τ=48.86
CC 15 SLV (Collegamento -179_-383)
Azioni sul collegamento: N=-8867.90 Ty=13.27 Tz=8.87 Mx=0.01 Mz=12.98
Sollecitazioni agenti localmente: Ty_l=-1612.34 Mx_l=-32.25
Tensioni nella sezione: σ=390.87 τ=48.86
CC 16 SLD (Collegamento -179_-383)
Azioni sul collegamento: N=-10311.80 Ty=9.82 Tz=14.85 Mx=0.00 Mz=7.53
Sollecitazioni agenti localmente: Ty_l=-1874.87 Mx_l=-37.50
Tensioni nella sezione: σ=454.51 τ=56.81
CC 16 SLD (Collegamento -179_-383)
Azioni sul collegamento: N=-10311.80 Ty=11.00 Tz=14.85 Mx=0.00 Mz=9.08
Sollecitazioni agenti localmente: Ty_l=-1874.87 Mx_l=-37.50
Tensioni nella sezione: σ=454.51 τ=56.81
CC 16 SLD (Collegamento -179_-383)
Azioni sul collegamento: N=-10311.80 Ty=9.82 Tz=11.88 Mx=0.00 Mz=7.53
Sollecitazioni agenti localmente: Ty_l=-1874.87 Mx_l=-37.50
Tensioni nella sezione: σ=454.51 τ=56.81
CC 16 SLD (Collegamento -179_-383)
Azioni sul collegamento: N=-10311.80 Ty=11.00 Tz=11.88 Mx=0.00 Mz=9.08
Sollecitazioni agenti localmente: Ty_l=-1874.87 Mx_l=-37.50
Tensioni nella sezione: σ=454.51 τ=56.81
CC 16 SLD (Collegamento -179_-383)
Azioni sul collegamento: N=-9591.49 Ty=9.82 Tz=14.85 Mx=0.00 Mz=7.53
Sollecitazioni agenti localmente: Ty_l=-1743.91 Mx_l=-34.88
Tensioni nella sezione: σ=422.76 τ=52.85
CC 16 SLD (Collegamento -179_-383)
Azioni sul collegamento: N=-9591.49 Ty=11.00 Tz=14.85 Mx=0.00 Mz=9.08

Sollecitazioni agenti localmente: Ty_l=-1743.91 Mx_l=-34.88
Tensioni nella sezione: σ=422.76 τ=52.85
CC 16 SLD (Collegamento -179_-383)
Azioni sul collegamento: N=-9591.49 Ty=9.82 Tz=11.88 Mx=0.00 Mz=7.53
Sollecitazioni agenti localmente: Ty_l=-1743.91 Mx_l=-34.88
Tensioni nella sezione: σ=422.76 τ=52.85
CC 16 SLD (Collegamento -179_-383)
Azioni sul collegamento: N=-9591.49 Ty=11.00 Tz=11.88 Mx=0.00 Mz=9.08
Sollecitazioni agenti localmente: Ty_l=-1743.91 Mx_l=-34.88
Tensioni nella sezione: σ=422.76 τ=52.85
CC 17 SLV (Collegamento -179_-383)
Azioni sul collegamento: N=-5856.57 Ty=12.53 Tz=-1.96 Mx=-0.01 Mz=7.45
Sollecitazioni agenti localmente: Ty_l=-1064.83 Mx_l=-21.30
Tensioni nella sezione: σ=258.14 τ=32.27
CC 17 SLV (Collegamento -179_-383)
Azioni sul collegamento: N=-5856.57 Ty=4.82 Tz=-1.96 Mx=-0.01 Mz=1.13
Sollecitazioni agenti localmente: Ty_l=-1064.83 Mx_l=-21.30
Tensioni nella sezione: σ=258.14 τ=32.27
CC 17 SLV (Collegamento -179_-383)
Azioni sul collegamento: N=-5856.57 Ty=12.53 Tz=27.25 Mx=-0.01 Mz=7.45
Sollecitazioni agenti localmente: Ty_l=-1064.83 Mx_l=-21.30
Tensioni nella sezione: σ=258.14 τ=32.27
CC 17 SLV (Collegamento -179_-383)
Azioni sul collegamento: N=-5856.57 Ty=4.82 Tz=27.25 Mx=-0.01 Mz=1.13
Sollecitazioni agenti localmente: Ty_l=-1064.83 Mx_l=-21.30
Tensioni nella sezione: σ=258.14 τ=32.27
CC 17 SLV (Collegamento -179_-383)
Azioni sul collegamento: N=-13681.20 Ty=12.53 Tz=-1.96 Mx=-0.01 Mz=7.45
Sollecitazioni agenti localmente: Ty_l=-2487.50 Mx_l=-49.75
Tensioni nella sezione: σ=603.03 τ=75.38
CC 17 SLV (Collegamento -179_-383)
Azioni sul collegamento: N=-13681.20 Ty=4.82 Tz=-1.96 Mx=-0.01 Mz=1.13
Sollecitazioni agenti localmente: Ty_l=-2487.50 Mx_l=-49.75
Tensioni nella sezione: σ=603.03 τ=75.38
CC 17 SLV (Collegamento -179_-383)
Azioni sul collegamento: N=-13681.20 Ty=12.53 Tz=27.25 Mx=-0.01 Mz=7.45
Sollecitazioni agenti localmente: Ty_l=-2487.50 Mx_l=-49.75
Tensioni nella sezione: σ=603.03 τ=75.38
CC 17 SLV (Collegamento -179_-383)
Azioni sul collegamento: N=-13681.20 Ty=4.82 Tz=27.25 Mx=-0.01 Mz=1.13
Sollecitazioni agenti localmente: Ty_l=-2487.50 Mx_l=-49.75
Tensioni nella sezione: σ=603.03 τ=75.38
CC 18 SLD (Collegamento -179_-383)
Azioni sul collegamento: N=-8673.24 Ty=10.78 Tz=8.57 Mx=-0.00 Mz=7.39
Sollecitazioni agenti localmente: Ty_l=-1576.95 Mx_l=-31.54
Tensioni nella sezione: σ=382.29 τ=47.79
CC 18 SLD (Collegamento -179_-383)
Azioni sul collegamento: N=-8673.24 Ty=8.42 Tz=8.57 Mx=-0.00 Mz=5.47
Sollecitazioni agenti localmente: Ty_l=-1576.95 Mx_l=-31.54
Tensioni nella sezione: σ=382.29 τ=47.79
CC 18 SLD (Collegamento -179_-383)
Azioni sul collegamento: N=-8673.24 Ty=10.78 Tz=17.48 Mx=-0.00 Mz=7.39
Sollecitazioni agenti localmente: Ty_l=-1576.95 Mx_l=-31.54
Tensioni nella sezione: σ=382.29 τ=47.79
CC 18 SLD (Collegamento -179_-383)
Azioni sul collegamento: N=-8673.24 Ty=8.42 Tz=17.48 Mx=-0.00 Mz=5.47
Sollecitazioni agenti localmente: Ty_l=-1576.95 Mx_l=-31.54
Tensioni nella sezione: σ=382.29 τ=47.79
CC 18 SLD (Collegamento -179_-383)
Azioni sul collegamento: N=-11059.20 Ty=10.78 Tz=8.57 Mx=-0.00 Mz=7.39
Sollecitazioni agenti localmente: Ty_l=-2010.77 Mx_l=-40.22
Tensioni nella sezione: σ=487.46 τ=60.93
CC 18 SLD (Collegamento -179_-383)
Azioni sul collegamento: N=-11059.20 Ty=8.42 Tz=8.57 Mx=-0.00 Mz=5.47
Sollecitazioni agenti localmente: Ty_l=-2010.77 Mx_l=-40.22
Tensioni nella sezione: σ=487.46 τ=60.93
CC 18 SLD (Collegamento -179_-383)
Azioni sul collegamento: N=-11059.20 Ty=10.78 Tz=17.48 Mx=-0.00 Mz=7.39
Sollecitazioni agenti localmente: Ty_l=-2010.77 Mx_l=-40.22
Tensioni nella sezione: σ=487.46 τ=60.93
CC 18 SLD (Collegamento -179_-383)
Azioni sul collegamento: N=-11059.20 Ty=8.42 Tz=17.48 Mx=-0.00 Mz=5.47
Sollecitazioni agenti localmente: Ty_l=-2010.77 Mx_l=-40.22
Tensioni nella sezione: σ=487.46 τ=60.93
CC 19 SLV (Collegamento -179_-383)
Azioni sul collegamento: N=-5861.43 Ty=12.02 Tz=-1.63 Mx=-0.01 Mz=6.41
Sollecitazioni agenti localmente: Ty_l=-1065.71 Mx_l=-21.31
Tensioni nella sezione: σ=258.35 τ=32.29
CC 19 SLV (Collegamento -179_-383)

Azioni sul collegamento: N=-5861.43 Ty=5.33 Tz=-1.63 Mx=-0.01 Mz=2.18
Sollecitazioni agenti localmente: Ty_l=-1065.71 Mx_l=-21.31
Tensioni nella sezione: σ=258.35 τ=32.29
CC 19 SLV (Collegamento -179_-383)
Azioni sul collegamento: N=-5861.43 Ty=12.02 Tz=26.92 Mx=-0.01 Mz=6.41
Sollecitazioni agenti localmente: Ty_l=-1065.71 Mx_l=-21.31
Tensioni nella sezione: σ=258.35 τ=32.29
CC 19 SLV (Collegamento -179_-383)
Azioni sul collegamento: N=-5861.43 Ty=5.33 Tz=26.92 Mx=-0.01 Mz=2.18
Sollecitazioni agenti localmente: Ty_l=-1065.71 Mx_l=-21.31
Tensioni nella sezione: σ=258.35 τ=32.29
CC 19 SLV (Collegamento -179_-383)
Azioni sul collegamento: N=-13676.40 Ty=12.02 Tz=-1.63 Mx=-0.01 Mz=6.41
Sollecitazioni agenti localmente: Ty_l=-2486.61 Mx_l=-49.73
Tensioni nella sezione: σ=602.81 τ=75.35
CC 19 SLV (Collegamento -179_-383)
Azioni sul collegamento: N=-13676.40 Ty=5.33 Tz=-1.63 Mx=-0.01 Mz=2.18
Sollecitazioni agenti localmente: Ty_l=-2486.61 Mx_l=-49.73
Tensioni nella sezione: σ=602.81 τ=75.35
CC 19 SLV (Collegamento -179_-383)
Azioni sul collegamento: N=-13676.40 Ty=12.02 Tz=26.92 Mx=-0.01 Mz=6.41
Sollecitazioni agenti localmente: Ty_l=-2486.61 Mx_l=-49.73
Tensioni nella sezione: σ=602.81 τ=75.35
CC 19 SLV (Collegamento -179_-383)
Azioni sul collegamento: N=-13676.40 Ty=5.33 Tz=26.92 Mx=-0.01 Mz=2.18
Sollecitazioni agenti localmente: Ty_l=-2486.61 Mx_l=-49.73
Tensioni nella sezione: σ=602.81 τ=75.35
CC 20 SLD (Collegamento -179_-383)
Azioni sul collegamento: N=-8674.72 Ty=10.62 Tz=8.67 Mx=0.00 Mz=7.07
Sollecitazioni agenti localmente: Ty_l=-1577.22 Mx_l=-31.54
Tensioni nella sezione: σ=382.36 τ=47.79
CC 20 SLD (Collegamento -179_-383)
Azioni sul collegamento: N=-8674.72 Ty=8.58 Tz=8.67 Mx=0.00 Mz=5.79
Sollecitazioni agenti localmente: Ty_l=-1577.22 Mx_l=-31.54
Tensioni nella sezione: σ=382.36 τ=47.79
CC 20 SLD (Collegamento -179_-383)
Azioni sul collegamento: N=-8674.72 Ty=10.62 Tz=17.38 Mx=0.00 Mz=7.07
Sollecitazioni agenti localmente: Ty_l=-1577.22 Mx_l=-31.54
Tensioni nella sezione: σ=382.36 τ=47.79
CC 20 SLD (Collegamento -179_-383)
Azioni sul collegamento: N=-8674.72 Ty=8.58 Tz=17.38 Mx=0.00 Mz=5.79
Sollecitazioni agenti localmente: Ty_l=-1577.22 Mx_l=-31.54
Tensioni nella sezione: σ=382.36 τ=47.79
CC 20 SLD (Collegamento -179_-383)
Azioni sul collegamento: N=-11057.70 Ty=10.62 Tz=8.67 Mx=0.00 Mz=7.07
Sollecitazioni agenti localmente: Ty_l=-2010.50 Mx_l=-40.21
Tensioni nella sezione: σ=487.39 τ=60.92
CC 20 SLD (Collegamento -179_-383)
Azioni sul collegamento: N=-11057.70 Ty=8.58 Tz=8.67 Mx=0.00 Mz=5.79
Sollecitazioni agenti localmente: Ty_l=-2010.50 Mx_l=-40.21
Tensioni nella sezione: σ=487.39 τ=60.92
CC 20 SLD (Collegamento -179_-383)
Azioni sul collegamento: N=-11057.70 Ty=10.62 Tz=17.38 Mx=0.00 Mz=7.07
Sollecitazioni agenti localmente: Ty_l=-2010.50 Mx_l=-40.21
Tensioni nella sezione: σ=487.39 τ=60.92
CC 20 SLD (Collegamento -179_-383)
Azioni sul collegamento: N=-11057.70 Ty=8.58 Tz=17.38 Mx=0.00 Mz=5.79
Sollecitazioni agenti localmente: Ty_l=-2010.50 Mx_l=-40.21
Tensioni nella sezione: σ=487.39 τ=60.92
CC 21 SLV (Collegamento -179_-383)
Azioni sul collegamento: N=-13676.40 Ty=5.33 Tz=26.92 Mx=-0.01 Mz=2.18
Sollecitazioni agenti localmente: Ty_l=-2486.61 Mx_l=-49.73
Tensioni nella sezione: σ=602.81 τ=75.35
CC 21 SLV (Collegamento -179_-383)
Azioni sul collegamento: N=-13676.40 Ty=12.02 Tz=26.92 Mx=-0.01 Mz=6.41
Sollecitazioni agenti localmente: Ty_l=-2486.61 Mx_l=-49.73
Tensioni nella sezione: σ=602.81 τ=75.35
CC 21 SLV (Collegamento -179_-383)
Azioni sul collegamento: N=-13676.40 Ty=5.33 Tz=-1.63 Mx=-0.01 Mz=2.18
Sollecitazioni agenti localmente: Ty_l=-2486.61 Mx_l=-49.73
Tensioni nella sezione: σ=602.81 τ=75.35
CC 21 SLV (Collegamento -179_-383)
Azioni sul collegamento: N=-13676.40 Ty=12.02 Tz=-1.63 Mx=-0.01 Mz=6.41
Sollecitazioni agenti localmente: Ty_l=-2486.61 Mx_l=-49.73
Tensioni nella sezione: σ=602.81 τ=75.35
CC 21 SLV (Collegamento -179_-383)
Azioni sul collegamento: N=-5861.43 Ty=5.33 Tz=26.92 Mx=-0.01 Mz=2.18
Sollecitazioni agenti localmente: Ty_l=-1065.71 Mx_l=-21.31
Tensioni nella sezione: σ=258.35 τ=32.29

CC 21 SLV (Collegamento -179_-383)
Azioni sul collegamento: N=-5861.43 Ty=12.02 Tz=26.92 Mx=-0.01 Mz=6.41
Sollecitazioni agenti localmente: Ty_l=-1065.71 Mx_l=-21.31
Tensioni nella sezione: σ=258.35 τ=32.29
CC 21 SLV (Collegamento -179_-383)
Azioni sul collegamento: N=-5861.43 Ty=5.33 Tz=-1.63 Mx=-0.01 Mz=2.18
Sollecitazioni agenti localmente: Ty_l=-1065.71 Mx_l=-21.31
Tensioni nella sezione: σ=258.35 τ=32.29
CC 21 SLV (Collegamento -179_-383)
Azioni sul collegamento: N=-5861.43 Ty=12.02 Tz=-1.63 Mx=-0.01 Mz=6.41
Sollecitazioni agenti localmente: Ty_l=-1065.71 Mx_l=-21.31
Tensioni nella sezione: σ=258.35 τ=32.29
CC 22 SLD (Collegamento -179_-383)
Azioni sul collegamento: N=-11057.70 Ty=8.58 Tz=17.38 Mx=-0.00 Mz=5.79
Sollecitazioni agenti localmente: Ty_l=-2010.50 Mx_l=-40.21
Tensioni nella sezione: σ=487.39 τ=60.92
CC 22 SLD (Collegamento -179_-383)
Azioni sul collegamento: N=-11057.70 Ty=10.62 Tz=17.38 Mx=-0.00 Mz=7.07
Sollecitazioni agenti localmente: Ty_l=-2010.50 Mx_l=-40.21
Tensioni nella sezione: σ=487.39 τ=60.92
CC 22 SLD (Collegamento -179_-383)
Azioni sul collegamento: N=-11057.70 Ty=8.58 Tz=8.67 Mx=-0.00 Mz=5.79
Sollecitazioni agenti localmente: Ty_l=-2010.50 Mx_l=-40.21
Tensioni nella sezione: σ=487.39 τ=60.92
CC 22 SLD (Collegamento -179_-383)
Azioni sul collegamento: N=-11057.70 Ty=10.62 Tz=8.67 Mx=-0.00 Mz=7.07
Sollecitazioni agenti localmente: Ty_l=-2010.50 Mx_l=-40.21
Tensioni nella sezione: σ=487.39 τ=60.92
CC 22 SLD (Collegamento -179_-383)
Azioni sul collegamento: N=-8674.72 Ty=8.58 Tz=17.38 Mx=-0.00 Mz=5.79
Sollecitazioni agenti localmente: Ty_l=-1577.22 Mx_l=-31.54
Tensioni nella sezione: σ=382.36 τ=47.79
CC 22 SLD (Collegamento -179_-383)
Azioni sul collegamento: N=-8674.72 Ty=10.62 Tz=17.38 Mx=-0.00 Mz=7.07
Sollecitazioni agenti localmente: Ty_l=-1577.22 Mx_l=-31.54
Tensioni nella sezione: σ=382.36 τ=47.79
CC 22 SLD (Collegamento -179_-383)
Azioni sul collegamento: N=-8674.72 Ty=8.58 Tz=8.67 Mx=-0.00 Mz=5.79
Sollecitazioni agenti localmente: Ty_l=-1577.22 Mx_l=-31.54
Tensioni nella sezione: σ=382.36 τ=47.79
CC 22 SLD (Collegamento -179_-383)
Azioni sul collegamento: N=-8674.72 Ty=10.62 Tz=8.67 Mx=-0.00 Mz=7.07
Sollecitazioni agenti localmente: Ty_l=-1577.22 Mx_l=-31.54
Tensioni nella sezione: σ=382.36 τ=47.79
CC 23 SLV (Collegamento -179_-383)
Azioni sul collegamento: N=-13681.20 Ty=4.82 Tz=27.25 Mx=-0.01 Mz=1.13
Sollecitazioni agenti localmente: Ty_l=-2487.50 Mx_l=-49.75
Tensioni nella sezione: σ=603.03 τ=75.38
CC 23 SLV (Collegamento -179_-383)
Azioni sul collegamento: N=-13681.20 Ty=12.53 Tz=27.25 Mx=-0.01 Mz=7.45
Sollecitazioni agenti localmente: Ty_l=-2487.50 Mx_l=-49.75
Tensioni nella sezione: σ=603.03 τ=75.38
CC 23 SLV (Collegamento -179_-383)
Azioni sul collegamento: N=-13681.20 Ty=4.82 Tz=-1.96 Mx=-0.01 Mz=1.13
Sollecitazioni agenti localmente: Ty_l=-2487.50 Mx_l=-49.75
Tensioni nella sezione: σ=603.03 τ=75.38
CC 23 SLV (Collegamento -179_-383)
Azioni sul collegamento: N=-13681.20 Ty=12.53 Tz=-1.96 Mx=-0.01 Mz=7.45
Sollecitazioni agenti localmente: Ty_l=-2487.50 Mx_l=-49.75
Tensioni nella sezione: σ=603.03 τ=75.38
CC 23 SLV (Collegamento -179_-383)
Azioni sul collegamento: N=-5856.57 Ty=4.82 Tz=27.25 Mx=-0.01 Mz=1.13
Sollecitazioni agenti localmente: Ty_l=-1064.83 Mx_l=-21.30
Tensioni nella sezione: σ=258.14 τ=32.27
CC 23 SLV (Collegamento -179_-383)
Azioni sul collegamento: N=-5856.57 Ty=12.53 Tz=27.25 Mx=-0.01 Mz=7.45
Sollecitazioni agenti localmente: Ty_l=-1064.83 Mx_l=-21.30
Tensioni nella sezione: σ=258.14 τ=32.27
CC 23 SLV (Collegamento -179_-383)
Azioni sul collegamento: N=-5856.57 Ty=4.82 Tz=-1.96 Mx=-0.01 Mz=1.13
Sollecitazioni agenti localmente: Ty_l=-1064.83 Mx_l=-21.30
Tensioni nella sezione: σ=258.14 τ=32.27
CC 23 SLV (Collegamento -179_-383)
Azioni sul collegamento: N=-5856.57 Ty=12.53 Tz=-1.96 Mx=-0.01 Mz=7.45
Sollecitazioni agenti localmente: Ty_l=-1064.83 Mx_l=-21.30
Tensioni nella sezione: σ=258.14 τ=32.27
CC 24 SLD (Collegamento -179_-383)
Azioni sul collegamento: N=-11059.20 Ty=8.42 Tz=17.48 Mx=0.00 Mz=5.47
Sollecitazioni agenti localmente: Ty_l=-2010.77 Mx_l=-40.22

Tensioni nella sezione: σ=487.46 τ=60.93
CC 24 SLD (Collegamento -179_-383)
Azioni sul collegamento: N=-11059.20 Ty=10.78 Tz=17.48 Mx=0.00 Mz=7.39
Sollecitazioni agenti localmente: Ty_l=-2010.77 Mx_l=-40.22
Tensioni nella sezione: σ=487.46 τ=60.93
CC 24 SLD (Collegamento -179_-383)
Azioni sul collegamento: N=-11059.20 Ty=8.42 Tz=8.57 Mx=0.00 Mz=5.47
Sollecitazioni agenti localmente: Ty_l=-2010.77 Mx_l=-40.22
Tensioni nella sezione: σ=487.46 τ=60.93
CC 24 SLD (Collegamento -179_-383)
Azioni sul collegamento: N=-11059.20 Ty=10.78 Tz=8.57 Mx=0.00 Mz=7.39
Sollecitazioni agenti localmente: Ty_l=-2010.77 Mx_l=-40.22
Tensioni nella sezione: σ=487.46 τ=60.93
CC 24 SLD (Collegamento -179_-383)
Azioni sul collegamento: N=-8673.24 Ty=8.42 Tz=17.48 Mx=0.00 Mz=5.47
Sollecitazioni agenti localmente: Ty_l=-1576.95 Mx_l=-31.54
Tensioni nella sezione: σ=382.29 τ=47.79
CC 24 SLD (Collegamento -179_-383)
Azioni sul collegamento: N=-8673.24 Ty=10.78 Tz=17.48 Mx=0.00 Mz=7.39
Sollecitazioni agenti localmente: Ty_l=-1576.95 Mx_l=-31.54
Tensioni nella sezione: σ=382.29 τ=47.79
CC 24 SLD (Collegamento -179_-383)
Azioni sul collegamento: N=-8673.24 Ty=8.42 Tz=8.57 Mx=0.00 Mz=5.47
Sollecitazioni agenti localmente: Ty_l=-1576.95 Mx_l=-31.54
Tensioni nella sezione: σ=382.29 τ=47.79
CC 24 SLD (Collegamento -179_-383)
Azioni sul collegamento: N=-8673.24 Ty=10.78 Tz=8.57 Mx=0.00 Mz=7.39
Sollecitazioni agenti localmente: Ty_l=-1576.95 Mx_l=-31.54
Tensioni nella sezione: σ=382.29 τ=47.79
CC 25 SLV (Collegamento -179_-383)
Azioni sul collegamento: N=-8587.82 Ty=10.61 Tz=7.77 Mx=-0.02 Mz=6.83
Sollecitazioni agenti localmente: Ty_l=-1561.42 Mx_l=-31.23
Tensioni nella sezione: σ=378.53 τ=47.32
CC 25 SLV (Collegamento -179_-383)
Azioni sul collegamento: N=-8587.82 Ty=6.74 Tz=7.77 Mx=-0.02 Mz=1.76
Sollecitazioni agenti localmente: Ty_l=-1561.42 Mx_l=-31.23
Tensioni nella sezione: σ=378.53 τ=47.32
CC 25 SLV (Collegamento -179_-383)
Azioni sul collegamento: N=-8587.82 Ty=10.61 Tz=17.52 Mx=-0.02 Mz=6.83
Sollecitazioni agenti localmente: Ty_l=-1561.42 Mx_l=-31.23
Tensioni nella sezione: σ=378.53 τ=47.32
CC 25 SLV (Collegamento -179_-383)
Azioni sul collegamento: N=-8587.82 Ty=6.74 Tz=17.52 Mx=-0.02 Mz=1.76
Sollecitazioni agenti localmente: Ty_l=-1561.42 Mx_l=-31.23
Tensioni nella sezione: σ=378.53 τ=47.32
CC 25 SLV (Collegamento -179_-383)
Azioni sul collegamento: N=-10950.00 Ty=10.61 Tz=7.77 Mx=-0.02 Mz=6.83
Sollecitazioni agenti localmente: Ty_l=-1990.90 Mx_l=-39.82
Tensioni nella sezione: σ=482.64 τ=60.33
CC 25 SLV (Collegamento -179_-383)
Azioni sul collegamento: N=-10950.00 Ty=6.74 Tz=7.77 Mx=-0.02 Mz=1.76
Sollecitazioni agenti localmente: Ty_l=-1990.90 Mx_l=-39.82
Tensioni nella sezione: σ=482.64 τ=60.33
CC 25 SLV (Collegamento -179_-383)
Azioni sul collegamento: N=-10950.00 Ty=10.61 Tz=17.52 Mx=-0.02 Mz=6.83
Sollecitazioni agenti localmente: Ty_l=-1990.90 Mx_l=-39.82
Tensioni nella sezione: σ=482.64 τ=60.33
CC 25 SLV (Collegamento -179_-383)
Azioni sul collegamento: N=-10950.00 Ty=6.74 Tz=17.52 Mx=-0.02 Mz=1.76
Sollecitazioni agenti localmente: Ty_l=-1990.90 Mx_l=-39.82
Tensioni nella sezione: σ=482.64 τ=60.33
CC 26 SLD (Collegamento -179_-383)
Azioni sul collegamento: N=-9506.09 Ty=10.19 Tz=11.54 Mx=-0.00 Mz=7.20
Sollecitazioni agenti localmente: Ty_l=-1728.38 Mx_l=-34.57
Tensioni nella sezione: σ=419.00 τ=52.38
CC 26 SLD (Collegamento -179_-383)
Azioni sul collegamento: N=-9506.09 Ty=9.01 Tz=11.54 Mx=-0.00 Mz=5.66
Sollecitazioni agenti localmente: Ty_l=-1728.38 Mx_l=-34.57
Tensioni nella sezione: σ=419.00 τ=52.38
CC 26 SLD (Collegamento -179_-383)
Azioni sul collegamento: N=-9506.09 Ty=10.19 Tz=14.51 Mx=-0.00 Mz=7.20
Sollecitazioni agenti localmente: Ty_l=-1728.38 Mx_l=-34.57
Tensioni nella sezione: σ=419.00 τ=52.38
CC 26 SLD (Collegamento -179_-383)
Azioni sul collegamento: N=-9506.09 Ty=9.01 Tz=14.51 Mx=-0.00 Mz=5.66
Sollecitazioni agenti localmente: Ty_l=-1728.38 Mx_l=-34.57
Tensioni nella sezione: σ=419.00 τ=52.38
CC 26 SLD (Collegamento -179_-383)
Azioni sul collegamento: N=-10226.40 Ty=10.19 Tz=11.54 Mx=-0.00 Mz=7.20

Sollecitazioni agenti localmente: Ty_l=-1859.34 Mx_l=-37.19
Tensioni nella sezione: σ=450.75 τ=56.34
CC 26 SLD (Collegamento -179_-383)
Azioni sul collegamento: N=-10226.40 Ty=9.01 Tz=11.54 Mx=-0.00 Mz=5.66
Sollecitazioni agenti localmente: Ty_l=-1859.34 Mx_l=-37.19
Tensioni nella sezione: σ=450.75 τ=56.34
CC 26 SLD (Collegamento -179_-383)
Azioni sul collegamento: N=-10226.40 Ty=10.19 Tz=14.51 Mx=-0.00 Mz=7.20
Sollecitazioni agenti localmente: Ty_l=-1859.34 Mx_l=-37.19
Tensioni nella sezione: σ=450.75 τ=56.34
CC 26 SLD (Collegamento -179_-383)
Azioni sul collegamento: N=-10226.40 Ty=9.01 Tz=14.51 Mx=-0.00 Mz=5.66
Sollecitazioni agenti localmente: Ty_l=-1859.34 Mx_l=-37.19
Tensioni nella sezione: σ=450.75 τ=56.34
CC 27 SLV (Collegamento -179_-383)
Azioni sul collegamento: N=-10933.80 Ty=8.45 Tz=16.43 Mx=-0.02 Mz=5.25
Sollecitazioni agenti localmente: Ty_l=-1987.96 Mx_l=-39.76
Tensioni nella sezione: σ=481.93 τ=60.24
CC 27 SLV (Collegamento -179_-383)
Azioni sul collegamento: N=-10933.80 Ty=8.90 Tz=16.43 Mx=-0.02 Mz=3.34
Sollecitazioni agenti localmente: Ty_l=-1987.96 Mx_l=-39.76
Tensioni nella sezione: σ=481.93 τ=60.24
CC 27 SLV (Collegamento -179_-383)
Azioni sul collegamento: N=-10933.80 Ty=8.45 Tz=8.86 Mx=-0.02 Mz=5.25
Sollecitazioni agenti localmente: Ty_l=-1987.96 Mx_l=-39.76
Tensioni nella sezione: σ=481.93 τ=60.24
CC 27 SLV (Collegamento -179_-383)
Azioni sul collegamento: N=-10933.80 Ty=8.90 Tz=8.86 Mx=-0.02 Mz=3.34
Sollecitazioni agenti localmente: Ty_l=-1987.96 Mx_l=-39.76
Tensioni nella sezione: σ=481.93 τ=60.24
CC 27 SLV (Collegamento -179_-383)
Azioni sul collegamento: N=-8604.03 Ty=8.45 Tz=16.43 Mx=-0.02 Mz=5.25
Sollecitazioni agenti localmente: Ty_l=-1564.37 Mx_l=-31.29
Tensioni nella sezione: σ=379.24 τ=47.41
CC 27 SLV (Collegamento -179_-383)
Azioni sul collegamento: N=-8604.03 Ty=8.90 Tz=16.43 Mx=-0.02 Mz=3.34
Sollecitazioni agenti localmente: Ty_l=-1564.37 Mx_l=-31.29
Tensioni nella sezione: σ=379.24 τ=47.41
CC 27 SLV (Collegamento -179_-383)
Azioni sul collegamento: N=-8604.03 Ty=8.45 Tz=8.86 Mx=-0.02 Mz=5.25
Sollecitazioni agenti localmente: Ty_l=-1564.37 Mx_l=-31.29
Tensioni nella sezione: σ=379.24 τ=47.41
CC 27 SLV (Collegamento -179_-383)
Azioni sul collegamento: N=-8604.03 Ty=8.90 Tz=8.86 Mx=-0.02 Mz=3.34
Sollecitazioni agenti localmente: Ty_l=-1564.37 Mx_l=-31.29
Tensioni nella sezione: σ=379.24 τ=47.41
CC 28 SLD (Collegamento -179_-383)
Azioni sul collegamento: N=-10221.40 Ty=9.53 Tz=14.18 Mx=-0.00 Mz=6.72
Sollecitazioni agenti localmente: Ty_l=-1858.44 Mx_l=-37.17
Tensioni nella sezione: σ=450.53 τ=56.32
CC 28 SLD (Collegamento -179_-383)
Azioni sul collegamento: N=-10221.40 Ty=9.67 Tz=14.18 Mx=-0.00 Mz=6.14
Sollecitazioni agenti localmente: Ty_l=-1858.44 Mx_l=-37.17
Tensioni nella sezione: σ=450.53 τ=56.32
CC 28 SLD (Collegamento -179_-383)
Azioni sul collegamento: N=-10221.40 Ty=9.53 Tz=11.87 Mx=-0.00 Mz=6.72
Sollecitazioni agenti localmente: Ty_l=-1858.44 Mx_l=-37.17
Tensioni nella sezione: σ=450.53 τ=56.32
CC 28 SLD (Collegamento -179_-383)
Azioni sul collegamento: N=-10221.40 Ty=9.67 Tz=11.87 Mx=-0.00 Mz=6.14
Sollecitazioni agenti localmente: Ty_l=-1858.44 Mx_l=-37.17
Tensioni nella sezione: σ=450.53 τ=56.32
CC 28 SLD (Collegamento -179_-383)
Azioni sul collegamento: N=-9511.03 Ty=9.53 Tz=14.18 Mx=-0.00 Mz=6.72
Sollecitazioni agenti localmente: Ty_l=-1729.28 Mx_l=-34.59
Tensioni nella sezione: σ=419.22 τ=52.40
CC 28 SLD (Collegamento -179_-383)
Azioni sul collegamento: N=-9511.03 Ty=9.67 Tz=14.18 Mx=-0.00 Mz=6.14
Sollecitazioni agenti localmente: Ty_l=-1729.28 Mx_l=-34.59
Tensioni nella sezione: σ=419.22 τ=52.40
CC 28 SLD (Collegamento -179_-383)
Azioni sul collegamento: N=-9511.03 Ty=9.53 Tz=11.87 Mx=-0.00 Mz=6.72
Sollecitazioni agenti localmente: Ty_l=-1729.28 Mx_l=-34.59
Tensioni nella sezione: σ=419.22 τ=52.40
CC 28 SLD (Collegamento -179_-383)
Azioni sul collegamento: N=-9511.03 Ty=9.67 Tz=11.87 Mx=-0.00 Mz=6.14
Sollecitazioni agenti localmente: Ty_l=-1729.28 Mx_l=-34.59
Tensioni nella sezione: σ=419.22 τ=52.40
CC 29 SLV (Collegamento -179_-383)

Azioni sul collegamento: N=-8604.03 Ty=8.90 Tz=8.86 Mx=-0.00 Mz=3.34
Sollecitazioni agenti localmente: Ty_l=-1564.37 Mx_l=-31.29
Tensioni nella sezione: σ=379.24 τ=47.41
CC 29 SLV (Collegamento -179_-383)
Azioni sul collegamento: N=-8604.03 Ty=8.45 Tz=8.86 Mx=-0.00 Mz=5.25
Sollecitazioni agenti localmente: Ty_l=-1564.37 Mx_l=-31.29
Tensioni nella sezione: σ=379.24 τ=47.41
CC 29 SLV (Collegamento -179_-383)
Azioni sul collegamento: N=-8604.03 Ty=8.90 Tz=16.43 Mx=-0.00 Mz=3.34
Sollecitazioni agenti localmente: Ty_l=-1564.37 Mx_l=-31.29
Tensioni nella sezione: σ=379.24 τ=47.41
CC 29 SLV (Collegamento -179_-383)
Azioni sul collegamento: N=-8604.03 Ty=8.45 Tz=16.43 Mx=-0.00 Mz=5.25
Sollecitazioni agenti localmente: Ty_l=-1564.37 Mx_l=-31.29
Tensioni nella sezione: σ=379.24 τ=47.41
CC 29 SLV (Collegamento -179_-383)
Azioni sul collegamento: N=-10933.80 Ty=8.90 Tz=8.86 Mx=-0.00 Mz=3.34
Sollecitazioni agenti localmente: Ty_l=-1987.96 Mx_l=-39.76
Tensioni nella sezione: σ=481.93 τ=60.24
CC 29 SLV (Collegamento -179_-383)
Azioni sul collegamento: N=-10933.80 Ty=8.45 Tz=8.86 Mx=-0.00 Mz=5.25
Sollecitazioni agenti localmente: Ty_l=-1987.96 Mx_l=-39.76
Tensioni nella sezione: σ=481.93 τ=60.24
CC 29 SLV (Collegamento -179_-383)
Azioni sul collegamento: N=-10933.80 Ty=8.90 Tz=16.43 Mx=-0.00 Mz=3.34
Sollecitazioni agenti localmente: Ty_l=-1987.96 Mx_l=-39.76
Tensioni nella sezione: σ=481.93 τ=60.24
CC 29 SLV (Collegamento -179_-383)
Azioni sul collegamento: N=-10933.80 Ty=8.45 Tz=16.43 Mx=-0.00 Mz=5.25
Sollecitazioni agenti localmente: Ty_l=-1987.96 Mx_l=-39.76
Tensioni nella sezione: σ=481.93 τ=60.24
CC 30 SLD (Collegamento -179_-383)
Azioni sul collegamento: N=-9511.03 Ty=9.67 Tz=11.87 Mx=0.00 Mz=6.14
Sollecitazioni agenti localmente: Ty_l=-1729.28 Mx_l=-34.59
Tensioni nella sezione: σ=419.22 τ=52.40
CC 30 SLD (Collegamento -179_-383)
Azioni sul collegamento: N=-9511.03 Ty=9.53 Tz=11.87 Mx=0.00 Mz=6.72
Sollecitazioni agenti localmente: Ty_l=-1729.28 Mx_l=-34.59
Tensioni nella sezione: σ=419.22 τ=52.40
CC 30 SLD (Collegamento -179_-383)
Azioni sul collegamento: N=-9511.03 Ty=9.67 Tz=14.18 Mx=0.00 Mz=6.14
Sollecitazioni agenti localmente: Ty_l=-1729.28 Mx_l=-34.59
Tensioni nella sezione: σ=419.22 τ=52.40
CC 30 SLD (Collegamento -179_-383)
Azioni sul collegamento: N=-9511.03 Ty=9.53 Tz=14.18 Mx=0.00 Mz=6.72
Sollecitazioni agenti localmente: Ty_l=-1729.28 Mx_l=-34.59
Tensioni nella sezione: σ=419.22 τ=52.40
CC 30 SLD (Collegamento -179_-383)
Azioni sul collegamento: N=-10221.40 Ty=9.67 Tz=11.87 Mx=0.00 Mz=6.14
Sollecitazioni agenti localmente: Ty_l=-1858.44 Mx_l=-37.17
Tensioni nella sezione: σ=450.53 τ=56.32
CC 30 SLD (Collegamento -179_-383)
Azioni sul collegamento: N=-10221.40 Ty=9.53 Tz=11.87 Mx=0.00 Mz=6.72
Sollecitazioni agenti localmente: Ty_l=-1858.44 Mx_l=-37.17
Tensioni nella sezione: σ=450.53 τ=56.32
CC 30 SLD (Collegamento -179_-383)
Azioni sul collegamento: N=-10221.40 Ty=9.67 Tz=14.18 Mx=0.00 Mz=6.14
Sollecitazioni agenti localmente: Ty_l=-1858.44 Mx_l=-37.17
Tensioni nella sezione: σ=450.53 τ=56.32
CC 30 SLD (Collegamento -179_-383)
Azioni sul collegamento: N=-10221.40 Ty=9.53 Tz=14.18 Mx=0.00 Mz=6.72
Sollecitazioni agenti localmente: Ty_l=-1858.44 Mx_l=-37.17
Tensioni nella sezione: σ=450.53 τ=56.32
CC 31 SLV (Collegamento -179_-383)
Azioni sul collegamento: N=-10950.00 Ty=6.74 Tz=17.52 Mx=-0.00 Mz=1.76
Sollecitazioni agenti localmente: Ty_l=-1990.90 Mx_l=-39.82
Tensioni nella sezione: σ=482.64 τ=60.33
CC 31 SLV (Collegamento -179_-383)
Azioni sul collegamento: N=-10950.00 Ty=10.61 Tz=17.52 Mx=-0.00 Mz=6.83
Sollecitazioni agenti localmente: Ty_l=-1990.90 Mx_l=-39.82
Tensioni nella sezione: σ=482.64 τ=60.33
CC 31 SLV (Collegamento -179_-383)
Azioni sul collegamento: N=-10950.00 Ty=6.74 Tz=7.77 Mx=-0.00 Mz=1.76
Sollecitazioni agenti localmente: Ty_l=-1990.90 Mx_l=-39.82
Tensioni nella sezione: σ=482.64 τ=60.33
CC 31 SLV (Collegamento -179_-383)
Azioni sul collegamento: N=-10950.00 Ty=10.61 Tz=7.77 Mx=-0.00 Mz=6.83
Sollecitazioni agenti localmente: Ty_l=-1990.90 Mx_l=-39.82
Tensioni nella sezione: σ=482.64 τ=60.33

CC 31 SLV (Collegamento -179_-383)
Azioni sul collegamento: N=-8587.82 Ty=6.74 Tz=17.52 Mx=-0.00 Mz=1.76
Sollecitazioni agenti localmente: Ty_l=-1561.42 Mx_l=-31.23
Tensioni nella sezione: σ=378.53 τ=47.32
CC 31 SLV (Collegamento -179_-383)
Azioni sul collegamento: N=-8587.82 Ty=10.61 Tz=17.52 Mx=-0.00 Mz=6.83
Sollecitazioni agenti localmente: Ty_l=-1561.42 Mx_l=-31.23
Tensioni nella sezione: σ=378.53 τ=47.32
CC 31 SLV (Collegamento -179_-383)
Azioni sul collegamento: N=-8587.82 Ty=6.74 Tz=7.77 Mx=-0.00 Mz=1.76
Sollecitazioni agenti localmente: Ty_l=-1561.42 Mx_l=-31.23
Tensioni nella sezione: σ=378.53 τ=47.32
CC 31 SLV (Collegamento -179_-383)
Azioni sul collegamento: N=-8587.82 Ty=10.61 Tz=7.77 Mx=-0.00 Mz=6.83
Sollecitazioni agenti localmente: Ty_l=-1561.42 Mx_l=-31.23
Tensioni nella sezione: σ=378.53 τ=47.32
CC 32 SLD (Collegamento -179_-383)
Azioni sul collegamento: N=-10226.40 Ty=9.01 Tz=14.51 Mx=0.00 Mz=5.66
Sollecitazioni agenti localmente: Ty_l=-1859.34 Mx_l=-37.19
Tensioni nella sezione: σ=450.75 τ=56.34
CC 32 SLD (Collegamento -179_-383)
Azioni sul collegamento: N=-10226.40 Ty=10.19 Tz=14.51 Mx=0.00 Mz=7.20
Sollecitazioni agenti localmente: Ty_l=-1859.34 Mx_l=-37.19
Tensioni nella sezione: σ=450.75 τ=56.34
CC 32 SLD (Collegamento -179_-383)
Azioni sul collegamento: N=-10226.40 Ty=9.01 Tz=11.54 Mx=0.00 Mz=5.66
Sollecitazioni agenti localmente: Ty_l=-1859.34 Mx_l=-37.19
Tensioni nella sezione: σ=450.75 τ=56.34
CC 32 SLD (Collegamento -179_-383)
Azioni sul collegamento: N=-10226.40 Ty=10.19 Tz=11.54 Mx=0.00 Mz=7.20
Sollecitazioni agenti localmente: Ty_l=-1859.34 Mx_l=-37.19
Tensioni nella sezione: σ=450.75 τ=56.34
CC 32 SLD (Collegamento -179_-383)
Azioni sul collegamento: N=-9506.09 Ty=9.01 Tz=14.51 Mx=0.00 Mz=5.66
Sollecitazioni agenti localmente: Ty_l=-1728.38 Mx_l=-34.57
Tensioni nella sezione: σ=419.00 τ=52.38
CC 32 SLD (Collegamento -179_-383)
Azioni sul collegamento: N=-9506.09 Ty=10.19 Tz=14.51 Mx=0.00 Mz=7.20
Sollecitazioni agenti localmente: Ty_l=-1728.38 Mx_l=-34.57
Tensioni nella sezione: σ=419.00 τ=52.38
CC 32 SLD (Collegamento -179_-383)
Azioni sul collegamento: N=-9506.09 Ty=9.01 Tz=11.54 Mx=0.00 Mz=5.66
Sollecitazioni agenti localmente: Ty_l=-1728.38 Mx_l=-34.57
Tensioni nella sezione: σ=419.00 τ=52.38
CC 32 SLD (Collegamento -179_-383)
Azioni sul collegamento: N=-9506.09 Ty=10.19 Tz=11.54 Mx=0.00 Mz=7.20
Sollecitazioni agenti localmente: Ty_l=-1728.38 Mx_l=-34.57
Tensioni nella sezione: σ=419.00 τ=52.38
CC 33 SLU (Collegamento -179_-383)
Azioni sul collegamento: N=-36428.20 Ty=20.21 Tz=102.49 Mx=0.01 Mz=15.01
Sollecitazioni agenti localmente: Ty_l=-6623.30 Mx_l=-132.47
Tensioni nella sezione: σ=1605.65 τ=200.71
CC 34 SLU (Collegamento -179_-383)
Azioni sul collegamento: N=-37242.40 Ty=20.96 Tz=105.49 Mx=0.01 Mz=15.56
Sollecitazioni agenti localmente: Ty_l=-6771.34 Mx_l=-135.43
Tensioni nella sezione: σ=1641.53 τ=205.19
CC 35 SLU (Collegamento -179_-383)
Azioni sul collegamento: N=-36836.10 Ty=20.67 Tz=103.93 Mx=0.00 Mz=15.47
Sollecitazioni agenti localmente: Ty_l=-6697.48 Mx_l=-133.95
Tensioni nella sezione: σ=1623.63 τ=202.95
CC 36 SLU (Collegamento -179_-383)
Azioni sul collegamento: N=-36834.40 Ty=20.49 Tz=104.05 Mx=0.01 Mz=15.10
Sollecitazioni agenti localmente: Ty_l=-6697.16 Mx_l=-133.94
Tensioni nella sezione: σ=1623.55 τ=202.94
CC 37 SLU (Collegamento -179_-383)
Azioni sul collegamento: N=-29660.30 Ty=-10.68 Tz=77.11 Mx=0.01 Mz=-8.42
Sollecitazioni agenti localmente: Ty_l=-5392.78 Mx_l=-107.86
Tensioni nella sezione: σ=1307.34 τ=163.42
CC 38 SLU (Collegamento -179_-383)
Azioni sul collegamento: N=-30474.50 Ty=-9.93 Tz=80.11 Mx=0.01 Mz=-7.87
Sollecitazioni agenti localmente: Ty_l=-5540.82 Mx_l=-110.82
Tensioni nella sezione: σ=1343.23 τ=167.90
CC 39 SLU (Collegamento -179_-383)
Azioni sul collegamento: N=-30068.30 Ty=-10.21 Tz=78.55 Mx=0.00 Mz=-7.97
Sollecitazioni agenti localmente: Ty_l=-5466.96 Mx_l=-109.34
Tensioni nella sezione: σ=1325.32 τ=165.66
CC 40 SLU (Collegamento -179_-383)
Azioni sul collegamento: N=-30066.50 Ty=-10.39 Tz=78.67 Mx=0.01 Mz=-8.33
Sollecitazioni agenti localmente: Ty_l=-5466.64 Mx_l=-109.33

Tensioni nella sezione: σ=1325.24 τ=165.66
CC 41 SLU (Collegamento -179_-383)
Azioni sul collegamento: N=-27261.60 Ty=19.33 Tz=68.83 Mx=0.01 Mz=14.21
Sollecitazioni agenti localmente: Ty_l=-4956.66 Mx_l=-99.13
Tensioni nella sezione: σ=1201.61 τ=150.20
CC 42 SLU (Collegamento -179_-383)
Azioni sul collegamento: N=-28075.80 Ty=20.08 Tz=71.84 Mx=0.01 Mz=14.76
Sollecitazioni agenti localmente: Ty_l=-5104.69 Mx_l=-102.09
Tensioni nella sezione: σ=1237.50 τ=154.69
CC 43 SLU (Collegamento -179_-383)
Azioni sul collegamento: N=-27669.60 Ty=19.79 Tz=70.28 Mx=0.00 Mz=14.67
Sollecitazioni agenti localmente: Ty_l=-5030.84 Mx_l=-100.62
Tensioni nella sezione: σ=1219.59 τ=152.45
CC 44 SLU (Collegamento -179_-383)
Azioni sul collegamento: N=-27667.80 Ty=19.61 Tz=70.39 Mx=0.01 Mz=14.31
Sollecitazioni agenti localmente: Ty_l=-5030.52 Mx_l=-100.61
Tensioni nella sezione: σ=1219.52 τ=152.44
CC 45 SLU (Collegamento -179_-383)
Azioni sul collegamento: N=-29271.60 Ty=19.56 Tz=76.22 Mx=0.00 Mz=14.53
Sollecitazioni agenti localmente: Ty_l=-5322.11 Mx_l=-106.44
Tensioni nella sezione: σ=1290.21 τ=161.28
CC 46 SLU (Collegamento -179_-383)
Azioni sul collegamento: N=-30085.80 Ty=20.31 Tz=79.22 Mx=0.00 Mz=15.08
Sollecitazioni agenti localmente: Ty_l=-5470.14 Mx_l=-109.40
Tensioni nella sezione: σ=1326.09 τ=165.76
CC 47 SLU (Collegamento -179_-383)
Azioni sul collegamento: N=-29679.60 Ty=20.02 Tz=77.66 Mx=0.00 Mz=14.99
Sollecitazioni agenti localmente: Ty_l=-5396.29 Mx_l=-107.92
Tensioni nella sezione: σ=1308.19 τ=163.52
CC 48 SLU (Collegamento -179_-383)
Azioni sul collegamento: N=-29677.80 Ty=19.84 Tz=77.78 Mx=0.01 Mz=14.62
Sollecitazioni agenti localmente: Ty_l=-5395.96 Mx_l=-107.92
Tensioni nella sezione: σ=1308.11 τ=163.51
CC 49 SLU (Collegamento -179_-383)
Azioni sul collegamento: N=-24208.20 Ty=-3.55 Tz=57.23 Mx=0.01 Mz=-3.00
Sollecitazioni agenti localmente: Ty_l=-4401.49 Mx_l=-88.03
Tensioni nella sezione: σ=1067.03 τ=133.38
CC 50 SLU (Collegamento -179_-383)
Azioni sul collegamento: N=-25022.40 Ty=-2.80 Tz=60.23 Mx=0.01 Mz=-2.45
Sollecitazioni agenti localmente: Ty_l=-4549.53 Mx_l=-90.99
Tensioni nella sezione: σ=1102.91 τ=137.87
CC 51 SLU (Collegamento -179_-383)
Azioni sul collegamento: N=-24616.20 Ty=-3.08 Tz=58.67 Mx=0.00 Mz=-2.54
Sollecitazioni agenti localmente: Ty_l=-4475.67 Mx_l=-89.51
Tensioni nella sezione: σ=1085.01 τ=135.63
CC 52 SLU (Collegamento -179_-383)
Azioni sul collegamento: N=-24614.40 Ty=-3.26 Tz=58.79 Mx=0.01 Mz=-2.91
Sollecitazioni agenti localmente: Ty_l=-4475.35 Mx_l=-89.51
Tensioni nella sezione: σ=1084.93 τ=135.62
CC 53 SLU (Collegamento -179_-383)
Azioni sul collegamento: N=-22413.60 Ty=18.90 Tz=51.04 Mx=0.00 Mz=13.93
Sollecitazioni agenti localmente: Ty_l=-4075.21 Mx_l=-81.50
Tensioni nella sezione: σ=987.93 τ=123.49
CC 54 SLU (Collegamento -179_-383)
Azioni sul collegamento: N=-23227.90 Ty=19.65 Tz=54.04 Mx=0.00 Mz=14.49
Sollecitazioni agenti localmente: Ty_l=-4223.24 Mx_l=-84.46
Tensioni nella sezione: σ=1023.82 τ=127.98
CC 55 SLU (Collegamento -179_-383)
Azioni sul collegamento: N=-22821.60 Ty=19.36 Tz=52.48 Mx=0.00 Mz=14.39
Sollecitazioni agenti localmente: Ty_l=-4149.39 Mx_l=-82.99
Tensioni nella sezione: σ=1005.91 τ=125.74
CC 56 SLU (Collegamento -179_-383)
Azioni sul collegamento: N=-22819.90 Ty=19.19 Tz=52.60 Mx=0.01 Mz=14.03
Sollecitazioni agenti localmente: Ty_l=-4149.06 Mx_l=-82.98
Tensioni nella sezione: σ=1005.83 τ=125.73
CC 57 SLU (Collegamento -179_-383)
Azioni sul collegamento: N=-30019.90 Ty=20.54 Tz=79.01 Mx=0.00 Mz=15.25
Sollecitazioni agenti localmente: Ty_l=-5458.17 Mx_l=-109.16
Tensioni nella sezione: σ=1323.19 τ=165.40
CC 58 SLU (Collegamento -179_-383)
Azioni sul collegamento: N=-30834.10 Ty=21.29 Tz=82.01 Mx=0.00 Mz=15.80
Sollecitazioni agenti localmente: Ty_l=-5606.21 Mx_l=-112.12
Tensioni nella sezione: σ=1359.08 τ=169.88
CC 59 SLU (Collegamento -179_-383)
Azioni sul collegamento: N=-30427.90 Ty=21.01 Tz=80.45 Mx=0.00 Mz=15.71
Sollecitazioni agenti localmente: Ty_l=-5532.35 Mx_l=-110.65
Tensioni nella sezione: σ=1341.17 τ=167.65
CC 60 SLU (Collegamento -179_-383)
Azioni sul collegamento: N=-30426.20 Ty=20.83 Tz=80.57 Mx=0.01 Mz=15.34

Sollecitazioni agenti localmente: Ty_l=-5532.03 Mx_l=-110.64
Tensioni nella sezione: σ=1341.10 τ=167.64
CC 61 SLU (Collegamento -179_-383)
Azioni sul collegamento: N=-24956.60 Ty=-2.56 Tz=60.02 Mx=0.00 Mz=-2.28
Sollecitazioni agenti localmente: Ty_l=-4537.56 Mx_l=-90.75
Tensioni nella sezione: σ=1100.01 τ=137.50
CC 62 SLU (Collegamento -179_-383)
Azioni sul collegamento: N=-25770.80 Ty=-1.81 Tz=63.02 Mx=0.00 Mz=-1.73
Sollecitazioni agenti localmente: Ty_l=-4685.59 Mx_l=-93.71
Tensioni nella sezione: σ=1135.90 τ=141.99
CC 63 SLU (Collegamento -179_-383)
Azioni sul collegamento: N=-25364.60 Ty=-2.10 Tz=61.46 Mx=0.00 Mz=-1.82
Sollecitazioni agenti localmente: Ty_l=-4611.74 Mx_l=-92.23
Tensioni nella sezione: σ=1117.99 τ=139.75
CC 64 SLU (Collegamento -179_-383)
Azioni sul collegamento: N=-25362.80 Ty=-2.28 Tz=61.58 Mx=0.01 Mz=-2.19
Sollecitazioni agenti localmente: Ty_l=-4611.42 Mx_l=-92.23
Tensioni nella sezione: σ=1117.92 τ=139.74
CC 65 SLU (Collegamento -179_-383)
Azioni sul collegamento: N=-23162.00 Ty=19.88 Tz=53.83 Mx=0.00 Mz=14.66
Sollecitazioni agenti localmente: Ty_l=-4211.28 Mx_l=-84.23
Tensioni nella sezione: σ=1020.91 τ=127.61
CC 66 SLU (Collegamento -179_-383)
Azioni sul collegamento: N=-23976.20 Ty=20.63 Tz=56.84 Mx=0.00 Mz=15.21
Sollecitazioni agenti localmente: Ty_l=-4359.31 Mx_l=-87.19
Tensioni nella sezione: σ=1056.80 τ=132.10
CC 67 SLU (Collegamento -179_-383)
Azioni sul collegamento: N=-23570.00 Ty=20.35 Tz=55.27 Mx=0.00 Mz=15.11
Sollecitazioni agenti localmente: Ty_l=-4285.45 Mx_l=-85.71
Tensioni nella sezione: σ=1038.90 τ=129.86
CC 68 SLU (Collegamento -179_-383)
Azioni sul collegamento: N=-23568.20 Ty=20.17 Tz=55.39 Mx=0.01 Mz=14.75
Sollecitazioni agenti localmente: Ty_l=-4285.13 Mx_l=-85.70
Tensioni nella sezione: σ=1038.82 τ=129.85
CC 97 SLU (Collegamento -179_-383)
Azioni sul collegamento: N=-12126.50 Ty=21.64 Tz=21.62 Mx=0.05 Mz=23.37
Sollecitazioni agenti localmente: Ty_l=-2204.81 Mx_l=-44.10
Tensioni nella sezione: σ=534.50 τ=66.81
CC 98 SLU (Collegamento -179_-383)
Azioni sul collegamento: N=-12940.70 Ty=22.39 Tz=24.63 Mx=0.05 Mz=23.92
Sollecitazioni agenti localmente: Ty_l=-2352.85 Mx_l=-47.06
Tensioni nella sezione: σ=570.39 τ=71.30
CC 99 SLU (Collegamento -179_-383)
Azioni sul collegamento: N=-12534.50 Ty=22.10 Tz=23.06 Mx=0.05 Mz=23.83
Sollecitazioni agenti localmente: Ty_l=-2278.99 Mx_l=-45.58
Tensioni nella sezione: σ=552.48 τ=69.06
CC 100 SLU (Collegamento -179_-383)
Azioni sul collegamento: N=-12532.70 Ty=21.92 Tz=23.18 Mx=0.05 Mz=23.46
Sollecitazioni agenti localmente: Ty_l=-2278.67 Mx_l=-45.57
Tensioni nella sezione: σ=552.40 τ=69.05
CC 101 SLU (Collegamento -179_-383)
Azioni sul collegamento: N=-9752.38 Ty=7.57 Tz=12.50 Mx=-0.00 Mz=4.76
Sollecitazioni agenti localmente: Ty_l=-1773.16 Mx_l=-35.46
Tensioni nella sezione: σ=429.86 τ=53.73
CC 102 SLU (Collegamento -179_-383)
Azioni sul collegamento: N=-10566.60 Ty=8.33 Tz=15.50 Mx=-0.00 Mz=5.31
Sollecitazioni agenti localmente: Ty_l=-1921.20 Mx_l=-38.42
Tensioni nella sezione: σ=465.74 τ=58.22
CC 103 SLU (Collegamento -179_-383)
Azioni sul collegamento: N=-10160.40 Ty=8.04 Tz=13.94 Mx=-0.00 Mz=5.22
Sollecitazioni agenti localmente: Ty_l=-1847.34 Mx_l=-36.95
Tensioni nella sezione: σ=447.84 τ=55.98
CC 104 SLU (Collegamento -179_-383)
Azioni sul collegamento: N=-10158.60 Ty=7.86 Tz=14.06 Mx=-0.00 Mz=4.85
Sollecitazioni agenti localmente: Ty_l=-1847.02 Mx_l=-36.94
Tensioni nella sezione: σ=447.76 τ=55.97

Flessione attacco destro piastra

Bnetta=220.00 Hnetta=15.00
CC 1 SLV (Collegamento -179_-383)
Azioni sul collegamento: N=-6136.64 Ty=15.19 Tz=-0.86 Mx=0.02 Mz=13.60
Sollecitazioni agenti localmente: Ty_l=-1141.97 My_l=-23.49
Tensioni nella sezione: σ=284.68 τ=34.61
CC 1 SLV (Collegamento -179_-383)
Azioni sul collegamento: N=-6136.64 Ty=7.48 Tz=-0.86 Mx=0.02 Mz=7.28
Sollecitazioni agenti localmente: Ty_l=-1116.82 My_l=-22.94
Tensioni nella sezione: σ=278.00 τ=33.84
CC 1 SLV (Collegamento -179_-383)

Azioni sul collegamento: N=-6136.64 Ty=15.19 Tz=28.35 Mx=0.02 Mz=13.60
Sollecitazioni agenti localmente: Ty_l=-1141.97 My_l=-23.49
Tensioni nella sezione: σ=284.68 τ=34.61
CC 1 SLV (Collegamento -179_-383)
Azioni sul collegamento: N=-6136.64 Ty=7.48 Tz=28.35 Mx=0.02 Mz=7.28
Sollecitazioni agenti localmente: Ty_l=-1116.82 My_l=-22.94
Tensioni nella sezione: σ=278.00 τ=33.84
CC 1 SLV (Collegamento -179_-383)
Azioni sul collegamento: N=-13961.30 Ty=15.19 Tz=-0.86 Mx=0.02 Mz=13.60
Sollecitazioni agenti localmente: Ty_l=-2529.07 My_l=-51.92
Tensioni nella sezione: σ=629.35 τ=76.64
CC 1 SLV (Collegamento -179_-383)
Azioni sul collegamento: N=-13961.30 Ty=7.48 Tz=-0.86 Mx=0.02 Mz=7.28
Sollecitazioni agenti localmente: Ty_l=-2503.92 My_l=-51.37
Tensioni nella sezione: σ=622.68 τ=75.88
CC 1 SLV (Collegamento -179_-383)
Azioni sul collegamento: N=-13961.30 Ty=15.19 Tz=28.35 Mx=0.02 Mz=13.60
Sollecitazioni agenti localmente: Ty_l=-2529.07 My_l=-51.92
Tensioni nella sezione: σ=629.35 τ=76.64
CC 1 SLV (Collegamento -179_-383)
Azioni sul collegamento: N=-13961.30 Ty=7.48 Tz=28.35 Mx=0.02 Mz=7.28
Sollecitazioni agenti localmente: Ty_l=-2503.92 My_l=-51.37
Tensioni nella sezione: σ=622.68 τ=75.88
CC 2 SLD (Collegamento -179_-383)
Azioni sul collegamento: N=-8758.64 Ty=11.59 Tz=8.91 Mx=0.01 Mz=9.27
Sollecitazioni agenti localmente: Ty_l=-1589.54 My_l=-32.64
Tensioni nella sezione: σ=395.60 τ=48.17
CC 2 SLD (Collegamento -179_-383)
Azioni sul collegamento: N=-8758.64 Ty=9.24 Tz=8.91 Mx=0.01 Mz=7.34
Sollecitazioni agenti localmente: Ty_l=-1581.87 My_l=-32.47
Tensioni nella sezione: σ=393.57 τ=47.94
CC 2 SLD (Collegamento -179_-383)
Azioni sul collegamento: N=-8758.64 Ty=11.59 Tz=17.82 Mx=0.01 Mz=9.27
Sollecitazioni agenti localmente: Ty_l=-1589.54 My_l=-32.64
Tensioni nella sezione: σ=395.60 τ=48.17
CC 2 SLD (Collegamento -179_-383)
Azioni sul collegamento: N=-8758.64 Ty=9.24 Tz=17.82 Mx=0.01 Mz=7.34
Sollecitazioni agenti localmente: Ty_l=-1581.87 My_l=-32.47
Tensioni nella sezione: σ=393.57 τ=47.94
CC 2 SLD (Collegamento -179_-383)
Azioni sul collegamento: N=-11144.60 Ty=11.59 Tz=8.91 Mx=0.01 Mz=9.27
Sollecitazioni agenti localmente: Ty_l=-2012.51 My_l=-41.31
Tensioni nella sezione: σ=500.70 τ=60.99
CC 2 SLD (Collegamento -179_-383)
Azioni sul collegamento: N=-11144.60 Ty=9.24 Tz=8.91 Mx=0.01 Mz=7.34
Sollecitazioni agenti localmente: Ty_l=-2004.84 My_l=-41.14
Tensioni nella sezione: σ=498.67 τ=60.75
CC 2 SLD (Collegamento -179_-383)
Azioni sul collegamento: N=-11144.60 Ty=11.59 Tz=17.82 Mx=0.01 Mz=9.27
Sollecitazioni agenti localmente: Ty_l=-2012.51 My_l=-41.31
Tensioni nella sezione: σ=500.70 τ=60.99
CC 2 SLD (Collegamento -179_-383)
Azioni sul collegamento: N=-11144.60 Ty=9.24 Tz=17.82 Mx=0.01 Mz=7.34
Sollecitazioni agenti localmente: Ty_l=-2004.84 My_l=-41.14
Tensioni nella sezione: σ=498.67 τ=60.75
CC 3 SLV (Collegamento -179_-383)
Azioni sul collegamento: N=-6141.51 Ty=14.68 Tz=-0.53 Mx=0.01 Mz=12.56
Sollecitazioni agenti localmente: Ty_l=-1138.67 My_l=-23.41
Tensioni nella sezione: σ=283.79 τ=34.51
CC 3 SLV (Collegamento -179_-383)
Azioni sul collegamento: N=-6141.51 Ty=7.99 Tz=-0.53 Mx=0.01 Mz=8.33
Sollecitazioni agenti localmente: Ty_l=-1121.85 My_l=-23.04
Tensioni nella sezione: σ=279.32 τ=34.00
CC 3 SLV (Collegamento -179_-383)
Azioni sul collegamento: N=-6141.51 Ty=14.68 Tz=28.02 Mx=0.01 Mz=12.56
Sollecitazioni agenti localmente: Ty_l=-1138.67 My_l=-23.41
Tensioni nella sezione: σ=283.79 τ=34.51
CC 3 SLV (Collegamento -179_-383)
Azioni sul collegamento: N=-6141.51 Ty=7.99 Tz=28.02 Mx=0.01 Mz=8.33
Sollecitazioni agenti localmente: Ty_l=-1121.85 My_l=-23.04
Tensioni nella sezione: σ=279.32 τ=34.00
CC 3 SLV (Collegamento -179_-383)
Azioni sul collegamento: N=-13956.40 Ty=14.68 Tz=-0.53 Mx=0.01 Mz=12.56
Sollecitazioni agenti localmente: Ty_l=-2524.04 My_l=-51.81
Tensioni nella sezione: σ=628.03 τ=76.49
CC 3 SLV (Collegamento -179_-383)
Azioni sul collegamento: N=-13956.40 Ty=7.99 Tz=-0.53 Mx=0.01 Mz=8.33
Sollecitazioni agenti localmente: Ty_l=-2507.23 My_l=-51.44
Tensioni nella sezione: σ=623.57 τ=75.98

CC 3 SLV (Collegamento -179_-383)
Azioni sul collegamento: N=-13956.40 Ty=14.68 Tz=28.02 Mx=0.01 Mz=12.56
Sollecitazioni agenti localmente: Ty_l=-2524.04 My_l=-51.81
Tensioni nella sezione: σ=628.03 τ=76.49
CC 3 SLV (Collegamento -179_-383)
Azioni sul collegamento: N=-13956.40 Ty=7.99 Tz=28.02 Mx=0.01 Mz=8.33
Sollecitazioni agenti localmente: Ty_l=-2507.22 My_l=-51.44
Tensioni nella sezione: σ=623.57 τ=75.98
CC 4 SLD (Collegamento -179_-383)
Azioni sul collegamento: N=-8760.13 Ty=11.43 Tz=9.01 Mx=0.01 Mz=8.95
Sollecitazioni agenti localmente: Ty_l=-1588.53 My_l=-32.61
Tensioni nella sezione: σ=395.33 τ=48.14
CC 4 SLD (Collegamento -179_-383)
Azioni sul collegamento: N=-8760.13 Ty=9.39 Tz=9.01 Mx=0.01 Mz=7.66
Sollecitazioni agenti localmente: Ty_l=-1583.40 My_l=-32.50
Tensioni nella sezione: σ=393.97 τ=47.98
CC 4 SLD (Collegamento -179_-383)
Azioni sul collegamento: N=-8760.13 Ty=11.43 Tz=17.72 Mx=0.01 Mz=8.95
Sollecitazioni agenti localmente: Ty_l=-1588.53 My_l=-32.61
Tensioni nella sezione: σ=395.33 τ=48.14
CC 4 SLD (Collegamento -179_-383)
Azioni sul collegamento: N=-8760.13 Ty=9.39 Tz=17.72 Mx=0.01 Mz=7.66
Sollecitazioni agenti localmente: Ty_l=-1583.40 My_l=-32.50
Tensioni nella sezione: σ=393.97 τ=47.98
CC 4 SLD (Collegamento -179_-383)
Azioni sul collegamento: N=-11143.10 Ty=11.43 Tz=9.01 Mx=0.01 Mz=8.95
Sollecitazioni agenti localmente: Ty_l=-2010.97 My_l=-41.27
Tensioni nella sezione: σ=500.30 τ=60.94
CC 4 SLD (Collegamento -179_-383)
Azioni sul collegamento: N=-11143.10 Ty=9.39 Tz=9.01 Mx=0.01 Mz=7.66
Sollecitazioni agenti localmente: Ty_l=-2005.85 My_l=-41.16
Tensioni nella sezione: σ=498.94 τ=60.78
CC 4 SLD (Collegamento -179_-383)
Azioni sul collegamento: N=-11143.10 Ty=11.43 Tz=17.72 Mx=0.01 Mz=8.95
Sollecitazioni agenti localmente: Ty_l=-2010.97 My_l=-41.27
Tensioni nella sezione: σ=500.30 τ=60.94
CC 4 SLD (Collegamento -179_-383)
Azioni sul collegamento: N=-11143.10 Ty=9.39 Tz=17.72 Mx=0.01 Mz=7.66
Sollecitazioni agenti localmente: Ty_l=-2005.85 My_l=-41.16
Tensioni nella sezione: σ=498.94 τ=60.78
CC 5 SLV (Collegamento -179_-383)
Azioni sul collegamento: N=-13956.40 Ty=7.99 Tz=28.02 Mx=0.02 Mz=8.33
Sollecitazioni agenti localmente: Ty_l=-2507.22 My_l=-51.44
Tensioni nella sezione: σ=623.57 τ=75.98
CC 5 SLV (Collegamento -179_-383)
Azioni sul collegamento: N=-13956.40 Ty=14.68 Tz=28.02 Mx=0.02 Mz=12.56
Sollecitazioni agenti localmente: Ty_l=-2524.04 My_l=-51.81
Tensioni nella sezione: σ=628.03 τ=76.49
CC 5 SLV (Collegamento -179_-383)
Azioni sul collegamento: N=-13956.40 Ty=7.99 Tz=-0.53 Mx=0.02 Mz=8.33
Sollecitazioni agenti localmente: Ty_l=-2507.23 My_l=-51.44
Tensioni nella sezione: σ=623.57 τ=75.98
CC 5 SLV (Collegamento -179_-383)
Azioni sul collegamento: N=-13956.40 Ty=14.68 Tz=-0.53 Mx=0.02 Mz=12.56
Sollecitazioni agenti localmente: Ty_l=-2524.04 My_l=-51.81
Tensioni nella sezione: σ=628.03 τ=76.49
CC 5 SLV (Collegamento -179_-383)
Azioni sul collegamento: N=-6141.51 Ty=7.99 Tz=28.02 Mx=0.02 Mz=8.33
Sollecitazioni agenti localmente: Ty_l=-1121.85 My_l=-23.04
Tensioni nella sezione: σ=279.32 τ=34.00
CC 5 SLV (Collegamento -179_-383)
Azioni sul collegamento: N=-6141.51 Ty=14.68 Tz=28.02 Mx=0.02 Mz=12.56
Sollecitazioni agenti localmente: Ty_l=-1138.67 My_l=-23.41
Tensioni nella sezione: σ=283.79 τ=34.51
CC 5 SLV (Collegamento -179_-383)
Azioni sul collegamento: N=-6141.51 Ty=7.99 Tz=-0.53 Mx=0.02 Mz=8.33
Sollecitazioni agenti localmente: Ty_l=-1121.85 My_l=-23.04
Tensioni nella sezione: σ=279.32 τ=34.00
CC 5 SLV (Collegamento -179_-383)
Azioni sul collegamento: N=-6141.51 Ty=14.68 Tz=-0.53 Mx=0.02 Mz=12.56
Sollecitazioni agenti localmente: Ty_l=-1138.67 My_l=-23.41
Tensioni nella sezione: σ=283.79 τ=34.51
CC 6 SLD (Collegamento -179_-383)
Azioni sul collegamento: N=-11143.10 Ty=9.39 Tz=17.72 Mx=0.01 Mz=7.66
Sollecitazioni agenti localmente: Ty_l=-2005.85 My_l=-41.16
Tensioni nella sezione: σ=498.94 τ=60.78
CC 6 SLD (Collegamento -179_-383)
Azioni sul collegamento: N=-11143.10 Ty=11.43 Tz=17.72 Mx=0.01 Mz=8.95
Sollecitazioni agenti localmente: Ty_l=-2010.97 My_l=-41.27

Tensioni nella sezione: σ=500.30 τ=60.94
CC 6 SLD (Collegamento -179_-383)
Azioni sul collegamento: N=-11143.10 Ty=9.39 Tz=9.01 Mx=0.01 Mz=7.66
Sollecitazioni agenti localmente: Ty_l=-2005.85 My_l=-41.16
Tensioni nella sezione: σ=498.94 τ=60.78
CC 6 SLD (Collegamento -179_-383)
Azioni sul collegamento: N=-11143.10 Ty=11.43 Tz=9.01 Mx=0.01 Mz=8.95
Sollecitazioni agenti localmente: Ty_l=-2010.97 My_l=-41.27
Tensioni nella sezione: σ=500.30 τ=60.94
CC 6 SLD (Collegamento -179_-383)
Azioni sul collegamento: N=-8760.13 Ty=9.39 Tz=17.72 Mx=0.01 Mz=7.66
Sollecitazioni agenti localmente: Ty_l=-1583.40 My_l=-32.50
Tensioni nella sezione: σ=393.97 τ=47.98
CC 6 SLD (Collegamento -179_-383)
Azioni sul collegamento: N=-8760.13 Ty=11.43 Tz=17.72 Mx=0.01 Mz=8.95
Sollecitazioni agenti localmente: Ty_l=-1588.53 My_l=-32.61
Tensioni nella sezione: σ=395.33 τ=48.14
CC 6 SLD (Collegamento -179_-383)
Azioni sul collegamento: N=-8760.13 Ty=9.39 Tz=9.01 Mx=0.01 Mz=7.66
Sollecitazioni agenti localmente: Ty_l=-1583.40 My_l=-32.50
Tensioni nella sezione: σ=393.97 τ=47.98
CC 6 SLD (Collegamento -179_-383)
Azioni sul collegamento: N=-8760.13 Ty=11.43 Tz=9.01 Mx=0.01 Mz=8.95
Sollecitazioni agenti localmente: Ty_l=-1588.53 My_l=-32.61
Tensioni nella sezione: σ=395.33 τ=48.14
CC 7 SLV (Collegamento -179_-383)
Azioni sul collegamento: N=-13961.30 Ty=7.48 Tz=28.35 Mx=0.01 Mz=7.28
Sollecitazioni agenti localmente: Ty_l=-2503.92 My_l=-51.37
Tensioni nella sezione: σ=622.68 τ=75.88
CC 7 SLV (Collegamento -179_-383)
Azioni sul collegamento: N=-13961.30 Ty=15.19 Tz=28.35 Mx=0.01 Mz=13.60
Sollecitazioni agenti localmente: Ty_l=-2529.07 My_l=-51.92
Tensioni nella sezione: σ=629.35 τ=76.64
CC 7 SLV (Collegamento -179_-383)
Azioni sul collegamento: N=-13961.30 Ty=7.48 Tz=-0.86 Mx=0.01 Mz=7.28
Sollecitazioni agenti localmente: Ty_l=-2503.92 My_l=-51.37
Tensioni nella sezione: σ=622.68 τ=75.88
CC 7 SLV (Collegamento -179_-383)
Azioni sul collegamento: N=-13961.30 Ty=15.19 Tz=-0.86 Mx=0.01 Mz=13.60
Sollecitazioni agenti localmente: Ty_l=-2529.07 My_l=-51.92
Tensioni nella sezione: σ=629.35 τ=76.64
CC 7 SLV (Collegamento -179_-383)
Azioni sul collegamento: N=-6136.64 Ty=7.48 Tz=28.35 Mx=0.01 Mz=7.28
Sollecitazioni agenti localmente: Ty_l=-1116.82 My_l=-22.94
Tensioni nella sezione: σ=278.00 τ=33.84
CC 7 SLV (Collegamento -179_-383)
Azioni sul collegamento: N=-6136.64 Ty=15.19 Tz=28.35 Mx=0.01 Mz=13.60
Sollecitazioni agenti localmente: Ty_l=-1141.97 My_l=-23.49
Tensioni nella sezione: σ=284.68 τ=34.61
CC 7 SLV (Collegamento -179_-383)
Azioni sul collegamento: N=-6136.64 Ty=7.48 Tz=-0.86 Mx=0.01 Mz=7.28
Sollecitazioni agenti localmente: Ty_l=-1116.82 My_l=-22.94
Tensioni nella sezione: σ=278.00 τ=33.84
CC 7 SLV (Collegamento -179_-383)
Azioni sul collegamento: N=-6136.64 Ty=15.19 Tz=-0.86 Mx=0.01 Mz=13.60
Sollecitazioni agenti localmente: Ty_l=-1141.97 My_l=-23.49
Tensioni nella sezione: σ=284.68 τ=34.61
CC 8 SLD (Collegamento -179_-383)
Azioni sul collegamento: N=-11144.60 Ty=9.24 Tz=17.82 Mx=0.01 Mz=7.34
Sollecitazioni agenti localmente: Ty_l=-2004.84 My_l=-41.14
Tensioni nella sezione: σ=498.67 τ=60.75
CC 8 SLD (Collegamento -179_-383)
Azioni sul collegamento: N=-11144.60 Ty=11.59 Tz=17.82 Mx=0.01 Mz=9.27
Sollecitazioni agenti localmente: Ty_l=-2012.51 My_l=-41.31
Tensioni nella sezione: σ=500.70 τ=60.99
CC 8 SLD (Collegamento -179_-383)
Azioni sul collegamento: N=-11144.60 Ty=9.24 Tz=8.91 Mx=0.01 Mz=7.34
Sollecitazioni agenti localmente: Ty_l=-2004.84 My_l=-41.14
Tensioni nella sezione: σ=498.67 τ=60.75
CC 8 SLD (Collegamento -179_-383)
Azioni sul collegamento: N=-11144.60 Ty=11.59 Tz=8.91 Mx=0.01 Mz=9.27
Sollecitazioni agenti localmente: Ty_l=-2012.51 My_l=-41.31
Tensioni nella sezione: σ=500.70 τ=60.99
CC 8 SLD (Collegamento -179_-383)
Azioni sul collegamento: N=-8758.64 Ty=9.24 Tz=17.82 Mx=0.01 Mz=7.34
Sollecitazioni agenti localmente: Ty_l=-1581.87 My_l=-32.47
Tensioni nella sezione: σ=393.57 τ=47.94
CC 8 SLD (Collegamento -179_-383)
Azioni sul collegamento: N=-8758.64 Ty=11.59 Tz=17.82 Mx=0.01 Mz=9.27

Sollecitazioni agenti localmente: Ty_l=-1589.54 My_l=-32.64
Tensioni nella sezione: σ=395.60 τ=48.17
CC 8 SLD (Collegamento -179_-383)
Azioni sul collegamento: N=-8758.64 Ty=9.24 Tz=8.91 Mx=0.01 Mz=7.34
Sollecitazioni agenti localmente: Ty_l=-1581.87 My_l=-32.47
Tensioni nella sezione: σ=393.57 τ=47.94
CC 8 SLD (Collegamento -179_-383)
Azioni sul collegamento: N=-8758.64 Ty=11.59 Tz=8.91 Mx=0.01 Mz=9.27
Sollecitazioni agenti localmente: Ty_l=-1589.54 My_l=-32.64
Tensioni nella sezione: σ=395.60 τ=48.17
CC 9 SLV (Collegamento -179_-383)
Azioni sul collegamento: N=-8867.90 Ty=13.27 Tz=8.87 Mx=0.02 Mz=12.98
Sollecitazioni agenti localmente: Ty_l=-1623.66 My_l=-33.36
Tensioni nella sezione: σ=404.33 τ=49.20
CC 9 SLV (Collegamento -179_-383)
Azioni sul collegamento: N=-8867.90 Ty=9.40 Tz=8.87 Mx=0.02 Mz=7.91
Sollecitazioni agenti localmente: Ty_l=-1603.48 My_l=-32.92
Tensioni nella sezione: σ=398.97 τ=48.59
CC 9 SLV (Collegamento -179_-383)
Azioni sul collegamento: N=-8867.90 Ty=13.27 Tz=18.62 Mx=0.02 Mz=12.98
Sollecitazioni agenti localmente: Ty_l=-1623.66 My_l=-33.36
Tensioni nella sezione: σ=404.33 τ=49.20
CC 9 SLV (Collegamento -179_-383)
Azioni sul collegamento: N=-8867.90 Ty=9.40 Tz=18.62 Mx=0.02 Mz=7.91
Sollecitazioni agenti localmente: Ty_l=-1603.48 My_l=-32.92
Tensioni nella sezione: σ=398.97 τ=48.59
CC 9 SLV (Collegamento -179_-383)
Azioni sul collegamento: N=-11230.10 Ty=13.27 Tz=8.87 Mx=0.02 Mz=12.98
Sollecitazioni agenti localmente: Ty_l=-2042.41 My_l=-41.94
Tensioni nella sezione: σ=508.38 τ=61.89
CC 9 SLV (Collegamento -179_-383)
Azioni sul collegamento: N=-11230.10 Ty=9.40 Tz=8.87 Mx=0.02 Mz=7.91
Sollecitazioni agenti localmente: Ty_l=-2022.23 My_l=-41.50
Tensioni nella sezione: σ=503.03 τ=61.28
CC 9 SLV (Collegamento -179_-383)
Azioni sul collegamento: N=-11230.10 Ty=13.27 Tz=18.62 Mx=0.02 Mz=12.98
Sollecitazioni agenti localmente: Ty_l=-2042.41 My_l=-41.94
Tensioni nella sezione: σ=508.38 τ=61.89
CC 9 SLV (Collegamento -179_-383)
Azioni sul collegamento: N=-11230.10 Ty=9.40 Tz=18.62 Mx=0.02 Mz=7.91
Sollecitazioni agenti localmente: Ty_l=-2022.23 My_l=-41.50
Tensioni nella sezione: σ=503.03 τ=61.28
CC 10 SLD (Collegamento -179_-383)
Azioni sul collegamento: N=-9591.49 Ty=11.00 Tz=11.88 Mx=0.01 Mz=9.08
Sollecitazioni agenti localmente: Ty_l=-1736.42 My_l=-35.65
Tensioni nella sezione: σ=432.09 τ=52.62
CC 10 SLD (Collegamento -179_-383)
Azioni sul collegamento: N=-9591.49 Ty=9.82 Tz=11.88 Mx=0.01 Mz=7.53
Sollecitazioni agenti localmente: Ty_l=-1730.27 My_l=-35.51
Tensioni nella sezione: σ=430.45 τ=52.43
CC 10 SLD (Collegamento -179_-383)
Azioni sul collegamento: N=-9591.49 Ty=11.00 Tz=14.85 Mx=0.01 Mz=9.08
Sollecitazioni agenti localmente: Ty_l=-1736.42 My_l=-35.65
Tensioni nella sezione: σ=432.09 τ=52.62
CC 10 SLD (Collegamento -179_-383)
Azioni sul collegamento: N=-9591.49 Ty=9.82 Tz=14.85 Mx=0.01 Mz=7.53
Sollecitazioni agenti localmente: Ty_l=-1730.27 My_l=-35.51
Tensioni nella sezione: σ=430.45 τ=52.43
CC 10 SLD (Collegamento -179_-383)
Azioni sul collegamento: N=-10311.80 Ty=11.00 Tz=11.88 Mx=0.01 Mz=9.08
Sollecitazioni agenti localmente: Ty_l=-1864.11 My_l=-38.26
Tensioni nella sezione: σ=463.82 τ=56.49
CC 10 SLD (Collegamento -179_-383)
Azioni sul collegamento: N=-10311.80 Ty=9.82 Tz=11.88 Mx=0.01 Mz=7.53
Sollecitazioni agenti localmente: Ty_l=-1857.96 My_l=-38.13
Tensioni nella sezione: σ=462.18 τ=56.30
CC 10 SLD (Collegamento -179_-383)
Azioni sul collegamento: N=-10311.80 Ty=11.00 Tz=14.85 Mx=0.01 Mz=9.08
Sollecitazioni agenti localmente: Ty_l=-1864.11 My_l=-38.26
Tensioni nella sezione: σ=463.82 τ=56.49
CC 10 SLD (Collegamento -179_-383)
Azioni sul collegamento: N=-10311.80 Ty=9.82 Tz=14.85 Mx=0.01 Mz=7.53
Sollecitazioni agenti localmente: Ty_l=-1857.96 My_l=-38.13
Tensioni nella sezione: σ=462.18 τ=56.30
CC 11 SLV (Collegamento -179_-383)
Azioni sul collegamento: N=-11213.80 Ty=11.11 Tz=17.53 Mx=0.02 Mz=11.40
Sollecitazioni agenti localmente: Ty_l=-2033.24 My_l=-41.74
Tensioni nella sezione: σ=506.00 τ=61.61
CC 11 SLV (Collegamento -179_-383)

Azioni sul collegamento: N=-11213.80 Ty=11.56 Tz=17.53 Mx=0.02 Mz=9.49
Sollecitazioni agenti localmente: Ty_l=-2025.65 My_l=-41.58
Tensioni nella sezione: σ=503.98 τ=61.38
CC 11 SLV (Collegamento -179_-383)
Azioni sul collegamento: N=-11213.80 Ty=11.11 Tz=9.96 Mx=0.02 Mz=11.40
Sollecitazioni agenti localmente: Ty_l=-2033.24 My_l=-41.74
Tensioni nella sezione: σ=506.00 τ=61.61
CC 11 SLV (Collegamento -179_-383)
Azioni sul collegamento: N=-11213.80 Ty=11.56 Tz=9.96 Mx=0.02 Mz=9.49
Sollecitazioni agenti localmente: Ty_l=-2025.65 My_l=-41.58
Tensioni nella sezione: σ=503.98 τ=61.38
CC 11 SLV (Collegamento -179_-383)
Azioni sul collegamento: N=-8884.11 Ty=11.11 Tz=17.53 Mx=0.02 Mz=11.40
Sollecitazioni agenti localmente: Ty_l=-1620.24 My_l=-33.28
Tensioni nella sezione: σ=403.38 τ=49.10
CC 11 SLV (Collegamento -179_-383)
Azioni sul collegamento: N=-8884.11 Ty=11.56 Tz=17.53 Mx=0.02 Mz=9.49
Sollecitazioni agenti localmente: Ty_l=-1612.65 My_l=-33.11
Tensioni nella sezione: σ=401.36 τ=48.87
CC 11 SLV (Collegamento -179_-383)
Azioni sul collegamento: N=-8884.11 Ty=11.11 Tz=9.96 Mx=0.02 Mz=11.40
Sollecitazioni agenti localmente: Ty_l=-1620.24 My_l=-33.28
Tensioni nella sezione: σ=403.38 τ=49.10
CC 11 SLV (Collegamento -179_-383)
Azioni sul collegamento: N=-8884.11 Ty=11.56 Tz=9.96 Mx=0.02 Mz=9.49
Sollecitazioni agenti localmente: Ty_l=-1612.65 My_l=-33.11
Tensioni nella sezione: σ=401.36 τ=48.87
CC 12 SLD (Collegamento -179_-383)
Azioni sul collegamento: N=-10306.80 Ty=10.34 Tz=14.52 Mx=0.01 Mz=8.60
Sollecitazioni agenti localmente: Ty_l=-1861.31 My_l=-38.20
Tensioni nella sezione: σ=463.09 τ=56.40
CC 12 SLD (Collegamento -179_-383)
Azioni sul collegamento: N=-10306.80 Ty=10.48 Tz=14.52 Mx=0.01 Mz=8.01
Sollecitazioni agenti localmente: Ty_l=-1859.00 My_l=-38.15
Tensioni nella sezione: σ=462.47 τ=56.33
CC 12 SLD (Collegamento -179_-383)
Azioni sul collegamento: N=-10306.80 Ty=10.34 Tz=12.21 Mx=0.01 Mz=8.60
Sollecitazioni agenti localmente: Ty_l=-1861.31 My_l=-38.20
Tensioni nella sezione: σ=463.09 τ=56.40
CC 12 SLD (Collegamento -179_-383)
Azioni sul collegamento: N=-10306.80 Ty=10.48 Tz=12.21 Mx=0.01 Mz=8.01
Sollecitazioni agenti localmente: Ty_l=-1859.00 My_l=-38.15
Tensioni nella sezione: σ=462.47 τ=56.33
CC 12 SLD (Collegamento -179_-383)
Azioni sul collegamento: N=-9596.43 Ty=10.34 Tz=14.52 Mx=0.01 Mz=8.60
Sollecitazioni agenti localmente: Ty_l=-1735.38 My_l=-35.62
Tensioni nella sezione: σ=431.80 τ=52.59
CC 12 SLD (Collegamento -179_-383)
Azioni sul collegamento: N=-9596.43 Ty=10.48 Tz=14.52 Mx=0.01 Mz=8.01
Sollecitazioni agenti localmente: Ty_l=-1733.06 My_l=-35.57
Tensioni nella sezione: σ=431.18 τ=52.52
CC 12 SLD (Collegamento -179_-383)
Azioni sul collegamento: N=-9596.43 Ty=10.34 Tz=12.21 Mx=0.01 Mz=8.60
Sollecitazioni agenti localmente: Ty_l=-1735.38 My_l=-35.62
Tensioni nella sezione: σ=431.80 τ=52.59
CC 12 SLD (Collegamento -179_-383)
Azioni sul collegamento: N=-9596.43 Ty=10.48 Tz=12.21 Mx=0.01 Mz=8.01
Sollecitazioni agenti localmente: Ty_l=-1733.06 My_l=-35.57
Tensioni nella sezione: σ=431.18 τ=52.52
CC 13 SLV (Collegamento -179_-383)
Azioni sul collegamento: N=-8884.11 Ty=11.56 Tz=9.96 Mx=0.01 Mz=9.49
Sollecitazioni agenti localmente: Ty_l=-1612.65 My_l=-33.11
Tensioni nella sezione: σ=401.36 τ=48.87
CC 13 SLV (Collegamento -179_-383)
Azioni sul collegamento: N=-8884.11 Ty=11.11 Tz=9.96 Mx=0.01 Mz=11.40
Sollecitazioni agenti localmente: Ty_l=-1620.24 My_l=-33.28
Tensioni nella sezione: σ=403.38 τ=49.10
CC 13 SLV (Collegamento -179_-383)
Azioni sul collegamento: N=-8884.11 Ty=11.56 Tz=17.53 Mx=0.01 Mz=9.49
Sollecitazioni agenti localmente: Ty_l=-1612.65 My_l=-33.11
Tensioni nella sezione: σ=401.36 τ=48.87
CC 13 SLV (Collegamento -179_-383)
Azioni sul collegamento: N=-8884.11 Ty=11.11 Tz=17.53 Mx=0.01 Mz=11.40
Sollecitazioni agenti localmente: Ty_l=-1620.24 My_l=-33.28
Tensioni nella sezione: σ=403.38 τ=49.10
CC 13 SLV (Collegamento -179_-383)
Azioni sul collegamento: N=-11213.80 Ty=11.56 Tz=9.96 Mx=0.01 Mz=9.49
Sollecitazioni agenti localmente: Ty_l=-2025.65 My_l=-41.58
Tensioni nella sezione: σ=503.98 τ=61.38

CC 13 SLV (Collegamento -179_-383)
Azioni sul collegamento: N=-11213.80 Ty=11.11 Tz=9.96 Mx=0.01 Mz=11.40
Sollecitazioni agenti localmente: Ty_l=-2033.24 My_l=-41.74
Tensioni nella sezione: σ=506.00 τ=61.61
CC 13 SLV (Collegamento -179_-383)
Azioni sul collegamento: N=-11213.80 Ty=11.56 Tz=17.53 Mx=0.01 Mz=9.49
Sollecitazioni agenti localmente: Ty_l=-2025.65 My_l=-41.58
Tensioni nella sezione: σ=503.98 τ=61.38
CC 13 SLV (Collegamento -179_-383)
Azioni sul collegamento: N=-11213.80 Ty=11.11 Tz=17.53 Mx=0.01 Mz=11.40
Sollecitazioni agenti localmente: Ty_l=-2033.24 My_l=-41.74
Tensioni nella sezione: σ=506.00 τ=61.61
CC 14 SLD (Collegamento -179_-383)
Azioni sul collegamento: N=-9596.43 Ty=10.48 Tz=12.21 Mx=0.00 Mz=8.01
Sollecitazioni agenti localmente: Ty_l=-1733.06 My_l=-35.57
Tensioni nella sezione: σ=431.18 τ=52.52
CC 14 SLD (Collegamento -179_-383)
Azioni sul collegamento: N=-9596.43 Ty=10.34 Tz=12.21 Mx=0.00 Mz=8.60
Sollecitazioni agenti localmente: Ty_l=-1735.38 My_l=-35.62
Tensioni nella sezione: σ=431.80 τ=52.59
CC 14 SLD (Collegamento -179_-383)
Azioni sul collegamento: N=-9596.43 Ty=10.48 Tz=14.52 Mx=0.00 Mz=8.01
Sollecitazioni agenti localmente: Ty_l=-1733.06 My_l=-35.57
Tensioni nella sezione: σ=431.18 τ=52.52
CC 14 SLD (Collegamento -179_-383)
Azioni sul collegamento: N=-9596.43 Ty=10.34 Tz=14.52 Mx=0.00 Mz=8.60
Sollecitazioni agenti localmente: Ty_l=-1735.38 My_l=-35.62
Tensioni nella sezione: σ=431.80 τ=52.59
CC 14 SLD (Collegamento -179_-383)
Azioni sul collegamento: N=-10306.80 Ty=10.48 Tz=12.21 Mx=0.00 Mz=8.01
Sollecitazioni agenti localmente: Ty_l=-1859.00 My_l=-38.15
Tensioni nella sezione: σ=462.47 τ=56.33
CC 14 SLD (Collegamento -179_-383)
Azioni sul collegamento: N=-10306.80 Ty=10.34 Tz=12.21 Mx=0.00 Mz=8.60
Sollecitazioni agenti localmente: Ty_l=-1861.31 My_l=-38.20
Tensioni nella sezione: σ=463.09 τ=56.40
CC 14 SLD (Collegamento -179_-383)
Azioni sul collegamento: N=-10306.80 Ty=10.48 Tz=14.52 Mx=0.00 Mz=8.01
Sollecitazioni agenti localmente: Ty_l=-1859.00 My_l=-38.15
Tensioni nella sezione: σ=462.47 τ=56.33
CC 14 SLD (Collegamento -179_-383)
Azioni sul collegamento: N=-10306.80 Ty=10.34 Tz=14.52 Mx=0.00 Mz=8.60
Sollecitazioni agenti localmente: Ty_l=-1861.31 My_l=-38.20
Tensioni nella sezione: σ=463.09 τ=56.40
CC 15 SLV (Collegamento -179_-383)
Azioni sul collegamento: N=-11230.10 Ty=9.40 Tz=18.62 Mx=0.01 Mz=7.91
Sollecitazioni agenti localmente: Ty_l=-2022.23 My_l=-41.50
Tensioni nella sezione: σ=503.03 τ=61.28
CC 15 SLV (Collegamento -179_-383)
Azioni sul collegamento: N=-11230.10 Ty=13.27 Tz=18.62 Mx=0.01 Mz=12.98
Sollecitazioni agenti localmente: Ty_l=-2042.41 My_l=-41.94
Tensioni nella sezione: σ=508.38 τ=61.89
CC 15 SLV (Collegamento -179_-383)
Azioni sul collegamento: N=-11230.10 Ty=9.40 Tz=8.87 Mx=0.01 Mz=7.91
Sollecitazioni agenti localmente: Ty_l=-2022.23 My_l=-41.50
Tensioni nella sezione: σ=503.03 τ=61.28
CC 15 SLV (Collegamento -179_-383)
Azioni sul collegamento: N=-11230.10 Ty=13.27 Tz=8.87 Mx=0.01 Mz=12.98
Sollecitazioni agenti localmente: Ty_l=-2042.41 My_l=-41.94
Tensioni nella sezione: σ=508.38 τ=61.89
CC 15 SLV (Collegamento -179_-383)
Azioni sul collegamento: N=-8867.90 Ty=9.40 Tz=18.62 Mx=0.01 Mz=7.91
Sollecitazioni agenti localmente: Ty_l=-1603.48 My_l=-32.92
Tensioni nella sezione: σ=398.98 τ=48.59
CC 15 SLV (Collegamento -179_-383)
Azioni sul collegamento: N=-8867.90 Ty=13.27 Tz=18.62 Mx=0.01 Mz=12.98
Sollecitazioni agenti localmente: Ty_l=-1623.66 My_l=-33.36
Tensioni nella sezione: σ=404.33 τ=49.20
CC 15 SLV (Collegamento -179_-383)
Azioni sul collegamento: N=-8867.90 Ty=9.40 Tz=8.87 Mx=0.01 Mz=7.91
Sollecitazioni agenti localmente: Ty_l=-1603.48 My_l=-32.92
Tensioni nella sezione: σ=398.98 τ=48.59
CC 15 SLV (Collegamento -179_-383)
Azioni sul collegamento: N=-8867.90 Ty=13.27 Tz=8.87 Mx=0.01 Mz=12.98
Sollecitazioni agenti localmente: Ty_l=-1623.66 My_l=-33.36
Tensioni nella sezione: σ=404.33 τ=49.20
CC 16 SLD (Collegamento -179_-383)
Azioni sul collegamento: N=-10311.80 Ty=9.82 Tz=14.85 Mx=0.00 Mz=7.53
Sollecitazioni agenti localmente: Ty_l=-1857.96 My_l=-38.13

Tensioni nella sezione: σ=462.18 τ=56.30
CC 16 SLD (Collegamento -179_-383)
Azioni sul collegamento: N=-10311.80 Ty=11.00 Tz=14.85 Mx=0.00 Mz=9.08
Sollecitazioni agenti localmente: Ty_l=-1864.11 My_l=-38.26
Tensioni nella sezione: σ=463.82 τ=56.49
CC 16 SLD (Collegamento -179_-383)
Azioni sul collegamento: N=-10311.80 Ty=9.82 Tz=11.88 Mx=0.00 Mz=7.53
Sollecitazioni agenti localmente: Ty_l=-1857.96 My_l=-38.13
Tensioni nella sezione: σ=462.18 τ=56.30
CC 16 SLD (Collegamento -179_-383)
Azioni sul collegamento: N=-10311.80 Ty=11.00 Tz=11.88 Mx=0.00 Mz=9.08
Sollecitazioni agenti localmente: Ty_l=-1864.11 My_l=-38.26
Tensioni nella sezione: σ=463.82 τ=56.49
CC 16 SLD (Collegamento -179_-383)
Azioni sul collegamento: N=-9591.49 Ty=9.82 Tz=14.85 Mx=0.00 Mz=7.53
Sollecitazioni agenti localmente: Ty_l=-1730.27 My_l=-35.51
Tensioni nella sezione: σ=430.45 τ=52.43
CC 16 SLD (Collegamento -179_-383)
Azioni sul collegamento: N=-9591.49 Ty=11.00 Tz=14.85 Mx=0.00 Mz=9.08
Sollecitazioni agenti localmente: Ty_l=-1736.42 My_l=-35.65
Tensioni nella sezione: σ=432.09 τ=52.62
CC 16 SLD (Collegamento -179_-383)
Azioni sul collegamento: N=-9591.49 Ty=9.82 Tz=11.88 Mx=0.00 Mz=7.53
Sollecitazioni agenti localmente: Ty_l=-1730.27 My_l=-35.51
Tensioni nella sezione: σ=430.45 τ=52.43
CC 16 SLD (Collegamento -179_-383)
Azioni sul collegamento: N=-9591.49 Ty=11.00 Tz=11.88 Mx=0.00 Mz=9.08
Sollecitazioni agenti localmente: Ty_l=-1736.42 My_l=-35.65
Tensioni nella sezione: σ=432.09 τ=52.62
CC 17 SLV (Collegamento -179_-383)
Azioni sul collegamento: N=-5856.57 Ty=12.53 Tz=-1.96 Mx=-0.01 Mz=7.45
Sollecitazioni agenti localmente: Ty_l=-1067.86 My_l=-21.93
Tensioni nella sezione: σ=265.85 τ=32.36
CC 17 SLV (Collegamento -179_-383)
Azioni sul collegamento: N=-5856.57 Ty=4.82 Tz=-1.96 Mx=-0.01 Mz=1.13
Sollecitazioni agenti localmente: Ty_l=-1042.71 My_l=-21.38
Tensioni nella sezione: σ=259.17 τ=31.60
CC 17 SLV (Collegamento -179_-383)
Azioni sul collegamento: N=-5856.57 Ty=12.53 Tz=27.25 Mx=-0.01 Mz=7.45
Sollecitazioni agenti localmente: Ty_l=-1067.86 My_l=-21.93
Tensioni nella sezione: σ=265.85 τ=32.36
CC 17 SLV (Collegamento -179_-383)
Azioni sul collegamento: N=-5856.57 Ty=4.82 Tz=27.25 Mx=-0.01 Mz=1.13
Sollecitazioni agenti localmente: Ty_l=-1042.71 My_l=-21.38
Tensioni nella sezione: σ=259.17 τ=31.60
CC 17 SLV (Collegamento -179_-383)
Azioni sul collegamento: N=-13681.20 Ty=12.53 Tz=-1.96 Mx=-0.01 Mz=7.45
Sollecitazioni agenti localmente: Ty_l=-2454.96 My_l=-50.37
Tensioni nella sezione: σ=610.52 τ=74.39
CC 17 SLV (Collegamento -179_-383)
Azioni sul collegamento: N=-13681.20 Ty=4.82 Tz=-1.96 Mx=-0.01 Mz=1.13
Sollecitazioni agenti localmente: Ty_l=-2429.81 My_l=-49.82
Tensioni nella sezione: σ=603.85 τ=73.63
CC 17 SLV (Collegamento -179_-383)
Azioni sul collegamento: N=-13681.20 Ty=12.53 Tz=27.25 Mx=-0.01 Mz=7.45
Sollecitazioni agenti localmente: Ty_l=-2454.96 My_l=-50.37
Tensioni nella sezione: σ=610.52 τ=74.39
CC 17 SLV (Collegamento -179_-383)
Azioni sul collegamento: N=-13681.20 Ty=4.82 Tz=27.25 Mx=-0.01 Mz=1.13
Sollecitazioni agenti localmente: Ty_l=-2429.81 My_l=-49.82
Tensioni nella sezione: σ=603.85 τ=73.63
CC 18 SLD (Collegamento -179_-383)
Azioni sul collegamento: N=-8673.24 Ty=10.78 Tz=8.57 Mx=-0.00 Mz=7.39
Sollecitazioni agenti localmente: Ty_l=-1566.94 My_l=-32.16
Tensioni nella sezione: σ=389.86 τ=47.48
CC 18 SLD (Collegamento -179_-383)
Azioni sul collegamento: N=-8673.24 Ty=8.42 Tz=8.57 Mx=-0.00 Mz=5.47
Sollecitazioni agenti localmente: Ty_l=-1559.27 My_l=-32.00
Tensioni nella sezione: σ=387.82 τ=47.25
CC 18 SLD (Collegamento -179_-383)
Azioni sul collegamento: N=-8673.24 Ty=10.78 Tz=17.48 Mx=-0.00 Mz=7.39
Sollecitazioni agenti localmente: Ty_l=-1566.94 My_l=-32.16
Tensioni nella sezione: σ=389.86 τ=47.48
CC 18 SLD (Collegamento -179_-383)
Azioni sul collegamento: N=-8673.24 Ty=8.42 Tz=17.48 Mx=-0.00 Mz=5.47
Sollecitazioni agenti localmente: Ty_l=-1559.27 My_l=-32.00
Tensioni nella sezione: σ=387.82 τ=47.25
CC 18 SLD (Collegamento -179_-383)
Azioni sul collegamento: N=-11059.20 Ty=10.78 Tz=8.57 Mx=-0.00 Mz=7.39

Sollecitazioni agenti localmente: Ty_l=-1989.91 My_l=-40.83
Tensioni nella sezione: σ=494.96 τ=60.30
CC 18 SLD (Collegamento -179_-383)
Azioni sul collegamento: N=-11059.20 Ty=8.42 Tz=8.57 Mx=-0.00 Mz=5.47
Sollecitazioni agenti localmente: Ty_l=-1982.24 My_l=-40.67
Tensioni nella sezione: σ=492.93 τ=60.07
CC 18 SLD (Collegamento -179_-383)
Azioni sul collegamento: N=-11059.20 Ty=10.78 Tz=17.48 Mx=-0.00 Mz=7.39
Sollecitazioni agenti localmente: Ty_l=-1989.91 My_l=-40.83
Tensioni nella sezione: σ=494.96 τ=60.30
CC 18 SLD (Collegamento -179_-383)
Azioni sul collegamento: N=-11059.20 Ty=8.42 Tz=17.48 Mx=-0.00 Mz=5.47
Sollecitazioni agenti localmente: Ty_l=-1982.24 My_l=-40.67
Tensioni nella sezione: σ=492.93 τ=60.07
CC 19 SLV (Collegamento -179_-383)
Azioni sul collegamento: N=-5861.43 Ty=12.02 Tz=-1.63 Mx=-0.01 Mz=6.41
Sollecitazioni agenti localmente: Ty_l=-1064.55 My_l=-21.86
Tensioni nella sezione: σ=264.96 τ=32.26
CC 19 SLV (Collegamento -179_-383)
Azioni sul collegamento: N=-5861.43 Ty=5.33 Tz=-1.63 Mx=-0.01 Mz=2.18
Sollecitazioni agenti localmente: Ty_l=-1047.74 My_l=-21.49
Tensioni nella sezione: σ=260.49 τ=31.75
CC 19 SLV (Collegamento -179_-383)
Azioni sul collegamento: N=-5861.43 Ty=12.02 Tz=26.92 Mx=-0.01 Mz=6.41
Sollecitazioni agenti localmente: Ty_l=-1064.55 My_l=-21.86
Tensioni nella sezione: σ=264.96 τ=32.26
CC 19 SLV (Collegamento -179_-383)
Azioni sul collegamento: N=-5861.43 Ty=5.33 Tz=26.92 Mx=-0.01 Mz=2.18
Sollecitazioni agenti localmente: Ty_l=-1047.74 My_l=-21.49
Tensioni nella sezione: σ=260.49 τ=31.75
CC 19 SLV (Collegamento -179_-383)
Azioni sul collegamento: N=-13676.40 Ty=12.02 Tz=-1.63 Mx=-0.01 Mz=6.41
Sollecitazioni agenti localmente: Ty_l=-2449.93 My_l=-50.26
Tensioni nella sezione: σ=609.20 τ=74.24
CC 19 SLV (Collegamento -179_-383)
Azioni sul collegamento: N=-13676.40 Ty=5.33 Tz=-1.63 Mx=-0.01 Mz=2.18
Sollecitazioni agenti localmente: Ty_l=-2433.11 My_l=-49.89
Tensioni nella sezione: σ=604.74 τ=73.73
CC 19 SLV (Collegamento -179_-383)
Azioni sul collegamento: N=-13676.40 Ty=12.02 Tz=26.92 Mx=-0.01 Mz=6.41
Sollecitazioni agenti localmente: Ty_l=-2449.93 My_l=-50.26
Tensioni nella sezione: σ=609.20 τ=74.24
CC 19 SLV (Collegamento -179_-383)
Azioni sul collegamento: N=-13676.40 Ty=5.33 Tz=26.92 Mx=-0.01 Mz=2.18
Sollecitazioni agenti localmente: Ty_l=-2433.11 My_l=-49.89
Tensioni nella sezione: σ=604.74 τ=73.73
CC 20 SLD (Collegamento -179_-383)
Azioni sul collegamento: N=-8674.72 Ty=10.62 Tz=8.67 Mx=0.00 Mz=7.07
Sollecitazioni agenti localmente: Ty_l=-1565.93 My_l=-32.14
Tensioni nella sezione: σ=389.59 τ=47.45
CC 20 SLD (Collegamento -179_-383)
Azioni sul collegamento: N=-8674.72 Ty=8.58 Tz=8.67 Mx=0.00 Mz=5.79
Sollecitazioni agenti localmente: Ty_l=-1560.80 My_l=-32.03
Tensioni nella sezione: σ=388.23 τ=47.30
CC 20 SLD (Collegamento -179_-383)
Azioni sul collegamento: N=-8674.72 Ty=10.62 Tz=17.38 Mx=0.00 Mz=7.07
Sollecitazioni agenti localmente: Ty_l=-1565.93 My_l=-32.14
Tensioni nella sezione: σ=389.59 τ=47.45
CC 20 SLD (Collegamento -179_-383)
Azioni sul collegamento: N=-8674.72 Ty=8.58 Tz=17.38 Mx=0.00 Mz=5.79
Sollecitazioni agenti localmente: Ty_l=-1560.80 My_l=-32.03
Tensioni nella sezione: σ=388.23 τ=47.30
CC 20 SLD (Collegamento -179_-383)
Azioni sul collegamento: N=-11057.70 Ty=10.62 Tz=8.67 Mx=0.00 Mz=7.07
Sollecitazioni agenti localmente: Ty_l=-1988.37 My_l=-40.80
Tensioni nella sezione: σ=494.56 τ=60.25
CC 20 SLD (Collegamento -179_-383)
Azioni sul collegamento: N=-11057.70 Ty=8.58 Tz=8.67 Mx=0.00 Mz=5.79
Sollecitazioni agenti localmente: Ty_l=-1983.25 My_l=-40.69
Tensioni nella sezione: σ=493.20 τ=60.10
CC 20 SLD (Collegamento -179_-383)
Azioni sul collegamento: N=-11057.70 Ty=10.62 Tz=17.38 Mx=0.00 Mz=7.07
Sollecitazioni agenti localmente: Ty_l=-1988.37 My_l=-40.80
Tensioni nella sezione: σ=494.56 τ=60.25
CC 20 SLD (Collegamento -179_-383)
Azioni sul collegamento: N=-11057.70 Ty=8.58 Tz=17.38 Mx=0.00 Mz=5.79
Sollecitazioni agenti localmente: Ty_l=-1983.25 My_l=-40.69
Tensioni nella sezione: σ=493.20 τ=60.10
CC 21 SLV (Collegamento -179_-383)

Azioni sul collegamento: N=-13676.40 Ty=5.33 Tz=26.92 Mx=-0.01 Mz=2.18
Sollecitazioni agenti localmente: Ty_l=-2433.11 My_l=-49.89
Tensioni nella sezione: σ=604.74 τ=73.73
CC 21 SLV (Collegamento -179_-383)
Azioni sul collegamento: N=-13676.40 Ty=12.02 Tz=26.92 Mx=-0.01 Mz=6.41
Sollecitazioni agenti localmente: Ty_l=-2449.93 My_l=-50.26
Tensioni nella sezione: σ=609.20 τ=74.24
CC 21 SLV (Collegamento -179_-383)
Azioni sul collegamento: N=-13676.40 Ty=5.33 Tz=-1.63 Mx=-0.01 Mz=2.18
Sollecitazioni agenti localmente: Ty_l=-2433.11 My_l=-49.89
Tensioni nella sezione: σ=604.74 τ=73.73
CC 21 SLV (Collegamento -179_-383)
Azioni sul collegamento: N=-13676.40 Ty=12.02 Tz=-1.63 Mx=-0.01 Mz=6.41
Sollecitazioni agenti localmente: Ty_l=-2449.93 My_l=-50.26
Tensioni nella sezione: σ=609.20 τ=74.24
CC 21 SLV (Collegamento -179_-383)
Azioni sul collegamento: N=-5861.43 Ty=5.33 Tz=26.92 Mx=-0.01 Mz=2.18
Sollecitazioni agenti localmente: Ty_l=-1047.74 My_l=-21.49
Tensioni nella sezione: σ=260.49 τ=31.75
CC 21 SLV (Collegamento -179_-383)
Azioni sul collegamento: N=-5861.43 Ty=12.02 Tz=26.92 Mx=-0.01 Mz=6.41
Sollecitazioni agenti localmente: Ty_l=-1064.55 My_l=-21.86
Tensioni nella sezione: σ=264.96 τ=32.26
CC 21 SLV (Collegamento -179_-383)
Azioni sul collegamento: N=-5861.43 Ty=5.33 Tz=-1.63 Mx=-0.01 Mz=2.18
Sollecitazioni agenti localmente: Ty_l=-1047.74 My_l=-21.49
Tensioni nella sezione: σ=260.49 τ=31.75
CC 21 SLV (Collegamento -179_-383)
Azioni sul collegamento: N=-5861.43 Ty=12.02 Tz=-1.63 Mx=-0.01 Mz=6.41
Sollecitazioni agenti localmente: Ty_l=-1064.55 My_l=-21.86
Tensioni nella sezione: σ=264.96 τ=32.26
CC 22 SLD (Collegamento -179_-383)
Azioni sul collegamento: N=-11057.70 Ty=8.58 Tz=17.38 Mx=-0.00 Mz=5.79
Sollecitazioni agenti localmente: Ty_l=-1983.25 My_l=-40.69
Tensioni nella sezione: σ=493.20 τ=60.10
CC 22 SLD (Collegamento -179_-383)
Azioni sul collegamento: N=-11057.70 Ty=10.62 Tz=17.38 Mx=-0.00 Mz=7.07
Sollecitazioni agenti localmente: Ty_l=-1988.37 My_l=-40.80
Tensioni nella sezione: σ=494.56 τ=60.25
CC 22 SLD (Collegamento -179_-383)
Azioni sul collegamento: N=-11057.70 Ty=8.58 Tz=8.67 Mx=-0.00 Mz=5.79
Sollecitazioni agenti localmente: Ty_l=-1983.25 My_l=-40.69
Tensioni nella sezione: σ=493.20 τ=60.10
CC 22 SLD (Collegamento -179_-383)
Azioni sul collegamento: N=-11057.70 Ty=10.62 Tz=8.67 Mx=-0.00 Mz=7.07
Sollecitazioni agenti localmente: Ty_l=-1988.37 My_l=-40.80
Tensioni nella sezione: σ=494.56 τ=60.25
CC 22 SLD (Collegamento -179_-383)
Azioni sul collegamento: N=-8674.72 Ty=8.58 Tz=17.38 Mx=-0.00 Mz=5.79
Sollecitazioni agenti localmente: Ty_l=-1560.80 My_l=-32.03
Tensioni nella sezione: σ=388.23 τ=47.30
CC 22 SLD (Collegamento -179_-383)
Azioni sul collegamento: N=-8674.72 Ty=10.62 Tz=17.38 Mx=-0.00 Mz=7.07
Sollecitazioni agenti localmente: Ty_l=-1565.93 My_l=-32.14
Tensioni nella sezione: σ=389.59 τ=47.45
CC 22 SLD (Collegamento -179_-383)
Azioni sul collegamento: N=-8674.72 Ty=8.58 Tz=8.67 Mx=-0.00 Mz=5.79
Sollecitazioni agenti localmente: Ty_l=-1560.80 My_l=-32.03
Tensioni nella sezione: σ=388.23 τ=47.30
CC 22 SLD (Collegamento -179_-383)
Azioni sul collegamento: N=-8674.72 Ty=10.62 Tz=8.67 Mx=-0.00 Mz=7.07
Sollecitazioni agenti localmente: Ty_l=-1565.93 My_l=-32.14
Tensioni nella sezione: σ=389.59 τ=47.45
CC 23 SLV (Collegamento -179_-383)
Azioni sul collegamento: N=-13681.20 Ty=4.82 Tz=27.25 Mx=-0.01 Mz=1.13
Sollecitazioni agenti localmente: Ty_l=-2429.81 My_l=-49.82
Tensioni nella sezione: σ=603.85 τ=73.63
CC 23 SLV (Collegamento -179_-383)
Azioni sul collegamento: N=-13681.20 Ty=12.53 Tz=27.25 Mx=-0.01 Mz=7.45
Sollecitazioni agenti localmente: Ty_l=-2454.96 My_l=-50.37
Tensioni nella sezione: σ=610.52 τ=74.39
CC 23 SLV (Collegamento -179_-383)
Azioni sul collegamento: N=-13681.20 Ty=4.82 Tz=-1.96 Mx=-0.01 Mz=1.13
Sollecitazioni agenti localmente: Ty_l=-2429.81 My_l=-49.82
Tensioni nella sezione: σ=603.85 τ=73.63
CC 23 SLV (Collegamento -179_-383)
Azioni sul collegamento: N=-13681.20 Ty=12.53 Tz=-1.96 Mx=-0.01 Mz=7.45
Sollecitazioni agenti localmente: Ty_l=-2454.96 My_l=-50.37
Tensioni nella sezione: σ=610.52 τ=74.39

CC 23 SLV (Collegamento -179_-383)
Azioni sul collegamento: N=-5856.57 Ty=4.82 Tz=27.25 Mx=-0.01 Mz=1.13
Sollecitazioni agenti localmente: Ty_l=-1042.71 My_l=-21.38
Tensioni nella sezione: σ=259.17 τ=31.60
CC 23 SLV (Collegamento -179_-383)
Azioni sul collegamento: N=-5856.57 Ty=12.53 Tz=27.25 Mx=-0.01 Mz=7.45
Sollecitazioni agenti localmente: Ty_l=-1067.86 My_l=-21.93
Tensioni nella sezione: σ=265.85 τ=32.36
CC 23 SLV (Collegamento -179_-383)
Azioni sul collegamento: N=-5856.57 Ty=4.82 Tz=-1.96 Mx=-0.01 Mz=1.13
Sollecitazioni agenti localmente: Ty_l=-1042.71 My_l=-21.38
Tensioni nella sezione: σ=259.17 τ=31.60
CC 23 SLV (Collegamento -179_-383)
Azioni sul collegamento: N=-5856.57 Ty=12.53 Tz=-1.96 Mx=-0.01 Mz=7.45
Sollecitazioni agenti localmente: Ty_l=-1067.86 My_l=-21.93
Tensioni nella sezione: σ=265.85 τ=32.36
CC 24 SLD (Collegamento -179_-383)
Azioni sul collegamento: N=-11059.20 Ty=8.42 Tz=17.48 Mx=0.00 Mz=5.47
Sollecitazioni agenti localmente: Ty_l=-1982.24 My_l=-40.67
Tensioni nella sezione: σ=492.93 τ=60.07
CC 24 SLD (Collegamento -179_-383)
Azioni sul collegamento: N=-11059.20 Ty=10.78 Tz=17.48 Mx=0.00 Mz=7.39
Sollecitazioni agenti localmente: Ty_l=-1989.91 My_l=-40.83
Tensioni nella sezione: σ=494.96 τ=60.30
CC 24 SLD (Collegamento -179_-383)
Azioni sul collegamento: N=-11059.20 Ty=8.42 Tz=8.57 Mx=0.00 Mz=5.47
Sollecitazioni agenti localmente: Ty_l=-1982.24 My_l=-40.67
Tensioni nella sezione: σ=492.93 τ=60.07
CC 24 SLD (Collegamento -179_-383)
Azioni sul collegamento: N=-11059.20 Ty=10.78 Tz=8.57 Mx=0.00 Mz=7.39
Sollecitazioni agenti localmente: Ty_l=-1989.91 My_l=-40.83
Tensioni nella sezione: σ=494.96 τ=60.30
CC 24 SLD (Collegamento -179_-383)
Azioni sul collegamento: N=-8673.24 Ty=8.42 Tz=17.48 Mx=0.00 Mz=5.47
Sollecitazioni agenti localmente: Ty_l=-1559.27 My_l=-32.00
Tensioni nella sezione: σ=387.82 τ=47.25
CC 24 SLD (Collegamento -179_-383)
Azioni sul collegamento: N=-8673.24 Ty=10.78 Tz=17.48 Mx=0.00 Mz=7.39
Sollecitazioni agenti localmente: Ty_l=-1566.94 My_l=-32.16
Tensioni nella sezione: σ=389.86 τ=47.48
CC 24 SLD (Collegamento -179_-383)
Azioni sul collegamento: N=-8673.24 Ty=8.42 Tz=8.57 Mx=0.00 Mz=5.47
Sollecitazioni agenti localmente: Ty_l=-1559.27 My_l=-32.00
Tensioni nella sezione: σ=387.82 τ=47.25
CC 24 SLD (Collegamento -179_-383)
Azioni sul collegamento: N=-8673.24 Ty=10.78 Tz=8.57 Mx=0.00 Mz=7.39
Sollecitazioni agenti localmente: Ty_l=-1566.94 My_l=-32.16
Tensioni nella sezione: σ=389.86 τ=47.48
CC 25 SLV (Collegamento -179_-383)
Azioni sul collegamento: N=-8587.82 Ty=10.61 Tz=7.77 Mx=-0.02 Mz=6.83
Sollecitazioni agenti localmente: Ty_l=-1549.55 My_l=-31.80
Tensioni nella sezione: σ=385.50 τ=46.96
CC 25 SLV (Collegamento -179_-383)
Azioni sul collegamento: N=-8587.82 Ty=6.74 Tz=7.77 Mx=-0.02 Mz=1.76
Sollecitazioni agenti localmente: Ty_l=-1529.37 My_l=-31.36
Tensioni nella sezione: σ=380.14 τ=46.34
CC 25 SLV (Collegamento -179_-383)
Azioni sul collegamento: N=-8587.82 Ty=10.61 Tz=17.52 Mx=-0.02 Mz=6.83
Sollecitazioni agenti localmente: Ty_l=-1549.55 My_l=-31.80
Tensioni nella sezione: σ=385.50 τ=46.96
CC 25 SLV (Collegamento -179_-383)
Azioni sul collegamento: N=-8587.82 Ty=6.74 Tz=17.52 Mx=-0.02 Mz=1.76
Sollecitazioni agenti localmente: Ty_l=-1529.37 My_l=-31.36
Tensioni nella sezione: σ=380.14 τ=46.34
CC 25 SLV (Collegamento -179_-383)
Azioni sul collegamento: N=-10950.00 Ty=10.61 Tz=7.77 Mx=-0.02 Mz=6.83
Sollecitazioni agenti localmente: Ty_l=-1968.29 My_l=-40.39
Tensioni nella sezione: σ=489.55 τ=59.65
CC 25 SLV (Collegamento -179_-383)
Azioni sul collegamento: N=-10950.00 Ty=6.74 Tz=7.77 Mx=-0.02 Mz=1.76
Sollecitazioni agenti localmente: Ty_l=-1948.11 My_l=-39.95
Tensioni nella sezione: σ=484.19 τ=59.03
CC 25 SLV (Collegamento -179_-383)
Azioni sul collegamento: N=-10950.00 Ty=10.61 Tz=17.52 Mx=-0.02 Mz=6.83
Sollecitazioni agenti localmente: Ty_l=-1968.30 My_l=-40.39
Tensioni nella sezione: σ=489.55 τ=59.65
CC 25 SLV (Collegamento -179_-383)
Azioni sul collegamento: N=-10950.00 Ty=6.74 Tz=17.52 Mx=-0.02 Mz=1.76
Sollecitazioni agenti localmente: Ty_l=-1948.11 My_l=-39.95

Tensioni nella sezione: σ=484.19 τ=59.03
CC 26 SLD (Collegamento -179_-383)
Azioni sul collegamento: N=-9506.09 Ty=10.19 Tz=11.54 Mx=-0.00 Mz=7.20
Sollecitazioni agenti localmente: Ty_l=-1713.82 My_l=-35.17
Tensioni nella sezione: σ=426.35 τ=51.93
CC 26 SLD (Collegamento -179_-383)
Azioni sul collegamento: N=-9506.09 Ty=9.01 Tz=11.54 Mx=-0.00 Mz=5.66
Sollecitazioni agenti localmente: Ty_l=-1707.67 My_l=-35.04
Tensioni nella sezione: σ=424.71 τ=51.75
CC 26 SLD (Collegamento -179_-383)
Azioni sul collegamento: N=-9506.09 Ty=10.19 Tz=14.51 Mx=-0.00 Mz=7.20
Sollecitazioni agenti localmente: Ty_l=-1713.82 My_l=-35.17
Tensioni nella sezione: σ=426.35 τ=51.93
CC 26 SLD (Collegamento -179_-383)
Azioni sul collegamento: N=-9506.09 Ty=9.01 Tz=14.51 Mx=-0.00 Mz=5.66
Sollecitazioni agenti localmente: Ty_l=-1707.67 My_l=-35.04
Tensioni nella sezione: σ=424.71 τ=51.75
CC 26 SLD (Collegamento -179_-383)
Azioni sul collegamento: N=-10226.40 Ty=10.19 Tz=11.54 Mx=-0.00 Mz=7.20
Sollecitazioni agenti localmente: Ty_l=-1841.51 My_l=-37.79
Tensioni nella sezione: σ=458.07 τ=55.80
CC 26 SLD (Collegamento -179_-383)
Azioni sul collegamento: N=-10226.40 Ty=9.01 Tz=11.54 Mx=-0.00 Mz=5.66
Sollecitazioni agenti localmente: Ty_l=-1835.36 My_l=-37.66
Tensioni nella sezione: σ=456.44 τ=55.62
CC 26 SLD (Collegamento -179_-383)
Azioni sul collegamento: N=-10226.40 Ty=10.19 Tz=14.51 Mx=-0.00 Mz=7.20
Sollecitazioni agenti localmente: Ty_l=-1841.51 My_l=-37.79
Tensioni nella sezione: σ=458.07 τ=55.80
CC 26 SLD (Collegamento -179_-383)
Azioni sul collegamento: N=-10226.40 Ty=9.01 Tz=14.51 Mx=-0.00 Mz=5.66
Sollecitazioni agenti localmente: Ty_l=-1835.36 My_l=-37.66
Tensioni nella sezione: σ=456.44 τ=55.62
CC 27 SLV (Collegamento -179_-383)
Azioni sul collegamento: N=-10933.80 Ty=8.45 Tz=16.43 Mx=-0.02 Mz=5.25
Sollecitazioni agenti localmente: Ty_l=-1959.13 My_l=-40.19
Tensioni nella sezione: σ=487.17 τ=59.37
CC 27 SLV (Collegamento -179_-383)
Azioni sul collegamento: N=-10933.80 Ty=8.90 Tz=16.43 Mx=-0.02 Mz=3.34
Sollecitazioni agenti localmente: Ty_l=-1951.53 My_l=-40.02
Tensioni nella sezione: σ=485.15 τ=59.14
CC 27 SLV (Collegamento -179_-383)
Azioni sul collegamento: N=-10933.80 Ty=8.45 Tz=8.86 Mx=-0.02 Mz=5.25
Sollecitazioni agenti localmente: Ty_l=-1959.13 My_l=-40.19
Tensioni nella sezione: σ=487.17 τ=59.37
CC 27 SLV (Collegamento -179_-383)
Azioni sul collegamento: N=-10933.80 Ty=8.90 Tz=8.86 Mx=-0.02 Mz=3.34
Sollecitazioni agenti localmente: Ty_l=-1951.53 My_l=-40.02
Tensioni nella sezione: σ=485.15 τ=59.14
CC 27 SLV (Collegamento -179_-383)
Azioni sul collegamento: N=-8604.03 Ty=8.45 Tz=16.43 Mx=-0.02 Mz=5.25
Sollecitazioni agenti localmente: Ty_l=-1546.13 My_l=-31.72
Tensioni nella sezione: σ=384.54 τ=46.85
CC 27 SLV (Collegamento -179_-383)
Azioni sul collegamento: N=-8604.03 Ty=8.90 Tz=16.43 Mx=-0.02 Mz=3.34
Sollecitazioni agenti localmente: Ty_l=-1538.54 My_l=-31.56
Tensioni nella sezione: σ=382.53 τ=46.62
CC 27 SLV (Collegamento -179_-383)
Azioni sul collegamento: N=-8604.03 Ty=8.45 Tz=8.86 Mx=-0.02 Mz=5.25
Sollecitazioni agenti localmente: Ty_l=-1546.13 My_l=-31.72
Tensioni nella sezione: σ=384.54 τ=46.85
CC 27 SLV (Collegamento -179_-383)
Azioni sul collegamento: N=-8604.03 Ty=8.90 Tz=8.86 Mx=-0.02 Mz=3.34
Sollecitazioni agenti localmente: Ty_l=-1538.54 My_l=-31.56
Tensioni nella sezione: σ=382.53 τ=46.62
CC 28 SLD (Collegamento -179_-383)
Azioni sul collegamento: N=-10221.40 Ty=9.53 Tz=14.18 Mx=-0.00 Mz=6.72
Sollecitazioni agenti localmente: Ty_l=-1838.71 My_l=-37.73
Tensioni nella sezione: σ=457.35 τ=55.72
CC 28 SLD (Collegamento -179_-383)
Azioni sul collegamento: N=-10221.40 Ty=9.67 Tz=14.18 Mx=-0.00 Mz=6.14
Sollecitazioni agenti localmente: Ty_l=-1836.40 My_l=-37.68
Tensioni nella sezione: σ=456.73 τ=55.65
CC 28 SLD (Collegamento -179_-383)
Azioni sul collegamento: N=-10221.40 Ty=9.53 Tz=11.87 Mx=-0.00 Mz=6.72
Sollecitazioni agenti localmente: Ty_l=-1838.71 My_l=-37.73
Tensioni nella sezione: σ=457.35 τ=55.72
CC 28 SLD (Collegamento -179_-383)
Azioni sul collegamento: N=-10221.40 Ty=9.67 Tz=11.87 Mx=-0.00 Mz=6.14

Sollecitazioni agenti localmente: Ty_l=-1836.40 My_l=-37.68
Tensioni nella sezione: σ=456.73 τ=55.65
CC 28 SLD (Collegamento -179_-383)
Azioni sul collegamento: N=-9511.03 Ty=9.53 Tz=14.18 Mx=-0.00 Mz=6.72
Sollecitazioni agenti localmente: Ty_l=-1712.78 My_l=-35.15
Tensioni nella sezione: σ=426.05 τ=51.90
CC 28 SLD (Collegamento -179_-383)
Azioni sul collegamento: N=-9511.03 Ty=9.67 Tz=14.18 Mx=-0.00 Mz=6.14
Sollecitazioni agenti localmente: Ty_l=-1710.46 My_l=-35.10
Tensioni nella sezione: σ=425.44 τ=51.83
CC 28 SLD (Collegamento -179_-383)
Azioni sul collegamento: N=-9511.03 Ty=9.53 Tz=11.87 Mx=-0.00 Mz=6.72
Sollecitazioni agenti localmente: Ty_l=-1712.78 My_l=-35.15
Tensioni nella sezione: σ=426.05 τ=51.90
CC 28 SLD (Collegamento -179_-383)
Azioni sul collegamento: N=-9511.03 Ty=9.67 Tz=11.87 Mx=-0.00 Mz=6.14
Sollecitazioni agenti localmente: Ty_l=-1710.46 My_l=-35.10
Tensioni nella sezione: σ=425.44 τ=51.83
CC 29 SLV (Collegamento -179_-383)
Azioni sul collegamento: N=-8604.03 Ty=8.90 Tz=8.86 Mx=-0.00 Mz=3.34
Sollecitazioni agenti localmente: Ty_l=-1538.54 My_l=-31.56
Tensioni nella sezione: σ=382.53 τ=46.62
CC 29 SLV (Collegamento -179_-383)
Azioni sul collegamento: N=-8604.03 Ty=8.45 Tz=8.86 Mx=-0.00 Mz=5.25
Sollecitazioni agenti localmente: Ty_l=-1546.13 My_l=-31.72
Tensioni nella sezione: σ=384.54 τ=46.85
CC 29 SLV (Collegamento -179_-383)
Azioni sul collegamento: N=-8604.03 Ty=8.90 Tz=16.43 Mx=-0.00 Mz=3.34
Sollecitazioni agenti localmente: Ty_l=-1538.54 My_l=-31.56
Tensioni nella sezione: σ=382.53 τ=46.62
CC 29 SLV (Collegamento -179_-383)
Azioni sul collegamento: N=-8604.03 Ty=8.45 Tz=16.43 Mx=-0.00 Mz=5.25
Sollecitazioni agenti localmente: Ty_l=-1546.13 My_l=-31.72
Tensioni nella sezione: σ=384.54 τ=46.85
CC 29 SLV (Collegamento -179_-383)
Azioni sul collegamento: N=-10933.80 Ty=8.90 Tz=8.86 Mx=-0.00 Mz=3.34
Sollecitazioni agenti localmente: Ty_l=-1951.53 My_l=-40.02
Tensioni nella sezione: σ=485.15 τ=59.14
CC 29 SLV (Collegamento -179_-383)
Azioni sul collegamento: N=-10933.80 Ty=8.45 Tz=8.86 Mx=-0.00 Mz=5.25
Sollecitazioni agenti localmente: Ty_l=-1959.13 My_l=-40.19
Tensioni nella sezione: σ=487.17 τ=59.37
CC 29 SLV (Collegamento -179_-383)
Azioni sul collegamento: N=-10933.80 Ty=8.90 Tz=16.43 Mx=-0.00 Mz=3.34
Sollecitazioni agenti localmente: Ty_l=-1951.53 My_l=-40.02
Tensioni nella sezione: σ=485.15 τ=59.14
CC 29 SLV (Collegamento -179_-383)
Azioni sul collegamento: N=-10933.80 Ty=8.45 Tz=16.43 Mx=-0.00 Mz=5.25
Sollecitazioni agenti localmente: Ty_l=-1959.13 My_l=-40.19
Tensioni nella sezione: σ=487.17 τ=59.37
CC 30 SLD (Collegamento -179_-383)
Azioni sul collegamento: N=-9511.03 Ty=9.67 Tz=11.87 Mx=0.00 Mz=6.14
Sollecitazioni agenti localmente: Ty_l=-1710.46 My_l=-35.10
Tensioni nella sezione: σ=425.44 τ=51.83
CC 30 SLD (Collegamento -179_-383)
Azioni sul collegamento: N=-9511.03 Ty=9.53 Tz=11.87 Mx=0.00 Mz=6.72
Sollecitazioni agenti localmente: Ty_l=-1712.78 My_l=-35.15
Tensioni nella sezione: σ=426.05 τ=51.90
CC 30 SLD (Collegamento -179_-383)
Azioni sul collegamento: N=-9511.03 Ty=9.67 Tz=14.18 Mx=0.00 Mz=6.14
Sollecitazioni agenti localmente: Ty_l=-1710.46 My_l=-35.10
Tensioni nella sezione: σ=425.44 τ=51.83
CC 30 SLD (Collegamento -179_-383)
Azioni sul collegamento: N=-9511.03 Ty=9.53 Tz=14.18 Mx=0.00 Mz=6.72
Sollecitazioni agenti localmente: Ty_l=-1712.78 My_l=-35.15
Tensioni nella sezione: σ=426.05 τ=51.90
CC 30 SLD (Collegamento -179_-383)
Azioni sul collegamento: N=-10221.40 Ty=9.67 Tz=11.87 Mx=0.00 Mz=6.14
Sollecitazioni agenti localmente: Ty_l=-1836.40 My_l=-37.68
Tensioni nella sezione: σ=456.73 τ=55.65
CC 30 SLD (Collegamento -179_-383)
Azioni sul collegamento: N=-10221.40 Ty=9.53 Tz=11.87 Mx=0.00 Mz=6.72
Sollecitazioni agenti localmente: Ty_l=-1838.71 My_l=-37.73
Tensioni nella sezione: σ=457.35 τ=55.72
CC 30 SLD (Collegamento -179_-383)
Azioni sul collegamento: N=-10221.40 Ty=9.67 Tz=14.18 Mx=0.00 Mz=6.14
Sollecitazioni agenti localmente: Ty_l=-1836.40 My_l=-37.68
Tensioni nella sezione: σ=456.73 τ=55.65
CC 30 SLD (Collegamento -179_-383)

Azioni sul collegamento: N=-10221.40 Ty=9.53 Tz=14.18 Mx=0.00 Mz=6.72
Sollecitazioni agenti localmente: Ty_l=-1838.71 My_l=-37.73
Tensioni nella sezione: σ=457.35 τ=55.72
CC 31 SLV (Collegamento -179_-383)
Azioni sul collegamento: N=-10950.00 Ty=6.74 Tz=17.52 Mx=-0.00 Mz=1.76
Sollecitazioni agenti localmente: Ty_l=-1948.11 My_l=-39.95
Tensioni nella sezione: σ=484.19 τ=59.03
CC 31 SLV (Collegamento -179_-383)
Azioni sul collegamento: N=-10950.00 Ty=10.61 Tz=17.52 Mx=-0.00 Mz=6.83
Sollecitazioni agenti localmente: Ty_l=-1968.30 My_l=-40.39
Tensioni nella sezione: σ=489.55 τ=59.65
CC 31 SLV (Collegamento -179_-383)
Azioni sul collegamento: N=-10950.00 Ty=6.74 Tz=7.77 Mx=-0.00 Mz=1.76
Sollecitazioni agenti localmente: Ty_l=-1948.11 My_l=-39.95
Tensioni nella sezione: σ=484.19 τ=59.03
CC 31 SLV (Collegamento -179_-383)
Azioni sul collegamento: N=-10950.00 Ty=10.61 Tz=7.77 Mx=-0.00 Mz=6.83
Sollecitazioni agenti localmente: Ty_l=-1968.29 My_l=-40.39
Tensioni nella sezione: σ=489.55 τ=59.65
CC 31 SLV (Collegamento -179_-383)
Azioni sul collegamento: N=-8587.82 Ty=6.74 Tz=17.52 Mx=-0.00 Mz=1.76
Sollecitazioni agenti localmente: Ty_l=-1529.37 My_l=-31.36
Tensioni nella sezione: σ=380.14 τ=46.34
CC 31 SLV (Collegamento -179_-383)
Azioni sul collegamento: N=-8587.82 Ty=10.61 Tz=17.52 Mx=-0.00 Mz=6.83
Sollecitazioni agenti localmente: Ty_l=-1549.55 My_l=-31.80
Tensioni nella sezione: σ=385.50 τ=46.96
CC 31 SLV (Collegamento -179_-383)
Azioni sul collegamento: N=-8587.82 Ty=6.74 Tz=7.77 Mx=-0.00 Mz=1.76
Sollecitazioni agenti localmente: Ty_l=-1529.37 My_l=-31.36
Tensioni nella sezione: σ=380.14 τ=46.34
CC 31 SLV (Collegamento -179_-383)
Azioni sul collegamento: N=-8587.82 Ty=10.61 Tz=7.77 Mx=-0.00 Mz=6.83
Sollecitazioni agenti localmente: Ty_l=-1549.55 My_l=-31.80
Tensioni nella sezione: σ=385.50 τ=46.96
CC 32 SLD (Collegamento -179_-383)
Azioni sul collegamento: N=-10226.40 Ty=9.01 Tz=14.51 Mx=0.00 Mz=5.66
Sollecitazioni agenti localmente: Ty_l=-1835.36 My_l=-37.66
Tensioni nella sezione: σ=456.44 τ=55.62
CC 32 SLD (Collegamento -179_-383)
Azioni sul collegamento: N=-10226.40 Ty=10.19 Tz=14.51 Mx=0.00 Mz=7.20
Sollecitazioni agenti localmente: Ty_l=-1841.51 My_l=-37.79
Tensioni nella sezione: σ=458.07 τ=55.80
CC 32 SLD (Collegamento -179_-383)
Azioni sul collegamento: N=-10226.40 Ty=9.01 Tz=11.54 Mx=0.00 Mz=5.66
Sollecitazioni agenti localmente: Ty_l=-1835.36 My_l=-37.66
Tensioni nella sezione: σ=456.44 τ=55.62
CC 32 SLD (Collegamento -179_-383)
Azioni sul collegamento: N=-10226.40 Ty=10.19 Tz=11.54 Mx=0.00 Mz=7.20
Sollecitazioni agenti localmente: Ty_l=-1841.51 My_l=-37.79
Tensioni nella sezione: σ=458.07 τ=55.80
CC 32 SLD (Collegamento -179_-383)
Azioni sul collegamento: N=-9506.09 Ty=9.01 Tz=14.51 Mx=0.00 Mz=5.66
Sollecitazioni agenti localmente: Ty_l=-1707.67 My_l=-35.04
Tensioni nella sezione: σ=424.71 τ=51.75
CC 32 SLD (Collegamento -179_-383)
Azioni sul collegamento: N=-9506.09 Ty=10.19 Tz=14.51 Mx=0.00 Mz=7.20
Sollecitazioni agenti localmente: Ty_l=-1713.82 My_l=-35.17
Tensioni nella sezione: σ=426.35 τ=51.93
CC 32 SLD (Collegamento -179_-383)
Azioni sul collegamento: N=-9506.09 Ty=9.01 Tz=11.54 Mx=0.00 Mz=5.66
Sollecitazioni agenti localmente: Ty_l=-1707.67 My_l=-35.04
Tensioni nella sezione: σ=424.71 τ=51.75
CC 32 SLD (Collegamento -179_-383)
Azioni sul collegamento: N=-9506.09 Ty=10.19 Tz=11.54 Mx=0.00 Mz=7.20
Sollecitazioni agenti localmente: Ty_l=-1713.82 My_l=-35.17
Tensioni nella sezione: σ=426.35 τ=51.93
CC 33 SLU (Collegamento -179_-383)
Azioni sul collegamento: N=-36428.20 Ty=20.21 Tz=102.49 Mx=0.01 Mz=15.01
Sollecitazioni agenti localmente: Ty_l=-6517.42 My_l=-133.69
Tensioni nella sezione: σ=1620.49 τ=197.50
CC 34 SLU (Collegamento -179_-383)
Azioni sul collegamento: N=-37242.40 Ty=20.96 Tz=105.49 Mx=0.01 Mz=15.56
Sollecitazioni agenti localmente: Ty_l=-6663.94 My_l=-136.70
Tensioni nella sezione: σ=1656.94 τ=201.94
CC 35 SLU (Collegamento -179_-383)
Azioni sul collegamento: N=-36836.10 Ty=20.67 Tz=103.93 Mx=0.00 Mz=15.47
Sollecitazioni agenti localmente: Ty_l=-6591.56 My_l=-135.21
Tensioni nella sezione: σ=1638.95 τ=199.74

CC 36 SLU (Collegamento -179_-383)
Azioni sul collegamento: N=-36834.40 Ty=20.49 Tz=104.05 Mx=0.01 Mz=15.10
Sollecitazioni agenti localmente: Ty_l=-6589.80 My_l=-135.18
Tensioni nella sezione: σ=1638.48 τ=199.69
CC 37 SLU (Collegamento -179_-383)
Azioni sul collegamento: N=-29660.30 Ty=-10.68 Tz=77.11 Mx=0.01 Mz=-8.42
Sollecitazioni agenti localmente: Ty_l=-5224.45 My_l=-107.05
Tensioni nella sezione: σ=1297.63 τ=158.32
CC 38 SLU (Collegamento -179_-383)
Azioni sul collegamento: N=-30474.50 Ty=-9.93 Tz=80.11 Mx=0.01 Mz=-7.87
Sollecitazioni agenti localmente: Ty_l=-5370.98 My_l=-110.06
Tensioni nella sezione: σ=1334.08 τ=162.76
CC 39 SLU (Collegamento -179_-383)
Azioni sul collegamento: N=-30068.30 Ty=-10.21 Tz=78.55 Mx=0.00 Mz=-7.97
Sollecitazioni agenti localmente: Ty_l=-5298.60 My_l=-108.58
Tensioni nella sezione: σ=1316.08 τ=160.56
CC 40 SLU (Collegamento -179_-383)
Azioni sul collegamento: N=-30066.50 Ty=-10.39 Tz=78.67 Mx=0.01 Mz=-8.33
Sollecitazioni agenti localmente: Ty_l=-5296.84 My_l=-108.54
Tensioni nella sezione: σ=1315.62 τ=160.51
CC 41 SLU (Collegamento -179_-383)
Azioni sul collegamento: N=-27261.60 Ty=19.33 Tz=68.83 Mx=0.01 Mz=14.21
Sollecitazioni agenti localmente: Ty_l=-4889.27 My_l=-100.31
Tensioni nella sezione: σ=1215.87 τ=148.16
CC 42 SLU (Collegamento -179_-383)
Azioni sul collegamento: N=-28075.80 Ty=20.08 Tz=71.84 Mx=0.01 Mz=14.76
Sollecitazioni agenti localmente: Ty_l=-5035.80 My_l=-103.32
Tensioni nella sezione: σ=1252.32 τ=152.60
CC 43 SLU (Collegamento -179_-383)
Azioni sul collegamento: N=-27669.60 Ty=19.79 Tz=70.28 Mx=0.00 Mz=14.67
Sollecitazioni agenti localmente: Ty_l=-4963.42 My_l=-101.83
Tensioni nella sezione: σ=1234.32 τ=150.41
CC 44 SLU (Collegamento -179_-383)
Azioni sul collegamento: N=-27667.80 Ty=19.61 Tz=70.39 Mx=0.01 Mz=14.31
Sollecitazioni agenti localmente: Ty_l=-4961.66 My_l=-101.79
Tensioni nella sezione: σ=1233.86 τ=150.35
CC 45 SLU (Collegamento -179_-383)
Azioni sul collegamento: N=-29271.60 Ty=19.56 Tz=76.22 Mx=0.00 Mz=14.53
Sollecitazioni agenti localmente: Ty_l=-5246.85 My_l=-107.64
Tensioni nella sezione: σ=1304.74 τ=159.00
CC 46 SLU (Collegamento -179_-383)
Azioni sul collegamento: N=-30085.80 Ty=20.31 Tz=79.22 Mx=0.00 Mz=15.08
Sollecitazioni agenti localmente: Ty_l=-5393.37 My_l=-110.65
Tensioni nella sezione: σ=1341.19 τ=163.44
CC 47 SLU (Collegamento -179_-383)
Azioni sul collegamento: N=-29679.60 Ty=20.02 Tz=77.66 Mx=0.00 Mz=14.99
Sollecitazioni agenti localmente: Ty_l=-5320.99 My_l=-109.16
Tensioni nella sezione: σ=1323.20 τ=161.24
CC 48 SLU (Collegamento -179_-383)
Azioni sul collegamento: N=-29677.80 Ty=19.84 Tz=77.78 Mx=0.01 Mz=14.62
Sollecitazioni agenti localmente: Ty_l=-5319.23 My_l=-109.13
Tensioni nella sezione: σ=1322.73 τ=161.19
CC 49 SLU (Collegamento -179_-383)
Azioni sul collegamento: N=-24208.20 Ty=-3.55 Tz=57.23 Mx=0.01 Mz=-3.00
Sollecitazioni agenti localmente: Ty_l=-4279.52 My_l=-87.71
Tensioni nella sezione: σ=1063.19 τ=129.68
CC 50 SLU (Collegamento -179_-383)
Azioni sul collegamento: N=-25022.40 Ty=-2.80 Tz=60.23 Mx=0.01 Mz=-2.45
Sollecitazioni agenti localmente: Ty_l=-4426.05 My_l=-90.72
Tensioni nella sezione: σ=1099.64 τ=134.12
CC 51 SLU (Collegamento -179_-383)
Azioni sul collegamento: N=-24616.20 Ty=-3.08 Tz=58.67 Mx=0.00 Mz=-2.54
Sollecitazioni agenti localmente: Ty_l=-4353.66 My_l=-89.24
Tensioni nella sezione: σ=1081.65 τ=131.93
CC 52 SLU (Collegamento -179_-383)
Azioni sul collegamento: N=-24614.40 Ty=-3.26 Tz=58.79 Mx=0.01 Mz=-2.91
Sollecitazioni agenti localmente: Ty_l=-4351.90 My_l=-89.20
Tensioni nella sezione: σ=1081.19 τ=131.88
CC 53 SLU (Collegamento -179_-383)
Azioni sul collegamento: N=-22413.60 Ty=18.90 Tz=51.04 Mx=0.00 Mz=13.93
Sollecitazioni agenti localmente: Ty_l=-4028.75 My_l=-82.67
Tensioni nella sezione: σ=1002.02 τ=122.08
CC 54 SLU (Collegamento -179_-383)
Azioni sul collegamento: N=-23227.90 Ty=19.65 Tz=54.04 Mx=0.00 Mz=14.49
Sollecitazioni agenti localmente: Ty_l=-4175.28 My_l=-85.67
Tensioni nella sezione: σ=1038.47 τ=126.52
CC 55 SLU (Collegamento -179_-383)
Azioni sul collegamento: N=-22821.60 Ty=19.36 Tz=52.48 Mx=0.00 Mz=14.39
Sollecitazioni agenti localmente: Ty_l=-4102.90 My_l=-84.19

Tensioni nella sezione: σ=1020.48 τ=124.33
CC 56 SLU (Collegamento -179_-383)
Azioni sul collegamento: N=-22819.90 Ty=19.19 Tz=52.60 Mx=0.01 Mz=14.03
Sollecitazioni agenti localmente: Ty_l=-4101.14 My_l=-84.15
Tensioni nella sezione: σ=1020.02 τ=124.28
CC 57 SLU (Collegamento -179_-383)
Azioni sul collegamento: N=-30019.90 Ty=20.54 Tz=79.01 Mx=0.00 Mz=15.25
Sollecitazioni agenti localmente: Ty_l=-5382.38 My_l=-110.42
Tensioni nella sezione: σ=1338.47 τ=163.10
CC 58 SLU (Collegamento -179_-383)
Azioni sul collegamento: N=-30834.10 Ty=21.29 Tz=82.01 Mx=0.00 Mz=15.80
Sollecitazioni agenti localmente: Ty_l=-5528.90 My_l=-113.43
Tensioni nella sezione: σ=1374.92 τ=167.54
CC 59 SLU (Collegamento -179_-383)
Azioni sul collegamento: N=-30427.90 Ty=21.01 Tz=80.45 Mx=0.00 Mz=15.71
Sollecitazioni agenti localmente: Ty_l=-5456.52 My_l=-111.95
Tensioni nella sezione: σ=1356.92 τ=165.35
CC 60 SLU (Collegamento -179_-383)
Azioni sul collegamento: N=-30426.20 Ty=20.83 Tz=80.57 Mx=0.01 Mz=15.34
Sollecitazioni agenti localmente: Ty_l=-5454.76 My_l=-111.91
Tensioni nella sezione: σ=1356.46 τ=165.30
CC 61 SLU (Collegamento -179_-383)
Azioni sul collegamento: N=-24956.60 Ty=-2.56 Tz=60.02 Mx=0.00 Mz=-2.28
Sollecitazioni agenti localmente: Ty_l=-4415.05 My_l=-90.50
Tensioni nella sezione: σ=1096.92 τ=133.79
CC 62 SLU (Collegamento -179_-383)
Azioni sul collegamento: N=-25770.80 Ty=-1.81 Tz=63.02 Mx=0.00 Mz=-1.73
Sollecitazioni agenti localmente: Ty_l=-4561.57 My_l=-93.50
Tensioni nella sezione: σ=1133.37 τ=138.23
CC 63 SLU (Collegamento -179_-383)
Azioni sul collegamento: N=-25364.60 Ty=-2.10 Tz=61.46 Mx=0.00 Mz=-1.82
Sollecitazioni agenti localmente: Ty_l=-4489.19 My_l=-92.02
Tensioni nella sezione: σ=1115.37 τ=136.04
CC 64 SLU (Collegamento -179_-383)
Azioni sul collegamento: N=-25362.80 Ty=-2.28 Tz=61.58 Mx=0.01 Mz=-2.19
Sollecitazioni agenti localmente: Ty_l=-4487.43 My_l=-91.98
Tensioni nella sezione: σ=1114.91 τ=135.98
CC 65 SLU (Collegamento -179_-383)
Azioni sul collegamento: N=-23162.00 Ty=19.88 Tz=53.83 Mx=0.00 Mz=14.66
Sollecitazioni agenti localmente: Ty_l=-4164.29 My_l=-85.45
Tensioni nella sezione: σ=1035.75 τ=126.19
CC 66 SLU (Collegamento -179_-383)
Azioni sul collegamento: N=-23976.20 Ty=20.63 Tz=56.84 Mx=0.00 Mz=15.21
Sollecitazioni agenti localmente: Ty_l=-4310.81 My_l=-88.46
Tensioni nella sezione: σ=1072.20 τ=130.63
CC 67 SLU (Collegamento -179_-383)
Azioni sul collegamento: N=-23570.00 Ty=20.35 Tz=55.27 Mx=0.00 Mz=15.11
Sollecitazioni agenti localmente: Ty_l=-4238.43 My_l=-86.97
Tensioni nella sezione: σ=1054.21 τ=128.44
CC 68 SLU (Collegamento -179_-383)
Azioni sul collegamento: N=-23568.20 Ty=20.17 Tz=55.39 Mx=0.01 Mz=14.75
Sollecitazioni agenti localmente: Ty_l=-4236.67 My_l=-86.93
Tensioni nella sezione: σ=1053.74 τ=128.38
CC 97 SLU (Collegamento -179_-383)
Azioni sul collegamento: N=-12126.50 Ty=21.64 Tz=21.62 Mx=0.05 Mz=23.37
Sollecitazioni agenti localmente: Ty_l=-2242.65 My_l=-46.10
Tensioni nella sezione: σ=558.84 τ=67.96
CC 98 SLU (Collegamento -179_-383)
Azioni sul collegamento: N=-12940.70 Ty=22.39 Tz=24.63 Mx=0.05 Mz=23.92
Sollecitazioni agenti localmente: Ty_l=-2389.18 My_l=-49.11
Tensioni nella sezione: σ=595.29 τ=72.40
CC 99 SLU (Collegamento -179_-383)
Azioni sul collegamento: N=-12534.50 Ty=22.10 Tz=23.06 Mx=0.05 Mz=23.83
Sollecitazioni agenti localmente: Ty_l=-2316.80 My_l=-47.63
Tensioni nella sezione: σ=577.30 τ=70.21
CC 100 SLU (Collegamento -179_-383)
Azioni sul collegamento: N=-12532.70 Ty=21.92 Tz=23.18 Mx=0.05 Mz=23.46
Sollecitazioni agenti localmente: Ty_l=-2315.03 My_l=-47.59
Tensioni nella sezione: σ=576.83 τ=70.15
CC 101 SLU (Collegamento -179_-383)
Azioni sul collegamento: N=-9752.38 Ty=7.57 Tz=12.50 Mx=-0.00 Mz=4.76
Sollecitazioni agenti localmente: Ty_l=-1747.77 My_l=-35.86
Tensioni nella sezione: σ=434.62 τ=52.96
CC 102 SLU (Collegamento -179_-383)
Azioni sul collegamento: N=-10566.60 Ty=8.33 Tz=15.50 Mx=-0.00 Mz=5.31
Sollecitazioni agenti localmente: Ty_l=-1894.30 My_l=-38.86
Tensioni nella sezione: σ=471.06 τ=57.40
CC 103 SLU (Collegamento -179_-383)
Azioni sul collegamento: N=-10160.40 Ty=8.04 Tz=13.94 Mx=-0.00 Mz=5.22

Sollecitazioni agenti localmente: Ty_l=-1821.92 My_l=-37.38
Tensioni nella sezione: σ=453.07 τ=55.21
CC 104 SLU (Collegamento -179_-383)
Azioni sul collegamento: N=-10158.60 Ty=7.86 Tz=14.06 Mx=-0.00 Mz=4.85
Sollecitazioni agenti localmente: Ty_l=-1820.15 My_l=-37.34
Tensioni nella sezione: σ=452.61 τ=55.16

Flessione attacco sinistro piastra

Bnetta=220.00 Hnetta=15.00
CC 1 SLV (Collegamento -179_-383)
Azioni sul collegamento: N=-6136.64 Ty=15.19 Tz=-0.86 Mx=0.02 Mz=13.60
Sollecitazioni agenti localmente: Ty_l=-1033.75 My_l=-21.12
Tensioni nella sezione: σ=255.95 τ=31.33
CC 1 SLV (Collegamento -179_-383)
Azioni sul collegamento: N=-6136.64 Ty=7.48 Tz=-0.86 Mx=0.02 Mz=7.28
Sollecitazioni agenti localmente: Ty_l=-1058.90 My_l=-21.67
Tensioni nella sezione: σ=262.63 τ=32.09
CC 1 SLV (Collegamento -179_-383)
Azioni sul collegamento: N=-6136.64 Ty=15.19 Tz=28.35 Mx=0.02 Mz=13.60
Sollecitazioni agenti localmente: Ty_l=-1033.75 My_l=-21.12
Tensioni nella sezione: σ=255.95 τ=31.33
CC 1 SLV (Collegamento -179_-383)
Azioni sul collegamento: N=-6136.64 Ty=7.48 Tz=28.35 Mx=0.02 Mz=7.28
Sollecitazioni agenti localmente: Ty_l=-1058.90 My_l=-21.67
Tensioni nella sezione: σ=262.63 τ=32.09
CC 1 SLV (Collegamento -179_-383)
Azioni sul collegamento: N=-13961.30 Ty=15.19 Tz=-0.86 Mx=0.02 Mz=13.60
Sollecitazioni agenti localmente: Ty_l=-2420.85 My_l=-49.55
Tensioni nella sezione: σ=600.63 τ=73.36
CC 1 SLV (Collegamento -179_-383)
Azioni sul collegamento: N=-13961.30 Ty=7.48 Tz=-0.86 Mx=0.02 Mz=7.28
Sollecitazioni agenti localmente: Ty_l=-2446.00 My_l=-50.10
Tensioni nella sezione: σ=607.30 τ=74.12
CC 1 SLV (Collegamento -179_-383)
Azioni sul collegamento: N=-13961.30 Ty=15.19 Tz=28.35 Mx=0.02 Mz=13.60
Sollecitazioni agenti localmente: Ty_l=-2420.85 My_l=-49.55
Tensioni nella sezione: σ=600.63 τ=73.36
CC 1 SLV (Collegamento -179_-383)
Azioni sul collegamento: N=-13961.30 Ty=7.48 Tz=28.35 Mx=0.02 Mz=7.28
Sollecitazioni agenti localmente: Ty_l=-2446.00 My_l=-50.10
Tensioni nella sezione: σ=607.30 τ=74.12
CC 2 SLD (Collegamento -179_-383)
Azioni sul collegamento: N=-8758.64 Ty=11.59 Tz=8.91 Mx=0.01 Mz=9.27
Sollecitazioni agenti localmente: Ty_l=-1515.80 My_l=-31.02
Tensioni nella sezione: σ=376.03 τ=45.93
CC 2 SLD (Collegamento -179_-383)
Azioni sul collegamento: N=-8758.64 Ty=9.24 Tz=8.91 Mx=0.01 Mz=7.34
Sollecitazioni agenti localmente: Ty_l=-1523.47 My_l=-31.19
Tensioni nella sezione: σ=378.06 τ=46.17
CC 2 SLD (Collegamento -179_-383)
Azioni sul collegamento: N=-8758.64 Ty=11.59 Tz=17.82 Mx=0.01 Mz=9.27
Sollecitazioni agenti localmente: Ty_l=-1515.80 My_l=-31.02
Tensioni nella sezione: σ=376.03 τ=45.93
CC 2 SLD (Collegamento -179_-383)
Azioni sul collegamento: N=-8758.64 Ty=9.24 Tz=17.82 Mx=0.01 Mz=7.34
Sollecitazioni agenti localmente: Ty_l=-1523.47 My_l=-31.19
Tensioni nella sezione: σ=378.06 τ=46.17
CC 2 SLD (Collegamento -179_-383)
Azioni sul collegamento: N=-11144.60 Ty=11.59 Tz=8.91 Mx=0.01 Mz=9.27
Sollecitazioni agenti localmente: Ty_l=-1938.77 My_l=-39.69
Tensioni nella sezione: σ=481.13 τ=58.75
CC 2 SLD (Collegamento -179_-383)
Azioni sul collegamento: N=-11144.60 Ty=9.24 Tz=8.91 Mx=0.01 Mz=7.34
Sollecitazioni agenti localmente: Ty_l=-1946.44 My_l=-39.86
Tensioni nella sezione: σ=483.17 τ=58.98
CC 2 SLD (Collegamento -179_-383)
Azioni sul collegamento: N=-11144.60 Ty=11.59 Tz=17.82 Mx=0.01 Mz=9.27
Sollecitazioni agenti localmente: Ty_l=-1938.77 My_l=-39.69
Tensioni nella sezione: σ=481.13 τ=58.75
CC 2 SLD (Collegamento -179_-383)
Azioni sul collegamento: N=-11144.60 Ty=9.24 Tz=17.82 Mx=0.01 Mz=7.34
Sollecitazioni agenti localmente: Ty_l=-1946.44 My_l=-39.86
Tensioni nella sezione: σ=483.17 τ=58.98
CC 3 SLV (Collegamento -179_-383)
Azioni sul collegamento: N=-6141.51 Ty=14.68 Tz=-0.53 Mx=0.01 Mz=12.56
Sollecitazioni agenti localmente: Ty_l=-1038.78 My_l=-21.23
Tensioni nella sezione: σ=257.27 τ=31.48
CC 3 SLV (Collegamento -179_-383)

Azioni sul collegamento: N=-6141.51 Ty=7.99 Tz=-0.53 Mx=0.01 Mz=8.33
Sollecitazioni agenti localmente: Ty_l=-1055.59 My_l=-21.59
Tensioni nella sezione: σ=261.74 τ=31.99
CC 3 SLV (Collegamento -179_-383)
Azioni sul collegamento: N=-6141.51 Ty=14.68 Tz=28.02 Mx=0.01 Mz=12.56
Sollecitazioni agenti localmente: Ty_l=-1038.78 My_l=-21.23
Tensioni nella sezione: σ=257.27 τ=31.48
CC 3 SLV (Collegamento -179_-383)
Azioni sul collegamento: N=-6141.51 Ty=7.99 Tz=28.02 Mx=0.01 Mz=8.33
Sollecitazioni agenti localmente: Ty_l=-1055.59 My_l=-21.59
Tensioni nella sezione: σ=261.74 τ=31.99
CC 3 SLV (Collegamento -179_-383)
Azioni sul collegamento: N=-13956.40 Ty=14.68 Tz=-0.53 Mx=0.01 Mz=12.56
Sollecitazioni agenti localmente: Ty_l=-2424.15 My_l=-49.63
Tensioni nella sezione: σ=601.52 τ=73.46
CC 3 SLV (Collegamento -179_-383)
Azioni sul collegamento: N=-13956.40 Ty=7.99 Tz=-0.53 Mx=0.01 Mz=8.33
Sollecitazioni agenti localmente: Ty_l=-2440.97 My_l=-49.99
Tensioni nella sezione: σ=605.98 τ=73.97
CC 3 SLV (Collegamento -179_-383)
Azioni sul collegamento: N=-13956.40 Ty=14.68 Tz=28.02 Mx=0.01 Mz=12.56
Sollecitazioni agenti localmente: Ty_l=-2424.15 My_l=-49.63
Tensioni nella sezione: σ=601.52 τ=73.46
CC 3 SLV (Collegamento -179_-383)
Azioni sul collegamento: N=-13956.40 Ty=7.99 Tz=28.02 Mx=0.01 Mz=8.33
Sollecitazioni agenti localmente: Ty_l=-2440.97 My_l=-49.99
Tensioni nella sezione: σ=605.98 τ=73.97
CC 4 SLD (Collegamento -179_-383)
Azioni sul collegamento: N=-8760.13 Ty=11.43 Tz=9.01 Mx=0.01 Mz=8.95
Sollecitazioni agenti localmente: Ty_l=-1517.33 My_l=-31.06
Tensioni nella sezione: σ=376.43 τ=45.98
CC 4 SLD (Collegamento -179_-383)
Azioni sul collegamento: N=-8760.13 Ty=9.39 Tz=9.01 Mx=0.01 Mz=7.66
Sollecitazioni agenti localmente: Ty_l=-1522.46 My_l=-31.17
Tensioni nella sezione: σ=377.79 τ=46.14
CC 4 SLD (Collegamento -179_-383)
Azioni sul collegamento: N=-8760.13 Ty=11.43 Tz=17.72 Mx=0.01 Mz=8.95
Sollecitazioni agenti localmente: Ty_l=-1517.33 My_l=-31.06
Tensioni nella sezione: σ=376.43 τ=45.98
CC 4 SLD (Collegamento -179_-383)
Azioni sul collegamento: N=-8760.13 Ty=9.39 Tz=17.72 Mx=0.01 Mz=7.66
Sollecitazioni agenti localmente: Ty_l=-1522.46 My_l=-31.17
Tensioni nella sezione: σ=377.79 τ=46.14
CC 4 SLD (Collegamento -179_-383)
Azioni sul collegamento: N=-11143.10 Ty=11.43 Tz=9.01 Mx=0.01 Mz=8.95
Sollecitazioni agenti localmente: Ty_l=-1939.78 My_l=-39.72
Tensioni nella sezione: σ=481.40 τ=58.78
CC 4 SLD (Collegamento -179_-383)
Azioni sul collegamento: N=-11143.10 Ty=9.39 Tz=9.01 Mx=0.01 Mz=7.66
Sollecitazioni agenti localmente: Ty_l=-1944.91 My_l=-39.83
Tensioni nella sezione: σ=482.76 τ=58.94
CC 4 SLD (Collegamento -179_-383)
Azioni sul collegamento: N=-11143.10 Ty=11.43 Tz=17.72 Mx=0.01 Mz=8.95
Sollecitazioni agenti localmente: Ty_l=-1939.78 My_l=-39.72
Tensioni nella sezione: σ=481.40 τ=58.78
CC 4 SLD (Collegamento -179_-383)
Azioni sul collegamento: N=-11143.10 Ty=9.39 Tz=17.72 Mx=0.01 Mz=7.66
Sollecitazioni agenti localmente: Ty_l=-1944.91 My_l=-39.83
Tensioni nella sezione: σ=482.76 τ=58.94
CC 5 SLV (Collegamento -179_-383)
Azioni sul collegamento: N=-13956.40 Ty=7.99 Tz=28.02 Mx=0.02 Mz=8.33
Sollecitazioni agenti localmente: Ty_l=-2440.97 My_l=-49.99
Tensioni nella sezione: σ=605.98 τ=73.97
CC 5 SLV (Collegamento -179_-383)
Azioni sul collegamento: N=-13956.40 Ty=14.68 Tz=28.02 Mx=0.02 Mz=12.56
Sollecitazioni agenti localmente: Ty_l=-2424.15 My_l=-49.63
Tensioni nella sezione: σ=601.52 τ=73.46
CC 5 SLV (Collegamento -179_-383)
Azioni sul collegamento: N=-13956.40 Ty=7.99 Tz=-0.53 Mx=0.02 Mz=8.33
Sollecitazioni agenti localmente: Ty_l=-2440.97 My_l=-49.99
Tensioni nella sezione: σ=605.98 τ=73.97
CC 5 SLV (Collegamento -179_-383)
Azioni sul collegamento: N=-13956.40 Ty=14.68 Tz=-0.53 Mx=0.02 Mz=12.56
Sollecitazioni agenti localmente: Ty_l=-2424.15 My_l=-49.63
Tensioni nella sezione: σ=601.52 τ=73.46
CC 5 SLV (Collegamento -179_-383)
Azioni sul collegamento: N=-6141.51 Ty=7.99 Tz=28.02 Mx=0.02 Mz=8.33
Sollecitazioni agenti localmente: Ty_l=-1055.59 My_l=-21.59
Tensioni nella sezione: σ=261.74 τ=31.99

CC 5 SLV (Collegamento -179_-383)
Azioni sul collegamento: N=-6141.51 Ty=14.68 Tz=28.02 Mx=0.02 Mz=12.56
Sollecitazioni agenti localmente: Ty_l=-1038.78 My_l=-21.23
Tensioni nella sezione: σ=257.27 τ=31.48
CC 5 SLV (Collegamento -179_-383)
Azioni sul collegamento: N=-6141.51 Ty=7.99 Tz=-0.53 Mx=0.02 Mz=8.33
Sollecitazioni agenti localmente: Ty_l=-1055.59 My_l=-21.59
Tensioni nella sezione: σ=261.74 τ=31.99
CC 5 SLV (Collegamento -179_-383)
Azioni sul collegamento: N=-6141.51 Ty=14.68 Tz=-0.53 Mx=0.02 Mz=12.56
Sollecitazioni agenti localmente: Ty_l=-1038.78 My_l=-21.23
Tensioni nella sezione: σ=257.27 τ=31.48
CC 6 SLD (Collegamento -179_-383)
Azioni sul collegamento: N=-11143.10 Ty=9.39 Tz=17.72 Mx=0.01 Mz=7.66
Sollecitazioni agenti localmente: Ty_l=-1944.91 My_l=-39.83
Tensioni nella sezione: σ=482.76 τ=58.94
CC 6 SLD (Collegamento -179_-383)
Azioni sul collegamento: N=-11143.10 Ty=11.43 Tz=17.72 Mx=0.01 Mz=8.95
Sollecitazioni agenti localmente: Ty_l=-1939.78 My_l=-39.72
Tensioni nella sezione: σ=481.40 τ=58.78
CC 6 SLD (Collegamento -179_-383)
Azioni sul collegamento: N=-11143.10 Ty=9.39 Tz=9.01 Mx=0.01 Mz=7.66
Sollecitazioni agenti localmente: Ty_l=-1944.91 My_l=-39.83
Tensioni nella sezione: σ=482.76 τ=58.94
CC 6 SLD (Collegamento -179_-383)
Azioni sul collegamento: N=-11143.10 Ty=11.43 Tz=9.01 Mx=0.01 Mz=8.95
Sollecitazioni agenti localmente: Ty_l=-1939.78 My_l=-39.72
Tensioni nella sezione: σ=481.40 τ=58.78
CC 6 SLD (Collegamento -179_-383)
Azioni sul collegamento: N=-8760.13 Ty=9.39 Tz=17.72 Mx=0.01 Mz=7.66
Sollecitazioni agenti localmente: Ty_l=-1522.46 My_l=-31.17
Tensioni nella sezione: σ=377.79 τ=46.14
CC 6 SLD (Collegamento -179_-383)
Azioni sul collegamento: N=-8760.13 Ty=11.43 Tz=17.72 Mx=0.01 Mz=8.95
Sollecitazioni agenti localmente: Ty_l=-1517.33 My_l=-31.06
Tensioni nella sezione: σ=376.43 τ=45.98
CC 6 SLD (Collegamento -179_-383)
Azioni sul collegamento: N=-8760.13 Ty=9.39 Tz=9.01 Mx=0.01 Mz=7.66
Sollecitazioni agenti localmente: Ty_l=-1522.46 My_l=-31.17
Tensioni nella sezione: σ=377.79 τ=46.14
CC 6 SLD (Collegamento -179_-383)
Azioni sul collegamento: N=-8760.13 Ty=11.43 Tz=9.01 Mx=0.01 Mz=8.95
Sollecitazioni agenti localmente: Ty_l=-1517.33 My_l=-31.06
Tensioni nella sezione: σ=376.43 τ=45.98
CC 7 SLV (Collegamento -179_-383)
Azioni sul collegamento: N=-13961.30 Ty=7.48 Tz=28.35 Mx=0.01 Mz=7.28
Sollecitazioni agenti localmente: Ty_l=-2446.00 My_l=-50.10
Tensioni nella sezione: σ=607.30 τ=74.12
CC 7 SLV (Collegamento -179_-383)
Azioni sul collegamento: N=-13961.30 Ty=15.19 Tz=28.35 Mx=0.01 Mz=13.60
Sollecitazioni agenti localmente: Ty_l=-2420.85 My_l=-49.55
Tensioni nella sezione: σ=600.63 τ=73.36
CC 7 SLV (Collegamento -179_-383)
Azioni sul collegamento: N=-13961.30 Ty=7.48 Tz=-0.86 Mx=0.01 Mz=7.28
Sollecitazioni agenti localmente: Ty_l=-2446.00 My_l=-50.10
Tensioni nella sezione: σ=607.30 τ=74.12
CC 7 SLV (Collegamento -179_-383)
Azioni sul collegamento: N=-13961.30 Ty=15.19 Tz=-0.86 Mx=0.01 Mz=13.60
Sollecitazioni agenti localmente: Ty_l=-2420.85 My_l=-49.55
Tensioni nella sezione: σ=600.63 τ=73.36
CC 7 SLV (Collegamento -179_-383)
Azioni sul collegamento: N=-6136.64 Ty=7.48 Tz=28.35 Mx=0.01 Mz=7.28
Sollecitazioni agenti localmente: Ty_l=-1058.90 My_l=-21.67
Tensioni nella sezione: σ=262.63 τ=32.09
CC 7 SLV (Collegamento -179_-383)
Azioni sul collegamento: N=-6136.64 Ty=15.19 Tz=28.35 Mx=0.01 Mz=13.60
Sollecitazioni agenti localmente: Ty_l=-1033.75 My_l=-21.12
Tensioni nella sezione: σ=255.95 τ=31.33
CC 7 SLV (Collegamento -179_-383)
Azioni sul collegamento: N=-6136.64 Ty=7.48 Tz=-0.86 Mx=0.01 Mz=7.28
Sollecitazioni agenti localmente: Ty_l=-1058.90 My_l=-21.67
Tensioni nella sezione: σ=262.63 τ=32.09
CC 7 SLV (Collegamento -179_-383)
Azioni sul collegamento: N=-6136.64 Ty=15.19 Tz=-0.86 Mx=0.01 Mz=13.60
Sollecitazioni agenti localmente: Ty_l=-1033.75 My_l=-21.12
Tensioni nella sezione: σ=255.95 τ=31.33
CC 8 SLD (Collegamento -179_-383)
Azioni sul collegamento: N=-11144.60 Ty=9.24 Tz=17.82 Mx=0.01 Mz=7.34
Sollecitazioni agenti localmente: Ty_l=-1946.44 My_l=-39.86

Tensioni nella sezione: σ=483.17 τ=58.98
CC 8 SLD (Collegamento -179_-383)
Azioni sul collegamento: N=-11144.60 Ty=11.59 Tz=17.82 Mx=0.01 Mz=9.27
Sollecitazioni agenti localmente: Ty_l=-1938.77 My_l=-39.69
Tensioni nella sezione: σ=481.13 τ=58.75
CC 8 SLD (Collegamento -179_-383)
Azioni sul collegamento: N=-11144.60 Ty=9.24 Tz=8.91 Mx=0.01 Mz=7.34
Sollecitazioni agenti localmente: Ty_l=-1946.44 My_l=-39.86
Tensioni nella sezione: σ=483.17 τ=58.98
CC 8 SLD (Collegamento -179_-383)
Azioni sul collegamento: N=-11144.60 Ty=11.59 Tz=8.91 Mx=0.01 Mz=9.27
Sollecitazioni agenti localmente: Ty_l=-1938.77 My_l=-39.69
Tensioni nella sezione: σ=481.13 τ=58.75
CC 8 SLD (Collegamento -179_-383)
Azioni sul collegamento: N=-8758.64 Ty=9.24 Tz=17.82 Mx=0.01 Mz=7.34
Sollecitazioni agenti localmente: Ty_l=-1523.47 My_l=-31.19
Tensioni nella sezione: σ=378.06 τ=46.17
CC 8 SLD (Collegamento -179_-383)
Azioni sul collegamento: N=-8758.64 Ty=11.59 Tz=17.82 Mx=0.01 Mz=9.27
Sollecitazioni agenti localmente: Ty_l=-1515.80 My_l=-31.02
Tensioni nella sezione: σ=376.03 τ=45.93
CC 8 SLD (Collegamento -179_-383)
Azioni sul collegamento: N=-8758.64 Ty=9.24 Tz=8.91 Mx=0.01 Mz=7.34
Sollecitazioni agenti localmente: Ty_l=-1523.47 My_l=-31.19
Tensioni nella sezione: σ=378.06 τ=46.17
CC 8 SLD (Collegamento -179_-383)
Azioni sul collegamento: N=-8758.64 Ty=11.59 Tz=8.91 Mx=0.01 Mz=9.27
Sollecitazioni agenti localmente: Ty_l=-1515.80 My_l=-31.02
Tensioni nella sezione: σ=376.03 τ=45.93
CC 9 SLV (Collegamento -179_-383)
Azioni sul collegamento: N=-8867.90 Ty=13.27 Tz=8.87 Mx=0.02 Mz=12.98
Sollecitazioni agenti localmente: Ty_l=-1520.41 My_l=-31.10
Tensioni nella sezione: σ=376.92 τ=46.07
CC 9 SLV (Collegamento -179_-383)
Azioni sul collegamento: N=-8867.90 Ty=9.40 Tz=8.87 Mx=0.02 Mz=7.91
Sollecitazioni agenti localmente: Ty_l=-1540.59 My_l=-31.54
Tensioni nella sezione: σ=382.28 τ=46.68
CC 9 SLV (Collegamento -179_-383)
Azioni sul collegamento: N=-8867.90 Ty=13.27 Tz=18.62 Mx=0.02 Mz=12.98
Sollecitazioni agenti localmente: Ty_l=-1520.41 My_l=-31.10
Tensioni nella sezione: σ=376.92 τ=46.07
CC 9 SLV (Collegamento -179_-383)
Azioni sul collegamento: N=-8867.90 Ty=9.40 Tz=18.62 Mx=0.02 Mz=7.91
Sollecitazioni agenti localmente: Ty_l=-1540.59 My_l=-31.54
Tensioni nella sezione: σ=382.28 τ=46.68
CC 9 SLV (Collegamento -179_-383)
Azioni sul collegamento: N=-11230.10 Ty=13.27 Tz=8.87 Mx=0.02 Mz=12.98
Sollecitazioni agenti localmente: Ty_l=-1939.15 My_l=-39.68
Tensioni nella sezione: σ=480.98 τ=58.76
CC 9 SLV (Collegamento -179_-383)
Azioni sul collegamento: N=-11230.10 Ty=9.40 Tz=8.87 Mx=0.02 Mz=7.91
Sollecitazioni agenti localmente: Ty_l=-1959.34 My_l=-40.12
Tensioni nella sezione: σ=486.33 τ=59.37
CC 9 SLV (Collegamento -179_-383)
Azioni sul collegamento: N=-11230.10 Ty=13.27 Tz=18.62 Mx=0.02 Mz=12.98
Sollecitazioni agenti localmente: Ty_l=-1939.15 My_l=-39.68
Tensioni nella sezione: σ=480.98 τ=58.76
CC 9 SLV (Collegamento -179_-383)
Azioni sul collegamento: N=-11230.10 Ty=9.40 Tz=18.62 Mx=0.02 Mz=7.91
Sollecitazioni agenti localmente: Ty_l=-1959.34 My_l=-40.12
Tensioni nella sezione: σ=486.33 τ=59.37
CC 10 SLD (Collegamento -179_-383)
Azioni sul collegamento: N=-9591.49 Ty=11.00 Tz=11.88 Mx=0.01 Mz=9.08
Sollecitazioni agenti localmente: Ty_l=-1664.20 My_l=-34.07
Tensioni nella sezione: σ=412.92 τ=50.43
CC 10 SLD (Collegamento -179_-383)
Azioni sul collegamento: N=-9591.49 Ty=9.82 Tz=11.88 Mx=0.01 Mz=7.53
Sollecitazioni agenti localmente: Ty_l=-1670.35 My_l=-34.20
Tensioni nella sezione: σ=414.55 τ=50.62
CC 10 SLD (Collegamento -179_-383)
Azioni sul collegamento: N=-9591.49 Ty=11.00 Tz=14.85 Mx=0.01 Mz=9.08
Sollecitazioni agenti localmente: Ty_l=-1664.20 My_l=-34.07
Tensioni nella sezione: σ=412.92 τ=50.43
CC 10 SLD (Collegamento -179_-383)
Azioni sul collegamento: N=-9591.49 Ty=9.82 Tz=14.85 Mx=0.01 Mz=7.53
Sollecitazioni agenti localmente: Ty_l=-1670.35 My_l=-34.20
Tensioni nella sezione: σ=414.55 τ=50.62
CC 10 SLD (Collegamento -179_-383)
Azioni sul collegamento: N=-10311.80 Ty=11.00 Tz=11.88 Mx=0.01 Mz=9.08

Sollecitazioni agenti localmente: Ty_l=-1791.89 My_l=-36.68
Tensioni nella sezione: σ=444.64 τ=54.30
CC 10 SLD (Collegamento -179_-383)
Azioni sul collegamento: N=-10311.80 Ty=9.82 Tz=11.88 Mx=0.01 Mz=7.53
Sollecitazioni agenti localmente: Ty_l=-1798.04 My_l=-36.82
Tensioni nella sezione: σ=446.28 τ=54.49
CC 10 SLD (Collegamento -179_-383)
Azioni sul collegamento: N=-10311.80 Ty=11.00 Tz=14.85 Mx=0.01 Mz=9.08
Sollecitazioni agenti localmente: Ty_l=-1791.89 My_l=-36.68
Tensioni nella sezione: σ=444.64 τ=54.30
CC 10 SLD (Collegamento -179_-383)
Azioni sul collegamento: N=-10311.80 Ty=9.82 Tz=14.85 Mx=0.01 Mz=7.53
Sollecitazioni agenti localmente: Ty_l=-1798.04 My_l=-36.82
Tensioni nella sezione: σ=446.28 τ=54.49
CC 11 SLV (Collegamento -179_-383)
Azioni sul collegamento: N=-11213.80 Ty=11.11 Tz=17.53 Mx=0.02 Mz=11.40
Sollecitazioni agenti localmente: Ty_l=-1942.57 My_l=-39.76
Tensioni nella sezione: σ=481.93 τ=58.87
CC 11 SLV (Collegamento -179_-383)
Azioni sul collegamento: N=-11213.80 Ty=11.56 Tz=17.53 Mx=0.02 Mz=9.49
Sollecitazioni agenti localmente: Ty_l=-1950.17 My_l=-39.93
Tensioni nella sezione: σ=483.95 τ=59.10
CC 11 SLV (Collegamento -179_-383)
Azioni sul collegamento: N=-11213.80 Ty=11.11 Tz=9.96 Mx=0.02 Mz=11.40
Sollecitazioni agenti localmente: Ty_l=-1942.57 My_l=-39.76
Tensioni nella sezione: σ=481.93 τ=58.87
CC 11 SLV (Collegamento -179_-383)
Azioni sul collegamento: N=-11213.80 Ty=11.56 Tz=9.96 Mx=0.02 Mz=9.49
Sollecitazioni agenti localmente: Ty_l=-1950.17 My_l=-39.93
Tensioni nella sezione: σ=483.95 τ=59.10
CC 11 SLV (Collegamento -179_-383)
Azioni sul collegamento: N=-8884.11 Ty=11.11 Tz=17.53 Mx=0.02 Mz=11.40
Sollecitazioni agenti localmente: Ty_l=-1529.58 My_l=-31.29
Tensioni nella sezione: σ=379.31 τ=46.35
CC 11 SLV (Collegamento -179_-383)
Azioni sul collegamento: N=-8884.11 Ty=11.56 Tz=17.53 Mx=0.02 Mz=9.49
Sollecitazioni agenti localmente: Ty_l=-1537.17 My_l=-31.46
Tensioni nella sezione: σ=381.32 τ=46.58
CC 11 SLV (Collegamento -179_-383)
Azioni sul collegamento: N=-8884.11 Ty=11.11 Tz=9.96 Mx=0.02 Mz=11.40
Sollecitazioni agenti localmente: Ty_l=-1529.58 My_l=-31.29
Tensioni nella sezione: σ=379.31 τ=46.35
CC 11 SLV (Collegamento -179_-383)
Azioni sul collegamento: N=-8884.11 Ty=11.56 Tz=9.96 Mx=0.02 Mz=9.49
Sollecitazioni agenti localmente: Ty_l=-1537.17 My_l=-31.46
Tensioni nella sezione: σ=381.32 τ=46.58
CC 12 SLD (Collegamento -179_-383)
Azioni sul collegamento: N=-10306.80 Ty=10.34 Tz=14.52 Mx=0.01 Mz=8.60
Sollecitazioni agenti localmente: Ty_l=-1792.93 My_l=-36.71
Tensioni nella sezione: σ=444.94 τ=54.33
CC 12 SLD (Collegamento -179_-383)
Azioni sul collegamento: N=-10306.80 Ty=10.48 Tz=14.52 Mx=0.01 Mz=8.01
Sollecitazioni agenti localmente: Ty_l=-1795.24 My_l=-36.76
Tensioni nella sezione: σ=445.55 τ=54.40
CC 12 SLD (Collegamento -179_-383)
Azioni sul collegamento: N=-10306.80 Ty=10.34 Tz=12.21 Mx=0.01 Mz=8.60
Sollecitazioni agenti localmente: Ty_l=-1792.93 My_l=-36.71
Tensioni nella sezione: σ=444.94 τ=54.33
CC 12 SLD (Collegamento -179_-383)
Azioni sul collegamento: N=-10306.80 Ty=10.48 Tz=12.21 Mx=0.01 Mz=8.01
Sollecitazioni agenti localmente: Ty_l=-1795.24 My_l=-36.76
Tensioni nella sezione: σ=445.55 τ=54.40
CC 12 SLD (Collegamento -179_-383)
Azioni sul collegamento: N=-9596.43 Ty=10.34 Tz=14.52 Mx=0.01 Mz=8.60
Sollecitazioni agenti localmente: Ty_l=-1666.99 My_l=-34.13
Tensioni nella sezione: σ=413.64 τ=50.52
CC 12 SLD (Collegamento -179_-383)
Azioni sul collegamento: N=-9596.43 Ty=10.48 Tz=14.52 Mx=0.01 Mz=8.01
Sollecitazioni agenti localmente: Ty_l=-1669.31 My_l=-34.18
Tensioni nella sezione: σ=414.26 τ=50.59
CC 12 SLD (Collegamento -179_-383)
Azioni sul collegamento: N=-9596.43 Ty=10.34 Tz=12.21 Mx=0.01 Mz=8.60
Sollecitazioni agenti localmente: Ty_l=-1666.99 My_l=-34.13
Tensioni nella sezione: σ=413.64 τ=50.52
CC 12 SLD (Collegamento -179_-383)
Azioni sul collegamento: N=-9596.43 Ty=10.48 Tz=12.21 Mx=0.01 Mz=8.01
Sollecitazioni agenti localmente: Ty_l=-1669.31 My_l=-34.18
Tensioni nella sezione: σ=414.26 τ=50.59
CC 13 SLV (Collegamento -179_-383)

Azioni sul collegamento: N=-8884.11 Ty=11.56 Tz=9.96 Mx=0.01 Mz=9.49
Sollecitazioni agenti localmente: Ty_l=-1537.17 My_l=-31.46
Tensioni nella sezione: σ=381.32 τ=46.58
CC 13 SLV (Collegamento -179_-383)
Azioni sul collegamento: N=-8884.11 Ty=11.11 Tz=9.96 Mx=0.01 Mz=11.40
Sollecitazioni agenti localmente: Ty_l=-1529.58 My_l=-31.29
Tensioni nella sezione: σ=379.31 τ=46.35
CC 13 SLV (Collegamento -179_-383)
Azioni sul collegamento: N=-8884.11 Ty=11.56 Tz=17.53 Mx=0.01 Mz=9.49
Sollecitazioni agenti localmente: Ty_l=-1537.17 My_l=-31.46
Tensioni nella sezione: σ=381.32 τ=46.58
CC 13 SLV (Collegamento -179_-383)
Azioni sul collegamento: N=-8884.11 Ty=11.11 Tz=17.53 Mx=0.01 Mz=11.40
Sollecitazioni agenti localmente: Ty_l=-1529.58 My_l=-31.29
Tensioni nella sezione: σ=379.31 τ=46.35
CC 13 SLV (Collegamento -179_-383)
Azioni sul collegamento: N=-11213.80 Ty=11.56 Tz=9.96 Mx=0.01 Mz=9.49
Sollecitazioni agenti localmente: Ty_l=-1950.17 My_l=-39.93
Tensioni nella sezione: σ=483.95 τ=59.10
CC 13 SLV (Collegamento -179_-383)
Azioni sul collegamento: N=-11213.80 Ty=11.11 Tz=9.96 Mx=0.01 Mz=11.40
Sollecitazioni agenti localmente: Ty_l=-1942.57 My_l=-39.76
Tensioni nella sezione: σ=481.93 τ=58.87
CC 13 SLV (Collegamento -179_-383)
Azioni sul collegamento: N=-11213.80 Ty=11.56 Tz=17.53 Mx=0.01 Mz=9.49
Sollecitazioni agenti localmente: Ty_l=-1950.17 My_l=-39.93
Tensioni nella sezione: σ=483.95 τ=59.10
CC 13 SLV (Collegamento -179_-383)
Azioni sul collegamento: N=-11213.80 Ty=11.11 Tz=17.53 Mx=0.01 Mz=11.40
Sollecitazioni agenti localmente: Ty_l=-1942.57 My_l=-39.76
Tensioni nella sezione: σ=481.93 τ=58.87
CC 14 SLD (Collegamento -179_-383)
Azioni sul collegamento: N=-9596.43 Ty=10.48 Tz=12.21 Mx=0.00 Mz=8.01
Sollecitazioni agenti localmente: Ty_l=-1669.31 My_l=-34.18
Tensioni nella sezione: σ=414.26 τ=50.59
CC 14 SLD (Collegamento -179_-383)
Azioni sul collegamento: N=-9596.43 Ty=10.34 Tz=12.21 Mx=0.00 Mz=8.60
Sollecitazioni agenti localmente: Ty_l=-1666.99 My_l=-34.13
Tensioni nella sezione: σ=413.64 τ=50.52
CC 14 SLD (Collegamento -179_-383)
Azioni sul collegamento: N=-9596.43 Ty=10.48 Tz=14.52 Mx=0.00 Mz=8.01
Sollecitazioni agenti localmente: Ty_l=-1669.31 My_l=-34.18
Tensioni nella sezione: σ=414.26 τ=50.59
CC 14 SLD (Collegamento -179_-383)
Azioni sul collegamento: N=-9596.43 Ty=10.34 Tz=14.52 Mx=0.00 Mz=8.60
Sollecitazioni agenti localmente: Ty_l=-1666.99 My_l=-34.13
Tensioni nella sezione: σ=413.64 τ=50.52
CC 14 SLD (Collegamento -179_-383)
Azioni sul collegamento: N=-10306.80 Ty=10.48 Tz=12.21 Mx=0.00 Mz=8.01
Sollecitazioni agenti localmente: Ty_l=-1795.24 My_l=-36.76
Tensioni nella sezione: σ=445.55 τ=54.40
CC 14 SLD (Collegamento -179_-383)
Azioni sul collegamento: N=-10306.80 Ty=10.34 Tz=12.21 Mx=0.00 Mz=8.60
Sollecitazioni agenti localmente: Ty_l=-1792.93 My_l=-36.71
Tensioni nella sezione: σ=444.94 τ=54.33
CC 14 SLD (Collegamento -179_-383)
Azioni sul collegamento: N=-10306.80 Ty=10.48 Tz=14.52 Mx=0.00 Mz=8.01
Sollecitazioni agenti localmente: Ty_l=-1795.24 My_l=-36.76
Tensioni nella sezione: σ=445.55 τ=54.40
CC 14 SLD (Collegamento -179_-383)
Azioni sul collegamento: N=-10306.80 Ty=10.34 Tz=14.52 Mx=0.00 Mz=8.60
Sollecitazioni agenti localmente: Ty_l=-1792.93 My_l=-36.71
Tensioni nella sezione: σ=444.94 τ=54.33
CC 15 SLV (Collegamento -179_-383)
Azioni sul collegamento: N=-11230.10 Ty=9.40 Tz=18.62 Mx=0.01 Mz=7.91
Sollecitazioni agenti localmente: Ty_l=-1959.34 My_l=-40.12
Tensioni nella sezione: σ=486.33 τ=59.37
CC 15 SLV (Collegamento -179_-383)
Azioni sul collegamento: N=-11230.10 Ty=13.27 Tz=18.62 Mx=0.01 Mz=12.98
Sollecitazioni agenti localmente: Ty_l=-1939.15 My_l=-39.68
Tensioni nella sezione: σ=480.98 τ=58.76
CC 15 SLV (Collegamento -179_-383)
Azioni sul collegamento: N=-11230.10 Ty=9.40 Tz=8.87 Mx=0.01 Mz=7.91
Sollecitazioni agenti localmente: Ty_l=-1959.34 My_l=-40.12
Tensioni nella sezione: σ=486.33 τ=59.37
CC 15 SLV (Collegamento -179_-383)
Azioni sul collegamento: N=-11230.10 Ty=13.27 Tz=8.87 Mx=0.01 Mz=12.98
Sollecitazioni agenti localmente: Ty_l=-1939.15 My_l=-39.68
Tensioni nella sezione: σ=480.98 τ=58.76

CC 15 SLV (Collegamento -179_-383)
Azioni sul collegamento: N=-8867.90 Ty=9.40 Tz=18.62 Mx=0.01 Mz=7.91
Sollecitazioni agenti localmente: Ty_l=-1540.59 My_l=-31.54
Tensioni nella sezione: σ=382.28 τ=46.68
CC 15 SLV (Collegamento -179_-383)
Azioni sul collegamento: N=-8867.90 Ty=13.27 Tz=18.62 Mx=0.01 Mz=12.98
Sollecitazioni agenti localmente: Ty_l=-1520.41 My_l=-31.10
Tensioni nella sezione: σ=376.92 τ=46.07
CC 15 SLV (Collegamento -179_-383)
Azioni sul collegamento: N=-8867.90 Ty=9.40 Tz=8.87 Mx=0.01 Mz=7.91
Sollecitazioni agenti localmente: Ty_l=-1540.59 My_l=-31.54
Tensioni nella sezione: σ=382.28 τ=46.68
CC 15 SLV (Collegamento -179_-383)
Azioni sul collegamento: N=-8867.90 Ty=13.27 Tz=8.87 Mx=0.01 Mz=12.98
Sollecitazioni agenti localmente: Ty_l=-1520.41 My_l=-31.10
Tensioni nella sezione: σ=376.92 τ=46.07
CC 16 SLD (Collegamento -179_-383)
Azioni sul collegamento: N=-10311.80 Ty=9.82 Tz=14.85 Mx=0.00 Mz=7.53
Sollecitazioni agenti localmente: Ty_l=-1798.04 My_l=-36.82
Tensioni nella sezione: σ=446.28 τ=54.49
CC 16 SLD (Collegamento -179_-383)
Azioni sul collegamento: N=-10311.80 Ty=11.00 Tz=14.85 Mx=0.00 Mz=9.08
Sollecitazioni agenti localmente: Ty_l=-1791.89 My_l=-36.68
Tensioni nella sezione: σ=444.64 τ=54.30
CC 16 SLD (Collegamento -179_-383)
Azioni sul collegamento: N=-10311.80 Ty=9.82 Tz=11.88 Mx=0.00 Mz=7.53
Sollecitazioni agenti localmente: Ty_l=-1798.04 My_l=-36.82
Tensioni nella sezione: σ=446.28 τ=54.49
CC 16 SLD (Collegamento -179_-383)
Azioni sul collegamento: N=-10311.80 Ty=11.00 Tz=11.88 Mx=0.00 Mz=9.08
Sollecitazioni agenti localmente: Ty_l=-1791.89 My_l=-36.68
Tensioni nella sezione: σ=444.64 τ=54.30
CC 16 SLD (Collegamento -179_-383)
Azioni sul collegamento: N=-9591.49 Ty=9.82 Tz=14.85 Mx=0.00 Mz=7.53
Sollecitazioni agenti localmente: Ty_l=-1670.35 My_l=-34.20
Tensioni nella sezione: σ=414.55 τ=50.62
CC 16 SLD (Collegamento -179_-383)
Azioni sul collegamento: N=-9591.49 Ty=11.00 Tz=14.85 Mx=0.00 Mz=9.08
Sollecitazioni agenti localmente: Ty_l=-1664.20 My_l=-34.07
Tensioni nella sezione: σ=412.92 τ=50.43
CC 16 SLD (Collegamento -179_-383)
Azioni sul collegamento: N=-9591.49 Ty=9.82 Tz=11.88 Mx=0.00 Mz=7.53
Sollecitazioni agenti localmente: Ty_l=-1670.35 My_l=-34.20
Tensioni nella sezione: σ=414.55 τ=50.62
CC 16 SLD (Collegamento -179_-383)
Azioni sul collegamento: N=-9591.49 Ty=11.00 Tz=11.88 Mx=0.00 Mz=9.08
Sollecitazioni agenti localmente: Ty_l=-1664.20 My_l=-34.07
Tensioni nella sezione: σ=412.92 τ=50.43
CC 17 SLV (Collegamento -179_-383)
Azioni sul collegamento: N=-5856.57 Ty=12.53 Tz=-1.96 Mx=-0.01 Mz=7.45
Sollecitazioni agenti localmente: Ty_l=-1008.56 My_l=-20.63
Tensioni nella sezione: σ=250.11 τ=30.56
CC 17 SLV (Collegamento -179_-383)
Azioni sul collegamento: N=-5856.57 Ty=4.82 Tz=-1.96 Mx=-0.01 Mz=1.13
Sollecitazioni agenti localmente: Ty_l=-1033.71 My_l=-21.18
Tensioni nella sezione: σ=256.79 τ=31.32
CC 17 SLV (Collegamento -179_-383)
Azioni sul collegamento: N=-5856.57 Ty=12.53 Tz=27.25 Mx=-0.01 Mz=7.45
Sollecitazioni agenti localmente: Ty_l=-1008.56 My_l=-20.63
Tensioni nella sezione: σ=250.11 τ=30.56
CC 17 SLV (Collegamento -179_-383)
Azioni sul collegamento: N=-5856.57 Ty=4.82 Tz=27.25 Mx=-0.01 Mz=1.13
Sollecitazioni agenti localmente: Ty_l=-1033.71 My_l=-21.18
Tensioni nella sezione: σ=256.79 τ=31.32
CC 17 SLV (Collegamento -179_-383)
Azioni sul collegamento: N=-13681.20 Ty=12.53 Tz=-1.96 Mx=-0.01 Mz=7.45
Sollecitazioni agenti localmente: Ty_l=-2395.66 My_l=-49.07
Tensioni nella sezione: σ=594.78 τ=72.60
CC 17 SLV (Collegamento -179_-383)
Azioni sul collegamento: N=-13681.20 Ty=4.82 Tz=-1.96 Mx=-0.01 Mz=1.13
Sollecitazioni agenti localmente: Ty_l=-2420.81 My_l=-49.62
Tensioni nella sezione: σ=601.46 τ=73.36
CC 17 SLV (Collegamento -179_-383)
Azioni sul collegamento: N=-13681.20 Ty=12.53 Tz=27.25 Mx=-0.01 Mz=7.45
Sollecitazioni agenti localmente: Ty_l=-2395.66 My_l=-49.07
Tensioni nella sezione: σ=594.78 τ=72.60
CC 17 SLV (Collegamento -179_-383)
Azioni sul collegamento: N=-13681.20 Ty=4.82 Tz=27.25 Mx=-0.01 Mz=1.13
Sollecitazioni agenti localmente: Ty_l=-2420.81 My_l=-49.62

Tensioni nella sezione: σ=601.46 τ=73.36
CC 18 SLD (Collegamento -179_-383)
Azioni sul collegamento: N=-8673.24 Ty=10.78 Tz=8.57 Mx=-0.00 Mz=7.39
Sollecitazioni agenti localmente: Ty_l=-1508.12 My_l=-30.88
Tensioni nella sezione: σ=374.25 τ=45.70
CC 18 SLD (Collegamento -179_-383)
Azioni sul collegamento: N=-8673.24 Ty=8.42 Tz=8.57 Mx=-0.00 Mz=5.47
Sollecitazioni agenti localmente: Ty_l=-1515.79 My_l=-31.04
Tensioni nella sezione: σ=376.28 τ=45.93
CC 18 SLD (Collegamento -179_-383)
Azioni sul collegamento: N=-8673.24 Ty=10.78 Tz=17.48 Mx=-0.00 Mz=7.39
Sollecitazioni agenti localmente: Ty_l=-1508.12 My_l=-30.88
Tensioni nella sezione: σ=374.25 τ=45.70
CC 18 SLD (Collegamento -179_-383)
Azioni sul collegamento: N=-8673.24 Ty=8.42 Tz=17.48 Mx=-0.00 Mz=5.47
Sollecitazioni agenti localmente: Ty_l=-1515.79 My_l=-31.04
Tensioni nella sezione: σ=376.28 τ=45.93
CC 18 SLD (Collegamento -179_-383)
Azioni sul collegamento: N=-11059.20 Ty=10.78 Tz=8.57 Mx=-0.00 Mz=7.39
Sollecitazioni agenti localmente: Ty_l=-1931.09 My_l=-39.55
Tensioni nella sezione: σ=479.35 τ=58.52
CC 18 SLD (Collegamento -179_-383)
Azioni sul collegamento: N=-11059.20 Ty=8.42 Tz=8.57 Mx=-0.00 Mz=5.47
Sollecitazioni agenti localmente: Ty_l=-1938.76 My_l=-39.71
Tensioni nella sezione: σ=481.38 τ=58.75
CC 18 SLD (Collegamento -179_-383)
Azioni sul collegamento: N=-11059.20 Ty=10.78 Tz=17.48 Mx=-0.00 Mz=7.39
Sollecitazioni agenti localmente: Ty_l=-1931.09 My_l=-39.55
Tensioni nella sezione: σ=479.35 τ=58.52
CC 18 SLD (Collegamento -179_-383)
Azioni sul collegamento: N=-11059.20 Ty=8.42 Tz=17.48 Mx=-0.00 Mz=5.47
Sollecitazioni agenti localmente: Ty_l=-1938.76 My_l=-39.71
Tensioni nella sezione: σ=481.38 τ=58.75
CC 19 SLV (Collegamento -179_-383)
Azioni sul collegamento: N=-5861.43 Ty=12.02 Tz=-1.63 Mx=-0.01 Mz=6.41
Sollecitazioni agenti localmente: Ty_l=-1013.59 My_l=-20.74
Tensioni nella sezione: σ=251.43 τ=30.71
CC 19 SLV (Collegamento -179_-383)
Azioni sul collegamento: N=-5861.43 Ty=5.33 Tz=-1.63 Mx=-0.01 Mz=2.18
Sollecitazioni agenti localmente: Ty_l=-1030.41 My_l=-21.11
Tensioni nella sezione: σ=255.89 τ=31.22
CC 19 SLV (Collegamento -179_-383)
Azioni sul collegamento: N=-5861.43 Ty=12.02 Tz=26.92 Mx=-0.01 Mz=6.41
Sollecitazioni agenti localmente: Ty_l=-1013.59 My_l=-20.74
Tensioni nella sezione: σ=251.43 τ=30.71
CC 19 SLV (Collegamento -179_-383)
Azioni sul collegamento: N=-5861.43 Ty=5.33 Tz=26.92 Mx=-0.01 Mz=2.18
Sollecitazioni agenti localmente: Ty_l=-1030.41 My_l=-21.11
Tensioni nella sezione: σ=255.89 τ=31.22
CC 19 SLV (Collegamento -179_-383)
Azioni sul collegamento: N=-13676.40 Ty=12.02 Tz=-1.63 Mx=-0.01 Mz=6.41
Sollecitazioni agenti localmente: Ty_l=-2398.97 My_l=-49.14
Tensioni nella sezione: σ=595.67 τ=72.70
CC 19 SLV (Collegamento -179_-383)
Azioni sul collegamento: N=-13676.40 Ty=5.33 Tz=-1.63 Mx=-0.01 Mz=2.18
Sollecitazioni agenti localmente: Ty_l=-2415.78 My_l=-49.51
Tensioni nella sezione: σ=600.14 τ=73.21
CC 19 SLV (Collegamento -179_-383)
Azioni sul collegamento: N=-13676.40 Ty=12.02 Tz=26.92 Mx=-0.01 Mz=6.41
Sollecitazioni agenti localmente: Ty_l=-2398.97 My_l=-49.14
Tensioni nella sezione: σ=595.67 τ=72.70
CC 19 SLV (Collegamento -179_-383)
Azioni sul collegamento: N=-13676.40 Ty=5.33 Tz=26.92 Mx=-0.01 Mz=2.18
Sollecitazioni agenti localmente: Ty_l=-2415.78 My_l=-49.51
Tensioni nella sezione: σ=600.14 τ=73.21
CC 20 SLD (Collegamento -179_-383)
Azioni sul collegamento: N=-8674.72 Ty=10.62 Tz=8.67 Mx=0.00 Mz=7.07
Sollecitazioni agenti localmente: Ty_l=-1509.65 My_l=-30.91
Tensioni nella sezione: σ=374.65 τ=45.75
CC 20 SLD (Collegamento -179_-383)
Azioni sul collegamento: N=-8674.72 Ty=8.58 Tz=8.67 Mx=0.00 Mz=5.79
Sollecitazioni agenti localmente: Ty_l=-1514.78 My_l=-31.02
Tensioni nella sezione: σ=376.01 τ=45.90
CC 20 SLD (Collegamento -179_-383)
Azioni sul collegamento: N=-8674.72 Ty=10.62 Tz=17.38 Mx=0.00 Mz=7.07
Sollecitazioni agenti localmente: Ty_l=-1509.65 My_l=-30.91
Tensioni nella sezione: σ=374.65 τ=45.75
CC 20 SLD (Collegamento -179_-383)
Azioni sul collegamento: N=-8674.72 Ty=8.58 Tz=17.38 Mx=0.00 Mz=5.79

Sollecitazioni agenti localmente: Ty_l=-1514.78 My_l=-31.02
Tensioni nella sezione: σ=376.01 τ=45.90
CC 20 SLD (Collegamento -179_-383)
Azioni sul collegamento: N=-11057.70 Ty=10.62 Tz=8.67 Mx=0.00 Mz=7.07
Sollecitazioni agenti localmente: Ty_l=-1932.10 My_l=-39.57
Tensioni nella sezione: σ=479.62 τ=58.55
CC 20 SLD (Collegamento -179_-383)
Azioni sul collegamento: N=-11057.70 Ty=8.58 Tz=8.67 Mx=0.00 Mz=5.79
Sollecitazioni agenti localmente: Ty_l=-1937.23 My_l=-39.68
Tensioni nella sezione: σ=480.98 τ=58.70
CC 20 SLD (Collegamento -179_-383)
Azioni sul collegamento: N=-11057.70 Ty=10.62 Tz=17.38 Mx=0.00 Mz=7.07
Sollecitazioni agenti localmente: Ty_l=-1932.10 My_l=-39.57
Tensioni nella sezione: σ=479.62 τ=58.55
CC 20 SLD (Collegamento -179_-383)
Azioni sul collegamento: N=-11057.70 Ty=8.58 Tz=17.38 Mx=0.00 Mz=5.79
Sollecitazioni agenti localmente: Ty_l=-1937.23 My_l=-39.68
Tensioni nella sezione: σ=480.98 τ=58.70
CC 21 SLV (Collegamento -179_-383)
Azioni sul collegamento: N=-13676.40 Ty=5.33 Tz=26.92 Mx=-0.01 Mz=2.18
Sollecitazioni agenti localmente: Ty_l=-2415.78 My_l=-49.51
Tensioni nella sezione: σ=600.14 τ=73.21
CC 21 SLV (Collegamento -179_-383)
Azioni sul collegamento: N=-13676.40 Ty=12.02 Tz=26.92 Mx=-0.01 Mz=6.41
Sollecitazioni agenti localmente: Ty_l=-2398.97 My_l=-49.14
Tensioni nella sezione: σ=595.67 τ=72.70
CC 21 SLV (Collegamento -179_-383)
Azioni sul collegamento: N=-13676.40 Ty=5.33 Tz=-1.63 Mx=-0.01 Mz=2.18
Sollecitazioni agenti localmente: Ty_l=-2415.78 My_l=-49.51
Tensioni nella sezione: σ=600.14 τ=73.21
CC 21 SLV (Collegamento -179_-383)
Azioni sul collegamento: N=-13676.40 Ty=12.02 Tz=-1.63 Mx=-0.01 Mz=6.41
Sollecitazioni agenti localmente: Ty_l=-2398.97 My_l=-49.14
Tensioni nella sezione: σ=595.67 τ=72.70
CC 21 SLV (Collegamento -179_-383)
Azioni sul collegamento: N=-5861.43 Ty=5.33 Tz=26.92 Mx=-0.01 Mz=2.18
Sollecitazioni agenti localmente: Ty_l=-1030.41 My_l=-21.11
Tensioni nella sezione: σ=255.89 τ=31.22
CC 21 SLV (Collegamento -179_-383)
Azioni sul collegamento: N=-5861.43 Ty=12.02 Tz=26.92 Mx=-0.01 Mz=6.41
Sollecitazioni agenti localmente: Ty_l=-1013.59 My_l=-20.74
Tensioni nella sezione: σ=251.43 τ=30.71
CC 21 SLV (Collegamento -179_-383)
Azioni sul collegamento: N=-5861.43 Ty=5.33 Tz=-1.63 Mx=-0.01 Mz=2.18
Sollecitazioni agenti localmente: Ty_l=-1030.41 My_l=-21.11
Tensioni nella sezione: σ=255.89 τ=31.22
CC 21 SLV (Collegamento -179_-383)
Azioni sul collegamento: N=-5861.43 Ty=12.02 Tz=-1.63 Mx=-0.01 Mz=6.41
Sollecitazioni agenti localmente: Ty_l=-1013.59 My_l=-20.74
Tensioni nella sezione: σ=251.43 τ=30.71
CC 22 SLD (Collegamento -179_-383)
Azioni sul collegamento: N=-11057.70 Ty=8.58 Tz=17.38 Mx=-0.00 Mz=5.79
Sollecitazioni agenti localmente: Ty_l=-1937.23 My_l=-39.68
Tensioni nella sezione: σ=480.98 τ=58.70
CC 22 SLD (Collegamento -179_-383)
Azioni sul collegamento: N=-11057.70 Ty=10.62 Tz=17.38 Mx=-0.00 Mz=7.07
Sollecitazioni agenti localmente: Ty_l=-1932.10 My_l=-39.57
Tensioni nella sezione: σ=479.62 τ=58.55
CC 22 SLD (Collegamento -179_-383)
Azioni sul collegamento: N=-11057.70 Ty=8.58 Tz=8.67 Mx=-0.00 Mz=5.79
Sollecitazioni agenti localmente: Ty_l=-1937.23 My_l=-39.68
Tensioni nella sezione: σ=480.98 τ=58.70
CC 22 SLD (Collegamento -179_-383)
Azioni sul collegamento: N=-11057.70 Ty=10.62 Tz=8.67 Mx=-0.00 Mz=7.07
Sollecitazioni agenti localmente: Ty_l=-1932.10 My_l=-39.57
Tensioni nella sezione: σ=479.62 τ=58.55
CC 22 SLD (Collegamento -179_-383)
Azioni sul collegamento: N=-8674.72 Ty=8.58 Tz=17.38 Mx=-0.00 Mz=5.79
Sollecitazioni agenti localmente: Ty_l=-1514.78 My_l=-31.02
Tensioni nella sezione: σ=376.01 τ=45.90
CC 22 SLD (Collegamento -179_-383)
Azioni sul collegamento: N=-8674.72 Ty=10.62 Tz=17.38 Mx=-0.00 Mz=7.07
Sollecitazioni agenti localmente: Ty_l=-1509.65 My_l=-30.91
Tensioni nella sezione: σ=374.65 τ=45.75
CC 22 SLD (Collegamento -179_-383)
Azioni sul collegamento: N=-8674.72 Ty=8.58 Tz=8.67 Mx=-0.00 Mz=5.79
Sollecitazioni agenti localmente: Ty_l=-1514.78 My_l=-31.02
Tensioni nella sezione: σ=376.01 τ=45.90
CC 22 SLD (Collegamento -179_-383)

Azioni sul collegamento: N=-8674.72 Ty=10.62 Tz=8.67 Mx=-0.00 Mz=7.07
Sollecitazioni agenti localmente: Ty_l=-1509.65 My_l=-30.91
Tensioni nella sezione: σ=374.65 τ=45.75
CC 23 SLV (Collegamento -179_-383)
Azioni sul collegamento: N=-13681.20 Ty=4.82 Tz=27.25 Mx=-0.01 Mz=1.13
Sollecitazioni agenti localmente: Ty_l=-2420.81 My_l=-49.62
Tensioni nella sezione: σ=601.46 τ=73.36
CC 23 SLV (Collegamento -179_-383)
Azioni sul collegamento: N=-13681.20 Ty=12.53 Tz=27.25 Mx=-0.01 Mz=7.45
Sollecitazioni agenti localmente: Ty_l=-2395.66 My_l=-49.07
Tensioni nella sezione: σ=594.78 τ=72.60
CC 23 SLV (Collegamento -179_-383)
Azioni sul collegamento: N=-13681.20 Ty=4.82 Tz=-1.96 Mx=-0.01 Mz=1.13
Sollecitazioni agenti localmente: Ty_l=-2420.81 My_l=-49.62
Tensioni nella sezione: σ=601.46 τ=73.36
CC 23 SLV (Collegamento -179_-383)
Azioni sul collegamento: N=-13681.20 Ty=12.53 Tz=-1.96 Mx=-0.01 Mz=7.45
Sollecitazioni agenti localmente: Ty_l=-2395.66 My_l=-49.07
Tensioni nella sezione: σ=594.78 τ=72.60
CC 23 SLV (Collegamento -179_-383)
Azioni sul collegamento: N=-5856.57 Ty=4.82 Tz=27.25 Mx=-0.01 Mz=1.13
Sollecitazioni agenti localmente: Ty_l=-1033.71 My_l=-21.18
Tensioni nella sezione: σ=256.79 τ=31.32
CC 23 SLV (Collegamento -179_-383)
Azioni sul collegamento: N=-5856.57 Ty=12.53 Tz=27.25 Mx=-0.01 Mz=7.45
Sollecitazioni agenti localmente: Ty_l=-1008.56 My_l=-20.63
Tensioni nella sezione: σ=250.11 τ=30.56
CC 23 SLV (Collegamento -179_-383)
Azioni sul collegamento: N=-5856.57 Ty=4.82 Tz=-1.96 Mx=-0.01 Mz=1.13
Sollecitazioni agenti localmente: Ty_l=-1033.71 My_l=-21.18
Tensioni nella sezione: σ=256.79 τ=31.32
CC 23 SLV (Collegamento -179_-383)
Azioni sul collegamento: N=-5856.57 Ty=12.53 Tz=-1.96 Mx=-0.01 Mz=7.45
Sollecitazioni agenti localmente: Ty_l=-1008.56 My_l=-20.63
Tensioni nella sezione: σ=250.11 τ=30.56
CC 24 SLD (Collegamento -179_-383)
Azioni sul collegamento: N=-11059.20 Ty=8.42 Tz=17.48 Mx=0.00 Mz=5.47
Sollecitazioni agenti localmente: Ty_l=-1938.76 My_l=-39.71
Tensioni nella sezione: σ=481.38 τ=58.75
CC 24 SLD (Collegamento -179_-383)
Azioni sul collegamento: N=-11059.20 Ty=10.78 Tz=17.48 Mx=0.00 Mz=7.39
Sollecitazioni agenti localmente: Ty_l=-1931.09 My_l=-39.55
Tensioni nella sezione: σ=479.35 τ=58.52
CC 24 SLD (Collegamento -179_-383)
Azioni sul collegamento: N=-11059.20 Ty=8.42 Tz=8.57 Mx=0.00 Mz=5.47
Sollecitazioni agenti localmente: Ty_l=-1938.76 My_l=-39.71
Tensioni nella sezione: σ=481.38 τ=58.75
CC 24 SLD (Collegamento -179_-383)
Azioni sul collegamento: N=-11059.20 Ty=10.78 Tz=8.57 Mx=0.00 Mz=7.39
Sollecitazioni agenti localmente: Ty_l=-1931.09 My_l=-39.55
Tensioni nella sezione: σ=479.35 τ=58.52
CC 24 SLD (Collegamento -179_-383)
Azioni sul collegamento: N=-8673.24 Ty=8.42 Tz=17.48 Mx=0.00 Mz=5.47
Sollecitazioni agenti localmente: Ty_l=-1515.79 My_l=-31.04
Tensioni nella sezione: σ=376.28 τ=45.93
CC 24 SLD (Collegamento -179_-383)
Azioni sul collegamento: N=-8673.24 Ty=10.78 Tz=17.48 Mx=0.00 Mz=7.39
Sollecitazioni agenti localmente: Ty_l=-1508.12 My_l=-30.88
Tensioni nella sezione: σ=374.25 τ=45.70
CC 24 SLD (Collegamento -179_-383)
Azioni sul collegamento: N=-8673.24 Ty=8.42 Tz=8.57 Mx=0.00 Mz=5.47
Sollecitazioni agenti localmente: Ty_l=-1515.79 My_l=-31.04
Tensioni nella sezione: σ=376.28 τ=45.93
CC 24 SLD (Collegamento -179_-383)
Azioni sul collegamento: N=-8673.24 Ty=10.78 Tz=8.57 Mx=0.00 Mz=7.39
Sollecitazioni agenti localmente: Ty_l=-1508.12 My_l=-30.88
Tensioni nella sezione: σ=374.25 τ=45.70
CC 25 SLV (Collegamento -179_-383)
Azioni sul collegamento: N=-8587.82 Ty=10.61 Tz=7.77 Mx=-0.02 Mz=6.83
Sollecitazioni agenti localmente: Ty_l=-1495.22 My_l=-30.61
Tensioni nella sezione: σ=371.08 τ=45.31
CC 25 SLV (Collegamento -179_-383)
Azioni sul collegamento: N=-8587.82 Ty=6.74 Tz=7.77 Mx=-0.02 Mz=1.76
Sollecitazioni agenti localmente: Ty_l=-1515.40 My_l=-31.06
Tensioni nella sezione: σ=376.44 τ=45.92
CC 25 SLV (Collegamento -179_-383)
Azioni sul collegamento: N=-8587.82 Ty=10.61 Tz=17.52 Mx=-0.02 Mz=6.83
Sollecitazioni agenti localmente: Ty_l=-1495.22 My_l=-30.61
Tensioni nella sezione: σ=371.08 τ=45.31

CC 25 SLV (Collegamento -179_-383)
Azioni sul collegamento: N=-8587.82 Ty=6.74 Tz=17.52 Mx=-0.02 Mz=1.76
Sollecitazioni agenti localmente: Ty_l=-1515.40 My_l=-31.06
Tensioni nella sezione: σ=376.44 τ=45.92
CC 25 SLV (Collegamento -179_-383)
Azioni sul collegamento: N=-10950.00 Ty=10.61 Tz=7.77 Mx=-0.02 Mz=6.83
Sollecitazioni agenti localmente: Ty_l=-1913.97 My_l=-39.20
Tensioni nella sezione: σ=475.13 τ=58.00
CC 25 SLV (Collegamento -179_-383)
Azioni sul collegamento: N=-10950.00 Ty=6.74 Tz=7.77 Mx=-0.02 Mz=1.76
Sollecitazioni agenti localmente: Ty_l=-1934.15 My_l=-39.64
Tensioni nella sezione: σ=480.49 τ=58.61
CC 25 SLV (Collegamento -179_-383)
Azioni sul collegamento: N=-10950.00 Ty=10.61 Tz=17.52 Mx=-0.02 Mz=6.83
Sollecitazioni agenti localmente: Ty_l=-1913.97 My_l=-39.20
Tensioni nella sezione: σ=475.13 τ=58.00
CC 25 SLV (Collegamento -179_-383)
Azioni sul collegamento: N=-10950.00 Ty=6.74 Tz=17.52 Mx=-0.02 Mz=1.76
Sollecitazioni agenti localmente: Ty_l=-1934.15 My_l=-39.64
Tensioni nella sezione: σ=480.49 τ=58.61
CC 26 SLD (Collegamento -179_-383)
Azioni sul collegamento: N=-9506.09 Ty=10.19 Tz=11.54 Mx=-0.00 Mz=7.20
Sollecitazioni agenti localmente: Ty_l=-1656.52 My_l=-33.92
Tensioni nella sezione: σ=411.13 τ=50.20
CC 26 SLD (Collegamento -179_-383)
Azioni sul collegamento: N=-9506.09 Ty=9.01 Tz=11.54 Mx=-0.00 Mz=5.66
Sollecitazioni agenti localmente: Ty_l=-1662.67 My_l=-34.05
Tensioni nella sezione: σ=412.77 τ=50.38
CC 26 SLD (Collegamento -179_-383)
Azioni sul collegamento: N=-9506.09 Ty=10.19 Tz=14.51 Mx=-0.00 Mz=7.20
Sollecitazioni agenti localmente: Ty_l=-1656.52 My_l=-33.92
Tensioni nella sezione: σ=411.13 τ=50.20
CC 26 SLD (Collegamento -179_-383)
Azioni sul collegamento: N=-9506.09 Ty=9.01 Tz=14.51 Mx=-0.00 Mz=5.66
Sollecitazioni agenti localmente: Ty_l=-1662.67 My_l=-34.05
Tensioni nella sezione: σ=412.77 τ=50.38
CC 26 SLD (Collegamento -179_-383)
Azioni sul collegamento: N=-10226.40 Ty=10.19 Tz=11.54 Mx=-0.00 Mz=7.20
Sollecitazioni agenti localmente: Ty_l=-1784.21 My_l=-36.54
Tensioni nella sezione: σ=442.86 τ=54.07
CC 26 SLD (Collegamento -179_-383)
Azioni sul collegamento: N=-10226.40 Ty=9.01 Tz=11.54 Mx=-0.00 Mz=5.66
Sollecitazioni agenti localmente: Ty_l=-1790.36 My_l=-36.67
Tensioni nella sezione: σ=444.50 τ=54.25
CC 26 SLD (Collegamento -179_-383)
Azioni sul collegamento: N=-10226.40 Ty=10.19 Tz=14.51 Mx=-0.00 Mz=7.20
Sollecitazioni agenti localmente: Ty_l=-1784.21 My_l=-36.54
Tensioni nella sezione: σ=442.86 τ=54.07
CC 26 SLD (Collegamento -179_-383)
Azioni sul collegamento: N=-10226.40 Ty=9.01 Tz=14.51 Mx=-0.00 Mz=5.66
Sollecitazioni agenti localmente: Ty_l=-1790.36 My_l=-36.67
Tensioni nella sezione: σ=444.50 τ=54.25
CC 27 SLV (Collegamento -179_-383)
Azioni sul collegamento: N=-10933.80 Ty=8.45 Tz=16.43 Mx=-0.02 Mz=5.25
Sollecitazioni agenti localmente: Ty_l=-1917.39 My_l=-39.28
Tensioni nella sezione: σ=476.09 τ=58.10
CC 27 SLV (Collegamento -179_-383)
Azioni sul collegamento: N=-10933.80 Ty=8.90 Tz=16.43 Mx=-0.02 Mz=3.34
Sollecitazioni agenti localmente: Ty_l=-1924.98 My_l=-39.44
Tensioni nella sezione: σ=478.10 τ=58.33
CC 27 SLV (Collegamento -179_-383)
Azioni sul collegamento: N=-10933.80 Ty=8.45 Tz=8.86 Mx=-0.02 Mz=5.25
Sollecitazioni agenti localmente: Ty_l=-1917.39 My_l=-39.28
Tensioni nella sezione: σ=476.09 τ=58.10
CC 27 SLV (Collegamento -179_-383)
Azioni sul collegamento: N=-10933.80 Ty=8.90 Tz=8.86 Mx=-0.02 Mz=3.34
Sollecitazioni agenti localmente: Ty_l=-1924.98 My_l=-39.44
Tensioni nella sezione: σ=478.10 τ=58.33
CC 27 SLV (Collegamento -179_-383)
Azioni sul collegamento: N=-8604.03 Ty=8.45 Tz=16.43 Mx=-0.02 Mz=5.25
Sollecitazioni agenti localmente: Ty_l=-1504.39 My_l=-30.81
Tensioni nella sezione: σ=373.46 τ=45.59
CC 27 SLV (Collegamento -179_-383)
Azioni sul collegamento: N=-8604.03 Ty=8.90 Tz=16.43 Mx=-0.02 Mz=3.34
Sollecitazioni agenti localmente: Ty_l=-1511.98 My_l=-30.98
Tensioni nella sezione: σ=375.48 τ=45.82
CC 27 SLV (Collegamento -179_-383)
Azioni sul collegamento: N=-8604.03 Ty=8.45 Tz=8.86 Mx=-0.02 Mz=5.25
Sollecitazioni agenti localmente: Ty_l=-1504.39 My_l=-30.81

Tensioni nella sezione: σ=373.46 τ=45.59
CC 27 SLV (Collegamento -179_-383)
Azioni sul collegamento: N=-8604.03 Ty=8.90 Tz=8.86 Mx=-0.02 Mz=3.34
Sollecitazioni agenti localmente: Ty_l=-1511.98 My_l=-30.98
Tensioni nella sezione: σ=375.48 τ=45.82
CC 28 SLD (Collegamento -179_-383)
Azioni sul collegamento: N=-10221.40 Ty=9.53 Tz=14.18 Mx=-0.00 Mz=6.72
Sollecitazioni agenti localmente: Ty_l=-1785.25 My_l=-36.56
Tensioni nella sezione: σ=443.15 τ=54.10
CC 28 SLD (Collegamento -179_-383)
Azioni sul collegamento: N=-10221.40 Ty=9.67 Tz=14.18 Mx=-0.00 Mz=6.14
Sollecitazioni agenti localmente: Ty_l=-1787.56 My_l=-36.61
Tensioni nella sezione: σ=443.77 τ=54.17
CC 28 SLD (Collegamento -179_-383)
Azioni sul collegamento: N=-10221.40 Ty=9.53 Tz=11.87 Mx=-0.00 Mz=6.72
Sollecitazioni agenti localmente: Ty_l=-1785.25 My_l=-36.56
Tensioni nella sezione: σ=443.15 τ=54.10
CC 28 SLD (Collegamento -179_-383)
Azioni sul collegamento: N=-10221.40 Ty=9.67 Tz=11.87 Mx=-0.00 Mz=6.14
Sollecitazioni agenti localmente: Ty_l=-1787.56 My_l=-36.61
Tensioni nella sezione: σ=443.77 τ=54.17
CC 28 SLD (Collegamento -179_-383)
Azioni sul collegamento: N=-9511.03 Ty=9.53 Tz=14.18 Mx=-0.00 Mz=6.72
Sollecitazioni agenti localmente: Ty_l=-1659.31 My_l=-33.98
Tensioni nella sezione: σ=411.86 τ=50.28
CC 28 SLD (Collegamento -179_-383)
Azioni sul collegamento: N=-9511.03 Ty=9.67 Tz=14.18 Mx=-0.00 Mz=6.14
Sollecitazioni agenti localmente: Ty_l=-1661.63 My_l=-34.03
Tensioni nella sezione: σ=412.48 τ=50.35
CC 28 SLD (Collegamento -179_-383)
Azioni sul collegamento: N=-9511.03 Ty=9.53 Tz=11.87 Mx=-0.00 Mz=6.72
Sollecitazioni agenti localmente: Ty_l=-1659.31 My_l=-33.98
Tensioni nella sezione: σ=411.86 τ=50.28
CC 28 SLD (Collegamento -179_-383)
Azioni sul collegamento: N=-9511.03 Ty=9.67 Tz=11.87 Mx=-0.00 Mz=6.14
Sollecitazioni agenti localmente: Ty_l=-1661.63 My_l=-34.03
Tensioni nella sezione: σ=412.48 τ=50.35
CC 29 SLV (Collegamento -179_-383)
Azioni sul collegamento: N=-8604.03 Ty=8.90 Tz=8.86 Mx=-0.00 Mz=3.34
Sollecitazioni agenti localmente: Ty_l=-1511.98 My_l=-30.98
Tensioni nella sezione: σ=375.48 τ=45.82
CC 29 SLV (Collegamento -179_-383)
Azioni sul collegamento: N=-8604.03 Ty=8.45 Tz=8.86 Mx=-0.00 Mz=5.25
Sollecitazioni agenti localmente: Ty_l=-1504.39 My_l=-30.81
Tensioni nella sezione: σ=373.46 τ=45.59
CC 29 SLV (Collegamento -179_-383)
Azioni sul collegamento: N=-8604.03 Ty=8.90 Tz=16.43 Mx=-0.00 Mz=3.34
Sollecitazioni agenti localmente: Ty_l=-1511.98 My_l=-30.98
Tensioni nella sezione: σ=375.48 τ=45.82
CC 29 SLV (Collegamento -179_-383)
Azioni sul collegamento: N=-8604.03 Ty=8.45 Tz=16.43 Mx=-0.00 Mz=5.25
Sollecitazioni agenti localmente: Ty_l=-1504.39 My_l=-30.81
Tensioni nella sezione: σ=373.46 τ=45.59
CC 29 SLV (Collegamento -179_-383)
Azioni sul collegamento: N=-10933.80 Ty=8.90 Tz=8.86 Mx=-0.00 Mz=3.34
Sollecitazioni agenti localmente: Ty_l=-1924.98 My_l=-39.44
Tensioni nella sezione: σ=478.10 τ=58.33
CC 29 SLV (Collegamento -179_-383)
Azioni sul collegamento: N=-10933.80 Ty=8.45 Tz=8.86 Mx=-0.00 Mz=5.25
Sollecitazioni agenti localmente: Ty_l=-1917.39 My_l=-39.28
Tensioni nella sezione: σ=476.09 τ=58.10
CC 29 SLV (Collegamento -179_-383)
Azioni sul collegamento: N=-10933.80 Ty=8.90 Tz=16.43 Mx=-0.00 Mz=3.34
Sollecitazioni agenti localmente: Ty_l=-1924.98 My_l=-39.44
Tensioni nella sezione: σ=478.10 τ=58.33
CC 29 SLV (Collegamento -179_-383)
Azioni sul collegamento: N=-10933.80 Ty=8.45 Tz=16.43 Mx=-0.00 Mz=5.25
Sollecitazioni agenti localmente: Ty_l=-1917.39 My_l=-39.28
Tensioni nella sezione: σ=476.09 τ=58.10
CC 30 SLD (Collegamento -179_-383)
Azioni sul collegamento: N=-9511.03 Ty=9.67 Tz=11.87 Mx=0.00 Mz=6.14
Sollecitazioni agenti localmente: Ty_l=-1661.63 My_l=-34.03
Tensioni nella sezione: σ=412.48 τ=50.35
CC 30 SLD (Collegamento -179_-383)
Azioni sul collegamento: N=-9511.03 Ty=9.53 Tz=11.87 Mx=0.00 Mz=6.72
Sollecitazioni agenti localmente: Ty_l=-1659.31 My_l=-33.98
Tensioni nella sezione: σ=411.86 τ=50.28
CC 30 SLD (Collegamento -179_-383)
Azioni sul collegamento: N=-9511.03 Ty=9.67 Tz=14.18 Mx=0.00 Mz=6.14

Sollecitazioni agenti localmente: Ty_l=-1661.63 My_l=-34.03
Tensioni nella sezione: σ=412.48 τ=50.35
CC 30 SLD (Collegamento -179_-383)
Azioni sul collegamento: N=-9511.03 Ty=9.53 Tz=14.18 Mx=0.00 Mz=6.72
Sollecitazioni agenti localmente: Ty_l=-1659.31 My_l=-33.98
Tensioni nella sezione: σ=411.86 τ=50.28
CC 30 SLD (Collegamento -179_-383)
Azioni sul collegamento: N=-10221.40 Ty=9.67 Tz=11.87 Mx=0.00 Mz=6.14
Sollecitazioni agenti localmente: Ty_l=-1787.56 My_l=-36.61
Tensioni nella sezione: σ=443.77 τ=54.17
CC 30 SLD (Collegamento -179_-383)
Azioni sul collegamento: N=-10221.40 Ty=9.53 Tz=11.87 Mx=0.00 Mz=6.72
Sollecitazioni agenti localmente: Ty_l=-1785.25 My_l=-36.56
Tensioni nella sezione: σ=443.15 τ=54.10
CC 30 SLD (Collegamento -179_-383)
Azioni sul collegamento: N=-10221.40 Ty=9.67 Tz=14.18 Mx=0.00 Mz=6.14
Sollecitazioni agenti localmente: Ty_l=-1787.56 My_l=-36.61
Tensioni nella sezione: σ=443.77 τ=54.17
CC 30 SLD (Collegamento -179_-383)
Azioni sul collegamento: N=-10221.40 Ty=9.53 Tz=14.18 Mx=0.00 Mz=6.72
Sollecitazioni agenti localmente: Ty_l=-1785.25 My_l=-36.56
Tensioni nella sezione: σ=443.15 τ=54.10
CC 31 SLV (Collegamento -179_-383)
Azioni sul collegamento: N=-10950.00 Ty=6.74 Tz=17.52 Mx=-0.00 Mz=1.76
Sollecitazioni agenti localmente: Ty_l=-1934.15 My_l=-39.64
Tensioni nella sezione: σ=480.49 τ=58.61
CC 31 SLV (Collegamento -179_-383)
Azioni sul collegamento: N=-10950.00 Ty=10.61 Tz=17.52 Mx=-0.00 Mz=6.83
Sollecitazioni agenti localmente: Ty_l=-1913.97 My_l=-39.20
Tensioni nella sezione: σ=475.13 τ=58.00
CC 31 SLV (Collegamento -179_-383)
Azioni sul collegamento: N=-10950.00 Ty=6.74 Tz=7.77 Mx=-0.00 Mz=1.76
Sollecitazioni agenti localmente: Ty_l=-1934.15 My_l=-39.64
Tensioni nella sezione: σ=480.49 τ=58.61
CC 31 SLV (Collegamento -179_-383)
Azioni sul collegamento: N=-10950.00 Ty=10.61 Tz=7.77 Mx=-0.00 Mz=6.83
Sollecitazioni agenti localmente: Ty_l=-1913.97 My_l=-39.20
Tensioni nella sezione: σ=475.13 τ=58.00
CC 31 SLV (Collegamento -179_-383)
Azioni sul collegamento: N=-8587.82 Ty=6.74 Tz=17.52 Mx=-0.00 Mz=1.76
Sollecitazioni agenti localmente: Ty_l=-1515.40 My_l=-31.06
Tensioni nella sezione: σ=376.44 τ=45.92
CC 31 SLV (Collegamento -179_-383)
Azioni sul collegamento: N=-8587.82 Ty=10.61 Tz=17.52 Mx=-0.00 Mz=6.83
Sollecitazioni agenti localmente: Ty_l=-1495.22 My_l=-30.61
Tensioni nella sezione: σ=371.08 τ=45.31
CC 31 SLV (Collegamento -179_-383)
Azioni sul collegamento: N=-8587.82 Ty=6.74 Tz=7.77 Mx=-0.00 Mz=1.76
Sollecitazioni agenti localmente: Ty_l=-1515.40 My_l=-31.06
Tensioni nella sezione: σ=376.44 τ=45.92
CC 31 SLV (Collegamento -179_-383)
Azioni sul collegamento: N=-8587.82 Ty=10.61 Tz=7.77 Mx=-0.00 Mz=6.83
Sollecitazioni agenti localmente: Ty_l=-1495.22 My_l=-30.61
Tensioni nella sezione: σ=371.08 τ=45.31
CC 32 SLD (Collegamento -179_-383)
Azioni sul collegamento: N=-10226.40 Ty=9.01 Tz=14.51 Mx=0.00 Mz=5.66
Sollecitazioni agenti localmente: Ty_l=-1790.36 My_l=-36.67
Tensioni nella sezione: σ=444.50 τ=54.25
CC 32 SLD (Collegamento -179_-383)
Azioni sul collegamento: N=-10226.40 Ty=10.19 Tz=14.51 Mx=0.00 Mz=7.20
Sollecitazioni agenti localmente: Ty_l=-1784.21 My_l=-36.54
Tensioni nella sezione: σ=442.86 τ=54.07
CC 32 SLD (Collegamento -179_-383)
Azioni sul collegamento: N=-10226.40 Ty=9.01 Tz=11.54 Mx=0.00 Mz=5.66
Sollecitazioni agenti localmente: Ty_l=-1790.36 My_l=-36.67
Tensioni nella sezione: σ=444.50 τ=54.25
CC 32 SLD (Collegamento -179_-383)
Azioni sul collegamento: N=-10226.40 Ty=10.19 Tz=11.54 Mx=0.00 Mz=7.20
Sollecitazioni agenti localmente: Ty_l=-1784.21 My_l=-36.54
Tensioni nella sezione: σ=442.86 τ=54.07
CC 32 SLD (Collegamento -179_-383)
Azioni sul collegamento: N=-9506.09 Ty=9.01 Tz=14.51 Mx=0.00 Mz=5.66
Sollecitazioni agenti localmente: Ty_l=-1662.67 My_l=-34.05
Tensioni nella sezione: σ=412.77 τ=50.38
CC 32 SLD (Collegamento -179_-383)
Azioni sul collegamento: N=-9506.09 Ty=10.19 Tz=14.51 Mx=0.00 Mz=7.20
Sollecitazioni agenti localmente: Ty_l=-1656.52 My_l=-33.92
Tensioni nella sezione: σ=411.13 τ=50.20
CC 32 SLD (Collegamento -179_-383)

Azioni sul collegamento: N=-9506.09 Ty=9.01 Tz=11.54 Mx=0.00 Mz=5.66
Sollecitazioni agenti localmente: Ty_l=-1662.67 My_l=-34.05
Tensioni nella sezione: σ=412.77 τ=50.38
CC 32 SLD (Collegamento -179_-383)
Azioni sul collegamento: N=-9506.09 Ty=10.19 Tz=11.54 Mx=0.00 Mz=7.20
Sollecitazioni agenti localmente: Ty_l=-1656.52 My_l=-33.92
Tensioni nella sezione: σ=411.13 τ=50.20
CC 33 SLU (Collegamento -179_-383)
Azioni sul collegamento: N=-36428.20 Ty=20.21 Tz=102.49 Mx=0.01 Mz=15.01
Sollecitazioni agenti localmente: Ty_l=-6398.02 My_l=-131.08
Tensioni nella sezione: σ=1588.80 τ=193.88
CC 34 SLU (Collegamento -179_-383)
Azioni sul collegamento: N=-37242.40 Ty=20.96 Tz=105.49 Mx=0.01 Mz=15.56
Sollecitazioni agenti localmente: Ty_l=-6540.16 My_l=-133.99
Tensioni nella sezione: σ=1624.08 τ=198.19
CC 35 SLU (Collegamento -179_-383)
Azioni sul collegamento: N=-36836.10 Ty=20.67 Tz=103.93 Mx=0.00 Mz=15.47
Sollecitazioni agenti localmente: Ty_l=-6468.52 My_l=-132.52
Tensioni nella sezione: σ=1606.29 τ=196.02
CC 36 SLU (Collegamento -179_-383)
Azioni sul collegamento: N=-36834.40 Ty=20.49 Tz=104.05 Mx=0.01 Mz=15.10
Sollecitazioni agenti localmente: Ty_l=-6469.66 My_l=-132.54
Tensioni nella sezione: σ=1606.59 τ=196.05
CC 37 SLU (Collegamento -179_-383)
Azioni sul collegamento: N=-29660.30 Ty=-10.68 Tz=77.11 Mx=0.01 Mz=-8.42
Sollecitazioni agenti localmente: Ty_l=-5291.46 My_l=-108.52
Tensioni nella sezione: σ=1315.42 τ=160.35
CC 38 SLU (Collegamento -179_-383)
Azioni sul collegamento: N=-30474.50 Ty=-9.93 Tz=80.11 Mx=0.01 Mz=-7.87
Sollecitazioni agenti localmente: Ty_l=-5433.61 My_l=-111.43
Tensioni nella sezione: σ=1350.70 τ=164.66
CC 39 SLU (Collegamento -179_-383)
Azioni sul collegamento: N=-30068.30 Ty=-10.21 Tz=78.55 Mx=0.00 Mz=-7.97
Sollecitazioni agenti localmente: Ty_l=-5361.96 My_l=-109.97
Tensioni nella sezione: σ=1332.90 τ=162.48
CC 40 SLU (Collegamento -179_-383)
Azioni sul collegamento: N=-30066.50 Ty=-10.39 Tz=78.67 Mx=0.01 Mz=-8.33
Sollecitazioni agenti localmente: Ty_l=-5363.10 My_l=-109.99
Tensioni nella sezione: σ=1333.21 τ=162.52
CC 41 SLU (Collegamento -179_-383)
Azioni sul collegamento: N=-27261.60 Ty=19.33 Tz=68.83 Mx=0.01 Mz=14.21
Sollecitazioni agenti localmente: Ty_l=-4776.20 My_l=-97.83
Tensioni nella sezione: σ=1185.86 τ=144.73
CC 42 SLU (Collegamento -179_-383)
Azioni sul collegamento: N=-28075.80 Ty=20.08 Tz=71.84 Mx=0.01 Mz=14.76
Sollecitazioni agenti localmente: Ty_l=-4918.35 My_l=-100.74
Tensioni nella sezione: σ=1221.14 τ=149.04
CC 43 SLU (Collegamento -179_-383)
Azioni sul collegamento: N=-27669.60 Ty=19.79 Tz=70.28 Mx=0.00 Mz=14.67
Sollecitazioni agenti localmente: Ty_l=-4846.71 My_l=-99.28
Tensioni nella sezione: σ=1203.34 τ=146.87
CC 44 SLU (Collegamento -179_-383)
Azioni sul collegamento: N=-27667.80 Ty=19.61 Tz=70.39 Mx=0.01 Mz=14.31
Sollecitazioni agenti localmente: Ty_l=-4847.84 My_l=-99.30
Tensioni nella sezione: σ=1203.65 τ=146.90
CC 45 SLU (Collegamento -179_-383)
Azioni sul collegamento: N=-29271.60 Ty=19.56 Tz=76.22 Mx=0.00 Mz=14.53
Sollecitazioni agenti localmente: Ty_l=-5131.26 My_l=-105.11
Tensioni nella sezione: σ=1274.06 τ=155.49
CC 46 SLU (Collegamento -179_-383)
Azioni sul collegamento: N=-30085.80 Ty=20.31 Tz=79.22 Mx=0.00 Mz=15.08
Sollecitazioni agenti localmente: Ty_l=-5273.40 My_l=-108.02
Tensioni nella sezione: σ=1309.34 τ=159.80
CC 47 SLU (Collegamento -179_-383)
Azioni sul collegamento: N=-29679.60 Ty=20.02 Tz=77.66 Mx=0.00 Mz=14.99
Sollecitazioni agenti localmente: Ty_l=-5201.76 My_l=-106.55
Tensioni nella sezione: σ=1291.55 τ=157.63
CC 48 SLU (Collegamento -179_-383)
Azioni sul collegamento: N=-29677.80 Ty=19.84 Tz=77.78 Mx=0.01 Mz=14.62
Sollecitazioni agenti localmente: Ty_l=-5202.90 My_l=-106.58
Tensioni nella sezione: σ=1291.86 τ=157.66
CC 49 SLU (Collegamento -179_-383)
Azioni sul collegamento: N=-24208.20 Ty=-3.55 Tz=57.23 Mx=0.01 Mz=-3.00
Sollecitazioni agenti localmente: Ty_l=-4303.39 My_l=-88.24
Tensioni nella sezione: σ=1069.53 τ=130.41
CC 50 SLU (Collegamento -179_-383)
Azioni sul collegamento: N=-25022.40 Ty=-2.80 Tz=60.23 Mx=0.01 Mz=-2.45
Sollecitazioni agenti localmente: Ty_l=-4445.53 My_l=-91.15
Tensioni nella sezione: σ=1104.81 τ=134.71

CC 51 SLU (Collegamento -179_-383)
Azioni sul collegamento: N=-24616.20 Ty=-3.08 Tz=58.67 Mx=0.00 Mz=-2.54
Sollecitazioni agenti localmente: Ty_l=-4373.89 My_l=-89.68
Tensioni nella sezione: σ=1087.02 τ=132.54
CC 52 SLU (Collegamento -179_-383)
Azioni sul collegamento: N=-24614.40 Ty=-3.26 Tz=58.79 Mx=0.01 Mz=-2.91
Sollecitazioni agenti localmente: Ty_l=-4375.03 My_l=-89.70
Tensioni nella sezione: σ=1087.33 τ=132.58
CC 53 SLU (Collegamento -179_-383)
Azioni sul collegamento: N=-22413.60 Ty=18.90 Tz=51.04 Mx=0.00 Mz=13.93
Sollecitazioni agenti localmente: Ty_l=-3917.90 My_l=-80.24
Tensioni nella sezione: σ=972.60 τ=118.72
CC 54 SLU (Collegamento -179_-383)
Azioni sul collegamento: N=-23227.90 Ty=19.65 Tz=54.04 Mx=0.00 Mz=14.49
Sollecitazioni agenti localmente: Ty_l=-4060.05 My_l=-83.15
Tensioni nella sezione: σ=1007.88 τ=123.03
CC 55 SLU (Collegamento -179_-383)
Azioni sul collegamento: N=-22821.60 Ty=19.36 Tz=52.48 Mx=0.00 Mz=14.39
Sollecitazioni agenti localmente: Ty_l=-3988.41 My_l=-81.68
Tensioni nella sezione: σ=990.09 τ=120.86
CC 56 SLU (Collegamento -179_-383)
Azioni sul collegamento: N=-22819.90 Ty=19.19 Tz=52.60 Mx=0.01 Mz=14.03
Sollecitazioni agenti localmente: Ty_l=-3989.54 My_l=-81.71
Tensioni nella sezione: σ=990.39 τ=120.89
CC 57 SLU (Collegamento -179_-383)
Azioni sul collegamento: N=-30019.90 Ty=20.54 Tz=79.01 Mx=0.00 Mz=15.25
Sollecitazioni agenti localmente: Ty_l=-5261.06 My_l=-107.77
Tensioni nella sezione: σ=1306.26 τ=159.43
CC 58 SLU (Collegamento -179_-383)
Azioni sul collegamento: N=-30834.10 Ty=21.29 Tz=82.01 Mx=0.00 Mz=15.80
Sollecitazioni agenti localmente: Ty_l=-5403.20 My_l=-110.68
Tensioni nella sezione: σ=1341.55 τ=163.73
CC 59 SLU (Collegamento -179_-383)
Azioni sul collegamento: N=-30427.90 Ty=21.01 Tz=80.45 Mx=0.00 Mz=15.71
Sollecitazioni agenti localmente: Ty_l=-5331.56 My_l=-109.21
Tensioni nella sezione: σ=1323.75 τ=161.56
CC 60 SLU (Collegamento -179_-383)
Azioni sul collegamento: N=-30426.20 Ty=20.83 Tz=80.57 Mx=0.01 Mz=15.34
Sollecitazioni agenti localmente: Ty_l=-5332.70 My_l=-109.23
Tensioni nella sezione: σ=1324.06 τ=161.60
CC 61 SLU (Collegamento -179_-383)
Azioni sul collegamento: N=-24956.60 Ty=-2.56 Tz=60.02 Mx=0.00 Mz=-2.28
Sollecitazioni agenti localmente: Ty_l=-4433.19 My_l=-90.89
Tensioni nella sezione: σ=1101.73 τ=134.34
CC 62 SLU (Collegamento -179_-383)
Azioni sul collegamento: N=-25770.80 Ty=-1.81 Tz=63.02 Mx=0.00 Mz=-1.73
Sollecitazioni agenti localmente: Ty_l=-4575.33 My_l=-93.80
Tensioni nella sezione: σ=1137.02 τ=138.65
CC 63 SLU (Collegamento -179_-383)
Azioni sul collegamento: N=-25364.60 Ty=-2.10 Tz=61.46 Mx=0.00 Mz=-1.82
Sollecitazioni agenti localmente: Ty_l=-4503.69 My_l=-92.34
Tensioni nella sezione: σ=1119.22 τ=136.48
CC 64 SLU (Collegamento -179_-383)
Azioni sul collegamento: N=-25362.80 Ty=-2.28 Tz=61.58 Mx=0.01 Mz=-2.19
Sollecitazioni agenti localmente: Ty_l=-4504.83 My_l=-92.36
Tensioni nella sezione: σ=1119.53 τ=136.51
CC 65 SLU (Collegamento -179_-383)
Azioni sul collegamento: N=-23162.00 Ty=19.88 Tz=53.83 Mx=0.00 Mz=14.66
Sollecitazioni agenti localmente: Ty_l=-4047.70 My_l=-82.90
Tensioni nella sezione: σ=1004.80 τ=122.66
CC 66 SLU (Collegamento -179_-383)
Azioni sul collegamento: N=-23976.20 Ty=20.63 Tz=56.84 Mx=0.00 Mz=15.21
Sollecitazioni agenti localmente: Ty_l=-4189.84 My_l=-85.81
Tensioni nella sezione: σ=1040.09 τ=126.97
CC 67 SLU (Collegamento -179_-383)
Azioni sul collegamento: N=-23570.00 Ty=20.35 Tz=55.27 Mx=0.00 Mz=15.11
Sollecitazioni agenti localmente: Ty_l=-4118.20 My_l=-84.34
Tensioni nella sezione: σ=1022.29 τ=124.79
CC 68 SLU (Collegamento -179_-383)
Azioni sul collegamento: N=-23568.20 Ty=20.17 Tz=55.39 Mx=0.01 Mz=14.75
Sollecitazioni agenti localmente: Ty_l=-4119.34 My_l=-84.36
Tensioni nella sezione: σ=1022.60 τ=124.83
CC 97 SLU (Collegamento -179_-383)
Azioni sul collegamento: N=-12126.50 Ty=21.64 Tz=21.62 Mx=0.05 Mz=23.37
Sollecitazioni agenti localmente: Ty_l=-2056.73 My_l=-42.03
Tensioni nella sezione: σ=509.49 τ=62.33
CC 98 SLU (Collegamento -179_-383)
Azioni sul collegamento: N=-12940.70 Ty=22.39 Tz=24.63 Mx=0.05 Mz=23.92
Sollecitazioni agenti localmente: Ty_l=-2198.88 My_l=-44.94

Tensioni nella sezione: σ=544.77 τ=66.63
CC 99 SLU (Collegamento -179_-383)
Azioni sul collegamento: N=-12534.50 Ty=22.10 Tz=23.06 Mx=0.05 Mz=23.83
Sollecitazioni agenti localmente: Ty_l=-2127.24 My_l=-43.48
Tensioni nella sezione: σ=526.98 τ=64.46
CC 100 SLU (Collegamento -179_-383)
Azioni sul collegamento: N=-12532.70 Ty=21.92 Tz=23.18 Mx=0.05 Mz=23.46
Sollecitazioni agenti localmente: Ty_l=-2128.37 My_l=-43.50
Tensioni nella sezione: σ=527.29 τ=64.50
CC 101 SLU (Collegamento -179_-383)
Azioni sul collegamento: N=-9752.38 Ty=7.57 Tz=12.50 Mx=-0.00 Mz=4.76
Sollecitazioni agenti localmente: Ty_l=-1709.89 My_l=-35.03
Tensioni nella sezione: σ=424.56 τ=51.81
CC 102 SLU (Collegamento -179_-383)
Azioni sul collegamento: N=-10566.60 Ty=8.33 Tz=15.50 Mx=-0.00 Mz=5.31
Sollecitazioni agenti localmente: Ty_l=-1852.04 My_l=-37.94
Tensioni nella sezione: σ=459.84 τ=56.12
CC 103 SLU (Collegamento -179_-383)
Azioni sul collegamento: N=-10160.40 Ty=8.04 Tz=13.94 Mx=-0.00 Mz=5.22
Sollecitazioni agenti localmente: Ty_l=-1780.39 My_l=-36.47
Tensioni nella sezione: σ=442.05 τ=53.95
CC 104 SLU (Collegamento -179_-383)
Azioni sul collegamento: N=-10158.60 Ty=7.86 Tz=14.06 Mx=-0.00 Mz=4.85
Sollecitazioni agenti localmente: Ty_l=-1781.53 My_l=-36.49
Tensioni nella sezione: σ=442.36 τ=53.99

Collegamento -182_-384

Piastra 220.00 x 220.00 s=15.00 - 6 Tirafondi ϕ 16 - Profondità di infissione: 350.00
3 righe ad interasse 89.00
2 colonne ad interasse 178.00
Altezza di gola saldature: anima 7.07 - ala 7.07

Tirafondi e calcestruzzo

CC 1 SLV (Collegamento -182_-384)
Azioni sul collegamento: N=-5856.57 Ty=-4.82 Tz=-1.96 Mx=0.01 Mz=-1.13
Sollecitazioni agenti localmente: Tx_l=-4.82 Ty_l=-1.96 N_l=-5856.57 Mx_l=-0.00 My_l=-1.13 Mz_l=0.01
Taglio nei bulloni: Fv,Ed=0.88 Fv,Rd=7720.78
Rifollamento lato piastra: Fb,Ed,p=0.87 Fb,Rd,p=7301.70
Tirafondi:LT=0.45 (0.31) σ_{cR}=0.00 σ_{fR}=0.00
Compressione nel calcestruzzo: σ_c=12.16
CC 1 SLV (Collegamento -182_-384)
Azioni sul collegamento: N=-5856.57 Ty=-12.53 Tz=-1.96 Mx=0.01 Mz=-7.45
Sollecitazioni agenti localmente: Tx_l=-12.53 Ty_l=-1.96 N_l=-5856.57 Mx_l=-0.00 My_l=-7.45 Mz_l=0.01
Taglio nei bulloni: Fv,Ed=2.13 Fv,Rd=7720.78
Rifollamento lato piastra: Fb,Ed,p=2.12 Fb,Rd,p=6176.86
Tirafondi:LT=0.45 (0.31) σ_{cR}=0.00 σ_{fR}=0.00
Compressione nel calcestruzzo: σ_c=12.52
CC 1 SLV (Collegamento -182_-384)
Azioni sul collegamento: N=-5856.57 Ty=-4.82 Tz=27.25 Mx=0.01 Mz=-1.13
Sollecitazioni agenti localmente: Tx_l=-4.82 Ty_l=27.25 N_l=-5856.57 Mx_l=-0.00 My_l=-1.13 Mz_l=0.01
Taglio nei bulloni: Fv,Ed=4.63 Fv,Rd=7720.78
Rifollamento lato piastra: Fb,Ed,p=4.62 Fb,Rd,p=6246.93
Tirafondi:LT=0.45 (0.31) σ_{cR}=0.00 σ_{fR}=0.00
Compressione nel calcestruzzo: σ_c=12.16
CC 1 SLV (Collegamento -182_-384)
Azioni sul collegamento: N=-5856.57 Ty=-12.53 Tz=27.25 Mx=0.01 Mz=-7.45
Sollecitazioni agenti localmente: Tx_l=-12.53 Ty_l=27.25 N_l=-5856.57 Mx_l=-0.00 My_l=-7.45 Mz_l=0.01
Taglio nei bulloni: Fv,Ed=5.02 Fv,Rd=7720.78
Rifollamento lato piastra: Fb,Ed,p=5.01 Fb,Rd,p=7849.70
Tirafondi:LT=0.45 (0.31) σ_{cR}=0.00 σ_{fR}=0.00
Compressione nel calcestruzzo: σ_c=12.52
CC 1 SLV (Collegamento -182_-384)
Azioni sul collegamento: N=-13681.20 Ty=-4.82 Tz=-1.96 Mx=0.01 Mz=-1.13
Sollecitazioni agenti localmente: Tx_l=-4.82 Ty_l=-1.96 N_l=-13681.20 Mx_l=-0.00 My_l=-1.13 Mz_l=0.01
Taglio nei bulloni: Fv,Ed=0.88 Fv,Rd=7720.78
Rifollamento lato piastra: Fb,Ed,p=0.87 Fb,Rd,p=7301.58
Tirafondi:LT=0.45 (0.31) σ_{cR}=0.00 σ_{fR}=0.00
Compressione nel calcestruzzo: σ_c=28.33
CC 1 SLV (Collegamento -182_-384)
Azioni sul collegamento: N=-13681.20 Ty=-12.53 Tz=-1.96 Mx=0.01 Mz=-7.45
Sollecitazioni agenti localmente: Tx_l=-12.53 Ty_l=-1.96 N_l=-13681.20 Mx_l=-0.00 My_l=-7.45 Mz_l=0.01
Taglio nei bulloni: Fv,Ed=2.13 Fv,Rd=7720.78
Rifollamento lato piastra: Fb,Ed,p=2.12 Fb,Rd,p=6176.85
Tirafondi:LT=0.45 (0.31) σ_{cR}=0.00 σ_{fR}=0.00
Compressione nel calcestruzzo: σ_c=28.69
CC 1 SLV (Collegamento -182_-384)

Azioni sul collegamento: N=-13681.20 Ty=-4.82 Tz=27.25 Mx=0.01 Mz=-1.13
Sollecitazioni agenti localmente: Tx_l=-4.82 Ty_l=27.25 N_l=-13681.20 Mx_l=-0.00 My_l=-1.13 Mz_l=0.01
Taglio nei bulloni: Fv,Ed=4.63 Fv,Rd=7720.78
Rifollamento lato piastra: Fb,Ed,p=4.62 Fb,Rd,p=6246.92
Tirafondi:LT=0.45 (0.31) σ_{cR}=0.00 σ_{fR}=0.00
Compressione nel calcestruzzo: σ_c=28.33
CC 1 SLV (Collegamento -182_-384)
Azioni sul collegamento: N=-13681.20 Ty=-12.53 Tz=27.25 Mx=0.01 Mz=-7.45
Sollecitazioni agenti localmente: Tx_l=-12.53 Ty_l=27.25 N_l=-13681.20 Mx_l=-0.00 My_l=-7.45 Mz_l=0.01
Taglio nei bulloni: Fv,Ed=5.02 Fv,Rd=7720.78
Rifollamento lato piastra: Fb,Ed,p=5.01 Fb,Rd,p=7849.67
Tirafondi:LT=0.45 (0.31) σ_{cR}=0.00 σ_{fR}=0.00
Compressione nel calcestruzzo: σ_c=28.69
CC 2 SLD (Collegamento -182_-384)
Azioni sul collegamento: N=-8673.24 Ty=-8.42 Tz=8.57 Mx=0.00 Mz=-5.47
Sollecitazioni agenti localmente: Tx_l=-8.42 Ty_l=8.57 N_l=-8673.24 Mx_l=-0.00 My_l=-5.47 Mz_l=0.00
Taglio nei bulloni: Fv,Ed=2.01 Fv,Rd=9650.97
Rifollamento lato piastra: Fb,Ed,p=2.00 Fb,Rd,p=14893.10
Tirafondi:LT=0.45 (0.31) σ_{cR}=0.00 σ_{fR}=0.00
Compressione nel calcestruzzo: σ_c=18.23
CC 2 SLD (Collegamento -182_-384)
Azioni sul collegamento: N=-8673.24 Ty=-10.78 Tz=8.57 Mx=0.00 Mz=-7.39
Sollecitazioni agenti localmente: Tx_l=-10.78 Ty_l=8.57 N_l=-8673.24 Mx_l=-0.00 My_l=-7.39 Mz_l=0.00
Taglio nei bulloni: Fv,Ed=2.30 Fv,Rd=9650.97
Rifollamento lato piastra: Fb,Ed,p=2.30 Fb,Rd,p=13577.30
Tirafondi:LT=0.45 (0.31) σ_{cR}=0.00 σ_{fR}=0.00
Compressione nel calcestruzzo: σ_c=18.34
CC 2 SLD (Collegamento -182_-384)
Azioni sul collegamento: N=-8673.24 Ty=-8.42 Tz=17.48 Mx=0.00 Mz=-5.47
Sollecitazioni agenti localmente: Tx_l=-8.42 Ty_l=17.48 N_l=-8673.24 Mx_l=-0.00 My_l=-5.47 Mz_l=0.00
Taglio nei bulloni: Fv,Ed=3.24 Fv,Rd=9650.97
Rifollamento lato piastra: Fb,Ed,p=3.23 Fb,Rd,p=10084.80
Tirafondi:LT=0.45 (0.31) σ_{cR}=0.00 σ_{fR}=0.00
Compressione nel calcestruzzo: σ_c=18.23
CC 2 SLD (Collegamento -182_-384)
Azioni sul collegamento: N=-8673.24 Ty=-10.78 Tz=17.48 Mx=0.00 Mz=-7.39
Sollecitazioni agenti localmente: Tx_l=-10.78 Ty_l=17.48 N_l=-8673.24 Mx_l=-0.00 My_l=-7.39 Mz_l=0.00
Taglio nei bulloni: Fv,Ed=3.42 Fv,Rd=9650.97
Rifollamento lato piastra: Fb,Ed,p=3.42 Fb,Rd,p=11786.20
Tirafondi:LT=0.45 (0.31) σ_{cR}=0.00 σ_{fR}=0.00
Compressione nel calcestruzzo: σ_c=18.34
CC 2 SLD (Collegamento -182_-384)
Azioni sul collegamento: N=-11059.20 Ty=-8.42 Tz=8.57 Mx=0.00 Mz=-5.47
Sollecitazioni agenti localmente: Tx_l=-8.42 Ty_l=8.57 N_l=-11059.20 Mx_l=-0.00 My_l=-5.47 Mz_l=0.00
Taglio nei bulloni: Fv,Ed=2.01 Fv,Rd=9650.97
Rifollamento lato piastra: Fb,Ed,p=2.00 Fb,Rd,p=14893.40
Tirafondi:LT=0.45 (0.31) σ_{cR}=0.00 σ_{fR}=0.00
Compressione nel calcestruzzo: σ_c=23.16
CC 2 SLD (Collegamento -182_-384)
Azioni sul collegamento: N=-11059.20 Ty=-10.78 Tz=8.57 Mx=0.00 Mz=-7.39
Sollecitazioni agenti localmente: Tx_l=-10.78 Ty_l=8.57 N_l=-11059.20 Mx_l=-0.00 My_l=-7.39 Mz_l=0.00
Taglio nei bulloni: Fv,Ed=2.30 Fv,Rd=9650.97
Rifollamento lato piastra: Fb,Ed,p=2.30 Fb,Rd,p=13577.10
Tirafondi:LT=0.45 (0.31) σ_{cR}=0.00 σ_{fR}=0.00
Compressione nel calcestruzzo: σ_c=23.27
CC 2 SLD (Collegamento -182_-384)
Azioni sul collegamento: N=-11059.20 Ty=-8.42 Tz=17.48 Mx=0.00 Mz=-5.47
Sollecitazioni agenti localmente: Tx_l=-8.42 Ty_l=17.48 N_l=-11059.20 Mx_l=-0.00 My_l=-5.47 Mz_l=0.00
Taglio nei bulloni: Fv,Ed=3.24 Fv,Rd=9650.97
Rifollamento lato piastra: Fb,Ed,p=3.23 Fb,Rd,p=10084.80
Tirafondi:LT=0.45 (0.31) σ_{cR}=0.00 σ_{fR}=0.00
Compressione nel calcestruzzo: σ_c=23.16
CC 2 SLD (Collegamento -182_-384)
Azioni sul collegamento: N=-11059.20 Ty=-10.78 Tz=17.48 Mx=0.00 Mz=-7.39
Sollecitazioni agenti localmente: Tx_l=-10.78 Ty_l=17.48 N_l=-11059.20 Mx_l=-0.00 My_l=-7.39 Mz_l=0.00
Taglio nei bulloni: Fv,Ed=3.42 Fv,Rd=9650.97
Rifollamento lato piastra: Fb,Ed,p=3.42 Fb,Rd,p=11786.20
Tirafondi:LT=0.45 (0.31) σ_{cR}=0.00 σ_{fR}=0.00
Compressione nel calcestruzzo: σ_c=23.27
CC 3 SLV (Collegamento -182_-384)
Azioni sul collegamento: N=-5861.42 Ty=-5.33 Tz=-1.63 Mx=0.01 Mz=-2.18
Sollecitazioni agenti localmente: Tx_l=-5.33 Ty_l=-1.63 N_l=-5861.42 Mx_l=-0.00 My_l=-2.18 Mz_l=0.01
Taglio nei bulloni: Fv,Ed=0.94 Fv,Rd=7720.78
Rifollamento lato piastra: Fb,Ed,p=0.93 Fb,Rd,p=6755.51
Tirafondi:LT=0.45 (0.31) σ_{cR}=0.00 σ_{fR}=0.00
Compressione nel calcestruzzo: σ_c=12.23
CC 3 SLV (Collegamento -182_-384)
Azioni sul collegamento: N=-5861.42 Ty=-12.02 Tz=-1.63 Mx=0.01 Mz=-6.41

Sollecitazioni agenti localmente: Tx_l=-12.02 Ty_l=-1.63 N_l=-5861.42 Mx_l=-0.00 My_l=-6.41 Mz_l=0.01
Taglio nei bulloni: Fv,Ed=2.03 Fv,Rd=7720.78
Rifollamento lato piastra: Fb,Ed,p=2.03 Fb,Rd,p=6132.69
Tirafondi:LT=0.45 (0.31) σ_{cR}=0.00 σ_{fR}=0.00
Compressione nel calcestruzzo: σ_c=12.47
CC 3 SLV (Collegamento -182_-384)
Azioni sul collegamento: N=-5861.42 Ty=-5.33 Tz=26.92 Mx=0.01 Mz=-2.18
Sollecitazioni agenti localmente: Tx_l=-5.33 Ty_l=26.92 N_l=-5861.42 Mx_l=-0.00 My_l=-2.18 Mz_l=0.01
Taglio nei bulloni: Fv,Ed=4.58 Fv,Rd=7720.78
Rifollamento lato piastra: Fb,Ed,p=4.58 Fb,Rd,p=6321.24
Tirafondi:LT=0.45 (0.31) σ_{cR}=0.00 σ_{fR}=0.00
Compressione nel calcestruzzo: σ_c=12.23
CC 3 SLV (Collegamento -182_-384)
Azioni sul collegamento: N=-5861.42 Ty=-12.02 Tz=26.92 Mx=0.01 Mz=-6.41
Sollecitazioni agenti localmente: Tx_l=-12.02 Ty_l=26.92 N_l=-5861.42 Mx_l=-0.00 My_l=-6.41 Mz_l=0.01
Taglio nei bulloni: Fv,Ed=4.92 Fv,Rd=7720.78
Rifollamento lato piastra: Fb,Ed,p=4.92 Fb,Rd,p=7753.06
Tirafondi:LT=0.45 (0.31) σ_{cR}=0.00 σ_{fR}=0.00
Compressione nel calcestruzzo: σ_c=12.47
CC 3 SLV (Collegamento -182_-384)
Azioni sul collegamento: N=-13676.40 Ty=-5.33 Tz=-1.63 Mx=0.01 Mz=-2.18
Sollecitazioni agenti localmente: Tx_l=-5.33 Ty_l=-1.63 N_l=-13676.40 Mx_l=-0.00 My_l=-2.18 Mz_l=0.01
Taglio nei bulloni: Fv,Ed=0.94 Fv,Rd=7720.78
Rifollamento lato piastra: Fb,Ed,p=0.93 Fb,Rd,p=6754.90
Tirafondi:LT=0.45 (0.31) σ_{cR}=0.00 σ_{fR}=0.00
Compressione nel calcestruzzo: σ_c=28.38
CC 3 SLV (Collegamento -182_-384)
Azioni sul collegamento: N=-13676.40 Ty=-12.02 Tz=-1.63 Mx=0.01 Mz=-6.41
Sollecitazioni agenti localmente: Tx_l=-12.02 Ty_l=-1.63 N_l=-13676.40 Mx_l=-0.00 My_l=-6.41 Mz_l=0.01
Taglio nei bulloni: Fv,Ed=2.03 Fv,Rd=7720.78
Rifollamento lato piastra: Fb,Ed,p=2.03 Fb,Rd,p=6132.57
Tirafondi:LT=0.45 (0.31) σ_{cR}=0.00 σ_{fR}=0.00
Compressione nel calcestruzzo: σ_c=28.62
CC 3 SLV (Collegamento -182_-384)
Azioni sul collegamento: N=-13676.40 Ty=-5.33 Tz=26.92 Mx=0.01 Mz=-2.18
Sollecitazioni agenti localmente: Tx_l=-5.33 Ty_l=26.92 N_l=-13676.40 Mx_l=-0.00 My_l=-2.18 Mz_l=0.01
Taglio nei bulloni: Fv,Ed=4.58 Fv,Rd=7720.78
Rifollamento lato piastra: Fb,Ed,p=4.58 Fb,Rd,p=6321.23
Tirafondi:LT=0.45 (0.31) σ_{cR}=0.00 σ_{fR}=0.00
Compressione nel calcestruzzo: σ_c=28.38
CC 3 SLV (Collegamento -182_-384)
Azioni sul collegamento: N=-13676.40 Ty=-12.02 Tz=26.92 Mx=0.01 Mz=-6.41
Sollecitazioni agenti localmente: Tx_l=-12.02 Ty_l=26.92 N_l=-13676.40 Mx_l=-0.00 My_l=-6.41 Mz_l=0.01
Taglio nei bulloni: Fv,Ed=4.92 Fv,Rd=7720.78
Rifollamento lato piastra: Fb,Ed,p=4.92 Fb,Rd,p=7753.00
Tirafondi:LT=0.45 (0.31) σ_{cR}=0.00 σ_{fR}=0.00
Compressione nel calcestruzzo: σ_c=28.62
CC 4 SLD (Collegamento -182_-384)
Azioni sul collegamento: N=-8674.72 Ty=-8.58 Tz=8.67 Mx=-0.00 Mz=-5.79
Sollecitazioni agenti localmente: Tx_l=-8.58 Ty_l=8.67 N_l=-8674.72 Mx_l=-0.00 My_l=-5.79 Mz_l=-0.00
Taglio nei bulloni: Fv,Ed=2.03 Fv,Rd=9650.97
Rifollamento lato piastra: Fb,Ed,p=2.03 Fb,Rd,p=14943.70
Tirafondi:LT=0.45 (0.31) σ_{cR}=0.00 σ_{fR}=0.00
Compressione nel calcestruzzo: σ_c=18.25
CC 4 SLD (Collegamento -182_-384)
Azioni sul collegamento: N=-8674.72 Ty=-10.62 Tz=8.67 Mx=-0.00 Mz=-7.07
Sollecitazioni agenti localmente: Tx_l=-10.62 Ty_l=8.67 N_l=-8674.72 Mx_l=-0.00 My_l=-7.07 Mz_l=-0.00
Taglio nei bulloni: Fv,Ed=2.29 Fv,Rd=9650.97
Rifollamento lato piastra: Fb,Ed,p=2.29 Fb,Rd,p=13715.40
Tirafondi:LT=0.45 (0.31) σ_{cR}=0.00 σ_{fR}=0.00
Compressione nel calcestruzzo: σ_c=18.32
CC 4 SLD (Collegamento -182_-384)
Azioni sul collegamento: N=-8674.72 Ty=-8.58 Tz=17.38 Mx=-0.00 Mz=-5.79
Sollecitazioni agenti localmente: Tx_l=-8.58 Ty_l=17.38 N_l=-8674.72 Mx_l=-0.00 My_l=-5.79 Mz_l=-0.00
Taglio nei bulloni: Fv,Ed=3.23 Fv,Rd=9650.97
Rifollamento lato piastra: Fb,Ed,p=3.23 Fb,Rd,p=10224.70
Tirafondi:LT=0.45 (0.31) σ_{cR}=0.00 σ_{fR}=0.00
Compressione nel calcestruzzo: σ_c=18.25
CC 4 SLD (Collegamento -182_-384)
Azioni sul collegamento: N=-8674.72 Ty=-10.62 Tz=17.38 Mx=-0.00 Mz=-7.07
Sollecitazioni agenti localmente: Tx_l=-10.62 Ty_l=17.38 N_l=-8674.72 Mx_l=-0.00 My_l=-7.07 Mz_l=-0.00
Taglio nei bulloni: Fv,Ed=3.40 Fv,Rd=9650.97
Rifollamento lato piastra: Fb,Ed,p=3.40 Fb,Rd,p=11719.80
Tirafondi:LT=0.45 (0.31) σ_{cR}=0.00 σ_{fR}=0.00
Compressione nel calcestruzzo: σ_c=18.32
CC 4 SLD (Collegamento -182_-384)
Azioni sul collegamento: N=-11057.70 Ty=-8.58 Tz=8.67 Mx=-0.00 Mz=-5.79
Sollecitazioni agenti localmente: Tx_l=-8.58 Ty_l=8.67 N_l=-11057.70 Mx_l=-0.00 My_l=-5.79 Mz_l=-0.00

Taglio nei bulloni: Fv,Ed=2.03 Fv,Rd=9650.97
Rifollamento lato piastra: Fb,Ed,p=2.03 Fb,Rd,p=14944.00
Tirafondi:LT=0.45 (0.31) σ_{cR}=0.00 σ_{fR}=0.00
Compressione nel calcestruzzo: σ_c=23.17
CC 4 SLD (Collegamento -182_-384)
Azioni sul collegamento: N=-11057.70 Ty=-10.62 Tz=8.67 Mx=-0.00 Mz=-7.07
Sollecitazioni agenti localmente: Tx_l=-10.62 Ty_l=8.67 N_l=-11057.70 Mx_l=-0.00 My_l=-7.07 Mz_l=-0.00
Taglio nei bulloni: Fv,Ed=2.29 Fv,Rd=9650.97
Rifollamento lato piastra: Fb,Ed,p=2.29 Fb,Rd,p=13715.30
Tirafondi:LT=0.45 (0.31) σ_{cR}=0.00 σ_{fR}=0.00
Compressione nel calcestruzzo: σ_c=23.25
CC 4 SLD (Collegamento -182_-384)
Azioni sul collegamento: N=-11057.70 Ty=-8.58 Tz=17.38 Mx=-0.00 Mz=-5.79
Sollecitazioni agenti localmente: Tx_l=-8.58 Ty_l=17.38 N_l=-11057.70 Mx_l=-0.00 My_l=-5.79 Mz_l=-0.00
Taglio nei bulloni: Fv,Ed=3.23 Fv,Rd=9650.97
Rifollamento lato piastra: Fb,Ed,p=3.23 Fb,Rd,p=10224.80
Tirafondi:LT=0.45 (0.31) σ_{cR}=0.00 σ_{fR}=0.00
Compressione nel calcestruzzo: σ_c=23.17
CC 4 SLD (Collegamento -182_-384)
Azioni sul collegamento: N=-11057.70 Ty=-10.62 Tz=17.38 Mx=-0.00 Mz=-7.07
Sollecitazioni agenti localmente: Tx_l=-10.62 Ty_l=17.38 N_l=-11057.70 Mx_l=-0.00 My_l=-7.07 Mz_l=-0.00
Taglio nei bulloni: Fv,Ed=3.40 Fv,Rd=9650.97
Rifollamento lato piastra: Fb,Ed,p=3.40 Fb,Rd,p=11719.90
Tirafondi:LT=0.45 (0.31) σ_{cR}=0.00 σ_{fR}=0.00
Compressione nel calcestruzzo: σ_c=23.25
CC 5 SLV (Collegamento -182_-384)
Azioni sul collegamento: N=-13676.40 Ty=-12.02 Tz=26.92 Mx=0.01 Mz=-6.41
Sollecitazioni agenti localmente: Tx_l=-12.02 Ty_l=26.92 N_l=-13676.40 Mx_l=-0.00 My_l=-6.41 Mz_l=0.01
Taglio nei bulloni: Fv,Ed=4.93 Fv,Rd=7720.78
Rifollamento lato piastra: Fb,Ed,p=4.92 Fb,Rd,p=7739.34
Tirafondi:LT=0.45 (0.31) σ_{cR}=0.00 σ_{fR}=0.00
Compressione nel calcestruzzo: σ_c=28.62
CC 5 SLV (Collegamento -182_-384)
Azioni sul collegamento: N=-13676.40 Ty=-5.33 Tz=26.92 Mx=0.01 Mz=-2.18
Sollecitazioni agenti localmente: Tx_l=-5.33 Ty_l=26.92 N_l=-13676.40 Mx_l=-0.00 My_l=-2.18 Mz_l=0.01
Taglio nei bulloni: Fv,Ed=4.59 Fv,Rd=7720.78
Rifollamento lato piastra: Fb,Ed,p=4.58 Fb,Rd,p=6316.35
Tirafondi:LT=0.45 (0.31) σ_{cR}=0.00 σ_{fR}=0.00
Compressione nel calcestruzzo: σ_c=28.38
CC 5 SLV (Collegamento -182_-384)
Azioni sul collegamento: N=-13676.40 Ty=-12.02 Tz=-1.63 Mx=0.01 Mz=-6.41
Sollecitazioni agenti localmente: Tx_l=-12.02 Ty_l=-1.63 N_l=-13676.40 Mx_l=-0.00 My_l=-6.41 Mz_l=0.01
Taglio nei bulloni: Fv,Ed=2.04 Fv,Rd=7720.78
Rifollamento lato piastra: Fb,Ed,p=2.03 Fb,Rd,p=6125.74
Tirafondi:LT=0.45 (0.31) σ_{cR}=0.00 σ_{fR}=0.00
Compressione nel calcestruzzo: σ_c=28.62
CC 5 SLV (Collegamento -182_-384)
Azioni sul collegamento: N=-13676.40 Ty=-5.33 Tz=-1.63 Mx=0.01 Mz=-2.18
Sollecitazioni agenti localmente: Tx_l=-5.33 Ty_l=-1.63 N_l=-13676.40 Mx_l=-0.00 My_l=-2.18 Mz_l=0.01
Taglio nei bulloni: Fv,Ed=0.95 Fv,Rd=7720.78
Rifollamento lato piastra: Fb,Ed,p=0.94 Fb,Rd,p=6715.32
Tirafondi:LT=0.45 (0.31) σ_{cR}=0.00 σ_{fR}=0.00
Compressione nel calcestruzzo: σ_c=28.38
CC 5 SLV (Collegamento -182_-384)
Azioni sul collegamento: N=-5861.42 Ty=-12.02 Tz=26.92 Mx=0.01 Mz=-6.41
Sollecitazioni agenti localmente: Tx_l=-12.02 Ty_l=26.92 N_l=-5861.42 Mx_l=-0.00 My_l=-6.41 Mz_l=0.01
Taglio nei bulloni: Fv,Ed=4.93 Fv,Rd=7720.78
Rifollamento lato piastra: Fb,Ed,p=4.92 Fb,Rd,p=7739.39
Tirafondi:LT=0.45 (0.31) σ_{cR}=0.00 σ_{fR}=0.00
Compressione nel calcestruzzo: σ_c=12.47
CC 5 SLV (Collegamento -182_-384)
Azioni sul collegamento: N=-5861.42 Ty=-5.33 Tz=26.92 Mx=0.01 Mz=-2.18
Sollecitazioni agenti localmente: Tx_l=-5.33 Ty_l=26.92 N_l=-5861.42 Mx_l=-0.00 My_l=-2.18 Mz_l=0.01
Taglio nei bulloni: Fv,Ed=4.59 Fv,Rd=7720.78
Rifollamento lato piastra: Fb,Ed,p=4.58 Fb,Rd,p=6316.35
Tirafondi:LT=0.45 (0.31) σ_{cR}=0.00 σ_{fR}=0.00
Compressione nel calcestruzzo: σ_c=12.23
CC 5 SLV (Collegamento -182_-384)
Azioni sul collegamento: N=-5861.42 Ty=-12.02 Tz=-1.63 Mx=0.01 Mz=-6.41
Sollecitazioni agenti localmente: Tx_l=-12.02 Ty_l=-1.63 N_l=-5861.42 Mx_l=-0.00 My_l=-6.41 Mz_l=0.01
Taglio nei bulloni: Fv,Ed=2.04 Fv,Rd=7720.78
Rifollamento lato piastra: Fb,Ed,p=2.03 Fb,Rd,p=6125.85
Tirafondi:LT=0.45 (0.31) σ_{cR}=0.00 σ_{fR}=0.00
Compressione nel calcestruzzo: σ_c=12.47
CC 5 SLV (Collegamento -182_-384)
Azioni sul collegamento: N=-5861.42 Ty=-5.33 Tz=-1.63 Mx=0.01 Mz=-2.18
Sollecitazioni agenti localmente: Tx_l=-5.33 Ty_l=-1.63 N_l=-5861.42 Mx_l=-0.00 My_l=-2.18 Mz_l=0.01
Taglio nei bulloni: Fv,Ed=0.95 Fv,Rd=7720.78

Rifollamento lato piastra: Fb,Ed,p=0.94 Fb,Rd,p=6715.90
Tirafondi:LT=0.45 (0.31) σ_{cR}=0.00 σ_{fR}=0.00
Compressione nel calcestruzzo: σ_c=12.23
CC 6 SLD (Collegamento -182_-384)
Azioni sul collegamento: N=-11057.70 Ty=-10.62 Tz=17.38 Mx=0.00 Mz=-7.07
Sollecitazioni agenti localmente: Tx_l=-10.62 Ty_l=17.38 N_l=-11057.70 Mx_l=-0.00 My_l=-7.07 Mz_l=0.00
Taglio nei bulloni: Fv,Ed=3.40 Fv,Rd=9650.97
Rifollamento lato piastra: Fb,Ed,p=3.40 Fb,Rd,p=11708.50
Tirafondi:LT=0.45 (0.31) σ_{cR}=0.00 σ_{fR}=0.00
Compressione nel calcestruzzo: σ_c=23.25
CC 6 SLD (Collegamento -182_-384)
Azioni sul collegamento: N=-11057.70 Ty=-8.58 Tz=17.38 Mx=0.00 Mz=-5.79
Sollecitazioni agenti localmente: Tx_l=-8.58 Ty_l=17.38 N_l=-11057.70 Mx_l=-0.00 My_l=-5.79 Mz_l=0.00
Taglio nei bulloni: Fv,Ed=3.23 Fv,Rd=9650.97
Rifollamento lato piastra: Fb,Ed,p=3.23 Fb,Rd,p=10216.30
Tirafondi:LT=0.45 (0.31) σ_{cR}=0.00 σ_{fR}=0.00
Compressione nel calcestruzzo: σ_c=23.17
CC 6 SLD (Collegamento -182_-384)
Azioni sul collegamento: N=-11057.70 Ty=-10.62 Tz=8.67 Mx=0.00 Mz=-7.07
Sollecitazioni agenti localmente: Tx_l=-10.62 Ty_l=8.67 N_l=-11057.70 Mx_l=-0.00 My_l=-7.07 Mz_l=0.00
Taglio nei bulloni: Fv,Ed=2.29 Fv,Rd=9650.97
Rifollamento lato piastra: Fb,Ed,p=2.29 Fb,Rd,p=13717.70
Tirafondi:LT=0.45 (0.31) σ_{cR}=0.00 σ_{fR}=0.00
Compressione nel calcestruzzo: σ_c=23.25
CC 6 SLD (Collegamento -182_-384)
Azioni sul collegamento: N=-11057.70 Ty=-8.58 Tz=8.67 Mx=0.00 Mz=-5.79
Sollecitazioni agenti localmente: Tx_l=-8.58 Ty_l=8.67 N_l=-11057.70 Mx_l=-0.00 My_l=-5.79 Mz_l=0.00
Taglio nei bulloni: Fv,Ed=2.04 Fv,Rd=9650.97
Rifollamento lato piastra: Fb,Ed,p=2.03 Fb,Rd,p=14943.90
Tirafondi:LT=0.45 (0.31) σ_{cR}=0.00 σ_{fR}=0.00
Compressione nel calcestruzzo: σ_c=23.17
CC 6 SLD (Collegamento -182_-384)
Azioni sul collegamento: N=-8674.72 Ty=-10.62 Tz=17.38 Mx=0.00 Mz=-7.07
Sollecitazioni agenti localmente: Tx_l=-10.62 Ty_l=17.38 N_l=-8674.72 Mx_l=-0.00 My_l=-7.07 Mz_l=0.00
Taglio nei bulloni: Fv,Ed=3.40 Fv,Rd=9650.97
Rifollamento lato piastra: Fb,Ed,p=3.40 Fb,Rd,p=11708.40
Tirafondi:LT=0.45 (0.31) σ_{cR}=0.00 σ_{fR}=0.00
Compressione nel calcestruzzo: σ_c=18.32
CC 6 SLD (Collegamento -182_-384)
Azioni sul collegamento: N=-8674.72 Ty=-8.58 Tz=17.38 Mx=0.00 Mz=-5.79
Sollecitazioni agenti localmente: Tx_l=-8.58 Ty_l=17.38 N_l=-8674.72 Mx_l=-0.00 My_l=-5.79 Mz_l=0.00
Taglio nei bulloni: Fv,Ed=3.23 Fv,Rd=9650.97
Rifollamento lato piastra: Fb,Ed,p=3.23 Fb,Rd,p=10216.20
Tirafondi:LT=0.45 (0.31) σ_{cR}=0.00 σ_{fR}=0.00
Compressione nel calcestruzzo: σ_c=18.25
CC 6 SLD (Collegamento -182_-384)
Azioni sul collegamento: N=-8674.72 Ty=-10.62 Tz=8.67 Mx=0.00 Mz=-7.07
Sollecitazioni agenti localmente: Tx_l=-10.62 Ty_l=8.67 N_l=-8674.72 Mx_l=-0.00 My_l=-7.07 Mz_l=0.00
Taglio nei bulloni: Fv,Ed=2.29 Fv,Rd=9650.97
Rifollamento lato piastra: Fb,Ed,p=2.29 Fb,Rd,p=13717.90
Tirafondi:LT=0.45 (0.31) σ_{cR}=0.00 σ_{fR}=0.00
Compressione nel calcestruzzo: σ_c=18.32
CC 6 SLD (Collegamento -182_-384)
Azioni sul collegamento: N=-8674.72 Ty=-8.58 Tz=8.67 Mx=0.00 Mz=-5.79
Sollecitazioni agenti localmente: Tx_l=-8.58 Ty_l=8.67 N_l=-8674.72 Mx_l=-0.00 My_l=-5.79 Mz_l=0.00
Taglio nei bulloni: Fv,Ed=2.04 Fv,Rd=9650.97
Rifollamento lato piastra: Fb,Ed,p=2.03 Fb,Rd,p=14943.70
Tirafondi:LT=0.45 (0.31) σ_{cR}=0.00 σ_{fR}=0.00
Compressione nel calcestruzzo: σ_c=18.25
CC 7 SLV (Collegamento -182_-384)
Azioni sul collegamento: N=-13681.20 Ty=-12.53 Tz=27.25 Mx=0.01 Mz=-7.45
Sollecitazioni agenti localmente: Tx_l=-12.53 Ty_l=27.25 N_l=-13681.20 Mx_l=-0.00 My_l=-7.45 Mz_l=0.01
Taglio nei bulloni: Fv,Ed=5.01 Fv,Rd=7720.78
Rifollamento lato piastra: Fb,Ed,p=5.00 Fb,Rd,p=7864.22
Tirafondi:LT=0.45 (0.31) σ_{cR}=0.00 σ_{fR}=0.00
Compressione nel calcestruzzo: σ_c=28.69
CC 7 SLV (Collegamento -182_-384)
Azioni sul collegamento: N=-13681.20 Ty=-4.82 Tz=27.25 Mx=0.01 Mz=-1.13
Sollecitazioni agenti localmente: Tx_l=-4.82 Ty_l=27.25 N_l=-13681.20 Mx_l=-0.00 My_l=-1.13 Mz_l=0.01
Taglio nei bulloni: Fv,Ed=4.62 Fv,Rd=7720.78
Rifollamento lato piastra: Fb,Ed,p=4.62 Fb,Rd,p=6251.30
Tirafondi:LT=0.45 (0.31) σ_{cR}=0.00 σ_{fR}=0.00
Compressione nel calcestruzzo: σ_c=28.33
CC 7 SLV (Collegamento -182_-384)
Azioni sul collegamento: N=-13681.20 Ty=-12.53 Tz=-1.96 Mx=0.01 Mz=-7.45
Sollecitazioni agenti localmente: Tx_l=-12.53 Ty_l=-1.96 N_l=-13681.20 Mx_l=-0.00 My_l=-7.45 Mz_l=0.01
Taglio nei bulloni: Fv,Ed=2.12 Fv,Rd=7720.78
Rifollamento lato piastra: Fb,Ed,p=2.12 Fb,Rd,p=6184.86

Tirafondi:LT=0.45 (0.31) σ_{cR}=0.00 σ_{fR}=0.00
Compressione nel calcestruzzo: σ_c=28.69
CC 7 SLV (Collegamento -182_-384)
Azioni sul collegamento: N=-13681.20 Ty=-4.82 Tz=-1.96 Mx=0.01 Mz=-1.13
Sollecitazioni agenti localmente: Tx_l=-4.82 Ty_l=-1.96 N_l=-13681.20 Mx_l=-0.00 My_l=-1.13 Mz_l=0.01
Taglio nei bulloni: Fv,Ed=0.88 Fv,Rd=7720.78
Rifollamento lato piastra: Fb,Ed,p=0.87 Fb,Rd,p=7367.16
Tirafondi:LT=0.45 (0.31) σ_{cR}=0.00 σ_{fR}=0.00
Compressione nel calcestruzzo: σ_c=28.33
CC 7 SLV (Collegamento -182_-384)
Azioni sul collegamento: N=-5856.57 Ty=-12.53 Tz=27.25 Mx=0.01 Mz=-7.45
Sollecitazioni agenti localmente: Tx_l=-12.53 Ty_l=27.25 N_l=-5856.57 Mx_l=-0.00 My_l=-7.45 Mz_l=0.01
Taglio nei bulloni: Fv,Ed=5.01 Fv,Rd=7720.78
Rifollamento lato piastra: Fb,Ed,p=5.00 Fb,Rd,p=7864.25
Tirafondi:LT=0.45 (0.31) σ_{cR}=0.00 σ_{fR}=0.00
Compressione nel calcestruzzo: σ_c=12.52
CC 7 SLV (Collegamento -182_-384)
Azioni sul collegamento: N=-5856.57 Ty=-4.82 Tz=27.25 Mx=0.01 Mz=-1.13
Sollecitazioni agenti localmente: Tx_l=-4.82 Ty_l=27.25 N_l=-5856.57 Mx_l=-0.00 My_l=-1.13 Mz_l=0.01
Taglio nei bulloni: Fv,Ed=4.62 Fv,Rd=7720.78
Rifollamento lato piastra: Fb,Ed,p=4.62 Fb,Rd,p=6251.30
Tirafondi:LT=0.45 (0.31) σ_{cR}=0.00 σ_{fR}=0.00
Compressione nel calcestruzzo: σ_c=12.16
CC 7 SLV (Collegamento -182_-384)
Azioni sul collegamento: N=-5856.57 Ty=-12.53 Tz=-1.96 Mx=0.01 Mz=-7.45
Sollecitazioni agenti localmente: Tx_l=-12.53 Ty_l=-1.96 N_l=-5856.57 Mx_l=-0.00 My_l=-7.45 Mz_l=0.01
Taglio nei bulloni: Fv,Ed=2.12 Fv,Rd=7720.78
Rifollamento lato piastra: Fb,Ed,p=2.12 Fb,Rd,p=6184.88
Tirafondi:LT=0.45 (0.31) σ_{cR}=0.00 σ_{fR}=0.00
Compressione nel calcestruzzo: σ_c=12.52
CC 7 SLV (Collegamento -182_-384)
Azioni sul collegamento: N=-5856.57 Ty=-4.82 Tz=-1.96 Mx=0.01 Mz=-1.13
Sollecitazioni agenti localmente: Tx_l=-4.82 Ty_l=-1.96 N_l=-5856.57 Mx_l=-0.00 My_l=-1.13 Mz_l=0.01
Taglio nei bulloni: Fv,Ed=0.88 Fv,Rd=7720.78
Rifollamento lato piastra: Fb,Ed,p=0.87 Fb,Rd,p=7367.28
Tirafondi:LT=0.45 (0.31) σ_{cR}=0.00 σ_{fR}=0.00
Compressione nel calcestruzzo: σ_c=12.16
CC 8 SLD (Collegamento -182_-384)
Azioni sul collegamento: N=-11059.20 Ty=-10.78 Tz=17.48 Mx=-0.00 Mz=-7.39
Sollecitazioni agenti localmente: Tx_l=-10.78 Ty_l=17.48 N_l=-11059.20 Mx_l=-0.00 My_l=-7.39 Mz_l=-0.00
Taglio nei bulloni: Fv,Ed=3.42 Fv,Rd=9650.97
Rifollamento lato piastra: Fb,Ed,p=3.42 Fb,Rd,p=11797.90
Tirafondi:LT=0.45 (0.31) σ_{cR}=0.00 σ_{fR}=0.00
Compressione nel calcestruzzo: σ_c=23.27
CC 8 SLD (Collegamento -182_-384)
Azioni sul collegamento: N=-11059.20 Ty=-8.42 Tz=17.48 Mx=-0.00 Mz=-5.47
Sollecitazioni agenti localmente: Tx_l=-8.42 Ty_l=17.48 N_l=-11059.20 Mx_l=-0.00 My_l=-5.47 Mz_l=-0.00
Taglio nei bulloni: Fv,Ed=3.23 Fv,Rd=9650.97
Rifollamento lato piastra: Fb,Ed,p=3.23 Fb,Rd,p=10093.30
Tirafondi:LT=0.45 (0.31) σ_{cR}=0.00 σ_{fR}=0.00
Compressione nel calcestruzzo: σ_c=23.16
CC 8 SLD (Collegamento -182_-384)
Azioni sul collegamento: N=-11059.20 Ty=-10.78 Tz=8.57 Mx=-0.00 Mz=-7.39
Sollecitazioni agenti localmente: Tx_l=-10.78 Ty_l=8.57 N_l=-11059.20 Mx_l=-0.00 My_l=-7.39 Mz_l=-0.00
Taglio nei bulloni: Fv,Ed=2.30 Fv,Rd=9650.97
Rifollamento lato piastra: Fb,Ed,p=2.30 Fb,Rd,p=13574.40
Tirafondi:LT=0.45 (0.31) σ_{cR}=0.00 σ_{fR}=0.00
Compressione nel calcestruzzo: σ_c=23.27
CC 8 SLD (Collegamento -182_-384)
Azioni sul collegamento: N=-11059.20 Ty=-8.42 Tz=8.57 Mx=-0.00 Mz=-5.47
Sollecitazioni agenti localmente: Tx_l=-8.42 Ty_l=8.57 N_l=-11059.20 Mx_l=-0.00 My_l=-5.47 Mz_l=-0.00
Taglio nei bulloni: Fv,Ed=2.00 Fv,Rd=9650.97
Rifollamento lato piastra: Fb,Ed,p=2.00 Fb,Rd,p=14893.50
Tirafondi:LT=0.45 (0.31) σ_{cR}=0.00 σ_{fR}=0.00
Compressione nel calcestruzzo: σ_c=23.16
CC 8 SLD (Collegamento -182_-384)
Azioni sul collegamento: N=-8673.24 Ty=-10.78 Tz=17.48 Mx=-0.00 Mz=-7.39
Sollecitazioni agenti localmente: Tx_l=-10.78 Ty_l=17.48 N_l=-8673.24 Mx_l=-0.00 My_l=-7.39 Mz_l=-0.00
Taglio nei bulloni: Fv,Ed=3.42 Fv,Rd=9650.97
Rifollamento lato piastra: Fb,Ed,p=3.42 Fb,Rd,p=11797.90
Tirafondi:LT=0.45 (0.31) σ_{cR}=0.00 σ_{fR}=0.00
Compressione nel calcestruzzo: σ_c=18.34
CC 8 SLD (Collegamento -182_-384)
Azioni sul collegamento: N=-8673.24 Ty=-8.42 Tz=17.48 Mx=-0.00 Mz=-5.47
Sollecitazioni agenti localmente: Tx_l=-8.42 Ty_l=17.48 N_l=-8673.24 Mx_l=-0.00 My_l=-5.47 Mz_l=-0.00
Taglio nei bulloni: Fv,Ed=3.23 Fv,Rd=9650.97
Rifollamento lato piastra: Fb,Ed,p=3.23 Fb,Rd,p=10093.30
Tirafondi:LT=0.45 (0.31) σ_{cR}=0.00 σ_{fR}=0.00

Compressione nel calcestruzzo: σ_c=18.23
CC 8 SLD (Collegamento -182_-384)
Azioni sul collegamento: N=-8673.24 Ty=-10.78 Tz=8.57 Mx=-0.00 Mz=-7.39
Sollecitazioni agenti localmente: Tx_l=-10.78 Ty_l=8.57 N_l=-8673.24 Mx_l=-0.00 My_l=-7.39 Mz_l=-0.00
Taglio nei bulloni: Fv,Ed=2.30 Fv,Rd=9650.97
Rifollamento lato piastra: Fb,Ed,p=2.30 Fb,Rd,p=13574.60
Tirafondi:LT=0.45 (0.31) σ_{cR}=0.00 σ_{fR}=0.00
Compressione nel calcestruzzo: σ_c=18.34
CC 8 SLD (Collegamento -182_-384)
Azioni sul collegamento: N=-8673.24 Ty=-8.42 Tz=8.57 Mx=-0.00 Mz=-5.47
Sollecitazioni agenti localmente: Tx_l=-8.42 Ty_l=8.57 N_l=-8673.24 Mx_l=-0.00 My_l=-5.47 Mz_l=-0.00
Taglio nei bulloni: Fv,Ed=2.00 Fv,Rd=9650.97
Rifollamento lato piastra: Fb,Ed,p=2.00 Fb,Rd,p=14893.20
Tirafondi:LT=0.45 (0.31) σ_{cR}=0.00 σ_{fR}=0.00
Compressione nel calcestruzzo: σ_c=18.23
CC 9 SLV (Collegamento -182_-384)
Azioni sul collegamento: N=-8587.84 Ty=-6.74 Tz=7.77 Mx=0.02 Mz=-1.76
Sollecitazioni agenti localmente: Tx_l=-6.74 Ty_l=7.77 N_l=-8587.84 Mx_l=-0.00 My_l=-1.76 Mz_l=0.02
Taglio nei bulloni: Fv,Ed=1.74 Fv,Rd=7720.78
Rifollamento lato piastra: Fb,Ed,p=1.72 Fb,Rd,p=11102.00
Tirafondi:LT=0.45 (0.31) σ_{cR}=0.00 σ_{fR}=0.00
Compressione nel calcestruzzo: σ_c=17.84
CC 9 SLV (Collegamento -182_-384)
Azioni sul collegamento: N=-8587.84 Ty=-10.61 Tz=7.77 Mx=0.02 Mz=-6.83
Sollecitazioni agenti localmente: Tx_l=-10.61 Ty_l=7.77 N_l=-8587.84 Mx_l=-0.00 My_l=-6.83 Mz_l=0.02
Taglio nei bulloni: Fv,Ed=2.22 Fv,Rd=7720.78
Rifollamento lato piastra: Fb,Ed,p=2.22 Fb,Rd,p=10546.80
Tirafondi:LT=0.45 (0.31) σ_{cR}=0.00 σ_{fR}=0.00
Compressione nel calcestruzzo: σ_c=18.13
CC 9 SLV (Collegamento -182_-384)
Azioni sul collegamento: N=-8587.84 Ty=-6.74 Tz=17.52 Mx=0.02 Mz=-1.76
Sollecitazioni agenti localmente: Tx_l=-6.74 Ty_l=17.52 N_l=-8587.84 Mx_l=-0.00 My_l=-1.76 Mz_l=0.02
Taglio nei bulloni: Fv,Ed=3.15 Fv,Rd=7720.78
Rifollamento lato piastra: Fb,Ed,p=3.14 Fb,Rd,p=7244.15
Tirafondi:LT=0.45 (0.31) σ_{cR}=0.00 σ_{fR}=0.00
Compressione nel calcestruzzo: σ_c=17.84
CC 9 SLV (Collegamento -182_-384)
Azioni sul collegamento: N=-8587.84 Ty=-10.61 Tz=17.52 Mx=0.02 Mz=-6.83
Sollecitazioni agenti localmente: Tx_l=-10.61 Ty_l=17.52 N_l=-8587.84 Mx_l=-0.00 My_l=-6.83 Mz_l=0.02
Taglio nei bulloni: Fv,Ed=3.44 Fv,Rd=7720.78
Rifollamento lato piastra: Fb,Ed,p=3.42 Fb,Rd,p=9197.77
Tirafondi:LT=0.45 (0.31) σ_{cR}=0.00 σ_{fR}=0.00
Compressione nel calcestruzzo: σ_c=18.13
CC 9 SLV (Collegamento -182_-384)
Azioni sul collegamento: N=-10950.00 Ty=-6.74 Tz=7.77 Mx=0.02 Mz=-1.76
Sollecitazioni agenti localmente: Tx_l=-6.74 Ty_l=7.77 N_l=-10950.00 Mx_l=-0.00 My_l=-1.76 Mz_l=0.02
Taglio nei bulloni: Fv,Ed=1.74 Fv,Rd=7720.78
Rifollamento lato piastra: Fb,Ed,p=1.72 Fb,Rd,p=11102.10
Tirafondi:LT=0.45 (0.31) σ_{cR}=0.00 σ_{fR}=0.00
Compressione nel calcestruzzo: σ_c=22.72
CC 9 SLV (Collegamento -182_-384)
Azioni sul collegamento: N=-10950.00 Ty=-10.61 Tz=7.77 Mx=0.02 Mz=-6.83
Sollecitazioni agenti localmente: Tx_l=-10.61 Ty_l=7.77 N_l=-10950.00 Mx_l=-0.00 My_l=-6.83 Mz_l=0.02
Taglio nei bulloni: Fv,Ed=2.22 Fv,Rd=7720.78
Rifollamento lato piastra: Fb,Ed,p=2.22 Fb,Rd,p=10546.70
Tirafondi:LT=0.45 (0.31) σ_{cR}=0.00 σ_{fR}=0.00
Compressione nel calcestruzzo: σ_c=23.01
CC 9 SLV (Collegamento -182_-384)
Azioni sul collegamento: N=-10950.00 Ty=-6.74 Tz=17.52 Mx=0.02 Mz=-1.76
Sollecitazioni agenti localmente: Tx_l=-6.74 Ty_l=17.52 N_l=-10950.00 Mx_l=-0.00 My_l=-1.76 Mz_l=0.02
Taglio nei bulloni: Fv,Ed=3.15 Fv,Rd=7720.78
Rifollamento lato piastra: Fb,Ed,p=3.14 Fb,Rd,p=7244.21
Tirafondi:LT=0.45 (0.31) σ_{cR}=0.00 σ_{fR}=0.00
Compressione nel calcestruzzo: σ_c=22.72
CC 9 SLV (Collegamento -182_-384)
Azioni sul collegamento: N=-10950.00 Ty=-10.61 Tz=17.52 Mx=0.02 Mz=-6.83
Sollecitazioni agenti localmente: Tx_l=-10.61 Ty_l=17.52 N_l=-10950.00 Mx_l=-0.00 My_l=-6.83 Mz_l=0.02
Taglio nei bulloni: Fv,Ed=3.44 Fv,Rd=7720.78
Rifollamento lato piastra: Fb,Ed,p=3.42 Fb,Rd,p=9197.95
Tirafondi:LT=0.45 (0.31) σ_{cR}=0.00 σ_{fR}=0.00
Compressione nel calcestruzzo: σ_c=23.01
CC 10 SLD (Collegamento -182_-384)
Azioni sul collegamento: N=-9506.09 Ty=-9.01 Tz=11.54 Mx=0.00 Mz=-5.66
Sollecitazioni agenti localmente: Tx_l=-9.01 Ty_l=11.54 N_l=-9506.09 Mx_l=-0.00 My_l=-5.66 Mz_l=0.00
Taglio nei bulloni: Fv,Ed=2.44 Fv,Rd=9650.97
Rifollamento lato piastra: Fb,Ed,p=2.44 Fb,Rd,p=13458.10
Tirafondi:LT=0.45 (0.31) σ_{cR}=0.00 σ_{fR}=0.00
Compressione nel calcestruzzo: σ_c=19.96

CC 10 SLD (Collegamento -182_-384)
Azioni sul collegamento: N=-9506.09 Ty=-10.19 Tz=11.54 Mx=0.00 Mz=-7.20
Sollecitazioni agenti localmente: Tx_l=-10.19 Ty_l=11.54 N_l=-9506.09 Mx_l=-0.00 My_l=-7.20 Mz_l=0.00
Taglio nei bulloni: Fv,Ed=2.57 Fv,Rd=9650.97
Rifollamento lato piastra: Fb,Ed,p=2.57 Fb,Rd,p=14149.90
Tirafondi:LT=0.45 (0.31) σ_{cR}=0.00 σ_{fR}=0.00
Compressione nel calcestruzzo: σ_c=20.05
CC 10 SLD (Collegamento -182_-384)
Azioni sul collegamento: N=-9506.09 Ty=-9.01 Tz=14.51 Mx=0.00 Mz=-5.66
Sollecitazioni agenti localmente: Tx_l=-9.01 Ty_l=14.51 N_l=-9506.09 Mx_l=-0.00 My_l=-5.66 Mz_l=0.00
Taglio nei bulloni: Fv,Ed=2.85 Fv,Rd=9650.97
Rifollamento lato piastra: Fb,Ed,p=2.85 Fb,Rd,p=11827.30
Tirafondi:LT=0.45 (0.31) σ_{cR}=0.00 σ_{fR}=0.00
Compressione nel calcestruzzo: σ_c=19.96
CC 10 SLD (Collegamento -182_-384)
Azioni sul collegamento: N=-9506.09 Ty=-10.19 Tz=14.51 Mx=0.00 Mz=-7.20
Sollecitazioni agenti localmente: Tx_l=-10.19 Ty_l=14.51 N_l=-9506.09 Mx_l=-0.00 My_l=-7.20 Mz_l=0.00
Taglio nei bulloni: Fv,Ed=2.96 Fv,Rd=9650.97
Rifollamento lato piastra: Fb,Ed,p=2.96 Fb,Rd,p=12966.30
Tirafondi:LT=0.45 (0.31) σ_{cR}=0.00 σ_{fR}=0.00
Compressione nel calcestruzzo: σ_c=20.05
CC 10 SLD (Collegamento -182_-384)
Azioni sul collegamento: N=-10226.40 Ty=-9.01 Tz=11.54 Mx=0.00 Mz=-5.66
Sollecitazioni agenti localmente: Tx_l=-9.01 Ty_l=11.54 N_l=-10226.40 Mx_l=-0.00 My_l=-5.66 Mz_l=0.00
Taglio nei bulloni: Fv,Ed=2.44 Fv,Rd=9650.97
Rifollamento lato piastra: Fb,Ed,p=2.44 Fb,Rd,p=13458.00
Tirafondi:LT=0.45 (0.31) σ_{cR}=0.00 σ_{fR}=0.00
Compressione nel calcestruzzo: σ_c=21.45
CC 10 SLD (Collegamento -182_-384)
Azioni sul collegamento: N=-10226.40 Ty=-10.19 Tz=11.54 Mx=0.00 Mz=-7.20
Sollecitazioni agenti localmente: Tx_l=-10.19 Ty_l=11.54 N_l=-10226.40 Mx_l=-0.00 My_l=-7.20 Mz_l=0.00
Taglio nei bulloni: Fv,Ed=2.57 Fv,Rd=9650.97
Rifollamento lato piastra: Fb,Ed,p=2.57 Fb,Rd,p=14149.80
Tirafondi:LT=0.45 (0.31) σ_{cR}=0.00 σ_{fR}=0.00
Compressione nel calcestruzzo: σ_c=21.53
CC 10 SLD (Collegamento -182_-384)
Azioni sul collegamento: N=-10226.40 Ty=-9.01 Tz=14.51 Mx=0.00 Mz=-5.66
Sollecitazioni agenti localmente: Tx_l=-9.01 Ty_l=14.51 N_l=-10226.40 Mx_l=-0.00 My_l=-5.66 Mz_l=0.00
Taglio nei bulloni: Fv,Ed=2.85 Fv,Rd=9650.97
Rifollamento lato piastra: Fb,Ed,p=2.85 Fb,Rd,p=11827.40
Tirafondi:LT=0.45 (0.31) σ_{cR}=0.00 σ_{fR}=0.00
Compressione nel calcestruzzo: σ_c=21.45
CC 10 SLD (Collegamento -182_-384)
Azioni sul collegamento: N=-10226.40 Ty=-10.19 Tz=14.51 Mx=0.00 Mz=-7.20
Sollecitazioni agenti localmente: Tx_l=-10.19 Ty_l=14.51 N_l=-10226.40 Mx_l=-0.00 My_l=-7.20 Mz_l=0.00
Taglio nei bulloni: Fv,Ed=2.96 Fv,Rd=9650.97
Rifollamento lato piastra: Fb,Ed,p=2.96 Fb,Rd,p=12966.30
Tirafondi:LT=0.45 (0.31) σ_{cR}=0.00 σ_{fR}=0.00
Compressione nel calcestruzzo: σ_c=21.53
CC 11 SLV (Collegamento -182_-384)
Azioni sul collegamento: N=-10933.80 Ty=-8.90 Tz=16.43 Mx=0.02 Mz=-3.34
Sollecitazioni agenti localmente: Tx_l=-8.90 Ty_l=16.43 N_l=-10933.80 Mx_l=-0.00 My_l=-3.34 Mz_l=0.02
Taglio nei bulloni: Fv,Ed=3.14 Fv,Rd=7720.78
Rifollamento lato piastra: Fb,Ed,p=3.12 Fb,Rd,p=8529.70
Tirafondi:LT=0.45 (0.31) σ_{cR}=0.00 σ_{fR}=0.00
Compressione nel calcestruzzo: σ_c=22.78
CC 11 SLV (Collegamento -182_-384)
Azioni sul collegamento: N=-10933.80 Ty=-8.45 Tz=16.43 Mx=0.02 Mz=-5.25
Sollecitazioni agenti localmente: Tx_l=-8.45 Ty_l=16.43 N_l=-10933.80 Mx_l=-0.00 My_l=-5.25 Mz_l=0.02
Taglio nei bulloni: Fv,Ed=3.11 Fv,Rd=7720.78
Rifollamento lato piastra: Fb,Ed,p=3.09 Fb,Rd,p=8272.11
Tirafondi:LT=0.45 (0.31) σ_{cR}=0.00 σ_{fR}=0.00
Compressione nel calcestruzzo: σ_c=22.89
CC 11 SLV (Collegamento -182_-384)
Azioni sul collegamento: N=-10933.80 Ty=-8.90 Tz=8.86 Mx=0.02 Mz=-3.34
Sollecitazioni agenti localmente: Tx_l=-8.90 Ty_l=8.86 N_l=-10933.80 Mx_l=-0.00 My_l=-3.34 Mz_l=0.02
Taglio nei bulloni: Fv,Ed=2.12 Fv,Rd=7720.78
Rifollamento lato piastra: Fb,Ed,p=2.12 Fb,Rd,p=11990.80
Tirafondi:LT=0.45 (0.31) σ_{cR}=0.00 σ_{fR}=0.00
Compressione nel calcestruzzo: σ_c=22.78
CC 11 SLV (Collegamento -182_-384)
Azioni sul collegamento: N=-10933.80 Ty=-8.45 Tz=8.86 Mx=0.02 Mz=-5.25
Sollecitazioni agenti localmente: Tx_l=-8.45 Ty_l=8.86 N_l=-10933.80 Mx_l=-0.00 My_l=-5.25 Mz_l=0.02
Taglio nei bulloni: Fv,Ed=2.07 Fv,Rd=7720.78
Rifollamento lato piastra: Fb,Ed,p=2.04 Fb,Rd,p=11601.10
Tirafondi:LT=0.45 (0.31) σ_{cR}=0.00 σ_{fR}=0.00
Compressione nel calcestruzzo: σ_c=22.89
CC 11 SLV (Collegamento -182_-384)

Azioni sul collegamento: N=-8604.01 Ty=-8.90 Tz=16.43 Mx=0.02 Mz=-3.34
Sollecitazioni agenti localmente: Tx_l=-8.90 Ty_l=16.43 N_l=-8604.01 Mx_l=-0.00 My_l=-3.34 Mz_l=0.02
Taglio nei bulloni: Fv,Ed=3.14 Fv,Rd=7720.78
Rifollamento lato piastra: Fb,Ed,p=3.12 Fb,Rd,p=8529.61
Tirafondi:LT=0.45 (0.31) σ_{cR}=0.00 σ_{fR}=0.00
Compressione nel calcestruzzo: σ_c=17.96
CC 11 SLV (Collegamento -182_-384)
Azioni sul collegamento: N=-8604.01 Ty=-8.45 Tz=16.43 Mx=0.02 Mz=-5.25
Sollecitazioni agenti localmente: Tx_l=-8.45 Ty_l=16.43 N_l=-8604.01 Mx_l=-0.00 My_l=-5.25 Mz_l=0.02
Taglio nei bulloni: Fv,Ed=3.11 Fv,Rd=7720.78
Rifollamento lato piastra: Fb,Ed,p=3.09 Fb,Rd,p=8272.04
Tirafondi:LT=0.45 (0.31) σ_{cR}=0.00 σ_{fR}=0.00
Compressione nel calcestruzzo: σ_c=18.07
CC 11 SLV (Collegamento -182_-384)
Azioni sul collegamento: N=-8604.01 Ty=-8.90 Tz=8.86 Mx=0.02 Mz=-3.34
Sollecitazioni agenti localmente: Tx_l=-8.90 Ty_l=8.86 N_l=-8604.01 Mx_l=-0.00 My_l=-3.34 Mz_l=0.02
Taglio nei bulloni: Fv,Ed=2.12 Fv,Rd=7720.78
Rifollamento lato piastra: Fb,Ed,p=2.12 Fb,Rd,p=11990.80
Tirafondi:LT=0.45 (0.31) σ_{cR}=0.00 σ_{fR}=0.00
Compressione nel calcestruzzo: σ_c=17.96
CC 11 SLV (Collegamento -182_-384)
Azioni sul collegamento: N=-8604.01 Ty=-8.45 Tz=8.86 Mx=0.02 Mz=-5.25
Sollecitazioni agenti localmente: Tx_l=-8.45 Ty_l=8.86 N_l=-8604.01 Mx_l=-0.00 My_l=-5.25 Mz_l=0.02
Taglio nei bulloni: Fv,Ed=2.07 Fv,Rd=7720.78
Rifollamento lato piastra: Fb,Ed,p=2.04 Fb,Rd,p=11601.10
Tirafondi:LT=0.45 (0.31) σ_{cR}=0.00 σ_{fR}=0.00
Compressione nel calcestruzzo: σ_c=18.07
CC 12 SLD (Collegamento -182_-384)
Azioni sul collegamento: N=-10221.40 Ty=-9.67 Tz=14.18 Mx=0.00 Mz=-6.14
Sollecitazioni agenti localmente: Tx_l=-9.67 Ty_l=14.18 N_l=-10221.40 Mx_l=-0.00 My_l=-6.14 Mz_l=0.00
Taglio nei bulloni: Fv,Ed=2.87 Fv,Rd=9650.97
Rifollamento lato piastra: Fb,Ed,p=2.86 Fb,Rd,p=12748.70
Tirafondi:LT=0.45 (0.31) σ_{cR}=0.00 σ_{fR}=0.00
Compressione nel calcestruzzo: σ_c=21.46
CC 12 SLD (Collegamento -182_-384)
Azioni sul collegamento: N=-10221.40 Ty=-9.53 Tz=14.18 Mx=0.00 Mz=-6.72
Sollecitazioni agenti localmente: Tx_l=-9.53 Ty_l=14.18 N_l=-10221.40 Mx_l=-0.00 My_l=-6.72 Mz_l=0.00
Taglio nei bulloni: Fv,Ed=2.85 Fv,Rd=9650.97
Rifollamento lato piastra: Fb,Ed,p=2.85 Fb,Rd,p=12596.80
Tirafondi:LT=0.45 (0.31) σ_{cR}=0.00 σ_{fR}=0.00
Compressione nel calcestruzzo: σ_c=21.50
CC 12 SLD (Collegamento -182_-384)
Azioni sul collegamento: N=-10221.40 Ty=-9.67 Tz=11.87 Mx=0.00 Mz=-6.14
Sollecitazioni agenti localmente: Tx_l=-9.67 Ty_l=11.87 N_l=-10221.40 Mx_l=-0.00 My_l=-6.14 Mz_l=0.00
Taglio nei bulloni: Fv,Ed=2.56 Fv,Rd=9650.97
Rifollamento lato piastra: Fb,Ed,p=2.55 Fb,Rd,p=13680.50
Tirafondi:LT=0.45 (0.31) σ_{cR}=0.00 σ_{fR}=0.00
Compressione nel calcestruzzo: σ_c=21.46
CC 12 SLD (Collegamento -182_-384)
Azioni sul collegamento: N=-10221.40 Ty=-9.53 Tz=11.87 Mx=0.00 Mz=-6.72
Sollecitazioni agenti localmente: Tx_l=-9.53 Ty_l=11.87 N_l=-10221.40 Mx_l=-0.00 My_l=-6.72 Mz_l=0.00
Taglio nei bulloni: Fv,Ed=2.54 Fv,Rd=9650.97
Rifollamento lato piastra: Fb,Ed,p=2.54 Fb,Rd,p=13604.00
Tirafondi:LT=0.45 (0.31) σ_{cR}=0.00 σ_{fR}=0.00
Compressione nel calcestruzzo: σ_c=21.50
CC 12 SLD (Collegamento -182_-384)
Azioni sul collegamento: N=-9511.02 Ty=-9.67 Tz=14.18 Mx=0.00 Mz=-6.14
Sollecitazioni agenti localmente: Tx_l=-9.67 Ty_l=14.18 N_l=-9511.02 Mx_l=-0.00 My_l=-6.14 Mz_l=0.00
Taglio nei bulloni: Fv,Ed=2.87 Fv,Rd=9650.97
Rifollamento lato piastra: Fb,Ed,p=2.86 Fb,Rd,p=12748.90
Tirafondi:LT=0.45 (0.31) σ_{cR}=0.00 σ_{fR}=0.00
Compressione nel calcestruzzo: σ_c=20.00
CC 12 SLD (Collegamento -182_-384)
Azioni sul collegamento: N=-9511.02 Ty=-9.53 Tz=14.18 Mx=0.00 Mz=-6.72
Sollecitazioni agenti localmente: Tx_l=-9.53 Ty_l=14.18 N_l=-9511.02 Mx_l=-0.00 My_l=-6.72 Mz_l=0.00
Taglio nei bulloni: Fv,Ed=2.85 Fv,Rd=9650.97
Rifollamento lato piastra: Fb,Ed,p=2.85 Fb,Rd,p=12597.00
Tirafondi:LT=0.45 (0.31) σ_{cR}=0.00 σ_{fR}=0.00
Compressione nel calcestruzzo: σ_c=20.03
CC 12 SLD (Collegamento -182_-384)
Azioni sul collegamento: N=-9511.02 Ty=-9.67 Tz=11.87 Mx=0.00 Mz=-6.14
Sollecitazioni agenti localmente: Tx_l=-9.67 Ty_l=11.87 N_l=-9511.02 Mx_l=-0.00 My_l=-6.14 Mz_l=0.00
Taglio nei bulloni: Fv,Ed=2.56 Fv,Rd=9650.97
Rifollamento lato piastra: Fb,Ed,p=2.55 Fb,Rd,p=13680.30
Tirafondi:LT=0.45 (0.31) σ_{cR}=0.00 σ_{fR}=0.00
Compressione nel calcestruzzo: σ_c=20.00
CC 12 SLD (Collegamento -182_-384)
Azioni sul collegamento: N=-9511.02 Ty=-9.53 Tz=11.87 Mx=0.00 Mz=-6.72

Sollecitazioni agenti localmente: Tx_l=-9.53 Ty_l=11.87 N_l=-9511.02 Mx_l=-0.00 My_l=-6.72 Mz_l=0.00
Taglio nei bulloni: Fv,Ed=2.54 Fv,Rd=9650.97
Rifollamento lato piastra: Fb,Ed,p=2.54 Fb,Rd,p=13603.70
Tirafondi:LT=0.45 (0.31) σ_{cR}=0.00 σ_{fR}=0.00
Compressione nel calcestruzzo: σ_c=20.03
CC 13 SLV (Collegamento -182_-384)
Azioni sul collegamento: N=-8604.01 Ty=-8.45 Tz=8.86 Mx=0.00 Mz=-5.25
Sollecitazioni agenti localmente: Tx_l=-8.45 Ty_l=8.86 N_l=-8604.01 Mx_l=-0.00 My_l=-5.25 Mz_l=0.00
Taglio nei bulloni: Fv,Ed=2.04 Fv,Rd=7720.78
Rifollamento lato piastra: Fb,Ed,p=2.04 Fb,Rd,p=11736.80
Tirafondi:LT=0.45 (0.31) σ_{cR}=0.00 σ_{fR}=0.00
Compressione nel calcestruzzo: σ_c=18.07
CC 13 SLV (Collegamento -182_-384)
Azioni sul collegamento: N=-8604.01 Ty=-8.90 Tz=8.86 Mx=0.00 Mz=-3.34
Sollecitazioni agenti localmente: Tx_l=-8.90 Ty_l=8.86 N_l=-8604.01 Mx_l=-0.00 My_l=-3.34 Mz_l=0.00
Taglio nei bulloni: Fv,Ed=2.09 Fv,Rd=7720.78
Rifollamento lato piastra: Fb,Ed,p=2.09 Fb,Rd,p=11990.40
Tirafondi:LT=0.45 (0.31) σ_{cR}=0.00 σ_{fR}=0.00
Compressione nel calcestruzzo: σ_c=17.96
CC 13 SLV (Collegamento -182_-384)
Azioni sul collegamento: N=-8604.01 Ty=-8.45 Tz=16.43 Mx=0.00 Mz=-5.25
Sollecitazioni agenti localmente: Tx_l=-8.45 Ty_l=16.43 N_l=-8604.01 Mx_l=-0.00 My_l=-5.25 Mz_l=0.00
Taglio nei bulloni: Fv,Ed=3.08 Fv,Rd=7720.78
Rifollamento lato piastra: Fb,Ed,p=3.08 Fb,Rd,p=8363.58
Tirafondi:LT=0.45 (0.31) σ_{cR}=0.00 σ_{fR}=0.00
Compressione nel calcestruzzo: σ_c=18.07
CC 13 SLV (Collegamento -182_-384)
Azioni sul collegamento: N=-8604.01 Ty=-8.90 Tz=16.43 Mx=0.00 Mz=-3.34
Sollecitazioni agenti localmente: Tx_l=-8.90 Ty_l=16.43 N_l=-8604.01 Mx_l=-0.00 My_l=-3.34 Mz_l=0.00
Taglio nei bulloni: Fv,Ed=3.12 Fv,Rd=7720.78
Rifollamento lato piastra: Fb,Ed,p=3.12 Fb,Rd,p=8628.09
Tirafondi:LT=0.45 (0.31) σ_{cR}=0.00 σ_{fR}=0.00
Compressione nel calcestruzzo: σ_c=17.96
CC 13 SLV (Collegamento -182_-384)
Azioni sul collegamento: N=-10933.80 Ty=-8.45 Tz=8.86 Mx=0.00 Mz=-5.25
Sollecitazioni agenti localmente: Tx_l=-8.45 Ty_l=8.86 N_l=-10933.80 Mx_l=-0.00 My_l=-5.25 Mz_l=0.00
Taglio nei bulloni: Fv,Ed=2.04 Fv,Rd=7720.78
Rifollamento lato piastra: Fb,Ed,p=2.04 Fb,Rd,p=11736.80
Tirafondi:LT=0.45 (0.31) σ_{cR}=0.00 σ_{fR}=0.00
Compressione nel calcestruzzo: σ_c=22.89
CC 13 SLV (Collegamento -182_-384)
Azioni sul collegamento: N=-10933.80 Ty=-8.90 Tz=8.86 Mx=0.00 Mz=-3.34
Sollecitazioni agenti localmente: Tx_l=-8.90 Ty_l=8.86 N_l=-10933.80 Mx_l=-0.00 My_l=-3.34 Mz_l=0.00
Taglio nei bulloni: Fv,Ed=2.09 Fv,Rd=7720.78
Rifollamento lato piastra: Fb,Ed,p=2.09 Fb,Rd,p=11990.50
Tirafondi:LT=0.45 (0.31) σ_{cR}=0.00 σ_{fR}=0.00
Compressione nel calcestruzzo: σ_c=22.78
CC 13 SLV (Collegamento -182_-384)
Azioni sul collegamento: N=-10933.80 Ty=-8.45 Tz=16.43 Mx=0.00 Mz=-5.25
Sollecitazioni agenti localmente: Tx_l=-8.45 Ty_l=16.43 N_l=-10933.80 Mx_l=-0.00 My_l=-5.25 Mz_l=0.00
Taglio nei bulloni: Fv,Ed=3.08 Fv,Rd=7720.78
Rifollamento lato piastra: Fb,Ed,p=3.08 Fb,Rd,p=8363.66
Tirafondi:LT=0.45 (0.31) σ_{cR}=0.00 σ_{fR}=0.00
Compressione nel calcestruzzo: σ_c=22.89
CC 13 SLV (Collegamento -182_-384)
Azioni sul collegamento: N=-10933.80 Ty=-8.90 Tz=16.43 Mx=0.00 Mz=-3.34
Sollecitazioni agenti localmente: Tx_l=-8.90 Ty_l=16.43 N_l=-10933.80 Mx_l=-0.00 My_l=-3.34 Mz_l=0.00
Taglio nei bulloni: Fv,Ed=3.12 Fv,Rd=7720.78
Rifollamento lato piastra: Fb,Ed,p=3.12 Fb,Rd,p=8628.17
Tirafondi:LT=0.45 (0.31) σ_{cR}=0.00 σ_{fR}=0.00
Compressione nel calcestruzzo: σ_c=22.78
CC 14 SLD (Collegamento -182_-384)
Azioni sul collegamento: N=-9511.02 Ty=-9.53 Tz=11.87 Mx=-0.00 Mz=-6.72
Sollecitazioni agenti localmente: Tx_l=-9.53 Ty_l=11.87 N_l=-9511.02 Mx_l=-0.00 My_l=-6.72 Mz_l=-0.00
Taglio nei bulloni: Fv,Ed=2.54 Fv,Rd=9650.97
Rifollamento lato piastra: Fb,Ed,p=2.54 Fb,Rd,p=13625.10
Tirafondi:LT=0.45 (0.31) σ_{cR}=0.00 σ_{fR}=0.00
Compressione nel calcestruzzo: σ_c=20.03
CC 14 SLD (Collegamento -182_-384)
Azioni sul collegamento: N=-9511.02 Ty=-9.67 Tz=11.87 Mx=-0.00 Mz=-6.14
Sollecitazioni agenti localmente: Tx_l=-9.67 Ty_l=11.87 N_l=-9511.02 Mx_l=-0.00 My_l=-6.14 Mz_l=-0.00
Taglio nei bulloni: Fv,Ed=2.56 Fv,Rd=9650.97
Rifollamento lato piastra: Fb,Ed,p=2.56 Fb,Rd,p=13701.90
Tirafondi:LT=0.45 (0.31) σ_{cR}=0.00 σ_{fR}=0.00
Compressione nel calcestruzzo: σ_c=20.00
CC 14 SLD (Collegamento -182_-384)
Azioni sul collegamento: N=-9511.02 Ty=-9.53 Tz=14.18 Mx=-0.00 Mz=-6.72
Sollecitazioni agenti localmente: Tx_l=-9.53 Ty_l=14.18 N_l=-9511.02 Mx_l=-0.00 My_l=-6.72 Mz_l=-0.00

Taglio nei bulloni: Fv,Ed=2.85 Fv,Rd=9650.97
Rifollamento lato piastra: Fb,Ed,p=2.85 Fb,Rd,p=12638.30
Tirafondi:LT=0.45 (0.31) σ_{cR}=0.00 σ_{fR}=0.00
Compressione nel calcestruzzo: σ_c=20.03
CC 14 SLD (Collegamento -182_-384)
Azioni sul collegamento: N=-9511.02 Ty=-9.67 Tz=14.18 Mx=-0.00 Mz=-6.14
Sollecitazioni agenti localmente: Tx_l=-9.67 Ty_l=14.18 N_l=-9511.02 Mx_l=-0.00 My_l=-6.14 Mz_l=-0.00
Taglio nei bulloni: Fv,Ed=2.86 Fv,Rd=9650.97
Rifollamento lato piastra: Fb,Ed,p=2.86 Fb,Rd,p=12790.90
Tirafondi:LT=0.45 (0.31) σ_{cR}=0.00 σ_{fR}=0.00
Compressione nel calcestruzzo: σ_c=20.00
CC 14 SLD (Collegamento -182_-384)
Azioni sul collegamento: N=-10221.40 Ty=-9.53 Tz=11.87 Mx=-0.00 Mz=-6.72
Sollecitazioni agenti localmente: Tx_l=-9.53 Ty_l=11.87 N_l=-10221.40 Mx_l=-0.00 My_l=-6.72 Mz_l=-0.00
Taglio nei bulloni: Fv,Ed=2.54 Fv,Rd=9650.97
Rifollamento lato piastra: Fb,Ed,p=2.54 Fb,Rd,p=13625.40
Tirafondi:LT=0.45 (0.31) σ_{cR}=0.00 σ_{fR}=0.00
Compressione nel calcestruzzo: σ_c=21.50
CC 14 SLD (Collegamento -182_-384)
Azioni sul collegamento: N=-10221.40 Ty=-9.67 Tz=11.87 Mx=-0.00 Mz=-6.14
Sollecitazioni agenti localmente: Tx_l=-9.67 Ty_l=11.87 N_l=-10221.40 Mx_l=-0.00 My_l=-6.14 Mz_l=-0.00
Taglio nei bulloni: Fv,Ed=2.55 Fv,Rd=9650.97
Rifollamento lato piastra: Fb,Ed,p=2.55 Fb,Rd,p=13702.20
Tirafondi:LT=0.45 (0.31) σ_{cR}=0.00 σ_{fR}=0.00
Compressione nel calcestruzzo: σ_c=21.46
CC 14 SLD (Collegamento -182_-384)
Azioni sul collegamento: N=-10221.40 Ty=-9.53 Tz=14.18 Mx=-0.00 Mz=-6.72
Sollecitazioni agenti localmente: Tx_l=-9.53 Ty_l=14.18 N_l=-10221.40 Mx_l=-0.00 My_l=-6.72 Mz_l=-0.00
Taglio nei bulloni: Fv,Ed=2.85 Fv,Rd=9650.97
Rifollamento lato piastra: Fb,Ed,p=2.85 Fb,Rd,p=12638.20
Tirafondi:LT=0.45 (0.31) σ_{cR}=0.00 σ_{fR}=0.00
Compressione nel calcestruzzo: σ_c=21.50
CC 14 SLD (Collegamento -182_-384)
Azioni sul collegamento: N=-10221.40 Ty=-9.67 Tz=14.18 Mx=-0.00 Mz=-6.14
Sollecitazioni agenti localmente: Tx_l=-9.67 Ty_l=14.18 N_l=-10221.40 Mx_l=-0.00 My_l=-6.14 Mz_l=-0.00
Taglio nei bulloni: Fv,Ed=2.86 Fv,Rd=9650.97
Rifollamento lato piastra: Fb,Ed,p=2.86 Fb,Rd,p=12790.80
Tirafondi:LT=0.45 (0.31) σ_{cR}=0.00 σ_{fR}=0.00
Compressione nel calcestruzzo: σ_c=21.46
CC 15 SLV (Collegamento -182_-384)
Azioni sul collegamento: N=-10950.00 Ty=-10.61 Tz=17.52 Mx=0.00 Mz=-6.83
Sollecitazioni agenti localmente: Tx_l=-10.61 Ty_l=17.52 N_l=-10950.00 Mx_l=-0.00 My_l=-6.83 Mz_l=0.00
Taglio nei bulloni: Fv,Ed=3.42 Fv,Rd=7720.78
Rifollamento lato piastra: Fb,Ed,p=3.41 Fb,Rd,p=9306.83
Tirafondi:LT=0.45 (0.31) σ_{cR}=0.00 σ_{fR}=0.00
Compressione nel calcestruzzo: σ_c=23.01
CC 15 SLV (Collegamento -182_-384)
Azioni sul collegamento: N=-10950.00 Ty=-6.74 Tz=17.52 Mx=0.00 Mz=-1.76
Sollecitazioni agenti localmente: Tx_l=-6.74 Ty_l=17.52 N_l=-10950.00 Mx_l=-0.00 My_l=-1.76 Mz_l=0.00
Taglio nei bulloni: Fv,Ed=3.13 Fv,Rd=7720.78
Rifollamento lato piastra: Fb,Ed,p=3.13 Fb,Rd,p=7302.24
Tirafondi:LT=0.45 (0.31) σ_{cR}=0.00 σ_{fR}=0.00
Compressione nel calcestruzzo: σ_c=22.72
CC 15 SLV (Collegamento -182_-384)
Azioni sul collegamento: N=-10950.00 Ty=-10.61 Tz=7.77 Mx=0.00 Mz=-6.83
Sollecitazioni agenti localmente: Tx_l=-10.61 Ty_l=7.77 N_l=-10950.00 Mx_l=-0.00 My_l=-6.83 Mz_l=0.00
Taglio nei bulloni: Fv,Ed=2.19 Fv,Rd=7720.78
Rifollamento lato piastra: Fb,Ed,p=2.19 Fb,Rd,p=10533.20
Tirafondi:LT=0.45 (0.31) σ_{cR}=0.00 σ_{fR}=0.00
Compressione nel calcestruzzo: σ_c=23.01
CC 15 SLV (Collegamento -182_-384)
Azioni sul collegamento: N=-10950.00 Ty=-6.74 Tz=7.77 Mx=0.00 Mz=-1.76
Sollecitazioni agenti localmente: Tx_l=-6.74 Ty_l=7.77 N_l=-10950.00 Mx_l=-0.00 My_l=-1.76 Mz_l=0.00
Taglio nei bulloni: Fv,Ed=1.72 Fv,Rd=7720.78
Rifollamento lato piastra: Fb,Ed,p=1.71 Fb,Rd,p=11242.40
Tirafondi:LT=0.45 (0.31) σ_{cR}=0.00 σ_{fR}=0.00
Compressione nel calcestruzzo: σ_c=22.72
CC 15 SLV (Collegamento -182_-384)
Azioni sul collegamento: N=-8587.84 Ty=-10.61 Tz=17.52 Mx=0.00 Mz=-6.83
Sollecitazioni agenti localmente: Tx_l=-10.61 Ty_l=17.52 N_l=-8587.84 Mx_l=-0.00 My_l=-6.83 Mz_l=0.00
Taglio nei bulloni: Fv,Ed=3.42 Fv,Rd=7720.78
Rifollamento lato piastra: Fb,Ed,p=3.41 Fb,Rd,p=9306.66
Tirafondi:LT=0.45 (0.31) σ_{cR}=0.00 σ_{fR}=0.00
Compressione nel calcestruzzo: σ_c=18.13
CC 15 SLV (Collegamento -182_-384)
Azioni sul collegamento: N=-8587.84 Ty=-6.74 Tz=17.52 Mx=0.00 Mz=-1.76
Sollecitazioni agenti localmente: Tx_l=-6.74 Ty_l=17.52 N_l=-8587.84 Mx_l=-0.00 My_l=-1.76 Mz_l=0.00
Taglio nei bulloni: Fv,Ed=3.13 Fv,Rd=7720.78

Rifollamento lato piastra: Fb,Ed,p=3.13 Fb,Rd,p=7302.17
Tirafondi:LT=0.45 (0.31) σ_{cR}=0.00 σ_{fR}=0.00
Compressione nel calcestruzzo: σ_c=17.84
CC 15 SLV (Collegamento -182_-384)
Azioni sul collegamento: N=-8587.84 Ty=-10.61 Tz=7.77 Mx=0.00 Mz=-6.83
Sollecitazioni agenti localmente: Tx_l=-10.61 Ty_l=7.77 N_l=-8587.84 Mx_l=-0.00 My_l=-6.83 Mz_l=0.00
Taglio nei bulloni: Fv,Ed=2.19 Fv,Rd=7720.78
Rifollamento lato piastra: Fb,Ed,p=2.19 Fb,Rd,p=10533.30
Tirafondi:LT=0.45 (0.31) σ_{cR}=0.00 σ_{fR}=0.00
Compressione nel calcestruzzo: σ_c=18.13
CC 15 SLV (Collegamento -182_-384)
Azioni sul collegamento: N=-8587.84 Ty=-6.74 Tz=7.77 Mx=0.00 Mz=-1.76
Sollecitazioni agenti localmente: Tx_l=-6.74 Ty_l=7.77 N_l=-8587.84 Mx_l=-0.00 My_l=-1.76 Mz_l=0.00
Taglio nei bulloni: Fv,Ed=1.72 Fv,Rd=7720.78
Rifollamento lato piastra: Fb,Ed,p=1.71 Fb,Rd,p=11242.30
Tirafondi:LT=0.45 (0.31) σ_{cR}=0.00 σ_{fR}=0.00
Compressione nel calcestruzzo: σ_c=17.84
CC 16 SLD (Collegamento -182_-384)
Azioni sul collegamento: N=-10226.40 Ty=-10.19 Tz=14.51 Mx=-0.00 Mz=-7.20
Sollecitazioni agenti localmente: Tx_l=-10.19 Ty_l=14.51 N_l=-10226.40 Mx_l=-0.00 My_l=-7.20 Mz_l=-0.00
Taglio nei bulloni: Fv,Ed=2.96 Fv,Rd=9650.97
Rifollamento lato piastra: Fb,Ed,p=2.96 Fb,Rd,p=12982.20
Tirafondi:LT=0.45 (0.31) σ_{cR}=0.00 σ_{fR}=0.00
Compressione nel calcestruzzo: σ_c=21.53
CC 16 SLD (Collegamento -182_-384)
Azioni sul collegamento: N=-10226.40 Ty=-9.01 Tz=14.51 Mx=-0.00 Mz=-5.66
Sollecitazioni agenti localmente: Tx_l=-9.01 Ty_l=14.51 N_l=-10226.40 Mx_l=-0.00 My_l=-5.66 Mz_l=-0.00
Taglio nei bulloni: Fv,Ed=2.85 Fv,Rd=9650.97
Rifollamento lato piastra: Fb,Ed,p=2.85 Fb,Rd,p=11864.30
Tirafondi:LT=0.45 (0.31) σ_{cR}=0.00 σ_{fR}=0.00
Compressione nel calcestruzzo: σ_c=21.45
CC 16 SLD (Collegamento -182_-384)
Azioni sul collegamento: N=-10226.40 Ty=-10.19 Tz=11.54 Mx=-0.00 Mz=-7.20
Sollecitazioni agenti localmente: Tx_l=-10.19 Ty_l=11.54 N_l=-10226.40 Mx_l=-0.00 My_l=-7.20 Mz_l=-0.00
Taglio nei bulloni: Fv,Ed=2.57 Fv,Rd=9650.97
Rifollamento lato piastra: Fb,Ed,p=2.57 Fb,Rd,p=14173.50
Tirafondi:LT=0.45 (0.31) σ_{cR}=0.00 σ_{fR}=0.00
Compressione nel calcestruzzo: σ_c=21.53
CC 16 SLD (Collegamento -182_-384)
Azioni sul collegamento: N=-10226.40 Ty=-9.01 Tz=11.54 Mx=-0.00 Mz=-5.66
Sollecitazioni agenti localmente: Tx_l=-9.01 Ty_l=11.54 N_l=-10226.40 Mx_l=-0.00 My_l=-5.66 Mz_l=-0.00
Taglio nei bulloni: Fv,Ed=2.44 Fv,Rd=9650.97
Rifollamento lato piastra: Fb,Ed,p=2.44 Fb,Rd,p=13479.60
Tirafondi:LT=0.45 (0.31) σ_{cR}=0.00 σ_{fR}=0.00
Compressione nel calcestruzzo: σ_c=21.45
CC 16 SLD (Collegamento -182_-384)
Azioni sul collegamento: N=-9506.09 Ty=-10.19 Tz=14.51 Mx=-0.00 Mz=-7.20
Sollecitazioni agenti localmente: Tx_l=-10.19 Ty_l=14.51 N_l=-9506.09 Mx_l=-0.00 My_l=-7.20 Mz_l=-0.00
Taglio nei bulloni: Fv,Ed=2.96 Fv,Rd=9650.97
Rifollamento lato piastra: Fb,Ed,p=2.96 Fb,Rd,p=12982.10
Tirafondi:LT=0.45 (0.31) σ_{cR}=0.00 σ_{fR}=0.00
Compressione nel calcestruzzo: σ_c=20.05
CC 16 SLD (Collegamento -182_-384)
Azioni sul collegamento: N=-9506.09 Ty=-9.01 Tz=14.51 Mx=-0.00 Mz=-5.66
Sollecitazioni agenti localmente: Tx_l=-9.01 Ty_l=14.51 N_l=-9506.09 Mx_l=-0.00 My_l=-5.66 Mz_l=-0.00
Taglio nei bulloni: Fv,Ed=2.85 Fv,Rd=9650.97
Rifollamento lato piastra: Fb,Ed,p=2.85 Fb,Rd,p=11864.20
Tirafondi:LT=0.45 (0.31) σ_{cR}=0.00 σ_{fR}=0.00
Compressione nel calcestruzzo: σ_c=19.96
CC 16 SLD (Collegamento -182_-384)
Azioni sul collegamento: N=-9506.09 Ty=-10.19 Tz=11.54 Mx=-0.00 Mz=-7.20
Sollecitazioni agenti localmente: Tx_l=-10.19 Ty_l=11.54 N_l=-9506.09 Mx_l=-0.00 My_l=-7.20 Mz_l=-0.00
Taglio nei bulloni: Fv,Ed=2.57 Fv,Rd=9650.97
Rifollamento lato piastra: Fb,Ed,p=2.57 Fb,Rd,p=14173.60
Tirafondi:LT=0.45 (0.31) σ_{cR}=0.00 σ_{fR}=0.00
Compressione nel calcestruzzo: σ_c=20.05
CC 16 SLD (Collegamento -182_-384)
Azioni sul collegamento: N=-9506.09 Ty=-9.01 Tz=11.54 Mx=-0.00 Mz=-5.66
Sollecitazioni agenti localmente: Tx_l=-9.01 Ty_l=11.54 N_l=-9506.09 Mx_l=-0.00 My_l=-5.66 Mz_l=-0.00
Taglio nei bulloni: Fv,Ed=2.44 Fv,Rd=9650.97
Rifollamento lato piastra: Fb,Ed,p=2.44 Fb,Rd,p=13479.70
Tirafondi:LT=0.45 (0.31) σ_{cR}=0.00 σ_{fR}=0.00
Compressione nel calcestruzzo: σ_c=19.96
CC 17 SLV (Collegamento -182_-384)
Azioni sul collegamento: N=-6136.65 Ty=-7.48 Tz=-0.86 Mx=-0.02 Mz=-7.28
Sollecitazioni agenti localmente: Tx_l=-7.48 Ty_l=-0.86 N_l=-6136.65 Mx_l=-0.00 My_l=-7.28 Mz_l=-0.02
Taglio nei bulloni: Fv,Ed=1.28 Fv,Rd=7720.78
Rifollamento lato piastra: Fb,Ed,p=1.28 Fb,Rd,p=6126.41

Tirafondi:LT=0.45 (0.31) σ_{cR}=0.00 σ_{fR}=0.00
Compressione nel calcestruzzo: σ_c=13.09
CC 17 SLV (Collegamento -182_-384)
Azioni sul collegamento: N=-6136.65 Ty=-15.19 Tz=-0.86 Mx=-0.02 Mz=-13.60
Sollecitazioni agenti localmente: Tx_l=-15.19 Ty_l=-0.86 N_l=-6136.65 Mx_l=-0.00 My_l=-13.60 Mz_l=-0.02
Taglio nei bulloni: Fv,Ed=2.56 Fv,Rd=7720.78
Rifollamento lato piastra: Fb,Ed,p=2.56 Fb,Rd,p=6015.42
Tirafondi:LT=0.45 (0.31) σ_{cR}=0.00 σ_{fR}=0.00
Compressione nel calcestruzzo: σ_c=13.45
CC 17 SLV (Collegamento -182_-384)
Azioni sul collegamento: N=-6136.65 Ty=-7.48 Tz=28.35 Mx=-0.02 Mz=-7.28
Sollecitazioni agenti localmente: Tx_l=-7.48 Ty_l=28.35 N_l=-6136.65 Mx_l=-0.00 My_l=-7.28 Mz_l=-0.02
Taglio nei bulloni: Fv,Ed=4.91 Fv,Rd=7720.78
Rifollamento lato piastra: Fb,Ed,p=4.91 Fb,Rd,p=6614.95
Tirafondi:LT=0.45 (0.31) σ_{cR}=0.00 σ_{fR}=0.00
Compressione nel calcestruzzo: σ_c=13.09
CC 17 SLV (Collegamento -182_-384)
Azioni sul collegamento: N=-6136.65 Ty=-15.19 Tz=28.35 Mx=-0.02 Mz=-13.60
Sollecitazioni agenti localmente: Tx_l=-15.19 Ty_l=28.35 N_l=-6136.65 Mx_l=-0.00 My_l=-13.60 Mz_l=-0.02
Taglio nei bulloni: Fv,Ed=5.39 Fv,Rd=7720.78
Rifollamento lato piastra: Fb,Ed,p=5.39 Fb,Rd,p=8597.82
Tirafondi:LT=0.45 (0.31) σ_{cR}=0.00 σ_{fR}=0.00
Compressione nel calcestruzzo: σ_c=13.45
CC 17 SLV (Collegamento -182_-384)
Azioni sul collegamento: N=-13961.30 Ty=-7.48 Tz=-0.86 Mx=-0.02 Mz=-7.28
Sollecitazioni agenti localmente: Tx_l=-7.48 Ty_l=-0.86 N_l=-13961.30 Mx_l=-0.00 My_l=-7.28 Mz_l=-0.02
Taglio nei bulloni: Fv,Ed=1.28 Fv,Rd=7720.78
Rifollamento lato piastra: Fb,Ed,p=1.28 Fb,Rd,p=6126.42
Tirafondi:LT=0.45 (0.31) σ_{cR}=0.00 σ_{fR}=0.00
Compressione nel calcestruzzo: σ_c=29.26
CC 17 SLV (Collegamento -182_-384)
Azioni sul collegamento: N=-13961.30 Ty=-15.19 Tz=-0.86 Mx=-0.02 Mz=-13.60
Sollecitazioni agenti localmente: Tx_l=-15.19 Ty_l=-0.86 N_l=-13961.30 Mx_l=-0.00 My_l=-13.60 Mz_l=-0.02
Taglio nei bulloni: Fv,Ed=2.56 Fv,Rd=7720.78
Rifollamento lato piastra: Fb,Ed,p=2.56 Fb,Rd,p=6015.42
Tirafondi:LT=0.45 (0.31) σ_{cR}=0.00 σ_{fR}=0.00
Compressione nel calcestruzzo: σ_c=29.61
CC 17 SLV (Collegamento -182_-384)
Azioni sul collegamento: N=-13961.30 Ty=-7.48 Tz=28.35 Mx=-0.02 Mz=-7.28
Sollecitazioni agenti localmente: Tx_l=-7.48 Ty_l=28.35 N_l=-13961.30 Mx_l=-0.00 My_l=-7.28 Mz_l=-0.02
Taglio nei bulloni: Fv,Ed=4.91 Fv,Rd=7720.78
Rifollamento lato piastra: Fb,Ed,p=4.91 Fb,Rd,p=6614.96
Tirafondi:LT=0.45 (0.31) σ_{cR}=0.00 σ_{fR}=0.00
Compressione nel calcestruzzo: σ_c=29.26
CC 17 SLV (Collegamento -182_-384)
Azioni sul collegamento: N=-13961.30 Ty=-15.19 Tz=28.35 Mx=-0.02 Mz=-13.60
Sollecitazioni agenti localmente: Tx_l=-15.19 Ty_l=28.35 N_l=-13961.30 Mx_l=-0.00 My_l=-13.60 Mz_l=-0.02
Taglio nei bulloni: Fv,Ed=5.39 Fv,Rd=7720.78
Rifollamento lato piastra: Fb,Ed,p=5.39 Fb,Rd,p=8597.82
Tirafondi:LT=0.45 (0.31) σ_{cR}=0.00 σ_{fR}=0.00
Compressione nel calcestruzzo: σ_c=29.61
CC 18 SLD (Collegamento -182_-384)
Azioni sul collegamento: N=-8758.64 Ty=-9.24 Tz=8.91 Mx=-0.01 Mz=-7.34
Sollecitazioni agenti localmente: Tx_l=-9.24 Ty_l=8.91 N_l=-8758.64 Mx_l=-0.00 My_l=-7.34 Mz_l=-0.01
Taglio nei bulloni: Fv,Ed=2.15 Fv,Rd=9650.97
Rifollamento lato piastra: Fb,Ed,p=2.14 Fb,Rd,p=14680.30
Tirafondi:LT=0.45 (0.31) σ_{cR}=0.00 σ_{fR}=0.00
Compressione nel calcestruzzo: σ_c=18.51
CC 18 SLD (Collegamento -182_-384)
Azioni sul collegamento: N=-8758.64 Ty=-11.59 Tz=8.91 Mx=-0.01 Mz=-9.27
Sollecitazioni agenti localmente: Tx_l=-11.59 Ty_l=8.91 N_l=-8758.64 Mx_l=-0.00 My_l=-9.27 Mz_l=-0.01
Taglio nei bulloni: Fv,Ed=2.45 Fv,Rd=9650.97
Rifollamento lato piastra: Fb,Ed,p=2.44 Fb,Rd,p=13350.10
Tirafondi:LT=0.45 (0.31) σ_{cR}=0.00 σ_{fR}=0.00
Compressione nel calcestruzzo: σ_c=18.62
CC 18 SLD (Collegamento -182_-384)
Azioni sul collegamento: N=-8758.65 Ty=-9.24 Tz=17.82 Mx=-0.01 Mz=-7.34
Sollecitazioni agenti localmente: Tx_l=-9.24 Ty_l=17.82 N_l=-8758.65 Mx_l=-0.00 My_l=-7.34 Mz_l=-0.01
Taglio nei bulloni: Fv,Ed=3.36 Fv,Rd=9650.97
Rifollamento lato piastra: Fb,Ed,p=3.36 Fb,Rd,p=10527.60
Tirafondi:LT=0.45 (0.31) σ_{cR}=0.00 σ_{fR}=0.00
Compressione nel calcestruzzo: σ_c=18.51
CC 18 SLD (Collegamento -182_-384)
Azioni sul collegamento: N=-8758.65 Ty=-11.59 Tz=17.82 Mx=-0.01 Mz=-9.27
Sollecitazioni agenti localmente: Tx_l=-11.59 Ty_l=17.82 N_l=-8758.65 Mx_l=-0.00 My_l=-9.27 Mz_l=-0.01
Taglio nei bulloni: Fv,Ed=3.55 Fv,Rd=9650.97
Rifollamento lato piastra: Fb,Ed,p=3.55 Fb,Rd,p=12313.20
Tirafondi:LT=0.45 (0.31) σ_{cR}=0.00 σ_{fR}=0.00

Compressione nel calcestruzzo: σ_c=18.62
CC 18 SLD (Collegamento -182_-384)
Azioni sul collegamento: N=-11144.60 Ty=-9.24 Tz=8.91 Mx=-0.01 Mz=-7.34
Sollecitazioni agenti localmente: Tx_l=-9.24 Ty_l=8.91 N_l=-11144.60 Mx_l=-0.00 My_l=-7.34 Mz_l=-0.01
Taglio nei bulloni: Fv,Ed=2.15 Fv,Rd=9650.97
Rifollamento lato piastra: Fb,Ed,p=2.14 Fb,Rd,p=14680.00
Tirafondi:LT=0.45 (0.31) σ_{cR}=0.00 σ_{fR}=0.00
Compressione nel calcestruzzo: σ_c=23.44
CC 18 SLD (Collegamento -182_-384)
Azioni sul collegamento: N=-11144.60 Ty=-11.59 Tz=8.91 Mx=-0.01 Mz=-9.27
Sollecitazioni agenti localmente: Tx_l=-11.59 Ty_l=8.91 N_l=-11144.60 Mx_l=-0.00 My_l=-9.27 Mz_l=-0.01
Taglio nei bulloni: Fv,Ed=2.45 Fv,Rd=9650.97
Rifollamento lato piastra: Fb,Ed,p=2.44 Fb,Rd,p=13349.90
Tirafondi:LT=0.45 (0.31) σ_{cR}=0.00 σ_{fR}=0.00
Compressione nel calcestruzzo: σ_c=23.55
CC 18 SLD (Collegamento -182_-384)
Azioni sul collegamento: N=-11144.60 Ty=-9.24 Tz=17.82 Mx=-0.01 Mz=-7.34
Sollecitazioni agenti localmente: Tx_l=-9.24 Ty_l=17.82 N_l=-11144.60 Mx_l=-0.00 My_l=-7.34 Mz_l=-0.01
Taglio nei bulloni: Fv,Ed=3.36 Fv,Rd=9650.97
Rifollamento lato piastra: Fb,Ed,p=3.36 Fb,Rd,p=10527.60
Tirafondi:LT=0.45 (0.31) σ_{cR}=0.00 σ_{fR}=0.00
Compressione nel calcestruzzo: σ_c=23.44
CC 18 SLD (Collegamento -182_-384)
Azioni sul collegamento: N=-11144.60 Ty=-11.59 Tz=17.82 Mx=-0.01 Mz=-9.27
Sollecitazioni agenti localmente: Tx_l=-11.59 Ty_l=17.82 N_l=-11144.60 Mx_l=-0.00 My_l=-9.27 Mz_l=-0.01
Taglio nei bulloni: Fv,Ed=3.55 Fv,Rd=9650.97
Rifollamento lato piastra: Fb,Ed,p=3.55 Fb,Rd,p=12313.20
Tirafondi:LT=0.45 (0.31) σ_{cR}=0.00 σ_{fR}=0.00
Compressione nel calcestruzzo: σ_c=23.55
CC 19 SLV (Collegamento -182_-384)
Azioni sul collegamento: N=-6141.50 Ty=-7.99 Tz=-0.53 Mx=-0.01 Mz=-8.33
Sollecitazioni agenti localmente: Tx_l=-7.99 Ty_l=-0.53 N_l=-6141.50 Mx_l=-0.00 My_l=-8.33 Mz_l=-0.01
Taglio nei bulloni: Fv,Ed=1.35 Fv,Rd=7720.78
Rifollamento lato piastra: Fb,Ed,p=1.35 Fb,Rd,p=6031.29
Tirafondi:LT=0.45 (0.31) σ_{cR}=0.00 σ_{fR}=0.00
Compressione nel calcestruzzo: σ_c=13.16
CC 19 SLV (Collegamento -182_-384)
Azioni sul collegamento: N=-6141.50 Ty=-14.68 Tz=-0.53 Mx=-0.01 Mz=-12.56
Sollecitazioni agenti localmente: Tx_l=-14.68 Ty_l=-0.53 N_l=-6141.50 Mx_l=-0.00 My_l=-12.56 Mz_l=-0.01
Taglio nei bulloni: Fv,Ed=2.46 Fv,Rd=7720.78
Rifollamento lato piastra: Fb,Ed,p=2.46 Fb,Rd,p=5994.79
Tirafondi:LT=0.45 (0.31) σ_{cR}=0.00 σ_{fR}=0.00
Compressione nel calcestruzzo: σ_c=13.40
CC 19 SLV (Collegamento -182_-384)
Azioni sul collegamento: N=-6141.50 Ty=-7.99 Tz=28.02 Mx=-0.01 Mz=-8.33
Sollecitazioni agenti localmente: Tx_l=-7.99 Ty_l=28.02 N_l=-6141.50 Mx_l=-0.00 My_l=-8.33 Mz_l=-0.01
Taglio nei bulloni: Fv,Ed=4.88 Fv,Rd=7720.78
Rifollamento lato piastra: Fb,Ed,p=4.88 Fb,Rd,p=6717.12
Tirafondi:LT=0.45 (0.31) σ_{cR}=0.00 σ_{fR}=0.00
Compressione nel calcestruzzo: σ_c=13.16
CC 19 SLV (Collegamento -182_-384)
Azioni sul collegamento: N=-6141.50 Ty=-14.68 Tz=28.02 Mx=-0.01 Mz=-12.56
Sollecitazioni agenti localmente: Tx_l=-14.68 Ty_l=28.02 N_l=-6141.50 Mx_l=-0.00 My_l=-12.56 Mz_l=-0.01
Taglio nei bulloni: Fv,Ed=5.29 Fv,Rd=7720.78
Rifollamento lato piastra: Fb,Ed,p=5.29 Fb,Rd,p=8475.13
Tirafondi:LT=0.45 (0.31) σ_{cR}=0.00 σ_{fR}=0.00
Compressione nel calcestruzzo: σ_c=13.40
CC 19 SLV (Collegamento -182_-384)
Azioni sul collegamento: N=-13956.40 Ty=-7.99 Tz=-0.53 Mx=-0.01 Mz=-8.33
Sollecitazioni agenti localmente: Tx_l=-7.99 Ty_l=-0.53 N_l=-13956.40 Mx_l=-0.00 My_l=-8.33 Mz_l=-0.01
Taglio nei bulloni: Fv,Ed=1.35 Fv,Rd=7720.78
Rifollamento lato piastra: Fb,Ed,p=1.35 Fb,Rd,p=6031.24
Tirafondi:LT=0.45 (0.31) σ_{cR}=0.00 σ_{fR}=0.00
Compressione nel calcestruzzo: σ_c=29.30
CC 19 SLV (Collegamento -182_-384)
Azioni sul collegamento: N=-13956.40 Ty=-14.68 Tz=-0.53 Mx=-0.01 Mz=-12.56
Sollecitazioni agenti localmente: Tx_l=-14.68 Ty_l=-0.53 N_l=-13956.40 Mx_l=-0.00 My_l=-12.56 Mz_l=-0.01
Taglio nei bulloni: Fv,Ed=2.46 Fv,Rd=7720.78
Rifollamento lato piastra: Fb,Ed,p=2.46 Fb,Rd,p=5994.76
Tirafondi:LT=0.45 (0.31) σ_{cR}=0.00 σ_{fR}=0.00
Compressione nel calcestruzzo: σ_c=29.54
CC 19 SLV (Collegamento -182_-384)
Azioni sul collegamento: N=-13956.40 Ty=-7.99 Tz=28.02 Mx=-0.01 Mz=-8.33
Sollecitazioni agenti localmente: Tx_l=-7.99 Ty_l=28.02 N_l=-13956.40 Mx_l=-0.00 My_l=-8.33 Mz_l=-0.01
Taglio nei bulloni: Fv,Ed=4.88 Fv,Rd=7720.78
Rifollamento lato piastra: Fb,Ed,p=4.88 Fb,Rd,p=6717.12
Tirafondi:LT=0.45 (0.31) σ_{cR}=0.00 σ_{fR}=0.00
Compressione nel calcestruzzo: σ_c=29.30

CC 19 SLV (Collegamento -182_-384)
Azioni sul collegamento: N=-13956.40 Ty=-14.68 Tz=28.02 Mx=-0.01 Mz=-12.56
Sollecitazioni agenti localmente: Tx_l=-14.68 Ty_l=28.02 N_l=-13956.40 Mx_l=-0.00 My_l=-12.56 Mz_l=-0.01
Taglio nei bulloni: Fv,Ed=5.29 Fv,Rd=7720.78
Rifollamento lato piastra: Fb,Ed,p=5.29 Fb,Rd,p=8475.11
Tirafondi:LT=0.45 (0.31) σ_{cR}=0.00 σ_{fR}=0.00
Compressione nel calcestruzzo: σ_c=29.54
CC 20 SLD (Collegamento -182_-384)
Azioni sul collegamento: N=-8760.12 Ty=-9.39 Tz=9.01 Mx=-0.01 Mz=-7.66
Sollecitazioni agenti localmente: Tx_l=-9.39 Ty_l=9.01 N_l=-8760.12 Mx_l=-0.00 My_l=-7.66 Mz_l=-0.01
Taglio nei bulloni: Fv,Ed=2.18 Fv,Rd=9650.97
Rifollamento lato piastra: Fb,Ed,p=2.17 Fb,Rd,p=14656.60
Tirafondi:LT=0.45 (0.31) σ_{cR}=0.00 σ_{fR}=0.00
Compressione nel calcestruzzo: σ_c=18.53
CC 20 SLD (Collegamento -182_-384)
Azioni sul collegamento: N=-8760.12 Ty=-11.43 Tz=9.01 Mx=-0.01 Mz=-8.95
Sollecitazioni agenti localmente: Tx_l=-11.43 Ty_l=9.01 N_l=-8760.12 Mx_l=-0.00 My_l=-8.95 Mz_l=-0.01
Taglio nei bulloni: Fv,Ed=2.44 Fv,Rd=9650.97
Rifollamento lato piastra: Fb,Ed,p=2.43 Fb,Rd,p=13483.50
Tirafondi:LT=0.45 (0.31) σ_{cR}=0.00 σ_{fR}=0.00
Compressione nel calcestruzzo: σ_c=18.60
CC 20 SLD (Collegamento -182_-384)
Azioni sul collegamento: N=-8760.13 Ty=-9.39 Tz=17.72 Mx=-0.01 Mz=-7.66
Sollecitazioni agenti localmente: Tx_l=-9.39 Ty_l=17.72 N_l=-8760.13 Mx_l=-0.00 My_l=-7.66 Mz_l=-0.01
Taglio nei bulloni: Fv,Ed=3.35 Fv,Rd=9650.97
Rifollamento lato piastra: Fb,Ed,p=3.35 Fb,Rd,p=10666.20
Tirafondi:LT=0.45 (0.31) σ_{cR}=0.00 σ_{fR}=0.00
Compressione nel calcestruzzo: σ_c=18.53
CC 20 SLD (Collegamento -182_-384)
Azioni sul collegamento: N=-8760.13 Ty=-11.43 Tz=17.72 Mx=-0.01 Mz=-8.95
Sollecitazioni agenti localmente: Tx_l=-11.43 Ty_l=17.72 N_l=-8760.13 Mx_l=-0.00 My_l=-8.95 Mz_l=-0.01
Taglio nei bulloni: Fv,Ed=3.52 Fv,Rd=9650.97
Rifollamento lato piastra: Fb,Ed,p=3.52 Fb,Rd,p=12232.10
Tirafondi:LT=0.45 (0.31) σ_{cR}=0.00 σ_{fR}=0.00
Compressione nel calcestruzzo: σ_c=18.60
CC 20 SLD (Collegamento -182_-384)
Azioni sul collegamento: N=-11143.10 Ty=-9.39 Tz=9.01 Mx=-0.01 Mz=-7.66
Sollecitazioni agenti localmente: Tx_l=-9.39 Ty_l=9.01 N_l=-11143.10 Mx_l=-0.00 My_l=-7.66 Mz_l=-0.01
Taglio nei bulloni: Fv,Ed=2.18 Fv,Rd=9650.97
Rifollamento lato piastra: Fb,Ed,p=2.17 Fb,Rd,p=14656.40
Tirafondi:LT=0.45 (0.31) σ_{cR}=0.00 σ_{fR}=0.00
Compressione nel calcestruzzo: σ_c=23.45
CC 20 SLD (Collegamento -182_-384)
Azioni sul collegamento: N=-11143.10 Ty=-11.43 Tz=9.01 Mx=-0.01 Mz=-8.95
Sollecitazioni agenti localmente: Tx_l=-11.43 Ty_l=9.01 N_l=-11143.10 Mx_l=-0.00 My_l=-8.95 Mz_l=-0.01
Taglio nei bulloni: Fv,Ed=2.44 Fv,Rd=9650.97
Rifollamento lato piastra: Fb,Ed,p=2.43 Fb,Rd,p=13483.30
Tirafondi:LT=0.45 (0.31) σ_{cR}=0.00 σ_{fR}=0.00
Compressione nel calcestruzzo: σ_c=23.53
CC 20 SLD (Collegamento -182_-384)
Azioni sul collegamento: N=-11143.10 Ty=-9.39 Tz=17.72 Mx=-0.01 Mz=-7.66
Sollecitazioni agenti localmente: Tx_l=-9.39 Ty_l=17.72 N_l=-11143.10 Mx_l=-0.00 My_l=-7.66 Mz_l=-0.01
Taglio nei bulloni: Fv,Ed=3.35 Fv,Rd=9650.97
Rifollamento lato piastra: Fb,Ed,p=3.35 Fb,Rd,p=10666.20
Tirafondi:LT=0.45 (0.31) σ_{cR}=0.00 σ_{fR}=0.00
Compressione nel calcestruzzo: σ_c=23.45
CC 20 SLD (Collegamento -182_-384)
Azioni sul collegamento: N=-11143.10 Ty=-11.43 Tz=17.72 Mx=-0.01 Mz=-8.95
Sollecitazioni agenti localmente: Tx_l=-11.43 Ty_l=17.72 N_l=-11143.10 Mx_l=-0.00 My_l=-8.95 Mz_l=-0.01
Taglio nei bulloni: Fv,Ed=3.52 Fv,Rd=9650.97
Rifollamento lato piastra: Fb,Ed,p=3.52 Fb,Rd,p=12232.20
Tirafondi:LT=0.45 (0.31) σ_{cR}=0.00 σ_{fR}=0.00
Compressione nel calcestruzzo: σ_c=23.53
CC 21 SLV (Collegamento -182_-384)
Azioni sul collegamento: N=-13956.40 Ty=-14.68 Tz=28.02 Mx=-0.02 Mz=-12.56
Sollecitazioni agenti localmente: Tx_l=-14.68 Ty_l=28.02 N_l=-13956.40 Mx_l=-0.00 My_l=-12.56 Mz_l=-0.02
Taglio nei bulloni: Fv,Ed=5.30 Fv,Rd=7720.78
Rifollamento lato piastra: Fb,Ed,p=5.30 Fb,Rd,p=8480.27
Tirafondi:LT=0.45 (0.31) σ_{cR}=0.00 σ_{fR}=0.00
Compressione nel calcestruzzo: σ_c=29.54
CC 21 SLV (Collegamento -182_-384)
Azioni sul collegamento: N=-13956.40 Ty=-7.99 Tz=28.02 Mx=-0.02 Mz=-8.33
Sollecitazioni agenti localmente: Tx_l=-7.99 Ty_l=28.02 N_l=-13956.40 Mx_l=-0.00 My_l=-8.33 Mz_l=-0.02
Taglio nei bulloni: Fv,Ed=4.88 Fv,Rd=7720.78
Rifollamento lato piastra: Fb,Ed,p=4.88 Fb,Rd,p=6721.26
Tirafondi:LT=0.45 (0.31) σ_{cR}=0.00 σ_{fR}=0.00
Compressione nel calcestruzzo: σ_c=29.30
CC 21 SLV (Collegamento -182_-384)

Azioni sul collegamento: N=-13956.40 Ty=-14.68 Tz=-0.53 Mx=-0.02 Mz=-12.56
Sollecitazioni agenti localmente: Tx_l=-14.68 Ty_l=-0.53 N_l=-13956.40 Mx_l=-0.00 My_l=-12.56 Mz_l=-0.02
Taglio nei bulloni: Fv,Ed=2.47 Fv,Rd=7720.78
Rifollamento lato piastra: Fb,Ed,p=2.47 Fb,Rd,p=5996.33
Tirafondi:LT=0.45 (0.31) σ_{cR}=0.00 σ_{fR}=0.00
Compressione nel calcestruzzo: σ_c=29.54
CC 21 SLV (Collegamento -182_-384)
Azioni sul collegamento: N=-13956.40 Ty=-7.99 Tz=-0.53 Mx=-0.02 Mz=-8.33
Sollecitazioni agenti localmente: Tx_l=-7.99 Ty_l=-0.53 N_l=-13956.40 Mx_l=-0.00 My_l=-8.33 Mz_l=-0.02
Taglio nei bulloni: Fv,Ed=1.36 Fv,Rd=7720.78
Rifollamento lato piastra: Fb,Ed,p=1.36 Fb,Rd,p=6036.25
Tirafondi:LT=0.45 (0.31) σ_{cR}=0.00 σ_{fR}=0.00
Compressione nel calcestruzzo: σ_c=29.30
CC 21 SLV (Collegamento -182_-384)
Azioni sul collegamento: N=-6141.50 Ty=-14.68 Tz=28.02 Mx=-0.02 Mz=-12.56
Sollecitazioni agenti localmente: Tx_l=-14.68 Ty_l=28.02 N_l=-6141.50 Mx_l=-0.00 My_l=-12.56 Mz_l=-0.02
Taglio nei bulloni: Fv,Ed=5.30 Fv,Rd=7720.78
Rifollamento lato piastra: Fb,Ed,p=5.30 Fb,Rd,p=8480.29
Tirafondi:LT=0.45 (0.31) σ_{cR}=0.00 σ_{fR}=0.00
Compressione nel calcestruzzo: σ_c=13.40
CC 21 SLV (Collegamento -182_-384)
Azioni sul collegamento: N=-6141.50 Ty=-7.99 Tz=28.02 Mx=-0.02 Mz=-8.33
Sollecitazioni agenti localmente: Tx_l=-7.99 Ty_l=28.02 N_l=-6141.50 Mx_l=-0.00 My_l=-8.33 Mz_l=-0.02
Taglio nei bulloni: Fv,Ed=4.88 Fv,Rd=7720.78
Rifollamento lato piastra: Fb,Ed,p=4.88 Fb,Rd,p=6721.27
Tirafondi:LT=0.45 (0.31) σ_{cR}=0.00 σ_{fR}=0.00
Compressione nel calcestruzzo: σ_c=13.16
CC 21 SLV (Collegamento -182_-384)
Azioni sul collegamento: N=-6141.50 Ty=-14.68 Tz=-0.53 Mx=-0.02 Mz=-12.56
Sollecitazioni agenti localmente: Tx_l=-14.68 Ty_l=-0.53 N_l=-6141.50 Mx_l=-0.00 My_l=-12.56 Mz_l=-0.02
Taglio nei bulloni: Fv,Ed=2.47 Fv,Rd=7720.78
Rifollamento lato piastra: Fb,Ed,p=2.47 Fb,Rd,p=5996.34
Tirafondi:LT=0.45 (0.31) σ_{cR}=0.00 σ_{fR}=0.00
Compressione nel calcestruzzo: σ_c=13.40
CC 21 SLV (Collegamento -182_-384)
Azioni sul collegamento: N=-6141.50 Ty=-7.99 Tz=-0.53 Mx=-0.02 Mz=-8.33
Sollecitazioni agenti localmente: Tx_l=-7.99 Ty_l=-0.53 N_l=-6141.50 Mx_l=-0.00 My_l=-8.33 Mz_l=-0.02
Taglio nei bulloni: Fv,Ed=1.36 Fv,Rd=7720.78
Rifollamento lato piastra: Fb,Ed,p=1.36 Fb,Rd,p=6036.30
Tirafondi:LT=0.45 (0.31) σ_{cR}=0.00 σ_{fR}=0.00
Compressione nel calcestruzzo: σ_c=13.16
CC 22 SLD (Collegamento -182_-384)
Azioni sul collegamento: N=-11143.10 Ty=-11.43 Tz=17.72 Mx=-0.01 Mz=-8.95
Sollecitazioni agenti localmente: Tx_l=-11.43 Ty_l=17.72 N_l=-11143.10 Mx_l=-0.00 My_l=-8.95 Mz_l=-0.01
Taglio nei bulloni: Fv,Ed=3.53 Fv,Rd=9650.97
Rifollamento lato piastra: Fb,Ed,p=3.53 Fb,Rd,p=12235.10
Tirafondi:LT=0.45 (0.31) σ_{cR}=0.00 σ_{fR}=0.00
Compressione nel calcestruzzo: σ_c=23.53
CC 22 SLD (Collegamento -182_-384)
Azioni sul collegamento: N=-11143.10 Ty=-9.39 Tz=17.72 Mx=-0.01 Mz=-7.66
Sollecitazioni agenti localmente: Tx_l=-9.39 Ty_l=17.72 N_l=-11143.10 Mx_l=-0.00 My_l=-7.66 Mz_l=-0.01
Taglio nei bulloni: Fv,Ed=3.35 Fv,Rd=9650.97
Rifollamento lato piastra: Fb,Ed,p=3.35 Fb,Rd,p=10669.40
Tirafondi:LT=0.45 (0.31) σ_{cR}=0.00 σ_{fR}=0.00
Compressione nel calcestruzzo: σ_c=23.45
CC 22 SLD (Collegamento -182_-384)
Azioni sul collegamento: N=-11143.10 Ty=-11.43 Tz=9.01 Mx=-0.01 Mz=-8.95
Sollecitazioni agenti localmente: Tx_l=-11.43 Ty_l=9.01 N_l=-11143.10 Mx_l=-0.00 My_l=-8.95 Mz_l=-0.01
Taglio nei bulloni: Fv,Ed=2.44 Fv,Rd=9650.97
Rifollamento lato piastra: Fb,Ed,p=2.43 Fb,Rd,p=13473.60
Tirafondi:LT=0.45 (0.31) σ_{cR}=0.00 σ_{fR}=0.00
Compressione nel calcestruzzo: σ_c=23.53
CC 22 SLD (Collegamento -182_-384)
Azioni sul collegamento: N=-11143.10 Ty=-9.39 Tz=9.01 Mx=-0.01 Mz=-7.66
Sollecitazioni agenti localmente: Tx_l=-9.39 Ty_l=9.01 N_l=-11143.10 Mx_l=-0.00 My_l=-7.66 Mz_l=-0.01
Taglio nei bulloni: Fv,Ed=2.18 Fv,Rd=9650.97
Rifollamento lato piastra: Fb,Ed,p=2.17 Fb,Rd,p=14641.80
Tirafondi:LT=0.45 (0.31) σ_{cR}=0.00 σ_{fR}=0.00
Compressione nel calcestruzzo: σ_c=23.45
CC 22 SLD (Collegamento -182_-384)
Azioni sul collegamento: N=-8760.13 Ty=-11.43 Tz=17.72 Mx=-0.01 Mz=-8.95
Sollecitazioni agenti localmente: Tx_l=-11.43 Ty_l=17.72 N_l=-8760.13 Mx_l=-0.00 My_l=-8.95 Mz_l=-0.01
Taglio nei bulloni: Fv,Ed=3.53 Fv,Rd=9650.97
Rifollamento lato piastra: Fb,Ed,p=3.53 Fb,Rd,p=12235.00
Tirafondi:LT=0.45 (0.31) σ_{cR}=0.00 σ_{fR}=0.00
Compressione nel calcestruzzo: σ_c=18.60
CC 22 SLD (Collegamento -182_-384)
Azioni sul collegamento: N=-8760.13 Ty=-9.39 Tz=17.72 Mx=-0.01 Mz=-7.66

Sollecitazioni agenti localmente: Tx_l=-9.39 Ty_l=17.72 N_l=-8760.13 Mx_l=-0.00 My_l=-7.66 Mz_l=-0.01
Taglio nei bulloni: Fv,Ed=3.35 Fv,Rd=9650.97
Rifollamento lato piastra: Fb,Ed,p=3.35 Fb,Rd,p=10669.30
Tirafondi:LT=0.45 (0.31) σ_{cR}=0.00 σ_{fR}=0.00
Compressione nel calcestruzzo: σ_c=18.53
CC 22 SLD (Collegamento -182_-384)
Azioni sul collegamento: N=-8760.12 Ty=-11.43 Tz=9.01 Mx=-0.01 Mz=-8.95
Sollecitazioni agenti localmente: Tx_l=-11.43 Ty_l=9.01 N_l=-8760.12 Mx_l=-0.00 My_l=-8.95 Mz_l=-0.01
Taglio nei bulloni: Fv,Ed=2.44 Fv,Rd=9650.97
Rifollamento lato piastra: Fb,Ed,p=2.43 Fb,Rd,p=13473.70
Tirafondi:LT=0.45 (0.31) σ_{cR}=0.00 σ_{fR}=0.00
Compressione nel calcestruzzo: σ_c=18.60
CC 22 SLD (Collegamento -182_-384)
Azioni sul collegamento: N=-8760.12 Ty=-9.39 Tz=9.01 Mx=-0.01 Mz=-7.66
Sollecitazioni agenti localmente: Tx_l=-9.39 Ty_l=9.01 N_l=-8760.12 Mx_l=-0.00 My_l=-7.66 Mz_l=-0.01
Taglio nei bulloni: Fv,Ed=2.18 Fv,Rd=9650.97
Rifollamento lato piastra: Fb,Ed,p=2.17 Fb,Rd,p=14642.00
Tirafondi:LT=0.45 (0.31) σ_{cR}=0.00 σ_{fR}=0.00
Compressione nel calcestruzzo: σ_c=18.53
CC 23 SLV (Collegamento -182_-384)
Azioni sul collegamento: N=-13961.30 Ty=-15.19 Tz=28.35 Mx=-0.01 Mz=-13.60
Sollecitazioni agenti localmente: Tx_l=-15.19 Ty_l=28.35 N_l=-13961.30 Mx_l=-0.00 My_l=-13.60 Mz_l=-0.01
Taglio nei bulloni: Fv,Ed=5.38 Fv,Rd=7720.78
Rifollamento lato piastra: Fb,Ed,p=5.38 Fb,Rd,p=8592.56
Tirafondi:LT=0.45 (0.31) σ_{cR}=0.00 σ_{fR}=0.00
Compressione nel calcestruzzo: σ_c=29.61
CC 23 SLV (Collegamento -182_-384)
Azioni sul collegamento: N=-13961.30 Ty=-7.48 Tz=28.35 Mx=-0.01 Mz=-7.28
Sollecitazioni agenti localmente: Tx_l=-7.48 Ty_l=28.35 N_l=-13961.30 Mx_l=-0.00 My_l=-7.28 Mz_l=-0.01
Taglio nei bulloni: Fv,Ed=4.90 Fv,Rd=7720.78
Rifollamento lato piastra: Fb,Ed,p=4.90 Fb,Rd,p=6610.93
Tirafondi:LT=0.45 (0.31) σ_{cR}=0.00 σ_{fR}=0.00
Compressione nel calcestruzzo: σ_c=29.26
CC 23 SLV (Collegamento -182_-384)
Azioni sul collegamento: N=-13961.30 Ty=-15.19 Tz=-0.86 Mx=-0.01 Mz=-13.60
Sollecitazioni agenti localmente: Tx_l=-15.19 Ty_l=-0.86 N_l=-13961.30 Mx_l=-0.00 My_l=-13.60 Mz_l=-0.01
Taglio nei bulloni: Fv,Ed=2.55 Fv,Rd=7720.78
Rifollamento lato piastra: Fb,Ed,p=2.55 Fb,Rd,p=6013.19
Tirafondi:LT=0.45 (0.31) σ_{cR}=0.00 σ_{fR}=0.00
Compressione nel calcestruzzo: σ_c=29.61
CC 23 SLV (Collegamento -182_-384)
Azioni sul collegamento: N=-13961.30 Ty=-7.48 Tz=-0.86 Mx=-0.01 Mz=-7.28
Sollecitazioni agenti localmente: Tx_l=-7.48 Ty_l=-0.86 N_l=-13961.30 Mx_l=-0.00 My_l=-7.28 Mz_l=-0.01
Taglio nei bulloni: Fv,Ed=1.27 Fv,Rd=7720.78
Rifollamento lato piastra: Fb,Ed,p=1.27 Fb,Rd,p=6117.92
Tirafondi:LT=0.45 (0.31) σ_{cR}=0.00 σ_{fR}=0.00
Compressione nel calcestruzzo: σ_c=29.26
CC 23 SLV (Collegamento -182_-384)
Azioni sul collegamento: N=-6136.65 Ty=-15.19 Tz=28.35 Mx=-0.01 Mz=-13.60
Sollecitazioni agenti localmente: Tx_l=-15.19 Ty_l=28.35 N_l=-6136.65 Mx_l=-0.00 My_l=-13.60 Mz_l=-0.01
Taglio nei bulloni: Fv,Ed=5.38 Fv,Rd=7720.78
Rifollamento lato piastra: Fb,Ed,p=5.38 Fb,Rd,p=8592.55
Tirafondi:LT=0.45 (0.31) σ_{cR}=0.00 σ_{fR}=0.00
Compressione nel calcestruzzo: σ_c=13.45
CC 23 SLV (Collegamento -182_-384)
Azioni sul collegamento: N=-6136.65 Ty=-7.48 Tz=28.35 Mx=-0.01 Mz=-7.28
Sollecitazioni agenti localmente: Tx_l=-7.48 Ty_l=28.35 N_l=-6136.65 Mx_l=-0.00 My_l=-7.28 Mz_l=-0.01
Taglio nei bulloni: Fv,Ed=4.90 Fv,Rd=7720.78
Rifollamento lato piastra: Fb,Ed,p=4.90 Fb,Rd,p=6610.92
Tirafondi:LT=0.45 (0.31) σ_{cR}=0.00 σ_{fR}=0.00
Compressione nel calcestruzzo: σ_c=13.09
CC 23 SLV (Collegamento -182_-384)
Azioni sul collegamento: N=-6136.65 Ty=-15.19 Tz=-0.86 Mx=-0.01 Mz=-13.60
Sollecitazioni agenti localmente: Tx_l=-15.19 Ty_l=-0.86 N_l=-6136.65 Mx_l=-0.00 My_l=-13.60 Mz_l=-0.01
Taglio nei bulloni: Fv,Ed=2.55 Fv,Rd=7720.78
Rifollamento lato piastra: Fb,Ed,p=2.55 Fb,Rd,p=6013.18
Tirafondi:LT=0.45 (0.31) σ_{cR}=0.00 σ_{fR}=0.00
Compressione nel calcestruzzo: σ_c=13.45
CC 23 SLV (Collegamento -182_-384)
Azioni sul collegamento: N=-6136.65 Ty=-7.48 Tz=-0.86 Mx=-0.01 Mz=-7.28
Sollecitazioni agenti localmente: Tx_l=-7.48 Ty_l=-0.86 N_l=-6136.65 Mx_l=-0.00 My_l=-7.28 Mz_l=-0.01
Taglio nei bulloni: Fv,Ed=1.27 Fv,Rd=7720.78
Rifollamento lato piastra: Fb,Ed,p=1.27 Fb,Rd,p=6117.91
Tirafondi:LT=0.45 (0.31) σ_{cR}=0.00 σ_{fR}=0.00
Compressione nel calcestruzzo: σ_c=13.09
CC 24 SLD (Collegamento -182_-384)
Azioni sul collegamento: N=-11144.60 Ty=-11.59 Tz=17.82 Mx=-0.01 Mz=-9.27
Sollecitazioni agenti localmente: Tx_l=-11.59 Ty_l=17.82 N_l=-11144.60 Mx_l=-0.00 My_l=-9.27 Mz_l=-0.01

Taglio nei bulloni: Fv,Ed=3.55 Fv,Rd=9650.97
Rifollamento lato piastra: Fb,Ed,p=3.55 Fb,Rd,p=12310.20
Tirafondi:LT=0.45 (0.31) σ_{cR}=0.00 σ_{fR}=0.00
Compressione nel calcestruzzo: σ_c=23.55
CC 24 SLD (Collegamento -182_-384)
Azioni sul collegamento: N=-11144.60 Ty=-9.24 Tz=17.82 Mx=-0.01 Mz=-7.34
Sollecitazioni agenti localmente: Tx_l=-9.24 Ty_l=17.82 N_l=-11144.60 Mx_l=-0.00 My_l=-7.34 Mz_l=-0.01
Taglio nei bulloni: Fv,Ed=3.35 Fv,Rd=9650.97
Rifollamento lato piastra: Fb,Ed,p=3.35 Fb,Rd,p=10524.40
Tirafondi:LT=0.45 (0.31) σ_{cR}=0.00 σ_{fR}=0.00
Compressione nel calcestruzzo: σ_c=23.44
CC 24 SLD (Collegamento -182_-384)
Azioni sul collegamento: N=-11144.60 Ty=-11.59 Tz=8.91 Mx=-0.01 Mz=-9.27
Sollecitazioni agenti localmente: Tx_l=-11.59 Ty_l=8.91 N_l=-11144.60 Mx_l=-0.00 My_l=-9.27 Mz_l=-0.01
Taglio nei bulloni: Fv,Ed=2.45 Fv,Rd=9650.97
Rifollamento lato piastra: Fb,Ed,p=2.44 Fb,Rd,p=13359.60
Tirafondi:LT=0.45 (0.31) σ_{cR}=0.00 σ_{fR}=0.00
Compressione nel calcestruzzo: σ_c=23.55
CC 24 SLD (Collegamento -182_-384)
Azioni sul collegamento: N=-11144.60 Ty=-9.24 Tz=8.91 Mx=-0.01 Mz=-7.34
Sollecitazioni agenti localmente: Tx_l=-9.24 Ty_l=8.91 N_l=-11144.60 Mx_l=-0.00 My_l=-7.34 Mz_l=-0.01
Taglio nei bulloni: Fv,Ed=2.15 Fv,Rd=9650.97
Rifollamento lato piastra: Fb,Ed,p=2.14 Fb,Rd,p=14695.50
Tirafondi:LT=0.45 (0.31) σ_{cR}=0.00 σ_{fR}=0.00
Compressione nel calcestruzzo: σ_c=23.44
CC 24 SLD (Collegamento -182_-384)
Azioni sul collegamento: N=-8758.65 Ty=-11.59 Tz=17.82 Mx=-0.01 Mz=-9.27
Sollecitazioni agenti localmente: Tx_l=-11.59 Ty_l=17.82 N_l=-8758.65 Mx_l=-0.00 My_l=-9.27 Mz_l=-0.01
Taglio nei bulloni: Fv,Ed=3.55 Fv,Rd=9650.97
Rifollamento lato piastra: Fb,Ed,p=3.55 Fb,Rd,p=12310.20
Tirafondi:LT=0.45 (0.31) σ_{cR}=0.00 σ_{fR}=0.00
Compressione nel calcestruzzo: σ_c=18.62
CC 24 SLD (Collegamento -182_-384)
Azioni sul collegamento: N=-8758.65 Ty=-9.24 Tz=17.82 Mx=-0.01 Mz=-7.34
Sollecitazioni agenti localmente: Tx_l=-9.24 Ty_l=17.82 N_l=-8758.65 Mx_l=-0.00 My_l=-7.34 Mz_l=-0.01
Taglio nei bulloni: Fv,Ed=3.35 Fv,Rd=9650.97
Rifollamento lato piastra: Fb,Ed,p=3.35 Fb,Rd,p=10524.40
Tirafondi:LT=0.45 (0.31) σ_{cR}=0.00 σ_{fR}=0.00
Compressione nel calcestruzzo: σ_c=18.51
CC 24 SLD (Collegamento -182_-384)
Azioni sul collegamento: N=-8758.64 Ty=-11.59 Tz=8.91 Mx=-0.01 Mz=-9.27
Sollecitazioni agenti localmente: Tx_l=-11.59 Ty_l=8.91 N_l=-8758.64 Mx_l=-0.00 My_l=-9.27 Mz_l=-0.01
Taglio nei bulloni: Fv,Ed=2.45 Fv,Rd=9650.97
Rifollamento lato piastra: Fb,Ed,p=2.44 Fb,Rd,p=13359.80
Tirafondi:LT=0.45 (0.31) σ_{cR}=0.00 σ_{fR}=0.00
Compressione nel calcestruzzo: σ_c=18.62
CC 24 SLD (Collegamento -182_-384)
Azioni sul collegamento: N=-8758.64 Ty=-9.24 Tz=8.91 Mx=-0.01 Mz=-7.34
Sollecitazioni agenti localmente: Tx_l=-9.24 Ty_l=8.91 N_l=-8758.64 Mx_l=-0.00 My_l=-7.34 Mz_l=-0.01
Taglio nei bulloni: Fv,Ed=2.15 Fv,Rd=9650.97
Rifollamento lato piastra: Fb,Ed,p=2.14 Fb,Rd,p=14695.80
Tirafondi:LT=0.45 (0.31) σ_{cR}=0.00 σ_{fR}=0.00
Compressione nel calcestruzzo: σ_c=18.51
CC 25 SLV (Collegamento -182_-384)
Azioni sul collegamento: N=-8867.92 Ty=-9.40 Tz=8.87 Mx=-0.02 Mz=-7.91
Sollecitazioni agenti localmente: Tx_l=-9.40 Ty_l=8.87 N_l=-8867.92 Mx_l=-0.00 My_l=-7.91 Mz_l=-0.02
Taglio nei bulloni: Fv,Ed=2.19 Fv,Rd=7720.78
Rifollamento lato piastra: Fb,Ed,p=2.16 Fb,Rd,p=11497.40
Tirafondi:LT=0.45 (0.31) σ_{cR}=0.00 σ_{fR}=0.00
Compressione nel calcestruzzo: σ_c=18.77
CC 25 SLV (Collegamento -182_-384)
Azioni sul collegamento: N=-8867.92 Ty=-13.27 Tz=8.87 Mx=-0.02 Mz=-12.98
Sollecitazioni agenti localmente: Tx_l=-13.27 Ty_l=8.87 N_l=-8867.92 Mx_l=-0.00 My_l=-12.98 Mz_l=-0.02
Taglio nei bulloni: Fv,Ed=2.70 Fv,Rd=7720.78
Rifollamento lato piastra: Fb,Ed,p=2.67 Fb,Rd,p=9815.61
Tirafondi:LT=0.45 (0.31) σ_{cR}=0.00 σ_{fR}=0.00
Compressione nel calcestruzzo: σ_c=19.05
CC 25 SLV (Collegamento -182_-384)
Azioni sul collegamento: N=-8867.92 Ty=-9.40 Tz=18.62 Mx=-0.02 Mz=-7.91
Sollecitazioni agenti localmente: Tx_l=-9.40 Ty_l=18.62 N_l=-8867.92 Mx_l=-0.00 My_l=-7.91 Mz_l=-0.02
Taglio nei bulloni: Fv,Ed=3.51 Fv,Rd=7720.78
Rifollamento lato piastra: Fb,Ed,p=3.51 Fb,Rd,p=8319.63
Tirafondi:LT=0.45 (0.31) σ_{cR}=0.00 σ_{fR}=0.00
Compressione nel calcestruzzo: σ_c=18.77
CC 25 SLV (Collegamento -182_-384)
Azioni sul collegamento: N=-8867.92 Ty=-13.27 Tz=18.62 Mx=-0.02 Mz=-12.98
Sollecitazioni agenti localmente: Tx_l=-13.27 Ty_l=18.62 N_l=-8867.92 Mx_l=-0.00 My_l=-12.98 Mz_l=-0.02
Taglio nei bulloni: Fv,Ed=3.85 Fv,Rd=7720.78

Rifollamento lato piastra: Fb,Ed,p=3.85 Fb,Rd,p=10448.00
Tirafondi:LT=0.45 (0.31) σ_{cR}=0.00 σ_{fR}=0.00
Compressione nel calcestruzzo: σ_c=19.05
CC 25 SLV (Collegamento -182_-384)
Azioni sul collegamento: N=-11230.00 Ty=-9.40 Tz=8.87 Mx=-0.02 Mz=-7.91
Sollecitazioni agenti localmente: Tx_l=-9.40 Ty_l=8.87 N_l=-11230.00 Mx_l=-0.00 My_l=-7.91 Mz_l=-0.02
Taglio nei bulloni: Fv,Ed=2.19 Fv,Rd=7720.78
Rifollamento lato piastra: Fb,Ed,p=2.16 Fb,Rd,p=11497.80
Tirafondi:LT=0.45 (0.31) σ_{cR}=0.00 σ_{fR}=0.00
Compressione nel calcestruzzo: σ_c=23.65
CC 25 SLV (Collegamento -182_-384)
Azioni sul collegamento: N=-11230.00 Ty=-13.27 Tz=8.87 Mx=-0.02 Mz=-12.98
Sollecitazioni agenti localmente: Tx_l=-13.27 Ty_l=8.87 N_l=-11230.00 Mx_l=-0.00 My_l=-12.98 Mz_l=-0.02
Taglio nei bulloni: Fv,Ed=2.70 Fv,Rd=7720.78
Rifollamento lato piastra: Fb,Ed,p=2.67 Fb,Rd,p=9816.09
Tirafondi:LT=0.45 (0.31) σ_{cR}=0.00 σ_{fR}=0.00
Compressione nel calcestruzzo: σ_c=23.93
CC 25 SLV (Collegamento -182_-384)
Azioni sul collegamento: N=-11230.00 Ty=-9.40 Tz=18.62 Mx=-0.02 Mz=-7.91
Sollecitazioni agenti localmente: Tx_l=-9.40 Ty_l=18.62 N_l=-11230.00 Mx_l=-0.00 My_l=-7.91 Mz_l=-0.02
Taglio nei bulloni: Fv,Ed=3.51 Fv,Rd=7720.78
Rifollamento lato piastra: Fb,Ed,p=3.51 Fb,Rd,p=8319.58
Tirafondi:LT=0.45 (0.31) σ_{cR}=0.00 σ_{fR}=0.00
Compressione nel calcestruzzo: σ_c=23.65
CC 25 SLV (Collegamento -182_-384)
Azioni sul collegamento: N=-11230.00 Ty=-13.27 Tz=18.62 Mx=-0.02 Mz=-12.98
Sollecitazioni agenti localmente: Tx_l=-13.27 Ty_l=18.62 N_l=-11230.00 Mx_l=-0.00 My_l=-12.98 Mz_l=-0.02
Taglio nei bulloni: Fv,Ed=3.85 Fv,Rd=7720.78
Rifollamento lato piastra: Fb,Ed,p=3.85 Fb,Rd,p=10448.00
Tirafondi:LT=0.45 (0.31) σ_{cR}=0.00 σ_{fR}=0.00
Compressione nel calcestruzzo: σ_c=23.93
CC 26 SLD (Collegamento -182_-384)
Azioni sul collegamento: N=-9591.50 Ty=-9.82 Tz=11.88 Mx=-0.01 Mz=-7.53
Sollecitazioni agenti localmente: Tx_l=-9.82 Ty_l=11.88 N_l=-9591.50 Mx_l=-0.00 My_l=-7.53 Mz_l=-0.01
Taglio nei bulloni: Fv,Ed=2.58 Fv,Rd=9650.97
Rifollamento lato piastra: Fb,Ed,p=2.58 Fb,Rd,p=13791.80
Tirafondi:LT=0.45 (0.31) σ_{cR}=0.00 σ_{fR}=0.00
Compressione nel calcestruzzo: σ_c=20.24
CC 26 SLD (Collegamento -182_-384)
Azioni sul collegamento: N=-9591.50 Ty=-11.00 Tz=11.88 Mx=-0.01 Mz=-9.08
Sollecitazioni agenti localmente: Tx_l=-11.00 Ty_l=11.88 N_l=-9591.50 Mx_l=-0.00 My_l=-9.08 Mz_l=-0.01
Taglio nei bulloni: Fv,Ed=2.71 Fv,Rd=9650.97
Rifollamento lato piastra: Fb,Ed,p=2.71 Fb,Rd,p=14484.10
Tirafondi:LT=0.45 (0.31) σ_{cR}=0.00 σ_{fR}=0.00
Compressione nel calcestruzzo: σ_c=20.33
CC 26 SLD (Collegamento -182_-384)
Azioni sul collegamento: N=-9591.50 Ty=-9.82 Tz=14.85 Mx=-0.01 Mz=-7.53
Sollecitazioni agenti localmente: Tx_l=-9.82 Ty_l=14.85 N_l=-9591.50 Mx_l=-0.00 My_l=-7.53 Mz_l=-0.01
Taglio nei bulloni: Fv,Ed=2.98 Fv,Rd=9650.97
Rifollamento lato piastra: Fb,Ed,p=2.98 Fb,Rd,p=12488.00
Tirafondi:LT=0.45 (0.31) σ_{cR}=0.00 σ_{fR}=0.00
Compressione nel calcestruzzo: σ_c=20.24
CC 26 SLD (Collegamento -182_-384)
Azioni sul collegamento: N=-9591.50 Ty=-11.00 Tz=14.85 Mx=-0.01 Mz=-9.08
Sollecitazioni agenti localmente: Tx_l=-11.00 Ty_l=14.85 N_l=-9591.50 Mx_l=-0.00 My_l=-9.08 Mz_l=-0.01
Taglio nei bulloni: Fv,Ed=3.10 Fv,Rd=9650.97
Rifollamento lato piastra: Fb,Ed,p=3.10 Fb,Rd,p=13228.20
Tirafondi:LT=0.45 (0.31) σ_{cR}=0.00 σ_{fR}=0.00
Compressione nel calcestruzzo: σ_c=20.33
CC 26 SLD (Collegamento -182_-384)
Azioni sul collegamento: N=-10311.80 Ty=-9.82 Tz=11.88 Mx=-0.01 Mz=-7.53
Sollecitazioni agenti localmente: Tx_l=-9.82 Ty_l=11.88 N_l=-10311.80 Mx_l=-0.00 My_l=-7.53 Mz_l=-0.01
Taglio nei bulloni: Fv,Ed=2.58 Fv,Rd=9650.97
Rifollamento lato piastra: Fb,Ed,p=2.58 Fb,Rd,p=13791.70
Tirafondi:LT=0.45 (0.31) σ_{cR}=0.00 σ_{fR}=0.00
Compressione nel calcestruzzo: σ_c=21.73
CC 26 SLD (Collegamento -182_-384)
Azioni sul collegamento: N=-10311.80 Ty=-11.00 Tz=11.88 Mx=-0.01 Mz=-9.08
Sollecitazioni agenti localmente: Tx_l=-11.00 Ty_l=11.88 N_l=-10311.80 Mx_l=-0.00 My_l=-9.08 Mz_l=-0.01
Taglio nei bulloni: Fv,Ed=2.71 Fv,Rd=9650.97
Rifollamento lato piastra: Fb,Ed,p=2.71 Fb,Rd,p=14484.00
Tirafondi:LT=0.45 (0.31) σ_{cR}=0.00 σ_{fR}=0.00
Compressione nel calcestruzzo: σ_c=21.82
CC 26 SLD (Collegamento -182_-384)
Azioni sul collegamento: N=-10311.80 Ty=-9.82 Tz=14.85 Mx=-0.01 Mz=-7.53
Sollecitazioni agenti localmente: Tx_l=-9.82 Ty_l=14.85 N_l=-10311.80 Mx_l=-0.00 My_l=-7.53 Mz_l=-0.01
Taglio nei bulloni: Fv,Ed=2.98 Fv,Rd=9650.97
Rifollamento lato piastra: Fb,Ed,p=2.98 Fb,Rd,p=12488.20

Tirafondi:LT=0.45 (0.31) σ_{cR}=0.00 σ_{fR}=0.00
Compressione nel calcestruzzo: σ_c=21.73
CC 26 SLD (Collegamento -182_-384)
Azioni sul collegamento: N=-10311.80 Ty=-11.00 Tz=14.85 Mx=-0.01 Mz=-9.08
Sollecitazioni agenti localmente: Tx_l=-11.00 Ty_l=14.85 N_l=-10311.80 Mx_l=-0.00 My_l=-9.08 Mz_l=-0.01
Taglio nei bulloni: Fv,Ed=3.10 Fv,Rd=9650.97
Rifollamento lato piastra: Fb,Ed,p=3.10 Fb,Rd,p=13228.20
Tirafondi:LT=0.45 (0.31) σ_{cR}=0.00 σ_{fR}=0.00
Compressione nel calcestruzzo: σ_c=21.82
CC 27 SLV (Collegamento -182_-384)
Azioni sul collegamento: N=-11213.90 Ty=-11.56 Tz=17.53 Mx=-0.02 Mz=-9.49
Sollecitazioni agenti localmente: Tx_l=-11.56 Ty_l=17.53 N_l=-11213.90 Mx_l=-0.00 My_l=-9.49 Mz_l=-0.02
Taglio nei bulloni: Fv,Ed=3.54 Fv,Rd=7720.78
Rifollamento lato piastra: Fb,Ed,p=3.54 Fb,Rd,p=9985.33
Tirafondi:LT=0.45 (0.31) σ_{cR}=0.00 σ_{fR}=0.00
Compressione nel calcestruzzo: σ_c=23.70
CC 27 SLV (Collegamento -182_-384)
Azioni sul collegamento: N=-11213.90 Ty=-11.11 Tz=17.53 Mx=-0.02 Mz=-11.40
Sollecitazioni agenti localmente: Tx_l=-11.11 Ty_l=17.53 N_l=-11213.90 Mx_l=-0.00 My_l=-11.40 Mz_l=-0.02
Taglio nei bulloni: Fv,Ed=3.50 Fv,Rd=7720.78
Rifollamento lato piastra: Fb,Ed,p=3.50 Fb,Rd,p=9678.09
Tirafondi:LT=0.45 (0.31) σ_{cR}=0.00 σ_{fR}=0.00
Compressione nel calcestruzzo: σ_c=23.81
CC 27 SLV (Collegamento -182_-384)
Azioni sul collegamento: N=-11213.90 Ty=-11.56 Tz=9.96 Mx=-0.02 Mz=-9.49
Sollecitazioni agenti localmente: Tx_l=-11.56 Ty_l=9.96 N_l=-11213.90 Mx_l=-0.00 My_l=-9.49 Mz_l=-0.02
Taglio nei bulloni: Fv,Ed=2.58 Fv,Rd=7720.78
Rifollamento lato piastra: Fb,Ed,p=2.55 Fb,Rd,p=11079.10
Tirafondi:LT=0.45 (0.31) σ_{cR}=0.00 σ_{fR}=0.00
Compressione nel calcestruzzo: σ_c=23.70
CC 27 SLV (Collegamento -182_-384)
Azioni sul collegamento: N=-11213.90 Ty=-11.11 Tz=9.96 Mx=-0.02 Mz=-11.40
Sollecitazioni agenti localmente: Tx_l=-11.11 Ty_l=9.96 N_l=-11213.90 Mx_l=-0.00 My_l=-11.40 Mz_l=-0.02
Taglio nei bulloni: Fv,Ed=2.52 Fv,Rd=7720.78
Rifollamento lato piastra: Fb,Ed,p=2.49 Fb,Rd,p=11262.40
Tirafondi:LT=0.45 (0.31) σ_{cR}=0.00 σ_{fR}=0.00
Compressione nel calcestruzzo: σ_c=23.81
CC 27 SLV (Collegamento -182_-384)
Azioni sul collegamento: N=-8884.09 Ty=-11.56 Tz=17.53 Mx=-0.02 Mz=-9.49
Sollecitazioni agenti localmente: Tx_l=-11.56 Ty_l=17.53 N_l=-8884.09 Mx_l=-0.00 My_l=-9.49 Mz_l=-0.02
Taglio nei bulloni: Fv,Ed=3.54 Fv,Rd=7720.78
Rifollamento lato piastra: Fb,Ed,p=3.54 Fb,Rd,p=9985.21
Tirafondi:LT=0.45 (0.31) σ_{cR}=0.00 σ_{fR}=0.00
Compressione nel calcestruzzo: σ_c=18.89
CC 27 SLV (Collegamento -182_-384)
Azioni sul collegamento: N=-8884.09 Ty=-11.11 Tz=17.53 Mx=-0.02 Mz=-11.40
Sollecitazioni agenti localmente: Tx_l=-11.11 Ty_l=17.53 N_l=-8884.09 Mx_l=-0.00 My_l=-11.40 Mz_l=-0.02
Taglio nei bulloni: Fv,Ed=3.50 Fv,Rd=7720.78
Rifollamento lato piastra: Fb,Ed,p=3.50 Fb,Rd,p=9677.98
Tirafondi:LT=0.45 (0.31) σ_{cR}=0.00 σ_{fR}=0.00
Compressione nel calcestruzzo: σ_c=19.00
CC 27 SLV (Collegamento -182_-384)
Azioni sul collegamento: N=-8884.09 Ty=-11.56 Tz=9.96 Mx=-0.02 Mz=-9.49
Sollecitazioni agenti localmente: Tx_l=-11.56 Ty_l=9.96 N_l=-8884.09 Mx_l=-0.00 My_l=-9.49 Mz_l=-0.02
Taglio nei bulloni: Fv,Ed=2.58 Fv,Rd=7720.78
Rifollamento lato piastra: Fb,Ed,p=2.55 Fb,Rd,p=11079.00
Tirafondi:LT=0.45 (0.31) σ_{cR}=0.00 σ_{fR}=0.00
Compressione nel calcestruzzo: σ_c=18.89
CC 27 SLV (Collegamento -182_-384)
Azioni sul collegamento: N=-8884.09 Ty=-11.11 Tz=9.96 Mx=-0.02 Mz=-11.40
Sollecitazioni agenti localmente: Tx_l=-11.11 Ty_l=9.96 N_l=-8884.09 Mx_l=-0.00 My_l=-11.40 Mz_l=-0.02
Taglio nei bulloni: Fv,Ed=2.52 Fv,Rd=7720.78
Rifollamento lato piastra: Fb,Ed,p=2.49 Fb,Rd,p=11262.40
Tirafondi:LT=0.45 (0.31) σ_{cR}=0.00 σ_{fR}=0.00
Compressione nel calcestruzzo: σ_c=19.00
CC 28 SLD (Collegamento -182_-384)
Azioni sul collegamento: N=-10306.80 Ty=-10.48 Tz=14.52 Mx=-0.01 Mz=-8.01
Sollecitazioni agenti localmente: Tx_l=-10.48 Ty_l=14.52 N_l=-10306.80 Mx_l=-0.00 My_l=-8.01 Mz_l=-0.01
Taglio nei bulloni: Fv,Ed=3.00 Fv,Rd=9650.97
Rifollamento lato piastra: Fb,Ed,p=3.00 Fb,Rd,p=13109.60
Tirafondi:LT=0.45 (0.31) σ_{cR}=0.00 σ_{fR}=0.00
Compressione nel calcestruzzo: σ_c=21.75
CC 28 SLD (Collegamento -182_-384)
Azioni sul collegamento: N=-10306.80 Ty=-10.34 Tz=14.52 Mx=-0.01 Mz=-8.60
Sollecitazioni agenti localmente: Tx_l=-10.34 Ty_l=14.52 N_l=-10306.80 Mx_l=-0.00 My_l=-8.60 Mz_l=-0.01
Taglio nei bulloni: Fv,Ed=2.99 Fv,Rd=9650.97
Rifollamento lato piastra: Fb,Ed,p=2.99 Fb,Rd,p=13051.50
Tirafondi:LT=0.45 (0.31) σ_{cR}=0.00 σ_{fR}=0.00

Compressione nel calcestruzzo: σ_c=21.78
CC 28 SLD (Collegamento -182_-384)
Azioni sul collegamento: N=-10306.80 Ty=-10.48 Tz=12.21 Mx=-0.01 Mz=-8.01
Sollecitazioni agenti localmente: Tx_l=-10.48 Ty_l=12.21 N_l=-10306.80 Mx_l=-0.00 My_l=-8.01 Mz_l=-0.01
Taglio nei bulloni: Fv,Ed=2.70 Fv,Rd=9650.97
Rifollamento lato piastra: Fb,Ed,p=2.70 Fb,Rd,p=14005.90
Tirafondi:LT=0.45 (0.31) σ_{cR}=0.00 σ_{fR}=0.00
Compressione nel calcestruzzo: σ_c=21.75
CC 28 SLD (Collegamento -182_-384)
Azioni sul collegamento: N=-10306.80 Ty=-10.34 Tz=12.21 Mx=-0.01 Mz=-8.60
Sollecitazioni agenti localmente: Tx_l=-10.34 Ty_l=12.21 N_l=-10306.80 Mx_l=-0.00 My_l=-8.60 Mz_l=-0.01
Taglio nei bulloni: Fv,Ed=2.68 Fv,Rd=9650.97
Rifollamento lato piastra: Fb,Ed,p=2.68 Fb,Rd,p=13929.10
Tirafondi:LT=0.45 (0.31) σ_{cR}=0.00 σ_{fR}=0.00
Compressione nel calcestruzzo: σ_c=21.78
CC 28 SLD (Collegamento -182_-384)
Azioni sul collegamento: N=-9596.43 Ty=-10.48 Tz=14.52 Mx=-0.01 Mz=-8.01
Sollecitazioni agenti localmente: Tx_l=-10.48 Ty_l=14.52 N_l=-9596.43 Mx_l=-0.00 My_l=-8.01 Mz_l=-0.01
Taglio nei bulloni: Fv,Ed=3.00 Fv,Rd=9650.97
Rifollamento lato piastra: Fb,Ed,p=3.00 Fb,Rd,p=13109.70
Tirafondi:LT=0.45 (0.31) σ_{cR}=0.00 σ_{fR}=0.00
Compressione nel calcestruzzo: σ_c=20.28
CC 28 SLD (Collegamento -182_-384)
Azioni sul collegamento: N=-9596.43 Ty=-10.34 Tz=14.52 Mx=-0.01 Mz=-8.60
Sollecitazioni agenti localmente: Tx_l=-10.34 Ty_l=14.52 N_l=-9596.43 Mx_l=-0.00 My_l=-8.60 Mz_l=-0.01
Taglio nei bulloni: Fv,Ed=2.99 Fv,Rd=9650.97
Rifollamento lato piastra: Fb,Ed,p=2.99 Fb,Rd,p=13051.60
Tirafondi:LT=0.45 (0.31) σ_{cR}=0.00 σ_{fR}=0.00
Compressione nel calcestruzzo: σ_c=20.31
CC 28 SLD (Collegamento -182_-384)
Azioni sul collegamento: N=-9596.43 Ty=-10.48 Tz=12.21 Mx=-0.01 Mz=-8.01
Sollecitazioni agenti localmente: Tx_l=-10.48 Ty_l=12.21 N_l=-9596.43 Mx_l=-0.00 My_l=-8.01 Mz_l=-0.01
Taglio nei bulloni: Fv,Ed=2.70 Fv,Rd=9650.97
Rifollamento lato piastra: Fb,Ed,p=2.70 Fb,Rd,p=14005.60
Tirafondi:LT=0.45 (0.31) σ_{cR}=0.00 σ_{fR}=0.00
Compressione nel calcestruzzo: σ_c=20.28
CC 28 SLD (Collegamento -182_-384)
Azioni sul collegamento: N=-9596.43 Ty=-10.34 Tz=12.21 Mx=-0.01 Mz=-8.60
Sollecitazioni agenti localmente: Tx_l=-10.34 Ty_l=12.21 N_l=-9596.43 Mx_l=-0.00 My_l=-8.60 Mz_l=-0.01
Taglio nei bulloni: Fv,Ed=2.68 Fv,Rd=9650.97
Rifollamento lato piastra: Fb,Ed,p=2.68 Fb,Rd,p=13928.80
Tirafondi:LT=0.45 (0.31) σ_{cR}=0.00 σ_{fR}=0.00
Compressione nel calcestruzzo: σ_c=20.31
CC 29 SLV (Collegamento -182_-384)
Azioni sul collegamento: N=-8884.09 Ty=-11.11 Tz=9.96 Mx=-0.01 Mz=-11.40
Sollecitazioni agenti localmente: Tx_l=-11.11 Ty_l=9.96 N_l=-8884.09 Mx_l=-0.00 My_l=-11.40 Mz_l=-0.01
Taglio nei bulloni: Fv,Ed=2.50 Fv,Rd=7720.78
Rifollamento lato piastra: Fb,Ed,p=2.49 Fb,Rd,p=11363.00
Tirafondi:LT=0.45 (0.31) σ_{cR}=0.00 σ_{fR}=0.00
Compressione nel calcestruzzo: σ_c=19.00
CC 29 SLV (Collegamento -182_-384)
Azioni sul collegamento: N=-8884.09 Ty=-11.56 Tz=9.96 Mx=-0.01 Mz=-9.49
Sollecitazioni agenti localmente: Tx_l=-11.56 Ty_l=9.96 N_l=-8884.09 Mx_l=-0.00 My_l=-9.49 Mz_l=-0.01
Taglio nei bulloni: Fv,Ed=2.56 Fv,Rd=7720.78
Rifollamento lato piastra: Fb,Ed,p=2.54 Fb,Rd,p=11171.90
Tirafondi:LT=0.45 (0.31) σ_{cR}=0.00 σ_{fR}=0.00
Compressione nel calcestruzzo: σ_c=18.89
CC 29 SLV (Collegamento -182_-384)
Azioni sul collegamento: N=-8884.09 Ty=-11.11 Tz=17.53 Mx=-0.01 Mz=-11.40
Sollecitazioni agenti localmente: Tx_l=-11.11 Ty_l=17.53 N_l=-8884.09 Mx_l=-0.00 My_l=-11.40 Mz_l=-0.01
Taglio nei bulloni: Fv,Ed=3.47 Fv,Rd=7720.78
Rifollamento lato piastra: Fb,Ed,p=3.47 Fb,Rd,p=9651.78
Tirafondi:LT=0.45 (0.31) σ_{cR}=0.00 σ_{fR}=0.00
Compressione nel calcestruzzo: σ_c=19.00
CC 29 SLV (Collegamento -182_-384)
Azioni sul collegamento: N=-8884.09 Ty=-11.56 Tz=17.53 Mx=-0.01 Mz=-9.49
Sollecitazioni agenti localmente: Tx_l=-11.56 Ty_l=17.53 N_l=-8884.09 Mx_l=-0.00 My_l=-9.49 Mz_l=-0.01
Taglio nei bulloni: Fv,Ed=3.51 Fv,Rd=7720.78
Rifollamento lato piastra: Fb,Ed,p=3.51 Fb,Rd,p=9959.78
Tirafondi:LT=0.45 (0.31) σ_{cR}=0.00 σ_{fR}=0.00
Compressione nel calcestruzzo: σ_c=18.89
CC 29 SLV (Collegamento -182_-384)
Azioni sul collegamento: N=-11213.90 Ty=-11.11 Tz=9.96 Mx=-0.01 Mz=-11.40
Sollecitazioni agenti localmente: Tx_l=-11.11 Ty_l=9.96 N_l=-11213.90 Mx_l=-0.00 My_l=-11.40 Mz_l=-0.01
Taglio nei bulloni: Fv,Ed=2.50 Fv,Rd=7720.78
Rifollamento lato piastra: Fb,Ed,p=2.49 Fb,Rd,p=11363.00
Tirafondi:LT=0.45 (0.31) σ_{cR}=0.00 σ_{fR}=0.00
Compressione nel calcestruzzo: σ_c=23.81

CC 29 SLV (Collegamento -182_-384)
Azioni sul collegamento: N=-11213.90 Ty=-11.56 Tz=9.96 Mx=-0.01 Mz=-9.49
Sollecitazioni agenti localmente: Tx_l=-11.56 Ty_l=9.96 N_l=-11213.90 Mx_l=-0.00 My_l=-9.49 Mz_l=-0.01
Taglio nei bulloni: Fv,Ed=2.56 Fv,Rd=7720.78
Rifollamento lato piastra: Fb,Ed,p=2.54 Fb,Rd,p=11172.00
Tirafondi:LT=0.45 (0.31) σ_{cR}=0.00 σ_{fR}=0.00
Compressione nel calcestruzzo: σ_c=23.70
CC 29 SLV (Collegamento -182_-384)
Azioni sul collegamento: N=-11213.90 Ty=-11.11 Tz=17.53 Mx=-0.01 Mz=-11.40
Sollecitazioni agenti localmente: Tx_l=-11.11 Ty_l=17.53 N_l=-11213.90 Mx_l=-0.00 My_l=-11.40 Mz_l=-0.01
Taglio nei bulloni: Fv,Ed=3.47 Fv,Rd=7720.78
Rifollamento lato piastra: Fb,Ed,p=3.47 Fb,Rd,p=9651.88
Tirafondi:LT=0.45 (0.31) σ_{cR}=0.00 σ_{fR}=0.00
Compressione nel calcestruzzo: σ_c=23.81
CC 29 SLV (Collegamento -182_-384)
Azioni sul collegamento: N=-11213.90 Ty=-11.56 Tz=17.53 Mx=-0.01 Mz=-9.49
Sollecitazioni agenti localmente: Tx_l=-11.56 Ty_l=17.53 N_l=-11213.90 Mx_l=-0.00 My_l=-9.49 Mz_l=-0.01
Taglio nei bulloni: Fv,Ed=3.51 Fv,Rd=7720.78
Rifollamento lato piastra: Fb,Ed,p=3.51 Fb,Rd,p=9959.90
Tirafondi:LT=0.45 (0.31) σ_{cR}=0.00 σ_{fR}=0.00
Compressione nel calcestruzzo: σ_c=23.70
CC 30 SLD (Collegamento -182_-384)
Azioni sul collegamento: N=-9596.43 Ty=-10.34 Tz=12.21 Mx=-0.00 Mz=-8.60
Sollecitazioni agenti localmente: Tx_l=-10.34 Ty_l=12.21 N_l=-9596.43 Mx_l=-0.00 My_l=-8.60 Mz_l=-0.00
Taglio nei bulloni: Fv,Ed=2.67 Fv,Rd=9650.97
Rifollamento lato piastra: Fb,Ed,p=2.67 Fb,Rd,p=13926.10
Tirafondi:LT=0.45 (0.31) σ_{cR}=0.00 σ_{fR}=0.00
Compressione nel calcestruzzo: σ_c=20.31
CC 30 SLD (Collegamento -182_-384)
Azioni sul collegamento: N=-9596.43 Ty=-10.48 Tz=12.21 Mx=-0.00 Mz=-8.01
Sollecitazioni agenti localmente: Tx_l=-10.48 Ty_l=12.21 N_l=-9596.43 Mx_l=-0.00 My_l=-8.01 Mz_l=-0.00
Taglio nei bulloni: Fv,Ed=2.69 Fv,Rd=9650.97
Rifollamento lato piastra: Fb,Ed,p=2.69 Fb,Rd,p=14003.00
Tirafondi:LT=0.45 (0.31) σ_{cR}=0.00 σ_{fR}=0.00
Compressione nel calcestruzzo: σ_c=20.28
CC 30 SLD (Collegamento -182_-384)
Azioni sul collegamento: N=-9596.43 Ty=-10.34 Tz=14.52 Mx=-0.00 Mz=-8.60
Sollecitazioni agenti localmente: Tx_l=-10.34 Ty_l=14.52 N_l=-9596.43 Mx_l=-0.00 My_l=-8.60 Mz_l=-0.00
Taglio nei bulloni: Fv,Ed=2.98 Fv,Rd=9650.97
Rifollamento lato piastra: Fb,Ed,p=2.98 Fb,Rd,p=13047.60
Tirafondi:LT=0.45 (0.31) σ_{cR}=0.00 σ_{fR}=0.00
Compressione nel calcestruzzo: σ_c=20.31
CC 30 SLD (Collegamento -182_-384)
Azioni sul collegamento: N=-9596.43 Ty=-10.48 Tz=14.52 Mx=-0.00 Mz=-8.01
Sollecitazioni agenti localmente: Tx_l=-10.48 Ty_l=14.52 N_l=-9596.43 Mx_l=-0.00 My_l=-8.01 Mz_l=-0.00
Taglio nei bulloni: Fv,Ed=2.99 Fv,Rd=9650.97
Rifollamento lato piastra: Fb,Ed,p=2.99 Fb,Rd,p=13105.80
Tirafondi:LT=0.45 (0.31) σ_{cR}=0.00 σ_{fR}=0.00
Compressione nel calcestruzzo: σ_c=20.28
CC 30 SLD (Collegamento -182_-384)
Azioni sul collegamento: N=-10306.80 Ty=-10.34 Tz=12.21 Mx=-0.00 Mz=-8.60
Sollecitazioni agenti localmente: Tx_l=-10.34 Ty_l=12.21 N_l=-10306.80 Mx_l=-0.00 My_l=-8.60 Mz_l=-0.00
Taglio nei bulloni: Fv,Ed=2.67 Fv,Rd=9650.97
Rifollamento lato piastra: Fb,Ed,p=2.67 Fb,Rd,p=13926.30
Tirafondi:LT=0.45 (0.31) σ_{cR}=0.00 σ_{fR}=0.00
Compressione nel calcestruzzo: σ_c=21.78
CC 30 SLD (Collegamento -182_-384)
Azioni sul collegamento: N=-10306.80 Ty=-10.48 Tz=12.21 Mx=-0.00 Mz=-8.01
Sollecitazioni agenti localmente: Tx_l=-10.48 Ty_l=12.21 N_l=-10306.80 Mx_l=-0.00 My_l=-8.01 Mz_l=-0.00
Taglio nei bulloni: Fv,Ed=2.69 Fv,Rd=9650.97
Rifollamento lato piastra: Fb,Ed,p=2.69 Fb,Rd,p=14003.30
Tirafondi:LT=0.45 (0.31) σ_{cR}=0.00 σ_{fR}=0.00
Compressione nel calcestruzzo: σ_c=21.75
CC 30 SLD (Collegamento -182_-384)
Azioni sul collegamento: N=-10306.80 Ty=-10.34 Tz=14.52 Mx=-0.00 Mz=-8.60
Sollecitazioni agenti localmente: Tx_l=-10.34 Ty_l=14.52 N_l=-10306.80 Mx_l=-0.00 My_l=-8.60 Mz_l=-0.00
Taglio nei bulloni: Fv,Ed=2.98 Fv,Rd=9650.97
Rifollamento lato piastra: Fb,Ed,p=2.98 Fb,Rd,p=13047.60
Tirafondi:LT=0.45 (0.31) σ_{cR}=0.00 σ_{fR}=0.00
Compressione nel calcestruzzo: σ_c=21.78
CC 30 SLD (Collegamento -182_-384)
Azioni sul collegamento: N=-10306.80 Ty=-10.48 Tz=14.52 Mx=-0.00 Mz=-8.01
Sollecitazioni agenti localmente: Tx_l=-10.48 Ty_l=14.52 N_l=-10306.80 Mx_l=-0.00 My_l=-8.01 Mz_l=-0.00
Taglio nei bulloni: Fv,Ed=2.99 Fv,Rd=9650.97
Rifollamento lato piastra: Fb,Ed,p=2.99 Fb,Rd,p=13105.70
Tirafondi:LT=0.45 (0.31) σ_{cR}=0.00 σ_{fR}=0.00
Compressione nel calcestruzzo: σ_c=21.75
CC 31 SLV (Collegamento -182_-384)

Azioni sul collegamento: N=-11230.00 Ty=-13.27 Tz=18.62 Mx=-0.01 Mz=-12.98
Sollecitazioni agenti localmente: Tx_l=-13.27 Ty_l=18.62 N_l=-11230.00 Mx_l=-0.00 My_l=-12.98 Mz_l=-0.01
Taglio nei bulloni: Fv,Ed=3.82 Fv,Rd=7720.78
Rifollamento lato piastra: Fb,Ed,p=3.82 Fb,Rd,p=10439.90
Tirafondi:LT=0.45 (0.31) σ_{cR}=0.00 σ_{fR}=0.00
Compressione nel calcestruzzo: σ_c=23.93
CC 31 SLV (Collegamento -182_-384)
Azioni sul collegamento: N=-11230.00 Ty=-9.40 Tz=18.62 Mx=-0.01 Mz=-7.91
Sollecitazioni agenti localmente: Tx_l=-9.40 Ty_l=18.62 N_l=-11230.00 Mx_l=-0.00 My_l=-7.91 Mz_l=-0.01
Taglio nei bulloni: Fv,Ed=3.49 Fv,Rd=7720.78
Rifollamento lato piastra: Fb,Ed,p=3.49 Fb,Rd,p=8293.25
Tirafondi:LT=0.45 (0.31) σ_{cR}=0.00 σ_{fR}=0.00
Compressione nel calcestruzzo: σ_c=23.65
CC 31 SLV (Collegamento -182_-384)
Azioni sul collegamento: N=-11230.00 Ty=-13.27 Tz=8.87 Mx=-0.01 Mz=-12.98
Sollecitazioni agenti localmente: Tx_l=-13.27 Ty_l=8.87 N_l=-11230.00 Mx_l=-0.00 My_l=-12.98 Mz_l=-0.01
Taglio nei bulloni: Fv,Ed=2.67 Fv,Rd=7720.78
Rifollamento lato piastra: Fb,Ed,p=2.66 Fb,Rd,p=9978.81
Tirafondi:LT=0.45 (0.31) σ_{cR}=0.00 σ_{fR}=0.00
Compressione nel calcestruzzo: σ_c=23.93
CC 31 SLV (Collegamento -182_-384)
Azioni sul collegamento: N=-11230.00 Ty=-9.40 Tz=8.87 Mx=-0.01 Mz=-7.91
Sollecitazioni agenti localmente: Tx_l=-9.40 Ty_l=8.87 N_l=-11230.00 Mx_l=-0.00 My_l=-7.91 Mz_l=-0.01
Taglio nei bulloni: Fv,Ed=2.17 Fv,Rd=7720.78
Rifollamento lato piastra: Fb,Ed,p=2.15 Fb,Rd,p=11622.90
Tirafondi:LT=0.45 (0.31) σ_{cR}=0.00 σ_{fR}=0.00
Compressione nel calcestruzzo: σ_c=23.65
CC 31 SLV (Collegamento -182_-384)
Azioni sul collegamento: N=-8867.92 Ty=-13.27 Tz=18.62 Mx=-0.01 Mz=-12.98
Sollecitazioni agenti localmente: Tx_l=-13.27 Ty_l=18.62 N_l=-8867.92 Mx_l=-0.00 My_l=-12.98 Mz_l=-0.01
Taglio nei bulloni: Fv,Ed=3.82 Fv,Rd=7720.78
Rifollamento lato piastra: Fb,Ed,p=3.82 Fb,Rd,p=10439.90
Tirafondi:LT=0.45 (0.31) σ_{cR}=0.00 σ_{fR}=0.00
Compressione nel calcestruzzo: σ_c=19.05
CC 31 SLV (Collegamento -182_-384)
Azioni sul collegamento: N=-8867.92 Ty=-9.40 Tz=18.62 Mx=-0.01 Mz=-7.91
Sollecitazioni agenti localmente: Tx_l=-9.40 Ty_l=18.62 N_l=-8867.92 Mx_l=-0.00 My_l=-7.91 Mz_l=-0.01
Taglio nei bulloni: Fv,Ed=3.49 Fv,Rd=7720.78
Rifollamento lato piastra: Fb,Ed,p=3.49 Fb,Rd,p=8293.31
Tirafondi:LT=0.45 (0.31) σ_{cR}=0.00 σ_{fR}=0.00
Compressione nel calcestruzzo: σ_c=18.77
CC 31 SLV (Collegamento -182_-384)
Azioni sul collegamento: N=-8867.92 Ty=-13.27 Tz=8.87 Mx=-0.01 Mz=-12.98
Sollecitazioni agenti localmente: Tx_l=-13.27 Ty_l=8.87 N_l=-8867.92 Mx_l=-0.00 My_l=-12.98 Mz_l=-0.01
Taglio nei bulloni: Fv,Ed=2.67 Fv,Rd=7720.78
Rifollamento lato piastra: Fb,Ed,p=2.66 Fb,Rd,p=9978.32
Tirafondi:LT=0.45 (0.31) σ_{cR}=0.00 σ_{fR}=0.00
Compressione nel calcestruzzo: σ_c=19.05
CC 31 SLV (Collegamento -182_-384)
Azioni sul collegamento: N=-8867.92 Ty=-9.40 Tz=8.87 Mx=-0.01 Mz=-7.91
Sollecitazioni agenti localmente: Tx_l=-9.40 Ty_l=8.87 N_l=-8867.92 Mx_l=-0.00 My_l=-7.91 Mz_l=-0.01
Taglio nei bulloni: Fv,Ed=2.17 Fv,Rd=7720.78
Rifollamento lato piastra: Fb,Ed,p=2.15 Fb,Rd,p=11622.60
Tirafondi:LT=0.45 (0.31) σ_{cR}=0.00 σ_{fR}=0.00
Compressione nel calcestruzzo: σ_c=18.77
CC 32 SLD (Collegamento -182_-384)
Azioni sul collegamento: N=-10311.80 Ty=-11.00 Tz=14.85 Mx=-0.00 Mz=-9.08
Sollecitazioni agenti localmente: Tx_l=-11.00 Ty_l=14.85 N_l=-10311.80 Mx_l=-0.00 My_l=-9.08 Mz_l=-0.00
Taglio nei bulloni: Fv,Ed=3.09 Fv,Rd=9650.97
Rifollamento lato piastra: Fb,Ed,p=3.09 Fb,Rd,p=13224.70
Tirafondi:LT=0.45 (0.31) σ_{cR}=0.00 σ_{fR}=0.00
Compressione nel calcestruzzo: σ_c=21.82
CC 32 SLD (Collegamento -182_-384)
Azioni sul collegamento: N=-10311.80 Ty=-9.82 Tz=14.85 Mx=-0.00 Mz=-7.53
Sollecitazioni agenti localmente: Tx_l=-9.82 Ty_l=14.85 N_l=-10311.80 Mx_l=-0.00 My_l=-7.53 Mz_l=-0.00
Taglio nei bulloni: Fv,Ed=2.97 Fv,Rd=9650.97
Rifollamento lato piastra: Fb,Ed,p=2.97 Fb,Rd,p=12476.70
Tirafondi:LT=0.45 (0.31) σ_{cR}=0.00 σ_{fR}=0.00
Compressione nel calcestruzzo: σ_c=21.73
CC 32 SLD (Collegamento -182_-384)
Azioni sul collegamento: N=-10311.80 Ty=-11.00 Tz=11.88 Mx=-0.00 Mz=-9.08
Sollecitazioni agenti localmente: Tx_l=-11.00 Ty_l=11.88 N_l=-10311.80 Mx_l=-0.00 My_l=-9.08 Mz_l=-0.00
Taglio nei bulloni: Fv,Ed=2.71 Fv,Rd=9650.97
Rifollamento lato piastra: Fb,Ed,p=2.71 Fb,Rd,p=14482.60
Tirafondi:LT=0.45 (0.31) σ_{cR}=0.00 σ_{fR}=0.00
Compressione nel calcestruzzo: σ_c=21.82
CC 32 SLD (Collegamento -182_-384)
Azioni sul collegamento: N=-10311.80 Ty=-9.82 Tz=11.88 Mx=-0.00 Mz=-7.53

Sollecitazioni agenti localmente: Tx_l=-9.82 Ty_l=11.88 N_l=-10311.80 Mx_l=-0.00 My_l=-7.53 Mz_l=-0.00
Taglio nei bulloni: Fv,Ed=2.58 Fv,Rd=9650.97
Rifollamento lato piastra: Fb,Ed,p=2.58 Fb,Rd,p=13788.50
Tirafondi:LT=0.45 (0.31) σ_{cR}=0.00 σ_{fR}=0.00
Compressione nel calcestruzzo: σ_c=21.73
CC 32 SLD (Collegamento -182_-384)
Azioni sul collegamento: N=-9591.50 Ty=-11.00 Tz=14.85 Mx=-0.00 Mz=-9.08
Sollecitazioni agenti localmente: Tx_l=-11.00 Ty_l=14.85 N_l=-9591.50 Mx_l=-0.00 My_l=-9.08 Mz_l=-0.00
Taglio nei bulloni: Fv,Ed=3.09 Fv,Rd=9650.97
Rifollamento lato piastra: Fb,Ed,p=3.09 Fb,Rd,p=13224.60
Tirafondi:LT=0.45 (0.31) σ_{cR}=0.00 σ_{fR}=0.00
Compressione nel calcestruzzo: σ_c=20.33
CC 32 SLD (Collegamento -182_-384)
Azioni sul collegamento: N=-9591.50 Ty=-9.82 Tz=14.85 Mx=-0.00 Mz=-7.53
Sollecitazioni agenti localmente: Tx_l=-9.82 Ty_l=14.85 N_l=-9591.50 Mx_l=-0.00 My_l=-7.53 Mz_l=-0.00
Taglio nei bulloni: Fv,Ed=2.97 Fv,Rd=9650.97
Rifollamento lato piastra: Fb,Ed,p=2.97 Fb,Rd,p=12476.60
Tirafondi:LT=0.45 (0.31) σ_{cR}=0.00 σ_{fR}=0.00
Compressione nel calcestruzzo: σ_c=20.24
CC 32 SLD (Collegamento -182_-384)
Azioni sul collegamento: N=-9591.50 Ty=-11.00 Tz=11.88 Mx=-0.00 Mz=-9.08
Sollecitazioni agenti localmente: Tx_l=-11.00 Ty_l=11.88 N_l=-9591.50 Mx_l=-0.00 My_l=-9.08 Mz_l=-0.00
Taglio nei bulloni: Fv,Ed=2.71 Fv,Rd=9650.97
Rifollamento lato piastra: Fb,Ed,p=2.71 Fb,Rd,p=14482.70
Tirafondi:LT=0.45 (0.31) σ_{cR}=0.00 σ_{fR}=0.00
Compressione nel calcestruzzo: σ_c=20.33
CC 32 SLD (Collegamento -182_-384)
Azioni sul collegamento: N=-9591.50 Ty=-9.82 Tz=11.88 Mx=-0.00 Mz=-7.53
Sollecitazioni agenti localmente: Tx_l=-9.82 Ty_l=11.88 N_l=-9591.50 Mx_l=-0.00 My_l=-7.53 Mz_l=-0.00
Taglio nei bulloni: Fv,Ed=2.58 Fv,Rd=9650.97
Rifollamento lato piastra: Fb,Ed,p=2.58 Fb,Rd,p=13788.60
Tirafondi:LT=0.45 (0.31) σ_{cR}=0.00 σ_{fR}=0.00
Compressione nel calcestruzzo: σ_c=20.24
CC 33 SLU (Collegamento -182_-384)
Azioni sul collegamento: N=-37242.40 Ty=-20.96 Tz=105.49 Mx=-0.01 Mz=-15.56
Sollecitazioni agenti localmente: Tx_l=-20.96 Ty_l=105.49 N_l=-37242.40 Mx_l=-0.00 My_l=-15.56 Mz_l=-0.01
Taglio nei bulloni: Fv,Ed=17.93 Fv,Rd=7720.78
Rifollamento lato piastra: Fb,Ed,p=17.93 Fb,Rd,p=6331.32
Tirafondi:LT=0.45 (0.31) σ_{cR}=0.00 σ_{fR}=0.00
Compressione nel calcestruzzo: σ_c=77.82
CC 34 SLU (Collegamento -182_-384)
Azioni sul collegamento: N=-36428.20 Ty=-20.21 Tz=102.49 Mx=-0.01 Mz=-15.01
Sollecitazioni agenti localmente: Tx_l=-20.21 Ty_l=102.49 N_l=-36428.20 Mx_l=-0.00 My_l=-15.01 Mz_l=-0.01
Taglio nei bulloni: Fv,Ed=17.42 Fv,Rd=7720.78
Rifollamento lato piastra: Fb,Ed,p=17.42 Fb,Rd,p=6326.05
Tirafondi:LT=0.45 (0.31) σ_{cR}=0.00 σ_{fR}=0.00
Compressione nel calcestruzzo: σ_c=76.11
CC 35 SLU (Collegamento -182_-384)
Azioni sul collegamento: N=-36836.10 Ty=-20.67 Tz=103.93 Mx=-0.00 Mz=-15.47
Sollecitazioni agenti localmente: Tx_l=-20.67 Ty_l=103.93 N_l=-36836.10 Mx_l=-0.00 My_l=-15.47 Mz_l=-0.00
Taglio nei bulloni: Fv,Ed=17.67 Fv,Rd=7720.78
Rifollamento lato piastra: Fb,Ed,p=17.67 Fb,Rd,p=6331.98
Tirafondi:LT=0.45 (0.31) σ_{cR}=0.00 σ_{fR}=0.00
Compressione nel calcestruzzo: σ_c=76.98
CC 36 SLU (Collegamento -182_-384)
Azioni sul collegamento: N=-36834.40 Ty=-20.49 Tz=104.05 Mx=-0.01 Mz=-15.10
Sollecitazioni agenti localmente: Tx_l=-20.49 Ty_l=104.05 N_l=-36834.40 Mx_l=-0.00 My_l=-15.10 Mz_l=-0.01
Taglio nei bulloni: Fv,Ed=17.68 Fv,Rd=7720.78
Rifollamento lato piastra: Fb,Ed,p=17.68 Fb,Rd,p=6325.47
Tirafondi:LT=0.45 (0.31) σ_{cR}=0.00 σ_{fR}=0.00
Compressione nel calcestruzzo: σ_c=76.96
CC 37 SLU (Collegamento -182_-384)
Azioni sul collegamento: N=-28075.80 Ty=-20.08 Tz=71.84 Mx=-0.01 Mz=-14.76
Sollecitazioni agenti localmente: Tx_l=-20.08 Ty_l=71.84 N_l=-28075.80 Mx_l=-0.00 My_l=-14.76 Mz_l=-0.01
Taglio nei bulloni: Fv,Ed=12.44 Fv,Rd=7720.78
Rifollamento lato piastra: Fb,Ed,p=12.44 Fb,Rd,p=6678.04
Tirafondi:LT=0.45 (0.31) σ_{cR}=0.00 σ_{fR}=0.00
Compressione nel calcestruzzo: σ_c=58.84
CC 38 SLU (Collegamento -182_-384)
Azioni sul collegamento: N=-27261.60 Ty=-19.33 Tz=68.83 Mx=-0.01 Mz=-14.21
Sollecitazioni agenti localmente: Tx_l=-19.33 Ty_l=68.83 N_l=-27261.60 Mx_l=-0.00 My_l=-14.21 Mz_l=-0.01
Taglio nei bulloni: Fv,Ed=11.92 Fv,Rd=7720.78
Rifollamento lato piastra: Fb,Ed,p=11.92 Fb,Rd,p=6684.63
Tirafondi:LT=0.45 (0.31) σ_{cR}=0.00 σ_{fR}=0.00
Compressione nel calcestruzzo: σ_c=57.13
CC 39 SLU (Collegamento -182_-384)
Azioni sul collegamento: N=-27669.60 Ty=-19.79 Tz=70.28 Mx=-0.00 Mz=-14.67
Sollecitazioni agenti localmente: Tx_l=-19.79 Ty_l=70.28 N_l=-27669.60 Mx_l=-0.00 My_l=-14.67 Mz_l=-0.00

Taglio nei bulloni: Fv,Ed=12.17 Fv,Rd=7720.78
Rifollamento lato piastra: Fb,Ed,p=12.17 Fb,Rd,p=6688.53
Tirafondi:LT=0.45 (0.31) σ_{cR}=0.00 σ_{fR}=0.00
Compressione nel calcestruzzo: σ_c=58.00
CC 40 SLU (Collegamento -182_-384)
Azioni sul collegamento: N=-27667.80 Ty=-19.61 Tz=70.39 Mx=-0.01 Mz=-14.31
Sollecitazioni agenti localmente: Tx_l=-19.61 Ty_l=70.39 N_l=-27667.80 Mx_l=-0.00 My_l=-14.31 Mz_l=-0.01
Taglio nei bulloni: Fv,Ed=12.19 Fv,Rd=7720.78
Rifollamento lato piastra: Fb,Ed,p=12.19 Fb,Rd,p=6674.04
Tirafondi:LT=0.45 (0.31) σ_{cR}=0.00 σ_{fR}=0.00
Compressione nel calcestruzzo: σ_c=57.97
CC 41 SLU (Collegamento -182_-384)
Azioni sul collegamento: N=-30474.50 Ty=9.93 Tz=80.11 Mx=-0.01 Mz=7.87
Sollecitazioni agenti localmente: Tx_l=9.93 Ty_l=80.11 N_l=-30474.50 Mx_l=-0.00 My_l=7.87 Mz_l=-0.01
Taglio nei bulloni: Fv,Ed=13.46 Fv,Rd=7720.78
Rifollamento lato piastra: Fb,Ed,p=13.46 Fb,Rd,p=6114.34
Tirafondi:LT=0.45 (0.31) σ_{cR}=0.00 σ_{fR}=0.00
Compressione nel calcestruzzo: σ_c=63.41
CC 42 SLU (Collegamento -182_-384)
Azioni sul collegamento: N=-29660.30 Ty=10.68 Tz=77.11 Mx=-0.01 Mz=8.42
Sollecitazioni agenti localmente: Tx_l=10.68 Ty_l=77.11 N_l=-29660.30 Mx_l=-0.00 My_l=8.42 Mz_l=-0.01
Taglio nei bulloni: Fv,Ed=12.98 Fv,Rd=7720.78
Rifollamento lato piastra: Fb,Ed,p=12.98 Fb,Rd,p=6148.13
Tirafondi:LT=0.45 (0.31) σ_{cR}=0.00 σ_{fR}=0.00
Compressione nel calcestruzzo: σ_c=61.76
CC 43 SLU (Collegamento -182_-384)
Azioni sul collegamento: N=-30068.30 Ty=10.21 Tz=78.55 Mx=-0.00 Mz=7.97
Sollecitazioni agenti localmente: Tx_l=10.21 Ty_l=78.55 N_l=-30068.30 Mx_l=-0.00 My_l=7.97 Mz_l=-0.00
Taglio nei bulloni: Fv,Ed=13.21 Fv,Rd=7720.78
Rifollamento lato piastra: Fb,Ed,p=13.21 Fb,Rd,p=6128.23
Tirafondi:LT=0.45 (0.31) σ_{cR}=0.00 σ_{fR}=0.00
Compressione nel calcestruzzo: σ_c=62.57
CC 44 SLU (Collegamento -182_-384)
Azioni sul collegamento: N=-30066.50 Ty=10.39 Tz=78.67 Mx=-0.01 Mz=8.33
Sollecitazioni agenti localmente: Tx_l=10.39 Ty_l=78.67 N_l=-30066.50 Mx_l=-0.00 My_l=8.33 Mz_l=-0.01
Taglio nei bulloni: Fv,Ed=13.23 Fv,Rd=7720.78
Rifollamento lato piastra: Fb,Ed,p=13.23 Fb,Rd,p=6132.66
Tirafondi:LT=0.45 (0.31) σ_{cR}=0.00 σ_{fR}=0.00
Compressione nel calcestruzzo: σ_c=62.59
CC 45 SLU (Collegamento -182_-384)
Azioni sul collegamento: N=-30085.80 Ty=-20.31 Tz=79.22 Mx=-0.00 Mz=-15.08
Sollecitazioni agenti localmente: Tx_l=-20.31 Ty_l=79.22 N_l=-30085.80 Mx_l=-0.00 My_l=-15.08 Mz_l=-0.00
Taglio nei bulloni: Fv,Ed=13.64 Fv,Rd=7720.78
Rifollamento lato piastra: Fb,Ed,p=13.64 Fb,Rd,p=6566.36
Tirafondi:LT=0.45 (0.31) σ_{cR}=0.00 σ_{fR}=0.00
Compressione nel calcestruzzo: σ_c=63.01
CC 46 SLU (Collegamento -182_-384)
Azioni sul collegamento: N=-29271.60 Ty=-19.56 Tz=76.22 Mx=-0.00 Mz=-14.53
Sollecitazioni agenti localmente: Tx_l=-19.56 Ty_l=76.22 N_l=-29271.60 Mx_l=-0.00 My_l=-14.53 Mz_l=-0.00
Taglio nei bulloni: Fv,Ed=13.12 Fv,Rd=7720.78
Rifollamento lato piastra: Fb,Ed,p=13.12 Fb,Rd,p=6567.61
Tirafondi:LT=0.45 (0.31) σ_{cR}=0.00 σ_{fR}=0.00
Compressione nel calcestruzzo: σ_c=61.30
CC 47 SLU (Collegamento -182_-384)
Azioni sul collegamento: N=-29679.60 Ty=-20.02 Tz=77.66 Mx=-0.00 Mz=-14.99
Sollecitazioni agenti localmente: Tx_l=-20.02 Ty_l=77.66 N_l=-29679.60 Mx_l=-0.00 My_l=-14.99 Mz_l=-0.00
Taglio nei bulloni: Fv,Ed=13.37 Fv,Rd=7720.78
Rifollamento lato piastra: Fb,Ed,p=13.37 Fb,Rd,p=6572.91
Tirafondi:LT=0.45 (0.31) σ_{cR}=0.00 σ_{fR}=0.00
Compressione nel calcestruzzo: σ_c=62.17
CC 48 SLU (Collegamento -182_-384)
Azioni sul collegamento: N=-29677.80 Ty=-19.84 Tz=77.78 Mx=-0.01 Mz=-14.62
Sollecitazioni agenti localmente: Tx_l=-19.84 Ty_l=77.78 N_l=-29677.80 Mx_l=-0.00 My_l=-14.62 Mz_l=-0.01
Taglio nei bulloni: Fv,Ed=13.39 Fv,Rd=7720.78
Rifollamento lato piastra: Fb,Ed,p=13.39 Fb,Rd,p=6561.11
Tirafondi:LT=0.45 (0.31) σ_{cR}=0.00 σ_{fR}=0.00
Compressione nel calcestruzzo: σ_c=62.14
CC 49 SLU (Collegamento -182_-384)
Azioni sul collegamento: N=-23227.80 Ty=-19.65 Tz=54.04 Mx=-0.00 Mz=-14.49
Sollecitazioni agenti localmente: Tx_l=-19.65 Ty_l=54.04 N_l=-23227.80 Mx_l=-0.00 My_l=-14.49 Mz_l=-0.00
Taglio nei bulloni: Fv,Ed=9.59 Fv,Rd=7720.78
Rifollamento lato piastra: Fb,Ed,p=9.59 Fb,Rd,p=7165.91
Tirafondi:LT=0.45 (0.31) σ_{cR}=0.00 σ_{fR}=0.00
Compressione nel calcestruzzo: σ_c=48.81
CC 50 SLU (Collegamento -182_-384)
Azioni sul collegamento: N=-22413.60 Ty=-18.90 Tz=51.04 Mx=-0.00 Mz=-13.93
Sollecitazioni agenti localmente: Tx_l=-18.90 Ty_l=51.04 N_l=-22413.60 Mx_l=-0.00 My_l=-13.93 Mz_l=-0.00
Taglio nei bulloni: Fv,Ed=9.08 Fv,Rd=7720.78

Rifollamento lato piastra: Fb,Ed,p=9.08 Fb,Rd,p=7210.61
Tirafondi:LT=0.45 (0.31) σ_{cR}=0.00 σ_{fR}=0.00
Compressione nel calcestruzzo: σ_c=47.09
CC 51 SLU (Collegamento -182_-384)
Azioni sul collegamento: N=-22821.60 Ty=-19.36 Tz=52.48 Mx=-0.00 Mz=-14.39
Sollecitazioni agenti localmente: Tx_l=-19.36 Ty_l=52.48 N_l=-22821.60 Mx_l=-0.00 My_l=-14.39 Mz_l=-0.00
Taglio nei bulloni: Fv,Ed=9.33 Fv,Rd=7720.78
Rifollamento lato piastra: Fb,Ed,p=9.33 Fb,Rd,p=7201.02
Tirafondi:LT=0.45 (0.31) σ_{cR}=0.00 σ_{fR}=0.00
Compressione nel calcestruzzo: σ_c=47.96
CC 52 SLU (Collegamento -182_-384)
Azioni sul collegamento: N=-22819.80 Ty=-19.19 Tz=52.60 Mx=-0.01 Mz=-14.03
Sollecitazioni agenti localmente: Tx_l=-19.19 Ty_l=52.60 N_l=-22819.80 Mx_l=-0.00 My_l=-14.03 Mz_l=-0.01
Taglio nei bulloni: Fv,Ed=9.34 Fv,Rd=7720.78
Rifollamento lato piastra: Fb,Ed,p=9.34 Fb,Rd,p=7174.05
Tirafondi:LT=0.45 (0.31) σ_{cR}=0.00 σ_{fR}=0.00
Compressione nel calcestruzzo: σ_c=47.94
CC 53 SLU (Collegamento -182_-384)
Azioni sul collegamento: N=-25022.40 Ty=2.80 Tz=60.23 Mx=-0.00 Mz=2.45
Sollecitazioni agenti localmente: Tx_l=2.80 Ty_l=60.23 N_l=-25022.40 Mx_l=-0.00 My_l=2.45 Mz_l=-0.00
Taglio nei bulloni: Fv,Ed=10.06 Fv,Rd=7720.78
Rifollamento lato piastra: Fb,Ed,p=10.06 Fb,Rd,p=5997.84
Tirafondi:LT=0.45 (0.31) σ_{cR}=0.00 σ_{fR}=0.00
Compressione nel calcestruzzo: σ_c=51.84
CC 54 SLU (Collegamento -182_-384)
Azioni sul collegamento: N=-24208.20 Ty=3.55 Tz=57.23 Mx=-0.01 Mz=3.00
Sollecitazioni agenti localmente: Tx_l=3.55 Ty_l=57.23 N_l=-24208.20 Mx_l=-0.00 My_l=3.00 Mz_l=-0.01
Taglio nei bulloni: Fv,Ed=9.56 Fv,Rd=7720.78
Rifollamento lato piastra: Fb,Ed,p=9.56 Fb,Rd,p=6012.62
Tirafondi:LT=0.45 (0.31) σ_{cR}=0.00 σ_{fR}=0.00
Compressione nel calcestruzzo: σ_c=50.19
CC 55 SLU (Collegamento -182_-384)
Azioni sul collegamento: N=-24616.20 Ty=3.09 Tz=58.67 Mx=-0.00 Mz=2.54
Sollecitazioni agenti localmente: Tx_l=3.09 Ty_l=58.67 N_l=-24616.20 Mx_l=-0.00 My_l=2.54 Mz_l=-0.00
Taglio nei bulloni: Fv,Ed=9.80 Fv,Rd=7720.78
Rifollamento lato piastra: Fb,Ed,p=9.80 Fb,Rd,p=6003.23
Tirafondi:LT=0.45 (0.31) σ_{cR}=0.00 σ_{fR}=0.00
Compressione nel calcestruzzo: σ_c=51.00
CC 56 SLU (Collegamento -182_-384)
Azioni sul collegamento: N=-24614.50 Ty=3.26 Tz=58.79 Mx=-0.01 Mz=2.91
Sollecitazioni agenti localmente: Tx_l=3.26 Ty_l=58.79 N_l=-24614.50 Mx_l=-0.00 My_l=2.91 Mz_l=-0.01
Taglio nei bulloni: Fv,Ed=9.82 Fv,Rd=7720.78
Rifollamento lato piastra: Fb,Ed,p=9.82 Fb,Rd,p=6005.81
Tirafondi:LT=0.45 (0.31) σ_{cR}=0.00 σ_{fR}=0.00
Compressione nel calcestruzzo: σ_c=51.02
CC 57 SLU (Collegamento -182_-384)
Azioni sul collegamento: N=-27876.60 Ty=-18.56 Tz=71.09 Mx=-0.00 Mz=-13.78
Sollecitazioni agenti localmente: Tx_l=-18.56 Ty_l=71.09 N_l=-27876.60 Mx_l=-0.00 My_l=-13.78 Mz_l=-0.00
Taglio nei bulloni: Fv,Ed=12.25 Fv,Rd=7720.78
Rifollamento lato piastra: Fb,Ed,p=12.25 Fb,Rd,p=6588.27
Tirafondi:LT=0.45 (0.31) σ_{cR}=0.00 σ_{fR}=0.00
Compressione nel calcestruzzo: σ_c=58.37
CC 58 SLU (Collegamento -182_-384)
Azioni sul collegamento: N=-27062.40 Ty=-17.81 Tz=68.08 Mx=-0.00 Mz=-13.23
Sollecitazioni agenti localmente: Tx_l=-17.81 Ty_l=68.08 N_l=-27062.40 Mx_l=-0.00 My_l=-13.23 Mz_l=-0.00
Taglio nei bulloni: Fv,Ed=11.74 Fv,Rd=7720.78
Rifollamento lato piastra: Fb,Ed,p=11.74 Fb,Rd,p=6590.70
Tirafondi:LT=0.45 (0.31) σ_{cR}=0.00 σ_{fR}=0.00
Compressione nel calcestruzzo: σ_c=56.66
CC 59 SLU (Collegamento -182_-384)
Azioni sul collegamento: N=-27470.40 Ty=-18.27 Tz=69.53 Mx=-0.00 Mz=-13.69
Sollecitazioni agenti localmente: Tx_l=-18.27 Ty_l=69.53 N_l=-27470.40 Mx_l=-0.00 My_l=-13.69 Mz_l=-0.00
Taglio nei bulloni: Fv,Ed=11.99 Fv,Rd=7720.78
Rifollamento lato piastra: Fb,Ed,p=11.99 Fb,Rd,p=6596.25
Tirafondi:LT=0.45 (0.31) σ_{cR}=0.00 σ_{fR}=0.00
Compressione nel calcestruzzo: σ_c=57.53
CC 60 SLU (Collegamento -182_-384)
Azioni sul collegamento: N=-27468.70 Ty=-18.09 Tz=69.65 Mx=-0.01 Mz=-13.33
Sollecitazioni agenti localmente: Tx_l=-18.09 Ty_l=69.65 N_l=-27468.70 Mx_l=-0.00 My_l=-13.33 Mz_l=-0.01
Taglio nei bulloni: Fv,Ed=12.00 Fv,Rd=7720.78
Rifollamento lato piastra: Fb,Ed,p=12.00 Fb,Rd,p=6582.74
Tirafondi:LT=0.45 (0.31) σ_{cR}=0.00 σ_{fR}=0.00
Compressione nel calcestruzzo: σ_c=57.50
CC 61 SLU (Collegamento -182_-384)
Azioni sul collegamento: N=-21018.70 Ty=-17.90 Tz=45.91 Mx=-0.00 Mz=-13.19
Sollecitazioni agenti localmente: Tx_l=-17.90 Ty_l=45.91 N_l=-21018.70 Mx_l=-0.00 My_l=-13.19 Mz_l=-0.00
Taglio nei bulloni: Fv,Ed=8.22 Fv,Rd=7720.78
Rifollamento lato piastra: Fb,Ed,p=8.22 Fb,Rd,p=7345.50

Tirafondi:LT=0.45 (0.31) σ_{cR}=0.00 σ_{fR}=0.00
Compressione nel calcestruzzo: σ_c=44.17
CC 62 SLU (Collegamento -182_-384)
Azioni sul collegamento: N=-20204.50 Ty=-17.15 Tz=42.91 Mx=-0.00 Mz=-12.64
Sollecitazioni agenti localmente: Tx_l=-17.15 Ty_l=42.91 N_l=-20204.50 Mx_l=-0.00 My_l=-12.64 Mz_l=-0.00
Taglio nei bulloni: Fv,Ed=7.71 Fv,Rd=7720.78
Rifollamento lato piastra: Fb,Ed,p=7.71 Fb,Rd,p=7416.06
Tirafondi:LT=0.45 (0.31) σ_{cR}=0.00 σ_{fR}=0.00
Compressione nel calcestruzzo: σ_c=42.46
CC 63 SLU (Collegamento -182_-384)
Azioni sul collegamento: N=-20612.50 Ty=-17.61 Tz=44.35 Mx=-0.00 Mz=-13.10
Sollecitazioni agenti localmente: Tx_l=-17.61 Ty_l=44.35 N_l=-20612.50 Mx_l=-0.00 My_l=-13.10 Mz_l=-0.00
Taglio nei bulloni: Fv,Ed=7.96 Fv,Rd=7720.78
Rifollamento lato piastra: Fb,Ed,p=7.96 Fb,Rd,p=7396.94
Tirafondi:LT=0.45 (0.31) σ_{cR}=0.00 σ_{fR}=0.00
Compressione nel calcestruzzo: σ_c=43.33
CC 64 SLU (Collegamento -182_-384)
Azioni sul collegamento: N=-20610.70 Ty=-17.43 Tz=44.47 Mx=-0.01 Mz=-12.73
Sollecitazioni agenti localmente: Tx_l=-17.43 Ty_l=44.47 N_l=-20610.70 Mx_l=-0.00 My_l=-12.73 Mz_l=-0.01
Taglio nei bulloni: Fv,Ed=7.97 Fv,Rd=7720.78
Rifollamento lato piastra: Fb,Ed,p=7.97 Fb,Rd,p=7361.90
Tirafondi:LT=0.45 (0.31) σ_{cR}=0.00 σ_{fR}=0.00
Compressione nel calcestruzzo: σ_c=43.30
CC 65 SLU (Collegamento -182_-384)
Azioni sul collegamento: N=-22813.30 Ty=4.55 Tz=52.10 Mx=-0.00 Mz=3.75
Sollecitazioni agenti localmente: Tx_l=4.55 Ty_l=52.10 N_l=-22813.30 Mx_l=-0.00 My_l=3.75 Mz_l=-0.00
Taglio nei bulloni: Fv,Ed=8.72 Fv,Rd=7720.78
Rifollamento lato piastra: Fb,Ed,p=8.72 Fb,Rd,p=6045.76
Tirafondi:LT=0.45 (0.31) σ_{cR}=0.00 σ_{fR}=0.00
Compressione nel calcestruzzo: σ_c=47.35
CC 66 SLU (Collegamento -182_-384)
Azioni sul collegamento: N=-21999.10 Ty=5.30 Tz=49.10 Mx=-0.00 Mz=4.30
Sollecitazioni agenti localmente: Tx_l=5.30 Ty_l=49.10 N_l=-21999.10 Mx_l=-0.00 My_l=4.30 Mz_l=-0.00
Taglio nei bulloni: Fv,Ed=8.24 Fv,Rd=7720.78
Rifollamento lato piastra: Fb,Ed,p=8.24 Fb,Rd,p=6081.20
Tirafondi:LT=0.45 (0.31) σ_{cR}=0.00 σ_{fR}=0.00
Compressione nel calcestruzzo: σ_c=45.69
CC 67 SLU (Collegamento -182_-384)
Azioni sul collegamento: N=-22407.10 Ty=4.84 Tz=50.54 Mx=-0.00 Mz=3.84
Sollecitazioni agenti localmente: Tx_l=4.84 Ty_l=50.54 N_l=-22407.10 Mx_l=-0.00 My_l=3.84 Mz_l=-0.00
Taglio nei bulloni: Fv,Ed=8.47 Fv,Rd=7720.78
Rifollamento lato piastra: Fb,Ed,p=8.47 Fb,Rd,p=6059.41
Tirafondi:LT=0.45 (0.31) σ_{cR}=0.00 σ_{fR}=0.00
Compressione nel calcestruzzo: σ_c=46.51
CC 68 SLU (Collegamento -182_-384)
Azioni sul collegamento: N=-22405.30 Ty=5.01 Tz=50.66 Mx=-0.01 Mz=4.20
Sollecitazioni agenti localmente: Tx_l=5.01 Ty_l=50.66 N_l=-22405.30 Mx_l=-0.00 My_l=4.20 Mz_l=-0.01
Taglio nei bulloni: Fv,Ed=8.49 Fv,Rd=7720.78
Rifollamento lato piastra: Fb,Ed,p=8.49 Fb,Rd,p=6064.64
Tirafondi:LT=0.45 (0.31) σ_{cR}=0.00 σ_{fR}=0.00
Compressione nel calcestruzzo: σ_c=46.53
CC 97 SLU (Collegamento -182_-384)
Azioni sul collegamento: N=-12779.50 Ty=-22.48 Tz=24.03 Mx=-0.06 Mz=-25.00
Sollecitazioni agenti localmente: Tx_l=-22.48 Ty_l=24.03 N_l=-12779.50 Mx_l=-0.00 My_l=-25.00 Mz_l=-0.06
Taglio nei bulloni: Fv,Ed=5.57 Fv,Rd=7720.78
Rifollamento lato piastra: Fb,Ed,p=5.57 Fb,Rd,p=11644.90
Tirafondi:LT=0.45 (0.31) σ_{cR}=0.00 σ_{fR}=0.00
Compressione nel calcestruzzo: σ_c=27.81
CC 98 SLU (Collegamento -182_-384)
Azioni sul collegamento: N=-11965.30 Ty=-21.73 Tz=21.02 Mx=-0.06 Mz=-24.45
Sollecitazioni agenti localmente: Tx_l=-21.73 Ty_l=21.02 N_l=-11965.30 Mx_l=-0.00 My_l=-24.45 Mz_l=-0.06
Taglio nei bulloni: Fv,Ed=5.13 Fv,Rd=7720.78
Rifollamento lato piastra: Fb,Ed,p=5.04 Fb,Rd,p=11628.80
Tirafondi:LT=0.45 (0.31) σ_{cR}=0.00 σ_{fR}=0.00
Compressione nel calcestruzzo: σ_c=26.10
CC 99 SLU (Collegamento -182_-384)
Azioni sul collegamento: N=-12373.20 Ty=-22.20 Tz=22.47 Mx=-0.05 Mz=-24.91
Sollecitazioni agenti localmente: Tx_l=-22.20 Ty_l=22.47 N_l=-12373.20 Mx_l=-0.00 My_l=-24.91 Mz_l=-0.05
Taglio nei bulloni: Fv,Ed=5.35 Fv,Rd=7720.78
Rifollamento lato piastra: Fb,Ed,p=5.35 Fb,Rd,p=11948.20
Tirafondi:LT=0.45 (0.31) σ_{cR}=0.00 σ_{fR}=0.00
Compressione nel calcestruzzo: σ_c=26.97
CC 100 SLU (Collegamento -182_-384)
Azioni sul collegamento: N=-12371.50 Ty=-22.02 Tz=22.58 Mx=-0.06 Mz=-24.55
Sollecitazioni agenti localmente: Tx_l=-22.02 Ty_l=22.58 N_l=-12371.50 Mx_l=-0.00 My_l=-24.55 Mz_l=-0.06
Taglio nei bulloni: Fv,Ed=5.35 Fv,Rd=7720.78
Rifollamento lato piastra: Fb,Ed,p=5.35 Fb,Rd,p=11872.30
Tirafondi:LT=0.45 (0.31) σ_{cR}=0.00 σ_{fR}=0.00

Compressione nel calcestruzzo: σ_c=26.94
CC 101 SLU (Collegamento -182_-384)
Azioni sul collegamento: N=-10566.60 Ty=-8.33 Tz=15.50 Mx=0.00 Mz=-5.31
Sollecitazioni agenti localmente: Tx_l=-8.33 Ty_l=15.50 N_l=-10566.60 Mx_l=-0.00 My_l=-5.31 Mz_l=0.00
Taglio nei bulloni: Fv,Ed=2.94 Fv,Rd=7720.78
Rifollamento lato piastra: Fb,Ed,p=2.93 Fb,Rd,p=8565.49
Tirafondi:LT=0.45 (0.31) σ_{cR}=0.00 σ_{fR}=0.00
Compressione nel calcestruzzo: σ_c=22.13
CC 102 SLU (Collegamento -182_-384)
Azioni sul collegamento: N=-9752.38 Ty=-7.57 Tz=12.50 Mx=0.00 Mz=-4.76
Sollecitazioni agenti localmente: Tx_l=-7.57 Ty_l=12.50 N_l=-9752.38 Mx_l=-0.00 My_l=-4.76 Mz_l=0.00
Taglio nei bulloni: Fv,Ed=2.44 Fv,Rd=7720.78
Rifollamento lato piastra: Fb,Ed,p=2.44 Fb,Rd,p=9285.16
Tirafondi:LT=0.45 (0.31) σ_{cR}=0.00 σ_{fR}=0.00
Compressione nel calcestruzzo: σ_c=20.42
CC 103 SLU (Collegamento -182_-384)
Azioni sul collegamento: N=-10160.40 Ty=-8.04 Tz=13.94 Mx=0.00 Mz=-5.22
Sollecitazioni agenti localmente: Tx_l=-8.04 Ty_l=13.94 N_l=-10160.40 Mx_l=-0.00 My_l=-5.22 Mz_l=0.00
Taglio nei bulloni: Fv,Ed=2.69 Fv,Rd=7720.78
Rifollamento lato piastra: Fb,Ed,p=2.68 Fb,Rd,p=8960.60
Tirafondi:LT=0.45 (0.31) σ_{cR}=0.00 σ_{fR}=0.00
Compressione nel calcestruzzo: σ_c=21.29
CC 104 SLU (Collegamento -182_-384)
Azioni sul collegamento: N=-10158.60 Ty=-7.86 Tz=14.06 Mx=0.00 Mz=-4.85
Sollecitazioni agenti localmente: Tx_l=-7.86 Ty_l=14.06 N_l=-10158.60 Mx_l=-0.00 My_l=-4.85 Mz_l=0.00
Taglio nei bulloni: Fv,Ed=2.69 Fv,Rd=7720.78
Rifollamento lato piastra: Fb,Ed,p=2.69 Fb,Rd,p=8792.14
Tirafondi:LT=0.45 (0.31) σ_{cR}=0.00 σ_{fR}=0.00
Compressione nel calcestruzzo: σ_c=21.26

Saldatura profilo-piastra

CC 1 SLV (Collegamento -182_-384)
Azioni sul collegamento: N=-5856.57 Ty=-4.82 Tz=-1.96 Mx=0.01 Mz=-1.13
Sollecitazioni agenti localmente: Tx_l=-4.82 Ty_l=-1.96 N_l=-5856.57 My_l=1.13 Mz_l=0.01
Azioni sul cordone: TP=-0.37 TO=-0.15 NO=-432.92
Tensioni nel cordone: τ_P=0.12 τ_0= 0.05 σ_0=139.25 σ_{ID}=139.26 Σ_T=139.30
CC 1 SLV (Collegamento -182_-384)
Azioni sul collegamento: N=-5856.57 Ty=-12.53 Tz=-1.96 Mx=0.01 Mz=-7.45
Sollecitazioni agenti localmente: Tx_l=-12.53 Ty_l=-1.96 N_l=-5856.57 My_l=7.45 Mz_l=0.01
Azioni sul cordone: TP=-0.94 TO=-0.15 NO=-432.92
Tensioni nel cordone: τ_P=0.30 τ_0= 0.05 σ_0=148.49 σ_{ID}=148.49 Σ_T=148.54
CC 1 SLV (Collegamento -182_-384)
Azioni sul collegamento: N=-5856.57 Ty=-4.82 Tz=27.25 Mx=0.01 Mz=-1.13
Sollecitazioni agenti localmente: Tx_l=-4.82 Ty_l=27.25 N_l=-5856.57 My_l=1.13 Mz_l=0.01
Azioni sul cordone: TP=-0.37 TO=2.00 NO=-432.92
Tensioni nel cordone: τ_P=0.12 τ_0=0.64 σ_0=139.25 σ_{ID}=139.26 Σ_T=139.89
CC 1 SLV (Collegamento -182_-384)
Azioni sul collegamento: N=-5856.57 Ty=-12.53 Tz=27.25 Mx=0.01 Mz=-7.45
Sollecitazioni agenti localmente: Tx_l=-12.53 Ty_l=27.25 N_l=-5856.57 My_l=7.45 Mz_l=0.01
Azioni sul cordone: TP=-0.94 TO=2.00 NO=-432.92
Tensioni nel cordone: τ_P=0.30 τ_0=0.64 σ_0=148.49 σ_{ID}=148.49 Σ_T=149.13
CC 1 SLV (Collegamento -182_-384)
Azioni sul collegamento: N=-13681.20 Ty=-4.82 Tz=-1.96 Mx=0.01 Mz=-1.13
Sollecitazioni agenti localmente: Tx_l=-4.82 Ty_l=-1.96 N_l=-13681.20 My_l=1.13 Mz_l=0.01
Azioni sul cordone: TP=-0.37 TO=-0.15 NO=-1011.32
Tensioni nel cordone: τ_P=0.12 τ_0= 0.05 σ_0=323.10 σ_{ID}=323.10 Σ_T=323.15
CC 1 SLV (Collegamento -182_-384)
Azioni sul collegamento: N=-13681.20 Ty=-12.53 Tz=-1.96 Mx=0.01 Mz=-7.45
Sollecitazioni agenti localmente: Tx_l=-12.53 Ty_l=-1.96 N_l=-13681.20 My_l=7.45 Mz_l=0.01
Azioni sul cordone: TP=-0.94 TO=-0.15 NO=-1011.32
Tensioni nel cordone: τ_P=0.30 τ_0= 0.05 σ_0=332.33 σ_{ID}=332.33 Σ_T=332.38
CC 1 SLV (Collegamento -182_-384)
Azioni sul collegamento: N=-13681.20 Ty=-4.82 Tz=27.25 Mx=0.01 Mz=-1.13
Sollecitazioni agenti localmente: Tx_l=-4.82 Ty_l=27.25 N_l=-13681.20 My_l=1.13 Mz_l=0.01
Azioni sul cordone: TP=-0.37 TO=2.00 NO=-1011.32
Tensioni nel cordone: τ_P=0.12 τ_0=0.64 σ_0=323.10 σ_{ID}=323.10 Σ_T=323.74
CC 1 SLV (Collegamento -182_-384)
Azioni sul collegamento: N=-13681.20 Ty=-12.53 Tz=27.25 Mx=0.01 Mz=-7.45
Sollecitazioni agenti localmente: Tx_l=-12.53 Ty_l=27.25 N_l=-13681.20 My_l=7.45 Mz_l=0.01
Azioni sul cordone: TP=-0.94 TO=2.00 NO=-1011.32
Tensioni nel cordone: τ_P=0.30 τ_0=0.64 σ_0=332.33 σ_{ID}=332.34 Σ_T=332.97
CC 2 SLD (Collegamento -182_-384)
Azioni sul collegamento: N=-8673.24 Ty=-8.42 Tz=8.57 Mx=0.00 Mz=-5.47
Sollecitazioni agenti localmente: Tx_l=-8.42 Ty_l=8.57 N_l=-8673.24 My_l=5.47 Mz_l=0.00
Azioni sul cordone: TP=-0.62 TO=0.63 NO=-641.13
Tensioni nel cordone: τ_P=0.20 τ_0=0.20 σ_0=211.77 σ_{ID}=211.77 Σ_T=211.97
CC 2 SLD (Collegamento -182_-384)
Azioni sul collegamento: N=-8673.24 Ty=-10.78 Tz=8.57 Mx=0.00 Mz=-7.39

Sollecitazioni agenti localmente: Tx_l=-10.78 Ty_l=8.57 N_l=-8673.24 My_l=7.39 Mz_l=0.00
Azioni sul cordone: TP=-0.80 TO=0.63 NO=-641.13
Tensioni nel cordone: τ_P=0.25 τ_0=0.20 σ_0=214.58 σ_{ID}=214.58 Σ_T=214.78
CC 2 SLD (Collegamento -182_-384)
Azioni sul collegamento: N=-8673.24 Ty=-8.42 Tz=17.48 Mx=0.00 Mz=-5.47
Sollecitazioni agenti localmente: Tx_l=-8.42 Ty_l=17.48 N_l=-8673.24 My_l=5.47 Mz_l=0.00
Azioni sul cordone: TP=-0.62 TO=1.29 NO=-641.13
Tensioni nel cordone: τ_P=0.20 τ_0=0.41 σ_0=211.77 σ_{ID}=211.77 Σ_T=212.18
CC 2 SLD (Collegamento -182_-384)
Azioni sul collegamento: N=-8673.24 Ty=-10.78 Tz=17.48 Mx=0.00 Mz=-7.39
Sollecitazioni agenti localmente: Tx_l=-10.78 Ty_l=17.48 N_l=-8673.24 My_l=7.39 Mz_l=0.00
Azioni sul cordone: TP=-0.80 TO=1.29 NO=-641.13
Tensioni nel cordone: τ_P=0.25 τ_0=0.41 σ_0=214.58 σ_{ID}=214.58 Σ_T=214.99
CC 2 SLD (Collegamento -182_-384)
Azioni sul collegamento: N=-11059.20 Ty=-8.42 Tz=8.57 Mx=0.00 Mz=-5.47
Sollecitazioni agenti localmente: Tx_l=-8.42 Ty_l=8.57 N_l=-11059.20 My_l=5.47 Mz_l=0.00
Azioni sul cordone: TP=-0.62 TO=0.63 NO=-817.50
Tensioni nel cordone: τ_P=0.20 τ_0=0.20 σ_0=267.83 σ_{ID}=267.83 Σ_T=268.03
CC 2 SLD (Collegamento -182_-384)
Azioni sul collegamento: N=-11059.20 Ty=-10.78 Tz=8.57 Mx=0.00 Mz=-7.39
Sollecitazioni agenti localmente: Tx_l=-10.78 Ty_l=8.57 N_l=-11059.20 My_l=7.39 Mz_l=0.00
Azioni sul cordone: TP=-0.80 TO=0.63 NO=-817.50
Tensioni nel cordone: τ_P=0.25 τ_0=0.20 σ_0=270.64 σ_{ID}=270.64 Σ_T=270.84
CC 2 SLD (Collegamento -182_-384)
Azioni sul collegamento: N=-11059.20 Ty=-8.42 Tz=17.48 Mx=0.00 Mz=-5.47
Sollecitazioni agenti localmente: Tx_l=-8.42 Ty_l=17.48 N_l=-11059.20 My_l=5.47 Mz_l=0.00
Azioni sul cordone: TP=-0.62 TO=1.29 NO=-817.50
Tensioni nel cordone: τ_P=0.20 τ_0=0.41 σ_0=267.83 σ_{ID}=267.83 Σ_T=268.24
CC 2 SLD (Collegamento -182_-384)
Azioni sul collegamento: N=-11059.20 Ty=-10.78 Tz=17.48 Mx=0.00 Mz=-7.39
Sollecitazioni agenti localmente: Tx_l=-10.78 Ty_l=17.48 N_l=-11059.20 My_l=7.39 Mz_l=0.00
Azioni sul cordone: TP=-0.80 TO=1.29 NO=-817.50
Tensioni nel cordone: τ_P=0.25 τ_0=0.41 σ_0=270.64 σ_{ID}=270.64 Σ_T=271.05
CC 3 SLV (Collegamento -182_-384)
Azioni sul collegamento: N=-5861.42 Ty=-5.33 Tz=-1.63 Mx=0.01 Mz=-2.18
Sollecitazioni agenti localmente: Tx_l=-5.33 Ty_l=-1.63 N_l=-5861.42 My_l=2.18 Mz_l=0.01
Azioni sul cordone: TP=-0.40 TO=-0.13 NO=-433.28
Tensioni nel cordone: τ_P=0.13 τ_0= 0.04 σ_0=140.90 σ_{ID}=140.90 Σ_T=140.94
CC 3 SLV (Collegamento -182_-384)
Azioni sul collegamento: N=-5861.42 Ty=-12.02 Tz=-1.63 Mx=0.01 Mz=-6.41
Sollecitazioni agenti localmente: Tx_l=-12.02 Ty_l=-1.63 N_l=-5861.42 My_l=6.41 Mz_l=0.01
Azioni sul cordone: TP=-0.90 TO=-0.13 NO=-433.28
Tensioni nel cordone: τ_P=0.28 τ_0= 0.04 σ_0=147.08 σ_{ID}=147.08 Σ_T=147.12
CC 3 SLV (Collegamento -182_-384)
Azioni sul collegamento: N=-5861.42 Ty=-5.33 Tz=26.92 Mx=0.01 Mz=-2.18
Sollecitazioni agenti localmente: Tx_l=-5.33 Ty_l=26.92 N_l=-5861.42 My_l=2.18 Mz_l=0.01
Azioni sul cordone: TP=-0.40 TO=1.98 NO=-433.28
Tensioni nel cordone: τ_P=0.13 τ_0=0.63 σ_0=140.90 σ_{ID}=140.90 Σ_T=141.53
CC 3 SLV (Collegamento -182_-384)
Azioni sul collegamento: N=-5861.42 Ty=-12.02 Tz=26.92 Mx=0.01 Mz=-6.41
Sollecitazioni agenti localmente: Tx_l=-12.02 Ty_l=26.92 N_l=-5861.42 My_l=6.41 Mz_l=0.01
Azioni sul cordone: TP=-0.90 TO=1.98 NO=-433.28
Tensioni nel cordone: τ_P=0.28 τ_0=0.63 σ_0=147.08 σ_{ID}=147.08 Σ_T=147.71
CC 3 SLV (Collegamento -182_-384)
Azioni sul collegamento: N=-13676.40 Ty=-5.33 Tz=-1.63 Mx=0.01 Mz=-2.18
Sollecitazioni agenti localmente: Tx_l=-5.33 Ty_l=-1.63 N_l=-13676.40 My_l=2.18 Mz_l=0.01
Azioni sul cordone: TP=-0.40 TO=-0.13 NO=-1010.96
Tensioni nel cordone: τ_P=0.13 τ_0= 0.04 σ_0=324.51 σ_{ID}=324.51 Σ_T=324.56
CC 3 SLV (Collegamento -182_-384)
Azioni sul collegamento: N=-13676.40 Ty=-12.02 Tz=-1.63 Mx=0.01 Mz=-6.41
Sollecitazioni agenti localmente: Tx_l=-12.02 Ty_l=-1.63 N_l=-13676.40 My_l=6.41 Mz_l=0.01
Azioni sul cordone: TP=-0.90 TO=-0.13 NO=-1010.96
Tensioni nel cordone: τ_P=0.28 τ_0= 0.04 σ_0=330.69 σ_{ID}=330.69 Σ_T=330.73
CC 3 SLV (Collegamento -182_-384)
Azioni sul collegamento: N=-13676.40 Ty=-5.33 Tz=26.92 Mx=0.01 Mz=-2.18
Sollecitazioni agenti localmente: Tx_l=-5.33 Ty_l=26.92 N_l=-13676.40 My_l=2.18 Mz_l=0.01
Azioni sul cordone: TP=-0.40 TO=1.98 NO=-1010.96
Tensioni nel cordone: τ_P=0.13 τ_0=0.63 σ_0=324.51 σ_{ID}=324.52 Σ_T=325.15
CC 3 SLV (Collegamento -182_-384)
Azioni sul collegamento: N=-13676.40 Ty=-12.02 Tz=26.92 Mx=0.01 Mz=-6.41
Sollecitazioni agenti localmente: Tx_l=-12.02 Ty_l=26.92 N_l=-13676.40 My_l=6.41 Mz_l=0.01
Azioni sul cordone: TP=-0.90 TO=1.98 NO=-1010.96
Tensioni nel cordone: τ_P=0.28 τ_0=0.63 σ_0=330.69 σ_{ID}=330.69 Σ_T=331.32
CC 4 SLD (Collegamento -182_-384)
Azioni sul collegamento: N=-8674.72 Ty=-8.58 Tz=8.67 Mx=-0.00 Mz=-5.79
Sollecitazioni agenti localmente: Tx_l=-8.58 Ty_l=8.67 N_l=-8674.72 My_l=5.79 Mz_l=-0.00
Azioni sul cordone: TP=-0.63 TO=0.64 NO=-641.24
Tensioni nel cordone: τ_P=0.20 τ_0=0.20 σ_0=212.27 σ_{ID}=212.27 Σ_T=212.47
CC 4 SLD (Collegamento -182_-384)

Azioni sul collegamento: N=-8674.72 Ty=-10.62 Tz=8.67 Mx=-0.00 Mz=-7.07
Sollecitazioni agenti localmente: Tx_l=-10.62 Ty_l=8.67 N_l=-8674.72 My_l=7.07 Mz_l=-0.00
Azioni sul cordone: TP=-0.78 TO=0.64 NO=-641.24
Tensioni nel cordone: τ_P=0.25 τ_0=0.20 σ_0=214.15 σ_{ID}=214.15 Σ_T=214.35
CC 4 SLD (Collegamento -182_-384)
Azioni sul collegamento: N=-8674.72 Ty=-8.58 Tz=17.38 Mx=-0.00 Mz=-5.79
Sollecitazioni agenti localmente: Tx_l=-8.58 Ty_l=17.38 N_l=-8674.72 My_l=5.79 Mz_l=-0.00
Azioni sul cordone: TP=-0.63 TO=1.28 NO=-641.24
Tensioni nel cordone: τ_P=0.20 τ_0=0.41 σ_0=212.27 σ_{ID}=212.27 Σ_T=212.68
CC 4 SLD (Collegamento -182_-384)
Azioni sul collegamento: N=-8674.72 Ty=-10.62 Tz=17.38 Mx=-0.00 Mz=-7.07
Sollecitazioni agenti localmente: Tx_l=-10.62 Ty_l=17.38 N_l=-8674.72 My_l=7.07 Mz_l=-0.00
Azioni sul cordone: TP=-0.78 TO=1.28 NO=-641.24
Tensioni nel cordone: τ_P=0.25 τ_0=0.41 σ_0=214.15 σ_{ID}=214.15 Σ_T=214.56
CC 4 SLD (Collegamento -182_-384)
Azioni sul collegamento: N=-11057.70 Ty=-8.58 Tz=8.67 Mx=-0.00 Mz=-5.79
Sollecitazioni agenti localmente: Tx_l=-8.58 Ty_l=8.67 N_l=-11057.70 My_l=5.79 Mz_l=-0.00
Azioni sul cordone: TP=-0.63 TO=0.64 NO=-817.39
Tensioni nel cordone: τ_P=0.20 τ_0=0.20 σ_0=268.26 σ_{ID}=268.26 Σ_T=268.46
CC 4 SLD (Collegamento -182_-384)
Azioni sul collegamento: N=-11057.70 Ty=-10.62 Tz=8.67 Mx=-0.00 Mz=-7.07
Sollecitazioni agenti localmente: Tx_l=-10.62 Ty_l=8.67 N_l=-11057.70 My_l=7.07 Mz_l=-0.00
Azioni sul cordone: TP=-0.78 TO=0.64 NO=-817.39
Tensioni nel cordone: τ_P=0.25 τ_0=0.20 σ_0=270.14 σ_{ID}=270.14 Σ_T=270.35
CC 4 SLD (Collegamento -182_-384)
Azioni sul collegamento: N=-11057.70 Ty=-8.58 Tz=17.38 Mx=-0.00 Mz=-5.79
Sollecitazioni agenti localmente: Tx_l=-8.58 Ty_l=17.38 N_l=-11057.70 My_l=5.79 Mz_l=-0.00
Azioni sul cordone: TP=-0.63 TO=1.28 NO=-817.39
Tensioni nel cordone: τ_P=0.20 τ_0=0.41 σ_0=268.26 σ_{ID}=268.26 Σ_T=268.67
CC 4 SLD (Collegamento -182_-384)
Azioni sul collegamento: N=-11057.70 Ty=-10.62 Tz=17.38 Mx=-0.00 Mz=-7.07
Sollecitazioni agenti localmente: Tx_l=-10.62 Ty_l=17.38 N_l=-11057.70 My_l=7.07 Mz_l=-0.00
Azioni sul cordone: TP=-0.78 TO=1.28 NO=-817.39
Tensioni nel cordone: τ_P=0.25 τ_0=0.41 σ_0=270.14 σ_{ID}=270.14 Σ_T=270.55
CC 5 SLV (Collegamento -182_-384)
Azioni sul collegamento: N=-13676.40 Ty=-12.02 Tz=26.92 Mx=0.01 Mz=-6.41
Sollecitazioni agenti localmente: Tx_l=-12.02 Ty_l=26.92 N_l=-13676.40 My_l=6.41 Mz_l=0.01
Azioni sul cordone: TP=-0.90 TO=1.98 NO=-1010.96
Tensioni nel cordone: τ_P=0.29 τ_0=0.63 σ_0=330.69 σ_{ID}=330.69 Σ_T=331.32
CC 5 SLV (Collegamento -182_-384)
Azioni sul collegamento: N=-13676.40 Ty=-5.33 Tz=26.92 Mx=0.01 Mz=-2.18
Sollecitazioni agenti localmente: Tx_l=-5.33 Ty_l=26.92 N_l=-13676.40 My_l=2.18 Mz_l=0.01
Azioni sul cordone: TP=-0.41 TO=1.98 NO=-1010.96
Tensioni nel cordone: τ_P=0.13 τ_0=0.63 σ_0=324.51 σ_{ID}=324.52 Σ_T=325.14
CC 5 SLV (Collegamento -182_-384)
Azioni sul collegamento: N=-13676.40 Ty=-12.02 Tz=-1.63 Mx=0.01 Mz=-6.41
Sollecitazioni agenti localmente: Tx_l=-12.02 Ty_l=-1.63 N_l=-13676.40 My_l=6.41 Mz_l=0.01
Azioni sul cordone: TP=-0.90 TO=-0.13 NO=-1010.96
Tensioni nel cordone: τ_P=0.29 τ_0= 0.04 σ_0=330.69 σ_{ID}=330.69 Σ_T=330.73
CC 5 SLV (Collegamento -182_-384)
Azioni sul collegamento: N=-13676.40 Ty=-5.33 Tz=-1.63 Mx=0.01 Mz=-2.18
Sollecitazioni agenti localmente: Tx_l=-5.33 Ty_l=-1.63 N_l=-13676.40 My_l=2.18 Mz_l=0.01
Azioni sul cordone: TP=-0.41 TO=-0.13 NO=-1010.96
Tensioni nel cordone: τ_P=0.13 τ_0= 0.04 σ_0=324.51 σ_{ID}=324.51 Σ_T=324.56
CC 5 SLV (Collegamento -182_-384)
Azioni sul collegamento: N=-5861.42 Ty=-12.02 Tz=26.92 Mx=0.01 Mz=-6.41
Sollecitazioni agenti localmente: Tx_l=-12.02 Ty_l=26.92 N_l=-5861.42 My_l=6.41 Mz_l=0.01
Azioni sul cordone: TP=-0.90 TO=1.98 NO=-433.28
Tensioni nel cordone: τ_P=0.29 τ_0=0.63 σ_0=147.08 σ_{ID}=147.08 Σ_T=147.71
CC 5 SLV (Collegamento -182_-384)
Azioni sul collegamento: N=-5861.42 Ty=-5.33 Tz=26.92 Mx=0.01 Mz=-2.18
Sollecitazioni agenti localmente: Tx_l=-5.33 Ty_l=26.92 N_l=-5861.42 My_l=2.18 Mz_l=0.01
Azioni sul cordone: TP=-0.41 TO=1.98 NO=-433.28
Tensioni nel cordone: τ_P=0.13 τ_0=0.63 σ_0=140.90 σ_{ID}=140.90 Σ_T=141.53
CC 5 SLV (Collegamento -182_-384)
Azioni sul collegamento: N=-5861.42 Ty=-12.02 Tz=-1.63 Mx=0.01 Mz=-6.41
Sollecitazioni agenti localmente: Tx_l=-12.02 Ty_l=-1.63 N_l=-5861.42 My_l=6.41 Mz_l=0.01
Azioni sul cordone: TP=-0.90 TO=-0.13 NO=-433.28
Tensioni nel cordone: τ_P=0.29 τ_0= 0.04 σ_0=147.08 σ_{ID}=147.08 Σ_T=147.12
CC 5 SLV (Collegamento -182_-384)
Azioni sul collegamento: N=-5861.42 Ty=-5.33 Tz=-1.63 Mx=0.01 Mz=-2.18
Sollecitazioni agenti localmente: Tx_l=-5.33 Ty_l=-1.63 N_l=-5861.42 My_l=2.18 Mz_l=0.01
Azioni sul cordone: TP=-0.41 TO=-0.13 NO=-433.28
Tensioni nel cordone: τ_P=0.13 τ_0= 0.04 σ_0=140.90 σ_{ID}=140.90 Σ_T=140.94
CC 6 SLD (Collegamento -182_-384)
Azioni sul collegamento: N=-11057.70 Ty=-10.62 Tz=17.38 Mx=0.00 Mz=-7.07
Sollecitazioni agenti localmente: Tx_l=-10.62 Ty_l=17.38 N_l=-11057.70 My_l=7.07 Mz_l=0.00
Azioni sul cordone: TP=-0.79 TO=1.28 NO=-817.39
Tensioni nel cordone: τ_P=0.25 τ_0=0.41 σ_0=270.14 σ_{ID}=270.14 Σ_T=270.55

CC 6 SLD (Collegamento -182_-384)
Azioni sul collegamento: N=-11057.70 Ty=-8.58 Tz=17.38 Mx=0.00 Mz=-5.79
Sollecitazioni agenti localmente: Tx_l=-8.58 Ty_l=17.38 N_l=-11057.70 My_l=5.79 Mz_l=0.00
Azioni sul cordone: TP=-0.64 TO=1.28 NO=-817.39
Tensioni nel cordone: τ_P=0.20 τ_0=0.41 σ_0=268.26 σ_{ID}=268.26 Σ_T=268.67
CC 6 SLD (Collegamento -182_-384)
Azioni sul collegamento: N=-11057.70 Ty=-10.62 Tz=8.67 Mx=0.00 Mz=-7.07
Sollecitazioni agenti localmente: Tx_l=-10.62 Ty_l=8.67 N_l=-11057.70 My_l=7.07 Mz_l=0.00
Azioni sul cordone: TP=-0.79 TO=0.64 NO=-817.39
Tensioni nel cordone: τ_P=0.25 τ_0=0.20 σ_0=270.14 σ_{ID}=270.14 Σ_T=270.35
CC 6 SLD (Collegamento -182_-384)
Azioni sul collegamento: N=-11057.70 Ty=-8.58 Tz=8.67 Mx=0.00 Mz=-5.79
Sollecitazioni agenti localmente: Tx_l=-8.58 Ty_l=8.67 N_l=-11057.70 My_l=5.79 Mz_l=0.00
Azioni sul cordone: TP=-0.64 TO=0.64 NO=-817.39
Tensioni nel cordone: τ_P=0.20 τ_0=0.20 σ_0=268.26 σ_{ID}=268.26 Σ_T=268.46
CC 6 SLD (Collegamento -182_-384)
Azioni sul collegamento: N=-8674.72 Ty=-10.62 Tz=17.38 Mx=0.00 Mz=-7.07
Sollecitazioni agenti localmente: Tx_l=-10.62 Ty_l=17.38 N_l=-8674.72 My_l=7.07 Mz_l=0.00
Azioni sul cordone: TP=-0.79 TO=1.28 NO=-641.24
Tensioni nel cordone: τ_P=0.25 τ_0=0.41 σ_0=214.15 σ_{ID}=214.15 Σ_T=214.56
CC 6 SLD (Collegamento -182_-384)
Azioni sul collegamento: N=-8674.72 Ty=-8.58 Tz=17.38 Mx=0.00 Mz=-5.79
Sollecitazioni agenti localmente: Tx_l=-8.58 Ty_l=17.38 N_l=-8674.72 My_l=5.79 Mz_l=0.00
Azioni sul cordone: TP=-0.64 TO=1.28 NO=-641.24
Tensioni nel cordone: τ_P=0.20 τ_0=0.41 σ_0=212.27 σ_{ID}=212.27 Σ_T=212.68
CC 6 SLD (Collegamento -182_-384)
Azioni sul collegamento: N=-8674.72 Ty=-10.62 Tz=8.67 Mx=0.00 Mz=-7.07
Sollecitazioni agenti localmente: Tx_l=-10.62 Ty_l=8.67 N_l=-8674.72 My_l=7.07 Mz_l=0.00
Azioni sul cordone: TP=-0.79 TO=0.64 NO=-641.24
Tensioni nel cordone: τ_P=0.25 τ_0=0.20 σ_0=214.15 σ_{ID}=214.15 Σ_T=214.35
CC 6 SLD (Collegamento -182_-384)
Azioni sul collegamento: N=-8674.72 Ty=-8.58 Tz=8.67 Mx=0.00 Mz=-5.79
Sollecitazioni agenti localmente: Tx_l=-8.58 Ty_l=8.67 N_l=-8674.72 My_l=5.79 Mz_l=0.00
Azioni sul cordone: TP=-0.64 TO=0.64 NO=-641.24
Tensioni nel cordone: τ_P=0.20 τ_0=0.20 σ_0=212.27 σ_{ID}=212.27 Σ_T=212.47
CC 7 SLV (Collegamento -182_-384)
Azioni sul collegamento: N=-13681.20 Ty=-12.53 Tz=27.25 Mx=0.01 Mz=-7.45
Sollecitazioni agenti localmente: Tx_l=-12.53 Ty_l=27.25 N_l=-13681.20 My_l=7.45 Mz_l=0.01
Azioni sul cordone: TP=-0.93 TO=2.01 NO=-1011.32
Tensioni nel cordone: τ_P=0.30 τ_0=0.64 σ_0=332.33 σ_{ID}=332.34 Σ_T=332.97
CC 7 SLV (Collegamento -182_-384)
Azioni sul collegamento: N=-13681.20 Ty=-4.82 Tz=27.25 Mx=0.01 Mz=-1.13
Sollecitazioni agenti localmente: Tx_l=-4.82 Ty_l=27.25 N_l=-13681.20 My_l=1.13 Mz_l=0.01
Azioni sul cordone: TP=-0.36 TO=2.01 NO=-1011.32
Tensioni nel cordone: τ_P=0.12 τ_0=0.64 σ_0=323.10 σ_{ID}=323.10 Σ_T=323.74
CC 7 SLV (Collegamento -182_-384)
Azioni sul collegamento: N=-13681.20 Ty=-12.53 Tz=-1.96 Mx=0.01 Mz=-7.45
Sollecitazioni agenti localmente: Tx_l=-12.53 Ty_l=-1.96 N_l=-13681.20 My_l=7.45 Mz_l=0.01
Azioni sul cordone: TP=-0.93 TO=-0.15 NO=-1011.32
Tensioni nel cordone: τ_P=0.30 τ_0= 0.05 σ_0=332.33 σ_{ID}=332.33 Σ_T=332.38
CC 7 SLV (Collegamento -182_-384)
Azioni sul collegamento: N=-13681.20 Ty=-4.82 Tz=-1.96 Mx=0.01 Mz=-1.13
Sollecitazioni agenti localmente: Tx_l=-4.82 Ty_l=-1.96 N_l=-13681.20 My_l=1.13 Mz_l=0.01
Azioni sul cordone: TP=-0.36 TO=-0.15 NO=-1011.32
Tensioni nel cordone: τ_P=0.12 τ_0= 0.05 σ_0=323.10 σ_{ID}=323.10 Σ_T=323.15
CC 7 SLV (Collegamento -182_-384)
Azioni sul collegamento: N=-5856.57 Ty=-12.53 Tz=27.25 Mx=0.01 Mz=-7.45
Sollecitazioni agenti localmente: Tx_l=-12.53 Ty_l=27.25 N_l=-5856.57 My_l=7.45 Mz_l=0.01
Azioni sul cordone: TP=-0.93 TO=2.01 NO=-432.92
Tensioni nel cordone: τ_P=0.30 τ_0=0.64 σ_0=148.49 σ_{ID}=148.49 Σ_T=149.13
CC 7 SLV (Collegamento -182_-384)
Azioni sul collegamento: N=-5856.57 Ty=-4.82 Tz=27.25 Mx=0.01 Mz=-1.13
Sollecitazioni agenti localmente: Tx_l=-4.82 Ty_l=27.25 N_l=-5856.57 My_l=1.13 Mz_l=0.01
Azioni sul cordone: TP=-0.36 TO=2.01 NO=-432.92
Tensioni nel cordone: τ_P=0.12 τ_0=0.64 σ_0=139.25 σ_{ID}=139.26 Σ_T=139.89
CC 7 SLV (Collegamento -182_-384)
Azioni sul collegamento: N=-5856.57 Ty=-12.53 Tz=-1.96 Mx=0.01 Mz=-7.45
Sollecitazioni agenti localmente: Tx_l=-12.53 Ty_l=-1.96 N_l=-5856.57 My_l=7.45 Mz_l=0.01
Azioni sul cordone: TP=-0.93 TO=-0.15 NO=-432.92
Tensioni nel cordone: τ_P=0.30 τ_0= 0.05 σ_0=148.49 σ_{ID}=148.49 Σ_T=148.54
CC 7 SLV (Collegamento -182_-384)
Azioni sul collegamento: N=-5856.57 Ty=-4.82 Tz=-1.96 Mx=0.01 Mz=-1.13
Sollecitazioni agenti localmente: Tx_l=-4.82 Ty_l=-1.96 N_l=-5856.57 My_l=1.13 Mz_l=0.01
Azioni sul cordone: TP=-0.36 TO=-0.15 NO=-432.92
Tensioni nel cordone: τ_P=0.12 τ_0= 0.05 σ_0=139.25 σ_{ID}=139.26 Σ_T=139.30
CC 8 SLD (Collegamento -182_-384)
Azioni sul collegamento: N=-11059.20 Ty=-10.78 Tz=17.48 Mx=-0.00 Mz=-7.39
Sollecitazioni agenti localmente: Tx_l=-10.78 Ty_l=17.48 N_l=-11059.20 My_l=7.39 Mz_l=-0.00
Azioni sul cordone: TP=-0.80 TO=1.29 NO=-817.50

Tensioni nel cordone: τ_P=0.25 τ_0=0.41 σ_0=270.64 σ_{ID}=270.64 Σ_T=271.05
CC 8 SLD (Collegamento -182_-384)
Azioni sul collegamento: N=-11059.20 Ty=-8.42 Tz=17.48 Mx=-0.00 Mz=-5.47
Sollecitazioni agenti localmente: Tx_l=-8.42 Ty_l=17.48 N_l=-11059.20 My_l=5.47 Mz_l=-0.00
Azioni sul cordone: TP=-0.62 TO=1.29 NO=-817.50
Tensioni nel cordone: τ_P=0.20 τ_0=0.41 σ_0=267.83 σ_{ID}=267.83 Σ_T=268.24
CC 8 SLD (Collegamento -182_-384)
Azioni sul collegamento: N=-11059.20 Ty=-10.78 Tz=8.57 Mx=-0.00 Mz=-7.39
Sollecitazioni agenti localmente: Tx_l=-10.78 Ty_l=8.57 N_l=-11059.20 My_l=7.39 Mz_l=-0.00
Azioni sul cordone: TP=-0.80 TO=0.63 NO=-817.50
Tensioni nel cordone: τ_P=0.25 τ_0=0.20 σ_0=270.64 σ_{ID}=270.64 Σ_T=270.85
CC 8 SLD (Collegamento -182_-384)
Azioni sul collegamento: N=-11059.20 Ty=-8.42 Tz=8.57 Mx=-0.00 Mz=-5.47
Sollecitazioni agenti localmente: Tx_l=-8.42 Ty_l=8.57 N_l=-11059.20 My_l=5.47 Mz_l=-0.00
Azioni sul cordone: TP=-0.62 TO=0.63 NO=-817.50
Tensioni nel cordone: τ_P=0.20 τ_0=0.20 σ_0=267.83 σ_{ID}=267.83 Σ_T=268.03
CC 8 SLD (Collegamento -182_-384)
Azioni sul collegamento: N=-8673.24 Ty=-10.78 Tz=17.48 Mx=-0.00 Mz=-7.39
Sollecitazioni agenti localmente: Tx_l=-10.78 Ty_l=17.48 N_l=-8673.24 My_l=7.39 Mz_l=-0.00
Azioni sul cordone: TP=-0.80 TO=1.29 NO=-641.13
Tensioni nel cordone: τ_P=0.25 τ_0=0.41 σ_0=214.58 σ_{ID}=214.58 Σ_T=214.99
CC 8 SLD (Collegamento -182_-384)
Azioni sul collegamento: N=-8673.24 Ty=-8.42 Tz=17.48 Mx=-0.00 Mz=-5.47
Sollecitazioni agenti localmente: Tx_l=-8.42 Ty_l=17.48 N_l=-8673.24 My_l=5.47 Mz_l=-0.00
Azioni sul cordone: TP=-0.62 TO=1.29 NO=-641.13
Tensioni nel cordone: τ_P=0.20 τ_0=0.41 σ_0=211.77 σ_{ID}=211.77 Σ_T=212.18
CC 8 SLD (Collegamento -182_-384)
Azioni sul collegamento: N=-8673.24 Ty=-10.78 Tz=8.57 Mx=-0.00 Mz=-7.39
Sollecitazioni agenti localmente: Tx_l=-10.78 Ty_l=8.57 N_l=-8673.24 My_l=7.39 Mz_l=-0.00
Azioni sul cordone: TP=-0.80 TO=0.63 NO=-641.13
Tensioni nel cordone: τ_P=0.25 τ_0=0.20 σ_0=214.58 σ_{ID}=214.58 Σ_T=214.78
CC 8 SLD (Collegamento -182_-384)
Azioni sul collegamento: N=-8673.24 Ty=-8.42 Tz=8.57 Mx=-0.00 Mz=-5.47
Sollecitazioni agenti localmente: Tx_l=-8.42 Ty_l=8.57 N_l=-8673.24 My_l=5.47 Mz_l=-0.00
Azioni sul cordone: TP=-0.62 TO=0.63 NO=-641.13
Tensioni nel cordone: τ_P=0.20 τ_0=0.20 σ_0=211.77 σ_{ID}=211.77 Σ_T=211.97
CC 9 SLV (Collegamento -182_-384)
Azioni sul collegamento: N=-8587.84 Ty=-6.74 Tz=7.77 Mx=0.02 Mz=-1.76
Sollecitazioni agenti localmente: Tx_l=-6.74 Ty_l=7.77 N_l=-8587.84 My_l=1.76 Mz_l=0.02
Azioni sul cordone: TP=-0.52 TO=0.56 NO=-634.82
Tensioni nel cordone: τ_P=0.16 τ_0=0.18 σ_0=204.34 σ_{ID}=204.34 Σ_T=204.52
CC 9 SLV (Collegamento -182_-384)
Azioni sul collegamento: N=-8587.84 Ty=-10.61 Tz=7.77 Mx=0.02 Mz=-6.83
Sollecitazioni agenti localmente: Tx_l=-10.61 Ty_l=7.77 N_l=-8587.84 My_l=6.83 Mz_l=0.02
Azioni sul cordone: TP=-0.80 TO=0.56 NO=-634.82
Tensioni nel cordone: τ_P=0.26 τ_0=0.18 σ_0=211.75 σ_{ID}=211.75 Σ_T=211.93
CC 9 SLV (Collegamento -182_-384)
Azioni sul collegamento: N=-8587.84 Ty=-6.74 Tz=17.52 Mx=0.02 Mz=-1.76
Sollecitazioni agenti localmente: Tx_l=-6.74 Ty_l=17.52 N_l=-8587.84 My_l=1.76 Mz_l=0.02
Azioni sul cordone: TP=-0.52 TO=1.28 NO=-634.82
Tensioni nel cordone: τ_P=0.16 τ_0=0.41 σ_0=204.34 σ_{ID}=204.34 Σ_T=204.75
CC 9 SLV (Collegamento -182_-384)
Azioni sul collegamento: N=-8587.84 Ty=-10.61 Tz=17.52 Mx=0.02 Mz=-6.83
Sollecitazioni agenti localmente: Tx_l=-10.61 Ty_l=17.52 N_l=-8587.84 My_l=6.83 Mz_l=0.02
Azioni sul cordone: TP=-0.80 TO=1.28 NO=-634.82
Tensioni nel cordone: τ_P=0.26 τ_0=0.41 σ_0=211.75 σ_{ID}=211.75 Σ_T=212.16
CC 9 SLV (Collegamento -182_-384)
Azioni sul collegamento: N=-10950.00 Ty=-6.74 Tz=7.77 Mx=0.02 Mz=-1.76
Sollecitazioni agenti localmente: Tx_l=-6.74 Ty_l=7.77 N_l=-10950.00 My_l=1.76 Mz_l=0.02
Azioni sul cordone: TP=-0.52 TO=0.56 NO=-809.42
Tensioni nel cordone: τ_P=0.16 τ_0=0.18 σ_0=259.84 σ_{ID}=259.84 Σ_T=260.02
CC 9 SLV (Collegamento -182_-384)
Azioni sul collegamento: N=-10950.00 Ty=-10.61 Tz=7.77 Mx=0.02 Mz=-6.83
Sollecitazioni agenti localmente: Tx_l=-10.61 Ty_l=7.77 N_l=-10950.00 My_l=6.83 Mz_l=0.02
Azioni sul cordone: TP=-0.80 TO=0.56 NO=-809.42
Tensioni nel cordone: τ_P=0.26 τ_0=0.18 σ_0=267.25 σ_{ID}=267.25 Σ_T=267.43
CC 9 SLV (Collegamento -182_-384)
Azioni sul collegamento: N=-10950.00 Ty=-6.74 Tz=17.52 Mx=0.02 Mz=-1.76
Sollecitazioni agenti localmente: Tx_l=-6.74 Ty_l=17.52 N_l=-10950.00 My_l=1.76 Mz_l=0.02
Azioni sul cordone: TP=-0.52 TO=1.28 NO=-809.42
Tensioni nel cordone: τ_P=0.16 τ_0=0.41 σ_0=259.84 σ_{ID}=259.84 Σ_T=260.25
CC 9 SLV (Collegamento -182_-384)
Azioni sul collegamento: N=-10950.00 Ty=-10.61 Tz=17.52 Mx=0.02 Mz=-6.83
Sollecitazioni agenti localmente: Tx_l=-10.61 Ty_l=17.52 N_l=-10950.00 My_l=6.83 Mz_l=0.02
Azioni sul cordone: TP=-0.80 TO=1.28 NO=-809.42
Tensioni nel cordone: τ_P=0.26 τ_0=0.41 σ_0=267.25 σ_{ID}=267.25 Σ_T=267.66
CC 10 SLD (Collegamento -182_-384)
Azioni sul collegamento: N=-9506.09 Ty=-9.01 Tz=11.54 Mx=0.00 Mz=-5.66
Sollecitazioni agenti localmente: Tx_l=-9.01 Ty_l=11.54 N_l=-9506.09 My_l=5.66 Mz_l=0.00

Azioni sul cordone: TP=-0.67 TO=0.85 NO=-702.69
Tensioni nel cordone: τ_P=0.21 τ_O=0.27 σ_O=231.61 σ_{ID}=231.61 Σ_T=231.88
CC 10 SLD (Collegamento -182_-384)
Azioni sul collegamento: N=-9506.09 Ty=-10.19 Tz=11.54 Mx=0.00 Mz=-7.20
Sollecitazioni agenti localmente: Tx_l=-10.19 Ty_l=11.54 N_l=-9506.09 My_l=7.20 Mz_l=0.00
Azioni sul cordone: TP=-0.76 TO=0.85 NO=-702.69
Tensioni nel cordone: τ_P=0.24 τ_O=0.27 σ_O=233.87 σ_{ID}=233.87 Σ_T=234.14
CC 10 SLD (Collegamento -182_-384)
Azioni sul collegamento: N=-9506.09 Ty=-9.01 Tz=14.51 Mx=0.00 Mz=-5.66
Sollecitazioni agenti localmente: Tx_l=-9.01 Ty_l=14.51 N_l=-9506.09 My_l=5.66 Mz_l=0.00
Azioni sul cordone: TP=-0.67 TO=1.07 NO=-702.69
Tensioni nel cordone: τ_P=0.21 τ_O=0.34 σ_O=231.61 σ_{ID}=231.61 Σ_T=231.95
CC 10 SLD (Collegamento -182_-384)
Azioni sul collegamento: N=-9506.09 Ty=-10.19 Tz=14.51 Mx=0.00 Mz=-7.20
Sollecitazioni agenti localmente: Tx_l=-10.19 Ty_l=14.51 N_l=-9506.09 My_l=7.20 Mz_l=0.00
Azioni sul cordone: TP=-0.76 TO=1.07 NO=-702.69
Tensioni nel cordone: τ_P=0.24 τ_O=0.34 σ_O=233.87 σ_{ID}=233.87 Σ_T=234.21
CC 10 SLD (Collegamento -182_-384)
Azioni sul collegamento: N=-10226.40 Ty=-9.01 Tz=11.54 Mx=0.00 Mz=-5.66
Sollecitazioni agenti localmente: Tx_l=-9.01 Ty_l=11.54 N_l=-10226.40 My_l=5.66 Mz_l=0.00
Azioni sul cordone: TP=-0.67 TO=0.85 NO=-755.94
Tensioni nel cordone: τ_P=0.21 τ_O=0.27 σ_O=248.54 σ_{ID}=248.54 Σ_T=248.81
CC 10 SLD (Collegamento -182_-384)
Azioni sul collegamento: N=-10226.40 Ty=-10.19 Tz=11.54 Mx=0.00 Mz=-7.20
Sollecitazioni agenti localmente: Tx_l=-10.19 Ty_l=11.54 N_l=-10226.40 My_l=7.20 Mz_l=0.00
Azioni sul cordone: TP=-0.76 TO=0.85 NO=-755.94
Tensioni nel cordone: τ_P=0.24 τ_O=0.27 σ_O=250.80 σ_{ID}=250.80 Σ_T=251.07
CC 10 SLD (Collegamento -182_-384)
Azioni sul collegamento: N=-10226.40 Ty=-9.01 Tz=14.51 Mx=0.00 Mz=-5.66
Sollecitazioni agenti localmente: Tx_l=-9.01 Ty_l=14.51 N_l=-10226.40 My_l=5.66 Mz_l=0.00
Azioni sul cordone: TP=-0.67 TO=1.07 NO=-755.94
Tensioni nel cordone: τ_P=0.21 τ_O=0.34 σ_O=248.54 σ_{ID}=248.54 Σ_T=248.88
CC 10 SLD (Collegamento -182_-384)
Azioni sul collegamento: N=-10226.40 Ty=-10.19 Tz=14.51 Mx=0.00 Mz=-7.20
Sollecitazioni agenti localmente: Tx_l=-10.19 Ty_l=14.51 N_l=-10226.40 My_l=7.20 Mz_l=0.00
Azioni sul cordone: TP=-0.76 TO=1.07 NO=-755.94
Tensioni nel cordone: τ_P=0.24 τ_O=0.34 σ_O=250.80 σ_{ID}=250.80 Σ_T=251.14
CC 11 SLV (Collegamento -182_-384)
Azioni sul collegamento: N=-10933.80 Ty=-8.90 Tz=16.43 Mx=0.02 Mz=-3.34
Sollecitazioni agenti localmente: Tx_l=-8.90 Ty_l=16.43 N_l=-10933.80 My_l=3.34 Mz_l=0.02
Azioni sul cordone: TP=-0.68 TO=1.20 NO=-808.23
Tensioni nel cordone: τ_P=0.22 τ_O=0.38 σ_O=261.77 σ_{ID}=261.77 Σ_T=262.15
CC 11 SLV (Collegamento -182_-384)
Azioni sul collegamento: N=-10933.80 Ty=-8.45 Tz=16.43 Mx=0.02 Mz=-5.25
Sollecitazioni agenti localmente: Tx_l=-8.45 Ty_l=16.43 N_l=-10933.80 My_l=5.25 Mz_l=0.02
Azioni sul cordone: TP=-0.64 TO=1.20 NO=-808.23
Tensioni nel cordone: τ_P=0.20 τ_O=0.38 σ_O=264.56 σ_{ID}=264.56 Σ_T=264.94
CC 11 SLV (Collegamento -182_-384)
Azioni sul collegamento: N=-10933.80 Ty=-8.90 Tz=8.86 Mx=0.02 Mz=-3.34
Sollecitazioni agenti localmente: Tx_l=-8.90 Ty_l=8.86 N_l=-10933.80 My_l=3.34 Mz_l=0.02
Azioni sul cordone: TP=-0.68 TO=0.64 NO=-808.23
Tensioni nel cordone: τ_P=0.22 τ_O=0.20 σ_O=261.77 σ_{ID}=261.77 Σ_T=261.98
CC 11 SLV (Collegamento -182_-384)
Azioni sul collegamento: N=-10933.80 Ty=-8.45 Tz=8.86 Mx=0.02 Mz=-5.25
Sollecitazioni agenti localmente: Tx_l=-8.45 Ty_l=8.86 N_l=-10933.80 My_l=5.25 Mz_l=0.02
Azioni sul cordone: TP=-0.64 TO=0.64 NO=-808.23
Tensioni nel cordone: τ_P=0.20 τ_O=0.20 σ_O=264.56 σ_{ID}=264.56 Σ_T=264.76
CC 11 SLV (Collegamento -182_-384)
Azioni sul collegamento: N=-8604.01 Ty=-8.90 Tz=16.43 Mx=0.02 Mz=-3.34
Sollecitazioni agenti localmente: Tx_l=-8.90 Ty_l=16.43 N_l=-8604.01 My_l=3.34 Mz_l=0.02
Azioni sul cordone: TP=-0.68 TO=1.20 NO=-636.01
Tensioni nel cordone: τ_P=0.22 τ_O=0.38 σ_O=207.03 σ_{ID}=207.03 Σ_T=207.41
CC 11 SLV (Collegamento -182_-384)
Azioni sul collegamento: N=-8604.01 Ty=-8.45 Tz=16.43 Mx=0.02 Mz=-5.25
Sollecitazioni agenti localmente: Tx_l=-8.45 Ty_l=16.43 N_l=-8604.01 My_l=5.25 Mz_l=0.02
Azioni sul cordone: TP=-0.64 TO=1.20 NO=-636.01
Tensioni nel cordone: τ_P=0.20 τ_O=0.38 σ_O=209.82 σ_{ID}=209.82 Σ_T=210.20
CC 11 SLV (Collegamento -182_-384)
Azioni sul collegamento: N=-8604.01 Ty=-8.90 Tz=8.86 Mx=0.02 Mz=-3.34
Sollecitazioni agenti localmente: Tx_l=-8.90 Ty_l=8.86 N_l=-8604.01 My_l=3.34 Mz_l=0.02
Azioni sul cordone: TP=-0.68 TO=0.64 NO=-636.01
Tensioni nel cordone: τ_P=0.22 τ_O=0.20 σ_O=207.03 σ_{ID}=207.03 Σ_T=207.24
CC 11 SLV (Collegamento -182_-384)
Azioni sul collegamento: N=-8604.01 Ty=-8.45 Tz=8.86 Mx=0.02 Mz=-5.25
Sollecitazioni agenti localmente: Tx_l=-8.45 Ty_l=8.86 N_l=-8604.01 My_l=5.25 Mz_l=0.02
Azioni sul cordone: TP=-0.64 TO=0.64 NO=-636.01
Tensioni nel cordone: τ_P=0.20 τ_O=0.20 σ_O=209.82 σ_{ID}=209.82 Σ_T=210.02
CC 12 SLD (Collegamento -182_-384)
Azioni sul collegamento: N=-10221.40 Ty=-9.67 Tz=14.18 Mx=0.00 Mz=-6.14

Sollecitazioni agenti localmente: Tx_l=-9.67 Ty_l=14.18 N_l=-10221.40 My_l=6.14 Mz_l=0.00
Azioni sul cordone: TP=-0.72 TO=1.05 NO=-755.57
Tensioni nel cordone: τ_P=0.23 τ_0=0.33 σ_0=249.13 σ_{ID}=249.13 Σ_T=249.46
CC 12 SLD (Collegamento -182_-384)
Azioni sul collegamento: N=-10221.40 Ty=-9.53 Tz=14.18 Mx=0.00 Mz=-6.72
Sollecitazioni agenti localmente: Tx_l=-9.53 Ty_l=14.18 N_l=-10221.40 My_l=6.72 Mz_l=0.00
Azioni sul cordone: TP=-0.71 TO=1.05 NO=-755.57
Tensioni nel cordone: τ_P=0.23 τ_0=0.33 σ_0=249.98 σ_{ID}=249.98 Σ_T=250.31
CC 12 SLD (Collegamento -182_-384)
Azioni sul collegamento: N=-10221.40 Ty=-9.67 Tz=11.87 Mx=0.00 Mz=-6.14
Sollecitazioni agenti localmente: Tx_l=-9.67 Ty_l=11.87 N_l=-10221.40 My_l=6.14 Mz_l=0.00
Azioni sul cordone: TP=-0.72 TO=0.88 NO=-755.57
Tensioni nel cordone: τ_P=0.23 τ_0=0.28 σ_0=249.13 σ_{ID}=249.13 Σ_T=249.40
CC 12 SLD (Collegamento -182_-384)
Azioni sul collegamento: N=-10221.40 Ty=-9.53 Tz=11.87 Mx=0.00 Mz=-6.72
Sollecitazioni agenti localmente: Tx_l=-9.53 Ty_l=11.87 N_l=-10221.40 My_l=6.72 Mz_l=0.00
Azioni sul cordone: TP=-0.71 TO=0.88 NO=-755.57
Tensioni nel cordone: τ_P=0.23 τ_0=0.28 σ_0=249.98 σ_{ID}=249.98 Σ_T=250.25
CC 12 SLD (Collegamento -182_-384)
Azioni sul collegamento: N=-9511.02 Ty=-9.67 Tz=14.18 Mx=0.00 Mz=-6.14
Sollecitazioni agenti localmente: Tx_l=-9.67 Ty_l=14.18 N_l=-9511.02 My_l=6.14 Mz_l=0.00
Azioni sul cordone: TP=-0.72 TO=1.05 NO=-703.06
Tensioni nel cordone: τ_P=0.23 τ_0=0.33 σ_0=232.43 σ_{ID}=232.44 Σ_T=232.77
CC 12 SLD (Collegamento -182_-384)
Azioni sul collegamento: N=-9511.02 Ty=-9.53 Tz=14.18 Mx=0.00 Mz=-6.72
Sollecitazioni agenti localmente: Tx_l=-9.53 Ty_l=14.18 N_l=-9511.02 My_l=6.72 Mz_l=0.00
Azioni sul cordone: TP=-0.71 TO=1.05 NO=-703.06
Tensioni nel cordone: τ_P=0.23 τ_0=0.33 σ_0=233.28 σ_{ID}=233.28 Σ_T=233.62
CC 12 SLD (Collegamento -182_-384)
Azioni sul collegamento: N=-9511.02 Ty=-9.67 Tz=11.87 Mx=0.00 Mz=-6.14
Sollecitazioni agenti localmente: Tx_l=-9.67 Ty_l=11.87 N_l=-9511.02 My_l=6.14 Mz_l=0.00
Azioni sul cordone: TP=-0.72 TO=0.88 NO=-703.06
Tensioni nel cordone: τ_P=0.23 τ_0=0.28 σ_0=232.43 σ_{ID}=232.43 Σ_T=232.71
CC 12 SLD (Collegamento -182_-384)
Azioni sul collegamento: N=-9511.02 Ty=-9.53 Tz=11.87 Mx=0.00 Mz=-6.72
Sollecitazioni agenti localmente: Tx_l=-9.53 Ty_l=11.87 N_l=-9511.02 My_l=6.72 Mz_l=0.00
Azioni sul cordone: TP=-0.71 TO=0.88 NO=-703.06
Tensioni nel cordone: τ_P=0.23 τ_0=0.28 σ_0=233.28 σ_{ID}=233.28 Σ_T=233.56
CC 13 SLV (Collegamento -182_-384)
Azioni sul collegamento: N=-8604.01 Ty=-8.45 Tz=8.86 Mx=0.00 Mz=-5.25
Sollecitazioni agenti localmente: Tx_l=-8.45 Ty_l=8.86 N_l=-8604.01 My_l=5.25 Mz_l=0.00
Azioni sul cordone: TP=-0.63 TO=0.65 NO=-636.01
Tensioni nel cordone: τ_P=0.20 τ_0=0.21 σ_0=209.82 σ_{ID}=209.82 Σ_T=210.03
CC 13 SLV (Collegamento -182_-384)
Azioni sul collegamento: N=-8604.01 Ty=-8.90 Tz=8.86 Mx=0.00 Mz=-3.34
Sollecitazioni agenti localmente: Tx_l=-8.90 Ty_l=8.86 N_l=-8604.01 My_l=3.34 Mz_l=0.00
Azioni sul cordone: TP=-0.66 TO=0.65 NO=-636.01
Tensioni nel cordone: τ_P=0.21 τ_0=0.21 σ_0=207.03 σ_{ID}=207.03 Σ_T=207.24
CC 13 SLV (Collegamento -182_-384)
Azioni sul collegamento: N=-8604.01 Ty=-8.45 Tz=16.43 Mx=0.00 Mz=-5.25
Sollecitazioni agenti localmente: Tx_l=-8.45 Ty_l=16.43 N_l=-8604.01 My_l=5.25 Mz_l=0.00
Azioni sul cordone: TP=-0.63 TO=1.21 NO=-636.01
Tensioni nel cordone: τ_P=0.20 τ_0=0.39 σ_0=209.82 σ_{ID}=209.82 Σ_T=210.21
CC 13 SLV (Collegamento -182_-384)
Azioni sul collegamento: N=-8604.01 Ty=-8.90 Tz=16.43 Mx=0.00 Mz=-3.34
Sollecitazioni agenti localmente: Tx_l=-8.90 Ty_l=16.43 N_l=-8604.01 My_l=3.34 Mz_l=0.00
Azioni sul cordone: TP=-0.66 TO=1.21 NO=-636.01
Tensioni nel cordone: τ_P=0.21 τ_0=0.39 σ_0=207.03 σ_{ID}=207.03 Σ_T=207.42
CC 13 SLV (Collegamento -182_-384)
Azioni sul collegamento: N=-10933.80 Ty=-8.45 Tz=8.86 Mx=0.00 Mz=-5.25
Sollecitazioni agenti localmente: Tx_l=-8.45 Ty_l=8.86 N_l=-10933.80 My_l=5.25 Mz_l=0.00
Azioni sul cordone: TP=-0.63 TO=0.65 NO=-808.23
Tensioni nel cordone: τ_P=0.20 τ_0=0.21 σ_0=264.56 σ_{ID}=264.56 Σ_T=264.77
CC 13 SLV (Collegamento -182_-384)
Azioni sul collegamento: N=-10933.80 Ty=-8.90 Tz=8.86 Mx=0.00 Mz=-3.34
Sollecitazioni agenti localmente: Tx_l=-8.90 Ty_l=8.86 N_l=-10933.80 My_l=3.34 Mz_l=0.00
Azioni sul cordone: TP=-0.66 TO=0.65 NO=-808.23
Tensioni nel cordone: τ_P=0.21 τ_0=0.21 σ_0=261.77 σ_{ID}=261.77 Σ_T=261.98
CC 13 SLV (Collegamento -182_-384)
Azioni sul collegamento: N=-10933.80 Ty=-8.45 Tz=16.43 Mx=0.00 Mz=-5.25
Sollecitazioni agenti localmente: Tx_l=-8.45 Ty_l=16.43 N_l=-10933.80 My_l=5.25 Mz_l=0.00
Azioni sul cordone: TP=-0.63 TO=1.21 NO=-808.23
Tensioni nel cordone: τ_P=0.20 τ_0=0.39 σ_0=264.56 σ_{ID}=264.56 Σ_T=264.94
CC 13 SLV (Collegamento -182_-384)
Azioni sul collegamento: N=-10933.80 Ty=-8.90 Tz=16.43 Mx=0.00 Mz=-3.34
Sollecitazioni agenti localmente: Tx_l=-8.90 Ty_l=16.43 N_l=-10933.80 My_l=3.34 Mz_l=0.00
Azioni sul cordone: TP=-0.66 TO=1.21 NO=-808.23
Tensioni nel cordone: τ_P=0.21 τ_0=0.39 σ_0=261.77 σ_{ID}=261.77 Σ_T=262.16
CC 14 SLD (Collegamento -182_-384)

Azioni sul collegamento: N=-9511.02 Ty=-9.53 Tz=11.87 Mx=-0.00 Mz=-6.72
Sollecitazioni agenti localmente: Tx_l=-9.53 Ty_l=11.87 N_l=-9511.02 My_l=6.72 Mz_l=-0.00
Azioni sul cordone: TP=-0.70 TO=0.88 NO=-703.06
Tensioni nel cordone: τ_P=0.22 τ_0=0.28 σ_0=233.28 σ_{ID}=233.28 Σ_T=233.56
CC 14 SLD (Collegamento -182_-384)
Azioni sul collegamento: N=-9511.02 Ty=-9.67 Tz=11.87 Mx=-0.00 Mz=-6.14
Sollecitazioni agenti localmente: Tx_l=-9.67 Ty_l=11.87 N_l=-9511.02 My_l=6.14 Mz_l=-0.00
Azioni sul cordone: TP=-0.71 TO=0.88 NO=-703.06
Tensioni nel cordone: τ_P=0.23 τ_0=0.28 σ_0=232.43 σ_{ID}=232.43 Σ_T=232.71
CC 14 SLD (Collegamento -182_-384)
Azioni sul collegamento: N=-9511.02 Ty=-9.53 Tz=14.18 Mx=-0.00 Mz=-6.72
Sollecitazioni agenti localmente: Tx_l=-9.53 Ty_l=14.18 N_l=-9511.02 My_l=6.72 Mz_l=-0.00
Azioni sul cordone: TP=-0.70 TO=1.05 NO=-703.06
Tensioni nel cordone: τ_P=0.22 τ_0=0.33 σ_0=233.28 σ_{ID}=233.28 Σ_T=233.62
CC 14 SLD (Collegamento -182_-384)
Azioni sul collegamento: N=-9511.02 Ty=-9.67 Tz=14.18 Mx=-0.00 Mz=-6.14
Sollecitazioni agenti localmente: Tx_l=-9.67 Ty_l=14.18 N_l=-9511.02 My_l=6.14 Mz_l=-0.00
Azioni sul cordone: TP=-0.71 TO=1.05 NO=-703.06
Tensioni nel cordone: τ_P=0.23 τ_0=0.33 σ_0=232.43 σ_{ID}=232.44 Σ_T=232.77
CC 14 SLD (Collegamento -182_-384)
Azioni sul collegamento: N=-10221.40 Ty=-9.53 Tz=11.87 Mx=-0.00 Mz=-6.72
Sollecitazioni agenti localmente: Tx_l=-9.53 Ty_l=11.87 N_l=-10221.40 My_l=6.72 Mz_l=-0.00
Azioni sul cordone: TP=-0.70 TO=0.88 NO=-755.57
Tensioni nel cordone: τ_P=0.22 τ_0=0.28 σ_0=249.98 σ_{ID}=249.98 Σ_T=250.25
CC 14 SLD (Collegamento -182_-384)
Azioni sul collegamento: N=-10221.40 Ty=-9.67 Tz=11.87 Mx=-0.00 Mz=-6.14
Sollecitazioni agenti localmente: Tx_l=-9.67 Ty_l=11.87 N_l=-10221.40 My_l=6.14 Mz_l=-0.00
Azioni sul cordone: TP=-0.71 TO=0.88 NO=-755.57
Tensioni nel cordone: τ_P=0.23 τ_0=0.28 σ_0=249.13 σ_{ID}=249.13 Σ_T=249.41
CC 14 SLD (Collegamento -182_-384)
Azioni sul collegamento: N=-10221.40 Ty=-9.53 Tz=14.18 Mx=-0.00 Mz=-6.72
Sollecitazioni agenti localmente: Tx_l=-9.53 Ty_l=14.18 N_l=-10221.40 My_l=6.72 Mz_l=-0.00
Azioni sul cordone: TP=-0.70 TO=1.05 NO=-755.57
Tensioni nel cordone: τ_P=0.22 τ_0=0.33 σ_0=249.98 σ_{ID}=249.98 Σ_T=250.31
CC 14 SLD (Collegamento -182_-384)
Azioni sul collegamento: N=-10221.40 Ty=-9.67 Tz=14.18 Mx=-0.00 Mz=-6.14
Sollecitazioni agenti localmente: Tx_l=-9.67 Ty_l=14.18 N_l=-10221.40 My_l=6.14 Mz_l=-0.00
Azioni sul cordone: TP=-0.71 TO=1.05 NO=-755.57
Tensioni nel cordone: τ_P=0.23 τ_0=0.33 σ_0=249.13 σ_{ID}=249.13 Σ_T=249.46
CC 15 SLV (Collegamento -182_-384)
Azioni sul collegamento: N=-10950.00 Ty=-10.61 Tz=17.52 Mx=0.00 Mz=-6.83
Sollecitazioni agenti localmente: Tx_l=-10.61 Ty_l=17.52 N_l=-10950.00 My_l=6.83 Mz_l=0.00
Azioni sul cordone: TP=-0.79 TO=1.29 NO=-809.42
Tensioni nel cordone: τ_P=0.25 τ_0=0.41 σ_0=267.25 σ_{ID}=267.25 Σ_T=267.66
CC 15 SLV (Collegamento -182_-384)
Azioni sul collegamento: N=-10950.00 Ty=-6.74 Tz=17.52 Mx=0.00 Mz=-1.76
Sollecitazioni agenti localmente: Tx_l=-6.74 Ty_l=17.52 N_l=-10950.00 My_l=1.76 Mz_l=0.00
Azioni sul cordone: TP=-0.50 TO=1.29 NO=-809.42
Tensioni nel cordone: τ_P=0.16 τ_0=0.41 σ_0=259.84 σ_{ID}=259.84 Σ_T=260.25
CC 15 SLV (Collegamento -182_-384)
Azioni sul collegamento: N=-10950.00 Ty=-10.61 Tz=7.77 Mx=0.00 Mz=-6.83
Sollecitazioni agenti localmente: Tx_l=-10.61 Ty_l=7.77 N_l=-10950.00 My_l=6.83 Mz_l=0.00
Azioni sul cordone: TP=-0.79 TO=0.57 NO=-809.42
Tensioni nel cordone: τ_P=0.25 τ_0=0.18 σ_0=267.25 σ_{ID}=267.25 Σ_T=267.43
CC 15 SLV (Collegamento -182_-384)
Azioni sul collegamento: N=-10950.00 Ty=-6.74 Tz=7.77 Mx=0.00 Mz=-1.76
Sollecitazioni agenti localmente: Tx_l=-6.74 Ty_l=7.77 N_l=-10950.00 My_l=1.76 Mz_l=0.00
Azioni sul cordone: TP=-0.50 TO=0.57 NO=-809.42
Tensioni nel cordone: τ_P=0.16 τ_0=0.18 σ_0=259.84 σ_{ID}=259.84 Σ_T=260.02
CC 15 SLV (Collegamento -182_-384)
Azioni sul collegamento: N=-8587.84 Ty=-10.61 Tz=17.52 Mx=0.00 Mz=-6.83
Sollecitazioni agenti localmente: Tx_l=-10.61 Ty_l=17.52 N_l=-8587.84 My_l=6.83 Mz_l=0.00
Azioni sul cordone: TP=-0.79 TO=1.29 NO=-634.82
Tensioni nel cordone: τ_P=0.25 τ_0=0.41 σ_0=211.75 σ_{ID}=211.75 Σ_T=212.16
CC 15 SLV (Collegamento -182_-384)
Azioni sul collegamento: N=-8587.84 Ty=-6.74 Tz=17.52 Mx=0.00 Mz=-1.76
Sollecitazioni agenti localmente: Tx_l=-6.74 Ty_l=17.52 N_l=-8587.84 My_l=1.76 Mz_l=0.00
Azioni sul cordone: TP=-0.50 TO=1.29 NO=-634.82
Tensioni nel cordone: τ_P=0.16 τ_0=0.41 σ_0=204.34 σ_{ID}=204.34 Σ_T=204.75
CC 15 SLV (Collegamento -182_-384)
Azioni sul collegamento: N=-8587.84 Ty=-10.61 Tz=7.77 Mx=0.00 Mz=-6.83
Sollecitazioni agenti localmente: Tx_l=-10.61 Ty_l=7.77 N_l=-8587.84 My_l=6.83 Mz_l=0.00
Azioni sul cordone: TP=-0.79 TO=0.57 NO=-634.82
Tensioni nel cordone: τ_P=0.25 τ_0=0.18 σ_0=211.75 σ_{ID}=211.75 Σ_T=211.93
CC 15 SLV (Collegamento -182_-384)
Azioni sul collegamento: N=-8587.84 Ty=-6.74 Tz=7.77 Mx=0.00 Mz=-1.76
Sollecitazioni agenti localmente: Tx_l=-6.74 Ty_l=7.77 N_l=-8587.84 My_l=1.76 Mz_l=0.00
Azioni sul cordone: TP=-0.50 TO=0.57 NO=-634.82
Tensioni nel cordone: τ_P=0.16 τ_0=0.18 σ_0=204.34 σ_{ID}=204.34 Σ_T=204.52

CC 16 SLD (Collegamento -182_-384)
Azioni sul collegamento: N=-10226.40 Ty=-10.19 Tz=14.51 Mx=-0.00 Mz=-7.20
Sollecitazioni agenti localmente: Tx_l=-10.19 Ty_l=14.51 N_l=-10226.40 My_l=7.20 Mz_l=-0.00
Azioni sul cordone: TP=-0.75 TO=1.07 NO=-755.94
Tensioni nel cordone: τ_P=0.24 τ_0=0.34 σ_0=250.80 σ_{ID}=250.80 Σ_T=251.14
CC 16 SLD (Collegamento -182_-384)
Azioni sul collegamento: N=-10226.40 Ty=-9.01 Tz=14.51 Mx=-0.00 Mz=-5.66
Sollecitazioni agenti localmente: Tx_l=-9.01 Ty_l=14.51 N_l=-10226.40 My_l=5.66 Mz_l=-0.00
Azioni sul cordone: TP=-0.66 TO=1.07 NO=-755.94
Tensioni nel cordone: τ_P=0.21 τ_0=0.34 σ_0=248.54 σ_{ID}=248.54 Σ_T=248.88
CC 16 SLD (Collegamento -182_-384)
Azioni sul collegamento: N=-10226.40 Ty=-10.19 Tz=11.54 Mx=-0.00 Mz=-7.20
Sollecitazioni agenti localmente: Tx_l=-10.19 Ty_l=11.54 N_l=-10226.40 My_l=7.20 Mz_l=-0.00
Azioni sul cordone: TP=-0.75 TO=0.85 NO=-755.94
Tensioni nel cordone: τ_P=0.24 τ_0=0.27 σ_0=250.80 σ_{ID}=250.80 Σ_T=251.07
CC 16 SLD (Collegamento -182_-384)
Azioni sul collegamento: N=-10226.40 Ty=-9.01 Tz=11.54 Mx=-0.00 Mz=-5.66
Sollecitazioni agenti localmente: Tx_l=-9.01 Ty_l=11.54 N_l=-10226.40 My_l=5.66 Mz_l=-0.00
Azioni sul cordone: TP=-0.66 TO=0.85 NO=-755.94
Tensioni nel cordone: τ_P=0.21 τ_0=0.27 σ_0=248.54 σ_{ID}=248.54 Σ_T=248.81
CC 16 SLD (Collegamento -182_-384)
Azioni sul collegamento: N=-9506.09 Ty=-10.19 Tz=14.51 Mx=-0.00 Mz=-7.20
Sollecitazioni agenti localmente: Tx_l=-10.19 Ty_l=14.51 N_l=-9506.09 My_l=7.20 Mz_l=-0.00
Azioni sul cordone: TP=-0.75 TO=1.07 NO=-702.69
Tensioni nel cordone: τ_P=0.24 τ_0=0.34 σ_0=233.87 σ_{ID}=233.87 Σ_T=234.22
CC 16 SLD (Collegamento -182_-384)
Azioni sul collegamento: N=-9506.09 Ty=-9.01 Tz=14.51 Mx=-0.00 Mz=-5.66
Sollecitazioni agenti localmente: Tx_l=-9.01 Ty_l=14.51 N_l=-9506.09 My_l=5.66 Mz_l=-0.00
Azioni sul cordone: TP=-0.66 TO=1.07 NO=-702.69
Tensioni nel cordone: τ_P=0.21 τ_0=0.34 σ_0=231.61 σ_{ID}=231.61 Σ_T=231.96
CC 16 SLD (Collegamento -182_-384)
Azioni sul collegamento: N=-9506.09 Ty=-10.19 Tz=11.54 Mx=-0.00 Mz=-7.20
Sollecitazioni agenti localmente: Tx_l=-10.19 Ty_l=11.54 N_l=-9506.09 My_l=7.20 Mz_l=-0.00
Azioni sul cordone: TP=-0.75 TO=0.85 NO=-702.69
Tensioni nel cordone: τ_P=0.24 τ_0=0.27 σ_0=233.87 σ_{ID}=233.87 Σ_T=234.15
CC 16 SLD (Collegamento -182_-384)
Azioni sul collegamento: N=-9506.09 Ty=-9.01 Tz=11.54 Mx=-0.00 Mz=-5.66
Sollecitazioni agenti localmente: Tx_l=-9.01 Ty_l=11.54 N_l=-9506.09 My_l=5.66 Mz_l=-0.00
Azioni sul cordone: TP=-0.66 TO=0.85 NO=-702.69
Tensioni nel cordone: τ_P=0.21 τ_0=0.27 σ_0=231.61 σ_{ID}=231.61 Σ_T=231.88
CC 17 SLV (Collegamento -182_-384)
Azioni sul collegamento: N=-6136.65 Ty=-7.48 Tz=-0.86 Mx=-0.02 Mz=-7.28
Sollecitazioni agenti localmente: Tx_l=-7.48 Ty_l=-0.86 N_l=-6136.65 My_l=7.28 Mz_l=-0.02
Azioni sul cordone: TP=-0.53 TO=-0.05 NO=-453.62
Tensioni nel cordone: τ_P=0.17 τ_0= 0.02 σ_0=154.82 σ_{ID}=154.82 Σ_T=154.84
CC 17 SLV (Collegamento -182_-384)
Azioni sul collegamento: N=-6136.65 Ty=-15.19 Tz=-0.86 Mx=-0.02 Mz=-13.60
Sollecitazioni agenti localmente: Tx_l=-15.19 Ty_l=-0.86 N_l=-6136.65 My_l=13.60 Mz_l=-0.02
Azioni sul cordone: TP=-1.10 TO=-0.05 NO=-453.62
Tensioni nel cordone: τ_P=0.35 τ_0= 0.02 σ_0=164.06 σ_{ID}=164.06 Σ_T=164.07
CC 17 SLV (Collegamento -182_-384)
Azioni sul collegamento: N=-6136.65 Ty=-7.48 Tz=28.35 Mx=-0.02 Mz=-7.28
Sollecitazioni agenti localmente: Tx_l=-7.48 Ty_l=28.35 N_l=-6136.65 My_l=7.28 Mz_l=-0.02
Azioni sul cordone: TP=-0.53 TO=2.11 NO=-453.62
Tensioni nel cordone: τ_P=0.17 τ_0=0.67 σ_0=154.82 σ_{ID}=154.82 Σ_T=155.49
CC 17 SLV (Collegamento -182_-384)
Azioni sul collegamento: N=-6136.65 Ty=-15.19 Tz=28.35 Mx=-0.02 Mz=-13.60
Sollecitazioni agenti localmente: Tx_l=-15.19 Ty_l=28.35 N_l=-6136.65 My_l=13.60 Mz_l=-0.02
Azioni sul cordone: TP=-1.10 TO=2.11 NO=-453.62
Tensioni nel cordone: τ_P=0.35 τ_0=0.67 σ_0=164.06 σ_{ID}=164.06 Σ_T=164.73
CC 17 SLV (Collegamento -182_-384)
Azioni sul collegamento: N=-13961.30 Ty=-7.48 Tz=-0.86 Mx=-0.02 Mz=-7.28
Sollecitazioni agenti localmente: Tx_l=-7.48 Ty_l=-0.86 N_l=-13961.30 My_l=7.28 Mz_l=-0.02
Azioni sul cordone: TP=-0.53 TO=-0.05 NO=-1032.02
Tensioni nel cordone: τ_P=0.17 τ_0= 0.02 σ_0=338.67 σ_{ID}=338.67 Σ_T=338.68
CC 17 SLV (Collegamento -182_-384)
Azioni sul collegamento: N=-13961.30 Ty=-15.19 Tz=-0.86 Mx=-0.02 Mz=-13.60
Sollecitazioni agenti localmente: Tx_l=-15.19 Ty_l=-0.86 N_l=-13961.30 My_l=13.60 Mz_l=-0.02
Azioni sul cordone: TP=-1.10 TO=-0.05 NO=-1032.02
Tensioni nel cordone: τ_P=0.35 τ_0= 0.02 σ_0=347.90 σ_{ID}=347.90 Σ_T=347.92
CC 17 SLV (Collegamento -182_-384)
Azioni sul collegamento: N=-13961.30 Ty=-7.48 Tz=28.35 Mx=-0.02 Mz=-7.28
Sollecitazioni agenti localmente: Tx_l=-7.48 Ty_l=28.35 N_l=-13961.30 My_l=7.28 Mz_l=-0.02
Azioni sul cordone: TP=-0.53 TO=2.11 NO=-1032.02
Tensioni nel cordone: τ_P=0.17 τ_0=0.67 σ_0=338.67 σ_{ID}=338.67 Σ_T=339.34
CC 17 SLV (Collegamento -182_-384)
Azioni sul collegamento: N=-13961.30 Ty=-15.19 Tz=28.35 Mx=-0.02 Mz=-13.60
Sollecitazioni agenti localmente: Tx_l=-15.19 Ty_l=28.35 N_l=-13961.30 My_l=13.60 Mz_l=-0.02
Azioni sul cordone: TP=-1.10 TO=2.11 NO=-1032.02

Tensioni nel cordone: τ_P=0.35 τ_0=0.67 σ_0=347.90 σ_{ID}=347.90 Σ_T=348.57
CC 18 SLD (Collegamento -182_-384)
Azioni sul collegamento: N=-8758.64 Ty=-9.24 Tz=8.91 Mx=-0.01 Mz=-7.34
Sollecitazioni agenti localmente: Tx_l=-9.24 Ty_l=8.91 N_l=-8758.64 My_l=7.34 Mz_l=-0.01
Azioni sul cordone: TP=-0.67 TO=0.66 NO=-647.44
Tensioni nel cordone: τ_P=0.21 τ_0=0.21 σ_0=216.51 σ_{ID}=216.51 Σ_T=216.72
CC 18 SLD (Collegamento -182_-384)
Azioni sul collegamento: N=-8758.64 Ty=-11.59 Tz=8.91 Mx=-0.01 Mz=-9.27
Sollecitazioni agenti localmente: Tx_l=-11.59 Ty_l=8.91 N_l=-8758.64 My_l=9.27 Mz_l=-0.01
Azioni sul cordone: TP=-0.85 TO=0.66 NO=-647.44
Tensioni nel cordone: τ_P=0.27 τ_0=0.21 σ_0=219.33 σ_{ID}=219.33 Σ_T=219.54
CC 18 SLD (Collegamento -182_-384)
Azioni sul collegamento: N=-8758.65 Ty=-9.24 Tz=17.82 Mx=-0.01 Mz=-7.34
Sollecitazioni agenti localmente: Tx_l=-9.24 Ty_l=17.82 N_l=-8758.65 My_l=7.34 Mz_l=-0.01
Azioni sul cordone: TP=-0.67 TO=1.32 NO=-647.44
Tensioni nel cordone: τ_P=0.21 τ_0=0.42 σ_0=216.51 σ_{ID}=216.51 Σ_T=216.93
CC 18 SLD (Collegamento -182_-384)
Azioni sul collegamento: N=-8758.65 Ty=-11.59 Tz=17.82 Mx=-0.01 Mz=-9.27
Sollecitazioni agenti localmente: Tx_l=-11.59 Ty_l=17.82 N_l=-8758.65 My_l=9.27 Mz_l=-0.01
Azioni sul cordone: TP=-0.85 TO=1.32 NO=-647.44
Tensioni nel cordone: τ_P=0.27 τ_0=0.42 σ_0=219.33 σ_{ID}=219.33 Σ_T=219.75
CC 18 SLD (Collegamento -182_-384)
Azioni sul collegamento: N=-11144.60 Ty=-9.24 Tz=8.91 Mx=-0.01 Mz=-7.34
Sollecitazioni agenti localmente: Tx_l=-9.24 Ty_l=8.91 N_l=-11144.60 My_l=7.34 Mz_l=-0.01
Azioni sul cordone: TP=-0.67 TO=0.66 NO=-823.81
Tensioni nel cordone: τ_P=0.21 τ_0=0.21 σ_0=272.57 σ_{ID}=272.57 Σ_T=272.78
CC 18 SLD (Collegamento -182_-384)
Azioni sul collegamento: N=-11144.60 Ty=-11.59 Tz=8.91 Mx=-0.01 Mz=-9.27
Sollecitazioni agenti localmente: Tx_l=-11.59 Ty_l=8.91 N_l=-11144.60 My_l=9.27 Mz_l=-0.01
Azioni sul cordone: TP=-0.85 TO=0.66 NO=-823.81
Tensioni nel cordone: τ_P=0.27 τ_0=0.21 σ_0=275.39 σ_{ID}=275.39 Σ_T=275.60
CC 18 SLD (Collegamento -182_-384)
Azioni sul collegamento: N=-11144.60 Ty=-9.24 Tz=17.82 Mx=-0.01 Mz=-7.34
Sollecitazioni agenti localmente: Tx_l=-9.24 Ty_l=17.82 N_l=-11144.60 My_l=7.34 Mz_l=-0.01
Azioni sul cordone: TP=-0.67 TO=1.32 NO=-823.81
Tensioni nel cordone: τ_P=0.21 τ_0=0.42 σ_0=272.57 σ_{ID}=272.57 Σ_T=272.99
CC 18 SLD (Collegamento -182_-384)
Azioni sul collegamento: N=-11144.60 Ty=-11.59 Tz=17.82 Mx=-0.01 Mz=-9.27
Sollecitazioni agenti localmente: Tx_l=-11.59 Ty_l=17.82 N_l=-11144.60 My_l=9.27 Mz_l=-0.01
Azioni sul cordone: TP=-0.85 TO=1.32 NO=-823.81
Tensioni nel cordone: τ_P=0.27 τ_0=0.42 σ_0=275.39 σ_{ID}=275.39 Σ_T=275.81
CC 19 SLV (Collegamento -182_-384)
Azioni sul collegamento: N=-6141.50 Ty=-7.99 Tz=-0.53 Mx=-0.01 Mz=-8.33
Sollecitazioni agenti localmente: Tx_l=-7.99 Ty_l=-0.53 N_l=-6141.50 My_l=8.33 Mz_l=-0.01
Azioni sul cordone: TP=-0.58 TO=-0.03 NO=-453.98
Tensioni nel cordone: τ_P=0.18 τ_0=9.04E-03 σ_0=156.47 σ_{ID}=156.47 Σ_T=156.47
CC 19 SLV (Collegamento -182_-384)
Azioni sul collegamento: N=-6141.50 Ty=-14.68 Tz=-0.53 Mx=-0.01 Mz=-12.56
Sollecitazioni agenti localmente: Tx_l=-14.68 Ty_l=-0.53 N_l=-6141.50 My_l=12.56 Mz_l=-0.01
Azioni sul cordone: TP=-1.07 TO=-0.03 NO=-453.98
Tensioni nel cordone: τ_P=0.34 τ_0=9.04E-03 σ_0=162.64 σ_{ID}=162.64 Σ_T=162.65
CC 19 SLV (Collegamento -182_-384)
Azioni sul collegamento: N=-6141.50 Ty=-7.99 Tz=28.02 Mx=-0.01 Mz=-8.33
Sollecitazioni agenti localmente: Tx_l=-7.99 Ty_l=28.02 N_l=-6141.50 My_l=8.33 Mz_l=-0.01
Azioni sul cordone: TP=-0.58 TO=2.08 NO=-453.98
Tensioni nel cordone: τ_P=0.18 τ_0=0.66 σ_0=156.47 σ_{ID}=156.47 Σ_T=157.13
CC 19 SLV (Collegamento -182_-384)
Azioni sul collegamento: N=-6141.50 Ty=-14.68 Tz=28.02 Mx=-0.01 Mz=-12.56
Sollecitazioni agenti localmente: Tx_l=-14.68 Ty_l=28.02 N_l=-6141.50 My_l=12.56 Mz_l=-0.01
Azioni sul cordone: TP=-1.07 TO=2.08 NO=-453.98
Tensioni nel cordone: τ_P=0.34 τ_0=0.66 σ_0=162.64 σ_{ID}=162.64 Σ_T=163.30
CC 19 SLV (Collegamento -182_-384)
Azioni sul collegamento: N=-13956.40 Ty=-7.99 Tz=-0.53 Mx=-0.01 Mz=-8.33
Sollecitazioni agenti localmente: Tx_l=-7.99 Ty_l=-0.53 N_l=-13956.40 My_l=8.33 Mz_l=-0.01
Azioni sul cordone: TP=-0.58 TO=-0.03 NO=-1031.66
Tensioni nel cordone: τ_P=0.18 τ_0=9.04E-03 σ_0=340.08 σ_{ID}=340.08 Σ_T=340.09
CC 19 SLV (Collegamento -182_-384)
Azioni sul collegamento: N=-13956.40 Ty=-14.68 Tz=-0.53 Mx=-0.01 Mz=-12.56
Sollecitazioni agenti localmente: Tx_l=-14.68 Ty_l=-0.53 N_l=-13956.40 My_l=12.56 Mz_l=-0.01
Azioni sul cordone: TP=-1.07 TO=-0.03 NO=-1031.66
Tensioni nel cordone: τ_P=0.34 τ_0=9.04E-03 σ_0=346.26 σ_{ID}=346.26 Σ_T=346.27
CC 19 SLV (Collegamento -182_-384)
Azioni sul collegamento: N=-13956.40 Ty=-7.99 Tz=28.02 Mx=-0.01 Mz=-8.33
Sollecitazioni agenti localmente: Tx_l=-7.99 Ty_l=28.02 N_l=-13956.40 My_l=8.33 Mz_l=-0.01
Azioni sul cordone: TP=-0.58 TO=2.08 NO=-1031.66
Tensioni nel cordone: τ_P=0.18 τ_0=0.66 σ_0=340.08 σ_{ID}=340.08 Σ_T=340.74
CC 19 SLV (Collegamento -182_-384)
Azioni sul collegamento: N=-13956.40 Ty=-14.68 Tz=28.02 Mx=-0.01 Mz=-12.56
Sollecitazioni agenti localmente: Tx_l=-14.68 Ty_l=28.02 N_l=-13956.40 My_l=12.56 Mz_l=-0.01

Azioni sul cordone: TP=-1.07 TO=2.08 NO=-1031.66
Tensioni nel cordone: τ_P=0.34 τ_O=0.66 σ_O=346.26 σ_{ID}=346.26 Σ_T=346.92
CC 20 SLD (Collegamento -182_-384)
Azioni sul collegamento: N=-8760.12 Ty=-9.39 Tz=9.01 Mx=-0.01 Mz=-7.66
Sollecitazioni agenti localmente: Tx_l=-9.39 Ty_l=9.01 N_l=-8760.12 My_l=7.66 Mz_l=-0.01
Azioni sul cordone: TP=-0.69 TO=0.67 NO=-647.55
Tensioni nel cordone: τ_P=0.22 τ_O=0.21 σ_O=217.01 σ_{ID}=217.01 Σ_T=217.23
CC 20 SLD (Collegamento -182_-384)
Azioni sul collegamento: N=-8760.12 Ty=-11.43 Tz=9.01 Mx=-0.01 Mz=-8.95
Sollecitazioni agenti localmente: Tx_l=-11.43 Ty_l=9.01 N_l=-8760.12 My_l=8.95 Mz_l=-0.01
Azioni sul cordone: TP=-0.84 TO=0.67 NO=-647.55
Tensioni nel cordone: τ_P=0.27 τ_O=0.21 σ_O=218.90 σ_{ID}=218.90 Σ_T=219.11
CC 20 SLD (Collegamento -182_-384)
Azioni sul collegamento: N=-8760.13 Ty=-9.39 Tz=17.72 Mx=-0.01 Mz=-7.66
Sollecitazioni agenti localmente: Tx_l=-9.39 Ty_l=17.72 N_l=-8760.13 My_l=7.66 Mz_l=-0.01
Azioni sul cordone: TP=-0.69 TO=1.31 NO=-647.55
Tensioni nel cordone: τ_P=0.22 τ_O=0.42 σ_O=217.01 σ_{ID}=217.01 Σ_T=217.43
CC 20 SLD (Collegamento -182_-384)
Azioni sul collegamento: N=-8760.13 Ty=-11.43 Tz=17.72 Mx=-0.01 Mz=-8.95
Sollecitazioni agenti localmente: Tx_l=-11.43 Ty_l=17.72 N_l=-8760.13 My_l=8.95 Mz_l=-0.01
Azioni sul cordone: TP=-0.84 TO=1.31 NO=-647.55
Tensioni nel cordone: τ_P=0.27 τ_O=0.42 σ_O=218.90 σ_{ID}=218.90 Σ_T=219.32
CC 20 SLD (Collegamento -182_-384)
Azioni sul collegamento: N=-11143.10 Ty=-9.39 Tz=9.01 Mx=-0.01 Mz=-7.66
Sollecitazioni agenti localmente: Tx_l=-9.39 Ty_l=9.01 N_l=-11143.10 My_l=7.66 Mz_l=-0.01
Azioni sul cordone: TP=-0.69 TO=0.67 NO=-823.71
Tensioni nel cordone: τ_P=0.22 τ_O=0.21 σ_O=273.00 σ_{ID}=273.00 Σ_T=273.22
CC 20 SLD (Collegamento -182_-384)
Azioni sul collegamento: N=-11143.10 Ty=-11.43 Tz=9.01 Mx=-0.01 Mz=-8.95
Sollecitazioni agenti localmente: Tx_l=-11.43 Ty_l=9.01 N_l=-11143.10 My_l=8.95 Mz_l=-0.01
Azioni sul cordone: TP=-0.84 TO=0.67 NO=-823.71
Tensioni nel cordone: τ_P=0.27 τ_O=0.21 σ_O=274.89 σ_{ID}=274.89 Σ_T=275.10
CC 20 SLD (Collegamento -182_-384)
Azioni sul collegamento: N=-11143.10 Ty=-9.39 Tz=17.72 Mx=-0.01 Mz=-7.66
Sollecitazioni agenti localmente: Tx_l=-9.39 Ty_l=17.72 N_l=-11143.10 My_l=7.66 Mz_l=-0.01
Azioni sul cordone: TP=-0.69 TO=1.31 NO=-823.71
Tensioni nel cordone: τ_P=0.22 τ_O=0.42 σ_O=273.00 σ_{ID}=273.00 Σ_T=273.42
CC 20 SLD (Collegamento -182_-384)
Azioni sul collegamento: N=-11143.10 Ty=-11.43 Tz=17.72 Mx=-0.01 Mz=-8.95
Sollecitazioni agenti localmente: Tx_l=-11.43 Ty_l=17.72 N_l=-11143.10 My_l=8.95 Mz_l=-0.01
Azioni sul cordone: TP=-0.84 TO=1.31 NO=-823.71
Tensioni nel cordone: τ_P=0.27 τ_O=0.42 σ_O=274.89 σ_{ID}=274.89 Σ_T=275.31
CC 21 SLV (Collegamento -182_-384)
Azioni sul collegamento: N=-13956.40 Ty=-14.68 Tz=28.02 Mx=-0.02 Mz=-12.56
Sollecitazioni agenti localmente: Tx_l=-14.68 Ty_l=28.02 N_l=-13956.40 My_l=12.56 Mz_l=-0.02
Azioni sul cordone: TP=-1.06 TO=2.09 NO=-1031.66
Tensioni nel cordone: τ_P=0.34 τ_O=0.66 σ_O=346.26 σ_{ID}=346.26 Σ_T=346.92
CC 21 SLV (Collegamento -182_-384)
Azioni sul collegamento: N=-13956.40 Ty=-7.99 Tz=28.02 Mx=-0.02 Mz=-8.33
Sollecitazioni agenti localmente: Tx_l=-7.99 Ty_l=28.02 N_l=-13956.40 My_l=8.33 Mz_l=-0.02
Azioni sul cordone: TP=-0.57 TO=2.09 NO=-1031.66
Tensioni nel cordone: τ_P=0.18 τ_O=0.66 σ_O=340.08 σ_{ID}=340.08 Σ_T=340.74
CC 21 SLV (Collegamento -182_-384)
Azioni sul collegamento: N=-13956.40 Ty=-14.68 Tz=-0.53 Mx=-0.02 Mz=-12.56
Sollecitazioni agenti localmente: Tx_l=-14.68 Ty_l=-0.53 N_l=-13956.40 My_l=12.56 Mz_l=-0.02
Azioni sul cordone: TP=-1.06 TO=-0.02 NO=-1031.66
Tensioni nel cordone: τ_P=0.34 τ_O=7.84E-03 σ_O=346.26 σ_{ID}=346.26 Σ_T=346.26
CC 21 SLV (Collegamento -182_-384)
Azioni sul collegamento: N=-13956.40 Ty=-7.99 Tz=-0.53 Mx=-0.02 Mz=-8.33
Sollecitazioni agenti localmente: Tx_l=-7.99 Ty_l=-0.53 N_l=-13956.40 My_l=8.33 Mz_l=-0.02
Azioni sul cordone: TP=-0.57 TO=-0.02 NO=-1031.66
Tensioni nel cordone: τ_P=0.18 τ_O=7.84E-03 σ_O=340.08 σ_{ID}=340.08 Σ_T=340.09
CC 21 SLV (Collegamento -182_-384)
Azioni sul collegamento: N=-6141.50 Ty=-14.68 Tz=28.02 Mx=-0.02 Mz=-12.56
Sollecitazioni agenti localmente: Tx_l=-14.68 Ty_l=28.02 N_l=-6141.50 My_l=12.56 Mz_l=-0.02
Azioni sul cordone: TP=-1.06 TO=2.09 NO=-453.98
Tensioni nel cordone: τ_P=0.34 τ_O=0.66 σ_O=162.64 σ_{ID}=162.64 Σ_T=163.30
CC 21 SLV (Collegamento -182_-384)
Azioni sul collegamento: N=-6141.50 Ty=-7.99 Tz=28.02 Mx=-0.02 Mz=-8.33
Sollecitazioni agenti localmente: Tx_l=-7.99 Ty_l=28.02 N_l=-6141.50 My_l=8.33 Mz_l=-0.02
Azioni sul cordone: TP=-0.57 TO=2.09 NO=-453.98
Tensioni nel cordone: τ_P=0.18 τ_O=0.66 σ_O=156.47 σ_{ID}=156.47 Σ_T=157.13
CC 21 SLV (Collegamento -182_-384)
Azioni sul collegamento: N=-6141.50 Ty=-14.68 Tz=-0.53 Mx=-0.02 Mz=-12.56
Sollecitazioni agenti localmente: Tx_l=-14.68 Ty_l=-0.53 N_l=-6141.50 My_l=12.56 Mz_l=-0.02
Azioni sul cordone: TP=-1.06 TO=-0.02 NO=-453.98
Tensioni nel cordone: τ_P=0.34 τ_O=7.84E-03 σ_O=162.64 σ_{ID}=162.64 Σ_T=162.65
CC 21 SLV (Collegamento -182_-384)
Azioni sul collegamento: N=-6141.50 Ty=-7.99 Tz=-0.53 Mx=-0.02 Mz=-8.33

Sollecitazioni agenti localmente: Tx_l=-7.99 Ty_l=-0.53 N_l=-6141.50 My_l=8.33 Mz_l=-0.02
Azioni sul cordone: TP=-0.57 TO=-0.02 NO=-453.98
Tensioni nel cordone: τ_P=0.18 τ_0=7.84E-03 σ_0=156.47 σ_{ID}=156.47 Σ_T=156.47
CC 22 SLD (Collegamento -182_-384)
Azioni sul collegamento: N=-11143.10 Ty=-11.43 Tz=17.72 Mx=-0.01 Mz=-8.95
Sollecitazioni agenti localmente: Tx_l=-11.43 Ty_l=17.72 N_l=-11143.10 My_l=8.95 Mz_l=-0.01
Azioni sul cordone: TP=-0.84 TO=1.32 NO=-823.71
Tensioni nel cordone: τ_P=0.27 τ_0=0.42 σ_0=274.89 σ_{ID}=274.89 Σ_T=275.31
CC 22 SLD (Collegamento -182_-384)
Azioni sul collegamento: N=-11143.10 Ty=-9.39 Tz=17.72 Mx=-0.01 Mz=-7.66
Sollecitazioni agenti localmente: Tx_l=-9.39 Ty_l=17.72 N_l=-11143.10 My_l=7.66 Mz_l=-0.01
Azioni sul cordone: TP=-0.69 TO=1.32 NO=-823.71
Tensioni nel cordone: τ_P=0.22 τ_0=0.42 σ_0=273.00 σ_{ID}=273.00 Σ_T=273.42
CC 22 SLD (Collegamento -182_-384)
Azioni sul collegamento: N=-11143.10 Ty=-11.43 Tz=9.01 Mx=-0.01 Mz=-8.95
Sollecitazioni agenti localmente: Tx_l=-11.43 Ty_l=9.01 N_l=-11143.10 My_l=8.95 Mz_l=-0.01
Azioni sul cordone: TP=-0.84 TO=0.67 NO=-823.71
Tensioni nel cordone: τ_P=0.27 τ_0=0.21 σ_0=274.89 σ_{ID}=274.89 Σ_T=275.10
CC 22 SLD (Collegamento -182_-384)
Azioni sul collegamento: N=-11143.10 Ty=-9.39 Tz=9.01 Mx=-0.01 Mz=-7.66
Sollecitazioni agenti localmente: Tx_l=-9.39 Ty_l=9.01 N_l=-11143.10 My_l=7.66 Mz_l=-0.01
Azioni sul cordone: TP=-0.69 TO=0.67 NO=-823.71
Tensioni nel cordone: τ_P=0.22 τ_0=0.21 σ_0=273.00 σ_{ID}=273.00 Σ_T=273.22
CC 22 SLD (Collegamento -182_-384)
Azioni sul collegamento: N=-8760.13 Ty=-11.43 Tz=17.72 Mx=-0.01 Mz=-8.95
Sollecitazioni agenti localmente: Tx_l=-11.43 Ty_l=17.72 N_l=-8760.13 My_l=8.95 Mz_l=-0.01
Azioni sul cordone: TP=-0.84 TO=1.32 NO=-647.55
Tensioni nel cordone: τ_P=0.27 τ_0=0.42 σ_0=218.90 σ_{ID}=218.90 Σ_T=219.32
CC 22 SLD (Collegamento -182_-384)
Azioni sul collegamento: N=-8760.13 Ty=-9.39 Tz=17.72 Mx=-0.01 Mz=-7.66
Sollecitazioni agenti localmente: Tx_l=-9.39 Ty_l=17.72 N_l=-8760.13 My_l=7.66 Mz_l=-0.01
Azioni sul cordone: TP=-0.69 TO=1.32 NO=-647.55
Tensioni nel cordone: τ_P=0.22 τ_0=0.42 σ_0=217.01 σ_{ID}=217.01 Σ_T=217.43
CC 22 SLD (Collegamento -182_-384)
Azioni sul collegamento: N=-8760.12 Ty=-11.43 Tz=9.01 Mx=-0.01 Mz=-8.95
Sollecitazioni agenti localmente: Tx_l=-11.43 Ty_l=9.01 N_l=-8760.12 My_l=8.95 Mz_l=-0.01
Azioni sul cordone: TP=-0.84 TO=0.67 NO=-647.55
Tensioni nel cordone: τ_P=0.27 τ_0=0.21 σ_0=218.90 σ_{ID}=218.90 Σ_T=219.11
CC 22 SLD (Collegamento -182_-384)
Azioni sul collegamento: N=-8760.12 Ty=-9.39 Tz=9.01 Mx=-0.01 Mz=-7.66
Sollecitazioni agenti localmente: Tx_l=-9.39 Ty_l=9.01 N_l=-8760.12 My_l=7.66 Mz_l=-0.01
Azioni sul cordone: TP=-0.69 TO=0.67 NO=-647.55
Tensioni nel cordone: τ_P=0.22 τ_0=0.21 σ_0=217.01 σ_{ID}=217.01 Σ_T=217.23
CC 23 SLV (Collegamento -182_-384)
Azioni sul collegamento: N=-13961.30 Ty=-15.19 Tz=28.35 Mx=-0.01 Mz=-13.60
Sollecitazioni agenti localmente: Tx_l=-15.19 Ty_l=28.35 N_l=-13961.30 My_l=13.60 Mz_l=-0.01
Azioni sul cordone: TP=-1.11 TO=2.11 NO=-1032.02
Tensioni nel cordone: τ_P=0.35 τ_0=0.67 σ_0=347.90 σ_{ID}=347.90 Σ_T=348.57
CC 23 SLV (Collegamento -182_-384)
Azioni sul collegamento: N=-13961.30 Ty=-7.48 Tz=28.35 Mx=-0.01 Mz=-7.28
Sollecitazioni agenti localmente: Tx_l=-7.48 Ty_l=28.35 N_l=-13961.30 My_l=7.28 Mz_l=-0.01
Azioni sul cordone: TP=-0.54 TO=2.11 NO=-1032.02
Tensioni nel cordone: τ_P=0.17 τ_0=0.67 σ_0=338.67 σ_{ID}=338.67 Σ_T=339.33
CC 23 SLV (Collegamento -182_-384)
Azioni sul collegamento: N=-13961.30 Ty=-15.19 Tz=-0.86 Mx=-0.01 Mz=-13.60
Sollecitazioni agenti localmente: Tx_l=-15.19 Ty_l=-0.86 N_l=-13961.30 My_l=13.60 Mz_l=-0.01
Azioni sul cordone: TP=-1.11 TO=-0.05 NO=-1032.02
Tensioni nel cordone: τ_P=0.35 τ_0= 0.02 σ_0=347.90 σ_{ID}=347.90 Σ_T=347.92
CC 23 SLV (Collegamento -182_-384)
Azioni sul collegamento: N=-13961.30 Ty=-7.48 Tz=-0.86 Mx=-0.01 Mz=-7.28
Sollecitazioni agenti localmente: Tx_l=-7.48 Ty_l=-0.86 N_l=-13961.30 My_l=7.28 Mz_l=-0.01
Azioni sul cordone: TP=-0.54 TO=-0.05 NO=-1032.02
Tensioni nel cordone: τ_P=0.17 τ_0= 0.02 σ_0=338.67 σ_{ID}=338.67 Σ_T=338.68
CC 23 SLV (Collegamento -182_-384)
Azioni sul collegamento: N=-6136.65 Ty=-15.19 Tz=28.35 Mx=-0.01 Mz=-13.60
Sollecitazioni agenti localmente: Tx_l=-15.19 Ty_l=28.35 N_l=-6136.65 My_l=13.60 Mz_l=-0.01
Azioni sul cordone: TP=-1.11 TO=2.11 NO=-453.62
Tensioni nel cordone: τ_P=0.35 τ_0=0.67 σ_0=164.06 σ_{ID}=164.06 Σ_T=164.73
CC 23 SLV (Collegamento -182_-384)
Azioni sul collegamento: N=-6136.65 Ty=-7.48 Tz=28.35 Mx=-0.01 Mz=-7.28
Sollecitazioni agenti localmente: Tx_l=-7.48 Ty_l=28.35 N_l=-6136.65 My_l=7.28 Mz_l=-0.01
Azioni sul cordone: TP=-0.54 TO=2.11 NO=-453.62
Tensioni nel cordone: τ_P=0.17 τ_0=0.67 σ_0=154.82 σ_{ID}=154.82 Σ_T=155.49
CC 23 SLV (Collegamento -182_-384)
Azioni sul collegamento: N=-6136.65 Ty=-15.19 Tz=-0.86 Mx=-0.01 Mz=-13.60
Sollecitazioni agenti localmente: Tx_l=-15.19 Ty_l=-0.86 N_l=-6136.65 My_l=13.60 Mz_l=-0.01
Azioni sul cordone: TP=-1.11 TO=-0.05 NO=-453.62
Tensioni nel cordone: τ_P=0.35 τ_0= 0.02 σ_0=164.06 σ_{ID}=164.06 Σ_T=164.07
CC 23 SLV (Collegamento -182_-384)

Azioni sul collegamento: N=-6136.65 Ty=-7.48 Tz=-0.86 Mx=-0.01 Mz=-7.28
Sollecitazioni agenti localmente: Tx_l=-7.48 Ty_l=-0.86 N_l=-6136.65 My_l=7.28 Mz_l=-0.01
Azioni sul cordone: TP=-0.54 TO=-0.05 NO=-453.62
Tensioni nel cordone: τ_P=0.17 τ_0= 0.02 σ_0=154.82 σ_{ID}=154.82 Σ_T=154.84
CC 24 SLD (Collegamento -182_-384)
Azioni sul collegamento: N=-11144.60 Ty=-11.59 Tz=17.82 Mx=-0.01 Mz=-9.27
Sollecitazioni agenti localmente: Tx_l=-11.59 Ty_l=17.82 N_l=-11144.60 My_l=9.27 Mz_l=-0.01
Azioni sul cordone: TP=-0.85 TO=1.32 NO=-823.81
Tensioni nel cordone: τ_P=0.27 τ_0=0.42 σ_0=275.39 σ_{ID}=275.39 Σ_T=275.81
CC 24 SLD (Collegamento -182_-384)
Azioni sul collegamento: N=-11144.60 Ty=-9.24 Tz=17.82 Mx=-0.01 Mz=-7.34
Sollecitazioni agenti localmente: Tx_l=-9.24 Ty_l=17.82 N_l=-11144.60 My_l=7.34 Mz_l=-0.01
Azioni sul cordone: TP=-0.68 TO=1.32 NO=-823.81
Tensioni nel cordone: τ_P=0.21 τ_0=0.42 σ_0=272.57 σ_{ID}=272.57 Σ_T=272.99
CC 24 SLD (Collegamento -182_-384)
Azioni sul collegamento: N=-11144.60 Ty=-11.59 Tz=8.91 Mx=-0.01 Mz=-9.27
Sollecitazioni agenti localmente: Tx_l=-11.59 Ty_l=8.91 N_l=-11144.60 My_l=9.27 Mz_l=-0.01
Azioni sul cordone: TP=-0.85 TO=0.66 NO=-823.81
Tensioni nel cordone: τ_P=0.27 τ_0=0.21 σ_0=275.39 σ_{ID}=275.39 Σ_T=275.60
CC 24 SLD (Collegamento -182_-384)
Azioni sul collegamento: N=-11144.60 Ty=-9.24 Tz=8.91 Mx=-0.01 Mz=-7.34
Sollecitazioni agenti localmente: Tx_l=-9.24 Ty_l=8.91 N_l=-11144.60 My_l=7.34 Mz_l=-0.01
Azioni sul cordone: TP=-0.68 TO=0.66 NO=-823.81
Tensioni nel cordone: τ_P=0.21 τ_0=0.21 σ_0=272.57 σ_{ID}=272.57 Σ_T=272.78
CC 24 SLD (Collegamento -182_-384)
Azioni sul collegamento: N=-8758.65 Ty=-11.59 Tz=17.82 Mx=-0.01 Mz=-9.27
Sollecitazioni agenti localmente: Tx_l=-11.59 Ty_l=17.82 N_l=-8758.65 My_l=9.27 Mz_l=-0.01
Azioni sul cordone: TP=-0.85 TO=1.32 NO=-647.44
Tensioni nel cordone: τ_P=0.27 τ_0=0.42 σ_0=219.33 σ_{ID}=219.33 Σ_T=219.75
CC 24 SLD (Collegamento -182_-384)
Azioni sul collegamento: N=-8758.65 Ty=-9.24 Tz=17.82 Mx=-0.01 Mz=-7.34
Sollecitazioni agenti localmente: Tx_l=-9.24 Ty_l=17.82 N_l=-8758.65 My_l=7.34 Mz_l=-0.01
Azioni sul cordone: TP=-0.68 TO=1.32 NO=-647.44
Tensioni nel cordone: τ_P=0.21 τ_0=0.42 σ_0=216.51 σ_{ID}=216.51 Σ_T=216.93
CC 24 SLD (Collegamento -182_-384)
Azioni sul collegamento: N=-8758.64 Ty=-11.59 Tz=8.91 Mx=-0.01 Mz=-9.27
Sollecitazioni agenti localmente: Tx_l=-11.59 Ty_l=8.91 N_l=-8758.64 My_l=9.27 Mz_l=-0.01
Azioni sul cordone: TP=-0.85 TO=0.66 NO=-647.44
Tensioni nel cordone: τ_P=0.27 τ_0=0.21 σ_0=219.33 σ_{ID}=219.33 Σ_T=219.54
CC 24 SLD (Collegamento -182_-384)
Azioni sul collegamento: N=-8758.64 Ty=-9.24 Tz=8.91 Mx=-0.01 Mz=-7.34
Sollecitazioni agenti localmente: Tx_l=-9.24 Ty_l=8.91 N_l=-8758.64 My_l=7.34 Mz_l=-0.01
Azioni sul cordone: TP=-0.68 TO=0.66 NO=-647.44
Tensioni nel cordone: τ_P=0.21 τ_0=0.21 σ_0=216.51 σ_{ID}=216.51 Σ_T=216.72
CC 25 SLV (Collegamento -182_-384)
Azioni sul collegamento: N=-8867.92 Ty=-9.40 Tz=8.87 Mx=-0.02 Mz=-7.91
Sollecitazioni agenti localmente: Tx_l=-9.40 Ty_l=8.87 N_l=-8867.92 My_l=7.91 Mz_l=-0.02
Azioni sul cordone: TP=-0.67 TO=0.67 NO=-655.52
Tensioni nel cordone: τ_P=0.21 τ_0=0.21 σ_0=219.91 σ_{ID}=219.91 Σ_T=220.12
CC 25 SLV (Collegamento -182_-384)
Azioni sul collegamento: N=-8867.92 Ty=-13.27 Tz=8.87 Mx=-0.02 Mz=-12.98
Sollecitazioni agenti localmente: Tx_l=-13.27 Ty_l=8.87 N_l=-8867.92 My_l=12.98 Mz_l=-0.02
Azioni sul cordone: TP=-0.95 TO=0.67 NO=-655.52
Tensioni nel cordone: τ_P=0.30 τ_0=0.21 σ_0=227.32 σ_{ID}=227.32 Σ_T=227.53
CC 25 SLV (Collegamento -182_-384)
Azioni sul collegamento: N=-8867.92 Ty=-9.40 Tz=18.62 Mx=-0.02 Mz=-7.91
Sollecitazioni agenti localmente: Tx_l=-9.40 Ty_l=18.62 N_l=-8867.92 My_l=7.91 Mz_l=-0.02
Azioni sul cordone: TP=-0.67 TO=1.40 NO=-655.52
Tensioni nel cordone: τ_P=0.21 τ_0=0.44 σ_0=219.91 σ_{ID}=219.91 Σ_T=220.35
CC 25 SLV (Collegamento -182_-384)
Azioni sul collegamento: N=-8867.92 Ty=-13.27 Tz=18.62 Mx=-0.02 Mz=-12.98
Sollecitazioni agenti localmente: Tx_l=-13.27 Ty_l=18.62 N_l=-8867.92 My_l=12.98 Mz_l=-0.02
Azioni sul cordone: TP=-0.95 TO=1.40 NO=-655.52
Tensioni nel cordone: τ_P=0.30 τ_0=0.44 σ_0=227.32 σ_{ID}=227.32 Σ_T=227.76
CC 25 SLV (Collegamento -182_-384)
Azioni sul collegamento: N=-11230.00 Ty=-9.40 Tz=8.87 Mx=-0.02 Mz=-7.91
Sollecitazioni agenti localmente: Tx_l=-9.40 Ty_l=8.87 N_l=-11230.00 My_l=7.91 Mz_l=-0.02
Azioni sul cordone: TP=-0.67 TO=0.67 NO=-830.13
Tensioni nel cordone: τ_P=0.21 τ_0=0.21 σ_0=275.40 σ_{ID}=275.40 Σ_T=275.62
CC 25 SLV (Collegamento -182_-384)
Azioni sul collegamento: N=-11230.00 Ty=-13.27 Tz=8.87 Mx=-0.02 Mz=-12.98
Sollecitazioni agenti localmente: Tx_l=-13.27 Ty_l=8.87 N_l=-11230.00 My_l=12.98 Mz_l=-0.02
Azioni sul cordone: TP=-0.95 TO=0.67 NO=-830.13
Tensioni nel cordone: τ_P=0.30 τ_0=0.21 σ_0=282.82 σ_{ID}=282.82 Σ_T=283.03
CC 25 SLV (Collegamento -182_-384)
Azioni sul collegamento: N=-11230.00 Ty=-9.40 Tz=18.62 Mx=-0.02 Mz=-7.91
Sollecitazioni agenti localmente: Tx_l=-9.40 Ty_l=18.62 N_l=-11230.00 My_l=7.91 Mz_l=-0.02
Azioni sul cordone: TP=-0.67 TO=1.40 NO=-830.13
Tensioni nel cordone: τ_P=0.21 τ_0=0.44 σ_0=275.40 σ_{ID}=275.40 Σ_T=275.85

CC 25 SLV (Collegamento -182_-384)
Azioni sul collegamento: N=-11230.00 Ty=-13.27 Tz=18.62 Mx=-0.02 Mz=-12.98
Sollecitazioni agenti localmente: Tx_l=-13.27 Ty_l=18.62 N_l=-11230.00 My_l=12.98 Mz_l=-0.02
Azioni sul cordone: TP=-0.95 TO=1.40 NO=-830.13
Tensioni nel cordone: τ_P=0.30 τ_0=0.44 σ_0=282.82 σ_{ID}=282.82 Σ_T=283.26
CC 26 SLD (Collegamento -182_-384)
Azioni sul collegamento: N=-9591.50 Ty=-9.82 Tz=11.88 Mx=-0.01 Mz=-7.53
Sollecitazioni agenti localmente: Tx_l=-9.82 Ty_l=11.88 N_l=-9591.50 My_l=7.53 Mz_l=-0.01
Azioni sul cordone: TP=-0.72 TO=0.89 NO=-709.01
Tensioni nel cordone: τ_P=0.23 τ_0=0.28 σ_0=236.36 σ_{ID}=236.36 Σ_T=236.64
CC 26 SLD (Collegamento -182_-384)
Azioni sul collegamento: N=-9591.50 Ty=-11.00 Tz=11.88 Mx=-0.01 Mz=-9.08
Sollecitazioni agenti localmente: Tx_l=-11.00 Ty_l=11.88 N_l=-9591.50 My_l=9.08 Mz_l=-0.01
Azioni sul cordone: TP=-0.80 TO=0.89 NO=-709.01
Tensioni nel cordone: τ_P=0.26 τ_0=0.28 σ_0=238.62 σ_{ID}=238.62 Σ_T=238.90
CC 26 SLD (Collegamento -182_-384)
Azioni sul collegamento: N=-9591.50 Ty=-9.82 Tz=14.85 Mx=-0.01 Mz=-7.53
Sollecitazioni agenti localmente: Tx_l=-9.82 Ty_l=14.85 N_l=-9591.50 My_l=7.53 Mz_l=-0.01
Azioni sul cordone: TP=-0.72 TO=1.11 NO=-709.01
Tensioni nel cordone: τ_P=0.23 τ_0=0.35 σ_0=236.36 σ_{ID}=236.36 Σ_T=236.71
CC 26 SLD (Collegamento -182_-384)
Azioni sul collegamento: N=-9591.50 Ty=-11.00 Tz=14.85 Mx=-0.01 Mz=-9.08
Sollecitazioni agenti localmente: Tx_l=-11.00 Ty_l=14.85 N_l=-9591.50 My_l=9.08 Mz_l=-0.01
Azioni sul cordone: TP=-0.80 TO=1.11 NO=-709.01
Tensioni nel cordone: τ_P=0.26 τ_0=0.35 σ_0=238.62 σ_{ID}=238.62 Σ_T=238.97
CC 26 SLD (Collegamento -182_-384)
Azioni sul collegamento: N=-10311.80 Ty=-9.82 Tz=11.88 Mx=-0.01 Mz=-7.53
Sollecitazioni agenti localmente: Tx_l=-9.82 Ty_l=11.88 N_l=-10311.80 My_l=7.53 Mz_l=-0.01
Azioni sul cordone: TP=-0.72 TO=0.89 NO=-762.25
Tensioni nel cordone: τ_P=0.23 τ_0=0.28 σ_0=253.28 σ_{ID}=253.28 Σ_T=253.56
CC 26 SLD (Collegamento -182_-384)
Azioni sul collegamento: N=-10311.80 Ty=-11.00 Tz=11.88 Mx=-0.01 Mz=-9.08
Sollecitazioni agenti localmente: Tx_l=-11.00 Ty_l=11.88 N_l=-10311.80 My_l=9.08 Mz_l=-0.01
Azioni sul cordone: TP=-0.80 TO=0.89 NO=-762.25
Tensioni nel cordone: τ_P=0.26 τ_0=0.28 σ_0=255.54 σ_{ID}=255.54 Σ_T=255.82
CC 26 SLD (Collegamento -182_-384)
Azioni sul collegamento: N=-10311.80 Ty=-9.82 Tz=14.85 Mx=-0.01 Mz=-7.53
Sollecitazioni agenti localmente: Tx_l=-9.82 Ty_l=14.85 N_l=-10311.80 My_l=7.53 Mz_l=-0.01
Azioni sul cordone: TP=-0.72 TO=1.11 NO=-762.25
Tensioni nel cordone: τ_P=0.23 τ_0=0.35 σ_0=253.28 σ_{ID}=253.28 Σ_T=253.63
CC 26 SLD (Collegamento -182_-384)
Azioni sul collegamento: N=-10311.80 Ty=-11.00 Tz=14.85 Mx=-0.01 Mz=-9.08
Sollecitazioni agenti localmente: Tx_l=-11.00 Ty_l=14.85 N_l=-10311.80 My_l=9.08 Mz_l=-0.01
Azioni sul cordone: TP=-0.80 TO=1.11 NO=-762.25
Tensioni nel cordone: τ_P=0.26 τ_0=0.35 σ_0=255.54 σ_{ID}=255.54 Σ_T=255.89
CC 27 SLV (Collegamento -182_-384)
Azioni sul collegamento: N=-11213.90 Ty=-11.56 Tz=17.53 Mx=-0.02 Mz=-9.49
Sollecitazioni agenti localmente: Tx_l=-11.56 Ty_l=17.53 N_l=-11213.90 My_l=9.49 Mz_l=-0.02
Azioni sul cordone: TP=-0.83 TO=1.32 NO=-828.93
Tensioni nel cordone: τ_P=0.26 τ_0=0.42 σ_0=277.34 σ_{ID}=277.34 Σ_T=277.75
CC 27 SLV (Collegamento -182_-384)
Azioni sul collegamento: N=-11213.90 Ty=-11.11 Tz=17.53 Mx=-0.02 Mz=-11.40
Sollecitazioni agenti localmente: Tx_l=-11.11 Ty_l=17.53 N_l=-11213.90 My_l=11.40 Mz_l=-0.02
Azioni sul cordone: TP=-0.79 TO=1.32 NO=-828.93
Tensioni nel cordone: τ_P=0.25 τ_0=0.42 σ_0=280.12 σ_{ID}=280.13 Σ_T=280.54
CC 27 SLV (Collegamento -182_-384)
Azioni sul collegamento: N=-11213.90 Ty=-11.56 Tz=9.96 Mx=-0.02 Mz=-9.49
Sollecitazioni agenti localmente: Tx_l=-11.56 Ty_l=9.96 N_l=-11213.90 My_l=9.49 Mz_l=-0.02
Azioni sul cordone: TP=-0.83 TO=0.76 NO=-828.93
Tensioni nel cordone: τ_P=0.26 τ_0=0.24 σ_0=277.34 σ_{ID}=277.34 Σ_T=277.58
CC 27 SLV (Collegamento -182_-384)
Azioni sul collegamento: N=-11213.90 Ty=-11.11 Tz=9.96 Mx=-0.02 Mz=-11.40
Sollecitazioni agenti localmente: Tx_l=-11.11 Ty_l=9.96 N_l=-11213.90 My_l=11.40 Mz_l=-0.02
Azioni sul cordone: TP=-0.79 TO=0.76 NO=-828.93
Tensioni nel cordone: τ_P=0.25 τ_0=0.24 σ_0=280.12 σ_{ID}=280.12 Σ_T=280.36
CC 27 SLV (Collegamento -182_-384)
Azioni sul collegamento: N=-8884.09 Ty=-11.56 Tz=17.53 Mx=-0.02 Mz=-9.49
Sollecitazioni agenti localmente: Tx_l=-11.56 Ty_l=17.53 N_l=-8884.09 My_l=9.49 Mz_l=-0.02
Azioni sul cordone: TP=-0.83 TO=1.32 NO=-656.72
Tensioni nel cordone: τ_P=0.26 τ_0=0.42 σ_0=222.60 σ_{ID}=222.60 Σ_T=223.02
CC 27 SLV (Collegamento -182_-384)
Azioni sul collegamento: N=-8884.09 Ty=-11.11 Tz=17.53 Mx=-0.02 Mz=-11.40
Sollecitazioni agenti localmente: Tx_l=-11.11 Ty_l=17.53 N_l=-8884.09 My_l=11.40 Mz_l=-0.02
Azioni sul cordone: TP=-0.79 TO=1.32 NO=-656.72
Tensioni nel cordone: τ_P=0.25 τ_0=0.42 σ_0=225.38 σ_{ID}=225.39 Σ_T=225.80
CC 27 SLV (Collegamento -182_-384)
Azioni sul collegamento: N=-8884.09 Ty=-11.56 Tz=9.96 Mx=-0.02 Mz=-9.49
Sollecitazioni agenti localmente: Tx_l=-11.56 Ty_l=9.96 N_l=-8884.09 My_l=9.49 Mz_l=-0.02
Azioni sul cordone: TP=-0.83 TO=0.76 NO=-656.72

Tensioni nel cordone: τ_P=0.26 τ_0=0.24 σ_0=222.60 σ_{ID}=222.60 Σ_T=222.84
CC 27 SLV (Collegamento -182_-384)
Azioni sul collegamento: N=-8884.09 Ty=-11.11 Tz=9.96 Mx=-0.02 Mz=-11.40
Sollecitazioni agenti localmente: Tx_l=-11.11 Ty_l=9.96 N_l=-8884.09 My_l=11.40 Mz_l=-0.02
Azioni sul cordone: TP=-0.79 TO=0.76 NO=-656.72
Tensioni nel cordone: τ_P=0.25 τ_0=0.24 σ_0=225.38 σ_{ID}=225.38 Σ_T=225.63
CC 28 SLD (Collegamento -182_-384)
Azioni sul collegamento: N=-10306.80 Ty=-10.48 Tz=14.52 Mx=-0.01 Mz=-8.01
Sollecitazioni agenti localmente: Tx_l=-10.48 Ty_l=14.52 N_l=-10306.80 My_l=8.01 Mz_l=-0.01
Azioni sul cordone: TP=-0.76 TO=1.08 NO=-761.88
Tensioni nel cordone: τ_P=0.24 τ_0=0.34 σ_0=253.87 σ_{ID}=253.87 Σ_T=254.22
CC 28 SLD (Collegamento -182_-384)
Azioni sul collegamento: N=-10306.80 Ty=-10.34 Tz=14.52 Mx=-0.01 Mz=-8.60
Sollecitazioni agenti localmente: Tx_l=-10.34 Ty_l=14.52 N_l=-10306.80 My_l=8.60 Mz_l=-0.01
Azioni sul cordone: TP=-0.75 TO=1.08 NO=-761.88
Tensioni nel cordone: τ_P=0.24 τ_0=0.34 σ_0=254.72 σ_{ID}=254.72 Σ_T=255.07
CC 28 SLD (Collegamento -182_-384)
Azioni sul collegamento: N=-10306.80 Ty=-10.48 Tz=12.21 Mx=-0.01 Mz=-8.01
Sollecitazioni agenti localmente: Tx_l=-10.48 Ty_l=12.21 N_l=-10306.80 My_l=8.01 Mz_l=-0.01
Azioni sul cordone: TP=-0.76 TO=0.91 NO=-761.88
Tensioni nel cordone: τ_P=0.24 τ_0=0.29 σ_0=253.87 σ_{ID}=253.87 Σ_T=254.16
CC 28 SLD (Collegamento -182_-384)
Azioni sul collegamento: N=-10306.80 Ty=-10.34 Tz=12.21 Mx=-0.01 Mz=-8.60
Sollecitazioni agenti localmente: Tx_l=-10.34 Ty_l=12.21 N_l=-10306.80 My_l=8.60 Mz_l=-0.01
Azioni sul cordone: TP=-0.75 TO=0.91 NO=-761.88
Tensioni nel cordone: τ_P=0.24 τ_0=0.29 σ_0=254.72 σ_{ID}=254.72 Σ_T=255.01
CC 28 SLD (Collegamento -182_-384)
Azioni sul collegamento: N=-9596.43 Ty=-10.48 Tz=14.52 Mx=-0.01 Mz=-8.01
Sollecitazioni agenti localmente: Tx_l=-10.48 Ty_l=14.52 N_l=-9596.43 My_l=8.01 Mz_l=-0.01
Azioni sul cordone: TP=-0.76 TO=1.08 NO=-709.37
Tensioni nel cordone: τ_P=0.24 τ_0=0.34 σ_0=237.18 σ_{ID}=237.18 Σ_T=237.52
CC 28 SLD (Collegamento -182_-384)
Azioni sul collegamento: N=-9596.43 Ty=-10.34 Tz=14.52 Mx=-0.01 Mz=-8.60
Sollecitazioni agenti localmente: Tx_l=-10.34 Ty_l=14.52 N_l=-9596.43 My_l=8.60 Mz_l=-0.01
Azioni sul cordone: TP=-0.75 TO=1.08 NO=-709.37
Tensioni nel cordone: τ_P=0.24 τ_0=0.34 σ_0=238.03 σ_{ID}=238.03 Σ_T=238.37
CC 28 SLD (Collegamento -182_-384)
Azioni sul collegamento: N=-9596.43 Ty=-10.48 Tz=12.21 Mx=-0.01 Mz=-8.01
Sollecitazioni agenti localmente: Tx_l=-10.48 Ty_l=12.21 N_l=-9596.43 My_l=8.01 Mz_l=-0.01
Azioni sul cordone: TP=-0.76 TO=0.91 NO=-709.37
Tensioni nel cordone: τ_P=0.24 τ_0=0.29 σ_0=237.18 σ_{ID}=237.18 Σ_T=237.47
CC 28 SLD (Collegamento -182_-384)
Azioni sul collegamento: N=-9596.43 Ty=-10.34 Tz=12.21 Mx=-0.01 Mz=-8.60
Sollecitazioni agenti localmente: Tx_l=-10.34 Ty_l=12.21 N_l=-9596.43 My_l=8.60 Mz_l=-0.01
Azioni sul cordone: TP=-0.75 TO=0.91 NO=-709.37
Tensioni nel cordone: τ_P=0.24 τ_0=0.29 σ_0=238.03 σ_{ID}=238.03 Σ_T=238.32
CC 29 SLV (Collegamento -182_-384)
Azioni sul collegamento: N=-8884.09 Ty=-11.11 Tz=9.96 Mx=-0.01 Mz=-11.40
Sollecitazioni agenti localmente: Tx_l=-11.11 Ty_l=9.96 N_l=-8884.09 My_l=11.40 Mz_l=-0.01
Azioni sul cordone: TP=-0.81 TO=0.74 NO=-656.72
Tensioni nel cordone: τ_P=0.26 τ_0=0.24 σ_0=225.38 σ_{ID}=225.38 Σ_T=225.62
CC 29 SLV (Collegamento -182_-384)
Azioni sul collegamento: N=-8884.09 Ty=-11.56 Tz=9.96 Mx=-0.01 Mz=-9.49
Sollecitazioni agenti localmente: Tx_l=-11.56 Ty_l=9.96 N_l=-8884.09 My_l=9.49 Mz_l=-0.01
Azioni sul cordone: TP=-0.85 TO=0.74 NO=-656.72
Tensioni nel cordone: τ_P=0.27 τ_0=0.24 σ_0=222.60 σ_{ID}=222.60 Σ_T=222.83
CC 29 SLV (Collegamento -182_-384)
Azioni sul collegamento: N=-8884.09 Ty=-11.11 Tz=17.53 Mx=-0.01 Mz=-11.40
Sollecitazioni agenti localmente: Tx_l=-11.11 Ty_l=17.53 N_l=-8884.09 My_l=11.40 Mz_l=-0.01
Azioni sul cordone: TP=-0.81 TO=1.30 NO=-656.72
Tensioni nel cordone: τ_P=0.26 τ_0=0.41 σ_0=225.38 σ_{ID}=225.39 Σ_T=225.80
CC 29 SLV (Collegamento -182_-384)
Azioni sul collegamento: N=-8884.09 Ty=-11.56 Tz=17.53 Mx=-0.01 Mz=-9.49
Sollecitazioni agenti localmente: Tx_l=-11.56 Ty_l=17.53 N_l=-8884.09 My_l=9.49 Mz_l=-0.01
Azioni sul cordone: TP=-0.85 TO=1.30 NO=-656.72
Tensioni nel cordone: τ_P=0.27 τ_0=0.41 σ_0=222.60 σ_{ID}=222.60 Σ_T=223.01
CC 29 SLV (Collegamento -182_-384)
Azioni sul collegamento: N=-11213.90 Ty=-11.11 Tz=9.96 Mx=-0.01 Mz=-11.40
Sollecitazioni agenti localmente: Tx_l=-11.11 Ty_l=9.96 N_l=-11213.90 My_l=11.40 Mz_l=-0.01
Azioni sul cordone: TP=-0.81 TO=0.74 NO=-828.93
Tensioni nel cordone: τ_P=0.26 τ_0=0.24 σ_0=280.12 σ_{ID}=280.12 Σ_T=280.36
CC 29 SLV (Collegamento -182_-384)
Azioni sul collegamento: N=-11213.90 Ty=-11.56 Tz=9.96 Mx=-0.01 Mz=-9.49
Sollecitazioni agenti localmente: Tx_l=-11.56 Ty_l=9.96 N_l=-11213.90 My_l=9.49 Mz_l=-0.01
Azioni sul cordone: TP=-0.85 TO=0.74 NO=-828.93
Tensioni nel cordone: τ_P=0.27 τ_0=0.24 σ_0=277.34 σ_{ID}=277.34 Σ_T=277.57
CC 29 SLV (Collegamento -182_-384)
Azioni sul collegamento: N=-11213.90 Ty=-11.11 Tz=17.53 Mx=-0.01 Mz=-11.40
Sollecitazioni agenti localmente: Tx_l=-11.11 Ty_l=17.53 N_l=-11213.90 My_l=11.40 Mz_l=-0.01

Azioni sul cordone: TP=-0.81 TO=1.30 NO=-828.93
Tensioni nel cordone: τ_P=0.26 τ_O=0.41 σ_O=280.12 σ_{ID}=280.13 Σ_T=280.54
CC 29 SLV (Collegamento -182_-384)
Azioni sul collegamento: N=-11213.90 Ty=-11.56 Tz=17.53 Mx=-0.01 Mz=-9.49
Sollecitazioni agenti localmente: Tx_l=-11.56 Ty_l=17.53 N_l=-11213.90 My_l=9.49 Mz_l=-0.01
Azioni sul cordone: TP=-0.85 TO=1.30 NO=-828.93
Tensioni nel cordone: τ_P=0.27 τ_O=0.41 σ_O=277.34 σ_{ID}=277.34 Σ_T=277.75
CC 30 SLD (Collegamento -182_-384)
Azioni sul collegamento: N=-9596.43 Ty=-10.34 Tz=12.21 Mx=-0.00 Mz=-8.60
Sollecitazioni agenti localmente: Tx_l=-10.34 Ty_l=12.21 N_l=-9596.43 My_l=8.60 Mz_l=-0.00
Azioni sul cordone: TP=-0.76 TO=0.91 NO=-709.37
Tensioni nel cordone: τ_P=0.24 τ_O=0.29 σ_O=238.03 σ_{ID}=238.03 Σ_T=238.32
CC 30 SLD (Collegamento -182_-384)
Azioni sul collegamento: N=-9596.43 Ty=-10.48 Tz=12.21 Mx=-0.00 Mz=-8.01
Sollecitazioni agenti localmente: Tx_l=-10.48 Ty_l=12.21 N_l=-9596.43 My_l=8.01 Mz_l=-0.00
Azioni sul cordone: TP=-0.77 TO=0.91 NO=-709.37
Tensioni nel cordone: τ_P=0.24 τ_O=0.29 σ_O=237.18 σ_{ID}=237.18 Σ_T=237.47
CC 30 SLD (Collegamento -182_-384)
Azioni sul collegamento: N=-9596.43 Ty=-10.34 Tz=14.52 Mx=-0.00 Mz=-8.60
Sollecitazioni agenti localmente: Tx_l=-10.34 Ty_l=14.52 N_l=-9596.43 My_l=8.60 Mz_l=-0.00
Azioni sul cordone: TP=-0.76 TO=1.08 NO=-709.37
Tensioni nel cordone: τ_P=0.24 τ_O=0.34 σ_O=238.03 σ_{ID}=238.03 Σ_T=238.37
CC 30 SLD (Collegamento -182_-384)
Azioni sul collegamento: N=-9596.43 Ty=-10.48 Tz=14.52 Mx=-0.00 Mz=-8.01
Sollecitazioni agenti localmente: Tx_l=-10.48 Ty_l=14.52 N_l=-9596.43 My_l=8.01 Mz_l=-0.00
Azioni sul cordone: TP=-0.77 TO=1.08 NO=-709.37
Tensioni nel cordone: τ_P=0.24 τ_O=0.34 σ_O=237.18 σ_{ID}=237.18 Σ_T=237.52
CC 30 SLD (Collegamento -182_-384)
Azioni sul collegamento: N=-10306.80 Ty=-10.34 Tz=12.21 Mx=-0.00 Mz=-8.60
Sollecitazioni agenti localmente: Tx_l=-10.34 Ty_l=12.21 N_l=-10306.80 My_l=8.60 Mz_l=-0.00
Azioni sul cordone: TP=-0.76 TO=0.91 NO=-761.88
Tensioni nel cordone: τ_P=0.24 τ_O=0.29 σ_O=254.72 σ_{ID}=254.72 Σ_T=255.01
CC 30 SLD (Collegamento -182_-384)
Azioni sul collegamento: N=-10306.80 Ty=-10.48 Tz=12.21 Mx=-0.00 Mz=-8.01
Sollecitazioni agenti localmente: Tx_l=-10.48 Ty_l=12.21 N_l=-10306.80 My_l=8.01 Mz_l=-0.00
Azioni sul cordone: TP=-0.77 TO=0.91 NO=-761.88
Tensioni nel cordone: τ_P=0.24 τ_O=0.29 σ_O=253.87 σ_{ID}=253.87 Σ_T=254.16
CC 30 SLD (Collegamento -182_-384)
Azioni sul collegamento: N=-10306.80 Ty=-10.34 Tz=14.52 Mx=-0.00 Mz=-8.60
Sollecitazioni agenti localmente: Tx_l=-10.34 Ty_l=14.52 N_l=-10306.80 My_l=8.60 Mz_l=-0.00
Azioni sul cordone: TP=-0.76 TO=1.08 NO=-761.88
Tensioni nel cordone: τ_P=0.24 τ_O=0.34 σ_O=254.72 σ_{ID}=254.72 Σ_T=255.06
CC 30 SLD (Collegamento -182_-384)
Azioni sul collegamento: N=-10306.80 Ty=-10.48 Tz=14.52 Mx=-0.00 Mz=-8.01
Sollecitazioni agenti localmente: Tx_l=-10.48 Ty_l=14.52 N_l=-10306.80 My_l=8.01 Mz_l=-0.00
Azioni sul cordone: TP=-0.77 TO=1.08 NO=-761.88
Tensioni nel cordone: τ_P=0.24 τ_O=0.34 σ_O=253.87 σ_{ID}=253.87 Σ_T=254.22
CC 31 SLV (Collegamento -182_-384)
Azioni sul collegamento: N=-11230.00 Ty=-13.27 Tz=18.62 Mx=-0.01 Mz=-12.98
Sollecitazioni agenti localmente: Tx_l=-13.27 Ty_l=18.62 N_l=-11230.00 My_l=12.98 Mz_l=-0.01
Azioni sul cordone: TP=-0.97 TO=1.38 NO=-830.13
Tensioni nel cordone: τ_P=0.31 τ_O=0.44 σ_O=282.82 σ_{ID}=282.82 Σ_T=283.26
CC 31 SLV (Collegamento -182_-384)
Azioni sul collegamento: N=-11230.00 Ty=-9.40 Tz=18.62 Mx=-0.01 Mz=-7.91
Sollecitazioni agenti localmente: Tx_l=-9.40 Ty_l=18.62 N_l=-11230.00 My_l=7.91 Mz_l=-0.01
Azioni sul cordone: TP=-0.69 TO=1.38 NO=-830.13
Tensioni nel cordone: τ_P=0.22 τ_O=0.44 σ_O=275.40 σ_{ID}=275.40 Σ_T=275.85
CC 31 SLV (Collegamento -182_-384)
Azioni sul collegamento: N=-11230.00 Ty=-13.27 Tz=8.87 Mx=-0.01 Mz=-12.98
Sollecitazioni agenti localmente: Tx_l=-13.27 Ty_l=8.87 N_l=-11230.00 My_l=12.98 Mz_l=-0.01
Azioni sul cordone: TP=-0.97 TO=0.66 NO=-830.13
Tensioni nel cordone: τ_P=0.31 τ_O=0.21 σ_O=282.82 σ_{ID}=282.82 Σ_T=283.03
CC 31 SLV (Collegamento -182_-384)
Azioni sul collegamento: N=-11230.00 Ty=-9.40 Tz=8.87 Mx=-0.01 Mz=-7.91
Sollecitazioni agenti localmente: Tx_l=-9.40 Ty_l=8.87 N_l=-11230.00 My_l=7.91 Mz_l=-0.01
Azioni sul cordone: TP=-0.69 TO=0.66 NO=-830.13
Tensioni nel cordone: τ_P=0.22 τ_O=0.21 σ_O=275.40 σ_{ID}=275.40 Σ_T=275.62
CC 31 SLV (Collegamento -182_-384)
Azioni sul collegamento: N=-8867.92 Ty=-13.27 Tz=18.62 Mx=-0.01 Mz=-12.98
Sollecitazioni agenti localmente: Tx_l=-13.27 Ty_l=18.62 N_l=-8867.92 My_l=12.98 Mz_l=-0.01
Azioni sul cordone: TP=-0.97 TO=1.38 NO=-655.52
Tensioni nel cordone: τ_P=0.31 τ_O=0.44 σ_O=227.32 σ_{ID}=227.32 Σ_T=227.76
CC 31 SLV (Collegamento -182_-384)
Azioni sul collegamento: N=-8867.92 Ty=-9.40 Tz=18.62 Mx=-0.01 Mz=-7.91
Sollecitazioni agenti localmente: Tx_l=-9.40 Ty_l=18.62 N_l=-8867.92 My_l=7.91 Mz_l=-0.01
Azioni sul cordone: TP=-0.69 TO=1.38 NO=-655.52
Tensioni nel cordone: τ_P=0.22 τ_O=0.44 σ_O=219.91 σ_{ID}=219.91 Σ_T=220.35
CC 31 SLV (Collegamento -182_-384)
Azioni sul collegamento: N=-8867.92 Ty=-13.27 Tz=8.87 Mx=-0.01 Mz=-12.98

Sollecitazioni agenti localmente: Tx_l=-13.27 Ty_l=8.87 N_l=-8867.92 My_l=12.98 Mz_l=-0.01
Azioni sul cordone: TP=-0.97 TO=0.66 NO=-655.52
Tensioni nel cordone: τ_P=0.31 τ_0=0.21 σ_0=227.32 σ_{ID}=227.32 Σ_T=227.53
CC 31 SLV (Collegamento -182_-384)
Azioni sul collegamento: N=-8867.92 Ty=-9.40 Tz=8.87 Mx=-0.01 Mz=-7.91
Sollecitazioni agenti localmente: Tx_l=-9.40 Ty_l=8.87 N_l=-8867.92 My_l=7.91 Mz_l=-0.01
Azioni sul cordone: TP=-0.69 TO=0.66 NO=-655.52
Tensioni nel cordone: τ_P=0.22 τ_0=0.21 σ_0=219.91 σ_{ID}=219.91 Σ_T=220.12
CC 32 SLD (Collegamento -182_-384)
Azioni sul collegamento: N=-10311.80 Ty=-11.00 Tz=14.85 Mx=-0.00 Mz=-9.08
Sollecitazioni agenti localmente: Tx_l=-11.00 Ty_l=14.85 N_l=-10311.80 My_l=9.08 Mz_l=-0.00
Azioni sul cordone: TP=-0.81 TO=1.10 NO=-762.25
Tensioni nel cordone: τ_P=0.26 τ_0=0.35 σ_0=255.54 σ_{ID}=255.54 Σ_T=255.89
CC 32 SLD (Collegamento -182_-384)
Azioni sul collegamento: N=-10311.80 Ty=-9.82 Tz=14.85 Mx=-0.00 Mz=-7.53
Sollecitazioni agenti localmente: Tx_l=-9.82 Ty_l=14.85 N_l=-10311.80 My_l=7.53 Mz_l=-0.00
Azioni sul cordone: TP=-0.72 TO=1.10 NO=-762.25
Tensioni nel cordone: τ_P=0.23 τ_0=0.35 σ_0=253.28 σ_{ID}=253.28 Σ_T=253.63
CC 32 SLD (Collegamento -182_-384)
Azioni sul collegamento: N=-10311.80 Ty=-11.00 Tz=11.88 Mx=-0.00 Mz=-9.08
Sollecitazioni agenti localmente: Tx_l=-11.00 Ty_l=11.88 N_l=-10311.80 My_l=9.08 Mz_l=-0.00
Azioni sul cordone: TP=-0.81 TO=0.88 NO=-762.25
Tensioni nel cordone: τ_P=0.26 τ_0=0.28 σ_0=255.54 σ_{ID}=255.54 Σ_T=255.82
CC 32 SLD (Collegamento -182_-384)
Azioni sul collegamento: N=-10311.80 Ty=-9.82 Tz=11.88 Mx=-0.00 Mz=-7.53
Sollecitazioni agenti localmente: Tx_l=-9.82 Ty_l=11.88 N_l=-10311.80 My_l=7.53 Mz_l=-0.00
Azioni sul cordone: TP=-0.72 TO=0.88 NO=-762.25
Tensioni nel cordone: τ_P=0.23 τ_0=0.28 σ_0=253.28 σ_{ID}=253.28 Σ_T=253.56
CC 32 SLD (Collegamento -182_-384)
Azioni sul collegamento: N=-9591.50 Ty=-11.00 Tz=14.85 Mx=-0.00 Mz=-9.08
Sollecitazioni agenti localmente: Tx_l=-11.00 Ty_l=14.85 N_l=-9591.50 My_l=9.08 Mz_l=-0.00
Azioni sul cordone: TP=-0.81 TO=1.10 NO=-709.01
Tensioni nel cordone: τ_P=0.26 τ_0=0.35 σ_0=238.62 σ_{ID}=238.62 Σ_T=238.97
CC 32 SLD (Collegamento -182_-384)
Azioni sul collegamento: N=-9591.50 Ty=-9.82 Tz=14.85 Mx=-0.00 Mz=-7.53
Sollecitazioni agenti localmente: Tx_l=-9.82 Ty_l=14.85 N_l=-9591.50 My_l=7.53 Mz_l=-0.00
Azioni sul cordone: TP=-0.72 TO=1.10 NO=-709.01
Tensioni nel cordone: τ_P=0.23 τ_0=0.35 σ_0=236.36 σ_{ID}=236.36 Σ_T=236.71
CC 32 SLD (Collegamento -182_-384)
Azioni sul collegamento: N=-9591.50 Ty=-11.00 Tz=11.88 Mx=-0.00 Mz=-9.08
Sollecitazioni agenti localmente: Tx_l=-11.00 Ty_l=11.88 N_l=-9591.50 My_l=9.08 Mz_l=-0.00
Azioni sul cordone: TP=-0.81 TO=0.88 NO=-709.01
Tensioni nel cordone: τ_P=0.26 τ_0=0.28 σ_0=238.62 σ_{ID}=238.62 Σ_T=238.90
CC 32 SLD (Collegamento -182_-384)
Azioni sul collegamento: N=-9591.50 Ty=-9.82 Tz=11.88 Mx=-0.00 Mz=-7.53
Sollecitazioni agenti localmente: Tx_l=-9.82 Ty_l=11.88 N_l=-9591.50 My_l=7.53 Mz_l=-0.00
Azioni sul cordone: TP=-0.72 TO=0.88 NO=-709.01
Tensioni nel cordone: τ_P=0.23 τ_0=0.28 σ_0=236.36 σ_{ID}=236.36 Σ_T=236.64
CC 33 SLU (Collegamento -182_-384)
Azioni sul collegamento: N=-37242.40 Ty=-20.96 Tz=105.49 Mx=-0.01 Mz=-15.56
Sollecitazioni agenti localmente: Tx_l=-20.96 Ty_l=105.49 N_l=-37242.40 My_l=15.56 Mz_l=-0.01
Azioni sul cordone: TP=-1.54 TO=7.80 NO=-2752.97
Tensioni nel cordone: τ_P=0.49 τ_0=2.48 σ_0=897.76 σ_{ID}=897.76 Σ_T=900.24
CC 34 SLU (Collegamento -182_-384)
Azioni sul collegamento: N=-36428.20 Ty=-20.21 Tz=102.49 Mx=-0.01 Mz=-15.01
Sollecitazioni agenti localmente: Tx_l=-20.21 Ty_l=102.49 N_l=-36428.20 My_l=15.01 Mz_l=-0.01
Azioni sul cordone: TP=-1.49 TO=7.58 NO=-2692.78
Tensioni nel cordone: τ_P=0.47 τ_0=2.41 σ_0=877.82 σ_{ID}=877.83 Σ_T=880.23
CC 35 SLU (Collegamento -182_-384)
Azioni sul collegamento: N=-36836.10 Ty=-20.67 Tz=103.93 Mx=-0.00 Mz=-15.47
Sollecitazioni agenti localmente: Tx_l=-20.67 Ty_l=103.93 N_l=-36836.10 My_l=15.47 Mz_l=-0.00
Azioni sul cordone: TP=-1.52 TO=7.69 NO=-2722.94
Tensioni nel cordone: τ_P=0.48 τ_0=2.44 σ_0=888.08 σ_{ID}=888.08 Σ_T=890.52
CC 36 SLU (Collegamento -182_-384)
Azioni sul collegamento: N=-36834.40 Ty=-20.49 Tz=104.05 Mx=-0.01 Mz=-15.10
Sollecitazioni agenti localmente: Tx_l=-20.49 Ty_l=104.05 N_l=-36834.40 My_l=15.10 Mz_l=-0.01
Azioni sul cordone: TP=-1.51 TO=7.70 NO=-2722.81
Tensioni nel cordone: τ_P=0.48 τ_0=2.45 σ_0=887.50 σ_{ID}=887.51 Σ_T=889.95
CC 37 SLU (Collegamento -182_-384)
Azioni sul collegamento: N=-28075.80 Ty=-20.08 Tz=71.84 Mx=-0.01 Mz=-14.76
Sollecitazioni agenti localmente: Tx_l=-20.08 Ty_l=71.84 N_l=-28075.80 My_l=14.76 Mz_l=-0.01
Azioni sul cordone: TP=-1.48 TO=5.31 NO=-2075.37
Tensioni nel cordone: τ_P=0.47 τ_0=1.69 σ_0=681.22 σ_{ID}=681.23 Σ_T=682.91
CC 38 SLU (Collegamento -182_-384)
Azioni sul collegamento: N=-27261.60 Ty=-19.33 Tz=68.83 Mx=-0.01 Mz=-14.21
Sollecitazioni agenti localmente: Tx_l=-19.33 Ty_l=68.83 N_l=-27261.60 My_l=14.21 Mz_l=-0.01
Azioni sul cordone: TP=-1.42 TO=5.09 NO=-2015.18
Tensioni nel cordone: τ_P=0.45 τ_0=1.62 σ_0=661.29 σ_{ID}=661.29 Σ_T=662.91
CC 39 SLU (Collegamento -182_-384)

Azioni sul collegamento: N=-27669.60 Ty=-19.79 Tz=70.28 Mx=-0.00 Mz=-14.67
Sollecitazioni agenti localmente: T_{x_l}=-19.79 T_{y_l}=70.28 N_l=-27669.60 M_{y_l}=14.67 M_{z_l}=-0.00
Azioni sul cordone: TP=-1.46 TO=5.20 NO=-2045.34
Tensioni nel cordone: τ_P=0.46 τ_0=1.65 σ_0=671.54 σ_{ID}=671.54 Σ_T=673.20
CC 40 SLU (Collegamento -182_-384)
Azioni sul collegamento: N=-27667.80 Ty=-19.61 Tz=70.39 Mx=-0.01 Mz=-14.31
Sollecitazioni agenti localmente: T_{x_l}=-19.61 T_{y_l}=70.39 N_l=-27667.80 M_{y_l}=14.31 M_{z_l}=-0.01
Azioni sul cordone: TP=-1.44 TO=5.21 NO=-2045.21
Tensioni nel cordone: τ_P=0.46 τ_0=1.66 σ_0=670.97 σ_{ID}=670.97 Σ_T=672.62
CC 41 SLU (Collegamento -182_-384)
Azioni sul collegamento: N=-30474.50 Ty=9.93 Tz=80.11 Mx=-0.01 Mz=7.87
Sollecitazioni agenti localmente: T_{x_l}=9.93 T_{y_l}=80.11 N_l=-30474.50 M_{y_l}=-7.87 M_{z_l}=-0.01
Azioni sul cordone: TP=0.74 TO=5.92 NO=-2252.69
Tensioni nel cordone: τ_P=0.24 τ_0=1.88 σ_0=727.51 σ_{ID}=727.52 Σ_T=729.39
CC 42 SLU (Collegamento -182_-384)
Azioni sul collegamento: N=-29660.30 Ty=10.68 Tz=77.11 Mx=-0.01 Mz=8.42
Sollecitazioni agenti localmente: T_{x_l}=10.68 T_{y_l}=77.11 N_l=-29660.30 M_{y_l}=-8.42 M_{z_l}=-0.01
Azioni sul cordone: TP=0.80 TO=5.70 NO=-2192.50
Tensioni nel cordone: τ_P=0.25 τ_0=1.81 σ_0=709.19 σ_{ID}=709.19 Σ_T=711.00
CC 43 SLU (Collegamento -182_-384)
Azioni sul collegamento: N=-30068.30 Ty=10.21 Tz=78.55 Mx=-0.00 Mz=7.97
Sollecitazioni agenti localmente: T_{x_l}=10.21 T_{y_l}=78.55 N_l=-30068.30 M_{y_l}=-7.97 M_{z_l}=-0.00
Azioni sul cordone: TP=0.76 TO=5.80 NO=-2222.66
Tensioni nel cordone: τ_P=0.24 τ_0=1.84 σ_0=718.11 σ_{ID}=718.11 Σ_T=719.95
CC 44 SLU (Collegamento -182_-384)
Azioni sul collegamento: N=-30066.50 Ty=10.39 Tz=78.67 Mx=-0.01 Mz=8.33
Sollecitazioni agenti localmente: T_{x_l}=10.39 T_{y_l}=78.67 N_l=-30066.50 M_{y_l}=-8.33 M_{z_l}=-0.01
Azioni sul cordone: TP=0.78 TO=5.81 NO=-2222.53
Tensioni nel cordone: τ_P=0.25 τ_0=1.85 σ_0=718.60 σ_{ID}=718.60 Σ_T=720.44
CC 45 SLU (Collegamento -182_-384)
Azioni sul collegamento: N=-30085.80 Ty=-20.31 Tz=79.22 Mx=-0.00 Mz=-15.08
Sollecitazioni agenti localmente: T_{x_l}=-20.31 T_{y_l}=79.22 N_l=-30085.80 M_{y_l}=15.08 M_{z_l}=-0.00
Azioni sul cordone: TP=-1.50 TO=5.86 NO=-2223.95
Tensioni nel cordone: τ_P=0.48 τ_0=1.86 σ_0=728.91 σ_{ID}=728.91 Σ_T=730.77
CC 46 SLU (Collegamento -182_-384)
Azioni sul collegamento: N=-29271.60 Ty=-19.56 Tz=76.22 Mx=-0.00 Mz=-14.53
Sollecitazioni agenti localmente: T_{x_l}=-19.56 T_{y_l}=76.22 N_l=-29271.60 M_{y_l}=14.53 M_{z_l}=-0.00
Azioni sul cordone: TP=-1.44 TO=5.64 NO=-2163.76
Tensioni nel cordone: τ_P=0.46 τ_0=1.79 σ_0=708.98 σ_{ID}=708.98 Σ_T=710.77
CC 47 SLU (Collegamento -182_-384)
Azioni sul collegamento: N=-29679.60 Ty=-20.02 Tz=77.66 Mx=-0.00 Mz=-14.99
Sollecitazioni agenti localmente: T_{x_l}=-20.02 T_{y_l}=77.66 N_l=-29679.60 M_{y_l}=14.99 M_{z_l}=-0.00
Azioni sul cordone: TP=-1.48 TO=5.74 NO=-2193.92
Tensioni nel cordone: τ_P=0.47 τ_0=1.83 σ_0=719.23 σ_{ID}=719.23 Σ_T=721.06
CC 48 SLU (Collegamento -182_-384)
Azioni sul collegamento: N=-29677.80 Ty=-19.84 Tz=77.78 Mx=-0.01 Mz=-14.62
Sollecitazioni agenti localmente: T_{x_l}=-19.84 T_{y_l}=77.78 N_l=-29677.80 M_{y_l}=14.62 M_{z_l}=-0.01
Azioni sul cordone: TP=-1.46 TO=5.75 NO=-2193.79
Tensioni nel cordone: τ_P=0.46 τ_0=1.83 σ_0=718.66 σ_{ID}=718.66 Σ_T=720.49
CC 49 SLU (Collegamento -182_-384)
Azioni sul collegamento: N=-23227.80 Ty=-19.65 Tz=54.04 Mx=-0.00 Mz=-14.49
Sollecitazioni agenti localmente: T_{x_l}=-19.65 T_{y_l}=54.04 N_l=-23227.80 M_{y_l}=14.49 M_{z_l}=-0.00
Azioni sul cordone: TP=-1.45 TO=4.00 NO=-1717.01
Tensioni nel cordone: τ_P=0.46 τ_0=1.27 σ_0=566.91 σ_{ID}=566.91 Σ_T=568.18
CC 50 SLU (Collegamento -182_-384)
Azioni sul collegamento: N=-22413.60 Ty=-18.90 Tz=51.04 Mx=-0.00 Mz=-13.93
Sollecitazioni agenti localmente: T_{x_l}=-18.90 T_{y_l}=51.04 N_l=-22413.60 M_{y_l}=13.93 M_{z_l}=-0.00
Azioni sul cordone: TP=-1.39 TO=3.78 NO=-1656.82
Tensioni nel cordone: τ_P=0.44 τ_0=1.20 σ_0=546.98 σ_{ID}=546.98 Σ_T=548.18
CC 51 SLU (Collegamento -182_-384)
Azioni sul collegamento: N=-22821.60 Ty=-19.36 Tz=52.48 Mx=-0.00 Mz=-14.39
Sollecitazioni agenti localmente: T_{x_l}=-19.36 T_{y_l}=52.48 N_l=-22821.60 M_{y_l}=14.39 M_{z_l}=-0.00
Azioni sul cordone: TP=-1.43 TO=3.88 NO=-1686.98
Tensioni nel cordone: τ_P=0.45 τ_0=1.23 σ_0=557.23 σ_{ID}=557.23 Σ_T=558.47
CC 52 SLU (Collegamento -182_-384)
Azioni sul collegamento: N=-22819.80 Ty=-19.19 Tz=52.60 Mx=-0.01 Mz=-14.03
Sollecitazioni agenti localmente: T_{x_l}=-19.19 T_{y_l}=52.60 N_l=-22819.80 M_{y_l}=14.03 M_{z_l}=-0.01
Azioni sul cordone: TP=-1.41 TO=3.89 NO=-1686.85
Tensioni nel cordone: τ_P=0.45 τ_0=1.24 σ_0=556.66 σ_{ID}=556.66 Σ_T=557.89
CC 53 SLU (Collegamento -182_-384)
Azioni sul collegamento: N=-25022.40 Ty=2.80 Tz=60.23 Mx=-0.00 Mz=2.45
Sollecitazioni agenti localmente: T_{x_l}=2.80 T_{y_l}=60.23 N_l=-25022.40 M_{y_l}=-2.45 M_{z_l}=-0.00
Azioni sul cordone: TP=0.21 TO=4.45 NO=-1849.67
Tensioni nel cordone: τ_P= 0.07 τ_0=1.41 σ_0=591.49 σ_{ID}=591.50 Σ_T=592.91
CC 54 SLU (Collegamento -182_-384)
Azioni sul collegamento: N=-24208.20 Ty=3.55 Tz=57.23 Mx=-0.01 Mz=3.00
Sollecitazioni agenti localmente: T_{x_l}=3.55 T_{y_l}=57.23 N_l=-24208.20 M_{y_l}=-3.00 M_{z_l}=-0.01
Azioni sul cordone: TP=0.27 TO=4.23 NO=-1789.48
Tensioni nel cordone: τ_P= 0.09 τ_0=1.34 σ_0=573.17 σ_{ID}=573.17 Σ_T=574.51

CC 55 SLU (Collegamento -182_-384)
Azioni sul collegamento: N=-24616.20 Ty=3.09 Tz=58.67 Mx=-0.00 Mz=2.54
Sollecitazioni agenti localmente: Tx_l=3.09 Ty_l=58.67 N_l=-24616.20 My_l=-2.54 Mz_l=-0.00
Azioni sul cordone: TP=0.23 TO=4.33 NO=-1819.64
Tensioni nel cordone: τ_P= 0.07 τ_0=1.38 σ_0=582.09 σ_{ID}=582.09 Σ_T=583.46
CC 56 SLU (Collegamento -182_-384)
Azioni sul collegamento: N=-24614.50 Ty=3.26 Tz=58.79 Mx=-0.01 Mz=2.91
Sollecitazioni agenti localmente: Tx_l=3.26 Ty_l=58.79 N_l=-24614.50 My_l=-2.91 Mz_l=-0.01
Azioni sul cordone: TP=0.25 TO=4.34 NO=-1819.51
Tensioni nel cordone: τ_P= 0.08 τ_0=1.38 σ_0=582.58 σ_{ID}=582.58 Σ_T=583.96
CC 57 SLU (Collegamento -182_-384)
Azioni sul collegamento: N=-27876.60 Ty=-18.56 Tz=71.09 Mx=-0.00 Mz=-13.78
Sollecitazioni agenti localmente: Tx_l=-18.56 Ty_l=71.09 N_l=-27876.60 My_l=13.78 Mz_l=-0.00
Azioni sul cordone: TP=-1.37 TO=5.26 NO=-2060.65
Tensioni nel cordone: τ_P=0.43 τ_0=1.67 σ_0=675.11 σ_{ID}=675.11 Σ_T=676.78
CC 58 SLU (Collegamento -182_-384)
Azioni sul collegamento: N=-27062.40 Ty=-17.81 Tz=68.08 Mx=-0.00 Mz=-13.23
Sollecitazioni agenti localmente: Tx_l=-17.81 Ty_l=68.08 N_l=-27062.40 My_l=13.23 Mz_l=-0.00
Azioni sul cordone: TP=-1.31 TO=5.04 NO=-2000.46
Tensioni nel cordone: τ_P=0.42 τ_0=1.60 σ_0=655.18 σ_{ID}=655.18 Σ_T=656.78
CC 59 SLU (Collegamento -182_-384)
Azioni sul collegamento: N=-27470.40 Ty=-18.27 Tz=69.53 Mx=-0.00 Mz=-13.69
Sollecitazioni agenti localmente: Tx_l=-18.27 Ty_l=69.53 N_l=-27470.40 My_l=13.69 Mz_l=-0.00
Azioni sul cordone: TP=-1.35 TO=5.14 NO=-2030.62
Tensioni nel cordone: τ_P=0.43 τ_0=1.63 σ_0=665.43 σ_{ID}=665.43 Σ_T=667.07
CC 60 SLU (Collegamento -182_-384)
Azioni sul collegamento: N=-27468.70 Ty=-18.09 Tz=69.65 Mx=-0.01 Mz=-13.33
Sollecitazioni agenti localmente: Tx_l=-18.09 Ty_l=69.65 N_l=-27468.70 My_l=13.33 Mz_l=-0.01
Azioni sul cordone: TP=-1.33 TO=5.15 NO=-2030.49
Tensioni nel cordone: τ_P=0.42 τ_0=1.64 σ_0=664.86 σ_{ID}=664.86 Σ_T=666.50
CC 61 SLU (Collegamento -182_-384)
Azioni sul collegamento: N=-21018.70 Ty=-17.90 Tz=45.91 Mx=-0.00 Mz=-13.19
Sollecitazioni agenti localmente: Tx_l=-17.90 Ty_l=45.91 N_l=-21018.70 My_l=13.19 Mz_l=-0.00
Azioni sul cordone: TP=-1.32 TO=3.40 NO=-1553.71
Tensioni nel cordone: τ_P=0.42 τ_0=1.08 σ_0=513.11 σ_{ID}=513.11 Σ_T=514.19
CC 62 SLU (Collegamento -182_-384)
Azioni sul collegamento: N=-20204.50 Ty=-17.15 Tz=42.91 Mx=-0.00 Mz=-12.64
Sollecitazioni agenti localmente: Tx_l=-17.15 Ty_l=42.91 N_l=-20204.50 My_l=12.64 Mz_l=-0.00
Azioni sul cordone: TP=-1.26 TO=3.18 NO=-1493.52
Tensioni nel cordone: τ_P=0.40 τ_0=1.01 σ_0=493.18 σ_{ID}=493.18 Σ_T=494.19
CC 63 SLU (Collegamento -182_-384)
Azioni sul collegamento: N=-20612.50 Ty=-17.61 Tz=44.35 Mx=-0.00 Mz=-13.10
Sollecitazioni agenti localmente: Tx_l=-17.61 Ty_l=44.35 N_l=-20612.50 My_l=13.10 Mz_l=-0.00
Azioni sul cordone: TP=-1.30 TO=3.28 NO=-1523.68
Tensioni nel cordone: τ_P=0.41 τ_0=1.04 σ_0=503.43 σ_{ID}=503.43 Σ_T=504.47
CC 64 SLU (Collegamento -182_-384)
Azioni sul collegamento: N=-20610.70 Ty=-17.43 Tz=44.47 Mx=-0.01 Mz=-12.73
Sollecitazioni agenti localmente: Tx_l=-17.43 Ty_l=44.47 N_l=-20610.70 My_l=12.73 Mz_l=-0.01
Azioni sul cordone: TP=-1.28 TO=3.29 NO=-1523.55
Tensioni nel cordone: τ_P=0.41 τ_0=1.05 σ_0=502.86 σ_{ID}=502.86 Σ_T=503.90
CC 65 SLU (Collegamento -182_-384)
Azioni sul collegamento: N=-22813.30 Ty=4.55 Tz=52.10 Mx=-0.00 Mz=3.75
Sollecitazioni agenti localmente: Tx_l=4.55 Ty_l=52.10 N_l=-22813.30 My_l=-3.75 Mz_l=-0.00
Azioni sul cordone: TP=0.34 TO=3.85 NO=-1686.37
Tensioni nel cordone: τ_P=0.11 τ_0=1.22 σ_0=541.48 σ_{ID}=541.49 Σ_T=542.71
CC 66 SLU (Collegamento -182_-384)
Azioni sul collegamento: N=-21999.10 Ty=5.30 Tz=49.10 Mx=-0.00 Mz=4.30
Sollecitazioni agenti localmente: Tx_l=5.30 Ty_l=49.10 N_l=-21999.10 My_l=-4.30 Mz_l=-0.00
Azioni sul cordone: TP=0.40 TO=3.63 NO=-1626.18
Tensioni nel cordone: τ_P=0.13 τ_0=1.15 σ_0=523.16 σ_{ID}=523.16 Σ_T=524.31
CC 67 SLU (Collegamento -182_-384)
Azioni sul collegamento: N=-22407.10 Ty=4.84 Tz=50.54 Mx=-0.00 Mz=3.84
Sollecitazioni agenti localmente: Tx_l=4.84 Ty_l=50.54 N_l=-22407.10 My_l=-3.84 Mz_l=-0.00
Azioni sul cordone: TP=0.36 TO=3.73 NO=-1656.34
Tensioni nel cordone: τ_P=0.12 τ_0=1.19 σ_0=532.08 σ_{ID}=532.08 Σ_T=533.26
CC 68 SLU (Collegamento -182_-384)
Azioni sul collegamento: N=-22405.30 Ty=5.01 Tz=50.66 Mx=-0.01 Mz=4.20
Sollecitazioni agenti localmente: Tx_l=5.01 Ty_l=50.66 N_l=-22405.30 My_l=-4.20 Mz_l=-0.01
Azioni sul cordone: TP=0.38 TO=3.74 NO=-1656.21
Tensioni nel cordone: τ_P=0.12 τ_0=1.19 σ_0=532.57 σ_{ID}=532.57 Σ_T=533.75
CC 97 SLU (Collegamento -182_-384)
Azioni sul collegamento: N=-12779.50 Ty=-22.48 Tz=24.03 Mx=-0.06 Mz=-25.00
Sollecitazioni agenti localmente: Tx_l=-22.48 Ty_l=24.03 N_l=-12779.50 My_l=25.00 Mz_l=-0.06
Azioni sul cordone: TP=-1.60 TO=1.82 NO=-944.66
Tensioni nel cordone: τ_P=0.51 τ_0=0.58 σ_0=336.79 σ_{ID}=336.79 Σ_T=337.37
CC 98 SLU (Collegamento -182_-384)
Azioni sul collegamento: N=-11965.30 Ty=-21.73 Tz=21.02 Mx=-0.06 Mz=-24.45
Sollecitazioni agenti localmente: Tx_l=-21.73 Ty_l=21.02 N_l=-11965.30 My_l=24.45 Mz_l=-0.06
Azioni sul cordone: TP=-1.54 TO=1.60 NO=-884.48

Tensioni nel cordone: τ_P=0.49 τ_O=0.51 σ_O=316.85 σ_{ID}=316.85 Σ_T=317.36
CC 99 SLU (Collegamento -182_-384)
Azioni sul collegamento: N=-12373.20 Ty=-22.20 Tz=22.47 Mx=-0.05 Mz=-24.91
Sollecitazioni agenti localmente: Tx_l=-22.20 Ty_l=22.47 N_l=-12373.20 My_l=24.91 Mz_l=-0.05
Azioni sul cordone: TP=-1.58 TO=1.70 NO=-914.63
Tensioni nel cordone: τ_P=0.50 τ_O=0.54 σ_O=327.11 σ_{ID}=327.11 Σ_T=327.65
CC 100 SLU (Collegamento -182_-384)
Azioni sul collegamento: N=-12371.50 Ty=-22.02 Tz=22.58 Mx=-0.06 Mz=-24.55
Sollecitazioni agenti localmente: Tx_l=-22.02 Ty_l=22.58 N_l=-12371.50 My_l=24.55 Mz_l=-0.06
Azioni sul cordone: TP=-1.56 TO=1.71 NO=-914.50
Tensioni nel cordone: τ_P=0.50 τ_O=0.55 σ_O=326.53 σ_{ID}=326.53 Σ_T=327.08
CC 101 SLU (Collegamento -182_-384)
Azioni sul collegamento: N=-10566.60 Ty=-8.33 Tz=15.50 Mx=0.00 Mz=-5.31
Sollecitazioni agenti localmente: Tx_l=-8.33 Ty_l=15.50 N_l=-10566.60 My_l=5.31 Mz_l=0.00
Azioni sul cordone: TP=-0.62 TO=1.14 NO=-781.09
Tensioni nel cordone: τ_P=0.20 τ_O=0.36 σ_O=256.03 σ_{ID}=256.03 Σ_T=256.39
CC 102 SLU (Collegamento -182_-384)
Azioni sul collegamento: N=-9752.38 Ty=-7.57 Tz=12.50 Mx=0.00 Mz=-4.76
Sollecitazioni agenti localmente: Tx_l=-7.57 Ty_l=12.50 N_l=-9752.38 My_l=4.76 Mz_l=0.00
Azioni sul cordone: TP=-0.56 TO=0.92 NO=-720.90
Tensioni nel cordone: τ_P=0.18 τ_O=0.29 σ_O=236.09 σ_{ID}=236.09 Σ_T=236.39
CC 103 SLU (Collegamento -182_-384)
Azioni sul collegamento: N=-10160.40 Ty=-8.04 Tz=13.94 Mx=0.00 Mz=-5.22
Sollecitazioni agenti localmente: Tx_l=-8.04 Ty_l=13.94 N_l=-10160.40 My_l=5.22 Mz_l=0.00
Azioni sul cordone: TP=-0.60 TO=1.03 NO=-751.06
Tensioni nel cordone: τ_P=0.19 τ_O=0.33 σ_O=246.35 σ_{ID}=246.35 Σ_T=246.67
CC 104 SLU (Collegamento -182_-384)
Azioni sul collegamento: N=-10158.60 Ty=-7.86 Tz=14.06 Mx=0.00 Mz=-4.85
Sollecitazioni agenti localmente: Tx_l=-7.86 Ty_l=14.06 N_l=-10158.60 My_l=4.85 Mz_l=0.00
Azioni sul cordone: TP=-0.58 TO=1.04 NO=-750.93
Tensioni nel cordone: τ_P=0.19 τ_O=0.33 σ_O=245.77 σ_{ID}=245.77 Σ_T=246.10

Flessione attacco superiore piastra

Bnetta=220.00 Hnetta=15.00
CC 1 SLV (Collegamento -182_-384)
Azioni sul collegamento: N=-5856.57 Ty=-4.82 Tz=-1.96 Mx=0.01 Mz=-1.13
Sollecitazioni agenti localmente: Ty_l=-1064.83 Mx_l=-21.30
Tensioni nella sezione: σ=258.14 τ=32.27
CC 1 SLV (Collegamento -182_-384)
Azioni sul collegamento: N=-5856.57 Ty=-12.53 Tz=-1.96 Mx=0.01 Mz=-7.45
Sollecitazioni agenti localmente: Ty_l=-1064.83 Mx_l=-21.30
Tensioni nella sezione: σ=258.14 τ=32.27
CC 1 SLV (Collegamento -182_-384)
Azioni sul collegamento: N=-5856.57 Ty=-4.82 Tz=27.25 Mx=0.01 Mz=-1.13
Sollecitazioni agenti localmente: Ty_l=-1064.83 Mx_l=-21.30
Tensioni nella sezione: σ=258.14 τ=32.27
CC 1 SLV (Collegamento -182_-384)
Azioni sul collegamento: N=-5856.57 Ty=-12.53 Tz=27.25 Mx=0.01 Mz=-7.45
Sollecitazioni agenti localmente: Ty_l=-1064.83 Mx_l=-21.30
Tensioni nella sezione: σ=258.14 τ=32.27
CC 1 SLV (Collegamento -182_-384)
Azioni sul collegamento: N=-13681.20 Ty=-4.82 Tz=-1.96 Mx=0.01 Mz=-1.13
Sollecitazioni agenti localmente: Ty_l=-2487.49 Mx_l=-49.75
Tensioni nella sezione: σ=603.03 τ=75.38
CC 1 SLV (Collegamento -182_-384)
Azioni sul collegamento: N=-13681.20 Ty=-12.53 Tz=-1.96 Mx=0.01 Mz=-7.45
Sollecitazioni agenti localmente: Ty_l=-2487.49 Mx_l=-49.75
Tensioni nella sezione: σ=603.03 τ=75.38
CC 1 SLV (Collegamento -182_-384)
Azioni sul collegamento: N=-13681.20 Ty=-4.82 Tz=27.25 Mx=0.01 Mz=-1.13
Sollecitazioni agenti localmente: Ty_l=-2487.49 Mx_l=-49.75
Tensioni nella sezione: σ=603.03 τ=75.38
CC 1 SLV (Collegamento -182_-384)
Azioni sul collegamento: N=-13681.20 Ty=-12.53 Tz=27.25 Mx=0.01 Mz=-7.45
Sollecitazioni agenti localmente: Ty_l=-2487.49 Mx_l=-49.75
Tensioni nella sezione: σ=603.03 τ=75.38
CC 2 SLD (Collegamento -182_-384)
Azioni sul collegamento: N=-8673.24 Ty=-8.42 Tz=8.57 Mx=0.00 Mz=-5.47
Sollecitazioni agenti localmente: Ty_l=-1576.95 Mx_l=-31.54
Tensioni nella sezione: σ=382.29 τ=47.79
CC 2 SLD (Collegamento -182_-384)
Azioni sul collegamento: N=-8673.24 Ty=-10.78 Tz=8.57 Mx=0.00 Mz=-7.39
Sollecitazioni agenti localmente: Ty_l=-1576.95 Mx_l=-31.54
Tensioni nella sezione: σ=382.29 τ=47.79
CC 2 SLD (Collegamento -182_-384)
Azioni sul collegamento: N=-8673.24 Ty=-8.42 Tz=17.48 Mx=0.00 Mz=-5.47
Sollecitazioni agenti localmente: Ty_l=-1576.95 Mx_l=-31.54
Tensioni nella sezione: σ=382.29 τ=47.79

CC 2 SLD (Collegamento -182_-384)
Azioni sul collegamento: N=-8673.24 Ty=-10.78 Tz=17.48 Mx=0.00 Mz=-7.39
Sollecitazioni agenti localmente: Ty_l=-1576.95 Mx_l=-31.54
Tensioni nella sezione: σ=382.29 τ=47.79
CC 2 SLD (Collegamento -182_-384)
Azioni sul collegamento: N=-11059.20 Ty=-8.42 Tz=8.57 Mx=0.00 Mz=-5.47
Sollecitazioni agenti localmente: Ty_l=-2010.77 Mx_l=-40.22
Tensioni nella sezione: σ=487.46 τ=60.93
CC 2 SLD (Collegamento -182_-384)
Azioni sul collegamento: N=-11059.20 Ty=-10.78 Tz=8.57 Mx=0.00 Mz=-7.39
Sollecitazioni agenti localmente: Ty_l=-2010.77 Mx_l=-40.22
Tensioni nella sezione: σ=487.46 τ=60.93
CC 2 SLD (Collegamento -182_-384)
Azioni sul collegamento: N=-11059.20 Ty=-8.42 Tz=17.48 Mx=0.00 Mz=-5.47
Sollecitazioni agenti localmente: Ty_l=-2010.77 Mx_l=-40.22
Tensioni nella sezione: σ=487.46 τ=60.93
CC 2 SLD (Collegamento -182_-384)
Azioni sul collegamento: N=-11059.20 Ty=-10.78 Tz=17.48 Mx=0.00 Mz=-7.39
Sollecitazioni agenti localmente: Ty_l=-2010.77 Mx_l=-40.22
Tensioni nella sezione: σ=487.46 τ=60.93
CC 3 SLV (Collegamento -182_-384)
Azioni sul collegamento: N=-5861.42 Ty=-5.33 Tz=-1.63 Mx=0.01 Mz=-2.18
Sollecitazioni agenti localmente: Ty_l=-1065.71 Mx_l=-21.31
Tensioni nella sezione: σ=258.35 τ=32.29
CC 3 SLV (Collegamento -182_-384)
Azioni sul collegamento: N=-5861.42 Ty=-12.02 Tz=-1.63 Mx=0.01 Mz=-6.41
Sollecitazioni agenti localmente: Ty_l=-1065.71 Mx_l=-21.31
Tensioni nella sezione: σ=258.35 τ=32.29
CC 3 SLV (Collegamento -182_-384)
Azioni sul collegamento: N=-5861.42 Ty=-5.33 Tz=26.92 Mx=0.01 Mz=-2.18
Sollecitazioni agenti localmente: Ty_l=-1065.71 Mx_l=-21.31
Tensioni nella sezione: σ=258.35 τ=32.29
CC 3 SLV (Collegamento -182_-384)
Azioni sul collegamento: N=-5861.42 Ty=-12.02 Tz=26.92 Mx=0.01 Mz=-6.41
Sollecitazioni agenti localmente: Ty_l=-1065.71 Mx_l=-21.31
Tensioni nella sezione: σ=258.35 τ=32.29
CC 3 SLV (Collegamento -182_-384)
Azioni sul collegamento: N=-13676.40 Ty=-5.33 Tz=-1.63 Mx=0.01 Mz=-2.18
Sollecitazioni agenti localmente: Ty_l=-2486.61 Mx_l=-49.73
Tensioni nella sezione: σ=602.81 τ=75.35
CC 3 SLV (Collegamento -182_-384)
Azioni sul collegamento: N=-13676.40 Ty=-12.02 Tz=-1.63 Mx=0.01 Mz=-6.41
Sollecitazioni agenti localmente: Ty_l=-2486.61 Mx_l=-49.73
Tensioni nella sezione: σ=602.81 τ=75.35
CC 3 SLV (Collegamento -182_-384)
Azioni sul collegamento: N=-13676.40 Ty=-5.33 Tz=26.92 Mx=0.01 Mz=-2.18
Sollecitazioni agenti localmente: Ty_l=-2486.61 Mx_l=-49.73
Tensioni nella sezione: σ=602.81 τ=75.35
CC 3 SLV (Collegamento -182_-384)
Azioni sul collegamento: N=-13676.40 Ty=-12.02 Tz=26.92 Mx=0.01 Mz=-6.41
Sollecitazioni agenti localmente: Ty_l=-2486.61 Mx_l=-49.73
Tensioni nella sezione: σ=602.81 τ=75.35
CC 4 SLD (Collegamento -182_-384)
Azioni sul collegamento: N=-8674.72 Ty=-8.58 Tz=8.67 Mx=-0.00 Mz=-5.79
Sollecitazioni agenti localmente: Ty_l=-1577.22 Mx_l=-31.54
Tensioni nella sezione: σ=382.36 τ=47.79
CC 4 SLD (Collegamento -182_-384)
Azioni sul collegamento: N=-8674.72 Ty=-10.62 Tz=8.67 Mx=-0.00 Mz=-7.07
Sollecitazioni agenti localmente: Ty_l=-1577.22 Mx_l=-31.54
Tensioni nella sezione: σ=382.36 τ=47.79
CC 4 SLD (Collegamento -182_-384)
Azioni sul collegamento: N=-8674.72 Ty=-8.58 Tz=17.38 Mx=-0.00 Mz=-5.79
Sollecitazioni agenti localmente: Ty_l=-1577.22 Mx_l=-31.54
Tensioni nella sezione: σ=382.36 τ=47.79
CC 4 SLD (Collegamento -182_-384)
Azioni sul collegamento: N=-8674.72 Ty=-10.62 Tz=17.38 Mx=-0.00 Mz=-7.07
Sollecitazioni agenti localmente: Ty_l=-1577.22 Mx_l=-31.54
Tensioni nella sezione: σ=382.36 τ=47.79
CC 4 SLD (Collegamento -182_-384)
Azioni sul collegamento: N=-11057.70 Ty=-8.58 Tz=8.67 Mx=-0.00 Mz=-5.79
Sollecitazioni agenti localmente: Ty_l=-2010.50 Mx_l=-40.21
Tensioni nella sezione: σ=487.39 τ=60.92
CC 4 SLD (Collegamento -182_-384)
Azioni sul collegamento: N=-11057.70 Ty=-10.62 Tz=8.67 Mx=-0.00 Mz=-7.07
Sollecitazioni agenti localmente: Ty_l=-2010.50 Mx_l=-40.21
Tensioni nella sezione: σ=487.39 τ=60.92
CC 4 SLD (Collegamento -182_-384)
Azioni sul collegamento: N=-11057.70 Ty=-8.58 Tz=17.38 Mx=-0.00 Mz=-5.79
Sollecitazioni agenti localmente: Ty_l=-2010.50 Mx_l=-40.21

Tensioni nella sezione: σ=487.39 τ=60.92
CC 4 SLD (Collegamento -182_-384)
Azioni sul collegamento: N=-11057.70 Ty=-10.62 Tz=17.38 Mx=-0.00 Mz=-7.07
Sollecitazioni agenti localmente: Ty_l=-2010.50 Mx_l=-40.21
Tensioni nella sezione: σ=487.39 τ=60.92
CC 5 SLV (Collegamento -182_-384)
Azioni sul collegamento: N=-13676.40 Ty=-12.02 Tz=26.92 Mx=0.01 Mz=-6.41
Sollecitazioni agenti localmente: Ty_l=-2486.61 Mx_l=-49.73
Tensioni nella sezione: σ=602.81 τ=75.35
CC 5 SLV (Collegamento -182_-384)
Azioni sul collegamento: N=-13676.40 Ty=-5.33 Tz=26.92 Mx=0.01 Mz=-2.18
Sollecitazioni agenti localmente: Ty_l=-2486.61 Mx_l=-49.73
Tensioni nella sezione: σ=602.81 τ=75.35
CC 5 SLV (Collegamento -182_-384)
Azioni sul collegamento: N=-13676.40 Ty=-12.02 Tz=-1.63 Mx=0.01 Mz=-6.41
Sollecitazioni agenti localmente: Ty_l=-2486.61 Mx_l=-49.73
Tensioni nella sezione: σ=602.81 τ=75.35
CC 5 SLV (Collegamento -182_-384)
Azioni sul collegamento: N=-13676.40 Ty=-5.33 Tz=-1.63 Mx=0.01 Mz=-2.18
Sollecitazioni agenti localmente: Ty_l=-2486.61 Mx_l=-49.73
Tensioni nella sezione: σ=602.81 τ=75.35
CC 5 SLV (Collegamento -182_-384)
Azioni sul collegamento: N=-5861.42 Ty=-12.02 Tz=26.92 Mx=0.01 Mz=-6.41
Sollecitazioni agenti localmente: Ty_l=-1065.71 Mx_l=-21.31
Tensioni nella sezione: σ=258.35 τ=32.29
CC 5 SLV (Collegamento -182_-384)
Azioni sul collegamento: N=-5861.42 Ty=-5.33 Tz=26.92 Mx=0.01 Mz=-2.18
Sollecitazioni agenti localmente: Ty_l=-1065.71 Mx_l=-21.31
Tensioni nella sezione: σ=258.35 τ=32.29
CC 5 SLV (Collegamento -182_-384)
Azioni sul collegamento: N=-5861.42 Ty=-12.02 Tz=-1.63 Mx=0.01 Mz=-6.41
Sollecitazioni agenti localmente: Ty_l=-1065.71 Mx_l=-21.31
Tensioni nella sezione: σ=258.35 τ=32.29
CC 5 SLV (Collegamento -182_-384)
Azioni sul collegamento: N=-5861.42 Ty=-5.33 Tz=-1.63 Mx=0.01 Mz=-2.18
Sollecitazioni agenti localmente: Ty_l=-1065.71 Mx_l=-21.31
Tensioni nella sezione: σ=258.35 τ=32.29
CC 6 SLD (Collegamento -182_-384)
Azioni sul collegamento: N=-11057.70 Ty=-10.62 Tz=17.38 Mx=0.00 Mz=-7.07
Sollecitazioni agenti localmente: Ty_l=-2010.50 Mx_l=-40.21
Tensioni nella sezione: σ=487.39 τ=60.92
CC 6 SLD (Collegamento -182_-384)
Azioni sul collegamento: N=-11057.70 Ty=-8.58 Tz=17.38 Mx=0.00 Mz=-5.79
Sollecitazioni agenti localmente: Ty_l=-2010.50 Mx_l=-40.21
Tensioni nella sezione: σ=487.39 τ=60.92
CC 6 SLD (Collegamento -182_-384)
Azioni sul collegamento: N=-11057.70 Ty=-10.62 Tz=8.67 Mx=0.00 Mz=-7.07
Sollecitazioni agenti localmente: Ty_l=-2010.50 Mx_l=-40.21
Tensioni nella sezione: σ=487.39 τ=60.92
CC 6 SLD (Collegamento -182_-384)
Azioni sul collegamento: N=-11057.70 Ty=-8.58 Tz=8.67 Mx=0.00 Mz=-5.79
Sollecitazioni agenti localmente: Ty_l=-2010.50 Mx_l=-40.21
Tensioni nella sezione: σ=487.39 τ=60.92
CC 6 SLD (Collegamento -182_-384)
Azioni sul collegamento: N=-8674.72 Ty=-10.62 Tz=17.38 Mx=0.00 Mz=-7.07
Sollecitazioni agenti localmente: Ty_l=-1577.22 Mx_l=-31.54
Tensioni nella sezione: σ=382.36 τ=47.79
CC 6 SLD (Collegamento -182_-384)
Azioni sul collegamento: N=-8674.72 Ty=-8.58 Tz=17.38 Mx=0.00 Mz=-5.79
Sollecitazioni agenti localmente: Ty_l=-1577.22 Mx_l=-31.54
Tensioni nella sezione: σ=382.36 τ=47.79
CC 6 SLD (Collegamento -182_-384)
Azioni sul collegamento: N=-8674.72 Ty=-10.62 Tz=8.67 Mx=0.00 Mz=-7.07
Sollecitazioni agenti localmente: Ty_l=-1577.22 Mx_l=-31.54
Tensioni nella sezione: σ=382.36 τ=47.79
CC 6 SLD (Collegamento -182_-384)
Azioni sul collegamento: N=-8674.72 Ty=-8.58 Tz=8.67 Mx=0.00 Mz=-5.79
Sollecitazioni agenti localmente: Ty_l=-1577.22 Mx_l=-31.54
Tensioni nella sezione: σ=382.36 τ=47.79
CC 7 SLV (Collegamento -182_-384)
Azioni sul collegamento: N=-13681.20 Ty=-12.53 Tz=27.25 Mx=0.01 Mz=-7.45
Sollecitazioni agenti localmente: Ty_l=-2487.49 Mx_l=-49.75
Tensioni nella sezione: σ=603.03 τ=75.38
CC 7 SLV (Collegamento -182_-384)
Azioni sul collegamento: N=-13681.20 Ty=-4.82 Tz=27.25 Mx=0.01 Mz=-1.13
Sollecitazioni agenti localmente: Ty_l=-2487.49 Mx_l=-49.75
Tensioni nella sezione: σ=603.03 τ=75.38
CC 7 SLV (Collegamento -182_-384)
Azioni sul collegamento: N=-13681.20 Ty=-12.53 Tz=-1.96 Mx=0.01 Mz=-7.45

Sollecitazioni agenti localmente: Ty_l=-2487.49 Mx_l=-49.75
Tensioni nella sezione: σ=603.03 τ=75.38
CC 7 SLV (Collegamento -182_-384)
Azioni sul collegamento: N=-13681.20 Ty=-4.82 Tz=-1.96 Mx=0.01 Mz=-1.13
Sollecitazioni agenti localmente: Ty_l=-2487.49 Mx_l=-49.75
Tensioni nella sezione: σ=603.03 τ=75.38
CC 7 SLV (Collegamento -182_-384)
Azioni sul collegamento: N=-5856.57 Ty=-12.53 Tz=27.25 Mx=0.01 Mz=-7.45
Sollecitazioni agenti localmente: Ty_l=-1064.83 Mx_l=-21.30
Tensioni nella sezione: σ=258.14 τ=32.27
CC 7 SLV (Collegamento -182_-384)
Azioni sul collegamento: N=-5856.57 Ty=-4.82 Tz=27.25 Mx=0.01 Mz=-1.13
Sollecitazioni agenti localmente: Ty_l=-1064.83 Mx_l=-21.30
Tensioni nella sezione: σ=258.14 τ=32.27
CC 7 SLV (Collegamento -182_-384)
Azioni sul collegamento: N=-5856.57 Ty=-12.53 Tz=-1.96 Mx=0.01 Mz=-7.45
Sollecitazioni agenti localmente: Ty_l=-1064.83 Mx_l=-21.30
Tensioni nella sezione: σ=258.14 τ=32.27
CC 7 SLV (Collegamento -182_-384)
Azioni sul collegamento: N=-5856.57 Ty=-4.82 Tz=-1.96 Mx=0.01 Mz=-1.13
Sollecitazioni agenti localmente: Ty_l=-1064.83 Mx_l=-21.30
Tensioni nella sezione: σ=258.14 τ=32.27
CC 8 SLD (Collegamento -182_-384)
Azioni sul collegamento: N=-11059.20 Ty=-10.78 Tz=17.48 Mx=-0.00 Mz=-7.39
Sollecitazioni agenti localmente: Ty_l=-2010.77 Mx_l=-40.22
Tensioni nella sezione: σ=487.46 τ=60.93
CC 8 SLD (Collegamento -182_-384)
Azioni sul collegamento: N=-11059.20 Ty=-8.42 Tz=17.48 Mx=-0.00 Mz=-5.47
Sollecitazioni agenti localmente: Ty_l=-2010.77 Mx_l=-40.22
Tensioni nella sezione: σ=487.46 τ=60.93
CC 8 SLD (Collegamento -182_-384)
Azioni sul collegamento: N=-11059.20 Ty=-10.78 Tz=8.57 Mx=-0.00 Mz=-7.39
Sollecitazioni agenti localmente: Ty_l=-2010.77 Mx_l=-40.22
Tensioni nella sezione: σ=487.46 τ=60.93
CC 8 SLD (Collegamento -182_-384)
Azioni sul collegamento: N=-11059.20 Ty=-8.42 Tz=8.57 Mx=-0.00 Mz=-5.47
Sollecitazioni agenti localmente: Ty_l=-2010.77 Mx_l=-40.22
Tensioni nella sezione: σ=487.46 τ=60.93
CC 8 SLD (Collegamento -182_-384)
Azioni sul collegamento: N=-8673.24 Ty=-10.78 Tz=17.48 Mx=-0.00 Mz=-7.39
Sollecitazioni agenti localmente: Ty_l=-1576.95 Mx_l=-31.54
Tensioni nella sezione: σ=382.29 τ=47.79
CC 8 SLD (Collegamento -182_-384)
Azioni sul collegamento: N=-8673.24 Ty=-8.42 Tz=17.48 Mx=-0.00 Mz=-5.47
Sollecitazioni agenti localmente: Ty_l=-1576.95 Mx_l=-31.54
Tensioni nella sezione: σ=382.29 τ=47.79
CC 8 SLD (Collegamento -182_-384)
Azioni sul collegamento: N=-8673.24 Ty=-10.78 Tz=8.57 Mx=-0.00 Mz=-7.39
Sollecitazioni agenti localmente: Ty_l=-1576.95 Mx_l=-31.54
Tensioni nella sezione: σ=382.29 τ=47.79
CC 8 SLD (Collegamento -182_-384)
Azioni sul collegamento: N=-8673.24 Ty=-8.42 Tz=8.57 Mx=-0.00 Mz=-5.47
Sollecitazioni agenti localmente: Ty_l=-1576.95 Mx_l=-31.54
Tensioni nella sezione: σ=382.29 τ=47.79
CC 9 SLV (Collegamento -182_-384)
Azioni sul collegamento: N=-8587.84 Ty=-6.74 Tz=7.77 Mx=0.02 Mz=-1.76
Sollecitazioni agenti localmente: Ty_l=-1561.43 Mx_l=-31.23
Tensioni nella sezione: σ=378.53 τ=47.32
CC 9 SLV (Collegamento -182_-384)
Azioni sul collegamento: N=-8587.84 Ty=-10.61 Tz=7.77 Mx=0.02 Mz=-6.83
Sollecitazioni agenti localmente: Ty_l=-1561.43 Mx_l=-31.23
Tensioni nella sezione: σ=378.53 τ=47.32
CC 9 SLV (Collegamento -182_-384)
Azioni sul collegamento: N=-8587.84 Ty=-6.74 Tz=17.52 Mx=0.02 Mz=-1.76
Sollecitazioni agenti localmente: Ty_l=-1561.43 Mx_l=-31.23
Tensioni nella sezione: σ=378.53 τ=47.32
CC 9 SLV (Collegamento -182_-384)
Azioni sul collegamento: N=-8587.84 Ty=-10.61 Tz=17.52 Mx=0.02 Mz=-6.83
Sollecitazioni agenti localmente: Ty_l=-1561.43 Mx_l=-31.23
Tensioni nella sezione: σ=378.53 τ=47.32
CC 9 SLV (Collegamento -182_-384)
Azioni sul collegamento: N=-10950.00 Ty=-6.74 Tz=7.77 Mx=0.02 Mz=-1.76
Sollecitazioni agenti localmente: Ty_l=-1990.90 Mx_l=-39.82
Tensioni nella sezione: σ=482.64 τ=60.33
CC 9 SLV (Collegamento -182_-384)
Azioni sul collegamento: N=-10950.00 Ty=-10.61 Tz=7.77 Mx=0.02 Mz=-6.83
Sollecitazioni agenti localmente: Ty_l=-1990.90 Mx_l=-39.82
Tensioni nella sezione: σ=482.64 τ=60.33
CC 9 SLV (Collegamento -182_-384)

Azioni sul collegamento: N=-10950.00 Ty=-6.74 Tz=17.52 Mx=0.02 Mz=-1.76
Sollecitazioni agenti localmente: Ty_l=-1990.90 Mx_l=-39.82
Tensioni nella sezione: σ=482.64 τ=60.33
CC 9 SLV (Collegamento -182_-384)
Azioni sul collegamento: N=-10950.00 Ty=-10.61 Tz=17.52 Mx=0.02 Mz=-6.83
Sollecitazioni agenti localmente: Ty_l=-1990.90 Mx_l=-39.82
Tensioni nella sezione: σ=482.64 τ=60.33
CC 10 SLD (Collegamento -182_-384)
Azioni sul collegamento: N=-9506.09 Ty=-9.01 Tz=11.54 Mx=0.00 Mz=-5.66
Sollecitazioni agenti localmente: Ty_l=-1728.38 Mx_l=-34.57
Tensioni nella sezione: σ=419.00 τ=52.38
CC 10 SLD (Collegamento -182_-384)
Azioni sul collegamento: N=-9506.09 Ty=-10.19 Tz=11.54 Mx=0.00 Mz=-7.20
Sollecitazioni agenti localmente: Ty_l=-1728.38 Mx_l=-34.57
Tensioni nella sezione: σ=419.00 τ=52.38
CC 10 SLD (Collegamento -182_-384)
Azioni sul collegamento: N=-9506.09 Ty=-9.01 Tz=14.51 Mx=0.00 Mz=-5.66
Sollecitazioni agenti localmente: Ty_l=-1728.38 Mx_l=-34.57
Tensioni nella sezione: σ=419.00 τ=52.38
CC 10 SLD (Collegamento -182_-384)
Azioni sul collegamento: N=-9506.09 Ty=-10.19 Tz=14.51 Mx=0.00 Mz=-7.20
Sollecitazioni agenti localmente: Ty_l=-1728.38 Mx_l=-34.57
Tensioni nella sezione: σ=419.00 τ=52.38
CC 10 SLD (Collegamento -182_-384)
Azioni sul collegamento: N=-10226.40 Ty=-9.01 Tz=11.54 Mx=0.00 Mz=-5.66
Sollecitazioni agenti localmente: Ty_l=-1859.34 Mx_l=-37.19
Tensioni nella sezione: σ=450.75 τ=56.34
CC 10 SLD (Collegamento -182_-384)
Azioni sul collegamento: N=-10226.40 Ty=-10.19 Tz=11.54 Mx=0.00 Mz=-7.20
Sollecitazioni agenti localmente: Ty_l=-1859.34 Mx_l=-37.19
Tensioni nella sezione: σ=450.75 τ=56.34
CC 10 SLD (Collegamento -182_-384)
Azioni sul collegamento: N=-10226.40 Ty=-9.01 Tz=14.51 Mx=0.00 Mz=-5.66
Sollecitazioni agenti localmente: Ty_l=-1859.34 Mx_l=-37.19
Tensioni nella sezione: σ=450.75 τ=56.34
CC 10 SLD (Collegamento -182_-384)
Azioni sul collegamento: N=-10226.40 Ty=-10.19 Tz=14.51 Mx=0.00 Mz=-7.20
Sollecitazioni agenti localmente: Ty_l=-1859.34 Mx_l=-37.19
Tensioni nella sezione: σ=450.75 τ=56.34
CC 11 SLV (Collegamento -182_-384)
Azioni sul collegamento: N=-10933.80 Ty=-8.90 Tz=16.43 Mx=0.02 Mz=-3.34
Sollecitazioni agenti localmente: Ty_l=-1987.96 Mx_l=-39.76
Tensioni nella sezione: σ=481.93 τ=60.24
CC 11 SLV (Collegamento -182_-384)
Azioni sul collegamento: N=-10933.80 Ty=-8.45 Tz=16.43 Mx=0.02 Mz=-5.25
Sollecitazioni agenti localmente: Ty_l=-1987.96 Mx_l=-39.76
Tensioni nella sezione: σ=481.93 τ=60.24
CC 11 SLV (Collegamento -182_-384)
Azioni sul collegamento: N=-10933.80 Ty=-8.90 Tz=8.86 Mx=0.02 Mz=-3.34
Sollecitazioni agenti localmente: Ty_l=-1987.96 Mx_l=-39.76
Tensioni nella sezione: σ=481.93 τ=60.24
CC 11 SLV (Collegamento -182_-384)
Azioni sul collegamento: N=-10933.80 Ty=-8.45 Tz=8.86 Mx=0.02 Mz=-5.25
Sollecitazioni agenti localmente: Ty_l=-1987.96 Mx_l=-39.76
Tensioni nella sezione: σ=481.93 τ=60.24
CC 11 SLV (Collegamento -182_-384)
Azioni sul collegamento: N=-8604.01 Ty=-8.90 Tz=16.43 Mx=0.02 Mz=-3.34
Sollecitazioni agenti localmente: Ty_l=-1564.37 Mx_l=-31.29
Tensioni nella sezione: σ=379.24 τ=47.41
CC 11 SLV (Collegamento -182_-384)
Azioni sul collegamento: N=-8604.01 Ty=-8.45 Tz=16.43 Mx=0.02 Mz=-5.25
Sollecitazioni agenti localmente: Ty_l=-1564.37 Mx_l=-31.29
Tensioni nella sezione: σ=379.24 τ=47.41
CC 11 SLV (Collegamento -182_-384)
Azioni sul collegamento: N=-8604.01 Ty=-8.90 Tz=8.86 Mx=0.02 Mz=-3.34
Sollecitazioni agenti localmente: Ty_l=-1564.37 Mx_l=-31.29
Tensioni nella sezione: σ=379.24 τ=47.41
CC 11 SLV (Collegamento -182_-384)
Azioni sul collegamento: N=-8604.01 Ty=-8.45 Tz=8.86 Mx=0.02 Mz=-5.25
Sollecitazioni agenti localmente: Ty_l=-1564.37 Mx_l=-31.29
Tensioni nella sezione: σ=379.24 τ=47.41
CC 12 SLD (Collegamento -182_-384)
Azioni sul collegamento: N=-10221.40 Ty=-9.67 Tz=14.18 Mx=0.00 Mz=-6.14
Sollecitazioni agenti localmente: Ty_l=-1858.44 Mx_l=-37.17
Tensioni nella sezione: σ=450.53 τ=56.32
CC 12 SLD (Collegamento -182_-384)
Azioni sul collegamento: N=-10221.40 Ty=-9.53 Tz=14.18 Mx=0.00 Mz=-6.72
Sollecitazioni agenti localmente: Ty_l=-1858.44 Mx_l=-37.17
Tensioni nella sezione: σ=450.53 τ=56.32

CC 12 SLD (Collegamento -182_-384)
Azioni sul collegamento: N=-10221.40 Ty=-9.67 Tz=11.87 Mx=0.00 Mz=-6.14
Sollecitazioni agenti localmente: Ty_l=-1858.44 Mx_l=-37.17
Tensioni nella sezione: σ=450.53 τ=56.32
CC 12 SLD (Collegamento -182_-384)
Azioni sul collegamento: N=-10221.40 Ty=-9.53 Tz=11.87 Mx=0.00 Mz=-6.72
Sollecitazioni agenti localmente: Ty_l=-1858.44 Mx_l=-37.17
Tensioni nella sezione: σ=450.53 τ=56.32
CC 12 SLD (Collegamento -182_-384)
Azioni sul collegamento: N=-9511.02 Ty=-9.67 Tz=14.18 Mx=0.00 Mz=-6.14
Sollecitazioni agenti localmente: Ty_l=-1729.28 Mx_l=-34.59
Tensioni nella sezione: σ=419.22 τ=52.40
CC 12 SLD (Collegamento -182_-384)
Azioni sul collegamento: N=-9511.02 Ty=-9.53 Tz=14.18 Mx=0.00 Mz=-6.72
Sollecitazioni agenti localmente: Ty_l=-1729.28 Mx_l=-34.59
Tensioni nella sezione: σ=419.22 τ=52.40
CC 12 SLD (Collegamento -182_-384)
Azioni sul collegamento: N=-9511.02 Ty=-9.67 Tz=11.87 Mx=0.00 Mz=-6.14
Sollecitazioni agenti localmente: Ty_l=-1729.28 Mx_l=-34.59
Tensioni nella sezione: σ=419.22 τ=52.40
CC 12 SLD (Collegamento -182_-384)
Azioni sul collegamento: N=-9511.02 Ty=-9.53 Tz=11.87 Mx=0.00 Mz=-6.72
Sollecitazioni agenti localmente: Ty_l=-1729.28 Mx_l=-34.59
Tensioni nella sezione: σ=419.22 τ=52.40
CC 13 SLV (Collegamento -182_-384)
Azioni sul collegamento: N=-8604.01 Ty=-8.45 Tz=8.86 Mx=0.00 Mz=-5.25
Sollecitazioni agenti localmente: Ty_l=-1564.37 Mx_l=-31.29
Tensioni nella sezione: σ=379.24 τ=47.41
CC 13 SLV (Collegamento -182_-384)
Azioni sul collegamento: N=-8604.01 Ty=-8.90 Tz=8.86 Mx=0.00 Mz=-3.34
Sollecitazioni agenti localmente: Ty_l=-1564.37 Mx_l=-31.29
Tensioni nella sezione: σ=379.24 τ=47.41
CC 13 SLV (Collegamento -182_-384)
Azioni sul collegamento: N=-8604.01 Ty=-8.45 Tz=16.43 Mx=0.00 Mz=-5.25
Sollecitazioni agenti localmente: Ty_l=-1564.37 Mx_l=-31.29
Tensioni nella sezione: σ=379.24 τ=47.41
CC 13 SLV (Collegamento -182_-384)
Azioni sul collegamento: N=-8604.01 Ty=-8.90 Tz=16.43 Mx=0.00 Mz=-3.34
Sollecitazioni agenti localmente: Ty_l=-1564.37 Mx_l=-31.29
Tensioni nella sezione: σ=379.24 τ=47.41
CC 13 SLV (Collegamento -182_-384)
Azioni sul collegamento: N=-10933.80 Ty=-8.45 Tz=8.86 Mx=0.00 Mz=-5.25
Sollecitazioni agenti localmente: Ty_l=-1987.96 Mx_l=-39.76
Tensioni nella sezione: σ=481.93 τ=60.24
CC 13 SLV (Collegamento -182_-384)
Azioni sul collegamento: N=-10933.80 Ty=-8.90 Tz=8.86 Mx=0.00 Mz=-3.34
Sollecitazioni agenti localmente: Ty_l=-1987.96 Mx_l=-39.76
Tensioni nella sezione: σ=481.93 τ=60.24
CC 13 SLV (Collegamento -182_-384)
Azioni sul collegamento: N=-10933.80 Ty=-8.45 Tz=16.43 Mx=0.00 Mz=-5.25
Sollecitazioni agenti localmente: Ty_l=-1987.96 Mx_l=-39.76
Tensioni nella sezione: σ=481.93 τ=60.24
CC 13 SLV (Collegamento -182_-384)
Azioni sul collegamento: N=-10933.80 Ty=-8.90 Tz=16.43 Mx=0.00 Mz=-3.34
Sollecitazioni agenti localmente: Ty_l=-1987.96 Mx_l=-39.76
Tensioni nella sezione: σ=481.93 τ=60.24
CC 14 SLD (Collegamento -182_-384)
Azioni sul collegamento: N=-9511.02 Ty=-9.53 Tz=11.87 Mx=-0.00 Mz=-6.72
Sollecitazioni agenti localmente: Ty_l=-1729.28 Mx_l=-34.59
Tensioni nella sezione: σ=419.22 τ=52.40
CC 14 SLD (Collegamento -182_-384)
Azioni sul collegamento: N=-9511.02 Ty=-9.67 Tz=11.87 Mx=-0.00 Mz=-6.14
Sollecitazioni agenti localmente: Ty_l=-1729.28 Mx_l=-34.59
Tensioni nella sezione: σ=419.22 τ=52.40
CC 14 SLD (Collegamento -182_-384)
Azioni sul collegamento: N=-9511.02 Ty=-9.53 Tz=14.18 Mx=-0.00 Mz=-6.72
Sollecitazioni agenti localmente: Ty_l=-1729.28 Mx_l=-34.59
Tensioni nella sezione: σ=419.22 τ=52.40
CC 14 SLD (Collegamento -182_-384)
Azioni sul collegamento: N=-9511.02 Ty=-9.67 Tz=14.18 Mx=-0.00 Mz=-6.14
Sollecitazioni agenti localmente: Ty_l=-1729.28 Mx_l=-34.59
Tensioni nella sezione: σ=419.22 τ=52.40
CC 14 SLD (Collegamento -182_-384)
Azioni sul collegamento: N=-10221.40 Ty=-9.53 Tz=11.87 Mx=-0.00 Mz=-6.72
Sollecitazioni agenti localmente: Ty_l=-1858.44 Mx_l=-37.17
Tensioni nella sezione: σ=450.53 τ=56.32
CC 14 SLD (Collegamento -182_-384)
Azioni sul collegamento: N=-10221.40 Ty=-9.67 Tz=11.87 Mx=-0.00 Mz=-6.14
Sollecitazioni agenti localmente: Ty_l=-1858.44 Mx_l=-37.17

Tensioni nella sezione: σ=450.53 τ=56.32
CC 14 SLD (Collegamento -182_-384)
Azioni sul collegamento: N=-10221.40 Ty=-9.53 Tz=14.18 Mx=-0.00 Mz=-6.72
Sollecitazioni agenti localmente: Ty_l=-1858.44 Mx_l=-37.17
Tensioni nella sezione: σ=450.53 τ=56.32
CC 14 SLD (Collegamento -182_-384)
Azioni sul collegamento: N=-10221.40 Ty=-9.67 Tz=14.18 Mx=-0.00 Mz=-6.14
Sollecitazioni agenti localmente: Ty_l=-1858.44 Mx_l=-37.17
Tensioni nella sezione: σ=450.53 τ=56.32
CC 15 SLV (Collegamento -182_-384)
Azioni sul collegamento: N=-10950.00 Ty=-10.61 Tz=17.52 Mx=0.00 Mz=-6.83
Sollecitazioni agenti localmente: Ty_l=-1990.90 Mx_l=-39.82
Tensioni nella sezione: σ=482.64 τ=60.33
CC 15 SLV (Collegamento -182_-384)
Azioni sul collegamento: N=-10950.00 Ty=-6.74 Tz=17.52 Mx=0.00 Mz=-1.76
Sollecitazioni agenti localmente: Ty_l=-1990.90 Mx_l=-39.82
Tensioni nella sezione: σ=482.64 τ=60.33
CC 15 SLV (Collegamento -182_-384)
Azioni sul collegamento: N=-10950.00 Ty=-10.61 Tz=7.77 Mx=0.00 Mz=-6.83
Sollecitazioni agenti localmente: Ty_l=-1990.90 Mx_l=-39.82
Tensioni nella sezione: σ=482.64 τ=60.33
CC 15 SLV (Collegamento -182_-384)
Azioni sul collegamento: N=-10950.00 Ty=-6.74 Tz=7.77 Mx=0.00 Mz=-1.76
Sollecitazioni agenti localmente: Ty_l=-1990.90 Mx_l=-39.82
Tensioni nella sezione: σ=482.64 τ=60.33
CC 15 SLV (Collegamento -182_-384)
Azioni sul collegamento: N=-8587.84 Ty=-10.61 Tz=17.52 Mx=0.00 Mz=-6.83
Sollecitazioni agenti localmente: Ty_l=-1561.43 Mx_l=-31.23
Tensioni nella sezione: σ=378.53 τ=47.32
CC 15 SLV (Collegamento -182_-384)
Azioni sul collegamento: N=-8587.84 Ty=-6.74 Tz=17.52 Mx=0.00 Mz=-1.76
Sollecitazioni agenti localmente: Ty_l=-1561.43 Mx_l=-31.23
Tensioni nella sezione: σ=378.53 τ=47.32
CC 15 SLV (Collegamento -182_-384)
Azioni sul collegamento: N=-8587.84 Ty=-10.61 Tz=7.77 Mx=0.00 Mz=-6.83
Sollecitazioni agenti localmente: Ty_l=-1561.43 Mx_l=-31.23
Tensioni nella sezione: σ=378.53 τ=47.32
CC 15 SLV (Collegamento -182_-384)
Azioni sul collegamento: N=-8587.84 Ty=-6.74 Tz=7.77 Mx=0.00 Mz=-1.76
Sollecitazioni agenti localmente: Ty_l=-1561.43 Mx_l=-31.23
Tensioni nella sezione: σ=378.53 τ=47.32
CC 16 SLD (Collegamento -182_-384)
Azioni sul collegamento: N=-10226.40 Ty=-10.19 Tz=14.51 Mx=-0.00 Mz=-7.20
Sollecitazioni agenti localmente: Ty_l=-1859.34 Mx_l=-37.19
Tensioni nella sezione: σ=450.75 τ=56.34
CC 16 SLD (Collegamento -182_-384)
Azioni sul collegamento: N=-10226.40 Ty=-9.01 Tz=14.51 Mx=-0.00 Mz=-5.66
Sollecitazioni agenti localmente: Ty_l=-1859.34 Mx_l=-37.19
Tensioni nella sezione: σ=450.75 τ=56.34
CC 16 SLD (Collegamento -182_-384)
Azioni sul collegamento: N=-10226.40 Ty=-10.19 Tz=11.54 Mx=-0.00 Mz=-7.20
Sollecitazioni agenti localmente: Ty_l=-1859.34 Mx_l=-37.19
Tensioni nella sezione: σ=450.75 τ=56.34
CC 16 SLD (Collegamento -182_-384)
Azioni sul collegamento: N=-10226.40 Ty=-9.01 Tz=11.54 Mx=-0.00 Mz=-5.66
Sollecitazioni agenti localmente: Ty_l=-1859.34 Mx_l=-37.19
Tensioni nella sezione: σ=450.75 τ=56.34
CC 16 SLD (Collegamento -182_-384)
Azioni sul collegamento: N=-9506.09 Ty=-10.19 Tz=14.51 Mx=-0.00 Mz=-7.20
Sollecitazioni agenti localmente: Ty_l=-1728.38 Mx_l=-34.57
Tensioni nella sezione: σ=419.00 τ=52.38
CC 16 SLD (Collegamento -182_-384)
Azioni sul collegamento: N=-9506.09 Ty=-9.01 Tz=14.51 Mx=-0.00 Mz=-5.66
Sollecitazioni agenti localmente: Ty_l=-1728.38 Mx_l=-34.57
Tensioni nella sezione: σ=419.00 τ=52.38
CC 16 SLD (Collegamento -182_-384)
Azioni sul collegamento: N=-9506.09 Ty=-10.19 Tz=11.54 Mx=-0.00 Mz=-7.20
Sollecitazioni agenti localmente: Ty_l=-1728.38 Mx_l=-34.57
Tensioni nella sezione: σ=419.00 τ=52.38
CC 16 SLD (Collegamento -182_-384)
Azioni sul collegamento: N=-9506.09 Ty=-9.01 Tz=11.54 Mx=-0.00 Mz=-5.66
Sollecitazioni agenti localmente: Ty_l=-1728.38 Mx_l=-34.57
Tensioni nella sezione: σ=419.00 τ=52.38
CC 17 SLV (Collegamento -182_-384)
Azioni sul collegamento: N=-6136.65 Ty=-7.48 Tz=-0.86 Mx=-0.02 Mz=-7.28
Sollecitazioni agenti localmente: Ty_l=-1115.75 Mx_l=-22.32
Tensioni nella sezione: σ=270.49 τ=33.81
CC 17 SLV (Collegamento -182_-384)
Azioni sul collegamento: N=-6136.65 Ty=-15.19 Tz=-0.86 Mx=-0.02 Mz=-13.60

Sollecitazioni agenti localmente: Ty_l=-1115.75 Mx_l=-22.32
Tensioni nella sezione: σ=270.49 τ=33.81
CC 17 SLV (Collegamento -182_-384)
Azioni sul collegamento: N=-6136.65 Ty=-7.48 Tz=28.35 Mx=-0.02 Mz=-7.28
Sollecitazioni agenti localmente: Ty_l=-1115.75 Mx_l=-22.32
Tensioni nella sezione: σ=270.49 τ=33.81
CC 17 SLV (Collegamento -182_-384)
Azioni sul collegamento: N=-6136.65 Ty=-15.19 Tz=28.35 Mx=-0.02 Mz=-13.60
Sollecitazioni agenti localmente: Ty_l=-1115.75 Mx_l=-22.32
Tensioni nella sezione: σ=270.49 τ=33.81
CC 17 SLV (Collegamento -182_-384)
Azioni sul collegamento: N=-13961.30 Ty=-7.48 Tz=-0.86 Mx=-0.02 Mz=-7.28
Sollecitazioni agenti localmente: Ty_l=-2538.42 Mx_l=-50.77
Tensioni nella sezione: σ=615.37 τ=76.92
CC 17 SLV (Collegamento -182_-384)
Azioni sul collegamento: N=-13961.30 Ty=-15.19 Tz=-0.86 Mx=-0.02 Mz=-13.60
Sollecitazioni agenti localmente: Ty_l=-2538.42 Mx_l=-50.77
Tensioni nella sezione: σ=615.37 τ=76.92
CC 17 SLV (Collegamento -182_-384)
Azioni sul collegamento: N=-13961.30 Ty=-7.48 Tz=28.35 Mx=-0.02 Mz=-7.28
Sollecitazioni agenti localmente: Ty_l=-2538.42 Mx_l=-50.77
Tensioni nella sezione: σ=615.37 τ=76.92
CC 17 SLV (Collegamento -182_-384)
Azioni sul collegamento: N=-13961.30 Ty=-15.19 Tz=28.35 Mx=-0.02 Mz=-13.60
Sollecitazioni agenti localmente: Ty_l=-2538.42 Mx_l=-50.77
Tensioni nella sezione: σ=615.37 τ=76.92
CC 18 SLD (Collegamento -182_-384)
Azioni sul collegamento: N=-8758.64 Ty=-9.24 Tz=8.91 Mx=-0.01 Mz=-7.34
Sollecitazioni agenti localmente: Ty_l=-1592.48 Mx_l=-31.85
Tensioni nella sezione: σ=386.06 τ=48.26
CC 18 SLD (Collegamento -182_-384)
Azioni sul collegamento: N=-8758.64 Ty=-11.59 Tz=8.91 Mx=-0.01 Mz=-9.27
Sollecitazioni agenti localmente: Ty_l=-1592.48 Mx_l=-31.85
Tensioni nella sezione: σ=386.06 τ=48.26
CC 18 SLD (Collegamento -182_-384)
Azioni sul collegamento: N=-8758.65 Ty=-9.24 Tz=17.82 Mx=-0.01 Mz=-7.34
Sollecitazioni agenti localmente: Ty_l=-1592.48 Mx_l=-31.85
Tensioni nella sezione: σ=386.06 τ=48.26
CC 18 SLD (Collegamento -182_-384)
Azioni sul collegamento: N=-8758.65 Ty=-11.59 Tz=17.82 Mx=-0.01 Mz=-9.27
Sollecitazioni agenti localmente: Ty_l=-1592.48 Mx_l=-31.85
Tensioni nella sezione: σ=386.06 τ=48.26
CC 18 SLD (Collegamento -182_-384)
Azioni sul collegamento: N=-11144.60 Ty=-9.24 Tz=8.91 Mx=-0.01 Mz=-7.34
Sollecitazioni agenti localmente: Ty_l=-2026.30 Mx_l=-40.53
Tensioni nella sezione: σ=491.22 τ=61.40
CC 18 SLD (Collegamento -182_-384)
Azioni sul collegamento: N=-11144.60 Ty=-11.59 Tz=8.91 Mx=-0.01 Mz=-9.27
Sollecitazioni agenti localmente: Ty_l=-2026.30 Mx_l=-40.53
Tensioni nella sezione: σ=491.22 τ=61.40
CC 18 SLD (Collegamento -182_-384)
Azioni sul collegamento: N=-11144.60 Ty=-9.24 Tz=17.82 Mx=-0.01 Mz=-7.34
Sollecitazioni agenti localmente: Ty_l=-2026.30 Mx_l=-40.53
Tensioni nella sezione: σ=491.22 τ=61.40
CC 18 SLD (Collegamento -182_-384)
Azioni sul collegamento: N=-11144.60 Ty=-11.59 Tz=17.82 Mx=-0.01 Mz=-9.27
Sollecitazioni agenti localmente: Ty_l=-2026.30 Mx_l=-40.53
Tensioni nella sezione: σ=491.22 τ=61.40
CC 19 SLV (Collegamento -182_-384)
Azioni sul collegamento: N=-6141.50 Ty=-7.99 Tz=-0.53 Mx=-0.01 Mz=-8.33
Sollecitazioni agenti localmente: Ty_l=-1116.64 Mx_l=-22.33
Tensioni nella sezione: σ=270.70 τ=33.84
CC 19 SLV (Collegamento -182_-384)
Azioni sul collegamento: N=-6141.50 Ty=-14.68 Tz=-0.53 Mx=-0.01 Mz=-12.56
Sollecitazioni agenti localmente: Ty_l=-1116.64 Mx_l=-22.33
Tensioni nella sezione: σ=270.70 τ=33.84
CC 19 SLV (Collegamento -182_-384)
Azioni sul collegamento: N=-6141.50 Ty=-7.99 Tz=28.02 Mx=-0.01 Mz=-8.33
Sollecitazioni agenti localmente: Ty_l=-1116.64 Mx_l=-22.33
Tensioni nella sezione: σ=270.70 τ=33.84
CC 19 SLV (Collegamento -182_-384)
Azioni sul collegamento: N=-6141.50 Ty=-14.68 Tz=28.02 Mx=-0.01 Mz=-12.56
Sollecitazioni agenti localmente: Ty_l=-1116.64 Mx_l=-22.33
Tensioni nella sezione: σ=270.70 τ=33.84
CC 19 SLV (Collegamento -182_-384)
Azioni sul collegamento: N=-13956.40 Ty=-7.99 Tz=-0.53 Mx=-0.01 Mz=-8.33
Sollecitazioni agenti localmente: Ty_l=-2537.54 Mx_l=-50.75
Tensioni nella sezione: σ=615.16 τ=76.89
CC 19 SLV (Collegamento -182_-384)

Azioni sul collegamento: N=-13956.40 Ty=-14.68 Tz=-0.53 Mx=-0.01 Mz=-12.56
Sollecitazioni agenti localmente: Ty_l=-2537.54 Mx_l=-50.75
Tensioni nella sezione: σ=615.16 τ=76.89
CC 19 SLV (Collegamento -182_-384)
Azioni sul collegamento: N=-13956.40 Ty=-7.99 Tz=28.02 Mx=-0.01 Mz=-8.33
Sollecitazioni agenti localmente: Ty_l=-2537.54 Mx_l=-50.75
Tensioni nella sezione: σ=615.16 τ=76.89
CC 19 SLV (Collegamento -182_-384)
Azioni sul collegamento: N=-13956.40 Ty=-14.68 Tz=28.02 Mx=-0.01 Mz=-12.56
Sollecitazioni agenti localmente: Ty_l=-2537.54 Mx_l=-50.75
Tensioni nella sezione: σ=615.16 τ=76.89
CC 20 SLD (Collegamento -182_-384)
Azioni sul collegamento: N=-8760.12 Ty=-9.39 Tz=9.01 Mx=-0.01 Mz=-7.66
Sollecitazioni agenti localmente: Ty_l=-1592.75 Mx_l=-31.85
Tensioni nella sezione: σ=386.12 τ=48.27
CC 20 SLD (Collegamento -182_-384)
Azioni sul collegamento: N=-8760.12 Ty=-11.43 Tz=9.01 Mx=-0.01 Mz=-8.95
Sollecitazioni agenti localmente: Ty_l=-1592.75 Mx_l=-31.85
Tensioni nella sezione: σ=386.12 τ=48.27
CC 20 SLD (Collegamento -182_-384)
Azioni sul collegamento: N=-8760.13 Ty=-9.39 Tz=17.72 Mx=-0.01 Mz=-7.66
Sollecitazioni agenti localmente: Ty_l=-1592.75 Mx_l=-31.85
Tensioni nella sezione: σ=386.12 τ=48.27
CC 20 SLD (Collegamento -182_-384)
Azioni sul collegamento: N=-8760.13 Ty=-11.43 Tz=17.72 Mx=-0.01 Mz=-8.95
Sollecitazioni agenti localmente: Ty_l=-1592.75 Mx_l=-31.85
Tensioni nella sezione: σ=386.12 τ=48.27
CC 20 SLD (Collegamento -182_-384)
Azioni sul collegamento: N=-11143.10 Ty=-9.39 Tz=9.01 Mx=-0.01 Mz=-7.66
Sollecitazioni agenti localmente: Ty_l=-2026.03 Mx_l=-40.52
Tensioni nella sezione: σ=491.16 τ=61.39
CC 20 SLD (Collegamento -182_-384)
Azioni sul collegamento: N=-11143.10 Ty=-11.43 Tz=9.01 Mx=-0.01 Mz=-8.95
Sollecitazioni agenti localmente: Ty_l=-2026.03 Mx_l=-40.52
Tensioni nella sezione: σ=491.16 τ=61.39
CC 20 SLD (Collegamento -182_-384)
Azioni sul collegamento: N=-11143.10 Ty=-9.39 Tz=17.72 Mx=-0.01 Mz=-7.66
Sollecitazioni agenti localmente: Ty_l=-2026.03 Mx_l=-40.52
Tensioni nella sezione: σ=491.16 τ=61.39
CC 20 SLD (Collegamento -182_-384)
Azioni sul collegamento: N=-11143.10 Ty=-11.43 Tz=17.72 Mx=-0.01 Mz=-8.95
Sollecitazioni agenti localmente: Ty_l=-2026.03 Mx_l=-40.52
Tensioni nella sezione: σ=491.16 τ=61.39
CC 21 SLV (Collegamento -182_-384)
Azioni sul collegamento: N=-13956.40 Ty=-14.68 Tz=28.02 Mx=-0.02 Mz=-12.56
Sollecitazioni agenti localmente: Ty_l=-2537.54 Mx_l=-50.75
Tensioni nella sezione: σ=615.16 τ=76.89
CC 21 SLV (Collegamento -182_-384)
Azioni sul collegamento: N=-13956.40 Ty=-7.99 Tz=28.02 Mx=-0.02 Mz=-8.33
Sollecitazioni agenti localmente: Ty_l=-2537.54 Mx_l=-50.75
Tensioni nella sezione: σ=615.16 τ=76.89
CC 21 SLV (Collegamento -182_-384)
Azioni sul collegamento: N=-13956.40 Ty=-14.68 Tz=-0.53 Mx=-0.02 Mz=-12.56
Sollecitazioni agenti localmente: Ty_l=-2537.54 Mx_l=-50.75
Tensioni nella sezione: σ=615.16 τ=76.89
CC 21 SLV (Collegamento -182_-384)
Azioni sul collegamento: N=-13956.40 Ty=-7.99 Tz=-0.53 Mx=-0.02 Mz=-8.33
Sollecitazioni agenti localmente: Ty_l=-2537.54 Mx_l=-50.75
Tensioni nella sezione: σ=615.16 τ=76.89
CC 21 SLV (Collegamento -182_-384)
Azioni sul collegamento: N=-6141.50 Ty=-14.68 Tz=28.02 Mx=-0.02 Mz=-12.56
Sollecitazioni agenti localmente: Ty_l=-1116.64 Mx_l=-22.33
Tensioni nella sezione: σ=270.70 τ=33.84
CC 21 SLV (Collegamento -182_-384)
Azioni sul collegamento: N=-6141.50 Ty=-7.99 Tz=28.02 Mx=-0.02 Mz=-8.33
Sollecitazioni agenti localmente: Ty_l=-1116.64 Mx_l=-22.33
Tensioni nella sezione: σ=270.70 τ=33.84
CC 21 SLV (Collegamento -182_-384)
Azioni sul collegamento: N=-6141.50 Ty=-14.68 Tz=-0.53 Mx=-0.02 Mz=-12.56
Sollecitazioni agenti localmente: Ty_l=-1116.64 Mx_l=-22.33
Tensioni nella sezione: σ=270.70 τ=33.84
CC 21 SLV (Collegamento -182_-384)
Azioni sul collegamento: N=-6141.50 Ty=-7.99 Tz=-0.53 Mx=-0.02 Mz=-8.33
Sollecitazioni agenti localmente: Ty_l=-1116.64 Mx_l=-22.33
Tensioni nella sezione: σ=270.70 τ=33.84
CC 22 SLD (Collegamento -182_-384)
Azioni sul collegamento: N=-11143.10 Ty=-11.43 Tz=17.72 Mx=-0.01 Mz=-8.95
Sollecitazioni agenti localmente: Ty_l=-2026.03 Mx_l=-40.52
Tensioni nella sezione: σ=491.16 τ=61.39

CC 22 SLD (Collegamento -182_-384)
Azioni sul collegamento: N=-11143.10 Ty=-9.39 Tz=17.72 Mx=-0.01 Mz=-7.66
Sollecitazioni agenti localmente: Ty_l=-2026.03 Mx_l=-40.52
Tensioni nella sezione: σ=491.16 τ=61.39
CC 22 SLD (Collegamento -182_-384)
Azioni sul collegamento: N=-11143.10 Ty=-11.43 Tz=9.01 Mx=-0.01 Mz=-8.95
Sollecitazioni agenti localmente: Ty_l=-2026.03 Mx_l=-40.52
Tensioni nella sezione: σ=491.16 τ=61.39
CC 22 SLD (Collegamento -182_-384)
Azioni sul collegamento: N=-11143.10 Ty=-9.39 Tz=9.01 Mx=-0.01 Mz=-7.66
Sollecitazioni agenti localmente: Ty_l=-2026.03 Mx_l=-40.52
Tensioni nella sezione: σ=491.16 τ=61.39
CC 22 SLD (Collegamento -182_-384)
Azioni sul collegamento: N=-8760.13 Ty=-11.43 Tz=17.72 Mx=-0.01 Mz=-8.95
Sollecitazioni agenti localmente: Ty_l=-1592.75 Mx_l=-31.85
Tensioni nella sezione: σ=386.12 τ=48.27
CC 22 SLD (Collegamento -182_-384)
Azioni sul collegamento: N=-8760.13 Ty=-9.39 Tz=17.72 Mx=-0.01 Mz=-7.66
Sollecitazioni agenti localmente: Ty_l=-1592.75 Mx_l=-31.85
Tensioni nella sezione: σ=386.12 τ=48.27
CC 22 SLD (Collegamento -182_-384)
Azioni sul collegamento: N=-8760.12 Ty=-11.43 Tz=9.01 Mx=-0.01 Mz=-8.95
Sollecitazioni agenti localmente: Ty_l=-1592.75 Mx_l=-31.85
Tensioni nella sezione: σ=386.12 τ=48.27
CC 22 SLD (Collegamento -182_-384)
Azioni sul collegamento: N=-8760.12 Ty=-9.39 Tz=9.01 Mx=-0.01 Mz=-7.66
Sollecitazioni agenti localmente: Ty_l=-1592.75 Mx_l=-31.85
Tensioni nella sezione: σ=386.12 τ=48.27
CC 23 SLV (Collegamento -182_-384)
Azioni sul collegamento: N=-13961.30 Ty=-15.19 Tz=28.35 Mx=-0.01 Mz=-13.60
Sollecitazioni agenti localmente: Ty_l=-2538.42 Mx_l=-50.77
Tensioni nella sezione: σ=615.37 τ=76.92
CC 23 SLV (Collegamento -182_-384)
Azioni sul collegamento: N=-13961.30 Ty=-7.48 Tz=28.35 Mx=-0.01 Mz=-7.28
Sollecitazioni agenti localmente: Ty_l=-2538.42 Mx_l=-50.77
Tensioni nella sezione: σ=615.37 τ=76.92
CC 23 SLV (Collegamento -182_-384)
Azioni sul collegamento: N=-13961.30 Ty=-15.19 Tz=-0.86 Mx=-0.01 Mz=-13.60
Sollecitazioni agenti localmente: Ty_l=-2538.42 Mx_l=-50.77
Tensioni nella sezione: σ=615.37 τ=76.92
CC 23 SLV (Collegamento -182_-384)
Azioni sul collegamento: N=-13961.30 Ty=-7.48 Tz=-0.86 Mx=-0.01 Mz=-7.28
Sollecitazioni agenti localmente: Ty_l=-2538.42 Mx_l=-50.77
Tensioni nella sezione: σ=615.37 τ=76.92
CC 23 SLV (Collegamento -182_-384)
Azioni sul collegamento: N=-6136.65 Ty=-15.19 Tz=28.35 Mx=-0.01 Mz=-13.60
Sollecitazioni agenti localmente: Ty_l=-1115.75 Mx_l=-22.32
Tensioni nella sezione: σ=270.49 τ=33.81
CC 23 SLV (Collegamento -182_-384)
Azioni sul collegamento: N=-6136.65 Ty=-7.48 Tz=28.35 Mx=-0.01 Mz=-7.28
Sollecitazioni agenti localmente: Ty_l=-1115.75 Mx_l=-22.32
Tensioni nella sezione: σ=270.49 τ=33.81
CC 23 SLV (Collegamento -182_-384)
Azioni sul collegamento: N=-6136.65 Ty=-15.19 Tz=-0.86 Mx=-0.01 Mz=-13.60
Sollecitazioni agenti localmente: Ty_l=-1115.75 Mx_l=-22.32
Tensioni nella sezione: σ=270.49 τ=33.81
CC 23 SLV (Collegamento -182_-384)
Azioni sul collegamento: N=-6136.65 Ty=-7.48 Tz=-0.86 Mx=-0.01 Mz=-7.28
Sollecitazioni agenti localmente: Ty_l=-1115.75 Mx_l=-22.32
Tensioni nella sezione: σ=270.49 τ=33.81
CC 24 SLD (Collegamento -182_-384)
Azioni sul collegamento: N=-11144.60 Ty=-11.59 Tz=17.82 Mx=-0.01 Mz=-9.27
Sollecitazioni agenti localmente: Ty_l=-2026.30 Mx_l=-40.53
Tensioni nella sezione: σ=491.22 τ=61.40
CC 24 SLD (Collegamento -182_-384)
Azioni sul collegamento: N=-11144.60 Ty=-9.24 Tz=17.82 Mx=-0.01 Mz=-7.34
Sollecitazioni agenti localmente: Ty_l=-2026.30 Mx_l=-40.53
Tensioni nella sezione: σ=491.22 τ=61.40
CC 24 SLD (Collegamento -182_-384)
Azioni sul collegamento: N=-11144.60 Ty=-11.59 Tz=8.91 Mx=-0.01 Mz=-9.27
Sollecitazioni agenti localmente: Ty_l=-2026.30 Mx_l=-40.53
Tensioni nella sezione: σ=491.22 τ=61.40
CC 24 SLD (Collegamento -182_-384)
Azioni sul collegamento: N=-11144.60 Ty=-9.24 Tz=8.91 Mx=-0.01 Mz=-7.34
Sollecitazioni agenti localmente: Ty_l=-2026.30 Mx_l=-40.53
Tensioni nella sezione: σ=491.22 τ=61.40
CC 24 SLD (Collegamento -182_-384)
Azioni sul collegamento: N=-8758.65 Ty=-11.59 Tz=17.82 Mx=-0.01 Mz=-9.27
Sollecitazioni agenti localmente: Ty_l=-1592.48 Mx_l=-31.85

Tensioni nella sezione: σ=386.06 τ=48.26
CC 24 SLD (Collegamento -182_-384)
Azioni sul collegamento: N=-8758.65 Ty=-9.24 Tz=17.82 Mx=-0.01 Mz=-7.34
Sollecitazioni agenti localmente: Ty_l=-1592.48 Mx_l=-31.85
Tensioni nella sezione: σ=386.06 τ=48.26
CC 24 SLD (Collegamento -182_-384)
Azioni sul collegamento: N=-8758.64 Ty=-11.59 Tz=8.91 Mx=-0.01 Mz=-9.27
Sollecitazioni agenti localmente: Ty_l=-1592.48 Mx_l=-31.85
Tensioni nella sezione: σ=386.06 τ=48.26
CC 24 SLD (Collegamento -182_-384)
Azioni sul collegamento: N=-8758.64 Ty=-9.24 Tz=8.91 Mx=-0.01 Mz=-7.34
Sollecitazioni agenti localmente: Ty_l=-1592.48 Mx_l=-31.85
Tensioni nella sezione: σ=386.06 τ=48.26
CC 25 SLV (Collegamento -182_-384)
Azioni sul collegamento: N=-8867.92 Ty=-9.40 Tz=8.87 Mx=-0.02 Mz=-7.91
Sollecitazioni agenti localmente: Ty_l=-1612.35 Mx_l=-32.25
Tensioni nella sezione: σ=390.87 τ=48.86
CC 25 SLV (Collegamento -182_-384)
Azioni sul collegamento: N=-8867.92 Ty=-13.27 Tz=8.87 Mx=-0.02 Mz=-12.98
Sollecitazioni agenti localmente: Ty_l=-1612.35 Mx_l=-32.25
Tensioni nella sezione: σ=390.87 τ=48.86
CC 25 SLV (Collegamento -182_-384)
Azioni sul collegamento: N=-8867.92 Ty=-9.40 Tz=18.62 Mx=-0.02 Mz=-7.91
Sollecitazioni agenti localmente: Ty_l=-1612.35 Mx_l=-32.25
Tensioni nella sezione: σ=390.87 τ=48.86
CC 25 SLV (Collegamento -182_-384)
Azioni sul collegamento: N=-8867.92 Ty=-13.27 Tz=18.62 Mx=-0.02 Mz=-12.98
Sollecitazioni agenti localmente: Ty_l=-1612.35 Mx_l=-32.25
Tensioni nella sezione: σ=390.87 τ=48.86
CC 25 SLV (Collegamento -182_-384)
Azioni sul collegamento: N=-11230.00 Ty=-9.40 Tz=8.87 Mx=-0.02 Mz=-7.91
Sollecitazioni agenti localmente: Ty_l=-2041.82 Mx_l=-40.84
Tensioni nella sezione: σ=494.99 τ=61.87
CC 25 SLV (Collegamento -182_-384)
Azioni sul collegamento: N=-11230.00 Ty=-13.27 Tz=8.87 Mx=-0.02 Mz=-12.98
Sollecitazioni agenti localmente: Ty_l=-2041.82 Mx_l=-40.84
Tensioni nella sezione: σ=494.99 τ=61.87
CC 25 SLV (Collegamento -182_-384)
Azioni sul collegamento: N=-11230.00 Ty=-9.40 Tz=18.62 Mx=-0.02 Mz=-7.91
Sollecitazioni agenti localmente: Ty_l=-2041.82 Mx_l=-40.84
Tensioni nella sezione: σ=494.99 τ=61.87
CC 25 SLV (Collegamento -182_-384)
Azioni sul collegamento: N=-11230.00 Ty=-13.27 Tz=18.62 Mx=-0.02 Mz=-12.98
Sollecitazioni agenti localmente: Ty_l=-2041.82 Mx_l=-40.84
Tensioni nella sezione: σ=494.99 τ=61.87
CC 26 SLD (Collegamento -182_-384)
Azioni sul collegamento: N=-9591.50 Ty=-9.82 Tz=11.88 Mx=-0.01 Mz=-7.53
Sollecitazioni agenti localmente: Ty_l=-1743.91 Mx_l=-34.88
Tensioni nella sezione: σ=422.76 τ=52.85
CC 26 SLD (Collegamento -182_-384)
Azioni sul collegamento: N=-9591.50 Ty=-11.00 Tz=11.88 Mx=-0.01 Mz=-9.08
Sollecitazioni agenti localmente: Ty_l=-1743.91 Mx_l=-34.88
Tensioni nella sezione: σ=422.76 τ=52.85
CC 26 SLD (Collegamento -182_-384)
Azioni sul collegamento: N=-9591.50 Ty=-9.82 Tz=14.85 Mx=-0.01 Mz=-7.53
Sollecitazioni agenti localmente: Ty_l=-1743.91 Mx_l=-34.88
Tensioni nella sezione: σ=422.76 τ=52.85
CC 26 SLD (Collegamento -182_-384)
Azioni sul collegamento: N=-9591.50 Ty=-11.00 Tz=14.85 Mx=-0.01 Mz=-9.08
Sollecitazioni agenti localmente: Ty_l=-1743.91 Mx_l=-34.88
Tensioni nella sezione: σ=422.76 τ=52.85
CC 26 SLD (Collegamento -182_-384)
Azioni sul collegamento: N=-10311.80 Ty=-9.82 Tz=11.88 Mx=-0.01 Mz=-7.53
Sollecitazioni agenti localmente: Ty_l=-1874.87 Mx_l=-37.50
Tensioni nella sezione: σ=454.51 τ=56.81
CC 26 SLD (Collegamento -182_-384)
Azioni sul collegamento: N=-10311.80 Ty=-11.00 Tz=11.88 Mx=-0.01 Mz=-9.08
Sollecitazioni agenti localmente: Ty_l=-1874.87 Mx_l=-37.50
Tensioni nella sezione: σ=454.51 τ=56.81
CC 26 SLD (Collegamento -182_-384)
Azioni sul collegamento: N=-10311.80 Ty=-9.82 Tz=14.85 Mx=-0.01 Mz=-7.53
Sollecitazioni agenti localmente: Ty_l=-1874.87 Mx_l=-37.50
Tensioni nella sezione: σ=454.51 τ=56.81
CC 26 SLD (Collegamento -182_-384)
Azioni sul collegamento: N=-10311.80 Ty=-11.00 Tz=14.85 Mx=-0.01 Mz=-9.08
Sollecitazioni agenti localmente: Ty_l=-1874.87 Mx_l=-37.50
Tensioni nella sezione: σ=454.51 τ=56.81
CC 27 SLV (Collegamento -182_-384)
Azioni sul collegamento: N=-11213.90 Ty=-11.56 Tz=17.53 Mx=-0.02 Mz=-9.49

Sollecitazioni agenti localmente: Ty_l=-2038.88 Mx_l=-40.78
Tensioni nella sezione: σ=494.27 τ=61.78
CC 27 SLV (Collegamento -182_-384)
Azioni sul collegamento: N=-11213.90 Ty=-11.11 Tz=17.53 Mx=-0.02 Mz=-11.40
Sollecitazioni agenti localmente: Ty_l=-2038.88 Mx_l=-40.78
Tensioni nella sezione: σ=494.27 τ=61.78
CC 27 SLV (Collegamento -182_-384)
Azioni sul collegamento: N=-11213.90 Ty=-11.56 Tz=9.96 Mx=-0.02 Mz=-9.49
Sollecitazioni agenti localmente: Ty_l=-2038.88 Mx_l=-40.78
Tensioni nella sezione: σ=494.27 τ=61.78
CC 27 SLV (Collegamento -182_-384)
Azioni sul collegamento: N=-11213.90 Ty=-11.11 Tz=9.96 Mx=-0.02 Mz=-11.40
Sollecitazioni agenti localmente: Ty_l=-2038.88 Mx_l=-40.78
Tensioni nella sezione: σ=494.27 τ=61.78
CC 27 SLV (Collegamento -182_-384)
Azioni sul collegamento: N=-8884.09 Ty=-11.56 Tz=17.53 Mx=-0.02 Mz=-9.49
Sollecitazioni agenti localmente: Ty_l=-1615.29 Mx_l=-32.31
Tensioni nella sezione: σ=391.58 τ=48.95
CC 27 SLV (Collegamento -182_-384)
Azioni sul collegamento: N=-8884.09 Ty=-11.11 Tz=17.53 Mx=-0.02 Mz=-11.40
Sollecitazioni agenti localmente: Ty_l=-1615.29 Mx_l=-32.31
Tensioni nella sezione: σ=391.58 τ=48.95
CC 27 SLV (Collegamento -182_-384)
Azioni sul collegamento: N=-8884.09 Ty=-11.56 Tz=9.96 Mx=-0.02 Mz=-9.49
Sollecitazioni agenti localmente: Ty_l=-1615.29 Mx_l=-32.31
Tensioni nella sezione: σ=391.58 τ=48.95
CC 27 SLV (Collegamento -182_-384)
Azioni sul collegamento: N=-8884.09 Ty=-11.11 Tz=9.96 Mx=-0.02 Mz=-11.40
Sollecitazioni agenti localmente: Ty_l=-1615.29 Mx_l=-32.31
Tensioni nella sezione: σ=391.58 τ=48.95
CC 28 SLD (Collegamento -182_-384)
Azioni sul collegamento: N=-10306.80 Ty=-10.48 Tz=14.52 Mx=-0.01 Mz=-8.01
Sollecitazioni agenti localmente: Ty_l=-1873.97 Mx_l=-37.48
Tensioni nella sezione: σ=454.30 τ=56.79
CC 28 SLD (Collegamento -182_-384)
Azioni sul collegamento: N=-10306.80 Ty=-10.34 Tz=14.52 Mx=-0.01 Mz=-8.60
Sollecitazioni agenti localmente: Ty_l=-1873.97 Mx_l=-37.48
Tensioni nella sezione: σ=454.30 τ=56.79
CC 28 SLD (Collegamento -182_-384)
Azioni sul collegamento: N=-10306.80 Ty=-10.48 Tz=12.21 Mx=-0.01 Mz=-8.01
Sollecitazioni agenti localmente: Ty_l=-1873.97 Mx_l=-37.48
Tensioni nella sezione: σ=454.30 τ=56.79
CC 28 SLD (Collegamento -182_-384)
Azioni sul collegamento: N=-10306.80 Ty=-10.34 Tz=12.21 Mx=-0.01 Mz=-8.60
Sollecitazioni agenti localmente: Ty_l=-1873.97 Mx_l=-37.48
Tensioni nella sezione: σ=454.30 τ=56.79
CC 28 SLD (Collegamento -182_-384)
Azioni sul collegamento: N=-9596.43 Ty=-10.48 Tz=14.52 Mx=-0.01 Mz=-8.01
Sollecitazioni agenti localmente: Ty_l=-1744.80 Mx_l=-34.90
Tensioni nella sezione: σ=422.98 τ=52.87
CC 28 SLD (Collegamento -182_-384)
Azioni sul collegamento: N=-9596.43 Ty=-10.34 Tz=14.52 Mx=-0.01 Mz=-8.60
Sollecitazioni agenti localmente: Ty_l=-1744.80 Mx_l=-34.90
Tensioni nella sezione: σ=422.98 τ=52.87
CC 28 SLD (Collegamento -182_-384)
Azioni sul collegamento: N=-9596.43 Ty=-10.48 Tz=12.21 Mx=-0.01 Mz=-8.01
Sollecitazioni agenti localmente: Ty_l=-1744.80 Mx_l=-34.90
Tensioni nella sezione: σ=422.98 τ=52.87
CC 28 SLD (Collegamento -182_-384)
Azioni sul collegamento: N=-9596.43 Ty=-10.34 Tz=12.21 Mx=-0.01 Mz=-8.60
Sollecitazioni agenti localmente: Ty_l=-1744.80 Mx_l=-34.90
Tensioni nella sezione: σ=422.98 τ=52.87
CC 29 SLV (Collegamento -182_-384)
Azioni sul collegamento: N=-8884.09 Ty=-11.11 Tz=9.96 Mx=-0.01 Mz=-11.40
Sollecitazioni agenti localmente: Ty_l=-1615.29 Mx_l=-32.31
Tensioni nella sezione: σ=391.58 τ=48.95
CC 29 SLV (Collegamento -182_-384)
Azioni sul collegamento: N=-8884.09 Ty=-11.56 Tz=9.96 Mx=-0.01 Mz=-9.49
Sollecitazioni agenti localmente: Ty_l=-1615.29 Mx_l=-32.31
Tensioni nella sezione: σ=391.58 τ=48.95
CC 29 SLV (Collegamento -182_-384)
Azioni sul collegamento: N=-8884.09 Ty=-11.11 Tz=17.53 Mx=-0.01 Mz=-11.40
Sollecitazioni agenti localmente: Ty_l=-1615.29 Mx_l=-32.31
Tensioni nella sezione: σ=391.58 τ=48.95
CC 29 SLV (Collegamento -182_-384)
Azioni sul collegamento: N=-8884.09 Ty=-11.56 Tz=17.53 Mx=-0.01 Mz=-9.49
Sollecitazioni agenti localmente: Ty_l=-1615.29 Mx_l=-32.31
Tensioni nella sezione: σ=391.58 τ=48.95
CC 29 SLV (Collegamento -182_-384)

Azioni sul collegamento: N=-11213.90 Ty=-11.11 Tz=9.96 Mx=-0.01 Mz=-11.40
Sollecitazioni agenti localmente: Ty_l=-2038.88 Mx_l=-40.78
Tensioni nella sezione: σ=494.27 τ=61.78
CC 29 SLV (Collegamento -182_-384)
Azioni sul collegamento: N=-11213.90 Ty=-11.56 Tz=9.96 Mx=-0.01 Mz=-9.49
Sollecitazioni agenti localmente: Ty_l=-2038.88 Mx_l=-40.78
Tensioni nella sezione: σ=494.27 τ=61.78
CC 29 SLV (Collegamento -182_-384)
Azioni sul collegamento: N=-11213.90 Ty=-11.11 Tz=17.53 Mx=-0.01 Mz=-11.40
Sollecitazioni agenti localmente: Ty_l=-2038.88 Mx_l=-40.78
Tensioni nella sezione: σ=494.27 τ=61.78
CC 29 SLV (Collegamento -182_-384)
Azioni sul collegamento: N=-11213.90 Ty=-11.56 Tz=17.53 Mx=-0.01 Mz=-9.49
Sollecitazioni agenti localmente: Ty_l=-2038.88 Mx_l=-40.78
Tensioni nella sezione: σ=494.27 τ=61.78
CC 30 SLD (Collegamento -182_-384)
Azioni sul collegamento: N=-9596.43 Ty=-10.34 Tz=12.21 Mx=-0.00 Mz=-8.60
Sollecitazioni agenti localmente: Ty_l=-1744.80 Mx_l=-34.90
Tensioni nella sezione: σ=422.98 τ=52.87
CC 30 SLD (Collegamento -182_-384)
Azioni sul collegamento: N=-9596.43 Ty=-10.48 Tz=12.21 Mx=-0.00 Mz=-8.01
Sollecitazioni agenti localmente: Ty_l=-1744.80 Mx_l=-34.90
Tensioni nella sezione: σ=422.98 τ=52.87
CC 30 SLD (Collegamento -182_-384)
Azioni sul collegamento: N=-9596.43 Ty=-10.34 Tz=14.52 Mx=-0.00 Mz=-8.60
Sollecitazioni agenti localmente: Ty_l=-1744.80 Mx_l=-34.90
Tensioni nella sezione: σ=422.98 τ=52.87
CC 30 SLD (Collegamento -182_-384)
Azioni sul collegamento: N=-9596.43 Ty=-10.48 Tz=14.52 Mx=-0.00 Mz=-8.01
Sollecitazioni agenti localmente: Ty_l=-1744.80 Mx_l=-34.90
Tensioni nella sezione: σ=422.98 τ=52.87
CC 30 SLD (Collegamento -182_-384)
Azioni sul collegamento: N=-10306.80 Ty=-10.34 Tz=12.21 Mx=-0.00 Mz=-8.60
Sollecitazioni agenti localmente: Ty_l=-1873.97 Mx_l=-37.48
Tensioni nella sezione: σ=454.30 τ=56.79
CC 30 SLD (Collegamento -182_-384)
Azioni sul collegamento: N=-10306.80 Ty=-10.48 Tz=12.21 Mx=-0.00 Mz=-8.01
Sollecitazioni agenti localmente: Ty_l=-1873.97 Mx_l=-37.48
Tensioni nella sezione: σ=454.30 τ=56.79
CC 30 SLD (Collegamento -182_-384)
Azioni sul collegamento: N=-10306.80 Ty=-10.34 Tz=14.52 Mx=-0.00 Mz=-8.60
Sollecitazioni agenti localmente: Ty_l=-1873.97 Mx_l=-37.48
Tensioni nella sezione: σ=454.30 τ=56.79
CC 30 SLD (Collegamento -182_-384)
Azioni sul collegamento: N=-10306.80 Ty=-10.48 Tz=14.52 Mx=-0.00 Mz=-8.01
Sollecitazioni agenti localmente: Ty_l=-1873.97 Mx_l=-37.48
Tensioni nella sezione: σ=454.30 τ=56.79
CC 31 SLV (Collegamento -182_-384)
Azioni sul collegamento: N=-11230.00 Ty=-13.27 Tz=18.62 Mx=-0.01 Mz=-12.98
Sollecitazioni agenti localmente: Ty_l=-2041.82 Mx_l=-40.84
Tensioni nella sezione: σ=494.99 τ=61.87
CC 31 SLV (Collegamento -182_-384)
Azioni sul collegamento: N=-11230.00 Ty=-9.40 Tz=18.62 Mx=-0.01 Mz=-7.91
Sollecitazioni agenti localmente: Ty_l=-2041.82 Mx_l=-40.84
Tensioni nella sezione: σ=494.99 τ=61.87
CC 31 SLV (Collegamento -182_-384)
Azioni sul collegamento: N=-11230.00 Ty=-13.27 Tz=8.87 Mx=-0.01 Mz=-12.98
Sollecitazioni agenti localmente: Ty_l=-2041.82 Mx_l=-40.84
Tensioni nella sezione: σ=494.99 τ=61.87
CC 31 SLV (Collegamento -182_-384)
Azioni sul collegamento: N=-11230.00 Ty=-9.40 Tz=8.87 Mx=-0.01 Mz=-7.91
Sollecitazioni agenti localmente: Ty_l=-2041.82 Mx_l=-40.84
Tensioni nella sezione: σ=494.99 τ=61.87
CC 31 SLV (Collegamento -182_-384)
Azioni sul collegamento: N=-8867.92 Ty=-13.27 Tz=18.62 Mx=-0.01 Mz=-12.98
Sollecitazioni agenti localmente: Ty_l=-1612.35 Mx_l=-32.25
Tensioni nella sezione: σ=390.87 τ=48.86
CC 31 SLV (Collegamento -182_-384)
Azioni sul collegamento: N=-8867.92 Ty=-9.40 Tz=18.62 Mx=-0.01 Mz=-7.91
Sollecitazioni agenti localmente: Ty_l=-1612.35 Mx_l=-32.25
Tensioni nella sezione: σ=390.87 τ=48.86
CC 31 SLV (Collegamento -182_-384)
Azioni sul collegamento: N=-8867.92 Ty=-13.27 Tz=8.87 Mx=-0.01 Mz=-12.98
Sollecitazioni agenti localmente: Ty_l=-1612.35 Mx_l=-32.25
Tensioni nella sezione: σ=390.87 τ=48.86
CC 31 SLV (Collegamento -182_-384)
Azioni sul collegamento: N=-8867.92 Ty=-9.40 Tz=8.87 Mx=-0.01 Mz=-7.91
Sollecitazioni agenti localmente: Ty_l=-1612.35 Mx_l=-32.25
Tensioni nella sezione: σ=390.87 τ=48.86

CC 32 SLD (Collegamento -182_-384)
Azioni sul collegamento: N=-10311.80 Ty=-11.00 Tz=14.85 Mx=-0.00 Mz=-9.08
Sollecitazioni agenti localmente: Ty_l=-1874.87 Mx_l=-37.50
Tensioni nella sezione: σ=454.51 τ=56.81
CC 32 SLD (Collegamento -182_-384)
Azioni sul collegamento: N=-10311.80 Ty=-9.82 Tz=14.85 Mx=-0.00 Mz=-7.53
Sollecitazioni agenti localmente: Ty_l=-1874.87 Mx_l=-37.50
Tensioni nella sezione: σ=454.51 τ=56.81
CC 32 SLD (Collegamento -182_-384)
Azioni sul collegamento: N=-10311.80 Ty=-11.00 Tz=11.88 Mx=-0.00 Mz=-9.08
Sollecitazioni agenti localmente: Ty_l=-1874.87 Mx_l=-37.50
Tensioni nella sezione: σ=454.51 τ=56.81
CC 32 SLD (Collegamento -182_-384)
Azioni sul collegamento: N=-10311.80 Ty=-9.82 Tz=11.88 Mx=-0.00 Mz=-7.53
Sollecitazioni agenti localmente: Ty_l=-1874.87 Mx_l=-37.50
Tensioni nella sezione: σ=454.51 τ=56.81
CC 32 SLD (Collegamento -182_-384)
Azioni sul collegamento: N=-9591.50 Ty=-11.00 Tz=14.85 Mx=-0.00 Mz=-9.08
Sollecitazioni agenti localmente: Ty_l=-1743.91 Mx_l=-34.88
Tensioni nella sezione: σ=422.76 τ=52.85
CC 32 SLD (Collegamento -182_-384)
Azioni sul collegamento: N=-9591.50 Ty=-9.82 Tz=14.85 Mx=-0.00 Mz=-7.53
Sollecitazioni agenti localmente: Ty_l=-1743.91 Mx_l=-34.88
Tensioni nella sezione: σ=422.76 τ=52.85
CC 32 SLD (Collegamento -182_-384)
Azioni sul collegamento: N=-9591.50 Ty=-11.00 Tz=11.88 Mx=-0.00 Mz=-9.08
Sollecitazioni agenti localmente: Ty_l=-1743.91 Mx_l=-34.88
Tensioni nella sezione: σ=422.76 τ=52.85
CC 32 SLD (Collegamento -182_-384)
Azioni sul collegamento: N=-9591.50 Ty=-9.82 Tz=11.88 Mx=-0.00 Mz=-7.53
Sollecitazioni agenti localmente: Ty_l=-1743.91 Mx_l=-34.88
Tensioni nella sezione: σ=422.76 τ=52.85
CC 33 SLU (Collegamento -182_-384)
Azioni sul collegamento: N=-37242.40 Ty=-20.96 Tz=105.49 Mx=-0.01 Mz=-15.56
Sollecitazioni agenti localmente: Ty_l=-6771.33 Mx_l=-135.43
Tensioni nella sezione: σ=1641.53 τ=205.19
CC 34 SLU (Collegamento -182_-384)
Azioni sul collegamento: N=-36428.20 Ty=-20.21 Tz=102.49 Mx=-0.01 Mz=-15.01
Sollecitazioni agenti localmente: Ty_l=-6623.30 Mx_l=-132.47
Tensioni nella sezione: σ=1605.65 τ=200.71
CC 35 SLU (Collegamento -182_-384)
Azioni sul collegamento: N=-36836.10 Ty=-20.67 Tz=103.93 Mx=-0.00 Mz=-15.47
Sollecitazioni agenti localmente: Ty_l=-6697.48 Mx_l=-133.95
Tensioni nella sezione: σ=1623.63 τ=202.95
CC 36 SLU (Collegamento -182_-384)
Azioni sul collegamento: N=-36834.40 Ty=-20.49 Tz=104.05 Mx=-0.01 Mz=-15.10
Sollecitazioni agenti localmente: Ty_l=-6697.16 Mx_l=-133.94
Tensioni nella sezione: σ=1623.55 τ=202.94
CC 37 SLU (Collegamento -182_-384)
Azioni sul collegamento: N=-28075.80 Ty=-20.08 Tz=71.84 Mx=-0.01 Mz=-14.76
Sollecitazioni agenti localmente: Ty_l=-5104.69 Mx_l=-102.09
Tensioni nella sezione: σ=1237.50 τ=154.69
CC 38 SLU (Collegamento -182_-384)
Azioni sul collegamento: N=-27261.60 Ty=-19.33 Tz=68.83 Mx=-0.01 Mz=-14.21
Sollecitazioni agenti localmente: Ty_l=-4956.65 Mx_l=-99.13
Tensioni nella sezione: σ=1201.61 τ=150.20
CC 39 SLU (Collegamento -182_-384)
Azioni sul collegamento: N=-27669.60 Ty=-19.79 Tz=70.28 Mx=-0.00 Mz=-14.67
Sollecitazioni agenti localmente: Ty_l=-5030.83 Mx_l=-100.62
Tensioni nella sezione: σ=1219.59 τ=152.45
CC 40 SLU (Collegamento -182_-384)
Azioni sul collegamento: N=-27667.80 Ty=-19.61 Tz=70.39 Mx=-0.01 Mz=-14.31
Sollecitazioni agenti localmente: Ty_l=-5030.51 Mx_l=-100.61
Tensioni nella sezione: σ=1219.52 τ=152.44
CC 41 SLU (Collegamento -182_-384)
Azioni sul collegamento: N=-30474.50 Ty=9.93 Tz=80.11 Mx=-0.01 Mz=7.87
Sollecitazioni agenti localmente: Ty_l=-5540.82 Mx_l=-110.82
Tensioni nella sezione: σ=1343.23 τ=167.90
CC 42 SLU (Collegamento -182_-384)
Azioni sul collegamento: N=-29660.30 Ty=10.68 Tz=77.11 Mx=-0.01 Mz=8.42
Sollecitazioni agenti localmente: Ty_l=-5392.79 Mx_l=-107.86
Tensioni nella sezione: σ=1307.34 τ=163.42
CC 43 SLU (Collegamento -182_-384)
Azioni sul collegamento: N=-30068.30 Ty=10.21 Tz=78.55 Mx=-0.00 Mz=7.97
Sollecitazioni agenti localmente: Ty_l=-5466.97 Mx_l=-109.34
Tensioni nella sezione: σ=1325.32 τ=165.67
CC 44 SLU (Collegamento -182_-384)
Azioni sul collegamento: N=-30066.50 Ty=10.39 Tz=78.67 Mx=-0.01 Mz=8.33
Sollecitazioni agenti localmente: Ty_l=-5466.64 Mx_l=-109.33

Tensioni nella sezione: σ=1325.24 τ=165.66
CC 45 SLU (Collegamento -182_-384)
Azioni sul collegamento: N=-30085.80 Ty=-20.31 Tz=79.22 Mx=-0.00 Mz=-15.08
Sollecitazioni agenti localmente: Ty_l=-5470.14 Mx_l=-109.40
Tensioni nella sezione: σ=1326.09 τ=165.76
CC 46 SLU (Collegamento -182_-384)
Azioni sul collegamento: N=-29271.60 Ty=-19.56 Tz=76.22 Mx=-0.00 Mz=-14.53
Sollecitazioni agenti localmente: Ty_l=-5322.11 Mx_l=-106.44
Tensioni nella sezione: σ=1290.20 τ=161.28
CC 47 SLU (Collegamento -182_-384)
Azioni sul collegamento: N=-29679.60 Ty=-20.02 Tz=77.66 Mx=-0.00 Mz=-14.99
Sollecitazioni agenti localmente: Ty_l=-5396.28 Mx_l=-107.92
Tensioni nella sezione: σ=1308.19 τ=163.52
CC 48 SLU (Collegamento -182_-384)
Azioni sul collegamento: N=-29677.80 Ty=-19.84 Tz=77.78 Mx=-0.01 Mz=-14.62
Sollecitazioni agenti localmente: Ty_l=-5395.96 Mx_l=-107.92
Tensioni nella sezione: σ=1308.11 τ=163.51
CC 49 SLU (Collegamento -182_-384)
Azioni sul collegamento: N=-23227.80 Ty=-19.65 Tz=54.04 Mx=-0.00 Mz=-14.49
Sollecitazioni agenti localmente: Ty_l=-4223.24 Mx_l=-84.46
Tensioni nella sezione: σ=1023.81 τ=127.98
CC 50 SLU (Collegamento -182_-384)
Azioni sul collegamento: N=-22413.60 Ty=-18.90 Tz=51.04 Mx=-0.00 Mz=-13.93
Sollecitazioni agenti localmente: Ty_l=-4075.20 Mx_l=-81.50
Tensioni nella sezione: σ=987.93 τ=123.49
CC 51 SLU (Collegamento -182_-384)
Azioni sul collegamento: N=-22821.60 Ty=-19.36 Tz=52.48 Mx=-0.00 Mz=-14.39
Sollecitazioni agenti localmente: Ty_l=-4149.38 Mx_l=-82.99
Tensioni nella sezione: σ=1005.91 τ=125.74
CC 52 SLU (Collegamento -182_-384)
Azioni sul collegamento: N=-22819.80 Ty=-19.19 Tz=52.60 Mx=-0.01 Mz=-14.03
Sollecitazioni agenti localmente: Ty_l=-4149.06 Mx_l=-82.98
Tensioni nella sezione: σ=1005.83 τ=125.73
CC 53 SLU (Collegamento -182_-384)
Azioni sul collegamento: N=-25022.40 Ty=2.80 Tz=60.23 Mx=-0.00 Mz=2.45
Sollecitazioni agenti localmente: Ty_l=-4549.53 Mx_l=-90.99
Tensioni nella sezione: σ=1102.92 τ=137.87
CC 54 SLU (Collegamento -182_-384)
Azioni sul collegamento: N=-24208.20 Ty=3.55 Tz=57.23 Mx=-0.01 Mz=3.00
Sollecitazioni agenti localmente: Ty_l=-4401.50 Mx_l=-88.03
Tensioni nella sezione: σ=1067.03 τ=133.38
CC 55 SLU (Collegamento -182_-384)
Azioni sul collegamento: N=-24616.20 Ty=3.09 Tz=58.67 Mx=-0.00 Mz=2.54
Sollecitazioni agenti localmente: Ty_l=-4475.68 Mx_l=-89.51
Tensioni nella sezione: σ=1085.01 τ=135.63
CC 56 SLU (Collegamento -182_-384)
Azioni sul collegamento: N=-24614.50 Ty=3.26 Tz=58.79 Mx=-0.01 Mz=2.91
Sollecitazioni agenti localmente: Ty_l=-4475.35 Mx_l=-89.51
Tensioni nella sezione: σ=1084.93 τ=135.62
CC 57 SLU (Collegamento -182_-384)
Azioni sul collegamento: N=-27876.60 Ty=-18.56 Tz=71.09 Mx=-0.00 Mz=-13.78
Sollecitazioni agenti localmente: Ty_l=-5068.48 Mx_l=-101.37
Tensioni nella sezione: σ=1228.72 τ=153.59
CC 58 SLU (Collegamento -182_-384)
Azioni sul collegamento: N=-27062.40 Ty=-17.81 Tz=68.08 Mx=-0.00 Mz=-13.23
Sollecitazioni agenti localmente: Ty_l=-4920.44 Mx_l=-98.41
Tensioni nella sezione: σ=1192.83 τ=149.10
CC 59 SLU (Collegamento -182_-384)
Azioni sul collegamento: N=-27470.40 Ty=-18.27 Tz=69.53 Mx=-0.00 Mz=-13.69
Sollecitazioni agenti localmente: Ty_l=-4994.62 Mx_l=-99.89
Tensioni nella sezione: σ=1210.81 τ=151.35
CC 60 SLU (Collegamento -182_-384)
Azioni sul collegamento: N=-27468.70 Ty=-18.09 Tz=69.65 Mx=-0.01 Mz=-13.33
Sollecitazioni agenti localmente: Ty_l=-4994.30 Mx_l=-99.89
Tensioni nella sezione: σ=1210.74 τ=151.34
CC 61 SLU (Collegamento -182_-384)
Azioni sul collegamento: N=-21018.70 Ty=-17.90 Tz=45.91 Mx=-0.00 Mz=-13.19
Sollecitazioni agenti localmente: Ty_l=-3821.58 Mx_l=-76.43
Tensioni nella sezione: σ=926.44 τ=115.81
CC 62 SLU (Collegamento -182_-384)
Azioni sul collegamento: N=-20204.50 Ty=-17.15 Tz=42.91 Mx=-0.00 Mz=-12.64
Sollecitazioni agenti localmente: Ty_l=-3673.54 Mx_l=-73.47
Tensioni nella sezione: σ=890.55 τ=111.32
CC 63 SLU (Collegamento -182_-384)
Azioni sul collegamento: N=-20612.50 Ty=-17.61 Tz=44.35 Mx=-0.00 Mz=-13.10
Sollecitazioni agenti localmente: Ty_l=-3747.72 Mx_l=-74.95
Tensioni nella sezione: σ=908.54 τ=113.57
CC 64 SLU (Collegamento -182_-384)
Azioni sul collegamento: N=-20610.70 Ty=-17.43 Tz=44.47 Mx=-0.01 Mz=-12.73

Sollecitazioni agenti localmente: Ty_l=-3747.40 Mx_l=-74.95
Tensioni nella sezione: σ=908.46 τ=113.56
CC 65 SLU (Collegamento -182_-384)
Azioni sul collegamento: N=-22813.30 Ty=4.55 Tz=52.10 Mx=-0.00 Mz=3.75
Sollecitazioni agenti localmente: Ty_l=-4147.87 Mx_l=-82.96
Tensioni nella sezione: σ=1005.54 τ=125.69
CC 66 SLU (Collegamento -182_-384)
Azioni sul collegamento: N=-21999.10 Ty=5.30 Tz=49.10 Mx=-0.00 Mz=4.30
Sollecitazioni agenti localmente: Ty_l=-3999.83 Mx_l=-80.00
Tensioni nella sezione: σ=969.65 τ=121.21
CC 67 SLU (Collegamento -182_-384)
Azioni sul collegamento: N=-22407.10 Ty=4.84 Tz=50.54 Mx=-0.00 Mz=3.84
Sollecitazioni agenti localmente: Ty_l=-4074.01 Mx_l=-81.48
Tensioni nella sezione: σ=987.64 τ=123.45
CC 68 SLU (Collegamento -182_-384)
Azioni sul collegamento: N=-22405.30 Ty=5.01 Tz=50.66 Mx=-0.01 Mz=4.20
Sollecitazioni agenti localmente: Ty_l=-4073.69 Mx_l=-81.47
Tensioni nella sezione: σ=987.56 τ=123.44
CC 97 SLU (Collegamento -182_-384)
Azioni sul collegamento: N=-12779.50 Ty=-22.48 Tz=24.03 Mx=-0.06 Mz=-25.00
Sollecitazioni agenti localmente: Ty_l=-2323.54 Mx_l=-46.47
Tensioni nella sezione: σ=563.28 τ=70.41
CC 98 SLU (Collegamento -182_-384)
Azioni sul collegamento: N=-11965.30 Ty=-21.73 Tz=21.02 Mx=-0.06 Mz=-24.45
Sollecitazioni agenti localmente: Ty_l=-2175.50 Mx_l=-43.51
Tensioni nella sezione: σ=527.39 τ=65.92
CC 99 SLU (Collegamento -182_-384)
Azioni sul collegamento: N=-12373.20 Ty=-22.20 Tz=22.47 Mx=-0.05 Mz=-24.91
Sollecitazioni agenti localmente: Ty_l=-2249.68 Mx_l=-44.99
Tensioni nella sezione: σ=545.38 τ=68.17
CC 100 SLU (Collegamento -182_-384)
Azioni sul collegamento: N=-12371.50 Ty=-22.02 Tz=22.58 Mx=-0.06 Mz=-24.55
Sollecitazioni agenti localmente: Ty_l=-2249.36 Mx_l=-44.99
Tensioni nella sezione: σ=545.30 τ=68.16
CC 101 SLU (Collegamento -182_-384)
Azioni sul collegamento: N=-10566.60 Ty=-8.33 Tz=15.50 Mx=0.00 Mz=-5.31
Sollecitazioni agenti localmente: Ty_l=-1921.20 Mx_l=-38.42
Tensioni nella sezione: σ=465.74 τ=58.22
CC 102 SLU (Collegamento -182_-384)
Azioni sul collegamento: N=-9752.38 Ty=-7.57 Tz=12.50 Mx=0.00 Mz=-4.76
Sollecitazioni agenti localmente: Ty_l=-1773.16 Mx_l=-35.46
Tensioni nella sezione: σ=429.86 τ=53.73
CC 103 SLU (Collegamento -182_-384)
Azioni sul collegamento: N=-10160.40 Ty=-8.04 Tz=13.94 Mx=0.00 Mz=-5.22
Sollecitazioni agenti localmente: Ty_l=-1847.34 Mx_l=-36.95
Tensioni nella sezione: σ=447.84 τ=55.98
CC 104 SLU (Collegamento -182_-384)
Azioni sul collegamento: N=-10158.60 Ty=-7.86 Tz=14.06 Mx=0.00 Mz=-4.85
Sollecitazioni agenti localmente: Ty_l=-1847.02 Mx_l=-36.94
Tensioni nella sezione: σ=447.76 τ=55.97

Flessione attacco inferiore piastra

Bnetta=220.00 Hnetta=15.00
CC 1 SLV (Collegamento -182_-384)
Azioni sul collegamento: N=-5856.57 Ty=-4.82 Tz=-1.96 Mx=0.01 Mz=-1.13
Sollecitazioni agenti localmente: Ty_l=-1064.83 Mx_l=-21.30
Tensioni nella sezione: σ=258.14 τ=32.27
CC 1 SLV (Collegamento -182_-384)
Azioni sul collegamento: N=-5856.57 Ty=-12.53 Tz=-1.96 Mx=0.01 Mz=-7.45
Sollecitazioni agenti localmente: Ty_l=-1064.83 Mx_l=-21.30
Tensioni nella sezione: σ=258.14 τ=32.27
CC 1 SLV (Collegamento -182_-384)
Azioni sul collegamento: N=-5856.57 Ty=-4.82 Tz=27.25 Mx=0.01 Mz=-1.13
Sollecitazioni agenti localmente: Ty_l=-1064.83 Mx_l=-21.30
Tensioni nella sezione: σ=258.14 τ=32.27
CC 1 SLV (Collegamento -182_-384)
Azioni sul collegamento: N=-5856.57 Ty=-12.53 Tz=27.25 Mx=0.01 Mz=-7.45
Sollecitazioni agenti localmente: Ty_l=-1064.83 Mx_l=-21.30
Tensioni nella sezione: σ=258.14 τ=32.27
CC 1 SLV (Collegamento -182_-384)
Azioni sul collegamento: N=-13681.20 Ty=-4.82 Tz=-1.96 Mx=0.01 Mz=-1.13
Sollecitazioni agenti localmente: Ty_l=-2487.50 Mx_l=-49.75
Tensioni nella sezione: σ=603.03 τ=75.38
CC 1 SLV (Collegamento -182_-384)
Azioni sul collegamento: N=-13681.20 Ty=-12.53 Tz=-1.96 Mx=0.01 Mz=-7.45
Sollecitazioni agenti localmente: Ty_l=-2487.49 Mx_l=-49.75
Tensioni nella sezione: σ=603.03 τ=75.38
CC 1 SLV (Collegamento -182_-384)

Azioni sul collegamento: N=-13681.20 Ty=-4.82 Tz=27.25 Mx=0.01 Mz=-1.13
Sollecitazioni agenti localmente: Ty_l=-2487.50 Mx_l=-49.75
Tensioni nella sezione: σ=603.03 τ=75.38
CC 1 SLV (Collegamento -182_-384)
Azioni sul collegamento: N=-13681.20 Ty=-12.53 Tz=27.25 Mx=0.01 Mz=-7.45
Sollecitazioni agenti localmente: Ty_l=-2487.49 Mx_l=-49.75
Tensioni nella sezione: σ=603.03 τ=75.38
CC 2 SLD (Collegamento -182_-384)
Azioni sul collegamento: N=-8673.24 Ty=-8.42 Tz=8.57 Mx=0.00 Mz=-5.47
Sollecitazioni agenti localmente: Ty_l=-1576.95 Mx_l=-31.54
Tensioni nella sezione: σ=382.29 τ=47.79
CC 2 SLD (Collegamento -182_-384)
Azioni sul collegamento: N=-8673.24 Ty=-10.78 Tz=8.57 Mx=0.00 Mz=-7.39
Sollecitazioni agenti localmente: Ty_l=-1576.95 Mx_l=-31.54
Tensioni nella sezione: σ=382.29 τ=47.79
CC 2 SLD (Collegamento -182_-384)
Azioni sul collegamento: N=-8673.24 Ty=-8.42 Tz=17.48 Mx=0.00 Mz=-5.47
Sollecitazioni agenti localmente: Ty_l=-1576.95 Mx_l=-31.54
Tensioni nella sezione: σ=382.29 τ=47.79
CC 2 SLD (Collegamento -182_-384)
Azioni sul collegamento: N=-8673.24 Ty=-10.78 Tz=17.48 Mx=0.00 Mz=-7.39
Sollecitazioni agenti localmente: Ty_l=-1576.95 Mx_l=-31.54
Tensioni nella sezione: σ=382.29 τ=47.79
CC 2 SLD (Collegamento -182_-384)
Azioni sul collegamento: N=-11059.20 Ty=-8.42 Tz=8.57 Mx=0.00 Mz=-5.47
Sollecitazioni agenti localmente: Ty_l=-2010.77 Mx_l=-40.22
Tensioni nella sezione: σ=487.46 τ=60.93
CC 2 SLD (Collegamento -182_-384)
Azioni sul collegamento: N=-11059.20 Ty=-10.78 Tz=8.57 Mx=0.00 Mz=-7.39
Sollecitazioni agenti localmente: Ty_l=-2010.77 Mx_l=-40.22
Tensioni nella sezione: σ=487.46 τ=60.93
CC 2 SLD (Collegamento -182_-384)
Azioni sul collegamento: N=-11059.20 Ty=-8.42 Tz=17.48 Mx=0.00 Mz=-5.47
Sollecitazioni agenti localmente: Ty_l=-2010.77 Mx_l=-40.22
Tensioni nella sezione: σ=487.46 τ=60.93
CC 2 SLD (Collegamento -182_-384)
Azioni sul collegamento: N=-11059.20 Ty=-10.78 Tz=17.48 Mx=0.00 Mz=-7.39
Sollecitazioni agenti localmente: Ty_l=-2010.77 Mx_l=-40.22
Tensioni nella sezione: σ=487.46 τ=60.93
CC 3 SLV (Collegamento -182_-384)
Azioni sul collegamento: N=-5861.42 Ty=-5.33 Tz=-1.63 Mx=0.01 Mz=-2.18
Sollecitazioni agenti localmente: Ty_l=-1065.71 Mx_l=-21.31
Tensioni nella sezione: σ=258.35 τ=32.29
CC 3 SLV (Collegamento -182_-384)
Azioni sul collegamento: N=-5861.42 Ty=-12.02 Tz=-1.63 Mx=0.01 Mz=-6.41
Sollecitazioni agenti localmente: Ty_l=-1065.71 Mx_l=-21.31
Tensioni nella sezione: σ=258.35 τ=32.29
CC 3 SLV (Collegamento -182_-384)
Azioni sul collegamento: N=-5861.42 Ty=-5.33 Tz=26.92 Mx=0.01 Mz=-2.18
Sollecitazioni agenti localmente: Ty_l=-1065.71 Mx_l=-21.31
Tensioni nella sezione: σ=258.35 τ=32.29
CC 3 SLV (Collegamento -182_-384)
Azioni sul collegamento: N=-5861.42 Ty=-12.02 Tz=26.92 Mx=0.01 Mz=-6.41
Sollecitazioni agenti localmente: Ty_l=-1065.71 Mx_l=-21.31
Tensioni nella sezione: σ=258.35 τ=32.29
CC 3 SLV (Collegamento -182_-384)
Azioni sul collegamento: N=-13676.40 Ty=-5.33 Tz=-1.63 Mx=0.01 Mz=-2.18
Sollecitazioni agenti localmente: Ty_l=-2486.61 Mx_l=-49.73
Tensioni nella sezione: σ=602.81 τ=75.35
CC 3 SLV (Collegamento -182_-384)
Azioni sul collegamento: N=-13676.40 Ty=-12.02 Tz=-1.63 Mx=0.01 Mz=-6.41
Sollecitazioni agenti localmente: Ty_l=-2486.61 Mx_l=-49.73
Tensioni nella sezione: σ=602.81 τ=75.35
CC 3 SLV (Collegamento -182_-384)
Azioni sul collegamento: N=-13676.40 Ty=-5.33 Tz=26.92 Mx=0.01 Mz=-2.18
Sollecitazioni agenti localmente: Ty_l=-2486.61 Mx_l=-49.73
Tensioni nella sezione: σ=602.81 τ=75.35
CC 3 SLV (Collegamento -182_-384)
Azioni sul collegamento: N=-13676.40 Ty=-12.02 Tz=26.92 Mx=0.01 Mz=-6.41
Sollecitazioni agenti localmente: Ty_l=-2486.61 Mx_l=-49.73
Tensioni nella sezione: σ=602.81 τ=75.35
CC 4 SLD (Collegamento -182_-384)
Azioni sul collegamento: N=-8674.72 Ty=-8.58 Tz=8.67 Mx=-0.00 Mz=-5.79
Sollecitazioni agenti localmente: Ty_l=-1577.22 Mx_l=-31.54
Tensioni nella sezione: σ=382.36 τ=47.79
CC 4 SLD (Collegamento -182_-384)
Azioni sul collegamento: N=-8674.72 Ty=-10.62 Tz=8.67 Mx=-0.00 Mz=-7.07
Sollecitazioni agenti localmente: Ty_l=-1577.22 Mx_l=-31.54
Tensioni nella sezione: σ=382.36 τ=47.79

CC 4 SLD (Collegamento -182_-384)
Azioni sul collegamento: N=-8674.72 Ty=-8.58 Tz=17.38 Mx=-0.00 Mz=-5.79
Sollecitazioni agenti localmente: Ty_l=-1577.22 Mx_l=-31.54
Tensioni nella sezione: σ=382.36 τ=47.79
CC 4 SLD (Collegamento -182_-384)
Azioni sul collegamento: N=-8674.72 Ty=-10.62 Tz=17.38 Mx=-0.00 Mz=-7.07
Sollecitazioni agenti localmente: Ty_l=-1577.22 Mx_l=-31.54
Tensioni nella sezione: σ=382.36 τ=47.79
CC 4 SLD (Collegamento -182_-384)
Azioni sul collegamento: N=-11057.70 Ty=-8.58 Tz=8.67 Mx=-0.00 Mz=-5.79
Sollecitazioni agenti localmente: Ty_l=-2010.50 Mx_l=-40.21
Tensioni nella sezione: σ=487.39 τ=60.92
CC 4 SLD (Collegamento -182_-384)
Azioni sul collegamento: N=-11057.70 Ty=-10.62 Tz=8.67 Mx=-0.00 Mz=-7.07
Sollecitazioni agenti localmente: Ty_l=-2010.50 Mx_l=-40.21
Tensioni nella sezione: σ=487.39 τ=60.92
CC 4 SLD (Collegamento -182_-384)
Azioni sul collegamento: N=-11057.70 Ty=-8.58 Tz=17.38 Mx=-0.00 Mz=-5.79
Sollecitazioni agenti localmente: Ty_l=-2010.50 Mx_l=-40.21
Tensioni nella sezione: σ=487.39 τ=60.92
CC 4 SLD (Collegamento -182_-384)
Azioni sul collegamento: N=-11057.70 Ty=-10.62 Tz=17.38 Mx=-0.00 Mz=-7.07
Sollecitazioni agenti localmente: Ty_l=-2010.50 Mx_l=-40.21
Tensioni nella sezione: σ=487.39 τ=60.92
CC 5 SLV (Collegamento -182_-384)
Azioni sul collegamento: N=-13676.40 Ty=-12.02 Tz=26.92 Mx=0.01 Mz=-6.41
Sollecitazioni agenti localmente: Ty_l=-2486.61 Mx_l=-49.73
Tensioni nella sezione: σ=602.81 τ=75.35
CC 5 SLV (Collegamento -182_-384)
Azioni sul collegamento: N=-13676.40 Ty=-5.33 Tz=26.92 Mx=0.01 Mz=-2.18
Sollecitazioni agenti localmente: Ty_l=-2486.61 Mx_l=-49.73
Tensioni nella sezione: σ=602.81 τ=75.35
CC 5 SLV (Collegamento -182_-384)
Azioni sul collegamento: N=-13676.40 Ty=-12.02 Tz=-1.63 Mx=0.01 Mz=-6.41
Sollecitazioni agenti localmente: Ty_l=-2486.61 Mx_l=-49.73
Tensioni nella sezione: σ=602.81 τ=75.35
CC 5 SLV (Collegamento -182_-384)
Azioni sul collegamento: N=-13676.40 Ty=-5.33 Tz=-1.63 Mx=0.01 Mz=-2.18
Sollecitazioni agenti localmente: Ty_l=-2486.61 Mx_l=-49.73
Tensioni nella sezione: σ=602.81 τ=75.35
CC 5 SLV (Collegamento -182_-384)
Azioni sul collegamento: N=-5861.42 Ty=-12.02 Tz=26.92 Mx=0.01 Mz=-6.41
Sollecitazioni agenti localmente: Ty_l=-1065.71 Mx_l=-21.31
Tensioni nella sezione: σ=258.35 τ=32.29
CC 5 SLV (Collegamento -182_-384)
Azioni sul collegamento: N=-5861.42 Ty=-5.33 Tz=26.92 Mx=0.01 Mz=-2.18
Sollecitazioni agenti localmente: Ty_l=-1065.71 Mx_l=-21.31
Tensioni nella sezione: σ=258.35 τ=32.29
CC 5 SLV (Collegamento -182_-384)
Azioni sul collegamento: N=-5861.42 Ty=-12.02 Tz=-1.63 Mx=0.01 Mz=-6.41
Sollecitazioni agenti localmente: Ty_l=-1065.71 Mx_l=-21.31
Tensioni nella sezione: σ=258.35 τ=32.29
CC 5 SLV (Collegamento -182_-384)
Azioni sul collegamento: N=-5861.42 Ty=-5.33 Tz=-1.63 Mx=0.01 Mz=-2.18
Sollecitazioni agenti localmente: Ty_l=-1065.71 Mx_l=-21.31
Tensioni nella sezione: σ=258.35 τ=32.29
CC 6 SLD (Collegamento -182_-384)
Azioni sul collegamento: N=-11057.70 Ty=-10.62 Tz=17.38 Mx=0.00 Mz=-7.07
Sollecitazioni agenti localmente: Ty_l=-2010.50 Mx_l=-40.21
Tensioni nella sezione: σ=487.39 τ=60.92
CC 6 SLD (Collegamento -182_-384)
Azioni sul collegamento: N=-11057.70 Ty=-8.58 Tz=17.38 Mx=0.00 Mz=-5.79
Sollecitazioni agenti localmente: Ty_l=-2010.50 Mx_l=-40.21
Tensioni nella sezione: σ=487.39 τ=60.92
CC 6 SLD (Collegamento -182_-384)
Azioni sul collegamento: N=-11057.70 Ty=-10.62 Tz=8.67 Mx=0.00 Mz=-7.07
Sollecitazioni agenti localmente: Ty_l=-2010.50 Mx_l=-40.21
Tensioni nella sezione: σ=487.39 τ=60.92
CC 6 SLD (Collegamento -182_-384)
Azioni sul collegamento: N=-11057.70 Ty=-8.58 Tz=8.67 Mx=0.00 Mz=-5.79
Sollecitazioni agenti localmente: Ty_l=-2010.50 Mx_l=-40.21
Tensioni nella sezione: σ=487.39 τ=60.92
CC 6 SLD (Collegamento -182_-384)
Azioni sul collegamento: N=-8674.72 Ty=-10.62 Tz=17.38 Mx=0.00 Mz=-7.07
Sollecitazioni agenti localmente: Ty_l=-1577.22 Mx_l=-31.54
Tensioni nella sezione: σ=382.36 τ=47.79
CC 6 SLD (Collegamento -182_-384)
Azioni sul collegamento: N=-8674.72 Ty=-8.58 Tz=17.38 Mx=0.00 Mz=-5.79
Sollecitazioni agenti localmente: Ty_l=-1577.22 Mx_l=-31.54

Tensioni nella sezione: σ=382.36 τ=47.79
CC 6 SLD (Collegamento -182_-384)
Azioni sul collegamento: N=-8674.72 Ty=-10.62 Tz=8.67 Mx=0.00 Mz=-7.07
Sollecitazioni agenti localmente: Ty_l=-1577.22 Mx_l=-31.54
Tensioni nella sezione: σ=382.36 τ=47.79
CC 6 SLD (Collegamento -182_-384)
Azioni sul collegamento: N=-8674.72 Ty=-8.58 Tz=8.67 Mx=0.00 Mz=-5.79
Sollecitazioni agenti localmente: Ty_l=-1577.22 Mx_l=-31.54
Tensioni nella sezione: σ=382.36 τ=47.79
CC 7 SLV (Collegamento -182_-384)
Azioni sul collegamento: N=-13681.20 Ty=-12.53 Tz=27.25 Mx=0.01 Mz=-7.45
Sollecitazioni agenti localmente: Ty_l=-2487.49 Mx_l=-49.75
Tensioni nella sezione: σ=603.03 τ=75.38
CC 7 SLV (Collegamento -182_-384)
Azioni sul collegamento: N=-13681.20 Ty=-4.82 Tz=27.25 Mx=0.01 Mz=-1.13
Sollecitazioni agenti localmente: Ty_l=-2487.50 Mx_l=-49.75
Tensioni nella sezione: σ=603.03 τ=75.38
CC 7 SLV (Collegamento -182_-384)
Azioni sul collegamento: N=-13681.20 Ty=-12.53 Tz=-1.96 Mx=0.01 Mz=-7.45
Sollecitazioni agenti localmente: Ty_l=-2487.49 Mx_l=-49.75
Tensioni nella sezione: σ=603.03 τ=75.38
CC 7 SLV (Collegamento -182_-384)
Azioni sul collegamento: N=-13681.20 Ty=-4.82 Tz=-1.96 Mx=0.01 Mz=-1.13
Sollecitazioni agenti localmente: Ty_l=-2487.50 Mx_l=-49.75
Tensioni nella sezione: σ=603.03 τ=75.38
CC 7 SLV (Collegamento -182_-384)
Azioni sul collegamento: N=-5856.57 Ty=-12.53 Tz=27.25 Mx=0.01 Mz=-7.45
Sollecitazioni agenti localmente: Ty_l=-1064.83 Mx_l=-21.30
Tensioni nella sezione: σ=258.14 τ=32.27
CC 7 SLV (Collegamento -182_-384)
Azioni sul collegamento: N=-5856.57 Ty=-4.82 Tz=27.25 Mx=0.01 Mz=-1.13
Sollecitazioni agenti localmente: Ty_l=-1064.83 Mx_l=-21.30
Tensioni nella sezione: σ=258.14 τ=32.27
CC 7 SLV (Collegamento -182_-384)
Azioni sul collegamento: N=-5856.57 Ty=-12.53 Tz=-1.96 Mx=0.01 Mz=-7.45
Sollecitazioni agenti localmente: Ty_l=-1064.83 Mx_l=-21.30
Tensioni nella sezione: σ=258.14 τ=32.27
CC 7 SLV (Collegamento -182_-384)
Azioni sul collegamento: N=-5856.57 Ty=-4.82 Tz=-1.96 Mx=0.01 Mz=-1.13
Sollecitazioni agenti localmente: Ty_l=-1064.83 Mx_l=-21.30
Tensioni nella sezione: σ=258.14 τ=32.27
CC 8 SLD (Collegamento -182_-384)
Azioni sul collegamento: N=-11059.20 Ty=-10.78 Tz=17.48 Mx=-0.00 Mz=-7.39
Sollecitazioni agenti localmente: Ty_l=-2010.77 Mx_l=-40.22
Tensioni nella sezione: σ=487.46 τ=60.93
CC 8 SLD (Collegamento -182_-384)
Azioni sul collegamento: N=-11059.20 Ty=-8.42 Tz=17.48 Mx=-0.00 Mz=-5.47
Sollecitazioni agenti localmente: Ty_l=-2010.77 Mx_l=-40.22
Tensioni nella sezione: σ=487.46 τ=60.93
CC 8 SLD (Collegamento -182_-384)
Azioni sul collegamento: N=-11059.20 Ty=-10.78 Tz=8.57 Mx=-0.00 Mz=-7.39
Sollecitazioni agenti localmente: Ty_l=-2010.77 Mx_l=-40.22
Tensioni nella sezione: σ=487.46 τ=60.93
CC 8 SLD (Collegamento -182_-384)
Azioni sul collegamento: N=-11059.20 Ty=-8.42 Tz=8.57 Mx=-0.00 Mz=-5.47
Sollecitazioni agenti localmente: Ty_l=-2010.77 Mx_l=-40.22
Tensioni nella sezione: σ=487.46 τ=60.93
CC 8 SLD (Collegamento -182_-384)
Azioni sul collegamento: N=-8673.24 Ty=-10.78 Tz=17.48 Mx=-0.00 Mz=-7.39
Sollecitazioni agenti localmente: Ty_l=-1576.95 Mx_l=-31.54
Tensioni nella sezione: σ=382.29 τ=47.79
CC 8 SLD (Collegamento -182_-384)
Azioni sul collegamento: N=-8673.24 Ty=-8.42 Tz=17.48 Mx=-0.00 Mz=-5.47
Sollecitazioni agenti localmente: Ty_l=-1576.95 Mx_l=-31.54
Tensioni nella sezione: σ=382.29 τ=47.79
CC 8 SLD (Collegamento -182_-384)
Azioni sul collegamento: N=-8673.24 Ty=-10.78 Tz=8.57 Mx=-0.00 Mz=-7.39
Sollecitazioni agenti localmente: Ty_l=-1576.95 Mx_l=-31.54
Tensioni nella sezione: σ=382.29 τ=47.79
CC 8 SLD (Collegamento -182_-384)
Azioni sul collegamento: N=-8673.24 Ty=-8.42 Tz=8.57 Mx=-0.00 Mz=-5.47
Sollecitazioni agenti localmente: Ty_l=-1576.95 Mx_l=-31.54
Tensioni nella sezione: σ=382.29 τ=47.79
CC 9 SLV (Collegamento -182_-384)
Azioni sul collegamento: N=-8587.84 Ty=-6.74 Tz=7.77 Mx=0.02 Mz=-1.76
Sollecitazioni agenti localmente: Ty_l=-1561.43 Mx_l=-31.23
Tensioni nella sezione: σ=378.53 τ=47.32
CC 9 SLV (Collegamento -182_-384)
Azioni sul collegamento: N=-8587.84 Ty=-10.61 Tz=7.77 Mx=0.02 Mz=-6.83

Sollecitazioni agenti localmente: Ty_l=-1561.43 Mx_l=-31.23
Tensioni nella sezione: σ=378.53 τ=47.32
CC 9 SLV (Collegamento -182_-384)
Azioni sul collegamento: N=-8587.84 Ty=-6.74 Tz=17.52 Mx=0.02 Mz=-1.76
Sollecitazioni agenti localmente: Ty_l=-1561.43 Mx_l=-31.23
Tensioni nella sezione: σ=378.53 τ=47.32
CC 9 SLV (Collegamento -182_-384)
Azioni sul collegamento: N=-8587.84 Ty=-10.61 Tz=17.52 Mx=0.02 Mz=-6.83
Sollecitazioni agenti localmente: Ty_l=-1561.43 Mx_l=-31.23
Tensioni nella sezione: σ=378.53 τ=47.32
CC 9 SLV (Collegamento -182_-384)
Azioni sul collegamento: N=-10950.00 Ty=-6.74 Tz=7.77 Mx=0.02 Mz=-1.76
Sollecitazioni agenti localmente: Ty_l=-1990.90 Mx_l=-39.82
Tensioni nella sezione: σ=482.64 τ=60.33
CC 9 SLV (Collegamento -182_-384)
Azioni sul collegamento: N=-10950.00 Ty=-10.61 Tz=7.77 Mx=0.02 Mz=-6.83
Sollecitazioni agenti localmente: Ty_l=-1990.90 Mx_l=-39.82
Tensioni nella sezione: σ=482.64 τ=60.33
CC 9 SLV (Collegamento -182_-384)
Azioni sul collegamento: N=-10950.00 Ty=-6.74 Tz=17.52 Mx=0.02 Mz=-1.76
Sollecitazioni agenti localmente: Ty_l=-1990.90 Mx_l=-39.82
Tensioni nella sezione: σ=482.64 τ=60.33
CC 9 SLV (Collegamento -182_-384)
Azioni sul collegamento: N=-10950.00 Ty=-10.61 Tz=17.52 Mx=0.02 Mz=-6.83
Sollecitazioni agenti localmente: Ty_l=-1990.90 Mx_l=-39.82
Tensioni nella sezione: σ=482.64 τ=60.33
CC 10 SLD (Collegamento -182_-384)
Azioni sul collegamento: N=-9506.09 Ty=-9.01 Tz=11.54 Mx=0.00 Mz=-5.66
Sollecitazioni agenti localmente: Ty_l=-1728.38 Mx_l=-34.57
Tensioni nella sezione: σ=419.00 τ=52.38
CC 10 SLD (Collegamento -182_-384)
Azioni sul collegamento: N=-9506.09 Ty=-10.19 Tz=11.54 Mx=0.00 Mz=-7.20
Sollecitazioni agenti localmente: Ty_l=-1728.38 Mx_l=-34.57
Tensioni nella sezione: σ=419.00 τ=52.38
CC 10 SLD (Collegamento -182_-384)
Azioni sul collegamento: N=-9506.09 Ty=-9.01 Tz=14.51 Mx=0.00 Mz=-5.66
Sollecitazioni agenti localmente: Ty_l=-1728.38 Mx_l=-34.57
Tensioni nella sezione: σ=419.00 τ=52.38
CC 10 SLD (Collegamento -182_-384)
Azioni sul collegamento: N=-9506.09 Ty=-10.19 Tz=14.51 Mx=0.00 Mz=-7.20
Sollecitazioni agenti localmente: Ty_l=-1728.38 Mx_l=-34.57
Tensioni nella sezione: σ=419.00 τ=52.38
CC 10 SLD (Collegamento -182_-384)
Azioni sul collegamento: N=-10226.40 Ty=-9.01 Tz=11.54 Mx=0.00 Mz=-5.66
Sollecitazioni agenti localmente: Ty_l=-1859.34 Mx_l=-37.19
Tensioni nella sezione: σ=450.75 τ=56.34
CC 10 SLD (Collegamento -182_-384)
Azioni sul collegamento: N=-10226.40 Ty=-10.19 Tz=11.54 Mx=0.00 Mz=-7.20
Sollecitazioni agenti localmente: Ty_l=-1859.34 Mx_l=-37.19
Tensioni nella sezione: σ=450.75 τ=56.34
CC 10 SLD (Collegamento -182_-384)
Azioni sul collegamento: N=-10226.40 Ty=-9.01 Tz=14.51 Mx=0.00 Mz=-5.66
Sollecitazioni agenti localmente: Ty_l=-1859.34 Mx_l=-37.19
Tensioni nella sezione: σ=450.75 τ=56.34
CC 10 SLD (Collegamento -182_-384)
Azioni sul collegamento: N=-10226.40 Ty=-10.19 Tz=14.51 Mx=0.00 Mz=-7.20
Sollecitazioni agenti localmente: Ty_l=-1859.34 Mx_l=-37.19
Tensioni nella sezione: σ=450.75 τ=56.34
CC 11 SLV (Collegamento -182_-384)
Azioni sul collegamento: N=-10933.80 Ty=-8.90 Tz=16.43 Mx=0.02 Mz=-3.34
Sollecitazioni agenti localmente: Ty_l=-1987.96 Mx_l=-39.76
Tensioni nella sezione: σ=481.93 τ=60.24
CC 11 SLV (Collegamento -182_-384)
Azioni sul collegamento: N=-10933.80 Ty=-8.45 Tz=16.43 Mx=0.02 Mz=-5.25
Sollecitazioni agenti localmente: Ty_l=-1987.96 Mx_l=-39.76
Tensioni nella sezione: σ=481.93 τ=60.24
CC 11 SLV (Collegamento -182_-384)
Azioni sul collegamento: N=-10933.80 Ty=-8.90 Tz=8.86 Mx=0.02 Mz=-3.34
Sollecitazioni agenti localmente: Ty_l=-1987.96 Mx_l=-39.76
Tensioni nella sezione: σ=481.93 τ=60.24
CC 11 SLV (Collegamento -182_-384)
Azioni sul collegamento: N=-10933.80 Ty=-8.45 Tz=8.86 Mx=0.02 Mz=-5.25
Sollecitazioni agenti localmente: Ty_l=-1987.96 Mx_l=-39.76
Tensioni nella sezione: σ=481.93 τ=60.24
CC 11 SLV (Collegamento -182_-384)
Azioni sul collegamento: N=-8604.01 Ty=-8.90 Tz=16.43 Mx=0.02 Mz=-3.34
Sollecitazioni agenti localmente: Ty_l=-1564.37 Mx_l=-31.29
Tensioni nella sezione: σ=379.24 τ=47.41
CC 11 SLV (Collegamento -182_-384)

Azioni sul collegamento: N=-8604.01 Ty=-8.45 Tz=16.43 Mx=0.02 Mz=-5.25
Sollecitazioni agenti localmente: Ty_l=-1564.37 Mx_l=-31.29
Tensioni nella sezione: σ=379.24 τ=47.41
CC 11 SLV (Collegamento -182_-384)
Azioni sul collegamento: N=-8604.01 Ty=-8.90 Tz=8.86 Mx=0.02 Mz=-3.34
Sollecitazioni agenti localmente: Ty_l=-1564.37 Mx_l=-31.29
Tensioni nella sezione: σ=379.24 τ=47.41
CC 11 SLV (Collegamento -182_-384)
Azioni sul collegamento: N=-8604.01 Ty=-8.45 Tz=8.86 Mx=0.02 Mz=-5.25
Sollecitazioni agenti localmente: Ty_l=-1564.37 Mx_l=-31.29
Tensioni nella sezione: σ=379.24 τ=47.41
CC 12 SLD (Collegamento -182_-384)
Azioni sul collegamento: N=-10221.40 Ty=-9.67 Tz=14.18 Mx=0.00 Mz=-6.14
Sollecitazioni agenti localmente: Ty_l=-1858.44 Mx_l=-37.17
Tensioni nella sezione: σ=450.53 τ=56.32
CC 12 SLD (Collegamento -182_-384)
Azioni sul collegamento: N=-10221.40 Ty=-9.53 Tz=14.18 Mx=0.00 Mz=-6.72
Sollecitazioni agenti localmente: Ty_l=-1858.44 Mx_l=-37.17
Tensioni nella sezione: σ=450.53 τ=56.32
CC 12 SLD (Collegamento -182_-384)
Azioni sul collegamento: N=-10221.40 Ty=-9.67 Tz=11.87 Mx=0.00 Mz=-6.14
Sollecitazioni agenti localmente: Ty_l=-1858.44 Mx_l=-37.17
Tensioni nella sezione: σ=450.53 τ=56.32
CC 12 SLD (Collegamento -182_-384)
Azioni sul collegamento: N=-10221.40 Ty=-9.53 Tz=11.87 Mx=0.00 Mz=-6.72
Sollecitazioni agenti localmente: Ty_l=-1858.44 Mx_l=-37.17
Tensioni nella sezione: σ=450.53 τ=56.32
CC 12 SLD (Collegamento -182_-384)
Azioni sul collegamento: N=-9511.02 Ty=-9.67 Tz=14.18 Mx=0.00 Mz=-6.14
Sollecitazioni agenti localmente: Ty_l=-1729.28 Mx_l=-34.59
Tensioni nella sezione: σ=419.22 τ=52.40
CC 12 SLD (Collegamento -182_-384)
Azioni sul collegamento: N=-9511.02 Ty=-9.53 Tz=14.18 Mx=0.00 Mz=-6.72
Sollecitazioni agenti localmente: Ty_l=-1729.28 Mx_l=-34.59
Tensioni nella sezione: σ=419.22 τ=52.40
CC 12 SLD (Collegamento -182_-384)
Azioni sul collegamento: N=-9511.02 Ty=-9.67 Tz=11.87 Mx=0.00 Mz=-6.14
Sollecitazioni agenti localmente: Ty_l=-1729.28 Mx_l=-34.59
Tensioni nella sezione: σ=419.22 τ=52.40
CC 12 SLD (Collegamento -182_-384)
Azioni sul collegamento: N=-9511.02 Ty=-9.53 Tz=11.87 Mx=0.00 Mz=-6.72
Sollecitazioni agenti localmente: Ty_l=-1729.28 Mx_l=-34.59
Tensioni nella sezione: σ=419.22 τ=52.40
CC 13 SLV (Collegamento -182_-384)
Azioni sul collegamento: N=-8604.01 Ty=-8.45 Tz=8.86 Mx=0.00 Mz=-5.25
Sollecitazioni agenti localmente: Ty_l=-1564.37 Mx_l=-31.29
Tensioni nella sezione: σ=379.24 τ=47.41
CC 13 SLV (Collegamento -182_-384)
Azioni sul collegamento: N=-8604.01 Ty=-8.90 Tz=8.86 Mx=0.00 Mz=-3.34
Sollecitazioni agenti localmente: Ty_l=-1564.37 Mx_l=-31.29
Tensioni nella sezione: σ=379.24 τ=47.41
CC 13 SLV (Collegamento -182_-384)
Azioni sul collegamento: N=-8604.01 Ty=-8.45 Tz=16.43 Mx=0.00 Mz=-5.25
Sollecitazioni agenti localmente: Ty_l=-1564.37 Mx_l=-31.29
Tensioni nella sezione: σ=379.24 τ=47.41
CC 13 SLV (Collegamento -182_-384)
Azioni sul collegamento: N=-8604.01 Ty=-8.90 Tz=16.43 Mx=0.00 Mz=-3.34
Sollecitazioni agenti localmente: Ty_l=-1564.37 Mx_l=-31.29
Tensioni nella sezione: σ=379.24 τ=47.41
CC 13 SLV (Collegamento -182_-384)
Azioni sul collegamento: N=-10933.80 Ty=-8.45 Tz=8.86 Mx=0.00 Mz=-5.25
Sollecitazioni agenti localmente: Ty_l=-1987.96 Mx_l=-39.76
Tensioni nella sezione: σ=481.93 τ=60.24
CC 13 SLV (Collegamento -182_-384)
Azioni sul collegamento: N=-10933.80 Ty=-8.90 Tz=8.86 Mx=0.00 Mz=-3.34
Sollecitazioni agenti localmente: Ty_l=-1987.96 Mx_l=-39.76
Tensioni nella sezione: σ=481.93 τ=60.24
CC 13 SLV (Collegamento -182_-384)
Azioni sul collegamento: N=-10933.80 Ty=-8.45 Tz=16.43 Mx=0.00 Mz=-5.25
Sollecitazioni agenti localmente: Ty_l=-1987.96 Mx_l=-39.76
Tensioni nella sezione: σ=481.93 τ=60.24
CC 13 SLV (Collegamento -182_-384)
Azioni sul collegamento: N=-10933.80 Ty=-8.90 Tz=16.43 Mx=0.00 Mz=-3.34
Sollecitazioni agenti localmente: Ty_l=-1987.96 Mx_l=-39.76
Tensioni nella sezione: σ=481.93 τ=60.24
CC 14 SLD (Collegamento -182_-384)
Azioni sul collegamento: N=-9511.02 Ty=-9.53 Tz=11.87 Mx=-0.00 Mz=-6.72
Sollecitazioni agenti localmente: Ty_l=-1729.28 Mx_l=-34.59
Tensioni nella sezione: σ=419.22 τ=52.40

CC 14 SLD (Collegamento -182_-384)
Azioni sul collegamento: N=-9511.02 Ty=-9.67 Tz=11.87 Mx=-0.00 Mz=-6.14
Sollecitazioni agenti localmente: Ty_l=-1729.28 Mx_l=-34.59
Tensioni nella sezione: σ=419.22 τ=52.40
CC 14 SLD (Collegamento -182_-384)
Azioni sul collegamento: N=-9511.02 Ty=-9.53 Tz=14.18 Mx=-0.00 Mz=-6.72
Sollecitazioni agenti localmente: Ty_l=-1729.28 Mx_l=-34.59
Tensioni nella sezione: σ=419.22 τ=52.40
CC 14 SLD (Collegamento -182_-384)
Azioni sul collegamento: N=-9511.02 Ty=-9.67 Tz=14.18 Mx=-0.00 Mz=-6.14
Sollecitazioni agenti localmente: Ty_l=-1729.28 Mx_l=-34.59
Tensioni nella sezione: σ=419.22 τ=52.40
CC 14 SLD (Collegamento -182_-384)
Azioni sul collegamento: N=-10221.40 Ty=-9.53 Tz=11.87 Mx=-0.00 Mz=-6.72
Sollecitazioni agenti localmente: Ty_l=-1858.44 Mx_l=-37.17
Tensioni nella sezione: σ=450.53 τ=56.32
CC 14 SLD (Collegamento -182_-384)
Azioni sul collegamento: N=-10221.40 Ty=-9.67 Tz=11.87 Mx=-0.00 Mz=-6.14
Sollecitazioni agenti localmente: Ty_l=-1858.44 Mx_l=-37.17
Tensioni nella sezione: σ=450.53 τ=56.32
CC 14 SLD (Collegamento -182_-384)
Azioni sul collegamento: N=-10221.40 Ty=-9.53 Tz=14.18 Mx=-0.00 Mz=-6.72
Sollecitazioni agenti localmente: Ty_l=-1858.44 Mx_l=-37.17
Tensioni nella sezione: σ=450.53 τ=56.32
CC 14 SLD (Collegamento -182_-384)
Azioni sul collegamento: N=-10221.40 Ty=-9.67 Tz=14.18 Mx=-0.00 Mz=-6.14
Sollecitazioni agenti localmente: Ty_l=-1858.44 Mx_l=-37.17
Tensioni nella sezione: σ=450.53 τ=56.32
CC 15 SLV (Collegamento -182_-384)
Azioni sul collegamento: N=-10950.00 Ty=-10.61 Tz=17.52 Mx=0.00 Mz=-6.83
Sollecitazioni agenti localmente: Ty_l=-1990.90 Mx_l=-39.82
Tensioni nella sezione: σ=482.64 τ=60.33
CC 15 SLV (Collegamento -182_-384)
Azioni sul collegamento: N=-10950.00 Ty=-6.74 Tz=17.52 Mx=0.00 Mz=-1.76
Sollecitazioni agenti localmente: Ty_l=-1990.90 Mx_l=-39.82
Tensioni nella sezione: σ=482.64 τ=60.33
CC 15 SLV (Collegamento -182_-384)
Azioni sul collegamento: N=-10950.00 Ty=-10.61 Tz=7.77 Mx=0.00 Mz=-6.83
Sollecitazioni agenti localmente: Ty_l=-1990.90 Mx_l=-39.82
Tensioni nella sezione: σ=482.64 τ=60.33
CC 15 SLV (Collegamento -182_-384)
Azioni sul collegamento: N=-10950.00 Ty=-6.74 Tz=7.77 Mx=0.00 Mz=-1.76
Sollecitazioni agenti localmente: Ty_l=-1990.90 Mx_l=-39.82
Tensioni nella sezione: σ=482.64 τ=60.33
CC 15 SLV (Collegamento -182_-384)
Azioni sul collegamento: N=-8587.84 Ty=-10.61 Tz=17.52 Mx=0.00 Mz=-6.83
Sollecitazioni agenti localmente: Ty_l=-1561.43 Mx_l=-31.23
Tensioni nella sezione: σ=378.53 τ=47.32
CC 15 SLV (Collegamento -182_-384)
Azioni sul collegamento: N=-8587.84 Ty=-6.74 Tz=17.52 Mx=0.00 Mz=-1.76
Sollecitazioni agenti localmente: Ty_l=-1561.43 Mx_l=-31.23
Tensioni nella sezione: σ=378.53 τ=47.32
CC 15 SLV (Collegamento -182_-384)
Azioni sul collegamento: N=-8587.84 Ty=-10.61 Tz=7.77 Mx=0.00 Mz=-6.83
Sollecitazioni agenti localmente: Ty_l=-1561.43 Mx_l=-31.23
Tensioni nella sezione: σ=378.53 τ=47.32
CC 15 SLV (Collegamento -182_-384)
Azioni sul collegamento: N=-8587.84 Ty=-6.74 Tz=7.77 Mx=0.00 Mz=-1.76
Sollecitazioni agenti localmente: Ty_l=-1561.43 Mx_l=-31.23
Tensioni nella sezione: σ=378.53 τ=47.32
CC 16 SLD (Collegamento -182_-384)
Azioni sul collegamento: N=-10226.40 Ty=-10.19 Tz=14.51 Mx=-0.00 Mz=-7.20
Sollecitazioni agenti localmente: Ty_l=-1859.34 Mx_l=-37.19
Tensioni nella sezione: σ=450.75 τ=56.34
CC 16 SLD (Collegamento -182_-384)
Azioni sul collegamento: N=-10226.40 Ty=-9.01 Tz=14.51 Mx=-0.00 Mz=-5.66
Sollecitazioni agenti localmente: Ty_l=-1859.34 Mx_l=-37.19
Tensioni nella sezione: σ=450.75 τ=56.34
CC 16 SLD (Collegamento -182_-384)
Azioni sul collegamento: N=-10226.40 Ty=-10.19 Tz=11.54 Mx=-0.00 Mz=-7.20
Sollecitazioni agenti localmente: Ty_l=-1859.34 Mx_l=-37.19
Tensioni nella sezione: σ=450.75 τ=56.34
CC 16 SLD (Collegamento -182_-384)
Azioni sul collegamento: N=-10226.40 Ty=-9.01 Tz=11.54 Mx=-0.00 Mz=-5.66
Sollecitazioni agenti localmente: Ty_l=-1859.34 Mx_l=-37.19
Tensioni nella sezione: σ=450.75 τ=56.34
CC 16 SLD (Collegamento -182_-384)
Azioni sul collegamento: N=-9506.09 Ty=-10.19 Tz=14.51 Mx=-0.00 Mz=-7.20
Sollecitazioni agenti localmente: Ty_l=-1728.38 Mx_l=-34.57

Tensioni nella sezione: σ=419.00 τ=52.38
CC 16 SLD (Collegamento -182_-384)
Azioni sul collegamento: N=-9506.09 Ty=-9.01 Tz=14.51 Mx=-0.00 Mz=-5.66
Sollecitazioni agenti localmente: Ty_l=-1728.38 Mx_l=-34.57
Tensioni nella sezione: σ=419.00 τ=52.38
CC 16 SLD (Collegamento -182_-384)
Azioni sul collegamento: N=-9506.09 Ty=-10.19 Tz=11.54 Mx=-0.00 Mz=-7.20
Sollecitazioni agenti localmente: Ty_l=-1728.38 Mx_l=-34.57
Tensioni nella sezione: σ=419.00 τ=52.38
CC 16 SLD (Collegamento -182_-384)
Azioni sul collegamento: N=-9506.09 Ty=-9.01 Tz=11.54 Mx=-0.00 Mz=-5.66
Sollecitazioni agenti localmente: Ty_l=-1728.38 Mx_l=-34.57
Tensioni nella sezione: σ=419.00 τ=52.38
CC 17 SLV (Collegamento -182_-384)
Azioni sul collegamento: N=-6136.65 Ty=-7.48 Tz=-0.86 Mx=-0.02 Mz=-7.28
Sollecitazioni agenti localmente: Ty_l=-1115.75 Mx_l=-22.32
Tensioni nella sezione: σ=270.49 τ=33.81
CC 17 SLV (Collegamento -182_-384)
Azioni sul collegamento: N=-6136.65 Ty=-15.19 Tz=-0.86 Mx=-0.02 Mz=-13.60
Sollecitazioni agenti localmente: Ty_l=-1115.75 Mx_l=-22.32
Tensioni nella sezione: σ=270.49 τ=33.81
CC 17 SLV (Collegamento -182_-384)
Azioni sul collegamento: N=-6136.65 Ty=-7.48 Tz=28.35 Mx=-0.02 Mz=-7.28
Sollecitazioni agenti localmente: Ty_l=-1115.75 Mx_l=-22.32
Tensioni nella sezione: σ=270.49 τ=33.81
CC 17 SLV (Collegamento -182_-384)
Azioni sul collegamento: N=-6136.65 Ty=-15.19 Tz=28.35 Mx=-0.02 Mz=-13.60
Sollecitazioni agenti localmente: Ty_l=-1115.75 Mx_l=-22.32
Tensioni nella sezione: σ=270.49 τ=33.81
CC 17 SLV (Collegamento -182_-384)
Azioni sul collegamento: N=-13961.30 Ty=-7.48 Tz=-0.86 Mx=-0.02 Mz=-7.28
Sollecitazioni agenti localmente: Ty_l=-2538.42 Mx_l=-50.77
Tensioni nella sezione: σ=615.37 τ=76.92
CC 17 SLV (Collegamento -182_-384)
Azioni sul collegamento: N=-13961.30 Ty=-15.19 Tz=-0.86 Mx=-0.02 Mz=-13.60
Sollecitazioni agenti localmente: Ty_l=-2538.42 Mx_l=-50.77
Tensioni nella sezione: σ=615.37 τ=76.92
CC 17 SLV (Collegamento -182_-384)
Azioni sul collegamento: N=-13961.30 Ty=-7.48 Tz=28.35 Mx=-0.02 Mz=-7.28
Sollecitazioni agenti localmente: Ty_l=-2538.42 Mx_l=-50.77
Tensioni nella sezione: σ=615.37 τ=76.92
CC 17 SLV (Collegamento -182_-384)
Azioni sul collegamento: N=-13961.30 Ty=-15.19 Tz=28.35 Mx=-0.02 Mz=-13.60
Sollecitazioni agenti localmente: Ty_l=-2538.42 Mx_l=-50.77
Tensioni nella sezione: σ=615.37 τ=76.92
CC 18 SLD (Collegamento -182_-384)
Azioni sul collegamento: N=-8758.64 Ty=-9.24 Tz=8.91 Mx=-0.01 Mz=-7.34
Sollecitazioni agenti localmente: Ty_l=-1592.48 Mx_l=-31.85
Tensioni nella sezione: σ=386.06 τ=48.26
CC 18 SLD (Collegamento -182_-384)
Azioni sul collegamento: N=-8758.64 Ty=-11.59 Tz=8.91 Mx=-0.01 Mz=-9.27
Sollecitazioni agenti localmente: Ty_l=-1592.48 Mx_l=-31.85
Tensioni nella sezione: σ=386.06 τ=48.26
CC 18 SLD (Collegamento -182_-384)
Azioni sul collegamento: N=-8758.65 Ty=-9.24 Tz=17.82 Mx=-0.01 Mz=-7.34
Sollecitazioni agenti localmente: Ty_l=-1592.48 Mx_l=-31.85
Tensioni nella sezione: σ=386.06 τ=48.26
CC 18 SLD (Collegamento -182_-384)
Azioni sul collegamento: N=-8758.65 Ty=-11.59 Tz=17.82 Mx=-0.01 Mz=-9.27
Sollecitazioni agenti localmente: Ty_l=-1592.48 Mx_l=-31.85
Tensioni nella sezione: σ=386.06 τ=48.26
CC 18 SLD (Collegamento -182_-384)
Azioni sul collegamento: N=-11144.60 Ty=-9.24 Tz=8.91 Mx=-0.01 Mz=-7.34
Sollecitazioni agenti localmente: Ty_l=-2026.30 Mx_l=-40.53
Tensioni nella sezione: σ=491.22 τ=61.40
CC 18 SLD (Collegamento -182_-384)
Azioni sul collegamento: N=-11144.60 Ty=-11.59 Tz=8.91 Mx=-0.01 Mz=-9.27
Sollecitazioni agenti localmente: Ty_l=-2026.30 Mx_l=-40.53
Tensioni nella sezione: σ=491.22 τ=61.40
CC 18 SLD (Collegamento -182_-384)
Azioni sul collegamento: N=-11144.60 Ty=-9.24 Tz=17.82 Mx=-0.01 Mz=-7.34
Sollecitazioni agenti localmente: Ty_l=-2026.30 Mx_l=-40.53
Tensioni nella sezione: σ=491.22 τ=61.40
CC 18 SLD (Collegamento -182_-384)
Azioni sul collegamento: N=-11144.60 Ty=-11.59 Tz=17.82 Mx=-0.01 Mz=-9.27
Sollecitazioni agenti localmente: Ty_l=-2026.30 Mx_l=-40.53
Tensioni nella sezione: σ=491.22 τ=61.40
CC 19 SLV (Collegamento -182_-384)
Azioni sul collegamento: N=-6141.50 Ty=-7.99 Tz=-0.53 Mx=-0.01 Mz=-8.33

Sollecitazioni agenti localmente: Ty_l=-1116.64 Mx_l=-22.33
Tensioni nella sezione: σ=270.70 τ=33.84
CC 19 SLV (Collegamento -182_-384)
Azioni sul collegamento: N=-6141.50 Ty=-14.68 Tz=-0.53 Mx=-0.01 Mz=-12.56
Sollecitazioni agenti localmente: Ty_l=-1116.64 Mx_l=-22.33
Tensioni nella sezione: σ=270.70 τ=33.84
CC 19 SLV (Collegamento -182_-384)
Azioni sul collegamento: N=-6141.50 Ty=-7.99 Tz=28.02 Mx=-0.01 Mz=-8.33
Sollecitazioni agenti localmente: Ty_l=-1116.64 Mx_l=-22.33
Tensioni nella sezione: σ=270.70 τ=33.84
CC 19 SLV (Collegamento -182_-384)
Azioni sul collegamento: N=-6141.50 Ty=-14.68 Tz=28.02 Mx=-0.01 Mz=-12.56
Sollecitazioni agenti localmente: Ty_l=-1116.64 Mx_l=-22.33
Tensioni nella sezione: σ=270.70 τ=33.84
CC 19 SLV (Collegamento -182_-384)
Azioni sul collegamento: N=-13956.40 Ty=-7.99 Tz=-0.53 Mx=-0.01 Mz=-8.33
Sollecitazioni agenti localmente: Ty_l=-2537.54 Mx_l=-50.75
Tensioni nella sezione: σ=615.16 τ=76.89
CC 19 SLV (Collegamento -182_-384)
Azioni sul collegamento: N=-13956.40 Ty=-14.68 Tz=-0.53 Mx=-0.01 Mz=-12.56
Sollecitazioni agenti localmente: Ty_l=-2537.54 Mx_l=-50.75
Tensioni nella sezione: σ=615.16 τ=76.89
CC 19 SLV (Collegamento -182_-384)
Azioni sul collegamento: N=-13956.40 Ty=-7.99 Tz=28.02 Mx=-0.01 Mz=-8.33
Sollecitazioni agenti localmente: Ty_l=-2537.54 Mx_l=-50.75
Tensioni nella sezione: σ=615.16 τ=76.89
CC 19 SLV (Collegamento -182_-384)
Azioni sul collegamento: N=-13956.40 Ty=-14.68 Tz=28.02 Mx=-0.01 Mz=-12.56
Sollecitazioni agenti localmente: Ty_l=-2537.54 Mx_l=-50.75
Tensioni nella sezione: σ=615.16 τ=76.89
CC 20 SLD (Collegamento -182_-384)
Azioni sul collegamento: N=-8760.12 Ty=-9.39 Tz=9.01 Mx=-0.01 Mz=-7.66
Sollecitazioni agenti localmente: Ty_l=-1592.75 Mx_l=-31.85
Tensioni nella sezione: σ=386.12 τ=48.27
CC 20 SLD (Collegamento -182_-384)
Azioni sul collegamento: N=-8760.12 Ty=-11.43 Tz=9.01 Mx=-0.01 Mz=-8.95
Sollecitazioni agenti localmente: Ty_l=-1592.75 Mx_l=-31.85
Tensioni nella sezione: σ=386.12 τ=48.27
CC 20 SLD (Collegamento -182_-384)
Azioni sul collegamento: N=-8760.13 Ty=-9.39 Tz=17.72 Mx=-0.01 Mz=-7.66
Sollecitazioni agenti localmente: Ty_l=-1592.75 Mx_l=-31.85
Tensioni nella sezione: σ=386.12 τ=48.27
CC 20 SLD (Collegamento -182_-384)
Azioni sul collegamento: N=-8760.13 Ty=-11.43 Tz=17.72 Mx=-0.01 Mz=-8.95
Sollecitazioni agenti localmente: Ty_l=-1592.75 Mx_l=-31.85
Tensioni nella sezione: σ=386.12 τ=48.27
CC 20 SLD (Collegamento -182_-384)
Azioni sul collegamento: N=-11143.10 Ty=-9.39 Tz=9.01 Mx=-0.01 Mz=-7.66
Sollecitazioni agenti localmente: Ty_l=-2026.03 Mx_l=-40.52
Tensioni nella sezione: σ=491.16 τ=61.39
CC 20 SLD (Collegamento -182_-384)
Azioni sul collegamento: N=-11143.10 Ty=-11.43 Tz=9.01 Mx=-0.01 Mz=-8.95
Sollecitazioni agenti localmente: Ty_l=-2026.03 Mx_l=-40.52
Tensioni nella sezione: σ=491.16 τ=61.39
CC 20 SLD (Collegamento -182_-384)
Azioni sul collegamento: N=-11143.10 Ty=-9.39 Tz=17.72 Mx=-0.01 Mz=-7.66
Sollecitazioni agenti localmente: Ty_l=-2026.03 Mx_l=-40.52
Tensioni nella sezione: σ=491.16 τ=61.39
CC 20 SLD (Collegamento -182_-384)
Azioni sul collegamento: N=-11143.10 Ty=-11.43 Tz=17.72 Mx=-0.01 Mz=-8.95
Sollecitazioni agenti localmente: Ty_l=-2026.03 Mx_l=-40.52
Tensioni nella sezione: σ=491.16 τ=61.39
CC 21 SLV (Collegamento -182_-384)
Azioni sul collegamento: N=-13956.40 Ty=-14.68 Tz=28.02 Mx=-0.02 Mz=-12.56
Sollecitazioni agenti localmente: Ty_l=-2537.54 Mx_l=-50.75
Tensioni nella sezione: σ=615.16 τ=76.89
CC 21 SLV (Collegamento -182_-384)
Azioni sul collegamento: N=-13956.40 Ty=-7.99 Tz=28.02 Mx=-0.02 Mz=-8.33
Sollecitazioni agenti localmente: Ty_l=-2537.54 Mx_l=-50.75
Tensioni nella sezione: σ=615.16 τ=76.89
CC 21 SLV (Collegamento -182_-384)
Azioni sul collegamento: N=-13956.40 Ty=-14.68 Tz=-0.53 Mx=-0.02 Mz=-12.56
Sollecitazioni agenti localmente: Ty_l=-2537.54 Mx_l=-50.75
Tensioni nella sezione: σ=615.16 τ=76.89
CC 21 SLV (Collegamento -182_-384)
Azioni sul collegamento: N=-13956.40 Ty=-7.99 Tz=-0.53 Mx=-0.02 Mz=-8.33
Sollecitazioni agenti localmente: Ty_l=-2537.54 Mx_l=-50.75
Tensioni nella sezione: σ=615.16 τ=76.89
CC 21 SLV (Collegamento -182_-384)

Azioni sul collegamento: N=-6141.50 Ty=-14.68 Tz=28.02 Mx=-0.02 Mz=-12.56
Sollecitazioni agenti localmente: Ty_l=-1116.64 Mx_l=-22.33
Tensioni nella sezione: σ=270.70 τ=33.84
CC 21 SLV (Collegamento -182_-384)
Azioni sul collegamento: N=-6141.50 Ty=-7.99 Tz=28.02 Mx=-0.02 Mz=-8.33
Sollecitazioni agenti localmente: Ty_l=-1116.64 Mx_l=-22.33
Tensioni nella sezione: σ=270.70 τ=33.84
CC 21 SLV (Collegamento -182_-384)
Azioni sul collegamento: N=-6141.50 Ty=-14.68 Tz=-0.53 Mx=-0.02 Mz=-12.56
Sollecitazioni agenti localmente: Ty_l=-1116.64 Mx_l=-22.33
Tensioni nella sezione: σ=270.70 τ=33.84
CC 21 SLV (Collegamento -182_-384)
Azioni sul collegamento: N=-6141.50 Ty=-7.99 Tz=-0.53 Mx=-0.02 Mz=-8.33
Sollecitazioni agenti localmente: Ty_l=-1116.64 Mx_l=-22.33
Tensioni nella sezione: σ=270.70 τ=33.84
CC 22 SLD (Collegamento -182_-384)
Azioni sul collegamento: N=-11143.10 Ty=-11.43 Tz=17.72 Mx=-0.01 Mz=-8.95
Sollecitazioni agenti localmente: Ty_l=-2026.03 Mx_l=-40.52
Tensioni nella sezione: σ=491.16 τ=61.39
CC 22 SLD (Collegamento -182_-384)
Azioni sul collegamento: N=-11143.10 Ty=-9.39 Tz=17.72 Mx=-0.01 Mz=-7.66
Sollecitazioni agenti localmente: Ty_l=-2026.03 Mx_l=-40.52
Tensioni nella sezione: σ=491.16 τ=61.39
CC 22 SLD (Collegamento -182_-384)
Azioni sul collegamento: N=-11143.10 Ty=-11.43 Tz=9.01 Mx=-0.01 Mz=-8.95
Sollecitazioni agenti localmente: Ty_l=-2026.03 Mx_l=-40.52
Tensioni nella sezione: σ=491.16 τ=61.39
CC 22 SLD (Collegamento -182_-384)
Azioni sul collegamento: N=-11143.10 Ty=-9.39 Tz=9.01 Mx=-0.01 Mz=-7.66
Sollecitazioni agenti localmente: Ty_l=-2026.03 Mx_l=-40.52
Tensioni nella sezione: σ=491.16 τ=61.39
CC 22 SLD (Collegamento -182_-384)
Azioni sul collegamento: N=-8760.13 Ty=-11.43 Tz=17.72 Mx=-0.01 Mz=-8.95
Sollecitazioni agenti localmente: Ty_l=-1592.75 Mx_l=-31.85
Tensioni nella sezione: σ=386.12 τ=48.27
CC 22 SLD (Collegamento -182_-384)
Azioni sul collegamento: N=-8760.13 Ty=-9.39 Tz=17.72 Mx=-0.01 Mz=-7.66
Sollecitazioni agenti localmente: Ty_l=-1592.75 Mx_l=-31.85
Tensioni nella sezione: σ=386.12 τ=48.27
CC 22 SLD (Collegamento -182_-384)
Azioni sul collegamento: N=-8760.12 Ty=-11.43 Tz=9.01 Mx=-0.01 Mz=-8.95
Sollecitazioni agenti localmente: Ty_l=-1592.75 Mx_l=-31.85
Tensioni nella sezione: σ=386.12 τ=48.27
CC 22 SLD (Collegamento -182_-384)
Azioni sul collegamento: N=-8760.12 Ty=-9.39 Tz=9.01 Mx=-0.01 Mz=-7.66
Sollecitazioni agenti localmente: Ty_l=-1592.75 Mx_l=-31.85
Tensioni nella sezione: σ=386.12 τ=48.27
CC 23 SLV (Collegamento -182_-384)
Azioni sul collegamento: N=-13961.30 Ty=-15.19 Tz=28.35 Mx=-0.01 Mz=-13.60
Sollecitazioni agenti localmente: Ty_l=-2538.42 Mx_l=-50.77
Tensioni nella sezione: σ=615.37 τ=76.92
CC 23 SLV (Collegamento -182_-384)
Azioni sul collegamento: N=-13961.30 Ty=-7.48 Tz=28.35 Mx=-0.01 Mz=-7.28
Sollecitazioni agenti localmente: Ty_l=-2538.42 Mx_l=-50.77
Tensioni nella sezione: σ=615.37 τ=76.92
CC 23 SLV (Collegamento -182_-384)
Azioni sul collegamento: N=-13961.30 Ty=-15.19 Tz=-0.86 Mx=-0.01 Mz=-13.60
Sollecitazioni agenti localmente: Ty_l=-2538.42 Mx_l=-50.77
Tensioni nella sezione: σ=615.37 τ=76.92
CC 23 SLV (Collegamento -182_-384)
Azioni sul collegamento: N=-13961.30 Ty=-7.48 Tz=-0.86 Mx=-0.01 Mz=-7.28
Sollecitazioni agenti localmente: Ty_l=-2538.42 Mx_l=-50.77
Tensioni nella sezione: σ=615.37 τ=76.92
CC 23 SLV (Collegamento -182_-384)
Azioni sul collegamento: N=-6136.65 Ty=-15.19 Tz=28.35 Mx=-0.01 Mz=-13.60
Sollecitazioni agenti localmente: Ty_l=-1115.75 Mx_l=-22.32
Tensioni nella sezione: σ=270.49 τ=33.81
CC 23 SLV (Collegamento -182_-384)
Azioni sul collegamento: N=-6136.65 Ty=-7.48 Tz=28.35 Mx=-0.01 Mz=-7.28
Sollecitazioni agenti localmente: Ty_l=-1115.75 Mx_l=-22.32
Tensioni nella sezione: σ=270.49 τ=33.81
CC 23 SLV (Collegamento -182_-384)
Azioni sul collegamento: N=-6136.65 Ty=-15.19 Tz=-0.86 Mx=-0.01 Mz=-13.60
Sollecitazioni agenti localmente: Ty_l=-1115.75 Mx_l=-22.32
Tensioni nella sezione: σ=270.49 τ=33.81
CC 23 SLV (Collegamento -182_-384)
Azioni sul collegamento: N=-6136.65 Ty=-7.48 Tz=-0.86 Mx=-0.01 Mz=-7.28
Sollecitazioni agenti localmente: Ty_l=-1115.75 Mx_l=-22.32
Tensioni nella sezione: σ=270.49 τ=33.81

CC 24 SLD (Collegamento -182_-384)
Azioni sul collegamento: N=-11144.60 Ty=-11.59 Tz=17.82 Mx=-0.01 Mz=-9.27
Sollecitazioni agenti localmente: Ty_l=-2026.30 Mx_l=-40.53
Tensioni nella sezione: σ=491.22 τ=61.40
CC 24 SLD (Collegamento -182_-384)
Azioni sul collegamento: N=-11144.60 Ty=-9.24 Tz=17.82 Mx=-0.01 Mz=-7.34
Sollecitazioni agenti localmente: Ty_l=-2026.30 Mx_l=-40.53
Tensioni nella sezione: σ=491.22 τ=61.40
CC 24 SLD (Collegamento -182_-384)
Azioni sul collegamento: N=-11144.60 Ty=-11.59 Tz=8.91 Mx=-0.01 Mz=-9.27
Sollecitazioni agenti localmente: Ty_l=-2026.30 Mx_l=-40.53
Tensioni nella sezione: σ=491.22 τ=61.40
CC 24 SLD (Collegamento -182_-384)
Azioni sul collegamento: N=-11144.60 Ty=-9.24 Tz=8.91 Mx=-0.01 Mz=-7.34
Sollecitazioni agenti localmente: Ty_l=-2026.30 Mx_l=-40.53
Tensioni nella sezione: σ=491.22 τ=61.40
CC 24 SLD (Collegamento -182_-384)
Azioni sul collegamento: N=-8758.65 Ty=-11.59 Tz=17.82 Mx=-0.01 Mz=-9.27
Sollecitazioni agenti localmente: Ty_l=-1592.48 Mx_l=-31.85
Tensioni nella sezione: σ=386.06 τ=48.26
CC 24 SLD (Collegamento -182_-384)
Azioni sul collegamento: N=-8758.65 Ty=-9.24 Tz=17.82 Mx=-0.01 Mz=-7.34
Sollecitazioni agenti localmente: Ty_l=-1592.48 Mx_l=-31.85
Tensioni nella sezione: σ=386.06 τ=48.26
CC 24 SLD (Collegamento -182_-384)
Azioni sul collegamento: N=-8758.64 Ty=-11.59 Tz=8.91 Mx=-0.01 Mz=-9.27
Sollecitazioni agenti localmente: Ty_l=-1592.48 Mx_l=-31.85
Tensioni nella sezione: σ=386.06 τ=48.26
CC 24 SLD (Collegamento -182_-384)
Azioni sul collegamento: N=-8758.64 Ty=-9.24 Tz=8.91 Mx=-0.01 Mz=-7.34
Sollecitazioni agenti localmente: Ty_l=-1592.48 Mx_l=-31.85
Tensioni nella sezione: σ=386.06 τ=48.26
CC 25 SLV (Collegamento -182_-384)
Azioni sul collegamento: N=-8867.92 Ty=-9.40 Tz=8.87 Mx=-0.02 Mz=-7.91
Sollecitazioni agenti localmente: Ty_l=-1612.35 Mx_l=-32.25
Tensioni nella sezione: σ=390.87 τ=48.86
CC 25 SLV (Collegamento -182_-384)
Azioni sul collegamento: N=-8867.92 Ty=-13.27 Tz=8.87 Mx=-0.02 Mz=-12.98
Sollecitazioni agenti localmente: Ty_l=-1612.35 Mx_l=-32.25
Tensioni nella sezione: σ=390.87 τ=48.86
CC 25 SLV (Collegamento -182_-384)
Azioni sul collegamento: N=-8867.92 Ty=-9.40 Tz=18.62 Mx=-0.02 Mz=-7.91
Sollecitazioni agenti localmente: Ty_l=-1612.35 Mx_l=-32.25
Tensioni nella sezione: σ=390.87 τ=48.86
CC 25 SLV (Collegamento -182_-384)
Azioni sul collegamento: N=-8867.92 Ty=-13.27 Tz=18.62 Mx=-0.02 Mz=-12.98
Sollecitazioni agenti localmente: Ty_l=-1612.35 Mx_l=-32.25
Tensioni nella sezione: σ=390.87 τ=48.86
CC 25 SLV (Collegamento -182_-384)
Azioni sul collegamento: N=-11230.00 Ty=-9.40 Tz=8.87 Mx=-0.02 Mz=-7.91
Sollecitazioni agenti localmente: Ty_l=-2041.82 Mx_l=-40.84
Tensioni nella sezione: σ=494.99 τ=61.87
CC 25 SLV (Collegamento -182_-384)
Azioni sul collegamento: N=-11230.00 Ty=-13.27 Tz=8.87 Mx=-0.02 Mz=-12.98
Sollecitazioni agenti localmente: Ty_l=-2041.82 Mx_l=-40.84
Tensioni nella sezione: σ=494.99 τ=61.87
CC 25 SLV (Collegamento -182_-384)
Azioni sul collegamento: N=-11230.00 Ty=-9.40 Tz=18.62 Mx=-0.02 Mz=-7.91
Sollecitazioni agenti localmente: Ty_l=-2041.82 Mx_l=-40.84
Tensioni nella sezione: σ=494.99 τ=61.87
CC 25 SLV (Collegamento -182_-384)
Azioni sul collegamento: N=-11230.00 Ty=-13.27 Tz=18.62 Mx=-0.02 Mz=-12.98
Sollecitazioni agenti localmente: Ty_l=-2041.82 Mx_l=-40.84
Tensioni nella sezione: σ=494.99 τ=61.87
CC 26 SLD (Collegamento -182_-384)
Azioni sul collegamento: N=-9591.50 Ty=-9.82 Tz=11.88 Mx=-0.01 Mz=-7.53
Sollecitazioni agenti localmente: Ty_l=-1743.91 Mx_l=-34.88
Tensioni nella sezione: σ=422.76 τ=52.85
CC 26 SLD (Collegamento -182_-384)
Azioni sul collegamento: N=-9591.50 Ty=-11.00 Tz=11.88 Mx=-0.01 Mz=-9.08
Sollecitazioni agenti localmente: Ty_l=-1743.91 Mx_l=-34.88
Tensioni nella sezione: σ=422.76 τ=52.85
CC 26 SLD (Collegamento -182_-384)
Azioni sul collegamento: N=-9591.50 Ty=-9.82 Tz=14.85 Mx=-0.01 Mz=-7.53
Sollecitazioni agenti localmente: Ty_l=-1743.91 Mx_l=-34.88
Tensioni nella sezione: σ=422.76 τ=52.85
CC 26 SLD (Collegamento -182_-384)
Azioni sul collegamento: N=-9591.50 Ty=-11.00 Tz=14.85 Mx=-0.01 Mz=-9.08
Sollecitazioni agenti localmente: Ty_l=-1743.91 Mx_l=-34.88

Tensioni nella sezione: σ=422.76 τ=52.85
CC 26 SLD (Collegamento -182_-384)
Azioni sul collegamento: N=-10311.80 Ty=-9.82 Tz=11.88 Mx=-0.01 Mz=-7.53
Sollecitazioni agenti localmente: Ty_l=-1874.87 Mx_l=-37.50
Tensioni nella sezione: σ=454.51 τ=56.81
CC 26 SLD (Collegamento -182_-384)
Azioni sul collegamento: N=-10311.80 Ty=-11.00 Tz=11.88 Mx=-0.01 Mz=-9.08
Sollecitazioni agenti localmente: Ty_l=-1874.87 Mx_l=-37.50
Tensioni nella sezione: σ=454.51 τ=56.81
CC 26 SLD (Collegamento -182_-384)
Azioni sul collegamento: N=-10311.80 Ty=-9.82 Tz=14.85 Mx=-0.01 Mz=-7.53
Sollecitazioni agenti localmente: Ty_l=-1874.87 Mx_l=-37.50
Tensioni nella sezione: σ=454.51 τ=56.81
CC 26 SLD (Collegamento -182_-384)
Azioni sul collegamento: N=-10311.80 Ty=-11.00 Tz=14.85 Mx=-0.01 Mz=-9.08
Sollecitazioni agenti localmente: Ty_l=-1874.87 Mx_l=-37.50
Tensioni nella sezione: σ=454.51 τ=56.81
CC 27 SLV (Collegamento -182_-384)
Azioni sul collegamento: N=-11213.90 Ty=-11.56 Tz=17.53 Mx=-0.02 Mz=-9.49
Sollecitazioni agenti localmente: Ty_l=-2038.88 Mx_l=-40.78
Tensioni nella sezione: σ=494.27 τ=61.78
CC 27 SLV (Collegamento -182_-384)
Azioni sul collegamento: N=-11213.90 Ty=-11.11 Tz=17.53 Mx=-0.02 Mz=-11.40
Sollecitazioni agenti localmente: Ty_l=-2038.88 Mx_l=-40.78
Tensioni nella sezione: σ=494.27 τ=61.78
CC 27 SLV (Collegamento -182_-384)
Azioni sul collegamento: N=-11213.90 Ty=-11.56 Tz=9.96 Mx=-0.02 Mz=-9.49
Sollecitazioni agenti localmente: Ty_l=-2038.88 Mx_l=-40.78
Tensioni nella sezione: σ=494.27 τ=61.78
CC 27 SLV (Collegamento -182_-384)
Azioni sul collegamento: N=-11213.90 Ty=-11.11 Tz=9.96 Mx=-0.02 Mz=-11.40
Sollecitazioni agenti localmente: Ty_l=-2038.88 Mx_l=-40.78
Tensioni nella sezione: σ=494.27 τ=61.78
CC 27 SLV (Collegamento -182_-384)
Azioni sul collegamento: N=-8884.09 Ty=-11.56 Tz=17.53 Mx=-0.02 Mz=-9.49
Sollecitazioni agenti localmente: Ty_l=-1615.29 Mx_l=-32.31
Tensioni nella sezione: σ=391.58 τ=48.95
CC 27 SLV (Collegamento -182_-384)
Azioni sul collegamento: N=-8884.09 Ty=-11.11 Tz=17.53 Mx=-0.02 Mz=-11.40
Sollecitazioni agenti localmente: Ty_l=-1615.29 Mx_l=-32.31
Tensioni nella sezione: σ=391.58 τ=48.95
CC 27 SLV (Collegamento -182_-384)
Azioni sul collegamento: N=-8884.09 Ty=-11.56 Tz=9.96 Mx=-0.02 Mz=-9.49
Sollecitazioni agenti localmente: Ty_l=-1615.29 Mx_l=-32.31
Tensioni nella sezione: σ=391.58 τ=48.95
CC 27 SLV (Collegamento -182_-384)
Azioni sul collegamento: N=-8884.09 Ty=-11.11 Tz=9.96 Mx=-0.02 Mz=-11.40
Sollecitazioni agenti localmente: Ty_l=-1615.29 Mx_l=-32.31
Tensioni nella sezione: σ=391.58 τ=48.95
CC 28 SLD (Collegamento -182_-384)
Azioni sul collegamento: N=-10306.80 Ty=-10.48 Tz=14.52 Mx=-0.01 Mz=-8.01
Sollecitazioni agenti localmente: Ty_l=-1873.97 Mx_l=-37.48
Tensioni nella sezione: σ=454.30 τ=56.79
CC 28 SLD (Collegamento -182_-384)
Azioni sul collegamento: N=-10306.80 Ty=-10.34 Tz=14.52 Mx=-0.01 Mz=-8.60
Sollecitazioni agenti localmente: Ty_l=-1873.97 Mx_l=-37.48
Tensioni nella sezione: σ=454.30 τ=56.79
CC 28 SLD (Collegamento -182_-384)
Azioni sul collegamento: N=-10306.80 Ty=-10.48 Tz=12.21 Mx=-0.01 Mz=-8.01
Sollecitazioni agenti localmente: Ty_l=-1873.97 Mx_l=-37.48
Tensioni nella sezione: σ=454.30 τ=56.79
CC 28 SLD (Collegamento -182_-384)
Azioni sul collegamento: N=-10306.80 Ty=-10.34 Tz=12.21 Mx=-0.01 Mz=-8.60
Sollecitazioni agenti localmente: Ty_l=-1873.97 Mx_l=-37.48
Tensioni nella sezione: σ=454.30 τ=56.79
CC 28 SLD (Collegamento -182_-384)
Azioni sul collegamento: N=-9596.43 Ty=-10.48 Tz=14.52 Mx=-0.01 Mz=-8.01
Sollecitazioni agenti localmente: Ty_l=-1744.80 Mx_l=-34.90
Tensioni nella sezione: σ=422.98 τ=52.87
CC 28 SLD (Collegamento -182_-384)
Azioni sul collegamento: N=-9596.43 Ty=-10.34 Tz=14.52 Mx=-0.01 Mz=-8.60
Sollecitazioni agenti localmente: Ty_l=-1744.80 Mx_l=-34.90
Tensioni nella sezione: σ=422.98 τ=52.87
CC 28 SLD (Collegamento -182_-384)
Azioni sul collegamento: N=-9596.43 Ty=-10.48 Tz=12.21 Mx=-0.01 Mz=-8.01
Sollecitazioni agenti localmente: Ty_l=-1744.80 Mx_l=-34.90
Tensioni nella sezione: σ=422.98 τ=52.87
CC 28 SLD (Collegamento -182_-384)
Azioni sul collegamento: N=-9596.43 Ty=-10.34 Tz=12.21 Mx=-0.01 Mz=-8.60

Sollecitazioni agenti localmente: Ty_l=-1744.80 Mx_l=-34.90
Tensioni nella sezione: σ=422.98 τ=52.87
CC 29 SLV (Collegamento -182_-384)
Azioni sul collegamento: N=-8884.09 Ty=-11.11 Tz=9.96 Mx=-0.01 Mz=-11.40
Sollecitazioni agenti localmente: Ty_l=-1615.29 Mx_l=-32.31
Tensioni nella sezione: σ=391.58 τ=48.95
CC 29 SLV (Collegamento -182_-384)
Azioni sul collegamento: N=-8884.09 Ty=-11.56 Tz=9.96 Mx=-0.01 Mz=-9.49
Sollecitazioni agenti localmente: Ty_l=-1615.29 Mx_l=-32.31
Tensioni nella sezione: σ=391.58 τ=48.95
CC 29 SLV (Collegamento -182_-384)
Azioni sul collegamento: N=-8884.09 Ty=-11.11 Tz=17.53 Mx=-0.01 Mz=-11.40
Sollecitazioni agenti localmente: Ty_l=-1615.29 Mx_l=-32.31
Tensioni nella sezione: σ=391.58 τ=48.95
CC 29 SLV (Collegamento -182_-384)
Azioni sul collegamento: N=-8884.09 Ty=-11.56 Tz=17.53 Mx=-0.01 Mz=-9.49
Sollecitazioni agenti localmente: Ty_l=-1615.29 Mx_l=-32.31
Tensioni nella sezione: σ=391.58 τ=48.95
CC 29 SLV (Collegamento -182_-384)
Azioni sul collegamento: N=-11213.90 Ty=-11.11 Tz=9.96 Mx=-0.01 Mz=-11.40
Sollecitazioni agenti localmente: Ty_l=-2038.88 Mx_l=-40.78
Tensioni nella sezione: σ=494.27 τ=61.78
CC 29 SLV (Collegamento -182_-384)
Azioni sul collegamento: N=-11213.90 Ty=-11.56 Tz=9.96 Mx=-0.01 Mz=-9.49
Sollecitazioni agenti localmente: Ty_l=-2038.88 Mx_l=-40.78
Tensioni nella sezione: σ=494.27 τ=61.78
CC 29 SLV (Collegamento -182_-384)
Azioni sul collegamento: N=-11213.90 Ty=-11.11 Tz=17.53 Mx=-0.01 Mz=-11.40
Sollecitazioni agenti localmente: Ty_l=-2038.88 Mx_l=-40.78
Tensioni nella sezione: σ=494.27 τ=61.78
CC 29 SLV (Collegamento -182_-384)
Azioni sul collegamento: N=-11213.90 Ty=-11.56 Tz=17.53 Mx=-0.01 Mz=-9.49
Sollecitazioni agenti localmente: Ty_l=-2038.88 Mx_l=-40.78
Tensioni nella sezione: σ=494.27 τ=61.78
CC 30 SLD (Collegamento -182_-384)
Azioni sul collegamento: N=-9596.43 Ty=-10.34 Tz=12.21 Mx=-0.00 Mz=-8.60
Sollecitazioni agenti localmente: Ty_l=-1744.80 Mx_l=-34.90
Tensioni nella sezione: σ=422.98 τ=52.87
CC 30 SLD (Collegamento -182_-384)
Azioni sul collegamento: N=-9596.43 Ty=-10.48 Tz=12.21 Mx=-0.00 Mz=-8.01
Sollecitazioni agenti localmente: Ty_l=-1744.80 Mx_l=-34.90
Tensioni nella sezione: σ=422.98 τ=52.87
CC 30 SLD (Collegamento -182_-384)
Azioni sul collegamento: N=-9596.43 Ty=-10.34 Tz=14.52 Mx=-0.00 Mz=-8.60
Sollecitazioni agenti localmente: Ty_l=-1744.80 Mx_l=-34.90
Tensioni nella sezione: σ=422.98 τ=52.87
CC 30 SLD (Collegamento -182_-384)
Azioni sul collegamento: N=-9596.43 Ty=-10.48 Tz=14.52 Mx=-0.00 Mz=-8.01
Sollecitazioni agenti localmente: Ty_l=-1744.80 Mx_l=-34.90
Tensioni nella sezione: σ=422.98 τ=52.87
CC 30 SLD (Collegamento -182_-384)
Azioni sul collegamento: N=-10306.80 Ty=-10.34 Tz=12.21 Mx=-0.00 Mz=-8.60
Sollecitazioni agenti localmente: Ty_l=-1873.97 Mx_l=-37.48
Tensioni nella sezione: σ=454.30 τ=56.79
CC 30 SLD (Collegamento -182_-384)
Azioni sul collegamento: N=-10306.80 Ty=-10.48 Tz=12.21 Mx=-0.00 Mz=-8.01
Sollecitazioni agenti localmente: Ty_l=-1873.97 Mx_l=-37.48
Tensioni nella sezione: σ=454.30 τ=56.79
CC 30 SLD (Collegamento -182_-384)
Azioni sul collegamento: N=-10306.80 Ty=-10.34 Tz=14.52 Mx=-0.00 Mz=-8.60
Sollecitazioni agenti localmente: Ty_l=-1873.97 Mx_l=-37.48
Tensioni nella sezione: σ=454.30 τ=56.79
CC 30 SLD (Collegamento -182_-384)
Azioni sul collegamento: N=-10306.80 Ty=-10.48 Tz=14.52 Mx=-0.00 Mz=-8.01
Sollecitazioni agenti localmente: Ty_l=-1873.97 Mx_l=-37.48
Tensioni nella sezione: σ=454.30 τ=56.79
CC 31 SLV (Collegamento -182_-384)
Azioni sul collegamento: N=-11230.00 Ty=-13.27 Tz=18.62 Mx=-0.01 Mz=-12.98
Sollecitazioni agenti localmente: Ty_l=-2041.82 Mx_l=-40.84
Tensioni nella sezione: σ=494.99 τ=61.87
CC 31 SLV (Collegamento -182_-384)
Azioni sul collegamento: N=-11230.00 Ty=-9.40 Tz=18.62 Mx=-0.01 Mz=-7.91
Sollecitazioni agenti localmente: Ty_l=-2041.82 Mx_l=-40.84
Tensioni nella sezione: σ=494.99 τ=61.87
CC 31 SLV (Collegamento -182_-384)
Azioni sul collegamento: N=-11230.00 Ty=-13.27 Tz=8.87 Mx=-0.01 Mz=-12.98
Sollecitazioni agenti localmente: Ty_l=-2041.82 Mx_l=-40.84
Tensioni nella sezione: σ=494.99 τ=61.87
CC 31 SLV (Collegamento -182_-384)

Azioni sul collegamento: N=-11230.00 Ty=-9.40 Tz=8.87 Mx=-0.01 Mz=-7.91
Sollecitazioni agenti localmente: Ty_l=-2041.82 Mx_l=-40.84
Tensioni nella sezione: σ=494.99 τ=61.87
CC 31 SLV (Collegamento -182_-384)
Azioni sul collegamento: N=-8867.92 Ty=-13.27 Tz=18.62 Mx=-0.01 Mz=-12.98
Sollecitazioni agenti localmente: Ty_l=-1612.35 Mx_l=-32.25
Tensioni nella sezione: σ=390.87 τ=48.86
CC 31 SLV (Collegamento -182_-384)
Azioni sul collegamento: N=-8867.92 Ty=-9.40 Tz=18.62 Mx=-0.01 Mz=-7.91
Sollecitazioni agenti localmente: Ty_l=-1612.35 Mx_l=-32.25
Tensioni nella sezione: σ=390.87 τ=48.86
CC 31 SLV (Collegamento -182_-384)
Azioni sul collegamento: N=-8867.92 Ty=-13.27 Tz=8.87 Mx=-0.01 Mz=-12.98
Sollecitazioni agenti localmente: Ty_l=-1612.35 Mx_l=-32.25
Tensioni nella sezione: σ=390.87 τ=48.86
CC 31 SLV (Collegamento -182_-384)
Azioni sul collegamento: N=-8867.92 Ty=-9.40 Tz=8.87 Mx=-0.01 Mz=-7.91
Sollecitazioni agenti localmente: Ty_l=-1612.35 Mx_l=-32.25
Tensioni nella sezione: σ=390.87 τ=48.86
CC 32 SLD (Collegamento -182_-384)
Azioni sul collegamento: N=-10311.80 Ty=-11.00 Tz=14.85 Mx=-0.00 Mz=-9.08
Sollecitazioni agenti localmente: Ty_l=-1874.87 Mx_l=-37.50
Tensioni nella sezione: σ=454.51 τ=56.81
CC 32 SLD (Collegamento -182_-384)
Azioni sul collegamento: N=-10311.80 Ty=-9.82 Tz=14.85 Mx=-0.00 Mz=-7.53
Sollecitazioni agenti localmente: Ty_l=-1874.87 Mx_l=-37.50
Tensioni nella sezione: σ=454.51 τ=56.81
CC 32 SLD (Collegamento -182_-384)
Azioni sul collegamento: N=-10311.80 Ty=-11.00 Tz=11.88 Mx=-0.00 Mz=-9.08
Sollecitazioni agenti localmente: Ty_l=-1874.87 Mx_l=-37.50
Tensioni nella sezione: σ=454.51 τ=56.81
CC 32 SLD (Collegamento -182_-384)
Azioni sul collegamento: N=-10311.80 Ty=-9.82 Tz=11.88 Mx=-0.00 Mz=-7.53
Sollecitazioni agenti localmente: Ty_l=-1874.87 Mx_l=-37.50
Tensioni nella sezione: σ=454.51 τ=56.81
CC 32 SLD (Collegamento -182_-384)
Azioni sul collegamento: N=-9591.50 Ty=-11.00 Tz=14.85 Mx=-0.00 Mz=-9.08
Sollecitazioni agenti localmente: Ty_l=-1743.91 Mx_l=-34.88
Tensioni nella sezione: σ=422.76 τ=52.85
CC 32 SLD (Collegamento -182_-384)
Azioni sul collegamento: N=-9591.50 Ty=-9.82 Tz=14.85 Mx=-0.00 Mz=-7.53
Sollecitazioni agenti localmente: Ty_l=-1743.91 Mx_l=-34.88
Tensioni nella sezione: σ=422.76 τ=52.85
CC 32 SLD (Collegamento -182_-384)
Azioni sul collegamento: N=-9591.50 Ty=-11.00 Tz=11.88 Mx=-0.00 Mz=-9.08
Sollecitazioni agenti localmente: Ty_l=-1743.91 Mx_l=-34.88
Tensioni nella sezione: σ=422.76 τ=52.85
CC 32 SLD (Collegamento -182_-384)
Azioni sul collegamento: N=-9591.50 Ty=-9.82 Tz=11.88 Mx=-0.00 Mz=-7.53
Sollecitazioni agenti localmente: Ty_l=-1743.91 Mx_l=-34.88
Tensioni nella sezione: σ=422.76 τ=52.85
CC 33 SLU (Collegamento -182_-384)
Azioni sul collegamento: N=-37242.40 Ty=-20.96 Tz=105.49 Mx=-0.01 Mz=-15.56
Sollecitazioni agenti localmente: Ty_l=-6771.34 Mx_l=-135.43
Tensioni nella sezione: σ=1641.53 τ=205.19
CC 34 SLU (Collegamento -182_-384)
Azioni sul collegamento: N=-36428.20 Ty=-20.21 Tz=102.49 Mx=-0.01 Mz=-15.01
Sollecitazioni agenti localmente: Ty_l=-6623.30 Mx_l=-132.47
Tensioni nella sezione: σ=1605.65 τ=200.71
CC 35 SLU (Collegamento -182_-384)
Azioni sul collegamento: N=-36836.10 Ty=-20.67 Tz=103.93 Mx=-0.00 Mz=-15.47
Sollecitazioni agenti localmente: Ty_l=-6697.48 Mx_l=-133.95
Tensioni nella sezione: σ=1623.63 τ=202.95
CC 36 SLU (Collegamento -182_-384)
Azioni sul collegamento: N=-36834.40 Ty=-20.49 Tz=104.05 Mx=-0.01 Mz=-15.10
Sollecitazioni agenti localmente: Ty_l=-6697.16 Mx_l=-133.94
Tensioni nella sezione: σ=1623.55 τ=202.94
CC 37 SLU (Collegamento -182_-384)
Azioni sul collegamento: N=-28075.80 Ty=-20.08 Tz=71.84 Mx=-0.01 Mz=-14.76
Sollecitazioni agenti localmente: Ty_l=-5104.69 Mx_l=-102.09
Tensioni nella sezione: σ=1237.50 τ=154.69
CC 38 SLU (Collegamento -182_-384)
Azioni sul collegamento: N=-27261.60 Ty=-19.33 Tz=68.83 Mx=-0.01 Mz=-14.21
Sollecitazioni agenti localmente: Ty_l=-4956.65 Mx_l=-99.13
Tensioni nella sezione: σ=1201.61 τ=150.20
CC 39 SLU (Collegamento -182_-384)
Azioni sul collegamento: N=-27669.60 Ty=-19.79 Tz=70.28 Mx=-0.00 Mz=-14.67
Sollecitazioni agenti localmente: Ty_l=-5030.83 Mx_l=-100.62
Tensioni nella sezione: σ=1219.59 τ=152.45

CC 40 SLU (Collegamento -182_-384)
Azioni sul collegamento: N=-27667.80 Ty=-19.61 Tz=70.39 Mx=-0.01 Mz=-14.31
Sollecitazioni agenti localmente: Ty_l=-5030.51 Mx_l=-100.61
Tensioni nella sezione: σ=1219.52 τ=152.44
CC 41 SLU (Collegamento -182_-384)
Azioni sul collegamento: N=-30474.50 Ty=9.93 Tz=80.11 Mx=-0.01 Mz=7.87
Sollecitazioni agenti localmente: Ty_l=-5540.82 Mx_l=-110.82
Tensioni nella sezione: σ=1343.23 τ=167.90
CC 42 SLU (Collegamento -182_-384)
Azioni sul collegamento: N=-29660.30 Ty=10.68 Tz=77.11 Mx=-0.01 Mz=8.42
Sollecitazioni agenti localmente: Ty_l=-5392.79 Mx_l=-107.86
Tensioni nella sezione: σ=1307.34 τ=163.42
CC 43 SLU (Collegamento -182_-384)
Azioni sul collegamento: N=-30068.30 Ty=10.21 Tz=78.55 Mx=-0.00 Mz=7.97
Sollecitazioni agenti localmente: Ty_l=-5466.97 Mx_l=-109.34
Tensioni nella sezione: σ=1325.32 τ=165.67
CC 44 SLU (Collegamento -182_-384)
Azioni sul collegamento: N=-30066.50 Ty=10.39 Tz=78.67 Mx=-0.01 Mz=8.33
Sollecitazioni agenti localmente: Ty_l=-5466.64 Mx_l=-109.33
Tensioni nella sezione: σ=1325.24 τ=165.66
CC 45 SLU (Collegamento -182_-384)
Azioni sul collegamento: N=-30085.80 Ty=-20.31 Tz=79.22 Mx=-0.00 Mz=-15.08
Sollecitazioni agenti localmente: Ty_l=-5470.14 Mx_l=-109.40
Tensioni nella sezione: σ=1326.09 τ=165.76
CC 46 SLU (Collegamento -182_-384)
Azioni sul collegamento: N=-29271.60 Ty=-19.56 Tz=76.22 Mx=-0.00 Mz=-14.53
Sollecitazioni agenti localmente: Ty_l=-5322.11 Mx_l=-106.44
Tensioni nella sezione: σ=1290.21 τ=161.28
CC 47 SLU (Collegamento -182_-384)
Azioni sul collegamento: N=-29679.60 Ty=-20.02 Tz=77.66 Mx=-0.00 Mz=-14.99
Sollecitazioni agenti localmente: Ty_l=-5396.29 Mx_l=-107.92
Tensioni nella sezione: σ=1308.19 τ=163.52
CC 48 SLU (Collegamento -182_-384)
Azioni sul collegamento: N=-29677.80 Ty=-19.84 Tz=77.78 Mx=-0.01 Mz=-14.62
Sollecitazioni agenti localmente: Ty_l=-5395.96 Mx_l=-107.92
Tensioni nella sezione: σ=1308.11 τ=163.51
CC 49 SLU (Collegamento -182_-384)
Azioni sul collegamento: N=-23227.80 Ty=-19.65 Tz=54.04 Mx=-0.00 Mz=-14.49
Sollecitazioni agenti localmente: Ty_l=-4223.24 Mx_l=-84.46
Tensioni nella sezione: σ=1023.81 τ=127.98
CC 50 SLU (Collegamento -182_-384)
Azioni sul collegamento: N=-22413.60 Ty=-18.90 Tz=51.04 Mx=-0.00 Mz=-13.93
Sollecitazioni agenti localmente: Ty_l=-4075.21 Mx_l=-81.50
Tensioni nella sezione: σ=987.93 τ=123.49
CC 51 SLU (Collegamento -182_-384)
Azioni sul collegamento: N=-22821.60 Ty=-19.36 Tz=52.48 Mx=-0.00 Mz=-14.39
Sollecitazioni agenti localmente: Ty_l=-4149.38 Mx_l=-82.99
Tensioni nella sezione: σ=1005.91 τ=125.74
CC 52 SLU (Collegamento -182_-384)
Azioni sul collegamento: N=-22819.80 Ty=-19.19 Tz=52.60 Mx=-0.01 Mz=-14.03
Sollecitazioni agenti localmente: Ty_l=-4149.06 Mx_l=-82.98
Tensioni nella sezione: σ=1005.83 τ=125.73
CC 53 SLU (Collegamento -182_-384)
Azioni sul collegamento: N=-25022.40 Ty=2.80 Tz=60.23 Mx=-0.00 Mz=2.45
Sollecitazioni agenti localmente: Ty_l=-4549.54 Mx_l=-90.99
Tensioni nella sezione: σ=1102.92 τ=137.87
CC 54 SLU (Collegamento -182_-384)
Azioni sul collegamento: N=-24208.20 Ty=3.55 Tz=57.23 Mx=-0.01 Mz=3.00
Sollecitazioni agenti localmente: Ty_l=-4401.50 Mx_l=-88.03
Tensioni nella sezione: σ=1067.03 τ=133.38
CC 55 SLU (Collegamento -182_-384)
Azioni sul collegamento: N=-24616.20 Ty=3.09 Tz=58.67 Mx=-0.00 Mz=2.54
Sollecitazioni agenti localmente: Ty_l=-4475.68 Mx_l=-89.51
Tensioni nella sezione: σ=1085.01 τ=135.63
CC 56 SLU (Collegamento -182_-384)
Azioni sul collegamento: N=-24614.50 Ty=3.26 Tz=58.79 Mx=-0.01 Mz=2.91
Sollecitazioni agenti localmente: Ty_l=-4475.36 Mx_l=-89.51
Tensioni nella sezione: σ=1084.93 τ=135.62
CC 57 SLU (Collegamento -182_-384)
Azioni sul collegamento: N=-27876.60 Ty=-18.56 Tz=71.09 Mx=-0.00 Mz=-13.78
Sollecitazioni agenti localmente: Ty_l=-5068.48 Mx_l=-101.37
Tensioni nella sezione: σ=1228.72 τ=153.59
CC 58 SLU (Collegamento -182_-384)
Azioni sul collegamento: N=-27062.40 Ty=-17.81 Tz=68.08 Mx=-0.00 Mz=-13.23
Sollecitazioni agenti localmente: Ty_l=-4920.44 Mx_l=-98.41
Tensioni nella sezione: σ=1192.83 τ=149.10
CC 59 SLU (Collegamento -182_-384)
Azioni sul collegamento: N=-27470.40 Ty=-18.27 Tz=69.53 Mx=-0.00 Mz=-13.69
Sollecitazioni agenti localmente: Ty_l=-4994.62 Mx_l=-99.89

Tensioni nella sezione: σ=1210.82 τ=151.35
CC 60 SLU (Collegamento -182_-384)
Azioni sul collegamento: N=-27468.70 Ty=-18.09 Tz=69.65 Mx=-0.01 Mz=-13.33
Sollecitazioni agenti localmente: Ty_l=-4994.30 Mx_l=-99.89
Tensioni nella sezione: σ=1210.74 τ=151.34
CC 61 SLU (Collegamento -182_-384)
Azioni sul collegamento: N=-21018.70 Ty=-17.90 Tz=45.91 Mx=-0.00 Mz=-13.19
Sollecitazioni agenti localmente: Ty_l=-3821.58 Mx_l=-76.43
Tensioni nella sezione: σ=926.44 τ=115.81
CC 62 SLU (Collegamento -182_-384)
Azioni sul collegamento: N=-20204.50 Ty=-17.15 Tz=42.91 Mx=-0.00 Mz=-12.64
Sollecitazioni agenti localmente: Ty_l=-3673.54 Mx_l=-73.47
Tensioni nella sezione: σ=890.55 τ=111.32
CC 63 SLU (Collegamento -182_-384)
Azioni sul collegamento: N=-20612.50 Ty=-17.61 Tz=44.35 Mx=-0.00 Mz=-13.10
Sollecitazioni agenti localmente: Ty_l=-3747.72 Mx_l=-74.95
Tensioni nella sezione: σ=908.54 τ=113.57
CC 64 SLU (Collegamento -182_-384)
Azioni sul collegamento: N=-20610.70 Ty=-17.43 Tz=44.47 Mx=-0.01 Mz=-12.73
Sollecitazioni agenti localmente: Ty_l=-3747.40 Mx_l=-74.95
Tensioni nella sezione: σ=908.46 τ=113.56
CC 65 SLU (Collegamento -182_-384)
Azioni sul collegamento: N=-22813.30 Ty=4.55 Tz=52.10 Mx=-0.00 Mz=3.75
Sollecitazioni agenti localmente: Ty_l=-4147.87 Mx_l=-82.96
Tensioni nella sezione: σ=1005.54 τ=125.69
CC 66 SLU (Collegamento -182_-384)
Azioni sul collegamento: N=-21999.10 Ty=5.30 Tz=49.10 Mx=-0.00 Mz=4.30
Sollecitazioni agenti localmente: Ty_l=-3999.83 Mx_l=-80.00
Tensioni nella sezione: σ=969.65 τ=121.21
CC 67 SLU (Collegamento -182_-384)
Azioni sul collegamento: N=-22407.10 Ty=4.84 Tz=50.54 Mx=-0.00 Mz=3.84
Sollecitazioni agenti localmente: Ty_l=-4074.01 Mx_l=-81.48
Tensioni nella sezione: σ=987.64 τ=123.45
CC 68 SLU (Collegamento -182_-384)
Azioni sul collegamento: N=-22405.30 Ty=5.01 Tz=50.66 Mx=-0.01 Mz=4.20
Sollecitazioni agenti localmente: Ty_l=-4073.69 Mx_l=-81.47
Tensioni nella sezione: σ=987.56 τ=123.44
CC 97 SLU (Collegamento -182_-384)
Azioni sul collegamento: N=-12779.50 Ty=-22.48 Tz=24.03 Mx=-0.06 Mz=-25.00
Sollecitazioni agenti localmente: Ty_l=-2323.54 Mx_l=-46.47
Tensioni nella sezione: σ=563.28 τ=70.41
CC 98 SLU (Collegamento -182_-384)
Azioni sul collegamento: N=-11965.30 Ty=-21.73 Tz=21.02 Mx=-0.06 Mz=-24.45
Sollecitazioni agenti localmente: Ty_l=-2175.50 Mx_l=-43.51
Tensioni nella sezione: σ=527.39 τ=65.92
CC 99 SLU (Collegamento -182_-384)
Azioni sul collegamento: N=-12373.20 Ty=-22.20 Tz=22.47 Mx=-0.05 Mz=-24.91
Sollecitazioni agenti localmente: Ty_l=-2249.68 Mx_l=-44.99
Tensioni nella sezione: σ=545.38 τ=68.17
CC 100 SLU (Collegamento -182_-384)
Azioni sul collegamento: N=-12371.50 Ty=-22.02 Tz=22.58 Mx=-0.06 Mz=-24.55
Sollecitazioni agenti localmente: Ty_l=-2249.36 Mx_l=-44.99
Tensioni nella sezione: σ=545.30 τ=68.16
CC 101 SLU (Collegamento -182_-384)
Azioni sul collegamento: N=-10566.60 Ty=-8.33 Tz=15.50 Mx=0.00 Mz=-5.31
Sollecitazioni agenti localmente: Ty_l=-1921.20 Mx_l=-38.42
Tensioni nella sezione: σ=465.74 τ=58.22
CC 102 SLU (Collegamento -182_-384)
Azioni sul collegamento: N=-9752.38 Ty=-7.57 Tz=12.50 Mx=0.00 Mz=-4.76
Sollecitazioni agenti localmente: Ty_l=-1773.16 Mx_l=-35.46
Tensioni nella sezione: σ=429.86 τ=53.73
CC 103 SLU (Collegamento -182_-384)
Azioni sul collegamento: N=-10160.40 Ty=-8.04 Tz=13.94 Mx=0.00 Mz=-5.22
Sollecitazioni agenti localmente: Ty_l=-1847.34 Mx_l=-36.95
Tensioni nella sezione: σ=447.84 τ=55.98
CC 104 SLU (Collegamento -182_-384)
Azioni sul collegamento: N=-10158.60 Ty=-7.86 Tz=14.06 Mx=0.00 Mz=-4.85
Sollecitazioni agenti localmente: Ty_l=-1847.02 Mx_l=-36.94
Tensioni nella sezione: σ=447.76 τ=55.97

Flessione attacco destro piastra

Bnetta=220.00 Hnetta=15.00
CC 1 SLV (Collegamento -182_-384)
Azioni sul collegamento: N=-5856.57 Ty=-4.82 Tz=-1.96 Mx=0.01 Mz=-1.13
Sollecitazioni agenti localmente: Ty_l=-1033.71 My_l=-21.18
Tensioni nella sezione: σ=256.79 τ=31.32
CC 1 SLV (Collegamento -182_-384)
Azioni sul collegamento: N=-5856.57 Ty=-12.53 Tz=-1.96 Mx=0.01 Mz=-7.45

Sollecitazioni agenti localmente: Ty_l=-1008.56 My_l=-20.63
Tensioni nella sezione: σ=250.11 τ=30.56
CC 1 SLV (Collegamento -182_-384)
Azioni sul collegamento: N=-5856.57 Ty=-4.82 Tz=27.25 Mx=0.01 Mz=-1.13
Sollecitazioni agenti localmente: Ty_l=-1033.71 My_l=-21.18
Tensioni nella sezione: σ=256.79 τ=31.32
CC 1 SLV (Collegamento -182_-384)
Azioni sul collegamento: N=-5856.57 Ty=-12.53 Tz=27.25 Mx=0.01 Mz=-7.45
Sollecitazioni agenti localmente: Ty_l=-1008.56 My_l=-20.63
Tensioni nella sezione: σ=250.11 τ=30.56
CC 1 SLV (Collegamento -182_-384)
Azioni sul collegamento: N=-13681.20 Ty=-4.82 Tz=-1.96 Mx=0.01 Mz=-1.13
Sollecitazioni agenti localmente: Ty_l=-2420.81 My_l=-49.62
Tensioni nella sezione: σ=601.46 τ=73.36
CC 1 SLV (Collegamento -182_-384)
Azioni sul collegamento: N=-13681.20 Ty=-12.53 Tz=-1.96 Mx=0.01 Mz=-7.45
Sollecitazioni agenti localmente: Ty_l=-2395.66 My_l=-49.07
Tensioni nella sezione: σ=594.78 τ=72.60
CC 1 SLV (Collegamento -182_-384)
Azioni sul collegamento: N=-13681.20 Ty=-4.82 Tz=27.25 Mx=0.01 Mz=-1.13
Sollecitazioni agenti localmente: Ty_l=-2420.81 My_l=-49.62
Tensioni nella sezione: σ=601.46 τ=73.36
CC 1 SLV (Collegamento -182_-384)
Azioni sul collegamento: N=-13681.20 Ty=-12.53 Tz=27.25 Mx=0.01 Mz=-7.45
Sollecitazioni agenti localmente: Ty_l=-2395.66 My_l=-49.07
Tensioni nella sezione: σ=594.78 τ=72.60
CC 2 SLD (Collegamento -182_-384)
Azioni sul collegamento: N=-8673.24 Ty=-8.42 Tz=8.57 Mx=0.00 Mz=-5.47
Sollecitazioni agenti localmente: Ty_l=-1515.79 My_l=-31.04
Tensioni nella sezione: σ=376.28 τ=45.93
CC 2 SLD (Collegamento -182_-384)
Azioni sul collegamento: N=-8673.24 Ty=-10.78 Tz=8.57 Mx=0.00 Mz=-7.39
Sollecitazioni agenti localmente: Ty_l=-1508.12 My_l=-30.88
Tensioni nella sezione: σ=374.25 τ=45.70
CC 2 SLD (Collegamento -182_-384)
Azioni sul collegamento: N=-8673.24 Ty=-8.42 Tz=17.48 Mx=0.00 Mz=-5.47
Sollecitazioni agenti localmente: Ty_l=-1515.79 My_l=-31.04
Tensioni nella sezione: σ=376.28 τ=45.93
CC 2 SLD (Collegamento -182_-384)
Azioni sul collegamento: N=-8673.24 Ty=-10.78 Tz=17.48 Mx=0.00 Mz=-7.39
Sollecitazioni agenti localmente: Ty_l=-1508.12 My_l=-30.88
Tensioni nella sezione: σ=374.25 τ=45.70
CC 2 SLD (Collegamento -182_-384)
Azioni sul collegamento: N=-11059.20 Ty=-8.42 Tz=8.57 Mx=0.00 Mz=-5.47
Sollecitazioni agenti localmente: Ty_l=-1938.76 My_l=-39.71
Tensioni nella sezione: σ=481.38 τ=58.75
CC 2 SLD (Collegamento -182_-384)
Azioni sul collegamento: N=-11059.20 Ty=-10.78 Tz=8.57 Mx=0.00 Mz=-7.39
Sollecitazioni agenti localmente: Ty_l=-1931.09 My_l=-39.55
Tensioni nella sezione: σ=479.35 τ=58.52
CC 2 SLD (Collegamento -182_-384)
Azioni sul collegamento: N=-11059.20 Ty=-8.42 Tz=17.48 Mx=0.00 Mz=-5.47
Sollecitazioni agenti localmente: Ty_l=-1938.76 My_l=-39.71
Tensioni nella sezione: σ=481.38 τ=58.75
CC 2 SLD (Collegamento -182_-384)
Azioni sul collegamento: N=-11059.20 Ty=-10.78 Tz=17.48 Mx=0.00 Mz=-7.39
Sollecitazioni agenti localmente: Ty_l=-1931.09 My_l=-39.55
Tensioni nella sezione: σ=479.35 τ=58.52
CC 3 SLV (Collegamento -182_-384)
Azioni sul collegamento: N=-5861.42 Ty=-5.33 Tz=-1.63 Mx=0.01 Mz=-2.18
Sollecitazioni agenti localmente: Ty_l=-1030.41 My_l=-21.11
Tensioni nella sezione: σ=255.89 τ=31.22
CC 3 SLV (Collegamento -182_-384)
Azioni sul collegamento: N=-5861.42 Ty=-12.02 Tz=-1.63 Mx=0.01 Mz=-6.41
Sollecitazioni agenti localmente: Ty_l=-1013.59 My_l=-20.74
Tensioni nella sezione: σ=251.43 τ=30.71
CC 3 SLV (Collegamento -182_-384)
Azioni sul collegamento: N=-5861.42 Ty=-5.33 Tz=26.92 Mx=0.01 Mz=-2.18
Sollecitazioni agenti localmente: Ty_l=-1030.41 My_l=-21.11
Tensioni nella sezione: σ=255.89 τ=31.22
CC 3 SLV (Collegamento -182_-384)
Azioni sul collegamento: N=-5861.42 Ty=-12.02 Tz=26.92 Mx=0.01 Mz=-6.41
Sollecitazioni agenti localmente: Ty_l=-1013.59 My_l=-20.74
Tensioni nella sezione: σ=251.43 τ=30.71
CC 3 SLV (Collegamento -182_-384)
Azioni sul collegamento: N=-13676.40 Ty=-5.33 Tz=-1.63 Mx=0.01 Mz=-2.18
Sollecitazioni agenti localmente: Ty_l=-2415.78 My_l=-49.51
Tensioni nella sezione: σ=600.14 τ=73.21
CC 3 SLV (Collegamento -182_-384)

Azioni sul collegamento: N=-13676.40 Ty=-12.02 Tz=-1.63 Mx=0.01 Mz=-6.41
Sollecitazioni agenti localmente: Ty_l=-2398.97 My_l=-49.14
Tensioni nella sezione: σ=595.67 τ=72.70
CC 3 SLV (Collegamento -182_-384)
Azioni sul collegamento: N=-13676.40 Ty=-5.33 Tz=26.92 Mx=0.01 Mz=-2.18
Sollecitazioni agenti localmente: Ty_l=-2415.78 My_l=-49.51
Tensioni nella sezione: σ=600.14 τ=73.21
CC 3 SLV (Collegamento -182_-384)
Azioni sul collegamento: N=-13676.40 Ty=-12.02 Tz=26.92 Mx=0.01 Mz=-6.41
Sollecitazioni agenti localmente: Ty_l=-2398.97 My_l=-49.14
Tensioni nella sezione: σ=595.67 τ=72.70
CC 4 SLD (Collegamento -182_-384)
Azioni sul collegamento: N=-8674.72 Ty=-8.58 Tz=8.67 Mx=-0.00 Mz=-5.79
Sollecitazioni agenti localmente: Ty_l=-1514.78 My_l=-31.02
Tensioni nella sezione: σ=376.01 τ=45.90
CC 4 SLD (Collegamento -182_-384)
Azioni sul collegamento: N=-8674.72 Ty=-10.62 Tz=8.67 Mx=-0.00 Mz=-7.07
Sollecitazioni agenti localmente: Ty_l=-1509.65 My_l=-30.91
Tensioni nella sezione: σ=374.65 τ=45.75
CC 4 SLD (Collegamento -182_-384)
Azioni sul collegamento: N=-8674.72 Ty=-8.58 Tz=17.38 Mx=-0.00 Mz=-5.79
Sollecitazioni agenti localmente: Ty_l=-1514.78 My_l=-31.02
Tensioni nella sezione: σ=376.01 τ=45.90
CC 4 SLD (Collegamento -182_-384)
Azioni sul collegamento: N=-8674.72 Ty=-10.62 Tz=17.38 Mx=-0.00 Mz=-7.07
Sollecitazioni agenti localmente: Ty_l=-1509.65 My_l=-30.91
Tensioni nella sezione: σ=374.65 τ=45.75
CC 4 SLD (Collegamento -182_-384)
Azioni sul collegamento: N=-11057.70 Ty=-8.58 Tz=8.67 Mx=-0.00 Mz=-5.79
Sollecitazioni agenti localmente: Ty_l=-1937.23 My_l=-39.68
Tensioni nella sezione: σ=480.98 τ=58.70
CC 4 SLD (Collegamento -182_-384)
Azioni sul collegamento: N=-11057.70 Ty=-10.62 Tz=8.67 Mx=-0.00 Mz=-7.07
Sollecitazioni agenti localmente: Ty_l=-1932.10 My_l=-39.57
Tensioni nella sezione: σ=479.62 τ=58.55
CC 4 SLD (Collegamento -182_-384)
Azioni sul collegamento: N=-11057.70 Ty=-8.58 Tz=17.38 Mx=-0.00 Mz=-5.79
Sollecitazioni agenti localmente: Ty_l=-1937.23 My_l=-39.68
Tensioni nella sezione: σ=480.98 τ=58.70
CC 4 SLD (Collegamento -182_-384)
Azioni sul collegamento: N=-11057.70 Ty=-10.62 Tz=17.38 Mx=-0.00 Mz=-7.07
Sollecitazioni agenti localmente: Ty_l=-1932.10 My_l=-39.57
Tensioni nella sezione: σ=479.62 τ=58.55
CC 5 SLV (Collegamento -182_-384)
Azioni sul collegamento: N=-13676.40 Ty=-12.02 Tz=26.92 Mx=0.01 Mz=-6.41
Sollecitazioni agenti localmente: Ty_l=-2398.97 My_l=-49.14
Tensioni nella sezione: σ=595.67 τ=72.70
CC 5 SLV (Collegamento -182_-384)
Azioni sul collegamento: N=-13676.40 Ty=-5.33 Tz=26.92 Mx=0.01 Mz=-2.18
Sollecitazioni agenti localmente: Ty_l=-2415.78 My_l=-49.51
Tensioni nella sezione: σ=600.14 τ=73.21
CC 5 SLV (Collegamento -182_-384)
Azioni sul collegamento: N=-13676.40 Ty=-12.02 Tz=-1.63 Mx=0.01 Mz=-6.41
Sollecitazioni agenti localmente: Ty_l=-2398.97 My_l=-49.14
Tensioni nella sezione: σ=595.67 τ=72.70
CC 5 SLV (Collegamento -182_-384)
Azioni sul collegamento: N=-13676.40 Ty=-5.33 Tz=-1.63 Mx=0.01 Mz=-2.18
Sollecitazioni agenti localmente: Ty_l=-2415.78 My_l=-49.51
Tensioni nella sezione: σ=600.14 τ=73.21
CC 5 SLV (Collegamento -182_-384)
Azioni sul collegamento: N=-5861.42 Ty=-12.02 Tz=26.92 Mx=0.01 Mz=-6.41
Sollecitazioni agenti localmente: Ty_l=-1013.59 My_l=-20.74
Tensioni nella sezione: σ=251.43 τ=30.71
CC 5 SLV (Collegamento -182_-384)
Azioni sul collegamento: N=-5861.42 Ty=-5.33 Tz=26.92 Mx=0.01 Mz=-2.18
Sollecitazioni agenti localmente: Ty_l=-1030.41 My_l=-21.11
Tensioni nella sezione: σ=255.89 τ=31.22
CC 5 SLV (Collegamento -182_-384)
Azioni sul collegamento: N=-5861.42 Ty=-12.02 Tz=-1.63 Mx=0.01 Mz=-6.41
Sollecitazioni agenti localmente: Ty_l=-1013.59 My_l=-20.74
Tensioni nella sezione: σ=251.43 τ=30.71
CC 5 SLV (Collegamento -182_-384)
Azioni sul collegamento: N=-5861.42 Ty=-5.33 Tz=-1.63 Mx=0.01 Mz=-2.18
Sollecitazioni agenti localmente: Ty_l=-1030.41 My_l=-21.11
Tensioni nella sezione: σ=255.89 τ=31.22
CC 6 SLD (Collegamento -182_-384)
Azioni sul collegamento: N=-11057.70 Ty=-10.62 Tz=17.38 Mx=0.00 Mz=-7.07
Sollecitazioni agenti localmente: Ty_l=-1932.10 My_l=-39.57
Tensioni nella sezione: σ=479.62 τ=58.55

CC 6 SLD (Collegamento -182_-384)
Azioni sul collegamento: N=-11057.70 Ty=-8.58 Tz=17.38 Mx=0.00 Mz=-5.79
Sollecitazioni agenti localmente: Ty_l=-1937.23 My_l=-39.68
Tensioni nella sezione: σ=480.98 τ=58.70
CC 6 SLD (Collegamento -182_-384)
Azioni sul collegamento: N=-11057.70 Ty=-10.62 Tz=8.67 Mx=0.00 Mz=-7.07
Sollecitazioni agenti localmente: Ty_l=-1932.10 My_l=-39.57
Tensioni nella sezione: σ=479.62 τ=58.55
CC 6 SLD (Collegamento -182_-384)
Azioni sul collegamento: N=-11057.70 Ty=-8.58 Tz=8.67 Mx=0.00 Mz=-5.79
Sollecitazioni agenti localmente: Ty_l=-1937.23 My_l=-39.68
Tensioni nella sezione: σ=480.98 τ=58.70
CC 6 SLD (Collegamento -182_-384)
Azioni sul collegamento: N=-8674.72 Ty=-10.62 Tz=17.38 Mx=0.00 Mz=-7.07
Sollecitazioni agenti localmente: Ty_l=-1509.65 My_l=-30.91
Tensioni nella sezione: σ=374.65 τ=45.75
CC 6 SLD (Collegamento -182_-384)
Azioni sul collegamento: N=-8674.72 Ty=-8.58 Tz=17.38 Mx=0.00 Mz=-5.79
Sollecitazioni agenti localmente: Ty_l=-1514.78 My_l=-31.02
Tensioni nella sezione: σ=376.01 τ=45.90
CC 6 SLD (Collegamento -182_-384)
Azioni sul collegamento: N=-8674.72 Ty=-10.62 Tz=8.67 Mx=0.00 Mz=-7.07
Sollecitazioni agenti localmente: Ty_l=-1509.65 My_l=-30.91
Tensioni nella sezione: σ=374.65 τ=45.75
CC 6 SLD (Collegamento -182_-384)
Azioni sul collegamento: N=-8674.72 Ty=-8.58 Tz=8.67 Mx=0.00 Mz=-5.79
Sollecitazioni agenti localmente: Ty_l=-1514.78 My_l=-31.02
Tensioni nella sezione: σ=376.01 τ=45.90
CC 7 SLV (Collegamento -182_-384)
Azioni sul collegamento: N=-13681.20 Ty=-12.53 Tz=27.25 Mx=0.01 Mz=-7.45
Sollecitazioni agenti localmente: Ty_l=-2395.66 My_l=-49.07
Tensioni nella sezione: σ=594.78 τ=72.60
CC 7 SLV (Collegamento -182_-384)
Azioni sul collegamento: N=-13681.20 Ty=-4.82 Tz=27.25 Mx=0.01 Mz=-1.13
Sollecitazioni agenti localmente: Ty_l=-2420.81 My_l=-49.62
Tensioni nella sezione: σ=601.46 τ=73.36
CC 7 SLV (Collegamento -182_-384)
Azioni sul collegamento: N=-13681.20 Ty=-12.53 Tz=-1.96 Mx=0.01 Mz=-7.45
Sollecitazioni agenti localmente: Ty_l=-2395.66 My_l=-49.07
Tensioni nella sezione: σ=594.78 τ=72.60
CC 7 SLV (Collegamento -182_-384)
Azioni sul collegamento: N=-13681.20 Ty=-4.82 Tz=-1.96 Mx=0.01 Mz=-1.13
Sollecitazioni agenti localmente: Ty_l=-2420.81 My_l=-49.62
Tensioni nella sezione: σ=601.46 τ=73.36
CC 7 SLV (Collegamento -182_-384)
Azioni sul collegamento: N=-5856.57 Ty=-12.53 Tz=27.25 Mx=0.01 Mz=-7.45
Sollecitazioni agenti localmente: Ty_l=-1008.56 My_l=-20.63
Tensioni nella sezione: σ=250.11 τ=30.56
CC 7 SLV (Collegamento -182_-384)
Azioni sul collegamento: N=-5856.57 Ty=-4.82 Tz=27.25 Mx=0.01 Mz=-1.13
Sollecitazioni agenti localmente: Ty_l=-1033.71 My_l=-21.18
Tensioni nella sezione: σ=256.79 τ=31.32
CC 7 SLV (Collegamento -182_-384)
Azioni sul collegamento: N=-5856.57 Ty=-12.53 Tz=-1.96 Mx=0.01 Mz=-7.45
Sollecitazioni agenti localmente: Ty_l=-1008.56 My_l=-20.63
Tensioni nella sezione: σ=250.11 τ=30.56
CC 7 SLV (Collegamento -182_-384)
Azioni sul collegamento: N=-5856.57 Ty=-4.82 Tz=-1.96 Mx=0.01 Mz=-1.13
Sollecitazioni agenti localmente: Ty_l=-1033.71 My_l=-21.18
Tensioni nella sezione: σ=256.79 τ=31.32
CC 8 SLD (Collegamento -182_-384)
Azioni sul collegamento: N=-11059.20 Ty=-10.78 Tz=17.48 Mx=-0.00 Mz=-7.39
Sollecitazioni agenti localmente: Ty_l=-1931.09 My_l=-39.55
Tensioni nella sezione: σ=479.35 τ=58.52
CC 8 SLD (Collegamento -182_-384)
Azioni sul collegamento: N=-11059.20 Ty=-8.42 Tz=17.48 Mx=-0.00 Mz=-5.47
Sollecitazioni agenti localmente: Ty_l=-1938.76 My_l=-39.71
Tensioni nella sezione: σ=481.38 τ=58.75
CC 8 SLD (Collegamento -182_-384)
Azioni sul collegamento: N=-11059.20 Ty=-10.78 Tz=8.57 Mx=-0.00 Mz=-7.39
Sollecitazioni agenti localmente: Ty_l=-1931.09 My_l=-39.55
Tensioni nella sezione: σ=479.35 τ=58.52
CC 8 SLD (Collegamento -182_-384)
Azioni sul collegamento: N=-11059.20 Ty=-8.42 Tz=8.57 Mx=-0.00 Mz=-5.47
Sollecitazioni agenti localmente: Ty_l=-1938.76 My_l=-39.71
Tensioni nella sezione: σ=481.38 τ=58.75
CC 8 SLD (Collegamento -182_-384)
Azioni sul collegamento: N=-8673.24 Ty=-10.78 Tz=17.48 Mx=-0.00 Mz=-7.39
Sollecitazioni agenti localmente: Ty_l=-1508.12 My_l=-30.88

Tensioni nella sezione: σ=374.25 τ=45.70
CC 8 SLD (Collegamento -182_-384)
Azioni sul collegamento: N=-8673.24 Ty=-8.42 Tz=17.48 Mx=-0.00 Mz=-5.47
Sollecitazioni agenti localmente: Ty_l=-1515.79 My_l=-31.04
Tensioni nella sezione: σ=376.28 τ=45.93
CC 8 SLD (Collegamento -182_-384)
Azioni sul collegamento: N=-8673.24 Ty=-10.78 Tz=8.57 Mx=-0.00 Mz=-7.39
Sollecitazioni agenti localmente: Ty_l=-1508.12 My_l=-30.88
Tensioni nella sezione: σ=374.25 τ=45.70
CC 8 SLD (Collegamento -182_-384)
Azioni sul collegamento: N=-8673.24 Ty=-8.42 Tz=8.57 Mx=-0.00 Mz=-5.47
Sollecitazioni agenti localmente: Ty_l=-1515.79 My_l=-31.04
Tensioni nella sezione: σ=376.28 τ=45.93
CC 9 SLV (Collegamento -182_-384)
Azioni sul collegamento: N=-8587.84 Ty=-6.74 Tz=7.77 Mx=0.02 Mz=-1.76
Sollecitazioni agenti localmente: Ty_l=-1515.41 My_l=-31.06
Tensioni nella sezione: σ=376.44 τ=45.92
CC 9 SLV (Collegamento -182_-384)
Azioni sul collegamento: N=-8587.84 Ty=-10.61 Tz=7.77 Mx=0.02 Mz=-6.83
Sollecitazioni agenti localmente: Ty_l=-1495.23 My_l=-30.61
Tensioni nella sezione: σ=371.08 τ=45.31
CC 9 SLV (Collegamento -182_-384)
Azioni sul collegamento: N=-8587.84 Ty=-6.74 Tz=17.52 Mx=0.02 Mz=-1.76
Sollecitazioni agenti localmente: Ty_l=-1515.41 My_l=-31.06
Tensioni nella sezione: σ=376.44 τ=45.92
CC 9 SLV (Collegamento -182_-384)
Azioni sul collegamento: N=-8587.84 Ty=-10.61 Tz=17.52 Mx=0.02 Mz=-6.83
Sollecitazioni agenti localmente: Ty_l=-1495.23 My_l=-30.61
Tensioni nella sezione: σ=371.08 τ=45.31
CC 9 SLV (Collegamento -182_-384)
Azioni sul collegamento: N=-10950.00 Ty=-6.74 Tz=7.77 Mx=0.02 Mz=-1.76
Sollecitazioni agenti localmente: Ty_l=-1934.14 My_l=-39.64
Tensioni nella sezione: σ=480.49 τ=58.61
CC 9 SLV (Collegamento -182_-384)
Azioni sul collegamento: N=-10950.00 Ty=-10.61 Tz=7.77 Mx=0.02 Mz=-6.83
Sollecitazioni agenti localmente: Ty_l=-1913.97 My_l=-39.20
Tensioni nella sezione: σ=475.13 τ=58.00
CC 9 SLV (Collegamento -182_-384)
Azioni sul collegamento: N=-10950.00 Ty=-6.74 Tz=17.52 Mx=0.02 Mz=-1.76
Sollecitazioni agenti localmente: Ty_l=-1934.14 My_l=-39.64
Tensioni nella sezione: σ=480.49 τ=58.61
CC 9 SLV (Collegamento -182_-384)
Azioni sul collegamento: N=-10950.00 Ty=-10.61 Tz=17.52 Mx=0.02 Mz=-6.83
Sollecitazioni agenti localmente: Ty_l=-1913.97 My_l=-39.20
Tensioni nella sezione: σ=475.13 τ=58.00
CC 10 SLD (Collegamento -182_-384)
Azioni sul collegamento: N=-9506.09 Ty=-9.01 Tz=11.54 Mx=0.00 Mz=-5.66
Sollecitazioni agenti localmente: Ty_l=-1662.67 My_l=-34.05
Tensioni nella sezione: σ=412.77 τ=50.38
CC 10 SLD (Collegamento -182_-384)
Azioni sul collegamento: N=-9506.09 Ty=-10.19 Tz=11.54 Mx=0.00 Mz=-7.20
Sollecitazioni agenti localmente: Ty_l=-1656.52 My_l=-33.92
Tensioni nella sezione: σ=411.13 τ=50.20
CC 10 SLD (Collegamento -182_-384)
Azioni sul collegamento: N=-9506.09 Ty=-9.01 Tz=14.51 Mx=0.00 Mz=-5.66
Sollecitazioni agenti localmente: Ty_l=-1662.67 My_l=-34.05
Tensioni nella sezione: σ=412.77 τ=50.38
CC 10 SLD (Collegamento -182_-384)
Azioni sul collegamento: N=-9506.09 Ty=-10.19 Tz=14.51 Mx=0.00 Mz=-7.20
Sollecitazioni agenti localmente: Ty_l=-1656.52 My_l=-33.92
Tensioni nella sezione: σ=411.13 τ=50.20
CC 10 SLD (Collegamento -182_-384)
Azioni sul collegamento: N=-10226.40 Ty=-9.01 Tz=11.54 Mx=0.00 Mz=-5.66
Sollecitazioni agenti localmente: Ty_l=-1790.36 My_l=-36.67
Tensioni nella sezione: σ=444.50 τ=54.25
CC 10 SLD (Collegamento -182_-384)
Azioni sul collegamento: N=-10226.40 Ty=-10.19 Tz=11.54 Mx=0.00 Mz=-7.20
Sollecitazioni agenti localmente: Ty_l=-1784.21 My_l=-36.54
Tensioni nella sezione: σ=442.86 τ=54.07
CC 10 SLD (Collegamento -182_-384)
Azioni sul collegamento: N=-10226.40 Ty=-9.01 Tz=14.51 Mx=0.00 Mz=-5.66
Sollecitazioni agenti localmente: Ty_l=-1790.36 My_l=-36.67
Tensioni nella sezione: σ=444.50 τ=54.25
CC 10 SLD (Collegamento -182_-384)
Azioni sul collegamento: N=-10226.40 Ty=-10.19 Tz=14.51 Mx=0.00 Mz=-7.20
Sollecitazioni agenti localmente: Ty_l=-1784.21 My_l=-36.54
Tensioni nella sezione: σ=442.86 τ=54.07
CC 11 SLV (Collegamento -182_-384)
Azioni sul collegamento: N=-10933.80 Ty=-8.90 Tz=16.43 Mx=0.02 Mz=-3.34

Sollecitazioni agenti localmente: Ty_l=-1924.98 My_l=-39.44
Tensioni nella sezione: σ=478.10 τ=58.33
CC 11 SLV (Collegamento -182_-384)
Azioni sul collegamento: N=-10933.80 Ty=-8.45 Tz=16.43 Mx=0.02 Mz=-5.25
Sollecitazioni agenti localmente: Ty_l=-1917.39 My_l=-39.28
Tensioni nella sezione: σ=476.09 τ=58.10
CC 11 SLV (Collegamento -182_-384)
Azioni sul collegamento: N=-10933.80 Ty=-8.90 Tz=8.86 Mx=0.02 Mz=-3.34
Sollecitazioni agenti localmente: Ty_l=-1924.98 My_l=-39.44
Tensioni nella sezione: σ=478.10 τ=58.33
CC 11 SLV (Collegamento -182_-384)
Azioni sul collegamento: N=-10933.80 Ty=-8.45 Tz=8.86 Mx=0.02 Mz=-5.25
Sollecitazioni agenti localmente: Ty_l=-1917.39 My_l=-39.28
Tensioni nella sezione: σ=476.09 τ=58.10
CC 11 SLV (Collegamento -182_-384)
Azioni sul collegamento: N=-8604.01 Ty=-8.90 Tz=16.43 Mx=0.02 Mz=-3.34
Sollecitazioni agenti localmente: Ty_l=-1511.98 My_l=-30.98
Tensioni nella sezione: σ=375.48 τ=45.82
CC 11 SLV (Collegamento -182_-384)
Azioni sul collegamento: N=-8604.01 Ty=-8.45 Tz=16.43 Mx=0.02 Mz=-5.25
Sollecitazioni agenti localmente: Ty_l=-1504.39 My_l=-30.81
Tensioni nella sezione: σ=373.46 τ=45.59
CC 11 SLV (Collegamento -182_-384)
Azioni sul collegamento: N=-8604.01 Ty=-8.90 Tz=8.86 Mx=0.02 Mz=-3.34
Sollecitazioni agenti localmente: Ty_l=-1511.98 My_l=-30.98
Tensioni nella sezione: σ=375.48 τ=45.82
CC 11 SLV (Collegamento -182_-384)
Azioni sul collegamento: N=-8604.01 Ty=-8.45 Tz=8.86 Mx=0.02 Mz=-5.25
Sollecitazioni agenti localmente: Ty_l=-1504.39 My_l=-30.81
Tensioni nella sezione: σ=373.46 τ=45.59
CC 12 SLD (Collegamento -182_-384)
Azioni sul collegamento: N=-10221.40 Ty=-9.67 Tz=14.18 Mx=0.00 Mz=-6.14
Sollecitazioni agenti localmente: Ty_l=-1787.57 My_l=-36.61
Tensioni nella sezione: σ=443.77 τ=54.17
CC 12 SLD (Collegamento -182_-384)
Azioni sul collegamento: N=-10221.40 Ty=-9.53 Tz=14.18 Mx=0.00 Mz=-6.72
Sollecitazioni agenti localmente: Ty_l=-1785.25 My_l=-36.56
Tensioni nella sezione: σ=443.15 τ=54.10
CC 12 SLD (Collegamento -182_-384)
Azioni sul collegamento: N=-10221.40 Ty=-9.67 Tz=11.87 Mx=0.00 Mz=-6.14
Sollecitazioni agenti localmente: Ty_l=-1787.56 My_l=-36.61
Tensioni nella sezione: σ=443.77 τ=54.17
CC 12 SLD (Collegamento -182_-384)
Azioni sul collegamento: N=-10221.40 Ty=-9.53 Tz=11.87 Mx=0.00 Mz=-6.72
Sollecitazioni agenti localmente: Ty_l=-1785.25 My_l=-36.56
Tensioni nella sezione: σ=443.15 τ=54.10
CC 12 SLD (Collegamento -182_-384)
Azioni sul collegamento: N=-9511.02 Ty=-9.67 Tz=14.18 Mx=0.00 Mz=-6.14
Sollecitazioni agenti localmente: Ty_l=-1661.63 My_l=-34.03
Tensioni nella sezione: σ=412.48 τ=50.35
CC 12 SLD (Collegamento -182_-384)
Azioni sul collegamento: N=-9511.02 Ty=-9.53 Tz=14.18 Mx=0.00 Mz=-6.72
Sollecitazioni agenti localmente: Ty_l=-1659.31 My_l=-33.98
Tensioni nella sezione: σ=411.86 τ=50.28
CC 12 SLD (Collegamento -182_-384)
Azioni sul collegamento: N=-9511.02 Ty=-9.67 Tz=11.87 Mx=0.00 Mz=-6.14
Sollecitazioni agenti localmente: Ty_l=-1661.63 My_l=-34.03
Tensioni nella sezione: σ=412.48 τ=50.35
CC 12 SLD (Collegamento -182_-384)
Azioni sul collegamento: N=-9511.02 Ty=-9.53 Tz=11.87 Mx=0.00 Mz=-6.72
Sollecitazioni agenti localmente: Ty_l=-1659.31 My_l=-33.98
Tensioni nella sezione: σ=411.86 τ=50.28
CC 13 SLV (Collegamento -182_-384)
Azioni sul collegamento: N=-8604.01 Ty=-8.45 Tz=8.86 Mx=0.00 Mz=-5.25
Sollecitazioni agenti localmente: Ty_l=-1504.39 My_l=-30.81
Tensioni nella sezione: σ=373.46 τ=45.59
CC 13 SLV (Collegamento -182_-384)
Azioni sul collegamento: N=-8604.01 Ty=-8.90 Tz=8.86 Mx=0.00 Mz=-3.34
Sollecitazioni agenti localmente: Ty_l=-1511.98 My_l=-30.98
Tensioni nella sezione: σ=375.48 τ=45.82
CC 13 SLV (Collegamento -182_-384)
Azioni sul collegamento: N=-8604.01 Ty=-8.45 Tz=16.43 Mx=0.00 Mz=-5.25
Sollecitazioni agenti localmente: Ty_l=-1504.39 My_l=-30.81
Tensioni nella sezione: σ=373.46 τ=45.59
CC 13 SLV (Collegamento -182_-384)
Azioni sul collegamento: N=-8604.01 Ty=-8.90 Tz=16.43 Mx=0.00 Mz=-3.34
Sollecitazioni agenti localmente: Ty_l=-1511.98 My_l=-30.98
Tensioni nella sezione: σ=375.48 τ=45.82
CC 13 SLV (Collegamento -182_-384)

Azioni sul collegamento: N=-10933.80 Ty=-8.45 Tz=8.86 Mx=0.00 Mz=-5.25
Sollecitazioni agenti localmente: Ty_l=-1917.39 My_l=-39.28
Tensioni nella sezione: σ=476.09 τ=58.10
CC 13 SLV (Collegamento -182_-384)
Azioni sul collegamento: N=-10933.80 Ty=-8.90 Tz=8.86 Mx=0.00 Mz=-3.34
Sollecitazioni agenti localmente: Ty_l=-1924.98 My_l=-39.44
Tensioni nella sezione: σ=478.10 τ=58.33
CC 13 SLV (Collegamento -182_-384)
Azioni sul collegamento: N=-10933.80 Ty=-8.45 Tz=16.43 Mx=0.00 Mz=-5.25
Sollecitazioni agenti localmente: Ty_l=-1917.39 My_l=-39.28
Tensioni nella sezione: σ=476.09 τ=58.10
CC 13 SLV (Collegamento -182_-384)
Azioni sul collegamento: N=-10933.80 Ty=-8.90 Tz=16.43 Mx=0.00 Mz=-3.34
Sollecitazioni agenti localmente: Ty_l=-1924.98 My_l=-39.44
Tensioni nella sezione: σ=478.10 τ=58.33
CC 14 SLD (Collegamento -182_-384)
Azioni sul collegamento: N=-9511.02 Ty=-9.53 Tz=11.87 Mx=-0.00 Mz=-6.72
Sollecitazioni agenti localmente: Ty_l=-1659.31 My_l=-33.98
Tensioni nella sezione: σ=411.86 τ=50.28
CC 14 SLD (Collegamento -182_-384)
Azioni sul collegamento: N=-9511.02 Ty=-9.67 Tz=11.87 Mx=-0.00 Mz=-6.14
Sollecitazioni agenti localmente: Ty_l=-1661.63 My_l=-34.03
Tensioni nella sezione: σ=412.48 τ=50.35
CC 14 SLD (Collegamento -182_-384)
Azioni sul collegamento: N=-9511.02 Ty=-9.53 Tz=14.18 Mx=-0.00 Mz=-6.72
Sollecitazioni agenti localmente: Ty_l=-1659.31 My_l=-33.98
Tensioni nella sezione: σ=411.86 τ=50.28
CC 14 SLD (Collegamento -182_-384)
Azioni sul collegamento: N=-9511.02 Ty=-9.67 Tz=14.18 Mx=-0.00 Mz=-6.14
Sollecitazioni agenti localmente: Ty_l=-1661.63 My_l=-34.03
Tensioni nella sezione: σ=412.48 τ=50.35
CC 14 SLD (Collegamento -182_-384)
Azioni sul collegamento: N=-10221.40 Ty=-9.53 Tz=11.87 Mx=-0.00 Mz=-6.72
Sollecitazioni agenti localmente: Ty_l=-1785.25 My_l=-36.56
Tensioni nella sezione: σ=443.15 τ=54.10
CC 14 SLD (Collegamento -182_-384)
Azioni sul collegamento: N=-10221.40 Ty=-9.67 Tz=11.87 Mx=-0.00 Mz=-6.14
Sollecitazioni agenti localmente: Ty_l=-1787.56 My_l=-36.61
Tensioni nella sezione: σ=443.77 τ=54.17
CC 14 SLD (Collegamento -182_-384)
Azioni sul collegamento: N=-10221.40 Ty=-9.53 Tz=14.18 Mx=-0.00 Mz=-6.72
Sollecitazioni agenti localmente: Ty_l=-1785.25 My_l=-36.56
Tensioni nella sezione: σ=443.15 τ=54.10
CC 14 SLD (Collegamento -182_-384)
Azioni sul collegamento: N=-10221.40 Ty=-9.67 Tz=14.18 Mx=-0.00 Mz=-6.14
Sollecitazioni agenti localmente: Ty_l=-1787.57 My_l=-36.61
Tensioni nella sezione: σ=443.77 τ=54.17
CC 15 SLV (Collegamento -182_-384)
Azioni sul collegamento: N=-10950.00 Ty=-10.61 Tz=17.52 Mx=0.00 Mz=-6.83
Sollecitazioni agenti localmente: Ty_l=-1913.97 My_l=-39.20
Tensioni nella sezione: σ=475.13 τ=58.00
CC 15 SLV (Collegamento -182_-384)
Azioni sul collegamento: N=-10950.00 Ty=-6.74 Tz=17.52 Mx=0.00 Mz=-1.76
Sollecitazioni agenti localmente: Ty_l=-1934.14 My_l=-39.64
Tensioni nella sezione: σ=480.49 τ=58.61
CC 15 SLV (Collegamento -182_-384)
Azioni sul collegamento: N=-10950.00 Ty=-10.61 Tz=7.77 Mx=0.00 Mz=-6.83
Sollecitazioni agenti localmente: Ty_l=-1913.97 My_l=-39.20
Tensioni nella sezione: σ=475.13 τ=58.00
CC 15 SLV (Collegamento -182_-384)
Azioni sul collegamento: N=-10950.00 Ty=-6.74 Tz=7.77 Mx=0.00 Mz=-1.76
Sollecitazioni agenti localmente: Ty_l=-1934.14 My_l=-39.64
Tensioni nella sezione: σ=480.49 τ=58.61
CC 15 SLV (Collegamento -182_-384)
Azioni sul collegamento: N=-8587.84 Ty=-10.61 Tz=17.52 Mx=0.00 Mz=-6.83
Sollecitazioni agenti localmente: Ty_l=-1495.23 My_l=-30.61
Tensioni nella sezione: σ=371.08 τ=45.31
CC 15 SLV (Collegamento -182_-384)
Azioni sul collegamento: N=-8587.84 Ty=-6.74 Tz=17.52 Mx=0.00 Mz=-1.76
Sollecitazioni agenti localmente: Ty_l=-1515.41 My_l=-31.06
Tensioni nella sezione: σ=376.44 τ=45.92
CC 15 SLV (Collegamento -182_-384)
Azioni sul collegamento: N=-8587.84 Ty=-10.61 Tz=7.77 Mx=0.00 Mz=-6.83
Sollecitazioni agenti localmente: Ty_l=-1495.23 My_l=-30.61
Tensioni nella sezione: σ=371.08 τ=45.31
CC 15 SLV (Collegamento -182_-384)
Azioni sul collegamento: N=-8587.84 Ty=-6.74 Tz=7.77 Mx=0.00 Mz=-1.76
Sollecitazioni agenti localmente: Ty_l=-1515.41 My_l=-31.06
Tensioni nella sezione: σ=376.44 τ=45.92

CC 16 SLD (Collegamento -182_-384)
Azioni sul collegamento: N=-10226.40 Ty=-10.19 Tz=14.51 Mx=-0.00 Mz=-7.20
Sollecitazioni agenti localmente: Ty_l=-1784.21 My_l=-36.54
Tensioni nella sezione: σ=442.86 τ=54.07
CC 16 SLD (Collegamento -182_-384)
Azioni sul collegamento: N=-10226.40 Ty=-9.01 Tz=14.51 Mx=-0.00 Mz=-5.66
Sollecitazioni agenti localmente: Ty_l=-1790.36 My_l=-36.67
Tensioni nella sezione: σ=444.50 τ=54.25
CC 16 SLD (Collegamento -182_-384)
Azioni sul collegamento: N=-10226.40 Ty=-10.19 Tz=11.54 Mx=-0.00 Mz=-7.20
Sollecitazioni agenti localmente: Ty_l=-1784.21 My_l=-36.54
Tensioni nella sezione: σ=442.86 τ=54.07
CC 16 SLD (Collegamento -182_-384)
Azioni sul collegamento: N=-10226.40 Ty=-9.01 Tz=11.54 Mx=-0.00 Mz=-5.66
Sollecitazioni agenti localmente: Ty_l=-1790.36 My_l=-36.67
Tensioni nella sezione: σ=444.50 τ=54.25
CC 16 SLD (Collegamento -182_-384)
Azioni sul collegamento: N=-9506.09 Ty=-10.19 Tz=14.51 Mx=-0.00 Mz=-7.20
Sollecitazioni agenti localmente: Ty_l=-1656.52 My_l=-33.92
Tensioni nella sezione: σ=411.13 τ=50.20
CC 16 SLD (Collegamento -182_-384)
Azioni sul collegamento: N=-9506.09 Ty=-9.01 Tz=14.51 Mx=-0.00 Mz=-5.66
Sollecitazioni agenti localmente: Ty_l=-1662.67 My_l=-34.05
Tensioni nella sezione: σ=412.77 τ=50.38
CC 16 SLD (Collegamento -182_-384)
Azioni sul collegamento: N=-9506.09 Ty=-10.19 Tz=11.54 Mx=-0.00 Mz=-7.20
Sollecitazioni agenti localmente: Ty_l=-1656.52 My_l=-33.92
Tensioni nella sezione: σ=411.13 τ=50.20
CC 16 SLD (Collegamento -182_-384)
Azioni sul collegamento: N=-9506.09 Ty=-9.01 Tz=11.54 Mx=-0.00 Mz=-5.66
Sollecitazioni agenti localmente: Ty_l=-1662.67 My_l=-34.05
Tensioni nella sezione: σ=412.77 τ=50.38
CC 17 SLV (Collegamento -182_-384)
Azioni sul collegamento: N=-6136.65 Ty=-7.48 Tz=-0.86 Mx=-0.02 Mz=-7.28
Sollecitazioni agenti localmente: Ty_l=-1058.90 My_l=-21.67
Tensioni nella sezione: σ=262.63 τ=32.09
CC 17 SLV (Collegamento -182_-384)
Azioni sul collegamento: N=-6136.65 Ty=-15.19 Tz=-0.86 Mx=-0.02 Mz=-13.60
Sollecitazioni agenti localmente: Ty_l=-1033.75 My_l=-21.12
Tensioni nella sezione: σ=255.95 τ=31.33
CC 17 SLV (Collegamento -182_-384)
Azioni sul collegamento: N=-6136.65 Ty=-7.48 Tz=28.35 Mx=-0.02 Mz=-7.28
Sollecitazioni agenti localmente: Ty_l=-1058.90 My_l=-21.67
Tensioni nella sezione: σ=262.63 τ=32.09
CC 17 SLV (Collegamento -182_-384)
Azioni sul collegamento: N=-6136.65 Ty=-15.19 Tz=28.35 Mx=-0.02 Mz=-13.60
Sollecitazioni agenti localmente: Ty_l=-1033.75 My_l=-21.12
Tensioni nella sezione: σ=255.95 τ=31.33
CC 17 SLV (Collegamento -182_-384)
Azioni sul collegamento: N=-13961.30 Ty=-7.48 Tz=-0.86 Mx=-0.02 Mz=-7.28
Sollecitazioni agenti localmente: Ty_l=-2445.99 My_l=-50.10
Tensioni nella sezione: σ=607.30 τ=74.12
CC 17 SLV (Collegamento -182_-384)
Azioni sul collegamento: N=-13961.30 Ty=-15.19 Tz=-0.86 Mx=-0.02 Mz=-13.60
Sollecitazioni agenti localmente: Ty_l=-2420.85 My_l=-49.55
Tensioni nella sezione: σ=600.63 τ=73.36
CC 17 SLV (Collegamento -182_-384)
Azioni sul collegamento: N=-13961.30 Ty=-7.48 Tz=28.35 Mx=-0.02 Mz=-7.28
Sollecitazioni agenti localmente: Ty_l=-2445.99 My_l=-50.10
Tensioni nella sezione: σ=607.30 τ=74.12
CC 17 SLV (Collegamento -182_-384)
Azioni sul collegamento: N=-13961.30 Ty=-15.19 Tz=28.35 Mx=-0.02 Mz=-13.60
Sollecitazioni agenti localmente: Ty_l=-2420.85 My_l=-49.55
Tensioni nella sezione: σ=600.63 τ=73.36
CC 18 SLD (Collegamento -182_-384)
Azioni sul collegamento: N=-8758.64 Ty=-9.24 Tz=8.91 Mx=-0.01 Mz=-7.34
Sollecitazioni agenti localmente: Ty_l=-1523.47 My_l=-31.19
Tensioni nella sezione: σ=378.06 τ=46.17
CC 18 SLD (Collegamento -182_-384)
Azioni sul collegamento: N=-8758.64 Ty=-11.59 Tz=8.91 Mx=-0.01 Mz=-9.27
Sollecitazioni agenti localmente: Ty_l=-1515.80 My_l=-31.02
Tensioni nella sezione: σ=376.03 τ=45.93
CC 18 SLD (Collegamento -182_-384)
Azioni sul collegamento: N=-8758.65 Ty=-9.24 Tz=17.82 Mx=-0.01 Mz=-7.34
Sollecitazioni agenti localmente: Ty_l=-1523.47 My_l=-31.19
Tensioni nella sezione: σ=378.06 τ=46.17
CC 18 SLD (Collegamento -182_-384)
Azioni sul collegamento: N=-8758.65 Ty=-11.59 Tz=17.82 Mx=-0.01 Mz=-9.27
Sollecitazioni agenti localmente: Ty_l=-1515.80 My_l=-31.02

Tensioni nella sezione: σ=376.03 τ=45.93
CC 18 SLD (Collegamento -182_-384)
Azioni sul collegamento: N=-11144.60 Ty=-9.24 Tz=8.91 Mx=-0.01 Mz=-7.34
Sollecitazioni agenti localmente: Ty_l=-1946.44 My_l=-39.86
Tensioni nella sezione: σ=483.17 τ=58.98
CC 18 SLD (Collegamento -182_-384)
Azioni sul collegamento: N=-11144.60 Ty=-11.59 Tz=8.91 Mx=-0.01 Mz=-9.27
Sollecitazioni agenti localmente: Ty_l=-1938.77 My_l=-39.69
Tensioni nella sezione: σ=481.13 τ=58.75
CC 18 SLD (Collegamento -182_-384)
Azioni sul collegamento: N=-11144.60 Ty=-9.24 Tz=17.82 Mx=-0.01 Mz=-7.34
Sollecitazioni agenti localmente: Ty_l=-1946.44 My_l=-39.86
Tensioni nella sezione: σ=483.17 τ=58.98
CC 18 SLD (Collegamento -182_-384)
Azioni sul collegamento: N=-11144.60 Ty=-11.59 Tz=17.82 Mx=-0.01 Mz=-9.27
Sollecitazioni agenti localmente: Ty_l=-1938.77 My_l=-39.69
Tensioni nella sezione: σ=481.13 τ=58.75
CC 19 SLV (Collegamento -182_-384)
Azioni sul collegamento: N=-6141.50 Ty=-7.99 Tz=-0.53 Mx=-0.01 Mz=-8.33
Sollecitazioni agenti localmente: Ty_l=-1055.59 My_l=-21.59
Tensioni nella sezione: σ=261.74 τ=31.99
CC 19 SLV (Collegamento -182_-384)
Azioni sul collegamento: N=-6141.50 Ty=-14.68 Tz=-0.53 Mx=-0.01 Mz=-12.56
Sollecitazioni agenti localmente: Ty_l=-1038.78 My_l=-21.23
Tensioni nella sezione: σ=257.27 τ=31.48
CC 19 SLV (Collegamento -182_-384)
Azioni sul collegamento: N=-6141.50 Ty=-7.99 Tz=28.02 Mx=-0.01 Mz=-8.33
Sollecitazioni agenti localmente: Ty_l=-1055.59 My_l=-21.59
Tensioni nella sezione: σ=261.74 τ=31.99
CC 19 SLV (Collegamento -182_-384)
Azioni sul collegamento: N=-6141.50 Ty=-14.68 Tz=28.02 Mx=-0.01 Mz=-12.56
Sollecitazioni agenti localmente: Ty_l=-1038.78 My_l=-21.23
Tensioni nella sezione: σ=257.27 τ=31.48
CC 19 SLV (Collegamento -182_-384)
Azioni sul collegamento: N=-13956.40 Ty=-7.99 Tz=-0.53 Mx=-0.01 Mz=-8.33
Sollecitazioni agenti localmente: Ty_l=-2440.97 My_l=-49.99
Tensioni nella sezione: σ=605.98 τ=73.97
CC 19 SLV (Collegamento -182_-384)
Azioni sul collegamento: N=-13956.40 Ty=-14.68 Tz=-0.53 Mx=-0.01 Mz=-12.56
Sollecitazioni agenti localmente: Ty_l=-2424.15 My_l=-49.63
Tensioni nella sezione: σ=601.52 τ=73.46
CC 19 SLV (Collegamento -182_-384)
Azioni sul collegamento: N=-13956.40 Ty=-7.99 Tz=28.02 Mx=-0.01 Mz=-8.33
Sollecitazioni agenti localmente: Ty_l=-2440.97 My_l=-49.99
Tensioni nella sezione: σ=605.98 τ=73.97
CC 19 SLV (Collegamento -182_-384)
Azioni sul collegamento: N=-13956.40 Ty=-14.68 Tz=28.02 Mx=-0.01 Mz=-12.56
Sollecitazioni agenti localmente: Ty_l=-2424.15 My_l=-49.63
Tensioni nella sezione: σ=601.52 τ=73.46
CC 20 SLD (Collegamento -182_-384)
Azioni sul collegamento: N=-8760.12 Ty=-9.39 Tz=9.01 Mx=-0.01 Mz=-7.66
Sollecitazioni agenti localmente: Ty_l=-1522.46 My_l=-31.17
Tensioni nella sezione: σ=377.79 τ=46.14
CC 20 SLD (Collegamento -182_-384)
Azioni sul collegamento: N=-8760.12 Ty=-11.43 Tz=9.01 Mx=-0.01 Mz=-8.95
Sollecitazioni agenti localmente: Ty_l=-1517.33 My_l=-31.06
Tensioni nella sezione: σ=376.43 τ=45.98
CC 20 SLD (Collegamento -182_-384)
Azioni sul collegamento: N=-8760.13 Ty=-9.39 Tz=17.72 Mx=-0.01 Mz=-7.66
Sollecitazioni agenti localmente: Ty_l=-1522.46 My_l=-31.17
Tensioni nella sezione: σ=377.79 τ=46.14
CC 20 SLD (Collegamento -182_-384)
Azioni sul collegamento: N=-8760.13 Ty=-11.43 Tz=17.72 Mx=-0.01 Mz=-8.95
Sollecitazioni agenti localmente: Ty_l=-1517.33 My_l=-31.06
Tensioni nella sezione: σ=376.43 τ=45.98
CC 20 SLD (Collegamento -182_-384)
Azioni sul collegamento: N=-11143.10 Ty=-9.39 Tz=9.01 Mx=-0.01 Mz=-7.66
Sollecitazioni agenti localmente: Ty_l=-1944.91 My_l=-39.83
Tensioni nella sezione: σ=482.76 τ=58.94
CC 20 SLD (Collegamento -182_-384)
Azioni sul collegamento: N=-11143.10 Ty=-11.43 Tz=9.01 Mx=-0.01 Mz=-8.95
Sollecitazioni agenti localmente: Ty_l=-1939.78 My_l=-39.72
Tensioni nella sezione: σ=481.40 τ=58.78
CC 20 SLD (Collegamento -182_-384)
Azioni sul collegamento: N=-11143.10 Ty=-9.39 Tz=17.72 Mx=-0.01 Mz=-7.66
Sollecitazioni agenti localmente: Ty_l=-1944.91 My_l=-39.83
Tensioni nella sezione: σ=482.76 τ=58.94
CC 20 SLD (Collegamento -182_-384)
Azioni sul collegamento: N=-11143.10 Ty=-11.43 Tz=17.72 Mx=-0.01 Mz=-8.95

Sollecitazioni agenti localmente: Ty_l=-1939.78 My_l=-39.72
Tensioni nella sezione: σ=481.40 τ=58.78
CC 21 SLV (Collegamento -182_-384)
Azioni sul collegamento: N=-13956.40 Ty=-14.68 Tz=28.02 Mx=-0.02 Mz=-12.56
Sollecitazioni agenti localmente: Ty_l=-2424.15 My_l=-49.63
Tensioni nella sezione: σ=601.52 τ=73.46
CC 21 SLV (Collegamento -182_-384)
Azioni sul collegamento: N=-13956.40 Ty=-7.99 Tz=28.02 Mx=-0.02 Mz=-8.33
Sollecitazioni agenti localmente: Ty_l=-2440.97 My_l=-49.99
Tensioni nella sezione: σ=605.98 τ=73.97
CC 21 SLV (Collegamento -182_-384)
Azioni sul collegamento: N=-13956.40 Ty=-14.68 Tz=-0.53 Mx=-0.02 Mz=-12.56
Sollecitazioni agenti localmente: Ty_l=-2424.15 My_l=-49.63
Tensioni nella sezione: σ=601.52 τ=73.46
CC 21 SLV (Collegamento -182_-384)
Azioni sul collegamento: N=-13956.40 Ty=-7.99 Tz=-0.53 Mx=-0.02 Mz=-8.33
Sollecitazioni agenti localmente: Ty_l=-2440.97 My_l=-49.99
Tensioni nella sezione: σ=605.98 τ=73.97
CC 21 SLV (Collegamento -182_-384)
Azioni sul collegamento: N=-6141.50 Ty=-14.68 Tz=28.02 Mx=-0.02 Mz=-12.56
Sollecitazioni agenti localmente: Ty_l=-1038.78 My_l=-21.23
Tensioni nella sezione: σ=257.27 τ=31.48
CC 21 SLV (Collegamento -182_-384)
Azioni sul collegamento: N=-6141.50 Ty=-7.99 Tz=28.02 Mx=-0.02 Mz=-8.33
Sollecitazioni agenti localmente: Ty_l=-1055.59 My_l=-21.59
Tensioni nella sezione: σ=261.74 τ=31.99
CC 21 SLV (Collegamento -182_-384)
Azioni sul collegamento: N=-6141.50 Ty=-14.68 Tz=-0.53 Mx=-0.02 Mz=-12.56
Sollecitazioni agenti localmente: Ty_l=-1038.78 My_l=-21.23
Tensioni nella sezione: σ=257.27 τ=31.48
CC 21 SLV (Collegamento -182_-384)
Azioni sul collegamento: N=-6141.50 Ty=-7.99 Tz=-0.53 Mx=-0.02 Mz=-8.33
Sollecitazioni agenti localmente: Ty_l=-1055.59 My_l=-21.59
Tensioni nella sezione: σ=261.74 τ=31.99
CC 22 SLD (Collegamento -182_-384)
Azioni sul collegamento: N=-11143.10 Ty=-11.43 Tz=17.72 Mx=-0.01 Mz=-8.95
Sollecitazioni agenti localmente: Ty_l=-1939.78 My_l=-39.72
Tensioni nella sezione: σ=481.40 τ=58.78
CC 22 SLD (Collegamento -182_-384)
Azioni sul collegamento: N=-11143.10 Ty=-9.39 Tz=17.72 Mx=-0.01 Mz=-7.66
Sollecitazioni agenti localmente: Ty_l=-1944.91 My_l=-39.83
Tensioni nella sezione: σ=482.76 τ=58.94
CC 22 SLD (Collegamento -182_-384)
Azioni sul collegamento: N=-11143.10 Ty=-11.43 Tz=9.01 Mx=-0.01 Mz=-8.95
Sollecitazioni agenti localmente: Ty_l=-1939.78 My_l=-39.72
Tensioni nella sezione: σ=481.40 τ=58.78
CC 22 SLD (Collegamento -182_-384)
Azioni sul collegamento: N=-11143.10 Ty=-9.39 Tz=9.01 Mx=-0.01 Mz=-7.66
Sollecitazioni agenti localmente: Ty_l=-1944.91 My_l=-39.83
Tensioni nella sezione: σ=482.76 τ=58.94
CC 22 SLD (Collegamento -182_-384)
Azioni sul collegamento: N=-8760.13 Ty=-11.43 Tz=17.72 Mx=-0.01 Mz=-8.95
Sollecitazioni agenti localmente: Ty_l=-1517.33 My_l=-31.06
Tensioni nella sezione: σ=376.43 τ=45.98
CC 22 SLD (Collegamento -182_-384)
Azioni sul collegamento: N=-8760.13 Ty=-9.39 Tz=17.72 Mx=-0.01 Mz=-7.66
Sollecitazioni agenti localmente: Ty_l=-1522.46 My_l=-31.17
Tensioni nella sezione: σ=377.79 τ=46.14
CC 22 SLD (Collegamento -182_-384)
Azioni sul collegamento: N=-8760.12 Ty=-11.43 Tz=9.01 Mx=-0.01 Mz=-8.95
Sollecitazioni agenti localmente: Ty_l=-1517.33 My_l=-31.06
Tensioni nella sezione: σ=376.43 τ=45.98
CC 22 SLD (Collegamento -182_-384)
Azioni sul collegamento: N=-8760.12 Ty=-9.39 Tz=9.01 Mx=-0.01 Mz=-7.66
Sollecitazioni agenti localmente: Ty_l=-1522.46 My_l=-31.17
Tensioni nella sezione: σ=377.79 τ=46.14
CC 23 SLV (Collegamento -182_-384)
Azioni sul collegamento: N=-13961.30 Ty=-15.19 Tz=28.35 Mx=-0.01 Mz=-13.60
Sollecitazioni agenti localmente: Ty_l=-2420.85 My_l=-49.55
Tensioni nella sezione: σ=600.63 τ=73.36
CC 23 SLV (Collegamento -182_-384)
Azioni sul collegamento: N=-13961.30 Ty=-7.48 Tz=28.35 Mx=-0.01 Mz=-7.28
Sollecitazioni agenti localmente: Ty_l=-2445.99 My_l=-50.10
Tensioni nella sezione: σ=607.30 τ=74.12
CC 23 SLV (Collegamento -182_-384)
Azioni sul collegamento: N=-13961.30 Ty=-15.19 Tz=-0.86 Mx=-0.01 Mz=-13.60
Sollecitazioni agenti localmente: Ty_l=-2420.85 My_l=-49.55
Tensioni nella sezione: σ=600.63 τ=73.36
CC 23 SLV (Collegamento -182_-384)

Azioni sul collegamento: N=-13961.30 Ty=-7.48 Tz=-0.86 Mx=-0.01 Mz=-7.28
Sollecitazioni agenti localmente: Ty_l=-2445.99 My_l=-50.10
Tensioni nella sezione: σ=607.30 τ=74.12
CC 23 SLV (Collegamento -182_-384)
Azioni sul collegamento: N=-6136.65 Ty=-15.19 Tz=28.35 Mx=-0.01 Mz=-13.60
Sollecitazioni agenti localmente: Ty_l=-1033.75 My_l=-21.12
Tensioni nella sezione: σ=255.95 τ=31.33
CC 23 SLV (Collegamento -182_-384)
Azioni sul collegamento: N=-6136.65 Ty=-7.48 Tz=28.35 Mx=-0.01 Mz=-7.28
Sollecitazioni agenti localmente: Ty_l=-1058.90 My_l=-21.67
Tensioni nella sezione: σ=262.63 τ=32.09
CC 23 SLV (Collegamento -182_-384)
Azioni sul collegamento: N=-6136.65 Ty=-15.19 Tz=-0.86 Mx=-0.01 Mz=-13.60
Sollecitazioni agenti localmente: Ty_l=-1033.75 My_l=-21.12
Tensioni nella sezione: σ=255.95 τ=31.33
CC 23 SLV (Collegamento -182_-384)
Azioni sul collegamento: N=-6136.65 Ty=-7.48 Tz=-0.86 Mx=-0.01 Mz=-7.28
Sollecitazioni agenti localmente: Ty_l=-1058.90 My_l=-21.67
Tensioni nella sezione: σ=262.63 τ=32.09
CC 24 SLD (Collegamento -182_-384)
Azioni sul collegamento: N=-11144.60 Ty=-11.59 Tz=17.82 Mx=-0.01 Mz=-9.27
Sollecitazioni agenti localmente: Ty_l=-1938.77 My_l=-39.69
Tensioni nella sezione: σ=481.13 τ=58.75
CC 24 SLD (Collegamento -182_-384)
Azioni sul collegamento: N=-11144.60 Ty=-9.24 Tz=17.82 Mx=-0.01 Mz=-7.34
Sollecitazioni agenti localmente: Ty_l=-1946.44 My_l=-39.86
Tensioni nella sezione: σ=483.17 τ=58.98
CC 24 SLD (Collegamento -182_-384)
Azioni sul collegamento: N=-11144.60 Ty=-11.59 Tz=8.91 Mx=-0.01 Mz=-9.27
Sollecitazioni agenti localmente: Ty_l=-1938.77 My_l=-39.69
Tensioni nella sezione: σ=481.13 τ=58.75
CC 24 SLD (Collegamento -182_-384)
Azioni sul collegamento: N=-11144.60 Ty=-9.24 Tz=8.91 Mx=-0.01 Mz=-7.34
Sollecitazioni agenti localmente: Ty_l=-1946.44 My_l=-39.86
Tensioni nella sezione: σ=483.17 τ=58.98
CC 24 SLD (Collegamento -182_-384)
Azioni sul collegamento: N=-8758.65 Ty=-11.59 Tz=17.82 Mx=-0.01 Mz=-9.27
Sollecitazioni agenti localmente: Ty_l=-1515.80 My_l=-31.02
Tensioni nella sezione: σ=376.03 τ=45.93
CC 24 SLD (Collegamento -182_-384)
Azioni sul collegamento: N=-8758.65 Ty=-9.24 Tz=17.82 Mx=-0.01 Mz=-7.34
Sollecitazioni agenti localmente: Ty_l=-1523.47 My_l=-31.19
Tensioni nella sezione: σ=378.06 τ=46.17
CC 24 SLD (Collegamento -182_-384)
Azioni sul collegamento: N=-8758.64 Ty=-11.59 Tz=8.91 Mx=-0.01 Mz=-9.27
Sollecitazioni agenti localmente: Ty_l=-1515.80 My_l=-31.02
Tensioni nella sezione: σ=376.03 τ=45.93
CC 24 SLD (Collegamento -182_-384)
Azioni sul collegamento: N=-8758.64 Ty=-9.24 Tz=8.91 Mx=-0.01 Mz=-7.34
Sollecitazioni agenti localmente: Ty_l=-1523.47 My_l=-31.19
Tensioni nella sezione: σ=378.06 τ=46.17
CC 25 SLV (Collegamento -182_-384)
Azioni sul collegamento: N=-8867.92 Ty=-9.40 Tz=8.87 Mx=-0.02 Mz=-7.91
Sollecitazioni agenti localmente: Ty_l=-1540.59 My_l=-31.54
Tensioni nella sezione: σ=382.28 τ=46.68
CC 25 SLV (Collegamento -182_-384)
Azioni sul collegamento: N=-8867.92 Ty=-13.27 Tz=8.87 Mx=-0.02 Mz=-12.98
Sollecitazioni agenti localmente: Ty_l=-1520.41 My_l=-31.10
Tensioni nella sezione: σ=376.92 τ=46.07
CC 25 SLV (Collegamento -182_-384)
Azioni sul collegamento: N=-8867.92 Ty=-9.40 Tz=18.62 Mx=-0.02 Mz=-7.91
Sollecitazioni agenti localmente: Ty_l=-1540.59 My_l=-31.54
Tensioni nella sezione: σ=382.28 τ=46.68
CC 25 SLV (Collegamento -182_-384)
Azioni sul collegamento: N=-8867.92 Ty=-13.27 Tz=18.62 Mx=-0.02 Mz=-12.98
Sollecitazioni agenti localmente: Ty_l=-1520.41 My_l=-31.10
Tensioni nella sezione: σ=376.92 τ=46.07
CC 25 SLV (Collegamento -182_-384)
Azioni sul collegamento: N=-11230.00 Ty=-9.40 Tz=8.87 Mx=-0.02 Mz=-7.91
Sollecitazioni agenti localmente: Ty_l=-1959.33 My_l=-40.12
Tensioni nella sezione: σ=486.33 τ=59.37
CC 25 SLV (Collegamento -182_-384)
Azioni sul collegamento: N=-11230.00 Ty=-13.27 Tz=8.87 Mx=-0.02 Mz=-12.98
Sollecitazioni agenti localmente: Ty_l=-1939.15 My_l=-39.68
Tensioni nella sezione: σ=480.97 τ=58.76
CC 25 SLV (Collegamento -182_-384)
Azioni sul collegamento: N=-11230.00 Ty=-9.40 Tz=18.62 Mx=-0.02 Mz=-7.91
Sollecitazioni agenti localmente: Ty_l=-1959.33 My_l=-40.12
Tensioni nella sezione: σ=486.33 τ=59.37

CC 25 SLV (Collegamento -182_-384)
Azioni sul collegamento: N=-11230.00 Ty=-13.27 Tz=18.62 Mx=-0.02 Mz=-12.98
Sollecitazioni agenti localmente: Ty_l=-1939.15 My_l=-39.68
Tensioni nella sezione: σ=480.97 τ=58.76
CC 26 SLD (Collegamento -182_-384)
Azioni sul collegamento: N=-9591.50 Ty=-9.82 Tz=11.88 Mx=-0.01 Mz=-7.53
Sollecitazioni agenti localmente: Ty_l=-1670.35 My_l=-34.20
Tensioni nella sezione: σ=414.55 τ=50.62
CC 26 SLD (Collegamento -182_-384)
Azioni sul collegamento: N=-9591.50 Ty=-11.00 Tz=11.88 Mx=-0.01 Mz=-9.08
Sollecitazioni agenti localmente: Ty_l=-1664.20 My_l=-34.07
Tensioni nella sezione: σ=412.92 τ=50.43
CC 26 SLD (Collegamento -182_-384)
Azioni sul collegamento: N=-9591.50 Ty=-9.82 Tz=14.85 Mx=-0.01 Mz=-7.53
Sollecitazioni agenti localmente: Ty_l=-1670.35 My_l=-34.20
Tensioni nella sezione: σ=414.55 τ=50.62
CC 26 SLD (Collegamento -182_-384)
Azioni sul collegamento: N=-9591.50 Ty=-11.00 Tz=14.85 Mx=-0.01 Mz=-9.08
Sollecitazioni agenti localmente: Ty_l=-1664.20 My_l=-34.07
Tensioni nella sezione: σ=412.92 τ=50.43
CC 26 SLD (Collegamento -182_-384)
Azioni sul collegamento: N=-10311.80 Ty=-9.82 Tz=11.88 Mx=-0.01 Mz=-7.53
Sollecitazioni agenti localmente: Ty_l=-1798.04 My_l=-36.82
Tensioni nella sezione: σ=446.28 τ=54.49
CC 26 SLD (Collegamento -182_-384)
Azioni sul collegamento: N=-10311.80 Ty=-11.00 Tz=11.88 Mx=-0.01 Mz=-9.08
Sollecitazioni agenti localmente: Ty_l=-1791.89 My_l=-36.68
Tensioni nella sezione: σ=444.64 τ=54.30
CC 26 SLD (Collegamento -182_-384)
Azioni sul collegamento: N=-10311.80 Ty=-9.82 Tz=14.85 Mx=-0.01 Mz=-7.53
Sollecitazioni agenti localmente: Ty_l=-1798.04 My_l=-36.82
Tensioni nella sezione: σ=446.28 τ=54.49
CC 26 SLD (Collegamento -182_-384)
Azioni sul collegamento: N=-10311.80 Ty=-11.00 Tz=14.85 Mx=-0.01 Mz=-9.08
Sollecitazioni agenti localmente: Ty_l=-1791.89 My_l=-36.68
Tensioni nella sezione: σ=444.64 τ=54.30
CC 27 SLV (Collegamento -182_-384)
Azioni sul collegamento: N=-11213.90 Ty=-11.56 Tz=17.53 Mx=-0.02 Mz=-9.49
Sollecitazioni agenti localmente: Ty_l=-1950.17 My_l=-39.93
Tensioni nella sezione: σ=483.95 τ=59.10
CC 27 SLV (Collegamento -182_-384)
Azioni sul collegamento: N=-11213.90 Ty=-11.11 Tz=17.53 Mx=-0.02 Mz=-11.40
Sollecitazioni agenti localmente: Ty_l=-1942.58 My_l=-39.76
Tensioni nella sezione: σ=481.93 τ=58.87
CC 27 SLV (Collegamento -182_-384)
Azioni sul collegamento: N=-11213.90 Ty=-11.56 Tz=9.96 Mx=-0.02 Mz=-9.49
Sollecitazioni agenti localmente: Ty_l=-1950.17 My_l=-39.93
Tensioni nella sezione: σ=483.95 τ=59.10
CC 27 SLV (Collegamento -182_-384)
Azioni sul collegamento: N=-11213.90 Ty=-11.11 Tz=9.96 Mx=-0.02 Mz=-11.40
Sollecitazioni agenti localmente: Ty_l=-1942.58 My_l=-39.76
Tensioni nella sezione: σ=481.93 τ=58.87
CC 27 SLV (Collegamento -182_-384)
Azioni sul collegamento: N=-8884.09 Ty=-11.56 Tz=17.53 Mx=-0.02 Mz=-9.49
Sollecitazioni agenti localmente: Ty_l=-1537.16 My_l=-31.46
Tensioni nella sezione: σ=381.32 τ=46.58
CC 27 SLV (Collegamento -182_-384)
Azioni sul collegamento: N=-8884.09 Ty=-11.11 Tz=17.53 Mx=-0.02 Mz=-11.40
Sollecitazioni agenti localmente: Ty_l=-1529.58 My_l=-31.29
Tensioni nella sezione: σ=379.31 τ=46.35
CC 27 SLV (Collegamento -182_-384)
Azioni sul collegamento: N=-8884.09 Ty=-11.56 Tz=9.96 Mx=-0.02 Mz=-9.49
Sollecitazioni agenti localmente: Ty_l=-1537.16 My_l=-31.46
Tensioni nella sezione: σ=381.32 τ=46.58
CC 27 SLV (Collegamento -182_-384)
Azioni sul collegamento: N=-8884.09 Ty=-11.11 Tz=9.96 Mx=-0.02 Mz=-11.40
Sollecitazioni agenti localmente: Ty_l=-1529.58 My_l=-31.29
Tensioni nella sezione: σ=379.31 τ=46.35
CC 28 SLD (Collegamento -182_-384)
Azioni sul collegamento: N=-10306.80 Ty=-10.48 Tz=14.52 Mx=-0.01 Mz=-8.01
Sollecitazioni agenti localmente: Ty_l=-1795.25 My_l=-36.76
Tensioni nella sezione: σ=445.55 τ=54.40
CC 28 SLD (Collegamento -182_-384)
Azioni sul collegamento: N=-10306.80 Ty=-10.34 Tz=14.52 Mx=-0.01 Mz=-8.60
Sollecitazioni agenti localmente: Ty_l=-1792.93 My_l=-36.71
Tensioni nella sezione: σ=444.94 τ=54.33
CC 28 SLD (Collegamento -182_-384)
Azioni sul collegamento: N=-10306.80 Ty=-10.48 Tz=12.21 Mx=-0.01 Mz=-8.01
Sollecitazioni agenti localmente: Ty_l=-1795.24 My_l=-36.76

Tensioni nella sezione: σ=445.55 τ=54.40
CC 28 SLD (Collegamento -182_-384)
Azioni sul collegamento: N=-10306.80 Ty=-10.34 Tz=12.21 Mx=-0.01 Mz=-8.60
Sollecitazioni agenti localmente: Ty_l=-1792.93 My_l=-36.71
Tensioni nella sezione: σ=444.94 τ=54.33
CC 28 SLD (Collegamento -182_-384)
Azioni sul collegamento: N=-9596.43 Ty=-10.48 Tz=14.52 Mx=-0.01 Mz=-8.01
Sollecitazioni agenti localmente: Ty_l=-1669.31 My_l=-34.18
Tensioni nella sezione: σ=414.26 τ=50.59
CC 28 SLD (Collegamento -182_-384)
Azioni sul collegamento: N=-9596.43 Ty=-10.34 Tz=14.52 Mx=-0.01 Mz=-8.60
Sollecitazioni agenti localmente: Ty_l=-1666.99 My_l=-34.13
Tensioni nella sezione: σ=413.64 τ=50.51
CC 28 SLD (Collegamento -182_-384)
Azioni sul collegamento: N=-9596.43 Ty=-10.48 Tz=12.21 Mx=-0.01 Mz=-8.01
Sollecitazioni agenti localmente: Ty_l=-1669.31 My_l=-34.18
Tensioni nella sezione: σ=414.26 τ=50.59
CC 28 SLD (Collegamento -182_-384)
Azioni sul collegamento: N=-9596.43 Ty=-10.34 Tz=12.21 Mx=-0.01 Mz=-8.60
Sollecitazioni agenti localmente: Ty_l=-1666.99 My_l=-34.13
Tensioni nella sezione: σ=413.64 τ=50.51
CC 29 SLV (Collegamento -182_-384)
Azioni sul collegamento: N=-8884.09 Ty=-11.11 Tz=9.96 Mx=-0.01 Mz=-11.40
Sollecitazioni agenti localmente: Ty_l=-1529.58 My_l=-31.29
Tensioni nella sezione: σ=379.31 τ=46.35
CC 29 SLV (Collegamento -182_-384)
Azioni sul collegamento: N=-8884.09 Ty=-11.56 Tz=9.96 Mx=-0.01 Mz=-9.49
Sollecitazioni agenti localmente: Ty_l=-1537.16 My_l=-31.46
Tensioni nella sezione: σ=381.32 τ=46.58
CC 29 SLV (Collegamento -182_-384)
Azioni sul collegamento: N=-8884.09 Ty=-11.11 Tz=17.53 Mx=-0.01 Mz=-11.40
Sollecitazioni agenti localmente: Ty_l=-1529.58 My_l=-31.29
Tensioni nella sezione: σ=379.31 τ=46.35
CC 29 SLV (Collegamento -182_-384)
Azioni sul collegamento: N=-8884.09 Ty=-11.56 Tz=17.53 Mx=-0.01 Mz=-9.49
Sollecitazioni agenti localmente: Ty_l=-1537.16 My_l=-31.46
Tensioni nella sezione: σ=381.32 τ=46.58
CC 29 SLV (Collegamento -182_-384)
Azioni sul collegamento: N=-11213.90 Ty=-11.11 Tz=9.96 Mx=-0.01 Mz=-11.40
Sollecitazioni agenti localmente: Ty_l=-1942.58 My_l=-39.76
Tensioni nella sezione: σ=481.93 τ=58.87
CC 29 SLV (Collegamento -182_-384)
Azioni sul collegamento: N=-11213.90 Ty=-11.56 Tz=9.96 Mx=-0.01 Mz=-9.49
Sollecitazioni agenti localmente: Ty_l=-1950.17 My_l=-39.93
Tensioni nella sezione: σ=483.95 τ=59.10
CC 29 SLV (Collegamento -182_-384)
Azioni sul collegamento: N=-11213.90 Ty=-11.11 Tz=17.53 Mx=-0.01 Mz=-11.40
Sollecitazioni agenti localmente: Ty_l=-1942.58 My_l=-39.76
Tensioni nella sezione: σ=481.93 τ=58.87
CC 29 SLV (Collegamento -182_-384)
Azioni sul collegamento: N=-11213.90 Ty=-11.56 Tz=17.53 Mx=-0.01 Mz=-9.49
Sollecitazioni agenti localmente: Ty_l=-1950.17 My_l=-39.93
Tensioni nella sezione: σ=483.95 τ=59.10
CC 30 SLD (Collegamento -182_-384)
Azioni sul collegamento: N=-9596.43 Ty=-10.34 Tz=12.21 Mx=-0.00 Mz=-8.60
Sollecitazioni agenti localmente: Ty_l=-1666.99 My_l=-34.13
Tensioni nella sezione: σ=413.64 τ=50.51
CC 30 SLD (Collegamento -182_-384)
Azioni sul collegamento: N=-9596.43 Ty=-10.48 Tz=12.21 Mx=-0.00 Mz=-8.01
Sollecitazioni agenti localmente: Ty_l=-1669.31 My_l=-34.18
Tensioni nella sezione: σ=414.26 τ=50.59
CC 30 SLD (Collegamento -182_-384)
Azioni sul collegamento: N=-9596.43 Ty=-10.34 Tz=14.52 Mx=-0.00 Mz=-8.60
Sollecitazioni agenti localmente: Ty_l=-1666.99 My_l=-34.13
Tensioni nella sezione: σ=413.64 τ=50.51
CC 30 SLD (Collegamento -182_-384)
Azioni sul collegamento: N=-9596.43 Ty=-10.48 Tz=14.52 Mx=-0.00 Mz=-8.01
Sollecitazioni agenti localmente: Ty_l=-1669.31 My_l=-34.18
Tensioni nella sezione: σ=414.26 τ=50.59
CC 30 SLD (Collegamento -182_-384)
Azioni sul collegamento: N=-10306.80 Ty=-10.34 Tz=12.21 Mx=-0.00 Mz=-8.60
Sollecitazioni agenti localmente: Ty_l=-1792.93 My_l=-36.71
Tensioni nella sezione: σ=444.94 τ=54.33
CC 30 SLD (Collegamento -182_-384)
Azioni sul collegamento: N=-10306.80 Ty=-10.48 Tz=12.21 Mx=-0.00 Mz=-8.01
Sollecitazioni agenti localmente: Ty_l=-1795.24 My_l=-36.76
Tensioni nella sezione: σ=445.55 τ=54.40
CC 30 SLD (Collegamento -182_-384)
Azioni sul collegamento: N=-10306.80 Ty=-10.34 Tz=14.52 Mx=-0.00 Mz=-8.60

Sollecitazioni agenti localmente: Ty_l=-1792.93 My_l=-36.71
Tensioni nella sezione: σ=444.94 τ=54.33
CC 30 SLD (Collegamento -182_-384)
Azioni sul collegamento: N=-10306.80 Ty=-10.48 Tz=14.52 Mx=-0.00 Mz=-8.01
Sollecitazioni agenti localmente: Ty_l=-1795.25 My_l=-36.76
Tensioni nella sezione: σ=445.55 τ=54.40
CC 31 SLV (Collegamento -182_-384)
Azioni sul collegamento: N=-11230.00 Ty=-13.27 Tz=18.62 Mx=-0.01 Mz=-12.98
Sollecitazioni agenti localmente: Ty_l=-1939.15 My_l=-39.68
Tensioni nella sezione: σ=480.97 τ=58.76
CC 31 SLV (Collegamento -182_-384)
Azioni sul collegamento: N=-11230.00 Ty=-9.40 Tz=18.62 Mx=-0.01 Mz=-7.91
Sollecitazioni agenti localmente: Ty_l=-1959.33 My_l=-40.12
Tensioni nella sezione: σ=486.33 τ=59.37
CC 31 SLV (Collegamento -182_-384)
Azioni sul collegamento: N=-11230.00 Ty=-13.27 Tz=8.87 Mx=-0.01 Mz=-12.98
Sollecitazioni agenti localmente: Ty_l=-1939.15 My_l=-39.68
Tensioni nella sezione: σ=480.97 τ=58.76
CC 31 SLV (Collegamento -182_-384)
Azioni sul collegamento: N=-11230.00 Ty=-9.40 Tz=8.87 Mx=-0.01 Mz=-7.91
Sollecitazioni agenti localmente: Ty_l=-1959.33 My_l=-40.12
Tensioni nella sezione: σ=486.33 τ=59.37
CC 31 SLV (Collegamento -182_-384)
Azioni sul collegamento: N=-8867.92 Ty=-13.27 Tz=18.62 Mx=-0.01 Mz=-12.98
Sollecitazioni agenti localmente: Ty_l=-1520.41 My_l=-31.10
Tensioni nella sezione: σ=376.92 τ=46.07
CC 31 SLV (Collegamento -182_-384)
Azioni sul collegamento: N=-8867.92 Ty=-9.40 Tz=18.62 Mx=-0.01 Mz=-7.91
Sollecitazioni agenti localmente: Ty_l=-1540.59 My_l=-31.54
Tensioni nella sezione: σ=382.28 τ=46.68
CC 31 SLV (Collegamento -182_-384)
Azioni sul collegamento: N=-8867.92 Ty=-13.27 Tz=8.87 Mx=-0.01 Mz=-12.98
Sollecitazioni agenti localmente: Ty_l=-1520.41 My_l=-31.10
Tensioni nella sezione: σ=376.92 τ=46.07
CC 31 SLV (Collegamento -182_-384)
Azioni sul collegamento: N=-8867.92 Ty=-9.40 Tz=8.87 Mx=-0.01 Mz=-7.91
Sollecitazioni agenti localmente: Ty_l=-1540.59 My_l=-31.54
Tensioni nella sezione: σ=382.28 τ=46.68
CC 32 SLD (Collegamento -182_-384)
Azioni sul collegamento: N=-10311.80 Ty=-11.00 Tz=14.85 Mx=-0.00 Mz=-9.08
Sollecitazioni agenti localmente: Ty_l=-1791.89 My_l=-36.68
Tensioni nella sezione: σ=444.64 τ=54.30
CC 32 SLD (Collegamento -182_-384)
Azioni sul collegamento: N=-10311.80 Ty=-9.82 Tz=14.85 Mx=-0.00 Mz=-7.53
Sollecitazioni agenti localmente: Ty_l=-1798.04 My_l=-36.82
Tensioni nella sezione: σ=446.28 τ=54.49
CC 32 SLD (Collegamento -182_-384)
Azioni sul collegamento: N=-10311.80 Ty=-11.00 Tz=11.88 Mx=-0.00 Mz=-9.08
Sollecitazioni agenti localmente: Ty_l=-1791.89 My_l=-36.68
Tensioni nella sezione: σ=444.64 τ=54.30
CC 32 SLD (Collegamento -182_-384)
Azioni sul collegamento: N=-10311.80 Ty=-9.82 Tz=11.88 Mx=-0.00 Mz=-7.53
Sollecitazioni agenti localmente: Ty_l=-1798.04 My_l=-36.82
Tensioni nella sezione: σ=446.28 τ=54.49
CC 32 SLD (Collegamento -182_-384)
Azioni sul collegamento: N=-9591.50 Ty=-11.00 Tz=14.85 Mx=-0.00 Mz=-9.08
Sollecitazioni agenti localmente: Ty_l=-1664.20 My_l=-34.07
Tensioni nella sezione: σ=412.92 τ=50.43
CC 32 SLD (Collegamento -182_-384)
Azioni sul collegamento: N=-9591.50 Ty=-9.82 Tz=14.85 Mx=-0.00 Mz=-7.53
Sollecitazioni agenti localmente: Ty_l=-1670.35 My_l=-34.20
Tensioni nella sezione: σ=414.55 τ=50.62
CC 32 SLD (Collegamento -182_-384)
Azioni sul collegamento: N=-9591.50 Ty=-11.00 Tz=11.88 Mx=-0.00 Mz=-9.08
Sollecitazioni agenti localmente: Ty_l=-1664.20 My_l=-34.07
Tensioni nella sezione: σ=412.92 τ=50.43
CC 32 SLD (Collegamento -182_-384)
Azioni sul collegamento: N=-9591.50 Ty=-9.82 Tz=11.88 Mx=-0.00 Mz=-7.53
Sollecitazioni agenti localmente: Ty_l=-1670.35 My_l=-34.20
Tensioni nella sezione: σ=414.55 τ=50.62
CC 33 SLU (Collegamento -182_-384)
Azioni sul collegamento: N=-37242.40 Ty=-20.96 Tz=105.49 Mx=-0.01 Mz=-15.56
Sollecitazioni agenti localmente: Ty_l=-6540.16 My_l=-133.99
Tensioni nella sezione: σ=1624.08 τ=198.19
CC 34 SLU (Collegamento -182_-384)
Azioni sul collegamento: N=-36428.20 Ty=-20.21 Tz=102.49 Mx=-0.01 Mz=-15.01
Sollecitazioni agenti localmente: Ty_l=-6398.02 My_l=-131.08
Tensioni nella sezione: σ=1588.80 τ=193.88
CC 35 SLU (Collegamento -182_-384)

Azioni sul collegamento: N=-36836.10 Ty=-20.67 Tz=103.93 Mx=-0.00 Mz=-15.47
Sollecitazioni agenti localmente: Ty_l=-6468.52 My_l=-132.52
Tensioni nella sezione: σ=1606.29 τ=196.02
CC 36 SLU (Collegamento -182_-384)
Azioni sul collegamento: N=-36834.40 Ty=-20.49 Tz=104.05 Mx=-0.01 Mz=-15.10
Sollecitazioni agenti localmente: Ty_l=-6469.66 My_l=-132.54
Tensioni nella sezione: σ=1606.59 τ=196.05
CC 37 SLU (Collegamento -182_-384)
Azioni sul collegamento: N=-28075.80 Ty=-20.08 Tz=71.84 Mx=-0.01 Mz=-14.76
Sollecitazioni agenti localmente: Ty_l=-4918.34 My_l=-100.74
Tensioni nella sezione: σ=1221.14 τ=149.04
CC 38 SLU (Collegamento -182_-384)
Azioni sul collegamento: N=-27261.60 Ty=-19.33 Tz=68.83 Mx=-0.01 Mz=-14.21
Sollecitazioni agenti localmente: Ty_l=-4776.20 My_l=-97.83
Tensioni nella sezione: σ=1185.85 τ=144.73
CC 39 SLU (Collegamento -182_-384)
Azioni sul collegamento: N=-27669.60 Ty=-19.79 Tz=70.28 Mx=-0.00 Mz=-14.67
Sollecitazioni agenti localmente: Ty_l=-4846.70 My_l=-99.28
Tensioni nella sezione: σ=1203.34 τ=146.87
CC 40 SLU (Collegamento -182_-384)
Azioni sul collegamento: N=-27667.80 Ty=-19.61 Tz=70.39 Mx=-0.01 Mz=-14.31
Sollecitazioni agenti localmente: Ty_l=-4847.84 My_l=-99.30
Tensioni nella sezione: σ=1203.65 τ=146.90
CC 41 SLU (Collegamento -182_-384)
Azioni sul collegamento: N=-30474.50 Ty=9.93 Tz=80.11 Mx=-0.01 Mz=7.87
Sollecitazioni agenti localmente: Ty_l=-5433.62 My_l=-111.43
Tensioni nella sezione: σ=1350.70 τ=164.66
CC 42 SLU (Collegamento -182_-384)
Azioni sul collegamento: N=-29660.30 Ty=10.68 Tz=77.11 Mx=-0.01 Mz=8.42
Sollecitazioni agenti localmente: Ty_l=-5291.47 My_l=-108.52
Tensioni nella sezione: σ=1315.42 τ=160.35
CC 43 SLU (Collegamento -182_-384)
Azioni sul collegamento: N=-30068.30 Ty=10.21 Tz=78.55 Mx=-0.00 Mz=7.97
Sollecitazioni agenti localmente: Ty_l=-5361.97 My_l=-109.97
Tensioni nella sezione: σ=1332.91 τ=162.48
CC 44 SLU (Collegamento -182_-384)
Azioni sul collegamento: N=-30066.50 Ty=10.39 Tz=78.67 Mx=-0.01 Mz=8.33
Sollecitazioni agenti localmente: Ty_l=-5363.11 My_l=-109.99
Tensioni nella sezione: σ=1333.21 τ=162.52
CC 45 SLU (Collegamento -182_-384)
Azioni sul collegamento: N=-30085.80 Ty=-20.31 Tz=79.22 Mx=-0.00 Mz=-15.08
Sollecitazioni agenti localmente: Ty_l=-5273.40 My_l=-108.02
Tensioni nella sezione: σ=1309.34 τ=159.80
CC 46 SLU (Collegamento -182_-384)
Azioni sul collegamento: N=-29271.60 Ty=-19.56 Tz=76.22 Mx=-0.00 Mz=-14.53
Sollecitazioni agenti localmente: Ty_l=-5131.26 My_l=-105.11
Tensioni nella sezione: σ=1274.06 τ=155.49
CC 47 SLU (Collegamento -182_-384)
Azioni sul collegamento: N=-29679.60 Ty=-20.02 Tz=77.66 Mx=-0.00 Mz=-14.99
Sollecitazioni agenti localmente: Ty_l=-5201.76 My_l=-106.55
Tensioni nella sezione: σ=1291.55 τ=157.63
CC 48 SLU (Collegamento -182_-384)
Azioni sul collegamento: N=-29677.80 Ty=-19.84 Tz=77.78 Mx=-0.01 Mz=-14.62
Sollecitazioni agenti localmente: Ty_l=-5202.90 My_l=-106.58
Tensioni nella sezione: σ=1291.86 τ=157.66
CC 49 SLU (Collegamento -182_-384)
Azioni sul collegamento: N=-23227.80 Ty=-19.65 Tz=54.04 Mx=-0.00 Mz=-14.49
Sollecitazioni agenti localmente: Ty_l=-4060.04 My_l=-83.15
Tensioni nella sezione: σ=1007.88 τ=123.03
CC 50 SLU (Collegamento -182_-384)
Azioni sul collegamento: N=-22413.60 Ty=-18.90 Tz=51.04 Mx=-0.00 Mz=-13.93
Sollecitazioni agenti localmente: Ty_l=-3917.90 My_l=-80.24
Tensioni nella sezione: σ=972.60 τ=118.72
CC 51 SLU (Collegamento -182_-384)
Azioni sul collegamento: N=-22821.60 Ty=-19.36 Tz=52.48 Mx=-0.00 Mz=-14.39
Sollecitazioni agenti localmente: Ty_l=-3988.40 My_l=-81.68
Tensioni nella sezione: σ=990.09 τ=120.86
CC 52 SLU (Collegamento -182_-384)
Azioni sul collegamento: N=-22819.80 Ty=-19.19 Tz=52.60 Mx=-0.01 Mz=-14.03
Sollecitazioni agenti localmente: Ty_l=-3989.54 My_l=-81.71
Tensioni nella sezione: σ=990.39 τ=120.89
CC 53 SLU (Collegamento -182_-384)
Azioni sul collegamento: N=-25022.40 Ty=2.80 Tz=60.23 Mx=-0.00 Mz=2.45
Sollecitazioni agenti localmente: Ty_l=-4445.54 My_l=-91.15
Tensioni nella sezione: σ=1104.82 τ=134.71
CC 54 SLU (Collegamento -182_-384)
Azioni sul collegamento: N=-24208.20 Ty=3.55 Tz=57.23 Mx=-0.01 Mz=3.00
Sollecitazioni agenti localmente: Ty_l=-4303.40 My_l=-88.24
Tensioni nella sezione: σ=1069.53 τ=130.41

CC 55 SLU (Collegamento -182_-384)
Azioni sul collegamento: N=-24616.20 Ty=3.09 Tz=58.67 Mx=-0.00 Mz=2.54
Sollecitazioni agenti localmente: Ty_l=-4373.90 My_l=-89.68
Tensioni nella sezione: σ=1087.02 τ=132.54
CC 56 SLU (Collegamento -182_-384)
Azioni sul collegamento: N=-24614.50 Ty=3.26 Tz=58.79 Mx=-0.01 Mz=2.91
Sollecitazioni agenti localmente: Ty_l=-4375.04 My_l=-89.70
Tensioni nella sezione: σ=1087.33 τ=132.58
CC 57 SLU (Collegamento -182_-384)
Azioni sul collegamento: N=-27876.60 Ty=-18.56 Tz=71.09 Mx=-0.00 Mz=-13.78
Sollecitazioni agenti localmente: Ty_l=-4886.94 My_l=-100.11
Tensioni nella sezione: σ=1213.40 τ=148.09
CC 58 SLU (Collegamento -182_-384)
Azioni sul collegamento: N=-27062.40 Ty=-17.81 Tz=68.08 Mx=-0.00 Mz=-13.23
Sollecitazioni agenti localmente: Ty_l=-4744.80 My_l=-97.19
Tensioni nella sezione: σ=1178.12 τ=143.78
CC 59 SLU (Collegamento -182_-384)
Azioni sul collegamento: N=-27470.40 Ty=-18.27 Tz=69.53 Mx=-0.00 Mz=-13.69
Sollecitazioni agenti localmente: Ty_l=-4815.30 My_l=-98.64
Tensioni nella sezione: σ=1195.61 τ=145.92
CC 60 SLU (Collegamento -182_-384)
Azioni sul collegamento: N=-27468.70 Ty=-18.09 Tz=69.65 Mx=-0.01 Mz=-13.33
Sollecitazioni agenti localmente: Ty_l=-4816.44 My_l=-98.66
Tensioni nella sezione: σ=1195.91 τ=145.95
CC 61 SLU (Collegamento -182_-384)
Azioni sul collegamento: N=-21018.70 Ty=-17.90 Tz=45.91 Mx=-0.00 Mz=-13.19
Sollecitazioni agenti localmente: Ty_l=-3673.58 My_l=-75.23
Tensioni nella sezione: σ=911.94 τ=111.32
CC 62 SLU (Collegamento -182_-384)
Azioni sul collegamento: N=-20204.50 Ty=-17.15 Tz=42.91 Mx=-0.00 Mz=-12.64
Sollecitazioni agenti localmente: Ty_l=-3531.44 My_l=-72.32
Tensioni nella sezione: σ=876.66 τ=107.01
CC 63 SLU (Collegamento -182_-384)
Azioni sul collegamento: N=-20612.50 Ty=-17.61 Tz=44.35 Mx=-0.00 Mz=-13.10
Sollecitazioni agenti localmente: Ty_l=-3601.94 My_l=-73.77
Tensioni nella sezione: σ=894.14 τ=109.15
CC 64 SLU (Collegamento -182_-384)
Azioni sul collegamento: N=-20610.70 Ty=-17.43 Tz=44.47 Mx=-0.01 Mz=-12.73
Sollecitazioni agenti localmente: Ty_l=-3603.08 My_l=-73.79
Tensioni nella sezione: σ=894.45 τ=109.18
CC 65 SLU (Collegamento -182_-384)
Azioni sul collegamento: N=-22813.30 Ty=4.55 Tz=52.10 Mx=-0.00 Mz=3.75
Sollecitazioni agenti localmente: Ty_l=-4059.08 My_l=-83.23
Tensioni nella sezione: σ=1008.87 τ=123.00
CC 66 SLU (Collegamento -182_-384)
Azioni sul collegamento: N=-21999.10 Ty=5.30 Tz=49.10 Mx=-0.00 Mz=4.30
Sollecitazioni agenti localmente: Ty_l=-3916.94 My_l=-80.32
Tensioni nella sezione: σ=973.59 τ=118.69
CC 67 SLU (Collegamento -182_-384)
Azioni sul collegamento: N=-22407.10 Ty=4.84 Tz=50.54 Mx=-0.00 Mz=3.84
Sollecitazioni agenti localmente: Ty_l=-3987.44 My_l=-81.76
Tensioni nella sezione: σ=991.08 τ=120.83
CC 68 SLU (Collegamento -182_-384)
Azioni sul collegamento: N=-22405.30 Ty=5.01 Tz=50.66 Mx=-0.01 Mz=4.20
Sollecitazioni agenti localmente: Ty_l=-3988.58 My_l=-81.79
Tensioni nella sezione: σ=991.38 τ=120.87
CC 97 SLU (Collegamento -182_-384)
Azioni sul collegamento: N=-12779.50 Ty=-22.48 Tz=24.03 Mx=-0.06 Mz=-25.00
Sollecitazioni agenti localmente: Ty_l=-2166.00 My_l=-44.26
Tensioni nella sezione: σ=536.53 τ=65.64
CC 98 SLU (Collegamento -182_-384)
Azioni sul collegamento: N=-11965.30 Ty=-21.73 Tz=21.02 Mx=-0.06 Mz=-24.45
Sollecitazioni agenti localmente: Ty_l=-2023.85 My_l=-41.35
Tensioni nella sezione: σ=501.25 τ=61.33
CC 99 SLU (Collegamento -182_-384)
Azioni sul collegamento: N=-12373.20 Ty=-22.20 Tz=22.47 Mx=-0.05 Mz=-24.91
Sollecitazioni agenti localmente: Ty_l=-2094.36 My_l=-42.80
Tensioni nella sezione: σ=518.74 τ=63.47
CC 100 SLU (Collegamento -182_-384)
Azioni sul collegamento: N=-12371.50 Ty=-22.02 Tz=22.58 Mx=-0.06 Mz=-24.55
Sollecitazioni agenti localmente: Ty_l=-2095.50 My_l=-42.82
Tensioni nella sezione: σ=519.04 τ=63.50
CC 101 SLU (Collegamento -182_-384)
Azioni sul collegamento: N=-10566.60 Ty=-8.33 Tz=15.50 Mx=0.00 Mz=-5.31
Sollecitazioni agenti localmente: Ty_l=-1852.04 My_l=-37.94
Tensioni nella sezione: σ=459.84 τ=56.12
CC 102 SLU (Collegamento -182_-384)
Azioni sul collegamento: N=-9752.38 Ty=-7.57 Tz=12.50 Mx=0.00 Mz=-4.76
Sollecitazioni agenti localmente: Ty_l=-1709.89 My_l=-35.03

Tensioni nella sezione: σ=424.56 τ=51.81
CC 103 SLU (Collegamento -182_-384)
Azioni sul collegamento: N=-10160.40 Ty=-8.04 Tz=13.94 Mx=0.00 Mz=-5.22
Sollecitazioni agenti localmente: Ty_l=-1780.39 My_l=-36.47
Tensioni nella sezione: σ=442.05 τ=53.95
CC 104 SLU (Collegamento -182_-384)
Azioni sul collegamento: N=-10158.60 Ty=-7.86 Tz=14.06 Mx=0.00 Mz=-4.85
Sollecitazioni agenti localmente: Ty_l=-1781.53 My_l=-36.49
Tensioni nella sezione: σ=442.36 τ=53.99

Flessione attacco sinistro piastra

Bnetta=220.00 Hnetta=15.00
CC 1 SLV (Collegamento -182_-384)
Azioni sul collegamento: N=-5856.57 Ty=-4.82 Tz=-1.96 Mx=0.01 Mz=-1.13
Sollecitazioni agenti localmente: Ty_l=-1042.71 My_l=-21.38
Tensioni nella sezione: σ=259.17 τ=31.60
CC 1 SLV (Collegamento -182_-384)
Azioni sul collegamento: N=-5856.57 Ty=-12.53 Tz=-1.96 Mx=0.01 Mz=-7.45
Sollecitazioni agenti localmente: Ty_l=-1067.86 My_l=-21.93
Tensioni nella sezione: σ=265.85 τ=32.36
CC 1 SLV (Collegamento -182_-384)
Azioni sul collegamento: N=-5856.57 Ty=-4.82 Tz=27.25 Mx=0.01 Mz=-1.13
Sollecitazioni agenti localmente: Ty_l=-1042.71 My_l=-21.38
Tensioni nella sezione: σ=259.17 τ=31.60
CC 1 SLV (Collegamento -182_-384)
Azioni sul collegamento: N=-5856.57 Ty=-12.53 Tz=27.25 Mx=0.01 Mz=-7.45
Sollecitazioni agenti localmente: Ty_l=-1067.86 My_l=-21.93
Tensioni nella sezione: σ=265.85 τ=32.36
CC 1 SLV (Collegamento -182_-384)
Azioni sul collegamento: N=-13681.20 Ty=-4.82 Tz=-1.96 Mx=0.01 Mz=-1.13
Sollecitazioni agenti localmente: Ty_l=-2429.81 My_l=-49.82
Tensioni nella sezione: σ=603.85 τ=73.63
CC 1 SLV (Collegamento -182_-384)
Azioni sul collegamento: N=-13681.20 Ty=-12.53 Tz=-1.96 Mx=0.01 Mz=-7.45
Sollecitazioni agenti localmente: Ty_l=-2454.95 My_l=-50.37
Tensioni nella sezione: σ=610.52 τ=74.39
CC 1 SLV (Collegamento -182_-384)
Azioni sul collegamento: N=-13681.20 Ty=-4.82 Tz=27.25 Mx=0.01 Mz=-1.13
Sollecitazioni agenti localmente: Ty_l=-2429.81 My_l=-49.82
Tensioni nella sezione: σ=603.85 τ=73.63
CC 1 SLV (Collegamento -182_-384)
Azioni sul collegamento: N=-13681.20 Ty=-12.53 Tz=27.25 Mx=0.01 Mz=-7.45
Sollecitazioni agenti localmente: Ty_l=-2454.95 My_l=-50.37
Tensioni nella sezione: σ=610.52 τ=74.39
CC 2 SLD (Collegamento -182_-384)
Azioni sul collegamento: N=-8673.24 Ty=-8.42 Tz=8.57 Mx=0.00 Mz=-5.47
Sollecitazioni agenti localmente: Ty_l=-1559.27 My_l=-32.00
Tensioni nella sezione: σ=387.82 τ=47.25
CC 2 SLD (Collegamento -182_-384)
Azioni sul collegamento: N=-8673.24 Ty=-10.78 Tz=8.57 Mx=0.00 Mz=-7.39
Sollecitazioni agenti localmente: Ty_l=-1566.94 My_l=-32.16
Tensioni nella sezione: σ=389.86 τ=47.48
CC 2 SLD (Collegamento -182_-384)
Azioni sul collegamento: N=-8673.24 Ty=-8.42 Tz=17.48 Mx=0.00 Mz=-5.47
Sollecitazioni agenti localmente: Ty_l=-1559.27 My_l=-32.00
Tensioni nella sezione: σ=387.82 τ=47.25
CC 2 SLD (Collegamento -182_-384)
Azioni sul collegamento: N=-8673.24 Ty=-10.78 Tz=17.48 Mx=0.00 Mz=-7.39
Sollecitazioni agenti localmente: Ty_l=-1566.94 My_l=-32.16
Tensioni nella sezione: σ=389.86 τ=47.48
CC 2 SLD (Collegamento -182_-384)
Azioni sul collegamento: N=-11059.20 Ty=-8.42 Tz=8.57 Mx=0.00 Mz=-5.47
Sollecitazioni agenti localmente: Ty_l=-1982.24 My_l=-40.67
Tensioni nella sezione: σ=492.93 τ=60.07
CC 2 SLD (Collegamento -182_-384)
Azioni sul collegamento: N=-11059.20 Ty=-10.78 Tz=8.57 Mx=0.00 Mz=-7.39
Sollecitazioni agenti localmente: Ty_l=-1989.91 My_l=-40.83
Tensioni nella sezione: σ=494.96 τ=60.30
CC 2 SLD (Collegamento -182_-384)
Azioni sul collegamento: N=-11059.20 Ty=-8.42 Tz=17.48 Mx=0.00 Mz=-5.47
Sollecitazioni agenti localmente: Ty_l=-1982.24 My_l=-40.67
Tensioni nella sezione: σ=492.93 τ=60.07
CC 2 SLD (Collegamento -182_-384)
Azioni sul collegamento: N=-11059.20 Ty=-10.78 Tz=17.48 Mx=0.00 Mz=-7.39
Sollecitazioni agenti localmente: Ty_l=-1989.91 My_l=-40.83
Tensioni nella sezione: σ=494.96 τ=60.30
CC 3 SLV (Collegamento -182_-384)
Azioni sul collegamento: N=-5861.42 Ty=-5.33 Tz=-1.63 Mx=0.01 Mz=-2.18

Sollecitazioni agenti localmente: Ty_l=-1047.73 My_l=-21.49
Tensioni nella sezione: σ=260.49 τ=31.75
CC 3 SLV (Collegamento -182_-384)
Azioni sul collegamento: N=-5861.42 Ty=-12.02 Tz=-1.63 Mx=0.01 Mz=-6.41
Sollecitazioni agenti localmente: Ty_l=-1064.55 My_l=-21.86
Tensioni nella sezione: σ=264.96 τ=32.26
CC 3 SLV (Collegamento -182_-384)
Azioni sul collegamento: N=-5861.42 Ty=-5.33 Tz=26.92 Mx=0.01 Mz=-2.18
Sollecitazioni agenti localmente: Ty_l=-1047.73 My_l=-21.49
Tensioni nella sezione: σ=260.49 τ=31.75
CC 3 SLV (Collegamento -182_-384)
Azioni sul collegamento: N=-5861.42 Ty=-12.02 Tz=26.92 Mx=0.01 Mz=-6.41
Sollecitazioni agenti localmente: Ty_l=-1064.55 My_l=-21.86
Tensioni nella sezione: σ=264.96 τ=32.26
CC 3 SLV (Collegamento -182_-384)
Azioni sul collegamento: N=-13676.40 Ty=-5.33 Tz=-1.63 Mx=0.01 Mz=-2.18
Sollecitazioni agenti localmente: Ty_l=-2433.11 My_l=-49.89
Tensioni nella sezione: σ=604.74 τ=73.73
CC 3 SLV (Collegamento -182_-384)
Azioni sul collegamento: N=-13676.40 Ty=-12.02 Tz=-1.63 Mx=0.01 Mz=-6.41
Sollecitazioni agenti localmente: Ty_l=-2449.93 My_l=-50.26
Tensioni nella sezione: σ=609.20 τ=74.24
CC 3 SLV (Collegamento -182_-384)
Azioni sul collegamento: N=-13676.40 Ty=-5.33 Tz=26.92 Mx=0.01 Mz=-2.18
Sollecitazioni agenti localmente: Ty_l=-2433.11 My_l=-49.89
Tensioni nella sezione: σ=604.74 τ=73.73
CC 3 SLV (Collegamento -182_-384)
Azioni sul collegamento: N=-13676.40 Ty=-12.02 Tz=26.92 Mx=0.01 Mz=-6.41
Sollecitazioni agenti localmente: Ty_l=-2449.93 My_l=-50.26
Tensioni nella sezione: σ=609.20 τ=74.24
CC 4 SLD (Collegamento -182_-384)
Azioni sul collegamento: N=-8674.72 Ty=-8.58 Tz=8.67 Mx=-0.00 Mz=-5.79
Sollecitazioni agenti localmente: Ty_l=-1560.80 My_l=-32.03
Tensioni nella sezione: σ=388.23 τ=47.30
CC 4 SLD (Collegamento -182_-384)
Azioni sul collegamento: N=-8674.72 Ty=-10.62 Tz=8.67 Mx=-0.00 Mz=-7.07
Sollecitazioni agenti localmente: Ty_l=-1565.93 My_l=-32.14
Tensioni nella sezione: σ=389.59 τ=47.45
CC 4 SLD (Collegamento -182_-384)
Azioni sul collegamento: N=-8674.72 Ty=-8.58 Tz=17.38 Mx=-0.00 Mz=-5.79
Sollecitazioni agenti localmente: Ty_l=-1560.80 My_l=-32.03
Tensioni nella sezione: σ=388.23 τ=47.30
CC 4 SLD (Collegamento -182_-384)
Azioni sul collegamento: N=-8674.72 Ty=-10.62 Tz=17.38 Mx=-0.00 Mz=-7.07
Sollecitazioni agenti localmente: Ty_l=-1565.93 My_l=-32.14
Tensioni nella sezione: σ=389.59 τ=47.45
CC 4 SLD (Collegamento -182_-384)
Azioni sul collegamento: N=-11057.70 Ty=-8.58 Tz=8.67 Mx=-0.00 Mz=-5.79
Sollecitazioni agenti localmente: Ty_l=-1983.25 My_l=-40.69
Tensioni nella sezione: σ=493.20 τ=60.10
CC 4 SLD (Collegamento -182_-384)
Azioni sul collegamento: N=-11057.70 Ty=-10.62 Tz=8.67 Mx=-0.00 Mz=-7.07
Sollecitazioni agenti localmente: Ty_l=-1988.38 My_l=-40.80
Tensioni nella sezione: σ=494.56 τ=60.25
CC 4 SLD (Collegamento -182_-384)
Azioni sul collegamento: N=-11057.70 Ty=-8.58 Tz=17.38 Mx=-0.00 Mz=-5.79
Sollecitazioni agenti localmente: Ty_l=-1983.25 My_l=-40.69
Tensioni nella sezione: σ=493.20 τ=60.10
CC 4 SLD (Collegamento -182_-384)
Azioni sul collegamento: N=-11057.70 Ty=-10.62 Tz=17.38 Mx=-0.00 Mz=-7.07
Sollecitazioni agenti localmente: Ty_l=-1988.38 My_l=-40.80
Tensioni nella sezione: σ=494.56 τ=60.25
CC 5 SLV (Collegamento -182_-384)
Azioni sul collegamento: N=-13676.40 Ty=-12.02 Tz=26.92 Mx=0.01 Mz=-6.41
Sollecitazioni agenti localmente: Ty_l=-2449.93 My_l=-50.26
Tensioni nella sezione: σ=609.20 τ=74.24
CC 5 SLV (Collegamento -182_-384)
Azioni sul collegamento: N=-13676.40 Ty=-5.33 Tz=26.92 Mx=0.01 Mz=-2.18
Sollecitazioni agenti localmente: Ty_l=-2433.11 My_l=-49.89
Tensioni nella sezione: σ=604.74 τ=73.73
CC 5 SLV (Collegamento -182_-384)
Azioni sul collegamento: N=-13676.40 Ty=-12.02 Tz=-1.63 Mx=0.01 Mz=-6.41
Sollecitazioni agenti localmente: Ty_l=-2449.93 My_l=-50.26
Tensioni nella sezione: σ=609.20 τ=74.24
CC 5 SLV (Collegamento -182_-384)
Azioni sul collegamento: N=-13676.40 Ty=-5.33 Tz=-1.63 Mx=0.01 Mz=-2.18
Sollecitazioni agenti localmente: Ty_l=-2433.11 My_l=-49.89
Tensioni nella sezione: σ=604.74 τ=73.73
CC 5 SLV (Collegamento -182_-384)

Azioni sul collegamento: N=-5861.42 Ty=-12.02 Tz=26.92 Mx=0.01 Mz=-6.41
Sollecitazioni agenti localmente: Ty_l=-1064.55 My_l=-21.86
Tensioni nella sezione: σ=264.96 τ=32.26
CC 5 SLV (Collegamento -182_-384)
Azioni sul collegamento: N=-5861.42 Ty=-5.33 Tz=26.92 Mx=0.01 Mz=-2.18
Sollecitazioni agenti localmente: Ty_l=-1047.73 My_l=-21.49
Tensioni nella sezione: σ=260.49 τ=31.75
CC 5 SLV (Collegamento -182_-384)
Azioni sul collegamento: N=-5861.42 Ty=-12.02 Tz=-1.63 Mx=0.01 Mz=-6.41
Sollecitazioni agenti localmente: Ty_l=-1064.55 My_l=-21.86
Tensioni nella sezione: σ=264.96 τ=32.26
CC 5 SLV (Collegamento -182_-384)
Azioni sul collegamento: N=-5861.42 Ty=-5.33 Tz=-1.63 Mx=0.01 Mz=-2.18
Sollecitazioni agenti localmente: Ty_l=-1047.73 My_l=-21.49
Tensioni nella sezione: σ=260.49 τ=31.75
CC 6 SLD (Collegamento -182_-384)
Azioni sul collegamento: N=-11057.70 Ty=-10.62 Tz=17.38 Mx=0.00 Mz=-7.07
Sollecitazioni agenti localmente: Ty_l=-1988.38 My_l=-40.80
Tensioni nella sezione: σ=494.56 τ=60.25
CC 6 SLD (Collegamento -182_-384)
Azioni sul collegamento: N=-11057.70 Ty=-8.58 Tz=17.38 Mx=0.00 Mz=-5.79
Sollecitazioni agenti localmente: Ty_l=-1983.25 My_l=-40.69
Tensioni nella sezione: σ=493.20 τ=60.10
CC 6 SLD (Collegamento -182_-384)
Azioni sul collegamento: N=-11057.70 Ty=-10.62 Tz=8.67 Mx=0.00 Mz=-7.07
Sollecitazioni agenti localmente: Ty_l=-1988.38 My_l=-40.80
Tensioni nella sezione: σ=494.56 τ=60.25
CC 6 SLD (Collegamento -182_-384)
Azioni sul collegamento: N=-11057.70 Ty=-8.58 Tz=8.67 Mx=0.00 Mz=-5.79
Sollecitazioni agenti localmente: Ty_l=-1983.25 My_l=-40.69
Tensioni nella sezione: σ=493.20 τ=60.10
CC 6 SLD (Collegamento -182_-384)
Azioni sul collegamento: N=-8674.72 Ty=-10.62 Tz=17.38 Mx=0.00 Mz=-7.07
Sollecitazioni agenti localmente: Ty_l=-1565.93 My_l=-32.14
Tensioni nella sezione: σ=389.59 τ=47.45
CC 6 SLD (Collegamento -182_-384)
Azioni sul collegamento: N=-8674.72 Ty=-8.58 Tz=17.38 Mx=0.00 Mz=-5.79
Sollecitazioni agenti localmente: Ty_l=-1560.80 My_l=-32.03
Tensioni nella sezione: σ=388.23 τ=47.30
CC 6 SLD (Collegamento -182_-384)
Azioni sul collegamento: N=-8674.72 Ty=-10.62 Tz=8.67 Mx=0.00 Mz=-7.07
Sollecitazioni agenti localmente: Ty_l=-1565.93 My_l=-32.14
Tensioni nella sezione: σ=389.59 τ=47.45
CC 6 SLD (Collegamento -182_-384)
Azioni sul collegamento: N=-8674.72 Ty=-8.58 Tz=8.67 Mx=0.00 Mz=-5.79
Sollecitazioni agenti localmente: Ty_l=-1560.80 My_l=-32.03
Tensioni nella sezione: σ=388.23 τ=47.30
CC 7 SLV (Collegamento -182_-384)
Azioni sul collegamento: N=-13681.20 Ty=-12.53 Tz=27.25 Mx=0.01 Mz=-7.45
Sollecitazioni agenti localmente: Ty_l=-2454.95 My_l=-50.37
Tensioni nella sezione: σ=610.52 τ=74.39
CC 7 SLV (Collegamento -182_-384)
Azioni sul collegamento: N=-13681.20 Ty=-4.82 Tz=27.25 Mx=0.01 Mz=-1.13
Sollecitazioni agenti localmente: Ty_l=-2429.81 My_l=-49.82
Tensioni nella sezione: σ=603.85 τ=73.63
CC 7 SLV (Collegamento -182_-384)
Azioni sul collegamento: N=-13681.20 Ty=-12.53 Tz=-1.96 Mx=0.01 Mz=-7.45
Sollecitazioni agenti localmente: Ty_l=-2454.95 My_l=-50.37
Tensioni nella sezione: σ=610.52 τ=74.39
CC 7 SLV (Collegamento -182_-384)
Azioni sul collegamento: N=-13681.20 Ty=-4.82 Tz=-1.96 Mx=0.01 Mz=-1.13
Sollecitazioni agenti localmente: Ty_l=-2429.81 My_l=-49.82
Tensioni nella sezione: σ=603.85 τ=73.63
CC 7 SLV (Collegamento -182_-384)
Azioni sul collegamento: N=-5856.57 Ty=-12.53 Tz=27.25 Mx=0.01 Mz=-7.45
Sollecitazioni agenti localmente: Ty_l=-1067.86 My_l=-21.93
Tensioni nella sezione: σ=265.85 τ=32.36
CC 7 SLV (Collegamento -182_-384)
Azioni sul collegamento: N=-5856.57 Ty=-4.82 Tz=27.25 Mx=0.01 Mz=-1.13
Sollecitazioni agenti localmente: Ty_l=-1042.71 My_l=-21.38
Tensioni nella sezione: σ=259.17 τ=31.60
CC 7 SLV (Collegamento -182_-384)
Azioni sul collegamento: N=-5856.57 Ty=-12.53 Tz=-1.96 Mx=0.01 Mz=-7.45
Sollecitazioni agenti localmente: Ty_l=-1067.86 My_l=-21.93
Tensioni nella sezione: σ=265.85 τ=32.36
CC 7 SLV (Collegamento -182_-384)
Azioni sul collegamento: N=-5856.57 Ty=-4.82 Tz=-1.96 Mx=0.01 Mz=-1.13
Sollecitazioni agenti localmente: Ty_l=-1042.71 My_l=-21.38
Tensioni nella sezione: σ=259.17 τ=31.60

CC 8 SLD (Collegamento -182_-384)
Azioni sul collegamento: N=-11059.20 Ty=-10.78 Tz=17.48 Mx=-0.00 Mz=-7.39
Sollecitazioni agenti localmente: Ty_l=-1989.91 My_l=-40.83
Tensioni nella sezione: σ=494.96 τ=60.30
CC 8 SLD (Collegamento -182_-384)
Azioni sul collegamento: N=-11059.20 Ty=-8.42 Tz=17.48 Mx=-0.00 Mz=-5.47
Sollecitazioni agenti localmente: Ty_l=-1982.24 My_l=-40.67
Tensioni nella sezione: σ=492.93 τ=60.07
CC 8 SLD (Collegamento -182_-384)
Azioni sul collegamento: N=-11059.20 Ty=-10.78 Tz=8.57 Mx=-0.00 Mz=-7.39
Sollecitazioni agenti localmente: Ty_l=-1989.91 My_l=-40.83
Tensioni nella sezione: σ=494.96 τ=60.30
CC 8 SLD (Collegamento -182_-384)
Azioni sul collegamento: N=-11059.20 Ty=-8.42 Tz=8.57 Mx=-0.00 Mz=-5.47
Sollecitazioni agenti localmente: Ty_l=-1982.24 My_l=-40.67
Tensioni nella sezione: σ=492.93 τ=60.07
CC 8 SLD (Collegamento -182_-384)
Azioni sul collegamento: N=-8673.24 Ty=-10.78 Tz=17.48 Mx=-0.00 Mz=-7.39
Sollecitazioni agenti localmente: Ty_l=-1566.94 My_l=-32.16
Tensioni nella sezione: σ=389.86 τ=47.48
CC 8 SLD (Collegamento -182_-384)
Azioni sul collegamento: N=-8673.24 Ty=-8.42 Tz=17.48 Mx=-0.00 Mz=-5.47
Sollecitazioni agenti localmente: Ty_l=-1559.27 My_l=-32.00
Tensioni nella sezione: σ=387.82 τ=47.25
CC 8 SLD (Collegamento -182_-384)
Azioni sul collegamento: N=-8673.24 Ty=-10.78 Tz=8.57 Mx=-0.00 Mz=-7.39
Sollecitazioni agenti localmente: Ty_l=-1566.94 My_l=-32.16
Tensioni nella sezione: σ=389.86 τ=47.48
CC 8 SLD (Collegamento -182_-384)
Azioni sul collegamento: N=-8673.24 Ty=-8.42 Tz=8.57 Mx=-0.00 Mz=-5.47
Sollecitazioni agenti localmente: Ty_l=-1559.27 My_l=-32.00
Tensioni nella sezione: σ=387.82 τ=47.25
CC 9 SLV (Collegamento -182_-384)
Azioni sul collegamento: N=-8587.84 Ty=-6.74 Tz=7.77 Mx=0.02 Mz=-1.76
Sollecitazioni agenti localmente: Ty_l=-1529.37 My_l=-31.36
Tensioni nella sezione: σ=380.14 τ=46.34
CC 9 SLV (Collegamento -182_-384)
Azioni sul collegamento: N=-8587.84 Ty=-10.61 Tz=7.77 Mx=0.02 Mz=-6.83
Sollecitazioni agenti localmente: Ty_l=-1549.55 My_l=-31.80
Tensioni nella sezione: σ=385.50 τ=46.96
CC 9 SLV (Collegamento -182_-384)
Azioni sul collegamento: N=-8587.84 Ty=-6.74 Tz=17.52 Mx=0.02 Mz=-1.76
Sollecitazioni agenti localmente: Ty_l=-1529.37 My_l=-31.36
Tensioni nella sezione: σ=380.14 τ=46.34
CC 9 SLV (Collegamento -182_-384)
Azioni sul collegamento: N=-8587.84 Ty=-10.61 Tz=17.52 Mx=0.02 Mz=-6.83
Sollecitazioni agenti localmente: Ty_l=-1549.55 My_l=-31.80
Tensioni nella sezione: σ=385.50 τ=46.96
CC 9 SLV (Collegamento -182_-384)
Azioni sul collegamento: N=-10950.00 Ty=-6.74 Tz=7.77 Mx=0.02 Mz=-1.76
Sollecitazioni agenti localmente: Ty_l=-1948.11 My_l=-39.95
Tensioni nella sezione: σ=484.19 τ=59.03
CC 9 SLV (Collegamento -182_-384)
Azioni sul collegamento: N=-10950.00 Ty=-10.61 Tz=7.77 Mx=0.02 Mz=-6.83
Sollecitazioni agenti localmente: Ty_l=-1968.29 My_l=-40.39
Tensioni nella sezione: σ=489.55 τ=59.65
CC 9 SLV (Collegamento -182_-384)
Azioni sul collegamento: N=-10950.00 Ty=-6.74 Tz=17.52 Mx=0.02 Mz=-1.76
Sollecitazioni agenti localmente: Ty_l=-1948.11 My_l=-39.95
Tensioni nella sezione: σ=484.19 τ=59.03
CC 9 SLV (Collegamento -182_-384)
Azioni sul collegamento: N=-10950.00 Ty=-10.61 Tz=17.52 Mx=0.02 Mz=-6.83
Sollecitazioni agenti localmente: Ty_l=-1968.29 My_l=-40.39
Tensioni nella sezione: σ=489.55 τ=59.65
CC 10 SLD (Collegamento -182_-384)
Azioni sul collegamento: N=-9506.09 Ty=-9.01 Tz=11.54 Mx=0.00 Mz=-5.66
Sollecitazioni agenti localmente: Ty_l=-1707.67 My_l=-35.04
Tensioni nella sezione: σ=424.71 τ=51.75
CC 10 SLD (Collegamento -182_-384)
Azioni sul collegamento: N=-9506.09 Ty=-10.19 Tz=11.54 Mx=0.00 Mz=-7.20
Sollecitazioni agenti localmente: Ty_l=-1713.82 My_l=-35.17
Tensioni nella sezione: σ=426.35 τ=51.93
CC 10 SLD (Collegamento -182_-384)
Azioni sul collegamento: N=-9506.09 Ty=-9.01 Tz=14.51 Mx=0.00 Mz=-5.66
Sollecitazioni agenti localmente: Ty_l=-1707.67 My_l=-35.04
Tensioni nella sezione: σ=424.71 τ=51.75
CC 10 SLD (Collegamento -182_-384)
Azioni sul collegamento: N=-9506.09 Ty=-10.19 Tz=14.51 Mx=0.00 Mz=-7.20
Sollecitazioni agenti localmente: Ty_l=-1713.82 My_l=-35.17

Tensioni nella sezione: σ=426.35 τ=51.93
CC 10 SLD (Collegamento -182_-384)
Azioni sul collegamento: N=-10226.40 Ty=-9.01 Tz=11.54 Mx=0.00 Mz=-5.66
Sollecitazioni agenti localmente: Ty_l=-1835.36 My_l=-37.66
Tensioni nella sezione: σ=456.44 τ=55.62
CC 10 SLD (Collegamento -182_-384)
Azioni sul collegamento: N=-10226.40 Ty=-10.19 Tz=11.54 Mx=0.00 Mz=-7.20
Sollecitazioni agenti localmente: Ty_l=-1841.51 My_l=-37.79
Tensioni nella sezione: σ=458.07 τ=55.80
CC 10 SLD (Collegamento -182_-384)
Azioni sul collegamento: N=-10226.40 Ty=-9.01 Tz=14.51 Mx=0.00 Mz=-5.66
Sollecitazioni agenti localmente: Ty_l=-1835.36 My_l=-37.66
Tensioni nella sezione: σ=456.44 τ=55.62
CC 10 SLD (Collegamento -182_-384)
Azioni sul collegamento: N=-10226.40 Ty=-10.19 Tz=14.51 Mx=0.00 Mz=-7.20
Sollecitazioni agenti localmente: Ty_l=-1841.51 My_l=-37.79
Tensioni nella sezione: σ=458.07 τ=55.80
CC 11 SLV (Collegamento -182_-384)
Azioni sul collegamento: N=-10933.80 Ty=-8.90 Tz=16.43 Mx=0.02 Mz=-3.34
Sollecitazioni agenti localmente: Ty_l=-1951.54 My_l=-40.03
Tensioni nella sezione: σ=485.15 τ=59.14
CC 11 SLV (Collegamento -182_-384)
Azioni sul collegamento: N=-10933.80 Ty=-8.45 Tz=16.43 Mx=0.02 Mz=-5.25
Sollecitazioni agenti localmente: Ty_l=-1959.13 My_l=-40.19
Tensioni nella sezione: σ=487.17 τ=59.37
CC 11 SLV (Collegamento -182_-384)
Azioni sul collegamento: N=-10933.80 Ty=-8.90 Tz=8.86 Mx=0.02 Mz=-3.34
Sollecitazioni agenti localmente: Ty_l=-1951.54 My_l=-40.03
Tensioni nella sezione: σ=485.15 τ=59.14
CC 11 SLV (Collegamento -182_-384)
Azioni sul collegamento: N=-10933.80 Ty=-8.45 Tz=8.86 Mx=0.02 Mz=-5.25
Sollecitazioni agenti localmente: Ty_l=-1959.13 My_l=-40.19
Tensioni nella sezione: σ=487.17 τ=59.37
CC 11 SLV (Collegamento -182_-384)
Azioni sul collegamento: N=-8604.01 Ty=-8.90 Tz=16.43 Mx=0.02 Mz=-3.34
Sollecitazioni agenti localmente: Ty_l=-1538.54 My_l=-31.56
Tensioni nella sezione: σ=382.53 τ=46.62
CC 11 SLV (Collegamento -182_-384)
Azioni sul collegamento: N=-8604.01 Ty=-8.45 Tz=16.43 Mx=0.02 Mz=-5.25
Sollecitazioni agenti localmente: Ty_l=-1546.12 My_l=-31.72
Tensioni nella sezione: σ=384.54 τ=46.85
CC 11 SLV (Collegamento -182_-384)
Azioni sul collegamento: N=-8604.01 Ty=-8.90 Tz=8.86 Mx=0.02 Mz=-3.34
Sollecitazioni agenti localmente: Ty_l=-1538.54 My_l=-31.56
Tensioni nella sezione: σ=382.53 τ=46.62
CC 11 SLV (Collegamento -182_-384)
Azioni sul collegamento: N=-8604.01 Ty=-8.45 Tz=8.86 Mx=0.02 Mz=-5.25
Sollecitazioni agenti localmente: Ty_l=-1546.12 My_l=-31.72
Tensioni nella sezione: σ=384.54 τ=46.85
CC 12 SLD (Collegamento -182_-384)
Azioni sul collegamento: N=-10221.40 Ty=-9.67 Tz=14.18 Mx=0.00 Mz=-6.14
Sollecitazioni agenti localmente: Ty_l=-1836.40 My_l=-37.68
Tensioni nella sezione: σ=456.73 τ=55.65
CC 12 SLD (Collegamento -182_-384)
Azioni sul collegamento: N=-10221.40 Ty=-9.53 Tz=14.18 Mx=0.00 Mz=-6.72
Sollecitazioni agenti localmente: Ty_l=-1838.71 My_l=-37.73
Tensioni nella sezione: σ=457.35 τ=55.72
CC 12 SLD (Collegamento -182_-384)
Azioni sul collegamento: N=-10221.40 Ty=-9.67 Tz=11.87 Mx=0.00 Mz=-6.14
Sollecitazioni agenti localmente: Ty_l=-1836.40 My_l=-37.68
Tensioni nella sezione: σ=456.73 τ=55.65
CC 12 SLD (Collegamento -182_-384)
Azioni sul collegamento: N=-10221.40 Ty=-9.53 Tz=11.87 Mx=0.00 Mz=-6.72
Sollecitazioni agenti localmente: Ty_l=-1838.71 My_l=-37.73
Tensioni nella sezione: σ=457.35 τ=55.72
CC 12 SLD (Collegamento -182_-384)
Azioni sul collegamento: N=-9511.02 Ty=-9.67 Tz=14.18 Mx=0.00 Mz=-6.14
Sollecitazioni agenti localmente: Ty_l=-1710.46 My_l=-35.10
Tensioni nella sezione: σ=425.44 τ=51.83
CC 12 SLD (Collegamento -182_-384)
Azioni sul collegamento: N=-9511.02 Ty=-9.53 Tz=14.18 Mx=0.00 Mz=-6.72
Sollecitazioni agenti localmente: Ty_l=-1712.78 My_l=-35.15
Tensioni nella sezione: σ=426.05 τ=51.90
CC 12 SLD (Collegamento -182_-384)
Azioni sul collegamento: N=-9511.02 Ty=-9.67 Tz=11.87 Mx=0.00 Mz=-6.14
Sollecitazioni agenti localmente: Ty_l=-1710.46 My_l=-35.10
Tensioni nella sezione: σ=425.44 τ=51.83
CC 12 SLD (Collegamento -182_-384)
Azioni sul collegamento: N=-9511.02 Ty=-9.53 Tz=11.87 Mx=0.00 Mz=-6.72

Sollecitazioni agenti localmente: Ty_l=-1712.78 My_l=-35.15
Tensioni nella sezione: σ=426.05 τ=51.90
CC 13 SLV (Collegamento -182_-384)
Azioni sul collegamento: N=-8604.01 Ty=-8.45 Tz=8.86 Mx=0.00 Mz=-5.25
Sollecitazioni agenti localmente: Ty_l=-1546.12 My_l=-31.72
Tensioni nella sezione: σ=384.54 τ=46.85
CC 13 SLV (Collegamento -182_-384)
Azioni sul collegamento: N=-8604.01 Ty=-8.90 Tz=8.86 Mx=0.00 Mz=-3.34
Sollecitazioni agenti localmente: Ty_l=-1538.54 My_l=-31.56
Tensioni nella sezione: σ=382.53 τ=46.62
CC 13 SLV (Collegamento -182_-384)
Azioni sul collegamento: N=-8604.01 Ty=-8.45 Tz=16.43 Mx=0.00 Mz=-5.25
Sollecitazioni agenti localmente: Ty_l=-1546.12 My_l=-31.72
Tensioni nella sezione: σ=384.54 τ=46.85
CC 13 SLV (Collegamento -182_-384)
Azioni sul collegamento: N=-8604.01 Ty=-8.90 Tz=16.43 Mx=0.00 Mz=-3.34
Sollecitazioni agenti localmente: Ty_l=-1538.54 My_l=-31.56
Tensioni nella sezione: σ=382.53 τ=46.62
CC 13 SLV (Collegamento -182_-384)
Azioni sul collegamento: N=-10933.80 Ty=-8.45 Tz=8.86 Mx=0.00 Mz=-5.25
Sollecitazioni agenti localmente: Ty_l=-1959.13 My_l=-40.19
Tensioni nella sezione: σ=487.17 τ=59.37
CC 13 SLV (Collegamento -182_-384)
Azioni sul collegamento: N=-10933.80 Ty=-8.90 Tz=8.86 Mx=0.00 Mz=-3.34
Sollecitazioni agenti localmente: Ty_l=-1951.54 My_l=-40.03
Tensioni nella sezione: σ=485.15 τ=59.14
CC 13 SLV (Collegamento -182_-384)
Azioni sul collegamento: N=-10933.80 Ty=-8.45 Tz=16.43 Mx=0.00 Mz=-5.25
Sollecitazioni agenti localmente: Ty_l=-1959.13 My_l=-40.19
Tensioni nella sezione: σ=487.17 τ=59.37
CC 13 SLV (Collegamento -182_-384)
Azioni sul collegamento: N=-10933.80 Ty=-8.90 Tz=16.43 Mx=0.00 Mz=-3.34
Sollecitazioni agenti localmente: Ty_l=-1951.54 My_l=-40.03
Tensioni nella sezione: σ=485.15 τ=59.14
CC 14 SLD (Collegamento -182_-384)
Azioni sul collegamento: N=-9511.02 Ty=-9.53 Tz=11.87 Mx=-0.00 Mz=-6.72
Sollecitazioni agenti localmente: Ty_l=-1712.78 My_l=-35.15
Tensioni nella sezione: σ=426.05 τ=51.90
CC 14 SLD (Collegamento -182_-384)
Azioni sul collegamento: N=-9511.02 Ty=-9.67 Tz=11.87 Mx=-0.00 Mz=-6.14
Sollecitazioni agenti localmente: Ty_l=-1710.46 My_l=-35.10
Tensioni nella sezione: σ=425.44 τ=51.83
CC 14 SLD (Collegamento -182_-384)
Azioni sul collegamento: N=-9511.02 Ty=-9.53 Tz=14.18 Mx=-0.00 Mz=-6.72
Sollecitazioni agenti localmente: Ty_l=-1712.78 My_l=-35.15
Tensioni nella sezione: σ=426.05 τ=51.90
CC 14 SLD (Collegamento -182_-384)
Azioni sul collegamento: N=-9511.02 Ty=-9.67 Tz=14.18 Mx=-0.00 Mz=-6.14
Sollecitazioni agenti localmente: Ty_l=-1710.46 My_l=-35.10
Tensioni nella sezione: σ=425.44 τ=51.83
CC 14 SLD (Collegamento -182_-384)
Azioni sul collegamento: N=-10221.40 Ty=-9.53 Tz=11.87 Mx=-0.00 Mz=-6.72
Sollecitazioni agenti localmente: Ty_l=-1838.71 My_l=-37.73
Tensioni nella sezione: σ=457.35 τ=55.72
CC 14 SLD (Collegamento -182_-384)
Azioni sul collegamento: N=-10221.40 Ty=-9.67 Tz=11.87 Mx=-0.00 Mz=-6.14
Sollecitazioni agenti localmente: Ty_l=-1836.40 My_l=-37.68
Tensioni nella sezione: σ=456.73 τ=55.65
CC 14 SLD (Collegamento -182_-384)
Azioni sul collegamento: N=-10221.40 Ty=-9.53 Tz=14.18 Mx=-0.00 Mz=-6.72
Sollecitazioni agenti localmente: Ty_l=-1838.71 My_l=-37.73
Tensioni nella sezione: σ=457.35 τ=55.72
CC 14 SLD (Collegamento -182_-384)
Azioni sul collegamento: N=-10221.40 Ty=-9.67 Tz=14.18 Mx=-0.00 Mz=-6.14
Sollecitazioni agenti localmente: Ty_l=-1836.40 My_l=-37.68
Tensioni nella sezione: σ=456.73 τ=55.65
CC 15 SLV (Collegamento -182_-384)
Azioni sul collegamento: N=-10950.00 Ty=-10.61 Tz=17.52 Mx=0.00 Mz=-6.83
Sollecitazioni agenti localmente: Ty_l=-1968.29 My_l=-40.39
Tensioni nella sezione: σ=489.55 τ=59.65
CC 15 SLV (Collegamento -182_-384)
Azioni sul collegamento: N=-10950.00 Ty=-6.74 Tz=17.52 Mx=0.00 Mz=-1.76
Sollecitazioni agenti localmente: Ty_l=-1948.11 My_l=-39.95
Tensioni nella sezione: σ=484.19 τ=59.03
CC 15 SLV (Collegamento -182_-384)
Azioni sul collegamento: N=-10950.00 Ty=-10.61 Tz=7.77 Mx=0.00 Mz=-6.83
Sollecitazioni agenti localmente: Ty_l=-1968.29 My_l=-40.39
Tensioni nella sezione: σ=489.55 τ=59.65
CC 15 SLV (Collegamento -182_-384)

Azioni sul collegamento: N=-10950.00 Ty=-6.74 Tz=7.77 Mx=0.00 Mz=-1.76
Sollecitazioni agenti localmente: Ty_l=-1948.11 My_l=-39.95
Tensioni nella sezione: σ=484.19 τ=59.03
CC 15 SLV (Collegamento -182_-384)
Azioni sul collegamento: N=-8587.84 Ty=-10.61 Tz=17.52 Mx=0.00 Mz=-6.83
Sollecitazioni agenti localmente: Ty_l=-1549.55 My_l=-31.80
Tensioni nella sezione: σ=385.50 τ=46.96
CC 15 SLV (Collegamento -182_-384)
Azioni sul collegamento: N=-8587.84 Ty=-6.74 Tz=17.52 Mx=0.00 Mz=-1.76
Sollecitazioni agenti localmente: Ty_l=-1529.37 My_l=-31.36
Tensioni nella sezione: σ=380.14 τ=46.34
CC 15 SLV (Collegamento -182_-384)
Azioni sul collegamento: N=-8587.84 Ty=-10.61 Tz=7.77 Mx=0.00 Mz=-6.83
Sollecitazioni agenti localmente: Ty_l=-1549.55 My_l=-31.80
Tensioni nella sezione: σ=385.50 τ=46.96
CC 15 SLV (Collegamento -182_-384)
Azioni sul collegamento: N=-8587.84 Ty=-6.74 Tz=7.77 Mx=0.00 Mz=-1.76
Sollecitazioni agenti localmente: Ty_l=-1529.37 My_l=-31.36
Tensioni nella sezione: σ=380.14 τ=46.34
CC 16 SLD (Collegamento -182_-384)
Azioni sul collegamento: N=-10226.40 Ty=-10.19 Tz=14.51 Mx=-0.00 Mz=-7.20
Sollecitazioni agenti localmente: Ty_l=-1841.51 My_l=-37.79
Tensioni nella sezione: σ=458.07 τ=55.80
CC 16 SLD (Collegamento -182_-384)
Azioni sul collegamento: N=-10226.40 Ty=-9.01 Tz=14.51 Mx=-0.00 Mz=-5.66
Sollecitazioni agenti localmente: Ty_l=-1835.36 My_l=-37.66
Tensioni nella sezione: σ=456.44 τ=55.62
CC 16 SLD (Collegamento -182_-384)
Azioni sul collegamento: N=-10226.40 Ty=-10.19 Tz=11.54 Mx=-0.00 Mz=-7.20
Sollecitazioni agenti localmente: Ty_l=-1841.51 My_l=-37.79
Tensioni nella sezione: σ=458.07 τ=55.80
CC 16 SLD (Collegamento -182_-384)
Azioni sul collegamento: N=-10226.40 Ty=-9.01 Tz=11.54 Mx=-0.00 Mz=-5.66
Sollecitazioni agenti localmente: Ty_l=-1835.36 My_l=-37.66
Tensioni nella sezione: σ=456.44 τ=55.62
CC 16 SLD (Collegamento -182_-384)
Azioni sul collegamento: N=-9506.09 Ty=-10.19 Tz=14.51 Mx=-0.00 Mz=-7.20
Sollecitazioni agenti localmente: Ty_l=-1713.82 My_l=-35.17
Tensioni nella sezione: σ=426.35 τ=51.93
CC 16 SLD (Collegamento -182_-384)
Azioni sul collegamento: N=-9506.09 Ty=-9.01 Tz=14.51 Mx=-0.00 Mz=-5.66
Sollecitazioni agenti localmente: Ty_l=-1707.67 My_l=-35.04
Tensioni nella sezione: σ=424.71 τ=51.75
CC 16 SLD (Collegamento -182_-384)
Azioni sul collegamento: N=-9506.09 Ty=-10.19 Tz=11.54 Mx=-0.00 Mz=-7.20
Sollecitazioni agenti localmente: Ty_l=-1713.82 My_l=-35.17
Tensioni nella sezione: σ=426.35 τ=51.93
CC 16 SLD (Collegamento -182_-384)
Azioni sul collegamento: N=-9506.09 Ty=-9.01 Tz=11.54 Mx=-0.00 Mz=-5.66
Sollecitazioni agenti localmente: Ty_l=-1707.67 My_l=-35.04
Tensioni nella sezione: σ=424.71 τ=51.75
CC 17 SLV (Collegamento -182_-384)
Azioni sul collegamento: N=-6136.65 Ty=-7.48 Tz=-0.86 Mx=-0.02 Mz=-7.28
Sollecitazioni agenti localmente: Ty_l=-1116.82 My_l=-22.94
Tensioni nella sezione: σ=278.00 τ=33.84
CC 17 SLV (Collegamento -182_-384)
Azioni sul collegamento: N=-6136.65 Ty=-15.19 Tz=-0.86 Mx=-0.02 Mz=-13.60
Sollecitazioni agenti localmente: Ty_l=-1141.97 My_l=-23.49
Tensioni nella sezione: σ=284.68 τ=34.61
CC 17 SLV (Collegamento -182_-384)
Azioni sul collegamento: N=-6136.65 Ty=-7.48 Tz=28.35 Mx=-0.02 Mz=-7.28
Sollecitazioni agenti localmente: Ty_l=-1116.82 My_l=-22.94
Tensioni nella sezione: σ=278.00 τ=33.84
CC 17 SLV (Collegamento -182_-384)
Azioni sul collegamento: N=-6136.65 Ty=-15.19 Tz=28.35 Mx=-0.02 Mz=-13.60
Sollecitazioni agenti localmente: Ty_l=-1141.97 My_l=-23.49
Tensioni nella sezione: σ=284.68 τ=34.61
CC 17 SLV (Collegamento -182_-384)
Azioni sul collegamento: N=-13961.30 Ty=-7.48 Tz=-0.86 Mx=-0.02 Mz=-7.28
Sollecitazioni agenti localmente: Ty_l=-2503.92 My_l=-51.37
Tensioni nella sezione: σ=622.68 τ=75.88
CC 17 SLV (Collegamento -182_-384)
Azioni sul collegamento: N=-13961.30 Ty=-15.19 Tz=-0.86 Mx=-0.02 Mz=-13.60
Sollecitazioni agenti localmente: Ty_l=-2529.07 My_l=-51.92
Tensioni nella sezione: σ=629.35 τ=76.64
CC 17 SLV (Collegamento -182_-384)
Azioni sul collegamento: N=-13961.30 Ty=-7.48 Tz=28.35 Mx=-0.02 Mz=-7.28
Sollecitazioni agenti localmente: Ty_l=-2503.92 My_l=-51.37
Tensioni nella sezione: σ=622.68 τ=75.88

CC 17 SLV (Collegamento -182_-384)
Azioni sul collegamento: N=-13961.30 Ty=-15.19 Tz=28.35 Mx=-0.02 Mz=-13.60
Sollecitazioni agenti localmente: Ty_l=-2529.07 My_l=-51.92
Tensioni nella sezione: σ=629.35 τ=76.64
CC 18 SLD (Collegamento -182_-384)
Azioni sul collegamento: N=-8758.64 Ty=-9.24 Tz=8.91 Mx=-0.01 Mz=-7.34
Sollecitazioni agenti localmente: Ty_l=-1581.87 My_l=-32.47
Tensioni nella sezione: σ=393.57 τ=47.94
CC 18 SLD (Collegamento -182_-384)
Azioni sul collegamento: N=-8758.64 Ty=-11.59 Tz=8.91 Mx=-0.01 Mz=-9.27
Sollecitazioni agenti localmente: Ty_l=-1589.54 My_l=-32.64
Tensioni nella sezione: σ=395.60 τ=48.17
CC 18 SLD (Collegamento -182_-384)
Azioni sul collegamento: N=-8758.65 Ty=-9.24 Tz=17.82 Mx=-0.01 Mz=-7.34
Sollecitazioni agenti localmente: Ty_l=-1581.87 My_l=-32.47
Tensioni nella sezione: σ=393.57 τ=47.94
CC 18 SLD (Collegamento -182_-384)
Azioni sul collegamento: N=-8758.65 Ty=-11.59 Tz=17.82 Mx=-0.01 Mz=-9.27
Sollecitazioni agenti localmente: Ty_l=-1589.54 My_l=-32.64
Tensioni nella sezione: σ=395.60 τ=48.17
CC 18 SLD (Collegamento -182_-384)
Azioni sul collegamento: N=-11144.60 Ty=-9.24 Tz=8.91 Mx=-0.01 Mz=-7.34
Sollecitazioni agenti localmente: Ty_l=-2004.84 My_l=-41.14
Tensioni nella sezione: σ=498.67 τ=60.75
CC 18 SLD (Collegamento -182_-384)
Azioni sul collegamento: N=-11144.60 Ty=-11.59 Tz=8.91 Mx=-0.01 Mz=-9.27
Sollecitazioni agenti localmente: Ty_l=-2012.51 My_l=-41.31
Tensioni nella sezione: σ=500.70 τ=60.99
CC 18 SLD (Collegamento -182_-384)
Azioni sul collegamento: N=-11144.60 Ty=-9.24 Tz=17.82 Mx=-0.01 Mz=-7.34
Sollecitazioni agenti localmente: Ty_l=-2004.84 My_l=-41.14
Tensioni nella sezione: σ=498.67 τ=60.75
CC 18 SLD (Collegamento -182_-384)
Azioni sul collegamento: N=-11144.60 Ty=-11.59 Tz=17.82 Mx=-0.01 Mz=-9.27
Sollecitazioni agenti localmente: Ty_l=-2012.51 My_l=-41.31
Tensioni nella sezione: σ=500.70 τ=60.99
CC 19 SLV (Collegamento -182_-384)
Azioni sul collegamento: N=-6141.50 Ty=-7.99 Tz=-0.53 Mx=-0.01 Mz=-8.33
Sollecitazioni agenti localmente: Ty_l=-1121.85 My_l=-23.04
Tensioni nella sezione: σ=279.32 τ=34.00
CC 19 SLV (Collegamento -182_-384)
Azioni sul collegamento: N=-6141.50 Ty=-14.68 Tz=-0.53 Mx=-0.01 Mz=-12.56
Sollecitazioni agenti localmente: Ty_l=-1138.67 My_l=-23.41
Tensioni nella sezione: σ=283.79 τ=34.51
CC 19 SLV (Collegamento -182_-384)
Azioni sul collegamento: N=-6141.50 Ty=-7.99 Tz=28.02 Mx=-0.01 Mz=-8.33
Sollecitazioni agenti localmente: Ty_l=-1121.85 My_l=-23.04
Tensioni nella sezione: σ=279.32 τ=34.00
CC 19 SLV (Collegamento -182_-384)
Azioni sul collegamento: N=-6141.50 Ty=-14.68 Tz=28.02 Mx=-0.01 Mz=-12.56
Sollecitazioni agenti localmente: Ty_l=-1138.67 My_l=-23.41
Tensioni nella sezione: σ=283.79 τ=34.51
CC 19 SLV (Collegamento -182_-384)
Azioni sul collegamento: N=-13956.40 Ty=-7.99 Tz=-0.53 Mx=-0.01 Mz=-8.33
Sollecitazioni agenti localmente: Ty_l=-2507.23 My_l=-51.44
Tensioni nella sezione: σ=623.57 τ=75.98
CC 19 SLV (Collegamento -182_-384)
Azioni sul collegamento: N=-13956.40 Ty=-14.68 Tz=-0.53 Mx=-0.01 Mz=-12.56
Sollecitazioni agenti localmente: Ty_l=-2524.04 My_l=-51.81
Tensioni nella sezione: σ=628.03 τ=76.49
CC 19 SLV (Collegamento -182_-384)
Azioni sul collegamento: N=-13956.40 Ty=-7.99 Tz=28.02 Mx=-0.01 Mz=-8.33
Sollecitazioni agenti localmente: Ty_l=-2507.23 My_l=-51.44
Tensioni nella sezione: σ=623.57 τ=75.98
CC 19 SLV (Collegamento -182_-384)
Azioni sul collegamento: N=-13956.40 Ty=-14.68 Tz=28.02 Mx=-0.01 Mz=-12.56
Sollecitazioni agenti localmente: Ty_l=-2524.04 My_l=-51.81
Tensioni nella sezione: σ=628.03 τ=76.49
CC 20 SLD (Collegamento -182_-384)
Azioni sul collegamento: N=-8760.12 Ty=-9.39 Tz=9.01 Mx=-0.01 Mz=-7.66
Sollecitazioni agenti localmente: Ty_l=-1583.40 My_l=-32.50
Tensioni nella sezione: σ=393.97 τ=47.98
CC 20 SLD (Collegamento -182_-384)
Azioni sul collegamento: N=-8760.12 Ty=-11.43 Tz=9.01 Mx=-0.01 Mz=-8.95
Sollecitazioni agenti localmente: Ty_l=-1588.53 My_l=-32.61
Tensioni nella sezione: σ=395.33 τ=48.14
CC 20 SLD (Collegamento -182_-384)
Azioni sul collegamento: N=-8760.13 Ty=-9.39 Tz=17.72 Mx=-0.01 Mz=-7.66
Sollecitazioni agenti localmente: Ty_l=-1583.40 My_l=-32.50

Tensioni nella sezione: σ=393.97 τ=47.98
CC 20 SLD (Collegamento -182_-384)
Azioni sul collegamento: N=-8760.13 Ty=-11.43 Tz=17.72 Mx=-0.01 Mz=-8.95
Sollecitazioni agenti localmente: Ty_l=-1588.53 My_l=-32.61
Tensioni nella sezione: σ=395.33 τ=48.14
CC 20 SLD (Collegamento -182_-384)
Azioni sul collegamento: N=-11143.10 Ty=-9.39 Tz=9.01 Mx=-0.01 Mz=-7.66
Sollecitazioni agenti localmente: Ty_l=-2005.85 My_l=-41.16
Tensioni nella sezione: σ=498.94 τ=60.78
CC 20 SLD (Collegamento -182_-384)
Azioni sul collegamento: N=-11143.10 Ty=-11.43 Tz=9.01 Mx=-0.01 Mz=-8.95
Sollecitazioni agenti localmente: Ty_l=-2010.97 My_l=-41.27
Tensioni nella sezione: σ=500.30 τ=60.94
CC 20 SLD (Collegamento -182_-384)
Azioni sul collegamento: N=-11143.10 Ty=-9.39 Tz=17.72 Mx=-0.01 Mz=-7.66
Sollecitazioni agenti localmente: Ty_l=-2005.85 My_l=-41.16
Tensioni nella sezione: σ=498.94 τ=60.78
CC 20 SLD (Collegamento -182_-384)
Azioni sul collegamento: N=-11143.10 Ty=-11.43 Tz=17.72 Mx=-0.01 Mz=-8.95
Sollecitazioni agenti localmente: Ty_l=-2010.97 My_l=-41.27
Tensioni nella sezione: σ=500.30 τ=60.94
CC 21 SLV (Collegamento -182_-384)
Azioni sul collegamento: N=-13956.40 Ty=-14.68 Tz=28.02 Mx=-0.02 Mz=-12.56
Sollecitazioni agenti localmente: Ty_l=-2524.04 My_l=-51.81
Tensioni nella sezione: σ=628.03 τ=76.49
CC 21 SLV (Collegamento -182_-384)
Azioni sul collegamento: N=-13956.40 Ty=-7.99 Tz=28.02 Mx=-0.02 Mz=-8.33
Sollecitazioni agenti localmente: Ty_l=-2507.23 My_l=-51.44
Tensioni nella sezione: σ=623.57 τ=75.98
CC 21 SLV (Collegamento -182_-384)
Azioni sul collegamento: N=-13956.40 Ty=-14.68 Tz=-0.53 Mx=-0.02 Mz=-12.56
Sollecitazioni agenti localmente: Ty_l=-2524.04 My_l=-51.81
Tensioni nella sezione: σ=628.03 τ=76.49
CC 21 SLV (Collegamento -182_-384)
Azioni sul collegamento: N=-13956.40 Ty=-7.99 Tz=-0.53 Mx=-0.02 Mz=-8.33
Sollecitazioni agenti localmente: Ty_l=-2507.23 My_l=-51.44
Tensioni nella sezione: σ=623.57 τ=75.98
CC 21 SLV (Collegamento -182_-384)
Azioni sul collegamento: N=-6141.50 Ty=-14.68 Tz=28.02 Mx=-0.02 Mz=-12.56
Sollecitazioni agenti localmente: Ty_l=-1138.67 My_l=-23.41
Tensioni nella sezione: σ=283.79 τ=34.51
CC 21 SLV (Collegamento -182_-384)
Azioni sul collegamento: N=-6141.50 Ty=-7.99 Tz=28.02 Mx=-0.02 Mz=-8.33
Sollecitazioni agenti localmente: Ty_l=-1121.85 My_l=-23.04
Tensioni nella sezione: σ=279.32 τ=34.00
CC 21 SLV (Collegamento -182_-384)
Azioni sul collegamento: N=-6141.50 Ty=-14.68 Tz=-0.53 Mx=-0.02 Mz=-12.56
Sollecitazioni agenti localmente: Ty_l=-1138.67 My_l=-23.41
Tensioni nella sezione: σ=283.79 τ=34.51
CC 21 SLV (Collegamento -182_-384)
Azioni sul collegamento: N=-6141.50 Ty=-7.99 Tz=-0.53 Mx=-0.02 Mz=-8.33
Sollecitazioni agenti localmente: Ty_l=-1121.85 My_l=-23.04
Tensioni nella sezione: σ=279.32 τ=34.00
CC 22 SLD (Collegamento -182_-384)
Azioni sul collegamento: N=-11143.10 Ty=-11.43 Tz=17.72 Mx=-0.01 Mz=-8.95
Sollecitazioni agenti localmente: Ty_l=-2010.97 My_l=-41.27
Tensioni nella sezione: σ=500.30 τ=60.94
CC 22 SLD (Collegamento -182_-384)
Azioni sul collegamento: N=-11143.10 Ty=-9.39 Tz=17.72 Mx=-0.01 Mz=-7.66
Sollecitazioni agenti localmente: Ty_l=-2005.85 My_l=-41.16
Tensioni nella sezione: σ=498.94 τ=60.78
CC 22 SLD (Collegamento -182_-384)
Azioni sul collegamento: N=-11143.10 Ty=-11.43 Tz=9.01 Mx=-0.01 Mz=-8.95
Sollecitazioni agenti localmente: Ty_l=-2010.97 My_l=-41.27
Tensioni nella sezione: σ=500.30 τ=60.94
CC 22 SLD (Collegamento -182_-384)
Azioni sul collegamento: N=-11143.10 Ty=-9.39 Tz=9.01 Mx=-0.01 Mz=-7.66
Sollecitazioni agenti localmente: Ty_l=-2005.85 My_l=-41.16
Tensioni nella sezione: σ=498.94 τ=60.78
CC 22 SLD (Collegamento -182_-384)
Azioni sul collegamento: N=-8760.13 Ty=-11.43 Tz=17.72 Mx=-0.01 Mz=-8.95
Sollecitazioni agenti localmente: Ty_l=-1588.53 My_l=-32.61
Tensioni nella sezione: σ=395.33 τ=48.14
CC 22 SLD (Collegamento -182_-384)
Azioni sul collegamento: N=-8760.13 Ty=-9.39 Tz=17.72 Mx=-0.01 Mz=-7.66
Sollecitazioni agenti localmente: Ty_l=-1583.40 My_l=-32.50
Tensioni nella sezione: σ=393.97 τ=47.98
CC 22 SLD (Collegamento -182_-384)
Azioni sul collegamento: N=-8760.12 Ty=-11.43 Tz=9.01 Mx=-0.01 Mz=-8.95

Sollecitazioni agenti localmente: Ty_l=-1588.53 My_l=-32.61
Tensioni nella sezione: σ=395.33 τ=48.14
CC 22 SLD (Collegamento -182_-384)
Azioni sul collegamento: N=-8760.12 Ty=-9.39 Tz=9.01 Mx=-0.01 Mz=-7.66
Sollecitazioni agenti localmente: Ty_l=-1583.40 My_l=-32.50
Tensioni nella sezione: σ=393.97 τ=47.98
CC 23 SLV (Collegamento -182_-384)
Azioni sul collegamento: N=-13961.30 Ty=-15.19 Tz=28.35 Mx=-0.01 Mz=-13.60
Sollecitazioni agenti localmente: Ty_l=-2529.07 My_l=-51.92
Tensioni nella sezione: σ=629.35 τ=76.64
CC 23 SLV (Collegamento -182_-384)
Azioni sul collegamento: N=-13961.30 Ty=-7.48 Tz=28.35 Mx=-0.01 Mz=-7.28
Sollecitazioni agenti localmente: Ty_l=-2503.92 My_l=-51.37
Tensioni nella sezione: σ=622.68 τ=75.88
CC 23 SLV (Collegamento -182_-384)
Azioni sul collegamento: N=-13961.30 Ty=-15.19 Tz=-0.86 Mx=-0.01 Mz=-13.60
Sollecitazioni agenti localmente: Ty_l=-2529.07 My_l=-51.92
Tensioni nella sezione: σ=629.35 τ=76.64
CC 23 SLV (Collegamento -182_-384)
Azioni sul collegamento: N=-13961.30 Ty=-7.48 Tz=-0.86 Mx=-0.01 Mz=-7.28
Sollecitazioni agenti localmente: Ty_l=-2503.92 My_l=-51.37
Tensioni nella sezione: σ=622.68 τ=75.88
CC 23 SLV (Collegamento -182_-384)
Azioni sul collegamento: N=-6136.65 Ty=-15.19 Tz=28.35 Mx=-0.01 Mz=-13.60
Sollecitazioni agenti localmente: Ty_l=-1141.97 My_l=-23.49
Tensioni nella sezione: σ=284.68 τ=34.61
CC 23 SLV (Collegamento -182_-384)
Azioni sul collegamento: N=-6136.65 Ty=-7.48 Tz=28.35 Mx=-0.01 Mz=-7.28
Sollecitazioni agenti localmente: Ty_l=-1116.82 My_l=-22.94
Tensioni nella sezione: σ=278.00 τ=33.84
CC 23 SLV (Collegamento -182_-384)
Azioni sul collegamento: N=-6136.65 Ty=-15.19 Tz=-0.86 Mx=-0.01 Mz=-13.60
Sollecitazioni agenti localmente: Ty_l=-1141.97 My_l=-23.49
Tensioni nella sezione: σ=284.68 τ=34.61
CC 23 SLV (Collegamento -182_-384)
Azioni sul collegamento: N=-6136.65 Ty=-7.48 Tz=-0.86 Mx=-0.01 Mz=-7.28
Sollecitazioni agenti localmente: Ty_l=-1116.82 My_l=-22.94
Tensioni nella sezione: σ=278.00 τ=33.84
CC 24 SLD (Collegamento -182_-384)
Azioni sul collegamento: N=-11144.60 Ty=-11.59 Tz=17.82 Mx=-0.01 Mz=-9.27
Sollecitazioni agenti localmente: Ty_l=-2012.51 My_l=-41.31
Tensioni nella sezione: σ=500.70 τ=60.99
CC 24 SLD (Collegamento -182_-384)
Azioni sul collegamento: N=-11144.60 Ty=-9.24 Tz=17.82 Mx=-0.01 Mz=-7.34
Sollecitazioni agenti localmente: Ty_l=-2004.84 My_l=-41.14
Tensioni nella sezione: σ=498.67 τ=60.75
CC 24 SLD (Collegamento -182_-384)
Azioni sul collegamento: N=-11144.60 Ty=-11.59 Tz=8.91 Mx=-0.01 Mz=-9.27
Sollecitazioni agenti localmente: Ty_l=-2012.51 My_l=-41.31
Tensioni nella sezione: σ=500.70 τ=60.99
CC 24 SLD (Collegamento -182_-384)
Azioni sul collegamento: N=-11144.60 Ty=-9.24 Tz=8.91 Mx=-0.01 Mz=-7.34
Sollecitazioni agenti localmente: Ty_l=-2004.84 My_l=-41.14
Tensioni nella sezione: σ=498.67 τ=60.75
CC 24 SLD (Collegamento -182_-384)
Azioni sul collegamento: N=-8758.65 Ty=-11.59 Tz=17.82 Mx=-0.01 Mz=-9.27
Sollecitazioni agenti localmente: Ty_l=-1589.54 My_l=-32.64
Tensioni nella sezione: σ=395.60 τ=48.17
CC 24 SLD (Collegamento -182_-384)
Azioni sul collegamento: N=-8758.65 Ty=-9.24 Tz=17.82 Mx=-0.01 Mz=-7.34
Sollecitazioni agenti localmente: Ty_l=-1581.87 My_l=-32.47
Tensioni nella sezione: σ=393.57 τ=47.94
CC 24 SLD (Collegamento -182_-384)
Azioni sul collegamento: N=-8758.64 Ty=-11.59 Tz=8.91 Mx=-0.01 Mz=-9.27
Sollecitazioni agenti localmente: Ty_l=-1589.54 My_l=-32.64
Tensioni nella sezione: σ=395.60 τ=48.17
CC 24 SLD (Collegamento -182_-384)
Azioni sul collegamento: N=-8758.64 Ty=-9.24 Tz=8.91 Mx=-0.01 Mz=-7.34
Sollecitazioni agenti localmente: Ty_l=-1581.87 My_l=-32.47
Tensioni nella sezione: σ=393.57 τ=47.94
CC 25 SLV (Collegamento -182_-384)
Azioni sul collegamento: N=-8867.92 Ty=-9.40 Tz=8.87 Mx=-0.02 Mz=-7.91
Sollecitazioni agenti localmente: Ty_l=-1603.49 My_l=-32.92
Tensioni nella sezione: σ=398.98 τ=48.59
CC 25 SLV (Collegamento -182_-384)
Azioni sul collegamento: N=-8867.92 Ty=-13.27 Tz=8.87 Mx=-0.02 Mz=-12.98
Sollecitazioni agenti localmente: Ty_l=-1623.67 My_l=-33.36
Tensioni nella sezione: σ=404.33 τ=49.20
CC 25 SLV (Collegamento -182_-384)

Azioni sul collegamento: N=-8867.92 Ty=-9.40 Tz=18.62 Mx=-0.02 Mz=-7.91
Sollecitazioni agenti localmente: Ty_l=-1603.49 My_l=-32.92
Tensioni nella sezione: σ=398.98 τ=48.59
CC 25 SLV (Collegamento -182_-384)
Azioni sul collegamento: N=-8867.92 Ty=-13.27 Tz=18.62 Mx=-0.02 Mz=-12.98
Sollecitazioni agenti localmente: Ty_l=-1623.67 My_l=-33.36
Tensioni nella sezione: σ=404.33 τ=49.20
CC 25 SLV (Collegamento -182_-384)
Azioni sul collegamento: N=-11230.00 Ty=-9.40 Tz=8.87 Mx=-0.02 Mz=-7.91
Sollecitazioni agenti localmente: Ty_l=-2022.23 My_l=-41.50
Tensioni nella sezione: σ=503.03 τ=61.28
CC 25 SLV (Collegamento -182_-384)
Azioni sul collegamento: N=-11230.00 Ty=-13.27 Tz=8.87 Mx=-0.02 Mz=-12.98
Sollecitazioni agenti localmente: Ty_l=-2042.40 My_l=-41.94
Tensioni nella sezione: σ=508.38 τ=61.89
CC 25 SLV (Collegamento -182_-384)
Azioni sul collegamento: N=-11230.00 Ty=-9.40 Tz=18.62 Mx=-0.02 Mz=-7.91
Sollecitazioni agenti localmente: Ty_l=-2022.23 My_l=-41.50
Tensioni nella sezione: σ=503.03 τ=61.28
CC 25 SLV (Collegamento -182_-384)
Azioni sul collegamento: N=-11230.00 Ty=-13.27 Tz=18.62 Mx=-0.02 Mz=-12.98
Sollecitazioni agenti localmente: Ty_l=-2042.40 My_l=-41.94
Tensioni nella sezione: σ=508.38 τ=61.89
CC 26 SLD (Collegamento -182_-384)
Azioni sul collegamento: N=-9591.50 Ty=-9.82 Tz=11.88 Mx=-0.01 Mz=-7.53
Sollecitazioni agenti localmente: Ty_l=-1730.27 My_l=-35.51
Tensioni nella sezione: σ=430.45 τ=52.43
CC 26 SLD (Collegamento -182_-384)
Azioni sul collegamento: N=-9591.50 Ty=-11.00 Tz=11.88 Mx=-0.01 Mz=-9.08
Sollecitazioni agenti localmente: Ty_l=-1736.42 My_l=-35.65
Tensioni nella sezione: σ=432.09 τ=52.62
CC 26 SLD (Collegamento -182_-384)
Azioni sul collegamento: N=-9591.50 Ty=-9.82 Tz=14.85 Mx=-0.01 Mz=-7.53
Sollecitazioni agenti localmente: Ty_l=-1730.27 My_l=-35.51
Tensioni nella sezione: σ=430.45 τ=52.43
CC 26 SLD (Collegamento -182_-384)
Azioni sul collegamento: N=-9591.50 Ty=-11.00 Tz=14.85 Mx=-0.01 Mz=-9.08
Sollecitazioni agenti localmente: Ty_l=-1736.42 My_l=-35.65
Tensioni nella sezione: σ=432.09 τ=52.62
CC 26 SLD (Collegamento -182_-384)
Azioni sul collegamento: N=-10311.80 Ty=-9.82 Tz=11.88 Mx=-0.01 Mz=-7.53
Sollecitazioni agenti localmente: Ty_l=-1857.95 My_l=-38.13
Tensioni nella sezione: σ=462.18 τ=56.30
CC 26 SLD (Collegamento -182_-384)
Azioni sul collegamento: N=-10311.80 Ty=-11.00 Tz=11.88 Mx=-0.01 Mz=-9.08
Sollecitazioni agenti localmente: Ty_l=-1864.11 My_l=-38.26
Tensioni nella sezione: σ=463.81 τ=56.49
CC 26 SLD (Collegamento -182_-384)
Azioni sul collegamento: N=-10311.80 Ty=-9.82 Tz=14.85 Mx=-0.01 Mz=-7.53
Sollecitazioni agenti localmente: Ty_l=-1857.96 My_l=-38.13
Tensioni nella sezione: σ=462.18 τ=56.30
CC 26 SLD (Collegamento -182_-384)
Azioni sul collegamento: N=-10311.80 Ty=-11.00 Tz=14.85 Mx=-0.01 Mz=-9.08
Sollecitazioni agenti localmente: Ty_l=-1864.11 My_l=-38.26
Tensioni nella sezione: σ=463.81 τ=56.49
CC 27 SLV (Collegamento -182_-384)
Azioni sul collegamento: N=-11213.90 Ty=-11.56 Tz=17.53 Mx=-0.02 Mz=-9.49
Sollecitazioni agenti localmente: Ty_l=-2025.65 My_l=-41.58
Tensioni nella sezione: σ=503.98 τ=61.38
CC 27 SLV (Collegamento -182_-384)
Azioni sul collegamento: N=-11213.90 Ty=-11.11 Tz=17.53 Mx=-0.02 Mz=-11.40
Sollecitazioni agenti localmente: Ty_l=-2033.24 My_l=-41.74
Tensioni nella sezione: σ=506.00 τ=61.61
CC 27 SLV (Collegamento -182_-384)
Azioni sul collegamento: N=-11213.90 Ty=-11.56 Tz=9.96 Mx=-0.02 Mz=-9.49
Sollecitazioni agenti localmente: Ty_l=-2025.65 My_l=-41.58
Tensioni nella sezione: σ=503.98 τ=61.38
CC 27 SLV (Collegamento -182_-384)
Azioni sul collegamento: N=-11213.90 Ty=-11.11 Tz=9.96 Mx=-0.02 Mz=-11.40
Sollecitazioni agenti localmente: Ty_l=-2033.24 My_l=-41.74
Tensioni nella sezione: σ=506.00 τ=61.61
CC 27 SLV (Collegamento -182_-384)
Azioni sul collegamento: N=-8884.09 Ty=-11.56 Tz=17.53 Mx=-0.02 Mz=-9.49
Sollecitazioni agenti localmente: Ty_l=-1612.65 My_l=-33.11
Tensioni nella sezione: σ=401.36 τ=48.87
CC 27 SLV (Collegamento -182_-384)
Azioni sul collegamento: N=-8884.09 Ty=-11.11 Tz=17.53 Mx=-0.02 Mz=-11.40
Sollecitazioni agenti localmente: Ty_l=-1620.24 My_l=-33.28
Tensioni nella sezione: σ=403.37 τ=49.10

CC 27 SLV (Collegamento -182_-384)
Azioni sul collegamento: N=-8884.09 Ty=-11.56 Tz=9.96 Mx=-0.02 Mz=-9.49
Sollecitazioni agenti localmente: Ty_l=-1612.65 My_l=-33.11
Tensioni nella sezione: σ=401.36 τ=48.87
CC 27 SLV (Collegamento -182_-384)
Azioni sul collegamento: N=-8884.09 Ty=-11.11 Tz=9.96 Mx=-0.02 Mz=-11.40
Sollecitazioni agenti localmente: Ty_l=-1620.24 My_l=-33.28
Tensioni nella sezione: σ=403.37 τ=49.10
CC 28 SLD (Collegamento -182_-384)
Azioni sul collegamento: N=-10306.80 Ty=-10.48 Tz=14.52 Mx=-0.01 Mz=-8.01
Sollecitazioni agenti localmente: Ty_l=-1859.00 My_l=-38.15
Tensioni nella sezione: σ=462.47 τ=56.33
CC 28 SLD (Collegamento -182_-384)
Azioni sul collegamento: N=-10306.80 Ty=-10.34 Tz=14.52 Mx=-0.01 Mz=-8.60
Sollecitazioni agenti localmente: Ty_l=-1861.31 My_l=-38.20
Tensioni nella sezione: σ=463.09 τ=56.40
CC 28 SLD (Collegamento -182_-384)
Azioni sul collegamento: N=-10306.80 Ty=-10.48 Tz=12.21 Mx=-0.01 Mz=-8.01
Sollecitazioni agenti localmente: Ty_l=-1859.00 My_l=-38.15
Tensioni nella sezione: σ=462.47 τ=56.33
CC 28 SLD (Collegamento -182_-384)
Azioni sul collegamento: N=-10306.80 Ty=-10.34 Tz=12.21 Mx=-0.01 Mz=-8.60
Sollecitazioni agenti localmente: Ty_l=-1861.31 My_l=-38.20
Tensioni nella sezione: σ=463.09 τ=56.40
CC 28 SLD (Collegamento -182_-384)
Azioni sul collegamento: N=-9596.43 Ty=-10.48 Tz=14.52 Mx=-0.01 Mz=-8.01
Sollecitazioni agenti localmente: Ty_l=-1733.06 My_l=-35.57
Tensioni nella sezione: σ=431.18 τ=52.52
CC 28 SLD (Collegamento -182_-384)
Azioni sul collegamento: N=-9596.43 Ty=-10.34 Tz=14.52 Mx=-0.01 Mz=-8.60
Sollecitazioni agenti localmente: Ty_l=-1735.38 My_l=-35.62
Tensioni nella sezione: σ=431.80 τ=52.59
CC 28 SLD (Collegamento -182_-384)
Azioni sul collegamento: N=-9596.43 Ty=-10.48 Tz=12.21 Mx=-0.01 Mz=-8.01
Sollecitazioni agenti localmente: Ty_l=-1733.06 My_l=-35.57
Tensioni nella sezione: σ=431.18 τ=52.52
CC 28 SLD (Collegamento -182_-384)
Azioni sul collegamento: N=-9596.43 Ty=-10.34 Tz=12.21 Mx=-0.01 Mz=-8.60
Sollecitazioni agenti localmente: Ty_l=-1735.38 My_l=-35.62
Tensioni nella sezione: σ=431.80 τ=52.59
CC 29 SLV (Collegamento -182_-384)
Azioni sul collegamento: N=-8884.09 Ty=-11.11 Tz=9.96 Mx=-0.01 Mz=-11.40
Sollecitazioni agenti localmente: Ty_l=-1620.24 My_l=-33.28
Tensioni nella sezione: σ=403.37 τ=49.10
CC 29 SLV (Collegamento -182_-384)
Azioni sul collegamento: N=-8884.09 Ty=-11.56 Tz=9.96 Mx=-0.01 Mz=-9.49
Sollecitazioni agenti localmente: Ty_l=-1612.65 My_l=-33.11
Tensioni nella sezione: σ=401.36 τ=48.87
CC 29 SLV (Collegamento -182_-384)
Azioni sul collegamento: N=-8884.09 Ty=-11.11 Tz=17.53 Mx=-0.01 Mz=-11.40
Sollecitazioni agenti localmente: Ty_l=-1620.24 My_l=-33.28
Tensioni nella sezione: σ=403.37 τ=49.10
CC 29 SLV (Collegamento -182_-384)
Azioni sul collegamento: N=-8884.09 Ty=-11.56 Tz=17.53 Mx=-0.01 Mz=-9.49
Sollecitazioni agenti localmente: Ty_l=-1612.65 My_l=-33.11
Tensioni nella sezione: σ=401.36 τ=48.87
CC 29 SLV (Collegamento -182_-384)
Azioni sul collegamento: N=-11213.90 Ty=-11.11 Tz=9.96 Mx=-0.01 Mz=-11.40
Sollecitazioni agenti localmente: Ty_l=-2033.24 My_l=-41.74
Tensioni nella sezione: σ=506.00 τ=61.61
CC 29 SLV (Collegamento -182_-384)
Azioni sul collegamento: N=-11213.90 Ty=-11.56 Tz=9.96 Mx=-0.01 Mz=-9.49
Sollecitazioni agenti localmente: Ty_l=-2025.65 My_l=-41.58
Tensioni nella sezione: σ=503.98 τ=61.38
CC 29 SLV (Collegamento -182_-384)
Azioni sul collegamento: N=-11213.90 Ty=-11.11 Tz=17.53 Mx=-0.01 Mz=-11.40
Sollecitazioni agenti localmente: Ty_l=-2033.24 My_l=-41.74
Tensioni nella sezione: σ=506.00 τ=61.61
CC 29 SLV (Collegamento -182_-384)
Azioni sul collegamento: N=-11213.90 Ty=-11.56 Tz=17.53 Mx=-0.01 Mz=-9.49
Sollecitazioni agenti localmente: Ty_l=-2025.65 My_l=-41.58
Tensioni nella sezione: σ=503.98 τ=61.38
CC 30 SLD (Collegamento -182_-384)
Azioni sul collegamento: N=-9596.43 Ty=-10.34 Tz=12.21 Mx=-0.00 Mz=-8.60
Sollecitazioni agenti localmente: Ty_l=-1735.38 My_l=-35.62
Tensioni nella sezione: σ=431.80 τ=52.59
CC 30 SLD (Collegamento -182_-384)
Azioni sul collegamento: N=-9596.43 Ty=-10.48 Tz=12.21 Mx=-0.00 Mz=-8.01
Sollecitazioni agenti localmente: Ty_l=-1733.06 My_l=-35.57

Tensioni nella sezione: σ=431.18 τ=52.52
CC 30 SLD (Collegamento -182_-384)
Azioni sul collegamento: N=-9596.43 Ty=-10.34 Tz=14.52 Mx=-0.00 Mz=-8.60
Sollecitazioni agenti localmente: Ty_l=-1735.38 My_l=-35.62
Tensioni nella sezione: σ=431.80 τ=52.59
CC 30 SLD (Collegamento -182_-384)
Azioni sul collegamento: N=-9596.43 Ty=-10.48 Tz=14.52 Mx=-0.00 Mz=-8.01
Sollecitazioni agenti localmente: Ty_l=-1733.06 My_l=-35.57
Tensioni nella sezione: σ=431.18 τ=52.52
CC 30 SLD (Collegamento -182_-384)
Azioni sul collegamento: N=-10306.80 Ty=-10.34 Tz=12.21 Mx=-0.00 Mz=-8.60
Sollecitazioni agenti localmente: Ty_l=-1861.31 My_l=-38.20
Tensioni nella sezione: σ=463.09 τ=56.40
CC 30 SLD (Collegamento -182_-384)
Azioni sul collegamento: N=-10306.80 Ty=-10.48 Tz=12.21 Mx=-0.00 Mz=-8.01
Sollecitazioni agenti localmente: Ty_l=-1859.00 My_l=-38.15
Tensioni nella sezione: σ=462.47 τ=56.33
CC 30 SLD (Collegamento -182_-384)
Azioni sul collegamento: N=-10306.80 Ty=-10.34 Tz=14.52 Mx=-0.00 Mz=-8.60
Sollecitazioni agenti localmente: Ty_l=-1861.31 My_l=-38.20
Tensioni nella sezione: σ=463.09 τ=56.40
CC 30 SLD (Collegamento -182_-384)
Azioni sul collegamento: N=-10306.80 Ty=-10.48 Tz=14.52 Mx=-0.00 Mz=-8.01
Sollecitazioni agenti localmente: Ty_l=-1859.00 My_l=-38.15
Tensioni nella sezione: σ=462.47 τ=56.33
CC 31 SLV (Collegamento -182_-384)
Azioni sul collegamento: N=-11230.00 Ty=-13.27 Tz=18.62 Mx=-0.01 Mz=-12.98
Sollecitazioni agenti localmente: Ty_l=-2042.40 My_l=-41.94
Tensioni nella sezione: σ=508.38 τ=61.89
CC 31 SLV (Collegamento -182_-384)
Azioni sul collegamento: N=-11230.00 Ty=-9.40 Tz=18.62 Mx=-0.01 Mz=-7.91
Sollecitazioni agenti localmente: Ty_l=-2022.23 My_l=-41.50
Tensioni nella sezione: σ=503.03 τ=61.28
CC 31 SLV (Collegamento -182_-384)
Azioni sul collegamento: N=-11230.00 Ty=-13.27 Tz=8.87 Mx=-0.01 Mz=-12.98
Sollecitazioni agenti localmente: Ty_l=-2042.40 My_l=-41.94
Tensioni nella sezione: σ=508.38 τ=61.89
CC 31 SLV (Collegamento -182_-384)
Azioni sul collegamento: N=-11230.00 Ty=-9.40 Tz=8.87 Mx=-0.01 Mz=-7.91
Sollecitazioni agenti localmente: Ty_l=-2022.23 My_l=-41.50
Tensioni nella sezione: σ=503.03 τ=61.28
CC 31 SLV (Collegamento -182_-384)
Azioni sul collegamento: N=-8867.92 Ty=-13.27 Tz=18.62 Mx=-0.01 Mz=-12.98
Sollecitazioni agenti localmente: Ty_l=-1623.67 My_l=-33.36
Tensioni nella sezione: σ=404.33 τ=49.20
CC 31 SLV (Collegamento -182_-384)
Azioni sul collegamento: N=-8867.92 Ty=-9.40 Tz=18.62 Mx=-0.01 Mz=-7.91
Sollecitazioni agenti localmente: Ty_l=-1603.49 My_l=-32.92
Tensioni nella sezione: σ=398.98 τ=48.59
CC 31 SLV (Collegamento -182_-384)
Azioni sul collegamento: N=-8867.92 Ty=-13.27 Tz=8.87 Mx=-0.01 Mz=-12.98
Sollecitazioni agenti localmente: Ty_l=-1623.67 My_l=-33.36
Tensioni nella sezione: σ=404.33 τ=49.20
CC 31 SLV (Collegamento -182_-384)
Azioni sul collegamento: N=-8867.92 Ty=-9.40 Tz=8.87 Mx=-0.01 Mz=-7.91
Sollecitazioni agenti localmente: Ty_l=-1603.49 My_l=-32.92
Tensioni nella sezione: σ=398.98 τ=48.59
CC 32 SLD (Collegamento -182_-384)
Azioni sul collegamento: N=-10311.80 Ty=-11.00 Tz=14.85 Mx=-0.00 Mz=-9.08
Sollecitazioni agenti localmente: Ty_l=-1864.11 My_l=-38.26
Tensioni nella sezione: σ=463.81 τ=56.49
CC 32 SLD (Collegamento -182_-384)
Azioni sul collegamento: N=-10311.80 Ty=-9.82 Tz=14.85 Mx=-0.00 Mz=-7.53
Sollecitazioni agenti localmente: Ty_l=-1857.96 My_l=-38.13
Tensioni nella sezione: σ=462.18 τ=56.30
CC 32 SLD (Collegamento -182_-384)
Azioni sul collegamento: N=-10311.80 Ty=-11.00 Tz=11.88 Mx=-0.00 Mz=-9.08
Sollecitazioni agenti localmente: Ty_l=-1864.11 My_l=-38.26
Tensioni nella sezione: σ=463.81 τ=56.49
CC 32 SLD (Collegamento -182_-384)
Azioni sul collegamento: N=-10311.80 Ty=-9.82 Tz=11.88 Mx=-0.00 Mz=-7.53
Sollecitazioni agenti localmente: Ty_l=-1857.95 My_l=-38.13
Tensioni nella sezione: σ=462.18 τ=56.30
CC 32 SLD (Collegamento -182_-384)
Azioni sul collegamento: N=-9591.50 Ty=-11.00 Tz=14.85 Mx=-0.00 Mz=-9.08
Sollecitazioni agenti localmente: Ty_l=-1736.42 My_l=-35.65
Tensioni nella sezione: σ=432.09 τ=52.62
CC 32 SLD (Collegamento -182_-384)
Azioni sul collegamento: N=-9591.50 Ty=-9.82 Tz=14.85 Mx=-0.00 Mz=-7.53

Sollecitazioni agenti localmente: Ty_l=-1730.27 My_l=-35.51
Tensioni nella sezione: σ=430.45 τ=52.43
CC 32 SLD (Collegamento -182_-384)
Azioni sul collegamento: N=-9591.50 Ty=-11.00 Tz=11.88 Mx=-0.00 Mz=-9.08
Sollecitazioni agenti localmente: Ty_l=-1736.42 My_l=-35.65
Tensioni nella sezione: σ=432.09 τ=52.62
CC 32 SLD (Collegamento -182_-384)
Azioni sul collegamento: N=-9591.50 Ty=-9.82 Tz=11.88 Mx=-0.00 Mz=-7.53
Sollecitazioni agenti localmente: Ty_l=-1730.27 My_l=-35.51
Tensioni nella sezione: σ=430.45 τ=52.43
CC 33 SLU (Collegamento -182_-384)
Azioni sul collegamento: N=-37242.40 Ty=-20.96 Tz=105.49 Mx=-0.01 Mz=-15.56
Sollecitazioni agenti localmente: Ty_l=-6663.95 My_l=-136.70
Tensioni nella sezione: σ=1656.94 τ=201.94
CC 34 SLU (Collegamento -182_-384)
Azioni sul collegamento: N=-36428.20 Ty=-20.21 Tz=102.49 Mx=-0.01 Mz=-15.01
Sollecitazioni agenti localmente: Ty_l=-6517.42 My_l=-133.69
Tensioni nella sezione: σ=1620.49 τ=197.50
CC 35 SLU (Collegamento -182_-384)
Azioni sul collegamento: N=-36836.10 Ty=-20.67 Tz=103.93 Mx=-0.00 Mz=-15.47
Sollecitazioni agenti localmente: Ty_l=-6591.56 My_l=-135.21
Tensioni nella sezione: σ=1638.95 τ=199.74
CC 36 SLU (Collegamento -182_-384)
Azioni sul collegamento: N=-36834.40 Ty=-20.49 Tz=104.05 Mx=-0.01 Mz=-15.10
Sollecitazioni agenti localmente: Ty_l=-6589.80 My_l=-135.18
Tensioni nella sezione: σ=1638.49 τ=199.69
CC 37 SLU (Collegamento -182_-384)
Azioni sul collegamento: N=-28075.80 Ty=-20.08 Tz=71.84 Mx=-0.01 Mz=-14.76
Sollecitazioni agenti localmente: Ty_l=-5035.80 My_l=-103.32
Tensioni nella sezione: σ=1252.32 τ=152.60
CC 38 SLU (Collegamento -182_-384)
Azioni sul collegamento: N=-27261.60 Ty=-19.33 Tz=68.83 Mx=-0.01 Mz=-14.21
Sollecitazioni agenti localmente: Ty_l=-4889.27 My_l=-100.31
Tensioni nella sezione: σ=1215.87 τ=148.16
CC 39 SLU (Collegamento -182_-384)
Azioni sul collegamento: N=-27669.60 Ty=-19.79 Tz=70.28 Mx=-0.00 Mz=-14.67
Sollecitazioni agenti localmente: Ty_l=-4963.42 My_l=-101.83
Tensioni nella sezione: σ=1234.32 τ=150.41
CC 40 SLU (Collegamento -182_-384)
Azioni sul collegamento: N=-27667.80 Ty=-19.61 Tz=70.39 Mx=-0.01 Mz=-14.31
Sollecitazioni agenti localmente: Ty_l=-4961.65 My_l=-101.79
Tensioni nella sezione: σ=1233.86 τ=150.35
CC 41 SLU (Collegamento -182_-384)
Azioni sul collegamento: N=-30474.50 Ty=9.93 Tz=80.11 Mx=-0.01 Mz=7.87
Sollecitazioni agenti localmente: Ty_l=-5370.99 My_l=-110.06
Tensioni nella sezione: σ=1334.08 τ=162.76
CC 42 SLU (Collegamento -182_-384)
Azioni sul collegamento: N=-29660.30 Ty=10.68 Tz=77.11 Mx=-0.01 Mz=8.42
Sollecitazioni agenti localmente: Ty_l=-5224.46 My_l=-107.06
Tensioni nella sezione: σ=1297.63 τ=158.32
CC 43 SLU (Collegamento -182_-384)
Azioni sul collegamento: N=-30068.30 Ty=10.21 Tz=78.55 Mx=-0.00 Mz=7.97
Sollecitazioni agenti localmente: Ty_l=-5298.61 My_l=-108.58
Tensioni nella sezione: σ=1316.09 τ=160.56
CC 44 SLU (Collegamento -182_-384)
Azioni sul collegamento: N=-30066.50 Ty=10.39 Tz=78.67 Mx=-0.01 Mz=8.33
Sollecitazioni agenti localmente: Ty_l=-5296.85 My_l=-108.54
Tensioni nella sezione: σ=1315.62 τ=160.51
CC 45 SLU (Collegamento -182_-384)
Azioni sul collegamento: N=-30085.80 Ty=-20.31 Tz=79.22 Mx=-0.00 Mz=-15.08
Sollecitazioni agenti localmente: Ty_l=-5393.37 My_l=-110.65
Tensioni nella sezione: σ=1341.19 τ=163.44
CC 46 SLU (Collegamento -182_-384)
Azioni sul collegamento: N=-29271.60 Ty=-19.56 Tz=76.22 Mx=-0.00 Mz=-14.53
Sollecitazioni agenti localmente: Ty_l=-5246.85 My_l=-107.64
Tensioni nella sezione: σ=1304.74 τ=159.00
CC 47 SLU (Collegamento -182_-384)
Azioni sul collegamento: N=-29679.60 Ty=-20.02 Tz=77.66 Mx=-0.00 Mz=-14.99
Sollecitazioni agenti localmente: Ty_l=-5320.99 My_l=-109.16
Tensioni nella sezione: σ=1323.20 τ=161.24
CC 48 SLU (Collegamento -182_-384)
Azioni sul collegamento: N=-29677.80 Ty=-19.84 Tz=77.78 Mx=-0.01 Mz=-14.62
Sollecitazioni agenti localmente: Ty_l=-5319.23 My_l=-109.13
Tensioni nella sezione: σ=1322.73 τ=161.19
CC 49 SLU (Collegamento -182_-384)
Azioni sul collegamento: N=-23227.80 Ty=-19.65 Tz=54.04 Mx=-0.00 Mz=-14.49
Sollecitazioni agenti localmente: Ty_l=-4175.28 My_l=-85.67
Tensioni nella sezione: σ=1038.47 τ=126.52
CC 50 SLU (Collegamento -182_-384)

Azioni sul collegamento: N=-22413.60 Ty=-18.90 Tz=51.04 Mx=-0.00 Mz=-13.93
Sollecitazioni agenti localmente: Ty_l=-4028.75 My_l=-82.67
Tensioni nella sezione: σ=1002.02 τ=122.08
CC 51 SLU (Collegamento -182_-384)
Azioni sul collegamento: N=-22821.60 Ty=-19.36 Tz=52.48 Mx=-0.00 Mz=-14.39
Sollecitazioni agenti localmente: Ty_l=-4102.90 My_l=-84.19
Tensioni nella sezione: σ=1020.48 τ=124.33
CC 52 SLU (Collegamento -182_-384)
Azioni sul collegamento: N=-22819.80 Ty=-19.19 Tz=52.60 Mx=-0.01 Mz=-14.03
Sollecitazioni agenti localmente: Ty_l=-4101.13 My_l=-84.15
Tensioni nella sezione: σ=1020.02 τ=124.28
CC 53 SLU (Collegamento -182_-384)
Azioni sul collegamento: N=-25022.40 Ty=2.80 Tz=60.23 Mx=-0.00 Mz=2.45
Sollecitazioni agenti localmente: Ty_l=-4426.05 My_l=-90.72
Tensioni nella sezione: σ=1099.64 τ=134.12
CC 54 SLU (Collegamento -182_-384)
Azioni sul collegamento: N=-24208.20 Ty=3.55 Tz=57.23 Mx=-0.01 Mz=3.00
Sollecitazioni agenti localmente: Ty_l=-4279.52 My_l=-87.71
Tensioni nella sezione: σ=1063.19 τ=129.68
CC 55 SLU (Collegamento -182_-384)
Azioni sul collegamento: N=-24616.20 Ty=3.09 Tz=58.67 Mx=-0.00 Mz=2.54
Sollecitazioni agenti localmente: Ty_l=-4353.67 My_l=-89.24
Tensioni nella sezione: σ=1081.65 τ=131.93
CC 56 SLU (Collegamento -182_-384)
Azioni sul collegamento: N=-24614.50 Ty=3.26 Tz=58.79 Mx=-0.01 Mz=2.91
Sollecitazioni agenti localmente: Ty_l=-4351.91 My_l=-89.20
Tensioni nella sezione: σ=1081.19 τ=131.88
CC 57 SLU (Collegamento -182_-384)
Azioni sul collegamento: N=-27876.60 Ty=-18.56 Tz=71.09 Mx=-0.00 Mz=-13.78
Sollecitazioni agenti localmente: Ty_l=-4996.59 My_l=-102.51
Tensioni nella sezione: σ=1242.51 τ=151.41
CC 58 SLU (Collegamento -182_-384)
Azioni sul collegamento: N=-27062.40 Ty=-17.81 Tz=68.08 Mx=-0.00 Mz=-13.23
Sollecitazioni agenti localmente: Ty_l=-4850.07 My_l=-99.50
Tensioni nella sezione: σ=1206.06 τ=146.97
CC 59 SLU (Collegamento -182_-384)
Azioni sul collegamento: N=-27470.40 Ty=-18.27 Tz=69.53 Mx=-0.00 Mz=-13.69
Sollecitazioni agenti localmente: Ty_l=-4924.21 My_l=-101.02
Tensioni nella sezione: σ=1224.52 τ=149.22
CC 60 SLU (Collegamento -182_-384)
Azioni sul collegamento: N=-27468.70 Ty=-18.09 Tz=69.65 Mx=-0.01 Mz=-13.33
Sollecitazioni agenti localmente: Ty_l=-4922.45 My_l=-100.98
Tensioni nella sezione: σ=1224.05 τ=149.16
CC 61 SLU (Collegamento -182_-384)
Azioni sul collegamento: N=-21018.70 Ty=-17.90 Tz=45.91 Mx=-0.00 Mz=-13.19
Sollecitazioni agenti localmente: Ty_l=-3778.50 My_l=-77.53
Tensioni nella sezione: σ=939.79 τ=114.50
CC 62 SLU (Collegamento -182_-384)
Azioni sul collegamento: N=-20204.50 Ty=-17.15 Tz=42.91 Mx=-0.00 Mz=-12.64
Sollecitazioni agenti localmente: Ty_l=-3631.97 My_l=-74.53
Tensioni nella sezione: σ=903.34 τ=110.06
CC 63 SLU (Collegamento -182_-384)
Azioni sul collegamento: N=-20612.50 Ty=-17.61 Tz=44.35 Mx=-0.00 Mz=-13.10
Sollecitazioni agenti localmente: Ty_l=-3706.12 My_l=-76.05
Tensioni nella sezione: σ=921.80 τ=112.31
CC 64 SLU (Collegamento -182_-384)
Azioni sul collegamento: N=-20610.70 Ty=-17.43 Tz=44.47 Mx=-0.01 Mz=-12.73
Sollecitazioni agenti localmente: Ty_l=-3704.35 My_l=-76.01
Tensioni nella sezione: σ=921.34 τ=112.25
CC 65 SLU (Collegamento -182_-384)
Azioni sul collegamento: N=-22813.30 Ty=4.55 Tz=52.10 Mx=-0.00 Mz=3.75
Sollecitazioni agenti localmente: Ty_l=-4029.27 My_l=-82.58
Tensioni nella sezione: σ=1000.96 τ=122.10
CC 66 SLU (Collegamento -182_-384)
Azioni sul collegamento: N=-21999.10 Ty=5.30 Tz=49.10 Mx=-0.00 Mz=4.30
Sollecitazioni agenti localmente: Ty_l=-3882.74 My_l=-79.57
Tensioni nella sezione: σ=964.51 τ=117.66
CC 67 SLU (Collegamento -182_-384)
Azioni sul collegamento: N=-22407.10 Ty=4.84 Tz=50.54 Mx=-0.00 Mz=3.84
Sollecitazioni agenti localmente: Ty_l=-3956.89 My_l=-81.09
Tensioni nella sezione: σ=982.97 τ=119.91
CC 68 SLU (Collegamento -182_-384)
Azioni sul collegamento: N=-22405.30 Ty=5.01 Tz=50.66 Mx=-0.01 Mz=4.20
Sollecitazioni agenti localmente: Ty_l=-3955.13 My_l=-81.06
Tensioni nella sezione: σ=982.50 τ=119.85
CC 97 SLU (Collegamento -182_-384)
Azioni sul collegamento: N=-12779.50 Ty=-22.48 Tz=24.03 Mx=-0.06 Mz=-25.00
Sollecitazioni agenti localmente: Ty_l=-2364.90 My_l=-48.62
Tensioni nella sezione: σ=589.33 τ=71.66

CC 98 SLU (Collegamento -182_-384)
Azioni sul collegamento: N=-11965.30 Ty=-21.73 Tz=21.02 Mx=-0.06 Mz=-24.45
Sollecitazioni agenti localmente: Ty_l=-2218.38 My_l=-45.61
Tensioni nella sezione: σ=552.88 τ=67.22
CC 99 SLU (Collegamento -182_-384)
Azioni sul collegamento: N=-12373.20 Ty=-22.20 Tz=22.47 Mx=-0.05 Mz=-24.91
Sollecitazioni agenti localmente: Ty_l=-2292.52 My_l=-47.14
Tensioni nella sezione: σ=571.34 τ=69.47
CC 100 SLU (Collegamento -182_-384)
Azioni sul collegamento: N=-12371.50 Ty=-22.02 Tz=22.58 Mx=-0.06 Mz=-24.55
Sollecitazioni agenti localmente: Ty_l=-2290.76 My_l=-47.10
Tensioni nella sezione: σ=570.88 τ=69.42
CC 101 SLU (Collegamento -182_-384)
Azioni sul collegamento: N=-10566.60 Ty=-8.33 Tz=15.50 Mx=0.00 Mz=-5.31
Sollecitazioni agenti localmente: Ty_l=-1894.30 My_l=-38.86
Tensioni nella sezione: σ=471.06 τ=57.40
CC 102 SLU (Collegamento -182_-384)
Azioni sul collegamento: N=-9752.38 Ty=-7.57 Tz=12.50 Mx=0.00 Mz=-4.76
Sollecitazioni agenti localmente: Ty_l=-1747.77 My_l=-35.86
Tensioni nella sezione: σ=434.62 τ=52.96
CC 103 SLU (Collegamento -182_-384)
Azioni sul collegamento: N=-10160.40 Ty=-8.04 Tz=13.94 Mx=0.00 Mz=-5.22
Sollecitazioni agenti localmente: Ty_l=-1821.92 My_l=-37.38
Tensioni nella sezione: σ=453.07 τ=55.21
CC 104 SLU (Collegamento -182_-384)
Azioni sul collegamento: N=-10158.60 Ty=-7.86 Tz=14.06 Mx=0.00 Mz=-4.85
Sollecitazioni agenti localmente: Ty_l=-1820.15 My_l=-37.34
Tensioni nella sezione: σ=452.61 τ=55.16

Collegamento -375_-503

Saldatura a cordone d'angolo
Altezza di gola saldature: anima 7.07 - ala 7.07

Saldatura profilo-profilo

CC 98 SLU (Collegamento -375_-503)
Azioni sul collegamento: N=210.40 Ty=-7.17 Tz=-70.39 Mx=-2.29 Mz=-11.86
Sollecitazioni agenti localmente: Tx_l=-7.17 Ty_l=-70.39 N_l=210.40 My_l=11.86 Mz_l=-2.29
Azioni sul cordone: TP=3.17 TO=6.99 NO=15.48
Tensioni nel cordone: τ_P=1.01 τ_O=2.22 σ_O=22.25 σ_{ID}=22.38 Σ_T=24.47

Verifica lato anima della colonna

CC 98 SLU (Collegamento -375_-503)
Azioni sul collegamento: N=210.40 Ty=-7.17 Tz=-70.39 Mx=-2.29 Mz=-11.86
Zona tesa: F=84.72 b_{eff}=13.20 t_w=0.70 σ=9.17
Zona tesa: F=84.72 b_{eff}=13.20 t_w=0.70 σ=9.17

Collegamento -376_-504

Saldatura a cordone d'angolo
Altezza di gola saldature: anima 7.07 - ala 7.07

Saldatura profilo-profilo

CC 1 SLV (Collegamento -376_-504)
Azioni sul collegamento: N=176.80 Ty=1.82 Tz=-55.38 Mx=0.47 Mz=2.63
Sollecitazioni agenti localmente: Tx_l=1.82 Ty_l=-55.38 N_l=176.80 My_l=-2.63 Mz_l=0.47
Azioni sul cordone: TP=-0.68 TO=4.45 NO=13.01
Tensioni nel cordone: τ_P=0.22 τ_O=1.41 σ_O=7.98 σ_{ID}=8.11 Σ_T=9.39
CC 1 SLV (Collegamento -376_-504)
Azioni sul collegamento: N=176.80 Ty=0.22 Tz=-55.38 Mx=0.14 Mz=0.47
Sollecitazioni agenti localmente: Tx_l=0.22 Ty_l=-55.38 N_l=176.80 My_l=-0.47 Mz_l=0.14
Azioni sul cordone: TP=-0.18 TO=4.19 NO=13.01
Tensioni nel cordone: τ_P= 0.06 τ_O=1.33 σ_O=4.82 σ_{ID}=5.00 Σ_T=6.15
CC 1 SLV (Collegamento -376_-504)
Azioni sul collegamento: N=176.80 Ty=1.82 Tz=-55.38 Mx=0.47 Mz=2.63
Sollecitazioni agenti localmente: Tx_l=1.82 Ty_l=-55.38 N_l=176.80 My_l=-2.63 Mz_l=0.47
Azioni sul cordone: TP=-0.68 TO=4.45 NO=13.01
Tensioni nel cordone: τ_P=0.22 τ_O=1.41 σ_O=7.98 σ_{ID}=8.11 Σ_T=9.39
CC 1 SLV (Collegamento -376_-504)
Azioni sul collegamento: N=176.80 Ty=0.22 Tz=-55.38 Mx=0.14 Mz=0.47
Sollecitazioni agenti localmente: Tx_l=0.22 Ty_l=-55.38 N_l=176.80 My_l=-0.47 Mz_l=0.14
Azioni sul cordone: TP=-0.18 TO=4.19 NO=13.01
Tensioni nel cordone: τ_P= 0.06 τ_O=1.33 σ_O=4.82 σ_{ID}=5.00 Σ_T=6.15
CC 1 SLV (Collegamento -376_-504)
Azioni sul collegamento: N=122.83 Ty=1.82 Tz=-47.03 Mx=0.47 Mz=2.63
Sollecitazioni agenti localmente: Tx_l=1.82 Ty_l=-47.03 N_l=122.83 My_l=-2.63 Mz_l=0.47

Azioni sul cordone: TP=-0.68 TO=3.83 NO=9.04
Tensioni nel cordone: τ_P=0.22 τ_0=1.22 σ_0=6.72 σ_{ID}=6.83 Σ_T=7.94
CC 1 SLV (Collegamento -376_-504)
Azioni sul collegamento: N=122.83 Ty=0.22 Tz=-47.03 Mx=0.14 Mz=0.47
Sollecitazioni agenti localmente: Tx_l=0.22 Ty_l=-47.03 N_l=122.83 My_l=-0.47 Mz_l=0.14
Azioni sul cordone: TP=-0.18 TO=3.57 NO=9.04
Tensioni nel cordone: τ_P= 0.06 τ_0=1.14 σ_0=3.56 σ_{ID}=3.74 Σ_T=4.70
CC 1 SLV (Collegamento -376_-504)
Azioni sul collegamento: N=122.83 Ty=1.82 Tz=-47.03 Mx=0.47 Mz=2.63
Sollecitazioni agenti localmente: Tx_l=1.82 Ty_l=-47.03 N_l=122.83 My_l=-2.63 Mz_l=0.47
Azioni sul cordone: TP=-0.68 TO=3.83 NO=9.04
Tensioni nel cordone: τ_P=0.22 τ_0=1.22 σ_0=6.72 σ_{ID}=6.83 Σ_T=7.94
CC 1 SLV (Collegamento -376_-504)
Azioni sul collegamento: N=122.83 Ty=0.22 Tz=-47.03 Mx=0.14 Mz=0.47
Sollecitazioni agenti localmente: Tx_l=0.22 Ty_l=-47.03 N_l=122.83 My_l=-0.47 Mz_l=0.14
Azioni sul cordone: TP=-0.18 TO=3.57 NO=9.04
Tensioni nel cordone: τ_P= 0.06 τ_0=1.14 σ_0=3.56 σ_{ID}=3.74 Σ_T=4.70
CC 2 SLD (Collegamento -376_-504)
Azioni sul collegamento: N=156.43 Ty=1.58 Tz=-52.23 Mx=0.40 Mz=2.22
Sollecitazioni agenti localmente: Tx_l=1.58 Ty_l=-52.23 N_l=156.43 My_l=-2.22 Mz_l=0.40
Azioni sul cordone: TP=-0.58 TO=4.16 NO=11.51
Tensioni nel cordone: τ_P=0.18 τ_0=1.32 σ_0=6.91 σ_{ID}=7.04 Σ_T=8.23
CC 2 SLD (Collegamento -376_-504)
Azioni sul collegamento: N=156.43 Ty=1.10 Tz=-52.23 Mx=0.30 Mz=1.57
Sollecitazioni agenti localmente: Tx_l=1.10 Ty_l=-52.23 N_l=156.43 My_l=-1.57 Mz_l=0.30
Azioni sul cordone: TP=-0.43 TO=4.08 NO=11.51
Tensioni nel cordone: τ_P=0.14 τ_0=1.30 σ_0=5.94 σ_{ID}=6.09 Σ_T=7.24
CC 2 SLD (Collegamento -376_-504)
Azioni sul collegamento: N=156.43 Ty=1.58 Tz=-52.23 Mx=0.40 Mz=2.22
Sollecitazioni agenti localmente: Tx_l=1.58 Ty_l=-52.23 N_l=156.43 My_l=-2.22 Mz_l=0.40
Azioni sul cordone: TP=-0.58 TO=4.16 NO=11.51
Tensioni nel cordone: τ_P=0.18 τ_0=1.32 σ_0=6.91 σ_{ID}=7.04 Σ_T=8.23
CC 2 SLD (Collegamento -376_-504)
Azioni sul collegamento: N=156.43 Ty=1.10 Tz=-52.23 Mx=0.30 Mz=1.57
Sollecitazioni agenti localmente: Tx_l=1.10 Ty_l=-52.23 N_l=156.43 My_l=-1.57 Mz_l=0.30
Azioni sul cordone: TP=-0.43 TO=4.08 NO=11.51
Tensioni nel cordone: τ_P=0.14 τ_0=1.30 σ_0=5.94 σ_{ID}=6.09 Σ_T=7.24
CC 2 SLD (Collegamento -376_-504)
Azioni sul collegamento: N=139.97 Ty=1.58 Tz=-49.68 Mx=0.40 Mz=2.22
Sollecitazioni agenti localmente: Tx_l=1.58 Ty_l=-49.68 N_l=139.97 My_l=-2.22 Mz_l=0.40
Azioni sul cordone: TP=-0.58 TO=3.97 NO=10.30
Tensioni nel cordone: τ_P=0.18 τ_0=1.26 σ_0=6.52 σ_{ID}=6.65 Σ_T=7.79
CC 2 SLD (Collegamento -376_-504)
Azioni sul collegamento: N=139.97 Ty=1.10 Tz=-49.68 Mx=0.30 Mz=1.57
Sollecitazioni agenti localmente: Tx_l=1.10 Ty_l=-49.68 N_l=139.97 My_l=-1.57 Mz_l=0.30
Azioni sul cordone: TP=-0.43 TO=3.89 NO=10.30
Tensioni nel cordone: τ_P=0.14 τ_0=1.24 σ_0=5.56 σ_{ID}=5.70 Σ_T=6.80
CC 2 SLD (Collegamento -376_-504)
Azioni sul collegamento: N=139.97 Ty=1.58 Tz=-49.68 Mx=0.40 Mz=2.22
Sollecitazioni agenti localmente: Tx_l=1.58 Ty_l=-49.68 N_l=139.97 My_l=-2.22 Mz_l=0.40
Azioni sul cordone: TP=-0.58 TO=3.97 NO=10.30
Tensioni nel cordone: τ_P=0.18 τ_0=1.26 σ_0=6.52 σ_{ID}=6.65 Σ_T=7.79
CC 2 SLD (Collegamento -376_-504)
Azioni sul collegamento: N=139.97 Ty=1.10 Tz=-49.68 Mx=0.30 Mz=1.57
Sollecitazioni agenti localmente: Tx_l=1.10 Ty_l=-49.68 N_l=139.97 My_l=-1.57 Mz_l=0.30
Azioni sul cordone: TP=-0.43 TO=3.89 NO=10.30
Tensioni nel cordone: τ_P=0.14 τ_0=1.24 σ_0=5.56 σ_{ID}=5.70 Σ_T=6.80
CC 3 SLV (Collegamento -376_-504)
Azioni sul collegamento: N=176.71 Ty=1.54 Tz=-55.37 Mx=0.43 Mz=2.39
Sollecitazioni agenti localmente: Tx_l=1.54 Ty_l=-55.37 N_l=176.71 My_l=-2.39 Mz_l=0.43
Azioni sul cordone: TP=-0.61 TO=4.42 NO=13.00
Tensioni nel cordone: τ_P=0.19 τ_0=1.40 σ_0=7.62 σ_{ID}=7.75 Σ_T=9.02
CC 3 SLV (Collegamento -376_-504)
Azioni sul collegamento: N=176.71 Ty=0.50 Tz=-55.37 Mx=0.18 Mz=0.72
Sollecitazioni agenti localmente: Tx_l=0.50 Ty_l=-55.37 N_l=176.71 My_l=-0.72 Mz_l=0.18
Azioni sul cordone: TP=-0.24 TO=4.21 NO=13.00
Tensioni nel cordone: τ_P= 0.08 τ_0=1.34 σ_0=5.18 σ_{ID}=5.35 Σ_T=6.52
CC 3 SLV (Collegamento -376_-504)
Azioni sul collegamento: N=176.71 Ty=1.54 Tz=-55.37 Mx=0.43 Mz=2.39
Sollecitazioni agenti localmente: Tx_l=1.54 Ty_l=-55.37 N_l=176.71 My_l=-2.39 Mz_l=0.43
Azioni sul cordone: TP=-0.61 TO=4.42 NO=13.00
Tensioni nel cordone: τ_P=0.19 τ_0=1.40 σ_0=7.62 σ_{ID}=7.75 Σ_T=9.02
CC 3 SLV (Collegamento -376_-504)
Azioni sul collegamento: N=176.71 Ty=0.50 Tz=-55.37 Mx=0.18 Mz=0.72
Sollecitazioni agenti localmente: Tx_l=0.50 Ty_l=-55.37 N_l=176.71 My_l=-0.72 Mz_l=0.18
Azioni sul cordone: TP=-0.24 TO=4.21 NO=13.00
Tensioni nel cordone: τ_P= 0.08 τ_0=1.34 σ_0=5.18 σ_{ID}=5.35 Σ_T=6.52
CC 3 SLV (Collegamento -376_-504)
Azioni sul collegamento: N=122.93 Ty=1.54 Tz=-47.05 Mx=0.43 Mz=2.39

Sollecitazioni agenti localmente: Tx_l=1.54 Ty_l=-47.05 N_l=122.93 My_l=-2.39 Mz_l=0.43
Azioni sul cordone: TP=-0.61 TO=3.80 NO=9.05
Tensioni nel cordone: τ_P=0.19 τ_0=1.21 σ_0=6.36 σ_{ID}=6.48 Σ_T=7.57
CC 3 SLV (Collegamento -376_-504)
Azioni sul collegamento: N=122.93 Ty=0.50 Tz=-47.05 Mx=0.18 Mz=0.72
Sollecitazioni agenti localmente: Tx_l=0.50 Ty_l=-47.05 N_l=122.93 My_l=-0.72 Mz_l=0.18
Azioni sul cordone: TP=-0.24 TO=3.60 NO=9.05
Tensioni nel cordone: τ_P= 0.08 τ_0=1.14 σ_0=3.92 σ_{ID}=4.09 Σ_T=5.07
CC 3 SLV (Collegamento -376_-504)
Azioni sul collegamento: N=122.93 Ty=1.54 Tz=-47.05 Mx=0.43 Mz=2.39
Sollecitazioni agenti localmente: Tx_l=1.54 Ty_l=-47.05 N_l=122.93 My_l=-2.39 Mz_l=0.43
Azioni sul cordone: TP=-0.61 TO=3.80 NO=9.05
Tensioni nel cordone: τ_P=0.19 τ_0=1.21 σ_0=6.36 σ_{ID}=6.48 Σ_T=7.57
CC 3 SLV (Collegamento -376_-504)
Azioni sul collegamento: N=122.93 Ty=0.50 Tz=-47.05 Mx=0.18 Mz=0.72
Sollecitazioni agenti localmente: Tx_l=0.50 Ty_l=-47.05 N_l=122.93 My_l=-0.72 Mz_l=0.18
Azioni sul cordone: TP=-0.24 TO=3.60 NO=9.05
Tensioni nel cordone: τ_P= 0.08 τ_0=1.14 σ_0=3.92 σ_{ID}=4.09 Σ_T=5.07
CC 4 SLD (Collegamento -376_-504)
Azioni sul collegamento: N=156.40 Ty=1.50 Tz=-52.23 Mx=0.39 Mz=2.15
Sollecitazioni agenti localmente: Tx_l=1.50 Ty_l=-52.23 N_l=156.40 My_l=-2.15 Mz_l=0.39
Azioni sul cordone: TP=-0.56 TO=4.15 NO=11.51
Tensioni nel cordone: τ_P=0.18 τ_0=1.32 σ_0=6.80 σ_{ID}=6.93 Σ_T=8.12
CC 4 SLD (Collegamento -376_-504)
Azioni sul collegamento: N=156.40 Ty=1.18 Tz=-52.23 Mx=0.31 Mz=1.64
Sollecitazioni agenti localmente: Tx_l=1.18 Ty_l=-52.23 N_l=156.40 My_l=-1.64 Mz_l=0.31
Azioni sul cordone: TP=-0.44 TO=4.09 NO=11.51
Tensioni nel cordone: τ_P=0.14 τ_0=1.30 σ_0=6.05 σ_{ID}=6.19 Σ_T=7.35
CC 4 SLD (Collegamento -376_-504)
Azioni sul collegamento: N=156.40 Ty=1.50 Tz=-52.23 Mx=0.39 Mz=2.15
Sollecitazioni agenti localmente: Tx_l=1.50 Ty_l=-52.23 N_l=156.40 My_l=-2.15 Mz_l=0.39
Azioni sul cordone: TP=-0.56 TO=4.15 NO=11.51
Tensioni nel cordone: τ_P=0.18 τ_0=1.32 σ_0=6.80 σ_{ID}=6.93 Σ_T=8.12
CC 4 SLD (Collegamento -376_-504)
Azioni sul collegamento: N=156.40 Ty=1.18 Tz=-52.23 Mx=0.31 Mz=1.64
Sollecitazioni agenti localmente: Tx_l=1.18 Ty_l=-52.23 N_l=156.40 My_l=-1.64 Mz_l=0.31
Azioni sul cordone: TP=-0.44 TO=4.09 NO=11.51
Tensioni nel cordone: τ_P=0.14 τ_0=1.30 σ_0=6.05 σ_{ID}=6.19 Σ_T=7.35
CC 4 SLD (Collegamento -376_-504)
Azioni sul collegamento: N=140.00 Ty=1.50 Tz=-49.69 Mx=0.39 Mz=2.15
Sollecitazioni agenti localmente: Tx_l=1.50 Ty_l=-49.69 N_l=140.00 My_l=-2.15 Mz_l=0.39
Azioni sul cordone: TP=-0.56 TO=3.96 NO=10.30
Tensioni nel cordone: τ_P=0.18 τ_0=1.26 σ_0=6.41 σ_{ID}=6.54 Σ_T=7.67
CC 4 SLD (Collegamento -376_-504)
Azioni sul collegamento: N=140.00 Ty=1.18 Tz=-49.69 Mx=0.31 Mz=1.64
Sollecitazioni agenti localmente: Tx_l=1.18 Ty_l=-49.69 N_l=140.00 My_l=-1.64 Mz_l=0.31
Azioni sul cordone: TP=-0.44 TO=3.90 NO=10.30
Tensioni nel cordone: τ_P=0.14 τ_0=1.24 σ_0=5.67 σ_{ID}=5.81 Σ_T=6.91
CC 4 SLD (Collegamento -376_-504)
Azioni sul collegamento: N=140.00 Ty=1.50 Tz=-49.69 Mx=0.39 Mz=2.15
Sollecitazioni agenti localmente: Tx_l=1.50 Ty_l=-49.69 N_l=140.00 My_l=-2.15 Mz_l=0.39
Azioni sul cordone: TP=-0.56 TO=3.96 NO=10.30
Tensioni nel cordone: τ_P=0.18 τ_0=1.26 σ_0=6.41 σ_{ID}=6.54 Σ_T=7.67
CC 4 SLD (Collegamento -376_-504)
Azioni sul collegamento: N=140.00 Ty=1.18 Tz=-49.69 Mx=0.31 Mz=1.64
Sollecitazioni agenti localmente: Tx_l=1.18 Ty_l=-49.69 N_l=140.00 My_l=-1.64 Mz_l=0.31
Azioni sul cordone: TP=-0.44 TO=3.90 NO=10.30
Tensioni nel cordone: τ_P=0.14 τ_0=1.24 σ_0=5.67 σ_{ID}=5.81 Σ_T=6.91
CC 5 SLV (Collegamento -376_-504)
Azioni sul collegamento: N=122.93 Ty=0.50 Tz=-47.05 Mx=0.14 Mz=0.72
Sollecitazioni agenti localmente: Tx_l=0.50 Ty_l=-47.05 N_l=122.93 My_l=-0.72 Mz_l=0.14
Azioni sul cordone: TP=-0.20 TO=3.57 NO=9.05
Tensioni nel cordone: τ_P= 0.06 τ_0=1.14 σ_0=3.93 σ_{ID}=4.09 Σ_T=5.07
CC 5 SLV (Collegamento -376_-504)
Azioni sul collegamento: N=122.93 Ty=1.54 Tz=-47.05 Mx=0.40 Mz=2.39
Sollecitazioni agenti localmente: Tx_l=1.54 Ty_l=-47.05 N_l=122.93 My_l=-2.39 Mz_l=0.40
Azioni sul cordone: TP=-0.57 TO=3.78 NO=9.05
Tensioni nel cordone: τ_P=0.18 τ_0=1.20 σ_0=6.37 σ_{ID}=6.48 Σ_T=7.57
CC 5 SLV (Collegamento -376_-504)
Azioni sul collegamento: N=122.93 Ty=0.50 Tz=-47.05 Mx=0.14 Mz=0.72
Sollecitazioni agenti localmente: Tx_l=0.50 Ty_l=-47.05 N_l=122.93 My_l=-0.72 Mz_l=0.14
Azioni sul cordone: TP=-0.20 TO=3.57 NO=9.05
Tensioni nel cordone: τ_P= 0.06 τ_0=1.14 σ_0=3.93 σ_{ID}=4.09 Σ_T=5.07
CC 5 SLV (Collegamento -376_-504)
Azioni sul collegamento: N=122.93 Ty=1.54 Tz=-47.05 Mx=0.40 Mz=2.39
Sollecitazioni agenti localmente: Tx_l=1.54 Ty_l=-47.05 N_l=122.93 My_l=-2.39 Mz_l=0.40
Azioni sul cordone: TP=-0.57 TO=3.78 NO=9.05
Tensioni nel cordone: τ_P=0.18 τ_0=1.20 σ_0=6.37 σ_{ID}=6.48 Σ_T=7.57
CC 5 SLV (Collegamento -376_-504)

Azioni sul collegamento: N=176.71 Ty=0.50 Tz=-55.37 Mx=0.14 Mz=0.72
Sollecitazioni agenti localmente: Tx_l=0.50 Ty_l=-55.37 N_l=176.71 My_l=-0.72 Mz_l=0.14
Azioni sul cordone: TP=-0.20 TO=4.19 NO=13.00
Tensioni nel cordone: τ_P= 0.06 τ_0=1.33 σ_0=5.19 σ_{ID}=5.36 Σ_T=6.52
CC 5 SLV (Collegamento -376_-504)
Azioni sul collegamento: N=176.71 Ty=1.54 Tz=-55.37 Mx=0.40 Mz=2.39
Sollecitazioni agenti localmente: Tx_l=1.54 Ty_l=-55.37 N_l=176.71 My_l=-2.39 Mz_l=0.40
Azioni sul cordone: TP=-0.57 TO=4.39 NO=13.00
Tensioni nel cordone: τ_P=0.18 τ_0=1.40 σ_0=7.62 σ_{ID}=7.75 Σ_T=9.02
CC 5 SLV (Collegamento -376_-504)
Azioni sul collegamento: N=176.71 Ty=0.50 Tz=-55.37 Mx=0.14 Mz=0.72
Sollecitazioni agenti localmente: Tx_l=0.50 Ty_l=-55.37 N_l=176.71 My_l=-0.72 Mz_l=0.14
Azioni sul cordone: TP=-0.20 TO=4.19 NO=13.00
Tensioni nel cordone: τ_P= 0.06 τ_0=1.33 σ_0=5.19 σ_{ID}=5.36 Σ_T=6.52
CC 5 SLV (Collegamento -376_-504)
Azioni sul collegamento: N=176.71 Ty=1.54 Tz=-55.37 Mx=0.40 Mz=2.39
Sollecitazioni agenti localmente: Tx_l=1.54 Ty_l=-55.37 N_l=176.71 My_l=-2.39 Mz_l=0.40
Azioni sul cordone: TP=-0.57 TO=4.39 NO=13.00
Tensioni nel cordone: τ_P=0.18 τ_0=1.40 σ_0=7.62 σ_{ID}=7.75 Σ_T=9.02
CC 6 SLD (Collegamento -376_-504)
Azioni sul collegamento: N=140.00 Ty=1.18 Tz=-49.69 Mx=0.30 Mz=1.64
Sollecitazioni agenti localmente: Tx_l=1.18 Ty_l=-49.69 N_l=140.00 My_l=-1.64 Mz_l=0.30
Azioni sul cordone: TP=-0.43 TO=3.89 NO=10.30
Tensioni nel cordone: τ_P=0.14 τ_0=1.24 σ_0=5.67 σ_{ID}=5.81 Σ_T=6.91
CC 6 SLD (Collegamento -376_-504)
Azioni sul collegamento: N=140.00 Ty=1.50 Tz=-49.69 Mx=0.38 Mz=2.15
Sollecitazioni agenti localmente: Tx_l=1.50 Ty_l=-49.69 N_l=140.00 My_l=-2.15 Mz_l=0.38
Azioni sul cordone: TP=-0.55 TO=3.96 NO=10.30
Tensioni nel cordone: τ_P=0.17 τ_0=1.26 σ_0=6.42 σ_{ID}=6.54 Σ_T=7.67
CC 6 SLD (Collegamento -376_-504)
Azioni sul collegamento: N=140.00 Ty=1.18 Tz=-49.69 Mx=0.30 Mz=1.64
Sollecitazioni agenti localmente: Tx_l=1.18 Ty_l=-49.69 N_l=140.00 My_l=-1.64 Mz_l=0.30
Azioni sul cordone: TP=-0.43 TO=3.89 NO=10.30
Tensioni nel cordone: τ_P=0.14 τ_0=1.24 σ_0=5.67 σ_{ID}=5.81 Σ_T=6.91
CC 6 SLD (Collegamento -376_-504)
Azioni sul collegamento: N=140.00 Ty=1.50 Tz=-49.69 Mx=0.38 Mz=2.15
Sollecitazioni agenti localmente: Tx_l=1.50 Ty_l=-49.69 N_l=140.00 My_l=-2.15 Mz_l=0.38
Azioni sul cordone: TP=-0.55 TO=3.96 NO=10.30
Tensioni nel cordone: τ_P=0.17 τ_0=1.26 σ_0=6.42 σ_{ID}=6.54 Σ_T=7.67
CC 6 SLD (Collegamento -376_-504)
Azioni sul collegamento: N=156.40 Ty=1.18 Tz=-52.23 Mx=0.30 Mz=1.64
Sollecitazioni agenti localmente: Tx_l=1.18 Ty_l=-52.23 N_l=156.40 My_l=-1.64 Mz_l=0.30
Azioni sul cordone: TP=-0.43 TO=4.08 NO=11.51
Tensioni nel cordone: τ_P=0.14 τ_0=1.30 σ_0=6.06 σ_{ID}=6.20 Σ_T=7.35
CC 6 SLD (Collegamento -376_-504)
Azioni sul collegamento: N=156.40 Ty=1.50 Tz=-52.23 Mx=0.38 Mz=2.15
Sollecitazioni agenti localmente: Tx_l=1.50 Ty_l=-52.23 N_l=156.40 My_l=-2.15 Mz_l=0.38
Azioni sul cordone: TP=-0.55 TO=4.14 NO=11.51
Tensioni nel cordone: τ_P=0.17 τ_0=1.32 σ_0=6.80 σ_{ID}=6.93 Σ_T=8.12
CC 6 SLD (Collegamento -376_-504)
Azioni sul collegamento: N=156.40 Ty=1.18 Tz=-52.23 Mx=0.30 Mz=1.64
Sollecitazioni agenti localmente: Tx_l=1.18 Ty_l=-52.23 N_l=156.40 My_l=-1.64 Mz_l=0.30
Azioni sul cordone: TP=-0.43 TO=4.08 NO=11.51
Tensioni nel cordone: τ_P=0.14 τ_0=1.30 σ_0=6.06 σ_{ID}=6.20 Σ_T=7.35
CC 6 SLD (Collegamento -376_-504)
Azioni sul collegamento: N=156.40 Ty=1.50 Tz=-52.23 Mx=0.38 Mz=2.15
Sollecitazioni agenti localmente: Tx_l=1.50 Ty_l=-52.23 N_l=156.40 My_l=-2.15 Mz_l=0.38
Azioni sul cordone: TP=-0.55 TO=4.14 NO=11.51
Tensioni nel cordone: τ_P=0.17 τ_0=1.32 σ_0=6.80 σ_{ID}=6.93 Σ_T=8.12
CC 7 SLV (Collegamento -376_-504)
Azioni sul collegamento: N=122.83 Ty=0.22 Tz=-47.03 Mx=0.10 Mz=0.48
Sollecitazioni agenti localmente: Tx_l=0.22 Ty_l=-47.03 N_l=122.83 My_l=-0.48 Mz_l=0.10
Azioni sul cordone: TP=-0.13 TO=3.54 NO=9.04
Tensioni nel cordone: τ_P= 0.04 τ_0=1.13 σ_0=3.57 σ_{ID}=3.74 Σ_T=4.69
CC 7 SLV (Collegamento -376_-504)
Azioni sul collegamento: N=122.83 Ty=1.82 Tz=-47.03 Mx=0.44 Mz=2.64
Sollecitazioni agenti localmente: Tx_l=1.82 Ty_l=-47.03 N_l=122.83 My_l=-2.64 Mz_l=0.44
Azioni sul cordone: TP=-0.64 TO=3.80 NO=9.04
Tensioni nel cordone: τ_P=0.20 τ_0=1.21 σ_0=6.73 σ_{ID}=6.84 Σ_T=7.93
CC 7 SLV (Collegamento -376_-504)
Azioni sul collegamento: N=122.83 Ty=0.22 Tz=-47.03 Mx=0.10 Mz=0.48
Sollecitazioni agenti localmente: Tx_l=0.22 Ty_l=-47.03 N_l=122.83 My_l=-0.48 Mz_l=0.10
Azioni sul cordone: TP=-0.13 TO=3.54 NO=9.04
Tensioni nel cordone: τ_P= 0.04 τ_0=1.13 σ_0=3.57 σ_{ID}=3.74 Σ_T=4.69
CC 7 SLV (Collegamento -376_-504)
Azioni sul collegamento: N=122.83 Ty=1.82 Tz=-47.03 Mx=0.44 Mz=2.64
Sollecitazioni agenti localmente: Tx_l=1.82 Ty_l=-47.03 N_l=122.83 My_l=-2.64 Mz_l=0.44
Azioni sul cordone: TP=-0.64 TO=3.80 NO=9.04
Tensioni nel cordone: τ_P=0.20 τ_0=1.21 σ_0=6.73 σ_{ID}=6.84 Σ_T=7.93

CC 7 SLV (Collegamento -376_-504)
Azioni sul collegamento: N=176.80 Ty=0.22 Tz=-55.38 Mx=0.10 Mz=0.48
Sollecitazioni agenti localmente: Tx_l=0.22 Ty_l=-55.38 N_l=176.80 My_l=-0.48 Mz_l=0.10
Azioni sul cordone: TP=-0.13 TO=4.16 NO=13.01
Tensioni nel cordone: τ_P= 0.04 τ_0=1.32 σ_0=4.83 σ_{ID}=5.01 Σ_T=6.15
CC 7 SLV (Collegamento -376_-504)
Azioni sul collegamento: N=176.80 Ty=1.82 Tz=-55.38 Mx=0.44 Mz=2.64
Sollecitazioni agenti localmente: Tx_l=1.82 Ty_l=-55.38 N_l=176.80 My_l=-2.64 Mz_l=0.44
Azioni sul cordone: TP=-0.64 TO=4.42 NO=13.01
Tensioni nel cordone: τ_P=0.20 τ_0=1.40 σ_0=7.99 σ_{ID}=8.11 Σ_T=9.39
CC 7 SLV (Collegamento -376_-504)
Azioni sul collegamento: N=176.80 Ty=0.22 Tz=-55.38 Mx=0.10 Mz=0.48
Sollecitazioni agenti localmente: Tx_l=0.22 Ty_l=-55.38 N_l=176.80 My_l=-0.48 Mz_l=0.10
Azioni sul cordone: TP=-0.13 TO=4.16 NO=13.01
Tensioni nel cordone: τ_P= 0.04 τ_0=1.32 σ_0=4.83 σ_{ID}=5.01 Σ_T=6.15
CC 7 SLV (Collegamento -376_-504)
Azioni sul collegamento: N=176.80 Ty=1.82 Tz=-55.38 Mx=0.44 Mz=2.64
Sollecitazioni agenti localmente: Tx_l=1.82 Ty_l=-55.38 N_l=176.80 My_l=-2.64 Mz_l=0.44
Azioni sul cordone: TP=-0.64 TO=4.42 NO=13.01
Tensioni nel cordone: τ_P=0.20 τ_0=1.40 σ_0=7.99 σ_{ID}=8.11 Σ_T=9.39
CC 8 SLD (Collegamento -376_-504)
Azioni sul collegamento: N=139.97 Ty=1.10 Tz=-49.68 Mx=0.29 Mz=1.57
Sollecitazioni agenti localmente: Tx_l=1.10 Ty_l=-49.68 N_l=139.97 My_l=-1.57 Mz_l=0.29
Azioni sul cordone: TP=-0.41 TO=3.88 NO=10.30
Tensioni nel cordone: τ_P=0.13 τ_0=1.23 σ_0=5.56 σ_{ID}=5.70 Σ_T=6.80
CC 8 SLD (Collegamento -376_-504)
Azioni sul collegamento: N=139.97 Ty=1.58 Tz=-49.68 Mx=0.39 Mz=2.23
Sollecitazioni agenti localmente: Tx_l=1.58 Ty_l=-49.68 N_l=139.97 My_l=-2.23 Mz_l=0.39
Azioni sul cordone: TP=-0.57 TO=3.96 NO=10.30
Tensioni nel cordone: τ_P=0.18 τ_0=1.26 σ_0=6.53 σ_{ID}=6.65 Σ_T=7.79
CC 8 SLD (Collegamento -376_-504)
Azioni sul collegamento: N=139.97 Ty=1.10 Tz=-49.68 Mx=0.29 Mz=1.57
Sollecitazioni agenti localmente: Tx_l=1.10 Ty_l=-49.68 N_l=139.97 My_l=-1.57 Mz_l=0.29
Azioni sul cordone: TP=-0.41 TO=3.88 NO=10.30
Tensioni nel cordone: τ_P=0.13 τ_0=1.23 σ_0=5.56 σ_{ID}=5.70 Σ_T=6.80
CC 8 SLD (Collegamento -376_-504)
Azioni sul collegamento: N=139.97 Ty=1.58 Tz=-49.68 Mx=0.39 Mz=2.23
Sollecitazioni agenti localmente: Tx_l=1.58 Ty_l=-49.68 N_l=139.97 My_l=-2.23 Mz_l=0.39
Azioni sul cordone: TP=-0.57 TO=3.96 NO=10.30
Tensioni nel cordone: τ_P=0.18 τ_0=1.26 σ_0=6.53 σ_{ID}=6.65 Σ_T=7.79
CC 8 SLD (Collegamento -376_-504)
Azioni sul collegamento: N=156.43 Ty=1.10 Tz=-52.23 Mx=0.29 Mz=1.57
Sollecitazioni agenti localmente: Tx_l=1.10 Ty_l=-52.23 N_l=156.43 My_l=-1.57 Mz_l=0.29
Azioni sul cordone: TP=-0.41 TO=4.07 NO=11.51
Tensioni nel cordone: τ_P=0.13 τ_0=1.29 σ_0=5.95 σ_{ID}=6.09 Σ_T=7.24
CC 8 SLD (Collegamento -376_-504)
Azioni sul collegamento: N=156.43 Ty=1.58 Tz=-52.23 Mx=0.39 Mz=2.23
Sollecitazioni agenti localmente: Tx_l=1.58 Ty_l=-52.23 N_l=156.43 My_l=-2.23 Mz_l=0.39
Azioni sul cordone: TP=-0.57 TO=4.15 NO=11.51
Tensioni nel cordone: τ_P=0.18 τ_0=1.32 σ_0=6.91 σ_{ID}=7.04 Σ_T=8.23
CC 8 SLD (Collegamento -376_-504)
Azioni sul collegamento: N=156.43 Ty=1.10 Tz=-52.23 Mx=0.29 Mz=1.57
Sollecitazioni agenti localmente: Tx_l=1.10 Ty_l=-52.23 N_l=156.43 My_l=-1.57 Mz_l=0.29
Azioni sul cordone: TP=-0.41 TO=4.07 NO=11.51
Tensioni nel cordone: τ_P=0.13 τ_0=1.29 σ_0=5.95 σ_{ID}=6.09 Σ_T=7.24
CC 8 SLD (Collegamento -376_-504)
Azioni sul collegamento: N=156.43 Ty=1.58 Tz=-52.23 Mx=0.39 Mz=2.23
Sollecitazioni agenti localmente: Tx_l=1.58 Ty_l=-52.23 N_l=156.43 My_l=-2.23 Mz_l=0.39
Azioni sul cordone: TP=-0.57 TO=4.15 NO=11.51
Tensioni nel cordone: τ_P=0.18 τ_0=1.32 σ_0=6.91 σ_{ID}=7.04 Σ_T=8.23
CC 9 SLV (Collegamento -376_-504)
Azioni sul collegamento: N=158.05 Ty=1.67 Tz=-52.48 Mx=0.41 Mz=2.25
Sollecitazioni agenti localmente: Tx_l=1.67 Ty_l=-52.48 N_l=158.05 My_l=-2.25 Mz_l=0.41
Azioni sul cordone: TP=-0.59 TO=4.18 NO=11.63
Tensioni nel cordone: τ_P=0.19 τ_0=1.33 σ_0=6.98 σ_{ID}=7.11 Σ_T=8.31
CC 9 SLV (Collegamento -376_-504)
Azioni sul collegamento: N=158.05 Ty=0.36 Tz=-52.48 Mx=0.19 Mz=0.85
Sollecitazioni agenti localmente: Tx_l=0.36 Ty_l=-52.48 N_l=158.05 My_l=-0.85 Mz_l=0.19
Azioni sul cordone: TP=-0.25 TO=4.01 NO=11.63
Tensioni nel cordone: τ_P= 0.08 τ_0=1.27 σ_0=4.94 σ_{ID}=5.11 Σ_T=6.22
CC 9 SLV (Collegamento -376_-504)
Azioni sul collegamento: N=158.05 Ty=1.67 Tz=-52.48 Mx=0.41 Mz=2.25
Sollecitazioni agenti localmente: Tx_l=1.67 Ty_l=-52.48 N_l=158.05 My_l=-2.25 Mz_l=0.41
Azioni sul cordone: TP=-0.59 TO=4.18 NO=11.63
Tensioni nel cordone: τ_P=0.19 τ_0=1.33 σ_0=6.98 σ_{ID}=7.11 Σ_T=8.31
CC 9 SLV (Collegamento -376_-504)
Azioni sul collegamento: N=158.05 Ty=0.36 Tz=-52.48 Mx=0.19 Mz=0.85
Sollecitazioni agenti localmente: Tx_l=0.36 Ty_l=-52.48 N_l=158.05 My_l=-0.85 Mz_l=0.19
Azioni sul cordone: TP=-0.25 TO=4.01 NO=11.63

Tensioni nel cordone: τ_P= 0.08 τ_0=1.27 σ_0=4.94 σ_{ID}=5.11 Σ_T=6.22
CC 9 SLV (Collegamento -376_-504)
Azioni sul collegamento: N=141.58 Ty=1.67 Tz=-49.93 Mx=0.41 Mz=2.25
Sollecitazioni agenti localmente: Tx_l=1.67 Ty_l=-49.93 N_l=141.58 My_l=-2.25 Mz_l=0.41
Azioni sul cordone: TP=-0.59 TO=3.99 NO=10.42
Tensioni nel cordone: τ_P=0.19 τ_0=1.27 σ_0=6.60 σ_{ID}=6.72 Σ_T=7.87
CC 9 SLV (Collegamento -376_-504)
Azioni sul collegamento: N=141.58 Ty=0.36 Tz=-49.93 Mx=0.19 Mz=0.85
Sollecitazioni agenti localmente: Tx_l=0.36 Ty_l=-49.93 N_l=141.58 My_l=-0.85 Mz_l=0.19
Azioni sul cordone: TP=-0.25 TO=3.82 NO=10.42
Tensioni nel cordone: τ_P= 0.08 τ_0=1.22 σ_0=4.56 σ_{ID}=4.72 Σ_T=5.77
CC 9 SLV (Collegamento -376_-504)
Azioni sul collegamento: N=141.58 Ty=1.67 Tz=-49.93 Mx=0.41 Mz=2.25
Sollecitazioni agenti localmente: Tx_l=1.67 Ty_l=-49.93 N_l=141.58 My_l=-2.25 Mz_l=0.41
Azioni sul cordone: TP=-0.59 TO=3.99 NO=10.42
Tensioni nel cordone: τ_P=0.19 τ_0=1.27 σ_0=6.60 σ_{ID}=6.72 Σ_T=7.87
CC 9 SLV (Collegamento -376_-504)
Azioni sul collegamento: N=141.58 Ty=0.36 Tz=-49.93 Mx=0.19 Mz=0.85
Sollecitazioni agenti localmente: Tx_l=0.36 Ty_l=-49.93 N_l=141.58 My_l=-0.85 Mz_l=0.19
Azioni sul cordone: TP=-0.25 TO=3.82 NO=10.42
Tensioni nel cordone: τ_P= 0.08 τ_0=1.22 σ_0=4.56 σ_{ID}=4.72 Σ_T=5.77
CC 10 SLD (Collegamento -376_-504)
Azioni sul collegamento: N=150.71 Ty=1.54 Tz=-51.35 Mx=0.38 Mz=2.11
Sollecitazioni agenti localmente: Tx_l=1.54 Ty_l=-51.35 N_l=150.71 My_l=-2.11 Mz_l=0.38
Azioni sul cordone: TP=-0.55 TO=4.08 NO=11.09
Tensioni nel cordone: τ_P=0.18 τ_0=1.30 σ_0=6.60 σ_{ID}=6.73 Σ_T=7.90
CC 10 SLD (Collegamento -376_-504)
Azioni sul collegamento: N=150.71 Ty=1.14 Tz=-51.35 Mx=0.31 Mz=1.68
Sollecitazioni agenti localmente: Tx_l=1.14 Ty_l=-51.35 N_l=150.71 My_l=-1.68 Mz_l=0.31
Azioni sul cordone: TP=-0.45 TO=4.03 NO=11.09
Tensioni nel cordone: τ_P=0.14 τ_0=1.28 σ_0=5.98 σ_{ID}=6.12 Σ_T=7.26
CC 10 SLD (Collegamento -376_-504)
Azioni sul collegamento: N=150.71 Ty=1.54 Tz=-51.35 Mx=0.38 Mz=2.11
Sollecitazioni agenti localmente: Tx_l=1.54 Ty_l=-51.35 N_l=150.71 My_l=-2.11 Mz_l=0.38
Azioni sul cordone: TP=-0.55 TO=4.08 NO=11.09
Tensioni nel cordone: τ_P=0.18 τ_0=1.30 σ_0=6.60 σ_{ID}=6.73 Σ_T=7.90
CC 10 SLD (Collegamento -376_-504)
Azioni sul collegamento: N=150.71 Ty=1.14 Tz=-51.35 Mx=0.31 Mz=1.68
Sollecitazioni agenti localmente: Tx_l=1.14 Ty_l=-51.35 N_l=150.71 My_l=-1.68 Mz_l=0.31
Azioni sul cordone: TP=-0.45 TO=4.03 NO=11.09
Tensioni nel cordone: τ_P=0.14 τ_0=1.28 σ_0=5.98 σ_{ID}=6.12 Σ_T=7.26
CC 10 SLD (Collegamento -376_-504)
Azioni sul collegamento: N=145.69 Ty=1.54 Tz=-50.57 Mx=0.38 Mz=2.11
Sollecitazioni agenti localmente: Tx_l=1.54 Ty_l=-50.57 N_l=145.69 My_l=-2.11 Mz_l=0.38
Azioni sul cordone: TP=-0.55 TO=4.02 NO=10.72
Tensioni nel cordone: τ_P=0.18 τ_0=1.28 σ_0=6.49 σ_{ID}=6.61 Σ_T=7.76
CC 10 SLD (Collegamento -376_-504)
Azioni sul collegamento: N=145.69 Ty=1.14 Tz=-50.57 Mx=0.31 Mz=1.68
Sollecitazioni agenti localmente: Tx_l=1.14 Ty_l=-50.57 N_l=145.69 My_l=-1.68 Mz_l=0.31
Azioni sul cordone: TP=-0.45 TO=3.97 NO=10.72
Tensioni nel cordone: τ_P=0.14 τ_0=1.26 σ_0=5.86 σ_{ID}=6.00 Σ_T=7.13
CC 10 SLD (Collegamento -376_-504)
Azioni sul collegamento: N=145.69 Ty=1.54 Tz=-50.57 Mx=0.38 Mz=2.11
Sollecitazioni agenti localmente: Tx_l=1.54 Ty_l=-50.57 N_l=145.69 My_l=-2.11 Mz_l=0.38
Azioni sul cordone: TP=-0.55 TO=4.02 NO=10.72
Tensioni nel cordone: τ_P=0.18 τ_0=1.28 σ_0=6.49 σ_{ID}=6.61 Σ_T=7.76
CC 10 SLD (Collegamento -376_-504)
Azioni sul collegamento: N=145.69 Ty=1.14 Tz=-50.57 Mx=0.31 Mz=1.68
Sollecitazioni agenti localmente: Tx_l=1.14 Ty_l=-50.57 N_l=145.69 My_l=-1.68 Mz_l=0.31
Azioni sul cordone: TP=-0.45 TO=3.97 NO=10.72
Tensioni nel cordone: τ_P=0.14 τ_0=1.26 σ_0=5.86 σ_{ID}=6.00 Σ_T=7.13
CC 11 SLV (Collegamento -376_-504)
Azioni sul collegamento: N=141.89 Ty=1.28 Tz=-49.98 Mx=0.31 Mz=1.68
Sollecitazioni agenti localmente: Tx_l=1.28 Ty_l=-49.98 N_l=141.89 My_l=-1.68 Mz_l=0.31
Azioni sul cordone: TP=-0.45 TO=3.92 NO=10.44
Tensioni nel cordone: τ_P=0.14 τ_0=1.25 σ_0=5.77 σ_{ID}=5.90 Σ_T=7.01
CC 11 SLV (Collegamento -376_-504)
Azioni sul collegamento: N=141.89 Ty=0.76 Tz=-49.98 Mx=0.27 Mz=1.43
Sollecitazioni agenti localmente: Tx_l=0.76 Ty_l=-49.98 N_l=141.89 My_l=-1.43 Mz_l=0.27
Azioni sul cordone: TP=-0.36 TO=3.89 NO=10.44
Tensioni nel cordone: τ_P=0.12 τ_0=1.24 σ_0=5.41 σ_{ID}=5.55 Σ_T=6.64
CC 11 SLV (Collegamento -376_-504)
Azioni sul collegamento: N=141.89 Ty=1.28 Tz=-49.98 Mx=0.31 Mz=1.68
Sollecitazioni agenti localmente: Tx_l=1.28 Ty_l=-49.98 N_l=141.89 My_l=-1.68 Mz_l=0.31
Azioni sul cordone: TP=-0.45 TO=3.92 NO=10.44
Tensioni nel cordone: τ_P=0.14 τ_0=1.25 σ_0=5.77 σ_{ID}=5.90 Σ_T=7.01
CC 11 SLV (Collegamento -376_-504)
Azioni sul collegamento: N=141.89 Ty=0.76 Tz=-49.98 Mx=0.27 Mz=1.43
Sollecitazioni agenti localmente: Tx_l=0.76 Ty_l=-49.98 N_l=141.89 My_l=-1.43 Mz_l=0.27

Azioni sul cordone: TP=-0.36 TO=3.89 NO=10.44
Tensioni nel cordone: τ_P=0.12 τ_0=1.24 σ_0=5.41 σ_{ID}=5.55 Σ_T=6.64
CC 11 SLV (Collegamento -376_-504)
Azioni sul collegamento: N=157.75 Ty=1.28 Tz=-52.44 Mx=0.31 Mz=1.68
Sollecitazioni agenti localmente: Tx_l=1.28 Ty_l=-52.44 N_l=157.75 My_l=-1.68 Mz_l=0.31
Azioni sul cordone: TP=-0.45 TO=4.10 NO=11.61
Tensioni nel cordone: τ_P=0.14 τ_0=1.30 σ_0=6.14 σ_{ID}=6.28 Σ_T=7.44
CC 11 SLV (Collegamento -376_-504)
Azioni sul collegamento: N=157.75 Ty=0.76 Tz=-52.44 Mx=0.27 Mz=1.43
Sollecitazioni agenti localmente: Tx_l=0.76 Ty_l=-52.44 N_l=157.75 My_l=-1.43 Mz_l=0.27
Azioni sul cordone: TP=-0.36 TO=4.07 NO=11.61
Tensioni nel cordone: τ_P=0.12 τ_0=1.29 σ_0=5.78 σ_{ID}=5.92 Σ_T=7.07
CC 11 SLV (Collegamento -376_-504)
Azioni sul collegamento: N=157.75 Ty=1.28 Tz=-52.44 Mx=0.31 Mz=1.68
Sollecitazioni agenti localmente: Tx_l=1.28 Ty_l=-52.44 N_l=157.75 My_l=-1.68 Mz_l=0.31
Azioni sul cordone: TP=-0.45 TO=4.10 NO=11.61
Tensioni nel cordone: τ_P=0.14 τ_0=1.30 σ_0=6.14 σ_{ID}=6.28 Σ_T=7.44
CC 11 SLV (Collegamento -376_-504)
Azioni sul collegamento: N=157.75 Ty=0.76 Tz=-52.44 Mx=0.27 Mz=1.43
Sollecitazioni agenti localmente: Tx_l=0.76 Ty_l=-52.44 N_l=157.75 My_l=-1.43 Mz_l=0.27
Azioni sul cordone: TP=-0.36 TO=4.07 NO=11.61
Tensioni nel cordone: τ_P=0.12 τ_0=1.29 σ_0=5.78 σ_{ID}=5.92 Σ_T=7.07
CC 12 SLD (Collegamento -376_-504)
Azioni sul collegamento: N=145.78 Ty=1.42 Tz=-50.58 Mx=0.35 Mz=1.93
Sollecitazioni agenti localmente: Tx_l=1.42 Ty_l=-50.58 N_l=145.78 My_l=-1.93 Mz_l=0.35
Azioni sul cordone: TP=-0.51 TO=4.00 NO=10.73
Tensioni nel cordone: τ_P=0.16 τ_0=1.27 σ_0=6.23 σ_{ID}=6.36 Σ_T=7.50
CC 12 SLD (Collegamento -376_-504)
Azioni sul collegamento: N=145.78 Ty=1.26 Tz=-50.58 Mx=0.34 Mz=1.86
Sollecitazioni agenti localmente: Tx_l=1.26 Ty_l=-50.58 N_l=145.78 My_l=-1.86 Mz_l=0.34
Azioni sul cordone: TP=-0.48 TO=3.99 NO=10.73
Tensioni nel cordone: τ_P=0.15 τ_0=1.27 σ_0=6.12 σ_{ID}=6.26 Σ_T=7.39
CC 12 SLD (Collegamento -376_-504)
Azioni sul collegamento: N=145.78 Ty=1.42 Tz=-50.58 Mx=0.35 Mz=1.93
Sollecitazioni agenti localmente: Tx_l=1.42 Ty_l=-50.58 N_l=145.78 My_l=-1.93 Mz_l=0.35
Azioni sul cordone: TP=-0.51 TO=4.00 NO=10.73
Tensioni nel cordone: τ_P=0.16 τ_0=1.27 σ_0=6.23 σ_{ID}=6.36 Σ_T=7.50
CC 12 SLD (Collegamento -376_-504)
Azioni sul collegamento: N=145.78 Ty=1.26 Tz=-50.58 Mx=0.34 Mz=1.86
Sollecitazioni agenti localmente: Tx_l=1.26 Ty_l=-50.58 N_l=145.78 My_l=-1.86 Mz_l=0.34
Azioni sul cordone: TP=-0.48 TO=3.99 NO=10.73
Tensioni nel cordone: τ_P=0.15 τ_0=1.27 σ_0=6.12 σ_{ID}=6.26 Σ_T=7.39
CC 12 SLD (Collegamento -376_-504)
Azioni sul collegamento: N=150.62 Ty=1.42 Tz=-51.33 Mx=0.35 Mz=1.93
Sollecitazioni agenti localmente: Tx_l=1.42 Ty_l=-51.33 N_l=150.62 My_l=-1.93 Mz_l=0.35
Azioni sul cordone: TP=-0.51 TO=4.05 NO=11.08
Tensioni nel cordone: τ_P=0.16 τ_0=1.29 σ_0=6.35 σ_{ID}=6.48 Σ_T=7.64
CC 12 SLD (Collegamento -376_-504)
Azioni sul collegamento: N=150.62 Ty=1.26 Tz=-51.33 Mx=0.34 Mz=1.86
Sollecitazioni agenti localmente: Tx_l=1.26 Ty_l=-51.33 N_l=150.62 My_l=-1.86 Mz_l=0.34
Azioni sul cordone: TP=-0.48 TO=4.04 NO=11.08
Tensioni nel cordone: τ_P=0.15 τ_0=1.29 σ_0=6.24 σ_{ID}=6.37 Σ_T=7.52
CC 12 SLD (Collegamento -376_-504)
Azioni sul collegamento: N=150.62 Ty=1.42 Tz=-51.33 Mx=0.35 Mz=1.93
Sollecitazioni agenti localmente: Tx_l=1.42 Ty_l=-51.33 N_l=150.62 My_l=-1.93 Mz_l=0.35
Azioni sul cordone: TP=-0.51 TO=4.05 NO=11.08
Tensioni nel cordone: τ_P=0.16 τ_0=1.29 σ_0=6.35 σ_{ID}=6.48 Σ_T=7.64
CC 12 SLD (Collegamento -376_-504)
Azioni sul collegamento: N=150.62 Ty=1.26 Tz=-51.33 Mx=0.34 Mz=1.86
Sollecitazioni agenti localmente: Tx_l=1.26 Ty_l=-51.33 N_l=150.62 My_l=-1.86 Mz_l=0.34
Azioni sul cordone: TP=-0.48 TO=4.04 NO=11.08
Tensioni nel cordone: τ_P=0.15 τ_0=1.29 σ_0=6.24 σ_{ID}=6.37 Σ_T=7.52
CC 13 SLV (Collegamento -376_-504)
Azioni sul collegamento: N=157.75 Ty=0.76 Tz=-52.44 Mx=0.27 Mz=1.43
Sollecitazioni agenti localmente: Tx_l=0.76 Ty_l=-52.44 N_l=157.75 My_l=-1.43 Mz_l=0.27
Azioni sul cordone: TP=-0.37 TO=4.07 NO=11.61
Tensioni nel cordone: τ_P=0.12 τ_0=1.29 σ_0=5.78 σ_{ID}=5.92 Σ_T=7.07
CC 13 SLV (Collegamento -376_-504)
Azioni sul collegamento: N=157.75 Ty=1.28 Tz=-52.44 Mx=0.31 Mz=1.68
Sollecitazioni agenti localmente: Tx_l=1.28 Ty_l=-52.44 N_l=157.75 My_l=-1.68 Mz_l=0.31
Azioni sul cordone: TP=-0.45 TO=4.10 NO=11.61
Tensioni nel cordone: τ_P=0.14 τ_0=1.30 σ_0=6.14 σ_{ID}=6.28 Σ_T=7.44
CC 13 SLV (Collegamento -376_-504)
Azioni sul collegamento: N=157.75 Ty=0.76 Tz=-52.44 Mx=0.27 Mz=1.43
Sollecitazioni agenti localmente: Tx_l=0.76 Ty_l=-52.44 N_l=157.75 My_l=-1.43 Mz_l=0.27
Azioni sul cordone: TP=-0.37 TO=4.07 NO=11.61
Tensioni nel cordone: τ_P=0.12 τ_0=1.29 σ_0=5.78 σ_{ID}=5.92 Σ_T=7.07
CC 13 SLV (Collegamento -376_-504)
Azioni sul collegamento: N=157.75 Ty=1.28 Tz=-52.44 Mx=0.31 Mz=1.68

Sollecitazioni agenti localmente: Tx_l=1.28 Ty_l=-52.44 N_l=157.75 My_l=-1.68 Mz_l=0.31
Azioni sul cordone: TP=-0.45 TO=4.10 NO=11.61
Tensioni nel cordone: τ_P=0.14 τ_0=1.30 σ_0=6.14 σ_{ID}=6.28 Σ_T=7.44
CC 13 SLV (Collegamento -376_-504)
Azioni sul collegamento: N=141.89 Ty=0.76 Tz=-49.98 Mx=0.27 Mz=1.43
Sollecitazioni agenti localmente: Tx_l=0.76 Ty_l=-49.98 N_l=141.89 My_l=-1.43 Mz_l=0.27
Azioni sul cordone: TP=-0.37 TO=3.89 NO=10.44
Tensioni nel cordone: τ_P=0.12 τ_0=1.24 σ_0=5.41 σ_{ID}=5.55 Σ_T=6.64
CC 13 SLV (Collegamento -376_-504)
Azioni sul collegamento: N=141.89 Ty=1.28 Tz=-49.98 Mx=0.31 Mz=1.68
Sollecitazioni agenti localmente: Tx_l=1.28 Ty_l=-49.98 N_l=141.89 My_l=-1.68 Mz_l=0.31
Azioni sul cordone: TP=-0.45 TO=3.92 NO=10.44
Tensioni nel cordone: τ_P=0.14 τ_0=1.25 σ_0=5.77 σ_{ID}=5.90 Σ_T=7.01
CC 13 SLV (Collegamento -376_-504)
Azioni sul collegamento: N=141.89 Ty=0.76 Tz=-49.98 Mx=0.27 Mz=1.43
Sollecitazioni agenti localmente: Tx_l=0.76 Ty_l=-49.98 N_l=141.89 My_l=-1.43 Mz_l=0.27
Azioni sul cordone: TP=-0.37 TO=3.89 NO=10.44
Tensioni nel cordone: τ_P=0.12 τ_0=1.24 σ_0=5.41 σ_{ID}=5.55 Σ_T=6.64
CC 13 SLV (Collegamento -376_-504)
Azioni sul collegamento: N=141.89 Ty=1.28 Tz=-49.98 Mx=0.31 Mz=1.68
Sollecitazioni agenti localmente: Tx_l=1.28 Ty_l=-49.98 N_l=141.89 My_l=-1.68 Mz_l=0.31
Azioni sul cordone: TP=-0.45 TO=3.92 NO=10.44
Tensioni nel cordone: τ_P=0.14 τ_0=1.25 σ_0=5.77 σ_{ID}=5.90 Σ_T=7.01
CC 14 SLD (Collegamento -376_-504)
Azioni sul collegamento: N=150.62 Ty=1.26 Tz=-51.33 Mx=0.34 Mz=1.86
Sollecitazioni agenti localmente: Tx_l=1.26 Ty_l=-51.33 N_l=150.62 My_l=-1.86 Mz_l=0.34
Azioni sul cordone: TP=-0.48 TO=4.04 NO=11.08
Tensioni nel cordone: τ_P=0.15 τ_0=1.29 σ_0=6.24 σ_{ID}=6.37 Σ_T=7.52
CC 14 SLD (Collegamento -376_-504)
Azioni sul collegamento: N=150.62 Ty=1.42 Tz=-51.33 Mx=0.35 Mz=1.93
Sollecitazioni agenti localmente: Tx_l=1.42 Ty_l=-51.33 N_l=150.62 My_l=-1.93 Mz_l=0.35
Azioni sul cordone: TP=-0.51 TO=4.05 NO=11.08
Tensioni nel cordone: τ_P=0.16 τ_0=1.29 σ_0=6.35 σ_{ID}=6.48 Σ_T=7.64
CC 14 SLD (Collegamento -376_-504)
Azioni sul collegamento: N=150.62 Ty=1.26 Tz=-51.33 Mx=0.34 Mz=1.86
Sollecitazioni agenti localmente: Tx_l=1.26 Ty_l=-51.33 N_l=150.62 My_l=-1.86 Mz_l=0.34
Azioni sul cordone: TP=-0.48 TO=4.04 NO=11.08
Tensioni nel cordone: τ_P=0.15 τ_0=1.29 σ_0=6.24 σ_{ID}=6.37 Σ_T=7.52
CC 14 SLD (Collegamento -376_-504)
Azioni sul collegamento: N=150.62 Ty=1.42 Tz=-51.33 Mx=0.35 Mz=1.93
Sollecitazioni agenti localmente: Tx_l=1.42 Ty_l=-51.33 N_l=150.62 My_l=-1.93 Mz_l=0.35
Azioni sul cordone: TP=-0.51 TO=4.05 NO=11.08
Tensioni nel cordone: τ_P=0.16 τ_0=1.29 σ_0=6.35 σ_{ID}=6.48 Σ_T=7.64
CC 14 SLD (Collegamento -376_-504)
Azioni sul collegamento: N=145.78 Ty=1.26 Tz=-50.58 Mx=0.34 Mz=1.86
Sollecitazioni agenti localmente: Tx_l=1.26 Ty_l=-50.58 N_l=145.78 My_l=-1.86 Mz_l=0.34
Azioni sul cordone: TP=-0.48 TO=3.99 NO=10.73
Tensioni nel cordone: τ_P=0.15 τ_0=1.27 σ_0=6.12 σ_{ID}=6.26 Σ_T=7.39
CC 14 SLD (Collegamento -376_-504)
Azioni sul collegamento: N=145.78 Ty=1.42 Tz=-50.58 Mx=0.35 Mz=1.93
Sollecitazioni agenti localmente: Tx_l=1.42 Ty_l=-50.58 N_l=145.78 My_l=-1.93 Mz_l=0.35
Azioni sul cordone: TP=-0.51 TO=4.00 NO=10.73
Tensioni nel cordone: τ_P=0.16 τ_0=1.27 σ_0=6.23 σ_{ID}=6.36 Σ_T=7.50
CC 14 SLD (Collegamento -376_-504)
Azioni sul collegamento: N=145.78 Ty=1.26 Tz=-50.58 Mx=0.34 Mz=1.86
Sollecitazioni agenti localmente: Tx_l=1.26 Ty_l=-50.58 N_l=145.78 My_l=-1.86 Mz_l=0.34
Azioni sul cordone: TP=-0.48 TO=3.99 NO=10.73
Tensioni nel cordone: τ_P=0.15 τ_0=1.27 σ_0=6.12 σ_{ID}=6.26 Σ_T=7.39
CC 14 SLD (Collegamento -376_-504)
Azioni sul collegamento: N=145.78 Ty=1.42 Tz=-50.58 Mx=0.35 Mz=1.93
Sollecitazioni agenti localmente: Tx_l=1.42 Ty_l=-50.58 N_l=145.78 My_l=-1.93 Mz_l=0.35
Azioni sul cordone: TP=-0.51 TO=4.00 NO=10.73
Tensioni nel cordone: τ_P=0.16 τ_0=1.27 σ_0=6.23 σ_{ID}=6.36 Σ_T=7.50
CC 15 SLV (Collegamento -376_-504)
Azioni sul collegamento: N=141.58 Ty=0.36 Tz=-49.93 Mx=0.17 Mz=0.86
Sollecitazioni agenti localmente: Tx_l=0.36 Ty_l=-49.93 N_l=141.58 My_l=-0.86 Mz_l=0.17
Azioni sul cordone: TP=-0.22 TO=3.81 NO=10.42
Tensioni nel cordone: τ_P= 0.07 τ_0=1.21 σ_0=4.56 σ_{ID}=4.72 Σ_T=5.77
CC 15 SLV (Collegamento -376_-504)
Azioni sul collegamento: N=141.58 Ty=1.67 Tz=-49.93 Mx=0.39 Mz=2.25
Sollecitazioni agenti localmente: Tx_l=1.67 Ty_l=-49.93 N_l=141.58 My_l=-2.25 Mz_l=0.39
Azioni sul cordone: TP=-0.57 TO=3.98 NO=10.42
Tensioni nel cordone: τ_P=0.18 τ_0=1.26 σ_0=6.60 σ_{ID}=6.73 Σ_T=7.87
CC 15 SLV (Collegamento -376_-504)
Azioni sul collegamento: N=141.58 Ty=0.36 Tz=-49.93 Mx=0.17 Mz=0.86
Sollecitazioni agenti localmente: Tx_l=0.36 Ty_l=-49.93 N_l=141.58 My_l=-0.86 Mz_l=0.17
Azioni sul cordone: TP=-0.22 TO=3.81 NO=10.42
Tensioni nel cordone: τ_P= 0.07 τ_0=1.21 σ_0=4.56 σ_{ID}=4.72 Σ_T=5.77
CC 15 SLV (Collegamento -376_-504)

Azioni sul collegamento: N=141.58 Ty=1.67 Tz=-49.93 Mx=0.39 Mz=2.25
Sollecitazioni agenti localmente: Tx_l=1.67 Ty_l=-49.93 N_l=141.58 My_l=-2.25 Mz_l=0.39
Azioni sul cordone: TP=-0.57 TO=3.98 NO=10.42
Tensioni nel cordone: τ_P=0.18 τ_0=1.26 σ_0=6.60 σ_{ID}=6.73 Σ_T=7.87
CC 15 SLV (Collegamento -376_-504)
Azioni sul collegamento: N=158.05 Ty=0.36 Tz=-52.48 Mx=0.17 Mz=0.86
Sollecitazioni agenti localmente: Tx_l=0.36 Ty_l=-52.48 N_l=158.05 My_l=-0.86 Mz_l=0.17
Azioni sul cordone: TP=-0.22 TO=4.00 NO=11.63
Tensioni nel cordone: τ_P= 0.07 τ_0=1.27 σ_0=4.95 σ_{ID}=5.11 Σ_T=6.22
CC 15 SLV (Collegamento -376_-504)
Azioni sul collegamento: N=158.05 Ty=1.67 Tz=-52.48 Mx=0.39 Mz=2.25
Sollecitazioni agenti localmente: Tx_l=1.67 Ty_l=-52.48 N_l=158.05 My_l=-2.25 Mz_l=0.39
Azioni sul cordone: TP=-0.57 TO=4.17 NO=11.63
Tensioni nel cordone: τ_P=0.18 τ_0=1.32 σ_0=6.99 σ_{ID}=7.11 Σ_T=8.31
CC 15 SLV (Collegamento -376_-504)
Azioni sul collegamento: N=158.05 Ty=0.36 Tz=-52.48 Mx=0.17 Mz=0.86
Sollecitazioni agenti localmente: Tx_l=0.36 Ty_l=-52.48 N_l=158.05 My_l=-0.86 Mz_l=0.17
Azioni sul cordone: TP=-0.22 TO=4.00 NO=11.63
Tensioni nel cordone: τ_P= 0.07 τ_0=1.27 σ_0=4.95 σ_{ID}=5.11 Σ_T=6.22
CC 15 SLV (Collegamento -376_-504)
Azioni sul collegamento: N=158.05 Ty=1.67 Tz=-52.48 Mx=0.39 Mz=2.25
Sollecitazioni agenti localmente: Tx_l=1.67 Ty_l=-52.48 N_l=158.05 My_l=-2.25 Mz_l=0.39
Azioni sul cordone: TP=-0.57 TO=4.17 NO=11.63
Tensioni nel cordone: τ_P=0.18 τ_0=1.32 σ_0=6.99 σ_{ID}=7.11 Σ_T=8.31
CC 16 SLD (Collegamento -376_-504)
Azioni sul collegamento: N=145.69 Ty=1.14 Tz=-50.57 Mx=0.31 Mz=1.68
Sollecitazioni agenti localmente: Tx_l=1.14 Ty_l=-50.57 N_l=145.69 My_l=-1.68 Mz_l=0.31
Azioni sul cordone: TP=-0.44 TO=3.96 NO=10.72
Tensioni nel cordone: τ_P=0.14 τ_0=1.26 σ_0=5.87 σ_{ID}=6.00 Σ_T=7.13
CC 16 SLD (Collegamento -376_-504)
Azioni sul collegamento: N=145.69 Ty=1.54 Tz=-50.57 Mx=0.37 Mz=2.11
Sollecitazioni agenti localmente: Tx_l=1.54 Ty_l=-50.57 N_l=145.69 My_l=-2.11 Mz_l=0.37
Azioni sul cordone: TP=-0.54 TO=4.02 NO=10.72
Tensioni nel cordone: τ_P=0.17 τ_0=1.28 σ_0=6.49 σ_{ID}=6.61 Σ_T=7.76
CC 16 SLD (Collegamento -376_-504)
Azioni sul collegamento: N=145.69 Ty=1.14 Tz=-50.57 Mx=0.31 Mz=1.68
Sollecitazioni agenti localmente: Tx_l=1.14 Ty_l=-50.57 N_l=145.69 My_l=-1.68 Mz_l=0.31
Azioni sul cordone: TP=-0.44 TO=3.96 NO=10.72
Tensioni nel cordone: τ_P=0.14 τ_0=1.26 σ_0=5.87 σ_{ID}=6.00 Σ_T=7.13
CC 16 SLD (Collegamento -376_-504)
Azioni sul collegamento: N=145.69 Ty=1.54 Tz=-50.57 Mx=0.37 Mz=2.11
Sollecitazioni agenti localmente: Tx_l=1.54 Ty_l=-50.57 N_l=145.69 My_l=-2.11 Mz_l=0.37
Azioni sul cordone: TP=-0.54 TO=4.02 NO=10.72
Tensioni nel cordone: τ_P=0.17 τ_0=1.28 σ_0=6.49 σ_{ID}=6.61 Σ_T=7.76
CC 16 SLD (Collegamento -376_-504)
Azioni sul collegamento: N=150.71 Ty=1.14 Tz=-51.35 Mx=0.31 Mz=1.68
Sollecitazioni agenti localmente: Tx_l=1.14 Ty_l=-51.35 N_l=150.71 My_l=-1.68 Mz_l=0.31
Azioni sul cordone: TP=-0.44 TO=4.02 NO=11.09
Tensioni nel cordone: τ_P=0.14 τ_0=1.28 σ_0=5.98 σ_{ID}=6.12 Σ_T=7.26
CC 16 SLD (Collegamento -376_-504)
Azioni sul collegamento: N=150.71 Ty=1.54 Tz=-51.35 Mx=0.37 Mz=2.11
Sollecitazioni agenti localmente: Tx_l=1.54 Ty_l=-51.35 N_l=150.71 My_l=-2.11 Mz_l=0.37
Azioni sul cordone: TP=-0.54 TO=4.07 NO=11.09
Tensioni nel cordone: τ_P=0.17 τ_0=1.29 σ_0=6.61 σ_{ID}=6.73 Σ_T=7.90
CC 16 SLD (Collegamento -376_-504)
Azioni sul collegamento: N=150.71 Ty=1.14 Tz=-51.35 Mx=0.31 Mz=1.68
Sollecitazioni agenti localmente: Tx_l=1.14 Ty_l=-51.35 N_l=150.71 My_l=-1.68 Mz_l=0.31
Azioni sul cordone: TP=-0.44 TO=4.02 NO=11.09
Tensioni nel cordone: τ_P=0.14 τ_0=1.28 σ_0=5.98 σ_{ID}=6.12 Σ_T=7.26
CC 16 SLD (Collegamento -376_-504)
Azioni sul collegamento: N=150.71 Ty=1.54 Tz=-51.35 Mx=0.37 Mz=2.11
Sollecitazioni agenti localmente: Tx_l=1.54 Ty_l=-51.35 N_l=150.71 My_l=-2.11 Mz_l=0.37
Azioni sul cordone: TP=-0.54 TO=4.07 NO=11.09
Tensioni nel cordone: τ_P=0.17 τ_0=1.29 σ_0=6.61 σ_{ID}=6.73 Σ_T=7.90
CC 17 SLV (Collegamento -376_-504)
Azioni sul collegamento: N=172.15 Ty=2.73 Tz=-54.66 Mx=0.64 Mz=3.62
Sollecitazioni agenti localmente: Tx_l=2.73 Ty_l=-54.66 N_l=172.15 My_l=-3.62 Mz_l=0.64
Azioni sul cordone: TP=-0.93 TO=4.52 NO=12.67
Tensioni nel cordone: τ_P=0.30 τ_0=1.44 σ_0=9.31 σ_{ID}=9.42 Σ_T=10.74
CC 17 SLV (Collegamento -376_-504)
Azioni sul collegamento: N=172.15 Ty=1.14 Tz=-54.66 Mx=0.30 Mz=1.45
Sollecitazioni agenti localmente: Tx_l=1.14 Ty_l=-54.66 N_l=172.15 My_l=-1.45 Mz_l=0.30
Azioni sul cordone: TP=-0.43 TO=4.26 NO=12.67
Tensioni nel cordone: τ_P=0.14 τ_0=1.35 σ_0=6.15 σ_{ID}=6.30 Σ_T=7.50
CC 17 SLV (Collegamento -376_-504)
Azioni sul collegamento: N=172.15 Ty=2.73 Tz=-54.66 Mx=0.64 Mz=3.62
Sollecitazioni agenti localmente: Tx_l=2.73 Ty_l=-54.66 N_l=172.15 My_l=-3.62 Mz_l=0.64
Azioni sul cordone: TP=-0.93 TO=4.52 NO=12.67
Tensioni nel cordone: τ_P=0.30 τ_0=1.44 σ_0=9.31 σ_{ID}=9.42 Σ_T=10.74

CC 17 SLV (Collegamento -376_-504)
Azioni sul collegamento: N=172.15 Ty=1.14 Tz=-54.66 Mx=0.30 Mz=1.45
Sollecitazioni agenti localmente: Tx_l=1.14 Ty_l=-54.66 N_l=172.15 My_l=-1.45 Mz_l=0.30
Azioni sul cordone: TP=-0.43 TO=4.26 NO=12.67
Tensioni nel cordone: τ_P=0.14 τ_0=1.35 σ_0=6.15 σ_{ID}=6.30 Σ_T=7.50
CC 17 SLV (Collegamento -376_-504)
Azioni sul collegamento: N=118.18 Ty=2.73 Tz=-46.31 Mx=0.64 Mz=3.62
Sollecitazioni agenti localmente: Tx_l=2.73 Ty_l=-46.31 N_l=118.18 My_l=-3.62 Mz_l=0.64
Azioni sul cordone: TP=-0.93 TO=3.91 NO=8.70
Tensioni nel cordone: τ_P=0.30 τ_0=1.24 σ_0=8.04 σ_{ID}=8.15 Σ_T=9.29
CC 17 SLV (Collegamento -376_-504)
Azioni sul collegamento: N=118.18 Ty=1.14 Tz=-46.31 Mx=0.30 Mz=1.45
Sollecitazioni agenti localmente: Tx_l=1.14 Ty_l=-46.31 N_l=118.18 My_l=-1.45 Mz_l=0.30
Azioni sul cordone: TP=-0.43 TO=3.65 NO=8.70
Tensioni nel cordone: τ_P=0.14 τ_0=1.16 σ_0=4.89 σ_{ID}=5.02 Σ_T=6.05
CC 17 SLV (Collegamento -376_-504)
Azioni sul collegamento: N=118.18 Ty=2.73 Tz=-46.31 Mx=0.64 Mz=3.62
Sollecitazioni agenti localmente: Tx_l=2.73 Ty_l=-46.31 N_l=118.18 My_l=-3.62 Mz_l=0.64
Azioni sul cordone: TP=-0.93 TO=3.91 NO=8.70
Tensioni nel cordone: τ_P=0.30 τ_0=1.24 σ_0=8.04 σ_{ID}=8.15 Σ_T=9.29
CC 17 SLV (Collegamento -376_-504)
Azioni sul collegamento: N=118.18 Ty=1.14 Tz=-46.31 Mx=0.30 Mz=1.45
Sollecitazioni agenti localmente: Tx_l=1.14 Ty_l=-46.31 N_l=118.18 My_l=-1.45 Mz_l=0.30
Azioni sul cordone: TP=-0.43 TO=3.65 NO=8.70
Tensioni nel cordone: τ_P=0.14 τ_0=1.16 σ_0=4.89 σ_{ID}=5.02 Σ_T=6.05
CC 18 SLD (Collegamento -376_-504)
Azioni sul collegamento: N=155.01 Ty=1.86 Tz=-52.01 Mx=0.45 Mz=2.52
Sollecitazioni agenti localmente: Tx_l=1.86 Ty_l=-52.01 N_l=155.01 My_l=-2.52 Mz_l=0.45
Azioni sul cordone: TP=-0.66 TO=4.18 NO=11.41
Tensioni nel cordone: τ_P=0.21 τ_0=1.33 σ_0=7.31 σ_{ID}=7.44 Σ_T=8.64
CC 18 SLD (Collegamento -376_-504)
Azioni sul collegamento: N=155.01 Ty=1.38 Tz=-52.01 Mx=0.35 Mz=1.87
Sollecitazioni agenti localmente: Tx_l=1.38 Ty_l=-52.01 N_l=155.01 My_l=-1.87 Mz_l=0.35
Azioni sul cordone: TP=-0.50 TO=4.10 NO=11.41
Tensioni nel cordone: τ_P=0.16 τ_0=1.30 σ_0=6.35 σ_{ID}=6.48 Σ_T=7.65
CC 18 SLD (Collegamento -376_-504)
Azioni sul collegamento: N=155.01 Ty=1.86 Tz=-52.01 Mx=0.45 Mz=2.52
Sollecitazioni agenti localmente: Tx_l=1.86 Ty_l=-52.01 N_l=155.01 My_l=-2.52 Mz_l=0.45
Azioni sul cordone: TP=-0.66 TO=4.18 NO=11.41
Tensioni nel cordone: τ_P=0.21 τ_0=1.33 σ_0=7.31 σ_{ID}=7.44 Σ_T=8.64
CC 18 SLD (Collegamento -376_-504)
Azioni sul collegamento: N=155.01 Ty=1.38 Tz=-52.01 Mx=0.35 Mz=1.87
Sollecitazioni agenti localmente: Tx_l=1.38 Ty_l=-52.01 N_l=155.01 My_l=-1.87 Mz_l=0.35
Azioni sul cordone: TP=-0.50 TO=4.10 NO=11.41
Tensioni nel cordone: τ_P=0.16 τ_0=1.30 σ_0=6.35 σ_{ID}=6.48 Σ_T=7.65
CC 18 SLD (Collegamento -376_-504)
Azioni sul collegamento: N=138.55 Ty=1.86 Tz=-49.47 Mx=0.45 Mz=2.52
Sollecitazioni agenti localmente: Tx_l=1.86 Ty_l=-49.47 N_l=138.55 My_l=-2.52 Mz_l=0.45
Azioni sul cordone: TP=-0.66 TO=4.00 NO=10.20
Tensioni nel cordone: τ_P=0.21 τ_0=1.27 σ_0=6.93 σ_{ID}=7.05 Σ_T=8.20
CC 18 SLD (Collegamento -376_-504)
Azioni sul collegamento: N=138.55 Ty=1.38 Tz=-49.47 Mx=0.35 Mz=1.87
Sollecitazioni agenti localmente: Tx_l=1.38 Ty_l=-49.47 N_l=138.55 My_l=-1.87 Mz_l=0.35
Azioni sul cordone: TP=-0.50 TO=3.92 NO=10.20
Tensioni nel cordone: τ_P=0.16 τ_0=1.24 σ_0=5.96 σ_{ID}=6.10 Σ_T=7.21
CC 18 SLD (Collegamento -376_-504)
Azioni sul collegamento: N=138.55 Ty=1.86 Tz=-49.47 Mx=0.45 Mz=2.52
Sollecitazioni agenti localmente: Tx_l=1.86 Ty_l=-49.47 N_l=138.55 My_l=-2.52 Mz_l=0.45
Azioni sul cordone: TP=-0.66 TO=4.00 NO=10.20
Tensioni nel cordone: τ_P=0.21 τ_0=1.27 σ_0=6.93 σ_{ID}=7.05 Σ_T=8.20
CC 18 SLD (Collegamento -376_-504)
Azioni sul collegamento: N=138.55 Ty=1.38 Tz=-49.47 Mx=0.35 Mz=1.87
Sollecitazioni agenti localmente: Tx_l=1.38 Ty_l=-49.47 N_l=138.55 My_l=-1.87 Mz_l=0.35
Azioni sul cordone: TP=-0.50 TO=3.92 NO=10.20
Tensioni nel cordone: τ_P=0.16 τ_0=1.24 σ_0=5.96 σ_{ID}=6.10 Σ_T=7.21
CC 19 SLV (Collegamento -376_-504)
Azioni sul collegamento: N=172.06 Ty=2.46 Tz=-54.65 Mx=0.60 Mz=3.37
Sollecitazioni agenti localmente: Tx_l=2.46 Ty_l=-54.65 N_l=172.06 My_l=-3.37 Mz_l=0.60
Azioni sul cordone: TP=-0.87 TO=4.49 NO=12.66
Tensioni nel cordone: τ_P=0.28 τ_0=1.43 σ_0=8.94 σ_{ID}=9.06 Σ_T=10.37
CC 19 SLV (Collegamento -376_-504)
Azioni sul collegamento: N=172.06 Ty=1.41 Tz=-54.65 Mx=0.34 Mz=1.70
Sollecitazioni agenti localmente: Tx_l=1.41 Ty_l=-54.65 N_l=172.06 My_l=-1.70 Mz_l=0.34
Azioni sul cordone: TP=-0.49 TO=4.29 NO=12.66
Tensioni nel cordone: τ_P=0.16 τ_0=1.36 σ_0=6.51 σ_{ID}=6.65 Σ_T=7.87
CC 19 SLV (Collegamento -376_-504)
Azioni sul collegamento: N=172.06 Ty=2.46 Tz=-54.65 Mx=0.60 Mz=3.37
Sollecitazioni agenti localmente: Tx_l=2.46 Ty_l=-54.65 N_l=172.06 My_l=-3.37 Mz_l=0.60
Azioni sul cordone: TP=-0.87 TO=4.49 NO=12.66

Tensioni nel cordone: τ_P=0.28 τ_0=1.43 σ_0=8.94 σ_{ID}=9.06 Σ_T=10.37
CC 19 SLV (Collegamento -376_-504)
Azioni sul collegamento: N=172.06 Ty=1.41 Tz=-54.65 Mx=0.34 Mz=1.70
Sollecitazioni agenti localmente: Tx_l=1.41 Ty_l=-54.65 N_l=172.06 My_l=-1.70 Mz_l=0.34
Azioni sul cordone: TP=-0.49 TO=4.29 NO=12.66
Tensioni nel cordone: τ_P=0.16 τ_0=1.36 σ_0=6.51 σ_{ID}=6.65 Σ_T=7.87
CC 19 SLV (Collegamento -376_-504)
Azioni sul collegamento: N=118.27 Ty=2.46 Tz=-46.33 Mx=0.60 Mz=3.37
Sollecitazioni agenti localmente: Tx_l=2.46 Ty_l=-46.33 N_l=118.27 My_l=-3.37 Mz_l=0.60
Azioni sul cordone: TP=-0.87 TO=3.88 NO=8.70
Tensioni nel cordone: τ_P=0.28 τ_0=1.23 σ_0=7.69 σ_{ID}=7.79 Σ_T=8.92
CC 19 SLV (Collegamento -376_-504)
Azioni sul collegamento: N=118.27 Ty=1.41 Tz=-46.33 Mx=0.34 Mz=1.70
Sollecitazioni agenti localmente: Tx_l=1.41 Ty_l=-46.33 N_l=118.27 My_l=-1.70 Mz_l=0.34
Azioni sul cordone: TP=-0.49 TO=3.68 NO=8.70
Tensioni nel cordone: τ_P=0.16 τ_0=1.17 σ_0=5.25 σ_{ID}=5.38 Σ_T=6.42
CC 19 SLV (Collegamento -376_-504)
Azioni sul collegamento: N=118.27 Ty=2.46 Tz=-46.33 Mx=0.60 Mz=3.37
Sollecitazioni agenti localmente: Tx_l=2.46 Ty_l=-46.33 N_l=118.27 My_l=-3.37 Mz_l=0.60
Azioni sul cordone: TP=-0.87 TO=3.88 NO=8.70
Tensioni nel cordone: τ_P=0.28 τ_0=1.23 σ_0=7.69 σ_{ID}=7.79 Σ_T=8.92
CC 19 SLV (Collegamento -376_-504)
Azioni sul collegamento: N=118.27 Ty=1.41 Tz=-46.33 Mx=0.34 Mz=1.70
Sollecitazioni agenti localmente: Tx_l=1.41 Ty_l=-46.33 N_l=118.27 My_l=-1.70 Mz_l=0.34
Azioni sul cordone: TP=-0.49 TO=3.68 NO=8.70
Tensioni nel cordone: τ_P=0.16 τ_0=1.17 σ_0=5.25 σ_{ID}=5.38 Σ_T=6.42
CC 20 SLD (Collegamento -376_-504)
Azioni sul collegamento: N=154.98 Ty=1.78 Tz=-52.01 Mx=0.44 Mz=2.45
Sollecitazioni agenti localmente: Tx_l=1.78 Ty_l=-52.01 N_l=154.98 My_l=-2.45 Mz_l=0.44
Azioni sul cordone: TP=-0.64 TO=4.17 NO=11.40
Tensioni nel cordone: τ_P=0.20 τ_0=1.33 σ_0=7.20 σ_{ID}=7.33 Σ_T=8.53
CC 20 SLD (Collegamento -376_-504)
Azioni sul collegamento: N=154.98 Ty=1.46 Tz=-52.01 Mx=0.36 Mz=1.94
Sollecitazioni agenti localmente: Tx_l=1.46 Ty_l=-52.01 N_l=154.98 My_l=-1.94 Mz_l=0.36
Azioni sul cordone: TP=-0.52 TO=4.11 NO=11.40
Tensioni nel cordone: τ_P=0.17 τ_0=1.31 σ_0=6.46 σ_{ID}=6.59 Σ_T=7.77
CC 20 SLD (Collegamento -376_-504)
Azioni sul collegamento: N=154.98 Ty=1.78 Tz=-52.01 Mx=0.44 Mz=2.45
Sollecitazioni agenti localmente: Tx_l=1.78 Ty_l=-52.01 N_l=154.98 My_l=-2.45 Mz_l=0.44
Azioni sul cordone: TP=-0.64 TO=4.17 NO=11.40
Tensioni nel cordone: τ_P=0.20 τ_0=1.33 σ_0=7.20 σ_{ID}=7.33 Σ_T=8.53
CC 20 SLD (Collegamento -376_-504)
Azioni sul collegamento: N=154.98 Ty=1.46 Tz=-52.01 Mx=0.36 Mz=1.94
Sollecitazioni agenti localmente: Tx_l=1.46 Ty_l=-52.01 N_l=154.98 My_l=-1.94 Mz_l=0.36
Azioni sul cordone: TP=-0.52 TO=4.11 NO=11.40
Tensioni nel cordone: τ_P=0.17 τ_0=1.31 σ_0=6.46 σ_{ID}=6.59 Σ_T=7.77
CC 20 SLD (Collegamento -376_-504)
Azioni sul collegamento: N=138.58 Ty=1.78 Tz=-49.47 Mx=0.44 Mz=2.45
Sollecitazioni agenti localmente: Tx_l=1.78 Ty_l=-49.47 N_l=138.58 My_l=-2.45 Mz_l=0.44
Azioni sul cordone: TP=-0.64 TO=3.99 NO=10.20
Tensioni nel cordone: τ_P=0.20 τ_0=1.27 σ_0=6.82 σ_{ID}=6.94 Σ_T=8.09
CC 20 SLD (Collegamento -376_-504)
Azioni sul collegamento: N=138.58 Ty=1.46 Tz=-49.47 Mx=0.36 Mz=1.94
Sollecitazioni agenti localmente: Tx_l=1.46 Ty_l=-49.47 N_l=138.58 My_l=-1.94 Mz_l=0.36
Azioni sul cordone: TP=-0.52 TO=3.92 NO=10.20
Tensioni nel cordone: τ_P=0.17 τ_0=1.25 σ_0=6.08 σ_{ID}=6.20 Σ_T=7.32
CC 20 SLD (Collegamento -376_-504)
Azioni sul collegamento: N=138.58 Ty=1.78 Tz=-49.47 Mx=0.44 Mz=2.45
Sollecitazioni agenti localmente: Tx_l=1.78 Ty_l=-49.47 N_l=138.58 My_l=-2.45 Mz_l=0.44
Azioni sul cordone: TP=-0.64 TO=3.99 NO=10.20
Tensioni nel cordone: τ_P=0.20 τ_0=1.27 σ_0=6.82 σ_{ID}=6.94 Σ_T=8.09
CC 20 SLD (Collegamento -376_-504)
Azioni sul collegamento: N=138.58 Ty=1.46 Tz=-49.47 Mx=0.36 Mz=1.94
Sollecitazioni agenti localmente: Tx_l=1.46 Ty_l=-49.47 N_l=138.58 My_l=-1.94 Mz_l=0.36
Azioni sul cordone: TP=-0.52 TO=3.92 NO=10.20
Tensioni nel cordone: τ_P=0.17 τ_0=1.25 σ_0=6.08 σ_{ID}=6.20 Σ_T=7.32
CC 21 SLV (Collegamento -376_-504)
Azioni sul collegamento: N=118.27 Ty=1.41 Tz=-46.33 Mx=0.31 Mz=1.71
Sollecitazioni agenti localmente: Tx_l=1.41 Ty_l=-46.33 N_l=118.27 My_l=-1.71 Mz_l=0.31
Azioni sul cordone: TP=-0.46 TO=3.65 NO=8.70
Tensioni nel cordone: τ_P=0.14 τ_0=1.16 σ_0=5.26 σ_{ID}=5.39 Σ_T=6.42
CC 21 SLV (Collegamento -376_-504)
Azioni sul collegamento: N=118.27 Ty=2.46 Tz=-46.33 Mx=0.56 Mz=3.37
Sollecitazioni agenti localmente: Tx_l=2.46 Ty_l=-46.33 N_l=118.27 My_l=-3.37 Mz_l=0.56
Azioni sul cordone: TP=-0.83 TO=3.85 NO=8.70
Tensioni nel cordone: τ_P=0.26 τ_0=1.22 σ_0=7.69 σ_{ID}=7.80 Σ_T=8.92
CC 21 SLV (Collegamento -376_-504)
Azioni sul collegamento: N=118.27 Ty=1.41 Tz=-46.33 Mx=0.31 Mz=1.71
Sollecitazioni agenti localmente: Tx_l=1.41 Ty_l=-46.33 N_l=118.27 My_l=-1.71 Mz_l=0.31

Azioni sul cordone: TP=-0.46 TO=3.65 NO=8.70
Tensioni nel cordone: τ_P=0.14 τ_0=1.16 σ_0=5.26 σ_{ID}=5.39 Σ_T=6.42
CC 21 SLV (Collegamento -376_-504)
Azioni sul collegamento: N=118.27 Ty=2.46 Tz=-46.33 Mx=0.56 Mz=3.37
Sollecitazioni agenti localmente: Tx_l=2.46 Ty_l=-46.33 N_l=118.27 My_l=-3.37 Mz_l=0.56
Azioni sul cordone: TP=-0.83 TO=3.85 NO=8.70
Tensioni nel cordone: τ_P=0.26 τ_0=1.22 σ_0=7.69 σ_{ID}=7.80 Σ_T=8.92
CC 21 SLV (Collegamento -376_-504)
Azioni sul collegamento: N=172.06 Ty=1.41 Tz=-54.65 Mx=0.31 Mz=1.71
Sollecitazioni agenti localmente: Tx_l=1.41 Ty_l=-54.65 N_l=172.06 My_l=-1.71 Mz_l=0.31
Azioni sul cordone: TP=-0.46 TO=4.26 NO=12.66
Tensioni nel cordone: τ_P=0.14 τ_0=1.35 σ_0=6.52 σ_{ID}=6.66 Σ_T=7.87
CC 21 SLV (Collegamento -376_-504)
Azioni sul collegamento: N=172.06 Ty=2.46 Tz=-54.65 Mx=0.56 Mz=3.37
Sollecitazioni agenti localmente: Tx_l=2.46 Ty_l=-54.65 N_l=172.06 My_l=-3.37 Mz_l=0.56
Azioni sul cordone: TP=-0.83 TO=4.47 NO=12.66
Tensioni nel cordone: τ_P=0.26 τ_0=1.42 σ_0=8.95 σ_{ID}=9.07 Σ_T=10.37
CC 21 SLV (Collegamento -376_-504)
Azioni sul collegamento: N=172.06 Ty=1.41 Tz=-54.65 Mx=0.31 Mz=1.71
Sollecitazioni agenti localmente: Tx_l=1.41 Ty_l=-54.65 N_l=172.06 My_l=-1.71 Mz_l=0.31
Azioni sul cordone: TP=-0.46 TO=4.26 NO=12.66
Tensioni nel cordone: τ_P=0.14 τ_0=1.35 σ_0=6.52 σ_{ID}=6.66 Σ_T=7.87
CC 21 SLV (Collegamento -376_-504)
Azioni sul collegamento: N=172.06 Ty=2.46 Tz=-54.65 Mx=0.56 Mz=3.37
Sollecitazioni agenti localmente: Tx_l=2.46 Ty_l=-54.65 N_l=172.06 My_l=-3.37 Mz_l=0.56
Azioni sul cordone: TP=-0.83 TO=4.47 NO=12.66
Tensioni nel cordone: τ_P=0.26 τ_0=1.42 σ_0=8.95 σ_{ID}=9.07 Σ_T=10.37
CC 22 SLD (Collegamento -376_-504)
Azioni sul collegamento: N=138.58 Ty=1.46 Tz=-49.47 Mx=0.35 Mz=1.94
Sollecitazioni agenti localmente: Tx_l=1.46 Ty_l=-49.47 N_l=138.58 My_l=-1.94 Mz_l=0.35
Azioni sul cordone: TP=-0.51 TO=3.92 NO=10.20
Tensioni nel cordone: τ_P=0.16 τ_0=1.24 σ_0=6.08 σ_{ID}=6.21 Σ_T=7.32
CC 22 SLD (Collegamento -376_-504)
Azioni sul collegamento: N=138.58 Ty=1.78 Tz=-49.47 Mx=0.43 Mz=2.45
Sollecitazioni agenti localmente: Tx_l=1.78 Ty_l=-49.47 N_l=138.58 My_l=-2.45 Mz_l=0.43
Azioni sul cordone: TP=-0.62 TO=3.98 NO=10.20
Tensioni nel cordone: τ_P=0.20 τ_0=1.26 σ_0=6.82 σ_{ID}=6.94 Σ_T=8.09
CC 22 SLD (Collegamento -376_-504)
Azioni sul collegamento: N=138.58 Ty=1.46 Tz=-49.47 Mx=0.35 Mz=1.94
Sollecitazioni agenti localmente: Tx_l=1.46 Ty_l=-49.47 N_l=138.58 My_l=-1.94 Mz_l=0.35
Azioni sul cordone: TP=-0.51 TO=3.92 NO=10.20
Tensioni nel cordone: τ_P=0.16 τ_0=1.24 σ_0=6.08 σ_{ID}=6.21 Σ_T=7.32
CC 22 SLD (Collegamento -376_-504)
Azioni sul collegamento: N=138.58 Ty=1.78 Tz=-49.47 Mx=0.43 Mz=2.45
Sollecitazioni agenti localmente: Tx_l=1.78 Ty_l=-49.47 N_l=138.58 My_l=-2.45 Mz_l=0.43
Azioni sul cordone: TP=-0.62 TO=3.98 NO=10.20
Tensioni nel cordone: τ_P=0.20 τ_0=1.26 σ_0=6.82 σ_{ID}=6.94 Σ_T=8.09
CC 22 SLD (Collegamento -376_-504)
Azioni sul collegamento: N=154.98 Ty=1.46 Tz=-52.01 Mx=0.35 Mz=1.94
Sollecitazioni agenti localmente: Tx_l=1.46 Ty_l=-52.01 N_l=154.98 My_l=-1.94 Mz_l=0.35
Azioni sul cordone: TP=-0.51 TO=4.10 NO=11.40
Tensioni nel cordone: τ_P=0.16 τ_0=1.30 σ_0=6.46 σ_{ID}=6.59 Σ_T=7.77
CC 22 SLD (Collegamento -376_-504)
Azioni sul collegamento: N=154.98 Ty=1.78 Tz=-52.01 Mx=0.43 Mz=2.45
Sollecitazioni agenti localmente: Tx_l=1.78 Ty_l=-52.01 N_l=154.98 My_l=-2.45 Mz_l=0.43
Azioni sul cordone: TP=-0.62 TO=4.16 NO=11.40
Tensioni nel cordone: τ_P=0.20 τ_0=1.32 σ_0=7.20 σ_{ID}=7.33 Σ_T=8.53
CC 22 SLD (Collegamento -376_-504)
Azioni sul collegamento: N=154.98 Ty=1.46 Tz=-52.01 Mx=0.35 Mz=1.94
Sollecitazioni agenti localmente: Tx_l=1.46 Ty_l=-52.01 N_l=154.98 My_l=-1.94 Mz_l=0.35
Azioni sul cordone: TP=-0.51 TO=4.10 NO=11.40
Tensioni nel cordone: τ_P=0.16 τ_0=1.30 σ_0=6.46 σ_{ID}=6.59 Σ_T=7.77
CC 22 SLD (Collegamento -376_-504)
Azioni sul collegamento: N=154.98 Ty=1.78 Tz=-52.01 Mx=0.43 Mz=2.45
Sollecitazioni agenti localmente: Tx_l=1.78 Ty_l=-52.01 N_l=154.98 My_l=-2.45 Mz_l=0.43
Azioni sul cordone: TP=-0.62 TO=4.16 NO=11.40
Tensioni nel cordone: τ_P=0.20 τ_0=1.32 σ_0=7.20 σ_{ID}=7.33 Σ_T=8.53
CC 23 SLV (Collegamento -376_-504)
Azioni sul collegamento: N=118.18 Ty=1.14 Tz=-46.31 Mx=0.26 Mz=1.46
Sollecitazioni agenti localmente: Tx_l=1.14 Ty_l=-46.31 N_l=118.18 My_l=-1.46 Mz_l=0.26
Azioni sul cordone: TP=-0.39 TO=3.62 NO=8.70
Tensioni nel cordone: τ_P=0.12 τ_0=1.15 σ_0=4.90 σ_{ID}=5.03 Σ_T=6.05
CC 23 SLV (Collegamento -376_-504)
Azioni sul collegamento: N=118.18 Ty=2.73 Tz=-46.31 Mx=0.60 Mz=3.62
Sollecitazioni agenti localmente: Tx_l=2.73 Ty_l=-46.31 N_l=118.18 My_l=-3.62 Mz_l=0.60
Azioni sul cordone: TP=-0.89 TO=3.88 NO=8.70
Tensioni nel cordone: τ_P=0.28 τ_0=1.23 σ_0=8.05 σ_{ID}=8.15 Σ_T=9.29
CC 23 SLV (Collegamento -376_-504)
Azioni sul collegamento: N=118.18 Ty=1.14 Tz=-46.31 Mx=0.26 Mz=1.46

Sollecitazioni agenti localmente: Tx_l=1.14 Ty_l=-46.31 N_l=118.18 My_l=-1.46 Mz_l=0.26
Azioni sul cordone: TP=-0.39 TO=3.62 NO=8.70
Tensioni nel cordone: τ_P=0.12 τ_0=1.15 σ_0=4.90 σ_{ID}=5.03 Σ_T=6.05
CC 23 SLV (Collegamento -376_-504)
Azioni sul collegamento: N=118.18 Ty=2.73 Tz=-46.31 Mx=0.60 Mz=3.62
Sollecitazioni agenti localmente: Tx_l=2.73 Ty_l=-46.31 N_l=118.18 My_l=-3.62 Mz_l=0.60
Azioni sul cordone: TP=-0.89 TO=3.88 NO=8.70
Tensioni nel cordone: τ_P=0.28 τ_0=1.23 σ_0=8.05 σ_{ID}=8.15 Σ_T=9.29
CC 23 SLV (Collegamento -376_-504)
Azioni sul collegamento: N=172.15 Ty=1.14 Tz=-54.66 Mx=0.26 Mz=1.46
Sollecitazioni agenti localmente: Tx_l=1.14 Ty_l=-54.66 N_l=172.15 My_l=-1.46 Mz_l=0.26
Azioni sul cordone: TP=-0.39 TO=4.23 NO=12.67
Tensioni nel cordone: τ_P=0.12 τ_0=1.34 σ_0=6.16 σ_{ID}=6.30 Σ_T=7.50
CC 23 SLV (Collegamento -376_-504)
Azioni sul collegamento: N=172.15 Ty=2.73 Tz=-54.66 Mx=0.60 Mz=3.62
Sollecitazioni agenti localmente: Tx_l=2.73 Ty_l=-54.66 N_l=172.15 My_l=-3.62 Mz_l=0.60
Azioni sul cordone: TP=-0.89 TO=4.49 NO=12.67
Tensioni nel cordone: τ_P=0.28 τ_0=1.43 σ_0=9.31 σ_{ID}=9.43 Σ_T=10.74
CC 23 SLV (Collegamento -376_-504)
Azioni sul collegamento: N=172.15 Ty=1.14 Tz=-54.66 Mx=0.26 Mz=1.46
Sollecitazioni agenti localmente: Tx_l=1.14 Ty_l=-54.66 N_l=172.15 My_l=-1.46 Mz_l=0.26
Azioni sul cordone: TP=-0.39 TO=4.23 NO=12.67
Tensioni nel cordone: τ_P=0.12 τ_0=1.34 σ_0=6.16 σ_{ID}=6.30 Σ_T=7.50
CC 23 SLV (Collegamento -376_-504)
Azioni sul collegamento: N=172.15 Ty=2.73 Tz=-54.66 Mx=0.60 Mz=3.62
Sollecitazioni agenti localmente: Tx_l=2.73 Ty_l=-54.66 N_l=172.15 My_l=-3.62 Mz_l=0.60
Azioni sul cordone: TP=-0.89 TO=4.49 NO=12.67
Tensioni nel cordone: τ_P=0.28 τ_0=1.43 σ_0=9.31 σ_{ID}=9.43 Σ_T=10.74
CC 24 SLD (Collegamento -376_-504)
Azioni sul collegamento: N=138.55 Ty=1.38 Tz=-49.47 Mx=0.34 Mz=1.87
Sollecitazioni agenti localmente: Tx_l=1.38 Ty_l=-49.47 N_l=138.55 My_l=-1.87 Mz_l=0.34
Azioni sul cordone: TP=-0.49 TO=3.91 NO=10.20
Tensioni nel cordone: τ_P=0.16 τ_0=1.24 σ_0=5.97 σ_{ID}=6.10 Σ_T=7.21
CC 24 SLD (Collegamento -376_-504)
Azioni sul collegamento: N=138.55 Ty=1.86 Tz=-49.47 Mx=0.44 Mz=2.53
Sollecitazioni agenti localmente: Tx_l=1.86 Ty_l=-49.47 N_l=138.55 My_l=-2.53 Mz_l=0.44
Azioni sul cordone: TP=-0.64 TO=3.99 NO=10.20
Tensioni nel cordone: τ_P=0.20 τ_0=1.27 σ_0=6.93 σ_{ID}=7.05 Σ_T=8.20
CC 24 SLD (Collegamento -376_-504)
Azioni sul collegamento: N=138.55 Ty=1.38 Tz=-49.47 Mx=0.34 Mz=1.87
Sollecitazioni agenti localmente: Tx_l=1.38 Ty_l=-49.47 N_l=138.55 My_l=-1.87 Mz_l=0.34
Azioni sul cordone: TP=-0.49 TO=3.91 NO=10.20
Tensioni nel cordone: τ_P=0.16 τ_0=1.24 σ_0=5.97 σ_{ID}=6.10 Σ_T=7.21
CC 24 SLD (Collegamento -376_-504)
Azioni sul collegamento: N=138.55 Ty=1.86 Tz=-49.47 Mx=0.44 Mz=2.53
Sollecitazioni agenti localmente: Tx_l=1.86 Ty_l=-49.47 N_l=138.55 My_l=-2.53 Mz_l=0.44
Azioni sul cordone: TP=-0.64 TO=3.99 NO=10.20
Tensioni nel cordone: τ_P=0.20 τ_0=1.27 σ_0=6.93 σ_{ID}=7.05 Σ_T=8.20
CC 24 SLD (Collegamento -376_-504)
Azioni sul collegamento: N=155.01 Ty=1.38 Tz=-52.01 Mx=0.34 Mz=1.87
Sollecitazioni agenti localmente: Tx_l=1.38 Ty_l=-52.01 N_l=155.01 My_l=-1.87 Mz_l=0.34
Azioni sul cordone: TP=-0.49 TO=4.09 NO=11.41
Tensioni nel cordone: τ_P=0.16 τ_0=1.30 σ_0=6.35 σ_{ID}=6.49 Σ_T=7.65
CC 24 SLD (Collegamento -376_-504)
Azioni sul collegamento: N=155.01 Ty=1.86 Tz=-52.01 Mx=0.44 Mz=2.53
Sollecitazioni agenti localmente: Tx_l=1.86 Ty_l=-52.01 N_l=155.01 My_l=-2.53 Mz_l=0.44
Azioni sul cordone: TP=-0.64 TO=4.17 NO=11.41
Tensioni nel cordone: τ_P=0.20 τ_0=1.33 σ_0=7.31 σ_{ID}=7.44 Σ_T=8.64
CC 24 SLD (Collegamento -376_-504)
Azioni sul collegamento: N=155.01 Ty=1.38 Tz=-52.01 Mx=0.34 Mz=1.87
Sollecitazioni agenti localmente: Tx_l=1.38 Ty_l=-52.01 N_l=155.01 My_l=-1.87 Mz_l=0.34
Azioni sul cordone: TP=-0.49 TO=4.09 NO=11.41
Tensioni nel cordone: τ_P=0.16 τ_0=1.30 σ_0=6.35 σ_{ID}=6.49 Σ_T=7.65
CC 24 SLD (Collegamento -376_-504)
Azioni sul collegamento: N=155.01 Ty=1.86 Tz=-52.01 Mx=0.44 Mz=2.53
Sollecitazioni agenti localmente: Tx_l=1.86 Ty_l=-52.01 N_l=155.01 My_l=-2.53 Mz_l=0.44
Azioni sul cordone: TP=-0.64 TO=4.17 NO=11.41
Tensioni nel cordone: τ_P=0.20 τ_0=1.33 σ_0=7.31 σ_{ID}=7.44 Σ_T=8.64
CC 25 SLV (Collegamento -376_-504)
Azioni sul collegamento: N=153.40 Ty=2.59 Tz=-51.76 Mx=0.57 Mz=3.23
Sollecitazioni agenti localmente: Tx_l=2.59 Ty_l=-51.76 N_l=153.40 My_l=-3.23 Mz_l=0.57
Azioni sul cordone: TP=-0.85 TO=4.26 NO=11.29
Tensioni nel cordone: τ_P=0.27 τ_0=1.35 σ_0=8.31 σ_{ID}=8.42 Σ_T=9.66
CC 25 SLV (Collegamento -376_-504)
Azioni sul collegamento: N=153.40 Ty=1.28 Tz=-51.76 Mx=0.35 Mz=1.84
Sollecitazioni agenti localmente: Tx_l=1.28 Ty_l=-51.76 N_l=153.40 My_l=-1.84 Mz_l=0.35
Azioni sul cordone: TP=-0.50 TO=4.09 NO=11.29
Tensioni nel cordone: τ_P=0.16 τ_0=1.30 σ_0=6.27 σ_{ID}=6.41 Σ_T=7.57
CC 25 SLV (Collegamento -376_-504)

Azioni sul collegamento: N=153.40 Ty=2.59 Tz=-51.76 Mx=0.57 Mz=3.23
Sollecitazioni agenti localmente: Tx_l=2.59 Ty_l=-51.76 N_l=153.40 My_l=-3.23 Mz_l=0.57
Azioni sul cordone: TP=-0.85 TO=4.26 NO=11.29
Tensioni nel cordone: τ_P=0.27 τ_O=1.35 σ_O=8.31 σ_{ID}=8.42 Σ_T=9.66
CC 25 SLV (Collegamento -376_-504)
Azioni sul collegamento: N=153.40 Ty=1.28 Tz=-51.76 Mx=0.35 Mz=1.84
Sollecitazioni agenti localmente: Tx_l=1.28 Ty_l=-51.76 N_l=153.40 My_l=-1.84 Mz_l=0.35
Azioni sul cordone: TP=-0.50 TO=4.09 NO=11.29
Tensioni nel cordone: τ_P=0.16 τ_O=1.30 σ_O=6.27 σ_{ID}=6.41 Σ_T=7.57
CC 25 SLV (Collegamento -376_-504)
Azioni sul collegamento: N=136.93 Ty=2.59 Tz=-49.21 Mx=0.57 Mz=3.23
Sollecitazioni agenti localmente: Tx_l=2.59 Ty_l=-49.21 N_l=136.93 My_l=-3.23 Mz_l=0.57
Azioni sul cordone: TP=-0.85 TO=4.07 NO=10.08
Tensioni nel cordone: τ_P=0.27 τ_O=1.29 σ_O=7.93 σ_{ID}=8.04 Σ_T=9.22
CC 25 SLV (Collegamento -376_-504)
Azioni sul collegamento: N=136.93 Ty=1.28 Tz=-49.21 Mx=0.35 Mz=1.84
Sollecitazioni agenti localmente: Tx_l=1.28 Ty_l=-49.21 N_l=136.93 My_l=-1.84 Mz_l=0.35
Azioni sul cordone: TP=-0.50 TO=3.90 NO=10.08
Tensioni nel cordone: τ_P=0.16 τ_O=1.24 σ_O=5.89 σ_{ID}=6.02 Σ_T=7.13
CC 25 SLV (Collegamento -376_-504)
Azioni sul collegamento: N=136.93 Ty=2.59 Tz=-49.21 Mx=0.57 Mz=3.23
Sollecitazioni agenti localmente: Tx_l=2.59 Ty_l=-49.21 N_l=136.93 My_l=-3.23 Mz_l=0.57
Azioni sul cordone: TP=-0.85 TO=4.07 NO=10.08
Tensioni nel cordone: τ_P=0.27 τ_O=1.29 σ_O=7.93 σ_{ID}=8.04 Σ_T=9.22
CC 25 SLV (Collegamento -376_-504)
Azioni sul collegamento: N=136.93 Ty=1.28 Tz=-49.21 Mx=0.35 Mz=1.84
Sollecitazioni agenti localmente: Tx_l=1.28 Ty_l=-49.21 N_l=136.93 My_l=-1.84 Mz_l=0.35
Azioni sul cordone: TP=-0.50 TO=3.90 NO=10.08
Tensioni nel cordone: τ_P=0.16 τ_O=1.24 σ_O=5.89 σ_{ID}=6.02 Σ_T=7.13
CC 26 SLD (Collegamento -376_-504)
Azioni sul collegamento: N=149.29 Ty=1.82 Tz=-51.13 Mx=0.43 Mz=2.41
Sollecitazioni agenti localmente: Tx_l=1.82 Ty_l=-51.13 N_l=149.29 My_l=-2.41 Mz_l=0.43
Azioni sul cordone: TP=-0.63 TO=4.10 NO=10.99
Tensioni nel cordone: τ_P=0.20 τ_O=1.30 σ_O=7.01 σ_{ID}=7.13 Σ_T=8.31
CC 26 SLD (Collegamento -376_-504)
Azioni sul collegamento: N=149.29 Ty=1.42 Tz=-51.13 Mx=0.36 Mz=1.98
Sollecitazioni agenti localmente: Tx_l=1.42 Ty_l=-51.13 N_l=149.29 My_l=-1.98 Mz_l=0.36
Azioni sul cordone: TP=-0.52 TO=4.05 NO=10.99
Tensioni nel cordone: τ_P=0.17 τ_O=1.29 σ_O=6.39 σ_{ID}=6.52 Σ_T=7.67
CC 26 SLD (Collegamento -376_-504)
Azioni sul collegamento: N=149.29 Ty=1.82 Tz=-51.13 Mx=0.43 Mz=2.41
Sollecitazioni agenti localmente: Tx_l=1.82 Ty_l=-51.13 N_l=149.29 My_l=-2.41 Mz_l=0.43
Azioni sul cordone: TP=-0.63 TO=4.10 NO=10.99
Tensioni nel cordone: τ_P=0.20 τ_O=1.30 σ_O=7.01 σ_{ID}=7.13 Σ_T=8.31
CC 26 SLD (Collegamento -376_-504)
Azioni sul collegamento: N=149.29 Ty=1.42 Tz=-51.13 Mx=0.36 Mz=1.98
Sollecitazioni agenti localmente: Tx_l=1.42 Ty_l=-51.13 N_l=149.29 My_l=-1.98 Mz_l=0.36
Azioni sul cordone: TP=-0.52 TO=4.05 NO=10.99
Tensioni nel cordone: τ_P=0.17 τ_O=1.29 σ_O=6.39 σ_{ID}=6.52 Σ_T=7.67
CC 26 SLD (Collegamento -376_-504)
Azioni sul collegamento: N=144.27 Ty=1.82 Tz=-50.35 Mx=0.43 Mz=2.41
Sollecitazioni agenti localmente: Tx_l=1.82 Ty_l=-50.35 N_l=144.27 My_l=-2.41 Mz_l=0.43
Azioni sul cordone: TP=-0.63 TO=4.04 NO=10.62
Tensioni nel cordone: τ_P=0.20 τ_O=1.29 σ_O=6.89 σ_{ID}=7.01 Σ_T=8.18
CC 26 SLD (Collegamento -376_-504)
Azioni sul collegamento: N=144.27 Ty=1.42 Tz=-50.35 Mx=0.36 Mz=1.98
Sollecitazioni agenti localmente: Tx_l=1.42 Ty_l=-50.35 N_l=144.27 My_l=-1.98 Mz_l=0.36
Azioni sul cordone: TP=-0.52 TO=3.99 NO=10.62
Tensioni nel cordone: τ_P=0.17 τ_O=1.27 σ_O=6.27 σ_{ID}=6.40 Σ_T=7.54
CC 26 SLD (Collegamento -376_-504)
Azioni sul collegamento: N=144.27 Ty=1.82 Tz=-50.35 Mx=0.43 Mz=2.41
Sollecitazioni agenti localmente: Tx_l=1.82 Ty_l=-50.35 N_l=144.27 My_l=-2.41 Mz_l=0.43
Azioni sul cordone: TP=-0.63 TO=4.04 NO=10.62
Tensioni nel cordone: τ_P=0.20 τ_O=1.29 σ_O=6.89 σ_{ID}=7.01 Σ_T=8.18
CC 26 SLD (Collegamento -376_-504)
Azioni sul collegamento: N=144.27 Ty=1.42 Tz=-50.35 Mx=0.36 Mz=1.98
Sollecitazioni agenti localmente: Tx_l=1.42 Ty_l=-50.35 N_l=144.27 My_l=-1.98 Mz_l=0.36
Azioni sul cordone: TP=-0.52 TO=3.99 NO=10.62
Tensioni nel cordone: τ_P=0.17 τ_O=1.27 σ_O=6.27 σ_{ID}=6.40 Σ_T=7.54
CC 27 SLV (Collegamento -376_-504)
Azioni sul collegamento: N=137.24 Ty=2.20 Tz=-49.26 Mx=0.47 Mz=2.66
Sollecitazioni agenti localmente: Tx_l=2.20 Ty_l=-49.26 N_l=137.24 My_l=-2.66 Mz_l=0.47
Azioni sul cordone: TP=-0.70 TO=3.99 NO=10.10
Tensioni nel cordone: τ_P=0.22 τ_O=1.27 σ_O=7.10 σ_{ID}=7.21 Σ_T=8.37
CC 27 SLV (Collegamento -376_-504)
Azioni sul collegamento: N=137.24 Ty=1.68 Tz=-49.26 Mx=0.43 Mz=2.41
Sollecitazioni agenti localmente: Tx_l=1.68 Ty_l=-49.26 N_l=137.24 My_l=-2.41 Mz_l=0.43
Azioni sul cordone: TP=-0.62 TO=3.96 NO=10.10
Tensioni nel cordone: τ_P=0.20 τ_O=1.26 σ_O=6.74 σ_{ID}=6.86 Σ_T=8.00

CC 27 SLV (Collegamento -376_-504)
Azioni sul collegamento: N=137.24 Ty=2.20 Tz=-49.26 Mx=0.47 Mz=2.66
Sollecitazioni agenti localmente: Tx_l=2.20 Ty_l=-49.26 N_l=137.24 My_l=-2.66 Mz_l=0.47
Azioni sul cordone: TP=-0.70 TO=3.99 NO=10.10
Tensioni nel cordone: τ_P=0.22 τ_0=1.27 σ_0=7.10 σ_{ID}=7.21 Σ_T=8.37
CC 27 SLV (Collegamento -376_-504)
Azioni sul collegamento: N=137.24 Ty=1.68 Tz=-49.26 Mx=0.43 Mz=2.41
Sollecitazioni agenti localmente: Tx_l=1.68 Ty_l=-49.26 N_l=137.24 My_l=-2.41 Mz_l=0.43
Azioni sul cordone: TP=-0.62 TO=3.96 NO=10.10
Tensioni nel cordone: τ_P=0.20 τ_0=1.26 σ_0=6.74 σ_{ID}=6.86 Σ_T=8.00
CC 27 SLV (Collegamento -376_-504)
Azioni sul collegamento: N=153.09 Ty=2.20 Tz=-51.72 Mx=0.47 Mz=2.66
Sollecitazioni agenti localmente: Tx_l=2.20 Ty_l=-51.72 N_l=153.09 My_l=-2.66 Mz_l=0.47
Azioni sul cordone: TP=-0.70 TO=4.17 NO=11.27
Tensioni nel cordone: τ_P=0.22 τ_0=1.33 σ_0=7.47 σ_{ID}=7.59 Σ_T=8.79
CC 27 SLV (Collegamento -376_-504)
Azioni sul collegamento: N=153.09 Ty=1.68 Tz=-51.72 Mx=0.43 Mz=2.41
Sollecitazioni agenti localmente: Tx_l=1.68 Ty_l=-51.72 N_l=153.09 My_l=-2.41 Mz_l=0.43
Azioni sul cordone: TP=-0.62 TO=4.14 NO=11.27
Tensioni nel cordone: τ_P=0.20 τ_0=1.32 σ_0=7.11 σ_{ID}=7.23 Σ_T=8.42
CC 27 SLV (Collegamento -376_-504)
Azioni sul collegamento: N=153.09 Ty=2.20 Tz=-51.72 Mx=0.47 Mz=2.66
Sollecitazioni agenti localmente: Tx_l=2.20 Ty_l=-51.72 N_l=153.09 My_l=-2.66 Mz_l=0.47
Azioni sul cordone: TP=-0.70 TO=4.17 NO=11.27
Tensioni nel cordone: τ_P=0.22 τ_0=1.33 σ_0=7.47 σ_{ID}=7.59 Σ_T=8.79
CC 27 SLV (Collegamento -376_-504)
Azioni sul collegamento: N=153.09 Ty=1.68 Tz=-51.72 Mx=0.43 Mz=2.41
Sollecitazioni agenti localmente: Tx_l=1.68 Ty_l=-51.72 N_l=153.09 My_l=-2.41 Mz_l=0.43
Azioni sul cordone: TP=-0.62 TO=4.14 NO=11.27
Tensioni nel cordone: τ_P=0.20 τ_0=1.32 σ_0=7.11 σ_{ID}=7.23 Σ_T=8.42
CC 28 SLD (Collegamento -376_-504)
Azioni sul collegamento: N=144.37 Ty=1.70 Tz=-50.36 Mx=0.40 Mz=2.23
Sollecitazioni agenti localmente: Tx_l=1.70 Ty_l=-50.36 N_l=144.37 My_l=-2.23 Mz_l=0.40
Azioni sul cordone: TP=-0.59 TO=4.02 NO=10.62
Tensioni nel cordone: τ_P=0.19 τ_0=1.28 σ_0=6.64 σ_{ID}=6.76 Σ_T=7.92
CC 28 SLD (Collegamento -376_-504)
Azioni sul collegamento: N=144.37 Ty=1.54 Tz=-50.36 Mx=0.39 Mz=2.16
Sollecitazioni agenti localmente: Tx_l=1.54 Ty_l=-50.36 N_l=144.37 My_l=-2.16 Mz_l=0.39
Azioni sul cordone: TP=-0.56 TO=4.01 NO=10.62
Tensioni nel cordone: τ_P=0.18 τ_0=1.28 σ_0=6.53 σ_{ID}=6.65 Σ_T=7.80
CC 28 SLD (Collegamento -376_-504)
Azioni sul collegamento: N=144.37 Ty=1.70 Tz=-50.36 Mx=0.40 Mz=2.23
Sollecitazioni agenti localmente: Tx_l=1.70 Ty_l=-50.36 N_l=144.37 My_l=-2.23 Mz_l=0.40
Azioni sul cordone: TP=-0.59 TO=4.02 NO=10.62
Tensioni nel cordone: τ_P=0.19 τ_0=1.28 σ_0=6.64 σ_{ID}=6.76 Σ_T=7.92
CC 28 SLD (Collegamento -376_-504)
Azioni sul collegamento: N=144.37 Ty=1.54 Tz=-50.36 Mx=0.39 Mz=2.16
Sollecitazioni agenti localmente: Tx_l=1.54 Ty_l=-50.36 N_l=144.37 My_l=-2.16 Mz_l=0.39
Azioni sul cordone: TP=-0.56 TO=4.01 NO=10.62
Tensioni nel cordone: τ_P=0.18 τ_0=1.28 σ_0=6.53 σ_{ID}=6.65 Σ_T=7.80
CC 28 SLD (Collegamento -376_-504)
Azioni sul collegamento: N=149.20 Ty=1.70 Tz=-51.11 Mx=0.40 Mz=2.23
Sollecitazioni agenti localmente: Tx_l=1.70 Ty_l=-51.11 N_l=149.20 My_l=-2.23 Mz_l=0.40
Azioni sul cordone: TP=-0.59 TO=4.08 NO=10.98
Tensioni nel cordone: τ_P=0.19 τ_0=1.30 σ_0=6.75 σ_{ID}=6.88 Σ_T=8.05
CC 28 SLD (Collegamento -376_-504)
Azioni sul collegamento: N=149.20 Ty=1.54 Tz=-51.11 Mx=0.39 Mz=2.16
Sollecitazioni agenti localmente: Tx_l=1.54 Ty_l=-51.11 N_l=149.20 My_l=-2.16 Mz_l=0.39
Azioni sul cordone: TP=-0.56 TO=4.07 NO=10.98
Tensioni nel cordone: τ_P=0.18 τ_0=1.29 σ_0=6.64 σ_{ID}=6.77 Σ_T=7.93
CC 28 SLD (Collegamento -376_-504)
Azioni sul collegamento: N=149.20 Ty=1.70 Tz=-51.11 Mx=0.40 Mz=2.23
Sollecitazioni agenti localmente: Tx_l=1.70 Ty_l=-51.11 N_l=149.20 My_l=-2.23 Mz_l=0.40
Azioni sul cordone: TP=-0.59 TO=4.08 NO=10.98
Tensioni nel cordone: τ_P=0.19 τ_0=1.30 σ_0=6.75 σ_{ID}=6.88 Σ_T=8.05
CC 28 SLD (Collegamento -376_-504)
Azioni sul collegamento: N=149.20 Ty=1.54 Tz=-51.11 Mx=0.39 Mz=2.16
Sollecitazioni agenti localmente: Tx_l=1.54 Ty_l=-51.11 N_l=149.20 My_l=-2.16 Mz_l=0.39
Azioni sul cordone: TP=-0.56 TO=4.07 NO=10.98
Tensioni nel cordone: τ_P=0.18 τ_0=1.29 σ_0=6.64 σ_{ID}=6.77 Σ_T=7.93
CC 29 SLV (Collegamento -376_-504)
Azioni sul collegamento: N=153.09 Ty=1.68 Tz=-51.72 Mx=0.43 Mz=2.41
Sollecitazioni agenti localmente: Tx_l=1.68 Ty_l=-51.72 N_l=153.09 My_l=-2.41 Mz_l=0.43
Azioni sul cordone: TP=-0.62 TO=4.15 NO=11.27
Tensioni nel cordone: τ_P=0.20 τ_0=1.32 σ_0=7.11 σ_{ID}=7.23 Σ_T=8.42
CC 29 SLV (Collegamento -376_-504)
Azioni sul collegamento: N=153.09 Ty=2.20 Tz=-51.72 Mx=0.47 Mz=2.66
Sollecitazioni agenti localmente: Tx_l=2.20 Ty_l=-51.72 N_l=153.09 My_l=-2.66 Mz_l=0.47
Azioni sul cordone: TP=-0.70 TO=4.18 NO=11.27

Tensioni nel cordone: τ_P=0.22 τ_0=1.33 σ_0=7.47 σ_{ID}=7.59 Σ_T=8.79
CC 29 SLV (Collegamento -376_-504)
Azioni sul collegamento: N=153.09 Ty=1.68 Tz=-51.72 Mx=0.43 Mz=2.41
Sollecitazioni agenti localmente: Tx_l=1.68 Ty_l=-51.72 N_l=153.09 My_l=-2.41 Mz_l=0.43
Azioni sul cordone: TP=-0.62 TO=4.15 NO=11.27
Tensioni nel cordone: τ_P=0.20 τ_0=1.32 σ_0=7.11 σ_{ID}=7.23 Σ_T=8.42
CC 29 SLV (Collegamento -376_-504)
Azioni sul collegamento: N=153.09 Ty=2.20 Tz=-51.72 Mx=0.47 Mz=2.66
Sollecitazioni agenti localmente: Tx_l=2.20 Ty_l=-51.72 N_l=153.09 My_l=-2.66 Mz_l=0.47
Azioni sul cordone: TP=-0.70 TO=4.18 NO=11.27
Tensioni nel cordone: τ_P=0.22 τ_0=1.33 σ_0=7.47 σ_{ID}=7.59 Σ_T=8.79
CC 29 SLV (Collegamento -376_-504)
Azioni sul collegamento: N=137.24 Ty=1.68 Tz=-49.26 Mx=0.43 Mz=2.41
Sollecitazioni agenti localmente: Tx_l=1.68 Ty_l=-49.26 N_l=137.24 My_l=-2.41 Mz_l=0.43
Azioni sul cordone: TP=-0.62 TO=3.97 NO=10.10
Tensioni nel cordone: τ_P=0.20 τ_0=1.26 σ_0=6.74 σ_{ID}=6.85 Σ_T=8.00
CC 29 SLV (Collegamento -376_-504)
Azioni sul collegamento: N=137.24 Ty=2.20 Tz=-49.26 Mx=0.47 Mz=2.66
Sollecitazioni agenti localmente: Tx_l=2.20 Ty_l=-49.26 N_l=137.24 My_l=-2.66 Mz_l=0.47
Azioni sul cordone: TP=-0.70 TO=4.00 NO=10.10
Tensioni nel cordone: τ_P=0.22 τ_0=1.27 σ_0=7.10 σ_{ID}=7.21 Σ_T=8.37
CC 29 SLV (Collegamento -376_-504)
Azioni sul collegamento: N=137.24 Ty=1.68 Tz=-49.26 Mx=0.43 Mz=2.41
Sollecitazioni agenti localmente: Tx_l=1.68 Ty_l=-49.26 N_l=137.24 My_l=-2.41 Mz_l=0.43
Azioni sul cordone: TP=-0.62 TO=3.97 NO=10.10
Tensioni nel cordone: τ_P=0.20 τ_0=1.26 σ_0=6.74 σ_{ID}=6.85 Σ_T=8.00
CC 29 SLV (Collegamento -376_-504)
Azioni sul collegamento: N=137.24 Ty=2.20 Tz=-49.26 Mx=0.47 Mz=2.66
Sollecitazioni agenti localmente: Tx_l=2.20 Ty_l=-49.26 N_l=137.24 My_l=-2.66 Mz_l=0.47
Azioni sul cordone: TP=-0.70 TO=4.00 NO=10.10
Tensioni nel cordone: τ_P=0.22 τ_0=1.27 σ_0=7.10 σ_{ID}=7.21 Σ_T=8.37
CC 30 SLD (Collegamento -376_-504)
Azioni sul collegamento: N=149.20 Ty=1.54 Tz=-51.11 Mx=0.39 Mz=2.16
Sollecitazioni agenti localmente: Tx_l=1.54 Ty_l=-51.11 N_l=149.20 My_l=-2.16 Mz_l=0.39
Azioni sul cordone: TP=-0.56 TO=4.07 NO=10.98
Tensioni nel cordone: τ_P=0.18 τ_0=1.29 σ_0=6.64 σ_{ID}=6.77 Σ_T=7.93
CC 30 SLD (Collegamento -376_-504)
Azioni sul collegamento: N=149.20 Ty=1.70 Tz=-51.11 Mx=0.40 Mz=2.23
Sollecitazioni agenti localmente: Tx_l=1.70 Ty_l=-51.11 N_l=149.20 My_l=-2.23 Mz_l=0.40
Azioni sul cordone: TP=-0.59 TO=4.08 NO=10.98
Tensioni nel cordone: τ_P=0.19 τ_0=1.30 σ_0=6.75 σ_{ID}=6.88 Σ_T=8.05
CC 30 SLD (Collegamento -376_-504)
Azioni sul collegamento: N=149.20 Ty=1.54 Tz=-51.11 Mx=0.39 Mz=2.16
Sollecitazioni agenti localmente: Tx_l=1.54 Ty_l=-51.11 N_l=149.20 My_l=-2.16 Mz_l=0.39
Azioni sul cordone: TP=-0.56 TO=4.07 NO=10.98
Tensioni nel cordone: τ_P=0.18 τ_0=1.29 σ_0=6.64 σ_{ID}=6.77 Σ_T=7.93
CC 30 SLD (Collegamento -376_-504)
Azioni sul collegamento: N=149.20 Ty=1.70 Tz=-51.11 Mx=0.40 Mz=2.23
Sollecitazioni agenti localmente: Tx_l=1.70 Ty_l=-51.11 N_l=149.20 My_l=-2.23 Mz_l=0.40
Azioni sul cordone: TP=-0.59 TO=4.08 NO=10.98
Tensioni nel cordone: τ_P=0.19 τ_0=1.30 σ_0=6.75 σ_{ID}=6.88 Σ_T=8.05
CC 30 SLD (Collegamento -376_-504)
Azioni sul collegamento: N=144.37 Ty=1.54 Tz=-50.36 Mx=0.39 Mz=2.16
Sollecitazioni agenti localmente: Tx_l=1.54 Ty_l=-50.36 N_l=144.37 My_l=-2.16 Mz_l=0.39
Azioni sul cordone: TP=-0.56 TO=4.01 NO=10.62
Tensioni nel cordone: τ_P=0.18 τ_0=1.28 σ_0=6.53 σ_{ID}=6.65 Σ_T=7.80
CC 30 SLD (Collegamento -376_-504)
Azioni sul collegamento: N=144.37 Ty=1.70 Tz=-50.36 Mx=0.40 Mz=2.23
Sollecitazioni agenti localmente: Tx_l=1.70 Ty_l=-50.36 N_l=144.37 My_l=-2.23 Mz_l=0.40
Azioni sul cordone: TP=-0.59 TO=4.02 NO=10.62
Tensioni nel cordone: τ_P=0.19 τ_0=1.28 σ_0=6.64 σ_{ID}=6.76 Σ_T=7.92
CC 30 SLD (Collegamento -376_-504)
Azioni sul collegamento: N=144.37 Ty=1.54 Tz=-50.36 Mx=0.39 Mz=2.16
Sollecitazioni agenti localmente: Tx_l=1.54 Ty_l=-50.36 N_l=144.37 My_l=-2.16 Mz_l=0.39
Azioni sul cordone: TP=-0.56 TO=4.01 NO=10.62
Tensioni nel cordone: τ_P=0.18 τ_0=1.28 σ_0=6.53 σ_{ID}=6.65 Σ_T=7.80
CC 30 SLD (Collegamento -376_-504)
Azioni sul collegamento: N=144.37 Ty=1.70 Tz=-50.36 Mx=0.40 Mz=2.23
Sollecitazioni agenti localmente: Tx_l=1.70 Ty_l=-50.36 N_l=144.37 My_l=-2.23 Mz_l=0.40
Azioni sul cordone: TP=-0.59 TO=4.02 NO=10.62
Tensioni nel cordone: τ_P=0.19 τ_0=1.28 σ_0=6.64 σ_{ID}=6.76 Σ_T=7.92
CC 31 SLV (Collegamento -376_-504)
Azioni sul collegamento: N=136.93 Ty=1.28 Tz=-49.21 Mx=0.33 Mz=1.84
Sollecitazioni agenti localmente: Tx_l=1.28 Ty_l=-49.21 N_l=136.93 My_l=-1.84 Mz_l=0.33
Azioni sul cordone: TP=-0.48 TO=3.88 NO=10.08
Tensioni nel cordone: τ_P=0.15 τ_0=1.23 σ_0=5.89 σ_{ID}=6.02 Σ_T=7.13
CC 31 SLV (Collegamento -376_-504)
Azioni sul collegamento: N=136.93 Ty=2.59 Tz=-49.21 Mx=0.55 Mz=3.24
Sollecitazioni agenti localmente: Tx_l=2.59 Ty_l=-49.21 N_l=136.93 My_l=-3.24 Mz_l=0.55

Azioni sul cordone: TP=-0.82 TO=4.05 NO=10.08
Tensioni nel cordone: τ_P=0.26 τ_0=1.29 σ_0=7.93 σ_{ID}=8.04 Σ_T=9.22
CC 31 SLV (Collegamento -376_-504)
Azioni sul collegamento: N=136.93 Ty=1.28 Tz=-49.21 Mx=0.33 Mz=1.84
Sollecitazioni agenti localmente: Tx_l=1.28 Ty_l=-49.21 N_l=136.93 My_l=-1.84 Mz_l=0.33
Azioni sul cordone: TP=-0.48 TO=3.88 NO=10.08
Tensioni nel cordone: τ_P=0.15 τ_0=1.23 σ_0=5.89 σ_{ID}=6.02 Σ_T=7.13
CC 31 SLV (Collegamento -376_-504)
Azioni sul collegamento: N=136.93 Ty=2.59 Tz=-49.21 Mx=0.55 Mz=3.24
Sollecitazioni agenti localmente: Tx_l=2.59 Ty_l=-49.21 N_l=136.93 My_l=-3.24 Mz_l=0.55
Azioni sul cordone: TP=-0.82 TO=4.05 NO=10.08
Tensioni nel cordone: τ_P=0.26 τ_0=1.29 σ_0=7.93 σ_{ID}=8.04 Σ_T=9.22
CC 31 SLV (Collegamento -376_-504)
Azioni sul collegamento: N=153.40 Ty=1.28 Tz=-51.76 Mx=0.33 Mz=1.84
Sollecitazioni agenti localmente: Tx_l=1.28 Ty_l=-51.76 N_l=153.40 My_l=-1.84 Mz_l=0.33
Azioni sul cordone: TP=-0.48 TO=4.07 NO=11.29
Tensioni nel cordone: τ_P=0.15 τ_0=1.29 σ_0=6.28 σ_{ID}=6.41 Σ_T=7.57
CC 31 SLV (Collegamento -376_-504)
Azioni sul collegamento: N=153.40 Ty=2.59 Tz=-51.76 Mx=0.55 Mz=3.24
Sollecitazioni agenti localmente: Tx_l=2.59 Ty_l=-51.76 N_l=153.40 My_l=-3.24 Mz_l=0.55
Azioni sul cordone: TP=-0.82 TO=4.24 NO=11.29
Tensioni nel cordone: τ_P=0.26 τ_0=1.35 σ_0=8.32 σ_{ID}=8.43 Σ_T=9.66
CC 31 SLV (Collegamento -376_-504)
Azioni sul collegamento: N=153.40 Ty=1.28 Tz=-51.76 Mx=0.33 Mz=1.84
Sollecitazioni agenti localmente: Tx_l=1.28 Ty_l=-51.76 N_l=153.40 My_l=-1.84 Mz_l=0.33
Azioni sul cordone: TP=-0.48 TO=4.07 NO=11.29
Tensioni nel cordone: τ_P=0.15 τ_0=1.29 σ_0=6.28 σ_{ID}=6.41 Σ_T=7.57
CC 31 SLV (Collegamento -376_-504)
Azioni sul collegamento: N=153.40 Ty=2.59 Tz=-51.76 Mx=0.55 Mz=3.24
Sollecitazioni agenti localmente: Tx_l=2.59 Ty_l=-51.76 N_l=153.40 My_l=-3.24 Mz_l=0.55
Azioni sul cordone: TP=-0.82 TO=4.24 NO=11.29
Tensioni nel cordone: τ_P=0.26 τ_0=1.35 σ_0=8.32 σ_{ID}=8.43 Σ_T=9.66
CC 32 SLD (Collegamento -376_-504)
Azioni sul collegamento: N=144.27 Ty=1.42 Tz=-50.35 Mx=0.36 Mz=1.98
Sollecitazioni agenti localmente: Tx_l=1.42 Ty_l=-50.35 N_l=144.27 My_l=-1.98 Mz_l=0.36
Azioni sul cordone: TP=-0.52 TO=3.99 NO=10.62
Tensioni nel cordone: τ_P=0.16 τ_0=1.27 σ_0=6.27 σ_{ID}=6.40 Σ_T=7.54
CC 32 SLD (Collegamento -376_-504)
Azioni sul collegamento: N=144.27 Ty=1.82 Tz=-50.35 Mx=0.42 Mz=2.41
Sollecitazioni agenti localmente: Tx_l=1.82 Ty_l=-50.35 N_l=144.27 My_l=-2.41 Mz_l=0.42
Azioni sul cordone: TP=-0.62 TO=4.04 NO=10.62
Tensioni nel cordone: τ_P=0.20 τ_0=1.28 σ_0=6.89 σ_{ID}=7.01 Σ_T=8.18
CC 32 SLD (Collegamento -376_-504)
Azioni sul collegamento: N=144.27 Ty=1.42 Tz=-50.35 Mx=0.36 Mz=1.98
Sollecitazioni agenti localmente: Tx_l=1.42 Ty_l=-50.35 N_l=144.27 My_l=-1.98 Mz_l=0.36
Azioni sul cordone: TP=-0.52 TO=3.99 NO=10.62
Tensioni nel cordone: τ_P=0.16 τ_0=1.27 σ_0=6.27 σ_{ID}=6.40 Σ_T=7.54
CC 32 SLD (Collegamento -376_-504)
Azioni sul collegamento: N=144.27 Ty=1.82 Tz=-50.35 Mx=0.42 Mz=2.41
Sollecitazioni agenti localmente: Tx_l=1.82 Ty_l=-50.35 N_l=144.27 My_l=-2.41 Mz_l=0.42
Azioni sul cordone: TP=-0.62 TO=4.04 NO=10.62
Tensioni nel cordone: τ_P=0.20 τ_0=1.28 σ_0=6.89 σ_{ID}=7.01 Σ_T=8.18
CC 32 SLD (Collegamento -376_-504)
Azioni sul collegamento: N=149.29 Ty=1.42 Tz=-51.13 Mx=0.36 Mz=1.98
Sollecitazioni agenti localmente: Tx_l=1.42 Ty_l=-51.13 N_l=149.29 My_l=-1.98 Mz_l=0.36
Azioni sul cordone: TP=-0.52 TO=4.04 NO=10.99
Tensioni nel cordone: τ_P=0.16 τ_0=1.29 σ_0=6.39 σ_{ID}=6.52 Σ_T=7.67
CC 32 SLD (Collegamento -376_-504)
Azioni sul collegamento: N=149.29 Ty=1.82 Tz=-51.13 Mx=0.42 Mz=2.41
Sollecitazioni agenti localmente: Tx_l=1.82 Ty_l=-51.13 N_l=149.29 My_l=-2.41 Mz_l=0.42
Azioni sul cordone: TP=-0.62 TO=4.10 NO=10.99
Tensioni nel cordone: τ_P=0.20 τ_0=1.30 σ_0=7.01 σ_{ID}=7.13 Σ_T=8.31
CC 32 SLD (Collegamento -376_-504)
Azioni sul collegamento: N=149.29 Ty=1.42 Tz=-51.13 Mx=0.36 Mz=1.98
Sollecitazioni agenti localmente: Tx_l=1.42 Ty_l=-51.13 N_l=149.29 My_l=-1.98 Mz_l=0.36
Azioni sul cordone: TP=-0.52 TO=4.04 NO=10.99
Tensioni nel cordone: τ_P=0.16 τ_0=1.29 σ_0=6.39 σ_{ID}=6.52 Σ_T=7.67
CC 32 SLD (Collegamento -376_-504)
Azioni sul collegamento: N=149.29 Ty=1.82 Tz=-51.13 Mx=0.42 Mz=2.41
Sollecitazioni agenti localmente: Tx_l=1.82 Ty_l=-51.13 N_l=149.29 My_l=-2.41 Mz_l=0.42
Azioni sul cordone: TP=-0.62 TO=4.10 NO=10.99
Tensioni nel cordone: τ_P=0.20 τ_0=1.30 σ_0=7.01 σ_{ID}=7.13 Σ_T=8.31
CC 33 SLU (Collegamento -376_-504)
Azioni sul collegamento: N=371.78 Ty=3.15 Tz=-95.37 Mx=0.78 Mz=4.34
Sollecitazioni agenti localmente: Tx_l=3.15 Ty_l=-95.37 N_l=371.78 My_l=-4.34 Mz_l=0.78
Azioni sul cordone: TP=-1.13 TO=7.63 NO=27.36
Tensioni nel cordone: τ_P=0.36 τ_0=2.43 σ_0=15.04 σ_{ID}=15.23 Σ_T=17.46
CC 34 SLU (Collegamento -376_-504)
Azioni sul collegamento: N=366.17 Ty=3.01 Tz=-94.50 Mx=0.75 Mz=4.14

Sollecitazioni agenti localmente: Tx_l=3.01 Ty_l=-94.50 N_l=366.17 My_l=-4.14 Mz_l=0.75
Azioni sul cordone: TP=-1.08 TO=7.54 NO=26.94
Tensioni nel cordone: τ_P=0.34 τ_0=2.40 σ_0=14.61 σ_{ID}=14.81 Σ_T=17.01
CC 35 SLU (Collegamento -376_-504)
Azioni sul collegamento: N=369.00 Ty=3.13 Tz=-94.94 Mx=0.77 Mz=4.28
Sollecitazioni agenti localmente: Tx_l=3.13 Ty_l=-94.94 N_l=369.00 My_l=-4.28 Mz_l=0.77
Azioni sul cordone: TP=-1.12 TO=7.59 NO=27.15
Tensioni nel cordone: τ_P=0.36 τ_0=2.41 σ_0=14.88 σ_{ID}=15.08 Σ_T=17.30
CC 36 SLU (Collegamento -376_-504)
Azioni sul collegamento: N=368.95 Ty=3.03 Tz=-94.93 Mx=0.76 Mz=4.20
Sollecitazioni agenti localmente: Tx_l=3.03 Ty_l=-94.93 N_l=368.95 My_l=-4.20 Mz_l=0.76
Azioni sul cordone: TP=-1.10 TO=7.58 NO=27.15
Tensioni nel cordone: τ_P=0.35 τ_0=2.41 σ_0=14.76 σ_{ID}=14.96 Σ_T=17.17
CC 37 SLU (Collegamento -376_-504)
Azioni sul collegamento: N=304.32 Ty=3.00 Tz=-84.93 Mx=0.77 Mz=4.30
Sollecitazioni agenti localmente: Tx_l=3.00 Ty_l=-84.93 N_l=304.32 My_l=-4.30 Mz_l=0.77
Azioni sul cordone: TP=-1.11 TO=6.86 NO=22.39
Tensioni nel cordone: τ_P=0.35 τ_0=2.18 σ_0=13.40 σ_{ID}=13.58 Σ_T=15.58
CC 38 SLU (Collegamento -376_-504)
Azioni sul collegamento: N=298.72 Ty=2.86 Tz=-84.06 Mx=0.74 Mz=4.10
Sollecitazioni agenti localmente: Tx_l=2.86 Ty_l=-84.06 N_l=298.72 My_l=-4.10 Mz_l=0.74
Azioni sul cordone: TP=-1.06 TO=6.77 NO=21.98
Tensioni nel cordone: τ_P=0.34 τ_0=2.15 σ_0=12.98 σ_{ID}=13.16 Σ_T=15.13
CC 39 SLU (Collegamento -376_-504)
Azioni sul collegamento: N=301.54 Ty=2.98 Tz=-84.50 Mx=0.76 Mz=4.25
Sollecitazioni agenti localmente: Tx_l=2.98 Ty_l=-84.50 N_l=301.54 My_l=-4.25 Mz_l=0.76
Azioni sul cordone: TP=-1.09 TO=6.82 NO=22.19
Tensioni nel cordone: τ_P=0.35 τ_0=2.17 σ_0=13.25 σ_{ID}=13.43 Σ_T=15.42
CC 40 SLU (Collegamento -376_-504)
Azioni sul collegamento: N=301.50 Ty=2.88 Tz=-84.49 Mx=0.75 Mz=4.16
Sollecitazioni agenti localmente: Tx_l=2.88 Ty_l=-84.49 N_l=301.50 My_l=-4.16 Mz_l=0.75
Azioni sul cordone: TP=-1.07 TO=6.81 NO=22.19
Tensioni nel cordone: τ_P=0.34 τ_0=2.16 σ_0=13.13 σ_{ID}=13.31 Σ_T=15.29
CC 41 SLU (Collegamento -376_-504)
Azioni sul collegamento: N=335.80 Ty=-2.05 Tz=-89.80 Mx=-0.48 Mz=-2.83
Sollecitazioni agenti localmente: Tx_l=-2.05 Ty_l=-89.80 N_l=335.80 My_l=2.83 Mz_l=-0.48
Azioni sul cordone: TP=0.71 TO=6.99 NO=24.71
Tensioni nel cordone: τ_P=0.22 τ_0=2.22 σ_0=11.99 σ_{ID}=12.19 Σ_T=14.21
CC 42 SLU (Collegamento -376_-504)
Azioni sul collegamento: N=330.19 Ty=-2.19 Tz=-88.93 Mx=-0.52 Mz=-3.03
Sollecitazioni agenti localmente: Tx_l=-2.19 Ty_l=-88.93 N_l=330.19 My_l=3.03 Mz_l=-0.52
Azioni sul cordone: TP=0.76 TO=6.95 NO=24.30
Tensioni nel cordone: τ_P=0.24 τ_0=2.21 σ_0=12.15 σ_{ID}=12.35 Σ_T=14.36
CC 43 SLU (Collegamento -376_-504)
Azioni sul collegamento: N=333.02 Ty=-2.08 Tz=-89.37 Mx=-0.49 Mz=-2.89
Sollecitazioni agenti localmente: Tx_l=-2.08 Ty_l=-89.37 N_l=333.02 My_l=2.89 Mz_l=-0.49
Azioni sul cordone: TP=0.72 TO=6.96 NO=24.50
Tensioni nel cordone: τ_P=0.23 τ_0=2.21 σ_0=12.01 σ_{ID}=12.21 Σ_T=14.22
CC 44 SLU (Collegamento -376_-504)
Azioni sul collegamento: N=332.97 Ty=-2.17 Tz=-89.36 Mx=-0.51 Mz=-2.97
Sollecitazioni agenti localmente: Tx_l=-2.17 Ty_l=-89.36 N_l=332.97 My_l=2.97 Mz_l=-0.51
Azioni sul cordone: TP=0.74 TO=6.97 NO=24.50
Tensioni nel cordone: τ_P=0.24 τ_0=2.22 σ_0=12.13 σ_{ID}=12.33 Σ_T=14.35
CC 45 SLU (Collegamento -376_-504)
Azioni sul collegamento: N=319.15 Ty=3.14 Tz=-87.22 Mx=0.78 Mz=4.32
Sollecitazioni agenti localmente: Tx_l=3.14 Ty_l=-87.22 N_l=319.15 My_l=-4.32 Mz_l=0.78
Azioni sul cordone: TP=-1.12 TO=7.03 NO=23.48
Tensioni nel cordone: τ_P=0.36 τ_0=2.23 σ_0=13.77 σ_{ID}=13.95 Σ_T=16.00
CC 46 SLU (Collegamento -376_-504)
Azioni sul collegamento: N=313.55 Ty=3.00 Tz=-86.35 Mx=0.74 Mz=4.12
Sollecitazioni agenti localmente: Tx_l=3.00 Ty_l=-86.35 N_l=313.55 My_l=-4.12 Mz_l=0.74
Azioni sul cordone: TP=-1.07 TO=6.94 NO=23.07
Tensioni nel cordone: τ_P=0.34 τ_0=2.21 σ_0=13.34 σ_{ID}=13.53 Σ_T=15.55
CC 47 SLU (Collegamento -376_-504)
Azioni sul collegamento: N=316.37 Ty=3.12 Tz=-86.79 Mx=0.76 Mz=4.26
Sollecitazioni agenti localmente: Tx_l=3.12 Ty_l=-86.79 N_l=316.37 My_l=-4.26 Mz_l=0.76
Azioni sul cordone: TP=-1.11 TO=6.99 NO=23.28
Tensioni nel cordone: τ_P=0.35 τ_0=2.22 σ_0=13.62 σ_{ID}=13.80 Σ_T=15.84
CC 48 SLU (Collegamento -376_-504)
Azioni sul collegamento: N=316.33 Ty=3.02 Tz=-86.79 Mx=0.75 Mz=4.17
Sollecitazioni agenti localmente: Tx_l=3.02 Ty_l=-86.79 N_l=316.33 My_l=-4.17 Mz_l=0.75
Azioni sul cordone: TP=-1.09 TO=6.98 NO=23.28
Tensioni nel cordone: τ_P=0.35 τ_0=2.22 σ_0=13.49 σ_{ID}=13.68 Σ_T=15.71
CC 49 SLU (Collegamento -376_-504)
Azioni sul collegamento: N=268.69 Ty=3.03 Tz=-79.41 Mx=0.77 Mz=4.29
Sollecitazioni agenti localmente: Tx_l=3.03 Ty_l=-79.41 N_l=268.69 My_l=-4.29 Mz_l=0.77
Azioni sul cordone: TP=-1.11 TO=6.45 NO=19.77
Tensioni nel cordone: τ_P=0.35 τ_0=2.05 σ_0=12.55 σ_{ID}=12.72 Σ_T=14.60
CC 50 SLU (Collegamento -376_-504)

Azioni sul collegamento: N=263.08 Ty=2.89 Tz=-78.54 Mx=0.73 Mz=4.09
Sollecitazioni agenti localmente: Tx_l=2.89 Ty_l=-78.54 N_l=263.08 My_l=-4.09 Mz_l=0.73
Azioni sul cordone: TP=-1.06 TO=6.36 NO=19.36
Tensioni nel cordone: τ_P=0.34 τ_0=2.02 σ_0=12.12 σ_{ID}=12.30 Σ_T=14.14
CC 51 SLU (Collegamento -376_-504)
Azioni sul collegamento: N=265.90 Ty=3.00 Tz=-78.98 Mx=0.76 Mz=4.23
Sollecitazioni agenti localmente: Tx_l=3.00 Ty_l=-78.98 N_l=265.90 My_l=-4.23 Mz_l=0.76
Azioni sul cordone: TP=-1.09 TO=6.41 NO=19.57
Tensioni nel cordone: τ_P=0.35 τ_0=2.04 σ_0=12.40 σ_{ID}=12.57 Σ_T=14.43
CC 52 SLU (Collegamento -376_-504)
Azioni sul collegamento: N=265.86 Ty=2.91 Tz=-78.97 Mx=0.74 Mz=4.15
Sollecitazioni agenti localmente: Tx_l=2.91 Ty_l=-78.97 N_l=265.86 My_l=-4.15 Mz_l=0.74
Azioni sul cordone: TP=-1.07 TO=6.40 NO=19.56
Tensioni nel cordone: τ_P=0.34 τ_0=2.03 σ_0=12.27 σ_{ID}=12.45 Σ_T=14.31
CC 53 SLU (Collegamento -376_-504)
Azioni sul collegamento: N=292.23 Ty=-0.75 Tz=-83.06 Mx=-0.17 Mz=-1.05
Sollecitazioni agenti localmente: Tx_l=-0.75 Ty_l=-83.06 N_l=292.23 My_l=1.05 Mz_l=-0.17
Azioni sul cordone: TP=0.25 TO=6.25 NO=21.50
Tensioni nel cordone: τ_P= 0.08 τ_0=1.99 σ_0=8.37 σ_{ID}=8.60 Σ_T=10.35
CC 54 SLU (Collegamento -376_-504)
Azioni sul collegamento: N=286.63 Ty=-0.89 Tz=-82.19 Mx=-0.21 Mz=-1.25
Sollecitazioni agenti localmente: Tx_l=-0.89 Ty_l=-82.19 N_l=286.63 My_l=1.25 Mz_l=-0.21
Azioni sul cordone: TP=0.30 TO=6.21 NO=21.09
Tensioni nel cordone: τ_P= 0.10 τ_0=1.97 σ_0=8.53 σ_{ID}=8.75 Σ_T=10.50
CC 55 SLU (Collegamento -376_-504)
Azioni sul collegamento: N=289.45 Ty=-0.78 Tz=-82.63 Mx=-0.18 Mz=-1.11
Sollecitazioni agenti localmente: Tx_l=-0.78 Ty_l=-82.63 N_l=289.45 My_l=1.11 Mz_l=-0.18
Azioni sul cordone: TP=0.27 TO=6.22 NO=21.30
Tensioni nel cordone: τ_P= 0.08 τ_0=1.98 σ_0=8.39 σ_{ID}=8.62 Σ_T=10.37
CC 56 SLU (Collegamento -376_-504)
Azioni sul collegamento: N=289.41 Ty=-0.87 Tz=-82.62 Mx=-0.20 Mz=-1.19
Sollecitazioni agenti localmente: Tx_l=-0.87 Ty_l=-82.62 N_l=289.41 My_l=1.19 Mz_l=-0.20
Azioni sul cordone: TP=0.29 TO=6.23 NO=21.30
Tensioni nel cordone: τ_P= 0.09 τ_0=1.98 σ_0=8.51 σ_{ID}=8.74 Σ_T=10.49
CC 57 SLU (Collegamento -376_-504)
Azioni sul collegamento: N=303.76 Ty=2.83 Tz=-84.84 Mx=0.70 Mz=3.86
Sollecitazioni agenti localmente: Tx_l=2.83 Ty_l=-84.84 N_l=303.76 My_l=-3.86 Mz_l=0.70
Azioni sul cordone: TP=-1.01 TO=6.79 NO=22.35
Tensioni nel cordone: τ_P=0.32 τ_0=2.16 σ_0=12.74 σ_{ID}=12.93 Σ_T=14.90
CC 58 SLU (Collegamento -376_-504)
Azioni sul collegamento: N=298.15 Ty=2.69 Tz=-83.97 Mx=0.66 Mz=3.66
Sollecitazioni agenti localmente: Tx_l=2.69 Ty_l=-83.97 N_l=298.15 My_l=-3.66 Mz_l=0.66
Azioni sul cordone: TP=-0.96 TO=6.70 NO=21.94
Tensioni nel cordone: τ_P=0.30 τ_0=2.13 σ_0=12.32 σ_{ID}=12.51 Σ_T=14.45
CC 59 SLU (Collegamento -376_-504)
Azioni sul collegamento: N=300.98 Ty=2.80 Tz=-84.41 Mx=0.69 Mz=3.80
Sollecitazioni agenti localmente: Tx_l=2.80 Ty_l=-84.41 N_l=300.98 My_l=-3.80 Mz_l=0.69
Azioni sul cordone: TP=-1.00 TO=6.75 NO=22.15
Tensioni nel cordone: τ_P=0.32 τ_0=2.15 σ_0=12.59 σ_{ID}=12.78 Σ_T=14.74
CC 60 SLU (Collegamento -376_-504)
Azioni sul collegamento: N=300.94 Ty=2.71 Tz=-84.40 Mx=0.67 Mz=3.72
Sollecitazioni agenti localmente: Tx_l=2.71 Ty_l=-84.40 N_l=300.94 My_l=-3.72 Mz_l=0.67
Azioni sul cordone: TP=-0.97 TO=6.74 NO=22.14
Tensioni nel cordone: τ_P=0.31 τ_0=2.14 σ_0=12.47 σ_{ID}=12.66 Σ_T=14.61
CC 61 SLU (Collegamento -376_-504)
Azioni sul collegamento: N=253.29 Ty=2.72 Tz=-77.03 Mx=0.69 Mz=3.83
Sollecitazioni agenti localmente: Tx_l=2.72 Ty_l=-77.03 N_l=253.29 My_l=-3.83 Mz_l=0.69
Azioni sul cordone: TP=-0.99 TO=6.21 NO=18.64
Tensioni nel cordone: τ_P=0.31 τ_0=1.97 σ_0=11.52 σ_{ID}=11.69 Σ_T=13.50
CC 62 SLU (Collegamento -376_-504)
Azioni sul collegamento: N=247.69 Ty=2.58 Tz=-76.16 Mx=0.65 Mz=3.63
Sollecitazioni agenti localmente: Tx_l=2.58 Ty_l=-76.16 N_l=247.69 My_l=-3.63 Mz_l=0.65
Azioni sul cordone: TP=-0.94 TO=6.12 NO=18.23
Tensioni nel cordone: τ_P=0.30 τ_0=1.94 σ_0=11.10 σ_{ID}=11.27 Σ_T=13.04
CC 63 SLU (Collegamento -376_-504)
Azioni sul collegamento: N=250.51 Ty=2.69 Tz=-76.60 Mx=0.68 Mz=3.77
Sollecitazioni agenti localmente: Tx_l=2.69 Ty_l=-76.60 N_l=250.51 My_l=-3.77 Mz_l=0.68
Azioni sul cordone: TP=-0.98 TO=6.17 NO=18.43
Tensioni nel cordone: τ_P=0.31 τ_0=1.96 σ_0=11.37 σ_{ID}=11.54 Σ_T=13.33
CC 64 SLU (Collegamento -376_-504)
Azioni sul collegamento: N=250.47 Ty=2.60 Tz=-76.59 Mx=0.66 Mz=3.69
Sollecitazioni agenti localmente: Tx_l=2.60 Ty_l=-76.59 N_l=250.47 My_l=-3.69 Mz_l=0.66
Azioni sul cordone: TP=-0.95 TO=6.16 NO=18.43
Tensioni nel cordone: τ_P=0.30 τ_0=1.96 σ_0=11.25 σ_{ID}=11.42 Σ_T=13.21
CC 65 SLU (Collegamento -376_-504)
Azioni sul collegamento: N=276.84 Ty=-1.07 Tz=-80.67 Mx=-0.25 Mz=-1.51
Sollecitazioni agenti localmente: Tx_l=-1.07 Ty_l=-80.67 N_l=276.84 My_l=1.51 Mz_l=-0.25
Azioni sul cordone: TP=0.37 TO=6.13 NO=20.37
Tensioni nel cordone: τ_P=0.12 τ_0=1.95 σ_0=8.67 σ_{ID}=8.89 Σ_T=10.62

CC 66 SLU (Collegamento -376_-504)
Azioni sul collegamento: N=271.24 Ty=-1.20 Tz=-79.81 Mx=-0.28 Mz=-1.71
Sollecitazioni agenti localmente: Tx_l=-1.20 Ty_l=-79.81 N_l=271.24 My_l=1.71 Mz_l=-0.28
Azioni sul cordone: TP=0.42 TO=6.10 NO=19.96
Tensioni nel cordone: τ_P=0.13 τ_0=1.94 σ_0=8.83 σ_{ID}=9.05 Σ_T=10.77
CC 67 SLU (Collegamento -376_-504)
Azioni sul collegamento: N=274.06 Ty=-1.09 Tz=-80.24 Mx=-0.26 Mz=-1.56
Sollecitazioni agenti localmente: Tx_l=-1.09 Ty_l=-80.24 N_l=274.06 My_l=1.56 Mz_l=-0.26
Azioni sul cordone: TP=0.38 TO=6.11 NO=20.17
Tensioni nel cordone: τ_P=0.12 τ_0=1.94 σ_0=8.69 σ_{ID}=8.91 Σ_T=10.64
CC 68 SLU (Collegamento -376_-504)
Azioni sul collegamento: N=274.02 Ty=-1.18 Tz=-80.24 Mx=-0.27 Mz=-1.65
Sollecitazioni agenti localmente: Tx_l=-1.18 Ty_l=-80.24 N_l=274.02 My_l=1.65 Mz_l=-0.27
Azioni sul cordone: TP=0.40 TO=6.12 NO=20.16
Tensioni nel cordone: τ_P=0.13 τ_0=1.95 σ_0=8.81 σ_{ID}=9.03 Σ_T=10.76
CC 97 SLU (Collegamento -376_-504)
Azioni sul collegamento: N=317.17 Ty=-4.15 Tz=-77.11 Mx=0.57 Mz=2.29
Sollecitazioni agenti localmente: Tx_l=-4.15 Ty_l=-77.11 N_l=317.17 My_l=-2.29 Mz_l=0.57
Azioni sul cordone: TP=-0.97 TO=-6.13 NO=23.34
Tensioni nel cordone: τ_P=0.31 τ_0=1.95 σ_0=10.76 σ_{ID}=10.94 Σ_T=12.71
CC 98 SLU (Collegamento -376_-504)
Azioni sul collegamento: N=311.56 Ty=-4.28 Tz=-76.24 Mx=0.54 Mz=2.09
Sollecitazioni agenti localmente: Tx_l=-4.28 Ty_l=-76.24 N_l=311.56 My_l=-2.09 Mz_l=0.54
Azioni sul cordone: TP=-0.94 TO=-6.04 NO=22.93
Tensioni nel cordone: τ_P=0.30 τ_0=1.92 σ_0=10.33 σ_{ID}=10.52 Σ_T=12.25
CC 99 SLU (Collegamento -376_-504)
Azioni sul collegamento: N=314.39 Ty=-4.17 Tz=-76.68 Mx=0.56 Mz=2.23
Sollecitazioni agenti localmente: Tx_l=-4.17 Ty_l=-76.68 N_l=314.39 My_l=-2.23 Mz_l=0.56
Azioni sul cordone: TP=-0.96 TO=-6.09 NO=23.13
Tensioni nel cordone: τ_P=0.30 τ_0=1.93 σ_0=10.61 σ_{ID}=10.79 Σ_T=12.54
CC 100 SLU (Collegamento -376_-504)
Azioni sul collegamento: N=314.35 Ty=-4.26 Tz=-76.67 Mx=0.55 Mz=2.14
Sollecitazioni agenti localmente: Tx_l=-4.26 Ty_l=-76.67 N_l=314.35 My_l=-2.14 Mz_l=0.55
Azioni sul cordone: TP=-0.95 TO=-6.08 NO=23.13
Tensioni nel cordone: τ_P=0.30 τ_0=1.93 σ_0=10.48 σ_{ID}=10.67 Σ_T=12.42
CC 101 SLU (Collegamento -376_-504)
Azioni sul collegamento: N=141.43 Ty=1.27 Tz=-49.91 Mx=0.26 Mz=1.59
Sollecitazioni agenti localmente: Tx_l=1.27 Ty_l=-49.91 N_l=141.43 My_l=-1.59 Mz_l=0.26
Azioni sul cordone: TP=-0.40 TO=3.88 NO=10.41
Tensioni nel cordone: τ_P=0.13 τ_0=1.23 σ_0=5.64 σ_{ID}=5.77 Σ_T=6.87
CC 102 SLU (Collegamento -376_-504)
Azioni sul collegamento: N=135.83 Ty=1.13 Tz=-49.04 Mx=0.23 Mz=1.39
Sollecitazioni agenti localmente: Tx_l=1.13 Ty_l=-49.04 N_l=135.83 My_l=-1.39 Mz_l=0.23
Azioni sul cordone: TP=-0.35 TO=3.79 NO=9.99
Tensioni nel cordone: τ_P=0.11 τ_0=1.20 σ_0=5.21 σ_{ID}=5.35 Σ_T=6.42
CC 103 SLU (Collegamento -376_-504)
Azioni sul collegamento: N=138.65 Ty=1.25 Tz=-49.48 Mx=0.25 Mz=1.54
Sollecitazioni agenti localmente: Tx_l=1.25 Ty_l=-49.48 N_l=138.65 My_l=-1.54 Mz_l=0.25
Azioni sul cordone: TP=-0.38 TO=3.84 NO=10.20
Tensioni nel cordone: τ_P=0.12 τ_0=1.22 σ_0=5.49 σ_{ID}=5.62 Σ_T=6.71
CC 104 SLU (Collegamento -376_-504)
Azioni sul collegamento: N=138.61 Ty=1.16 Tz=-49.47 Mx=0.24 Mz=1.45
Sollecitazioni agenti localmente: Tx_l=1.16 Ty_l=-49.47 N_l=138.61 My_l=-1.45 Mz_l=0.24
Azioni sul cordone: TP=-0.36 TO=3.83 NO=10.20
Tensioni nel cordone: τ_P=0.11 τ_0=1.22 σ_0=5.36 σ_{ID}=5.50 Σ_T=6.58

Verifica lato anima della colonna

CC 1 SLV (Collegamento -376_-504)
Azioni sul collegamento: N=176.80 Ty=1.82 Tz=-55.38 Mx=0.47 Mz=2.63
Zona tesa: F=71.19 b_{eff}=13.20 t_w=0.70 σ=7.71
Zona tesa: F=71.19 b_{eff}=13.20 t_w=0.70 σ=7.71
CC 1 SLV (Collegamento -376_-504)
Azioni sul collegamento: N=176.80 Ty=0.22 Tz=-55.38 Mx=0.14 Mz=0.47
Zona tesa: F=71.19 b_{eff}=13.20 t_w=0.70 σ=7.71
Zona tesa: F=71.19 b_{eff}=13.20 t_w=0.70 σ=7.71
CC 1 SLV (Collegamento -376_-504)
Azioni sul collegamento: N=176.80 Ty=1.82 Tz=-55.38 Mx=0.47 Mz=2.63
Zona tesa: F=71.19 b_{eff}=13.20 t_w=0.70 σ=7.71
Zona tesa: F=71.19 b_{eff}=13.20 t_w=0.70 σ=7.71
CC 1 SLV (Collegamento -376_-504)
Azioni sul collegamento: N=176.80 Ty=0.22 Tz=-55.38 Mx=0.14 Mz=0.47
Zona tesa: F=71.19 b_{eff}=13.20 t_w=0.70 σ=7.71
Zona tesa: F=71.19 b_{eff}=13.20 t_w=0.70 σ=7.71
CC 1 SLV (Collegamento -376_-504)
Azioni sul collegamento: N=122.83 Ty=1.82 Tz=-47.03 Mx=0.47 Mz=2.63
Zona tesa: F=49.46 b_{eff}=13.20 t_w=0.70 σ=5.35
Zona tesa: F=49.46 b_{eff}=13.20 t_w=0.70 σ=5.35

CC 1 SLV (Collegamento -376_-504)
Azioni sul collegamento: N=122.83 Ty=0.22 Tz=-47.03 Mx=0.14 Mz=0.47
Zona tesa: F=49.46 b_{eff}=13.20 t_w=0.70 σ=5.35
Zona tesa: F=49.46 b_{eff}=13.20 t_w=0.70 σ=5.35
CC 1 SLV (Collegamento -376_-504)
Azioni sul collegamento: N=122.83 Ty=1.82 Tz=-47.03 Mx=0.47 Mz=2.63
Zona tesa: F=49.46 b_{eff}=13.20 t_w=0.70 σ=5.35
Zona tesa: F=49.46 b_{eff}=13.20 t_w=0.70 σ=5.35
CC 1 SLV (Collegamento -376_-504)
Azioni sul collegamento: N=122.83 Ty=0.22 Tz=-47.03 Mx=0.14 Mz=0.47
Zona tesa: F=49.46 b_{eff}=13.20 t_w=0.70 σ=5.35
Zona tesa: F=49.46 b_{eff}=13.20 t_w=0.70 σ=5.35
CC 2 SLD (Collegamento -376_-504)
Azioni sul collegamento: N=156.43 Ty=1.58 Tz=-52.23 Mx=0.40 Mz=2.22
Zona tesa: F=62.99 b_{eff}=13.20 t_w=0.70 σ=6.82
Zona tesa: F=62.99 b_{eff}=13.20 t_w=0.70 σ=6.82
CC 2 SLD (Collegamento -376_-504)
Azioni sul collegamento: N=156.43 Ty=1.10 Tz=-52.23 Mx=0.30 Mz=1.57
Zona tesa: F=62.99 b_{eff}=13.20 t_w=0.70 σ=6.82
Zona tesa: F=62.99 b_{eff}=13.20 t_w=0.70 σ=6.82
CC 2 SLD (Collegamento -376_-504)
Azioni sul collegamento: N=156.43 Ty=1.58 Tz=-52.23 Mx=0.40 Mz=2.22
Zona tesa: F=62.99 b_{eff}=13.20 t_w=0.70 σ=6.82
Zona tesa: F=62.99 b_{eff}=13.20 t_w=0.70 σ=6.82
CC 2 SLD (Collegamento -376_-504)
Azioni sul collegamento: N=156.43 Ty=1.10 Tz=-52.23 Mx=0.30 Mz=1.57
Zona tesa: F=62.99 b_{eff}=13.20 t_w=0.70 σ=6.82
Zona tesa: F=62.99 b_{eff}=13.20 t_w=0.70 σ=6.82
CC 2 SLD (Collegamento -376_-504)
Azioni sul collegamento: N=139.97 Ty=1.58 Tz=-49.68 Mx=0.40 Mz=2.22
Zona tesa: F=56.36 b_{eff}=13.20 t_w=0.70 σ=6.10
Zona tesa: F=56.36 b_{eff}=13.20 t_w=0.70 σ=6.10
CC 2 SLD (Collegamento -376_-504)
Azioni sul collegamento: N=139.97 Ty=1.10 Tz=-49.68 Mx=0.30 Mz=1.57
Zona tesa: F=56.36 b_{eff}=13.20 t_w=0.70 σ=6.10
Zona tesa: F=56.36 b_{eff}=13.20 t_w=0.70 σ=6.10
CC 2 SLD (Collegamento -376_-504)
Azioni sul collegamento: N=139.97 Ty=1.58 Tz=-49.68 Mx=0.40 Mz=2.22
Zona tesa: F=56.36 b_{eff}=13.20 t_w=0.70 σ=6.10
Zona tesa: F=56.36 b_{eff}=13.20 t_w=0.70 σ=6.10
CC 2 SLD (Collegamento -376_-504)
Azioni sul collegamento: N=139.97 Ty=1.10 Tz=-49.68 Mx=0.30 Mz=1.57
Zona tesa: F=56.36 b_{eff}=13.20 t_w=0.70 σ=6.10
Zona tesa: F=56.36 b_{eff}=13.20 t_w=0.70 σ=6.10
CC 3 SLV (Collegamento -376_-504)
Azioni sul collegamento: N=176.71 Ty=1.54 Tz=-55.37 Mx=0.43 Mz=2.39
Zona tesa: F=71.16 b_{eff}=13.20 t_w=0.70 σ=7.70
Zona tesa: F=71.16 b_{eff}=13.20 t_w=0.70 σ=7.70
CC 3 SLV (Collegamento -376_-504)
Azioni sul collegamento: N=176.71 Ty=0.50 Tz=-55.37 Mx=0.18 Mz=0.72
Zona tesa: F=71.16 b_{eff}=13.20 t_w=0.70 σ=7.70
Zona tesa: F=71.16 b_{eff}=13.20 t_w=0.70 σ=7.70
CC 3 SLV (Collegamento -376_-504)
Azioni sul collegamento: N=176.71 Ty=1.54 Tz=-55.37 Mx=0.43 Mz=2.39
Zona tesa: F=71.16 b_{eff}=13.20 t_w=0.70 σ=7.70
Zona tesa: F=71.16 b_{eff}=13.20 t_w=0.70 σ=7.70
CC 3 SLV (Collegamento -376_-504)
Azioni sul collegamento: N=176.71 Ty=0.50 Tz=-55.37 Mx=0.18 Mz=0.72
Zona tesa: F=71.16 b_{eff}=13.20 t_w=0.70 σ=7.70
Zona tesa: F=71.16 b_{eff}=13.20 t_w=0.70 σ=7.70
CC 3 SLV (Collegamento -376_-504)
Azioni sul collegamento: N=122.93 Ty=1.54 Tz=-47.05 Mx=0.43 Mz=2.39
Zona tesa: F=49.50 b_{eff}=13.20 t_w=0.70 σ=5.36
Zona tesa: F=49.50 b_{eff}=13.20 t_w=0.70 σ=5.36
CC 3 SLV (Collegamento -376_-504)
Azioni sul collegamento: N=122.93 Ty=0.50 Tz=-47.05 Mx=0.18 Mz=0.72
Zona tesa: F=49.50 b_{eff}=13.20 t_w=0.70 σ=5.36
Zona tesa: F=49.50 b_{eff}=13.20 t_w=0.70 σ=5.36
CC 3 SLV (Collegamento -376_-504)
Azioni sul collegamento: N=122.93 Ty=1.54 Tz=-47.05 Mx=0.43 Mz=2.39
Zona tesa: F=49.50 b_{eff}=13.20 t_w=0.70 σ=5.36
Zona tesa: F=49.50 b_{eff}=13.20 t_w=0.70 σ=5.36
CC 3 SLV (Collegamento -376_-504)
Azioni sul collegamento: N=122.93 Ty=0.50 Tz=-47.05 Mx=0.18 Mz=0.72
Zona tesa: F=49.50 b_{eff}=13.20 t_w=0.70 σ=5.36
Zona tesa: F=49.50 b_{eff}=13.20 t_w=0.70 σ=5.36

CC 4 SLD (Collegamento -376_-504)
Azioni sul collegamento: N=156.40 Ty=1.50 Tz=-52.23 Mx=0.39 Mz=2.15
Zona tesa: F=62.98 b_{eff}=13.20 t_w=0.70 σ=6.82
Zona tesa: F=62.98 b_{eff}=13.20 t_w=0.70 σ=6.82
CC 4 SLD (Collegamento -376_-504)
Azioni sul collegamento: N=156.40 Ty=1.18 Tz=-52.23 Mx=0.31 Mz=1.64
Zona tesa: F=62.98 b_{eff}=13.20 t_w=0.70 σ=6.82
Zona tesa: F=62.98 b_{eff}=13.20 t_w=0.70 σ=6.82
CC 4 SLD (Collegamento -376_-504)
Azioni sul collegamento: N=156.40 Ty=1.50 Tz=-52.23 Mx=0.39 Mz=2.15
Zona tesa: F=62.98 b_{eff}=13.20 t_w=0.70 σ=6.82
Zona tesa: F=62.98 b_{eff}=13.20 t_w=0.70 σ=6.82
CC 4 SLD (Collegamento -376_-504)
Azioni sul collegamento: N=156.40 Ty=1.18 Tz=-52.23 Mx=0.31 Mz=1.64
Zona tesa: F=62.98 b_{eff}=13.20 t_w=0.70 σ=6.82
Zona tesa: F=62.98 b_{eff}=13.20 t_w=0.70 σ=6.82
CC 4 SLD (Collegamento -376_-504)
Azioni sul collegamento: N=140.00 Ty=1.50 Tz=-49.69 Mx=0.39 Mz=2.15
Zona tesa: F=56.38 b_{eff}=13.20 t_w=0.70 σ=6.10
Zona tesa: F=56.38 b_{eff}=13.20 t_w=0.70 σ=6.10
CC 4 SLD (Collegamento -376_-504)
Azioni sul collegamento: N=140.00 Ty=1.18 Tz=-49.69 Mx=0.31 Mz=1.64
Zona tesa: F=56.38 b_{eff}=13.20 t_w=0.70 σ=6.10
Zona tesa: F=56.38 b_{eff}=13.20 t_w=0.70 σ=6.10
CC 4 SLD (Collegamento -376_-504)
Azioni sul collegamento: N=140.00 Ty=1.50 Tz=-49.69 Mx=0.39 Mz=2.15
Zona tesa: F=56.38 b_{eff}=13.20 t_w=0.70 σ=6.10
Zona tesa: F=56.38 b_{eff}=13.20 t_w=0.70 σ=6.10
CC 4 SLD (Collegamento -376_-504)
Azioni sul collegamento: N=140.00 Ty=1.18 Tz=-49.69 Mx=0.31 Mz=1.64
Zona tesa: F=56.38 b_{eff}=13.20 t_w=0.70 σ=6.10
Zona tesa: F=56.38 b_{eff}=13.20 t_w=0.70 σ=6.10
CC 5 SLV (Collegamento -376_-504)
Azioni sul collegamento: N=122.93 Ty=0.50 Tz=-47.05 Mx=0.14 Mz=0.72
Zona tesa: F=49.50 b_{eff}=13.20 t_w=0.70 σ=5.36
Zona tesa: F=49.50 b_{eff}=13.20 t_w=0.70 σ=5.36
CC 5 SLV (Collegamento -376_-504)
Azioni sul collegamento: N=122.93 Ty=1.54 Tz=-47.05 Mx=0.40 Mz=2.39
Zona tesa: F=49.50 b_{eff}=13.20 t_w=0.70 σ=5.36
Zona tesa: F=49.50 b_{eff}=13.20 t_w=0.70 σ=5.36
CC 5 SLV (Collegamento -376_-504)
Azioni sul collegamento: N=122.93 Ty=0.50 Tz=-47.05 Mx=0.14 Mz=0.72
Zona tesa: F=49.50 b_{eff}=13.20 t_w=0.70 σ=5.36
Zona tesa: F=49.50 b_{eff}=13.20 t_w=0.70 σ=5.36
CC 5 SLV (Collegamento -376_-504)
Azioni sul collegamento: N=122.93 Ty=1.54 Tz=-47.05 Mx=0.40 Mz=2.39
Zona tesa: F=49.50 b_{eff}=13.20 t_w=0.70 σ=5.36
Zona tesa: F=49.50 b_{eff}=13.20 t_w=0.70 σ=5.36
CC 5 SLV (Collegamento -376_-504)
Azioni sul collegamento: N=176.71 Ty=0.50 Tz=-55.37 Mx=0.14 Mz=0.72
Zona tesa: F=71.16 b_{eff}=13.20 t_w=0.70 σ=7.70
Zona tesa: F=71.16 b_{eff}=13.20 t_w=0.70 σ=7.70
CC 5 SLV (Collegamento -376_-504)
Azioni sul collegamento: N=176.71 Ty=1.54 Tz=-55.37 Mx=0.40 Mz=2.39
Zona tesa: F=71.16 b_{eff}=13.20 t_w=0.70 σ=7.70
Zona tesa: F=71.16 b_{eff}=13.20 t_w=0.70 σ=7.70
CC 5 SLV (Collegamento -376_-504)
Azioni sul collegamento: N=176.71 Ty=0.50 Tz=-55.37 Mx=0.14 Mz=0.72
Zona tesa: F=71.16 b_{eff}=13.20 t_w=0.70 σ=7.70
Zona tesa: F=71.16 b_{eff}=13.20 t_w=0.70 σ=7.70
CC 5 SLV (Collegamento -376_-504)
Azioni sul collegamento: N=176.71 Ty=1.54 Tz=-55.37 Mx=0.40 Mz=2.39
Zona tesa: F=71.16 b_{eff}=13.20 t_w=0.70 σ=7.70
Zona tesa: F=71.16 b_{eff}=13.20 t_w=0.70 σ=7.70
CC 6 SLD (Collegamento -376_-504)
Azioni sul collegamento: N=140.00 Ty=1.18 Tz=-49.69 Mx=0.30 Mz=1.64
Zona tesa: F=56.38 b_{eff}=13.20 t_w=0.70 σ=6.10
Zona tesa: F=56.38 b_{eff}=13.20 t_w=0.70 σ=6.10
CC 6 SLD (Collegamento -376_-504)
Azioni sul collegamento: N=140.00 Ty=1.50 Tz=-49.69 Mx=0.38 Mz=2.15
Zona tesa: F=56.38 b_{eff}=13.20 t_w=0.70 σ=6.10
Zona tesa: F=56.38 b_{eff}=13.20 t_w=0.70 σ=6.10
CC 6 SLD (Collegamento -376_-504)
Azioni sul collegamento: N=140.00 Ty=1.18 Tz=-49.69 Mx=0.30 Mz=1.64
Zona tesa: F=56.38 b_{eff}=13.20 t_w=0.70 σ=6.10
Zona tesa: F=56.38 b_{eff}=13.20 t_w=0.70 σ=6.10

CC 6 SLD (Collegamento -376_-504)
Azioni sul collegamento: N=140.00 Ty=1.50 Tz=-49.69 Mx=0.38 Mz=2.15
Zona tesa: F=56.38 b_{eff}=13.20 t_w=0.70 σ=6.10
Zona tesa: F=56.38 b_{eff}=13.20 t_w=0.70 σ=6.10
CC 6 SLD (Collegamento -376_-504)
Azioni sul collegamento: N=156.40 Ty=1.18 Tz=-52.23 Mx=0.30 Mz=1.64
Zona tesa: F=62.98 b_{eff}=13.20 t_w=0.70 σ=6.82
Zona tesa: F=62.98 b_{eff}=13.20 t_w=0.70 σ=6.82
CC 6 SLD (Collegamento -376_-504)
Azioni sul collegamento: N=156.40 Ty=1.50 Tz=-52.23 Mx=0.38 Mz=2.15
Zona tesa: F=62.98 b_{eff}=13.20 t_w=0.70 σ=6.82
Zona tesa: F=62.98 b_{eff}=13.20 t_w=0.70 σ=6.82
CC 6 SLD (Collegamento -376_-504)
Azioni sul collegamento: N=156.40 Ty=1.18 Tz=-52.23 Mx=0.30 Mz=1.64
Zona tesa: F=62.98 b_{eff}=13.20 t_w=0.70 σ=6.82
Zona tesa: F=62.98 b_{eff}=13.20 t_w=0.70 σ=6.82
CC 6 SLD (Collegamento -376_-504)
Azioni sul collegamento: N=156.40 Ty=1.50 Tz=-52.23 Mx=0.38 Mz=2.15
Zona tesa: F=62.98 b_{eff}=13.20 t_w=0.70 σ=6.82
Zona tesa: F=62.98 b_{eff}=13.20 t_w=0.70 σ=6.82
CC 7 SLV (Collegamento -376_-504)
Azioni sul collegamento: N=122.83 Ty=0.22 Tz=-47.03 Mx=0.10 Mz=0.48
Zona tesa: F=49.46 b_{eff}=13.20 t_w=0.70 σ=5.35
Zona tesa: F=49.46 b_{eff}=13.20 t_w=0.70 σ=5.35
CC 7 SLV (Collegamento -376_-504)
Azioni sul collegamento: N=122.83 Ty=1.82 Tz=-47.03 Mx=0.44 Mz=2.64
Zona tesa: F=49.46 b_{eff}=13.20 t_w=0.70 σ=5.35
Zona tesa: F=49.46 b_{eff}=13.20 t_w=0.70 σ=5.35
CC 7 SLV (Collegamento -376_-504)
Azioni sul collegamento: N=122.83 Ty=0.22 Tz=-47.03 Mx=0.10 Mz=0.48
Zona tesa: F=49.46 b_{eff}=13.20 t_w=0.70 σ=5.35
Zona tesa: F=49.46 b_{eff}=13.20 t_w=0.70 σ=5.35
CC 7 SLV (Collegamento -376_-504)
Azioni sul collegamento: N=122.83 Ty=1.82 Tz=-47.03 Mx=0.44 Mz=2.64
Zona tesa: F=49.46 b_{eff}=13.20 t_w=0.70 σ=5.35
Zona tesa: F=49.46 b_{eff}=13.20 t_w=0.70 σ=5.35
CC 7 SLV (Collegamento -376_-504)
Azioni sul collegamento: N=176.80 Ty=0.22 Tz=-55.38 Mx=0.10 Mz=0.48
Zona tesa: F=71.19 b_{eff}=13.20 t_w=0.70 σ=7.71
Zona tesa: F=71.19 b_{eff}=13.20 t_w=0.70 σ=7.71
CC 7 SLV (Collegamento -376_-504)
Azioni sul collegamento: N=176.80 Ty=1.82 Tz=-55.38 Mx=0.44 Mz=2.64
Zona tesa: F=71.19 b_{eff}=13.20 t_w=0.70 σ=7.71
Zona tesa: F=71.19 b_{eff}=13.20 t_w=0.70 σ=7.71
CC 7 SLV (Collegamento -376_-504)
Azioni sul collegamento: N=176.80 Ty=0.22 Tz=-55.38 Mx=0.10 Mz=0.48
Zona tesa: F=71.19 b_{eff}=13.20 t_w=0.70 σ=7.71
Zona tesa: F=71.19 b_{eff}=13.20 t_w=0.70 σ=7.71
CC 7 SLV (Collegamento -376_-504)
Azioni sul collegamento: N=176.80 Ty=1.82 Tz=-55.38 Mx=0.44 Mz=2.64
Zona tesa: F=71.19 b_{eff}=13.20 t_w=0.70 σ=7.71
Zona tesa: F=71.19 b_{eff}=13.20 t_w=0.70 σ=7.71
CC 8 SLD (Collegamento -376_-504)
Azioni sul collegamento: N=139.97 Ty=1.10 Tz=-49.68 Mx=0.29 Mz=1.57
Zona tesa: F=56.36 b_{eff}=13.20 t_w=0.70 σ=6.10
Zona tesa: F=56.36 b_{eff}=13.20 t_w=0.70 σ=6.10
CC 8 SLD (Collegamento -376_-504)
Azioni sul collegamento: N=139.97 Ty=1.58 Tz=-49.68 Mx=0.39 Mz=2.23
Zona tesa: F=56.36 b_{eff}=13.20 t_w=0.70 σ=6.10
Zona tesa: F=56.36 b_{eff}=13.20 t_w=0.70 σ=6.10
CC 8 SLD (Collegamento -376_-504)
Azioni sul collegamento: N=139.97 Ty=1.10 Tz=-49.68 Mx=0.29 Mz=1.57
Zona tesa: F=56.36 b_{eff}=13.20 t_w=0.70 σ=6.10
Zona tesa: F=56.36 b_{eff}=13.20 t_w=0.70 σ=6.10
CC 8 SLD (Collegamento -376_-504)
Azioni sul collegamento: N=139.97 Ty=1.58 Tz=-49.68 Mx=0.39 Mz=2.23
Zona tesa: F=56.36 b_{eff}=13.20 t_w=0.70 σ=6.10
Zona tesa: F=56.36 b_{eff}=13.20 t_w=0.70 σ=6.10
CC 8 SLD (Collegamento -376_-504)
Azioni sul collegamento: N=156.43 Ty=1.10 Tz=-52.23 Mx=0.29 Mz=1.57
Zona tesa: F=62.99 b_{eff}=13.20 t_w=0.70 σ=6.82
Zona tesa: F=62.99 b_{eff}=13.20 t_w=0.70 σ=6.82
CC 8 SLD (Collegamento -376_-504)
Azioni sul collegamento: N=156.43 Ty=1.58 Tz=-52.23 Mx=0.39 Mz=2.23
Zona tesa: F=62.99 b_{eff}=13.20 t_w=0.70 σ=6.82
Zona tesa: F=62.99 b_{eff}=13.20 t_w=0.70 σ=6.82

CC 8 SLD (Collegamento -376_-504)
Azioni sul collegamento: N=156.43 Ty=1.10 Tz=-52.23 Mx=0.29 Mz=1.57
Zona tesa: F=62.99 b_{eff}=13.20 t_w=0.70 σ=6.82
Zona tesa: F=62.99 b_{eff}=13.20 t_w=0.70 σ=6.82
CC 8 SLD (Collegamento -376_-504)
Azioni sul collegamento: N=156.43 Ty=1.58 Tz=-52.23 Mx=0.39 Mz=2.23
Zona tesa: F=62.99 b_{eff}=13.20 t_w=0.70 σ=6.82
Zona tesa: F=62.99 b_{eff}=13.20 t_w=0.70 σ=6.82
CC 9 SLV (Collegamento -376_-504)
Azioni sul collegamento: N=158.05 Ty=1.67 Tz=-52.48 Mx=0.41 Mz=2.25
Zona tesa: F=63.65 b_{eff}=13.20 t_w=0.70 σ=6.89
Zona tesa: F=63.65 b_{eff}=13.20 t_w=0.70 σ=6.89
CC 9 SLV (Collegamento -376_-504)
Azioni sul collegamento: N=158.05 Ty=0.36 Tz=-52.48 Mx=0.19 Mz=0.85
Zona tesa: F=63.65 b_{eff}=13.20 t_w=0.70 σ=6.89
Zona tesa: F=63.65 b_{eff}=13.20 t_w=0.70 σ=6.89
CC 9 SLV (Collegamento -376_-504)
Azioni sul collegamento: N=158.05 Ty=1.67 Tz=-52.48 Mx=0.41 Mz=2.25
Zona tesa: F=63.65 b_{eff}=13.20 t_w=0.70 σ=6.89
Zona tesa: F=63.65 b_{eff}=13.20 t_w=0.70 σ=6.89
CC 9 SLV (Collegamento -376_-504)
Azioni sul collegamento: N=158.05 Ty=0.36 Tz=-52.48 Mx=0.19 Mz=0.85
Zona tesa: F=63.65 b_{eff}=13.20 t_w=0.70 σ=6.89
Zona tesa: F=63.65 b_{eff}=13.20 t_w=0.70 σ=6.89
CC 9 SLV (Collegamento -376_-504)
Azioni sul collegamento: N=141.58 Ty=1.67 Tz=-49.93 Mx=0.41 Mz=2.25
Zona tesa: F=57.01 b_{eff}=13.20 t_w=0.70 σ=6.17
Zona tesa: F=57.01 b_{eff}=13.20 t_w=0.70 σ=6.17
CC 9 SLV (Collegamento -376_-504)
Azioni sul collegamento: N=141.58 Ty=0.36 Tz=-49.93 Mx=0.19 Mz=0.85
Zona tesa: F=57.01 b_{eff}=13.20 t_w=0.70 σ=6.17
Zona tesa: F=57.01 b_{eff}=13.20 t_w=0.70 σ=6.17
CC 9 SLV (Collegamento -376_-504)
Azioni sul collegamento: N=141.58 Ty=1.67 Tz=-49.93 Mx=0.41 Mz=2.25
Zona tesa: F=57.01 b_{eff}=13.20 t_w=0.70 σ=6.17
Zona tesa: F=57.01 b_{eff}=13.20 t_w=0.70 σ=6.17
CC 9 SLV (Collegamento -376_-504)
Azioni sul collegamento: N=141.58 Ty=0.36 Tz=-49.93 Mx=0.19 Mz=0.85
Zona tesa: F=57.01 b_{eff}=13.20 t_w=0.70 σ=6.17
Zona tesa: F=57.01 b_{eff}=13.20 t_w=0.70 σ=6.17
CC 10 SLD (Collegamento -376_-504)
Azioni sul collegamento: N=150.71 Ty=1.54 Tz=-51.35 Mx=0.38 Mz=2.11
Zona tesa: F=60.69 b_{eff}=13.20 t_w=0.70 σ=6.57
Zona tesa: F=60.69 b_{eff}=13.20 t_w=0.70 σ=6.57
CC 10 SLD (Collegamento -376_-504)
Azioni sul collegamento: N=150.71 Ty=1.14 Tz=-51.35 Mx=0.31 Mz=1.68
Zona tesa: F=60.69 b_{eff}=13.20 t_w=0.70 σ=6.57
Zona tesa: F=60.69 b_{eff}=13.20 t_w=0.70 σ=6.57
CC 10 SLD (Collegamento -376_-504)
Azioni sul collegamento: N=150.71 Ty=1.54 Tz=-51.35 Mx=0.38 Mz=2.11
Zona tesa: F=60.69 b_{eff}=13.20 t_w=0.70 σ=6.57
Zona tesa: F=60.69 b_{eff}=13.20 t_w=0.70 σ=6.57
CC 10 SLD (Collegamento -376_-504)
Azioni sul collegamento: N=150.71 Ty=1.14 Tz=-51.35 Mx=0.31 Mz=1.68
Zona tesa: F=60.69 b_{eff}=13.20 t_w=0.70 σ=6.57
Zona tesa: F=60.69 b_{eff}=13.20 t_w=0.70 σ=6.57
CC 10 SLD (Collegamento -376_-504)
Azioni sul collegamento: N=145.69 Ty=1.54 Tz=-50.57 Mx=0.38 Mz=2.11
Zona tesa: F=58.67 b_{eff}=13.20 t_w=0.70 σ=6.35
Zona tesa: F=58.67 b_{eff}=13.20 t_w=0.70 σ=6.35
CC 10 SLD (Collegamento -376_-504)
Azioni sul collegamento: N=145.69 Ty=1.14 Tz=-50.57 Mx=0.31 Mz=1.68
Zona tesa: F=58.67 b_{eff}=13.20 t_w=0.70 σ=6.35
Zona tesa: F=58.67 b_{eff}=13.20 t_w=0.70 σ=6.35
CC 10 SLD (Collegamento -376_-504)
Azioni sul collegamento: N=145.69 Ty=1.54 Tz=-50.57 Mx=0.38 Mz=2.11
Zona tesa: F=58.67 b_{eff}=13.20 t_w=0.70 σ=6.35
Zona tesa: F=58.67 b_{eff}=13.20 t_w=0.70 σ=6.35
CC 10 SLD (Collegamento -376_-504)
Azioni sul collegamento: N=145.69 Ty=1.14 Tz=-50.57 Mx=0.31 Mz=1.68
Zona tesa: F=58.67 b_{eff}=13.20 t_w=0.70 σ=6.35
Zona tesa: F=58.67 b_{eff}=13.20 t_w=0.70 σ=6.35
CC 11 SLV (Collegamento -376_-504)
Azioni sul collegamento: N=141.89 Ty=1.28 Tz=-49.98 Mx=0.31 Mz=1.68
Zona tesa: F=57.14 b_{eff}=13.20 t_w=0.70 σ=6.18
Zona tesa: F=57.14 b_{eff}=13.20 t_w=0.70 σ=6.18

CC 11 SLV (Collegamento -376_-504)
Azioni sul collegamento: N=141.89 Ty=0.76 Tz=-49.98 Mx=0.27 Mz=1.43
Zona tesa: F=57.14 b_{eff}=13.20 t_w=0.70 σ=6.18
Zona tesa: F=57.14 b_{eff}=13.20 t_w=0.70 σ=6.18
CC 11 SLV (Collegamento -376_-504)
Azioni sul collegamento: N=141.89 Ty=1.28 Tz=-49.98 Mx=0.31 Mz=1.68
Zona tesa: F=57.14 b_{eff}=13.20 t_w=0.70 σ=6.18
Zona tesa: F=57.14 b_{eff}=13.20 t_w=0.70 σ=6.18
CC 11 SLV (Collegamento -376_-504)
Azioni sul collegamento: N=141.89 Ty=0.76 Tz=-49.98 Mx=0.27 Mz=1.43
Zona tesa: F=57.14 b_{eff}=13.20 t_w=0.70 σ=6.18
Zona tesa: F=57.14 b_{eff}=13.20 t_w=0.70 σ=6.18
CC 11 SLV (Collegamento -376_-504)
Azioni sul collegamento: N=157.75 Ty=1.28 Tz=-52.44 Mx=0.31 Mz=1.68
Zona tesa: F=63.52 b_{eff}=13.20 t_w=0.70 σ=6.87
Zona tesa: F=63.52 b_{eff}=13.20 t_w=0.70 σ=6.87
CC 11 SLV (Collegamento -376_-504)
Azioni sul collegamento: N=157.75 Ty=0.76 Tz=-52.44 Mx=0.27 Mz=1.43
Zona tesa: F=63.52 b_{eff}=13.20 t_w=0.70 σ=6.87
Zona tesa: F=63.52 b_{eff}=13.20 t_w=0.70 σ=6.87
CC 11 SLV (Collegamento -376_-504)
Azioni sul collegamento: N=157.75 Ty=1.28 Tz=-52.44 Mx=0.31 Mz=1.68
Zona tesa: F=63.52 b_{eff}=13.20 t_w=0.70 σ=6.87
Zona tesa: F=63.52 b_{eff}=13.20 t_w=0.70 σ=6.87
CC 11 SLV (Collegamento -376_-504)
Azioni sul collegamento: N=157.75 Ty=0.76 Tz=-52.44 Mx=0.27 Mz=1.43
Zona tesa: F=63.52 b_{eff}=13.20 t_w=0.70 σ=6.87
Zona tesa: F=63.52 b_{eff}=13.20 t_w=0.70 σ=6.87
CC 12 SLD (Collegamento -376_-504)
Azioni sul collegamento: N=145.78 Ty=1.42 Tz=-50.58 Mx=0.35 Mz=1.93
Zona tesa: F=58.70 b_{eff}=13.20 t_w=0.70 σ=6.35
Zona tesa: F=58.70 b_{eff}=13.20 t_w=0.70 σ=6.35
CC 12 SLD (Collegamento -376_-504)
Azioni sul collegamento: N=145.78 Ty=1.26 Tz=-50.58 Mx=0.34 Mz=1.86
Zona tesa: F=58.70 b_{eff}=13.20 t_w=0.70 σ=6.35
Zona tesa: F=58.70 b_{eff}=13.20 t_w=0.70 σ=6.35
CC 12 SLD (Collegamento -376_-504)
Azioni sul collegamento: N=145.78 Ty=1.42 Tz=-50.58 Mx=0.35 Mz=1.93
Zona tesa: F=58.70 b_{eff}=13.20 t_w=0.70 σ=6.35
Zona tesa: F=58.70 b_{eff}=13.20 t_w=0.70 σ=6.35
CC 12 SLD (Collegamento -376_-504)
Azioni sul collegamento: N=145.78 Ty=1.26 Tz=-50.58 Mx=0.34 Mz=1.86
Zona tesa: F=58.70 b_{eff}=13.20 t_w=0.70 σ=6.35
Zona tesa: F=58.70 b_{eff}=13.20 t_w=0.70 σ=6.35
CC 12 SLD (Collegamento -376_-504)
Azioni sul collegamento: N=150.62 Ty=1.42 Tz=-51.33 Mx=0.35 Mz=1.93
Zona tesa: F=60.65 b_{eff}=13.20 t_w=0.70 σ=6.56
Zona tesa: F=60.65 b_{eff}=13.20 t_w=0.70 σ=6.56
CC 12 SLD (Collegamento -376_-504)
Azioni sul collegamento: N=150.62 Ty=1.26 Tz=-51.33 Mx=0.34 Mz=1.86
Zona tesa: F=60.65 b_{eff}=13.20 t_w=0.70 σ=6.56
Zona tesa: F=60.65 b_{eff}=13.20 t_w=0.70 σ=6.56
CC 12 SLD (Collegamento -376_-504)
Azioni sul collegamento: N=150.62 Ty=1.42 Tz=-51.33 Mx=0.35 Mz=1.93
Zona tesa: F=60.65 b_{eff}=13.20 t_w=0.70 σ=6.56
Zona tesa: F=60.65 b_{eff}=13.20 t_w=0.70 σ=6.56
CC 12 SLD (Collegamento -376_-504)
Azioni sul collegamento: N=150.62 Ty=1.26 Tz=-51.33 Mx=0.34 Mz=1.86
Zona tesa: F=60.65 b_{eff}=13.20 t_w=0.70 σ=6.56
Zona tesa: F=60.65 b_{eff}=13.20 t_w=0.70 σ=6.56
CC 13 SLV (Collegamento -376_-504)
Azioni sul collegamento: N=157.75 Ty=0.76 Tz=-52.44 Mx=0.27 Mz=1.43
Zona tesa: F=63.52 b_{eff}=13.20 t_w=0.70 σ=6.87
Zona tesa: F=63.52 b_{eff}=13.20 t_w=0.70 σ=6.87
CC 13 SLV (Collegamento -376_-504)
Azioni sul collegamento: N=157.75 Ty=1.28 Tz=-52.44 Mx=0.31 Mz=1.68
Zona tesa: F=63.52 b_{eff}=13.20 t_w=0.70 σ=6.87
Zona tesa: F=63.52 b_{eff}=13.20 t_w=0.70 σ=6.87
CC 13 SLV (Collegamento -376_-504)
Azioni sul collegamento: N=157.75 Ty=0.76 Tz=-52.44 Mx=0.27 Mz=1.43
Zona tesa: F=63.52 b_{eff}=13.20 t_w=0.70 σ=6.87
Zona tesa: F=63.52 b_{eff}=13.20 t_w=0.70 σ=6.87
CC 13 SLV (Collegamento -376_-504)
Azioni sul collegamento: N=157.75 Ty=1.28 Tz=-52.44 Mx=0.31 Mz=1.68
Zona tesa: F=63.52 b_{eff}=13.20 t_w=0.70 σ=6.87
Zona tesa: F=63.52 b_{eff}=13.20 t_w=0.70 σ=6.87

CC 13 SLV (Collegamento -376_-504)
Azioni sul collegamento: N=141.89 Ty=0.76 Tz=-49.98 Mx=0.27 Mz=1.43
Zona tesa: F=57.14 b_{eff}=13.20 t_w=0.70 σ=6.18
Zona tesa: F=57.14 b_{eff}=13.20 t_w=0.70 σ=6.18
CC 13 SLV (Collegamento -376_-504)
Azioni sul collegamento: N=141.89 Ty=1.28 Tz=-49.98 Mx=0.31 Mz=1.68
Zona tesa: F=57.14 b_{eff}=13.20 t_w=0.70 σ=6.18
Zona tesa: F=57.14 b_{eff}=13.20 t_w=0.70 σ=6.18
CC 13 SLV (Collegamento -376_-504)
Azioni sul collegamento: N=141.89 Ty=0.76 Tz=-49.98 Mx=0.27 Mz=1.43
Zona tesa: F=57.14 b_{eff}=13.20 t_w=0.70 σ=6.18
Zona tesa: F=57.14 b_{eff}=13.20 t_w=0.70 σ=6.18
CC 13 SLV (Collegamento -376_-504)
Azioni sul collegamento: N=141.89 Ty=1.28 Tz=-49.98 Mx=0.31 Mz=1.68
Zona tesa: F=57.14 b_{eff}=13.20 t_w=0.70 σ=6.18
Zona tesa: F=57.14 b_{eff}=13.20 t_w=0.70 σ=6.18
CC 14 SLD (Collegamento -376_-504)
Azioni sul collegamento: N=150.62 Ty=1.26 Tz=-51.33 Mx=0.34 Mz=1.86
Zona tesa: F=60.65 b_{eff}=13.20 t_w=0.70 σ=6.56
Zona tesa: F=60.65 b_{eff}=13.20 t_w=0.70 σ=6.56
CC 14 SLD (Collegamento -376_-504)
Azioni sul collegamento: N=150.62 Ty=1.42 Tz=-51.33 Mx=0.35 Mz=1.93
Zona tesa: F=60.65 b_{eff}=13.20 t_w=0.70 σ=6.56
Zona tesa: F=60.65 b_{eff}=13.20 t_w=0.70 σ=6.56
CC 14 SLD (Collegamento -376_-504)
Azioni sul collegamento: N=150.62 Ty=1.26 Tz=-51.33 Mx=0.34 Mz=1.86
Zona tesa: F=60.65 b_{eff}=13.20 t_w=0.70 σ=6.56
Zona tesa: F=60.65 b_{eff}=13.20 t_w=0.70 σ=6.56
CC 14 SLD (Collegamento -376_-504)
Azioni sul collegamento: N=150.62 Ty=1.42 Tz=-51.33 Mx=0.35 Mz=1.93
Zona tesa: F=60.65 b_{eff}=13.20 t_w=0.70 σ=6.56
Zona tesa: F=60.65 b_{eff}=13.20 t_w=0.70 σ=6.56
CC 14 SLD (Collegamento -376_-504)
Azioni sul collegamento: N=145.78 Ty=1.26 Tz=-50.58 Mx=0.34 Mz=1.86
Zona tesa: F=58.70 b_{eff}=13.20 t_w=0.70 σ=6.35
Zona tesa: F=58.70 b_{eff}=13.20 t_w=0.70 σ=6.35
CC 14 SLD (Collegamento -376_-504)
Azioni sul collegamento: N=145.78 Ty=1.42 Tz=-50.58 Mx=0.35 Mz=1.93
Zona tesa: F=58.70 b_{eff}=13.20 t_w=0.70 σ=6.35
Zona tesa: F=58.70 b_{eff}=13.20 t_w=0.70 σ=6.35
CC 14 SLD (Collegamento -376_-504)
Azioni sul collegamento: N=145.78 Ty=1.26 Tz=-50.58 Mx=0.34 Mz=1.86
Zona tesa: F=58.70 b_{eff}=13.20 t_w=0.70 σ=6.35
Zona tesa: F=58.70 b_{eff}=13.20 t_w=0.70 σ=6.35
CC 14 SLD (Collegamento -376_-504)
Azioni sul collegamento: N=145.78 Ty=1.42 Tz=-50.58 Mx=0.35 Mz=1.93
Zona tesa: F=58.70 b_{eff}=13.20 t_w=0.70 σ=6.35
Zona tesa: F=58.70 b_{eff}=13.20 t_w=0.70 σ=6.35
CC 15 SLV (Collegamento -376_-504)
Azioni sul collegamento: N=141.58 Ty=0.36 Tz=-49.93 Mx=0.17 Mz=0.86
Zona tesa: F=57.01 b_{eff}=13.20 t_w=0.70 σ=6.17
Zona tesa: F=57.01 b_{eff}=13.20 t_w=0.70 σ=6.17
CC 15 SLV (Collegamento -376_-504)
Azioni sul collegamento: N=141.58 Ty=1.67 Tz=-49.93 Mx=0.39 Mz=2.25
Zona tesa: F=57.01 b_{eff}=13.20 t_w=0.70 σ=6.17
Zona tesa: F=57.01 b_{eff}=13.20 t_w=0.70 σ=6.17
CC 15 SLV (Collegamento -376_-504)
Azioni sul collegamento: N=141.58 Ty=0.36 Tz=-49.93 Mx=0.17 Mz=0.86
Zona tesa: F=57.01 b_{eff}=13.20 t_w=0.70 σ=6.17
Zona tesa: F=57.01 b_{eff}=13.20 t_w=0.70 σ=6.17
CC 15 SLV (Collegamento -376_-504)
Azioni sul collegamento: N=141.58 Ty=1.67 Tz=-49.93 Mx=0.39 Mz=2.25
Zona tesa: F=57.01 b_{eff}=13.20 t_w=0.70 σ=6.17
Zona tesa: F=57.01 b_{eff}=13.20 t_w=0.70 σ=6.17
CC 15 SLV (Collegamento -376_-504)
Azioni sul collegamento: N=158.05 Ty=0.36 Tz=-52.48 Mx=0.17 Mz=0.86
Zona tesa: F=63.65 b_{eff}=13.20 t_w=0.70 σ=6.89
Zona tesa: F=63.65 b_{eff}=13.20 t_w=0.70 σ=6.89
CC 15 SLV (Collegamento -376_-504)
Azioni sul collegamento: N=158.05 Ty=1.67 Tz=-52.48 Mx=0.39 Mz=2.25
Zona tesa: F=63.65 b_{eff}=13.20 t_w=0.70 σ=6.89
Zona tesa: F=63.65 b_{eff}=13.20 t_w=0.70 σ=6.89
CC 15 SLV (Collegamento -376_-504)
Azioni sul collegamento: N=158.05 Ty=0.36 Tz=-52.48 Mx=0.17 Mz=0.86
Zona tesa: F=63.65 b_{eff}=13.20 t_w=0.70 σ=6.89
Zona tesa: F=63.65 b_{eff}=13.20 t_w=0.70 σ=6.89

CC 15 SLV (Collegamento -376_-504)
Azioni sul collegamento: N=158.05 Ty=1.67 Tz=-52.48 Mx=0.39 Mz=2.25
Zona tesa: F=63.65 b_{eff}=13.20 t_w=0.70 σ=6.89
Zona tesa: F=63.65 b_{eff}=13.20 t_w=0.70 σ=6.89
CC 16 SLD (Collegamento -376_-504)
Azioni sul collegamento: N=145.69 Ty=1.14 Tz=-50.57 Mx=0.31 Mz=1.68
Zona tesa: F=58.67 b_{eff}=13.20 t_w=0.70 σ=6.35
Zona tesa: F=58.67 b_{eff}=13.20 t_w=0.70 σ=6.35
CC 16 SLD (Collegamento -376_-504)
Azioni sul collegamento: N=145.69 Ty=1.54 Tz=-50.57 Mx=0.37 Mz=2.11
Zona tesa: F=58.67 b_{eff}=13.20 t_w=0.70 σ=6.35
Zona tesa: F=58.67 b_{eff}=13.20 t_w=0.70 σ=6.35
CC 16 SLD (Collegamento -376_-504)
Azioni sul collegamento: N=145.69 Ty=1.14 Tz=-50.57 Mx=0.31 Mz=1.68
Zona tesa: F=58.67 b_{eff}=13.20 t_w=0.70 σ=6.35
Zona tesa: F=58.67 b_{eff}=13.20 t_w=0.70 σ=6.35
CC 16 SLD (Collegamento -376_-504)
Azioni sul collegamento: N=145.69 Ty=1.54 Tz=-50.57 Mx=0.37 Mz=2.11
Zona tesa: F=58.67 b_{eff}=13.20 t_w=0.70 σ=6.35
Zona tesa: F=58.67 b_{eff}=13.20 t_w=0.70 σ=6.35
CC 16 SLD (Collegamento -376_-504)
Azioni sul collegamento: N=150.71 Ty=1.14 Tz=-51.35 Mx=0.31 Mz=1.68
Zona tesa: F=60.69 b_{eff}=13.20 t_w=0.70 σ=6.57
Zona tesa: F=60.69 b_{eff}=13.20 t_w=0.70 σ=6.57
CC 16 SLD (Collegamento -376_-504)
Azioni sul collegamento: N=150.71 Ty=1.54 Tz=-51.35 Mx=0.37 Mz=2.11
Zona tesa: F=60.69 b_{eff}=13.20 t_w=0.70 σ=6.57
Zona tesa: F=60.69 b_{eff}=13.20 t_w=0.70 σ=6.57
CC 16 SLD (Collegamento -376_-504)
Azioni sul collegamento: N=150.71 Ty=1.14 Tz=-51.35 Mx=0.31 Mz=1.68
Zona tesa: F=60.69 b_{eff}=13.20 t_w=0.70 σ=6.57
Zona tesa: F=60.69 b_{eff}=13.20 t_w=0.70 σ=6.57
CC 16 SLD (Collegamento -376_-504)
Azioni sul collegamento: N=150.71 Ty=1.54 Tz=-51.35 Mx=0.37 Mz=2.11
Zona tesa: F=60.69 b_{eff}=13.20 t_w=0.70 σ=6.57
Zona tesa: F=60.69 b_{eff}=13.20 t_w=0.70 σ=6.57
CC 17 SLV (Collegamento -376_-504)
Azioni sul collegamento: N=172.15 Ty=2.73 Tz=-54.66 Mx=0.64 Mz=3.62
Zona tesa: F=69.32 b_{eff}=13.20 t_w=0.70 σ=7.50
Zona tesa: F=69.32 b_{eff}=13.20 t_w=0.70 σ=7.50
CC 17 SLV (Collegamento -376_-504)
Azioni sul collegamento: N=172.15 Ty=1.14 Tz=-54.66 Mx=0.30 Mz=1.45
Zona tesa: F=69.32 b_{eff}=13.20 t_w=0.70 σ=7.50
Zona tesa: F=69.32 b_{eff}=13.20 t_w=0.70 σ=7.50
CC 17 SLV (Collegamento -376_-504)
Azioni sul collegamento: N=172.15 Ty=2.73 Tz=-54.66 Mx=0.64 Mz=3.62
Zona tesa: F=69.32 b_{eff}=13.20 t_w=0.70 σ=7.50
Zona tesa: F=69.32 b_{eff}=13.20 t_w=0.70 σ=7.50
CC 17 SLV (Collegamento -376_-504)
Azioni sul collegamento: N=172.15 Ty=1.14 Tz=-54.66 Mx=0.30 Mz=1.45
Zona tesa: F=69.32 b_{eff}=13.20 t_w=0.70 σ=7.50
Zona tesa: F=69.32 b_{eff}=13.20 t_w=0.70 σ=7.50
CC 17 SLV (Collegamento -376_-504)
Azioni sul collegamento: N=118.18 Ty=2.73 Tz=-46.31 Mx=0.64 Mz=3.62
Zona tesa: F=47.59 b_{eff}=13.20 t_w=0.70 σ=5.15
Zona tesa: F=47.59 b_{eff}=13.20 t_w=0.70 σ=5.15
CC 17 SLV (Collegamento -376_-504)
Azioni sul collegamento: N=118.18 Ty=1.14 Tz=-46.31 Mx=0.30 Mz=1.45
Zona tesa: F=47.59 b_{eff}=13.20 t_w=0.70 σ=5.15
Zona tesa: F=47.59 b_{eff}=13.20 t_w=0.70 σ=5.15
CC 17 SLV (Collegamento -376_-504)
Azioni sul collegamento: N=118.18 Ty=2.73 Tz=-46.31 Mx=0.64 Mz=3.62
Zona tesa: F=47.59 b_{eff}=13.20 t_w=0.70 σ=5.15
Zona tesa: F=47.59 b_{eff}=13.20 t_w=0.70 σ=5.15
CC 17 SLV (Collegamento -376_-504)
Azioni sul collegamento: N=118.18 Ty=1.14 Tz=-46.31 Mx=0.30 Mz=1.45
Zona tesa: F=47.59 b_{eff}=13.20 t_w=0.70 σ=5.15
Zona tesa: F=47.59 b_{eff}=13.20 t_w=0.70 σ=5.15
CC 18 SLD (Collegamento -376_-504)
Azioni sul collegamento: N=155.01 Ty=1.86 Tz=-52.01 Mx=0.45 Mz=2.52
Zona tesa: F=62.42 b_{eff}=13.20 t_w=0.70 σ=6.76
Zona tesa: F=62.42 b_{eff}=13.20 t_w=0.70 σ=6.76
CC 18 SLD (Collegamento -376_-504)
Azioni sul collegamento: N=155.01 Ty=1.38 Tz=-52.01 Mx=0.35 Mz=1.87
Zona tesa: F=62.42 b_{eff}=13.20 t_w=0.70 σ=6.76
Zona tesa: F=62.42 b_{eff}=13.20 t_w=0.70 σ=6.76

CC 18 SLD (Collegamento -376_-504)
Azioni sul collegamento: N=155.01 Ty=1.86 Tz=-52.01 Mx=0.45 Mz=2.52
Zona tesa: F=62.42 b_{eff}=13.20 t_w=0.70 σ=6.76
Zona tesa: F=62.42 b_{eff}=13.20 t_w=0.70 σ=6.76
CC 18 SLD (Collegamento -376_-504)
Azioni sul collegamento: N=155.01 Ty=1.38 Tz=-52.01 Mx=0.35 Mz=1.87
Zona tesa: F=62.42 b_{eff}=13.20 t_w=0.70 σ=6.76
Zona tesa: F=62.42 b_{eff}=13.20 t_w=0.70 σ=6.76
CC 18 SLD (Collegamento -376_-504)
Azioni sul collegamento: N=138.55 Ty=1.86 Tz=-49.47 Mx=0.45 Mz=2.52
Zona tesa: F=55.79 b_{eff}=13.20 t_w=0.70 σ=6.04
Zona tesa: F=55.79 b_{eff}=13.20 t_w=0.70 σ=6.04
CC 18 SLD (Collegamento -376_-504)
Azioni sul collegamento: N=138.55 Ty=1.38 Tz=-49.47 Mx=0.35 Mz=1.87
Zona tesa: F=55.79 b_{eff}=13.20 t_w=0.70 σ=6.04
Zona tesa: F=55.79 b_{eff}=13.20 t_w=0.70 σ=6.04
CC 18 SLD (Collegamento -376_-504)
Azioni sul collegamento: N=138.55 Ty=1.86 Tz=-49.47 Mx=0.45 Mz=2.52
Zona tesa: F=55.79 b_{eff}=13.20 t_w=0.70 σ=6.04
Zona tesa: F=55.79 b_{eff}=13.20 t_w=0.70 σ=6.04
CC 18 SLD (Collegamento -376_-504)
Azioni sul collegamento: N=138.55 Ty=1.38 Tz=-49.47 Mx=0.35 Mz=1.87
Zona tesa: F=55.79 b_{eff}=13.20 t_w=0.70 σ=6.04
Zona tesa: F=55.79 b_{eff}=13.20 t_w=0.70 σ=6.04
CC 19 SLV (Collegamento -376_-504)
Azioni sul collegamento: N=172.06 Ty=2.46 Tz=-54.65 Mx=0.60 Mz=3.37
Zona tesa: F=69.28 b_{eff}=13.20 t_w=0.70 σ=7.50
Zona tesa: F=69.28 b_{eff}=13.20 t_w=0.70 σ=7.50
CC 19 SLV (Collegamento -376_-504)
Azioni sul collegamento: N=172.06 Ty=1.41 Tz=-54.65 Mx=0.34 Mz=1.70
Zona tesa: F=69.28 b_{eff}=13.20 t_w=0.70 σ=7.50
Zona tesa: F=69.28 b_{eff}=13.20 t_w=0.70 σ=7.50
CC 19 SLV (Collegamento -376_-504)
Azioni sul collegamento: N=172.06 Ty=2.46 Tz=-54.65 Mx=0.60 Mz=3.37
Zona tesa: F=69.28 b_{eff}=13.20 t_w=0.70 σ=7.50
Zona tesa: F=69.28 b_{eff}=13.20 t_w=0.70 σ=7.50
CC 19 SLV (Collegamento -376_-504)
Azioni sul collegamento: N=172.06 Ty=1.41 Tz=-54.65 Mx=0.34 Mz=1.70
Zona tesa: F=69.28 b_{eff}=13.20 t_w=0.70 σ=7.50
Zona tesa: F=69.28 b_{eff}=13.20 t_w=0.70 σ=7.50
CC 19 SLV (Collegamento -376_-504)
Azioni sul collegamento: N=118.27 Ty=2.46 Tz=-46.33 Mx=0.60 Mz=3.37
Zona tesa: F=47.63 b_{eff}=13.20 t_w=0.70 σ=5.15
Zona tesa: F=47.63 b_{eff}=13.20 t_w=0.70 σ=5.15
CC 19 SLV (Collegamento -376_-504)
Azioni sul collegamento: N=118.27 Ty=1.41 Tz=-46.33 Mx=0.34 Mz=1.70
Zona tesa: F=47.63 b_{eff}=13.20 t_w=0.70 σ=5.15
Zona tesa: F=47.63 b_{eff}=13.20 t_w=0.70 σ=5.15
CC 19 SLV (Collegamento -376_-504)
Azioni sul collegamento: N=118.27 Ty=2.46 Tz=-46.33 Mx=0.60 Mz=3.37
Zona tesa: F=47.63 b_{eff}=13.20 t_w=0.70 σ=5.15
Zona tesa: F=47.63 b_{eff}=13.20 t_w=0.70 σ=5.15
CC 19 SLV (Collegamento -376_-504)
Azioni sul collegamento: N=118.27 Ty=1.41 Tz=-46.33 Mx=0.34 Mz=1.70
Zona tesa: F=47.63 b_{eff}=13.20 t_w=0.70 σ=5.15
Zona tesa: F=47.63 b_{eff}=13.20 t_w=0.70 σ=5.15
CC 20 SLD (Collegamento -376_-504)
Azioni sul collegamento: N=154.98 Ty=1.78 Tz=-52.01 Mx=0.44 Mz=2.45
Zona tesa: F=62.41 b_{eff}=13.20 t_w=0.70 σ=6.75
Zona tesa: F=62.41 b_{eff}=13.20 t_w=0.70 σ=6.75
CC 20 SLD (Collegamento -376_-504)
Azioni sul collegamento: N=154.98 Ty=1.46 Tz=-52.01 Mx=0.36 Mz=1.94
Zona tesa: F=62.41 b_{eff}=13.20 t_w=0.70 σ=6.75
Zona tesa: F=62.41 b_{eff}=13.20 t_w=0.70 σ=6.75
CC 20 SLD (Collegamento -376_-504)
Azioni sul collegamento: N=154.98 Ty=1.78 Tz=-52.01 Mx=0.44 Mz=2.45
Zona tesa: F=62.41 b_{eff}=13.20 t_w=0.70 σ=6.75
Zona tesa: F=62.41 b_{eff}=13.20 t_w=0.70 σ=6.75
CC 20 SLD (Collegamento -376_-504)
Azioni sul collegamento: N=154.98 Ty=1.46 Tz=-52.01 Mx=0.36 Mz=1.94
Zona tesa: F=62.41 b_{eff}=13.20 t_w=0.70 σ=6.75
Zona tesa: F=62.41 b_{eff}=13.20 t_w=0.70 σ=6.75
CC 20 SLD (Collegamento -376_-504)
Azioni sul collegamento: N=138.58 Ty=1.78 Tz=-49.47 Mx=0.44 Mz=2.45
Zona tesa: F=55.80 b_{eff}=13.20 t_w=0.70 σ=6.04
Zona tesa: F=55.80 b_{eff}=13.20 t_w=0.70 σ=6.04

CC 20 SLD (Collegamento -376_-504)
Azioni sul collegamento: N=138.58 Ty=1.46 Tz=-49.47 Mx=0.36 Mz=1.94
Zona tesa: F=55.80 b_{eff}=13.20 t_w=0.70 σ=6.04
Zona tesa: F=55.80 b_{eff}=13.20 t_w=0.70 σ=6.04
CC 20 SLD (Collegamento -376_-504)
Azioni sul collegamento: N=138.58 Ty=1.78 Tz=-49.47 Mx=0.44 Mz=2.45
Zona tesa: F=55.80 b_{eff}=13.20 t_w=0.70 σ=6.04
Zona tesa: F=55.80 b_{eff}=13.20 t_w=0.70 σ=6.04
CC 20 SLD (Collegamento -376_-504)
Azioni sul collegamento: N=138.58 Ty=1.46 Tz=-49.47 Mx=0.36 Mz=1.94
Zona tesa: F=55.80 b_{eff}=13.20 t_w=0.70 σ=6.04
Zona tesa: F=55.80 b_{eff}=13.20 t_w=0.70 σ=6.04
CC 21 SLV (Collegamento -376_-504)
Azioni sul collegamento: N=118.27 Ty=1.41 Tz=-46.33 Mx=0.31 Mz=1.71
Zona tesa: F=47.63 b_{eff}=13.20 t_w=0.70 σ=5.15
Zona tesa: F=47.63 b_{eff}=13.20 t_w=0.70 σ=5.15
CC 21 SLV (Collegamento -376_-504)
Azioni sul collegamento: N=118.27 Ty=2.46 Tz=-46.33 Mx=0.56 Mz=3.37
Zona tesa: F=47.63 b_{eff}=13.20 t_w=0.70 σ=5.15
Zona tesa: F=47.63 b_{eff}=13.20 t_w=0.70 σ=5.15
CC 21 SLV (Collegamento -376_-504)
Azioni sul collegamento: N=118.27 Ty=1.41 Tz=-46.33 Mx=0.31 Mz=1.71
Zona tesa: F=47.63 b_{eff}=13.20 t_w=0.70 σ=5.15
Zona tesa: F=47.63 b_{eff}=13.20 t_w=0.70 σ=5.15
CC 21 SLV (Collegamento -376_-504)
Azioni sul collegamento: N=118.27 Ty=2.46 Tz=-46.33 Mx=0.56 Mz=3.37
Zona tesa: F=47.63 b_{eff}=13.20 t_w=0.70 σ=5.15
Zona tesa: F=47.63 b_{eff}=13.20 t_w=0.70 σ=5.15
CC 21 SLV (Collegamento -376_-504)
Azioni sul collegamento: N=172.06 Ty=1.41 Tz=-54.65 Mx=0.31 Mz=1.71
Zona tesa: F=69.28 b_{eff}=13.20 t_w=0.70 σ=7.50
Zona tesa: F=69.28 b_{eff}=13.20 t_w=0.70 σ=7.50
CC 21 SLV (Collegamento -376_-504)
Azioni sul collegamento: N=172.06 Ty=2.46 Tz=-54.65 Mx=0.56 Mz=3.37
Zona tesa: F=69.28 b_{eff}=13.20 t_w=0.70 σ=7.50
Zona tesa: F=69.28 b_{eff}=13.20 t_w=0.70 σ=7.50
CC 21 SLV (Collegamento -376_-504)
Azioni sul collegamento: N=172.06 Ty=1.41 Tz=-54.65 Mx=0.31 Mz=1.71
Zona tesa: F=69.28 b_{eff}=13.20 t_w=0.70 σ=7.50
Zona tesa: F=69.28 b_{eff}=13.20 t_w=0.70 σ=7.50
CC 21 SLV (Collegamento -376_-504)
Azioni sul collegamento: N=172.06 Ty=2.46 Tz=-54.65 Mx=0.56 Mz=3.37
Zona tesa: F=69.28 b_{eff}=13.20 t_w=0.70 σ=7.50
Zona tesa: F=69.28 b_{eff}=13.20 t_w=0.70 σ=7.50
CC 22 SLD (Collegamento -376_-504)
Azioni sul collegamento: N=138.58 Ty=1.46 Tz=-49.47 Mx=0.35 Mz=1.94
Zona tesa: F=55.80 b_{eff}=13.20 t_w=0.70 σ=6.04
Zona tesa: F=55.80 b_{eff}=13.20 t_w=0.70 σ=6.04
CC 22 SLD (Collegamento -376_-504)
Azioni sul collegamento: N=138.58 Ty=1.78 Tz=-49.47 Mx=0.43 Mz=2.45
Zona tesa: F=55.80 b_{eff}=13.20 t_w=0.70 σ=6.04
Zona tesa: F=55.80 b_{eff}=13.20 t_w=0.70 σ=6.04
CC 22 SLD (Collegamento -376_-504)
Azioni sul collegamento: N=138.58 Ty=1.46 Tz=-49.47 Mx=0.35 Mz=1.94
Zona tesa: F=55.80 b_{eff}=13.20 t_w=0.70 σ=6.04
Zona tesa: F=55.80 b_{eff}=13.20 t_w=0.70 σ=6.04
CC 22 SLD (Collegamento -376_-504)
Azioni sul collegamento: N=138.58 Ty=1.78 Tz=-49.47 Mx=0.43 Mz=2.45
Zona tesa: F=55.80 b_{eff}=13.20 t_w=0.70 σ=6.04
Zona tesa: F=55.80 b_{eff}=13.20 t_w=0.70 σ=6.04
CC 22 SLD (Collegamento -376_-504)
Azioni sul collegamento: N=154.98 Ty=1.46 Tz=-52.01 Mx=0.35 Mz=1.94
Zona tesa: F=62.41 b_{eff}=13.20 t_w=0.70 σ=6.75
Zona tesa: F=62.41 b_{eff}=13.20 t_w=0.70 σ=6.75
CC 22 SLD (Collegamento -376_-504)
Azioni sul collegamento: N=154.98 Ty=1.78 Tz=-52.01 Mx=0.43 Mz=2.45
Zona tesa: F=62.41 b_{eff}=13.20 t_w=0.70 σ=6.75
Zona tesa: F=62.41 b_{eff}=13.20 t_w=0.70 σ=6.75
CC 22 SLD (Collegamento -376_-504)
Azioni sul collegamento: N=154.98 Ty=1.46 Tz=-52.01 Mx=0.35 Mz=1.94
Zona tesa: F=62.41 b_{eff}=13.20 t_w=0.70 σ=6.75
Zona tesa: F=62.41 b_{eff}=13.20 t_w=0.70 σ=6.75
CC 22 SLD (Collegamento -376_-504)
Azioni sul collegamento: N=154.98 Ty=1.78 Tz=-52.01 Mx=0.43 Mz=2.45
Zona tesa: F=62.41 b_{eff}=13.20 t_w=0.70 σ=6.75
Zona tesa: F=62.41 b_{eff}=13.20 t_w=0.70 σ=6.75

CC 23 SLV (Collegamento -376_-504)
Azioni sul collegamento: N=118.18 Ty=1.14 Tz=-46.31 Mx=0.26 Mz=1.46
Zona tesa: F=47.59 b_{eff}=13.20 t_w=0.70 σ=5.15
Zona tesa: F=47.59 b_{eff}=13.20 t_w=0.70 σ=5.15
CC 23 SLV (Collegamento -376_-504)
Azioni sul collegamento: N=118.18 Ty=2.73 Tz=-46.31 Mx=0.60 Mz=3.62
Zona tesa: F=47.59 b_{eff}=13.20 t_w=0.70 σ=5.15
Zona tesa: F=47.59 b_{eff}=13.20 t_w=0.70 σ=5.15
CC 23 SLV (Collegamento -376_-504)
Azioni sul collegamento: N=118.18 Ty=1.14 Tz=-46.31 Mx=0.26 Mz=1.46
Zona tesa: F=47.59 b_{eff}=13.20 t_w=0.70 σ=5.15
Zona tesa: F=47.59 b_{eff}=13.20 t_w=0.70 σ=5.15
CC 23 SLV (Collegamento -376_-504)
Azioni sul collegamento: N=118.18 Ty=2.73 Tz=-46.31 Mx=0.60 Mz=3.62
Zona tesa: F=47.59 b_{eff}=13.20 t_w=0.70 σ=5.15
Zona tesa: F=47.59 b_{eff}=13.20 t_w=0.70 σ=5.15
CC 23 SLV (Collegamento -376_-504)
Azioni sul collegamento: N=172.15 Ty=1.14 Tz=-54.66 Mx=0.26 Mz=1.46
Zona tesa: F=69.32 b_{eff}=13.20 t_w=0.70 σ=7.50
Zona tesa: F=69.32 b_{eff}=13.20 t_w=0.70 σ=7.50
CC 23 SLV (Collegamento -376_-504)
Azioni sul collegamento: N=172.15 Ty=2.73 Tz=-54.66 Mx=0.60 Mz=3.62
Zona tesa: F=69.32 b_{eff}=13.20 t_w=0.70 σ=7.50
Zona tesa: F=69.32 b_{eff}=13.20 t_w=0.70 σ=7.50
CC 23 SLV (Collegamento -376_-504)
Azioni sul collegamento: N=172.15 Ty=1.14 Tz=-54.66 Mx=0.26 Mz=1.46
Zona tesa: F=69.32 b_{eff}=13.20 t_w=0.70 σ=7.50
Zona tesa: F=69.32 b_{eff}=13.20 t_w=0.70 σ=7.50
CC 23 SLV (Collegamento -376_-504)
Azioni sul collegamento: N=172.15 Ty=2.73 Tz=-54.66 Mx=0.60 Mz=3.62
Zona tesa: F=69.32 b_{eff}=13.20 t_w=0.70 σ=7.50
Zona tesa: F=69.32 b_{eff}=13.20 t_w=0.70 σ=7.50
CC 24 SLD (Collegamento -376_-504)
Azioni sul collegamento: N=138.55 Ty=1.38 Tz=-49.47 Mx=0.34 Mz=1.87
Zona tesa: F=55.79 b_{eff}=13.20 t_w=0.70 σ=6.04
Zona tesa: F=55.79 b_{eff}=13.20 t_w=0.70 σ=6.04
CC 24 SLD (Collegamento -376_-504)
Azioni sul collegamento: N=138.55 Ty=1.86 Tz=-49.47 Mx=0.44 Mz=2.53
Zona tesa: F=55.79 b_{eff}=13.20 t_w=0.70 σ=6.04
Zona tesa: F=55.79 b_{eff}=13.20 t_w=0.70 σ=6.04
CC 24 SLD (Collegamento -376_-504)
Azioni sul collegamento: N=138.55 Ty=1.38 Tz=-49.47 Mx=0.34 Mz=1.87
Zona tesa: F=55.79 b_{eff}=13.20 t_w=0.70 σ=6.04
Zona tesa: F=55.79 b_{eff}=13.20 t_w=0.70 σ=6.04
CC 24 SLD (Collegamento -376_-504)
Azioni sul collegamento: N=138.55 Ty=1.86 Tz=-49.47 Mx=0.44 Mz=2.53
Zona tesa: F=55.79 b_{eff}=13.20 t_w=0.70 σ=6.04
Zona tesa: F=55.79 b_{eff}=13.20 t_w=0.70 σ=6.04
CC 24 SLD (Collegamento -376_-504)
Azioni sul collegamento: N=155.01 Ty=1.38 Tz=-52.01 Mx=0.34 Mz=1.87
Zona tesa: F=62.42 b_{eff}=13.20 t_w=0.70 σ=6.76
Zona tesa: F=62.42 b_{eff}=13.20 t_w=0.70 σ=6.76
CC 24 SLD (Collegamento -376_-504)
Azioni sul collegamento: N=155.01 Ty=1.86 Tz=-52.01 Mx=0.44 Mz=2.53
Zona tesa: F=62.42 b_{eff}=13.20 t_w=0.70 σ=6.76
Zona tesa: F=62.42 b_{eff}=13.20 t_w=0.70 σ=6.76
CC 24 SLD (Collegamento -376_-504)
Azioni sul collegamento: N=155.01 Ty=1.38 Tz=-52.01 Mx=0.34 Mz=1.87
Zona tesa: F=62.42 b_{eff}=13.20 t_w=0.70 σ=6.76
Zona tesa: F=62.42 b_{eff}=13.20 t_w=0.70 σ=6.76
CC 24 SLD (Collegamento -376_-504)
Azioni sul collegamento: N=155.01 Ty=1.86 Tz=-52.01 Mx=0.44 Mz=2.53
Zona tesa: F=62.42 b_{eff}=13.20 t_w=0.70 σ=6.76
Zona tesa: F=62.42 b_{eff}=13.20 t_w=0.70 σ=6.76
CC 25 SLV (Collegamento -376_-504)
Azioni sul collegamento: N=153.40 Ty=2.59 Tz=-51.76 Mx=0.57 Mz=3.23
Zona tesa: F=61.77 b_{eff}=13.20 t_w=0.70 σ=6.69
Zona tesa: F=61.77 b_{eff}=13.20 t_w=0.70 σ=6.69
CC 25 SLV (Collegamento -376_-504)
Azioni sul collegamento: N=153.40 Ty=1.28 Tz=-51.76 Mx=0.35 Mz=1.84
Zona tesa: F=61.77 b_{eff}=13.20 t_w=0.70 σ=6.69
Zona tesa: F=61.77 b_{eff}=13.20 t_w=0.70 σ=6.69
CC 25 SLV (Collegamento -376_-504)
Azioni sul collegamento: N=153.40 Ty=2.59 Tz=-51.76 Mx=0.57 Mz=3.23
Zona tesa: F=61.77 b_{eff}=13.20 t_w=0.70 σ=6.69
Zona tesa: F=61.77 b_{eff}=13.20 t_w=0.70 σ=6.69

CC 25 SLV (Collegamento -376_-504)
Azioni sul collegamento: N=153.40 Ty=1.28 Tz=-51.76 Mx=0.35 Mz=1.84
Zona tesa: F=61.77 b_{eff}=13.20 t_w=0.70 σ=6.69
Zona tesa: F=61.77 b_{eff}=13.20 t_w=0.70 σ=6.69
CC 25 SLV (Collegamento -376_-504)
Azioni sul collegamento: N=136.93 Ty=2.59 Tz=-49.21 Mx=0.57 Mz=3.23
Zona tesa: F=55.14 b_{eff}=13.20 t_w=0.70 σ=5.97
Zona tesa: F=55.14 b_{eff}=13.20 t_w=0.70 σ=5.97
CC 25 SLV (Collegamento -376_-504)
Azioni sul collegamento: N=136.93 Ty=1.28 Tz=-49.21 Mx=0.35 Mz=1.84
Zona tesa: F=55.14 b_{eff}=13.20 t_w=0.70 σ=5.97
Zona tesa: F=55.14 b_{eff}=13.20 t_w=0.70 σ=5.97
CC 25 SLV (Collegamento -376_-504)
Azioni sul collegamento: N=136.93 Ty=2.59 Tz=-49.21 Mx=0.57 Mz=3.23
Zona tesa: F=55.14 b_{eff}=13.20 t_w=0.70 σ=5.97
Zona tesa: F=55.14 b_{eff}=13.20 t_w=0.70 σ=5.97
CC 25 SLV (Collegamento -376_-504)
Azioni sul collegamento: N=136.93 Ty=1.28 Tz=-49.21 Mx=0.35 Mz=1.84
Zona tesa: F=55.14 b_{eff}=13.20 t_w=0.70 σ=5.97
Zona tesa: F=55.14 b_{eff}=13.20 t_w=0.70 σ=5.97
CC 26 SLD (Collegamento -376_-504)
Azioni sul collegamento: N=149.29 Ty=1.82 Tz=-51.13 Mx=0.43 Mz=2.41
Zona tesa: F=60.12 b_{eff}=13.20 t_w=0.70 σ=6.51
Zona tesa: F=60.12 b_{eff}=13.20 t_w=0.70 σ=6.51
CC 26 SLD (Collegamento -376_-504)
Azioni sul collegamento: N=149.29 Ty=1.42 Tz=-51.13 Mx=0.36 Mz=1.98
Zona tesa: F=60.12 b_{eff}=13.20 t_w=0.70 σ=6.51
Zona tesa: F=60.12 b_{eff}=13.20 t_w=0.70 σ=6.51
CC 26 SLD (Collegamento -376_-504)
Azioni sul collegamento: N=149.29 Ty=1.82 Tz=-51.13 Mx=0.43 Mz=2.41
Zona tesa: F=60.12 b_{eff}=13.20 t_w=0.70 σ=6.51
Zona tesa: F=60.12 b_{eff}=13.20 t_w=0.70 σ=6.51
CC 26 SLD (Collegamento -376_-504)
Azioni sul collegamento: N=149.29 Ty=1.42 Tz=-51.13 Mx=0.36 Mz=1.98
Zona tesa: F=60.12 b_{eff}=13.20 t_w=0.70 σ=6.51
Zona tesa: F=60.12 b_{eff}=13.20 t_w=0.70 σ=6.51
CC 26 SLD (Collegamento -376_-504)
Azioni sul collegamento: N=144.27 Ty=1.82 Tz=-50.35 Mx=0.43 Mz=2.41
Zona tesa: F=58.10 b_{eff}=13.20 t_w=0.70 σ=6.29
Zona tesa: F=58.10 b_{eff}=13.20 t_w=0.70 σ=6.29
CC 26 SLD (Collegamento -376_-504)
Azioni sul collegamento: N=144.27 Ty=1.42 Tz=-50.35 Mx=0.36 Mz=1.98
Zona tesa: F=58.10 b_{eff}=13.20 t_w=0.70 σ=6.29
Zona tesa: F=58.10 b_{eff}=13.20 t_w=0.70 σ=6.29
CC 26 SLD (Collegamento -376_-504)
Azioni sul collegamento: N=144.27 Ty=1.82 Tz=-50.35 Mx=0.43 Mz=2.41
Zona tesa: F=58.10 b_{eff}=13.20 t_w=0.70 σ=6.29
Zona tesa: F=58.10 b_{eff}=13.20 t_w=0.70 σ=6.29
CC 26 SLD (Collegamento -376_-504)
Azioni sul collegamento: N=144.27 Ty=1.42 Tz=-50.35 Mx=0.36 Mz=1.98
Zona tesa: F=58.10 b_{eff}=13.20 t_w=0.70 σ=6.29
Zona tesa: F=58.10 b_{eff}=13.20 t_w=0.70 σ=6.29
CC 27 SLV (Collegamento -376_-504)
Azioni sul collegamento: N=137.24 Ty=2.20 Tz=-49.26 Mx=0.47 Mz=2.66
Zona tesa: F=55.26 b_{eff}=13.20 t_w=0.70 σ=5.98
Zona tesa: F=55.26 b_{eff}=13.20 t_w=0.70 σ=5.98
CC 27 SLV (Collegamento -376_-504)
Azioni sul collegamento: N=137.24 Ty=1.68 Tz=-49.26 Mx=0.43 Mz=2.41
Zona tesa: F=55.26 b_{eff}=13.20 t_w=0.70 σ=5.98
Zona tesa: F=55.26 b_{eff}=13.20 t_w=0.70 σ=5.98
CC 27 SLV (Collegamento -376_-504)
Azioni sul collegamento: N=137.24 Ty=2.20 Tz=-49.26 Mx=0.47 Mz=2.66
Zona tesa: F=55.26 b_{eff}=13.20 t_w=0.70 σ=5.98
Zona tesa: F=55.26 b_{eff}=13.20 t_w=0.70 σ=5.98
CC 27 SLV (Collegamento -376_-504)
Azioni sul collegamento: N=137.24 Ty=1.68 Tz=-49.26 Mx=0.43 Mz=2.41
Zona tesa: F=55.26 b_{eff}=13.20 t_w=0.70 σ=5.98
Zona tesa: F=55.26 b_{eff}=13.20 t_w=0.70 σ=5.98
CC 27 SLV (Collegamento -376_-504)
Azioni sul collegamento: N=153.09 Ty=2.20 Tz=-51.72 Mx=0.47 Mz=2.66
Zona tesa: F=61.65 b_{eff}=13.20 t_w=0.70 σ=6.67
Zona tesa: F=61.65 b_{eff}=13.20 t_w=0.70 σ=6.67
CC 27 SLV (Collegamento -376_-504)
Azioni sul collegamento: N=153.09 Ty=1.68 Tz=-51.72 Mx=0.43 Mz=2.41
Zona tesa: F=61.65 b_{eff}=13.20 t_w=0.70 σ=6.67
Zona tesa: F=61.65 b_{eff}=13.20 t_w=0.70 σ=6.67

CC 27 SLV (Collegamento -376_-504)
Azioni sul collegamento: N=153.09 Ty=2.20 Tz=-51.72 Mx=0.47 Mz=2.66
Zona tesa: F=61.65 b_{eff}=13.20 t_w=0.70 σ=6.67
Zona tesa: F=61.65 b_{eff}=13.20 t_w=0.70 σ=6.67
CC 27 SLV (Collegamento -376_-504)
Azioni sul collegamento: N=153.09 Ty=1.68 Tz=-51.72 Mx=0.43 Mz=2.41
Zona tesa: F=61.65 b_{eff}=13.20 t_w=0.70 σ=6.67
Zona tesa: F=61.65 b_{eff}=13.20 t_w=0.70 σ=6.67
CC 28 SLD (Collegamento -376_-504)
Azioni sul collegamento: N=144.37 Ty=1.70 Tz=-50.36 Mx=0.40 Mz=2.23
Zona tesa: F=58.13 b_{eff}=13.20 t_w=0.70 σ=6.29
Zona tesa: F=58.13 b_{eff}=13.20 t_w=0.70 σ=6.29
CC 28 SLD (Collegamento -376_-504)
Azioni sul collegamento: N=144.37 Ty=1.54 Tz=-50.36 Mx=0.39 Mz=2.16
Zona tesa: F=58.13 b_{eff}=13.20 t_w=0.70 σ=6.29
Zona tesa: F=58.13 b_{eff}=13.20 t_w=0.70 σ=6.29
CC 28 SLD (Collegamento -376_-504)
Azioni sul collegamento: N=144.37 Ty=1.70 Tz=-50.36 Mx=0.40 Mz=2.23
Zona tesa: F=58.13 b_{eff}=13.20 t_w=0.70 σ=6.29
Zona tesa: F=58.13 b_{eff}=13.20 t_w=0.70 σ=6.29
CC 28 SLD (Collegamento -376_-504)
Azioni sul collegamento: N=144.37 Ty=1.54 Tz=-50.36 Mx=0.39 Mz=2.16
Zona tesa: F=58.13 b_{eff}=13.20 t_w=0.70 σ=6.29
Zona tesa: F=58.13 b_{eff}=13.20 t_w=0.70 σ=6.29
CC 28 SLD (Collegamento -376_-504)
Azioni sul collegamento: N=149.20 Ty=1.70 Tz=-51.11 Mx=0.40 Mz=2.23
Zona tesa: F=60.08 b_{eff}=13.20 t_w=0.70 σ=6.50
Zona tesa: F=60.08 b_{eff}=13.20 t_w=0.70 σ=6.50
CC 28 SLD (Collegamento -376_-504)
Azioni sul collegamento: N=149.20 Ty=1.54 Tz=-51.11 Mx=0.39 Mz=2.16
Zona tesa: F=60.08 b_{eff}=13.20 t_w=0.70 σ=6.50
Zona tesa: F=60.08 b_{eff}=13.20 t_w=0.70 σ=6.50
CC 28 SLD (Collegamento -376_-504)
Azioni sul collegamento: N=149.20 Ty=1.70 Tz=-51.11 Mx=0.40 Mz=2.23
Zona tesa: F=60.08 b_{eff}=13.20 t_w=0.70 σ=6.50
Zona tesa: F=60.08 b_{eff}=13.20 t_w=0.70 σ=6.50
CC 28 SLD (Collegamento -376_-504)
Azioni sul collegamento: N=149.20 Ty=1.54 Tz=-51.11 Mx=0.39 Mz=2.16
Zona tesa: F=60.08 b_{eff}=13.20 t_w=0.70 σ=6.50
Zona tesa: F=60.08 b_{eff}=13.20 t_w=0.70 σ=6.50
CC 29 SLV (Collegamento -376_-504)
Azioni sul collegamento: N=153.09 Ty=1.68 Tz=-51.72 Mx=0.43 Mz=2.41
Zona tesa: F=61.65 b_{eff}=13.20 t_w=0.70 σ=6.67
Zona tesa: F=61.65 b_{eff}=13.20 t_w=0.70 σ=6.67
CC 29 SLV (Collegamento -376_-504)
Azioni sul collegamento: N=153.09 Ty=2.20 Tz=-51.72 Mx=0.47 Mz=2.66
Zona tesa: F=61.65 b_{eff}=13.20 t_w=0.70 σ=6.67
Zona tesa: F=61.65 b_{eff}=13.20 t_w=0.70 σ=6.67
CC 29 SLV (Collegamento -376_-504)
Azioni sul collegamento: N=153.09 Ty=1.68 Tz=-51.72 Mx=0.43 Mz=2.41
Zona tesa: F=61.65 b_{eff}=13.20 t_w=0.70 σ=6.67
Zona tesa: F=61.65 b_{eff}=13.20 t_w=0.70 σ=6.67
CC 29 SLV (Collegamento -376_-504)
Azioni sul collegamento: N=153.09 Ty=2.20 Tz=-51.72 Mx=0.47 Mz=2.66
Zona tesa: F=61.65 b_{eff}=13.20 t_w=0.70 σ=6.67
Zona tesa: F=61.65 b_{eff}=13.20 t_w=0.70 σ=6.67
CC 29 SLV (Collegamento -376_-504)
Azioni sul collegamento: N=137.24 Ty=1.68 Tz=-49.26 Mx=0.43 Mz=2.41
Zona tesa: F=55.26 b_{eff}=13.20 t_w=0.70 σ=5.98
Zona tesa: F=55.26 b_{eff}=13.20 t_w=0.70 σ=5.98
CC 29 SLV (Collegamento -376_-504)
Azioni sul collegamento: N=137.24 Ty=2.20 Tz=-49.26 Mx=0.47 Mz=2.66
Zona tesa: F=55.26 b_{eff}=13.20 t_w=0.70 σ=5.98
Zona tesa: F=55.26 b_{eff}=13.20 t_w=0.70 σ=5.98
CC 29 SLV (Collegamento -376_-504)
Azioni sul collegamento: N=137.24 Ty=1.68 Tz=-49.26 Mx=0.43 Mz=2.41
Zona tesa: F=55.26 b_{eff}=13.20 t_w=0.70 σ=5.98
Zona tesa: F=55.26 b_{eff}=13.20 t_w=0.70 σ=5.98
CC 29 SLV (Collegamento -376_-504)
Azioni sul collegamento: N=137.24 Ty=2.20 Tz=-49.26 Mx=0.47 Mz=2.66
Zona tesa: F=55.26 b_{eff}=13.20 t_w=0.70 σ=5.98
Zona tesa: F=55.26 b_{eff}=13.20 t_w=0.70 σ=5.98
CC 30 SLD (Collegamento -376_-504)
Azioni sul collegamento: N=149.20 Ty=1.54 Tz=-51.11 Mx=0.39 Mz=2.16
Zona tesa: F=60.08 b_{eff}=13.20 t_w=0.70 σ=6.50
Zona tesa: F=60.08 b_{eff}=13.20 t_w=0.70 σ=6.50

CC 30 SLD (Collegamento -376_-504)
Azioni sul collegamento: N=149.20 Ty=1.70 Tz=-51.11 Mx=0.40 Mz=2.23
Zona tesa: F=60.08 b_{eff}=13.20 t_w=0.70 σ=6.50
Zona tesa: F=60.08 b_{eff}=13.20 t_w=0.70 σ=6.50
CC 30 SLD (Collegamento -376_-504)
Azioni sul collegamento: N=149.20 Ty=1.54 Tz=-51.11 Mx=0.39 Mz=2.16
Zona tesa: F=60.08 b_{eff}=13.20 t_w=0.70 σ=6.50
Zona tesa: F=60.08 b_{eff}=13.20 t_w=0.70 σ=6.50
CC 30 SLD (Collegamento -376_-504)
Azioni sul collegamento: N=149.20 Ty=1.70 Tz=-51.11 Mx=0.40 Mz=2.23
Zona tesa: F=60.08 b_{eff}=13.20 t_w=0.70 σ=6.50
Zona tesa: F=60.08 b_{eff}=13.20 t_w=0.70 σ=6.50
CC 30 SLD (Collegamento -376_-504)
Azioni sul collegamento: N=144.37 Ty=1.54 Tz=-50.36 Mx=0.39 Mz=2.16
Zona tesa: F=58.13 b_{eff}=13.20 t_w=0.70 σ=6.29
Zona tesa: F=58.13 b_{eff}=13.20 t_w=0.70 σ=6.29
CC 30 SLD (Collegamento -376_-504)
Azioni sul collegamento: N=144.37 Ty=1.70 Tz=-50.36 Mx=0.40 Mz=2.23
Zona tesa: F=58.13 b_{eff}=13.20 t_w=0.70 σ=6.29
Zona tesa: F=58.13 b_{eff}=13.20 t_w=0.70 σ=6.29
CC 30 SLD (Collegamento -376_-504)
Azioni sul collegamento: N=144.37 Ty=1.54 Tz=-50.36 Mx=0.39 Mz=2.16
Zona tesa: F=58.13 b_{eff}=13.20 t_w=0.70 σ=6.29
Zona tesa: F=58.13 b_{eff}=13.20 t_w=0.70 σ=6.29
CC 30 SLD (Collegamento -376_-504)
Azioni sul collegamento: N=144.37 Ty=1.70 Tz=-50.36 Mx=0.40 Mz=2.23
Zona tesa: F=58.13 b_{eff}=13.20 t_w=0.70 σ=6.29
Zona tesa: F=58.13 b_{eff}=13.20 t_w=0.70 σ=6.29
CC 31 SLV (Collegamento -376_-504)
Azioni sul collegamento: N=136.93 Ty=1.28 Tz=-49.21 Mx=0.33 Mz=1.84
Zona tesa: F=55.14 b_{eff}=13.20 t_w=0.70 σ=5.97
Zona tesa: F=55.14 b_{eff}=13.20 t_w=0.70 σ=5.97
CC 31 SLV (Collegamento -376_-504)
Azioni sul collegamento: N=136.93 Ty=2.59 Tz=-49.21 Mx=0.55 Mz=3.24
Zona tesa: F=55.14 b_{eff}=13.20 t_w=0.70 σ=5.97
Zona tesa: F=55.14 b_{eff}=13.20 t_w=0.70 σ=5.97
CC 31 SLV (Collegamento -376_-504)
Azioni sul collegamento: N=136.93 Ty=1.28 Tz=-49.21 Mx=0.33 Mz=1.84
Zona tesa: F=55.14 b_{eff}=13.20 t_w=0.70 σ=5.97
Zona tesa: F=55.14 b_{eff}=13.20 t_w=0.70 σ=5.97
CC 31 SLV (Collegamento -376_-504)
Azioni sul collegamento: N=136.93 Ty=2.59 Tz=-49.21 Mx=0.55 Mz=3.24
Zona tesa: F=55.14 b_{eff}=13.20 t_w=0.70 σ=5.97
Zona tesa: F=55.14 b_{eff}=13.20 t_w=0.70 σ=5.97
CC 31 SLV (Collegamento -376_-504)
Azioni sul collegamento: N=153.40 Ty=1.28 Tz=-51.76 Mx=0.33 Mz=1.84
Zona tesa: F=61.77 b_{eff}=13.20 t_w=0.70 σ=6.69
Zona tesa: F=61.77 b_{eff}=13.20 t_w=0.70 σ=6.69
CC 31 SLV (Collegamento -376_-504)
Azioni sul collegamento: N=153.40 Ty=2.59 Tz=-51.76 Mx=0.55 Mz=3.24
Zona tesa: F=61.77 b_{eff}=13.20 t_w=0.70 σ=6.69
Zona tesa: F=61.77 b_{eff}=13.20 t_w=0.70 σ=6.69
CC 31 SLV (Collegamento -376_-504)
Azioni sul collegamento: N=153.40 Ty=1.28 Tz=-51.76 Mx=0.33 Mz=1.84
Zona tesa: F=61.77 b_{eff}=13.20 t_w=0.70 σ=6.69
Zona tesa: F=61.77 b_{eff}=13.20 t_w=0.70 σ=6.69
CC 31 SLV (Collegamento -376_-504)
Azioni sul collegamento: N=153.40 Ty=2.59 Tz=-51.76 Mx=0.55 Mz=3.24
Zona tesa: F=61.77 b_{eff}=13.20 t_w=0.70 σ=6.69
Zona tesa: F=61.77 b_{eff}=13.20 t_w=0.70 σ=6.69
CC 32 SLD (Collegamento -376_-504)
Azioni sul collegamento: N=144.27 Ty=1.42 Tz=-50.35 Mx=0.36 Mz=1.98
Zona tesa: F=58.10 b_{eff}=13.20 t_w=0.70 σ=6.29
Zona tesa: F=58.10 b_{eff}=13.20 t_w=0.70 σ=6.29
CC 32 SLD (Collegamento -376_-504)
Azioni sul collegamento: N=144.27 Ty=1.82 Tz=-50.35 Mx=0.42 Mz=2.41
Zona tesa: F=58.10 b_{eff}=13.20 t_w=0.70 σ=6.29
Zona tesa: F=58.10 b_{eff}=13.20 t_w=0.70 σ=6.29
CC 32 SLD (Collegamento -376_-504)
Azioni sul collegamento: N=144.27 Ty=1.42 Tz=-50.35 Mx=0.36 Mz=1.98
Zona tesa: F=58.10 b_{eff}=13.20 t_w=0.70 σ=6.29
Zona tesa: F=58.10 b_{eff}=13.20 t_w=0.70 σ=6.29
CC 32 SLD (Collegamento -376_-504)
Azioni sul collegamento: N=144.27 Ty=1.82 Tz=-50.35 Mx=0.42 Mz=2.41
Zona tesa: F=58.10 b_{eff}=13.20 t_w=0.70 σ=6.29
Zona tesa: F=58.10 b_{eff}=13.20 t_w=0.70 σ=6.29

CC 32 SLD (Collegamento -376_-504)
Azioni sul collegamento: N=149.29 Ty=1.42 Tz=-51.13 Mx=0.36 Mz=1.98
Zona tesa: F=60.12 b_{eff}=13.20 t_w=0.70 σ=6.51
Zona tesa: F=60.12 b_{eff}=13.20 t_w=0.70 σ=6.51
CC 32 SLD (Collegamento -376_-504)
Azioni sul collegamento: N=149.29 Ty=1.82 Tz=-51.13 Mx=0.42 Mz=2.41
Zona tesa: F=60.12 b_{eff}=13.20 t_w=0.70 σ=6.51
Zona tesa: F=60.12 b_{eff}=13.20 t_w=0.70 σ=6.51
CC 32 SLD (Collegamento -376_-504)
Azioni sul collegamento: N=149.29 Ty=1.42 Tz=-51.13 Mx=0.36 Mz=1.98
Zona tesa: F=60.12 b_{eff}=13.20 t_w=0.70 σ=6.51
Zona tesa: F=60.12 b_{eff}=13.20 t_w=0.70 σ=6.51
CC 32 SLD (Collegamento -376_-504)
Azioni sul collegamento: N=149.29 Ty=1.82 Tz=-51.13 Mx=0.42 Mz=2.41
Zona tesa: F=60.12 b_{eff}=13.20 t_w=0.70 σ=6.51
Zona tesa: F=60.12 b_{eff}=13.20 t_w=0.70 σ=6.51
CC 33 SLU (Collegamento -376_-504)
Azioni sul collegamento: N=371.78 Ty=3.15 Tz=-95.37 Mx=0.78 Mz=4.34
Zona tesa: F=149.71 b_{eff}=13.20 t_w=0.70 σ=16.20
Zona tesa: F=149.71 b_{eff}=13.20 t_w=0.70 σ=16.20
CC 34 SLU (Collegamento -376_-504)
Azioni sul collegamento: N=366.17 Ty=3.01 Tz=-94.50 Mx=0.75 Mz=4.14
Zona tesa: F=147.45 b_{eff}=13.20 t_w=0.70 σ=15.96
Zona tesa: F=147.45 b_{eff}=13.20 t_w=0.70 σ=15.96
CC 35 SLU (Collegamento -376_-504)
Azioni sul collegamento: N=369.00 Ty=3.13 Tz=-94.94 Mx=0.77 Mz=4.28
Zona tesa: F=148.59 b_{eff}=13.20 t_w=0.70 σ=16.08
Zona tesa: F=148.59 b_{eff}=13.20 t_w=0.70 σ=16.08
CC 36 SLU (Collegamento -376_-504)
Azioni sul collegamento: N=368.95 Ty=3.03 Tz=-94.93 Mx=0.76 Mz=4.20
Zona tesa: F=148.57 b_{eff}=13.20 t_w=0.70 σ=16.08
Zona tesa: F=148.57 b_{eff}=13.20 t_w=0.70 σ=16.08
CC 37 SLU (Collegamento -376_-504)
Azioni sul collegamento: N=304.32 Ty=3.00 Tz=-84.93 Mx=0.77 Mz=4.30
Zona tesa: F=122.55 b_{eff}=13.20 t_w=0.70 σ=13.26
Zona tesa: F=122.55 b_{eff}=13.20 t_w=0.70 σ=13.26
CC 38 SLU (Collegamento -376_-504)
Azioni sul collegamento: N=298.72 Ty=2.86 Tz=-84.06 Mx=0.74 Mz=4.10
Zona tesa: F=120.29 b_{eff}=13.20 t_w=0.70 σ=13.02
Zona tesa: F=120.29 b_{eff}=13.20 t_w=0.70 σ=13.02
CC 39 SLU (Collegamento -376_-504)
Azioni sul collegamento: N=301.54 Ty=2.98 Tz=-84.50 Mx=0.76 Mz=4.25
Zona tesa: F=121.43 b_{eff}=13.20 t_w=0.70 σ=13.14
Zona tesa: F=121.43 b_{eff}=13.20 t_w=0.70 σ=13.14
CC 40 SLU (Collegamento -376_-504)
Azioni sul collegamento: N=301.50 Ty=2.88 Tz=-84.49 Mx=0.75 Mz=4.16
Zona tesa: F=121.41 b_{eff}=13.20 t_w=0.70 σ=13.14
Zona tesa: F=121.41 b_{eff}=13.20 t_w=0.70 σ=13.14
CC 41 SLU (Collegamento -376_-504)
Azioni sul collegamento: N=335.80 Ty=-2.05 Tz=-89.80 Mx=-0.48 Mz=-2.83
Zona tesa: F=135.22 b_{eff}=13.20 t_w=0.70 σ=14.63
Zona tesa: F=135.22 b_{eff}=13.20 t_w=0.70 σ=14.63
CC 42 SLU (Collegamento -376_-504)
Azioni sul collegamento: N=330.19 Ty=-2.19 Tz=-88.93 Mx=-0.52 Mz=-3.03
Zona tesa: F=132.96 b_{eff}=13.20 t_w=0.70 σ=14.39
Zona tesa: F=132.96 b_{eff}=13.20 t_w=0.70 σ=14.39
CC 43 SLU (Collegamento -376_-504)
Azioni sul collegamento: N=333.02 Ty=-2.08 Tz=-89.37 Mx=-0.49 Mz=-2.89
Zona tesa: F=134.10 b_{eff}=13.20 t_w=0.70 σ=14.51
Zona tesa: F=134.10 b_{eff}=13.20 t_w=0.70 σ=14.51
CC 44 SLU (Collegamento -376_-504)
Azioni sul collegamento: N=332.97 Ty=-2.17 Tz=-89.36 Mx=-0.51 Mz=-2.97
Zona tesa: F=134.08 b_{eff}=13.20 t_w=0.70 σ=14.51
Zona tesa: F=134.08 b_{eff}=13.20 t_w=0.70 σ=14.51
CC 45 SLU (Collegamento -376_-504)
Azioni sul collegamento: N=319.15 Ty=3.14 Tz=-87.22 Mx=0.78 Mz=4.32
Zona tesa: F=128.52 b_{eff}=13.20 t_w=0.70 σ=13.91
Zona tesa: F=128.52 b_{eff}=13.20 t_w=0.70 σ=13.91
CC 46 SLU (Collegamento -376_-504)
Azioni sul collegamento: N=313.55 Ty=3.00 Tz=-86.35 Mx=0.74 Mz=4.12
Zona tesa: F=126.26 b_{eff}=13.20 t_w=0.70 σ=13.66
Zona tesa: F=126.26 b_{eff}=13.20 t_w=0.70 σ=13.66
CC 47 SLU (Collegamento -376_-504)
Azioni sul collegamento: N=316.37 Ty=3.12 Tz=-86.79 Mx=0.76 Mz=4.26
Zona tesa: F=127.40 b_{eff}=13.20 t_w=0.70 σ=13.79
Zona tesa: F=127.40 b_{eff}=13.20 t_w=0.70 σ=13.79

CC 48 SLU (Collegamento -376_-504)
Azioni sul collegamento: N=316.33 Ty=3.02 Tz=-86.79 Mx=0.75 Mz=4.17
Zona tesa: F=127.38 b_{eff}=13.20 t_w=0.70 σ=13.79
Zona tesa: F=127.38 b_{eff}=13.20 t_w=0.70 σ=13.79
CC 49 SLU (Collegamento -376_-504)
Azioni sul collegamento: N=268.69 Ty=3.03 Tz=-79.41 Mx=0.77 Mz=4.29
Zona tesa: F=108.20 b_{eff}=13.20 t_w=0.70 σ=11.71
Zona tesa: F=108.20 b_{eff}=13.20 t_w=0.70 σ=11.71
CC 50 SLU (Collegamento -376_-504)
Azioni sul collegamento: N=263.08 Ty=2.89 Tz=-78.54 Mx=0.73 Mz=4.09
Zona tesa: F=105.94 b_{eff}=13.20 t_w=0.70 σ=11.47
Zona tesa: F=105.94 b_{eff}=13.20 t_w=0.70 σ=11.47
CC 51 SLU (Collegamento -376_-504)
Azioni sul collegamento: N=265.90 Ty=3.00 Tz=-78.98 Mx=0.76 Mz=4.23
Zona tesa: F=107.08 b_{eff}=13.20 t_w=0.70 σ=11.59
Zona tesa: F=107.08 b_{eff}=13.20 t_w=0.70 σ=11.59
CC 52 SLU (Collegamento -376_-504)
Azioni sul collegamento: N=265.86 Ty=2.91 Tz=-78.97 Mx=0.74 Mz=4.15
Zona tesa: F=107.06 b_{eff}=13.20 t_w=0.70 σ=11.59
Zona tesa: F=107.06 b_{eff}=13.20 t_w=0.70 σ=11.59
CC 53 SLU (Collegamento -376_-504)
Azioni sul collegamento: N=292.23 Ty=-0.75 Tz=-83.06 Mx=-0.17 Mz=-1.05
Zona tesa: F=117.68 b_{eff}=13.20 t_w=0.70 σ=12.74
Zona tesa: F=117.68 b_{eff}=13.20 t_w=0.70 σ=12.74
CC 54 SLU (Collegamento -376_-504)
Azioni sul collegamento: N=286.63 Ty=-0.89 Tz=-82.19 Mx=-0.21 Mz=-1.25
Zona tesa: F=115.42 b_{eff}=13.20 t_w=0.70 σ=12.49
Zona tesa: F=115.42 b_{eff}=13.20 t_w=0.70 σ=12.49
CC 55 SLU (Collegamento -376_-504)
Azioni sul collegamento: N=289.45 Ty=-0.78 Tz=-82.63 Mx=-0.18 Mz=-1.11
Zona tesa: F=116.56 b_{eff}=13.20 t_w=0.70 σ=12.61
Zona tesa: F=116.56 b_{eff}=13.20 t_w=0.70 σ=12.61
CC 56 SLU (Collegamento -376_-504)
Azioni sul collegamento: N=289.41 Ty=-0.87 Tz=-82.62 Mx=-0.20 Mz=-1.19
Zona tesa: F=116.54 b_{eff}=13.20 t_w=0.70 σ=12.61
Zona tesa: F=116.54 b_{eff}=13.20 t_w=0.70 σ=12.61
CC 57 SLU (Collegamento -376_-504)
Azioni sul collegamento: N=303.76 Ty=2.83 Tz=-84.84 Mx=0.70 Mz=3.86
Zona tesa: F=122.32 b_{eff}=13.20 t_w=0.70 σ=13.24
Zona tesa: F=122.32 b_{eff}=13.20 t_w=0.70 σ=13.24
CC 58 SLU (Collegamento -376_-504)
Azioni sul collegamento: N=298.15 Ty=2.69 Tz=-83.97 Mx=0.66 Mz=3.66
Zona tesa: F=120.06 b_{eff}=13.20 t_w=0.70 σ=12.99
Zona tesa: F=120.06 b_{eff}=13.20 t_w=0.70 σ=12.99
CC 59 SLU (Collegamento -376_-504)
Azioni sul collegamento: N=300.98 Ty=2.80 Tz=-84.41 Mx=0.69 Mz=3.80
Zona tesa: F=121.20 b_{eff}=13.20 t_w=0.70 σ=13.12
Zona tesa: F=121.20 b_{eff}=13.20 t_w=0.70 σ=13.12
CC 60 SLU (Collegamento -376_-504)
Azioni sul collegamento: N=300.94 Ty=2.71 Tz=-84.40 Mx=0.67 Mz=3.72
Zona tesa: F=121.18 b_{eff}=13.20 t_w=0.70 σ=13.12
Zona tesa: F=121.18 b_{eff}=13.20 t_w=0.70 σ=13.12
CC 61 SLU (Collegamento -376_-504)
Azioni sul collegamento: N=253.29 Ty=2.72 Tz=-77.03 Mx=0.69 Mz=3.83
Zona tesa: F=102.00 b_{eff}=13.20 t_w=0.70 σ=11.04
Zona tesa: F=102.00 b_{eff}=13.20 t_w=0.70 σ=11.04
CC 62 SLU (Collegamento -376_-504)
Azioni sul collegamento: N=247.69 Ty=2.58 Tz=-76.16 Mx=0.65 Mz=3.63
Zona tesa: F=99.74 b_{eff}=13.20 t_w=0.70 σ=10.79
Zona tesa: F=99.74 b_{eff}=13.20 t_w=0.70 σ=10.79
CC 63 SLU (Collegamento -376_-504)
Azioni sul collegamento: N=250.51 Ty=2.69 Tz=-76.60 Mx=0.68 Mz=3.77
Zona tesa: F=100.88 b_{eff}=13.20 t_w=0.70 σ=10.92
Zona tesa: F=100.88 b_{eff}=13.20 t_w=0.70 σ=10.92
CC 64 SLU (Collegamento -376_-504)
Azioni sul collegamento: N=250.47 Ty=2.60 Tz=-76.59 Mx=0.66 Mz=3.69
Zona tesa: F=100.86 b_{eff}=13.20 t_w=0.70 σ=10.92
Zona tesa: F=100.86 b_{eff}=13.20 t_w=0.70 σ=10.92
CC 65 SLU (Collegamento -376_-504)
Azioni sul collegamento: N=276.84 Ty=-1.07 Tz=-80.67 Mx=-0.25 Mz=-1.51
Zona tesa: F=111.48 b_{eff}=13.20 t_w=0.70 σ=12.06
Zona tesa: F=111.48 b_{eff}=13.20 t_w=0.70 σ=12.06
CC 66 SLU (Collegamento -376_-504)
Azioni sul collegamento: N=271.24 Ty=-1.20 Tz=-79.81 Mx=-0.28 Mz=-1.71
Zona tesa: F=109.22 b_{eff}=13.20 t_w=0.70 σ=11.82
Zona tesa: F=109.22 b_{eff}=13.20 t_w=0.70 σ=11.82

CC 67 SLU (Collegamento -376_-504)
Azioni sul collegamento: N=274.06 Ty=-1.09 Tz=-80.24 Mx=-0.26 Mz=-1.56
Zona tesa: F=110.36 b_{eff}=13.20 t_w=0.70 σ=11.94
Zona tesa: F=110.36 b_{eff}=13.20 t_w=0.70 σ=11.94
CC 68 SLU (Collegamento -376_-504)
Azioni sul collegamento: N=274.02 Ty=-1.18 Tz=-80.24 Mx=-0.27 Mz=-1.65
Zona tesa: F=110.34 b_{eff}=13.20 t_w=0.70 σ=11.94
Zona tesa: F=110.34 b_{eff}=13.20 t_w=0.70 σ=11.94
CC 97 SLU (Collegamento -376_-504)
Azioni sul collegamento: N=317.17 Ty=-4.15 Tz=-77.11 Mx=0.57 Mz=2.29
Zona tesa: F=127.72 b_{eff}=13.20 t_w=0.70 σ=13.82
Zona tesa: F=127.72 b_{eff}=13.20 t_w=0.70 σ=13.82
CC 98 SLU (Collegamento -376_-504)
Azioni sul collegamento: N=311.56 Ty=-4.28 Tz=-76.24 Mx=0.54 Mz=2.09
Zona tesa: F=125.46 b_{eff}=13.20 t_w=0.70 σ=13.58
Zona tesa: F=125.46 b_{eff}=13.20 t_w=0.70 σ=13.58
CC 99 SLU (Collegamento -376_-504)
Azioni sul collegamento: N=314.39 Ty=-4.17 Tz=-76.68 Mx=0.56 Mz=2.23
Zona tesa: F=126.60 b_{eff}=13.20 t_w=0.70 σ=13.70
Zona tesa: F=126.60 b_{eff}=13.20 t_w=0.70 σ=13.70
CC 100 SLU (Collegamento -376_-504)
Azioni sul collegamento: N=314.35 Ty=-4.26 Tz=-76.67 Mx=0.55 Mz=2.14
Zona tesa: F=126.58 b_{eff}=13.20 t_w=0.70 σ=13.70
Zona tesa: F=126.58 b_{eff}=13.20 t_w=0.70 σ=13.70
CC 101 SLU (Collegamento -376_-504)
Azioni sul collegamento: N=141.43 Ty=1.27 Tz=-49.91 Mx=0.26 Mz=1.59
Zona tesa: F=56.95 b_{eff}=13.20 t_w=0.70 σ=6.16
Zona tesa: F=56.95 b_{eff}=13.20 t_w=0.70 σ=6.16
CC 102 SLU (Collegamento -376_-504)
Azioni sul collegamento: N=135.83 Ty=1.13 Tz=-49.04 Mx=0.23 Mz=1.39
Zona tesa: F=54.70 b_{eff}=13.20 t_w=0.70 σ=5.92
Zona tesa: F=54.70 b_{eff}=13.20 t_w=0.70 σ=5.92
CC 103 SLU (Collegamento -376_-504)
Azioni sul collegamento: N=138.65 Ty=1.25 Tz=-49.48 Mx=0.25 Mz=1.54
Zona tesa: F=55.83 b_{eff}=13.20 t_w=0.70 σ=6.04
Zona tesa: F=55.83 b_{eff}=13.20 t_w=0.70 σ=6.04
CC 104 SLU (Collegamento -376_-504)
Azioni sul collegamento: N=138.61 Ty=1.16 Tz=-49.47 Mx=0.24 Mz=1.45
Zona tesa: F=55.82 b_{eff}=13.20 t_w=0.70 σ=6.04
Zona tesa: F=55.82 b_{eff}=13.20 t_w=0.70 σ=6.04

Collegamento -377_-511

Saldatura a cordone d'angolo
Altezza di gola saldature: anima 7.07 - ala 7.07

Saldatura profilo-profilo

CC 98 SLU (Collegamento -377_-511)
Azioni sul collegamento: N=195.68 Ty=-1.10 Tz=-68.11 Mx=-0.32 Mz=-2.22
Sollecitazioni agenti localmente: Tx_l=-1.10 Ty_l=-68.11 N_l=195.68 My_l=2.22 Mz_l=-0.32
Azioni sul cordone: TP=0.45 TO=5.26 NO=14.40
Tensioni nel cordone: τ_P=0.14 τ_O=1.67 σ_O=7.82 σ_{ID}=8.00 Σ_T=9.49
CC 99 SLU (Collegamento -377_-511)
Azioni sul collegamento: N=194.53 Ty=-1.17 Tz=-67.94 Mx=-0.33 Mz=-2.28
Sollecitazioni agenti localmente: Tx_l=-1.17 Ty_l=-67.94 N_l=194.53 My_l=2.28 Mz_l=-0.33
Azioni sul cordone: TP=0.46 TO=5.26 NO=14.31
Tensioni nel cordone: τ_P=0.15 τ_O=1.67 σ_O=7.88 σ_{ID}=8.06 Σ_T=9.55

Verifica lato anima della colonna

CC 98 SLU (Collegamento -377_-511)
Azioni sul collegamento: N=195.68 Ty=-1.10 Tz=-68.11 Mx=-0.32 Mz=-2.22
Zona tesa: F=78.80 b_{eff}=13.20 t_w=0.70 σ=8.53
Zona tesa: F=78.80 b_{eff}=13.20 t_w=0.70 σ=8.53

Collegamento -378_-512

Saldatura a cordone d'angolo
Altezza di gola saldature: anima 7.07 - ala 7.07

Saldatura profilo-profilo

CC 1 SLV (Collegamento -378_-512)
Azioni sul collegamento: N=160.81 Ty=1.85 Tz=-52.91 Mx=0.43 Mz=2.64
Sollecitazioni agenti localmente: Tx_l=1.85 Ty_l=-52.91 N_l=160.81 My_l=-2.64 Mz_l=0.43
Azioni sul cordone: TP=-0.63 TO=4.23 NO=11.83

Tensioni nel cordone: τ_P=0.20 τ_0=1.35 σ_0=7.62 σ_{ID}=7.74 Σ_T=8.97
CC 1 SLV (Collegamento -378_-512)
Azioni sul collegamento: N=160.81 Ty=0.00 Tz=-52.91 Mx=0.06 Mz=0.27
Sollecitazioni agenti localmente: Tx_l=0.00 Ty_l=-52.91 N_l=160.81 My_l=-0.27 Mz_l=0.06
Azioni sul cordone: TP=-0.07 TO=-3.94 NO=11.83
Tensioni nel cordone: τ_P= 0.02 τ_0=1.25 σ_0=4.16 σ_{ID}=4.34 Σ_T=5.41
CC 1 SLV (Collegamento -378_-512)
Azioni sul collegamento: N=160.81 Ty=1.85 Tz=-52.91 Mx=0.43 Mz=2.64
Sollecitazioni agenti localmente: Tx_l=1.85 Ty_l=-52.91 N_l=160.81 My_l=-2.64 Mz_l=0.43
Azioni sul cordone: TP=-0.63 TO=4.23 NO=11.83
Tensioni nel cordone: τ_P=0.20 τ_0=1.35 σ_0=7.62 σ_{ID}=7.74 Σ_T=8.97
CC 1 SLV (Collegamento -378_-512)
Azioni sul collegamento: N=160.81 Ty=0.00 Tz=-52.91 Mx=0.06 Mz=0.27
Sollecitazioni agenti localmente: Tx_l=0.00 Ty_l=-52.91 N_l=160.81 My_l=-0.27 Mz_l=0.06
Azioni sul cordone: TP=-0.07 TO=-3.94 NO=11.83
Tensioni nel cordone: τ_P= 0.02 τ_0=1.25 σ_0=4.16 σ_{ID}=4.34 Σ_T=5.41
CC 1 SLV (Collegamento -378_-512)
Azioni sul collegamento: N=118.50 Ty=1.85 Tz=-46.36 Mx=0.43 Mz=2.64
Sollecitazioni agenti localmente: Tx_l=1.85 Ty_l=-46.36 N_l=118.50 My_l=-2.64 Mz_l=0.43
Azioni sul cordone: TP=-0.63 TO=3.75 NO=8.72
Tensioni nel cordone: τ_P=0.20 τ_0=1.19 σ_0=6.63 σ_{ID}=6.74 Σ_T=7.82
CC 1 SLV (Collegamento -378_-512)
Azioni sul collegamento: N=118.50 Ty=0.00 Tz=-46.36 Mx=0.06 Mz=0.27
Sollecitazioni agenti localmente: Tx_l=0.00 Ty_l=-46.36 N_l=118.50 My_l=-0.27 Mz_l=0.06
Azioni sul cordone: TP=-0.07 TO=-3.46 NO=8.72
Tensioni nel cordone: τ_P= 0.02 τ_0=1.10 σ_0=3.17 σ_{ID}=3.35 Σ_T=4.27
CC 1 SLV (Collegamento -378_-512)
Azioni sul collegamento: N=118.50 Ty=1.85 Tz=-46.36 Mx=0.43 Mz=2.64
Sollecitazioni agenti localmente: Tx_l=1.85 Ty_l=-46.36 N_l=118.50 My_l=-2.64 Mz_l=0.43
Azioni sul cordone: TP=-0.63 TO=3.75 NO=8.72
Tensioni nel cordone: τ_P=0.20 τ_0=1.19 σ_0=6.63 σ_{ID}=6.74 Σ_T=7.82
CC 1 SLV (Collegamento -378_-512)
Azioni sul collegamento: N=118.50 Ty=0.00 Tz=-46.36 Mx=0.06 Mz=0.27
Sollecitazioni agenti localmente: Tx_l=0.00 Ty_l=-46.36 N_l=118.50 My_l=-0.27 Mz_l=0.06
Azioni sul cordone: TP=-0.07 TO=-3.46 NO=8.72
Tensioni nel cordone: τ_P= 0.02 τ_0=1.10 σ_0=3.17 σ_{ID}=3.35 Σ_T=4.27
CC 2 SLD (Collegamento -378_-512)
Azioni sul collegamento: N=146.00 Ty=1.67 Tz=-50.62 Mx=0.39 Mz=2.38
Sollecitazioni agenti localmente: Tx_l=1.67 Ty_l=-50.62 N_l=146.00 My_l=-2.38 Mz_l=0.39
Azioni sul cordone: TP=-0.57 TO=4.03 NO=10.74
Tensioni nel cordone: τ_P=0.18 τ_0=1.28 σ_0=6.89 σ_{ID}=7.01 Σ_T=8.18
CC 2 SLD (Collegamento -378_-512)
Azioni sul collegamento: N=146.00 Ty=1.11 Tz=-50.62 Mx=0.28 Mz=1.66
Sollecitazioni agenti localmente: Tx_l=1.11 Ty_l=-50.62 N_l=146.00 My_l=-1.66 Mz_l=0.28
Azioni sul cordone: TP=-0.40 TO=3.94 NO=10.74
Tensioni nel cordone: τ_P=0.13 τ_0=1.25 σ_0=5.84 σ_{ID}=5.97 Σ_T=7.09
CC 2 SLD (Collegamento -378_-512)
Azioni sul collegamento: N=146.00 Ty=1.67 Tz=-50.62 Mx=0.39 Mz=2.38
Sollecitazioni agenti localmente: Tx_l=1.67 Ty_l=-50.62 N_l=146.00 My_l=-2.38 Mz_l=0.39
Azioni sul cordone: TP=-0.57 TO=4.03 NO=10.74
Tensioni nel cordone: τ_P=0.18 τ_0=1.28 σ_0=6.89 σ_{ID}=7.01 Σ_T=8.18
CC 2 SLD (Collegamento -378_-512)
Azioni sul collegamento: N=146.00 Ty=1.11 Tz=-50.62 Mx=0.28 Mz=1.66
Sollecitazioni agenti localmente: Tx_l=1.11 Ty_l=-50.62 N_l=146.00 My_l=-1.66 Mz_l=0.28
Azioni sul cordone: TP=-0.40 TO=3.94 NO=10.74
Tensioni nel cordone: τ_P=0.13 τ_0=1.25 σ_0=5.84 σ_{ID}=5.97 Σ_T=7.09
CC 2 SLD (Collegamento -378_-512)
Azioni sul collegamento: N=133.10 Ty=1.67 Tz=-48.62 Mx=0.39 Mz=2.38
Sollecitazioni agenti localmente: Tx_l=1.67 Ty_l=-48.62 N_l=133.10 My_l=-2.38 Mz_l=0.39
Azioni sul cordone: TP=-0.57 TO=3.88 NO=9.79
Tensioni nel cordone: τ_P=0.18 τ_0=1.23 σ_0=6.59 σ_{ID}=6.71 Σ_T=7.83
CC 2 SLD (Collegamento -378_-512)
Azioni sul collegamento: N=133.10 Ty=1.11 Tz=-48.62 Mx=0.28 Mz=1.66
Sollecitazioni agenti localmente: Tx_l=1.11 Ty_l=-48.62 N_l=133.10 My_l=-1.66 Mz_l=0.28
Azioni sul cordone: TP=-0.40 TO=3.80 NO=9.79
Tensioni nel cordone: τ_P=0.13 τ_0=1.21 σ_0=5.54 σ_{ID}=5.67 Σ_T=6.74
CC 2 SLD (Collegamento -378_-512)
Azioni sul collegamento: N=133.10 Ty=1.67 Tz=-48.62 Mx=0.39 Mz=2.38
Sollecitazioni agenti localmente: Tx_l=1.67 Ty_l=-48.62 N_l=133.10 My_l=-2.38 Mz_l=0.39
Azioni sul cordone: TP=-0.57 TO=3.88 NO=9.79
Tensioni nel cordone: τ_P=0.18 τ_0=1.23 σ_0=6.59 σ_{ID}=6.71 Σ_T=7.83
CC 2 SLD (Collegamento -378_-512)
Azioni sul collegamento: N=133.10 Ty=1.11 Tz=-48.62 Mx=0.28 Mz=1.66
Sollecitazioni agenti localmente: Tx_l=1.11 Ty_l=-48.62 N_l=133.10 My_l=-1.66 Mz_l=0.28
Azioni sul cordone: TP=-0.40 TO=3.80 NO=9.79
Tensioni nel cordone: τ_P=0.13 τ_0=1.21 σ_0=5.54 σ_{ID}=5.67 Σ_T=6.74
CC 3 SLV (Collegamento -378_-512)
Azioni sul collegamento: N=160.63 Ty=1.31 Tz=-52.88 Mx=0.34 Mz=2.08
Sollecitazioni agenti localmente: Tx_l=1.31 Ty_l=-52.88 N_l=160.63 My_l=-2.08 Mz_l=0.34

Azioni sul cordone: TP=-0.49 TO=4.16 NO=11.82
Tensioni nel cordone: τ_P=0.16 τ_0=1.32 σ_0=6.80 σ_{ID}=6.93 Σ_T=8.12
CC 3 SLV (Collegamento -378_-512)
Azioni sul collegamento: N=160.63 Ty=0.54 Tz=-52.88 Mx=0.15 Mz=0.83
Sollecitazioni agenti localmente: Tx_l=0.54 Ty_l=-52.88 N_l=160.63 My_l=-0.83 Mz_l=0.15
Azioni sul cordone: TP=-0.21 TO=4.01 NO=11.82
Tensioni nel cordone: τ_P= 0.07 τ_0=1.27 σ_0=4.97 σ_{ID}=5.13 Σ_T=6.24
CC 3 SLV (Collegamento -378_-512)
Azioni sul collegamento: N=160.63 Ty=1.31 Tz=-52.88 Mx=0.34 Mz=2.08
Sollecitazioni agenti localmente: Tx_l=1.31 Ty_l=-52.88 N_l=160.63 My_l=-2.08 Mz_l=0.34
Azioni sul cordone: TP=-0.49 TO=4.16 NO=11.82
Tensioni nel cordone: τ_P=0.16 τ_0=1.32 σ_0=6.80 σ_{ID}=6.93 Σ_T=8.12
CC 3 SLV (Collegamento -378_-512)
Azioni sul collegamento: N=160.63 Ty=0.54 Tz=-52.88 Mx=0.15 Mz=0.83
Sollecitazioni agenti localmente: Tx_l=0.54 Ty_l=-52.88 N_l=160.63 My_l=-0.83 Mz_l=0.15
Azioni sul cordone: TP=-0.21 TO=4.01 NO=11.82
Tensioni nel cordone: τ_P= 0.07 τ_0=1.27 σ_0=4.97 σ_{ID}=5.13 Σ_T=6.24
CC 3 SLV (Collegamento -378_-512)
Azioni sul collegamento: N=118.67 Ty=1.31 Tz=-46.39 Mx=0.34 Mz=2.08
Sollecitazioni agenti localmente: Tx_l=1.31 Ty_l=-46.39 N_l=118.67 My_l=-2.08 Mz_l=0.34
Azioni sul cordone: TP=-0.49 TO=3.68 NO=8.73
Tensioni nel cordone: τ_P=0.16 τ_0=1.17 σ_0=5.82 σ_{ID}=5.94 Σ_T=6.99
CC 3 SLV (Collegamento -378_-512)
Azioni sul collegamento: N=118.67 Ty=0.54 Tz=-46.39 Mx=0.15 Mz=0.83
Sollecitazioni agenti localmente: Tx_l=0.54 Ty_l=-46.39 N_l=118.67 My_l=-0.83 Mz_l=0.15
Azioni sul cordone: TP=-0.21 TO=3.53 NO=8.73
Tensioni nel cordone: τ_P= 0.07 τ_0=1.12 σ_0=3.99 σ_{ID}=4.14 Σ_T=5.11
CC 3 SLV (Collegamento -378_-512)
Azioni sul collegamento: N=118.67 Ty=1.31 Tz=-46.39 Mx=0.34 Mz=2.08
Sollecitazioni agenti localmente: Tx_l=1.31 Ty_l=-46.39 N_l=118.67 My_l=-2.08 Mz_l=0.34
Azioni sul cordone: TP=-0.49 TO=3.68 NO=8.73
Tensioni nel cordone: τ_P=0.16 τ_0=1.17 σ_0=5.82 σ_{ID}=5.94 Σ_T=6.99
CC 3 SLV (Collegamento -378_-512)
Azioni sul collegamento: N=118.67 Ty=0.54 Tz=-46.39 Mx=0.15 Mz=0.83
Sollecitazioni agenti localmente: Tx_l=0.54 Ty_l=-46.39 N_l=118.67 My_l=-0.83 Mz_l=0.15
Azioni sul cordone: TP=-0.21 TO=3.53 NO=8.73
Tensioni nel cordone: τ_P= 0.07 τ_0=1.12 σ_0=3.99 σ_{ID}=4.14 Σ_T=5.11
CC 4 SLD (Collegamento -378_-512)
Azioni sul collegamento: N=145.94 Ty=1.51 Tz=-50.61 Mx=0.36 Mz=2.21
Sollecitazioni agenti localmente: Tx_l=1.51 Ty_l=-50.61 N_l=145.94 My_l=-2.21 Mz_l=0.36
Azioni sul cordone: TP=-0.53 TO=4.01 NO=10.74
Tensioni nel cordone: τ_P=0.17 τ_0=1.27 σ_0=6.64 σ_{ID}=6.77 Σ_T=7.92
CC 4 SLD (Collegamento -378_-512)
Azioni sul collegamento: N=145.94 Ty=1.27 Tz=-50.61 Mx=0.30 Mz=1.83
Sollecitazioni agenti localmente: Tx_l=1.27 Ty_l=-50.61 N_l=145.94 My_l=-1.83 Mz_l=0.30
Azioni sul cordone: TP=-0.44 TO=3.96 NO=10.74
Tensioni nel cordone: τ_P=0.14 τ_0=1.26 σ_0=6.09 σ_{ID}=6.22 Σ_T=7.35
CC 4 SLD (Collegamento -378_-512)
Azioni sul collegamento: N=145.94 Ty=1.51 Tz=-50.61 Mx=0.36 Mz=2.21
Sollecitazioni agenti localmente: Tx_l=1.51 Ty_l=-50.61 N_l=145.94 My_l=-2.21 Mz_l=0.36
Azioni sul cordone: TP=-0.53 TO=4.01 NO=10.74
Tensioni nel cordone: τ_P=0.17 τ_0=1.27 σ_0=6.64 σ_{ID}=6.77 Σ_T=7.92
CC 4 SLD (Collegamento -378_-512)
Azioni sul collegamento: N=145.94 Ty=1.27 Tz=-50.61 Mx=0.30 Mz=1.83
Sollecitazioni agenti localmente: Tx_l=1.27 Ty_l=-50.61 N_l=145.94 My_l=-1.83 Mz_l=0.30
Azioni sul cordone: TP=-0.44 TO=3.96 NO=10.74
Tensioni nel cordone: τ_P=0.14 τ_0=1.26 σ_0=6.09 σ_{ID}=6.22 Σ_T=7.35
CC 4 SLD (Collegamento -378_-512)
Azioni sul collegamento: N=133.15 Ty=1.51 Tz=-48.63 Mx=0.36 Mz=2.21
Sollecitazioni agenti localmente: Tx_l=1.51 Ty_l=-48.63 N_l=133.15 My_l=-2.21 Mz_l=0.36
Azioni sul cordone: TP=-0.53 TO=3.86 NO=9.80
Tensioni nel cordone: τ_P=0.17 τ_0=1.23 σ_0=6.34 σ_{ID}=6.46 Σ_T=7.57
CC 4 SLD (Collegamento -378_-512)
Azioni sul collegamento: N=133.15 Ty=1.27 Tz=-48.63 Mx=0.30 Mz=1.83
Sollecitazioni agenti localmente: Tx_l=1.27 Ty_l=-48.63 N_l=133.15 My_l=-1.83 Mz_l=0.30
Azioni sul cordone: TP=-0.44 TO=3.82 NO=9.80
Tensioni nel cordone: τ_P=0.14 τ_0=1.21 σ_0=5.79 σ_{ID}=5.91 Σ_T=7.00
CC 4 SLD (Collegamento -378_-512)
Azioni sul collegamento: N=133.15 Ty=1.51 Tz=-48.63 Mx=0.36 Mz=2.21
Sollecitazioni agenti localmente: Tx_l=1.51 Ty_l=-48.63 N_l=133.15 My_l=-2.21 Mz_l=0.36
Azioni sul cordone: TP=-0.53 TO=3.86 NO=9.80
Tensioni nel cordone: τ_P=0.17 τ_0=1.23 σ_0=6.34 σ_{ID}=6.46 Σ_T=7.57
CC 4 SLD (Collegamento -378_-512)
Azioni sul collegamento: N=133.15 Ty=1.27 Tz=-48.63 Mx=0.30 Mz=1.83
Sollecitazioni agenti localmente: Tx_l=1.27 Ty_l=-48.63 N_l=133.15 My_l=-1.83 Mz_l=0.30
Azioni sul cordone: TP=-0.44 TO=3.82 NO=9.80
Tensioni nel cordone: τ_P=0.14 τ_0=1.21 σ_0=5.79 σ_{ID}=5.91 Σ_T=7.00
CC 5 SLV (Collegamento -378_-512)
Azioni sul collegamento: N=118.67 Ty=0.54 Tz=-46.39 Mx=0.14 Mz=0.83

Sollecitazioni agenti localmente: Tx_l=0.54 Ty_l=-46.39 N_l=118.67 My_l=-0.83 Mz_l=0.14
Azioni sul cordone: TP=-0.20 TO=3.52 NO=8.73
Tensioni nel cordone: τ_P= 0.06 τ_0=1.12 σ_0=3.99 σ_{ID}=4.15 Σ_T=5.11
CC 5 SLV (Collegamento -378_-512)
Azioni sul collegamento: N=118.67 Ty=1.31 Tz=-46.39 Mx=0.33 Mz=2.08
Sollecitazioni agenti localmente: Tx_l=1.31 Ty_l=-46.39 N_l=118.67 My_l=-2.08 Mz_l=0.33
Azioni sul cordone: TP=-0.48 TO=3.67 NO=8.73
Tensioni nel cordone: τ_P=0.15 τ_0=1.17 σ_0=5.82 σ_{ID}=5.94 Σ_T=6.99
CC 5 SLV (Collegamento -378_-512)
Azioni sul collegamento: N=118.67 Ty=0.54 Tz=-46.39 Mx=0.14 Mz=0.83
Sollecitazioni agenti localmente: Tx_l=0.54 Ty_l=-46.39 N_l=118.67 My_l=-0.83 Mz_l=0.14
Azioni sul cordone: TP=-0.20 TO=3.52 NO=8.73
Tensioni nel cordone: τ_P= 0.06 τ_0=1.12 σ_0=3.99 σ_{ID}=4.15 Σ_T=5.11
CC 5 SLV (Collegamento -378_-512)
Azioni sul collegamento: N=118.67 Ty=1.31 Tz=-46.39 Mx=0.33 Mz=2.08
Sollecitazioni agenti localmente: Tx_l=1.31 Ty_l=-46.39 N_l=118.67 My_l=-2.08 Mz_l=0.33
Azioni sul cordone: TP=-0.48 TO=3.67 NO=8.73
Tensioni nel cordone: τ_P=0.15 τ_0=1.17 σ_0=5.82 σ_{ID}=5.94 Σ_T=6.99
CC 5 SLV (Collegamento -378_-512)
Azioni sul collegamento: N=160.63 Ty=0.54 Tz=-52.88 Mx=0.14 Mz=0.83
Sollecitazioni agenti localmente: Tx_l=0.54 Ty_l=-52.88 N_l=160.63 My_l=-0.83 Mz_l=0.14
Azioni sul cordone: TP=-0.20 TO=4.00 NO=11.82
Tensioni nel cordone: τ_P= 0.06 τ_0=1.27 σ_0=4.97 σ_{ID}=5.13 Σ_T=6.24
CC 5 SLV (Collegamento -378_-512)
Azioni sul collegamento: N=160.63 Ty=1.31 Tz=-52.88 Mx=0.33 Mz=2.08
Sollecitazioni agenti localmente: Tx_l=1.31 Ty_l=-52.88 N_l=160.63 My_l=-2.08 Mz_l=0.33
Azioni sul cordone: TP=-0.48 TO=4.15 NO=11.82
Tensioni nel cordone: τ_P=0.15 τ_0=1.32 σ_0=6.80 σ_{ID}=6.93 Σ_T=8.12
CC 5 SLV (Collegamento -378_-512)
Azioni sul collegamento: N=160.63 Ty=0.54 Tz=-52.88 Mx=0.14 Mz=0.83
Sollecitazioni agenti localmente: Tx_l=0.54 Ty_l=-52.88 N_l=160.63 My_l=-0.83 Mz_l=0.14
Azioni sul cordone: TP=-0.20 TO=4.00 NO=11.82
Tensioni nel cordone: τ_P= 0.06 τ_0=1.27 σ_0=4.97 σ_{ID}=5.13 Σ_T=6.24
CC 5 SLV (Collegamento -378_-512)
Azioni sul collegamento: N=160.63 Ty=1.31 Tz=-52.88 Mx=0.33 Mz=2.08
Sollecitazioni agenti localmente: Tx_l=1.31 Ty_l=-52.88 N_l=160.63 My_l=-2.08 Mz_l=0.33
Azioni sul cordone: TP=-0.48 TO=4.15 NO=11.82
Tensioni nel cordone: τ_P=0.15 τ_0=1.32 σ_0=6.80 σ_{ID}=6.93 Σ_T=8.12
CC 6 SLD (Collegamento -378_-512)
Azioni sul collegamento: N=133.15 Ty=1.27 Tz=-48.63 Mx=0.30 Mz=1.83
Sollecitazioni agenti localmente: Tx_l=1.27 Ty_l=-48.63 N_l=133.15 My_l=-1.83 Mz_l=0.30
Azioni sul cordone: TP=-0.44 TO=3.81 NO=9.80
Tensioni nel cordone: τ_P=0.14 τ_0=1.21 σ_0=5.79 σ_{ID}=5.91 Σ_T=7.00
CC 6 SLD (Collegamento -378_-512)
Azioni sul collegamento: N=133.15 Ty=1.51 Tz=-48.63 Mx=0.36 Mz=2.21
Sollecitazioni agenti localmente: Tx_l=1.51 Ty_l=-48.63 N_l=133.15 My_l=-2.21 Mz_l=0.36
Azioni sul cordone: TP=-0.52 TO=3.86 NO=9.80
Tensioni nel cordone: τ_P=0.17 τ_0=1.23 σ_0=6.34 σ_{ID}=6.46 Σ_T=7.57
CC 6 SLD (Collegamento -378_-512)
Azioni sul collegamento: N=133.15 Ty=1.27 Tz=-48.63 Mx=0.30 Mz=1.83
Sollecitazioni agenti localmente: Tx_l=1.27 Ty_l=-48.63 N_l=133.15 My_l=-1.83 Mz_l=0.30
Azioni sul cordone: TP=-0.44 TO=3.81 NO=9.80
Tensioni nel cordone: τ_P=0.14 τ_0=1.21 σ_0=5.79 σ_{ID}=5.91 Σ_T=7.00
CC 6 SLD (Collegamento -378_-512)
Azioni sul collegamento: N=133.15 Ty=1.51 Tz=-48.63 Mx=0.36 Mz=2.21
Sollecitazioni agenti localmente: Tx_l=1.51 Ty_l=-48.63 N_l=133.15 My_l=-2.21 Mz_l=0.36
Azioni sul cordone: TP=-0.52 TO=3.86 NO=9.80
Tensioni nel cordone: τ_P=0.17 τ_0=1.23 σ_0=6.34 σ_{ID}=6.46 Σ_T=7.57
CC 6 SLD (Collegamento -378_-512)
Azioni sul collegamento: N=145.94 Ty=1.27 Tz=-50.61 Mx=0.30 Mz=1.83
Sollecitazioni agenti localmente: Tx_l=1.27 Ty_l=-50.61 N_l=145.94 My_l=-1.83 Mz_l=0.30
Azioni sul cordone: TP=-0.44 TO=3.96 NO=10.74
Tensioni nel cordone: τ_P=0.14 τ_0=1.26 σ_0=6.09 σ_{ID}=6.22 Σ_T=7.34
CC 6 SLD (Collegamento -378_-512)
Azioni sul collegamento: N=145.94 Ty=1.51 Tz=-50.61 Mx=0.36 Mz=2.21
Sollecitazioni agenti localmente: Tx_l=1.51 Ty_l=-50.61 N_l=145.94 My_l=-2.21 Mz_l=0.36
Azioni sul cordone: TP=-0.52 TO=4.01 NO=10.74
Tensioni nel cordone: τ_P=0.17 τ_0=1.27 σ_0=6.64 σ_{ID}=6.77 Σ_T=7.92
CC 6 SLD (Collegamento -378_-512)
Azioni sul collegamento: N=145.94 Ty=1.27 Tz=-50.61 Mx=0.30 Mz=1.83
Sollecitazioni agenti localmente: Tx_l=1.27 Ty_l=-50.61 N_l=145.94 My_l=-1.83 Mz_l=0.30
Azioni sul cordone: TP=-0.44 TO=3.96 NO=10.74
Tensioni nel cordone: τ_P=0.14 τ_0=1.26 σ_0=6.09 σ_{ID}=6.22 Σ_T=7.34
CC 6 SLD (Collegamento -378_-512)
Azioni sul collegamento: N=145.94 Ty=1.51 Tz=-50.61 Mx=0.36 Mz=2.21
Sollecitazioni agenti localmente: Tx_l=1.51 Ty_l=-50.61 N_l=145.94 My_l=-2.21 Mz_l=0.36
Azioni sul cordone: TP=-0.52 TO=4.01 NO=10.74
Tensioni nel cordone: τ_P=0.17 τ_0=1.27 σ_0=6.64 σ_{ID}=6.77 Σ_T=7.92
CC 7 SLV (Collegamento -378_-512)

Azioni sul collegamento: N=118.50 Ty=0.00 Tz=-46.36 Mx=0.05 Mz=0.27
Sollecitazioni agenti localmente: Tx_l=0.00 Ty_l=-46.36 N_l=118.50 My_l=-0.27 Mz_l=0.05
Azioni sul cordone: TP=-0.05 TO=-3.45 NO=8.72
Tensioni nel cordone: τ_P= 0.02 τ_O=1.10 σ_O=3.17 σ_{ID}=3.35 Σ_T=4.27
CC 7 SLV (Collegamento -378_-512)
Azioni sul collegamento: N=118.50 Ty=1.85 Tz=-46.36 Mx=0.41 Mz=2.65
Sollecitazioni agenti localmente: Tx_l=1.85 Ty_l=-46.36 N_l=118.50 My_l=-2.65 Mz_l=0.41
Azioni sul cordone: TP=-0.61 TO=3.74 NO=8.72
Tensioni nel cordone: τ_P=0.20 τ_O=1.19 σ_O=6.64 σ_{ID}=6.74 Σ_T=7.82
CC 7 SLV (Collegamento -378_-512)
Azioni sul collegamento: N=118.50 Ty=0.00 Tz=-46.36 Mx=0.05 Mz=0.27
Sollecitazioni agenti localmente: Tx_l=0.00 Ty_l=-46.36 N_l=118.50 My_l=-0.27 Mz_l=0.05
Azioni sul cordone: TP=-0.05 TO=-3.45 NO=8.72
Tensioni nel cordone: τ_P= 0.02 τ_O=1.10 σ_O=3.17 σ_{ID}=3.35 Σ_T=4.27
CC 7 SLV (Collegamento -378_-512)
Azioni sul collegamento: N=118.50 Ty=1.85 Tz=-46.36 Mx=0.41 Mz=2.65
Sollecitazioni agenti localmente: Tx_l=1.85 Ty_l=-46.36 N_l=118.50 My_l=-2.65 Mz_l=0.41
Azioni sul cordone: TP=-0.61 TO=3.74 NO=8.72
Tensioni nel cordone: τ_P=0.20 τ_O=1.19 σ_O=6.64 σ_{ID}=6.74 Σ_T=7.82
CC 7 SLV (Collegamento -378_-512)
Azioni sul collegamento: N=160.81 Ty=0.00 Tz=-52.91 Mx=0.05 Mz=0.27
Sollecitazioni agenti localmente: Tx_l=0.00 Ty_l=-52.91 N_l=160.81 My_l=-0.27 Mz_l=0.05
Azioni sul cordone: TP=-0.05 TO=-3.93 NO=11.83
Tensioni nel cordone: τ_P= 0.02 τ_O=1.25 σ_O=4.16 σ_{ID}=4.34 Σ_T=5.41
CC 7 SLV (Collegamento -378_-512)
Azioni sul collegamento: N=160.81 Ty=1.85 Tz=-52.91 Mx=0.41 Mz=2.65
Sollecitazioni agenti localmente: Tx_l=1.85 Ty_l=-52.91 N_l=160.81 My_l=-2.65 Mz_l=0.41
Azioni sul cordone: TP=-0.61 TO=4.22 NO=11.83
Tensioni nel cordone: τ_P=0.20 τ_O=1.34 σ_O=7.63 σ_{ID}=7.74 Σ_T=8.97
CC 7 SLV (Collegamento -378_-512)
Azioni sul collegamento: N=160.81 Ty=0.00 Tz=-52.91 Mx=0.05 Mz=0.27
Sollecitazioni agenti localmente: Tx_l=0.00 Ty_l=-52.91 N_l=160.81 My_l=-0.27 Mz_l=0.05
Azioni sul cordone: TP=-0.05 TO=-3.93 NO=11.83
Tensioni nel cordone: τ_P= 0.02 τ_O=1.25 σ_O=4.16 σ_{ID}=4.34 Σ_T=5.41
CC 7 SLV (Collegamento -378_-512)
Azioni sul collegamento: N=160.81 Ty=1.85 Tz=-52.91 Mx=0.41 Mz=2.65
Sollecitazioni agenti localmente: Tx_l=1.85 Ty_l=-52.91 N_l=160.81 My_l=-2.65 Mz_l=0.41
Azioni sul cordone: TP=-0.61 TO=4.22 NO=11.83
Tensioni nel cordone: τ_P=0.20 τ_O=1.34 σ_O=7.63 σ_{ID}=7.74 Σ_T=8.97
CC 8 SLD (Collegamento -378_-512)
Azioni sul collegamento: N=133.10 Ty=1.11 Tz=-48.62 Mx=0.27 Mz=1.66
Sollecitazioni agenti localmente: Tx_l=1.11 Ty_l=-48.62 N_l=133.10 My_l=-1.66 Mz_l=0.27
Azioni sul cordone: TP=-0.39 TO=3.79 NO=9.79
Tensioni nel cordone: τ_P=0.13 τ_O=1.21 σ_O=5.54 σ_{ID}=5.67 Σ_T=6.74
CC 8 SLD (Collegamento -378_-512)
Azioni sul collegamento: N=133.10 Ty=1.67 Tz=-48.62 Mx=0.38 Mz=2.38
Sollecitazioni agenti localmente: Tx_l=1.67 Ty_l=-48.62 N_l=133.10 My_l=-2.38 Mz_l=0.38
Azioni sul cordone: TP=-0.57 TO=3.88 NO=9.79
Tensioni nel cordone: τ_P=0.18 τ_O=1.23 σ_O=6.59 σ_{ID}=6.71 Σ_T=7.83
CC 8 SLD (Collegamento -378_-512)
Azioni sul collegamento: N=133.10 Ty=1.11 Tz=-48.62 Mx=0.27 Mz=1.66
Sollecitazioni agenti localmente: Tx_l=1.11 Ty_l=-48.62 N_l=133.10 My_l=-1.66 Mz_l=0.27
Azioni sul cordone: TP=-0.39 TO=3.79 NO=9.79
Tensioni nel cordone: τ_P=0.13 τ_O=1.21 σ_O=5.54 σ_{ID}=5.67 Σ_T=6.74
CC 8 SLD (Collegamento -378_-512)
Azioni sul collegamento: N=133.10 Ty=1.67 Tz=-48.62 Mx=0.38 Mz=2.38
Sollecitazioni agenti localmente: Tx_l=1.67 Ty_l=-48.62 N_l=133.10 My_l=-2.38 Mz_l=0.38
Azioni sul cordone: TP=-0.57 TO=3.88 NO=9.79
Tensioni nel cordone: τ_P=0.18 τ_O=1.23 σ_O=6.59 σ_{ID}=6.71 Σ_T=7.83
CC 8 SLD (Collegamento -378_-512)
Azioni sul collegamento: N=146.00 Ty=1.11 Tz=-50.62 Mx=0.27 Mz=1.66
Sollecitazioni agenti localmente: Tx_l=1.11 Ty_l=-50.62 N_l=146.00 My_l=-1.66 Mz_l=0.27
Azioni sul cordone: TP=-0.39 TO=3.94 NO=10.74
Tensioni nel cordone: τ_P=0.13 τ_O=1.25 σ_O=5.84 σ_{ID}=5.97 Σ_T=7.09
CC 8 SLD (Collegamento -378_-512)
Azioni sul collegamento: N=146.00 Ty=1.67 Tz=-50.62 Mx=0.38 Mz=2.38
Sollecitazioni agenti localmente: Tx_l=1.67 Ty_l=-50.62 N_l=146.00 My_l=-2.38 Mz_l=0.38
Azioni sul cordone: TP=-0.57 TO=4.03 NO=10.74
Tensioni nel cordone: τ_P=0.18 τ_O=1.28 σ_O=6.90 σ_{ID}=7.02 Σ_T=8.18
CC 8 SLD (Collegamento -378_-512)
Azioni sul collegamento: N=146.00 Ty=1.11 Tz=-50.62 Mx=0.27 Mz=1.66
Sollecitazioni agenti localmente: Tx_l=1.11 Ty_l=-50.62 N_l=146.00 My_l=-1.66 Mz_l=0.27
Azioni sul cordone: TP=-0.39 TO=3.94 NO=10.74
Tensioni nel cordone: τ_P=0.13 τ_O=1.25 σ_O=5.84 σ_{ID}=5.97 Σ_T=7.09
CC 8 SLD (Collegamento -378_-512)
Azioni sul collegamento: N=146.00 Ty=1.67 Tz=-50.62 Mx=0.38 Mz=2.38
Sollecitazioni agenti localmente: Tx_l=1.67 Ty_l=-50.62 N_l=146.00 My_l=-2.38 Mz_l=0.38
Azioni sul cordone: TP=-0.57 TO=4.03 NO=10.74
Tensioni nel cordone: τ_P=0.18 τ_O=1.28 σ_O=6.90 σ_{ID}=7.02 Σ_T=8.18

CC 9 SLV (Collegamento -378_-512)
Azioni sul collegamento: N=146.26 Ty=2.01 Tz=-50.66 Mx=0.43 Mz=2.66
Sollecitazioni agenti localmente: Tx_l=2.01 Ty_l=-50.66 N_l=146.26 My_l=-2.66 Mz_l=0.43
Azioni sul cordone: TP=-0.65 TO=4.07 NO=10.76
Tensioni nel cordone: τ_P=0.21 τ_0=1.29 σ_0=7.31 σ_{ID}=7.43 Σ_T=8.60
CC 9 SLV (Collegamento -378_-512)
Azioni sul collegamento: N=146.26 Ty=-0.16 Tz=-50.66 Mx=0.06 Mz=0.25
Sollecitazioni agenti localmente: Tx_l=-0.16 Ty_l=-50.66 N_l=146.26 My_l=-0.25 Mz_l=0.06
Azioni sul cordone: TP=-0.08 TO=-3.77 NO=10.76
Tensioni nel cordone: τ_P= 0.03 τ_0=1.20 σ_0=3.79 σ_{ID}=3.97 Σ_T=4.99
CC 9 SLV (Collegamento -378_-512)
Azioni sul collegamento: N=146.26 Ty=2.01 Tz=-50.66 Mx=0.43 Mz=2.66
Sollecitazioni agenti localmente: Tx_l=2.01 Ty_l=-50.66 N_l=146.26 My_l=-2.66 Mz_l=0.43
Azioni sul cordone: TP=-0.65 TO=4.07 NO=10.76
Tensioni nel cordone: τ_P=0.21 τ_0=1.29 σ_0=7.31 σ_{ID}=7.43 Σ_T=8.60
CC 9 SLV (Collegamento -378_-512)
Azioni sul collegamento: N=146.26 Ty=-0.16 Tz=-50.66 Mx=0.06 Mz=0.25
Sollecitazioni agenti localmente: Tx_l=-0.16 Ty_l=-50.66 N_l=146.26 My_l=-0.25 Mz_l=0.06
Azioni sul cordone: TP=-0.08 TO=-3.77 NO=10.76
Tensioni nel cordone: τ_P= 0.03 τ_0=1.20 σ_0=3.79 σ_{ID}=3.97 Σ_T=4.99
CC 9 SLV (Collegamento -378_-512)
Azioni sul collegamento: N=133.05 Ty=2.01 Tz=-48.61 Mx=0.43 Mz=2.66
Sollecitazioni agenti localmente: Tx_l=2.01 Ty_l=-48.61 N_l=133.05 My_l=-2.66 Mz_l=0.43
Azioni sul cordone: TP=-0.65 TO=3.92 NO=9.79
Tensioni nel cordone: τ_P=0.21 τ_0=1.25 σ_0=7.00 σ_{ID}=7.11 Σ_T=8.25
CC 9 SLV (Collegamento -378_-512)
Azioni sul collegamento: N=133.05 Ty=-0.16 Tz=-48.61 Mx=0.06 Mz=0.25
Sollecitazioni agenti localmente: Tx_l=-0.16 Ty_l=-48.61 N_l=133.05 My_l=-0.25 Mz_l=0.06
Azioni sul cordone: TP=-0.08 TO=-3.62 NO=9.79
Tensioni nel cordone: τ_P= 0.03 τ_0=1.15 σ_0=3.48 σ_{ID}=3.66 Σ_T=4.63
CC 9 SLV (Collegamento -378_-512)
Azioni sul collegamento: N=133.05 Ty=2.01 Tz=-48.61 Mx=0.43 Mz=2.66
Sollecitazioni agenti localmente: Tx_l=2.01 Ty_l=-48.61 N_l=133.05 My_l=-2.66 Mz_l=0.43
Azioni sul cordone: TP=-0.65 TO=3.92 NO=9.79
Tensioni nel cordone: τ_P=0.21 τ_0=1.25 σ_0=7.00 σ_{ID}=7.11 Σ_T=8.25
CC 9 SLV (Collegamento -378_-512)
Azioni sul collegamento: N=133.05 Ty=-0.16 Tz=-48.61 Mx=0.06 Mz=0.25
Sollecitazioni agenti localmente: Tx_l=-0.16 Ty_l=-48.61 N_l=133.05 My_l=-0.25 Mz_l=0.06
Azioni sul cordone: TP=-0.08 TO=-3.62 NO=9.79
Tensioni nel cordone: τ_P= 0.03 τ_0=1.15 σ_0=3.48 σ_{ID}=3.66 Σ_T=4.63
CC 10 SLD (Collegamento -378_-512)
Azioni sul collegamento: N=141.56 Ty=1.72 Tz=-49.93 Mx=0.39 Mz=2.39
Sollecitazioni agenti localmente: Tx_l=1.72 Ty_l=-49.93 N_l=141.56 My_l=-2.39 Mz_l=0.39
Azioni sul cordone: TP=-0.57 TO=3.98 NO=10.42
Tensioni nel cordone: τ_P=0.18 τ_0=1.27 σ_0=6.80 σ_{ID}=6.92 Σ_T=8.06
CC 10 SLD (Collegamento -378_-512)
Azioni sul collegamento: N=141.56 Ty=1.06 Tz=-49.93 Mx=0.28 Mz=1.65
Sollecitazioni agenti localmente: Tx_l=1.06 Ty_l=-49.93 N_l=141.56 My_l=-1.65 Mz_l=0.28
Azioni sul cordone: TP=-0.40 TO=3.89 NO=10.42
Tensioni nel cordone: τ_P=0.13 τ_0=1.24 σ_0=5.72 σ_{ID}=5.86 Σ_T=6.96
CC 10 SLD (Collegamento -378_-512)
Azioni sul collegamento: N=141.56 Ty=1.72 Tz=-49.93 Mx=0.39 Mz=2.39
Sollecitazioni agenti localmente: Tx_l=1.72 Ty_l=-49.93 N_l=141.56 My_l=-2.39 Mz_l=0.39
Azioni sul cordone: TP=-0.57 TO=3.98 NO=10.42
Tensioni nel cordone: τ_P=0.18 τ_0=1.27 σ_0=6.80 σ_{ID}=6.92 Σ_T=8.06
CC 10 SLD (Collegamento -378_-512)
Azioni sul collegamento: N=141.56 Ty=1.06 Tz=-49.93 Mx=0.28 Mz=1.65
Sollecitazioni agenti localmente: Tx_l=1.06 Ty_l=-49.93 N_l=141.56 My_l=-1.65 Mz_l=0.28
Azioni sul cordone: TP=-0.40 TO=3.89 NO=10.42
Tensioni nel cordone: τ_P=0.13 τ_0=1.24 σ_0=5.72 σ_{ID}=5.86 Σ_T=6.96
CC 10 SLD (Collegamento -378_-512)
Azioni sul collegamento: N=137.53 Ty=1.72 Tz=-49.31 Mx=0.39 Mz=2.39
Sollecitazioni agenti localmente: Tx_l=1.72 Ty_l=-49.31 N_l=137.53 My_l=-2.39 Mz_l=0.39
Azioni sul cordone: TP=-0.57 TO=3.93 NO=10.12
Tensioni nel cordone: τ_P=0.18 τ_0=1.25 σ_0=6.70 σ_{ID}=6.82 Σ_T=7.96
CC 10 SLD (Collegamento -378_-512)
Azioni sul collegamento: N=137.53 Ty=1.06 Tz=-49.31 Mx=0.28 Mz=1.65
Sollecitazioni agenti localmente: Tx_l=1.06 Ty_l=-49.31 N_l=137.53 My_l=-1.65 Mz_l=0.28
Azioni sul cordone: TP=-0.40 TO=3.85 NO=10.12
Tensioni nel cordone: τ_P=0.13 τ_0=1.22 σ_0=5.63 σ_{ID}=5.76 Σ_T=6.85
CC 10 SLD (Collegamento -378_-512)
Azioni sul collegamento: N=137.53 Ty=1.72 Tz=-49.31 Mx=0.39 Mz=2.39
Sollecitazioni agenti localmente: Tx_l=1.72 Ty_l=-49.31 N_l=137.53 My_l=-2.39 Mz_l=0.39
Azioni sul cordone: TP=-0.57 TO=3.93 NO=10.12
Tensioni nel cordone: τ_P=0.18 τ_0=1.25 σ_0=6.70 σ_{ID}=6.82 Σ_T=7.96
CC 10 SLD (Collegamento -378_-512)
Azioni sul collegamento: N=137.53 Ty=1.06 Tz=-49.31 Mx=0.28 Mz=1.65
Sollecitazioni agenti localmente: Tx_l=1.06 Ty_l=-49.31 N_l=137.53 My_l=-1.65 Mz_l=0.28
Azioni sul cordone: TP=-0.40 TO=3.85 NO=10.12

Tensioni nel cordone: τ_P=0.13 τ_0=1.22 σ_0=5.63 σ_{ID}=5.76 Σ_T=6.85
CC 11 SLV (Collegamento -378_-512)
Azioni sul collegamento: N=133.62 Ty=1.62 Tz=-48.70 Mx=0.34 Mz=2.12
Sollecitazioni agenti localmente: Tx_l=1.62 Ty_l=-48.70 N_l=133.62 My_l=-2.12 Mz_l=0.34
Azioni sul cordone: TP=-0.52 TO=3.86 NO=9.83
Tensioni nel cordone: τ_P=0.16 τ_0=1.23 σ_0=6.22 σ_{ID}=6.34 Σ_T=7.45
CC 11 SLV (Collegamento -378_-512)
Azioni sul collegamento: N=133.62 Ty=0.23 Tz=-48.70 Mx=0.14 Mz=0.79
Sollecitazioni agenti localmente: Tx_l=0.23 Ty_l=-48.70 N_l=133.62 My_l=-0.79 Mz_l=0.14
Azioni sul cordone: TP=-0.18 TO=3.69 NO=9.83
Tensioni nel cordone: τ_P= 0.06 τ_0=1.17 σ_0=4.29 σ_{ID}=4.44 Σ_T=5.46
CC 11 SLV (Collegamento -378_-512)
Azioni sul collegamento: N=133.62 Ty=1.62 Tz=-48.70 Mx=0.34 Mz=2.12
Sollecitazioni agenti localmente: Tx_l=1.62 Ty_l=-48.70 N_l=133.62 My_l=-2.12 Mz_l=0.34
Azioni sul cordone: TP=-0.52 TO=3.86 NO=9.83
Tensioni nel cordone: τ_P=0.16 τ_0=1.23 σ_0=6.22 σ_{ID}=6.34 Σ_T=7.45
CC 11 SLV (Collegamento -378_-512)
Azioni sul collegamento: N=133.62 Ty=0.23 Tz=-48.70 Mx=0.14 Mz=0.79
Sollecitazioni agenti localmente: Tx_l=0.23 Ty_l=-48.70 N_l=133.62 My_l=-0.79 Mz_l=0.14
Azioni sul cordone: TP=-0.18 TO=3.69 NO=9.83
Tensioni nel cordone: τ_P= 0.06 τ_0=1.17 σ_0=4.29 σ_{ID}=4.44 Σ_T=5.46
CC 11 SLV (Collegamento -378_-512)
Azioni sul collegamento: N=145.69 Ty=1.62 Tz=-50.57 Mx=0.34 Mz=2.12
Sollecitazioni agenti localmente: Tx_l=1.62 Ty_l=-50.57 N_l=145.69 My_l=-2.12 Mz_l=0.34
Azioni sul cordone: TP=-0.52 TO=3.99 NO=10.72
Tensioni nel cordone: τ_P=0.16 τ_0=1.27 σ_0=6.50 σ_{ID}=6.63 Σ_T=7.77
CC 11 SLV (Collegamento -378_-512)
Azioni sul collegamento: N=145.69 Ty=0.23 Tz=-50.57 Mx=0.14 Mz=0.79
Sollecitazioni agenti localmente: Tx_l=0.23 Ty_l=-50.57 N_l=145.69 My_l=-0.79 Mz_l=0.14
Azioni sul cordone: TP=-0.18 TO=3.83 NO=10.72
Tensioni nel cordone: τ_P= 0.06 τ_0=1.22 σ_0=4.57 σ_{ID}=4.73 Σ_T=5.79
CC 11 SLV (Collegamento -378_-512)
Azioni sul collegamento: N=145.69 Ty=1.62 Tz=-50.57 Mx=0.34 Mz=2.12
Sollecitazioni agenti localmente: Tx_l=1.62 Ty_l=-50.57 N_l=145.69 My_l=-2.12 Mz_l=0.34
Azioni sul cordone: TP=-0.52 TO=3.99 NO=10.72
Tensioni nel cordone: τ_P=0.16 τ_0=1.27 σ_0=6.50 σ_{ID}=6.63 Σ_T=7.77
CC 11 SLV (Collegamento -378_-512)
Azioni sul collegamento: N=145.69 Ty=0.23 Tz=-50.57 Mx=0.14 Mz=0.79
Sollecitazioni agenti localmente: Tx_l=0.23 Ty_l=-50.57 N_l=145.69 My_l=-0.79 Mz_l=0.14
Azioni sul cordone: TP=-0.18 TO=3.83 NO=10.72
Tensioni nel cordone: τ_P= 0.06 τ_0=1.22 σ_0=4.57 σ_{ID}=4.73 Σ_T=5.79
CC 12 SLD (Collegamento -378_-512)
Azioni sul collegamento: N=137.71 Ty=1.60 Tz=-49.33 Mx=0.36 Mz=2.22
Sollecitazioni agenti localmente: Tx_l=1.60 Ty_l=-49.33 N_l=137.71 My_l=-2.22 Mz_l=0.36
Azioni sul cordone: TP=-0.54 TO=3.92 NO=10.13
Tensioni nel cordone: τ_P=0.17 τ_0=1.24 σ_0=6.47 σ_{ID}=6.59 Σ_T=7.71
CC 12 SLD (Collegamento -378_-512)
Azioni sul collegamento: N=137.71 Ty=1.18 Tz=-49.33 Mx=0.30 Mz=1.82
Sollecitazioni agenti localmente: Tx_l=1.18 Ty_l=-49.33 N_l=137.71 My_l=-1.82 Mz_l=0.30
Azioni sul cordone: TP=-0.43 TO=3.87 NO=10.13
Tensioni nel cordone: τ_P=0.14 τ_0=1.23 σ_0=5.88 σ_{ID}=6.01 Σ_T=7.11
CC 12 SLD (Collegamento -378_-512)
Azioni sul collegamento: N=137.71 Ty=1.60 Tz=-49.33 Mx=0.36 Mz=2.22
Sollecitazioni agenti localmente: Tx_l=1.60 Ty_l=-49.33 N_l=137.71 My_l=-2.22 Mz_l=0.36
Azioni sul cordone: TP=-0.54 TO=3.92 NO=10.13
Tensioni nel cordone: τ_P=0.17 τ_0=1.24 σ_0=6.47 σ_{ID}=6.59 Σ_T=7.71
CC 12 SLD (Collegamento -378_-512)
Azioni sul collegamento: N=137.71 Ty=1.18 Tz=-49.33 Mx=0.30 Mz=1.82
Sollecitazioni agenti localmente: Tx_l=1.18 Ty_l=-49.33 N_l=137.71 My_l=-1.82 Mz_l=0.30
Azioni sul cordone: TP=-0.43 TO=3.87 NO=10.13
Tensioni nel cordone: τ_P=0.14 τ_0=1.23 σ_0=5.88 σ_{ID}=6.01 Σ_T=7.11
CC 12 SLD (Collegamento -378_-512)
Azioni sul collegamento: N=141.39 Ty=1.60 Tz=-49.90 Mx=0.36 Mz=2.22
Sollecitazioni agenti localmente: Tx_l=1.60 Ty_l=-49.90 N_l=141.39 My_l=-2.22 Mz_l=0.36
Azioni sul cordone: TP=-0.54 TO=3.96 NO=10.40
Tensioni nel cordone: τ_P=0.17 τ_0=1.26 σ_0=6.55 σ_{ID}=6.67 Σ_T=7.81
CC 12 SLD (Collegamento -378_-512)
Azioni sul collegamento: N=141.39 Ty=1.18 Tz=-49.90 Mx=0.30 Mz=1.82
Sollecitazioni agenti localmente: Tx_l=1.18 Ty_l=-49.90 N_l=141.39 My_l=-1.82 Mz_l=0.30
Azioni sul cordone: TP=-0.43 TO=3.91 NO=10.40
Tensioni nel cordone: τ_P=0.14 τ_0=1.24 σ_0=5.96 σ_{ID}=6.09 Σ_T=7.21
CC 12 SLD (Collegamento -378_-512)
Azioni sul collegamento: N=141.39 Ty=1.60 Tz=-49.90 Mx=0.36 Mz=2.22
Sollecitazioni agenti localmente: Tx_l=1.60 Ty_l=-49.90 N_l=141.39 My_l=-2.22 Mz_l=0.36
Azioni sul cordone: TP=-0.54 TO=3.96 NO=10.40
Tensioni nel cordone: τ_P=0.17 τ_0=1.26 σ_0=6.55 σ_{ID}=6.67 Σ_T=7.81
CC 12 SLD (Collegamento -378_-512)
Azioni sul collegamento: N=141.39 Ty=1.18 Tz=-49.90 Mx=0.30 Mz=1.82
Sollecitazioni agenti localmente: Tx_l=1.18 Ty_l=-49.90 N_l=141.39 My_l=-1.82 Mz_l=0.30

Azioni sul cordone: TP=-0.43 TO=3.91 NO=10.40
Tensioni nel cordone: τ_P=0.14 τ_0=1.24 σ_0=5.96 σ_{ID}=6.09 Σ_T=7.21
CC 13 SLV (Collegamento -378_-512)
Azioni sul collegamento: N=145.69 Ty=0.23 Tz=-50.57 Mx=0.13 Mz=0.80
Sollecitazioni agenti localmente: Tx_l=0.23 Ty_l=-50.57 N_l=145.69 My_l=-0.80 Mz_l=0.13
Azioni sul cordone: TP=-0.17 TO=3.83 NO=10.72
Tensioni nel cordone: τ_P= 0.05 τ_0=1.22 σ_0=4.57 σ_{ID}=4.73 Σ_T=5.79
CC 13 SLV (Collegamento -378_-512)
Azioni sul collegamento: N=145.69 Ty=1.62 Tz=-50.57 Mx=0.34 Mz=2.12
Sollecitazioni agenti localmente: Tx_l=1.62 Ty_l=-50.57 N_l=145.69 My_l=-2.12 Mz_l=0.34
Azioni sul cordone: TP=-0.51 TO=3.99 NO=10.72
Tensioni nel cordone: τ_P=0.16 τ_0=1.27 σ_0=6.51 σ_{ID}=6.63 Σ_T=7.77
CC 13 SLV (Collegamento -378_-512)
Azioni sul collegamento: N=145.69 Ty=0.23 Tz=-50.57 Mx=0.13 Mz=0.80
Sollecitazioni agenti localmente: Tx_l=0.23 Ty_l=-50.57 N_l=145.69 My_l=-0.80 Mz_l=0.13
Azioni sul cordone: TP=-0.17 TO=3.83 NO=10.72
Tensioni nel cordone: τ_P= 0.05 τ_0=1.22 σ_0=4.57 σ_{ID}=4.73 Σ_T=5.79
CC 13 SLV (Collegamento -378_-512)
Azioni sul collegamento: N=145.69 Ty=1.62 Tz=-50.57 Mx=0.34 Mz=2.12
Sollecitazioni agenti localmente: Tx_l=1.62 Ty_l=-50.57 N_l=145.69 My_l=-2.12 Mz_l=0.34
Azioni sul cordone: TP=-0.51 TO=3.99 NO=10.72
Tensioni nel cordone: τ_P=0.16 τ_0=1.27 σ_0=6.51 σ_{ID}=6.63 Σ_T=7.77
CC 13 SLV (Collegamento -378_-512)
Azioni sul collegamento: N=133.62 Ty=0.23 Tz=-48.70 Mx=0.13 Mz=0.80
Sollecitazioni agenti localmente: Tx_l=0.23 Ty_l=-48.70 N_l=133.62 My_l=-0.80 Mz_l=0.13
Azioni sul cordone: TP=-0.17 TO=3.69 NO=9.83
Tensioni nel cordone: τ_P= 0.05 τ_0=1.17 σ_0=4.29 σ_{ID}=4.45 Σ_T=5.46
CC 13 SLV (Collegamento -378_-512)
Azioni sul collegamento: N=133.62 Ty=1.62 Tz=-48.70 Mx=0.34 Mz=2.12
Sollecitazioni agenti localmente: Tx_l=1.62 Ty_l=-48.70 N_l=133.62 My_l=-2.12 Mz_l=0.34
Azioni sul cordone: TP=-0.51 TO=3.85 NO=9.83
Tensioni nel cordone: τ_P=0.16 τ_0=1.22 σ_0=6.22 σ_{ID}=6.34 Σ_T=7.45
CC 13 SLV (Collegamento -378_-512)
Azioni sul collegamento: N=133.62 Ty=0.23 Tz=-48.70 Mx=0.13 Mz=0.80
Sollecitazioni agenti localmente: Tx_l=0.23 Ty_l=-48.70 N_l=133.62 My_l=-0.80 Mz_l=0.13
Azioni sul cordone: TP=-0.17 TO=3.69 NO=9.83
Tensioni nel cordone: τ_P= 0.05 τ_0=1.17 σ_0=4.29 σ_{ID}=4.45 Σ_T=5.46
CC 13 SLV (Collegamento -378_-512)
Azioni sul collegamento: N=133.62 Ty=1.62 Tz=-48.70 Mx=0.34 Mz=2.12
Sollecitazioni agenti localmente: Tx_l=1.62 Ty_l=-48.70 N_l=133.62 My_l=-2.12 Mz_l=0.34
Azioni sul cordone: TP=-0.51 TO=3.85 NO=9.83
Tensioni nel cordone: τ_P=0.16 τ_0=1.22 σ_0=6.22 σ_{ID}=6.34 Σ_T=7.45
CC 14 SLD (Collegamento -378_-512)
Azioni sul collegamento: N=141.39 Ty=1.18 Tz=-49.90 Mx=0.30 Mz=1.82
Sollecitazioni agenti localmente: Tx_l=1.18 Ty_l=-49.90 N_l=141.39 My_l=-1.82 Mz_l=0.30
Azioni sul cordone: TP=-0.43 TO=3.91 NO=10.40
Tensioni nel cordone: τ_P=0.14 τ_0=1.24 σ_0=5.96 σ_{ID}=6.09 Σ_T=7.21
CC 14 SLD (Collegamento -378_-512)
Azioni sul collegamento: N=141.39 Ty=1.60 Tz=-49.90 Mx=0.36 Mz=2.22
Sollecitazioni agenti localmente: Tx_l=1.60 Ty_l=-49.90 N_l=141.39 My_l=-2.22 Mz_l=0.36
Azioni sul cordone: TP=-0.53 TO=3.96 NO=10.40
Tensioni nel cordone: τ_P=0.17 τ_0=1.26 σ_0=6.55 σ_{ID}=6.68 Σ_T=7.81
CC 14 SLD (Collegamento -378_-512)
Azioni sul collegamento: N=141.39 Ty=1.18 Tz=-49.90 Mx=0.30 Mz=1.82
Sollecitazioni agenti localmente: Tx_l=1.18 Ty_l=-49.90 N_l=141.39 My_l=-1.82 Mz_l=0.30
Azioni sul cordone: TP=-0.43 TO=3.91 NO=10.40
Tensioni nel cordone: τ_P=0.14 τ_0=1.24 σ_0=5.96 σ_{ID}=6.09 Σ_T=7.21
CC 14 SLD (Collegamento -378_-512)
Azioni sul collegamento: N=141.39 Ty=1.60 Tz=-49.90 Mx=0.36 Mz=2.22
Sollecitazioni agenti localmente: Tx_l=1.60 Ty_l=-49.90 N_l=141.39 My_l=-2.22 Mz_l=0.36
Azioni sul cordone: TP=-0.53 TO=3.96 NO=10.40
Tensioni nel cordone: τ_P=0.17 τ_0=1.26 σ_0=6.55 σ_{ID}=6.68 Σ_T=7.81
CC 14 SLD (Collegamento -378_-512)
Azioni sul collegamento: N=137.71 Ty=1.18 Tz=-49.33 Mx=0.30 Mz=1.82
Sollecitazioni agenti localmente: Tx_l=1.18 Ty_l=-49.33 N_l=137.71 My_l=-1.82 Mz_l=0.30
Azioni sul cordone: TP=-0.43 TO=3.86 NO=10.13
Tensioni nel cordone: τ_P=0.14 τ_0=1.23 σ_0=5.88 σ_{ID}=6.01 Σ_T=7.11
CC 14 SLD (Collegamento -378_-512)
Azioni sul collegamento: N=137.71 Ty=1.60 Tz=-49.33 Mx=0.36 Mz=2.22
Sollecitazioni agenti localmente: Tx_l=1.60 Ty_l=-49.33 N_l=137.71 My_l=-2.22 Mz_l=0.36
Azioni sul cordone: TP=-0.53 TO=3.91 NO=10.13
Tensioni nel cordone: τ_P=0.17 τ_0=1.24 σ_0=6.47 σ_{ID}=6.59 Σ_T=7.71
CC 14 SLD (Collegamento -378_-512)
Azioni sul collegamento: N=137.71 Ty=1.18 Tz=-49.33 Mx=0.30 Mz=1.82
Sollecitazioni agenti localmente: Tx_l=1.18 Ty_l=-49.33 N_l=137.71 My_l=-1.82 Mz_l=0.30
Azioni sul cordone: TP=-0.43 TO=3.86 NO=10.13
Tensioni nel cordone: τ_P=0.14 τ_0=1.23 σ_0=5.88 σ_{ID}=6.01 Σ_T=7.11
CC 14 SLD (Collegamento -378_-512)
Azioni sul collegamento: N=137.71 Ty=1.60 Tz=-49.33 Mx=0.36 Mz=2.22

Sollecitazioni agenti localmente: Tx_l=1.60 Ty_l=-49.33 N_l=137.71 My_l=-2.22 Mz_l=0.36
Azioni sul cordone: TP=-0.53 TO=3.91 NO=10.13
Tensioni nel cordone: τ_P=0.17 τ_0=1.24 σ_0=6.47 σ_{ID}=6.59 Σ_T=7.71
CC 15 SLV (Collegamento -378_-512)
Azioni sul collegamento: N=133.05 Ty=-0.16 Tz=-48.61 Mx=0.05 Mz=0.25
Sollecitazioni agenti localmente: Tx_l=-0.16 Ty_l=-48.61 N_l=133.05 My_l=-0.25 Mz_l=0.05
Azioni sul cordone: TP=-0.06 TO=-3.61 NO=9.79
Tensioni nel cordone: τ_P= 0.02 τ_0=1.15 σ_0=3.48 σ_{ID}=3.67 Σ_T=4.63
CC 15 SLV (Collegamento -378_-512)
Azioni sul collegamento: N=133.05 Ty=2.01 Tz=-48.61 Mx=0.42 Mz=2.67
Sollecitazioni agenti localmente: Tx_l=2.01 Ty_l=-48.61 N_l=133.05 My_l=-2.67 Mz_l=0.42
Azioni sul cordone: TP=-0.63 TO=3.91 NO=9.79
Tensioni nel cordone: τ_P=0.20 τ_0=1.24 σ_0=7.00 σ_{ID}=7.12 Σ_T=8.25
CC 15 SLV (Collegamento -378_-512)
Azioni sul collegamento: N=133.05 Ty=-0.16 Tz=-48.61 Mx=0.05 Mz=0.25
Sollecitazioni agenti localmente: Tx_l=-0.16 Ty_l=-48.61 N_l=133.05 My_l=-0.25 Mz_l=0.05
Azioni sul cordone: TP=-0.06 TO=-3.61 NO=9.79
Tensioni nel cordone: τ_P= 0.02 τ_0=1.15 σ_0=3.48 σ_{ID}=3.67 Σ_T=4.63
CC 15 SLV (Collegamento -378_-512)
Azioni sul collegamento: N=133.05 Ty=2.01 Tz=-48.61 Mx=0.42 Mz=2.67
Sollecitazioni agenti localmente: Tx_l=2.01 Ty_l=-48.61 N_l=133.05 My_l=-2.67 Mz_l=0.42
Azioni sul cordone: TP=-0.63 TO=3.91 NO=9.79
Tensioni nel cordone: τ_P=0.20 τ_0=1.24 σ_0=7.00 σ_{ID}=7.12 Σ_T=8.25
CC 15 SLV (Collegamento -378_-512)
Azioni sul collegamento: N=146.26 Ty=-0.16 Tz=-50.66 Mx=0.05 Mz=0.25
Sollecitazioni agenti localmente: Tx_l=-0.16 Ty_l=-50.66 N_l=146.26 My_l=-0.25 Mz_l=0.05
Azioni sul cordone: TP=-0.06 TO=-3.76 NO=10.76
Tensioni nel cordone: τ_P= 0.02 τ_0=1.20 σ_0=3.79 σ_{ID}=3.97 Σ_T=4.99
CC 15 SLV (Collegamento -378_-512)
Azioni sul collegamento: N=146.26 Ty=2.01 Tz=-50.66 Mx=0.42 Mz=2.67
Sollecitazioni agenti localmente: Tx_l=2.01 Ty_l=-50.66 N_l=146.26 My_l=-2.67 Mz_l=0.42
Azioni sul cordone: TP=-0.63 TO=4.06 NO=10.76
Tensioni nel cordone: τ_P=0.20 τ_0=1.29 σ_0=7.31 σ_{ID}=7.43 Σ_T=8.60
CC 15 SLV (Collegamento -378_-512)
Azioni sul collegamento: N=146.26 Ty=-0.16 Tz=-50.66 Mx=0.05 Mz=0.25
Sollecitazioni agenti localmente: Tx_l=-0.16 Ty_l=-50.66 N_l=146.26 My_l=-0.25 Mz_l=0.05
Azioni sul cordone: TP=-0.06 TO=-3.76 NO=10.76
Tensioni nel cordone: τ_P= 0.02 τ_0=1.20 σ_0=3.79 σ_{ID}=3.97 Σ_T=4.99
CC 15 SLV (Collegamento -378_-512)
Azioni sul collegamento: N=146.26 Ty=2.01 Tz=-50.66 Mx=0.42 Mz=2.67
Sollecitazioni agenti localmente: Tx_l=2.01 Ty_l=-50.66 N_l=146.26 My_l=-2.67 Mz_l=0.42
Azioni sul cordone: TP=-0.63 TO=4.06 NO=10.76
Tensioni nel cordone: τ_P=0.20 τ_0=1.29 σ_0=7.31 σ_{ID}=7.43 Σ_T=8.60
CC 16 SLD (Collegamento -378_-512)
Azioni sul collegamento: N=137.53 Ty=1.06 Tz=-49.31 Mx=0.27 Mz=1.65
Sollecitazioni agenti localmente: Tx_l=1.06 Ty_l=-49.31 N_l=137.53 My_l=-1.65 Mz_l=0.27
Azioni sul cordone: TP=-0.39 TO=3.84 NO=10.12
Tensioni nel cordone: τ_P=0.12 τ_0=1.22 σ_0=5.63 σ_{ID}=5.76 Σ_T=6.85
CC 16 SLD (Collegamento -378_-512)
Azioni sul collegamento: N=137.53 Ty=1.72 Tz=-49.31 Mx=0.39 Mz=2.39
Sollecitazioni agenti localmente: Tx_l=1.72 Ty_l=-49.31 N_l=137.53 My_l=-2.39 Mz_l=0.39
Azioni sul cordone: TP=-0.57 TO=3.93 NO=10.12
Tensioni nel cordone: τ_P=0.18 τ_0=1.25 σ_0=6.71 σ_{ID}=6.82 Σ_T=7.96
CC 16 SLD (Collegamento -378_-512)
Azioni sul collegamento: N=137.53 Ty=1.06 Tz=-49.31 Mx=0.27 Mz=1.65
Sollecitazioni agenti localmente: Tx_l=1.06 Ty_l=-49.31 N_l=137.53 My_l=-1.65 Mz_l=0.27
Azioni sul cordone: TP=-0.39 TO=3.84 NO=10.12
Tensioni nel cordone: τ_P=0.12 τ_0=1.22 σ_0=5.63 σ_{ID}=5.76 Σ_T=6.85
CC 16 SLD (Collegamento -378_-512)
Azioni sul collegamento: N=137.53 Ty=1.72 Tz=-49.31 Mx=0.39 Mz=2.39
Sollecitazioni agenti localmente: Tx_l=1.72 Ty_l=-49.31 N_l=137.53 My_l=-2.39 Mz_l=0.39
Azioni sul cordone: TP=-0.57 TO=3.93 NO=10.12
Tensioni nel cordone: τ_P=0.18 τ_0=1.25 σ_0=6.71 σ_{ID}=6.82 Σ_T=7.96
CC 16 SLD (Collegamento -378_-512)
Azioni sul collegamento: N=141.56 Ty=1.06 Tz=-49.93 Mx=0.27 Mz=1.65
Sollecitazioni agenti localmente: Tx_l=1.06 Ty_l=-49.93 N_l=141.56 My_l=-1.65 Mz_l=0.27
Azioni sul cordone: TP=-0.39 TO=3.89 NO=10.42
Tensioni nel cordone: τ_P=0.12 τ_0=1.24 σ_0=5.73 σ_{ID}=5.86 Σ_T=6.96
CC 16 SLD (Collegamento -378_-512)
Azioni sul collegamento: N=141.56 Ty=1.72 Tz=-49.93 Mx=0.39 Mz=2.39
Sollecitazioni agenti localmente: Tx_l=1.72 Ty_l=-49.93 N_l=141.56 My_l=-2.39 Mz_l=0.39
Azioni sul cordone: TP=-0.57 TO=3.98 NO=10.42
Tensioni nel cordone: τ_P=0.18 τ_0=1.26 σ_0=6.80 σ_{ID}=6.92 Σ_T=8.06
CC 16 SLD (Collegamento -378_-512)
Azioni sul collegamento: N=141.56 Ty=1.06 Tz=-49.93 Mx=0.27 Mz=1.65
Sollecitazioni agenti localmente: Tx_l=1.06 Ty_l=-49.93 N_l=141.56 My_l=-1.65 Mz_l=0.27
Azioni sul cordone: TP=-0.39 TO=3.89 NO=10.42
Tensioni nel cordone: τ_P=0.12 τ_0=1.24 σ_0=5.73 σ_{ID}=5.86 Σ_T=6.96
CC 16 SLD (Collegamento -378_-512)

Azioni sul collegamento: N=141.56 Ty=1.72 Tz=-49.93 Mx=0.39 Mz=2.39
Sollecitazioni agenti localmente: Tx_l=1.72 Ty_l=-49.93 N_l=141.56 My_l=-2.39 Mz_l=0.39
Azioni sul cordone: TP=-0.57 TO=3.98 NO=10.42
Tensioni nel cordone: τ_P=0.18 τ_O=1.26 σ_O=6.80 σ_{ID}=6.92 Σ_T=8.06
CC 17 SLV (Collegamento -378_-512)
Azioni sul collegamento: N=160.50 Ty=3.19 Tz=-52.86 Mx=0.69 Mz=4.26
Sollecitazioni agenti localmente: Tx_l=3.19 Ty_l=-52.86 N_l=160.50 My_l=-4.26 Mz_l=0.69
Azioni sul cordone: TP=-1.03 TO=4.44 NO=11.81
Tensioni nel cordone: τ_P=0.33 τ_O=1.41 σ_O=9.98 σ_{ID}=10.08 Σ_T=11.39
CC 17 SLV (Collegamento -378_-512)
Azioni sul collegamento: N=160.50 Ty=1.35 Tz=-52.86 Mx=0.33 Mz=1.89
Sollecitazioni agenti localmente: Tx_l=1.35 Ty_l=-52.86 N_l=160.50 My_l=-1.89 Mz_l=0.33
Azioni sul cordone: TP=-0.47 TO=4.15 NO=11.81
Tensioni nel cordone: τ_P=0.15 τ_O=1.32 σ_O=6.51 σ_{ID}=6.65 Σ_T=7.83
CC 17 SLV (Collegamento -378_-512)
Azioni sul collegamento: N=160.50 Ty=3.19 Tz=-52.86 Mx=0.69 Mz=4.26
Sollecitazioni agenti localmente: Tx_l=3.19 Ty_l=-52.86 N_l=160.50 My_l=-4.26 Mz_l=0.69
Azioni sul cordone: TP=-1.03 TO=4.44 NO=11.81
Tensioni nel cordone: τ_P=0.33 τ_O=1.41 σ_O=9.98 σ_{ID}=10.08 Σ_T=11.39
CC 17 SLV (Collegamento -378_-512)
Azioni sul collegamento: N=160.50 Ty=1.35 Tz=-52.86 Mx=0.33 Mz=1.89
Sollecitazioni agenti localmente: Tx_l=1.35 Ty_l=-52.86 N_l=160.50 My_l=-1.89 Mz_l=0.33
Azioni sul cordone: TP=-0.47 TO=4.15 NO=11.81
Tensioni nel cordone: τ_P=0.15 τ_O=1.32 σ_O=6.51 σ_{ID}=6.65 Σ_T=7.83
CC 17 SLV (Collegamento -378_-512)
Azioni sul collegamento: N=118.19 Ty=3.19 Tz=-46.31 Mx=0.69 Mz=4.26
Sollecitazioni agenti localmente: Tx_l=3.19 Ty_l=-46.31 N_l=118.19 My_l=-4.26 Mz_l=0.69
Azioni sul cordone: TP=-1.03 TO=3.95 NO=8.70
Tensioni nel cordone: τ_P=0.33 τ_O=1.26 σ_O=8.99 σ_{ID}=9.08 Σ_T=10.25
CC 17 SLV (Collegamento -378_-512)
Azioni sul collegamento: N=118.19 Ty=1.35 Tz=-46.31 Mx=0.33 Mz=1.89
Sollecitazioni agenti localmente: Tx_l=1.35 Ty_l=-46.31 N_l=118.19 My_l=-1.89 Mz_l=0.33
Azioni sul cordone: TP=-0.47 TO=3.66 NO=8.70
Tensioni nel cordone: τ_P=0.15 τ_O=1.16 σ_O=5.52 σ_{ID}=5.65 Σ_T=6.69
CC 17 SLV (Collegamento -378_-512)
Azioni sul collegamento: N=118.19 Ty=3.19 Tz=-46.31 Mx=0.69 Mz=4.26
Sollecitazioni agenti localmente: Tx_l=3.19 Ty_l=-46.31 N_l=118.19 My_l=-4.26 Mz_l=0.69
Azioni sul cordone: TP=-1.03 TO=3.95 NO=8.70
Tensioni nel cordone: τ_P=0.33 τ_O=1.26 σ_O=8.99 σ_{ID}=9.08 Σ_T=10.25
CC 17 SLV (Collegamento -378_-512)
Azioni sul collegamento: N=118.19 Ty=1.35 Tz=-46.31 Mx=0.33 Mz=1.89
Sollecitazioni agenti localmente: Tx_l=1.35 Ty_l=-46.31 N_l=118.19 My_l=-1.89 Mz_l=0.33
Azioni sul cordone: TP=-0.47 TO=3.66 NO=8.70
Tensioni nel cordone: τ_P=0.15 τ_O=1.16 σ_O=5.52 σ_{ID}=5.65 Σ_T=6.69
CC 18 SLD (Collegamento -378_-512)
Azioni sul collegamento: N=145.90 Ty=2.08 Tz=-50.60 Mx=0.47 Mz=2.88
Sollecitazioni agenti localmente: Tx_l=2.08 Ty_l=-50.60 N_l=145.90 My_l=-2.88 Mz_l=0.47
Azioni sul cordone: TP=-0.69 TO=4.09 NO=10.74
Tensioni nel cordone: τ_P=0.22 τ_O=1.30 σ_O=7.61 σ_{ID}=7.73 Σ_T=8.91
CC 18 SLD (Collegamento -378_-512)
Azioni sul collegamento: N=145.90 Ty=1.52 Tz=-50.60 Mx=0.36 Mz=2.15
Sollecitazioni agenti localmente: Tx_l=1.52 Ty_l=-50.60 N_l=145.90 My_l=-2.15 Mz_l=0.36
Azioni sul cordone: TP=-0.52 TO=4.00 NO=10.74
Tensioni nel cordone: τ_P=0.17 τ_O=1.27 σ_O=6.56 σ_{ID}=6.68 Σ_T=7.83
CC 18 SLD (Collegamento -378_-512)
Azioni sul collegamento: N=145.90 Ty=2.08 Tz=-50.60 Mx=0.47 Mz=2.88
Sollecitazioni agenti localmente: Tx_l=2.08 Ty_l=-50.60 N_l=145.90 My_l=-2.88 Mz_l=0.47
Azioni sul cordone: TP=-0.69 TO=4.09 NO=10.74
Tensioni nel cordone: τ_P=0.22 τ_O=1.30 σ_O=7.61 σ_{ID}=7.73 Σ_T=8.91
CC 18 SLD (Collegamento -378_-512)
Azioni sul collegamento: N=145.90 Ty=1.52 Tz=-50.60 Mx=0.36 Mz=2.15
Sollecitazioni agenti localmente: Tx_l=1.52 Ty_l=-50.60 N_l=145.90 My_l=-2.15 Mz_l=0.36
Azioni sul cordone: TP=-0.52 TO=4.00 NO=10.74
Tensioni nel cordone: τ_P=0.17 τ_O=1.27 σ_O=6.56 σ_{ID}=6.68 Σ_T=7.83
CC 18 SLD (Collegamento -378_-512)
Azioni sul collegamento: N=133.00 Ty=2.08 Tz=-48.61 Mx=0.47 Mz=2.88
Sollecitazioni agenti localmente: Tx_l=2.08 Ty_l=-48.61 N_l=133.00 My_l=-2.88 Mz_l=0.47
Azioni sul cordone: TP=-0.69 TO=3.95 NO=9.79
Tensioni nel cordone: τ_P=0.22 τ_O=1.25 σ_O=7.31 σ_{ID}=7.42 Σ_T=8.57
CC 18 SLD (Collegamento -378_-512)
Azioni sul collegamento: N=133.00 Ty=1.52 Tz=-48.61 Mx=0.36 Mz=2.15
Sollecitazioni agenti localmente: Tx_l=1.52 Ty_l=-48.61 N_l=133.00 My_l=-2.15 Mz_l=0.36
Azioni sul cordone: TP=-0.52 TO=3.86 NO=9.79
Tensioni nel cordone: τ_P=0.17 τ_O=1.23 σ_O=6.25 σ_{ID}=6.38 Σ_T=7.48
CC 18 SLD (Collegamento -378_-512)
Azioni sul collegamento: N=133.00 Ty=2.08 Tz=-48.61 Mx=0.47 Mz=2.88
Sollecitazioni agenti localmente: Tx_l=2.08 Ty_l=-48.61 N_l=133.00 My_l=-2.88 Mz_l=0.47
Azioni sul cordone: TP=-0.69 TO=3.95 NO=9.79
Tensioni nel cordone: τ_P=0.22 τ_O=1.25 σ_O=7.31 σ_{ID}=7.42 Σ_T=8.57

CC 18 SLD (Collegamento -378_-512)
Azioni sul collegamento: N=133.00 Ty=1.52 Tz=-48.61 Mx=0.36 Mz=2.15
Sollecitazioni agenti localmente: Tx_l=1.52 Ty_l=-48.61 N_l=133.00 My_l=-2.15 Mz_l=0.36
Azioni sul cordone: TP=-0.52 TO=3.86 NO=9.79
Tensioni nel cordone: τ_P=0.17 τ_0=1.23 σ_0=6.25 σ_{ID}=6.38 Σ_T=7.48
CC 19 SLV (Collegamento -378_-512)
Azioni sul collegamento: N=160.33 Ty=2.66 Tz=-52.83 Mx=0.60 Mz=3.70
Sollecitazioni agenti localmente: Tx_l=2.66 Ty_l=-52.83 N_l=160.33 My_l=-3.70 Mz_l=0.60
Azioni sul cordone: TP=-0.89 TO=4.36 NO=11.80
Tensioni nel cordone: τ_P=0.28 τ_0=1.39 σ_0=9.16 σ_{ID}=9.27 Σ_T=10.54
CC 19 SLV (Collegamento -378_-512)
Azioni sul collegamento: N=160.33 Ty=1.88 Tz=-52.83 Mx=0.41 Mz=2.45
Sollecitazioni agenti localmente: Tx_l=1.88 Ty_l=-52.83 N_l=160.33 My_l=-2.45 Mz_l=0.41
Azioni sul cordone: TP=-0.61 TO=4.21 NO=11.80
Tensioni nel cordone: τ_P=0.19 τ_0=1.34 σ_0=7.33 σ_{ID}=7.45 Σ_T=8.67
CC 19 SLV (Collegamento -378_-512)
Azioni sul collegamento: N=160.33 Ty=2.66 Tz=-52.83 Mx=0.60 Mz=3.70
Sollecitazioni agenti localmente: Tx_l=2.66 Ty_l=-52.83 N_l=160.33 My_l=-3.70 Mz_l=0.60
Azioni sul cordone: TP=-0.89 TO=4.36 NO=11.80
Tensioni nel cordone: τ_P=0.28 τ_0=1.39 σ_0=9.16 σ_{ID}=9.27 Σ_T=10.54
CC 19 SLV (Collegamento -378_-512)
Azioni sul collegamento: N=160.33 Ty=1.88 Tz=-52.83 Mx=0.41 Mz=2.45
Sollecitazioni agenti localmente: Tx_l=1.88 Ty_l=-52.83 N_l=160.33 My_l=-2.45 Mz_l=0.41
Azioni sul cordone: TP=-0.61 TO=4.21 NO=11.80
Tensioni nel cordone: τ_P=0.19 τ_0=1.34 σ_0=7.33 σ_{ID}=7.45 Σ_T=8.67
CC 19 SLV (Collegamento -378_-512)
Azioni sul collegamento: N=118.37 Ty=2.66 Tz=-46.34 Mx=0.60 Mz=3.70
Sollecitazioni agenti localmente: Tx_l=2.66 Ty_l=-46.34 N_l=118.37 My_l=-3.70 Mz_l=0.60
Azioni sul cordone: TP=-0.89 TO=3.88 NO=8.71
Tensioni nel cordone: τ_P=0.28 τ_0=1.23 σ_0=8.18 σ_{ID}=8.27 Σ_T=9.41
CC 19 SLV (Collegamento -378_-512)
Azioni sul collegamento: N=118.37 Ty=1.88 Tz=-46.34 Mx=0.41 Mz=2.45
Sollecitazioni agenti localmente: Tx_l=1.88 Ty_l=-46.34 N_l=118.37 My_l=-2.45 Mz_l=0.41
Azioni sul cordone: TP=-0.61 TO=3.73 NO=8.71
Tensioni nel cordone: τ_P=0.19 τ_0=1.19 σ_0=6.35 σ_{ID}=6.46 Σ_T=7.53
CC 19 SLV (Collegamento -378_-512)
Azioni sul collegamento: N=118.37 Ty=2.66 Tz=-46.34 Mx=0.60 Mz=3.70
Sollecitazioni agenti localmente: Tx_l=2.66 Ty_l=-46.34 N_l=118.37 My_l=-3.70 Mz_l=0.60
Azioni sul cordone: TP=-0.89 TO=3.88 NO=8.71
Tensioni nel cordone: τ_P=0.28 τ_0=1.23 σ_0=8.18 σ_{ID}=8.27 Σ_T=9.41
CC 19 SLV (Collegamento -378_-512)
Azioni sul collegamento: N=118.37 Ty=1.88 Tz=-46.34 Mx=0.41 Mz=2.45
Sollecitazioni agenti localmente: Tx_l=1.88 Ty_l=-46.34 N_l=118.37 My_l=-2.45 Mz_l=0.41
Azioni sul cordone: TP=-0.61 TO=3.73 NO=8.71
Tensioni nel cordone: τ_P=0.19 τ_0=1.19 σ_0=6.35 σ_{ID}=6.46 Σ_T=7.53
CC 20 SLD (Collegamento -378_-512)
Azioni sul collegamento: N=145.85 Ty=1.92 Tz=-50.59 Mx=0.44 Mz=2.71
Sollecitazioni agenti localmente: Tx_l=1.92 Ty_l=-50.59 N_l=145.85 My_l=-2.71 Mz_l=0.44
Azioni sul cordone: TP=-0.65 TO=4.07 NO=10.73
Tensioni nel cordone: τ_P=0.21 τ_0=1.29 σ_0=7.36 σ_{ID}=7.48 Σ_T=8.66
CC 20 SLD (Collegamento -378_-512)
Azioni sul collegamento: N=145.85 Ty=1.68 Tz=-50.59 Mx=0.38 Mz=2.32
Sollecitazioni agenti localmente: Tx_l=1.68 Ty_l=-50.59 N_l=145.85 My_l=-2.32 Mz_l=0.38
Azioni sul cordone: TP=-0.56 TO=4.02 NO=10.73
Tensioni nel cordone: τ_P=0.18 τ_0=1.28 σ_0=6.80 σ_{ID}=6.93 Σ_T=8.08
CC 20 SLD (Collegamento -378_-512)
Azioni sul collegamento: N=145.85 Ty=1.92 Tz=-50.59 Mx=0.44 Mz=2.71
Sollecitazioni agenti localmente: Tx_l=1.92 Ty_l=-50.59 N_l=145.85 My_l=-2.71 Mz_l=0.44
Azioni sul cordone: TP=-0.65 TO=4.07 NO=10.73
Tensioni nel cordone: τ_P=0.21 τ_0=1.29 σ_0=7.36 σ_{ID}=7.48 Σ_T=8.66
CC 20 SLD (Collegamento -378_-512)
Azioni sul collegamento: N=145.85 Ty=1.68 Tz=-50.59 Mx=0.38 Mz=2.32
Sollecitazioni agenti localmente: Tx_l=1.68 Ty_l=-50.59 N_l=145.85 My_l=-2.32 Mz_l=0.38
Azioni sul cordone: TP=-0.56 TO=4.02 NO=10.73
Tensioni nel cordone: τ_P=0.18 τ_0=1.28 σ_0=6.80 σ_{ID}=6.93 Σ_T=8.08
CC 20 SLD (Collegamento -378_-512)
Azioni sul collegamento: N=133.06 Ty=1.92 Tz=-48.61 Mx=0.44 Mz=2.71
Sollecitazioni agenti localmente: Tx_l=1.92 Ty_l=-48.61 N_l=133.06 My_l=-2.71 Mz_l=0.44
Azioni sul cordone: TP=-0.65 TO=3.92 NO=9.79
Tensioni nel cordone: τ_P=0.21 τ_0=1.25 σ_0=7.06 σ_{ID}=7.18 Σ_T=8.31
CC 20 SLD (Collegamento -378_-512)
Azioni sul collegamento: N=133.06 Ty=1.68 Tz=-48.61 Mx=0.38 Mz=2.32
Sollecitazioni agenti localmente: Tx_l=1.68 Ty_l=-48.61 N_l=133.06 My_l=-2.32 Mz_l=0.38
Azioni sul cordone: TP=-0.56 TO=3.88 NO=9.79
Tensioni nel cordone: τ_P=0.18 τ_0=1.23 σ_0=6.51 σ_{ID}=6.62 Σ_T=7.74
CC 20 SLD (Collegamento -378_-512)
Azioni sul collegamento: N=133.06 Ty=1.92 Tz=-48.61 Mx=0.44 Mz=2.71
Sollecitazioni agenti localmente: Tx_l=1.92 Ty_l=-48.61 N_l=133.06 My_l=-2.71 Mz_l=0.44
Azioni sul cordone: TP=-0.65 TO=3.92 NO=9.79

Tensioni nel cordone: τ_P=0.21 τ_0=1.25 σ_0=7.06 σ_{ID}=7.18 Σ_T=8.31
CC 20 SLD (Collegamento -378_-512)
Azioni sul collegamento: N=133.06 Ty=1.68 Tz=-48.61 Mx=0.38 Mz=2.32
Sollecitazioni agenti localmente: Tx_l=1.68 Ty_l=-48.61 N_l=133.06 My_l=-2.32 Mz_l=0.38
Azioni sul cordone: TP=-0.56 TO=3.88 NO=9.79
Tensioni nel cordone: τ_P=0.18 τ_0=1.23 σ_0=6.51 σ_{ID}=6.62 Σ_T=7.74
CC 21 SLV (Collegamento -378_-512)
Azioni sul collegamento: N=118.37 Ty=1.88 Tz=-46.34 Mx=0.40 Mz=2.45
Sollecitazioni agenti localmente: Tx_l=1.88 Ty_l=-46.34 N_l=118.37 My_l=-2.45 Mz_l=0.40
Azioni sul cordone: TP=-0.60 TO=3.72 NO=8.71
Tensioni nel cordone: τ_P=0.19 τ_0=1.18 σ_0=6.35 σ_{ID}=6.46 Σ_T=7.53
CC 21 SLV (Collegamento -378_-512)
Azioni sul collegamento: N=118.37 Ty=2.66 Tz=-46.34 Mx=0.59 Mz=3.70
Sollecitazioni agenti localmente: Tx_l=2.66 Ty_l=-46.34 N_l=118.37 My_l=-3.70 Mz_l=0.59
Azioni sul cordone: TP=-0.88 TO=3.88 NO=8.71
Tensioni nel cordone: τ_P=0.28 τ_0=1.23 σ_0=8.18 σ_{ID}=8.28 Σ_T=9.41
CC 21 SLV (Collegamento -378_-512)
Azioni sul collegamento: N=118.37 Ty=1.88 Tz=-46.34 Mx=0.40 Mz=2.45
Sollecitazioni agenti localmente: Tx_l=1.88 Ty_l=-46.34 N_l=118.37 My_l=-2.45 Mz_l=0.40
Azioni sul cordone: TP=-0.60 TO=3.72 NO=8.71
Tensioni nel cordone: τ_P=0.19 τ_0=1.18 σ_0=6.35 σ_{ID}=6.46 Σ_T=7.53
CC 21 SLV (Collegamento -378_-512)
Azioni sul collegamento: N=118.37 Ty=2.66 Tz=-46.34 Mx=0.59 Mz=3.70
Sollecitazioni agenti localmente: Tx_l=2.66 Ty_l=-46.34 N_l=118.37 My_l=-3.70 Mz_l=0.59
Azioni sul cordone: TP=-0.88 TO=3.88 NO=8.71
Tensioni nel cordone: τ_P=0.28 τ_0=1.23 σ_0=8.18 σ_{ID}=8.28 Σ_T=9.41
CC 21 SLV (Collegamento -378_-512)
Azioni sul collegamento: N=160.33 Ty=1.88 Tz=-52.83 Mx=0.40 Mz=2.45
Sollecitazioni agenti localmente: Tx_l=1.88 Ty_l=-52.83 N_l=160.33 My_l=-2.45 Mz_l=0.40
Azioni sul cordone: TP=-0.60 TO=4.20 NO=11.80
Tensioni nel cordone: τ_P=0.19 τ_0=1.34 σ_0=7.33 σ_{ID}=7.45 Σ_T=8.67
CC 21 SLV (Collegamento -378_-512)
Azioni sul collegamento: N=160.33 Ty=2.66 Tz=-52.83 Mx=0.59 Mz=3.70
Sollecitazioni agenti localmente: Tx_l=2.66 Ty_l=-52.83 N_l=160.33 My_l=-3.70 Mz_l=0.59
Azioni sul cordone: TP=-0.88 TO=4.36 NO=11.80
Tensioni nel cordone: τ_P=0.28 τ_0=1.38 σ_0=9.16 σ_{ID}=9.27 Σ_T=10.54
CC 21 SLV (Collegamento -378_-512)
Azioni sul collegamento: N=160.33 Ty=1.88 Tz=-52.83 Mx=0.40 Mz=2.45
Sollecitazioni agenti localmente: Tx_l=1.88 Ty_l=-52.83 N_l=160.33 My_l=-2.45 Mz_l=0.40
Azioni sul cordone: TP=-0.60 TO=4.20 NO=11.80
Tensioni nel cordone: τ_P=0.19 τ_0=1.34 σ_0=7.33 σ_{ID}=7.45 Σ_T=8.67
CC 21 SLV (Collegamento -378_-512)
Azioni sul collegamento: N=160.33 Ty=2.66 Tz=-52.83 Mx=0.59 Mz=3.70
Sollecitazioni agenti localmente: Tx_l=2.66 Ty_l=-52.83 N_l=160.33 My_l=-3.70 Mz_l=0.59
Azioni sul cordone: TP=-0.88 TO=4.36 NO=11.80
Tensioni nel cordone: τ_P=0.28 τ_0=1.38 σ_0=9.16 σ_{ID}=9.27 Σ_T=10.54
CC 22 SLD (Collegamento -378_-512)
Azioni sul collegamento: N=133.06 Ty=1.68 Tz=-48.61 Mx=0.38 Mz=2.32
Sollecitazioni agenti localmente: Tx_l=1.68 Ty_l=-48.61 N_l=133.06 My_l=-2.32 Mz_l=0.38
Azioni sul cordone: TP=-0.56 TO=3.88 NO=9.79
Tensioni nel cordone: τ_P=0.18 τ_0=1.23 σ_0=6.51 σ_{ID}=6.62 Σ_T=7.74
CC 22 SLD (Collegamento -378_-512)
Azioni sul collegamento: N=133.06 Ty=1.92 Tz=-48.61 Mx=0.44 Mz=2.71
Sollecitazioni agenti localmente: Tx_l=1.92 Ty_l=-48.61 N_l=133.06 My_l=-2.71 Mz_l=0.44
Azioni sul cordone: TP=-0.65 TO=3.92 NO=9.79
Tensioni nel cordone: τ_P=0.21 τ_0=1.25 σ_0=7.06 σ_{ID}=7.18 Σ_T=8.31
CC 22 SLD (Collegamento -378_-512)
Azioni sul collegamento: N=133.06 Ty=1.68 Tz=-48.61 Mx=0.38 Mz=2.32
Sollecitazioni agenti localmente: Tx_l=1.68 Ty_l=-48.61 N_l=133.06 My_l=-2.32 Mz_l=0.38
Azioni sul cordone: TP=-0.56 TO=3.88 NO=9.79
Tensioni nel cordone: τ_P=0.18 τ_0=1.23 σ_0=6.51 σ_{ID}=6.62 Σ_T=7.74
CC 22 SLD (Collegamento -378_-512)
Azioni sul collegamento: N=133.06 Ty=1.92 Tz=-48.61 Mx=0.44 Mz=2.71
Sollecitazioni agenti localmente: Tx_l=1.92 Ty_l=-48.61 N_l=133.06 My_l=-2.71 Mz_l=0.44
Azioni sul cordone: TP=-0.65 TO=3.92 NO=9.79
Tensioni nel cordone: τ_P=0.21 τ_0=1.25 σ_0=7.06 σ_{ID}=7.18 Σ_T=8.31
CC 22 SLD (Collegamento -378_-512)
Azioni sul collegamento: N=145.85 Ty=1.68 Tz=-50.59 Mx=0.38 Mz=2.32
Sollecitazioni agenti localmente: Tx_l=1.68 Ty_l=-50.59 N_l=145.85 My_l=-2.32 Mz_l=0.38
Azioni sul cordone: TP=-0.56 TO=4.02 NO=10.73
Tensioni nel cordone: τ_P=0.18 τ_0=1.28 σ_0=6.81 σ_{ID}=6.93 Σ_T=8.08
CC 22 SLD (Collegamento -378_-512)
Azioni sul collegamento: N=145.85 Ty=1.92 Tz=-50.59 Mx=0.44 Mz=2.71
Sollecitazioni agenti localmente: Tx_l=1.92 Ty_l=-50.59 N_l=145.85 My_l=-2.71 Mz_l=0.44
Azioni sul cordone: TP=-0.65 TO=4.07 NO=10.73
Tensioni nel cordone: τ_P=0.21 τ_0=1.29 σ_0=7.36 σ_{ID}=7.48 Σ_T=8.66
CC 22 SLD (Collegamento -378_-512)
Azioni sul collegamento: N=145.85 Ty=1.68 Tz=-50.59 Mx=0.38 Mz=2.32
Sollecitazioni agenti localmente: Tx_l=1.68 Ty_l=-50.59 N_l=145.85 My_l=-2.32 Mz_l=0.38

Azioni sul cordone: TP=-0.56 TO=4.02 NO=10.73
Tensioni nel cordone: τ_P=0.18 τ_0=1.28 σ_0=6.81 σ_{ID}=6.93 Σ_T=8.08
CC 22 SLD (Collegamento -378_-512)
Azioni sul collegamento: N=145.85 Ty=1.92 Tz=-50.59 Mx=0.44 Mz=2.71
Sollecitazioni agenti localmente: Tx_l=1.92 Ty_l=-50.59 N_l=145.85 My_l=-2.71 Mz_l=0.44
Azioni sul cordone: TP=-0.65 TO=4.07 NO=10.73
Tensioni nel cordone: τ_P=0.21 τ_0=1.29 σ_0=7.36 σ_{ID}=7.48 Σ_T=8.66
CC 23 SLV (Collegamento -378_-512)
Azioni sul collegamento: N=118.19 Ty=1.35 Tz=-46.31 Mx=0.31 Mz=1.89
Sollecitazioni agenti localmente: Tx_l=1.35 Ty_l=-46.31 N_l=118.19 My_l=-1.89 Mz_l=0.31
Azioni sul cordone: TP=-0.46 TO=3.65 NO=8.70
Tensioni nel cordone: τ_P=0.14 τ_0=1.16 σ_0=5.53 σ_{ID}=5.65 Σ_T=6.69
CC 23 SLV (Collegamento -378_-512)
Azioni sul collegamento: N=118.19 Ty=3.19 Tz=-46.31 Mx=0.68 Mz=4.27
Sollecitazioni agenti localmente: Tx_l=3.19 Ty_l=-46.31 N_l=118.19 My_l=-4.27 Mz_l=0.68
Azioni sul cordone: TP=-1.01 TO=3.94 NO=8.70
Tensioni nel cordone: τ_P=0.32 τ_0=1.25 σ_0=8.99 σ_{ID}=9.09 Σ_T=10.25
CC 23 SLV (Collegamento -378_-512)
Azioni sul collegamento: N=118.19 Ty=1.35 Tz=-46.31 Mx=0.31 Mz=1.89
Sollecitazioni agenti localmente: Tx_l=1.35 Ty_l=-46.31 N_l=118.19 My_l=-1.89 Mz_l=0.31
Azioni sul cordone: TP=-0.46 TO=3.65 NO=8.70
Tensioni nel cordone: τ_P=0.14 τ_0=1.16 σ_0=5.53 σ_{ID}=5.65 Σ_T=6.69
CC 23 SLV (Collegamento -378_-512)
Azioni sul collegamento: N=118.19 Ty=3.19 Tz=-46.31 Mx=0.68 Mz=4.27
Sollecitazioni agenti localmente: Tx_l=3.19 Ty_l=-46.31 N_l=118.19 My_l=-4.27 Mz_l=0.68
Azioni sul cordone: TP=-1.01 TO=3.94 NO=8.70
Tensioni nel cordone: τ_P=0.32 τ_0=1.25 σ_0=8.99 σ_{ID}=9.09 Σ_T=10.25
CC 23 SLV (Collegamento -378_-512)
Azioni sul collegamento: N=160.50 Ty=1.35 Tz=-52.86 Mx=0.31 Mz=1.89
Sollecitazioni agenti localmente: Tx_l=1.35 Ty_l=-52.86 N_l=160.50 My_l=-1.89 Mz_l=0.31
Azioni sul cordone: TP=-0.46 TO=4.13 NO=11.81
Tensioni nel cordone: τ_P=0.14 τ_0=1.31 σ_0=6.52 σ_{ID}=6.65 Σ_T=7.83
CC 23 SLV (Collegamento -378_-512)
Azioni sul collegamento: N=160.50 Ty=3.19 Tz=-52.86 Mx=0.68 Mz=4.27
Sollecitazioni agenti localmente: Tx_l=3.19 Ty_l=-52.86 N_l=160.50 My_l=-4.27 Mz_l=0.68
Azioni sul cordone: TP=-1.01 TO=4.42 NO=11.81
Tensioni nel cordone: τ_P=0.32 τ_0=1.41 σ_0=9.98 σ_{ID}=10.09 Σ_T=11.39
CC 23 SLV (Collegamento -378_-512)
Azioni sul collegamento: N=160.50 Ty=1.35 Tz=-52.86 Mx=0.31 Mz=1.89
Sollecitazioni agenti localmente: Tx_l=1.35 Ty_l=-52.86 N_l=160.50 My_l=-1.89 Mz_l=0.31
Azioni sul cordone: TP=-0.46 TO=4.13 NO=11.81
Tensioni nel cordone: τ_P=0.14 τ_0=1.31 σ_0=6.52 σ_{ID}=6.65 Σ_T=7.83
CC 23 SLV (Collegamento -378_-512)
Azioni sul collegamento: N=160.50 Ty=3.19 Tz=-52.86 Mx=0.68 Mz=4.27
Sollecitazioni agenti localmente: Tx_l=3.19 Ty_l=-52.86 N_l=160.50 My_l=-4.27 Mz_l=0.68
Azioni sul cordone: TP=-1.01 TO=4.42 NO=11.81
Tensioni nel cordone: τ_P=0.32 τ_0=1.41 σ_0=9.98 σ_{ID}=10.09 Σ_T=11.39
CC 24 SLD (Collegamento -378_-512)
Azioni sul collegamento: N=133.00 Ty=1.52 Tz=-48.61 Mx=0.35 Mz=2.15
Sollecitazioni agenti localmente: Tx_l=1.52 Ty_l=-48.61 N_l=133.00 My_l=-2.15 Mz_l=0.35
Azioni sul cordone: TP=-0.52 TO=3.85 NO=9.79
Tensioni nel cordone: τ_P=0.16 τ_0=1.22 σ_0=6.26 σ_{ID}=6.38 Σ_T=7.48
CC 24 SLD (Collegamento -378_-512)
Azioni sul collegamento: N=133.00 Ty=2.08 Tz=-48.61 Mx=0.46 Mz=2.88
Sollecitazioni agenti localmente: Tx_l=2.08 Ty_l=-48.61 N_l=133.00 My_l=-2.88 Mz_l=0.46
Azioni sul cordone: TP=-0.69 TO=3.94 NO=9.79
Tensioni nel cordone: τ_P=0.22 τ_0=1.25 σ_0=7.31 σ_{ID}=7.42 Σ_T=8.57
CC 24 SLD (Collegamento -378_-512)
Azioni sul collegamento: N=133.00 Ty=1.52 Tz=-48.61 Mx=0.35 Mz=2.15
Sollecitazioni agenti localmente: Tx_l=1.52 Ty_l=-48.61 N_l=133.00 My_l=-2.15 Mz_l=0.35
Azioni sul cordone: TP=-0.52 TO=3.85 NO=9.79
Tensioni nel cordone: τ_P=0.16 τ_0=1.22 σ_0=6.26 σ_{ID}=6.38 Σ_T=7.48
CC 24 SLD (Collegamento -378_-512)
Azioni sul collegamento: N=133.00 Ty=2.08 Tz=-48.61 Mx=0.46 Mz=2.88
Sollecitazioni agenti localmente: Tx_l=2.08 Ty_l=-48.61 N_l=133.00 My_l=-2.88 Mz_l=0.46
Azioni sul cordone: TP=-0.69 TO=3.94 NO=9.79
Tensioni nel cordone: τ_P=0.22 τ_0=1.25 σ_0=7.31 σ_{ID}=7.42 Σ_T=8.57
CC 24 SLD (Collegamento -378_-512)
Azioni sul collegamento: N=145.90 Ty=1.52 Tz=-50.60 Mx=0.35 Mz=2.15
Sollecitazioni agenti localmente: Tx_l=1.52 Ty_l=-50.60 N_l=145.90 My_l=-2.15 Mz_l=0.35
Azioni sul cordone: TP=-0.52 TO=4.00 NO=10.74
Tensioni nel cordone: τ_P=0.16 τ_0=1.27 σ_0=6.56 σ_{ID}=6.68 Σ_T=7.83
CC 24 SLD (Collegamento -378_-512)
Azioni sul collegamento: N=145.90 Ty=2.08 Tz=-50.60 Mx=0.46 Mz=2.88
Sollecitazioni agenti localmente: Tx_l=2.08 Ty_l=-50.60 N_l=145.90 My_l=-2.88 Mz_l=0.46
Azioni sul cordone: TP=-0.69 TO=4.09 NO=10.74
Tensioni nel cordone: τ_P=0.22 τ_0=1.30 σ_0=7.61 σ_{ID}=7.73 Σ_T=8.91
CC 24 SLD (Collegamento -378_-512)
Azioni sul collegamento: N=145.90 Ty=1.52 Tz=-50.60 Mx=0.35 Mz=2.15

Sollecitazioni agenti localmente: Tx_l=1.52 Ty_l=-50.60 N_l=145.90 My_l=-2.15 Mz_l=0.35
Azioni sul cordone: TP=-0.52 TO=4.00 NO=10.74
Tensioni nel cordone: τ_P=0.16 τ_0=1.27 σ_0=6.56 σ_{ID}=6.68 Σ_T=7.83
CC 24 SLD (Collegamento -378_-512)
Azioni sul collegamento: N=145.90 Ty=2.08 Tz=-50.60 Mx=0.46 Mz=2.88
Sollecitazioni agenti localmente: Tx_l=2.08 Ty_l=-50.60 N_l=145.90 My_l=-2.88 Mz_l=0.46
Azioni sul cordone: TP=-0.69 TO=4.09 NO=10.74
Tensioni nel cordone: τ_P=0.22 τ_0=1.30 σ_0=7.61 σ_{ID}=7.73 Σ_T=8.91
CC 25 SLV (Collegamento -378_-512)
Azioni sul collegamento: N=145.95 Ty=3.35 Tz=-50.61 Mx=0.69 Mz=4.28
Sollecitazioni agenti localmente: Tx_l=3.35 Ty_l=-50.61 N_l=145.95 My_l=-4.28 Mz_l=0.69
Azioni sul cordone: TP=-1.05 TO=4.27 NO=10.74
Tensioni nel cordone: τ_P=0.33 τ_0=1.36 σ_0=9.67 σ_{ID}=9.77 Σ_T=11.03
CC 25 SLV (Collegamento -378_-512)
Azioni sul collegamento: N=145.95 Ty=1.18 Tz=-50.61 Mx=0.32 Mz=1.87
Sollecitazioni agenti localmente: Tx_l=1.18 Ty_l=-50.61 N_l=145.95 My_l=-1.87 Mz_l=0.32
Azioni sul cordone: TP=-0.46 TO=3.98 NO=10.74
Tensioni nel cordone: τ_P=0.15 τ_0=1.26 σ_0=6.14 σ_{ID}=6.28 Σ_T=7.41
CC 25 SLV (Collegamento -378_-512)
Azioni sul collegamento: N=145.95 Ty=3.35 Tz=-50.61 Mx=0.69 Mz=4.28
Sollecitazioni agenti localmente: Tx_l=3.35 Ty_l=-50.61 N_l=145.95 My_l=-4.28 Mz_l=0.69
Azioni sul cordone: TP=-1.05 TO=4.27 NO=10.74
Tensioni nel cordone: τ_P=0.33 τ_0=1.36 σ_0=9.67 σ_{ID}=9.77 Σ_T=11.03
CC 25 SLV (Collegamento -378_-512)
Azioni sul collegamento: N=145.95 Ty=1.18 Tz=-50.61 Mx=0.32 Mz=1.87
Sollecitazioni agenti localmente: Tx_l=1.18 Ty_l=-50.61 N_l=145.95 My_l=-1.87 Mz_l=0.32
Azioni sul cordone: TP=-0.46 TO=3.98 NO=10.74
Tensioni nel cordone: τ_P=0.15 τ_0=1.26 σ_0=6.14 σ_{ID}=6.28 Σ_T=7.41
CC 25 SLV (Collegamento -378_-512)
Azioni sul collegamento: N=132.74 Ty=3.35 Tz=-48.57 Mx=0.69 Mz=4.28
Sollecitazioni agenti localmente: Tx_l=3.35 Ty_l=-48.57 N_l=132.74 My_l=-4.28 Mz_l=0.69
Azioni sul cordone: TP=-1.05 TO=4.12 NO=9.77
Tensioni nel cordone: τ_P=0.33 τ_0=1.31 σ_0=9.36 σ_{ID}=9.46 Σ_T=10.67
CC 25 SLV (Collegamento -378_-512)
Azioni sul collegamento: N=132.74 Ty=1.18 Tz=-48.57 Mx=0.32 Mz=1.87
Sollecitazioni agenti localmente: Tx_l=1.18 Ty_l=-48.57 N_l=132.74 My_l=-1.87 Mz_l=0.32
Azioni sul cordone: TP=-0.46 TO=3.83 NO=9.77
Tensioni nel cordone: τ_P=0.15 τ_0=1.22 σ_0=5.84 σ_{ID}=5.96 Σ_T=7.05
CC 25 SLV (Collegamento -378_-512)
Azioni sul collegamento: N=132.74 Ty=3.35 Tz=-48.57 Mx=0.69 Mz=4.28
Sollecitazioni agenti localmente: Tx_l=3.35 Ty_l=-48.57 N_l=132.74 My_l=-4.28 Mz_l=0.69
Azioni sul cordone: TP=-1.05 TO=4.12 NO=9.77
Tensioni nel cordone: τ_P=0.33 τ_0=1.31 σ_0=9.36 σ_{ID}=9.46 Σ_T=10.67
CC 25 SLV (Collegamento -378_-512)
Azioni sul collegamento: N=132.74 Ty=1.18 Tz=-48.57 Mx=0.32 Mz=1.87
Sollecitazioni agenti localmente: Tx_l=1.18 Ty_l=-48.57 N_l=132.74 My_l=-1.87 Mz_l=0.32
Azioni sul cordone: TP=-0.46 TO=3.83 NO=9.77
Tensioni nel cordone: τ_P=0.15 τ_0=1.22 σ_0=5.84 σ_{ID}=5.96 Σ_T=7.05
CC 26 SLD (Collegamento -378_-512)
Azioni sul collegamento: N=141.47 Ty=2.13 Tz=-49.92 Mx=0.47 Mz=2.88
Sollecitazioni agenti localmente: Tx_l=2.13 Ty_l=-49.92 N_l=141.47 My_l=-2.88 Mz_l=0.47
Azioni sul cordone: TP=-0.70 TO=4.04 NO=10.41
Tensioni nel cordone: τ_P=0.22 τ_0=1.28 σ_0=7.52 σ_{ID}=7.63 Σ_T=8.80
CC 26 SLD (Collegamento -378_-512)
Azioni sul collegamento: N=141.47 Ty=1.47 Tz=-49.92 Mx=0.36 Mz=2.15
Sollecitazioni agenti localmente: Tx_l=1.47 Ty_l=-49.92 N_l=141.47 My_l=-2.15 Mz_l=0.36
Azioni sul cordone: TP=-0.52 TO=3.95 NO=10.41
Tensioni nel cordone: τ_P=0.16 τ_0=1.26 σ_0=6.44 σ_{ID}=6.57 Σ_T=7.70
CC 26 SLD (Collegamento -378_-512)
Azioni sul collegamento: N=141.47 Ty=2.13 Tz=-49.92 Mx=0.47 Mz=2.88
Sollecitazioni agenti localmente: Tx_l=2.13 Ty_l=-49.92 N_l=141.47 My_l=-2.88 Mz_l=0.47
Azioni sul cordone: TP=-0.70 TO=4.04 NO=10.41
Tensioni nel cordone: τ_P=0.22 τ_0=1.28 σ_0=7.52 σ_{ID}=7.63 Σ_T=8.80
CC 26 SLD (Collegamento -378_-512)
Azioni sul collegamento: N=141.47 Ty=1.47 Tz=-49.92 Mx=0.36 Mz=2.15
Sollecitazioni agenti localmente: Tx_l=1.47 Ty_l=-49.92 N_l=141.47 My_l=-2.15 Mz_l=0.36
Azioni sul cordone: TP=-0.52 TO=3.95 NO=10.41
Tensioni nel cordone: τ_P=0.16 τ_0=1.26 σ_0=6.44 σ_{ID}=6.57 Σ_T=7.70
CC 26 SLD (Collegamento -378_-512)
Azioni sul collegamento: N=137.44 Ty=2.13 Tz=-49.29 Mx=0.47 Mz=2.88
Sollecitazioni agenti localmente: Tx_l=2.13 Ty_l=-49.29 N_l=137.44 My_l=-2.88 Mz_l=0.47
Azioni sul cordone: TP=-0.70 TO=4.00 NO=10.11
Tensioni nel cordone: τ_P=0.22 τ_0=1.27 σ_0=7.42 σ_{ID}=7.54 Σ_T=8.69
CC 26 SLD (Collegamento -378_-512)
Azioni sul collegamento: N=137.44 Ty=1.47 Tz=-49.29 Mx=0.36 Mz=2.15
Sollecitazioni agenti localmente: Tx_l=1.47 Ty_l=-49.29 N_l=137.44 My_l=-2.15 Mz_l=0.36
Azioni sul cordone: TP=-0.52 TO=3.91 NO=10.11
Tensioni nel cordone: τ_P=0.16 τ_0=1.24 σ_0=6.35 σ_{ID}=6.47 Σ_T=7.59
CC 26 SLD (Collegamento -378_-512)

Azioni sul collegamento: N=137.44 Ty=2.13 Tz=-49.29 Mx=0.47 Mz=2.88
Sollecitazioni agenti localmente: Tx_l=2.13 Ty_l=-49.29 N_l=137.44 My_l=-2.88 Mz_l=0.47
Azioni sul cordone: TP=-0.70 TO=4.00 NO=10.11
Tensioni nel cordone: τ_P=0.22 τ_O=1.27 σ_O=7.42 σ_{ID}=7.54 Σ_T=8.69
CC 26 SLD (Collegamento -378_-512)
Azioni sul collegamento: N=137.44 Ty=1.47 Tz=-49.29 Mx=0.36 Mz=2.15
Sollecitazioni agenti localmente: Tx_l=1.47 Ty_l=-49.29 N_l=137.44 My_l=-2.15 Mz_l=0.36
Azioni sul cordone: TP=-0.52 TO=3.91 NO=10.11
Tensioni nel cordone: τ_P=0.16 τ_O=1.24 σ_O=6.35 σ_{ID}=6.47 Σ_T=7.59
CC 27 SLV (Collegamento -378_-512)
Azioni sul collegamento: N=133.31 Ty=2.96 Tz=-48.65 Mx=0.61 Mz=3.74
Sollecitazioni agenti localmente: Tx_l=2.96 Ty_l=-48.65 N_l=133.31 My_l=-3.74 Mz_l=0.61
Azioni sul cordone: TP=-0.92 TO=4.06 NO=9.81
Tensioni nel cordone: τ_P=0.29 τ_O=1.29 σ_O=8.58 σ_{ID}=8.68 Σ_T=9.87
CC 27 SLV (Collegamento -378_-512)
Azioni sul collegamento: N=133.31 Ty=1.58 Tz=-48.65 Mx=0.40 Mz=2.41
Sollecitazioni agenti localmente: Tx_l=1.58 Ty_l=-48.65 N_l=133.31 My_l=-2.41 Mz_l=0.40
Azioni sul cordone: TP=-0.58 TO=3.90 NO=9.81
Tensioni nel cordone: τ_P=0.18 τ_O=1.24 σ_O=6.64 σ_{ID}=6.76 Σ_T=7.88
CC 27 SLV (Collegamento -378_-512)
Azioni sul collegamento: N=133.31 Ty=2.96 Tz=-48.65 Mx=0.61 Mz=3.74
Sollecitazioni agenti localmente: Tx_l=2.96 Ty_l=-48.65 N_l=133.31 My_l=-3.74 Mz_l=0.61
Azioni sul cordone: TP=-0.92 TO=4.06 NO=9.81
Tensioni nel cordone: τ_P=0.29 τ_O=1.29 σ_O=8.58 σ_{ID}=8.68 Σ_T=9.87
CC 27 SLV (Collegamento -378_-512)
Azioni sul collegamento: N=133.31 Ty=1.58 Tz=-48.65 Mx=0.40 Mz=2.41
Sollecitazioni agenti localmente: Tx_l=1.58 Ty_l=-48.65 N_l=133.31 My_l=-2.41 Mz_l=0.40
Azioni sul cordone: TP=-0.58 TO=3.90 NO=9.81
Tensioni nel cordone: τ_P=0.18 τ_O=1.24 σ_O=6.64 σ_{ID}=6.76 Σ_T=7.88
CC 27 SLV (Collegamento -378_-512)
Azioni sul collegamento: N=145.38 Ty=2.96 Tz=-50.52 Mx=0.61 Mz=3.74
Sollecitazioni agenti localmente: Tx_l=2.96 Ty_l=-50.52 N_l=145.38 My_l=-3.74 Mz_l=0.61
Azioni sul cordone: TP=-0.92 TO=4.20 NO=10.70
Tensioni nel cordone: τ_P=0.29 τ_O=1.33 σ_O=8.86 σ_{ID}=8.97 Σ_T=10.20
CC 27 SLV (Collegamento -378_-512)
Azioni sul collegamento: N=145.38 Ty=1.58 Tz=-50.52 Mx=0.40 Mz=2.41
Sollecitazioni agenti localmente: Tx_l=1.58 Ty_l=-50.52 N_l=145.38 My_l=-2.41 Mz_l=0.40
Azioni sul cordone: TP=-0.58 TO=4.03 NO=10.70
Tensioni nel cordone: τ_P=0.18 τ_O=1.28 σ_O=6.93 σ_{ID}=7.05 Σ_T=8.21
CC 27 SLV (Collegamento -378_-512)
Azioni sul collegamento: N=145.38 Ty=2.96 Tz=-50.52 Mx=0.61 Mz=3.74
Sollecitazioni agenti localmente: Tx_l=2.96 Ty_l=-50.52 N_l=145.38 My_l=-3.74 Mz_l=0.61
Azioni sul cordone: TP=-0.92 TO=4.20 NO=10.70
Tensioni nel cordone: τ_P=0.29 τ_O=1.33 σ_O=8.86 σ_{ID}=8.97 Σ_T=10.20
CC 27 SLV (Collegamento -378_-512)
Azioni sul collegamento: N=145.38 Ty=1.58 Tz=-50.52 Mx=0.40 Mz=2.41
Sollecitazioni agenti localmente: Tx_l=1.58 Ty_l=-50.52 N_l=145.38 My_l=-2.41 Mz_l=0.40
Azioni sul cordone: TP=-0.58 TO=4.03 NO=10.70
Tensioni nel cordone: τ_P=0.18 τ_O=1.28 σ_O=6.93 σ_{ID}=7.05 Σ_T=8.21
CC 28 SLD (Collegamento -378_-512)
Azioni sul collegamento: N=137.61 Ty=2.01 Tz=-49.32 Mx=0.44 Mz=2.72
Sollecitazioni agenti localmente: Tx_l=2.01 Ty_l=-49.32 N_l=137.61 My_l=-2.72 Mz_l=0.44
Azioni sul cordone: TP=-0.66 TO=3.98 NO=10.13
Tensioni nel cordone: τ_P=0.21 τ_O=1.26 σ_O=7.19 σ_{ID}=7.30 Σ_T=8.45
CC 28 SLD (Collegamento -378_-512)
Azioni sul collegamento: N=137.61 Ty=1.59 Tz=-49.32 Mx=0.38 Mz=2.31
Sollecitazioni agenti localmente: Tx_l=1.59 Ty_l=-49.32 N_l=137.61 My_l=-2.31 Mz_l=0.38
Azioni sul cordone: TP=-0.55 TO=3.93 NO=10.13
Tensioni nel cordone: τ_P=0.18 τ_O=1.25 σ_O=6.60 σ_{ID}=6.72 Σ_T=7.84
CC 28 SLD (Collegamento -378_-512)
Azioni sul collegamento: N=137.61 Ty=2.01 Tz=-49.32 Mx=0.44 Mz=2.72
Sollecitazioni agenti localmente: Tx_l=2.01 Ty_l=-49.32 N_l=137.61 My_l=-2.72 Mz_l=0.44
Azioni sul cordone: TP=-0.66 TO=3.98 NO=10.13
Tensioni nel cordone: τ_P=0.21 τ_O=1.26 σ_O=7.19 σ_{ID}=7.30 Σ_T=8.45
CC 28 SLD (Collegamento -378_-512)
Azioni sul collegamento: N=137.61 Ty=1.59 Tz=-49.32 Mx=0.38 Mz=2.31
Sollecitazioni agenti localmente: Tx_l=1.59 Ty_l=-49.32 N_l=137.61 My_l=-2.31 Mz_l=0.38
Azioni sul cordone: TP=-0.55 TO=3.93 NO=10.13
Tensioni nel cordone: τ_P=0.18 τ_O=1.25 σ_O=6.60 σ_{ID}=6.72 Σ_T=7.84
CC 28 SLD (Collegamento -378_-512)
Azioni sul collegamento: N=141.29 Ty=2.01 Tz=-49.89 Mx=0.44 Mz=2.72
Sollecitazioni agenti localmente: Tx_l=2.01 Ty_l=-49.89 N_l=141.29 My_l=-2.72 Mz_l=0.44
Azioni sul cordone: TP=-0.66 TO=4.02 NO=10.40
Tensioni nel cordone: τ_P=0.21 τ_O=1.28 σ_O=7.27 σ_{ID}=7.39 Σ_T=8.55
CC 28 SLD (Collegamento -378_-512)
Azioni sul collegamento: N=141.29 Ty=1.59 Tz=-49.89 Mx=0.38 Mz=2.31
Sollecitazioni agenti localmente: Tx_l=1.59 Ty_l=-49.89 N_l=141.29 My_l=-2.31 Mz_l=0.38
Azioni sul cordone: TP=-0.55 TO=3.97 NO=10.40
Tensioni nel cordone: τ_P=0.18 τ_O=1.26 σ_O=6.68 σ_{ID}=6.80 Σ_T=7.94

CC 28 SLD (Collegamento -378_-512)
Azioni sul collegamento: N=141.29 Ty=2.01 Tz=-49.89 Mx=0.44 Mz=2.72
Sollecitazioni agenti localmente: Tx_l=2.01 Ty_l=-49.89 N_l=141.29 My_l=-2.72 Mz_l=0.44
Azioni sul cordone: TP=-0.66 TO=4.02 NO=10.40
Tensioni nel cordone: τ_P=0.21 τ_0=1.28 σ_0=7.27 σ_{ID}=7.39 Σ_T=8.55
CC 28 SLD (Collegamento -378_-512)
Azioni sul collegamento: N=141.29 Ty=1.59 Tz=-49.89 Mx=0.38 Mz=2.31
Sollecitazioni agenti localmente: Tx_l=1.59 Ty_l=-49.89 N_l=141.29 My_l=-2.31 Mz_l=0.38
Azioni sul cordone: TP=-0.55 TO=3.97 NO=10.40
Tensioni nel cordone: τ_P=0.18 τ_0=1.26 σ_0=6.68 σ_{ID}=6.80 Σ_T=7.94
CC 29 SLV (Collegamento -378_-512)
Azioni sul collegamento: N=145.38 Ty=1.58 Tz=-50.52 Mx=0.40 Mz=2.42
Sollecitazioni agenti localmente: Tx_l=1.58 Ty_l=-50.52 N_l=145.38 My_l=-2.42 Mz_l=0.40
Azioni sul cordone: TP=-0.57 TO=4.03 NO=10.70
Tensioni nel cordone: τ_P=0.18 τ_0=1.28 σ_0=6.93 σ_{ID}=7.05 Σ_T=8.21
CC 29 SLV (Collegamento -378_-512)
Azioni sul collegamento: N=145.38 Ty=2.96 Tz=-50.52 Mx=0.60 Mz=3.74
Sollecitazioni agenti localmente: Tx_l=2.96 Ty_l=-50.52 N_l=145.38 My_l=-3.74 Mz_l=0.60
Azioni sul cordone: TP=-0.91 TO=4.19 NO=10.70
Tensioni nel cordone: τ_P=0.29 τ_0=1.33 σ_0=8.86 σ_{ID}=8.97 Σ_T=10.20
CC 29 SLV (Collegamento -378_-512)
Azioni sul collegamento: N=145.38 Ty=1.58 Tz=-50.52 Mx=0.40 Mz=2.42
Sollecitazioni agenti localmente: Tx_l=1.58 Ty_l=-50.52 N_l=145.38 My_l=-2.42 Mz_l=0.40
Azioni sul cordone: TP=-0.57 TO=4.03 NO=10.70
Tensioni nel cordone: τ_P=0.18 τ_0=1.28 σ_0=6.93 σ_{ID}=7.05 Σ_T=8.21
CC 29 SLV (Collegamento -378_-512)
Azioni sul collegamento: N=145.38 Ty=2.96 Tz=-50.52 Mx=0.60 Mz=3.74
Sollecitazioni agenti localmente: Tx_l=2.96 Ty_l=-50.52 N_l=145.38 My_l=-3.74 Mz_l=0.60
Azioni sul cordone: TP=-0.91 TO=4.19 NO=10.70
Tensioni nel cordone: τ_P=0.29 τ_0=1.33 σ_0=8.86 σ_{ID}=8.97 Σ_T=10.20
CC 29 SLV (Collegamento -378_-512)
Azioni sul collegamento: N=133.31 Ty=1.58 Tz=-48.65 Mx=0.40 Mz=2.42
Sollecitazioni agenti localmente: Tx_l=1.58 Ty_l=-48.65 N_l=133.31 My_l=-2.42 Mz_l=0.40
Azioni sul cordone: TP=-0.57 TO=3.89 NO=9.81
Tensioni nel cordone: τ_P=0.18 τ_0=1.24 σ_0=6.65 σ_{ID}=6.76 Σ_T=7.88
CC 29 SLV (Collegamento -378_-512)
Azioni sul collegamento: N=133.31 Ty=2.96 Tz=-48.65 Mx=0.60 Mz=3.74
Sollecitazioni agenti localmente: Tx_l=2.96 Ty_l=-48.65 N_l=133.31 My_l=-3.74 Mz_l=0.60
Azioni sul cordone: TP=-0.91 TO=4.05 NO=9.81
Tensioni nel cordone: τ_P=0.29 τ_0=1.29 σ_0=8.58 σ_{ID}=8.68 Σ_T=9.87
CC 29 SLV (Collegamento -378_-512)
Azioni sul collegamento: N=133.31 Ty=1.58 Tz=-48.65 Mx=0.40 Mz=2.42
Sollecitazioni agenti localmente: Tx_l=1.58 Ty_l=-48.65 N_l=133.31 My_l=-2.42 Mz_l=0.40
Azioni sul cordone: TP=-0.57 TO=3.89 NO=9.81
Tensioni nel cordone: τ_P=0.18 τ_0=1.24 σ_0=6.65 σ_{ID}=6.76 Σ_T=7.88
CC 29 SLV (Collegamento -378_-512)
Azioni sul collegamento: N=133.31 Ty=2.96 Tz=-48.65 Mx=0.60 Mz=3.74
Sollecitazioni agenti localmente: Tx_l=2.96 Ty_l=-48.65 N_l=133.31 My_l=-3.74 Mz_l=0.60
Azioni sul cordone: TP=-0.91 TO=4.05 NO=9.81
Tensioni nel cordone: τ_P=0.29 τ_0=1.29 σ_0=8.58 σ_{ID}=8.68 Σ_T=9.87
CC 30 SLD (Collegamento -378_-512)
Azioni sul collegamento: N=141.29 Ty=1.59 Tz=-49.89 Mx=0.38 Mz=2.31
Sollecitazioni agenti localmente: Tx_l=1.59 Ty_l=-49.89 N_l=141.29 My_l=-2.31 Mz_l=0.38
Azioni sul cordone: TP=-0.55 TO=3.97 NO=10.40
Tensioni nel cordone: τ_P=0.18 τ_0=1.26 σ_0=6.68 σ_{ID}=6.80 Σ_T=7.94
CC 30 SLD (Collegamento -378_-512)
Azioni sul collegamento: N=141.29 Ty=2.01 Tz=-49.89 Mx=0.44 Mz=2.72
Sollecitazioni agenti localmente: Tx_l=2.01 Ty_l=-49.89 N_l=141.29 My_l=-2.72 Mz_l=0.44
Azioni sul cordone: TP=-0.66 TO=4.02 NO=10.40
Tensioni nel cordone: τ_P=0.21 τ_0=1.28 σ_0=7.27 σ_{ID}=7.39 Σ_T=8.55
CC 30 SLD (Collegamento -378_-512)
Azioni sul collegamento: N=141.29 Ty=1.59 Tz=-49.89 Mx=0.38 Mz=2.31
Sollecitazioni agenti localmente: Tx_l=1.59 Ty_l=-49.89 N_l=141.29 My_l=-2.31 Mz_l=0.38
Azioni sul cordone: TP=-0.55 TO=3.97 NO=10.40
Tensioni nel cordone: τ_P=0.18 τ_0=1.26 σ_0=6.68 σ_{ID}=6.80 Σ_T=7.94
CC 30 SLD (Collegamento -378_-512)
Azioni sul collegamento: N=141.29 Ty=2.01 Tz=-49.89 Mx=0.44 Mz=2.72
Sollecitazioni agenti localmente: Tx_l=2.01 Ty_l=-49.89 N_l=141.29 My_l=-2.72 Mz_l=0.44
Azioni sul cordone: TP=-0.66 TO=4.02 NO=10.40
Tensioni nel cordone: τ_P=0.21 τ_0=1.28 σ_0=7.27 σ_{ID}=7.39 Σ_T=8.55
CC 30 SLD (Collegamento -378_-512)
Azioni sul collegamento: N=137.61 Ty=1.59 Tz=-49.32 Mx=0.38 Mz=2.31
Sollecitazioni agenti localmente: Tx_l=1.59 Ty_l=-49.32 N_l=137.61 My_l=-2.31 Mz_l=0.38
Azioni sul cordone: TP=-0.55 TO=3.93 NO=10.13
Tensioni nel cordone: τ_P=0.18 τ_0=1.25 σ_0=6.60 σ_{ID}=6.72 Σ_T=7.84
CC 30 SLD (Collegamento -378_-512)
Azioni sul collegamento: N=137.61 Ty=2.01 Tz=-49.32 Mx=0.44 Mz=2.72
Sollecitazioni agenti localmente: Tx_l=2.01 Ty_l=-49.32 N_l=137.61 My_l=-2.72 Mz_l=0.44
Azioni sul cordone: TP=-0.66 TO=3.98 NO=10.13

Tensioni nel cordone: τ_P=0.21 τ_0=1.26 σ_0=7.19 σ_{ID}=7.30 Σ_T=8.45
CC 30 SLD (Collegamento -378_-512)
Azioni sul collegamento: N=137.61 Ty=1.59 Tz=-49.32 Mx=0.38 Mz=2.31
Sollecitazioni agenti localmente: Tx_l=1.59 Ty_l=-49.32 N_l=137.61 My_l=-2.31 Mz_l=0.38
Azioni sul cordone: TP=-0.55 TO=3.93 NO=10.13
Tensioni nel cordone: τ_P=0.18 τ_0=1.25 σ_0=6.60 σ_{ID}=6.72 Σ_T=7.84
CC 30 SLD (Collegamento -378_-512)
Azioni sul collegamento: N=137.61 Ty=2.01 Tz=-49.32 Mx=0.44 Mz=2.72
Sollecitazioni agenti localmente: Tx_l=2.01 Ty_l=-49.32 N_l=137.61 My_l=-2.72 Mz_l=0.44
Azioni sul cordone: TP=-0.66 TO=3.98 NO=10.13
Tensioni nel cordone: τ_P=0.21 τ_0=1.26 σ_0=7.19 σ_{ID}=7.30 Σ_T=8.45
CC 31 SLV (Collegamento -378_-512)
Azioni sul collegamento: N=132.74 Ty=1.18 Tz=-48.57 Mx=0.31 Mz=1.87
Sollecitazioni agenti localmente: Tx_l=1.18 Ty_l=-48.57 N_l=132.74 My_l=-1.87 Mz_l=0.31
Azioni sul cordone: TP=-0.44 TO=3.82 NO=9.77
Tensioni nel cordone: τ_P=0.14 τ_0=1.21 σ_0=5.84 σ_{ID}=5.97 Σ_T=7.05
CC 31 SLV (Collegamento -378_-512)
Azioni sul collegamento: N=132.74 Ty=3.35 Tz=-48.57 Mx=0.68 Mz=4.28
Sollecitazioni agenti localmente: Tx_l=3.35 Ty_l=-48.57 N_l=132.74 My_l=-4.28 Mz_l=0.68
Azioni sul cordone: TP=-1.03 TO=4.11 NO=9.77
Tensioni nel cordone: τ_P=0.33 τ_0=1.31 σ_0=9.36 σ_{ID}=9.46 Σ_T=10.67
CC 31 SLV (Collegamento -378_-512)
Azioni sul collegamento: N=132.74 Ty=1.18 Tz=-48.57 Mx=0.31 Mz=1.87
Sollecitazioni agenti localmente: Tx_l=1.18 Ty_l=-48.57 N_l=132.74 My_l=-1.87 Mz_l=0.31
Azioni sul cordone: TP=-0.44 TO=3.82 NO=9.77
Tensioni nel cordone: τ_P=0.14 τ_0=1.21 σ_0=5.84 σ_{ID}=5.97 Σ_T=7.05
CC 31 SLV (Collegamento -378_-512)
Azioni sul collegamento: N=132.74 Ty=3.35 Tz=-48.57 Mx=0.68 Mz=4.28
Sollecitazioni agenti localmente: Tx_l=3.35 Ty_l=-48.57 N_l=132.74 My_l=-4.28 Mz_l=0.68
Azioni sul cordone: TP=-1.03 TO=4.11 NO=9.77
Tensioni nel cordone: τ_P=0.33 τ_0=1.31 σ_0=9.36 σ_{ID}=9.46 Σ_T=10.67
CC 31 SLV (Collegamento -378_-512)
Azioni sul collegamento: N=145.95 Ty=1.18 Tz=-50.61 Mx=0.31 Mz=1.87
Sollecitazioni agenti localmente: Tx_l=1.18 Ty_l=-50.61 N_l=145.95 My_l=-1.87 Mz_l=0.31
Azioni sul cordone: TP=-0.44 TO=3.97 NO=10.74
Tensioni nel cordone: τ_P=0.14 τ_0=1.26 σ_0=6.15 σ_{ID}=6.28 Σ_T=7.41
CC 31 SLV (Collegamento -378_-512)
Azioni sul collegamento: N=145.95 Ty=3.35 Tz=-50.61 Mx=0.68 Mz=4.28
Sollecitazioni agenti localmente: Tx_l=3.35 Ty_l=-50.61 N_l=145.95 My_l=-4.28 Mz_l=0.68
Azioni sul cordone: TP=-1.03 TO=4.26 NO=10.74
Tensioni nel cordone: τ_P=0.33 τ_0=1.35 σ_0=9.67 σ_{ID}=9.77 Σ_T=11.03
CC 31 SLV (Collegamento -378_-512)
Azioni sul collegamento: N=145.95 Ty=1.18 Tz=-50.61 Mx=0.31 Mz=1.87
Sollecitazioni agenti localmente: Tx_l=1.18 Ty_l=-50.61 N_l=145.95 My_l=-1.87 Mz_l=0.31
Azioni sul cordone: TP=-0.44 TO=3.97 NO=10.74
Tensioni nel cordone: τ_P=0.14 τ_0=1.26 σ_0=6.15 σ_{ID}=6.28 Σ_T=7.41
CC 31 SLV (Collegamento -378_-512)
Azioni sul collegamento: N=145.95 Ty=3.35 Tz=-50.61 Mx=0.68 Mz=4.28
Sollecitazioni agenti localmente: Tx_l=3.35 Ty_l=-50.61 N_l=145.95 My_l=-4.28 Mz_l=0.68
Azioni sul cordone: TP=-1.03 TO=4.26 NO=10.74
Tensioni nel cordone: τ_P=0.33 τ_0=1.35 σ_0=9.67 σ_{ID}=9.77 Σ_T=11.03
CC 32 SLD (Collegamento -378_-512)
Azioni sul collegamento: N=137.44 Ty=1.47 Tz=-49.29 Mx=0.35 Mz=2.15
Sollecitazioni agenti localmente: Tx_l=1.47 Ty_l=-49.29 N_l=137.44 My_l=-2.15 Mz_l=0.35
Azioni sul cordone: TP=-0.51 TO=3.90 NO=10.11
Tensioni nel cordone: τ_P=0.16 τ_0=1.24 σ_0=6.35 σ_{ID}=6.47 Σ_T=7.59
CC 32 SLD (Collegamento -378_-512)
Azioni sul collegamento: N=137.44 Ty=2.13 Tz=-49.29 Mx=0.46 Mz=2.88
Sollecitazioni agenti localmente: Tx_l=2.13 Ty_l=-49.29 N_l=137.44 My_l=-2.88 Mz_l=0.46
Azioni sul cordone: TP=-0.69 TO=3.99 NO=10.11
Tensioni nel cordone: τ_P=0.22 τ_0=1.27 σ_0=7.42 σ_{ID}=7.54 Σ_T=8.69
CC 32 SLD (Collegamento -378_-512)
Azioni sul collegamento: N=137.44 Ty=1.47 Tz=-49.29 Mx=0.35 Mz=2.15
Sollecitazioni agenti localmente: Tx_l=1.47 Ty_l=-49.29 N_l=137.44 My_l=-2.15 Mz_l=0.35
Azioni sul cordone: TP=-0.51 TO=3.90 NO=10.11
Tensioni nel cordone: τ_P=0.16 τ_0=1.24 σ_0=6.35 σ_{ID}=6.47 Σ_T=7.59
CC 32 SLD (Collegamento -378_-512)
Azioni sul collegamento: N=137.44 Ty=2.13 Tz=-49.29 Mx=0.46 Mz=2.88
Sollecitazioni agenti localmente: Tx_l=2.13 Ty_l=-49.29 N_l=137.44 My_l=-2.88 Mz_l=0.46
Azioni sul cordone: TP=-0.69 TO=3.99 NO=10.11
Tensioni nel cordone: τ_P=0.22 τ_0=1.27 σ_0=7.42 σ_{ID}=7.54 Σ_T=8.69
CC 32 SLD (Collegamento -378_-512)
Azioni sul collegamento: N=141.47 Ty=1.47 Tz=-49.92 Mx=0.35 Mz=2.15
Sollecitazioni agenti localmente: Tx_l=1.47 Ty_l=-49.92 N_l=141.47 My_l=-2.15 Mz_l=0.35
Azioni sul cordone: TP=-0.51 TO=3.95 NO=10.41
Tensioni nel cordone: τ_P=0.16 τ_0=1.26 σ_0=6.44 σ_{ID}=6.57 Σ_T=7.70
CC 32 SLD (Collegamento -378_-512)
Azioni sul collegamento: N=141.47 Ty=2.13 Tz=-49.92 Mx=0.46 Mz=2.88
Sollecitazioni agenti localmente: Tx_l=2.13 Ty_l=-49.92 N_l=141.47 My_l=-2.88 Mz_l=0.46

Azioni sul cordone: TP=-0.69 TO=4.04 NO=10.41
Tensioni nel cordone: τ_P=0.22 τ_0=1.28 σ_0=7.52 σ_{ID}=7.63 Σ_T=8.80
CC 32 SLD (Collegamento -378_-512)
Azioni sul collegamento: N=141.47 Ty=1.47 Tz=-49.92 Mx=0.35 Mz=2.15
Sollecitazioni agenti localmente: Tx_l=1.47 Ty_l=-49.92 N_l=141.47 My_l=-2.15 Mz_l=0.35
Azioni sul cordone: TP=-0.51 TO=3.95 NO=10.41
Tensioni nel cordone: τ_P=0.16 τ_0=1.26 σ_0=6.44 σ_{ID}=6.57 Σ_T=7.70
CC 32 SLD (Collegamento -378_-512)
Azioni sul collegamento: N=141.47 Ty=2.13 Tz=-49.92 Mx=0.46 Mz=2.88
Sollecitazioni agenti localmente: Tx_l=2.13 Ty_l=-49.92 N_l=141.47 My_l=-2.88 Mz_l=0.46
Azioni sul cordone: TP=-0.69 TO=4.04 NO=10.41
Tensioni nel cordone: τ_P=0.22 τ_0=1.28 σ_0=7.52 σ_{ID}=7.63 Σ_T=8.80
CC 33 SLU (Collegamento -378_-512)
Azioni sul collegamento: N=353.36 Ty=2.81 Tz=-92.52 Mx=0.65 Mz=4.01
Sollecitazioni agenti localmente: Tx_l=2.81 Ty_l=-92.52 N_l=353.36 My_l=-4.01 Mz_l=0.65
Azioni sul cordone: TP=-0.96 TO=7.32 NO=26.00
Tensioni nel cordone: τ_P=0.30 τ_0=2.33 σ_0=14.12 σ_{ID}=14.32 Σ_T=16.45
CC 34 SLU (Collegamento -378_-512)
Azioni sul collegamento: N=348.98 Ty=2.67 Tz=-91.84 Mx=0.62 Mz=3.82
Sollecitazioni agenti localmente: Tx_l=2.67 Ty_l=-91.84 N_l=348.98 My_l=-3.82 Mz_l=0.62
Azioni sul cordone: TP=-0.91 TO=7.25 NO=25.68
Tensioni nel cordone: τ_P=0.29 τ_0=2.30 σ_0=13.74 σ_{ID}=13.94 Σ_T=16.04
CC 35 SLU (Collegamento -378_-512)
Azioni sul collegamento: N=351.14 Ty=2.83 Tz=-92.17 Mx=0.65 Mz=4.01
Sollecitazioni agenti localmente: Tx_l=2.83 Ty_l=-92.17 N_l=351.14 My_l=-4.01 Mz_l=0.65
Azioni sul cordone: TP=-0.96 TO=7.30 NO=25.84
Tensioni nel cordone: τ_P=0.30 τ_0=2.32 σ_0=14.07 σ_{ID}=14.26 Σ_T=16.39
CC 36 SLU (Collegamento -378_-512)
Azioni sul collegamento: N=351.20 Ty=2.65 Tz=-92.18 Mx=0.62 Mz=3.82
Sollecitazioni agenti localmente: Tx_l=2.65 Ty_l=-92.18 N_l=351.20 My_l=-3.82 Mz_l=0.62
Azioni sul cordone: TP=-0.91 TO=7.27 NO=25.84
Tensioni nel cordone: τ_P=0.29 τ_0=2.31 σ_0=13.79 σ_{ID}=13.99 Σ_T=16.10
CC 37 SLU (Collegamento -378_-512)
Azioni sul collegamento: N=284.39 Ty=3.06 Tz=-81.84 Mx=0.70 Mz=4.33
Sollecitazioni agenti localmente: Tx_l=3.06 Ty_l=-81.84 N_l=284.39 My_l=-4.33 Mz_l=0.70
Azioni sul cordone: TP=-1.04 TO=6.58 NO=20.93
Tensioni nel cordone: τ_P=0.33 τ_0=2.09 σ_0=12.98 σ_{ID}=13.15 Σ_T=15.07
CC 38 SLU (Collegamento -378_-512)
Azioni sul collegamento: N=280.01 Ty=2.92 Tz=-81.16 Mx=0.67 Mz=4.14
Sollecitazioni agenti localmente: Tx_l=2.92 Ty_l=-81.16 N_l=280.01 My_l=-4.14 Mz_l=0.67
Azioni sul cordone: TP=-0.99 TO=6.50 NO=20.60
Tensioni nel cordone: τ_P=0.31 τ_0=2.07 σ_0=12.60 σ_{ID}=12.77 Σ_T=14.67
CC 39 SLU (Collegamento -378_-512)
Azioni sul collegamento: N=282.17 Ty=3.08 Tz=-81.50 Mx=0.70 Mz=4.34
Sollecitazioni agenti localmente: Tx_l=3.08 Ty_l=-81.50 N_l=282.17 My_l=-4.34 Mz_l=0.70
Azioni sul cordone: TP=-1.04 TO=6.55 NO=20.76
Tensioni nel cordone: τ_P=0.33 τ_0=2.08 σ_0=12.93 σ_{ID}=13.10 Σ_T=15.01
CC 40 SLU (Collegamento -378_-512)
Azioni sul collegamento: N=282.23 Ty=2.90 Tz=-81.51 Mx=0.67 Mz=4.14
Sollecitazioni agenti localmente: Tx_l=2.90 Ty_l=-81.51 N_l=282.23 My_l=-4.14 Mz_l=0.67
Azioni sul cordone: TP=-0.99 TO=6.53 NO=20.77
Tensioni nel cordone: τ_P=0.31 τ_0=2.07 σ_0=12.65 σ_{ID}=12.82 Σ_T=14.73
CC 41 SLU (Collegamento -378_-512)
Azioni sul collegamento: N=346.10 Ty=0.73 Tz=-91.39 Mx=0.19 Mz=1.07
Sollecitazioni agenti localmente: Tx_l=0.73 Ty_l=-91.39 N_l=346.10 My_l=-1.07 Mz_l=0.19
Azioni sul cordone: TP=-0.28 TO=6.88 NO=25.47
Tensioni nel cordone: τ_P= 0.09 τ_0=2.19 σ_0=9.65 σ_{ID}=9.90 Σ_T=11.84
CC 42 SLU (Collegamento -378_-512)
Azioni sul collegamento: N=341.71 Ty=0.59 Tz=-90.71 Mx=0.16 Mz=0.88
Sollecitazioni agenti localmente: Tx_l=0.59 Ty_l=-90.71 N_l=341.71 My_l=-0.88 Mz_l=0.16
Azioni sul cordone: TP=-0.23 TO=6.80 NO=25.14
Tensioni nel cordone: τ_P= 0.07 τ_0=2.16 σ_0=9.27 σ_{ID}=9.52 Σ_T=11.43
CC 43 SLU (Collegamento -378_-512)
Azioni sul collegamento: N=343.87 Ty=0.75 Tz=-91.05 Mx=0.19 Mz=1.07
Sollecitazioni agenti localmente: Tx_l=0.75 Ty_l=-91.05 N_l=343.87 My_l=-1.07 Mz_l=0.19
Azioni sul cordone: TP=-0.28 TO=6.85 NO=25.30
Tensioni nel cordone: τ_P= 0.09 τ_0=2.18 σ_0=9.60 σ_{ID}=9.85 Σ_T=11.78
CC 44 SLU (Collegamento -378_-512)
Azioni sul collegamento: N=343.94 Ty=0.57 Tz=-91.06 Mx=0.16 Mz=0.87
Sollecitazioni agenti localmente: Tx_l=0.57 Ty_l=-91.06 N_l=343.94 My_l=-0.87 Mz_l=0.16
Azioni sul cordone: TP=-0.23 TO=6.83 NO=25.31
Tensioni nel cordone: τ_P= 0.07 τ_0=2.17 σ_0=9.32 σ_{ID}=9.57 Σ_T=11.49
CC 45 SLU (Collegamento -378_-512)
Azioni sul collegamento: N=300.34 Ty=2.91 Tz=-84.31 Mx=0.67 Mz=4.15
Sollecitazioni agenti localmente: Tx_l=2.91 Ty_l=-84.31 N_l=300.34 My_l=-4.15 Mz_l=0.67
Azioni sul cordone: TP=-0.99 TO=6.74 NO=22.10
Tensioni nel cordone: τ_P=0.31 τ_0=2.14 σ_0=13.08 σ_{ID}=13.26 Σ_T=15.22
CC 46 SLU (Collegamento -378_-512)
Azioni sul collegamento: N=295.96 Ty=2.77 Tz=-83.63 Mx=0.64 Mz=3.95

Sollecitazioni agenti localmente: Tx_l=2.77 Ty_l=-83.63 N_l=295.96 My_l=-3.95 Mz_l=0.64
Azioni sul cordone: TP=-0.94 TO=6.66 NO=21.78
Tensioni nel cordone: τ_P=0.30 τ_0=2.12 σ_0=12.70 σ_{ID}=12.88 Σ_T=14.81
CC 47 SLU (Collegamento -378_-512)
Azioni sul collegamento: N=298.12 Ty=2.93 Tz=-83.97 Mx=0.67 Mz=4.15
Sollecitazioni agenti localmente: Tx_l=2.93 Ty_l=-83.97 N_l=298.12 My_l=-4.15 Mz_l=0.67
Azioni sul cordone: TP=-0.99 TO=6.71 NO=21.94
Tensioni nel cordone: τ_P=0.32 τ_0=2.13 σ_0=13.03 σ_{ID}=13.21 Σ_T=15.16
CC 48 SLU (Collegamento -378_-512)
Azioni sul collegamento: N=298.18 Ty=2.75 Tz=-83.98 Mx=0.64 Mz=3.95
Sollecitazioni agenti localmente: Tx_l=2.75 Ty_l=-83.98 N_l=298.18 My_l=-3.95 Mz_l=0.64
Azioni sul cordone: TP=-0.94 TO=6.69 NO=21.94
Tensioni nel cordone: τ_P=0.30 τ_0=2.13 σ_0=12.75 σ_{ID}=12.93 Σ_T=14.87
CC 49 SLU (Collegamento -378_-512)
Azioni sul collegamento: N=248.74 Ty=3.10 Tz=-76.33 Mx=0.71 Mz=4.39
Sollecitazioni agenti localmente: Tx_l=3.10 Ty_l=-76.33 N_l=248.74 My_l=-4.39 Mz_l=0.71
Azioni sul cordone: TP=-1.05 TO=6.18 NO=18.30
Tensioni nel cordone: τ_P=0.33 τ_0=1.96 σ_0=12.23 σ_{ID}=12.39 Σ_T=14.19
CC 50 SLU (Collegamento -378_-512)
Azioni sul collegamento: N=244.36 Ty=2.96 Tz=-75.65 Mx=0.68 Mz=4.20
Sollecitazioni agenti localmente: Tx_l=2.96 Ty_l=-75.65 N_l=244.36 My_l=-4.20 Mz_l=0.68
Azioni sul cordone: TP=-1.00 TO=6.10 NO=17.98
Tensioni nel cordone: τ_P=0.32 τ_0=1.94 σ_0=11.84 σ_{ID}=12.01 Σ_T=13.78
CC 51 SLU (Collegamento -378_-512)
Azioni sul collegamento: N=246.52 Ty=3.12 Tz=-75.98 Mx=0.71 Mz=4.39
Sollecitazioni agenti localmente: Tx_l=3.12 Ty_l=-75.98 N_l=246.52 My_l=-4.39 Mz_l=0.71
Azioni sul cordone: TP=-1.05 TO=6.15 NO=18.14
Tensioni nel cordone: τ_P=0.33 τ_0=1.96 σ_0=12.17 σ_{ID}=12.34 Σ_T=14.13
CC 52 SLU (Collegamento -378_-512)
Azioni sul collegamento: N=246.58 Ty=2.94 Tz=-75.99 Mx=0.68 Mz=4.20
Sollecitazioni agenti localmente: Tx_l=2.94 Ty_l=-75.99 N_l=246.58 My_l=-4.20 Mz_l=0.68
Azioni sul cordone: TP=-1.00 TO=6.13 NO=18.14
Tensioni nel cordone: τ_P=0.32 τ_0=1.95 σ_0=11.89 σ_{ID}=12.06 Σ_T=13.84
CC 53 SLU (Collegamento -378_-512)
Azioni sul collegamento: N=294.91 Ty=1.35 Tz=-83.47 Mx=0.33 Mz=1.94
Sollecitazioni agenti localmente: Tx_l=1.35 Ty_l=-83.47 N_l=294.91 My_l=-1.94 Mz_l=0.33
Azioni sul cordone: TP=-0.48 TO=6.40 NO=21.70
Tensioni nel cordone: τ_P=0.15 τ_0=2.04 σ_0=9.73 σ_{ID}=9.95 Σ_T=11.77
CC 54 SLU (Collegamento -378_-512)
Azioni sul collegamento: N=290.52 Ty=1.21 Tz=-82.79 Mx=0.30 Mz=1.75
Sollecitazioni agenti localmente: Tx_l=1.21 Ty_l=-82.79 N_l=290.52 My_l=-1.75 Mz_l=0.30
Azioni sul cordone: TP=-0.44 TO=6.33 NO=21.38
Tensioni nel cordone: τ_P=0.14 τ_0=2.01 σ_0=9.35 σ_{ID}=9.57 Σ_T=11.36
CC 55 SLU (Collegamento -378_-512)
Azioni sul collegamento: N=292.68 Ty=1.37 Tz=-83.13 Mx=0.33 Mz=1.94
Sollecitazioni agenti localmente: Tx_l=1.37 Ty_l=-83.13 N_l=292.68 My_l=-1.94 Mz_l=0.33
Azioni sul cordone: TP=-0.48 TO=6.38 NO=21.54
Tensioni nel cordone: τ_P=0.15 τ_0=2.03 σ_0=9.68 σ_{ID}=9.89 Σ_T=11.71
CC 56 SLU (Collegamento -378_-512)
Azioni sul collegamento: N=292.75 Ty=1.19 Tz=-83.14 Mx=0.30 Mz=1.75
Sollecitazioni agenti localmente: Tx_l=1.19 Ty_l=-83.14 N_l=292.75 My_l=-1.75 Mz_l=0.30
Azioni sul cordone: TP=-0.43 TO=6.36 NO=21.54
Tensioni nel cordone: τ_P=0.14 τ_0=2.02 σ_0=9.40 σ_{ID}=9.62 Σ_T=11.42
CC 57 SLU (Collegamento -378_-512)
Azioni sul collegamento: N=287.70 Ty=2.61 Tz=-82.35 Mx=0.61 Mz=3.73
Sollecitazioni agenti localmente: Tx_l=2.61 Ty_l=-82.35 N_l=287.70 My_l=-3.73 Mz_l=0.61
Azioni sul cordone: TP=-0.89 TO=6.54 NO=21.17
Tensioni nel cordone: τ_P=0.28 τ_0=2.08 σ_0=12.17 σ_{ID}=12.35 Σ_T=14.25
CC 58 SLU (Collegamento -378_-512)
Azioni sul collegamento: N=283.32 Ty=2.47 Tz=-81.68 Mx=0.58 Mz=3.53
Sollecitazioni agenti localmente: Tx_l=2.47 Ty_l=-81.68 N_l=283.32 My_l=-3.53 Mz_l=0.58
Azioni sul cordone: TP=-0.84 TO=6.46 NO=20.85
Tensioni nel cordone: τ_P=0.27 τ_0=2.05 σ_0=11.79 σ_{ID}=11.97 Σ_T=13.84
CC 59 SLU (Collegamento -378_-512)
Azioni sul collegamento: N=285.48 Ty=2.63 Tz=-82.01 Mx=0.61 Mz=3.73
Sollecitazioni agenti localmente: Tx_l=2.63 Ty_l=-82.01 N_l=285.48 My_l=-3.73 Mz_l=0.61
Azioni sul cordone: TP=-0.89 TO=6.51 NO=21.01
Tensioni nel cordone: τ_P=0.28 τ_0=2.07 σ_0=12.12 σ_{ID}=12.30 Σ_T=14.19
CC 60 SLU (Collegamento -378_-512)
Azioni sul collegamento: N=285.54 Ty=2.45 Tz=-82.02 Mx=0.58 Mz=3.53
Sollecitazioni agenti localmente: Tx_l=2.45 Ty_l=-82.02 N_l=285.54 My_l=-3.53 Mz_l=0.58
Azioni sul cordone: TP=-0.84 TO=6.49 NO=21.01
Tensioni nel cordone: τ_P=0.27 τ_0=2.06 σ_0=11.84 σ_{ID}=12.02 Σ_T=13.90
CC 61 SLU (Collegamento -378_-512)
Azioni sul collegamento: N=236.10 Ty=2.79 Tz=-74.37 Mx=0.65 Mz=3.97
Sollecitazioni agenti localmente: Tx_l=2.79 Ty_l=-74.37 N_l=236.10 My_l=-3.97 Mz_l=0.65
Azioni sul cordone: TP=-0.95 TO=5.98 NO=17.37
Tensioni nel cordone: τ_P=0.30 τ_0=1.90 σ_0=11.32 σ_{ID}=11.48 Σ_T=13.22
CC 62 SLU (Collegamento -378_-512)

Azioni sul collegamento: N=231.72 Ty=2.65 Tz=-73.69 Mx=0.62 Mz=3.78
Sollecitazioni agenti localmente: Tx_l=2.65 Ty_l=-73.69 N_l=231.72 My_l=-3.78 Mz_l=0.62
Azioni sul cordone: TP=-0.90 TO=5.91 NO=17.05
Tensioni nel cordone: τ_P=0.29 τ_0=1.88 σ_0=10.94 σ_{ID}=11.10 Σ_T=12.81
CC 63 SLU (Collegamento -378_-512)
Azioni sul collegamento: N=233.88 Ty=2.82 Tz=-74.03 Mx=0.65 Mz=3.97
Sollecitazioni agenti localmente: Tx_l=2.82 Ty_l=-74.03 N_l=233.88 My_l=-3.97 Mz_l=0.65
Azioni sul cordone: TP=-0.95 TO=5.96 NO=17.21
Tensioni nel cordone: τ_P=0.30 τ_0=1.89 σ_0=11.27 σ_{ID}=11.43 Σ_T=13.16
CC 64 SLU (Collegamento -378_-512)
Azioni sul collegamento: N=233.94 Ty=2.63 Tz=-74.04 Mx=0.62 Mz=3.78
Sollecitazioni agenti localmente: Tx_l=2.63 Ty_l=-74.04 N_l=233.94 My_l=-3.78 Mz_l=0.62
Azioni sul cordone: TP=-0.90 TO=5.93 NO=17.21
Tensioni nel cordone: τ_P=0.29 τ_0=1.89 σ_0=10.99 σ_{ID}=11.15 Σ_T=12.87
CC 65 SLU (Collegamento -378_-512)
Azioni sul collegamento: N=282.26 Ty=1.05 Tz=-81.51 Mx=0.26 Mz=1.52
Sollecitazioni agenti localmente: Tx_l=1.05 Ty_l=-81.51 N_l=282.26 My_l=-1.52 Mz_l=0.26
Azioni sul cordone: TP=-0.38 TO=6.21 NO=20.77
Tensioni nel cordone: τ_P=0.12 τ_0=1.97 σ_0=8.83 σ_{ID}=9.05 Σ_T=10.80
CC 66 SLU (Collegamento -378_-512)
Azioni sul collegamento: N=277.88 Ty=0.91 Tz=-80.84 Mx=0.23 Mz=1.33
Sollecitazioni agenti localmente: Tx_l=0.91 Ty_l=-80.84 N_l=277.88 My_l=-1.33 Mz_l=0.23
Azioni sul cordone: TP=-0.34 TO=6.13 NO=20.45
Tensioni nel cordone: τ_P=0.11 τ_0=1.95 σ_0=8.44 σ_{ID}=8.67 Σ_T=10.39
CC 67 SLU (Collegamento -378_-512)
Azioni sul collegamento: N=280.04 Ty=1.07 Tz=-81.17 Mx=0.26 Mz=1.52
Sollecitazioni agenti localmente: Tx_l=1.07 Ty_l=-81.17 N_l=280.04 My_l=-1.52 Mz_l=0.26
Azioni sul cordone: TP=-0.38 TO=6.18 NO=20.61
Tensioni nel cordone: τ_P=0.12 τ_0=1.96 σ_0=8.78 σ_{ID}=8.99 Σ_T=10.74
CC 68 SLU (Collegamento -378_-512)
Azioni sul collegamento: N=280.11 Ty=0.89 Tz=-81.18 Mx=0.23 Mz=1.33
Sollecitazioni agenti localmente: Tx_l=0.89 Ty_l=-81.18 N_l=280.11 My_l=-1.33 Mz_l=0.23
Azioni sul cordone: TP=-0.33 TO=6.16 NO=20.61
Tensioni nel cordone: τ_P=0.11 τ_0=1.96 σ_0=8.50 σ_{ID}=8.72 Σ_T=10.45
CC 97 SLU (Collegamento -378_-512)
Azioni sul collegamento: N=233.77 Ty=-7.63 Tz=-64.20 Mx=-0.37 Mz=-3.01
Sollecitazioni agenti localmente: Tx_l=-7.63 Ty_l=-64.20 N_l=233.77 My_l=3.01 Mz_l=-0.37
Azioni sul cordone: TP=0.99 TO=5.02 NO=17.20
Tensioni nel cordone: τ_P=0.31 τ_0=1.59 σ_0=9.86 σ_{ID}=9.99 Σ_T=11.45
CC 98 SLU (Collegamento -378_-512)
Azioni sul collegamento: N=229.39 Ty=-7.77 Tz=-63.52 Mx=-0.40 Mz=-3.20
Sollecitazioni agenti localmente: Tx_l=-7.77 Ty_l=-63.52 N_l=229.39 My_l=3.20 Mz_l=-0.40
Azioni sul cordone: TP=1.03 TO=4.99 NO=16.88
Tensioni nel cordone: τ_P=0.33 τ_0=1.59 σ_0=10.03 σ_{ID}=10.16 Σ_T=11.62
CC 99 SLU (Collegamento -378_-512)
Azioni sul collegamento: N=231.55 Ty=-7.61 Tz=-63.86 Mx=-0.37 Mz=-3.00
Sollecitazioni agenti localmente: Tx_l=-7.61 Ty_l=-63.86 N_l=231.55 My_l=3.00 Mz_l=-0.37
Azioni sul cordone: TP=0.99 TO=4.99 NO=17.04
Tensioni nel cordone: τ_P=0.31 τ_0=1.59 σ_0=9.80 σ_{ID}=9.94 Σ_T=11.39
CC 100 SLU (Collegamento -378_-512)
Azioni sul collegamento: N=231.61 Ty=-7.79 Tz=-63.87 Mx=-0.40 Mz=-3.20
Sollecitazioni agenti localmente: Tx_l=-7.79 Ty_l=-63.87 N_l=231.61 My_l=3.20 Mz_l=-0.40
Azioni sul cordone: TP=1.03 TO=5.01 NO=17.04
Tensioni nel cordone: τ_P=0.33 τ_0=1.59 σ_0=10.09 σ_{ID}=10.22 Σ_T=11.68
CC 101 SLU (Collegamento -378_-512)
Azioni sul collegamento: N=140.94 Ty=2.83 Tz=-49.83 Mx=0.49 Mz=3.09
Sollecitazioni agenti localmente: Tx_l=2.83 Ty_l=-49.83 N_l=140.94 My_l=-3.09 Mz_l=0.49
Azioni sul cordone: TP=-0.77 TO=4.05 NO=10.37
Tensioni nel cordone: τ_P=0.25 τ_0=1.29 σ_0=7.80 σ_{ID}=7.91 Σ_T=9.09
CC 102 SLU (Collegamento -378_-512)
Azioni sul collegamento: N=136.56 Ty=2.69 Tz=-49.16 Mx=0.46 Mz=2.89
Sollecitazioni agenti localmente: Tx_l=2.69 Ty_l=-49.16 N_l=136.56 My_l=-2.89 Mz_l=0.46
Azioni sul cordone: TP=-0.73 TO=3.98 NO=10.05
Tensioni nel cordone: τ_P=0.23 τ_0=1.26 σ_0=7.42 σ_{ID}=7.53 Σ_T=8.69
CC 103 SLU (Collegamento -378_-512)
Azioni sul collegamento: N=138.72 Ty=2.85 Tz=-49.49 Mx=0.49 Mz=3.09
Sollecitazioni agenti localmente: Tx_l=2.85 Ty_l=-49.49 N_l=138.72 My_l=-3.09 Mz_l=0.49
Azioni sul cordone: TP=-0.77 TO=4.03 NO=10.21
Tensioni nel cordone: τ_P=0.25 τ_0=1.28 σ_0=7.75 σ_{ID}=7.86 Σ_T=9.03
CC 104 SLU (Collegamento -378_-512)
Azioni sul collegamento: N=138.78 Ty=2.67 Tz=-49.50 Mx=0.46 Mz=2.89
Sollecitazioni agenti localmente: Tx_l=2.67 Ty_l=-49.50 N_l=138.78 My_l=-2.89 Mz_l=0.46
Azioni sul cordone: TP=-0.73 TO=4.00 NO=10.21
Tensioni nel cordone: τ_P=0.23 τ_0=1.27 σ_0=7.47 σ_{ID}=7.58 Σ_T=8.75

Verifica lato anima della colonna

CC 1 SLV (Collegamento -378_-512)
Azioni sul collegamento: N=160.81 Ty=1.85 Tz=-52.91 Mx=0.43 Mz=2.64

Zona tesa: F=64.75 b_{eff}=13.20 t_w=0.70 σ=7.01
Zona tesa: F=64.75 b_{eff}=13.20 t_w=0.70 σ=7.01
CC 1 SLV (Collegamento -378_-512)
Azioni sul collegamento: N=160.81 Ty=0.00 Tz=-52.91 Mx=0.06 Mz=0.27
Zona tesa: F=64.75 b_{eff}=13.20 t_w=0.70 σ=7.01
Zona tesa: F=64.75 b_{eff}=13.20 t_w=0.70 σ=7.01
CC 1 SLV (Collegamento -378_-512)
Azioni sul collegamento: N=160.81 Ty=1.85 Tz=-52.91 Mx=0.43 Mz=2.64
Zona tesa: F=64.75 b_{eff}=13.20 t_w=0.70 σ=7.01
Zona tesa: F=64.75 b_{eff}=13.20 t_w=0.70 σ=7.01
CC 1 SLV (Collegamento -378_-512)
Azioni sul collegamento: N=160.81 Ty=0.00 Tz=-52.91 Mx=0.06 Mz=0.27
Zona tesa: F=64.75 b_{eff}=13.20 t_w=0.70 σ=7.01
Zona tesa: F=64.75 b_{eff}=13.20 t_w=0.70 σ=7.01
CC 1 SLV (Collegamento -378_-512)
Azioni sul collegamento: N=118.50 Ty=1.85 Tz=-46.36 Mx=0.43 Mz=2.64
Zona tesa: F=47.72 b_{eff}=13.20 t_w=0.70 σ=5.16
Zona tesa: F=47.72 b_{eff}=13.20 t_w=0.70 σ=5.16
CC 1 SLV (Collegamento -378_-512)
Azioni sul collegamento: N=118.50 Ty=0.00 Tz=-46.36 Mx=0.06 Mz=0.27
Zona tesa: F=47.72 b_{eff}=13.20 t_w=0.70 σ=5.16
Zona tesa: F=47.72 b_{eff}=13.20 t_w=0.70 σ=5.16
CC 1 SLV (Collegamento -378_-512)
Azioni sul collegamento: N=118.50 Ty=1.85 Tz=-46.36 Mx=0.43 Mz=2.64
Zona tesa: F=47.72 b_{eff}=13.20 t_w=0.70 σ=5.16
Zona tesa: F=47.72 b_{eff}=13.20 t_w=0.70 σ=5.16
CC 1 SLV (Collegamento -378_-512)
Azioni sul collegamento: N=118.50 Ty=0.00 Tz=-46.36 Mx=0.06 Mz=0.27
Zona tesa: F=47.72 b_{eff}=13.20 t_w=0.70 σ=5.16
Zona tesa: F=47.72 b_{eff}=13.20 t_w=0.70 σ=5.16
CC 2 SLD (Collegamento -378_-512)
Azioni sul collegamento: N=146.00 Ty=1.67 Tz=-50.62 Mx=0.39 Mz=2.38
Zona tesa: F=58.79 b_{eff}=13.20 t_w=0.70 σ=6.36
Zona tesa: F=58.79 b_{eff}=13.20 t_w=0.70 σ=6.36
CC 2 SLD (Collegamento -378_-512)
Azioni sul collegamento: N=146.00 Ty=1.11 Tz=-50.62 Mx=0.28 Mz=1.66
Zona tesa: F=58.79 b_{eff}=13.20 t_w=0.70 σ=6.36
Zona tesa: F=58.79 b_{eff}=13.20 t_w=0.70 σ=6.36
CC 2 SLD (Collegamento -378_-512)
Azioni sul collegamento: N=146.00 Ty=1.67 Tz=-50.62 Mx=0.39 Mz=2.38
Zona tesa: F=58.79 b_{eff}=13.20 t_w=0.70 σ=6.36
Zona tesa: F=58.79 b_{eff}=13.20 t_w=0.70 σ=6.36
CC 2 SLD (Collegamento -378_-512)
Azioni sul collegamento: N=146.00 Ty=1.11 Tz=-50.62 Mx=0.28 Mz=1.66
Zona tesa: F=58.79 b_{eff}=13.20 t_w=0.70 σ=6.36
Zona tesa: F=58.79 b_{eff}=13.20 t_w=0.70 σ=6.36
CC 2 SLD (Collegamento -378_-512)
Azioni sul collegamento: N=133.10 Ty=1.67 Tz=-48.62 Mx=0.39 Mz=2.38
Zona tesa: F=53.60 b_{eff}=13.20 t_w=0.70 σ=5.80
Zona tesa: F=53.60 b_{eff}=13.20 t_w=0.70 σ=5.80
CC 2 SLD (Collegamento -378_-512)
Azioni sul collegamento: N=133.10 Ty=1.11 Tz=-48.62 Mx=0.28 Mz=1.66
Zona tesa: F=53.60 b_{eff}=13.20 t_w=0.70 σ=5.80
Zona tesa: F=53.60 b_{eff}=13.20 t_w=0.70 σ=5.80
CC 2 SLD (Collegamento -378_-512)
Azioni sul collegamento: N=133.10 Ty=1.67 Tz=-48.62 Mx=0.39 Mz=2.38
Zona tesa: F=53.60 b_{eff}=13.20 t_w=0.70 σ=5.80
Zona tesa: F=53.60 b_{eff}=13.20 t_w=0.70 σ=5.80
CC 2 SLD (Collegamento -378_-512)
Azioni sul collegamento: N=133.10 Ty=1.11 Tz=-48.62 Mx=0.28 Mz=1.66
Zona tesa: F=53.60 b_{eff}=13.20 t_w=0.70 σ=5.80
Zona tesa: F=53.60 b_{eff}=13.20 t_w=0.70 σ=5.80
CC 3 SLV (Collegamento -378_-512)
Azioni sul collegamento: N=160.63 Ty=1.31 Tz=-52.88 Mx=0.34 Mz=2.08
Zona tesa: F=64.69 b_{eff}=13.20 t_w=0.70 σ=7.00
Zona tesa: F=64.69 b_{eff}=13.20 t_w=0.70 σ=7.00
CC 3 SLV (Collegamento -378_-512)
Azioni sul collegamento: N=160.63 Ty=0.54 Tz=-52.88 Mx=0.15 Mz=0.83
Zona tesa: F=64.69 b_{eff}=13.20 t_w=0.70 σ=7.00
Zona tesa: F=64.69 b_{eff}=13.20 t_w=0.70 σ=7.00
CC 3 SLV (Collegamento -378_-512)
Azioni sul collegamento: N=160.63 Ty=1.31 Tz=-52.88 Mx=0.34 Mz=2.08
Zona tesa: F=64.69 b_{eff}=13.20 t_w=0.70 σ=7.00
Zona tesa: F=64.69 b_{eff}=13.20 t_w=0.70 σ=7.00
CC 3 SLV (Collegamento -378_-512)
Azioni sul collegamento: N=160.63 Ty=0.54 Tz=-52.88 Mx=0.15 Mz=0.83

Zona tesa: F=64.69 b_{eff}=13.20 t_w=0.70 σ=7.00
Zona tesa: F=64.69 b_{eff}=13.20 t_w=0.70 σ=7.00
CC 3 SLV (Collegamento -378_-512)
Azioni sul collegamento: N=118.67 Ty=1.31 Tz=-46.39 Mx=0.34 Mz=2.08
Zona tesa: F=47.79 b_{eff}=13.20 t_w=0.70 σ=5.17
Zona tesa: F=47.79 b_{eff}=13.20 t_w=0.70 σ=5.17
CC 3 SLV (Collegamento -378_-512)
Azioni sul collegamento: N=118.67 Ty=0.54 Tz=-46.39 Mx=0.15 Mz=0.83
Zona tesa: F=47.79 b_{eff}=13.20 t_w=0.70 σ=5.17
Zona tesa: F=47.79 b_{eff}=13.20 t_w=0.70 σ=5.17
CC 3 SLV (Collegamento -378_-512)
Azioni sul collegamento: N=118.67 Ty=1.31 Tz=-46.39 Mx=0.34 Mz=2.08
Zona tesa: F=47.79 b_{eff}=13.20 t_w=0.70 σ=5.17
Zona tesa: F=47.79 b_{eff}=13.20 t_w=0.70 σ=5.17
CC 3 SLV (Collegamento -378_-512)
Azioni sul collegamento: N=118.67 Ty=0.54 Tz=-46.39 Mx=0.15 Mz=0.83
Zona tesa: F=47.79 b_{eff}=13.20 t_w=0.70 σ=5.17
Zona tesa: F=47.79 b_{eff}=13.20 t_w=0.70 σ=5.17
CC 4 SLD (Collegamento -378_-512)
Azioni sul collegamento: N=145.94 Ty=1.51 Tz=-50.61 Mx=0.36 Mz=2.21
Zona tesa: F=58.77 b_{eff}=13.20 t_w=0.70 σ=6.36
Zona tesa: F=58.77 b_{eff}=13.20 t_w=0.70 σ=6.36
CC 4 SLD (Collegamento -378_-512)
Azioni sul collegamento: N=145.94 Ty=1.27 Tz=-50.61 Mx=0.30 Mz=1.83
Zona tesa: F=58.77 b_{eff}=13.20 t_w=0.70 σ=6.36
Zona tesa: F=58.77 b_{eff}=13.20 t_w=0.70 σ=6.36
CC 4 SLD (Collegamento -378_-512)
Azioni sul collegamento: N=145.94 Ty=1.51 Tz=-50.61 Mx=0.36 Mz=2.21
Zona tesa: F=58.77 b_{eff}=13.20 t_w=0.70 σ=6.36
Zona tesa: F=58.77 b_{eff}=13.20 t_w=0.70 σ=6.36
CC 4 SLD (Collegamento -378_-512)
Azioni sul collegamento: N=145.94 Ty=1.27 Tz=-50.61 Mx=0.30 Mz=1.83
Zona tesa: F=58.77 b_{eff}=13.20 t_w=0.70 σ=6.36
Zona tesa: F=58.77 b_{eff}=13.20 t_w=0.70 σ=6.36
CC 4 SLD (Collegamento -378_-512)
Azioni sul collegamento: N=133.15 Ty=1.51 Tz=-48.63 Mx=0.36 Mz=2.21
Zona tesa: F=53.62 b_{eff}=13.20 t_w=0.70 σ=5.80
Zona tesa: F=53.62 b_{eff}=13.20 t_w=0.70 σ=5.80
CC 4 SLD (Collegamento -378_-512)
Azioni sul collegamento: N=133.15 Ty=1.27 Tz=-48.63 Mx=0.30 Mz=1.83
Zona tesa: F=53.62 b_{eff}=13.20 t_w=0.70 σ=5.80
Zona tesa: F=53.62 b_{eff}=13.20 t_w=0.70 σ=5.80
CC 4 SLD (Collegamento -378_-512)
Azioni sul collegamento: N=133.15 Ty=1.51 Tz=-48.63 Mx=0.36 Mz=2.21
Zona tesa: F=53.62 b_{eff}=13.20 t_w=0.70 σ=5.80
Zona tesa: F=53.62 b_{eff}=13.20 t_w=0.70 σ=5.80
CC 4 SLD (Collegamento -378_-512)
Azioni sul collegamento: N=133.15 Ty=1.27 Tz=-48.63 Mx=0.30 Mz=1.83
Zona tesa: F=53.62 b_{eff}=13.20 t_w=0.70 σ=5.80
Zona tesa: F=53.62 b_{eff}=13.20 t_w=0.70 σ=5.80
CC 5 SLV (Collegamento -378_-512)
Azioni sul collegamento: N=118.67 Ty=0.54 Tz=-46.39 Mx=0.14 Mz=0.83
Zona tesa: F=47.79 b_{eff}=13.20 t_w=0.70 σ=5.17
Zona tesa: F=47.79 b_{eff}=13.20 t_w=0.70 σ=5.17
CC 5 SLV (Collegamento -378_-512)
Azioni sul collegamento: N=118.67 Ty=1.31 Tz=-46.39 Mx=0.33 Mz=2.08
Zona tesa: F=47.79 b_{eff}=13.20 t_w=0.70 σ=5.17
Zona tesa: F=47.79 b_{eff}=13.20 t_w=0.70 σ=5.17
CC 5 SLV (Collegamento -378_-512)
Azioni sul collegamento: N=118.67 Ty=0.54 Tz=-46.39 Mx=0.14 Mz=0.83
Zona tesa: F=47.79 b_{eff}=13.20 t_w=0.70 σ=5.17
Zona tesa: F=47.79 b_{eff}=13.20 t_w=0.70 σ=5.17
CC 5 SLV (Collegamento -378_-512)
Azioni sul collegamento: N=118.67 Ty=1.31 Tz=-46.39 Mx=0.33 Mz=2.08
Zona tesa: F=47.79 b_{eff}=13.20 t_w=0.70 σ=5.17
Zona tesa: F=47.79 b_{eff}=13.20 t_w=0.70 σ=5.17
CC 5 SLV (Collegamento -378_-512)
Azioni sul collegamento: N=160.63 Ty=0.54 Tz=-52.88 Mx=0.14 Mz=0.83
Zona tesa: F=64.69 b_{eff}=13.20 t_w=0.70 σ=7.00
Zona tesa: F=64.69 b_{eff}=13.20 t_w=0.70 σ=7.00
CC 5 SLV (Collegamento -378_-512)
Azioni sul collegamento: N=160.63 Ty=1.31 Tz=-52.88 Mx=0.33 Mz=2.08
Zona tesa: F=64.69 b_{eff}=13.20 t_w=0.70 σ=7.00
Zona tesa: F=64.69 b_{eff}=13.20 t_w=0.70 σ=7.00
CC 5 SLV (Collegamento -378_-512)
Azioni sul collegamento: N=160.63 Ty=0.54 Tz=-52.88 Mx=0.14 Mz=0.83

Zona tesa: F=64.69 b_{eff}=13.20 t_w=0.70 σ=7.00
Zona tesa: F=64.69 b_{eff}=13.20 t_w=0.70 σ=7.00
CC 5 SLV (Collegamento -378_-512)
Azioni sul collegamento: N=160.63 Ty=1.31 Tz=-52.88 Mx=0.33 Mz=2.08
Zona tesa: F=64.69 b_{eff}=13.20 t_w=0.70 σ=7.00
Zona tesa: F=64.69 b_{eff}=13.20 t_w=0.70 σ=7.00
CC 6 SLD (Collegamento -378_-512)
Azioni sul collegamento: N=133.15 Ty=1.27 Tz=-48.63 Mx=0.30 Mz=1.83
Zona tesa: F=53.62 b_{eff}=13.20 t_w=0.70 σ=5.80
Zona tesa: F=53.62 b_{eff}=13.20 t_w=0.70 σ=5.80
CC 6 SLD (Collegamento -378_-512)
Azioni sul collegamento: N=133.15 Ty=1.51 Tz=-48.63 Mx=0.36 Mz=2.21
Zona tesa: F=53.62 b_{eff}=13.20 t_w=0.70 σ=5.80
Zona tesa: F=53.62 b_{eff}=13.20 t_w=0.70 σ=5.80
CC 6 SLD (Collegamento -378_-512)
Azioni sul collegamento: N=133.15 Ty=1.27 Tz=-48.63 Mx=0.30 Mz=1.83
Zona tesa: F=53.62 b_{eff}=13.20 t_w=0.70 σ=5.80
Zona tesa: F=53.62 b_{eff}=13.20 t_w=0.70 σ=5.80
CC 6 SLD (Collegamento -378_-512)
Azioni sul collegamento: N=133.15 Ty=1.51 Tz=-48.63 Mx=0.36 Mz=2.21
Zona tesa: F=53.62 b_{eff}=13.20 t_w=0.70 σ=5.80
Zona tesa: F=53.62 b_{eff}=13.20 t_w=0.70 σ=5.80
CC 6 SLD (Collegamento -378_-512)
Azioni sul collegamento: N=145.94 Ty=1.27 Tz=-50.61 Mx=0.30 Mz=1.83
Zona tesa: F=58.77 b_{eff}=13.20 t_w=0.70 σ=6.36
Zona tesa: F=58.77 b_{eff}=13.20 t_w=0.70 σ=6.36
CC 6 SLD (Collegamento -378_-512)
Azioni sul collegamento: N=145.94 Ty=1.51 Tz=-50.61 Mx=0.36 Mz=2.21
Zona tesa: F=58.77 b_{eff}=13.20 t_w=0.70 σ=6.36
Zona tesa: F=58.77 b_{eff}=13.20 t_w=0.70 σ=6.36
CC 6 SLD (Collegamento -378_-512)
Azioni sul collegamento: N=145.94 Ty=1.27 Tz=-50.61 Mx=0.30 Mz=1.83
Zona tesa: F=58.77 b_{eff}=13.20 t_w=0.70 σ=6.36
Zona tesa: F=58.77 b_{eff}=13.20 t_w=0.70 σ=6.36
CC 6 SLD (Collegamento -378_-512)
Azioni sul collegamento: N=145.94 Ty=1.51 Tz=-50.61 Mx=0.36 Mz=2.21
Zona tesa: F=58.77 b_{eff}=13.20 t_w=0.70 σ=6.36
Zona tesa: F=58.77 b_{eff}=13.20 t_w=0.70 σ=6.36
CC 7 SLV (Collegamento -378_-512)
Azioni sul collegamento: N=118.50 Ty=0.00 Tz=-46.36 Mx=0.05 Mz=0.27
Zona tesa: F=47.72 b_{eff}=13.20 t_w=0.70 σ=5.16
Zona tesa: F=47.72 b_{eff}=13.20 t_w=0.70 σ=5.16
CC 7 SLV (Collegamento -378_-512)
Azioni sul collegamento: N=118.50 Ty=1.85 Tz=-46.36 Mx=0.41 Mz=2.65
Zona tesa: F=47.72 b_{eff}=13.20 t_w=0.70 σ=5.16
Zona tesa: F=47.72 b_{eff}=13.20 t_w=0.70 σ=5.16
CC 7 SLV (Collegamento -378_-512)
Azioni sul collegamento: N=118.50 Ty=0.00 Tz=-46.36 Mx=0.05 Mz=0.27
Zona tesa: F=47.72 b_{eff}=13.20 t_w=0.70 σ=5.16
Zona tesa: F=47.72 b_{eff}=13.20 t_w=0.70 σ=5.16
CC 7 SLV (Collegamento -378_-512)
Azioni sul collegamento: N=118.50 Ty=1.85 Tz=-46.36 Mx=0.41 Mz=2.65
Zona tesa: F=47.72 b_{eff}=13.20 t_w=0.70 σ=5.16
Zona tesa: F=47.72 b_{eff}=13.20 t_w=0.70 σ=5.16
CC 7 SLV (Collegamento -378_-512)
Azioni sul collegamento: N=160.81 Ty=0.00 Tz=-52.91 Mx=0.05 Mz=0.27
Zona tesa: F=64.75 b_{eff}=13.20 t_w=0.70 σ=7.01
Zona tesa: F=64.75 b_{eff}=13.20 t_w=0.70 σ=7.01
CC 7 SLV (Collegamento -378_-512)
Azioni sul collegamento: N=160.81 Ty=1.85 Tz=-52.91 Mx=0.41 Mz=2.65
Zona tesa: F=64.75 b_{eff}=13.20 t_w=0.70 σ=7.01
Zona tesa: F=64.75 b_{eff}=13.20 t_w=0.70 σ=7.01
CC 7 SLV (Collegamento -378_-512)
Azioni sul collegamento: N=160.81 Ty=0.00 Tz=-52.91 Mx=0.05 Mz=0.27
Zona tesa: F=64.75 b_{eff}=13.20 t_w=0.70 σ=7.01
Zona tesa: F=64.75 b_{eff}=13.20 t_w=0.70 σ=7.01
CC 7 SLV (Collegamento -378_-512)
Azioni sul collegamento: N=160.81 Ty=1.85 Tz=-52.91 Mx=0.41 Mz=2.65
Zona tesa: F=64.75 b_{eff}=13.20 t_w=0.70 σ=7.01
Zona tesa: F=64.75 b_{eff}=13.20 t_w=0.70 σ=7.01
CC 8 SLD (Collegamento -378_-512)
Azioni sul collegamento: N=133.10 Ty=1.11 Tz=-48.62 Mx=0.27 Mz=1.66
Zona tesa: F=53.60 b_{eff}=13.20 t_w=0.70 σ=5.80
Zona tesa: F=53.60 b_{eff}=13.20 t_w=0.70 σ=5.80
CC 8 SLD (Collegamento -378_-512)
Azioni sul collegamento: N=133.10 Ty=1.67 Tz=-48.62 Mx=0.38 Mz=2.38

Zona tesa: F=53.60 b_{eff}=13.20 t_w=0.70 σ=5.80
Zona tesa: F=53.60 b_{eff}=13.20 t_w=0.70 σ=5.80
CC 8 SLD (Collegamento -378_-512)
Azioni sul collegamento: N=133.10 Ty=1.11 Tz=-48.62 Mx=0.27 Mz=1.66
Zona tesa: F=53.60 b_{eff}=13.20 t_w=0.70 σ=5.80
Zona tesa: F=53.60 b_{eff}=13.20 t_w=0.70 σ=5.80
CC 8 SLD (Collegamento -378_-512)
Azioni sul collegamento: N=133.10 Ty=1.67 Tz=-48.62 Mx=0.38 Mz=2.38
Zona tesa: F=53.60 b_{eff}=13.20 t_w=0.70 σ=5.80
Zona tesa: F=53.60 b_{eff}=13.20 t_w=0.70 σ=5.80
CC 8 SLD (Collegamento -378_-512)
Azioni sul collegamento: N=146.00 Ty=1.11 Tz=-50.62 Mx=0.27 Mz=1.66
Zona tesa: F=58.79 b_{eff}=13.20 t_w=0.70 σ=6.36
Zona tesa: F=58.79 b_{eff}=13.20 t_w=0.70 σ=6.36
CC 8 SLD (Collegamento -378_-512)
Azioni sul collegamento: N=146.00 Ty=1.67 Tz=-50.62 Mx=0.38 Mz=2.38
Zona tesa: F=58.79 b_{eff}=13.20 t_w=0.70 σ=6.36
Zona tesa: F=58.79 b_{eff}=13.20 t_w=0.70 σ=6.36
CC 8 SLD (Collegamento -378_-512)
Azioni sul collegamento: N=146.00 Ty=1.11 Tz=-50.62 Mx=0.27 Mz=1.66
Zona tesa: F=58.79 b_{eff}=13.20 t_w=0.70 σ=6.36
Zona tesa: F=58.79 b_{eff}=13.20 t_w=0.70 σ=6.36
CC 8 SLD (Collegamento -378_-512)
Azioni sul collegamento: N=146.00 Ty=1.67 Tz=-50.62 Mx=0.38 Mz=2.38
Zona tesa: F=58.79 b_{eff}=13.20 t_w=0.70 σ=6.36
Zona tesa: F=58.79 b_{eff}=13.20 t_w=0.70 σ=6.36
CC 9 SLV (Collegamento -378_-512)
Azioni sul collegamento: N=146.26 Ty=2.01 Tz=-50.66 Mx=0.43 Mz=2.66
Zona tesa: F=58.90 b_{eff}=13.20 t_w=0.70 σ=6.37
Zona tesa: F=58.90 b_{eff}=13.20 t_w=0.70 σ=6.37
CC 9 SLV (Collegamento -378_-512)
Azioni sul collegamento: N=146.26 Ty=-0.16 Tz=-50.66 Mx=0.06 Mz=0.25
Zona tesa: F=58.90 b_{eff}=13.20 t_w=0.70 σ=6.37
Zona tesa: F=58.90 b_{eff}=13.20 t_w=0.70 σ=6.37
CC 9 SLV (Collegamento -378_-512)
Azioni sul collegamento: N=146.26 Ty=2.01 Tz=-50.66 Mx=0.43 Mz=2.66
Zona tesa: F=58.90 b_{eff}=13.20 t_w=0.70 σ=6.37
Zona tesa: F=58.90 b_{eff}=13.20 t_w=0.70 σ=6.37
CC 9 SLV (Collegamento -378_-512)
Azioni sul collegamento: N=146.26 Ty=-0.16 Tz=-50.66 Mx=0.06 Mz=0.25
Zona tesa: F=58.90 b_{eff}=13.20 t_w=0.70 σ=6.37
Zona tesa: F=58.90 b_{eff}=13.20 t_w=0.70 σ=6.37
CC 9 SLV (Collegamento -378_-512)
Azioni sul collegamento: N=133.05 Ty=2.01 Tz=-48.61 Mx=0.43 Mz=2.66
Zona tesa: F=53.58 b_{eff}=13.20 t_w=0.70 σ=5.80
Zona tesa: F=53.58 b_{eff}=13.20 t_w=0.70 σ=5.80
CC 9 SLV (Collegamento -378_-512)
Azioni sul collegamento: N=133.05 Ty=-0.16 Tz=-48.61 Mx=0.06 Mz=0.25
Zona tesa: F=53.58 b_{eff}=13.20 t_w=0.70 σ=5.80
Zona tesa: F=53.58 b_{eff}=13.20 t_w=0.70 σ=5.80
CC 9 SLV (Collegamento -378_-512)
Azioni sul collegamento: N=133.05 Ty=2.01 Tz=-48.61 Mx=0.43 Mz=2.66
Zona tesa: F=53.58 b_{eff}=13.20 t_w=0.70 σ=5.80
Zona tesa: F=53.58 b_{eff}=13.20 t_w=0.70 σ=5.80
CC 9 SLV (Collegamento -378_-512)
Azioni sul collegamento: N=133.05 Ty=-0.16 Tz=-48.61 Mx=0.06 Mz=0.25
Zona tesa: F=53.58 b_{eff}=13.20 t_w=0.70 σ=5.80
Zona tesa: F=53.58 b_{eff}=13.20 t_w=0.70 σ=5.80
CC 10 SLD (Collegamento -378_-512)
Azioni sul collegamento: N=141.56 Ty=1.72 Tz=-49.93 Mx=0.39 Mz=2.39
Zona tesa: F=57.00 b_{eff}=13.20 t_w=0.70 σ=6.17
Zona tesa: F=57.00 b_{eff}=13.20 t_w=0.70 σ=6.17
CC 10 SLD (Collegamento -378_-512)
Azioni sul collegamento: N=141.56 Ty=1.06 Tz=-49.93 Mx=0.28 Mz=1.65
Zona tesa: F=57.00 b_{eff}=13.20 t_w=0.70 σ=6.17
Zona tesa: F=57.00 b_{eff}=13.20 t_w=0.70 σ=6.17
CC 10 SLD (Collegamento -378_-512)
Azioni sul collegamento: N=141.56 Ty=1.72 Tz=-49.93 Mx=0.39 Mz=2.39
Zona tesa: F=57.00 b_{eff}=13.20 t_w=0.70 σ=6.17
Zona tesa: F=57.00 b_{eff}=13.20 t_w=0.70 σ=6.17
CC 10 SLD (Collegamento -378_-512)
Azioni sul collegamento: N=141.56 Ty=1.06 Tz=-49.93 Mx=0.28 Mz=1.65
Zona tesa: F=57.00 b_{eff}=13.20 t_w=0.70 σ=6.17
Zona tesa: F=57.00 b_{eff}=13.20 t_w=0.70 σ=6.17
CC 10 SLD (Collegamento -378_-512)
Azioni sul collegamento: N=137.53 Ty=1.72 Tz=-49.31 Mx=0.39 Mz=2.39

Zona tesa: F=55.38 b_{eff}=13.20 t_w=0.70 σ=5.99
Zona tesa: F=55.38 b_{eff}=13.20 t_w=0.70 σ=5.99
CC 10 SLD (Collegamento -378_-512)
Azioni sul collegamento: N=137.53 Ty=1.06 Tz=-49.31 Mx=0.28 Mz=1.65
Zona tesa: F=55.38 b_{eff}=13.20 t_w=0.70 σ=5.99
Zona tesa: F=55.38 b_{eff}=13.20 t_w=0.70 σ=5.99
CC 10 SLD (Collegamento -378_-512)
Azioni sul collegamento: N=137.53 Ty=1.72 Tz=-49.31 Mx=0.39 Mz=2.39
Zona tesa: F=55.38 b_{eff}=13.20 t_w=0.70 σ=5.99
Zona tesa: F=55.38 b_{eff}=13.20 t_w=0.70 σ=5.99
CC 10 SLD (Collegamento -378_-512)
Azioni sul collegamento: N=137.53 Ty=1.06 Tz=-49.31 Mx=0.28 Mz=1.65
Zona tesa: F=55.38 b_{eff}=13.20 t_w=0.70 σ=5.99
Zona tesa: F=55.38 b_{eff}=13.20 t_w=0.70 σ=5.99
CC 11 SLV (Collegamento -378_-512)
Azioni sul collegamento: N=133.62 Ty=1.62 Tz=-48.70 Mx=0.34 Mz=2.12
Zona tesa: F=53.81 b_{eff}=13.20 t_w=0.70 σ=5.82
Zona tesa: F=53.81 b_{eff}=13.20 t_w=0.70 σ=5.82
CC 11 SLV (Collegamento -378_-512)
Azioni sul collegamento: N=133.62 Ty=0.23 Tz=-48.70 Mx=0.14 Mz=0.79
Zona tesa: F=53.81 b_{eff}=13.20 t_w=0.70 σ=5.82
Zona tesa: F=53.81 b_{eff}=13.20 t_w=0.70 σ=5.82
CC 11 SLV (Collegamento -378_-512)
Azioni sul collegamento: N=133.62 Ty=1.62 Tz=-48.70 Mx=0.34 Mz=2.12
Zona tesa: F=53.81 b_{eff}=13.20 t_w=0.70 σ=5.82
Zona tesa: F=53.81 b_{eff}=13.20 t_w=0.70 σ=5.82
CC 11 SLV (Collegamento -378_-512)
Azioni sul collegamento: N=133.62 Ty=0.23 Tz=-48.70 Mx=0.14 Mz=0.79
Zona tesa: F=53.81 b_{eff}=13.20 t_w=0.70 σ=5.82
Zona tesa: F=53.81 b_{eff}=13.20 t_w=0.70 σ=5.82
CC 11 SLV (Collegamento -378_-512)
Azioni sul collegamento: N=145.69 Ty=1.62 Tz=-50.57 Mx=0.34 Mz=2.12
Zona tesa: F=58.67 b_{eff}=13.20 t_w=0.70 σ=6.35
Zona tesa: F=58.67 b_{eff}=13.20 t_w=0.70 σ=6.35
CC 11 SLV (Collegamento -378_-512)
Azioni sul collegamento: N=145.69 Ty=0.23 Tz=-50.57 Mx=0.14 Mz=0.79
Zona tesa: F=58.67 b_{eff}=13.20 t_w=0.70 σ=6.35
Zona tesa: F=58.67 b_{eff}=13.20 t_w=0.70 σ=6.35
CC 11 SLV (Collegamento -378_-512)
Azioni sul collegamento: N=145.69 Ty=1.62 Tz=-50.57 Mx=0.34 Mz=2.12
Zona tesa: F=58.67 b_{eff}=13.20 t_w=0.70 σ=6.35
Zona tesa: F=58.67 b_{eff}=13.20 t_w=0.70 σ=6.35
CC 11 SLV (Collegamento -378_-512)
Azioni sul collegamento: N=145.69 Ty=0.23 Tz=-50.57 Mx=0.14 Mz=0.79
Zona tesa: F=58.67 b_{eff}=13.20 t_w=0.70 σ=6.35
Zona tesa: F=58.67 b_{eff}=13.20 t_w=0.70 σ=6.35
CC 12 SLD (Collegamento -378_-512)
Azioni sul collegamento: N=137.71 Ty=1.60 Tz=-49.33 Mx=0.36 Mz=2.22
Zona tesa: F=55.45 b_{eff}=13.20 t_w=0.70 σ=6.00
Zona tesa: F=55.45 b_{eff}=13.20 t_w=0.70 σ=6.00
CC 12 SLD (Collegamento -378_-512)
Azioni sul collegamento: N=137.71 Ty=1.18 Tz=-49.33 Mx=0.30 Mz=1.82
Zona tesa: F=55.45 b_{eff}=13.20 t_w=0.70 σ=6.00
Zona tesa: F=55.45 b_{eff}=13.20 t_w=0.70 σ=6.00
CC 12 SLD (Collegamento -378_-512)
Azioni sul collegamento: N=137.71 Ty=1.60 Tz=-49.33 Mx=0.36 Mz=2.22
Zona tesa: F=55.45 b_{eff}=13.20 t_w=0.70 σ=6.00
Zona tesa: F=55.45 b_{eff}=13.20 t_w=0.70 σ=6.00
CC 12 SLD (Collegamento -378_-512)
Azioni sul collegamento: N=137.71 Ty=1.18 Tz=-49.33 Mx=0.30 Mz=1.82
Zona tesa: F=55.45 b_{eff}=13.20 t_w=0.70 σ=6.00
Zona tesa: F=55.45 b_{eff}=13.20 t_w=0.70 σ=6.00
CC 12 SLD (Collegamento -378_-512)
Azioni sul collegamento: N=141.39 Ty=1.60 Tz=-49.90 Mx=0.36 Mz=2.22
Zona tesa: F=56.93 b_{eff}=13.20 t_w=0.70 σ=6.16
Zona tesa: F=56.93 b_{eff}=13.20 t_w=0.70 σ=6.16
CC 12 SLD (Collegamento -378_-512)
Azioni sul collegamento: N=141.39 Ty=1.18 Tz=-49.90 Mx=0.30 Mz=1.82
Zona tesa: F=56.93 b_{eff}=13.20 t_w=0.70 σ=6.16
Zona tesa: F=56.93 b_{eff}=13.20 t_w=0.70 σ=6.16
CC 12 SLD (Collegamento -378_-512)
Azioni sul collegamento: N=141.39 Ty=1.60 Tz=-49.90 Mx=0.36 Mz=2.22
Zona tesa: F=56.93 b_{eff}=13.20 t_w=0.70 σ=6.16
Zona tesa: F=56.93 b_{eff}=13.20 t_w=0.70 σ=6.16
CC 12 SLD (Collegamento -378_-512)
Azioni sul collegamento: N=141.39 Ty=1.18 Tz=-49.90 Mx=0.30 Mz=1.82

Zona tesa: F=56.93 b_{eff}=13.20 t_w=0.70 σ=6.16
Zona tesa: F=56.93 b_{eff}=13.20 t_w=0.70 σ=6.16
CC 13 SLV (Collegamento -378_-512)
Azioni sul collegamento: N=145.69 Ty=0.23 Tz=-50.57 Mx=0.13 Mz=0.80
Zona tesa: F=58.67 b_{eff}=13.20 t_w=0.70 σ=6.35
Zona tesa: F=58.67 b_{eff}=13.20 t_w=0.70 σ=6.35
CC 13 SLV (Collegamento -378_-512)
Azioni sul collegamento: N=145.69 Ty=1.62 Tz=-50.57 Mx=0.34 Mz=2.12
Zona tesa: F=58.67 b_{eff}=13.20 t_w=0.70 σ=6.35
Zona tesa: F=58.67 b_{eff}=13.20 t_w=0.70 σ=6.35
CC 13 SLV (Collegamento -378_-512)
Azioni sul collegamento: N=145.69 Ty=0.23 Tz=-50.57 Mx=0.13 Mz=0.80
Zona tesa: F=58.67 b_{eff}=13.20 t_w=0.70 σ=6.35
Zona tesa: F=58.67 b_{eff}=13.20 t_w=0.70 σ=6.35
CC 13 SLV (Collegamento -378_-512)
Azioni sul collegamento: N=145.69 Ty=1.62 Tz=-50.57 Mx=0.34 Mz=2.12
Zona tesa: F=58.67 b_{eff}=13.20 t_w=0.70 σ=6.35
Zona tesa: F=58.67 b_{eff}=13.20 t_w=0.70 σ=6.35
CC 13 SLV (Collegamento -378_-512)
Azioni sul collegamento: N=133.62 Ty=0.23 Tz=-48.70 Mx=0.13 Mz=0.80
Zona tesa: F=53.81 b_{eff}=13.20 t_w=0.70 σ=5.82
Zona tesa: F=53.81 b_{eff}=13.20 t_w=0.70 σ=5.82
CC 13 SLV (Collegamento -378_-512)
Azioni sul collegamento: N=133.62 Ty=1.62 Tz=-48.70 Mx=0.34 Mz=2.12
Zona tesa: F=53.81 b_{eff}=13.20 t_w=0.70 σ=5.82
Zona tesa: F=53.81 b_{eff}=13.20 t_w=0.70 σ=5.82
CC 13 SLV (Collegamento -378_-512)
Azioni sul collegamento: N=133.62 Ty=0.23 Tz=-48.70 Mx=0.13 Mz=0.80
Zona tesa: F=53.81 b_{eff}=13.20 t_w=0.70 σ=5.82
Zona tesa: F=53.81 b_{eff}=13.20 t_w=0.70 σ=5.82
CC 13 SLV (Collegamento -378_-512)
Azioni sul collegamento: N=133.62 Ty=1.62 Tz=-48.70 Mx=0.34 Mz=2.12
Zona tesa: F=53.81 b_{eff}=13.20 t_w=0.70 σ=5.82
Zona tesa: F=53.81 b_{eff}=13.20 t_w=0.70 σ=5.82
CC 14 SLD (Collegamento -378_-512)
Azioni sul collegamento: N=141.39 Ty=1.18 Tz=-49.90 Mx=0.30 Mz=1.82
Zona tesa: F=56.93 b_{eff}=13.20 t_w=0.70 σ=6.16
Zona tesa: F=56.93 b_{eff}=13.20 t_w=0.70 σ=6.16
CC 14 SLD (Collegamento -378_-512)
Azioni sul collegamento: N=141.39 Ty=1.60 Tz=-49.90 Mx=0.36 Mz=2.22
Zona tesa: F=56.93 b_{eff}=13.20 t_w=0.70 σ=6.16
Zona tesa: F=56.93 b_{eff}=13.20 t_w=0.70 σ=6.16
CC 14 SLD (Collegamento -378_-512)
Azioni sul collegamento: N=141.39 Ty=1.18 Tz=-49.90 Mx=0.30 Mz=1.82
Zona tesa: F=56.93 b_{eff}=13.20 t_w=0.70 σ=6.16
Zona tesa: F=56.93 b_{eff}=13.20 t_w=0.70 σ=6.16
CC 14 SLD (Collegamento -378_-512)
Azioni sul collegamento: N=141.39 Ty=1.60 Tz=-49.90 Mx=0.36 Mz=2.22
Zona tesa: F=56.93 b_{eff}=13.20 t_w=0.70 σ=6.16
Zona tesa: F=56.93 b_{eff}=13.20 t_w=0.70 σ=6.16
CC 14 SLD (Collegamento -378_-512)
Azioni sul collegamento: N=137.71 Ty=1.18 Tz=-49.33 Mx=0.30 Mz=1.82
Zona tesa: F=55.45 b_{eff}=13.20 t_w=0.70 σ=6.00
Zona tesa: F=55.45 b_{eff}=13.20 t_w=0.70 σ=6.00
CC 14 SLD (Collegamento -378_-512)
Azioni sul collegamento: N=137.71 Ty=1.60 Tz=-49.33 Mx=0.36 Mz=2.22
Zona tesa: F=55.45 b_{eff}=13.20 t_w=0.70 σ=6.00
Zona tesa: F=55.45 b_{eff}=13.20 t_w=0.70 σ=6.00
CC 14 SLD (Collegamento -378_-512)
Azioni sul collegamento: N=137.71 Ty=1.18 Tz=-49.33 Mx=0.30 Mz=1.82
Zona tesa: F=55.45 b_{eff}=13.20 t_w=0.70 σ=6.00
Zona tesa: F=55.45 b_{eff}=13.20 t_w=0.70 σ=6.00
CC 14 SLD (Collegamento -378_-512)
Azioni sul collegamento: N=137.71 Ty=1.60 Tz=-49.33 Mx=0.36 Mz=2.22
Zona tesa: F=55.45 b_{eff}=13.20 t_w=0.70 σ=6.00
Zona tesa: F=55.45 b_{eff}=13.20 t_w=0.70 σ=6.00
CC 15 SLV (Collegamento -378_-512)
Azioni sul collegamento: N=133.05 Ty=-0.16 Tz=-48.61 Mx=0.05 Mz=0.25
Zona tesa: F=53.58 b_{eff}=13.20 t_w=0.70 σ=5.80
Zona tesa: F=53.58 b_{eff}=13.20 t_w=0.70 σ=5.80
CC 15 SLV (Collegamento -378_-512)
Azioni sul collegamento: N=133.05 Ty=2.01 Tz=-48.61 Mx=0.42 Mz=2.67
Zona tesa: F=53.58 b_{eff}=13.20 t_w=0.70 σ=5.80
Zona tesa: F=53.58 b_{eff}=13.20 t_w=0.70 σ=5.80
CC 15 SLV (Collegamento -378_-512)
Azioni sul collegamento: N=133.05 Ty=-0.16 Tz=-48.61 Mx=0.05 Mz=0.25

Zona tesa: F=53.58 b_{eff}=13.20 t_w=0.70 σ=5.80
Zona tesa: F=53.58 b_{eff}=13.20 t_w=0.70 σ=5.80
CC 15 SLV (Collegamento -378_-512)
Azioni sul collegamento: N=133.05 Ty=2.01 Tz=-48.61 Mx=0.42 Mz=2.67
Zona tesa: F=53.58 b_{eff}=13.20 t_w=0.70 σ=5.80
Zona tesa: F=53.58 b_{eff}=13.20 t_w=0.70 σ=5.80
CC 15 SLV (Collegamento -378_-512)
Azioni sul collegamento: N=146.26 Ty=-0.16 Tz=-50.66 Mx=0.05 Mz=0.25
Zona tesa: F=58.90 b_{eff}=13.20 t_w=0.70 σ=6.37
Zona tesa: F=58.90 b_{eff}=13.20 t_w=0.70 σ=6.37
CC 15 SLV (Collegamento -378_-512)
Azioni sul collegamento: N=146.26 Ty=2.01 Tz=-50.66 Mx=0.42 Mz=2.67
Zona tesa: F=58.90 b_{eff}=13.20 t_w=0.70 σ=6.37
Zona tesa: F=58.90 b_{eff}=13.20 t_w=0.70 σ=6.37
CC 15 SLV (Collegamento -378_-512)
Azioni sul collegamento: N=146.26 Ty=-0.16 Tz=-50.66 Mx=0.05 Mz=0.25
Zona tesa: F=58.90 b_{eff}=13.20 t_w=0.70 σ=6.37
Zona tesa: F=58.90 b_{eff}=13.20 t_w=0.70 σ=6.37
CC 15 SLV (Collegamento -378_-512)
Azioni sul collegamento: N=146.26 Ty=2.01 Tz=-50.66 Mx=0.42 Mz=2.67
Zona tesa: F=58.90 b_{eff}=13.20 t_w=0.70 σ=6.37
Zona tesa: F=58.90 b_{eff}=13.20 t_w=0.70 σ=6.37
CC 16 SLD (Collegamento -378_-512)
Azioni sul collegamento: N=137.53 Ty=1.06 Tz=-49.31 Mx=0.27 Mz=1.65
Zona tesa: F=55.38 b_{eff}=13.20 t_w=0.70 σ=5.99
Zona tesa: F=55.38 b_{eff}=13.20 t_w=0.70 σ=5.99
CC 16 SLD (Collegamento -378_-512)
Azioni sul collegamento: N=137.53 Ty=1.72 Tz=-49.31 Mx=0.39 Mz=2.39
Zona tesa: F=55.38 b_{eff}=13.20 t_w=0.70 σ=5.99
Zona tesa: F=55.38 b_{eff}=13.20 t_w=0.70 σ=5.99
CC 16 SLD (Collegamento -378_-512)
Azioni sul collegamento: N=137.53 Ty=1.06 Tz=-49.31 Mx=0.27 Mz=1.65
Zona tesa: F=55.38 b_{eff}=13.20 t_w=0.70 σ=5.99
Zona tesa: F=55.38 b_{eff}=13.20 t_w=0.70 σ=5.99
CC 16 SLD (Collegamento -378_-512)
Azioni sul collegamento: N=137.53 Ty=1.72 Tz=-49.31 Mx=0.39 Mz=2.39
Zona tesa: F=55.38 b_{eff}=13.20 t_w=0.70 σ=5.99
Zona tesa: F=55.38 b_{eff}=13.20 t_w=0.70 σ=5.99
CC 16 SLD (Collegamento -378_-512)
Azioni sul collegamento: N=141.56 Ty=1.06 Tz=-49.93 Mx=0.27 Mz=1.65
Zona tesa: F=57.00 b_{eff}=13.20 t_w=0.70 σ=6.17
Zona tesa: F=57.00 b_{eff}=13.20 t_w=0.70 σ=6.17
CC 16 SLD (Collegamento -378_-512)
Azioni sul collegamento: N=141.56 Ty=1.72 Tz=-49.93 Mx=0.39 Mz=2.39
Zona tesa: F=57.00 b_{eff}=13.20 t_w=0.70 σ=6.17
Zona tesa: F=57.00 b_{eff}=13.20 t_w=0.70 σ=6.17
CC 16 SLD (Collegamento -378_-512)
Azioni sul collegamento: N=141.56 Ty=1.06 Tz=-49.93 Mx=0.27 Mz=1.65
Zona tesa: F=57.00 b_{eff}=13.20 t_w=0.70 σ=6.17
Zona tesa: F=57.00 b_{eff}=13.20 t_w=0.70 σ=6.17
CC 16 SLD (Collegamento -378_-512)
Azioni sul collegamento: N=141.56 Ty=1.72 Tz=-49.93 Mx=0.39 Mz=2.39
Zona tesa: F=57.00 b_{eff}=13.20 t_w=0.70 σ=6.17
Zona tesa: F=57.00 b_{eff}=13.20 t_w=0.70 σ=6.17
CC 17 SLV (Collegamento -378_-512)
Azioni sul collegamento: N=160.50 Ty=3.19 Tz=-52.86 Mx=0.69 Mz=4.26
Zona tesa: F=64.63 b_{eff}=13.20 t_w=0.70 σ=6.99
Zona tesa: F=64.63 b_{eff}=13.20 t_w=0.70 σ=6.99
CC 17 SLV (Collegamento -378_-512)
Azioni sul collegamento: N=160.50 Ty=1.35 Tz=-52.86 Mx=0.33 Mz=1.89
Zona tesa: F=64.63 b_{eff}=13.20 t_w=0.70 σ=6.99
Zona tesa: F=64.63 b_{eff}=13.20 t_w=0.70 σ=6.99
CC 17 SLV (Collegamento -378_-512)
Azioni sul collegamento: N=160.50 Ty=3.19 Tz=-52.86 Mx=0.69 Mz=4.26
Zona tesa: F=64.63 b_{eff}=13.20 t_w=0.70 σ=6.99
Zona tesa: F=64.63 b_{eff}=13.20 t_w=0.70 σ=6.99
CC 17 SLV (Collegamento -378_-512)
Azioni sul collegamento: N=160.50 Ty=1.35 Tz=-52.86 Mx=0.33 Mz=1.89
Zona tesa: F=64.63 b_{eff}=13.20 t_w=0.70 σ=6.99
Zona tesa: F=64.63 b_{eff}=13.20 t_w=0.70 σ=6.99
CC 17 SLV (Collegamento -378_-512)
Azioni sul collegamento: N=118.19 Ty=3.19 Tz=-46.31 Mx=0.69 Mz=4.26
Zona tesa: F=47.59 b_{eff}=13.20 t_w=0.70 σ=5.15
Zona tesa: F=47.59 b_{eff}=13.20 t_w=0.70 σ=5.15
CC 17 SLV (Collegamento -378_-512)
Azioni sul collegamento: N=118.19 Ty=1.35 Tz=-46.31 Mx=0.33 Mz=1.89

Zona tesa: F=47.59 b_{eff}=13.20 t_w=0.70 σ=5.15
Zona tesa: F=47.59 b_{eff}=13.20 t_w=0.70 σ=5.15
CC 17 SLV (Collegamento -378_-512)
Azioni sul collegamento: N=118.19 Ty=3.19 Tz=-46.31 Mx=0.69 Mz=4.26
Zona tesa: F=47.59 b_{eff}=13.20 t_w=0.70 σ=5.15
Zona tesa: F=47.59 b_{eff}=13.20 t_w=0.70 σ=5.15
CC 17 SLV (Collegamento -378_-512)
Azioni sul collegamento: N=118.19 Ty=1.35 Tz=-46.31 Mx=0.33 Mz=1.89
Zona tesa: F=47.59 b_{eff}=13.20 t_w=0.70 σ=5.15
Zona tesa: F=47.59 b_{eff}=13.20 t_w=0.70 σ=5.15
CC 18 SLD (Collegamento -378_-512)
Azioni sul collegamento: N=145.90 Ty=2.08 Tz=-50.60 Mx=0.47 Mz=2.88
Zona tesa: F=58.75 b_{eff}=13.20 t_w=0.70 σ=6.36
Zona tesa: F=58.75 b_{eff}=13.20 t_w=0.70 σ=6.36
CC 18 SLD (Collegamento -378_-512)
Azioni sul collegamento: N=145.90 Ty=1.52 Tz=-50.60 Mx=0.36 Mz=2.15
Zona tesa: F=58.75 b_{eff}=13.20 t_w=0.70 σ=6.36
Zona tesa: F=58.75 b_{eff}=13.20 t_w=0.70 σ=6.36
CC 18 SLD (Collegamento -378_-512)
Azioni sul collegamento: N=145.90 Ty=2.08 Tz=-50.60 Mx=0.47 Mz=2.88
Zona tesa: F=58.75 b_{eff}=13.20 t_w=0.70 σ=6.36
Zona tesa: F=58.75 b_{eff}=13.20 t_w=0.70 σ=6.36
CC 18 SLD (Collegamento -378_-512)
Azioni sul collegamento: N=145.90 Ty=1.52 Tz=-50.60 Mx=0.36 Mz=2.15
Zona tesa: F=58.75 b_{eff}=13.20 t_w=0.70 σ=6.36
Zona tesa: F=58.75 b_{eff}=13.20 t_w=0.70 σ=6.36
CC 18 SLD (Collegamento -378_-512)
Azioni sul collegamento: N=133.00 Ty=2.08 Tz=-48.61 Mx=0.47 Mz=2.88
Zona tesa: F=53.56 b_{eff}=13.20 t_w=0.70 σ=5.80
Zona tesa: F=53.56 b_{eff}=13.20 t_w=0.70 σ=5.80
CC 18 SLD (Collegamento -378_-512)
Azioni sul collegamento: N=133.00 Ty=1.52 Tz=-48.61 Mx=0.36 Mz=2.15
Zona tesa: F=53.56 b_{eff}=13.20 t_w=0.70 σ=5.80
Zona tesa: F=53.56 b_{eff}=13.20 t_w=0.70 σ=5.80
CC 18 SLD (Collegamento -378_-512)
Azioni sul collegamento: N=133.00 Ty=2.08 Tz=-48.61 Mx=0.47 Mz=2.88
Zona tesa: F=53.56 b_{eff}=13.20 t_w=0.70 σ=5.80
Zona tesa: F=53.56 b_{eff}=13.20 t_w=0.70 σ=5.80
CC 18 SLD (Collegamento -378_-512)
Azioni sul collegamento: N=133.00 Ty=1.52 Tz=-48.61 Mx=0.36 Mz=2.15
Zona tesa: F=53.56 b_{eff}=13.20 t_w=0.70 σ=5.80
Zona tesa: F=53.56 b_{eff}=13.20 t_w=0.70 σ=5.80
CC 19 SLV (Collegamento -378_-512)
Azioni sul collegamento: N=160.33 Ty=2.66 Tz=-52.83 Mx=0.60 Mz=3.70
Zona tesa: F=64.56 b_{eff}=13.20 t_w=0.70 σ=6.99
Zona tesa: F=64.56 b_{eff}=13.20 t_w=0.70 σ=6.99
CC 19 SLV (Collegamento -378_-512)
Azioni sul collegamento: N=160.33 Ty=1.88 Tz=-52.83 Mx=0.41 Mz=2.45
Zona tesa: F=64.56 b_{eff}=13.20 t_w=0.70 σ=6.99
Zona tesa: F=64.56 b_{eff}=13.20 t_w=0.70 σ=6.99
CC 19 SLV (Collegamento -378_-512)
Azioni sul collegamento: N=160.33 Ty=2.66 Tz=-52.83 Mx=0.60 Mz=3.70
Zona tesa: F=64.56 b_{eff}=13.20 t_w=0.70 σ=6.99
Zona tesa: F=64.56 b_{eff}=13.20 t_w=0.70 σ=6.99
CC 19 SLV (Collegamento -378_-512)
Azioni sul collegamento: N=160.33 Ty=1.88 Tz=-52.83 Mx=0.41 Mz=2.45
Zona tesa: F=64.56 b_{eff}=13.20 t_w=0.70 σ=6.99
Zona tesa: F=64.56 b_{eff}=13.20 t_w=0.70 σ=6.99
CC 19 SLV (Collegamento -378_-512)
Azioni sul collegamento: N=118.37 Ty=2.66 Tz=-46.34 Mx=0.60 Mz=3.70
Zona tesa: F=47.66 b_{eff}=13.20 t_w=0.70 σ=5.16
Zona tesa: F=47.66 b_{eff}=13.20 t_w=0.70 σ=5.16
CC 19 SLV (Collegamento -378_-512)
Azioni sul collegamento: N=118.37 Ty=1.88 Tz=-46.34 Mx=0.41 Mz=2.45
Zona tesa: F=47.66 b_{eff}=13.20 t_w=0.70 σ=5.16
Zona tesa: F=47.66 b_{eff}=13.20 t_w=0.70 σ=5.16
CC 19 SLV (Collegamento -378_-512)
Azioni sul collegamento: N=118.37 Ty=2.66 Tz=-46.34 Mx=0.60 Mz=3.70
Zona tesa: F=47.66 b_{eff}=13.20 t_w=0.70 σ=5.16
Zona tesa: F=47.66 b_{eff}=13.20 t_w=0.70 σ=5.16
CC 19 SLV (Collegamento -378_-512)
Azioni sul collegamento: N=118.37 Ty=1.88 Tz=-46.34 Mx=0.41 Mz=2.45
Zona tesa: F=47.66 b_{eff}=13.20 t_w=0.70 σ=5.16
Zona tesa: F=47.66 b_{eff}=13.20 t_w=0.70 σ=5.16
CC 20 SLD (Collegamento -378_-512)
Azioni sul collegamento: N=145.85 Ty=1.92 Tz=-50.59 Mx=0.44 Mz=2.71

Zona tesa: F=58.73 b_{eff}=13.20 t_w=0.70 σ=6.36
Zona tesa: F=58.73 b_{eff}=13.20 t_w=0.70 σ=6.36
CC 20 SLD (Collegamento -378_-512)
Azioni sul collegamento: N=145.85 Ty=1.68 Tz=-50.59 Mx=0.38 Mz=2.32
Zona tesa: F=58.73 b_{eff}=13.20 t_w=0.70 σ=6.36
Zona tesa: F=58.73 b_{eff}=13.20 t_w=0.70 σ=6.36
CC 20 SLD (Collegamento -378_-512)
Azioni sul collegamento: N=145.85 Ty=1.92 Tz=-50.59 Mx=0.44 Mz=2.71
Zona tesa: F=58.73 b_{eff}=13.20 t_w=0.70 σ=6.36
Zona tesa: F=58.73 b_{eff}=13.20 t_w=0.70 σ=6.36
CC 20 SLD (Collegamento -378_-512)
Azioni sul collegamento: N=145.85 Ty=1.68 Tz=-50.59 Mx=0.38 Mz=2.32
Zona tesa: F=58.73 b_{eff}=13.20 t_w=0.70 σ=6.36
Zona tesa: F=58.73 b_{eff}=13.20 t_w=0.70 σ=6.36
CC 20 SLD (Collegamento -378_-512)
Azioni sul collegamento: N=133.06 Ty=1.92 Tz=-48.61 Mx=0.44 Mz=2.71
Zona tesa: F=53.58 b_{eff}=13.20 t_w=0.70 σ=5.80
Zona tesa: F=53.58 b_{eff}=13.20 t_w=0.70 σ=5.80
CC 20 SLD (Collegamento -378_-512)
Azioni sul collegamento: N=133.06 Ty=1.68 Tz=-48.61 Mx=0.38 Mz=2.32
Zona tesa: F=53.58 b_{eff}=13.20 t_w=0.70 σ=5.80
Zona tesa: F=53.58 b_{eff}=13.20 t_w=0.70 σ=5.80
CC 20 SLD (Collegamento -378_-512)
Azioni sul collegamento: N=133.06 Ty=1.92 Tz=-48.61 Mx=0.44 Mz=2.71
Zona tesa: F=53.58 b_{eff}=13.20 t_w=0.70 σ=5.80
Zona tesa: F=53.58 b_{eff}=13.20 t_w=0.70 σ=5.80
CC 20 SLD (Collegamento -378_-512)
Azioni sul collegamento: N=133.06 Ty=1.68 Tz=-48.61 Mx=0.38 Mz=2.32
Zona tesa: F=53.58 b_{eff}=13.20 t_w=0.70 σ=5.80
Zona tesa: F=53.58 b_{eff}=13.20 t_w=0.70 σ=5.80
CC 21 SLV (Collegamento -378_-512)
Azioni sul collegamento: N=118.37 Ty=1.88 Tz=-46.34 Mx=0.40 Mz=2.45
Zona tesa: F=47.66 b_{eff}=13.20 t_w=0.70 σ=5.16
Zona tesa: F=47.66 b_{eff}=13.20 t_w=0.70 σ=5.16
CC 21 SLV (Collegamento -378_-512)
Azioni sul collegamento: N=118.37 Ty=2.66 Tz=-46.34 Mx=0.59 Mz=3.70
Zona tesa: F=47.66 b_{eff}=13.20 t_w=0.70 σ=5.16
Zona tesa: F=47.66 b_{eff}=13.20 t_w=0.70 σ=5.16
CC 21 SLV (Collegamento -378_-512)
Azioni sul collegamento: N=118.37 Ty=1.88 Tz=-46.34 Mx=0.40 Mz=2.45
Zona tesa: F=47.66 b_{eff}=13.20 t_w=0.70 σ=5.16
Zona tesa: F=47.66 b_{eff}=13.20 t_w=0.70 σ=5.16
CC 21 SLV (Collegamento -378_-512)
Azioni sul collegamento: N=118.37 Ty=2.66 Tz=-46.34 Mx=0.59 Mz=3.70
Zona tesa: F=47.66 b_{eff}=13.20 t_w=0.70 σ=5.16
Zona tesa: F=47.66 b_{eff}=13.20 t_w=0.70 σ=5.16
CC 21 SLV (Collegamento -378_-512)
Azioni sul collegamento: N=160.33 Ty=1.88 Tz=-52.83 Mx=0.40 Mz=2.45
Zona tesa: F=64.56 b_{eff}=13.20 t_w=0.70 σ=6.99
Zona tesa: F=64.56 b_{eff}=13.20 t_w=0.70 σ=6.99
CC 21 SLV (Collegamento -378_-512)
Azioni sul collegamento: N=160.33 Ty=2.66 Tz=-52.83 Mx=0.59 Mz=3.70
Zona tesa: F=64.56 b_{eff}=13.20 t_w=0.70 σ=6.99
Zona tesa: F=64.56 b_{eff}=13.20 t_w=0.70 σ=6.99
CC 21 SLV (Collegamento -378_-512)
Azioni sul collegamento: N=160.33 Ty=1.88 Tz=-52.83 Mx=0.40 Mz=2.45
Zona tesa: F=64.56 b_{eff}=13.20 t_w=0.70 σ=6.99
Zona tesa: F=64.56 b_{eff}=13.20 t_w=0.70 σ=6.99
CC 21 SLV (Collegamento -378_-512)
Azioni sul collegamento: N=160.33 Ty=2.66 Tz=-52.83 Mx=0.59 Mz=3.70
Zona tesa: F=64.56 b_{eff}=13.20 t_w=0.70 σ=6.99
Zona tesa: F=64.56 b_{eff}=13.20 t_w=0.70 σ=6.99
CC 22 SLD (Collegamento -378_-512)
Azioni sul collegamento: N=133.06 Ty=1.68 Tz=-48.61 Mx=0.38 Mz=2.32
Zona tesa: F=53.58 b_{eff}=13.20 t_w=0.70 σ=5.80
Zona tesa: F=53.58 b_{eff}=13.20 t_w=0.70 σ=5.80
CC 22 SLD (Collegamento -378_-512)
Azioni sul collegamento: N=133.06 Ty=1.92 Tz=-48.61 Mx=0.44 Mz=2.71
Zona tesa: F=53.58 b_{eff}=13.20 t_w=0.70 σ=5.80
Zona tesa: F=53.58 b_{eff}=13.20 t_w=0.70 σ=5.80
CC 22 SLD (Collegamento -378_-512)
Azioni sul collegamento: N=133.06 Ty=1.68 Tz=-48.61 Mx=0.38 Mz=2.32
Zona tesa: F=53.58 b_{eff}=13.20 t_w=0.70 σ=5.80
Zona tesa: F=53.58 b_{eff}=13.20 t_w=0.70 σ=5.80
CC 22 SLD (Collegamento -378_-512)
Azioni sul collegamento: N=133.06 Ty=1.92 Tz=-48.61 Mx=0.44 Mz=2.71

Zona tesa: F=53.58 b_{eff}=13.20 t_w=0.70 σ=5.80
Zona tesa: F=53.58 b_{eff}=13.20 t_w=0.70 σ=5.80
CC 22 SLD (Collegamento -378_-512)
Azioni sul collegamento: N=145.85 Ty=1.68 Tz=-50.59 Mx=0.38 Mz=2.32
Zona tesa: F=58.73 b_{eff}=13.20 t_w=0.70 σ=6.36
Zona tesa: F=58.73 b_{eff}=13.20 t_w=0.70 σ=6.36
CC 22 SLD (Collegamento -378_-512)
Azioni sul collegamento: N=145.85 Ty=1.92 Tz=-50.59 Mx=0.44 Mz=2.71
Zona tesa: F=58.73 b_{eff}=13.20 t_w=0.70 σ=6.36
Zona tesa: F=58.73 b_{eff}=13.20 t_w=0.70 σ=6.36
CC 22 SLD (Collegamento -378_-512)
Azioni sul collegamento: N=145.85 Ty=1.68 Tz=-50.59 Mx=0.38 Mz=2.32
Zona tesa: F=58.73 b_{eff}=13.20 t_w=0.70 σ=6.36
Zona tesa: F=58.73 b_{eff}=13.20 t_w=0.70 σ=6.36
CC 22 SLD (Collegamento -378_-512)
Azioni sul collegamento: N=145.85 Ty=1.92 Tz=-50.59 Mx=0.44 Mz=2.71
Zona tesa: F=58.73 b_{eff}=13.20 t_w=0.70 σ=6.36
Zona tesa: F=58.73 b_{eff}=13.20 t_w=0.70 σ=6.36
CC 23 SLV (Collegamento -378_-512)
Azioni sul collegamento: N=118.19 Ty=1.35 Tz=-46.31 Mx=0.31 Mz=1.89
Zona tesa: F=47.59 b_{eff}=13.20 t_w=0.70 σ=5.15
Zona tesa: F=47.59 b_{eff}=13.20 t_w=0.70 σ=5.15
CC 23 SLV (Collegamento -378_-512)
Azioni sul collegamento: N=118.19 Ty=3.19 Tz=-46.31 Mx=0.68 Mz=4.27
Zona tesa: F=47.59 b_{eff}=13.20 t_w=0.70 σ=5.15
Zona tesa: F=47.59 b_{eff}=13.20 t_w=0.70 σ=5.15
CC 23 SLV (Collegamento -378_-512)
Azioni sul collegamento: N=118.19 Ty=1.35 Tz=-46.31 Mx=0.31 Mz=1.89
Zona tesa: F=47.59 b_{eff}=13.20 t_w=0.70 σ=5.15
Zona tesa: F=47.59 b_{eff}=13.20 t_w=0.70 σ=5.15
CC 23 SLV (Collegamento -378_-512)
Azioni sul collegamento: N=118.19 Ty=3.19 Tz=-46.31 Mx=0.68 Mz=4.27
Zona tesa: F=47.59 b_{eff}=13.20 t_w=0.70 σ=5.15
Zona tesa: F=47.59 b_{eff}=13.20 t_w=0.70 σ=5.15
CC 23 SLV (Collegamento -378_-512)
Azioni sul collegamento: N=160.50 Ty=1.35 Tz=-52.86 Mx=0.31 Mz=1.89
Zona tesa: F=64.63 b_{eff}=13.20 t_w=0.70 σ=6.99
Zona tesa: F=64.63 b_{eff}=13.20 t_w=0.70 σ=6.99
CC 23 SLV (Collegamento -378_-512)
Azioni sul collegamento: N=160.50 Ty=3.19 Tz=-52.86 Mx=0.68 Mz=4.27
Zona tesa: F=64.63 b_{eff}=13.20 t_w=0.70 σ=6.99
Zona tesa: F=64.63 b_{eff}=13.20 t_w=0.70 σ=6.99
CC 23 SLV (Collegamento -378_-512)
Azioni sul collegamento: N=160.50 Ty=1.35 Tz=-52.86 Mx=0.31 Mz=1.89
Zona tesa: F=64.63 b_{eff}=13.20 t_w=0.70 σ=6.99
Zona tesa: F=64.63 b_{eff}=13.20 t_w=0.70 σ=6.99
CC 23 SLV (Collegamento -378_-512)
Azioni sul collegamento: N=160.50 Ty=3.19 Tz=-52.86 Mx=0.68 Mz=4.27
Zona tesa: F=64.63 b_{eff}=13.20 t_w=0.70 σ=6.99
Zona tesa: F=64.63 b_{eff}=13.20 t_w=0.70 σ=6.99
CC 24 SLD (Collegamento -378_-512)
Azioni sul collegamento: N=133.00 Ty=1.52 Tz=-48.61 Mx=0.35 Mz=2.15
Zona tesa: F=53.56 b_{eff}=13.20 t_w=0.70 σ=5.80
Zona tesa: F=53.56 b_{eff}=13.20 t_w=0.70 σ=5.80
CC 24 SLD (Collegamento -378_-512)
Azioni sul collegamento: N=133.00 Ty=2.08 Tz=-48.61 Mx=0.46 Mz=2.88
Zona tesa: F=53.56 b_{eff}=13.20 t_w=0.70 σ=5.80
Zona tesa: F=53.56 b_{eff}=13.20 t_w=0.70 σ=5.80
CC 24 SLD (Collegamento -378_-512)
Azioni sul collegamento: N=133.00 Ty=1.52 Tz=-48.61 Mx=0.35 Mz=2.15
Zona tesa: F=53.56 b_{eff}=13.20 t_w=0.70 σ=5.80
Zona tesa: F=53.56 b_{eff}=13.20 t_w=0.70 σ=5.80
CC 24 SLD (Collegamento -378_-512)
Azioni sul collegamento: N=133.00 Ty=2.08 Tz=-48.61 Mx=0.46 Mz=2.88
Zona tesa: F=53.56 b_{eff}=13.20 t_w=0.70 σ=5.80
Zona tesa: F=53.56 b_{eff}=13.20 t_w=0.70 σ=5.80
CC 24 SLD (Collegamento -378_-512)
Azioni sul collegamento: N=145.90 Ty=1.52 Tz=-50.60 Mx=0.35 Mz=2.15
Zona tesa: F=58.75 b_{eff}=13.20 t_w=0.70 σ=6.36
Zona tesa: F=58.75 b_{eff}=13.20 t_w=0.70 σ=6.36
CC 24 SLD (Collegamento -378_-512)
Azioni sul collegamento: N=145.90 Ty=2.08 Tz=-50.60 Mx=0.46 Mz=2.88
Zona tesa: F=58.75 b_{eff}=13.20 t_w=0.70 σ=6.36
Zona tesa: F=58.75 b_{eff}=13.20 t_w=0.70 σ=6.36
CC 24 SLD (Collegamento -378_-512)
Azioni sul collegamento: N=145.90 Ty=1.52 Tz=-50.60 Mx=0.35 Mz=2.15

Zona tesa: F=58.75 b_{eff}=13.20 t_w=0.70 σ=6.36
Zona tesa: F=58.75 b_{eff}=13.20 t_w=0.70 σ=6.36
CC 24 SLD (Collegamento -378_-512)
Azioni sul collegamento: N=145.90 Ty=2.08 Tz=-50.60 Mx=0.46 Mz=2.88
Zona tesa: F=58.75 b_{eff}=13.20 t_w=0.70 σ=6.36
Zona tesa: F=58.75 b_{eff}=13.20 t_w=0.70 σ=6.36
CC 25 SLV (Collegamento -378_-512)
Azioni sul collegamento: N=145.95 Ty=3.35 Tz=-50.61 Mx=0.69 Mz=4.28
Zona tesa: F=58.77 b_{eff}=13.20 t_w=0.70 σ=6.36
Zona tesa: F=58.77 b_{eff}=13.20 t_w=0.70 σ=6.36
CC 25 SLV (Collegamento -378_-512)
Azioni sul collegamento: N=145.95 Ty=1.18 Tz=-50.61 Mx=0.32 Mz=1.87
Zona tesa: F=58.77 b_{eff}=13.20 t_w=0.70 σ=6.36
Zona tesa: F=58.77 b_{eff}=13.20 t_w=0.70 σ=6.36
CC 25 SLV (Collegamento -378_-512)
Azioni sul collegamento: N=145.95 Ty=3.35 Tz=-50.61 Mx=0.69 Mz=4.28
Zona tesa: F=58.77 b_{eff}=13.20 t_w=0.70 σ=6.36
Zona tesa: F=58.77 b_{eff}=13.20 t_w=0.70 σ=6.36
CC 25 SLV (Collegamento -378_-512)
Azioni sul collegamento: N=145.95 Ty=1.18 Tz=-50.61 Mx=0.32 Mz=1.87
Zona tesa: F=58.77 b_{eff}=13.20 t_w=0.70 σ=6.36
Zona tesa: F=58.77 b_{eff}=13.20 t_w=0.70 σ=6.36
CC 25 SLV (Collegamento -378_-512)
Azioni sul collegamento: N=132.74 Ty=3.35 Tz=-48.57 Mx=0.69 Mz=4.28
Zona tesa: F=53.45 b_{eff}=13.20 t_w=0.70 σ=5.78
Zona tesa: F=53.45 b_{eff}=13.20 t_w=0.70 σ=5.78
CC 25 SLV (Collegamento -378_-512)
Azioni sul collegamento: N=132.74 Ty=1.18 Tz=-48.57 Mx=0.32 Mz=1.87
Zona tesa: F=53.45 b_{eff}=13.20 t_w=0.70 σ=5.78
Zona tesa: F=53.45 b_{eff}=13.20 t_w=0.70 σ=5.78
CC 25 SLV (Collegamento -378_-512)
Azioni sul collegamento: N=132.74 Ty=3.35 Tz=-48.57 Mx=0.69 Mz=4.28
Zona tesa: F=53.45 b_{eff}=13.20 t_w=0.70 σ=5.78
Zona tesa: F=53.45 b_{eff}=13.20 t_w=0.70 σ=5.78
CC 25 SLV (Collegamento -378_-512)
Azioni sul collegamento: N=132.74 Ty=1.18 Tz=-48.57 Mx=0.32 Mz=1.87
Zona tesa: F=53.45 b_{eff}=13.20 t_w=0.70 σ=5.78
Zona tesa: F=53.45 b_{eff}=13.20 t_w=0.70 σ=5.78
CC 26 SLD (Collegamento -378_-512)
Azioni sul collegamento: N=141.47 Ty=2.13 Tz=-49.92 Mx=0.47 Mz=2.88
Zona tesa: F=56.97 b_{eff}=13.20 t_w=0.70 σ=6.17
Zona tesa: F=56.97 b_{eff}=13.20 t_w=0.70 σ=6.17
CC 26 SLD (Collegamento -378_-512)
Azioni sul collegamento: N=141.47 Ty=1.47 Tz=-49.92 Mx=0.36 Mz=2.15
Zona tesa: F=56.97 b_{eff}=13.20 t_w=0.70 σ=6.17
Zona tesa: F=56.97 b_{eff}=13.20 t_w=0.70 σ=6.17
CC 26 SLD (Collegamento -378_-512)
Azioni sul collegamento: N=141.47 Ty=2.13 Tz=-49.92 Mx=0.47 Mz=2.88
Zona tesa: F=56.97 b_{eff}=13.20 t_w=0.70 σ=6.17
Zona tesa: F=56.97 b_{eff}=13.20 t_w=0.70 σ=6.17
CC 26 SLD (Collegamento -378_-512)
Azioni sul collegamento: N=141.47 Ty=1.47 Tz=-49.92 Mx=0.36 Mz=2.15
Zona tesa: F=56.97 b_{eff}=13.20 t_w=0.70 σ=6.17
Zona tesa: F=56.97 b_{eff}=13.20 t_w=0.70 σ=6.17
CC 26 SLD (Collegamento -378_-512)
Azioni sul collegamento: N=137.44 Ty=2.13 Tz=-49.29 Mx=0.47 Mz=2.88
Zona tesa: F=55.34 b_{eff}=13.20 t_w=0.70 σ=5.99
Zona tesa: F=55.34 b_{eff}=13.20 t_w=0.70 σ=5.99
CC 26 SLD (Collegamento -378_-512)
Azioni sul collegamento: N=137.44 Ty=1.47 Tz=-49.29 Mx=0.36 Mz=2.15
Zona tesa: F=55.34 b_{eff}=13.20 t_w=0.70 σ=5.99
Zona tesa: F=55.34 b_{eff}=13.20 t_w=0.70 σ=5.99
CC 26 SLD (Collegamento -378_-512)
Azioni sul collegamento: N=137.44 Ty=2.13 Tz=-49.29 Mx=0.47 Mz=2.88
Zona tesa: F=55.34 b_{eff}=13.20 t_w=0.70 σ=5.99
Zona tesa: F=55.34 b_{eff}=13.20 t_w=0.70 σ=5.99
CC 26 SLD (Collegamento -378_-512)
Azioni sul collegamento: N=137.44 Ty=1.47 Tz=-49.29 Mx=0.36 Mz=2.15
Zona tesa: F=55.34 b_{eff}=13.20 t_w=0.70 σ=5.99
Zona tesa: F=55.34 b_{eff}=13.20 t_w=0.70 σ=5.99
CC 27 SLV (Collegamento -378_-512)
Azioni sul collegamento: N=133.31 Ty=2.96 Tz=-48.65 Mx=0.61 Mz=3.74
Zona tesa: F=53.68 b_{eff}=13.20 t_w=0.70 σ=5.81
Zona tesa: F=53.68 b_{eff}=13.20 t_w=0.70 σ=5.81
CC 27 SLV (Collegamento -378_-512)
Azioni sul collegamento: N=133.31 Ty=1.58 Tz=-48.65 Mx=0.40 Mz=2.41

Zona tesa: F=53.68 b_{eff}=13.20 t_w=0.70 σ=5.81
Zona tesa: F=53.68 b_{eff}=13.20 t_w=0.70 σ=5.81
CC 27 SLV (Collegamento -378_-512)
Azioni sul collegamento: N=133.31 Ty=2.96 Tz=-48.65 Mx=0.61 Mz=3.74
Zona tesa: F=53.68 b_{eff}=13.20 t_w=0.70 σ=5.81
Zona tesa: F=53.68 b_{eff}=13.20 t_w=0.70 σ=5.81
CC 27 SLV (Collegamento -378_-512)
Azioni sul collegamento: N=133.31 Ty=1.58 Tz=-48.65 Mx=0.40 Mz=2.41
Zona tesa: F=53.68 b_{eff}=13.20 t_w=0.70 σ=5.81
Zona tesa: F=53.68 b_{eff}=13.20 t_w=0.70 σ=5.81
CC 27 SLV (Collegamento -378_-512)
Azioni sul collegamento: N=145.38 Ty=2.96 Tz=-50.52 Mx=0.61 Mz=3.74
Zona tesa: F=58.54 b_{eff}=13.20 t_w=0.70 σ=6.34
Zona tesa: F=58.54 b_{eff}=13.20 t_w=0.70 σ=6.34
CC 27 SLV (Collegamento -378_-512)
Azioni sul collegamento: N=145.38 Ty=1.58 Tz=-50.52 Mx=0.40 Mz=2.41
Zona tesa: F=58.54 b_{eff}=13.20 t_w=0.70 σ=6.34
Zona tesa: F=58.54 b_{eff}=13.20 t_w=0.70 σ=6.34
CC 27 SLV (Collegamento -378_-512)
Azioni sul collegamento: N=145.38 Ty=2.96 Tz=-50.52 Mx=0.61 Mz=3.74
Zona tesa: F=58.54 b_{eff}=13.20 t_w=0.70 σ=6.34
Zona tesa: F=58.54 b_{eff}=13.20 t_w=0.70 σ=6.34
CC 27 SLV (Collegamento -378_-512)
Azioni sul collegamento: N=145.38 Ty=1.58 Tz=-50.52 Mx=0.40 Mz=2.41
Zona tesa: F=58.54 b_{eff}=13.20 t_w=0.70 σ=6.34
Zona tesa: F=58.54 b_{eff}=13.20 t_w=0.70 σ=6.34
CC 28 SLD (Collegamento -378_-512)
Azioni sul collegamento: N=137.61 Ty=2.01 Tz=-49.32 Mx=0.44 Mz=2.72
Zona tesa: F=55.42 b_{eff}=13.20 t_w=0.70 σ=6.00
Zona tesa: F=55.42 b_{eff}=13.20 t_w=0.70 σ=6.00
CC 28 SLD (Collegamento -378_-512)
Azioni sul collegamento: N=137.61 Ty=1.59 Tz=-49.32 Mx=0.38 Mz=2.31
Zona tesa: F=55.42 b_{eff}=13.20 t_w=0.70 σ=6.00
Zona tesa: F=55.42 b_{eff}=13.20 t_w=0.70 σ=6.00
CC 28 SLD (Collegamento -378_-512)
Azioni sul collegamento: N=137.61 Ty=2.01 Tz=-49.32 Mx=0.44 Mz=2.72
Zona tesa: F=55.42 b_{eff}=13.20 t_w=0.70 σ=6.00
Zona tesa: F=55.42 b_{eff}=13.20 t_w=0.70 σ=6.00
CC 28 SLD (Collegamento -378_-512)
Azioni sul collegamento: N=137.61 Ty=1.59 Tz=-49.32 Mx=0.38 Mz=2.31
Zona tesa: F=55.42 b_{eff}=13.20 t_w=0.70 σ=6.00
Zona tesa: F=55.42 b_{eff}=13.20 t_w=0.70 σ=6.00
CC 28 SLD (Collegamento -378_-512)
Azioni sul collegamento: N=141.29 Ty=2.01 Tz=-49.89 Mx=0.44 Mz=2.72
Zona tesa: F=56.90 b_{eff}=13.20 t_w=0.70 σ=6.16
Zona tesa: F=56.90 b_{eff}=13.20 t_w=0.70 σ=6.16
CC 28 SLD (Collegamento -378_-512)
Azioni sul collegamento: N=141.29 Ty=1.59 Tz=-49.89 Mx=0.38 Mz=2.31
Zona tesa: F=56.90 b_{eff}=13.20 t_w=0.70 σ=6.16
Zona tesa: F=56.90 b_{eff}=13.20 t_w=0.70 σ=6.16
CC 28 SLD (Collegamento -378_-512)
Azioni sul collegamento: N=141.29 Ty=2.01 Tz=-49.89 Mx=0.44 Mz=2.72
Zona tesa: F=56.90 b_{eff}=13.20 t_w=0.70 σ=6.16
Zona tesa: F=56.90 b_{eff}=13.20 t_w=0.70 σ=6.16
CC 28 SLD (Collegamento -378_-512)
Azioni sul collegamento: N=141.29 Ty=1.59 Tz=-49.89 Mx=0.38 Mz=2.31
Zona tesa: F=56.90 b_{eff}=13.20 t_w=0.70 σ=6.16
Zona tesa: F=56.90 b_{eff}=13.20 t_w=0.70 σ=6.16
CC 29 SLV (Collegamento -378_-512)
Azioni sul collegamento: N=145.38 Ty=1.58 Tz=-50.52 Mx=0.40 Mz=2.42
Zona tesa: F=58.54 b_{eff}=13.20 t_w=0.70 σ=6.34
Zona tesa: F=58.54 b_{eff}=13.20 t_w=0.70 σ=6.34
CC 29 SLV (Collegamento -378_-512)
Azioni sul collegamento: N=145.38 Ty=2.96 Tz=-50.52 Mx=0.60 Mz=3.74
Zona tesa: F=58.54 b_{eff}=13.20 t_w=0.70 σ=6.34
Zona tesa: F=58.54 b_{eff}=13.20 t_w=0.70 σ=6.34
CC 29 SLV (Collegamento -378_-512)
Azioni sul collegamento: N=145.38 Ty=1.58 Tz=-50.52 Mx=0.40 Mz=2.42
Zona tesa: F=58.54 b_{eff}=13.20 t_w=0.70 σ=6.34
Zona tesa: F=58.54 b_{eff}=13.20 t_w=0.70 σ=6.34
CC 29 SLV (Collegamento -378_-512)
Azioni sul collegamento: N=145.38 Ty=2.96 Tz=-50.52 Mx=0.60 Mz=3.74
Zona tesa: F=58.54 b_{eff}=13.20 t_w=0.70 σ=6.34
Zona tesa: F=58.54 b_{eff}=13.20 t_w=0.70 σ=6.34
CC 29 SLV (Collegamento -378_-512)
Azioni sul collegamento: N=133.31 Ty=1.58 Tz=-48.65 Mx=0.40 Mz=2.42

Zona tesa: F=53.68 b_{eff}=13.20 t_w=0.70 σ=5.81
Zona tesa: F=53.68 b_{eff}=13.20 t_w=0.70 σ=5.81
CC 29 SLV (Collegamento -378_-512)
Azioni sul collegamento: N=133.31 Ty=2.96 Tz=-48.65 Mx=0.60 Mz=3.74
Zona tesa: F=53.68 b_{eff}=13.20 t_w=0.70 σ=5.81
Zona tesa: F=53.68 b_{eff}=13.20 t_w=0.70 σ=5.81
CC 29 SLV (Collegamento -378_-512)
Azioni sul collegamento: N=133.31 Ty=1.58 Tz=-48.65 Mx=0.40 Mz=2.42
Zona tesa: F=53.68 b_{eff}=13.20 t_w=0.70 σ=5.81
Zona tesa: F=53.68 b_{eff}=13.20 t_w=0.70 σ=5.81
CC 29 SLV (Collegamento -378_-512)
Azioni sul collegamento: N=133.31 Ty=2.96 Tz=-48.65 Mx=0.60 Mz=3.74
Zona tesa: F=53.68 b_{eff}=13.20 t_w=0.70 σ=5.81
Zona tesa: F=53.68 b_{eff}=13.20 t_w=0.70 σ=5.81
CC 30 SLD (Collegamento -378_-512)
Azioni sul collegamento: N=141.29 Ty=1.59 Tz=-49.89 Mx=0.38 Mz=2.31
Zona tesa: F=56.90 b_{eff}=13.20 t_w=0.70 σ=6.16
Zona tesa: F=56.90 b_{eff}=13.20 t_w=0.70 σ=6.16
CC 30 SLD (Collegamento -378_-512)
Azioni sul collegamento: N=141.29 Ty=2.01 Tz=-49.89 Mx=0.44 Mz=2.72
Zona tesa: F=56.90 b_{eff}=13.20 t_w=0.70 σ=6.16
Zona tesa: F=56.90 b_{eff}=13.20 t_w=0.70 σ=6.16
CC 30 SLD (Collegamento -378_-512)
Azioni sul collegamento: N=141.29 Ty=1.59 Tz=-49.89 Mx=0.38 Mz=2.31
Zona tesa: F=56.90 b_{eff}=13.20 t_w=0.70 σ=6.16
Zona tesa: F=56.90 b_{eff}=13.20 t_w=0.70 σ=6.16
CC 30 SLD (Collegamento -378_-512)
Azioni sul collegamento: N=141.29 Ty=2.01 Tz=-49.89 Mx=0.44 Mz=2.72
Zona tesa: F=56.90 b_{eff}=13.20 t_w=0.70 σ=6.16
Zona tesa: F=56.90 b_{eff}=13.20 t_w=0.70 σ=6.16
CC 30 SLD (Collegamento -378_-512)
Azioni sul collegamento: N=137.61 Ty=1.59 Tz=-49.32 Mx=0.38 Mz=2.31
Zona tesa: F=55.42 b_{eff}=13.20 t_w=0.70 σ=6.00
Zona tesa: F=55.42 b_{eff}=13.20 t_w=0.70 σ=6.00
CC 30 SLD (Collegamento -378_-512)
Azioni sul collegamento: N=137.61 Ty=2.01 Tz=-49.32 Mx=0.44 Mz=2.72
Zona tesa: F=55.42 b_{eff}=13.20 t_w=0.70 σ=6.00
Zona tesa: F=55.42 b_{eff}=13.20 t_w=0.70 σ=6.00
CC 30 SLD (Collegamento -378_-512)
Azioni sul collegamento: N=137.61 Ty=1.59 Tz=-49.32 Mx=0.38 Mz=2.31
Zona tesa: F=55.42 b_{eff}=13.20 t_w=0.70 σ=6.00
Zona tesa: F=55.42 b_{eff}=13.20 t_w=0.70 σ=6.00
CC 30 SLD (Collegamento -378_-512)
Azioni sul collegamento: N=137.61 Ty=2.01 Tz=-49.32 Mx=0.44 Mz=2.72
Zona tesa: F=55.42 b_{eff}=13.20 t_w=0.70 σ=6.00
Zona tesa: F=55.42 b_{eff}=13.20 t_w=0.70 σ=6.00
CC 31 SLV (Collegamento -378_-512)
Azioni sul collegamento: N=132.74 Ty=1.18 Tz=-48.57 Mx=0.31 Mz=1.87
Zona tesa: F=53.45 b_{eff}=13.20 t_w=0.70 σ=5.78
Zona tesa: F=53.45 b_{eff}=13.20 t_w=0.70 σ=5.78
CC 31 SLV (Collegamento -378_-512)
Azioni sul collegamento: N=132.74 Ty=3.35 Tz=-48.57 Mx=0.68 Mz=4.28
Zona tesa: F=53.45 b_{eff}=13.20 t_w=0.70 σ=5.78
Zona tesa: F=53.45 b_{eff}=13.20 t_w=0.70 σ=5.78
CC 31 SLV (Collegamento -378_-512)
Azioni sul collegamento: N=132.74 Ty=1.18 Tz=-48.57 Mx=0.31 Mz=1.87
Zona tesa: F=53.45 b_{eff}=13.20 t_w=0.70 σ=5.78
Zona tesa: F=53.45 b_{eff}=13.20 t_w=0.70 σ=5.78
CC 31 SLV (Collegamento -378_-512)
Azioni sul collegamento: N=132.74 Ty=3.35 Tz=-48.57 Mx=0.68 Mz=4.28
Zona tesa: F=53.45 b_{eff}=13.20 t_w=0.70 σ=5.78
Zona tesa: F=53.45 b_{eff}=13.20 t_w=0.70 σ=5.78
CC 31 SLV (Collegamento -378_-512)
Azioni sul collegamento: N=145.95 Ty=1.18 Tz=-50.61 Mx=0.31 Mz=1.87
Zona tesa: F=58.77 b_{eff}=13.20 t_w=0.70 σ=6.36
Zona tesa: F=58.77 b_{eff}=13.20 t_w=0.70 σ=6.36
CC 31 SLV (Collegamento -378_-512)
Azioni sul collegamento: N=145.95 Ty=3.35 Tz=-50.61 Mx=0.68 Mz=4.28
Zona tesa: F=58.77 b_{eff}=13.20 t_w=0.70 σ=6.36
Zona tesa: F=58.77 b_{eff}=13.20 t_w=0.70 σ=6.36
CC 31 SLV (Collegamento -378_-512)
Azioni sul collegamento: N=145.95 Ty=1.18 Tz=-50.61 Mx=0.31 Mz=1.87
Zona tesa: F=58.77 b_{eff}=13.20 t_w=0.70 σ=6.36
Zona tesa: F=58.77 b_{eff}=13.20 t_w=0.70 σ=6.36
CC 31 SLV (Collegamento -378_-512)
Azioni sul collegamento: N=145.95 Ty=3.35 Tz=-50.61 Mx=0.68 Mz=4.28

Zona tesa: F=58.77 b_{eff}=13.20 t_w=0.70 σ=6.36
Zona tesa: F=58.77 b_{eff}=13.20 t_w=0.70 σ=6.36
CC 32 SLD (Collegamento -378_-512)
Azioni sul collegamento: N=137.44 Ty=1.47 Tz=-49.29 Mx=0.35 Mz=2.15
Zona tesa: F=55.34 b_{eff}=13.20 t_w=0.70 σ=5.99
Zona tesa: F=55.34 b_{eff}=13.20 t_w=0.70 σ=5.99
CC 32 SLD (Collegamento -378_-512)
Azioni sul collegamento: N=137.44 Ty=2.13 Tz=-49.29 Mx=0.46 Mz=2.88
Zona tesa: F=55.34 b_{eff}=13.20 t_w=0.70 σ=5.99
Zona tesa: F=55.34 b_{eff}=13.20 t_w=0.70 σ=5.99
CC 32 SLD (Collegamento -378_-512)
Azioni sul collegamento: N=137.44 Ty=1.47 Tz=-49.29 Mx=0.35 Mz=2.15
Zona tesa: F=55.34 b_{eff}=13.20 t_w=0.70 σ=5.99
Zona tesa: F=55.34 b_{eff}=13.20 t_w=0.70 σ=5.99
CC 32 SLD (Collegamento -378_-512)
Azioni sul collegamento: N=137.44 Ty=2.13 Tz=-49.29 Mx=0.46 Mz=2.88
Zona tesa: F=55.34 b_{eff}=13.20 t_w=0.70 σ=5.99
Zona tesa: F=55.34 b_{eff}=13.20 t_w=0.70 σ=5.99
CC 32 SLD (Collegamento -378_-512)
Azioni sul collegamento: N=141.47 Ty=1.47 Tz=-49.92 Mx=0.35 Mz=2.15
Zona tesa: F=56.97 b_{eff}=13.20 t_w=0.70 σ=6.17
Zona tesa: F=56.97 b_{eff}=13.20 t_w=0.70 σ=6.17
CC 32 SLD (Collegamento -378_-512)
Azioni sul collegamento: N=141.47 Ty=2.13 Tz=-49.92 Mx=0.46 Mz=2.88
Zona tesa: F=56.97 b_{eff}=13.20 t_w=0.70 σ=6.17
Zona tesa: F=56.97 b_{eff}=13.20 t_w=0.70 σ=6.17
CC 32 SLD (Collegamento -378_-512)
Azioni sul collegamento: N=141.47 Ty=1.47 Tz=-49.92 Mx=0.35 Mz=2.15
Zona tesa: F=56.97 b_{eff}=13.20 t_w=0.70 σ=6.17
Zona tesa: F=56.97 b_{eff}=13.20 t_w=0.70 σ=6.17
CC 32 SLD (Collegamento -378_-512)
Azioni sul collegamento: N=141.47 Ty=2.13 Tz=-49.92 Mx=0.46 Mz=2.88
Zona tesa: F=56.97 b_{eff}=13.20 t_w=0.70 σ=6.17
Zona tesa: F=56.97 b_{eff}=13.20 t_w=0.70 σ=6.17
CC 33 SLU (Collegamento -378_-512)
Azioni sul collegamento: N=353.36 Ty=2.81 Tz=-92.52 Mx=0.65 Mz=4.01
Zona tesa: F=142.29 b_{eff}=13.20 t_w=0.70 σ=15.40
Zona tesa: F=142.29 b_{eff}=13.20 t_w=0.70 σ=15.40
CC 34 SLU (Collegamento -378_-512)
Azioni sul collegamento: N=348.98 Ty=2.67 Tz=-91.84 Mx=0.62 Mz=3.82
Zona tesa: F=140.53 b_{eff}=13.20 t_w=0.70 σ=15.21
Zona tesa: F=140.53 b_{eff}=13.20 t_w=0.70 σ=15.21
CC 35 SLU (Collegamento -378_-512)
Azioni sul collegamento: N=351.14 Ty=2.83 Tz=-92.17 Mx=0.65 Mz=4.01
Zona tesa: F=141.40 b_{eff}=13.20 t_w=0.70 σ=15.30
Zona tesa: F=141.40 b_{eff}=13.20 t_w=0.70 σ=15.30
CC 36 SLU (Collegamento -378_-512)
Azioni sul collegamento: N=351.20 Ty=2.65 Tz=-92.18 Mx=0.62 Mz=3.82
Zona tesa: F=141.42 b_{eff}=13.20 t_w=0.70 σ=15.31
Zona tesa: F=141.42 b_{eff}=13.20 t_w=0.70 σ=15.31
CC 37 SLU (Collegamento -378_-512)
Azioni sul collegamento: N=284.39 Ty=3.06 Tz=-81.84 Mx=0.70 Mz=4.33
Zona tesa: F=114.52 b_{eff}=13.20 t_w=0.70 σ=12.39
Zona tesa: F=114.52 b_{eff}=13.20 t_w=0.70 σ=12.39
CC 38 SLU (Collegamento -378_-512)
Azioni sul collegamento: N=280.01 Ty=2.92 Tz=-81.16 Mx=0.67 Mz=4.14
Zona tesa: F=112.76 b_{eff}=13.20 t_w=0.70 σ=12.20
Zona tesa: F=112.76 b_{eff}=13.20 t_w=0.70 σ=12.20
CC 39 SLU (Collegamento -378_-512)
Azioni sul collegamento: N=282.17 Ty=3.08 Tz=-81.50 Mx=0.70 Mz=4.34
Zona tesa: F=113.63 b_{eff}=13.20 t_w=0.70 σ=12.30
Zona tesa: F=113.63 b_{eff}=13.20 t_w=0.70 σ=12.30
CC 40 SLU (Collegamento -378_-512)
Azioni sul collegamento: N=282.23 Ty=2.90 Tz=-81.51 Mx=0.67 Mz=4.14
Zona tesa: F=113.65 b_{eff}=13.20 t_w=0.70 σ=12.30
Zona tesa: F=113.65 b_{eff}=13.20 t_w=0.70 σ=12.30
CC 41 SLU (Collegamento -378_-512)
Azioni sul collegamento: N=346.10 Ty=0.73 Tz=-91.39 Mx=0.19 Mz=1.07
Zona tesa: F=139.37 b_{eff}=13.20 t_w=0.70 σ=15.08
Zona tesa: F=139.37 b_{eff}=13.20 t_w=0.70 σ=15.08
CC 42 SLU (Collegamento -378_-512)
Azioni sul collegamento: N=341.71 Ty=0.59 Tz=-90.71 Mx=0.16 Mz=0.88
Zona tesa: F=137.60 b_{eff}=13.20 t_w=0.70 σ=14.89
Zona tesa: F=137.60 b_{eff}=13.20 t_w=0.70 σ=14.89
CC 43 SLU (Collegamento -378_-512)
Azioni sul collegamento: N=343.87 Ty=0.75 Tz=-91.05 Mx=0.19 Mz=1.07

Zona tesa: F=138.47 b_{eff}=13.20 t_w=0.70 σ=14.99
Zona tesa: F=138.47 b_{eff}=13.20 t_w=0.70 σ=14.99
CC 44 SLU (Collegamento -378_-512)
Azioni sul collegamento: N=343.94 Ty=0.57 Tz=-91.06 Mx=0.16 Mz=0.87
Zona tesa: F=138.50 b_{eff}=13.20 t_w=0.70 σ=14.99
Zona tesa: F=138.50 b_{eff}=13.20 t_w=0.70 σ=14.99
CC 45 SLU (Collegamento -378_-512)
Azioni sul collegamento: N=300.34 Ty=2.91 Tz=-84.31 Mx=0.67 Mz=4.15
Zona tesa: F=120.94 b_{eff}=13.20 t_w=0.70 σ=13.09
Zona tesa: F=120.94 b_{eff}=13.20 t_w=0.70 σ=13.09
CC 46 SLU (Collegamento -378_-512)
Azioni sul collegamento: N=295.96 Ty=2.77 Tz=-83.63 Mx=0.64 Mz=3.95
Zona tesa: F=119.18 b_{eff}=13.20 t_w=0.70 σ=12.90
Zona tesa: F=119.18 b_{eff}=13.20 t_w=0.70 σ=12.90
CC 47 SLU (Collegamento -378_-512)
Azioni sul collegamento: N=298.12 Ty=2.93 Tz=-83.97 Mx=0.67 Mz=4.15
Zona tesa: F=120.05 b_{eff}=13.20 t_w=0.70 σ=12.99
Zona tesa: F=120.05 b_{eff}=13.20 t_w=0.70 σ=12.99
CC 48 SLU (Collegamento -378_-512)
Azioni sul collegamento: N=298.18 Ty=2.75 Tz=-83.98 Mx=0.64 Mz=3.95
Zona tesa: F=120.07 b_{eff}=13.20 t_w=0.70 σ=12.99
Zona tesa: F=120.07 b_{eff}=13.20 t_w=0.70 σ=12.99
CC 49 SLU (Collegamento -378_-512)
Azioni sul collegamento: N=248.74 Ty=3.10 Tz=-76.33 Mx=0.71 Mz=4.39
Zona tesa: F=100.17 b_{eff}=13.20 t_w=0.70 σ=10.84
Zona tesa: F=100.17 b_{eff}=13.20 t_w=0.70 σ=10.84
CC 50 SLU (Collegamento -378_-512)
Azioni sul collegamento: N=244.36 Ty=2.96 Tz=-75.65 Mx=0.68 Mz=4.20
Zona tesa: F=98.40 b_{eff}=13.20 t_w=0.70 σ=10.65
Zona tesa: F=98.40 b_{eff}=13.20 t_w=0.70 σ=10.65
CC 51 SLU (Collegamento -378_-512)
Azioni sul collegamento: N=246.52 Ty=3.12 Tz=-75.98 Mx=0.71 Mz=4.39
Zona tesa: F=99.27 b_{eff}=13.20 t_w=0.70 σ=10.74
Zona tesa: F=99.27 b_{eff}=13.20 t_w=0.70 σ=10.74
CC 52 SLU (Collegamento -378_-512)
Azioni sul collegamento: N=246.58 Ty=2.94 Tz=-75.99 Mx=0.68 Mz=4.20
Zona tesa: F=99.30 b_{eff}=13.20 t_w=0.70 σ=10.75
Zona tesa: F=99.30 b_{eff}=13.20 t_w=0.70 σ=10.75
CC 53 SLU (Collegamento -378_-512)
Azioni sul collegamento: N=294.91 Ty=1.35 Tz=-83.47 Mx=0.33 Mz=1.94
Zona tesa: F=118.75 b_{eff}=13.20 t_w=0.70 σ=12.85
Zona tesa: F=118.75 b_{eff}=13.20 t_w=0.70 σ=12.85
CC 54 SLU (Collegamento -378_-512)
Azioni sul collegamento: N=290.52 Ty=1.21 Tz=-82.79 Mx=0.30 Mz=1.75
Zona tesa: F=116.99 b_{eff}=13.20 t_w=0.70 σ=12.66
Zona tesa: F=116.99 b_{eff}=13.20 t_w=0.70 σ=12.66
CC 55 SLU (Collegamento -378_-512)
Azioni sul collegamento: N=292.68 Ty=1.37 Tz=-83.13 Mx=0.33 Mz=1.94
Zona tesa: F=117.86 b_{eff}=13.20 t_w=0.70 σ=12.76
Zona tesa: F=117.86 b_{eff}=13.20 t_w=0.70 σ=12.76
CC 56 SLU (Collegamento -378_-512)
Azioni sul collegamento: N=292.75 Ty=1.19 Tz=-83.14 Mx=0.30 Mz=1.75
Zona tesa: F=117.89 b_{eff}=13.20 t_w=0.70 σ=12.76
Zona tesa: F=117.89 b_{eff}=13.20 t_w=0.70 σ=12.76
CC 57 SLU (Collegamento -378_-512)
Azioni sul collegamento: N=287.70 Ty=2.61 Tz=-82.35 Mx=0.61 Mz=3.73
Zona tesa: F=115.85 b_{eff}=13.20 t_w=0.70 σ=12.54
Zona tesa: F=115.85 b_{eff}=13.20 t_w=0.70 σ=12.54
CC 58 SLU (Collegamento -378_-512)
Azioni sul collegamento: N=283.32 Ty=2.47 Tz=-81.68 Mx=0.58 Mz=3.53
Zona tesa: F=114.09 b_{eff}=13.20 t_w=0.70 σ=12.35
Zona tesa: F=114.09 b_{eff}=13.20 t_w=0.70 σ=12.35
CC 59 SLU (Collegamento -378_-512)
Azioni sul collegamento: N=285.48 Ty=2.63 Tz=-82.01 Mx=0.61 Mz=3.73
Zona tesa: F=114.96 b_{eff}=13.20 t_w=0.70 σ=12.44
Zona tesa: F=114.96 b_{eff}=13.20 t_w=0.70 σ=12.44
CC 60 SLU (Collegamento -378_-512)
Azioni sul collegamento: N=285.54 Ty=2.45 Tz=-82.02 Mx=0.58 Mz=3.53
Zona tesa: F=114.98 b_{eff}=13.20 t_w=0.70 σ=12.44
Zona tesa: F=114.98 b_{eff}=13.20 t_w=0.70 σ=12.44
CC 61 SLU (Collegamento -378_-512)
Azioni sul collegamento: N=236.10 Ty=2.79 Tz=-74.37 Mx=0.65 Mz=3.97
Zona tesa: F=95.07 b_{eff}=13.20 t_w=0.70 σ=10.29
Zona tesa: F=95.07 b_{eff}=13.20 t_w=0.70 σ=10.29
CC 62 SLU (Collegamento -378_-512)
Azioni sul collegamento: N=231.72 Ty=2.65 Tz=-73.69 Mx=0.62 Mz=3.78

Zona tesa: F=93.31 b_{eff}=13.20 t_w=0.70 σ=10.10
Zona tesa: F=93.31 b_{eff}=13.20 t_w=0.70 σ=10.10
CC 63 SLU (Collegamento -378_-512)
Azioni sul collegamento: N=233.88 Ty=2.82 Tz=-74.03 Mx=0.65 Mz=3.97
Zona tesa: F=94.18 b_{eff}=13.20 t_w=0.70 σ=10.19
Zona tesa: F=94.18 b_{eff}=13.20 t_w=0.70 σ=10.19
CC 64 SLU (Collegamento -378_-512)
Azioni sul collegamento: N=233.94 Ty=2.63 Tz=-74.04 Mx=0.62 Mz=3.78
Zona tesa: F=94.20 b_{eff}=13.20 t_w=0.70 σ=10.20
Zona tesa: F=94.20 b_{eff}=13.20 t_w=0.70 σ=10.20
CC 65 SLU (Collegamento -378_-512)
Azioni sul collegamento: N=282.26 Ty=1.05 Tz=-81.51 Mx=0.26 Mz=1.52
Zona tesa: F=113.66 b_{eff}=13.20 t_w=0.70 σ=12.30
Zona tesa: F=113.66 b_{eff}=13.20 t_w=0.70 σ=12.30
CC 66 SLU (Collegamento -378_-512)
Azioni sul collegamento: N=277.88 Ty=0.91 Tz=-80.84 Mx=0.23 Mz=1.33
Zona tesa: F=111.90 b_{eff}=13.20 t_w=0.70 σ=12.11
Zona tesa: F=111.90 b_{eff}=13.20 t_w=0.70 σ=12.11
CC 67 SLU (Collegamento -378_-512)
Azioni sul collegamento: N=280.04 Ty=1.07 Tz=-81.17 Mx=0.26 Mz=1.52
Zona tesa: F=112.77 b_{eff}=13.20 t_w=0.70 σ=12.20
Zona tesa: F=112.77 b_{eff}=13.20 t_w=0.70 σ=12.20
CC 68 SLU (Collegamento -378_-512)
Azioni sul collegamento: N=280.11 Ty=0.89 Tz=-81.18 Mx=0.23 Mz=1.33
Zona tesa: F=112.79 b_{eff}=13.20 t_w=0.70 σ=12.21
Zona tesa: F=112.79 b_{eff}=13.20 t_w=0.70 σ=12.21
CC 97 SLU (Collegamento -378_-512)
Azioni sul collegamento: N=233.77 Ty=-7.63 Tz=-64.20 Mx=-0.37 Mz=-3.01
Zona tesa: F=94.14 b_{eff}=13.20 t_w=0.70 σ=10.19
Zona tesa: F=94.14 b_{eff}=13.20 t_w=0.70 σ=10.19
CC 98 SLU (Collegamento -378_-512)
Azioni sul collegamento: N=229.39 Ty=-7.77 Tz=-63.52 Mx=-0.40 Mz=-3.20
Zona tesa: F=92.37 b_{eff}=13.20 t_w=0.70 σ=****
Zona tesa: F=92.37 b_{eff}=13.20 t_w=0.70 σ=****
CC 99 SLU (Collegamento -378_-512)
Azioni sul collegamento: N=231.55 Ty=-7.61 Tz=-63.86 Mx=-0.37 Mz=-3.00
Zona tesa: F=93.24 b_{eff}=13.20 t_w=0.70 σ=10.09
Zona tesa: F=93.24 b_{eff}=13.20 t_w=0.70 σ=10.09
CC 100 SLU (Collegamento -378_-512)
Azioni sul collegamento: N=231.61 Ty=-7.79 Tz=-63.87 Mx=-0.40 Mz=-3.20
Zona tesa: F=93.27 b_{eff}=13.20 t_w=0.70 σ=10.09
Zona tesa: F=93.27 b_{eff}=13.20 t_w=0.70 σ=10.09
CC 101 SLU (Collegamento -378_-512)
Azioni sul collegamento: N=140.94 Ty=2.83 Tz=-49.83 Mx=0.49 Mz=3.09
Zona tesa: F=56.75 b_{eff}=13.20 t_w=0.70 σ=6.14
Zona tesa: F=56.75 b_{eff}=13.20 t_w=0.70 σ=6.14
CC 102 SLU (Collegamento -378_-512)
Azioni sul collegamento: N=136.56 Ty=2.69 Tz=-49.16 Mx=0.46 Mz=2.89
Zona tesa: F=54.99 b_{eff}=13.20 t_w=0.70 σ=5.95
Zona tesa: F=54.99 b_{eff}=13.20 t_w=0.70 σ=5.95
CC 103 SLU (Collegamento -378_-512)
Azioni sul collegamento: N=138.72 Ty=2.85 Tz=-49.49 Mx=0.49 Mz=3.09
Zona tesa: F=55.86 b_{eff}=13.20 t_w=0.70 σ=6.05
Zona tesa: F=55.86 b_{eff}=13.20 t_w=0.70 σ=6.05
CC 104 SLU (Collegamento -378_-512)
Azioni sul collegamento: N=138.78 Ty=2.67 Tz=-49.50 Mx=0.46 Mz=2.89
Zona tesa: F=55.88 b_{eff}=13.20 t_w=0.70 σ=6.05
Zona tesa: F=55.88 b_{eff}=13.20 t_w=0.70 σ=6.05

Collegamento -379_-515

Saldatura a cordone d'angolo
Altezza di gola saldature: anima 7.07 - ala 7.07

Saldatura profilo-profilo

CC 49 SLV (Collegamento -379_-515)
Azioni sul collegamento: N=118.37 Ty=0.77 Tz=-46.34 Mx=0.13 Mz=0.84
Sollecitazioni agenti localmente: Tx_l=0.77 Ty_l=-46.34 N_l=118.37 My_l=-0.84 Mz_l=0.13
Azioni sul cordone: TP=-0.21 TO=3.51 NO=8.71
Tensioni nel cordone: τ_P= 0.07 τ_O=1.12 σ_O=4.00 σ_{ID}=4.15 Σ_T=5.12
CC 100 SLU (Collegamento -379_-515)
Azioni sul collegamento: N=160.68 Ty=0.58 Tz=-62.70 Mx=0.07 Mz=0.48
Sollecitazioni agenti localmente: Tx_l=0.58 Ty_l=-62.70 N_l=160.68 My_l=-0.48 Mz_l=0.07
Azioni sul cordone: TP=-0.13 TO=4.67 NO=11.82
Tensioni nel cordone: τ_P= 0.04 τ_O=1.48 σ_O=4.46 σ_{ID}=4.70 Σ_T=5.94

Verifica lato anima della colonna

CC 98 SLU (Collegamento -379_-515)
Azioni sul collegamento: N=161.41 Ty=0.45 Tz=-62.81 Mx=0.06 Mz=0.37
Zona tesa: F=65.00 b_{eff}=13.20 t_w=0.70 σ=7.03
Zona tesa: F=65.00 b_{eff}=13.20 t_w=0.70 σ=7.03

Collegamento -380_-516

Saldatura a cordone d'angolo
Altezza di gola saldature: anima 7.07 - ala 7.07

Saldatura profilo-profilo

CC 1 SLV (Collegamento -380_-516)
Azioni sul collegamento: N=146.87 Ty=-0.28 Tz=-50.75 Mx=-0.08 Mz=-0.44
Sollecitazioni agenti localmente: Tx_l=-0.28 Ty_l=-50.75 N_l=146.87 My_l=0.44 Mz_l=-0.08
Azioni sul cordone: TP=0.11 TO=3.79 NO=10.81
Tensioni nel cordone: τ_P= 0.03 τ_O=1.21 σ_O=4.08 σ_{ID}=4.25 Σ_T=5.29
CC 1 SLV (Collegamento -380_-516)
Azioni sul collegamento: N=146.87 Ty=-1.13 Tz=-50.75 Mx=-0.20 Mz=-1.22
Sollecitazioni agenti localmente: Tx_l=-1.13 Ty_l=-50.75 N_l=146.87 My_l=1.22 Mz_l=-0.20
Azioni sul cordone: TP=0.31 TO=3.89 NO=10.81
Tensioni nel cordone: τ_P= 0.10 τ_O=1.24 σ_O=5.21 σ_{ID}=5.36 Σ_T=6.45
CC 1 SLV (Collegamento -380_-516)
Azioni sul collegamento: N=146.87 Ty=-0.28 Tz=-50.75 Mx=-0.08 Mz=-0.44
Sollecitazioni agenti localmente: Tx_l=-0.28 Ty_l=-50.75 N_l=146.87 My_l=0.44 Mz_l=-0.08
Azioni sul cordone: TP=0.11 TO=3.79 NO=10.81
Tensioni nel cordone: τ_P= 0.03 τ_O=1.21 σ_O=4.08 σ_{ID}=4.25 Σ_T=5.29
CC 1 SLV (Collegamento -380_-516)
Azioni sul collegamento: N=146.87 Ty=-1.13 Tz=-50.75 Mx=-0.20 Mz=-1.22
Sollecitazioni agenti localmente: Tx_l=-1.13 Ty_l=-50.75 N_l=146.87 My_l=1.22 Mz_l=-0.20
Azioni sul cordone: TP=0.31 TO=3.89 NO=10.81
Tensioni nel cordone: τ_P= 0.10 τ_O=1.24 σ_O=5.21 σ_{ID}=5.36 Σ_T=6.45
CC 1 SLV (Collegamento -380_-516)
Azioni sul collegamento: N=110.50 Ty=-0.28 Tz=-45.12 Mx=-0.08 Mz=-0.44
Sollecitazioni agenti localmente: Tx_l=-0.28 Ty_l=-45.12 N_l=110.50 My_l=0.44 Mz_l=-0.08
Azioni sul cordone: TP=0.11 TO=3.38 NO=8.13
Tensioni nel cordone: τ_P= 0.03 τ_O=1.07 σ_O=3.23 σ_{ID}=3.40 Σ_T=4.30
CC 1 SLV (Collegamento -380_-516)
Azioni sul collegamento: N=110.50 Ty=-1.13 Tz=-45.12 Mx=-0.20 Mz=-1.22
Sollecitazioni agenti localmente: Tx_l=-1.13 Ty_l=-45.12 N_l=110.50 My_l=1.22 Mz_l=-0.20
Azioni sul cordone: TP=0.31 TO=3.48 NO=8.13
Tensioni nel cordone: τ_P= 0.10 τ_O=1.10 σ_O=4.36 σ_{ID}=4.50 Σ_T=5.47
CC 1 SLV (Collegamento -380_-516)
Azioni sul collegamento: N=110.50 Ty=-0.28 Tz=-45.12 Mx=-0.08 Mz=-0.44
Sollecitazioni agenti localmente: Tx_l=-0.28 Ty_l=-45.12 N_l=110.50 My_l=0.44 Mz_l=-0.08
Azioni sul cordone: TP=0.11 TO=3.38 NO=8.13
Tensioni nel cordone: τ_P= 0.03 τ_O=1.07 σ_O=3.23 σ_{ID}=3.40 Σ_T=4.30
CC 1 SLV (Collegamento -380_-516)
Azioni sul collegamento: N=110.50 Ty=-1.13 Tz=-45.12 Mx=-0.20 Mz=-1.22
Sollecitazioni agenti localmente: Tx_l=-1.13 Ty_l=-45.12 N_l=110.50 My_l=1.22 Mz_l=-0.20
Azioni sul cordone: TP=0.31 TO=3.48 NO=8.13
Tensioni nel cordone: τ_P= 0.10 τ_O=1.10 σ_O=4.36 σ_{ID}=4.50 Σ_T=5.47
CC 2 SLD (Collegamento -380_-516)
Azioni sul collegamento: N=134.22 Ty=-0.13 Tz=-48.79 Mx=-0.03 Mz=-0.17
Sollecitazioni agenti localmente: Tx_l=-0.13 Ty_l=-48.79 N_l=134.22 My_l=0.17 Mz_l=-0.03
Azioni sul cordone: TP=0.04 TO=3.61 NO=9.88
Tensioni nel cordone: τ_P= 0.01 τ_O=1.15 σ_O=3.39 σ_{ID}=3.58 Σ_T=4.54
CC 2 SLD (Collegamento -380_-516)
Azioni sul collegamento: N=134.22 Ty=-0.39 Tz=-48.79 Mx=-0.07 Mz=-0.41
Sollecitazioni agenti localmente: Tx_l=-0.39 Ty_l=-48.79 N_l=134.22 My_l=0.41 Mz_l=-0.07
Azioni sul cordone: TP=0.10 TO=3.64 NO=9.88
Tensioni nel cordone: τ_P= 0.03 τ_O=1.16 σ_O=3.73 σ_{ID}=3.91 Σ_T=4.89
CC 2 SLD (Collegamento -380_-516)
Azioni sul collegamento: N=134.22 Ty=-0.13 Tz=-48.79 Mx=-0.03 Mz=-0.17
Sollecitazioni agenti localmente: Tx_l=-0.13 Ty_l=-48.79 N_l=134.22 My_l=0.17 Mz_l=-0.03
Azioni sul cordone: TP=0.04 TO=3.61 NO=9.88
Tensioni nel cordone: τ_P= 0.01 τ_O=1.15 σ_O=3.39 σ_{ID}=3.58 Σ_T=4.54
CC 2 SLD (Collegamento -380_-516)
Azioni sul collegamento: N=134.22 Ty=-0.39 Tz=-48.79 Mx=-0.07 Mz=-0.41
Sollecitazioni agenti localmente: Tx_l=-0.39 Ty_l=-48.79 N_l=134.22 My_l=0.41 Mz_l=-0.07
Azioni sul cordone: TP=0.10 TO=3.64 NO=9.88
Tensioni nel cordone: τ_P= 0.03 τ_O=1.16 σ_O=3.73 σ_{ID}=3.91 Σ_T=4.89
CC 2 SLD (Collegamento -380_-516)
Azioni sul collegamento: N=123.13 Ty=-0.13 Tz=-47.08 Mx=-0.03 Mz=-0.17
Sollecitazioni agenti localmente: Tx_l=-0.13 Ty_l=-47.08 N_l=123.13 My_l=0.17 Mz_l=-0.03
Azioni sul cordone: TP=0.04 TO=3.49 NO=9.06

Tensioni nel cordone: τ_P= 0.01 τ_0=1.11 σ_0=3.13 σ_{ID}=3.32 Σ_T=4.24
CC 2 SLD (Collegamento -380_-516)
Azioni sul collegamento: N=123.13 Ty=-0.39 Tz=-47.08 Mx=-0.07 Mz=-0.41
Sollecitazioni agenti localmente: Tx_l=-0.39 Ty_l=-47.08 N_l=123.13 My_l=0.41 Mz_l=-0.07
Azioni sul cordone: TP=0.10 TO=3.52 NO=9.06
Tensioni nel cordone: τ_P= 0.03 τ_0=1.12 σ_0=3.47 σ_{ID}=3.65 Σ_T=4.59
CC 2 SLD (Collegamento -380_-516)
Azioni sul collegamento: N=123.13 Ty=-0.13 Tz=-47.08 Mx=-0.03 Mz=-0.17
Sollecitazioni agenti localmente: Tx_l=-0.13 Ty_l=-47.08 N_l=123.13 My_l=0.17 Mz_l=-0.03
Azioni sul cordone: TP=0.04 TO=3.49 NO=9.06
Tensioni nel cordone: τ_P= 0.01 τ_0=1.11 σ_0=3.13 σ_{ID}=3.32 Σ_T=4.24
CC 2 SLD (Collegamento -380_-516)
Azioni sul collegamento: N=123.13 Ty=-0.39 Tz=-47.08 Mx=-0.07 Mz=-0.41
Sollecitazioni agenti localmente: Tx_l=-0.39 Ty_l=-47.08 N_l=123.13 My_l=0.41 Mz_l=-0.07
Azioni sul cordone: TP=0.10 TO=3.52 NO=9.06
Tensioni nel cordone: τ_P= 0.03 τ_0=1.12 σ_0=3.47 σ_{ID}=3.65 Σ_T=4.59
CC 3 SLV (Collegamento -380_-516)
Azioni sul collegamento: N=146.85 Ty=-1.11 Tz=-50.75 Mx=-0.19 Mz=-1.20
Sollecitazioni agenti localmente: Tx_l=-1.11 Ty_l=-50.75 N_l=146.85 My_l=1.20 Mz_l=-0.19
Azioni sul cordone: TP=0.30 TO=3.88 NO=10.81
Tensioni nel cordone: τ_P= 0.09 τ_0=1.23 σ_0=5.18 σ_{ID}=5.33 Σ_T=6.42
CC 3 SLV (Collegamento -380_-516)
Azioni sul collegamento: N=146.85 Ty=-0.30 Tz=-50.75 Mx=-0.07 Mz=-0.46
Sollecitazioni agenti localmente: Tx_l=-0.30 Ty_l=-50.75 N_l=146.85 My_l=0.46 Mz_l=-0.07
Azioni sul cordone: TP=0.11 TO=3.79 NO=10.81
Tensioni nel cordone: τ_P= 0.03 τ_0=1.21 σ_0=4.11 σ_{ID}=4.29 Σ_T=5.32
CC 3 SLV (Collegamento -380_-516)
Azioni sul collegamento: N=146.85 Ty=-1.11 Tz=-50.75 Mx=-0.19 Mz=-1.20
Sollecitazioni agenti localmente: Tx_l=-1.11 Ty_l=-50.75 N_l=146.85 My_l=1.20 Mz_l=-0.19
Azioni sul cordone: TP=0.30 TO=3.88 NO=10.81
Tensioni nel cordone: τ_P= 0.09 τ_0=1.23 σ_0=5.18 σ_{ID}=5.33 Σ_T=6.42
CC 3 SLV (Collegamento -380_-516)
Azioni sul collegamento: N=146.85 Ty=-0.30 Tz=-50.75 Mx=-0.07 Mz=-0.46
Sollecitazioni agenti localmente: Tx_l=-0.30 Ty_l=-50.75 N_l=146.85 My_l=0.46 Mz_l=-0.07
Azioni sul cordone: TP=0.11 TO=3.79 NO=10.81
Tensioni nel cordone: τ_P= 0.03 τ_0=1.21 σ_0=4.11 σ_{ID}=4.29 Σ_T=5.32
CC 3 SLV (Collegamento -380_-516)
Azioni sul collegamento: N=110.52 Ty=-1.11 Tz=-45.13 Mx=-0.19 Mz=-1.20
Sollecitazioni agenti localmente: Tx_l=-1.11 Ty_l=-45.13 N_l=110.52 My_l=1.20 Mz_l=-0.19
Azioni sul cordone: TP=0.30 TO=3.47 NO=8.13
Tensioni nel cordone: τ_P= 0.09 τ_0=1.10 σ_0=4.33 σ_{ID}=4.47 Σ_T=5.43
CC 3 SLV (Collegamento -380_-516)
Azioni sul collegamento: N=110.52 Ty=-0.30 Tz=-45.13 Mx=-0.07 Mz=-0.46
Sollecitazioni agenti localmente: Tx_l=-0.30 Ty_l=-45.13 N_l=110.52 My_l=0.46 Mz_l=-0.07
Azioni sul cordone: TP=0.11 TO=3.38 NO=8.13
Tensioni nel cordone: τ_P= 0.03 τ_0=1.07 σ_0=3.26 σ_{ID}=3.43 Σ_T=4.34
CC 3 SLV (Collegamento -380_-516)
Azioni sul collegamento: N=110.52 Ty=-1.11 Tz=-45.13 Mx=-0.19 Mz=-1.20
Sollecitazioni agenti localmente: Tx_l=-1.11 Ty_l=-45.13 N_l=110.52 My_l=1.20 Mz_l=-0.19
Azioni sul cordone: TP=0.30 TO=3.47 NO=8.13
Tensioni nel cordone: τ_P= 0.09 τ_0=1.10 σ_0=4.33 σ_{ID}=4.47 Σ_T=5.43
CC 3 SLV (Collegamento -380_-516)
Azioni sul collegamento: N=110.52 Ty=-0.30 Tz=-45.13 Mx=-0.07 Mz=-0.46
Sollecitazioni agenti localmente: Tx_l=-0.30 Ty_l=-45.13 N_l=110.52 My_l=0.46 Mz_l=-0.07
Azioni sul cordone: TP=0.11 TO=3.38 NO=8.13
Tensioni nel cordone: τ_P= 0.03 τ_0=1.07 σ_0=3.26 σ_{ID}=3.43 Σ_T=4.34
CC 4 SLD (Collegamento -380_-516)
Azioni sul collegamento: N=134.21 Ty=-0.38 Tz=-48.79 Mx=-0.06 Mz=-0.40
Sollecitazioni agenti localmente: Tx_l=-0.38 Ty_l=-48.79 N_l=134.21 My_l=0.40 Mz_l=-0.06
Azioni sul cordone: TP=0.10 TO=3.64 NO=9.88
Tensioni nel cordone: τ_P= 0.03 τ_0=1.16 σ_0=3.72 σ_{ID}=3.90 Σ_T=4.88
CC 4 SLD (Collegamento -380_-516)
Azioni sul collegamento: N=134.21 Ty=-0.14 Tz=-48.79 Mx=-0.03 Mz=-0.18
Sollecitazioni agenti localmente: Tx_l=-0.14 Ty_l=-48.79 N_l=134.21 My_l=0.18 Mz_l=-0.03
Azioni sul cordone: TP=0.04 TO=3.61 NO=9.88
Tensioni nel cordone: τ_P= 0.01 τ_0=1.15 σ_0=3.40 σ_{ID}=3.59 Σ_T=4.54
CC 4 SLD (Collegamento -380_-516)
Azioni sul collegamento: N=134.21 Ty=-0.38 Tz=-48.79 Mx=-0.06 Mz=-0.40
Sollecitazioni agenti localmente: Tx_l=-0.38 Ty_l=-48.79 N_l=134.21 My_l=0.40 Mz_l=-0.06
Azioni sul cordone: TP=0.10 TO=3.64 NO=9.88
Tensioni nel cordone: τ_P= 0.03 τ_0=1.16 σ_0=3.72 σ_{ID}=3.90 Σ_T=4.88
CC 4 SLD (Collegamento -380_-516)
Azioni sul collegamento: N=134.21 Ty=-0.14 Tz=-48.79 Mx=-0.03 Mz=-0.18
Sollecitazioni agenti localmente: Tx_l=-0.14 Ty_l=-48.79 N_l=134.21 My_l=0.18 Mz_l=-0.03
Azioni sul cordone: TP=0.04 TO=3.61 NO=9.88
Tensioni nel cordone: τ_P= 0.01 τ_0=1.15 σ_0=3.40 σ_{ID}=3.59 Σ_T=4.54
CC 4 SLD (Collegamento -380_-516)
Azioni sul collegamento: N=123.13 Ty=-0.38 Tz=-47.08 Mx=-0.06 Mz=-0.40
Sollecitazioni agenti localmente: Tx_l=-0.38 Ty_l=-47.08 N_l=123.13 My_l=0.40 Mz_l=-0.06

Azioni sul cordone: TP=0.10 TO=3.51 NO=9.06
Tensioni nel cordone: τ_P= 0.03 τ_0=1.12 σ_0=3.46 σ_{ID}=3.64 Σ_T=4.58
CC 4 SLD (Collegamento -380_-516)
Azioni sul collegamento: N=123.13 Ty=-0.14 Tz=-47.08 Mx=-0.03 Mz=-0.18
Sollecitazioni agenti localmente: Tx_l=-0.14 Ty_l=-47.08 N_l=123.13 My_l=0.18 Mz_l=-0.03
Azioni sul cordone: TP=0.04 TO=3.49 NO=9.06
Tensioni nel cordone: τ_P= 0.01 τ_0=1.11 σ_0=3.14 σ_{ID}=3.33 Σ_T=4.25
CC 4 SLD (Collegamento -380_-516)
Azioni sul collegamento: N=123.13 Ty=-0.38 Tz=-47.08 Mx=-0.06 Mz=-0.40
Sollecitazioni agenti localmente: Tx_l=-0.38 Ty_l=-47.08 N_l=123.13 My_l=0.40 Mz_l=-0.06
Azioni sul cordone: TP=0.10 TO=3.51 NO=9.06
Tensioni nel cordone: τ_P= 0.03 τ_0=1.12 σ_0=3.46 σ_{ID}=3.64 Σ_T=4.58
CC 4 SLD (Collegamento -380_-516)
Azioni sul collegamento: N=123.13 Ty=-0.14 Tz=-47.08 Mx=-0.03 Mz=-0.18
Sollecitazioni agenti localmente: Tx_l=-0.14 Ty_l=-47.08 N_l=123.13 My_l=0.18 Mz_l=-0.03
Azioni sul cordone: TP=0.04 TO=3.49 NO=9.06
Tensioni nel cordone: τ_P= 0.01 τ_0=1.11 σ_0=3.14 σ_{ID}=3.33 Σ_T=4.25
CC 5 SLV (Collegamento -380_-516)
Azioni sul collegamento: N=110.52 Ty=-0.30 Tz=-45.13 Mx=-0.08 Mz=-0.46
Sollecitazioni agenti localmente: Tx_l=-0.30 Ty_l=-45.13 N_l=110.52 My_l=0.46 Mz_l=-0.08
Azioni sul cordone: TP=0.11 TO=3.38 NO=8.13
Tensioni nel cordone: τ_P= 0.04 τ_0=1.08 σ_0=3.26 σ_{ID}=3.43 Σ_T=4.34
CC 5 SLV (Collegamento -380_-516)
Azioni sul collegamento: N=110.52 Ty=-1.11 Tz=-45.13 Mx=-0.19 Mz=-1.20
Sollecitazioni agenti localmente: Tx_l=-1.11 Ty_l=-45.13 N_l=110.52 My_l=1.20 Mz_l=-0.19
Azioni sul cordone: TP=0.30 TO=3.47 NO=8.13
Tensioni nel cordone: τ_P= 0.10 τ_0=1.10 σ_0=4.33 σ_{ID}=4.47 Σ_T=5.43
CC 5 SLV (Collegamento -380_-516)
Azioni sul collegamento: N=110.52 Ty=-0.30 Tz=-45.13 Mx=-0.08 Mz=-0.46
Sollecitazioni agenti localmente: Tx_l=-0.30 Ty_l=-45.13 N_l=110.52 My_l=0.46 Mz_l=-0.08
Azioni sul cordone: TP=0.11 TO=3.38 NO=8.13
Tensioni nel cordone: τ_P= 0.04 τ_0=1.08 σ_0=3.26 σ_{ID}=3.43 Σ_T=4.34
CC 5 SLV (Collegamento -380_-516)
Azioni sul collegamento: N=110.52 Ty=-1.11 Tz=-45.13 Mx=-0.19 Mz=-1.20
Sollecitazioni agenti localmente: Tx_l=-1.11 Ty_l=-45.13 N_l=110.52 My_l=1.20 Mz_l=-0.19
Azioni sul cordone: TP=0.30 TO=3.47 NO=8.13
Tensioni nel cordone: τ_P= 0.10 τ_0=1.10 σ_0=4.33 σ_{ID}=4.47 Σ_T=5.43
CC 5 SLV (Collegamento -380_-516)
Azioni sul collegamento: N=146.85 Ty=-0.30 Tz=-50.75 Mx=-0.08 Mz=-0.46
Sollecitazioni agenti localmente: Tx_l=-0.30 Ty_l=-50.75 N_l=146.85 My_l=0.46 Mz_l=-0.08
Azioni sul cordone: TP=0.11 TO=3.80 NO=10.81
Tensioni nel cordone: τ_P= 0.04 τ_0=1.21 σ_0=4.11 σ_{ID}=4.28 Σ_T=5.32
CC 5 SLV (Collegamento -380_-516)
Azioni sul collegamento: N=146.85 Ty=-1.11 Tz=-50.75 Mx=-0.19 Mz=-1.20
Sollecitazioni agenti localmente: Tx_l=-1.11 Ty_l=-50.75 N_l=146.85 My_l=1.20 Mz_l=-0.19
Azioni sul cordone: TP=0.30 TO=3.89 NO=10.81
Tensioni nel cordone: τ_P= 0.10 τ_0=1.24 σ_0=5.18 σ_{ID}=5.33 Σ_T=6.42
CC 5 SLV (Collegamento -380_-516)
Azioni sul collegamento: N=146.85 Ty=-0.30 Tz=-50.75 Mx=-0.08 Mz=-0.46
Sollecitazioni agenti localmente: Tx_l=-0.30 Ty_l=-50.75 N_l=146.85 My_l=0.46 Mz_l=-0.08
Azioni sul cordone: TP=0.11 TO=3.80 NO=10.81
Tensioni nel cordone: τ_P= 0.04 τ_0=1.21 σ_0=4.11 σ_{ID}=4.28 Σ_T=5.32
CC 5 SLV (Collegamento -380_-516)
Azioni sul collegamento: N=146.85 Ty=-1.11 Tz=-50.75 Mx=-0.19 Mz=-1.20
Sollecitazioni agenti localmente: Tx_l=-1.11 Ty_l=-50.75 N_l=146.85 My_l=1.20 Mz_l=-0.19
Azioni sul cordone: TP=0.30 TO=3.89 NO=10.81
Tensioni nel cordone: τ_P= 0.10 τ_0=1.24 σ_0=5.18 σ_{ID}=5.33 Σ_T=6.42
CC 6 SLD (Collegamento -380_-516)
Azioni sul collegamento: N=123.13 Ty=-0.14 Tz=-47.08 Mx=-0.03 Mz=-0.18
Sollecitazioni agenti localmente: Tx_l=-0.14 Ty_l=-47.08 N_l=123.13 My_l=0.18 Mz_l=-0.03
Azioni sul cordone: TP=0.04 TO=3.49 NO=9.06
Tensioni nel cordone: τ_P= 0.01 τ_0=1.11 σ_0=3.14 σ_{ID}=3.33 Σ_T=4.25
CC 6 SLD (Collegamento -380_-516)
Azioni sul collegamento: N=123.13 Ty=-0.38 Tz=-47.08 Mx=-0.06 Mz=-0.40
Sollecitazioni agenti localmente: Tx_l=-0.38 Ty_l=-47.08 N_l=123.13 My_l=0.40 Mz_l=-0.06
Azioni sul cordone: TP=0.10 TO=3.51 NO=9.06
Tensioni nel cordone: τ_P= 0.03 τ_0=1.12 σ_0=3.46 σ_{ID}=3.64 Σ_T=4.58
CC 6 SLD (Collegamento -380_-516)
Azioni sul collegamento: N=123.13 Ty=-0.14 Tz=-47.08 Mx=-0.03 Mz=-0.18
Sollecitazioni agenti localmente: Tx_l=-0.14 Ty_l=-47.08 N_l=123.13 My_l=0.18 Mz_l=-0.03
Azioni sul cordone: TP=0.04 TO=3.49 NO=9.06
Tensioni nel cordone: τ_P= 0.01 τ_0=1.11 σ_0=3.14 σ_{ID}=3.33 Σ_T=4.25
CC 6 SLD (Collegamento -380_-516)
Azioni sul collegamento: N=123.13 Ty=-0.38 Tz=-47.08 Mx=-0.06 Mz=-0.40
Sollecitazioni agenti localmente: Tx_l=-0.38 Ty_l=-47.08 N_l=123.13 My_l=0.40 Mz_l=-0.06
Azioni sul cordone: TP=0.10 TO=3.51 NO=9.06
Tensioni nel cordone: τ_P= 0.03 τ_0=1.12 σ_0=3.46 σ_{ID}=3.64 Σ_T=4.58
CC 6 SLD (Collegamento -380_-516)
Azioni sul collegamento: N=134.21 Ty=-0.14 Tz=-48.79 Mx=-0.03 Mz=-0.18

Sollecitazioni agenti localmente: Tx_l=-0.14 Ty_l=-48.79 N_l=134.21 My_l=0.18 Mz_l=-0.03
Azioni sul cordone: TP=0.04 TO=3.61 NO=9.88
Tensioni nel cordone: τ_P= 0.01 τ_0=1.15 σ_0=3.40 σ_{ID}=3.59 Σ_T=4.54
CC 6 SLD (Collegamento -380_-516)
Azioni sul collegamento: N=134.21 Ty=-0.38 Tz=-48.79 Mx=-0.06 Mz=-0.40
Sollecitazioni agenti localmente: Tx_l=-0.38 Ty_l=-48.79 N_l=134.21 My_l=0.40 Mz_l=-0.06
Azioni sul cordone: TP=0.10 TO=3.64 NO=9.88
Tensioni nel cordone: τ_P= 0.03 τ_0=1.16 σ_0=3.72 σ_{ID}=3.90 Σ_T=4.88
CC 6 SLD (Collegamento -380_-516)
Azioni sul collegamento: N=134.21 Ty=-0.14 Tz=-48.79 Mx=-0.03 Mz=-0.18
Sollecitazioni agenti localmente: Tx_l=-0.14 Ty_l=-48.79 N_l=134.21 My_l=0.18 Mz_l=-0.03
Azioni sul cordone: TP=0.04 TO=3.61 NO=9.88
Tensioni nel cordone: τ_P= 0.01 τ_0=1.15 σ_0=3.40 σ_{ID}=3.59 Σ_T=4.54
CC 6 SLD (Collegamento -380_-516)
Azioni sul collegamento: N=134.21 Ty=-0.38 Tz=-48.79 Mx=-0.06 Mz=-0.40
Sollecitazioni agenti localmente: Tx_l=-0.38 Ty_l=-48.79 N_l=134.21 My_l=0.40 Mz_l=-0.06
Azioni sul cordone: TP=0.10 TO=3.64 NO=9.88
Tensioni nel cordone: τ_P= 0.03 τ_0=1.16 σ_0=3.72 σ_{ID}=3.90 Σ_T=4.88
CC 7 SLV (Collegamento -380_-516)
Azioni sul collegamento: N=110.50 Ty=-1.13 Tz=-45.12 Mx=-0.19 Mz=-1.22
Sollecitazioni agenti localmente: Tx_l=-1.13 Ty_l=-45.12 N_l=110.50 My_l=1.22 Mz_l=-0.19
Azioni sul cordone: TP=0.30 TO=3.47 NO=8.13
Tensioni nel cordone: τ_P= 0.10 τ_0=1.10 σ_0=4.36 σ_{ID}=4.50 Σ_T=5.47
CC 7 SLV (Collegamento -380_-516)
Azioni sul collegamento: N=110.50 Ty=-0.28 Tz=-45.12 Mx=-0.07 Mz=-0.44
Sollecitazioni agenti localmente: Tx_l=-0.28 Ty_l=-45.12 N_l=110.50 My_l=0.44 Mz_l=-0.07
Azioni sul cordone: TP=0.10 TO=3.38 NO=8.13
Tensioni nel cordone: τ_P= 0.03 τ_0=1.07 σ_0=3.23 σ_{ID}=3.40 Σ_T=4.30
CC 7 SLV (Collegamento -380_-516)
Azioni sul collegamento: N=110.50 Ty=-1.13 Tz=-45.12 Mx=-0.19 Mz=-1.22
Sollecitazioni agenti localmente: Tx_l=-1.13 Ty_l=-45.12 N_l=110.50 My_l=1.22 Mz_l=-0.19
Azioni sul cordone: TP=0.30 TO=3.47 NO=8.13
Tensioni nel cordone: τ_P= 0.10 τ_0=1.10 σ_0=4.36 σ_{ID}=4.50 Σ_T=5.47
CC 7 SLV (Collegamento -380_-516)
Azioni sul collegamento: N=110.50 Ty=-0.28 Tz=-45.12 Mx=-0.07 Mz=-0.44
Sollecitazioni agenti localmente: Tx_l=-0.28 Ty_l=-45.12 N_l=110.50 My_l=0.44 Mz_l=-0.07
Azioni sul cordone: TP=0.10 TO=3.38 NO=8.13
Tensioni nel cordone: τ_P= 0.03 τ_0=1.07 σ_0=3.23 σ_{ID}=3.40 Σ_T=4.30
CC 7 SLV (Collegamento -380_-516)
Azioni sul collegamento: N=146.87 Ty=-1.13 Tz=-50.75 Mx=-0.19 Mz=-1.22
Sollecitazioni agenti localmente: Tx_l=-1.13 Ty_l=-50.75 N_l=146.87 My_l=1.22 Mz_l=-0.19
Azioni sul cordone: TP=0.30 TO=3.89 NO=10.81
Tensioni nel cordone: τ_P= 0.10 τ_0=1.24 σ_0=5.21 σ_{ID}=5.36 Σ_T=6.45
CC 7 SLV (Collegamento -380_-516)
Azioni sul collegamento: N=146.87 Ty=-0.28 Tz=-50.75 Mx=-0.07 Mz=-0.44
Sollecitazioni agenti localmente: Tx_l=-0.28 Ty_l=-50.75 N_l=146.87 My_l=0.44 Mz_l=-0.07
Azioni sul cordone: TP=0.10 TO=3.79 NO=10.81
Tensioni nel cordone: τ_P= 0.03 τ_0=1.20 σ_0=4.08 σ_{ID}=4.26 Σ_T=5.29
CC 7 SLV (Collegamento -380_-516)
Azioni sul collegamento: N=146.87 Ty=-1.13 Tz=-50.75 Mx=-0.19 Mz=-1.22
Sollecitazioni agenti localmente: Tx_l=-1.13 Ty_l=-50.75 N_l=146.87 My_l=1.22 Mz_l=-0.19
Azioni sul cordone: TP=0.30 TO=3.89 NO=10.81
Tensioni nel cordone: τ_P= 0.10 τ_0=1.24 σ_0=5.21 σ_{ID}=5.36 Σ_T=6.45
CC 7 SLV (Collegamento -380_-516)
Azioni sul collegamento: N=146.87 Ty=-0.28 Tz=-50.75 Mx=-0.07 Mz=-0.44
Sollecitazioni agenti localmente: Tx_l=-0.28 Ty_l=-50.75 N_l=146.87 My_l=0.44 Mz_l=-0.07
Azioni sul cordone: TP=0.10 TO=3.79 NO=10.81
Tensioni nel cordone: τ_P= 0.03 τ_0=1.20 σ_0=4.08 σ_{ID}=4.26 Σ_T=5.29
CC 8 SLD (Collegamento -380_-516)
Azioni sul collegamento: N=123.13 Ty=-0.39 Tz=-47.08 Mx=-0.06 Mz=-0.41
Sollecitazioni agenti localmente: Tx_l=-0.39 Ty_l=-47.08 N_l=123.13 My_l=0.41 Mz_l=-0.06
Azioni sul cordone: TP=0.10 TO=3.51 NO=9.06
Tensioni nel cordone: τ_P= 0.03 τ_0=1.12 σ_0=3.47 σ_{ID}=3.65 Σ_T=4.59
CC 8 SLD (Collegamento -380_-516)
Azioni sul collegamento: N=123.13 Ty=-0.13 Tz=-47.08 Mx=-0.03 Mz=-0.17
Sollecitazioni agenti localmente: Tx_l=-0.13 Ty_l=-47.08 N_l=123.13 My_l=0.17 Mz_l=-0.03
Azioni sul cordone: TP=0.04 TO=3.49 NO=9.06
Tensioni nel cordone: τ_P= 0.01 τ_0=1.11 σ_0=3.13 σ_{ID}=3.32 Σ_T=4.24
CC 8 SLD (Collegamento -380_-516)
Azioni sul collegamento: N=123.13 Ty=-0.39 Tz=-47.08 Mx=-0.06 Mz=-0.41
Sollecitazioni agenti localmente: Tx_l=-0.39 Ty_l=-47.08 N_l=123.13 My_l=0.41 Mz_l=-0.06
Azioni sul cordone: TP=0.10 TO=3.51 NO=9.06
Tensioni nel cordone: τ_P= 0.03 τ_0=1.12 σ_0=3.47 σ_{ID}=3.65 Σ_T=4.59
CC 8 SLD (Collegamento -380_-516)
Azioni sul collegamento: N=123.13 Ty=-0.13 Tz=-47.08 Mx=-0.03 Mz=-0.17
Sollecitazioni agenti localmente: Tx_l=-0.13 Ty_l=-47.08 N_l=123.13 My_l=0.17 Mz_l=-0.03
Azioni sul cordone: TP=0.04 TO=3.49 NO=9.06
Tensioni nel cordone: τ_P= 0.01 τ_0=1.11 σ_0=3.13 σ_{ID}=3.32 Σ_T=4.24
CC 8 SLD (Collegamento -380_-516)

Azioni sul collegamento: N=134.22 Ty=-0.39 Tz=-48.79 Mx=-0.06 Mz=-0.41
Sollecitazioni agenti localmente: Tx_l=-0.39 Ty_l=-48.79 N_l=134.22 My_l=0.41 Mz_l=-0.06
Azioni sul cordone: TP=0.10 TO=3.64 NO=9.88
Tensioni nel cordone: τ_P= 0.03 τ_0=1.16 σ_0=3.73 σ_{ID}=3.91 Σ_T=4.89
CC 8 SLD (Collegamento -380_-516)
Azioni sul collegamento: N=134.22 Ty=-0.13 Tz=-48.79 Mx=-0.03 Mz=-0.17
Sollecitazioni agenti localmente: Tx_l=-0.13 Ty_l=-48.79 N_l=134.22 My_l=0.17 Mz_l=-0.03
Azioni sul cordone: TP=0.04 TO=3.61 NO=9.88
Tensioni nel cordone: τ_P= 0.01 τ_0=1.15 σ_0=3.39 σ_{ID}=3.58 Σ_T=4.54
CC 8 SLD (Collegamento -380_-516)
Azioni sul collegamento: N=134.22 Ty=-0.39 Tz=-48.79 Mx=-0.06 Mz=-0.41
Sollecitazioni agenti localmente: Tx_l=-0.39 Ty_l=-48.79 N_l=134.22 My_l=0.41 Mz_l=-0.06
Azioni sul cordone: TP=0.10 TO=3.64 NO=9.88
Tensioni nel cordone: τ_P= 0.03 τ_0=1.16 σ_0=3.73 σ_{ID}=3.91 Σ_T=4.89
CC 8 SLD (Collegamento -380_-516)
Azioni sul collegamento: N=134.22 Ty=-0.13 Tz=-48.79 Mx=-0.03 Mz=-0.17
Sollecitazioni agenti localmente: Tx_l=-0.13 Ty_l=-48.79 N_l=134.22 My_l=0.17 Mz_l=-0.03
Azioni sul cordone: TP=0.04 TO=3.61 NO=9.88
Tensioni nel cordone: τ_P= 0.01 τ_0=1.15 σ_0=3.39 σ_{ID}=3.58 Σ_T=4.54
CC 9 SLV (Collegamento -380_-516)
Azioni sul collegamento: N=134.17 Ty=0.68 Tz=-48.79 Mx=0.05 Mz=0.43
Sollecitazioni agenti localmente: Tx_l=0.68 Ty_l=-48.79 N_l=134.17 My_l=-0.43 Mz_l=0.05
Azioni sul cordone: TP=-0.11 TO=3.63 NO=9.87
Tensioni nel cordone: τ_P= 0.04 τ_0=1.15 σ_0=3.77 σ_{ID}=3.94 Σ_T=4.92
CC 9 SLV (Collegamento -380_-516)
Azioni sul collegamento: N=134.17 Ty=-2.08 Tz=-48.79 Mx=-0.34 Mz=-2.09
Sollecitazioni agenti localmente: Tx_l=-2.08 Ty_l=-48.79 N_l=134.17 My_l=2.09 Mz_l=-0.34
Azioni sul cordone: TP=0.54 TO=3.86 NO=9.87
Tensioni nel cordone: τ_P=0.17 τ_0=1.23 σ_0=6.19 σ_{ID}=6.31 Σ_T=7.41
CC 9 SLV (Collegamento -380_-516)
Azioni sul collegamento: N=134.17 Ty=0.68 Tz=-48.79 Mx=0.05 Mz=0.43
Sollecitazioni agenti localmente: Tx_l=0.68 Ty_l=-48.79 N_l=134.17 My_l=-0.43 Mz_l=0.05
Azioni sul cordone: TP=-0.11 TO=3.63 NO=9.87
Tensioni nel cordone: τ_P= 0.04 τ_0=1.15 σ_0=3.77 σ_{ID}=3.94 Σ_T=4.92
CC 9 SLV (Collegamento -380_-516)
Azioni sul collegamento: N=134.17 Ty=-2.08 Tz=-48.79 Mx=-0.34 Mz=-2.09
Sollecitazioni agenti localmente: Tx_l=-2.08 Ty_l=-48.79 N_l=134.17 My_l=2.09 Mz_l=-0.34
Azioni sul cordone: TP=0.54 TO=3.86 NO=9.87
Tensioni nel cordone: τ_P=0.17 τ_0=1.23 σ_0=6.19 σ_{ID}=6.31 Σ_T=7.41
CC 9 SLV (Collegamento -380_-516)
Azioni sul collegamento: N=123.20 Ty=0.68 Tz=-47.09 Mx=0.05 Mz=0.43
Sollecitazioni agenti localmente: Tx_l=0.68 Ty_l=-47.09 N_l=123.20 My_l=-0.43 Mz_l=0.05
Azioni sul cordone: TP=-0.11 TO=3.51 NO=9.07
Tensioni nel cordone: τ_P= 0.04 τ_0=1.11 σ_0=3.51 σ_{ID}=3.68 Σ_T=4.63
CC 9 SLV (Collegamento -380_-516)
Azioni sul collegamento: N=123.20 Ty=-2.08 Tz=-47.09 Mx=-0.34 Mz=-2.09
Sollecitazioni agenti localmente: Tx_l=-2.08 Ty_l=-47.09 N_l=123.20 My_l=2.09 Mz_l=-0.34
Azioni sul cordone: TP=0.54 TO=3.73 NO=9.07
Tensioni nel cordone: τ_P=0.17 τ_0=1.19 σ_0=5.93 σ_{ID}=6.05 Σ_T=7.12
CC 9 SLV (Collegamento -380_-516)
Azioni sul collegamento: N=123.20 Ty=0.68 Tz=-47.09 Mx=0.05 Mz=0.43
Sollecitazioni agenti localmente: Tx_l=0.68 Ty_l=-47.09 N_l=123.20 My_l=-0.43 Mz_l=0.05
Azioni sul cordone: TP=-0.11 TO=3.51 NO=9.07
Tensioni nel cordone: τ_P= 0.04 τ_0=1.11 σ_0=3.51 σ_{ID}=3.68 Σ_T=4.63
CC 9 SLV (Collegamento -380_-516)
Azioni sul collegamento: N=123.20 Ty=-2.08 Tz=-47.09 Mx=-0.34 Mz=-2.09
Sollecitazioni agenti localmente: Tx_l=-2.08 Ty_l=-47.09 N_l=123.20 My_l=2.09 Mz_l=-0.34
Azioni sul cordone: TP=0.54 TO=3.73 NO=9.07
Tensioni nel cordone: τ_P=0.17 τ_0=1.19 σ_0=5.93 σ_{ID}=6.05 Σ_T=7.12
CC 10 SLD (Collegamento -380_-516)
Azioni sul collegamento: N=130.35 Ty=0.16 Tz=-48.19 Mx=0.01 Mz=0.10
Sollecitazioni agenti localmente: Tx_l=0.16 Ty_l=-48.19 N_l=130.35 My_l=-0.10 Mz_l=0.01
Azioni sul cordone: TP=-0.02 TO=3.55 NO=9.59
Tensioni nel cordone: τ_P=7.75E-03 τ_0=1.13 σ_0=3.19 σ_{ID}=3.38 Σ_T=4.32
CC 10 SLD (Collegamento -380_-516)
Azioni sul collegamento: N=130.35 Ty=-0.68 Tz=-48.19 Mx=-0.11 Mz=-0.67
Sollecitazioni agenti localmente: Tx_l=-0.68 Ty_l=-48.19 N_l=130.35 My_l=0.67 Mz_l=-0.11
Azioni sul cordone: TP=0.17 TO=3.63 NO=9.59
Tensioni nel cordone: τ_P= 0.06 τ_0=1.15 σ_0=4.03 σ_{ID}=4.19 Σ_T=5.18
CC 10 SLD (Collegamento -380_-516)
Azioni sul collegamento: N=130.35 Ty=0.16 Tz=-48.19 Mx=0.01 Mz=0.10
Sollecitazioni agenti localmente: Tx_l=0.16 Ty_l=-48.19 N_l=130.35 My_l=-0.10 Mz_l=0.01
Azioni sul cordone: TP=-0.02 TO=3.55 NO=9.59
Tensioni nel cordone: τ_P=7.75E-03 τ_0=1.13 σ_0=3.19 σ_{ID}=3.38 Σ_T=4.32
CC 10 SLD (Collegamento -380_-516)
Azioni sul collegamento: N=130.35 Ty=-0.68 Tz=-48.19 Mx=-0.11 Mz=-0.67
Sollecitazioni agenti localmente: Tx_l=-0.68 Ty_l=-48.19 N_l=130.35 My_l=0.67 Mz_l=-0.11
Azioni sul cordone: TP=0.17 TO=3.63 NO=9.59
Tensioni nel cordone: τ_P= 0.06 τ_0=1.15 σ_0=4.03 σ_{ID}=4.19 Σ_T=5.18

CC 10 SLD (Collegamento -380_-516)
Azioni sul collegamento: N=127.00 Ty=0.16 Tz=-47.68 Mx=0.01 Mz=0.10
Sollecitazioni agenti localmente: Tx_l=0.16 Ty_l=-47.68 N_l=127.00 My_l=-0.10 Mz_l=0.01
Azioni sul cordone: TP=-0.02 TO=3.52 NO=9.35
Tensioni nel cordone: τ_P=7.75E-03 τ_0=1.12 σ_0=3.11 σ_{ID}=3.31 Σ_T=4.23
CC 10 SLD (Collegamento -380_-516)
Azioni sul collegamento: N=127.00 Ty=-0.68 Tz=-47.68 Mx=-0.11 Mz=-0.67
Sollecitazioni agenti localmente: Tx_l=-0.68 Ty_l=-47.68 N_l=127.00 My_l=0.67 Mz_l=-0.11
Azioni sul cordone: TP=0.17 TO=3.59 NO=9.35
Tensioni nel cordone: τ_P= 0.06 τ_0=1.14 σ_0=3.95 σ_{ID}=4.11 Σ_T=5.09
CC 10 SLD (Collegamento -380_-516)
Azioni sul collegamento: N=127.00 Ty=0.16 Tz=-47.68 Mx=0.01 Mz=0.10
Sollecitazioni agenti localmente: Tx_l=0.16 Ty_l=-47.68 N_l=127.00 My_l=-0.10 Mz_l=0.01
Azioni sul cordone: TP=-0.02 TO=3.52 NO=9.35
Tensioni nel cordone: τ_P=7.75E-03 τ_0=1.12 σ_0=3.11 σ_{ID}=3.31 Σ_T=4.23
CC 10 SLD (Collegamento -380_-516)
Azioni sul collegamento: N=127.00 Ty=-0.68 Tz=-47.68 Mx=-0.11 Mz=-0.67
Sollecitazioni agenti localmente: Tx_l=-0.68 Ty_l=-47.68 N_l=127.00 My_l=0.67 Mz_l=-0.11
Azioni sul cordone: TP=0.17 TO=3.59 NO=9.35
Tensioni nel cordone: τ_P= 0.06 τ_0=1.14 σ_0=3.95 σ_{ID}=4.11 Σ_T=5.09
CC 11 SLV (Collegamento -380_-516)
Azioni sul collegamento: N=123.27 Ty=0.67 Tz=-47.10 Mx=0.05 Mz=0.42
Sollecitazioni agenti localmente: Tx_l=0.67 Ty_l=-47.10 N_l=123.27 My_l=-0.42 Mz_l=0.05
Azioni sul cordone: TP=-0.11 TO=3.51 NO=9.07
Tensioni nel cordone: τ_P= 0.03 τ_0=1.11 σ_0=3.50 σ_{ID}=3.68 Σ_T=4.62
CC 11 SLV (Collegamento -380_-516)
Azioni sul collegamento: N=123.27 Ty=-2.08 Tz=-47.10 Mx=-0.34 Mz=-2.08
Sollecitazioni agenti localmente: Tx_l=-2.08 Ty_l=-47.10 N_l=123.27 My_l=2.08 Mz_l=-0.34
Azioni sul cordone: TP=0.54 TO=3.73 NO=9.07
Tensioni nel cordone: τ_P=0.17 τ_0=1.19 σ_0=5.92 σ_{ID}=6.04 Σ_T=7.11
CC 11 SLV (Collegamento -380_-516)
Azioni sul collegamento: N=123.27 Ty=0.67 Tz=-47.10 Mx=0.05 Mz=0.42
Sollecitazioni agenti localmente: Tx_l=0.67 Ty_l=-47.10 N_l=123.27 My_l=-0.42 Mz_l=0.05
Azioni sul cordone: TP=-0.11 TO=3.51 NO=9.07
Tensioni nel cordone: τ_P= 0.03 τ_0=1.11 σ_0=3.50 σ_{ID}=3.68 Σ_T=4.62
CC 11 SLV (Collegamento -380_-516)
Azioni sul collegamento: N=123.27 Ty=-2.08 Tz=-47.10 Mx=-0.34 Mz=-2.08
Sollecitazioni agenti localmente: Tx_l=-2.08 Ty_l=-47.10 N_l=123.27 My_l=2.08 Mz_l=-0.34
Azioni sul cordone: TP=0.54 TO=3.73 NO=9.07
Tensioni nel cordone: τ_P=0.17 τ_0=1.19 σ_0=5.92 σ_{ID}=6.04 Σ_T=7.11
CC 11 SLV (Collegamento -380_-516)
Azioni sul collegamento: N=134.11 Ty=0.67 Tz=-48.78 Mx=0.05 Mz=0.42
Sollecitazioni agenti localmente: Tx_l=0.67 Ty_l=-48.78 N_l=134.11 My_l=-0.42 Mz_l=0.05
Azioni sul cordone: TP=-0.11 TO=3.63 NO=9.87
Tensioni nel cordone: τ_P= 0.03 τ_0=1.15 σ_0=3.76 σ_{ID}=3.93 Σ_T=4.91
CC 11 SLV (Collegamento -380_-516)
Azioni sul collegamento: N=134.11 Ty=-2.08 Tz=-48.78 Mx=-0.34 Mz=-2.08
Sollecitazioni agenti localmente: Tx_l=-2.08 Ty_l=-48.78 N_l=134.11 My_l=2.08 Mz_l=-0.34
Azioni sul cordone: TP=0.54 TO=3.85 NO=9.87
Tensioni nel cordone: τ_P=0.17 τ_0=1.22 σ_0=6.18 σ_{ID}=6.30 Σ_T=7.40
CC 11 SLV (Collegamento -380_-516)
Azioni sul collegamento: N=134.11 Ty=0.67 Tz=-48.78 Mx=0.05 Mz=0.42
Sollecitazioni agenti localmente: Tx_l=0.67 Ty_l=-48.78 N_l=134.11 My_l=-0.42 Mz_l=0.05
Azioni sul cordone: TP=-0.11 TO=3.63 NO=9.87
Tensioni nel cordone: τ_P= 0.03 τ_0=1.15 σ_0=3.76 σ_{ID}=3.93 Σ_T=4.91
CC 11 SLV (Collegamento -380_-516)
Azioni sul collegamento: N=134.11 Ty=-2.08 Tz=-48.78 Mx=-0.34 Mz=-2.08
Sollecitazioni agenti localmente: Tx_l=-2.08 Ty_l=-48.78 N_l=134.11 My_l=2.08 Mz_l=-0.34
Azioni sul cordone: TP=0.54 TO=3.85 NO=9.87
Tensioni nel cordone: τ_P=0.17 τ_0=1.22 σ_0=6.18 σ_{ID}=6.30 Σ_T=7.40
CC 12 SLD (Collegamento -380_-516)
Azioni sul collegamento: N=127.02 Ty=0.16 Tz=-47.68 Mx=0.01 Mz=0.09
Sollecitazioni agenti localmente: Tx_l=0.16 Ty_l=-47.68 N_l=127.02 My_l=-0.09 Mz_l=0.01
Azioni sul cordone: TP=-0.02 TO=3.52 NO=9.35
Tensioni nel cordone: τ_P=7.60E-03 τ_0=1.12 σ_0=3.11 σ_{ID}=3.30 Σ_T=4.23
CC 12 SLD (Collegamento -380_-516)
Azioni sul collegamento: N=127.02 Ty=-0.68 Tz=-47.68 Mx=-0.11 Mz=-0.67
Sollecitazioni agenti localmente: Tx_l=-0.68 Ty_l=-47.68 N_l=127.02 My_l=0.67 Mz_l=-0.11
Azioni sul cordone: TP=0.17 TO=3.59 NO=9.35
Tensioni nel cordone: τ_P= 0.06 τ_0=1.14 σ_0=3.95 σ_{ID}=4.11 Σ_T=5.09
CC 12 SLD (Collegamento -380_-516)
Azioni sul collegamento: N=127.02 Ty=0.16 Tz=-47.68 Mx=0.01 Mz=0.09
Sollecitazioni agenti localmente: Tx_l=0.16 Ty_l=-47.68 N_l=127.02 My_l=-0.09 Mz_l=0.01
Azioni sul cordone: TP=-0.02 TO=3.52 NO=9.35
Tensioni nel cordone: τ_P=7.60E-03 τ_0=1.12 σ_0=3.11 σ_{ID}=3.30 Σ_T=4.23
CC 12 SLD (Collegamento -380_-516)
Azioni sul collegamento: N=127.02 Ty=-0.68 Tz=-47.68 Mx=-0.11 Mz=-0.67
Sollecitazioni agenti localmente: Tx_l=-0.68 Ty_l=-47.68 N_l=127.02 My_l=0.67 Mz_l=-0.11
Azioni sul cordone: TP=0.17 TO=3.59 NO=9.35

Tensioni nel cordone: τ_P= 0.06 τ_0=1.14 σ_0=3.95 σ_{ID}=4.11 Σ_T=5.09
CC 12 SLD (Collegamento -380_-516)
Azioni sul collegamento: N=130.33 Ty=0.16 Tz=-48.19 Mx=0.01 Mz=0.09
Sollecitazioni agenti localmente: Tx_l=0.16 Ty_l=-48.19 N_l=130.33 My_l=-0.09 Mz_l=0.01
Azioni sul cordone: TP=-0.02 TO=3.55 NO=9.59
Tensioni nel cordone: τ_P=7.60E-03 τ_0=1.13 σ_0=3.19 σ_{ID}=3.38 Σ_T=4.32
CC 12 SLD (Collegamento -380_-516)
Azioni sul collegamento: N=130.33 Ty=-0.68 Tz=-48.19 Mx=-0.11 Mz=-0.67
Sollecitazioni agenti localmente: Tx_l=-0.68 Ty_l=-48.19 N_l=130.33 My_l=0.67 Mz_l=-0.11
Azioni sul cordone: TP=0.17 TO=3.63 NO=9.59
Tensioni nel cordone: τ_P= 0.06 τ_0=1.15 σ_0=4.03 σ_{ID}=4.19 Σ_T=5.18
CC 12 SLD (Collegamento -380_-516)
Azioni sul collegamento: N=130.33 Ty=0.16 Tz=-48.19 Mx=0.01 Mz=0.09
Sollecitazioni agenti localmente: Tx_l=0.16 Ty_l=-48.19 N_l=130.33 My_l=-0.09 Mz_l=0.01
Azioni sul cordone: TP=-0.02 TO=3.55 NO=9.59
Tensioni nel cordone: τ_P=7.60E-03 τ_0=1.13 σ_0=3.19 σ_{ID}=3.38 Σ_T=4.32
CC 12 SLD (Collegamento -380_-516)
Azioni sul collegamento: N=130.33 Ty=-0.68 Tz=-48.19 Mx=-0.11 Mz=-0.67
Sollecitazioni agenti localmente: Tx_l=-0.68 Ty_l=-48.19 N_l=130.33 My_l=0.67 Mz_l=-0.11
Azioni sul cordone: TP=0.17 TO=3.63 NO=9.59
Tensioni nel cordone: τ_P= 0.06 τ_0=1.15 σ_0=4.03 σ_{ID}=4.19 Σ_T=5.18
CC 13 SLV (Collegamento -380_-516)
Azioni sul collegamento: N=134.11 Ty=-2.08 Tz=-48.78 Mx=-0.32 Mz=-2.08
Sollecitazioni agenti localmente: Tx_l=-2.08 Ty_l=-48.78 N_l=134.11 My_l=2.08 Mz_l=-0.32
Azioni sul cordone: TP=0.52 TO=3.84 NO=9.87
Tensioni nel cordone: τ_P=0.17 τ_0=1.22 σ_0=6.18 σ_{ID}=6.30 Σ_T=7.40
CC 13 SLV (Collegamento -380_-516)
Azioni sul collegamento: N=134.11 Ty=0.67 Tz=-48.78 Mx=0.07 Mz=0.42
Sollecitazioni agenti localmente: Tx_l=0.67 Ty_l=-48.78 N_l=134.11 My_l=-0.42 Mz_l=0.07
Azioni sul cordone: TP=-0.13 TO=3.64 NO=9.87
Tensioni nel cordone: τ_P= 0.04 τ_0=1.16 σ_0=3.75 σ_{ID}=3.93 Σ_T=4.91
CC 13 SLV (Collegamento -380_-516)
Azioni sul collegamento: N=134.11 Ty=-2.08 Tz=-48.78 Mx=-0.32 Mz=-2.08
Sollecitazioni agenti localmente: Tx_l=-2.08 Ty_l=-48.78 N_l=134.11 My_l=2.08 Mz_l=-0.32
Azioni sul cordone: TP=0.52 TO=3.84 NO=9.87
Tensioni nel cordone: τ_P=0.17 τ_0=1.22 σ_0=6.18 σ_{ID}=6.30 Σ_T=7.40
CC 13 SLV (Collegamento -380_-516)
Azioni sul collegamento: N=134.11 Ty=0.67 Tz=-48.78 Mx=0.07 Mz=0.42
Sollecitazioni agenti localmente: Tx_l=0.67 Ty_l=-48.78 N_l=134.11 My_l=-0.42 Mz_l=0.07
Azioni sul cordone: TP=-0.13 TO=3.64 NO=9.87
Tensioni nel cordone: τ_P= 0.04 τ_0=1.16 σ_0=3.75 σ_{ID}=3.93 Σ_T=4.91
CC 13 SLV (Collegamento -380_-516)
Azioni sul collegamento: N=123.27 Ty=-2.08 Tz=-47.10 Mx=-0.32 Mz=-2.08
Sollecitazioni agenti localmente: Tx_l=-2.08 Ty_l=-47.10 N_l=123.27 My_l=2.08 Mz_l=-0.32
Azioni sul cordone: TP=0.52 TO=3.72 NO=9.07
Tensioni nel cordone: τ_P=0.17 τ_0=1.18 σ_0=5.93 σ_{ID}=6.05 Σ_T=7.11
CC 13 SLV (Collegamento -380_-516)
Azioni sul collegamento: N=123.27 Ty=0.67 Tz=-47.10 Mx=0.07 Mz=0.42
Sollecitazioni agenti localmente: Tx_l=0.67 Ty_l=-47.10 N_l=123.27 My_l=-0.42 Mz_l=0.07
Azioni sul cordone: TP=-0.13 TO=3.52 NO=9.07
Tensioni nel cordone: τ_P= 0.04 τ_0=1.12 σ_0=3.50 σ_{ID}=3.67 Σ_T=4.62
CC 13 SLV (Collegamento -380_-516)
Azioni sul collegamento: N=123.27 Ty=-2.08 Tz=-47.10 Mx=-0.32 Mz=-2.08
Sollecitazioni agenti localmente: Tx_l=-2.08 Ty_l=-47.10 N_l=123.27 My_l=2.08 Mz_l=-0.32
Azioni sul cordone: TP=0.52 TO=3.72 NO=9.07
Tensioni nel cordone: τ_P=0.17 τ_0=1.18 σ_0=5.93 σ_{ID}=6.05 Σ_T=7.11
CC 13 SLV (Collegamento -380_-516)
Azioni sul collegamento: N=123.27 Ty=0.67 Tz=-47.10 Mx=0.07 Mz=0.42
Sollecitazioni agenti localmente: Tx_l=0.67 Ty_l=-47.10 N_l=123.27 My_l=-0.42 Mz_l=0.07
Azioni sul cordone: TP=-0.13 TO=3.52 NO=9.07
Tensioni nel cordone: τ_P= 0.04 τ_0=1.12 σ_0=3.50 σ_{ID}=3.67 Σ_T=4.62
CC 14 SLD (Collegamento -380_-516)
Azioni sul collegamento: N=130.33 Ty=-0.68 Tz=-48.19 Mx=-0.10 Mz=-0.67
Sollecitazioni agenti localmente: Tx_l=-0.68 Ty_l=-48.19 N_l=130.33 My_l=0.67 Mz_l=-0.10
Azioni sul cordone: TP=0.17 TO=3.63 NO=9.59
Tensioni nel cordone: τ_P= 0.05 τ_0=1.15 σ_0=4.03 σ_{ID}=4.19 Σ_T=5.18
CC 14 SLD (Collegamento -380_-516)
Azioni sul collegamento: N=130.33 Ty=0.16 Tz=-48.19 Mx=0.02 Mz=0.09
Sollecitazioni agenti localmente: Tx_l=0.16 Ty_l=-48.19 N_l=130.33 My_l=-0.09 Mz_l=0.02
Azioni sul cordone: TP=-0.03 TO=3.56 NO=9.59
Tensioni nel cordone: τ_P=9.36E-03 τ_0=1.13 σ_0=3.19 σ_{ID}=3.38 Σ_T=4.32
CC 14 SLD (Collegamento -380_-516)
Azioni sul collegamento: N=130.33 Ty=-0.68 Tz=-48.19 Mx=-0.10 Mz=-0.67
Sollecitazioni agenti localmente: Tx_l=-0.68 Ty_l=-48.19 N_l=130.33 My_l=0.67 Mz_l=-0.10
Azioni sul cordone: TP=0.17 TO=3.63 NO=9.59
Tensioni nel cordone: τ_P= 0.05 τ_0=1.15 σ_0=4.03 σ_{ID}=4.19 Σ_T=5.18
CC 14 SLD (Collegamento -380_-516)
Azioni sul collegamento: N=130.33 Ty=0.16 Tz=-48.19 Mx=0.02 Mz=0.09
Sollecitazioni agenti localmente: Tx_l=0.16 Ty_l=-48.19 N_l=130.33 My_l=-0.09 Mz_l=0.02

Azioni sul cordone: TP=-0.03 TO=3.56 NO=9.59
Tensioni nel cordone: τ_P=9.36E-03 τ_0=1.13 σ_0=3.19 σ_{ID}=3.38 Σ_T=4.32
CC 14 SLD (Collegamento -380_-516)
Azioni sul collegamento: N=127.02 Ty=-0.68 Tz=-47.68 Mx=-0.10 Mz=-0.67
Sollecitazioni agenti localmente: Tx_l=-0.68 Ty_l=-47.68 N_l=127.02 My_l=0.67 Mz_l=-0.10
Azioni sul cordone: TP=0.17 TO=3.59 NO=9.35
Tensioni nel cordone: τ_P= 0.05 τ_0=1.14 σ_0=3.95 σ_{ID}=4.11 Σ_T=5.09
CC 14 SLD (Collegamento -380_-516)
Azioni sul collegamento: N=127.02 Ty=0.16 Tz=-47.68 Mx=0.02 Mz=0.09
Sollecitazioni agenti localmente: Tx_l=0.16 Ty_l=-47.68 N_l=127.02 My_l=-0.09 Mz_l=0.02
Azioni sul cordone: TP=-0.03 TO=3.52 NO=9.35
Tensioni nel cordone: τ_P=9.36E-03 τ_0=1.12 σ_0=3.11 σ_{ID}=3.30 Σ_T=4.23
CC 14 SLD (Collegamento -380_-516)
Azioni sul collegamento: N=127.02 Ty=-0.68 Tz=-47.68 Mx=-0.10 Mz=-0.67
Sollecitazioni agenti localmente: Tx_l=-0.68 Ty_l=-47.68 N_l=127.02 My_l=0.67 Mz_l=-0.10
Azioni sul cordone: TP=0.17 TO=3.59 NO=9.35
Tensioni nel cordone: τ_P= 0.05 τ_0=1.14 σ_0=3.95 σ_{ID}=4.11 Σ_T=5.09
CC 14 SLD (Collegamento -380_-516)
Azioni sul collegamento: N=127.02 Ty=0.16 Tz=-47.68 Mx=0.02 Mz=0.09
Sollecitazioni agenti localmente: Tx_l=0.16 Ty_l=-47.68 N_l=127.02 My_l=-0.09 Mz_l=0.02
Azioni sul cordone: TP=-0.03 TO=3.52 NO=9.35
Tensioni nel cordone: τ_P=9.36E-03 τ_0=1.12 σ_0=3.11 σ_{ID}=3.30 Σ_T=4.23
CC 15 SLV (Collegamento -380_-516)
Azioni sul collegamento: N=123.20 Ty=-2.08 Tz=-47.09 Mx=-0.32 Mz=-2.09
Sollecitazioni agenti localmente: Tx_l=-2.08 Ty_l=-47.09 N_l=123.20 My_l=2.09 Mz_l=-0.32
Azioni sul cordone: TP=0.52 TO=3.72 NO=9.07
Tensioni nel cordone: τ_P=0.17 τ_0=1.18 σ_0=5.94 σ_{ID}=6.05 Σ_T=7.12
CC 15 SLV (Collegamento -380_-516)
Azioni sul collegamento: N=123.20 Ty=0.68 Tz=-47.09 Mx=0.07 Mz=0.43
Sollecitazioni agenti localmente: Tx_l=0.68 Ty_l=-47.09 N_l=123.20 My_l=-0.43 Mz_l=0.07
Azioni sul cordone: TP=-0.13 TO=3.52 NO=9.07
Tensioni nel cordone: τ_P= 0.04 τ_0=1.12 σ_0=3.51 σ_{ID}=3.68 Σ_T=4.63
CC 15 SLV (Collegamento -380_-516)
Azioni sul collegamento: N=123.20 Ty=-2.08 Tz=-47.09 Mx=-0.32 Mz=-2.09
Sollecitazioni agenti localmente: Tx_l=-2.08 Ty_l=-47.09 N_l=123.20 My_l=2.09 Mz_l=-0.32
Azioni sul cordone: TP=0.52 TO=3.72 NO=9.07
Tensioni nel cordone: τ_P=0.17 τ_0=1.18 σ_0=5.94 σ_{ID}=6.05 Σ_T=7.12
CC 15 SLV (Collegamento -380_-516)
Azioni sul collegamento: N=123.20 Ty=0.68 Tz=-47.09 Mx=0.07 Mz=0.43
Sollecitazioni agenti localmente: Tx_l=0.68 Ty_l=-47.09 N_l=123.20 My_l=-0.43 Mz_l=0.07
Azioni sul cordone: TP=-0.13 TO=3.52 NO=9.07
Tensioni nel cordone: τ_P= 0.04 τ_0=1.12 σ_0=3.51 σ_{ID}=3.68 Σ_T=4.63
CC 15 SLV (Collegamento -380_-516)
Azioni sul collegamento: N=134.17 Ty=-2.08 Tz=-48.79 Mx=-0.32 Mz=-2.09
Sollecitazioni agenti localmente: Tx_l=-2.08 Ty_l=-48.79 N_l=134.17 My_l=2.09 Mz_l=-0.32
Azioni sul cordone: TP=0.52 TO=3.84 NO=9.87
Tensioni nel cordone: τ_P=0.17 τ_0=1.22 σ_0=6.19 σ_{ID}=6.31 Σ_T=7.41
CC 15 SLV (Collegamento -380_-516)
Azioni sul collegamento: N=134.17 Ty=0.68 Tz=-48.79 Mx=0.07 Mz=0.43
Sollecitazioni agenti localmente: Tx_l=0.68 Ty_l=-48.79 N_l=134.17 My_l=-0.43 Mz_l=0.07
Azioni sul cordone: TP=-0.13 TO=3.64 NO=9.87
Tensioni nel cordone: τ_P= 0.04 τ_0=1.16 σ_0=3.76 σ_{ID}=3.94 Σ_T=4.92
CC 15 SLV (Collegamento -380_-516)
Azioni sul collegamento: N=134.17 Ty=-2.08 Tz=-48.79 Mx=-0.32 Mz=-2.09
Sollecitazioni agenti localmente: Tx_l=-2.08 Ty_l=-48.79 N_l=134.17 My_l=2.09 Mz_l=-0.32
Azioni sul cordone: TP=0.52 TO=3.84 NO=9.87
Tensioni nel cordone: τ_P=0.17 τ_0=1.22 σ_0=6.19 σ_{ID}=6.31 Σ_T=7.41
CC 15 SLV (Collegamento -380_-516)
Azioni sul collegamento: N=134.17 Ty=0.68 Tz=-48.79 Mx=0.07 Mz=0.43
Sollecitazioni agenti localmente: Tx_l=0.68 Ty_l=-48.79 N_l=134.17 My_l=-0.43 Mz_l=0.07
Azioni sul cordone: TP=-0.13 TO=3.64 NO=9.87
Tensioni nel cordone: τ_P= 0.04 τ_0=1.16 σ_0=3.76 σ_{ID}=3.94 Σ_T=4.92
CC 16 SLD (Collegamento -380_-516)
Azioni sul collegamento: N=127.00 Ty=-0.68 Tz=-47.68 Mx=-0.10 Mz=-0.67
Sollecitazioni agenti localmente: Tx_l=-0.68 Ty_l=-47.68 N_l=127.00 My_l=0.67 Mz_l=-0.10
Azioni sul cordone: TP=0.17 TO=3.59 NO=9.35
Tensioni nel cordone: τ_P= 0.05 τ_0=1.14 σ_0=3.95 σ_{ID}=4.11 Σ_T=5.09
CC 16 SLD (Collegamento -380_-516)
Azioni sul collegamento: N=127.00 Ty=0.16 Tz=-47.68 Mx=0.02 Mz=0.10
Sollecitazioni agenti localmente: Tx_l=0.16 Ty_l=-47.68 N_l=127.00 My_l=-0.10 Mz_l=0.02
Azioni sul cordone: TP=-0.03 TO=3.52 NO=9.35
Tensioni nel cordone: τ_P=9.51E-03 τ_0=1.12 σ_0=3.11 σ_{ID}=3.31 Σ_T=4.23
CC 16 SLD (Collegamento -380_-516)
Azioni sul collegamento: N=127.00 Ty=-0.68 Tz=-47.68 Mx=-0.10 Mz=-0.67
Sollecitazioni agenti localmente: Tx_l=-0.68 Ty_l=-47.68 N_l=127.00 My_l=0.67 Mz_l=-0.10
Azioni sul cordone: TP=0.17 TO=3.59 NO=9.35
Tensioni nel cordone: τ_P= 0.05 τ_0=1.14 σ_0=3.95 σ_{ID}=4.11 Σ_T=5.09
CC 16 SLD (Collegamento -380_-516)
Azioni sul collegamento: N=127.00 Ty=0.16 Tz=-47.68 Mx=0.02 Mz=0.10

Sollecitazioni agenti localmente: Tx_l=0.16 Ty_l=-47.68 N_l=127.00 My_l=-0.10 Mz_l=0.02
Azioni sul cordone: TP=-0.03 TO=3.52 NO=9.35
Tensioni nel cordone: τ_P=9.51E-03 τ_0=1.12 σ_0=3.11 σ_{ID}=3.31 Σ_T=4.23
CC 16 SLD (Collegamento -380_-516)
Azioni sul collegamento: N=130.35 Ty=-0.68 Tz=-48.19 Mx=-0.10 Mz=-0.67
Sollecitazioni agenti localmente: Tx_l=-0.68 Ty_l=-48.19 N_l=130.35 My_l=0.67 Mz_l=-0.10
Azioni sul cordone: TP=0.17 TO=3.63 NO=9.59
Tensioni nel cordone: τ_P= 0.05 τ_0=1.15 σ_0=4.03 σ_{ID}=4.19 Σ_T=5.18
CC 16 SLD (Collegamento -380_-516)
Azioni sul collegamento: N=130.35 Ty=0.16 Tz=-48.19 Mx=0.02 Mz=0.10
Sollecitazioni agenti localmente: Tx_l=0.16 Ty_l=-48.19 N_l=130.35 My_l=-0.10 Mz_l=0.02
Azioni sul cordone: TP=-0.03 TO=3.56 NO=9.59
Tensioni nel cordone: τ_P=9.51E-03 τ_0=1.13 σ_0=3.19 σ_{ID}=3.38 Σ_T=4.32
CC 16 SLD (Collegamento -380_-516)
Azioni sul collegamento: N=130.35 Ty=-0.68 Tz=-48.19 Mx=-0.10 Mz=-0.67
Sollecitazioni agenti localmente: Tx_l=-0.68 Ty_l=-48.19 N_l=130.35 My_l=0.67 Mz_l=-0.10
Azioni sul cordone: TP=0.17 TO=3.63 NO=9.59
Tensioni nel cordone: τ_P= 0.05 τ_0=1.15 σ_0=4.03 σ_{ID}=4.19 Σ_T=5.18
CC 16 SLD (Collegamento -380_-516)
Azioni sul collegamento: N=130.35 Ty=0.16 Tz=-48.19 Mx=0.02 Mz=0.10
Sollecitazioni agenti localmente: Tx_l=0.16 Ty_l=-48.19 N_l=130.35 My_l=-0.10 Mz_l=0.02
Azioni sul cordone: TP=-0.03 TO=3.56 NO=9.59
Tensioni nel cordone: τ_P=9.51E-03 τ_0=1.13 σ_0=3.19 σ_{ID}=3.38 Σ_T=4.32
CC 17 SLV (Collegamento -380_-516)
Azioni sul collegamento: N=146.84 Ty=0.99 Tz=-50.75 Mx=0.18 Mz=1.12
Sollecitazioni agenti localmente: Tx_l=0.99 Ty_l=-50.75 N_l=146.84 My_l=-1.12 Mz_l=0.18
Azioni sul cordone: TP=-0.28 TO=3.88 NO=10.80
Tensioni nel cordone: τ_P= 0.09 τ_0=1.23 σ_0=5.07 σ_{ID}=5.21 Σ_T=6.30
CC 17 SLV (Collegamento -380_-516)
Azioni sul collegamento: N=146.84 Ty=0.14 Tz=-50.75 Mx=0.06 Mz=0.34
Sollecitazioni agenti localmente: Tx_l=0.14 Ty_l=-50.75 N_l=146.84 My_l=-0.34 Mz_l=0.06
Azioni sul cordone: TP=-0.08 TO=3.78 NO=10.80
Tensioni nel cordone: τ_P= 0.03 τ_0=1.20 σ_0=3.93 σ_{ID}=4.11 Σ_T=5.14
CC 17 SLV (Collegamento -380_-516)
Azioni sul collegamento: N=146.84 Ty=0.99 Tz=-50.75 Mx=0.18 Mz=1.12
Sollecitazioni agenti localmente: Tx_l=0.99 Ty_l=-50.75 N_l=146.84 My_l=-1.12 Mz_l=0.18
Azioni sul cordone: TP=-0.28 TO=3.88 NO=10.80
Tensioni nel cordone: τ_P= 0.09 τ_0=1.23 σ_0=5.07 σ_{ID}=5.21 Σ_T=6.30
CC 17 SLV (Collegamento -380_-516)
Azioni sul collegamento: N=146.84 Ty=0.14 Tz=-50.75 Mx=0.06 Mz=0.34
Sollecitazioni agenti localmente: Tx_l=0.14 Ty_l=-50.75 N_l=146.84 My_l=-0.34 Mz_l=0.06
Azioni sul cordone: TP=-0.08 TO=3.78 NO=10.80
Tensioni nel cordone: τ_P= 0.03 τ_0=1.20 σ_0=3.93 σ_{ID}=4.11 Σ_T=5.14
CC 17 SLV (Collegamento -380_-516)
Azioni sul collegamento: N=110.46 Ty=0.99 Tz=-45.12 Mx=0.18 Mz=1.12
Sollecitazioni agenti localmente: Tx_l=0.99 Ty_l=-45.12 N_l=110.46 My_l=-1.12 Mz_l=0.18
Azioni sul cordone: TP=-0.28 TO=3.46 NO=8.13
Tensioni nel cordone: τ_P= 0.09 τ_0=1.10 σ_0=4.21 σ_{ID}=4.36 Σ_T=5.32
CC 17 SLV (Collegamento -380_-516)
Azioni sul collegamento: N=110.46 Ty=0.14 Tz=-45.12 Mx=0.06 Mz=0.34
Sollecitazioni agenti localmente: Tx_l=0.14 Ty_l=-45.12 N_l=110.46 My_l=-0.34 Mz_l=0.06
Azioni sul cordone: TP=-0.08 TO=3.37 NO=8.13
Tensioni nel cordone: τ_P= 0.03 τ_0=1.07 σ_0=3.08 σ_{ID}=3.26 Σ_T=4.15
CC 17 SLV (Collegamento -380_-516)
Azioni sul collegamento: N=110.46 Ty=0.99 Tz=-45.12 Mx=0.18 Mz=1.12
Sollecitazioni agenti localmente: Tx_l=0.99 Ty_l=-45.12 N_l=110.46 My_l=-1.12 Mz_l=0.18
Azioni sul cordone: TP=-0.28 TO=3.46 NO=8.13
Tensioni nel cordone: τ_P= 0.09 τ_0=1.10 σ_0=4.21 σ_{ID}=4.36 Σ_T=5.32
CC 17 SLV (Collegamento -380_-516)
Azioni sul collegamento: N=110.46 Ty=0.14 Tz=-45.12 Mx=0.06 Mz=0.34
Sollecitazioni agenti localmente: Tx_l=0.14 Ty_l=-45.12 N_l=110.46 My_l=-0.34 Mz_l=0.06
Azioni sul cordone: TP=-0.08 TO=3.37 NO=8.13
Tensioni nel cordone: τ_P= 0.03 τ_0=1.07 σ_0=3.08 σ_{ID}=3.26 Σ_T=4.15
CC 18 SLD (Collegamento -380_-516)
Azioni sul collegamento: N=134.21 Ty=0.25 Tz=-48.79 Mx=0.05 Mz=0.31
Sollecitazioni agenti localmente: Tx_l=0.25 Ty_l=-48.79 N_l=134.21 My_l=-0.31 Mz_l=0.05
Azioni sul cordone: TP=-0.08 TO=3.63 NO=9.88
Tensioni nel cordone: τ_P= 0.02 τ_0=1.15 σ_0=3.59 σ_{ID}=3.77 Σ_T=4.74
CC 18 SLD (Collegamento -380_-516)
Azioni sul collegamento: N=134.21 Ty=-0.00 Tz=-48.79 Mx=0.01 Mz=0.07
Sollecitazioni agenti localmente: Tx_l=-0.00 Ty_l=-48.79 N_l=134.21 My_l=-0.07 Mz_l=0.01
Azioni sul cordone: TP=-0.02 TO=-3.60 NO=9.88
Tensioni nel cordone: τ_P=4.98E-03 τ_0=1.14 σ_0=3.24 σ_{ID}=3.44 Σ_T=4.38
CC 18 SLD (Collegamento -380_-516)
Azioni sul collegamento: N=134.21 Ty=0.25 Tz=-48.79 Mx=0.05 Mz=0.31
Sollecitazioni agenti localmente: Tx_l=0.25 Ty_l=-48.79 N_l=134.21 My_l=-0.31 Mz_l=0.05
Azioni sul cordone: TP=-0.08 TO=3.63 NO=9.88
Tensioni nel cordone: τ_P= 0.02 τ_0=1.15 σ_0=3.59 σ_{ID}=3.77 Σ_T=4.74
CC 18 SLD (Collegamento -380_-516)

Azioni sul collegamento: N=134.21 Ty=-0.00 Tz=-48.79 Mx=0.01 Mz=0.07
Sollecitazioni agenti localmente: Tx_l=-0.00 Ty_l=-48.79 N_l=134.21 My_l=-0.07 Mz_l=0.01
Azioni sul cordone: TP=-0.02 TO=-3.60 NO=9.88
Tensioni nel cordone: τ_P=4.98E-03 τ_O=1.14 σ_O=3.24 σ_{ID}=3.44 Σ_T=4.38
CC 18 SLD (Collegamento -380_-516)
Azioni sul collegamento: N=123.12 Ty=0.25 Tz=-47.08 Mx=0.05 Mz=0.31
Sollecitazioni agenti localmente: Tx_l=0.25 Ty_l=-47.08 N_l=123.12 My_l=-0.31 Mz_l=0.05
Azioni sul cordone: TP=-0.08 TO=3.50 NO=9.06
Tensioni nel cordone: τ_P= 0.02 τ_O=1.11 σ_O=3.33 σ_{ID}=3.51 Σ_T=4.44
CC 18 SLD (Collegamento -380_-516)
Azioni sul collegamento: N=123.12 Ty=-0.00 Tz=-47.08 Mx=0.01 Mz=0.07
Sollecitazioni agenti localmente: Tx_l=-0.00 Ty_l=-47.08 N_l=123.12 My_l=-0.07 Mz_l=0.01
Azioni sul cordone: TP=-0.02 TO=-3.47 NO=9.06
Tensioni nel cordone: τ_P=4.98E-03 τ_O=1.10 σ_O=2.98 σ_{ID}=3.18 Σ_T=4.09
CC 18 SLD (Collegamento -380_-516)
Azioni sul collegamento: N=123.12 Ty=0.25 Tz=-47.08 Mx=0.05 Mz=0.31
Sollecitazioni agenti localmente: Tx_l=0.25 Ty_l=-47.08 N_l=123.12 My_l=-0.31 Mz_l=0.05
Azioni sul cordone: TP=-0.08 TO=3.50 NO=9.06
Tensioni nel cordone: τ_P= 0.02 τ_O=1.11 σ_O=3.33 σ_{ID}=3.51 Σ_T=4.44
CC 18 SLD (Collegamento -380_-516)
Azioni sul collegamento: N=123.12 Ty=-0.00 Tz=-47.08 Mx=0.01 Mz=0.07
Sollecitazioni agenti localmente: Tx_l=-0.00 Ty_l=-47.08 N_l=123.12 My_l=-0.07 Mz_l=0.01
Azioni sul cordone: TP=-0.02 TO=-3.47 NO=9.06
Tensioni nel cordone: τ_P=4.98E-03 τ_O=1.10 σ_O=2.98 σ_{ID}=3.18 Σ_T=4.09
CC 19 SLV (Collegamento -380_-516)
Azioni sul collegamento: N=146.82 Ty=0.16 Tz=-50.74 Mx=0.06 Mz=0.36
Sollecitazioni agenti localmente: Tx_l=0.16 Ty_l=-50.74 N_l=146.82 My_l=-0.36 Mz_l=0.06
Azioni sul cordone: TP=-0.08 TO=3.78 NO=10.80
Tensioni nel cordone: τ_P= 0.03 τ_O=1.20 σ_O=3.96 σ_{ID}=4.14 Σ_T=5.17
CC 19 SLV (Collegamento -380_-516)
Azioni sul collegamento: N=146.82 Ty=0.97 Tz=-50.74 Mx=0.17 Mz=1.10
Sollecitazioni agenti localmente: Tx_l=0.97 Ty_l=-50.74 N_l=146.82 My_l=-1.10 Mz_l=0.17
Azioni sul cordone: TP=-0.27 TO=3.87 NO=10.80
Tensioni nel cordone: τ_P= 0.09 τ_O=1.23 σ_O=5.03 σ_{ID}=5.18 Σ_T=6.26
CC 19 SLV (Collegamento -380_-516)
Azioni sul collegamento: N=146.82 Ty=0.16 Tz=-50.74 Mx=0.06 Mz=0.36
Sollecitazioni agenti localmente: Tx_l=0.16 Ty_l=-50.74 N_l=146.82 My_l=-0.36 Mz_l=0.06
Azioni sul cordone: TP=-0.08 TO=3.78 NO=10.80
Tensioni nel cordone: τ_P= 0.03 τ_O=1.20 σ_O=3.96 σ_{ID}=4.14 Σ_T=5.17
CC 19 SLV (Collegamento -380_-516)
Azioni sul collegamento: N=146.82 Ty=0.97 Tz=-50.74 Mx=0.17 Mz=1.10
Sollecitazioni agenti localmente: Tx_l=0.97 Ty_l=-50.74 N_l=146.82 My_l=-1.10 Mz_l=0.17
Azioni sul cordone: TP=-0.27 TO=3.87 NO=10.80
Tensioni nel cordone: τ_P= 0.09 τ_O=1.23 σ_O=5.03 σ_{ID}=5.18 Σ_T=6.26
CC 19 SLV (Collegamento -380_-516)
Azioni sul collegamento: N=110.48 Ty=0.16 Tz=-45.12 Mx=0.06 Mz=0.36
Sollecitazioni agenti localmente: Tx_l=0.16 Ty_l=-45.12 N_l=110.48 My_l=-0.36 Mz_l=0.06
Azioni sul cordone: TP=-0.08 TO=3.37 NO=8.13
Tensioni nel cordone: τ_P= 0.03 τ_O=1.07 σ_O=3.12 σ_{ID}=3.29 Σ_T=4.19
CC 19 SLV (Collegamento -380_-516)
Azioni sul collegamento: N=110.48 Ty=0.97 Tz=-45.12 Mx=0.17 Mz=1.10
Sollecitazioni agenti localmente: Tx_l=0.97 Ty_l=-45.12 N_l=110.48 My_l=-1.10 Mz_l=0.17
Azioni sul cordone: TP=-0.27 TO=3.46 NO=8.13
Tensioni nel cordone: τ_P= 0.09 τ_O=1.10 σ_O=4.18 σ_{ID}=4.33 Σ_T=5.28
CC 19 SLV (Collegamento -380_-516)
Azioni sul collegamento: N=110.48 Ty=0.16 Tz=-45.12 Mx=0.06 Mz=0.36
Sollecitazioni agenti localmente: Tx_l=0.16 Ty_l=-45.12 N_l=110.48 My_l=-0.36 Mz_l=0.06
Azioni sul cordone: TP=-0.08 TO=3.37 NO=8.13
Tensioni nel cordone: τ_P= 0.03 τ_O=1.07 σ_O=3.12 σ_{ID}=3.29 Σ_T=4.19
CC 19 SLV (Collegamento -380_-516)
Azioni sul collegamento: N=110.48 Ty=0.97 Tz=-45.12 Mx=0.17 Mz=1.10
Sollecitazioni agenti localmente: Tx_l=0.97 Ty_l=-45.12 N_l=110.48 My_l=-1.10 Mz_l=0.17
Azioni sul cordone: TP=-0.27 TO=3.46 NO=8.13
Tensioni nel cordone: τ_P= 0.09 τ_O=1.10 σ_O=4.18 σ_{ID}=4.33 Σ_T=5.28
CC 20 SLD (Collegamento -380_-516)
Azioni sul collegamento: N=134.20 Ty=0.00 Tz=-48.79 Mx=0.01 Mz=0.08
Sollecitazioni agenti localmente: Tx_l=0.00 Ty_l=-48.79 N_l=134.20 My_l=-0.08 Mz_l=0.01
Azioni sul cordone: TP=-0.01 TO=-3.60 NO=9.88
Tensioni nel cordone: τ_P=4.69E-03 τ_O=1.14 σ_O=3.25 σ_{ID}=3.45 Σ_T=4.39
CC 20 SLD (Collegamento -380_-516)
Azioni sul collegamento: N=134.20 Ty=0.25 Tz=-48.79 Mx=0.05 Mz=0.30
Sollecitazioni agenti localmente: Tx_l=0.25 Ty_l=-48.79 N_l=134.20 My_l=-0.30 Mz_l=0.05
Azioni sul cordone: TP=-0.07 TO=3.63 NO=9.88
Tensioni nel cordone: τ_P= 0.02 τ_O=1.15 σ_O=3.58 σ_{ID}=3.76 Σ_T=4.73
CC 20 SLD (Collegamento -380_-516)
Azioni sul collegamento: N=134.20 Ty=0.00 Tz=-48.79 Mx=0.01 Mz=0.08
Sollecitazioni agenti localmente: Tx_l=0.00 Ty_l=-48.79 N_l=134.20 My_l=-0.08 Mz_l=0.01
Azioni sul cordone: TP=-0.01 TO=-3.60 NO=9.88
Tensioni nel cordone: τ_P=4.69E-03 τ_O=1.14 σ_O=3.25 σ_{ID}=3.45 Σ_T=4.39

CC 20 SLD (Collegamento -380_-516)
Azioni sul collegamento: N=134.20 Ty=0.25 Tz=-48.79 Mx=0.05 Mz=0.30
Sollecitazioni agenti localmente: Tx_l=0.25 Ty_l=-48.79 N_l=134.20 My_l=-0.30 Mz_l=0.05
Azioni sul cordone: TP=-0.07 TO=3.63 NO=9.88
Tensioni nel cordone: τ_P= 0.02 τ_O=1.15 σ_O=3.58 σ_{ID}=3.76 Σ_T=4.73
CC 20 SLD (Collegamento -380_-516)
Azioni sul collegamento: N=123.12 Ty=0.00 Tz=-47.08 Mx=0.01 Mz=0.08
Sollecitazioni agenti localmente: Tx_l=0.00 Ty_l=-47.08 N_l=123.12 My_l=-0.08 Mz_l=0.01
Azioni sul cordone: TP=-0.01 TO=-3.47 NO=9.06
Tensioni nel cordone: τ_P=4.69E-03 τ_O=1.10 σ_O=2.99 σ_{ID}=3.19 Σ_T=4.09
CC 20 SLD (Collegamento -380_-516)
Azioni sul collegamento: N=123.12 Ty=0.25 Tz=-47.08 Mx=0.05 Mz=0.30
Sollecitazioni agenti localmente: Tx_l=0.25 Ty_l=-47.08 N_l=123.12 My_l=-0.30 Mz_l=0.05
Azioni sul cordone: TP=-0.07 TO=3.50 NO=9.06
Tensioni nel cordone: τ_P= 0.02 τ_O=1.11 σ_O=3.32 σ_{ID}=3.50 Σ_T=4.43
CC 20 SLD (Collegamento -380_-516)
Azioni sul collegamento: N=123.12 Ty=0.00 Tz=-47.08 Mx=0.01 Mz=0.08
Sollecitazioni agenti localmente: Tx_l=0.00 Ty_l=-47.08 N_l=123.12 My_l=-0.08 Mz_l=0.01
Azioni sul cordone: TP=-0.01 TO=-3.47 NO=9.06
Tensioni nel cordone: τ_P=4.69E-03 τ_O=1.10 σ_O=2.99 σ_{ID}=3.19 Σ_T=4.09
CC 20 SLD (Collegamento -380_-516)
Azioni sul collegamento: N=123.12 Ty=0.25 Tz=-47.08 Mx=0.05 Mz=0.30
Sollecitazioni agenti localmente: Tx_l=0.25 Ty_l=-47.08 N_l=123.12 My_l=-0.30 Mz_l=0.05
Azioni sul cordone: TP=-0.07 TO=3.50 NO=9.06
Tensioni nel cordone: τ_P= 0.02 τ_O=1.11 σ_O=3.32 σ_{ID}=3.50 Σ_T=4.43
CC 21 SLV (Collegamento -380_-516)
Azioni sul collegamento: N=110.48 Ty=0.97 Tz=-45.12 Mx=0.18 Mz=1.10
Sollecitazioni agenti localmente: Tx_l=0.97 Ty_l=-45.12 N_l=110.48 My_l=-1.10 Mz_l=0.18
Azioni sul cordone: TP=-0.28 TO=3.46 NO=8.13
Tensioni nel cordone: τ_P= 0.09 τ_O=1.10 σ_O=4.18 σ_{ID}=4.33 Σ_T=5.28
CC 21 SLV (Collegamento -380_-516)
Azioni sul collegamento: N=110.48 Ty=0.16 Tz=-45.12 Mx=0.06 Mz=0.36
Sollecitazioni agenti localmente: Tx_l=0.16 Ty_l=-45.12 N_l=110.48 My_l=-0.36 Mz_l=0.06
Azioni sul cordone: TP=-0.09 TO=3.37 NO=8.13
Tensioni nel cordone: τ_P= 0.03 τ_O=1.07 σ_O=3.11 σ_{ID}=3.29 Σ_T=4.19
CC 21 SLV (Collegamento -380_-516)
Azioni sul collegamento: N=110.48 Ty=0.97 Tz=-45.12 Mx=0.18 Mz=1.10
Sollecitazioni agenti localmente: Tx_l=0.97 Ty_l=-45.12 N_l=110.48 My_l=-1.10 Mz_l=0.18
Azioni sul cordone: TP=-0.28 TO=3.46 NO=8.13
Tensioni nel cordone: τ_P= 0.09 τ_O=1.10 σ_O=4.18 σ_{ID}=4.33 Σ_T=5.28
CC 21 SLV (Collegamento -380_-516)
Azioni sul collegamento: N=110.48 Ty=0.16 Tz=-45.12 Mx=0.06 Mz=0.36
Sollecitazioni agenti localmente: Tx_l=0.16 Ty_l=-45.12 N_l=110.48 My_l=-0.36 Mz_l=0.06
Azioni sul cordone: TP=-0.09 TO=3.37 NO=8.13
Tensioni nel cordone: τ_P= 0.03 τ_O=1.07 σ_O=3.11 σ_{ID}=3.29 Σ_T=4.19
CC 21 SLV (Collegamento -380_-516)
Azioni sul collegamento: N=146.82 Ty=0.97 Tz=-50.74 Mx=0.18 Mz=1.10
Sollecitazioni agenti localmente: Tx_l=0.97 Ty_l=-50.74 N_l=146.82 My_l=-1.10 Mz_l=0.18
Azioni sul cordone: TP=-0.28 TO=3.87 NO=10.80
Tensioni nel cordone: τ_P= 0.09 τ_O=1.23 σ_O=5.03 σ_{ID}=5.18 Σ_T=6.27
CC 21 SLV (Collegamento -380_-516)
Azioni sul collegamento: N=146.82 Ty=0.16 Tz=-50.74 Mx=0.06 Mz=0.36
Sollecitazioni agenti localmente: Tx_l=0.16 Ty_l=-50.74 N_l=146.82 My_l=-0.36 Mz_l=0.06
Azioni sul cordone: TP=-0.09 TO=3.78 NO=10.80
Tensioni nel cordone: τ_P= 0.03 τ_O=1.20 σ_O=3.96 σ_{ID}=4.14 Σ_T=5.17
CC 21 SLV (Collegamento -380_-516)
Azioni sul collegamento: N=146.82 Ty=0.97 Tz=-50.74 Mx=0.18 Mz=1.10
Sollecitazioni agenti localmente: Tx_l=0.97 Ty_l=-50.74 N_l=146.82 My_l=-1.10 Mz_l=0.18
Azioni sul cordone: TP=-0.28 TO=3.87 NO=10.80
Tensioni nel cordone: τ_P= 0.09 τ_O=1.23 σ_O=5.03 σ_{ID}=5.18 Σ_T=6.27
CC 21 SLV (Collegamento -380_-516)
Azioni sul collegamento: N=146.82 Ty=0.16 Tz=-50.74 Mx=0.06 Mz=0.36
Sollecitazioni agenti localmente: Tx_l=0.16 Ty_l=-50.74 N_l=146.82 My_l=-0.36 Mz_l=0.06
Azioni sul cordone: TP=-0.09 TO=3.78 NO=10.80
Tensioni nel cordone: τ_P= 0.03 τ_O=1.20 σ_O=3.96 σ_{ID}=4.14 Σ_T=5.17
CC 22 SLD (Collegamento -380_-516)
Azioni sul collegamento: N=123.12 Ty=0.25 Tz=-47.08 Mx=0.05 Mz=0.30
Sollecitazioni agenti localmente: Tx_l=0.25 Ty_l=-47.08 N_l=123.12 My_l=-0.30 Mz_l=0.05
Azioni sul cordone: TP=-0.07 TO=3.50 NO=9.06
Tensioni nel cordone: τ_P= 0.02 τ_O=1.11 σ_O=3.32 σ_{ID}=3.50 Σ_T=4.43
CC 22 SLD (Collegamento -380_-516)
Azioni sul collegamento: N=123.12 Ty=0.00 Tz=-47.08 Mx=0.01 Mz=0.08
Sollecitazioni agenti localmente: Tx_l=0.00 Ty_l=-47.08 N_l=123.12 My_l=-0.08 Mz_l=0.01
Azioni sul cordone: TP=-0.02 TO=-3.48 NO=9.06
Tensioni nel cordone: τ_P=5.21E-03 τ_O=1.10 σ_O=2.99 σ_{ID}=3.19 Σ_T=4.10
CC 22 SLD (Collegamento -380_-516)
Azioni sul collegamento: N=123.12 Ty=0.25 Tz=-47.08 Mx=0.05 Mz=0.30
Sollecitazioni agenti localmente: Tx_l=0.25 Ty_l=-47.08 N_l=123.12 My_l=-0.30 Mz_l=0.05
Azioni sul cordone: TP=-0.07 TO=3.50 NO=9.06

Tensioni nel cordone: τ_P= 0.02 τ_0=1.11 σ_0=3.32 σ_{ID}=3.50 Σ_T=4.43
CC 22 SLD (Collegamento -380_-516)
Azioni sul collegamento: N=123.12 Ty=0.00 Tz=-47.08 Mx=0.01 Mz=0.08
Sollecitazioni agenti localmente: Tx_l=0.00 Ty_l=-47.08 N_l=123.12 My_l=-0.08 Mz_l=0.01
Azioni sul cordone: TP=-0.02 TO=-3.48 NO=9.06
Tensioni nel cordone: τ_P=5.21E-03 τ_0=1.10 σ_0=2.99 σ_{ID}=3.19 Σ_T=4.10
CC 22 SLD (Collegamento -380_-516)
Azioni sul collegamento: N=134.20 Ty=0.25 Tz=-48.79 Mx=0.05 Mz=0.30
Sollecitazioni agenti localmente: Tx_l=0.25 Ty_l=-48.79 N_l=134.20 My_l=-0.30 Mz_l=0.05
Azioni sul cordone: TP=-0.07 TO=3.63 NO=9.88
Tensioni nel cordone: τ_P= 0.02 τ_0=1.15 σ_0=3.58 σ_{ID}=3.76 Σ_T=4.73
CC 22 SLD (Collegamento -380_-516)
Azioni sul collegamento: N=134.20 Ty=0.00 Tz=-48.79 Mx=0.01 Mz=0.08
Sollecitazioni agenti localmente: Tx_l=0.00 Ty_l=-48.79 N_l=134.20 My_l=-0.08 Mz_l=0.01
Azioni sul cordone: TP=-0.02 TO=-3.60 NO=9.88
Tensioni nel cordone: τ_P=5.21E-03 τ_0=1.14 σ_0=3.25 σ_{ID}=3.45 Σ_T=4.39
CC 22 SLD (Collegamento -380_-516)
Azioni sul collegamento: N=134.20 Ty=0.25 Tz=-48.79 Mx=0.05 Mz=0.30
Sollecitazioni agenti localmente: Tx_l=0.25 Ty_l=-48.79 N_l=134.20 My_l=-0.30 Mz_l=0.05
Azioni sul cordone: TP=-0.07 TO=3.63 NO=9.88
Tensioni nel cordone: τ_P= 0.02 τ_0=1.15 σ_0=3.58 σ_{ID}=3.76 Σ_T=4.73
CC 22 SLD (Collegamento -380_-516)
Azioni sul collegamento: N=134.20 Ty=0.00 Tz=-48.79 Mx=0.01 Mz=0.08
Sollecitazioni agenti localmente: Tx_l=0.00 Ty_l=-48.79 N_l=134.20 My_l=-0.08 Mz_l=0.01
Azioni sul cordone: TP=-0.02 TO=-3.60 NO=9.88
Tensioni nel cordone: τ_P=5.21E-03 τ_0=1.14 σ_0=3.25 σ_{ID}=3.45 Σ_T=4.39
CC 23 SLV (Collegamento -380_-516)
Azioni sul collegamento: N=110.46 Ty=0.14 Tz=-45.12 Mx=0.06 Mz=0.34
Sollecitazioni agenti localmente: Tx_l=0.14 Ty_l=-45.12 N_l=110.46 My_l=-0.34 Mz_l=0.06
Azioni sul cordone: TP=-0.08 TO=3.36 NO=8.13
Tensioni nel cordone: τ_P= 0.02 τ_0=1.07 σ_0=3.08 σ_{ID}=3.26 Σ_T=4.15
CC 23 SLV (Collegamento -380_-516)
Azioni sul collegamento: N=110.46 Ty=0.99 Tz=-45.12 Mx=0.18 Mz=1.12
Sollecitazioni agenti localmente: Tx_l=0.99 Ty_l=-45.12 N_l=110.46 My_l=-1.12 Mz_l=0.18
Azioni sul cordone: TP=-0.28 TO=3.46 NO=8.13
Tensioni nel cordone: τ_P= 0.09 τ_0=1.10 σ_0=4.22 σ_{ID}=4.36 Σ_T=5.32
CC 23 SLV (Collegamento -380_-516)
Azioni sul collegamento: N=110.46 Ty=0.14 Tz=-45.12 Mx=0.06 Mz=0.34
Sollecitazioni agenti localmente: Tx_l=0.14 Ty_l=-45.12 N_l=110.46 My_l=-0.34 Mz_l=0.06
Azioni sul cordone: TP=-0.08 TO=3.36 NO=8.13
Tensioni nel cordone: τ_P= 0.02 τ_0=1.07 σ_0=3.08 σ_{ID}=3.26 Σ_T=4.15
CC 23 SLV (Collegamento -380_-516)
Azioni sul collegamento: N=110.46 Ty=0.99 Tz=-45.12 Mx=0.18 Mz=1.12
Sollecitazioni agenti localmente: Tx_l=0.99 Ty_l=-45.12 N_l=110.46 My_l=-1.12 Mz_l=0.18
Azioni sul cordone: TP=-0.28 TO=3.46 NO=8.13
Tensioni nel cordone: τ_P= 0.09 τ_0=1.10 σ_0=4.22 σ_{ID}=4.36 Σ_T=5.32
CC 23 SLV (Collegamento -380_-516)
Azioni sul collegamento: N=146.84 Ty=0.14 Tz=-50.75 Mx=0.06 Mz=0.34
Sollecitazioni agenti localmente: Tx_l=0.14 Ty_l=-50.75 N_l=146.84 My_l=-0.34 Mz_l=0.06
Azioni sul cordone: TP=-0.08 TO=3.78 NO=10.80
Tensioni nel cordone: τ_P= 0.02 τ_0=1.20 σ_0=3.93 σ_{ID}=4.11 Σ_T=5.13
CC 23 SLV (Collegamento -380_-516)
Azioni sul collegamento: N=146.84 Ty=0.99 Tz=-50.75 Mx=0.18 Mz=1.12
Sollecitazioni agenti localmente: Tx_l=0.99 Ty_l=-50.75 N_l=146.84 My_l=-1.12 Mz_l=0.18
Azioni sul cordone: TP=-0.28 TO=3.87 NO=10.80
Tensioni nel cordone: τ_P= 0.09 τ_0=1.23 σ_0=5.07 σ_{ID}=5.21 Σ_T=6.30
CC 23 SLV (Collegamento -380_-516)
Azioni sul collegamento: N=146.84 Ty=0.14 Tz=-50.75 Mx=0.06 Mz=0.34
Sollecitazioni agenti localmente: Tx_l=0.14 Ty_l=-50.75 N_l=146.84 My_l=-0.34 Mz_l=0.06
Azioni sul cordone: TP=-0.08 TO=3.78 NO=10.80
Tensioni nel cordone: τ_P= 0.02 τ_0=1.20 σ_0=3.93 σ_{ID}=4.11 Σ_T=5.13
CC 23 SLV (Collegamento -380_-516)
Azioni sul collegamento: N=146.84 Ty=0.99 Tz=-50.75 Mx=0.18 Mz=1.12
Sollecitazioni agenti localmente: Tx_l=0.99 Ty_l=-50.75 N_l=146.84 My_l=-1.12 Mz_l=0.18
Azioni sul cordone: TP=-0.28 TO=3.87 NO=10.80
Tensioni nel cordone: τ_P= 0.09 τ_0=1.23 σ_0=5.07 σ_{ID}=5.21 Σ_T=6.30
CC 24 SLD (Collegamento -380_-516)
Azioni sul collegamento: N=123.12 Ty=-0.00 Tz=-47.08 Mx=0.01 Mz=0.07
Sollecitazioni agenti localmente: Tx_l=-0.00 Ty_l=-47.08 N_l=123.12 My_l=-0.07 Mz_l=0.01
Azioni sul cordone: TP=-0.01 TO=-3.47 NO=9.06
Tensioni nel cordone: τ_P=4.45E-03 τ_0=1.10 σ_0=2.98 σ_{ID}=3.18 Σ_T=4.08
CC 24 SLD (Collegamento -380_-516)
Azioni sul collegamento: N=123.12 Ty=0.25 Tz=-47.08 Mx=0.05 Mz=0.31
Sollecitazioni agenti localmente: Tx_l=0.25 Ty_l=-47.08 N_l=123.12 My_l=-0.31 Mz_l=0.05
Azioni sul cordone: TP=-0.07 TO=3.50 NO=9.06
Tensioni nel cordone: τ_P= 0.02 τ_0=1.11 σ_0=3.33 σ_{ID}=3.51 Σ_T=4.44
CC 24 SLD (Collegamento -380_-516)
Azioni sul collegamento: N=123.12 Ty=-0.00 Tz=-47.08 Mx=0.01 Mz=0.07
Sollecitazioni agenti localmente: Tx_l=-0.00 Ty_l=-47.08 N_l=123.12 My_l=-0.07 Mz_l=0.01

Azioni sul cordone: TP=-0.01 TO=-3.47 NO=9.06
Tensioni nel cordone: τ_P=4.45E-03 τ_0=1.10 σ_0=2.98 σ_{ID}=3.18 Σ_T=4.08
CC 24 SLD (Collegamento -380_-516)
Azioni sul collegamento: N=123.12 Ty=0.25 Tz=-47.08 Mx=0.05 Mz=0.31
Sollecitazioni agenti localmente: Tx_l=0.25 Ty_l=-47.08 N_l=123.12 My_l=-0.31 Mz_l=0.05
Azioni sul cordone: TP=-0.07 TO=3.50 NO=9.06
Tensioni nel cordone: τ_P= 0.02 τ_0=1.11 σ_0=3.33 σ_{ID}=3.51 Σ_T=4.44
CC 24 SLD (Collegamento -380_-516)
Azioni sul collegamento: N=134.21 Ty=-0.00 Tz=-48.79 Mx=0.01 Mz=0.07
Sollecitazioni agenti localmente: Tx_l=-0.00 Ty_l=-48.79 N_l=134.21 My_l=-0.07 Mz_l=0.01
Azioni sul cordone: TP=-0.01 TO=-3.60 NO=9.88
Tensioni nel cordone: τ_P=4.45E-03 τ_0=1.14 σ_0=3.24 σ_{ID}=3.44 Σ_T=4.38
CC 24 SLD (Collegamento -380_-516)
Azioni sul collegamento: N=134.21 Ty=0.25 Tz=-48.79 Mx=0.05 Mz=0.31
Sollecitazioni agenti localmente: Tx_l=0.25 Ty_l=-48.79 N_l=134.21 My_l=-0.31 Mz_l=0.05
Azioni sul cordone: TP=-0.07 TO=3.63 NO=9.88
Tensioni nel cordone: τ_P= 0.02 τ_0=1.15 σ_0=3.59 σ_{ID}=3.77 Σ_T=4.74
CC 24 SLD (Collegamento -380_-516)
Azioni sul collegamento: N=134.21 Ty=-0.00 Tz=-48.79 Mx=0.01 Mz=0.07
Sollecitazioni agenti localmente: Tx_l=-0.00 Ty_l=-48.79 N_l=134.21 My_l=-0.07 Mz_l=0.01
Azioni sul cordone: TP=-0.01 TO=-3.60 NO=9.88
Tensioni nel cordone: τ_P=4.45E-03 τ_0=1.14 σ_0=3.24 σ_{ID}=3.44 Σ_T=4.38
CC 24 SLD (Collegamento -380_-516)
Azioni sul collegamento: N=134.21 Ty=0.25 Tz=-48.79 Mx=0.05 Mz=0.31
Sollecitazioni agenti localmente: Tx_l=0.25 Ty_l=-48.79 N_l=134.21 My_l=-0.31 Mz_l=0.05
Azioni sul cordone: TP=-0.07 TO=3.63 NO=9.88
Tensioni nel cordone: τ_P= 0.02 τ_0=1.15 σ_0=3.59 σ_{ID}=3.77 Σ_T=4.74
CC 25 SLV (Collegamento -380_-516)
Azioni sul collegamento: N=134.13 Ty=1.95 Tz=-48.78 Mx=0.32 Mz=1.99
Sollecitazioni agenti localmente: Tx_l=1.95 Ty_l=-48.78 N_l=134.13 My_l=-1.99 Mz_l=0.32
Azioni sul cordone: TP=-0.51 TO=3.84 NO=9.87
Tensioni nel cordone: τ_P=0.16 τ_0=1.22 σ_0=6.04 σ_{ID}=6.17 Σ_T=7.26
CC 25 SLV (Collegamento -380_-516)
Azioni sul collegamento: N=134.13 Ty=-0.81 Tz=-48.78 Mx=-0.07 Mz=-0.53
Sollecitazioni agenti localmente: Tx_l=-0.81 Ty_l=-48.78 N_l=134.13 My_l=0.53 Mz_l=-0.07
Azioni sul cordone: TP=0.14 TO=3.64 NO=9.87
Tensioni nel cordone: τ_P= 0.04 τ_0=1.16 σ_0=3.91 σ_{ID}=4.08 Σ_T=5.07
CC 25 SLV (Collegamento -380_-516)
Azioni sul collegamento: N=134.13 Ty=1.95 Tz=-48.78 Mx=0.32 Mz=1.99
Sollecitazioni agenti localmente: Tx_l=1.95 Ty_l=-48.78 N_l=134.13 My_l=-1.99 Mz_l=0.32
Azioni sul cordone: TP=-0.51 TO=3.84 NO=9.87
Tensioni nel cordone: τ_P=0.16 τ_0=1.22 σ_0=6.04 σ_{ID}=6.17 Σ_T=7.26
CC 25 SLV (Collegamento -380_-516)
Azioni sul collegamento: N=134.13 Ty=-0.81 Tz=-48.78 Mx=-0.07 Mz=-0.53
Sollecitazioni agenti localmente: Tx_l=-0.81 Ty_l=-48.78 N_l=134.13 My_l=0.53 Mz_l=-0.07
Azioni sul cordone: TP=0.14 TO=3.64 NO=9.87
Tensioni nel cordone: τ_P= 0.04 τ_0=1.16 σ_0=3.91 σ_{ID}=4.08 Σ_T=5.07
CC 25 SLV (Collegamento -380_-516)
Azioni sul collegamento: N=123.17 Ty=1.95 Tz=-47.08 Mx=0.32 Mz=1.99
Sollecitazioni agenti localmente: Tx_l=1.95 Ty_l=-47.08 N_l=123.17 My_l=-1.99 Mz_l=0.32
Azioni sul cordone: TP=-0.51 TO=3.72 NO=9.06
Tensioni nel cordone: τ_P=0.16 τ_0=1.18 σ_0=5.78 σ_{ID}=5.91 Σ_T=6.97
CC 25 SLV (Collegamento -380_-516)
Azioni sul collegamento: N=123.17 Ty=-0.81 Tz=-47.08 Mx=-0.07 Mz=-0.53
Sollecitazioni agenti localmente: Tx_l=-0.81 Ty_l=-47.08 N_l=123.17 My_l=0.53 Mz_l=-0.07
Azioni sul cordone: TP=0.14 TO=3.52 NO=9.06
Tensioni nel cordone: τ_P= 0.04 τ_0=1.12 σ_0=3.66 σ_{ID}=3.82 Σ_T=4.78
CC 25 SLV (Collegamento -380_-516)
Azioni sul collegamento: N=123.17 Ty=1.95 Tz=-47.08 Mx=0.32 Mz=1.99
Sollecitazioni agenti localmente: Tx_l=1.95 Ty_l=-47.08 N_l=123.17 My_l=-1.99 Mz_l=0.32
Azioni sul cordone: TP=-0.51 TO=3.72 NO=9.06
Tensioni nel cordone: τ_P=0.16 τ_0=1.18 σ_0=5.78 σ_{ID}=5.91 Σ_T=6.97
CC 25 SLV (Collegamento -380_-516)
Azioni sul collegamento: N=123.17 Ty=-0.81 Tz=-47.08 Mx=-0.07 Mz=-0.53
Sollecitazioni agenti localmente: Tx_l=-0.81 Ty_l=-47.08 N_l=123.17 My_l=0.53 Mz_l=-0.07
Azioni sul cordone: TP=0.14 TO=3.52 NO=9.06
Tensioni nel cordone: τ_P= 0.04 τ_0=1.12 σ_0=3.66 σ_{ID}=3.82 Σ_T=4.78
CC 26 SLD (Collegamento -380_-516)
Azioni sul collegamento: N=130.34 Ty=0.55 Tz=-48.19 Mx=0.09 Mz=0.57
Sollecitazioni agenti localmente: Tx_l=0.55 Ty_l=-48.19 N_l=130.34 My_l=-0.57 Mz_l=0.09
Azioni sul cordone: TP=-0.15 TO=3.62 NO=9.59
Tensioni nel cordone: τ_P= 0.05 τ_0=1.15 σ_0=3.88 σ_{ID}=4.05 Σ_T=5.03
CC 26 SLD (Collegamento -380_-516)
Azioni sul collegamento: N=130.34 Ty=-0.30 Tz=-48.19 Mx=-0.03 Mz=-0.20
Sollecitazioni agenti localmente: Tx_l=-0.30 Ty_l=-48.19 N_l=130.34 My_l=0.20 Mz_l=-0.03
Azioni sul cordone: TP=0.05 TO=3.57 NO=9.59
Tensioni nel cordone: τ_P= 0.02 τ_0=1.13 σ_0=3.34 σ_{ID}=3.52 Σ_T=4.47
CC 26 SLD (Collegamento -380_-516)
Azioni sul collegamento: N=130.34 Ty=0.55 Tz=-48.19 Mx=0.09 Mz=0.57

Sollecitazioni agenti localmente: Tx_l=0.55 Ty_l=-48.19 N_l=130.34 My_l=-0.57 Mz_l=0.09
Azioni sul cordone: TP=-0.15 TO=3.62 NO=9.59
Tensioni nel cordone: τ_P= 0.05 τ_O=1.15 σ_O=3.88 σ_{ID}=4.05 Σ_T=5.03
CC 26 SLD (Collegamento -380_-516)
Azioni sul collegamento: N=130.34 Ty=-0.30 Tz=-48.19 Mx=-0.03 Mz=-0.20
Sollecitazioni agenti localmente: Tx_l=-0.30 Ty_l=-48.19 N_l=130.34 My_l=0.20 Mz_l=-0.03
Azioni sul cordone: TP=0.05 TO=3.57 NO=9.59
Tensioni nel cordone: τ_P= 0.02 τ_O=1.13 σ_O=3.34 σ_{ID}=3.52 Σ_T=4.47
CC 26 SLD (Collegamento -380_-516)
Azioni sul collegamento: N=126.99 Ty=0.55 Tz=-47.68 Mx=0.09 Mz=0.57
Sollecitazioni agenti localmente: Tx_l=0.55 Ty_l=-47.68 N_l=126.99 My_l=-0.57 Mz_l=0.09
Azioni sul cordone: TP=-0.15 TO=3.58 NO=9.34
Tensioni nel cordone: τ_P= 0.05 τ_O=1.14 σ_O=3.80 σ_{ID}=3.97 Σ_T=4.94
CC 26 SLD (Collegamento -380_-516)
Azioni sul collegamento: N=126.99 Ty=-0.30 Tz=-47.68 Mx=-0.03 Mz=-0.20
Sollecitazioni agenti localmente: Tx_l=-0.30 Ty_l=-47.68 N_l=126.99 My_l=0.20 Mz_l=-0.03
Azioni sul cordone: TP=0.05 TO=3.53 NO=9.34
Tensioni nel cordone: τ_P= 0.02 τ_O=1.12 σ_O=3.26 σ_{ID}=3.45 Σ_T=4.38
CC 26 SLD (Collegamento -380_-516)
Azioni sul collegamento: N=126.99 Ty=0.55 Tz=-47.68 Mx=0.09 Mz=0.57
Sollecitazioni agenti localmente: Tx_l=0.55 Ty_l=-47.68 N_l=126.99 My_l=-0.57 Mz_l=0.09
Azioni sul cordone: TP=-0.15 TO=3.58 NO=9.34
Tensioni nel cordone: τ_P= 0.05 τ_O=1.14 σ_O=3.80 σ_{ID}=3.97 Σ_T=4.94
CC 26 SLD (Collegamento -380_-516)
Azioni sul collegamento: N=126.99 Ty=-0.30 Tz=-47.68 Mx=-0.03 Mz=-0.20
Sollecitazioni agenti localmente: Tx_l=-0.30 Ty_l=-47.68 N_l=126.99 My_l=0.20 Mz_l=-0.03
Azioni sul cordone: TP=0.05 TO=3.53 NO=9.34
Tensioni nel cordone: τ_P= 0.02 τ_O=1.12 σ_O=3.26 σ_{ID}=3.45 Σ_T=4.38
CC 27 SLV (Collegamento -380_-516)
Azioni sul collegamento: N=123.23 Ty=1.94 Tz=-47.09 Mx=0.32 Mz=1.98
Sollecitazioni agenti localmente: Tx_l=1.94 Ty_l=-47.09 N_l=123.23 My_l=-1.98 Mz_l=0.32
Azioni sul cordone: TP=-0.51 TO=3.72 NO=9.07
Tensioni nel cordone: τ_P=0.16 τ_O=1.18 σ_O=5.78 σ_{ID}=5.90 Σ_T=6.96
CC 27 SLV (Collegamento -380_-516)
Azioni sul collegamento: N=123.23 Ty=-0.81 Tz=-47.09 Mx=-0.07 Mz=-0.53
Sollecitazioni agenti localmente: Tx_l=-0.81 Ty_l=-47.09 N_l=123.23 My_l=0.53 Mz_l=-0.07
Azioni sul cordone: TP=0.14 TO=3.52 NO=9.07
Tensioni nel cordone: τ_P= 0.04 τ_O=1.12 σ_O=3.65 σ_{ID}=3.82 Σ_T=4.77
CC 27 SLV (Collegamento -380_-516)
Azioni sul collegamento: N=123.23 Ty=1.94 Tz=-47.09 Mx=0.32 Mz=1.98
Sollecitazioni agenti localmente: Tx_l=1.94 Ty_l=-47.09 N_l=123.23 My_l=-1.98 Mz_l=0.32
Azioni sul cordone: TP=-0.51 TO=3.72 NO=9.07
Tensioni nel cordone: τ_P=0.16 τ_O=1.18 σ_O=5.78 σ_{ID}=5.90 Σ_T=6.96
CC 27 SLV (Collegamento -380_-516)
Azioni sul collegamento: N=123.23 Ty=-0.81 Tz=-47.09 Mx=-0.07 Mz=-0.53
Sollecitazioni agenti localmente: Tx_l=-0.81 Ty_l=-47.09 N_l=123.23 My_l=0.53 Mz_l=-0.07
Azioni sul cordone: TP=0.14 TO=3.52 NO=9.07
Tensioni nel cordone: τ_P= 0.04 τ_O=1.12 σ_O=3.65 σ_{ID}=3.82 Σ_T=4.77
CC 27 SLV (Collegamento -380_-516)
Azioni sul collegamento: N=134.07 Ty=1.94 Tz=-48.77 Mx=0.32 Mz=1.98
Sollecitazioni agenti localmente: Tx_l=1.94 Ty_l=-48.77 N_l=134.07 My_l=-1.98 Mz_l=0.32
Azioni sul cordone: TP=-0.51 TO=3.84 NO=9.87
Tensioni nel cordone: τ_P=0.16 τ_O=1.22 σ_O=6.03 σ_{ID}=6.15 Σ_T=7.25
CC 27 SLV (Collegamento -380_-516)
Azioni sul collegamento: N=134.07 Ty=-0.81 Tz=-48.77 Mx=-0.07 Mz=-0.53
Sollecitazioni agenti localmente: Tx_l=-0.81 Ty_l=-48.77 N_l=134.07 My_l=0.53 Mz_l=-0.07
Azioni sul cordone: TP=0.14 TO=3.64 NO=9.87
Tensioni nel cordone: τ_P= 0.04 τ_O=1.16 σ_O=3.90 σ_{ID}=4.07 Σ_T=5.06
CC 27 SLV (Collegamento -380_-516)
Azioni sul collegamento: N=134.07 Ty=1.94 Tz=-48.77 Mx=0.32 Mz=1.98
Sollecitazioni agenti localmente: Tx_l=1.94 Ty_l=-48.77 N_l=134.07 My_l=-1.98 Mz_l=0.32
Azioni sul cordone: TP=-0.51 TO=3.84 NO=9.87
Tensioni nel cordone: τ_P=0.16 τ_O=1.22 σ_O=6.03 σ_{ID}=6.15 Σ_T=7.25
CC 27 SLV (Collegamento -380_-516)
Azioni sul collegamento: N=134.07 Ty=-0.81 Tz=-48.77 Mx=-0.07 Mz=-0.53
Sollecitazioni agenti localmente: Tx_l=-0.81 Ty_l=-48.77 N_l=134.07 My_l=0.53 Mz_l=-0.07
Azioni sul cordone: TP=0.14 TO=3.64 NO=9.87
Tensioni nel cordone: τ_P= 0.04 τ_O=1.16 σ_O=3.90 σ_{ID}=4.07 Σ_T=5.06
CC 28 SLD (Collegamento -380_-516)
Azioni sul collegamento: N=127.01 Ty=0.55 Tz=-47.68 Mx=0.09 Mz=0.57
Sollecitazioni agenti localmente: Tx_l=0.55 Ty_l=-47.68 N_l=127.01 My_l=-0.57 Mz_l=0.09
Azioni sul cordone: TP=-0.15 TO=3.58 NO=9.35
Tensioni nel cordone: τ_P= 0.05 τ_O=1.14 σ_O=3.80 σ_{ID}=3.97 Σ_T=4.94
CC 28 SLD (Collegamento -380_-516)
Azioni sul collegamento: N=127.01 Ty=-0.29 Tz=-47.68 Mx=-0.03 Mz=-0.19
Sollecitazioni agenti localmente: Tx_l=-0.29 Ty_l=-47.68 N_l=127.01 My_l=0.19 Mz_l=-0.03
Azioni sul cordone: TP=0.05 TO=3.53 NO=9.35
Tensioni nel cordone: τ_P= 0.02 τ_O=1.12 σ_O=3.26 σ_{ID}=3.44 Σ_T=4.38
CC 28 SLD (Collegamento -380_-516)

Azioni sul collegamento: N=127.01 Ty=0.55 Tz=-47.68 Mx=0.09 Mz=0.57
Sollecitazioni agenti localmente: Tx_l=0.55 Ty_l=-47.68 N_l=127.01 My_l=-0.57 Mz_l=0.09
Azioni sul cordone: TP=-0.15 TO=3.58 NO=9.35
Tensioni nel cordone: τ_P= 0.05 τ_0=1.14 σ_0=3.80 σ_{ID}=3.97 Σ_T=4.94
CC 28 SLD (Collegamento -380_-516)
Azioni sul collegamento: N=127.01 Ty=-0.29 Tz=-47.68 Mx=-0.03 Mz=-0.19
Sollecitazioni agenti localmente: Tx_l=-0.29 Ty_l=-47.68 N_l=127.01 My_l=0.19 Mz_l=-0.03
Azioni sul cordone: TP=0.05 TO=3.53 NO=9.35
Tensioni nel cordone: τ_P= 0.02 τ_0=1.12 σ_0=3.26 σ_{ID}=3.44 Σ_T=4.38
CC 28 SLD (Collegamento -380_-516)
Azioni sul collegamento: N=130.32 Ty=0.55 Tz=-48.19 Mx=0.09 Mz=0.57
Sollecitazioni agenti localmente: Tx_l=0.55 Ty_l=-48.19 N_l=130.32 My_l=-0.57 Mz_l=0.09
Azioni sul cordone: TP=-0.15 TO=3.62 NO=9.59
Tensioni nel cordone: τ_P= 0.05 τ_0=1.15 σ_0=3.88 σ_{ID}=4.05 Σ_T=5.03
CC 28 SLD (Collegamento -380_-516)
Azioni sul collegamento: N=130.32 Ty=-0.29 Tz=-48.19 Mx=-0.03 Mz=-0.19
Sollecitazioni agenti localmente: Tx_l=-0.29 Ty_l=-48.19 N_l=130.32 My_l=0.19 Mz_l=-0.03
Azioni sul cordone: TP=0.05 TO=3.57 NO=9.59
Tensioni nel cordone: τ_P= 0.02 τ_0=1.13 σ_0=3.33 σ_{ID}=3.52 Σ_T=4.47
CC 28 SLD (Collegamento -380_-516)
Azioni sul collegamento: N=130.32 Ty=0.55 Tz=-48.19 Mx=0.09 Mz=0.57
Sollecitazioni agenti localmente: Tx_l=0.55 Ty_l=-48.19 N_l=130.32 My_l=-0.57 Mz_l=0.09
Azioni sul cordone: TP=-0.15 TO=3.62 NO=9.59
Tensioni nel cordone: τ_P= 0.05 τ_0=1.15 σ_0=3.88 σ_{ID}=4.05 Σ_T=5.03
CC 28 SLD (Collegamento -380_-516)
Azioni sul collegamento: N=130.32 Ty=-0.29 Tz=-48.19 Mx=-0.03 Mz=-0.19
Sollecitazioni agenti localmente: Tx_l=-0.29 Ty_l=-48.19 N_l=130.32 My_l=0.19 Mz_l=-0.03
Azioni sul cordone: TP=0.05 TO=3.57 NO=9.59
Tensioni nel cordone: τ_P= 0.02 τ_0=1.13 σ_0=3.33 σ_{ID}=3.52 Σ_T=4.47
CC 29 SLV (Collegamento -380_-516)
Azioni sul collegamento: N=134.07 Ty=-0.81 Tz=-48.77 Mx=-0.08 Mz=-0.52
Sollecitazioni agenti localmente: Tx_l=-0.81 Ty_l=-48.77 N_l=134.07 My_l=0.52 Mz_l=-0.08
Azioni sul cordone: TP=0.16 TO=3.65 NO=9.87
Tensioni nel cordone: τ_P= 0.05 τ_0=1.16 σ_0=3.90 σ_{ID}=4.07 Σ_T=5.06
CC 29 SLV (Collegamento -380_-516)
Azioni sul collegamento: N=134.07 Ty=1.94 Tz=-48.77 Mx=0.30 Mz=1.98
Sollecitazioni agenti localmente: Tx_l=1.94 Ty_l=-48.77 N_l=134.07 My_l=-1.98 Mz_l=0.30
Azioni sul cordone: TP=-0.49 TO=3.83 NO=9.87
Tensioni nel cordone: τ_P=0.16 τ_0=1.22 σ_0=6.03 σ_{ID}=6.16 Σ_T=7.25
CC 29 SLV (Collegamento -380_-516)
Azioni sul collegamento: N=134.07 Ty=-0.81 Tz=-48.77 Mx=-0.08 Mz=-0.52
Sollecitazioni agenti localmente: Tx_l=-0.81 Ty_l=-48.77 N_l=134.07 My_l=0.52 Mz_l=-0.08
Azioni sul cordone: TP=0.16 TO=3.65 NO=9.87
Tensioni nel cordone: τ_P= 0.05 τ_0=1.16 σ_0=3.90 σ_{ID}=4.07 Σ_T=5.06
CC 29 SLV (Collegamento -380_-516)
Azioni sul collegamento: N=134.07 Ty=1.94 Tz=-48.77 Mx=0.30 Mz=1.98
Sollecitazioni agenti localmente: Tx_l=1.94 Ty_l=-48.77 N_l=134.07 My_l=-1.98 Mz_l=0.30
Azioni sul cordone: TP=-0.49 TO=3.83 NO=9.87
Tensioni nel cordone: τ_P=0.16 τ_0=1.22 σ_0=6.03 σ_{ID}=6.16 Σ_T=7.25
CC 29 SLV (Collegamento -380_-516)
Azioni sul collegamento: N=123.23 Ty=-0.81 Tz=-47.09 Mx=-0.08 Mz=-0.52
Sollecitazioni agenti localmente: Tx_l=-0.81 Ty_l=-47.09 N_l=123.23 My_l=0.52 Mz_l=-0.08
Azioni sul cordone: TP=0.16 TO=3.53 NO=9.07
Tensioni nel cordone: τ_P= 0.05 τ_0=1.12 σ_0=3.65 σ_{ID}=3.81 Σ_T=4.77
CC 29 SLV (Collegamento -380_-516)
Azioni sul collegamento: N=123.23 Ty=1.94 Tz=-47.09 Mx=0.30 Mz=1.98
Sollecitazioni agenti localmente: Tx_l=1.94 Ty_l=-47.09 N_l=123.23 My_l=-1.98 Mz_l=0.30
Azioni sul cordone: TP=-0.49 TO=3.71 NO=9.07
Tensioni nel cordone: τ_P=0.16 τ_0=1.18 σ_0=5.78 σ_{ID}=5.90 Σ_T=6.96
CC 29 SLV (Collegamento -380_-516)
Azioni sul collegamento: N=123.23 Ty=-0.81 Tz=-47.09 Mx=-0.08 Mz=-0.52
Sollecitazioni agenti localmente: Tx_l=-0.81 Ty_l=-47.09 N_l=123.23 My_l=0.52 Mz_l=-0.08
Azioni sul cordone: TP=0.16 TO=3.53 NO=9.07
Tensioni nel cordone: τ_P= 0.05 τ_0=1.12 σ_0=3.65 σ_{ID}=3.81 Σ_T=4.77
CC 29 SLV (Collegamento -380_-516)
Azioni sul collegamento: N=123.23 Ty=1.94 Tz=-47.09 Mx=0.30 Mz=1.98
Sollecitazioni agenti localmente: Tx_l=1.94 Ty_l=-47.09 N_l=123.23 My_l=-1.98 Mz_l=0.30
Azioni sul cordone: TP=-0.49 TO=3.71 NO=9.07
Tensioni nel cordone: τ_P=0.16 τ_0=1.18 σ_0=5.78 σ_{ID}=5.90 Σ_T=6.96
CC 30 SLD (Collegamento -380_-516)
Azioni sul collegamento: N=130.32 Ty=-0.29 Tz=-48.19 Mx=-0.03 Mz=-0.19
Sollecitazioni agenti localmente: Tx_l=-0.29 Ty_l=-48.19 N_l=130.32 My_l=0.19 Mz_l=-0.03
Azioni sul cordone: TP=0.06 TO=3.57 NO=9.59
Tensioni nel cordone: τ_P= 0.02 τ_0=1.13 σ_0=3.33 σ_{ID}=3.52 Σ_T=4.47
CC 30 SLD (Collegamento -380_-516)
Azioni sul collegamento: N=130.32 Ty=0.55 Tz=-48.19 Mx=0.09 Mz=0.57
Sollecitazioni agenti localmente: Tx_l=0.55 Ty_l=-48.19 N_l=130.32 My_l=-0.57 Mz_l=0.09
Azioni sul cordone: TP=-0.14 TO=3.62 NO=9.59
Tensioni nel cordone: τ_P= 0.04 τ_0=1.15 σ_0=3.88 σ_{ID}=4.05 Σ_T=5.03

CC 30 SLD (Collegamento -380_-516)
Azioni sul collegamento: N=130.32 Ty=-0.29 Tz=-48.19 Mx=-0.03 Mz=-0.19
Sollecitazioni agenti localmente: Tx_l=-0.29 Ty_l=-48.19 N_l=130.32 My_l=0.19 Mz_l=-0.03
Azioni sul cordone: TP=0.06 TO=3.57 NO=9.59
Tensioni nel cordone: τ_P= 0.02 τ_0=1.13 σ_0=3.33 σ_{ID}=3.52 Σ_T=4.47
CC 30 SLD (Collegamento -380_-516)
Azioni sul collegamento: N=130.32 Ty=0.55 Tz=-48.19 Mx=0.09 Mz=0.57
Sollecitazioni agenti localmente: Tx_l=0.55 Ty_l=-48.19 N_l=130.32 My_l=-0.57 Mz_l=0.09
Azioni sul cordone: TP=-0.14 TO=3.62 NO=9.59
Tensioni nel cordone: τ_P= 0.04 τ_0=1.15 σ_0=3.88 σ_{ID}=4.05 Σ_T=5.03
CC 30 SLD (Collegamento -380_-516)
Azioni sul collegamento: N=127.01 Ty=-0.29 Tz=-47.68 Mx=-0.03 Mz=-0.19
Sollecitazioni agenti localmente: Tx_l=-0.29 Ty_l=-47.68 N_l=127.01 My_l=0.19 Mz_l=-0.03
Azioni sul cordone: TP=0.06 TO=3.53 NO=9.35
Tensioni nel cordone: τ_P= 0.02 τ_0=1.12 σ_0=3.25 σ_{ID}=3.44 Σ_T=4.38
CC 30 SLD (Collegamento -380_-516)
Azioni sul collegamento: N=127.01 Ty=0.55 Tz=-47.68 Mx=0.09 Mz=0.57
Sollecitazioni agenti localmente: Tx_l=0.55 Ty_l=-47.68 N_l=127.01 My_l=-0.57 Mz_l=0.09
Azioni sul cordone: TP=-0.14 TO=3.58 NO=9.35
Tensioni nel cordone: τ_P= 0.04 τ_0=1.14 σ_0=3.80 σ_{ID}=3.97 Σ_T=4.94
CC 30 SLD (Collegamento -380_-516)
Azioni sul collegamento: N=127.01 Ty=-0.29 Tz=-47.68 Mx=-0.03 Mz=-0.19
Sollecitazioni agenti localmente: Tx_l=-0.29 Ty_l=-47.68 N_l=127.01 My_l=0.19 Mz_l=-0.03
Azioni sul cordone: TP=0.06 TO=3.53 NO=9.35
Tensioni nel cordone: τ_P= 0.02 τ_0=1.12 σ_0=3.25 σ_{ID}=3.44 Σ_T=4.38
CC 30 SLD (Collegamento -380_-516)
Azioni sul collegamento: N=127.01 Ty=0.55 Tz=-47.68 Mx=0.09 Mz=0.57
Sollecitazioni agenti localmente: Tx_l=0.55 Ty_l=-47.68 N_l=127.01 My_l=-0.57 Mz_l=0.09
Azioni sul cordone: TP=-0.14 TO=3.58 NO=9.35
Tensioni nel cordone: τ_P= 0.04 τ_0=1.14 σ_0=3.80 σ_{ID}=3.97 Σ_T=4.94
CC 31 SLV (Collegamento -380_-516)
Azioni sul collegamento: N=123.17 Ty=-0.81 Tz=-47.08 Mx=-0.08 Mz=-0.53
Sollecitazioni agenti localmente: Tx_l=-0.81 Ty_l=-47.08 N_l=123.17 My_l=0.53 Mz_l=-0.08
Azioni sul cordone: TP=0.16 TO=3.53 NO=9.06
Tensioni nel cordone: τ_P= 0.05 τ_0=1.12 σ_0=3.65 σ_{ID}=3.82 Σ_T=4.78
CC 31 SLV (Collegamento -380_-516)
Azioni sul collegamento: N=123.17 Ty=1.95 Tz=-47.08 Mx=0.31 Mz=1.99
Sollecitazioni agenti localmente: Tx_l=1.95 Ty_l=-47.08 N_l=123.17 My_l=-1.99 Mz_l=0.31
Azioni sul cordone: TP=-0.50 TO=3.71 NO=9.06
Tensioni nel cordone: τ_P=0.16 τ_0=1.18 σ_0=5.79 σ_{ID}=5.91 Σ_T=6.97
CC 31 SLV (Collegamento -380_-516)
Azioni sul collegamento: N=123.17 Ty=-0.81 Tz=-47.08 Mx=-0.08 Mz=-0.53
Sollecitazioni agenti localmente: Tx_l=-0.81 Ty_l=-47.08 N_l=123.17 My_l=0.53 Mz_l=-0.08
Azioni sul cordone: TP=0.16 TO=3.53 NO=9.06
Tensioni nel cordone: τ_P= 0.05 τ_0=1.12 σ_0=3.65 σ_{ID}=3.82 Σ_T=4.78
CC 31 SLV (Collegamento -380_-516)
Azioni sul collegamento: N=123.17 Ty=1.95 Tz=-47.08 Mx=0.31 Mz=1.99
Sollecitazioni agenti localmente: Tx_l=1.95 Ty_l=-47.08 N_l=123.17 My_l=-1.99 Mz_l=0.31
Azioni sul cordone: TP=-0.50 TO=3.71 NO=9.06
Tensioni nel cordone: τ_P=0.16 τ_0=1.18 σ_0=5.79 σ_{ID}=5.91 Σ_T=6.97
CC 31 SLV (Collegamento -380_-516)
Azioni sul collegamento: N=134.13 Ty=-0.81 Tz=-48.78 Mx=-0.08 Mz=-0.53
Sollecitazioni agenti localmente: Tx_l=-0.81 Ty_l=-48.78 N_l=134.13 My_l=0.53 Mz_l=-0.08
Azioni sul cordone: TP=0.16 TO=3.66 NO=9.87
Tensioni nel cordone: τ_P= 0.05 τ_0=1.16 σ_0=3.91 σ_{ID}=4.08 Σ_T=5.07
CC 31 SLV (Collegamento -380_-516)
Azioni sul collegamento: N=134.13 Ty=1.95 Tz=-48.78 Mx=0.31 Mz=1.99
Sollecitazioni agenti localmente: Tx_l=1.95 Ty_l=-48.78 N_l=134.13 My_l=-1.99 Mz_l=0.31
Azioni sul cordone: TP=-0.50 TO=3.83 NO=9.87
Tensioni nel cordone: τ_P=0.16 τ_0=1.22 σ_0=6.04 σ_{ID}=6.17 Σ_T=7.26
CC 31 SLV (Collegamento -380_-516)
Azioni sul collegamento: N=134.13 Ty=-0.81 Tz=-48.78 Mx=-0.08 Mz=-0.53
Sollecitazioni agenti localmente: Tx_l=-0.81 Ty_l=-48.78 N_l=134.13 My_l=0.53 Mz_l=-0.08
Azioni sul cordone: TP=0.16 TO=3.66 NO=9.87
Tensioni nel cordone: τ_P= 0.05 τ_0=1.16 σ_0=3.91 σ_{ID}=4.08 Σ_T=5.07
CC 31 SLV (Collegamento -380_-516)
Azioni sul collegamento: N=134.13 Ty=1.95 Tz=-48.78 Mx=0.31 Mz=1.99
Sollecitazioni agenti localmente: Tx_l=1.95 Ty_l=-48.78 N_l=134.13 My_l=-1.99 Mz_l=0.31
Azioni sul cordone: TP=-0.50 TO=3.83 NO=9.87
Tensioni nel cordone: τ_P=0.16 τ_0=1.22 σ_0=6.04 σ_{ID}=6.17 Σ_T=7.26
CC 32 SLD (Collegamento -380_-516)
Azioni sul collegamento: N=126.99 Ty=-0.30 Tz=-47.68 Mx=-0.03 Mz=-0.20
Sollecitazioni agenti localmente: Tx_l=-0.30 Ty_l=-47.68 N_l=126.99 My_l=0.20 Mz_l=-0.03
Azioni sul cordone: TP=0.06 TO=3.53 NO=9.34
Tensioni nel cordone: τ_P= 0.02 τ_0=1.12 σ_0=3.26 σ_{ID}=3.44 Σ_T=4.38
CC 32 SLD (Collegamento -380_-516)
Azioni sul collegamento: N=126.99 Ty=0.55 Tz=-47.68 Mx=0.09 Mz=0.57
Sollecitazioni agenti localmente: Tx_l=0.55 Ty_l=-47.68 N_l=126.99 My_l=-0.57 Mz_l=0.09
Azioni sul cordone: TP=-0.14 TO=3.58 NO=9.34

Tensioni nel cordone: τ_P= 0.05 τ_0=1.14 σ_0=3.81 σ_{ID}=3.97 Σ_T=4.94
CC 32 SLD (Collegamento -380_-516)
Azioni sul collegamento: N=126.99 Ty=-0.30 Tz=-47.68 Mx=-0.03 Mz=-0.20
Sollecitazioni agenti localmente: Tx_l=-0.30 Ty_l=-47.68 N_l=126.99 My_l=0.20 Mz_l=-0.03
Azioni sul cordone: TP=0.06 TO=3.53 NO=9.34
Tensioni nel cordone: τ_P= 0.02 τ_0=1.12 σ_0=3.26 σ_{ID}=3.44 Σ_T=4.38
CC 32 SLD (Collegamento -380_-516)
Azioni sul collegamento: N=126.99 Ty=0.55 Tz=-47.68 Mx=0.09 Mz=0.57
Sollecitazioni agenti localmente: Tx_l=0.55 Ty_l=-47.68 N_l=126.99 My_l=-0.57 Mz_l=0.09
Azioni sul cordone: TP=-0.14 TO=3.58 NO=9.34
Tensioni nel cordone: τ_P= 0.05 τ_0=1.14 σ_0=3.81 σ_{ID}=3.97 Σ_T=4.94
CC 32 SLD (Collegamento -380_-516)
Azioni sul collegamento: N=130.34 Ty=-0.30 Tz=-48.19 Mx=-0.03 Mz=-0.20
Sollecitazioni agenti localmente: Tx_l=-0.30 Ty_l=-48.19 N_l=130.34 My_l=0.20 Mz_l=-0.03
Azioni sul cordone: TP=0.06 TO=3.57 NO=9.59
Tensioni nel cordone: τ_P= 0.02 τ_0=1.13 σ_0=3.33 σ_{ID}=3.52 Σ_T=4.47
CC 32 SLD (Collegamento -380_-516)
Azioni sul collegamento: N=130.34 Ty=0.55 Tz=-48.19 Mx=0.09 Mz=0.57
Sollecitazioni agenti localmente: Tx_l=0.55 Ty_l=-48.19 N_l=130.34 My_l=-0.57 Mz_l=0.09
Azioni sul cordone: TP=-0.14 TO=3.62 NO=9.59
Tensioni nel cordone: τ_P= 0.05 τ_0=1.15 σ_0=3.88 σ_{ID}=4.05 Σ_T=5.03
CC 32 SLD (Collegamento -380_-516)
Azioni sul collegamento: N=130.34 Ty=-0.30 Tz=-48.19 Mx=-0.03 Mz=-0.20
Sollecitazioni agenti localmente: Tx_l=-0.30 Ty_l=-48.19 N_l=130.34 My_l=0.20 Mz_l=-0.03
Azioni sul cordone: TP=0.06 TO=3.57 NO=9.59
Tensioni nel cordone: τ_P= 0.02 τ_0=1.13 σ_0=3.33 σ_{ID}=3.52 Σ_T=4.47
CC 32 SLD (Collegamento -380_-516)
Azioni sul collegamento: N=130.34 Ty=0.55 Tz=-48.19 Mx=0.09 Mz=0.57
Sollecitazioni agenti localmente: Tx_l=0.55 Ty_l=-48.19 N_l=130.34 My_l=-0.57 Mz_l=0.09
Azioni sul cordone: TP=-0.14 TO=3.62 NO=9.59
Tensioni nel cordone: τ_P= 0.05 τ_0=1.15 σ_0=3.88 σ_{ID}=4.05 Σ_T=5.03
CC 33 SLU (Collegamento -380_-516)
Azioni sul collegamento: N=333.98 Ty=-0.11 Tz=-89.52 Mx=-0.01 Mz=-0.07
Sollecitazioni agenti localmente: Tx_l=-0.11 Ty_l=-89.52 N_l=333.98 My_l=0.07 Mz_l=-0.01
Azioni sul cordone: TP=0.00 TO=-6.59 NO=24.57
Tensioni nel cordone: τ_P=1.22E-03 τ_0=2.10 σ_0=7.92 σ_{ID}=8.19 Σ_T=10.01
CC 34 SLU (Collegamento -380_-516)
Azioni sul collegamento: N=330.18 Ty=-0.11 Tz=-88.93 Mx=-0.01 Mz=-0.07
Sollecitazioni agenti localmente: Tx_l=-0.11 Ty_l=-88.93 N_l=330.18 My_l=0.07 Mz_l=-0.01
Azioni sul cordone: TP=0.00 TO=-6.55 NO=24.30
Tensioni nel cordone: τ_P=1.15E-03 τ_0=2.08 σ_0=7.82 σ_{ID}=8.10 Σ_T=9.91
CC 35 SLU (Collegamento -380_-516)
Azioni sul collegamento: N=332.07 Ty=0.03 Tz=-89.22 Mx=0.01 Mz=0.06
Sollecitazioni agenti localmente: Tx_l=0.03 Ty_l=-89.22 N_l=332.07 My_l=-0.06 Mz_l=0.01
Azioni sul cordone: TP=-0.01 TO=-6.57 NO=24.43
Tensioni nel cordone: τ_P=3.17E-03 τ_0=2.09 σ_0=7.85 σ_{ID}=8.13 Σ_T=9.94
CC 36 SLU (Collegamento -380_-516)
Azioni sul collegamento: N=332.08 Ty=-0.25 Tz=-89.22 Mx=-0.03 Mz=-0.20
Sollecitazioni agenti localmente: Tx_l=-0.25 Ty_l=-89.22 N_l=332.08 My_l=0.20 Mz_l=-0.03
Azioni sul cordone: TP=0.05 TO=6.59 NO=24.44
Tensioni nel cordone: τ_P= 0.02 τ_0=2.09 σ_0=8.06 σ_{ID}=8.33 Σ_T=10.16
CC 37 SLU (Collegamento -380_-516)
Azioni sul collegamento: N=265.40 Ty=-0.11 Tz=-78.90 Mx=-0.01 Mz=-0.08
Sollecitazioni agenti localmente: Tx_l=-0.11 Ty_l=-78.90 N_l=265.40 My_l=0.08 Mz_l=-0.01
Azioni sul cordone: TP=0.01 TO=-5.82 NO=19.53
Tensioni nel cordone: τ_P=1.76E-03 τ_0=1.85 σ_0=6.33 σ_{ID}=6.59 Σ_T=8.17
CC 38 SLU (Collegamento -380_-516)
Azioni sul collegamento: N=261.61 Ty=-0.11 Tz=-78.32 Mx=-0.01 Mz=-0.08
Sollecitazioni agenti localmente: Tx_l=-0.11 Ty_l=-78.32 N_l=261.61 My_l=0.08 Mz_l=-0.01
Azioni sul cordone: TP=0.01 TO=-5.77 NO=19.25
Tensioni nel cordone: τ_P=1.69E-03 τ_0=1.83 σ_0=6.23 σ_{ID}=6.50 Σ_T=8.07
CC 39 SLU (Collegamento -380_-516)
Azioni sul collegamento: N=263.50 Ty=0.03 Tz=-78.61 Mx=0.01 Mz=0.05
Sollecitazioni agenti localmente: Tx_l=0.03 Ty_l=-78.61 N_l=263.50 My_l=-0.05 Mz_l=0.01
Azioni sul cordone: TP=-0.01 TO=-5.79 NO=19.39
Tensioni nel cordone: τ_P=2.63E-03 τ_0=1.84 σ_0=6.24 σ_{ID}=6.50 Σ_T=8.08
CC 40 SLU (Collegamento -380_-516)
Azioni sul collegamento: N=263.50 Ty=-0.25 Tz=-78.61 Mx=-0.03 Mz=-0.21
Sollecitazioni agenti localmente: Tx_l=-0.25 Ty_l=-78.61 N_l=263.50 My_l=0.21 Mz_l=-0.03
Azioni sul cordone: TP=0.06 TO=5.81 NO=19.39
Tensioni nel cordone: τ_P= 0.02 τ_0=1.85 σ_0=6.47 σ_{ID}=6.73 Σ_T=8.32
CC 41 SLU (Collegamento -380_-516)
Azioni sul collegamento: N=344.53 Ty=-0.10 Tz=-91.15 Mx=-0.01 Mz=-0.07
Sollecitazioni agenti localmente: Tx_l=-0.10 Ty_l=-91.15 N_l=344.53 My_l=0.07 Mz_l=-0.01
Azioni sul cordone: TP=0.00 TO=-6.71 NO=25.35
Tensioni nel cordone: τ_P=1.31E-03 τ_0=2.13 σ_0=8.16 σ_{ID}=8.43 Σ_T=10.29
CC 42 SLU (Collegamento -380_-516)
Azioni sul collegamento: N=340.73 Ty=-0.10 Tz=-90.56 Mx=-0.01 Mz=-0.07
Sollecitazioni agenti localmente: Tx_l=-0.10 Ty_l=-90.56 N_l=340.73 My_l=0.07 Mz_l=-0.01

Azioni sul cordone: TP=0.00 TO=-6.67 NO=25.07
Tensioni nel cordone: τ_P=1.23E-03 τ_0=2.12 σ_0=8.07 σ_{ID}=8.34 Σ_T=10.19
CC 43 SLU (Collegamento -380_-516)
Azioni sul collegamento: N=342.63 Ty=0.04 Tz=-90.86 Mx=0.01 Mz=0.06
Sollecitazioni agenti localmente: Tx_l=0.04 Ty_l=-90.86 N_l=342.63 My_l=-0.06 Mz_l=0.01
Azioni sul cordone: TP=-0.01 TO=-6.69 NO=25.21
Tensioni nel cordone: τ_P=3.08E-03 τ_0=2.13 σ_0=8.11 σ_{ID}=8.38 Σ_T=10.23
CC 44 SLU (Collegamento -380_-516)
Azioni sul collegamento: N=342.63 Ty=-0.24 Tz=-90.86 Mx=-0.03 Mz=-0.20
Sollecitazioni agenti localmente: Tx_l=-0.24 Ty_l=-90.86 N_l=342.63 My_l=0.20 Mz_l=-0.03
Azioni sul cordone: TP=0.05 TO=6.71 NO=25.21
Tensioni nel cordone: τ_P= 0.02 τ_0=2.13 σ_0=8.30 σ_{ID}=8.57 Σ_T=10.43
CC 45 SLU (Collegamento -380_-516)
Azioni sul collegamento: N=280.60 Ty=-0.11 Tz=-81.26 Mx=-0.01 Mz=-0.08
Sollecitazioni agenti localmente: Tx_l=-0.11 Ty_l=-81.26 N_l=280.60 My_l=0.08 Mz_l=-0.01
Azioni sul cordone: TP=0.01 TO=-5.99 NO=20.65
Tensioni nel cordone: τ_P=1.60E-03 τ_0=1.90 σ_0=6.68 σ_{ID}=6.94 Σ_T=8.58
CC 46 SLU (Collegamento -380_-516)
Azioni sul collegamento: N=276.80 Ty=-0.11 Tz=-80.67 Mx=-0.01 Mz=-0.08
Sollecitazioni agenti localmente: Tx_l=-0.11 Ty_l=-80.67 N_l=276.80 My_l=0.08 Mz_l=-0.01
Azioni sul cordone: TP=0.00 TO=-5.94 NO=20.37
Tensioni nel cordone: τ_P=1.53E-03 τ_0=1.89 σ_0=6.59 σ_{ID}=6.85 Σ_T=8.47
CC 47 SLU (Collegamento -380_-516)
Azioni sul collegamento: N=278.70 Ty=0.03 Tz=-80.96 Mx=0.01 Mz=0.05
Sollecitazioni agenti localmente: Tx_l=0.03 Ty_l=-80.96 N_l=278.70 My_l=-0.05 Mz_l=0.01
Azioni sul cordone: TP=-0.01 TO=-5.96 NO=20.51
Tensioni nel cordone: τ_P=2.79E-03 τ_0=1.90 σ_0=6.60 σ_{ID}=6.86 Σ_T=8.49
CC 48 SLU (Collegamento -380_-516)
Azioni sul collegamento: N=278.70 Ty=-0.25 Tz=-80.96 Mx=-0.03 Mz=-0.21
Sollecitazioni agenti localmente: Tx_l=-0.25 Ty_l=-80.96 N_l=278.70 My_l=0.21 Mz_l=-0.03
Azioni sul cordone: TP=0.06 TO=5.98 NO=20.51
Tensioni nel cordone: τ_P= 0.02 τ_0=1.90 σ_0=6.82 σ_{ID}=7.08 Σ_T=8.72
CC 49 SLU (Collegamento -380_-516)
Azioni sul collegamento: N=229.29 Ty=-0.11 Tz=-73.32 Mx=-0.01 Mz=-0.09
Sollecitazioni agenti localmente: Tx_l=-0.11 Ty_l=-73.32 N_l=229.29 My_l=0.09 Mz_l=-0.01
Azioni sul cordone: TP=0.02 TO=5.40 NO=16.87
Tensioni nel cordone: τ_P=7.32E-03 τ_0=1.72 σ_0=5.49 σ_{ID}=5.75 Σ_T=7.20
CC 50 SLU (Collegamento -380_-516)
Azioni sul collegamento: N=225.50 Ty=-0.11 Tz=-72.73 Mx=-0.01 Mz=-0.08
Sollecitazioni agenti localmente: Tx_l=-0.11 Ty_l=-72.73 N_l=225.50 My_l=0.08 Mz_l=-0.01
Azioni sul cordone: TP=0.02 TO=5.36 NO=16.59
Tensioni nel cordone: τ_P=7.16E-03 τ_0=1.70 σ_0=5.40 σ_{ID}=5.66 Σ_T=7.10
CC 51 SLU (Collegamento -380_-516)
Azioni sul collegamento: N=227.39 Ty=0.03 Tz=-73.02 Mx=0.01 Mz=0.05
Sollecitazioni agenti localmente: Tx_l=0.03 Ty_l=-73.02 N_l=227.39 My_l=-0.05 Mz_l=0.01
Azioni sul cordone: TP=-0.01 TO=-5.38 NO=16.73
Tensioni nel cordone: τ_P=2.38E-03 τ_0=1.71 σ_0=5.39 σ_{ID}=5.65 Σ_T=7.10
CC 52 SLU (Collegamento -380_-516)
Azioni sul collegamento: N=227.40 Ty=-0.26 Tz=-73.02 Mx=-0.03 Mz=-0.21
Sollecitazioni agenti localmente: Tx_l=-0.26 Ty_l=-73.02 N_l=227.40 My_l=0.21 Mz_l=-0.03
Azioni sul cordone: TP=0.06 TO=5.40 NO=16.73
Tensioni nel cordone: τ_P= 0.02 τ_0=1.72 σ_0=5.63 σ_{ID}=5.89 Σ_T=7.35
CC 53 SLU (Collegamento -380_-516)
Azioni sul collegamento: N=288.49 Ty=-0.11 Tz=-82.48 Mx=-0.01 Mz=-0.08
Sollecitazioni agenti localmente: Tx_l=-0.11 Ty_l=-82.48 N_l=288.49 My_l=0.08 Mz_l=-0.01
Azioni sul cordone: TP=0.01 TO=-6.08 NO=21.23
Tensioni nel cordone: τ_P=1.67E-03 τ_0=1.93 σ_0=6.86 σ_{ID}=7.12 Σ_T=8.79
CC 54 SLU (Collegamento -380_-516)
Azioni sul collegamento: N=284.70 Ty=-0.10 Tz=-81.89 Mx=-0.01 Mz=-0.07
Sollecitazioni agenti localmente: Tx_l=-0.10 Ty_l=-81.89 N_l=284.70 My_l=0.07 Mz_l=-0.01
Azioni sul cordone: TP=0.01 TO=-6.03 NO=20.95
Tensioni nel cordone: τ_P=1.60E-03 τ_0=1.92 σ_0=6.77 σ_{ID}=7.03 Σ_T=8.68
CC 55 SLU (Collegamento -380_-516)
Azioni sul collegamento: N=286.59 Ty=0.04 Tz=-82.18 Mx=0.01 Mz=0.06
Sollecitazioni agenti localmente: Tx_l=0.04 Ty_l=-82.18 N_l=286.59 My_l=-0.06 Mz_l=0.01
Azioni sul cordone: TP=-0.01 TO=-6.06 NO=21.09
Tensioni nel cordone: τ_P=2.72E-03 τ_0=1.92 σ_0=6.78 σ_{ID}=7.05 Σ_T=8.71
CC 56 SLU (Collegamento -380_-516)
Azioni sul collegamento: N=286.60 Ty=-0.25 Tz=-82.18 Mx=-0.03 Mz=-0.21
Sollecitazioni agenti localmente: Tx_l=-0.25 Ty_l=-82.18 N_l=286.60 My_l=0.21 Mz_l=-0.03
Azioni sul cordone: TP=0.06 TO=6.07 NO=21.09
Tensioni nel cordone: τ_P= 0.02 τ_0=1.93 σ_0=7.00 σ_{ID}=7.26 Σ_T=8.93
CC 57 SLU (Collegamento -380_-516)
Azioni sul collegamento: N=269.35 Ty=-0.10 Tz=-79.52 Mx=-0.01 Mz=-0.07
Sollecitazioni agenti localmente: Tx_l=-0.10 Ty_l=-79.52 N_l=269.35 My_l=0.07 Mz_l=-0.01
Azioni sul cordone: TP=0.00 TO=-5.86 NO=19.82
Tensioni nel cordone: τ_P=1.46E-03 τ_0=1.86 σ_0=6.41 σ_{ID}=6.67 Σ_T=8.27
CC 58 SLU (Collegamento -380_-516)
Azioni sul collegamento: N=265.56 Ty=-0.10 Tz=-78.93 Mx=-0.01 Mz=-0.07

Sollecitazioni agenti localmente: Tx_l=-0.10 Ty_l=-78.93 N_l=265.56 My_l=0.07 Mz_l=-0.01
Azioni sul cordone: TP=0.00 TO=-5.82 NO=19.54
Tensioni nel cordone: τ_P=1.39E-03 τ_0=1.85 σ_0=6.31 σ_{ID}=6.58 Σ_T=8.16
CC 59 SLU (Collegamento -380_-516)
Azioni sul collegamento: N=267.45 Ty=0.04 Tz=-79.22 Mx=0.01 Mz=0.06
Sollecitazioni agenti localmente: Tx_l=0.04 Ty_l=-79.22 N_l=267.45 My_l=-0.06 Mz_l=0.01
Azioni sul cordone: TP=-0.01 TO=-5.84 NO=19.68
Tensioni nel cordone: τ_P=2.93E-03 τ_0=1.86 σ_0=6.34 σ_{ID}=6.61 Σ_T=8.20
CC 60 SLU (Collegamento -380_-516)
Azioni sul collegamento: N=267.46 Ty=-0.25 Tz=-79.22 Mx=-0.03 Mz=-0.20
Sollecitazioni agenti localmente: Tx_l=-0.25 Ty_l=-79.22 N_l=267.46 My_l=0.20 Mz_l=-0.03
Azioni sul cordone: TP=0.05 TO=5.85 NO=19.68
Tensioni nel cordone: τ_P= 0.02 τ_0=1.86 σ_0=6.55 σ_{ID}=6.81 Σ_T=8.41
CC 61 SLU (Collegamento -380_-516)
Azioni sul collegamento: N=218.05 Ty=-0.11 Tz=-71.58 Mx=-0.01 Mz=-0.08
Sollecitazioni agenti localmente: Tx_l=-0.11 Ty_l=-71.58 N_l=218.05 My_l=0.08 Mz_l=-0.01
Azioni sul cordone: TP=0.02 TO=5.28 NO=16.04
Tensioni nel cordone: τ_P=6.85E-03 τ_0=1.68 σ_0=5.22 σ_{ID}=5.48 Σ_T=6.89
CC 62 SLU (Collegamento -380_-516)
Azioni sul collegamento: N=214.25 Ty=-0.10 Tz=-70.99 Mx=-0.01 Mz=-0.08
Sollecitazioni agenti localmente: Tx_l=-0.10 Ty_l=-70.99 N_l=214.25 My_l=0.08 Mz_l=-0.01
Azioni sul cordone: TP=0.02 TO=5.23 NO=15.77
Tensioni nel cordone: τ_P=6.69E-03 τ_0=1.66 σ_0=5.12 σ_{ID}=5.39 Σ_T=6.79
CC 63 SLU (Collegamento -380_-516)
Azioni sul collegamento: N=216.15 Ty=0.04 Tz=-71.28 Mx=0.01 Mz=0.05
Sollecitazioni agenti localmente: Tx_l=0.04 Ty_l=-71.28 N_l=216.15 My_l=-0.05 Mz_l=0.01
Azioni sul cordone: TP=-0.01 TO=-5.25 NO=15.90
Tensioni nel cordone: τ_P=2.53E-03 τ_0=1.67 σ_0=5.13 σ_{ID}=5.40 Σ_T=6.80
CC 64 SLU (Collegamento -380_-516)
Azioni sul collegamento: N=216.16 Ty=-0.25 Tz=-71.28 Mx=-0.03 Mz=-0.21
Sollecitazioni agenti localmente: Tx_l=-0.25 Ty_l=-71.28 N_l=216.16 My_l=0.21 Mz_l=-0.03
Azioni sul cordone: TP=0.06 TO=5.27 NO=15.91
Tensioni nel cordone: τ_P= 0.02 τ_0=1.68 σ_0=5.36 σ_{ID}=5.62 Σ_T=7.04
CC 65 SLU (Collegamento -380_-516)
Azioni sul collegamento: N=277.25 Ty=-0.10 Tz=-80.74 Mx=-0.01 Mz=-0.07
Sollecitazioni agenti localmente: Tx_l=-0.10 Ty_l=-80.74 N_l=277.25 My_l=0.07 Mz_l=-0.01
Azioni sul cordone: TP=0.00 TO=-5.95 NO=20.40
Tensioni nel cordone: τ_P=1.52E-03 τ_0=1.89 σ_0=6.59 σ_{ID}=6.85 Σ_T=8.48
CC 66 SLU (Collegamento -380_-516)
Azioni sul collegamento: N=273.45 Ty=-0.10 Tz=-80.15 Mx=-0.01 Mz=-0.07
Sollecitazioni agenti localmente: Tx_l=-0.10 Ty_l=-80.15 N_l=273.45 My_l=0.07 Mz_l=-0.01
Azioni sul cordone: TP=0.00 TO=-5.91 NO=20.12
Tensioni nel cordone: τ_P=1.45E-03 τ_0=1.88 σ_0=6.49 σ_{ID}=6.76 Σ_T=8.37
CC 67 SLU (Collegamento -380_-516)
Azioni sul collegamento: N=275.35 Ty=0.05 Tz=-80.44 Mx=0.01 Mz=0.06
Sollecitazioni agenti localmente: Tx_l=0.05 Ty_l=-80.44 N_l=275.35 My_l=-0.06 Mz_l=0.01
Azioni sul cordone: TP=-0.01 TO=-5.93 NO=20.26
Tensioni nel cordone: τ_P=2.87E-03 τ_0=1.88 σ_0=6.53 σ_{ID}=6.80 Σ_T=8.41
CC 68 SLU (Collegamento -380_-516)
Azioni sul collegamento: N=275.36 Ty=-0.24 Tz=-80.44 Mx=-0.03 Mz=-0.20
Sollecitazioni agenti localmente: Tx_l=-0.24 Ty_l=-80.44 N_l=275.36 My_l=0.20 Mz_l=-0.03
Azioni sul cordone: TP=0.05 TO=5.94 NO=20.26
Tensioni nel cordone: τ_P= 0.02 τ_0=1.89 σ_0=6.73 σ_{ID}=6.99 Σ_T=8.62
CC 97 SLU (Collegamento -380_-516)
Azioni sul collegamento: N=182.32 Ty=-12.54 Tz=-56.24 Mx=-1.50 Mz=-9.93
Sollecitazioni agenti localmente: Tx_l=-12.54 Ty_l=-56.24 N_l=182.32 My_l=9.93 Mz_l=-1.50
Azioni sul cordone: TP=2.65 TO=5.32 NO=13.42
Tensioni nel cordone: τ_P=0.84 τ_0=1.69 σ_0=18.77 σ_{ID}=18.86 Σ_T=20.46
CC 98 SLU (Collegamento -380_-516)
Azioni sul collegamento: N=178.53 Ty=-12.54 Tz=-55.65 Mx=-1.50 Mz=-9.93
Sollecitazioni agenti localmente: Tx_l=-12.54 Ty_l=-55.65 N_l=178.53 My_l=9.93 Mz_l=-1.50
Azioni sul cordone: TP=2.65 TO=5.28 NO=13.14
Tensioni nel cordone: τ_P=0.84 τ_0=1.68 σ_0=18.67 σ_{ID}=18.77 Σ_T=20.35
CC 99 SLU (Collegamento -380_-516)
Azioni sul collegamento: N=180.42 Ty=-12.40 Tz=-55.94 Mx=-1.48 Mz=-9.80
Sollecitazioni agenti localmente: Tx_l=-12.40 Ty_l=-55.94 N_l=180.42 My_l=9.80 Mz_l=-1.48
Azioni sul cordone: TP=2.61 TO=5.28 NO=13.28
Tensioni nel cordone: τ_P=0.83 τ_0=1.68 σ_0=18.53 σ_{ID}=18.62 Σ_T=20.21
CC 100 SLU (Collegamento -380_-516)
Azioni sul collegamento: N=180.43 Ty=-12.68 Tz=-55.95 Mx=-1.52 Mz=-10.06
Sollecitazioni agenti localmente: Tx_l=-12.68 Ty_l=-55.95 N_l=180.43 My_l=10.06 Mz_l=-1.52
Azioni sul cordone: TP=2.68 TO=5.32 NO=13.28
Tensioni nel cordone: τ_P=0.85 τ_0=1.69 σ_0=18.91 σ_{ID}=19.01 Σ_T=20.60
CC 101 SLU (Collegamento -380_-516)
Azioni sul collegamento: N=134.06 Ty=1.86 Tz=-48.77 Mx=0.26 Mz=1.69
Sollecitazioni agenti localmente: Tx_l=1.86 Ty_l=-48.77 N_l=134.06 My_l=-1.69 Mz_l=0.26
Azioni sul cordone: TP=-0.44 TO=3.80 NO=9.86
Tensioni nel cordone: τ_P=0.14 τ_0=1.21 σ_0=5.60 σ_{ID}=5.73 Σ_T=6.81
CC 102 SLU (Collegamento -380_-516)

Azioni sul collegamento: N=130.26 Ty=1.86 Tz=-48.18 Mx=0.26 Mz=1.69
Sollecitazioni agenti localmente: Tx_l=1.86 Ty_l=-48.18 N_l=130.26 My_l=-1.69 Mz_l=0.26
Azioni sul cordone: TP=-0.44 TO=3.75 NO=9.58
Tensioni nel cordone: τ_P=0.14 τ_0=1.19 σ_0=5.52 σ_{ID}=5.65 Σ_T=6.71
CC 103 SLU (Collegamento -380_-516)
Azioni sul collegamento: N=132.16 Ty=2.00 Tz=-48.47 Mx=0.28 Mz=1.82
Sollecitazioni agenti localmente: Tx_l=2.00 Ty_l=-48.47 N_l=132.16 My_l=-1.82 Mz_l=0.28
Azioni sul cordone: TP=-0.47 TO=3.79 NO=9.72
Tensioni nel cordone: τ_P=0.15 τ_0=1.20 σ_0=5.75 σ_{ID}=5.88 Σ_T=6.96
CC 104 SLU (Collegamento -380_-516)
Azioni sul collegamento: N=132.16 Ty=1.72 Tz=-48.48 Mx=0.24 Mz=1.56
Sollecitazioni agenti localmente: Tx_l=1.72 Ty_l=-48.48 N_l=132.16 My_l=-1.56 Mz_l=0.24
Azioni sul cordone: TP=-0.40 TO=3.76 NO=9.72
Tensioni nel cordone: τ_P=0.13 τ_0=1.19 σ_0=5.37 σ_{ID}=5.50 Σ_T=6.56

Verifica lato anima della colonna

CC 1 SLV (Collegamento -380_-516)
Azioni sul collegamento: N=146.87 Ty=-0.28 Tz=-50.75 Mx=-0.08 Mz=-0.44
Zona tesa: F=59.14 b_{eff}=13.20 t_w=0.70 σ=6.40
Zona tesa: F=59.14 b_{eff}=13.20 t_w=0.70 σ=6.40
CC 1 SLV (Collegamento -380_-516)
Azioni sul collegamento: N=146.87 Ty=-1.13 Tz=-50.75 Mx=-0.20 Mz=-1.22
Zona tesa: F=59.14 b_{eff}=13.20 t_w=0.70 σ=6.40
Zona tesa: F=59.14 b_{eff}=13.20 t_w=0.70 σ=6.40
CC 1 SLV (Collegamento -380_-516)
Azioni sul collegamento: N=146.87 Ty=-0.28 Tz=-50.75 Mx=-0.08 Mz=-0.44
Zona tesa: F=59.14 b_{eff}=13.20 t_w=0.70 σ=6.40
Zona tesa: F=59.14 b_{eff}=13.20 t_w=0.70 σ=6.40
CC 1 SLV (Collegamento -380_-516)
Azioni sul collegamento: N=146.87 Ty=-1.13 Tz=-50.75 Mx=-0.20 Mz=-1.22
Zona tesa: F=59.14 b_{eff}=13.20 t_w=0.70 σ=6.40
Zona tesa: F=59.14 b_{eff}=13.20 t_w=0.70 σ=6.40
CC 1 SLV (Collegamento -380_-516)
Azioni sul collegamento: N=110.50 Ty=-0.28 Tz=-45.12 Mx=-0.08 Mz=-0.44
Zona tesa: F=44.50 b_{eff}=13.20 t_w=0.70 σ=4.82
Zona tesa: F=44.50 b_{eff}=13.20 t_w=0.70 σ=4.82
CC 1 SLV (Collegamento -380_-516)
Azioni sul collegamento: N=110.50 Ty=-1.13 Tz=-45.12 Mx=-0.20 Mz=-1.22
Zona tesa: F=44.50 b_{eff}=13.20 t_w=0.70 σ=4.82
Zona tesa: F=44.50 b_{eff}=13.20 t_w=0.70 σ=4.82
CC 1 SLV (Collegamento -380_-516)
Azioni sul collegamento: N=110.50 Ty=-0.28 Tz=-45.12 Mx=-0.08 Mz=-0.44
Zona tesa: F=44.50 b_{eff}=13.20 t_w=0.70 σ=4.82
Zona tesa: F=44.50 b_{eff}=13.20 t_w=0.70 σ=4.82
CC 1 SLV (Collegamento -380_-516)
Azioni sul collegamento: N=110.50 Ty=-1.13 Tz=-45.12 Mx=-0.20 Mz=-1.22
Zona tesa: F=44.50 b_{eff}=13.20 t_w=0.70 σ=4.82
Zona tesa: F=44.50 b_{eff}=13.20 t_w=0.70 σ=4.82
CC 2 SLD (Collegamento -380_-516)
Azioni sul collegamento: N=134.22 Ty=-0.13 Tz=-48.79 Mx=-0.03 Mz=-0.17
Zona tesa: F=54.05 b_{eff}=13.20 t_w=0.70 σ=5.85
Zona tesa: F=54.05 b_{eff}=13.20 t_w=0.70 σ=5.85
CC 2 SLD (Collegamento -380_-516)
Azioni sul collegamento: N=134.22 Ty=-0.39 Tz=-48.79 Mx=-0.07 Mz=-0.41
Zona tesa: F=54.05 b_{eff}=13.20 t_w=0.70 σ=5.85
Zona tesa: F=54.05 b_{eff}=13.20 t_w=0.70 σ=5.85
CC 2 SLD (Collegamento -380_-516)
Azioni sul collegamento: N=134.22 Ty=-0.13 Tz=-48.79 Mx=-0.03 Mz=-0.17
Zona tesa: F=54.05 b_{eff}=13.20 t_w=0.70 σ=5.85
Zona tesa: F=54.05 b_{eff}=13.20 t_w=0.70 σ=5.85
CC 2 SLD (Collegamento -380_-516)
Azioni sul collegamento: N=134.22 Ty=-0.39 Tz=-48.79 Mx=-0.07 Mz=-0.41
Zona tesa: F=54.05 b_{eff}=13.20 t_w=0.70 σ=5.85
Zona tesa: F=54.05 b_{eff}=13.20 t_w=0.70 σ=5.85
CC 2 SLD (Collegamento -380_-516)
Azioni sul collegamento: N=123.13 Ty=-0.13 Tz=-47.08 Mx=-0.03 Mz=-0.17
Zona tesa: F=49.58 b_{eff}=13.20 t_w=0.70 σ=5.37
Zona tesa: F=49.58 b_{eff}=13.20 t_w=0.70 σ=5.37
CC 2 SLD (Collegamento -380_-516)
Azioni sul collegamento: N=123.13 Ty=-0.39 Tz=-47.08 Mx=-0.07 Mz=-0.41
Zona tesa: F=49.58 b_{eff}=13.20 t_w=0.70 σ=5.37
Zona tesa: F=49.58 b_{eff}=13.20 t_w=0.70 σ=5.37
CC 2 SLD (Collegamento -380_-516)
Azioni sul collegamento: N=123.13 Ty=-0.13 Tz=-47.08 Mx=-0.03 Mz=-0.17
Zona tesa: F=49.58 b_{eff}=13.20 t_w=0.70 σ=5.37
Zona tesa: F=49.58 b_{eff}=13.20 t_w=0.70 σ=5.37

CC 2 SLD (Collegamento -380_-516)
Azioni sul collegamento: N=123.13 Ty=-0.39 Tz=-47.08 Mx=-0.07 Mz=-0.41
Zona tesa: F=49.58 b_{eff}=13.20 t_w=0.70 σ=5.37
Zona tesa: F=49.58 b_{eff}=13.20 t_w=0.70 σ=5.37
CC 3 SLV (Collegamento -380_-516)
Azioni sul collegamento: N=146.85 Ty=-1.11 Tz=-50.75 Mx=-0.19 Mz=-1.20
Zona tesa: F=59.14 b_{eff}=13.20 t_w=0.70 σ=6.40
Zona tesa: F=59.14 b_{eff}=13.20 t_w=0.70 σ=6.40
CC 3 SLV (Collegamento -380_-516)
Azioni sul collegamento: N=146.85 Ty=-0.30 Tz=-50.75 Mx=-0.07 Mz=-0.46
Zona tesa: F=59.14 b_{eff}=13.20 t_w=0.70 σ=6.40
Zona tesa: F=59.14 b_{eff}=13.20 t_w=0.70 σ=6.40
CC 3 SLV (Collegamento -380_-516)
Azioni sul collegamento: N=146.85 Ty=-1.11 Tz=-50.75 Mx=-0.19 Mz=-1.20
Zona tesa: F=59.14 b_{eff}=13.20 t_w=0.70 σ=6.40
Zona tesa: F=59.14 b_{eff}=13.20 t_w=0.70 σ=6.40
CC 3 SLV (Collegamento -380_-516)
Azioni sul collegamento: N=146.85 Ty=-0.30 Tz=-50.75 Mx=-0.07 Mz=-0.46
Zona tesa: F=59.14 b_{eff}=13.20 t_w=0.70 σ=6.40
Zona tesa: F=59.14 b_{eff}=13.20 t_w=0.70 σ=6.40
CC 3 SLV (Collegamento -380_-516)
Azioni sul collegamento: N=110.52 Ty=-1.11 Tz=-45.13 Mx=-0.19 Mz=-1.20
Zona tesa: F=44.50 b_{eff}=13.20 t_w=0.70 σ=4.82
Zona tesa: F=44.50 b_{eff}=13.20 t_w=0.70 σ=4.82
CC 3 SLV (Collegamento -380_-516)
Azioni sul collegamento: N=110.52 Ty=-0.30 Tz=-45.13 Mx=-0.07 Mz=-0.46
Zona tesa: F=44.50 b_{eff}=13.20 t_w=0.70 σ=4.82
Zona tesa: F=44.50 b_{eff}=13.20 t_w=0.70 σ=4.82
CC 3 SLV (Collegamento -380_-516)
Azioni sul collegamento: N=110.52 Ty=-1.11 Tz=-45.13 Mx=-0.19 Mz=-1.20
Zona tesa: F=44.50 b_{eff}=13.20 t_w=0.70 σ=4.82
Zona tesa: F=44.50 b_{eff}=13.20 t_w=0.70 σ=4.82
CC 3 SLV (Collegamento -380_-516)
Azioni sul collegamento: N=110.52 Ty=-0.30 Tz=-45.13 Mx=-0.07 Mz=-0.46
Zona tesa: F=44.50 b_{eff}=13.20 t_w=0.70 σ=4.82
Zona tesa: F=44.50 b_{eff}=13.20 t_w=0.70 σ=4.82
CC 4 SLD (Collegamento -380_-516)
Azioni sul collegamento: N=134.21 Ty=-0.38 Tz=-48.79 Mx=-0.06 Mz=-0.40
Zona tesa: F=54.05 b_{eff}=13.20 t_w=0.70 σ=5.85
Zona tesa: F=54.05 b_{eff}=13.20 t_w=0.70 σ=5.85
CC 4 SLD (Collegamento -380_-516)
Azioni sul collegamento: N=134.21 Ty=-0.14 Tz=-48.79 Mx=-0.03 Mz=-0.18
Zona tesa: F=54.05 b_{eff}=13.20 t_w=0.70 σ=5.85
Zona tesa: F=54.05 b_{eff}=13.20 t_w=0.70 σ=5.85
CC 4 SLD (Collegamento -380_-516)
Azioni sul collegamento: N=134.21 Ty=-0.38 Tz=-48.79 Mx=-0.06 Mz=-0.40
Zona tesa: F=54.05 b_{eff}=13.20 t_w=0.70 σ=5.85
Zona tesa: F=54.05 b_{eff}=13.20 t_w=0.70 σ=5.85
CC 4 SLD (Collegamento -380_-516)
Azioni sul collegamento: N=134.21 Ty=-0.14 Tz=-48.79 Mx=-0.03 Mz=-0.18
Zona tesa: F=54.05 b_{eff}=13.20 t_w=0.70 σ=5.85
Zona tesa: F=54.05 b_{eff}=13.20 t_w=0.70 σ=5.85
CC 4 SLD (Collegamento -380_-516)
Azioni sul collegamento: N=123.13 Ty=-0.38 Tz=-47.08 Mx=-0.06 Mz=-0.40
Zona tesa: F=49.58 b_{eff}=13.20 t_w=0.70 σ=5.37
Zona tesa: F=49.58 b_{eff}=13.20 t_w=0.70 σ=5.37
CC 4 SLD (Collegamento -380_-516)
Azioni sul collegamento: N=123.13 Ty=-0.14 Tz=-47.08 Mx=-0.03 Mz=-0.18
Zona tesa: F=49.58 b_{eff}=13.20 t_w=0.70 σ=5.37
Zona tesa: F=49.58 b_{eff}=13.20 t_w=0.70 σ=5.37
CC 4 SLD (Collegamento -380_-516)
Azioni sul collegamento: N=123.13 Ty=-0.38 Tz=-47.08 Mx=-0.06 Mz=-0.40
Zona tesa: F=49.58 b_{eff}=13.20 t_w=0.70 σ=5.37
Zona tesa: F=49.58 b_{eff}=13.20 t_w=0.70 σ=5.37
CC 4 SLD (Collegamento -380_-516)
Azioni sul collegamento: N=123.13 Ty=-0.14 Tz=-47.08 Mx=-0.03 Mz=-0.18
Zona tesa: F=49.58 b_{eff}=13.20 t_w=0.70 σ=5.37
Zona tesa: F=49.58 b_{eff}=13.20 t_w=0.70 σ=5.37
CC 5 SLV (Collegamento -380_-516)
Azioni sul collegamento: N=110.52 Ty=-0.30 Tz=-45.13 Mx=-0.08 Mz=-0.46
Zona tesa: F=44.50 b_{eff}=13.20 t_w=0.70 σ=4.82
Zona tesa: F=44.50 b_{eff}=13.20 t_w=0.70 σ=4.82
CC 5 SLV (Collegamento -380_-516)
Azioni sul collegamento: N=110.52 Ty=-1.11 Tz=-45.13 Mx=-0.19 Mz=-1.20
Zona tesa: F=44.50 b_{eff}=13.20 t_w=0.70 σ=4.82
Zona tesa: F=44.50 b_{eff}=13.20 t_w=0.70 σ=4.82

CC 5 SLV (Collegamento -380_-516)
Azioni sul collegamento: N=110.52 Ty=-0.30 Tz=-45.13 Mx=-0.08 Mz=-0.46
Zona tesa: F=44.50 b_{eff}=13.20 t_w=0.70 σ=4.82
Zona tesa: F=44.50 b_{eff}=13.20 t_w=0.70 σ=4.82
CC 5 SLV (Collegamento -380_-516)
Azioni sul collegamento: N=110.52 Ty=-1.11 Tz=-45.13 Mx=-0.19 Mz=-1.20
Zona tesa: F=44.50 b_{eff}=13.20 t_w=0.70 σ=4.82
Zona tesa: F=44.50 b_{eff}=13.20 t_w=0.70 σ=4.82
CC 5 SLV (Collegamento -380_-516)
Azioni sul collegamento: N=146.85 Ty=-0.30 Tz=-50.75 Mx=-0.08 Mz=-0.46
Zona tesa: F=59.14 b_{eff}=13.20 t_w=0.70 σ=6.40
Zona tesa: F=59.14 b_{eff}=13.20 t_w=0.70 σ=6.40
CC 5 SLV (Collegamento -380_-516)
Azioni sul collegamento: N=146.85 Ty=-1.11 Tz=-50.75 Mx=-0.19 Mz=-1.20
Zona tesa: F=59.14 b_{eff}=13.20 t_w=0.70 σ=6.40
Zona tesa: F=59.14 b_{eff}=13.20 t_w=0.70 σ=6.40
CC 5 SLV (Collegamento -380_-516)
Azioni sul collegamento: N=146.85 Ty=-0.30 Tz=-50.75 Mx=-0.08 Mz=-0.46
Zona tesa: F=59.14 b_{eff}=13.20 t_w=0.70 σ=6.40
Zona tesa: F=59.14 b_{eff}=13.20 t_w=0.70 σ=6.40
CC 5 SLV (Collegamento -380_-516)
Azioni sul collegamento: N=146.85 Ty=-1.11 Tz=-50.75 Mx=-0.19 Mz=-1.20
Zona tesa: F=59.14 b_{eff}=13.20 t_w=0.70 σ=6.40
Zona tesa: F=59.14 b_{eff}=13.20 t_w=0.70 σ=6.40
CC 6 SLD (Collegamento -380_-516)
Azioni sul collegamento: N=123.13 Ty=-0.14 Tz=-47.08 Mx=-0.03 Mz=-0.18
Zona tesa: F=49.58 b_{eff}=13.20 t_w=0.70 σ=5.37
Zona tesa: F=49.58 b_{eff}=13.20 t_w=0.70 σ=5.37
CC 6 SLD (Collegamento -380_-516)
Azioni sul collegamento: N=123.13 Ty=-0.38 Tz=-47.08 Mx=-0.06 Mz=-0.40
Zona tesa: F=49.58 b_{eff}=13.20 t_w=0.70 σ=5.37
Zona tesa: F=49.58 b_{eff}=13.20 t_w=0.70 σ=5.37
CC 6 SLD (Collegamento -380_-516)
Azioni sul collegamento: N=123.13 Ty=-0.14 Tz=-47.08 Mx=-0.03 Mz=-0.18
Zona tesa: F=49.58 b_{eff}=13.20 t_w=0.70 σ=5.37
Zona tesa: F=49.58 b_{eff}=13.20 t_w=0.70 σ=5.37
CC 6 SLD (Collegamento -380_-516)
Azioni sul collegamento: N=123.13 Ty=-0.38 Tz=-47.08 Mx=-0.06 Mz=-0.40
Zona tesa: F=49.58 b_{eff}=13.20 t_w=0.70 σ=5.37
Zona tesa: F=49.58 b_{eff}=13.20 t_w=0.70 σ=5.37
CC 6 SLD (Collegamento -380_-516)
Azioni sul collegamento: N=134.21 Ty=-0.14 Tz=-48.79 Mx=-0.03 Mz=-0.18
Zona tesa: F=54.05 b_{eff}=13.20 t_w=0.70 σ=5.85
Zona tesa: F=54.05 b_{eff}=13.20 t_w=0.70 σ=5.85
CC 6 SLD (Collegamento -380_-516)
Azioni sul collegamento: N=134.21 Ty=-0.38 Tz=-48.79 Mx=-0.06 Mz=-0.40
Zona tesa: F=54.05 b_{eff}=13.20 t_w=0.70 σ=5.85
Zona tesa: F=54.05 b_{eff}=13.20 t_w=0.70 σ=5.85
CC 6 SLD (Collegamento -380_-516)
Azioni sul collegamento: N=134.21 Ty=-0.14 Tz=-48.79 Mx=-0.03 Mz=-0.18
Zona tesa: F=54.05 b_{eff}=13.20 t_w=0.70 σ=5.85
Zona tesa: F=54.05 b_{eff}=13.20 t_w=0.70 σ=5.85
CC 6 SLD (Collegamento -380_-516)
Azioni sul collegamento: N=134.21 Ty=-0.38 Tz=-48.79 Mx=-0.06 Mz=-0.40
Zona tesa: F=54.05 b_{eff}=13.20 t_w=0.70 σ=5.85
Zona tesa: F=54.05 b_{eff}=13.20 t_w=0.70 σ=5.85
CC 7 SLV (Collegamento -380_-516)
Azioni sul collegamento: N=110.50 Ty=-1.13 Tz=-45.12 Mx=-0.19 Mz=-1.22
Zona tesa: F=44.50 b_{eff}=13.20 t_w=0.70 σ=4.82
Zona tesa: F=44.50 b_{eff}=13.20 t_w=0.70 σ=4.82
CC 7 SLV (Collegamento -380_-516)
Azioni sul collegamento: N=110.50 Ty=-0.28 Tz=-45.12 Mx=-0.07 Mz=-0.44
Zona tesa: F=44.50 b_{eff}=13.20 t_w=0.70 σ=4.82
Zona tesa: F=44.50 b_{eff}=13.20 t_w=0.70 σ=4.82
CC 7 SLV (Collegamento -380_-516)
Azioni sul collegamento: N=110.50 Ty=-1.13 Tz=-45.12 Mx=-0.19 Mz=-1.22
Zona tesa: F=44.50 b_{eff}=13.20 t_w=0.70 σ=4.82
Zona tesa: F=44.50 b_{eff}=13.20 t_w=0.70 σ=4.82
CC 7 SLV (Collegamento -380_-516)
Azioni sul collegamento: N=110.50 Ty=-0.28 Tz=-45.12 Mx=-0.07 Mz=-0.44
Zona tesa: F=44.50 b_{eff}=13.20 t_w=0.70 σ=4.82
Zona tesa: F=44.50 b_{eff}=13.20 t_w=0.70 σ=4.82
CC 7 SLV (Collegamento -380_-516)
Azioni sul collegamento: N=146.87 Ty=-1.13 Tz=-50.75 Mx=-0.19 Mz=-1.22
Zona tesa: F=59.14 b_{eff}=13.20 t_w=0.70 σ=6.40
Zona tesa: F=59.14 b_{eff}=13.20 t_w=0.70 σ=6.40

CC 7 SLV (Collegamento -380_-516)
Azioni sul collegamento: N=146.87 Ty=-0.28 Tz=-50.75 Mx=-0.07 Mz=-0.44
Zona tesa: F=59.14 b_{eff}=13.20 t_w=0.70 σ=6.40
Zona tesa: F=59.14 b_{eff}=13.20 t_w=0.70 σ=6.40
CC 7 SLV (Collegamento -380_-516)
Azioni sul collegamento: N=146.87 Ty=-1.13 Tz=-50.75 Mx=-0.19 Mz=-1.22
Zona tesa: F=59.14 b_{eff}=13.20 t_w=0.70 σ=6.40
Zona tesa: F=59.14 b_{eff}=13.20 t_w=0.70 σ=6.40
CC 7 SLV (Collegamento -380_-516)
Azioni sul collegamento: N=146.87 Ty=-0.28 Tz=-50.75 Mx=-0.07 Mz=-0.44
Zona tesa: F=59.14 b_{eff}=13.20 t_w=0.70 σ=6.40
Zona tesa: F=59.14 b_{eff}=13.20 t_w=0.70 σ=6.40
CC 8 SLD (Collegamento -380_-516)
Azioni sul collegamento: N=123.13 Ty=-0.39 Tz=-47.08 Mx=-0.06 Mz=-0.41
Zona tesa: F=49.58 b_{eff}=13.20 t_w=0.70 σ=5.37
Zona tesa: F=49.58 b_{eff}=13.20 t_w=0.70 σ=5.37
CC 8 SLD (Collegamento -380_-516)
Azioni sul collegamento: N=123.13 Ty=-0.13 Tz=-47.08 Mx=-0.03 Mz=-0.17
Zona tesa: F=49.58 b_{eff}=13.20 t_w=0.70 σ=5.37
Zona tesa: F=49.58 b_{eff}=13.20 t_w=0.70 σ=5.37
CC 8 SLD (Collegamento -380_-516)
Azioni sul collegamento: N=123.13 Ty=-0.39 Tz=-47.08 Mx=-0.06 Mz=-0.41
Zona tesa: F=49.58 b_{eff}=13.20 t_w=0.70 σ=5.37
Zona tesa: F=49.58 b_{eff}=13.20 t_w=0.70 σ=5.37
CC 8 SLD (Collegamento -380_-516)
Azioni sul collegamento: N=123.13 Ty=-0.13 Tz=-47.08 Mx=-0.03 Mz=-0.17
Zona tesa: F=49.58 b_{eff}=13.20 t_w=0.70 σ=5.37
Zona tesa: F=49.58 b_{eff}=13.20 t_w=0.70 σ=5.37
CC 8 SLD (Collegamento -380_-516)
Azioni sul collegamento: N=134.22 Ty=-0.39 Tz=-48.79 Mx=-0.06 Mz=-0.41
Zona tesa: F=54.05 b_{eff}=13.20 t_w=0.70 σ=5.85
Zona tesa: F=54.05 b_{eff}=13.20 t_w=0.70 σ=5.85
CC 8 SLD (Collegamento -380_-516)
Azioni sul collegamento: N=134.22 Ty=-0.13 Tz=-48.79 Mx=-0.03 Mz=-0.17
Zona tesa: F=54.05 b_{eff}=13.20 t_w=0.70 σ=5.85
Zona tesa: F=54.05 b_{eff}=13.20 t_w=0.70 σ=5.85
CC 8 SLD (Collegamento -380_-516)
Azioni sul collegamento: N=134.22 Ty=-0.39 Tz=-48.79 Mx=-0.06 Mz=-0.41
Zona tesa: F=54.05 b_{eff}=13.20 t_w=0.70 σ=5.85
Zona tesa: F=54.05 b_{eff}=13.20 t_w=0.70 σ=5.85
CC 8 SLD (Collegamento -380_-516)
Azioni sul collegamento: N=134.22 Ty=-0.13 Tz=-48.79 Mx=-0.03 Mz=-0.17
Zona tesa: F=54.05 b_{eff}=13.20 t_w=0.70 σ=5.85
Zona tesa: F=54.05 b_{eff}=13.20 t_w=0.70 σ=5.85
CC 9 SLV (Collegamento -380_-516)
Azioni sul collegamento: N=134.17 Ty=0.68 Tz=-48.79 Mx=0.05 Mz=0.43
Zona tesa: F=54.03 b_{eff}=13.20 t_w=0.70 σ=5.85
Zona tesa: F=54.03 b_{eff}=13.20 t_w=0.70 σ=5.85
CC 9 SLV (Collegamento -380_-516)
Azioni sul collegamento: N=134.17 Ty=-2.08 Tz=-48.79 Mx=-0.34 Mz=-2.09
Zona tesa: F=54.03 b_{eff}=13.20 t_w=0.70 σ=5.85
Zona tesa: F=54.03 b_{eff}=13.20 t_w=0.70 σ=5.85
CC 9 SLV (Collegamento -380_-516)
Azioni sul collegamento: N=134.17 Ty=0.68 Tz=-48.79 Mx=0.05 Mz=0.43
Zona tesa: F=54.03 b_{eff}=13.20 t_w=0.70 σ=5.85
Zona tesa: F=54.03 b_{eff}=13.20 t_w=0.70 σ=5.85
CC 9 SLV (Collegamento -380_-516)
Azioni sul collegamento: N=134.17 Ty=-2.08 Tz=-48.79 Mx=-0.34 Mz=-2.09
Zona tesa: F=54.03 b_{eff}=13.20 t_w=0.70 σ=5.85
Zona tesa: F=54.03 b_{eff}=13.20 t_w=0.70 σ=5.85
CC 9 SLV (Collegamento -380_-516)
Azioni sul collegamento: N=123.20 Ty=0.68 Tz=-47.09 Mx=0.05 Mz=0.43
Zona tesa: F=49.61 b_{eff}=13.20 t_w=0.70 σ=5.37
Zona tesa: F=49.61 b_{eff}=13.20 t_w=0.70 σ=5.37
CC 9 SLV (Collegamento -380_-516)
Azioni sul collegamento: N=123.20 Ty=-2.08 Tz=-47.09 Mx=-0.34 Mz=-2.09
Zona tesa: F=49.61 b_{eff}=13.20 t_w=0.70 σ=5.37
Zona tesa: F=49.61 b_{eff}=13.20 t_w=0.70 σ=5.37
CC 9 SLV (Collegamento -380_-516)
Azioni sul collegamento: N=123.20 Ty=0.68 Tz=-47.09 Mx=0.05 Mz=0.43
Zona tesa: F=49.61 b_{eff}=13.20 t_w=0.70 σ=5.37
Zona tesa: F=49.61 b_{eff}=13.20 t_w=0.70 σ=5.37
CC 9 SLV (Collegamento -380_-516)
Azioni sul collegamento: N=123.20 Ty=-2.08 Tz=-47.09 Mx=-0.34 Mz=-2.09
Zona tesa: F=49.61 b_{eff}=13.20 t_w=0.70 σ=5.37
Zona tesa: F=49.61 b_{eff}=13.20 t_w=0.70 σ=5.37

CC 10 SLD (Collegamento -380_-516)
Azioni sul collegamento: N=130.35 Ty=0.16 Tz=-48.19 Mx=0.01 Mz=0.10
Zona tesa: F=52.49 b_{eff}=13.20 t_w=0.70 σ=5.68
Zona tesa: F=52.49 b_{eff}=13.20 t_w=0.70 σ=5.68
CC 10 SLD (Collegamento -380_-516)
Azioni sul collegamento: N=130.35 Ty=-0.68 Tz=-48.19 Mx=-0.11 Mz=-0.67
Zona tesa: F=52.49 b_{eff}=13.20 t_w=0.70 σ=5.68
Zona tesa: F=52.49 b_{eff}=13.20 t_w=0.70 σ=5.68
CC 10 SLD (Collegamento -380_-516)
Azioni sul collegamento: N=130.35 Ty=0.16 Tz=-48.19 Mx=0.01 Mz=0.10
Zona tesa: F=52.49 b_{eff}=13.20 t_w=0.70 σ=5.68
Zona tesa: F=52.49 b_{eff}=13.20 t_w=0.70 σ=5.68
CC 10 SLD (Collegamento -380_-516)
Azioni sul collegamento: N=130.35 Ty=-0.68 Tz=-48.19 Mx=-0.11 Mz=-0.67
Zona tesa: F=52.49 b_{eff}=13.20 t_w=0.70 σ=5.68
Zona tesa: F=52.49 b_{eff}=13.20 t_w=0.70 σ=5.68
CC 10 SLD (Collegamento -380_-516)
Azioni sul collegamento: N=127.00 Ty=0.16 Tz=-47.68 Mx=0.01 Mz=0.10
Zona tesa: F=51.14 b_{eff}=13.20 t_w=0.70 σ=5.53
Zona tesa: F=51.14 b_{eff}=13.20 t_w=0.70 σ=5.53
CC 10 SLD (Collegamento -380_-516)
Azioni sul collegamento: N=127.00 Ty=-0.68 Tz=-47.68 Mx=-0.11 Mz=-0.67
Zona tesa: F=51.14 b_{eff}=13.20 t_w=0.70 σ=5.53
Zona tesa: F=51.14 b_{eff}=13.20 t_w=0.70 σ=5.53
CC 10 SLD (Collegamento -380_-516)
Azioni sul collegamento: N=127.00 Ty=0.16 Tz=-47.68 Mx=0.01 Mz=0.10
Zona tesa: F=51.14 b_{eff}=13.20 t_w=0.70 σ=5.53
Zona tesa: F=51.14 b_{eff}=13.20 t_w=0.70 σ=5.53
CC 10 SLD (Collegamento -380_-516)
Azioni sul collegamento: N=127.00 Ty=-0.68 Tz=-47.68 Mx=-0.11 Mz=-0.67
Zona tesa: F=51.14 b_{eff}=13.20 t_w=0.70 σ=5.53
Zona tesa: F=51.14 b_{eff}=13.20 t_w=0.70 σ=5.53
CC 11 SLV (Collegamento -380_-516)
Azioni sul collegamento: N=123.27 Ty=0.67 Tz=-47.10 Mx=0.05 Mz=0.42
Zona tesa: F=49.64 b_{eff}=13.20 t_w=0.70 σ=5.37
Zona tesa: F=49.64 b_{eff}=13.20 t_w=0.70 σ=5.37
CC 11 SLV (Collegamento -380_-516)
Azioni sul collegamento: N=123.27 Ty=-2.08 Tz=-47.10 Mx=-0.34 Mz=-2.08
Zona tesa: F=49.64 b_{eff}=13.20 t_w=0.70 σ=5.37
Zona tesa: F=49.64 b_{eff}=13.20 t_w=0.70 σ=5.37
CC 11 SLV (Collegamento -380_-516)
Azioni sul collegamento: N=123.27 Ty=0.67 Tz=-47.10 Mx=0.05 Mz=0.42
Zona tesa: F=49.64 b_{eff}=13.20 t_w=0.70 σ=5.37
Zona tesa: F=49.64 b_{eff}=13.20 t_w=0.70 σ=5.37
CC 11 SLV (Collegamento -380_-516)
Azioni sul collegamento: N=123.27 Ty=-2.08 Tz=-47.10 Mx=-0.34 Mz=-2.08
Zona tesa: F=49.64 b_{eff}=13.20 t_w=0.70 σ=5.37
Zona tesa: F=49.64 b_{eff}=13.20 t_w=0.70 σ=5.37
CC 11 SLV (Collegamento -380_-516)
Azioni sul collegamento: N=134.11 Ty=0.67 Tz=-48.78 Mx=0.05 Mz=0.42
Zona tesa: F=54.00 b_{eff}=13.20 t_w=0.70 σ=5.84
Zona tesa: F=54.00 b_{eff}=13.20 t_w=0.70 σ=5.84
CC 11 SLV (Collegamento -380_-516)
Azioni sul collegamento: N=134.11 Ty=-2.08 Tz=-48.78 Mx=-0.34 Mz=-2.08
Zona tesa: F=54.00 b_{eff}=13.20 t_w=0.70 σ=5.84
Zona tesa: F=54.00 b_{eff}=13.20 t_w=0.70 σ=5.84
CC 11 SLV (Collegamento -380_-516)
Azioni sul collegamento: N=134.11 Ty=0.67 Tz=-48.78 Mx=0.05 Mz=0.42
Zona tesa: F=54.00 b_{eff}=13.20 t_w=0.70 σ=5.84
Zona tesa: F=54.00 b_{eff}=13.20 t_w=0.70 σ=5.84
CC 11 SLV (Collegamento -380_-516)
Azioni sul collegamento: N=134.11 Ty=-2.08 Tz=-48.78 Mx=-0.34 Mz=-2.08
Zona tesa: F=54.00 b_{eff}=13.20 t_w=0.70 σ=5.84
Zona tesa: F=54.00 b_{eff}=13.20 t_w=0.70 σ=5.84
CC 12 SLD (Collegamento -380_-516)
Azioni sul collegamento: N=127.02 Ty=0.16 Tz=-47.68 Mx=0.01 Mz=0.09
Zona tesa: F=51.15 b_{eff}=13.20 t_w=0.70 σ=5.54
Zona tesa: F=51.15 b_{eff}=13.20 t_w=0.70 σ=5.54
CC 12 SLD (Collegamento -380_-516)
Azioni sul collegamento: N=127.02 Ty=-0.68 Tz=-47.68 Mx=-0.11 Mz=-0.67
Zona tesa: F=51.15 b_{eff}=13.20 t_w=0.70 σ=5.54
Zona tesa: F=51.15 b_{eff}=13.20 t_w=0.70 σ=5.54
CC 12 SLD (Collegamento -380_-516)
Azioni sul collegamento: N=127.02 Ty=0.16 Tz=-47.68 Mx=0.01 Mz=0.09
Zona tesa: F=51.15 b_{eff}=13.20 t_w=0.70 σ=5.54
Zona tesa: F=51.15 b_{eff}=13.20 t_w=0.70 σ=5.54

CC 12 SLD (Collegamento -380_-516)
Azioni sul collegamento: N=127.02 Ty=-0.68 Tz=-47.68 Mx=-0.11 Mz=-0.67
Zona tesa: F=51.15 b_{eff}=13.20 t_w=0.70 σ=5.54
Zona tesa: F=51.15 b_{eff}=13.20 t_w=0.70 σ=5.54
CC 12 SLD (Collegamento -380_-516)
Azioni sul collegamento: N=130.33 Ty=0.16 Tz=-48.19 Mx=0.01 Mz=0.09
Zona tesa: F=52.48 b_{eff}=13.20 t_w=0.70 σ=5.68
Zona tesa: F=52.48 b_{eff}=13.20 t_w=0.70 σ=5.68
CC 12 SLD (Collegamento -380_-516)
Azioni sul collegamento: N=130.33 Ty=-0.68 Tz=-48.19 Mx=-0.11 Mz=-0.67
Zona tesa: F=52.48 b_{eff}=13.20 t_w=0.70 σ=5.68
Zona tesa: F=52.48 b_{eff}=13.20 t_w=0.70 σ=5.68
CC 12 SLD (Collegamento -380_-516)
Azioni sul collegamento: N=130.33 Ty=0.16 Tz=-48.19 Mx=0.01 Mz=0.09
Zona tesa: F=52.48 b_{eff}=13.20 t_w=0.70 σ=5.68
Zona tesa: F=52.48 b_{eff}=13.20 t_w=0.70 σ=5.68
CC 12 SLD (Collegamento -380_-516)
Azioni sul collegamento: N=130.33 Ty=-0.68 Tz=-48.19 Mx=-0.11 Mz=-0.67
Zona tesa: F=52.48 b_{eff}=13.20 t_w=0.70 σ=5.68
Zona tesa: F=52.48 b_{eff}=13.20 t_w=0.70 σ=5.68
CC 13 SLV (Collegamento -380_-516)
Azioni sul collegamento: N=134.11 Ty=-2.08 Tz=-48.78 Mx=-0.32 Mz=-2.08
Zona tesa: F=54.00 b_{eff}=13.20 t_w=0.70 σ=5.84
Zona tesa: F=54.00 b_{eff}=13.20 t_w=0.70 σ=5.84
CC 13 SLV (Collegamento -380_-516)
Azioni sul collegamento: N=134.11 Ty=0.67 Tz=-48.78 Mx=0.07 Mz=0.42
Zona tesa: F=54.00 b_{eff}=13.20 t_w=0.70 σ=5.84
Zona tesa: F=54.00 b_{eff}=13.20 t_w=0.70 σ=5.84
CC 13 SLV (Collegamento -380_-516)
Azioni sul collegamento: N=134.11 Ty=-2.08 Tz=-48.78 Mx=-0.32 Mz=-2.08
Zona tesa: F=54.00 b_{eff}=13.20 t_w=0.70 σ=5.84
Zona tesa: F=54.00 b_{eff}=13.20 t_w=0.70 σ=5.84
CC 13 SLV (Collegamento -380_-516)
Azioni sul collegamento: N=134.11 Ty=0.67 Tz=-48.78 Mx=0.07 Mz=0.42
Zona tesa: F=54.00 b_{eff}=13.20 t_w=0.70 σ=5.84
Zona tesa: F=54.00 b_{eff}=13.20 t_w=0.70 σ=5.84
CC 13 SLV (Collegamento -380_-516)
Azioni sul collegamento: N=123.27 Ty=-2.08 Tz=-47.10 Mx=-0.32 Mz=-2.08
Zona tesa: F=49.64 b_{eff}=13.20 t_w=0.70 σ=5.37
Zona tesa: F=49.64 b_{eff}=13.20 t_w=0.70 σ=5.37
CC 13 SLV (Collegamento -380_-516)
Azioni sul collegamento: N=123.27 Ty=0.67 Tz=-47.10 Mx=0.07 Mz=0.42
Zona tesa: F=49.64 b_{eff}=13.20 t_w=0.70 σ=5.37
Zona tesa: F=49.64 b_{eff}=13.20 t_w=0.70 σ=5.37
CC 13 SLV (Collegamento -380_-516)
Azioni sul collegamento: N=123.27 Ty=-2.08 Tz=-47.10 Mx=-0.32 Mz=-2.08
Zona tesa: F=49.64 b_{eff}=13.20 t_w=0.70 σ=5.37
Zona tesa: F=49.64 b_{eff}=13.20 t_w=0.70 σ=5.37
CC 13 SLV (Collegamento -380_-516)
Azioni sul collegamento: N=123.27 Ty=0.67 Tz=-47.10 Mx=0.07 Mz=0.42
Zona tesa: F=49.64 b_{eff}=13.20 t_w=0.70 σ=5.37
Zona tesa: F=49.64 b_{eff}=13.20 t_w=0.70 σ=5.37
CC 14 SLD (Collegamento -380_-516)
Azioni sul collegamento: N=130.33 Ty=-0.68 Tz=-48.19 Mx=-0.10 Mz=-0.67
Zona tesa: F=52.48 b_{eff}=13.20 t_w=0.70 σ=5.68
Zona tesa: F=52.48 b_{eff}=13.20 t_w=0.70 σ=5.68
CC 14 SLD (Collegamento -380_-516)
Azioni sul collegamento: N=130.33 Ty=0.16 Tz=-48.19 Mx=0.02 Mz=0.09
Zona tesa: F=52.48 b_{eff}=13.20 t_w=0.70 σ=5.68
Zona tesa: F=52.48 b_{eff}=13.20 t_w=0.70 σ=5.68
CC 14 SLD (Collegamento -380_-516)
Azioni sul collegamento: N=130.33 Ty=-0.68 Tz=-48.19 Mx=-0.10 Mz=-0.67
Zona tesa: F=52.48 b_{eff}=13.20 t_w=0.70 σ=5.68
Zona tesa: F=52.48 b_{eff}=13.20 t_w=0.70 σ=5.68
CC 14 SLD (Collegamento -380_-516)
Azioni sul collegamento: N=130.33 Ty=0.16 Tz=-48.19 Mx=0.02 Mz=0.09
Zona tesa: F=52.48 b_{eff}=13.20 t_w=0.70 σ=5.68
Zona tesa: F=52.48 b_{eff}=13.20 t_w=0.70 σ=5.68
CC 14 SLD (Collegamento -380_-516)
Azioni sul collegamento: N=127.02 Ty=-0.68 Tz=-47.68 Mx=-0.10 Mz=-0.67
Zona tesa: F=51.15 b_{eff}=13.20 t_w=0.70 σ=5.54
Zona tesa: F=51.15 b_{eff}=13.20 t_w=0.70 σ=5.54
CC 14 SLD (Collegamento -380_-516)
Azioni sul collegamento: N=127.02 Ty=0.16 Tz=-47.68 Mx=0.02 Mz=0.09
Zona tesa: F=51.15 b_{eff}=13.20 t_w=0.70 σ=5.54
Zona tesa: F=51.15 b_{eff}=13.20 t_w=0.70 σ=5.54

CC 14 SLD (Collegamento -380_-516)
Azioni sul collegamento: N=127.02 Ty=-0.68 Tz=-47.68 Mx=-0.10 Mz=-0.67
Zona tesa: F=51.15 b_{eff}=13.20 t_w=0.70 σ=5.54
Zona tesa: F=51.15 b_{eff}=13.20 t_w=0.70 σ=5.54
CC 14 SLD (Collegamento -380_-516)
Azioni sul collegamento: N=127.02 Ty=0.16 Tz=-47.68 Mx=0.02 Mz=0.09
Zona tesa: F=51.15 b_{eff}=13.20 t_w=0.70 σ=5.54
Zona tesa: F=51.15 b_{eff}=13.20 t_w=0.70 σ=5.54
CC 15 SLV (Collegamento -380_-516)
Azioni sul collegamento: N=123.20 Ty=-2.08 Tz=-47.09 Mx=-0.32 Mz=-2.09
Zona tesa: F=49.61 b_{eff}=13.20 t_w=0.70 σ=5.37
Zona tesa: F=49.61 b_{eff}=13.20 t_w=0.70 σ=5.37
CC 15 SLV (Collegamento -380_-516)
Azioni sul collegamento: N=123.20 Ty=0.68 Tz=-47.09 Mx=0.07 Mz=0.43
Zona tesa: F=49.61 b_{eff}=13.20 t_w=0.70 σ=5.37
Zona tesa: F=49.61 b_{eff}=13.20 t_w=0.70 σ=5.37
CC 15 SLV (Collegamento -380_-516)
Azioni sul collegamento: N=123.20 Ty=-2.08 Tz=-47.09 Mx=-0.32 Mz=-2.09
Zona tesa: F=49.61 b_{eff}=13.20 t_w=0.70 σ=5.37
Zona tesa: F=49.61 b_{eff}=13.20 t_w=0.70 σ=5.37
CC 15 SLV (Collegamento -380_-516)
Azioni sul collegamento: N=123.20 Ty=0.68 Tz=-47.09 Mx=0.07 Mz=0.43
Zona tesa: F=49.61 b_{eff}=13.20 t_w=0.70 σ=5.37
Zona tesa: F=49.61 b_{eff}=13.20 t_w=0.70 σ=5.37
CC 15 SLV (Collegamento -380_-516)
Azioni sul collegamento: N=134.17 Ty=-2.08 Tz=-48.79 Mx=-0.32 Mz=-2.09
Zona tesa: F=54.03 b_{eff}=13.20 t_w=0.70 σ=5.85
Zona tesa: F=54.03 b_{eff}=13.20 t_w=0.70 σ=5.85
CC 15 SLV (Collegamento -380_-516)
Azioni sul collegamento: N=134.17 Ty=0.68 Tz=-48.79 Mx=0.07 Mz=0.43
Zona tesa: F=54.03 b_{eff}=13.20 t_w=0.70 σ=5.85
Zona tesa: F=54.03 b_{eff}=13.20 t_w=0.70 σ=5.85
CC 15 SLV (Collegamento -380_-516)
Azioni sul collegamento: N=134.17 Ty=-2.08 Tz=-48.79 Mx=-0.32 Mz=-2.09
Zona tesa: F=54.03 b_{eff}=13.20 t_w=0.70 σ=5.85
Zona tesa: F=54.03 b_{eff}=13.20 t_w=0.70 σ=5.85
CC 15 SLV (Collegamento -380_-516)
Azioni sul collegamento: N=134.17 Ty=0.68 Tz=-48.79 Mx=0.07 Mz=0.43
Zona tesa: F=54.03 b_{eff}=13.20 t_w=0.70 σ=5.85
Zona tesa: F=54.03 b_{eff}=13.20 t_w=0.70 σ=5.85
CC 16 SLD (Collegamento -380_-516)
Azioni sul collegamento: N=127.00 Ty=-0.68 Tz=-47.68 Mx=-0.10 Mz=-0.67
Zona tesa: F=51.14 b_{eff}=13.20 t_w=0.70 σ=5.53
Zona tesa: F=51.14 b_{eff}=13.20 t_w=0.70 σ=5.53
CC 16 SLD (Collegamento -380_-516)
Azioni sul collegamento: N=127.00 Ty=0.16 Tz=-47.68 Mx=0.02 Mz=0.10
Zona tesa: F=51.14 b_{eff}=13.20 t_w=0.70 σ=5.53
Zona tesa: F=51.14 b_{eff}=13.20 t_w=0.70 σ=5.53
CC 16 SLD (Collegamento -380_-516)
Azioni sul collegamento: N=127.00 Ty=-0.68 Tz=-47.68 Mx=-0.10 Mz=-0.67
Zona tesa: F=51.14 b_{eff}=13.20 t_w=0.70 σ=5.53
Zona tesa: F=51.14 b_{eff}=13.20 t_w=0.70 σ=5.53
CC 16 SLD (Collegamento -380_-516)
Azioni sul collegamento: N=127.00 Ty=0.16 Tz=-47.68 Mx=0.02 Mz=0.10
Zona tesa: F=51.14 b_{eff}=13.20 t_w=0.70 σ=5.53
Zona tesa: F=51.14 b_{eff}=13.20 t_w=0.70 σ=5.53
CC 16 SLD (Collegamento -380_-516)
Azioni sul collegamento: N=130.35 Ty=-0.68 Tz=-48.19 Mx=-0.10 Mz=-0.67
Zona tesa: F=52.49 b_{eff}=13.20 t_w=0.70 σ=5.68
Zona tesa: F=52.49 b_{eff}=13.20 t_w=0.70 σ=5.68
CC 16 SLD (Collegamento -380_-516)
Azioni sul collegamento: N=130.35 Ty=0.16 Tz=-48.19 Mx=0.02 Mz=0.10
Zona tesa: F=52.49 b_{eff}=13.20 t_w=0.70 σ=5.68
Zona tesa: F=52.49 b_{eff}=13.20 t_w=0.70 σ=5.68
CC 16 SLD (Collegamento -380_-516)
Azioni sul collegamento: N=130.35 Ty=-0.68 Tz=-48.19 Mx=-0.10 Mz=-0.67
Zona tesa: F=52.49 b_{eff}=13.20 t_w=0.70 σ=5.68
Zona tesa: F=52.49 b_{eff}=13.20 t_w=0.70 σ=5.68
CC 16 SLD (Collegamento -380_-516)
Azioni sul collegamento: N=130.35 Ty=0.16 Tz=-48.19 Mx=0.02 Mz=0.10
Zona tesa: F=52.49 b_{eff}=13.20 t_w=0.70 σ=5.68
Zona tesa: F=52.49 b_{eff}=13.20 t_w=0.70 σ=5.68
CC 17 SLV (Collegamento -380_-516)
Azioni sul collegamento: N=146.84 Ty=0.99 Tz=-50.75 Mx=0.18 Mz=1.12
Zona tesa: F=59.13 b_{eff}=13.20 t_w=0.70 σ=6.40
Zona tesa: F=59.13 b_{eff}=13.20 t_w=0.70 σ=6.40

CC 17 SLV (Collegamento -380_-516)
Azioni sul collegamento: N=146.84 Ty=0.14 Tz=-50.75 Mx=0.06 Mz=0.34
Zona tesa: F=59.13 b_{eff}=13.20 t_w=0.70 σ=6.40
Zona tesa: F=59.13 b_{eff}=13.20 t_w=0.70 σ=6.40
CC 17 SLV (Collegamento -380_-516)
Azioni sul collegamento: N=146.84 Ty=0.99 Tz=-50.75 Mx=0.18 Mz=1.12
Zona tesa: F=59.13 b_{eff}=13.20 t_w=0.70 σ=6.40
Zona tesa: F=59.13 b_{eff}=13.20 t_w=0.70 σ=6.40
CC 17 SLV (Collegamento -380_-516)
Azioni sul collegamento: N=146.84 Ty=0.14 Tz=-50.75 Mx=0.06 Mz=0.34
Zona tesa: F=59.13 b_{eff}=13.20 t_w=0.70 σ=6.40
Zona tesa: F=59.13 b_{eff}=13.20 t_w=0.70 σ=6.40
CC 17 SLV (Collegamento -380_-516)
Azioni sul collegamento: N=110.46 Ty=0.99 Tz=-45.12 Mx=0.18 Mz=1.12
Zona tesa: F=44.48 b_{eff}=13.20 t_w=0.70 σ=4.81
Zona tesa: F=44.48 b_{eff}=13.20 t_w=0.70 σ=4.81
CC 17 SLV (Collegamento -380_-516)
Azioni sul collegamento: N=110.46 Ty=0.14 Tz=-45.12 Mx=0.06 Mz=0.34
Zona tesa: F=44.48 b_{eff}=13.20 t_w=0.70 σ=4.81
Zona tesa: F=44.48 b_{eff}=13.20 t_w=0.70 σ=4.81
CC 17 SLV (Collegamento -380_-516)
Azioni sul collegamento: N=110.46 Ty=0.99 Tz=-45.12 Mx=0.18 Mz=1.12
Zona tesa: F=44.48 b_{eff}=13.20 t_w=0.70 σ=4.81
Zona tesa: F=44.48 b_{eff}=13.20 t_w=0.70 σ=4.81
CC 17 SLV (Collegamento -380_-516)
Azioni sul collegamento: N=110.46 Ty=0.14 Tz=-45.12 Mx=0.06 Mz=0.34
Zona tesa: F=44.48 b_{eff}=13.20 t_w=0.70 σ=4.81
Zona tesa: F=44.48 b_{eff}=13.20 t_w=0.70 σ=4.81
CC 18 SLD (Collegamento -380_-516)
Azioni sul collegamento: N=134.21 Ty=0.25 Tz=-48.79 Mx=0.05 Mz=0.31
Zona tesa: F=54.04 b_{eff}=13.20 t_w=0.70 σ=5.85
Zona tesa: F=54.04 b_{eff}=13.20 t_w=0.70 σ=5.85
CC 18 SLD (Collegamento -380_-516)
Azioni sul collegamento: N=134.21 Ty=-0.00 Tz=-48.79 Mx=0.01 Mz=0.07
Zona tesa: F=54.04 b_{eff}=13.20 t_w=0.70 σ=5.85
Zona tesa: F=54.04 b_{eff}=13.20 t_w=0.70 σ=5.85
CC 18 SLD (Collegamento -380_-516)
Azioni sul collegamento: N=134.21 Ty=0.25 Tz=-48.79 Mx=0.05 Mz=0.31
Zona tesa: F=54.04 b_{eff}=13.20 t_w=0.70 σ=5.85
Zona tesa: F=54.04 b_{eff}=13.20 t_w=0.70 σ=5.85
CC 18 SLD (Collegamento -380_-516)
Azioni sul collegamento: N=134.21 Ty=-0.00 Tz=-48.79 Mx=0.01 Mz=0.07
Zona tesa: F=54.04 b_{eff}=13.20 t_w=0.70 σ=5.85
Zona tesa: F=54.04 b_{eff}=13.20 t_w=0.70 σ=5.85
CC 18 SLD (Collegamento -380_-516)
Azioni sul collegamento: N=123.12 Ty=0.25 Tz=-47.08 Mx=0.05 Mz=0.31
Zona tesa: F=49.58 b_{eff}=13.20 t_w=0.70 σ=5.37
Zona tesa: F=49.58 b_{eff}=13.20 t_w=0.70 σ=5.37
CC 18 SLD (Collegamento -380_-516)
Azioni sul collegamento: N=123.12 Ty=-0.00 Tz=-47.08 Mx=0.01 Mz=0.07
Zona tesa: F=49.58 b_{eff}=13.20 t_w=0.70 σ=5.37
Zona tesa: F=49.58 b_{eff}=13.20 t_w=0.70 σ=5.37
CC 18 SLD (Collegamento -380_-516)
Azioni sul collegamento: N=123.12 Ty=0.25 Tz=-47.08 Mx=0.05 Mz=0.31
Zona tesa: F=49.58 b_{eff}=13.20 t_w=0.70 σ=5.37
Zona tesa: F=49.58 b_{eff}=13.20 t_w=0.70 σ=5.37
CC 18 SLD (Collegamento -380_-516)
Azioni sul collegamento: N=123.12 Ty=-0.00 Tz=-47.08 Mx=0.01 Mz=0.07
Zona tesa: F=49.58 b_{eff}=13.20 t_w=0.70 σ=5.37
Zona tesa: F=49.58 b_{eff}=13.20 t_w=0.70 σ=5.37
CC 19 SLV (Collegamento -380_-516)
Azioni sul collegamento: N=146.82 Ty=0.16 Tz=-50.74 Mx=0.06 Mz=0.36
Zona tesa: F=59.12 b_{eff}=13.20 t_w=0.70 σ=6.40
Zona tesa: F=59.12 b_{eff}=13.20 t_w=0.70 σ=6.40
CC 19 SLV (Collegamento -380_-516)
Azioni sul collegamento: N=146.82 Ty=0.97 Tz=-50.74 Mx=0.17 Mz=1.10
Zona tesa: F=59.12 b_{eff}=13.20 t_w=0.70 σ=6.40
Zona tesa: F=59.12 b_{eff}=13.20 t_w=0.70 σ=6.40
CC 19 SLV (Collegamento -380_-516)
Azioni sul collegamento: N=146.82 Ty=0.16 Tz=-50.74 Mx=0.06 Mz=0.36
Zona tesa: F=59.12 b_{eff}=13.20 t_w=0.70 σ=6.40
Zona tesa: F=59.12 b_{eff}=13.20 t_w=0.70 σ=6.40
CC 19 SLV (Collegamento -380_-516)
Azioni sul collegamento: N=146.82 Ty=0.97 Tz=-50.74 Mx=0.17 Mz=1.10
Zona tesa: F=59.12 b_{eff}=13.20 t_w=0.70 σ=6.40
Zona tesa: F=59.12 b_{eff}=13.20 t_w=0.70 σ=6.40

CC 19 SLV (Collegamento -380_-516)
Azioni sul collegamento: N=110.48 Ty=0.16 Tz=-45.12 Mx=0.06 Mz=0.36
Zona tesa: F=44.49 b_{eff}=13.20 t_w=0.70 σ=4.81
Zona tesa: F=44.49 b_{eff}=13.20 t_w=0.70 σ=4.81
CC 19 SLV (Collegamento -380_-516)
Azioni sul collegamento: N=110.48 Ty=0.97 Tz=-45.12 Mx=0.17 Mz=1.10
Zona tesa: F=44.49 b_{eff}=13.20 t_w=0.70 σ=4.81
Zona tesa: F=44.49 b_{eff}=13.20 t_w=0.70 σ=4.81
CC 19 SLV (Collegamento -380_-516)
Azioni sul collegamento: N=110.48 Ty=0.16 Tz=-45.12 Mx=0.06 Mz=0.36
Zona tesa: F=44.49 b_{eff}=13.20 t_w=0.70 σ=4.81
Zona tesa: F=44.49 b_{eff}=13.20 t_w=0.70 σ=4.81
CC 19 SLV (Collegamento -380_-516)
Azioni sul collegamento: N=110.48 Ty=0.97 Tz=-45.12 Mx=0.17 Mz=1.10
Zona tesa: F=44.49 b_{eff}=13.20 t_w=0.70 σ=4.81
Zona tesa: F=44.49 b_{eff}=13.20 t_w=0.70 σ=4.81
CC 20 SLD (Collegamento -380_-516)
Azioni sul collegamento: N=134.20 Ty=0.00 Tz=-48.79 Mx=0.01 Mz=0.08
Zona tesa: F=54.04 b_{eff}=13.20 t_w=0.70 σ=5.85
Zona tesa: F=54.04 b_{eff}=13.20 t_w=0.70 σ=5.85
CC 20 SLD (Collegamento -380_-516)
Azioni sul collegamento: N=134.20 Ty=0.25 Tz=-48.79 Mx=0.05 Mz=0.30
Zona tesa: F=54.04 b_{eff}=13.20 t_w=0.70 σ=5.85
Zona tesa: F=54.04 b_{eff}=13.20 t_w=0.70 σ=5.85
CC 20 SLD (Collegamento -380_-516)
Azioni sul collegamento: N=134.20 Ty=0.00 Tz=-48.79 Mx=0.01 Mz=0.08
Zona tesa: F=54.04 b_{eff}=13.20 t_w=0.70 σ=5.85
Zona tesa: F=54.04 b_{eff}=13.20 t_w=0.70 σ=5.85
CC 20 SLD (Collegamento -380_-516)
Azioni sul collegamento: N=134.20 Ty=0.25 Tz=-48.79 Mx=0.05 Mz=0.30
Zona tesa: F=54.04 b_{eff}=13.20 t_w=0.70 σ=5.85
Zona tesa: F=54.04 b_{eff}=13.20 t_w=0.70 σ=5.85
CC 20 SLD (Collegamento -380_-516)
Azioni sul collegamento: N=123.12 Ty=0.00 Tz=-47.08 Mx=0.01 Mz=0.08
Zona tesa: F=49.58 b_{eff}=13.20 t_w=0.70 σ=5.37
Zona tesa: F=49.58 b_{eff}=13.20 t_w=0.70 σ=5.37
CC 20 SLD (Collegamento -380_-516)
Azioni sul collegamento: N=123.12 Ty=0.25 Tz=-47.08 Mx=0.05 Mz=0.30
Zona tesa: F=49.58 b_{eff}=13.20 t_w=0.70 σ=5.37
Zona tesa: F=49.58 b_{eff}=13.20 t_w=0.70 σ=5.37
CC 20 SLD (Collegamento -380_-516)
Azioni sul collegamento: N=123.12 Ty=0.00 Tz=-47.08 Mx=0.01 Mz=0.08
Zona tesa: F=49.58 b_{eff}=13.20 t_w=0.70 σ=5.37
Zona tesa: F=49.58 b_{eff}=13.20 t_w=0.70 σ=5.37
CC 20 SLD (Collegamento -380_-516)
Azioni sul collegamento: N=123.12 Ty=0.25 Tz=-47.08 Mx=0.05 Mz=0.30
Zona tesa: F=49.58 b_{eff}=13.20 t_w=0.70 σ=5.37
Zona tesa: F=49.58 b_{eff}=13.20 t_w=0.70 σ=5.37
CC 21 SLV (Collegamento -380_-516)
Azioni sul collegamento: N=110.48 Ty=0.97 Tz=-45.12 Mx=0.18 Mz=1.10
Zona tesa: F=44.49 b_{eff}=13.20 t_w=0.70 σ=4.81
Zona tesa: F=44.49 b_{eff}=13.20 t_w=0.70 σ=4.81
CC 21 SLV (Collegamento -380_-516)
Azioni sul collegamento: N=110.48 Ty=0.16 Tz=-45.12 Mx=0.06 Mz=0.36
Zona tesa: F=44.49 b_{eff}=13.20 t_w=0.70 σ=4.81
Zona tesa: F=44.49 b_{eff}=13.20 t_w=0.70 σ=4.81
CC 21 SLV (Collegamento -380_-516)
Azioni sul collegamento: N=110.48 Ty=0.97 Tz=-45.12 Mx=0.18 Mz=1.10
Zona tesa: F=44.49 b_{eff}=13.20 t_w=0.70 σ=4.81
Zona tesa: F=44.49 b_{eff}=13.20 t_w=0.70 σ=4.81
CC 21 SLV (Collegamento -380_-516)
Azioni sul collegamento: N=110.48 Ty=0.16 Tz=-45.12 Mx=0.06 Mz=0.36
Zona tesa: F=44.49 b_{eff}=13.20 t_w=0.70 σ=4.81
Zona tesa: F=44.49 b_{eff}=13.20 t_w=0.70 σ=4.81
CC 21 SLV (Collegamento -380_-516)
Azioni sul collegamento: N=146.82 Ty=0.97 Tz=-50.74 Mx=0.18 Mz=1.10
Zona tesa: F=59.12 b_{eff}=13.20 t_w=0.70 σ=6.40
Zona tesa: F=59.12 b_{eff}=13.20 t_w=0.70 σ=6.40
CC 21 SLV (Collegamento -380_-516)
Azioni sul collegamento: N=146.82 Ty=0.16 Tz=-50.74 Mx=0.06 Mz=0.36
Zona tesa: F=59.12 b_{eff}=13.20 t_w=0.70 σ=6.40
Zona tesa: F=59.12 b_{eff}=13.20 t_w=0.70 σ=6.40
CC 21 SLV (Collegamento -380_-516)
Azioni sul collegamento: N=146.82 Ty=0.97 Tz=-50.74 Mx=0.18 Mz=1.10
Zona tesa: F=59.12 b_{eff}=13.20 t_w=0.70 σ=6.40
Zona tesa: F=59.12 b_{eff}=13.20 t_w=0.70 σ=6.40

CC 21 SLV (Collegamento -380_-516)
Azioni sul collegamento: N=146.82 Ty=0.16 Tz=-50.74 Mx=0.06 Mz=0.36
Zona tesa: F=59.12 b_{eff}=13.20 t_w=0.70 σ=6.40
Zona tesa: F=59.12 b_{eff}=13.20 t_w=0.70 σ=6.40
CC 22 SLD (Collegamento -380_-516)
Azioni sul collegamento: N=123.12 Ty=0.25 Tz=-47.08 Mx=0.05 Mz=0.30
Zona tesa: F=49.58 b_{eff}=13.20 t_w=0.70 σ=5.37
Zona tesa: F=49.58 b_{eff}=13.20 t_w=0.70 σ=5.37
CC 22 SLD (Collegamento -380_-516)
Azioni sul collegamento: N=123.12 Ty=0.00 Tz=-47.08 Mx=0.01 Mz=0.08
Zona tesa: F=49.58 b_{eff}=13.20 t_w=0.70 σ=5.37
Zona tesa: F=49.58 b_{eff}=13.20 t_w=0.70 σ=5.37
CC 22 SLD (Collegamento -380_-516)
Azioni sul collegamento: N=123.12 Ty=0.25 Tz=-47.08 Mx=0.05 Mz=0.30
Zona tesa: F=49.58 b_{eff}=13.20 t_w=0.70 σ=5.37
Zona tesa: F=49.58 b_{eff}=13.20 t_w=0.70 σ=5.37
CC 22 SLD (Collegamento -380_-516)
Azioni sul collegamento: N=123.12 Ty=0.00 Tz=-47.08 Mx=0.01 Mz=0.08
Zona tesa: F=49.58 b_{eff}=13.20 t_w=0.70 σ=5.37
Zona tesa: F=49.58 b_{eff}=13.20 t_w=0.70 σ=5.37
CC 22 SLD (Collegamento -380_-516)
Azioni sul collegamento: N=134.20 Ty=0.25 Tz=-48.79 Mx=0.05 Mz=0.30
Zona tesa: F=54.04 b_{eff}=13.20 t_w=0.70 σ=5.85
Zona tesa: F=54.04 b_{eff}=13.20 t_w=0.70 σ=5.85
CC 22 SLD (Collegamento -380_-516)
Azioni sul collegamento: N=134.20 Ty=0.00 Tz=-48.79 Mx=0.01 Mz=0.08
Zona tesa: F=54.04 b_{eff}=13.20 t_w=0.70 σ=5.85
Zona tesa: F=54.04 b_{eff}=13.20 t_w=0.70 σ=5.85
CC 22 SLD (Collegamento -380_-516)
Azioni sul collegamento: N=134.20 Ty=0.25 Tz=-48.79 Mx=0.05 Mz=0.30
Zona tesa: F=54.04 b_{eff}=13.20 t_w=0.70 σ=5.85
Zona tesa: F=54.04 b_{eff}=13.20 t_w=0.70 σ=5.85
CC 22 SLD (Collegamento -380_-516)
Azioni sul collegamento: N=134.20 Ty=0.00 Tz=-48.79 Mx=0.01 Mz=0.08
Zona tesa: F=54.04 b_{eff}=13.20 t_w=0.70 σ=5.85
Zona tesa: F=54.04 b_{eff}=13.20 t_w=0.70 σ=5.85
CC 23 SLV (Collegamento -380_-516)
Azioni sul collegamento: N=110.46 Ty=0.14 Tz=-45.12 Mx=0.06 Mz=0.34
Zona tesa: F=44.48 b_{eff}=13.20 t_w=0.70 σ=4.81
Zona tesa: F=44.48 b_{eff}=13.20 t_w=0.70 σ=4.81
CC 23 SLV (Collegamento -380_-516)
Azioni sul collegamento: N=110.46 Ty=0.99 Tz=-45.12 Mx=0.18 Mz=1.12
Zona tesa: F=44.48 b_{eff}=13.20 t_w=0.70 σ=4.81
Zona tesa: F=44.48 b_{eff}=13.20 t_w=0.70 σ=4.81
CC 23 SLV (Collegamento -380_-516)
Azioni sul collegamento: N=110.46 Ty=0.14 Tz=-45.12 Mx=0.06 Mz=0.34
Zona tesa: F=44.48 b_{eff}=13.20 t_w=0.70 σ=4.81
Zona tesa: F=44.48 b_{eff}=13.20 t_w=0.70 σ=4.81
CC 23 SLV (Collegamento -380_-516)
Azioni sul collegamento: N=110.46 Ty=0.99 Tz=-45.12 Mx=0.18 Mz=1.12
Zona tesa: F=44.48 b_{eff}=13.20 t_w=0.70 σ=4.81
Zona tesa: F=44.48 b_{eff}=13.20 t_w=0.70 σ=4.81
CC 23 SLV (Collegamento -380_-516)
Azioni sul collegamento: N=146.84 Ty=0.14 Tz=-50.75 Mx=0.06 Mz=0.34
Zona tesa: F=59.13 b_{eff}=13.20 t_w=0.70 σ=6.40
Zona tesa: F=59.13 b_{eff}=13.20 t_w=0.70 σ=6.40
CC 23 SLV (Collegamento -380_-516)
Azioni sul collegamento: N=146.84 Ty=0.99 Tz=-50.75 Mx=0.18 Mz=1.12
Zona tesa: F=59.13 b_{eff}=13.20 t_w=0.70 σ=6.40
Zona tesa: F=59.13 b_{eff}=13.20 t_w=0.70 σ=6.40
CC 23 SLV (Collegamento -380_-516)
Azioni sul collegamento: N=146.84 Ty=0.14 Tz=-50.75 Mx=0.06 Mz=0.34
Zona tesa: F=59.13 b_{eff}=13.20 t_w=0.70 σ=6.40
Zona tesa: F=59.13 b_{eff}=13.20 t_w=0.70 σ=6.40
CC 23 SLV (Collegamento -380_-516)
Azioni sul collegamento: N=146.84 Ty=0.99 Tz=-50.75 Mx=0.18 Mz=1.12
Zona tesa: F=59.13 b_{eff}=13.20 t_w=0.70 σ=6.40
Zona tesa: F=59.13 b_{eff}=13.20 t_w=0.70 σ=6.40
CC 24 SLD (Collegamento -380_-516)
Azioni sul collegamento: N=123.12 Ty=-0.00 Tz=-47.08 Mx=0.01 Mz=0.07
Zona tesa: F=49.58 b_{eff}=13.20 t_w=0.70 σ=5.37
Zona tesa: F=49.58 b_{eff}=13.20 t_w=0.70 σ=5.37
CC 24 SLD (Collegamento -380_-516)
Azioni sul collegamento: N=123.12 Ty=0.25 Tz=-47.08 Mx=0.05 Mz=0.31
Zona tesa: F=49.58 b_{eff}=13.20 t_w=0.70 σ=5.37
Zona tesa: F=49.58 b_{eff}=13.20 t_w=0.70 σ=5.37

CC 24 SLD (Collegamento -380_-516)
Azioni sul collegamento: N=123.12 Ty=-0.00 Tz=-47.08 Mx=0.01 Mz=0.07
Zona tesa: F=49.58 b_{eff}=13.20 t_w=0.70 σ=5.37
Zona tesa: F=49.58 b_{eff}=13.20 t_w=0.70 σ=5.37
CC 24 SLD (Collegamento -380_-516)
Azioni sul collegamento: N=123.12 Ty=0.25 Tz=-47.08 Mx=0.05 Mz=0.31
Zona tesa: F=49.58 b_{eff}=13.20 t_w=0.70 σ=5.37
Zona tesa: F=49.58 b_{eff}=13.20 t_w=0.70 σ=5.37
CC 24 SLD (Collegamento -380_-516)
Azioni sul collegamento: N=134.21 Ty=-0.00 Tz=-48.79 Mx=0.01 Mz=0.07
Zona tesa: F=54.04 b_{eff}=13.20 t_w=0.70 σ=5.85
Zona tesa: F=54.04 b_{eff}=13.20 t_w=0.70 σ=5.85
CC 24 SLD (Collegamento -380_-516)
Azioni sul collegamento: N=134.21 Ty=0.25 Tz=-48.79 Mx=0.05 Mz=0.31
Zona tesa: F=54.04 b_{eff}=13.20 t_w=0.70 σ=5.85
Zona tesa: F=54.04 b_{eff}=13.20 t_w=0.70 σ=5.85
CC 24 SLD (Collegamento -380_-516)
Azioni sul collegamento: N=134.21 Ty=-0.00 Tz=-48.79 Mx=0.01 Mz=0.07
Zona tesa: F=54.04 b_{eff}=13.20 t_w=0.70 σ=5.85
Zona tesa: F=54.04 b_{eff}=13.20 t_w=0.70 σ=5.85
CC 24 SLD (Collegamento -380_-516)
Azioni sul collegamento: N=134.21 Ty=0.25 Tz=-48.79 Mx=0.05 Mz=0.31
Zona tesa: F=54.04 b_{eff}=13.20 t_w=0.70 σ=5.85
Zona tesa: F=54.04 b_{eff}=13.20 t_w=0.70 σ=5.85
CC 25 SLV (Collegamento -380_-516)
Azioni sul collegamento: N=134.13 Ty=1.95 Tz=-48.78 Mx=0.32 Mz=1.99
Zona tesa: F=54.01 b_{eff}=13.20 t_w=0.70 σ=5.85
Zona tesa: F=54.01 b_{eff}=13.20 t_w=0.70 σ=5.85
CC 25 SLV (Collegamento -380_-516)
Azioni sul collegamento: N=134.13 Ty=-0.81 Tz=-48.78 Mx=-0.07 Mz=-0.53
Zona tesa: F=54.01 b_{eff}=13.20 t_w=0.70 σ=5.85
Zona tesa: F=54.01 b_{eff}=13.20 t_w=0.70 σ=5.85
CC 25 SLV (Collegamento -380_-516)
Azioni sul collegamento: N=134.13 Ty=1.95 Tz=-48.78 Mx=0.32 Mz=1.99
Zona tesa: F=54.01 b_{eff}=13.20 t_w=0.70 σ=5.85
Zona tesa: F=54.01 b_{eff}=13.20 t_w=0.70 σ=5.85
CC 25 SLV (Collegamento -380_-516)
Azioni sul collegamento: N=134.13 Ty=-0.81 Tz=-48.78 Mx=-0.07 Mz=-0.53
Zona tesa: F=54.01 b_{eff}=13.20 t_w=0.70 σ=5.85
Zona tesa: F=54.01 b_{eff}=13.20 t_w=0.70 σ=5.85
CC 25 SLV (Collegamento -380_-516)
Azioni sul collegamento: N=123.17 Ty=1.95 Tz=-47.08 Mx=0.32 Mz=1.99
Zona tesa: F=49.60 b_{eff}=13.20 t_w=0.70 σ=5.37
Zona tesa: F=49.60 b_{eff}=13.20 t_w=0.70 σ=5.37
CC 25 SLV (Collegamento -380_-516)
Azioni sul collegamento: N=123.17 Ty=-0.81 Tz=-47.08 Mx=-0.07 Mz=-0.53
Zona tesa: F=49.60 b_{eff}=13.20 t_w=0.70 σ=5.37
Zona tesa: F=49.60 b_{eff}=13.20 t_w=0.70 σ=5.37
CC 25 SLV (Collegamento -380_-516)
Azioni sul collegamento: N=123.17 Ty=1.95 Tz=-47.08 Mx=0.32 Mz=1.99
Zona tesa: F=49.60 b_{eff}=13.20 t_w=0.70 σ=5.37
Zona tesa: F=49.60 b_{eff}=13.20 t_w=0.70 σ=5.37
CC 25 SLV (Collegamento -380_-516)
Azioni sul collegamento: N=123.17 Ty=-0.81 Tz=-47.08 Mx=-0.07 Mz=-0.53
Zona tesa: F=49.60 b_{eff}=13.20 t_w=0.70 σ=5.37
Zona tesa: F=49.60 b_{eff}=13.20 t_w=0.70 σ=5.37
CC 26 SLD (Collegamento -380_-516)
Azioni sul collegamento: N=130.34 Ty=0.55 Tz=-48.19 Mx=0.09 Mz=0.57
Zona tesa: F=52.48 b_{eff}=13.20 t_w=0.70 σ=5.68
Zona tesa: F=52.48 b_{eff}=13.20 t_w=0.70 σ=5.68
CC 26 SLD (Collegamento -380_-516)
Azioni sul collegamento: N=130.34 Ty=-0.30 Tz=-48.19 Mx=-0.03 Mz=-0.20
Zona tesa: F=52.48 b_{eff}=13.20 t_w=0.70 σ=5.68
Zona tesa: F=52.48 b_{eff}=13.20 t_w=0.70 σ=5.68
CC 26 SLD (Collegamento -380_-516)
Azioni sul collegamento: N=130.34 Ty=0.55 Tz=-48.19 Mx=0.09 Mz=0.57
Zona tesa: F=52.48 b_{eff}=13.20 t_w=0.70 σ=5.68
Zona tesa: F=52.48 b_{eff}=13.20 t_w=0.70 σ=5.68
CC 26 SLD (Collegamento -380_-516)
Azioni sul collegamento: N=130.34 Ty=-0.30 Tz=-48.19 Mx=-0.03 Mz=-0.20
Zona tesa: F=52.48 b_{eff}=13.20 t_w=0.70 σ=5.68
Zona tesa: F=52.48 b_{eff}=13.20 t_w=0.70 σ=5.68
CC 26 SLD (Collegamento -380_-516)
Azioni sul collegamento: N=126.99 Ty=0.55 Tz=-47.68 Mx=0.09 Mz=0.57
Zona tesa: F=51.14 b_{eff}=13.20 t_w=0.70 σ=5.53
Zona tesa: F=51.14 b_{eff}=13.20 t_w=0.70 σ=5.53

CC 26 SLD (Collegamento -380_-516)
Azioni sul collegamento: N=126.99 Ty=-0.30 Tz=-47.68 Mx=-0.03 Mz=-0.20
Zona tesa: F=51.14 b_{eff}=13.20 t_w=0.70 σ=5.53
Zona tesa: F=51.14 b_{eff}=13.20 t_w=0.70 σ=5.53
CC 26 SLD (Collegamento -380_-516)
Azioni sul collegamento: N=126.99 Ty=0.55 Tz=-47.68 Mx=0.09 Mz=0.57
Zona tesa: F=51.14 b_{eff}=13.20 t_w=0.70 σ=5.53
Zona tesa: F=51.14 b_{eff}=13.20 t_w=0.70 σ=5.53
CC 26 SLD (Collegamento -380_-516)
Azioni sul collegamento: N=126.99 Ty=-0.30 Tz=-47.68 Mx=-0.03 Mz=-0.20
Zona tesa: F=51.14 b_{eff}=13.20 t_w=0.70 σ=5.53
Zona tesa: F=51.14 b_{eff}=13.20 t_w=0.70 σ=5.53
CC 27 SLV (Collegamento -380_-516)
Azioni sul collegamento: N=123.23 Ty=1.94 Tz=-47.09 Mx=0.32 Mz=1.98
Zona tesa: F=49.62 b_{eff}=13.20 t_w=0.70 σ=5.37
Zona tesa: F=49.62 b_{eff}=13.20 t_w=0.70 σ=5.37
CC 27 SLV (Collegamento -380_-516)
Azioni sul collegamento: N=123.23 Ty=-0.81 Tz=-47.09 Mx=-0.07 Mz=-0.53
Zona tesa: F=49.62 b_{eff}=13.20 t_w=0.70 σ=5.37
Zona tesa: F=49.62 b_{eff}=13.20 t_w=0.70 σ=5.37
CC 27 SLV (Collegamento -380_-516)
Azioni sul collegamento: N=123.23 Ty=1.94 Tz=-47.09 Mx=0.32 Mz=1.98
Zona tesa: F=49.62 b_{eff}=13.20 t_w=0.70 σ=5.37
Zona tesa: F=49.62 b_{eff}=13.20 t_w=0.70 σ=5.37
CC 27 SLV (Collegamento -380_-516)
Azioni sul collegamento: N=123.23 Ty=-0.81 Tz=-47.09 Mx=-0.07 Mz=-0.53
Zona tesa: F=49.62 b_{eff}=13.20 t_w=0.70 σ=5.37
Zona tesa: F=49.62 b_{eff}=13.20 t_w=0.70 σ=5.37
CC 27 SLV (Collegamento -380_-516)
Azioni sul collegamento: N=134.07 Ty=1.94 Tz=-48.77 Mx=0.32 Mz=1.98
Zona tesa: F=53.99 b_{eff}=13.20 t_w=0.70 σ=5.84
Zona tesa: F=53.99 b_{eff}=13.20 t_w=0.70 σ=5.84
CC 27 SLV (Collegamento -380_-516)
Azioni sul collegamento: N=134.07 Ty=-0.81 Tz=-48.77 Mx=-0.07 Mz=-0.53
Zona tesa: F=53.99 b_{eff}=13.20 t_w=0.70 σ=5.84
Zona tesa: F=53.99 b_{eff}=13.20 t_w=0.70 σ=5.84
CC 27 SLV (Collegamento -380_-516)
Azioni sul collegamento: N=134.07 Ty=1.94 Tz=-48.77 Mx=0.32 Mz=1.98
Zona tesa: F=53.99 b_{eff}=13.20 t_w=0.70 σ=5.84
Zona tesa: F=53.99 b_{eff}=13.20 t_w=0.70 σ=5.84
CC 27 SLV (Collegamento -380_-516)
Azioni sul collegamento: N=134.07 Ty=-0.81 Tz=-48.77 Mx=-0.07 Mz=-0.53
Zona tesa: F=53.99 b_{eff}=13.20 t_w=0.70 σ=5.84
Zona tesa: F=53.99 b_{eff}=13.20 t_w=0.70 σ=5.84
CC 28 SLD (Collegamento -380_-516)
Azioni sul collegamento: N=127.01 Ty=0.55 Tz=-47.68 Mx=0.09 Mz=0.57
Zona tesa: F=51.14 b_{eff}=13.20 t_w=0.70 σ=5.54
Zona tesa: F=51.14 b_{eff}=13.20 t_w=0.70 σ=5.54
CC 28 SLD (Collegamento -380_-516)
Azioni sul collegamento: N=127.01 Ty=-0.29 Tz=-47.68 Mx=-0.03 Mz=-0.19
Zona tesa: F=51.14 b_{eff}=13.20 t_w=0.70 σ=5.54
Zona tesa: F=51.14 b_{eff}=13.20 t_w=0.70 σ=5.54
CC 28 SLD (Collegamento -380_-516)
Azioni sul collegamento: N=127.01 Ty=0.55 Tz=-47.68 Mx=0.09 Mz=0.57
Zona tesa: F=51.14 b_{eff}=13.20 t_w=0.70 σ=5.54
Zona tesa: F=51.14 b_{eff}=13.20 t_w=0.70 σ=5.54
CC 28 SLD (Collegamento -380_-516)
Azioni sul collegamento: N=127.01 Ty=-0.29 Tz=-47.68 Mx=-0.03 Mz=-0.19
Zona tesa: F=51.14 b_{eff}=13.20 t_w=0.70 σ=5.54
Zona tesa: F=51.14 b_{eff}=13.20 t_w=0.70 σ=5.54
CC 28 SLD (Collegamento -380_-516)
Azioni sul collegamento: N=130.32 Ty=0.55 Tz=-48.19 Mx=0.09 Mz=0.57
Zona tesa: F=52.48 b_{eff}=13.20 t_w=0.70 σ=5.68
Zona tesa: F=52.48 b_{eff}=13.20 t_w=0.70 σ=5.68
CC 28 SLD (Collegamento -380_-516)
Azioni sul collegamento: N=130.32 Ty=-0.29 Tz=-48.19 Mx=-0.03 Mz=-0.19
Zona tesa: F=52.48 b_{eff}=13.20 t_w=0.70 σ=5.68
Zona tesa: F=52.48 b_{eff}=13.20 t_w=0.70 σ=5.68
CC 28 SLD (Collegamento -380_-516)
Azioni sul collegamento: N=130.32 Ty=0.55 Tz=-48.19 Mx=0.09 Mz=0.57
Zona tesa: F=52.48 b_{eff}=13.20 t_w=0.70 σ=5.68
Zona tesa: F=52.48 b_{eff}=13.20 t_w=0.70 σ=5.68
CC 28 SLD (Collegamento -380_-516)
Azioni sul collegamento: N=130.32 Ty=-0.29 Tz=-48.19 Mx=-0.03 Mz=-0.19
Zona tesa: F=52.48 b_{eff}=13.20 t_w=0.70 σ=5.68
Zona tesa: F=52.48 b_{eff}=13.20 t_w=0.70 σ=5.68

CC 29 SLV (Collegamento -380_-516)
Azioni sul collegamento: N=134.07 Ty=-0.81 Tz=-48.77 Mx=-0.08 Mz=-0.52
Zona tesa: F=53.99 b_{eff}=13.20 t_w=0.70 σ=5.84
Zona tesa: F=53.99 b_{eff}=13.20 t_w=0.70 σ=5.84
CC 29 SLV (Collegamento -380_-516)
Azioni sul collegamento: N=134.07 Ty=1.94 Tz=-48.77 Mx=0.30 Mz=1.98
Zona tesa: F=53.99 b_{eff}=13.20 t_w=0.70 σ=5.84
Zona tesa: F=53.99 b_{eff}=13.20 t_w=0.70 σ=5.84
CC 29 SLV (Collegamento -380_-516)
Azioni sul collegamento: N=134.07 Ty=-0.81 Tz=-48.77 Mx=-0.08 Mz=-0.52
Zona tesa: F=53.99 b_{eff}=13.20 t_w=0.70 σ=5.84
Zona tesa: F=53.99 b_{eff}=13.20 t_w=0.70 σ=5.84
CC 29 SLV (Collegamento -380_-516)
Azioni sul collegamento: N=134.07 Ty=1.94 Tz=-48.77 Mx=0.30 Mz=1.98
Zona tesa: F=53.99 b_{eff}=13.20 t_w=0.70 σ=5.84
Zona tesa: F=53.99 b_{eff}=13.20 t_w=0.70 σ=5.84
CC 29 SLV (Collegamento -380_-516)
Azioni sul collegamento: N=123.23 Ty=-0.81 Tz=-47.09 Mx=-0.08 Mz=-0.52
Zona tesa: F=49.62 b_{eff}=13.20 t_w=0.70 σ=5.37
Zona tesa: F=49.62 b_{eff}=13.20 t_w=0.70 σ=5.37
CC 29 SLV (Collegamento -380_-516)
Azioni sul collegamento: N=123.23 Ty=1.94 Tz=-47.09 Mx=0.30 Mz=1.98
Zona tesa: F=49.62 b_{eff}=13.20 t_w=0.70 σ=5.37
Zona tesa: F=49.62 b_{eff}=13.20 t_w=0.70 σ=5.37
CC 29 SLV (Collegamento -380_-516)
Azioni sul collegamento: N=123.23 Ty=-0.81 Tz=-47.09 Mx=-0.08 Mz=-0.52
Zona tesa: F=49.62 b_{eff}=13.20 t_w=0.70 σ=5.37
Zona tesa: F=49.62 b_{eff}=13.20 t_w=0.70 σ=5.37
CC 29 SLV (Collegamento -380_-516)
Azioni sul collegamento: N=123.23 Ty=1.94 Tz=-47.09 Mx=0.30 Mz=1.98
Zona tesa: F=49.62 b_{eff}=13.20 t_w=0.70 σ=5.37
Zona tesa: F=49.62 b_{eff}=13.20 t_w=0.70 σ=5.37
CC 30 SLD (Collegamento -380_-516)
Azioni sul collegamento: N=130.32 Ty=-0.29 Tz=-48.19 Mx=-0.03 Mz=-0.19
Zona tesa: F=52.48 b_{eff}=13.20 t_w=0.70 σ=5.68
Zona tesa: F=52.48 b_{eff}=13.20 t_w=0.70 σ=5.68
CC 30 SLD (Collegamento -380_-516)
Azioni sul collegamento: N=130.32 Ty=0.55 Tz=-48.19 Mx=0.09 Mz=0.57
Zona tesa: F=52.48 b_{eff}=13.20 t_w=0.70 σ=5.68
Zona tesa: F=52.48 b_{eff}=13.20 t_w=0.70 σ=5.68
CC 30 SLD (Collegamento -380_-516)
Azioni sul collegamento: N=130.32 Ty=-0.29 Tz=-48.19 Mx=-0.03 Mz=-0.19
Zona tesa: F=52.48 b_{eff}=13.20 t_w=0.70 σ=5.68
Zona tesa: F=52.48 b_{eff}=13.20 t_w=0.70 σ=5.68
CC 30 SLD (Collegamento -380_-516)
Azioni sul collegamento: N=130.32 Ty=0.55 Tz=-48.19 Mx=0.09 Mz=0.57
Zona tesa: F=52.48 b_{eff}=13.20 t_w=0.70 σ=5.68
Zona tesa: F=52.48 b_{eff}=13.20 t_w=0.70 σ=5.68
CC 30 SLD (Collegamento -380_-516)
Azioni sul collegamento: N=127.01 Ty=-0.29 Tz=-47.68 Mx=-0.03 Mz=-0.19
Zona tesa: F=51.14 b_{eff}=13.20 t_w=0.70 σ=5.54
Zona tesa: F=51.14 b_{eff}=13.20 t_w=0.70 σ=5.54
CC 30 SLD (Collegamento -380_-516)
Azioni sul collegamento: N=127.01 Ty=0.55 Tz=-47.68 Mx=0.09 Mz=0.57
Zona tesa: F=51.14 b_{eff}=13.20 t_w=0.70 σ=5.54
Zona tesa: F=51.14 b_{eff}=13.20 t_w=0.70 σ=5.54
CC 30 SLD (Collegamento -380_-516)
Azioni sul collegamento: N=127.01 Ty=-0.29 Tz=-47.68 Mx=-0.03 Mz=-0.19
Zona tesa: F=51.14 b_{eff}=13.20 t_w=0.70 σ=5.54
Zona tesa: F=51.14 b_{eff}=13.20 t_w=0.70 σ=5.54
CC 30 SLD (Collegamento -380_-516)
Azioni sul collegamento: N=127.01 Ty=0.55 Tz=-47.68 Mx=0.09 Mz=0.57
Zona tesa: F=51.14 b_{eff}=13.20 t_w=0.70 σ=5.54
Zona tesa: F=51.14 b_{eff}=13.20 t_w=0.70 σ=5.54
CC 31 SLV (Collegamento -380_-516)
Azioni sul collegamento: N=123.17 Ty=-0.81 Tz=-47.08 Mx=-0.08 Mz=-0.53
Zona tesa: F=49.60 b_{eff}=13.20 t_w=0.70 σ=5.37
Zona tesa: F=49.60 b_{eff}=13.20 t_w=0.70 σ=5.37
CC 31 SLV (Collegamento -380_-516)
Azioni sul collegamento: N=123.17 Ty=1.95 Tz=-47.08 Mx=0.31 Mz=1.99
Zona tesa: F=49.60 b_{eff}=13.20 t_w=0.70 σ=5.37
Zona tesa: F=49.60 b_{eff}=13.20 t_w=0.70 σ=5.37
CC 31 SLV (Collegamento -380_-516)
Azioni sul collegamento: N=123.17 Ty=-0.81 Tz=-47.08 Mx=-0.08 Mz=-0.53
Zona tesa: F=49.60 b_{eff}=13.20 t_w=0.70 σ=5.37
Zona tesa: F=49.60 b_{eff}=13.20 t_w=0.70 σ=5.37

CC 31 SLV (Collegamento -380_-516)
Azioni sul collegamento: N=123.17 Ty=1.95 Tz=-47.08 Mx=0.31 Mz=1.99
Zona tesa: F=49.60 b_{eff}=13.20 t_w=0.70 σ=5.37
Zona tesa: F=49.60 b_{eff}=13.20 t_w=0.70 σ=5.37
CC 31 SLV (Collegamento -380_-516)
Azioni sul collegamento: N=134.13 Ty=-0.81 Tz=-48.78 Mx=-0.08 Mz=-0.53
Zona tesa: F=54.01 b_{eff}=13.20 t_w=0.70 σ=5.85
Zona tesa: F=54.01 b_{eff}=13.20 t_w=0.70 σ=5.85
CC 31 SLV (Collegamento -380_-516)
Azioni sul collegamento: N=134.13 Ty=1.95 Tz=-48.78 Mx=0.31 Mz=1.99
Zona tesa: F=54.01 b_{eff}=13.20 t_w=0.70 σ=5.85
Zona tesa: F=54.01 b_{eff}=13.20 t_w=0.70 σ=5.85
CC 31 SLV (Collegamento -380_-516)
Azioni sul collegamento: N=134.13 Ty=-0.81 Tz=-48.78 Mx=-0.08 Mz=-0.53
Zona tesa: F=54.01 b_{eff}=13.20 t_w=0.70 σ=5.85
Zona tesa: F=54.01 b_{eff}=13.20 t_w=0.70 σ=5.85
CC 31 SLV (Collegamento -380_-516)
Azioni sul collegamento: N=134.13 Ty=1.95 Tz=-48.78 Mx=0.31 Mz=1.99
Zona tesa: F=54.01 b_{eff}=13.20 t_w=0.70 σ=5.85
Zona tesa: F=54.01 b_{eff}=13.20 t_w=0.70 σ=5.85
CC 32 SLD (Collegamento -380_-516)
Azioni sul collegamento: N=126.99 Ty=-0.30 Tz=-47.68 Mx=-0.03 Mz=-0.20
Zona tesa: F=51.14 b_{eff}=13.20 t_w=0.70 σ=5.53
Zona tesa: F=51.14 b_{eff}=13.20 t_w=0.70 σ=5.53
CC 32 SLD (Collegamento -380_-516)
Azioni sul collegamento: N=126.99 Ty=0.55 Tz=-47.68 Mx=0.09 Mz=0.57
Zona tesa: F=51.14 b_{eff}=13.20 t_w=0.70 σ=5.53
Zona tesa: F=51.14 b_{eff}=13.20 t_w=0.70 σ=5.53
CC 32 SLD (Collegamento -380_-516)
Azioni sul collegamento: N=126.99 Ty=-0.30 Tz=-47.68 Mx=-0.03 Mz=-0.20
Zona tesa: F=51.14 b_{eff}=13.20 t_w=0.70 σ=5.53
Zona tesa: F=51.14 b_{eff}=13.20 t_w=0.70 σ=5.53
CC 32 SLD (Collegamento -380_-516)
Azioni sul collegamento: N=126.99 Ty=0.55 Tz=-47.68 Mx=0.09 Mz=0.57
Zona tesa: F=51.14 b_{eff}=13.20 t_w=0.70 σ=5.53
Zona tesa: F=51.14 b_{eff}=13.20 t_w=0.70 σ=5.53
CC 32 SLD (Collegamento -380_-516)
Azioni sul collegamento: N=130.34 Ty=-0.30 Tz=-48.19 Mx=-0.03 Mz=-0.20
Zona tesa: F=52.48 b_{eff}=13.20 t_w=0.70 σ=5.68
Zona tesa: F=52.48 b_{eff}=13.20 t_w=0.70 σ=5.68
CC 32 SLD (Collegamento -380_-516)
Azioni sul collegamento: N=130.34 Ty=0.55 Tz=-48.19 Mx=0.09 Mz=0.57
Zona tesa: F=52.48 b_{eff}=13.20 t_w=0.70 σ=5.68
Zona tesa: F=52.48 b_{eff}=13.20 t_w=0.70 σ=5.68
CC 32 SLD (Collegamento -380_-516)
Azioni sul collegamento: N=130.34 Ty=-0.30 Tz=-48.19 Mx=-0.03 Mz=-0.20
Zona tesa: F=52.48 b_{eff}=13.20 t_w=0.70 σ=5.68
Zona tesa: F=52.48 b_{eff}=13.20 t_w=0.70 σ=5.68
CC 32 SLD (Collegamento -380_-516)
Azioni sul collegamento: N=130.34 Ty=0.55 Tz=-48.19 Mx=0.09 Mz=0.57
Zona tesa: F=52.48 b_{eff}=13.20 t_w=0.70 σ=5.68
Zona tesa: F=52.48 b_{eff}=13.20 t_w=0.70 σ=5.68
CC 33 SLU (Collegamento -380_-516)
Azioni sul collegamento: N=333.98 Ty=-0.11 Tz=-89.52 Mx=-0.01 Mz=-0.07
Zona tesa: F=134.49 b_{eff}=13.20 t_w=0.70 σ=14.55
Zona tesa: F=134.49 b_{eff}=13.20 t_w=0.70 σ=14.55
CC 34 SLU (Collegamento -380_-516)
Azioni sul collegamento: N=330.18 Ty=-0.11 Tz=-88.93 Mx=-0.01 Mz=-0.07
Zona tesa: F=132.96 b_{eff}=13.20 t_w=0.70 σ=14.39
Zona tesa: F=132.96 b_{eff}=13.20 t_w=0.70 σ=14.39
CC 35 SLU (Collegamento -380_-516)
Azioni sul collegamento: N=332.07 Ty=0.03 Tz=-89.22 Mx=0.01 Mz=0.06
Zona tesa: F=133.72 b_{eff}=13.20 t_w=0.70 σ=14.47
Zona tesa: F=133.72 b_{eff}=13.20 t_w=0.70 σ=14.47
CC 36 SLU (Collegamento -380_-516)
Azioni sul collegamento: N=332.08 Ty=-0.25 Tz=-89.22 Mx=-0.03 Mz=-0.20
Zona tesa: F=133.72 b_{eff}=13.20 t_w=0.70 σ=14.47
Zona tesa: F=133.72 b_{eff}=13.20 t_w=0.70 σ=14.47
CC 37 SLU (Collegamento -380_-516)
Azioni sul collegamento: N=265.40 Ty=-0.11 Tz=-78.90 Mx=-0.01 Mz=-0.08
Zona tesa: F=106.87 b_{eff}=13.20 t_w=0.70 σ=11.57
Zona tesa: F=106.87 b_{eff}=13.20 t_w=0.70 σ=11.57
CC 38 SLU (Collegamento -380_-516)
Azioni sul collegamento: N=261.61 Ty=-0.11 Tz=-78.32 Mx=-0.01 Mz=-0.08
Zona tesa: F=105.34 b_{eff}=13.20 t_w=0.70 σ=11.40
Zona tesa: F=105.34 b_{eff}=13.20 t_w=0.70 σ=11.40

CC 39 SLU (Collegamento -380_-516)
Azioni sul collegamento: N=263.50 Ty=0.03 Tz=-78.61 Mx=0.01 Mz=0.05
Zona tesa: F=106.11 b_{eff}=13.20 t_w=0.70 σ=11.48
Zona tesa: F=106.11 b_{eff}=13.20 t_w=0.70 σ=11.48
CC 40 SLU (Collegamento -380_-516)
Azioni sul collegamento: N=263.50 Ty=-0.25 Tz=-78.61 Mx=-0.03 Mz=-0.21
Zona tesa: F=106.11 b_{eff}=13.20 t_w=0.70 σ=11.48
Zona tesa: F=106.11 b_{eff}=13.20 t_w=0.70 σ=11.48
CC 41 SLU (Collegamento -380_-516)
Azioni sul collegamento: N=344.53 Ty=-0.10 Tz=-91.15 Mx=-0.01 Mz=-0.07
Zona tesa: F=138.74 b_{eff}=13.20 t_w=0.70 σ=15.01
Zona tesa: F=138.74 b_{eff}=13.20 t_w=0.70 σ=15.01
CC 42 SLU (Collegamento -380_-516)
Azioni sul collegamento: N=340.73 Ty=-0.10 Tz=-90.56 Mx=-0.01 Mz=-0.07
Zona tesa: F=137.21 b_{eff}=13.20 t_w=0.70 σ=14.85
Zona tesa: F=137.21 b_{eff}=13.20 t_w=0.70 σ=14.85
CC 43 SLU (Collegamento -380_-516)
Azioni sul collegamento: N=342.63 Ty=0.04 Tz=-90.86 Mx=0.01 Mz=0.06
Zona tesa: F=137.97 b_{eff}=13.20 t_w=0.70 σ=14.93
Zona tesa: F=137.97 b_{eff}=13.20 t_w=0.70 σ=14.93
CC 44 SLU (Collegamento -380_-516)
Azioni sul collegamento: N=342.63 Ty=-0.24 Tz=-90.86 Mx=-0.03 Mz=-0.20
Zona tesa: F=137.97 b_{eff}=13.20 t_w=0.70 σ=14.93
Zona tesa: F=137.97 b_{eff}=13.20 t_w=0.70 σ=14.93
CC 45 SLU (Collegamento -380_-516)
Azioni sul collegamento: N=280.60 Ty=-0.11 Tz=-81.26 Mx=-0.01 Mz=-0.08
Zona tesa: F=112.99 b_{eff}=13.20 t_w=0.70 σ=12.23
Zona tesa: F=112.99 b_{eff}=13.20 t_w=0.70 σ=12.23
CC 46 SLU (Collegamento -380_-516)
Azioni sul collegamento: N=276.80 Ty=-0.11 Tz=-80.67 Mx=-0.01 Mz=-0.08
Zona tesa: F=111.46 b_{eff}=13.20 t_w=0.70 σ=12.06
Zona tesa: F=111.46 b_{eff}=13.20 t_w=0.70 σ=12.06
CC 47 SLU (Collegamento -380_-516)
Azioni sul collegamento: N=278.70 Ty=0.03 Tz=-80.96 Mx=0.01 Mz=0.05
Zona tesa: F=112.23 b_{eff}=13.20 t_w=0.70 σ=12.15
Zona tesa: F=112.23 b_{eff}=13.20 t_w=0.70 σ=12.15
CC 48 SLU (Collegamento -380_-516)
Azioni sul collegamento: N=278.70 Ty=-0.25 Tz=-80.96 Mx=-0.03 Mz=-0.21
Zona tesa: F=112.23 b_{eff}=13.20 t_w=0.70 σ=12.15
Zona tesa: F=112.23 b_{eff}=13.20 t_w=0.70 σ=12.15
CC 49 SLU (Collegamento -380_-516)
Azioni sul collegamento: N=229.29 Ty=-0.11 Tz=-73.32 Mx=-0.01 Mz=-0.09
Zona tesa: F=92.33 b_{eff}=13.20 t_w=0.70 σ=9.99
Zona tesa: F=92.33 b_{eff}=13.20 t_w=0.70 σ=9.99
CC 50 SLU (Collegamento -380_-516)
Azioni sul collegamento: N=225.50 Ty=-0.11 Tz=-72.73 Mx=-0.01 Mz=-0.08
Zona tesa: F=90.80 b_{eff}=13.20 t_w=0.70 σ=9.83
Zona tesa: F=90.80 b_{eff}=13.20 t_w=0.70 σ=9.83
CC 51 SLU (Collegamento -380_-516)
Azioni sul collegamento: N=227.39 Ty=0.03 Tz=-73.02 Mx=0.01 Mz=0.05
Zona tesa: F=91.57 b_{eff}=13.20 t_w=0.70 σ=9.91
Zona tesa: F=91.57 b_{eff}=13.20 t_w=0.70 σ=9.91
CC 52 SLU (Collegamento -380_-516)
Azioni sul collegamento: N=227.40 Ty=-0.26 Tz=-73.02 Mx=-0.03 Mz=-0.21
Zona tesa: F=91.57 b_{eff}=13.20 t_w=0.70 σ=9.91
Zona tesa: F=91.57 b_{eff}=13.20 t_w=0.70 σ=9.91
CC 53 SLU (Collegamento -380_-516)
Azioni sul collegamento: N=288.49 Ty=-0.11 Tz=-82.48 Mx=-0.01 Mz=-0.08
Zona tesa: F=116.17 b_{eff}=13.20 t_w=0.70 σ=12.57
Zona tesa: F=116.17 b_{eff}=13.20 t_w=0.70 σ=12.57
CC 54 SLU (Collegamento -380_-516)
Azioni sul collegamento: N=284.70 Ty=-0.10 Tz=-81.89 Mx=-0.01 Mz=-0.07
Zona tesa: F=114.64 b_{eff}=13.20 t_w=0.70 σ=12.41
Zona tesa: F=114.64 b_{eff}=13.20 t_w=0.70 σ=12.41
CC 55 SLU (Collegamento -380_-516)
Azioni sul collegamento: N=286.59 Ty=0.04 Tz=-82.18 Mx=0.01 Mz=0.06
Zona tesa: F=115.41 b_{eff}=13.20 t_w=0.70 σ=12.49
Zona tesa: F=115.41 b_{eff}=13.20 t_w=0.70 σ=12.49
CC 56 SLU (Collegamento -380_-516)
Azioni sul collegamento: N=286.60 Ty=-0.25 Tz=-82.18 Mx=-0.03 Mz=-0.21
Zona tesa: F=115.41 b_{eff}=13.20 t_w=0.70 σ=12.49
Zona tesa: F=115.41 b_{eff}=13.20 t_w=0.70 σ=12.49
CC 57 SLU (Collegamento -380_-516)
Azioni sul collegamento: N=269.35 Ty=-0.10 Tz=-79.52 Mx=-0.01 Mz=-0.07
Zona tesa: F=108.47 b_{eff}=13.20 t_w=0.70 σ=11.74
Zona tesa: F=108.47 b_{eff}=13.20 t_w=0.70 σ=11.74

CC 58 SLU (Collegamento -380_-516)
Azioni sul collegamento: N=265.56 Ty=-0.10 Tz=-78.93 Mx=-0.01 Mz=-0.07
Zona tesa: F=106.94 b_{eff}=13.20 t_w=0.70 σ=11.57
Zona tesa: F=106.94 b_{eff}=13.20 t_w=0.70 σ=11.57
CC 59 SLU (Collegamento -380_-516)
Azioni sul collegamento: N=267.45 Ty=0.04 Tz=-79.22 Mx=0.01 Mz=0.06
Zona tesa: F=107.70 b_{eff}=13.20 t_w=0.70 σ=11.66
Zona tesa: F=107.70 b_{eff}=13.20 t_w=0.70 σ=11.66
CC 60 SLU (Collegamento -380_-516)
Azioni sul collegamento: N=267.46 Ty=-0.25 Tz=-79.22 Mx=-0.03 Mz=-0.20
Zona tesa: F=107.70 b_{eff}=13.20 t_w=0.70 σ=11.66
Zona tesa: F=107.70 b_{eff}=13.20 t_w=0.70 σ=11.66
CC 61 SLU (Collegamento -380_-516)
Azioni sul collegamento: N=218.05 Ty=-0.11 Tz=-71.58 Mx=-0.01 Mz=-0.08
Zona tesa: F=87.81 b_{eff}=13.20 t_w=0.70 σ=9.50
Zona tesa: F=87.81 b_{eff}=13.20 t_w=0.70 σ=9.50
CC 62 SLU (Collegamento -380_-516)
Azioni sul collegamento: N=214.25 Ty=-0.10 Tz=-70.99 Mx=-0.01 Mz=-0.08
Zona tesa: F=86.28 b_{eff}=13.20 t_w=0.70 σ=9.34
Zona tesa: F=86.28 b_{eff}=13.20 t_w=0.70 σ=9.34
CC 63 SLU (Collegamento -380_-516)
Azioni sul collegamento: N=216.15 Ty=0.04 Tz=-71.28 Mx=0.01 Mz=0.05
Zona tesa: F=87.04 b_{eff}=13.20 t_w=0.70 σ=9.42
Zona tesa: F=87.04 b_{eff}=13.20 t_w=0.70 σ=9.42
CC 64 SLU (Collegamento -380_-516)
Azioni sul collegamento: N=216.16 Ty=-0.25 Tz=-71.28 Mx=-0.03 Mz=-0.21
Zona tesa: F=87.04 b_{eff}=13.20 t_w=0.70 σ=9.42
Zona tesa: F=87.04 b_{eff}=13.20 t_w=0.70 σ=9.42
CC 65 SLU (Collegamento -380_-516)
Azioni sul collegamento: N=277.25 Ty=-0.10 Tz=-80.74 Mx=-0.01 Mz=-0.07
Zona tesa: F=111.64 b_{eff}=13.20 t_w=0.70 σ=12.08
Zona tesa: F=111.64 b_{eff}=13.20 t_w=0.70 σ=12.08
CC 66 SLU (Collegamento -380_-516)
Azioni sul collegamento: N=273.45 Ty=-0.10 Tz=-80.15 Mx=-0.01 Mz=-0.07
Zona tesa: F=110.12 b_{eff}=13.20 t_w=0.70 σ=11.92
Zona tesa: F=110.12 b_{eff}=13.20 t_w=0.70 σ=11.92
CC 67 SLU (Collegamento -380_-516)
Azioni sul collegamento: N=275.35 Ty=0.05 Tz=-80.44 Mx=0.01 Mz=0.06
Zona tesa: F=110.88 b_{eff}=13.20 t_w=0.70 σ=12.00
Zona tesa: F=110.88 b_{eff}=13.20 t_w=0.70 σ=12.00
CC 68 SLU (Collegamento -380_-516)
Azioni sul collegamento: N=275.36 Ty=-0.24 Tz=-80.44 Mx=-0.03 Mz=-0.20
Zona tesa: F=110.88 b_{eff}=13.20 t_w=0.70 σ=12.00
Zona tesa: F=110.88 b_{eff}=13.20 t_w=0.70 σ=12.00
CC 97 SLU (Collegamento -380_-516)
Azioni sul collegamento: N=182.32 Ty=-12.54 Tz=-56.24 Mx=-1.50 Mz=-9.93
Zona tesa: F=73.42 b_{eff}=13.20 t_w=0.70 σ=7.95
Zona tesa: F=73.42 b_{eff}=13.20 t_w=0.70 σ=7.95
CC 98 SLU (Collegamento -380_-516)
Azioni sul collegamento: N=178.53 Ty=-12.54 Tz=-55.65 Mx=-1.50 Mz=-9.93
Zona tesa: F=71.89 b_{eff}=13.20 t_w=0.70 σ=7.78
Zona tesa: F=71.89 b_{eff}=13.20 t_w=0.70 σ=7.78
CC 99 SLU (Collegamento -380_-516)
Azioni sul collegamento: N=180.42 Ty=-12.40 Tz=-55.94 Mx=-1.48 Mz=-9.80
Zona tesa: F=72.65 b_{eff}=13.20 t_w=0.70 σ=7.86
Zona tesa: F=72.65 b_{eff}=13.20 t_w=0.70 σ=7.86
CC 100 SLU (Collegamento -380_-516)
Azioni sul collegamento: N=180.43 Ty=-12.68 Tz=-55.95 Mx=-1.52 Mz=-10.06
Zona tesa: F=72.66 b_{eff}=13.20 t_w=0.70 σ=7.86
Zona tesa: F=72.66 b_{eff}=13.20 t_w=0.70 σ=7.86
CC 101 SLU (Collegamento -380_-516)
Azioni sul collegamento: N=134.06 Ty=1.86 Tz=-48.77 Mx=0.26 Mz=1.69
Zona tesa: F=53.98 b_{eff}=13.20 t_w=0.70 σ=5.84
Zona tesa: F=53.98 b_{eff}=13.20 t_w=0.70 σ=5.84
CC 102 SLU (Collegamento -380_-516)
Azioni sul collegamento: N=130.26 Ty=1.86 Tz=-48.18 Mx=0.26 Mz=1.69
Zona tesa: F=52.45 b_{eff}=13.20 t_w=0.70 σ=5.68
Zona tesa: F=52.45 b_{eff}=13.20 t_w=0.70 σ=5.68
CC 103 SLU (Collegamento -380_-516)
Azioni sul collegamento: N=132.16 Ty=2.00 Tz=-48.47 Mx=0.28 Mz=1.82
Zona tesa: F=53.22 b_{eff}=13.20 t_w=0.70 σ=5.76
Zona tesa: F=53.22 b_{eff}=13.20 t_w=0.70 σ=5.76
CC 104 SLU (Collegamento -380_-516)
Azioni sul collegamento: N=132.16 Ty=1.72 Tz=-48.48 Mx=0.24 Mz=1.56
Zona tesa: F=53.22 b_{eff}=13.20 t_w=0.70 σ=5.76
Zona tesa: F=53.22 b_{eff}=13.20 t_w=0.70 σ=5.76

Collegamento -381_-519

Saldatura a cordone d'angolo
Altezza di gola saldature: anima 7.07 - ala 7.07

Saldatura profilo-profilo

CC 98 SLU (Collegamento -381_-519)
Azioni sul collegamento: N=195.53 Ty=2.04 Tz=-68.09 Mx=0.44 Mz=3.04
Sollecitazioni agenti localmente: Tx_l=2.04 Ty_l=-68.09 N_l=195.53 My_l=-3.04 Mz_l=0.44
Azioni sul cordone: TP=-0.66 TO=5.36 NO=14.39
Tensioni nel cordone: τ_P=0.21 τ_0=1.70 σ_0=9.01 σ_{ID}=9.17 Σ_T=10.71
CC 100 SLU (Collegamento -381_-519)
Azioni sul collegamento: N=194.38 Ty=2.11 Tz=-67.91 Mx=0.45 Mz=3.10
Sollecitazioni agenti localmente: Tx_l=2.11 Ty_l=-67.91 N_l=194.38 My_l=-3.10 Mz_l=0.45
Azioni sul cordone: TP=-0.68 TO=5.35 NO=14.30
Tensioni nel cordone: τ_P=0.22 τ_0=1.70 σ_0=9.07 σ_{ID}=9.23 Σ_T=10.77

Verifica lato anima della colonna

CC 98 SLU (Collegamento -381_-519)
Azioni sul collegamento: N=195.53 Ty=2.04 Tz=-68.09 Mx=0.44 Mz=3.04
Zona tesa: F=78.74 b_{eff}=13.20 t_w=0.70 σ=8.52
Zona tesa: F=78.74 b_{eff}=13.20 t_w=0.70 σ=8.52

Collegamento -382_-520

Saldatura a cordone d'angolo
Altezza di gola saldature: anima 7.07 - ala 7.07

Saldatura profilo-profilo

CC 1 SLV (Collegamento -382_-520)
Azioni sul collegamento: N=159.97 Ty=-1.47 Tz=-52.78 Mx=-0.34 Mz=-1.98
Sollecitazioni agenti localmente: Tx_l=-1.47 Ty_l=-52.78 N_l=159.97 My_l=1.98 Mz_l=-0.34
Azioni sul cordone: TP=0.50 TO=4.15 NO=11.77
Tensioni nel cordone: τ_P=0.16 τ_0=1.32 σ_0=6.64 σ_{ID}=6.77 Σ_T=7.96
CC 1 SLV (Collegamento -382_-520)
Azioni sul collegamento: N=159.97 Ty=-3.35 Tz=-52.78 Mx=-0.71 Mz=-4.39
Sollecitazioni agenti localmente: Tx_l=-3.35 Ty_l=-52.78 N_l=159.97 My_l=4.39 Mz_l=-0.71
Azioni sul cordone: TP=1.07 TO=4.44 NO=11.77
Tensioni nel cordone: τ_P=0.34 τ_0=1.41 σ_0=10.16 σ_{ID}=10.26 Σ_T=11.57
CC 1 SLV (Collegamento -382_-520)
Azioni sul collegamento: N=159.97 Ty=-1.47 Tz=-52.78 Mx=-0.34 Mz=-1.98
Sollecitazioni agenti localmente: Tx_l=-1.47 Ty_l=-52.78 N_l=159.97 My_l=1.98 Mz_l=-0.34
Azioni sul cordone: TP=0.50 TO=4.15 NO=11.77
Tensioni nel cordone: τ_P=0.16 τ_0=1.32 σ_0=6.64 σ_{ID}=6.77 Σ_T=7.96
CC 1 SLV (Collegamento -382_-520)
Azioni sul collegamento: N=159.97 Ty=-3.35 Tz=-52.78 Mx=-0.71 Mz=-4.39
Sollecitazioni agenti localmente: Tx_l=-3.35 Ty_l=-52.78 N_l=159.97 My_l=4.39 Mz_l=-0.71
Azioni sul cordone: TP=1.07 TO=4.44 NO=11.77
Tensioni nel cordone: τ_P=0.34 τ_0=1.41 σ_0=10.16 σ_{ID}=10.26 Σ_T=11.57
CC 1 SLV (Collegamento -382_-520)
Azioni sul collegamento: N=117.75 Ty=-1.47 Tz=-46.25 Mx=-0.34 Mz=-1.98
Sollecitazioni agenti localmente: Tx_l=-1.47 Ty_l=-46.25 N_l=117.75 My_l=1.98 Mz_l=-0.34
Azioni sul cordone: TP=0.50 TO=3.67 NO=8.66
Tensioni nel cordone: τ_P=0.16 τ_0=1.17 σ_0=5.65 σ_{ID}=5.77 Σ_T=6.82
CC 1 SLV (Collegamento -382_-520)
Azioni sul collegamento: N=117.75 Ty=-3.35 Tz=-46.25 Mx=-0.71 Mz=-4.39
Sollecitazioni agenti localmente: Tx_l=-3.35 Ty_l=-46.25 N_l=117.75 My_l=4.39 Mz_l=-0.71
Azioni sul cordone: TP=1.07 TO=3.96 NO=8.66
Tensioni nel cordone: τ_P=0.34 τ_0=1.26 σ_0=9.17 σ_{ID}=9.26 Σ_T=10.43
CC 1 SLV (Collegamento -382_-520)
Azioni sul collegamento: N=117.75 Ty=-1.47 Tz=-46.25 Mx=-0.34 Mz=-1.98
Sollecitazioni agenti localmente: Tx_l=-1.47 Ty_l=-46.25 N_l=117.75 My_l=1.98 Mz_l=-0.34
Azioni sul cordone: TP=0.50 TO=3.67 NO=8.66
Tensioni nel cordone: τ_P=0.16 τ_0=1.17 σ_0=5.65 σ_{ID}=5.77 Σ_T=6.82
CC 1 SLV (Collegamento -382_-520)
Azioni sul collegamento: N=117.75 Ty=-3.35 Tz=-46.25 Mx=-0.71 Mz=-4.39
Sollecitazioni agenti localmente: Tx_l=-3.35 Ty_l=-46.25 N_l=117.75 My_l=4.39 Mz_l=-0.71
Azioni sul cordone: TP=1.07 TO=3.96 NO=8.66
Tensioni nel cordone: τ_P=0.34 τ_0=1.26 σ_0=9.17 σ_{ID}=9.26 Σ_T=10.43
CC 2 SLD (Collegamento -382_-520)
Azioni sul collegamento: N=145.42 Ty=-1.66 Tz=-50.53 Mx=-0.37 Mz=-2.26
Sollecitazioni agenti localmente: Tx_l=-1.66 Ty_l=-50.53 N_l=145.42 My_l=2.26 Mz_l=-0.37
Azioni sul cordone: TP=0.55 TO=4.01 NO=10.70
Tensioni nel cordone: τ_P=0.17 τ_0=1.27 σ_0=6.70 σ_{ID}=6.82 Σ_T=7.97
CC 2 SLD (Collegamento -382_-520)

Azioni sul collegamento: N=145.42 Ty=-2.23 Tz=-50.53 Mx=-0.49 Mz=-2.99
Sollecitazioni agenti localmente: Tx_l=-2.23 Ty_l=-50.53 N_l=145.42 My_l=2.99 Mz_l=-0.49
Azioni sul cordone: TP=0.72 TO=4.10 NO=10.70
Tensioni nel cordone: τ_P=0.23 τ_0=1.30 σ_0=7.77 σ_{ID}=7.88 Σ_T=9.07
CC 2 SLD (Collegamento -382_-520)
Azioni sul collegamento: N=145.42 Ty=-1.66 Tz=-50.53 Mx=-0.37 Mz=-2.26
Sollecitazioni agenti localmente: Tx_l=-1.66 Ty_l=-50.53 N_l=145.42 My_l=2.26 Mz_l=-0.37
Azioni sul cordone: TP=0.55 TO=4.01 NO=10.70
Tensioni nel cordone: τ_P=0.17 τ_0=1.27 σ_0=6.70 σ_{ID}=6.82 Σ_T=7.97
CC 2 SLD (Collegamento -382_-520)
Azioni sul collegamento: N=145.42 Ty=-2.23 Tz=-50.53 Mx=-0.49 Mz=-2.99
Sollecitazioni agenti localmente: Tx_l=-2.23 Ty_l=-50.53 N_l=145.42 My_l=2.99 Mz_l=-0.49
Azioni sul cordone: TP=0.72 TO=4.10 NO=10.70
Tensioni nel cordone: τ_P=0.23 τ_0=1.30 σ_0=7.77 σ_{ID}=7.88 Σ_T=9.07
CC 2 SLD (Collegamento -382_-520)
Azioni sul collegamento: N=132.54 Ty=-1.66 Tz=-48.53 Mx=-0.37 Mz=-2.26
Sollecitazioni agenti localmente: Tx_l=-1.66 Ty_l=-48.53 N_l=132.54 My_l=2.26 Mz_l=-0.37
Azioni sul cordone: TP=0.55 TO=3.86 NO=9.75
Tensioni nel cordone: τ_P=0.17 τ_0=1.23 σ_0=6.40 σ_{ID}=6.52 Σ_T=7.63
CC 2 SLD (Collegamento -382_-520)
Azioni sul collegamento: N=132.54 Ty=-2.23 Tz=-48.53 Mx=-0.49 Mz=-2.99
Sollecitazioni agenti localmente: Tx_l=-2.23 Ty_l=-48.53 N_l=132.54 My_l=2.99 Mz_l=-0.49
Azioni sul cordone: TP=0.72 TO=3.95 NO=9.75
Tensioni nel cordone: τ_P=0.23 τ_0=1.26 σ_0=7.47 σ_{ID}=7.58 Σ_T=8.73
CC 2 SLD (Collegamento -382_-520)
Azioni sul collegamento: N=132.54 Ty=-1.66 Tz=-48.53 Mx=-0.37 Mz=-2.26
Sollecitazioni agenti localmente: Tx_l=-1.66 Ty_l=-48.53 N_l=132.54 My_l=2.26 Mz_l=-0.37
Azioni sul cordone: TP=0.55 TO=3.86 NO=9.75
Tensioni nel cordone: τ_P=0.17 τ_0=1.23 σ_0=6.40 σ_{ID}=6.52 Σ_T=7.63
CC 2 SLD (Collegamento -382_-520)
Azioni sul collegamento: N=132.54 Ty=-2.23 Tz=-48.53 Mx=-0.49 Mz=-2.99
Sollecitazioni agenti localmente: Tx_l=-2.23 Ty_l=-48.53 N_l=132.54 My_l=2.99 Mz_l=-0.49
Azioni sul cordone: TP=0.72 TO=3.95 NO=9.75
Tensioni nel cordone: τ_P=0.23 τ_0=1.26 σ_0=7.47 σ_{ID}=7.58 Σ_T=8.73
CC 3 SLV (Collegamento -382_-520)
Azioni sul collegamento: N=159.78 Ty=-2.01 Tz=-52.75 Mx=-0.42 Mz=-2.55
Sollecitazioni agenti localmente: Tx_l=-2.01 Ty_l=-52.75 N_l=159.78 My_l=2.55 Mz_l=-0.42
Azioni sul cordone: TP=0.64 TO=4.22 NO=11.76
Tensioni nel cordone: τ_P=0.20 τ_0=1.34 σ_0=7.46 σ_{ID}=7.58 Σ_T=8.80
CC 3 SLV (Collegamento -382_-520)
Azioni sul collegamento: N=159.78 Ty=-2.81 Tz=-52.75 Mx=-0.62 Mz=-3.83
Sollecitazioni agenti localmente: Tx_l=-2.81 Ty_l=-52.75 N_l=159.78 My_l=3.83 Mz_l=-0.62
Azioni sul cordone: TP=0.92 TO=4.37 NO=11.76
Tensioni nel cordone: τ_P=0.29 τ_0=1.39 σ_0=9.33 σ_{ID}=9.44 Σ_T=10.72
CC 3 SLV (Collegamento -382_-520)
Azioni sul collegamento: N=159.78 Ty=-2.01 Tz=-52.75 Mx=-0.42 Mz=-2.55
Sollecitazioni agenti localmente: Tx_l=-2.01 Ty_l=-52.75 N_l=159.78 My_l=2.55 Mz_l=-0.42
Azioni sul cordone: TP=0.64 TO=4.22 NO=11.76
Tensioni nel cordone: τ_P=0.20 τ_0=1.34 σ_0=7.46 σ_{ID}=7.58 Σ_T=8.80
CC 3 SLV (Collegamento -382_-520)
Azioni sul collegamento: N=159.78 Ty=-2.81 Tz=-52.75 Mx=-0.62 Mz=-3.83
Sollecitazioni agenti localmente: Tx_l=-2.81 Ty_l=-52.75 N_l=159.78 My_l=3.83 Mz_l=-0.62
Azioni sul cordone: TP=0.92 TO=4.37 NO=11.76
Tensioni nel cordone: τ_P=0.29 τ_0=1.39 σ_0=9.33 σ_{ID}=9.44 Σ_T=10.72
CC 3 SLV (Collegamento -382_-520)
Azioni sul collegamento: N=117.94 Ty=-2.01 Tz=-46.27 Mx=-0.42 Mz=-2.55
Sollecitazioni agenti localmente: Tx_l=-2.01 Ty_l=-46.27 N_l=117.94 My_l=2.55 Mz_l=-0.42
Azioni sul cordone: TP=0.64 TO=3.74 NO=8.68
Tensioni nel cordone: τ_P=0.20 τ_0=1.19 σ_0=6.48 σ_{ID}=6.59 Σ_T=7.67
CC 3 SLV (Collegamento -382_-520)
Azioni sul collegamento: N=117.94 Ty=-2.81 Tz=-46.27 Mx=-0.62 Mz=-3.83
Sollecitazioni agenti localmente: Tx_l=-2.81 Ty_l=-46.27 N_l=117.94 My_l=3.83 Mz_l=-0.62
Azioni sul cordone: TP=0.92 TO=3.90 NO=8.68
Tensioni nel cordone: τ_P=0.29 τ_0=1.24 σ_0=8.35 σ_{ID}=8.45 Σ_T=9.59
CC 3 SLV (Collegamento -382_-520)
Azioni sul collegamento: N=117.94 Ty=-2.01 Tz=-46.27 Mx=-0.42 Mz=-2.55
Sollecitazioni agenti localmente: Tx_l=-2.01 Ty_l=-46.27 N_l=117.94 My_l=2.55 Mz_l=-0.42
Azioni sul cordone: TP=0.64 TO=3.74 NO=8.68
Tensioni nel cordone: τ_P=0.20 τ_0=1.19 σ_0=6.48 σ_{ID}=6.59 Σ_T=7.67
CC 3 SLV (Collegamento -382_-520)
Azioni sul collegamento: N=117.94 Ty=-2.81 Tz=-46.27 Mx=-0.62 Mz=-3.83
Sollecitazioni agenti localmente: Tx_l=-2.81 Ty_l=-46.27 N_l=117.94 My_l=3.83 Mz_l=-0.62
Azioni sul cordone: TP=0.92 TO=3.90 NO=8.68
Tensioni nel cordone: τ_P=0.29 τ_0=1.24 σ_0=8.35 σ_{ID}=8.45 Σ_T=9.59
CC 4 SLD (Collegamento -382_-520)
Azioni sul collegamento: N=145.36 Ty=-1.82 Tz=-50.52 Mx=-0.40 Mz=-2.43
Sollecitazioni agenti localmente: Tx_l=-1.82 Ty_l=-50.52 N_l=145.36 My_l=2.43 Mz_l=-0.40
Azioni sul cordone: TP=0.59 TO=4.03 NO=10.70
Tensioni nel cordone: τ_P=0.19 τ_0=1.28 σ_0=6.95 σ_{ID}=7.07 Σ_T=8.23

CC 4 SLD (Collegamento -382_-520)
Azioni sul collegamento: N=145.36 Ty=-2.06 Tz=-50.52 Mx=-0.46 Mz=-2.82
Sollecitazioni agenti localmente: Tx_l=-2.06 Ty_l=-50.52 N_l=145.36 My_l=2.82 Mz_l=-0.46
Azioni sul cordone: TP=0.68 TO=4.08 NO=10.70
Tensioni nel cordone: τ_P=0.22 τ_0=1.30 σ_0=7.52 σ_{ID}=7.63 Σ_T=8.82
CC 4 SLD (Collegamento -382_-520)
Azioni sul collegamento: N=145.36 Ty=-1.82 Tz=-50.52 Mx=-0.40 Mz=-2.43
Sollecitazioni agenti localmente: Tx_l=-1.82 Ty_l=-50.52 N_l=145.36 My_l=2.43 Mz_l=-0.40
Azioni sul cordone: TP=0.59 TO=4.03 NO=10.70
Tensioni nel cordone: τ_P=0.19 τ_0=1.28 σ_0=6.95 σ_{ID}=7.07 Σ_T=8.23
CC 4 SLD (Collegamento -382_-520)
Azioni sul collegamento: N=145.36 Ty=-2.06 Tz=-50.52 Mx=-0.46 Mz=-2.82
Sollecitazioni agenti localmente: Tx_l=-2.06 Ty_l=-50.52 N_l=145.36 My_l=2.82 Mz_l=-0.46
Azioni sul cordone: TP=0.68 TO=4.08 NO=10.70
Tensioni nel cordone: τ_P=0.22 τ_0=1.30 σ_0=7.52 σ_{ID}=7.63 Σ_T=8.82
CC 4 SLD (Collegamento -382_-520)
Azioni sul collegamento: N=132.60 Ty=-1.82 Tz=-48.54 Mx=-0.40 Mz=-2.43
Sollecitazioni agenti localmente: Tx_l=-1.82 Ty_l=-48.54 N_l=132.60 My_l=2.43 Mz_l=-0.40
Azioni sul cordone: TP=0.59 TO=3.89 NO=9.76
Tensioni nel cordone: τ_P=0.19 τ_0=1.24 σ_0=6.65 σ_{ID}=6.77 Σ_T=7.88
CC 4 SLD (Collegamento -382_-520)
Azioni sul collegamento: N=132.60 Ty=-2.06 Tz=-48.54 Mx=-0.46 Mz=-2.82
Sollecitazioni agenti localmente: Tx_l=-2.06 Ty_l=-48.54 N_l=132.60 My_l=2.82 Mz_l=-0.46
Azioni sul cordone: TP=0.68 TO=3.93 NO=9.76
Tensioni nel cordone: τ_P=0.22 τ_0=1.25 σ_0=7.22 σ_{ID}=7.33 Σ_T=8.47
CC 4 SLD (Collegamento -382_-520)
Azioni sul collegamento: N=132.60 Ty=-1.82 Tz=-48.54 Mx=-0.40 Mz=-2.43
Sollecitazioni agenti localmente: Tx_l=-1.82 Ty_l=-48.54 N_l=132.60 My_l=2.43 Mz_l=-0.40
Azioni sul cordone: TP=0.59 TO=3.89 NO=9.76
Tensioni nel cordone: τ_P=0.19 τ_0=1.24 σ_0=6.65 σ_{ID}=6.77 Σ_T=7.88
CC 4 SLD (Collegamento -382_-520)
Azioni sul collegamento: N=132.60 Ty=-2.06 Tz=-48.54 Mx=-0.46 Mz=-2.82
Sollecitazioni agenti localmente: Tx_l=-2.06 Ty_l=-48.54 N_l=132.60 My_l=2.82 Mz_l=-0.46
Azioni sul cordone: TP=0.68 TO=3.93 NO=9.76
Tensioni nel cordone: τ_P=0.22 τ_0=1.25 σ_0=7.22 σ_{ID}=7.33 Σ_T=8.47
CC 5 SLV (Collegamento -382_-520)
Azioni sul collegamento: N=117.94 Ty=-2.81 Tz=-46.27 Mx=-0.61 Mz=-3.83
Sollecitazioni agenti localmente: Tx_l=-2.81 Ty_l=-46.27 N_l=117.94 My_l=3.83 Mz_l=-0.61
Azioni sul cordone: TP=0.91 TO=3.89 NO=8.68
Tensioni nel cordone: τ_P=0.29 τ_0=1.24 σ_0=8.36 σ_{ID}=8.45 Σ_T=9.59
CC 5 SLV (Collegamento -382_-520)
Azioni sul collegamento: N=117.94 Ty=-2.01 Tz=-46.27 Mx=-0.41 Mz=-2.55
Sollecitazioni agenti localmente: Tx_l=-2.01 Ty_l=-46.27 N_l=117.94 My_l=2.55 Mz_l=-0.41
Azioni sul cordone: TP=0.62 TO=3.73 NO=8.68
Tensioni nel cordone: τ_P=0.20 τ_0=1.19 σ_0=6.48 σ_{ID}=6.59 Σ_T=7.67
CC 5 SLV (Collegamento -382_-520)
Azioni sul collegamento: N=117.94 Ty=-2.81 Tz=-46.27 Mx=-0.61 Mz=-3.83
Sollecitazioni agenti localmente: Tx_l=-2.81 Ty_l=-46.27 N_l=117.94 My_l=3.83 Mz_l=-0.61
Azioni sul cordone: TP=0.91 TO=3.89 NO=8.68
Tensioni nel cordone: τ_P=0.29 τ_0=1.24 σ_0=8.36 σ_{ID}=8.45 Σ_T=9.59
CC 5 SLV (Collegamento -382_-520)
Azioni sul collegamento: N=117.94 Ty=-2.01 Tz=-46.27 Mx=-0.41 Mz=-2.55
Sollecitazioni agenti localmente: Tx_l=-2.01 Ty_l=-46.27 N_l=117.94 My_l=2.55 Mz_l=-0.41
Azioni sul cordone: TP=0.62 TO=3.73 NO=8.68
Tensioni nel cordone: τ_P=0.20 τ_0=1.19 σ_0=6.48 σ_{ID}=6.59 Σ_T=7.67
CC 5 SLV (Collegamento -382_-520)
Azioni sul collegamento: N=159.78 Ty=-2.81 Tz=-52.75 Mx=-0.61 Mz=-3.83
Sollecitazioni agenti localmente: Tx_l=-2.81 Ty_l=-52.75 N_l=159.78 My_l=3.83 Mz_l=-0.61
Azioni sul cordone: TP=0.91 TO=4.36 NO=11.76
Tensioni nel cordone: τ_P=0.29 τ_0=1.39 σ_0=9.34 σ_{ID}=9.44 Σ_T=10.72
CC 5 SLV (Collegamento -382_-520)
Azioni sul collegamento: N=159.78 Ty=-2.01 Tz=-52.75 Mx=-0.41 Mz=-2.55
Sollecitazioni agenti localmente: Tx_l=-2.01 Ty_l=-52.75 N_l=159.78 My_l=2.55 Mz_l=-0.41
Azioni sul cordone: TP=0.62 TO=4.21 NO=11.76
Tensioni nel cordone: τ_P=0.20 τ_0=1.34 σ_0=7.46 σ_{ID}=7.58 Σ_T=8.80
CC 5 SLV (Collegamento -382_-520)
Azioni sul collegamento: N=159.78 Ty=-2.81 Tz=-52.75 Mx=-0.61 Mz=-3.83
Sollecitazioni agenti localmente: Tx_l=-2.81 Ty_l=-52.75 N_l=159.78 My_l=3.83 Mz_l=-0.61
Azioni sul cordone: TP=0.91 TO=4.36 NO=11.76
Tensioni nel cordone: τ_P=0.29 τ_0=1.39 σ_0=9.34 σ_{ID}=9.44 Σ_T=10.72
CC 5 SLV (Collegamento -382_-520)
Azioni sul collegamento: N=159.78 Ty=-2.01 Tz=-52.75 Mx=-0.41 Mz=-2.55
Sollecitazioni agenti localmente: Tx_l=-2.01 Ty_l=-52.75 N_l=159.78 My_l=2.55 Mz_l=-0.41
Azioni sul cordone: TP=0.62 TO=4.21 NO=11.76
Tensioni nel cordone: τ_P=0.20 τ_0=1.34 σ_0=7.46 σ_{ID}=7.58 Σ_T=8.80
CC 6 SLD (Collegamento -382_-520)
Azioni sul collegamento: N=132.60 Ty=-2.06 Tz=-48.54 Mx=-0.46 Mz=-2.82
Sollecitazioni agenti localmente: Tx_l=-2.06 Ty_l=-48.54 N_l=132.60 My_l=2.82 Mz_l=-0.46
Azioni sul cordone: TP=0.68 TO=3.93 NO=9.76

Tensioni nel cordone: τ_P=0.21 τ_0=1.25 σ_0=7.22 σ_{ID}=7.33 Σ_T=8.47
CC 6 SLD (Collegamento -382_-520)
Azioni sul collegamento: N=132.60 Ty=-1.82 Tz=-48.54 Mx=-0.39 Mz=-2.43
Sollecitazioni agenti localmente: Tx_l=-1.82 Ty_l=-48.54 N_l=132.60 My_l=2.43 Mz_l=-0.39
Azioni sul cordone: TP=0.59 TO=3.88 NO=9.76
Tensioni nel cordone: τ_P=0.19 τ_0=1.23 σ_0=6.65 σ_{ID}=6.77 Σ_T=7.88
CC 6 SLD (Collegamento -382_-520)
Azioni sul collegamento: N=132.60 Ty=-2.06 Tz=-48.54 Mx=-0.46 Mz=-2.82
Sollecitazioni agenti localmente: Tx_l=-2.06 Ty_l=-48.54 N_l=132.60 My_l=2.82 Mz_l=-0.46
Azioni sul cordone: TP=0.68 TO=3.93 NO=9.76
Tensioni nel cordone: τ_P=0.21 τ_0=1.25 σ_0=7.22 σ_{ID}=7.33 Σ_T=8.47
CC 6 SLD (Collegamento -382_-520)
Azioni sul collegamento: N=132.60 Ty=-1.82 Tz=-48.54 Mx=-0.39 Mz=-2.43
Sollecitazioni agenti localmente: Tx_l=-1.82 Ty_l=-48.54 N_l=132.60 My_l=2.43 Mz_l=-0.39
Azioni sul cordone: TP=0.59 TO=3.88 NO=9.76
Tensioni nel cordone: τ_P=0.19 τ_0=1.23 σ_0=6.65 σ_{ID}=6.77 Σ_T=7.88
CC 6 SLD (Collegamento -382_-520)
Azioni sul collegamento: N=145.36 Ty=-2.06 Tz=-50.52 Mx=-0.46 Mz=-2.82
Sollecitazioni agenti localmente: Tx_l=-2.06 Ty_l=-50.52 N_l=145.36 My_l=2.82 Mz_l=-0.46
Azioni sul cordone: TP=0.68 TO=4.08 NO=10.70
Tensioni nel cordone: τ_P=0.21 τ_0=1.30 σ_0=7.52 σ_{ID}=7.63 Σ_T=8.82
CC 6 SLD (Collegamento -382_-520)
Azioni sul collegamento: N=145.36 Ty=-1.82 Tz=-50.52 Mx=-0.39 Mz=-2.43
Sollecitazioni agenti localmente: Tx_l=-1.82 Ty_l=-50.52 N_l=145.36 My_l=2.43 Mz_l=-0.39
Azioni sul cordone: TP=0.59 TO=4.03 NO=10.70
Tensioni nel cordone: τ_P=0.19 τ_0=1.28 σ_0=6.95 σ_{ID}=7.07 Σ_T=8.23
CC 6 SLD (Collegamento -382_-520)
Azioni sul collegamento: N=145.36 Ty=-2.06 Tz=-50.52 Mx=-0.46 Mz=-2.82
Sollecitazioni agenti localmente: Tx_l=-2.06 Ty_l=-50.52 N_l=145.36 My_l=2.82 Mz_l=-0.46
Azioni sul cordone: TP=0.68 TO=4.08 NO=10.70
Tensioni nel cordone: τ_P=0.21 τ_0=1.30 σ_0=7.52 σ_{ID}=7.63 Σ_T=8.82
CC 6 SLD (Collegamento -382_-520)
Azioni sul collegamento: N=145.36 Ty=-1.82 Tz=-50.52 Mx=-0.39 Mz=-2.43
Sollecitazioni agenti localmente: Tx_l=-1.82 Ty_l=-50.52 N_l=145.36 My_l=2.43 Mz_l=-0.39
Azioni sul cordone: TP=0.59 TO=4.03 NO=10.70
Tensioni nel cordone: τ_P=0.19 τ_0=1.28 σ_0=6.95 σ_{ID}=7.07 Σ_T=8.23
CC 7 SLV (Collegamento -382_-520)
Azioni sul collegamento: N=117.75 Ty=-3.35 Tz=-46.25 Mx=-0.70 Mz=-4.40
Sollecitazioni agenti localmente: Tx_l=-3.35 Ty_l=-46.25 N_l=117.75 My_l=4.40 Mz_l=-0.70
Azioni sul cordone: TP=1.05 TO=3.95 NO=8.66
Tensioni nel cordone: τ_P=0.33 τ_0=1.26 σ_0=9.17 σ_{ID}=9.27 Σ_T=10.43
CC 7 SLV (Collegamento -382_-520)
Azioni sul collegamento: N=117.75 Ty=-1.47 Tz=-46.25 Mx=-0.32 Mz=-1.99
Sollecitazioni agenti localmente: Tx_l=-1.47 Ty_l=-46.25 N_l=117.75 My_l=1.99 Mz_l=-0.32
Azioni sul cordone: TP=0.48 TO=3.66 NO=8.66
Tensioni nel cordone: τ_P=0.15 τ_0=1.16 σ_0=5.66 σ_{ID}=5.78 Σ_T=6.82
CC 7 SLV (Collegamento -382_-520)
Azioni sul collegamento: N=117.75 Ty=-3.35 Tz=-46.25 Mx=-0.70 Mz=-4.40
Sollecitazioni agenti localmente: Tx_l=-3.35 Ty_l=-46.25 N_l=117.75 My_l=4.40 Mz_l=-0.70
Azioni sul cordone: TP=1.05 TO=3.95 NO=8.66
Tensioni nel cordone: τ_P=0.33 τ_0=1.26 σ_0=9.17 σ_{ID}=9.27 Σ_T=10.43
CC 7 SLV (Collegamento -382_-520)
Azioni sul collegamento: N=117.75 Ty=-1.47 Tz=-46.25 Mx=-0.32 Mz=-1.99
Sollecitazioni agenti localmente: Tx_l=-1.47 Ty_l=-46.25 N_l=117.75 My_l=1.99 Mz_l=-0.32
Azioni sul cordone: TP=0.48 TO=3.66 NO=8.66
Tensioni nel cordone: τ_P=0.15 τ_0=1.16 σ_0=5.66 σ_{ID}=5.78 Σ_T=6.82
CC 7 SLV (Collegamento -382_-520)
Azioni sul collegamento: N=159.97 Ty=-3.35 Tz=-52.78 Mx=-0.70 Mz=-4.40
Sollecitazioni agenti localmente: Tx_l=-3.35 Ty_l=-52.78 N_l=159.97 My_l=4.40 Mz_l=-0.70
Azioni sul cordone: TP=1.05 TO=4.43 NO=11.77
Tensioni nel cordone: τ_P=0.33 τ_0=1.41 σ_0=10.16 σ_{ID}=10.26 Σ_T=11.57
CC 7 SLV (Collegamento -382_-520)
Azioni sul collegamento: N=159.97 Ty=-1.47 Tz=-52.78 Mx=-0.32 Mz=-1.99
Sollecitazioni agenti localmente: Tx_l=-1.47 Ty_l=-52.78 N_l=159.97 My_l=1.99 Mz_l=-0.32
Azioni sul cordone: TP=0.48 TO=4.14 NO=11.77
Tensioni nel cordone: τ_P=0.15 τ_0=1.32 σ_0=6.64 σ_{ID}=6.77 Σ_T=7.96
CC 7 SLV (Collegamento -382_-520)
Azioni sul collegamento: N=159.97 Ty=-3.35 Tz=-52.78 Mx=-0.70 Mz=-4.40
Sollecitazioni agenti localmente: Tx_l=-3.35 Ty_l=-52.78 N_l=159.97 My_l=4.40 Mz_l=-0.70
Azioni sul cordone: TP=1.05 TO=4.43 NO=11.77
Tensioni nel cordone: τ_P=0.33 τ_0=1.41 σ_0=10.16 σ_{ID}=10.26 Σ_T=11.57
CC 7 SLV (Collegamento -382_-520)
Azioni sul collegamento: N=159.97 Ty=-1.47 Tz=-52.78 Mx=-0.32 Mz=-1.99
Sollecitazioni agenti localmente: Tx_l=-1.47 Ty_l=-52.78 N_l=159.97 My_l=1.99 Mz_l=-0.32
Azioni sul cordone: TP=0.48 TO=4.14 NO=11.77
Tensioni nel cordone: τ_P=0.15 τ_0=1.32 σ_0=6.64 σ_{ID}=6.77 Σ_T=7.96
CC 8 SLD (Collegamento -382_-520)
Azioni sul collegamento: N=132.54 Ty=-2.23 Tz=-48.53 Mx=-0.48 Mz=-2.99
Sollecitazioni agenti localmente: Tx_l=-2.23 Ty_l=-48.53 N_l=132.54 My_l=2.99 Mz_l=-0.48

Azioni sul cordone: TP=0.72 TO=3.95 NO=9.75
Tensioni nel cordone: τ_P=0.23 τ_0=1.26 σ_0=7.47 σ_{ID}=7.58 Σ_T=8.73
CC 8 SLD (Collegamento -382_-520)
Azioni sul collegamento: N=132.54 Ty=-1.66 Tz=-48.53 Mx=-0.37 Mz=-2.26
Sollecitazioni agenti localmente: Tx_l=-1.66 Ty_l=-48.53 N_l=132.54 My_l=2.26 Mz_l=-0.37
Azioni sul cordone: TP=0.54 TO=3.86 NO=9.75
Tensioni nel cordone: τ_P=0.17 τ_0=1.23 σ_0=6.40 σ_{ID}=6.52 Σ_T=7.63
CC 8 SLD (Collegamento -382_-520)
Azioni sul collegamento: N=132.54 Ty=-2.23 Tz=-48.53 Mx=-0.48 Mz=-2.99
Sollecitazioni agenti localmente: Tx_l=-2.23 Ty_l=-48.53 N_l=132.54 My_l=2.99 Mz_l=-0.48
Azioni sul cordone: TP=0.72 TO=3.95 NO=9.75
Tensioni nel cordone: τ_P=0.23 τ_0=1.26 σ_0=7.47 σ_{ID}=7.58 Σ_T=8.73
CC 8 SLD (Collegamento -382_-520)
Azioni sul collegamento: N=132.54 Ty=-1.66 Tz=-48.53 Mx=-0.37 Mz=-2.26
Sollecitazioni agenti localmente: Tx_l=-1.66 Ty_l=-48.53 N_l=132.54 My_l=2.26 Mz_l=-0.37
Azioni sul cordone: TP=0.54 TO=3.86 NO=9.75
Tensioni nel cordone: τ_P=0.17 τ_0=1.23 σ_0=6.40 σ_{ID}=6.52 Σ_T=7.63
CC 8 SLD (Collegamento -382_-520)
Azioni sul collegamento: N=145.42 Ty=-2.23 Tz=-50.53 Mx=-0.48 Mz=-2.99
Sollecitazioni agenti localmente: Tx_l=-2.23 Ty_l=-50.53 N_l=145.42 My_l=2.99 Mz_l=-0.48
Azioni sul cordone: TP=0.72 TO=4.10 NO=10.70
Tensioni nel cordone: τ_P=0.23 τ_0=1.30 σ_0=7.77 σ_{ID}=7.88 Σ_T=9.07
CC 8 SLD (Collegamento -382_-520)
Azioni sul collegamento: N=145.42 Ty=-1.66 Tz=-50.53 Mx=-0.37 Mz=-2.26
Sollecitazioni agenti localmente: Tx_l=-1.66 Ty_l=-50.53 N_l=145.42 My_l=2.26 Mz_l=-0.37
Azioni sul cordone: TP=0.54 TO=4.01 NO=10.70
Tensioni nel cordone: τ_P=0.17 τ_0=1.27 σ_0=6.70 σ_{ID}=6.82 Σ_T=7.97
CC 8 SLD (Collegamento -382_-520)
Azioni sul collegamento: N=145.42 Ty=-2.23 Tz=-50.53 Mx=-0.48 Mz=-2.99
Sollecitazioni agenti localmente: Tx_l=-2.23 Ty_l=-50.53 N_l=145.42 My_l=2.99 Mz_l=-0.48
Azioni sul cordone: TP=0.72 TO=4.10 NO=10.70
Tensioni nel cordone: τ_P=0.23 τ_0=1.30 σ_0=7.77 σ_{ID}=7.88 Σ_T=9.07
CC 8 SLD (Collegamento -382_-520)
Azioni sul collegamento: N=145.42 Ty=-1.66 Tz=-50.53 Mx=-0.37 Mz=-2.26
Sollecitazioni agenti localmente: Tx_l=-1.66 Ty_l=-50.53 N_l=145.42 My_l=2.26 Mz_l=-0.37
Azioni sul cordone: TP=0.54 TO=4.01 NO=10.70
Tensioni nel cordone: τ_P=0.17 τ_0=1.27 σ_0=6.70 σ_{ID}=6.82 Σ_T=7.97
CC 9 SLV (Collegamento -382_-520)
Azioni sul collegamento: N=145.48 Ty=-1.32 Tz=-50.54 Mx=-0.34 Mz=-1.97
Sollecitazioni agenti localmente: Tx_l=-1.32 Ty_l=-50.54 N_l=145.48 My_l=1.97 Mz_l=-0.34
Azioni sul cordone: TP=0.49 TO=3.98 NO=10.70
Tensioni nel cordone: τ_P=0.15 τ_0=1.27 σ_0=6.29 σ_{ID}=6.42 Σ_T=7.55
CC 9 SLV (Collegamento -382_-520)
Azioni sul collegamento: N=145.48 Ty=-3.50 Tz=-50.54 Mx=-0.71 Mz=-4.40
Sollecitazioni agenti localmente: Tx_l=-3.50 Ty_l=-50.54 N_l=145.48 My_l=4.40 Mz_l=-0.71
Azioni sul cordone: TP=1.08 TO=4.28 NO=10.70
Tensioni nel cordone: τ_P=0.34 τ_0=1.36 σ_0=9.83 σ_{ID}=9.93 Σ_T=11.19
CC 9 SLV (Collegamento -382_-520)
Azioni sul collegamento: N=145.48 Ty=-1.32 Tz=-50.54 Mx=-0.34 Mz=-1.97
Sollecitazioni agenti localmente: Tx_l=-1.32 Ty_l=-50.54 N_l=145.48 My_l=1.97 Mz_l=-0.34
Azioni sul cordone: TP=0.49 TO=3.98 NO=10.70
Tensioni nel cordone: τ_P=0.15 τ_0=1.27 σ_0=6.29 σ_{ID}=6.42 Σ_T=7.55
CC 9 SLV (Collegamento -382_-520)
Azioni sul collegamento: N=145.48 Ty=-3.50 Tz=-50.54 Mx=-0.71 Mz=-4.40
Sollecitazioni agenti localmente: Tx_l=-3.50 Ty_l=-50.54 N_l=145.48 My_l=4.40 Mz_l=-0.71
Azioni sul cordone: TP=1.08 TO=4.28 NO=10.70
Tensioni nel cordone: τ_P=0.34 τ_0=1.36 σ_0=9.83 σ_{ID}=9.93 Σ_T=11.19
CC 9 SLV (Collegamento -382_-520)
Azioni sul collegamento: N=132.24 Ty=-1.32 Tz=-48.49 Mx=-0.34 Mz=-1.97
Sollecitazioni agenti localmente: Tx_l=-1.32 Ty_l=-48.49 N_l=132.24 My_l=1.97 Mz_l=-0.34
Azioni sul cordone: TP=0.49 TO=3.83 NO=9.73
Tensioni nel cordone: τ_P=0.15 τ_0=1.22 σ_0=5.98 σ_{ID}=6.10 Σ_T=7.20
CC 9 SLV (Collegamento -382_-520)
Azioni sul collegamento: N=132.24 Ty=-3.50 Tz=-48.49 Mx=-0.71 Mz=-4.40
Sollecitazioni agenti localmente: Tx_l=-3.50 Ty_l=-48.49 N_l=132.24 My_l=4.40 Mz_l=-0.71
Azioni sul cordone: TP=1.08 TO=4.13 NO=9.73
Tensioni nel cordone: τ_P=0.34 τ_0=1.31 σ_0=9.52 σ_{ID}=9.62 Σ_T=10.84
CC 9 SLV (Collegamento -382_-520)
Azioni sul collegamento: N=132.24 Ty=-1.32 Tz=-48.49 Mx=-0.34 Mz=-1.97
Sollecitazioni agenti localmente: Tx_l=-1.32 Ty_l=-48.49 N_l=132.24 My_l=1.97 Mz_l=-0.34
Azioni sul cordone: TP=0.49 TO=3.83 NO=9.73
Tensioni nel cordone: τ_P=0.15 τ_0=1.22 σ_0=5.98 σ_{ID}=6.10 Σ_T=7.20
CC 9 SLV (Collegamento -382_-520)
Azioni sul collegamento: N=132.24 Ty=-3.50 Tz=-48.49 Mx=-0.71 Mz=-4.40
Sollecitazioni agenti localmente: Tx_l=-3.50 Ty_l=-48.49 N_l=132.24 My_l=4.40 Mz_l=-0.71
Azioni sul cordone: TP=1.08 TO=4.13 NO=9.73
Tensioni nel cordone: τ_P=0.34 τ_0=1.31 σ_0=9.52 σ_{ID}=9.62 Σ_T=10.84
CC 10 SLD (Collegamento -382_-520)
Azioni sul collegamento: N=141.00 Ty=-1.61 Tz=-49.84 Mx=-0.37 Mz=-2.25

Sollecitazioni agenti localmente: Tx_l=-1.61 Ty_l=-49.84 N_l=141.00 My_l=2.25 Mz_l=-0.37
Azioni sul cordone: TP=0.55 TO=3.96 NO=10.38
Tensioni nel cordone: τ_P=0.17 τ_0=1.26 σ_0=6.59 σ_{ID}=6.71 Σ_T=7.85
CC 10 SLD (Collegamento -382_-520)
Azioni sul collegamento: N=141.00 Ty=-2.27 Tz=-49.84 Mx=-0.49 Mz=-3.00
Sollecitazioni agenti localmente: Tx_l=-2.27 Ty_l=-49.84 N_l=141.00 My_l=3.00 Mz_l=-0.49
Azioni sul cordone: TP=0.73 TO=4.05 NO=10.38
Tensioni nel cordone: τ_P=0.23 τ_0=1.29 σ_0=7.67 σ_{ID}=7.78 Σ_T=8.96
CC 10 SLD (Collegamento -382_-520)
Azioni sul collegamento: N=141.00 Ty=-1.61 Tz=-49.84 Mx=-0.37 Mz=-2.25
Sollecitazioni agenti localmente: Tx_l=-1.61 Ty_l=-49.84 N_l=141.00 My_l=2.25 Mz_l=-0.37
Azioni sul cordone: TP=0.55 TO=3.96 NO=10.38
Tensioni nel cordone: τ_P=0.17 τ_0=1.26 σ_0=6.59 σ_{ID}=6.71 Σ_T=7.85
CC 10 SLD (Collegamento -382_-520)
Azioni sul collegamento: N=141.00 Ty=-2.27 Tz=-49.84 Mx=-0.49 Mz=-3.00
Sollecitazioni agenti localmente: Tx_l=-2.27 Ty_l=-49.84 N_l=141.00 My_l=3.00 Mz_l=-0.49
Azioni sul cordone: TP=0.73 TO=4.05 NO=10.38
Tensioni nel cordone: τ_P=0.23 τ_0=1.29 σ_0=7.67 σ_{ID}=7.78 Σ_T=8.96
CC 10 SLD (Collegamento -382_-520)
Azioni sul collegamento: N=136.96 Ty=-1.61 Tz=-49.22 Mx=-0.37 Mz=-2.25
Sollecitazioni agenti localmente: Tx_l=-1.61 Ty_l=-49.22 N_l=136.96 My_l=2.25 Mz_l=-0.37
Azioni sul cordone: TP=0.55 TO=3.91 NO=10.08
Tensioni nel cordone: τ_P=0.17 τ_0=1.24 σ_0=6.50 σ_{ID}=6.62 Σ_T=7.74
CC 10 SLD (Collegamento -382_-520)
Azioni sul collegamento: N=136.96 Ty=-2.27 Tz=-49.22 Mx=-0.49 Mz=-3.00
Sollecitazioni agenti localmente: Tx_l=-2.27 Ty_l=-49.22 N_l=136.96 My_l=3.00 Mz_l=-0.49
Azioni sul cordone: TP=0.73 TO=4.00 NO=10.08
Tensioni nel cordone: τ_P=0.23 τ_0=1.27 σ_0=7.58 σ_{ID}=7.69 Σ_T=8.85
CC 10 SLD (Collegamento -382_-520)
Azioni sul collegamento: N=136.96 Ty=-1.61 Tz=-49.22 Mx=-0.37 Mz=-2.25
Sollecitazioni agenti localmente: Tx_l=-1.61 Ty_l=-49.22 N_l=136.96 My_l=2.25 Mz_l=-0.37
Azioni sul cordone: TP=0.55 TO=3.91 NO=10.08
Tensioni nel cordone: τ_P=0.17 τ_0=1.24 σ_0=6.50 σ_{ID}=6.62 Σ_T=7.74
CC 10 SLD (Collegamento -382_-520)
Azioni sul collegamento: N=136.96 Ty=-2.27 Tz=-49.22 Mx=-0.49 Mz=-3.00
Sollecitazioni agenti localmente: Tx_l=-2.27 Ty_l=-49.22 N_l=136.96 My_l=3.00 Mz_l=-0.49
Azioni sul cordone: TP=0.73 TO=4.00 NO=10.08
Tensioni nel cordone: τ_P=0.23 τ_0=1.27 σ_0=7.58 σ_{ID}=7.69 Σ_T=8.85
CC 11 SLV (Collegamento -382_-520)
Azioni sul collegamento: N=132.87 Ty=-1.72 Tz=-48.59 Mx=-0.42 Mz=-2.53
Sollecitazioni agenti localmente: Tx_l=-1.72 Ty_l=-48.59 N_l=132.87 My_l=2.53 Mz_l=-0.42
Azioni sul cordone: TP=0.61 TO=3.91 NO=9.78
Tensioni nel cordone: τ_P=0.19 τ_0=1.24 σ_0=6.80 σ_{ID}=6.92 Σ_T=8.04
CC 11 SLV (Collegamento -382_-520)
Azioni sul collegamento: N=132.87 Ty=-3.10 Tz=-48.59 Mx=-0.62 Mz=-3.85
Sollecitazioni agenti localmente: Tx_l=-3.10 Ty_l=-48.59 N_l=132.87 My_l=3.85 Mz_l=-0.62
Azioni sul cordone: TP=0.95 TO=4.07 NO=9.78
Tensioni nel cordone: τ_P=0.30 τ_0=1.29 σ_0=8.73 σ_{ID}=8.83 Σ_T=10.02
CC 11 SLV (Collegamento -382_-520)
Azioni sul collegamento: N=132.87 Ty=-1.72 Tz=-48.59 Mx=-0.42 Mz=-2.53
Sollecitazioni agenti localmente: Tx_l=-1.72 Ty_l=-48.59 N_l=132.87 My_l=2.53 Mz_l=-0.42
Azioni sul cordone: TP=0.61 TO=3.91 NO=9.78
Tensioni nel cordone: τ_P=0.19 τ_0=1.24 σ_0=6.80 σ_{ID}=6.92 Σ_T=8.04
CC 11 SLV (Collegamento -382_-520)
Azioni sul collegamento: N=132.87 Ty=-3.10 Tz=-48.59 Mx=-0.62 Mz=-3.85
Sollecitazioni agenti localmente: Tx_l=-3.10 Ty_l=-48.59 N_l=132.87 My_l=3.85 Mz_l=-0.62
Azioni sul cordone: TP=0.95 TO=4.07 NO=9.78
Tensioni nel cordone: τ_P=0.30 τ_0=1.29 σ_0=8.73 σ_{ID}=8.83 Σ_T=10.02
CC 11 SLV (Collegamento -382_-520)
Azioni sul collegamento: N=144.84 Ty=-1.72 Tz=-50.44 Mx=-0.42 Mz=-2.53
Sollecitazioni agenti localmente: Tx_l=-1.72 Ty_l=-50.44 N_l=144.84 My_l=2.53 Mz_l=-0.42
Azioni sul cordone: TP=0.61 TO=4.04 NO=10.66
Tensioni nel cordone: τ_P=0.19 τ_0=1.28 σ_0=7.08 σ_{ID}=7.20 Σ_T=8.37
CC 11 SLV (Collegamento -382_-520)
Azioni sul collegamento: N=144.84 Ty=-3.10 Tz=-50.44 Mx=-0.62 Mz=-3.85
Sollecitazioni agenti localmente: Tx_l=-3.10 Ty_l=-50.44 N_l=144.84 My_l=3.85 Mz_l=-0.62
Azioni sul cordone: TP=0.95 TO=4.20 NO=10.66
Tensioni nel cordone: τ_P=0.30 τ_0=1.34 σ_0=9.01 σ_{ID}=9.11 Σ_T=10.35
CC 11 SLV (Collegamento -382_-520)
Azioni sul collegamento: N=144.84 Ty=-1.72 Tz=-50.44 Mx=-0.42 Mz=-2.53
Sollecitazioni agenti localmente: Tx_l=-1.72 Ty_l=-50.44 N_l=144.84 My_l=2.53 Mz_l=-0.42
Azioni sul cordone: TP=0.61 TO=4.04 NO=10.66
Tensioni nel cordone: τ_P=0.19 τ_0=1.28 σ_0=7.08 σ_{ID}=7.20 Σ_T=8.37
CC 11 SLV (Collegamento -382_-520)
Azioni sul collegamento: N=144.84 Ty=-3.10 Tz=-50.44 Mx=-0.62 Mz=-3.85
Sollecitazioni agenti localmente: Tx_l=-3.10 Ty_l=-50.44 N_l=144.84 My_l=3.85 Mz_l=-0.62
Azioni sul cordone: TP=0.95 TO=4.20 NO=10.66
Tensioni nel cordone: τ_P=0.30 τ_0=1.34 σ_0=9.01 σ_{ID}=9.11 Σ_T=10.35
CC 12 SLD (Collegamento -382_-520)

Azioni sul collegamento: N=137.16 Ty=-1.73 Tz=-49.25 Mx=-0.40 Mz=-2.42
Sollecitazioni agenti localmente: Tx_l=-1.73 Ty_l=-49.25 N_l=137.16 My_l=2.42 Mz_l=-0.40
Azioni sul cordone: TP=0.58 TO=3.94 NO=10.09
Tensioni nel cordone: τ_P=0.19 τ_0=1.25 σ_0=6.75 σ_{ID}=6.87 Σ_T=8.00
CC 12 SLD (Collegamento -382_-520)
Azioni sul collegamento: N=137.16 Ty=-2.15 Tz=-49.25 Mx=-0.46 Mz=-2.83
Sollecitazioni agenti localmente: Tx_l=-2.15 Ty_l=-49.25 N_l=137.16 My_l=2.83 Mz_l=-0.46
Azioni sul cordone: TP=0.69 TO=3.99 NO=10.09
Tensioni nel cordone: τ_P=0.22 τ_0=1.27 σ_0=7.34 σ_{ID}=7.45 Σ_T=8.60
CC 12 SLD (Collegamento -382_-520)
Azioni sul collegamento: N=137.16 Ty=-1.73 Tz=-49.25 Mx=-0.40 Mz=-2.42
Sollecitazioni agenti localmente: Tx_l=-1.73 Ty_l=-49.25 N_l=137.16 My_l=2.42 Mz_l=-0.40
Azioni sul cordone: TP=0.58 TO=3.94 NO=10.09
Tensioni nel cordone: τ_P=0.19 τ_0=1.25 σ_0=6.75 σ_{ID}=6.87 Σ_T=8.00
CC 12 SLD (Collegamento -382_-520)
Azioni sul collegamento: N=137.16 Ty=-2.15 Tz=-49.25 Mx=-0.46 Mz=-2.83
Sollecitazioni agenti localmente: Tx_l=-2.15 Ty_l=-49.25 N_l=137.16 My_l=2.83 Mz_l=-0.46
Azioni sul cordone: TP=0.69 TO=3.99 NO=10.09
Tensioni nel cordone: τ_P=0.22 τ_0=1.27 σ_0=7.34 σ_{ID}=7.45 Σ_T=8.60
CC 12 SLD (Collegamento -382_-520)
Azioni sul collegamento: N=140.81 Ty=-1.73 Tz=-49.81 Mx=-0.40 Mz=-2.42
Sollecitazioni agenti localmente: Tx_l=-1.73 Ty_l=-49.81 N_l=140.81 My_l=2.42 Mz_l=-0.40
Azioni sul cordone: TP=0.58 TO=3.98 NO=10.36
Tensioni nel cordone: τ_P=0.19 τ_0=1.26 σ_0=6.83 σ_{ID}=6.95 Σ_T=8.10
CC 12 SLD (Collegamento -382_-520)
Azioni sul collegamento: N=140.81 Ty=-2.15 Tz=-49.81 Mx=-0.46 Mz=-2.83
Sollecitazioni agenti localmente: Tx_l=-2.15 Ty_l=-49.81 N_l=140.81 My_l=2.83 Mz_l=-0.46
Azioni sul cordone: TP=0.69 TO=4.03 NO=10.36
Tensioni nel cordone: τ_P=0.22 τ_0=1.28 σ_0=7.42 σ_{ID}=7.53 Σ_T=8.70
CC 12 SLD (Collegamento -382_-520)
Azioni sul collegamento: N=140.81 Ty=-1.73 Tz=-49.81 Mx=-0.40 Mz=-2.42
Sollecitazioni agenti localmente: Tx_l=-1.73 Ty_l=-49.81 N_l=140.81 My_l=2.42 Mz_l=-0.40
Azioni sul cordone: TP=0.58 TO=3.98 NO=10.36
Tensioni nel cordone: τ_P=0.19 τ_0=1.26 σ_0=6.83 σ_{ID}=6.95 Σ_T=8.10
CC 12 SLD (Collegamento -382_-520)
Azioni sul collegamento: N=140.81 Ty=-2.15 Tz=-49.81 Mx=-0.46 Mz=-2.83
Sollecitazioni agenti localmente: Tx_l=-2.15 Ty_l=-49.81 N_l=140.81 My_l=2.83 Mz_l=-0.46
Azioni sul cordone: TP=0.69 TO=4.03 NO=10.36
Tensioni nel cordone: τ_P=0.22 τ_0=1.28 σ_0=7.42 σ_{ID}=7.53 Σ_T=8.70
CC 13 SLV (Collegamento -382_-520)
Azioni sul collegamento: N=144.84 Ty=-3.10 Tz=-50.44 Mx=-0.62 Mz=-3.85
Sollecitazioni agenti localmente: Tx_l=-3.10 Ty_l=-50.44 N_l=144.84 My_l=3.85 Mz_l=-0.62
Azioni sul cordone: TP=0.94 TO=4.20 NO=10.66
Tensioni nel cordone: τ_P=0.30 τ_0=1.33 σ_0=9.01 σ_{ID}=9.11 Σ_T=10.35
CC 13 SLV (Collegamento -382_-520)
Azioni sul collegamento: N=144.84 Ty=-1.72 Tz=-50.44 Mx=-0.41 Mz=-2.53
Sollecitazioni agenti localmente: Tx_l=-1.72 Ty_l=-50.44 N_l=144.84 My_l=2.53 Mz_l=-0.41
Azioni sul cordone: TP=0.60 TO=4.04 NO=10.66
Tensioni nel cordone: τ_P=0.19 τ_0=1.28 σ_0=7.08 σ_{ID}=7.20 Σ_T=8.37
CC 13 SLV (Collegamento -382_-520)
Azioni sul collegamento: N=144.84 Ty=-3.10 Tz=-50.44 Mx=-0.62 Mz=-3.85
Sollecitazioni agenti localmente: Tx_l=-3.10 Ty_l=-50.44 N_l=144.84 My_l=3.85 Mz_l=-0.62
Azioni sul cordone: TP=0.94 TO=4.20 NO=10.66
Tensioni nel cordone: τ_P=0.30 τ_0=1.33 σ_0=9.01 σ_{ID}=9.11 Σ_T=10.35
CC 13 SLV (Collegamento -382_-520)
Azioni sul collegamento: N=144.84 Ty=-1.72 Tz=-50.44 Mx=-0.41 Mz=-2.53
Sollecitazioni agenti localmente: Tx_l=-1.72 Ty_l=-50.44 N_l=144.84 My_l=2.53 Mz_l=-0.41
Azioni sul cordone: TP=0.60 TO=4.04 NO=10.66
Tensioni nel cordone: τ_P=0.19 τ_0=1.28 σ_0=7.08 σ_{ID}=7.20 Σ_T=8.37
CC 13 SLV (Collegamento -382_-520)
Azioni sul collegamento: N=132.87 Ty=-3.10 Tz=-48.59 Mx=-0.62 Mz=-3.85
Sollecitazioni agenti localmente: Tx_l=-3.10 Ty_l=-48.59 N_l=132.87 My_l=3.85 Mz_l=-0.62
Azioni sul cordone: TP=0.94 TO=4.06 NO=9.78
Tensioni nel cordone: τ_P=0.30 τ_0=1.29 σ_0=8.73 σ_{ID}=8.83 Σ_T=10.02
CC 13 SLV (Collegamento -382_-520)
Azioni sul collegamento: N=132.87 Ty=-1.72 Tz=-48.59 Mx=-0.41 Mz=-2.53
Sollecitazioni agenti localmente: Tx_l=-1.72 Ty_l=-48.59 N_l=132.87 My_l=2.53 Mz_l=-0.41
Azioni sul cordone: TP=0.60 TO=3.90 NO=9.78
Tensioni nel cordone: τ_P=0.19 τ_0=1.24 σ_0=6.80 σ_{ID}=6.92 Σ_T=8.04
CC 13 SLV (Collegamento -382_-520)
Azioni sul collegamento: N=132.87 Ty=-3.10 Tz=-48.59 Mx=-0.62 Mz=-3.85
Sollecitazioni agenti localmente: Tx_l=-3.10 Ty_l=-48.59 N_l=132.87 My_l=3.85 Mz_l=-0.62
Azioni sul cordone: TP=0.94 TO=4.06 NO=9.78
Tensioni nel cordone: τ_P=0.30 τ_0=1.29 σ_0=8.73 σ_{ID}=8.83 Σ_T=10.02
CC 13 SLV (Collegamento -382_-520)
Azioni sul collegamento: N=132.87 Ty=-1.72 Tz=-48.59 Mx=-0.41 Mz=-2.53
Sollecitazioni agenti localmente: Tx_l=-1.72 Ty_l=-48.59 N_l=132.87 My_l=2.53 Mz_l=-0.41
Azioni sul cordone: TP=0.60 TO=3.90 NO=9.78
Tensioni nel cordone: τ_P=0.19 τ_0=1.24 σ_0=6.80 σ_{ID}=6.92 Σ_T=8.04

CC 14 SLD (Collegamento -382_-520)
Azioni sul collegamento: N=140.81 Ty=-2.15 Tz=-49.81 Mx=-0.46 Mz=-2.83
Sollecitazioni agenti localmente: Tx_l=-2.15 Ty_l=-49.81 N_l=140.81 My_l=2.83 Mz_l=-0.46
Azioni sul cordone: TP=0.68 TO=4.03 NO=10.36
Tensioni nel cordone: τ_P=0.22 τ_0=1.28 σ_0=7.42 σ_{ID}=7.53 Σ_T=8.70
CC 14 SLD (Collegamento -382_-520)
Azioni sul collegamento: N=140.81 Ty=-1.73 Tz=-49.81 Mx=-0.39 Mz=-2.42
Sollecitazioni agenti localmente: Tx_l=-1.73 Ty_l=-49.81 N_l=140.81 My_l=2.42 Mz_l=-0.39
Azioni sul cordone: TP=0.58 TO=3.98 NO=10.36
Tensioni nel cordone: τ_P=0.18 τ_0=1.26 σ_0=6.83 σ_{ID}=6.95 Σ_T=8.10
CC 14 SLD (Collegamento -382_-520)
Azioni sul collegamento: N=140.81 Ty=-2.15 Tz=-49.81 Mx=-0.46 Mz=-2.83
Sollecitazioni agenti localmente: Tx_l=-2.15 Ty_l=-49.81 N_l=140.81 My_l=2.83 Mz_l=-0.46
Azioni sul cordone: TP=0.68 TO=4.03 NO=10.36
Tensioni nel cordone: τ_P=0.22 τ_0=1.28 σ_0=7.42 σ_{ID}=7.53 Σ_T=8.70
CC 14 SLD (Collegamento -382_-520)
Azioni sul collegamento: N=140.81 Ty=-1.73 Tz=-49.81 Mx=-0.39 Mz=-2.42
Sollecitazioni agenti localmente: Tx_l=-1.73 Ty_l=-49.81 N_l=140.81 My_l=2.42 Mz_l=-0.39
Azioni sul cordone: TP=0.58 TO=3.98 NO=10.36
Tensioni nel cordone: τ_P=0.18 τ_0=1.26 σ_0=6.83 σ_{ID}=6.95 Σ_T=8.10
CC 14 SLD (Collegamento -382_-520)
Azioni sul collegamento: N=137.16 Ty=-2.15 Tz=-49.25 Mx=-0.46 Mz=-2.83
Sollecitazioni agenti localmente: Tx_l=-2.15 Ty_l=-49.25 N_l=137.16 My_l=2.83 Mz_l=-0.46
Azioni sul cordone: TP=0.68 TO=3.98 NO=10.09
Tensioni nel cordone: τ_P=0.22 τ_0=1.27 σ_0=7.34 σ_{ID}=7.45 Σ_T=8.60
CC 14 SLD (Collegamento -382_-520)
Azioni sul collegamento: N=137.16 Ty=-1.73 Tz=-49.25 Mx=-0.39 Mz=-2.42
Sollecitazioni agenti localmente: Tx_l=-1.73 Ty_l=-49.25 N_l=137.16 My_l=2.42 Mz_l=-0.39
Azioni sul cordone: TP=0.58 TO=3.93 NO=10.09
Tensioni nel cordone: τ_P=0.18 τ_0=1.25 σ_0=6.75 σ_{ID}=6.87 Σ_T=8.00
CC 14 SLD (Collegamento -382_-520)
Azioni sul collegamento: N=137.16 Ty=-2.15 Tz=-49.25 Mx=-0.46 Mz=-2.83
Sollecitazioni agenti localmente: Tx_l=-2.15 Ty_l=-49.25 N_l=137.16 My_l=2.83 Mz_l=-0.46
Azioni sul cordone: TP=0.68 TO=3.98 NO=10.09
Tensioni nel cordone: τ_P=0.22 τ_0=1.27 σ_0=7.34 σ_{ID}=7.45 Σ_T=8.60
CC 14 SLD (Collegamento -382_-520)
Azioni sul collegamento: N=137.16 Ty=-1.73 Tz=-49.25 Mx=-0.39 Mz=-2.42
Sollecitazioni agenti localmente: Tx_l=-1.73 Ty_l=-49.25 N_l=137.16 My_l=2.42 Mz_l=-0.39
Azioni sul cordone: TP=0.58 TO=3.93 NO=10.09
Tensioni nel cordone: τ_P=0.18 τ_0=1.25 σ_0=6.75 σ_{ID}=6.87 Σ_T=8.00
CC 15 SLV (Collegamento -382_-520)
Azioni sul collegamento: N=132.24 Ty=-3.50 Tz=-48.49 Mx=-0.70 Mz=-4.40
Sollecitazioni agenti localmente: Tx_l=-3.50 Ty_l=-48.49 N_l=132.24 My_l=4.40 Mz_l=-0.70
Azioni sul cordone: TP=1.06 TO=4.12 NO=9.73
Tensioni nel cordone: τ_P=0.34 τ_0=1.31 σ_0=9.53 σ_{ID}=9.62 Σ_T=10.84
CC 15 SLV (Collegamento -382_-520)
Azioni sul collegamento: N=132.24 Ty=-1.32 Tz=-48.49 Mx=-0.32 Mz=-1.98
Sollecitazioni agenti localmente: Tx_l=-1.32 Ty_l=-48.49 N_l=132.24 My_l=1.98 Mz_l=-0.32
Azioni sul cordone: TP=0.47 TO=3.82 NO=9.73
Tensioni nel cordone: τ_P=0.15 τ_0=1.22 σ_0=5.98 σ_{ID}=6.10 Σ_T=7.20
CC 15 SLV (Collegamento -382_-520)
Azioni sul collegamento: N=132.24 Ty=-3.50 Tz=-48.49 Mx=-0.70 Mz=-4.40
Sollecitazioni agenti localmente: Tx_l=-3.50 Ty_l=-48.49 N_l=132.24 My_l=4.40 Mz_l=-0.70
Azioni sul cordone: TP=1.06 TO=4.12 NO=9.73
Tensioni nel cordone: τ_P=0.34 τ_0=1.31 σ_0=9.53 σ_{ID}=9.62 Σ_T=10.84
CC 15 SLV (Collegamento -382_-520)
Azioni sul collegamento: N=132.24 Ty=-1.32 Tz=-48.49 Mx=-0.32 Mz=-1.98
Sollecitazioni agenti localmente: Tx_l=-1.32 Ty_l=-48.49 N_l=132.24 My_l=1.98 Mz_l=-0.32
Azioni sul cordone: TP=0.47 TO=3.82 NO=9.73
Tensioni nel cordone: τ_P=0.15 τ_0=1.22 σ_0=5.98 σ_{ID}=6.10 Σ_T=7.20
CC 15 SLV (Collegamento -382_-520)
Azioni sul collegamento: N=145.48 Ty=-3.50 Tz=-50.54 Mx=-0.70 Mz=-4.40
Sollecitazioni agenti localmente: Tx_l=-3.50 Ty_l=-50.54 N_l=145.48 My_l=4.40 Mz_l=-0.70
Azioni sul cordone: TP=1.06 TO=4.27 NO=10.70
Tensioni nel cordone: τ_P=0.34 τ_0=1.36 σ_0=9.84 σ_{ID}=9.94 Σ_T=11.19
CC 15 SLV (Collegamento -382_-520)
Azioni sul collegamento: N=145.48 Ty=-1.32 Tz=-50.54 Mx=-0.32 Mz=-1.98
Sollecitazioni agenti localmente: Tx_l=-1.32 Ty_l=-50.54 N_l=145.48 My_l=1.98 Mz_l=-0.32
Azioni sul cordone: TP=0.47 TO=3.97 NO=10.70
Tensioni nel cordone: τ_P=0.15 τ_0=1.26 σ_0=6.29 σ_{ID}=6.42 Σ_T=7.55
CC 15 SLV (Collegamento -382_-520)
Azioni sul collegamento: N=145.48 Ty=-3.50 Tz=-50.54 Mx=-0.70 Mz=-4.40
Sollecitazioni agenti localmente: Tx_l=-3.50 Ty_l=-50.54 N_l=145.48 My_l=4.40 Mz_l=-0.70
Azioni sul cordone: TP=1.06 TO=4.27 NO=10.70
Tensioni nel cordone: τ_P=0.34 τ_0=1.36 σ_0=9.84 σ_{ID}=9.94 Σ_T=11.19
CC 15 SLV (Collegamento -382_-520)
Azioni sul collegamento: N=145.48 Ty=-1.32 Tz=-50.54 Mx=-0.32 Mz=-1.98
Sollecitazioni agenti localmente: Tx_l=-1.32 Ty_l=-50.54 N_l=145.48 My_l=1.98 Mz_l=-0.32
Azioni sul cordone: TP=0.47 TO=3.97 NO=10.70

Tensioni nel cordone: τ_P=0.15 τ_0=1.26 σ_0=6.29 σ_{ID}=6.42 Σ_T=7.55
CC 16 SLD (Collegamento -382_-520)
Azioni sul collegamento: N=136.96 Ty=-2.27 Tz=-49.22 Mx=-0.48 Mz=-3.00
Sollecitazioni agenti localmente: Tx_l=-2.27 Ty_l=-49.22 N_l=136.96 My_l=3.00 Mz_l=-0.48
Azioni sul cordone: TP=0.72 TO=4.00 NO=10.08
Tensioni nel cordone: τ_P=0.23 τ_0=1.27 σ_0=7.58 σ_{ID}=7.69 Σ_T=8.85
CC 16 SLD (Collegamento -382_-520)
Azioni sul collegamento: N=136.96 Ty=-1.61 Tz=-49.22 Mx=-0.37 Mz=-2.26
Sollecitazioni agenti localmente: Tx_l=-1.61 Ty_l=-49.22 N_l=136.96 My_l=2.26 Mz_l=-0.37
Azioni sul cordone: TP=0.54 TO=3.91 NO=10.08
Tensioni nel cordone: τ_P=0.17 τ_0=1.24 σ_0=6.50 σ_{ID}=6.62 Σ_T=7.74
CC 16 SLD (Collegamento -382_-520)
Azioni sul collegamento: N=136.96 Ty=-2.27 Tz=-49.22 Mx=-0.48 Mz=-3.00
Sollecitazioni agenti localmente: Tx_l=-2.27 Ty_l=-49.22 N_l=136.96 My_l=3.00 Mz_l=-0.48
Azioni sul cordone: TP=0.72 TO=4.00 NO=10.08
Tensioni nel cordone: τ_P=0.23 τ_0=1.27 σ_0=7.58 σ_{ID}=7.69 Σ_T=8.85
CC 16 SLD (Collegamento -382_-520)
Azioni sul collegamento: N=136.96 Ty=-1.61 Tz=-49.22 Mx=-0.37 Mz=-2.26
Sollecitazioni agenti localmente: Tx_l=-1.61 Ty_l=-49.22 N_l=136.96 My_l=2.26 Mz_l=-0.37
Azioni sul cordone: TP=0.54 TO=3.91 NO=10.08
Tensioni nel cordone: τ_P=0.17 τ_0=1.24 σ_0=6.50 σ_{ID}=6.62 Σ_T=7.74
CC 16 SLD (Collegamento -382_-520)
Azioni sul collegamento: N=141.00 Ty=-2.27 Tz=-49.84 Mx=-0.48 Mz=-3.00
Sollecitazioni agenti localmente: Tx_l=-2.27 Ty_l=-49.84 N_l=141.00 My_l=3.00 Mz_l=-0.48
Azioni sul cordone: TP=0.72 TO=4.05 NO=10.38
Tensioni nel cordone: τ_P=0.23 τ_0=1.29 σ_0=7.67 σ_{ID}=7.78 Σ_T=8.96
CC 16 SLD (Collegamento -382_-520)
Azioni sul collegamento: N=141.00 Ty=-1.61 Tz=-49.84 Mx=-0.37 Mz=-2.26
Sollecitazioni agenti localmente: Tx_l=-1.61 Ty_l=-49.84 N_l=141.00 My_l=2.26 Mz_l=-0.37
Azioni sul cordone: TP=0.54 TO=3.96 NO=10.38
Tensioni nel cordone: τ_P=0.17 τ_0=1.26 σ_0=6.59 σ_{ID}=6.71 Σ_T=7.85
CC 16 SLD (Collegamento -382_-520)
Azioni sul collegamento: N=141.00 Ty=-2.27 Tz=-49.84 Mx=-0.48 Mz=-3.00
Sollecitazioni agenti localmente: Tx_l=-2.27 Ty_l=-49.84 N_l=141.00 My_l=3.00 Mz_l=-0.48
Azioni sul cordone: TP=0.72 TO=4.05 NO=10.38
Tensioni nel cordone: τ_P=0.23 τ_0=1.29 σ_0=7.67 σ_{ID}=7.78 Σ_T=8.96
CC 16 SLD (Collegamento -382_-520)
Azioni sul collegamento: N=141.00 Ty=-1.61 Tz=-49.84 Mx=-0.37 Mz=-2.26
Sollecitazioni agenti localmente: Tx_l=-1.61 Ty_l=-49.84 N_l=141.00 My_l=2.26 Mz_l=-0.37
Azioni sul cordone: TP=0.54 TO=3.96 NO=10.38
Tensioni nel cordone: τ_P=0.17 τ_0=1.26 σ_0=6.59 σ_{ID}=6.71 Σ_T=7.85
CC 17 SLV (Collegamento -382_-520)
Azioni sul collegamento: N=160.31 Ty=-0.12 Tz=-52.83 Mx=-0.08 Mz=-0.36
Sollecitazioni agenti localmente: Tx_l=-0.12 Ty_l=-52.83 N_l=160.31 My_l=0.36 Mz_l=-0.08
Azioni sul cordone: TP=0.10 TO=3.95 NO=11.80
Tensioni nel cordone: τ_P= 0.03 τ_0=1.25 σ_0=4.28 σ_{ID}=4.46 Σ_T=5.53
CC 17 SLV (Collegamento -382_-520)
Azioni sul collegamento: N=160.31 Ty=-2.00 Tz=-52.83 Mx=-0.45 Mz=-2.77
Sollecitazioni agenti localmente: Tx_l=-2.00 Ty_l=-52.83 N_l=160.31 My_l=2.77 Mz_l=-0.45
Azioni sul cordone: TP=0.66 TO=4.24 NO=11.80
Tensioni nel cordone: τ_P=0.21 τ_0=1.35 σ_0=7.79 σ_{ID}=7.91 Σ_T=9.14
CC 17 SLV (Collegamento -382_-520)
Azioni sul collegamento: N=160.31 Ty=-0.12 Tz=-52.83 Mx=-0.08 Mz=-0.36
Sollecitazioni agenti localmente: Tx_l=-0.12 Ty_l=-52.83 N_l=160.31 My_l=0.36 Mz_l=-0.08
Azioni sul cordone: TP=0.10 TO=3.95 NO=11.80
Tensioni nel cordone: τ_P= 0.03 τ_0=1.25 σ_0=4.28 σ_{ID}=4.46 Σ_T=5.53
CC 17 SLV (Collegamento -382_-520)
Azioni sul collegamento: N=160.31 Ty=-2.00 Tz=-52.83 Mx=-0.45 Mz=-2.77
Sollecitazioni agenti localmente: Tx_l=-2.00 Ty_l=-52.83 N_l=160.31 My_l=2.77 Mz_l=-0.45
Azioni sul cordone: TP=0.66 TO=4.24 NO=11.80
Tensioni nel cordone: τ_P=0.21 τ_0=1.35 σ_0=7.79 σ_{ID}=7.91 Σ_T=9.14
CC 17 SLV (Collegamento -382_-520)
Azioni sul collegamento: N=118.10 Ty=-0.12 Tz=-46.30 Mx=-0.08 Mz=-0.36
Sollecitazioni agenti localmente: Tx_l=-0.12 Ty_l=-46.30 N_l=118.10 My_l=0.36 Mz_l=-0.08
Azioni sul cordone: TP=0.10 TO=3.47 NO=8.69
Tensioni nel cordone: τ_P= 0.03 τ_0=1.10 σ_0=3.29 σ_{ID}=3.47 Σ_T=4.39
CC 17 SLV (Collegamento -382_-520)
Azioni sul collegamento: N=118.10 Ty=-2.00 Tz=-46.30 Mx=-0.45 Mz=-2.77
Sollecitazioni agenti localmente: Tx_l=-2.00 Ty_l=-46.30 N_l=118.10 My_l=2.77 Mz_l=-0.45
Azioni sul cordone: TP=0.66 TO=3.76 NO=8.69
Tensioni nel cordone: τ_P=0.21 τ_0=1.20 σ_0=6.81 σ_{ID}=6.91 Σ_T=8.00
CC 17 SLV (Collegamento -382_-520)
Azioni sul collegamento: N=118.10 Ty=-0.12 Tz=-46.30 Mx=-0.08 Mz=-0.36
Sollecitazioni agenti localmente: Tx_l=-0.12 Ty_l=-46.30 N_l=118.10 My_l=0.36 Mz_l=-0.08
Azioni sul cordone: TP=0.10 TO=3.47 NO=8.69
Tensioni nel cordone: τ_P= 0.03 τ_0=1.10 σ_0=3.29 σ_{ID}=3.47 Σ_T=4.39
CC 17 SLV (Collegamento -382_-520)
Azioni sul collegamento: N=118.10 Ty=-2.00 Tz=-46.30 Mx=-0.45 Mz=-2.77
Sollecitazioni agenti localmente: Tx_l=-2.00 Ty_l=-46.30 N_l=118.10 My_l=2.77 Mz_l=-0.45

Azioni sul cordone: TP=0.66 TO=3.76 NO=8.69
Tensioni nel cordone: τ_P=0.21 τ_0=1.20 σ_0=6.81 σ_{ID}=6.91 Σ_T=8.00
CC 18 SLD (Collegamento -382_-520)
Azioni sul collegamento: N=145.52 Ty=-1.24 Tz=-50.54 Mx=-0.29 Mz=-1.76
Sollecitazioni agenti localmente: Tx_l=-1.24 Ty_l=-50.54 N_l=145.52 My_l=1.76 Mz_l=-0.29
Azioni sul cordone: TP=0.43 TO=3.95 NO=10.71
Tensioni nel cordone: τ_P=0.14 τ_0=1.26 σ_0=5.98 σ_{ID}=6.11 Σ_T=7.23
CC 18 SLD (Collegamento -382_-520)
Azioni sul collegamento: N=145.52 Ty=-1.82 Tz=-50.54 Mx=-0.41 Mz=-2.50
Sollecitazioni agenti localmente: Tx_l=-1.82 Ty_l=-50.54 N_l=145.52 My_l=2.50 Mz_l=-0.41
Azioni sul cordone: TP=0.60 TO=4.04 NO=10.71
Tensioni nel cordone: τ_P=0.19 τ_0=1.28 σ_0=7.05 σ_{ID}=7.17 Σ_T=8.33
CC 18 SLD (Collegamento -382_-520)
Azioni sul collegamento: N=145.52 Ty=-1.24 Tz=-50.54 Mx=-0.29 Mz=-1.76
Sollecitazioni agenti localmente: Tx_l=-1.24 Ty_l=-50.54 N_l=145.52 My_l=1.76 Mz_l=-0.29
Azioni sul cordone: TP=0.43 TO=3.95 NO=10.71
Tensioni nel cordone: τ_P=0.14 τ_0=1.26 σ_0=5.98 σ_{ID}=6.11 Σ_T=7.23
CC 18 SLD (Collegamento -382_-520)
Azioni sul collegamento: N=145.52 Ty=-1.82 Tz=-50.54 Mx=-0.41 Mz=-2.50
Sollecitazioni agenti localmente: Tx_l=-1.82 Ty_l=-50.54 N_l=145.52 My_l=2.50 Mz_l=-0.41
Azioni sul cordone: TP=0.60 TO=4.04 NO=10.71
Tensioni nel cordone: τ_P=0.19 τ_0=1.28 σ_0=7.05 σ_{ID}=7.17 Σ_T=8.33
CC 18 SLD (Collegamento -382_-520)
Azioni sul collegamento: N=132.65 Ty=-1.24 Tz=-48.55 Mx=-0.29 Mz=-1.76
Sollecitazioni agenti localmente: Tx_l=-1.24 Ty_l=-48.55 N_l=132.65 My_l=1.76 Mz_l=-0.29
Azioni sul cordone: TP=0.43 TO=3.80 NO=9.76
Tensioni nel cordone: τ_P=0.14 τ_0=1.21 σ_0=5.68 σ_{ID}=5.81 Σ_T=6.89
CC 18 SLD (Collegamento -382_-520)
Azioni sul collegamento: N=132.65 Ty=-1.82 Tz=-48.55 Mx=-0.41 Mz=-2.50
Sollecitazioni agenti localmente: Tx_l=-1.82 Ty_l=-48.55 N_l=132.65 My_l=2.50 Mz_l=-0.41
Azioni sul cordone: TP=0.60 TO=3.89 NO=9.76
Tensioni nel cordone: τ_P=0.19 τ_0=1.24 σ_0=6.75 σ_{ID}=6.86 Σ_T=7.99
CC 18 SLD (Collegamento -382_-520)
Azioni sul collegamento: N=132.65 Ty=-1.24 Tz=-48.55 Mx=-0.29 Mz=-1.76
Sollecitazioni agenti localmente: Tx_l=-1.24 Ty_l=-48.55 N_l=132.65 My_l=1.76 Mz_l=-0.29
Azioni sul cordone: TP=0.43 TO=3.80 NO=9.76
Tensioni nel cordone: τ_P=0.14 τ_0=1.21 σ_0=5.68 σ_{ID}=5.81 Σ_T=6.89
CC 18 SLD (Collegamento -382_-520)
Azioni sul collegamento: N=132.65 Ty=-1.82 Tz=-48.55 Mx=-0.41 Mz=-2.50
Sollecitazioni agenti localmente: Tx_l=-1.82 Ty_l=-48.55 N_l=132.65 My_l=2.50 Mz_l=-0.41
Azioni sul cordone: TP=0.60 TO=3.89 NO=9.76
Tensioni nel cordone: τ_P=0.19 τ_0=1.24 σ_0=6.75 σ_{ID}=6.86 Σ_T=7.99
CC 19 SLV (Collegamento -382_-520)
Azioni sul collegamento: N=160.12 Ty=-0.66 Tz=-52.80 Mx=-0.16 Mz=-0.92
Sollecitazioni agenti localmente: Tx_l=-0.66 Ty_l=-52.80 N_l=160.12 My_l=0.92 Mz_l=-0.16
Azioni sul cordone: TP=0.23 TO=4.01 NO=11.78
Tensioni nel cordone: τ_P= 0.07 τ_0=1.28 σ_0=5.09 σ_{ID}=5.25 Σ_T=6.37
CC 19 SLV (Collegamento -382_-520)
Azioni sul collegamento: N=160.12 Ty=-1.47 Tz=-52.80 Mx=-0.36 Mz=-2.21
Sollecitazioni agenti localmente: Tx_l=-1.47 Ty_l=-52.80 N_l=160.12 My_l=2.21 Mz_l=-0.36
Azioni sul cordone: TP=0.52 TO=4.17 NO=11.78
Tensioni nel cordone: τ_P=0.17 τ_0=1.33 σ_0=6.97 σ_{ID}=7.10 Σ_T=8.29
CC 19 SLV (Collegamento -382_-520)
Azioni sul collegamento: N=160.12 Ty=-0.66 Tz=-52.80 Mx=-0.16 Mz=-0.92
Sollecitazioni agenti localmente: Tx_l=-0.66 Ty_l=-52.80 N_l=160.12 My_l=0.92 Mz_l=-0.16
Azioni sul cordone: TP=0.23 TO=4.01 NO=11.78
Tensioni nel cordone: τ_P= 0.07 τ_0=1.28 σ_0=5.09 σ_{ID}=5.25 Σ_T=6.37
CC 19 SLV (Collegamento -382_-520)
Azioni sul collegamento: N=160.12 Ty=-1.47 Tz=-52.80 Mx=-0.36 Mz=-2.21
Sollecitazioni agenti localmente: Tx_l=-1.47 Ty_l=-52.80 N_l=160.12 My_l=2.21 Mz_l=-0.36
Azioni sul cordone: TP=0.52 TO=4.17 NO=11.78
Tensioni nel cordone: τ_P=0.17 τ_0=1.33 σ_0=6.97 σ_{ID}=7.10 Σ_T=8.29
CC 19 SLV (Collegamento -382_-520)
Azioni sul collegamento: N=118.29 Ty=-0.66 Tz=-46.33 Mx=-0.16 Mz=-0.92
Sollecitazioni agenti localmente: Tx_l=-0.66 Ty_l=-46.33 N_l=118.29 My_l=0.92 Mz_l=-0.16
Azioni sul cordone: TP=0.23 TO=3.54 NO=8.70
Tensioni nel cordone: τ_P= 0.07 τ_0=1.12 σ_0=4.11 σ_{ID}=4.27 Σ_T=5.24
CC 19 SLV (Collegamento -382_-520)
Azioni sul collegamento: N=118.29 Ty=-1.47 Tz=-46.33 Mx=-0.36 Mz=-2.21
Sollecitazioni agenti localmente: Tx_l=-1.47 Ty_l=-46.33 N_l=118.29 My_l=2.21 Mz_l=-0.36
Azioni sul cordone: TP=0.52 TO=3.69 NO=8.70
Tensioni nel cordone: τ_P=0.17 τ_0=1.17 σ_0=5.99 σ_{ID}=6.11 Σ_T=7.16
CC 19 SLV (Collegamento -382_-520)
Azioni sul collegamento: N=118.29 Ty=-0.66 Tz=-46.33 Mx=-0.16 Mz=-0.92
Sollecitazioni agenti localmente: Tx_l=-0.66 Ty_l=-46.33 N_l=118.29 My_l=0.92 Mz_l=-0.16
Azioni sul cordone: TP=0.23 TO=3.54 NO=8.70
Tensioni nel cordone: τ_P= 0.07 τ_0=1.12 σ_0=4.11 σ_{ID}=4.27 Σ_T=5.24
CC 19 SLV (Collegamento -382_-520)
Azioni sul collegamento: N=118.29 Ty=-1.47 Tz=-46.33 Mx=-0.36 Mz=-2.21

Sollecitazioni agenti localmente: Tx_l=-1.47 Ty_l=-46.33 N_l=118.29 My_l=2.21 Mz_l=-0.36
Azioni sul cordone: TP=0.52 TO=3.69 NO=8.70
Tensioni nel cordone: τ_P=0.17 τ_0=1.17 σ_0=5.99 σ_{ID}=6.11 Σ_T=7.16
CC 20 SLD (Collegamento -382_-520)
Azioni sul collegamento: N=145.46 Ty=-1.41 Tz=-50.53 Mx=-0.32 Mz=-1.93
Sollecitazioni agenti localmente: Tx_l=-1.41 Ty_l=-50.53 N_l=145.46 My_l=1.93 Mz_l=-0.32
Azioni sul cordone: TP=0.47 TO=3.97 NO=10.70
Tensioni nel cordone: τ_P=0.15 τ_0=1.26 σ_0=6.23 σ_{ID}=6.36 Σ_T=7.49
CC 20 SLD (Collegamento -382_-520)
Azioni sul collegamento: N=145.46 Ty=-1.65 Tz=-50.53 Mx=-0.38 Mz=-2.33
Sollecitazioni agenti localmente: Tx_l=-1.65 Ty_l=-50.53 N_l=145.46 My_l=2.33 Mz_l=-0.38
Azioni sul cordone: TP=0.56 TO=4.02 NO=10.70
Tensioni nel cordone: τ_P=0.18 τ_0=1.28 σ_0=6.80 σ_{ID}=6.92 Σ_T=8.08
CC 20 SLD (Collegamento -382_-520)
Azioni sul collegamento: N=145.46 Ty=-1.41 Tz=-50.53 Mx=-0.32 Mz=-1.93
Sollecitazioni agenti localmente: Tx_l=-1.41 Ty_l=-50.53 N_l=145.46 My_l=1.93 Mz_l=-0.32
Azioni sul cordone: TP=0.47 TO=3.97 NO=10.70
Tensioni nel cordone: τ_P=0.15 τ_0=1.26 σ_0=6.23 σ_{ID}=6.36 Σ_T=7.49
CC 20 SLD (Collegamento -382_-520)
Azioni sul collegamento: N=145.46 Ty=-1.65 Tz=-50.53 Mx=-0.38 Mz=-2.33
Sollecitazioni agenti localmente: Tx_l=-1.65 Ty_l=-50.53 N_l=145.46 My_l=2.33 Mz_l=-0.38
Azioni sul cordone: TP=0.56 TO=4.02 NO=10.70
Tensioni nel cordone: τ_P=0.18 τ_0=1.28 σ_0=6.80 σ_{ID}=6.92 Σ_T=8.08
CC 20 SLD (Collegamento -382_-520)
Azioni sul collegamento: N=132.71 Ty=-1.41 Tz=-48.56 Mx=-0.32 Mz=-1.93
Sollecitazioni agenti localmente: Tx_l=-1.41 Ty_l=-48.56 N_l=132.71 My_l=1.93 Mz_l=-0.32
Azioni sul cordone: TP=0.47 TO=3.82 NO=9.77
Tensioni nel cordone: τ_P=0.15 τ_0=1.22 σ_0=5.93 σ_{ID}=6.05 Σ_T=7.14
CC 20 SLD (Collegamento -382_-520)
Azioni sul collegamento: N=132.71 Ty=-1.65 Tz=-48.56 Mx=-0.38 Mz=-2.33
Sollecitazioni agenti localmente: Tx_l=-1.65 Ty_l=-48.56 N_l=132.71 My_l=2.33 Mz_l=-0.38
Azioni sul cordone: TP=0.56 TO=3.87 NO=9.77
Tensioni nel cordone: τ_P=0.18 τ_0=1.23 σ_0=6.50 σ_{ID}=6.62 Σ_T=7.73
CC 20 SLD (Collegamento -382_-520)
Azioni sul collegamento: N=132.71 Ty=-1.41 Tz=-48.56 Mx=-0.32 Mz=-1.93
Sollecitazioni agenti localmente: Tx_l=-1.41 Ty_l=-48.56 N_l=132.71 My_l=1.93 Mz_l=-0.32
Azioni sul cordone: TP=0.47 TO=3.82 NO=9.77
Tensioni nel cordone: τ_P=0.15 τ_0=1.22 σ_0=5.93 σ_{ID}=6.05 Σ_T=7.14
CC 20 SLD (Collegamento -382_-520)
Azioni sul collegamento: N=132.71 Ty=-1.65 Tz=-48.56 Mx=-0.38 Mz=-2.33
Sollecitazioni agenti localmente: Tx_l=-1.65 Ty_l=-48.56 N_l=132.71 My_l=2.33 Mz_l=-0.38
Azioni sul cordone: TP=0.56 TO=3.87 NO=9.77
Tensioni nel cordone: τ_P=0.18 τ_0=1.23 σ_0=6.50 σ_{ID}=6.62 Σ_T=7.73
CC 21 SLV (Collegamento -382_-520)
Azioni sul collegamento: N=118.29 Ty=-1.47 Tz=-46.33 Mx=-0.35 Mz=-2.21
Sollecitazioni agenti localmente: Tx_l=-1.47 Ty_l=-46.33 N_l=118.29 My_l=2.21 Mz_l=-0.35
Azioni sul cordone: TP=0.51 TO=3.68 NO=8.70
Tensioni nel cordone: τ_P=0.16 τ_0=1.17 σ_0=5.99 σ_{ID}=6.11 Σ_T=7.16
CC 21 SLV (Collegamento -382_-520)
Azioni sul collegamento: N=118.29 Ty=-0.66 Tz=-46.33 Mx=-0.15 Mz=-0.92
Sollecitazioni agenti localmente: Tx_l=-0.66 Ty_l=-46.33 N_l=118.29 My_l=0.92 Mz_l=-0.15
Azioni sul cordone: TP=0.22 TO=3.53 NO=8.70
Tensioni nel cordone: τ_P= 0.07 τ_0=1.12 σ_0=4.12 σ_{ID}=4.27 Σ_T=5.24
CC 21 SLV (Collegamento -382_-520)
Azioni sul collegamento: N=118.29 Ty=-1.47 Tz=-46.33 Mx=-0.35 Mz=-2.21
Sollecitazioni agenti localmente: Tx_l=-1.47 Ty_l=-46.33 N_l=118.29 My_l=2.21 Mz_l=-0.35
Azioni sul cordone: TP=0.51 TO=3.68 NO=8.70
Tensioni nel cordone: τ_P=0.16 τ_0=1.17 σ_0=5.99 σ_{ID}=6.11 Σ_T=7.16
CC 21 SLV (Collegamento -382_-520)
Azioni sul collegamento: N=118.29 Ty=-0.66 Tz=-46.33 Mx=-0.15 Mz=-0.92
Sollecitazioni agenti localmente: Tx_l=-0.66 Ty_l=-46.33 N_l=118.29 My_l=0.92 Mz_l=-0.15
Azioni sul cordone: TP=0.22 TO=3.53 NO=8.70
Tensioni nel cordone: τ_P= 0.07 τ_0=1.12 σ_0=4.12 σ_{ID}=4.27 Σ_T=5.24
CC 21 SLV (Collegamento -382_-520)
Azioni sul collegamento: N=160.12 Ty=-1.47 Tz=-52.80 Mx=-0.35 Mz=-2.21
Sollecitazioni agenti localmente: Tx_l=-1.47 Ty_l=-52.80 N_l=160.12 My_l=2.21 Mz_l=-0.35
Azioni sul cordone: TP=0.51 TO=4.16 NO=11.78
Tensioni nel cordone: τ_P=0.16 τ_0=1.32 σ_0=6.97 σ_{ID}=7.10 Σ_T=8.29
CC 21 SLV (Collegamento -382_-520)
Azioni sul collegamento: N=160.12 Ty=-0.66 Tz=-52.80 Mx=-0.15 Mz=-0.92
Sollecitazioni agenti localmente: Tx_l=-0.66 Ty_l=-52.80 N_l=160.12 My_l=0.92 Mz_l=-0.15
Azioni sul cordone: TP=0.22 TO=4.00 NO=11.78
Tensioni nel cordone: τ_P= 0.07 τ_0=1.27 σ_0=5.09 σ_{ID}=5.25 Σ_T=6.37
CC 21 SLV (Collegamento -382_-520)
Azioni sul collegamento: N=160.12 Ty=-1.47 Tz=-52.80 Mx=-0.35 Mz=-2.21
Sollecitazioni agenti localmente: Tx_l=-1.47 Ty_l=-52.80 N_l=160.12 My_l=2.21 Mz_l=-0.35
Azioni sul cordone: TP=0.51 TO=4.16 NO=11.78
Tensioni nel cordone: τ_P=0.16 τ_0=1.32 σ_0=6.97 σ_{ID}=7.10 Σ_T=8.29
CC 21 SLV (Collegamento -382_-520)

Azioni sul collegamento: N=160.12 Ty=-0.66 Tz=-52.80 Mx=-0.15 Mz=-0.92
Sollecitazioni agenti localmente: Tx_l=-0.66 Ty_l=-52.80 N_l=160.12 My_l=0.92 Mz_l=-0.15
Azioni sul cordone: TP=0.22 TO=4.00 NO=11.78
Tensioni nel cordone: τ_P= 0.07 τ_O=1.27 σ_O=5.09 σ_{ID}=5.25 Σ_T=6.37
CC 22 SLD (Collegamento -382_-520)
Azioni sul collegamento: N=132.71 Ty=-1.65 Tz=-48.56 Mx=-0.38 Mz=-2.33
Sollecitazioni agenti localmente: Tx_l=-1.65 Ty_l=-48.56 N_l=132.71 My_l=2.33 Mz_l=-0.38
Azioni sul cordone: TP=0.55 TO=3.87 NO=9.77
Tensioni nel cordone: τ_P=0.18 τ_O=1.23 σ_O=6.50 σ_{ID}=6.62 Σ_T=7.73
CC 22 SLD (Collegamento -382_-520)
Azioni sul collegamento: N=132.71 Ty=-1.41 Tz=-48.56 Mx=-0.31 Mz=-1.93
Sollecitazioni agenti localmente: Tx_l=-1.41 Ty_l=-48.56 N_l=132.71 My_l=1.93 Mz_l=-0.31
Azioni sul cordone: TP=0.47 TO=3.82 NO=9.77
Tensioni nel cordone: τ_P=0.15 τ_O=1.21 σ_O=5.93 σ_{ID}=6.05 Σ_T=7.14
CC 22 SLD (Collegamento -382_-520)
Azioni sul collegamento: N=132.71 Ty=-1.65 Tz=-48.56 Mx=-0.38 Mz=-2.33
Sollecitazioni agenti localmente: Tx_l=-1.65 Ty_l=-48.56 N_l=132.71 My_l=2.33 Mz_l=-0.38
Azioni sul cordone: TP=0.55 TO=3.87 NO=9.77
Tensioni nel cordone: τ_P=0.18 τ_O=1.23 σ_O=6.50 σ_{ID}=6.62 Σ_T=7.73
CC 22 SLD (Collegamento -382_-520)
Azioni sul collegamento: N=132.71 Ty=-1.41 Tz=-48.56 Mx=-0.31 Mz=-1.93
Sollecitazioni agenti localmente: Tx_l=-1.41 Ty_l=-48.56 N_l=132.71 My_l=1.93 Mz_l=-0.31
Azioni sul cordone: TP=0.47 TO=3.82 NO=9.77
Tensioni nel cordone: τ_P=0.15 τ_O=1.21 σ_O=5.93 σ_{ID}=6.05 Σ_T=7.14
CC 22 SLD (Collegamento -382_-520)
Azioni sul collegamento: N=145.46 Ty=-1.65 Tz=-50.53 Mx=-0.38 Mz=-2.33
Sollecitazioni agenti localmente: Tx_l=-1.65 Ty_l=-50.53 N_l=145.46 My_l=2.33 Mz_l=-0.38
Azioni sul cordone: TP=0.55 TO=4.01 NO=10.70
Tensioni nel cordone: τ_P=0.18 τ_O=1.28 σ_O=6.80 σ_{ID}=6.92 Σ_T=8.08
CC 22 SLD (Collegamento -382_-520)
Azioni sul collegamento: N=145.46 Ty=-1.41 Tz=-50.53 Mx=-0.31 Mz=-1.93
Sollecitazioni agenti localmente: Tx_l=-1.41 Ty_l=-50.53 N_l=145.46 My_l=1.93 Mz_l=-0.31
Azioni sul cordone: TP=0.47 TO=3.97 NO=10.70
Tensioni nel cordone: τ_P=0.15 τ_O=1.26 σ_O=6.23 σ_{ID}=6.36 Σ_T=7.49
CC 22 SLD (Collegamento -382_-520)
Azioni sul collegamento: N=145.46 Ty=-1.65 Tz=-50.53 Mx=-0.38 Mz=-2.33
Sollecitazioni agenti localmente: Tx_l=-1.65 Ty_l=-50.53 N_l=145.46 My_l=2.33 Mz_l=-0.38
Azioni sul cordone: TP=0.55 TO=4.01 NO=10.70
Tensioni nel cordone: τ_P=0.18 τ_O=1.28 σ_O=6.80 σ_{ID}=6.92 Σ_T=8.08
CC 22 SLD (Collegamento -382_-520)
Azioni sul collegamento: N=145.46 Ty=-1.41 Tz=-50.53 Mx=-0.31 Mz=-1.93
Sollecitazioni agenti localmente: Tx_l=-1.41 Ty_l=-50.53 N_l=145.46 My_l=1.93 Mz_l=-0.31
Azioni sul cordone: TP=0.47 TO=3.97 NO=10.70
Tensioni nel cordone: τ_P=0.15 τ_O=1.26 σ_O=6.23 σ_{ID}=6.36 Σ_T=7.49
CC 23 SLV (Collegamento -382_-520)
Azioni sul collegamento: N=118.10 Ty=-2.00 Tz=-46.30 Mx=-0.43 Mz=-2.77
Sollecitazioni agenti localmente: Tx_l=-2.00 Ty_l=-46.30 N_l=118.10 My_l=2.77 Mz_l=-0.43
Azioni sul cordone: TP=0.65 TO=3.75 NO=8.69
Tensioni nel cordone: τ_P=0.21 τ_O=1.19 σ_O=6.81 σ_{ID}=6.92 Σ_T=8.00
CC 23 SLV (Collegamento -382_-520)
Azioni sul collegamento: N=118.10 Ty=-0.12 Tz=-46.30 Mx=-0.06 Mz=-0.36
Sollecitazioni agenti localmente: Tx_l=-0.12 Ty_l=-46.30 N_l=118.10 My_l=0.36 Mz_l=-0.06
Azioni sul cordone: TP=0.08 TO=3.45 NO=8.69
Tensioni nel cordone: τ_P= 0.03 τ_O=1.10 σ_O=3.29 σ_{ID}=3.47 Σ_T=4.39
CC 23 SLV (Collegamento -382_-520)
Azioni sul collegamento: N=118.10 Ty=-2.00 Tz=-46.30 Mx=-0.43 Mz=-2.77
Sollecitazioni agenti localmente: Tx_l=-2.00 Ty_l=-46.30 N_l=118.10 My_l=2.77 Mz_l=-0.43
Azioni sul cordone: TP=0.65 TO=3.75 NO=8.69
Tensioni nel cordone: τ_P=0.21 τ_O=1.19 σ_O=6.81 σ_{ID}=6.92 Σ_T=8.00
CC 23 SLV (Collegamento -382_-520)
Azioni sul collegamento: N=118.10 Ty=-0.12 Tz=-46.30 Mx=-0.06 Mz=-0.36
Sollecitazioni agenti localmente: Tx_l=-0.12 Ty_l=-46.30 N_l=118.10 My_l=0.36 Mz_l=-0.06
Azioni sul cordone: TP=0.08 TO=3.45 NO=8.69
Tensioni nel cordone: τ_P= 0.03 τ_O=1.10 σ_O=3.29 σ_{ID}=3.47 Σ_T=4.39
CC 23 SLV (Collegamento -382_-520)
Azioni sul collegamento: N=160.31 Ty=-2.00 Tz=-52.83 Mx=-0.43 Mz=-2.77
Sollecitazioni agenti localmente: Tx_l=-2.00 Ty_l=-52.83 N_l=160.31 My_l=2.77 Mz_l=-0.43
Azioni sul cordone: TP=0.65 TO=4.23 NO=11.80
Tensioni nel cordone: τ_P=0.21 τ_O=1.34 σ_O=7.80 σ_{ID}=7.91 Σ_T=9.14
CC 23 SLV (Collegamento -382_-520)
Azioni sul collegamento: N=160.31 Ty=-0.12 Tz=-52.83 Mx=-0.06 Mz=-0.36
Sollecitazioni agenti localmente: Tx_l=-0.12 Ty_l=-52.83 N_l=160.31 My_l=0.36 Mz_l=-0.06
Azioni sul cordone: TP=0.08 TO=3.94 NO=11.80
Tensioni nel cordone: τ_P= 0.03 τ_O=1.25 σ_O=4.28 σ_{ID}=4.46 Σ_T=5.53
CC 23 SLV (Collegamento -382_-520)
Azioni sul collegamento: N=160.31 Ty=-2.00 Tz=-52.83 Mx=-0.43 Mz=-2.77
Sollecitazioni agenti localmente: Tx_l=-2.00 Ty_l=-52.83 N_l=160.31 My_l=2.77 Mz_l=-0.43
Azioni sul cordone: TP=0.65 TO=4.23 NO=11.80
Tensioni nel cordone: τ_P=0.21 τ_O=1.34 σ_O=7.80 σ_{ID}=7.91 Σ_T=9.14

CC 23 SLV (Collegamento -382_-520)
Azioni sul collegamento: N=160.31 Ty=-0.12 Tz=-52.83 Mx=-0.06 Mz=-0.36
Sollecitazioni agenti localmente: Tx_l=-0.12 Ty_l=-52.83 N_l=160.31 My_l=0.36 Mz_l=-0.06
Azioni sul cordone: TP=0.08 TO=3.94 NO=11.80
Tensioni nel cordone: τ_P= 0.03 τ_0=1.25 σ_0=4.28 σ_{ID}=4.46 Σ_T=5.53
CC 24 SLD (Collegamento -382_-520)
Azioni sul collegamento: N=132.65 Ty=-1.82 Tz=-48.55 Mx=-0.40 Mz=-2.50
Sollecitazioni agenti localmente: Tx_l=-1.82 Ty_l=-48.55 N_l=132.65 My_l=2.50 Mz_l=-0.40
Azioni sul cordone: TP=0.60 TO=3.89 NO=9.76
Tensioni nel cordone: τ_P=0.19 τ_0=1.24 σ_0=6.75 σ_{ID}=6.87 Σ_T=7.99
CC 24 SLD (Collegamento -382_-520)
Azioni sul collegamento: N=132.65 Ty=-1.24 Tz=-48.55 Mx=-0.29 Mz=-1.76
Sollecitazioni agenti localmente: Tx_l=-1.24 Ty_l=-48.55 N_l=132.65 My_l=1.76 Mz_l=-0.29
Azioni sul cordone: TP=0.42 TO=3.80 NO=9.76
Tensioni nel cordone: τ_P=0.13 τ_0=1.21 σ_0=5.68 σ_{ID}=5.81 Σ_T=6.89
CC 24 SLD (Collegamento -382_-520)
Azioni sul collegamento: N=132.65 Ty=-1.82 Tz=-48.55 Mx=-0.40 Mz=-2.50
Sollecitazioni agenti localmente: Tx_l=-1.82 Ty_l=-48.55 N_l=132.65 My_l=2.50 Mz_l=-0.40
Azioni sul cordone: TP=0.60 TO=3.89 NO=9.76
Tensioni nel cordone: τ_P=0.19 τ_0=1.24 σ_0=6.75 σ_{ID}=6.87 Σ_T=7.99
CC 24 SLD (Collegamento -382_-520)
Azioni sul collegamento: N=132.65 Ty=-1.24 Tz=-48.55 Mx=-0.29 Mz=-1.76
Sollecitazioni agenti localmente: Tx_l=-1.24 Ty_l=-48.55 N_l=132.65 My_l=1.76 Mz_l=-0.29
Azioni sul cordone: TP=0.42 TO=3.80 NO=9.76
Tensioni nel cordone: τ_P=0.13 τ_0=1.21 σ_0=5.68 σ_{ID}=5.81 Σ_T=6.89
CC 24 SLD (Collegamento -382_-520)
Azioni sul collegamento: N=145.52 Ty=-1.82 Tz=-50.54 Mx=-0.40 Mz=-2.50
Sollecitazioni agenti localmente: Tx_l=-1.82 Ty_l=-50.54 N_l=145.52 My_l=2.50 Mz_l=-0.40
Azioni sul cordone: TP=0.60 TO=4.04 NO=10.71
Tensioni nel cordone: τ_P=0.19 τ_0=1.28 σ_0=7.05 σ_{ID}=7.17 Σ_T=8.33
CC 24 SLD (Collegamento -382_-520)
Azioni sul collegamento: N=145.52 Ty=-1.24 Tz=-50.54 Mx=-0.29 Mz=-1.76
Sollecitazioni agenti localmente: Tx_l=-1.24 Ty_l=-50.54 N_l=145.52 My_l=1.76 Mz_l=-0.29
Azioni sul cordone: TP=0.42 TO=3.95 NO=10.71
Tensioni nel cordone: τ_P=0.13 τ_0=1.25 σ_0=5.98 σ_{ID}=6.11 Σ_T=7.23
CC 24 SLD (Collegamento -382_-520)
Azioni sul collegamento: N=145.52 Ty=-1.82 Tz=-50.54 Mx=-0.40 Mz=-2.50
Sollecitazioni agenti localmente: Tx_l=-1.82 Ty_l=-50.54 N_l=145.52 My_l=2.50 Mz_l=-0.40
Azioni sul cordone: TP=0.60 TO=4.04 NO=10.71
Tensioni nel cordone: τ_P=0.19 τ_0=1.28 σ_0=7.05 σ_{ID}=7.17 Σ_T=8.33
CC 24 SLD (Collegamento -382_-520)
Azioni sul collegamento: N=145.52 Ty=-1.24 Tz=-50.54 Mx=-0.29 Mz=-1.76
Sollecitazioni agenti localmente: Tx_l=-1.24 Ty_l=-50.54 N_l=145.52 My_l=1.76 Mz_l=-0.29
Azioni sul cordone: TP=0.42 TO=3.95 NO=10.71
Tensioni nel cordone: τ_P=0.13 τ_0=1.25 σ_0=5.98 σ_{ID}=6.11 Σ_T=7.23
CC 25 SLV (Collegamento -382_-520)
Azioni sul collegamento: N=145.83 Ty=0.03 Tz=-50.59 Mx=-0.07 Mz=-0.35
Sollecitazioni agenti localmente: Tx_l=0.03 Ty_l=-50.59 N_l=145.83 My_l=0.35 Mz_l=-0.07
Azioni sul cordone: TP=0.09 TO=-3.78 NO=10.73
Tensioni nel cordone: τ_P= 0.03 τ_0=1.20 σ_0=3.92 σ_{ID}=4.10 Σ_T=5.12
CC 25 SLV (Collegamento -382_-520)
Azioni sul collegamento: N=145.83 Ty=-2.15 Tz=-50.59 Mx=-0.45 Mz=-2.78
Sollecitazioni agenti localmente: Tx_l=-2.15 Ty_l=-50.59 N_l=145.83 My_l=2.78 Mz_l=-0.45
Azioni sul cordone: TP=0.68 TO=4.08 NO=10.73
Tensioni nel cordone: τ_P=0.21 τ_0=1.30 σ_0=7.47 σ_{ID}=7.58 Σ_T=8.76
CC 25 SLV (Collegamento -382_-520)
Azioni sul collegamento: N=145.83 Ty=0.03 Tz=-50.59 Mx=-0.07 Mz=-0.35
Sollecitazioni agenti localmente: Tx_l=0.03 Ty_l=-50.59 N_l=145.83 My_l=0.35 Mz_l=-0.07
Azioni sul cordone: TP=0.09 TO=-3.78 NO=10.73
Tensioni nel cordone: τ_P= 0.03 τ_0=1.20 σ_0=3.92 σ_{ID}=4.10 Σ_T=5.12
CC 25 SLV (Collegamento -382_-520)
Azioni sul collegamento: N=145.83 Ty=-2.15 Tz=-50.59 Mx=-0.45 Mz=-2.78
Sollecitazioni agenti localmente: Tx_l=-2.15 Ty_l=-50.59 N_l=145.83 My_l=2.78 Mz_l=-0.45
Azioni sul cordone: TP=0.68 TO=4.08 NO=10.73
Tensioni nel cordone: τ_P=0.21 τ_0=1.30 σ_0=7.47 σ_{ID}=7.58 Σ_T=8.76
CC 25 SLV (Collegamento -382_-520)
Azioni sul collegamento: N=132.59 Ty=0.03 Tz=-48.54 Mx=-0.07 Mz=-0.35
Sollecitazioni agenti localmente: Tx_l=0.03 Ty_l=-48.54 N_l=132.59 My_l=0.35 Mz_l=-0.07
Azioni sul cordone: TP=0.09 TO=-3.63 NO=9.76
Tensioni nel cordone: τ_P= 0.03 τ_0=1.15 σ_0=3.61 σ_{ID}=3.79 Σ_T=4.77
CC 25 SLV (Collegamento -382_-520)
Azioni sul collegamento: N=132.59 Ty=-2.15 Tz=-48.54 Mx=-0.45 Mz=-2.78
Sollecitazioni agenti localmente: Tx_l=-2.15 Ty_l=-48.54 N_l=132.59 My_l=2.78 Mz_l=-0.45
Azioni sul cordone: TP=0.68 TO=3.93 NO=9.76
Tensioni nel cordone: τ_P=0.21 τ_0=1.25 σ_0=7.16 σ_{ID}=7.27 Σ_T=8.41
CC 25 SLV (Collegamento -382_-520)
Azioni sul collegamento: N=132.59 Ty=0.03 Tz=-48.54 Mx=-0.07 Mz=-0.35
Sollecitazioni agenti localmente: Tx_l=0.03 Ty_l=-48.54 N_l=132.59 My_l=0.35 Mz_l=-0.07
Azioni sul cordone: TP=0.09 TO=-3.63 NO=9.76

Tensioni nel cordone: τ_P= 0.03 τ_0=1.15 σ_0=3.61 σ_{ID}=3.79 Σ_T=4.77
CC 25 SLV (Collegamento -382_-520)
Azioni sul collegamento: N=132.59 Ty=-2.15 Tz=-48.54 Mx=-0.45 Mz=-2.78
Sollecitazioni agenti localmente: Tx_l=-2.15 Ty_l=-48.54 N_l=132.59 My_l=2.78 Mz_l=-0.45
Azioni sul cordone: TP=0.68 TO=3.93 NO=9.76
Tensioni nel cordone: τ_P=0.21 τ_0=1.25 σ_0=7.16 σ_{ID}=7.27 Σ_T=8.41
CC 26 SLD (Collegamento -382_-520)
Azioni sul collegamento: N=141.11 Ty=-1.20 Tz=-49.86 Mx=-0.29 Mz=-1.76
Sollecitazioni agenti localmente: Tx_l=-1.20 Ty_l=-49.86 N_l=141.11 My_l=1.76 Mz_l=-0.29
Azioni sul cordone: TP=0.42 TO=3.90 NO=10.38
Tensioni nel cordone: τ_P=0.13 τ_0=1.24 σ_0=5.87 σ_{ID}=6.00 Σ_T=7.11
CC 26 SLD (Collegamento -382_-520)
Azioni sul collegamento: N=141.11 Ty=-1.86 Tz=-49.86 Mx=-0.41 Mz=-2.50
Sollecitazioni agenti localmente: Tx_l=-1.86 Ty_l=-49.86 N_l=141.11 My_l=2.50 Mz_l=-0.41
Azioni sul cordone: TP=0.60 TO=3.99 NO=10.38
Tensioni nel cordone: τ_P=0.19 τ_0=1.27 σ_0=6.95 σ_{ID}=7.07 Σ_T=8.22
CC 26 SLD (Collegamento -382_-520)
Azioni sul collegamento: N=141.11 Ty=-1.20 Tz=-49.86 Mx=-0.29 Mz=-1.76
Sollecitazioni agenti localmente: Tx_l=-1.20 Ty_l=-49.86 N_l=141.11 My_l=1.76 Mz_l=-0.29
Azioni sul cordone: TP=0.42 TO=3.90 NO=10.38
Tensioni nel cordone: τ_P=0.13 τ_0=1.24 σ_0=5.87 σ_{ID}=6.00 Σ_T=7.11
CC 26 SLD (Collegamento -382_-520)
Azioni sul collegamento: N=141.11 Ty=-1.86 Tz=-49.86 Mx=-0.41 Mz=-2.50
Sollecitazioni agenti localmente: Tx_l=-1.86 Ty_l=-49.86 N_l=141.11 My_l=2.50 Mz_l=-0.41
Azioni sul cordone: TP=0.60 TO=3.99 NO=10.38
Tensioni nel cordone: τ_P=0.19 τ_0=1.27 σ_0=6.95 σ_{ID}=7.07 Σ_T=8.22
CC 26 SLD (Collegamento -382_-520)
Azioni sul collegamento: N=137.07 Ty=-1.20 Tz=-49.23 Mx=-0.29 Mz=-1.76
Sollecitazioni agenti localmente: Tx_l=-1.20 Ty_l=-49.23 N_l=137.07 My_l=1.76 Mz_l=-0.29
Azioni sul cordone: TP=0.42 TO=3.85 NO=10.09
Tensioni nel cordone: τ_P=0.13 τ_0=1.22 σ_0=5.78 σ_{ID}=5.91 Σ_T=7.00
CC 26 SLD (Collegamento -382_-520)
Azioni sul collegamento: N=137.07 Ty=-1.86 Tz=-49.23 Mx=-0.41 Mz=-2.50
Sollecitazioni agenti localmente: Tx_l=-1.86 Ty_l=-49.23 N_l=137.07 My_l=2.50 Mz_l=-0.41
Azioni sul cordone: TP=0.60 TO=3.94 NO=10.09
Tensioni nel cordone: τ_P=0.19 τ_0=1.25 σ_0=6.86 σ_{ID}=6.97 Σ_T=8.11
CC 26 SLD (Collegamento -382_-520)
Azioni sul collegamento: N=137.07 Ty=-1.20 Tz=-49.23 Mx=-0.29 Mz=-1.76
Sollecitazioni agenti localmente: Tx_l=-1.20 Ty_l=-49.23 N_l=137.07 My_l=1.76 Mz_l=-0.29
Azioni sul cordone: TP=0.42 TO=3.85 NO=10.09
Tensioni nel cordone: τ_P=0.13 τ_0=1.22 σ_0=5.78 σ_{ID}=5.91 Σ_T=7.00
CC 26 SLD (Collegamento -382_-520)
Azioni sul collegamento: N=137.07 Ty=-1.86 Tz=-49.23 Mx=-0.41 Mz=-2.50
Sollecitazioni agenti localmente: Tx_l=-1.86 Ty_l=-49.23 N_l=137.07 My_l=2.50 Mz_l=-0.41
Azioni sul cordone: TP=0.60 TO=3.94 NO=10.09
Tensioni nel cordone: τ_P=0.19 τ_0=1.25 σ_0=6.86 σ_{ID}=6.97 Σ_T=8.11
CC 27 SLV (Collegamento -382_-520)
Azioni sul collegamento: N=133.22 Ty=-0.37 Tz=-48.64 Mx=-0.16 Mz=-0.91
Sollecitazioni agenti localmente: Tx_l=-0.37 Ty_l=-48.64 N_l=133.22 My_l=0.91 Mz_l=-0.16
Azioni sul cordone: TP=0.21 TO=3.70 NO=9.80
Tensioni nel cordone: τ_P= 0.07 τ_0=1.18 σ_0=4.44 σ_{ID}=4.59 Σ_T=5.61
CC 27 SLV (Collegamento -382_-520)
Azioni sul collegamento: N=133.22 Ty=-1.75 Tz=-48.64 Mx=-0.36 Mz=-2.23
Sollecitazioni agenti localmente: Tx_l=-1.75 Ty_l=-48.64 N_l=133.22 My_l=2.23 Mz_l=-0.36
Azioni sul cordone: TP=0.54 TO=3.86 NO=9.80
Tensioni nel cordone: τ_P=0.17 τ_0=1.23 σ_0=6.37 σ_{ID}=6.49 Σ_T=7.59
CC 27 SLV (Collegamento -382_-520)
Azioni sul collegamento: N=133.22 Ty=-0.37 Tz=-48.64 Mx=-0.16 Mz=-0.91
Sollecitazioni agenti localmente: Tx_l=-0.37 Ty_l=-48.64 N_l=133.22 My_l=0.91 Mz_l=-0.16
Azioni sul cordone: TP=0.21 TO=3.70 NO=9.80
Tensioni nel cordone: τ_P= 0.07 τ_0=1.18 σ_0=4.44 σ_{ID}=4.59 Σ_T=5.61
CC 27 SLV (Collegamento -382_-520)
Azioni sul collegamento: N=133.22 Ty=-1.75 Tz=-48.64 Mx=-0.36 Mz=-2.23
Sollecitazioni agenti localmente: Tx_l=-1.75 Ty_l=-48.64 N_l=133.22 My_l=2.23 Mz_l=-0.36
Azioni sul cordone: TP=0.54 TO=3.86 NO=9.80
Tensioni nel cordone: τ_P=0.17 τ_0=1.23 σ_0=6.37 σ_{ID}=6.49 Σ_T=7.59
CC 27 SLV (Collegamento -382_-520)
Azioni sul collegamento: N=145.19 Ty=-0.37 Tz=-50.49 Mx=-0.16 Mz=-0.91
Sollecitazioni agenti localmente: Tx_l=-0.37 Ty_l=-50.49 N_l=145.19 My_l=0.91 Mz_l=-0.16
Azioni sul cordone: TP=0.21 TO=3.84 NO=10.68
Tensioni nel cordone: τ_P= 0.07 τ_0=1.22 σ_0=4.72 σ_{ID}=4.87 Σ_T=5.94
CC 27 SLV (Collegamento -382_-520)
Azioni sul collegamento: N=145.19 Ty=-1.75 Tz=-50.49 Mx=-0.36 Mz=-2.23
Sollecitazioni agenti localmente: Tx_l=-1.75 Ty_l=-50.49 N_l=145.19 My_l=2.23 Mz_l=-0.36
Azioni sul cordone: TP=0.54 TO=4.00 NO=10.68
Tensioni nel cordone: τ_P=0.17 τ_0=1.27 σ_0=6.65 σ_{ID}=6.77 Σ_T=7.92
CC 27 SLV (Collegamento -382_-520)
Azioni sul collegamento: N=145.19 Ty=-0.37 Tz=-50.49 Mx=-0.16 Mz=-0.91
Sollecitazioni agenti localmente: Tx_l=-0.37 Ty_l=-50.49 N_l=145.19 My_l=0.91 Mz_l=-0.16

Azioni sul cordone: TP=0.21 TO=3.84 NO=10.68
Tensioni nel cordone: τ_P= 0.07 τ_0=1.22 σ_0=4.72 σ_{ID}=4.87 Σ_T=5.94
CC 27 SLV (Collegamento -382_-520)
Azioni sul collegamento: N=145.19 Ty=-1.75 Tz=-50.49 Mx=-0.36 Mz=-2.23
Sollecitazioni agenti localmente: Tx_l=-1.75 Ty_l=-50.49 N_l=145.19 My_l=2.23 Mz_l=-0.36
Azioni sul cordone: TP=0.54 TO=4.00 NO=10.68
Tensioni nel cordone: τ_P=0.17 τ_0=1.27 σ_0=6.65 σ_{ID}=6.77 Σ_T=7.92
CC 28 SLD (Collegamento -382_-520)
Azioni sul collegamento: N=137.26 Ty=-1.32 Tz=-49.26 Mx=-0.32 Mz=-1.93
Sollecitazioni agenti localmente: Tx_l=-1.32 Ty_l=-49.26 N_l=137.26 My_l=1.93 Mz_l=-0.32
Azioni sul cordone: TP=0.46 TO=3.87 NO=10.10
Tensioni nel cordone: τ_P=0.15 τ_0=1.23 σ_0=6.03 σ_{ID}=6.15 Σ_T=7.26
CC 28 SLD (Collegamento -382_-520)
Azioni sul collegamento: N=137.26 Ty=-1.74 Tz=-49.26 Mx=-0.38 Mz=-2.33
Sollecitazioni agenti localmente: Tx_l=-1.74 Ty_l=-49.26 N_l=137.26 My_l=2.33 Mz_l=-0.38
Azioni sul cordone: TP=0.56 TO=3.92 NO=10.10
Tensioni nel cordone: τ_P=0.18 τ_0=1.25 σ_0=6.62 σ_{ID}=6.73 Σ_T=7.86
CC 28 SLD (Collegamento -382_-520)
Azioni sul collegamento: N=137.26 Ty=-1.32 Tz=-49.26 Mx=-0.32 Mz=-1.93
Sollecitazioni agenti localmente: Tx_l=-1.32 Ty_l=-49.26 N_l=137.26 My_l=1.93 Mz_l=-0.32
Azioni sul cordone: TP=0.46 TO=3.87 NO=10.10
Tensioni nel cordone: τ_P=0.15 τ_0=1.23 σ_0=6.03 σ_{ID}=6.15 Σ_T=7.26
CC 28 SLD (Collegamento -382_-520)
Azioni sul collegamento: N=137.26 Ty=-1.74 Tz=-49.26 Mx=-0.38 Mz=-2.33
Sollecitazioni agenti localmente: Tx_l=-1.74 Ty_l=-49.26 N_l=137.26 My_l=2.33 Mz_l=-0.38
Azioni sul cordone: TP=0.56 TO=3.92 NO=10.10
Tensioni nel cordone: τ_P=0.18 τ_0=1.25 σ_0=6.62 σ_{ID}=6.73 Σ_T=7.86
CC 28 SLD (Collegamento -382_-520)
Azioni sul collegamento: N=140.91 Ty=-1.32 Tz=-49.83 Mx=-0.32 Mz=-1.93
Sollecitazioni agenti localmente: Tx_l=-1.32 Ty_l=-49.83 N_l=140.91 My_l=1.93 Mz_l=-0.32
Azioni sul cordone: TP=0.46 TO=3.92 NO=10.37
Tensioni nel cordone: τ_P=0.15 τ_0=1.24 σ_0=6.11 σ_{ID}=6.24 Σ_T=7.36
CC 28 SLD (Collegamento -382_-520)
Azioni sul collegamento: N=140.91 Ty=-1.74 Tz=-49.83 Mx=-0.38 Mz=-2.33
Sollecitazioni agenti localmente: Tx_l=-1.74 Ty_l=-49.83 N_l=140.91 My_l=2.33 Mz_l=-0.38
Azioni sul cordone: TP=0.56 TO=3.96 NO=10.37
Tensioni nel cordone: τ_P=0.18 τ_0=1.26 σ_0=6.70 σ_{ID}=6.82 Σ_T=7.96
CC 28 SLD (Collegamento -382_-520)
Azioni sul collegamento: N=140.91 Ty=-1.32 Tz=-49.83 Mx=-0.32 Mz=-1.93
Sollecitazioni agenti localmente: Tx_l=-1.32 Ty_l=-49.83 N_l=140.91 My_l=1.93 Mz_l=-0.32
Azioni sul cordone: TP=0.46 TO=3.92 NO=10.37
Tensioni nel cordone: τ_P=0.15 τ_0=1.24 σ_0=6.11 σ_{ID}=6.24 Σ_T=7.36
CC 28 SLD (Collegamento -382_-520)
Azioni sul collegamento: N=140.91 Ty=-1.74 Tz=-49.83 Mx=-0.38 Mz=-2.33
Sollecitazioni agenti localmente: Tx_l=-1.74 Ty_l=-49.83 N_l=140.91 My_l=2.33 Mz_l=-0.38
Azioni sul cordone: TP=0.56 TO=3.96 NO=10.37
Tensioni nel cordone: τ_P=0.18 τ_0=1.26 σ_0=6.70 σ_{ID}=6.82 Σ_T=7.96
CC 29 SLV (Collegamento -382_-520)
Azioni sul collegamento: N=145.19 Ty=-1.75 Tz=-50.49 Mx=-0.35 Mz=-2.23
Sollecitazioni agenti localmente: Tx_l=-1.75 Ty_l=-50.49 N_l=145.19 My_l=2.23 Mz_l=-0.35
Azioni sul cordone: TP=0.54 TO=3.99 NO=10.68
Tensioni nel cordone: τ_P=0.17 τ_0=1.27 σ_0=6.65 σ_{ID}=6.77 Σ_T=7.92
CC 29 SLV (Collegamento -382_-520)
Azioni sul collegamento: N=145.19 Ty=-0.37 Tz=-50.49 Mx=-0.15 Mz=-0.91
Sollecitazioni agenti localmente: Tx_l=-0.37 Ty_l=-50.49 N_l=145.19 My_l=0.91 Mz_l=-0.15
Azioni sul cordone: TP=0.20 TO=3.83 NO=10.68
Tensioni nel cordone: τ_P= 0.06 τ_0=1.22 σ_0=4.72 σ_{ID}=4.87 Σ_T=5.94
CC 29 SLV (Collegamento -382_-520)
Azioni sul collegamento: N=145.19 Ty=-1.75 Tz=-50.49 Mx=-0.35 Mz=-2.23
Sollecitazioni agenti localmente: Tx_l=-1.75 Ty_l=-50.49 N_l=145.19 My_l=2.23 Mz_l=-0.35
Azioni sul cordone: TP=0.54 TO=3.99 NO=10.68
Tensioni nel cordone: τ_P=0.17 τ_0=1.27 σ_0=6.65 σ_{ID}=6.77 Σ_T=7.92
CC 29 SLV (Collegamento -382_-520)
Azioni sul collegamento: N=145.19 Ty=-0.37 Tz=-50.49 Mx=-0.15 Mz=-0.91
Sollecitazioni agenti localmente: Tx_l=-0.37 Ty_l=-50.49 N_l=145.19 My_l=0.91 Mz_l=-0.15
Azioni sul cordone: TP=0.20 TO=3.83 NO=10.68
Tensioni nel cordone: τ_P= 0.06 τ_0=1.22 σ_0=4.72 σ_{ID}=4.87 Σ_T=5.94
CC 29 SLV (Collegamento -382_-520)
Azioni sul collegamento: N=133.22 Ty=-1.75 Tz=-48.64 Mx=-0.35 Mz=-2.23
Sollecitazioni agenti localmente: Tx_l=-1.75 Ty_l=-48.64 N_l=133.22 My_l=2.23 Mz_l=-0.35
Azioni sul cordone: TP=0.54 TO=3.86 NO=9.80
Tensioni nel cordone: τ_P=0.17 τ_0=1.23 σ_0=6.37 σ_{ID}=6.49 Σ_T=7.59
CC 29 SLV (Collegamento -382_-520)
Azioni sul collegamento: N=133.22 Ty=-0.37 Tz=-48.64 Mx=-0.15 Mz=-0.91
Sollecitazioni agenti localmente: Tx_l=-0.37 Ty_l=-48.64 N_l=133.22 My_l=0.91 Mz_l=-0.15
Azioni sul cordone: TP=0.20 TO=3.70 NO=9.80
Tensioni nel cordone: τ_P= 0.06 τ_0=1.18 σ_0=4.44 σ_{ID}=4.59 Σ_T=5.61
CC 29 SLV (Collegamento -382_-520)
Azioni sul collegamento: N=133.22 Ty=-1.75 Tz=-48.64 Mx=-0.35 Mz=-2.23

Sollecitazioni agenti localmente: Tx_l=-1.75 Ty_l=-48.64 N_l=133.22 My_l=2.23 Mz_l=-0.35
Azioni sul cordone: TP=0.54 TO=3.86 NO=9.80
Tensioni nel cordone: τ_P=0.17 τ_0=1.23 σ_0=6.37 σ_{ID}=6.49 Σ_T=7.59
CC 29 SLV (Collegamento -382_-520)
Azioni sul collegamento: N=133.22 Ty=-0.37 Tz=-48.64 Mx=-0.15 Mz=-0.91
Sollecitazioni agenti localmente: Tx_l=-0.37 Ty_l=-48.64 N_l=133.22 My_l=0.91 Mz_l=-0.15
Azioni sul cordone: TP=0.20 TO=3.70 NO=9.80
Tensioni nel cordone: τ_P= 0.06 τ_0=1.18 σ_0=4.44 σ_{ID}=4.59 Σ_T=5.61
CC 30 SLD (Collegamento -382_-520)
Azioni sul collegamento: N=140.91 Ty=-1.74 Tz=-49.83 Mx=-0.38 Mz=-2.33
Sollecitazioni agenti localmente: Tx_l=-1.74 Ty_l=-49.83 N_l=140.91 My_l=2.33 Mz_l=-0.38
Azioni sul cordone: TP=0.56 TO=3.96 NO=10.37
Tensioni nel cordone: τ_P=0.18 τ_0=1.26 σ_0=6.70 σ_{ID}=6.82 Σ_T=7.96
CC 30 SLD (Collegamento -382_-520)
Azioni sul collegamento: N=140.91 Ty=-1.32 Tz=-49.83 Mx=-0.31 Mz=-1.93
Sollecitazioni agenti localmente: Tx_l=-1.32 Ty_l=-49.83 N_l=140.91 My_l=1.93 Mz_l=-0.31
Azioni sul cordone: TP=0.46 TO=3.91 NO=10.37
Tensioni nel cordone: τ_P=0.15 τ_0=1.24 σ_0=6.11 σ_{ID}=6.24 Σ_T=7.36
CC 30 SLD (Collegamento -382_-520)
Azioni sul collegamento: N=140.91 Ty=-1.74 Tz=-49.83 Mx=-0.38 Mz=-2.33
Sollecitazioni agenti localmente: Tx_l=-1.74 Ty_l=-49.83 N_l=140.91 My_l=2.33 Mz_l=-0.38
Azioni sul cordone: TP=0.56 TO=3.96 NO=10.37
Tensioni nel cordone: τ_P=0.18 τ_0=1.26 σ_0=6.70 σ_{ID}=6.82 Σ_T=7.96
CC 30 SLD (Collegamento -382_-520)
Azioni sul collegamento: N=140.91 Ty=-1.32 Tz=-49.83 Mx=-0.31 Mz=-1.93
Sollecitazioni agenti localmente: Tx_l=-1.32 Ty_l=-49.83 N_l=140.91 My_l=1.93 Mz_l=-0.31
Azioni sul cordone: TP=0.46 TO=3.91 NO=10.37
Tensioni nel cordone: τ_P=0.15 τ_0=1.24 σ_0=6.11 σ_{ID}=6.24 Σ_T=7.36
CC 30 SLD (Collegamento -382_-520)
Azioni sul collegamento: N=137.26 Ty=-1.74 Tz=-49.26 Mx=-0.38 Mz=-2.33
Sollecitazioni agenti localmente: Tx_l=-1.74 Ty_l=-49.26 N_l=137.26 My_l=2.33 Mz_l=-0.38
Azioni sul cordone: TP=0.56 TO=3.92 NO=10.10
Tensioni nel cordone: τ_P=0.18 τ_0=1.25 σ_0=6.62 σ_{ID}=6.73 Σ_T=7.86
CC 30 SLD (Collegamento -382_-520)
Azioni sul collegamento: N=137.26 Ty=-1.32 Tz=-49.26 Mx=-0.31 Mz=-1.93
Sollecitazioni agenti localmente: Tx_l=-1.32 Ty_l=-49.26 N_l=137.26 My_l=1.93 Mz_l=-0.31
Azioni sul cordone: TP=0.46 TO=3.87 NO=10.10
Tensioni nel cordone: τ_P=0.15 τ_0=1.23 σ_0=6.03 σ_{ID}=6.15 Σ_T=7.26
CC 30 SLD (Collegamento -382_-520)
Azioni sul collegamento: N=137.26 Ty=-1.74 Tz=-49.26 Mx=-0.38 Mz=-2.33
Sollecitazioni agenti localmente: Tx_l=-1.74 Ty_l=-49.26 N_l=137.26 My_l=2.33 Mz_l=-0.38
Azioni sul cordone: TP=0.56 TO=3.92 NO=10.10
Tensioni nel cordone: τ_P=0.18 τ_0=1.25 σ_0=6.62 σ_{ID}=6.73 Σ_T=7.86
CC 30 SLD (Collegamento -382_-520)
Azioni sul collegamento: N=137.26 Ty=-1.32 Tz=-49.26 Mx=-0.31 Mz=-1.93
Sollecitazioni agenti localmente: Tx_l=-1.32 Ty_l=-49.26 N_l=137.26 My_l=1.93 Mz_l=-0.31
Azioni sul cordone: TP=0.46 TO=3.87 NO=10.10
Tensioni nel cordone: τ_P=0.15 τ_0=1.23 σ_0=6.03 σ_{ID}=6.15 Σ_T=7.26
CC 31 SLV (Collegamento -382_-520)
Azioni sul collegamento: N=132.59 Ty=-2.15 Tz=-48.54 Mx=-0.44 Mz=-2.78
Sollecitazioni agenti localmente: Tx_l=-2.15 Ty_l=-48.54 N_l=132.59 My_l=2.78 Mz_l=-0.44
Azioni sul cordone: TP=0.66 TO=3.92 NO=9.76
Tensioni nel cordone: τ_P=0.21 τ_0=1.24 σ_0=7.16 σ_{ID}=7.27 Σ_T=8.41
CC 31 SLV (Collegamento -382_-520)
Azioni sul collegamento: N=132.59 Ty=0.03 Tz=-48.54 Mx=-0.06 Mz=-0.35
Sollecitazioni agenti localmente: Tx_l=0.03 Ty_l=-48.54 N_l=132.59 My_l=0.35 Mz_l=-0.06
Azioni sul cordone: TP=0.07 TO=-3.62 NO=9.76
Tensioni nel cordone: τ_P= 0.02 τ_0=1.15 σ_0=3.62 σ_{ID}=3.79 Σ_T=4.77
CC 31 SLV (Collegamento -382_-520)
Azioni sul collegamento: N=132.59 Ty=-2.15 Tz=-48.54 Mx=-0.44 Mz=-2.78
Sollecitazioni agenti localmente: Tx_l=-2.15 Ty_l=-48.54 N_l=132.59 My_l=2.78 Mz_l=-0.44
Azioni sul cordone: TP=0.66 TO=3.92 NO=9.76
Tensioni nel cordone: τ_P=0.21 τ_0=1.24 σ_0=7.16 σ_{ID}=7.27 Σ_T=8.41
CC 31 SLV (Collegamento -382_-520)
Azioni sul collegamento: N=132.59 Ty=0.03 Tz=-48.54 Mx=-0.06 Mz=-0.35
Sollecitazioni agenti localmente: Tx_l=0.03 Ty_l=-48.54 N_l=132.59 My_l=0.35 Mz_l=-0.06
Azioni sul cordone: TP=0.07 TO=-3.62 NO=9.76
Tensioni nel cordone: τ_P= 0.02 τ_0=1.15 σ_0=3.62 σ_{ID}=3.79 Σ_T=4.77
CC 31 SLV (Collegamento -382_-520)
Azioni sul collegamento: N=145.83 Ty=-2.15 Tz=-50.59 Mx=-0.44 Mz=-2.78
Sollecitazioni agenti localmente: Tx_l=-2.15 Ty_l=-50.59 N_l=145.83 My_l=2.78 Mz_l=-0.44
Azioni sul cordone: TP=0.66 TO=4.07 NO=10.73
Tensioni nel cordone: τ_P=0.21 τ_0=1.29 σ_0=7.47 σ_{ID}=7.59 Σ_T=8.76
CC 31 SLV (Collegamento -382_-520)
Azioni sul collegamento: N=145.83 Ty=0.03 Tz=-50.59 Mx=-0.06 Mz=-0.35
Sollecitazioni agenti localmente: Tx_l=0.03 Ty_l=-50.59 N_l=145.83 My_l=0.35 Mz_l=-0.06
Azioni sul cordone: TP=0.07 TO=-3.77 NO=10.73
Tensioni nel cordone: τ_P= 0.02 τ_0=1.20 σ_0=3.93 σ_{ID}=4.10 Σ_T=5.12
CC 31 SLV (Collegamento -382_-520)

Azioni sul collegamento: N=145.83 Ty=-2.15 Tz=-50.59 Mx=-0.44 Mz=-2.78
Sollecitazioni agenti localmente: Tx_l=-2.15 Ty_l=-50.59 N_l=145.83 My_l=2.78 Mz_l=-0.44
Azioni sul cordone: TP=0.66 TO=4.07 NO=10.73
Tensioni nel cordone: τ_P=0.21 τ_0=1.29 σ_0=7.47 σ_{ID}=7.59 Σ_T=8.76
CC 31 SLV (Collegamento -382_-520)
Azioni sul collegamento: N=145.83 Ty=0.03 Tz=-50.59 Mx=-0.06 Mz=-0.35
Sollecitazioni agenti localmente: Tx_l=0.03 Ty_l=-50.59 N_l=145.83 My_l=0.35 Mz_l=-0.06
Azioni sul cordone: TP=0.07 TO=-3.77 NO=10.73
Tensioni nel cordone: τ_P= 0.02 τ_0=1.20 σ_0=3.93 σ_{ID}=4.10 Σ_T=5.12
CC 32 SLD (Collegamento -382_-520)
Azioni sul collegamento: N=137.07 Ty=-1.86 Tz=-49.23 Mx=-0.40 Mz=-2.50
Sollecitazioni agenti localmente: Tx_l=-1.86 Ty_l=-49.23 N_l=137.07 My_l=2.50 Mz_l=-0.40
Azioni sul cordone: TP=0.60 TO=3.94 NO=10.09
Tensioni nel cordone: τ_P=0.19 τ_0=1.25 σ_0=6.86 σ_{ID}=6.97 Σ_T=8.11
CC 32 SLD (Collegamento -382_-520)
Azioni sul collegamento: N=137.07 Ty=-1.20 Tz=-49.23 Mx=-0.29 Mz=-1.76
Sollecitazioni agenti localmente: Tx_l=-1.20 Ty_l=-49.23 N_l=137.07 My_l=1.76 Mz_l=-0.29
Azioni sul cordone: TP=0.42 TO=3.85 NO=10.09
Tensioni nel cordone: τ_P=0.13 τ_0=1.22 σ_0=5.78 σ_{ID}=5.91 Σ_T=7.00
CC 32 SLD (Collegamento -382_-520)
Azioni sul collegamento: N=137.07 Ty=-1.86 Tz=-49.23 Mx=-0.40 Mz=-2.50
Sollecitazioni agenti localmente: Tx_l=-1.86 Ty_l=-49.23 N_l=137.07 My_l=2.50 Mz_l=-0.40
Azioni sul cordone: TP=0.60 TO=3.94 NO=10.09
Tensioni nel cordone: τ_P=0.19 τ_0=1.25 σ_0=6.86 σ_{ID}=6.97 Σ_T=8.11
CC 32 SLD (Collegamento -382_-520)
Azioni sul collegamento: N=137.07 Ty=-1.20 Tz=-49.23 Mx=-0.29 Mz=-1.76
Sollecitazioni agenti localmente: Tx_l=-1.20 Ty_l=-49.23 N_l=137.07 My_l=1.76 Mz_l=-0.29
Azioni sul cordone: TP=0.42 TO=3.85 NO=10.09
Tensioni nel cordone: τ_P=0.13 τ_0=1.22 σ_0=5.78 σ_{ID}=5.91 Σ_T=7.00
CC 32 SLD (Collegamento -382_-520)
Azioni sul collegamento: N=141.11 Ty=-1.86 Tz=-49.86 Mx=-0.40 Mz=-2.50
Sollecitazioni agenti localmente: Tx_l=-1.86 Ty_l=-49.86 N_l=141.11 My_l=2.50 Mz_l=-0.40
Azioni sul cordone: TP=0.60 TO=3.99 NO=10.38
Tensioni nel cordone: τ_P=0.19 τ_0=1.27 σ_0=6.95 σ_{ID}=7.07 Σ_T=8.22
CC 32 SLD (Collegamento -382_-520)
Azioni sul collegamento: N=141.11 Ty=-1.20 Tz=-49.86 Mx=-0.29 Mz=-1.76
Sollecitazioni agenti localmente: Tx_l=-1.20 Ty_l=-49.86 N_l=141.11 My_l=1.76 Mz_l=-0.29
Azioni sul cordone: TP=0.42 TO=3.90 NO=10.38
Tensioni nel cordone: τ_P=0.13 τ_0=1.24 σ_0=5.87 σ_{ID}=6.00 Σ_T=7.11
CC 32 SLD (Collegamento -382_-520)
Azioni sul collegamento: N=141.11 Ty=-1.86 Tz=-49.86 Mx=-0.40 Mz=-2.50
Sollecitazioni agenti localmente: Tx_l=-1.86 Ty_l=-49.86 N_l=141.11 My_l=2.50 Mz_l=-0.40
Azioni sul cordone: TP=0.60 TO=3.99 NO=10.38
Tensioni nel cordone: τ_P=0.19 τ_0=1.27 σ_0=6.95 σ_{ID}=7.07 Σ_T=8.22
CC 32 SLD (Collegamento -382_-520)
Azioni sul collegamento: N=141.11 Ty=-1.20 Tz=-49.86 Mx=-0.29 Mz=-1.76
Sollecitazioni agenti localmente: Tx_l=-1.20 Ty_l=-49.86 N_l=141.11 My_l=1.76 Mz_l=-0.29
Azioni sul cordone: TP=0.42 TO=3.90 NO=10.38
Tensioni nel cordone: τ_P=0.13 τ_0=1.24 σ_0=5.87 σ_{ID}=6.00 Σ_T=7.11
CC 33 SLU (Collegamento -382_-520)
Azioni sul collegamento: N=352.43 Ty=-3.05 Tz=-92.37 Mx=-0.68 Mz=-4.20
Sollecitazioni agenti localmente: Tx_l=-3.05 Ty_l=-92.37 N_l=352.43 My_l=4.20 Mz_l=-0.68
Azioni sul cordone: TP=1.01 TO=7.33 NO=25.93
Tensioni nel cordone: τ_P=0.32 τ_0=2.33 σ_0=14.38 σ_{ID}=14.57 Σ_T=16.71
CC 34 SLU (Collegamento -382_-520)
Azioni sul collegamento: N=348.06 Ty=-2.90 Tz=-91.70 Mx=-0.65 Mz=-4.01
Sollecitazioni agenti localmente: Tx_l=-2.90 Ty_l=-91.70 N_l=348.06 My_l=4.01 Mz_l=-0.65
Azioni sul cordone: TP=0.96 TO=7.26 NO=25.61
Tensioni nel cordone: τ_P=0.30 τ_0=2.31 σ_0=13.99 σ_{ID}=14.18 Σ_T=16.30
CC 35 SLU (Collegamento -382_-520)
Azioni sul collegamento: N=350.28 Ty=-2.88 Tz=-92.04 Mx=-0.65 Mz=-4.01
Sollecitazioni agenti localmente: Tx_l=-2.88 Ty_l=-92.04 N_l=350.28 My_l=4.01 Mz_l=-0.65
Azioni sul cordone: TP=0.96 TO=7.28 NO=25.77
Tensioni nel cordone: τ_P=0.30 τ_0=2.31 σ_0=14.04 σ_{ID}=14.24 Σ_T=16.36
CC 36 SLU (Collegamento -382_-520)
Azioni sul collegamento: N=350.21 Ty=-3.07 Tz=-92.03 Mx=-0.68 Mz=-4.20
Sollecitazioni agenti localmente: Tx_l=-3.07 Ty_l=-92.03 N_l=350.21 My_l=4.20 Mz_l=-0.68
Azioni sul cordone: TP=1.01 TO=7.31 NO=25.77
Tensioni nel cordone: τ_P=0.32 τ_0=2.32 σ_0=14.32 σ_{ID}=14.52 Σ_T=16.65
CC 37 SLU (Collegamento -382_-520)
Azioni sul collegamento: N=283.55 Ty=-3.29 Tz=-81.71 Mx=-0.73 Mz=-4.52
Sollecitazioni agenti localmente: Tx_l=-3.29 Ty_l=-81.71 N_l=283.55 My_l=4.52 Mz_l=-0.73
Azioni sul cordone: TP=1.08 TO=6.59 NO=20.86
Tensioni nel cordone: τ_P=0.34 τ_0=2.09 σ_0=13.23 σ_{ID}=13.40 Σ_T=15.32
CC 38 SLU (Collegamento -382_-520)
Azioni sul collegamento: N=279.18 Ty=-3.15 Tz=-81.04 Mx=-0.70 Mz=-4.32
Sollecitazioni agenti localmente: Tx_l=-3.15 Ty_l=-81.04 N_l=279.18 My_l=4.32 Mz_l=-0.70
Azioni sul cordone: TP=1.04 TO=6.51 NO=20.54
Tensioni nel cordone: τ_P=0.33 τ_0=2.07 σ_0=12.84 σ_{ID}=13.01 Σ_T=14.91

CC 39 SLU (Collegamento -382_-520)
Azioni sul collegamento: N=281.40 Ty=-3.13 Tz=-81.38 Mx=-0.70 Mz=-4.32
Sollecitazioni agenti localmente: Tx_l=-3.13 Ty_l=-81.38 N_l=281.40 My_l=4.32 Mz_l=-0.70
Azioni sul cordone: TP=1.04 TO=6.54 NO=20.71
Tensioni nel cordone: τ_P=0.33 τ_0=2.08 σ_0=12.90 σ_{ID}=13.07 Σ_T=14.98
CC 40 SLU (Collegamento -382_-520)
Azioni sul collegamento: N=281.33 Ty=-3.31 Tz=-81.37 Mx=-0.73 Mz=-4.52
Sollecitazioni agenti localmente: Tx_l=-3.31 Ty_l=-81.37 N_l=281.33 My_l=4.52 Mz_l=-0.73
Azioni sul cordone: TP=1.09 TO=6.56 NO=20.70
Tensioni nel cordone: τ_P=0.35 τ_0=2.09 σ_0=13.18 σ_{ID}=13.35 Σ_T=15.26
CC 41 SLU (Collegamento -382_-520)
Azioni sul collegamento: N=345.02 Ty=-0.94 Tz=-91.23 Mx=-0.22 Mz=-1.24
Sollecitazioni agenti localmente: Tx_l=-0.94 Ty_l=-91.23 N_l=345.02 My_l=1.24 Mz_l=-0.22
Azioni sul cordone: TP=0.32 TO=6.89 NO=25.39
Tensioni nel cordone: τ_P=0.10 τ_0=2.19 σ_0=9.88 σ_{ID}=10.12 Σ_T=12.07
CC 42 SLU (Collegamento -382_-520)
Azioni sul collegamento: N=340.65 Ty=-0.80 Tz=-90.55 Mx=-0.19 Mz=-1.04
Sollecitazioni agenti localmente: Tx_l=-0.80 Ty_l=-90.55 N_l=340.65 My_l=1.04 Mz_l=-0.19
Azioni sul cordone: TP=0.28 TO=6.81 NO=25.07
Tensioni nel cordone: τ_P= 0.09 τ_0=2.17 σ_0=9.49 σ_{ID}=9.73 Σ_T=11.66
CC 43 SLU (Collegamento -382_-520)
Azioni sul collegamento: N=342.87 Ty=-0.77 Tz=-90.89 Mx=-0.19 Mz=-1.04
Sollecitazioni agenti localmente: Tx_l=-0.77 Ty_l=-90.89 N_l=342.87 My_l=1.04 Mz_l=-0.19
Azioni sul cordone: TP=0.27 TO=6.84 NO=25.23
Tensioni nel cordone: τ_P= 0.09 τ_0=2.17 σ_0=9.54 σ_{ID}=9.79 Σ_T=11.72
CC 44 SLU (Collegamento -382_-520)
Azioni sul collegamento: N=342.80 Ty=-0.96 Tz=-90.88 Mx=-0.22 Mz=-1.24
Sollecitazioni agenti localmente: Tx_l=-0.96 Ty_l=-90.88 N_l=342.80 My_l=1.24 Mz_l=-0.22
Azioni sul cordone: TP=0.32 TO=6.86 NO=25.22
Tensioni nel cordone: τ_P=0.10 τ_0=2.18 σ_0=9.82 σ_{ID}=10.06 Σ_T=12.00
CC 45 SLU (Collegamento -382_-520)
Azioni sul collegamento: N=299.47 Ty=-3.14 Tz=-84.18 Mx=-0.70 Mz=-4.33
Sollecitazioni agenti localmente: Tx_l=-3.14 Ty_l=-84.18 N_l=299.47 My_l=4.33 Mz_l=-0.70
Azioni sul cordone: TP=1.04 TO=6.75 NO=22.04
Tensioni nel cordone: τ_P=0.33 τ_0=2.14 σ_0=13.33 σ_{ID}=13.51 Σ_T=15.47
CC 46 SLU (Collegamento -382_-520)
Azioni sul collegamento: N=295.10 Ty=-3.00 Tz=-83.50 Mx=-0.67 Mz=-4.14
Sollecitazioni agenti localmente: Tx_l=-3.00 Ty_l=-83.50 N_l=295.10 My_l=4.14 Mz_l=-0.67
Azioni sul cordone: TP=0.99 TO=6.67 NO=21.71
Tensioni nel cordone: τ_P=0.32 τ_0=2.12 σ_0=12.94 σ_{ID}=13.12 Σ_T=15.06
CC 47 SLU (Collegamento -382_-520)
Azioni sul collegamento: N=297.32 Ty=-2.98 Tz=-83.84 Mx=-0.67 Mz=-4.14
Sollecitazioni agenti localmente: Tx_l=-2.98 Ty_l=-83.84 N_l=297.32 My_l=4.14 Mz_l=-0.67
Azioni sul cordone: TP=0.99 TO=6.70 NO=21.88
Tensioni nel cordone: τ_P=0.32 τ_0=2.13 σ_0=13.00 σ_{ID}=13.17 Σ_T=15.13
CC 48 SLU (Collegamento -382_-520)
Azioni sul collegamento: N=297.25 Ty=-3.16 Tz=-83.83 Mx=-0.70 Mz=-4.33
Sollecitazioni agenti localmente: Tx_l=-3.16 Ty_l=-83.83 N_l=297.25 My_l=4.33 Mz_l=-0.70
Azioni sul cordone: TP=1.04 TO=6.72 NO=21.87
Tensioni nel cordone: τ_P=0.33 τ_0=2.14 σ_0=13.28 σ_{ID}=13.45 Σ_T=15.41
CC 49 SLU (Collegamento -382_-520)
Azioni sul collegamento: N=247.94 Ty=-3.32 Tz=-76.20 Mx=-0.74 Mz=-4.57
Sollecitazioni agenti localmente: Tx_l=-3.32 Ty_l=-76.20 N_l=247.94 My_l=4.57 Mz_l=-0.74
Azioni sul cordone: TP=1.10 TO=6.19 NO=18.24
Tensioni nel cordone: τ_P=0.35 τ_0=1.97 σ_0=12.47 σ_{ID}=12.63 Σ_T=14.44
CC 50 SLU (Collegamento -382_-520)
Azioni sul collegamento: N=243.57 Ty=-3.18 Tz=-75.52 Mx=-0.71 Mz=-4.37
Sollecitazioni agenti localmente: Tx_l=-3.18 Ty_l=-75.52 N_l=243.57 My_l=4.37 Mz_l=-0.71
Azioni sul cordone: TP=1.05 TO=6.12 NO=17.92
Tensioni nel cordone: τ_P=0.33 τ_0=1.94 σ_0=12.09 σ_{ID}=12.25 Σ_T=14.03
CC 51 SLU (Collegamento -382_-520)
Azioni sul collegamento: N=245.79 Ty=-3.16 Tz=-75.87 Mx=-0.71 Mz=-4.38
Sollecitazioni agenti localmente: Tx_l=-3.16 Ty_l=-75.87 N_l=245.79 My_l=4.38 Mz_l=-0.71
Azioni sul cordone: TP=1.05 TO=6.14 NO=18.09
Tensioni nel cordone: τ_P=0.33 τ_0=1.95 σ_0=12.14 σ_{ID}=12.30 Σ_T=14.09
CC 52 SLU (Collegamento -382_-520)
Azioni sul collegamento: N=245.72 Ty=-3.34 Tz=-75.86 Mx=-0.74 Mz=-4.57
Sollecitazioni agenti localmente: Tx_l=-3.34 Ty_l=-75.86 N_l=245.72 My_l=4.57 Mz_l=-0.74
Azioni sul cordone: TP=1.10 TO=6.17 NO=18.08
Tensioni nel cordone: τ_P=0.35 τ_0=1.96 σ_0=12.42 σ_{ID}=12.58 Σ_T=14.38
CC 53 SLU (Collegamento -382_-520)
Azioni sul collegamento: N=293.93 Ty=-1.56 Tz=-83.32 Mx=-0.36 Mz=-2.11
Sollecitazioni agenti localmente: Tx_l=-1.56 Ty_l=-83.32 N_l=293.93 My_l=2.11 Mz_l=-0.36
Azioni sul cordone: TP=0.53 TO=6.41 NO=21.63
Tensioni nel cordone: τ_P=0.17 τ_0=2.04 σ_0=9.96 σ_{ID}=10.17 Σ_T=12.00
CC 54 SLU (Collegamento -382_-520)
Azioni sul collegamento: N=289.56 Ty=-1.42 Tz=-82.64 Mx=-0.33 Mz=-1.92
Sollecitazioni agenti localmente: Tx_l=-1.42 Ty_l=-82.64 N_l=289.56 My_l=1.92 Mz_l=-0.33
Azioni sul cordone: TP=0.48 TO=6.34 NO=21.31

Tensioni nel cordone: τ_P=0.15 τ_0=2.01 σ_0=9.58 σ_{ID}=9.79 Σ_T=11.59
CC 55 SLU (Collegamento -382_-520)
Azioni sul collegamento: N=291.78 Ty=-1.40 Tz=-82.99 Mx=-0.33 Mz=-1.92
Sollecitazioni agenti localmente: Tx_l=-1.40 Ty_l=-82.99 N_l=291.78 My_l=1.92 Mz_l=-0.33
Azioni sul cordone: TP=0.48 TO=6.36 NO=21.47
Tensioni nel cordone: τ_P=0.15 τ_0=2.02 σ_0=9.63 σ_{ID}=9.84 Σ_T=11.65
CC 56 SLU (Collegamento -382_-520)
Azioni sul collegamento: N=291.71 Ty=-1.58 Tz=-82.98 Mx=-0.36 Mz=-2.11
Sollecitazioni agenti localmente: Tx_l=-1.58 Ty_l=-82.98 N_l=291.71 My_l=2.11 Mz_l=-0.36
Azioni sul cordone: TP=0.53 TO=6.39 NO=21.46
Tensioni nel cordone: τ_P=0.17 τ_0=2.03 σ_0=9.91 σ_{ID}=10.12 Σ_T=11.94
CC 57 SLU (Collegamento -382_-520)
Azioni sul collegamento: N=286.88 Ty=-2.83 Tz=-82.23 Mx=-0.63 Mz=-3.90
Sollecitazioni agenti localmente: Tx_l=-2.83 Ty_l=-82.23 N_l=286.88 My_l=3.90 Mz_l=-0.63
Azioni sul cordone: TP=0.94 TO=6.55 NO=21.11
Tensioni nel cordone: τ_P=0.30 τ_0=2.08 σ_0=12.41 σ_{ID}=12.59 Σ_T=14.49
CC 58 SLU (Collegamento -382_-520)
Azioni sul collegamento: N=282.51 Ty=-2.69 Tz=-81.55 Mx=-0.60 Mz=-3.71
Sollecitazioni agenti localmente: Tx_l=-2.69 Ty_l=-81.55 N_l=282.51 My_l=3.71 Mz_l=-0.60
Azioni sul cordone: TP=0.89 TO=6.47 NO=20.79
Tensioni nel cordone: τ_P=0.28 τ_0=2.06 σ_0=12.02 σ_{ID}=12.20 Σ_T=14.08
CC 59 SLU (Collegamento -382_-520)
Azioni sul collegamento: N=284.73 Ty=-2.67 Tz=-81.89 Mx=-0.60 Mz=-3.71
Sollecitazioni agenti localmente: Tx_l=-2.67 Ty_l=-81.89 N_l=284.73 My_l=3.71 Mz_l=-0.60
Azioni sul cordone: TP=0.89 TO=6.50 NO=20.95
Tensioni nel cordone: τ_P=0.28 τ_0=2.07 σ_0=12.08 σ_{ID}=12.26 Σ_T=14.14
CC 60 SLU (Collegamento -382_-520)
Azioni sul collegamento: N=284.66 Ty=-2.85 Tz=-81.88 Mx=-0.63 Mz=-3.90
Sollecitazioni agenti localmente: Tx_l=-2.85 Ty_l=-81.88 N_l=284.66 My_l=3.90 Mz_l=-0.63
Azioni sul cordone: TP=0.94 TO=6.52 NO=20.95
Tensioni nel cordone: τ_P=0.30 τ_0=2.07 σ_0=12.36 σ_{ID}=12.53 Σ_T=14.43
CC 61 SLU (Collegamento -382_-520)
Azioni sul collegamento: N=235.34 Ty=-3.01 Tz=-74.25 Mx=-0.67 Mz=-4.14
Sollecitazioni agenti localmente: Tx_l=-3.01 Ty_l=-74.25 N_l=235.34 My_l=4.14 Mz_l=-0.67
Azioni sul cordone: TP=1.00 TO=5.99 NO=17.32
Tensioni nel cordone: τ_P=0.32 τ_0=1.90 σ_0=11.55 σ_{ID}=11.71 Σ_T=13.46
CC 62 SLU (Collegamento -382_-520)
Azioni sul collegamento: N=230.97 Ty=-2.87 Tz=-73.58 Mx=-0.64 Mz=-3.95
Sollecitazioni agenti localmente: Tx_l=-2.87 Ty_l=-73.58 N_l=230.97 My_l=3.95 Mz_l=-0.64
Azioni sul cordone: TP=0.95 TO=5.92 NO=17.00
Tensioni nel cordone: τ_P=0.30 τ_0=1.88 σ_0=11.17 σ_{ID}=11.33 Σ_T=13.05
CC 63 SLU (Collegamento -382_-520)
Azioni sul collegamento: N=233.19 Ty=-2.85 Tz=-73.92 Mx=-0.64 Mz=-3.95
Sollecitazioni agenti localmente: Tx_l=-2.85 Ty_l=-73.92 N_l=233.19 My_l=3.95 Mz_l=-0.64
Azioni sul cordone: TP=0.95 TO=5.94 NO=17.16
Tensioni nel cordone: τ_P=0.30 τ_0=1.89 σ_0=11.22 σ_{ID}=11.38 Σ_T=13.11
CC 64 SLU (Collegamento -382_-520)
Azioni sul collegamento: N=233.13 Ty=-3.03 Tz=-73.91 Mx=-0.67 Mz=-4.14
Sollecitazioni agenti localmente: Tx_l=-3.03 Ty_l=-73.91 N_l=233.13 My_l=4.14 Mz_l=-0.67
Azioni sul cordone: TP=1.00 TO=5.97 NO=17.15
Tensioni nel cordone: τ_P=0.32 τ_0=1.90 σ_0=11.50 σ_{ID}=11.66 Σ_T=13.40
CC 65 SLU (Collegamento -382_-520)
Azioni sul collegamento: N=281.34 Ty=-1.25 Tz=-81.37 Mx=-0.29 Mz=-1.69
Sollecitazioni agenti localmente: Tx_l=-1.25 Ty_l=-81.37 N_l=281.34 My_l=1.69 Mz_l=-0.29
Azioni sul cordone: TP=0.43 TO=6.22 NO=20.70
Tensioni nel cordone: τ_P=0.14 τ_0=1.98 σ_0=9.04 σ_{ID}=9.26 Σ_T=11.02
CC 66 SLU (Collegamento -382_-520)
Azioni sul collegamento: N=276.97 Ty=-1.11 Tz=-80.69 Mx=-0.26 Mz=-1.49
Sollecitazioni agenti localmente: Tx_l=-1.11 Ty_l=-80.69 N_l=276.97 My_l=1.49 Mz_l=-0.26
Azioni sul cordone: TP=0.38 TO=6.14 NO=20.38
Tensioni nel cordone: τ_P=0.12 τ_0=1.95 σ_0=8.66 σ_{ID}=8.87 Σ_T=10.61
CC 67 SLU (Collegamento -382_-520)
Azioni sul collegamento: N=279.19 Ty=-1.09 Tz=-81.04 Mx=-0.26 Mz=-1.49
Sollecitazioni agenti localmente: Tx_l=-1.09 Ty_l=-81.04 N_l=279.19 My_l=1.49 Mz_l=-0.26
Azioni sul cordone: TP=0.38 TO=6.17 NO=20.54
Tensioni nel cordone: τ_P=0.12 τ_0=1.96 σ_0=8.71 σ_{ID}=8.93 Σ_T=10.67
CC 68 SLU (Collegamento -382_-520)
Azioni sul collegamento: N=279.12 Ty=-1.27 Tz=-81.03 Mx=-0.29 Mz=-1.69
Sollecitazioni agenti localmente: Tx_l=-1.27 Ty_l=-81.03 N_l=279.12 My_l=1.69 Mz_l=-0.29
Azioni sul cordone: TP=0.43 TO=6.19 NO=20.54
Tensioni nel cordone: τ_P=0.14 τ_0=1.97 σ_0=8.99 σ_{ID}=9.20 Σ_T=10.96
CC 97 SLU (Collegamento -382_-520)
Azioni sul collegamento: N=177.78 Ty=-15.09 Tz=-55.54 Mx=-2.10 Mz=-13.62
Sollecitazioni agenti localmente: Tx_l=-15.09 Ty_l=-55.54 N_l=177.78 My_l=13.62 Mz_l=-2.10
Azioni sul cordone: TP=3.53 TO=5.74 NO=13.08
Tensioni nel cordone: τ_P=1.12 τ_0=1.82 σ_0=24.06 σ_{ID}=24.15 Σ_T=25.88
CC 98 SLU (Collegamento -382_-520)
Azioni sul collegamento: N=173.41 Ty=-14.95 Tz=-54.86 Mx=-2.07 Mz=-13.43
Sollecitazioni agenti localmente: Tx_l=-14.95 Ty_l=-54.86 N_l=173.41 My_l=13.43 Mz_l=-2.07

Azioni sul cordone: TP=3.48 TO=5.67 NO=12.76
Tensioni nel cordone: τ_P=1.11 τ_O=1.80 σ_O=23.67 σ_{ID}=23.76 Σ_T=25.47
CC 99 SLU (Collegamento -382_-520)
Azioni sul collegamento: N=175.63 Ty=-14.93 Tz=-55.20 Mx=-2.07 Mz=-13.43
Sollecitazioni agenti localmente: Tx_l=-14.93 Ty_l=-55.20 N_l=175.63 My_l=13.43 Mz_l=-2.07
Azioni sul cordone: TP=3.48 TO=5.69 NO=12.92
Tensioni nel cordone: τ_P=1.11 τ_O=1.81 σ_O=23.72 σ_{ID}=23.82 Σ_T=25.53
CC 100 SLU (Collegamento -382_-520)
Azioni sul collegamento: N=175.56 Ty=-15.11 Tz=-55.19 Mx=-2.10 Mz=-13.62
Sollecitazioni agenti localmente: Tx_l=-15.11 Ty_l=-55.19 N_l=175.56 My_l=13.62 Mz_l=-2.10
Azioni sul cordone: TP=3.53 TO=5.71 NO=12.92
Tensioni nel cordone: τ_P=1.12 τ_O=1.82 σ_O=24.00 σ_{ID}=24.10 Σ_T=25.82
CC 101 SLU (Collegamento -382_-520)
Azioni sul collegamento: N=143.52 Ty=0.14 Tz=-50.23 Mx=-0.12 Mz=-0.65
Sollecitazioni agenti localmente: Tx_l=0.14 Ty_l=-50.23 N_l=143.52 My_l=0.65 Mz_l=-0.12
Azioni sul cordone: TP=0.15 TO=-3.79 NO=10.56
Tensioni nel cordone: τ_P= 0.05 τ_O=1.20 σ_O=4.30 σ_{ID}=4.47 Σ_T=5.51
CC 102 SLU (Collegamento -382_-520)
Azioni sul collegamento: N=139.15 Ty=0.28 Tz=-49.56 Mx=-0.09 Mz=-0.45
Sollecitazioni agenti localmente: Tx_l=0.28 Ty_l=-49.56 N_l=139.15 My_l=0.45 Mz_l=-0.09
Azioni sul cordone: TP=0.12 TO=-3.72 NO=10.24
Tensioni nel cordone: τ_P= 0.04 τ_O=1.18 σ_O=3.92 σ_{ID}=4.09 Σ_T=5.10
CC 103 SLU (Collegamento -382_-520)
Azioni sul collegamento: N=141.37 Ty=0.30 Tz=-49.90 Mx=-0.09 Mz=-0.46
Sollecitazioni agenti localmente: Tx_l=0.30 Ty_l=-49.90 N_l=141.37 My_l=0.46 Mz_l=-0.09
Azioni sul cordone: TP=0.12 TO=-3.74 NO=10.40
Tensioni nel cordone: τ_P= 0.04 τ_O=1.19 σ_O=3.97 σ_{ID}=4.15 Σ_T=5.16
CC 104 SLU (Collegamento -382_-520)
Azioni sul collegamento: N=141.30 Ty=0.12 Tz=-49.89 Mx=-0.12 Mz=-0.65
Sollecitazioni agenti localmente: Tx_l=0.12 Ty_l=-49.89 N_l=141.30 My_l=0.65 Mz_l=-0.12
Azioni sul cordone: TP=0.15 TO=-3.76 NO=10.40
Tensioni nel cordone: τ_P= 0.05 τ_O=1.20 σ_O=4.25 σ_{ID}=4.42 Σ_T=5.45

Verifica lato anima della colonna

CC 1 SLV (Collegamento -382_-520)
Azioni sul collegamento: N=159.97 Ty=-1.47 Tz=-52.78 Mx=-0.34 Mz=-1.98
Zona tesa: F=64.42 b_{eff}=13.20 t_w=0.70 σ=6.97
Zona tesa: F=64.42 b_{eff}=13.20 t_w=0.70 σ=6.97
CC 1 SLV (Collegamento -382_-520)
Azioni sul collegamento: N=159.97 Ty=-3.35 Tz=-52.78 Mx=-0.71 Mz=-4.39
Zona tesa: F=64.42 b_{eff}=13.20 t_w=0.70 σ=6.97
Zona tesa: F=64.42 b_{eff}=13.20 t_w=0.70 σ=6.97
CC 1 SLV (Collegamento -382_-520)
Azioni sul collegamento: N=159.97 Ty=-1.47 Tz=-52.78 Mx=-0.34 Mz=-1.98
Zona tesa: F=64.42 b_{eff}=13.20 t_w=0.70 σ=6.97
Zona tesa: F=64.42 b_{eff}=13.20 t_w=0.70 σ=6.97
CC 1 SLV (Collegamento -382_-520)
Azioni sul collegamento: N=159.97 Ty=-3.35 Tz=-52.78 Mx=-0.71 Mz=-4.39
Zona tesa: F=64.42 b_{eff}=13.20 t_w=0.70 σ=6.97
Zona tesa: F=64.42 b_{eff}=13.20 t_w=0.70 σ=6.97
CC 1 SLV (Collegamento -382_-520)
Azioni sul collegamento: N=117.75 Ty=-1.47 Tz=-46.25 Mx=-0.34 Mz=-1.98
Zona tesa: F=47.42 b_{eff}=13.20 t_w=0.70 σ=5.13
Zona tesa: F=47.42 b_{eff}=13.20 t_w=0.70 σ=5.13
CC 1 SLV (Collegamento -382_-520)
Azioni sul collegamento: N=117.75 Ty=-3.35 Tz=-46.25 Mx=-0.71 Mz=-4.39
Zona tesa: F=47.42 b_{eff}=13.20 t_w=0.70 σ=5.13
Zona tesa: F=47.42 b_{eff}=13.20 t_w=0.70 σ=5.13
CC 1 SLV (Collegamento -382_-520)
Azioni sul collegamento: N=117.75 Ty=-1.47 Tz=-46.25 Mx=-0.34 Mz=-1.98
Zona tesa: F=47.42 b_{eff}=13.20 t_w=0.70 σ=5.13
Zona tesa: F=47.42 b_{eff}=13.20 t_w=0.70 σ=5.13
CC 1 SLV (Collegamento -382_-520)
Azioni sul collegamento: N=117.75 Ty=-3.35 Tz=-46.25 Mx=-0.71 Mz=-4.39
Zona tesa: F=47.42 b_{eff}=13.20 t_w=0.70 σ=5.13
Zona tesa: F=47.42 b_{eff}=13.20 t_w=0.70 σ=5.13
CC 2 SLD (Collegamento -382_-520)
Azioni sul collegamento: N=145.42 Ty=-1.66 Tz=-50.53 Mx=-0.37 Mz=-2.26
Zona tesa: F=58.56 b_{eff}=13.20 t_w=0.70 σ=6.34
Zona tesa: F=58.56 b_{eff}=13.20 t_w=0.70 σ=6.34
CC 2 SLD (Collegamento -382_-520)
Azioni sul collegamento: N=145.42 Ty=-2.23 Tz=-50.53 Mx=-0.49 Mz=-2.99
Zona tesa: F=58.56 b_{eff}=13.20 t_w=0.70 σ=6.34
Zona tesa: F=58.56 b_{eff}=13.20 t_w=0.70 σ=6.34
CC 2 SLD (Collegamento -382_-520)
Azioni sul collegamento: N=145.42 Ty=-1.66 Tz=-50.53 Mx=-0.37 Mz=-2.26

Zona tesa: F=58.56 b_{eff}=13.20 t_w=0.70 σ=6.34
Zona tesa: F=58.56 b_{eff}=13.20 t_w=0.70 σ=6.34
CC 2 SLD (Collegamento -382_-520)
Azioni sul collegamento: N=145.42 Ty=-2.23 Tz=-50.53 Mx=-0.49 Mz=-2.99
Zona tesa: F=58.56 b_{eff}=13.20 t_w=0.70 σ=6.34
Zona tesa: F=58.56 b_{eff}=13.20 t_w=0.70 σ=6.34
CC 2 SLD (Collegamento -382_-520)
Azioni sul collegamento: N=132.54 Ty=-1.66 Tz=-48.53 Mx=-0.37 Mz=-2.26
Zona tesa: F=53.37 b_{eff}=13.20 t_w=0.70 σ=5.78
Zona tesa: F=53.37 b_{eff}=13.20 t_w=0.70 σ=5.78
CC 2 SLD (Collegamento -382_-520)
Azioni sul collegamento: N=132.54 Ty=-2.23 Tz=-48.53 Mx=-0.49 Mz=-2.99
Zona tesa: F=53.37 b_{eff}=13.20 t_w=0.70 σ=5.78
Zona tesa: F=53.37 b_{eff}=13.20 t_w=0.70 σ=5.78
CC 2 SLD (Collegamento -382_-520)
Azioni sul collegamento: N=132.54 Ty=-1.66 Tz=-48.53 Mx=-0.37 Mz=-2.26
Zona tesa: F=53.37 b_{eff}=13.20 t_w=0.70 σ=5.78
Zona tesa: F=53.37 b_{eff}=13.20 t_w=0.70 σ=5.78
CC 2 SLD (Collegamento -382_-520)
Azioni sul collegamento: N=132.54 Ty=-2.23 Tz=-48.53 Mx=-0.49 Mz=-2.99
Zona tesa: F=53.37 b_{eff}=13.20 t_w=0.70 σ=5.78
Zona tesa: F=53.37 b_{eff}=13.20 t_w=0.70 σ=5.78
CC 3 SLV (Collegamento -382_-520)
Azioni sul collegamento: N=159.78 Ty=-2.01 Tz=-52.75 Mx=-0.42 Mz=-2.55
Zona tesa: F=64.34 b_{eff}=13.20 t_w=0.70 σ=6.96
Zona tesa: F=64.34 b_{eff}=13.20 t_w=0.70 σ=6.96
CC 3 SLV (Collegamento -382_-520)
Azioni sul collegamento: N=159.78 Ty=-2.81 Tz=-52.75 Mx=-0.62 Mz=-3.83
Zona tesa: F=64.34 b_{eff}=13.20 t_w=0.70 σ=6.96
Zona tesa: F=64.34 b_{eff}=13.20 t_w=0.70 σ=6.96
CC 3 SLV (Collegamento -382_-520)
Azioni sul collegamento: N=159.78 Ty=-2.01 Tz=-52.75 Mx=-0.42 Mz=-2.55
Zona tesa: F=64.34 b_{eff}=13.20 t_w=0.70 σ=6.96
Zona tesa: F=64.34 b_{eff}=13.20 t_w=0.70 σ=6.96
CC 3 SLV (Collegamento -382_-520)
Azioni sul collegamento: N=159.78 Ty=-2.81 Tz=-52.75 Mx=-0.62 Mz=-3.83
Zona tesa: F=64.34 b_{eff}=13.20 t_w=0.70 σ=6.96
Zona tesa: F=64.34 b_{eff}=13.20 t_w=0.70 σ=6.96
CC 3 SLV (Collegamento -382_-520)
Azioni sul collegamento: N=117.94 Ty=-2.01 Tz=-46.27 Mx=-0.42 Mz=-2.55
Zona tesa: F=47.49 b_{eff}=13.20 t_w=0.70 σ=5.14
Zona tesa: F=47.49 b_{eff}=13.20 t_w=0.70 σ=5.14
CC 3 SLV (Collegamento -382_-520)
Azioni sul collegamento: N=117.94 Ty=-2.81 Tz=-46.27 Mx=-0.62 Mz=-3.83
Zona tesa: F=47.49 b_{eff}=13.20 t_w=0.70 σ=5.14
Zona tesa: F=47.49 b_{eff}=13.20 t_w=0.70 σ=5.14
CC 3 SLV (Collegamento -382_-520)
Azioni sul collegamento: N=117.94 Ty=-2.01 Tz=-46.27 Mx=-0.42 Mz=-2.55
Zona tesa: F=47.49 b_{eff}=13.20 t_w=0.70 σ=5.14
Zona tesa: F=47.49 b_{eff}=13.20 t_w=0.70 σ=5.14
CC 3 SLV (Collegamento -382_-520)
Azioni sul collegamento: N=117.94 Ty=-2.81 Tz=-46.27 Mx=-0.62 Mz=-3.83
Zona tesa: F=47.49 b_{eff}=13.20 t_w=0.70 σ=5.14
Zona tesa: F=47.49 b_{eff}=13.20 t_w=0.70 σ=5.14
CC 4 SLD (Collegamento -382_-520)
Azioni sul collegamento: N=145.36 Ty=-1.82 Tz=-50.52 Mx=-0.40 Mz=-2.43
Zona tesa: F=58.53 b_{eff}=13.20 t_w=0.70 σ=6.33
Zona tesa: F=58.53 b_{eff}=13.20 t_w=0.70 σ=6.33
CC 4 SLD (Collegamento -382_-520)
Azioni sul collegamento: N=145.36 Ty=-2.06 Tz=-50.52 Mx=-0.46 Mz=-2.82
Zona tesa: F=58.53 b_{eff}=13.20 t_w=0.70 σ=6.33
Zona tesa: F=58.53 b_{eff}=13.20 t_w=0.70 σ=6.33
CC 4 SLD (Collegamento -382_-520)
Azioni sul collegamento: N=145.36 Ty=-1.82 Tz=-50.52 Mx=-0.40 Mz=-2.43
Zona tesa: F=58.53 b_{eff}=13.20 t_w=0.70 σ=6.33
Zona tesa: F=58.53 b_{eff}=13.20 t_w=0.70 σ=6.33
CC 4 SLD (Collegamento -382_-520)
Azioni sul collegamento: N=145.36 Ty=-2.06 Tz=-50.52 Mx=-0.46 Mz=-2.82
Zona tesa: F=58.53 b_{eff}=13.20 t_w=0.70 σ=6.33
Zona tesa: F=58.53 b_{eff}=13.20 t_w=0.70 σ=6.33
CC 4 SLD (Collegamento -382_-520)
Azioni sul collegamento: N=132.60 Ty=-1.82 Tz=-48.54 Mx=-0.40 Mz=-2.43
Zona tesa: F=53.40 b_{eff}=13.20 t_w=0.70 σ=5.78
Zona tesa: F=53.40 b_{eff}=13.20 t_w=0.70 σ=5.78
CC 4 SLD (Collegamento -382_-520)
Azioni sul collegamento: N=132.60 Ty=-2.06 Tz=-48.54 Mx=-0.46 Mz=-2.82

Zona tesa: F=53.40 b_{eff}=13.20 t_w=0.70 σ=5.78
Zona tesa: F=53.40 b_{eff}=13.20 t_w=0.70 σ=5.78
CC 4 SLD (Collegamento -382_-520)
Azioni sul collegamento: N=132.60 Ty=-1.82 Tz=-48.54 Mx=-0.40 Mz=-2.43
Zona tesa: F=53.40 b_{eff}=13.20 t_w=0.70 σ=5.78
Zona tesa: F=53.40 b_{eff}=13.20 t_w=0.70 σ=5.78
CC 4 SLD (Collegamento -382_-520)
Azioni sul collegamento: N=132.60 Ty=-2.06 Tz=-48.54 Mx=-0.46 Mz=-2.82
Zona tesa: F=53.40 b_{eff}=13.20 t_w=0.70 σ=5.78
Zona tesa: F=53.40 b_{eff}=13.20 t_w=0.70 σ=5.78
CC 5 SLV (Collegamento -382_-520)
Azioni sul collegamento: N=117.94 Ty=-2.81 Tz=-46.27 Mx=-0.61 Mz=-3.83
Zona tesa: F=47.49 b_{eff}=13.20 t_w=0.70 σ=5.14
Zona tesa: F=47.49 b_{eff}=13.20 t_w=0.70 σ=5.14
CC 5 SLV (Collegamento -382_-520)
Azioni sul collegamento: N=117.94 Ty=-2.01 Tz=-46.27 Mx=-0.41 Mz=-2.55
Zona tesa: F=47.49 b_{eff}=13.20 t_w=0.70 σ=5.14
Zona tesa: F=47.49 b_{eff}=13.20 t_w=0.70 σ=5.14
CC 5 SLV (Collegamento -382_-520)
Azioni sul collegamento: N=117.94 Ty=-2.81 Tz=-46.27 Mx=-0.61 Mz=-3.83
Zona tesa: F=47.49 b_{eff}=13.20 t_w=0.70 σ=5.14
Zona tesa: F=47.49 b_{eff}=13.20 t_w=0.70 σ=5.14
CC 5 SLV (Collegamento -382_-520)
Azioni sul collegamento: N=117.94 Ty=-2.01 Tz=-46.27 Mx=-0.41 Mz=-2.55
Zona tesa: F=47.49 b_{eff}=13.20 t_w=0.70 σ=5.14
Zona tesa: F=47.49 b_{eff}=13.20 t_w=0.70 σ=5.14
CC 5 SLV (Collegamento -382_-520)
Azioni sul collegamento: N=159.78 Ty=-2.81 Tz=-52.75 Mx=-0.61 Mz=-3.83
Zona tesa: F=64.34 b_{eff}=13.20 t_w=0.70 σ=6.96
Zona tesa: F=64.34 b_{eff}=13.20 t_w=0.70 σ=6.96
CC 5 SLV (Collegamento -382_-520)
Azioni sul collegamento: N=159.78 Ty=-2.01 Tz=-52.75 Mx=-0.41 Mz=-2.55
Zona tesa: F=64.34 b_{eff}=13.20 t_w=0.70 σ=6.96
Zona tesa: F=64.34 b_{eff}=13.20 t_w=0.70 σ=6.96
CC 5 SLV (Collegamento -382_-520)
Azioni sul collegamento: N=159.78 Ty=-2.81 Tz=-52.75 Mx=-0.61 Mz=-3.83
Zona tesa: F=64.34 b_{eff}=13.20 t_w=0.70 σ=6.96
Zona tesa: F=64.34 b_{eff}=13.20 t_w=0.70 σ=6.96
CC 5 SLV (Collegamento -382_-520)
Azioni sul collegamento: N=159.78 Ty=-2.01 Tz=-52.75 Mx=-0.41 Mz=-2.55
Zona tesa: F=64.34 b_{eff}=13.20 t_w=0.70 σ=6.96
Zona tesa: F=64.34 b_{eff}=13.20 t_w=0.70 σ=6.96
CC 6 SLD (Collegamento -382_-520)
Azioni sul collegamento: N=132.60 Ty=-2.06 Tz=-48.54 Mx=-0.46 Mz=-2.82
Zona tesa: F=53.40 b_{eff}=13.20 t_w=0.70 σ=5.78
Zona tesa: F=53.40 b_{eff}=13.20 t_w=0.70 σ=5.78
CC 6 SLD (Collegamento -382_-520)
Azioni sul collegamento: N=132.60 Ty=-1.82 Tz=-48.54 Mx=-0.39 Mz=-2.43
Zona tesa: F=53.40 b_{eff}=13.20 t_w=0.70 σ=5.78
Zona tesa: F=53.40 b_{eff}=13.20 t_w=0.70 σ=5.78
CC 6 SLD (Collegamento -382_-520)
Azioni sul collegamento: N=132.60 Ty=-2.06 Tz=-48.54 Mx=-0.46 Mz=-2.82
Zona tesa: F=53.40 b_{eff}=13.20 t_w=0.70 σ=5.78
Zona tesa: F=53.40 b_{eff}=13.20 t_w=0.70 σ=5.78
CC 6 SLD (Collegamento -382_-520)
Azioni sul collegamento: N=132.60 Ty=-1.82 Tz=-48.54 Mx=-0.39 Mz=-2.43
Zona tesa: F=53.40 b_{eff}=13.20 t_w=0.70 σ=5.78
Zona tesa: F=53.40 b_{eff}=13.20 t_w=0.70 σ=5.78
CC 6 SLD (Collegamento -382_-520)
Azioni sul collegamento: N=145.36 Ty=-2.06 Tz=-50.52 Mx=-0.46 Mz=-2.82
Zona tesa: F=58.53 b_{eff}=13.20 t_w=0.70 σ=6.33
Zona tesa: F=58.53 b_{eff}=13.20 t_w=0.70 σ=6.33
CC 6 SLD (Collegamento -382_-520)
Azioni sul collegamento: N=145.36 Ty=-1.82 Tz=-50.52 Mx=-0.39 Mz=-2.43
Zona tesa: F=58.53 b_{eff}=13.20 t_w=0.70 σ=6.33
Zona tesa: F=58.53 b_{eff}=13.20 t_w=0.70 σ=6.33
CC 6 SLD (Collegamento -382_-520)
Azioni sul collegamento: N=145.36 Ty=-2.06 Tz=-50.52 Mx=-0.46 Mz=-2.82
Zona tesa: F=58.53 b_{eff}=13.20 t_w=0.70 σ=6.33
Zona tesa: F=58.53 b_{eff}=13.20 t_w=0.70 σ=6.33
CC 6 SLD (Collegamento -382_-520)
Azioni sul collegamento: N=145.36 Ty=-1.82 Tz=-50.52 Mx=-0.39 Mz=-2.43
Zona tesa: F=58.53 b_{eff}=13.20 t_w=0.70 σ=6.33
Zona tesa: F=58.53 b_{eff}=13.20 t_w=0.70 σ=6.33
CC 7 SLV (Collegamento -382_-520)
Azioni sul collegamento: N=117.75 Ty=-3.35 Tz=-46.25 Mx=-0.70 Mz=-4.40

Zona tesa: F=47.42 b_{eff}=13.20 t_w=0.70 σ=5.13
Zona tesa: F=47.42 b_{eff}=13.20 t_w=0.70 σ=5.13
CC 7 SLV (Collegamento -382_-520)
Azioni sul collegamento: N=117.75 Ty=-1.47 Tz=-46.25 Mx=-0.32 Mz=-1.99
Zona tesa: F=47.42 b_{eff}=13.20 t_w=0.70 σ=5.13
Zona tesa: F=47.42 b_{eff}=13.20 t_w=0.70 σ=5.13
CC 7 SLV (Collegamento -382_-520)
Azioni sul collegamento: N=117.75 Ty=-3.35 Tz=-46.25 Mx=-0.70 Mz=-4.40
Zona tesa: F=47.42 b_{eff}=13.20 t_w=0.70 σ=5.13
Zona tesa: F=47.42 b_{eff}=13.20 t_w=0.70 σ=5.13
CC 7 SLV (Collegamento -382_-520)
Azioni sul collegamento: N=117.75 Ty=-1.47 Tz=-46.25 Mx=-0.32 Mz=-1.99
Zona tesa: F=47.42 b_{eff}=13.20 t_w=0.70 σ=5.13
Zona tesa: F=47.42 b_{eff}=13.20 t_w=0.70 σ=5.13
CC 7 SLV (Collegamento -382_-520)
Azioni sul collegamento: N=159.97 Ty=-3.35 Tz=-52.78 Mx=-0.70 Mz=-4.40
Zona tesa: F=64.42 b_{eff}=13.20 t_w=0.70 σ=6.97
Zona tesa: F=64.42 b_{eff}=13.20 t_w=0.70 σ=6.97
CC 7 SLV (Collegamento -382_-520)
Azioni sul collegamento: N=159.97 Ty=-1.47 Tz=-52.78 Mx=-0.32 Mz=-1.99
Zona tesa: F=64.42 b_{eff}=13.20 t_w=0.70 σ=6.97
Zona tesa: F=64.42 b_{eff}=13.20 t_w=0.70 σ=6.97
CC 7 SLV (Collegamento -382_-520)
Azioni sul collegamento: N=159.97 Ty=-3.35 Tz=-52.78 Mx=-0.70 Mz=-4.40
Zona tesa: F=64.42 b_{eff}=13.20 t_w=0.70 σ=6.97
Zona tesa: F=64.42 b_{eff}=13.20 t_w=0.70 σ=6.97
CC 7 SLV (Collegamento -382_-520)
Azioni sul collegamento: N=159.97 Ty=-1.47 Tz=-52.78 Mx=-0.32 Mz=-1.99
Zona tesa: F=64.42 b_{eff}=13.20 t_w=0.70 σ=6.97
Zona tesa: F=64.42 b_{eff}=13.20 t_w=0.70 σ=6.97
CC 8 SLD (Collegamento -382_-520)
Azioni sul collegamento: N=132.54 Ty=-2.23 Tz=-48.53 Mx=-0.48 Mz=-2.99
Zona tesa: F=53.37 b_{eff}=13.20 t_w=0.70 σ=5.78
Zona tesa: F=53.37 b_{eff}=13.20 t_w=0.70 σ=5.78
CC 8 SLD (Collegamento -382_-520)
Azioni sul collegamento: N=132.54 Ty=-1.66 Tz=-48.53 Mx=-0.37 Mz=-2.26
Zona tesa: F=53.37 b_{eff}=13.20 t_w=0.70 σ=5.78
Zona tesa: F=53.37 b_{eff}=13.20 t_w=0.70 σ=5.78
CC 8 SLD (Collegamento -382_-520)
Azioni sul collegamento: N=132.54 Ty=-2.23 Tz=-48.53 Mx=-0.48 Mz=-2.99
Zona tesa: F=53.37 b_{eff}=13.20 t_w=0.70 σ=5.78
Zona tesa: F=53.37 b_{eff}=13.20 t_w=0.70 σ=5.78
CC 8 SLD (Collegamento -382_-520)
Azioni sul collegamento: N=132.54 Ty=-1.66 Tz=-48.53 Mx=-0.37 Mz=-2.26
Zona tesa: F=53.37 b_{eff}=13.20 t_w=0.70 σ=5.78
Zona tesa: F=53.37 b_{eff}=13.20 t_w=0.70 σ=5.78
CC 8 SLD (Collegamento -382_-520)
Azioni sul collegamento: N=145.42 Ty=-2.23 Tz=-50.53 Mx=-0.48 Mz=-2.99
Zona tesa: F=58.56 b_{eff}=13.20 t_w=0.70 σ=6.34
Zona tesa: F=58.56 b_{eff}=13.20 t_w=0.70 σ=6.34
CC 8 SLD (Collegamento -382_-520)
Azioni sul collegamento: N=145.42 Ty=-1.66 Tz=-50.53 Mx=-0.37 Mz=-2.26
Zona tesa: F=58.56 b_{eff}=13.20 t_w=0.70 σ=6.34
Zona tesa: F=58.56 b_{eff}=13.20 t_w=0.70 σ=6.34
CC 8 SLD (Collegamento -382_-520)
Azioni sul collegamento: N=145.42 Ty=-2.23 Tz=-50.53 Mx=-0.48 Mz=-2.99
Zona tesa: F=58.56 b_{eff}=13.20 t_w=0.70 σ=6.34
Zona tesa: F=58.56 b_{eff}=13.20 t_w=0.70 σ=6.34
CC 8 SLD (Collegamento -382_-520)
Azioni sul collegamento: N=145.42 Ty=-1.66 Tz=-50.53 Mx=-0.37 Mz=-2.26
Zona tesa: F=58.56 b_{eff}=13.20 t_w=0.70 σ=6.34
Zona tesa: F=58.56 b_{eff}=13.20 t_w=0.70 σ=6.34
CC 9 SLV (Collegamento -382_-520)
Azioni sul collegamento: N=145.48 Ty=-1.32 Tz=-50.54 Mx=-0.34 Mz=-1.97
Zona tesa: F=58.58 b_{eff}=13.20 t_w=0.70 σ=6.34
Zona tesa: F=58.58 b_{eff}=13.20 t_w=0.70 σ=6.34
CC 9 SLV (Collegamento -382_-520)
Azioni sul collegamento: N=145.48 Ty=-3.50 Tz=-50.54 Mx=-0.71 Mz=-4.40
Zona tesa: F=58.58 b_{eff}=13.20 t_w=0.70 σ=6.34
Zona tesa: F=58.58 b_{eff}=13.20 t_w=0.70 σ=6.34
CC 9 SLV (Collegamento -382_-520)
Azioni sul collegamento: N=145.48 Ty=-1.32 Tz=-50.54 Mx=-0.34 Mz=-1.97
Zona tesa: F=58.58 b_{eff}=13.20 t_w=0.70 σ=6.34
Zona tesa: F=58.58 b_{eff}=13.20 t_w=0.70 σ=6.34
CC 9 SLV (Collegamento -382_-520)
Azioni sul collegamento: N=145.48 Ty=-3.50 Tz=-50.54 Mx=-0.71 Mz=-4.40

Zona tesa: F=58.58 b_{eff}=13.20 t_w=0.70 σ=6.34
Zona tesa: F=58.58 b_{eff}=13.20 t_w=0.70 σ=6.34
CC 9 SLV (Collegamento -382_-520)
Azioni sul collegamento: N=132.24 Ty=-1.32 Tz=-48.49 Mx=-0.34 Mz=-1.97
Zona tesa: F=53.25 b_{eff}=13.20 t_w=0.70 σ=5.76
Zona tesa: F=53.25 b_{eff}=13.20 t_w=0.70 σ=5.76
CC 9 SLV (Collegamento -382_-520)
Azioni sul collegamento: N=132.24 Ty=-3.50 Tz=-48.49 Mx=-0.71 Mz=-4.40
Zona tesa: F=53.25 b_{eff}=13.20 t_w=0.70 σ=5.76
Zona tesa: F=53.25 b_{eff}=13.20 t_w=0.70 σ=5.76
CC 9 SLV (Collegamento -382_-520)
Azioni sul collegamento: N=132.24 Ty=-1.32 Tz=-48.49 Mx=-0.34 Mz=-1.97
Zona tesa: F=53.25 b_{eff}=13.20 t_w=0.70 σ=5.76
Zona tesa: F=53.25 b_{eff}=13.20 t_w=0.70 σ=5.76
CC 9 SLV (Collegamento -382_-520)
Azioni sul collegamento: N=132.24 Ty=-3.50 Tz=-48.49 Mx=-0.71 Mz=-4.40
Zona tesa: F=53.25 b_{eff}=13.20 t_w=0.70 σ=5.76
Zona tesa: F=53.25 b_{eff}=13.20 t_w=0.70 σ=5.76
CC 10 SLD (Collegamento -382_-520)
Azioni sul collegamento: N=141.00 Ty=-1.61 Tz=-49.84 Mx=-0.37 Mz=-2.25
Zona tesa: F=56.78 b_{eff}=13.20 t_w=0.70 σ=6.14
Zona tesa: F=56.78 b_{eff}=13.20 t_w=0.70 σ=6.14
CC 10 SLD (Collegamento -382_-520)
Azioni sul collegamento: N=141.00 Ty=-2.27 Tz=-49.84 Mx=-0.49 Mz=-3.00
Zona tesa: F=56.78 b_{eff}=13.20 t_w=0.70 σ=6.14
Zona tesa: F=56.78 b_{eff}=13.20 t_w=0.70 σ=6.14
CC 10 SLD (Collegamento -382_-520)
Azioni sul collegamento: N=141.00 Ty=-1.61 Tz=-49.84 Mx=-0.37 Mz=-2.25
Zona tesa: F=56.78 b_{eff}=13.20 t_w=0.70 σ=6.14
Zona tesa: F=56.78 b_{eff}=13.20 t_w=0.70 σ=6.14
CC 10 SLD (Collegamento -382_-520)
Azioni sul collegamento: N=141.00 Ty=-2.27 Tz=-49.84 Mx=-0.49 Mz=-3.00
Zona tesa: F=56.78 b_{eff}=13.20 t_w=0.70 σ=6.14
Zona tesa: F=56.78 b_{eff}=13.20 t_w=0.70 σ=6.14
CC 10 SLD (Collegamento -382_-520)
Azioni sul collegamento: N=136.96 Ty=-1.61 Tz=-49.22 Mx=-0.37 Mz=-2.25
Zona tesa: F=55.15 b_{eff}=13.20 t_w=0.70 σ=5.97
Zona tesa: F=55.15 b_{eff}=13.20 t_w=0.70 σ=5.97
CC 10 SLD (Collegamento -382_-520)
Azioni sul collegamento: N=136.96 Ty=-2.27 Tz=-49.22 Mx=-0.49 Mz=-3.00
Zona tesa: F=55.15 b_{eff}=13.20 t_w=0.70 σ=5.97
Zona tesa: F=55.15 b_{eff}=13.20 t_w=0.70 σ=5.97
CC 10 SLD (Collegamento -382_-520)
Azioni sul collegamento: N=136.96 Ty=-1.61 Tz=-49.22 Mx=-0.37 Mz=-2.25
Zona tesa: F=55.15 b_{eff}=13.20 t_w=0.70 σ=5.97
Zona tesa: F=55.15 b_{eff}=13.20 t_w=0.70 σ=5.97
CC 10 SLD (Collegamento -382_-520)
Azioni sul collegamento: N=136.96 Ty=-2.27 Tz=-49.22 Mx=-0.49 Mz=-3.00
Zona tesa: F=55.15 b_{eff}=13.20 t_w=0.70 σ=5.97
Zona tesa: F=55.15 b_{eff}=13.20 t_w=0.70 σ=5.97
CC 11 SLV (Collegamento -382_-520)
Azioni sul collegamento: N=132.87 Ty=-1.72 Tz=-48.59 Mx=-0.42 Mz=-2.53
Zona tesa: F=53.51 b_{eff}=13.20 t_w=0.70 σ=5.79
Zona tesa: F=53.51 b_{eff}=13.20 t_w=0.70 σ=5.79
CC 11 SLV (Collegamento -382_-520)
Azioni sul collegamento: N=132.87 Ty=-3.10 Tz=-48.59 Mx=-0.62 Mz=-3.85
Zona tesa: F=53.51 b_{eff}=13.20 t_w=0.70 σ=5.79
Zona tesa: F=53.51 b_{eff}=13.20 t_w=0.70 σ=5.79
CC 11 SLV (Collegamento -382_-520)
Azioni sul collegamento: N=132.87 Ty=-1.72 Tz=-48.59 Mx=-0.42 Mz=-2.53
Zona tesa: F=53.51 b_{eff}=13.20 t_w=0.70 σ=5.79
Zona tesa: F=53.51 b_{eff}=13.20 t_w=0.70 σ=5.79
CC 11 SLV (Collegamento -382_-520)
Azioni sul collegamento: N=132.87 Ty=-3.10 Tz=-48.59 Mx=-0.62 Mz=-3.85
Zona tesa: F=53.51 b_{eff}=13.20 t_w=0.70 σ=5.79
Zona tesa: F=53.51 b_{eff}=13.20 t_w=0.70 σ=5.79
CC 11 SLV (Collegamento -382_-520)
Azioni sul collegamento: N=144.84 Ty=-1.72 Tz=-50.44 Mx=-0.42 Mz=-2.53
Zona tesa: F=58.33 b_{eff}=13.20 t_w=0.70 σ=6.31
Zona tesa: F=58.33 b_{eff}=13.20 t_w=0.70 σ=6.31
CC 11 SLV (Collegamento -382_-520)
Azioni sul collegamento: N=144.84 Ty=-3.10 Tz=-50.44 Mx=-0.62 Mz=-3.85
Zona tesa: F=58.33 b_{eff}=13.20 t_w=0.70 σ=6.31
Zona tesa: F=58.33 b_{eff}=13.20 t_w=0.70 σ=6.31
CC 11 SLV (Collegamento -382_-520)
Azioni sul collegamento: N=144.84 Ty=-1.72 Tz=-50.44 Mx=-0.42 Mz=-2.53

Zona tesa: F=58.33 b_{eff}=13.20 t_w=0.70 σ=6.31
Zona tesa: F=58.33 b_{eff}=13.20 t_w=0.70 σ=6.31
CC 11 SLV (Collegamento -382_-520)
Azioni sul collegamento: N=144.84 Ty=-3.10 Tz=-50.44 Mx=-0.62 Mz=-3.85
Zona tesa: F=58.33 b_{eff}=13.20 t_w=0.70 σ=6.31
Zona tesa: F=58.33 b_{eff}=13.20 t_w=0.70 σ=6.31
CC 12 SLD (Collegamento -382_-520)
Azioni sul collegamento: N=137.16 Ty=-1.73 Tz=-49.25 Mx=-0.40 Mz=-2.42
Zona tesa: F=55.23 b_{eff}=13.20 t_w=0.70 σ=5.98
Zona tesa: F=55.23 b_{eff}=13.20 t_w=0.70 σ=5.98
CC 12 SLD (Collegamento -382_-520)
Azioni sul collegamento: N=137.16 Ty=-2.15 Tz=-49.25 Mx=-0.46 Mz=-2.83
Zona tesa: F=55.23 b_{eff}=13.20 t_w=0.70 σ=5.98
Zona tesa: F=55.23 b_{eff}=13.20 t_w=0.70 σ=5.98
CC 12 SLD (Collegamento -382_-520)
Azioni sul collegamento: N=137.16 Ty=-1.73 Tz=-49.25 Mx=-0.40 Mz=-2.42
Zona tesa: F=55.23 b_{eff}=13.20 t_w=0.70 σ=5.98
Zona tesa: F=55.23 b_{eff}=13.20 t_w=0.70 σ=5.98
CC 12 SLD (Collegamento -382_-520)
Azioni sul collegamento: N=137.16 Ty=-2.15 Tz=-49.25 Mx=-0.46 Mz=-2.83
Zona tesa: F=55.23 b_{eff}=13.20 t_w=0.70 σ=5.98
Zona tesa: F=55.23 b_{eff}=13.20 t_w=0.70 σ=5.98
CC 12 SLD (Collegamento -382_-520)
Azioni sul collegamento: N=140.81 Ty=-1.73 Tz=-49.81 Mx=-0.40 Mz=-2.42
Zona tesa: F=56.70 b_{eff}=13.20 t_w=0.70 σ=6.14
Zona tesa: F=56.70 b_{eff}=13.20 t_w=0.70 σ=6.14
CC 12 SLD (Collegamento -382_-520)
Azioni sul collegamento: N=140.81 Ty=-2.15 Tz=-49.81 Mx=-0.46 Mz=-2.83
Zona tesa: F=56.70 b_{eff}=13.20 t_w=0.70 σ=6.14
Zona tesa: F=56.70 b_{eff}=13.20 t_w=0.70 σ=6.14
CC 12 SLD (Collegamento -382_-520)
Azioni sul collegamento: N=140.81 Ty=-1.73 Tz=-49.81 Mx=-0.40 Mz=-2.42
Zona tesa: F=56.70 b_{eff}=13.20 t_w=0.70 σ=6.14
Zona tesa: F=56.70 b_{eff}=13.20 t_w=0.70 σ=6.14
CC 12 SLD (Collegamento -382_-520)
Azioni sul collegamento: N=140.81 Ty=-2.15 Tz=-49.81 Mx=-0.46 Mz=-2.83
Zona tesa: F=56.70 b_{eff}=13.20 t_w=0.70 σ=6.14
Zona tesa: F=56.70 b_{eff}=13.20 t_w=0.70 σ=6.14
CC 13 SLV (Collegamento -382_-520)
Azioni sul collegamento: N=144.84 Ty=-3.10 Tz=-50.44 Mx=-0.62 Mz=-3.85
Zona tesa: F=58.33 b_{eff}=13.20 t_w=0.70 σ=6.31
Zona tesa: F=58.33 b_{eff}=13.20 t_w=0.70 σ=6.31
CC 13 SLV (Collegamento -382_-520)
Azioni sul collegamento: N=144.84 Ty=-1.72 Tz=-50.44 Mx=-0.41 Mz=-2.53
Zona tesa: F=58.33 b_{eff}=13.20 t_w=0.70 σ=6.31
Zona tesa: F=58.33 b_{eff}=13.20 t_w=0.70 σ=6.31
CC 13 SLV (Collegamento -382_-520)
Azioni sul collegamento: N=144.84 Ty=-3.10 Tz=-50.44 Mx=-0.62 Mz=-3.85
Zona tesa: F=58.33 b_{eff}=13.20 t_w=0.70 σ=6.31
Zona tesa: F=58.33 b_{eff}=13.20 t_w=0.70 σ=6.31
CC 13 SLV (Collegamento -382_-520)
Azioni sul collegamento: N=144.84 Ty=-1.72 Tz=-50.44 Mx=-0.41 Mz=-2.53
Zona tesa: F=58.33 b_{eff}=13.20 t_w=0.70 σ=6.31
Zona tesa: F=58.33 b_{eff}=13.20 t_w=0.70 σ=6.31
CC 13 SLV (Collegamento -382_-520)
Azioni sul collegamento: N=132.87 Ty=-3.10 Tz=-48.59 Mx=-0.62 Mz=-3.85
Zona tesa: F=53.51 b_{eff}=13.20 t_w=0.70 σ=5.79
Zona tesa: F=53.51 b_{eff}=13.20 t_w=0.70 σ=5.79
CC 13 SLV (Collegamento -382_-520)
Azioni sul collegamento: N=132.87 Ty=-1.72 Tz=-48.59 Mx=-0.41 Mz=-2.53
Zona tesa: F=53.51 b_{eff}=13.20 t_w=0.70 σ=5.79
Zona tesa: F=53.51 b_{eff}=13.20 t_w=0.70 σ=5.79
CC 13 SLV (Collegamento -382_-520)
Azioni sul collegamento: N=132.87 Ty=-3.10 Tz=-48.59 Mx=-0.62 Mz=-3.85
Zona tesa: F=53.51 b_{eff}=13.20 t_w=0.70 σ=5.79
Zona tesa: F=53.51 b_{eff}=13.20 t_w=0.70 σ=5.79
CC 13 SLV (Collegamento -382_-520)
Azioni sul collegamento: N=132.87 Ty=-1.72 Tz=-48.59 Mx=-0.41 Mz=-2.53
Zona tesa: F=53.51 b_{eff}=13.20 t_w=0.70 σ=5.79
Zona tesa: F=53.51 b_{eff}=13.20 t_w=0.70 σ=5.79
CC 14 SLD (Collegamento -382_-520)
Azioni sul collegamento: N=140.81 Ty=-2.15 Tz=-49.81 Mx=-0.46 Mz=-2.83
Zona tesa: F=56.70 b_{eff}=13.20 t_w=0.70 σ=6.14
Zona tesa: F=56.70 b_{eff}=13.20 t_w=0.70 σ=6.14
CC 14 SLD (Collegamento -382_-520)
Azioni sul collegamento: N=140.81 Ty=-1.73 Tz=-49.81 Mx=-0.39 Mz=-2.42

Zona tesa: F=56.70 b_{eff}=13.20 t_w=0.70 σ=6.14
Zona tesa: F=56.70 b_{eff}=13.20 t_w=0.70 σ=6.14
CC 14 SLD (Collegamento -382_-520)
Azioni sul collegamento: N=140.81 Ty=-2.15 Tz=-49.81 Mx=-0.46 Mz=-2.83
Zona tesa: F=56.70 b_{eff}=13.20 t_w=0.70 σ=6.14
Zona tesa: F=56.70 b_{eff}=13.20 t_w=0.70 σ=6.14
CC 14 SLD (Collegamento -382_-520)
Azioni sul collegamento: N=140.81 Ty=-1.73 Tz=-49.81 Mx=-0.39 Mz=-2.42
Zona tesa: F=56.70 b_{eff}=13.20 t_w=0.70 σ=6.14
Zona tesa: F=56.70 b_{eff}=13.20 t_w=0.70 σ=6.14
CC 14 SLD (Collegamento -382_-520)
Azioni sul collegamento: N=137.16 Ty=-2.15 Tz=-49.25 Mx=-0.46 Mz=-2.83
Zona tesa: F=55.23 b_{eff}=13.20 t_w=0.70 σ=5.98
Zona tesa: F=55.23 b_{eff}=13.20 t_w=0.70 σ=5.98
CC 14 SLD (Collegamento -382_-520)
Azioni sul collegamento: N=137.16 Ty=-1.73 Tz=-49.25 Mx=-0.39 Mz=-2.42
Zona tesa: F=55.23 b_{eff}=13.20 t_w=0.70 σ=5.98
Zona tesa: F=55.23 b_{eff}=13.20 t_w=0.70 σ=5.98
CC 14 SLD (Collegamento -382_-520)
Azioni sul collegamento: N=137.16 Ty=-2.15 Tz=-49.25 Mx=-0.46 Mz=-2.83
Zona tesa: F=55.23 b_{eff}=13.20 t_w=0.70 σ=5.98
Zona tesa: F=55.23 b_{eff}=13.20 t_w=0.70 σ=5.98
CC 14 SLD (Collegamento -382_-520)
Azioni sul collegamento: N=137.16 Ty=-1.73 Tz=-49.25 Mx=-0.39 Mz=-2.42
Zona tesa: F=55.23 b_{eff}=13.20 t_w=0.70 σ=5.98
Zona tesa: F=55.23 b_{eff}=13.20 t_w=0.70 σ=5.98
CC 15 SLV (Collegamento -382_-520)
Azioni sul collegamento: N=132.24 Ty=-3.50 Tz=-48.49 Mx=-0.70 Mz=-4.40
Zona tesa: F=53.25 b_{eff}=13.20 t_w=0.70 σ=5.76
Zona tesa: F=53.25 b_{eff}=13.20 t_w=0.70 σ=5.76
CC 15 SLV (Collegamento -382_-520)
Azioni sul collegamento: N=132.24 Ty=-1.32 Tz=-48.49 Mx=-0.32 Mz=-1.98
Zona tesa: F=53.25 b_{eff}=13.20 t_w=0.70 σ=5.76
Zona tesa: F=53.25 b_{eff}=13.20 t_w=0.70 σ=5.76
CC 15 SLV (Collegamento -382_-520)
Azioni sul collegamento: N=132.24 Ty=-3.50 Tz=-48.49 Mx=-0.70 Mz=-4.40
Zona tesa: F=53.25 b_{eff}=13.20 t_w=0.70 σ=5.76
Zona tesa: F=53.25 b_{eff}=13.20 t_w=0.70 σ=5.76
CC 15 SLV (Collegamento -382_-520)
Azioni sul collegamento: N=132.24 Ty=-1.32 Tz=-48.49 Mx=-0.32 Mz=-1.98
Zona tesa: F=53.25 b_{eff}=13.20 t_w=0.70 σ=5.76
Zona tesa: F=53.25 b_{eff}=13.20 t_w=0.70 σ=5.76
CC 15 SLV (Collegamento -382_-520)
Azioni sul collegamento: N=145.48 Ty=-3.50 Tz=-50.54 Mx=-0.70 Mz=-4.40
Zona tesa: F=58.58 b_{eff}=13.20 t_w=0.70 σ=6.34
Zona tesa: F=58.58 b_{eff}=13.20 t_w=0.70 σ=6.34
CC 15 SLV (Collegamento -382_-520)
Azioni sul collegamento: N=145.48 Ty=-1.32 Tz=-50.54 Mx=-0.32 Mz=-1.98
Zona tesa: F=58.58 b_{eff}=13.20 t_w=0.70 σ=6.34
Zona tesa: F=58.58 b_{eff}=13.20 t_w=0.70 σ=6.34
CC 15 SLV (Collegamento -382_-520)
Azioni sul collegamento: N=145.48 Ty=-3.50 Tz=-50.54 Mx=-0.70 Mz=-4.40
Zona tesa: F=58.58 b_{eff}=13.20 t_w=0.70 σ=6.34
Zona tesa: F=58.58 b_{eff}=13.20 t_w=0.70 σ=6.34
CC 15 SLV (Collegamento -382_-520)
Azioni sul collegamento: N=145.48 Ty=-1.32 Tz=-50.54 Mx=-0.32 Mz=-1.98
Zona tesa: F=58.58 b_{eff}=13.20 t_w=0.70 σ=6.34
Zona tesa: F=58.58 b_{eff}=13.20 t_w=0.70 σ=6.34
CC 16 SLD (Collegamento -382_-520)
Azioni sul collegamento: N=136.96 Ty=-2.27 Tz=-49.22 Mx=-0.48 Mz=-3.00
Zona tesa: F=55.15 b_{eff}=13.20 t_w=0.70 σ=5.97
Zona tesa: F=55.15 b_{eff}=13.20 t_w=0.70 σ=5.97
CC 16 SLD (Collegamento -382_-520)
Azioni sul collegamento: N=136.96 Ty=-1.61 Tz=-49.22 Mx=-0.37 Mz=-2.26
Zona tesa: F=55.15 b_{eff}=13.20 t_w=0.70 σ=5.97
Zona tesa: F=55.15 b_{eff}=13.20 t_w=0.70 σ=5.97
CC 16 SLD (Collegamento -382_-520)
Azioni sul collegamento: N=136.96 Ty=-2.27 Tz=-49.22 Mx=-0.48 Mz=-3.00
Zona tesa: F=55.15 b_{eff}=13.20 t_w=0.70 σ=5.97
Zona tesa: F=55.15 b_{eff}=13.20 t_w=0.70 σ=5.97
CC 16 SLD (Collegamento -382_-520)
Azioni sul collegamento: N=136.96 Ty=-1.61 Tz=-49.22 Mx=-0.37 Mz=-2.26
Zona tesa: F=55.15 b_{eff}=13.20 t_w=0.70 σ=5.97
Zona tesa: F=55.15 b_{eff}=13.20 t_w=0.70 σ=5.97
CC 16 SLD (Collegamento -382_-520)
Azioni sul collegamento: N=141.00 Ty=-2.27 Tz=-49.84 Mx=-0.48 Mz=-3.00

Zona tesa: F=56.78 b_{eff}=13.20 t_w=0.70 σ=6.14
Zona tesa: F=56.78 b_{eff}=13.20 t_w=0.70 σ=6.14
CC 16 SLD (Collegamento -382_-520)
Azioni sul collegamento: N=141.00 Ty=-1.61 Tz=-49.84 Mx=-0.37 Mz=-2.26
Zona tesa: F=56.78 b_{eff}=13.20 t_w=0.70 σ=6.14
Zona tesa: F=56.78 b_{eff}=13.20 t_w=0.70 σ=6.14
CC 16 SLD (Collegamento -382_-520)
Azioni sul collegamento: N=141.00 Ty=-2.27 Tz=-49.84 Mx=-0.48 Mz=-3.00
Zona tesa: F=56.78 b_{eff}=13.20 t_w=0.70 σ=6.14
Zona tesa: F=56.78 b_{eff}=13.20 t_w=0.70 σ=6.14
CC 16 SLD (Collegamento -382_-520)
Azioni sul collegamento: N=141.00 Ty=-1.61 Tz=-49.84 Mx=-0.37 Mz=-2.26
Zona tesa: F=56.78 b_{eff}=13.20 t_w=0.70 σ=6.14
Zona tesa: F=56.78 b_{eff}=13.20 t_w=0.70 σ=6.14
CC 17 SLV (Collegamento -382_-520)
Azioni sul collegamento: N=160.31 Ty=-0.12 Tz=-52.83 Mx=-0.08 Mz=-0.36
Zona tesa: F=64.56 b_{eff}=13.20 t_w=0.70 σ=6.99
Zona tesa: F=64.56 b_{eff}=13.20 t_w=0.70 σ=6.99
CC 17 SLV (Collegamento -382_-520)
Azioni sul collegamento: N=160.31 Ty=-2.00 Tz=-52.83 Mx=-0.45 Mz=-2.77
Zona tesa: F=64.56 b_{eff}=13.20 t_w=0.70 σ=6.99
Zona tesa: F=64.56 b_{eff}=13.20 t_w=0.70 σ=6.99
CC 17 SLV (Collegamento -382_-520)
Azioni sul collegamento: N=160.31 Ty=-0.12 Tz=-52.83 Mx=-0.08 Mz=-0.36
Zona tesa: F=64.56 b_{eff}=13.20 t_w=0.70 σ=6.99
Zona tesa: F=64.56 b_{eff}=13.20 t_w=0.70 σ=6.99
CC 17 SLV (Collegamento -382_-520)
Azioni sul collegamento: N=160.31 Ty=-2.00 Tz=-52.83 Mx=-0.45 Mz=-2.77
Zona tesa: F=64.56 b_{eff}=13.20 t_w=0.70 σ=6.99
Zona tesa: F=64.56 b_{eff}=13.20 t_w=0.70 σ=6.99
CC 17 SLV (Collegamento -382_-520)
Azioni sul collegamento: N=118.10 Ty=-0.12 Tz=-46.30 Mx=-0.08 Mz=-0.36
Zona tesa: F=47.56 b_{eff}=13.20 t_w=0.70 σ=5.15
Zona tesa: F=47.56 b_{eff}=13.20 t_w=0.70 σ=5.15
CC 17 SLV (Collegamento -382_-520)
Azioni sul collegamento: N=118.10 Ty=-2.00 Tz=-46.30 Mx=-0.45 Mz=-2.77
Zona tesa: F=47.56 b_{eff}=13.20 t_w=0.70 σ=5.15
Zona tesa: F=47.56 b_{eff}=13.20 t_w=0.70 σ=5.15
CC 17 SLV (Collegamento -382_-520)
Azioni sul collegamento: N=118.10 Ty=-0.12 Tz=-46.30 Mx=-0.08 Mz=-0.36
Zona tesa: F=47.56 b_{eff}=13.20 t_w=0.70 σ=5.15
Zona tesa: F=47.56 b_{eff}=13.20 t_w=0.70 σ=5.15
CC 17 SLV (Collegamento -382_-520)
Azioni sul collegamento: N=118.10 Ty=-2.00 Tz=-46.30 Mx=-0.45 Mz=-2.77
Zona tesa: F=47.56 b_{eff}=13.20 t_w=0.70 σ=5.15
Zona tesa: F=47.56 b_{eff}=13.20 t_w=0.70 σ=5.15
CC 18 SLD (Collegamento -382_-520)
Azioni sul collegamento: N=145.52 Ty=-1.24 Tz=-50.54 Mx=-0.29 Mz=-1.76
Zona tesa: F=58.60 b_{eff}=13.20 t_w=0.70 σ=6.34
Zona tesa: F=58.60 b_{eff}=13.20 t_w=0.70 σ=6.34
CC 18 SLD (Collegamento -382_-520)
Azioni sul collegamento: N=145.52 Ty=-1.82 Tz=-50.54 Mx=-0.41 Mz=-2.50
Zona tesa: F=58.60 b_{eff}=13.20 t_w=0.70 σ=6.34
Zona tesa: F=58.60 b_{eff}=13.20 t_w=0.70 σ=6.34
CC 18 SLD (Collegamento -382_-520)
Azioni sul collegamento: N=145.52 Ty=-1.24 Tz=-50.54 Mx=-0.29 Mz=-1.76
Zona tesa: F=58.60 b_{eff}=13.20 t_w=0.70 σ=6.34
Zona tesa: F=58.60 b_{eff}=13.20 t_w=0.70 σ=6.34
CC 18 SLD (Collegamento -382_-520)
Azioni sul collegamento: N=145.52 Ty=-1.82 Tz=-50.54 Mx=-0.41 Mz=-2.50
Zona tesa: F=58.60 b_{eff}=13.20 t_w=0.70 σ=6.34
Zona tesa: F=58.60 b_{eff}=13.20 t_w=0.70 σ=6.34
CC 18 SLD (Collegamento -382_-520)
Azioni sul collegamento: N=132.65 Ty=-1.24 Tz=-48.55 Mx=-0.29 Mz=-1.76
Zona tesa: F=53.42 b_{eff}=13.20 t_w=0.70 σ=5.78
Zona tesa: F=53.42 b_{eff}=13.20 t_w=0.70 σ=5.78
CC 18 SLD (Collegamento -382_-520)
Azioni sul collegamento: N=132.65 Ty=-1.82 Tz=-48.55 Mx=-0.41 Mz=-2.50
Zona tesa: F=53.42 b_{eff}=13.20 t_w=0.70 σ=5.78
Zona tesa: F=53.42 b_{eff}=13.20 t_w=0.70 σ=5.78
CC 18 SLD (Collegamento -382_-520)
Azioni sul collegamento: N=132.65 Ty=-1.24 Tz=-48.55 Mx=-0.29 Mz=-1.76
Zona tesa: F=53.42 b_{eff}=13.20 t_w=0.70 σ=5.78
Zona tesa: F=53.42 b_{eff}=13.20 t_w=0.70 σ=5.78
CC 18 SLD (Collegamento -382_-520)
Azioni sul collegamento: N=132.65 Ty=-1.82 Tz=-48.55 Mx=-0.41 Mz=-2.50

Zona tesa: F=53.42 b_{eff}=13.20 t_w=0.70 σ=5.78
Zona tesa: F=53.42 b_{eff}=13.20 t_w=0.70 σ=5.78
CC 19 SLV (Collegamento -382_-520)
Azioni sul collegamento: N=160.12 Ty=-0.66 Tz=-52.80 Mx=-0.16 Mz=-0.92
Zona tesa: F=64.48 b_{eff}=13.20 t_w=0.70 σ=6.98
Zona tesa: F=64.48 b_{eff}=13.20 t_w=0.70 σ=6.98
CC 19 SLV (Collegamento -382_-520)
Azioni sul collegamento: N=160.12 Ty=-1.47 Tz=-52.80 Mx=-0.36 Mz=-2.21
Zona tesa: F=64.48 b_{eff}=13.20 t_w=0.70 σ=6.98
Zona tesa: F=64.48 b_{eff}=13.20 t_w=0.70 σ=6.98
CC 19 SLV (Collegamento -382_-520)
Azioni sul collegamento: N=160.12 Ty=-0.66 Tz=-52.80 Mx=-0.16 Mz=-0.92
Zona tesa: F=64.48 b_{eff}=13.20 t_w=0.70 σ=6.98
Zona tesa: F=64.48 b_{eff}=13.20 t_w=0.70 σ=6.98
CC 19 SLV (Collegamento -382_-520)
Azioni sul collegamento: N=160.12 Ty=-1.47 Tz=-52.80 Mx=-0.36 Mz=-2.21
Zona tesa: F=64.48 b_{eff}=13.20 t_w=0.70 σ=6.98
Zona tesa: F=64.48 b_{eff}=13.20 t_w=0.70 σ=6.98
CC 19 SLV (Collegamento -382_-520)
Azioni sul collegamento: N=118.29 Ty=-0.66 Tz=-46.33 Mx=-0.16 Mz=-0.92
Zona tesa: F=47.63 b_{eff}=13.20 t_w=0.70 σ=5.16
Zona tesa: F=47.63 b_{eff}=13.20 t_w=0.70 σ=5.16
CC 19 SLV (Collegamento -382_-520)
Azioni sul collegamento: N=118.29 Ty=-1.47 Tz=-46.33 Mx=-0.36 Mz=-2.21
Zona tesa: F=47.63 b_{eff}=13.20 t_w=0.70 σ=5.16
Zona tesa: F=47.63 b_{eff}=13.20 t_w=0.70 σ=5.16
CC 19 SLV (Collegamento -382_-520)
Azioni sul collegamento: N=118.29 Ty=-0.66 Tz=-46.33 Mx=-0.16 Mz=-0.92
Zona tesa: F=47.63 b_{eff}=13.20 t_w=0.70 σ=5.16
Zona tesa: F=47.63 b_{eff}=13.20 t_w=0.70 σ=5.16
CC 19 SLV (Collegamento -382_-520)
Azioni sul collegamento: N=118.29 Ty=-1.47 Tz=-46.33 Mx=-0.36 Mz=-2.21
Zona tesa: F=47.63 b_{eff}=13.20 t_w=0.70 σ=5.16
Zona tesa: F=47.63 b_{eff}=13.20 t_w=0.70 σ=5.16
CC 20 SLD (Collegamento -382_-520)
Azioni sul collegamento: N=145.46 Ty=-1.41 Tz=-50.53 Mx=-0.32 Mz=-1.93
Zona tesa: F=58.58 b_{eff}=13.20 t_w=0.70 σ=6.34
Zona tesa: F=58.58 b_{eff}=13.20 t_w=0.70 σ=6.34
CC 20 SLD (Collegamento -382_-520)
Azioni sul collegamento: N=145.46 Ty=-1.65 Tz=-50.53 Mx=-0.38 Mz=-2.33
Zona tesa: F=58.58 b_{eff}=13.20 t_w=0.70 σ=6.34
Zona tesa: F=58.58 b_{eff}=13.20 t_w=0.70 σ=6.34
CC 20 SLD (Collegamento -382_-520)
Azioni sul collegamento: N=145.46 Ty=-1.41 Tz=-50.53 Mx=-0.32 Mz=-1.93
Zona tesa: F=58.58 b_{eff}=13.20 t_w=0.70 σ=6.34
Zona tesa: F=58.58 b_{eff}=13.20 t_w=0.70 σ=6.34
CC 20 SLD (Collegamento -382_-520)
Azioni sul collegamento: N=145.46 Ty=-1.65 Tz=-50.53 Mx=-0.38 Mz=-2.33
Zona tesa: F=58.58 b_{eff}=13.20 t_w=0.70 σ=6.34
Zona tesa: F=58.58 b_{eff}=13.20 t_w=0.70 σ=6.34
CC 20 SLD (Collegamento -382_-520)
Azioni sul collegamento: N=132.71 Ty=-1.41 Tz=-48.56 Mx=-0.32 Mz=-1.93
Zona tesa: F=53.44 b_{eff}=13.20 t_w=0.70 σ=5.78
Zona tesa: F=53.44 b_{eff}=13.20 t_w=0.70 σ=5.78
CC 20 SLD (Collegamento -382_-520)
Azioni sul collegamento: N=132.71 Ty=-1.65 Tz=-48.56 Mx=-0.38 Mz=-2.33
Zona tesa: F=53.44 b_{eff}=13.20 t_w=0.70 σ=5.78
Zona tesa: F=53.44 b_{eff}=13.20 t_w=0.70 σ=5.78
CC 20 SLD (Collegamento -382_-520)
Azioni sul collegamento: N=132.71 Ty=-1.41 Tz=-48.56 Mx=-0.32 Mz=-1.93
Zona tesa: F=53.44 b_{eff}=13.20 t_w=0.70 σ=5.78
Zona tesa: F=53.44 b_{eff}=13.20 t_w=0.70 σ=5.78
CC 20 SLD (Collegamento -382_-520)
Azioni sul collegamento: N=132.71 Ty=-1.65 Tz=-48.56 Mx=-0.38 Mz=-2.33
Zona tesa: F=53.44 b_{eff}=13.20 t_w=0.70 σ=5.78
Zona tesa: F=53.44 b_{eff}=13.20 t_w=0.70 σ=5.78
CC 21 SLV (Collegamento -382_-520)
Azioni sul collegamento: N=118.29 Ty=-1.47 Tz=-46.33 Mx=-0.35 Mz=-2.21
Zona tesa: F=47.63 b_{eff}=13.20 t_w=0.70 σ=5.16
Zona tesa: F=47.63 b_{eff}=13.20 t_w=0.70 σ=5.16
CC 21 SLV (Collegamento -382_-520)
Azioni sul collegamento: N=118.29 Ty=-0.66 Tz=-46.33 Mx=-0.15 Mz=-0.92
Zona tesa: F=47.63 b_{eff}=13.20 t_w=0.70 σ=5.16
Zona tesa: F=47.63 b_{eff}=13.20 t_w=0.70 σ=5.16
CC 21 SLV (Collegamento -382_-520)
Azioni sul collegamento: N=118.29 Ty=-1.47 Tz=-46.33 Mx=-0.35 Mz=-2.21

Zona tesa: F=47.63 b_{eff}=13.20 t_w=0.70 σ=5.16
Zona tesa: F=47.63 b_{eff}=13.20 t_w=0.70 σ=5.16
CC 21 SLV (Collegamento -382_-520)
Azioni sul collegamento: N=118.29 Ty=-0.66 Tz=-46.33 Mx=-0.15 Mz=-0.92
Zona tesa: F=47.63 b_{eff}=13.20 t_w=0.70 σ=5.16
Zona tesa: F=47.63 b_{eff}=13.20 t_w=0.70 σ=5.16
CC 21 SLV (Collegamento -382_-520)
Azioni sul collegamento: N=160.12 Ty=-1.47 Tz=-52.80 Mx=-0.35 Mz=-2.21
Zona tesa: F=64.48 b_{eff}=13.20 t_w=0.70 σ=6.98
Zona tesa: F=64.48 b_{eff}=13.20 t_w=0.70 σ=6.98
CC 21 SLV (Collegamento -382_-520)
Azioni sul collegamento: N=160.12 Ty=-0.66 Tz=-52.80 Mx=-0.15 Mz=-0.92
Zona tesa: F=64.48 b_{eff}=13.20 t_w=0.70 σ=6.98
Zona tesa: F=64.48 b_{eff}=13.20 t_w=0.70 σ=6.98
CC 21 SLV (Collegamento -382_-520)
Azioni sul collegamento: N=160.12 Ty=-1.47 Tz=-52.80 Mx=-0.35 Mz=-2.21
Zona tesa: F=64.48 b_{eff}=13.20 t_w=0.70 σ=6.98
Zona tesa: F=64.48 b_{eff}=13.20 t_w=0.70 σ=6.98
CC 21 SLV (Collegamento -382_-520)
Azioni sul collegamento: N=160.12 Ty=-0.66 Tz=-52.80 Mx=-0.15 Mz=-0.92
Zona tesa: F=64.48 b_{eff}=13.20 t_w=0.70 σ=6.98
Zona tesa: F=64.48 b_{eff}=13.20 t_w=0.70 σ=6.98
CC 22 SLD (Collegamento -382_-520)
Azioni sul collegamento: N=132.71 Ty=-1.65 Tz=-48.56 Mx=-0.38 Mz=-2.33
Zona tesa: F=53.44 b_{eff}=13.20 t_w=0.70 σ=5.78
Zona tesa: F=53.44 b_{eff}=13.20 t_w=0.70 σ=5.78
CC 22 SLD (Collegamento -382_-520)
Azioni sul collegamento: N=132.71 Ty=-1.41 Tz=-48.56 Mx=-0.31 Mz=-1.93
Zona tesa: F=53.44 b_{eff}=13.20 t_w=0.70 σ=5.78
Zona tesa: F=53.44 b_{eff}=13.20 t_w=0.70 σ=5.78
CC 22 SLD (Collegamento -382_-520)
Azioni sul collegamento: N=132.71 Ty=-1.65 Tz=-48.56 Mx=-0.38 Mz=-2.33
Zona tesa: F=53.44 b_{eff}=13.20 t_w=0.70 σ=5.78
Zona tesa: F=53.44 b_{eff}=13.20 t_w=0.70 σ=5.78
CC 22 SLD (Collegamento -382_-520)
Azioni sul collegamento: N=132.71 Ty=-1.41 Tz=-48.56 Mx=-0.31 Mz=-1.93
Zona tesa: F=53.44 b_{eff}=13.20 t_w=0.70 σ=5.78
Zona tesa: F=53.44 b_{eff}=13.20 t_w=0.70 σ=5.78
CC 22 SLD (Collegamento -382_-520)
Azioni sul collegamento: N=145.46 Ty=-1.65 Tz=-50.53 Mx=-0.38 Mz=-2.33
Zona tesa: F=58.58 b_{eff}=13.20 t_w=0.70 σ=6.34
Zona tesa: F=58.58 b_{eff}=13.20 t_w=0.70 σ=6.34
CC 22 SLD (Collegamento -382_-520)
Azioni sul collegamento: N=145.46 Ty=-1.41 Tz=-50.53 Mx=-0.31 Mz=-1.93
Zona tesa: F=58.58 b_{eff}=13.20 t_w=0.70 σ=6.34
Zona tesa: F=58.58 b_{eff}=13.20 t_w=0.70 σ=6.34
CC 22 SLD (Collegamento -382_-520)
Azioni sul collegamento: N=145.46 Ty=-1.65 Tz=-50.53 Mx=-0.38 Mz=-2.33
Zona tesa: F=58.58 b_{eff}=13.20 t_w=0.70 σ=6.34
Zona tesa: F=58.58 b_{eff}=13.20 t_w=0.70 σ=6.34
CC 22 SLD (Collegamento -382_-520)
Azioni sul collegamento: N=145.46 Ty=-1.41 Tz=-50.53 Mx=-0.31 Mz=-1.93
Zona tesa: F=58.58 b_{eff}=13.20 t_w=0.70 σ=6.34
Zona tesa: F=58.58 b_{eff}=13.20 t_w=0.70 σ=6.34
CC 23 SLV (Collegamento -382_-520)
Azioni sul collegamento: N=118.10 Ty=-2.00 Tz=-46.30 Mx=-0.43 Mz=-2.77
Zona tesa: F=47.56 b_{eff}=13.20 t_w=0.70 σ=5.15
Zona tesa: F=47.56 b_{eff}=13.20 t_w=0.70 σ=5.15
CC 23 SLV (Collegamento -382_-520)
Azioni sul collegamento: N=118.10 Ty=-0.12 Tz=-46.30 Mx=-0.06 Mz=-0.36
Zona tesa: F=47.56 b_{eff}=13.20 t_w=0.70 σ=5.15
Zona tesa: F=47.56 b_{eff}=13.20 t_w=0.70 σ=5.15
CC 23 SLV (Collegamento -382_-520)
Azioni sul collegamento: N=118.10 Ty=-2.00 Tz=-46.30 Mx=-0.43 Mz=-2.77
Zona tesa: F=47.56 b_{eff}=13.20 t_w=0.70 σ=5.15
Zona tesa: F=47.56 b_{eff}=13.20 t_w=0.70 σ=5.15
CC 23 SLV (Collegamento -382_-520)
Azioni sul collegamento: N=118.10 Ty=-0.12 Tz=-46.30 Mx=-0.06 Mz=-0.36
Zona tesa: F=47.56 b_{eff}=13.20 t_w=0.70 σ=5.15
Zona tesa: F=47.56 b_{eff}=13.20 t_w=0.70 σ=5.15
CC 23 SLV (Collegamento -382_-520)
Azioni sul collegamento: N=160.31 Ty=-2.00 Tz=-52.83 Mx=-0.43 Mz=-2.77
Zona tesa: F=64.56 b_{eff}=13.20 t_w=0.70 σ=6.99
Zona tesa: F=64.56 b_{eff}=13.20 t_w=0.70 σ=6.99
CC 23 SLV (Collegamento -382_-520)
Azioni sul collegamento: N=160.31 Ty=-0.12 Tz=-52.83 Mx=-0.06 Mz=-0.36

Zona tesa: F=64.56 b_{eff}=13.20 t_w=0.70 σ=6.99
Zona tesa: F=64.56 b_{eff}=13.20 t_w=0.70 σ=6.99
CC 23 SLV (Collegamento -382_-520)
Azioni sul collegamento: N=160.31 Ty=-2.00 Tz=-52.83 Mx=-0.43 Mz=-2.77
Zona tesa: F=64.56 b_{eff}=13.20 t_w=0.70 σ=6.99
Zona tesa: F=64.56 b_{eff}=13.20 t_w=0.70 σ=6.99
CC 23 SLV (Collegamento -382_-520)
Azioni sul collegamento: N=160.31 Ty=-0.12 Tz=-52.83 Mx=-0.06 Mz=-0.36
Zona tesa: F=64.56 b_{eff}=13.20 t_w=0.70 σ=6.99
Zona tesa: F=64.56 b_{eff}=13.20 t_w=0.70 σ=6.99
CC 24 SLD (Collegamento -382_-520)
Azioni sul collegamento: N=132.65 Ty=-1.82 Tz=-48.55 Mx=-0.40 Mz=-2.50
Zona tesa: F=53.42 b_{eff}=13.20 t_w=0.70 σ=5.78
Zona tesa: F=53.42 b_{eff}=13.20 t_w=0.70 σ=5.78
CC 24 SLD (Collegamento -382_-520)
Azioni sul collegamento: N=132.65 Ty=-1.24 Tz=-48.55 Mx=-0.29 Mz=-1.76
Zona tesa: F=53.42 b_{eff}=13.20 t_w=0.70 σ=5.78
Zona tesa: F=53.42 b_{eff}=13.20 t_w=0.70 σ=5.78
CC 24 SLD (Collegamento -382_-520)
Azioni sul collegamento: N=132.65 Ty=-1.82 Tz=-48.55 Mx=-0.40 Mz=-2.50
Zona tesa: F=53.42 b_{eff}=13.20 t_w=0.70 σ=5.78
Zona tesa: F=53.42 b_{eff}=13.20 t_w=0.70 σ=5.78
CC 24 SLD (Collegamento -382_-520)
Azioni sul collegamento: N=132.65 Ty=-1.24 Tz=-48.55 Mx=-0.29 Mz=-1.76
Zona tesa: F=53.42 b_{eff}=13.20 t_w=0.70 σ=5.78
Zona tesa: F=53.42 b_{eff}=13.20 t_w=0.70 σ=5.78
CC 24 SLD (Collegamento -382_-520)
Azioni sul collegamento: N=145.52 Ty=-1.82 Tz=-50.54 Mx=-0.40 Mz=-2.50
Zona tesa: F=58.60 b_{eff}=13.20 t_w=0.70 σ=6.34
Zona tesa: F=58.60 b_{eff}=13.20 t_w=0.70 σ=6.34
CC 24 SLD (Collegamento -382_-520)
Azioni sul collegamento: N=145.52 Ty=-1.24 Tz=-50.54 Mx=-0.29 Mz=-1.76
Zona tesa: F=58.60 b_{eff}=13.20 t_w=0.70 σ=6.34
Zona tesa: F=58.60 b_{eff}=13.20 t_w=0.70 σ=6.34
CC 24 SLD (Collegamento -382_-520)
Azioni sul collegamento: N=145.52 Ty=-1.82 Tz=-50.54 Mx=-0.40 Mz=-2.50
Zona tesa: F=58.60 b_{eff}=13.20 t_w=0.70 σ=6.34
Zona tesa: F=58.60 b_{eff}=13.20 t_w=0.70 σ=6.34
CC 24 SLD (Collegamento -382_-520)
Azioni sul collegamento: N=145.52 Ty=-1.24 Tz=-50.54 Mx=-0.29 Mz=-1.76
Zona tesa: F=58.60 b_{eff}=13.20 t_w=0.70 σ=6.34
Zona tesa: F=58.60 b_{eff}=13.20 t_w=0.70 σ=6.34
CC 25 SLV (Collegamento -382_-520)
Azioni sul collegamento: N=145.83 Ty=0.03 Tz=-50.59 Mx=-0.07 Mz=-0.35
Zona tesa: F=58.72 b_{eff}=13.20 t_w=0.70 σ=6.36
Zona tesa: F=58.72 b_{eff}=13.20 t_w=0.70 σ=6.36
CC 25 SLV (Collegamento -382_-520)
Azioni sul collegamento: N=145.83 Ty=-2.15 Tz=-50.59 Mx=-0.45 Mz=-2.78
Zona tesa: F=58.72 b_{eff}=13.20 t_w=0.70 σ=6.36
Zona tesa: F=58.72 b_{eff}=13.20 t_w=0.70 σ=6.36
CC 25 SLV (Collegamento -382_-520)
Azioni sul collegamento: N=145.83 Ty=0.03 Tz=-50.59 Mx=-0.07 Mz=-0.35
Zona tesa: F=58.72 b_{eff}=13.20 t_w=0.70 σ=6.36
Zona tesa: F=58.72 b_{eff}=13.20 t_w=0.70 σ=6.36
CC 25 SLV (Collegamento -382_-520)
Azioni sul collegamento: N=145.83 Ty=-2.15 Tz=-50.59 Mx=-0.45 Mz=-2.78
Zona tesa: F=58.72 b_{eff}=13.20 t_w=0.70 σ=6.36
Zona tesa: F=58.72 b_{eff}=13.20 t_w=0.70 σ=6.36
CC 25 SLV (Collegamento -382_-520)
Azioni sul collegamento: N=132.59 Ty=0.03 Tz=-48.54 Mx=-0.07 Mz=-0.35
Zona tesa: F=53.39 b_{eff}=13.20 t_w=0.70 σ=5.78
Zona tesa: F=53.39 b_{eff}=13.20 t_w=0.70 σ=5.78
CC 25 SLV (Collegamento -382_-520)
Azioni sul collegamento: N=132.59 Ty=-2.15 Tz=-48.54 Mx=-0.45 Mz=-2.78
Zona tesa: F=53.39 b_{eff}=13.20 t_w=0.70 σ=5.78
Zona tesa: F=53.39 b_{eff}=13.20 t_w=0.70 σ=5.78
CC 25 SLV (Collegamento -382_-520)
Azioni sul collegamento: N=132.59 Ty=0.03 Tz=-48.54 Mx=-0.07 Mz=-0.35
Zona tesa: F=53.39 b_{eff}=13.20 t_w=0.70 σ=5.78
Zona tesa: F=53.39 b_{eff}=13.20 t_w=0.70 σ=5.78
CC 25 SLV (Collegamento -382_-520)
Azioni sul collegamento: N=132.59 Ty=-2.15 Tz=-48.54 Mx=-0.45 Mz=-2.78
Zona tesa: F=53.39 b_{eff}=13.20 t_w=0.70 σ=5.78
Zona tesa: F=53.39 b_{eff}=13.20 t_w=0.70 σ=5.78
CC 26 SLD (Collegamento -382_-520)
Azioni sul collegamento: N=141.11 Ty=-1.20 Tz=-49.86 Mx=-0.29 Mz=-1.76

Zona tesa: F=56.82 b_{eff}=13.20 t_w=0.70 σ=6.15
Zona tesa: F=56.82 b_{eff}=13.20 t_w=0.70 σ=6.15
CC 26 SLD (Collegamento -382_-520)
Azioni sul collegamento: N=141.11 Ty=-1.86 Tz=-49.86 Mx=-0.41 Mz=-2.50
Zona tesa: F=56.82 b_{eff}=13.20 t_w=0.70 σ=6.15
Zona tesa: F=56.82 b_{eff}=13.20 t_w=0.70 σ=6.15
CC 26 SLD (Collegamento -382_-520)
Azioni sul collegamento: N=141.11 Ty=-1.20 Tz=-49.86 Mx=-0.29 Mz=-1.76
Zona tesa: F=56.82 b_{eff}=13.20 t_w=0.70 σ=6.15
Zona tesa: F=56.82 b_{eff}=13.20 t_w=0.70 σ=6.15
CC 26 SLD (Collegamento -382_-520)
Azioni sul collegamento: N=141.11 Ty=-1.86 Tz=-49.86 Mx=-0.41 Mz=-2.50
Zona tesa: F=56.82 b_{eff}=13.20 t_w=0.70 σ=6.15
Zona tesa: F=56.82 b_{eff}=13.20 t_w=0.70 σ=6.15
CC 26 SLD (Collegamento -382_-520)
Azioni sul collegamento: N=137.07 Ty=-1.20 Tz=-49.23 Mx=-0.29 Mz=-1.76
Zona tesa: F=55.19 b_{eff}=13.20 t_w=0.70 σ=5.97
Zona tesa: F=55.19 b_{eff}=13.20 t_w=0.70 σ=5.97
CC 26 SLD (Collegamento -382_-520)
Azioni sul collegamento: N=137.07 Ty=-1.86 Tz=-49.23 Mx=-0.41 Mz=-2.50
Zona tesa: F=55.19 b_{eff}=13.20 t_w=0.70 σ=5.97
Zona tesa: F=55.19 b_{eff}=13.20 t_w=0.70 σ=5.97
CC 26 SLD (Collegamento -382_-520)
Azioni sul collegamento: N=137.07 Ty=-1.20 Tz=-49.23 Mx=-0.29 Mz=-1.76
Zona tesa: F=55.19 b_{eff}=13.20 t_w=0.70 σ=5.97
Zona tesa: F=55.19 b_{eff}=13.20 t_w=0.70 σ=5.97
CC 26 SLD (Collegamento -382_-520)
Azioni sul collegamento: N=137.07 Ty=-1.86 Tz=-49.23 Mx=-0.41 Mz=-2.50
Zona tesa: F=55.19 b_{eff}=13.20 t_w=0.70 σ=5.97
Zona tesa: F=55.19 b_{eff}=13.20 t_w=0.70 σ=5.97
CC 27 SLV (Collegamento -382_-520)
Azioni sul collegamento: N=133.22 Ty=-0.37 Tz=-48.64 Mx=-0.16 Mz=-0.91
Zona tesa: F=53.65 b_{eff}=13.20 t_w=0.70 σ=5.81
Zona tesa: F=53.65 b_{eff}=13.20 t_w=0.70 σ=5.81
CC 27 SLV (Collegamento -382_-520)
Azioni sul collegamento: N=133.22 Ty=-1.75 Tz=-48.64 Mx=-0.36 Mz=-2.23
Zona tesa: F=53.65 b_{eff}=13.20 t_w=0.70 σ=5.81
Zona tesa: F=53.65 b_{eff}=13.20 t_w=0.70 σ=5.81
CC 27 SLV (Collegamento -382_-520)
Azioni sul collegamento: N=133.22 Ty=-0.37 Tz=-48.64 Mx=-0.16 Mz=-0.91
Zona tesa: F=53.65 b_{eff}=13.20 t_w=0.70 σ=5.81
Zona tesa: F=53.65 b_{eff}=13.20 t_w=0.70 σ=5.81
CC 27 SLV (Collegamento -382_-520)
Azioni sul collegamento: N=133.22 Ty=-1.75 Tz=-48.64 Mx=-0.36 Mz=-2.23
Zona tesa: F=53.65 b_{eff}=13.20 t_w=0.70 σ=5.81
Zona tesa: F=53.65 b_{eff}=13.20 t_w=0.70 σ=5.81
CC 27 SLV (Collegamento -382_-520)
Azioni sul collegamento: N=145.19 Ty=-0.37 Tz=-50.49 Mx=-0.16 Mz=-0.91
Zona tesa: F=58.47 b_{eff}=13.20 t_w=0.70 σ=6.33
Zona tesa: F=58.47 b_{eff}=13.20 t_w=0.70 σ=6.33
CC 27 SLV (Collegamento -382_-520)
Azioni sul collegamento: N=145.19 Ty=-1.75 Tz=-50.49 Mx=-0.36 Mz=-2.23
Zona tesa: F=58.47 b_{eff}=13.20 t_w=0.70 σ=6.33
Zona tesa: F=58.47 b_{eff}=13.20 t_w=0.70 σ=6.33
CC 27 SLV (Collegamento -382_-520)
Azioni sul collegamento: N=145.19 Ty=-0.37 Tz=-50.49 Mx=-0.16 Mz=-0.91
Zona tesa: F=58.47 b_{eff}=13.20 t_w=0.70 σ=6.33
Zona tesa: F=58.47 b_{eff}=13.20 t_w=0.70 σ=6.33
CC 27 SLV (Collegamento -382_-520)
Azioni sul collegamento: N=145.19 Ty=-1.75 Tz=-50.49 Mx=-0.36 Mz=-2.23
Zona tesa: F=58.47 b_{eff}=13.20 t_w=0.70 σ=6.33
Zona tesa: F=58.47 b_{eff}=13.20 t_w=0.70 σ=6.33
CC 28 SLD (Collegamento -382_-520)
Azioni sul collegamento: N=137.26 Ty=-1.32 Tz=-49.26 Mx=-0.32 Mz=-1.93
Zona tesa: F=55.27 b_{eff}=13.20 t_w=0.70 σ=5.98
Zona tesa: F=55.27 b_{eff}=13.20 t_w=0.70 σ=5.98
CC 28 SLD (Collegamento -382_-520)
Azioni sul collegamento: N=137.26 Ty=-1.74 Tz=-49.26 Mx=-0.38 Mz=-2.33
Zona tesa: F=55.27 b_{eff}=13.20 t_w=0.70 σ=5.98
Zona tesa: F=55.27 b_{eff}=13.20 t_w=0.70 σ=5.98
CC 28 SLD (Collegamento -382_-520)
Azioni sul collegamento: N=137.26 Ty=-1.32 Tz=-49.26 Mx=-0.32 Mz=-1.93
Zona tesa: F=55.27 b_{eff}=13.20 t_w=0.70 σ=5.98
Zona tesa: F=55.27 b_{eff}=13.20 t_w=0.70 σ=5.98
CC 28 SLD (Collegamento -382_-520)
Azioni sul collegamento: N=137.26 Ty=-1.74 Tz=-49.26 Mx=-0.38 Mz=-2.33

Zona tesa: F=55.27 b_{eff}=13.20 t_w=0.70 σ=5.98
Zona tesa: F=55.27 b_{eff}=13.20 t_w=0.70 σ=5.98
CC 28 SLD (Collegamento -382_-520)
Azioni sul collegamento: N=140.91 Ty=-1.32 Tz=-49.83 Mx=-0.32 Mz=-1.93
Zona tesa: F=56.74 b_{eff}=13.20 t_w=0.70 σ=6.14
Zona tesa: F=56.74 b_{eff}=13.20 t_w=0.70 σ=6.14
CC 28 SLD (Collegamento -382_-520)
Azioni sul collegamento: N=140.91 Ty=-1.74 Tz=-49.83 Mx=-0.38 Mz=-2.33
Zona tesa: F=56.74 b_{eff}=13.20 t_w=0.70 σ=6.14
Zona tesa: F=56.74 b_{eff}=13.20 t_w=0.70 σ=6.14
CC 28 SLD (Collegamento -382_-520)
Azioni sul collegamento: N=140.91 Ty=-1.32 Tz=-49.83 Mx=-0.32 Mz=-1.93
Zona tesa: F=56.74 b_{eff}=13.20 t_w=0.70 σ=6.14
Zona tesa: F=56.74 b_{eff}=13.20 t_w=0.70 σ=6.14
CC 28 SLD (Collegamento -382_-520)
Azioni sul collegamento: N=140.91 Ty=-1.74 Tz=-49.83 Mx=-0.38 Mz=-2.33
Zona tesa: F=56.74 b_{eff}=13.20 t_w=0.70 σ=6.14
Zona tesa: F=56.74 b_{eff}=13.20 t_w=0.70 σ=6.14
CC 29 SLV (Collegamento -382_-520)
Azioni sul collegamento: N=145.19 Ty=-1.75 Tz=-50.49 Mx=-0.35 Mz=-2.23
Zona tesa: F=58.47 b_{eff}=13.20 t_w=0.70 σ=6.33
Zona tesa: F=58.47 b_{eff}=13.20 t_w=0.70 σ=6.33
CC 29 SLV (Collegamento -382_-520)
Azioni sul collegamento: N=145.19 Ty=-0.37 Tz=-50.49 Mx=-0.15 Mz=-0.91
Zona tesa: F=58.47 b_{eff}=13.20 t_w=0.70 σ=6.33
Zona tesa: F=58.47 b_{eff}=13.20 t_w=0.70 σ=6.33
CC 29 SLV (Collegamento -382_-520)
Azioni sul collegamento: N=145.19 Ty=-1.75 Tz=-50.49 Mx=-0.35 Mz=-2.23
Zona tesa: F=58.47 b_{eff}=13.20 t_w=0.70 σ=6.33
Zona tesa: F=58.47 b_{eff}=13.20 t_w=0.70 σ=6.33
CC 29 SLV (Collegamento -382_-520)
Azioni sul collegamento: N=145.19 Ty=-0.37 Tz=-50.49 Mx=-0.15 Mz=-0.91
Zona tesa: F=58.47 b_{eff}=13.20 t_w=0.70 σ=6.33
Zona tesa: F=58.47 b_{eff}=13.20 t_w=0.70 σ=6.33
CC 29 SLV (Collegamento -382_-520)
Azioni sul collegamento: N=133.22 Ty=-1.75 Tz=-48.64 Mx=-0.35 Mz=-2.23
Zona tesa: F=53.65 b_{eff}=13.20 t_w=0.70 σ=5.81
Zona tesa: F=53.65 b_{eff}=13.20 t_w=0.70 σ=5.81
CC 29 SLV (Collegamento -382_-520)
Azioni sul collegamento: N=133.22 Ty=-0.37 Tz=-48.64 Mx=-0.15 Mz=-0.91
Zona tesa: F=53.65 b_{eff}=13.20 t_w=0.70 σ=5.81
Zona tesa: F=53.65 b_{eff}=13.20 t_w=0.70 σ=5.81
CC 29 SLV (Collegamento -382_-520)
Azioni sul collegamento: N=133.22 Ty=-1.75 Tz=-48.64 Mx=-0.35 Mz=-2.23
Zona tesa: F=53.65 b_{eff}=13.20 t_w=0.70 σ=5.81
Zona tesa: F=53.65 b_{eff}=13.20 t_w=0.70 σ=5.81
CC 29 SLV (Collegamento -382_-520)
Azioni sul collegamento: N=133.22 Ty=-0.37 Tz=-48.64 Mx=-0.15 Mz=-0.91
Zona tesa: F=53.65 b_{eff}=13.20 t_w=0.70 σ=5.81
Zona tesa: F=53.65 b_{eff}=13.20 t_w=0.70 σ=5.81
CC 30 SLD (Collegamento -382_-520)
Azioni sul collegamento: N=140.91 Ty=-1.74 Tz=-49.83 Mx=-0.38 Mz=-2.33
Zona tesa: F=56.74 b_{eff}=13.20 t_w=0.70 σ=6.14
Zona tesa: F=56.74 b_{eff}=13.20 t_w=0.70 σ=6.14
CC 30 SLD (Collegamento -382_-520)
Azioni sul collegamento: N=140.91 Ty=-1.32 Tz=-49.83 Mx=-0.31 Mz=-1.93
Zona tesa: F=56.74 b_{eff}=13.20 t_w=0.70 σ=6.14
Zona tesa: F=56.74 b_{eff}=13.20 t_w=0.70 σ=6.14
CC 30 SLD (Collegamento -382_-520)
Azioni sul collegamento: N=140.91 Ty=-1.74 Tz=-49.83 Mx=-0.38 Mz=-2.33
Zona tesa: F=56.74 b_{eff}=13.20 t_w=0.70 σ=6.14
Zona tesa: F=56.74 b_{eff}=13.20 t_w=0.70 σ=6.14
CC 30 SLD (Collegamento -382_-520)
Azioni sul collegamento: N=140.91 Ty=-1.32 Tz=-49.83 Mx=-0.31 Mz=-1.93
Zona tesa: F=56.74 b_{eff}=13.20 t_w=0.70 σ=6.14
Zona tesa: F=56.74 b_{eff}=13.20 t_w=0.70 σ=6.14
CC 30 SLD (Collegamento -382_-520)
Azioni sul collegamento: N=137.26 Ty=-1.74 Tz=-49.26 Mx=-0.38 Mz=-2.33
Zona tesa: F=55.27 b_{eff}=13.20 t_w=0.70 σ=5.98
Zona tesa: F=55.27 b_{eff}=13.20 t_w=0.70 σ=5.98
CC 30 SLD (Collegamento -382_-520)
Azioni sul collegamento: N=137.26 Ty=-1.32 Tz=-49.26 Mx=-0.31 Mz=-1.93
Zona tesa: F=55.27 b_{eff}=13.20 t_w=0.70 σ=5.98
Zona tesa: F=55.27 b_{eff}=13.20 t_w=0.70 σ=5.98
CC 30 SLD (Collegamento -382_-520)
Azioni sul collegamento: N=137.26 Ty=-1.74 Tz=-49.26 Mx=-0.38 Mz=-2.33

Zona tesa: F=55.27 b_{eff}=13.20 t_w=0.70 σ=5.98
Zona tesa: F=55.27 b_{eff}=13.20 t_w=0.70 σ=5.98
CC 30 SLD (Collegamento -382_-520)
Azioni sul collegamento: N=137.26 Ty=-1.32 Tz=-49.26 Mx=-0.31 Mz=-1.93
Zona tesa: F=55.27 b_{eff}=13.20 t_w=0.70 σ=5.98
Zona tesa: F=55.27 b_{eff}=13.20 t_w=0.70 σ=5.98
CC 31 SLV (Collegamento -382_-520)
Azioni sul collegamento: N=132.59 Ty=-2.15 Tz=-48.54 Mx=-0.44 Mz=-2.78
Zona tesa: F=53.39 b_{eff}=13.20 t_w=0.70 σ=5.78
Zona tesa: F=53.39 b_{eff}=13.20 t_w=0.70 σ=5.78
CC 31 SLV (Collegamento -382_-520)
Azioni sul collegamento: N=132.59 Ty=0.03 Tz=-48.54 Mx=-0.06 Mz=-0.35
Zona tesa: F=53.39 b_{eff}=13.20 t_w=0.70 σ=5.78
Zona tesa: F=53.39 b_{eff}=13.20 t_w=0.70 σ=5.78
CC 31 SLV (Collegamento -382_-520)
Azioni sul collegamento: N=132.59 Ty=-2.15 Tz=-48.54 Mx=-0.44 Mz=-2.78
Zona tesa: F=53.39 b_{eff}=13.20 t_w=0.70 σ=5.78
Zona tesa: F=53.39 b_{eff}=13.20 t_w=0.70 σ=5.78
CC 31 SLV (Collegamento -382_-520)
Azioni sul collegamento: N=132.59 Ty=0.03 Tz=-48.54 Mx=-0.06 Mz=-0.35
Zona tesa: F=53.39 b_{eff}=13.20 t_w=0.70 σ=5.78
Zona tesa: F=53.39 b_{eff}=13.20 t_w=0.70 σ=5.78
CC 31 SLV (Collegamento -382_-520)
Azioni sul collegamento: N=145.83 Ty=-2.15 Tz=-50.59 Mx=-0.44 Mz=-2.78
Zona tesa: F=58.72 b_{eff}=13.20 t_w=0.70 σ=6.36
Zona tesa: F=58.72 b_{eff}=13.20 t_w=0.70 σ=6.36
CC 31 SLV (Collegamento -382_-520)
Azioni sul collegamento: N=145.83 Ty=0.03 Tz=-50.59 Mx=-0.06 Mz=-0.35
Zona tesa: F=58.72 b_{eff}=13.20 t_w=0.70 σ=6.36
Zona tesa: F=58.72 b_{eff}=13.20 t_w=0.70 σ=6.36
CC 31 SLV (Collegamento -382_-520)
Azioni sul collegamento: N=145.83 Ty=-2.15 Tz=-50.59 Mx=-0.44 Mz=-2.78
Zona tesa: F=58.72 b_{eff}=13.20 t_w=0.70 σ=6.36
Zona tesa: F=58.72 b_{eff}=13.20 t_w=0.70 σ=6.36
CC 31 SLV (Collegamento -382_-520)
Azioni sul collegamento: N=145.83 Ty=0.03 Tz=-50.59 Mx=-0.06 Mz=-0.35
Zona tesa: F=58.72 b_{eff}=13.20 t_w=0.70 σ=6.36
Zona tesa: F=58.72 b_{eff}=13.20 t_w=0.70 σ=6.36
CC 32 SLD (Collegamento -382_-520)
Azioni sul collegamento: N=137.07 Ty=-1.86 Tz=-49.23 Mx=-0.40 Mz=-2.50
Zona tesa: F=55.19 b_{eff}=13.20 t_w=0.70 σ=5.97
Zona tesa: F=55.19 b_{eff}=13.20 t_w=0.70 σ=5.97
CC 32 SLD (Collegamento -382_-520)
Azioni sul collegamento: N=137.07 Ty=-1.20 Tz=-49.23 Mx=-0.29 Mz=-1.76
Zona tesa: F=55.19 b_{eff}=13.20 t_w=0.70 σ=5.97
Zona tesa: F=55.19 b_{eff}=13.20 t_w=0.70 σ=5.97
CC 32 SLD (Collegamento -382_-520)
Azioni sul collegamento: N=137.07 Ty=-1.86 Tz=-49.23 Mx=-0.40 Mz=-2.50
Zona tesa: F=55.19 b_{eff}=13.20 t_w=0.70 σ=5.97
Zona tesa: F=55.19 b_{eff}=13.20 t_w=0.70 σ=5.97
CC 32 SLD (Collegamento -382_-520)
Azioni sul collegamento: N=137.07 Ty=-1.20 Tz=-49.23 Mx=-0.29 Mz=-1.76
Zona tesa: F=55.19 b_{eff}=13.20 t_w=0.70 σ=5.97
Zona tesa: F=55.19 b_{eff}=13.20 t_w=0.70 σ=5.97
CC 32 SLD (Collegamento -382_-520)
Azioni sul collegamento: N=141.11 Ty=-1.86 Tz=-49.86 Mx=-0.40 Mz=-2.50
Zona tesa: F=56.82 b_{eff}=13.20 t_w=0.70 σ=6.15
Zona tesa: F=56.82 b_{eff}=13.20 t_w=0.70 σ=6.15
CC 32 SLD (Collegamento -382_-520)
Azioni sul collegamento: N=141.11 Ty=-1.20 Tz=-49.86 Mx=-0.29 Mz=-1.76
Zona tesa: F=56.82 b_{eff}=13.20 t_w=0.70 σ=6.15
Zona tesa: F=56.82 b_{eff}=13.20 t_w=0.70 σ=6.15
CC 32 SLD (Collegamento -382_-520)
Azioni sul collegamento: N=141.11 Ty=-1.86 Tz=-49.86 Mx=-0.40 Mz=-2.50
Zona tesa: F=56.82 b_{eff}=13.20 t_w=0.70 σ=6.15
Zona tesa: F=56.82 b_{eff}=13.20 t_w=0.70 σ=6.15
CC 32 SLD (Collegamento -382_-520)
Azioni sul collegamento: N=141.11 Ty=-1.20 Tz=-49.86 Mx=-0.29 Mz=-1.76
Zona tesa: F=56.82 b_{eff}=13.20 t_w=0.70 σ=6.15
Zona tesa: F=56.82 b_{eff}=13.20 t_w=0.70 σ=6.15
CC 33 SLU (Collegamento -382_-520)
Azioni sul collegamento: N=352.43 Ty=-3.05 Tz=-92.37 Mx=-0.68 Mz=-4.20
Zona tesa: F=141.92 b_{eff}=13.20 t_w=0.70 σ=15.36
Zona tesa: F=141.92 b_{eff}=13.20 t_w=0.70 σ=15.36
CC 34 SLU (Collegamento -382_-520)
Azioni sul collegamento: N=348.06 Ty=-2.90 Tz=-91.70 Mx=-0.65 Mz=-4.01

Zona tesa: F=140.16 b_{eff}=13.20 t_w=0.70 σ=15.17
Zona tesa: F=140.16 b_{eff}=13.20 t_w=0.70 σ=15.17
CC 35 SLU (Collegamento -382_-520)
Azioni sul collegamento: N=350.28 Ty=-2.88 Tz=-92.04 Mx=-0.65 Mz=-4.01
Zona tesa: F=141.05 b_{eff}=13.20 t_w=0.70 σ=15.27
Zona tesa: F=141.05 b_{eff}=13.20 t_w=0.70 σ=15.27
CC 36 SLU (Collegamento -382_-520)
Azioni sul collegamento: N=350.21 Ty=-3.07 Tz=-92.03 Mx=-0.68 Mz=-4.20
Zona tesa: F=141.02 b_{eff}=13.20 t_w=0.70 σ=15.26
Zona tesa: F=141.02 b_{eff}=13.20 t_w=0.70 σ=15.26
CC 37 SLU (Collegamento -382_-520)
Azioni sul collegamento: N=283.55 Ty=-3.29 Tz=-81.71 Mx=-0.73 Mz=-4.52
Zona tesa: F=114.18 b_{eff}=13.20 t_w=0.70 σ=12.36
Zona tesa: F=114.18 b_{eff}=13.20 t_w=0.70 σ=12.36
CC 38 SLU (Collegamento -382_-520)
Azioni sul collegamento: N=279.18 Ty=-3.15 Tz=-81.04 Mx=-0.70 Mz=-4.32
Zona tesa: F=112.42 b_{eff}=13.20 t_w=0.70 σ=12.17
Zona tesa: F=112.42 b_{eff}=13.20 t_w=0.70 σ=12.17
CC 39 SLU (Collegamento -382_-520)
Azioni sul collegamento: N=281.40 Ty=-3.13 Tz=-81.38 Mx=-0.70 Mz=-4.32
Zona tesa: F=113.31 b_{eff}=13.20 t_w=0.70 σ=12.26
Zona tesa: F=113.31 b_{eff}=13.20 t_w=0.70 σ=12.26
CC 40 SLU (Collegamento -382_-520)
Azioni sul collegamento: N=281.33 Ty=-3.31 Tz=-81.37 Mx=-0.73 Mz=-4.52
Zona tesa: F=113.29 b_{eff}=13.20 t_w=0.70 σ=12.26
Zona tesa: F=113.29 b_{eff}=13.20 t_w=0.70 σ=12.26
CC 41 SLU (Collegamento -382_-520)
Azioni sul collegamento: N=345.02 Ty=-0.94 Tz=-91.23 Mx=-0.22 Mz=-1.24
Zona tesa: F=138.93 b_{eff}=13.20 t_w=0.70 σ=15.04
Zona tesa: F=138.93 b_{eff}=13.20 t_w=0.70 σ=15.04
CC 42 SLU (Collegamento -382_-520)
Azioni sul collegamento: N=340.65 Ty=-0.80 Tz=-90.55 Mx=-0.19 Mz=-1.04
Zona tesa: F=137.18 b_{eff}=13.20 t_w=0.70 σ=14.85
Zona tesa: F=137.18 b_{eff}=13.20 t_w=0.70 σ=14.85
CC 43 SLU (Collegamento -382_-520)
Azioni sul collegamento: N=342.87 Ty=-0.77 Tz=-90.89 Mx=-0.19 Mz=-1.04
Zona tesa: F=138.07 b_{eff}=13.20 t_w=0.70 σ=14.94
Zona tesa: F=138.07 b_{eff}=13.20 t_w=0.70 σ=14.94
CC 44 SLU (Collegamento -382_-520)
Azioni sul collegamento: N=342.80 Ty=-0.96 Tz=-90.88 Mx=-0.22 Mz=-1.24
Zona tesa: F=138.04 b_{eff}=13.20 t_w=0.70 σ=14.94
Zona tesa: F=138.04 b_{eff}=13.20 t_w=0.70 σ=14.94
CC 45 SLU (Collegamento -382_-520)
Azioni sul collegamento: N=299.47 Ty=-3.14 Tz=-84.18 Mx=-0.70 Mz=-4.33
Zona tesa: F=120.59 b_{eff}=13.20 t_w=0.70 σ=13.05
Zona tesa: F=120.59 b_{eff}=13.20 t_w=0.70 σ=13.05
CC 46 SLU (Collegamento -382_-520)
Azioni sul collegamento: N=295.10 Ty=-3.00 Tz=-83.50 Mx=-0.67 Mz=-4.14
Zona tesa: F=118.83 b_{eff}=13.20 t_w=0.70 σ=12.86
Zona tesa: F=118.83 b_{eff}=13.20 t_w=0.70 σ=12.86
CC 47 SLU (Collegamento -382_-520)
Azioni sul collegamento: N=297.32 Ty=-2.98 Tz=-83.84 Mx=-0.67 Mz=-4.14
Zona tesa: F=119.73 b_{eff}=13.20 t_w=0.70 σ=12.96
Zona tesa: F=119.73 b_{eff}=13.20 t_w=0.70 σ=12.96
CC 48 SLU (Collegamento -382_-520)
Azioni sul collegamento: N=297.25 Ty=-3.16 Tz=-83.83 Mx=-0.70 Mz=-4.33
Zona tesa: F=119.70 b_{eff}=13.20 t_w=0.70 σ=12.95
Zona tesa: F=119.70 b_{eff}=13.20 t_w=0.70 σ=12.95
CC 49 SLU (Collegamento -382_-520)
Azioni sul collegamento: N=247.94 Ty=-3.32 Tz=-76.20 Mx=-0.74 Mz=-4.57
Zona tesa: F=99.84 b_{eff}=13.20 t_w=0.70 σ=10.81
Zona tesa: F=99.84 b_{eff}=13.20 t_w=0.70 σ=10.81
CC 50 SLU (Collegamento -382_-520)
Azioni sul collegamento: N=243.57 Ty=-3.18 Tz=-75.52 Mx=-0.71 Mz=-4.37
Zona tesa: F=98.08 b_{eff}=13.20 t_w=0.70 σ=10.61
Zona tesa: F=98.08 b_{eff}=13.20 t_w=0.70 σ=10.61
CC 51 SLU (Collegamento -382_-520)
Azioni sul collegamento: N=245.79 Ty=-3.16 Tz=-75.87 Mx=-0.71 Mz=-4.38
Zona tesa: F=98.97 b_{eff}=13.20 t_w=0.70 σ=10.71
Zona tesa: F=98.97 b_{eff}=13.20 t_w=0.70 σ=10.71
CC 52 SLU (Collegamento -382_-520)
Azioni sul collegamento: N=245.72 Ty=-3.34 Tz=-75.86 Mx=-0.74 Mz=-4.57
Zona tesa: F=98.95 b_{eff}=13.20 t_w=0.70 σ=10.71
Zona tesa: F=98.95 b_{eff}=13.20 t_w=0.70 σ=10.71
CC 53 SLU (Collegamento -382_-520)
Azioni sul collegamento: N=293.93 Ty=-1.56 Tz=-83.32 Mx=-0.36 Mz=-2.11

Zona tesa: F=118.36 b_{eff}=13.20 t_w=0.70 σ=12.81
Zona tesa: F=118.36 b_{eff}=13.20 t_w=0.70 σ=12.81
CC 54 SLU (Collegamento -382_-520)
Azioni sul collegamento: N=289.56 Ty=-1.42 Tz=-82.64 Mx=-0.33 Mz=-1.92
Zona tesa: F=116.60 b_{eff}=13.20 t_w=0.70 σ=12.62
Zona tesa: F=116.60 b_{eff}=13.20 t_w=0.70 σ=12.62
CC 55 SLU (Collegamento -382_-520)
Azioni sul collegamento: N=291.78 Ty=-1.40 Tz=-82.99 Mx=-0.33 Mz=-1.92
Zona tesa: F=117.50 b_{eff}=13.20 t_w=0.70 σ=12.72
Zona tesa: F=117.50 b_{eff}=13.20 t_w=0.70 σ=12.72
CC 56 SLU (Collegamento -382_-520)
Azioni sul collegamento: N=291.71 Ty=-1.58 Tz=-82.98 Mx=-0.36 Mz=-2.11
Zona tesa: F=117.47 b_{eff}=13.20 t_w=0.70 σ=12.71
Zona tesa: F=117.47 b_{eff}=13.20 t_w=0.70 σ=12.71
CC 57 SLU (Collegamento -382_-520)
Azioni sul collegamento: N=286.88 Ty=-2.83 Tz=-82.23 Mx=-0.63 Mz=-3.90
Zona tesa: F=115.52 b_{eff}=13.20 t_w=0.70 σ=12.50
Zona tesa: F=115.52 b_{eff}=13.20 t_w=0.70 σ=12.50
CC 58 SLU (Collegamento -382_-520)
Azioni sul collegamento: N=282.51 Ty=-2.69 Tz=-81.55 Mx=-0.60 Mz=-3.71
Zona tesa: F=113.76 b_{eff}=13.20 t_w=0.70 σ=12.31
Zona tesa: F=113.76 b_{eff}=13.20 t_w=0.70 σ=12.31
CC 59 SLU (Collegamento -382_-520)
Azioni sul collegamento: N=284.73 Ty=-2.67 Tz=-81.89 Mx=-0.60 Mz=-3.71
Zona tesa: F=114.66 b_{eff}=13.20 t_w=0.70 σ=12.41
Zona tesa: F=114.66 b_{eff}=13.20 t_w=0.70 σ=12.41
CC 60 SLU (Collegamento -382_-520)
Azioni sul collegamento: N=284.66 Ty=-2.85 Tz=-81.88 Mx=-0.63 Mz=-3.90
Zona tesa: F=114.63 b_{eff}=13.20 t_w=0.70 σ=12.41
Zona tesa: F=114.63 b_{eff}=13.20 t_w=0.70 σ=12.41
CC 61 SLU (Collegamento -382_-520)
Azioni sul collegamento: N=235.34 Ty=-3.01 Tz=-74.25 Mx=-0.67 Mz=-4.14
Zona tesa: F=94.77 b_{eff}=13.20 t_w=0.70 σ=10.26
Zona tesa: F=94.77 b_{eff}=13.20 t_w=0.70 σ=10.26
CC 62 SLU (Collegamento -382_-520)
Azioni sul collegamento: N=230.97 Ty=-2.87 Tz=-73.58 Mx=-0.64 Mz=-3.95
Zona tesa: F=93.01 b_{eff}=13.20 t_w=0.70 σ=10.07
Zona tesa: F=93.01 b_{eff}=13.20 t_w=0.70 σ=10.07
CC 63 SLU (Collegamento -382_-520)
Azioni sul collegamento: N=233.19 Ty=-2.85 Tz=-73.92 Mx=-0.64 Mz=-3.95
Zona tesa: F=93.90 b_{eff}=13.20 t_w=0.70 σ=10.16
Zona tesa: F=93.90 b_{eff}=13.20 t_w=0.70 σ=10.16
CC 64 SLU (Collegamento -382_-520)
Azioni sul collegamento: N=233.13 Ty=-3.03 Tz=-73.91 Mx=-0.67 Mz=-4.14
Zona tesa: F=93.88 b_{eff}=13.20 t_w=0.70 σ=10.16
Zona tesa: F=93.88 b_{eff}=13.20 t_w=0.70 σ=10.16
CC 65 SLU (Collegamento -382_-520)
Azioni sul collegamento: N=281.34 Ty=-1.25 Tz=-81.37 Mx=-0.29 Mz=-1.69
Zona tesa: F=113.29 b_{eff}=13.20 t_w=0.70 σ=12.26
Zona tesa: F=113.29 b_{eff}=13.20 t_w=0.70 σ=12.26
CC 66 SLU (Collegamento -382_-520)
Azioni sul collegamento: N=276.97 Ty=-1.11 Tz=-80.69 Mx=-0.26 Mz=-1.49
Zona tesa: F=111.53 b_{eff}=13.20 t_w=0.70 σ=12.07
Zona tesa: F=111.53 b_{eff}=13.20 t_w=0.70 σ=12.07
CC 67 SLU (Collegamento -382_-520)
Azioni sul collegamento: N=279.19 Ty=-1.09 Tz=-81.04 Mx=-0.26 Mz=-1.49
Zona tesa: F=112.42 b_{eff}=13.20 t_w=0.70 σ=12.17
Zona tesa: F=112.42 b_{eff}=13.20 t_w=0.70 σ=12.17
CC 68 SLU (Collegamento -382_-520)
Azioni sul collegamento: N=279.12 Ty=-1.27 Tz=-81.03 Mx=-0.29 Mz=-1.69
Zona tesa: F=112.40 b_{eff}=13.20 t_w=0.70 σ=12.16
Zona tesa: F=112.40 b_{eff}=13.20 t_w=0.70 σ=12.16
CC 97 SLU (Collegamento -382_-520)
Azioni sul collegamento: N=177.78 Ty=-15.09 Tz=-55.54 Mx=-2.10 Mz=-13.62
Zona tesa: F=71.59 b_{eff}=13.20 t_w=0.70 σ=7.75
Zona tesa: F=71.59 b_{eff}=13.20 t_w=0.70 σ=7.75
CC 98 SLU (Collegamento -382_-520)
Azioni sul collegamento: N=173.41 Ty=-14.95 Tz=-54.86 Mx=-2.07 Mz=-13.43
Zona tesa: F=69.83 b_{eff}=13.20 t_w=0.70 σ=7.56
Zona tesa: F=69.83 b_{eff}=13.20 t_w=0.70 σ=7.56
CC 99 SLU (Collegamento -382_-520)
Azioni sul collegamento: N=175.63 Ty=-14.93 Tz=-55.20 Mx=-2.07 Mz=-13.43
Zona tesa: F=70.72 b_{eff}=13.20 t_w=0.70 σ=7.65
Zona tesa: F=70.72 b_{eff}=13.20 t_w=0.70 σ=7.65
CC 100 SLU (Collegamento -382_-520)
Azioni sul collegamento: N=175.56 Ty=-15.11 Tz=-55.19 Mx=-2.10 Mz=-13.62

Zona tesa: F=70.70 b_{eff}=13.20 t_w=0.70 σ=7.65
Zona tesa: F=70.70 b_{eff}=13.20 t_w=0.70 σ=7.65
CC 101 SLU (Collegamento -382_-520)
Azioni sul collegamento: N=143.52 Ty=0.14 Tz=-50.23 Mx=-0.12 Mz=-0.65
Zona tesa: F=57.79 b_{eff}=13.20 t_w=0.70 σ=6.25
Zona tesa: F=57.79 b_{eff}=13.20 t_w=0.70 σ=6.25
CC 102 SLU (Collegamento -382_-520)
Azioni sul collegamento: N=139.15 Ty=0.28 Tz=-49.56 Mx=-0.09 Mz=-0.45
Zona tesa: F=56.03 b_{eff}=13.20 t_w=0.70 σ=6.06
Zona tesa: F=56.03 b_{eff}=13.20 t_w=0.70 σ=6.06
CC 103 SLU (Collegamento -382_-520)
Azioni sul collegamento: N=141.37 Ty=0.30 Tz=-49.90 Mx=-0.09 Mz=-0.46
Zona tesa: F=56.93 b_{eff}=13.20 t_w=0.70 σ=6.16
Zona tesa: F=56.93 b_{eff}=13.20 t_w=0.70 σ=6.16
CC 104 SLU (Collegamento -382_-520)
Azioni sul collegamento: N=141.30 Ty=0.12 Tz=-49.89 Mx=-0.12 Mz=-0.65
Zona tesa: F=56.90 b_{eff}=13.20 t_w=0.70 σ=6.16
Zona tesa: F=56.90 b_{eff}=13.20 t_w=0.70 σ=6.16

Collegamento -383_-527

Saldatura a cordone d'angolo
Altezza di gola saldature: anima 7.07 - ala 7.07

Saldatura profilo-profilo

CC 98 SLU (Collegamento -383_-527)
Azioni sul collegamento: N=208.24 Ty=7.71 Tz=-70.06 Mx=2.32 Mz=12.14
Sollecitazioni agenti localmente: Tx_l=7.71 Ty_l=-70.06 N_l=208.24 My_l=-12.14 Mz_l=2.32
Azioni sul cordone: TP=-3.24 TO=6.99 NO=15.32
Tensioni nel cordone: τ_P=1.03 τ_O=2.22 σ_O=22.60 σ_{ID}=22.73 Σ_T=24.82

Verifica lato anima della colonna

CC 98 SLU (Collegamento -383_-527)
Azioni sul collegamento: N=208.24 Ty=7.71 Tz=-70.06 Mx=2.32 Mz=12.14
Zona tesa: F=83.85 b_{eff}=13.20 t_w=0.70 σ=9.08
Zona tesa: F=83.85 b_{eff}=13.20 t_w=0.70 σ=9.08

Collegamento -384_-528

Saldatura a cordone d'angolo
Altezza di gola saldature: anima 7.07 - ala 7.07

Saldatura profilo-profilo

CC 1 SLV (Collegamento -384_-528)
Azioni sul collegamento: N=171.09 Ty=-1.22 Tz=-54.50 Mx=-0.31 Mz=-1.48
Sollecitazioni agenti localmente: Tx_l=-1.22 Ty_l=-54.50 N_l=171.09 My_l=1.48 Mz_l=-0.31
Azioni sul cordone: TP=0.44 TO=4.25 NO=12.59
Tensioni nel cordone: τ_P=0.14 τ_O=1.35 σ_O=6.16 σ_{ID}=6.31 Σ_T=7.52
CC 1 SLV (Collegamento -384_-528)
Azioni sul collegamento: N=171.09 Ty=-2.83 Tz=-54.50 Mx=-0.64 Mz=-3.66
Sollecitazioni agenti localmente: Tx_l=-2.83 Ty_l=-54.50 N_l=171.09 My_l=3.66 Mz_l=-0.64
Azioni sul cordone: TP=0.95 TO=4.52 NO=12.59
Tensioni nel cordone: τ_P=0.30 τ_O=1.44 σ_O=9.34 σ_{ID}=9.46 Σ_T=10.78
CC 1 SLV (Collegamento -384_-528)
Azioni sul collegamento: N=171.09 Ty=-1.22 Tz=-54.50 Mx=-0.31 Mz=-1.48
Sollecitazioni agenti localmente: Tx_l=-1.22 Ty_l=-54.50 N_l=171.09 My_l=1.48 Mz_l=-0.31
Azioni sul cordone: TP=0.44 TO=4.25 NO=12.59
Tensioni nel cordone: τ_P=0.14 τ_O=1.35 σ_O=6.16 σ_{ID}=6.31 Σ_T=7.52
CC 1 SLV (Collegamento -384_-528)
Azioni sul collegamento: N=171.09 Ty=-2.83 Tz=-54.50 Mx=-0.64 Mz=-3.66
Sollecitazioni agenti localmente: Tx_l=-2.83 Ty_l=-54.50 N_l=171.09 My_l=3.66 Mz_l=-0.64
Azioni sul cordone: TP=0.95 TO=4.52 NO=12.59
Tensioni nel cordone: τ_P=0.30 τ_O=1.44 σ_O=9.34 σ_{ID}=9.46 Σ_T=10.78
CC 1 SLV (Collegamento -384_-528)
Azioni sul collegamento: N=117.30 Ty=-1.22 Tz=-46.18 Mx=-0.31 Mz=-1.48
Sollecitazioni agenti localmente: Tx_l=-1.22 Ty_l=-46.18 N_l=117.30 My_l=1.48 Mz_l=-0.31
Azioni sul cordone: TP=0.44 TO=3.64 NO=8.63
Tensioni nel cordone: τ_P=0.14 τ_O=1.16 σ_O=4.91 σ_{ID}=5.04 Σ_T=6.06
CC 1 SLV (Collegamento -384_-528)
Azioni sul collegamento: N=117.30 Ty=-2.83 Tz=-46.18 Mx=-0.64 Mz=-3.66
Sollecitazioni agenti localmente: Tx_l=-2.83 Ty_l=-46.18 N_l=117.30 My_l=3.66 Mz_l=-0.64
Azioni sul cordone: TP=0.95 TO=3.90 NO=8.63
Tensioni nel cordone: τ_P=0.30 τ_O=1.24 σ_O=8.09 σ_{ID}=8.19 Σ_T=9.33
CC 1 SLV (Collegamento -384_-528)
Azioni sul collegamento: N=117.30 Ty=-1.22 Tz=-46.18 Mx=-0.31 Mz=-1.48

Sollecitazioni agenti localmente: Tx_l=-1.22 Ty_l=-46.18 N_l=117.30 My_l=1.48 Mz_l=-0.31
Azioni sul cordone: TP=0.44 TO=3.64 NO=8.63
Tensioni nel cordone: τ_P=0.14 τ_0=1.16 σ_0=4.91 σ_{ID}=5.04 Σ_T=6.06
CC 1 SLV (Collegamento -384_-528)
Azioni sul collegamento: N=117.30 Ty=-2.83 Tz=-46.18 Mx=-0.64 Mz=-3.66
Sollecitazioni agenti localmente: Tx_l=-2.83 Ty_l=-46.18 N_l=117.30 My_l=3.66 Mz_l=-0.64
Azioni sul cordone: TP=0.95 TO=3.90 NO=8.63
Tensioni nel cordone: τ_P=0.30 τ_0=1.24 σ_0=8.09 σ_{ID}=8.19 Σ_T=9.33
CC 2 SLD (Collegamento -384_-528)
Azioni sul collegamento: N=154.01 Ty=-1.46 Tz=-51.86 Mx=-0.35 Mz=-1.90
Sollecitazioni agenti localmente: Tx_l=-1.46 Ty_l=-51.86 N_l=154.01 My_l=1.90 Mz_l=-0.35
Azioni sul cordone: TP=0.51 TO=4.09 NO=11.33
Tensioni nel cordone: τ_P=0.16 τ_0=1.30 σ_0=6.37 σ_{ID}=6.51 Σ_T=7.67
CC 2 SLD (Collegamento -384_-528)
Azioni sul collegamento: N=154.01 Ty=-1.95 Tz=-51.86 Mx=-0.46 Mz=-2.56
Sollecitazioni agenti localmente: Tx_l=-1.95 Ty_l=-51.86 N_l=154.01 My_l=2.56 Mz_l=-0.46
Azioni sul cordone: TP=0.67 TO=4.17 NO=11.33
Tensioni nel cordone: τ_P=0.21 τ_0=1.33 σ_0=7.34 σ_{ID}=7.46 Σ_T=8.67
CC 2 SLD (Collegamento -384_-528)
Azioni sul collegamento: N=154.01 Ty=-1.46 Tz=-51.86 Mx=-0.35 Mz=-1.90
Sollecitazioni agenti localmente: Tx_l=-1.46 Ty_l=-51.86 N_l=154.01 My_l=1.90 Mz_l=-0.35
Azioni sul cordone: TP=0.51 TO=4.09 NO=11.33
Tensioni nel cordone: τ_P=0.16 τ_0=1.30 σ_0=6.37 σ_{ID}=6.51 Σ_T=7.67
CC 2 SLD (Collegamento -384_-528)
Azioni sul collegamento: N=154.01 Ty=-1.95 Tz=-51.86 Mx=-0.46 Mz=-2.56
Sollecitazioni agenti localmente: Tx_l=-1.95 Ty_l=-51.86 N_l=154.01 My_l=2.56 Mz_l=-0.46
Azioni sul cordone: TP=0.67 TO=4.17 NO=11.33
Tensioni nel cordone: τ_P=0.21 τ_0=1.33 σ_0=7.34 σ_{ID}=7.46 Σ_T=8.67
CC 2 SLD (Collegamento -384_-528)
Azioni sul collegamento: N=137.61 Ty=-1.46 Tz=-49.32 Mx=-0.35 Mz=-1.90
Sollecitazioni agenti localmente: Tx_l=-1.46 Ty_l=-49.32 N_l=137.61 My_l=1.90 Mz_l=-0.35
Azioni sul cordone: TP=0.51 TO=3.91 NO=10.13
Tensioni nel cordone: τ_P=0.16 τ_0=1.24 σ_0=5.99 σ_{ID}=6.12 Σ_T=7.23
CC 2 SLD (Collegamento -384_-528)
Azioni sul collegamento: N=137.61 Ty=-1.95 Tz=-49.32 Mx=-0.46 Mz=-2.56
Sollecitazioni agenti localmente: Tx_l=-1.95 Ty_l=-49.32 N_l=137.61 My_l=2.56 Mz_l=-0.46
Azioni sul cordone: TP=0.67 TO=3.99 NO=10.13
Tensioni nel cordone: τ_P=0.21 τ_0=1.27 σ_0=6.96 σ_{ID}=7.08 Σ_T=8.23
CC 2 SLD (Collegamento -384_-528)
Azioni sul collegamento: N=137.61 Ty=-1.46 Tz=-49.32 Mx=-0.35 Mz=-1.90
Sollecitazioni agenti localmente: Tx_l=-1.46 Ty_l=-49.32 N_l=137.61 My_l=1.90 Mz_l=-0.35
Azioni sul cordone: TP=0.51 TO=3.91 NO=10.13
Tensioni nel cordone: τ_P=0.16 τ_0=1.24 σ_0=5.99 σ_{ID}=6.12 Σ_T=7.23
CC 2 SLD (Collegamento -384_-528)
Azioni sul collegamento: N=137.61 Ty=-1.95 Tz=-49.32 Mx=-0.46 Mz=-2.56
Sollecitazioni agenti localmente: Tx_l=-1.95 Ty_l=-49.32 N_l=137.61 My_l=2.56 Mz_l=-0.46
Azioni sul cordone: TP=0.67 TO=3.99 NO=10.13
Tensioni nel cordone: τ_P=0.21 τ_0=1.27 σ_0=6.96 σ_{ID}=7.08 Σ_T=8.23
CC 3 SLV (Collegamento -384_-528)
Azioni sul collegamento: N=171.00 Ty=-1.50 Tz=-54.49 Mx=-0.34 Mz=-1.73
Sollecitazioni agenti localmente: Tx_l=-1.50 Ty_l=-54.49 N_l=171.00 My_l=1.73 Mz_l=-0.34
Azioni sul cordone: TP=0.50 TO=4.28 NO=12.58
Tensioni nel cordone: τ_P=0.16 τ_0=1.36 σ_0=6.52 σ_{ID}=6.66 Σ_T=7.88
CC 3 SLV (Collegamento -384_-528)
Azioni sul collegamento: N=171.00 Ty=-2.56 Tz=-54.49 Mx=-0.60 Mz=-3.41
Sollecitazioni agenti localmente: Tx_l=-2.56 Ty_l=-54.49 N_l=171.00 My_l=3.41 Mz_l=-0.60
Azioni sul cordone: TP=0.88 TO=4.48 NO=12.58
Tensioni nel cordone: τ_P=0.28 τ_0=1.43 σ_0=8.98 σ_{ID}=9.10 Σ_T=10.41
CC 3 SLV (Collegamento -384_-528)
Azioni sul collegamento: N=171.00 Ty=-1.50 Tz=-54.49 Mx=-0.34 Mz=-1.73
Sollecitazioni agenti localmente: Tx_l=-1.50 Ty_l=-54.49 N_l=171.00 My_l=1.73 Mz_l=-0.34
Azioni sul cordone: TP=0.50 TO=4.28 NO=12.58
Tensioni nel cordone: τ_P=0.16 τ_0=1.36 σ_0=6.52 σ_{ID}=6.66 Σ_T=7.88
CC 3 SLV (Collegamento -384_-528)
Azioni sul collegamento: N=171.00 Ty=-2.56 Tz=-54.49 Mx=-0.60 Mz=-3.41
Sollecitazioni agenti localmente: Tx_l=-2.56 Ty_l=-54.49 N_l=171.00 My_l=3.41 Mz_l=-0.60
Azioni sul cordone: TP=0.88 TO=4.48 NO=12.58
Tensioni nel cordone: τ_P=0.28 τ_0=1.43 σ_0=8.98 σ_{ID}=9.10 Σ_T=10.41
CC 3 SLV (Collegamento -384_-528)
Azioni sul collegamento: N=117.40 Ty=-1.50 Tz=-46.19 Mx=-0.34 Mz=-1.73
Sollecitazioni agenti localmente: Tx_l=-1.50 Ty_l=-46.19 N_l=117.40 My_l=1.73 Mz_l=-0.34
Azioni sul cordone: TP=0.50 TO=3.67 NO=8.64
Tensioni nel cordone: τ_P=0.16 τ_0=1.17 σ_0=5.27 σ_{ID}=5.40 Σ_T=6.43
CC 3 SLV (Collegamento -384_-528)
Azioni sul collegamento: N=117.40 Ty=-2.56 Tz=-46.19 Mx=-0.60 Mz=-3.41
Sollecitazioni agenti localmente: Tx_l=-2.56 Ty_l=-46.19 N_l=117.40 My_l=3.41 Mz_l=-0.60
Azioni sul cordone: TP=0.88 TO=3.87 NO=8.64
Tensioni nel cordone: τ_P=0.28 τ_0=1.23 σ_0=7.73 σ_{ID}=7.83 Σ_T=8.96
CC 3 SLV (Collegamento -384_-528)

Azioni sul collegamento: N=117.40 Ty=-1.50 Tz=-46.19 Mx=-0.34 Mz=-1.73
Sollecitazioni agenti localmente: Tx_l=-1.50 Ty_l=-46.19 N_l=117.40 My_l=1.73 Mz_l=-0.34
Azioni sul cordone: TP=0.50 TO=3.67 NO=8.64
Tensioni nel cordone: τ_P=0.16 τ_0=1.17 σ_0=5.27 σ_{ID}=5.40 Σ_T=6.43
CC 3 SLV (Collegamento -384_-528)
Azioni sul collegamento: N=117.40 Ty=-2.56 Tz=-46.19 Mx=-0.60 Mz=-3.41
Sollecitazioni agenti localmente: Tx_l=-2.56 Ty_l=-46.19 N_l=117.40 My_l=3.41 Mz_l=-0.60
Azioni sul cordone: TP=0.88 TO=3.87 NO=8.64
Tensioni nel cordone: τ_P=0.28 τ_0=1.23 σ_0=7.73 σ_{ID}=7.83 Σ_T=8.96
CC 4 SLD (Collegamento -384_-528)
Azioni sul collegamento: N=153.99 Ty=-1.54 Tz=-51.85 Mx=-0.36 Mz=-1.97
Sollecitazioni agenti localmente: Tx_l=-1.54 Ty_l=-51.85 N_l=153.99 My_l=1.97 Mz_l=-0.36
Azioni sul cordone: TP=0.53 TO=4.10 NO=11.33
Tensioni nel cordone: τ_P=0.17 τ_0=1.30 σ_0=6.48 σ_{ID}=6.61 Σ_T=7.79
CC 4 SLD (Collegamento -384_-528)
Azioni sul collegamento: N=153.99 Ty=-1.87 Tz=-51.85 Mx=-0.44 Mz=-2.49
Sollecitazioni agenti localmente: Tx_l=-1.87 Ty_l=-51.85 N_l=153.99 My_l=2.49 Mz_l=-0.44
Azioni sul cordone: TP=0.65 TO=4.16 NO=11.33
Tensioni nel cordone: τ_P=0.21 τ_0=1.32 σ_0=7.23 σ_{ID}=7.36 Σ_T=8.56
CC 4 SLD (Collegamento -384_-528)
Azioni sul collegamento: N=153.99 Ty=-1.54 Tz=-51.85 Mx=-0.36 Mz=-1.97
Sollecitazioni agenti localmente: Tx_l=-1.54 Ty_l=-51.85 N_l=153.99 My_l=1.97 Mz_l=-0.36
Azioni sul cordone: TP=0.53 TO=4.10 NO=11.33
Tensioni nel cordone: τ_P=0.17 τ_0=1.30 σ_0=6.48 σ_{ID}=6.61 Σ_T=7.79
CC 4 SLD (Collegamento -384_-528)
Azioni sul collegamento: N=153.99 Ty=-1.87 Tz=-51.85 Mx=-0.44 Mz=-2.49
Sollecitazioni agenti localmente: Tx_l=-1.87 Ty_l=-51.85 N_l=153.99 My_l=2.49 Mz_l=-0.44
Azioni sul cordone: TP=0.65 TO=4.16 NO=11.33
Tensioni nel cordone: τ_P=0.21 τ_0=1.32 σ_0=7.23 σ_{ID}=7.36 Σ_T=8.56
CC 4 SLD (Collegamento -384_-528)
Azioni sul collegamento: N=137.64 Ty=-1.54 Tz=-49.32 Mx=-0.36 Mz=-1.97
Sollecitazioni agenti localmente: Tx_l=-1.54 Ty_l=-49.32 N_l=137.64 My_l=1.97 Mz_l=-0.36
Azioni sul cordone: TP=0.53 TO=3.92 NO=10.13
Tensioni nel cordone: τ_P=0.17 τ_0=1.24 σ_0=6.10 σ_{ID}=6.23 Σ_T=7.34
CC 4 SLD (Collegamento -384_-528)
Azioni sul collegamento: N=137.64 Ty=-1.87 Tz=-49.32 Mx=-0.44 Mz=-2.49
Sollecitazioni agenti localmente: Tx_l=-1.87 Ty_l=-49.32 N_l=137.64 My_l=2.49 Mz_l=-0.44
Azioni sul cordone: TP=0.65 TO=3.98 NO=10.13
Tensioni nel cordone: τ_P=0.21 τ_0=1.26 σ_0=6.85 σ_{ID}=6.97 Σ_T=8.11
CC 4 SLD (Collegamento -384_-528)
Azioni sul collegamento: N=137.64 Ty=-1.54 Tz=-49.32 Mx=-0.36 Mz=-1.97
Sollecitazioni agenti localmente: Tx_l=-1.54 Ty_l=-49.32 N_l=137.64 My_l=1.97 Mz_l=-0.36
Azioni sul cordone: TP=0.53 TO=3.92 NO=10.13
Tensioni nel cordone: τ_P=0.17 τ_0=1.24 σ_0=6.10 σ_{ID}=6.23 Σ_T=7.34
CC 4 SLD (Collegamento -384_-528)
Azioni sul collegamento: N=137.64 Ty=-1.87 Tz=-49.32 Mx=-0.44 Mz=-2.49
Sollecitazioni agenti localmente: Tx_l=-1.87 Ty_l=-49.32 N_l=137.64 My_l=2.49 Mz_l=-0.44
Azioni sul cordone: TP=0.65 TO=3.98 NO=10.13
Tensioni nel cordone: τ_P=0.21 τ_0=1.26 σ_0=6.85 σ_{ID}=6.97 Σ_T=8.11
CC 5 SLV (Collegamento -384_-528)
Azioni sul collegamento: N=117.40 Ty=-2.56 Tz=-46.19 Mx=-0.57 Mz=-3.42
Sollecitazioni agenti localmente: Tx_l=-2.56 Ty_l=-46.19 N_l=117.40 My_l=3.42 Mz_l=-0.57
Azioni sul cordone: TP=0.84 TO=3.85 NO=8.64
Tensioni nel cordone: τ_P=0.27 τ_0=1.22 σ_0=7.74 σ_{ID}=7.84 Σ_T=8.96
CC 5 SLV (Collegamento -384_-528)
Azioni sul collegamento: N=117.40 Ty=-1.50 Tz=-46.19 Mx=-0.31 Mz=-1.73
Sollecitazioni agenti localmente: Tx_l=-1.50 Ty_l=-46.19 N_l=117.40 My_l=1.73 Mz_l=-0.31
Azioni sul cordone: TP=0.47 TO=3.64 NO=8.64
Tensioni nel cordone: τ_P=0.15 τ_0=1.16 σ_0=5.28 σ_{ID}=5.40 Σ_T=6.43
CC 5 SLV (Collegamento -384_-528)
Azioni sul collegamento: N=117.40 Ty=-2.56 Tz=-46.19 Mx=-0.57 Mz=-3.42
Sollecitazioni agenti localmente: Tx_l=-2.56 Ty_l=-46.19 N_l=117.40 My_l=3.42 Mz_l=-0.57
Azioni sul cordone: TP=0.84 TO=3.85 NO=8.64
Tensioni nel cordone: τ_P=0.27 τ_0=1.22 σ_0=7.74 σ_{ID}=7.84 Σ_T=8.96
CC 5 SLV (Collegamento -384_-528)
Azioni sul collegamento: N=117.40 Ty=-1.50 Tz=-46.19 Mx=-0.31 Mz=-1.73
Sollecitazioni agenti localmente: Tx_l=-1.50 Ty_l=-46.19 N_l=117.40 My_l=1.73 Mz_l=-0.31
Azioni sul cordone: TP=0.47 TO=3.64 NO=8.64
Tensioni nel cordone: τ_P=0.15 τ_0=1.16 σ_0=5.28 σ_{ID}=5.40 Σ_T=6.43
CC 5 SLV (Collegamento -384_-528)
Azioni sul collegamento: N=171.00 Ty=-2.56 Tz=-54.49 Mx=-0.57 Mz=-3.42
Sollecitazioni agenti localmente: Tx_l=-2.56 Ty_l=-54.49 N_l=171.00 My_l=3.42 Mz_l=-0.57
Azioni sul cordone: TP=0.84 TO=4.46 NO=12.58
Tensioni nel cordone: τ_P=0.27 τ_0=1.42 σ_0=8.99 σ_{ID}=9.10 Σ_T=10.41
CC 5 SLV (Collegamento -384_-528)
Azioni sul collegamento: N=171.00 Ty=-1.50 Tz=-54.49 Mx=-0.31 Mz=-1.73
Sollecitazioni agenti localmente: Tx_l=-1.50 Ty_l=-54.49 N_l=171.00 My_l=1.73 Mz_l=-0.31
Azioni sul cordone: TP=0.47 TO=4.25 NO=12.58
Tensioni nel cordone: τ_P=0.15 τ_0=1.35 σ_0=6.53 σ_{ID}=6.67 Σ_T=7.88

CC 5 SLV (Collegamento -384_-528)
Azioni sul collegamento: N=171.00 Ty=-2.56 Tz=-54.49 Mx=-0.57 Mz=-3.42
Sollecitazioni agenti localmente: Tx_l=-2.56 Ty_l=-54.49 N_l=171.00 My_l=3.42 Mz_l=-0.57
Azioni sul cordone: TP=0.84 TO=4.46 NO=12.58
Tensioni nel cordone: τ_P=0.27 τ_0=1.42 σ_0=8.99 σ_{ID}=9.10 Σ_T=10.41
CC 5 SLV (Collegamento -384_-528)
Azioni sul collegamento: N=171.00 Ty=-1.50 Tz=-54.49 Mx=-0.31 Mz=-1.73
Sollecitazioni agenti localmente: Tx_l=-1.50 Ty_l=-54.49 N_l=171.00 My_l=1.73 Mz_l=-0.31
Azioni sul cordone: TP=0.47 TO=4.25 NO=12.58
Tensioni nel cordone: τ_P=0.15 τ_0=1.35 σ_0=6.53 σ_{ID}=6.67 Σ_T=7.88
CC 6 SLD (Collegamento -384_-528)
Azioni sul collegamento: N=137.64 Ty=-1.87 Tz=-49.32 Mx=-0.43 Mz=-2.49
Sollecitazioni agenti localmente: Tx_l=-1.87 Ty_l=-49.32 N_l=137.64 My_l=2.49 Mz_l=-0.43
Azioni sul cordone: TP=0.64 TO=3.97 NO=10.13
Tensioni nel cordone: τ_P=0.20 τ_0=1.26 σ_0=6.85 σ_{ID}=6.97 Σ_T=8.11
CC 6 SLD (Collegamento -384_-528)
Azioni sul collegamento: N=137.64 Ty=-1.54 Tz=-49.32 Mx=-0.35 Mz=-1.97
Sollecitazioni agenti localmente: Tx_l=-1.54 Ty_l=-49.32 N_l=137.64 My_l=1.97 Mz_l=-0.35
Azioni sul cordone: TP=0.52 TO=3.91 NO=10.13
Tensioni nel cordone: τ_P=0.17 τ_0=1.24 σ_0=6.10 σ_{ID}=6.23 Σ_T=7.34
CC 6 SLD (Collegamento -384_-528)
Azioni sul collegamento: N=137.64 Ty=-1.87 Tz=-49.32 Mx=-0.43 Mz=-2.49
Sollecitazioni agenti localmente: Tx_l=-1.87 Ty_l=-49.32 N_l=137.64 My_l=2.49 Mz_l=-0.43
Azioni sul cordone: TP=0.64 TO=3.97 NO=10.13
Tensioni nel cordone: τ_P=0.20 τ_0=1.26 σ_0=6.85 σ_{ID}=6.97 Σ_T=8.11
CC 6 SLD (Collegamento -384_-528)
Azioni sul collegamento: N=137.64 Ty=-1.54 Tz=-49.32 Mx=-0.35 Mz=-1.97
Sollecitazioni agenti localmente: Tx_l=-1.54 Ty_l=-49.32 N_l=137.64 My_l=1.97 Mz_l=-0.35
Azioni sul cordone: TP=0.52 TO=3.91 NO=10.13
Tensioni nel cordone: τ_P=0.17 τ_0=1.24 σ_0=6.10 σ_{ID}=6.23 Σ_T=7.34
CC 6 SLD (Collegamento -384_-528)
Azioni sul collegamento: N=153.99 Ty=-1.87 Tz=-51.85 Mx=-0.43 Mz=-2.49
Sollecitazioni agenti localmente: Tx_l=-1.87 Ty_l=-51.85 N_l=153.99 My_l=2.49 Mz_l=-0.43
Azioni sul cordone: TP=0.64 TO=4.16 NO=11.33
Tensioni nel cordone: τ_P=0.20 τ_0=1.32 σ_0=7.23 σ_{ID}=7.36 Σ_T=8.56
CC 6 SLD (Collegamento -384_-528)
Azioni sul collegamento: N=153.99 Ty=-1.54 Tz=-51.85 Mx=-0.35 Mz=-1.97
Sollecitazioni agenti localmente: Tx_l=-1.54 Ty_l=-51.85 N_l=153.99 My_l=1.97 Mz_l=-0.35
Azioni sul cordone: TP=0.52 TO=4.09 NO=11.33
Tensioni nel cordone: τ_P=0.17 τ_0=1.30 σ_0=6.48 σ_{ID}=6.62 Σ_T=7.79
CC 6 SLD (Collegamento -384_-528)
Azioni sul collegamento: N=153.99 Ty=-1.87 Tz=-51.85 Mx=-0.43 Mz=-2.49
Sollecitazioni agenti localmente: Tx_l=-1.87 Ty_l=-51.85 N_l=153.99 My_l=2.49 Mz_l=-0.43
Azioni sul cordone: TP=0.64 TO=4.16 NO=11.33
Tensioni nel cordone: τ_P=0.20 τ_0=1.32 σ_0=7.23 σ_{ID}=7.36 Σ_T=8.56
CC 6 SLD (Collegamento -384_-528)
Azioni sul collegamento: N=153.99 Ty=-1.54 Tz=-51.85 Mx=-0.35 Mz=-1.97
Sollecitazioni agenti localmente: Tx_l=-1.54 Ty_l=-51.85 N_l=153.99 My_l=1.97 Mz_l=-0.35
Azioni sul cordone: TP=0.52 TO=4.09 NO=11.33
Tensioni nel cordone: τ_P=0.17 τ_0=1.30 σ_0=6.48 σ_{ID}=6.62 Σ_T=7.79
CC 7 SLV (Collegamento -384_-528)
Azioni sul collegamento: N=117.30 Ty=-2.83 Tz=-46.18 Mx=-0.60 Mz=-3.66
Sollecitazioni agenti localmente: Tx_l=-2.83 Ty_l=-46.18 N_l=117.30 My_l=3.66 Mz_l=-0.60
Azioni sul cordone: TP=0.90 TO=3.87 NO=8.63
Tensioni nel cordone: τ_P=0.29 τ_0=1.23 σ_0=8.09 σ_{ID}=8.19 Σ_T=9.33
CC 7 SLV (Collegamento -384_-528)
Azioni sul collegamento: N=117.30 Ty=-1.22 Tz=-46.18 Mx=-0.27 Mz=-1.49
Sollecitazioni agenti localmente: Tx_l=-1.22 Ty_l=-46.18 N_l=117.30 My_l=1.49 Mz_l=-0.27
Azioni sul cordone: TP=0.40 TO=3.61 NO=8.63
Tensioni nel cordone: τ_P=0.13 τ_0=1.15 σ_0=4.91 σ_{ID}=5.05 Σ_T=6.06
CC 7 SLV (Collegamento -384_-528)
Azioni sul collegamento: N=117.30 Ty=-2.83 Tz=-46.18 Mx=-0.60 Mz=-3.66
Sollecitazioni agenti localmente: Tx_l=-2.83 Ty_l=-46.18 N_l=117.30 My_l=3.66 Mz_l=-0.60
Azioni sul cordone: TP=0.90 TO=3.87 NO=8.63
Tensioni nel cordone: τ_P=0.29 τ_0=1.23 σ_0=8.09 σ_{ID}=8.19 Σ_T=9.33
CC 7 SLV (Collegamento -384_-528)
Azioni sul collegamento: N=117.30 Ty=-1.22 Tz=-46.18 Mx=-0.27 Mz=-1.49
Sollecitazioni agenti localmente: Tx_l=-1.22 Ty_l=-46.18 N_l=117.30 My_l=1.49 Mz_l=-0.27
Azioni sul cordone: TP=0.40 TO=3.61 NO=8.63
Tensioni nel cordone: τ_P=0.13 τ_0=1.15 σ_0=4.91 σ_{ID}=5.05 Σ_T=6.06
CC 7 SLV (Collegamento -384_-528)
Azioni sul collegamento: N=171.09 Ty=-2.83 Tz=-54.50 Mx=-0.60 Mz=-3.66
Sollecitazioni agenti localmente: Tx_l=-2.83 Ty_l=-54.50 N_l=171.09 My_l=3.66 Mz_l=-0.60
Azioni sul cordone: TP=0.90 TO=4.49 NO=12.59
Tensioni nel cordone: τ_P=0.29 τ_0=1.43 σ_0=9.35 σ_{ID}=9.46 Σ_T=10.78
CC 7 SLV (Collegamento -384_-528)
Azioni sul collegamento: N=171.09 Ty=-1.22 Tz=-54.50 Mx=-0.27 Mz=-1.49
Sollecitazioni agenti localmente: Tx_l=-1.22 Ty_l=-54.50 N_l=171.09 My_l=1.49 Mz_l=-0.27
Azioni sul cordone: TP=0.40 TO=4.22 NO=12.59

Tensioni nel cordone: τ_P=0.13 τ_0=1.34 σ_0=6.17 σ_{ID}=6.32 Σ_T=7.51
CC 7 SLV (Collegamento -384_-528)
Azioni sul collegamento: N=171.09 Ty=-2.83 Tz=-54.50 Mx=-0.60 Mz=-3.66
Sollecitazioni agenti localmente: Tx_l=-2.83 Ty_l=-54.50 N_l=171.09 My_l=3.66 Mz_l=-0.60
Azioni sul cordone: TP=0.90 TO=4.49 NO=12.59
Tensioni nel cordone: τ_P=0.29 τ_0=1.43 σ_0=9.35 σ_{ID}=9.46 Σ_T=10.78
CC 7 SLV (Collegamento -384_-528)
Azioni sul collegamento: N=171.09 Ty=-1.22 Tz=-54.50 Mx=-0.27 Mz=-1.49
Sollecitazioni agenti localmente: Tx_l=-1.22 Ty_l=-54.50 N_l=171.09 My_l=1.49 Mz_l=-0.27
Azioni sul cordone: TP=0.40 TO=4.22 NO=12.59
Tensioni nel cordone: τ_P=0.13 τ_0=1.34 σ_0=6.17 σ_{ID}=6.32 Σ_T=7.51
CC 8 SLD (Collegamento -384_-528)
Azioni sul collegamento: N=137.61 Ty=-1.95 Tz=-49.32 Mx=-0.44 Mz=-2.56
Sollecitazioni agenti localmente: Tx_l=-1.95 Ty_l=-49.32 N_l=137.61 My_l=2.56 Mz_l=-0.44
Azioni sul cordone: TP=0.65 TO=3.98 NO=10.13
Tensioni nel cordone: τ_P=0.21 τ_0=1.26 σ_0=6.96 σ_{ID}=7.08 Σ_T=8.23
CC 8 SLD (Collegamento -384_-528)
Azioni sul collegamento: N=137.61 Ty=-1.46 Tz=-49.32 Mx=-0.34 Mz=-1.90
Sollecitazioni agenti localmente: Tx_l=-1.46 Ty_l=-49.32 N_l=137.61 My_l=1.90 Mz_l=-0.34
Azioni sul cordone: TP=0.50 TO=3.90 NO=10.13
Tensioni nel cordone: τ_P=0.16 τ_0=1.24 σ_0=5.99 σ_{ID}=6.12 Σ_T=7.23
CC 8 SLD (Collegamento -384_-528)
Azioni sul collegamento: N=137.61 Ty=-1.95 Tz=-49.32 Mx=-0.44 Mz=-2.56
Sollecitazioni agenti localmente: Tx_l=-1.95 Ty_l=-49.32 N_l=137.61 My_l=2.56 Mz_l=-0.44
Azioni sul cordone: TP=0.65 TO=3.98 NO=10.13
Tensioni nel cordone: τ_P=0.21 τ_0=1.26 σ_0=6.96 σ_{ID}=7.08 Σ_T=8.23
CC 8 SLD (Collegamento -384_-528)
Azioni sul collegamento: N=137.61 Ty=-1.46 Tz=-49.32 Mx=-0.34 Mz=-1.90
Sollecitazioni agenti localmente: Tx_l=-1.46 Ty_l=-49.32 N_l=137.61 My_l=1.90 Mz_l=-0.34
Azioni sul cordone: TP=0.50 TO=3.90 NO=10.13
Tensioni nel cordone: τ_P=0.16 τ_0=1.24 σ_0=5.99 σ_{ID}=6.12 Σ_T=7.23
CC 8 SLD (Collegamento -384_-528)
Azioni sul collegamento: N=154.01 Ty=-1.95 Tz=-51.86 Mx=-0.44 Mz=-2.56
Sollecitazioni agenti localmente: Tx_l=-1.95 Ty_l=-51.86 N_l=154.01 My_l=2.56 Mz_l=-0.44
Azioni sul cordone: TP=0.65 TO=4.17 NO=11.33
Tensioni nel cordone: τ_P=0.21 τ_0=1.32 σ_0=7.35 σ_{ID}=7.47 Σ_T=8.67
CC 8 SLD (Collegamento -384_-528)
Azioni sul collegamento: N=154.01 Ty=-1.46 Tz=-51.86 Mx=-0.34 Mz=-1.90
Sollecitazioni agenti localmente: Tx_l=-1.46 Ty_l=-51.86 N_l=154.01 My_l=1.90 Mz_l=-0.34
Azioni sul cordone: TP=0.50 TO=4.08 NO=11.33
Tensioni nel cordone: τ_P=0.16 τ_0=1.30 σ_0=6.38 σ_{ID}=6.51 Σ_T=7.67
CC 8 SLD (Collegamento -384_-528)
Azioni sul collegamento: N=154.01 Ty=-1.95 Tz=-51.86 Mx=-0.44 Mz=-2.56
Sollecitazioni agenti localmente: Tx_l=-1.95 Ty_l=-51.86 N_l=154.01 My_l=2.56 Mz_l=-0.44
Azioni sul cordone: TP=0.65 TO=4.17 NO=11.33
Tensioni nel cordone: τ_P=0.21 τ_0=1.32 σ_0=7.35 σ_{ID}=7.47 Σ_T=8.67
CC 8 SLD (Collegamento -384_-528)
Azioni sul collegamento: N=154.01 Ty=-1.46 Tz=-51.86 Mx=-0.34 Mz=-1.90
Sollecitazioni agenti localmente: Tx_l=-1.46 Ty_l=-51.86 N_l=154.01 My_l=1.90 Mz_l=-0.34
Azioni sul cordone: TP=0.50 TO=4.08 NO=11.33
Tensioni nel cordone: τ_P=0.16 τ_0=1.30 σ_0=6.38 σ_{ID}=6.51 Σ_T=7.67
CC 9 SLV (Collegamento -384_-528)
Azioni sul collegamento: N=152.41 Ty=-1.37 Tz=-51.61 Mx=-0.36 Mz=-1.87
Sollecitazioni agenti localmente: Tx_l=-1.37 Ty_l=-51.61 N_l=152.41 My_l=1.87 Mz_l=-0.36
Azioni sul cordone: TP=0.51 TO=4.08 NO=11.21
Tensioni nel cordone: τ_P=0.16 τ_0=1.30 σ_0=6.30 σ_{ID}=6.43 Σ_T=7.59
CC 9 SLV (Collegamento -384_-528)
Azioni sul collegamento: N=152.41 Ty=-2.68 Tz=-51.61 Mx=-0.57 Mz=-3.27
Sollecitazioni agenti localmente: Tx_l=-2.68 Ty_l=-51.61 N_l=152.41 My_l=3.27 Mz_l=-0.57
Azioni sul cordone: TP=0.86 TO=4.25 NO=11.21
Tensioni nel cordone: τ_P=0.27 τ_0=1.35 σ_0=8.34 σ_{ID}=8.45 Σ_T=9.69
CC 9 SLV (Collegamento -384_-528)
Azioni sul collegamento: N=152.41 Ty=-1.37 Tz=-51.61 Mx=-0.36 Mz=-1.87
Sollecitazioni agenti localmente: Tx_l=-1.37 Ty_l=-51.61 N_l=152.41 My_l=1.87 Mz_l=-0.36
Azioni sul cordone: TP=0.51 TO=4.08 NO=11.21
Tensioni nel cordone: τ_P=0.16 τ_0=1.30 σ_0=6.30 σ_{ID}=6.43 Σ_T=7.59
CC 9 SLV (Collegamento -384_-528)
Azioni sul collegamento: N=152.41 Ty=-2.68 Tz=-51.61 Mx=-0.57 Mz=-3.27
Sollecitazioni agenti localmente: Tx_l=-2.68 Ty_l=-51.61 N_l=152.41 My_l=3.27 Mz_l=-0.57
Azioni sul cordone: TP=0.86 TO=4.25 NO=11.21
Tensioni nel cordone: τ_P=0.27 τ_0=1.35 σ_0=8.34 σ_{ID}=8.45 Σ_T=9.69
CC 9 SLV (Collegamento -384_-528)
Azioni sul collegamento: N=135.99 Ty=-1.37 Tz=-49.07 Mx=-0.36 Mz=-1.87
Sollecitazioni agenti localmente: Tx_l=-1.37 Ty_l=-49.07 N_l=135.99 My_l=1.87 Mz_l=-0.36
Azioni sul cordone: TP=0.51 TO=3.89 NO=10.01
Tensioni nel cordone: τ_P=0.16 τ_0=1.24 σ_0=5.91 σ_{ID}=6.04 Σ_T=7.15
CC 9 SLV (Collegamento -384_-528)
Azioni sul collegamento: N=135.99 Ty=-2.68 Tz=-49.07 Mx=-0.57 Mz=-3.27
Sollecitazioni agenti localmente: Tx_l=-2.68 Ty_l=-49.07 N_l=135.99 My_l=3.27 Mz_l=-0.57

Azioni sul cordone: TP=0.86 TO=4.06 NO=10.01
Tensioni nel cordone: τ_P=0.27 τ_0=1.29 σ_0=7.96 σ_{ID}=8.07 Σ_T=9.25
CC 9 SLV (Collegamento -384_-528)
Azioni sul collegamento: N=135.99 Ty=-1.37 Tz=-49.07 Mx=-0.36 Mz=-1.87
Sollecitazioni agenti localmente: Tx_l=-1.37 Ty_l=-49.07 N_l=135.99 My_l=1.87 Mz_l=-0.36
Azioni sul cordone: TP=0.51 TO=3.89 NO=10.01
Tensioni nel cordone: τ_P=0.16 τ_0=1.24 σ_0=5.91 σ_{ID}=6.04 Σ_T=7.15
CC 9 SLV (Collegamento -384_-528)
Azioni sul collegamento: N=135.99 Ty=-2.68 Tz=-49.07 Mx=-0.57 Mz=-3.27
Sollecitazioni agenti localmente: Tx_l=-2.68 Ty_l=-49.07 N_l=135.99 My_l=3.27 Mz_l=-0.57
Azioni sul cordone: TP=0.86 TO=4.06 NO=10.01
Tensioni nel cordone: τ_P=0.27 τ_0=1.29 σ_0=7.96 σ_{ID}=8.07 Σ_T=9.25
CC 10 SLD (Collegamento -384_-528)
Azioni sul collegamento: N=148.32 Ty=-1.51 Tz=-50.98 Mx=-0.37 Mz=-2.02
Sollecitazioni agenti localmente: Tx_l=-1.51 Ty_l=-50.98 N_l=148.32 My_l=2.02 Mz_l=-0.37
Azioni sul cordone: TP=0.54 TO=4.04 NO=10.91
Tensioni nel cordone: τ_P=0.17 τ_0=1.28 σ_0=6.41 σ_{ID}=6.54 Σ_T=7.70
CC 10 SLD (Collegamento -384_-528)
Azioni sul collegamento: N=148.32 Ty=-1.91 Tz=-50.98 Mx=-0.43 Mz=-2.44
Sollecitazioni agenti localmente: Tx_l=-1.91 Ty_l=-50.98 N_l=148.32 My_l=2.44 Mz_l=-0.43
Azioni sul cordone: TP=0.64 TO=4.09 NO=10.91
Tensioni nel cordone: τ_P=0.20 τ_0=1.30 σ_0=7.04 σ_{ID}=7.16 Σ_T=8.34
CC 10 SLD (Collegamento -384_-528)
Azioni sul collegamento: N=148.32 Ty=-1.51 Tz=-50.98 Mx=-0.37 Mz=-2.02
Sollecitazioni agenti localmente: Tx_l=-1.51 Ty_l=-50.98 N_l=148.32 My_l=2.02 Mz_l=-0.37
Azioni sul cordone: TP=0.54 TO=4.04 NO=10.91
Tensioni nel cordone: τ_P=0.17 τ_0=1.28 σ_0=6.41 σ_{ID}=6.54 Σ_T=7.70
CC 10 SLD (Collegamento -384_-528)
Azioni sul collegamento: N=148.32 Ty=-1.91 Tz=-50.98 Mx=-0.43 Mz=-2.44
Sollecitazioni agenti localmente: Tx_l=-1.91 Ty_l=-50.98 N_l=148.32 My_l=2.44 Mz_l=-0.43
Azioni sul cordone: TP=0.64 TO=4.09 NO=10.91
Tensioni nel cordone: τ_P=0.20 τ_0=1.30 σ_0=7.04 σ_{ID}=7.16 Σ_T=8.34
CC 10 SLD (Collegamento -384_-528)
Azioni sul collegamento: N=143.31 Ty=-1.51 Tz=-50.20 Mx=-0.37 Mz=-2.02
Sollecitazioni agenti localmente: Tx_l=-1.51 Ty_l=-50.20 N_l=143.31 My_l=2.02 Mz_l=-0.37
Azioni sul cordone: TP=0.54 TO=3.98 NO=10.55
Tensioni nel cordone: τ_P=0.17 τ_0=1.27 σ_0=6.30 σ_{ID}=6.42 Σ_T=7.56
CC 10 SLD (Collegamento -384_-528)
Azioni sul collegamento: N=143.31 Ty=-1.91 Tz=-50.20 Mx=-0.43 Mz=-2.44
Sollecitazioni agenti localmente: Tx_l=-1.91 Ty_l=-50.20 N_l=143.31 My_l=2.44 Mz_l=-0.43
Azioni sul cordone: TP=0.64 TO=4.04 NO=10.55
Tensioni nel cordone: τ_P=0.20 τ_0=1.28 σ_0=6.92 σ_{ID}=7.04 Σ_T=8.20
CC 10 SLD (Collegamento -384_-528)
Azioni sul collegamento: N=143.31 Ty=-1.51 Tz=-50.20 Mx=-0.37 Mz=-2.02
Sollecitazioni agenti localmente: Tx_l=-1.51 Ty_l=-50.20 N_l=143.31 My_l=2.02 Mz_l=-0.37
Azioni sul cordone: TP=0.54 TO=3.98 NO=10.55
Tensioni nel cordone: τ_P=0.17 τ_0=1.27 σ_0=6.30 σ_{ID}=6.42 Σ_T=7.56
CC 10 SLD (Collegamento -384_-528)
Azioni sul collegamento: N=143.31 Ty=-1.91 Tz=-50.20 Mx=-0.43 Mz=-2.44
Sollecitazioni agenti localmente: Tx_l=-1.91 Ty_l=-50.20 N_l=143.31 My_l=2.44 Mz_l=-0.43
Azioni sul cordone: TP=0.64 TO=4.04 NO=10.55
Tensioni nel cordone: τ_P=0.20 τ_0=1.28 σ_0=6.92 σ_{ID}=7.04 Σ_T=8.20
CC 11 SLV (Collegamento -384_-528)
Azioni sul collegamento: N=136.30 Ty=-1.77 Tz=-49.12 Mx=-0.44 Mz=-2.45
Sollecitazioni agenti localmente: Tx_l=-1.77 Ty_l=-49.12 N_l=136.30 My_l=2.45 Mz_l=-0.44
Azioni sul cordone: TP=0.63 TO=3.96 NO=10.03
Tensioni nel cordone: τ_P=0.20 τ_0=1.26 σ_0=6.77 σ_{ID}=6.89 Σ_T=8.03
CC 11 SLV (Collegamento -384_-528)
Azioni sul collegamento: N=136.30 Ty=-2.28 Tz=-49.12 Mx=-0.47 Mz=-2.69
Sollecitazioni agenti localmente: Tx_l=-2.28 Ty_l=-49.12 N_l=136.30 My_l=2.69 Mz_l=-0.47
Azioni sul cordone: TP=0.71 TO=3.99 NO=10.03
Tensioni nel cordone: τ_P=0.23 τ_0=1.27 σ_0=7.12 σ_{ID}=7.24 Σ_T=8.39
CC 11 SLV (Collegamento -384_-528)
Azioni sul collegamento: N=136.30 Ty=-1.77 Tz=-49.12 Mx=-0.44 Mz=-2.45
Sollecitazioni agenti localmente: Tx_l=-1.77 Ty_l=-49.12 N_l=136.30 My_l=2.45 Mz_l=-0.44
Azioni sul cordone: TP=0.63 TO=3.96 NO=10.03
Tensioni nel cordone: τ_P=0.20 τ_0=1.26 σ_0=6.77 σ_{ID}=6.89 Σ_T=8.03
CC 11 SLV (Collegamento -384_-528)
Azioni sul collegamento: N=136.30 Ty=-2.28 Tz=-49.12 Mx=-0.47 Mz=-2.69
Sollecitazioni agenti localmente: Tx_l=-2.28 Ty_l=-49.12 N_l=136.30 My_l=2.69 Mz_l=-0.47
Azioni sul cordone: TP=0.71 TO=3.99 NO=10.03
Tensioni nel cordone: τ_P=0.23 τ_0=1.27 σ_0=7.12 σ_{ID}=7.24 Σ_T=8.39
CC 11 SLV (Collegamento -384_-528)
Azioni sul collegamento: N=152.10 Ty=-1.77 Tz=-51.56 Mx=-0.44 Mz=-2.45
Sollecitazioni agenti localmente: Tx_l=-1.77 Ty_l=-51.56 N_l=152.10 My_l=2.45 Mz_l=-0.44
Azioni sul cordone: TP=0.63 TO=4.14 NO=11.19
Tensioni nel cordone: τ_P=0.20 τ_0=1.31 σ_0=7.14 σ_{ID}=7.26 Σ_T=8.45
CC 11 SLV (Collegamento -384_-528)
Azioni sul collegamento: N=152.10 Ty=-2.28 Tz=-51.56 Mx=-0.47 Mz=-2.69

Sollecitazioni agenti localmente: Tx_l=-2.28 Ty_l=-51.56 N_l=152.10 My_l=2.69 Mz_l=-0.47
Azioni sul cordone: TP=0.71 TO=4.17 NO=11.19
Tensioni nel cordone: τ_P=0.23 τ_0=1.32 σ_0=7.49 σ_{ID}=7.61 Σ_T=8.81
CC 11 SLV (Collegamento -384_-528)
Azioni sul collegamento: N=152.10 Ty=-1.77 Tz=-51.56 Mx=-0.44 Mz=-2.45
Sollecitazioni agenti localmente: Tx_l=-1.77 Ty_l=-51.56 N_l=152.10 My_l=2.45 Mz_l=-0.44
Azioni sul cordone: TP=0.63 TO=4.14 NO=11.19
Tensioni nel cordone: τ_P=0.20 τ_0=1.31 σ_0=7.14 σ_{ID}=7.26 Σ_T=8.45
CC 11 SLV (Collegamento -384_-528)
Azioni sul collegamento: N=152.10 Ty=-2.28 Tz=-51.56 Mx=-0.47 Mz=-2.69
Sollecitazioni agenti localmente: Tx_l=-2.28 Ty_l=-51.56 N_l=152.10 My_l=2.69 Mz_l=-0.47
Azioni sul cordone: TP=0.71 TO=4.17 NO=11.19
Tensioni nel cordone: τ_P=0.23 τ_0=1.32 σ_0=7.49 σ_{ID}=7.61 Σ_T=8.81
CC 12 SLD (Collegamento -384_-528)
Azioni sul collegamento: N=143.41 Ty=-1.63 Tz=-50.22 Mx=-0.39 Mz=-2.19
Sollecitazioni agenti localmente: Tx_l=-1.63 Ty_l=-50.22 N_l=143.41 My_l=2.19 Mz_l=-0.39
Azioni sul cordone: TP=0.57 TO=4.00 NO=10.55
Tensioni nel cordone: τ_P=0.18 τ_0=1.27 σ_0=6.56 σ_{ID}=6.68 Σ_T=7.83
CC 12 SLD (Collegamento -384_-528)
Azioni sul collegamento: N=143.41 Ty=-1.78 Tz=-50.22 Mx=-0.40 Mz=-2.27
Sollecitazioni agenti localmente: Tx_l=-1.78 Ty_l=-50.22 N_l=143.41 My_l=2.27 Mz_l=-0.40
Azioni sul cordone: TP=0.60 TO=4.01 NO=10.55
Tensioni nel cordone: τ_P=0.19 τ_0=1.28 σ_0=6.66 σ_{ID}=6.79 Σ_T=7.94
CC 12 SLD (Collegamento -384_-528)
Azioni sul collegamento: N=143.41 Ty=-1.63 Tz=-50.22 Mx=-0.39 Mz=-2.19
Sollecitazioni agenti localmente: Tx_l=-1.63 Ty_l=-50.22 N_l=143.41 My_l=2.19 Mz_l=-0.39
Azioni sul cordone: TP=0.57 TO=4.00 NO=10.55
Tensioni nel cordone: τ_P=0.18 τ_0=1.27 σ_0=6.56 σ_{ID}=6.68 Σ_T=7.83
CC 12 SLD (Collegamento -384_-528)
Azioni sul collegamento: N=143.41 Ty=-1.78 Tz=-50.22 Mx=-0.40 Mz=-2.27
Sollecitazioni agenti localmente: Tx_l=-1.78 Ty_l=-50.22 N_l=143.41 My_l=2.27 Mz_l=-0.40
Azioni sul cordone: TP=0.60 TO=4.01 NO=10.55
Tensioni nel cordone: τ_P=0.19 τ_0=1.28 σ_0=6.66 σ_{ID}=6.79 Σ_T=7.94
CC 12 SLD (Collegamento -384_-528)
Azioni sul collegamento: N=148.22 Ty=-1.63 Tz=-50.96 Mx=-0.39 Mz=-2.19
Sollecitazioni agenti localmente: Tx_l=-1.63 Ty_l=-50.96 N_l=148.22 My_l=2.19 Mz_l=-0.39
Azioni sul cordone: TP=0.57 TO=4.06 NO=10.91
Tensioni nel cordone: τ_P=0.18 τ_0=1.29 σ_0=6.67 σ_{ID}=6.80 Σ_T=7.96
CC 12 SLD (Collegamento -384_-528)
Azioni sul collegamento: N=148.22 Ty=-1.78 Tz=-50.96 Mx=-0.40 Mz=-2.27
Sollecitazioni agenti localmente: Tx_l=-1.78 Ty_l=-50.96 N_l=148.22 My_l=2.27 Mz_l=-0.40
Azioni sul cordone: TP=0.60 TO=4.07 NO=10.91
Tensioni nel cordone: τ_P=0.19 τ_0=1.29 σ_0=6.78 σ_{ID}=6.90 Σ_T=8.07
CC 12 SLD (Collegamento -384_-528)
Azioni sul collegamento: N=148.22 Ty=-1.63 Tz=-50.96 Mx=-0.39 Mz=-2.19
Sollecitazioni agenti localmente: Tx_l=-1.63 Ty_l=-50.96 N_l=148.22 My_l=2.19 Mz_l=-0.39
Azioni sul cordone: TP=0.57 TO=4.06 NO=10.91
Tensioni nel cordone: τ_P=0.18 τ_0=1.29 σ_0=6.67 σ_{ID}=6.80 Σ_T=7.96
CC 12 SLD (Collegamento -384_-528)
Azioni sul collegamento: N=148.22 Ty=-1.78 Tz=-50.96 Mx=-0.40 Mz=-2.27
Sollecitazioni agenti localmente: Tx_l=-1.78 Ty_l=-50.96 N_l=148.22 My_l=2.27 Mz_l=-0.40
Azioni sul cordone: TP=0.60 TO=4.07 NO=10.91
Tensioni nel cordone: τ_P=0.19 τ_0=1.29 σ_0=6.78 σ_{ID}=6.90 Σ_T=8.07
CC 13 SLV (Collegamento -384_-528)
Azioni sul collegamento: N=152.10 Ty=-2.28 Tz=-51.56 Mx=-0.48 Mz=-2.69
Sollecitazioni agenti localmente: Tx_l=-2.28 Ty_l=-51.56 N_l=152.10 My_l=2.69 Mz_l=-0.48
Azioni sul cordone: TP=0.71 TO=4.17 NO=11.19
Tensioni nel cordone: τ_P=0.23 τ_0=1.32 σ_0=7.49 σ_{ID}=7.61 Σ_T=8.81
CC 13 SLV (Collegamento -384_-528)
Azioni sul collegamento: N=152.10 Ty=-1.77 Tz=-51.56 Mx=-0.44 Mz=-2.45
Sollecitazioni agenti localmente: Tx_l=-1.77 Ty_l=-51.56 N_l=152.10 My_l=2.45 Mz_l=-0.44
Azioni sul cordone: TP=0.63 TO=4.14 NO=11.19
Tensioni nel cordone: τ_P=0.20 τ_0=1.32 σ_0=7.14 σ_{ID}=7.26 Σ_T=8.45
CC 13 SLV (Collegamento -384_-528)
Azioni sul collegamento: N=152.10 Ty=-2.28 Tz=-51.56 Mx=-0.48 Mz=-2.69
Sollecitazioni agenti localmente: Tx_l=-2.28 Ty_l=-51.56 N_l=152.10 My_l=2.69 Mz_l=-0.48
Azioni sul cordone: TP=0.71 TO=4.17 NO=11.19
Tensioni nel cordone: τ_P=0.23 τ_0=1.32 σ_0=7.49 σ_{ID}=7.61 Σ_T=8.81
CC 13 SLV (Collegamento -384_-528)
Azioni sul collegamento: N=152.10 Ty=-1.77 Tz=-51.56 Mx=-0.44 Mz=-2.45
Sollecitazioni agenti localmente: Tx_l=-1.77 Ty_l=-51.56 N_l=152.10 My_l=2.45 Mz_l=-0.44
Azioni sul cordone: TP=0.63 TO=4.14 NO=11.19
Tensioni nel cordone: τ_P=0.20 τ_0=1.32 σ_0=7.14 σ_{ID}=7.26 Σ_T=8.45
CC 13 SLV (Collegamento -384_-528)
Azioni sul collegamento: N=136.30 Ty=-2.28 Tz=-49.12 Mx=-0.48 Mz=-2.69
Sollecitazioni agenti localmente: Tx_l=-2.28 Ty_l=-49.12 N_l=136.30 My_l=2.69 Mz_l=-0.48
Azioni sul cordone: TP=0.71 TO=3.99 NO=10.03
Tensioni nel cordone: τ_P=0.23 τ_0=1.27 σ_0=7.12 σ_{ID}=7.24 Σ_T=8.39
CC 13 SLV (Collegamento -384_-528)

Azioni sul collegamento: N=136.30 Ty=-1.77 Tz=-49.12 Mx=-0.44 Mz=-2.45
Sollecitazioni agenti localmente: Tx_l=-1.77 Ty_l=-49.12 N_l=136.30 My_l=2.45 Mz_l=-0.44
Azioni sul cordone: TP=0.63 TO=3.96 NO=10.03
Tensioni nel cordone: τ_P=0.20 τ_0=1.26 σ_0=6.77 σ_{ID}=6.89 Σ_T=8.03
CC 13 SLV (Collegamento -384_-528)
Azioni sul collegamento: N=136.30 Ty=-2.28 Tz=-49.12 Mx=-0.48 Mz=-2.69
Sollecitazioni agenti localmente: Tx_l=-2.28 Ty_l=-49.12 N_l=136.30 My_l=2.69 Mz_l=-0.48
Azioni sul cordone: TP=0.71 TO=3.99 NO=10.03
Tensioni nel cordone: τ_P=0.23 τ_0=1.27 σ_0=7.12 σ_{ID}=7.24 Σ_T=8.39
CC 13 SLV (Collegamento -384_-528)
Azioni sul collegamento: N=136.30 Ty=-1.77 Tz=-49.12 Mx=-0.44 Mz=-2.45
Sollecitazioni agenti localmente: Tx_l=-1.77 Ty_l=-49.12 N_l=136.30 My_l=2.45 Mz_l=-0.44
Azioni sul cordone: TP=0.63 TO=3.96 NO=10.03
Tensioni nel cordone: τ_P=0.20 τ_0=1.26 σ_0=6.77 σ_{ID}=6.89 Σ_T=8.03
CC 14 SLD (Collegamento -384_-528)
Azioni sul collegamento: N=148.22 Ty=-1.78 Tz=-50.96 Mx=-0.40 Mz=-2.27
Sollecitazioni agenti localmente: Tx_l=-1.78 Ty_l=-50.96 N_l=148.22 My_l=2.27 Mz_l=-0.40
Azioni sul cordone: TP=0.60 TO=4.07 NO=10.91
Tensioni nel cordone: τ_P=0.19 τ_0=1.29 σ_0=6.78 σ_{ID}=6.90 Σ_T=8.07
CC 14 SLD (Collegamento -384_-528)
Azioni sul collegamento: N=148.22 Ty=-1.63 Tz=-50.96 Mx=-0.39 Mz=-2.19
Sollecitazioni agenti localmente: Tx_l=-1.63 Ty_l=-50.96 N_l=148.22 My_l=2.19 Mz_l=-0.39
Azioni sul cordone: TP=0.57 TO=4.06 NO=10.91
Tensioni nel cordone: τ_P=0.18 τ_0=1.29 σ_0=6.67 σ_{ID}=6.80 Σ_T=7.96
CC 14 SLD (Collegamento -384_-528)
Azioni sul collegamento: N=148.22 Ty=-1.78 Tz=-50.96 Mx=-0.40 Mz=-2.27
Sollecitazioni agenti localmente: Tx_l=-1.78 Ty_l=-50.96 N_l=148.22 My_l=2.27 Mz_l=-0.40
Azioni sul cordone: TP=0.60 TO=4.07 NO=10.91
Tensioni nel cordone: τ_P=0.19 τ_0=1.29 σ_0=6.78 σ_{ID}=6.90 Σ_T=8.07
CC 14 SLD (Collegamento -384_-528)
Azioni sul collegamento: N=148.22 Ty=-1.63 Tz=-50.96 Mx=-0.39 Mz=-2.19
Sollecitazioni agenti localmente: Tx_l=-1.63 Ty_l=-50.96 N_l=148.22 My_l=2.19 Mz_l=-0.39
Azioni sul cordone: TP=0.57 TO=4.06 NO=10.91
Tensioni nel cordone: τ_P=0.18 τ_0=1.29 σ_0=6.67 σ_{ID}=6.80 Σ_T=7.96
CC 14 SLD (Collegamento -384_-528)
Azioni sul collegamento: N=143.41 Ty=-1.78 Tz=-50.22 Mx=-0.40 Mz=-2.27
Sollecitazioni agenti localmente: Tx_l=-1.78 Ty_l=-50.22 N_l=143.41 My_l=2.27 Mz_l=-0.40
Azioni sul cordone: TP=0.60 TO=4.01 NO=10.55
Tensioni nel cordone: τ_P=0.19 τ_0=1.28 σ_0=6.66 σ_{ID}=6.79 Σ_T=7.94
CC 14 SLD (Collegamento -384_-528)
Azioni sul collegamento: N=143.41 Ty=-1.63 Tz=-50.22 Mx=-0.39 Mz=-2.19
Sollecitazioni agenti localmente: Tx_l=-1.63 Ty_l=-50.22 N_l=143.41 My_l=2.19 Mz_l=-0.39
Azioni sul cordone: TP=0.57 TO=4.00 NO=10.55
Tensioni nel cordone: τ_P=0.18 τ_0=1.27 σ_0=6.56 σ_{ID}=6.68 Σ_T=7.83
CC 14 SLD (Collegamento -384_-528)
Azioni sul collegamento: N=143.41 Ty=-1.78 Tz=-50.22 Mx=-0.40 Mz=-2.27
Sollecitazioni agenti localmente: Tx_l=-1.78 Ty_l=-50.22 N_l=143.41 My_l=2.27 Mz_l=-0.40
Azioni sul cordone: TP=0.60 TO=4.01 NO=10.55
Tensioni nel cordone: τ_P=0.19 τ_0=1.28 σ_0=6.66 σ_{ID}=6.79 Σ_T=7.94
CC 14 SLD (Collegamento -384_-528)
Azioni sul collegamento: N=143.41 Ty=-1.63 Tz=-50.22 Mx=-0.39 Mz=-2.19
Sollecitazioni agenti localmente: Tx_l=-1.63 Ty_l=-50.22 N_l=143.41 My_l=2.19 Mz_l=-0.39
Azioni sul cordone: TP=0.57 TO=4.00 NO=10.55
Tensioni nel cordone: τ_P=0.18 τ_0=1.27 σ_0=6.56 σ_{ID}=6.68 Σ_T=7.83
CC 15 SLV (Collegamento -384_-528)
Azioni sul collegamento: N=135.99 Ty=-2.68 Tz=-49.07 Mx=-0.55 Mz=-3.27
Sollecitazioni agenti localmente: Tx_l=-2.68 Ty_l=-49.07 N_l=135.99 My_l=3.27 Mz_l=-0.55
Azioni sul cordone: TP=0.84 TO=4.05 NO=10.01
Tensioni nel cordone: τ_P=0.27 τ_0=1.29 σ_0=7.96 σ_{ID}=8.07 Σ_T=9.25
CC 15 SLV (Collegamento -384_-528)
Azioni sul collegamento: N=135.99 Ty=-1.37 Tz=-49.07 Mx=-0.34 Mz=-1.87
Sollecitazioni agenti localmente: Tx_l=-1.37 Ty_l=-49.07 N_l=135.99 My_l=1.87 Mz_l=-0.34
Azioni sul cordone: TP=0.49 TO=3.88 NO=10.01
Tensioni nel cordone: τ_P=0.16 τ_0=1.23 σ_0=5.92 σ_{ID}=6.05 Σ_T=7.15
CC 15 SLV (Collegamento -384_-528)
Azioni sul collegamento: N=135.99 Ty=-2.68 Tz=-49.07 Mx=-0.55 Mz=-3.27
Sollecitazioni agenti localmente: Tx_l=-2.68 Ty_l=-49.07 N_l=135.99 My_l=3.27 Mz_l=-0.55
Azioni sul cordone: TP=0.84 TO=4.05 NO=10.01
Tensioni nel cordone: τ_P=0.27 τ_0=1.29 σ_0=7.96 σ_{ID}=8.07 Σ_T=9.25
CC 15 SLV (Collegamento -384_-528)
Azioni sul collegamento: N=135.99 Ty=-1.37 Tz=-49.07 Mx=-0.34 Mz=-1.87
Sollecitazioni agenti localmente: Tx_l=-1.37 Ty_l=-49.07 N_l=135.99 My_l=1.87 Mz_l=-0.34
Azioni sul cordone: TP=0.49 TO=3.88 NO=10.01
Tensioni nel cordone: τ_P=0.16 τ_0=1.23 σ_0=5.92 σ_{ID}=6.05 Σ_T=7.15
CC 15 SLV (Collegamento -384_-528)
Azioni sul collegamento: N=152.41 Ty=-2.68 Tz=-51.61 Mx=-0.55 Mz=-3.27
Sollecitazioni agenti localmente: Tx_l=-2.68 Ty_l=-51.61 N_l=152.41 My_l=3.27 Mz_l=-0.55
Azioni sul cordone: TP=0.84 TO=4.23 NO=11.21
Tensioni nel cordone: τ_P=0.27 τ_0=1.35 σ_0=8.35 σ_{ID}=8.46 Σ_T=9.69

CC 15 SLV (Collegamento -384_-528)
Azioni sul collegamento: N=152.41 Ty=-1.37 Tz=-51.61 Mx=-0.34 Mz=-1.87
Sollecitazioni agenti localmente: Tx_l=-1.37 Ty_l=-51.61 N_l=152.41 My_l=1.87 Mz_l=-0.34
Azioni sul cordone: TP=0.49 TO=4.06 NO=11.21
Tensioni nel cordone: τ_P=0.16 τ_0=1.29 σ_0=6.30 σ_{ID}=6.43 Σ_T=7.59
CC 15 SLV (Collegamento -384_-528)
Azioni sul collegamento: N=152.41 Ty=-2.68 Tz=-51.61 Mx=-0.55 Mz=-3.27
Sollecitazioni agenti localmente: Tx_l=-2.68 Ty_l=-51.61 N_l=152.41 My_l=3.27 Mz_l=-0.55
Azioni sul cordone: TP=0.84 TO=4.23 NO=11.21
Tensioni nel cordone: τ_P=0.27 τ_0=1.35 σ_0=8.35 σ_{ID}=8.46 Σ_T=9.69
CC 15 SLV (Collegamento -384_-528)
Azioni sul collegamento: N=152.41 Ty=-1.37 Tz=-51.61 Mx=-0.34 Mz=-1.87
Sollecitazioni agenti localmente: Tx_l=-1.37 Ty_l=-51.61 N_l=152.41 My_l=1.87 Mz_l=-0.34
Azioni sul cordone: TP=0.49 TO=4.06 NO=11.21
Tensioni nel cordone: τ_P=0.16 τ_0=1.29 σ_0=6.30 σ_{ID}=6.43 Σ_T=7.59
CC 16 SLD (Collegamento -384_-528)
Azioni sul collegamento: N=143.31 Ty=-1.91 Tz=-50.20 Mx=-0.43 Mz=-2.44
Sollecitazioni agenti localmente: Tx_l=-1.91 Ty_l=-50.20 N_l=143.31 My_l=2.44 Mz_l=-0.43
Azioni sul cordone: TP=0.63 TO=4.03 NO=10.55
Tensioni nel cordone: τ_P=0.20 τ_0=1.28 σ_0=6.92 σ_{ID}=7.04 Σ_T=8.20
CC 16 SLD (Collegamento -384_-528)
Azioni sul collegamento: N=143.31 Ty=-1.51 Tz=-50.20 Mx=-0.36 Mz=-2.02
Sollecitazioni agenti localmente: Tx_l=-1.51 Ty_l=-50.20 N_l=143.31 My_l=2.02 Mz_l=-0.36
Azioni sul cordone: TP=0.53 TO=3.98 NO=10.55
Tensioni nel cordone: τ_P=0.17 τ_0=1.26 σ_0=6.30 σ_{ID}=6.43 Σ_T=7.56
CC 16 SLD (Collegamento -384_-528)
Azioni sul collegamento: N=143.31 Ty=-1.91 Tz=-50.20 Mx=-0.43 Mz=-2.44
Sollecitazioni agenti localmente: Tx_l=-1.91 Ty_l=-50.20 N_l=143.31 My_l=2.44 Mz_l=-0.43
Azioni sul cordone: TP=0.63 TO=4.03 NO=10.55
Tensioni nel cordone: τ_P=0.20 τ_0=1.28 σ_0=6.92 σ_{ID}=7.04 Σ_T=8.20
CC 16 SLD (Collegamento -384_-528)
Azioni sul collegamento: N=143.31 Ty=-1.51 Tz=-50.20 Mx=-0.36 Mz=-2.02
Sollecitazioni agenti localmente: Tx_l=-1.51 Ty_l=-50.20 N_l=143.31 My_l=2.02 Mz_l=-0.36
Azioni sul cordone: TP=0.53 TO=3.98 NO=10.55
Tensioni nel cordone: τ_P=0.17 τ_0=1.26 σ_0=6.30 σ_{ID}=6.43 Σ_T=7.56
CC 16 SLD (Collegamento -384_-528)
Azioni sul collegamento: N=148.32 Ty=-1.91 Tz=-50.98 Mx=-0.43 Mz=-2.44
Sollecitazioni agenti localmente: Tx_l=-1.91 Ty_l=-50.98 N_l=148.32 My_l=2.44 Mz_l=-0.43
Azioni sul cordone: TP=0.63 TO=4.09 NO=10.91
Tensioni nel cordone: τ_P=0.20 τ_0=1.30 σ_0=7.04 σ_{ID}=7.16 Σ_T=8.34
CC 16 SLD (Collegamento -384_-528)
Azioni sul collegamento: N=148.32 Ty=-1.51 Tz=-50.98 Mx=-0.36 Mz=-2.02
Sollecitazioni agenti localmente: Tx_l=-1.51 Ty_l=-50.98 N_l=148.32 My_l=2.02 Mz_l=-0.36
Azioni sul cordone: TP=0.53 TO=4.04 NO=10.91
Tensioni nel cordone: τ_P=0.17 τ_0=1.28 σ_0=6.41 σ_{ID}=6.54 Σ_T=7.70
CC 16 SLD (Collegamento -384_-528)
Azioni sul collegamento: N=148.32 Ty=-1.91 Tz=-50.98 Mx=-0.43 Mz=-2.44
Sollecitazioni agenti localmente: Tx_l=-1.91 Ty_l=-50.98 N_l=148.32 My_l=2.44 Mz_l=-0.43
Azioni sul cordone: TP=0.63 TO=4.09 NO=10.91
Tensioni nel cordone: τ_P=0.20 τ_0=1.30 σ_0=7.04 σ_{ID}=7.16 Σ_T=8.34
CC 16 SLD (Collegamento -384_-528)
Azioni sul collegamento: N=148.32 Ty=-1.51 Tz=-50.98 Mx=-0.36 Mz=-2.02
Sollecitazioni agenti localmente: Tx_l=-1.51 Ty_l=-50.98 N_l=148.32 My_l=2.02 Mz_l=-0.36
Azioni sul cordone: TP=0.53 TO=4.04 NO=10.91
Tensioni nel cordone: τ_P=0.17 τ_0=1.28 σ_0=6.41 σ_{ID}=6.54 Σ_T=7.70
CC 17 SLV (Collegamento -384_-528)
Azioni sul collegamento: N=175.74 Ty=-0.30 Tz=-55.22 Mx=-0.14 Mz=-0.50
Sollecitazioni agenti localmente: Tx_l=-0.30 Ty_l=-55.22 N_l=175.74 My_l=0.50 Mz_l=-0.14
Azioni sul cordone: TP=0.19 TO=4.18 NO=12.93
Tensioni nel cordone: τ_P= 0.06 τ_0=1.33 σ_0=4.84 σ_{ID}=5.02 Σ_T=6.16
CC 17 SLV (Collegamento -384_-528)
Azioni sul collegamento: N=175.74 Ty=-1.91 Tz=-55.22 Mx=-0.48 Mz=-2.67
Sollecitazioni agenti localmente: Tx_l=-1.91 Ty_l=-55.22 N_l=175.74 My_l=2.67 Mz_l=-0.48
Azioni sul cordone: TP=0.69 TO=4.44 NO=12.93
Tensioni nel cordone: τ_P=0.22 τ_0=1.41 σ_0=8.02 σ_{ID}=8.14 Σ_T=9.43
CC 17 SLV (Collegamento -384_-528)
Azioni sul collegamento: N=175.74 Ty=-0.30 Tz=-55.22 Mx=-0.14 Mz=-0.50
Sollecitazioni agenti localmente: Tx_l=-0.30 Ty_l=-55.22 N_l=175.74 My_l=0.50 Mz_l=-0.14
Azioni sul cordone: TP=0.19 TO=4.18 NO=12.93
Tensioni nel cordone: τ_P= 0.06 τ_0=1.33 σ_0=4.84 σ_{ID}=5.02 Σ_T=6.16
CC 17 SLV (Collegamento -384_-528)
Azioni sul collegamento: N=175.74 Ty=-1.91 Tz=-55.22 Mx=-0.48 Mz=-2.67
Sollecitazioni agenti localmente: Tx_l=-1.91 Ty_l=-55.22 N_l=175.74 My_l=2.67 Mz_l=-0.48
Azioni sul cordone: TP=0.69 TO=4.44 NO=12.93
Tensioni nel cordone: τ_P=0.22 τ_0=1.41 σ_0=8.02 σ_{ID}=8.14 Σ_T=9.43
CC 17 SLV (Collegamento -384_-528)
Azioni sul collegamento: N=121.95 Ty=-0.30 Tz=-46.90 Mx=-0.14 Mz=-0.50
Sollecitazioni agenti localmente: Tx_l=-0.30 Ty_l=-46.90 N_l=121.95 My_l=0.50 Mz_l=-0.14
Azioni sul cordone: TP=0.19 TO=3.56 NO=8.97

Tensioni nel cordone: τ_P= 0.06 τ_0=1.13 σ_0=3.58 σ_{ID}=3.75 Σ_T=4.71
CC 17 SLV (Collegamento -384_-528)
Azioni sul collegamento: N=121.95 Ty=-1.91 Tz=-46.90 Mx=-0.48 Mz=-2.67
Sollecitazioni agenti localmente: Tx_l=-1.91 Ty_l=-46.90 N_l=121.95 My_l=2.67 Mz_l=-0.48
Azioni sul cordone: TP=0.69 TO=3.83 NO=8.97
Tensioni nel cordone: τ_P=0.22 τ_0=1.22 σ_0=6.76 σ_{ID}=6.87 Σ_T=7.97
CC 17 SLV (Collegamento -384_-528)
Azioni sul collegamento: N=121.95 Ty=-0.30 Tz=-46.90 Mx=-0.14 Mz=-0.50
Sollecitazioni agenti localmente: Tx_l=-0.30 Ty_l=-46.90 N_l=121.95 My_l=0.50 Mz_l=-0.14
Azioni sul cordone: TP=0.19 TO=3.56 NO=8.97
Tensioni nel cordone: τ_P= 0.06 τ_0=1.13 σ_0=3.58 σ_{ID}=3.75 Σ_T=4.71
CC 17 SLV (Collegamento -384_-528)
Azioni sul collegamento: N=121.95 Ty=-1.91 Tz=-46.90 Mx=-0.48 Mz=-2.67
Sollecitazioni agenti localmente: Tx_l=-1.91 Ty_l=-46.90 N_l=121.95 My_l=2.67 Mz_l=-0.48
Azioni sul cordone: TP=0.69 TO=3.83 NO=8.97
Tensioni nel cordone: τ_P=0.22 τ_0=1.22 σ_0=6.76 σ_{ID}=6.87 Σ_T=7.97
CC 18 SLD (Collegamento -384_-528)
Azioni sul collegamento: N=155.43 Ty=-1.18 Tz=-52.08 Mx=-0.30 Mz=-1.60
Sollecitazioni agenti localmente: Tx_l=-1.18 Ty_l=-52.08 N_l=155.43 My_l=1.60 Mz_l=-0.30
Azioni sul cordone: TP=0.44 TO=4.07 NO=11.44
Tensioni nel cordone: τ_P=0.14 τ_0=1.29 σ_0=5.97 σ_{ID}=6.11 Σ_T=7.26
CC 18 SLD (Collegamento -384_-528)
Azioni sul collegamento: N=155.43 Ty=-1.67 Tz=-52.08 Mx=-0.41 Mz=-2.26
Sollecitazioni agenti localmente: Tx_l=-1.67 Ty_l=-52.08 N_l=155.43 My_l=2.26 Mz_l=-0.41
Azioni sul cordone: TP=0.59 TO=4.15 NO=11.44
Tensioni nel cordone: τ_P=0.19 τ_0=1.32 σ_0=6.94 σ_{ID}=7.06 Σ_T=8.26
CC 18 SLD (Collegamento -384_-528)
Azioni sul collegamento: N=155.43 Ty=-1.18 Tz=-52.08 Mx=-0.30 Mz=-1.60
Sollecitazioni agenti localmente: Tx_l=-1.18 Ty_l=-52.08 N_l=155.43 My_l=1.60 Mz_l=-0.30
Azioni sul cordone: TP=0.44 TO=4.07 NO=11.44
Tensioni nel cordone: τ_P=0.14 τ_0=1.29 σ_0=5.97 σ_{ID}=6.11 Σ_T=7.26
CC 18 SLD (Collegamento -384_-528)
Azioni sul collegamento: N=155.43 Ty=-1.67 Tz=-52.08 Mx=-0.41 Mz=-2.26
Sollecitazioni agenti localmente: Tx_l=-1.67 Ty_l=-52.08 N_l=155.43 My_l=2.26 Mz_l=-0.41
Azioni sul cordone: TP=0.59 TO=4.15 NO=11.44
Tensioni nel cordone: τ_P=0.19 τ_0=1.32 σ_0=6.94 σ_{ID}=7.06 Σ_T=8.26
CC 18 SLD (Collegamento -384_-528)
Azioni sul collegamento: N=139.03 Ty=-1.18 Tz=-49.54 Mx=-0.30 Mz=-1.60
Sollecitazioni agenti localmente: Tx_l=-1.18 Ty_l=-49.54 N_l=139.03 My_l=1.60 Mz_l=-0.30
Azioni sul cordone: TP=0.44 TO=3.88 NO=10.23
Tensioni nel cordone: τ_P=0.14 τ_0=1.23 σ_0=5.58 σ_{ID}=5.72 Σ_T=6.82
CC 18 SLD (Collegamento -384_-528)
Azioni sul collegamento: N=139.03 Ty=-1.67 Tz=-49.54 Mx=-0.41 Mz=-2.26
Sollecitazioni agenti localmente: Tx_l=-1.67 Ty_l=-49.54 N_l=139.03 My_l=2.26 Mz_l=-0.41
Azioni sul cordone: TP=0.59 TO=3.97 NO=10.23
Tensioni nel cordone: τ_P=0.19 τ_0=1.26 σ_0=6.55 σ_{ID}=6.68 Σ_T=7.81
CC 18 SLD (Collegamento -384_-528)
Azioni sul collegamento: N=139.03 Ty=-1.18 Tz=-49.54 Mx=-0.30 Mz=-1.60
Sollecitazioni agenti localmente: Tx_l=-1.18 Ty_l=-49.54 N_l=139.03 My_l=1.60 Mz_l=-0.30
Azioni sul cordone: TP=0.44 TO=3.88 NO=10.23
Tensioni nel cordone: τ_P=0.14 τ_0=1.23 σ_0=5.58 σ_{ID}=5.72 Σ_T=6.82
CC 18 SLD (Collegamento -384_-528)
Azioni sul collegamento: N=139.03 Ty=-1.67 Tz=-49.54 Mx=-0.41 Mz=-2.26
Sollecitazioni agenti localmente: Tx_l=-1.67 Ty_l=-49.54 N_l=139.03 My_l=2.26 Mz_l=-0.41
Azioni sul cordone: TP=0.59 TO=3.97 NO=10.23
Tensioni nel cordone: τ_P=0.19 τ_0=1.26 σ_0=6.55 σ_{ID}=6.68 Σ_T=7.81
CC 19 SLV (Collegamento -384_-528)
Azioni sul collegamento: N=175.65 Ty=-0.58 Tz=-55.21 Mx=-0.18 Mz=-0.74
Sollecitazioni agenti localmente: Tx_l=-0.58 Ty_l=-55.21 N_l=175.65 My_l=0.74 Mz_l=-0.18
Azioni sul cordone: TP=0.25 TO=4.20 NO=12.92
Tensioni nel cordone: τ_P= 0.08 τ_0=1.34 σ_0=5.19 σ_{ID}=5.36 Σ_T=6.53
CC 19 SLV (Collegamento -384_-528)
Azioni sul collegamento: N=175.65 Ty=-1.64 Tz=-55.21 Mx=-0.44 Mz=-2.43
Sollecitazioni agenti localmente: Tx_l=-1.64 Ty_l=-55.21 N_l=175.65 My_l=2.43 Mz_l=-0.44
Azioni sul cordone: TP=0.63 TO=4.41 NO=12.92
Tensioni nel cordone: τ_P=0.20 τ_0=1.40 σ_0=7.65 σ_{ID}=7.78 Σ_T=9.06
CC 19 SLV (Collegamento -384_-528)
Azioni sul collegamento: N=175.65 Ty=-0.58 Tz=-55.21 Mx=-0.18 Mz=-0.74
Sollecitazioni agenti localmente: Tx_l=-0.58 Ty_l=-55.21 N_l=175.65 My_l=0.74 Mz_l=-0.18
Azioni sul cordone: TP=0.25 TO=4.20 NO=12.92
Tensioni nel cordone: τ_P= 0.08 τ_0=1.34 σ_0=5.19 σ_{ID}=5.36 Σ_T=6.53
CC 19 SLV (Collegamento -384_-528)
Azioni sul collegamento: N=175.65 Ty=-1.64 Tz=-55.21 Mx=-0.44 Mz=-2.43
Sollecitazioni agenti localmente: Tx_l=-1.64 Ty_l=-55.21 N_l=175.65 My_l=2.43 Mz_l=-0.44
Azioni sul cordone: TP=0.63 TO=4.41 NO=12.92
Tensioni nel cordone: τ_P=0.20 τ_0=1.40 σ_0=7.65 σ_{ID}=7.78 Σ_T=9.06
CC 19 SLV (Collegamento -384_-528)
Azioni sul collegamento: N=122.04 Ty=-0.58 Tz=-46.91 Mx=-0.18 Mz=-0.74
Sollecitazioni agenti localmente: Tx_l=-0.58 Ty_l=-46.91 N_l=122.04 My_l=0.74 Mz_l=-0.18

Azioni sul cordone: TP=0.25 TO=3.59 NO=8.98
Tensioni nel cordone: τ_P= 0.08 τ_0=1.14 σ_0=3.94 σ_{ID}=4.10 Σ_T=5.08
CC 19 SLV (Collegamento -384_-528)
Azioni sul collegamento: N=122.04 Ty=-1.64 Tz=-46.91 Mx=-0.44 Mz=-2.43
Sollecitazioni agenti localmente: Tx_l=-1.64 Ty_l=-46.91 N_l=122.04 My_l=2.43 Mz_l=-0.44
Azioni sul cordone: TP=0.63 TO=3.80 NO=8.98
Tensioni nel cordone: τ_P=0.20 τ_0=1.21 σ_0=6.40 σ_{ID}=6.52 Σ_T=7.61
CC 19 SLV (Collegamento -384_-528)
Azioni sul collegamento: N=122.04 Ty=-0.58 Tz=-46.91 Mx=-0.18 Mz=-0.74
Sollecitazioni agenti localmente: Tx_l=-0.58 Ty_l=-46.91 N_l=122.04 My_l=0.74 Mz_l=-0.18
Azioni sul cordone: TP=0.25 TO=3.59 NO=8.98
Tensioni nel cordone: τ_P= 0.08 τ_0=1.14 σ_0=3.94 σ_{ID}=4.10 Σ_T=5.08
CC 19 SLV (Collegamento -384_-528)
Azioni sul collegamento: N=122.04 Ty=-1.64 Tz=-46.91 Mx=-0.44 Mz=-2.43
Sollecitazioni agenti localmente: Tx_l=-1.64 Ty_l=-46.91 N_l=122.04 My_l=2.43 Mz_l=-0.44
Azioni sul cordone: TP=0.63 TO=3.80 NO=8.98
Tensioni nel cordone: τ_P=0.20 τ_0=1.21 σ_0=6.40 σ_{ID}=6.52 Σ_T=7.61
CC 20 SLD (Collegamento -384_-528)
Azioni sul collegamento: N=155.40 Ty=-1.26 Tz=-52.07 Mx=-0.31 Mz=-1.67
Sollecitazioni agenti localmente: Tx_l=-1.26 Ty_l=-52.07 N_l=155.40 My_l=1.67 Mz_l=-0.31
Azioni sul cordone: TP=0.45 TO=4.08 NO=11.44
Tensioni nel cordone: τ_P=0.14 τ_0=1.30 σ_0=6.08 σ_{ID}=6.22 Σ_T=7.37
CC 20 SLD (Collegamento -384_-528)
Azioni sul collegamento: N=155.40 Ty=-1.59 Tz=-52.07 Mx=-0.39 Mz=-2.19
Sollecitazioni agenti localmente: Tx_l=-1.59 Ty_l=-52.07 N_l=155.40 My_l=2.19 Mz_l=-0.39
Azioni sul cordone: TP=0.57 TO=4.14 NO=11.44
Tensioni nel cordone: τ_P=0.18 τ_0=1.32 σ_0=6.83 σ_{ID}=6.96 Σ_T=8.14
CC 20 SLD (Collegamento -384_-528)
Azioni sul collegamento: N=155.40 Ty=-1.26 Tz=-52.07 Mx=-0.31 Mz=-1.67
Sollecitazioni agenti localmente: Tx_l=-1.26 Ty_l=-52.07 N_l=155.40 My_l=1.67 Mz_l=-0.31
Azioni sul cordone: TP=0.45 TO=4.08 NO=11.44
Tensioni nel cordone: τ_P=0.14 τ_0=1.30 σ_0=6.08 σ_{ID}=6.22 Σ_T=7.37
CC 20 SLD (Collegamento -384_-528)
Azioni sul collegamento: N=155.40 Ty=-1.59 Tz=-52.07 Mx=-0.39 Mz=-2.19
Sollecitazioni agenti localmente: Tx_l=-1.59 Ty_l=-52.07 N_l=155.40 My_l=2.19 Mz_l=-0.39
Azioni sul cordone: TP=0.57 TO=4.14 NO=11.44
Tensioni nel cordone: τ_P=0.18 τ_0=1.32 σ_0=6.83 σ_{ID}=6.96 Σ_T=8.14
CC 20 SLD (Collegamento -384_-528)
Azioni sul collegamento: N=139.06 Ty=-1.26 Tz=-49.54 Mx=-0.31 Mz=-1.67
Sollecitazioni agenti localmente: Tx_l=-1.26 Ty_l=-49.54 N_l=139.06 My_l=1.67 Mz_l=-0.31
Azioni sul cordone: TP=0.45 TO=3.89 NO=10.23
Tensioni nel cordone: τ_P=0.14 τ_0=1.24 σ_0=5.70 σ_{ID}=5.83 Σ_T=6.93
CC 20 SLD (Collegamento -384_-528)
Azioni sul collegamento: N=139.06 Ty=-1.59 Tz=-49.54 Mx=-0.39 Mz=-2.19
Sollecitazioni agenti localmente: Tx_l=-1.59 Ty_l=-49.54 N_l=139.06 My_l=2.19 Mz_l=-0.39
Azioni sul cordone: TP=0.57 TO=3.96 NO=10.23
Tensioni nel cordone: τ_P=0.18 τ_0=1.26 σ_0=6.45 σ_{ID}=6.57 Σ_T=7.70
CC 20 SLD (Collegamento -384_-528)
Azioni sul collegamento: N=139.06 Ty=-1.26 Tz=-49.54 Mx=-0.31 Mz=-1.67
Sollecitazioni agenti localmente: Tx_l=-1.26 Ty_l=-49.54 N_l=139.06 My_l=1.67 Mz_l=-0.31
Azioni sul cordone: TP=0.45 TO=3.89 NO=10.23
Tensioni nel cordone: τ_P=0.14 τ_0=1.24 σ_0=5.70 σ_{ID}=5.83 Σ_T=6.93
CC 20 SLD (Collegamento -384_-528)
Azioni sul collegamento: N=139.06 Ty=-1.59 Tz=-49.54 Mx=-0.39 Mz=-2.19
Sollecitazioni agenti localmente: Tx_l=-1.59 Ty_l=-49.54 N_l=139.06 My_l=2.19 Mz_l=-0.39
Azioni sul cordone: TP=0.57 TO=3.96 NO=10.23
Tensioni nel cordone: τ_P=0.18 τ_0=1.26 σ_0=6.45 σ_{ID}=6.57 Σ_T=7.70
CC 21 SLV (Collegamento -384_-528)
Azioni sul collegamento: N=122.04 Ty=-1.64 Tz=-46.91 Mx=-0.41 Mz=-2.43
Sollecitazioni agenti localmente: Tx_l=-1.64 Ty_l=-46.91 N_l=122.04 My_l=2.43 Mz_l=-0.41
Azioni sul cordone: TP=0.59 TO=3.77 NO=8.98
Tensioni nel cordone: τ_P=0.19 τ_0=1.20 σ_0=6.41 σ_{ID}=6.52 Σ_T=7.61
CC 21 SLV (Collegamento -384_-528)
Azioni sul collegamento: N=122.04 Ty=-0.58 Tz=-46.91 Mx=-0.15 Mz=-0.75
Sollecitazioni agenti localmente: Tx_l=-0.58 Ty_l=-46.91 N_l=122.04 My_l=0.75 Mz_l=-0.15
Azioni sul cordone: TP=0.21 TO=3.57 NO=8.98
Tensioni nel cordone: τ_P= 0.07 τ_0=1.13 σ_0=3.95 σ_{ID}=4.11 Σ_T=5.08
CC 21 SLV (Collegamento -384_-528)
Azioni sul collegamento: N=122.04 Ty=-1.64 Tz=-46.91 Mx=-0.41 Mz=-2.43
Sollecitazioni agenti localmente: Tx_l=-1.64 Ty_l=-46.91 N_l=122.04 My_l=2.43 Mz_l=-0.41
Azioni sul cordone: TP=0.59 TO=3.77 NO=8.98
Tensioni nel cordone: τ_P=0.19 τ_0=1.20 σ_0=6.41 σ_{ID}=6.52 Σ_T=7.61
CC 21 SLV (Collegamento -384_-528)
Azioni sul collegamento: N=122.04 Ty=-0.58 Tz=-46.91 Mx=-0.15 Mz=-0.75
Sollecitazioni agenti localmente: Tx_l=-0.58 Ty_l=-46.91 N_l=122.04 My_l=0.75 Mz_l=-0.15
Azioni sul cordone: TP=0.21 TO=3.57 NO=8.98
Tensioni nel cordone: τ_P= 0.07 τ_0=1.13 σ_0=3.95 σ_{ID}=4.11 Σ_T=5.08
CC 21 SLV (Collegamento -384_-528)
Azioni sul collegamento: N=175.65 Ty=-1.64 Tz=-55.21 Mx=-0.41 Mz=-2.43

Sollecitazioni agenti localmente: Tx_l=-1.64 Ty_l=-55.21 N_l=175.65 My_l=2.43 Mz_l=-0.41
Azioni sul cordone: TP=0.59 TO=4.38 NO=12.92
Tensioni nel cordone: τ_P=0.19 τ_0=1.39 σ_0=7.66 σ_{ID}=7.79 Σ_T=9.05
CC 21 SLV (Collegamento -384_-528)
Azioni sul collegamento: N=175.65 Ty=-0.58 Tz=-55.21 Mx=-0.15 Mz=-0.75
Sollecitazioni agenti localmente: Tx_l=-0.58 Ty_l=-55.21 N_l=175.65 My_l=0.75 Mz_l=-0.15
Azioni sul cordone: TP=0.21 TO=4.18 NO=12.92
Tensioni nel cordone: τ_P= 0.07 τ_0=1.33 σ_0=5.20 σ_{ID}=5.37 Σ_T=6.53
CC 21 SLV (Collegamento -384_-528)
Azioni sul collegamento: N=175.65 Ty=-1.64 Tz=-55.21 Mx=-0.41 Mz=-2.43
Sollecitazioni agenti localmente: Tx_l=-1.64 Ty_l=-55.21 N_l=175.65 My_l=2.43 Mz_l=-0.41
Azioni sul cordone: TP=0.59 TO=4.38 NO=12.92
Tensioni nel cordone: τ_P=0.19 τ_0=1.39 σ_0=7.66 σ_{ID}=7.79 Σ_T=9.05
CC 21 SLV (Collegamento -384_-528)
Azioni sul collegamento: N=175.65 Ty=-0.58 Tz=-55.21 Mx=-0.15 Mz=-0.75
Sollecitazioni agenti localmente: Tx_l=-0.58 Ty_l=-55.21 N_l=175.65 My_l=0.75 Mz_l=-0.15
Azioni sul cordone: TP=0.21 TO=4.18 NO=12.92
Tensioni nel cordone: τ_P= 0.07 τ_0=1.33 σ_0=5.20 σ_{ID}=5.37 Σ_T=6.53
CC 22 SLD (Collegamento -384_-528)
Azioni sul collegamento: N=139.06 Ty=-1.59 Tz=-49.54 Mx=-0.38 Mz=-2.19
Sollecitazioni agenti localmente: Tx_l=-1.59 Ty_l=-49.54 N_l=139.06 My_l=2.19 Mz_l=-0.38
Azioni sul cordone: TP=0.56 TO=3.95 NO=10.23
Tensioni nel cordone: τ_P=0.18 τ_0=1.25 σ_0=6.45 σ_{ID}=6.57 Σ_T=7.70
CC 22 SLD (Collegamento -384_-528)
Azioni sul collegamento: N=139.06 Ty=-1.26 Tz=-49.54 Mx=-0.30 Mz=-1.67
Sollecitazioni agenti localmente: Tx_l=-1.26 Ty_l=-49.54 N_l=139.06 My_l=1.67 Mz_l=-0.30
Azioni sul cordone: TP=0.44 TO=3.89 NO=10.23
Tensioni nel cordone: τ_P=0.14 τ_0=1.23 σ_0=5.70 σ_{ID}=5.83 Σ_T=6.93
CC 22 SLD (Collegamento -384_-528)
Azioni sul collegamento: N=139.06 Ty=-1.59 Tz=-49.54 Mx=-0.38 Mz=-2.19
Sollecitazioni agenti localmente: Tx_l=-1.59 Ty_l=-49.54 N_l=139.06 My_l=2.19 Mz_l=-0.38
Azioni sul cordone: TP=0.56 TO=3.95 NO=10.23
Tensioni nel cordone: τ_P=0.18 τ_0=1.25 σ_0=6.45 σ_{ID}=6.57 Σ_T=7.70
CC 22 SLD (Collegamento -384_-528)
Azioni sul collegamento: N=139.06 Ty=-1.26 Tz=-49.54 Mx=-0.30 Mz=-1.67
Sollecitazioni agenti localmente: Tx_l=-1.26 Ty_l=-49.54 N_l=139.06 My_l=1.67 Mz_l=-0.30
Azioni sul cordone: TP=0.44 TO=3.89 NO=10.23
Tensioni nel cordone: τ_P=0.14 τ_0=1.23 σ_0=5.70 σ_{ID}=5.83 Σ_T=6.93
CC 22 SLD (Collegamento -384_-528)
Azioni sul collegamento: N=155.40 Ty=-1.59 Tz=-52.07 Mx=-0.38 Mz=-2.19
Sollecitazioni agenti localmente: Tx_l=-1.59 Ty_l=-52.07 N_l=155.40 My_l=2.19 Mz_l=-0.38
Azioni sul cordone: TP=0.56 TO=4.13 NO=11.44
Tensioni nel cordone: τ_P=0.18 τ_0=1.31 σ_0=6.83 σ_{ID}=6.96 Σ_T=8.14
CC 22 SLD (Collegamento -384_-528)
Azioni sul collegamento: N=155.40 Ty=-1.26 Tz=-52.07 Mx=-0.30 Mz=-1.67
Sollecitazioni agenti localmente: Tx_l=-1.26 Ty_l=-52.07 N_l=155.40 My_l=1.67 Mz_l=-0.30
Azioni sul cordone: TP=0.44 TO=4.07 NO=11.44
Tensioni nel cordone: τ_P=0.14 τ_0=1.29 σ_0=6.08 σ_{ID}=6.22 Σ_T=7.37
CC 22 SLD (Collegamento -384_-528)
Azioni sul collegamento: N=155.40 Ty=-1.59 Tz=-52.07 Mx=-0.38 Mz=-2.19
Sollecitazioni agenti localmente: Tx_l=-1.59 Ty_l=-52.07 N_l=155.40 My_l=2.19 Mz_l=-0.38
Azioni sul cordone: TP=0.56 TO=4.13 NO=11.44
Tensioni nel cordone: τ_P=0.18 τ_0=1.31 σ_0=6.83 σ_{ID}=6.96 Σ_T=8.14
CC 22 SLD (Collegamento -384_-528)
Azioni sul collegamento: N=155.40 Ty=-1.26 Tz=-52.07 Mx=-0.30 Mz=-1.67
Sollecitazioni agenti localmente: Tx_l=-1.26 Ty_l=-52.07 N_l=155.40 My_l=1.67 Mz_l=-0.30
Azioni sul cordone: TP=0.44 TO=4.07 NO=11.44
Tensioni nel cordone: τ_P=0.14 τ_0=1.29 σ_0=6.08 σ_{ID}=6.22 Σ_T=7.37
CC 23 SLV (Collegamento -384_-528)
Azioni sul collegamento: N=121.95 Ty=-1.91 Tz=-46.90 Mx=-0.44 Mz=-2.68
Sollecitazioni agenti localmente: Tx_l=-1.91 Ty_l=-46.90 N_l=121.95 My_l=2.68 Mz_l=-0.44
Azioni sul cordone: TP=0.65 TO=3.80 NO=8.97
Tensioni nel cordone: τ_P=0.21 τ_0=1.21 σ_0=6.77 σ_{ID}=6.88 Σ_T=7.97
CC 23 SLV (Collegamento -384_-528)
Azioni sul collegamento: N=121.95 Ty=-0.30 Tz=-46.90 Mx=-0.10 Mz=-0.50
Sollecitazioni agenti localmente: Tx_l=-0.30 Ty_l=-46.90 N_l=121.95 My_l=0.50 Mz_l=-0.10
Azioni sul cordone: TP=0.14 TO=3.53 NO=8.97
Tensioni nel cordone: τ_P= 0.05 τ_0=1.12 σ_0=3.59 σ_{ID}=3.76 Σ_T=4.71
CC 23 SLV (Collegamento -384_-528)
Azioni sul collegamento: N=121.95 Ty=-1.91 Tz=-46.90 Mx=-0.44 Mz=-2.68
Sollecitazioni agenti localmente: Tx_l=-1.91 Ty_l=-46.90 N_l=121.95 My_l=2.68 Mz_l=-0.44
Azioni sul cordone: TP=0.65 TO=3.80 NO=8.97
Tensioni nel cordone: τ_P=0.21 τ_0=1.21 σ_0=6.77 σ_{ID}=6.88 Σ_T=7.97
CC 23 SLV (Collegamento -384_-528)
Azioni sul collegamento: N=121.95 Ty=-0.30 Tz=-46.90 Mx=-0.10 Mz=-0.50
Sollecitazioni agenti localmente: Tx_l=-0.30 Ty_l=-46.90 N_l=121.95 My_l=0.50 Mz_l=-0.10
Azioni sul cordone: TP=0.14 TO=3.53 NO=8.97
Tensioni nel cordone: τ_P= 0.05 τ_0=1.12 σ_0=3.59 σ_{ID}=3.76 Σ_T=4.71
CC 23 SLV (Collegamento -384_-528)

Azioni sul collegamento: N=175.74 Ty=-1.91 Tz=-55.22 Mx=-0.44 Mz=-2.68
Sollecitazioni agenti localmente: Tx_l=-1.91 Ty_l=-55.22 N_l=175.74 My_l=2.68 Mz_l=-0.44
Azioni sul cordone: TP=0.65 TO=4.41 NO=12.93
Tensioni nel cordone: τ_P=0.21 τ_0=1.40 σ_0=8.02 σ_{ID}=8.15 Σ_T=9.43
CC 23 SLV (Collegamento -384_-528)
Azioni sul collegamento: N=175.74 Ty=-0.30 Tz=-55.22 Mx=-0.10 Mz=-0.50
Sollecitazioni agenti localmente: Tx_l=-0.30 Ty_l=-55.22 N_l=175.74 My_l=0.50 Mz_l=-0.10
Azioni sul cordone: TP=0.14 TO=4.15 NO=12.93
Tensioni nel cordone: τ_P= 0.05 τ_0=1.32 σ_0=4.84 σ_{ID}=5.02 Σ_T=6.16
CC 23 SLV (Collegamento -384_-528)
Azioni sul collegamento: N=175.74 Ty=-1.91 Tz=-55.22 Mx=-0.44 Mz=-2.68
Sollecitazioni agenti localmente: Tx_l=-1.91 Ty_l=-55.22 N_l=175.74 My_l=2.68 Mz_l=-0.44
Azioni sul cordone: TP=0.65 TO=4.41 NO=12.93
Tensioni nel cordone: τ_P=0.21 τ_0=1.40 σ_0=8.02 σ_{ID}=8.15 Σ_T=9.43
CC 23 SLV (Collegamento -384_-528)
Azioni sul collegamento: N=175.74 Ty=-0.30 Tz=-55.22 Mx=-0.10 Mz=-0.50
Sollecitazioni agenti localmente: Tx_l=-0.30 Ty_l=-55.22 N_l=175.74 My_l=0.50 Mz_l=-0.10
Azioni sul cordone: TP=0.14 TO=4.15 NO=12.93
Tensioni nel cordone: τ_P= 0.05 τ_0=1.32 σ_0=4.84 σ_{ID}=5.02 Σ_T=6.16
CC 24 SLD (Collegamento -384_-528)
Azioni sul collegamento: N=139.03 Ty=-1.67 Tz=-49.54 Mx=-0.39 Mz=-2.26
Sollecitazioni agenti localmente: Tx_l=-1.67 Ty_l=-49.54 N_l=139.03 My_l=2.26 Mz_l=-0.39
Azioni sul cordone: TP=0.58 TO=3.96 NO=10.23
Tensioni nel cordone: τ_P=0.18 τ_0=1.26 σ_0=6.56 σ_{ID}=6.68 Σ_T=7.81
CC 24 SLD (Collegamento -384_-528)
Azioni sul collegamento: N=139.03 Ty=-1.18 Tz=-49.54 Mx=-0.29 Mz=-1.60
Sollecitazioni agenti localmente: Tx_l=-1.18 Ty_l=-49.54 N_l=139.03 My_l=1.60 Mz_l=-0.29
Azioni sul cordone: TP=0.42 TO=3.88 NO=10.23
Tensioni nel cordone: τ_P=0.13 τ_0=1.23 σ_0=5.59 σ_{ID}=5.72 Σ_T=6.82
CC 24 SLD (Collegamento -384_-528)
Azioni sul collegamento: N=139.03 Ty=-1.67 Tz=-49.54 Mx=-0.39 Mz=-2.26
Sollecitazioni agenti localmente: Tx_l=-1.67 Ty_l=-49.54 N_l=139.03 My_l=2.26 Mz_l=-0.39
Azioni sul cordone: TP=0.58 TO=3.96 NO=10.23
Tensioni nel cordone: τ_P=0.18 τ_0=1.26 σ_0=6.56 σ_{ID}=6.68 Σ_T=7.81
CC 24 SLD (Collegamento -384_-528)
Azioni sul collegamento: N=139.03 Ty=-1.18 Tz=-49.54 Mx=-0.29 Mz=-1.60
Sollecitazioni agenti localmente: Tx_l=-1.18 Ty_l=-49.54 N_l=139.03 My_l=1.60 Mz_l=-0.29
Azioni sul cordone: TP=0.42 TO=3.88 NO=10.23
Tensioni nel cordone: τ_P=0.13 τ_0=1.23 σ_0=5.59 σ_{ID}=5.72 Σ_T=6.82
CC 24 SLD (Collegamento -384_-528)
Azioni sul collegamento: N=155.43 Ty=-1.67 Tz=-52.08 Mx=-0.39 Mz=-2.26
Sollecitazioni agenti localmente: Tx_l=-1.67 Ty_l=-52.08 N_l=155.43 My_l=2.26 Mz_l=-0.39
Azioni sul cordone: TP=0.58 TO=4.14 NO=11.44
Tensioni nel cordone: τ_P=0.18 τ_0=1.32 σ_0=6.94 σ_{ID}=7.07 Σ_T=8.26
CC 24 SLD (Collegamento -384_-528)
Azioni sul collegamento: N=155.43 Ty=-1.18 Tz=-52.08 Mx=-0.29 Mz=-1.60
Sollecitazioni agenti localmente: Tx_l=-1.18 Ty_l=-52.08 N_l=155.43 My_l=1.60 Mz_l=-0.29
Azioni sul cordone: TP=0.42 TO=4.06 NO=11.44
Tensioni nel cordone: τ_P=0.13 τ_0=1.29 σ_0=5.97 σ_{ID}=6.11 Σ_T=7.26
CC 24 SLD (Collegamento -384_-528)
Azioni sul collegamento: N=155.43 Ty=-1.67 Tz=-52.08 Mx=-0.39 Mz=-2.26
Sollecitazioni agenti localmente: Tx_l=-1.67 Ty_l=-52.08 N_l=155.43 My_l=2.26 Mz_l=-0.39
Azioni sul cordone: TP=0.58 TO=4.14 NO=11.44
Tensioni nel cordone: τ_P=0.18 τ_0=1.32 σ_0=6.94 σ_{ID}=7.07 Σ_T=8.26
CC 24 SLD (Collegamento -384_-528)
Azioni sul collegamento: N=155.43 Ty=-1.18 Tz=-52.08 Mx=-0.29 Mz=-1.60
Sollecitazioni agenti localmente: Tx_l=-1.18 Ty_l=-52.08 N_l=155.43 My_l=1.60 Mz_l=-0.29
Azioni sul cordone: TP=0.42 TO=4.06 NO=11.44
Tensioni nel cordone: τ_P=0.13 τ_0=1.29 σ_0=5.97 σ_{ID}=6.11 Σ_T=7.26
CC 25 SLV (Collegamento -384_-528)
Azioni sul collegamento: N=157.06 Ty=-0.45 Tz=-52.33 Mx=-0.19 Mz=-0.89
Sollecitazioni agenti localmente: Tx_l=-0.45 Ty_l=-52.33 N_l=157.06 My_l=0.89 Mz_l=-0.19
Azioni sul cordone: TP=0.26 TO=4.00 NO=11.56
Tensioni nel cordone: τ_P= 0.08 τ_0=1.27 σ_0=4.97 σ_{ID}=5.13 Σ_T=6.24
CC 25 SLV (Collegamento -384_-528)
Azioni sul collegamento: N=157.06 Ty=-1.76 Tz=-52.33 Mx=-0.41 Mz=-2.29
Sollecitazioni agenti localmente: Tx_l=-1.76 Ty_l=-52.33 N_l=157.06 My_l=2.29 Mz_l=-0.41
Azioni sul cordone: TP=0.60 TO=4.17 NO=11.56
Tensioni nel cordone: τ_P=0.19 τ_0=1.33 σ_0=7.01 σ_{ID}=7.14 Σ_T=8.34
CC 25 SLV (Collegamento -384_-528)
Azioni sul collegamento: N=157.06 Ty=-0.45 Tz=-52.33 Mx=-0.19 Mz=-0.89
Sollecitazioni agenti localmente: Tx_l=-0.45 Ty_l=-52.33 N_l=157.06 My_l=0.89 Mz_l=-0.19
Azioni sul cordone: TP=0.26 TO=4.00 NO=11.56
Tensioni nel cordone: τ_P= 0.08 τ_0=1.27 σ_0=4.97 σ_{ID}=5.13 Σ_T=6.24
CC 25 SLV (Collegamento -384_-528)
Azioni sul collegamento: N=157.06 Ty=-1.76 Tz=-52.33 Mx=-0.41 Mz=-2.29
Sollecitazioni agenti localmente: Tx_l=-1.76 Ty_l=-52.33 N_l=157.06 My_l=2.29 Mz_l=-0.41
Azioni sul cordone: TP=0.60 TO=4.17 NO=11.56
Tensioni nel cordone: τ_P=0.19 τ_0=1.33 σ_0=7.01 σ_{ID}=7.14 Σ_T=8.34

CC 25 SLV (Collegamento -384_-528)
Azioni sul collegamento: N=140.63 Ty=-0.45 Tz=-49.79 Mx=-0.19 Mz=-0.89
Sollecitazioni agenti localmente: Tx_l=-0.45 Ty_l=-49.79 N_l=140.63 My_l=0.89 Mz_l=-0.19
Azioni sul cordone: TP=0.26 TO=3.82 NO=10.35
Tensioni nel cordone: τ_P= 0.08 τ_0=1.21 σ_0=4.58 σ_{ID}=4.74 Σ_T=5.80
CC 25 SLV (Collegamento -384_-528)
Azioni sul collegamento: N=140.63 Ty=-1.76 Tz=-49.79 Mx=-0.41 Mz=-2.29
Sollecitazioni agenti localmente: Tx_l=-1.76 Ty_l=-49.79 N_l=140.63 My_l=2.29 Mz_l=-0.41
Azioni sul cordone: TP=0.60 TO=3.99 NO=10.35
Tensioni nel cordone: τ_P=0.19 τ_0=1.27 σ_0=6.63 σ_{ID}=6.75 Σ_T=7.90
CC 25 SLV (Collegamento -384_-528)
Azioni sul collegamento: N=140.63 Ty=-0.45 Tz=-49.79 Mx=-0.19 Mz=-0.89
Sollecitazioni agenti localmente: Tx_l=-0.45 Ty_l=-49.79 N_l=140.63 My_l=0.89 Mz_l=-0.19
Azioni sul cordone: TP=0.26 TO=3.82 NO=10.35
Tensioni nel cordone: τ_P= 0.08 τ_0=1.21 σ_0=4.58 σ_{ID}=4.74 Σ_T=5.80
CC 25 SLV (Collegamento -384_-528)
Azioni sul collegamento: N=140.63 Ty=-1.76 Tz=-49.79 Mx=-0.41 Mz=-2.29
Sollecitazioni agenti localmente: Tx_l=-1.76 Ty_l=-49.79 N_l=140.63 My_l=2.29 Mz_l=-0.41
Azioni sul cordone: TP=0.60 TO=3.99 NO=10.35
Tensioni nel cordone: τ_P=0.19 τ_0=1.27 σ_0=6.63 σ_{ID}=6.75 Σ_T=7.90
CC 26 SLD (Collegamento -384_-528)
Azioni sul collegamento: N=149.73 Ty=-1.23 Tz=-51.20 Mx=-0.32 Mz=-1.72
Sollecitazioni agenti localmente: Tx_l=-1.23 Ty_l=-51.20 N_l=149.73 My_l=1.72 Mz_l=-0.32
Azioni sul cordone: TP=0.46 TO=4.02 NO=11.02
Tensioni nel cordone: τ_P=0.15 τ_0=1.28 σ_0=6.01 σ_{ID}=6.14 Σ_T=7.29
CC 26 SLD (Collegamento -384_-528)
Azioni sul collegamento: N=149.73 Ty=-1.63 Tz=-51.20 Mx=-0.38 Mz=-2.14
Sollecitazioni agenti localmente: Tx_l=-1.63 Ty_l=-51.20 N_l=149.73 My_l=2.14 Mz_l=-0.38
Azioni sul cordone: TP=0.56 TO=4.07 NO=11.02
Tensioni nel cordone: τ_P=0.18 τ_0=1.29 σ_0=6.63 σ_{ID}=6.76 Σ_T=7.93
CC 26 SLD (Collegamento -384_-528)
Azioni sul collegamento: N=149.73 Ty=-1.23 Tz=-51.20 Mx=-0.32 Mz=-1.72
Sollecitazioni agenti localmente: Tx_l=-1.23 Ty_l=-51.20 N_l=149.73 My_l=1.72 Mz_l=-0.32
Azioni sul cordone: TP=0.46 TO=4.02 NO=11.02
Tensioni nel cordone: τ_P=0.15 τ_0=1.28 σ_0=6.01 σ_{ID}=6.14 Σ_T=7.29
CC 26 SLD (Collegamento -384_-528)
Azioni sul collegamento: N=149.73 Ty=-1.63 Tz=-51.20 Mx=-0.38 Mz=-2.14
Sollecitazioni agenti localmente: Tx_l=-1.63 Ty_l=-51.20 N_l=149.73 My_l=2.14 Mz_l=-0.38
Azioni sul cordone: TP=0.56 TO=4.07 NO=11.02
Tensioni nel cordone: τ_P=0.18 τ_0=1.29 σ_0=6.63 σ_{ID}=6.76 Σ_T=7.93
CC 26 SLD (Collegamento -384_-528)
Azioni sul collegamento: N=144.73 Ty=-1.23 Tz=-50.42 Mx=-0.32 Mz=-1.72
Sollecitazioni agenti localmente: Tx_l=-1.23 Ty_l=-50.42 N_l=144.73 My_l=1.72 Mz_l=-0.32
Azioni sul cordone: TP=0.46 TO=3.96 NO=10.65
Tensioni nel cordone: τ_P=0.15 τ_0=1.26 σ_0=5.89 σ_{ID}=6.03 Σ_T=7.15
CC 26 SLD (Collegamento -384_-528)
Azioni sul collegamento: N=144.73 Ty=-1.63 Tz=-50.42 Mx=-0.38 Mz=-2.14
Sollecitazioni agenti localmente: Tx_l=-1.63 Ty_l=-50.42 N_l=144.73 My_l=2.14 Mz_l=-0.38
Azioni sul cordone: TP=0.56 TO=4.01 NO=10.65
Tensioni nel cordone: τ_P=0.18 τ_0=1.28 σ_0=6.52 σ_{ID}=6.64 Σ_T=7.79
CC 26 SLD (Collegamento -384_-528)
Azioni sul collegamento: N=144.73 Ty=-1.23 Tz=-50.42 Mx=-0.32 Mz=-1.72
Sollecitazioni agenti localmente: Tx_l=-1.23 Ty_l=-50.42 N_l=144.73 My_l=1.72 Mz_l=-0.32
Azioni sul cordone: TP=0.46 TO=3.96 NO=10.65
Tensioni nel cordone: τ_P=0.15 τ_0=1.26 σ_0=5.89 σ_{ID}=6.03 Σ_T=7.15
CC 26 SLD (Collegamento -384_-528)
Azioni sul collegamento: N=144.73 Ty=-1.63 Tz=-50.42 Mx=-0.38 Mz=-2.14
Sollecitazioni agenti localmente: Tx_l=-1.63 Ty_l=-50.42 N_l=144.73 My_l=2.14 Mz_l=-0.38
Azioni sul cordone: TP=0.56 TO=4.01 NO=10.65
Tensioni nel cordone: τ_P=0.18 τ_0=1.28 σ_0=6.52 σ_{ID}=6.64 Σ_T=7.79
CC 27 SLV (Collegamento -384_-528)
Azioni sul collegamento: N=140.95 Ty=-0.85 Tz=-49.84 Mx=-0.27 Mz=-1.47
Sollecitazioni agenti localmente: Tx_l=-0.85 Ty_l=-49.84 N_l=140.95 My_l=1.47 Mz_l=-0.27
Azioni sul cordone: TP=0.38 TO=3.88 NO=10.37
Tensioni nel cordone: τ_P=0.12 τ_0=1.23 σ_0=5.44 σ_{ID}=5.58 Σ_T=6.67
CC 27 SLV (Collegamento -384_-528)
Azioni sul collegamento: N=140.95 Ty=-1.36 Tz=-49.84 Mx=-0.31 Mz=-1.71
Sollecitazioni agenti localmente: Tx_l=-1.36 Ty_l=-49.84 N_l=140.95 My_l=1.71 Mz_l=-0.31
Azioni sul cordone: TP=0.46 TO=3.91 NO=10.37
Tensioni nel cordone: τ_P=0.15 τ_0=1.24 σ_0=5.79 σ_{ID}=5.93 Σ_T=7.04
CC 27 SLV (Collegamento -384_-528)
Azioni sul collegamento: N=140.95 Ty=-0.85 Tz=-49.84 Mx=-0.27 Mz=-1.47
Sollecitazioni agenti localmente: Tx_l=-0.85 Ty_l=-49.84 N_l=140.95 My_l=1.47 Mz_l=-0.27
Azioni sul cordone: TP=0.38 TO=3.88 NO=10.37
Tensioni nel cordone: τ_P=0.12 τ_0=1.23 σ_0=5.44 σ_{ID}=5.58 Σ_T=6.67
CC 27 SLV (Collegamento -384_-528)
Azioni sul collegamento: N=140.95 Ty=-1.36 Tz=-49.84 Mx=-0.31 Mz=-1.71
Sollecitazioni agenti localmente: Tx_l=-1.36 Ty_l=-49.84 N_l=140.95 My_l=1.71 Mz_l=-0.31
Azioni sul cordone: TP=0.46 TO=3.91 NO=10.37

Tensioni nel cordone: τ_P=0.15 τ_0=1.24 σ_0=5.79 σ_{ID}=5.93 Σ_T=7.04
CC 27 SLV (Collegamento -384_-528)
Azioni sul collegamento: N=156.74 Ty=-0.85 Tz=-52.28 Mx=-0.27 Mz=-1.47
Sollecitazioni agenti localmente: Tx_l=-0.85 Ty_l=-52.28 N_l=156.74 My_l=1.47 Mz_l=-0.27
Azioni sul cordone: TP=0.38 TO=4.06 NO=11.53
Tensioni nel cordone: τ_P=0.12 τ_0=1.29 σ_0=5.81 σ_{ID}=5.95 Σ_T=7.10
CC 27 SLV (Collegamento -384_-528)
Azioni sul collegamento: N=156.74 Ty=-1.36 Tz=-52.28 Mx=-0.31 Mz=-1.71
Sollecitazioni agenti localmente: Tx_l=-1.36 Ty_l=-52.28 N_l=156.74 My_l=1.71 Mz_l=-0.31
Azioni sul cordone: TP=0.46 TO=4.09 NO=11.53
Tensioni nel cordone: τ_P=0.15 τ_0=1.30 σ_0=6.16 σ_{ID}=6.30 Σ_T=7.46
CC 27 SLV (Collegamento -384_-528)
Azioni sul collegamento: N=156.74 Ty=-0.85 Tz=-52.28 Mx=-0.27 Mz=-1.47
Sollecitazioni agenti localmente: Tx_l=-0.85 Ty_l=-52.28 N_l=156.74 My_l=1.47 Mz_l=-0.27
Azioni sul cordone: TP=0.38 TO=4.06 NO=11.53
Tensioni nel cordone: τ_P=0.12 τ_0=1.29 σ_0=5.81 σ_{ID}=5.95 Σ_T=7.10
CC 27 SLV (Collegamento -384_-528)
Azioni sul collegamento: N=156.74 Ty=-1.36 Tz=-52.28 Mx=-0.31 Mz=-1.71
Sollecitazioni agenti localmente: Tx_l=-1.36 Ty_l=-52.28 N_l=156.74 My_l=1.71 Mz_l=-0.31
Azioni sul cordone: TP=0.46 TO=4.09 NO=11.53
Tensioni nel cordone: τ_P=0.15 τ_0=1.30 σ_0=6.16 σ_{ID}=6.30 Σ_T=7.46
CC 28 SLD (Collegamento -384_-528)
Azioni sul collegamento: N=144.82 Ty=-1.35 Tz=-50.44 Mx=-0.34 Mz=-1.89
Sollecitazioni agenti localmente: Tx_l=-1.35 Ty_l=-50.44 N_l=144.82 My_l=1.89 Mz_l=-0.34
Azioni sul cordone: TP=0.49 TO=3.98 NO=10.66
Tensioni nel cordone: τ_P=0.16 τ_0=1.27 σ_0=6.15 σ_{ID}=6.28 Σ_T=7.42
CC 28 SLD (Collegamento -384_-528)
Azioni sul collegamento: N=144.82 Ty=-1.50 Tz=-50.44 Mx=-0.35 Mz=-1.97
Sollecitazioni agenti localmente: Tx_l=-1.50 Ty_l=-50.44 N_l=144.82 My_l=1.97 Mz_l=-0.35
Azioni sul cordone: TP=0.52 TO=3.99 NO=10.66
Tensioni nel cordone: τ_P=0.16 τ_0=1.27 σ_0=6.26 σ_{ID}=6.39 Σ_T=7.53
CC 28 SLD (Collegamento -384_-528)
Azioni sul collegamento: N=144.82 Ty=-1.35 Tz=-50.44 Mx=-0.34 Mz=-1.89
Sollecitazioni agenti localmente: Tx_l=-1.35 Ty_l=-50.44 N_l=144.82 My_l=1.89 Mz_l=-0.34
Azioni sul cordone: TP=0.49 TO=3.98 NO=10.66
Tensioni nel cordone: τ_P=0.16 τ_0=1.27 σ_0=6.15 σ_{ID}=6.28 Σ_T=7.42
CC 28 SLD (Collegamento -384_-528)
Azioni sul collegamento: N=144.82 Ty=-1.50 Tz=-50.44 Mx=-0.35 Mz=-1.97
Sollecitazioni agenti localmente: Tx_l=-1.50 Ty_l=-50.44 N_l=144.82 My_l=1.97 Mz_l=-0.35
Azioni sul cordone: TP=0.52 TO=3.99 NO=10.66
Tensioni nel cordone: τ_P=0.16 τ_0=1.27 σ_0=6.26 σ_{ID}=6.39 Σ_T=7.53
CC 28 SLD (Collegamento -384_-528)
Azioni sul collegamento: N=149.64 Ty=-1.35 Tz=-51.18 Mx=-0.34 Mz=-1.89
Sollecitazioni agenti localmente: Tx_l=-1.35 Ty_l=-51.18 N_l=149.64 My_l=1.89 Mz_l=-0.34
Azioni sul cordone: TP=0.49 TO=4.04 NO=11.01
Tensioni nel cordone: τ_P=0.16 τ_0=1.28 σ_0=6.27 σ_{ID}=6.40 Σ_T=7.55
CC 28 SLD (Collegamento -384_-528)
Azioni sul collegamento: N=149.64 Ty=-1.50 Tz=-51.18 Mx=-0.35 Mz=-1.97
Sollecitazioni agenti localmente: Tx_l=-1.50 Ty_l=-51.18 N_l=149.64 My_l=1.97 Mz_l=-0.35
Azioni sul cordone: TP=0.52 TO=4.05 NO=11.01
Tensioni nel cordone: τ_P=0.16 τ_0=1.29 σ_0=6.37 σ_{ID}=6.50 Σ_T=7.66
CC 28 SLD (Collegamento -384_-528)
Azioni sul collegamento: N=149.64 Ty=-1.35 Tz=-51.18 Mx=-0.34 Mz=-1.89
Sollecitazioni agenti localmente: Tx_l=-1.35 Ty_l=-51.18 N_l=149.64 My_l=1.89 Mz_l=-0.34
Azioni sul cordone: TP=0.49 TO=4.04 NO=11.01
Tensioni nel cordone: τ_P=0.16 τ_0=1.28 σ_0=6.27 σ_{ID}=6.40 Σ_T=7.55
CC 28 SLD (Collegamento -384_-528)
Azioni sul collegamento: N=149.64 Ty=-1.50 Tz=-51.18 Mx=-0.35 Mz=-1.97
Sollecitazioni agenti localmente: Tx_l=-1.50 Ty_l=-51.18 N_l=149.64 My_l=1.97 Mz_l=-0.35
Azioni sul cordone: TP=0.52 TO=4.05 NO=11.01
Tensioni nel cordone: τ_P=0.16 τ_0=1.29 σ_0=6.37 σ_{ID}=6.50 Σ_T=7.66
CC 29 SLV (Collegamento -384_-528)
Azioni sul collegamento: N=156.74 Ty=-1.36 Tz=-52.28 Mx=-0.31 Mz=-1.71
Sollecitazioni agenti localmente: Tx_l=-1.36 Ty_l=-52.28 N_l=156.74 My_l=1.71 Mz_l=-0.31
Azioni sul cordone: TP=0.46 TO=4.09 NO=11.53
Tensioni nel cordone: τ_P=0.15 τ_0=1.30 σ_0=6.16 σ_{ID}=6.30 Σ_T=7.46
CC 29 SLV (Collegamento -384_-528)
Azioni sul collegamento: N=156.74 Ty=-0.85 Tz=-52.28 Mx=-0.27 Mz=-1.47
Sollecitazioni agenti localmente: Tx_l=-0.85 Ty_l=-52.28 N_l=156.74 My_l=1.47 Mz_l=-0.27
Azioni sul cordone: TP=0.38 TO=4.06 NO=11.53
Tensioni nel cordone: τ_P=0.12 τ_0=1.29 σ_0=5.81 σ_{ID}=5.95 Σ_T=7.10
CC 29 SLV (Collegamento -384_-528)
Azioni sul collegamento: N=156.74 Ty=-1.36 Tz=-52.28 Mx=-0.31 Mz=-1.71
Sollecitazioni agenti localmente: Tx_l=-1.36 Ty_l=-52.28 N_l=156.74 My_l=1.71 Mz_l=-0.31
Azioni sul cordone: TP=0.46 TO=4.09 NO=11.53
Tensioni nel cordone: τ_P=0.15 τ_0=1.30 σ_0=6.16 σ_{ID}=6.30 Σ_T=7.46
CC 29 SLV (Collegamento -384_-528)
Azioni sul collegamento: N=156.74 Ty=-0.85 Tz=-52.28 Mx=-0.27 Mz=-1.47
Sollecitazioni agenti localmente: Tx_l=-0.85 Ty_l=-52.28 N_l=156.74 My_l=1.47 Mz_l=-0.27

Azioni sul cordone: TP=0.38 TO=4.06 NO=11.53
Tensioni nel cordone: τ_P=0.12 τ_0=1.29 σ_0=5.81 σ_{ID}=5.95 Σ_T=7.10
CC 29 SLV (Collegamento -384_-528)
Azioni sul collegamento: N=140.95 Ty=-1.36 Tz=-49.84 Mx=-0.31 Mz=-1.71
Sollecitazioni agenti localmente: Tx_l=-1.36 Ty_l=-49.84 N_l=140.95 My_l=1.71 Mz_l=-0.31
Azioni sul cordone: TP=0.46 TO=3.91 NO=10.37
Tensioni nel cordone: τ_P=0.15 τ_0=1.24 σ_0=5.79 σ_{ID}=5.93 Σ_T=7.04
CC 29 SLV (Collegamento -384_-528)
Azioni sul collegamento: N=140.95 Ty=-0.85 Tz=-49.84 Mx=-0.27 Mz=-1.47
Sollecitazioni agenti localmente: Tx_l=-0.85 Ty_l=-49.84 N_l=140.95 My_l=1.47 Mz_l=-0.27
Azioni sul cordone: TP=0.38 TO=3.88 NO=10.37
Tensioni nel cordone: τ_P=0.12 τ_0=1.23 σ_0=5.44 σ_{ID}=5.58 Σ_T=6.67
CC 29 SLV (Collegamento -384_-528)
Azioni sul collegamento: N=140.95 Ty=-1.36 Tz=-49.84 Mx=-0.31 Mz=-1.71
Sollecitazioni agenti localmente: Tx_l=-1.36 Ty_l=-49.84 N_l=140.95 My_l=1.71 Mz_l=-0.31
Azioni sul cordone: TP=0.46 TO=3.91 NO=10.37
Tensioni nel cordone: τ_P=0.15 τ_0=1.24 σ_0=5.79 σ_{ID}=5.93 Σ_T=7.04
CC 29 SLV (Collegamento -384_-528)
Azioni sul collegamento: N=140.95 Ty=-0.85 Tz=-49.84 Mx=-0.27 Mz=-1.47
Sollecitazioni agenti localmente: Tx_l=-0.85 Ty_l=-49.84 N_l=140.95 My_l=1.47 Mz_l=-0.27
Azioni sul cordone: TP=0.38 TO=3.88 NO=10.37
Tensioni nel cordone: τ_P=0.12 τ_0=1.23 σ_0=5.44 σ_{ID}=5.58 Σ_T=6.67
CC 30 SLD (Collegamento -384_-528)
Azioni sul collegamento: N=149.64 Ty=-1.50 Tz=-51.18 Mx=-0.36 Mz=-1.97
Sollecitazioni agenti localmente: Tx_l=-1.50 Ty_l=-51.18 N_l=149.64 My_l=1.97 Mz_l=-0.36
Azioni sul cordone: TP=0.52 TO=4.05 NO=11.01
Tensioni nel cordone: τ_P=0.17 τ_0=1.29 σ_0=6.37 σ_{ID}=6.50 Σ_T=7.66
CC 30 SLD (Collegamento -384_-528)
Azioni sul collegamento: N=149.64 Ty=-1.35 Tz=-51.18 Mx=-0.34 Mz=-1.89
Sollecitazioni agenti localmente: Tx_l=-1.35 Ty_l=-51.18 N_l=149.64 My_l=1.89 Mz_l=-0.34
Azioni sul cordone: TP=0.49 TO=4.04 NO=11.01
Tensioni nel cordone: τ_P=0.16 τ_0=1.28 σ_0=6.26 σ_{ID}=6.40 Σ_T=7.55
CC 30 SLD (Collegamento -384_-528)
Azioni sul collegamento: N=149.64 Ty=-1.50 Tz=-51.18 Mx=-0.36 Mz=-1.97
Sollecitazioni agenti localmente: Tx_l=-1.50 Ty_l=-51.18 N_l=149.64 My_l=1.97 Mz_l=-0.36
Azioni sul cordone: TP=0.52 TO=4.05 NO=11.01
Tensioni nel cordone: τ_P=0.17 τ_0=1.29 σ_0=6.37 σ_{ID}=6.50 Σ_T=7.66
CC 30 SLD (Collegamento -384_-528)
Azioni sul collegamento: N=149.64 Ty=-1.35 Tz=-51.18 Mx=-0.34 Mz=-1.89
Sollecitazioni agenti localmente: Tx_l=-1.35 Ty_l=-51.18 N_l=149.64 My_l=1.89 Mz_l=-0.34
Azioni sul cordone: TP=0.49 TO=4.04 NO=11.01
Tensioni nel cordone: τ_P=0.16 τ_0=1.28 σ_0=6.26 σ_{ID}=6.40 Σ_T=7.55
CC 30 SLD (Collegamento -384_-528)
Azioni sul collegamento: N=144.82 Ty=-1.50 Tz=-50.44 Mx=-0.36 Mz=-1.97
Sollecitazioni agenti localmente: Tx_l=-1.50 Ty_l=-50.44 N_l=144.82 My_l=1.97 Mz_l=-0.36
Azioni sul cordone: TP=0.52 TO=3.99 NO=10.66
Tensioni nel cordone: τ_P=0.17 τ_0=1.27 σ_0=6.26 σ_{ID}=6.39 Σ_T=7.53
CC 30 SLD (Collegamento -384_-528)
Azioni sul collegamento: N=144.82 Ty=-1.35 Tz=-50.44 Mx=-0.34 Mz=-1.89
Sollecitazioni agenti localmente: Tx_l=-1.35 Ty_l=-50.44 N_l=144.82 My_l=1.89 Mz_l=-0.34
Azioni sul cordone: TP=0.49 TO=3.98 NO=10.66
Tensioni nel cordone: τ_P=0.16 τ_0=1.27 σ_0=6.15 σ_{ID}=6.28 Σ_T=7.42
CC 30 SLD (Collegamento -384_-528)
Azioni sul collegamento: N=144.82 Ty=-1.50 Tz=-50.44 Mx=-0.36 Mz=-1.97
Sollecitazioni agenti localmente: Tx_l=-1.50 Ty_l=-50.44 N_l=144.82 My_l=1.97 Mz_l=-0.36
Azioni sul cordone: TP=0.52 TO=3.99 NO=10.66
Tensioni nel cordone: τ_P=0.17 τ_0=1.27 σ_0=6.26 σ_{ID}=6.39 Σ_T=7.53
CC 30 SLD (Collegamento -384_-528)
Azioni sul collegamento: N=144.82 Ty=-1.35 Tz=-50.44 Mx=-0.34 Mz=-1.89
Sollecitazioni agenti localmente: Tx_l=-1.35 Ty_l=-50.44 N_l=144.82 My_l=1.89 Mz_l=-0.34
Azioni sul cordone: TP=0.49 TO=3.98 NO=10.66
Tensioni nel cordone: τ_P=0.16 τ_0=1.27 σ_0=6.15 σ_{ID}=6.28 Σ_T=7.42
CC 31 SLV (Collegamento -384_-528)
Azioni sul collegamento: N=140.63 Ty=-1.76 Tz=-49.79 Mx=-0.39 Mz=-2.29
Sollecitazioni agenti localmente: Tx_l=-1.76 Ty_l=-49.79 N_l=140.63 My_l=2.29 Mz_l=-0.39
Azioni sul cordone: TP=0.58 TO=3.97 NO=10.35
Tensioni nel cordone: τ_P=0.18 τ_0=1.26 σ_0=6.63 σ_{ID}=6.76 Σ_T=7.90
CC 31 SLV (Collegamento -384_-528)
Azioni sul collegamento: N=140.63 Ty=-0.45 Tz=-49.79 Mx=-0.17 Mz=-0.89
Sollecitazioni agenti localmente: Tx_l=-0.45 Ty_l=-49.79 N_l=140.63 My_l=0.89 Mz_l=-0.17
Azioni sul cordone: TP=0.23 TO=3.80 NO=10.35
Tensioni nel cordone: τ_P= 0.07 τ_0=1.21 σ_0=4.59 σ_{ID}=4.75 Σ_T=5.80
CC 31 SLV (Collegamento -384_-528)
Azioni sul collegamento: N=140.63 Ty=-1.76 Tz=-49.79 Mx=-0.39 Mz=-2.29
Sollecitazioni agenti localmente: Tx_l=-1.76 Ty_l=-49.79 N_l=140.63 My_l=2.29 Mz_l=-0.39
Azioni sul cordone: TP=0.58 TO=3.97 NO=10.35
Tensioni nel cordone: τ_P=0.18 τ_0=1.26 σ_0=6.63 σ_{ID}=6.76 Σ_T=7.90
CC 31 SLV (Collegamento -384_-528)
Azioni sul collegamento: N=140.63 Ty=-0.45 Tz=-49.79 Mx=-0.17 Mz=-0.89

Sollecitazioni agenti localmente: Tx_l=-0.45 Ty_l=-49.79 N_l=140.63 My_l=0.89 Mz_l=-0.17
Azioni sul cordone: TP=0.23 TO=3.80 NO=10.35
Tensioni nel cordone: τ_P= 0.07 τ_0=1.21 σ_0=4.59 σ_{ID}=4.75 Σ_T=5.80
CC 31 SLV (Collegamento -384_-528)
Azioni sul collegamento: N=157.06 Ty=-1.76 Tz=-52.33 Mx=-0.39 Mz=-2.29
Sollecitazioni agenti localmente: Tx_l=-1.76 Ty_l=-52.33 N_l=157.06 My_l=2.29 Mz_l=-0.39
Azioni sul cordone: TP=0.58 TO=4.16 NO=11.56
Tensioni nel cordone: τ_P=0.18 τ_0=1.32 σ_0=7.02 σ_{ID}=7.14 Σ_T=8.34
CC 31 SLV (Collegamento -384_-528)
Azioni sul collegamento: N=157.06 Ty=-0.45 Tz=-52.33 Mx=-0.17 Mz=-0.89
Sollecitazioni agenti localmente: Tx_l=-0.45 Ty_l=-52.33 N_l=157.06 My_l=0.89 Mz_l=-0.17
Azioni sul cordone: TP=0.23 TO=3.99 NO=11.56
Tensioni nel cordone: τ_P= 0.07 τ_0=1.27 σ_0=4.97 σ_{ID}=5.13 Σ_T=6.24
CC 31 SLV (Collegamento -384_-528)
Azioni sul collegamento: N=157.06 Ty=-1.76 Tz=-52.33 Mx=-0.39 Mz=-2.29
Sollecitazioni agenti localmente: Tx_l=-1.76 Ty_l=-52.33 N_l=157.06 My_l=2.29 Mz_l=-0.39
Azioni sul cordone: TP=0.58 TO=4.16 NO=11.56
Tensioni nel cordone: τ_P=0.18 τ_0=1.32 σ_0=7.02 σ_{ID}=7.14 Σ_T=8.34
CC 31 SLV (Collegamento -384_-528)
Azioni sul collegamento: N=157.06 Ty=-0.45 Tz=-52.33 Mx=-0.17 Mz=-0.89
Sollecitazioni agenti localmente: Tx_l=-0.45 Ty_l=-52.33 N_l=157.06 My_l=0.89 Mz_l=-0.17
Azioni sul cordone: TP=0.23 TO=3.99 NO=11.56
Tensioni nel cordone: τ_P= 0.07 τ_0=1.27 σ_0=4.97 σ_{ID}=5.13 Σ_T=6.24
CC 32 SLD (Collegamento -384_-528)
Azioni sul collegamento: N=144.73 Ty=-1.63 Tz=-50.42 Mx=-0.38 Mz=-2.14
Sollecitazioni agenti localmente: Tx_l=-1.63 Ty_l=-50.42 N_l=144.73 My_l=2.14 Mz_l=-0.38
Azioni sul cordone: TP=0.56 TO=4.01 NO=10.65
Tensioni nel cordone: τ_P=0.18 τ_0=1.27 σ_0=6.52 σ_{ID}=6.64 Σ_T=7.79
CC 32 SLD (Collegamento -384_-528)
Azioni sul collegamento: N=144.73 Ty=-1.23 Tz=-50.42 Mx=-0.31 Mz=-1.72
Sollecitazioni agenti localmente: Tx_l=-1.23 Ty_l=-50.42 N_l=144.73 My_l=1.72 Mz_l=-0.31
Azioni sul cordone: TP=0.45 TO=3.96 NO=10.65
Tensioni nel cordone: τ_P=0.14 τ_0=1.26 σ_0=5.89 σ_{ID}=6.03 Σ_T=7.15
CC 32 SLD (Collegamento -384_-528)
Azioni sul collegamento: N=144.73 Ty=-1.63 Tz=-50.42 Mx=-0.38 Mz=-2.14
Sollecitazioni agenti localmente: Tx_l=-1.63 Ty_l=-50.42 N_l=144.73 My_l=2.14 Mz_l=-0.38
Azioni sul cordone: TP=0.56 TO=4.01 NO=10.65
Tensioni nel cordone: τ_P=0.18 τ_0=1.27 σ_0=6.52 σ_{ID}=6.64 Σ_T=7.79
CC 32 SLD (Collegamento -384_-528)
Azioni sul collegamento: N=144.73 Ty=-1.23 Tz=-50.42 Mx=-0.31 Mz=-1.72
Sollecitazioni agenti localmente: Tx_l=-1.23 Ty_l=-50.42 N_l=144.73 My_l=1.72 Mz_l=-0.31
Azioni sul cordone: TP=0.45 TO=3.96 NO=10.65
Tensioni nel cordone: τ_P=0.14 τ_0=1.26 σ_0=5.89 σ_{ID}=6.03 Σ_T=7.15
CC 32 SLD (Collegamento -384_-528)
Azioni sul collegamento: N=149.73 Ty=-1.63 Tz=-51.20 Mx=-0.38 Mz=-2.14
Sollecitazioni agenti localmente: Tx_l=-1.63 Ty_l=-51.20 N_l=149.73 My_l=2.14 Mz_l=-0.38
Azioni sul cordone: TP=0.56 TO=4.07 NO=11.02
Tensioni nel cordone: τ_P=0.18 τ_0=1.29 σ_0=6.63 σ_{ID}=6.76 Σ_T=7.93
CC 32 SLD (Collegamento -384_-528)
Azioni sul collegamento: N=149.73 Ty=-1.23 Tz=-51.20 Mx=-0.31 Mz=-1.72
Sollecitazioni agenti localmente: Tx_l=-1.23 Ty_l=-51.20 N_l=149.73 My_l=1.72 Mz_l=-0.31
Azioni sul cordone: TP=0.45 TO=4.01 NO=11.02
Tensioni nel cordone: τ_P=0.14 τ_0=1.28 σ_0=6.01 σ_{ID}=6.15 Σ_T=7.29
CC 32 SLD (Collegamento -384_-528)
Azioni sul collegamento: N=149.73 Ty=-1.63 Tz=-51.20 Mx=-0.38 Mz=-2.14
Sollecitazioni agenti localmente: Tx_l=-1.63 Ty_l=-51.20 N_l=149.73 My_l=2.14 Mz_l=-0.38
Azioni sul cordone: TP=0.56 TO=4.07 NO=11.02
Tensioni nel cordone: τ_P=0.18 τ_0=1.29 σ_0=6.63 σ_{ID}=6.76 Σ_T=7.93
CC 32 SLD (Collegamento -384_-528)
Azioni sul collegamento: N=149.73 Ty=-1.23 Tz=-51.20 Mx=-0.31 Mz=-1.72
Sollecitazioni agenti localmente: Tx_l=-1.23 Ty_l=-51.20 N_l=149.73 My_l=1.72 Mz_l=-0.31
Azioni sul cordone: TP=0.45 TO=4.01 NO=11.02
Tensioni nel cordone: τ_P=0.14 τ_0=1.28 σ_0=6.01 σ_{ID}=6.15 Σ_T=7.29
CC 33 SLU (Collegamento -384_-528)
Azioni sul collegamento: N=369.96 Ty=-3.32 Tz=-95.09 Mx=-0.79 Mz=-4.42
Sollecitazioni agenti localmente: Tx_l=-3.32 Ty_l=-95.09 N_l=369.96 My_l=4.42 Mz_l=-0.79
Azioni sul cordone: TP=1.16 TO=7.62 NO=27.22
Tensioni nel cordone: τ_P=0.37 τ_0=2.42 σ_0=15.11 σ_{ID}=15.31 Σ_T=17.53
CC 34 SLU (Collegamento -384_-528)
Azioni sul collegamento: N=364.37 Ty=-3.18 Tz=-94.22 Mx=-0.76 Mz=-4.22
Sollecitazioni agenti localmente: Tx_l=-3.18 Ty_l=-94.22 N_l=364.37 My_l=4.22 Mz_l=-0.76
Azioni sul cordone: TP=1.11 TO=7.53 NO=26.81
Tensioni nel cordone: τ_P=0.35 τ_0=2.39 σ_0=14.68 σ_{ID}=14.88 Σ_T=17.08
CC 35 SLU (Collegamento -384_-528)
Azioni sul collegamento: N=367.15 Ty=-3.20 Tz=-94.65 Mx=-0.77 Mz=-4.28
Sollecitazioni agenti localmente: Tx_l=-3.20 Ty_l=-94.65 N_l=367.15 My_l=4.28 Mz_l=-0.77
Azioni sul cordone: TP=1.12 TO=7.57 NO=27.02
Tensioni nel cordone: τ_P=0.36 τ_0=2.41 σ_0=14.84 σ_{ID}=15.03 Σ_T=17.24
CC 36 SLU (Collegamento -384_-528)

Azioni sul collegamento: N=367.19 Ty=-3.29 Tz=-94.66 Mx=-0.78 Mz=-4.36
Sollecitazioni agenti localmente: Tx_l=-3.29 Ty_l=-94.66 N_l=367.19 My_l=4.36 Mz_l=-0.78
Azioni sul cordone: TP=1.14 TO=7.58 NO=27.02
Tensioni nel cordone: τ_P=0.36 τ_0=2.41 σ_0=14.96 σ_{ID}=15.16 Σ_T=17.37
CC 37 SLU (Collegamento -384_-528)
Azioni sul collegamento: N=302.66 Ty=-3.15 Tz=-84.67 Mx=-0.78 Mz=-4.37
Sollecitazioni agenti localmente: Tx_l=-3.15 Ty_l=-84.67 N_l=302.66 My_l=4.37 Mz_l=-0.78
Azioni sul cordone: TP=1.13 TO=6.84 NO=22.27
Tensioni nel cordone: τ_P=0.36 τ_0=2.18 σ_0=13.46 σ_{ID}=13.64 Σ_T=15.64
CC 38 SLU (Collegamento -384_-528)
Azioni sul collegamento: N=297.07 Ty=-3.01 Tz=-83.81 Mx=-0.74 Mz=-4.17
Sollecitazioni agenti localmente: Tx_l=-3.01 Ty_l=-83.81 N_l=297.07 My_l=4.17 Mz_l=-0.74
Azioni sul cordone: TP=1.08 TO=6.75 NO=21.86
Tensioni nel cordone: τ_P=0.34 τ_0=2.15 σ_0=13.04 σ_{ID}=13.22 Σ_T=15.18
CC 39 SLU (Collegamento -384_-528)
Azioni sul collegamento: N=299.85 Ty=-3.03 Tz=-84.23 Mx=-0.76 Mz=-4.23
Sollecitazioni agenti localmente: Tx_l=-3.03 Ty_l=-84.23 N_l=299.85 My_l=4.23 Mz_l=-0.76
Azioni sul cordone: TP=1.09 TO=6.79 NO=22.06
Tensioni nel cordone: τ_P=0.35 τ_0=2.16 σ_0=13.19 σ_{ID}=13.37 Σ_T=15.35
CC 40 SLU (Collegamento -384_-528)
Azioni sul collegamento: N=299.89 Ty=-3.13 Tz=-84.24 Mx=-0.77 Mz=-4.31
Sollecitazioni agenti localmente: Tx_l=-3.13 Ty_l=-84.24 N_l=299.89 My_l=4.31 Mz_l=-0.77
Azioni sul cordone: TP=1.12 TO=6.80 NO=22.07
Tensioni nel cordone: τ_P=0.35 τ_0=2.16 σ_0=13.31 σ_{ID}=13.49 Σ_T=15.47
CC 41 SLU (Collegamento -384_-528)
Azioni sul collegamento: N=334.14 Ty=1.91 Tz=-89.54 Mx=0.47 Mz=2.77
Sollecitazioni agenti localmente: Tx_l=1.91 Ty_l=-89.54 N_l=334.14 My_l=-2.77 Mz_l=0.47
Azioni sul cordone: TP=-0.69 TO=6.96 NO=24.59
Tensioni nel cordone: τ_P=0.22 τ_0=2.21 σ_0=11.86 σ_{ID}=12.07 Σ_T=14.07
CC 42 SLU (Collegamento -384_-528)
Azioni sul collegamento: N=328.55 Ty=2.05 Tz=-88.68 Mx=0.51 Mz=2.97
Sollecitazioni agenti localmente: Tx_l=2.05 Ty_l=-88.68 N_l=328.55 My_l=-2.97 Mz_l=0.51
Azioni sul cordone: TP=-0.74 TO=6.93 NO=24.18
Tensioni nel cordone: τ_P=0.23 τ_0=2.20 σ_0=12.02 σ_{ID}=12.22 Σ_T=14.22
CC 43 SLU (Collegamento -384_-528)
Azioni sul collegamento: N=331.32 Ty=2.03 Tz=-89.11 Mx=0.50 Mz=2.91
Sollecitazioni agenti localmente: Tx_l=2.03 Ty_l=-89.11 N_l=331.32 My_l=-2.91 Mz_l=0.50
Azioni sul cordone: TP=-0.72 TO=6.95 NO=24.38
Tensioni nel cordone: τ_P=0.23 τ_0=2.21 σ_0=12.00 σ_{ID}=12.20 Σ_T=14.21
CC 44 SLU (Collegamento -384_-528)
Azioni sul collegamento: N=331.37 Ty=1.94 Tz=-89.11 Mx=0.48 Mz=2.83
Sollecitazioni agenti localmente: Tx_l=1.94 Ty_l=-89.11 N_l=331.37 My_l=-2.83 Mz_l=0.48
Azioni sul cordone: TP=-0.70 TO=6.94 NO=24.38
Tensioni nel cordone: τ_P=0.22 τ_0=2.21 σ_0=11.88 σ_{ID}=12.08 Σ_T=14.09
CC 45 SLU (Collegamento -384_-528)
Azioni sul collegamento: N=317.41 Ty=-3.30 Tz=-86.95 Mx=-0.78 Mz=-4.39
Sollecitazioni agenti localmente: Tx_l=-3.30 Ty_l=-86.95 N_l=317.41 My_l=4.39 Mz_l=-0.78
Azioni sul cordone: TP=1.15 TO=7.02 NO=23.36
Tensioni nel cordone: τ_P=0.36 τ_0=2.23 σ_0=13.83 σ_{ID}=14.01 Σ_T=16.06
CC 46 SLU (Collegamento -384_-528)
Azioni sul collegamento: N=311.82 Ty=-3.16 Tz=-86.09 Mx=-0.75 Mz=-4.19
Sollecitazioni agenti localmente: Tx_l=-3.16 Ty_l=-86.09 N_l=311.82 My_l=4.19 Mz_l=-0.75
Azioni sul cordone: TP=1.10 TO=6.93 NO=22.94
Tensioni nel cordone: τ_P=0.35 τ_0=2.20 σ_0=13.41 σ_{ID}=13.59 Σ_T=15.61
CC 47 SLU (Collegamento -384_-528)
Azioni sul collegamento: N=314.59 Ty=-3.18 Tz=-86.52 Mx=-0.76 Mz=-4.24
Sollecitazioni agenti localmente: Tx_l=-3.18 Ty_l=-86.52 N_l=314.59 My_l=4.24 Mz_l=-0.76
Azioni sul cordone: TP=1.11 TO=6.96 NO=23.15
Tensioni nel cordone: τ_P=0.35 τ_0=2.21 σ_0=13.56 σ_{ID}=13.74 Σ_T=15.77
CC 48 SLU (Collegamento -384_-528)
Azioni sul collegamento: N=314.64 Ty=-3.28 Tz=-86.52 Mx=-0.77 Mz=-4.33
Sollecitazioni agenti localmente: Tx_l=-3.28 Ty_l=-86.52 N_l=314.64 My_l=4.33 Mz_l=-0.77
Azioni sul cordone: TP=1.13 TO=6.98 NO=23.15
Tensioni nel cordone: τ_P=0.36 τ_0=2.22 σ_0=13.68 σ_{ID}=13.86 Σ_T=15.90
CC 49 SLU (Collegamento -384_-528)
Azioni sul collegamento: N=267.06 Ty=-3.17 Tz=-79.16 Mx=-0.77 Mz=-4.35
Sollecitazioni agenti localmente: Tx_l=-3.17 Ty_l=-79.16 N_l=267.06 My_l=4.35 Mz_l=-0.77
Azioni sul cordone: TP=1.12 TO=6.43 NO=19.65
Tensioni nel cordone: τ_P=0.36 τ_0=2.05 σ_0=12.60 σ_{ID}=12.77 Σ_T=14.64
CC 50 SLU (Collegamento -384_-528)
Azioni sul collegamento: N=261.47 Ty=-3.03 Tz=-78.30 Mx=-0.74 Mz=-4.15
Sollecitazioni agenti localmente: Tx_l=-3.03 Ty_l=-78.30 N_l=261.47 My_l=4.15 Mz_l=-0.74
Azioni sul cordone: TP=1.07 TO=6.34 NO=19.24
Tensioni nel cordone: τ_P=0.34 τ_0=2.02 σ_0=12.17 σ_{ID}=12.34 Σ_T=14.19
CC 51 SLU (Collegamento -384_-528)
Azioni sul collegamento: N=264.24 Ty=-3.06 Tz=-78.72 Mx=-0.75 Mz=-4.21
Sollecitazioni agenti localmente: Tx_l=-3.06 Ty_l=-78.72 N_l=264.24 My_l=4.21 Mz_l=-0.75
Azioni sul cordone: TP=1.09 TO=6.38 NO=19.44
Tensioni nel cordone: τ_P=0.35 τ_0=2.03 σ_0=12.33 σ_{ID}=12.50 Σ_T=14.35

CC 52 SLU (Collegamento -384_-528)
Azioni sul collegamento: N=264.29 Ty=-3.15 Tz=-78.73 Mx=-0.76 Mz=-4.29
Sollecitazioni agenti localmente: Tx_l=-3.15 Ty_l=-78.73 N_l=264.29 My_l=4.29 Mz_l=-0.76
Azioni sul cordone: TP=1.11 TO=6.39 NO=19.45
Tensioni nel cordone: τ_P=0.35 τ_0=2.03 σ_0=12.45 σ_{ID}=12.62 Σ_T=14.48
CC 53 SLU (Collegamento -384_-528)
Azioni sul collegamento: N=290.61 Ty=0.61 Tz=-82.80 Mx=0.16 Mz=0.99
Sollecitazioni agenti localmente: Tx_l=0.61 Ty_l=-82.80 N_l=290.61 My_l=-0.99 Mz_l=0.16
Azioni sul cordone: TP=-0.23 TO=6.22 NO=21.38
Tensioni nel cordone: τ_P= 0.07 τ_0=1.98 σ_0=8.25 σ_{ID}=8.48 Σ_T=10.22
CC 54 SLU (Collegamento -384_-528)
Azioni sul collegamento: N=285.02 Ty=0.75 Tz=-81.94 Mx=0.20 Mz=1.19
Sollecitazioni agenti localmente: Tx_l=0.75 Ty_l=-81.94 N_l=285.02 My_l=-1.19 Mz_l=0.20
Azioni sul cordone: TP=-0.28 TO=6.19 NO=20.97
Tensioni nel cordone: τ_P= 0.09 τ_0=1.97 σ_0=8.41 σ_{ID}=8.64 Σ_T=10.37
CC 55 SLU (Collegamento -384_-528)
Azioni sul collegamento: N=287.79 Ty=0.73 Tz=-82.37 Mx=0.19 Mz=1.13
Sollecitazioni agenti localmente: Tx_l=0.73 Ty_l=-82.37 N_l=287.79 My_l=-1.13 Mz_l=0.19
Azioni sul cordone: TP=-0.27 TO=6.21 NO=21.18
Tensioni nel cordone: τ_P= 0.09 τ_0=1.97 σ_0=8.39 σ_{ID}=8.62 Σ_T=10.36
CC 56 SLU (Collegamento -384_-528)
Azioni sul collegamento: N=287.83 Ty=0.64 Tz=-82.38 Mx=0.17 Mz=1.05
Sollecitazioni agenti localmente: Tx_l=0.64 Ty_l=-82.38 N_l=287.83 My_l=-1.05 Mz_l=0.17
Azioni sul cordone: TP=-0.25 TO=6.20 NO=21.18
Tensioni nel cordone: τ_P= 0.08 τ_0=1.97 σ_0=8.27 σ_{ID}=8.50 Σ_T=10.24
CC 57 SLU (Collegamento -384_-528)
Azioni sul collegamento: N=302.11 Ty=-2.98 Tz=-84.58 Mx=-0.70 Mz=-3.93
Sollecitazioni agenti localmente: Tx_l=-2.98 Ty_l=-84.58 N_l=302.11 My_l=3.93 Mz_l=-0.70
Azioni sul cordone: TP=1.03 TO=6.78 NO=22.23
Tensioni nel cordone: τ_P=0.33 τ_0=2.15 σ_0=12.80 σ_{ID}=12.99 Σ_T=14.96
CC 58 SLU (Collegamento -384_-528)
Azioni sul collegamento: N=296.52 Ty=-2.84 Tz=-83.72 Mx=-0.67 Mz=-3.73
Sollecitazioni agenti localmente: Tx_l=-2.84 Ty_l=-83.72 N_l=296.52 My_l=3.73 Mz_l=-0.67
Azioni sul cordone: TP=0.98 TO=6.69 NO=21.82
Tensioni nel cordone: τ_P=0.31 τ_0=2.13 σ_0=12.38 σ_{ID}=12.56 Σ_T=14.50
CC 59 SLU (Collegamento -384_-528)
Azioni sul collegamento: N=299.29 Ty=-2.86 Tz=-84.15 Mx=-0.68 Mz=-3.79
Sollecitazioni agenti localmente: Tx_l=-2.86 Ty_l=-84.15 N_l=299.29 My_l=3.79 Mz_l=-0.68
Azioni sul cordone: TP=0.99 TO=6.73 NO=22.02
Tensioni nel cordone: τ_P=0.32 τ_0=2.14 σ_0=12.53 σ_{ID}=12.71 Σ_T=14.67
CC 60 SLU (Collegamento -384_-528)
Azioni sul collegamento: N=299.34 Ty=-2.96 Tz=-84.16 Mx=-0.69 Mz=-3.87
Sollecitazioni agenti localmente: Tx_l=-2.96 Ty_l=-84.16 N_l=299.34 My_l=3.87 Mz_l=-0.69
Azioni sul cordone: TP=1.02 TO=6.74 NO=22.03
Tensioni nel cordone: τ_P=0.32 τ_0=2.14 σ_0=12.65 σ_{ID}=12.84 Σ_T=14.79
CC 61 SLU (Collegamento -384_-528)
Azioni sul collegamento: N=251.76 Ty=-2.85 Tz=-76.79 Mx=-0.69 Mz=-3.89
Sollecitazioni agenti localmente: Tx_l=-2.85 Ty_l=-76.79 N_l=251.76 My_l=3.89 Mz_l=-0.69
Azioni sul cordone: TP=1.01 TO=6.20 NO=18.53
Tensioni nel cordone: τ_P=0.32 τ_0=1.97 σ_0=11.57 σ_{ID}=11.74 Σ_T=13.54
CC 62 SLU (Collegamento -384_-528)
Azioni sul collegamento: N=246.17 Ty=-2.71 Tz=-75.93 Mx=-0.66 Mz=-3.69
Sollecitazioni agenti localmente: Tx_l=-2.71 Ty_l=-75.93 N_l=246.17 My_l=3.69 Mz_l=-0.66
Azioni sul cordone: TP=0.96 TO=6.11 NO=18.11
Tensioni nel cordone: τ_P=0.30 τ_0=1.94 σ_0=11.15 σ_{ID}=11.32 Σ_T=13.09
CC 63 SLU (Collegamento -384_-528)
Azioni sul collegamento: N=248.94 Ty=-2.74 Tz=-76.36 Mx=-0.67 Mz=-3.75
Sollecitazioni agenti localmente: Tx_l=-2.74 Ty_l=-76.36 N_l=248.94 My_l=3.75 Mz_l=-0.67
Azioni sul cordone: TP=0.97 TO=6.15 NO=18.32
Tensioni nel cordone: τ_P=0.31 τ_0=1.95 σ_0=11.30 σ_{ID}=11.47 Σ_T=13.25
CC 64 SLU (Collegamento -384_-528)
Azioni sul collegamento: N=248.99 Ty=-2.83 Tz=-76.36 Mx=-0.68 Mz=-3.83
Sollecitazioni agenti localmente: Tx_l=-2.83 Ty_l=-76.36 N_l=248.99 My_l=3.83 Mz_l=-0.68
Azioni sul cordone: TP=1.00 TO=6.16 NO=18.32
Tensioni nel cordone: τ_P=0.32 τ_0=1.96 σ_0=11.42 σ_{ID}=11.59 Σ_T=13.38
CC 65 SLU (Collegamento -384_-528)
Azioni sul collegamento: N=275.31 Ty=0.93 Tz=-80.44 Mx=0.24 Mz=1.45
Sollecitazioni agenti localmente: Tx_l=0.93 Ty_l=-80.44 N_l=275.31 My_l=-1.45 Mz_l=0.24
Azioni sul cordone: TP=-0.35 TO=6.11 NO=20.26
Tensioni nel cordone: τ_P=0.11 τ_0=1.94 σ_0=8.56 σ_{ID}=8.78 Σ_T=10.50
CC 66 SLU (Collegamento -384_-528)
Azioni sul collegamento: N=269.72 Ty=1.07 Tz=-79.57 Mx=0.28 Mz=1.65
Sollecitazioni agenti localmente: Tx_l=1.07 Ty_l=-79.57 N_l=269.72 My_l=-1.65 Mz_l=0.28
Azioni sul cordone: TP=-0.40 TO=6.07 NO=19.85
Tensioni nel cordone: τ_P=0.13 τ_0=1.93 σ_0=8.72 σ_{ID}=8.93 Σ_T=10.65
CC 67 SLU (Collegamento -384_-528)
Azioni sul collegamento: N=272.49 Ty=1.05 Tz=-80.00 Mx=0.27 Mz=1.59
Sollecitazioni agenti localmente: Tx_l=1.05 Ty_l=-80.00 N_l=272.49 My_l=-1.59 Mz_l=0.27
Azioni sul cordone: TP=-0.39 TO=6.10 NO=20.05

Tensioni nel cordone: τ_P=0.12 τ_0=1.94 σ_0=8.70 σ_{ID}=8.91 Σ_T=10.64
CC 68 SLU (Collegamento -384_-528)
Azioni sul collegamento: N=272.54 Ty=0.96 Tz=-80.01 Mx=0.25 Mz=1.51
Sollecitazioni agenti localmente: Tx_l=0.96 Ty_l=-80.01 N_l=272.54 My_l=-1.51 Mz_l=0.25
Azioni sul cordone: TP=-0.36 TO=6.09 NO=20.05
Tensioni nel cordone: τ_P=0.12 τ_0=1.93 σ_0=8.58 σ_{ID}=8.79 Σ_T=10.51
CC 97 SLU (Collegamento -384_-528)
Azioni sul collegamento: N=150.79 Ty=-11.89 Tz=-51.36 Mx=-1.38 Mz=-8.76
Sollecitazioni agenti localmente: Tx_l=-11.89 Ty_l=-51.36 N_l=150.79 My_l=8.76 Mz_l=-1.38
Azioni sul cordone: TP=2.46 TO=4.86 NO=11.10
Tensioni nel cordone: τ_P=0.78 τ_0=1.55 σ_0=16.32 σ_{ID}=16.42 Σ_T=17.87
CC 98 SLU (Collegamento -384_-528)
Azioni sul collegamento: N=145.20 Ty=-11.75 Tz=-50.49 Mx=-1.34 Mz=-8.56
Sollecitazioni agenti localmente: Tx_l=-11.75 Ty_l=-50.49 N_l=145.20 My_l=8.56 Mz_l=-1.34
Azioni sul cordone: TP=2.41 TO=4.77 NO=10.68
Tensioni nel cordone: τ_P=0.77 τ_0=1.52 σ_0=15.90 σ_{ID}=15.99 Σ_T=17.42
CC 99 SLU (Collegamento -384_-528)
Azioni sul collegamento: N=147.97 Ty=-11.78 Tz=-50.92 Mx=-1.35 Mz=-8.62
Sollecitazioni agenti localmente: Tx_l=-11.78 Ty_l=-50.92 N_l=147.97 My_l=8.62 Mz_l=-1.35
Azioni sul cordone: TP=2.42 TO=4.81 NO=10.89
Tensioni nel cordone: τ_P=0.77 τ_0=1.53 σ_0=16.05 σ_{ID}=16.14 Σ_T=17.58
CC 100 SLU (Collegamento -384_-528)
Azioni sul collegamento: N=148.01 Ty=-11.87 Tz=-50.93 Mx=-1.37 Mz=-8.70
Sollecitazioni agenti localmente: Tx_l=-11.87 Ty_l=-50.93 N_l=148.01 My_l=8.70 Mz_l=-1.37
Azioni sul cordone: TP=2.45 TO=4.82 NO=10.89
Tensioni nel cordone: τ_P=0.78 τ_0=1.53 σ_0=16.17 σ_{ID}=16.26 Σ_T=17.71
CC 101 SLU (Collegamento -384_-528)
Azioni sul collegamento: N=153.59 Ty=-0.22 Tz=-51.79 Mx=-0.23 Mz=-1.11
Sollecitazioni agenti localmente: Tx_l=-0.22 Ty_l=-51.79 N_l=153.59 My_l=1.11 Mz_l=-0.23
Azioni sul cordone: TP=0.28 TO=3.99 NO=11.30
Tensioni nel cordone: τ_P= 0.09 τ_0=1.27 σ_0=5.21 σ_{ID}=5.36 Σ_T=6.48
CC 102 SLU (Collegamento -384_-528)
Azioni sul collegamento: N=148.00 Ty=-0.08 Tz=-50.93 Mx=-0.19 Mz=-0.91
Sollecitazioni agenti localmente: Tx_l=-0.08 Ty_l=-50.93 N_l=148.00 My_l=0.91 Mz_l=-0.19
Azioni sul cordone: TP=0.22 TO=3.90 NO=10.89
Tensioni nel cordone: τ_P= 0.07 τ_0=1.24 σ_0=4.79 σ_{ID}=4.94 Σ_T=6.03
CC 103 SLU (Collegamento -384_-528)
Azioni sul collegamento: N=150.77 Ty=-0.10 Tz=-51.36 Mx=-0.20 Mz=-0.97
Sollecitazioni agenti localmente: Tx_l=-0.10 Ty_l=-51.36 N_l=150.77 My_l=0.97 Mz_l=-0.20
Azioni sul cordone: TP=0.24 TO=3.94 NO=11.09
Tensioni nel cordone: τ_P= 0.08 τ_0=1.25 σ_0=4.94 σ_{ID}=5.09 Σ_T=6.19
CC 104 SLU (Collegamento -384_-528)
Azioni sul collegamento: N=150.82 Ty=-0.19 Tz=-51.36 Mx=-0.21 Mz=-1.05
Sollecitazioni agenti localmente: Tx_l=-0.19 Ty_l=-51.36 N_l=150.82 My_l=1.05 Mz_l=-0.21
Azioni sul cordone: TP=0.26 TO=3.95 NO=11.10
Tensioni nel cordone: τ_P= 0.08 τ_0=1.26 σ_0=5.06 σ_{ID}=5.21 Σ_T=6.32

Verifica lato anima della colonna

CC 1 SLV (Collegamento -384_-528)
Azioni sul collegamento: N=171.09 Ty=-1.22 Tz=-54.50 Mx=-0.31 Mz=-1.48
Zona tesa: F=68.90 b_{eff}=13.20 t_w=0.70 σ=7.46
Zona tesa: F=68.90 b_{eff}=13.20 t_w=0.70 σ=7.46
CC 1 SLV (Collegamento -384_-528)
Azioni sul collegamento: N=171.09 Ty=-2.83 Tz=-54.50 Mx=-0.64 Mz=-3.66
Zona tesa: F=68.90 b_{eff}=13.20 t_w=0.70 σ=7.46
Zona tesa: F=68.90 b_{eff}=13.20 t_w=0.70 σ=7.46
CC 1 SLV (Collegamento -384_-528)
Azioni sul collegamento: N=171.09 Ty=-1.22 Tz=-54.50 Mx=-0.31 Mz=-1.48
Zona tesa: F=68.90 b_{eff}=13.20 t_w=0.70 σ=7.46
Zona tesa: F=68.90 b_{eff}=13.20 t_w=0.70 σ=7.46
CC 1 SLV (Collegamento -384_-528)
Azioni sul collegamento: N=171.09 Ty=-2.83 Tz=-54.50 Mx=-0.64 Mz=-3.66
Zona tesa: F=68.90 b_{eff}=13.20 t_w=0.70 σ=7.46
Zona tesa: F=68.90 b_{eff}=13.20 t_w=0.70 σ=7.46
CC 1 SLV (Collegamento -384_-528)
Azioni sul collegamento: N=117.30 Ty=-1.22 Tz=-46.18 Mx=-0.31 Mz=-1.48
Zona tesa: F=47.24 b_{eff}=13.20 t_w=0.70 σ=5.11
Zona tesa: F=47.24 b_{eff}=13.20 t_w=0.70 σ=5.11
CC 1 SLV (Collegamento -384_-528)
Azioni sul collegamento: N=117.30 Ty=-2.83 Tz=-46.18 Mx=-0.64 Mz=-3.66
Zona tesa: F=47.24 b_{eff}=13.20 t_w=0.70 σ=5.11
Zona tesa: F=47.24 b_{eff}=13.20 t_w=0.70 σ=5.11
CC 1 SLV (Collegamento -384_-528)
Azioni sul collegamento: N=117.30 Ty=-1.22 Tz=-46.18 Mx=-0.31 Mz=-1.48
Zona tesa: F=47.24 b_{eff}=13.20 t_w=0.70 σ=5.11
Zona tesa: F=47.24 b_{eff}=13.20 t_w=0.70 σ=5.11
CC 1 SLV (Collegamento -384_-528)

Azioni sul collegamento: N=117.30 Ty=-2.83 Tz=-46.18 Mx=-0.64 Mz=-3.66
Zona tesa: F=47.24 b_{eff}=13.20 t_w=0.70 σ=5.11
Zona tesa: F=47.24 b_{eff}=13.20 t_w=0.70 σ=5.11
CC 2 SLD (Collegamento -384_-528)
Azioni sul collegamento: N=154.01 Ty=-1.46 Tz=-51.86 Mx=-0.35 Mz=-1.90
Zona tesa: F=62.02 b_{eff}=13.20 t_w=0.70 σ=6.71
Zona tesa: F=62.02 b_{eff}=13.20 t_w=0.70 σ=6.71
CC 2 SLD (Collegamento -384_-528)
Azioni sul collegamento: N=154.01 Ty=-1.95 Tz=-51.86 Mx=-0.46 Mz=-2.56
Zona tesa: F=62.02 b_{eff}=13.20 t_w=0.70 σ=6.71
Zona tesa: F=62.02 b_{eff}=13.20 t_w=0.70 σ=6.71
CC 2 SLD (Collegamento -384_-528)
Azioni sul collegamento: N=154.01 Ty=-1.46 Tz=-51.86 Mx=-0.35 Mz=-1.90
Zona tesa: F=62.02 b_{eff}=13.20 t_w=0.70 σ=6.71
Zona tesa: F=62.02 b_{eff}=13.20 t_w=0.70 σ=6.71
CC 2 SLD (Collegamento -384_-528)
Azioni sul collegamento: N=154.01 Ty=-1.95 Tz=-51.86 Mx=-0.46 Mz=-2.56
Zona tesa: F=62.02 b_{eff}=13.20 t_w=0.70 σ=6.71
Zona tesa: F=62.02 b_{eff}=13.20 t_w=0.70 σ=6.71
CC 2 SLD (Collegamento -384_-528)
Azioni sul collegamento: N=137.61 Ty=-1.46 Tz=-49.32 Mx=-0.35 Mz=-1.90
Zona tesa: F=55.41 b_{eff}=13.20 t_w=0.70 σ=6.00
Zona tesa: F=55.41 b_{eff}=13.20 t_w=0.70 σ=6.00
CC 2 SLD (Collegamento -384_-528)
Azioni sul collegamento: N=137.61 Ty=-1.95 Tz=-49.32 Mx=-0.46 Mz=-2.56
Zona tesa: F=55.41 b_{eff}=13.20 t_w=0.70 σ=6.00
Zona tesa: F=55.41 b_{eff}=13.20 t_w=0.70 σ=6.00
CC 2 SLD (Collegamento -384_-528)
Azioni sul collegamento: N=137.61 Ty=-1.46 Tz=-49.32 Mx=-0.35 Mz=-1.90
Zona tesa: F=55.41 b_{eff}=13.20 t_w=0.70 σ=6.00
Zona tesa: F=55.41 b_{eff}=13.20 t_w=0.70 σ=6.00
CC 2 SLD (Collegamento -384_-528)
Azioni sul collegamento: N=137.61 Ty=-1.95 Tz=-49.32 Mx=-0.46 Mz=-2.56
Zona tesa: F=55.41 b_{eff}=13.20 t_w=0.70 σ=6.00
Zona tesa: F=55.41 b_{eff}=13.20 t_w=0.70 σ=6.00
CC 3 SLV (Collegamento -384_-528)
Azioni sul collegamento: N=171.00 Ty=-1.50 Tz=-54.49 Mx=-0.34 Mz=-1.73
Zona tesa: F=68.86 b_{eff}=13.20 t_w=0.70 σ=7.45
Zona tesa: F=68.86 b_{eff}=13.20 t_w=0.70 σ=7.45
CC 3 SLV (Collegamento -384_-528)
Azioni sul collegamento: N=171.00 Ty=-2.56 Tz=-54.49 Mx=-0.60 Mz=-3.41
Zona tesa: F=68.86 b_{eff}=13.20 t_w=0.70 σ=7.45
Zona tesa: F=68.86 b_{eff}=13.20 t_w=0.70 σ=7.45
CC 3 SLV (Collegamento -384_-528)
Azioni sul collegamento: N=171.00 Ty=-1.50 Tz=-54.49 Mx=-0.34 Mz=-1.73
Zona tesa: F=68.86 b_{eff}=13.20 t_w=0.70 σ=7.45
Zona tesa: F=68.86 b_{eff}=13.20 t_w=0.70 σ=7.45
CC 3 SLV (Collegamento -384_-528)
Azioni sul collegamento: N=171.00 Ty=-2.56 Tz=-54.49 Mx=-0.60 Mz=-3.41
Zona tesa: F=68.86 b_{eff}=13.20 t_w=0.70 σ=7.45
Zona tesa: F=68.86 b_{eff}=13.20 t_w=0.70 σ=7.45
CC 3 SLV (Collegamento -384_-528)
Azioni sul collegamento: N=117.40 Ty=-1.50 Tz=-46.19 Mx=-0.34 Mz=-1.73
Zona tesa: F=47.27 b_{eff}=13.20 t_w=0.70 σ=5.12
Zona tesa: F=47.27 b_{eff}=13.20 t_w=0.70 σ=5.12
CC 3 SLV (Collegamento -384_-528)
Azioni sul collegamento: N=117.40 Ty=-2.56 Tz=-46.19 Mx=-0.60 Mz=-3.41
Zona tesa: F=47.27 b_{eff}=13.20 t_w=0.70 σ=5.12
Zona tesa: F=47.27 b_{eff}=13.20 t_w=0.70 σ=5.12
CC 3 SLV (Collegamento -384_-528)
Azioni sul collegamento: N=117.40 Ty=-1.50 Tz=-46.19 Mx=-0.34 Mz=-1.73
Zona tesa: F=47.27 b_{eff}=13.20 t_w=0.70 σ=5.12
Zona tesa: F=47.27 b_{eff}=13.20 t_w=0.70 σ=5.12
CC 3 SLV (Collegamento -384_-528)
Azioni sul collegamento: N=117.40 Ty=-2.56 Tz=-46.19 Mx=-0.60 Mz=-3.41
Zona tesa: F=47.27 b_{eff}=13.20 t_w=0.70 σ=5.12
Zona tesa: F=47.27 b_{eff}=13.20 t_w=0.70 σ=5.12
CC 4 SLD (Collegamento -384_-528)
Azioni sul collegamento: N=153.99 Ty=-1.54 Tz=-51.85 Mx=-0.36 Mz=-1.97
Zona tesa: F=62.01 b_{eff}=13.20 t_w=0.70 σ=6.71
Zona tesa: F=62.01 b_{eff}=13.20 t_w=0.70 σ=6.71
CC 4 SLD (Collegamento -384_-528)
Azioni sul collegamento: N=153.99 Ty=-1.87 Tz=-51.85 Mx=-0.44 Mz=-2.49
Zona tesa: F=62.01 b_{eff}=13.20 t_w=0.70 σ=6.71
Zona tesa: F=62.01 b_{eff}=13.20 t_w=0.70 σ=6.71
CC 4 SLD (Collegamento -384_-528)

Azioni sul collegamento: N=153.99 Ty=-1.54 Tz=-51.85 Mx=-0.36 Mz=-1.97
Zona tesa: F=62.01 b_{eff}=13.20 t_w=0.70 σ=6.71
Zona tesa: F=62.01 b_{eff}=13.20 t_w=0.70 σ=6.71
CC 4 SLD (Collegamento -384_-528)
Azioni sul collegamento: N=153.99 Ty=-1.87 Tz=-51.85 Mx=-0.44 Mz=-2.49
Zona tesa: F=62.01 b_{eff}=13.20 t_w=0.70 σ=6.71
Zona tesa: F=62.01 b_{eff}=13.20 t_w=0.70 σ=6.71
CC 4 SLD (Collegamento -384_-528)
Azioni sul collegamento: N=137.64 Ty=-1.54 Tz=-49.32 Mx=-0.36 Mz=-1.97
Zona tesa: F=55.43 b_{eff}=13.20 t_w=0.70 σ=6.00
Zona tesa: F=55.43 b_{eff}=13.20 t_w=0.70 σ=6.00
CC 4 SLD (Collegamento -384_-528)
Azioni sul collegamento: N=137.64 Ty=-1.87 Tz=-49.32 Mx=-0.44 Mz=-2.49
Zona tesa: F=55.43 b_{eff}=13.20 t_w=0.70 σ=6.00
Zona tesa: F=55.43 b_{eff}=13.20 t_w=0.70 σ=6.00
CC 4 SLD (Collegamento -384_-528)
Azioni sul collegamento: N=137.64 Ty=-1.54 Tz=-49.32 Mx=-0.36 Mz=-1.97
Zona tesa: F=55.43 b_{eff}=13.20 t_w=0.70 σ=6.00
Zona tesa: F=55.43 b_{eff}=13.20 t_w=0.70 σ=6.00
CC 4 SLD (Collegamento -384_-528)
Azioni sul collegamento: N=137.64 Ty=-1.87 Tz=-49.32 Mx=-0.44 Mz=-2.49
Zona tesa: F=55.43 b_{eff}=13.20 t_w=0.70 σ=6.00
Zona tesa: F=55.43 b_{eff}=13.20 t_w=0.70 σ=6.00
CC 5 SLV (Collegamento -384_-528)
Azioni sul collegamento: N=117.40 Ty=-2.56 Tz=-46.19 Mx=-0.57 Mz=-3.42
Zona tesa: F=47.27 b_{eff}=13.20 t_w=0.70 σ=5.12
Zona tesa: F=47.27 b_{eff}=13.20 t_w=0.70 σ=5.12
CC 5 SLV (Collegamento -384_-528)
Azioni sul collegamento: N=117.40 Ty=-1.50 Tz=-46.19 Mx=-0.31 Mz=-1.73
Zona tesa: F=47.27 b_{eff}=13.20 t_w=0.70 σ=5.12
Zona tesa: F=47.27 b_{eff}=13.20 t_w=0.70 σ=5.12
CC 5 SLV (Collegamento -384_-528)
Azioni sul collegamento: N=117.40 Ty=-2.56 Tz=-46.19 Mx=-0.57 Mz=-3.42
Zona tesa: F=47.27 b_{eff}=13.20 t_w=0.70 σ=5.12
Zona tesa: F=47.27 b_{eff}=13.20 t_w=0.70 σ=5.12
CC 5 SLV (Collegamento -384_-528)
Azioni sul collegamento: N=117.40 Ty=-1.50 Tz=-46.19 Mx=-0.31 Mz=-1.73
Zona tesa: F=47.27 b_{eff}=13.20 t_w=0.70 σ=5.12
Zona tesa: F=47.27 b_{eff}=13.20 t_w=0.70 σ=5.12
CC 5 SLV (Collegamento -384_-528)
Azioni sul collegamento: N=171.00 Ty=-2.56 Tz=-54.49 Mx=-0.57 Mz=-3.42
Zona tesa: F=68.86 b_{eff}=13.20 t_w=0.70 σ=7.45
Zona tesa: F=68.86 b_{eff}=13.20 t_w=0.70 σ=7.45
CC 5 SLV (Collegamento -384_-528)
Azioni sul collegamento: N=171.00 Ty=-1.50 Tz=-54.49 Mx=-0.31 Mz=-1.73
Zona tesa: F=68.86 b_{eff}=13.20 t_w=0.70 σ=7.45
Zona tesa: F=68.86 b_{eff}=13.20 t_w=0.70 σ=7.45
CC 5 SLV (Collegamento -384_-528)
Azioni sul collegamento: N=171.00 Ty=-2.56 Tz=-54.49 Mx=-0.57 Mz=-3.42
Zona tesa: F=68.86 b_{eff}=13.20 t_w=0.70 σ=7.45
Zona tesa: F=68.86 b_{eff}=13.20 t_w=0.70 σ=7.45
CC 5 SLV (Collegamento -384_-528)
Azioni sul collegamento: N=171.00 Ty=-1.50 Tz=-54.49 Mx=-0.31 Mz=-1.73
Zona tesa: F=68.86 b_{eff}=13.20 t_w=0.70 σ=7.45
Zona tesa: F=68.86 b_{eff}=13.20 t_w=0.70 σ=7.45
CC 6 SLD (Collegamento -384_-528)
Azioni sul collegamento: N=137.64 Ty=-1.87 Tz=-49.32 Mx=-0.43 Mz=-2.49
Zona tesa: F=55.43 b_{eff}=13.20 t_w=0.70 σ=6.00
Zona tesa: F=55.43 b_{eff}=13.20 t_w=0.70 σ=6.00
CC 6 SLD (Collegamento -384_-528)
Azioni sul collegamento: N=137.64 Ty=-1.54 Tz=-49.32 Mx=-0.35 Mz=-1.97
Zona tesa: F=55.43 b_{eff}=13.20 t_w=0.70 σ=6.00
Zona tesa: F=55.43 b_{eff}=13.20 t_w=0.70 σ=6.00
CC 6 SLD (Collegamento -384_-528)
Azioni sul collegamento: N=137.64 Ty=-1.87 Tz=-49.32 Mx=-0.43 Mz=-2.49
Zona tesa: F=55.43 b_{eff}=13.20 t_w=0.70 σ=6.00
Zona tesa: F=55.43 b_{eff}=13.20 t_w=0.70 σ=6.00
CC 6 SLD (Collegamento -384_-528)
Azioni sul collegamento: N=137.64 Ty=-1.54 Tz=-49.32 Mx=-0.35 Mz=-1.97
Zona tesa: F=55.43 b_{eff}=13.20 t_w=0.70 σ=6.00
Zona tesa: F=55.43 b_{eff}=13.20 t_w=0.70 σ=6.00
CC 6 SLD (Collegamento -384_-528)
Azioni sul collegamento: N=153.99 Ty=-1.87 Tz=-51.85 Mx=-0.43 Mz=-2.49
Zona tesa: F=62.01 b_{eff}=13.20 t_w=0.70 σ=6.71
Zona tesa: F=62.01 b_{eff}=13.20 t_w=0.70 σ=6.71
CC 6 SLD (Collegamento -384_-528)

Azioni sul collegamento: N=153.99 Ty=-1.54 Tz=-51.85 Mx=-0.35 Mz=-1.97
Zona tesa: F=62.01 b_{eff}=13.20 t_w=0.70 σ=6.71
Zona tesa: F=62.01 b_{eff}=13.20 t_w=0.70 σ=6.71
CC 6 SLD (Collegamento -384_-528)
Azioni sul collegamento: N=153.99 Ty=-1.87 Tz=-51.85 Mx=-0.43 Mz=-2.49
Zona tesa: F=62.01 b_{eff}=13.20 t_w=0.70 σ=6.71
Zona tesa: F=62.01 b_{eff}=13.20 t_w=0.70 σ=6.71
CC 6 SLD (Collegamento -384_-528)
Azioni sul collegamento: N=153.99 Ty=-1.54 Tz=-51.85 Mx=-0.35 Mz=-1.97
Zona tesa: F=62.01 b_{eff}=13.20 t_w=0.70 σ=6.71
Zona tesa: F=62.01 b_{eff}=13.20 t_w=0.70 σ=6.71
CC 7 SLV (Collegamento -384_-528)
Azioni sul collegamento: N=117.30 Ty=-2.83 Tz=-46.18 Mx=-0.60 Mz=-3.66
Zona tesa: F=47.24 b_{eff}=13.20 t_w=0.70 σ=5.11
Zona tesa: F=47.24 b_{eff}=13.20 t_w=0.70 σ=5.11
CC 7 SLV (Collegamento -384_-528)
Azioni sul collegamento: N=117.30 Ty=-1.22 Tz=-46.18 Mx=-0.27 Mz=-1.49
Zona tesa: F=47.24 b_{eff}=13.20 t_w=0.70 σ=5.11
Zona tesa: F=47.24 b_{eff}=13.20 t_w=0.70 σ=5.11
CC 7 SLV (Collegamento -384_-528)
Azioni sul collegamento: N=117.30 Ty=-2.83 Tz=-46.18 Mx=-0.60 Mz=-3.66
Zona tesa: F=47.24 b_{eff}=13.20 t_w=0.70 σ=5.11
Zona tesa: F=47.24 b_{eff}=13.20 t_w=0.70 σ=5.11
CC 7 SLV (Collegamento -384_-528)
Azioni sul collegamento: N=117.30 Ty=-1.22 Tz=-46.18 Mx=-0.27 Mz=-1.49
Zona tesa: F=47.24 b_{eff}=13.20 t_w=0.70 σ=5.11
Zona tesa: F=47.24 b_{eff}=13.20 t_w=0.70 σ=5.11
CC 7 SLV (Collegamento -384_-528)
Azioni sul collegamento: N=171.09 Ty=-2.83 Tz=-54.50 Mx=-0.60 Mz=-3.66
Zona tesa: F=68.90 b_{eff}=13.20 t_w=0.70 σ=7.46
Zona tesa: F=68.90 b_{eff}=13.20 t_w=0.70 σ=7.46
CC 7 SLV (Collegamento -384_-528)
Azioni sul collegamento: N=171.09 Ty=-1.22 Tz=-54.50 Mx=-0.27 Mz=-1.49
Zona tesa: F=68.90 b_{eff}=13.20 t_w=0.70 σ=7.46
Zona tesa: F=68.90 b_{eff}=13.20 t_w=0.70 σ=7.46
CC 7 SLV (Collegamento -384_-528)
Azioni sul collegamento: N=171.09 Ty=-2.83 Tz=-54.50 Mx=-0.60 Mz=-3.66
Zona tesa: F=68.90 b_{eff}=13.20 t_w=0.70 σ=7.46
Zona tesa: F=68.90 b_{eff}=13.20 t_w=0.70 σ=7.46
CC 7 SLV (Collegamento -384_-528)
Azioni sul collegamento: N=171.09 Ty=-1.22 Tz=-54.50 Mx=-0.27 Mz=-1.49
Zona tesa: F=68.90 b_{eff}=13.20 t_w=0.70 σ=7.46
Zona tesa: F=68.90 b_{eff}=13.20 t_w=0.70 σ=7.46
CC 8 SLD (Collegamento -384_-528)
Azioni sul collegamento: N=137.61 Ty=-1.95 Tz=-49.32 Mx=-0.44 Mz=-2.56
Zona tesa: F=55.41 b_{eff}=13.20 t_w=0.70 σ=6.00
Zona tesa: F=55.41 b_{eff}=13.20 t_w=0.70 σ=6.00
CC 8 SLD (Collegamento -384_-528)
Azioni sul collegamento: N=137.61 Ty=-1.46 Tz=-49.32 Mx=-0.34 Mz=-1.90
Zona tesa: F=55.41 b_{eff}=13.20 t_w=0.70 σ=6.00
Zona tesa: F=55.41 b_{eff}=13.20 t_w=0.70 σ=6.00
CC 8 SLD (Collegamento -384_-528)
Azioni sul collegamento: N=137.61 Ty=-1.95 Tz=-49.32 Mx=-0.44 Mz=-2.56
Zona tesa: F=55.41 b_{eff}=13.20 t_w=0.70 σ=6.00
Zona tesa: F=55.41 b_{eff}=13.20 t_w=0.70 σ=6.00
CC 8 SLD (Collegamento -384_-528)
Azioni sul collegamento: N=137.61 Ty=-1.46 Tz=-49.32 Mx=-0.34 Mz=-1.90
Zona tesa: F=55.41 b_{eff}=13.20 t_w=0.70 σ=6.00
Zona tesa: F=55.41 b_{eff}=13.20 t_w=0.70 σ=6.00
CC 8 SLD (Collegamento -384_-528)
Azioni sul collegamento: N=154.01 Ty=-1.95 Tz=-51.86 Mx=-0.44 Mz=-2.56
Zona tesa: F=62.02 b_{eff}=13.20 t_w=0.70 σ=6.71
Zona tesa: F=62.02 b_{eff}=13.20 t_w=0.70 σ=6.71
CC 8 SLD (Collegamento -384_-528)
Azioni sul collegamento: N=154.01 Ty=-1.46 Tz=-51.86 Mx=-0.34 Mz=-1.90
Zona tesa: F=62.02 b_{eff}=13.20 t_w=0.70 σ=6.71
Zona tesa: F=62.02 b_{eff}=13.20 t_w=0.70 σ=6.71
CC 8 SLD (Collegamento -384_-528)
Azioni sul collegamento: N=154.01 Ty=-1.95 Tz=-51.86 Mx=-0.44 Mz=-2.56
Zona tesa: F=62.02 b_{eff}=13.20 t_w=0.70 σ=6.71
Zona tesa: F=62.02 b_{eff}=13.20 t_w=0.70 σ=6.71
CC 8 SLD (Collegamento -384_-528)
Azioni sul collegamento: N=154.01 Ty=-1.46 Tz=-51.86 Mx=-0.34 Mz=-1.90
Zona tesa: F=62.02 b_{eff}=13.20 t_w=0.70 σ=6.71
Zona tesa: F=62.02 b_{eff}=13.20 t_w=0.70 σ=6.71
CC 9 SLV (Collegamento -384_-528)

Azioni sul collegamento: N=152.41 Ty=-1.37 Tz=-51.61 Mx=-0.36 Mz=-1.87
Zona tesa: F=61.37 b_{eff}=13.20 t_w=0.70 σ=6.64
Zona tesa: F=61.37 b_{eff}=13.20 t_w=0.70 σ=6.64
CC 9 SLV (Collegamento -384_-528)
Azioni sul collegamento: N=152.41 Ty=-2.68 Tz=-51.61 Mx=-0.57 Mz=-3.27
Zona tesa: F=61.37 b_{eff}=13.20 t_w=0.70 σ=6.64
Zona tesa: F=61.37 b_{eff}=13.20 t_w=0.70 σ=6.64
CC 9 SLV (Collegamento -384_-528)
Azioni sul collegamento: N=152.41 Ty=-1.37 Tz=-51.61 Mx=-0.36 Mz=-1.87
Zona tesa: F=61.37 b_{eff}=13.20 t_w=0.70 σ=6.64
Zona tesa: F=61.37 b_{eff}=13.20 t_w=0.70 σ=6.64
CC 9 SLV (Collegamento -384_-528)
Azioni sul collegamento: N=152.41 Ty=-2.68 Tz=-51.61 Mx=-0.57 Mz=-3.27
Zona tesa: F=61.37 b_{eff}=13.20 t_w=0.70 σ=6.64
Zona tesa: F=61.37 b_{eff}=13.20 t_w=0.70 σ=6.64
CC 9 SLV (Collegamento -384_-528)
Azioni sul collegamento: N=135.99 Ty=-1.37 Tz=-49.07 Mx=-0.36 Mz=-1.87
Zona tesa: F=54.76 b_{eff}=13.20 t_w=0.70 σ=5.93
Zona tesa: F=54.76 b_{eff}=13.20 t_w=0.70 σ=5.93
CC 9 SLV (Collegamento -384_-528)
Azioni sul collegamento: N=135.99 Ty=-2.68 Tz=-49.07 Mx=-0.57 Mz=-3.27
Zona tesa: F=54.76 b_{eff}=13.20 t_w=0.70 σ=5.93
Zona tesa: F=54.76 b_{eff}=13.20 t_w=0.70 σ=5.93
CC 9 SLV (Collegamento -384_-528)
Azioni sul collegamento: N=135.99 Ty=-1.37 Tz=-49.07 Mx=-0.36 Mz=-1.87
Zona tesa: F=54.76 b_{eff}=13.20 t_w=0.70 σ=5.93
Zona tesa: F=54.76 b_{eff}=13.20 t_w=0.70 σ=5.93
CC 9 SLV (Collegamento -384_-528)
Azioni sul collegamento: N=135.99 Ty=-2.68 Tz=-49.07 Mx=-0.57 Mz=-3.27
Zona tesa: F=54.76 b_{eff}=13.20 t_w=0.70 σ=5.93
Zona tesa: F=54.76 b_{eff}=13.20 t_w=0.70 σ=5.93
CC 10 SLD (Collegamento -384_-528)
Azioni sul collegamento: N=148.32 Ty=-1.51 Tz=-50.98 Mx=-0.37 Mz=-2.02
Zona tesa: F=59.73 b_{eff}=13.20 t_w=0.70 σ=6.46
Zona tesa: F=59.73 b_{eff}=13.20 t_w=0.70 σ=6.46
CC 10 SLD (Collegamento -384_-528)
Azioni sul collegamento: N=148.32 Ty=-1.91 Tz=-50.98 Mx=-0.43 Mz=-2.44
Zona tesa: F=59.73 b_{eff}=13.20 t_w=0.70 σ=6.46
Zona tesa: F=59.73 b_{eff}=13.20 t_w=0.70 σ=6.46
CC 10 SLD (Collegamento -384_-528)
Azioni sul collegamento: N=148.32 Ty=-1.51 Tz=-50.98 Mx=-0.37 Mz=-2.02
Zona tesa: F=59.73 b_{eff}=13.20 t_w=0.70 σ=6.46
Zona tesa: F=59.73 b_{eff}=13.20 t_w=0.70 σ=6.46
CC 10 SLD (Collegamento -384_-528)
Azioni sul collegamento: N=148.32 Ty=-1.91 Tz=-50.98 Mx=-0.43 Mz=-2.44
Zona tesa: F=59.73 b_{eff}=13.20 t_w=0.70 σ=6.46
Zona tesa: F=59.73 b_{eff}=13.20 t_w=0.70 σ=6.46
CC 10 SLD (Collegamento -384_-528)
Azioni sul collegamento: N=143.31 Ty=-1.51 Tz=-50.20 Mx=-0.37 Mz=-2.02
Zona tesa: F=57.71 b_{eff}=13.20 t_w=0.70 σ=6.25
Zona tesa: F=57.71 b_{eff}=13.20 t_w=0.70 σ=6.25
CC 10 SLD (Collegamento -384_-528)
Azioni sul collegamento: N=143.31 Ty=-1.91 Tz=-50.20 Mx=-0.43 Mz=-2.44
Zona tesa: F=57.71 b_{eff}=13.20 t_w=0.70 σ=6.25
Zona tesa: F=57.71 b_{eff}=13.20 t_w=0.70 σ=6.25
CC 10 SLD (Collegamento -384_-528)
Azioni sul collegamento: N=143.31 Ty=-1.51 Tz=-50.20 Mx=-0.37 Mz=-2.02
Zona tesa: F=57.71 b_{eff}=13.20 t_w=0.70 σ=6.25
Zona tesa: F=57.71 b_{eff}=13.20 t_w=0.70 σ=6.25
CC 10 SLD (Collegamento -384_-528)
Azioni sul collegamento: N=143.31 Ty=-1.91 Tz=-50.20 Mx=-0.43 Mz=-2.44
Zona tesa: F=57.71 b_{eff}=13.20 t_w=0.70 σ=6.25
Zona tesa: F=57.71 b_{eff}=13.20 t_w=0.70 σ=6.25
CC 11 SLV (Collegamento -384_-528)
Azioni sul collegamento: N=136.30 Ty=-1.77 Tz=-49.12 Mx=-0.44 Mz=-2.45
Zona tesa: F=54.89 b_{eff}=13.20 t_w=0.70 σ=5.94
Zona tesa: F=54.89 b_{eff}=13.20 t_w=0.70 σ=5.94
CC 11 SLV (Collegamento -384_-528)
Azioni sul collegamento: N=136.30 Ty=-2.28 Tz=-49.12 Mx=-0.47 Mz=-2.69
Zona tesa: F=54.89 b_{eff}=13.20 t_w=0.70 σ=5.94
Zona tesa: F=54.89 b_{eff}=13.20 t_w=0.70 σ=5.94
CC 11 SLV (Collegamento -384_-528)
Azioni sul collegamento: N=136.30 Ty=-1.77 Tz=-49.12 Mx=-0.44 Mz=-2.45
Zona tesa: F=54.89 b_{eff}=13.20 t_w=0.70 σ=5.94
Zona tesa: F=54.89 b_{eff}=13.20 t_w=0.70 σ=5.94
CC 11 SLV (Collegamento -384_-528)

Azioni sul collegamento: N=136.30 Ty=-2.28 Tz=-49.12 Mx=-0.47 Mz=-2.69
Zona tesa: F=54.89 b_{eff}=13.20 t_w=0.70 σ=5.94
Zona tesa: F=54.89 b_{eff}=13.20 t_w=0.70 σ=5.94
CC 11 SLV (Collegamento -384_-528)
Azioni sul collegamento: N=152.10 Ty=-1.77 Tz=-51.56 Mx=-0.44 Mz=-2.45
Zona tesa: F=61.25 b_{eff}=13.20 t_w=0.70 σ=6.63
Zona tesa: F=61.25 b_{eff}=13.20 t_w=0.70 σ=6.63
CC 11 SLV (Collegamento -384_-528)
Azioni sul collegamento: N=152.10 Ty=-2.28 Tz=-51.56 Mx=-0.47 Mz=-2.69
Zona tesa: F=61.25 b_{eff}=13.20 t_w=0.70 σ=6.63
Zona tesa: F=61.25 b_{eff}=13.20 t_w=0.70 σ=6.63
CC 11 SLV (Collegamento -384_-528)
Azioni sul collegamento: N=152.10 Ty=-1.77 Tz=-51.56 Mx=-0.44 Mz=-2.45
Zona tesa: F=61.25 b_{eff}=13.20 t_w=0.70 σ=6.63
Zona tesa: F=61.25 b_{eff}=13.20 t_w=0.70 σ=6.63
CC 11 SLV (Collegamento -384_-528)
Azioni sul collegamento: N=152.10 Ty=-2.28 Tz=-51.56 Mx=-0.47 Mz=-2.69
Zona tesa: F=61.25 b_{eff}=13.20 t_w=0.70 σ=6.63
Zona tesa: F=61.25 b_{eff}=13.20 t_w=0.70 σ=6.63
CC 12 SLD (Collegamento -384_-528)
Azioni sul collegamento: N=143.41 Ty=-1.63 Tz=-50.22 Mx=-0.39 Mz=-2.19
Zona tesa: F=57.75 b_{eff}=13.20 t_w=0.70 σ=6.25
Zona tesa: F=57.75 b_{eff}=13.20 t_w=0.70 σ=6.25
CC 12 SLD (Collegamento -384_-528)
Azioni sul collegamento: N=143.41 Ty=-1.78 Tz=-50.22 Mx=-0.40 Mz=-2.27
Zona tesa: F=57.75 b_{eff}=13.20 t_w=0.70 σ=6.25
Zona tesa: F=57.75 b_{eff}=13.20 t_w=0.70 σ=6.25
CC 12 SLD (Collegamento -384_-528)
Azioni sul collegamento: N=143.41 Ty=-1.63 Tz=-50.22 Mx=-0.39 Mz=-2.19
Zona tesa: F=57.75 b_{eff}=13.20 t_w=0.70 σ=6.25
Zona tesa: F=57.75 b_{eff}=13.20 t_w=0.70 σ=6.25
CC 12 SLD (Collegamento -384_-528)
Azioni sul collegamento: N=143.41 Ty=-1.78 Tz=-50.22 Mx=-0.40 Mz=-2.27
Zona tesa: F=57.75 b_{eff}=13.20 t_w=0.70 σ=6.25
Zona tesa: F=57.75 b_{eff}=13.20 t_w=0.70 σ=6.25
CC 12 SLD (Collegamento -384_-528)
Azioni sul collegamento: N=148.22 Ty=-1.63 Tz=-50.96 Mx=-0.39 Mz=-2.19
Zona tesa: F=59.69 b_{eff}=13.20 t_w=0.70 σ=6.46
Zona tesa: F=59.69 b_{eff}=13.20 t_w=0.70 σ=6.46
CC 12 SLD (Collegamento -384_-528)
Azioni sul collegamento: N=148.22 Ty=-1.78 Tz=-50.96 Mx=-0.40 Mz=-2.27
Zona tesa: F=59.69 b_{eff}=13.20 t_w=0.70 σ=6.46
Zona tesa: F=59.69 b_{eff}=13.20 t_w=0.70 σ=6.46
CC 12 SLD (Collegamento -384_-528)
Azioni sul collegamento: N=148.22 Ty=-1.63 Tz=-50.96 Mx=-0.39 Mz=-2.19
Zona tesa: F=59.69 b_{eff}=13.20 t_w=0.70 σ=6.46
Zona tesa: F=59.69 b_{eff}=13.20 t_w=0.70 σ=6.46
CC 12 SLD (Collegamento -384_-528)
Azioni sul collegamento: N=148.22 Ty=-1.78 Tz=-50.96 Mx=-0.40 Mz=-2.27
Zona tesa: F=59.69 b_{eff}=13.20 t_w=0.70 σ=6.46
Zona tesa: F=59.69 b_{eff}=13.20 t_w=0.70 σ=6.46
CC 13 SLV (Collegamento -384_-528)
Azioni sul collegamento: N=152.10 Ty=-2.28 Tz=-51.56 Mx=-0.48 Mz=-2.69
Zona tesa: F=61.25 b_{eff}=13.20 t_w=0.70 σ=6.63
Zona tesa: F=61.25 b_{eff}=13.20 t_w=0.70 σ=6.63
CC 13 SLV (Collegamento -384_-528)
Azioni sul collegamento: N=152.10 Ty=-1.77 Tz=-51.56 Mx=-0.44 Mz=-2.45
Zona tesa: F=61.25 b_{eff}=13.20 t_w=0.70 σ=6.63
Zona tesa: F=61.25 b_{eff}=13.20 t_w=0.70 σ=6.63
CC 13 SLV (Collegamento -384_-528)
Azioni sul collegamento: N=152.10 Ty=-2.28 Tz=-51.56 Mx=-0.48 Mz=-2.69
Zona tesa: F=61.25 b_{eff}=13.20 t_w=0.70 σ=6.63
Zona tesa: F=61.25 b_{eff}=13.20 t_w=0.70 σ=6.63
CC 13 SLV (Collegamento -384_-528)
Azioni sul collegamento: N=152.10 Ty=-1.77 Tz=-51.56 Mx=-0.44 Mz=-2.45
Zona tesa: F=61.25 b_{eff}=13.20 t_w=0.70 σ=6.63
Zona tesa: F=61.25 b_{eff}=13.20 t_w=0.70 σ=6.63
CC 13 SLV (Collegamento -384_-528)
Azioni sul collegamento: N=136.30 Ty=-2.28 Tz=-49.12 Mx=-0.48 Mz=-2.69
Zona tesa: F=54.89 b_{eff}=13.20 t_w=0.70 σ=5.94
Zona tesa: F=54.89 b_{eff}=13.20 t_w=0.70 σ=5.94
CC 13 SLV (Collegamento -384_-528)
Azioni sul collegamento: N=136.30 Ty=-1.77 Tz=-49.12 Mx=-0.44 Mz=-2.45
Zona tesa: F=54.89 b_{eff}=13.20 t_w=0.70 σ=5.94
Zona tesa: F=54.89 b_{eff}=13.20 t_w=0.70 σ=5.94
CC 13 SLV (Collegamento -384_-528)

Azioni sul collegamento: N=136.30 Ty=-2.28 Tz=-49.12 Mx=-0.48 Mz=-2.69
Zona tesa: F=54.89 b_{eff}=13.20 t_w=0.70 σ=5.94
Zona tesa: F=54.89 b_{eff}=13.20 t_w=0.70 σ=5.94
CC 13 SLV (Collegamento -384_-528)
Azioni sul collegamento: N=136.30 Ty=-1.77 Tz=-49.12 Mx=-0.44 Mz=-2.45
Zona tesa: F=54.89 b_{eff}=13.20 t_w=0.70 σ=5.94
Zona tesa: F=54.89 b_{eff}=13.20 t_w=0.70 σ=5.94
CC 14 SLD (Collegamento -384_-528)
Azioni sul collegamento: N=148.22 Ty=-1.78 Tz=-50.96 Mx=-0.40 Mz=-2.27
Zona tesa: F=59.69 b_{eff}=13.20 t_w=0.70 σ=6.46
Zona tesa: F=59.69 b_{eff}=13.20 t_w=0.70 σ=6.46
CC 14 SLD (Collegamento -384_-528)
Azioni sul collegamento: N=148.22 Ty=-1.63 Tz=-50.96 Mx=-0.39 Mz=-2.19
Zona tesa: F=59.69 b_{eff}=13.20 t_w=0.70 σ=6.46
Zona tesa: F=59.69 b_{eff}=13.20 t_w=0.70 σ=6.46
CC 14 SLD (Collegamento -384_-528)
Azioni sul collegamento: N=148.22 Ty=-1.78 Tz=-50.96 Mx=-0.40 Mz=-2.27
Zona tesa: F=59.69 b_{eff}=13.20 t_w=0.70 σ=6.46
Zona tesa: F=59.69 b_{eff}=13.20 t_w=0.70 σ=6.46
CC 14 SLD (Collegamento -384_-528)
Azioni sul collegamento: N=148.22 Ty=-1.63 Tz=-50.96 Mx=-0.39 Mz=-2.19
Zona tesa: F=59.69 b_{eff}=13.20 t_w=0.70 σ=6.46
Zona tesa: F=59.69 b_{eff}=13.20 t_w=0.70 σ=6.46
CC 14 SLD (Collegamento -384_-528)
Azioni sul collegamento: N=143.41 Ty=-1.78 Tz=-50.22 Mx=-0.40 Mz=-2.27
Zona tesa: F=57.75 b_{eff}=13.20 t_w=0.70 σ=6.25
Zona tesa: F=57.75 b_{eff}=13.20 t_w=0.70 σ=6.25
CC 14 SLD (Collegamento -384_-528)
Azioni sul collegamento: N=143.41 Ty=-1.63 Tz=-50.22 Mx=-0.39 Mz=-2.19
Zona tesa: F=57.75 b_{eff}=13.20 t_w=0.70 σ=6.25
Zona tesa: F=57.75 b_{eff}=13.20 t_w=0.70 σ=6.25
CC 14 SLD (Collegamento -384_-528)
Azioni sul collegamento: N=143.41 Ty=-1.78 Tz=-50.22 Mx=-0.40 Mz=-2.27
Zona tesa: F=57.75 b_{eff}=13.20 t_w=0.70 σ=6.25
Zona tesa: F=57.75 b_{eff}=13.20 t_w=0.70 σ=6.25
CC 14 SLD (Collegamento -384_-528)
Azioni sul collegamento: N=143.41 Ty=-1.63 Tz=-50.22 Mx=-0.39 Mz=-2.19
Zona tesa: F=57.75 b_{eff}=13.20 t_w=0.70 σ=6.25
Zona tesa: F=57.75 b_{eff}=13.20 t_w=0.70 σ=6.25
CC 15 SLV (Collegamento -384_-528)
Azioni sul collegamento: N=135.99 Ty=-2.68 Tz=-49.07 Mx=-0.55 Mz=-3.27
Zona tesa: F=54.76 b_{eff}=13.20 t_w=0.70 σ=5.93
Zona tesa: F=54.76 b_{eff}=13.20 t_w=0.70 σ=5.93
CC 15 SLV (Collegamento -384_-528)
Azioni sul collegamento: N=135.99 Ty=-1.37 Tz=-49.07 Mx=-0.34 Mz=-1.87
Zona tesa: F=54.76 b_{eff}=13.20 t_w=0.70 σ=5.93
Zona tesa: F=54.76 b_{eff}=13.20 t_w=0.70 σ=5.93
CC 15 SLV (Collegamento -384_-528)
Azioni sul collegamento: N=135.99 Ty=-2.68 Tz=-49.07 Mx=-0.55 Mz=-3.27
Zona tesa: F=54.76 b_{eff}=13.20 t_w=0.70 σ=5.93
Zona tesa: F=54.76 b_{eff}=13.20 t_w=0.70 σ=5.93
CC 15 SLV (Collegamento -384_-528)
Azioni sul collegamento: N=135.99 Ty=-1.37 Tz=-49.07 Mx=-0.34 Mz=-1.87
Zona tesa: F=54.76 b_{eff}=13.20 t_w=0.70 σ=5.93
Zona tesa: F=54.76 b_{eff}=13.20 t_w=0.70 σ=5.93
CC 15 SLV (Collegamento -384_-528)
Azioni sul collegamento: N=152.41 Ty=-2.68 Tz=-51.61 Mx=-0.55 Mz=-3.27
Zona tesa: F=61.37 b_{eff}=13.20 t_w=0.70 σ=6.64
Zona tesa: F=61.37 b_{eff}=13.20 t_w=0.70 σ=6.64
CC 15 SLV (Collegamento -384_-528)
Azioni sul collegamento: N=152.41 Ty=-1.37 Tz=-51.61 Mx=-0.34 Mz=-1.87
Zona tesa: F=61.37 b_{eff}=13.20 t_w=0.70 σ=6.64
Zona tesa: F=61.37 b_{eff}=13.20 t_w=0.70 σ=6.64
CC 15 SLV (Collegamento -384_-528)
Azioni sul collegamento: N=152.41 Ty=-2.68 Tz=-51.61 Mx=-0.55 Mz=-3.27
Zona tesa: F=61.37 b_{eff}=13.20 t_w=0.70 σ=6.64
Zona tesa: F=61.37 b_{eff}=13.20 t_w=0.70 σ=6.64
CC 15 SLV (Collegamento -384_-528)
Azioni sul collegamento: N=152.41 Ty=-1.37 Tz=-51.61 Mx=-0.34 Mz=-1.87
Zona tesa: F=61.37 b_{eff}=13.20 t_w=0.70 σ=6.64
Zona tesa: F=61.37 b_{eff}=13.20 t_w=0.70 σ=6.64
CC 16 SLD (Collegamento -384_-528)
Azioni sul collegamento: N=143.31 Ty=-1.91 Tz=-50.20 Mx=-0.43 Mz=-2.44
Zona tesa: F=57.71 b_{eff}=13.20 t_w=0.70 σ=6.25
Zona tesa: F=57.71 b_{eff}=13.20 t_w=0.70 σ=6.25
CC 16 SLD (Collegamento -384_-528)

Azioni sul collegamento: N=143.31 Ty=-1.51 Tz=-50.20 Mx=-0.36 Mz=-2.02
Zona tesa: F=57.71 b_{eff}=13.20 t_w=0.70 σ=6.25
Zona tesa: F=57.71 b_{eff}=13.20 t_w=0.70 σ=6.25
CC 16 SLD (Collegamento -384_-528)
Azioni sul collegamento: N=143.31 Ty=-1.91 Tz=-50.20 Mx=-0.43 Mz=-2.44
Zona tesa: F=57.71 b_{eff}=13.20 t_w=0.70 σ=6.25
Zona tesa: F=57.71 b_{eff}=13.20 t_w=0.70 σ=6.25
CC 16 SLD (Collegamento -384_-528)
Azioni sul collegamento: N=143.31 Ty=-1.51 Tz=-50.20 Mx=-0.36 Mz=-2.02
Zona tesa: F=57.71 b_{eff}=13.20 t_w=0.70 σ=6.25
Zona tesa: F=57.71 b_{eff}=13.20 t_w=0.70 σ=6.25
CC 16 SLD (Collegamento -384_-528)
Azioni sul collegamento: N=148.32 Ty=-1.91 Tz=-50.98 Mx=-0.43 Mz=-2.44
Zona tesa: F=59.73 b_{eff}=13.20 t_w=0.70 σ=6.46
Zona tesa: F=59.73 b_{eff}=13.20 t_w=0.70 σ=6.46
CC 16 SLD (Collegamento -384_-528)
Azioni sul collegamento: N=148.32 Ty=-1.51 Tz=-50.98 Mx=-0.36 Mz=-2.02
Zona tesa: F=59.73 b_{eff}=13.20 t_w=0.70 σ=6.46
Zona tesa: F=59.73 b_{eff}=13.20 t_w=0.70 σ=6.46
CC 16 SLD (Collegamento -384_-528)
Azioni sul collegamento: N=148.32 Ty=-1.91 Tz=-50.98 Mx=-0.43 Mz=-2.44
Zona tesa: F=59.73 b_{eff}=13.20 t_w=0.70 σ=6.46
Zona tesa: F=59.73 b_{eff}=13.20 t_w=0.70 σ=6.46
CC 16 SLD (Collegamento -384_-528)
Azioni sul collegamento: N=148.32 Ty=-1.51 Tz=-50.98 Mx=-0.36 Mz=-2.02
Zona tesa: F=59.73 b_{eff}=13.20 t_w=0.70 σ=6.46
Zona tesa: F=59.73 b_{eff}=13.20 t_w=0.70 σ=6.46
CC 17 SLV (Collegamento -384_-528)
Azioni sul collegamento: N=175.74 Ty=-0.30 Tz=-55.22 Mx=-0.14 Mz=-0.50
Zona tesa: F=70.77 b_{eff}=13.20 t_w=0.70 σ=7.66
Zona tesa: F=70.77 b_{eff}=13.20 t_w=0.70 σ=7.66
CC 17 SLV (Collegamento -384_-528)
Azioni sul collegamento: N=175.74 Ty=-1.91 Tz=-55.22 Mx=-0.48 Mz=-2.67
Zona tesa: F=70.77 b_{eff}=13.20 t_w=0.70 σ=7.66
Zona tesa: F=70.77 b_{eff}=13.20 t_w=0.70 σ=7.66
CC 17 SLV (Collegamento -384_-528)
Azioni sul collegamento: N=175.74 Ty=-0.30 Tz=-55.22 Mx=-0.14 Mz=-0.50
Zona tesa: F=70.77 b_{eff}=13.20 t_w=0.70 σ=7.66
Zona tesa: F=70.77 b_{eff}=13.20 t_w=0.70 σ=7.66
CC 17 SLV (Collegamento -384_-528)
Azioni sul collegamento: N=175.74 Ty=-1.91 Tz=-55.22 Mx=-0.48 Mz=-2.67
Zona tesa: F=70.77 b_{eff}=13.20 t_w=0.70 σ=7.66
Zona tesa: F=70.77 b_{eff}=13.20 t_w=0.70 σ=7.66
CC 17 SLV (Collegamento -384_-528)
Azioni sul collegamento: N=121.95 Ty=-0.30 Tz=-46.90 Mx=-0.14 Mz=-0.50
Zona tesa: F=49.11 b_{eff}=13.20 t_w=0.70 σ=5.31
Zona tesa: F=49.11 b_{eff}=13.20 t_w=0.70 σ=5.31
CC 17 SLV (Collegamento -384_-528)
Azioni sul collegamento: N=121.95 Ty=-1.91 Tz=-46.90 Mx=-0.48 Mz=-2.67
Zona tesa: F=49.11 b_{eff}=13.20 t_w=0.70 σ=5.31
Zona tesa: F=49.11 b_{eff}=13.20 t_w=0.70 σ=5.31
CC 17 SLV (Collegamento -384_-528)
Azioni sul collegamento: N=121.95 Ty=-0.30 Tz=-46.90 Mx=-0.14 Mz=-0.50
Zona tesa: F=49.11 b_{eff}=13.20 t_w=0.70 σ=5.31
Zona tesa: F=49.11 b_{eff}=13.20 t_w=0.70 σ=5.31
CC 17 SLV (Collegamento -384_-528)
Azioni sul collegamento: N=121.95 Ty=-1.91 Tz=-46.90 Mx=-0.48 Mz=-2.67
Zona tesa: F=49.11 b_{eff}=13.20 t_w=0.70 σ=5.31
Zona tesa: F=49.11 b_{eff}=13.20 t_w=0.70 σ=5.31
CC 18 SLD (Collegamento -384_-528)
Azioni sul collegamento: N=155.43 Ty=-1.18 Tz=-52.08 Mx=-0.30 Mz=-1.60
Zona tesa: F=62.59 b_{eff}=13.20 t_w=0.70 σ=6.77
Zona tesa: F=62.59 b_{eff}=13.20 t_w=0.70 σ=6.77
CC 18 SLD (Collegamento -384_-528)
Azioni sul collegamento: N=155.43 Ty=-1.67 Tz=-52.08 Mx=-0.41 Mz=-2.26
Zona tesa: F=62.59 b_{eff}=13.20 t_w=0.70 σ=6.77
Zona tesa: F=62.59 b_{eff}=13.20 t_w=0.70 σ=6.77
CC 18 SLD (Collegamento -384_-528)
Azioni sul collegamento: N=155.43 Ty=-1.18 Tz=-52.08 Mx=-0.30 Mz=-1.60
Zona tesa: F=62.59 b_{eff}=13.20 t_w=0.70 σ=6.77
Zona tesa: F=62.59 b_{eff}=13.20 t_w=0.70 σ=6.77
CC 18 SLD (Collegamento -384_-528)
Azioni sul collegamento: N=155.43 Ty=-1.67 Tz=-52.08 Mx=-0.41 Mz=-2.26
Zona tesa: F=62.59 b_{eff}=13.20 t_w=0.70 σ=6.77
Zona tesa: F=62.59 b_{eff}=13.20 t_w=0.70 σ=6.77
CC 18 SLD (Collegamento -384_-528)

Azioni sul collegamento: N=139.03 Ty=-1.18 Tz=-49.54 Mx=-0.30 Mz=-1.60
Zona tesa: F=55.98 b_{eff}=13.20 t_w=0.70 σ=6.06
Zona tesa: F=55.98 b_{eff}=13.20 t_w=0.70 σ=6.06
CC 18 SLD (Collegamento -384_-528)
Azioni sul collegamento: N=139.03 Ty=-1.67 Tz=-49.54 Mx=-0.41 Mz=-2.26
Zona tesa: F=55.98 b_{eff}=13.20 t_w=0.70 σ=6.06
Zona tesa: F=55.98 b_{eff}=13.20 t_w=0.70 σ=6.06
CC 18 SLD (Collegamento -384_-528)
Azioni sul collegamento: N=139.03 Ty=-1.18 Tz=-49.54 Mx=-0.30 Mz=-1.60
Zona tesa: F=55.98 b_{eff}=13.20 t_w=0.70 σ=6.06
Zona tesa: F=55.98 b_{eff}=13.20 t_w=0.70 σ=6.06
CC 18 SLD (Collegamento -384_-528)
Azioni sul collegamento: N=139.03 Ty=-1.67 Tz=-49.54 Mx=-0.41 Mz=-2.26
Zona tesa: F=55.98 b_{eff}=13.20 t_w=0.70 σ=6.06
Zona tesa: F=55.98 b_{eff}=13.20 t_w=0.70 σ=6.06
CC 19 SLV (Collegamento -384_-528)
Azioni sul collegamento: N=175.65 Ty=-0.58 Tz=-55.21 Mx=-0.18 Mz=-0.74
Zona tesa: F=70.73 b_{eff}=13.20 t_w=0.70 σ=7.65
Zona tesa: F=70.73 b_{eff}=13.20 t_w=0.70 σ=7.65
CC 19 SLV (Collegamento -384_-528)
Azioni sul collegamento: N=175.65 Ty=-1.64 Tz=-55.21 Mx=-0.44 Mz=-2.43
Zona tesa: F=70.73 b_{eff}=13.20 t_w=0.70 σ=7.65
Zona tesa: F=70.73 b_{eff}=13.20 t_w=0.70 σ=7.65
CC 19 SLV (Collegamento -384_-528)
Azioni sul collegamento: N=175.65 Ty=-0.58 Tz=-55.21 Mx=-0.18 Mz=-0.74
Zona tesa: F=70.73 b_{eff}=13.20 t_w=0.70 σ=7.65
Zona tesa: F=70.73 b_{eff}=13.20 t_w=0.70 σ=7.65
CC 19 SLV (Collegamento -384_-528)
Azioni sul collegamento: N=175.65 Ty=-1.64 Tz=-55.21 Mx=-0.44 Mz=-2.43
Zona tesa: F=70.73 b_{eff}=13.20 t_w=0.70 σ=7.65
Zona tesa: F=70.73 b_{eff}=13.20 t_w=0.70 σ=7.65
CC 19 SLV (Collegamento -384_-528)
Azioni sul collegamento: N=122.04 Ty=-0.58 Tz=-46.91 Mx=-0.18 Mz=-0.74
Zona tesa: F=49.14 b_{eff}=13.20 t_w=0.70 σ=5.32
Zona tesa: F=49.14 b_{eff}=13.20 t_w=0.70 σ=5.32
CC 19 SLV (Collegamento -384_-528)
Azioni sul collegamento: N=122.04 Ty=-1.64 Tz=-46.91 Mx=-0.44 Mz=-2.43
Zona tesa: F=49.14 b_{eff}=13.20 t_w=0.70 σ=5.32
Zona tesa: F=49.14 b_{eff}=13.20 t_w=0.70 σ=5.32
CC 19 SLV (Collegamento -384_-528)
Azioni sul collegamento: N=122.04 Ty=-0.58 Tz=-46.91 Mx=-0.18 Mz=-0.74
Zona tesa: F=49.14 b_{eff}=13.20 t_w=0.70 σ=5.32
Zona tesa: F=49.14 b_{eff}=13.20 t_w=0.70 σ=5.32
CC 19 SLV (Collegamento -384_-528)
Azioni sul collegamento: N=122.04 Ty=-1.64 Tz=-46.91 Mx=-0.44 Mz=-2.43
Zona tesa: F=49.14 b_{eff}=13.20 t_w=0.70 σ=5.32
Zona tesa: F=49.14 b_{eff}=13.20 t_w=0.70 σ=5.32
CC 20 SLD (Collegamento -384_-528)
Azioni sul collegamento: N=155.40 Ty=-1.26 Tz=-52.07 Mx=-0.31 Mz=-1.67
Zona tesa: F=62.58 b_{eff}=13.20 t_w=0.70 σ=6.77
Zona tesa: F=62.58 b_{eff}=13.20 t_w=0.70 σ=6.77
CC 20 SLD (Collegamento -384_-528)
Azioni sul collegamento: N=155.40 Ty=-1.59 Tz=-52.07 Mx=-0.39 Mz=-2.19
Zona tesa: F=62.58 b_{eff}=13.20 t_w=0.70 σ=6.77
Zona tesa: F=62.58 b_{eff}=13.20 t_w=0.70 σ=6.77
CC 20 SLD (Collegamento -384_-528)
Azioni sul collegamento: N=155.40 Ty=-1.26 Tz=-52.07 Mx=-0.31 Mz=-1.67
Zona tesa: F=62.58 b_{eff}=13.20 t_w=0.70 σ=6.77
Zona tesa: F=62.58 b_{eff}=13.20 t_w=0.70 σ=6.77
CC 20 SLD (Collegamento -384_-528)
Azioni sul collegamento: N=155.40 Ty=-1.59 Tz=-52.07 Mx=-0.39 Mz=-2.19
Zona tesa: F=62.58 b_{eff}=13.20 t_w=0.70 σ=6.77
Zona tesa: F=62.58 b_{eff}=13.20 t_w=0.70 σ=6.77
CC 20 SLD (Collegamento -384_-528)
Azioni sul collegamento: N=139.06 Ty=-1.26 Tz=-49.54 Mx=-0.31 Mz=-1.67
Zona tesa: F=56.00 b_{eff}=13.20 t_w=0.70 σ=6.06
Zona tesa: F=56.00 b_{eff}=13.20 t_w=0.70 σ=6.06
CC 20 SLD (Collegamento -384_-528)
Azioni sul collegamento: N=139.06 Ty=-1.59 Tz=-49.54 Mx=-0.39 Mz=-2.19
Zona tesa: F=56.00 b_{eff}=13.20 t_w=0.70 σ=6.06
Zona tesa: F=56.00 b_{eff}=13.20 t_w=0.70 σ=6.06
CC 20 SLD (Collegamento -384_-528)
Azioni sul collegamento: N=139.06 Ty=-1.26 Tz=-49.54 Mx=-0.31 Mz=-1.67
Zona tesa: F=56.00 b_{eff}=13.20 t_w=0.70 σ=6.06
Zona tesa: F=56.00 b_{eff}=13.20 t_w=0.70 σ=6.06
CC 20 SLD (Collegamento -384_-528)

Azioni sul collegamento: N=139.06 Ty=-1.59 Tz=-49.54 Mx=-0.39 Mz=-2.19
Zona tesa: F=56.00 b_{eff}=13.20 t_w=0.70 σ=6.06
Zona tesa: F=56.00 b_{eff}=13.20 t_w=0.70 σ=6.06
CC 21 SLV (Collegamento -384_-528)
Azioni sul collegamento: N=122.04 Ty=-1.64 Tz=-46.91 Mx=-0.41 Mz=-2.43
Zona tesa: F=49.14 b_{eff}=13.20 t_w=0.70 σ=5.32
Zona tesa: F=49.14 b_{eff}=13.20 t_w=0.70 σ=5.32
CC 21 SLV (Collegamento -384_-528)
Azioni sul collegamento: N=122.04 Ty=-0.58 Tz=-46.91 Mx=-0.15 Mz=-0.75
Zona tesa: F=49.14 b_{eff}=13.20 t_w=0.70 σ=5.32
Zona tesa: F=49.14 b_{eff}=13.20 t_w=0.70 σ=5.32
CC 21 SLV (Collegamento -384_-528)
Azioni sul collegamento: N=122.04 Ty=-1.64 Tz=-46.91 Mx=-0.41 Mz=-2.43
Zona tesa: F=49.14 b_{eff}=13.20 t_w=0.70 σ=5.32
Zona tesa: F=49.14 b_{eff}=13.20 t_w=0.70 σ=5.32
CC 21 SLV (Collegamento -384_-528)
Azioni sul collegamento: N=122.04 Ty=-0.58 Tz=-46.91 Mx=-0.15 Mz=-0.75
Zona tesa: F=49.14 b_{eff}=13.20 t_w=0.70 σ=5.32
Zona tesa: F=49.14 b_{eff}=13.20 t_w=0.70 σ=5.32
CC 21 SLV (Collegamento -384_-528)
Azioni sul collegamento: N=175.65 Ty=-1.64 Tz=-55.21 Mx=-0.41 Mz=-2.43
Zona tesa: F=70.73 b_{eff}=13.20 t_w=0.70 σ=7.65
Zona tesa: F=70.73 b_{eff}=13.20 t_w=0.70 σ=7.65
CC 21 SLV (Collegamento -384_-528)
Azioni sul collegamento: N=175.65 Ty=-0.58 Tz=-55.21 Mx=-0.15 Mz=-0.75
Zona tesa: F=70.73 b_{eff}=13.20 t_w=0.70 σ=7.65
Zona tesa: F=70.73 b_{eff}=13.20 t_w=0.70 σ=7.65
CC 21 SLV (Collegamento -384_-528)
Azioni sul collegamento: N=175.65 Ty=-1.64 Tz=-55.21 Mx=-0.41 Mz=-2.43
Zona tesa: F=70.73 b_{eff}=13.20 t_w=0.70 σ=7.65
Zona tesa: F=70.73 b_{eff}=13.20 t_w=0.70 σ=7.65
CC 21 SLV (Collegamento -384_-528)
Azioni sul collegamento: N=175.65 Ty=-0.58 Tz=-55.21 Mx=-0.15 Mz=-0.75
Zona tesa: F=70.73 b_{eff}=13.20 t_w=0.70 σ=7.65
Zona tesa: F=70.73 b_{eff}=13.20 t_w=0.70 σ=7.65
CC 22 SLD (Collegamento -384_-528)
Azioni sul collegamento: N=139.06 Ty=-1.59 Tz=-49.54 Mx=-0.38 Mz=-2.19
Zona tesa: F=56.00 b_{eff}=13.20 t_w=0.70 σ=6.06
Zona tesa: F=56.00 b_{eff}=13.20 t_w=0.70 σ=6.06
CC 22 SLD (Collegamento -384_-528)
Azioni sul collegamento: N=139.06 Ty=-1.26 Tz=-49.54 Mx=-0.30 Mz=-1.67
Zona tesa: F=56.00 b_{eff}=13.20 t_w=0.70 σ=6.06
Zona tesa: F=56.00 b_{eff}=13.20 t_w=0.70 σ=6.06
CC 22 SLD (Collegamento -384_-528)
Azioni sul collegamento: N=139.06 Ty=-1.59 Tz=-49.54 Mx=-0.38 Mz=-2.19
Zona tesa: F=56.00 b_{eff}=13.20 t_w=0.70 σ=6.06
Zona tesa: F=56.00 b_{eff}=13.20 t_w=0.70 σ=6.06
CC 22 SLD (Collegamento -384_-528)
Azioni sul collegamento: N=139.06 Ty=-1.26 Tz=-49.54 Mx=-0.30 Mz=-1.67
Zona tesa: F=56.00 b_{eff}=13.20 t_w=0.70 σ=6.06
Zona tesa: F=56.00 b_{eff}=13.20 t_w=0.70 σ=6.06
CC 22 SLD (Collegamento -384_-528)
Azioni sul collegamento: N=155.40 Ty=-1.59 Tz=-52.07 Mx=-0.38 Mz=-2.19
Zona tesa: F=62.58 b_{eff}=13.20 t_w=0.70 σ=6.77
Zona tesa: F=62.58 b_{eff}=13.20 t_w=0.70 σ=6.77
CC 22 SLD (Collegamento -384_-528)
Azioni sul collegamento: N=155.40 Ty=-1.26 Tz=-52.07 Mx=-0.30 Mz=-1.67
Zona tesa: F=62.58 b_{eff}=13.20 t_w=0.70 σ=6.77
Zona tesa: F=62.58 b_{eff}=13.20 t_w=0.70 σ=6.77
CC 22 SLD (Collegamento -384_-528)
Azioni sul collegamento: N=155.40 Ty=-1.59 Tz=-52.07 Mx=-0.38 Mz=-2.19
Zona tesa: F=62.58 b_{eff}=13.20 t_w=0.70 σ=6.77
Zona tesa: F=62.58 b_{eff}=13.20 t_w=0.70 σ=6.77
CC 22 SLD (Collegamento -384_-528)
Azioni sul collegamento: N=155.40 Ty=-1.26 Tz=-52.07 Mx=-0.30 Mz=-1.67
Zona tesa: F=62.58 b_{eff}=13.20 t_w=0.70 σ=6.77
Zona tesa: F=62.58 b_{eff}=13.20 t_w=0.70 σ=6.77
CC 23 SLV (Collegamento -384_-528)
Azioni sul collegamento: N=121.95 Ty=-1.91 Tz=-46.90 Mx=-0.44 Mz=-2.68
Zona tesa: F=49.11 b_{eff}=13.20 t_w=0.70 σ=5.31
Zona tesa: F=49.11 b_{eff}=13.20 t_w=0.70 σ=5.31
CC 23 SLV (Collegamento -384_-528)
Azioni sul collegamento: N=121.95 Ty=-0.30 Tz=-46.90 Mx=-0.10 Mz=-0.50
Zona tesa: F=49.11 b_{eff}=13.20 t_w=0.70 σ=5.31
Zona tesa: F=49.11 b_{eff}=13.20 t_w=0.70 σ=5.31
CC 23 SLV (Collegamento -384_-528)

Azioni sul collegamento: N=121.95 Ty=-1.91 Tz=-46.90 Mx=-0.44 Mz=-2.68
Zona tesa: F=49.11 b_{eff}=13.20 t_w=0.70 σ=5.31
Zona tesa: F=49.11 b_{eff}=13.20 t_w=0.70 σ=5.31
CC 23 SLV (Collegamento -384_-528)
Azioni sul collegamento: N=121.95 Ty=-0.30 Tz=-46.90 Mx=-0.10 Mz=-0.50
Zona tesa: F=49.11 b_{eff}=13.20 t_w=0.70 σ=5.31
Zona tesa: F=49.11 b_{eff}=13.20 t_w=0.70 σ=5.31
CC 23 SLV (Collegamento -384_-528)
Azioni sul collegamento: N=175.74 Ty=-1.91 Tz=-55.22 Mx=-0.44 Mz=-2.68
Zona tesa: F=70.77 b_{eff}=13.20 t_w=0.70 σ=7.66
Zona tesa: F=70.77 b_{eff}=13.20 t_w=0.70 σ=7.66
CC 23 SLV (Collegamento -384_-528)
Azioni sul collegamento: N=175.74 Ty=-0.30 Tz=-55.22 Mx=-0.10 Mz=-0.50
Zona tesa: F=70.77 b_{eff}=13.20 t_w=0.70 σ=7.66
Zona tesa: F=70.77 b_{eff}=13.20 t_w=0.70 σ=7.66
CC 23 SLV (Collegamento -384_-528)
Azioni sul collegamento: N=175.74 Ty=-1.91 Tz=-55.22 Mx=-0.44 Mz=-2.68
Zona tesa: F=70.77 b_{eff}=13.20 t_w=0.70 σ=7.66
Zona tesa: F=70.77 b_{eff}=13.20 t_w=0.70 σ=7.66
CC 23 SLV (Collegamento -384_-528)
Azioni sul collegamento: N=175.74 Ty=-0.30 Tz=-55.22 Mx=-0.10 Mz=-0.50
Zona tesa: F=70.77 b_{eff}=13.20 t_w=0.70 σ=7.66
Zona tesa: F=70.77 b_{eff}=13.20 t_w=0.70 σ=7.66
CC 24 SLD (Collegamento -384_-528)
Azioni sul collegamento: N=139.03 Ty=-1.67 Tz=-49.54 Mx=-0.39 Mz=-2.26
Zona tesa: F=55.98 b_{eff}=13.20 t_w=0.70 σ=6.06
Zona tesa: F=55.98 b_{eff}=13.20 t_w=0.70 σ=6.06
CC 24 SLD (Collegamento -384_-528)
Azioni sul collegamento: N=139.03 Ty=-1.18 Tz=-49.54 Mx=-0.29 Mz=-1.60
Zona tesa: F=55.98 b_{eff}=13.20 t_w=0.70 σ=6.06
Zona tesa: F=55.98 b_{eff}=13.20 t_w=0.70 σ=6.06
CC 24 SLD (Collegamento -384_-528)
Azioni sul collegamento: N=139.03 Ty=-1.67 Tz=-49.54 Mx=-0.39 Mz=-2.26
Zona tesa: F=55.98 b_{eff}=13.20 t_w=0.70 σ=6.06
Zona tesa: F=55.98 b_{eff}=13.20 t_w=0.70 σ=6.06
CC 24 SLD (Collegamento -384_-528)
Azioni sul collegamento: N=139.03 Ty=-1.18 Tz=-49.54 Mx=-0.29 Mz=-1.60
Zona tesa: F=55.98 b_{eff}=13.20 t_w=0.70 σ=6.06
Zona tesa: F=55.98 b_{eff}=13.20 t_w=0.70 σ=6.06
CC 24 SLD (Collegamento -384_-528)
Azioni sul collegamento: N=155.43 Ty=-1.67 Tz=-52.08 Mx=-0.39 Mz=-2.26
Zona tesa: F=62.59 b_{eff}=13.20 t_w=0.70 σ=6.77
Zona tesa: F=62.59 b_{eff}=13.20 t_w=0.70 σ=6.77
CC 24 SLD (Collegamento -384_-528)
Azioni sul collegamento: N=155.43 Ty=-1.18 Tz=-52.08 Mx=-0.29 Mz=-1.60
Zona tesa: F=62.59 b_{eff}=13.20 t_w=0.70 σ=6.77
Zona tesa: F=62.59 b_{eff}=13.20 t_w=0.70 σ=6.77
CC 24 SLD (Collegamento -384_-528)
Azioni sul collegamento: N=155.43 Ty=-1.67 Tz=-52.08 Mx=-0.39 Mz=-2.26
Zona tesa: F=62.59 b_{eff}=13.20 t_w=0.70 σ=6.77
Zona tesa: F=62.59 b_{eff}=13.20 t_w=0.70 σ=6.77
CC 24 SLD (Collegamento -384_-528)
Azioni sul collegamento: N=155.43 Ty=-1.18 Tz=-52.08 Mx=-0.29 Mz=-1.60
Zona tesa: F=62.59 b_{eff}=13.20 t_w=0.70 σ=6.77
Zona tesa: F=62.59 b_{eff}=13.20 t_w=0.70 σ=6.77
CC 25 SLV (Collegamento -384_-528)
Azioni sul collegamento: N=157.06 Ty=-0.45 Tz=-52.33 Mx=-0.19 Mz=-0.89
Zona tesa: F=63.24 b_{eff}=13.20 t_w=0.70 σ=6.84
Zona tesa: F=63.24 b_{eff}=13.20 t_w=0.70 σ=6.84
CC 25 SLV (Collegamento -384_-528)
Azioni sul collegamento: N=157.06 Ty=-1.76 Tz=-52.33 Mx=-0.41 Mz=-2.29
Zona tesa: F=63.24 b_{eff}=13.20 t_w=0.70 σ=6.84
Zona tesa: F=63.24 b_{eff}=13.20 t_w=0.70 σ=6.84
CC 25 SLV (Collegamento -384_-528)
Azioni sul collegamento: N=157.06 Ty=-0.45 Tz=-52.33 Mx=-0.19 Mz=-0.89
Zona tesa: F=63.24 b_{eff}=13.20 t_w=0.70 σ=6.84
Zona tesa: F=63.24 b_{eff}=13.20 t_w=0.70 σ=6.84
CC 25 SLV (Collegamento -384_-528)
Azioni sul collegamento: N=157.06 Ty=-1.76 Tz=-52.33 Mx=-0.41 Mz=-2.29
Zona tesa: F=63.24 b_{eff}=13.20 t_w=0.70 σ=6.84
Zona tesa: F=63.24 b_{eff}=13.20 t_w=0.70 σ=6.84
CC 25 SLV (Collegamento -384_-528)
Azioni sul collegamento: N=140.63 Ty=-0.45 Tz=-49.79 Mx=-0.19 Mz=-0.89
Zona tesa: F=56.63 b_{eff}=13.20 t_w=0.70 σ=6.13
Zona tesa: F=56.63 b_{eff}=13.20 t_w=0.70 σ=6.13
CC 25 SLV (Collegamento -384_-528)

Azioni sul collegamento: N=140.63 Ty=-1.76 Tz=-49.79 Mx=-0.41 Mz=-2.29
Zona tesa: F=56.63 b_{eff}=13.20 t_w=0.70 σ=6.13
Zona tesa: F=56.63 b_{eff}=13.20 t_w=0.70 σ=6.13
CC 25 SLV (Collegamento -384_-528)
Azioni sul collegamento: N=140.63 Ty=-0.45 Tz=-49.79 Mx=-0.19 Mz=-0.89
Zona tesa: F=56.63 b_{eff}=13.20 t_w=0.70 σ=6.13
Zona tesa: F=56.63 b_{eff}=13.20 t_w=0.70 σ=6.13
CC 25 SLV (Collegamento -384_-528)
Azioni sul collegamento: N=140.63 Ty=-1.76 Tz=-49.79 Mx=-0.41 Mz=-2.29
Zona tesa: F=56.63 b_{eff}=13.20 t_w=0.70 σ=6.13
Zona tesa: F=56.63 b_{eff}=13.20 t_w=0.70 σ=6.13
CC 26 SLD (Collegamento -384_-528)
Azioni sul collegamento: N=149.73 Ty=-1.23 Tz=-51.20 Mx=-0.32 Mz=-1.72
Zona tesa: F=60.30 b_{eff}=13.20 t_w=0.70 σ=6.53
Zona tesa: F=60.30 b_{eff}=13.20 t_w=0.70 σ=6.53
CC 26 SLD (Collegamento -384_-528)
Azioni sul collegamento: N=149.73 Ty=-1.63 Tz=-51.20 Mx=-0.38 Mz=-2.14
Zona tesa: F=60.30 b_{eff}=13.20 t_w=0.70 σ=6.53
Zona tesa: F=60.30 b_{eff}=13.20 t_w=0.70 σ=6.53
CC 26 SLD (Collegamento -384_-528)
Azioni sul collegamento: N=149.73 Ty=-1.23 Tz=-51.20 Mx=-0.32 Mz=-1.72
Zona tesa: F=60.30 b_{eff}=13.20 t_w=0.70 σ=6.53
Zona tesa: F=60.30 b_{eff}=13.20 t_w=0.70 σ=6.53
CC 26 SLD (Collegamento -384_-528)
Azioni sul collegamento: N=149.73 Ty=-1.63 Tz=-51.20 Mx=-0.38 Mz=-2.14
Zona tesa: F=60.30 b_{eff}=13.20 t_w=0.70 σ=6.53
Zona tesa: F=60.30 b_{eff}=13.20 t_w=0.70 σ=6.53
CC 26 SLD (Collegamento -384_-528)
Azioni sul collegamento: N=144.73 Ty=-1.23 Tz=-50.42 Mx=-0.32 Mz=-1.72
Zona tesa: F=58.28 b_{eff}=13.20 t_w=0.70 σ=6.31
Zona tesa: F=58.28 b_{eff}=13.20 t_w=0.70 σ=6.31
CC 26 SLD (Collegamento -384_-528)
Azioni sul collegamento: N=144.73 Ty=-1.63 Tz=-50.42 Mx=-0.38 Mz=-2.14
Zona tesa: F=58.28 b_{eff}=13.20 t_w=0.70 σ=6.31
Zona tesa: F=58.28 b_{eff}=13.20 t_w=0.70 σ=6.31
CC 26 SLD (Collegamento -384_-528)
Azioni sul collegamento: N=144.73 Ty=-1.23 Tz=-50.42 Mx=-0.32 Mz=-1.72
Zona tesa: F=58.28 b_{eff}=13.20 t_w=0.70 σ=6.31
Zona tesa: F=58.28 b_{eff}=13.20 t_w=0.70 σ=6.31
CC 26 SLD (Collegamento -384_-528)
Azioni sul collegamento: N=144.73 Ty=-1.63 Tz=-50.42 Mx=-0.38 Mz=-2.14
Zona tesa: F=58.28 b_{eff}=13.20 t_w=0.70 σ=6.31
Zona tesa: F=58.28 b_{eff}=13.20 t_w=0.70 σ=6.31
CC 27 SLV (Collegamento -384_-528)
Azioni sul collegamento: N=140.95 Ty=-0.85 Tz=-49.84 Mx=-0.27 Mz=-1.47
Zona tesa: F=56.76 b_{eff}=13.20 t_w=0.70 σ=6.14
Zona tesa: F=56.76 b_{eff}=13.20 t_w=0.70 σ=6.14
CC 27 SLV (Collegamento -384_-528)
Azioni sul collegamento: N=140.95 Ty=-1.36 Tz=-49.84 Mx=-0.31 Mz=-1.71
Zona tesa: F=56.76 b_{eff}=13.20 t_w=0.70 σ=6.14
Zona tesa: F=56.76 b_{eff}=13.20 t_w=0.70 σ=6.14
CC 27 SLV (Collegamento -384_-528)
Azioni sul collegamento: N=140.95 Ty=-0.85 Tz=-49.84 Mx=-0.27 Mz=-1.47
Zona tesa: F=56.76 b_{eff}=13.20 t_w=0.70 σ=6.14
Zona tesa: F=56.76 b_{eff}=13.20 t_w=0.70 σ=6.14
CC 27 SLV (Collegamento -384_-528)
Azioni sul collegamento: N=140.95 Ty=-1.36 Tz=-49.84 Mx=-0.31 Mz=-1.71
Zona tesa: F=56.76 b_{eff}=13.20 t_w=0.70 σ=6.14
Zona tesa: F=56.76 b_{eff}=13.20 t_w=0.70 σ=6.14
CC 27 SLV (Collegamento -384_-528)
Azioni sul collegamento: N=156.74 Ty=-0.85 Tz=-52.28 Mx=-0.27 Mz=-1.47
Zona tesa: F=63.12 b_{eff}=13.20 t_w=0.70 σ=6.83
Zona tesa: F=63.12 b_{eff}=13.20 t_w=0.70 σ=6.83
CC 27 SLV (Collegamento -384_-528)
Azioni sul collegamento: N=156.74 Ty=-1.36 Tz=-52.28 Mx=-0.31 Mz=-1.71
Zona tesa: F=63.12 b_{eff}=13.20 t_w=0.70 σ=6.83
Zona tesa: F=63.12 b_{eff}=13.20 t_w=0.70 σ=6.83
CC 27 SLV (Collegamento -384_-528)
Azioni sul collegamento: N=156.74 Ty=-0.85 Tz=-52.28 Mx=-0.27 Mz=-1.47
Zona tesa: F=63.12 b_{eff}=13.20 t_w=0.70 σ=6.83
Zona tesa: F=63.12 b_{eff}=13.20 t_w=0.70 σ=6.83
CC 27 SLV (Collegamento -384_-528)
Azioni sul collegamento: N=156.74 Ty=-1.36 Tz=-52.28 Mx=-0.31 Mz=-1.71
Zona tesa: F=63.12 b_{eff}=13.20 t_w=0.70 σ=6.83
Zona tesa: F=63.12 b_{eff}=13.20 t_w=0.70 σ=6.83
CC 28 SLD (Collegamento -384_-528)

Azioni sul collegamento: N=144.82 Ty=-1.35 Tz=-50.44 Mx=-0.34 Mz=-1.89
Zona tesa: F=58.32 b_{eff}=13.20 t_w=0.70 σ=6.31
Zona tesa: F=58.32 b_{eff}=13.20 t_w=0.70 σ=6.31
CC 28 SLD (Collegamento -384_-528)
Azioni sul collegamento: N=144.82 Ty=-1.50 Tz=-50.44 Mx=-0.35 Mz=-1.97
Zona tesa: F=58.32 b_{eff}=13.20 t_w=0.70 σ=6.31
Zona tesa: F=58.32 b_{eff}=13.20 t_w=0.70 σ=6.31
CC 28 SLD (Collegamento -384_-528)
Azioni sul collegamento: N=144.82 Ty=-1.35 Tz=-50.44 Mx=-0.34 Mz=-1.89
Zona tesa: F=58.32 b_{eff}=13.20 t_w=0.70 σ=6.31
Zona tesa: F=58.32 b_{eff}=13.20 t_w=0.70 σ=6.31
CC 28 SLD (Collegamento -384_-528)
Azioni sul collegamento: N=144.82 Ty=-1.50 Tz=-50.44 Mx=-0.35 Mz=-1.97
Zona tesa: F=58.32 b_{eff}=13.20 t_w=0.70 σ=6.31
Zona tesa: F=58.32 b_{eff}=13.20 t_w=0.70 σ=6.31
CC 28 SLD (Collegamento -384_-528)
Azioni sul collegamento: N=149.64 Ty=-1.35 Tz=-51.18 Mx=-0.34 Mz=-1.89
Zona tesa: F=60.26 b_{eff}=13.20 t_w=0.70 σ=6.52
Zona tesa: F=60.26 b_{eff}=13.20 t_w=0.70 σ=6.52
CC 28 SLD (Collegamento -384_-528)
Azioni sul collegamento: N=149.64 Ty=-1.50 Tz=-51.18 Mx=-0.35 Mz=-1.97
Zona tesa: F=60.26 b_{eff}=13.20 t_w=0.70 σ=6.52
Zona tesa: F=60.26 b_{eff}=13.20 t_w=0.70 σ=6.52
CC 28 SLD (Collegamento -384_-528)
Azioni sul collegamento: N=149.64 Ty=-1.35 Tz=-51.18 Mx=-0.34 Mz=-1.89
Zona tesa: F=60.26 b_{eff}=13.20 t_w=0.70 σ=6.52
Zona tesa: F=60.26 b_{eff}=13.20 t_w=0.70 σ=6.52
CC 28 SLD (Collegamento -384_-528)
Azioni sul collegamento: N=149.64 Ty=-1.50 Tz=-51.18 Mx=-0.35 Mz=-1.97
Zona tesa: F=60.26 b_{eff}=13.20 t_w=0.70 σ=6.52
Zona tesa: F=60.26 b_{eff}=13.20 t_w=0.70 σ=6.52
CC 29 SLV (Collegamento -384_-528)
Azioni sul collegamento: N=156.74 Ty=-1.36 Tz=-52.28 Mx=-0.31 Mz=-1.71
Zona tesa: F=63.12 b_{eff}=13.20 t_w=0.70 σ=6.83
Zona tesa: F=63.12 b_{eff}=13.20 t_w=0.70 σ=6.83
CC 29 SLV (Collegamento -384_-528)
Azioni sul collegamento: N=156.74 Ty=-0.85 Tz=-52.28 Mx=-0.27 Mz=-1.47
Zona tesa: F=63.12 b_{eff}=13.20 t_w=0.70 σ=6.83
Zona tesa: F=63.12 b_{eff}=13.20 t_w=0.70 σ=6.83
CC 29 SLV (Collegamento -384_-528)
Azioni sul collegamento: N=156.74 Ty=-1.36 Tz=-52.28 Mx=-0.31 Mz=-1.71
Zona tesa: F=63.12 b_{eff}=13.20 t_w=0.70 σ=6.83
Zona tesa: F=63.12 b_{eff}=13.20 t_w=0.70 σ=6.83
CC 29 SLV (Collegamento -384_-528)
Azioni sul collegamento: N=156.74 Ty=-0.85 Tz=-52.28 Mx=-0.27 Mz=-1.47
Zona tesa: F=63.12 b_{eff}=13.20 t_w=0.70 σ=6.83
Zona tesa: F=63.12 b_{eff}=13.20 t_w=0.70 σ=6.83
CC 29 SLV (Collegamento -384_-528)
Azioni sul collegamento: N=140.95 Ty=-1.36 Tz=-49.84 Mx=-0.31 Mz=-1.71
Zona tesa: F=56.76 b_{eff}=13.20 t_w=0.70 σ=6.14
Zona tesa: F=56.76 b_{eff}=13.20 t_w=0.70 σ=6.14
CC 29 SLV (Collegamento -384_-528)
Azioni sul collegamento: N=140.95 Ty=-0.85 Tz=-49.84 Mx=-0.27 Mz=-1.47
Zona tesa: F=56.76 b_{eff}=13.20 t_w=0.70 σ=6.14
Zona tesa: F=56.76 b_{eff}=13.20 t_w=0.70 σ=6.14
CC 29 SLV (Collegamento -384_-528)
Azioni sul collegamento: N=140.95 Ty=-1.36 Tz=-49.84 Mx=-0.31 Mz=-1.71
Zona tesa: F=56.76 b_{eff}=13.20 t_w=0.70 σ=6.14
Zona tesa: F=56.76 b_{eff}=13.20 t_w=0.70 σ=6.14
CC 29 SLV (Collegamento -384_-528)
Azioni sul collegamento: N=140.95 Ty=-0.85 Tz=-49.84 Mx=-0.27 Mz=-1.47
Zona tesa: F=56.76 b_{eff}=13.20 t_w=0.70 σ=6.14
Zona tesa: F=56.76 b_{eff}=13.20 t_w=0.70 σ=6.14
CC 30 SLD (Collegamento -384_-528)
Azioni sul collegamento: N=149.64 Ty=-1.50 Tz=-51.18 Mx=-0.36 Mz=-1.97
Zona tesa: F=60.26 b_{eff}=13.20 t_w=0.70 σ=6.52
Zona tesa: F=60.26 b_{eff}=13.20 t_w=0.70 σ=6.52
CC 30 SLD (Collegamento -384_-528)
Azioni sul collegamento: N=149.64 Ty=-1.35 Tz=-51.18 Mx=-0.34 Mz=-1.89
Zona tesa: F=60.26 b_{eff}=13.20 t_w=0.70 σ=6.52
Zona tesa: F=60.26 b_{eff}=13.20 t_w=0.70 σ=6.52
CC 30 SLD (Collegamento -384_-528)
Azioni sul collegamento: N=149.64 Ty=-1.50 Tz=-51.18 Mx=-0.36 Mz=-1.97
Zona tesa: F=60.26 b_{eff}=13.20 t_w=0.70 σ=6.52
Zona tesa: F=60.26 b_{eff}=13.20 t_w=0.70 σ=6.52
CC 30 SLD (Collegamento -384_-528)

Azioni sul collegamento: N=149.64 Ty=-1.35 Tz=-51.18 Mx=-0.34 Mz=-1.89
Zona tesa: F=60.26 b_{eff}=13.20 t_w=0.70 σ=6.52
Zona tesa: F=60.26 b_{eff}=13.20 t_w=0.70 σ=6.52
CC 30 SLD (Collegamento -384_-528)
Azioni sul collegamento: N=144.82 Ty=-1.50 Tz=-50.44 Mx=-0.36 Mz=-1.97
Zona tesa: F=58.32 b_{eff}=13.20 t_w=0.70 σ=6.31
Zona tesa: F=58.32 b_{eff}=13.20 t_w=0.70 σ=6.31
CC 30 SLD (Collegamento -384_-528)
Azioni sul collegamento: N=144.82 Ty=-1.35 Tz=-50.44 Mx=-0.34 Mz=-1.89
Zona tesa: F=58.32 b_{eff}=13.20 t_w=0.70 σ=6.31
Zona tesa: F=58.32 b_{eff}=13.20 t_w=0.70 σ=6.31
CC 30 SLD (Collegamento -384_-528)
Azioni sul collegamento: N=144.82 Ty=-1.50 Tz=-50.44 Mx=-0.36 Mz=-1.97
Zona tesa: F=58.32 b_{eff}=13.20 t_w=0.70 σ=6.31
Zona tesa: F=58.32 b_{eff}=13.20 t_w=0.70 σ=6.31
CC 30 SLD (Collegamento -384_-528)
Azioni sul collegamento: N=144.82 Ty=-1.35 Tz=-50.44 Mx=-0.34 Mz=-1.89
Zona tesa: F=58.32 b_{eff}=13.20 t_w=0.70 σ=6.31
Zona tesa: F=58.32 b_{eff}=13.20 t_w=0.70 σ=6.31
CC 31 SLV (Collegamento -384_-528)
Azioni sul collegamento: N=140.63 Ty=-1.76 Tz=-49.79 Mx=-0.39 Mz=-2.29
Zona tesa: F=56.63 b_{eff}=13.20 t_w=0.70 σ=6.13
Zona tesa: F=56.63 b_{eff}=13.20 t_w=0.70 σ=6.13
CC 31 SLV (Collegamento -384_-528)
Azioni sul collegamento: N=140.63 Ty=-0.45 Tz=-49.79 Mx=-0.17 Mz=-0.89
Zona tesa: F=56.63 b_{eff}=13.20 t_w=0.70 σ=6.13
Zona tesa: F=56.63 b_{eff}=13.20 t_w=0.70 σ=6.13
CC 31 SLV (Collegamento -384_-528)
Azioni sul collegamento: N=140.63 Ty=-1.76 Tz=-49.79 Mx=-0.39 Mz=-2.29
Zona tesa: F=56.63 b_{eff}=13.20 t_w=0.70 σ=6.13
Zona tesa: F=56.63 b_{eff}=13.20 t_w=0.70 σ=6.13
CC 31 SLV (Collegamento -384_-528)
Azioni sul collegamento: N=140.63 Ty=-0.45 Tz=-49.79 Mx=-0.17 Mz=-0.89
Zona tesa: F=56.63 b_{eff}=13.20 t_w=0.70 σ=6.13
Zona tesa: F=56.63 b_{eff}=13.20 t_w=0.70 σ=6.13
CC 31 SLV (Collegamento -384_-528)
Azioni sul collegamento: N=157.06 Ty=-1.76 Tz=-52.33 Mx=-0.39 Mz=-2.29
Zona tesa: F=63.24 b_{eff}=13.20 t_w=0.70 σ=6.84
Zona tesa: F=63.24 b_{eff}=13.20 t_w=0.70 σ=6.84
CC 31 SLV (Collegamento -384_-528)
Azioni sul collegamento: N=157.06 Ty=-0.45 Tz=-52.33 Mx=-0.17 Mz=-0.89
Zona tesa: F=63.24 b_{eff}=13.20 t_w=0.70 σ=6.84
Zona tesa: F=63.24 b_{eff}=13.20 t_w=0.70 σ=6.84
CC 31 SLV (Collegamento -384_-528)
Azioni sul collegamento: N=157.06 Ty=-1.76 Tz=-52.33 Mx=-0.39 Mz=-2.29
Zona tesa: F=63.24 b_{eff}=13.20 t_w=0.70 σ=6.84
Zona tesa: F=63.24 b_{eff}=13.20 t_w=0.70 σ=6.84
CC 31 SLV (Collegamento -384_-528)
Azioni sul collegamento: N=157.06 Ty=-0.45 Tz=-52.33 Mx=-0.17 Mz=-0.89
Zona tesa: F=63.24 b_{eff}=13.20 t_w=0.70 σ=6.84
Zona tesa: F=63.24 b_{eff}=13.20 t_w=0.70 σ=6.84
CC 32 SLD (Collegamento -384_-528)
Azioni sul collegamento: N=144.73 Ty=-1.63 Tz=-50.42 Mx=-0.38 Mz=-2.14
Zona tesa: F=58.28 b_{eff}=13.20 t_w=0.70 σ=6.31
Zona tesa: F=58.28 b_{eff}=13.20 t_w=0.70 σ=6.31
CC 32 SLD (Collegamento -384_-528)
Azioni sul collegamento: N=144.73 Ty=-1.23 Tz=-50.42 Mx=-0.31 Mz=-1.72
Zona tesa: F=58.28 b_{eff}=13.20 t_w=0.70 σ=6.31
Zona tesa: F=58.28 b_{eff}=13.20 t_w=0.70 σ=6.31
CC 32 SLD (Collegamento -384_-528)
Azioni sul collegamento: N=144.73 Ty=-1.63 Tz=-50.42 Mx=-0.38 Mz=-2.14
Zona tesa: F=58.28 b_{eff}=13.20 t_w=0.70 σ=6.31
Zona tesa: F=58.28 b_{eff}=13.20 t_w=0.70 σ=6.31
CC 32 SLD (Collegamento -384_-528)
Azioni sul collegamento: N=144.73 Ty=-1.23 Tz=-50.42 Mx=-0.31 Mz=-1.72
Zona tesa: F=58.28 b_{eff}=13.20 t_w=0.70 σ=6.31
Zona tesa: F=58.28 b_{eff}=13.20 t_w=0.70 σ=6.31
CC 32 SLD (Collegamento -384_-528)
Azioni sul collegamento: N=149.73 Ty=-1.63 Tz=-51.20 Mx=-0.38 Mz=-2.14
Zona tesa: F=60.30 b_{eff}=13.20 t_w=0.70 σ=6.53
Zona tesa: F=60.30 b_{eff}=13.20 t_w=0.70 σ=6.53
CC 32 SLD (Collegamento -384_-528)
Azioni sul collegamento: N=149.73 Ty=-1.23 Tz=-51.20 Mx=-0.31 Mz=-1.72
Zona tesa: F=60.30 b_{eff}=13.20 t_w=0.70 σ=6.53
Zona tesa: F=60.30 b_{eff}=13.20 t_w=0.70 σ=6.53
CC 32 SLD (Collegamento -384_-528)

Azioni sul collegamento: N=149.73 Ty=-1.63 Tz=-51.20 Mx=-0.38 Mz=-2.14
Zona tesa: F=60.30 b_{eff}=13.20 t_w=0.70 σ=6.53
Zona tesa: F=60.30 b_{eff}=13.20 t_w=0.70 σ=6.53
CC 32 SLD (Collegamento -384_-528)
Azioni sul collegamento: N=149.73 Ty=-1.23 Tz=-51.20 Mx=-0.31 Mz=-1.72
Zona tesa: F=60.30 b_{eff}=13.20 t_w=0.70 σ=6.53
Zona tesa: F=60.30 b_{eff}=13.20 t_w=0.70 σ=6.53
CC 33 SLU (Collegamento -384_-528)
Azioni sul collegamento: N=369.96 Ty=-3.32 Tz=-95.09 Mx=-0.79 Mz=-4.42
Zona tesa: F=148.98 b_{eff}=13.20 t_w=0.70 σ=16.12
Zona tesa: F=148.98 b_{eff}=13.20 t_w=0.70 σ=16.12
CC 34 SLU (Collegamento -384_-528)
Azioni sul collegamento: N=364.37 Ty=-3.18 Tz=-94.22 Mx=-0.76 Mz=-4.22
Zona tesa: F=146.73 b_{eff}=13.20 t_w=0.70 σ=15.88
Zona tesa: F=146.73 b_{eff}=13.20 t_w=0.70 σ=15.88
CC 35 SLU (Collegamento -384_-528)
Azioni sul collegamento: N=367.15 Ty=-3.20 Tz=-94.65 Mx=-0.77 Mz=-4.28
Zona tesa: F=147.84 b_{eff}=13.20 t_w=0.70 σ=16.00
Zona tesa: F=147.84 b_{eff}=13.20 t_w=0.70 σ=16.00
CC 36 SLU (Collegamento -384_-528)
Azioni sul collegamento: N=367.19 Ty=-3.29 Tz=-94.66 Mx=-0.78 Mz=-4.36
Zona tesa: F=147.86 b_{eff}=13.20 t_w=0.70 σ=16.00
Zona tesa: F=147.86 b_{eff}=13.20 t_w=0.70 σ=16.00
CC 37 SLU (Collegamento -384_-528)
Azioni sul collegamento: N=302.66 Ty=-3.15 Tz=-84.67 Mx=-0.78 Mz=-4.37
Zona tesa: F=121.88 b_{eff}=13.20 t_w=0.70 σ=13.19
Zona tesa: F=121.88 b_{eff}=13.20 t_w=0.70 σ=13.19
CC 38 SLU (Collegamento -384_-528)
Azioni sul collegamento: N=297.07 Ty=-3.01 Tz=-83.81 Mx=-0.74 Mz=-4.17
Zona tesa: F=119.63 b_{eff}=13.20 t_w=0.70 σ=12.95
Zona tesa: F=119.63 b_{eff}=13.20 t_w=0.70 σ=12.95
CC 39 SLU (Collegamento -384_-528)
Azioni sul collegamento: N=299.85 Ty=-3.03 Tz=-84.23 Mx=-0.76 Mz=-4.23
Zona tesa: F=120.74 b_{eff}=13.20 t_w=0.70 σ=13.07
Zona tesa: F=120.74 b_{eff}=13.20 t_w=0.70 σ=13.07
CC 40 SLU (Collegamento -384_-528)
Azioni sul collegamento: N=299.89 Ty=-3.13 Tz=-84.24 Mx=-0.77 Mz=-4.31
Zona tesa: F=120.76 b_{eff}=13.20 t_w=0.70 σ=13.07
Zona tesa: F=120.76 b_{eff}=13.20 t_w=0.70 σ=13.07
CC 41 SLU (Collegamento -384_-528)
Azioni sul collegamento: N=334.14 Ty=1.91 Tz=-89.54 Mx=0.47 Mz=2.77
Zona tesa: F=134.55 b_{eff}=13.20 t_w=0.70 σ=14.56
Zona tesa: F=134.55 b_{eff}=13.20 t_w=0.70 σ=14.56
CC 42 SLU (Collegamento -384_-528)
Azioni sul collegamento: N=328.55 Ty=2.05 Tz=-88.68 Mx=0.51 Mz=2.97
Zona tesa: F=132.30 b_{eff}=13.20 t_w=0.70 σ=14.32
Zona tesa: F=132.30 b_{eff}=13.20 t_w=0.70 σ=14.32
CC 43 SLU (Collegamento -384_-528)
Azioni sul collegamento: N=331.32 Ty=2.03 Tz=-89.11 Mx=0.50 Mz=2.91
Zona tesa: F=133.42 b_{eff}=13.20 t_w=0.70 σ=14.44
Zona tesa: F=133.42 b_{eff}=13.20 t_w=0.70 σ=14.44
CC 44 SLU (Collegamento -384_-528)
Azioni sul collegamento: N=331.37 Ty=1.94 Tz=-89.11 Mx=0.48 Mz=2.83
Zona tesa: F=133.44 b_{eff}=13.20 t_w=0.70 σ=14.44
Zona tesa: F=133.44 b_{eff}=13.20 t_w=0.70 σ=14.44
CC 45 SLU (Collegamento -384_-528)
Azioni sul collegamento: N=317.41 Ty=-3.30 Tz=-86.95 Mx=-0.78 Mz=-4.39
Zona tesa: F=127.82 b_{eff}=13.20 t_w=0.70 σ=13.83
Zona tesa: F=127.82 b_{eff}=13.20 t_w=0.70 σ=13.83
CC 46 SLU (Collegamento -384_-528)
Azioni sul collegamento: N=311.82 Ty=-3.16 Tz=-86.09 Mx=-0.75 Mz=-4.19
Zona tesa: F=125.56 b_{eff}=13.20 t_w=0.70 σ=13.59
Zona tesa: F=125.56 b_{eff}=13.20 t_w=0.70 σ=13.59
CC 47 SLU (Collegamento -384_-528)
Azioni sul collegamento: N=314.59 Ty=-3.18 Tz=-86.52 Mx=-0.76 Mz=-4.24
Zona tesa: F=126.68 b_{eff}=13.20 t_w=0.70 σ=13.71
Zona tesa: F=126.68 b_{eff}=13.20 t_w=0.70 σ=13.71
CC 48 SLU (Collegamento -384_-528)
Azioni sul collegamento: N=314.64 Ty=-3.28 Tz=-86.52 Mx=-0.77 Mz=-4.33
Zona tesa: F=126.70 b_{eff}=13.20 t_w=0.70 σ=13.71
Zona tesa: F=126.70 b_{eff}=13.20 t_w=0.70 σ=13.71
CC 49 SLU (Collegamento -384_-528)
Azioni sul collegamento: N=267.06 Ty=-3.17 Tz=-79.16 Mx=-0.77 Mz=-4.35
Zona tesa: F=107.54 b_{eff}=13.20 t_w=0.70 σ=11.64
Zona tesa: F=107.54 b_{eff}=13.20 t_w=0.70 σ=11.64
CC 50 SLU (Collegamento -384_-528)

Azioni sul collegamento: N=261.47 Ty=-3.03 Tz=-78.30 Mx=-0.74 Mz=-4.15
Zona tesa: F=105.29 b_{eff}=13.20 t_w=0.70 σ=11.39
Zona tesa: F=105.29 b_{eff}=13.20 t_w=0.70 σ=11.39
CC 51 SLU (Collegamento -384_-528)
Azioni sul collegamento: N=264.24 Ty=-3.06 Tz=-78.72 Mx=-0.75 Mz=-4.21
Zona tesa: F=106.41 b_{eff}=13.20 t_w=0.70 σ=11.52
Zona tesa: F=106.41 b_{eff}=13.20 t_w=0.70 σ=11.52
CC 52 SLU (Collegamento -384_-528)
Azioni sul collegamento: N=264.29 Ty=-3.15 Tz=-78.73 Mx=-0.76 Mz=-4.29
Zona tesa: F=106.42 b_{eff}=13.20 t_w=0.70 σ=11.52
Zona tesa: F=106.42 b_{eff}=13.20 t_w=0.70 σ=11.52
CC 53 SLU (Collegamento -384_-528)
Azioni sul collegamento: N=290.61 Ty=0.61 Tz=-82.80 Mx=0.16 Mz=0.99
Zona tesa: F=117.02 b_{eff}=13.20 t_w=0.70 σ=12.66
Zona tesa: F=117.02 b_{eff}=13.20 t_w=0.70 σ=12.66
CC 54 SLU (Collegamento -384_-528)
Azioni sul collegamento: N=285.02 Ty=0.75 Tz=-81.94 Mx=0.20 Mz=1.19
Zona tesa: F=114.77 b_{eff}=13.20 t_w=0.70 σ=12.42
Zona tesa: F=114.77 b_{eff}=13.20 t_w=0.70 σ=12.42
CC 55 SLU (Collegamento -384_-528)
Azioni sul collegamento: N=287.79 Ty=0.73 Tz=-82.37 Mx=0.19 Mz=1.13
Zona tesa: F=115.89 b_{eff}=13.20 t_w=0.70 σ=12.54
Zona tesa: F=115.89 b_{eff}=13.20 t_w=0.70 σ=12.54
CC 56 SLU (Collegamento -384_-528)
Azioni sul collegamento: N=287.83 Ty=0.64 Tz=-82.38 Mx=0.17 Mz=1.05
Zona tesa: F=115.91 b_{eff}=13.20 t_w=0.70 σ=12.54
Zona tesa: F=115.91 b_{eff}=13.20 t_w=0.70 σ=12.54
CC 57 SLU (Collegamento -384_-528)
Azioni sul collegamento: N=302.11 Ty=-2.98 Tz=-84.58 Mx=-0.70 Mz=-3.93
Zona tesa: F=121.66 b_{eff}=13.20 t_w=0.70 σ=13.17
Zona tesa: F=121.66 b_{eff}=13.20 t_w=0.70 σ=13.17
CC 58 SLU (Collegamento -384_-528)
Azioni sul collegamento: N=296.52 Ty=-2.84 Tz=-83.72 Mx=-0.67 Mz=-3.73
Zona tesa: F=119.40 b_{eff}=13.20 t_w=0.70 σ=12.92
Zona tesa: F=119.40 b_{eff}=13.20 t_w=0.70 σ=12.92
CC 59 SLU (Collegamento -384_-528)
Azioni sul collegamento: N=299.29 Ty=-2.86 Tz=-84.15 Mx=-0.68 Mz=-3.79
Zona tesa: F=120.52 b_{eff}=13.20 t_w=0.70 σ=13.04
Zona tesa: F=120.52 b_{eff}=13.20 t_w=0.70 σ=13.04
CC 60 SLU (Collegamento -384_-528)
Azioni sul collegamento: N=299.34 Ty=-2.96 Tz=-84.16 Mx=-0.69 Mz=-3.87
Zona tesa: F=120.54 b_{eff}=13.20 t_w=0.70 σ=13.05
Zona tesa: F=120.54 b_{eff}=13.20 t_w=0.70 σ=13.05
CC 61 SLU (Collegamento -384_-528)
Azioni sul collegamento: N=251.76 Ty=-2.85 Tz=-76.79 Mx=-0.69 Mz=-3.89
Zona tesa: F=101.38 b_{eff}=13.20 t_w=0.70 σ=10.97
Zona tesa: F=101.38 b_{eff}=13.20 t_w=0.70 σ=10.97
CC 62 SLU (Collegamento -384_-528)
Azioni sul collegamento: N=246.17 Ty=-2.71 Tz=-75.93 Mx=-0.66 Mz=-3.69
Zona tesa: F=99.13 b_{eff}=13.20 t_w=0.70 σ=10.73
Zona tesa: F=99.13 b_{eff}=13.20 t_w=0.70 σ=10.73
CC 63 SLU (Collegamento -384_-528)
Azioni sul collegamento: N=248.94 Ty=-2.74 Tz=-76.36 Mx=-0.67 Mz=-3.75
Zona tesa: F=100.25 b_{eff}=13.20 t_w=0.70 σ=10.85
Zona tesa: F=100.25 b_{eff}=13.20 t_w=0.70 σ=10.85
CC 64 SLU (Collegamento -384_-528)
Azioni sul collegamento: N=248.99 Ty=-2.83 Tz=-76.36 Mx=-0.68 Mz=-3.83
Zona tesa: F=100.26 b_{eff}=13.20 t_w=0.70 σ=10.85
Zona tesa: F=100.26 b_{eff}=13.20 t_w=0.70 σ=10.85
CC 65 SLU (Collegamento -384_-528)
Azioni sul collegamento: N=275.31 Ty=0.93 Tz=-80.44 Mx=0.24 Mz=1.45
Zona tesa: F=110.86 b_{eff}=13.20 t_w=0.70 σ=12.00
Zona tesa: F=110.86 b_{eff}=13.20 t_w=0.70 σ=12.00
CC 66 SLU (Collegamento -384_-528)
Azioni sul collegamento: N=269.72 Ty=1.07 Tz=-79.57 Mx=0.28 Mz=1.65
Zona tesa: F=108.61 b_{eff}=13.20 t_w=0.70 σ=11.75
Zona tesa: F=108.61 b_{eff}=13.20 t_w=0.70 σ=11.75
CC 67 SLU (Collegamento -384_-528)
Azioni sul collegamento: N=272.49 Ty=1.05 Tz=-80.00 Mx=0.27 Mz=1.59
Zona tesa: F=109.73 b_{eff}=13.20 t_w=0.70 σ=11.88
Zona tesa: F=109.73 b_{eff}=13.20 t_w=0.70 σ=11.88
CC 68 SLU (Collegamento -384_-528)
Azioni sul collegamento: N=272.54 Ty=0.96 Tz=-80.01 Mx=0.25 Mz=1.51
Zona tesa: F=109.75 b_{eff}=13.20 t_w=0.70 σ=11.88
Zona tesa: F=109.75 b_{eff}=13.20 t_w=0.70 σ=11.88
CC 97 SLU (Collegamento -384_-528)

Azioni sul collegamento: N=150.79 Ty=-11.89 Tz=-51.36 Mx=-1.38 Mz=-8.76
Zona tesa: F=60.72 b_{eff}=13.20 t_w=0.70 σ=6.57
Zona tesa: F=60.72 b_{eff}=13.20 t_w=0.70 σ=6.57
CC 98 SLU (Collegamento -384_-528)
Azioni sul collegamento: N=145.20 Ty=-11.75 Tz=-50.49 Mx=-1.34 Mz=-8.56
Zona tesa: F=58.47 b_{eff}=13.20 t_w=0.70 σ=6.33
Zona tesa: F=58.47 b_{eff}=13.20 t_w=0.70 σ=6.33
CC 99 SLU (Collegamento -384_-528)
Azioni sul collegamento: N=147.97 Ty=-11.78 Tz=-50.92 Mx=-1.35 Mz=-8.62
Zona tesa: F=59.59 b_{eff}=13.20 t_w=0.70 σ=6.45
Zona tesa: F=59.59 b_{eff}=13.20 t_w=0.70 σ=6.45
CC 100 SLU (Collegamento -384_-528)
Azioni sul collegamento: N=148.01 Ty=-11.87 Tz=-50.93 Mx=-1.37 Mz=-8.70
Zona tesa: F=59.60 b_{eff}=13.20 t_w=0.70 σ=6.45
Zona tesa: F=59.60 b_{eff}=13.20 t_w=0.70 σ=6.45
CC 101 SLU (Collegamento -384_-528)
Azioni sul collegamento: N=153.59 Ty=-0.22 Tz=-51.79 Mx=-0.23 Mz=-1.11
Zona tesa: F=61.85 b_{eff}=13.20 t_w=0.70 σ=6.69
Zona tesa: F=61.85 b_{eff}=13.20 t_w=0.70 σ=6.69
CC 102 SLU (Collegamento -384_-528)
Azioni sul collegamento: N=148.00 Ty=-0.08 Tz=-50.93 Mx=-0.19 Mz=-0.91
Zona tesa: F=59.60 b_{eff}=13.20 t_w=0.70 σ=6.45
Zona tesa: F=59.60 b_{eff}=13.20 t_w=0.70 σ=6.45
CC 103 SLU (Collegamento -384_-528)
Azioni sul collegamento: N=150.77 Ty=-0.10 Tz=-51.36 Mx=-0.20 Mz=-0.97
Zona tesa: F=60.71 b_{eff}=13.20 t_w=0.70 σ=6.57
Zona tesa: F=60.71 b_{eff}=13.20 t_w=0.70 σ=6.57
CC 104 SLU (Collegamento -384_-528)
Azioni sul collegamento: N=150.82 Ty=-0.19 Tz=-51.36 Mx=-0.21 Mz=-1.05
Zona tesa: F=60.73 b_{eff}=13.20 t_w=0.70 σ=6.57
Zona tesa: F=60.73 b_{eff}=13.20 t_w=0.70 σ=6.57

Collegamento -503_0010

Piastra 400.00 x 340.00 s=20.00 - 12 Tirafondi ϕ 22 - Profondità di infissione: 300.00
4 righe ad interasse 94.00
4 colonne ad interasse variabile
Altezza di gola saldature: anima 7.07 - ala 7.07
Irrigidimenti:
Laterali parallele all'anima s=10.00
Trasversali s=10.00

Tirafondi e calcestruzzo

CC 98 SLU (Collegamento -503_0010)
Azioni sul collegamento: N=12623.30 Ty=-102.03 Tz=-79.67 Mx=2.05 Mz=-95.56
Sollecitazioni agenti localmente: Tx_l=-102.03 Ty_l=-79.67 N_l=12623.30 Mx_l=0.00 My_l=-95.56 Mz_l=2.05
Taglio nei bulloni: Fv,Ed=11.81 Fv,Rd=14597.10
Rifollamento lato piastra: Fb,Ed,p=10.87 Fb,Rd,p=17666.70
Trazione nei bulloni: Ft,Ed=1113.30 Ft,Rd=17452.80
Azione di punzonamento di progetto lato piastra: Bp,Ed,p=1113.30 Bb,Rd,p=57061.40
Int. V-T=0.05
Tirafondi:LT=0.41 (0.25) σ_{cR}=62.83 σ_{fR}=72.78
Compressione nel calcestruzzo: σ_c=0.00

Saldatura profilo-piastra

CC 97 SLU (Collegamento -503_0010)
Azioni sul collegamento: N=12306.20 Ty=-99.74 Tz=-79.67 Mx=2.01 Mz=-93.43
Sollecitazioni agenti localmente: Tx_l=-99.74 Ty_l=-79.67 N_l=12306.20 My_l=93.43 Mz_l=2.01
Azioni sul cordone: TP=28.37 TO=15.88 NO=2453.05
Tensioni nel cordone: τ_P=3.34 τ_O=1.87 σ_O=425.63 σ_{ID}=425.65 Σ_T=427.50
CC 98 SLU (Collegamento -503_0010)
Azioni sul collegamento: N=12623.30 Ty=-102.03 Tz=-79.67 Mx=2.05 Mz=-95.56
Sollecitazioni agenti localmente: Tx_l=-102.03 Ty_l=-79.67 N_l=12623.30 My_l=95.56 Mz_l=2.05
Azioni sul cordone: TP=29.02 TO=15.88 NO=2516.28
Tensioni nel cordone: τ_P=3.42 τ_O=1.87 σ_O=436.19 σ_{ID}=436.21 Σ_T=438.07

Flessione attacco superiore piastra

Bnetta=20.00 Hnetta=400.00 irrigidita (W=54.53)
CC 98 SLU (Collegamento -503_0010)
Azioni sul collegamento: N=12623.30 Ty=-102.03 Tz=-79.67 Mx=2.05 Mz=-95.56
Sollecitazioni agenti localmente: Ty_l=4207.77 Mx_l=298.75
Tensioni nella sezione: σ=547.86 τ=262.99

Flessione attacco inferiore piastra

Bnetta=20.00 Hnetta=400.00 irrigidita (W=54.53)
CC 98 SLU (Collegamento -503_0010)
Azioni sul collegamento: N=12623.30 Ty=-102.03 Tz=-79.67 Mx=2.05 Mz=-95.56
Sollecitazioni agenti localmente: Ty_l=4207.77 Mx_l=298.75
Tensioni nella sezione: σ=547.86 τ=262.99

Flessione attacco destro piastra

Bnetta=20.00 Hnetta=340.00 irrigidita (W=53.66)
CC 98 SLU (Collegamento -503_0010)
Azioni sul collegamento: N=12623.30 Ty=-102.03 Tz=-79.67 Mx=2.05 Mz=-95.56
Sollecitazioni agenti localmente: Ty_l=6621.67 My_l=493.14
Tensioni nella sezione: σ=919.07 τ=413.85

Flessione attacco sinistro piastra

Bnetta=20.00 Hnetta=340.00 irrigidita (W=53.66)
CC 98 SLU (Collegamento -503_0010)
Azioni sul collegamento: N=12623.30 Ty=-102.03 Tz=-79.67 Mx=2.05 Mz=-95.56
Sollecitazioni agenti localmente: Ty_l=6001.66 My_l=440.98
Tensioni nella sezione: σ=821.86 τ=375.10

Flessione locale sinistra

Bullone in x=-171.00 y=-47.00
Bnetta=26.00 Hnetta=20.00
CC 98 SLU (Collegamento -503_0010)
Azioni sul collegamento: N=12623.30 Ty=-102.03 Tz=-79.67 Mx=2.05 Mz=-95.56
Sollecitazioni agenti localmente: Mx_l=12.88
Tensioni nella sezione: σ=742.94 τ=0.00

Flessione locale destra

Bullone in x=171.00 y=-47.00
Bnetta=26.00 Hnetta=20.00
CC 98 SLU (Collegamento -503_0010)
Azioni sul collegamento: N=12623.30 Ty=-102.03 Tz=-79.67 Mx=2.05 Mz=-95.56
Sollecitazioni agenti localmente: Mx_l=14.47
Tensioni nella sezione: σ=834.97 τ=0.00

Flessione locale angolo superiore sinistro

Bullone in x=-90.00 y=141.00
Bnetta=20.00 Hnetta=20.00
CC 98 SLU (Collegamento -503_0010)
Azioni sul collegamento: N=12623.30 Ty=-102.03 Tz=-79.67 Mx=2.05 Mz=-95.56
Sollecitazioni agenti localmente: My_l=10.20
Tensioni nella sezione: σ=764.74 τ=0.00

Flessione locale angolo superiore destro

Bullone in x=90.00 y=141.00
Bnetta=20.00 Hnetta=20.00
CC 98 SLU (Collegamento -503_0010)
Azioni sul collegamento: N=12623.30 Ty=-102.03 Tz=-79.67 Mx=2.05 Mz=-95.56
Sollecitazioni agenti localmente: My_l=10.84
Tensioni nella sezione: σ=813.18 τ=0.00

Flessione locale angolo inferiore sinistro

Bullone in x=-90.00 y=-141.00
Bnetta=20.00 Hnetta=20.00
CC 98 SLU (Collegamento -503_0010)
Azioni sul collegamento: N=12623.30 Ty=-102.03 Tz=-79.67 Mx=2.05 Mz=-95.56
Sollecitazioni agenti localmente: My_l=10.20
Tensioni nella sezione: σ=764.74 τ=0.00

Flessione locale angolo inferiore destro

Bullone in x=90.00 y=-141.00
Bnetta=20.00 Hnetta=20.00
CC 98 SLU (Collegamento -503_0010)
Azioni sul collegamento: N=12623.30 Ty=-102.03 Tz=-79.67 Mx=2.05 Mz=-95.56
Sollecitazioni agenti localmente: My_l=10.84
Tensioni nella sezione: σ=813.18 τ=0.00

Collegamento -504_0011

Piastra 400.00 x 340.00 s=20.00 - 12 Tirafondi ϕ 22 - Profondità di infissione: 300.00
4 righe ad interasse 94.00

4 colonne ad interasse variabile
Altezza di gola saldature: anima 7.07 - ala 7.07
Irrigidimenti:
Laterali parallele all'anima s=10.00
Trasversali s=10.00

Tirafondi e calcestruzzo

CC 97 SLU (Collegamento -504_0011)
Azioni sul collegamento: N=12623.30 Ty=102.03 Tz=-79.67 Mx=-2.05 Mz=95.56
Sollecitazioni agenti localmente: Tx_l=102.03 Ty_l=-79.67 N_l=12623.30 Mx_l=0.00 My_l=95.56 Mz_l=-2.05
Taglio nei bulloni: Fv,Ed=11.81 Fv,Rd=14597.10
Rifollamento lato piastra: Fb,Ed,p=10.87 Fb,Rd,p=17666.70
Trazione nei bulloni: Ft,Ed=1113.30 Ft,Rd=17452.80
Azione di punzonamento di progetto lato piastra: Bp,Ed,p=1113.30 Bb,Rd,p=57061.40
Int. V-T=0.05
Tirafondi:LT=0.41 (0.25) σ_{cR}=62.83 σ_{fR}=72.78
Compressione nel calcestruzzo: σ_c=0.00

Saldatura profilo-piastra

CC 97 SLU (Collegamento -504_0011)
Azioni sul collegamento: N=12623.30 Ty=102.03 Tz=-79.67 Mx=-2.05 Mz=95.56
Sollecitazioni agenti localmente: Tx_l=102.03 Ty_l=-79.67 N_l=12623.30 My_l=-95.56 Mz_l=-2.05
Azioni sul cordone: TP=-29.02 TO=15.88 NO=2516.28
Tensioni nel cordone: τ_P=3.42 τ_O=1.87 σ_O=436.19 σ_{ID}=436.21 Σ_T=438.07

Flessione attacco superiore piastra

Bnetta=20.00 Hnetta=400.00 irrigidita (W=54.53)
CC 97 SLU (Collegamento -504_0011)
Azioni sul collegamento: N=12623.30 Ty=102.03 Tz=-79.67 Mx=-2.05 Mz=95.56
Sollecitazioni agenti localmente: Ty_l=4207.77 Mx_l=298.75
Tensioni nella sezione: σ=547.86 τ=262.99

Flessione attacco inferiore piastra

Bnetta=20.00 Hnetta=400.00 irrigidita (W=54.53)
CC 97 SLU (Collegamento -504_0011)
Azioni sul collegamento: N=12623.30 Ty=102.03 Tz=-79.67 Mx=-2.05 Mz=95.56
Sollecitazioni agenti localmente: Ty_l=4207.77 Mx_l=298.75
Tensioni nella sezione: σ=547.86 τ=262.99

Flessione attacco destro piastra

Bnetta=20.00 Hnetta=340.00 irrigidita (W=53.66)
CC 97 SLU (Collegamento -504_0011)
Azioni sul collegamento: N=12623.30 Ty=102.03 Tz=-79.67 Mx=-2.05 Mz=95.56
Sollecitazioni agenti localmente: Ty_l=6001.66 My_l=440.98
Tensioni nella sezione: σ=821.86 τ=375.10

Flessione attacco sinistro piastra

Bnetta=20.00 Hnetta=340.00 irrigidita (W=53.66)
CC 97 SLU (Collegamento -504_0011)
Azioni sul collegamento: N=12623.30 Ty=102.03 Tz=-79.67 Mx=-2.05 Mz=95.56
Sollecitazioni agenti localmente: Ty_l=6621.66 My_l=493.14
Tensioni nella sezione: σ=919.07 τ=413.85

Flessione locale sinistra

Bullone in x=-171.00 y=-47.00
Bnetta=26.00 Hnetta=20.00
CC 97 SLU (Collegamento -504_0011)
Azioni sul collegamento: N=12623.30 Ty=102.03 Tz=-79.67 Mx=-2.05 Mz=95.56
Sollecitazioni agenti localmente: Mx_l=14.47
Tensioni nella sezione: σ=834.97 τ=0.00

Flessione locale destra

Bullone in x=171.00 y=-47.00
Bnetta=26.00 Hnetta=20.00
CC 97 SLU (Collegamento -504_0011)
Azioni sul collegamento: N=12623.30 Ty=102.03 Tz=-79.67 Mx=-2.05 Mz=95.56
Sollecitazioni agenti localmente: Mx_l=12.88
Tensioni nella sezione: σ=742.94 τ=0.00

Flessione locale angolo superiore sinistro

Bullone in x=-90.00 y=141.00

Bnetta=20.00 Hnetta=20.00
CC 97 SLU (Collegamento -504_0011)
Azioni sul collegamento: N=12623.30 Ty=102.03 Tz=-79.67 Mx=-2.05 Mz=95.56
Sollecitazioni agenti localmente: My_l=10.84
Tensioni nella sezione: σ=813.18 τ=0.00

Flessione locale angolo superiore destro

Bullone in x=90.00 y=141.00
Bnetta=20.00 Hnetta=20.00
CC 97 SLU (Collegamento -504_0011)
Azioni sul collegamento: N=12623.30 Ty=102.03 Tz=-79.67 Mx=-2.05 Mz=95.56
Sollecitazioni agenti localmente: My_l=10.20
Tensioni nella sezione: σ=764.74 τ=0.00

Flessione locale angolo inferiore sinistro

Bullone in x=-90.00 y=-141.00
Bnetta=20.00 Hnetta=20.00
CC 97 SLU (Collegamento -504_0011)
Azioni sul collegamento: N=12623.30 Ty=102.03 Tz=-79.67 Mx=-2.05 Mz=95.56
Sollecitazioni agenti localmente: My_l=10.84
Tensioni nella sezione: σ=813.18 τ=0.00

Flessione locale angolo inferiore destro

Bullone in x=90.00 y=-141.00
Bnetta=20.00 Hnetta=20.00
CC 97 SLU (Collegamento -504_0011)
Azioni sul collegamento: N=12623.30 Ty=102.03 Tz=-79.67 Mx=-2.05 Mz=95.56
Sollecitazioni agenti localmente: My_l=10.20
Tensioni nella sezione: σ=764.74 τ=0.00

Collegamento -511_0012

Piastra 400.00 x 340.00 s=20.00 - 12 Tirafondi ϕ 22 - Profondità di infissione: 300.00
4 righe ad interasse 94.00
4 colonne ad interasse variabile
Altezza di gola saldature: anima 7.07 - ala 7.07
Irrigidimenti:
Laterali parallele all'anima s=10.00
Trasversali s=10.00

Tirafondi e calcestruzzo

CC 97 SLU (Collegamento -511_0012)
Azioni sul collegamento: N=4727.13 Ty=6.37 Tz=-79.67 Mx=-0.12 Mz=6.50
Sollecitazioni agenti localmente: Tx_l=6.37 Ty_l=-79.67 N_l=4727.13 Mx_l=0.00 My_l=6.50 Mz_l=-0.12
Taglio nei bulloni: Fv,Ed=6.71 Fv,Rd=14597.10
Rifollamento lato piastra: Fb,Ed,p=6.71 Fb,Rd,p=11046.80
Trazione nei bulloni: Ft,Ed=398.10 Ft,Rd=17452.80
Azione di punzonamento di progetto lato piastra: Bp,Ed,p=398.10 Bb,Rd,p=57061.40
Int. V-T=0.02
Tirafondi:LT=0.41 (0.25) σ_{cR}=22.47 σ_{fR}=26.03
Compressione nel calcestruzzo: σ_c=0.00
CC 98 SLU (Collegamento -511_0012)
Azioni sul collegamento: N=4884.31 Ty=6.58 Tz=-79.67 Mx=-0.12 Mz=6.71
Sollecitazioni agenti localmente: Tx_l=6.58 Ty_l=-79.67 N_l=4884.31 Mx_l=0.00 My_l=6.71 Mz_l=-0.12
Taglio nei bulloni: Fv,Ed=6.71 Fv,Rd=14597.10
Rifollamento lato piastra: Fb,Ed,p=6.71 Fb,Rd,p=11054.70
Trazione nei bulloni: Ft,Ed=411.34 Ft,Rd=17452.80
Azione di punzonamento di progetto lato piastra: Bp,Ed,p=411.34 Bb,Rd,p=57061.40
Int. V-T=0.02
Tirafondi:LT=0.41 (0.25) σ_{cR}=23.21 σ_{fR}=26.89
Compressione nel calcestruzzo: σ_c=0.00

Saldatura profilo-piastra

CC 97 SLU (Collegamento -511_0012)
Azioni sul collegamento: N=4727.13 Ty=6.37 Tz=-79.67 Mx=-0.12 Mz=6.50
Sollecitazioni agenti localmente: Tx_l=6.37 Ty_l=-79.67 N_l=4727.13 My_l=-6.50 Mz_l=-0.12
Azioni sul cordone: TP=-1.78 TO=15.88 NO=942.28
Tensioni nel cordone: τ_P=0.21 τ_O=1.87 σ_O=120.56 σ_{ID}=120.57 Σ_T=122.43
CC 98 SLU (Collegamento -511_0012)
Azioni sul collegamento: N=4884.31 Ty=6.58 Tz=-79.67 Mx=-0.12 Mz=6.71
Sollecitazioni agenti localmente: Tx_l=6.58 Ty_l=-79.67 N_l=4884.31 My_l=-6.71 Mz_l=-0.12
Azioni sul cordone: TP=-1.84 TO=15.88 NO=973.62
Tensioni nel cordone: τ_P=0.22 τ_O=1.87 σ_O=124.57 σ_{ID}=124.58 Σ_T=126.44

Flessione attacco superiore piastra

Bnetta=20.00 Hnetta=400.00 irrigidita (W=54.53)
CC 98 SLU (Collegamento -511_0012)
Azioni sul collegamento: N=4884.31 Ty=6.58 Tz=-79.67 Mx=-0.12 Mz=6.71
Sollecitazioni agenti localmente: Ty_l=1628.10 Mx_l=115.59
Tensioni nella sezione: σ=211.98 τ=101.76

Flessione attacco inferiore piastra

Bnetta=20.00 Hnetta=400.00 irrigidita (W=54.53)
CC 98 SLU (Collegamento -511_0012)
Azioni sul collegamento: N=4884.31 Ty=6.58 Tz=-79.67 Mx=-0.12 Mz=6.71
Sollecitazioni agenti localmente: Ty_l=1628.10 Mx_l=115.59
Tensioni nella sezione: σ=211.98 τ=101.76

Flessione attacco destro piastra

Bnetta=20.00 Hnetta=340.00 irrigidita (W=53.66)
CC 98 SLU (Collegamento -511_0012)
Azioni sul collegamento: N=4884.31 Ty=6.58 Tz=-79.67 Mx=-0.12 Mz=6.71
Sollecitazioni agenti localmente: Ty_l=2420.38 My_l=178.89
Tensioni nella sezione: σ=333.39 τ=151.27

Flessione attacco sinistro piastra

Bnetta=20.00 Hnetta=340.00 irrigidita (W=53.66)
CC 98 SLU (Collegamento -511_0012)
Azioni sul collegamento: N=4884.31 Ty=6.58 Tz=-79.67 Mx=-0.12 Mz=6.71
Sollecitazioni agenti localmente: Ty_l=2463.94 My_l=182.55
Tensioni nella sezione: σ=340.22 τ=154.00

Flessione locale sinistra

Bullone in x=-171.00 y=-47.00
Bnetta=26.00 Hnetta=20.00
CC 98 SLU (Collegamento -511_0012)
Azioni sul collegamento: N=4884.31 Ty=6.58 Tz=-79.67 Mx=-0.12 Mz=6.71
Sollecitazioni agenti localmente: Mx_l=5.35
Tensioni nella sezione: σ=308.50 τ=0.00

Flessione locale destra

Bullone in x=171.00 y=-47.00
Bnetta=26.00 Hnetta=20.00
CC 98 SLU (Collegamento -511_0012)
Azioni sul collegamento: N=4884.31 Ty=6.58 Tz=-79.67 Mx=-0.12 Mz=6.71
Sollecitazioni agenti localmente: Mx_l=5.24
Tensioni nella sezione: σ=302.04 τ=0.00

Flessione locale angolo superiore sinistro

Bullone in x=-90.00 y=141.00
Bnetta=20.00 Hnetta=20.00
CC 98 SLU (Collegamento -511_0012)
Azioni sul collegamento: N=4884.31 Ty=6.58 Tz=-79.67 Mx=-0.12 Mz=6.71
Sollecitazioni agenti localmente: My_l=4.09
Tensioni nella sezione: σ=306.97 τ=0.00

Flessione locale angolo superiore destro

Bullone in x=90.00 y=141.00
Bnetta=20.00 Hnetta=20.00
CC 98 SLU (Collegamento -511_0012)
Azioni sul collegamento: N=4884.31 Ty=6.58 Tz=-79.67 Mx=-0.12 Mz=6.71
Sollecitazioni agenti localmente: My_l=4.05
Tensioni nella sezione: σ=303.57 τ=0.00

Flessione locale angolo inferiore sinistro

Bullone in x=-90.00 y=-141.00
Bnetta=20.00 Hnetta=20.00
CC 98 SLU (Collegamento -511_0012)
Azioni sul collegamento: N=4884.31 Ty=6.58 Tz=-79.67 Mx=-0.12 Mz=6.71
Sollecitazioni agenti localmente: My_l=4.09
Tensioni nella sezione: σ=306.97 τ=0.00

Flessione locale angolo inferiore destro

Bullone in x=90.00 y=-141.00
Bnetta=20.00 Hnetta=20.00

CC 98 SLU (Collegamento -511_0012)
Azioni sul collegamento: N=4884.31 Ty=6.58 Tz=-79.67 Mx=-0.12 Mz=6.71
Sollecitazioni agenti localmente: My_l=4.05
Tensioni nella sezione: σ=303.57 τ=0.00

Collegamento -512_0013

Piastra 400.00 x 340.00 s=20.00 - 12 Tirafondi ϕ 22 - Profondità di infissione: 300.00
4 righe ad interasse 94.00
4 colonne ad interasse variabile
Altezza di gola saldature: anima 7.07 - ala 7.07
Irrigidimenti:
Laterali parallele all'anima s=10.00
Trasversali s=10.00

Tirafondi e calcestruzzo

CC 97 SLU (Collegamento -512_0013)
Azioni sul collegamento: N=4884.32 Ty=-6.58 Tz=-79.67 Mx=0.12 Mz=-6.71
Sollecitazioni agenti localmente: Tx_l=-6.58 Ty_l=-79.67 N_l=4884.32 Mx_l=0.00 My_l=-6.71 Mz_l=0.12
Taglio nei bulloni: Fv,Ed=6.71 Fv,Rd=14597.10
Rifollamento lato piastra: Fb,Ed,p=6.71 Fb,Rd,p=11054.70
Trazione nei bulloni: Ft,Ed=411.34 Ft,Rd=17452.80
Azione di punzonamento di progetto lato piastra: Bp,Ed,p=411.34 Bb,Rd,p=57061.40
Int. V-T=0.02
Tirafondi:LT=0.41 (0.25) σ_{cR}=23.21 σ_{fR}=26.89
Compressione nel calcestruzzo: σ_c=0.00
CC 98 SLU (Collegamento -512_0013)
Azioni sul collegamento: N=4727.13 Ty=-6.37 Tz=-79.67 Mx=0.12 Mz=-6.50
Sollecitazioni agenti localmente: Tx_l=-6.37 Ty_l=-79.67 N_l=4727.13 Mx_l=0.00 My_l=-6.50 Mz_l=0.12
Taglio nei bulloni: Fv,Ed=6.71 Fv,Rd=14597.10
Rifollamento lato piastra: Fb,Ed,p=6.71 Fb,Rd,p=11046.80
Trazione nei bulloni: Ft,Ed=398.10 Ft,Rd=17452.80
Azione di punzonamento di progetto lato piastra: Bp,Ed,p=398.10 Bb,Rd,p=57061.40
Int. V-T=0.02
Tirafondi:LT=0.41 (0.25) σ_{cR}=22.47 σ_{fR}=26.03
Compressione nel calcestruzzo: σ_c=0.00

Saldatura profilo-piastra

CC 97 SLU (Collegamento -512_0013)
Azioni sul collegamento: N=4884.32 Ty=-6.58 Tz=-79.67 Mx=0.12 Mz=-6.71
Sollecitazioni agenti localmente: Tx_l=-6.58 Ty_l=-79.67 N_l=4884.32 My_l=6.71 Mz_l=0.12
Azioni sul cordone: TP=1.84 TO=15.88 NO=973.62
Tensioni nel cordone: τ_P=0.22 τ_O=1.87 σ_O=124.57 σ_{ID}=124.58 Σ_T=126.44

Flessione attacco superiore piastra

Bnetta=20.00 Hnetta=400.00 irrigidita (W=54.53)
CC 97 SLU (Collegamento -512_0013)
Azioni sul collegamento: N=4884.32 Ty=-6.58 Tz=-79.67 Mx=0.12 Mz=-6.71
Sollecitazioni agenti localmente: Ty_l=1628.11 Mx_l=115.59
Tensioni nella sezione: σ=211.98 τ=101.76

Flessione attacco inferiore piastra

Bnetta=20.00 Hnetta=400.00 irrigidita (W=54.53)
CC 97 SLU (Collegamento -512_0013)
Azioni sul collegamento: N=4884.32 Ty=-6.58 Tz=-79.67 Mx=0.12 Mz=-6.71
Sollecitazioni agenti localmente: Ty_l=1628.11 Mx_l=115.59
Tensioni nella sezione: σ=211.98 τ=101.76

Flessione attacco destro piastra

Bnetta=20.00 Hnetta=340.00 irrigidita (W=53.66)
CC 97 SLU (Collegamento -512_0013)
Azioni sul collegamento: N=4884.32 Ty=-6.58 Tz=-79.67 Mx=0.12 Mz=-6.71
Sollecitazioni agenti localmente: Ty_l=2463.94 My_l=182.55
Tensioni nella sezione: σ=340.22 τ=154.00

Flessione attacco sinistro piastra

Bnetta=20.00 Hnetta=340.00 irrigidita (W=53.66)
CC 97 SLU (Collegamento -512_0013)
Azioni sul collegamento: N=4884.32 Ty=-6.58 Tz=-79.67 Mx=0.12 Mz=-6.71
Sollecitazioni agenti localmente: Ty_l=2420.38 My_l=178.89
Tensioni nella sezione: σ=333.39 τ=151.27

Flessione locale sinistra

Bullone in x=-171.00 y=-47.00
Bnetta=26.00 Hnetta=20.00
CC 97 SLU (Collegamento -512_0013)
Azioni sul collegamento: N=4884.32 Ty=-6.58 Tz=-79.67 Mx=0.12 Mz=-6.71
Sollecitazioni agenti localmente: Mx_l=5.24
Tensioni nella sezione: σ=302.04 τ=0.00

Flessione locale destra

Bullone in x=171.00 y=-47.00
Bnetta=26.00 Hnetta=20.00
CC 97 SLU (Collegamento -512_0013)
Azioni sul collegamento: N=4884.32 Ty=-6.58 Tz=-79.67 Mx=0.12 Mz=-6.71
Sollecitazioni agenti localmente: Mx_l=5.35
Tensioni nella sezione: σ=308.50 τ=0.00

Flessione locale angolo superiore sinistro

Bullone in x=-90.00 y=141.00
Bnetta=20.00 Hnetta=20.00
CC 97 SLU (Collegamento -512_0013)
Azioni sul collegamento: N=4884.32 Ty=-6.58 Tz=-79.67 Mx=0.12 Mz=-6.71
Sollecitazioni agenti localmente: My_l=4.05
Tensioni nella sezione: σ=303.57 τ=0.00

Flessione locale angolo superiore destro

Bullone in x=90.00 y=141.00
Bnetta=20.00 Hnetta=20.00
CC 97 SLU (Collegamento -512_0013)
Azioni sul collegamento: N=4884.32 Ty=-6.58 Tz=-79.67 Mx=0.12 Mz=-6.71
Sollecitazioni agenti localmente: My_l=4.09
Tensioni nella sezione: σ=306.97 τ=0.00

Flessione locale angolo inferiore sinistro

Bullone in x=-90.00 y=-141.00
Bnetta=20.00 Hnetta=20.00
CC 97 SLU (Collegamento -512_0013)
Azioni sul collegamento: N=4884.32 Ty=-6.58 Tz=-79.67 Mx=0.12 Mz=-6.71
Sollecitazioni agenti localmente: My_l=4.05
Tensioni nella sezione: σ=303.57 τ=0.00

Flessione locale angolo inferiore destro

Bullone in x=90.00 y=-141.00
Bnetta=20.00 Hnetta=20.00
CC 97 SLU (Collegamento -512_0013)
Azioni sul collegamento: N=4884.32 Ty=-6.58 Tz=-79.67 Mx=0.12 Mz=-6.71
Sollecitazioni agenti localmente: My_l=4.09
Tensioni nella sezione: σ=306.97 τ=0.00

Collegamento -515_0014

Piastra 400.00 x 340.00 s=20.00 - 12 Tirafondi ϕ 22 - Profondità di infissione: 300.00
4 righe ad interasse 94.00
4 colonne ad interasse variabile
Altezza di gola saldature: anima 7.07 - ala 7.07
Irrigidimenti:
Laterali parallele all'anima s=10.00
Trasversali s=10.00

Tirafondi e calcestruzzo

CC 98 SLU (Collegamento -515_0014)
Azioni sul collegamento: N=6410.53 Ty=-0.08 Tz=-79.67 Mx=0.01 Mz=0.11
Sollecitazioni agenti localmente: Tx_l=-0.08 Ty_l=-79.67 N_l=6410.53 Mx_l=0.00 My_l=0.11 Mz_l=0.01
Taglio nei bulloni: Fv,Ed=6.64 Fv,Rd=14597.10
Rifollamento lato piastra: Fb,Ed,p=6.64 Fb,Rd,p=10928.90
Trazione nei bulloni: Ft,Ed=534.28 Ft,Rd=17452.80
Azione di punzonamento di progetto lato piastra: Bp,Ed,p=534.28 Bb,Rd,p=57061.40
Int. V-T=0.02
Tirafondi:LT=0.41 (0.25) $σ_{cR}$=30.15 $σ_{fR}$=34.93
Compressione nel calcestruzzo: $σ_c$=0.00
CC 100 SLU (Collegamento -515_0014)
Azioni sul collegamento: N=6312.81 Ty=-0.07 Tz=-79.67 Mx=0.01 Mz=0.12
Sollecitazioni agenti localmente: Tx_l=-0.07 Ty_l=-79.67 N_l=6312.81 Mx_l=0.00 My_l=0.12 Mz_l=0.01
Taglio nei bulloni: Fv,Ed=6.64 Fv,Rd=14597.10
Rifollamento lato piastra: Fb,Ed,p=6.64 Fb,Rd,p=10928.90
Trazione nei bulloni: Ft,Ed=526.14 Ft,Rd=17452.80

Azione di punzonamento di progetto lato piastra: Bp,Ed,p=526.14 Bb,Rd,p=57061.40
Int. V-T=0.02
Tirafondi:LT=0.41 (0.25) σ_{cR}=29.69 σ_{fR}=34.40
Compressione nel calcestruzzo: σ_c=0.00

Saldatura profilo-piastra

CC 33 SLV (Collegamento -515_0014)
Azioni sul collegamento: N=4525.75 Ty=-0.40 Tz=-59.01 Mx=0.01 Mz=-0.16
Sollecitazioni agenti localmente: Tx_l=-0.40 Ty_l=-59.01 N_l=4525.75 My_l=0.16 Mz_l=0.01
Azioni sul cordone: TP=-0.04 TO=-4.35 NO=334.55
Tensioni nel cordone: τ_P= 0.01 τ_O=1.38 σ_O=106.56 σ_{ID}=106.57 Σ_T=107.95
CC 98 SLU (Collegamento -515_0014)
Azioni sul collegamento: N=6410.53 Ty=-0.08 Tz=-79.67 Mx=0.01 Mz=0.11
Sollecitazioni agenti localmente: Tx_l=-0.08 Ty_l=-79.67 N_l=6410.53 My_l=-0.11 Mz_l=0.01
Azioni sul cordone: TP=-0.01 TO=-5.89 NO=473.87
Tensioni nel cordone: τ_P=3.71E-03 τ_O=1.87 σ_O=150.78 σ_{ID}=150.79 Σ_T=152.65
CC 100 SLU (Collegamento -515_0014)
Azioni sul collegamento: N=6312.81 Ty=-0.07 Tz=-79.67 Mx=0.01 Mz=0.12
Sollecitazioni agenti localmente: Tx_l=-0.07 Ty_l=-79.67 N_l=6312.81 My_l=-0.12 Mz_l=0.01
Azioni sul cordone: TP=-0.01 TO=-5.89 NO=466.64
Tensioni nel cordone: τ_P=3.44E-03 τ_O=1.87 σ_O=148.49 σ_{ID}=148.50 Σ_T=150.36

Flessione attacco superiore piastra

Bnetta=20.00 Hnetta=400.00 irrigidita (W=54.53)
CC 98 SLU (Collegamento -515_0014)
Azioni sul collegamento: N=6410.53 Ty=-0.08 Tz=-79.67 Mx=0.01 Mz=0.11
Sollecitazioni agenti localmente: Ty_l=2136.84 Mx_l=151.72
Tensioni nella sezione: σ=278.22 τ=133.55

Flessione attacco inferiore piastra

Bnetta=20.00 Hnetta=400.00 irrigidita (W=54.53)
CC 98 SLU (Collegamento -515_0014)
Azioni sul collegamento: N=6410.53 Ty=-0.08 Tz=-79.67 Mx=0.01 Mz=0.11
Sollecitazioni agenti localmente: Ty_l=2136.84 Mx_l=151.72
Tensioni nella sezione: σ=278.22 τ=133.55

Flessione attacco destro piastra

Bnetta=20.00 Hnetta=340.00 irrigidita (W=53.66)
CC 98 SLU (Collegamento -515_0014)
Azioni sul collegamento: N=6410.53 Ty=-0.08 Tz=-79.67 Mx=0.01 Mz=0.11
Sollecitazioni agenti localmente: Ty_l=3204.91 My_l=237.16
Tensioni nella sezione: σ=441.99 τ=200.31

Flessione attacco sinistro piastra

Bnetta=20.00 Hnetta=340.00 irrigidita (W=53.66)
CC 98 SLU (Collegamento -515_0014)
Azioni sul collegamento: N=6410.53 Ty=-0.08 Tz=-79.67 Mx=0.01 Mz=0.11
Sollecitazioni agenti localmente: Ty_l=3205.61 My_l=237.22
Tensioni nella sezione: σ=442.10 τ=200.35

Flessione locale sinistra

Bullone in x=-171.00 y=-47.00
Bnetta=26.00 Hnetta=20.00
CC 98 SLU (Collegamento -515_0014)
Azioni sul collegamento: N=6410.53 Ty=-0.08 Tz=-79.67 Mx=0.01 Mz=0.11
Sollecitazioni agenti localmente: Mx_l=6.95
Tensioni nella sezione: σ=400.71 τ=0.00

Flessione locale destra

Bullone in x=171.00 y=-47.00
Bnetta=26.00 Hnetta=20.00
CC 98 SLU (Collegamento -515_0014)
Azioni sul collegamento: N=6410.53 Ty=-0.08 Tz=-79.67 Mx=0.01 Mz=0.11
Sollecitazioni agenti localmente: Mx_l=6.94
Tensioni nella sezione: σ=400.61 τ=0.00

Flessione locale angolo superiore sinistro

Bullone in x=-90.00 y=141.00
Bnetta=20.00 Hnetta=20.00
CC 98 SLU (Collegamento -515_0014)
Azioni sul collegamento: N=6410.53 Ty=-0.08 Tz=-79.67 Mx=0.01 Mz=0.11
Sollecitazioni agenti localmente: My_l=5.34

Tensioni nella sezione: σ=400.69 τ=0.00

Flessione locale angolo superiore destro

Bullone in x=90.00 y=141.00
Bnetta=20.00 Hnetta=20.00
CC 98 SLU (Collegamento -515_0014)
Azioni sul collegamento: N=6410.53 Ty=-0.08 Tz=-79.67 Mx=0.01 Mz=0.11
Sollecitazioni agenti localmente: My_l=5.34
Tensioni nella sezione: σ=400.63 τ=0.00

Flessione locale angolo inferiore sinistro

Bullone in x=-90.00 y=-141.00
Bnetta=20.00 Hnetta=20.00
CC 98 SLU (Collegamento -515_0014)
Azioni sul collegamento: N=6410.53 Ty=-0.08 Tz=-79.67 Mx=0.01 Mz=0.11
Sollecitazioni agenti localmente: My_l=5.34
Tensioni nella sezione: σ=400.69 τ=0.00

Flessione locale angolo inferiore destro

Bullone in x=90.00 y=-141.00
Bnetta=20.00 Hnetta=20.00
CC 98 SLU (Collegamento -515_0014)
Azioni sul collegamento: N=6410.53 Ty=-0.08 Tz=-79.67 Mx=0.01 Mz=0.11
Sollecitazioni agenti localmente: My_l=5.34
Tensioni nella sezione: σ=400.63 τ=0.00

Collegamento -516_0015

Piastra 400.00 x 340.00 s=20.00 - 12 Tirafondi ϕ 22 - Profondità di infissione: 300.00
4 righe ad interasse 94.00
4 colonne ad interasse variabile
Altezza di gola saldature: anima 7.07 - ala 7.07
Irrigidimenti:
Laterali parallele all'anima s=10.00
Trasversali s=10.00

Tirafondi e calcestruzzo

CC 97 SLU (Collegamento -516_0015)
Azioni sul collegamento: N=6410.53 Ty=0.08 Tz=-79.67 Mx=-0.01 Mz=-0.11
Sollecitazioni agenti localmente: Tx_l=0.08 Ty_l=-79.67 N_l=6410.53 Mx_l=0.00 My_l=-0.11 Mz_l=-0.01
Taglio nei bulloni: Fv,Ed=6.64 Fv,Rd=14597.10
Rifollamento lato piastra: Fb,Ed,p=6.64 Fb,Rd,p=10928.90
Trazione nei bulloni: Ft,Ed=534.28 Ft,Rd=17452.80
Azione di punzonamento di progetto lato piastra: Bp,Ed,p=534.28 Bb,Rd,p=57061.40
Int. V-T=0.02
Tirafondi:LT=0.41 (0.25) σ_{cR}=30.15 σ_{fR}=34.93
Compressione nel calcestruzzo: σ_c=0.00
CC 100 SLU (Collegamento -516_0015)
Azioni sul collegamento: N=6312.81 Ty=0.07 Tz=-79.67 Mx=-0.01 Mz=-0.12
Sollecitazioni agenti localmente: Tx_l=0.07 Ty_l=-79.67 N_l=6312.81 Mx_l=0.00 My_l=-0.12 Mz_l=-0.01
Taglio nei bulloni: Fv,Ed=6.64 Fv,Rd=14597.10
Rifollamento lato piastra: Fb,Ed,p=6.64 Fb,Rd,p=10928.90
Trazione nei bulloni: Ft,Ed=526.14 Ft,Rd=17452.80
Azione di punzonamento di progetto lato piastra: Bp,Ed,p=526.14 Bb,Rd,p=57061.40
Int. V-T=0.02
Tirafondi:LT=0.41 (0.25) σ_{cR}=29.69 σ_{fR}=34.40
Compressione nel calcestruzzo: σ_c=0.00

Saldatura profilo-piastra

CC 49 SLV (Collegamento -516_0015)
Azioni sul collegamento: N=4524.83 Ty=0.39 Tz=-59.01 Mx=-0.01 Mz=0.15
Sollecitazioni agenti localmente: Tx_l=0.39 Ty_l=-59.01 N_l=4524.83 My_l=-0.15 Mz_l=-0.01
Azioni sul cordone: TP=0.04 TO=-4.35 NO=334.48
Tensioni nel cordone: τ_P= 0.01 τ_O=1.38 σ_O=106.53 σ_{ID}=106.54 Σ_T=107.92
CC 97 SLU (Collegamento -516_0015)
Azioni sul collegamento: N=6410.53 Ty=0.08 Tz=-79.67 Mx=-0.01 Mz=-0.11
Sollecitazioni agenti localmente: Tx_l=0.08 Ty_l=-79.67 N_l=6410.53 My_l=0.11 Mz_l=-0.01
Azioni sul cordone: TP=0.01 TO=-5.89 NO=473.87
Tensioni nel cordone: τ_P=3.71E-03 τ_O=1.87 σ_O=150.78 σ_{ID}=150.79 Σ_T=152.65
CC 100 SLU (Collegamento -516_0015)
Azioni sul collegamento: N=6312.81 Ty=0.07 Tz=-79.67 Mx=-0.01 Mz=-0.12
Sollecitazioni agenti localmente: Tx_l=0.07 Ty_l=-79.67 N_l=6312.81 My_l=0.12 Mz_l=-0.01
Azioni sul cordone: TP=0.01 TO=-5.89 NO=466.64
Tensioni nel cordone: τ_P=3.44E-03 τ_O=1.87 σ_O=148.49 σ_{ID}=148.50 Σ_T=150.36

Flessione attacco superiore piastra

Bnetta=20.00 Hnetta=400.00 irrigidita (W=54.53)
CC 97 SLU (Collegamento -516_0015)
Azioni sul collegamento: N=6410.53 Ty=0.08 Tz=-79.67 Mx=-0.01 Mz=-0.11
Sollecitazioni agenti localmente: Ty_l=2136.84 Mx_l=151.72
Tensioni nella sezione: σ=278.22 τ=133.55

Flessione attacco inferiore piastra

Bnetta=20.00 Hnetta=400.00 irrigidita (W=54.53)
CC 97 SLU (Collegamento -516_0015)
Azioni sul collegamento: N=6410.53 Ty=0.08 Tz=-79.67 Mx=-0.01 Mz=-0.11
Sollecitazioni agenti localmente: Ty_l=2136.84 Mx_l=151.72
Tensioni nella sezione: σ=278.22 τ=133.55

Flessione attacco destro piastra

Bnetta=20.00 Hnetta=340.00 irrigidita (W=53.66)
CC 97 SLU (Collegamento -516_0015)
Azioni sul collegamento: N=6410.53 Ty=0.08 Tz=-79.67 Mx=-0.01 Mz=-0.11
Sollecitazioni agenti localmente: Ty_l=3205.61 My_l=237.22
Tensioni nella sezione: σ=442.10 τ=200.35

Flessione attacco sinistro piastra

Bnetta=20.00 Hnetta=340.00 irrigidita (W=53.66)
CC 97 SLU (Collegamento -516_0015)
Azioni sul collegamento: N=6410.53 Ty=0.08 Tz=-79.67 Mx=-0.01 Mz=-0.11
Sollecitazioni agenti localmente: Ty_l=3204.91 My_l=237.16
Tensioni nella sezione: σ=441.99 τ=200.31

Flessione locale sinistra

Bullone in x=-171.00 y=-47.00
Bnetta=26.00 Hnetta=20.00
CC 97 SLU (Collegamento -516_0015)
Azioni sul collegamento: N=6410.53 Ty=0.08 Tz=-79.67 Mx=-0.01 Mz=-0.11
Sollecitazioni agenti localmente: Mx_l=6.94
Tensioni nella sezione: σ=400.61 τ=0.00

Flessione locale destra

Bullone in x=171.00 y=-47.00
Bnetta=26.00 Hnetta=20.00
CC 97 SLU (Collegamento -516_0015)
Azioni sul collegamento: N=6410.53 Ty=0.08 Tz=-79.67 Mx=-0.01 Mz=-0.11
Sollecitazioni agenti localmente: Mx_l=6.95
Tensioni nella sezione: σ=400.71 τ=0.00

Flessione locale angolo superiore sinistro

Bullone in x=-90.00 y=141.00
Bnetta=20.00 Hnetta=20.00
CC 97 SLU (Collegamento -516_0015)
Azioni sul collegamento: N=6410.53 Ty=0.08 Tz=-79.67 Mx=-0.01 Mz=-0.11
Sollecitazioni agenti localmente: My_l=5.34
Tensioni nella sezione: σ=400.63 τ=0.00

Flessione locale angolo superiore destro

Bullone in x=90.00 y=141.00
Bnetta=20.00 Hnetta=20.00
CC 97 SLU (Collegamento -516_0015)
Azioni sul collegamento: N=6410.53 Ty=0.08 Tz=-79.67 Mx=-0.01 Mz=-0.11
Sollecitazioni agenti localmente: My_l=5.34
Tensioni nella sezione: σ=400.69 τ=0.00

Flessione locale angolo inferiore sinistro

Bullone in x=-90.00 y=-141.00
Bnetta=20.00 Hnetta=20.00
CC 97 SLU (Collegamento -516_0015)
Azioni sul collegamento: N=6410.53 Ty=0.08 Tz=-79.67 Mx=-0.01 Mz=-0.11
Sollecitazioni agenti localmente: My_l=5.34
Tensioni nella sezione: σ=400.63 τ=0.00

Flessione locale angolo inferiore destro

Bullone in x=90.00 y=-141.00

Bnetta=20.00 Hnetta=20.00
CC 97 SLU (Collegamento -516_0015)
Azioni sul collegamento: N=6410.53 Ty=0.08 Tz=-79.67 Mx=-0.01 Mz=-0.11
Sollecitazioni agenti localmente: My_l=5.34
Tensioni nella sezione: σ=400.69 τ=0.00

Collegamento -519_0016

Piastra 400.00 x 340.00 s=20.00 - 12 Tirafondi ϕ 22 - Profondità di infissione: 300.00
4 righe ad interasse 94.00
4 colonne ad interasse variabile
Altezza di gola saldature: anima 7.07 - ala 7.07
Irrigidimenti:
Laterali parallele all'anima s=10.00
Trasversali s=10.00

Tirafondi e calcestruzzo

CC 97 SLU (Collegamento -519_0016)
Azioni sul collegamento: N=4728.13 Ty=-5.66 Tz=-79.67 Mx=0.11 Mz=-5.47
Sollecitazioni agenti localmente: Tx_l=-5.66 Ty_l=-79.67 N_l=4728.13 Mx_l=0.00 My_l=-5.47 Mz_l=0.11
Taglio nei bulloni: Fv,Ed=6.70 Fv,Rd=14597.10
Rifollamento lato piastra: Fb,Ed,p=6.70 Fb,Rd,p=11022.80
Trazione nei bulloni: Ft,Ed=397.53 Ft,Rd=17452.80
Azione di punzonamento di progetto lato piastra: Bp,Ed,p=397.53 Bb,Rd,p=57061.40
Int. V-T=0.02
Tirafondi:LT=0.41 (0.25) σ_{cR}=22.44 σ_{fR}=25.99
Compressione nel calcestruzzo: σ_c=0.00
CC 98 SLU (Collegamento -519_0016)
Azioni sul collegamento: N=4884.62 Ty=-5.87 Tz=-79.67 Mx=0.12 Mz=-5.69
Sollecitazioni agenti localmente: Tx_l=-5.87 Ty_l=-79.67 N_l=4884.62 Mx_l=0.00 My_l=-5.69 Mz_l=0.12
Taglio nei bulloni: Fv,Ed=6.71 Fv,Rd=14597.10
Rifollamento lato piastra: Fb,Ed,p=6.71 Fb,Rd,p=11029.70
Trazione nei bulloni: Ft,Ed=410.70 Ft,Rd=17452.80
Azione di punzonamento di progetto lato piastra: Bp,Ed,p=410.70 Bb,Rd,p=57061.40
Int. V-T=0.02
Tirafondi:LT=0.41 (0.25) σ_{cR}=23.18 σ_{fR}=26.85
Compressione nel calcestruzzo: σ_c=0.00

Saldatura profilo-piastra

CC 97 SLU (Collegamento -519_0016)
Azioni sul collegamento: N=4728.13 Ty=-5.66 Tz=-79.67 Mx=0.11 Mz=-5.47
Sollecitazioni agenti localmente: Tx_l=-5.66 Ty_l=-79.67 N_l=4728.13 My_l=5.47 Mz_l=0.11
Azioni sul cordone: TP=1.60 TO=15.88 NO=942.48
Tensioni nel cordone: τ_P=0.19 τ_O=1.87 σ_O=119.09 σ_{ID}=119.10 Σ_T=120.96
CC 98 SLU (Collegamento -519_0016)
Azioni sul collegamento: N=4884.62 Ty=-5.87 Tz=-79.67 Mx=0.12 Mz=-5.69
Sollecitazioni agenti localmente: Tx_l=-5.87 Ty_l=-79.67 N_l=4884.62 My_l=5.69 Mz_l=0.12
Azioni sul cordone: TP=1.66 TO=15.88 NO=973.68
Tensioni nel cordone: τ_P=0.20 τ_O=1.87 σ_O=123.07 σ_{ID}=123.09 Σ_T=124.94

Flessione attacco superiore piastra

Bnetta=20.00 Hnetta=400.00 irrigidita (W=54.53)
CC 98 SLU (Collegamento -519_0016)
Azioni sul collegamento: N=4884.62 Ty=-5.87 Tz=-79.67 Mx=0.12 Mz=-5.69
Sollecitazioni agenti localmente: Ty_l=1628.21 Mx_l=115.60
Tensioni nella sezione: σ=212.00 τ=101.76

Flessione attacco inferiore piastra

Bnetta=20.00 Hnetta=400.00 irrigidita (W=54.53)
CC 98 SLU (Collegamento -519_0016)
Azioni sul collegamento: N=4884.62 Ty=-5.87 Tz=-79.67 Mx=0.12 Mz=-5.69
Sollecitazioni agenti localmente: Ty_l=1628.21 Mx_l=115.60
Tensioni nella sezione: σ=212.00 τ=101.76

Flessione attacco destro piastra

Bnetta=20.00 Hnetta=340.00 irrigidita (W=53.66)
CC 98 SLU (Collegamento -519_0016)
Azioni sul collegamento: N=4884.62 Ty=-5.87 Tz=-79.67 Mx=0.12 Mz=-5.69
Sollecitazioni agenti localmente: Ty_l=2460.75 My_l=182.28
Tensioni nella sezione: σ=339.72 τ=153.80

Flessione attacco sinistro piastra

Bnetta=20.00 Hnetta=340.00 irrigidita (W=53.66)
CC 98 SLU (Collegamento -519_0016)

Azioni sul collegamento: N=4884.62 Ty=-5.87 Tz=-79.67 Mx=0.12 Mz=-5.69
Sollecitazioni agenti localmente: Ty_l=2423.87 My_l=179.18
Tensioni nella sezione: σ=333.94 τ=151.49

Flessione locale sinistra

Bullone in x=-171.00 y=-47.00
Bnetta=26.00 Hnetta=20.00
CC 98 SLU (Collegamento -519_0016)
Azioni sul collegamento: N=4884.62 Ty=-5.87 Tz=-79.67 Mx=0.12 Mz=-5.69
Sollecitazioni agenti localmente: Mx_l=5.24
Tensioni nella sezione: σ=302.55 τ=0.00

Flessione locale destra

Bullone in x=171.00 y=-47.00
Bnetta=26.00 Hnetta=20.00
CC 98 SLU (Collegamento -519_0016)
Azioni sul collegamento: N=4884.62 Ty=-5.87 Tz=-79.67 Mx=0.12 Mz=-5.69
Sollecitazioni agenti localmente: Mx_l=5.34
Tensioni nella sezione: σ=308.03 τ=0.00

Flessione locale angolo superiore sinistro

Bullone in x=-90.00 y=141.00
Bnetta=20.00 Hnetta=20.00
CC 98 SLU (Collegamento -519_0016)
Azioni sul collegamento: N=4884.62 Ty=-5.87 Tz=-79.67 Mx=0.12 Mz=-5.69
Sollecitazioni agenti localmente: My_l=4.05
Tensioni nella sezione: σ=303.85 τ=0.00

Flessione locale angolo superiore destro

Bullone in x=90.00 y=141.00
Bnetta=20.00 Hnetta=20.00
CC 98 SLU (Collegamento -519_0016)
Azioni sul collegamento: N=4884.62 Ty=-5.87 Tz=-79.67 Mx=0.12 Mz=-5.69
Sollecitazioni agenti localmente: My_l=4.09
Tensioni nella sezione: σ=306.73 τ=0.00

Flessione locale angolo inferiore sinistro

Bullone in x=-90.00 y=-141.00
Bnetta=20.00 Hnetta=20.00
CC 98 SLU (Collegamento -519_0016)
Azioni sul collegamento: N=4884.62 Ty=-5.87 Tz=-79.67 Mx=0.12 Mz=-5.69
Sollecitazioni agenti localmente: My_l=4.05
Tensioni nella sezione: σ=303.85 τ=0.00

Flessione locale angolo inferiore destro

Bullone in x=90.00 y=-141.00
Bnetta=20.00 Hnetta=20.00
CC 98 SLU (Collegamento -519_0016)
Azioni sul collegamento: N=4884.62 Ty=-5.87 Tz=-79.67 Mx=0.12 Mz=-5.69
Sollecitazioni agenti localmente: My_l=4.09
Tensioni nella sezione: σ=306.73 τ=0.00

Collegamento -520_0017

Piastra 400.00 x 340.00 s=20.00 - 12 Tirafondi ϕ 22 - Profondità di infissione: 300.00
4 righe ad interasse 94.00
4 colonne ad interasse variabile
Altezza di gola saldature: anima 7.07 - ala 7.07
Irrigidimenti:
Laterali parallele all'anima s=10.00
Trasversali s=10.00

Tirafondi e calcestruzzo

CC 97 SLU (Collegamento -520_0017)
Azioni sul collegamento: N=4884.62 Ty=5.87 Tz=-79.67 Mx=-0.12 Mz=5.69
Sollecitazioni agenti localmente: Tx_l=5.87 Ty_l=-79.67 N_l=4884.62 Mx_l=0.00 My_l=5.69 Mz_l=-0.12
Taglio nei bulloni: Fv,Ed=6.71 Fv,Rd=14597.10
Rifollamento lato piastra: Fb,Ed,p=6.71 Fb,Rd,p=11029.70
Trazione nei bulloni: Ft,Ed=410.70 Ft,Rd=17452.80
Azione di punzonamento di progetto lato piastra: Bp,Ed,p=410.70 Bb,Rd,p=57061.40
Int. V-T=0.02
Tirafondi:LT=0.41 (0.25) σ_{cR}=23.18 σ_{fR}=26.85
Compressione nel calcestruzzo: σ_c=0.00

CC 98 SLU (Collegamento -520_0017)
Azioni sul collegamento: N=4728.13 Ty=5.66 Tz=-79.67 Mx=-0.11 Mz=5.47
Sollecitazioni agenti localmente: Tx_l=5.66 Ty_l=-79.67 N_l=4728.13 Mx_l=0.00 My_l=5.47 Mz_l=-0.11
Taglio nei bulloni: Fv,Ed=6.70 Fv,Rd=14597.10
Rifollamento lato piastra: Fb,Ed,p=6.70 Fb,Rd,p=11022.80
Trazione nei bulloni: Ft,Ed=397.53 Ft,Rd=17452.80
Azione di punzonamento di progetto lato piastra: Bp,Ed,p=397.53 Bb,Rd,p=57061.40
Int. V-T=0.02
Tirafondi:LT=0.41 (0.25) σ_{cR}=22.44 σ_{fR}=25.99
Compressione nel calcestruzzo: σ_c=0.00

Saldatura profilo-piastra

CC 97 SLU (Collegamento -520_0017)
Azioni sul collegamento: N=4884.62 Ty=5.87 Tz=-79.67 Mx=-0.12 Mz=5.69
Sollecitazioni agenti localmente: Tx_l=5.87 Ty_l=-79.67 N_l=4884.62 My_l=-5.69 Mz_l=-0.12
Azioni sul cordone: TP=-1.66 TO=15.88 NO=973.68
Tensioni nel cordone: τ_P=0.20 τ_O=1.87 σ_O=123.07 σ_{ID}=123.09 Σ_T=124.94

Flessione attacco superiore piastra

Bnetta=20.00 Hnetta=400.00 irrigidita (W=54.53)
CC 97 SLU (Collegamento -520_0017)
Azioni sul collegamento: N=4884.62 Ty=5.87 Tz=-79.67 Mx=-0.12 Mz=5.69
Sollecitazioni agenti localmente: Ty_l=1628.21 Mx_l=115.60
Tensioni nella sezione: σ=212.00 τ=101.76

Flessione attacco inferiore piastra

Bnetta=20.00 Hnetta=400.00 irrigidita (W=54.53)
CC 97 SLU (Collegamento -520_0017)
Azioni sul collegamento: N=4884.62 Ty=5.87 Tz=-79.67 Mx=-0.12 Mz=5.69
Sollecitazioni agenti localmente: Ty_l=1628.21 Mx_l=115.60
Tensioni nella sezione: σ=212.00 τ=101.76

Flessione attacco destro piastra

Bnetta=20.00 Hnetta=340.00 irrigidita (W=53.66)
CC 97 SLU (Collegamento -520_0017)
Azioni sul collegamento: N=4884.62 Ty=5.87 Tz=-79.67 Mx=-0.12 Mz=5.69
Sollecitazioni agenti localmente: Ty_l=2423.87 My_l=179.18
Tensioni nella sezione: σ=333.94 τ=151.49

Flessione attacco sinistro piastra

Bnetta=20.00 Hnetta=340.00 irrigidita (W=53.66)
CC 97 SLU (Collegamento -520_0017)
Azioni sul collegamento: N=4884.62 Ty=5.87 Tz=-79.67 Mx=-0.12 Mz=5.69
Sollecitazioni agenti localmente: Ty_l=2460.75 My_l=182.28
Tensioni nella sezione: σ=339.72 τ=153.80

Flessione locale sinistra

Bullone in x=-171.00 y=-47.00
Bnetta=26.00 Hnetta=20.00
CC 97 SLU (Collegamento -520_0017)
Azioni sul collegamento: N=4884.62 Ty=5.87 Tz=-79.67 Mx=-0.12 Mz=5.69
Sollecitazioni agenti localmente: Mx_l=5.34
Tensioni nella sezione: σ=308.03 τ=0.00

Flessione locale destra

Bullone in x=171.00 y=-47.00
Bnetta=26.00 Hnetta=20.00
CC 97 SLU (Collegamento -520_0017)
Azioni sul collegamento: N=4884.62 Ty=5.87 Tz=-79.67 Mx=-0.12 Mz=5.69
Sollecitazioni agenti localmente: Mx_l=5.24
Tensioni nella sezione: σ=302.55 τ=0.00

Flessione locale angolo superiore sinistro

Bullone in x=-90.00 y=141.00
Bnetta=20.00 Hnetta=20.00
CC 97 SLU (Collegamento -520_0017)
Azioni sul collegamento: N=4884.62 Ty=5.87 Tz=-79.67 Mx=-0.12 Mz=5.69
Sollecitazioni agenti localmente: My_l=4.09
Tensioni nella sezione: σ=306.73 τ=0.00

Flessione locale angolo superiore destro

Bullone in x=90.00 y=141.00
Bnetta=20.00 Hnetta=20.00
CC 97 SLU (Collegamento -520_0017)
Azioni sul collegamento: N=4884.62 Ty=5.87 Tz=-79.67 Mx=-0.12 Mz=5.69
Sollecitazioni agenti localmente: My_l=4.05
Tensioni nella sezione: σ=303.85 τ=0.00

Flessione locale angolo inferiore sinistro

Bullone in x=-90.00 y=-141.00
Bnetta=20.00 Hnetta=20.00
CC 97 SLU (Collegamento -520_0017)
Azioni sul collegamento: N=4884.62 Ty=5.87 Tz=-79.67 Mx=-0.12 Mz=5.69
Sollecitazioni agenti localmente: My_l=4.09
Tensioni nella sezione: σ=306.73 τ=0.00

Flessione locale angolo inferiore destro

Bullone in x=90.00 y=-141.00
Bnetta=20.00 Hnetta=20.00
CC 97 SLU (Collegamento -520_0017)
Azioni sul collegamento: N=4884.62 Ty=5.87 Tz=-79.67 Mx=-0.12 Mz=5.69
Sollecitazioni agenti localmente: My_l=4.05
Tensioni nella sezione: σ=303.85 τ=0.00

Collegamento -527_0018

Piastra 400.00 x 340.00 s=20.00 - 12 Tirafondi ϕ 22 - Profondità di infissione: 300.00
4 righe ad interasse 94.00
4 colonne ad interasse variabile
Altezza di gola saldature: anima 7.07 - ala 7.07
Irrigidimenti:
Laterali parallele all'anima s=10.00
Trasversali s=10.00

Tirafondi e calcestruzzo

CC 98 SLU (Collegamento -527_0018)
Azioni sul collegamento: N=12499.00 Ty=100.19 Tz=-79.67 Mx=-2.01 Mz=94.19
Sollecitazioni agenti localmente: Tx_l=100.19 Ty_l=-79.67 N_l=12499.00 Mx_l=0.00 My_l=94.19 Mz_l=-2.01
Taglio nei bulloni: Fv,Ed=11.67 Fv,Rd=14597.10
Rifollamento lato piastra: Fb,Ed,p=10.73 Fb,Rd,p=17966.90
Trazione nei bulloni: Ft,Ed=1102.06 Ft,Rd=17452.80
Azione di punzonamento di progetto lato piastra: Bp,Ed,p=1102.06 Bb,Rd,p=57061.40
Int. V-T=0.05
Tirafondi:LT=0.41 (0.25) σ_{cR}=62.20 σ_{fR}=72.05
Compressione nel calcestruzzo: σ_c=0.00

Saldatura profilo-piastra

CC 97 SLU (Collegamento -527_0018)
Azioni sul collegamento: N=12181.80 Ty=97.91 Tz=-79.67 Mx=-1.97 Mz=92.06
Sollecitazioni agenti localmente: Tx_l=97.91 Ty_l=-79.67 N_l=12181.80 My_l=-92.06 Mz_l=-1.97
Azioni sul cordone: TP=-27.82 TO=15.88 NO=2428.26
Tensioni nel cordone: τ_P=3.28 τ_O=1.87 σ_O=420.71 σ_{ID}=420.72 Σ_T=422.58
CC 98 SLU (Collegamento -527_0018)
Azioni sul collegamento: N=12499.00 Ty=100.19 Tz=-79.67 Mx=-2.01 Mz=94.19
Sollecitazioni agenti localmente: Tx_l=100.19 Ty_l=-79.67 N_l=12499.00 My_l=-94.19 Mz_l=-2.01
Azioni sul cordone: TP=-28.47 TO=15.88 NO=2491.49
Tensioni nel cordone: τ_P=3.36 τ_O=1.87 σ_O=431.27 σ_{ID}=431.29 Σ_T=433.14

Flessione attacco superiore piastra

Bnetta=20.00 Hnetta=400.00 irrigidita (W=54.53)
CC 98 SLU (Collegamento -527_0018)
Azioni sul collegamento: N=12499.00 Ty=100.19 Tz=-79.67 Mx=-2.01 Mz=94.19
Sollecitazioni agenti localmente: Ty_l=4166.32 Mx_l=295.81
Tensioni nella sezione: σ=542.46 τ=260.39

Flessione attacco inferiore piastra

Bnetta=20.00 Hnetta=400.00 irrigidita (W=54.53)
CC 98 SLU (Collegamento -527_0018)
Azioni sul collegamento: N=12499.00 Ty=100.19 Tz=-79.67 Mx=-2.01 Mz=94.19
Sollecitazioni agenti localmente: Ty_l=4166.32 Mx_l=295.81
Tensioni nella sezione: σ=542.46 τ=260.39

Flessione attacco destro piastra

Bnetta=20.00 Hnetta=340.00 irrigidita (W=53.66)

CC 98 SLU (Collegamento -527_0018)
Azioni sul collegamento: N=12499.00 Ty=100.19 Tz=-79.67 Mx=-2.01 Mz=94.19
Sollecitazioni agenti localmente: Ty_l=5943.92 My_l=436.76
Tensioni nella sezione: σ=813.98 τ=371.50

Flessione attacco sinistro piastra

Bnetta=20.00 Hnetta=340.00 irrigidita (W=53.66)
CC 98 SLU (Collegamento -527_0018)
Azioni sul collegamento: N=12499.00 Ty=100.19 Tz=-79.67 Mx=-2.01 Mz=94.19
Sollecitazioni agenti localmente: Ty_l=6555.04 My_l=488.17
Tensioni nella sezione: σ=909.79 τ=409.69

Flessione locale sinistra

Bullone in x=-171.00 y=-47.00
Bnetta=26.00 Hnetta=20.00
CC 98 SLU (Collegamento -527_0018)
Azioni sul collegamento: N=12499.00 Ty=100.19 Tz=-79.67 Mx=-2.01 Mz=94.19
Sollecitazioni agenti localmente: Mx_l=14.33
Tensioni nella sezione: σ=826.54 τ=0.00

Flessione locale destra

Bullone in x=171.00 y=-47.00
Bnetta=26.00 Hnetta=20.00
CC 98 SLU (Collegamento -527_0018)
Azioni sul collegamento: N=12499.00 Ty=100.19 Tz=-79.67 Mx=-2.01 Mz=94.19
Sollecitazioni agenti localmente: Mx_l=12.75
Tensioni nella sezione: σ=735.83 τ=0.00

Flessione locale angolo superiore sinistro

Bullone in x=-90.00 y=141.00
Bnetta=20.00 Hnetta=20.00
CC 98 SLU (Collegamento -527_0018)
Azioni sul collegamento: N=12499.00 Ty=100.19 Tz=-79.67 Mx=-2.01 Mz=94.19
Sollecitazioni agenti localmente: My_l=10.73
Tensioni nella sezione: σ=805.06 τ=0.00

Flessione locale angolo superiore destro

Bullone in x=90.00 y=141.00
Bnetta=20.00 Hnetta=20.00
CC 98 SLU (Collegamento -527_0018)
Azioni sul collegamento: N=12499.00 Ty=100.19 Tz=-79.67 Mx=-2.01 Mz=94.19
Sollecitazioni agenti localmente: My_l=10.10
Tensioni nella sezione: σ=757.31 τ=0.00

Flessione locale angolo inferiore sinistro

Bullone in x=-90.00 y=-141.00
Bnetta=20.00 Hnetta=20.00
CC 98 SLU (Collegamento -527_0018)
Azioni sul collegamento: N=12499.00 Ty=100.19 Tz=-79.67 Mx=-2.01 Mz=94.19
Sollecitazioni agenti localmente: My_l=10.73
Tensioni nella sezione: σ=805.06 τ=0.00

Flessione locale angolo inferiore destro

Bullone in x=90.00 y=-141.00
Bnetta=20.00 Hnetta=20.00
CC 98 SLU (Collegamento -527_0018)
Azioni sul collegamento: N=12499.00 Ty=100.19 Tz=-79.67 Mx=-2.01 Mz=94.19
Sollecitazioni agenti localmente: My_l=10.10
Tensioni nella sezione: σ=757.31 τ=0.00

Collegamento -528_0019

Piastra 400.00 x 340.00 s=20.00 - 12 Tirafondi ϕ 22 - Profondità di infissione: 300.00
4 righe ad interasse 94.00
4 colonne ad interasse variabile
Altezza di gola saldature: anima 7.07 - ala 7.07
Irrigidimenti:
Laterali parallele all'anima s=10.00
Trasversali s=10.00

Tirafondi e calcestruzzo

CC 97 SLU (Collegamento -528_0019)

Azioni sul collegamento: N=12499.00 Ty=-100.19 Tz=-79.67 Mx=2.01 Mz=-94.19
Sollecitazioni agenti localmente: Tx_l=-100.19 Ty_l=-79.67 N_l=12499.00 Mx_l=0.00 My_l=-94.19 Mz_l=2.01
Taglio nei bulloni: Fv,Ed=11.67 Fv,Rd=14597.10
Rifollamento lato piastra: Fb,Ed,p=10.73 Fb,Rd,p=17966.90
Trazione nei bulloni: Ft,Ed=1102.05 Ft,Rd=17452.80
Azione di punzonamento di progetto lato piastra: Bp,Ed,p=1102.05 Bb,Rd,p=57061.40
Int. V-T=0.05
Tirafondi:LT=0.41 (0.25) σ_{cR}=62.20 σ_{fR}=72.05
Compressione nel calcestruzzo: σ_c=0.00

Saldatura profilo-piastra

CC 97 SLU (Collegamento -528_0019)
Azioni sul collegamento: N=12499.00 Ty=-100.19 Tz=-79.67 Mx=2.01 Mz=-94.19
Sollecitazioni agenti localmente: Tx_l=-100.19 Ty_l=-79.67 N_l=12499.00 My_l=94.19 Mz_l=2.01
Azioni sul cordone: TP=28.47 TO=15.88 NO=2491.48
Tensioni nel cordone: τ_P=3.36 τ_O=1.87 σ_O=431.27 σ_{ID}=431.29 Σ_T=433.14

Flessione attacco superiore piastra

Bnetta=20.00 Hnetta=400.00 irrigidita (W=54.53)
CC 97 SLU (Collegamento -528_0019)
Azioni sul collegamento: N=12499.00 Ty=-100.19 Tz=-79.67 Mx=2.01 Mz=-94.19
Sollecitazioni agenti localmente: Ty_l=4166.32 Mx_l=295.81
Tensioni nella sezione: σ=542.46 τ=260.39

Flessione attacco inferiore piastra

Bnetta=20.00 Hnetta=400.00 irrigidita (W=54.53)
CC 97 SLU (Collegamento -528_0019)
Azioni sul collegamento: N=12499.00 Ty=-100.19 Tz=-79.67 Mx=2.01 Mz=-94.19
Sollecitazioni agenti localmente: Ty_l=4166.32 Mx_l=295.81
Tensioni nella sezione: σ=542.46 τ=260.39

Flessione attacco destro piastra

Bnetta=20.00 Hnetta=340.00 irrigidita (W=53.66)
CC 97 SLU (Collegamento -528_0019)
Azioni sul collegamento: N=12499.00 Ty=-100.19 Tz=-79.67 Mx=2.01 Mz=-94.19
Sollecitazioni agenti localmente: Ty_l=6555.04 My_l=488.17
Tensioni nella sezione: σ=909.79 τ=409.69

Flessione attacco sinistro piastra

Bnetta=20.00 Hnetta=340.00 irrigidita (W=53.66)
CC 97 SLU (Collegamento -528_0019)
Azioni sul collegamento: N=12499.00 Ty=-100.19 Tz=-79.67 Mx=2.01 Mz=-94.19
Sollecitazioni agenti localmente: Ty_l=5943.92 My_l=436.76
Tensioni nella sezione: σ=813.98 τ=371.50

Flessione locale sinistra

Bullone in x=-171.00 y=-47.00
Bnetta=26.00 Hnetta=20.00
CC 97 SLU (Collegamento -528_0019)
Azioni sul collegamento: N=12499.00 Ty=-100.19 Tz=-79.67 Mx=2.01 Mz=-94.19
Sollecitazioni agenti localmente: Mx_l=12.75
Tensioni nella sezione: σ=735.83 τ=0.00

Flessione locale destra

Bullone in x=171.00 y=-47.00
Bnetta=26.00 Hnetta=20.00
CC 97 SLU (Collegamento -528_0019)
Azioni sul collegamento: N=12499.00 Ty=-100.19 Tz=-79.67 Mx=2.01 Mz=-94.19
Sollecitazioni agenti localmente: Mx_l=14.33
Tensioni nella sezione: σ=826.54 τ=0.00

Flessione locale angolo superiore sinistro

Bullone in x=-90.00 y=141.00
Bnetta=20.00 Hnetta=20.00
CC 97 SLU (Collegamento -528_0019)
Azioni sul collegamento: N=12499.00 Ty=-100.19 Tz=-79.67 Mx=2.01 Mz=-94.19
Sollecitazioni agenti localmente: My_l=10.10
Tensioni nella sezione: σ=757.31 τ=0.00

Flessione locale angolo superiore destro

Bullone in x=90.00 y=141.00

Bnetta=20.00 Hnetta=20.00
CC 97 SLU (Collegamento -528_0019)
Azioni sul collegamento: N=12499.00 Ty=-100.19 Tz=-79.67 Mx=2.01 Mz=-94.19
Sollecitazioni agenti localmente: My_l=10.73
Tensioni nella sezione: σ=805.06 τ=0.00

Flessione locale angolo inferiore sinistro

Bullone in x=-90.00 y=-141.00
Bnetta=20.00 Hnetta=20.00
CC 97 SLU (Collegamento -528_0019)
Azioni sul collegamento: N=12499.00 Ty=-100.19 Tz=-79.67 Mx=2.01 Mz=-94.19
Sollecitazioni agenti localmente: My_l=10.10
Tensioni nella sezione: σ=757.31 τ=0.00

Flessione locale angolo inferiore destro

Bullone in x=90.00 y=-141.00
Bnetta=20.00 Hnetta=20.00
CC 97 SLU (Collegamento -528_0019)
Azioni sul collegamento: N=12499.00 Ty=-100.19 Tz=-79.67 Mx=2.01 Mz=-94.19
Sollecitazioni agenti localmente: My_l=10.73
Tensioni nella sezione: σ=805.06 τ=0.00

Collegamento -594_-595

Piastre anima 300.00 x 186.00 s= 12.00 - 8+8 bulloni ϕ 16
2 righe ad interasse 79.00
4 colonne ad interasse variabile
Piastre ala 650.00 x 120.00 s= 12.00 - 10+10 bulloni ϕ 16
5 righe ad interasse 67.00
2 colonne ad interasse 78.00
Piastre inferiori ala 650.00 x 41.00 s= 12.00

Bullonatura sull'anima

CC 97 SLU
Azioni sul collegamento: N=3945.19 Ty=-2.49 Tz=-3603.07 My=650.41 Mz=-5.87
Sollecitazioni agenti localmente: Tx_l=1449.79 Ty_l=-3603.07 Mz_l=380.90
Taglio nei bulloni: Fv,Ed=666.60 Fv,Rd=6028.80
Azione di rifollamento di progetto lato asta: Fb,Ed,a=969.62 Fb,Rd,a=5235.01
Rifollamento lato piastra: Fb,Ed,p=666.60 Fb,Rd,p=10716.60

Piastra di anima

Bnetta=24.00 Hnetta=186.00
CC 97 SLU
Azioni sul collegamento: N=3945.19 Ty=-2.49 Tz=-3603.07 My=650.41 Mz=-5.87
Sollecitazioni agenti localmente: Tx_l=1449.79 Ty_l=-3603.07 Mz_l=380.90
Tensioni nella sezione: σ=307.72 τ=80.71
CC 98 SLU
Azioni sul collegamento: N=3714.62 Ty=-2.53 Tz=-3646.59 My=592.11 Mz=-6.00
Sollecitazioni agenti localmente: Tx_l=1365.06 Ty_l=-3646.59 Mz_l=375.52
Tensioni nella sezione: σ=301.94 τ=81.69

Verifica a taglio anima forata

Bnetta=6.20 Hnetta=152.40
CC 98 SLU
Azioni sul collegamento: N=3714.62 Ty=-2.53 Tz=-3646.59 My=592.11 Mz=-6.00
Sollecitazioni agenti localmente: Ty_l=-1823.30
Tensioni nella sezione: σ=0.00 τ=192.97

Bullonatura ali superiori

CC 130 SLU (Collegamento -594_-595)
Azioni sul collegamento: N=-949.25 Ty=-3.69 Tz=-1403.11 My=-598.17 Mz=-3.64
Sollecitazioni agenti localmente: Tx_l=1906.52 Ty_l=-1.85 Mz_l=-2.13
Taglio nei bulloni: Fv,Ed=95.73 Fv,Rd=6028.80
Azione di rifollamento di progetto lato asta: Fb,Ed,a=191.47 Fb,Rd,a=6140.71
Rifollamento lato piastra: Fb,Ed,p=95.73 Fb,Rd,p=5012.42
CC 101 SLU
Azioni sul collegamento: N=5117.30 Ty=3.26 Tz=-1111.33 My=1341.45 Mz=3.87
Sollecitazioni agenti localmente: Tx_l=-3330.39 Ty_l=1.63 Mz_l=2.21
Taglio nei bulloni: Fv,Ed=166.94 Fv,Rd=6028.80
Azione di rifollamento di progetto lato asta: Fb,Ed,a=333.86 Fb,Rd,a=9486.95
Rifollamento lato piastra: Fb,Ed,p=166.93 Fb,Rd,p=11616.70

Bullonatura ali inferiori

CC 101 SLU
Azioni sul collegamento: N=5117.30 Ty=3.26 Tz=-1111.33 My=1341.45 Mz=3.87
Sollecitazioni agenti localmente: Tx_l=6567.17 Ty_l=1.63 Mz_l=2.21
Taglio nei bulloni: Fv,Ed=328.77 Fv,Rd=6028.80
Azione di rifollamento di progetto lato asta: Fb,Ed,a=657.54 Fb,Rd,a=6138.80
Rifollamento lato piastra: Fb,Ed,p=328.77 Fb,Rd,p=5011.23

Piastre esterne sulle ali

Bnetta=12.00 Hnetta=120.00
CC 101 SLU (Collegamento -594_-595)
Azioni sul collegamento: N=5447.45 Ty=4.95 Tz=-739.21 My=1304.90 Mz=3.80
Sollecitazioni agenti localmente: Tx_l=-1836.33 Ty_l=1.47 Mz_l=1.90
Tensioni nella sezione: σ=134.12 τ=0.10
CC 101 SLU
Azioni sul collegamento: N=5117.30 Ty=3.26 Tz=-1111.33 My=1341.45 Mz=3.87
Sollecitazioni agenti localmente: Tx_l=3901.29 Ty_l=0.97 Mz_l=1.93
Tensioni nella sezione: σ=277.64 τ= 0.07

Piastre interne sulle ali

Bnetta=12.00 Hnetta=41.00
CC 101 SLU (Collegamento -594_-595)
Azioni sul collegamento: N=5447.45 Ty=4.95 Tz=-739.21 My=1304.90 Mz=3.80
Sollecitazioni agenti localmente: Tx_l=-627.41 Ty_l=0.50
Tensioni nella sezione: σ=127.52 τ=0.10
CC 101 SLU
Azioni sul collegamento: N=5117.30 Ty=3.26 Tz=-1111.33 My=1341.45 Mz=3.87
Sollecitazioni agenti localmente: Tx_l=1332.94 Ty_l=0.33
Tensioni nella sezione: σ=270.92 τ= 0.07

Collegamento -605_-604

Piastre anima 300.00 x 186.00 s= 12.00 - 8+8 bulloni ϕ 16
2 righe ad interasse 79.00
4 colonne ad interasse variabile
Piastre ala 650.00 x 120.00 s= 12.00 - 10+10 bulloni ϕ 16
5 righe ad interasse 67.00
2 colonne ad interasse 78.00
Piastre inferiori ala 650.00 x 41.00 s= 12.00

Bullonatura sull'anima

CC 98 SLU
Azioni sul collegamento: N=613.90 Ty=6.78 Tz=-1406.52 My=648.50 Mz=0.20
Sollecitazioni agenti localmente: Tx_l=225.60 Ty_l=-1406.52 Mz_l=208.18
Taglio nei bulloni: Fv,Ed=314.43 Fv,Rd=6028.80
Azione di rifollamento di progetto lato asta: Fb,Ed,a=465.65 Fb,Rd,a=5309.83
Rifollamento lato piastra: Fb,Ed,p=314.43 Fb,Rd,p=10676.20

Piastra di anima

Bnetta=24.00 Hnetta=186.00
CC 97 SLU
Azioni sul collegamento: N=582.98 Ty=6.78 Tz=-1446.07 My=569.14 Mz=0.23
Sollecitazioni agenti localmente: Tx_l=214.23 Ty_l=-1446.07 Mz_l=199.32
Tensioni nella sezione: σ=148.83 τ=32.39
CC 98 SLU
Azioni sul collegamento: N=613.90 Ty=6.78 Tz=-1406.52 My=648.50 Mz=0.20
Sollecitazioni agenti localmente: Tx_l=225.60 Ty_l=-1406.52 Mz_l=208.18
Tensioni nella sezione: σ=155.49 τ=31.51

Verifica a taglio anima forata

Bnetta=6.20 Hnetta=152.40
CC 97 SLU
Azioni sul collegamento: N=582.98 Ty=6.78 Tz=-1446.07 My=569.14 Mz=0.23
Sollecitazioni agenti localmente: Ty_l=-723.03
Tensioni nella sezione: σ=0.00 τ=76.52

Bullonatura ali superiori

CC 98 SLU (Collegamento -605_-604)
Azioni sul collegamento: N=613.90 Ty=6.78 Tz=-1179.97 My=648.53 Mz=0.20
Sollecitazioni agenti localmente: Tx_l=-2198.36 Ty_l=3.39 Mz_l=0.66
Taglio nei bulloni: Fv,Ed=110.04 Fv,Rd=6028.80
Azione di rifollamento di progetto lato asta: Fb,Ed,a=220.08 Fb,Rd,a=9486.95
Rifollamento lato piastra: Fb,Ed,p=110.04 Fb,Rd,p=11616.70

Bullonatura ali inferiori

CC 98 SLU (Collegamento -605_-604)
Azioni sul collegamento: N=613.90 Ty=6.78 Tz=-1179.97 My=648.53 Mz=0.20
Sollecitazioni agenti localmente: Tx_l=2586.66 Ty_l=3.39 Mz_l=0.66
Taglio nei bulloni: Fv,Ed=129.46 Fv,Rd=6028.80
Azione di rifollamento di progetto lato asta: Fb,Ed,a=258.92 Fb,Rd,a=6138.80
Rifollamento lato piastra: Fb,Ed,p=129.46 Fb,Rd,p=5011.14

Piastre esterne sulle ali

Bnetta=12.00 Hnetta=120.00
CC 98 SLU (Collegamento -605_-604)
Azioni sul collegamento: N=613.90 Ty=6.78 Tz=-1179.97 My=648.53 Mz=0.20
Sollecitazioni agenti localmente: Tx_l=1536.63 Ty_l=2.01 Mz_l=0.10
Tensioni nella sezione: σ=107.05 τ=0.14
CC 97 SLU
Azioni sul collegamento: N=582.98 Ty=6.78 Tz=-1446.07 My=569.14 Mz=0.23
Sollecitazioni agenti localmente: Tx_l=-1137.78 Ty_l=2.01 Mz_l=0.11
Tensioni nella sezione: σ=79.41 τ=0.14

Piastre interne sulle ali

Bnetta=12.00 Hnetta=41.00
CC 98 SLU (Collegamento -605_-604)
Azioni sul collegamento: N=613.90 Ty=6.78 Tz=-1179.97 My=648.53 Mz=0.20
Sollecitazioni agenti localmente: Tx_l=525.02 Ty_l=0.69
Tensioni nella sezione: σ=106.71 τ=0.14
CC 97 SLU
Azioni sul collegamento: N=582.98 Ty=6.78 Tz=-1446.07 My=569.14 Mz=0.23
Sollecitazioni agenti localmente: Tx_l=-388.74 Ty_l=0.69
Tensioni nella sezione: σ=79.01 τ=0.14

Collegamento -632_-631

Piastre anima 300.00 x 186.00 s= 12.00 - 8+8 bulloni ϕ 16
2 righe ad interasse 79.00
4 colonne ad interasse variabile
Piastre ala 650.00 x 120.00 s= 12.00 - 10+10 bulloni ϕ 16
5 righe ad interasse 67.00
2 colonne ad interasse 78.00
Piastre inferiori ala 650.00 x 41.00 s= 12.00

Bullonatura sull'anima

CC 97 SLU (Collegamento -632_-631)
Azioni sul collegamento: N=14.81 Ty=0.00 Tz=1187.29 My=372.68 Mz=0.01
Sollecitazioni agenti localmente: Tx_l=5.44 Ty_l=1187.29 Mz_l=149.39
Taglio nei bulloni: Fv,Ed=226.58 Fv,Rd=6028.80
Azione di rifollamento di progetto lato asta: Fb,Ed,a=453.16 Fb,Rd,a=6845.03
Rifollamento lato piastra: Fb,Ed,p=155.85 Fb,Rd,p=7839.60

Piastra di anima

Bnetta=24.00 Hnetta=186.00
CC 97 SLU (Collegamento -632_-631)
Azioni sul collegamento: N=14.81 Ty=0.00 Tz=1187.29 My=372.68 Mz=0.01
Sollecitazioni agenti localmente: Tx_l=5.44 Ty_l=1187.29 Mz_l=149.39
Tensioni nella sezione: σ=108.07 τ=26.60
CC 98 SLU (Collegamento -632_-631)
Azioni sul collegamento: N=14.81 Ty=-0.00 Tz=1225.53 My=273.25 Mz=0.03
Sollecitazioni agenti localmente: Tx_l=5.44 Ty_l=1225.53 Mz_l=137.40
Tensioni nella sezione: σ=99.41 τ=27.45

Verifica a taglio anima forata

Bnetta=6.20 Hnetta=152.40
CC 98 SLU (Collegamento -632_-631)
Azioni sul collegamento: N=14.81 Ty=-0.00 Tz=1225.53 My=273.25 Mz=0.03
Sollecitazioni agenti localmente: Ty_l=612.77
Tensioni nella sezione: σ=0.00 τ=64.85

Bullonatura ali superiori

CC 97 SLU
Azioni sul collegamento: N=14.81 Ty=0.00 Tz=1031.31 My=372.72 Mz=0.01
Sollecitazioni agenti localmente: Tx_l=-1370.32 Ty_l=0.00 Mz_l=0.00
Taglio nei bulloni: Fv,Ed=68.52 Fv,Rd=6028.80
Azione di rifollamento di progetto lato asta: Fb,Ed,a=137.03 Fb,Rd,a=9486.95
Rifollamento lato piastra: Fb,Ed,p=68.52 Fb,Rd,p=11616.70

Bullonatura ali inferiori

CC 97 SLU
Azioni sul collegamento: N=14.81 Ty=0.00 Tz=1031.31 My=372.72 Mz=0.01
Sollecitazioni agenti localmente: Tx_l=1379.68 Ty_l=0.00 Mz_l=0.00
Taglio nei bulloni: Fv,Ed=68.98 Fv,Rd=6028.80
Azione di rifollamento di progetto lato asta: Fb,Ed,a=137.97 Fb,Rd,a=6138.61
Rifollamento lato piastra: Fb,Ed,p=68.98 Fb,Rd,p=11616.70
CC 98 SLU
Azioni sul collegamento: N=14.81 Ty=-0.00 Tz=1069.55 My=273.28 Mz=0.03
Sollecitazioni agenti localmente: Tx_l=1012.86 Ty_l=-0.00 Mz_l=0.01
Taglio nei bulloni: Fv,Ed=50.65 Fv,Rd=6028.80
Azione di rifollamento di progetto lato asta: Fb,Ed,a=101.29 Fb,Rd,a=6138.62
Rifollamento lato piastra: Fb,Ed,p=50.65 Fb,Rd,p=5011.11

Piastre esterne sulle ali

Bnetta=12.00 Hnetta=120.00
CC 49 SLV (Collegamento -632_-631)
Azioni sul collegamento: N=10.20 Ty=0.06 Tz=858.52 My=220.86 Mz=-0.14
Sollecitazioni agenti localmente: Tx_l=-482.12 Ty_l=0.02 Mz_l=-0.07
Tensioni nella sezione: σ=33.72 τ=1.19E-03
CC 97 SLU
Azioni sul collegamento: N=14.81 Ty=0.00 Tz=1031.31 My=372.72 Mz=0.01
Sollecitazioni agenti localmente: Tx_l=819.61 Ty_l=0.00 Mz_l=0.00
Tensioni nella sezione: σ=56.93 τ=9.40E-05

Piastre interne sulle ali

Bnetta=12.00 Hnetta=41.00
CC 49 SLV (Collegamento -632_-631)
Azioni sul collegamento: N=10.20 Ty=0.06 Tz=858.52 My=220.86 Mz=-0.14
Sollecitazioni agenti localmente: Tx_l=-164.72 Ty_l=0.01
Tensioni nella sezione: σ=33.48 τ=1.19E-03
CC 97 SLU
Azioni sul collegamento: N=14.81 Ty=0.00 Tz=1031.31 My=372.72 Mz=0.01
Sollecitazioni agenti localmente: Tx_l=280.04 Ty_l=0.00
Tensioni nella sezione: σ=56.92 τ=9.40E-05

Collegamento -632_-633

Piastre anima 300.00 x 186.00 s= 12.00 - 8+8 bulloni ϕ 16
2 righe ad interasse 79.00
4 colonne ad interasse variabile
Piastre ala 650.00 x 120.00 s= 12.00 - 10+10 bulloni ϕ 16
5 righe ad interasse 67.00
2 colonne ad interasse 78.00
Piastre inferiori ala 650.00 x 41.00 s= 12.00

Bullonatura sull'anima

CC 97 SLU
Azioni sul collegamento: N=3941.45 Ty=-2.70 Tz=-3134.30 My=594.54 Mz=-6.10
Sollecitazioni agenti localmente: Tx_l=1448.42 Ty_l=-3134.30 Mz_l=335.68
Taglio nei bulloni: Fv,Ed=593.53 Fv,Rd=6028.80
Azione di rifollamento di progetto lato asta: Fb,Ed,a=875.93 Fb,Rd,a=5235.52
Rifollamento lato piastra: Fb,Ed,p=593.53 Fb,Rd,p=10563.50

Piastra di anima

Bnetta=24.00 Hnetta=186.00
CC 97 SLU
Azioni sul collegamento: N=3941.45 Ty=-2.70 Tz=-3134.30 My=594.54 Mz=-6.10
Sollecitazioni agenti localmente: Tx_l=1448.42 Ty_l=-3134.30 Mz_l=335.68
Tensioni nella sezione: σ=275.01 τ=70.21
CC 98 SLU
Azioni sul collegamento: N=3717.33 Ty=-2.74 Tz=-3173.35 My=536.16 Mz=-6.24
Sollecitazioni agenti localmente: Tx_l=1366.06 Ty_l=-3173.35 Mz_l=329.94
Tensioni nella sezione: σ=269.02 τ=71.09

Verifica a taglio anima forata

Bnetta=6.20 Hnetta=152.40
CC 98 SLU
Azioni sul collegamento: N=3717.33 Ty=-2.74 Tz=-3173.35 My=536.16 Mz=-6.24
Sollecitazioni agenti localmente: Ty_l=-1586.67
Tensioni nella sezione: σ=0.00 τ=167.92

Bullonatura ali superiori

CC 130 SLU (Collegamento -632_-633)
Azioni sul collegamento: N=-850.51 Ty=-4.08 Tz=-1281.31 My=-584.39 Mz=-3.91
Sollecitazioni agenti localmente: Tx_l=1886.92 Ty_l=-2.04 Mz_l=-2.30
Taglio nei bulloni: Fv,Ed=94.79 Fv,Rd=6028.80
Azione di rifollamento di progetto lato asta: Fb,Ed,a=189.57 Fb,Rd,a=6141.10
Rifollamento lato piastra: Fb,Ed,p=94.78 Fb,Rd,p=5012.65
CC 101 SLU
Azioni sul collegamento: N=5090.04 Ty=4.86 Tz=-688.56 My=1358.34 Mz=3.58
Sollecitazioni agenti localmente: Tx_l=-3401.34 Ty_l=2.43 Mz_l=2.20
Taglio nei bulloni: Fv,Ed=170.48 Fv,Rd=6028.80
Azione di rifollamento di progetto lato asta: Fb,Ed,a=340.95 Fb,Rd,a=9486.96
Rifollamento lato piastra: Fb,Ed,p=170.47 Fb,Rd,p=11616.70

Bullonatura ali inferiori

CC 101 SLU
Azioni sul collegamento: N=5090.04 Ty=4.86 Tz=-688.56 My=1358.34 Mz=3.58
Sollecitazioni agenti localmente: Tx_l=6620.87 Ty_l=2.43 Mz_l=2.20
Taglio nei bulloni: Fv,Ed=331.45 Fv,Rd=6028.80
Azione di rifollamento di progetto lato asta: Fb,Ed,a=662.91 Fb,Rd,a=6138.81
Rifollamento lato piastra: Fb,Ed,p=331.45 Fb,Rd,p=5011.22

Piastre esterne sulle ali

Bnetta=12.00 Hnetta=120.00
CC 98 SLU (Collegamento -632_-633)
Azioni sul collegamento: N=5251.93 Ty=-5.41 Tz=-2863.24 My=366.18 Mz=-6.76
Sollecitazioni agenti localmente: Tx_l=184.21 Ty_l=-1.61 Mz_l=-3.38
Tensioni nella sezione: σ=24.52 τ=0.11
CC 101 SLU
Azioni sul collegamento: N=5090.04 Ty=4.86 Tz=-688.56 My=1358.34 Mz=3.58
Sollecitazioni agenti localmente: Tx_l=3933.19 Ty_l=1.44 Mz_l=1.79
Tensioni nella sezione: σ=279.35 τ=0.10

Piastre interne sulle ali

Bnetta=12.00 Hnetta=41.00
CC 98 SLU (Collegamento -632_-633)
Azioni sul collegamento: N=5251.93 Ty=-5.41 Tz=-2863.24 My=366.18 Mz=-6.76
Sollecitazioni agenti localmente: Tx_l=62.94 Ty_l=-0.55
Tensioni nella sezione: σ=12.79 τ=0.11
CC 101 SLU
Azioni sul collegamento: N=5090.04 Ty=4.86 Tz=-688.56 My=1358.34 Mz=3.58
Sollecitazioni agenti localmente: Tx_l=1343.84 Ty_l=0.49
Tensioni nella sezione: σ=273.14 τ=0.10

Collegamento -646_-645

Piastre anima 300.00 x 186.00 s= 12.00 - 8+8 bulloni ϕ 16
2 righe ad interasse 79.00
4 colonne ad interasse variabile
Piastre ala 650.00 x 120.00 s= 12.00 - 10+10 bulloni ϕ 16
5 righe ad interasse 67.00
2 colonne ad interasse 78.00
Piastre inferiori ala 650.00 x 41.00 s= 12.00

Bullonatura sull'anima

CC 98 SLU
Azioni sul collegamento: N=14.81 Ty=-0.00 Tz=-1187.29 My=372.68 Mz=0.01
Sollecitazioni agenti localmente: Tx_l=5.44 Ty_l=-1187.29 Mz_l=149.39
Taglio nei bulloni: Fv,Ed=226.58 Fv,Rd=6028.80
Azione di rifollamento di progetto lato asta: Fb,Ed,a=452.23 Fb,Rd,a=6845.03
Rifollamento lato piastra: Fb,Ed,p=226.58 Fb,Rd,p=11397.80

Piastra di anima

Bnetta=24.00 Hnetta=186.00
CC 97 SLU
Azioni sul collegamento: N=14.81 Ty=0.00 Tz=-1225.53 My=273.25 Mz=0.03
Sollecitazioni agenti localmente: Tx_l=5.44 Ty_l=-1225.53 Mz_l=137.40
Tensioni nella sezione: σ=99.41 τ=27.45
CC 98 SLU
Azioni sul collegamento: N=14.81 Ty=-0.00 Tz=-1187.29 My=372.68 Mz=0.01
Sollecitazioni agenti localmente: Tx_l=5.44 Ty_l=-1187.29 Mz_l=149.39
Tensioni nella sezione: σ=108.07 τ=26.60

Verifica a taglio anima forata

Bnetta=6.20 Hnetta=152.40

CC 97 SLU
Azioni sul collegamento: N=14.81 Ty=0.00 Tz=-1225.53 My=273.25 Mz=0.03
Sollecitazioni agenti localmente: Ty_l=-612.77
Tensioni nella sezione: σ=0.00 τ=64.85

Bullonatura ali superiori

CC 98 SLU (Collegamento -646_-645)
Azioni sul collegamento: N=14.81 Ty=-0.00 Tz=-1031.31 My=372.72 Mz=0.01
Sollecitazioni agenti localmente: Tx_l=-1370.32 Ty_l=-0.00 Mz_l=0.00
Taglio nei bulloni: Fv,Ed=68.52 Fv,Rd=6028.80
Azione di rifollamento di progetto lato asta: Fb,Ed,a=137.03 Fb,Rd,a=9486.95
Rifollamento lato piastra: Fb,Ed,p=68.52 Fb,Rd,p=11616.70

Bullonatura ali inferiori

CC 97 SLU (Collegamento -646_-645)
Azioni sul collegamento: N=14.81 Ty=0.00 Tz=-1069.55 My=273.28 Mz=0.03
Sollecitazioni agenti localmente: Tx_l=1012.86 Ty_l=0.00 Mz_l=0.01
Taglio nei bulloni: Fv,Ed=50.65 Fv,Rd=6028.80
Azione di rifollamento di progetto lato asta: Fb,Ed,a=101.29 Fb,Rd,a=6138.61
Rifollamento lato piastra: Fb,Ed,p=50.65 Fb,Rd,p=5011.11
CC 98 SLU (Collegamento -646_-645)
Azioni sul collegamento: N=14.81 Ty=-0.00 Tz=-1031.31 My=372.72 Mz=0.01
Sollecitazioni agenti localmente: Tx_l=1379.69 Ty_l=-0.00 Mz_l=0.00
Taglio nei bulloni: Fv,Ed=68.98 Fv,Rd=6028.80
Azione di rifollamento di progetto lato asta: Fb,Ed,a=137.97 Fb,Rd,a=6138.61
Rifollamento lato piastra: Fb,Ed,p=68.98 Fb,Rd,p=11616.70

Piastre esterne sulle ali

Bnetta=12.00 Hnetta=120.00
CC 98 SLU (Collegamento -646_-645)
Azioni sul collegamento: N=14.81 Ty=-0.00 Tz=-1031.31 My=372.72 Mz=0.01
Sollecitazioni agenti localmente: Tx_l=819.62 Ty_l=-0.00 Mz_l=0.00
Tensioni nella sezione: σ=56.93 τ=9.40E-05
CC 33 SLV
Azioni sul collegamento: N=10.30 Ty=-0.06 Tz=-860.07 My=221.04 Mz=-0.14
Sollecitazioni agenti localmente: Tx_l=-482.49 Ty_l=-0.02 Mz_l=-0.07
Tensioni nella sezione: σ=33.75 τ=1.19E-03

Piastre interne sulle ali

Bnetta=12.00 Hnetta=41.00
CC 98 SLU (Collegamento -646_-645)
Azioni sul collegamento: N=14.81 Ty=-0.00 Tz=-1031.31 My=372.72 Mz=0.01
Sollecitazioni agenti localmente: Tx_l=280.04 Ty_l=-0.00
Tensioni nella sezione: σ=56.92 τ=9.40E-05
CC 33 SLV
Azioni sul collegamento: N=10.30 Ty=-0.06 Tz=-860.07 My=221.04 Mz=-0.14
Sollecitazioni agenti localmente: Tx_l=-164.85 Ty_l=-0.01
Tensioni nella sezione: σ=33.51 τ=1.19E-03

Collegamento -719_-718

Piastre anima 300.00 x 186.00 s= 12.00 - 8+8 bulloni ϕ 16
2 righe ad interasse 79.00
4 colonne ad interasse variabile
Piastre ala 650.00 x 120.00 s= 12.00 - 10+10 bulloni ϕ 16
5 righe ad interasse 67.00
2 colonne ad interasse 78.00
Piastre inferiori ala 650.00 x 41.00 s= 12.00

Bullonatura sull'anima

CC 97 SLU (Collegamento -719_-718)
Azioni sul collegamento: N=0.91 Ty=0.00 Tz=1031.97 My=297.62 Mz=-0.00
Sollecitazioni agenti localmente: Tx_l=0.33 Ty_l=1031.97 Mz_l=125.88
Taglio nei bulloni: Fv,Ed=192.19 Fv,Rd=6028.80
Azione di rifollamento di progetto lato asta: Fb,Ed,a=384.37 Fb,Rd,a=6845.03
Rifollamento lato piastra: Fb,Ed,p=192.19 Fb,Rd,p=11450.10

Piastra di anima

Bnetta=24.00 Hnetta=186.00
CC 97 SLU (Collegamento -719_-718)
Azioni sul collegamento: N=0.91 Ty=0.00 Tz=1031.97 My=297.62 Mz=-0.00
Sollecitazioni agenti localmente: Tx_l=0.33 Ty_l=1031.97 Mz_l=125.88
Tensioni nella sezione: σ=90.97 τ=23.12
CC 98 SLU (Collegamento -719_-718)

Azioni sul collegamento: N=0.91 Ty=-0.00 Tz=1071.04 My=196.03 Mz=-0.00
Sollecitazioni agenti localmente: Tx_l=0.33 Ty_l=1071.04 Mz_l=113.63
Tensioni nella sezione: σ=82.12 τ=23.99

Verifica a taglio anima forata

Bnetta=6.20 Hnetta=152.40
CC 98 SLU (Collegamento -719_-718)
Azioni sul collegamento: N=0.91 Ty=-0.00 Tz=1071.04 My=196.03 Mz=-0.00
Sollecitazioni agenti localmente: Ty_l=535.52
Tensioni nella sezione: σ=0.00 τ=56.68

Bullonatura ali superiori

CC 97 SLU
Azioni sul collegamento: N=0.91 Ty=0.00 Tz=897.84 My=297.64 Mz=-0.00
Sollecitazioni agenti localmente: Tx_l=-1097.76 Ty_l=0.00 Mz_l=-0.00
Taglio nei bulloni: Fv,Ed=54.89 Fv,Rd=6028.80
Azione di rifollamento di progetto lato asta: Fb,Ed,a=109.78 Fb,Rd,a=9486.95
Rifollamento lato piastra: Fb,Ed,p=54.89 Fb,Rd,p=11616.70

Bullonatura ali inferiori

CC 97 SLU
Azioni sul collegamento: N=0.91 Ty=0.00 Tz=897.84 My=297.64 Mz=-0.00
Sollecitazioni agenti localmente: Tx_l=1098.34 Ty_l=0.00 Mz_l=-0.00
Taglio nei bulloni: Fv,Ed=54.92 Fv,Rd=6028.80
Azione di rifollamento di progetto lato asta: Fb,Ed,a=109.83 Fb,Rd,a=6138.61
Rifollamento lato piastra: Fb,Ed,p=54.92 Fb,Rd,p=5011.11

Piastre esterne sulle ali

Bnetta=12.00 Hnetta=120.00
CC 33 SLV (Collegamento -719_-718)
Azioni sul collegamento: N=0.63 Ty=-0.06 Tz=749.72 My=182.88 Mz=0.16
Sollecitazioni agenti localmente: Tx_l=-400.68 Ty_l=-0.02 Mz_l=0.08
Tensioni nella sezione: σ=28.09 τ=1.23E-03
CC 97 SLU
Azioni sul collegamento: N=0.91 Ty=0.00 Tz=897.84 My=297.64 Mz=-0.00
Sollecitazioni agenti localmente: Tx_l=652.48 Ty_l=0.00 Mz_l=-0.00
Tensioni nella sezione: σ=45.32 τ=7.66E-06

Piastre interne sulle ali

Bnetta=12.00 Hnetta=41.00
CC 33 SLV (Collegamento -719_-718)
Azioni sul collegamento: N=0.63 Ty=-0.06 Tz=749.72 My=182.88 Mz=0.16
Sollecitazioni agenti localmente: Tx_l=-136.90 Ty_l=-0.01
Tensioni nella sezione: σ=27.82 τ=1.23E-03
CC 97 SLU
Azioni sul collegamento: N=0.91 Ty=0.00 Tz=897.84 My=297.64 Mz=-0.00
Sollecitazioni agenti localmente: Tx_l=222.93 Ty_l=0.00
Tensioni nella sezione: σ=45.31 τ=7.66E-06

Collegamento -733_-732

Piastre anima 300.00 x 186.00 s= 12.00 - 8+8 bulloni ϕ 16
2 righe ad interasse 79.00
4 colonne ad interasse variabile
Piastre ala 650.00 x 120.00 s= 12.00 - 10+10 bulloni ϕ 16
5 righe ad interasse 67.00
2 colonne ad interasse 78.00
Piastre inferiori ala 650.00 x 41.00 s= 12.00

Bullonatura sull'anima

CC 98 SLU
Azioni sul collegamento: N=0.91 Ty=-0.00 Tz=-1031.97 My=297.62 Mz=-0.00
Sollecitazioni agenti localmente: Tx_l=0.33 Ty_l=-1031.97 Mz_l=125.88
Taglio nei bulloni: Fv,Ed=192.19 Fv,Rd=6028.80
Azione di rifollamento di progetto lato asta: Fb,Ed,a=384.32 Fb,Rd,a=6845.03
Rifollamento lato piastra: Fb,Ed,p=192.16 Fb,Rd,p=11448.40

Piastra di anima

Bnetta=24.00 Hnetta=186.00
CC 97 SLU
Azioni sul collegamento: N=0.91 Ty=0.00 Tz=-1071.04 My=196.03 Mz=-0.00
Sollecitazioni agenti localmente: Tx_l=0.33 Ty_l=-1071.04 Mz_l=113.63
Tensioni nella sezione: σ=82.12 τ=23.99

CC 98 SLU
Azioni sul collegamento: N=0.91 Ty=-0.00 Tz=-1031.97 My=297.62 Mz=-0.00
Sollecitazioni agenti localmente: Tx_l=0.33 Ty_l=-1031.97 Mz_l=125.88
Tensioni nella sezione: σ=90.97 τ=23.12

Verifica a taglio anima forata

Bnetta=6.20 Hnetta=152.40
CC 97 SLU
Azioni sul collegamento: N=0.91 Ty=0.00 Tz=-1071.04 My=196.03 Mz=-0.00
Sollecitazioni agenti localmente: Ty_l=-535.52
Tensioni nella sezione: σ=0.00 τ=56.68

Bullonatura ali superiori

CC 98 SLU (Collegamento -733_-732)
Azioni sul collegamento: N=0.91 Ty=-0.00 Tz=-897.84 My=297.64 Mz=-0.00
Sollecitazioni agenti localmente: Tx_l=-1097.76 Ty_l=-0.00 Mz_l=-0.00
Taglio nei bulloni: Fv,Ed=54.89 Fv,Rd=6028.80
Azione di rifollamento di progetto lato asta: Fb,Ed,a=109.78 Fb,Rd,a=9486.95
Rifollamento lato piastra: Fb,Ed,p=54.89 Fb,Rd,p=11616.70

Bullonatura ali inferiori

CC 98 SLU (Collegamento -733_-732)
Azioni sul collegamento: N=0.91 Ty=-0.00 Tz=-897.84 My=297.64 Mz=-0.00
Sollecitazioni agenti localmente: Tx_l=1098.34 Ty_l=-0.00 Mz_l=-0.00
Taglio nei bulloni: Fv,Ed=54.92 Fv,Rd=6028.80
Azione di rifollamento di progetto lato asta: Fb,Ed,a=109.83 Fb,Rd,a=6138.61
Rifollamento lato piastra: Fb,Ed,p=54.92 Fb,Rd,p=5011.11

Piastre esterne sulle ali

Bnetta=12.00 Hnetta=120.00
CC 98 SLU (Collegamento -733_-732)
Azioni sul collegamento: N=0.91 Ty=-0.00 Tz=-897.84 My=297.64 Mz=-0.00
Sollecitazioni agenti localmente: Tx_l=652.48 Ty_l=-0.00 Mz_l=-0.00
Tensioni nella sezione: σ=45.32 τ=7.66E-06
CC 49 SLV
Azioni sul collegamento: N=0.62 Ty=0.06 Tz=-749.71 My=182.85 Mz=0.15
Sollecitazioni agenti localmente: Tx_l=-400.62 Ty_l=0.02 Mz_l=0.08
Tensioni nella sezione: σ=28.09 τ=1.23E-03

Piastre interne sulle ali

Bnetta=12.00 Hnetta=41.00
CC 98 SLU (Collegamento -733_-732)
Azioni sul collegamento: N=0.91 Ty=-0.00 Tz=-897.84 My=297.64 Mz=-0.00
Sollecitazioni agenti localmente: Tx_l=222.93 Ty_l=-0.00
Tensioni nella sezione: σ=45.31 τ=7.66E-06
CC 49 SLV
Azioni sul collegamento: N=0.62 Ty=0.06 Tz=-749.71 My=182.85 Mz=0.15
Sollecitazioni agenti localmente: Tx_l=-136.88 Ty_l=0.01
Tensioni nella sezione: σ=27.82 τ=1.23E-03

Collegamento -808_-809

Piastre anima 300.00 x 186.00 s= 12.00 - 8+8 bulloni ϕ 16
2 righe ad interasse 79.00
4 colonne ad interasse variabile
Piastre ala 650.00 x 120.00 s= 12.00 - 10+10 bulloni ϕ 16
5 righe ad interasse 67.00
2 colonne ad interasse 78.00
Piastre inferiori ala 650.00 x 41.00 s= 12.00

Bullonatura sull'anima

CC 97 SLU
Azioni sul collegamento: N=3924.65 Ty=-4.40 Tz=-2968.94 My=459.25 Mz=-0.92
Sollecitazioni agenti localmente: Tx_l=1442.24 Ty_l=-2968.94 Mz_l=302.30
Taglio nei bulloni: Fv,Ed=547.04 Fv,Rd=6028.80
Azione di rifollamento di progetto lato asta: Fb,Ed,a=805.91 Fb,Rd,a=5234.46
Rifollamento lato piastra: Fb,Ed,p=547.04 Fb,Rd,p=10579.90

Piastra di anima

Bnetta=24.00 Hnetta=186.00
CC 97 SLU
Azioni sul collegamento: N=3924.65 Ty=-4.40 Tz=-2968.94 My=459.25 Mz=-0.92
Sollecitazioni agenti localmente: Tx_l=1442.24 Ty_l=-2968.94 Mz_l=302.30

Tensioni nella sezione: σ=250.76 τ=66.51
CC 98 SLU
Azioni sul collegamento: N=3695.74 Ty=-4.43 Tz=-3006.84 My=398.10 Mz=-1.00
Sollecitazioni agenti localmente: Tx_l=1358.12 Ty_l=-3006.84 Mz_l=296.05
Tensioni nella sezione: σ=244.36 τ=67.36

Verifica a taglio anima forata

Bnetta=6.20 Hnetta=152.40
CC 98 SLU
Azioni sul collegamento: N=3695.74 Ty=-4.43 Tz=-3006.84 My=398.10 Mz=-1.00
Sollecitazioni agenti localmente: Ty_l=-1503.42
Tensioni nella sezione: σ=0.00 τ=159.11

Bullonatura ali superiori

CC 130 SLU (Collegamento -808_-809)
Azioni sul collegamento: N=-969.82 Ty=-2.11 Tz=-1336.30 My=-640.77 Mz=-2.31
Sollecitazioni agenti localmente: Tx_l=2057.18 Ty_l=-1.06 Mz_l=-1.33
Taglio nei bulloni: Fv,Ed=103.11 Fv,Rd=6028.80
Azione di rifollamento di progetto lato asta: Fb,Ed,a=206.22 Fb,Rd,a=6139.31
Rifollamento lato piastra: Fb,Ed,p=103.11 Fb,Rd,p=5011.56
CC 101 SLU
Azioni sul collegamento: N=5192.16 Ty=-4.85 Tz=-496.53 My=1333.16 Mz=0.43
Sollecitazioni agenti localmente: Tx_l=-3276.16 Ty_l=-2.42 Mz_l=-0.19
Taglio nei bulloni: Fv,Ed=163.84 Fv,Rd=6028.80
Azione di rifollamento di progetto lato asta: Fb,Ed,a=327.69 Fb,Rd,a=9486.95
Rifollamento lato piastra: Fb,Ed,p=163.84 Fb,Rd,p=11616.70

Bullonatura ali inferiori

CC 101 SLU
Azioni sul collegamento: N=5192.16 Ty=-4.85 Tz=-496.53 My=1333.16 Mz=0.43
Sollecitazioni agenti localmente: Tx_l=6560.29 Ty_l=-2.42 Mz_l=-0.19
Taglio nei bulloni: Fv,Ed=328.05 Fv,Rd=6028.80
Azione di rifollamento di progetto lato asta: Fb,Ed,a=656.10 Fb,Rd,a=6138.62
Rifollamento lato piastra: Fb,Ed,p=328.05 Fb,Rd,p=5011.11

Piastre esterne sulle ali

Bnetta=12.00 Hnetta=120.00
CC 98 SLU (Collegamento -808_-809)
Azioni sul collegamento: N=5301.36 Ty=-5.13 Tz=-2834.08 My=220.07 Mz=-1.29
Sollecitazioni agenti localmente: Tx_l=513.69 Ty_l=-1.52 Mz_l=-0.64
Tensioni nella sezione: σ=37.91 τ=0.11
CC 101 SLU
Azioni sul collegamento: N=5192.16 Ty=-4.85 Tz=-496.53 My=1333.16 Mz=0.43
Sollecitazioni agenti localmente: Tx_l=3897.20 Ty_l=-1.44 Mz_l=0.21
Tensioni nella sezione: σ=271.38 τ= 0.10

Piastre interne sulle ali

Bnetta=12.00 Hnetta=41.00
CC 98 SLU (Collegamento -808_-809)
Azioni sul collegamento: N=5301.36 Ty=-5.13 Tz=-2834.08 My=220.07 Mz=-1.29
Sollecitazioni agenti localmente: Tx_l=175.51 Ty_l=-0.52
Tensioni nella sezione: σ=35.67 τ=0.11
CC 101 SLU
Azioni sul collegamento: N=5192.16 Ty=-4.85 Tz=-496.53 My=1333.16 Mz=0.43
Sollecitazioni agenti localmente: Tx_l=1331.54 Ty_l=-0.49
Tensioni nella sezione: σ=270.64 τ= 0.10

Collegamento -822_-823

Piastre anima 300.00 x 186.00 s= 12.00 - 8+8 bulloni ϕ 16
2 righe ad interasse 79.00
4 colonne ad interasse variabile
Piastre ala 650.00 x 120.00 s= 12.00 - 10+10 bulloni ϕ 16
5 righe ad interasse 67.00
2 colonne ad interasse 78.00
Piastre inferiori ala 650.00 x 41.00 s= 12.00

Bullonatura sull'anima

CC 98 SLU (Collegamento -822_-823)
Azioni sul collegamento: N=3924.64 Ty=4.40 Tz=2968.94 My=459.25 Mz=-0.92
Sollecitazioni agenti localmente: Tx_l=1442.24 Ty_l=2968.94 Mz_l=302.30
Taglio nei bulloni: Fv,Ed=547.04 Fv,Rd=6028.80
Azione di rifollamento di progetto lato asta: Fb,Ed,a=1094.08 Fb,Rd,a=6845.03
Rifollamento lato piastra: Fb,Ed,p=402.95 Fb,Rd,p=7793.24

Piastra di anima

Bnetta=24.00 Hnetta=186.00
CC 97 SLU (Collegamento -822_-823)
Azioni sul collegamento: N=3695.73 Ty=4.43 Tz=3006.83 My=398.10 Mz=-1.00
Sollecitazioni agenti localmente: Tx_l=1358.12 Ty_l=3006.83 Mz_l=296.06
Tensioni nella sezione: σ=244.36 τ=67.36
CC 98 SLU (Collegamento -822_-823)
Azioni sul collegamento: N=3924.64 Ty=4.40 Tz=2968.94 My=459.25 Mz=-0.92
Sollecitazioni agenti localmente: Tx_l=1442.24 Ty_l=2968.94 Mz_l=302.30
Tensioni nella sezione: σ=250.76 τ=66.51

Verifica a taglio anima forata

Bnetta=6.20 Hnetta=152.40
CC 97 SLU (Collegamento -822_-823)
Azioni sul collegamento: N=3695.73 Ty=4.43 Tz=3006.83 My=398.10 Mz=-1.00
Sollecitazioni agenti localmente: Ty_l=1503.42
Tensioni nella sezione: σ=0.00 τ=159.11

Bullonatura ali superiori

CC 106 SLU (Collegamento -822_-823)
Azioni sul collegamento: N=5191.98 Ty=4.85 Tz=496.55 My=1333.13 Mz=0.43
Sollecitazioni agenti localmente: Tx_l=-3276.10 Ty_l=2.42 Mz_l=0.62
Taglio nei bulloni: Fv,Ed=163.92 Fv,Rd=6028.80
Azione di rifollamento di progetto lato asta: Fb,Ed,a=327.84 Fb,Rd,a=9486.95
Rifollamento lato piastra: Fb,Ed,p=163.92 Fb,Rd,p=11616.70
CC 101 SLU
Azioni sul collegamento: N=58.58 Ty=2.46 Tz=1562.14 My=-481.69 Mz=-2.36
Sollecitazioni agenti localmente: Tx_l=1795.53 Ty_l=1.23 Mz_l=-0.98
Taglio nei bulloni: Fv,Ed=89.96 Fv,Rd=6028.80
Azione di rifollamento di progetto lato asta: Fb,Ed,a=179.92 Fb,Rd,a=6138.97
Rifollamento lato piastra: Fb,Ed,p=89.96 Fb,Rd,p=5011.54

Bullonatura ali inferiori

CC 106 SLU (Collegamento -822_-823)
Azioni sul collegamento: N=5191.98 Ty=4.85 Tz=496.55 My=1333.13 Mz=0.43
Sollecitazioni agenti localmente: Tx_l=6560.12 Ty_l=2.42 Mz_l=0.62
Taglio nei bulloni: Fv,Ed=328.12 Fv,Rd=6028.80
Azione di rifollamento di progetto lato asta: Fb,Ed,a=656.24 Fb,Rd,a=6138.64
Rifollamento lato piastra: Fb,Ed,p=328.12 Fb,Rd,p=5011.12

Piastre esterne sulle ali

Bnetta=12.00 Hnetta=120.00
CC 106 SLU (Collegamento -822_-823)
Azioni sul collegamento: N=5191.98 Ty=4.85 Tz=496.55 My=1333.13 Mz=0.43
Sollecitazioni agenti localmente: Tx_l=3897.10 Ty_l=1.44 Mz_l=0.21
Tensioni nella sezione: σ=271.37 τ= 0.10
CC 97 SLU
Azioni sul collegamento: N=5301.35 Ty=5.13 Tz=2834.08 My=220.08 Mz=-1.29
Sollecitazioni agenti localmente: Tx_l=513.68 Ty_l=1.52 Mz_l=-0.64
Tensioni nella sezione: σ=37.91 τ=0.11

Piastre interne sulle ali

Bnetta=12.00 Hnetta=41.00
CC 106 SLU (Collegamento -822_-823)
Azioni sul collegamento: N=5191.98 Ty=4.85 Tz=496.55 My=1333.13 Mz=0.43
Sollecitazioni agenti localmente: Tx_l=1331.51 Ty_l=0.49
Tensioni nella sezione: σ=270.63 τ= 0.10
CC 97 SLU
Azioni sul collegamento: N=5301.35 Ty=5.13 Tz=2834.08 My=220.08 Mz=-1.29
Sollecitazioni agenti localmente: Tx_l=175.51 Ty_l=0.52
Tensioni nella sezione: σ=35.67 τ=0.11

Collegamento -852_-853

Piastre anima 300.00 x 186.00 s= 12.00 - 8+8 bulloni ϕ 16
2 righe ad interasse 79.00
4 colonne ad interasse variabile
Piastre ala 650.00 x 120.00 s= 12.00 - 10+10 bulloni ϕ 16
5 righe ad interasse 67.00
2 colonne ad interasse 78.00
Piastre inferiori ala 650.00 x 41.00 s= 12.00

Bullonatura sull'anima

CC 97 SLU
Azioni sul collegamento: N=3928.24 Ty=-2.84 Tz=-3139.64 My=450.42 Mz=0.42
Sollecitazioni agenti localmente: Tx_l=1443.56 Ty_l=-3139.64 Mz_l=314.37
Taglio nei bulloni: Fv,Ed=568.52 Fv,Rd=6028.80
Azione di rifollamento di progetto lato asta: Fb,Ed,a=831.10 Fb,Rd,a=5234.74
Rifollamento lato piastra: Fb,Ed,p=568.52 Fb,Rd,p=10662.60

Piastra di anima

Bnetta=24.00 Hnetta=186.00
CC 97 SLU
Azioni sul collegamento: N=3928.24 Ty=-2.84 Tz=-3139.64 My=450.42 Mz=0.42
Sollecitazioni agenti localmente: Tx_l=1443.56 Ty_l=-3139.64 Mz_l=314.37
Tensioni nella sezione: σ=259.51 τ=70.33
CC 98 SLU
Azioni sul collegamento: N=3698.01 Ty=-2.85 Tz=-3179.24 My=388.36 Mz=0.38
Sollecitazioni agenti localmente: Tx_l=1358.96 Ty_l=-3179.24 Mz_l=308.12
Tensioni nella sezione: σ=253.10 τ=71.22

Verifica a taglio anima forata

Bnetta=6.20 Hnetta=152.40
CC 98 SLU
Azioni sul collegamento: N=3698.01 Ty=-2.85 Tz=-3179.24 My=388.36 Mz=0.38
Sollecitazioni agenti localmente: Ty_l=-1589.62
Tensioni nella sezione: σ=0.00 τ=168.24

Bullonatura ali superiori

CC 130 SLU (Collegamento -852_-853)
Azioni sul collegamento: N=-999.05 Ty=-0.93 Tz=-1374.09 My=-668.84 Mz=-1.17
Sollecitazioni agenti localmente: Tx_l=2151.50 Ty_l=-0.47 Mz_l=-0.66
Taglio nei bulloni: Fv,Ed=107.70 Fv,Rd=6028.80
Azione di rifollamento di progetto lato asta: Fb,Ed,a=215.40 Fb,Rd,a=6138.77
Rifollamento lato piastra: Fb,Ed,p=107.70 Fb,Rd,p=5011.21
CC 101 SLU
Azioni sul collegamento: N=5196.05 Ty=-5.34 Tz=-770.57 My=1417.29 Mz=-0.48
Sollecitazioni agenti localmente: Tx_l=-3585.29 Ty_l=-2.67 Mz_l=-0.69
Taglio nei bulloni: Fv,Ed=179.39 Fv,Rd=6028.80
Azione di rifollamento di progetto lato asta: Fb,Ed,a=358.78 Fb,Rd,a=9486.95
Rifollamento lato piastra: Fb,Ed,p=179.39 Fb,Rd,p=11616.70

Bullonatura ali inferiori

CC 101 SLU
Azioni sul collegamento: N=5196.05 Ty=-5.34 Tz=-770.57 My=1417.29 Mz=-0.48
Sollecitazioni agenti localmente: Tx_l=6871.87 Ty_l=-2.67 Mz_l=-0.69
Taglio nei bulloni: Fv,Ed=343.72 Fv,Rd=6028.80
Azione di rifollamento di progetto lato asta: Fb,Ed,a=687.44 Fb,Rd,a=6138.64
Rifollamento lato piastra: Fb,Ed,p=343.72 Fb,Rd,p=5011.12

Piastre esterne sulle ali

Bnetta=12.00 Hnetta=120.00
CC 101 SLU
Azioni sul collegamento: N=5196.05 Ty=-5.34 Tz=-770.57 My=1417.29 Mz=-0.48
Sollecitazioni agenti localmente: Tx_l=4082.30 Ty_l=-1.59 Mz_l=-0.24
Tensioni nella sezione: σ=284.33 τ=0.11
CC 102 SLU
Azioni sul collegamento: N=4965.81 Ty=-5.35 Tz=-810.17 My=1355.24 Mz=-0.53
Sollecitazioni agenti localmente: Tx_l=-2037.13 Ty_l=-1.59 Mz_l=-0.26
Tensioni nella sezione: σ=142.38 τ=0.11

Piastre interne sulle ali

Bnetta=12.00 Hnetta=41.00
CC 101 SLU
Azioni sul collegamento: N=5196.05 Ty=-5.34 Tz=-770.57 My=1417.29 Mz=-0.48
Sollecitazioni agenti localmente: Tx_l=1394.79 Ty_l=-0.54
Tensioni nella sezione: σ=283.49 τ=0.11
CC 102 SLU
Azioni sul collegamento: N=4965.81 Ty=-5.35 Tz=-810.17 My=1355.24 Mz=-0.53
Sollecitazioni agenti localmente: Tx_l=-696.02 Ty_l=-0.54
Tensioni nella sezione: σ=141.47 τ=0.11

Collegamento -866_-867

Piastre anima 300.00 x 186.00 s= 12.00 - 8+8 bulloni ϕ 16
2 righe ad interasse 79.00

4 colonne ad interasse variabile
Piastre ala 650.00 x 120.00 s= 12.00 - 10+10 bulloni ϕ 16
5 righe ad interasse 67.00
2 colonne ad interasse 78.00
Piastre inferiori ala 650.00 x 41.00 s= 12.00

Bullonatura sull'anima

CC 98 SLU (Collegamento -866_-867)
Azioni sul collegamento: N=3928.23 Ty=2.84 Tz=3139.64 My=450.42 Mz=0.42
Sollecitazioni agenti localmente: Tx_l=1443.56 Ty_l=3139.64 Mz_l=314.37
Taglio nei bulloni: Fv,Ed=568.52 Fv,Rd=6028.80
Azione di rifollamento di progetto lato asta: Fb,Ed,a=1137.04 Fb,Rd,a=6845.03
Rifollamento lato piastra: Fb,Ed,p=415.55 Fb,Rd,p=7793.66

Piastra di anima

Bnetta=24.00 Hnetta=186.00
CC 97 SLU (Collegamento -866_-867)
Azioni sul collegamento: N=3698.00 Ty=2.85 Tz=3179.24 My=388.37 Mz=0.38
Sollecitazioni agenti localmente: Tx_l=1358.95 Ty_l=3179.24 Mz_l=308.12
Tensioni nella sezione: σ=253.10 τ=71.22
CC 98 SLU (Collegamento -866_-867)
Azioni sul collegamento: N=3928.23 Ty=2.84 Tz=3139.64 My=450.42 Mz=0.42
Sollecitazioni agenti localmente: Tx_l=1443.56 Ty_l=3139.64 Mz_l=314.37
Tensioni nella sezione: σ=259.51 τ=70.33

Verifica a taglio anima forata

Bnetta=6.20 Hnetta=152.40
CC 97 SLU (Collegamento -866_-867)
Azioni sul collegamento: N=3698.00 Ty=2.85 Tz=3179.24 My=388.37 Mz=0.38
Sollecitazioni agenti localmente: Ty_l=1589.62
Tensioni nella sezione: σ=0.00 τ=168.24

Bullonatura ali superiori

CC 106 SLU (Collegamento -866_-867)
Azioni sul collegamento: N=5195.87 Ty=5.34 Tz=770.60 My=1417.26 Mz=-0.48
Sollecitazioni agenti localmente: Tx_l=-3585.22 Ty_l=2.67 Mz_l=0.20
Taglio nei bulloni: Fv,Ed=179.30 Fv,Rd=6028.80
Azione di rifollamento di progetto lato asta: Fb,Ed,a=358.60 Fb,Rd,a=9486.95
Rifollamento lato piastra: Fb,Ed,p=179.30 Fb,Rd,p=11616.70
CC 101 SLU
Azioni sul collegamento: N=34.88 Ty=1.13 Tz=1601.87 My=-508.12 Mz=-1.18
Sollecitazioni agenti localmente: Tx_l=1885.57 Ty_l=0.57 Mz_l=-0.50
Taglio nei bulloni: Fv,Ed=94.37 Fv,Rd=6028.80
Azione di rifollamento di progetto lato asta: Fb,Ed,a=188.74 Fb,Rd,a=6138.70
Rifollamento lato piastra: Fb,Ed,p=94.37 Fb,Rd,p=5011.21

Bullonatura ali inferiori

CC 106 SLU (Collegamento -866_-867)
Azioni sul collegamento: N=5195.87 Ty=5.34 Tz=770.60 My=1417.26 Mz=-0.48
Sollecitazioni agenti localmente: Tx_l=6871.70 Ty_l=2.67 Mz_l=0.20
Taglio nei bulloni: Fv,Ed=343.62 Fv,Rd=6028.80
Azione di rifollamento di progetto lato asta: Fb,Ed,a=687.25 Fb,Rd,a=6138.62
Rifollamento lato piastra: Fb,Ed,p=343.62 Fb,Rd,p=5011.11

Piastre esterne sulle ali

Bnetta=12.00 Hnetta=120.00
CC 105 SLU (Collegamento -866_-867)
Azioni sul collegamento: N=4965.63 Ty=5.35 Tz=810.19 My=1355.20 Mz=-0.53
Sollecitazioni agenti localmente: Tx_l=-2037.09 Ty_l=1.59 Mz_l=-0.26
Tensioni nella sezione: σ=142.38 τ=0.11
CC 106 SLU (Collegamento -866_-867)
Azioni sul collegamento: N=5195.87 Ty=5.34 Tz=770.60 My=1417.26 Mz=-0.48
Sollecitazioni agenti localmente: Tx_l=4082.20 Ty_l=1.59 Mz_l=-0.24
Tensioni nella sezione: σ=284.32 τ=0.11

Piastre interne sulle ali

Bnetta=12.00 Hnetta=41.00
CC 105 SLU (Collegamento -866_-867)
Azioni sul collegamento: N=4965.63 Ty=5.35 Tz=810.19 My=1355.20 Mz=-0.53
Sollecitazioni agenti localmente: Tx_l=-696.01 Ty_l=0.54
Tensioni nella sezione: σ=141.47 τ=0.11
CC 106 SLU (Collegamento -866_-867)
Azioni sul collegamento: N=5195.87 Ty=5.34 Tz=770.60 My=1417.26 Mz=-0.48
Sollecitazioni agenti localmente: Tx_l=1394.75 Ty_l=0.54

Tensioni nella sezione: σ=283.49 τ=0.11

Collegamento -896_-897

Piastre anima 300.00 x 186.00 s= 12.00 - 8+8 bulloni ϕ 16
2 righe ad interasse 79.00
4 colonne ad interasse variabile
Piastre ala 650.00 x 120.00 s= 12.00 - 10+10 bulloni ϕ 16
5 righe ad interasse 67.00
2 colonne ad interasse 78.00
Piastre inferiori ala 650.00 x 41.00 s= 12.00

Bullonatura sull'anima

CC 97 SLU
Azioni sul collegamento: N=3931.95 Ty=0.03 Tz=-3074.53 My=462.80 Mz=-0.01
Sollecitazioni agenti localmente: Tx_l=1444.93 Ty_l=-3074.53 Mz_l=311.12
Taglio nei bulloni: Fv,Ed=562.00 Fv,Rd=6028.80
Azione di rifollamento di progetto lato asta: Fb,Ed,a=824.52 Fb,Rd,a=5234.52
Rifollamento lato piastra: Fb,Ed,p=562.00 Fb,Rd,p=10624.10

Piastra di anima

Bnetta=24.00 Hnetta=186.00
CC 97 SLU
Azioni sul collegamento: N=3931.95 Ty=0.03 Tz=-3074.53 My=462.80 Mz=-0.01
Sollecitazioni agenti localmente: Tx_l=1444.93 Ty_l=-3074.53 Mz_l=311.12
Tensioni nella sezione: σ=257.19 τ=68.87
CC 98 SLU
Azioni sul collegamento: N=3701.35 Ty=0.03 Tz=-3112.78 My=400.57 Mz=-0.01
Sollecitazioni agenti localmente: Tx_l=1360.19 Ty_l=-3112.78 Mz_l=304.74
Tensioni nella sezione: σ=250.69 τ=69.73

Verifica a taglio anima forata

Bnetta=6.20 Hnetta=152.40
CC 98 SLU
Azioni sul collegamento: N=3701.35 Ty=0.03 Tz=-3112.78 My=400.57 Mz=-0.01
Sollecitazioni agenti localmente: Ty_l=-1556.39
Tensioni nella sezione: σ=0.00 τ=164.72

Bullonatura ali superiori

CC 1 SLV (Collegamento -896_-897)
Azioni sul collegamento: N=2105.41 Ty=-1.21 Tz=-271.45 My=-283.67 Mz=-0.16
Sollecitazioni agenti localmente: Tx_l=1712.36 Ty_l=-0.60 Mz_l=-0.18
Taglio nei bulloni: Fv,Ed=85.65 Fv,Rd=6028.80
Azione di rifollamento di progetto lato asta: Fb,Ed,a=171.30 Fb,Rd,a=6138.64
Rifollamento lato piastra: Fb,Ed,p=85.65 Fb,Rd,p=5011.12
CC 101 SLU
Azioni sul collegamento: N=5193.11 Ty=0.06 Tz=-766.55 My=1466.83 Mz=-0.01
Sollecitazioni agenti localmente: Tx_l=-3768.97 Ty_l=0.03 Mz_l=0.00
Taglio nei bulloni: Fv,Ed=188.45 Fv,Rd=6028.80
Azione di rifollamento di progetto lato asta: Fb,Ed,a=376.90 Fb,Rd,a=9486.95
Rifollamento lato piastra: Fb,Ed,p=188.45 Fb,Rd,p=11616.70

Bullonatura ali inferiori

CC 101 SLU
Azioni sul collegamento: N=5193.11 Ty=0.06 Tz=-766.55 My=1466.83 Mz=-0.01
Sollecitazioni agenti localmente: Tx_l=7053.70 Ty_l=0.03 Mz_l=0.00
Taglio nei bulloni: Fv,Ed=352.69 Fv,Rd=6028.80
Azione di rifollamento di progetto lato asta: Fb,Ed,a=705.37 Fb,Rd,a=6138.61
Rifollamento lato piastra: Fb,Ed,p=352.69 Fb,Rd,p=5011.11

Piastre esterne sulle ali

Bnetta=12.00 Hnetta=120.00
CC 65 SLV
Azioni sul collegamento: N=1104.04 Ty=4.85 Tz=-616.79 My=274.35 Mz=0.67
Sollecitazioni agenti localmente: Tx_l=-393.83 Ty_l=1.44 Mz_l=0.34
Tensioni nella sezione: σ=28.52 τ= 0.10
CC 101 SLU
Azioni sul collegamento: N=5193.11 Ty=0.06 Tz=-766.55 My=1466.83 Mz=-0.01
Sollecitazioni agenti localmente: Tx_l=4190.32 Ty_l=0.02 Mz_l=-0.00
Tensioni nella sezione: σ=291.01 τ=1.14E-03

Piastre interne sulle ali

Bnetta=12.00 Hnetta=41.00

CC 65 SLV
Azioni sul collegamento: N=1104.04 Ty=4.85 Tz=-616.79 My=274.35 Mz=0.67
Sollecitazioni agenti localmente: Tx_l=-134.56 Ty_l=0.49
Tensioni nella sezione: σ=27.35 τ= 0.10
CC 101 SLU
Azioni sul collegamento: N=5193.11 Ty=0.06 Tz=-766.55 My=1466.83 Mz=-0.01
Sollecitazioni agenti localmente: Tx_l=1431.69 Ty_l=0.01
Tensioni nella sezione: σ=290.99 τ=1.14E-03

Collegamento -910_-911

Piastre anima 300.00 x 186.00 s= 12.00 - 8+8 bulloni ϕ 16
2 righe ad interasse 79.00
4 colonne ad interasse variabile
Piastre ala 650.00 x 120.00 s= 12.00 - 10+10 bulloni ϕ 16
5 righe ad interasse 67.00
2 colonne ad interasse 78.00
Piastre inferiori ala 650.00 x 41.00 s= 12.00

Bullonatura sull'anima

CC 98 SLU (Collegamento -910_-911)
Azioni sul collegamento: N=3931.94 Ty=-0.03 Tz=3074.53 My=462.80 Mz=-0.01
Sollecitazioni agenti localmente: Tx_l=1444.92 Ty_l=3074.53 Mz_l=311.12
Taglio nei bulloni: Fv,Ed=562.00 Fv,Rd=6028.80
Azione di rifollamento di progetto lato asta: Fb,Ed,a=1124.00 Fb,Rd,a=6845.03
Rifollamento lato piastra: Fb,Ed,p=412.26 Fb,Rd,p=7793.34

Piastra di anima

Bnetta=24.00 Hnetta=186.00
CC 97 SLU (Collegamento -910_-911)
Azioni sul collegamento: N=3701.34 Ty=-0.03 Tz=3112.78 My=400.57 Mz=-0.01
Sollecitazioni agenti localmente: Tx_l=1360.18 Ty_l=3112.78 Mz_l=304.74
Tensioni nella sezione: σ=250.69 τ=69.73
CC 98 SLU (Collegamento -910_-911)
Azioni sul collegamento: N=3931.94 Ty=-0.03 Tz=3074.53 My=462.80 Mz=-0.01
Sollecitazioni agenti localmente: Tx_l=1444.92 Ty_l=3074.53 Mz_l=311.12
Tensioni nella sezione: σ=257.19 τ=68.87

Verifica a taglio anima forata

Bnetta=6.20 Hnetta=152.40
CC 97 SLU (Collegamento -910_-911)
Azioni sul collegamento: N=3701.34 Ty=-0.03 Tz=3112.78 My=400.57 Mz=-0.01
Sollecitazioni agenti localmente: Ty_l=1556.39
Tensioni nella sezione: σ=0.00 τ=164.72

Bullonatura ali superiori

CC 106 SLU (Collegamento -910_-911)
Azioni sul collegamento: N=5192.93 Ty=-0.06 Tz=766.58 My=1466.80 Mz=-0.01
Sollecitazioni agenti localmente: Tx_l=-3768.90 Ty_l=-0.03 Mz_l=-0.01
Taglio nei bulloni: Fv,Ed=188.45 Fv,Rd=6028.80
Azione di rifollamento di progetto lato asta: Fb,Ed,a=376.89 Fb,Rd,a=9486.95
Rifollamento lato piastra: Fb,Ed,p=188.45 Fb,Rd,p=11616.70
CC 49 SLV
Azioni sul collegamento: N=2105.41 Ty=-1.06 Tz=271.45 My=-283.67 Mz=0.02
Sollecitazioni agenti localmente: Tx_l=1712.36 Ty_l=-0.53 Mz_l=-0.08
Taglio nei bulloni: Fv,Ed=85.63 Fv,Rd=6028.80
Azione di rifollamento di progetto lato asta: Fb,Ed,a=171.26 Fb,Rd,a=6138.62
Rifollamento lato piastra: Fb,Ed,p=85.63 Fb,Rd,p=5011.11

Bullonatura ali inferiori

CC 106 SLU (Collegamento -910_-911)
Azioni sul collegamento: N=5192.93 Ty=-0.06 Tz=766.58 My=1466.80 Mz=-0.01
Sollecitazioni agenti localmente: Tx_l=7053.52 Ty_l=-0.03 Mz_l=-0.01
Taglio nei bulloni: Fv,Ed=352.68 Fv,Rd=6028.80
Azione di rifollamento di progetto lato asta: Fb,Ed,a=705.36 Fb,Rd,a=6138.61
Rifollamento lato piastra: Fb,Ed,p=352.68 Fb,Rd,p=5011.11

Piastre esterne sulle ali

Bnetta=12.00 Hnetta=120.00
CC 17 SLV (Collegamento -910_-911)
Azioni sul collegamento: N=1104.04 Ty=-4.85 Tz=616.79 My=274.35 Mz=0.67
Sollecitazioni agenti localmente: Tx_l=-393.83 Ty_l=-1.44 Mz_l=0.34
Tensioni nella sezione: σ=28.52 τ= 0.10
CC 106 SLU (Collegamento -910_-911)

Azioni sul collegamento: N=5192.93 Ty=-0.06 Tz=766.58 My=1466.80 Mz=-0.01
Sollecitazioni agenti localmente: Tx_l=4190.21 Ty_l=-0.02 Mz_l=-0.00
Tensioni nella sezione: σ=291.00 τ=1.14E-03

Piastre interne sulle ali

Bnetta=12.00 Hnetta=41.00
CC 17 SLV (Collegamento -910_-911)
Azioni sul collegamento: N=1104.04 Ty=-4.85 Tz=616.79 My=274.35 Mz=0.67
Sollecitazioni agenti localmente: Tx_l=-134.56 Ty_l=-0.49
Tensioni nella sezione: σ=27.35 τ= 0.10
CC 106 SLU (Collegamento -910_-911)
Azioni sul collegamento: N=5192.93 Ty=-0.06 Tz=766.58 My=1466.80 Mz=-0.01
Sollecitazioni agenti localmente: Tx_l=1431.65 Ty_l=-0.01
Tensioni nella sezione: σ=290.99 τ=1.14E-03

Collegamento -940_-941

Piastre anima 300.00 x 186.00 s= 12.00 - 8+8 bulloni ϕ 16
2 righe ad interasse 79.00
4 colonne ad interasse variabile
Piastre ala 650.00 x 120.00 s= 12.00 - 10+10 bulloni ϕ 16
5 righe ad interasse 67.00
2 colonne ad interasse 78.00
Piastre inferiori ala 650.00 x 41.00 s= 12.00

Bullonatura sull'anima

CC 97 SLU
Azioni sul collegamento: N=3924.68 Ty=2.85 Tz=-3138.42 My=450.65 Mz=-0.43
Sollecitazioni agenti localmente: Tx_l=1442.25 Ty_l=-3138.42 Mz_l=314.31
Taglio nei bulloni: Fv,Ed=568.33 Fv,Rd=6028.80
Azione di rifollamento di progetto lato asta: Fb,Ed,a=830.80 Fb,Rd,a=5234.73
Rifollamento lato piastra: Fb,Ed,p=568.33 Fb,Rd,p=10662.90

Piastra di anima

Bnetta=24.00 Hnetta=186.00
CC 97 SLU
Azioni sul collegamento: N=3924.68 Ty=2.85 Tz=-3138.42 My=450.65 Mz=-0.43
Sollecitazioni agenti localmente: Tx_l=1442.25 Ty_l=-3138.42 Mz_l=314.31
Tensioni nella sezione: σ=259.44 τ=70.31
CC 98 SLU
Azioni sul collegamento: N=3694.47 Ty=2.86 Tz=-3178.01 My=388.60 Mz=-0.39
Sollecitazioni agenti localmente: Tx_l=1357.66 Ty_l=-3178.01 Mz_l=308.06
Tensioni nella sezione: σ=253.03 τ=71.19

Verifica a taglio anima forata

Bnetta=6.20 Hnetta=152.40
CC 98 SLU
Azioni sul collegamento: N=3694.47 Ty=2.86 Tz=-3178.01 My=388.60 Mz=-0.39
Sollecitazioni agenti localmente: Ty_l=-1589.01
Tensioni nella sezione: σ=0.00 τ=168.17

Bullonatura ali superiori

CC 130 SLU (Collegamento -940_-941)
Azioni sul collegamento: N=-1001.72 Ty=0.97 Tz=-1373.06 My=-668.91 Mz=1.17
Sollecitazioni agenti localmente: Tx_l=2150.89 Ty_l=0.49 Mz_l=0.67
Taglio nei bulloni: Fv,Ed=107.67 Fv,Rd=6028.80
Azione di rifollamento di progetto lato asta: Fb,Ed,a=215.34 Fb,Rd,a=6138.77
Rifollamento lato piastra: Fb,Ed,p=107.67 Fb,Rd,p=5011.22
CC 101 SLU
Azioni sul collegamento: N=5192.47 Ty=5.36 Tz=-769.38 My=1417.58 Mz=0.46
Sollecitazioni agenti localmente: Tx_l=-3587.50 Ty_l=2.68 Mz_l=0.68
Taglio nei bulloni: Fv,Ed=179.50 Fv,Rd=6028.80
Azione di rifollamento di progetto lato asta: Fb,Ed,a=359.00 Fb,Rd,a=9486.95
Rifollamento lato piastra: Fb,Ed,p=179.50 Fb,Rd,p=11616.70

Bullonatura ali inferiori

CC 101 SLU
Azioni sul collegamento: N=5192.47 Ty=5.36 Tz=-769.38 My=1417.58 Mz=0.46
Sollecitazioni agenti localmente: Tx_l=6871.82 Ty_l=2.68 Mz_l=0.68
Taglio nei bulloni: Fv,Ed=343.72 Fv,Rd=6028.80
Azione di rifollamento di progetto lato asta: Fb,Ed,a=687.43 Fb,Rd,a=6138.64
Rifollamento lato piastra: Fb,Ed,p=343.72 Fb,Rd,p=5011.12

Piastre esterne sulle ali

Bnetta=12.00 Hnetta=120.00
CC 101 SLU
Azioni sul collegamento: N=5192.47 Ty=5.36 Tz=-769.38 My=1417.58 Mz=0.46
Sollecitazioni agenti localmente: Tx_l=4082.27 Ty_l=1.59 Mz_l=0.23
Tensioni nella sezione: σ=284.29 τ=0.11
CC 102 SLU
Azioni sul collegamento: N=4962.26 Ty=5.37 Tz=-808.96 My=1355.53 Mz=0.51
Sollecitazioni agenti localmente: Tx_l=-2038.45 Ty_l=1.60 Mz_l=0.25
Tensioni nella sezione: σ=142.44 τ=0.11

Piastre interne sulle ali

Bnetta=12.00 Hnetta=41.00
CC 101 SLU
Azioni sul collegamento: N=5192.47 Ty=5.36 Tz=-769.38 My=1417.58 Mz=0.46
Sollecitazioni agenti localmente: Tx_l=1394.78 Ty_l=0.54
Tensioni nella sezione: σ=283.49 τ=0.11
CC 102 SLU
Azioni sul collegamento: N=4962.26 Ty=5.37 Tz=-808.96 My=1355.53 Mz=0.51
Sollecitazioni agenti localmente: Tx_l=-696.47 Ty_l=0.55
Tensioni nella sezione: σ=141.56 τ=0.11

Collegamento -954_-955

Piastre anima 300.00 x 186.00 s= 12.00 - 8+8 bulloni ϕ 16
2 righe ad interasse 79.00
4 colonne ad interasse variabile
Piastre ala 650.00 x 120.00 s= 12.00 - 10+10 bulloni ϕ 16
5 righe ad interasse 67.00
2 colonne ad interasse 78.00
Piastre inferiori ala 650.00 x 41.00 s= 12.00

Bullonatura sull'anima

CC 98 SLU (Collegamento -954_-955)
Azioni sul collegamento: N=3924.67 Ty=-2.85 Tz=3138.42 My=450.65 Mz=-0.43
Sollecitazioni agenti localmente: Tx_l=1442.25 Ty_l=3138.42 Mz_l=314.31
Taglio nei bulloni: Fv,Ed=568.33 Fv,Rd=6028.80
Azione di rifollamento di progetto lato asta: Fb,Ed,a=1136.67 Fb,Rd,a=6845.03
Rifollamento lato piastra: Fb,Ed,p=415.40 Fb,Rd,p=7793.65

Piastra di anima

Bnetta=24.00 Hnetta=186.00
CC 97 SLU (Collegamento -954_-955)
Azioni sul collegamento: N=3694.46 Ty=-2.86 Tz=3178.01 My=388.60 Mz=-0.39
Sollecitazioni agenti localmente: Tx_l=1357.65 Ty_l=3178.01 Mz_l=308.06
Tensioni nella sezione: σ=253.03 τ=71.19
CC 98 SLU (Collegamento -954_-955)
Azioni sul collegamento: N=3924.67 Ty=-2.85 Tz=3138.42 My=450.65 Mz=-0.43
Sollecitazioni agenti localmente: Tx_l=1442.25 Ty_l=3138.42 Mz_l=314.31
Tensioni nella sezione: σ=259.44 τ=70.31

Verifica a taglio anima forata

Bnetta=6.20 Hnetta=152.40
CC 97 SLU (Collegamento -954_-955)
Azioni sul collegamento: N=3694.46 Ty=-2.86 Tz=3178.01 My=388.60 Mz=-0.39
Sollecitazioni agenti localmente: Ty_l=1589.01
Tensioni nella sezione: σ=0.00 τ=168.17

Bullonatura ali superiori

CC 106 SLU (Collegamento -954_-955)
Azioni sul collegamento: N=5192.29 Ty=-5.36 Tz=769.40 My=1417.55 Mz=0.46
Sollecitazioni agenti localmente: Tx_l=-3587.43 Ty_l=-2.68 Mz_l=-0.22
Taglio nei bulloni: Fv,Ed=179.41 Fv,Rd=6028.80
Azione di rifollamento di progetto lato asta: Fb,Ed,a=358.82 Fb,Rd,a=9486.95
Rifollamento lato piastra: Fb,Ed,p=179.41 Fb,Rd,p=11616.70
CC 101 SLU
Azioni sul collegamento: N=32.09 Ty=-1.16 Tz=1600.79 My=-508.11 Mz=1.18
Sollecitazioni agenti localmente: Tx_l=1884.64 Ty_l=-0.58 Mz_l=0.49
Taglio nei bulloni: Fv,Ed=94.32 Fv,Rd=6028.80
Azione di rifollamento di progetto lato asta: Fb,Ed,a=188.65 Fb,Rd,a=6138.70
Rifollamento lato piastra: Fb,Ed,p=94.32 Fb,Rd,p=5011.21

Bullonatura ali inferiori

CC 106 SLU (Collegamento -954_-955)

Azioni sul collegamento: N=5192.29 Ty=-5.36 Tz=769.40 My=1417.55 Mz=0.46
Sollecitazioni agenti localmente: Tx_l=6871.64 Ty_l=-2.68 Mz_l=-0.22
Taglio nei bulloni: Fv,Ed=343.62 Fv,Rd=6028.80
Azione di rifollamento di progetto lato asta: Fb,Ed,a=687.25 Fb,Rd,a=6138.62
Rifollamento lato piastra: Fb,Ed,p=343.62 Fb,Rd,p=5011.11

Piastre esterne sulle ali

Bnetta=12.00 Hnetta=120.00
CC 105 SLU (Collegamento -954_-955)
Azioni sul collegamento: N=4962.08 Ty=-5.37 Tz=808.99 My=1355.50 Mz=0.51
Sollecitazioni agenti localmente: Tx_l=-2038.41 Ty_l=-1.60 Mz_l=0.25
Tensioni nella sezione: σ=142.43 τ=0.11
CC 106 SLU (Collegamento -954_-955)
Azioni sul collegamento: N=5192.29 Ty=-5.36 Tz=769.40 My=1417.55 Mz=0.46
Sollecitazioni agenti localmente: Tx_l=4082.16 Ty_l=-1.59 Mz_l=0.23
Tensioni nella sezione: σ=284.29 τ=0.11

Piastre interne sulle ali

Bnetta=12.00 Hnetta=41.00
CC 105 SLU (Collegamento -954_-955)
Azioni sul collegamento: N=4962.08 Ty=-5.37 Tz=808.99 My=1355.50 Mz=0.51
Sollecitazioni agenti localmente: Tx_l=-696.46 Ty_l=-0.55
Tensioni nella sezione: σ=141.56 τ=0.11
CC 106 SLU (Collegamento -954_-955)
Azioni sul collegamento: N=5192.29 Ty=-5.36 Tz=769.40 My=1417.55 Mz=0.46
Sollecitazioni agenti localmente: Tx_l=1394.74 Ty_l=-0.54
Tensioni nella sezione: σ=283.48 τ=0.11

Collegamento -984_-985

Piastre anima 300.00 x 186.00 s= 12.00 - 8+8 bulloni ϕ 16
2 righe ad interasse 79.00
4 colonne ad interasse variabile
Piastre ala 650.00 x 120.00 s= 12.00 - 10+10 bulloni ϕ 16
5 righe ad interasse 67.00
2 colonne ad interasse 78.00
Piastre inferiori ala 650.00 x 41.00 s= 12.00

Bullonatura sull'anima

CC 97 SLU
Azioni sul collegamento: N=3917.34 Ty=4.43 Tz=-2968.43 My=458.90 Mz=0.90
Sollecitazioni agenti localmente: Tx_l=1439.56 Ty_l=-2968.43 Mz_l=302.21
Taglio nei bulloni: Fv,Ed=546.79 Fv,Rd=6028.80
Azione di rifollamento di progetto lato asta: Fb,Ed,a=805.38 Fb,Rd,a=5234.46
Rifollamento lato piastra: Fb,Ed,p=546.79 Fb,Rd,p=10581.90

Piastra di anima

Bnetta=24.00 Hnetta=186.00
CC 97 SLU
Azioni sul collegamento: N=3917.34 Ty=4.43 Tz=-2968.43 My=458.90 Mz=0.90
Sollecitazioni agenti localmente: Tx_l=1439.56 Ty_l=-2968.43 Mz_l=302.21
Tensioni nella sezione: σ=250.63 τ=66.50
CC 98 SLU
Azioni sul collegamento: N=3688.48 Ty=4.46 Tz=-3006.34 My=397.75 Mz=0.99
Sollecitazioni agenti localmente: Tx_l=1355.45 Ty_l=-3006.34 Mz_l=295.96
Tensioni nella sezione: σ=244.24 τ=67.35

Verifica a taglio anima forata

Bnetta=6.20 Hnetta=152.40
CC 98 SLU
Azioni sul collegamento: N=3688.48 Ty=4.46 Tz=-3006.34 My=397.75 Mz=0.99
Sollecitazioni agenti localmente: Ty_l=-1503.17
Tensioni nella sezione: σ=0.00 τ=159.09

Bullonatura ali superiori

CC 130 SLU (Collegamento -984_-985)
Azioni sul collegamento: N=-975.27 Ty=2.15 Tz=-1334.96 My=-641.30 Mz=2.31
Sollecitazioni agenti localmente: Tx_l=2057.42 Ty_l=1.08 Mz_l=1.33
Taglio nei bulloni: Fv,Ed=103.12 Fv,Rd=6028.80
Azione di rifollamento di progetto lato asta: Fb,Ed,a=206.25 Fb,Rd,a=6139.31
Rifollamento lato piastra: Fb,Ed,p=103.12 Fb,Rd,p=5011.56
CC 101 SLU
Azioni sul collegamento: N=5185.25 Ty=4.91 Tz=-495.90 My=1332.88 Mz=-0.43
Sollecitazioni agenti localmente: Tx_l=-3277.31 Ty_l=2.45 Mz_l=0.19

Taglio nei bulloni: Fv,Ed=163.90 Fv,Rd=6028.80
Azione di rifollamento di progetto lato asta: Fb,Ed,a=327.80 Fb,Rd,a=9486.95
Rifollamento lato piastra: Fb,Ed,p=163.90 Fb,Rd,p=11616.70

Bullonatura ali inferiori

CC 101 SLU
Azioni sul collegamento: N=5185.25 Ty=4.91 Tz=-495.90 My=1332.88 Mz=-0.43
Sollecitazioni agenti localmente: Tx_l=6557.06 Ty_l=2.45 Mz_l=0.19
Taglio nei bulloni: Fv,Ed=327.89 Fv,Rd=6028.80
Azione di rifollamento di progetto lato asta: Fb,Ed,a=655.78 Fb,Rd,a=6138.62
Rifollamento lato piastra: Fb,Ed,p=327.89 Fb,Rd,p=5011.11

Piastre esterne sulle ali

Bnetta=12.00 Hnetta=120.00
CC 98 SLU (Collegamento -984_-985)
Azioni sul collegamento: N=5293.45 Ty=5.14 Tz=-2833.37 My=219.80 Mz=1.28
Sollecitazioni agenti localmente: Tx_l=512.82 Ty_l=1.53 Mz_l=0.64
Tensioni nella sezione: σ=37.83 τ=0.11
CC 101 SLU
Azioni sul collegamento: N=5185.25 Ty=4.91 Tz=-495.90 My=1332.88 Mz=-0.43
Sollecitazioni agenti localmente: Tx_l=3895.29 Ty_l=1.46 Mz_l=-0.22
Tensioni nella sezione: σ=271.26 τ=0.10

Piastre interne sulle ali

Bnetta=12.00 Hnetta=41.00
CC 98 SLU (Collegamento -984_-985)
Azioni sul collegamento: N=5293.45 Ty=5.14 Tz=-2833.37 My=219.80 Mz=1.28
Sollecitazioni agenti localmente: Tx_l=175.21 Ty_l=0.52
Tensioni nella sezione: σ=35.61 τ=0.11
CC 101 SLU
Azioni sul collegamento: N=5185.25 Ty=4.91 Tz=-495.90 My=1332.88 Mz=-0.43
Sollecitazioni agenti localmente: Tx_l=1330.89 Ty_l=0.50
Tensioni nella sezione: σ=270.51 τ=0.10

Collegamento -998_-999

Piastre anima 300.00 x 186.00 s= 12.00 - 8+8 bulloni ϕ 16
2 righe ad interasse 79.00
4 colonne ad interasse variabile
Piastre ala 650.00 x 120.00 s= 12.00 - 10+10 bulloni ϕ 16
5 righe ad interasse 67.00
2 colonne ad interasse 78.00
Piastre inferiori ala 650.00 x 41.00 s= 12.00

Bullonatura sull'anima

CC 98 SLU (Collegamento -998_-999)
Azioni sul collegamento: N=3917.33 Ty=-4.43 Tz=2968.43 My=458.90 Mz=0.90
Sollecitazioni agenti localmente: Tx_l=1439.55 Ty_l=2968.43 Mz_l=302.21
Taglio nei bulloni: Fv,Ed=546.79 Fv,Rd=6028.80
Azione di rifollamento di progetto lato asta: Fb,Ed,a=1093.58 Fb,Rd,a=6845.03
Rifollamento lato piastra: Fb,Ed,p=402.69 Fb,Rd,p=7793.24

Piastra di anima

Bnetta=24.00 Hnetta=186.00
CC 97 SLU (Collegamento -998_-999)
Azioni sul collegamento: N=3688.47 Ty=-4.46 Tz=3006.34 My=397.75 Mz=0.99
Sollecitazioni agenti localmente: Tx_l=1355.45 Ty_l=3006.34 Mz_l=295.96
Tensioni nella sezione: σ=244.24 τ=67.35
CC 98 SLU (Collegamento -998_-999)
Azioni sul collegamento: N=3917.33 Ty=-4.43 Tz=2968.43 My=458.90 Mz=0.90
Sollecitazioni agenti localmente: Tx_l=1439.55 Ty_l=2968.43 Mz_l=302.21
Tensioni nella sezione: σ=250.63 τ=66.50

Verifica a taglio anima forata

Bnetta=6.20 Hnetta=152.40
CC 97 SLU (Collegamento -998_-999)
Azioni sul collegamento: N=3688.47 Ty=-4.46 Tz=3006.34 My=397.75 Mz=0.99
Sollecitazioni agenti localmente: Ty_l=1503.17
Tensioni nella sezione: σ=0.00 τ=159.09

Bullonatura ali superiori

CC 106 SLU (Collegamento -998_-999)
Azioni sul collegamento: N=5185.07 Ty=-4.91 Tz=495.93 My=1332.85 Mz=-0.43

Sollecitazioni agenti localmente: Tx_l=-3277.25 Ty_l=-2.45 Mz_l=-0.63
Taglio nei bulloni: Fv,Ed=163.98 Fv,Rd=6028.80
Azione di rifollamento di progetto lato asta: Fb,Ed,a=327.96 Fb,Rd,a=9486.95
Rifollamento lato piastra: Fb,Ed,p=163.98 Fb,Rd,p=11616.70
CC 101 SLU
Azioni sul collegamento: N=52.85 Ty=-2.49 Tz=1560.89 My=-482.17 Mz=2.35
Sollecitazioni agenti localmente: Tx_l=1795.51 Ty_l=-1.25 Mz_l=0.97
Taglio nei bulloni: Fv,Ed=89.96 Fv,Rd=6028.80
Azione di rifollamento di progetto lato asta: Fb,Ed,a=179.91 Fb,Rd,a=6138.96
Rifollamento lato piastra: Fb,Ed,p=89.96 Fb,Rd,p=5011.54

Bullonatura ali inferiori

CC 106 SLU (Collegamento -998_-999)
Azioni sul collegamento: N=5185.07 Ty=-4.91 Tz=495.93 My=1332.85 Mz=-0.43
Sollecitazioni agenti localmente: Tx_l=6556.90 Ty_l=-2.45 Mz_l=-0.63
Taglio nei bulloni: Fv,Ed=327.96 Fv,Rd=6028.80
Azione di rifollamento di progetto lato asta: Fb,Ed,a=655.92 Fb,Rd,a=6138.64
Rifollamento lato piastra: Fb,Ed,p=327.96 Fb,Rd,p=5011.12

Piastre esterne sulle ali

Bnetta=12.00 Hnetta=120.00
CC 106 SLU (Collegamento -998_-999)
Azioni sul collegamento: N=5185.07 Ty=-4.91 Tz=495.93 My=1332.85 Mz=-0.43
Sollecitazioni agenti localmente: Tx_l=3895.19 Ty_l=-1.46 Mz_l=-0.22
Tensioni nella sezione: σ=271.25 τ=0.10
CC 97 SLU
Azioni sul collegamento: N=5293.44 Ty=-5.14 Tz=2833.37 My=219.80 Mz=1.28
Sollecitazioni agenti localmente: Tx_l=512.81 Ty_l=-1.53 Mz_l=0.64
Tensioni nella sezione: σ=37.83 τ=0.11

Piastre interne sulle ali

Bnetta=12.00 Hnetta=41.00
CC 106 SLU (Collegamento -998_-999)
Azioni sul collegamento: N=5185.07 Ty=-4.91 Tz=495.93 My=1332.85 Mz=-0.43
Sollecitazioni agenti localmente: Tx_l=1330.86 Ty_l=-0.50
Tensioni nella sezione: σ=270.50 τ=0.10
CC 97 SLU
Azioni sul collegamento: N=5293.44 Ty=-5.14 Tz=2833.37 My=219.80 Mz=1.28
Sollecitazioni agenti localmente: Tx_l=175.21 Ty_l=-0.52
Tensioni nella sezione: σ=35.61 τ=0.11

Collegamento 0010_-503

Saldatura a cordone d'angolo
Altezza di gola saldature: anima 7.07 - ala 7.07

Verifica lato anima della colonna: F=46200.00
F_{co}=39205.80 A_{co}=11.40 FR_{co}=31350.00
F_{cd}=69203.50 A_{cd}=11.40 FR_{cd}=31350.00

Saldatura profilo-profilo

CC 1 SLV (Collegamento 0010_-503)
Azioni sul collegamento: N=10342.50 Ty=-7.67 Tz=-59.01 Mx=0.32 Mz=-19.74
Sollecitazioni agenti localmente: Tx_l=-7.67 Ty_l=-59.01 N_l=10342.50 My_l=19.74 Mz_l=0.32
Azioni sul cordone: TP=2.89 TO=11.76 NO=2061.64
Tensioni nel cordone: τ_P=0.34 τ_O=1.39 σ_O=271.85 σ_{ID}=271.85 Σ_T=273.23
CC 1 SLV (Collegamento 0010_-503)
Azioni sul collegamento: N=10342.50 Ty=-16.11 Tz=-59.01 Mx=0.32 Mz=-41.29
Sollecitazioni agenti localmente: Tx_l=-16.11 Ty_l=-59.01 N_l=10342.50 My_l=41.29 Mz_l=0.32
Azioni sul cordone: TP=4.57 TO=11.76 NO=2061.64
Tensioni nel cordone: τ_P=0.54 τ_O=1.39 σ_O=303.33 σ_{ID}=303.33 Σ_T=304.71
CC 1 SLV (Collegamento 0010_-503)
Azioni sul collegamento: N=10342.50 Ty=-7.67 Tz=-59.01 Mx=0.32 Mz=-19.74
Sollecitazioni agenti localmente: Tx_l=-7.67 Ty_l=-59.01 N_l=10342.50 My_l=19.74 Mz_l=0.32
Azioni sul cordone: TP=2.89 TO=11.76 NO=2061.64
Tensioni nel cordone: τ_P=0.34 τ_O=1.39 σ_O=271.85 σ_{ID}=271.85 Σ_T=273.23
CC 1 SLV (Collegamento 0010_-503)
Azioni sul collegamento: N=10342.50 Ty=-16.11 Tz=-59.01 Mx=0.32 Mz=-41.29
Sollecitazioni agenti localmente: Tx_l=-16.11 Ty_l=-59.01 N_l=10342.50 My_l=41.29 Mz_l=0.32
Azioni sul cordone: TP=4.57 TO=11.76 NO=2061.64
Tensioni nel cordone: τ_P=0.54 τ_O=1.39 σ_O=303.33 σ_{ID}=303.33 Σ_T=304.71
CC 1 SLV (Collegamento 0010_-503)
Azioni sul collegamento: N=4412.89 Ty=-7.67 Tz=-59.01 Mx=0.32 Mz=-19.74
Sollecitazioni agenti localmente: Tx_l=-7.67 Ty_l=-59.01 N_l=4412.89 My_l=19.74 Mz_l=0.32
Azioni sul cordone: TP=2.89 TO=11.76 NO=879.65
Tensioni nel cordone: τ_P=0.34 τ_O=1.39 σ_O=132.53 σ_{ID}=132.54 Σ_T=133.91

CC 1 SLV (Collegamento 0010_-503)
Azioni sul collegamento: N=4412.89 Ty=-16.11 Tz=-59.01 Mx=0.32 Mz=-41.29
Sollecitazioni agenti localmente: Tx_l=-16.11 Ty_l=-59.01 N_l=4412.89 My_l=41.29 Mz_l=0.32
Azioni sul cordone: TP=4.57 TO=11.76 NO=879.65
Tensioni nel cordone: τ_P=0.54 τ_0=1.39 σ_0=164.01 σ_{ID}=164.01 Σ_T=165.39
CC 1 SLV (Collegamento 0010_-503)
Azioni sul collegamento: N=4412.89 Ty=-7.67 Tz=-59.01 Mx=0.32 Mz=-19.74
Sollecitazioni agenti localmente: Tx_l=-7.67 Ty_l=-59.01 N_l=4412.89 My_l=19.74 Mz_l=0.32
Azioni sul cordone: TP=2.89 TO=11.76 NO=879.65
Tensioni nel cordone: τ_P=0.34 τ_0=1.39 σ_0=132.53 σ_{ID}=132.54 Σ_T=133.91
CC 1 SLV (Collegamento 0010_-503)
Azioni sul collegamento: N=4412.89 Ty=-16.11 Tz=-59.01 Mx=0.32 Mz=-41.29
Sollecitazioni agenti localmente: Tx_l=-16.11 Ty_l=-59.01 N_l=4412.89 My_l=41.29 Mz_l=0.32
Azioni sul cordone: TP=4.57 TO=11.76 NO=879.65
Tensioni nel cordone: τ_P=0.54 τ_0=1.39 σ_0=164.01 σ_{ID}=164.01 Σ_T=165.39
CC 2 SLD (Collegamento 0010_-503)
Azioni sul collegamento: N=8355.44 Ty=-10.46 Tz=-59.01 Mx=0.26 Mz=-26.76
Sollecitazioni agenti localmente: Tx_l=-10.46 Ty_l=-59.01 N_l=8355.44 My_l=26.76 Mz_l=0.26
Azioni sul cordone: TP=3.18 TO=11.76 NO=1665.53
Tensioni nel cordone: τ_P=0.38 τ_0=1.39 σ_0=235.41 σ_{ID}=235.42 Σ_T=236.80
CC 2 SLD (Collegamento 0010_-503)
Azioni sul collegamento: N=8355.44 Ty=-13.03 Tz=-59.01 Mx=0.26 Mz=-33.33
Sollecitazioni agenti localmente: Tx_l=-13.03 Ty_l=-59.01 N_l=8355.44 My_l=33.33 Mz_l=0.26
Azioni sul cordone: TP=3.70 TO=11.76 NO=1665.53
Tensioni nel cordone: τ_P=0.44 τ_0=1.39 σ_0=245.01 σ_{ID}=245.02 Σ_T=246.40
CC 2 SLD (Collegamento 0010_-503)
Azioni sul collegamento: N=8355.44 Ty=-10.46 Tz=-59.01 Mx=0.26 Mz=-26.76
Sollecitazioni agenti localmente: Tx_l=-10.46 Ty_l=-59.01 N_l=8355.44 My_l=26.76 Mz_l=0.26
Azioni sul cordone: TP=3.18 TO=11.76 NO=1665.53
Tensioni nel cordone: τ_P=0.38 τ_0=1.39 σ_0=235.41 σ_{ID}=235.42 Σ_T=236.80
CC 2 SLD (Collegamento 0010_-503)
Azioni sul collegamento: N=8355.44 Ty=-13.03 Tz=-59.01 Mx=0.26 Mz=-33.33
Sollecitazioni agenti localmente: Tx_l=-13.03 Ty_l=-59.01 N_l=8355.44 My_l=33.33 Mz_l=0.26
Azioni sul cordone: TP=3.70 TO=11.76 NO=1665.53
Tensioni nel cordone: τ_P=0.44 τ_0=1.39 σ_0=245.01 σ_{ID}=245.02 Σ_T=246.40
CC 2 SLD (Collegamento 0010_-503)
Azioni sul collegamento: N=6547.30 Ty=-10.46 Tz=-59.01 Mx=0.26 Mz=-26.76
Sollecitazioni agenti localmente: Tx_l=-10.46 Ty_l=-59.01 N_l=6547.30 My_l=26.76 Mz_l=0.26
Azioni sul cordone: TP=3.18 TO=11.76 NO=1305.11
Tensioni nel cordone: τ_P=0.38 τ_0=1.39 σ_0=192.93 σ_{ID}=192.94 Σ_T=194.32
CC 2 SLD (Collegamento 0010_-503)
Azioni sul collegamento: N=6547.30 Ty=-13.03 Tz=-59.01 Mx=0.26 Mz=-33.33
Sollecitazioni agenti localmente: Tx_l=-13.03 Ty_l=-59.01 N_l=6547.30 My_l=33.33 Mz_l=0.26
Azioni sul cordone: TP=3.70 TO=11.76 NO=1305.11
Tensioni nel cordone: τ_P=0.44 τ_0=1.39 σ_0=202.53 σ_{ID}=202.53 Σ_T=203.91
CC 2 SLD (Collegamento 0010_-503)
Azioni sul collegamento: N=6547.30 Ty=-10.46 Tz=-59.01 Mx=0.26 Mz=-26.76
Sollecitazioni agenti localmente: Tx_l=-10.46 Ty_l=-59.01 N_l=6547.30 My_l=26.76 Mz_l=0.26
Azioni sul cordone: TP=3.18 TO=11.76 NO=1305.11
Tensioni nel cordone: τ_P=0.38 τ_0=1.39 σ_0=192.93 σ_{ID}=192.94 Σ_T=194.32
CC 2 SLD (Collegamento 0010_-503)
Azioni sul collegamento: N=6547.30 Ty=-13.03 Tz=-59.01 Mx=0.26 Mz=-33.33
Sollecitazioni agenti localmente: Tx_l=-13.03 Ty_l=-59.01 N_l=6547.30 My_l=33.33 Mz_l=0.26
Azioni sul cordone: TP=3.70 TO=11.76 NO=1305.11
Tensioni nel cordone: τ_P=0.44 τ_0=1.39 σ_0=202.53 σ_{ID}=202.53 Σ_T=203.91
CC 3 SLV (Collegamento 0010_-503)
Azioni sul collegamento: N=10338.60 Ty=-7.76 Tz=-59.01 Mx=0.32 Mz=-19.99
Sollecitazioni agenti localmente: Tx_l=-7.76 Ty_l=-59.01 N_l=10338.60 My_l=19.99 Mz_l=0.32
Azioni sul cordone: TP=2.90 TO=11.76 NO=2060.85
Tensioni nel cordone: τ_P=0.34 τ_0=1.39 σ_0=272.11 σ_{ID}=272.11 Σ_T=273.50
CC 3 SLV (Collegamento 0010_-503)
Azioni sul collegamento: N=10338.60 Ty=-16.02 Tz=-59.01 Mx=0.32 Mz=-41.05
Sollecitazioni agenti localmente: Tx_l=-16.02 Ty_l=-59.01 N_l=10338.60 My_l=41.05 Mz_l=0.32
Azioni sul cordone: TP=4.55 TO=11.76 NO=2060.85
Tensioni nel cordone: τ_P=0.54 τ_0=1.39 σ_0=302.88 σ_{ID}=302.88 Σ_T=304.27
CC 3 SLV (Collegamento 0010_-503)
Azioni sul collegamento: N=10338.60 Ty=-7.76 Tz=-59.01 Mx=0.32 Mz=-19.99
Sollecitazioni agenti localmente: Tx_l=-7.76 Ty_l=-59.01 N_l=10338.60 My_l=19.99 Mz_l=0.32
Azioni sul cordone: TP=2.90 TO=11.76 NO=2060.85
Tensioni nel cordone: τ_P=0.34 τ_0=1.39 σ_0=272.11 σ_{ID}=272.11 Σ_T=273.50
CC 3 SLV (Collegamento 0010_-503)
Azioni sul collegamento: N=10338.60 Ty=-16.02 Tz=-59.01 Mx=0.32 Mz=-41.05
Sollecitazioni agenti localmente: Tx_l=-16.02 Ty_l=-59.01 N_l=10338.60 My_l=41.05 Mz_l=0.32
Azioni sul cordone: TP=4.55 TO=11.76 NO=2060.85
Tensioni nel cordone: τ_P=0.54 τ_0=1.39 σ_0=302.88 σ_{ID}=302.88 Σ_T=304.27
CC 3 SLV (Collegamento 0010_-503)
Azioni sul collegamento: N=4416.83 Ty=-7.76 Tz=-59.01 Mx=0.32 Mz=-19.99
Sollecitazioni agenti localmente: Tx_l=-7.76 Ty_l=-59.01 N_l=4416.83 My_l=19.99 Mz_l=0.32
Azioni sul cordone: TP=2.90 TO=11.76 NO=880.43

Tensioni nel cordone: τ_P=0.34 τ_0=1.39 σ_0=132.97 σ_{ID}=132.98 Σ_T=134.36
CC 3 SLV (Collegamento 0010_-503)
Azioni sul collegamento: N=4416.83 Ty=-16.02 Tz=-59.01 Mx=0.32 Mz=-41.05
Sollecitazioni agenti localmente: Tx_l=-16.02 Ty_l=-59.01 N_l=4416.83 My_l=41.05 Mz_l=0.32
Azioni sul cordone: TP=4.55 TO=11.76 NO=880.43
Tensioni nel cordone: τ_P=0.54 τ_0=1.39 σ_0=163.74 σ_{ID}=163.75 Σ_T=165.13
CC 3 SLV (Collegamento 0010_-503)
Azioni sul collegamento: N=4416.83 Ty=-7.76 Tz=-59.01 Mx=0.32 Mz=-19.99
Sollecitazioni agenti localmente: Tx_l=-7.76 Ty_l=-59.01 N_l=4416.83 My_l=19.99 Mz_l=0.32
Azioni sul cordone: TP=2.90 TO=11.76 NO=880.43
Tensioni nel cordone: τ_P=0.34 τ_0=1.39 σ_0=132.97 σ_{ID}=132.98 Σ_T=134.36
CC 3 SLV (Collegamento 0010_-503)
Azioni sul collegamento: N=4416.83 Ty=-16.02 Tz=-59.01 Mx=0.32 Mz=-41.05
Sollecitazioni agenti localmente: Tx_l=-16.02 Ty_l=-59.01 N_l=4416.83 My_l=41.05 Mz_l=0.32
Azioni sul cordone: TP=4.55 TO=11.76 NO=880.43
Tensioni nel cordone: τ_P=0.54 τ_0=1.39 σ_0=163.74 σ_{ID}=163.75 Σ_T=165.13
CC 4 SLD (Collegamento 0010_-503)
Azioni sul collegamento: N=8354.23 Ty=-10.49 Tz=-59.01 Mx=0.26 Mz=-26.84
Sollecitazioni agenti localmente: Tx_l=-10.49 Ty_l=-59.01 N_l=8354.23 My_l=26.84 Mz_l=0.26
Azioni sul cordone: TP=3.19 TO=11.76 NO=1665.30
Tensioni nel cordone: τ_P=0.38 τ_0=1.39 σ_0=235.49 σ_{ID}=235.50 Σ_T=236.88
CC 4 SLD (Collegamento 0010_-503)
Azioni sul collegamento: N=8354.23 Ty=-13.00 Tz=-59.01 Mx=0.26 Mz=-33.26
Sollecitazioni agenti localmente: Tx_l=-13.00 Ty_l=-59.01 N_l=8354.23 My_l=33.26 Mz_l=0.26
Azioni sul cordone: TP=3.69 TO=11.76 NO=1665.30
Tensioni nel cordone: τ_P=0.43 τ_0=1.39 σ_0=244.88 σ_{ID}=244.88 Σ_T=246.26
CC 4 SLD (Collegamento 0010_-503)
Azioni sul collegamento: N=8354.23 Ty=-10.49 Tz=-59.01 Mx=0.26 Mz=-26.84
Sollecitazioni agenti localmente: Tx_l=-10.49 Ty_l=-59.01 N_l=8354.23 My_l=26.84 Mz_l=0.26
Azioni sul cordone: TP=3.19 TO=11.76 NO=1665.30
Tensioni nel cordone: τ_P=0.38 τ_0=1.39 σ_0=235.49 σ_{ID}=235.50 Σ_T=236.88
CC 4 SLD (Collegamento 0010_-503)
Azioni sul collegamento: N=8354.23 Ty=-13.00 Tz=-59.01 Mx=0.26 Mz=-33.26
Sollecitazioni agenti localmente: Tx_l=-13.00 Ty_l=-59.01 N_l=8354.23 My_l=33.26 Mz_l=0.26
Azioni sul cordone: TP=3.69 TO=11.76 NO=1665.30
Tensioni nel cordone: τ_P=0.43 τ_0=1.39 σ_0=244.88 σ_{ID}=244.88 Σ_T=246.26
CC 4 SLD (Collegamento 0010_-503)
Azioni sul collegamento: N=6548.50 Ty=-10.49 Tz=-59.01 Mx=0.26 Mz=-26.84
Sollecitazioni agenti localmente: Tx_l=-10.49 Ty_l=-59.01 N_l=6548.50 My_l=26.84 Mz_l=0.26
Azioni sul cordone: TP=3.19 TO=11.76 NO=1305.35
Tensioni nel cordone: τ_P=0.38 τ_0=1.39 σ_0=193.07 σ_{ID}=193.07 Σ_T=194.45
CC 4 SLD (Collegamento 0010_-503)
Azioni sul collegamento: N=6548.50 Ty=-13.00 Tz=-59.01 Mx=0.26 Mz=-33.26
Sollecitazioni agenti localmente: Tx_l=-13.00 Ty_l=-59.01 N_l=6548.50 My_l=33.26 Mz_l=0.26
Azioni sul cordone: TP=3.69 TO=11.76 NO=1305.35
Tensioni nel cordone: τ_P=0.43 τ_0=1.39 σ_0=202.45 σ_{ID}=202.45 Σ_T=203.84
CC 4 SLD (Collegamento 0010_-503)
Azioni sul collegamento: N=6548.50 Ty=-10.49 Tz=-59.01 Mx=0.26 Mz=-26.84
Sollecitazioni agenti localmente: Tx_l=-10.49 Ty_l=-59.01 N_l=6548.50 My_l=26.84 Mz_l=0.26
Azioni sul cordone: TP=3.19 TO=11.76 NO=1305.35
Tensioni nel cordone: τ_P=0.38 τ_0=1.39 σ_0=193.07 σ_{ID}=193.07 Σ_T=194.45
CC 4 SLD (Collegamento 0010_-503)
Azioni sul collegamento: N=6548.50 Ty=-13.00 Tz=-59.01 Mx=0.26 Mz=-33.26
Sollecitazioni agenti localmente: Tx_l=-13.00 Ty_l=-59.01 N_l=6548.50 My_l=33.26 Mz_l=0.26
Azioni sul cordone: TP=3.69 TO=11.76 NO=1305.35
Tensioni nel cordone: τ_P=0.43 τ_0=1.39 σ_0=202.45 σ_{ID}=202.45 Σ_T=203.84
CC 5 SLV (Collegamento 0010_-503)
Azioni sul collegamento: N=4416.83 Ty=-16.02 Tz=-59.01 Mx=0.15 Mz=-41.05
Sollecitazioni agenti localmente: Tx_l=-16.02 Ty_l=-59.01 N_l=4416.83 My_l=41.05 Mz_l=0.15
Azioni sul cordone: TP=3.85 TO=11.76 NO=880.43
Tensioni nel cordone: τ_P=0.45 τ_0=1.39 σ_0=163.74 σ_{ID}=163.75 Σ_T=165.13
CC 5 SLV (Collegamento 0010_-503)
Azioni sul collegamento: N=4416.83 Ty=-7.76 Tz=-59.01 Mx=0.15 Mz=-19.99
Sollecitazioni agenti localmente: Tx_l=-7.76 Ty_l=-59.01 N_l=4416.83 My_l=19.99 Mz_l=0.15
Azioni sul cordone: TP=2.20 TO=11.76 NO=880.43
Tensioni nel cordone: τ_P=0.26 τ_0=1.39 σ_0=132.97 σ_{ID}=132.98 Σ_T=134.36
CC 5 SLV (Collegamento 0010_-503)
Azioni sul collegamento: N=4416.83 Ty=-16.02 Tz=-59.01 Mx=0.15 Mz=-41.05
Sollecitazioni agenti localmente: Tx_l=-16.02 Ty_l=-59.01 N_l=4416.83 My_l=41.05 Mz_l=0.15
Azioni sul cordone: TP=3.85 TO=11.76 NO=880.43
Tensioni nel cordone: τ_P=0.45 τ_0=1.39 σ_0=163.74 σ_{ID}=163.75 Σ_T=165.13
CC 5 SLV (Collegamento 0010_-503)
Azioni sul collegamento: N=4416.83 Ty=-7.76 Tz=-59.01 Mx=0.15 Mz=-19.99
Sollecitazioni agenti localmente: Tx_l=-7.76 Ty_l=-59.01 N_l=4416.83 My_l=19.99 Mz_l=0.15
Azioni sul cordone: TP=2.20 TO=11.76 NO=880.43
Tensioni nel cordone: τ_P=0.26 τ_0=1.39 σ_0=132.97 σ_{ID}=132.98 Σ_T=134.36
CC 5 SLV (Collegamento 0010_-503)
Azioni sul collegamento: N=10338.60 Ty=-16.02 Tz=-59.01 Mx=0.15 Mz=-41.05
Sollecitazioni agenti localmente: Tx_l=-16.02 Ty_l=-59.01 N_l=10338.60 My_l=41.05 Mz_l=0.15

Azioni sul cordone: TP=3.85 TO=11.76 NO=2060.85
Tensioni nel cordone: τ_P=0.45 τ_0=1.39 σ_0=302.88 σ_{ID}=302.88 Σ_T=304.27
CC 5 SLV (Collegamento 0010_-503)
Azioni sul collegamento: N=10338.60 Ty=-7.76 Tz=-59.01 Mx=0.15 Mz=-19.99
Sollecitazioni agenti localmente: Tx_l=-7.76 Ty_l=-59.01 N_l=10338.60 My_l=19.99 Mz_l=0.15
Azioni sul cordone: TP=2.20 TO=11.76 NO=2060.85
Tensioni nel cordone: τ_P=0.26 τ_0=1.39 σ_0=272.11 σ_{ID}=272.11 Σ_T=273.50
CC 5 SLV (Collegamento 0010_-503)
Azioni sul collegamento: N=10338.60 Ty=-16.02 Tz=-59.01 Mx=0.15 Mz=-41.05
Sollecitazioni agenti localmente: Tx_l=-16.02 Ty_l=-59.01 N_l=10338.60 My_l=41.05 Mz_l=0.15
Azioni sul cordone: TP=3.85 TO=11.76 NO=2060.85
Tensioni nel cordone: τ_P=0.45 τ_0=1.39 σ_0=302.88 σ_{ID}=302.88 Σ_T=304.27
CC 5 SLV (Collegamento 0010_-503)
Azioni sul collegamento: N=10338.60 Ty=-7.76 Tz=-59.01 Mx=0.15 Mz=-19.99
Sollecitazioni agenti localmente: Tx_l=-7.76 Ty_l=-59.01 N_l=10338.60 My_l=19.99 Mz_l=0.15
Azioni sul cordone: TP=2.20 TO=11.76 NO=2060.85
Tensioni nel cordone: τ_P=0.26 τ_0=1.39 σ_0=272.11 σ_{ID}=272.11 Σ_T=273.50
CC 6 SLD (Collegamento 0010_-503)
Azioni sul collegamento: N=6548.50 Ty=-13.00 Tz=-59.01 Mx=0.21 Mz=-33.26
Sollecitazioni agenti localmente: Tx_l=-13.00 Ty_l=-59.01 N_l=6548.50 My_l=33.26 Mz_l=0.21
Azioni sul cordone: TP=3.48 TO=11.76 NO=1305.35
Tensioni nel cordone: τ_P=0.41 τ_0=1.39 σ_0=202.45 σ_{ID}=202.45 Σ_T=203.84
CC 6 SLD (Collegamento 0010_-503)
Azioni sul collegamento: N=6548.50 Ty=-10.49 Tz=-59.01 Mx=0.21 Mz=-26.84
Sollecitazioni agenti localmente: Tx_l=-10.49 Ty_l=-59.01 N_l=6548.50 My_l=26.84 Mz_l=0.21
Azioni sul cordone: TP=2.97 TO=11.76 NO=1305.35
Tensioni nel cordone: τ_P=0.35 τ_0=1.39 σ_0=193.07 σ_{ID}=193.07 Σ_T=194.45
CC 6 SLD (Collegamento 0010_-503)
Azioni sul collegamento: N=6548.50 Ty=-13.00 Tz=-59.01 Mx=0.21 Mz=-33.26
Sollecitazioni agenti localmente: Tx_l=-13.00 Ty_l=-59.01 N_l=6548.50 My_l=33.26 Mz_l=0.21
Azioni sul cordone: TP=3.48 TO=11.76 NO=1305.35
Tensioni nel cordone: τ_P=0.41 τ_0=1.39 σ_0=202.45 σ_{ID}=202.45 Σ_T=203.84
CC 6 SLD (Collegamento 0010_-503)
Azioni sul collegamento: N=6548.50 Ty=-10.49 Tz=-59.01 Mx=0.21 Mz=-26.84
Sollecitazioni agenti localmente: Tx_l=-10.49 Ty_l=-59.01 N_l=6548.50 My_l=26.84 Mz_l=0.21
Azioni sul cordone: TP=2.97 TO=11.76 NO=1305.35
Tensioni nel cordone: τ_P=0.35 τ_0=1.39 σ_0=193.07 σ_{ID}=193.07 Σ_T=194.45
CC 6 SLD (Collegamento 0010_-503)
Azioni sul collegamento: N=8354.23 Ty=-13.00 Tz=-59.01 Mx=0.21 Mz=-33.26
Sollecitazioni agenti localmente: Tx_l=-13.00 Ty_l=-59.01 N_l=8354.23 My_l=33.26 Mz_l=0.21
Azioni sul cordone: TP=3.48 TO=11.76 NO=1665.30
Tensioni nel cordone: τ_P=0.41 τ_0=1.39 σ_0=244.88 σ_{ID}=244.88 Σ_T=246.26
CC 6 SLD (Collegamento 0010_-503)
Azioni sul collegamento: N=8354.23 Ty=-10.49 Tz=-59.01 Mx=0.21 Mz=-26.84
Sollecitazioni agenti localmente: Tx_l=-10.49 Ty_l=-59.01 N_l=8354.23 My_l=26.84 Mz_l=0.21
Azioni sul cordone: TP=2.97 TO=11.76 NO=1665.30
Tensioni nel cordone: τ_P=0.35 τ_0=1.39 σ_0=235.49 σ_{ID}=235.50 Σ_T=236.88
CC 6 SLD (Collegamento 0010_-503)
Azioni sul collegamento: N=8354.23 Ty=-13.00 Tz=-59.01 Mx=0.21 Mz=-33.26
Sollecitazioni agenti localmente: Tx_l=-13.00 Ty_l=-59.01 N_l=8354.23 My_l=33.26 Mz_l=0.21
Azioni sul cordone: TP=3.48 TO=11.76 NO=1665.30
Tensioni nel cordone: τ_P=0.41 τ_0=1.39 σ_0=244.88 σ_{ID}=244.88 Σ_T=246.26
CC 6 SLD (Collegamento 0010_-503)
Azioni sul collegamento: N=8354.23 Ty=-10.49 Tz=-59.01 Mx=0.21 Mz=-26.84
Sollecitazioni agenti localmente: Tx_l=-10.49 Ty_l=-59.01 N_l=8354.23 My_l=26.84 Mz_l=0.21
Azioni sul cordone: TP=2.97 TO=11.76 NO=1665.30
Tensioni nel cordone: τ_P=0.35 τ_0=1.39 σ_0=235.49 σ_{ID}=235.50 Σ_T=236.88
CC 7 SLV (Collegamento 0010_-503)
Azioni sul collegamento: N=4412.89 Ty=-16.11 Tz=-59.01 Mx=0.15 Mz=-41.29
Sollecitazioni agenti localmente: Tx_l=-16.11 Ty_l=-59.01 N_l=4412.89 My_l=41.29 Mz_l=0.15
Azioni sul cordone: TP=3.86 TO=11.76 NO=879.65
Tensioni nel cordone: τ_P=0.45 τ_0=1.39 σ_0=164.01 σ_{ID}=164.01 Σ_T=165.39
CC 7 SLV (Collegamento 0010_-503)
Azioni sul collegamento: N=4412.89 Ty=-7.67 Tz=-59.01 Mx=0.15 Mz=-19.74
Sollecitazioni agenti localmente: Tx_l=-7.67 Ty_l=-59.01 N_l=4412.89 My_l=19.74 Mz_l=0.15
Azioni sul cordone: TP=2.18 TO=11.76 NO=879.65
Tensioni nel cordone: τ_P=0.26 τ_0=1.39 σ_0=132.53 σ_{ID}=132.54 Σ_T=133.91
CC 7 SLV (Collegamento 0010_-503)
Azioni sul collegamento: N=4412.89 Ty=-16.11 Tz=-59.01 Mx=0.15 Mz=-41.29
Sollecitazioni agenti localmente: Tx_l=-16.11 Ty_l=-59.01 N_l=4412.89 My_l=41.29 Mz_l=0.15
Azioni sul cordone: TP=3.86 TO=11.76 NO=879.65
Tensioni nel cordone: τ_P=0.45 τ_0=1.39 σ_0=164.01 σ_{ID}=164.01 Σ_T=165.39
CC 7 SLV (Collegamento 0010_-503)
Azioni sul collegamento: N=4412.89 Ty=-7.67 Tz=-59.01 Mx=0.15 Mz=-19.74
Sollecitazioni agenti localmente: Tx_l=-7.67 Ty_l=-59.01 N_l=4412.89 My_l=19.74 Mz_l=0.15
Azioni sul cordone: TP=2.18 TO=11.76 NO=879.65
Tensioni nel cordone: τ_P=0.26 τ_0=1.39 σ_0=132.53 σ_{ID}=132.54 Σ_T=133.91
CC 7 SLV (Collegamento 0010_-503)
Azioni sul collegamento: N=10342.50 Ty=-16.11 Tz=-59.01 Mx=0.15 Mz=-41.29

Sollecitazioni agenti localmente: T_{x_l}=-16.11 T_{y_l}=-59.01 N_l=10342.50 M_{y_l}=41.29 M_{z_l}=0.15
Azioni sul cordone: TP=3.86 TO=11.76 NO=2061.64
Tensioni nel cordone: τ_P=0.45 τ_0=1.39 σ_0=303.33 σ_{ID}=303.33 Σ_T=304.71
CC 7 SLV (Collegamento 0010_-503)
Azioni sul collegamento: N=10342.50 Ty=-7.67 Tz=-59.01 Mx=0.15 Mz=-19.74
Sollecitazioni agenti localmente: T_{x_l}=-7.67 T_{y_l}=-59.01 N_l=10342.50 M_{y_l}=19.74 M_{z_l}=0.15
Azioni sul cordone: TP=2.18 TO=11.76 NO=2061.64
Tensioni nel cordone: τ_P=0.26 τ_0=1.39 σ_0=271.85 σ_{ID}=271.85 Σ_T=273.23
CC 7 SLV (Collegamento 0010_-503)
Azioni sul collegamento: N=10342.50 Ty=-16.11 Tz=-59.01 Mx=0.15 Mz=-41.29
Sollecitazioni agenti localmente: T_{x_l}=-16.11 T_{y_l}=-59.01 N_l=10342.50 M_{y_l}=41.29 M_{z_l}=0.15
Azioni sul cordone: TP=3.86 TO=11.76 NO=2061.64
Tensioni nel cordone: τ_P=0.45 τ_0=1.39 σ_0=303.33 σ_{ID}=303.33 Σ_T=304.71
CC 7 SLV (Collegamento 0010_-503)
Azioni sul collegamento: N=10342.50 Ty=-7.67 Tz=-59.01 Mx=0.15 Mz=-19.74
Sollecitazioni agenti localmente: T_{x_l}=-7.67 T_{y_l}=-59.01 N_l=10342.50 M_{y_l}=19.74 M_{z_l}=0.15
Azioni sul cordone: TP=2.18 TO=11.76 NO=2061.64
Tensioni nel cordone: τ_P=0.26 τ_0=1.39 σ_0=271.85 σ_{ID}=271.85 Σ_T=273.23
CC 8 SLD (Collegamento 0010_-503)
Azioni sul collegamento: N=6547.30 Ty=-13.03 Tz=-59.01 Mx=0.21 Mz=-33.33
Sollecitazioni agenti localmente: T_{x_l}=-13.03 T_{y_l}=-59.01 N_l=6547.30 M_{y_l}=33.33 M_{z_l}=0.21
Azioni sul cordone: TP=3.48 TO=11.76 NO=1305.11
Tensioni nel cordone: τ_P=0.41 τ_0=1.39 σ_0=202.53 σ_{ID}=202.53 Σ_T=203.91
CC 8 SLD (Collegamento 0010_-503)
Azioni sul collegamento: N=6547.30 Ty=-10.46 Tz=-59.01 Mx=0.21 Mz=-26.76
Sollecitazioni agenti localmente: T_{x_l}=-10.46 T_{y_l}=-59.01 N_l=6547.30 M_{y_l}=26.76 M_{z_l}=0.21
Azioni sul cordone: TP=2.97 TO=11.76 NO=1305.11
Tensioni nel cordone: τ_P=0.35 τ_0=1.39 σ_0=192.93 σ_{ID}=192.94 Σ_T=194.32
CC 8 SLD (Collegamento 0010_-503)
Azioni sul collegamento: N=6547.30 Ty=-13.03 Tz=-59.01 Mx=0.21 Mz=-33.33
Sollecitazioni agenti localmente: T_{x_l}=-13.03 T_{y_l}=-59.01 N_l=6547.30 M_{y_l}=33.33 M_{z_l}=0.21
Azioni sul cordone: TP=3.48 TO=11.76 NO=1305.11
Tensioni nel cordone: τ_P=0.41 τ_0=1.39 σ_0=202.53 σ_{ID}=202.53 Σ_T=203.91
CC 8 SLD (Collegamento 0010_-503)
Azioni sul collegamento: N=6547.30 Ty=-10.46 Tz=-59.01 Mx=0.21 Mz=-26.76
Sollecitazioni agenti localmente: T_{x_l}=-10.46 T_{y_l}=-59.01 N_l=6547.30 M_{y_l}=26.76 M_{z_l}=0.21
Azioni sul cordone: TP=2.97 TO=11.76 NO=1305.11
Tensioni nel cordone: τ_P=0.35 τ_0=1.39 σ_0=192.93 σ_{ID}=192.94 Σ_T=194.32
CC 8 SLD (Collegamento 0010_-503)
Azioni sul collegamento: N=8355.44 Ty=-13.03 Tz=-59.01 Mx=0.21 Mz=-33.33
Sollecitazioni agenti localmente: T_{x_l}=-13.03 T_{y_l}=-59.01 N_l=8355.44 M_{y_l}=33.33 M_{z_l}=0.21
Azioni sul cordone: TP=3.48 TO=11.76 NO=1665.53
Tensioni nel cordone: τ_P=0.41 τ_0=1.39 σ_0=245.01 σ_{ID}=245.02 Σ_T=246.40
CC 8 SLD (Collegamento 0010_-503)
Azioni sul collegamento: N=8355.44 Ty=-10.46 Tz=-59.01 Mx=0.21 Mz=-26.76
Sollecitazioni agenti localmente: T_{x_l}=-10.46 T_{y_l}=-59.01 N_l=8355.44 M_{y_l}=26.76 M_{z_l}=0.21
Azioni sul cordone: TP=2.97 TO=11.76 NO=1665.53
Tensioni nel cordone: τ_P=0.35 τ_0=1.39 σ_0=235.41 σ_{ID}=235.42 Σ_T=236.80
CC 8 SLD (Collegamento 0010_-503)
Azioni sul collegamento: N=8355.44 Ty=-13.03 Tz=-59.01 Mx=0.21 Mz=-33.33
Sollecitazioni agenti localmente: T_{x_l}=-13.03 T_{y_l}=-59.01 N_l=8355.44 M_{y_l}=33.33 M_{z_l}=0.21
Azioni sul cordone: TP=3.48 TO=11.76 NO=1665.53
Tensioni nel cordone: τ_P=0.41 τ_0=1.39 σ_0=245.01 σ_{ID}=245.02 Σ_T=246.40
CC 8 SLD (Collegamento 0010_-503)
Azioni sul collegamento: N=8355.44 Ty=-10.46 Tz=-59.01 Mx=0.21 Mz=-26.76
Sollecitazioni agenti localmente: T_{x_l}=-10.46 T_{y_l}=-59.01 N_l=8355.44 M_{y_l}=26.76 M_{z_l}=0.21
Azioni sul cordone: TP=2.97 TO=11.76 NO=1665.53
Tensioni nel cordone: τ_P=0.35 τ_0=1.39 σ_0=235.41 σ_{ID}=235.42 Σ_T=236.80
CC 9 SLV (Collegamento 0010_-503)
Azioni sul collegamento: N=8273.14 Ty=-10.48 Tz=-59.01 Mx=0.26 Mz=-26.92
Sollecitazioni agenti localmente: T_{x_l}=-10.48 T_{y_l}=-59.01 N_l=8273.14 M_{y_l}=26.92 M_{z_l}=0.26
Azioni sul cordone: TP=3.21 TO=11.76 NO=1649.13
Tensioni nel cordone: τ_P=0.38 τ_0=1.39 σ_0=233.71 σ_{ID}=233.71 Σ_T=235.09
CC 9 SLV (Collegamento 0010_-503)
Azioni sul collegamento: N=8273.14 Ty=-13.30 Tz=-59.01 Mx=0.26 Mz=-34.12
Sollecitazioni agenti localmente: T_{x_l}=-13.30 T_{y_l}=-59.01 N_l=8273.14 M_{y_l}=34.12 M_{z_l}=0.26
Azioni sul cordone: TP=3.77 TO=11.76 NO=1649.13
Tensioni nel cordone: τ_P=0.44 τ_0=1.39 σ_0=244.22 σ_{ID}=244.23 Σ_T=245.61
CC 9 SLV (Collegamento 0010_-503)
Azioni sul collegamento: N=8273.14 Ty=-10.48 Tz=-59.01 Mx=0.26 Mz=-26.92
Sollecitazioni agenti localmente: T_{x_l}=-10.48 T_{y_l}=-59.01 N_l=8273.14 M_{y_l}=26.92 M_{z_l}=0.26
Azioni sul cordone: TP=3.21 TO=11.76 NO=1649.13
Tensioni nel cordone: τ_P=0.38 τ_0=1.39 σ_0=233.71 σ_{ID}=233.71 Σ_T=235.09
CC 9 SLV (Collegamento 0010_-503)
Azioni sul collegamento: N=8273.14 Ty=-13.30 Tz=-59.01 Mx=0.26 Mz=-34.12
Sollecitazioni agenti localmente: T_{x_l}=-13.30 T_{y_l}=-59.01 N_l=8273.14 M_{y_l}=34.12 M_{z_l}=0.26
Azioni sul cordone: TP=3.77 TO=11.76 NO=1649.13
Tensioni nel cordone: τ_P=0.44 τ_0=1.39 σ_0=244.22 σ_{ID}=244.23 Σ_T=245.61
CC 9 SLV (Collegamento 0010_-503)

Azioni sul collegamento: N=6482.30 Ty=-10.48 Tz=-59.01 Mx=0.26 Mz=-26.92
Sollecitazioni agenti localmente: Tx_l=-10.48 Ty_l=-59.01 N_l=6482.30 My_l=26.92 Mz_l=0.26
Azioni sul cordone: TP=3.21 TO=11.76 NO=1292.15
Tensioni nel cordone: τ_P=0.38 τ_0=1.39 σ_0=191.63 σ_{ID}=191.63 Σ_T=193.02
CC 9 SLV (Collegamento 0010_-503)
Azioni sul collegamento: N=6482.30 Ty=-13.30 Tz=-59.01 Mx=0.26 Mz=-34.12
Sollecitazioni agenti localmente: Tx_l=-13.30 Ty_l=-59.01 N_l=6482.30 My_l=34.12 Mz_l=0.26
Azioni sul cordone: TP=3.77 TO=11.76 NO=1292.15
Tensioni nel cordone: τ_P=0.44 τ_0=1.39 σ_0=202.15 σ_{ID}=202.15 Σ_T=203.53
CC 9 SLV (Collegamento 0010_-503)
Azioni sul collegamento: N=6482.30 Ty=-10.48 Tz=-59.01 Mx=0.26 Mz=-26.92
Sollecitazioni agenti localmente: Tx_l=-10.48 Ty_l=-59.01 N_l=6482.30 My_l=26.92 Mz_l=0.26
Azioni sul cordone: TP=3.21 TO=11.76 NO=1292.15
Tensioni nel cordone: τ_P=0.38 τ_0=1.39 σ_0=191.63 σ_{ID}=191.63 Σ_T=193.02
CC 9 SLV (Collegamento 0010_-503)
Azioni sul collegamento: N=6482.30 Ty=-13.30 Tz=-59.01 Mx=0.26 Mz=-34.12
Sollecitazioni agenti localmente: Tx_l=-13.30 Ty_l=-59.01 N_l=6482.30 My_l=34.12 Mz_l=0.26
Azioni sul cordone: TP=3.77 TO=11.76 NO=1292.15
Tensioni nel cordone: τ_P=0.44 τ_0=1.39 σ_0=202.15 σ_{ID}=202.15 Σ_T=203.53
CC 10 SLD (Collegamento 0010_-503)
Azioni sul collegamento: N=7724.41 Ty=-11.32 Tz=-59.01 Mx=0.24 Mz=-28.95
Sollecitazioni agenti localmente: Tx_l=-11.32 Ty_l=-59.01 N_l=7724.41 My_l=28.95 Mz_l=0.24
Azioni sul cordone: TP=3.28 TO=11.76 NO=1539.75
Tensioni nel cordone: τ_P=0.39 τ_0=1.39 σ_0=223.78 σ_{ID}=223.79 Σ_T=225.17
CC 10 SLD (Collegamento 0010_-503)
Azioni sul collegamento: N=7724.41 Ty=-12.17 Tz=-59.01 Mx=0.24 Mz=-31.15
Sollecitazioni agenti localmente: Tx_l=-12.17 Ty_l=-59.01 N_l=7724.41 My_l=31.15 Mz_l=0.24
Azioni sul cordone: TP=3.45 TO=11.76 NO=1539.75
Tensioni nel cordone: τ_P=0.41 τ_0=1.39 σ_0=226.99 σ_{ID}=227.00 Σ_T=228.38
CC 10 SLD (Collegamento 0010_-503)
Azioni sul collegamento: N=7724.41 Ty=-11.32 Tz=-59.01 Mx=0.24 Mz=-28.95
Sollecitazioni agenti localmente: Tx_l=-11.32 Ty_l=-59.01 N_l=7724.41 My_l=28.95 Mz_l=0.24
Azioni sul cordone: TP=3.28 TO=11.76 NO=1539.75
Tensioni nel cordone: τ_P=0.39 τ_0=1.39 σ_0=223.78 σ_{ID}=223.79 Σ_T=225.17
CC 10 SLD (Collegamento 0010_-503)
Azioni sul collegamento: N=7724.41 Ty=-12.17 Tz=-59.01 Mx=0.24 Mz=-31.15
Sollecitazioni agenti localmente: Tx_l=-12.17 Ty_l=-59.01 N_l=7724.41 My_l=31.15 Mz_l=0.24
Azioni sul cordone: TP=3.45 TO=11.76 NO=1539.75
Tensioni nel cordone: τ_P=0.41 τ_0=1.39 σ_0=226.99 σ_{ID}=227.00 Σ_T=228.38
CC 10 SLD (Collegamento 0010_-503)
Azioni sul collegamento: N=7178.32 Ty=-11.32 Tz=-59.01 Mx=0.24 Mz=-28.95
Sollecitazioni agenti localmente: Tx_l=-11.32 Ty_l=-59.01 N_l=7178.32 My_l=28.95 Mz_l=0.24
Azioni sul cordone: TP=3.28 TO=11.76 NO=1430.89
Tensioni nel cordone: τ_P=0.39 τ_0=1.39 σ_0=210.95 σ_{ID}=210.96 Σ_T=212.34
CC 10 SLD (Collegamento 0010_-503)
Azioni sul collegamento: N=7178.32 Ty=-12.17 Tz=-59.01 Mx=0.24 Mz=-31.15
Sollecitazioni agenti localmente: Tx_l=-12.17 Ty_l=-59.01 N_l=7178.32 My_l=31.15 Mz_l=0.24
Azioni sul cordone: TP=3.45 TO=11.76 NO=1430.89
Tensioni nel cordone: τ_P=0.41 τ_0=1.39 σ_0=214.16 σ_{ID}=214.16 Σ_T=215.55
CC 10 SLD (Collegamento 0010_-503)
Azioni sul collegamento: N=7178.32 Ty=-11.32 Tz=-59.01 Mx=0.24 Mz=-28.95
Sollecitazioni agenti localmente: Tx_l=-11.32 Ty_l=-59.01 N_l=7178.32 My_l=28.95 Mz_l=0.24
Azioni sul cordone: TP=3.28 TO=11.76 NO=1430.89
Tensioni nel cordone: τ_P=0.39 τ_0=1.39 σ_0=210.95 σ_{ID}=210.96 Σ_T=212.34
CC 10 SLD (Collegamento 0010_-503)
Azioni sul collegamento: N=7178.32 Ty=-12.17 Tz=-59.01 Mx=0.24 Mz=-31.15
Sollecitazioni agenti localmente: Tx_l=-12.17 Ty_l=-59.01 N_l=7178.32 My_l=31.15 Mz_l=0.24
Azioni sul cordone: TP=3.45 TO=11.76 NO=1430.89
Tensioni nel cordone: τ_P=0.41 τ_0=1.39 σ_0=214.16 σ_{ID}=214.16 Σ_T=215.55
CC 11 SLV (Collegamento 0010_-503)
Azioni sul collegamento: N=6495.42 Ty=-12.99 Tz=-59.01 Mx=0.21 Mz=-33.31
Sollecitazioni agenti localmente: Tx_l=-12.99 Ty_l=-59.01 N_l=6495.42 My_l=33.31 Mz_l=0.21
Azioni sul cordone: TP=3.50 TO=11.76 NO=1294.77
Tensioni nel cordone: τ_P=0.41 τ_0=1.39 σ_0=201.28 σ_{ID}=201.28 Σ_T=202.66
CC 11 SLV (Collegamento 0010_-503)
Azioni sul collegamento: N=6495.42 Ty=-10.79 Tz=-59.01 Mx=0.21 Mz=-27.73
Sollecitazioni agenti localmente: Tx_l=-10.79 Ty_l=-59.01 N_l=6495.42 My_l=27.73 Mz_l=0.21
Azioni sul cordone: TP=3.06 TO=11.76 NO=1294.77
Tensioni nel cordone: τ_P=0.36 τ_0=1.39 σ_0=193.12 σ_{ID}=193.13 Σ_T=194.51
CC 11 SLV (Collegamento 0010_-503)
Azioni sul collegamento: N=6495.42 Ty=-12.99 Tz=-59.01 Mx=0.21 Mz=-33.31
Sollecitazioni agenti localmente: Tx_l=-12.99 Ty_l=-59.01 N_l=6495.42 My_l=33.31 Mz_l=0.21
Azioni sul cordone: TP=3.50 TO=11.76 NO=1294.77
Tensioni nel cordone: τ_P=0.41 τ_0=1.39 σ_0=201.28 σ_{ID}=201.28 Σ_T=202.66
CC 11 SLV (Collegamento 0010_-503)
Azioni sul collegamento: N=6495.42 Ty=-10.79 Tz=-59.01 Mx=0.21 Mz=-27.73
Sollecitazioni agenti localmente: Tx_l=-10.79 Ty_l=-59.01 N_l=6495.42 My_l=27.73 Mz_l=0.21
Azioni sul cordone: TP=3.06 TO=11.76 NO=1294.77
Tensioni nel cordone: τ_P=0.36 τ_0=1.39 σ_0=193.12 σ_{ID}=193.13 Σ_T=194.51

CC 11 SLV (Collegamento 0010_-503)
Azioni sul collegamento: N=8260.01 Ty=-12.99 Tz=-59.01 Mx=0.21 Mz=-33.31
Sollecitazioni agenti localmente: Tx_l=-12.99 Ty_l=-59.01 N_l=8260.01 My_l=33.31 Mz_l=0.21
Azioni sul cordone: TP=3.50 TO=11.76 NO=1646.51
Tensioni nel cordone: τ_P=0.41 τ_0=1.39 σ_0=242.74 σ_{ID}=242.74 Σ_T=244.12
CC 11 SLV (Collegamento 0010_-503)
Azioni sul collegamento: N=8260.01 Ty=-10.79 Tz=-59.01 Mx=0.21 Mz=-27.73
Sollecitazioni agenti localmente: Tx_l=-10.79 Ty_l=-59.01 N_l=8260.01 My_l=27.73 Mz_l=0.21
Azioni sul cordone: TP=3.06 TO=11.76 NO=1646.51
Tensioni nel cordone: τ_P=0.36 τ_0=1.39 σ_0=234.58 σ_{ID}=234.58 Σ_T=235.97
CC 11 SLV (Collegamento 0010_-503)
Azioni sul collegamento: N=8260.01 Ty=-12.99 Tz=-59.01 Mx=0.21 Mz=-33.31
Sollecitazioni agenti localmente: Tx_l=-12.99 Ty_l=-59.01 N_l=8260.01 My_l=33.31 Mz_l=0.21
Azioni sul cordone: TP=3.50 TO=11.76 NO=1646.51
Tensioni nel cordone: τ_P=0.41 τ_0=1.39 σ_0=242.74 σ_{ID}=242.74 Σ_T=244.12
CC 11 SLV (Collegamento 0010_-503)
Azioni sul collegamento: N=8260.01 Ty=-10.79 Tz=-59.01 Mx=0.21 Mz=-27.73
Sollecitazioni agenti localmente: Tx_l=-10.79 Ty_l=-59.01 N_l=8260.01 My_l=27.73 Mz_l=0.21
Azioni sul cordone: TP=3.06 TO=11.76 NO=1646.51
Tensioni nel cordone: τ_P=0.36 τ_0=1.39 σ_0=234.58 σ_{ID}=234.58 Σ_T=235.97
CC 12 SLD (Collegamento 0010_-503)
Azioni sul collegamento: N=7182.33 Ty=-12.08 Tz=-59.01 Mx=0.23 Mz=-30.90
Sollecitazioni agenti localmente: Tx_l=-12.08 Ty_l=-59.01 N_l=7182.33 My_l=30.90 Mz_l=0.23
Azioni sul cordone: TP=3.37 TO=11.76 NO=1431.69
Tensioni nel cordone: τ_P=0.40 τ_0=1.39 σ_0=213.89 σ_{ID}=213.90 Σ_T=215.28
CC 12 SLD (Collegamento 0010_-503)
Azioni sul collegamento: N=7182.33 Ty=-11.41 Tz=-59.01 Mx=0.23 Mz=-29.20
Sollecitazioni agenti localmente: Tx_l=-11.41 Ty_l=-59.01 N_l=7182.33 My_l=29.20 Mz_l=0.23
Azioni sul cordone: TP=3.24 TO=11.76 NO=1431.69
Tensioni nel cordone: τ_P=0.38 τ_0=1.39 σ_0=211.41 σ_{ID}=211.41 Σ_T=212.79
CC 12 SLD (Collegamento 0010_-503)
Azioni sul collegamento: N=7182.33 Ty=-12.08 Tz=-59.01 Mx=0.23 Mz=-30.90
Sollecitazioni agenti localmente: Tx_l=-12.08 Ty_l=-59.01 N_l=7182.33 My_l=30.90 Mz_l=0.23
Azioni sul cordone: TP=3.37 TO=11.76 NO=1431.69
Tensioni nel cordone: τ_P=0.40 τ_0=1.39 σ_0=213.89 σ_{ID}=213.90 Σ_T=215.28
CC 12 SLD (Collegamento 0010_-503)
Azioni sul collegamento: N=7182.33 Ty=-11.41 Tz=-59.01 Mx=0.23 Mz=-29.20
Sollecitazioni agenti localmente: Tx_l=-11.41 Ty_l=-59.01 N_l=7182.33 My_l=29.20 Mz_l=0.23
Azioni sul cordone: TP=3.24 TO=11.76 NO=1431.69
Tensioni nel cordone: τ_P=0.38 τ_0=1.39 σ_0=211.41 σ_{ID}=211.41 Σ_T=212.79
CC 12 SLD (Collegamento 0010_-503)
Azioni sul collegamento: N=7720.41 Ty=-12.08 Tz=-59.01 Mx=0.23 Mz=-30.90
Sollecitazioni agenti localmente: Tx_l=-12.08 Ty_l=-59.01 N_l=7720.41 My_l=30.90 Mz_l=0.23
Azioni sul cordone: TP=3.37 TO=11.76 NO=1538.95
Tensioni nel cordone: τ_P=0.40 τ_0=1.39 σ_0=226.54 σ_{ID}=226.54 Σ_T=227.92
CC 12 SLD (Collegamento 0010_-503)
Azioni sul collegamento: N=7720.41 Ty=-11.41 Tz=-59.01 Mx=0.23 Mz=-29.20
Sollecitazioni agenti localmente: Tx_l=-11.41 Ty_l=-59.01 N_l=7720.41 My_l=29.20 Mz_l=0.23
Azioni sul cordone: TP=3.24 TO=11.76 NO=1538.95
Tensioni nel cordone: τ_P=0.38 τ_0=1.39 σ_0=224.05 σ_{ID}=224.05 Σ_T=225.44
CC 12 SLD (Collegamento 0010_-503)
Azioni sul collegamento: N=7720.41 Ty=-12.08 Tz=-59.01 Mx=0.23 Mz=-30.90
Sollecitazioni agenti localmente: Tx_l=-12.08 Ty_l=-59.01 N_l=7720.41 My_l=30.90 Mz_l=0.23
Azioni sul cordone: TP=3.37 TO=11.76 NO=1538.95
Tensioni nel cordone: τ_P=0.40 τ_0=1.39 σ_0=226.54 σ_{ID}=226.54 Σ_T=227.92
CC 12 SLD (Collegamento 0010_-503)
Azioni sul collegamento: N=7720.41 Ty=-11.41 Tz=-59.01 Mx=0.23 Mz=-29.20
Sollecitazioni agenti localmente: Tx_l=-11.41 Ty_l=-59.01 N_l=7720.41 My_l=29.20 Mz_l=0.23
Azioni sul cordone: TP=3.24 TO=11.76 NO=1538.95
Tensioni nel cordone: τ_P=0.38 τ_0=1.39 σ_0=224.05 σ_{ID}=224.05 Σ_T=225.44
CC 13 SLV (Collegamento 0010_-503)
Azioni sul collegamento: N=8260.01 Ty=-10.79 Tz=-59.01 Mx=0.26 Mz=-27.73
Sollecitazioni agenti localmente: Tx_l=-10.79 Ty_l=-59.01 N_l=8260.01 My_l=27.73 Mz_l=0.26
Azioni sul cordone: TP=3.25 TO=11.76 NO=1646.51
Tensioni nel cordone: τ_P=0.38 τ_0=1.39 σ_0=234.58 σ_{ID}=234.58 Σ_T=235.97
CC 13 SLV (Collegamento 0010_-503)
Azioni sul collegamento: N=8260.01 Ty=-12.99 Tz=-59.01 Mx=0.26 Mz=-33.31
Sollecitazioni agenti localmente: Tx_l=-12.99 Ty_l=-59.01 N_l=8260.01 My_l=33.31 Mz_l=0.26
Azioni sul cordone: TP=3.69 TO=11.76 NO=1646.51
Tensioni nel cordone: τ_P=0.43 τ_0=1.39 σ_0=242.74 σ_{ID}=242.74 Σ_T=244.12
CC 13 SLV (Collegamento 0010_-503)
Azioni sul collegamento: N=8260.01 Ty=-10.79 Tz=-59.01 Mx=0.26 Mz=-27.73
Sollecitazioni agenti localmente: Tx_l=-10.79 Ty_l=-59.01 N_l=8260.01 My_l=27.73 Mz_l=0.26
Azioni sul cordone: TP=3.25 TO=11.76 NO=1646.51
Tensioni nel cordone: τ_P=0.38 τ_0=1.39 σ_0=234.58 σ_{ID}=234.58 Σ_T=235.97
CC 13 SLV (Collegamento 0010_-503)
Azioni sul collegamento: N=8260.01 Ty=-12.99 Tz=-59.01 Mx=0.26 Mz=-33.31
Sollecitazioni agenti localmente: Tx_l=-12.99 Ty_l=-59.01 N_l=8260.01 My_l=33.31 Mz_l=0.26
Azioni sul cordone: TP=3.69 TO=11.76 NO=1646.51

Tensioni nel cordone: τ_P=0.43 τ_0=1.39 σ_0=242.74 σ_{ID}=242.74 Σ_T=244.12
CC 13 SLV (Collegamento 0010_-503)
Azioni sul collegamento: N=6495.42 Ty=-10.79 Tz=-59.01 Mx=0.26 Mz=-27.73
Sollecitazioni agenti localmente: Tx_l=-10.79 Ty_l=-59.01 N_l=6495.42 My_l=27.73 Mz_l=0.26
Azioni sul cordone: TP=3.25 TO=11.76 NO=1294.77
Tensioni nel cordone: τ_P=0.38 τ_0=1.39 σ_0=193.12 σ_{ID}=193.13 Σ_T=194.51
CC 13 SLV (Collegamento 0010_-503)
Azioni sul collegamento: N=6495.42 Ty=-12.99 Tz=-59.01 Mx=0.26 Mz=-33.31
Sollecitazioni agenti localmente: Tx_l=-12.99 Ty_l=-59.01 N_l=6495.42 My_l=33.31 Mz_l=0.26
Azioni sul cordone: TP=3.69 TO=11.76 NO=1294.77
Tensioni nel cordone: τ_P=0.43 τ_0=1.39 σ_0=201.28 σ_{ID}=201.28 Σ_T=202.66
CC 13 SLV (Collegamento 0010_-503)
Azioni sul collegamento: N=6495.42 Ty=-10.79 Tz=-59.01 Mx=0.26 Mz=-27.73
Sollecitazioni agenti localmente: Tx_l=-10.79 Ty_l=-59.01 N_l=6495.42 My_l=27.73 Mz_l=0.26
Azioni sul cordone: TP=3.25 TO=11.76 NO=1294.77
Tensioni nel cordone: τ_P=0.38 τ_0=1.39 σ_0=193.12 σ_{ID}=193.13 Σ_T=194.51
CC 13 SLV (Collegamento 0010_-503)
Azioni sul collegamento: N=6495.42 Ty=-12.99 Tz=-59.01 Mx=0.26 Mz=-33.31
Sollecitazioni agenti localmente: Tx_l=-12.99 Ty_l=-59.01 N_l=6495.42 My_l=33.31 Mz_l=0.26
Azioni sul cordone: TP=3.69 TO=11.76 NO=1294.77
Tensioni nel cordone: τ_P=0.43 τ_0=1.39 σ_0=201.28 σ_{ID}=201.28 Σ_T=202.66
CC 14 SLD (Collegamento 0010_-503)
Azioni sul collegamento: N=7720.41 Ty=-11.41 Tz=-59.01 Mx=0.24 Mz=-29.20
Sollecitazioni agenti localmente: Tx_l=-11.41 Ty_l=-59.01 N_l=7720.41 My_l=29.20 Mz_l=0.24
Azioni sul cordone: TP=3.29 TO=11.76 NO=1538.95
Tensioni nel cordone: τ_P=0.39 τ_0=1.39 σ_0=224.05 σ_{ID}=224.05 Σ_T=225.44
CC 14 SLD (Collegamento 0010_-503)
Azioni sul collegamento: N=7720.41 Ty=-12.08 Tz=-59.01 Mx=0.24 Mz=-30.90
Sollecitazioni agenti localmente: Tx_l=-12.08 Ty_l=-59.01 N_l=7720.41 My_l=30.90 Mz_l=0.24
Azioni sul cordone: TP=3.43 TO=11.76 NO=1538.95
Tensioni nel cordone: τ_P=0.40 τ_0=1.39 σ_0=226.54 σ_{ID}=226.54 Σ_T=227.92
CC 14 SLD (Collegamento 0010_-503)
Azioni sul collegamento: N=7720.41 Ty=-11.41 Tz=-59.01 Mx=0.24 Mz=-29.20
Sollecitazioni agenti localmente: Tx_l=-11.41 Ty_l=-59.01 N_l=7720.41 My_l=29.20 Mz_l=0.24
Azioni sul cordone: TP=3.29 TO=11.76 NO=1538.95
Tensioni nel cordone: τ_P=0.39 τ_0=1.39 σ_0=224.05 σ_{ID}=224.05 Σ_T=225.44
CC 14 SLD (Collegamento 0010_-503)
Azioni sul collegamento: N=7720.41 Ty=-12.08 Tz=-59.01 Mx=0.24 Mz=-30.90
Sollecitazioni agenti localmente: Tx_l=-12.08 Ty_l=-59.01 N_l=7720.41 My_l=30.90 Mz_l=0.24
Azioni sul cordone: TP=3.43 TO=11.76 NO=1538.95
Tensioni nel cordone: τ_P=0.40 τ_0=1.39 σ_0=226.54 σ_{ID}=226.54 Σ_T=227.92
CC 14 SLD (Collegamento 0010_-503)
Azioni sul collegamento: N=7182.33 Ty=-11.41 Tz=-59.01 Mx=0.24 Mz=-29.20
Sollecitazioni agenti localmente: Tx_l=-11.41 Ty_l=-59.01 N_l=7182.33 My_l=29.20 Mz_l=0.24
Azioni sul cordone: TP=3.29 TO=11.76 NO=1431.69
Tensioni nel cordone: τ_P=0.39 τ_0=1.39 σ_0=211.41 σ_{ID}=211.41 Σ_T=212.79
CC 14 SLD (Collegamento 0010_-503)
Azioni sul collegamento: N=7182.33 Ty=-12.08 Tz=-59.01 Mx=0.24 Mz=-30.90
Sollecitazioni agenti localmente: Tx_l=-12.08 Ty_l=-59.01 N_l=7182.33 My_l=30.90 Mz_l=0.24
Azioni sul cordone: TP=3.43 TO=11.76 NO=1431.69
Tensioni nel cordone: τ_P=0.40 τ_0=1.39 σ_0=213.89 σ_{ID}=213.90 Σ_T=215.28
CC 14 SLD (Collegamento 0010_-503)
Azioni sul collegamento: N=7182.33 Ty=-11.41 Tz=-59.01 Mx=0.24 Mz=-29.20
Sollecitazioni agenti localmente: Tx_l=-11.41 Ty_l=-59.01 N_l=7182.33 My_l=29.20 Mz_l=0.24
Azioni sul cordone: TP=3.29 TO=11.76 NO=1431.69
Tensioni nel cordone: τ_P=0.39 τ_0=1.39 σ_0=211.41 σ_{ID}=211.41 Σ_T=212.79
CC 14 SLD (Collegamento 0010_-503)
Azioni sul collegamento: N=7182.33 Ty=-12.08 Tz=-59.01 Mx=0.24 Mz=-30.90
Sollecitazioni agenti localmente: Tx_l=-12.08 Ty_l=-59.01 N_l=7182.33 My_l=30.90 Mz_l=0.24
Azioni sul cordone: TP=3.43 TO=11.76 NO=1431.69
Tensioni nel cordone: τ_P=0.40 τ_0=1.39 σ_0=213.89 σ_{ID}=213.90 Σ_T=215.28
CC 15 SLV (Collegamento 0010_-503)
Azioni sul collegamento: N=6482.30 Ty=-13.30 Tz=-59.01 Mx=0.21 Mz=-34.12
Sollecitazioni agenti localmente: Tx_l=-13.30 Ty_l=-59.01 N_l=6482.30 My_l=34.12 Mz_l=0.21
Azioni sul cordone: TP=3.54 TO=11.76 NO=1292.15
Tensioni nel cordone: τ_P=0.42 τ_0=1.39 σ_0=202.15 σ_{ID}=202.15 Σ_T=203.53
CC 15 SLV (Collegamento 0010_-503)
Azioni sul collegamento: N=6482.30 Ty=-10.48 Tz=-59.01 Mx=0.21 Mz=-26.92
Sollecitazioni agenti localmente: Tx_l=-10.48 Ty_l=-59.01 N_l=6482.30 My_l=26.92 Mz_l=0.21
Azioni sul cordone: TP=2.98 TO=11.76 NO=1292.15
Tensioni nel cordone: τ_P=0.35 τ_0=1.39 σ_0=191.63 σ_{ID}=191.63 Σ_T=193.02
CC 15 SLV (Collegamento 0010_-503)
Azioni sul collegamento: N=6482.30 Ty=-13.30 Tz=-59.01 Mx=0.21 Mz=-34.12
Sollecitazioni agenti localmente: Tx_l=-13.30 Ty_l=-59.01 N_l=6482.30 My_l=34.12 Mz_l=0.21
Azioni sul cordone: TP=3.54 TO=11.76 NO=1292.15
Tensioni nel cordone: τ_P=0.42 τ_0=1.39 σ_0=202.15 σ_{ID}=202.15 Σ_T=203.53
CC 15 SLV (Collegamento 0010_-503)
Azioni sul collegamento: N=6482.30 Ty=-10.48 Tz=-59.01 Mx=0.21 Mz=-26.92
Sollecitazioni agenti localmente: Tx_l=-10.48 Ty_l=-59.01 N_l=6482.30 My_l=26.92 Mz_l=0.21

Azioni sul cordone: TP=2.98 TO=11.76 NO=1292.15
Tensioni nel cordone: τ_P=0.35 τ_0=1.39 σ_0=191.63 σ_{ID}=191.63 Σ_T=193.02
CC 15 SLV (Collegamento 0010_-503)
Azioni sul collegamento: N=8273.14 Ty=-13.30 Tz=-59.01 Mx=0.21 Mz=-34.12
Sollecitazioni agenti localmente: Tx_l=-13.30 Ty_l=-59.01 N_l=8273.14 My_l=34.12 Mz_l=0.21
Azioni sul cordone: TP=3.54 TO=11.76 NO=1649.13
Tensioni nel cordone: τ_P=0.42 τ_0=1.39 σ_0=244.22 σ_{ID}=244.23 Σ_T=245.61
CC 15 SLV (Collegamento 0010_-503)
Azioni sul collegamento: N=8273.14 Ty=-10.48 Tz=-59.01 Mx=0.21 Mz=-26.92
Sollecitazioni agenti localmente: Tx_l=-10.48 Ty_l=-59.01 N_l=8273.14 My_l=26.92 Mz_l=0.21
Azioni sul cordone: TP=2.98 TO=11.76 NO=1649.13
Tensioni nel cordone: τ_P=0.35 τ_0=1.39 σ_0=233.71 σ_{ID}=233.71 Σ_T=235.09
CC 15 SLV (Collegamento 0010_-503)
Azioni sul collegamento: N=8273.14 Ty=-13.30 Tz=-59.01 Mx=0.21 Mz=-34.12
Sollecitazioni agenti localmente: Tx_l=-13.30 Ty_l=-59.01 N_l=8273.14 My_l=34.12 Mz_l=0.21
Azioni sul cordone: TP=3.54 TO=11.76 NO=1649.13
Tensioni nel cordone: τ_P=0.42 τ_0=1.39 σ_0=244.22 σ_{ID}=244.23 Σ_T=245.61
CC 15 SLV (Collegamento 0010_-503)
Azioni sul collegamento: N=8273.14 Ty=-10.48 Tz=-59.01 Mx=0.21 Mz=-26.92
Sollecitazioni agenti localmente: Tx_l=-10.48 Ty_l=-59.01 N_l=8273.14 My_l=26.92 Mz_l=0.21
Azioni sul cordone: TP=2.98 TO=11.76 NO=1649.13
Tensioni nel cordone: τ_P=0.35 τ_0=1.39 σ_0=233.71 σ_{ID}=233.71 Σ_T=235.09
CC 16 SLD (Collegamento 0010_-503)
Azioni sul collegamento: N=7178.32 Ty=-12.17 Tz=-59.01 Mx=0.23 Mz=-31.15
Sollecitazioni agenti localmente: Tx_l=-12.17 Ty_l=-59.01 N_l=7178.32 My_l=31.15 Mz_l=0.23
Azioni sul cordone: TP=3.38 TO=11.76 NO=1430.89
Tensioni nel cordone: τ_P=0.40 τ_0=1.39 σ_0=214.16 σ_{ID}=214.16 Σ_T=215.55
CC 16 SLD (Collegamento 0010_-503)
Azioni sul collegamento: N=7178.32 Ty=-11.32 Tz=-59.01 Mx=0.23 Mz=-28.95
Sollecitazioni agenti localmente: Tx_l=-11.32 Ty_l=-59.01 N_l=7178.32 My_l=28.95 Mz_l=0.23
Azioni sul cordone: TP=3.21 TO=11.76 NO=1430.89
Tensioni nel cordone: τ_P=0.38 τ_0=1.39 σ_0=210.95 σ_{ID}=210.96 Σ_T=212.34
CC 16 SLD (Collegamento 0010_-503)
Azioni sul collegamento: N=7178.32 Ty=-12.17 Tz=-59.01 Mx=0.23 Mz=-31.15
Sollecitazioni agenti localmente: Tx_l=-12.17 Ty_l=-59.01 N_l=7178.32 My_l=31.15 Mz_l=0.23
Azioni sul cordone: TP=3.38 TO=11.76 NO=1430.89
Tensioni nel cordone: τ_P=0.40 τ_0=1.39 σ_0=214.16 σ_{ID}=214.16 Σ_T=215.55
CC 16 SLD (Collegamento 0010_-503)
Azioni sul collegamento: N=7178.32 Ty=-11.32 Tz=-59.01 Mx=0.23 Mz=-28.95
Sollecitazioni agenti localmente: Tx_l=-11.32 Ty_l=-59.01 N_l=7178.32 My_l=28.95 Mz_l=0.23
Azioni sul cordone: TP=3.21 TO=11.76 NO=1430.89
Tensioni nel cordone: τ_P=0.38 τ_0=1.39 σ_0=210.95 σ_{ID}=210.96 Σ_T=212.34
CC 16 SLD (Collegamento 0010_-503)
Azioni sul collegamento: N=7724.41 Ty=-12.17 Tz=-59.01 Mx=0.23 Mz=-31.15
Sollecitazioni agenti localmente: Tx_l=-12.17 Ty_l=-59.01 N_l=7724.41 My_l=31.15 Mz_l=0.23
Azioni sul cordone: TP=3.38 TO=11.76 NO=1539.75
Tensioni nel cordone: τ_P=0.40 τ_0=1.39 σ_0=226.99 σ_{ID}=227.00 Σ_T=228.38
CC 16 SLD (Collegamento 0010_-503)
Azioni sul collegamento: N=7724.41 Ty=-11.32 Tz=-59.01 Mx=0.23 Mz=-28.95
Sollecitazioni agenti localmente: Tx_l=-11.32 Ty_l=-59.01 N_l=7724.41 My_l=28.95 Mz_l=0.23
Azioni sul cordone: TP=3.21 TO=11.76 NO=1539.75
Tensioni nel cordone: τ_P=0.38 τ_0=1.39 σ_0=223.78 σ_{ID}=223.79 Σ_T=225.17
CC 16 SLD (Collegamento 0010_-503)
Azioni sul collegamento: N=7724.41 Ty=-12.17 Tz=-59.01 Mx=0.23 Mz=-31.15
Sollecitazioni agenti localmente: Tx_l=-12.17 Ty_l=-59.01 N_l=7724.41 My_l=31.15 Mz_l=0.23
Azioni sul cordone: TP=3.38 TO=11.76 NO=1539.75
Tensioni nel cordone: τ_P=0.40 τ_0=1.39 σ_0=226.99 σ_{ID}=227.00 Σ_T=228.38
CC 16 SLD (Collegamento 0010_-503)
Azioni sul collegamento: N=7724.41 Ty=-11.32 Tz=-59.01 Mx=0.23 Mz=-28.95
Sollecitazioni agenti localmente: Tx_l=-11.32 Ty_l=-59.01 N_l=7724.41 My_l=28.95 Mz_l=0.23
Azioni sul cordone: TP=3.21 TO=11.76 NO=1539.75
Tensioni nel cordone: τ_P=0.38 τ_0=1.39 σ_0=223.78 σ_{ID}=223.79 Σ_T=225.17
CC 17 SLV (Collegamento 0010_-503)
Azioni sul collegamento: N=10554.50 Ty=-7.25 Tz=-59.01 Mx=0.31 Mz=-18.39
Sollecitazioni agenti localmente: Tx_l=-7.25 Ty_l=-59.01 N_l=10554.50 My_l=18.39 Mz_l=0.31
Azioni sul cordone: TP=2.77 TO=11.76 NO=2103.88
Tensioni nel cordone: τ_P=0.33 τ_0=1.39 σ_0=274.85 σ_{ID}=274.86 Σ_T=276.24
CC 17 SLV (Collegamento 0010_-503)
Azioni sul collegamento: N=10554.50 Ty=-15.69 Tz=-59.01 Mx=0.31 Mz=-39.94
Sollecitazioni agenti localmente: Tx_l=-15.69 Ty_l=-59.01 N_l=10554.50 My_l=39.94 Mz_l=0.31
Azioni sul cordone: TP=4.45 TO=11.76 NO=2103.88
Tensioni nel cordone: τ_P=0.52 τ_0=1.39 σ_0=306.33 σ_{ID}=306.33 Σ_T=307.72
CC 17 SLV (Collegamento 0010_-503)
Azioni sul collegamento: N=10554.50 Ty=-7.25 Tz=-59.01 Mx=0.31 Mz=-18.39
Sollecitazioni agenti localmente: Tx_l=-7.25 Ty_l=-59.01 N_l=10554.50 My_l=18.39 Mz_l=0.31
Azioni sul cordone: TP=2.77 TO=11.76 NO=2103.88
Tensioni nel cordone: τ_P=0.33 τ_0=1.39 σ_0=274.85 σ_{ID}=274.86 Σ_T=276.24
CC 17 SLV (Collegamento 0010_-503)
Azioni sul collegamento: N=10554.50 Ty=-15.69 Tz=-59.01 Mx=0.31 Mz=-39.94

Sollecitazioni agenti localmente: Tx_l=-15.69 Ty_l=-59.01 N_l=10554.50 My_l=39.94 Mz_l=0.31
Azioni sul cordone: TP=4.45 TO=11.76 NO=2103.88
Tensioni nel cordone: τ_P=0.52 τ_0=1.39 σ_0=306.33 σ_{ID}=306.33 Σ_T=307.72
CC 17 SLV (Collegamento 0010_-503)
Azioni sul collegamento: N=4624.81 Ty=-7.25 Tz=-59.01 Mx=0.31 Mz=-18.39
Sollecitazioni agenti localmente: Tx_l=-7.25 Ty_l=-59.01 N_l=4624.81 My_l=18.39 Mz_l=0.31
Azioni sul cordone: TP=2.77 TO=11.76 NO=921.89
Tensioni nel cordone: τ_P=0.33 τ_0=1.39 σ_0=135.53 σ_{ID}=135.54 Σ_T=136.92
CC 17 SLV (Collegamento 0010_-503)
Azioni sul collegamento: N=4624.81 Ty=-15.69 Tz=-59.01 Mx=0.31 Mz=-39.94
Sollecitazioni agenti localmente: Tx_l=-15.69 Ty_l=-59.01 N_l=4624.81 My_l=39.94 Mz_l=0.31
Azioni sul cordone: TP=4.45 TO=11.76 NO=921.89
Tensioni nel cordone: τ_P=0.52 τ_0=1.39 σ_0=167.01 σ_{ID}=167.02 Σ_T=168.40
CC 17 SLV (Collegamento 0010_-503)
Azioni sul collegamento: N=4624.81 Ty=-7.25 Tz=-59.01 Mx=0.31 Mz=-18.39
Sollecitazioni agenti localmente: Tx_l=-7.25 Ty_l=-59.01 N_l=4624.81 My_l=18.39 Mz_l=0.31
Azioni sul cordone: TP=2.77 TO=11.76 NO=921.89
Tensioni nel cordone: τ_P=0.33 τ_0=1.39 σ_0=135.53 σ_{ID}=135.54 Σ_T=136.92
CC 17 SLV (Collegamento 0010_-503)
Azioni sul collegamento: N=4624.81 Ty=-15.69 Tz=-59.01 Mx=0.31 Mz=-39.94
Sollecitazioni agenti localmente: Tx_l=-15.69 Ty_l=-59.01 N_l=4624.81 My_l=39.94 Mz_l=0.31
Azioni sul cordone: TP=4.45 TO=11.76 NO=921.89
Tensioni nel cordone: τ_P=0.52 τ_0=1.39 σ_0=167.01 σ_{ID}=167.02 Σ_T=168.40
CC 18 SLD (Collegamento 0010_-503)
Azioni sul collegamento: N=8420.06 Ty=-10.33 Tz=-59.01 Mx=0.26 Mz=-26.35
Sollecitazioni agenti localmente: Tx_l=-10.33 Ty_l=-59.01 N_l=8420.06 My_l=26.35 Mz_l=0.26
Azioni sul cordone: TP=3.15 TO=11.76 NO=1678.42
Tensioni nel cordone: τ_P=0.37 τ_0=1.39 σ_0=236.33 σ_{ID}=236.33 Σ_T=237.72
CC 18 SLD (Collegamento 0010_-503)
Azioni sul collegamento: N=8420.06 Ty=-12.90 Tz=-59.01 Mx=0.26 Mz=-32.92
Sollecitazioni agenti localmente: Tx_l=-12.90 Ty_l=-59.01 N_l=8420.06 My_l=32.92 Mz_l=0.26
Azioni sul cordone: TP=3.66 TO=11.76 NO=1678.42
Tensioni nel cordone: τ_P=0.43 τ_0=1.39 σ_0=245.93 σ_{ID}=245.93 Σ_T=247.31
CC 18 SLD (Collegamento 0010_-503)
Azioni sul collegamento: N=8420.06 Ty=-10.33 Tz=-59.01 Mx=0.26 Mz=-26.35
Sollecitazioni agenti localmente: Tx_l=-10.33 Ty_l=-59.01 N_l=8420.06 My_l=26.35 Mz_l=0.26
Azioni sul cordone: TP=3.15 TO=11.76 NO=1678.42
Tensioni nel cordone: τ_P=0.37 τ_0=1.39 σ_0=236.33 σ_{ID}=236.33 Σ_T=237.72
CC 18 SLD (Collegamento 0010_-503)
Azioni sul collegamento: N=8420.06 Ty=-12.90 Tz=-59.01 Mx=0.26 Mz=-32.92
Sollecitazioni agenti localmente: Tx_l=-12.90 Ty_l=-59.01 N_l=8420.06 My_l=32.92 Mz_l=0.26
Azioni sul cordone: TP=3.66 TO=11.76 NO=1678.42
Tensioni nel cordone: τ_P=0.43 τ_0=1.39 σ_0=245.93 σ_{ID}=245.93 Σ_T=247.31
CC 18 SLD (Collegamento 0010_-503)
Azioni sul collegamento: N=6611.92 Ty=-10.33 Tz=-59.01 Mx=0.26 Mz=-26.35
Sollecitazioni agenti localmente: Tx_l=-10.33 Ty_l=-59.01 N_l=6611.92 My_l=26.35 Mz_l=0.26
Azioni sul cordone: TP=3.15 TO=11.76 NO=1317.99
Tensioni nel cordone: τ_P=0.37 τ_0=1.39 σ_0=193.85 σ_{ID}=193.85 Σ_T=195.23
CC 18 SLD (Collegamento 0010_-503)
Azioni sul collegamento: N=6611.92 Ty=-12.90 Tz=-59.01 Mx=0.26 Mz=-32.92
Sollecitazioni agenti localmente: Tx_l=-12.90 Ty_l=-59.01 N_l=6611.92 My_l=32.92 Mz_l=0.26
Azioni sul cordone: TP=3.66 TO=11.76 NO=1317.99
Tensioni nel cordone: τ_P=0.43 τ_0=1.39 σ_0=203.44 σ_{ID}=203.45 Σ_T=204.83
CC 18 SLD (Collegamento 0010_-503)
Azioni sul collegamento: N=6611.92 Ty=-10.33 Tz=-59.01 Mx=0.26 Mz=-26.35
Sollecitazioni agenti localmente: Tx_l=-10.33 Ty_l=-59.01 N_l=6611.92 My_l=26.35 Mz_l=0.26
Azioni sul cordone: TP=3.15 TO=11.76 NO=1317.99
Tensioni nel cordone: τ_P=0.37 τ_0=1.39 σ_0=193.85 σ_{ID}=193.85 Σ_T=195.23
CC 18 SLD (Collegamento 0010_-503)
Azioni sul collegamento: N=6611.92 Ty=-12.90 Tz=-59.01 Mx=0.26 Mz=-32.92
Sollecitazioni agenti localmente: Tx_l=-12.90 Ty_l=-59.01 N_l=6611.92 My_l=32.92 Mz_l=0.26
Azioni sul cordone: TP=3.66 TO=11.76 NO=1317.99
Tensioni nel cordone: τ_P=0.43 τ_0=1.39 σ_0=203.44 σ_{ID}=203.45 Σ_T=204.83
CC 19 SLV (Collegamento 0010_-503)
Azioni sul collegamento: N=10550.50 Ty=-7.34 Tz=-59.01 Mx=0.31 Mz=-18.64
Sollecitazioni agenti localmente: Tx_l=-7.34 Ty_l=-59.01 N_l=10550.50 My_l=18.64 Mz_l=0.31
Azioni sul cordone: TP=2.78 TO=11.76 NO=2103.09
Tensioni nel cordone: τ_P=0.33 τ_0=1.39 σ_0=275.11 σ_{ID}=275.12 Σ_T=276.50
CC 19 SLV (Collegamento 0010_-503)
Azioni sul collegamento: N=10550.50 Ty=-15.60 Tz=-59.01 Mx=0.31 Mz=-39.70
Sollecitazioni agenti localmente: Tx_l=-15.60 Ty_l=-59.01 N_l=10550.50 My_l=39.70 Mz_l=0.31
Azioni sul cordone: TP=4.43 TO=11.76 NO=2103.09
Tensioni nel cordone: τ_P=0.52 τ_0=1.39 σ_0=305.88 σ_{ID}=305.89 Σ_T=307.27
CC 19 SLV (Collegamento 0010_-503)
Azioni sul collegamento: N=10550.50 Ty=-7.34 Tz=-59.01 Mx=0.31 Mz=-18.64
Sollecitazioni agenti localmente: Tx_l=-7.34 Ty_l=-59.01 N_l=10550.50 My_l=18.64 Mz_l=0.31
Azioni sul cordone: TP=2.78 TO=11.76 NO=2103.09
Tensioni nel cordone: τ_P=0.33 τ_0=1.39 σ_0=275.11 σ_{ID}=275.12 Σ_T=276.50
CC 19 SLV (Collegamento 0010_-503)

Azioni sul collegamento: N=10550.50 Ty=-15.60 Tz=-59.01 Mx=0.31 Mz=-39.70
Sollecitazioni agenti localmente: Tx_l=-15.60 Ty_l=-59.01 N_l=10550.50 My_l=39.70 Mz_l=0.31
Azioni sul cordone: TP=4.43 TO=11.76 NO=2103.09
Tensioni nel cordone: τ_P=0.52 τ_0=1.39 σ_0=305.88 σ_{ID}=305.89 Σ_T=307.27
CC 19 SLV (Collegamento 0010_-503)
Azioni sul collegamento: N=4628.75 Ty=-7.34 Tz=-59.01 Mx=0.31 Mz=-18.64
Sollecitazioni agenti localmente: Tx_l=-7.34 Ty_l=-59.01 N_l=4628.75 My_l=18.64 Mz_l=0.31
Azioni sul cordone: TP=2.78 TO=11.76 NO=922.67
Tensioni nel cordone: τ_P=0.33 τ_0=1.39 σ_0=135.98 σ_{ID}=135.99 Σ_T=137.37
CC 19 SLV (Collegamento 0010_-503)
Azioni sul collegamento: N=4628.75 Ty=-15.60 Tz=-59.01 Mx=0.31 Mz=-39.70
Sollecitazioni agenti localmente: Tx_l=-15.60 Ty_l=-59.01 N_l=4628.75 My_l=39.70 Mz_l=0.31
Azioni sul cordone: TP=4.43 TO=11.76 NO=922.67
Tensioni nel cordone: τ_P=0.52 τ_0=1.39 σ_0=166.75 σ_{ID}=166.75 Σ_T=168.13
CC 19 SLV (Collegamento 0010_-503)
Azioni sul collegamento: N=4628.75 Ty=-7.34 Tz=-59.01 Mx=0.31 Mz=-18.64
Sollecitazioni agenti localmente: Tx_l=-7.34 Ty_l=-59.01 N_l=4628.75 My_l=18.64 Mz_l=0.31
Azioni sul cordone: TP=2.78 TO=11.76 NO=922.67
Tensioni nel cordone: τ_P=0.33 τ_0=1.39 σ_0=135.98 σ_{ID}=135.99 Σ_T=137.37
CC 19 SLV (Collegamento 0010_-503)
Azioni sul collegamento: N=4628.75 Ty=-15.60 Tz=-59.01 Mx=0.31 Mz=-39.70
Sollecitazioni agenti localmente: Tx_l=-15.60 Ty_l=-59.01 N_l=4628.75 My_l=39.70 Mz_l=0.31
Azioni sul cordone: TP=4.43 TO=11.76 NO=922.67
Tensioni nel cordone: τ_P=0.52 τ_0=1.39 σ_0=166.75 σ_{ID}=166.75 Σ_T=168.13
CC 20 SLD (Collegamento 0010_-503)
Azioni sul collegamento: N=8418.85 Ty=-10.36 Tz=-59.01 Mx=0.26 Mz=-26.42
Sollecitazioni agenti localmente: Tx_l=-10.36 Ty_l=-59.01 N_l=8418.85 My_l=26.42 Mz_l=0.26
Azioni sul cordone: TP=3.15 TO=11.76 NO=1678.18
Tensioni nel cordone: τ_P=0.37 τ_0=1.39 σ_0=236.41 σ_{ID}=236.41 Σ_T=237.80
CC 20 SLD (Collegamento 0010_-503)
Azioni sul collegamento: N=8418.85 Ty=-12.87 Tz=-59.01 Mx=0.26 Mz=-32.85
Sollecitazioni agenti localmente: Tx_l=-12.87 Ty_l=-59.01 N_l=8418.85 My_l=32.85 Mz_l=0.26
Azioni sul cordone: TP=3.65 TO=11.76 NO=1678.18
Tensioni nel cordone: τ_P=0.43 τ_0=1.39 σ_0=245.79 σ_{ID}=245.80 Σ_T=247.18
CC 20 SLD (Collegamento 0010_-503)
Azioni sul collegamento: N=8418.85 Ty=-10.36 Tz=-59.01 Mx=0.26 Mz=-26.42
Sollecitazioni agenti localmente: Tx_l=-10.36 Ty_l=-59.01 N_l=8418.85 My_l=26.42 Mz_l=0.26
Azioni sul cordone: TP=3.15 TO=11.76 NO=1678.18
Tensioni nel cordone: τ_P=0.37 τ_0=1.39 σ_0=236.41 σ_{ID}=236.41 Σ_T=237.80
CC 20 SLD (Collegamento 0010_-503)
Azioni sul collegamento: N=8418.85 Ty=-12.87 Tz=-59.01 Mx=0.26 Mz=-32.85
Sollecitazioni agenti localmente: Tx_l=-12.87 Ty_l=-59.01 N_l=8418.85 My_l=32.85 Mz_l=0.26
Azioni sul cordone: TP=3.65 TO=11.76 NO=1678.18
Tensioni nel cordone: τ_P=0.43 τ_0=1.39 σ_0=245.79 σ_{ID}=245.80 Σ_T=247.18
CC 20 SLD (Collegamento 0010_-503)
Azioni sul collegamento: N=6613.12 Ty=-10.36 Tz=-59.01 Mx=0.26 Mz=-26.42
Sollecitazioni agenti localmente: Tx_l=-10.36 Ty_l=-59.01 N_l=6613.12 My_l=26.42 Mz_l=0.26
Azioni sul cordone: TP=3.15 TO=11.76 NO=1318.23
Tensioni nel cordone: τ_P=0.37 τ_0=1.39 σ_0=193.98 σ_{ID}=193.99 Σ_T=195.37
CC 20 SLD (Collegamento 0010_-503)
Azioni sul collegamento: N=6613.12 Ty=-12.87 Tz=-59.01 Mx=0.26 Mz=-32.85
Sollecitazioni agenti localmente: Tx_l=-12.87 Ty_l=-59.01 N_l=6613.12 My_l=32.85 Mz_l=0.26
Azioni sul cordone: TP=3.65 TO=11.76 NO=1318.23
Tensioni nel cordone: τ_P=0.43 τ_0=1.39 σ_0=203.37 σ_{ID}=203.37 Σ_T=204.75
CC 20 SLD (Collegamento 0010_-503)
Azioni sul collegamento: N=6613.12 Ty=-10.36 Tz=-59.01 Mx=0.26 Mz=-26.42
Sollecitazioni agenti localmente: Tx_l=-10.36 Ty_l=-59.01 N_l=6613.12 My_l=26.42 Mz_l=0.26
Azioni sul cordone: TP=3.15 TO=11.76 NO=1318.23
Tensioni nel cordone: τ_P=0.37 τ_0=1.39 σ_0=193.98 σ_{ID}=193.99 Σ_T=195.37
CC 20 SLD (Collegamento 0010_-503)
Azioni sul collegamento: N=6613.12 Ty=-12.87 Tz=-59.01 Mx=0.26 Mz=-32.85
Sollecitazioni agenti localmente: Tx_l=-12.87 Ty_l=-59.01 N_l=6613.12 My_l=32.85 Mz_l=0.26
Azioni sul cordone: TP=3.65 TO=11.76 NO=1318.23
Tensioni nel cordone: τ_P=0.43 τ_0=1.39 σ_0=203.37 σ_{ID}=203.37 Σ_T=204.75
CC 21 SLV (Collegamento 0010_-503)
Azioni sul collegamento: N=4628.75 Ty=-15.60 Tz=-59.01 Mx=0.15 Mz=-39.70
Sollecitazioni agenti localmente: Tx_l=-15.60 Ty_l=-59.01 N_l=4628.75 My_l=39.70 Mz_l=0.15
Azioni sul cordone: TP=3.73 TO=11.76 NO=922.67
Tensioni nel cordone: τ_P=0.44 τ_0=1.39 σ_0=166.75 σ_{ID}=166.75 Σ_T=168.13
CC 21 SLV (Collegamento 0010_-503)
Azioni sul collegamento: N=4628.75 Ty=-7.34 Tz=-59.01 Mx=0.15 Mz=-18.64
Sollecitazioni agenti localmente: Tx_l=-7.34 Ty_l=-59.01 N_l=4628.75 My_l=18.64 Mz_l=0.15
Azioni sul cordone: TP=2.08 TO=11.76 NO=922.67
Tensioni nel cordone: τ_P=0.25 τ_0=1.39 σ_0=135.98 σ_{ID}=135.99 Σ_T=137.37
CC 21 SLV (Collegamento 0010_-503)
Azioni sul collegamento: N=4628.75 Ty=-15.60 Tz=-59.01 Mx=0.15 Mz=-39.70
Sollecitazioni agenti localmente: Tx_l=-15.60 Ty_l=-59.01 N_l=4628.75 My_l=39.70 Mz_l=0.15
Azioni sul cordone: TP=3.73 TO=11.76 NO=922.67
Tensioni nel cordone: τ_P=0.44 τ_0=1.39 σ_0=166.75 σ_{ID}=166.75 Σ_T=168.13

CC 21 SLV (Collegamento 0010_-503)
Azioni sul collegamento: N=4628.75 Ty=-7.34 Tz=-59.01 Mx=0.15 Mz=-18.64
Sollecitazioni agenti localmente: Tx_l=-7.34 Ty_l=-59.01 N_l=4628.75 My_l=18.64 Mz_l=0.15
Azioni sul cordone: TP=2.08 TO=11.76 NO=922.67
Tensioni nel cordone: τ_P=0.25 τ_0=1.39 σ_0=135.98 σ_{ID}=135.99 Σ_T=137.37
CC 21 SLV (Collegamento 0010_-503)
Azioni sul collegamento: N=10550.50 Ty=-15.60 Tz=-59.01 Mx=0.15 Mz=-39.70
Sollecitazioni agenti localmente: Tx_l=-15.60 Ty_l=-59.01 N_l=10550.50 My_l=39.70 Mz_l=0.15
Azioni sul cordone: TP=-1.32 TO=-4.24 NO=779.90
Tensioni nel cordone: τ_P=0.42 τ_0=1.35 σ_0=305.88 σ_{ID}=305.89 Σ_T=307.23
CC 21 SLV (Collegamento 0010_-503)
Azioni sul collegamento: N=10550.50 Ty=-7.34 Tz=-59.01 Mx=0.15 Mz=-18.64
Sollecitazioni agenti localmente: Tx_l=-7.34 Ty_l=-59.01 N_l=10550.50 My_l=18.64 Mz_l=0.15
Azioni sul cordone: TP=2.08 TO=11.76 NO=2103.09
Tensioni nel cordone: τ_P=0.25 τ_0=1.39 σ_0=275.11 σ_{ID}=275.12 Σ_T=276.50
CC 21 SLV (Collegamento 0010_-503)
Azioni sul collegamento: N=10550.50 Ty=-15.60 Tz=-59.01 Mx=0.15 Mz=-39.70
Sollecitazioni agenti localmente: Tx_l=-15.60 Ty_l=-59.01 N_l=10550.50 My_l=39.70 Mz_l=0.15
Azioni sul cordone: TP=-1.32 TO=-4.24 NO=779.90
Tensioni nel cordone: τ_P=0.42 τ_0=1.35 σ_0=305.88 σ_{ID}=305.89 Σ_T=307.23
CC 21 SLV (Collegamento 0010_-503)
Azioni sul collegamento: N=10550.50 Ty=-7.34 Tz=-59.01 Mx=0.15 Mz=-18.64
Sollecitazioni agenti localmente: Tx_l=-7.34 Ty_l=-59.01 N_l=10550.50 My_l=18.64 Mz_l=0.15
Azioni sul cordone: TP=2.08 TO=11.76 NO=2103.09
Tensioni nel cordone: τ_P=0.25 τ_0=1.39 σ_0=275.11 σ_{ID}=275.12 Σ_T=276.50
CC 22 SLD (Collegamento 0010_-503)
Azioni sul collegamento: N=6613.12 Ty=-12.87 Tz=-59.01 Mx=0.21 Mz=-32.85
Sollecitazioni agenti localmente: Tx_l=-12.87 Ty_l=-59.01 N_l=6613.12 My_l=32.85 Mz_l=0.21
Azioni sul cordone: TP=3.44 TO=11.76 NO=1318.23
Tensioni nel cordone: τ_P=0.41 τ_0=1.39 σ_0=203.37 σ_{ID}=203.37 Σ_T=204.75
CC 22 SLD (Collegamento 0010_-503)
Azioni sul collegamento: N=6613.12 Ty=-10.36 Tz=-59.01 Mx=0.21 Mz=-26.42
Sollecitazioni agenti localmente: Tx_l=-10.36 Ty_l=-59.01 N_l=6613.12 My_l=26.42 Mz_l=0.21
Azioni sul cordone: TP=2.94 TO=11.76 NO=1318.23
Tensioni nel cordone: τ_P=0.35 τ_0=1.39 σ_0=193.98 σ_{ID}=193.99 Σ_T=195.37
CC 22 SLD (Collegamento 0010_-503)
Azioni sul collegamento: N=6613.12 Ty=-12.87 Tz=-59.01 Mx=0.21 Mz=-32.85
Sollecitazioni agenti localmente: Tx_l=-12.87 Ty_l=-59.01 N_l=6613.12 My_l=32.85 Mz_l=0.21
Azioni sul cordone: TP=3.44 TO=11.76 NO=1318.23
Tensioni nel cordone: τ_P=0.41 τ_0=1.39 σ_0=203.37 σ_{ID}=203.37 Σ_T=204.75
CC 22 SLD (Collegamento 0010_-503)
Azioni sul collegamento: N=6613.12 Ty=-10.36 Tz=-59.01 Mx=0.21 Mz=-26.42
Sollecitazioni agenti localmente: Tx_l=-10.36 Ty_l=-59.01 N_l=6613.12 My_l=26.42 Mz_l=0.21
Azioni sul cordone: TP=2.94 TO=11.76 NO=1318.23
Tensioni nel cordone: τ_P=0.35 τ_0=1.39 σ_0=193.98 σ_{ID}=193.99 Σ_T=195.37
CC 22 SLD (Collegamento 0010_-503)
Azioni sul collegamento: N=8418.85 Ty=-12.87 Tz=-59.01 Mx=0.21 Mz=-32.85
Sollecitazioni agenti localmente: Tx_l=-12.87 Ty_l=-59.01 N_l=8418.85 My_l=32.85 Mz_l=0.21
Azioni sul cordone: TP=3.44 TO=11.76 NO=1678.18
Tensioni nel cordone: τ_P=0.41 τ_0=1.39 σ_0=245.79 σ_{ID}=245.80 Σ_T=247.18
CC 22 SLD (Collegamento 0010_-503)
Azioni sul collegamento: N=8418.85 Ty=-10.36 Tz=-59.01 Mx=0.21 Mz=-26.42
Sollecitazioni agenti localmente: Tx_l=-10.36 Ty_l=-59.01 N_l=8418.85 My_l=26.42 Mz_l=0.21
Azioni sul cordone: TP=2.94 TO=11.76 NO=1678.18
Tensioni nel cordone: τ_P=0.35 τ_0=1.39 σ_0=236.41 σ_{ID}=236.41 Σ_T=237.80
CC 22 SLD (Collegamento 0010_-503)
Azioni sul collegamento: N=8418.85 Ty=-12.87 Tz=-59.01 Mx=0.21 Mz=-32.85
Sollecitazioni agenti localmente: Tx_l=-12.87 Ty_l=-59.01 N_l=8418.85 My_l=32.85 Mz_l=0.21
Azioni sul cordone: TP=3.44 TO=11.76 NO=1678.18
Tensioni nel cordone: τ_P=0.41 τ_0=1.39 σ_0=245.79 σ_{ID}=245.80 Σ_T=247.18
CC 22 SLD (Collegamento 0010_-503)
Azioni sul collegamento: N=8418.85 Ty=-10.36 Tz=-59.01 Mx=0.21 Mz=-26.42
Sollecitazioni agenti localmente: Tx_l=-10.36 Ty_l=-59.01 N_l=8418.85 My_l=26.42 Mz_l=0.21
Azioni sul cordone: TP=2.94 TO=11.76 NO=1678.18
Tensioni nel cordone: τ_P=0.35 τ_0=1.39 σ_0=236.41 σ_{ID}=236.41 Σ_T=237.80
CC 23 SLV (Collegamento 0010_-503)
Azioni sul collegamento: N=4624.81 Ty=-15.69 Tz=-59.01 Mx=0.14 Mz=-39.94
Sollecitazioni agenti localmente: Tx_l=-15.69 Ty_l=-59.01 N_l=4624.81 My_l=39.94 Mz_l=0.14
Azioni sul cordone: TP=3.74 TO=11.76 NO=921.89
Tensioni nel cordone: τ_P=0.44 τ_0=1.39 σ_0=167.01 σ_{ID}=167.02 Σ_T=168.40
CC 23 SLV (Collegamento 0010_-503)
Azioni sul collegamento: N=4624.81 Ty=-7.25 Tz=-59.01 Mx=0.14 Mz=-18.39
Sollecitazioni agenti localmente: Tx_l=-7.25 Ty_l=-59.01 N_l=4624.81 My_l=18.39 Mz_l=0.14
Azioni sul cordone: TP=2.06 TO=11.76 NO=921.89
Tensioni nel cordone: τ_P=0.24 τ_0=1.39 σ_0=135.53 σ_{ID}=135.54 Σ_T=136.92
CC 23 SLV (Collegamento 0010_-503)
Azioni sul collegamento: N=4624.81 Ty=-15.69 Tz=-59.01 Mx=0.14 Mz=-39.94
Sollecitazioni agenti localmente: Tx_l=-15.69 Ty_l=-59.01 N_l=4624.81 My_l=39.94 Mz_l=0.14
Azioni sul cordone: TP=3.74 TO=11.76 NO=921.89

Tensioni nel cordone: τ_P=0.44 τ_0=1.39 σ_0=167.01 σ_{ID}=167.02 Σ_T=168.40
CC 23 SLV (Collegamento 0010_-503)
Azioni sul collegamento: N=4624.81 Ty=-7.25 Tz=-59.01 Mx=0.14 Mz=-18.39
Sollecitazioni agenti localmente: Tx_l=-7.25 Ty_l=-59.01 N_l=4624.81 My_l=18.39 Mz_l=0.14
Azioni sul cordone: TP=2.06 TO=11.76 NO=921.89
Tensioni nel cordone: τ_P=0.24 τ_0=1.39 σ_0=135.53 σ_{ID}=135.54 Σ_T=136.92
CC 23 SLV (Collegamento 0010_-503)
Azioni sul collegamento: N=10554.50 Ty=-15.69 Tz=-59.01 Mx=0.14 Mz=-39.94
Sollecitazioni agenti localmente: Tx_l=-15.69 Ty_l=-59.01 N_l=10554.50 My_l=39.94 Mz_l=0.14
Azioni sul cordone: TP=-1.33 TO=-4.25 NO=780.19
Tensioni nel cordone: τ_P=0.42 τ_0=1.35 σ_0=306.33 σ_{ID}=306.33 Σ_T=307.68
CC 23 SLV (Collegamento 0010_-503)
Azioni sul collegamento: N=10554.50 Ty=-7.25 Tz=-59.01 Mx=0.14 Mz=-18.39
Sollecitazioni agenti localmente: Tx_l=-7.25 Ty_l=-59.01 N_l=10554.50 My_l=18.39 Mz_l=0.14
Azioni sul cordone: TP=2.06 TO=11.76 NO=2103.88
Tensioni nel cordone: τ_P=0.24 τ_0=1.39 σ_0=274.85 σ_{ID}=274.86 Σ_T=276.24
CC 23 SLV (Collegamento 0010_-503)
Azioni sul collegamento: N=10554.50 Ty=-15.69 Tz=-59.01 Mx=0.14 Mz=-39.94
Sollecitazioni agenti localmente: Tx_l=-15.69 Ty_l=-59.01 N_l=10554.50 My_l=39.94 Mz_l=0.14
Azioni sul cordone: TP=-1.33 TO=-4.25 NO=780.19
Tensioni nel cordone: τ_P=0.42 τ_0=1.35 σ_0=306.33 σ_{ID}=306.33 Σ_T=307.68
CC 23 SLV (Collegamento 0010_-503)
Azioni sul collegamento: N=10554.50 Ty=-7.25 Tz=-59.01 Mx=0.14 Mz=-18.39
Sollecitazioni agenti localmente: Tx_l=-7.25 Ty_l=-59.01 N_l=10554.50 My_l=18.39 Mz_l=0.14
Azioni sul cordone: TP=2.06 TO=11.76 NO=2103.88
Tensioni nel cordone: τ_P=0.24 τ_0=1.39 σ_0=274.85 σ_{ID}=274.86 Σ_T=276.24
CC 24 SLD (Collegamento 0010_-503)
Azioni sul collegamento: N=6611.92 Ty=-12.90 Tz=-59.01 Mx=0.21 Mz=-32.92
Sollecitazioni agenti localmente: Tx_l=-12.90 Ty_l=-59.01 N_l=6611.92 My_l=32.92 Mz_l=0.21
Azioni sul cordone: TP=3.44 TO=11.76 NO=1317.99
Tensioni nel cordone: τ_P=0.41 τ_0=1.39 σ_0=203.44 σ_{ID}=203.45 Σ_T=204.83
CC 24 SLD (Collegamento 0010_-503)
Azioni sul collegamento: N=6611.92 Ty=-10.33 Tz=-59.01 Mx=0.21 Mz=-26.35
Sollecitazioni agenti localmente: Tx_l=-10.33 Ty_l=-59.01 N_l=6611.92 My_l=26.35 Mz_l=0.21
Azioni sul cordone: TP=2.93 TO=11.76 NO=1317.99
Tensioni nel cordone: τ_P=0.35 τ_0=1.39 σ_0=193.85 σ_{ID}=193.85 Σ_T=195.23
CC 24 SLD (Collegamento 0010_-503)
Azioni sul collegamento: N=6611.92 Ty=-12.90 Tz=-59.01 Mx=0.21 Mz=-32.92
Sollecitazioni agenti localmente: Tx_l=-12.90 Ty_l=-59.01 N_l=6611.92 My_l=32.92 Mz_l=0.21
Azioni sul cordone: TP=3.44 TO=11.76 NO=1317.99
Tensioni nel cordone: τ_P=0.41 τ_0=1.39 σ_0=203.44 σ_{ID}=203.45 Σ_T=204.83
CC 24 SLD (Collegamento 0010_-503)
Azioni sul collegamento: N=6611.92 Ty=-10.33 Tz=-59.01 Mx=0.21 Mz=-26.35
Sollecitazioni agenti localmente: Tx_l=-10.33 Ty_l=-59.01 N_l=6611.92 My_l=26.35 Mz_l=0.21
Azioni sul cordone: TP=2.93 TO=11.76 NO=1317.99
Tensioni nel cordone: τ_P=0.35 τ_0=1.39 σ_0=193.85 σ_{ID}=193.85 Σ_T=195.23
CC 24 SLD (Collegamento 0010_-503)
Azioni sul collegamento: N=8420.06 Ty=-12.90 Tz=-59.01 Mx=0.21 Mz=-32.92
Sollecitazioni agenti localmente: Tx_l=-12.90 Ty_l=-59.01 N_l=8420.06 My_l=32.92 Mz_l=0.21
Azioni sul cordone: TP=3.44 TO=11.76 NO=1678.42
Tensioni nel cordone: τ_P=0.41 τ_0=1.39 σ_0=245.93 σ_{ID}=245.93 Σ_T=247.31
CC 24 SLD (Collegamento 0010_-503)
Azioni sul collegamento: N=8420.06 Ty=-10.33 Tz=-59.01 Mx=0.21 Mz=-26.35
Sollecitazioni agenti localmente: Tx_l=-10.33 Ty_l=-59.01 N_l=8420.06 My_l=26.35 Mz_l=0.21
Azioni sul cordone: TP=2.93 TO=11.76 NO=1678.42
Tensioni nel cordone: τ_P=0.35 τ_0=1.39 σ_0=236.33 σ_{ID}=236.33 Σ_T=237.72
CC 24 SLD (Collegamento 0010_-503)
Azioni sul collegamento: N=8420.06 Ty=-12.90 Tz=-59.01 Mx=0.21 Mz=-32.92
Sollecitazioni agenti localmente: Tx_l=-12.90 Ty_l=-59.01 N_l=8420.06 My_l=32.92 Mz_l=0.21
Azioni sul cordone: TP=3.44 TO=11.76 NO=1678.42
Tensioni nel cordone: τ_P=0.41 τ_0=1.39 σ_0=245.93 σ_{ID}=245.93 Σ_T=247.31
CC 24 SLD (Collegamento 0010_-503)
Azioni sul collegamento: N=8420.06 Ty=-10.33 Tz=-59.01 Mx=0.21 Mz=-26.35
Sollecitazioni agenti localmente: Tx_l=-10.33 Ty_l=-59.01 N_l=8420.06 My_l=26.35 Mz_l=0.21
Azioni sul cordone: TP=2.93 TO=11.76 NO=1678.42
Tensioni nel cordone: τ_P=0.35 τ_0=1.39 σ_0=236.33 σ_{ID}=236.33 Σ_T=237.72
CC 25 SLV (Collegamento 0010_-503)
Azioni sul collegamento: N=8485.05 Ty=-10.06 Tz=-59.01 Mx=0.26 Mz=-25.57
Sollecitazioni agenti localmente: Tx_l=-10.06 Ty_l=-59.01 N_l=8485.05 My_l=25.57 Mz_l=0.26
Azioni sul cordone: TP=3.09 TO=11.76 NO=1691.37
Tensioni nel cordone: τ_P=0.36 τ_0=1.39 σ_0=236.71 σ_{ID}=236.71 Σ_T=238.10
CC 25 SLV (Collegamento 0010_-503)
Azioni sul collegamento: N=8485.05 Ty=-12.88 Tz=-59.01 Mx=0.26 Mz=-32.77
Sollecitazioni agenti localmente: Tx_l=-12.88 Ty_l=-59.01 N_l=8485.05 My_l=32.77 Mz_l=0.26
Azioni sul cordone: TP=3.65 TO=11.76 NO=1691.37
Tensioni nel cordone: τ_P=0.43 τ_0=1.39 σ_0=247.23 σ_{ID}=247.23 Σ_T=248.62
CC 25 SLV (Collegamento 0010_-503)
Azioni sul collegamento: N=8485.05 Ty=-10.06 Tz=-59.01 Mx=0.26 Mz=-25.57
Sollecitazioni agenti localmente: Tx_l=-10.06 Ty_l=-59.01 N_l=8485.05 My_l=25.57 Mz_l=0.26

Azioni sul cordone: TP=3.09 TO=11.76 NO=1691.37
Tensioni nel cordone: τ_P=0.36 τ_0=1.39 σ_0=236.71 σ_{ID}=236.71 Σ_T=238.10
CC 25 SLV (Collegamento 0010_-503)
Azioni sul collegamento: N=8485.05 Ty=-12.88 Tz=-59.01 Mx=0.26 Mz=-32.77
Sollecitazioni agenti localmente: Tx_l=-12.88 Ty_l=-59.01 N_l=8485.05 My_l=32.77 Mz_l=0.26
Azioni sul cordone: TP=3.65 TO=11.76 NO=1691.37
Tensioni nel cordone: τ_P=0.43 τ_0=1.39 σ_0=247.23 σ_{ID}=247.23 Σ_T=248.62
CC 25 SLV (Collegamento 0010_-503)
Azioni sul collegamento: N=6694.21 Ty=-10.06 Tz=-59.01 Mx=0.26 Mz=-25.57
Sollecitazioni agenti localmente: Tx_l=-10.06 Ty_l=-59.01 N_l=6694.21 My_l=25.57 Mz_l=0.26
Azioni sul cordone: TP=3.09 TO=11.76 NO=1334.39
Tensioni nel cordone: τ_P=0.36 τ_0=1.39 σ_0=194.63 σ_{ID}=194.64 Σ_T=196.02
CC 25 SLV (Collegamento 0010_-503)
Azioni sul collegamento: N=6694.21 Ty=-12.88 Tz=-59.01 Mx=0.26 Mz=-32.77
Sollecitazioni agenti localmente: Tx_l=-12.88 Ty_l=-59.01 N_l=6694.21 My_l=32.77 Mz_l=0.26
Azioni sul cordone: TP=3.65 TO=11.76 NO=1334.39
Tensioni nel cordone: τ_P=0.43 τ_0=1.39 σ_0=205.15 σ_{ID}=205.16 Σ_T=206.54
CC 25 SLV (Collegamento 0010_-503)
Azioni sul collegamento: N=6694.21 Ty=-10.06 Tz=-59.01 Mx=0.26 Mz=-25.57
Sollecitazioni agenti localmente: Tx_l=-10.06 Ty_l=-59.01 N_l=6694.21 My_l=25.57 Mz_l=0.26
Azioni sul cordone: TP=3.09 TO=11.76 NO=1334.39
Tensioni nel cordone: τ_P=0.36 τ_0=1.39 σ_0=194.63 σ_{ID}=194.64 Σ_T=196.02
CC 25 SLV (Collegamento 0010_-503)
Azioni sul collegamento: N=6694.21 Ty=-12.88 Tz=-59.01 Mx=0.26 Mz=-32.77
Sollecitazioni agenti localmente: Tx_l=-12.88 Ty_l=-59.01 N_l=6694.21 My_l=32.77 Mz_l=0.26
Azioni sul cordone: TP=3.65 TO=11.76 NO=1334.39
Tensioni nel cordone: τ_P=0.43 τ_0=1.39 σ_0=205.15 σ_{ID}=205.16 Σ_T=206.54
CC 26 SLD (Collegamento 0010_-503)
Azioni sul collegamento: N=7789.03 Ty=-11.19 Tz=-59.01 Mx=0.24 Mz=-28.54
Sollecitazioni agenti localmente: Tx_l=-11.19 Ty_l=-59.01 N_l=7789.03 My_l=28.54 Mz_l=0.24
Azioni sul cordone: TP=3.25 TO=11.76 NO=1552.63
Tensioni nel cordone: τ_P=0.38 τ_0=1.39 σ_0=224.70 σ_{ID}=224.70 Σ_T=226.09
CC 26 SLD (Collegamento 0010_-503)
Azioni sul collegamento: N=7789.03 Ty=-12.04 Tz=-59.01 Mx=0.24 Mz=-30.73
Sollecitazioni agenti localmente: Tx_l=-12.04 Ty_l=-59.01 N_l=7789.03 My_l=30.73 Mz_l=0.24
Azioni sul cordone: TP=3.42 TO=11.76 NO=1552.63
Tensioni nel cordone: τ_P=0.40 τ_0=1.39 σ_0=227.91 σ_{ID}=227.91 Σ_T=229.29
CC 26 SLD (Collegamento 0010_-503)
Azioni sul collegamento: N=7789.03 Ty=-11.19 Tz=-59.01 Mx=0.24 Mz=-28.54
Sollecitazioni agenti localmente: Tx_l=-11.19 Ty_l=-59.01 N_l=7789.03 My_l=28.54 Mz_l=0.24
Azioni sul cordone: TP=3.25 TO=11.76 NO=1552.63
Tensioni nel cordone: τ_P=0.38 τ_0=1.39 σ_0=224.70 σ_{ID}=224.70 Σ_T=226.09
CC 26 SLD (Collegamento 0010_-503)
Azioni sul collegamento: N=7789.03 Ty=-12.04 Tz=-59.01 Mx=0.24 Mz=-30.73
Sollecitazioni agenti localmente: Tx_l=-12.04 Ty_l=-59.01 N_l=7789.03 My_l=30.73 Mz_l=0.24
Azioni sul cordone: TP=3.42 TO=11.76 NO=1552.63
Tensioni nel cordone: τ_P=0.40 τ_0=1.39 σ_0=227.91 σ_{ID}=227.91 Σ_T=229.29
CC 26 SLD (Collegamento 0010_-503)
Azioni sul collegamento: N=7242.94 Ty=-11.19 Tz=-59.01 Mx=0.24 Mz=-28.54
Sollecitazioni agenti localmente: Tx_l=-11.19 Ty_l=-59.01 N_l=7242.94 My_l=28.54 Mz_l=0.24
Azioni sul cordone: TP=3.25 TO=11.76 NO=1443.78
Tensioni nel cordone: τ_P=0.38 τ_0=1.39 σ_0=211.87 σ_{ID}=211.87 Σ_T=213.25
CC 26 SLD (Collegamento 0010_-503)
Azioni sul collegamento: N=7242.94 Ty=-12.04 Tz=-59.01 Mx=0.24 Mz=-30.73
Sollecitazioni agenti localmente: Tx_l=-12.04 Ty_l=-59.01 N_l=7242.94 My_l=30.73 Mz_l=0.24
Azioni sul cordone: TP=3.42 TO=11.76 NO=1443.78
Tensioni nel cordone: τ_P=0.40 τ_0=1.39 σ_0=215.08 σ_{ID}=215.08 Σ_T=216.46
CC 26 SLD (Collegamento 0010_-503)
Azioni sul collegamento: N=7242.94 Ty=-11.19 Tz=-59.01 Mx=0.24 Mz=-28.54
Sollecitazioni agenti localmente: Tx_l=-11.19 Ty_l=-59.01 N_l=7242.94 My_l=28.54 Mz_l=0.24
Azioni sul cordone: TP=3.25 TO=11.76 NO=1443.78
Tensioni nel cordone: τ_P=0.38 τ_0=1.39 σ_0=211.87 σ_{ID}=211.87 Σ_T=213.25
CC 26 SLD (Collegamento 0010_-503)
Azioni sul collegamento: N=7242.94 Ty=-12.04 Tz=-59.01 Mx=0.24 Mz=-30.73
Sollecitazioni agenti localmente: Tx_l=-12.04 Ty_l=-59.01 N_l=7242.94 My_l=30.73 Mz_l=0.24
Azioni sul cordone: TP=3.42 TO=11.76 NO=1443.78
Tensioni nel cordone: τ_P=0.40 τ_0=1.39 σ_0=215.08 σ_{ID}=215.08 Σ_T=216.46
CC 27 SLV (Collegamento 0010_-503)
Azioni sul collegamento: N=6707.34 Ty=-12.57 Tz=-59.01 Mx=0.21 Mz=-31.96
Sollecitazioni agenti localmente: Tx_l=-12.57 Ty_l=-59.01 N_l=6707.34 My_l=31.96 Mz_l=0.21
Azioni sul cordone: TP=3.38 TO=11.76 NO=1337.01
Tensioni nel cordone: τ_P=0.40 τ_0=1.39 σ_0=204.28 σ_{ID}=204.28 Σ_T=205.66
CC 27 SLV (Collegamento 0010_-503)
Azioni sul collegamento: N=6707.34 Ty=-10.37 Tz=-59.01 Mx=0.21 Mz=-26.37
Sollecitazioni agenti localmente: Tx_l=-10.37 Ty_l=-59.01 N_l=6707.34 My_l=26.37 Mz_l=0.21
Azioni sul cordone: TP=2.94 TO=11.76 NO=1337.01
Tensioni nel cordone: τ_P=0.35 τ_0=1.39 σ_0=196.12 σ_{ID}=196.13 Σ_T=197.51
CC 27 SLV (Collegamento 0010_-503)
Azioni sul collegamento: N=6707.34 Ty=-12.57 Tz=-59.01 Mx=0.21 Mz=-31.96

Sollecitazioni agenti localmente: Tx_l=-12.57 Ty_l=-59.01 N_l=6707.34 My_l=31.96 Mz_l=0.21
Azioni sul cordone: TP=3.38 TO=11.76 NO=1337.01
Tensioni nel cordone: τ_P=0.40 τ_0=1.39 σ_0=204.28 σ_{ID}=204.28 Σ_T=205.66
CC 27 SLV (Collegamento 0010_-503)
Azioni sul collegamento: N=6707.34 Ty=-10.37 Tz=-59.01 Mx=0.21 Mz=-26.37
Sollecitazioni agenti localmente: Tx_l=-10.37 Ty_l=-59.01 N_l=6707.34 My_l=26.37 Mz_l=0.21
Azioni sul cordone: TP=2.94 TO=11.76 NO=1337.01
Tensioni nel cordone: τ_P=0.35 τ_0=1.39 σ_0=196.12 σ_{ID}=196.13 Σ_T=197.51
CC 27 SLV (Collegamento 0010_-503)
Azioni sul collegamento: N=8471.93 Ty=-12.57 Tz=-59.01 Mx=0.21 Mz=-31.96
Sollecitazioni agenti localmente: Tx_l=-12.57 Ty_l=-59.01 N_l=8471.93 My_l=31.96 Mz_l=0.21
Azioni sul cordone: TP=3.38 TO=11.76 NO=1688.76
Tensioni nel cordone: τ_P=0.40 τ_0=1.39 σ_0=245.74 σ_{ID}=245.74 Σ_T=247.13
CC 27 SLV (Collegamento 0010_-503)
Azioni sul collegamento: N=8471.93 Ty=-10.37 Tz=-59.01 Mx=0.21 Mz=-26.37
Sollecitazioni agenti localmente: Tx_l=-10.37 Ty_l=-59.01 N_l=8471.93 My_l=26.37 Mz_l=0.21
Azioni sul cordone: TP=2.94 TO=11.76 NO=1688.76
Tensioni nel cordone: τ_P=0.35 τ_0=1.39 σ_0=237.58 σ_{ID}=237.59 Σ_T=238.97
CC 27 SLV (Collegamento 0010_-503)
Azioni sul collegamento: N=8471.93 Ty=-12.57 Tz=-59.01 Mx=0.21 Mz=-31.96
Sollecitazioni agenti localmente: Tx_l=-12.57 Ty_l=-59.01 N_l=8471.93 My_l=31.96 Mz_l=0.21
Azioni sul cordone: TP=3.38 TO=11.76 NO=1688.76
Tensioni nel cordone: τ_P=0.40 τ_0=1.39 σ_0=245.74 σ_{ID}=245.74 Σ_T=247.13
CC 27 SLV (Collegamento 0010_-503)
Azioni sul collegamento: N=8471.93 Ty=-10.37 Tz=-59.01 Mx=0.21 Mz=-26.37
Sollecitazioni agenti localmente: Tx_l=-10.37 Ty_l=-59.01 N_l=8471.93 My_l=26.37 Mz_l=0.21
Azioni sul cordone: TP=2.94 TO=11.76 NO=1688.76
Tensioni nel cordone: τ_P=0.35 τ_0=1.39 σ_0=237.58 σ_{ID}=237.59 Σ_T=238.97
CC 28 SLD (Collegamento 0010_-503)
Azioni sul collegamento: N=7246.95 Ty=-11.95 Tz=-59.01 Mx=0.23 Mz=-30.49
Sollecitazioni agenti localmente: Tx_l=-11.95 Ty_l=-59.01 N_l=7246.95 My_l=30.49 Mz_l=0.23
Azioni sul cordone: TP=3.33 TO=11.76 NO=1444.57
Tensioni nel cordone: τ_P=0.39 τ_0=1.39 σ_0=214.81 σ_{ID}=214.81 Σ_T=216.20
CC 28 SLD (Collegamento 0010_-503)
Azioni sul collegamento: N=7246.95 Ty=-11.28 Tz=-59.01 Mx=0.23 Mz=-28.78
Sollecitazioni agenti localmente: Tx_l=-11.28 Ty_l=-59.01 N_l=7246.95 My_l=28.78 Mz_l=0.23
Azioni sul cordone: TP=3.20 TO=11.76 NO=1444.57
Tensioni nel cordone: τ_P=0.38 τ_0=1.39 σ_0=212.32 σ_{ID}=212.33 Σ_T=213.71
CC 28 SLD (Collegamento 0010_-503)
Azioni sul collegamento: N=7246.95 Ty=-11.95 Tz=-59.01 Mx=0.23 Mz=-30.49
Sollecitazioni agenti localmente: Tx_l=-11.95 Ty_l=-59.01 N_l=7246.95 My_l=30.49 Mz_l=0.23
Azioni sul cordone: TP=3.33 TO=11.76 NO=1444.57
Tensioni nel cordone: τ_P=0.39 τ_0=1.39 σ_0=214.81 σ_{ID}=214.81 Σ_T=216.20
CC 28 SLD (Collegamento 0010_-503)
Azioni sul collegamento: N=7246.95 Ty=-11.28 Tz=-59.01 Mx=0.23 Mz=-28.78
Sollecitazioni agenti localmente: Tx_l=-11.28 Ty_l=-59.01 N_l=7246.95 My_l=28.78 Mz_l=0.23
Azioni sul cordone: TP=3.20 TO=11.76 NO=1444.57
Tensioni nel cordone: τ_P=0.38 τ_0=1.39 σ_0=212.32 σ_{ID}=212.33 Σ_T=213.71
CC 28 SLD (Collegamento 0010_-503)
Azioni sul collegamento: N=7785.03 Ty=-11.95 Tz=-59.01 Mx=0.23 Mz=-30.49
Sollecitazioni agenti localmente: Tx_l=-11.95 Ty_l=-59.01 N_l=7785.03 My_l=30.49 Mz_l=0.23
Azioni sul cordone: TP=3.33 TO=11.76 NO=1551.83
Tensioni nel cordone: τ_P=0.39 τ_0=1.39 σ_0=227.45 σ_{ID}=227.46 Σ_T=228.84
CC 28 SLD (Collegamento 0010_-503)
Azioni sul collegamento: N=7785.03 Ty=-11.28 Tz=-59.01 Mx=0.23 Mz=-28.78
Sollecitazioni agenti localmente: Tx_l=-11.28 Ty_l=-59.01 N_l=7785.03 My_l=28.78 Mz_l=0.23
Azioni sul cordone: TP=3.20 TO=11.76 NO=1551.83
Tensioni nel cordone: τ_P=0.38 τ_0=1.39 σ_0=224.97 σ_{ID}=224.97 Σ_T=226.35
CC 28 SLD (Collegamento 0010_-503)
Azioni sul collegamento: N=7785.03 Ty=-11.95 Tz=-59.01 Mx=0.23 Mz=-30.49
Sollecitazioni agenti localmente: Tx_l=-11.95 Ty_l=-59.01 N_l=7785.03 My_l=30.49 Mz_l=0.23
Azioni sul cordone: TP=3.33 TO=11.76 NO=1551.83
Tensioni nel cordone: τ_P=0.39 τ_0=1.39 σ_0=227.45 σ_{ID}=227.46 Σ_T=228.84
CC 28 SLD (Collegamento 0010_-503)
Azioni sul collegamento: N=7785.03 Ty=-11.28 Tz=-59.01 Mx=0.23 Mz=-28.78
Sollecitazioni agenti localmente: Tx_l=-11.28 Ty_l=-59.01 N_l=7785.03 My_l=28.78 Mz_l=0.23
Azioni sul cordone: TP=3.20 TO=11.76 NO=1551.83
Tensioni nel cordone: τ_P=0.38 τ_0=1.39 σ_0=224.97 σ_{ID}=224.97 Σ_T=226.35
CC 29 SLV (Collegamento 0010_-503)
Azioni sul collegamento: N=8471.93 Ty=-10.37 Tz=-59.01 Mx=0.25 Mz=-26.37
Sollecitazioni agenti localmente: Tx_l=-10.37 Ty_l=-59.01 N_l=8471.93 My_l=26.37 Mz_l=0.25
Azioni sul cordone: TP=3.13 TO=11.76 NO=1688.76
Tensioni nel cordone: τ_P=0.37 τ_0=1.39 σ_0=237.58 σ_{ID}=237.59 Σ_T=238.97
CC 29 SLV (Collegamento 0010_-503)
Azioni sul collegamento: N=8471.93 Ty=-12.57 Tz=-59.01 Mx=0.25 Mz=-31.96
Sollecitazioni agenti localmente: Tx_l=-12.57 Ty_l=-59.01 N_l=8471.93 My_l=31.96 Mz_l=0.25
Azioni sul cordone: TP=3.57 TO=11.76 NO=1688.76
Tensioni nel cordone: τ_P=0.42 τ_0=1.39 σ_0=245.74 σ_{ID}=245.74 Σ_T=247.13
CC 29 SLV (Collegamento 0010_-503)

Azioni sul collegamento: N=8471.93 Ty=-10.37 Tz=-59.01 Mx=0.25 Mz=-26.37
Sollecitazioni agenti localmente: Tx_l=-10.37 Ty_l=-59.01 N_l=8471.93 My_l=26.37 Mz_l=0.25
Azioni sul cordone: TP=3.13 TO=11.76 NO=1688.76
Tensioni nel cordone: τ_P=0.37 τ_0=1.39 σ_0=237.58 σ_{ID}=237.59 Σ_T=238.97
CC 29 SLV (Collegamento 0010_-503)
Azioni sul collegamento: N=8471.93 Ty=-12.57 Tz=-59.01 Mx=0.25 Mz=-31.96
Sollecitazioni agenti localmente: Tx_l=-12.57 Ty_l=-59.01 N_l=8471.93 My_l=31.96 Mz_l=0.25
Azioni sul cordone: TP=3.57 TO=11.76 NO=1688.76
Tensioni nel cordone: τ_P=0.42 τ_0=1.39 σ_0=245.74 σ_{ID}=245.74 Σ_T=247.13
CC 29 SLV (Collegamento 0010_-503)
Azioni sul collegamento: N=6707.34 Ty=-10.37 Tz=-59.01 Mx=0.25 Mz=-26.37
Sollecitazioni agenti localmente: Tx_l=-10.37 Ty_l=-59.01 N_l=6707.34 My_l=26.37 Mz_l=0.25
Azioni sul cordone: TP=3.13 TO=11.76 NO=1337.01
Tensioni nel cordone: τ_P=0.37 τ_0=1.39 σ_0=196.12 σ_{ID}=196.13 Σ_T=197.51
CC 29 SLV (Collegamento 0010_-503)
Azioni sul collegamento: N=6707.34 Ty=-12.57 Tz=-59.01 Mx=0.25 Mz=-31.96
Sollecitazioni agenti localmente: Tx_l=-12.57 Ty_l=-59.01 N_l=6707.34 My_l=31.96 Mz_l=0.25
Azioni sul cordone: TP=3.57 TO=11.76 NO=1337.01
Tensioni nel cordone: τ_P=0.42 τ_0=1.39 σ_0=204.28 σ_{ID}=204.28 Σ_T=205.66
CC 29 SLV (Collegamento 0010_-503)
Azioni sul collegamento: N=6707.34 Ty=-10.37 Tz=-59.01 Mx=0.25 Mz=-26.37
Sollecitazioni agenti localmente: Tx_l=-10.37 Ty_l=-59.01 N_l=6707.34 My_l=26.37 Mz_l=0.25
Azioni sul cordone: TP=3.13 TO=11.76 NO=1337.01
Tensioni nel cordone: τ_P=0.37 τ_0=1.39 σ_0=196.12 σ_{ID}=196.13 Σ_T=197.51
CC 29 SLV (Collegamento 0010_-503)
Azioni sul collegamento: N=6707.34 Ty=-12.57 Tz=-59.01 Mx=0.25 Mz=-31.96
Sollecitazioni agenti localmente: Tx_l=-12.57 Ty_l=-59.01 N_l=6707.34 My_l=31.96 Mz_l=0.25
Azioni sul cordone: TP=3.57 TO=11.76 NO=1337.01
Tensioni nel cordone: τ_P=0.42 τ_0=1.39 σ_0=204.28 σ_{ID}=204.28 Σ_T=205.66
CC 30 SLD (Collegamento 0010_-503)
Azioni sul collegamento: N=7785.03 Ty=-11.28 Tz=-59.01 Mx=0.24 Mz=-28.78
Sollecitazioni agenti localmente: Tx_l=-11.28 Ty_l=-59.01 N_l=7785.03 My_l=28.78 Mz_l=0.24
Azioni sul cordone: TP=3.26 TO=11.76 NO=1551.83
Tensioni nel cordone: τ_P=0.38 τ_0=1.39 σ_0=224.97 σ_{ID}=224.97 Σ_T=226.35
CC 30 SLD (Collegamento 0010_-503)
Azioni sul collegamento: N=7785.03 Ty=-11.95 Tz=-59.01 Mx=0.24 Mz=-30.49
Sollecitazioni agenti localmente: Tx_l=-11.95 Ty_l=-59.01 N_l=7785.03 My_l=30.49 Mz_l=0.24
Azioni sul cordone: TP=3.39 TO=11.76 NO=1551.83
Tensioni nel cordone: τ_P=0.40 τ_0=1.39 σ_0=227.45 σ_{ID}=227.46 Σ_T=228.84
CC 30 SLD (Collegamento 0010_-503)
Azioni sul collegamento: N=7785.03 Ty=-11.28 Tz=-59.01 Mx=0.24 Mz=-28.78
Sollecitazioni agenti localmente: Tx_l=-11.28 Ty_l=-59.01 N_l=7785.03 My_l=28.78 Mz_l=0.24
Azioni sul cordone: TP=3.26 TO=11.76 NO=1551.83
Tensioni nel cordone: τ_P=0.38 τ_0=1.39 σ_0=224.97 σ_{ID}=224.97 Σ_T=226.35
CC 30 SLD (Collegamento 0010_-503)
Azioni sul collegamento: N=7785.03 Ty=-11.95 Tz=-59.01 Mx=0.24 Mz=-30.49
Sollecitazioni agenti localmente: Tx_l=-11.95 Ty_l=-59.01 N_l=7785.03 My_l=30.49 Mz_l=0.24
Azioni sul cordone: TP=3.39 TO=11.76 NO=1551.83
Tensioni nel cordone: τ_P=0.40 τ_0=1.39 σ_0=227.45 σ_{ID}=227.46 Σ_T=228.84
CC 30 SLD (Collegamento 0010_-503)
Azioni sul collegamento: N=7246.95 Ty=-11.28 Tz=-59.01 Mx=0.24 Mz=-28.78
Sollecitazioni agenti localmente: Tx_l=-11.28 Ty_l=-59.01 N_l=7246.95 My_l=28.78 Mz_l=0.24
Azioni sul cordone: TP=3.26 TO=11.76 NO=1444.57
Tensioni nel cordone: τ_P=0.38 τ_0=1.39 σ_0=212.32 σ_{ID}=212.33 Σ_T=213.71
CC 30 SLD (Collegamento 0010_-503)
Azioni sul collegamento: N=7246.95 Ty=-11.95 Tz=-59.01 Mx=0.24 Mz=-30.49
Sollecitazioni agenti localmente: Tx_l=-11.95 Ty_l=-59.01 N_l=7246.95 My_l=30.49 Mz_l=0.24
Azioni sul cordone: TP=3.39 TO=11.76 NO=1444.57
Tensioni nel cordone: τ_P=0.40 τ_0=1.39 σ_0=214.81 σ_{ID}=214.81 Σ_T=216.20
CC 30 SLD (Collegamento 0010_-503)
Azioni sul collegamento: N=7246.95 Ty=-11.28 Tz=-59.01 Mx=0.24 Mz=-28.78
Sollecitazioni agenti localmente: Tx_l=-11.28 Ty_l=-59.01 N_l=7246.95 My_l=28.78 Mz_l=0.24
Azioni sul cordone: TP=3.26 TO=11.76 NO=1444.57
Tensioni nel cordone: τ_P=0.38 τ_0=1.39 σ_0=212.32 σ_{ID}=212.33 Σ_T=213.71
CC 30 SLD (Collegamento 0010_-503)
Azioni sul collegamento: N=7246.95 Ty=-11.95 Tz=-59.01 Mx=0.24 Mz=-30.49
Sollecitazioni agenti localmente: Tx_l=-11.95 Ty_l=-59.01 N_l=7246.95 My_l=30.49 Mz_l=0.24
Azioni sul cordone: TP=3.39 TO=11.76 NO=1444.57
Tensioni nel cordone: τ_P=0.40 τ_0=1.39 σ_0=214.81 σ_{ID}=214.81 Σ_T=216.20
CC 31 SLV (Collegamento 0010_-503)
Azioni sul collegamento: N=6694.21 Ty=-12.88 Tz=-59.01 Mx=0.20 Mz=-32.77
Sollecitazioni agenti localmente: Tx_l=-12.88 Ty_l=-59.01 N_l=6694.21 My_l=32.77 Mz_l=0.20
Azioni sul cordone: TP=3.42 TO=11.76 NO=1334.39
Tensioni nel cordone: τ_P=0.40 τ_0=1.39 σ_0=205.15 σ_{ID}=205.16 Σ_T=206.54
CC 31 SLV (Collegamento 0010_-503)
Azioni sul collegamento: N=6694.21 Ty=-10.06 Tz=-59.01 Mx=0.20 Mz=-25.57
Sollecitazioni agenti localmente: Tx_l=-10.06 Ty_l=-59.01 N_l=6694.21 My_l=25.57 Mz_l=0.20
Azioni sul cordone: TP=2.86 TO=11.76 NO=1334.39
Tensioni nel cordone: τ_P=0.34 τ_0=1.39 σ_0=194.63 σ_{ID}=194.64 Σ_T=196.02

CC 31 SLV (Collegamento 0010_-503)
Azioni sul collegamento: N=6694.21 Ty=-12.88 Tz=-59.01 Mx=0.20 Mz=-32.77
Sollecitazioni agenti localmente: Tx_l=-12.88 Ty_l=-59.01 N_l=6694.21 My_l=32.77 Mz_l=0.20
Azioni sul cordone: TP=3.42 TO=11.76 NO=1334.39
Tensioni nel cordone: τ_P=0.40 τ_0=1.39 σ_0=205.15 σ_{ID}=205.16 Σ_T=206.54
CC 31 SLV (Collegamento 0010_-503)
Azioni sul collegamento: N=6694.21 Ty=-10.06 Tz=-59.01 Mx=0.20 Mz=-25.57
Sollecitazioni agenti localmente: Tx_l=-10.06 Ty_l=-59.01 N_l=6694.21 My_l=25.57 Mz_l=0.20
Azioni sul cordone: TP=2.86 TO=11.76 NO=1334.39
Tensioni nel cordone: τ_P=0.34 τ_0=1.39 σ_0=194.63 σ_{ID}=194.64 Σ_T=196.02
CC 31 SLV (Collegamento 0010_-503)
Azioni sul collegamento: N=8485.05 Ty=-12.88 Tz=-59.01 Mx=0.20 Mz=-32.77
Sollecitazioni agenti localmente: Tx_l=-12.88 Ty_l=-59.01 N_l=8485.05 My_l=32.77 Mz_l=0.20
Azioni sul cordone: TP=3.42 TO=11.76 NO=1691.37
Tensioni nel cordone: τ_P=0.40 τ_0=1.39 σ_0=247.23 σ_{ID}=247.23 Σ_T=248.62
CC 31 SLV (Collegamento 0010_-503)
Azioni sul collegamento: N=8485.05 Ty=-10.06 Tz=-59.01 Mx=0.20 Mz=-25.57
Sollecitazioni agenti localmente: Tx_l=-10.06 Ty_l=-59.01 N_l=8485.05 My_l=25.57 Mz_l=0.20
Azioni sul cordone: TP=2.86 TO=11.76 NO=1691.37
Tensioni nel cordone: τ_P=0.34 τ_0=1.39 σ_0=236.71 σ_{ID}=236.71 Σ_T=238.10
CC 31 SLV (Collegamento 0010_-503)
Azioni sul collegamento: N=8485.05 Ty=-12.88 Tz=-59.01 Mx=0.20 Mz=-32.77
Sollecitazioni agenti localmente: Tx_l=-12.88 Ty_l=-59.01 N_l=8485.05 My_l=32.77 Mz_l=0.20
Azioni sul cordone: TP=3.42 TO=11.76 NO=1691.37
Tensioni nel cordone: τ_P=0.40 τ_0=1.39 σ_0=247.23 σ_{ID}=247.23 Σ_T=248.62
CC 31 SLV (Collegamento 0010_-503)
Azioni sul collegamento: N=8485.05 Ty=-10.06 Tz=-59.01 Mx=0.20 Mz=-25.57
Sollecitazioni agenti localmente: Tx_l=-10.06 Ty_l=-59.01 N_l=8485.05 My_l=25.57 Mz_l=0.20
Azioni sul cordone: TP=2.86 TO=11.76 NO=1691.37
Tensioni nel cordone: τ_P=0.34 τ_0=1.39 σ_0=236.71 σ_{ID}=236.71 Σ_T=238.10
CC 32 SLD (Collegamento 0010_-503)
Azioni sul collegamento: N=7242.94 Ty=-12.04 Tz=-59.01 Mx=0.22 Mz=-30.73
Sollecitazioni agenti localmente: Tx_l=-12.04 Ty_l=-59.01 N_l=7242.94 My_l=30.73 Mz_l=0.22
Azioni sul cordone: TP=3.35 TO=11.76 NO=1443.78
Tensioni nel cordone: τ_P=0.39 τ_0=1.39 σ_0=215.08 σ_{ID}=215.08 Σ_T=216.46
CC 32 SLD (Collegamento 0010_-503)
Azioni sul collegamento: N=7242.94 Ty=-11.19 Tz=-59.01 Mx=0.22 Mz=-28.54
Sollecitazioni agenti localmente: Tx_l=-11.19 Ty_l=-59.01 N_l=7242.94 My_l=28.54 Mz_l=0.22
Azioni sul cordone: TP=3.17 TO=11.76 NO=1443.78
Tensioni nel cordone: τ_P=0.37 τ_0=1.39 σ_0=211.87 σ_{ID}=211.87 Σ_T=213.25
CC 32 SLD (Collegamento 0010_-503)
Azioni sul collegamento: N=7242.94 Ty=-12.04 Tz=-59.01 Mx=0.22 Mz=-30.73
Sollecitazioni agenti localmente: Tx_l=-12.04 Ty_l=-59.01 N_l=7242.94 My_l=30.73 Mz_l=0.22
Azioni sul cordone: TP=3.35 TO=11.76 NO=1443.78
Tensioni nel cordone: τ_P=0.39 τ_0=1.39 σ_0=215.08 σ_{ID}=215.08 Σ_T=216.46
CC 32 SLD (Collegamento 0010_-503)
Azioni sul collegamento: N=7242.94 Ty=-11.19 Tz=-59.01 Mx=0.22 Mz=-28.54
Sollecitazioni agenti localmente: Tx_l=-11.19 Ty_l=-59.01 N_l=7242.94 My_l=28.54 Mz_l=0.22
Azioni sul cordone: TP=3.17 TO=11.76 NO=1443.78
Tensioni nel cordone: τ_P=0.37 τ_0=1.39 σ_0=211.87 σ_{ID}=211.87 Σ_T=213.25
CC 32 SLD (Collegamento 0010_-503)
Azioni sul collegamento: N=7789.03 Ty=-12.04 Tz=-59.01 Mx=0.22 Mz=-30.73
Sollecitazioni agenti localmente: Tx_l=-12.04 Ty_l=-59.01 N_l=7789.03 My_l=30.73 Mz_l=0.22
Azioni sul cordone: TP=3.35 TO=11.76 NO=1552.63
Tensioni nel cordone: τ_P=0.39 τ_0=1.39 σ_0=227.91 σ_{ID}=227.91 Σ_T=229.29
CC 32 SLD (Collegamento 0010_-503)
Azioni sul collegamento: N=7789.03 Ty=-11.19 Tz=-59.01 Mx=0.22 Mz=-28.54
Sollecitazioni agenti localmente: Tx_l=-11.19 Ty_l=-59.01 N_l=7789.03 My_l=28.54 Mz_l=0.22
Azioni sul cordone: TP=3.17 TO=11.76 NO=1552.63
Tensioni nel cordone: τ_P=0.37 τ_0=1.39 σ_0=224.70 σ_{ID}=224.70 Σ_T=226.09
CC 32 SLD (Collegamento 0010_-503)
Azioni sul collegamento: N=7789.03 Ty=-12.04 Tz=-59.01 Mx=0.22 Mz=-30.73
Sollecitazioni agenti localmente: Tx_l=-12.04 Ty_l=-59.01 N_l=7789.03 My_l=30.73 Mz_l=0.22
Azioni sul cordone: TP=3.35 TO=11.76 NO=1552.63
Tensioni nel cordone: τ_P=0.39 τ_0=1.39 σ_0=227.91 σ_{ID}=227.91 Σ_T=229.29
CC 32 SLD (Collegamento 0010_-503)
Azioni sul collegamento: N=7789.03 Ty=-11.19 Tz=-59.01 Mx=0.22 Mz=-28.54
Sollecitazioni agenti localmente: Tx_l=-11.19 Ty_l=-59.01 N_l=7789.03 My_l=28.54 Mz_l=0.22
Azioni sul cordone: TP=3.17 TO=11.76 NO=1552.63
Tensioni nel cordone: τ_P=0.37 τ_0=1.39 σ_0=224.70 σ_{ID}=224.70 Σ_T=226.09
CC 33 SLU (Collegamento 0010_-503)
Azioni sul collegamento: N=27571.30 Ty=-23.30 Tz=-79.67 Mx=0.47 Mz=-59.64
Sollecitazioni agenti localmente: Tx_l=-23.30 Ty_l=-79.67 N_l=27571.30 My_l=59.64 Mz_l=0.47
Azioni sul cordone: TP=-2.26 TO=-5.51 NO=2038.08
Tensioni nel cordone: τ_P=0.72 τ_0=1.75 σ_0=734.93 σ_{ID}=734.93 Σ_T=736.68
CC 34 SLU (Collegamento 0010_-503)
Azioni sul collegamento: N=28188.30 Ty=-24.17 Tz=-79.67 Mx=0.48 Mz=-61.86
Sollecitazioni agenti localmente: Tx_l=-24.17 Ty_l=-79.67 N_l=28188.30 My_l=61.86 Mz_l=0.48
Azioni sul cordone: TP=-2.35 TO=-5.50 NO=2083.69

Tensioni nel cordone: τ_P=0.75 τ_0=1.75 σ_0=752.67 σ_{ID}=752.67 Σ_T=754.42
CC 35 SLU (Collegamento 0010_-503)
Azioni sul collegamento: N=27879.10 Ty=-23.75 Tz=-79.67 Mx=0.47 Mz=-60.79
Sollecitazioni agenti localmente: Tx_l=-23.75 Ty_l=-79.67 N_l=27879.10 My_l=60.79 Mz_l=0.47
Azioni sul cordone: TP=-2.31 TO=-5.51 NO=2060.83
Tensioni nel cordone: τ_P=0.73 τ_0=1.75 σ_0=743.85 σ_{ID}=743.85 Σ_T=745.60
CC 36 SLU (Collegamento 0010_-503)
Azioni sul collegamento: N=27880.50 Ty=-23.72 Tz=-79.67 Mx=0.47 Mz=-60.71
Sollecitazioni agenti localmente: Tx_l=-23.72 Ty_l=-79.67 N_l=27880.50 My_l=60.71 Mz_l=0.47
Azioni sul cordone: TP=-2.30 TO=-5.51 NO=2060.94
Tensioni nel cordone: τ_P=0.73 τ_0=1.75 σ_0=743.75 σ_{ID}=743.76 Σ_T=745.50
CC 37 SLU (Collegamento 0010_-503)
Azioni sul collegamento: N=22442.50 Ty=11.55 Tz=-79.67 Mx=-0.23 Mz=29.35
Sollecitazioni agenti localmente: Tx_l=11.55 Ty_l=-79.67 N_l=22442.50 My_l=-29.35 Mz_l=-0.23
Azioni sul cordone: TP=1.12 TO=-5.71 NO=1658.96
Tensioni nel cordone: τ_P=0.36 τ_0=1.81 σ_0=570.17 σ_{ID}=570.17 Σ_T=571.98
CC 38 SLU (Collegamento 0010_-503)
Azioni sul collegamento: N=23059.40 Ty=10.68 Tz=-79.67 Mx=-0.21 Mz=27.13
Sollecitazioni agenti localmente: Tx_l=10.68 Ty_l=-79.67 N_l=23059.40 My_l=-27.13 Mz_l=-0.21
Azioni sul cordone: TP=1.03 TO=-5.72 NO=1704.56
Tensioni nel cordone: τ_P=0.33 τ_0=1.82 σ_0=581.42 σ_{ID}=581.42 Σ_T=583.24
CC 39 SLU (Collegamento 0010_-503)
Azioni sul collegamento: N=22750.30 Ty=11.10 Tz=-79.67 Mx=-0.22 Mz=28.19
Sollecitazioni agenti localmente: Tx_l=11.10 Ty_l=-79.67 N_l=22750.30 My_l=-28.19 Mz_l=-0.22
Azioni sul cordone: TP=1.08 TO=-5.71 NO=1681.71
Tensioni nel cordone: τ_P=0.34 τ_0=1.82 σ_0=575.72 σ_{ID}=575.72 Σ_T=577.53
CC 40 SLU (Collegamento 0010_-503)
Azioni sul collegamento: N=22751.70 Ty=11.13 Tz=-79.67 Mx=-0.22 Mz=28.28
Sollecitazioni agenti localmente: Tx_l=11.13 Ty_l=-79.67 N_l=22751.70 My_l=-28.28 Mz_l=-0.22
Azioni sul cordone: TP=1.08 TO=-5.71 NO=1681.81
Tensioni nel cordone: τ_P=0.34 τ_0=1.82 σ_0=575.87 σ_{ID}=575.88 Σ_T=577.69
CC 41 SLU (Collegamento 0010_-503)
Azioni sul collegamento: N=20629.10 Ty=-22.50 Tz=-79.67 Mx=0.45 Mz=-57.50
Sollecitazioni agenti localmente: Tx_l=-22.50 Ty_l=-79.67 N_l=20629.10 My_l=57.50 Mz_l=0.45
Azioni sul cordone: TP=6.39 TO=15.88 NO=4112.11
Tensioni nel cordone: τ_P=0.75 τ_0=1.87 σ_0=568.70 σ_{ID}=568.70 Σ_T=570.57
CC 42 SLU (Collegamento 0010_-503)
Azioni sul collegamento: N=21246.00 Ty=-23.37 Tz=-79.67 Mx=0.47 Mz=-59.72
Sollecitazioni agenti localmente: Tx_l=-23.37 Ty_l=-79.67 N_l=21246.00 My_l=59.72 Mz_l=0.47
Azioni sul cordone: TP=6.63 TO=15.88 NO=4235.09
Tensioni nel cordone: τ_P=0.78 τ_0=1.87 σ_0=586.43 σ_{ID}=586.44 Σ_T=588.31
CC 43 SLU (Collegamento 0010_-503)
Azioni sul collegamento: N=20936.90 Ty=-22.95 Tz=-79.67 Mx=0.46 Mz=-58.65
Sollecitazioni agenti localmente: Tx_l=-22.95 Ty_l=-79.67 N_l=20936.90 My_l=58.65 Mz_l=0.46
Azioni sul cordone: TP=6.51 TO=15.88 NO=4173.46
Tensioni nel cordone: τ_P=0.77 τ_0=1.87 σ_0=577.61 σ_{ID}=577.61 Σ_T=579.48
CC 44 SLU (Collegamento 0010_-503)
Azioni sul collegamento: N=20938.30 Ty=-22.92 Tz=-79.67 Mx=0.46 Mz=-58.57
Sollecitazioni agenti localmente: Tx_l=-22.92 Ty_l=-79.67 N_l=20938.30 My_l=58.57 Mz_l=0.46
Azioni sul cordone: TP=6.51 TO=15.88 NO=4173.74
Tensioni nel cordone: τ_P=0.77 τ_0=1.87 σ_0=577.52 σ_{ID}=577.52 Σ_T=579.39
CC 45 SLU (Collegamento 0010_-503)
Azioni sul collegamento: N=22155.70 Ty=-22.60 Tz=-79.67 Mx=0.45 Mz=-57.80
Sollecitazioni agenti localmente: Tx_l=-22.60 Ty_l=-79.67 N_l=22155.70 My_l=57.80 Mz_l=0.45
Azioni sul cordone: TP=-2.19 TO=-5.53 NO=1637.76
Tensioni nel cordone: τ_P=0.70 τ_0=1.76 σ_0=605.00 σ_{ID}=605.00 Σ_T=606.75
CC 46 SLU (Collegamento 0010_-503)
Azioni sul collegamento: N=22772.60 Ty=-23.47 Tz=-79.67 Mx=0.47 Mz=-60.02
Sollecitazioni agenti localmente: Tx_l=-23.47 Ty_l=-79.67 N_l=22772.60 My_l=60.02 Mz_l=0.47
Azioni sul cordone: TP=6.66 TO=15.88 NO=4539.39
Tensioni nel cordone: τ_P=0.78 τ_0=1.87 σ_0=622.74 σ_{ID}=622.74 Σ_T=624.61
CC 47 SLU (Collegamento 0010_-503)
Azioni sul collegamento: N=22463.40 Ty=-23.05 Tz=-79.67 Mx=0.46 Mz=-58.95
Sollecitazioni agenti localmente: Tx_l=-23.05 Ty_l=-79.67 N_l=22463.40 My_l=58.95 Mz_l=0.46
Azioni sul cordone: TP=6.54 TO=15.88 NO=4477.76
Tensioni nel cordone: τ_P=0.77 τ_0=1.87 σ_0=613.91 σ_{ID}=613.92 Σ_T=615.78
CC 48 SLU (Collegamento 0010_-503)
Azioni sul collegamento: N=22464.90 Ty=-23.02 Tz=-79.67 Mx=0.46 Mz=-58.87
Sollecitazioni agenti localmente: Tx_l=-23.02 Ty_l=-79.67 N_l=22464.90 My_l=58.87 Mz_l=0.46
Azioni sul cordone: TP=6.53 TO=15.88 NO=4478.05
Tensioni nel cordone: τ_P=0.77 τ_0=1.87 σ_0=613.82 σ_{ID}=613.83 Σ_T=615.69
CC 49 SLU (Collegamento 0010_-503)
Azioni sul collegamento: N=18318.60 Ty=3.48 Tz=-79.67 Mx=-0.07 Mz=8.78
Sollecitazioni agenti localmente: Tx_l=3.48 Ty_l=-79.67 N_l=18318.60 My_l=-8.78 Mz_l=-0.07
Azioni sul cordone: TP=0.34 TO=-5.83 NO=1354.11
Tensioni nel cordone: τ_P=0.11 τ_0=1.85 σ_0=443.22 σ_{ID}=443.23 Σ_T=445.08
CC 50 SLU (Collegamento 0010_-503)
Azioni sul collegamento: N=18935.50 Ty=2.61 Tz=-79.67 Mx=-0.05 Mz=6.55
Sollecitazioni agenti localmente: Tx_l=2.61 Ty_l=-79.67 N_l=18935.50 My_l=-6.55 Mz_l=-0.05

Azioni sul cordone: TP=0.25 TO=-5.85 NO=1399.72
Tensioni nel cordone: τ_P= 0.08 τ_0=1.86 σ_0=454.47 σ_{ID}=454.48 Σ_T=456.33
CC 51 SLU (Collegamento 0010_-503)
Azioni sul collegamento: N=18626.30 Ty=3.03 Tz=-79.67 Mx=-0.06 Mz=7.62
Sollecitazioni agenti localmente: Tx_l=3.03 Ty_l=-79.67 N_l=18626.30 My_l=-7.62 Mz_l=-0.06
Azioni sul cordone: TP=0.29 TO=-5.84 NO=1376.86
Tensioni nel cordone: τ_P= 0.09 τ_0=1.86 σ_0=448.77 σ_{ID}=448.77 Σ_T=450.63
CC 52 SLU (Collegamento 0010_-503)
Azioni sul collegamento: N=18627.70 Ty=3.06 Tz=-79.67 Mx=-0.06 Mz=7.71
Sollecitazioni agenti localmente: Tx_l=3.06 Ty_l=-79.67 N_l=18627.70 My_l=-7.71 Mz_l=-0.06
Azioni sul cordone: TP=0.30 TO=-5.84 NO=1376.97
Tensioni nel cordone: τ_P= 0.09 τ_0=1.86 σ_0=448.93 σ_{ID}=448.93 Σ_T=450.79
CC 53 SLU (Collegamento 0010_-503)
Azioni sul collegamento: N=16961.90 Ty=-21.99 Tz=-79.67 Mx=0.44 Mz=-56.20
Sollecitazioni agenti localmente: Tx_l=-21.99 Ty_l=-79.67 N_l=16961.90 My_l=56.20 Mz_l=0.44
Azioni sul cordone: TP=6.24 TO=15.88 NO=3381.10
Tensioni nel cordone: τ_P=0.74 τ_0=1.87 σ_0=480.63 σ_{ID}=480.63 Σ_T=482.50
CC 54 SLU (Collegamento 0010_-503)
Azioni sul collegamento: N=17578.80 Ty=-22.86 Tz=-79.67 Mx=0.46 Mz=-58.42
Sollecitazioni agenti localmente: Tx_l=-22.86 Ty_l=-79.67 N_l=17578.80 My_l=58.42 Mz_l=0.46
Azioni sul cordone: TP=6.49 TO=15.88 NO=3504.08
Tensioni nel cordone: τ_P=0.76 τ_0=1.87 σ_0=498.37 σ_{ID}=498.37 Σ_T=500.24
CC 55 SLU (Collegamento 0010_-503)
Azioni sul collegamento: N=17269.60 Ty=-22.45 Tz=-79.67 Mx=0.45 Mz=-57.35
Sollecitazioni agenti localmente: Tx_l=-22.45 Ty_l=-79.67 N_l=17269.60 My_l=57.35 Mz_l=0.45
Azioni sul cordone: TP=6.37 TO=15.88 NO=3442.45
Tensioni nel cordone: τ_P=0.75 τ_0=1.87 σ_0=489.55 σ_{ID}=489.55 Σ_T=491.42
CC 56 SLU (Collegamento 0010_-503)
Azioni sul collegamento: N=17271.00 Ty=-22.41 Tz=-79.67 Mx=0.45 Mz=-57.27
Sollecitazioni agenti localmente: Tx_l=-22.41 Ty_l=-79.67 N_l=17271.00 My_l=57.27 Mz_l=0.45
Azioni sul cordone: TP=6.36 TO=15.88 NO=3442.73
Tensioni nel cordone: τ_P=0.75 τ_0=1.87 σ_0=489.45 σ_{ID}=489.46 Σ_T=491.33
CC 57 SLU (Collegamento 0010_-503)
Azioni sul collegamento: N=22716.80 Ty=-23.73 Tz=-79.67 Mx=0.47 Mz=-60.70
Sollecitazioni agenti localmente: Tx_l=-23.73 Ty_l=-79.67 N_l=22716.80 My_l=60.70 Mz_l=0.47
Azioni sul cordone: TP=6.73 TO=15.88 NO=4528.27
Tensioni nel cordone: τ_P=0.79 τ_0=1.87 σ_0=622.41 σ_{ID}=622.42 Σ_T=624.29
CC 58 SLU (Collegamento 0010_-503)
Azioni sul collegamento: N=23333.80 Ty=-24.60 Tz=-79.67 Mx=0.49 Mz=-62.92
Sollecitazioni agenti localmente: Tx_l=-24.60 Ty_l=-79.67 N_l=23333.80 My_l=62.92 Mz_l=0.49
Azioni sul cordone: TP=6.98 TO=15.88 NO=4651.25
Tensioni nel cordone: τ_P=0.82 τ_0=1.87 σ_0=640.15 σ_{ID}=640.16 Σ_T=642.03
CC 59 SLU (Collegamento 0010_-503)
Azioni sul collegamento: N=23024.60 Ty=-24.18 Tz=-79.67 Mx=0.48 Mz=-61.85
Sollecitazioni agenti localmente: Tx_l=-24.18 Ty_l=-79.67 N_l=23024.60 My_l=61.85 Mz_l=0.48
Azioni sul cordone: TP=6.86 TO=15.88 NO=4589.62
Tensioni nel cordone: τ_P=0.81 τ_0=1.87 σ_0=631.33 σ_{ID}=631.33 Σ_T=633.20
CC 60 SLU (Collegamento 0010_-503)
Azioni sul collegamento: N=23026.00 Ty=-24.15 Tz=-79.67 Mx=0.48 Mz=-61.76
Sollecitazioni agenti localmente: Tx_l=-24.15 Ty_l=-79.67 N_l=23026.00 My_l=61.76 Mz_l=0.48
Azioni sul cordone: TP=6.85 TO=15.88 NO=4589.90
Tensioni nel cordone: τ_P=0.81 τ_0=1.87 σ_0=631.24 σ_{ID}=631.24 Σ_T=633.11
CC 61 SLU (Collegamento 0010_-503)
Azioni sul collegamento: N=18879.70 Ty=2.34 Tz=-79.67 Mx=-0.05 Mz=5.88
Sollecitazioni agenti localmente: Tx_l=2.34 Ty_l=-79.67 N_l=18879.70 My_l=-5.88 Mz_l=-0.05
Azioni sul cordone: TP=0.23 TO=-5.85 NO=1395.59
Tensioni nel cordone: τ_P= 0.07 τ_0=1.86 σ_0=452.18 σ_{ID}=452.18 Σ_T=454.04
CC 62 SLU (Collegamento 0010_-503)
Azioni sul collegamento: N=19496.60 Ty=1.47 Tz=-79.67 Mx=-0.03 Mz=3.66
Sollecitazioni agenti localmente: Tx_l=1.47 Ty_l=-79.67 N_l=19496.60 My_l=-3.66 Mz_l=-0.03
Azioni sul cordone: TP=0.14 TO=-5.87 NO=1441.20
Tensioni nel cordone: τ_P= 0.04 τ_0=1.86 σ_0=463.43 σ_{ID}=463.43 Σ_T=465.29
CC 63 SLU (Collegamento 0010_-503)
Azioni sul collegamento: N=19187.50 Ty=1.89 Tz=-79.67 Mx=-0.04 Mz=4.73
Sollecitazioni agenti localmente: Tx_l=1.89 Ty_l=-79.67 N_l=19187.50 My_l=-4.73 Mz_l=-0.04
Azioni sul cordone: TP=0.18 TO=-5.86 NO=1418.34
Tensioni nel cordone: τ_P= 0.06 τ_0=1.86 σ_0=457.72 σ_{ID}=457.73 Σ_T=459.58
CC 64 SLU (Collegamento 0010_-503)
Azioni sul collegamento: N=19188.90 Ty=1.92 Tz=-79.67 Mx=-0.04 Mz=4.81
Sollecitazioni agenti localmente: Tx_l=1.92 Ty_l=-79.67 N_l=19188.90 My_l=-4.81 Mz_l=-0.04
Azioni sul cordone: TP=0.18 TO=-5.86 NO=1418.45
Tensioni nel cordone: τ_P= 0.06 τ_0=1.86 σ_0=457.88 σ_{ID}=457.88 Σ_T=459.74
CC 65 SLU (Collegamento 0010_-503)
Azioni sul collegamento: N=17523.00 Ty=-23.13 Tz=-79.67 Mx=0.46 Mz=-59.10
Sollecitazioni agenti localmente: Tx_l=-23.13 Ty_l=-79.67 N_l=17523.00 My_l=59.10 Mz_l=0.46
Azioni sul cordone: TP=6.56 TO=15.88 NO=3492.96
Tensioni nel cordone: τ_P=0.77 τ_0=1.87 σ_0=498.05 σ_{ID}=498.05 Σ_T=499.92
CC 66 SLU (Collegamento 0010_-503)
Azioni sul collegamento: N=18139.90 Ty=-24.00 Tz=-79.67 Mx=0.48 Mz=-61.32

Sollecitazioni agenti localmente: Tx_l=-24.00 Ty_l=-79.67 N_l=18139.90 My_l=61.32 Mz_l=0.48
Azioni sul cordone: TP=6.81 TO=15.88 NO=3615.94
Tensioni nel cordone: τ_P=0.80 τ_0=1.87 σ_0=515.79 σ_{ID}=515.79 Σ_T=517.66
CC 67 SLU (Collegamento 0010_-503)
Azioni sul collegamento: N=17830.80 Ty=-23.58 Tz=-79.67 Mx=0.47 Mz=-60.25
Sollecitazioni agenti localmente: Tx_l=-23.58 Ty_l=-79.67 N_l=17830.80 My_l=60.25 Mz_l=0.47
Azioni sul cordone: TP=6.69 TO=15.88 NO=3554.31
Tensioni nel cordone: τ_P=0.79 τ_0=1.87 σ_0=506.96 σ_{ID}=506.97 Σ_T=508.83
CC 68 SLU (Collegamento 0010_-503)
Azioni sul collegamento: N=17832.20 Ty=-23.55 Tz=-79.67 Mx=0.47 Mz=-60.16
Sollecitazioni agenti localmente: Tx_l=-23.55 Ty_l=-79.67 N_l=17832.20 My_l=60.16 Mz_l=0.47
Azioni sul cordone: TP=6.68 TO=15.88 NO=3554.59
Tensioni nel cordone: τ_P=0.79 τ_0=1.87 σ_0=506.87 σ_{ID}=506.88 Σ_T=508.74
CC 97 SLU (Collegamento 0010_-503)
Azioni sul collegamento: N=23402.50 Ty=-44.00 Tz=-59.01 Mx=0.97 Mz=-113.14
Sollecitazioni agenti localmente: Tx_l=-44.00 Ty_l=-59.01 N_l=23402.50 My_l=113.14 Mz_l=0.97
Azioni sul cordone: TP=12.85 TO=11.76 NO=4664.96
Tensioni nel cordone: τ_P=1.51 τ_0=1.39 σ_0=715.13 σ_{ID}=715.14 Σ_T=716.52
CC 98 SLU (Collegamento 0010_-503)
Azioni sul collegamento: N=24019.50 Ty=-44.87 Tz=-59.01 Mx=0.98 Mz=-115.36
Sollecitazioni agenti localmente: Tx_l=-44.87 Ty_l=-59.01 N_l=24019.50 My_l=115.36 Mz_l=0.98
Azioni sul cordone: TP=13.10 TO=11.76 NO=4787.93
Tensioni nel cordone: τ_P=1.54 τ_0=1.39 σ_0=732.88 σ_{ID}=732.88 Σ_T=734.26
CC 99 SLU (Collegamento 0010_-503)
Azioni sul collegamento: N=23710.30 Ty=-44.45 Tz=-59.01 Mx=0.97 Mz=-114.29
Sollecitazioni agenti localmente: Tx_l=-44.45 Ty_l=-59.01 N_l=23710.30 My_l=114.29 Mz_l=0.97
Azioni sul cordone: TP=12.98 TO=11.76 NO=4726.30
Tensioni nel cordone: τ_P=1.53 τ_0=1.39 σ_0=724.05 σ_{ID}=724.05 Σ_T=725.44
CC 100 SLU (Collegamento 0010_-503)
Azioni sul collegamento: N=23711.70 Ty=-44.41 Tz=-59.01 Mx=0.97 Mz=-114.20
Sollecitazioni agenti localmente: Tx_l=-44.41 Ty_l=-59.01 N_l=23711.70 My_l=114.20 Mz_l=0.97
Azioni sul cordone: TP=12.97 TO=11.76 NO=4726.59
Tensioni nel cordone: τ_P=1.53 τ_0=1.39 σ_0=723.96 σ_{ID}=723.96 Σ_T=725.35
CC 101 SLU (Collegamento 0010_-503)
Azioni sul collegamento: N=6173.84 Ty=-4.41 Tz=-59.01 Mx=0.08 Mz=-11.20
Sollecitazioni agenti localmente: Tx_l=-4.41 Ty_l=-59.01 N_l=6173.84 My_l=11.20 Mz_l=0.08
Azioni sul cordone: TP=1.23 TO=11.76 NO=1230.66
Tensioni nel cordone: τ_P=0.14 τ_0=1.39 σ_0=161.42 σ_{ID}=161.43 Σ_T=162.81
CC 102 SLU (Collegamento 0010_-503)
Azioni sul collegamento: N=6790.76 Ty=-5.28 Tz=-59.01 Mx=0.10 Mz=-13.42
Sollecitazioni agenti localmente: Tx_l=-5.28 Ty_l=-59.01 N_l=6790.76 My_l=13.42 Mz_l=0.10
Azioni sul cordone: TP=1.48 TO=11.76 NO=1353.64
Tensioni nel cordone: τ_P=0.17 τ_0=1.39 σ_0=179.16 σ_{ID}=179.17 Σ_T=180.55
CC 103 SLU (Collegamento 0010_-503)
Azioni sul collegamento: N=6481.58 Ty=-4.86 Tz=-59.01 Mx=0.09 Mz=-12.35
Sollecitazioni agenti localmente: Tx_l=-4.86 Ty_l=-59.01 N_l=6481.58 My_l=12.35 Mz_l=0.09
Azioni sul cordone: TP=1.36 TO=11.76 NO=1292.01
Tensioni nel cordone: τ_P=0.16 τ_0=1.39 σ_0=170.34 σ_{ID}=170.34 Σ_T=171.72
CC 104 SLU (Collegamento 0010_-503)
Azioni sul collegamento: N=6483.01 Ty=-4.83 Tz=-59.01 Mx=0.09 Mz=-12.27
Sollecitazioni agenti localmente: Tx_l=-4.83 Ty_l=-59.01 N_l=6483.01 My_l=12.27 Mz_l=0.09
Azioni sul cordone: TP=1.35 TO=11.76 NO=1292.29
Tensioni nel cordone: τ_P=0.16 τ_0=1.39 σ_0=170.25 σ_{ID}=170.25 Σ_T=171.63

Collegamento 0020_-377

Piastra 220.00 x 220.00 s=15.00 - 6 Tirafondi ϕ 16 - Profondità di infissione: 350.00
3 righe ad interasse 89.00
2 colonne ad interasse 178.00
Altezza di gola saldature: anima 7.07 - ala 7.07

Tirafondi e calcestruzzo

CC 1 SLV (Collegamento 0020_-377)
Azioni sul collegamento: N=-3875.57 Ty=-4.02 Tz=-9.21 Mx=0.02 Mz=2.16
Sollecitazioni agenti localmente: Tx_l=-4.02 Ty_l=-9.21 N_l=-3875.57 Mx_l=-0.00 My_l=2.16 Mz_l=0.02
Taglio nei bulloni: Fv,Ed=1.71 Fv,Rd=7720.78
Rifollamento lato piastra: Fb,Ed,p=1.71 Fb,Rd,p=7758.79
Tirafondi:LT=0.45 (0.31) σ_{cR}=0.00 σ_{fR}=0.00
Compressione nel calcestruzzo: σ_c=8.13
CC 1 SLV (Collegamento 0020_-377)
Azioni sul collegamento: N=-3875.57 Ty=-0.64 Tz=-9.21 Mx=0.02 Mz=-1.09
Sollecitazioni agenti localmente: Tx_l=-0.64 Ty_l=-9.21 N_l=-3875.57 Mx_l=-0.00 My_l=-1.09 Mz_l=0.02
Taglio nei bulloni: Fv,Ed=1.56 Fv,Rd=7720.78
Rifollamento lato piastra: Fb,Ed,p=1.56 Fb,Rd,p=6040.85
Tirafondi:LT=0.45 (0.31) σ_{cR}=0.00 σ_{fR}=0.00
Compressione nel calcestruzzo: σ_c=8.07
CC 1 SLV (Collegamento 0020_-377)
Azioni sul collegamento: N=-3875.57 Ty=-4.02 Tz=10.50 Mx=0.02 Mz=2.16

Sollecitazioni agenti localmente: Tx_l=-4.02 Ty_l=10.50 N_l=-3875.57 Mx_l=-0.00 My_l=2.16 Mz_l=0.02
Taglio nei bulloni: Fv,Ed=1.90 Fv,Rd=7720.78
Rifollamento lato piastra: Fb,Ed,p=1.89 Fb,Rd,p=7168.83
Tirafondi:LT=0.45 (0.31) σ_{cR}=0.00 σ_{fR}=0.00
Compressione nel calcestruzzo: σ_c=8.13
CC 1 SLV (Collegamento 0020_-377)
Azioni sul collegamento: N=-3875.57 Ty=-0.64 Tz=10.50 Mx=0.02 Mz=-1.09
Sollecitazioni agenti localmente: Tx_l=-0.64 Ty_l=10.50 N_l=-3875.57 Mx_l=-0.00 My_l=-1.09 Mz_l=0.02
Taglio nei bulloni: Fv,Ed=1.78 Fv,Rd=7720.78
Rifollamento lato piastra: Fb,Ed,p=1.78 Fb,Rd,p=5998.64
Tirafondi:LT=0.45 (0.31) σ_{cR}=0.00 σ_{fR}=0.00
Compressione nel calcestruzzo: σ_c=8.07
CC 1 SLV (Collegamento 0020_-377)
Azioni sul collegamento: N=-9172.38 Ty=-4.02 Tz=-9.21 Mx=0.02 Mz=2.16
Sollecitazioni agenti localmente: Tx_l=-4.02 Ty_l=-9.21 N_l=-9172.38 Mx_l=-0.00 My_l=2.16 Mz_l=0.02
Taglio nei bulloni: Fv,Ed=1.71 Fv,Rd=7720.78
Rifollamento lato piastra: Fb,Ed,p=1.71 Fb,Rd,p=7758.90
Tirafondi:LT=0.45 (0.31) σ_{cR}=0.00 σ_{fR}=0.00
Compressione nel calcestruzzo: σ_c=19.07
CC 1 SLV (Collegamento 0020_-377)
Azioni sul collegamento: N=-9172.38 Ty=-0.64 Tz=-9.21 Mx=0.02 Mz=-1.09
Sollecitazioni agenti localmente: Tx_l=-0.64 Ty_l=-9.21 N_l=-9172.38 Mx_l=-0.00 My_l=-1.09 Mz_l=0.02
Taglio nei bulloni: Fv,Ed=1.56 Fv,Rd=7720.78
Rifollamento lato piastra: Fb,Ed,p=1.56 Fb,Rd,p=6040.85
Tirafondi:LT=0.45 (0.31) σ_{cR}=0.00 σ_{fR}=0.00
Compressione nel calcestruzzo: σ_c=19.01
CC 1 SLV (Collegamento 0020_-377)
Azioni sul collegamento: N=-9172.38 Ty=-4.02 Tz=10.50 Mx=0.02 Mz=2.16
Sollecitazioni agenti localmente: Tx_l=-4.02 Ty_l=10.50 N_l=-9172.38 Mx_l=-0.00 My_l=2.16 Mz_l=0.02
Taglio nei bulloni: Fv,Ed=1.90 Fv,Rd=7720.78
Rifollamento lato piastra: Fb,Ed,p=1.89 Fb,Rd,p=7168.81
Tirafondi:LT=0.45 (0.31) σ_{cR}=0.00 σ_{fR}=0.00
Compressione nel calcestruzzo: σ_c=19.07
CC 1 SLV (Collegamento 0020_-377)
Azioni sul collegamento: N=-9172.38 Ty=-0.64 Tz=10.50 Mx=0.02 Mz=-1.09
Sollecitazioni agenti localmente: Tx_l=-0.64 Ty_l=10.50 N_l=-9172.38 Mx_l=-0.00 My_l=-1.09 Mz_l=0.02
Taglio nei bulloni: Fv,Ed=1.78 Fv,Rd=7720.78
Rifollamento lato piastra: Fb,Ed,p=1.78 Fb,Rd,p=5998.64
Tirafondi:LT=0.45 (0.31) σ_{cR}=0.00 σ_{fR}=0.00
Compressione nel calcestruzzo: σ_c=19.01
CC 2 SLD (Collegamento 0020_-377)
Azioni sul collegamento: N=-5748.85 Ty=-2.66 Tz=-2.23 Mx=0.01 Mz=-1.05
Sollecitazioni agenti localmente: Tx_l=-2.66 Ty_l=-2.23 N_l=-5748.85 Mx_l=-0.00 My_l=-1.05 Mz_l=0.01
Taglio nei bulloni: Fv,Ed=0.59 Fv,Rd=9650.97
Rifollamento lato piastra: Fb,Ed,p=0.58 Fb,Rd,p=13600.60
Tirafondi:LT=0.45 (0.31) σ_{cR}=0.00 σ_{fR}=0.00
Compressione nel calcestruzzo: σ_c=11.94
CC 2 SLD (Collegamento 0020_-377)
Azioni sul collegamento: N=-5748.85 Ty=-3.69 Tz=-2.23 Mx=0.01 Mz=-2.04
Sollecitazioni agenti localmente: Tx_l=-3.69 Ty_l=-2.23 N_l=-5748.85 Mx_l=-0.00 My_l=-2.04 Mz_l=0.01
Taglio nei bulloni: Fv,Ed=0.73 Fv,Rd=9650.97
Rifollamento lato piastra: Fb,Ed,p=0.72 Fb,Rd,p=11286.20
Tirafondi:LT=0.45 (0.31) σ_{cR}=0.00 σ_{fR}=0.00
Compressione nel calcestruzzo: σ_c=11.99
CC 2 SLD (Collegamento 0020_-377)
Azioni sul collegamento: N=-5748.85 Ty=-2.66 Tz=3.78 Mx=0.01 Mz=-1.05
Sollecitazioni agenti localmente: Tx_l=-2.66 Ty_l=3.78 N_l=-5748.85 Mx_l=-0.00 My_l=-1.05 Mz_l=0.01
Taglio nei bulloni: Fv,Ed=0.78 Fv,Rd=9650.97
Rifollamento lato piastra: Fb,Ed,p=0.77 Fb,Rd,p=12706.00
Tirafondi:LT=0.45 (0.31) σ_{cR}=0.00 σ_{fR}=0.00
Compressione nel calcestruzzo: σ_c=11.94
CC 2 SLD (Collegamento 0020_-377)
Azioni sul collegamento: N=-5748.85 Ty=-3.69 Tz=3.78 Mx=0.01 Mz=-2.04
Sollecitazioni agenti localmente: Tx_l=-3.69 Ty_l=3.78 N_l=-5748.85 Mx_l=-0.00 My_l=-2.04 Mz_l=0.01
Taglio nei bulloni: Fv,Ed=0.89 Fv,Rd=9650.97
Rifollamento lato piastra: Fb,Ed,p=0.88 Fb,Rd,p=14617.90
Tirafondi:LT=0.45 (0.31) σ_{cR}=0.00 σ_{fR}=0.00
Compressione nel calcestruzzo: σ_c=11.99
CC 2 SLD (Collegamento 0020_-377)
Azioni sul collegamento: N=-7364.01 Ty=-2.66 Tz=-2.23 Mx=0.01 Mz=-1.05
Sollecitazioni agenti localmente: Tx_l=-2.66 Ty_l=-2.23 N_l=-7364.01 Mx_l=-0.00 My_l=-1.05 Mz_l=0.01
Taglio nei bulloni: Fv,Ed=0.59 Fv,Rd=9650.97
Rifollamento lato piastra: Fb,Ed,p=0.58 Fb,Rd,p=13600.50
Tirafondi:LT=0.45 (0.31) σ_{cR}=0.00 σ_{fR}=0.00
Compressione nel calcestruzzo: σ_c=15.27
CC 2 SLD (Collegamento 0020_-377)
Azioni sul collegamento: N=-7364.01 Ty=-3.69 Tz=-2.23 Mx=0.01 Mz=-2.04
Sollecitazioni agenti localmente: Tx_l=-3.69 Ty_l=-2.23 N_l=-7364.01 Mx_l=-0.00 My_l=-2.04 Mz_l=0.01

Taglio nei bulloni: Fv,Ed=0.73 Fv,Rd=9650.97
Rifollamento lato piastra: Fb,Ed,p=0.72 Fb,Rd,p=11286.10
Tirafondi:LT=0.45 (0.31) σ_{cR}=0.00 σ_{fR}=0.00
Compressione nel calcestruzzo: σ_c=15.33
CC 2 SLD (Collegamento 0020_-377)
Azioni sul collegamento: N=-7364.01 Ty=-2.66 Tz=3.78 Mx=0.01 Mz=-1.05
Sollecitazioni agenti localmente: Tx_l=-2.66 Ty_l=3.78 N_l=-7364.01 Mx_l=-0.00 My_l=-1.05 Mz_l=0.01
Taglio nei bulloni: Fv,Ed=0.78 Fv,Rd=9650.97
Rifollamento lato piastra: Fb,Ed,p=0.77 Fb,Rd,p=12705.00
Tirafondi:LT=0.45 (0.31) σ_{cR}=0.00 σ_{fR}=0.00
Compressione nel calcestruzzo: σ_c=15.27
CC 2 SLD (Collegamento 0020_-377)
Azioni sul collegamento: N=-7364.01 Ty=-3.69 Tz=3.78 Mx=0.01 Mz=-2.04
Sollecitazioni agenti localmente: Tx_l=-3.69 Ty_l=3.78 N_l=-7364.01 Mx_l=-0.00 My_l=-2.04 Mz_l=0.01
Taglio nei bulloni: Fv,Ed=0.89 Fv,Rd=9650.97
Rifollamento lato piastra: Fb,Ed,p=0.88 Fb,Rd,p=14617.30
Tirafondi:LT=0.45 (0.31) σ_{cR}=0.00 σ_{fR}=0.00
Compressione nel calcestruzzo: σ_c=15.33
CC 3 SLV (Collegamento 0020_-377)
Azioni sul collegamento: N=-3881.26 Ty=-3.39 Tz=-9.09 Mx=0.02 Mz=0.91
Sollecitazioni agenti localmente: Tx_l=-3.39 Ty_l=-9.09 N_l=-3881.26 Mx_l=-0.00 My_l=0.91 Mz_l=0.02
Taglio nei bulloni: Fv,Ed=1.64 Fv,Rd=7720.78
Rifollamento lato piastra: Fb,Ed,p=1.64 Fb,Rd,p=7274.04
Tirafondi:LT=0.45 (0.31) σ_{cR}=0.00 σ_{fR}=0.00
Compressione nel calcestruzzo: σ_c=8.07
CC 3 SLV (Collegamento 0020_-377)
Azioni sul collegamento: N=-3881.26 Ty=-1.27 Tz=-9.09 Mx=0.02 Mz=0.17
Sollecitazioni agenti localmente: Tx_l=-1.27 Ty_l=-9.09 N_l=-3881.26 Mx_l=-0.00 My_l=0.17 Mz_l=0.02
Taglio nei bulloni: Fv,Ed=1.55 Fv,Rd=7720.78
Rifollamento lato piastra: Fb,Ed,p=1.55 Fb,Rd,p=6179.84
Tirafondi:LT=0.45 (0.31) σ_{cR}=0.00 σ_{fR}=0.00
Compressione nel calcestruzzo: σ_c=8.03
CC 3 SLV (Collegamento 0020_-377)
Azioni sul collegamento: N=-3881.26 Ty=-3.39 Tz=10.37 Mx=0.02 Mz=0.91
Sollecitazioni agenti localmente: Tx_l=-3.39 Ty_l=10.37 N_l=-3881.26 Mx_l=-0.00 My_l=0.91 Mz_l=0.02
Taglio nei bulloni: Fv,Ed=1.84 Fv,Rd=7720.78
Rifollamento lato piastra: Fb,Ed,p=1.83 Fb,Rd,p=6852.26
Tirafondi:LT=0.45 (0.31) σ_{cR}=0.00 σ_{fR}=0.00
Compressione nel calcestruzzo: σ_c=8.07
CC 3 SLV (Collegamento 0020_-377)
Azioni sul collegamento: N=-3881.26 Ty=-1.27 Tz=10.37 Mx=0.02 Mz=0.17
Sollecitazioni agenti localmente: Tx_l=-1.27 Ty_l=10.37 N_l=-3881.26 Mx_l=-0.00 My_l=0.17 Mz_l=0.02
Taglio nei bulloni: Fv,Ed=1.76 Fv,Rd=7720.78
Rifollamento lato piastra: Fb,Ed,p=1.76 Fb,Rd,p=6088.73
Tirafondi:LT=0.45 (0.31) σ_{cR}=0.00 σ_{fR}=0.00
Compressione nel calcestruzzo: σ_c=8.03
CC 3 SLV (Collegamento 0020_-377)
Azioni sul collegamento: N=-9166.69 Ty=-3.39 Tz=-9.09 Mx=0.02 Mz=0.91
Sollecitazioni agenti localmente: Tx_l=-3.39 Ty_l=-9.09 N_l=-9166.69 Mx_l=-0.00 My_l=0.91 Mz_l=0.02
Taglio nei bulloni: Fv,Ed=1.64 Fv,Rd=7720.78
Rifollamento lato piastra: Fb,Ed,p=1.64 Fb,Rd,p=7274.04
Tirafondi:LT=0.45 (0.31) σ_{cR}=0.00 σ_{fR}=0.00
Compressione nel calcestruzzo: σ_c=18.99
CC 3 SLV (Collegamento 0020_-377)
Azioni sul collegamento: N=-9166.69 Ty=-1.27 Tz=-9.09 Mx=0.02 Mz=0.17
Sollecitazioni agenti localmente: Tx_l=-1.27 Ty_l=-9.09 N_l=-9166.69 Mx_l=-0.00 My_l=0.17 Mz_l=0.02
Taglio nei bulloni: Fv,Ed=1.55 Fv,Rd=7720.78
Rifollamento lato piastra: Fb,Ed,p=1.55 Fb,Rd,p=6179.84
Tirafondi:LT=0.45 (0.31) σ_{cR}=0.00 σ_{fR}=0.00
Compressione nel calcestruzzo: σ_c=18.95
CC 3 SLV (Collegamento 0020_-377)
Azioni sul collegamento: N=-9166.69 Ty=-3.39 Tz=10.38 Mx=0.02 Mz=0.91
Sollecitazioni agenti localmente: Tx_l=-3.39 Ty_l=10.38 N_l=-9166.69 Mx_l=-0.00 My_l=0.91 Mz_l=0.02
Taglio nei bulloni: Fv,Ed=1.84 Fv,Rd=7720.78
Rifollamento lato piastra: Fb,Ed,p=1.83 Fb,Rd,p=6852.21
Tirafondi:LT=0.45 (0.31) σ_{cR}=0.00 σ_{fR}=0.00
Compressione nel calcestruzzo: σ_c=18.99
CC 3 SLV (Collegamento 0020_-377)
Azioni sul collegamento: N=-9166.69 Ty=-1.27 Tz=10.38 Mx=0.02 Mz=0.17
Sollecitazioni agenti localmente: Tx_l=-1.27 Ty_l=10.38 N_l=-9166.69 Mx_l=-0.00 My_l=0.17 Mz_l=0.02
Taglio nei bulloni: Fv,Ed=1.76 Fv,Rd=7720.78
Rifollamento lato piastra: Fb,Ed,p=1.76 Fb,Rd,p=6088.73
Tirafondi:LT=0.45 (0.31) σ_{cR}=0.00 σ_{fR}=0.00
Compressione nel calcestruzzo: σ_c=18.95
CC 4 SLD (Collegamento 0020_-377)
Azioni sul collegamento: N=-5750.58 Ty=-2.85 Tz=-2.19 Mx=0.01 Mz=-1.43
Sollecitazioni agenti localmente: Tx_l=-2.85 Ty_l=-2.19 N_l=-5750.58 Mx_l=-0.00 My_l=-1.43 Mz_l=0.01
Taglio nei bulloni: Fv,Ed=0.61 Fv,Rd=9650.97

Rifollamento lato piastra: Fb,Ed,p=0.60 Fb,Rd,p=13207.60
Tirafondi:LT=0.45 (0.31) σ_{cR}=0.00 σ_{fR}=0.00
Compressione nel calcestruzzo: σ_c=11.96
CC 4 SLD (Collegamento 0020_-377)
Azioni sul collegamento: N=-5750.58 Ty=-3.50 Tz=-2.19 Mx=0.01 Mz=-1.66
Sollecitazioni agenti localmente: Tx_l=-3.50 Ty_l=-2.19 N_l=-5750.58 Mx_l=-0.00 My_l=-1.66 Mz_l=0.01
Taglio nei bulloni: Fv,Ed=0.70 Fv,Rd=9650.97
Rifollamento lato piastra: Fb,Ed,p=0.69 Fb,Rd,p=11627.80
Tirafondi:LT=0.45 (0.31) σ_{cR}=0.00 σ_{fR}=0.00
Compressione nel calcestruzzo: σ_c=11.97
CC 4 SLD (Collegamento 0020_-377)
Azioni sul collegamento: N=-5750.58 Ty=-2.85 Tz=3.74 Mx=0.01 Mz=-1.43
Sollecitazioni agenti localmente: Tx_l=-2.85 Ty_l=3.74 N_l=-5750.58 Mx_l=-0.00 My_l=-1.43 Mz_l=0.01
Taglio nei bulloni: Fv,Ed=0.80 Fv,Rd=9650.97
Rifollamento lato piastra: Fb,Ed,p=0.79 Fb,Rd,p=13209.60
Tirafondi:LT=0.45 (0.31) σ_{cR}=0.00 σ_{fR}=0.00
Compressione nel calcestruzzo: σ_c=11.96
CC 4 SLD (Collegamento 0020_-377)
Azioni sul collegamento: N=-5750.58 Ty=-3.50 Tz=3.74 Mx=0.01 Mz=-1.66
Sollecitazioni agenti localmente: Tx_l=-3.50 Ty_l=3.74 N_l=-5750.58 Mx_l=-0.00 My_l=-1.66 Mz_l=0.01
Taglio nei bulloni: Fv,Ed=0.87 Fv,Rd=9650.97
Rifollamento lato piastra: Fb,Ed,p=0.85 Fb,Rd,p=14356.20
Tirafondi:LT=0.45 (0.31) σ_{cR}=0.00 σ_{fR}=0.00
Compressione nel calcestruzzo: σ_c=11.97
CC 4 SLD (Collegamento 0020_-377)
Azioni sul collegamento: N=-7362.28 Ty=-2.85 Tz=-2.19 Mx=0.01 Mz=-1.43
Sollecitazioni agenti localmente: Tx_l=-2.85 Ty_l=-2.19 N_l=-7362.28 Mx_l=-0.00 My_l=-1.43 Mz_l=0.01
Taglio nei bulloni: Fv,Ed=0.61 Fv,Rd=9650.97
Rifollamento lato piastra: Fb,Ed,p=0.60 Fb,Rd,p=13208.30
Tirafondi:LT=0.45 (0.31) σ_{cR}=0.00 σ_{fR}=0.00
Compressione nel calcestruzzo: σ_c=15.29
CC 4 SLD (Collegamento 0020_-377)
Azioni sul collegamento: N=-7362.28 Ty=-3.50 Tz=-2.19 Mx=0.01 Mz=-1.66
Sollecitazioni agenti localmente: Tx_l=-3.50 Ty_l=-2.19 N_l=-7362.28 Mx_l=-0.00 My_l=-1.66 Mz_l=0.01
Taglio nei bulloni: Fv,Ed=0.70 Fv,Rd=9650.97
Rifollamento lato piastra: Fb,Ed,p=0.69 Fb,Rd,p=11629.00
Tirafondi:LT=0.45 (0.31) σ_{cR}=0.00 σ_{fR}=0.00
Compressione nel calcestruzzo: σ_c=15.30
CC 4 SLD (Collegamento 0020_-377)
Azioni sul collegamento: N=-7362.28 Ty=-2.85 Tz=3.74 Mx=0.01 Mz=-1.43
Sollecitazioni agenti localmente: Tx_l=-2.85 Ty_l=3.74 N_l=-7362.28 Mx_l=-0.00 My_l=-1.43 Mz_l=0.01
Taglio nei bulloni: Fv,Ed=0.80 Fv,Rd=9650.97
Rifollamento lato piastra: Fb,Ed,p=0.79 Fb,Rd,p=13209.60
Tirafondi:LT=0.45 (0.31) σ_{cR}=0.00 σ_{fR}=0.00
Compressione nel calcestruzzo: σ_c=15.29
CC 4 SLD (Collegamento 0020_-377)
Azioni sul collegamento: N=-7362.28 Ty=-3.50 Tz=3.74 Mx=0.01 Mz=-1.66
Sollecitazioni agenti localmente: Tx_l=-3.50 Ty_l=3.74 N_l=-7362.28 Mx_l=-0.00 My_l=-1.66 Mz_l=0.01
Taglio nei bulloni: Fv,Ed=0.87 Fv,Rd=9650.97
Rifollamento lato piastra: Fb,Ed,p=0.85 Fb,Rd,p=14356.10
Tirafondi:LT=0.45 (0.31) σ_{cR}=0.00 σ_{fR}=0.00
Compressione nel calcestruzzo: σ_c=15.30
CC 5 SLV (Collegamento 0020_-377)
Azioni sul collegamento: N=-9166.69 Ty=-1.27 Tz=10.38 Mx=0.02 Mz=0.17
Sollecitazioni agenti localmente: Tx_l=-1.27 Ty_l=10.38 N_l=-9166.69 Mx_l=-0.00 My_l=0.17 Mz_l=0.02
Taglio nei bulloni: Fv,Ed=1.76 Fv,Rd=7720.78
Rifollamento lato piastra: Fb,Ed,p=1.76 Fb,Rd,p=6086.02
Tirafondi:LT=0.45 (0.31) σ_{cR}=0.00 σ_{fR}=0.00
Compressione nel calcestruzzo: σ_c=18.95
CC 5 SLV (Collegamento 0020_-377)
Azioni sul collegamento: N=-9166.69 Ty=-3.39 Tz=10.38 Mx=0.02 Mz=0.91
Sollecitazioni agenti localmente: Tx_l=-3.39 Ty_l=10.38 N_l=-9166.69 Mx_l=-0.00 My_l=0.91 Mz_l=0.02
Taglio nei bulloni: Fv,Ed=1.84 Fv,Rd=7720.78
Rifollamento lato piastra: Fb,Ed,p=1.83 Fb,Rd,p=6843.07
Tirafondi:LT=0.45 (0.31) σ_{cR}=0.00 σ_{fR}=0.00
Compressione nel calcestruzzo: σ_c=18.99
CC 5 SLV (Collegamento 0020_-377)
Azioni sul collegamento: N=-9166.69 Ty=-1.27 Tz=-9.09 Mx=0.02 Mz=0.17
Sollecitazioni agenti localmente: Tx_l=-1.27 Ty_l=-9.09 N_l=-9166.69 Mx_l=-0.00 My_l=0.17 Mz_l=0.02
Taglio nei bulloni: Fv,Ed=1.55 Fv,Rd=7720.78
Rifollamento lato piastra: Fb,Ed,p=1.55 Fb,Rd,p=6183.07
Tirafondi:LT=0.45 (0.31) σ_{cR}=0.00 σ_{fR}=0.00
Compressione nel calcestruzzo: σ_c=18.95
CC 5 SLV (Collegamento 0020_-377)
Azioni sul collegamento: N=-9166.69 Ty=-3.39 Tz=-9.09 Mx=0.02 Mz=0.91
Sollecitazioni agenti localmente: Tx_l=-3.39 Ty_l=-9.09 N_l=-9166.69 Mx_l=-0.00 My_l=0.91 Mz_l=0.02
Taglio nei bulloni: Fv,Ed=1.64 Fv,Rd=7720.78
Rifollamento lato piastra: Fb,Ed,p=1.64 Fb,Rd,p=7280.08

Tirafondi:LT=0.45 (0.31) σ_{cR}=0.00 σ_{fR}=0.00
Compressione nel calcestruzzo: σ_c=18.99
CC 5 SLV (Collegamento 0020_-377)
Azioni sul collegamento: N=-3881.26 Ty=-1.27 Tz=10.37 Mx=0.02 Mz=0.17
Sollecitazioni agenti localmente: Tx_l=-1.27 Ty_l=10.37 N_l=-3881.26 Mx_l=-0.00 My_l=0.17 Mz_l=0.02
Taglio nei bulloni: Fv,Ed=1.76 Fv,Rd=7720.78
Rifollamento lato piastra: Fb,Ed,p=1.76 Fb,Rd,p=6086.03
Tirafondi:LT=0.45 (0.31) σ_{cR}=0.00 σ_{fR}=0.00
Compressione nel calcestruzzo: σ_c=8.03
CC 5 SLV (Collegamento 0020_-377)
Azioni sul collegamento: N=-3881.26 Ty=-3.39 Tz=10.37 Mx=0.02 Mz=0.91
Sollecitazioni agenti localmente: Tx_l=-3.39 Ty_l=10.37 N_l=-3881.26 Mx_l=-0.00 My_l=0.91 Mz_l=0.02
Taglio nei bulloni: Fv,Ed=1.84 Fv,Rd=7720.78
Rifollamento lato piastra: Fb,Ed,p=1.83 Fb,Rd,p=6843.12
Tirafondi:LT=0.45 (0.31) σ_{cR}=0.00 σ_{fR}=0.00
Compressione nel calcestruzzo: σ_c=8.07
CC 5 SLV (Collegamento 0020_-377)
Azioni sul collegamento: N=-3881.26 Ty=-1.27 Tz=-9.09 Mx=0.02 Mz=0.17
Sollecitazioni agenti localmente: Tx_l=-1.27 Ty_l=-9.09 N_l=-3881.26 Mx_l=-0.00 My_l=0.17 Mz_l=0.02
Taglio nei bulloni: Fv,Ed=1.55 Fv,Rd=7720.78
Rifollamento lato piastra: Fb,Ed,p=1.55 Fb,Rd,p=6183.07
Tirafondi:LT=0.45 (0.31) σ_{cR}=0.00 σ_{fR}=0.00
Compressione nel calcestruzzo: σ_c=8.03
CC 5 SLV (Collegamento 0020_-377)
Azioni sul collegamento: N=-3881.26 Ty=-3.39 Tz=-9.09 Mx=0.02 Mz=0.91
Sollecitazioni agenti localmente: Tx_l=-3.39 Ty_l=-9.09 N_l=-3881.26 Mx_l=-0.00 My_l=0.91 Mz_l=0.02
Taglio nei bulloni: Fv,Ed=1.64 Fv,Rd=7720.78
Rifollamento lato piastra: Fb,Ed,p=1.64 Fb,Rd,p=7280.09
Tirafondi:LT=0.45 (0.31) σ_{cR}=0.00 σ_{fR}=0.00
Compressione nel calcestruzzo: σ_c=8.07
CC 6 SLD (Collegamento 0020_-377)
Azioni sul collegamento: N=-7362.28 Ty=-3.50 Tz=3.74 Mx=0.01 Mz=-1.66
Sollecitazioni agenti localmente: Tx_l=-3.50 Ty_l=3.74 N_l=-7362.28 Mx_l=-0.00 My_l=-1.66 Mz_l=0.01
Taglio nei bulloni: Fv,Ed=0.87 Fv,Rd=9650.97
Rifollamento lato piastra: Fb,Ed,p=0.85 Fb,Rd,p=14341.90
Tirafondi:LT=0.45 (0.31) σ_{cR}=0.00 σ_{fR}=0.00
Compressione nel calcestruzzo: σ_c=15.30
CC 6 SLD (Collegamento 0020_-377)
Azioni sul collegamento: N=-7362.28 Ty=-2.85 Tz=3.74 Mx=0.01 Mz=-1.43
Sollecitazioni agenti localmente: Tx_l=-2.85 Ty_l=3.74 N_l=-7362.28 Mx_l=-0.00 My_l=-1.43 Mz_l=0.01
Taglio nei bulloni: Fv,Ed=0.80 Fv,Rd=9650.97
Rifollamento lato piastra: Fb,Ed,p=0.79 Fb,Rd,p=13198.10
Tirafondi:LT=0.45 (0.31) σ_{cR}=0.00 σ_{fR}=0.00
Compressione nel calcestruzzo: σ_c=15.29
CC 6 SLD (Collegamento 0020_-377)
Azioni sul collegamento: N=-7362.28 Ty=-3.50 Tz=-2.19 Mx=0.01 Mz=-1.66
Sollecitazioni agenti localmente: Tx_l=-3.50 Ty_l=-2.19 N_l=-7362.28 Mx_l=-0.00 My_l=-1.66 Mz_l=0.01
Taglio nei bulloni: Fv,Ed=0.70 Fv,Rd=9650.97
Rifollamento lato piastra: Fb,Ed,p=0.69 Fb,Rd,p=11603.80
Tirafondi:LT=0.45 (0.31) σ_{cR}=0.00 σ_{fR}=0.00
Compressione nel calcestruzzo: σ_c=15.30
CC 6 SLD (Collegamento 0020_-377)
Azioni sul collegamento: N=-7362.28 Ty=-2.85 Tz=-2.19 Mx=0.01 Mz=-1.43
Sollecitazioni agenti localmente: Tx_l=-2.85 Ty_l=-2.19 N_l=-7362.28 Mx_l=-0.00 My_l=-1.43 Mz_l=0.01
Taglio nei bulloni: Fv,Ed=0.61 Fv,Rd=9650.97
Rifollamento lato piastra: Fb,Ed,p=0.60 Fb,Rd,p=13193.30
Tirafondi:LT=0.45 (0.31) σ_{cR}=0.00 σ_{fR}=0.00
Compressione nel calcestruzzo: σ_c=15.29
CC 6 SLD (Collegamento 0020_-377)
Azioni sul collegamento: N=-5750.58 Ty=-3.50 Tz=3.74 Mx=0.01 Mz=-1.66
Sollecitazioni agenti localmente: Tx_l=-3.50 Ty_l=3.74 N_l=-5750.58 Mx_l=-0.00 My_l=-1.66 Mz_l=0.01
Taglio nei bulloni: Fv,Ed=0.87 Fv,Rd=9650.97
Rifollamento lato piastra: Fb,Ed,p=0.85 Fb,Rd,p=14341.90
Tirafondi:LT=0.45 (0.31) σ_{cR}=0.00 σ_{fR}=0.00
Compressione nel calcestruzzo: σ_c=11.97
CC 6 SLD (Collegamento 0020_-377)
Azioni sul collegamento: N=-5750.58 Ty=-2.85 Tz=3.74 Mx=0.01 Mz=-1.43
Sollecitazioni agenti localmente: Tx_l=-2.85 Ty_l=3.74 N_l=-5750.58 Mx_l=-0.00 My_l=-1.43 Mz_l=0.01
Taglio nei bulloni: Fv,Ed=0.80 Fv,Rd=9650.97
Rifollamento lato piastra: Fb,Ed,p=0.79 Fb,Rd,p=13198.20
Tirafondi:LT=0.45 (0.31) σ_{cR}=0.00 σ_{fR}=0.00
Compressione nel calcestruzzo: σ_c=11.96
CC 6 SLD (Collegamento 0020_-377)
Azioni sul collegamento: N=-5750.58 Ty=-3.50 Tz=-2.19 Mx=0.01 Mz=-1.66
Sollecitazioni agenti localmente: Tx_l=-3.50 Ty_l=-2.19 N_l=-5750.58 Mx_l=-0.00 My_l=-1.66 Mz_l=0.01
Taglio nei bulloni: Fv,Ed=0.70 Fv,Rd=9650.97
Rifollamento lato piastra: Fb,Ed,p=0.69 Fb,Rd,p=11602.70
Tirafondi:LT=0.45 (0.31) σ_{cR}=0.00 σ_{fR}=0.00

Compressione nel calcestruzzo: σ_c=11.97
CC 6 SLD (Collegamento 0020_-377)
Azioni sul collegamento: N=-5750.58 Ty=-2.85 Tz=-2.19 Mx=0.01 Mz=-1.43
Sollecitazioni agenti localmente: Tx_l=-2.85 Ty_l=-2.19 N_l=-5750.58 Mx_l=-0.00 My_l=-1.43 Mz_l=0.01
Taglio nei bulloni: Fv,Ed=0.61 Fv,Rd=9650.97
Rifollamento lato piastra: Fb,Ed,p=0.60 Fb,Rd,p=13192.60
Tirafondi:LT=0.45 (0.31) σ_{cR}=0.00 σ_{fR}=0.00
Compressione nel calcestruzzo: σ_c=11.96
CC 7 SLV (Collegamento 0020_-377)
Azioni sul collegamento: N=-9172.38 Ty=-0.64 Tz=10.50 Mx=0.01 Mz=-1.09
Sollecitazioni agenti localmente: Tx_l=-0.64 Ty_l=10.50 N_l=-9172.38 Mx_l=-0.00 My_l=-1.09 Mz_l=0.01
Taglio nei bulloni: Fv,Ed=1.77 Fv,Rd=7720.78
Rifollamento lato piastra: Fb,Ed,p=1.77 Fb,Rd,p=6003.06
Tirafondi:LT=0.45 (0.31) σ_{cR}=0.00 σ_{fR}=0.00
Compressione nel calcestruzzo: σ_c=19.01
CC 7 SLV (Collegamento 0020_-377)
Azioni sul collegamento: N=-9172.38 Ty=-4.02 Tz=10.50 Mx=0.01 Mz=2.16
Sollecitazioni agenti localmente: Tx_l=-4.02 Ty_l=10.50 N_l=-9172.38 Mx_l=-0.00 My_l=2.16 Mz_l=0.01
Taglio nei bulloni: Fv,Ed=1.89 Fv,Rd=7720.78
Rifollamento lato piastra: Fb,Ed,p=1.88 Fb,Rd,p=7212.56
Tirafondi:LT=0.45 (0.31) σ_{cR}=0.00 σ_{fR}=0.00
Compressione nel calcestruzzo: σ_c=19.07
CC 7 SLV (Collegamento 0020_-377)
Azioni sul collegamento: N=-9172.38 Ty=-0.64 Tz=-9.21 Mx=0.01 Mz=-1.09
Sollecitazioni agenti localmente: Tx_l=-0.64 Ty_l=-9.21 N_l=-9172.38 Mx_l=-0.00 My_l=-1.09 Mz_l=0.01
Taglio nei bulloni: Fv,Ed=1.56 Fv,Rd=7720.78
Rifollamento lato piastra: Fb,Ed,p=1.56 Fb,Rd,p=6033.62
Tirafondi:LT=0.45 (0.31) σ_{cR}=0.00 σ_{fR}=0.00
Compressione nel calcestruzzo: σ_c=19.01
CC 7 SLV (Collegamento 0020_-377)
Azioni sul collegamento: N=-9172.38 Ty=-4.02 Tz=-9.21 Mx=0.01 Mz=2.16
Sollecitazioni agenti localmente: Tx_l=-4.02 Ty_l=-9.21 N_l=-9172.38 Mx_l=-0.00 My_l=2.16 Mz_l=0.01
Taglio nei bulloni: Fv,Ed=1.70 Fv,Rd=7720.78
Rifollamento lato piastra: Fb,Ed,p=1.70 Fb,Rd,p=7734.27
Tirafondi:LT=0.45 (0.31) σ_{cR}=0.00 σ_{fR}=0.00
Compressione nel calcestruzzo: σ_c=19.07
CC 7 SLV (Collegamento 0020_-377)
Azioni sul collegamento: N=-3875.57 Ty=-0.64 Tz=10.50 Mx=0.01 Mz=-1.09
Sollecitazioni agenti localmente: Tx_l=-0.64 Ty_l=10.50 N_l=-3875.57 Mx_l=-0.00 My_l=-1.09 Mz_l=0.01
Taglio nei bulloni: Fv,Ed=1.77 Fv,Rd=7720.78
Rifollamento lato piastra: Fb,Ed,p=1.77 Fb,Rd,p=6003.06
Tirafondi:LT=0.45 (0.31) σ_{cR}=0.00 σ_{fR}=0.00
Compressione nel calcestruzzo: σ_c=8.07
CC 7 SLV (Collegamento 0020_-377)
Azioni sul collegamento: N=-3875.57 Ty=-4.02 Tz=10.50 Mx=0.01 Mz=2.16
Sollecitazioni agenti localmente: Tx_l=-4.02 Ty_l=10.50 N_l=-3875.57 Mx_l=-0.00 My_l=2.16 Mz_l=0.01
Taglio nei bulloni: Fv,Ed=1.89 Fv,Rd=7720.78
Rifollamento lato piastra: Fb,Ed,p=1.88 Fb,Rd,p=7212.58
Tirafondi:LT=0.45 (0.31) σ_{cR}=0.00 σ_{fR}=0.00
Compressione nel calcestruzzo: σ_c=8.13
CC 7 SLV (Collegamento 0020_-377)
Azioni sul collegamento: N=-3875.57 Ty=-0.64 Tz=-9.21 Mx=0.01 Mz=-1.09
Sollecitazioni agenti localmente: Tx_l=-0.64 Ty_l=-9.21 N_l=-3875.57 Mx_l=-0.00 My_l=-1.09 Mz_l=0.01
Taglio nei bulloni: Fv,Ed=1.56 Fv,Rd=7720.78
Rifollamento lato piastra: Fb,Ed,p=1.56 Fb,Rd,p=6033.63
Tirafondi:LT=0.45 (0.31) σ_{cR}=0.00 σ_{fR}=0.00
Compressione nel calcestruzzo: σ_c=8.07
CC 7 SLV (Collegamento 0020_-377)
Azioni sul collegamento: N=-3875.57 Ty=-4.02 Tz=-9.21 Mx=0.01 Mz=2.16
Sollecitazioni agenti localmente: Tx_l=-4.02 Ty_l=-9.21 N_l=-3875.57 Mx_l=-0.00 My_l=2.16 Mz_l=0.01
Taglio nei bulloni: Fv,Ed=1.70 Fv,Rd=7720.78
Rifollamento lato piastra: Fb,Ed,p=1.70 Fb,Rd,p=7734.17
Tirafondi:LT=0.45 (0.31) σ_{cR}=0.00 σ_{fR}=0.00
Compressione nel calcestruzzo: σ_c=8.13
CC 8 SLD (Collegamento 0020_-377)
Azioni sul collegamento: N=-7364.01 Ty=-3.69 Tz=3.78 Mx=0.01 Mz=-2.04
Sollecitazioni agenti localmente: Tx_l=-3.69 Ty_l=3.78 N_l=-7364.01 Mx_l=-0.00 My_l=-2.04 Mz_l=0.01
Taglio nei bulloni: Fv,Ed=0.89 Fv,Rd=9650.97
Rifollamento lato piastra: Fb,Ed,p=0.88 Fb,Rd,p=14675.20
Tirafondi:LT=0.45 (0.31) σ_{cR}=0.00 σ_{fR}=0.00
Compressione nel calcestruzzo: σ_c=15.33
CC 8 SLD (Collegamento 0020_-377)
Azioni sul collegamento: N=-7364.01 Ty=-2.66 Tz=3.78 Mx=0.01 Mz=-1.05
Sollecitazioni agenti localmente: Tx_l=-2.66 Ty_l=3.78 N_l=-7364.01 Mx_l=-0.00 My_l=-1.05 Mz_l=0.01
Taglio nei bulloni: Fv,Ed=0.78 Fv,Rd=9650.97
Rifollamento lato piastra: Fb,Ed,p=0.77 Fb,Rd,p=12813.70
Tirafondi:LT=0.45 (0.31) σ_{cR}=0.00 σ_{fR}=0.00
Compressione nel calcestruzzo: σ_c=15.27

CC 8 SLD (Collegamento 0020_-377)
Azioni sul collegamento: N=-7364.01 Ty=-3.69 Tz=-2.23 Mx=0.01 Mz=-2.04
Sollecitazioni agenti localmente: Tx_l=-3.69 Ty_l=-2.23 N_l=-7364.01 Mx_l=-0.00 My_l=-2.04 Mz_l=0.01
Taglio nei bulloni: Fv,Ed=0.73 Fv,Rd=9650.97
Rifollamento lato piastra: Fb,Ed,p=0.72 Fb,Rd,p=11375.00
Tirafondi:LT=0.45 (0.31) σ_{cR}=0.00 σ_{fR}=0.00
Compressione nel calcestruzzo: σ_c=15.33
CC 8 SLD (Collegamento 0020_-377)
Azioni sul collegamento: N=-7364.01 Ty=-2.66 Tz=-2.23 Mx=0.01 Mz=-1.05
Sollecitazioni agenti localmente: Tx_l=-2.66 Ty_l=-2.23 N_l=-7364.01 Mx_l=-0.00 My_l=-1.05 Mz_l=0.01
Taglio nei bulloni: Fv,Ed=0.59 Fv,Rd=9650.97
Rifollamento lato piastra: Fb,Ed,p=0.58 Fb,Rd,p=13669.50
Tirafondi:LT=0.45 (0.31) σ_{cR}=0.00 σ_{fR}=0.00
Compressione nel calcestruzzo: σ_c=15.27
CC 8 SLD (Collegamento 0020_-377)
Azioni sul collegamento: N=-5748.85 Ty=-3.69 Tz=3.78 Mx=0.01 Mz=-2.04
Sollecitazioni agenti localmente: Tx_l=-3.69 Ty_l=3.78 N_l=-5748.85 Mx_l=-0.00 My_l=-2.04 Mz_l=0.01
Taglio nei bulloni: Fv,Ed=0.89 Fv,Rd=9650.97
Rifollamento lato piastra: Fb,Ed,p=0.88 Fb,Rd,p=14675.90
Tirafondi:LT=0.45 (0.31) σ_{cR}=0.00 σ_{fR}=0.00
Compressione nel calcestruzzo: σ_c=11.99
CC 8 SLD (Collegamento 0020_-377)
Azioni sul collegamento: N=-5748.85 Ty=-2.66 Tz=3.78 Mx=0.01 Mz=-1.05
Sollecitazioni agenti localmente: Tx_l=-2.66 Ty_l=3.78 N_l=-5748.85 Mx_l=-0.00 My_l=-1.05 Mz_l=0.01
Taglio nei bulloni: Fv,Ed=0.78 Fv,Rd=9650.97
Rifollamento lato piastra: Fb,Ed,p=0.77 Fb,Rd,p=12814.80
Tirafondi:LT=0.45 (0.31) σ_{cR}=0.00 σ_{fR}=0.00
Compressione nel calcestruzzo: σ_c=11.94
CC 8 SLD (Collegamento 0020_-377)
Azioni sul collegamento: N=-5748.85 Ty=-3.69 Tz=-2.23 Mx=0.01 Mz=-2.04
Sollecitazioni agenti localmente: Tx_l=-3.69 Ty_l=-2.23 N_l=-5748.85 Mx_l=-0.00 My_l=-2.04 Mz_l=0.01
Taglio nei bulloni: Fv,Ed=0.73 Fv,Rd=9650.97
Rifollamento lato piastra: Fb,Ed,p=0.72 Fb,Rd,p=11375.20
Tirafondi:LT=0.45 (0.31) σ_{cR}=0.00 σ_{fR}=0.00
Compressione nel calcestruzzo: σ_c=11.99
CC 8 SLD (Collegamento 0020_-377)
Azioni sul collegamento: N=-5748.85 Ty=-2.66 Tz=-2.23 Mx=0.01 Mz=-1.05
Sollecitazioni agenti localmente: Tx_l=-2.66 Ty_l=-2.23 N_l=-5748.85 Mx_l=-0.00 My_l=-1.05 Mz_l=0.01
Taglio nei bulloni: Fv,Ed=0.59 Fv,Rd=9650.97
Rifollamento lato piastra: Fb,Ed,p=0.58 Fb,Rd,p=13669.70
Tirafondi:LT=0.45 (0.31) σ_{cR}=0.00 σ_{fR}=0.00
Compressione nel calcestruzzo: σ_c=11.94
CC 9 SLV (Collegamento 0020_-377)
Azioni sul collegamento: N=-5720.83 Ty=-3.80 Tz=-2.51 Mx=0.03 Mz=2.93
Sollecitazioni agenti localmente: Tx_l=-3.80 Ty_l=-2.51 N_l=-5720.83 Mx_l=-0.00 My_l=2.93 Mz_l=0.03
Taglio nei bulloni: Fv,Ed=0.80 Fv,Rd=7720.78
Rifollamento lato piastra: Fb,Ed,p=0.77 Fb,Rd,p=9125.65
Tirafondi:LT=0.45 (0.31) σ_{cR}=0.00 σ_{fR}=0.00
Compressione nel calcestruzzo: σ_c=11.98
CC 9 SLV (Collegamento 0020_-377)
Azioni sul collegamento: N=-5720.83 Ty=-0.86 Tz=-2.51 Mx=0.03 Mz=-1.85
Sollecitazioni agenti localmente: Tx_l=-0.86 Ty_l=-2.51 N_l=-5720.83 Mx_l=-0.00 My_l=-1.85 Mz_l=0.03
Taglio nei bulloni: Fv,Ed=0.48 Fv,Rd=7720.78
Rifollamento lato piastra: Fb,Ed,p=0.48 Fb,Rd,p=7310.91
Tirafondi:LT=0.45 (0.31) σ_{cR}=0.00 σ_{fR}=0.00
Compressione nel calcestruzzo: σ_c=11.92
CC 9 SLV (Collegamento 0020_-377)
Azioni sul collegamento: N=-5720.83 Ty=-3.80 Tz=3.80 Mx=0.03 Mz=2.93
Sollecitazioni agenti localmente: Tx_l=-3.80 Ty_l=3.80 N_l=-5720.83 Mx_l=-0.00 My_l=2.93 Mz_l=0.03
Taglio nei bulloni: Fv,Ed=0.94 Fv,Rd=7720.78
Rifollamento lato piastra: Fb,Ed,p=0.94 Fb,Rd,p=12018.30
Tirafondi:LT=0.45 (0.31) σ_{cR}=0.00 σ_{fR}=0.00
Compressione nel calcestruzzo: σ_c=11.98
CC 9 SLV (Collegamento 0020_-377)
Azioni sul collegamento: N=-5720.83 Ty=-0.86 Tz=3.80 Mx=0.03 Mz=-1.85
Sollecitazioni agenti localmente: Tx_l=-0.86 Ty_l=3.80 N_l=-5720.83 Mx_l=-0.00 My_l=-1.85 Mz_l=0.03
Taglio nei bulloni: Fv,Ed=0.68 Fv,Rd=7720.78
Rifollamento lato piastra: Fb,Ed,p=0.67 Fb,Rd,p=6247.57
Tirafondi:LT=0.45 (0.31) σ_{cR}=0.00 σ_{fR}=0.00
Compressione nel calcestruzzo: σ_c=11.92
CC 9 SLV (Collegamento 0020_-377)
Azioni sul collegamento: N=-7327.12 Ty=-3.80 Tz=-2.51 Mx=0.03 Mz=2.93
Sollecitazioni agenti localmente: Tx_l=-3.80 Ty_l=-2.51 N_l=-7327.12 Mx_l=-0.00 My_l=2.93 Mz_l=0.03
Taglio nei bulloni: Fv,Ed=0.80 Fv,Rd=7720.78
Rifollamento lato piastra: Fb,Ed,p=0.77 Fb,Rd,p=9126.39
Tirafondi:LT=0.45 (0.31) σ_{cR}=0.00 σ_{fR}=0.00
Compressione nel calcestruzzo: σ_c=15.30
CC 9 SLV (Collegamento 0020_-377)

Azioni sul collegamento: N=-7327.12 Ty=-0.86 Tz=-2.51 Mx=0.03 Mz=-1.85
Sollecitazioni agenti localmente: Tx_l=-0.86 Ty_l=-2.51 N_l=-7327.12 Mx_l=-0.00 My_l=-1.85 Mz_l=0.03
Taglio nei bulloni: Fv,Ed=0.48 Fv,Rd=7720.78
Rifollamento lato piastra: Fb,Ed,p=0.48 Fb,Rd,p=7310.63
Tirafondi:LT=0.45 (0.31) σ_{cR}=0.00 σ_{fR}=0.00
Compressione nel calcestruzzo: σ_c=15.24
CC 9 SLV (Collegamento 0020_-377)
Azioni sul collegamento: N=-7327.12 Ty=-3.80 Tz=3.80 Mx=0.03 Mz=2.93
Sollecitazioni agenti localmente: Tx_l=-3.80 Ty_l=3.80 N_l=-7327.12 Mx_l=-0.00 My_l=2.93 Mz_l=0.03
Taglio nei bulloni: Fv,Ed=0.94 Fv,Rd=7720.78
Rifollamento lato piastra: Fb,Ed,p=0.94 Fb,Rd,p=12018.40
Tirafondi:LT=0.45 (0.31) σ_{cR}=0.00 σ_{fR}=0.00
Compressione nel calcestruzzo: σ_c=15.30
CC 9 SLV (Collegamento 0020_-377)
Azioni sul collegamento: N=-7327.12 Ty=-0.86 Tz=3.80 Mx=0.03 Mz=-1.85
Sollecitazioni agenti localmente: Tx_l=-0.86 Ty_l=3.80 N_l=-7327.12 Mx_l=-0.00 My_l=-1.85 Mz_l=0.03
Taglio nei bulloni: Fv,Ed=0.68 Fv,Rd=7720.78
Rifollamento lato piastra: Fb,Ed,p=0.67 Fb,Rd,p=6247.56
Tirafondi:LT=0.45 (0.31) σ_{cR}=0.00 σ_{fR}=0.00
Compressione nel calcestruzzo: σ_c=15.24
CC 10 SLD (Collegamento 0020_-377)
Azioni sul collegamento: N=-6311.52 Ty=-2.73 Tz=-0.19 Mx=0.01 Mz=-0.81
Sollecitazioni agenti localmente: Tx_l=-2.73 Ty_l=-0.19 N_l=-6311.52 Mx_l=-0.00 My_l=-0.81 Mz_l=0.01
Taglio nei bulloni: Fv,Ed=0.47 Fv,Rd=9650.97
Rifollamento lato piastra: Fb,Ed,p=0.47 Fb,Rd,p=7494.02
Tirafondi:LT=0.45 (0.31) σ_{cR}=0.00 σ_{fR}=0.00
Compressione nel calcestruzzo: σ_c=13.09
CC 10 SLD (Collegamento 0020_-377)
Azioni sul collegamento: N=-6311.52 Ty=-3.62 Tz=-0.19 Mx=0.01 Mz=-2.27
Sollecitazioni agenti localmente: Tx_l=-3.62 Ty_l=-0.19 N_l=-6311.52 Mx_l=-0.00 My_l=-2.27 Mz_l=0.01
Taglio nei bulloni: Fv,Ed=0.62 Fv,Rd=9650.97
Rifollamento lato piastra: Fb,Ed,p=0.62 Fb,Rd,p=7485.46
Tirafondi:LT=0.45 (0.31) σ_{cR}=0.00 σ_{fR}=0.00
Compressione nel calcestruzzo: σ_c=13.17
CC 10 SLD (Collegamento 0020_-377)
Azioni sul collegamento: N=-6311.52 Ty=-2.73 Tz=1.73 Mx=0.01 Mz=-0.81
Sollecitazioni agenti localmente: Tx_l=-2.73 Ty_l=1.73 N_l=-6311.52 Mx_l=-0.00 My_l=-0.81 Mz_l=0.01
Taglio nei bulloni: Fv,Ed=0.55 Fv,Rd=9650.97
Rifollamento lato piastra: Fb,Ed,p=0.55 Fb,Rd,p=12219.30
Tirafondi:LT=0.45 (0.31) σ_{cR}=0.00 σ_{fR}=0.00
Compressione nel calcestruzzo: σ_c=13.09
CC 10 SLD (Collegamento 0020_-377)
Azioni sul collegamento: N=-6311.52 Ty=-3.62 Tz=1.73 Mx=0.01 Mz=-2.27
Sollecitazioni agenti localmente: Tx_l=-3.62 Ty_l=1.73 N_l=-6311.52 Mx_l=-0.00 My_l=-2.27 Mz_l=0.01
Taglio nei bulloni: Fv,Ed=0.68 Fv,Rd=9650.97
Rifollamento lato piastra: Fb,Ed,p=0.68 Fb,Rd,p=10167.30
Tirafondi:LT=0.45 (0.31) σ_{cR}=0.00 σ_{fR}=0.00
Compressione nel calcestruzzo: σ_c=13.17
CC 10 SLD (Collegamento 0020_-377)
Azioni sul collegamento: N=-6801.33 Ty=-2.73 Tz=-0.19 Mx=0.01 Mz=-0.81
Sollecitazioni agenti localmente: Tx_l=-2.73 Ty_l=-0.19 N_l=-6801.33 Mx_l=-0.00 My_l=-0.81 Mz_l=0.01
Taglio nei bulloni: Fv,Ed=0.47 Fv,Rd=9650.97
Rifollamento lato piastra: Fb,Ed,p=0.47 Fb,Rd,p=7494.01
Tirafondi:LT=0.45 (0.31) σ_{cR}=0.00 σ_{fR}=0.00
Compressione nel calcestruzzo: σ_c=14.10
CC 10 SLD (Collegamento 0020_-377)
Azioni sul collegamento: N=-6801.33 Ty=-3.62 Tz=-0.19 Mx=0.01 Mz=-2.27
Sollecitazioni agenti localmente: Tx_l=-3.62 Ty_l=-0.19 N_l=-6801.33 Mx_l=-0.00 My_l=-2.27 Mz_l=0.01
Taglio nei bulloni: Fv,Ed=0.62 Fv,Rd=9650.97
Rifollamento lato piastra: Fb,Ed,p=0.62 Fb,Rd,p=7485.46
Tirafondi:LT=0.45 (0.31) σ_{cR}=0.00 σ_{fR}=0.00
Compressione nel calcestruzzo: σ_c=14.18
CC 10 SLD (Collegamento 0020_-377)
Azioni sul collegamento: N=-6801.33 Ty=-2.73 Tz=1.73 Mx=0.01 Mz=-0.81
Sollecitazioni agenti localmente: Tx_l=-2.73 Ty_l=1.73 N_l=-6801.33 Mx_l=-0.00 My_l=-0.81 Mz_l=0.01
Taglio nei bulloni: Fv,Ed=0.55 Fv,Rd=9650.97
Rifollamento lato piastra: Fb,Ed,p=0.55 Fb,Rd,p=12219.30
Tirafondi:LT=0.45 (0.31) σ_{cR}=0.00 σ_{fR}=0.00
Compressione nel calcestruzzo: σ_c=14.10
CC 10 SLD (Collegamento 0020_-377)
Azioni sul collegamento: N=-6801.33 Ty=-3.62 Tz=1.73 Mx=0.01 Mz=-2.27
Sollecitazioni agenti localmente: Tx_l=-3.62 Ty_l=1.73 N_l=-6801.33 Mx_l=-0.00 My_l=-2.27 Mz_l=0.01
Taglio nei bulloni: Fv,Ed=0.68 Fv,Rd=9650.97
Rifollamento lato piastra: Fb,Ed,p=0.68 Fb,Rd,p=10167.30
Tirafondi:LT=0.45 (0.31) σ_{cR}=0.00 σ_{fR}=0.00
Compressione nel calcestruzzo: σ_c=14.18
CC 11 SLV (Collegamento 0020_-377)
Azioni sul collegamento: N=-7308.16 Ty=-2.97 Tz=3.37 Mx=0.02 Mz=2.33

Sollecitazioni agenti localmente: Tx_l=-2.97 Ty_l=3.37 N_l=-7308.16 Mx_l=-0.00 My_l=2.33 Mz_l=0.02
Taglio nei bulloni: Fv,Ed=0.79 Fv,Rd=7720.78
Rifollamento lato piastra: Fb,Ed,p=0.75 Fb,Rd,p=10854.20
Tirafondi:LT=0.45 (0.31) σ_{cR}=0.00 σ_{fR}=0.00
Compressione nel calcestruzzo: σ_c=15.23
CC 11 SLV (Collegamento 0020_-377)
Azioni sul collegamento: N=-7308.16 Ty=-1.68 Tz=3.37 Mx=0.02 Mz=-1.26
Sollecitazioni agenti localmente: Tx_l=-1.68 Ty_l=3.37 N_l=-7308.16 Mx_l=-0.00 My_l=-1.26 Mz_l=0.02
Taglio nei bulloni: Fv,Ed=0.67 Fv,Rd=7720.78
Rifollamento lato piastra: Fb,Ed,p=0.64 Fb,Rd,p=7639.48
Tirafondi:LT=0.45 (0.31) σ_{cR}=0.00 σ_{fR}=0.00
Compressione nel calcestruzzo: σ_c=15.17
CC 11 SLV (Collegamento 0020_-377)
Azioni sul collegamento: N=-7308.16 Ty=-2.97 Tz=-2.08 Mx=0.02 Mz=2.33
Sollecitazioni agenti localmente: Tx_l=-2.97 Ty_l=-2.08 N_l=-7308.16 Mx_l=-0.00 My_l=2.33 Mz_l=0.02
Taglio nei bulloni: Fv,Ed=0.64 Fv,Rd=7720.78
Rifollamento lato piastra: Fb,Ed,p=0.61 Fb,Rd,p=9360.60
Tirafondi:LT=0.45 (0.31) σ_{cR}=0.00 σ_{fR}=0.00
Compressione nel calcestruzzo: σ_c=15.23
CC 11 SLV (Collegamento 0020_-377)
Azioni sul collegamento: N=-7308.16 Ty=-1.68 Tz=-2.08 Mx=0.02 Mz=-1.26
Sollecitazioni agenti localmente: Tx_l=-1.68 Ty_l=-2.08 N_l=-7308.16 Mx_l=-0.00 My_l=-1.26 Mz_l=0.02
Taglio nei bulloni: Fv,Ed=0.48 Fv,Rd=7720.78
Rifollamento lato piastra: Fb,Ed,p=0.48 Fb,Rd,p=11012.70
Tirafondi:LT=0.45 (0.31) σ_{cR}=0.00 σ_{fR}=0.00
Compressione nel calcestruzzo: σ_c=15.17
CC 11 SLV (Collegamento 0020_-377)
Azioni sul collegamento: N=-5739.79 Ty=-2.97 Tz=3.37 Mx=0.02 Mz=2.33
Sollecitazioni agenti localmente: Tx_l=-2.97 Ty_l=3.37 N_l=-5739.79 Mx_l=-0.00 My_l=2.33 Mz_l=0.02
Taglio nei bulloni: Fv,Ed=0.79 Fv,Rd=7720.78
Rifollamento lato piastra: Fb,Ed,p=0.75 Fb,Rd,p=10854.10
Tirafondi:LT=0.45 (0.31) σ_{cR}=0.00 σ_{fR}=0.00
Compressione nel calcestruzzo: σ_c=11.99
CC 11 SLV (Collegamento 0020_-377)
Azioni sul collegamento: N=-5739.79 Ty=-1.68 Tz=3.37 Mx=0.02 Mz=-1.26
Sollecitazioni agenti localmente: Tx_l=-1.68 Ty_l=3.37 N_l=-5739.79 Mx_l=-0.00 My_l=-1.26 Mz_l=0.02
Taglio nei bulloni: Fv,Ed=0.67 Fv,Rd=7720.78
Rifollamento lato piastra: Fb,Ed,p=0.64 Fb,Rd,p=7639.44
Tirafondi:LT=0.45 (0.31) σ_{cR}=0.00 σ_{fR}=0.00
Compressione nel calcestruzzo: σ_c=11.93
CC 11 SLV (Collegamento 0020_-377)
Azioni sul collegamento: N=-5739.79 Ty=-2.97 Tz=-2.08 Mx=0.02 Mz=2.33
Sollecitazioni agenti localmente: Tx_l=-2.97 Ty_l=-2.08 N_l=-5739.79 Mx_l=-0.00 My_l=2.33 Mz_l=0.02
Taglio nei bulloni: Fv,Ed=0.64 Fv,Rd=7720.78
Rifollamento lato piastra: Fb,Ed,p=0.61 Fb,Rd,p=9359.83
Tirafondi:LT=0.45 (0.31) σ_{cR}=0.00 σ_{fR}=0.00
Compressione nel calcestruzzo: σ_c=11.99
CC 11 SLV (Collegamento 0020_-377)
Azioni sul collegamento: N=-5739.79 Ty=-1.68 Tz=-2.08 Mx=0.02 Mz=-1.26
Sollecitazioni agenti localmente: Tx_l=-1.68 Ty_l=-2.08 N_l=-5739.79 Mx_l=-0.00 My_l=-1.26 Mz_l=0.02
Taglio nei bulloni: Fv,Ed=0.48 Fv,Rd=7720.78
Rifollamento lato piastra: Fb,Ed,p=0.48 Fb,Rd,p=11013.10
Tirafondi:LT=0.45 (0.31) σ_{cR}=0.00 σ_{fR}=0.00
Compressione nel calcestruzzo: σ_c=11.93
CC 12 SLD (Collegamento 0020_-377)
Azioni sul collegamento: N=-6795.55 Ty=-2.98 Tz=1.60 Mx=0.01 Mz=-1.00
Sollecitazioni agenti localmente: Tx_l=-2.98 Ty_l=1.60 N_l=-6795.55 Mx_l=-0.00 My_l=-1.00 Mz_l=0.01
Taglio nei bulloni: Fv,Ed=0.58 Fv,Rd=9650.97
Rifollamento lato piastra: Fb,Ed,p=0.58 Fb,Rd,p=10884.40
Tirafondi:LT=0.45 (0.31) σ_{cR}=0.00 σ_{fR}=0.00
Compressione nel calcestruzzo: σ_c=14.10
CC 12 SLD (Collegamento 0020_-377)
Azioni sul collegamento: N=-6795.55 Ty=-3.37 Tz=1.60 Mx=0.01 Mz=-2.09
Sollecitazioni agenti localmente: Tx_l=-3.37 Ty_l=1.60 N_l=-6795.55 Mx_l=-0.00 My_l=-2.09 Mz_l=0.01
Taglio nei bulloni: Fv,Ed=0.64 Fv,Rd=9650.97
Rifollamento lato piastra: Fb,Ed,p=0.64 Fb,Rd,p=10138.20
Tirafondi:LT=0.45 (0.31) σ_{cR}=0.00 σ_{fR}=0.00
Compressione nel calcestruzzo: σ_c=14.16
CC 12 SLD (Collegamento 0020_-377)
Azioni sul collegamento: N=-6795.55 Ty=-2.98 Tz=-0.06 Mx=0.01 Mz=-1.00
Sollecitazioni agenti localmente: Tx_l=-2.98 Ty_l=-0.06 N_l=-6795.55 Mx_l=-0.00 My_l=-1.00 Mz_l=0.01
Taglio nei bulloni: Fv,Ed=0.51 Fv,Rd=9650.97
Rifollamento lato piastra: Fb,Ed,p=0.51 Fb,Rd,p=7474.08
Tirafondi:LT=0.45 (0.31) σ_{cR}=0.00 σ_{fR}=0.00
Compressione nel calcestruzzo: σ_c=14.10
CC 12 SLD (Collegamento 0020_-377)
Azioni sul collegamento: N=-6795.55 Ty=-3.37 Tz=-0.06 Mx=0.01 Mz=-2.09
Sollecitazioni agenti localmente: Tx_l=-3.37 Ty_l=-0.06 N_l=-6795.55 Mx_l=-0.00 My_l=-2.09 Mz_l=0.01

Taglio nei bulloni: Fv,Ed=0.57 Fv,Rd=9650.97
Rifollamento lato piastra: Fb,Ed,p=0.57 Fb,Rd,p=7474.05
Tirafondi:LT=0.45 (0.31) σ_{cR}=0.00 σ_{fR}=0.00
Compressione nel calcestruzzo: σ_c=14.16
CC 12 SLD (Collegamento 0020_-377)
Azioni sul collegamento: N=-6317.31 Ty=-2.98 Tz=1.60 Mx=0.01 Mz=-1.00
Sollecitazioni agenti localmente: Tx_l=-2.98 Ty_l=1.60 N_l=-6317.31 Mx_l=-0.00 My_l=-1.00 Mz_l=0.01
Taglio nei bulloni: Fv,Ed=0.58 Fv,Rd=9650.97
Rifollamento lato piastra: Fb,Ed,p=0.58 Fb,Rd,p=10885.10
Tirafondi:LT=0.45 (0.31) σ_{cR}=0.00 σ_{fR}=0.00
Compressione nel calcestruzzo: σ_c=13.11
CC 12 SLD (Collegamento 0020_-377)
Azioni sul collegamento: N=-6317.31 Ty=-3.37 Tz=1.60 Mx=0.01 Mz=-2.09
Sollecitazioni agenti localmente: Tx_l=-3.37 Ty_l=1.60 N_l=-6317.31 Mx_l=-0.00 My_l=-2.09 Mz_l=0.01
Taglio nei bulloni: Fv,Ed=0.64 Fv,Rd=9650.97
Rifollamento lato piastra: Fb,Ed,p=0.64 Fb,Rd,p=10138.80
Tirafondi:LT=0.45 (0.31) σ_{cR}=0.00 σ_{fR}=0.00
Compressione nel calcestruzzo: σ_c=13.17
CC 12 SLD (Collegamento 0020_-377)
Azioni sul collegamento: N=-6317.31 Ty=-2.98 Tz=-0.06 Mx=0.01 Mz=-1.00
Sollecitazioni agenti localmente: Tx_l=-2.98 Ty_l=-0.06 N_l=-6317.31 Mx_l=-0.00 My_l=-1.00 Mz_l=0.01
Taglio nei bulloni: Fv,Ed=0.51 Fv,Rd=9650.97
Rifollamento lato piastra: Fb,Ed,p=0.51 Fb,Rd,p=7474.07
Tirafondi:LT=0.45 (0.31) σ_{cR}=0.00 σ_{fR}=0.00
Compressione nel calcestruzzo: σ_c=13.11
CC 12 SLD (Collegamento 0020_-377)
Azioni sul collegamento: N=-6317.31 Ty=-3.37 Tz=-0.06 Mx=0.01 Mz=-2.09
Sollecitazioni agenti localmente: Tx_l=-3.37 Ty_l=-0.06 N_l=-6317.31 Mx_l=-0.00 My_l=-2.09 Mz_l=0.01
Taglio nei bulloni: Fv,Ed=0.57 Fv,Rd=9650.97
Rifollamento lato piastra: Fb,Ed,p=0.57 Fb,Rd,p=7474.05
Tirafondi:LT=0.45 (0.31) σ_{cR}=0.00 σ_{fR}=0.00
Compressione nel calcestruzzo: σ_c=13.17
CC 13 SLV (Collegamento 0020_-377)
Azioni sul collegamento: N=-5739.79 Ty=-1.68 Tz=-2.08 Mx=0.01 Mz=-1.26
Sollecitazioni agenti localmente: Tx_l=-1.68 Ty_l=-2.08 N_l=-5739.79 Mx_l=-0.00 My_l=-1.26 Mz_l=0.01
Taglio nei bulloni: Fv,Ed=0.46 Fv,Rd=7720.78
Rifollamento lato piastra: Fb,Ed,p=0.46 Fb,Rd,p=10968.40
Tirafondi:LT=0.45 (0.31) σ_{cR}=0.00 σ_{fR}=0.00
Compressione nel calcestruzzo: σ_c=11.93
CC 13 SLV (Collegamento 0020_-377)
Azioni sul collegamento: N=-5739.79 Ty=-2.97 Tz=-2.08 Mx=0.01 Mz=2.33
Sollecitazioni agenti localmente: Tx_l=-2.97 Ty_l=-2.08 N_l=-5739.79 Mx_l=-0.00 My_l=2.33 Mz_l=0.01
Taglio nei bulloni: Fv,Ed=0.62 Fv,Rd=7720.78
Rifollamento lato piastra: Fb,Ed,p=0.61 Fb,Rd,p=9995.25
Tirafondi:LT=0.45 (0.31) σ_{cR}=0.00 σ_{fR}=0.00
Compressione nel calcestruzzo: σ_c=11.99
CC 13 SLV (Collegamento 0020_-377)
Azioni sul collegamento: N=-5739.79 Ty=-1.68 Tz=3.37 Mx=0.01 Mz=-1.26
Sollecitazioni agenti localmente: Tx_l=-1.68 Ty_l=3.37 N_l=-5739.79 Mx_l=-0.00 My_l=-1.26 Mz_l=0.01
Taglio nei bulloni: Fv,Ed=0.64 Fv,Rd=7720.78
Rifollamento lato piastra: Fb,Ed,p=0.63 Fb,Rd,p=7985.71
Tirafondi:LT=0.45 (0.31) σ_{cR}=0.00 σ_{fR}=0.00
Compressione nel calcestruzzo: σ_c=11.93
CC 13 SLV (Collegamento 0020_-377)
Azioni sul collegamento: N=-5739.79 Ty=-2.97 Tz=3.37 Mx=0.01 Mz=2.33
Sollecitazioni agenti localmente: Tx_l=-2.97 Ty_l=3.37 N_l=-5739.79 Mx_l=-0.00 My_l=2.33 Mz_l=0.01
Taglio nei bulloni: Fv,Ed=0.76 Fv,Rd=7720.78
Rifollamento lato piastra: Fb,Ed,p=0.75 Fb,Rd,p=11139.00
Tirafondi:LT=0.45 (0.31) σ_{cR}=0.00 σ_{fR}=0.00
Compressione nel calcestruzzo: σ_c=11.99
CC 13 SLV (Collegamento 0020_-377)
Azioni sul collegamento: N=-7308.16 Ty=-1.68 Tz=-2.08 Mx=0.01 Mz=-1.26
Sollecitazioni agenti localmente: Tx_l=-1.68 Ty_l=-2.08 N_l=-7308.16 Mx_l=-0.00 My_l=-1.26 Mz_l=0.01
Taglio nei bulloni: Fv,Ed=0.46 Fv,Rd=7720.78
Rifollamento lato piastra: Fb,Ed,p=0.46 Fb,Rd,p=10968.00
Tirafondi:LT=0.45 (0.31) σ_{cR}=0.00 σ_{fR}=0.00
Compressione nel calcestruzzo: σ_c=15.17
CC 13 SLV (Collegamento 0020_-377)
Azioni sul collegamento: N=-7308.16 Ty=-2.97 Tz=-2.08 Mx=0.01 Mz=2.33
Sollecitazioni agenti localmente: Tx_l=-2.97 Ty_l=-2.08 N_l=-7308.16 Mx_l=-0.00 My_l=2.33 Mz_l=0.01
Taglio nei bulloni: Fv,Ed=0.62 Fv,Rd=7720.78
Rifollamento lato piastra: Fb,Ed,p=0.61 Fb,Rd,p=9996.13
Tirafondi:LT=0.45 (0.31) σ_{cR}=0.00 σ_{fR}=0.00
Compressione nel calcestruzzo: σ_c=15.23
CC 13 SLV (Collegamento 0020_-377)
Azioni sul collegamento: N=-7308.16 Ty=-1.68 Tz=3.37 Mx=0.01 Mz=-1.26
Sollecitazioni agenti localmente: Tx_l=-1.68 Ty_l=3.37 N_l=-7308.16 Mx_l=-0.00 My_l=-1.26 Mz_l=0.01
Taglio nei bulloni: Fv,Ed=0.64 Fv,Rd=7720.78

Rifollamento lato piastra: Fb,Ed,p=0.63 Fb,Rd,p=7985.74
Tirafondi:LT=0.45 (0.31) σ_{cR}=0.00 σ_{fR}=0.00
Compressione nel calcestruzzo: σ_c=15.17
CC 13 SLV (Collegamento 0020_-377)
Azioni sul collegamento: N=-7308.16 Ty=-2.97 Tz=3.37 Mx=0.01 Mz=2.33
Sollecitazioni agenti localmente: Tx_l=-2.97 Ty_l=3.37 N_l=-7308.16 Mx_l=-0.00 My_l=2.33 Mz_l=0.01
Taglio nei bulloni: Fv,Ed=0.76 Fv,Rd=7720.78
Rifollamento lato piastra: Fb,Ed,p=0.75 Fb,Rd,p=11139.00
Tirafondi:LT=0.45 (0.31) σ_{cR}=0.00 σ_{fR}=0.00
Compressione nel calcestruzzo: σ_c=15.23
CC 14 SLD (Collegamento 0020_-377)
Azioni sul collegamento: N=-6317.31 Ty=-3.37 Tz=-0.06 Mx=0.01 Mz=-2.09
Sollecitazioni agenti localmente: Tx_l=-3.37 Ty_l=-0.06 N_l=-6317.31 Mx_l=-0.00 My_l=-2.09 Mz_l=0.01
Taglio nei bulloni: Fv,Ed=0.57 Fv,Rd=9650.97
Rifollamento lato piastra: Fb,Ed,p=0.57 Fb,Rd,p=7474.38
Tirafondi:LT=0.45 (0.31) σ_{cR}=0.00 σ_{fR}=0.00
Compressione nel calcestruzzo: σ_c=13.17
CC 14 SLD (Collegamento 0020_-377)
Azioni sul collegamento: N=-6317.31 Ty=-2.98 Tz=-0.06 Mx=0.01 Mz=-1.00
Sollecitazioni agenti localmente: Tx_l=-2.98 Ty_l=-0.06 N_l=-6317.31 Mx_l=-0.00 My_l=-1.00 Mz_l=0.01
Taglio nei bulloni: Fv,Ed=0.50 Fv,Rd=9650.97
Rifollamento lato piastra: Fb,Ed,p=0.50 Fb,Rd,p=7474.49
Tirafondi:LT=0.45 (0.31) σ_{cR}=0.00 σ_{fR}=0.00
Compressione nel calcestruzzo: σ_c=13.11
CC 14 SLD (Collegamento 0020_-377)
Azioni sul collegamento: N=-6317.31 Ty=-3.37 Tz=1.60 Mx=0.01 Mz=-2.09
Sollecitazioni agenti localmente: Tx_l=-3.37 Ty_l=1.60 N_l=-6317.31 Mx_l=-0.00 My_l=-2.09 Mz_l=0.01
Taglio nei bulloni: Fv,Ed=0.63 Fv,Rd=9650.97
Rifollamento lato piastra: Fb,Ed,p=0.63 Fb,Rd,p=10087.30
Tirafondi:LT=0.45 (0.31) σ_{cR}=0.00 σ_{fR}=0.00
Compressione nel calcestruzzo: σ_c=13.17
CC 14 SLD (Collegamento 0020_-377)
Azioni sul collegamento: N=-6317.31 Ty=-2.98 Tz=1.60 Mx=0.01 Mz=-1.00
Sollecitazioni agenti localmente: Tx_l=-2.98 Ty_l=1.60 N_l=-6317.31 Mx_l=-0.00 My_l=-1.00 Mz_l=0.01
Taglio nei bulloni: Fv,Ed=0.57 Fv,Rd=9650.97
Rifollamento lato piastra: Fb,Ed,p=0.57 Fb,Rd,p=10826.90
Tirafondi:LT=0.45 (0.31) σ_{cR}=0.00 σ_{fR}=0.00
Compressione nel calcestruzzo: σ_c=13.11
CC 14 SLD (Collegamento 0020_-377)
Azioni sul collegamento: N=-6795.55 Ty=-3.37 Tz=-0.06 Mx=0.01 Mz=-2.09
Sollecitazioni agenti localmente: Tx_l=-3.37 Ty_l=-0.06 N_l=-6795.55 Mx_l=-0.00 My_l=-2.09 Mz_l=0.01
Taglio nei bulloni: Fv,Ed=0.57 Fv,Rd=9650.97
Rifollamento lato piastra: Fb,Ed,p=0.57 Fb,Rd,p=7474.38
Tirafondi:LT=0.45 (0.31) σ_{cR}=0.00 σ_{fR}=0.00
Compressione nel calcestruzzo: σ_c=14.16
CC 14 SLD (Collegamento 0020_-377)
Azioni sul collegamento: N=-6795.55 Ty=-2.98 Tz=-0.06 Mx=0.01 Mz=-1.00
Sollecitazioni agenti localmente: Tx_l=-2.98 Ty_l=-0.06 N_l=-6795.55 Mx_l=-0.00 My_l=-1.00 Mz_l=0.01
Taglio nei bulloni: Fv,Ed=0.50 Fv,Rd=9650.97
Rifollamento lato piastra: Fb,Ed,p=0.50 Fb,Rd,p=7474.49
Tirafondi:LT=0.45 (0.31) σ_{cR}=0.00 σ_{fR}=0.00
Compressione nel calcestruzzo: σ_c=14.10
CC 14 SLD (Collegamento 0020_-377)
Azioni sul collegamento: N=-6795.55 Ty=-3.37 Tz=1.60 Mx=0.01 Mz=-2.09
Sollecitazioni agenti localmente: Tx_l=-3.37 Ty_l=1.60 N_l=-6795.55 Mx_l=-0.00 My_l=-2.09 Mz_l=0.01
Taglio nei bulloni: Fv,Ed=0.63 Fv,Rd=9650.97
Rifollamento lato piastra: Fb,Ed,p=0.63 Fb,Rd,p=10086.70
Tirafondi:LT=0.45 (0.31) σ_{cR}=0.00 σ_{fR}=0.00
Compressione nel calcestruzzo: σ_c=14.16
CC 14 SLD (Collegamento 0020_-377)
Azioni sul collegamento: N=-6795.55 Ty=-2.98 Tz=1.60 Mx=0.01 Mz=-1.00
Sollecitazioni agenti localmente: Tx_l=-2.98 Ty_l=1.60 N_l=-6795.55 Mx_l=-0.00 My_l=-1.00 Mz_l=0.01
Taglio nei bulloni: Fv,Ed=0.57 Fv,Rd=9650.97
Rifollamento lato piastra: Fb,Ed,p=0.57 Fb,Rd,p=10826.20
Tirafondi:LT=0.45 (0.31) σ_{cR}=0.00 σ_{fR}=0.00
Compressione nel calcestruzzo: σ_c=14.10
CC 15 SLV (Collegamento 0020_-377)
Azioni sul collegamento: N=-7327.12 Ty=-0.86 Tz=3.80 Mx=0.01 Mz=-1.85
Sollecitazioni agenti localmente: Tx_l=-0.86 Ty_l=3.80 N_l=-7327.12 Mx_l=-0.00 My_l=-1.85 Mz_l=0.01
Taglio nei bulloni: Fv,Ed=0.66 Fv,Rd=7720.78
Rifollamento lato piastra: Fb,Ed,p=0.66 Fb,Rd,p=6364.18
Tirafondi:LT=0.45 (0.31) σ_{cR}=0.00 σ_{fR}=0.00
Compressione nel calcestruzzo: σ_c=15.24
CC 15 SLV (Collegamento 0020_-377)
Azioni sul collegamento: N=-7327.12 Ty=-3.80 Tz=3.80 Mx=0.01 Mz=2.93
Sollecitazioni agenti localmente: Tx_l=-3.80 Ty_l=3.80 N_l=-7327.12 Mx_l=-0.00 My_l=2.93 Mz_l=0.01
Taglio nei bulloni: Fv,Ed=0.91 Fv,Rd=7720.78
Rifollamento lato piastra: Fb,Ed,p=0.91 Fb,Rd,p=12018.40

Tirafondi:LT=0.45 (0.31) σ_{cR}=0.00 σ_{fR}=0.00
Compressione nel calcestruzzo: σ_c=15.30
CC 15 SLV (Collegamento 0020_-377)
Azioni sul collegamento: N=-7327.12 Ty=-0.86 Tz=-2.51 Mx=0.01 Mz=-1.85
Sollecitazioni agenti localmente: Tx_l=-0.86 Ty_l=-2.51 N_l=-7327.12 Mx_l=-0.00 My_l=-1.85 Mz_l=0.01
Taglio nei bulloni: Fv,Ed=0.45 Fv,Rd=7720.78
Rifollamento lato piastra: Fb,Ed,p=0.45 Fb,Rd,p=7129.27
Tirafondi:LT=0.45 (0.31) σ_{cR}=0.00 σ_{fR}=0.00
Compressione nel calcestruzzo: σ_c=15.24
CC 15 SLV (Collegamento 0020_-377)
Azioni sul collegamento: N=-7327.12 Ty=-3.80 Tz=-2.51 Mx=0.01 Mz=2.93
Sollecitazioni agenti localmente: Tx_l=-3.80 Ty_l=-2.51 N_l=-7327.12 Mx_l=-0.00 My_l=2.93 Mz_l=0.01
Taglio nei bulloni: Fv,Ed=0.77 Fv,Rd=7720.78
Rifollamento lato piastra: Fb,Ed,p=0.76 Fb,Rd,p=9653.47
Tirafondi:LT=0.45 (0.31) σ_{cR}=0.00 σ_{fR}=0.00
Compressione nel calcestruzzo: σ_c=15.30
CC 15 SLV (Collegamento 0020_-377)
Azioni sul collegamento: N=-5720.83 Ty=-0.86 Tz=3.80 Mx=0.01 Mz=-1.85
Sollecitazioni agenti localmente: Tx_l=-0.86 Ty_l=3.80 N_l=-5720.83 Mx_l=-0.00 My_l=-1.85 Mz_l=0.01
Taglio nei bulloni: Fv,Ed=0.66 Fv,Rd=7720.78
Rifollamento lato piastra: Fb,Ed,p=0.66 Fb,Rd,p=6364.21
Tirafondi:LT=0.45 (0.31) σ_{cR}=0.00 σ_{fR}=0.00
Compressione nel calcestruzzo: σ_c=11.92
CC 15 SLV (Collegamento 0020_-377)
Azioni sul collegamento: N=-5720.83 Ty=-3.80 Tz=3.80 Mx=0.01 Mz=2.93
Sollecitazioni agenti localmente: Tx_l=-3.80 Ty_l=3.80 N_l=-5720.83 Mx_l=-0.00 My_l=2.93 Mz_l=0.01
Taglio nei bulloni: Fv,Ed=0.91 Fv,Rd=7720.78
Rifollamento lato piastra: Fb,Ed,p=0.91 Fb,Rd,p=12018.20
Tirafondi:LT=0.45 (0.31) σ_{cR}=0.00 σ_{fR}=0.00
Compressione nel calcestruzzo: σ_c=11.98
CC 15 SLV (Collegamento 0020_-377)
Azioni sul collegamento: N=-5720.83 Ty=-0.86 Tz=-2.51 Mx=0.01 Mz=-1.85
Sollecitazioni agenti localmente: Tx_l=-0.86 Ty_l=-2.51 N_l=-5720.83 Mx_l=-0.00 My_l=-1.85 Mz_l=0.01
Taglio nei bulloni: Fv,Ed=0.45 Fv,Rd=7720.78
Rifollamento lato piastra: Fb,Ed,p=0.45 Fb,Rd,p=7129.51
Tirafondi:LT=0.45 (0.31) σ_{cR}=0.00 σ_{fR}=0.00
Compressione nel calcestruzzo: σ_c=11.92
CC 15 SLV (Collegamento 0020_-377)
Azioni sul collegamento: N=-5720.83 Ty=-3.80 Tz=-2.51 Mx=0.01 Mz=2.93
Sollecitazioni agenti localmente: Tx_l=-3.80 Ty_l=-2.51 N_l=-5720.83 Mx_l=-0.00 My_l=2.93 Mz_l=0.01
Taglio nei bulloni: Fv,Ed=0.77 Fv,Rd=7720.78
Rifollamento lato piastra: Fb,Ed,p=0.76 Fb,Rd,p=9652.64
Tirafondi:LT=0.45 (0.31) σ_{cR}=0.00 σ_{fR}=0.00
Compressione nel calcestruzzo: σ_c=11.98
CC 16 SLD (Collegamento 0020_-377)
Azioni sul collegamento: N=-6801.33 Ty=-3.62 Tz=1.73 Mx=0.01 Mz=-2.27
Sollecitazioni agenti localmente: Tx_l=-3.62 Ty_l=1.73 N_l=-6801.33 Mx_l=-0.00 My_l=-2.27 Mz_l=0.01
Taglio nei bulloni: Fv,Ed=0.68 Fv,Rd=9650.97
Rifollamento lato piastra: Fb,Ed,p=0.68 Fb,Rd,p=10113.80
Tirafondi:LT=0.45 (0.31) σ_{cR}=0.00 σ_{fR}=0.00
Compressione nel calcestruzzo: σ_c=14.18
CC 16 SLD (Collegamento 0020_-377)
Azioni sul collegamento: N=-6801.33 Ty=-2.73 Tz=1.73 Mx=0.01 Mz=-0.81
Sollecitazioni agenti localmente: Tx_l=-2.73 Ty_l=1.73 N_l=-6801.33 Mx_l=-0.00 My_l=-0.81 Mz_l=0.01
Taglio nei bulloni: Fv,Ed=0.55 Fv,Rd=9650.97
Rifollamento lato piastra: Fb,Ed,p=0.55 Fb,Rd,p=12153.20
Tirafondi:LT=0.45 (0.31) σ_{cR}=0.00 σ_{fR}=0.00
Compressione nel calcestruzzo: σ_c=14.10
CC 16 SLD (Collegamento 0020_-377)
Azioni sul collegamento: N=-6801.33 Ty=-3.62 Tz=-0.19 Mx=0.01 Mz=-2.27
Sollecitazioni agenti localmente: Tx_l=-3.62 Ty_l=-0.19 N_l=-6801.33 Mx_l=-0.00 My_l=-2.27 Mz_l=0.01
Taglio nei bulloni: Fv,Ed=0.61 Fv,Rd=9650.97
Rifollamento lato piastra: Fb,Ed,p=0.61 Fb,Rd,p=7493.42
Tirafondi:LT=0.45 (0.31) σ_{cR}=0.00 σ_{fR}=0.00
Compressione nel calcestruzzo: σ_c=14.18
CC 16 SLD (Collegamento 0020_-377)
Azioni sul collegamento: N=-6801.33 Ty=-2.73 Tz=-0.19 Mx=0.01 Mz=-0.81
Sollecitazioni agenti localmente: Tx_l=-2.73 Ty_l=-0.19 N_l=-6801.33 Mx_l=-0.00 My_l=-0.81 Mz_l=0.01
Taglio nei bulloni: Fv,Ed=0.46 Fv,Rd=9650.97
Rifollamento lato piastra: Fb,Ed,p=0.46 Fb,Rd,p=7508.08
Tirafondi:LT=0.45 (0.31) σ_{cR}=0.00 σ_{fR}=0.00
Compressione nel calcestruzzo: σ_c=14.10
CC 16 SLD (Collegamento 0020_-377)
Azioni sul collegamento: N=-6311.52 Ty=-3.62 Tz=1.73 Mx=0.01 Mz=-2.27
Sollecitazioni agenti localmente: Tx_l=-3.62 Ty_l=1.73 N_l=-6311.52 Mx_l=-0.00 My_l=-2.27 Mz_l=0.01
Taglio nei bulloni: Fv,Ed=0.68 Fv,Rd=9650.97
Rifollamento lato piastra: Fb,Ed,p=0.68 Fb,Rd,p=10113.90
Tirafondi:LT=0.45 (0.31) σ_{cR}=0.00 σ_{fR}=0.00

Compressione nel calcestruzzo: σ_c=13.17
CC 16 SLD (Collegamento 0020_-377)
Azioni sul collegamento: N=-6311.52 Ty=-2.73 Tz=1.73 Mx=0.01 Mz=-0.81
Sollecitazioni agenti localmente: Tx_l=-2.73 Ty_l=1.73 N_l=-6311.52 Mx_l=-0.00 My_l=-0.81 Mz_l=0.01
Taglio nei bulloni: Fv,Ed=0.55 Fv,Rd=9650.97
Rifollamento lato piastra: Fb,Ed,p=0.55 Fb,Rd,p=12153.20
Tirafondi:LT=0.45 (0.31) σ_{cR}=0.00 σ_{fR}=0.00
Compressione nel calcestruzzo: σ_c=13.09
CC 16 SLD (Collegamento 0020_-377)
Azioni sul collegamento: N=-6311.52 Ty=-3.62 Tz=-0.19 Mx=0.01 Mz=-2.27
Sollecitazioni agenti localmente: Tx_l=-3.62 Ty_l=-0.19 N_l=-6311.52 Mx_l=-0.00 My_l=-2.27 Mz_l=0.01
Taglio nei bulloni: Fv,Ed=0.61 Fv,Rd=9650.97
Rifollamento lato piastra: Fb,Ed,p=0.61 Fb,Rd,p=7493.42
Tirafondi:LT=0.45 (0.31) σ_{cR}=0.00 σ_{fR}=0.00
Compressione nel calcestruzzo: σ_c=13.17
CC 16 SLD (Collegamento 0020_-377)
Azioni sul collegamento: N=-6311.52 Ty=-2.73 Tz=-0.19 Mx=0.01 Mz=-0.81
Sollecitazioni agenti localmente: Tx_l=-2.73 Ty_l=-0.19 N_l=-6311.52 Mx_l=-0.00 My_l=-0.81 Mz_l=0.01
Taglio nei bulloni: Fv,Ed=0.46 Fv,Rd=9650.97
Rifollamento lato piastra: Fb,Ed,p=0.46 Fb,Rd,p=7508.10
Tirafondi:LT=0.45 (0.31) σ_{cR}=0.00 σ_{fR}=0.00
Compressione nel calcestruzzo: σ_c=13.09
CC 17 SLV (Collegamento 0020_-377)
Azioni sul collegamento: N=-3968.96 Ty=-3.07 Tz=-8.85 Mx=-0.01 Mz=-3.83
Sollecitazioni agenti localmente: Tx_l=-3.07 Ty_l=-8.85 N_l=-3968.96 Mx_l=-0.00 My_l=-3.83 Mz_l=-0.01
Taglio nei bulloni: Fv,Ed=1.58 Fv,Rd=7720.78
Rifollamento lato piastra: Fb,Ed,p=1.57 Fb,Rd,p=6972.70
Tirafondi:LT=0.45 (0.31) σ_{cR}=0.00 σ_{fR}=0.00
Compressione nel calcestruzzo: σ_c=8.42
CC 17 SLV (Collegamento 0020_-377)
Azioni sul collegamento: N=-3968.96 Ty=-6.45 Tz=-8.85 Mx=-0.01 Mz=-7.08
Sollecitazioni agenti localmente: Tx_l=-6.45 Ty_l=-8.85 N_l=-3968.96 Mx_l=-0.00 My_l=-7.08 Mz_l=-0.01
Taglio nei bulloni: Fv,Ed=1.85 Fv,Rd=7720.78
Rifollamento lato piastra: Fb,Ed,p=1.83 Fb,Rd,p=10430.50
Tirafondi:LT=0.45 (0.31) σ_{cR}=0.00 σ_{fR}=0.00
Compressione nel calcestruzzo: σ_c=8.60
CC 17 SLV (Collegamento 0020_-377)
Azioni sul collegamento: N=-3968.96 Ty=-3.07 Tz=10.87 Mx=-0.01 Mz=-3.83
Sollecitazioni agenti localmente: Tx_l=-3.07 Ty_l=10.87 N_l=-3968.96 Mx_l=-0.00 My_l=-3.83 Mz_l=-0.01
Taglio nei bulloni: Fv,Ed=1.90 Fv,Rd=7720.78
Rifollamento lato piastra: Fb,Ed,p=1.90 Fb,Rd,p=6720.63
Tirafondi:LT=0.45 (0.31) σ_{cR}=0.00 σ_{fR}=0.00
Compressione nel calcestruzzo: σ_c=8.42
CC 17 SLV (Collegamento 0020_-377)
Azioni sul collegamento: N=-3968.96 Ty=-6.45 Tz=10.87 Mx=-0.01 Mz=-7.08
Sollecitazioni agenti localmente: Tx_l=-6.45 Ty_l=10.87 N_l=-3968.96 Mx_l=-0.00 My_l=-7.08 Mz_l=-0.01
Taglio nei bulloni: Fv,Ed=2.13 Fv,Rd=7720.78
Rifollamento lato piastra: Fb,Ed,p=2.13 Fb,Rd,p=9213.70
Tirafondi:LT=0.45 (0.31) σ_{cR}=0.00 σ_{fR}=0.00
Compressione nel calcestruzzo: σ_c=8.60
CC 17 SLV (Collegamento 0020_-377)
Azioni sul collegamento: N=-9265.76 Ty=-3.07 Tz=-8.85 Mx=-0.01 Mz=-3.83
Sollecitazioni agenti localmente: Tx_l=-3.07 Ty_l=-8.85 N_l=-9265.76 Mx_l=-0.00 My_l=-3.83 Mz_l=-0.01
Taglio nei bulloni: Fv,Ed=1.58 Fv,Rd=7720.78
Rifollamento lato piastra: Fb,Ed,p=1.57 Fb,Rd,p=6972.72
Tirafondi:LT=0.45 (0.31) σ_{cR}=0.00 σ_{fR}=0.00
Compressione nel calcestruzzo: σ_c=19.36
CC 17 SLV (Collegamento 0020_-377)
Azioni sul collegamento: N=-9265.76 Ty=-6.45 Tz=-8.85 Mx=-0.01 Mz=-7.08
Sollecitazioni agenti localmente: Tx_l=-6.45 Ty_l=-8.85 N_l=-9265.76 Mx_l=-0.00 My_l=-7.08 Mz_l=-0.01
Taglio nei bulloni: Fv,Ed=1.85 Fv,Rd=7720.78
Rifollamento lato piastra: Fb,Ed,p=1.83 Fb,Rd,p=10430.50
Tirafondi:LT=0.45 (0.31) σ_{cR}=0.00 σ_{fR}=0.00
Compressione nel calcestruzzo: σ_c=19.54
CC 17 SLV (Collegamento 0020_-377)
Azioni sul collegamento: N=-9265.76 Ty=-3.07 Tz=10.87 Mx=-0.01 Mz=-3.83
Sollecitazioni agenti localmente: Tx_l=-3.07 Ty_l=10.87 N_l=-9265.76 Mx_l=-0.00 My_l=-3.83 Mz_l=-0.01
Taglio nei bulloni: Fv,Ed=1.90 Fv,Rd=7720.78
Rifollamento lato piastra: Fb,Ed,p=1.90 Fb,Rd,p=6720.59
Tirafondi:LT=0.45 (0.31) σ_{cR}=0.00 σ_{fR}=0.00
Compressione nel calcestruzzo: σ_c=19.36
CC 17 SLV (Collegamento 0020_-377)
Azioni sul collegamento: N=-9265.76 Ty=-6.45 Tz=10.87 Mx=-0.01 Mz=-7.08
Sollecitazioni agenti localmente: Tx_l=-6.45 Ty_l=10.87 N_l=-9265.76 Mx_l=-0.00 My_l=-7.08 Mz_l=-0.01
Taglio nei bulloni: Fv,Ed=2.13 Fv,Rd=7720.78
Rifollamento lato piastra: Fb,Ed,p=2.13 Fb,Rd,p=9213.54
Tirafondi:LT=0.45 (0.31) σ_{cR}=0.00 σ_{fR}=0.00
Compressione nel calcestruzzo: σ_c=19.54

CC 18 SLD (Collegamento 0020_-377)
Azioni sul collegamento: N=-5777.32 Ty=-3.40 Tz=-2.12 Mx=-0.00 Mz=-2.87
Sollecitazioni agenti localmente: Tx_l=-3.40 Ty_l=-2.12 N_l=-5777.32 Mx_l=-0.00 My_l=-2.87 Mz_l=-0.00
Taglio nei bulloni: Fv,Ed=0.67 Fv,Rd=9650.97
Rifollamento lato piastra: Fb,Ed,p=0.67 Fb,Rd,p=11924.50
Tirafondi:LT=0.45 (0.31) σ_{cR}=0.00 σ_{fR}=0.00
Compressione nel calcestruzzo: σ_c=12.10
CC 18 SLD (Collegamento 0020_-377)
Azioni sul collegamento: N=-5777.32 Ty=-4.43 Tz=-2.12 Mx=-0.00 Mz=-3.87
Sollecitazioni agenti localmente: Tx_l=-4.43 Ty_l=-2.12 N_l=-5777.32 Mx_l=-0.00 My_l=-3.87 Mz_l=-0.00
Taglio nei bulloni: Fv,Ed=0.82 Fv,Rd=9650.97
Rifollamento lato piastra: Fb,Ed,p=0.82 Fb,Rd,p=10072.60
Tirafondi:LT=0.45 (0.31) σ_{cR}=0.00 σ_{fR}=0.00
Compressione nel calcestruzzo: σ_c=12.15
CC 18 SLD (Collegamento 0020_-377)
Azioni sul collegamento: N=-5777.32 Ty=-3.40 Tz=3.89 Mx=-0.00 Mz=-2.87
Sollecitazioni agenti localmente: Tx_l=-3.40 Ty_l=3.89 N_l=-5777.32 Mx_l=-0.00 My_l=-2.87 Mz_l=-0.00
Taglio nei bulloni: Fv,Ed=0.86 Fv,Rd=9650.97
Rifollamento lato piastra: Fb,Ed,p=0.86 Fb,Rd,p=14109.10
Tirafondi:LT=0.45 (0.31) σ_{cR}=0.00 σ_{fR}=0.00
Compressione nel calcestruzzo: σ_c=12.10
CC 18 SLD (Collegamento 0020_-377)
Azioni sul collegamento: N=-5777.32 Ty=-4.43 Tz=3.89 Mx=-0.00 Mz=-3.87
Sollecitazioni agenti localmente: Tx_l=-4.43 Ty_l=3.89 N_l=-5777.32 Mx_l=-0.00 My_l=-3.87 Mz_l=-0.00
Taglio nei bulloni: Fv,Ed=0.98 Fv,Rd=9650.97
Rifollamento lato piastra: Fb,Ed,p=0.98 Fb,Rd,p=14109.50
Tirafondi:LT=0.45 (0.31) σ_{cR}=0.00 σ_{fR}=0.00
Compressione nel calcestruzzo: σ_c=12.15
CC 18 SLD (Collegamento 0020_-377)
Azioni sul collegamento: N=-7392.49 Ty=-3.40 Tz=-2.12 Mx=-0.00 Mz=-2.87
Sollecitazioni agenti localmente: Tx_l=-3.40 Ty_l=-2.12 N_l=-7392.49 Mx_l=-0.00 My_l=-2.87 Mz_l=-0.00
Taglio nei bulloni: Fv,Ed=0.67 Fv,Rd=9650.97
Rifollamento lato piastra: Fb,Ed,p=0.67 Fb,Rd,p=11924.30
Tirafondi:LT=0.45 (0.31) σ_{cR}=0.00 σ_{fR}=0.00
Compressione nel calcestruzzo: σ_c=15.44
CC 18 SLD (Collegamento 0020_-377)
Azioni sul collegamento: N=-7392.49 Ty=-4.43 Tz=-2.12 Mx=-0.00 Mz=-3.87
Sollecitazioni agenti localmente: Tx_l=-4.43 Ty_l=-2.12 N_l=-7392.49 Mx_l=-0.00 My_l=-3.87 Mz_l=-0.00
Taglio nei bulloni: Fv,Ed=0.82 Fv,Rd=9650.97
Rifollamento lato piastra: Fb,Ed,p=0.82 Fb,Rd,p=10072.50
Tirafondi:LT=0.45 (0.31) σ_{cR}=0.00 σ_{fR}=0.00
Compressione nel calcestruzzo: σ_c=15.49
CC 18 SLD (Collegamento 0020_-377)
Azioni sul collegamento: N=-7392.49 Ty=-3.40 Tz=3.89 Mx=-0.00 Mz=-2.87
Sollecitazioni agenti localmente: Tx_l=-3.40 Ty_l=3.89 N_l=-7392.49 Mx_l=-0.00 My_l=-2.87 Mz_l=-0.00
Taglio nei bulloni: Fv,Ed=0.86 Fv,Rd=9650.97
Rifollamento lato piastra: Fb,Ed,p=0.86 Fb,Rd,p=14108.50
Tirafondi:LT=0.45 (0.31) σ_{cR}=0.00 σ_{fR}=0.00
Compressione nel calcestruzzo: σ_c=15.44
CC 18 SLD (Collegamento 0020_-377)
Azioni sul collegamento: N=-7392.49 Ty=-4.43 Tz=3.89 Mx=-0.00 Mz=-3.87
Sollecitazioni agenti localmente: Tx_l=-4.43 Ty_l=3.89 N_l=-7392.49 Mx_l=-0.00 My_l=-3.87 Mz_l=-0.00
Taglio nei bulloni: Fv,Ed=0.99 Fv,Rd=9650.97
Rifollamento lato piastra: Fb,Ed,p=0.98 Fb,Rd,p=14110.10
Tirafondi:LT=0.45 (0.31) σ_{cR}=0.00 σ_{fR}=0.00
Compressione nel calcestruzzo: σ_c=15.49
CC 19 SLV (Collegamento 0020_-377)
Azioni sul collegamento: N=-3974.65 Ty=-3.70 Tz=-8.72 Mx=-0.01 Mz=-5.08
Sollecitazioni agenti localmente: Tx_l=-3.70 Ty_l=-8.72 N_l=-3974.65 Mx_l=-0.00 My_l=-5.08 Mz_l=-0.01
Taglio nei bulloni: Fv,Ed=1.59 Fv,Rd=7720.78
Rifollamento lato piastra: Fb,Ed,p=1.58 Fb,Rd,p=7528.19
Tirafondi:LT=0.45 (0.31) σ_{cR}=0.00 σ_{fR}=0.00
Compressione nel calcestruzzo: σ_c=8.50
CC 19 SLV (Collegamento 0020_-377)
Azioni sul collegamento: N=-3974.65 Ty=-5.81 Tz=-8.72 Mx=-0.01 Mz=-5.82
Sollecitazioni agenti localmente: Tx_l=-5.81 Ty_l=-8.72 N_l=-3974.65 Mx_l=-0.00 My_l=-5.82 Mz_l=-0.01
Taglio nei bulloni: Fv,Ed=1.76 Fv,Rd=7720.78
Rifollamento lato piastra: Fb,Ed,p=1.75 Fb,Rd,p=9905.65
Tirafondi:LT=0.45 (0.31) σ_{cR}=0.00 σ_{fR}=0.00
Compressione nel calcestruzzo: σ_c=8.54
CC 19 SLV (Collegamento 0020_-377)
Azioni sul collegamento: N=-3974.65 Ty=-3.70 Tz=10.74 Mx=-0.01 Mz=-5.08
Sollecitazioni agenti localmente: Tx_l=-3.70 Ty_l=10.74 N_l=-3974.65 Mx_l=-0.00 My_l=-5.08 Mz_l=-0.01
Taglio nei bulloni: Fv,Ed=1.91 Fv,Rd=7720.78
Rifollamento lato piastra: Fb,Ed,p=1.91 Fb,Rd,p=7064.53
Tirafondi:LT=0.45 (0.31) σ_{cR}=0.00 σ_{fR}=0.00
Compressione nel calcestruzzo: σ_c=8.50
CC 19 SLV (Collegamento 0020_-377)

Azioni sul collegamento: N=-3974.65 Ty=-5.81 Tz=10.74 Mx=-0.01 Mz=-5.82
Sollecitazioni agenti localmente: Tx_l=-5.81 Ty_l=10.74 N_l=-3974.65 Mx_l=-0.00 My_l=-5.82 Mz_l=-0.01
Taglio nei bulloni: Fv,Ed=2.05 Fv,Rd=7720.78
Rifollamento lato piastra: Fb,Ed,p=2.05 Fb,Rd,p=8656.83
Tirafondi:LT=0.45 (0.31) σ_{cR}=0.00 σ_{fR}=0.00
Compressione nel calcestruzzo: σ_c=8.54
CC 19 SLV (Collegamento 0020_-377)
Azioni sul collegamento: N=-9260.08 Ty=-3.70 Tz=-8.72 Mx=-0.01 Mz=-5.08
Sollecitazioni agenti localmente: Tx_l=-3.70 Ty_l=-8.72 N_l=-9260.08 Mx_l=-0.00 My_l=-5.08 Mz_l=-0.01
Taglio nei bulloni: Fv,Ed=1.59 Fv,Rd=7720.78
Rifollamento lato piastra: Fb,Ed,p=1.58 Fb,Rd,p=7528.33
Tirafondi:LT=0.45 (0.31) σ_{cR}=0.00 σ_{fR}=0.00
Compressione nel calcestruzzo: σ_c=19.42
CC 19 SLV (Collegamento 0020_-377)
Azioni sul collegamento: N=-9260.08 Ty=-5.81 Tz=-8.72 Mx=-0.01 Mz=-5.82
Sollecitazioni agenti localmente: Tx_l=-5.81 Ty_l=-8.72 N_l=-9260.08 Mx_l=-0.00 My_l=-5.82 Mz_l=-0.01
Taglio nei bulloni: Fv,Ed=1.76 Fv,Rd=7720.78
Rifollamento lato piastra: Fb,Ed,p=1.75 Fb,Rd,p=9906.01
Tirafondi:LT=0.45 (0.31) σ_{cR}=0.00 σ_{fR}=0.00
Compressione nel calcestruzzo: σ_c=19.46
CC 19 SLV (Collegamento 0020_-377)
Azioni sul collegamento: N=-9260.08 Ty=-3.70 Tz=10.74 Mx=-0.01 Mz=-5.08
Sollecitazioni agenti localmente: Tx_l=-3.70 Ty_l=10.74 N_l=-9260.08 Mx_l=-0.00 My_l=-5.08 Mz_l=-0.01
Taglio nei bulloni: Fv,Ed=1.91 Fv,Rd=7720.78
Rifollamento lato piastra: Fb,Ed,p=1.91 Fb,Rd,p=7064.48
Tirafondi:LT=0.45 (0.31) σ_{cR}=0.00 σ_{fR}=0.00
Compressione nel calcestruzzo: σ_c=19.42
CC 19 SLV (Collegamento 0020_-377)
Azioni sul collegamento: N=-9260.08 Ty=-5.81 Tz=10.74 Mx=-0.01 Mz=-5.82
Sollecitazioni agenti localmente: Tx_l=-5.81 Ty_l=10.74 N_l=-9260.08 Mx_l=-0.00 My_l=-5.82 Mz_l=-0.01
Taglio nei bulloni: Fv,Ed=2.05 Fv,Rd=7720.78
Rifollamento lato piastra: Fb,Ed,p=2.05 Fb,Rd,p=8656.71
Tirafondi:LT=0.45 (0.31) σ_{cR}=0.00 σ_{fR}=0.00
Compressione nel calcestruzzo: σ_c=19.46
CC 20 SLD (Collegamento 0020_-377)
Azioni sul collegamento: N=-5779.06 Ty=-3.59 Tz=-2.08 Mx=-0.00 Mz=-3.26
Sollecitazioni agenti localmente: Tx_l=-3.59 Ty_l=-2.08 N_l=-5779.06 Mx_l=-0.00 My_l=-3.26 Mz_l=-0.00
Taglio nei bulloni: Fv,Ed=0.69 Fv,Rd=9650.97
Rifollamento lato piastra: Fb,Ed,p=0.69 Fb,Rd,p=11287.20
Tirafondi:LT=0.45 (0.31) σ_{cR}=0.00 σ_{fR}=0.00
Compressione nel calcestruzzo: σ_c=12.12
CC 20 SLD (Collegamento 0020_-377)
Azioni sul collegamento: N=-5779.06 Ty=-4.24 Tz=-2.08 Mx=-0.00 Mz=-3.48
Sollecitazioni agenti localmente: Tx_l=-4.24 Ty_l=-2.08 N_l=-5779.06 Mx_l=-0.00 My_l=-3.48 Mz_l=-0.00
Taglio nei bulloni: Fv,Ed=0.79 Fv,Rd=9650.97
Rifollamento lato piastra: Fb,Ed,p=0.79 Fb,Rd,p=10200.00
Tirafondi:LT=0.45 (0.31) σ_{cR}=0.00 σ_{fR}=0.00
Compressione nel calcestruzzo: σ_c=12.14
CC 20 SLD (Collegamento 0020_-377)
Azioni sul collegamento: N=-5779.06 Ty=-3.59 Tz=3.85 Mx=-0.00 Mz=-3.26
Sollecitazioni agenti localmente: Tx_l=-3.59 Ty_l=3.85 N_l=-5779.06 Mx_l=-0.00 My_l=-3.26 Mz_l=-0.00
Taglio nei bulloni: Fv,Ed=0.88 Fv,Rd=9650.97
Rifollamento lato piastra: Fb,Ed,p=0.88 Fb,Rd,p=14527.20
Tirafondi:LT=0.45 (0.31) σ_{cR}=0.00 σ_{fR}=0.00
Compressione nel calcestruzzo: σ_c=12.12
CC 20 SLD (Collegamento 0020_-377)
Azioni sul collegamento: N=-5779.06 Ty=-4.24 Tz=3.85 Mx=-0.00 Mz=-3.48
Sollecitazioni agenti localmente: Tx_l=-4.24 Ty_l=3.85 N_l=-5779.06 Mx_l=-0.00 My_l=-3.48 Mz_l=-0.00
Taglio nei bulloni: Fv,Ed=0.95 Fv,Rd=9650.97
Rifollamento lato piastra: Fb,Ed,p=0.95 Fb,Rd,p=14356.80
Tirafondi:LT=0.45 (0.31) σ_{cR}=0.00 σ_{fR}=0.00
Compressione nel calcestruzzo: σ_c=12.14
CC 20 SLD (Collegamento 0020_-377)
Azioni sul collegamento: N=-7390.75 Ty=-3.59 Tz=-2.08 Mx=-0.00 Mz=-3.26
Sollecitazioni agenti localmente: Tx_l=-3.59 Ty_l=-2.08 N_l=-7390.75 Mx_l=-0.00 My_l=-3.26 Mz_l=-0.00
Taglio nei bulloni: Fv,Ed=0.69 Fv,Rd=9650.97
Rifollamento lato piastra: Fb,Ed,p=0.69 Fb,Rd,p=11287.10
Tirafondi:LT=0.45 (0.31) σ_{cR}=0.00 σ_{fR}=0.00
Compressione nel calcestruzzo: σ_c=15.45
CC 20 SLD (Collegamento 0020_-377)
Azioni sul collegamento: N=-7390.75 Ty=-4.24 Tz=-2.08 Mx=-0.00 Mz=-3.48
Sollecitazioni agenti localmente: Tx_l=-4.24 Ty_l=-2.08 N_l=-7390.75 Mx_l=-0.00 My_l=-3.48 Mz_l=-0.00
Taglio nei bulloni: Fv,Ed=0.79 Fv,Rd=9650.97
Rifollamento lato piastra: Fb,Ed,p=0.79 Fb,Rd,p=10200.00
Tirafondi:LT=0.45 (0.31) σ_{cR}=0.00 σ_{fR}=0.00
Compressione nel calcestruzzo: σ_c=15.47
CC 20 SLD (Collegamento 0020_-377)
Azioni sul collegamento: N=-7390.75 Ty=-3.59 Tz=3.85 Mx=-0.00 Mz=-3.26

Sollecitazioni agenti localmente: T_{x_l}=-3.59 T_{y_l}=3.85 N_l=-7390.75 M_{x_l}=-0.00 M_{y_l}=-3.26 M_{z_l}=-0.00
Taglio nei bulloni: Fv,Ed=0.88 Fv,Rd=9650.97
Rifollamento lato piastra: Fb,Ed,p=0.88 Fb,Rd,p=14527.20
Tirafondi:LT=0.45 (0.31) σ_{cR}=0.00 σ_{fR}=0.00
Compressione nel calcestruzzo: σ_c=15.45
CC 20 SLD (Collegamento 0020_-377)
Azioni sul collegamento: N=-7390.75 Ty=-4.24 Tz=3.85 Mx=-0.00 Mz=-3.48
Sollecitazioni agenti localmente: T_{x_l}=-4.24 T_{y_l}=3.85 N_l=-7390.75 M_{x_l}=-0.00 M_{y_l}=-3.48 M_{z_l}=-0.00
Taglio nei bulloni: Fv,Ed=0.95 Fv,Rd=9650.97
Rifollamento lato piastra: Fb,Ed,p=0.95 Fb,Rd,p=14356.80
Tirafondi:LT=0.45 (0.31) σ_{cR}=0.00 σ_{fR}=0.00
Compressione nel calcestruzzo: σ_c=15.47
CC 21 SLV (Collegamento 0020_-377)
Azioni sul collegamento: N=-9260.08 Ty=-5.81 Tz=10.74 Mx=-0.01 Mz=-5.82
Sollecitazioni agenti localmente: T_{x_l}=-5.81 T_{y_l}=10.74 N_l=-9260.08 M_{x_l}=-0.00 M_{y_l}=-5.82 M_{z_l}=-0.01
Taglio nei bulloni: Fv,Ed=2.05 Fv,Rd=7720.78
Rifollamento lato piastra: Fb,Ed,p=2.05 Fb,Rd,p=8662.22
Tirafondi:LT=0.45 (0.31) σ_{cR}=0.00 σ_{fR}=0.00
Compressione nel calcestruzzo: σ_c=19.46
CC 21 SLV (Collegamento 0020_-377)
Azioni sul collegamento: N=-9260.08 Ty=-3.70 Tz=10.74 Mx=-0.01 Mz=-5.08
Sollecitazioni agenti localmente: T_{x_l}=-3.70 T_{y_l}=10.74 N_l=-9260.08 M_{x_l}=-0.00 M_{y_l}=-5.08 M_{z_l}=-0.01
Taglio nei bulloni: Fv,Ed=1.91 Fv,Rd=7720.78
Rifollamento lato piastra: Fb,Ed,p=1.91 Fb,Rd,p=7069.42
Tirafondi:LT=0.45 (0.31) σ_{cR}=0.00 σ_{fR}=0.00
Compressione nel calcestruzzo: σ_c=19.42
CC 21 SLV (Collegamento 0020_-377)
Azioni sul collegamento: N=-9260.08 Ty=-5.81 Tz=-8.72 Mx=-0.01 Mz=-5.82
Sollecitazioni agenti localmente: T_{x_l}=-5.81 T_{y_l}=-8.72 N_l=-9260.08 M_{x_l}=-0.00 M_{y_l}=-5.82 M_{z_l}=-0.01
Taglio nei bulloni: Fv,Ed=1.76 Fv,Rd=7720.78
Rifollamento lato piastra: Fb,Ed,p=1.75 Fb,Rd,p=9876.00
Tirafondi:LT=0.45 (0.31) σ_{cR}=0.00 σ_{fR}=0.00
Compressione nel calcestruzzo: σ_c=19.46
CC 21 SLV (Collegamento 0020_-377)
Azioni sul collegamento: N=-9260.08 Ty=-3.70 Tz=-8.72 Mx=-0.01 Mz=-5.08
Sollecitazioni agenti localmente: T_{x_l}=-3.70 T_{y_l}=-8.72 N_l=-9260.08 M_{x_l}=-0.00 M_{y_l}=-5.08 M_{z_l}=-0.01
Taglio nei bulloni: Fv,Ed=1.59 Fv,Rd=7720.78
Rifollamento lato piastra: Fb,Ed,p=1.58 Fb,Rd,p=7512.54
Tirafondi:LT=0.45 (0.31) σ_{cR}=0.00 σ_{fR}=0.00
Compressione nel calcestruzzo: σ_c=19.42
CC 21 SLV (Collegamento 0020_-377)
Azioni sul collegamento: N=-3974.65 Ty=-5.81 Tz=10.74 Mx=-0.01 Mz=-5.82
Sollecitazioni agenti localmente: T_{x_l}=-5.81 T_{y_l}=10.74 N_l=-3974.65 M_{x_l}=-0.00 M_{y_l}=-5.82 M_{z_l}=-0.01
Taglio nei bulloni: Fv,Ed=2.05 Fv,Rd=7720.78
Rifollamento lato piastra: Fb,Ed,p=2.05 Fb,Rd,p=8662.34
Tirafondi:LT=0.45 (0.31) σ_{cR}=0.00 σ_{fR}=0.00
Compressione nel calcestruzzo: σ_c=8.54
CC 21 SLV (Collegamento 0020_-377)
Azioni sul collegamento: N=-3974.65 Ty=-3.70 Tz=10.74 Mx=-0.01 Mz=-5.08
Sollecitazioni agenti localmente: T_{x_l}=-3.70 T_{y_l}=10.74 N_l=-3974.65 M_{x_l}=-0.00 M_{y_l}=-5.08 M_{z_l}=-0.01
Taglio nei bulloni: Fv,Ed=1.91 Fv,Rd=7720.78
Rifollamento lato piastra: Fb,Ed,p=1.91 Fb,Rd,p=7069.47
Tirafondi:LT=0.45 (0.31) σ_{cR}=0.00 σ_{fR}=0.00
Compressione nel calcestruzzo: σ_c=8.50
CC 21 SLV (Collegamento 0020_-377)
Azioni sul collegamento: N=-3974.65 Ty=-5.81 Tz=-8.72 Mx=-0.01 Mz=-5.82
Sollecitazioni agenti localmente: T_{x_l}=-5.81 T_{y_l}=-8.72 N_l=-3974.65 M_{x_l}=-0.00 M_{y_l}=-5.82 M_{z_l}=-0.01
Taglio nei bulloni: Fv,Ed=1.76 Fv,Rd=7720.78
Rifollamento lato piastra: Fb,Ed,p=1.75 Fb,Rd,p=9875.63
Tirafondi:LT=0.45 (0.31) σ_{cR}=0.00 σ_{fR}=0.00
Compressione nel calcestruzzo: σ_c=8.54
CC 21 SLV (Collegamento 0020_-377)
Azioni sul collegamento: N=-3974.65 Ty=-3.70 Tz=-8.72 Mx=-0.01 Mz=-5.08
Sollecitazioni agenti localmente: T_{x_l}=-3.70 T_{y_l}=-8.72 N_l=-3974.65 M_{x_l}=-0.00 M_{y_l}=-5.08 M_{z_l}=-0.01
Taglio nei bulloni: Fv,Ed=1.59 Fv,Rd=7720.78
Rifollamento lato piastra: Fb,Ed,p=1.58 Fb,Rd,p=7512.40
Tirafondi:LT=0.45 (0.31) σ_{cR}=0.00 σ_{fR}=0.00
Compressione nel calcestruzzo: σ_c=8.50
CC 22 SLD (Collegamento 0020_-377)
Azioni sul collegamento: N=-7390.75 Ty=-4.24 Tz=3.85 Mx=-0.00 Mz=-3.48
Sollecitazioni agenti localmente: T_{x_l}=-4.24 T_{y_l}=3.85 N_l=-7390.75 M_{x_l}=-0.00 M_{y_l}=-3.48 M_{z_l}=-0.00
Taglio nei bulloni: Fv,Ed=0.96 Fv,Rd=9650.97
Rifollamento lato piastra: Fb,Ed,p=0.95 Fb,Rd,p=14344.10
Tirafondi:LT=0.45 (0.31) σ_{cR}=0.00 σ_{fR}=0.00
Compressione nel calcestruzzo: σ_c=15.47
CC 22 SLD (Collegamento 0020_-377)
Azioni sul collegamento: N=-7390.75 Ty=-3.59 Tz=3.85 Mx=-0.00 Mz=-3.26
Sollecitazioni agenti localmente: T_{x_l}=-3.59 T_{y_l}=3.85 N_l=-7390.75 M_{x_l}=-0.00 M_{y_l}=-3.26 M_{z_l}=-0.00

Taglio nei bulloni: Fv,Ed=0.88 Fv,Rd=9650.97
Rifollamento lato piastra: Fb,Ed,p=0.88 Fb,Rd,p=14527.70
Tirafondi:LT=0.45 (0.31) σ_{cR}=0.00 σ_{fR}=0.00
Compressione nel calcestruzzo: σ_c=15.45
CC 22 SLD (Collegamento 0020_-377)
Azioni sul collegamento: N=-7390.75 Ty=-4.24 Tz=-2.08 Mx=-0.00 Mz=-3.48
Sollecitazioni agenti localmente: Tx_l=-4.24 Ty_l=-2.08 N_l=-7390.75 Mx_l=-0.00 My_l=-3.48 Mz_l=-0.00
Taglio nei bulloni: Fv,Ed=0.79 Fv,Rd=9650.97
Rifollamento lato piastra: Fb,Ed,p=0.79 Fb,Rd,p=10205.30
Tirafondi:LT=0.45 (0.31) σ_{cR}=0.00 σ_{fR}=0.00
Compressione nel calcestruzzo: σ_c=15.47
CC 22 SLD (Collegamento 0020_-377)
Azioni sul collegamento: N=-7390.75 Ty=-3.59 Tz=-2.08 Mx=-0.00 Mz=-3.26
Sollecitazioni agenti localmente: Tx_l=-3.59 Ty_l=-2.08 N_l=-7390.75 Mx_l=-0.00 My_l=-3.26 Mz_l=-0.00
Taglio nei bulloni: Fv,Ed=0.69 Fv,Rd=9650.97
Rifollamento lato piastra: Fb,Ed,p=0.69 Fb,Rd,p=11293.40
Tirafondi:LT=0.45 (0.31) σ_{cR}=0.00 σ_{fR}=0.00
Compressione nel calcestruzzo: σ_c=15.45
CC 22 SLD (Collegamento 0020_-377)
Azioni sul collegamento: N=-5779.06 Ty=-4.24 Tz=3.85 Mx=-0.00 Mz=-3.48
Sollecitazioni agenti localmente: Tx_l=-4.24 Ty_l=3.85 N_l=-5779.06 Mx_l=-0.00 My_l=-3.48 Mz_l=-0.00
Taglio nei bulloni: Fv,Ed=0.96 Fv,Rd=9650.97
Rifollamento lato piastra: Fb,Ed,p=0.95 Fb,Rd,p=14344.00
Tirafondi:LT=0.45 (0.31) σ_{cR}=0.00 σ_{fR}=0.00
Compressione nel calcestruzzo: σ_c=12.14
CC 22 SLD (Collegamento 0020_-377)
Azioni sul collegamento: N=-5779.06 Ty=-3.59 Tz=3.85 Mx=-0.00 Mz=-3.26
Sollecitazioni agenti localmente: Tx_l=-3.59 Ty_l=3.85 N_l=-5779.06 Mx_l=-0.00 My_l=-3.26 Mz_l=-0.00
Taglio nei bulloni: Fv,Ed=0.88 Fv,Rd=9650.97
Rifollamento lato piastra: Fb,Ed,p=0.88 Fb,Rd,p=14527.70
Tirafondi:LT=0.45 (0.31) σ_{cR}=0.00 σ_{fR}=0.00
Compressione nel calcestruzzo: σ_c=12.12
CC 22 SLD (Collegamento 0020_-377)
Azioni sul collegamento: N=-5779.06 Ty=-4.24 Tz=-2.08 Mx=-0.00 Mz=-3.48
Sollecitazioni agenti localmente: Tx_l=-4.24 Ty_l=-2.08 N_l=-5779.06 Mx_l=-0.00 My_l=-3.48 Mz_l=-0.00
Taglio nei bulloni: Fv,Ed=0.79 Fv,Rd=9650.97
Rifollamento lato piastra: Fb,Ed,p=0.79 Fb,Rd,p=10205.40
Tirafondi:LT=0.45 (0.31) σ_{cR}=0.00 σ_{fR}=0.00
Compressione nel calcestruzzo: σ_c=12.14
CC 22 SLD (Collegamento 0020_-377)
Azioni sul collegamento: N=-5779.06 Ty=-3.59 Tz=-2.08 Mx=-0.00 Mz=-3.26
Sollecitazioni agenti localmente: Tx_l=-3.59 Ty_l=-2.08 N_l=-5779.06 Mx_l=-0.00 My_l=-3.26 Mz_l=-0.00
Taglio nei bulloni: Fv,Ed=0.69 Fv,Rd=9650.97
Rifollamento lato piastra: Fb,Ed,p=0.69 Fb,Rd,p=11293.50
Tirafondi:LT=0.45 (0.31) σ_{cR}=0.00 σ_{fR}=0.00
Compressione nel calcestruzzo: σ_c=12.12
CC 23 SLV (Collegamento 0020_-377)
Azioni sul collegamento: N=-9265.76 Ty=-6.45 Tz=10.87 Mx=-0.01 Mz=-7.08
Sollecitazioni agenti localmente: Tx_l=-6.45 Ty_l=10.87 N_l=-9265.76 Mx_l=-0.00 My_l=-7.08 Mz_l=-0.01
Taglio nei bulloni: Fv,Ed=2.12 Fv,Rd=7720.78
Rifollamento lato piastra: Fb,Ed,p=2.12 Fb,Rd,p=9192.68
Tirafondi:LT=0.45 (0.31) σ_{cR}=0.00 σ_{fR}=0.00
Compressione nel calcestruzzo: σ_c=19.54
CC 23 SLV (Collegamento 0020_-377)
Azioni sul collegamento: N=-9265.76 Ty=-3.07 Tz=10.87 Mx=-0.01 Mz=-3.83
Sollecitazioni agenti localmente: Tx_l=-3.07 Ty_l=10.87 N_l=-9265.76 Mx_l=-0.00 My_l=-3.83 Mz_l=-0.01
Taglio nei bulloni: Fv,Ed=1.89 Fv,Rd=7720.78
Rifollamento lato piastra: Fb,Ed,p=1.89 Fb,Rd,p=6703.44
Tirafondi:LT=0.45 (0.31) σ_{cR}=0.00 σ_{fR}=0.00
Compressione nel calcestruzzo: σ_c=19.36
CC 23 SLV (Collegamento 0020_-377)
Azioni sul collegamento: N=-9265.76 Ty=-6.45 Tz=-8.85 Mx=-0.01 Mz=-7.08
Sollecitazioni agenti localmente: Tx_l=-6.45 Ty_l=-8.85 N_l=-9265.76 Mx_l=-0.00 My_l=-7.08 Mz_l=-0.01
Taglio nei bulloni: Fv,Ed=1.83 Fv,Rd=7720.78
Rifollamento lato piastra: Fb,Ed,p=1.83 Fb,Rd,p=10479.20
Tirafondi:LT=0.45 (0.31) σ_{cR}=0.00 σ_{fR}=0.00
Compressione nel calcestruzzo: σ_c=19.54
CC 23 SLV (Collegamento 0020_-377)
Azioni sul collegamento: N=-9265.76 Ty=-3.07 Tz=-8.85 Mx=-0.01 Mz=-3.83
Sollecitazioni agenti localmente: Tx_l=-3.07 Ty_l=-8.85 N_l=-9265.76 Mx_l=-0.00 My_l=-3.83 Mz_l=-0.01
Taglio nei bulloni: Fv,Ed=1.57 Fv,Rd=7720.78
Rifollamento lato piastra: Fb,Ed,p=1.56 Fb,Rd,p=7019.31
Tirafondi:LT=0.45 (0.31) σ_{cR}=0.00 σ_{fR}=0.00
Compressione nel calcestruzzo: σ_c=19.36
CC 23 SLV (Collegamento 0020_-377)
Azioni sul collegamento: N=-3968.96 Ty=-6.45 Tz=10.87 Mx=-0.01 Mz=-7.08
Sollecitazioni agenti localmente: Tx_l=-6.45 Ty_l=10.87 N_l=-3968.96 Mx_l=-0.00 My_l=-7.08 Mz_l=-0.01
Taglio nei bulloni: Fv,Ed=2.12 Fv,Rd=7720.78

Rifollamento lato piastra: Fb,Ed,p=2.12 Fb,Rd,p=9192.84
Tirafondi:LT=0.45 (0.31) σ_{cR}=0.00 σ_{fR}=0.00
Compressione nel calcestruzzo: σ_c=8.60
CC 23 SLV (Collegamento 0020_-377)
Azioni sul collegamento: N=-3968.96 Ty=-3.07 Tz=10.87 Mx=-0.01 Mz=-3.83
Sollecitazioni agenti localmente: Tx_l=-3.07 Ty_l=10.87 N_l=-3968.96 Mx_l=-0.00 My_l=-3.83 Mz_l=-0.01
Taglio nei bulloni: Fv,Ed=1.89 Fv,Rd=7720.78
Rifollamento lato piastra: Fb,Ed,p=1.89 Fb,Rd,p=6703.48
Tirafondi:LT=0.45 (0.31) σ_{cR}=0.00 σ_{fR}=0.00
Compressione nel calcestruzzo: σ_c=8.42
CC 23 SLV (Collegamento 0020_-377)
Azioni sul collegamento: N=-3968.96 Ty=-6.45 Tz=-8.85 Mx=-0.01 Mz=-7.08
Sollecitazioni agenti localmente: Tx_l=-6.45 Ty_l=-8.85 N_l=-3968.96 Mx_l=-0.00 My_l=-7.08 Mz_l=-0.01
Taglio nei bulloni: Fv,Ed=1.83 Fv,Rd=7720.78
Rifollamento lato piastra: Fb,Ed,p=1.83 Fb,Rd,p=10479.10
Tirafondi:LT=0.45 (0.31) σ_{cR}=0.00 σ_{fR}=0.00
Compressione nel calcestruzzo: σ_c=8.60
CC 23 SLV (Collegamento 0020_-377)
Azioni sul collegamento: N=-3968.96 Ty=-3.07 Tz=-8.85 Mx=-0.01 Mz=-3.83
Sollecitazioni agenti localmente: Tx_l=-3.07 Ty_l=-8.85 N_l=-3968.96 Mx_l=-0.00 My_l=-3.83 Mz_l=-0.01
Taglio nei bulloni: Fv,Ed=1.57 Fv,Rd=7720.78
Rifollamento lato piastra: Fb,Ed,p=1.56 Fb,Rd,p=7019.29
Tirafondi:LT=0.45 (0.31) σ_{cR}=0.00 σ_{fR}=0.00
Compressione nel calcestruzzo: σ_c=8.42
CC 24 SLD (Collegamento 0020_-377)
Azioni sul collegamento: N=-7392.49 Ty=-4.43 Tz=3.89 Mx=0.00 Mz=-3.87
Sollecitazioni agenti localmente: Tx_l=-4.43 Ty_l=3.89 N_l=-7392.49 Mx_l=-0.00 My_l=-3.87 Mz_l=0.00
Taglio nei bulloni: Fv,Ed=0.98 Fv,Rd=9650.97
Rifollamento lato piastra: Fb,Ed,p=0.98 Fb,Rd,p=14141.00
Tirafondi:LT=0.45 (0.31) σ_{cR}=0.00 σ_{fR}=0.00
Compressione nel calcestruzzo: σ_c=15.49
CC 24 SLD (Collegamento 0020_-377)
Azioni sul collegamento: N=-7392.49 Ty=-3.40 Tz=3.89 Mx=0.00 Mz=-2.87
Sollecitazioni agenti localmente: Tx_l=-3.40 Ty_l=3.89 N_l=-7392.49 Mx_l=-0.00 My_l=-2.87 Mz_l=0.00
Taglio nei bulloni: Fv,Ed=0.86 Fv,Rd=9650.97
Rifollamento lato piastra: Fb,Ed,p=0.86 Fb,Rd,p=14087.70
Tirafondi:LT=0.45 (0.31) σ_{cR}=0.00 σ_{fR}=0.00
Compressione nel calcestruzzo: σ_c=15.44
CC 24 SLD (Collegamento 0020_-377)
Azioni sul collegamento: N=-7392.49 Ty=-4.43 Tz=-2.12 Mx=0.00 Mz=-3.87
Sollecitazioni agenti localmente: Tx_l=-4.43 Ty_l=-2.12 N_l=-7392.49 Mx_l=-0.00 My_l=-3.87 Mz_l=0.00
Taglio nei bulloni: Fv,Ed=0.82 Fv,Rd=9650.97
Rifollamento lato piastra: Fb,Ed,p=0.82 Fb,Rd,p=10039.50
Tirafondi:LT=0.45 (0.31) σ_{cR}=0.00 σ_{fR}=0.00
Compressione nel calcestruzzo: σ_c=15.49
CC 24 SLD (Collegamento 0020_-377)
Azioni sul collegamento: N=-7392.49 Ty=-3.40 Tz=-2.12 Mx=0.00 Mz=-2.87
Sollecitazioni agenti localmente: Tx_l=-3.40 Ty_l=-2.12 N_l=-7392.49 Mx_l=-0.00 My_l=-2.87 Mz_l=0.00
Taglio nei bulloni: Fv,Ed=0.67 Fv,Rd=9650.97
Rifollamento lato piastra: Fb,Ed,p=0.67 Fb,Rd,p=11870.10
Tirafondi:LT=0.45 (0.31) σ_{cR}=0.00 σ_{fR}=0.00
Compressione nel calcestruzzo: σ_c=15.44
CC 24 SLD (Collegamento 0020_-377)
Azioni sul collegamento: N=-5777.32 Ty=-4.43 Tz=3.89 Mx=0.00 Mz=-3.87
Sollecitazioni agenti localmente: Tx_l=-4.43 Ty_l=3.89 N_l=-5777.32 Mx_l=-0.00 My_l=-3.87 Mz_l=0.00
Taglio nei bulloni: Fv,Ed=0.98 Fv,Rd=9650.97
Rifollamento lato piastra: Fb,Ed,p=0.98 Fb,Rd,p=14140.40
Tirafondi:LT=0.45 (0.31) σ_{cR}=0.00 σ_{fR}=0.00
Compressione nel calcestruzzo: σ_c=12.15
CC 24 SLD (Collegamento 0020_-377)
Azioni sul collegamento: N=-5777.32 Ty=-3.40 Tz=3.89 Mx=0.00 Mz=-2.87
Sollecitazioni agenti localmente: Tx_l=-3.40 Ty_l=3.89 N_l=-5777.32 Mx_l=-0.00 My_l=-2.87 Mz_l=0.00
Taglio nei bulloni: Fv,Ed=0.86 Fv,Rd=9650.97
Rifollamento lato piastra: Fb,Ed,p=0.86 Fb,Rd,p=14088.30
Tirafondi:LT=0.45 (0.31) σ_{cR}=0.00 σ_{fR}=0.00
Compressione nel calcestruzzo: σ_c=12.10
CC 24 SLD (Collegamento 0020_-377)
Azioni sul collegamento: N=-5777.32 Ty=-4.43 Tz=-2.12 Mx=0.00 Mz=-3.87
Sollecitazioni agenti localmente: Tx_l=-4.43 Ty_l=-2.12 N_l=-5777.32 Mx_l=-0.00 My_l=-3.87 Mz_l=0.00
Taglio nei bulloni: Fv,Ed=0.82 Fv,Rd=9650.97
Rifollamento lato piastra: Fb,Ed,p=0.82 Fb,Rd,p=10039.60
Tirafondi:LT=0.45 (0.31) σ_{cR}=0.00 σ_{fR}=0.00
Compressione nel calcestruzzo: σ_c=12.15
CC 24 SLD (Collegamento 0020_-377)
Azioni sul collegamento: N=-5777.32 Ty=-3.40 Tz=-2.12 Mx=0.00 Mz=-2.87
Sollecitazioni agenti localmente: Tx_l=-3.40 Ty_l=-2.12 N_l=-5777.32 Mx_l=-0.00 My_l=-2.87 Mz_l=0.00
Taglio nei bulloni: Fv,Ed=0.67 Fv,Rd=9650.97
Rifollamento lato piastra: Fb,Ed,p=0.67 Fb,Rd,p=11870.30

Tirafondi:LT=0.45 (0.31) σ_{cR}=0.00 σ_{fR}=0.00
Compressione nel calcestruzzo: σ_c=12.10
CC 25 SLV (Collegamento 0020_-377)
Azioni sul collegamento: N=-5814.21 Ty=-3.29 Tz=-2.14 Mx=-0.02 Mz=-3.06
Sollecitazioni agenti localmente: Tx_l=-3.29 Ty_l=-2.14 N_l=-5814.21 Mx_l=-0.00 My_l=-3.06 Mz_l=-0.02
Taglio nei bulloni: Fv,Ed=0.68 Fv,Rd=7720.78
Rifollamento lato piastra: Fb,Ed,p=0.68 Fb,Rd,p=9989.68
Tirafondi:LT=0.45 (0.31) σ_{cR}=0.00 σ_{fR}=0.00
Compressione nel calcestruzzo: σ_c=12.19
CC 25 SLV (Collegamento 0020_-377)
Azioni sul collegamento: N=-5814.21 Ty=-6.23 Tz=-2.14 Mx=-0.02 Mz=-7.84
Sollecitazioni agenti localmente: Tx_l=-6.23 Ty_l=-2.14 N_l=-5814.21 Mx_l=-0.00 My_l=-7.84 Mz_l=-0.02
Taglio nei bulloni: Fv,Ed=1.12 Fv,Rd=7720.78
Rifollamento lato piastra: Fb,Ed,p=1.12 Fb,Rd,p=7114.96
Tirafondi:LT=0.45 (0.31) σ_{cR}=0.00 σ_{fR}=0.00
Compressione nel calcestruzzo: σ_c=12.45
CC 25 SLV (Collegamento 0020_-377)
Azioni sul collegamento: N=-5814.21 Ty=-3.29 Tz=4.16 Mx=-0.02 Mz=-3.06
Sollecitazioni agenti localmente: Tx_l=-3.29 Ty_l=4.16 N_l=-5814.21 Mx_l=-0.00 My_l=-3.06 Mz_l=-0.02
Taglio nei bulloni: Fv,Ed=0.91 Fv,Rd=7720.78
Rifollamento lato piastra: Fb,Ed,p=0.91 Fb,Rd,p=10862.80
Tirafondi:LT=0.45 (0.31) σ_{cR}=0.00 σ_{fR}=0.00
Compressione nel calcestruzzo: σ_c=12.19
CC 25 SLV (Collegamento 0020_-377)
Azioni sul collegamento: N=-5814.21 Ty=-6.23 Tz=4.16 Mx=-0.02 Mz=-7.84
Sollecitazioni agenti localmente: Tx_l=-6.23 Ty_l=4.16 N_l=-5814.21 Mx_l=-0.00 My_l=-7.84 Mz_l=-0.02
Taglio nei bulloni: Fv,Ed=1.28 Fv,Rd=7720.78
Rifollamento lato piastra: Fb,Ed,p=1.25 Fb,Rd,p=9676.63
Tirafondi:LT=0.45 (0.31) σ_{cR}=0.00 σ_{fR}=0.00
Compressione nel calcestruzzo: σ_c=12.45
CC 25 SLV (Collegamento 0020_-377)
Azioni sul collegamento: N=-7420.51 Ty=-3.29 Tz=-2.14 Mx=-0.02 Mz=-3.06
Sollecitazioni agenti localmente: Tx_l=-3.29 Ty_l=-2.14 N_l=-7420.51 Mx_l=-0.00 My_l=-3.06 Mz_l=-0.02
Taglio nei bulloni: Fv,Ed=0.68 Fv,Rd=7720.78
Rifollamento lato piastra: Fb,Ed,p=0.68 Fb,Rd,p=9990.65
Tirafondi:LT=0.45 (0.31) σ_{cR}=0.00 σ_{fR}=0.00
Compressione nel calcestruzzo: σ_c=15.50
CC 25 SLV (Collegamento 0020_-377)
Azioni sul collegamento: N=-7420.51 Ty=-6.23 Tz=-2.14 Mx=-0.02 Mz=-7.84
Sollecitazioni agenti localmente: Tx_l=-6.23 Ty_l=-2.14 N_l=-7420.51 Mx_l=-0.00 My_l=-7.84 Mz_l=-0.02
Taglio nei bulloni: Fv,Ed=1.12 Fv,Rd=7720.78
Rifollamento lato piastra: Fb,Ed,p=1.12 Fb,Rd,p=7115.23
Tirafondi:LT=0.45 (0.31) σ_{cR}=0.00 σ_{fR}=0.00
Compressione nel calcestruzzo: σ_c=15.77
CC 25 SLV (Collegamento 0020_-377)
Azioni sul collegamento: N=-7420.51 Ty=-3.29 Tz=4.16 Mx=-0.02 Mz=-3.06
Sollecitazioni agenti localmente: Tx_l=-3.29 Ty_l=4.16 N_l=-7420.51 Mx_l=-0.00 My_l=-3.06 Mz_l=-0.02
Taglio nei bulloni: Fv,Ed=0.91 Fv,Rd=7720.78
Rifollamento lato piastra: Fb,Ed,p=0.91 Fb,Rd,p=10862.30
Tirafondi:LT=0.45 (0.31) σ_{cR}=0.00 σ_{fR}=0.00
Compressione nel calcestruzzo: σ_c=15.50
CC 25 SLV (Collegamento 0020_-377)
Azioni sul collegamento: N=-7420.51 Ty=-6.23 Tz=4.16 Mx=-0.02 Mz=-7.84
Sollecitazioni agenti localmente: Tx_l=-6.23 Ty_l=4.16 N_l=-7420.51 Mx_l=-0.00 My_l=-7.84 Mz_l=-0.02
Taglio nei bulloni: Fv,Ed=1.28 Fv,Rd=7720.78
Rifollamento lato piastra: Fb,Ed,p=1.25 Fb,Rd,p=9677.42
Tirafondi:LT=0.45 (0.31) σ_{cR}=0.00 σ_{fR}=0.00
Compressione nel calcestruzzo: σ_c=15.77
CC 26 SLD (Collegamento 0020_-377)
Azioni sul collegamento: N=-6340.00 Ty=-3.47 Tz=-0.08 Mx=-0.00 Mz=-2.64
Sollecitazioni agenti localmente: Tx_l=-3.47 Ty_l=-0.08 N_l=-6340.00 Mx_l=-0.00 My_l=-2.64 Mz_l=-0.00
Taglio nei bulloni: Fv,Ed=0.58 Fv,Rd=9650.97
Rifollamento lato piastra: Fb,Ed,p=0.58 Fb,Rd,p=7482.40
Tirafondi:LT=0.45 (0.31) σ_{cR}=0.00 σ_{fR}=0.00
Compressione nel calcestruzzo: σ_c=13.25
CC 26 SLD (Collegamento 0020_-377)
Azioni sul collegamento: N=-6340.00 Ty=-4.36 Tz=-0.08 Mx=-0.00 Mz=-4.10
Sollecitazioni agenti localmente: Tx_l=-4.36 Ty_l=-0.08 N_l=-6340.00 Mx_l=-0.00 My_l=-4.10 Mz_l=-0.00
Taglio nei bulloni: Fv,Ed=0.73 Fv,Rd=9650.97
Rifollamento lato piastra: Fb,Ed,p=0.73 Fb,Rd,p=7479.30
Tirafondi:LT=0.45 (0.31) σ_{cR}=0.00 σ_{fR}=0.00
Compressione nel calcestruzzo: σ_c=13.33
CC 26 SLD (Collegamento 0020_-377)
Azioni sul collegamento: N=-6340.00 Ty=-3.47 Tz=1.85 Mx=-0.00 Mz=-2.64
Sollecitazioni agenti localmente: Tx_l=-3.47 Ty_l=1.85 N_l=-6340.00 Mx_l=-0.00 My_l=-2.64 Mz_l=-0.00
Taglio nei bulloni: Fv,Ed=0.66 Fv,Rd=9650.97
Rifollamento lato piastra: Fb,Ed,p=0.66 Fb,Rd,p=10577.30
Tirafondi:LT=0.45 (0.31) σ_{cR}=0.00 σ_{fR}=0.00

Compressione nel calcestruzzo: σ_c=13.25
CC 26 SLD (Collegamento 0020_-377)
Azioni sul collegamento: N=-6340.00 Ty=-4.36 Tz=1.85 Mx=-0.00 Mz=-4.10
Sollecitazioni agenti localmente: Tx_l=-4.36 Ty_l=1.85 N_l=-6340.00 Mx_l=-0.00 My_l=-4.10 Mz_l=-0.00
Taglio nei bulloni: Fv,Ed=0.79 Fv,Rd=9650.97
Rifollamento lato piastra: Fb,Ed,p=0.79 Fb,Rd,p=9425.47
Tirafondi:LT=0.45 (0.31) σ_{cR}=0.00 σ_{fR}=0.00
Compressione nel calcestruzzo: σ_c=13.33
CC 26 SLD (Collegamento 0020_-377)
Azioni sul collegamento: N=-6829.81 Ty=-3.47 Tz=-0.08 Mx=-0.00 Mz=-2.64
Sollecitazioni agenti localmente: Tx_l=-3.47 Ty_l=-0.08 N_l=-6829.81 Mx_l=-0.00 My_l=-2.64 Mz_l=-0.00
Taglio nei bulloni: Fv,Ed=0.58 Fv,Rd=9650.97
Rifollamento lato piastra: Fb,Ed,p=0.58 Fb,Rd,p=7482.34
Tirafondi:LT=0.45 (0.31) σ_{cR}=0.00 σ_{fR}=0.00
Compressione nel calcestruzzo: σ_c=14.26
CC 26 SLD (Collegamento 0020_-377)
Azioni sul collegamento: N=-6829.81 Ty=-4.36 Tz=-0.08 Mx=-0.00 Mz=-4.10
Sollecitazioni agenti localmente: Tx_l=-4.36 Ty_l=-0.08 N_l=-6829.81 Mx_l=-0.00 My_l=-4.10 Mz_l=-0.00
Taglio nei bulloni: Fv,Ed=0.73 Fv,Rd=9650.97
Rifollamento lato piastra: Fb,Ed,p=0.73 Fb,Rd,p=7479.26
Tirafondi:LT=0.45 (0.31) σ_{cR}=0.00 σ_{fR}=0.00
Compressione nel calcestruzzo: σ_c=14.34
CC 26 SLD (Collegamento 0020_-377)
Azioni sul collegamento: N=-6829.81 Ty=-3.47 Tz=1.85 Mx=-0.00 Mz=-2.64
Sollecitazioni agenti localmente: Tx_l=-3.47 Ty_l=1.85 N_l=-6829.81 Mx_l=-0.00 My_l=-2.64 Mz_l=-0.00
Taglio nei bulloni: Fv,Ed=0.66 Fv,Rd=9650.97
Rifollamento lato piastra: Fb,Ed,p=0.66 Fb,Rd,p=10577.20
Tirafondi:LT=0.45 (0.31) σ_{cR}=0.00 σ_{fR}=0.00
Compressione nel calcestruzzo: σ_c=14.26
CC 26 SLD (Collegamento 0020_-377)
Azioni sul collegamento: N=-6829.81 Ty=-4.36 Tz=1.85 Mx=-0.00 Mz=-4.10
Sollecitazioni agenti localmente: Tx_l=-4.36 Ty_l=1.85 N_l=-6829.81 Mx_l=-0.00 My_l=-4.10 Mz_l=-0.00
Taglio nei bulloni: Fv,Ed=0.79 Fv,Rd=9650.97
Rifollamento lato piastra: Fb,Ed,p=0.79 Fb,Rd,p=9425.46
Tirafondi:LT=0.45 (0.31) σ_{cR}=0.00 σ_{fR}=0.00
Compressione nel calcestruzzo: σ_c=14.34
CC 27 SLV (Collegamento 0020_-377)
Azioni sul collegamento: N=-7401.55 Ty=-4.11 Tz=3.74 Mx=-0.02 Mz=-3.66
Sollecitazioni agenti localmente: Tx_l=-4.11 Ty_l=3.74 N_l=-7401.55 Mx_l=-0.00 My_l=-3.66 Mz_l=-0.02
Taglio nei bulloni: Fv,Ed=0.95 Fv,Rd=7720.78
Rifollamento lato piastra: Fb,Ed,p=0.93 Fb,Rd,p=11188.50
Tirafondi:LT=0.45 (0.31) σ_{cR}=0.00 σ_{fR}=0.00
Compressione nel calcestruzzo: σ_c=15.50
CC 27 SLV (Collegamento 0020_-377)
Azioni sul collegamento: N=-7401.55 Ty=-5.40 Tz=3.74 Mx=-0.02 Mz=-7.25
Sollecitazioni agenti localmente: Tx_l=-5.40 Ty_l=3.74 N_l=-7401.55 Mx_l=-0.00 My_l=-7.25 Mz_l=-0.02
Taglio nei bulloni: Fv,Ed=1.12 Fv,Rd=7720.78
Rifollamento lato piastra: Fb,Ed,p=1.10 Fb,Rd,p=9909.17
Tirafondi:LT=0.45 (0.31) σ_{cR}=0.00 σ_{fR}=0.00
Compressione nel calcestruzzo: σ_c=15.70
CC 27 SLV (Collegamento 0020_-377)
Azioni sul collegamento: N=-7401.55 Ty=-4.11 Tz=-1.71 Mx=-0.02 Mz=-3.66
Sollecitazioni agenti localmente: Tx_l=-4.11 Ty_l=-1.71 N_l=-7401.55 Mx_l=-0.00 My_l=-3.66 Mz_l=-0.02
Taglio nei bulloni: Fv,Ed=0.77 Fv,Rd=7720.78
Rifollamento lato piastra: Fb,Ed,p=0.77 Fb,Rd,p=7658.03
Tirafondi:LT=0.45 (0.31) σ_{cR}=0.00 σ_{fR}=0.00
Compressione nel calcestruzzo: σ_c=15.50
CC 27 SLV (Collegamento 0020_-377)
Azioni sul collegamento: N=-7401.55 Ty=-5.40 Tz=-1.71 Mx=-0.02 Mz=-7.25
Sollecitazioni agenti localmente: Tx_l=-5.40 Ty_l=-1.71 N_l=-7401.55 Mx_l=-0.00 My_l=-7.25 Mz_l=-0.02
Taglio nei bulloni: Fv,Ed=0.97 Fv,Rd=7720.78
Rifollamento lato piastra: Fb,Ed,p=0.97 Fb,Rd,p=6959.97
Tirafondi:LT=0.45 (0.31) σ_{cR}=0.00 σ_{fR}=0.00
Compressione nel calcestruzzo: σ_c=15.70
CC 27 SLV (Collegamento 0020_-377)
Azioni sul collegamento: N=-5833.17 Ty=-4.11 Tz=3.74 Mx=-0.02 Mz=-3.66
Sollecitazioni agenti localmente: Tx_l=-4.11 Ty_l=3.74 N_l=-5833.17 Mx_l=-0.00 My_l=-3.66 Mz_l=-0.02
Taglio nei bulloni: Fv,Ed=0.95 Fv,Rd=7720.78
Rifollamento lato piastra: Fb,Ed,p=0.93 Fb,Rd,p=11188.50
Tirafondi:LT=0.45 (0.31) σ_{cR}=0.00 σ_{fR}=0.00
Compressione nel calcestruzzo: σ_c=12.26
CC 27 SLV (Collegamento 0020_-377)
Azioni sul collegamento: N=-5833.17 Ty=-5.40 Tz=3.74 Mx=-0.02 Mz=-7.25
Sollecitazioni agenti localmente: Tx_l=-5.40 Ty_l=3.74 N_l=-5833.17 Mx_l=-0.00 My_l=-7.25 Mz_l=-0.02
Taglio nei bulloni: Fv,Ed=1.12 Fv,Rd=7720.78
Rifollamento lato piastra: Fb,Ed,p=1.10 Fb,Rd,p=9909.23
Tirafondi:LT=0.45 (0.31) σ_{cR}=0.00 σ_{fR}=0.00
Compressione nel calcestruzzo: σ_c=12.46

CC 27 SLV (Collegamento 0020_-377)
Azioni sul collegamento: N=-5833.17 Ty=-4.11 Tz=-1.71 Mx=-0.02 Mz=-3.66
Sollecitazioni agenti localmente: Tx_l=-4.11 Ty_l=-1.71 N_l=-5833.17 Mx_l=-0.00 My_l=-3.66 Mz_l=-0.02
Taglio nei bulloni: Fv,Ed=0.77 Fv,Rd=7720.78
Rifollamento lato piastra: Fb,Ed,p=0.77 Fb,Rd,p=7657.98
Tirafondi:LT=0.45 (0.31) σ_{cR}=0.00 σ_{fR}=0.00
Compressione nel calcestruzzo: σ_c=12.26
CC 27 SLV (Collegamento 0020_-377)
Azioni sul collegamento: N=-5833.17 Ty=-5.40 Tz=-1.71 Mx=-0.02 Mz=-7.25
Sollecitazioni agenti localmente: Tx_l=-5.40 Ty_l=-1.71 N_l=-5833.17 Mx_l=-0.00 My_l=-7.25 Mz_l=-0.02
Taglio nei bulloni: Fv,Ed=0.97 Fv,Rd=7720.78
Rifollamento lato piastra: Fb,Ed,p=0.97 Fb,Rd,p=6959.94
Tirafondi:LT=0.45 (0.31) σ_{cR}=0.00 σ_{fR}=0.00
Compressione nel calcestruzzo: σ_c=12.46
CC 28 SLD (Collegamento 0020_-377)
Azioni sul collegamento: N=-6824.03 Ty=-3.72 Tz=1.72 Mx=-0.00 Mz=-2.82
Sollecitazioni agenti localmente: Tx_l=-3.72 Ty_l=1.72 N_l=-6824.03 Mx_l=-0.00 My_l=-2.82 Mz_l=-0.00
Taglio nei bulloni: Fv,Ed=0.69 Fv,Rd=9650.97
Rifollamento lato piastra: Fb,Ed,p=0.68 Fb,Rd,p=9797.89
Tirafondi:LT=0.45 (0.31) σ_{cR}=0.00 σ_{fR}=0.00
Compressione nel calcestruzzo: σ_c=14.26
CC 28 SLD (Collegamento 0020_-377)
Azioni sul collegamento: N=-6824.03 Ty=-4.11 Tz=1.72 Mx=-0.00 Mz=-3.92
Sollecitazioni agenti localmente: Tx_l=-4.11 Ty_l=1.72 N_l=-6824.03 Mx_l=-0.00 My_l=-3.92 Mz_l=-0.00
Taglio nei bulloni: Fv,Ed=0.75 Fv,Rd=9650.97
Rifollamento lato piastra: Fb,Ed,p=0.74 Fb,Rd,p=9371.61
Tirafondi:LT=0.45 (0.31) σ_{cR}=0.00 σ_{fR}=0.00
Compressione nel calcestruzzo: σ_c=14.32
CC 28 SLD (Collegamento 0020_-377)
Azioni sul collegamento: N=-6824.03 Ty=-3.72 Tz=0.05 Mx=-0.00 Mz=-2.82
Sollecitazioni agenti localmente: Tx_l=-3.72 Ty_l=0.05 N_l=-6824.03 Mx_l=-0.00 My_l=-2.82 Mz_l=-0.00
Taglio nei bulloni: Fv,Ed=0.62 Fv,Rd=9650.97
Rifollamento lato piastra: Fb,Ed,p=0.62 Fb,Rd,p=7475.01
Tirafondi:LT=0.45 (0.31) σ_{cR}=0.00 σ_{fR}=0.00
Compressione nel calcestruzzo: σ_c=14.26
CC 28 SLD (Collegamento 0020_-377)
Azioni sul collegamento: N=-6824.03 Ty=-4.11 Tz=0.05 Mx=-0.00 Mz=-3.92
Sollecitazioni agenti localmente: Tx_l=-4.11 Ty_l=0.05 N_l=-6824.03 Mx_l=-0.00 My_l=-3.92 Mz_l=-0.00
Taglio nei bulloni: Fv,Ed=0.69 Fv,Rd=9650.97
Rifollamento lato piastra: Fb,Ed,p=0.69 Fb,Rd,p=7474.82
Tirafondi:LT=0.45 (0.31) σ_{cR}=0.00 σ_{fR}=0.00
Compressione nel calcestruzzo: σ_c=14.32
CC 28 SLD (Collegamento 0020_-377)
Azioni sul collegamento: N=-6345.78 Ty=-3.72 Tz=1.72 Mx=-0.00 Mz=-2.82
Sollecitazioni agenti localmente: Tx_l=-3.72 Ty_l=1.72 N_l=-6345.78 Mx_l=-0.00 My_l=-2.82 Mz_l=-0.00
Taglio nei bulloni: Fv,Ed=0.69 Fv,Rd=9650.97
Rifollamento lato piastra: Fb,Ed,p=0.68 Fb,Rd,p=9798.36
Tirafondi:LT=0.45 (0.31) σ_{cR}=0.00 σ_{fR}=0.00
Compressione nel calcestruzzo: σ_c=13.27
CC 28 SLD (Collegamento 0020_-377)
Azioni sul collegamento: N=-6345.78 Ty=-4.11 Tz=1.72 Mx=-0.00 Mz=-3.92
Sollecitazioni agenti localmente: Tx_l=-4.11 Ty_l=1.72 N_l=-6345.78 Mx_l=-0.00 My_l=-3.92 Mz_l=-0.00
Taglio nei bulloni: Fv,Ed=0.75 Fv,Rd=9650.97
Rifollamento lato piastra: Fb,Ed,p=0.74 Fb,Rd,p=9372.00
Tirafondi:LT=0.45 (0.31) σ_{cR}=0.00 σ_{fR}=0.00
Compressione nel calcestruzzo: σ_c=13.33
CC 28 SLD (Collegamento 0020_-377)
Azioni sul collegamento: N=-6345.78 Ty=-3.72 Tz=0.05 Mx=-0.00 Mz=-2.82
Sollecitazioni agenti localmente: Tx_l=-3.72 Ty_l=0.05 N_l=-6345.78 Mx_l=-0.00 My_l=-2.82 Mz_l=-0.00
Taglio nei bulloni: Fv,Ed=0.62 Fv,Rd=9650.97
Rifollamento lato piastra: Fb,Ed,p=0.62 Fb,Rd,p=7475.00
Tirafondi:LT=0.45 (0.31) σ_{cR}=0.00 σ_{fR}=0.00
Compressione nel calcestruzzo: σ_c=13.27
CC 28 SLD (Collegamento 0020_-377)
Azioni sul collegamento: N=-6345.78 Ty=-4.11 Tz=0.05 Mx=-0.00 Mz=-3.92
Sollecitazioni agenti localmente: Tx_l=-4.11 Ty_l=0.05 N_l=-6345.78 Mx_l=-0.00 My_l=-3.92 Mz_l=-0.00
Taglio nei bulloni: Fv,Ed=0.69 Fv,Rd=9650.97
Rifollamento lato piastra: Fb,Ed,p=0.69 Fb,Rd,p=7474.81
Tirafondi:LT=0.45 (0.31) σ_{cR}=0.00 σ_{fR}=0.00
Compressione nel calcestruzzo: σ_c=13.33
CC 29 SLV (Collegamento 0020_-377)
Azioni sul collegamento: N=-5833.17 Ty=-5.40 Tz=-1.71 Mx=-0.00 Mz=-7.25
Sollecitazioni agenti localmente: Tx_l=-5.40 Ty_l=-1.71 N_l=-5833.17 Mx_l=-0.00 My_l=-7.25 Mz_l=-0.00
Taglio nei bulloni: Fv,Ed=0.95 Fv,Rd=7720.78
Rifollamento lato piastra: Fb,Ed,p=0.95 Fb,Rd,p=6886.86
Tirafondi:LT=0.45 (0.31) σ_{cR}=0.00 σ_{fR}=0.00
Compressione nel calcestruzzo: σ_c=12.46
CC 29 SLV (Collegamento 0020_-377)

Azioni sul collegamento: N=-5833.17 Ty=-4.11 Tz=-1.71 Mx=-0.00 Mz=-3.66
Sollecitazioni agenti localmente: Tx_l=-4.11 Ty_l=-1.71 N_l=-5833.17 Mx_l=-0.00 My_l=-3.66 Mz_l=-0.00
Taglio nei bulloni: Fv,Ed=0.75 Fv,Rd=7720.78
Rifollamento lato piastra: Fb,Ed,p=0.75 Fb,Rd,p=7550.38
Tirafondi:LT=0.45 (0.31) σ_{cR}=0.00 σ_{fR}=0.00
Compressione nel calcestruzzo: σ_c=12.26
CC 29 SLV (Collegamento 0020_-377)
Azioni sul collegamento: N=-5833.17 Ty=-5.40 Tz=3.74 Mx=-0.00 Mz=-7.25
Sollecitazioni agenti localmente: Tx_l=-5.40 Ty_l=3.74 N_l=-5833.17 Mx_l=-0.00 My_l=-7.25 Mz_l=-0.00
Taglio nei bulloni: Fv,Ed=1.10 Fv,Rd=7720.78
Rifollamento lato piastra: Fb,Ed,p=1.10 Fb,Rd,p=10297.90
Tirafondi:LT=0.45 (0.31) σ_{cR}=0.00 σ_{fR}=0.00
Compressione nel calcestruzzo: σ_c=12.46
CC 29 SLV (Collegamento 0020_-377)
Azioni sul collegamento: N=-5833.17 Ty=-4.11 Tz=3.74 Mx=-0.00 Mz=-3.66
Sollecitazioni agenti localmente: Tx_l=-4.11 Ty_l=3.74 N_l=-5833.17 Mx_l=-0.00 My_l=-3.66 Mz_l=-0.00
Taglio nei bulloni: Fv,Ed=0.93 Fv,Rd=7720.78
Rifollamento lato piastra: Fb,Ed,p=0.93 Fb,Rd,p=11443.60
Tirafondi:LT=0.45 (0.31) σ_{cR}=0.00 σ_{fR}=0.00
Compressione nel calcestruzzo: σ_c=12.26
CC 29 SLV (Collegamento 0020_-377)
Azioni sul collegamento: N=-7401.55 Ty=-5.40 Tz=-1.71 Mx=-0.00 Mz=-7.25
Sollecitazioni agenti localmente: Tx_l=-5.40 Ty_l=-1.71 N_l=-7401.55 Mx_l=-0.00 My_l=-7.25 Mz_l=-0.00
Taglio nei bulloni: Fv,Ed=0.95 Fv,Rd=7720.78
Rifollamento lato piastra: Fb,Ed,p=0.95 Fb,Rd,p=6886.88
Tirafondi:LT=0.45 (0.31) σ_{cR}=0.00 σ_{fR}=0.00
Compressione nel calcestruzzo: σ_c=15.70
CC 29 SLV (Collegamento 0020_-377)
Azioni sul collegamento: N=-7401.55 Ty=-4.11 Tz=-1.71 Mx=-0.00 Mz=-3.66
Sollecitazioni agenti localmente: Tx_l=-4.11 Ty_l=-1.71 N_l=-7401.55 Mx_l=-0.00 My_l=-3.66 Mz_l=-0.00
Taglio nei bulloni: Fv,Ed=0.75 Fv,Rd=7720.78
Rifollamento lato piastra: Fb,Ed,p=0.75 Fb,Rd,p=7550.43
Tirafondi:LT=0.45 (0.31) σ_{cR}=0.00 σ_{fR}=0.00
Compressione nel calcestruzzo: σ_c=15.50
CC 29 SLV (Collegamento 0020_-377)
Azioni sul collegamento: N=-7401.55 Ty=-5.40 Tz=3.74 Mx=-0.00 Mz=-7.25
Sollecitazioni agenti localmente: Tx_l=-5.40 Ty_l=3.74 N_l=-7401.55 Mx_l=-0.00 My_l=-7.25 Mz_l=-0.00
Taglio nei bulloni: Fv,Ed=1.10 Fv,Rd=7720.78
Rifollamento lato piastra: Fb,Ed,p=1.10 Fb,Rd,p=10297.80
Tirafondi:LT=0.45 (0.31) σ_{cR}=0.00 σ_{fR}=0.00
Compressione nel calcestruzzo: σ_c=15.70
CC 29 SLV (Collegamento 0020_-377)
Azioni sul collegamento: N=-7401.55 Ty=-4.11 Tz=3.74 Mx=-0.00 Mz=-3.66
Sollecitazioni agenti localmente: Tx_l=-4.11 Ty_l=3.74 N_l=-7401.55 Mx_l=-0.00 My_l=-3.66 Mz_l=-0.00
Taglio nei bulloni: Fv,Ed=0.93 Fv,Rd=7720.78
Rifollamento lato piastra: Fb,Ed,p=0.93 Fb,Rd,p=11443.50
Tirafondi:LT=0.45 (0.31) σ_{cR}=0.00 σ_{fR}=0.00
Compressione nel calcestruzzo: σ_c=15.50
CC 30 SLD (Collegamento 0020_-377)
Azioni sul collegamento: N=-6345.78 Ty=-4.11 Tz=0.05 Mx=0.00 Mz=-3.92
Sollecitazioni agenti localmente: Tx_l=-4.11 Ty_l=0.05 N_l=-6345.78 Mx_l=-0.00 My_l=-3.92 Mz_l=0.00
Taglio nei bulloni: Fv,Ed=0.69 Fv,Rd=9650.97
Rifollamento lato piastra: Fb,Ed,p=0.69 Fb,Rd,p=7476.88
Tirafondi:LT=0.45 (0.31) σ_{cR}=0.00 σ_{fR}=0.00
Compressione nel calcestruzzo: σ_c=13.33
CC 30 SLD (Collegamento 0020_-377)
Azioni sul collegamento: N=-6345.78 Ty=-3.72 Tz=0.05 Mx=0.00 Mz=-2.82
Sollecitazioni agenti localmente: Tx_l=-3.72 Ty_l=0.05 N_l=-6345.78 Mx_l=-0.00 My_l=-2.82 Mz_l=0.00
Taglio nei bulloni: Fv,Ed=0.62 Fv,Rd=9650.97
Rifollamento lato piastra: Fb,Ed,p=0.62 Fb,Rd,p=7477.53
Tirafondi:LT=0.45 (0.31) σ_{cR}=0.00 σ_{fR}=0.00
Compressione nel calcestruzzo: σ_c=13.27
CC 30 SLD (Collegamento 0020_-377)
Azioni sul collegamento: N=-6345.78 Ty=-4.11 Tz=1.72 Mx=0.00 Mz=-3.92
Sollecitazioni agenti localmente: Tx_l=-4.11 Ty_l=1.72 N_l=-6345.78 Mx_l=-0.00 My_l=-3.92 Mz_l=0.00
Taglio nei bulloni: Fv,Ed=0.75 Fv,Rd=9650.97
Rifollamento lato piastra: Fb,Ed,p=0.75 Fb,Rd,p=9446.78
Tirafondi:LT=0.45 (0.31) σ_{cR}=0.00 σ_{fR}=0.00
Compressione nel calcestruzzo: σ_c=13.33
CC 30 SLD (Collegamento 0020_-377)
Azioni sul collegamento: N=-6345.78 Ty=-3.72 Tz=1.72 Mx=0.00 Mz=-2.82
Sollecitazioni agenti localmente: Tx_l=-3.72 Ty_l=1.72 N_l=-6345.78 Mx_l=-0.00 My_l=-2.82 Mz_l=0.00
Taglio nei bulloni: Fv,Ed=0.69 Fv,Rd=9650.97
Rifollamento lato piastra: Fb,Ed,p=0.69 Fb,Rd,p=9890.72
Tirafondi:LT=0.45 (0.31) σ_{cR}=0.00 σ_{fR}=0.00
Compressione nel calcestruzzo: σ_c=13.27
CC 30 SLD (Collegamento 0020_-377)
Azioni sul collegamento: N=-6824.03 Ty=-4.11 Tz=0.05 Mx=0.00 Mz=-3.92

Sollecitazioni agenti localmente: Tx_l=-4.11 Ty_l=0.05 N_l=-6824.03 Mx_l=-0.00 My_l=-3.92 Mz_l=0.00
Taglio nei bulloni: Fv,Ed=0.69 Fv,Rd=9650.97
Rifollamento lato piastra: Fb,Ed,p=0.69 Fb,Rd,p=7476.89
Tirafondi:LT=0.45 (0.31) σ_{cR}=0.00 σ_{fR}=0.00
Compressione nel calcestruzzo: σ_c=14.32
CC 30 SLD (Collegamento 0020_-377)
Azioni sul collegamento: N=-6824.03 Ty=-3.72 Tz=0.05 Mx=0.00 Mz=-2.82
Sollecitazioni agenti localmente: Tx_l=-3.72 Ty_l=0.05 N_l=-6824.03 Mx_l=-0.00 My_l=-2.82 Mz_l=0.00
Taglio nei bulloni: Fv,Ed=0.62 Fv,Rd=9650.97
Rifollamento lato piastra: Fb,Ed,p=0.62 Fb,Rd,p=7477.54
Tirafondi:LT=0.45 (0.31) σ_{cR}=0.00 σ_{fR}=0.00
Compressione nel calcestruzzo: σ_c=14.26
CC 30 SLD (Collegamento 0020_-377)
Azioni sul collegamento: N=-6824.03 Ty=-4.11 Tz=1.72 Mx=0.00 Mz=-3.92
Sollecitazioni agenti localmente: Tx_l=-4.11 Ty_l=1.72 N_l=-6824.03 Mx_l=-0.00 My_l=-3.92 Mz_l=0.00
Taglio nei bulloni: Fv,Ed=0.75 Fv,Rd=9650.97
Rifollamento lato piastra: Fb,Ed,p=0.75 Fb,Rd,p=9446.40
Tirafondi:LT=0.45 (0.31) σ_{cR}=0.00 σ_{fR}=0.00
Compressione nel calcestruzzo: σ_c=14.32
CC 30 SLD (Collegamento 0020_-377)
Azioni sul collegamento: N=-6824.03 Ty=-3.72 Tz=1.72 Mx=0.00 Mz=-2.82
Sollecitazioni agenti localmente: Tx_l=-3.72 Ty_l=1.72 N_l=-6824.03 Mx_l=-0.00 My_l=-2.82 Mz_l=0.00
Taglio nei bulloni: Fv,Ed=0.69 Fv,Rd=9650.97
Rifollamento lato piastra: Fb,Ed,p=0.69 Fb,Rd,p=9890.25
Tirafondi:LT=0.45 (0.31) σ_{cR}=0.00 σ_{fR}=0.00
Compressione nel calcestruzzo: σ_c=14.26
CC 31 SLV (Collegamento 0020_-377)
Azioni sul collegamento: N=-7420.51 Ty=-6.23 Tz=4.16 Mx=-0.00 Mz=-7.84
Sollecitazioni agenti localmente: Tx_l=-6.23 Ty_l=4.16 N_l=-7420.51 Mx_l=-0.00 My_l=-7.84 Mz_l=-0.00
Taglio nei bulloni: Fv,Ed=1.25 Fv,Rd=7720.78
Rifollamento lato piastra: Fb,Ed,p=1.25 Fb,Rd,p=10036.90
Tirafondi:LT=0.45 (0.31) σ_{cR}=0.00 σ_{fR}=0.00
Compressione nel calcestruzzo: σ_c=15.77
CC 31 SLV (Collegamento 0020_-377)
Azioni sul collegamento: N=-7420.51 Ty=-3.29 Tz=4.16 Mx=-0.00 Mz=-3.06
Sollecitazioni agenti localmente: Tx_l=-3.29 Ty_l=4.16 N_l=-7420.51 Mx_l=-0.00 My_l=-3.06 Mz_l=-0.00
Taglio nei bulloni: Fv,Ed=0.89 Fv,Rd=7720.78
Rifollamento lato piastra: Fb,Ed,p=0.89 Fb,Rd,p=10833.30
Tirafondi:LT=0.45 (0.31) σ_{cR}=0.00 σ_{fR}=0.00
Compressione nel calcestruzzo: σ_c=15.50
CC 31 SLV (Collegamento 0020_-377)
Azioni sul collegamento: N=-7420.51 Ty=-6.23 Tz=-2.14 Mx=-0.00 Mz=-7.84
Sollecitazioni agenti localmente: Tx_l=-6.23 Ty_l=-2.14 N_l=-7420.51 Mx_l=-0.00 My_l=-7.84 Mz_l=-0.00
Taglio nei bulloni: Fv,Ed=1.10 Fv,Rd=7720.78
Rifollamento lato piastra: Fb,Ed,p=1.10 Fb,Rd,p=7041.72
Tirafondi:LT=0.45 (0.31) σ_{cR}=0.00 σ_{fR}=0.00
Compressione nel calcestruzzo: σ_c=15.77
CC 31 SLV (Collegamento 0020_-377)
Azioni sul collegamento: N=-7420.51 Ty=-3.29 Tz=-2.14 Mx=-0.00 Mz=-3.06
Sollecitazioni agenti localmente: Tx_l=-3.29 Ty_l=-2.14 N_l=-7420.51 Mx_l=-0.00 My_l=-3.06 Mz_l=-0.00
Taglio nei bulloni: Fv,Ed=0.66 Fv,Rd=7720.78
Rifollamento lato piastra: Fb,Ed,p=0.66 Fb,Rd,p=9849.45
Tirafondi:LT=0.45 (0.31) σ_{cR}=0.00 σ_{fR}=0.00
Compressione nel calcestruzzo: σ_c=15.50
CC 31 SLV (Collegamento 0020_-377)
Azioni sul collegamento: N=-5814.21 Ty=-6.23 Tz=4.16 Mx=-0.00 Mz=-7.84
Sollecitazioni agenti localmente: Tx_l=-6.23 Ty_l=4.16 N_l=-5814.21 Mx_l=-0.00 My_l=-7.84 Mz_l=-0.00
Taglio nei bulloni: Fv,Ed=1.25 Fv,Rd=7720.78
Rifollamento lato piastra: Fb,Ed,p=1.25 Fb,Rd,p=10036.10
Tirafondi:LT=0.45 (0.31) σ_{cR}=0.00 σ_{fR}=0.00
Compressione nel calcestruzzo: σ_c=12.45
CC 31 SLV (Collegamento 0020_-377)
Azioni sul collegamento: N=-5814.21 Ty=-3.29 Tz=4.16 Mx=-0.00 Mz=-3.06
Sollecitazioni agenti localmente: Tx_l=-3.29 Ty_l=4.16 N_l=-5814.21 Mx_l=-0.00 My_l=-3.06 Mz_l=-0.00
Taglio nei bulloni: Fv,Ed=0.89 Fv,Rd=7720.78
Rifollamento lato piastra: Fb,Ed,p=0.89 Fb,Rd,p=10833.70
Tirafondi:LT=0.45 (0.31) σ_{cR}=0.00 σ_{fR}=0.00
Compressione nel calcestruzzo: σ_c=12.19
CC 31 SLV (Collegamento 0020_-377)
Azioni sul collegamento: N=-5814.21 Ty=-6.23 Tz=-2.14 Mx=-0.00 Mz=-7.84
Sollecitazioni agenti localmente: Tx_l=-6.23 Ty_l=-2.14 N_l=-5814.21 Mx_l=-0.00 My_l=-7.84 Mz_l=-0.00
Taglio nei bulloni: Fv,Ed=1.10 Fv,Rd=7720.78
Rifollamento lato piastra: Fb,Ed,p=1.10 Fb,Rd,p=7041.45
Tirafondi:LT=0.45 (0.31) σ_{cR}=0.00 σ_{fR}=0.00
Compressione nel calcestruzzo: σ_c=12.45
CC 31 SLV (Collegamento 0020_-377)
Azioni sul collegamento: N=-5814.21 Ty=-3.29 Tz=-2.14 Mx=-0.00 Mz=-3.06
Sollecitazioni agenti localmente: Tx_l=-3.29 Ty_l=-2.14 N_l=-5814.21 Mx_l=-0.00 My_l=-3.06 Mz_l=-0.00

Taglio nei bulloni: Fv,Ed=0.66 Fv,Rd=7720.78
Rifollamento lato piastra: Fb,Ed,p=0.66 Fb,Rd,p=9848.45
Tirafondi:LT=0.45 (0.31) σ_{cR}=0.00 σ_{fR}=0.00
Compressione nel calcestruzzo: σ_c=12.19
CC 32 SLD (Collegamento 0020_-377)
Azioni sul collegamento: N=-6829.81 Ty=-4.36 Tz=1.85 Mx=0.00 Mz=-4.10
Sollecitazioni agenti localmente: Tx_l=-4.36 Ty_l=1.85 N_l=-6829.81 Mx_l=-0.00 My_l=-4.10 Mz_l=0.00
Taglio nei bulloni: Fv,Ed=0.79 Fv,Rd=9650.97
Rifollamento lato piastra: Fb,Ed,p=0.79 Fb,Rd,p=9504.63
Tirafondi:LT=0.45 (0.31) σ_{cR}=0.00 σ_{fR}=0.00
Compressione nel calcestruzzo: σ_c=14.34
CC 32 SLD (Collegamento 0020_-377)
Azioni sul collegamento: N=-6829.81 Ty=-3.47 Tz=1.85 Mx=0.00 Mz=-2.64
Sollecitazioni agenti localmente: Tx_l=-3.47 Ty_l=1.85 N_l=-6829.81 Mx_l=-0.00 My_l=-2.64 Mz_l=0.00
Taglio nei bulloni: Fv,Ed=0.66 Fv,Rd=9650.97
Rifollamento lato piastra: Fb,Ed,p=0.66 Fb,Rd,p=10705.60
Tirafondi:LT=0.45 (0.31) σ_{cR}=0.00 σ_{fR}=0.00
Compressione nel calcestruzzo: σ_c=14.26
CC 32 SLD (Collegamento 0020_-377)
Azioni sul collegamento: N=-6829.81 Ty=-4.36 Tz=-0.08 Mx=0.00 Mz=-4.10
Sollecitazioni agenti localmente: Tx_l=-4.36 Ty_l=-0.08 N_l=-6829.81 Mx_l=-0.00 My_l=-4.10 Mz_l=0.00
Taglio nei bulloni: Fv,Ed=0.73 Fv,Rd=9650.97
Rifollamento lato piastra: Fb,Ed,p=0.73 Fb,Rd,p=7476.14
Tirafondi:LT=0.45 (0.31) σ_{cR}=0.00 σ_{fR}=0.00
Compressione nel calcestruzzo: σ_c=14.34
CC 32 SLD (Collegamento 0020_-377)
Azioni sul collegamento: N=-6829.81 Ty=-3.47 Tz=-0.08 Mx=0.00 Mz=-2.64
Sollecitazioni agenti localmente: Tx_l=-3.47 Ty_l=-0.08 N_l=-6829.81 Mx_l=-0.00 My_l=-2.64 Mz_l=0.00
Taglio nei bulloni: Fv,Ed=0.58 Fv,Rd=9650.97
Rifollamento lato piastra: Fb,Ed,p=0.58 Fb,Rd,p=7477.41
Tirafondi:LT=0.45 (0.31) σ_{cR}=0.00 σ_{fR}=0.00
Compressione nel calcestruzzo: σ_c=14.26
CC 32 SLD (Collegamento 0020_-377)
Azioni sul collegamento: N=-6340.00 Ty=-4.36 Tz=1.85 Mx=0.00 Mz=-4.10
Sollecitazioni agenti localmente: Tx_l=-4.36 Ty_l=1.85 N_l=-6340.00 Mx_l=-0.00 My_l=-4.10 Mz_l=0.00
Taglio nei bulloni: Fv,Ed=0.79 Fv,Rd=9650.97
Rifollamento lato piastra: Fb,Ed,p=0.79 Fb,Rd,p=9504.64
Tirafondi:LT=0.45 (0.31) σ_{cR}=0.00 σ_{fR}=0.00
Compressione nel calcestruzzo: σ_c=13.33
CC 32 SLD (Collegamento 0020_-377)
Azioni sul collegamento: N=-6340.00 Ty=-3.47 Tz=1.85 Mx=0.00 Mz=-2.64
Sollecitazioni agenti localmente: Tx_l=-3.47 Ty_l=1.85 N_l=-6340.00 Mx_l=-0.00 My_l=-2.64 Mz_l=0.00
Taglio nei bulloni: Fv,Ed=0.66 Fv,Rd=9650.97
Rifollamento lato piastra: Fb,Ed,p=0.66 Fb,Rd,p=10705.60
Tirafondi:LT=0.45 (0.31) σ_{cR}=0.00 σ_{fR}=0.00
Compressione nel calcestruzzo: σ_c=13.25
CC 32 SLD (Collegamento 0020_-377)
Azioni sul collegamento: N=-6340.00 Ty=-4.36 Tz=-0.08 Mx=0.00 Mz=-4.10
Sollecitazioni agenti localmente: Tx_l=-4.36 Ty_l=-0.08 N_l=-6340.00 Mx_l=-0.00 My_l=-4.10 Mz_l=0.00
Taglio nei bulloni: Fv,Ed=0.73 Fv,Rd=9650.97
Rifollamento lato piastra: Fb,Ed,p=0.73 Fb,Rd,p=7476.17
Tirafondi:LT=0.45 (0.31) σ_{cR}=0.00 σ_{fR}=0.00
Compressione nel calcestruzzo: σ_c=13.33
CC 32 SLD (Collegamento 0020_-377)
Azioni sul collegamento: N=-6340.00 Ty=-3.47 Tz=-0.08 Mx=0.00 Mz=-2.64
Sollecitazioni agenti localmente: Tx_l=-3.47 Ty_l=-0.08 N_l=-6340.00 Mx_l=-0.00 My_l=-2.64 Mz_l=0.00
Taglio nei bulloni: Fv,Ed=0.58 Fv,Rd=9650.97
Rifollamento lato piastra: Fb,Ed,p=0.58 Fb,Rd,p=7477.45
Tirafondi:LT=0.45 (0.31) σ_{cR}=0.00 σ_{fR}=0.00
Compressione nel calcestruzzo: σ_c=13.25
CC 33 SLU (Collegamento 0020_-377)
Azioni sul collegamento: N=-30337.70 Ty=-5.16 Tz=79.98 Mx=0.01 Mz=-3.50
Sollecitazioni agenti localmente: Tx_l=-5.16 Ty_l=79.98 N_l=-30337.70 Mx_l=-0.00 My_l=-3.50 Mz_l=0.01
Taglio nei bulloni: Fv,Ed=13.37 Fv,Rd=7720.78
Rifollamento lato piastra: Fb,Ed,p=13.36 Fb,Rd,p=6015.33
Tirafondi:LT=0.45 (0.31) σ_{cR}=0.00 σ_{fR}=0.00
Compressione nel calcestruzzo: σ_c=62.88
CC 34 SLU (Collegamento 0020_-377)
Azioni sul collegamento: N=-30888.30 Ty=-5.44 Tz=82.02 Mx=0.01 Mz=-3.71
Sollecitazioni agenti localmente: Tx_l=-5.44 Ty_l=82.02 N_l=-30888.30 Mx_l=-0.00 My_l=-3.71 Mz_l=0.01
Taglio nei bulloni: Fv,Ed=13.71 Fv,Rd=7720.78
Rifollamento lato piastra: Fb,Ed,p=13.71 Fb,Rd,p=6017.49
Tirafondi:LT=0.45 (0.31) σ_{cR}=0.00 σ_{fR}=0.00
Compressione nel calcestruzzo: σ_c=64.03
CC 35 SLU (Collegamento 0020_-377)
Azioni sul collegamento: N=-30612.00 Ty=-5.19 Tz=81.02 Mx=0.01 Mz=-3.39
Sollecitazioni agenti localmente: Tx_l=-5.19 Ty_l=81.02 N_l=-30612.00 Mx_l=-0.00 My_l=-3.39 Mz_l=0.01
Taglio nei bulloni: Fv,Ed=13.54 Fv,Rd=7720.78

Rifollamento lato piastra: Fb,Ed,p=13.54 Fb,Rd,p=6014.95
Tirafondi:LT=0.45 (0.31) σ_{cR}=0.00 σ_{fR}=0.00
Compressione nel calcestruzzo: σ_c=63.44
CC 36 SLU (Collegamento 0020_-377)
Azioni sul collegamento: N=-30614.00 Ty=-5.41 Tz=80.97 Mx=0.01 Mz=-3.82
Sollecitazioni agenti localmente: Tx_l=-5.41 Ty_l=80.97 N_l=-30614.00 Mx_l=-0.00 My_l=-3.82 Mz_l=0.01
Taglio nei bulloni: Fv,Ed=13.54 Fv,Rd=7720.78
Rifollamento lato piastra: Fb,Ed,p=13.53 Fb,Rd,p=6017.92
Tirafondi:LT=0.45 (0.31) σ_{cR}=0.00 σ_{fR}=0.00
Compressione nel calcestruzzo: σ_c=63.47
CC 37 SLU (Collegamento 0020_-377)
Azioni sul collegamento: N=-32266.80 Ty=-5.04 Tz=86.42 Mx=-0.00 Mz=-3.56
Sollecitazioni agenti localmente: Tx_l=-5.04 Ty_l=86.42 N_l=-32266.80 Mx_l=-0.00 My_l=-3.56 Mz_l=-0.00
Taglio nei bulloni: Fv,Ed=14.43 Fv,Rd=7720.78
Rifollamento lato piastra: Fb,Ed,p=14.43 Fb,Rd,p=6009.56
Tirafondi:LT=0.45 (0.31) σ_{cR}=0.00 σ_{fR}=0.00
Compressione nel calcestruzzo: σ_c=66.87
CC 38 SLU (Collegamento 0020_-377)
Azioni sul collegamento: N=-32817.30 Ty=-5.33 Tz=88.46 Mx=-0.00 Mz=-3.76
Sollecitazioni agenti localmente: Tx_l=-5.33 Ty_l=88.46 N_l=-32817.30 Mx_l=-0.00 My_l=-3.76 Mz_l=-0.00
Taglio nei bulloni: Fv,Ed=14.77 Fv,Rd=7720.78
Rifollamento lato piastra: Fb,Ed,p=14.77 Fb,Rd,p=6011.53
Tirafondi:LT=0.45 (0.31) σ_{cR}=0.00 σ_{fR}=0.00
Compressione nel calcestruzzo: σ_c=68.02
CC 39 SLU (Collegamento 0020_-377)
Azioni sul collegamento: N=-32541.00 Ty=-5.08 Tz=87.47 Mx=-0.00 Mz=-3.44
Sollecitazioni agenti localmente: Tx_l=-5.08 Ty_l=87.47 N_l=-32541.00 Mx_l=-0.00 My_l=-3.44 Mz_l=-0.00
Taglio nei bulloni: Fv,Ed=14.61 Fv,Rd=7720.78
Rifollamento lato piastra: Fb,Ed,p=14.61 Fb,Rd,p=6009.29
Tirafondi:LT=0.45 (0.31) σ_{cR}=0.00 σ_{fR}=0.00
Compressione nel calcestruzzo: σ_c=67.43
CC 40 SLU (Collegamento 0020_-377)
Azioni sul collegamento: N=-32543.00 Ty=-5.30 Tz=87.42 Mx=-0.00 Mz=-3.88
Sollecitazioni agenti localmente: Tx_l=-5.30 Ty_l=87.42 N_l=-32543.00 Mx_l=-0.00 My_l=-3.88 Mz_l=-0.00
Taglio nei bulloni: Fv,Ed=14.60 Fv,Rd=7720.78
Rifollamento lato piastra: Fb,Ed,p=14.60 Fb,Rd,p=6011.83
Tirafondi:LT=0.45 (0.31) σ_{cR}=0.00 σ_{fR}=0.00
Compressione nel calcestruzzo: σ_c=67.46
CC 41 SLU (Collegamento 0020_-377)
Azioni sul collegamento: N=-21046.60 Ty=-6.03 Tz=45.82 Mx=0.01 Mz=-4.13
Sollecitazioni agenti localmente: Tx_l=-6.03 Ty_l=45.82 N_l=-21046.60 Mx_l=-0.00 My_l=-4.13 Mz_l=0.01
Taglio nei bulloni: Fv,Ed=7.71 Fv,Rd=7720.78
Rifollamento lato piastra: Fb,Ed,p=7.71 Fb,Rd,p=6130.52
Tirafondi:LT=0.45 (0.31) σ_{cR}=0.00 σ_{fR}=0.00
Compressione nel calcestruzzo: σ_c=43.72
CC 42 SLU (Collegamento 0020_-377)
Azioni sul collegamento: N=-21597.10 Ty=-6.32 Tz=47.86 Mx=0.01 Mz=-4.34
Sollecitazioni agenti localmente: Tx_l=-6.32 Ty_l=47.86 N_l=-21597.10 Mx_l=-0.00 My_l=-4.34 Mz_l=0.01
Taglio nei bulloni: Fv,Ed=8.06 Fv,Rd=7720.78
Rifollamento lato piastra: Fb,Ed,p=8.05 Fb,Rd,p=6131.38
Tirafondi:LT=0.45 (0.31) σ_{cR}=0.00 σ_{fR}=0.00
Compressione nel calcestruzzo: σ_c=44.87
CC 43 SLU (Collegamento 0020_-377)
Azioni sul collegamento: N=-21320.90 Ty=-6.07 Tz=46.87 Mx=0.01 Mz=-4.02
Sollecitazioni agenti localmente: Tx_l=-6.07 Ty_l=46.87 N_l=-21320.90 Mx_l=-0.00 My_l=-4.02 Mz_l=0.01
Taglio nei bulloni: Fv,Ed=7.88 Fv,Rd=7720.78
Rifollamento lato piastra: Fb,Ed,p=7.88 Fb,Rd,p=6125.75
Tirafondi:LT=0.45 (0.31) σ_{cR}=0.00 σ_{fR}=0.00
Compressione nel calcestruzzo: σ_c=44.28
CC 44 SLU (Collegamento 0020_-377)
Azioni sul collegamento: N=-21322.80 Ty=-6.29 Tz=46.82 Mx=0.01 Mz=-4.45
Sollecitazioni agenti localmente: Tx_l=-6.29 Ty_l=46.82 N_l=-21322.80 Mx_l=-0.00 My_l=-4.45 Mz_l=0.01
Taglio nei bulloni: Fv,Ed=7.88 Fv,Rd=7720.78
Rifollamento lato piastra: Fb,Ed,p=7.88 Fb,Rd,p=6136.27
Tirafondi:LT=0.45 (0.31) σ_{cR}=0.00 σ_{fR}=0.00
Compressione nel calcestruzzo: σ_c=44.31
CC 45 SLU (Collegamento 0020_-377)
Azioni sul collegamento: N=-23139.00 Ty=-5.73 Tz=53.57 Mx=0.01 Mz=-3.96
Sollecitazioni agenti localmente: Tx_l=-5.73 Ty_l=53.57 N_l=-23139.00 Mx_l=-0.00 My_l=-3.96 Mz_l=0.01
Taglio nei bulloni: Fv,Ed=8.99 Fv,Rd=7720.78
Rifollamento lato piastra: Fb,Ed,p=8.99 Fb,Rd,p=6078.77
Tirafondi:LT=0.45 (0.31) σ_{cR}=0.00 σ_{fR}=0.00
Compressione nel calcestruzzo: σ_c=48.03
CC 46 SLU (Collegamento 0020_-377)
Azioni sul collegamento: N=-23689.50 Ty=-6.01 Tz=55.60 Mx=0.01 Mz=-4.17
Sollecitazioni agenti localmente: Tx_l=-6.01 Ty_l=55.60 N_l=-23689.50 Mx_l=-0.00 My_l=-4.17 Mz_l=0.01
Taglio nei bulloni: Fv,Ed=9.33 Fv,Rd=7720.78
Rifollamento lato piastra: Fb,Ed,p=9.33 Fb,Rd,p=6081.09

Tirafondi:LT=0.45 (0.31) σ_{cR}=0.00 σ_{fR}=0.00
Compressione nel calcestruzzo: σ_c=49.18
CC 47 SLU (Collegamento 0020_-377)
Azioni sul collegamento: N=-23413.30 Ty=-5.76 Tz=54.61 Mx=0.01 Mz=-3.84
Sollecitazioni agenti localmente: Tx_l=-5.76 Ty_l=54.61 N_l=-23413.30 Mx_l=-0.00 My_l=-3.84 Mz_l=0.01
Taglio nei bulloni: Fv,Ed=9.16 Fv,Rd=7720.78
Rifollamento lato piastra: Fb,Ed,p=9.16 Fb,Rd,p=6076.32
Tirafondi:LT=0.45 (0.31) σ_{cR}=0.00 σ_{fR}=0.00
Compressione nel calcestruzzo: σ_c=48.59
CC 48 SLU (Collegamento 0020_-377)
Azioni sul collegamento: N=-23415.20 Ty=-5.98 Tz=54.56 Mx=0.01 Mz=-4.28
Sollecitazioni agenti localmente: Tx_l=-5.98 Ty_l=54.56 N_l=-23415.20 Mx_l=-0.00 My_l=-4.28 Mz_l=0.01
Taglio nei bulloni: Fv,Ed=9.16 Fv,Rd=7720.78
Rifollamento lato piastra: Fb,Ed,p=9.16 Fb,Rd,p=6083.64
Tirafondi:LT=0.45 (0.31) σ_{cR}=0.00 σ_{fR}=0.00
Compressione nel calcestruzzo: σ_c=48.62
CC 49 SLU (Collegamento 0020_-377)
Azioni sul collegamento: N=-24582.20 Ty=-5.64 Tz=58.39 Mx=0.00 Mz=-4.00
Sollecitazioni agenti localmente: Tx_l=-5.64 Ty_l=58.39 N_l=-24582.20 Mx_l=-0.00 My_l=-4.00 Mz_l=0.00
Taglio nei bulloni: Fv,Ed=9.78 Fv,Rd=7720.78
Rifollamento lato piastra: Fb,Ed,p=9.78 Fb,Rd,p=6062.03
Tirafondi:LT=0.45 (0.31) σ_{cR}=0.00 σ_{fR}=0.00
Compressione nel calcestruzzo: σ_c=51.02
CC 50 SLU (Collegamento 0020_-377)
Azioni sul collegamento: N=-25132.70 Ty=-5.93 Tz=60.42 Mx=0.00 Mz=-4.21
Sollecitazioni agenti localmente: Tx_l=-5.93 Ty_l=60.42 N_l=-25132.70 Mx_l=-0.00 My_l=-4.21 Mz_l=0.00
Taglio nei bulloni: Fv,Ed=10.12 Fv,Rd=7720.78
Rifollamento lato piastra: Fb,Ed,p=10.12 Fb,Rd,p=6064.52
Tirafondi:LT=0.45 (0.31) σ_{cR}=0.00 σ_{fR}=0.00
Compressione nel calcestruzzo: σ_c=52.16
CC 51 SLU (Collegamento 0020_-377)
Azioni sul collegamento: N=-24856.40 Ty=-5.68 Tz=59.43 Mx=-0.00 Mz=-3.89
Sollecitazioni agenti localmente: Tx_l=-5.68 Ty_l=59.43 N_l=-24856.40 Mx_l=-0.00 My_l=-3.89 Mz_l=-0.00
Taglio nei bulloni: Fv,Ed=9.95 Fv,Rd=7720.78
Rifollamento lato piastra: Fb,Ed,p=9.95 Fb,Rd,p=6060.23
Tirafondi:LT=0.45 (0.31) σ_{cR}=0.00 σ_{fR}=0.00
Compressione nel calcestruzzo: σ_c=51.58
CC 52 SLU (Collegamento 0020_-377)
Azioni sul collegamento: N=-24858.40 Ty=-5.89 Tz=59.38 Mx=0.00 Mz=-4.32
Sollecitazioni agenti localmente: Tx_l=-5.89 Ty_l=59.38 N_l=-24858.40 Mx_l=-0.00 My_l=-4.32 Mz_l=0.00
Taglio nei bulloni: Fv,Ed=9.95 Fv,Rd=7720.78
Rifollamento lato piastra: Fb,Ed,p=9.95 Fb,Rd,p=6066.40
Tirafondi:LT=0.45 (0.31) σ_{cR}=0.00 σ_{fR}=0.00
Compressione nel calcestruzzo: σ_c=51.60
CC 53 SLU (Collegamento 0020_-377)
Azioni sul collegamento: N=-16187.80 Ty=-6.38 Tz=28.01 Mx=0.01 Mz=-4.43
Sollecitazioni agenti localmente: Tx_l=-6.38 Ty_l=28.01 N_l=-16187.80 Mx_l=-0.00 My_l=-4.43 Mz_l=0.01
Taglio nei bulloni: Fv,Ed=4.80 Fv,Rd=7720.78
Rifollamento lato piastra: Fb,Ed,p=4.79 Fb,Rd,p=6433.27
Tirafondi:LT=0.45 (0.31) σ_{cR}=0.00 σ_{fR}=0.00
Compressione nel calcestruzzo: σ_c=33.70
CC 54 SLU (Collegamento 0020_-377)
Azioni sul collegamento: N=-16738.30 Ty=-6.67 Tz=30.05 Mx=0.01 Mz=-4.64
Sollecitazioni agenti localmente: Tx_l=-6.67 Ty_l=30.05 N_l=-16738.30 Mx_l=-0.00 My_l=-4.64 Mz_l=0.01
Taglio nei bulloni: Fv,Ed=5.14 Fv,Rd=7720.78
Rifollamento lato piastra: Fb,Ed,p=5.14 Fb,Rd,p=6409.88
Tirafondi:LT=0.45 (0.31) σ_{cR}=0.00 σ_{fR}=0.00
Compressione nel calcestruzzo: σ_c=34.84
CC 55 SLU (Collegamento 0020_-377)
Azioni sul collegamento: N=-16462.10 Ty=-6.42 Tz=29.05 Mx=0.01 Mz=-4.32
Sollecitazioni agenti localmente: Tx_l=-6.42 Ty_l=29.05 N_l=-16462.10 Mx_l=-0.00 My_l=-4.32 Mz_l=0.01
Taglio nei bulloni: Fv,Ed=4.97 Fv,Rd=7720.78
Rifollamento lato piastra: Fb,Ed,p=4.96 Fb,Rd,p=6406.47
Tirafondi:LT=0.45 (0.31) σ_{cR}=0.00 σ_{fR}=0.00
Compressione nel calcestruzzo: σ_c=34.26
CC 56 SLU (Collegamento 0020_-377)
Azioni sul collegamento: N=-16464.10 Ty=-6.64 Tz=29.01 Mx=0.01 Mz=-4.75
Sollecitazioni agenti localmente: Tx_l=-6.64 Ty_l=29.01 N_l=-16464.10 Mx_l=-0.00 My_l=-4.75 Mz_l=0.01
Taglio nei bulloni: Fv,Ed=4.97 Fv,Rd=7720.78
Rifollamento lato piastra: Fb,Ed,p=4.97 Fb,Rd,p=6435.96
Tirafondi:LT=0.45 (0.31) σ_{cR}=0.00 σ_{fR}=0.00
Compressione nel calcestruzzo: σ_c=34.28
CC 57 SLU (Collegamento 0020_-377)
Azioni sul collegamento: N=-23519.50 Ty=-6.15 Tz=55.00 Mx=0.01 Mz=-4.26
Sollecitazioni agenti localmente: Tx_l=-6.15 Ty_l=55.00 N_l=-23519.50 Mx_l=-0.00 My_l=-4.26 Mz_l=0.01
Taglio nei bulloni: Fv,Ed=9.23 Fv,Rd=7720.78
Rifollamento lato piastra: Fb,Ed,p=9.23 Fb,Rd,p=6088.01
Tirafondi:LT=0.45 (0.31) σ_{cR}=0.00 σ_{fR}=0.00

Compressione nel calcestruzzo: σ_c=48.83
CC 58 SLU (Collegamento 0020_-377)
Azioni sul collegamento: N=-24070.10 Ty=-6.43 Tz=57.04 Mx=0.01 Mz=-4.47
Sollecitazioni agenti localmente: Tx_l=-6.43 Ty_l=57.04 N_l=-24070.10 Mx_l=-0.00 My_l=-4.47 Mz_l=0.01
Taglio nei bulloni: Fv,Ed=9.58 Fv,Rd=7720.78
Rifollamento lato piastra: Fb,Ed,p=9.58 Fb,Rd,p=6090.03
Tirafondi:LT=0.45 (0.31) σ_{cR}=0.00 σ_{fR}=0.00
Compressione nel calcestruzzo: σ_c=49.98
CC 59 SLU (Collegamento 0020_-377)
Azioni sul collegamento: N=-23793.80 Ty=-6.18 Tz=56.05 Mx=0.01 Mz=-4.15
Sollecitazioni agenti localmente: Tx_l=-6.18 Ty_l=56.05 N_l=-23793.80 Mx_l=-0.00 My_l=-4.15 Mz_l=0.01
Taglio nei bulloni: Fv,Ed=9.41 Fv,Rd=7720.78
Rifollamento lato piastra: Fb,Ed,p=9.40 Fb,Rd,p=6085.34
Tirafondi:LT=0.45 (0.31) σ_{cR}=0.00 σ_{fR}=0.00
Compressione nel calcestruzzo: σ_c=49.39
CC 60 SLU (Collegamento 0020_-377)
Azioni sul collegamento: N=-23795.80 Ty=-6.40 Tz=56.00 Mx=0.01 Mz=-4.58
Sollecitazioni agenti localmente: Tx_l=-6.40 Ty_l=56.00 N_l=-23795.80 Mx_l=-0.00 My_l=-4.58 Mz_l=0.01
Taglio nei bulloni: Fv,Ed=9.41 Fv,Rd=7720.78
Rifollamento lato piastra: Fb,Ed,p=9.40 Fb,Rd,p=6092.80
Tirafondi:LT=0.45 (0.31) σ_{cR}=0.00 σ_{fR}=0.00
Compressione nel calcestruzzo: σ_c=49.42
CC 61 SLU (Collegamento 0020_-377)
Azioni sul collegamento: N=-24962.70 Ty=-6.06 Tz=59.83 Mx=0.00 Mz=-4.30
Sollecitazioni agenti localmente: Tx_l=-6.06 Ty_l=59.83 N_l=-24962.70 Mx_l=-0.00 My_l=-4.30 Mz_l=0.00
Taglio nei bulloni: Fv,Ed=10.02 Fv,Rd=7720.78
Rifollamento lato piastra: Fb,Ed,p=10.02 Fb,Rd,p=6070.19
Tirafondi:LT=0.45 (0.31) σ_{cR}=0.00 σ_{fR}=0.00
Compressione nel calcestruzzo: σ_c=51.82
CC 62 SLU (Collegamento 0020_-377)
Azioni sul collegamento: N=-25513.20 Ty=-6.35 Tz=61.87 Mx=0.00 Mz=-4.51
Sollecitazioni agenti localmente: Tx_l=-6.35 Ty_l=61.87 N_l=-25513.20 Mx_l=-0.00 My_l=-4.51 Mz_l=0.00
Taglio nei bulloni: Fv,Ed=10.37 Fv,Rd=7720.78
Rifollamento lato piastra: Fb,Ed,p=10.37 Fb,Rd,p=6072.46
Tirafondi:LT=0.45 (0.31) σ_{cR}=0.00 σ_{fR}=0.00
Compressione nel calcestruzzo: σ_c=52.97
CC 63 SLU (Collegamento 0020_-377)
Azioni sul collegamento: N=-25237.00 Ty=-6.10 Tz=60.87 Mx=-0.00 Mz=-4.19
Sollecitazioni agenti localmente: Tx_l=-6.10 Ty_l=60.87 N_l=-25237.00 Mx_l=-0.00 My_l=-4.19 Mz_l=-0.00
Taglio nei bulloni: Fv,Ed=10.20 Fv,Rd=7720.78
Rifollamento lato piastra: Fb,Ed,p=10.20 Fb,Rd,p=6068.22
Tirafondi:LT=0.45 (0.31) σ_{cR}=0.00 σ_{fR}=0.00
Compressione nel calcestruzzo: σ_c=52.38
CC 64 SLU (Collegamento 0020_-377)
Azioni sul collegamento: N=-25238.90 Ty=-6.31 Tz=60.82 Mx=0.00 Mz=-4.62
Sollecitazioni agenti localmente: Tx_l=-6.31 Ty_l=60.82 N_l=-25238.90 Mx_l=-0.00 My_l=-4.62 Mz_l=0.00
Taglio nei bulloni: Fv,Ed=10.19 Fv,Rd=7720.78
Rifollamento lato piastra: Fb,Ed,p=10.19 Fb,Rd,p=6074.51
Tirafondi:LT=0.45 (0.31) σ_{cR}=0.00 σ_{fR}=0.00
Compressione nel calcestruzzo: σ_c=52.41
CC 65 SLU (Collegamento 0020_-377)
Azioni sul collegamento: N=-16568.40 Ty=-6.80 Tz=29.45 Mx=0.01 Mz=-4.74
Sollecitazioni agenti localmente: Tx_l=-6.80 Ty_l=29.45 N_l=-16568.40 Mx_l=-0.00 My_l=-4.74 Mz_l=0.01
Taglio nei bulloni: Fv,Ed=5.05 Fv,Rd=7720.78
Rifollamento lato piastra: Fb,Ed,p=5.04 Fb,Rd,p=6445.83
Tirafondi:LT=0.45 (0.31) σ_{cR}=0.00 σ_{fR}=0.00
Compressione nel calcestruzzo: σ_c=34.50
CC 66 SLU (Collegamento 0020_-377)
Azioni sul collegamento: N=-17118.90 Ty=-7.09 Tz=31.49 Mx=0.01 Mz=-4.94
Sollecitazioni agenti localmente: Tx_l=-7.09 Ty_l=31.49 N_l=-17118.90 Mx_l=-0.00 My_l=-4.94 Mz_l=0.01
Taglio nei bulloni: Fv,Ed=5.39 Fv,Rd=7720.78
Rifollamento lato piastra: Fb,Ed,p=5.39 Fb,Rd,p=6422.38
Tirafondi:LT=0.45 (0.31) σ_{cR}=0.00 σ_{fR}=0.00
Compressione nel calcestruzzo: σ_c=35.65
CC 67 SLU (Collegamento 0020_-377)
Azioni sul collegamento: N=-16842.60 Ty=-6.84 Tz=30.49 Mx=0.01 Mz=-4.62
Sollecitazioni agenti localmente: Tx_l=-6.84 Ty_l=30.49 N_l=-16842.60 Mx_l=-0.00 My_l=-4.62 Mz_l=0.01
Taglio nei bulloni: Fv,Ed=5.22 Fv,Rd=7720.78
Rifollamento lato piastra: Fb,Ed,p=5.21 Fb,Rd,p=6419.52
Tirafondi:LT=0.45 (0.31) σ_{cR}=0.00 σ_{fR}=0.00
Compressione nel calcestruzzo: σ_c=35.06
CC 68 SLU (Collegamento 0020_-377)
Azioni sul collegamento: N=-16844.60 Ty=-7.06 Tz=30.45 Mx=0.01 Mz=-5.06
Sollecitazioni agenti localmente: Tx_l=-7.06 Ty_l=30.45 N_l=-16844.60 Mx_l=-0.00 My_l=-5.06 Mz_l=0.01
Taglio nei bulloni: Fv,Ed=5.22 Fv,Rd=7720.78
Rifollamento lato piastra: Fb,Ed,p=5.22 Fb,Rd,p=6448.02
Tirafondi:LT=0.45 (0.31) σ_{cR}=0.00 σ_{fR}=0.00
Compressione nel calcestruzzo: σ_c=35.09

CC 97 SLU (Collegamento 0020_-377)
Azioni sul collegamento: N=-16826.20 Ty=-0.37 Tz=38.55 Mx=0.05 Mz=7.28
Sollecitazioni agenti localmente: Tx_l=-0.37 Ty_l=38.55 N_l=-16826.20 Mx_l=-0.00 My_l=7.28 Mz_l=0.05
Taglio nei bulloni: Fv,Ed=6.48 Fv,Rd=7720.78
Rifollamento lato piastra: Fb,Ed,p=6.48 Fb,Rd,p=5979.18
Tirafondi:LT=0.45 (0.31) σ_{cR}=0.00 σ_{fR}=0.00
Compressione nel calcestruzzo: σ_c=35.17
CC 98 SLU (Collegamento 0020_-377)
Azioni sul collegamento: N=-17376.70 Ty=-0.65 Tz=40.58 Mx=0.05 Mz=7.07
Sollecitazioni agenti localmente: Tx_l=-0.65 Ty_l=40.58 N_l=-17376.70 Mx_l=-0.00 My_l=7.07 Mz_l=0.05
Taglio nei bulloni: Fv,Ed=6.82 Fv,Rd=7720.78
Rifollamento lato piastra: Fb,Ed,p=6.82 Fb,Rd,p=5979.75
Tirafondi:LT=0.45 (0.31) σ_{cR}=0.00 σ_{fR}=0.00
Compressione nel calcestruzzo: σ_c=36.30
CC 99 SLU (Collegamento 0020_-377)
Azioni sul collegamento: N=-17100.50 Ty=-0.40 Tz=39.59 Mx=0.05 Mz=7.39
Sollecitazioni agenti localmente: Tx_l=-0.40 Ty_l=39.59 N_l=-17100.50 Mx_l=-0.00 My_l=7.39 Mz_l=0.05
Taglio nei bulloni: Fv,Ed=6.65 Fv,Rd=7720.78
Rifollamento lato piastra: Fb,Ed,p=6.65 Fb,Rd,p=5979.21
Tirafondi:LT=0.45 (0.31) σ_{cR}=0.00 σ_{fR}=0.00
Compressione nel calcestruzzo: σ_c=35.75
CC 100 SLU (Collegamento 0020_-377)
Azioni sul collegamento: N=-17102.50 Ty=-0.62 Tz=39.54 Mx=0.05 Mz=6.96
Sollecitazioni agenti localmente: Tx_l=-0.62 Ty_l=39.54 N_l=-17102.50 Mx_l=-0.00 My_l=6.96 Mz_l=0.05
Taglio nei bulloni: Fv,Ed=6.65 Fv,Rd=7720.78
Rifollamento lato piastra: Fb,Ed,p=6.65 Fb,Rd,p=5979.64
Tirafondi:LT=0.45 (0.31) σ_{cR}=0.00 σ_{fR}=0.00
Compressione nel calcestruzzo: σ_c=35.73
CC 101 SLU (Collegamento 0020_-377)
Azioni sul collegamento: N=-6585.90 Ty=-4.08 Tz=0.92 Mx=-0.00 Mz=-3.64
Sollecitazioni agenti localmente: Tx_l=-4.08 Ty_l=0.92 N_l=-6585.90 Mx_l=-0.00 My_l=-3.64 Mz_l=-0.00
Taglio nei bulloni: Fv,Ed=0.70 Fv,Rd=7720.78
Rifollamento lato piastra: Fb,Ed,p=0.70 Fb,Rd,p=6402.40
Tirafondi:LT=0.45 (0.31) σ_{cR}=0.00 σ_{fR}=0.00
Compressione nel calcestruzzo: σ_c=13.81
CC 102 SLU (Collegamento 0020_-377)
Azioni sul collegamento: N=-7136.43 Ty=-4.37 Tz=2.96 Mx=-0.00 Mz=-3.85
Sollecitazioni agenti localmente: Tx_l=-4.37 Ty_l=2.96 N_l=-7136.43 Mx_l=-0.00 My_l=-3.85 Mz_l=-0.00
Taglio nei bulloni: Fv,Ed=0.88 Fv,Rd=7720.78
Rifollamento lato piastra: Fb,Ed,p=0.88 Fb,Rd,p=10065.60
Tirafondi:LT=0.45 (0.31) σ_{cR}=0.00 σ_{fR}=0.00
Compressione nel calcestruzzo: σ_c=14.96
CC 103 SLU (Collegamento 0020_-377)
Azioni sul collegamento: N=-6860.18 Ty=-4.11 Tz=1.96 Mx=-0.00 Mz=-3.53
Sollecitazioni agenti localmente: Tx_l=-4.11 Ty_l=1.96 N_l=-6860.18 Mx_l=-0.00 My_l=-3.53 Mz_l=-0.00
Taglio nei bulloni: Fv,Ed=0.77 Fv,Rd=7720.78
Rifollamento lato piastra: Fb,Ed,p=0.76 Fb,Rd,p=7939.55
Tirafondi:LT=0.45 (0.31) σ_{cR}=0.00 σ_{fR}=0.00
Compressione nel calcestruzzo: σ_c=14.37
CC 104 SLU (Collegamento 0020_-377)
Azioni sul collegamento: N=-6862.15 Ty=-4.33 Tz=1.92 Mx=-0.00 Mz=-3.96
Sollecitazioni agenti localmente: Tx_l=-4.33 Ty_l=1.92 N_l=-6862.15 Mx_l=-0.00 My_l=-3.96 Mz_l=-0.00
Taglio nei bulloni: Fv,Ed=0.79 Fv,Rd=7720.78
Rifollamento lato piastra: Fb,Ed,p=0.79 Fb,Rd,p=7691.03
Tirafondi:LT=0.45 (0.31) σ_{cR}=0.00 σ_{fR}=0.00
Compressione nel calcestruzzo: σ_c=14.40

Saldatura profilo-piastra

CC 1 SLV (Collegamento 0020_-377)
Azioni sul collegamento: N=-3875.57 Ty=-4.02 Tz=-9.21 Mx=0.02 Mz=2.16
Sollecitazioni agenti localmente: Tx_l=-4.02 Ty_l=-9.21 N_l=-3875.57 My_l=-2.16 Mz_l=0.02
Azioni sul cordone: TP=-0.32 TO=-0.66 NO=-286.48
Tensioni nel cordone: τ_P=0.10 τ_0=0.21 σ_0=94.22 σ_{ID}=94.22 Σ_T=94.43
CC 1 SLV (Collegamento 0020_-377)
Azioni sul collegamento: N=-3875.57 Ty=-0.64 Tz=-9.21 Mx=0.02 Mz=-1.09
Sollecitazioni agenti localmente: Tx_l=-0.64 Ty_l=-9.21 N_l=-3875.57 My_l=1.09 Mz_l=0.02
Azioni sul cordone: TP=-0.07 TO=-0.70 NO=-286.48
Tensioni nel cordone: τ_P= 0.02 τ_0=0.22 σ_0=92.64 σ_{ID}=92.64 Σ_T=92.87
CC 1 SLV (Collegamento 0020_-377)
Azioni sul collegamento: N=-3875.57 Ty=-4.02 Tz=10.50 Mx=0.02 Mz=2.16
Sollecitazioni agenti localmente: Tx_l=-4.02 Ty_l=10.50 N_l=-3875.57 My_l=-2.16 Mz_l=0.02
Azioni sul cordone: TP=-0.32 TO=0.79 NO=-286.48
Tensioni nel cordone: τ_P=0.10 τ_0=0.25 σ_0=94.22 σ_{ID}=94.22 Σ_T=94.47
CC 1 SLV (Collegamento 0020_-377)
Azioni sul collegamento: N=-3875.57 Ty=-0.64 Tz=10.50 Mx=0.02 Mz=-1.09
Sollecitazioni agenti localmente: Tx_l=-0.64 Ty_l=10.50 N_l=-3875.57 My_l=1.09 Mz_l=0.02
Azioni sul cordone: TP=-0.07 TO=0.76 NO=-286.48
Tensioni nel cordone: τ_P= 0.02 τ_0=0.24 σ_0=92.64 σ_{ID}=92.64 Σ_T=92.89

CC 1 SLV (Collegamento 0020_-377)
Azioni sul collegamento: N=-9172.38 Ty=-4.02 Tz=-9.21 Mx=0.02 Mz=2.16
Sollecitazioni agenti localmente: Tx_l=-4.02 Ty_l=-9.21 N_l=-9172.38 My_l=-2.16 Mz_l=0.02
Azioni sul cordone: TP=-0.32 TO=-0.66 NO=-678.02
Tensioni nel cordone: τ_P=0.10 τ_0=0.21 σ_0=218.67 σ_{ID}=218.67 Σ_T=218.88
CC 1 SLV (Collegamento 0020_-377)
Azioni sul collegamento: N=-9172.38 Ty=-0.64 Tz=-9.21 Mx=0.02 Mz=-1.09
Sollecitazioni agenti localmente: Tx_l=-0.64 Ty_l=-9.21 N_l=-9172.38 My_l=1.09 Mz_l=0.02
Azioni sul cordone: TP=-0.07 TO=-0.70 NO=-678.02
Tensioni nel cordone: τ_P= 0.02 τ_0=0.22 σ_0=217.09 σ_{ID}=217.09 Σ_T=217.32
CC 1 SLV (Collegamento 0020_-377)
Azioni sul collegamento: N=-9172.38 Ty=-4.02 Tz=10.50 Mx=0.02 Mz=2.16
Sollecitazioni agenti localmente: Tx_l=-4.02 Ty_l=10.50 N_l=-9172.38 My_l=-2.16 Mz_l=0.02
Azioni sul cordone: TP=-0.32 TO=0.79 NO=-678.02
Tensioni nel cordone: τ_P=0.10 τ_0=0.25 σ_0=218.67 σ_{ID}=218.67 Σ_T=218.92
CC 1 SLV (Collegamento 0020_-377)
Azioni sul collegamento: N=-9172.38 Ty=-0.64 Tz=10.50 Mx=0.02 Mz=-1.09
Sollecitazioni agenti localmente: Tx_l=-0.64 Ty_l=10.50 N_l=-9172.38 My_l=1.09 Mz_l=0.02
Azioni sul cordone: TP=-0.07 TO=0.76 NO=-678.02
Tensioni nel cordone: τ_P= 0.02 τ_0=0.24 σ_0=217.09 σ_{ID}=217.09 Σ_T=217.34
CC 2 SLD (Collegamento 0020_-377)
Azioni sul collegamento: N=-5748.85 Ty=-2.66 Tz=-2.23 Mx=0.01 Mz=-1.05
Sollecitazioni agenti localmente: Tx_l=-2.66 Ty_l=-2.23 N_l=-5748.85 My_l=1.05 Mz_l=0.01
Azioni sul cordone: TP=-0.21 TO=-0.17 NO=-424.96
Tensioni nel cordone: τ_P= 0.07 τ_0= 0.05 σ_0=136.60 σ_{ID}=136.60 Σ_T=136.66
CC 2 SLD (Collegamento 0020_-377)
Azioni sul collegamento: N=-5748.85 Ty=-3.69 Tz=-2.23 Mx=0.01 Mz=-2.04
Sollecitazioni agenti localmente: Tx_l=-3.69 Ty_l=-2.23 N_l=-5748.85 My_l=2.04 Mz_l=0.01
Azioni sul cordone: TP=-0.28 TO=-0.17 NO=-424.96
Tensioni nel cordone: τ_P= 0.09 τ_0= 0.05 σ_0=138.05 σ_{ID}=138.05 Σ_T=138.10
CC 2 SLD (Collegamento 0020_-377)
Azioni sul collegamento: N=-5748.85 Ty=-2.66 Tz=3.78 Mx=0.01 Mz=-1.05
Sollecitazioni agenti localmente: Tx_l=-2.66 Ty_l=3.78 N_l=-5748.85 My_l=1.05 Mz_l=0.01
Azioni sul cordone: TP=-0.21 TO=0.27 NO=-424.96
Tensioni nel cordone: τ_P= 0.07 τ_0= 0.09 σ_0=136.60 σ_{ID}=136.60 Σ_T=136.69
CC 2 SLD (Collegamento 0020_-377)
Azioni sul collegamento: N=-5748.85 Ty=-3.69 Tz=3.78 Mx=0.01 Mz=-2.04
Sollecitazioni agenti localmente: Tx_l=-3.69 Ty_l=3.78 N_l=-5748.85 My_l=2.04 Mz_l=0.01
Azioni sul cordone: TP=-0.28 TO=0.27 NO=-424.96
Tensioni nel cordone: τ_P= 0.09 τ_0= 0.09 σ_0=138.05 σ_{ID}=138.05 Σ_T=138.14
CC 2 SLD (Collegamento 0020_-377)
Azioni sul collegamento: N=-7364.01 Ty=-2.66 Tz=-2.23 Mx=0.01 Mz=-1.05
Sollecitazioni agenti localmente: Tx_l=-2.66 Ty_l=-2.23 N_l=-7364.01 My_l=1.05 Mz_l=0.01
Azioni sul cordone: TP=-0.21 TO=-0.17 NO=-544.35
Tensioni nel cordone: τ_P= 0.07 τ_0= 0.05 σ_0=174.55 σ_{ID}=174.55 Σ_T=174.61
CC 2 SLD (Collegamento 0020_-377)
Azioni sul collegamento: N=-7364.01 Ty=-3.69 Tz=-2.23 Mx=0.01 Mz=-2.04
Sollecitazioni agenti localmente: Tx_l=-3.69 Ty_l=-2.23 N_l=-7364.01 My_l=2.04 Mz_l=0.01
Azioni sul cordone: TP=-0.28 TO=-0.17 NO=-544.35
Tensioni nel cordone: τ_P= 0.09 τ_0= 0.05 σ_0=176.00 σ_{ID}=176.00 Σ_T=176.05
CC 2 SLD (Collegamento 0020_-377)
Azioni sul collegamento: N=-7364.01 Ty=-2.66 Tz=3.78 Mx=0.01 Mz=-1.05
Sollecitazioni agenti localmente: Tx_l=-2.66 Ty_l=3.78 N_l=-7364.01 My_l=1.05 Mz_l=0.01
Azioni sul cordone: TP=-0.21 TO=0.27 NO=-544.35
Tensioni nel cordone: τ_P= 0.07 τ_0= 0.09 σ_0=174.55 σ_{ID}=174.55 Σ_T=174.64
CC 2 SLD (Collegamento 0020_-377)
Azioni sul collegamento: N=-7364.01 Ty=-3.69 Tz=3.78 Mx=0.01 Mz=-2.04
Sollecitazioni agenti localmente: Tx_l=-3.69 Ty_l=3.78 N_l=-7364.01 My_l=2.04 Mz_l=0.01
Azioni sul cordone: TP=-0.28 TO=0.27 NO=-544.35
Tensioni nel cordone: τ_P= 0.09 τ_0= 0.09 σ_0=176.00 σ_{ID}=176.00 Σ_T=176.09
CC 3 SLV (Collegamento 0020_-377)
Azioni sul collegamento: N=-3881.26 Ty=-3.39 Tz=-9.09 Mx=0.02 Mz=0.91
Sollecitazioni agenti localmente: Tx_l=-3.39 Ty_l=-9.09 N_l=-3881.26 My_l=-0.91 Mz_l=0.02
Azioni sul cordone: TP=-0.27 TO=-0.66 NO=-286.90
Tensioni nel cordone: τ_P= 0.09 τ_0=0.21 σ_0=92.52 σ_{ID}=92.52 Σ_T=92.73
CC 3 SLV (Collegamento 0020_-377)
Azioni sul collegamento: N=-3881.26 Ty=-1.27 Tz=-9.09 Mx=0.02 Mz=0.17
Sollecitazioni agenti localmente: Tx_l=-1.27 Ty_l=-9.09 N_l=-3881.26 My_l=-0.17 Mz_l=0.02
Azioni sul cordone: TP=-0.11 TO=-0.66 NO=-286.90
Tensioni nel cordone: τ_P= 0.04 τ_0=0.21 σ_0=91.44 σ_{ID}=91.44 Σ_T=91.65
CC 3 SLV (Collegamento 0020_-377)
Azioni sul collegamento: N=-3881.26 Ty=-3.39 Tz=10.37 Mx=0.02 Mz=0.91
Sollecitazioni agenti localmente: Tx_l=-3.39 Ty_l=10.37 N_l=-3881.26 My_l=-0.91 Mz_l=0.02
Azioni sul cordone: TP=-0.27 TO=0.78 NO=-286.90
Tensioni nel cordone: τ_P= 0.09 τ_0=0.25 σ_0=92.52 σ_{ID}=92.52 Σ_T=92.76
CC 3 SLV (Collegamento 0020_-377)
Azioni sul collegamento: N=-3881.26 Ty=-1.27 Tz=10.37 Mx=0.02 Mz=0.17
Sollecitazioni agenti localmente: Tx_l=-1.27 Ty_l=10.37 N_l=-3881.26 My_l=-0.17 Mz_l=0.02
Azioni sul cordone: TP=-0.11 TO=0.78 NO=-286.90

Tensioni nel cordone: τ_P= 0.04 τ_0=0.25 σ_0=91.44 σ_{ID}=91.44 Σ_T=91.69
CC 3 SLV (Collegamento 0020_-377)
Azioni sul collegamento: N=-9166.69 Ty=-3.39 Tz=-9.09 Mx=0.02 Mz=0.91
Sollecitazioni agenti localmente: Tx_l=-3.39 Ty_l=-9.09 N_l=-9166.69 My_l=-0.91 Mz_l=0.02
Azioni sul cordone: TP=-0.27 TO=-0.66 NO=-677.60
Tensioni nel cordone: τ_P= 0.09 τ_0=0.21 σ_0=216.70 σ_{ID}=216.70 Σ_T=216.91
CC 3 SLV (Collegamento 0020_-377)
Azioni sul collegamento: N=-9166.69 Ty=-1.27 Tz=-9.09 Mx=0.02 Mz=0.17
Sollecitazioni agenti localmente: Tx_l=-1.27 Ty_l=-9.09 N_l=-9166.69 My_l=-0.17 Mz_l=0.02
Azioni sul cordone: TP=-0.11 TO=-0.66 NO=-677.60
Tensioni nel cordone: τ_P= 0.04 τ_0=0.21 σ_0=215.63 σ_{ID}=215.63 Σ_T=215.84
CC 3 SLV (Collegamento 0020_-377)
Azioni sul collegamento: N=-9166.69 Ty=-3.39 Tz=10.38 Mx=0.02 Mz=0.91
Sollecitazioni agenti localmente: Tx_l=-3.39 Ty_l=10.38 N_l=-9166.69 My_l=-0.91 Mz_l=0.02
Azioni sul cordone: TP=-0.27 TO=0.78 NO=-677.60
Tensioni nel cordone: τ_P= 0.09 τ_0=0.25 σ_0=216.70 σ_{ID}=216.70 Σ_T=216.95
CC 3 SLV (Collegamento 0020_-377)
Azioni sul collegamento: N=-9166.69 Ty=-1.27 Tz=10.38 Mx=0.02 Mz=0.17
Sollecitazioni agenti localmente: Tx_l=-1.27 Ty_l=10.38 N_l=-9166.69 My_l=-0.17 Mz_l=0.02
Azioni sul cordone: TP=-0.11 TO=0.78 NO=-677.60
Tensioni nel cordone: τ_P= 0.04 τ_0=0.25 σ_0=215.63 σ_{ID}=215.63 Σ_T=215.87
CC 4 SLD (Collegamento 0020_-377)
Azioni sul collegamento: N=-5750.58 Ty=-2.85 Tz=-2.19 Mx=0.01 Mz=-1.43
Sollecitazioni agenti localmente: Tx_l=-2.85 Ty_l=-2.19 N_l=-5750.58 My_l=1.43 Mz_l=0.01
Azioni sul cordone: TP=-0.22 TO=-0.17 NO=-425.08
Tensioni nel cordone: τ_P= 0.07 τ_0= 0.05 σ_0=137.20 σ_{ID}=137.20 Σ_T=137.26
CC 4 SLD (Collegamento 0020_-377)
Azioni sul collegamento: N=-5750.58 Ty=-3.50 Tz=-2.19 Mx=0.01 Mz=-1.66
Sollecitazioni agenti localmente: Tx_l=-3.50 Ty_l=-2.19 N_l=-5750.58 My_l=1.66 Mz_l=0.01
Azioni sul cordone: TP=-0.27 TO=-0.17 NO=-425.08
Tensioni nel cordone: τ_P= 0.08 τ_0= 0.05 σ_0=137.53 σ_{ID}=137.53 Σ_T=137.59
CC 4 SLD (Collegamento 0020_-377)
Azioni sul collegamento: N=-5750.58 Ty=-2.85 Tz=3.74 Mx=0.01 Mz=-1.43
Sollecitazioni agenti localmente: Tx_l=-2.85 Ty_l=3.74 N_l=-5750.58 My_l=1.43 Mz_l=0.01
Azioni sul cordone: TP=-0.22 TO=0.27 NO=-425.08
Tensioni nel cordone: τ_P= 0.07 τ_0= 0.09 σ_0=137.20 σ_{ID}=137.20 Σ_T=137.29
CC 4 SLD (Collegamento 0020_-377)
Azioni sul collegamento: N=-5750.58 Ty=-3.50 Tz=3.74 Mx=0.01 Mz=-1.66
Sollecitazioni agenti localmente: Tx_l=-3.50 Ty_l=3.74 N_l=-5750.58 My_l=1.66 Mz_l=0.01
Azioni sul cordone: TP=-0.27 TO=0.27 NO=-425.08
Tensioni nel cordone: τ_P= 0.08 τ_0= 0.09 σ_0=137.53 σ_{ID}=137.53 Σ_T=137.62
CC 4 SLD (Collegamento 0020_-377)
Azioni sul collegamento: N=-7362.28 Ty=-2.85 Tz=-2.19 Mx=0.01 Mz=-1.43
Sollecitazioni agenti localmente: Tx_l=-2.85 Ty_l=-2.19 N_l=-7362.28 My_l=1.43 Mz_l=0.01
Azioni sul cordone: TP=-0.22 TO=-0.17 NO=-544.22
Tensioni nel cordone: τ_P= 0.07 τ_0= 0.05 σ_0=175.07 σ_{ID}=175.07 Σ_T=175.13
CC 4 SLD (Collegamento 0020_-377)
Azioni sul collegamento: N=-7362.28 Ty=-3.50 Tz=-2.19 Mx=0.01 Mz=-1.66
Sollecitazioni agenti localmente: Tx_l=-3.50 Ty_l=-2.19 N_l=-7362.28 My_l=1.66 Mz_l=0.01
Azioni sul cordone: TP=-0.27 TO=-0.17 NO=-544.22
Tensioni nel cordone: τ_P= 0.08 τ_0= 0.05 σ_0=175.40 σ_{ID}=175.40 Σ_T=175.45
CC 4 SLD (Collegamento 0020_-377)
Azioni sul collegamento: N=-7362.28 Ty=-2.85 Tz=3.74 Mx=0.01 Mz=-1.43
Sollecitazioni agenti localmente: Tx_l=-2.85 Ty_l=3.74 N_l=-7362.28 My_l=1.43 Mz_l=0.01
Azioni sul cordone: TP=-0.22 TO=0.27 NO=-544.22
Tensioni nel cordone: τ_P= 0.07 τ_0= 0.09 σ_0=175.07 σ_{ID}=175.07 Σ_T=175.16
CC 4 SLD (Collegamento 0020_-377)
Azioni sul collegamento: N=-7362.28 Ty=-3.50 Tz=3.74 Mx=0.01 Mz=-1.66
Sollecitazioni agenti localmente: Tx_l=-3.50 Ty_l=3.74 N_l=-7362.28 My_l=1.66 Mz_l=0.01
Azioni sul cordone: TP=-0.27 TO=0.27 NO=-544.22
Tensioni nel cordone: τ_P= 0.08 τ_0= 0.09 σ_0=175.40 σ_{ID}=175.40 Σ_T=175.49
CC 5 SLV (Collegamento 0020_-377)
Azioni sul collegamento: N=-9166.69 Ty=-1.27 Tz=10.38 Mx=0.02 Mz=0.17
Sollecitazioni agenti localmente: Tx_l=-1.27 Ty_l=10.38 N_l=-9166.69 My_l=-0.17 Mz_l=0.02
Azioni sul cordone: TP=-0.12 TO=0.78 NO=-677.60
Tensioni nel cordone: τ_P= 0.04 τ_0=0.25 σ_0=215.63 σ_{ID}=215.63 Σ_T=215.87
CC 5 SLV (Collegamento 0020_-377)
Azioni sul collegamento: N=-9166.69 Ty=-3.39 Tz=10.38 Mx=0.02 Mz=0.91
Sollecitazioni agenti localmente: Tx_l=-3.39 Ty_l=10.38 N_l=-9166.69 My_l=-0.91 Mz_l=0.02
Azioni sul cordone: TP=-0.27 TO=0.78 NO=-677.60
Tensioni nel cordone: τ_P= 0.09 τ_0=0.25 σ_0=216.70 σ_{ID}=216.70 Σ_T=216.95
CC 5 SLV (Collegamento 0020_-377)
Azioni sul collegamento: N=-9166.69 Ty=-1.27 Tz=-9.09 Mx=0.02 Mz=0.17
Sollecitazioni agenti localmente: Tx_l=-1.27 Ty_l=-9.09 N_l=-9166.69 My_l=-0.17 Mz_l=0.02
Azioni sul cordone: TP=-0.12 TO=-0.66 NO=-677.60
Tensioni nel cordone: τ_P= 0.04 τ_0=0.21 σ_0=215.63 σ_{ID}=215.63 Σ_T=215.83
CC 5 SLV (Collegamento 0020_-377)
Azioni sul collegamento: N=-9166.69 Ty=-3.39 Tz=-9.09 Mx=0.02 Mz=0.91
Sollecitazioni agenti localmente: Tx_l=-3.39 Ty_l=-9.09 N_l=-9166.69 My_l=-0.91 Mz_l=0.02

Azioni sul cordone: TP=-0.27 TO=-0.66 NO=-677.60
Tensioni nel cordone: τ_P= 0.09 τ_0=0.21 σ_0=216.70 σ_{ID}=216.70 Σ_T=216.91
CC 5 SLV (Collegamento 0020_-377)
Azioni sul collegamento: N=-3881.26 Ty=-1.27 Tz=10.37 Mx=0.02 Mz=0.17
Sollecitazioni agenti localmente: Tx_l=-1.27 Ty_l=10.37 N_l=-3881.26 My_l=-0.17 Mz_l=0.02
Azioni sul cordone: TP=-0.12 TO=0.78 NO=-286.90
Tensioni nel cordone: τ_P= 0.04 τ_0=0.25 σ_0=91.44 σ_{ID}=91.44 Σ_T=91.69
CC 5 SLV (Collegamento 0020_-377)
Azioni sul collegamento: N=-3881.26 Ty=-3.39 Tz=10.37 Mx=0.02 Mz=0.91
Sollecitazioni agenti localmente: Tx_l=-3.39 Ty_l=10.37 N_l=-3881.26 My_l=-0.91 Mz_l=0.02
Azioni sul cordone: TP=-0.27 TO=0.78 NO=-286.90
Tensioni nel cordone: τ_P= 0.09 τ_0=0.25 σ_0=92.52 σ_{ID}=92.52 Σ_T=92.76
CC 5 SLV (Collegamento 0020_-377)
Azioni sul collegamento: N=-3881.26 Ty=-1.27 Tz=-9.09 Mx=0.02 Mz=0.17
Sollecitazioni agenti localmente: Tx_l=-1.27 Ty_l=-9.09 N_l=-3881.26 My_l=-0.17 Mz_l=0.02
Azioni sul cordone: TP=-0.12 TO=-0.66 NO=-286.90
Tensioni nel cordone: τ_P= 0.04 τ_0=0.21 σ_0=91.44 σ_{ID}=91.44 Σ_T=91.65
CC 5 SLV (Collegamento 0020_-377)
Azioni sul collegamento: N=-3881.26 Ty=-3.39 Tz=-9.09 Mx=0.02 Mz=0.91
Sollecitazioni agenti localmente: Tx_l=-3.39 Ty_l=-9.09 N_l=-3881.26 My_l=-0.91 Mz_l=0.02
Azioni sul cordone: TP=-0.27 TO=-0.66 NO=-286.90
Tensioni nel cordone: τ_P= 0.09 τ_0=0.21 σ_0=92.52 σ_{ID}=92.52 Σ_T=92.72
CC 6 SLD (Collegamento 0020_-377)
Azioni sul collegamento: N=-7362.28 Ty=-3.50 Tz=3.74 Mx=0.01 Mz=-1.66
Sollecitazioni agenti localmente: Tx_l=-3.50 Ty_l=3.74 N_l=-7362.28 My_l=1.66 Mz_l=0.01
Azioni sul cordone: TP=-0.27 TO=0.27 NO=-544.22
Tensioni nel cordone: τ_P= 0.09 τ_0= 0.09 σ_0=175.40 σ_{ID}=175.40 Σ_T=175.49
CC 6 SLD (Collegamento 0020_-377)
Azioni sul collegamento: N=-7362.28 Ty=-2.85 Tz=3.74 Mx=0.01 Mz=-1.43
Sollecitazioni agenti localmente: Tx_l=-2.85 Ty_l=3.74 N_l=-7362.28 My_l=1.43 Mz_l=0.01
Azioni sul cordone: TP=-0.22 TO=0.27 NO=-544.22
Tensioni nel cordone: τ_P= 0.07 τ_0= 0.09 σ_0=175.07 σ_{ID}=175.07 Σ_T=175.16
CC 6 SLD (Collegamento 0020_-377)
Azioni sul collegamento: N=-7362.28 Ty=-3.50 Tz=-2.19 Mx=0.01 Mz=-1.66
Sollecitazioni agenti localmente: Tx_l=-3.50 Ty_l=-2.19 N_l=-7362.28 My_l=1.66 Mz_l=0.01
Azioni sul cordone: TP=-0.27 TO=-0.17 NO=-544.22
Tensioni nel cordone: τ_P= 0.09 τ_0= 0.05 σ_0=175.40 σ_{ID}=175.40 Σ_T=175.45
CC 6 SLD (Collegamento 0020_-377)
Azioni sul collegamento: N=-7362.28 Ty=-2.85 Tz=-2.19 Mx=0.01 Mz=-1.43
Sollecitazioni agenti localmente: Tx_l=-2.85 Ty_l=-2.19 N_l=-7362.28 My_l=1.43 Mz_l=0.01
Azioni sul cordone: TP=-0.22 TO=-0.17 NO=-544.22
Tensioni nel cordone: τ_P= 0.07 τ_0= 0.05 σ_0=175.07 σ_{ID}=175.07 Σ_T=175.13
CC 6 SLD (Collegamento 0020_-377)
Azioni sul collegamento: N=-5750.58 Ty=-3.50 Tz=3.74 Mx=0.01 Mz=-1.66
Sollecitazioni agenti localmente: Tx_l=-3.50 Ty_l=3.74 N_l=-5750.58 My_l=1.66 Mz_l=0.01
Azioni sul cordone: TP=-0.27 TO=0.27 NO=-425.08
Tensioni nel cordone: τ_P= 0.09 τ_0= 0.09 σ_0=137.53 σ_{ID}=137.53 Σ_T=137.62
CC 6 SLD (Collegamento 0020_-377)
Azioni sul collegamento: N=-5750.58 Ty=-2.85 Tz=3.74 Mx=0.01 Mz=-1.43
Sollecitazioni agenti localmente: Tx_l=-2.85 Ty_l=3.74 N_l=-5750.58 My_l=1.43 Mz_l=0.01
Azioni sul cordone: TP=-0.22 TO=0.27 NO=-425.08
Tensioni nel cordone: τ_P= 0.07 τ_0= 0.09 σ_0=137.20 σ_{ID}=137.20 Σ_T=137.29
CC 6 SLD (Collegamento 0020_-377)
Azioni sul collegamento: N=-5750.58 Ty=-3.50 Tz=-2.19 Mx=0.01 Mz=-1.66
Sollecitazioni agenti localmente: Tx_l=-3.50 Ty_l=-2.19 N_l=-5750.58 My_l=1.66 Mz_l=0.01
Azioni sul cordone: TP=-0.27 TO=-0.17 NO=-425.08
Tensioni nel cordone: τ_P= 0.09 τ_0= 0.05 σ_0=137.53 σ_{ID}=137.53 Σ_T=137.59
CC 6 SLD (Collegamento 0020_-377)
Azioni sul collegamento: N=-5750.58 Ty=-2.85 Tz=-2.19 Mx=0.01 Mz=-1.43
Sollecitazioni agenti localmente: Tx_l=-2.85 Ty_l=-2.19 N_l=-5750.58 My_l=1.43 Mz_l=0.01
Azioni sul cordone: TP=-0.22 TO=-0.17 NO=-425.08
Tensioni nel cordone: τ_P= 0.07 τ_0= 0.05 σ_0=137.20 σ_{ID}=137.20 Σ_T=137.26
CC 7 SLV (Collegamento 0020_-377)
Azioni sul collegamento: N=-9172.38 Ty=-0.64 Tz=10.50 Mx=0.01 Mz=-1.09
Sollecitazioni agenti localmente: Tx_l=-0.64 Ty_l=10.50 N_l=-9172.38 My_l=1.09 Mz_l=0.01
Azioni sul cordone: TP=-0.06 TO=0.77 NO=-678.02
Tensioni nel cordone: τ_P= 0.02 τ_0=0.24 σ_0=217.09 σ_{ID}=217.09 Σ_T=217.34
CC 7 SLV (Collegamento 0020_-377)
Azioni sul collegamento: N=-9172.38 Ty=-4.02 Tz=10.50 Mx=0.01 Mz=2.16
Sollecitazioni agenti localmente: Tx_l=-4.02 Ty_l=10.50 N_l=-9172.38 My_l=-2.16 Mz_l=0.01
Azioni sul cordone: TP=-0.31 TO=0.79 NO=-678.02
Tensioni nel cordone: τ_P= 0.10 τ_0=0.25 σ_0=218.67 σ_{ID}=218.67 Σ_T=218.92
CC 7 SLV (Collegamento 0020_-377)
Azioni sul collegamento: N=-9172.38 Ty=-0.64 Tz=-9.21 Mx=0.01 Mz=-1.09
Sollecitazioni agenti localmente: Tx_l=-0.64 Ty_l=-9.21 N_l=-9172.38 My_l=1.09 Mz_l=0.01
Azioni sul cordone: TP=-0.06 TO=-0.69 NO=-678.02
Tensioni nel cordone: τ_P= 0.02 τ_0=0.22 σ_0=217.09 σ_{ID}=217.09 Σ_T=217.31
CC 7 SLV (Collegamento 0020_-377)
Azioni sul collegamento: N=-9172.38 Ty=-4.02 Tz=-9.21 Mx=0.01 Mz=2.16

Sollecitazioni agenti localmente: Tx_l=-4.02 Ty_l=-9.21 N_l=-9172.38 My_l=-2.16 Mz_l=0.01
Azioni sul cordone: TP=-0.31 TO=-0.67 NO=-678.02
Tensioni nel cordone: τ_P= 0.10 τ_O=0.21 σ_O=218.67 σ_{ID}=218.67 Σ_T=218.88
CC 7 SLV (Collegamento 0020_-377)
Azioni sul collegamento: N=-3875.57 Ty=-0.64 Tz=10.50 Mx=0.01 Mz=-1.09
Sollecitazioni agenti localmente: Tx_l=-0.64 Ty_l=10.50 N_l=-3875.57 My_l=1.09 Mz_l=0.01
Azioni sul cordone: TP=-0.06 TO=0.77 NO=-286.48
Tensioni nel cordone: τ_P= 0.02 τ_O=0.24 σ_O=92.64 σ_{ID}=92.64 Σ_T=92.89
CC 7 SLV (Collegamento 0020_-377)
Azioni sul collegamento: N=-3875.57 Ty=-4.02 Tz=10.50 Mx=0.01 Mz=2.16
Sollecitazioni agenti localmente: Tx_l=-4.02 Ty_l=10.50 N_l=-3875.57 My_l=-2.16 Mz_l=0.01
Azioni sul cordone: TP=-0.31 TO=0.79 NO=-286.48
Tensioni nel cordone: τ_P= 0.10 τ_O=0.25 σ_O=94.22 σ_{ID}=94.22 Σ_T=94.47
CC 7 SLV (Collegamento 0020_-377)
Azioni sul collegamento: N=-3875.57 Ty=-0.64 Tz=-9.21 Mx=0.01 Mz=-1.09
Sollecitazioni agenti localmente: Tx_l=-0.64 Ty_l=-9.21 N_l=-3875.57 My_l=1.09 Mz_l=0.01
Azioni sul cordone: TP=-0.06 TO=-0.69 NO=-286.48
Tensioni nel cordone: τ_P= 0.02 τ_O=0.22 σ_O=92.64 σ_{ID}=92.64 Σ_T=92.86
CC 7 SLV (Collegamento 0020_-377)
Azioni sul collegamento: N=-3875.57 Ty=-4.02 Tz=-9.21 Mx=0.01 Mz=2.16
Sollecitazioni agenti localmente: Tx_l=-4.02 Ty_l=-9.21 N_l=-3875.57 My_l=-2.16 Mz_l=0.01
Azioni sul cordone: TP=-0.31 TO=-0.67 NO=-286.48
Tensioni nel cordone: τ_P= 0.10 τ_O=0.21 σ_O=94.22 σ_{ID}=94.22 Σ_T=94.43
CC 8 SLD (Collegamento 0020_-377)
Azioni sul collegamento: N=-7364.01 Ty=-3.69 Tz=3.78 Mx=0.01 Mz=-2.04
Sollecitazioni agenti localmente: Tx_l=-3.69 Ty_l=3.78 N_l=-7364.01 My_l=2.04 Mz_l=0.01
Azioni sul cordone: TP=-0.28 TO=0.27 NO=-544.35
Tensioni nel cordone: τ_P= 0.09 τ_O= 0.09 σ_O=176.00 σ_{ID}=176.00 Σ_T=176.09
CC 8 SLD (Collegamento 0020_-377)
Azioni sul collegamento: N=-7364.01 Ty=-2.66 Tz=3.78 Mx=0.01 Mz=-1.05
Sollecitazioni agenti localmente: Tx_l=-2.66 Ty_l=3.78 N_l=-7364.01 My_l=1.05 Mz_l=0.01
Azioni sul cordone: TP=-0.20 TO=0.27 NO=-544.35
Tensioni nel cordone: τ_P= 0.06 τ_O= 0.09 σ_O=174.55 σ_{ID}=174.55 Σ_T=174.64
CC 8 SLD (Collegamento 0020_-377)
Azioni sul collegamento: N=-7364.01 Ty=-3.69 Tz=-2.23 Mx=0.01 Mz=-2.04
Sollecitazioni agenti localmente: Tx_l=-3.69 Ty_l=-2.23 N_l=-7364.01 My_l=2.04 Mz_l=0.01
Azioni sul cordone: TP=-0.28 TO=-0.17 NO=-544.35
Tensioni nel cordone: τ_P= 0.09 τ_O= 0.05 σ_O=176.00 σ_{ID}=176.00 Σ_T=176.05
CC 8 SLD (Collegamento 0020_-377)
Azioni sul collegamento: N=-7364.01 Ty=-2.66 Tz=-2.23 Mx=0.01 Mz=-1.05
Sollecitazioni agenti localmente: Tx_l=-2.66 Ty_l=-2.23 N_l=-7364.01 My_l=1.05 Mz_l=0.01
Azioni sul cordone: TP=-0.20 TO=-0.17 NO=-544.35
Tensioni nel cordone: τ_P= 0.06 τ_O= 0.05 σ_O=174.55 σ_{ID}=174.55 Σ_T=174.61
CC 8 SLD (Collegamento 0020_-377)
Azioni sul collegamento: N=-5748.85 Ty=-3.69 Tz=3.78 Mx=0.01 Mz=-2.04
Sollecitazioni agenti localmente: Tx_l=-3.69 Ty_l=3.78 N_l=-5748.85 My_l=2.04 Mz_l=0.01
Azioni sul cordone: TP=-0.28 TO=0.27 NO=-424.96
Tensioni nel cordone: τ_P= 0.09 τ_O= 0.09 σ_O=138.05 σ_{ID}=138.05 Σ_T=138.14
CC 8 SLD (Collegamento 0020_-377)
Azioni sul collegamento: N=-5748.85 Ty=-2.66 Tz=3.78 Mx=0.01 Mz=-1.05
Sollecitazioni agenti localmente: Tx_l=-2.66 Ty_l=3.78 N_l=-5748.85 My_l=1.05 Mz_l=0.01
Azioni sul cordone: TP=-0.20 TO=0.27 NO=-424.96
Tensioni nel cordone: τ_P= 0.06 τ_O= 0.09 σ_O=136.60 σ_{ID}=136.60 Σ_T=136.69
CC 8 SLD (Collegamento 0020_-377)
Azioni sul collegamento: N=-5748.85 Ty=-3.69 Tz=-2.23 Mx=0.01 Mz=-2.04
Sollecitazioni agenti localmente: Tx_l=-3.69 Ty_l=-2.23 N_l=-5748.85 My_l=2.04 Mz_l=0.01
Azioni sul cordone: TP=-0.28 TO=-0.17 NO=-424.96
Tensioni nel cordone: τ_P= 0.09 τ_O= 0.05 σ_O=138.05 σ_{ID}=138.05 Σ_T=138.10
CC 8 SLD (Collegamento 0020_-377)
Azioni sul collegamento: N=-5748.85 Ty=-2.66 Tz=-2.23 Mx=0.01 Mz=-1.05
Sollecitazioni agenti localmente: Tx_l=-2.66 Ty_l=-2.23 N_l=-5748.85 My_l=1.05 Mz_l=0.01
Azioni sul cordone: TP=-0.20 TO=-0.17 NO=-424.96
Tensioni nel cordone: τ_P= 0.06 τ_O= 0.05 σ_O=136.60 σ_{ID}=136.60 Σ_T=136.66
CC 9 SLV (Collegamento 0020_-377)
Azioni sul collegamento: N=-5720.83 Ty=-3.80 Tz=-2.51 Mx=0.03 Mz=2.93
Sollecitazioni agenti localmente: Tx_l=-3.80 Ty_l=-2.51 N_l=-5720.83 My_l=-2.93 Mz_l=0.03
Azioni sul cordone: TP=-0.31 TO=-0.16 NO=-422.88
Tensioni nel cordone: τ_P= 0.10 τ_O= 0.05 σ_O=138.69 σ_{ID}=138.69 Σ_T=138.75
CC 9 SLV (Collegamento 0020_-377)
Azioni sul collegamento: N=-5720.83 Ty=-0.86 Tz=-2.51 Mx=0.03 Mz=-1.85
Sollecitazioni agenti localmente: Tx_l=-0.86 Ty_l=-2.51 N_l=-5720.83 My_l=1.85 Mz_l=0.03
Azioni sul cordone: TP=-0.09 TO=-0.21 NO=-422.88
Tensioni nel cordone: τ_P= 0.03 τ_O= 0.07 σ_O=137.12 σ_{ID}=137.12 Σ_T=137.19
CC 9 SLV (Collegamento 0020_-377)
Azioni sul collegamento: N=-5720.83 Ty=-3.80 Tz=3.80 Mx=0.03 Mz=2.93
Sollecitazioni agenti localmente: Tx_l=-3.80 Ty_l=3.80 N_l=-5720.83 My_l=-2.93 Mz_l=0.03
Azioni sul cordone: TP=-0.31 TO=0.30 NO=-422.88
Tensioni nel cordone: τ_P= 0.10 τ_O= 0.10 σ_O=138.69 σ_{ID}=138.69 Σ_T=138.79
CC 9 SLV (Collegamento 0020_-377)

Azioni sul collegamento: N=-5720.83 Ty=-0.86 Tz=3.80 Mx=0.03 Mz=-1.85
Sollecitazioni agenti localmente: Tx_l=-0.86 Ty_l=3.80 N_l=-5720.83 My_l=1.85 Mz_l=0.03
Azioni sul cordone: TP=-0.09 TO=0.26 NO=-422.88
Tensioni nel cordone: τ_P= 0.03 τ_O= 0.08 σ_O=137.12 σ_{ID}=137.12 Σ_T=137.20
CC 9 SLV (Collegamento 0020_-377)
Azioni sul collegamento: N=-7327.12 Ty=-3.80 Tz=-2.51 Mx=0.03 Mz=2.93
Sollecitazioni agenti localmente: Tx_l=-3.80 Ty_l=-2.51 N_l=-7327.12 My_l=-2.93 Mz_l=0.03
Azioni sul cordone: TP=-0.31 TO=-0.16 NO=-541.62
Tensioni nel cordone: τ_P= 0.10 τ_O= 0.05 σ_O=176.44 σ_{ID}=176.44 Σ_T=176.49
CC 9 SLV (Collegamento 0020_-377)
Azioni sul collegamento: N=-7327.12 Ty=-0.86 Tz=-2.51 Mx=0.03 Mz=-1.85
Sollecitazioni agenti localmente: Tx_l=-0.86 Ty_l=-2.51 N_l=-7327.12 My_l=1.85 Mz_l=0.03
Azioni sul cordone: TP=-0.09 TO=-0.21 NO=-541.62
Tensioni nel cordone: τ_P= 0.03 τ_O= 0.07 σ_O=174.86 σ_{ID}=174.86 Σ_T=174.93
CC 9 SLV (Collegamento 0020_-377)
Azioni sul collegamento: N=-7327.12 Ty=-3.80 Tz=3.80 Mx=0.03 Mz=2.93
Sollecitazioni agenti localmente: Tx_l=-3.80 Ty_l=3.80 N_l=-7327.12 My_l=-2.93 Mz_l=0.03
Azioni sul cordone: TP=-0.31 TO=0.30 NO=-541.62
Tensioni nel cordone: τ_P= 0.10 τ_O= 0.10 σ_O=176.44 σ_{ID}=176.44 Σ_T=176.53
CC 9 SLV (Collegamento 0020_-377)
Azioni sul collegamento: N=-7327.12 Ty=-0.86 Tz=3.80 Mx=0.03 Mz=-1.85
Sollecitazioni agenti localmente: Tx_l=-0.86 Ty_l=3.80 N_l=-7327.12 My_l=1.85 Mz_l=0.03
Azioni sul cordone: TP=-0.09 TO=0.26 NO=-541.62
Tensioni nel cordone: τ_P= 0.03 τ_O= 0.08 σ_O=174.86 σ_{ID}=174.86 Σ_T=174.94
CC 10 SLD (Collegamento 0020_-377)
Azioni sul collegamento: N=-6311.52 Ty=-2.73 Tz=-0.19 Mx=0.01 Mz=-0.81
Sollecitazioni agenti localmente: Tx_l=-2.73 Ty_l=-0.19 N_l=-6311.52 My_l=0.81 Mz_l=0.01
Azioni sul cordone: TP=-0.21 TO=-0.02 NO=-466.55
Tensioni nel cordone: τ_P= 0.07 τ_O=7.08E-03 σ_O=149.48 σ_{ID}=149.48 Σ_T=149.49
CC 10 SLD (Collegamento 0020_-377)
Azioni sul collegamento: N=-6311.52 Ty=-3.62 Tz=-0.19 Mx=0.01 Mz=-2.27
Sollecitazioni agenti localmente: Tx_l=-3.62 Ty_l=-0.19 N_l=-6311.52 My_l=2.27 Mz_l=0.01
Azioni sul cordone: TP=-0.28 TO=-0.02 NO=-466.55
Tensioni nel cordone: τ_P= 0.09 τ_O=7.08E-03 σ_O=151.61 σ_{ID}=151.61 Σ_T=151.62
CC 10 SLD (Collegamento 0020_-377)
Azioni sul collegamento: N=-6311.52 Ty=-2.73 Tz=1.73 Mx=0.01 Mz=-0.81
Sollecitazioni agenti localmente: Tx_l=-2.73 Ty_l=1.73 N_l=-6311.52 My_l=0.81 Mz_l=0.01
Azioni sul cordone: TP=-0.21 TO=0.12 NO=-466.55
Tensioni nel cordone: τ_P= 0.07 τ_O= 0.04 σ_O=149.48 σ_{ID}=149.48 Σ_T=149.52
CC 10 SLD (Collegamento 0020_-377)
Azioni sul collegamento: N=-6311.52 Ty=-3.62 Tz=1.73 Mx=0.01 Mz=-2.27
Sollecitazioni agenti localmente: Tx_l=-3.62 Ty_l=1.73 N_l=-6311.52 My_l=2.27 Mz_l=0.01
Azioni sul cordone: TP=-0.28 TO=0.12 NO=-466.55
Tensioni nel cordone: τ_P= 0.09 τ_O= 0.04 σ_O=151.61 σ_{ID}=151.61 Σ_T=151.65
CC 10 SLD (Collegamento 0020_-377)
Azioni sul collegamento: N=-6801.33 Ty=-2.73 Tz=-0.19 Mx=0.01 Mz=-0.81
Sollecitazioni agenti localmente: Tx_l=-2.73 Ty_l=-0.19 N_l=-6801.33 My_l=0.81 Mz_l=0.01
Azioni sul cordone: TP=-0.21 TO=-0.02 NO=-502.76
Tensioni nel cordone: τ_P= 0.07 τ_O=7.08E-03 σ_O=160.99 σ_{ID}=160.99 Σ_T=161.00
CC 10 SLD (Collegamento 0020_-377)
Azioni sul collegamento: N=-6801.33 Ty=-3.62 Tz=-0.19 Mx=0.01 Mz=-2.27
Sollecitazioni agenti localmente: Tx_l=-3.62 Ty_l=-0.19 N_l=-6801.33 My_l=2.27 Mz_l=0.01
Azioni sul cordone: TP=-0.28 TO=-0.02 NO=-502.76
Tensioni nel cordone: τ_P= 0.09 τ_O=7.08E-03 σ_O=163.12 σ_{ID}=163.12 Σ_T=163.13
CC 10 SLD (Collegamento 0020_-377)
Azioni sul collegamento: N=-6801.33 Ty=-2.73 Tz=1.73 Mx=0.01 Mz=-0.81
Sollecitazioni agenti localmente: Tx_l=-2.73 Ty_l=1.73 N_l=-6801.33 My_l=0.81 Mz_l=0.01
Azioni sul cordone: TP=-0.21 TO=0.12 NO=-502.76
Tensioni nel cordone: τ_P= 0.07 τ_O= 0.04 σ_O=160.99 σ_{ID}=160.99 Σ_T=161.03
CC 10 SLD (Collegamento 0020_-377)
Azioni sul collegamento: N=-6801.33 Ty=-3.62 Tz=1.73 Mx=0.01 Mz=-2.27
Sollecitazioni agenti localmente: Tx_l=-3.62 Ty_l=1.73 N_l=-6801.33 My_l=2.27 Mz_l=0.01
Azioni sul cordone: TP=-0.28 TO=0.12 NO=-502.76
Tensioni nel cordone: τ_P= 0.09 τ_O= 0.04 σ_O=163.12 σ_{ID}=163.12 Σ_T=163.16
CC 11 SLV (Collegamento 0020_-377)
Azioni sul collegamento: N=-7308.16 Ty=-2.97 Tz=3.37 Mx=0.02 Mz=2.33
Sollecitazioni agenti localmente: Tx_l=-2.97 Ty_l=3.37 N_l=-7308.16 My_l=-2.33 Mz_l=0.02
Azioni sul cordone: TP=-0.25 TO=0.27 NO=-540.22
Tensioni nel cordone: τ_P= 0.08 τ_O= 0.09 σ_O=175.12 σ_{ID}=175.12 Σ_T=175.20
CC 11 SLV (Collegamento 0020_-377)
Azioni sul collegamento: N=-7308.16 Ty=-1.68 Tz=3.37 Mx=0.02 Mz=-1.26
Sollecitazioni agenti localmente: Tx_l=-1.68 Ty_l=3.37 N_l=-7308.16 My_l=1.26 Mz_l=0.02
Azioni sul cordone: TP=-0.15 TO=0.23 NO=-540.22
Tensioni nel cordone: τ_P= 0.05 τ_O= 0.07 σ_O=173.54 σ_{ID}=173.54 Σ_T=173.62
CC 11 SLV (Collegamento 0020_-377)
Azioni sul collegamento: N=-7308.16 Ty=-2.97 Tz=-2.08 Mx=0.02 Mz=2.33
Sollecitazioni agenti localmente: Tx_l=-2.97 Ty_l=-2.08 N_l=-7308.16 My_l=-2.33 Mz_l=0.02
Azioni sul cordone: TP=-0.25 TO=-0.13 NO=-540.22
Tensioni nel cordone: τ_P= 0.08 τ_O= 0.04 σ_O=175.12 σ_{ID}=175.12 Σ_T=175.16

CC 11 SLV (Collegamento 0020_-377)
Azioni sul collegamento: N=-7308.16 Ty=-1.68 Tz=-2.08 Mx=0.02 Mz=-1.26
Sollecitazioni agenti localmente: Tx_l=-1.68 Ty_l=-2.08 N_l=-7308.16 My_l=1.26 Mz_l=0.02
Azioni sul cordone: TP=-0.15 TO=-0.17 NO=-540.22
Tensioni nel cordone: τ_P= 0.05 τ_0= 0.06 σ_0=173.54 σ_{ID}=173.54 Σ_T=173.60
CC 11 SLV (Collegamento 0020_-377)
Azioni sul collegamento: N=-5739.79 Ty=-2.97 Tz=3.37 Mx=0.02 Mz=2.33
Sollecitazioni agenti localmente: Tx_l=-2.97 Ty_l=3.37 N_l=-5739.79 My_l=-2.33 Mz_l=0.02
Azioni sul cordone: TP=-0.25 TO=0.27 NO=-424.29
Tensioni nel cordone: τ_P= 0.08 τ_0= 0.09 σ_0=138.27 σ_{ID}=138.27 Σ_T=138.35
CC 11 SLV (Collegamento 0020_-377)
Azioni sul collegamento: N=-5739.79 Ty=-1.68 Tz=3.37 Mx=0.02 Mz=-1.26
Sollecitazioni agenti localmente: Tx_l=-1.68 Ty_l=3.37 N_l=-5739.79 My_l=1.26 Mz_l=0.02
Azioni sul cordone: TP=-0.15 TO=0.23 NO=-424.29
Tensioni nel cordone: τ_P= 0.05 τ_0= 0.07 σ_0=136.69 σ_{ID}=136.69 Σ_T=136.77
CC 11 SLV (Collegamento 0020_-377)
Azioni sul collegamento: N=-5739.79 Ty=-2.97 Tz=-2.08 Mx=0.02 Mz=2.33
Sollecitazioni agenti localmente: Tx_l=-2.97 Ty_l=-2.08 N_l=-5739.79 My_l=-2.33 Mz_l=0.02
Azioni sul cordone: TP=-0.25 TO=-0.13 NO=-424.29
Tensioni nel cordone: τ_P= 0.08 τ_0= 0.04 σ_0=138.27 σ_{ID}=138.27 Σ_T=138.31
CC 11 SLV (Collegamento 0020_-377)
Azioni sul collegamento: N=-5739.79 Ty=-1.68 Tz=-2.08 Mx=0.02 Mz=-1.26
Sollecitazioni agenti localmente: Tx_l=-1.68 Ty_l=-2.08 N_l=-5739.79 My_l=1.26 Mz_l=0.02
Azioni sul cordone: TP=-0.15 TO=-0.17 NO=-424.29
Tensioni nel cordone: τ_P= 0.05 τ_0= 0.06 σ_0=136.69 σ_{ID}=136.69 Σ_T=136.75
CC 12 SLD (Collegamento 0020_-377)
Azioni sul collegamento: N=-6795.55 Ty=-2.98 Tz=1.60 Mx=0.01 Mz=-1.00
Sollecitazioni agenti localmente: Tx_l=-2.98 Ty_l=1.60 N_l=-6795.55 My_l=1.00 Mz_l=0.01
Azioni sul cordone: TP=-0.23 TO=0.11 NO=-502.33
Tensioni nel cordone: τ_P= 0.07 τ_0= 0.04 σ_0=161.12 σ_{ID}=161.12 Σ_T=161.16
CC 12 SLD (Collegamento 0020_-377)
Azioni sul collegamento: N=-6795.55 Ty=-3.37 Tz=1.60 Mx=0.01 Mz=-2.09
Sollecitazioni agenti localmente: Tx_l=-3.37 Ty_l=1.60 N_l=-6795.55 My_l=2.09 Mz_l=0.01
Azioni sul cordone: TP=-0.26 TO=0.11 NO=-502.33
Tensioni nel cordone: τ_P= 0.08 τ_0= 0.04 σ_0=162.72 σ_{ID}=162.72 Σ_T=162.75
CC 12 SLD (Collegamento 0020_-377)
Azioni sul collegamento: N=-6795.55 Ty=-2.98 Tz=-0.06 Mx=0.01 Mz=-1.00
Sollecitazioni agenti localmente: Tx_l=-2.98 Ty_l=-0.06 N_l=-6795.55 My_l=1.00 Mz_l=0.01
Azioni sul cordone: TP=-0.23 TO=-0.01 NO=-502.33
Tensioni nel cordone: τ_P= 0.07 τ_0=3.94E-03 σ_0=161.12 σ_{ID}=161.12 Σ_T=161.12
CC 12 SLD (Collegamento 0020_-377)
Azioni sul collegamento: N=-6795.55 Ty=-3.37 Tz=-0.06 Mx=0.01 Mz=-2.09
Sollecitazioni agenti localmente: Tx_l=-3.37 Ty_l=-0.06 N_l=-6795.55 My_l=2.09 Mz_l=0.01
Azioni sul cordone: TP=-0.26 TO=-0.01 NO=-502.33
Tensioni nel cordone: τ_P= 0.08 τ_0=3.94E-03 σ_0=162.72 σ_{ID}=162.72 Σ_T=162.72
CC 12 SLD (Collegamento 0020_-377)
Azioni sul collegamento: N=-6317.31 Ty=-2.98 Tz=1.60 Mx=0.01 Mz=-1.00
Sollecitazioni agenti localmente: Tx_l=-2.98 Ty_l=1.60 N_l=-6317.31 My_l=1.00 Mz_l=0.01
Azioni sul cordone: TP=-0.23 TO=0.11 NO=-466.98
Tensioni nel cordone: τ_P= 0.07 τ_0= 0.04 σ_0=149.88 σ_{ID}=149.88 Σ_T=149.92
CC 12 SLD (Collegamento 0020_-377)
Azioni sul collegamento: N=-6317.31 Ty=-3.37 Tz=1.60 Mx=0.01 Mz=-2.09
Sollecitazioni agenti localmente: Tx_l=-3.37 Ty_l=1.60 N_l=-6317.31 My_l=2.09 Mz_l=0.01
Azioni sul cordone: TP=-0.26 TO=0.11 NO=-466.98
Tensioni nel cordone: τ_P= 0.08 τ_0= 0.04 σ_0=151.48 σ_{ID}=151.48 Σ_T=151.52
CC 12 SLD (Collegamento 0020_-377)
Azioni sul collegamento: N=-6317.31 Ty=-2.98 Tz=-0.06 Mx=0.01 Mz=-1.00
Sollecitazioni agenti localmente: Tx_l=-2.98 Ty_l=-0.06 N_l=-6317.31 My_l=1.00 Mz_l=0.01
Azioni sul cordone: TP=-0.23 TO=-0.01 NO=-466.98
Tensioni nel cordone: τ_P= 0.07 τ_0=3.94E-03 σ_0=149.88 σ_{ID}=149.88 Σ_T=149.89
CC 12 SLD (Collegamento 0020_-377)
Azioni sul collegamento: N=-6317.31 Ty=-3.37 Tz=-0.06 Mx=0.01 Mz=-2.09
Sollecitazioni agenti localmente: Tx_l=-3.37 Ty_l=-0.06 N_l=-6317.31 My_l=2.09 Mz_l=0.01
Azioni sul cordone: TP=-0.26 TO=-0.01 NO=-466.98
Tensioni nel cordone: τ_P= 0.08 τ_0=3.94E-03 σ_0=151.48 σ_{ID}=151.48 Σ_T=151.49
CC 13 SLV (Collegamento 0020_-377)
Azioni sul collegamento: N=-5739.79 Ty=-1.68 Tz=-2.08 Mx=0.01 Mz=-1.26
Sollecitazioni agenti localmente: Tx_l=-1.68 Ty_l=-2.08 N_l=-5739.79 My_l=1.26 Mz_l=0.01
Azioni sul cordone: TP=-0.14 TO=-0.16 NO=-424.29
Tensioni nel cordone: τ_P= 0.04 τ_0= 0.05 σ_0=136.69 σ_{ID}=136.69 Σ_T=136.75
CC 13 SLV (Collegamento 0020_-377)
Azioni sul collegamento: N=-5739.79 Ty=-2.97 Tz=-2.08 Mx=0.01 Mz=2.33
Sollecitazioni agenti localmente: Tx_l=-2.97 Ty_l=-2.08 N_l=-5739.79 My_l=-2.33 Mz_l=0.01
Azioni sul cordone: TP=-0.23 TO=-0.15 NO=-424.29
Tensioni nel cordone: τ_P= 0.07 τ_0= 0.05 σ_0=138.27 σ_{ID}=138.27 Σ_T=138.31
CC 13 SLV (Collegamento 0020_-377)
Azioni sul collegamento: N=-5739.79 Ty=-1.68 Tz=3.37 Mx=0.01 Mz=-1.26
Sollecitazioni agenti localmente: Tx_l=-1.68 Ty_l=3.37 N_l=-5739.79 My_l=1.26 Mz_l=0.01
Azioni sul cordone: TP=-0.14 TO=0.24 NO=-424.29

Tensioni nel cordone: τ_P= 0.04 τ_0= 0.08 σ_0=136.69 σ_{ID}=136.69 Σ_T=136.77
CC 13 SLV (Collegamento 0020_-377)
Azioni sul collegamento: N=-5739.79 Ty=-2.97 Tz=3.37 Mx=0.01 Mz=2.33
Sollecitazioni agenti localmente: Tx_l=-2.97 Ty_l=3.37 N_l=-5739.79 My_l=-2.33 Mz_l=0.01
Azioni sul cordone: TP=-0.23 TO=0.26 NO=-424.29
Tensioni nel cordone: τ_P= 0.07 τ_0= 0.08 σ_0=138.27 σ_{ID}=138.27 Σ_T=138.35
CC 13 SLV (Collegamento 0020_-377)
Azioni sul collegamento: N=-7308.16 Ty=-1.68 Tz=-2.08 Mx=0.01 Mz=-1.26
Sollecitazioni agenti localmente: Tx_l=-1.68 Ty_l=-2.08 N_l=-7308.16 My_l=1.26 Mz_l=0.01
Azioni sul cordone: TP=-0.14 TO=-0.16 NO=-540.22
Tensioni nel cordone: τ_P= 0.04 τ_0= 0.05 σ_0=173.54 σ_{ID}=173.54 Σ_T=173.59
CC 13 SLV (Collegamento 0020_-377)
Azioni sul collegamento: N=-7308.16 Ty=-2.97 Tz=-2.08 Mx=0.01 Mz=2.33
Sollecitazioni agenti localmente: Tx_l=-2.97 Ty_l=-2.08 N_l=-7308.16 My_l=-2.33 Mz_l=0.01
Azioni sul cordone: TP=-0.23 TO=-0.15 NO=-540.22
Tensioni nel cordone: τ_P= 0.07 τ_0= 0.05 σ_0=175.12 σ_{ID}=175.12 Σ_T=175.16
CC 13 SLV (Collegamento 0020_-377)
Azioni sul collegamento: N=-7308.16 Ty=-1.68 Tz=3.37 Mx=0.01 Mz=-1.26
Sollecitazioni agenti localmente: Tx_l=-1.68 Ty_l=3.37 N_l=-7308.16 My_l=1.26 Mz_l=0.01
Azioni sul cordone: TP=-0.14 TO=0.24 NO=-540.22
Tensioni nel cordone: τ_P= 0.04 τ_0= 0.08 σ_0=173.54 σ_{ID}=173.54 Σ_T=173.62
CC 13 SLV (Collegamento 0020_-377)
Azioni sul collegamento: N=-7308.16 Ty=-2.97 Tz=3.37 Mx=0.01 Mz=2.33
Sollecitazioni agenti localmente: Tx_l=-2.97 Ty_l=3.37 N_l=-7308.16 My_l=-2.33 Mz_l=0.01
Azioni sul cordone: TP=-0.23 TO=0.26 NO=-540.22
Tensioni nel cordone: τ_P= 0.07 τ_0= 0.08 σ_0=175.12 σ_{ID}=175.12 Σ_T=175.20
CC 14 SLD (Collegamento 0020_-377)
Azioni sul collegamento: N=-6317.31 Ty=-3.37 Tz=-0.06 Mx=0.01 Mz=-2.09
Sollecitazioni agenti localmente: Tx_l=-3.37 Ty_l=-0.06 N_l=-6317.31 My_l=2.09 Mz_l=0.01
Azioni sul cordone: TP=-0.26 TO=-0.01 NO=-466.98
Tensioni nel cordone: τ_P= 0.08 τ_0=2.78E-03 σ_0=151.48 σ_{ID}=151.48 Σ_T=151.49
CC 14 SLD (Collegamento 0020_-377)
Azioni sul collegamento: N=-6317.31 Ty=-2.98 Tz=-0.06 Mx=0.01 Mz=-1.00
Sollecitazioni agenti localmente: Tx_l=-2.98 Ty_l=-0.06 N_l=-6317.31 My_l=1.00 Mz_l=0.01
Azioni sul cordone: TP=-0.23 TO=-0.01 NO=-466.98
Tensioni nel cordone: τ_P= 0.07 τ_0=2.78E-03 σ_0=149.88 σ_{ID}=149.88 Σ_T=149.89
CC 14 SLD (Collegamento 0020_-377)
Azioni sul collegamento: N=-6317.31 Ty=-3.37 Tz=1.60 Mx=0.01 Mz=-2.09
Sollecitazioni agenti localmente: Tx_l=-3.37 Ty_l=1.60 N_l=-6317.31 My_l=2.09 Mz_l=0.01
Azioni sul cordone: TP=-0.26 TO=0.11 NO=-466.98
Tensioni nel cordone: τ_P= 0.08 τ_0= 0.04 σ_0=151.48 σ_{ID}=151.48 Σ_T=151.52
CC 14 SLD (Collegamento 0020_-377)
Azioni sul collegamento: N=-6317.31 Ty=-2.98 Tz=1.60 Mx=0.01 Mz=-1.00
Sollecitazioni agenti localmente: Tx_l=-2.98 Ty_l=1.60 N_l=-6317.31 My_l=1.00 Mz_l=0.01
Azioni sul cordone: TP=-0.23 TO=0.11 NO=-466.98
Tensioni nel cordone: τ_P= 0.07 τ_0= 0.04 σ_0=149.88 σ_{ID}=149.88 Σ_T=149.92
CC 14 SLD (Collegamento 0020_-377)
Azioni sul collegamento: N=-6795.55 Ty=-3.37 Tz=-0.06 Mx=0.01 Mz=-2.09
Sollecitazioni agenti localmente: Tx_l=-3.37 Ty_l=-0.06 N_l=-6795.55 My_l=2.09 Mz_l=0.01
Azioni sul cordone: TP=-0.26 TO=-0.01 NO=-502.33
Tensioni nel cordone: τ_P= 0.08 τ_0=2.77E-03 σ_0=162.72 σ_{ID}=162.72 Σ_T=162.72
CC 14 SLD (Collegamento 0020_-377)
Azioni sul collegamento: N=-6795.55 Ty=-2.98 Tz=-0.06 Mx=0.01 Mz=-1.00
Sollecitazioni agenti localmente: Tx_l=-2.98 Ty_l=-0.06 N_l=-6795.55 My_l=1.00 Mz_l=0.01
Azioni sul cordone: TP=-0.23 TO=-0.01 NO=-502.33
Tensioni nel cordone: τ_P= 0.07 τ_0=2.77E-03 σ_0=161.12 σ_{ID}=161.12 Σ_T=161.12
CC 14 SLD (Collegamento 0020_-377)
Azioni sul collegamento: N=-6795.55 Ty=-3.37 Tz=1.60 Mx=0.01 Mz=-2.09
Sollecitazioni agenti localmente: Tx_l=-3.37 Ty_l=1.60 N_l=-6795.55 My_l=2.09 Mz_l=0.01
Azioni sul cordone: TP=-0.26 TO=0.11 NO=-502.33
Tensioni nel cordone: τ_P= 0.08 τ_0= 0.04 σ_0=162.72 σ_{ID}=162.72 Σ_T=162.75
CC 14 SLD (Collegamento 0020_-377)
Azioni sul collegamento: N=-6795.55 Ty=-2.98 Tz=1.60 Mx=0.01 Mz=-1.00
Sollecitazioni agenti localmente: Tx_l=-2.98 Ty_l=1.60 N_l=-6795.55 My_l=1.00 Mz_l=0.01
Azioni sul cordone: TP=-0.23 TO=0.11 NO=-502.33
Tensioni nel cordone: τ_P= 0.07 τ_0= 0.04 σ_0=161.12 σ_{ID}=161.12 Σ_T=161.16
CC 15 SLV (Collegamento 0020_-377)
Azioni sul collegamento: N=-7327.12 Ty=-0.86 Tz=3.80 Mx=0.01 Mz=-1.85
Sollecitazioni agenti localmente: Tx_l=-0.86 Ty_l=3.80 N_l=-7327.12 My_l=1.85 Mz_l=0.01
Azioni sul cordone: TP=-0.07 TO=0.27 NO=-541.62
Tensioni nel cordone: τ_P= 0.02 τ_0= 0.09 σ_0=174.86 σ_{ID}=174.86 Σ_T=174.95
CC 15 SLV (Collegamento 0020_-377)
Azioni sul collegamento: N=-7327.12 Ty=-3.80 Tz=3.80 Mx=0.01 Mz=2.93
Sollecitazioni agenti localmente: Tx_l=-3.80 Ty_l=3.80 N_l=-7327.12 My_l=-2.93 Mz_l=0.01
Azioni sul cordone: TP=-0.29 TO=0.29 NO=-541.62
Tensioni nel cordone: τ_P= 0.09 τ_0= 0.09 σ_0=176.44 σ_{ID}=176.44 Σ_T=176.53
CC 15 SLV (Collegamento 0020_-377)
Azioni sul collegamento: N=-7327.12 Ty=-0.86 Tz=-2.51 Mx=0.01 Mz=-1.85
Sollecitazioni agenti localmente: Tx_l=-0.86 Ty_l=-2.51 N_l=-7327.12 My_l=1.85 Mz_l=0.01

Azioni sul cordone: TP=-0.07 TO=-0.19 NO=-541.62
Tensioni nel cordone: τ_P= 0.02 τ_0= 0.06 σ_0=174.86 σ_{ID}=174.86 Σ_T=174.92
CC 15 SLV (Collegamento 0020_-377)
Azioni sul collegamento: N=-7327.12 Ty=-3.80 Tz=-2.51 Mx=0.01 Mz=2.93
Sollecitazioni agenti localmente: Tx_l=-3.80 Ty_l=-2.51 N_l=-7327.12 My_l=-2.93 Mz_l=0.01
Azioni sul cordone: TP=-0.29 TO=-0.18 NO=-541.62
Tensioni nel cordone: τ_P= 0.09 τ_0= 0.06 σ_0=176.44 σ_{ID}=176.44 Σ_T=176.49
CC 15 SLV (Collegamento 0020_-377)
Azioni sul collegamento: N=-5720.83 Ty=-0.86 Tz=3.80 Mx=0.01 Mz=-1.85
Sollecitazioni agenti localmente: Tx_l=-0.86 Ty_l=3.80 N_l=-5720.83 My_l=1.85 Mz_l=0.01
Azioni sul cordone: TP=-0.07 TO=0.27 NO=-422.88
Tensioni nel cordone: τ_P= 0.02 τ_0= 0.09 σ_0=137.12 σ_{ID}=137.12 Σ_T=137.21
CC 15 SLV (Collegamento 0020_-377)
Azioni sul collegamento: N=-5720.83 Ty=-3.80 Tz=3.80 Mx=0.01 Mz=2.93
Sollecitazioni agenti localmente: Tx_l=-3.80 Ty_l=3.80 N_l=-5720.83 My_l=-2.93 Mz_l=0.01
Azioni sul cordone: TP=-0.29 TO=0.29 NO=-422.88
Tensioni nel cordone: τ_P= 0.09 τ_0= 0.09 σ_0=138.69 σ_{ID}=138.69 Σ_T=138.79
CC 15 SLV (Collegamento 0020_-377)
Azioni sul collegamento: N=-5720.83 Ty=-0.86 Tz=-2.51 Mx=0.01 Mz=-1.85
Sollecitazioni agenti localmente: Tx_l=-0.86 Ty_l=-2.51 N_l=-5720.83 My_l=1.85 Mz_l=0.01
Azioni sul cordone: TP=-0.07 TO=-0.19 NO=-422.88
Tensioni nel cordone: τ_P= 0.02 τ_0= 0.06 σ_0=137.12 σ_{ID}=137.12 Σ_T=137.18
CC 15 SLV (Collegamento 0020_-377)
Azioni sul collegamento: N=-5720.83 Ty=-3.80 Tz=-2.51 Mx=0.01 Mz=2.93
Sollecitazioni agenti localmente: Tx_l=-3.80 Ty_l=-2.51 N_l=-5720.83 My_l=-2.93 Mz_l=0.01
Azioni sul cordone: TP=-0.29 TO=-0.18 NO=-422.88
Tensioni nel cordone: τ_P= 0.09 τ_0= 0.06 σ_0=138.69 σ_{ID}=138.69 Σ_T=138.75
CC 16 SLD (Collegamento 0020_-377)
Azioni sul collegamento: N=-6801.33 Ty=-3.62 Tz=1.73 Mx=0.01 Mz=-2.27
Sollecitazioni agenti localmente: Tx_l=-3.62 Ty_l=1.73 N_l=-6801.33 My_l=2.27 Mz_l=0.01
Azioni sul cordone: TP=-0.27 TO=0.12 NO=-502.76
Tensioni nel cordone: τ_P= 0.09 τ_0= 0.04 σ_0=163.12 σ_{ID}=163.12 Σ_T=163.16
CC 16 SLD (Collegamento 0020_-377)
Azioni sul collegamento: N=-6801.33 Ty=-2.73 Tz=1.73 Mx=0.01 Mz=-0.81
Sollecitazioni agenti localmente: Tx_l=-2.73 Ty_l=1.73 N_l=-6801.33 My_l=0.81 Mz_l=0.01
Azioni sul cordone: TP=-0.21 TO=0.12 NO=-502.76
Tensioni nel cordone: τ_P= 0.07 τ_0= 0.04 σ_0=160.99 σ_{ID}=160.99 Σ_T=161.03
CC 16 SLD (Collegamento 0020_-377)
Azioni sul collegamento: N=-6801.33 Ty=-3.62 Tz=-0.19 Mx=0.01 Mz=-2.27
Sollecitazioni agenti localmente: Tx_l=-3.62 Ty_l=-0.19 N_l=-6801.33 My_l=2.27 Mz_l=0.01
Azioni sul cordone: TP=-0.27 TO=-0.02 NO=-502.76
Tensioni nel cordone: τ_P= 0.09 τ_0=5.77E-03 σ_0=163.12 σ_{ID}=163.12 Σ_T=163.13
CC 16 SLD (Collegamento 0020_-377)
Azioni sul collegamento: N=-6801.33 Ty=-2.73 Tz=-0.19 Mx=0.01 Mz=-0.81
Sollecitazioni agenti localmente: Tx_l=-2.73 Ty_l=-0.19 N_l=-6801.33 My_l=0.81 Mz_l=0.01
Azioni sul cordone: TP=-0.21 TO=-0.02 NO=-502.76
Tensioni nel cordone: τ_P= 0.07 τ_0=5.77E-03 σ_0=160.99 σ_{ID}=160.99 Σ_T=161.00
CC 16 SLD (Collegamento 0020_-377)
Azioni sul collegamento: N=-6311.52 Ty=-3.62 Tz=1.73 Mx=0.01 Mz=-2.27
Sollecitazioni agenti localmente: Tx_l=-3.62 Ty_l=1.73 N_l=-6311.52 My_l=2.27 Mz_l=0.01
Azioni sul cordone: TP=-0.27 TO=0.12 NO=-466.55
Tensioni nel cordone: τ_P= 0.09 τ_0= 0.04 σ_0=151.61 σ_{ID}=151.61 Σ_T=151.65
CC 16 SLD (Collegamento 0020_-377)
Azioni sul collegamento: N=-6311.52 Ty=-2.73 Tz=1.73 Mx=0.01 Mz=-0.81
Sollecitazioni agenti localmente: Tx_l=-2.73 Ty_l=1.73 N_l=-6311.52 My_l=0.81 Mz_l=0.01
Azioni sul cordone: TP=-0.21 TO=0.12 NO=-466.55
Tensioni nel cordone: τ_P= 0.07 τ_0= 0.04 σ_0=149.48 σ_{ID}=149.48 Σ_T=149.52
CC 16 SLD (Collegamento 0020_-377)
Azioni sul collegamento: N=-6311.52 Ty=-3.62 Tz=-0.19 Mx=0.01 Mz=-2.27
Sollecitazioni agenti localmente: Tx_l=-3.62 Ty_l=-0.19 N_l=-6311.52 My_l=2.27 Mz_l=0.01
Azioni sul cordone: TP=-0.27 TO=-0.02 NO=-466.55
Tensioni nel cordone: τ_P= 0.09 τ_0=5.78E-03 σ_0=151.61 σ_{ID}=151.61 Σ_T=151.62
CC 16 SLD (Collegamento 0020_-377)
Azioni sul collegamento: N=-6311.52 Ty=-2.73 Tz=-0.19 Mx=0.01 Mz=-0.81
Sollecitazioni agenti localmente: Tx_l=-2.73 Ty_l=-0.19 N_l=-6311.52 My_l=0.81 Mz_l=0.01
Azioni sul cordone: TP=-0.21 TO=-0.02 NO=-466.55
Tensioni nel cordone: τ_P= 0.07 τ_0=5.78E-03 σ_0=149.48 σ_{ID}=149.48 Σ_T=149.49
CC 17 SLV (Collegamento 0020_-377)
Azioni sul collegamento: N=-3968.96 Ty=-3.07 Tz=-8.85 Mx=-0.01 Mz=-3.83
Sollecitazioni agenti localmente: Tx_l=-3.07 Ty_l=-8.85 N_l=-3968.96 My_l=3.83 Mz_l=-0.01
Azioni sul cordone: TP=-0.21 TO=-0.64 NO=-293.39
Tensioni nel cordone: τ_P= 0.07 τ_0=0.20 σ_0=98.85 σ_{ID}=98.85 Σ_T=99.05
CC 17 SLV (Collegamento 0020_-377)
Azioni sul collegamento: N=-3968.96 Ty=-6.45 Tz=-8.85 Mx=-0.01 Mz=-7.08
Sollecitazioni agenti localmente: Tx_l=-6.45 Ty_l=-8.85 N_l=-3968.96 My_l=7.08 Mz_l=-0.01
Azioni sul cordone: TP=-0.46 TO=-0.64 NO=-293.39
Tensioni nel cordone: τ_P=0.15 τ_0=0.20 σ_0=103.59 σ_{ID}=103.59 Σ_T=103.79
CC 17 SLV (Collegamento 0020_-377)
Azioni sul collegamento: N=-3968.96 Ty=-3.07 Tz=10.87 Mx=-0.01 Mz=-3.83

Sollecitazioni agenti localmente: Tx_l=-3.07 Ty_l=10.87 N_l=-3968.96 My_l=3.83 Mz_l=-0.01
Azioni sul cordone: TP=-0.21 TO=0.81 NO=-293.39
Tensioni nel cordone: τ_P= 0.07 τ_0=0.26 σ_0=98.85 σ_{ID}=98.85 Σ_T=99.10
CC 17 SLV (Collegamento 0020_-377)
Azioni sul collegamento: N=-3968.96 Ty=-6.45 Tz=10.87 Mx=-0.01 Mz=-7.08
Sollecitazioni agenti localmente: Tx_l=-6.45 Ty_l=10.87 N_l=-3968.96 My_l=7.08 Mz_l=-0.01
Azioni sul cordone: TP=-0.46 TO=0.81 NO=-293.39
Tensioni nel cordone: τ_P=0.15 τ_0=0.26 σ_0=103.59 σ_{ID}=103.59 Σ_T=103.85
CC 17 SLV (Collegamento 0020_-377)
Azioni sul collegamento: N=-9265.76 Ty=-3.07 Tz=-8.85 Mx=-0.01 Mz=-3.83
Sollecitazioni agenti localmente: Tx_l=-3.07 Ty_l=-8.85 N_l=-9265.76 My_l=3.83 Mz_l=-0.01
Azioni sul cordone: TP=-0.21 TO=-0.64 NO=-684.93
Tensioni nel cordone: τ_P= 0.07 τ_0=0.20 σ_0=223.30 σ_{ID}=223.30 Σ_T=223.50
CC 17 SLV (Collegamento 0020_-377)
Azioni sul collegamento: N=-9265.76 Ty=-6.45 Tz=-8.85 Mx=-0.01 Mz=-7.08
Sollecitazioni agenti localmente: Tx_l=-6.45 Ty_l=-8.85 N_l=-9265.76 My_l=7.08 Mz_l=-0.01
Azioni sul cordone: TP=-0.46 TO=-0.64 NO=-684.93
Tensioni nel cordone: τ_P=0.15 τ_0=0.20 σ_0=228.04 σ_{ID}=228.04 Σ_T=228.25
CC 17 SLV (Collegamento 0020_-377)
Azioni sul collegamento: N=-9265.76 Ty=-3.07 Tz=10.87 Mx=-0.01 Mz=-3.83
Sollecitazioni agenti localmente: Tx_l=-3.07 Ty_l=10.87 N_l=-9265.76 My_l=3.83 Mz_l=-0.01
Azioni sul cordone: TP=-0.21 TO=0.81 NO=-684.93
Tensioni nel cordone: τ_P= 0.07 τ_0=0.26 σ_0=223.30 σ_{ID}=223.30 Σ_T=223.56
CC 17 SLV (Collegamento 0020_-377)
Azioni sul collegamento: N=-9265.76 Ty=-6.45 Tz=10.87 Mx=-0.01 Mz=-7.08
Sollecitazioni agenti localmente: Tx_l=-6.45 Ty_l=10.87 N_l=-9265.76 My_l=7.08 Mz_l=-0.01
Azioni sul cordone: TP=-0.46 TO=0.81 NO=-684.93
Tensioni nel cordone: τ_P=0.15 τ_0=0.26 σ_0=228.04 σ_{ID}=228.04 Σ_T=228.30
CC 18 SLD (Collegamento 0020_-377)
Azioni sul collegamento: N=-5777.32 Ty=-3.40 Tz=-2.12 Mx=-0.00 Mz=-2.87
Sollecitazioni agenti localmente: Tx_l=-3.40 Ty_l=-2.12 N_l=-5777.32 My_l=2.87 Mz_l=-0.00
Azioni sul cordone: TP=-0.25 TO=-0.16 NO=-427.06
Tensioni nel cordone: τ_P= 0.08 τ_0= 0.05 σ_0=139.94 σ_{ID}=139.94 Σ_T=139.99
CC 18 SLD (Collegamento 0020_-377)
Azioni sul collegamento: N=-5777.32 Ty=-4.43 Tz=-2.12 Mx=-0.00 Mz=-3.87
Sollecitazioni agenti localmente: Tx_l=-4.43 Ty_l=-2.12 N_l=-5777.32 My_l=3.87 Mz_l=-0.00
Azioni sul cordone: TP=-0.33 TO=-0.16 NO=-427.06
Tensioni nel cordone: τ_P=0.10 τ_0= 0.05 σ_0=141.39 σ_{ID}=141.39 Σ_T=141.44
CC 18 SLD (Collegamento 0020_-377)
Azioni sul collegamento: N=-5777.32 Ty=-3.40 Tz=3.89 Mx=-0.00 Mz=-2.87
Sollecitazioni agenti localmente: Tx_l=-3.40 Ty_l=3.89 N_l=-5777.32 My_l=2.87 Mz_l=-0.00
Azioni sul cordone: TP=-0.25 TO=0.29 NO=-427.06
Tensioni nel cordone: τ_P= 0.08 τ_0= 0.09 σ_0=139.94 σ_{ID}=139.94 Σ_T=140.03
CC 18 SLD (Collegamento 0020_-377)
Azioni sul collegamento: N=-5777.32 Ty=-4.43 Tz=3.89 Mx=-0.00 Mz=-3.87
Sollecitazioni agenti localmente: Tx_l=-4.43 Ty_l=3.89 N_l=-5777.32 My_l=3.87 Mz_l=-0.00
Azioni sul cordone: TP=-0.33 TO=0.29 NO=-427.06
Tensioni nel cordone: τ_P=0.10 τ_0= 0.09 σ_0=141.39 σ_{ID}=141.39 Σ_T=141.48
CC 18 SLD (Collegamento 0020_-377)
Azioni sul collegamento: N=-7392.49 Ty=-3.40 Tz=-2.12 Mx=-0.00 Mz=-2.87
Sollecitazioni agenti localmente: Tx_l=-3.40 Ty_l=-2.12 N_l=-7392.49 My_l=2.87 Mz_l=-0.00
Azioni sul cordone: TP=-0.25 TO=-0.16 NO=-546.46
Tensioni nel cordone: τ_P= 0.08 τ_0= 0.05 σ_0=177.89 σ_{ID}=177.89 Σ_T=177.94
CC 18 SLD (Collegamento 0020_-377)
Azioni sul collegamento: N=-7392.49 Ty=-4.43 Tz=-2.12 Mx=-0.00 Mz=-3.87
Sollecitazioni agenti localmente: Tx_l=-4.43 Ty_l=-2.12 N_l=-7392.49 My_l=3.87 Mz_l=-0.00
Azioni sul cordone: TP=-0.33 TO=-0.16 NO=-546.46
Tensioni nel cordone: τ_P=0.10 τ_0= 0.05 σ_0=179.34 σ_{ID}=179.34 Σ_T=179.39
CC 18 SLD (Collegamento 0020_-377)
Azioni sul collegamento: N=-7392.49 Ty=-3.40 Tz=3.89 Mx=-0.00 Mz=-2.87
Sollecitazioni agenti localmente: Tx_l=-3.40 Ty_l=3.89 N_l=-7392.49 My_l=2.87 Mz_l=-0.00
Azioni sul cordone: TP=-0.25 TO=0.29 NO=-546.46
Tensioni nel cordone: τ_P= 0.08 τ_0= 0.09 σ_0=177.89 σ_{ID}=177.89 Σ_T=177.98
CC 18 SLD (Collegamento 0020_-377)
Azioni sul collegamento: N=-7392.49 Ty=-4.43 Tz=3.89 Mx=-0.00 Mz=-3.87
Sollecitazioni agenti localmente: Tx_l=-4.43 Ty_l=3.89 N_l=-7392.49 My_l=3.87 Mz_l=-0.00
Azioni sul cordone: TP=-0.33 TO=0.29 NO=-546.46
Tensioni nel cordone: τ_P=0.10 τ_0= 0.09 σ_0=179.34 σ_{ID}=179.34 Σ_T=179.43
CC 19 SLV (Collegamento 0020_-377)
Azioni sul collegamento: N=-3974.65 Ty=-3.70 Tz=-8.72 Mx=-0.01 Mz=-5.08
Sollecitazioni agenti localmente: Tx_l=-3.70 Ty_l=-8.72 N_l=-3974.65 My_l=5.08 Mz_l=-0.01
Azioni sul cordone: TP=-0.26 TO=-0.64 NO=-293.81
Tensioni nel cordone: τ_P= 0.08 τ_0=0.20 σ_0=100.81 σ_{ID}=100.81 Σ_T=101.02
CC 19 SLV (Collegamento 0020_-377)
Azioni sul collegamento: N=-3974.65 Ty=-5.81 Tz=-8.72 Mx=-0.01 Mz=-5.82
Sollecitazioni agenti localmente: Tx_l=-5.81 Ty_l=-8.72 N_l=-3974.65 My_l=5.82 Mz_l=-0.01
Azioni sul cordone: TP=-0.42 TO=-0.64 NO=-293.81
Tensioni nel cordone: τ_P=0.13 τ_0=0.20 σ_0=101.89 σ_{ID}=101.89 Σ_T=102.09
CC 19 SLV (Collegamento 0020_-377)

Azioni sul collegamento: N=-3974.65 Ty=-3.70 Tz=10.74 Mx=-0.01 Mz=-5.08
Sollecitazioni agenti localmente: Tx_l=-3.70 Ty_l=10.74 N_l=-3974.65 My_l=5.08 Mz_l=-0.01
Azioni sul cordone: TP=-0.26 TO=0.80 NO=-293.81
Tensioni nel cordone: τ_P= 0.08 τ_0=0.25 σ_0=100.81 σ_{ID}=100.81 Σ_T=101.07
CC 19 SLV (Collegamento 0020_-377)
Azioni sul collegamento: N=-3974.65 Ty=-5.81 Tz=10.74 Mx=-0.01 Mz=-5.82
Sollecitazioni agenti localmente: Tx_l=-5.81 Ty_l=10.74 N_l=-3974.65 My_l=5.82 Mz_l=-0.01
Azioni sul cordone: TP=-0.42 TO=0.80 NO=-293.81
Tensioni nel cordone: τ_P=0.13 τ_0=0.25 σ_0=101.89 σ_{ID}=101.89 Σ_T=102.14
CC 19 SLV (Collegamento 0020_-377)
Azioni sul collegamento: N=-9260.08 Ty=-3.70 Tz=-8.72 Mx=-0.01 Mz=-5.08
Sollecitazioni agenti localmente: Tx_l=-3.70 Ty_l=-8.72 N_l=-9260.08 My_l=5.08 Mz_l=-0.01
Azioni sul cordone: TP=-0.26 TO=-0.64 NO=-684.51
Tensioni nel cordone: τ_P= 0.08 τ_0=0.20 σ_0=225.00 σ_{ID}=225.00 Σ_T=225.20
CC 19 SLV (Collegamento 0020_-377)
Azioni sul collegamento: N=-9260.08 Ty=-5.81 Tz=-8.72 Mx=-0.01 Mz=-5.82
Sollecitazioni agenti localmente: Tx_l=-5.81 Ty_l=-8.72 N_l=-9260.08 My_l=5.82 Mz_l=-0.01
Azioni sul cordone: TP=-0.42 TO=-0.64 NO=-684.51
Tensioni nel cordone: τ_P=0.13 τ_0=0.20 σ_0=226.07 σ_{ID}=226.07 Σ_T=226.28
CC 19 SLV (Collegamento 0020_-377)
Azioni sul collegamento: N=-9260.08 Ty=-3.70 Tz=10.74 Mx=-0.01 Mz=-5.08
Sollecitazioni agenti localmente: Tx_l=-3.70 Ty_l=10.74 N_l=-9260.08 My_l=5.08 Mz_l=-0.01
Azioni sul cordone: TP=-0.26 TO=0.80 NO=-684.51
Tensioni nel cordone: τ_P= 0.08 τ_0=0.25 σ_0=225.00 σ_{ID}=225.00 Σ_T=225.25
CC 19 SLV (Collegamento 0020_-377)
Azioni sul collegamento: N=-9260.08 Ty=-5.81 Tz=10.74 Mx=-0.01 Mz=-5.82
Sollecitazioni agenti localmente: Tx_l=-5.81 Ty_l=10.74 N_l=-9260.08 My_l=5.82 Mz_l=-0.01
Azioni sul cordone: TP=-0.42 TO=0.80 NO=-684.51
Tensioni nel cordone: τ_P=0.13 τ_0=0.25 σ_0=226.07 σ_{ID}=226.07 Σ_T=226.33
CC 20 SLD (Collegamento 0020_-377)
Azioni sul collegamento: N=-5779.06 Ty=-3.59 Tz=-2.08 Mx=-0.00 Mz=-3.26
Sollecitazioni agenti localmente: Tx_l=-3.59 Ty_l=-2.08 N_l=-5779.06 My_l=3.26 Mz_l=-0.00
Azioni sul cordone: TP=-0.27 TO=-0.15 NO=-427.19
Tensioni nel cordone: τ_P= 0.08 τ_0= 0.05 σ_0=140.54 σ_{ID}=140.54 Σ_T=140.59
CC 20 SLD (Collegamento 0020_-377)
Azioni sul collegamento: N=-5779.06 Ty=-4.24 Tz=-2.08 Mx=-0.00 Mz=-3.48
Sollecitazioni agenti localmente: Tx_l=-4.24 Ty_l=-2.08 N_l=-5779.06 My_l=3.48 Mz_l=-0.00
Azioni sul cordone: TP=-0.31 TO=-0.15 NO=-427.19
Tensioni nel cordone: τ_P= 0.10 τ_0= 0.05 σ_0=140.87 σ_{ID}=140.87 Σ_T=140.92
CC 20 SLD (Collegamento 0020_-377)
Azioni sul collegamento: N=-5779.06 Ty=-3.59 Tz=3.85 Mx=-0.00 Mz=-3.26
Sollecitazioni agenti localmente: Tx_l=-3.59 Ty_l=3.85 N_l=-5779.06 My_l=3.26 Mz_l=-0.00
Azioni sul cordone: TP=-0.27 TO=0.28 NO=-427.19
Tensioni nel cordone: τ_P= 0.08 τ_0= 0.09 σ_0=140.54 σ_{ID}=140.54 Σ_T=140.63
CC 20 SLD (Collegamento 0020_-377)
Azioni sul collegamento: N=-5779.06 Ty=-4.24 Tz=3.85 Mx=-0.00 Mz=-3.48
Sollecitazioni agenti localmente: Tx_l=-4.24 Ty_l=3.85 N_l=-5779.06 My_l=3.48 Mz_l=-0.00
Azioni sul cordone: TP=-0.31 TO=0.28 NO=-427.19
Tensioni nel cordone: τ_P= 0.10 τ_0= 0.09 σ_0=140.87 σ_{ID}=140.87 Σ_T=140.96
CC 20 SLD (Collegamento 0020_-377)
Azioni sul collegamento: N=-7390.75 Ty=-3.59 Tz=-2.08 Mx=-0.00 Mz=-3.26
Sollecitazioni agenti localmente: Tx_l=-3.59 Ty_l=-2.08 N_l=-7390.75 My_l=3.26 Mz_l=-0.00
Azioni sul cordone: TP=-0.27 TO=-0.15 NO=-546.33
Tensioni nel cordone: τ_P= 0.08 τ_0= 0.05 σ_0=178.41 σ_{ID}=178.41 Σ_T=178.46
CC 20 SLD (Collegamento 0020_-377)
Azioni sul collegamento: N=-7390.75 Ty=-4.24 Tz=-2.08 Mx=-0.00 Mz=-3.48
Sollecitazioni agenti localmente: Tx_l=-4.24 Ty_l=-2.08 N_l=-7390.75 My_l=3.48 Mz_l=-0.00
Azioni sul cordone: TP=-0.31 TO=-0.15 NO=-546.33
Tensioni nel cordone: τ_P= 0.10 τ_0= 0.05 σ_0=178.74 σ_{ID}=178.74 Σ_T=178.78
CC 20 SLD (Collegamento 0020_-377)
Azioni sul collegamento: N=-7390.75 Ty=-3.59 Tz=3.85 Mx=-0.00 Mz=-3.26
Sollecitazioni agenti localmente: Tx_l=-3.59 Ty_l=3.85 N_l=-7390.75 My_l=3.26 Mz_l=-0.00
Azioni sul cordone: TP=-0.27 TO=0.28 NO=-546.33
Tensioni nel cordone: τ_P= 0.08 τ_0= 0.09 σ_0=178.41 σ_{ID}=178.41 Σ_T=178.50
CC 20 SLD (Collegamento 0020_-377)
Azioni sul collegamento: N=-7390.75 Ty=-4.24 Tz=3.85 Mx=-0.00 Mz=-3.48
Sollecitazioni agenti localmente: Tx_l=-4.24 Ty_l=3.85 N_l=-7390.75 My_l=3.48 Mz_l=-0.00
Azioni sul cordone: TP=-0.31 TO=0.28 NO=-546.33
Tensioni nel cordone: τ_P= 0.10 τ_0= 0.09 σ_0=178.74 σ_{ID}=178.74 Σ_T=178.83
CC 21 SLV (Collegamento 0020_-377)
Azioni sul collegamento: N=-9260.08 Ty=-5.81 Tz=10.74 Mx=-0.01 Mz=-5.82
Sollecitazioni agenti localmente: Tx_l=-5.81 Ty_l=10.74 N_l=-9260.08 My_l=5.82 Mz_l=-0.01
Azioni sul cordone: TP=-0.42 TO=0.80 NO=-684.51
Tensioni nel cordone: τ_P=0.13 τ_0=0.26 σ_0=226.07 σ_{ID}=226.07 Σ_T=226.33
CC 21 SLV (Collegamento 0020_-377)
Azioni sul collegamento: N=-9260.08 Ty=-3.70 Tz=10.74 Mx=-0.01 Mz=-5.08
Sollecitazioni agenti localmente: Tx_l=-3.70 Ty_l=10.74 N_l=-9260.08 My_l=5.08 Mz_l=-0.01
Azioni sul cordone: TP=-0.26 TO=0.80 NO=-684.51
Tensioni nel cordone: τ_P= 0.08 τ_0=0.26 σ_0=225.00 σ_{ID}=225.00 Σ_T=225.25

CC 21 SLV (Collegamento 0020_-377)
Azioni sul collegamento: N=-9260.08 Ty=-5.81 Tz=-8.72 Mx=-0.01 Mz=-5.82
Sollecitazioni agenti localmente: Tx_l=-5.81 Ty_l=-8.72 N_l=-9260.08 My_l=5.82 Mz_l=-0.01
Azioni sul cordone: TP=-0.42 TO=-0.64 NO=-684.51
Tensioni nel cordone: τ_P=0.13 τ_0=0.20 σ_0=226.07 σ_{ID}=226.07 Σ_T=226.27
CC 21 SLV (Collegamento 0020_-377)
Azioni sul collegamento: N=-9260.08 Ty=-3.70 Tz=-8.72 Mx=-0.01 Mz=-5.08
Sollecitazioni agenti localmente: Tx_l=-3.70 Ty_l=-8.72 N_l=-9260.08 My_l=5.08 Mz_l=-0.01
Azioni sul cordone: TP=-0.26 TO=-0.64 NO=-684.51
Tensioni nel cordone: τ_P= 0.08 τ_0=0.20 σ_0=225.00 σ_{ID}=225.00 Σ_T=225.20
CC 21 SLV (Collegamento 0020_-377)
Azioni sul collegamento: N=-3974.65 Ty=-5.81 Tz=10.74 Mx=-0.01 Mz=-5.82
Sollecitazioni agenti localmente: Tx_l=-5.81 Ty_l=10.74 N_l=-3974.65 My_l=5.82 Mz_l=-0.01
Azioni sul cordone: TP=-0.42 TO=0.80 NO=-293.81
Tensioni nel cordone: τ_P=0.13 τ_0=0.26 σ_0=101.89 σ_{ID}=101.89 Σ_T=102.14
CC 21 SLV (Collegamento 0020_-377)
Azioni sul collegamento: N=-3974.65 Ty=-3.70 Tz=10.74 Mx=-0.01 Mz=-5.08
Sollecitazioni agenti localmente: Tx_l=-3.70 Ty_l=10.74 N_l=-3974.65 My_l=5.08 Mz_l=-0.01
Azioni sul cordone: TP=-0.26 TO=0.80 NO=-293.81
Tensioni nel cordone: τ_P= 0.08 τ_0=0.26 σ_0=100.81 σ_{ID}=100.81 Σ_T=101.07
CC 21 SLV (Collegamento 0020_-377)
Azioni sul collegamento: N=-3974.65 Ty=-5.81 Tz=-8.72 Mx=-0.01 Mz=-5.82
Sollecitazioni agenti localmente: Tx_l=-5.81 Ty_l=-8.72 N_l=-3974.65 My_l=5.82 Mz_l=-0.01
Azioni sul cordone: TP=-0.42 TO=-0.64 NO=-293.81
Tensioni nel cordone: τ_P=0.13 τ_0=0.20 σ_0=101.89 σ_{ID}=101.89 Σ_T=102.09
CC 21 SLV (Collegamento 0020_-377)
Azioni sul collegamento: N=-3974.65 Ty=-3.70 Tz=-8.72 Mx=-0.01 Mz=-5.08
Sollecitazioni agenti localmente: Tx_l=-3.70 Ty_l=-8.72 N_l=-3974.65 My_l=5.08 Mz_l=-0.01
Azioni sul cordone: TP=-0.26 TO=-0.64 NO=-293.81
Tensioni nel cordone: τ_P= 0.08 τ_0=0.20 σ_0=100.81 σ_{ID}=100.81 Σ_T=101.02
CC 22 SLD (Collegamento 0020_-377)
Azioni sul collegamento: N=-7390.75 Ty=-4.24 Tz=3.85 Mx=-0.00 Mz=-3.48
Sollecitazioni agenti localmente: Tx_l=-4.24 Ty_l=3.85 N_l=-7390.75 My_l=3.48 Mz_l=-0.00
Azioni sul cordone: TP=-0.31 TO=0.29 NO=-546.33
Tensioni nel cordone: τ_P= 0.10 τ_0= 0.09 σ_0=178.74 σ_{ID}=178.74 Σ_T=178.83
CC 22 SLD (Collegamento 0020_-377)
Azioni sul collegamento: N=-7390.75 Ty=-3.59 Tz=3.85 Mx=-0.00 Mz=-3.26
Sollecitazioni agenti localmente: Tx_l=-3.59 Ty_l=3.85 N_l=-7390.75 My_l=3.26 Mz_l=-0.00
Azioni sul cordone: TP=-0.26 TO=0.29 NO=-546.33
Tensioni nel cordone: τ_P= 0.08 τ_0= 0.09 σ_0=178.41 σ_{ID}=178.41 Σ_T=178.50
CC 22 SLD (Collegamento 0020_-377)
Azioni sul collegamento: N=-7390.75 Ty=-4.24 Tz=-2.08 Mx=-0.00 Mz=-3.48
Sollecitazioni agenti localmente: Tx_l=-4.24 Ty_l=-2.08 N_l=-7390.75 My_l=3.48 Mz_l=-0.00
Azioni sul cordone: TP=-0.31 TO=-0.15 NO=-546.33
Tensioni nel cordone: τ_P= 0.10 τ_0= 0.05 σ_0=178.74 σ_{ID}=178.74 Σ_T=178.78
CC 22 SLD (Collegamento 0020_-377)
Azioni sul collegamento: N=-7390.75 Ty=-3.59 Tz=-2.08 Mx=-0.00 Mz=-3.26
Sollecitazioni agenti localmente: Tx_l=-3.59 Ty_l=-2.08 N_l=-7390.75 My_l=3.26 Mz_l=-0.00
Azioni sul cordone: TP=-0.26 TO=-0.15 NO=-546.33
Tensioni nel cordone: τ_P= 0.08 τ_0= 0.05 σ_0=178.41 σ_{ID}=178.41 Σ_T=178.46
CC 22 SLD (Collegamento 0020_-377)
Azioni sul collegamento: N=-5779.06 Ty=-4.24 Tz=3.85 Mx=-0.00 Mz=-3.48
Sollecitazioni agenti localmente: Tx_l=-4.24 Ty_l=3.85 N_l=-5779.06 My_l=3.48 Mz_l=-0.00
Azioni sul cordone: TP=-0.31 TO=0.29 NO=-427.19
Tensioni nel cordone: τ_P= 0.10 τ_0= 0.09 σ_0=140.87 σ_{ID}=140.87 Σ_T=140.96
CC 22 SLD (Collegamento 0020_-377)
Azioni sul collegamento: N=-5779.06 Ty=-3.59 Tz=3.85 Mx=-0.00 Mz=-3.26
Sollecitazioni agenti localmente: Tx_l=-3.59 Ty_l=3.85 N_l=-5779.06 My_l=3.26 Mz_l=-0.00
Azioni sul cordone: TP=-0.26 TO=0.29 NO=-427.19
Tensioni nel cordone: τ_P= 0.08 τ_0= 0.09 σ_0=140.54 σ_{ID}=140.54 Σ_T=140.63
CC 22 SLD (Collegamento 0020_-377)
Azioni sul collegamento: N=-5779.06 Ty=-4.24 Tz=-2.08 Mx=-0.00 Mz=-3.48
Sollecitazioni agenti localmente: Tx_l=-4.24 Ty_l=-2.08 N_l=-5779.06 My_l=3.48 Mz_l=-0.00
Azioni sul cordone: TP=-0.31 TO=-0.15 NO=-427.19
Tensioni nel cordone: τ_P= 0.10 τ_0= 0.05 σ_0=140.87 σ_{ID}=140.87 Σ_T=140.92
CC 22 SLD (Collegamento 0020_-377)
Azioni sul collegamento: N=-5779.06 Ty=-3.59 Tz=-2.08 Mx=-0.00 Mz=-3.26
Sollecitazioni agenti localmente: Tx_l=-3.59 Ty_l=-2.08 N_l=-5779.06 My_l=3.26 Mz_l=-0.00
Azioni sul cordone: TP=-0.26 TO=-0.15 NO=-427.19
Tensioni nel cordone: τ_P= 0.08 τ_0= 0.05 σ_0=140.54 σ_{ID}=140.54 Σ_T=140.59
CC 23 SLV (Collegamento 0020_-377)
Azioni sul collegamento: N=-9265.76 Ty=-6.45 Tz=10.87 Mx=-0.01 Mz=-7.08
Sollecitazioni agenti localmente: Tx_l=-6.45 Ty_l=10.87 N_l=-9265.76 My_l=7.08 Mz_l=-0.01
Azioni sul cordone: TP=-0.47 TO=0.81 NO=-684.93
Tensioni nel cordone: τ_P=0.15 τ_0=0.26 σ_0=228.04 σ_{ID}=228.04 Σ_T=228.30
CC 23 SLV (Collegamento 0020_-377)
Azioni sul collegamento: N=-9265.76 Ty=-3.07 Tz=10.87 Mx=-0.01 Mz=-3.83
Sollecitazioni agenti localmente: Tx_l=-3.07 Ty_l=10.87 N_l=-9265.76 My_l=3.83 Mz_l=-0.01
Azioni sul cordone: TP=-0.22 TO=0.81 NO=-684.93

Tensioni nel cordone: τ_P= 0.07 τ_0=0.26 σ_0=223.30 σ_{ID}=223.30 Σ_T=223.55
CC 23 SLV (Collegamento 0020_-377)
Azioni sul collegamento: N=-9265.76 Ty=-6.45 Tz=-8.85 Mx=-0.01 Mz=-7.08
Sollecitazioni agenti localmente: Tx_l=-6.45 Ty_l=-8.85 N_l=-9265.76 My_l=7.08 Mz_l=-0.01
Azioni sul cordone: TP=-0.47 TO=-0.65 NO=-684.93
Tensioni nel cordone: τ_P=0.15 τ_0=0.21 σ_0=228.04 σ_{ID}=228.04 Σ_T=228.25
CC 23 SLV (Collegamento 0020_-377)
Azioni sul collegamento: N=-9265.76 Ty=-3.07 Tz=-8.85 Mx=-0.01 Mz=-3.83
Sollecitazioni agenti localmente: Tx_l=-3.07 Ty_l=-8.85 N_l=-9265.76 My_l=3.83 Mz_l=-0.01
Azioni sul cordone: TP=-0.22 TO=-0.65 NO=-684.93
Tensioni nel cordone: τ_P= 0.07 τ_0=0.21 σ_0=223.30 σ_{ID}=223.30 Σ_T=223.50
CC 23 SLV (Collegamento 0020_-377)
Azioni sul collegamento: N=-3968.96 Ty=-6.45 Tz=10.87 Mx=-0.01 Mz=-7.08
Sollecitazioni agenti localmente: Tx_l=-6.45 Ty_l=10.87 N_l=-3968.96 My_l=7.08 Mz_l=-0.01
Azioni sul cordone: TP=-0.47 TO=0.81 NO=-293.39
Tensioni nel cordone: τ_P=0.15 τ_0=0.26 σ_0=103.59 σ_{ID}=103.59 Σ_T=103.85
CC 23 SLV (Collegamento 0020_-377)
Azioni sul collegamento: N=-3968.96 Ty=-3.07 Tz=10.87 Mx=-0.01 Mz=-3.83
Sollecitazioni agenti localmente: Tx_l=-3.07 Ty_l=10.87 N_l=-3968.96 My_l=3.83 Mz_l=-0.01
Azioni sul cordone: TP=-0.22 TO=0.81 NO=-293.39
Tensioni nel cordone: τ_P= 0.07 τ_0=0.26 σ_0=98.85 σ_{ID}=98.85 Σ_T=99.10
CC 23 SLV (Collegamento 0020_-377)
Azioni sul collegamento: N=-3968.96 Ty=-6.45 Tz=-8.85 Mx=-0.01 Mz=-7.08
Sollecitazioni agenti localmente: Tx_l=-6.45 Ty_l=-8.85 N_l=-3968.96 My_l=7.08 Mz_l=-0.01
Azioni sul cordone: TP=-0.47 TO=-0.65 NO=-293.39
Tensioni nel cordone: τ_P=0.15 τ_0=0.21 σ_0=103.59 σ_{ID}=103.59 Σ_T=103.80
CC 23 SLV (Collegamento 0020_-377)
Azioni sul collegamento: N=-3968.96 Ty=-3.07 Tz=-8.85 Mx=-0.01 Mz=-3.83
Sollecitazioni agenti localmente: Tx_l=-3.07 Ty_l=-8.85 N_l=-3968.96 My_l=3.83 Mz_l=-0.01
Azioni sul cordone: TP=-0.22 TO=-0.65 NO=-293.39
Tensioni nel cordone: τ_P= 0.07 τ_0=0.21 σ_0=98.85 σ_{ID}=98.85 Σ_T=99.05
CC 24 SLD (Collegamento 0020_-377)
Azioni sul collegamento: N=-7392.49 Ty=-4.43 Tz=3.89 Mx=0.00 Mz=-3.87
Sollecitazioni agenti localmente: Tx_l=-4.43 Ty_l=3.89 N_l=-7392.49 My_l=3.87 Mz_l=0.00
Azioni sul cordone: TP=-0.33 TO=0.29 NO=-546.46
Tensioni nel cordone: τ_P=0.10 τ_0= 0.09 σ_0=179.34 σ_{ID}=179.34 Σ_T=179.43
CC 24 SLD (Collegamento 0020_-377)
Azioni sul collegamento: N=-7392.49 Ty=-3.40 Tz=3.89 Mx=0.00 Mz=-2.87
Sollecitazioni agenti localmente: Tx_l=-3.40 Ty_l=3.89 N_l=-7392.49 My_l=2.87 Mz_l=0.00
Azioni sul cordone: TP=-0.25 TO=0.29 NO=-546.46
Tensioni nel cordone: τ_P= 0.08 τ_0= 0.09 σ_0=177.89 σ_{ID}=177.89 Σ_T=177.98
CC 24 SLD (Collegamento 0020_-377)
Azioni sul collegamento: N=-7392.49 Ty=-4.43 Tz=-2.12 Mx=0.00 Mz=-3.87
Sollecitazioni agenti localmente: Tx_l=-4.43 Ty_l=-2.12 N_l=-7392.49 My_l=3.87 Mz_l=0.00
Azioni sul cordone: TP=-0.33 TO=-0.16 NO=-546.46
Tensioni nel cordone: τ_P=0.10 τ_0= 0.05 σ_0=179.34 σ_{ID}=179.34 Σ_T=179.39
CC 24 SLD (Collegamento 0020_-377)
Azioni sul collegamento: N=-7392.49 Ty=-3.40 Tz=-2.12 Mx=0.00 Mz=-2.87
Sollecitazioni agenti localmente: Tx_l=-3.40 Ty_l=-2.12 N_l=-7392.49 My_l=2.87 Mz_l=0.00
Azioni sul cordone: TP=-0.25 TO=-0.16 NO=-546.46
Tensioni nel cordone: τ_P= 0.08 τ_0= 0.05 σ_0=177.89 σ_{ID}=177.89 Σ_T=177.94
CC 24 SLD (Collegamento 0020_-377)
Azioni sul collegamento: N=-5777.32 Ty=-4.43 Tz=3.89 Mx=0.00 Mz=-3.87
Sollecitazioni agenti localmente: Tx_l=-4.43 Ty_l=3.89 N_l=-5777.32 My_l=3.87 Mz_l=0.00
Azioni sul cordone: TP=-0.33 TO=0.29 NO=-427.06
Tensioni nel cordone: τ_P=0.10 τ_0= 0.09 σ_0=141.39 σ_{ID}=141.39 Σ_T=141.48
CC 24 SLD (Collegamento 0020_-377)
Azioni sul collegamento: N=-5777.32 Ty=-3.40 Tz=3.89 Mx=0.00 Mz=-2.87
Sollecitazioni agenti localmente: Tx_l=-3.40 Ty_l=3.89 N_l=-5777.32 My_l=2.87 Mz_l=0.00
Azioni sul cordone: TP=-0.25 TO=0.29 NO=-427.06
Tensioni nel cordone: τ_P= 0.08 τ_0= 0.09 σ_0=139.94 σ_{ID}=139.94 Σ_T=140.03
CC 24 SLD (Collegamento 0020_-377)
Azioni sul collegamento: N=-5777.32 Ty=-4.43 Tz=-2.12 Mx=0.00 Mz=-3.87
Sollecitazioni agenti localmente: Tx_l=-4.43 Ty_l=-2.12 N_l=-5777.32 My_l=3.87 Mz_l=0.00
Azioni sul cordone: TP=-0.33 TO=-0.16 NO=-427.06
Tensioni nel cordone: τ_P=0.10 τ_0= 0.05 σ_0=141.39 σ_{ID}=141.39 Σ_T=141.44
CC 24 SLD (Collegamento 0020_-377)
Azioni sul collegamento: N=-5777.32 Ty=-3.40 Tz=-2.12 Mx=0.00 Mz=-2.87
Sollecitazioni agenti localmente: Tx_l=-3.40 Ty_l=-2.12 N_l=-5777.32 My_l=2.87 Mz_l=0.00
Azioni sul cordone: TP=-0.25 TO=-0.16 NO=-427.06
Tensioni nel cordone: τ_P= 0.08 τ_0= 0.05 σ_0=139.94 σ_{ID}=139.94 Σ_T=139.99
CC 25 SLV (Collegamento 0020_-377)
Azioni sul collegamento: N=-5814.21 Ty=-3.29 Tz=-2.14 Mx=-0.02 Mz=-3.06
Sollecitazioni agenti localmente: Tx_l=-3.29 Ty_l=-2.14 N_l=-5814.21 My_l=3.06 Mz_l=-0.02
Azioni sul cordone: TP=-0.22 TO=-0.14 NO=-429.79
Tensioni nel cordone: τ_P= 0.07 τ_0= 0.05 σ_0=141.08 σ_{ID}=141.08 Σ_T=141.12
CC 25 SLV (Collegamento 0020_-377)
Azioni sul collegamento: N=-5814.21 Ty=-6.23 Tz=-2.14 Mx=-0.02 Mz=-7.84
Sollecitazioni agenti localmente: Tx_l=-6.23 Ty_l=-2.14 N_l=-5814.21 My_l=7.84 Mz_l=-0.02

Azioni sul cordone: TP=-0.44 TO=-0.14 NO=-429.79
Tensioni nel cordone: τ_P=0.14 τ_O= 0.05 σ_O=148.07 σ_{ID}=148.07 Σ_T=148.11
CC 25 SLV (Collegamento 0020_-377)
Azioni sul collegamento: N=-5814.21 Ty=-3.29 Tz=4.16 Mx=-0.02 Mz=-3.06
Sollecitazioni agenti localmente: Tx_l=-3.29 Ty_l=4.16 N_l=-5814.21 My_l=3.06 Mz_l=-0.02
Azioni sul cordone: TP=-0.22 TO=0.32 NO=-429.79
Tensioni nel cordone: τ_P= 0.07 τ_O=0.10 σ_O=141.08 σ_{ID}=141.08 Σ_T=141.18
CC 25 SLV (Collegamento 0020_-377)
Azioni sul collegamento: N=-5814.21 Ty=-6.23 Tz=4.16 Mx=-0.02 Mz=-7.84
Sollecitazioni agenti localmente: Tx_l=-6.23 Ty_l=4.16 N_l=-5814.21 My_l=7.84 Mz_l=-0.02
Azioni sul cordone: TP=-0.44 TO=0.32 NO=-429.79
Tensioni nel cordone: τ_P=0.14 τ_O=0.10 σ_O=148.07 σ_{ID}=148.07 Σ_T=148.17
CC 25 SLV (Collegamento 0020_-377)
Azioni sul collegamento: N=-7420.51 Ty=-3.29 Tz=-2.14 Mx=-0.02 Mz=-3.06
Sollecitazioni agenti localmente: Tx_l=-3.29 Ty_l=-2.14 N_l=-7420.51 My_l=3.06 Mz_l=-0.02
Azioni sul cordone: TP=-0.22 TO=-0.14 NO=-548.53
Tensioni nel cordone: τ_P= 0.07 τ_O= 0.05 σ_O=178.82 σ_{ID}=178.82 Σ_T=178.86
CC 25 SLV (Collegamento 0020_-377)
Azioni sul collegamento: N=-7420.51 Ty=-6.23 Tz=-2.14 Mx=-0.02 Mz=-7.84
Sollecitazioni agenti localmente: Tx_l=-6.23 Ty_l=-2.14 N_l=-7420.51 My_l=7.84 Mz_l=-0.02
Azioni sul cordone: TP=-0.44 TO=-0.14 NO=-548.53
Tensioni nel cordone: τ_P=0.14 τ_O= 0.05 σ_O=185.81 σ_{ID}=185.81 Σ_T=185.85
CC 25 SLV (Collegamento 0020_-377)
Azioni sul collegamento: N=-7420.51 Ty=-3.29 Tz=4.16 Mx=-0.02 Mz=-3.06
Sollecitazioni agenti localmente: Tx_l=-3.29 Ty_l=4.16 N_l=-7420.51 My_l=3.06 Mz_l=-0.02
Azioni sul cordone: TP=-0.22 TO=0.32 NO=-548.53
Tensioni nel cordone: τ_P= 0.07 τ_O=0.10 σ_O=178.82 σ_{ID}=178.82 Σ_T=178.92
CC 25 SLV (Collegamento 0020_-377)
Azioni sul collegamento: N=-7420.51 Ty=-6.23 Tz=4.16 Mx=-0.02 Mz=-7.84
Sollecitazioni agenti localmente: Tx_l=-6.23 Ty_l=4.16 N_l=-7420.51 My_l=7.84 Mz_l=-0.02
Azioni sul cordone: TP=-0.44 TO=0.32 NO=-548.53
Tensioni nel cordone: τ_P=0.14 τ_O=0.10 σ_O=185.81 σ_{ID}=185.81 Σ_T=185.91
CC 26 SLD (Collegamento 0020_-377)
Azioni sul collegamento: N=-6340.00 Ty=-3.47 Tz=-0.08 Mx=-0.00 Mz=-2.64
Sollecitazioni agenti localmente: Tx_l=-3.47 Ty_l=-0.08 N_l=-6340.00 My_l=2.64 Mz_l=-0.00
Azioni sul cordone: TP=-0.25 TO=-0.00 NO=-468.65
Tensioni nel cordone: τ_P= 0.08 τ_O=1.06E-03 σ_O=152.82 σ_{ID}=152.82 Σ_T=152.82
CC 26 SLD (Collegamento 0020_-377)
Azioni sul collegamento: N=-6340.00 Ty=-4.36 Tz=-0.08 Mx=-0.00 Mz=-4.10
Sollecitazioni agenti localmente: Tx_l=-4.36 Ty_l=-0.08 N_l=-6340.00 My_l=4.10 Mz_l=-0.00
Azioni sul cordone: TP=-0.32 TO=-0.00 NO=-468.65
Tensioni nel cordone: τ_P=0.10 τ_O=1.06E-03 σ_O=154.95 σ_{ID}=154.95 Σ_T=154.95
CC 26 SLD (Collegamento 0020_-377)
Azioni sul collegamento: N=-6340.00 Ty=-3.47 Tz=1.85 Mx=-0.00 Mz=-2.64
Sollecitazioni agenti localmente: Tx_l=-3.47 Ty_l=1.85 N_l=-6340.00 My_l=2.64 Mz_l=-0.00
Azioni sul cordone: TP=-0.25 TO=0.14 NO=-468.65
Tensioni nel cordone: τ_P= 0.08 τ_O= 0.04 σ_O=152.82 σ_{ID}=152.82 Σ_T=152.86
CC 26 SLD (Collegamento 0020_-377)
Azioni sul collegamento: N=-6340.00 Ty=-4.36 Tz=1.85 Mx=-0.00 Mz=-4.10
Sollecitazioni agenti localmente: Tx_l=-4.36 Ty_l=1.85 N_l=-6340.00 My_l=4.10 Mz_l=-0.00
Azioni sul cordone: TP=-0.32 TO=0.14 NO=-468.65
Tensioni nel cordone: τ_P=0.10 τ_O= 0.04 σ_O=154.95 σ_{ID}=154.95 Σ_T=155.00
CC 26 SLD (Collegamento 0020_-377)
Azioni sul collegamento: N=-6829.81 Ty=-3.47 Tz=-0.08 Mx=-0.00 Mz=-2.64
Sollecitazioni agenti localmente: Tx_l=-3.47 Ty_l=-0.08 N_l=-6829.81 My_l=2.64 Mz_l=-0.00
Azioni sul cordone: TP=-0.25 TO=-0.00 NO=-504.86
Tensioni nel cordone: τ_P= 0.08 τ_O=1.06E-03 σ_O=164.33 σ_{ID}=164.33 Σ_T=164.33
CC 26 SLD (Collegamento 0020_-377)
Azioni sul collegamento: N=-6829.81 Ty=-4.36 Tz=-0.08 Mx=-0.00 Mz=-4.10
Sollecitazioni agenti localmente: Tx_l=-4.36 Ty_l=-0.08 N_l=-6829.81 My_l=4.10 Mz_l=-0.00
Azioni sul cordone: TP=-0.32 TO=-0.00 NO=-504.86
Tensioni nel cordone: τ_P=0.10 τ_O=1.06E-03 σ_O=166.46 σ_{ID}=166.46 Σ_T=166.46
CC 26 SLD (Collegamento 0020_-377)
Azioni sul collegamento: N=-6829.81 Ty=-3.47 Tz=1.85 Mx=-0.00 Mz=-2.64
Sollecitazioni agenti localmente: Tx_l=-3.47 Ty_l=1.85 N_l=-6829.81 My_l=2.64 Mz_l=-0.00
Azioni sul cordone: TP=-0.25 TO=0.14 NO=-504.86
Tensioni nel cordone: τ_P= 0.08 τ_O= 0.04 σ_O=164.33 σ_{ID}=164.33 Σ_T=164.37
CC 26 SLD (Collegamento 0020_-377)
Azioni sul collegamento: N=-6829.81 Ty=-4.36 Tz=1.85 Mx=-0.00 Mz=-4.10
Sollecitazioni agenti localmente: Tx_l=-4.36 Ty_l=1.85 N_l=-6829.81 My_l=4.10 Mz_l=-0.00
Azioni sul cordone: TP=-0.32 TO=0.14 NO=-504.86
Tensioni nel cordone: τ_P=0.10 τ_O= 0.04 σ_O=166.46 σ_{ID}=166.46 Σ_T=166.50
CC 27 SLV (Collegamento 0020_-377)
Azioni sul collegamento: N=-7401.55 Ty=-4.11 Tz=3.74 Mx=-0.02 Mz=-3.66
Sollecitazioni agenti localmente: Tx_l=-4.11 Ty_l=3.74 N_l=-7401.55 My_l=3.66 Mz_l=-0.02
Azioni sul cordone: TP=-0.28 TO=0.29 NO=-547.13
Tensioni nel cordone: τ_P= 0.09 τ_O= 0.09 σ_O=179.25 σ_{ID}=179.25 Σ_T=179.34
CC 27 SLV (Collegamento 0020_-377)
Azioni sul collegamento: N=-7401.55 Ty=-5.40 Tz=3.74 Mx=-0.02 Mz=-7.25

Sollecitazioni agenti localmente: Tx_l=-5.40 Ty_l=3.74 N_l=-7401.55 My_l=7.25 Mz_l=-0.02
Azioni sul cordone: TP=-0.38 TO=0.29 NO=-547.13
Tensioni nel cordone: τ_P=0.12 τ_0= 0.09 σ_0=184.49 σ_{ID}=184.49 Σ_T=184.58
CC 27 SLV (Collegamento 0020_-377)
Azioni sul collegamento: N=-7401.55 Ty=-4.11 Tz=-1.71 Mx=-0.02 Mz=-3.66
Sollecitazioni agenti localmente: Tx_l=-4.11 Ty_l=-1.71 N_l=-7401.55 My_l=3.66 Mz_l=-0.02
Azioni sul cordone: TP=-0.28 TO=-0.11 NO=-547.13
Tensioni nel cordone: τ_P= 0.09 τ_0= 0.04 σ_0=179.25 σ_{ID}=179.25 Σ_T=179.28
CC 27 SLV (Collegamento 0020_-377)
Azioni sul collegamento: N=-7401.55 Ty=-5.40 Tz=-1.71 Mx=-0.02 Mz=-7.25
Sollecitazioni agenti localmente: Tx_l=-5.40 Ty_l=-1.71 N_l=-7401.55 My_l=7.25 Mz_l=-0.02
Azioni sul cordone: TP=-0.38 TO=-0.11 NO=-547.13
Tensioni nel cordone: τ_P=0.12 τ_0= 0.04 σ_0=184.49 σ_{ID}=184.49 Σ_T=184.53
CC 27 SLV (Collegamento 0020_-377)
Azioni sul collegamento: N=-5833.17 Ty=-4.11 Tz=3.74 Mx=-0.02 Mz=-3.66
Sollecitazioni agenti localmente: Tx_l=-4.11 Ty_l=3.74 N_l=-5833.17 My_l=3.66 Mz_l=-0.02
Azioni sul cordone: TP=-0.28 TO=0.29 NO=-431.19
Tensioni nel cordone: τ_P= 0.09 τ_0= 0.09 σ_0=142.40 σ_{ID}=142.40 Σ_T=142.49
CC 27 SLV (Collegamento 0020_-377)
Azioni sul collegamento: N=-5833.17 Ty=-5.40 Tz=3.74 Mx=-0.02 Mz=-7.25
Sollecitazioni agenti localmente: Tx_l=-5.40 Ty_l=3.74 N_l=-5833.17 My_l=7.25 Mz_l=-0.02
Azioni sul cordone: TP=-0.38 TO=0.29 NO=-431.19
Tensioni nel cordone: τ_P=0.12 τ_0= 0.09 σ_0=147.64 σ_{ID}=147.64 Σ_T=147.73
CC 27 SLV (Collegamento 0020_-377)
Azioni sul collegamento: N=-5833.17 Ty=-4.11 Tz=-1.71 Mx=-0.02 Mz=-3.66
Sollecitazioni agenti localmente: Tx_l=-4.11 Ty_l=-1.71 N_l=-5833.17 My_l=3.66 Mz_l=-0.02
Azioni sul cordone: TP=-0.28 TO=-0.11 NO=-431.19
Tensioni nel cordone: τ_P= 0.09 τ_0= 0.04 σ_0=142.40 σ_{ID}=142.40 Σ_T=142.43
CC 27 SLV (Collegamento 0020_-377)
Azioni sul collegamento: N=-5833.17 Ty=-5.40 Tz=-1.71 Mx=-0.02 Mz=-7.25
Sollecitazioni agenti localmente: Tx_l=-5.40 Ty_l=-1.71 N_l=-5833.17 My_l=7.25 Mz_l=-0.02
Azioni sul cordone: TP=-0.38 TO=-0.11 NO=-431.19
Tensioni nel cordone: τ_P=0.12 τ_0= 0.04 σ_0=147.64 σ_{ID}=147.64 Σ_T=147.68
CC 28 SLD (Collegamento 0020_-377)
Azioni sul collegamento: N=-6824.03 Ty=-3.72 Tz=1.72 Mx=-0.00 Mz=-2.82
Sollecitazioni agenti localmente: Tx_l=-3.72 Ty_l=1.72 N_l=-6824.03 My_l=2.82 Mz_l=-0.00
Azioni sul cordone: TP=-0.27 TO=0.13 NO=-504.43
Tensioni nel cordone: τ_P= 0.09 τ_0= 0.04 σ_0=164.46 σ_{ID}=164.46 Σ_T=164.50
CC 28 SLD (Collegamento 0020_-377)
Azioni sul collegamento: N=-6824.03 Ty=-4.11 Tz=1.72 Mx=-0.00 Mz=-3.92
Sollecitazioni agenti localmente: Tx_l=-4.11 Ty_l=1.72 N_l=-6824.03 My_l=3.92 Mz_l=-0.00
Azioni sul cordone: TP=-0.30 TO=0.13 NO=-504.43
Tensioni nel cordone: τ_P= 0.10 τ_0= 0.04 σ_0=166.06 σ_{ID}=166.06 Σ_T=166.10
CC 28 SLD (Collegamento 0020_-377)
Azioni sul collegamento: N=-6824.03 Ty=-3.72 Tz=0.05 Mx=-0.00 Mz=-2.82
Sollecitazioni agenti localmente: Tx_l=-3.72 Ty_l=0.05 N_l=-6824.03 My_l=2.82 Mz_l=-0.00
Azioni sul cordone: TP=-0.27 TO=0.01 NO=-504.43
Tensioni nel cordone: τ_P= 0.09 τ_0=1.94E-03 σ_0=164.46 σ_{ID}=164.46 Σ_T=164.46
CC 28 SLD (Collegamento 0020_-377)
Azioni sul collegamento: N=-6824.03 Ty=-4.11 Tz=0.05 Mx=-0.00 Mz=-3.92
Sollecitazioni agenti localmente: Tx_l=-4.11 Ty_l=0.05 N_l=-6824.03 My_l=3.92 Mz_l=-0.00
Azioni sul cordone: TP=-0.30 TO=0.01 NO=-504.43
Tensioni nel cordone: τ_P= 0.10 τ_0=1.94E-03 σ_0=166.06 σ_{ID}=166.06 Σ_T=166.06
CC 28 SLD (Collegamento 0020_-377)
Azioni sul collegamento: N=-6345.78 Ty=-3.72 Tz=1.72 Mx=-0.00 Mz=-2.82
Sollecitazioni agenti localmente: Tx_l=-3.72 Ty_l=1.72 N_l=-6345.78 My_l=2.82 Mz_l=-0.00
Azioni sul cordone: TP=-0.27 TO=0.13 NO=-469.08
Tensioni nel cordone: τ_P= 0.09 τ_0= 0.04 σ_0=153.22 σ_{ID}=153.22 Σ_T=153.26
CC 28 SLD (Collegamento 0020_-377)
Azioni sul collegamento: N=-6345.78 Ty=-4.11 Tz=1.72 Mx=-0.00 Mz=-3.92
Sollecitazioni agenti localmente: Tx_l=-4.11 Ty_l=1.72 N_l=-6345.78 My_l=3.92 Mz_l=-0.00
Azioni sul cordone: TP=-0.30 TO=0.13 NO=-469.08
Tensioni nel cordone: τ_P= 0.10 τ_0= 0.04 σ_0=154.82 σ_{ID}=154.82 Σ_T=154.86
CC 28 SLD (Collegamento 0020_-377)
Azioni sul collegamento: N=-6345.78 Ty=-3.72 Tz=0.05 Mx=-0.00 Mz=-2.82
Sollecitazioni agenti localmente: Tx_l=-3.72 Ty_l=0.05 N_l=-6345.78 My_l=2.82 Mz_l=-0.00
Azioni sul cordone: TP=-0.27 TO=0.01 NO=-469.08
Tensioni nel cordone: τ_P= 0.09 τ_0=1.94E-03 σ_0=153.22 σ_{ID}=153.22 Σ_T=153.22
CC 28 SLD (Collegamento 0020_-377)
Azioni sul collegamento: N=-6345.78 Ty=-4.11 Tz=0.05 Mx=-0.00 Mz=-3.92
Sollecitazioni agenti localmente: Tx_l=-4.11 Ty_l=0.05 N_l=-6345.78 My_l=3.92 Mz_l=-0.00
Azioni sul cordone: TP=-0.30 TO=0.01 NO=-469.08
Tensioni nel cordone: τ_P= 0.10 τ_0=1.94E-03 σ_0=154.82 σ_{ID}=154.82 Σ_T=154.82
CC 29 SLV (Collegamento 0020_-377)
Azioni sul collegamento: N=-5833.17 Ty=-5.40 Tz=-1.71 Mx=-0.00 Mz=-7.25
Sollecitazioni agenti localmente: Tx_l=-5.40 Ty_l=-1.71 N_l=-5833.17 My_l=7.25 Mz_l=-0.00
Azioni sul cordone: TP=-0.40 TO=-0.12 NO=-431.19
Tensioni nel cordone: τ_P=0.13 τ_0= 0.04 σ_0=147.64 σ_{ID}=147.64 Σ_T=147.68
CC 29 SLV (Collegamento 0020_-377)

Azioni sul collegamento: N=-5833.17 Ty=-4.11 Tz=-1.71 Mx=-0.00 Mz=-3.66
Sollecitazioni agenti localmente: Tx_l=-4.11 Ty_l=-1.71 N_l=-5833.17 My_l=3.66 Mz_l=-0.00
Azioni sul cordone: TP=-0.30 TO=-0.12 NO=-431.19
Tensioni nel cordone: τ_P= 0.10 τ_O= 0.04 σ_O=142.40 σ_{ID}=142.40 Σ_T=142.44
CC 29 SLV (Collegamento 0020_-377)
Azioni sul collegamento: N=-5833.17 Ty=-5.40 Tz=3.74 Mx=-0.00 Mz=-7.25
Sollecitazioni agenti localmente: Tx_l=-5.40 Ty_l=3.74 N_l=-5833.17 My_l=7.25 Mz_l=-0.00
Azioni sul cordone: TP=-0.40 TO=0.28 NO=-431.19
Tensioni nel cordone: τ_P=0.13 τ_O= 0.09 σ_O=147.64 σ_{ID}=147.64 Σ_T=147.73
CC 29 SLV (Collegamento 0020_-377)
Azioni sul collegamento: N=-5833.17 Ty=-4.11 Tz=3.74 Mx=-0.00 Mz=-3.66
Sollecitazioni agenti localmente: Tx_l=-4.11 Ty_l=3.74 N_l=-5833.17 My_l=3.66 Mz_l=-0.00
Azioni sul cordone: TP=-0.30 TO=0.28 NO=-431.19
Tensioni nel cordone: τ_P= 0.10 τ_O= 0.09 σ_O=142.40 σ_{ID}=142.40 Σ_T=142.49
CC 29 SLV (Collegamento 0020_-377)
Azioni sul collegamento: N=-7401.55 Ty=-5.40 Tz=-1.71 Mx=-0.00 Mz=-7.25
Sollecitazioni agenti localmente: Tx_l=-5.40 Ty_l=-1.71 N_l=-7401.55 My_l=7.25 Mz_l=-0.00
Azioni sul cordone: TP=-0.40 TO=-0.12 NO=-547.13
Tensioni nel cordone: τ_P=0.13 τ_O= 0.04 σ_O=184.49 σ_{ID}=184.49 Σ_T=184.53
CC 29 SLV (Collegamento 0020_-377)
Azioni sul collegamento: N=-7401.55 Ty=-4.11 Tz=-1.71 Mx=-0.00 Mz=-3.66
Sollecitazioni agenti localmente: Tx_l=-4.11 Ty_l=-1.71 N_l=-7401.55 My_l=3.66 Mz_l=-0.00
Azioni sul cordone: TP=-0.30 TO=-0.12 NO=-547.13
Tensioni nel cordone: τ_P= 0.10 τ_O= 0.04 σ_O=179.25 σ_{ID}=179.25 Σ_T=179.29
CC 29 SLV (Collegamento 0020_-377)
Azioni sul collegamento: N=-7401.55 Ty=-5.40 Tz=3.74 Mx=-0.00 Mz=-7.25
Sollecitazioni agenti localmente: Tx_l=-5.40 Ty_l=3.74 N_l=-7401.55 My_l=7.25 Mz_l=-0.00
Azioni sul cordone: TP=-0.40 TO=0.28 NO=-547.13
Tensioni nel cordone: τ_P=0.13 τ_O= 0.09 σ_O=184.49 σ_{ID}=184.49 Σ_T=184.58
CC 29 SLV (Collegamento 0020_-377)
Azioni sul collegamento: N=-7401.55 Ty=-4.11 Tz=3.74 Mx=-0.00 Mz=-3.66
Sollecitazioni agenti localmente: Tx_l=-4.11 Ty_l=3.74 N_l=-7401.55 My_l=3.66 Mz_l=-0.00
Azioni sul cordone: TP=-0.30 TO=0.28 NO=-547.13
Tensioni nel cordone: τ_P= 0.10 τ_O= 0.09 σ_O=179.25 σ_{ID}=179.25 Σ_T=179.33
CC 30 SLD (Collegamento 0020_-377)
Azioni sul collegamento: N=-6345.78 Ty=-4.11 Tz=0.05 Mx=0.00 Mz=-3.92
Sollecitazioni agenti localmente: Tx_l=-4.11 Ty_l=0.05 N_l=-6345.78 My_l=3.92 Mz_l=0.00
Azioni sul cordone: TP=-0.31 TO=0.00 NO=-469.08
Tensioni nel cordone: τ_P= 0.10 τ_O=7.66E-04 σ_O=154.82 σ_{ID}=154.82 Σ_T=154.82
CC 30 SLD (Collegamento 0020_-377)
Azioni sul collegamento: N=-6345.78 Ty=-3.72 Tz=0.05 Mx=0.00 Mz=-2.82
Sollecitazioni agenti localmente: Tx_l=-3.72 Ty_l=0.05 N_l=-6345.78 My_l=2.82 Mz_l=0.00
Azioni sul cordone: TP=-0.28 TO=0.00 NO=-469.08
Tensioni nel cordone: τ_P= 0.09 τ_O=7.66E-04 σ_O=153.22 σ_{ID}=153.22 Σ_T=153.22
CC 30 SLD (Collegamento 0020_-377)
Azioni sul collegamento: N=-6345.78 Ty=-4.11 Tz=1.72 Mx=0.00 Mz=-3.92
Sollecitazioni agenti localmente: Tx_l=-4.11 Ty_l=1.72 N_l=-6345.78 My_l=3.92 Mz_l=0.00
Azioni sul cordone: TP=-0.31 TO=0.13 NO=-469.08
Tensioni nel cordone: τ_P= 0.10 τ_O= 0.04 σ_O=154.82 σ_{ID}=154.82 Σ_T=154.86
CC 30 SLD (Collegamento 0020_-377)
Azioni sul collegamento: N=-6345.78 Ty=-3.72 Tz=1.72 Mx=0.00 Mz=-2.82
Sollecitazioni agenti localmente: Tx_l=-3.72 Ty_l=1.72 N_l=-6345.78 My_l=2.82 Mz_l=0.00
Azioni sul cordone: TP=-0.28 TO=0.13 NO=-469.08
Tensioni nel cordone: τ_P= 0.09 τ_O= 0.04 σ_O=153.22 σ_{ID}=153.22 Σ_T=153.26
CC 30 SLD (Collegamento 0020_-377)
Azioni sul collegamento: N=-6824.03 Ty=-4.11 Tz=0.05 Mx=0.00 Mz=-3.92
Sollecitazioni agenti localmente: Tx_l=-4.11 Ty_l=0.05 N_l=-6824.03 My_l=3.92 Mz_l=0.00
Azioni sul cordone: TP=-0.31 TO=0.00 NO=-504.43
Tensioni nel cordone: τ_P= 0.10 τ_O=7.70E-04 σ_O=166.06 σ_{ID}=166.06 Σ_T=166.06
CC 30 SLD (Collegamento 0020_-377)
Azioni sul collegamento: N=-6824.03 Ty=-3.72 Tz=0.05 Mx=0.00 Mz=-2.82
Sollecitazioni agenti localmente: Tx_l=-3.72 Ty_l=0.05 N_l=-6824.03 My_l=2.82 Mz_l=0.00
Azioni sul cordone: TP=-0.28 TO=0.00 NO=-504.43
Tensioni nel cordone: τ_P= 0.09 τ_O=7.70E-04 σ_O=164.46 σ_{ID}=164.46 Σ_T=164.46
CC 30 SLD (Collegamento 0020_-377)
Azioni sul collegamento: N=-6824.03 Ty=-4.11 Tz=1.72 Mx=0.00 Mz=-3.92
Sollecitazioni agenti localmente: Tx_l=-4.11 Ty_l=1.72 N_l=-6824.03 My_l=3.92 Mz_l=0.00
Azioni sul cordone: TP=-0.31 TO=0.13 NO=-504.43
Tensioni nel cordone: τ_P= 0.10 τ_O= 0.04 σ_O=166.06 σ_{ID}=166.06 Σ_T=166.10
CC 30 SLD (Collegamento 0020_-377)
Azioni sul collegamento: N=-6824.03 Ty=-3.72 Tz=1.72 Mx=0.00 Mz=-2.82
Sollecitazioni agenti localmente: Tx_l=-3.72 Ty_l=1.72 N_l=-6824.03 My_l=2.82 Mz_l=0.00
Azioni sul cordone: TP=-0.28 TO=0.13 NO=-504.43
Tensioni nel cordone: τ_P= 0.09 τ_O= 0.04 σ_O=164.46 σ_{ID}=164.46 Σ_T=164.50
CC 31 SLV (Collegamento 0020_-377)
Azioni sul collegamento: N=-7420.51 Ty=-6.23 Tz=4.16 Mx=-0.00 Mz=-7.84
Sollecitazioni agenti localmente: Tx_l=-6.23 Ty_l=4.16 N_l=-7420.51 My_l=7.84 Mz_l=-0.00
Azioni sul cordone: TP=-0.46 TO=0.31 NO=-548.53
Tensioni nel cordone: τ_P=0.15 τ_O= 0.10 σ_O=185.81 σ_{ID}=185.81 Σ_T=185.91

CC 31 SLV (Collegamento 0020_-377)
Azioni sul collegamento: N=-7420.51 Ty=-3.29 Tz=4.16 Mx=-0.00 Mz=-3.06
Sollecitazioni agenti localmente: Tx_l=-3.29 Ty_l=4.16 N_l=-7420.51 My_l=3.06 Mz_l=-0.00
Azioni sul cordone: TP=-0.24 TO=0.31 NO=-548.53
Tensioni nel cordone: τ_P= 0.08 τ_0= 0.10 σ_0=178.82 σ_{ID}=178.82 Σ_T=178.92
CC 31 SLV (Collegamento 0020_-377)
Azioni sul collegamento: N=-7420.51 Ty=-6.23 Tz=-2.14 Mx=-0.00 Mz=-7.84
Sollecitazioni agenti localmente: Tx_l=-6.23 Ty_l=-2.14 N_l=-7420.51 My_l=7.84 Mz_l=-0.00
Azioni sul cordone: TP=-0.46 TO=-0.16 NO=-548.53
Tensioni nel cordone: τ_P=0.15 τ_0= 0.05 σ_0=185.81 σ_{ID}=185.81 Σ_T=185.86
CC 31 SLV (Collegamento 0020_-377)
Azioni sul collegamento: N=-7420.51 Ty=-3.29 Tz=-2.14 Mx=-0.00 Mz=-3.06
Sollecitazioni agenti localmente: Tx_l=-3.29 Ty_l=-2.14 N_l=-7420.51 My_l=3.06 Mz_l=-0.00
Azioni sul cordone: TP=-0.24 TO=-0.16 NO=-548.53
Tensioni nel cordone: τ_P= 0.08 τ_0= 0.05 σ_0=178.82 σ_{ID}=178.82 Σ_T=178.87
CC 31 SLV (Collegamento 0020_-377)
Azioni sul collegamento: N=-5814.21 Ty=-6.23 Tz=4.16 Mx=-0.00 Mz=-7.84
Sollecitazioni agenti localmente: Tx_l=-6.23 Ty_l=4.16 N_l=-5814.21 My_l=7.84 Mz_l=-0.00
Azioni sul cordone: TP=-0.46 TO=0.31 NO=-429.79
Tensioni nel cordone: τ_P=0.15 τ_0= 0.10 σ_0=148.07 σ_{ID}=148.07 Σ_T=148.16
CC 31 SLV (Collegamento 0020_-377)
Azioni sul collegamento: N=-5814.21 Ty=-3.29 Tz=4.16 Mx=-0.00 Mz=-3.06
Sollecitazioni agenti localmente: Tx_l=-3.29 Ty_l=4.16 N_l=-5814.21 My_l=3.06 Mz_l=-0.00
Azioni sul cordone: TP=-0.24 TO=0.31 NO=-429.79
Tensioni nel cordone: τ_P= 0.08 τ_0= 0.10 σ_0=141.08 σ_{ID}=141.08 Σ_T=141.18
CC 31 SLV (Collegamento 0020_-377)
Azioni sul collegamento: N=-5814.21 Ty=-6.23 Tz=-2.14 Mx=-0.00 Mz=-7.84
Sollecitazioni agenti localmente: Tx_l=-6.23 Ty_l=-2.14 N_l=-5814.21 My_l=7.84 Mz_l=-0.00
Azioni sul cordone: TP=-0.46 TO=-0.16 NO=-429.79
Tensioni nel cordone: τ_P=0.15 τ_0= 0.05 σ_0=148.07 σ_{ID}=148.07 Σ_T=148.12
CC 31 SLV (Collegamento 0020_-377)
Azioni sul collegamento: N=-5814.21 Ty=-3.29 Tz=-2.14 Mx=-0.00 Mz=-3.06
Sollecitazioni agenti localmente: Tx_l=-3.29 Ty_l=-2.14 N_l=-5814.21 My_l=3.06 Mz_l=-0.00
Azioni sul cordone: TP=-0.24 TO=-0.16 NO=-429.79
Tensioni nel cordone: τ_P= 0.08 τ_0= 0.05 σ_0=141.08 σ_{ID}=141.08 Σ_T=141.13
CC 32 SLD (Collegamento 0020_-377)
Azioni sul collegamento: N=-6829.81 Ty=-4.36 Tz=1.85 Mx=0.00 Mz=-4.10
Sollecitazioni agenti localmente: Tx_l=-4.36 Ty_l=1.85 N_l=-6829.81 My_l=4.10 Mz_l=0.00
Azioni sul cordone: TP=-0.33 TO=0.13 NO=-504.86
Tensioni nel cordone: τ_P=0.10 τ_0= 0.04 σ_0=166.46 σ_{ID}=166.46 Σ_T=166.50
CC 32 SLD (Collegamento 0020_-377)
Azioni sul collegamento: N=-6829.81 Ty=-3.47 Tz=1.85 Mx=0.00 Mz=-2.64
Sollecitazioni agenti localmente: Tx_l=-3.47 Ty_l=1.85 N_l=-6829.81 My_l=2.64 Mz_l=0.00
Azioni sul cordone: TP=-0.26 TO=0.13 NO=-504.86
Tensioni nel cordone: τ_P= 0.08 τ_0= 0.04 σ_0=164.33 σ_{ID}=164.33 Σ_T=164.37
CC 32 SLD (Collegamento 0020_-377)
Azioni sul collegamento: N=-6829.81 Ty=-4.36 Tz=-0.08 Mx=0.00 Mz=-4.10
Sollecitazioni agenti localmente: Tx_l=-4.36 Ty_l=-0.08 N_l=-6829.81 My_l=4.10 Mz_l=0.00
Azioni sul cordone: TP=-0.33 TO=-0.01 NO=-504.86
Tensioni nel cordone: τ_P=0.10 τ_0=2.36E-03 σ_0=166.46 σ_{ID}=166.46 Σ_T=166.46
CC 32 SLD (Collegamento 0020_-377)
Azioni sul collegamento: N=-6829.81 Ty=-3.47 Tz=-0.08 Mx=0.00 Mz=-2.64
Sollecitazioni agenti localmente: Tx_l=-3.47 Ty_l=-0.08 N_l=-6829.81 My_l=2.64 Mz_l=0.00
Azioni sul cordone: TP=-0.26 TO=-0.01 NO=-504.86
Tensioni nel cordone: τ_P= 0.08 τ_0=2.36E-03 σ_0=164.33 σ_{ID}=164.33 Σ_T=164.33
CC 32 SLD (Collegamento 0020_-377)
Azioni sul collegamento: N=-6340.00 Ty=-4.36 Tz=1.85 Mx=0.00 Mz=-4.10
Sollecitazioni agenti localmente: Tx_l=-4.36 Ty_l=1.85 N_l=-6340.00 My_l=4.10 Mz_l=0.00
Azioni sul cordone: TP=-0.33 TO=0.13 NO=-468.65
Tensioni nel cordone: τ_P=0.10 τ_0= 0.04 σ_0=154.95 σ_{ID}=154.95 Σ_T=154.99
CC 32 SLD (Collegamento 0020_-377)
Azioni sul collegamento: N=-6340.00 Ty=-3.47 Tz=1.85 Mx=0.00 Mz=-2.64
Sollecitazioni agenti localmente: Tx_l=-3.47 Ty_l=1.85 N_l=-6340.00 My_l=2.64 Mz_l=0.00
Azioni sul cordone: TP=-0.26 TO=0.13 NO=-468.65
Tensioni nel cordone: τ_P= 0.08 τ_0= 0.04 σ_0=152.82 σ_{ID}=152.82 Σ_T=152.86
CC 32 SLD (Collegamento 0020_-377)
Azioni sul collegamento: N=-6340.00 Ty=-4.36 Tz=-0.08 Mx=0.00 Mz=-4.10
Sollecitazioni agenti localmente: Tx_l=-4.36 Ty_l=-0.08 N_l=-6340.00 My_l=4.10 Mz_l=0.00
Azioni sul cordone: TP=-0.33 TO=-0.01 NO=-468.65
Tensioni nel cordone: τ_P=0.10 τ_0=2.37E-03 σ_0=154.95 σ_{ID}=154.95 Σ_T=154.95
CC 32 SLD (Collegamento 0020_-377)
Azioni sul collegamento: N=-6340.00 Ty=-3.47 Tz=-0.08 Mx=0.00 Mz=-2.64
Sollecitazioni agenti localmente: Tx_l=-3.47 Ty_l=-0.08 N_l=-6340.00 My_l=2.64 Mz_l=0.00
Azioni sul cordone: TP=-0.26 TO=-0.01 NO=-468.65
Tensioni nel cordone: τ_P= 0.08 τ_0=2.37E-03 σ_0=152.82 σ_{ID}=152.82 Σ_T=152.82
CC 33 SLU (Collegamento 0020_-377)
Azioni sul collegamento: N=-30337.70 Ty=-5.16 Tz=79.98 Mx=0.01 Mz=-3.50
Sollecitazioni agenti localmente: Tx_l=-5.16 Ty_l=79.98 N_l=-30337.70 My_l=3.50 Mz_l=0.01
Azioni sul cordone: TP=-0.39 TO=5.91 NO=-2242.58

Tensioni nel cordone: τ_P=0.12 τ_0=1.88 σ_0=717.91 σ_{ID}=717.92 Σ_T=719.79
CC 34 SLU (Collegamento 0020_-377)
Azioni sul collegamento: N=-30888.30 Ty=-5.44 Tz=82.02 Mx=0.01 Mz=-3.71
Sollecitazioni agenti localmente: Tx_l=-5.44 Ty_l=82.02 N_l=-30888.30 My_l=3.71 Mz_l=0.01
Azioni sul cordone: TP=-0.41 TO=6.06 NO=-2283.27
Tensioni nel cordone: τ_P=0.13 τ_0=1.93 σ_0=731.15 σ_{ID}=731.15 Σ_T=733.08
CC 35 SLU (Collegamento 0020_-377)
Azioni sul collegamento: N=-30612.00 Ty=-5.19 Tz=81.02 Mx=0.01 Mz=-3.39
Sollecitazioni agenti localmente: Tx_l=-5.19 Ty_l=81.02 N_l=-30612.00 My_l=3.39 Mz_l=0.01
Azioni sul cordone: TP=-0.39 TO=5.98 NO=-2262.85
Tensioni nel cordone: τ_P=0.12 τ_0=1.90 σ_0=724.19 σ_{ID}=724.20 Σ_T=726.09
CC 36 SLU (Collegamento 0020_-377)
Azioni sul collegamento: N=-30614.00 Ty=-5.41 Tz=80.97 Mx=0.01 Mz=-3.82
Sollecitazioni agenti localmente: Tx_l=-5.41 Ty_l=80.97 N_l=-30614.00 My_l=3.82 Mz_l=0.01
Azioni sul cordone: TP=-0.41 TO=5.98 NO=-2263.00
Tensioni nel cordone: τ_P=0.13 τ_0=1.90 σ_0=724.88 σ_{ID}=724.88 Σ_T=726.77
CC 37 SLU (Collegamento 0020_-377)
Azioni sul collegamento: N=-32266.80 Ty=-5.04 Tz=86.42 Mx=-0.00 Mz=-3.56
Sollecitazioni agenti localmente: Tx_l=-5.04 Ty_l=86.42 N_l=-32266.80 My_l=3.56 Mz_l=-0.00
Azioni sul cordone: TP=-0.37 TO=6.39 NO=-2385.17
Tensioni nel cordone: τ_P=0.12 τ_0=2.03 σ_0=763.32 σ_{ID}=763.32 Σ_T=765.35
CC 38 SLU (Collegamento 0020_-377)
Azioni sul collegamento: N=-32817.30 Ty=-5.33 Tz=88.46 Mx=-0.00 Mz=-3.76
Sollecitazioni agenti localmente: Tx_l=-5.33 Ty_l=88.46 N_l=-32817.30 My_l=3.76 Mz_l=-0.00
Azioni sul cordone: TP=-0.39 TO=6.54 NO=-2425.86
Tensioni nel cordone: τ_P=0.12 τ_0=2.08 σ_0=776.55 σ_{ID}=776.56 Σ_T=778.63
CC 39 SLU (Collegamento 0020_-377)
Azioni sul collegamento: N=-32541.00 Ty=-5.08 Tz=87.47 Mx=-0.00 Mz=-3.44
Sollecitazioni agenti localmente: Tx_l=-5.08 Ty_l=87.47 N_l=-32541.00 My_l=3.44 Mz_l=-0.00
Azioni sul cordone: TP=-0.37 TO=6.47 NO=-2405.44
Tensioni nel cordone: τ_P=0.12 τ_0=2.06 σ_0=769.60 σ_{ID}=769.60 Σ_T=771.65
CC 40 SLU (Collegamento 0020_-377)
Azioni sul collegamento: N=-32543.00 Ty=-5.30 Tz=87.42 Mx=-0.00 Mz=-3.88
Sollecitazioni agenti localmente: Tx_l=-5.30 Ty_l=87.42 N_l=-32543.00 My_l=3.88 Mz_l=-0.00
Azioni sul cordone: TP=-0.39 TO=6.46 NO=-2405.59
Tensioni nel cordone: τ_P=0.12 τ_0=2.05 σ_0=770.28 σ_{ID}=770.28 Σ_T=772.33
CC 41 SLU (Collegamento 0020_-377)
Azioni sul collegamento: N=-21046.60 Ty=-6.03 Tz=45.82 Mx=0.01 Mz=-4.13
Sollecitazioni agenti localmente: Tx_l=-6.03 Ty_l=45.82 N_l=-21046.60 My_l=4.13 Mz_l=0.01
Azioni sul cordone: TP=-0.45 TO=3.38 NO=-1555.77
Tensioni nel cordone: τ_P=0.14 τ_0=1.07 σ_0=500.54 σ_{ID}=500.54 Σ_T=501.61
CC 42 SLU (Collegamento 0020_-377)
Azioni sul collegamento: N=-21597.10 Ty=-6.32 Tz=47.86 Mx=0.01 Mz=-4.34
Sollecitazioni agenti localmente: Tx_l=-6.32 Ty_l=47.86 N_l=-21597.10 My_l=4.34 Mz_l=0.01
Azioni sul cordone: TP=-0.48 TO=3.53 NO=-1596.47
Tensioni nel cordone: τ_P=0.15 τ_0=1.12 σ_0=513.78 σ_{ID}=513.78 Σ_T=514.90
CC 43 SLU (Collegamento 0020_-377)
Azioni sul collegamento: N=-21320.90 Ty=-6.07 Tz=46.87 Mx=0.01 Mz=-4.02
Sollecitazioni agenti localmente: Tx_l=-6.07 Ty_l=46.87 N_l=-21320.90 My_l=4.02 Mz_l=0.01
Azioni sul cordone: TP=-0.46 TO=3.46 NO=-1576.05
Tensioni nel cordone: τ_P=0.14 τ_0=1.10 σ_0=506.82 σ_{ID}=506.82 Σ_T=507.92
CC 44 SLU (Collegamento 0020_-377)
Azioni sul collegamento: N=-21322.80 Ty=-6.29 Tz=46.82 Mx=0.01 Mz=-4.45
Sollecitazioni agenti localmente: Tx_l=-6.29 Ty_l=46.82 N_l=-21322.80 My_l=4.45 Mz_l=0.01
Azioni sul cordone: TP=-0.47 TO=3.45 NO=-1576.19
Tensioni nel cordone: τ_P=0.15 τ_0=1.10 σ_0=507.50 σ_{ID}=507.50 Σ_T=508.60
CC 45 SLU (Collegamento 0020_-377)
Azioni sul collegamento: N=-23139.00 Ty=-5.73 Tz=53.57 Mx=0.01 Mz=-3.96
Sollecitazioni agenti localmente: Tx_l=-5.73 Ty_l=53.57 N_l=-23139.00 My_l=3.96 Mz_l=0.01
Azioni sul cordone: TP=-0.43 TO=3.95 NO=-1710.44
Tensioni nel cordone: τ_P=0.14 τ_0=1.26 σ_0=549.44 σ_{ID}=549.45 Σ_T=550.70
CC 46 SLU (Collegamento 0020_-377)
Azioni sul collegamento: N=-23689.50 Ty=-6.01 Tz=55.60 Mx=0.01 Mz=-4.17
Sollecitazioni agenti localmente: Tx_l=-6.01 Ty_l=55.60 N_l=-23689.50 My_l=4.17 Mz_l=0.01
Azioni sul cordone: TP=-0.45 TO=4.10 NO=-1751.14
Tensioni nel cordone: τ_P=0.14 τ_0=1.30 σ_0=562.68 σ_{ID}=562.68 Σ_T=563.99
CC 47 SLU (Collegamento 0020_-377)
Azioni sul collegamento: N=-23413.30 Ty=-5.76 Tz=54.61 Mx=0.01 Mz=-3.84
Sollecitazioni agenti localmente: Tx_l=-5.76 Ty_l=54.61 N_l=-23413.30 My_l=3.84 Mz_l=0.01
Azioni sul cordone: TP=-0.43 TO=4.03 NO=-1730.71
Tensioni nel cordone: τ_P=0.14 τ_0=1.28 σ_0=555.72 σ_{ID}=555.72 Σ_T=557.00
CC 48 SLU (Collegamento 0020_-377)
Azioni sul collegamento: N=-23415.20 Ty=-5.98 Tz=54.56 Mx=0.01 Mz=-4.28
Sollecitazioni agenti localmente: Tx_l=-5.98 Ty_l=54.56 N_l=-23415.20 My_l=4.28 Mz_l=0.01
Azioni sul cordone: TP=-0.45 TO=4.03 NO=-1730.86
Tensioni nel cordone: τ_P=0.14 τ_0=1.28 σ_0=556.40 σ_{ID}=556.41 Σ_T=557.68
CC 49 SLU (Collegamento 0020_-377)
Azioni sul collegamento: N=-24582.20 Ty=-5.64 Tz=58.39 Mx=0.00 Mz=-4.00
Sollecitazioni agenti localmente: Tx_l=-5.64 Ty_l=58.39 N_l=-24582.20 My_l=4.00 Mz_l=0.00

Azioni sul cordone: TP=-0.42 TO=4.32 NO=-1817.12
Tensioni nel cordone: τ_P=0.13 τ_0=1.37 σ_0=583.41 σ_{ID}=583.41 Σ_T=584.78
CC 50 SLU (Collegamento 0020_-377)
Azioni sul collegamento: N=-25132.70 Ty=-5.93 Tz=60.42 Mx=0.00 Mz=-4.21
Sollecitazioni agenti localmente: Tx_l=-5.93 Ty_l=60.42 N_l=-25132.70 My_l=4.21 Mz_l=0.00
Azioni sul cordone: TP=-0.44 TO=4.47 NO=-1857.82
Tensioni nel cordone: τ_P=0.14 τ_0=1.42 σ_0=596.65 σ_{ID}=596.65 Σ_T=598.07
CC 51 SLU (Collegamento 0020_-377)
Azioni sul collegamento: N=-24856.40 Ty=-5.68 Tz=59.43 Mx=-0.00 Mz=-3.89
Sollecitazioni agenti localmente: Tx_l=-5.68 Ty_l=59.43 N_l=-24856.40 My_l=3.89 Mz_l=-0.00
Azioni sul cordone: TP=-0.42 TO=4.39 NO=-1837.40
Tensioni nel cordone: τ_P=0.13 τ_0=1.40 σ_0=589.69 σ_{ID}=589.69 Σ_T=591.09
CC 52 SLU (Collegamento 0020_-377)
Azioni sul collegamento: N=-24858.40 Ty=-5.89 Tz=59.38 Mx=0.00 Mz=-4.32
Sollecitazioni agenti localmente: Tx_l=-5.89 Ty_l=59.38 N_l=-24858.40 My_l=4.32 Mz_l=0.00
Azioni sul cordone: TP=-0.44 TO=4.39 NO=-1837.54
Tensioni nel cordone: τ_P=0.14 τ_0=1.39 σ_0=590.37 σ_{ID}=590.37 Σ_T=591.77
CC 53 SLU (Collegamento 0020_-377)
Azioni sul collegamento: N=-16187.80 Ty=-6.38 Tz=28.01 Mx=0.01 Mz=-4.43
Sollecitazioni agenti localmente: Tx_l=-6.38 Ty_l=28.01 N_l=-16187.80 My_l=4.43 Mz_l=0.01
Azioni sul cordone: TP=-0.48 TO=2.07 NO=-1196.61
Tensioni nel cordone: τ_P=0.15 τ_0=0.66 σ_0=386.81 σ_{ID}=386.81 Σ_T=387.47
CC 54 SLU (Collegamento 0020_-377)
Azioni sul collegamento: N=-16738.30 Ty=-6.67 Tz=30.05 Mx=0.01 Mz=-4.64
Sollecitazioni agenti localmente: Tx_l=-6.67 Ty_l=30.05 N_l=-16738.30 My_l=4.64 Mz_l=0.01
Azioni sul cordone: TP=-0.50 TO=2.22 NO=-1237.30
Tensioni nel cordone: τ_P=0.16 τ_0=0.70 σ_0=400.05 σ_{ID}=400.05 Σ_T=400.76
CC 55 SLU (Collegamento 0020_-377)
Azioni sul collegamento: N=-16462.10 Ty=-6.42 Tz=29.05 Mx=0.01 Mz=-4.32
Sollecitazioni agenti localmente: Tx_l=-6.42 Ty_l=29.05 N_l=-16462.10 My_l=4.32 Mz_l=0.01
Azioni sul cordone: TP=-0.48 TO=2.14 NO=-1216.88
Tensioni nel cordone: τ_P=0.15 τ_0=0.68 σ_0=393.09 σ_{ID}=393.09 Σ_T=393.77
CC 56 SLU (Collegamento 0020_-377)
Azioni sul collegamento: N=-16464.10 Ty=-6.64 Tz=29.01 Mx=0.01 Mz=-4.75
Sollecitazioni agenti localmente: Tx_l=-6.64 Ty_l=29.01 N_l=-16464.10 My_l=4.75 Mz_l=0.01
Azioni sul cordone: TP=-0.50 TO=2.14 NO=-1217.03
Tensioni nel cordone: τ_P=0.16 τ_0=0.68 σ_0=393.77 σ_{ID}=393.77 Σ_T=394.45
CC 57 SLU (Collegamento 0020_-377)
Azioni sul collegamento: N=-23519.50 Ty=-6.15 Tz=55.00 Mx=0.01 Mz=-4.26
Sollecitazioni agenti localmente: Tx_l=-6.15 Ty_l=55.00 N_l=-23519.50 My_l=4.26 Mz_l=0.01
Azioni sul cordone: TP=-0.46 TO=4.06 NO=-1738.57
Tensioni nel cordone: τ_P=0.15 τ_0=1.29 σ_0=558.83 σ_{ID}=558.83 Σ_T=560.12
CC 58 SLU (Collegamento 0020_-377)
Azioni sul collegamento: N=-24070.10 Ty=-6.43 Tz=57.04 Mx=0.01 Mz=-4.47
Sollecitazioni agenti localmente: Tx_l=-6.43 Ty_l=57.04 N_l=-24070.10 My_l=4.47 Mz_l=0.01
Azioni sul cordone: TP=-0.48 TO=4.21 NO=-1779.27
Tensioni nel cordone: τ_P=0.15 τ_0=1.34 σ_0=572.07 σ_{ID}=572.07 Σ_T=573.40
CC 59 SLU (Collegamento 0020_-377)
Azioni sul collegamento: N=-23793.80 Ty=-6.18 Tz=56.05 Mx=0.01 Mz=-4.15
Sollecitazioni agenti localmente: Tx_l=-6.18 Ty_l=56.05 N_l=-23793.80 My_l=4.15 Mz_l=0.01
Azioni sul cordone: TP=-0.46 TO=4.14 NO=-1758.85
Tensioni nel cordone: τ_P=0.15 τ_0=1.32 σ_0=565.11 σ_{ID}=565.11 Σ_T=566.42
CC 60 SLU (Collegamento 0020_-377)
Azioni sul collegamento: N=-23795.80 Ty=-6.40 Tz=56.00 Mx=0.01 Mz=-4.58
Sollecitazioni agenti localmente: Tx_l=-6.40 Ty_l=56.00 N_l=-23795.80 My_l=4.58 Mz_l=0.01
Azioni sul cordone: TP=-0.48 TO=4.13 NO=-1758.99
Tensioni nel cordone: τ_P=0.15 τ_0=1.31 σ_0=565.79 σ_{ID}=565.79 Σ_T=567.10
CC 61 SLU (Collegamento 0020_-377)
Azioni sul collegamento: N=-24962.70 Ty=-6.06 Tz=59.83 Mx=0.00 Mz=-4.30
Sollecitazioni agenti localmente: Tx_l=-6.06 Ty_l=59.83 N_l=-24962.70 My_l=4.30 Mz_l=0.00
Azioni sul cordone: TP=-0.45 TO=4.42 NO=-1845.25
Tensioni nel cordone: τ_P=0.14 τ_0=1.41 σ_0=592.80 σ_{ID}=592.80 Σ_T=594.20
CC 62 SLU (Collegamento 0020_-377)
Azioni sul collegamento: N=-25513.20 Ty=-6.35 Tz=61.87 Mx=0.00 Mz=-4.51
Sollecitazioni agenti localmente: Tx_l=-6.35 Ty_l=61.87 N_l=-25513.20 My_l=4.51 Mz_l=0.00
Azioni sul cordone: TP=-0.47 TO=4.57 NO=-1885.95
Tensioni nel cordone: τ_P=0.15 τ_0=1.45 σ_0=606.03 σ_{ID}=606.04 Σ_T=607.49
CC 63 SLU (Collegamento 0020_-377)
Azioni sul collegamento: N=-25237.00 Ty=-6.10 Tz=60.87 Mx=-0.00 Mz=-4.19
Sollecitazioni agenti localmente: Tx_l=-6.10 Ty_l=60.87 N_l=-25237.00 My_l=4.19 Mz_l=-0.00
Azioni sul cordone: TP=-0.45 TO=4.50 NO=-1865.53
Tensioni nel cordone: τ_P=0.14 τ_0=1.43 σ_0=599.08 σ_{ID}=599.08 Σ_T=600.50
CC 64 SLU (Collegamento 0020_-377)
Azioni sul collegamento: N=-25238.90 Ty=-6.31 Tz=60.82 Mx=0.00 Mz=-4.62
Sollecitazioni agenti localmente: Tx_l=-6.31 Ty_l=60.82 N_l=-25238.90 My_l=4.62 Mz_l=0.00
Azioni sul cordone: TP=-0.47 TO=4.49 NO=-1865.67
Tensioni nel cordone: τ_P=0.15 τ_0=1.43 σ_0=599.76 σ_{ID}=599.76 Σ_T=601.19
CC 65 SLU (Collegamento 0020_-377)
Azioni sul collegamento: N=-16568.40 Ty=-6.80 Tz=29.45 Mx=0.01 Mz=-4.74

Sollecitazioni agenti localmente: Tx_l=-6.80 Ty_l=29.45 N_l=-16568.40 My_l=4.74 Mz_l=0.01
Azioni sul cordone: TP=-0.51 TO=2.17 NO=-1224.74
Tensioni nel cordone: τ_P=0.16 τ_O=0.69 σ_O=396.20 σ_{ID}=396.20 Σ_T=396.89
CC 66 SLU (Collegamento 0020_-377)
Azioni sul collegamento: N=-17118.90 Ty=-7.09 Tz=31.49 Mx=0.01 Mz=-4.94
Sollecitazioni agenti localmente: Tx_l=-7.09 Ty_l=31.49 N_l=-17118.90 My_l=4.94 Mz_l=0.01
Azioni sul cordone: TP=-0.53 TO=2.32 NO=-1265.43
Tensioni nel cordone: τ_P=0.17 τ_O=0.74 σ_O=409.44 σ_{ID}=409.44 Σ_T=410.18
CC 67 SLU (Collegamento 0020_-377)
Azioni sul collegamento: N=-16842.60 Ty=-6.84 Tz=30.49 Mx=0.01 Mz=-4.62
Sollecitazioni agenti localmente: Tx_l=-6.84 Ty_l=30.49 N_l=-16842.60 My_l=4.62 Mz_l=0.01
Azioni sul cordone: TP=-0.51 TO=2.25 NO=-1245.01
Tensioni nel cordone: τ_P=0.16 τ_O=0.71 σ_O=402.48 σ_{ID}=402.48 Σ_T=403.19
CC 68 SLU (Collegamento 0020_-377)
Azioni sul collegamento: N=-16844.60 Ty=-7.06 Tz=30.45 Mx=0.01 Mz=-5.06
Sollecitazioni agenti localmente: Tx_l=-7.06 Ty_l=30.45 N_l=-16844.60 My_l=5.06 Mz_l=0.01
Azioni sul cordone: TP=-0.53 TO=2.24 NO=-1245.16
Tensioni nel cordone: τ_P=0.17 τ_O=0.71 σ_O=403.16 σ_{ID}=403.16 Σ_T=403.87
CC 97 SLU (Collegamento 0020_-377)
Azioni sul collegamento: N=-16826.20 Ty=-0.37 Tz=38.55 Mx=0.05 Mz=7.28
Sollecitazioni agenti localmente: Tx_l=-0.37 Ty_l=38.55 N_l=-16826.20 My_l=-7.28 Mz_l=0.05
Azioni sul cordone: TP=-0.08 TO=2.89 NO=-1243.80
Tensioni nel cordone: τ_P= 0.03 τ_O=0.92 σ_O=405.97 σ_{ID}=405.97 Σ_T=406.89
CC 98 SLU (Collegamento 0020_-377)
Azioni sul collegamento: N=-17376.70 Ty=-0.65 Tz=40.58 Mx=0.05 Mz=7.07
Sollecitazioni agenti localmente: Tx_l=-0.65 Ty_l=40.58 N_l=-17376.70 My_l=-7.07 Mz_l=0.05
Azioni sul cordone: TP=-0.10 TO=3.04 NO=-1284.49
Tensioni nel cordone: τ_P= 0.03 τ_O=0.97 σ_O=418.60 σ_{ID}=418.61 Σ_T=419.57
CC 99 SLU (Collegamento 0020_-377)
Azioni sul collegamento: N=-17100.50 Ty=-0.40 Tz=39.59 Mx=0.05 Mz=7.39
Sollecitazioni agenti localmente: Tx_l=-0.40 Ty_l=39.59 N_l=-17100.50 My_l=-7.39 Mz_l=0.05
Azioni sul cordone: TP=-0.08 TO=2.96 NO=-1264.07
Tensioni nel cordone: τ_P= 0.03 τ_O=0.94 σ_O=412.58 σ_{ID}=412.58 Σ_T=413.52
CC 100 SLU (Collegamento 0020_-377)
Azioni sul collegamento: N=-17102.50 Ty=-0.62 Tz=39.54 Mx=0.05 Mz=6.96
Sollecitazioni agenti localmente: Tx_l=-0.62 Ty_l=39.54 N_l=-17102.50 My_l=-6.96 Mz_l=0.05
Azioni sul cordone: TP=-0.10 TO=2.96 NO=-1264.22
Tensioni nel cordone: τ_P= 0.03 τ_O=0.94 σ_O=411.99 σ_{ID}=411.99 Σ_T=412.93
CC 101 SLU (Collegamento 0020_-377)
Azioni sul collegamento: N=-6585.90 Ty=-4.08 Tz=0.92 Mx=-0.00 Mz=-3.64
Sollecitazioni agenti localmente: Tx_l=-4.08 Ty_l=0.92 N_l=-6585.90 My_l=3.64 Mz_l=-0.00
Azioni sul cordone: TP=-0.30 TO=0.07 NO=-486.83
Tensioni nel cordone: τ_P= 0.09 τ_O= 0.02 σ_O=160.06 σ_{ID}=160.06 Σ_T=160.08
CC 102 SLU (Collegamento 0020_-377)
Azioni sul collegamento: N=-7136.43 Ty=-4.37 Tz=2.96 Mx=-0.00 Mz=-3.85
Sollecitazioni agenti localmente: Tx_l=-4.37 Ty_l=2.96 N_l=-7136.43 My_l=3.85 Mz_l=-0.00
Azioni sul cordone: TP=-0.32 TO=0.22 NO=-527.53
Tensioni nel cordone: τ_P=0.10 τ_O= 0.07 σ_O=173.30 σ_{ID}=173.30 Σ_T=173.37
CC 103 SLU (Collegamento 0020_-377)
Azioni sul collegamento: N=-6860.18 Ty=-4.11 Tz=1.96 Mx=-0.00 Mz=-3.53
Sollecitazioni agenti localmente: Tx_l=-4.11 Ty_l=1.96 N_l=-6860.18 My_l=3.53 Mz_l=-0.00
Azioni sul cordone: TP=-0.30 TO=0.15 NO=-507.11
Tensioni nel cordone: τ_P= 0.10 τ_O= 0.05 σ_O=166.34 σ_{ID}=166.34 Σ_T=166.38
CC 104 SLU (Collegamento 0020_-377)
Azioni sul collegamento: N=-6862.15 Ty=-4.33 Tz=1.92 Mx=-0.00 Mz=-3.96
Sollecitazioni agenti localmente: Tx_l=-4.33 Ty_l=1.92 N_l=-6862.15 My_l=3.96 Mz_l=-0.00
Azioni sul cordone: TP=-0.32 TO=0.14 NO=-507.25
Tensioni nel cordone: τ_P=0.10 τ_O= 0.05 σ_O=167.02 σ_{ID}=167.02 Σ_T=167.06

Flessione attacco superiore piastra

Bnetta=220.00 Hnetta=15.00
CC 1 SLV (Collegamento 0020_-377)
Azioni sul collegamento: N=-3875.57 Ty=-4.02 Tz=-9.21 Mx=0.02 Mz=2.16
Sollecitazioni agenti localmente: Ty_l=-704.65 Mx_l=-14.09
Tensioni nella sezione: σ=170.82 τ=21.35
CC 1 SLV (Collegamento 0020_-377)
Azioni sul collegamento: N=-3875.57 Ty=-0.64 Tz=-9.21 Mx=0.02 Mz=-1.09
Sollecitazioni agenti localmente: Ty_l=-704.65 Mx_l=-14.09
Tensioni nella sezione: σ=170.82 τ=21.35
CC 1 SLV (Collegamento 0020_-377)
Azioni sul collegamento: N=-3875.57 Ty=-4.02 Tz=10.50 Mx=0.02 Mz=2.16
Sollecitazioni agenti localmente: Ty_l=-704.65 Mx_l=-14.09
Tensioni nella sezione: σ=170.82 τ=21.35
CC 1 SLV (Collegamento 0020_-377)
Azioni sul collegamento: N=-3875.57 Ty=-0.64 Tz=10.50 Mx=0.02 Mz=-1.09
Sollecitazioni agenti localmente: Ty_l=-704.65 Mx_l=-14.09
Tensioni nella sezione: σ=170.82 τ=21.35
CC 1 SLV (Collegamento 0020_-377)

Azioni sul collegamento: N=-9172.38 Ty=-4.02 Tz=-9.21 Mx=0.02 Mz=2.16
Sollecitazioni agenti localmente: Ty_l=-1667.70 Mx_l=-33.35
Tensioni nella sezione: σ=404.29 τ=50.54
CC 1 SLV (Collegamento 0020_-377)
Azioni sul collegamento: N=-9172.38 Ty=-0.64 Tz=-9.21 Mx=0.02 Mz=-1.09
Sollecitazioni agenti localmente: Ty_l=-1667.70 Mx_l=-33.35
Tensioni nella sezione: σ=404.29 τ=50.54
CC 1 SLV (Collegamento 0020_-377)
Azioni sul collegamento: N=-9172.38 Ty=-4.02 Tz=10.50 Mx=0.02 Mz=2.16
Sollecitazioni agenti localmente: Ty_l=-1667.70 Mx_l=-33.35
Tensioni nella sezione: σ=404.29 τ=50.54
CC 1 SLV (Collegamento 0020_-377)
Azioni sul collegamento: N=-9172.38 Ty=-0.64 Tz=10.50 Mx=0.02 Mz=-1.09
Sollecitazioni agenti localmente: Ty_l=-1667.70 Mx_l=-33.35
Tensioni nella sezione: σ=404.29 τ=50.54
CC 2 SLD (Collegamento 0020_-377)
Azioni sul collegamento: N=-5748.85 Ty=-2.66 Tz=-2.23 Mx=0.01 Mz=-1.05
Sollecitazioni agenti localmente: Ty_l=-1045.24 Mx_l=-20.90
Tensioni nella sezione: σ=253.39 τ=31.67
CC 2 SLD (Collegamento 0020_-377)
Azioni sul collegamento: N=-5748.85 Ty=-3.69 Tz=-2.23 Mx=0.01 Mz=-2.04
Sollecitazioni agenti localmente: Ty_l=-1045.24 Mx_l=-20.90
Tensioni nella sezione: σ=253.39 τ=31.67
CC 2 SLD (Collegamento 0020_-377)
Azioni sul collegamento: N=-5748.85 Ty=-2.66 Tz=3.78 Mx=0.01 Mz=-1.05
Sollecitazioni agenti localmente: Ty_l=-1045.24 Mx_l=-20.90
Tensioni nella sezione: σ=253.39 τ=31.67
CC 2 SLD (Collegamento 0020_-377)
Azioni sul collegamento: N=-5748.85 Ty=-3.69 Tz=3.78 Mx=0.01 Mz=-2.04
Sollecitazioni agenti localmente: Ty_l=-1045.24 Mx_l=-20.90
Tensioni nella sezione: σ=253.39 τ=31.67
CC 2 SLD (Collegamento 0020_-377)
Azioni sul collegamento: N=-7364.01 Ty=-2.66 Tz=-2.23 Mx=0.01 Mz=-1.05
Sollecitazioni agenti localmente: Ty_l=-1338.91 Mx_l=-26.78
Tensioni nella sezione: σ=324.58 τ=40.57
CC 2 SLD (Collegamento 0020_-377)
Azioni sul collegamento: N=-7364.01 Ty=-3.69 Tz=-2.23 Mx=0.01 Mz=-2.04
Sollecitazioni agenti localmente: Ty_l=-1338.91 Mx_l=-26.78
Tensioni nella sezione: σ=324.58 τ=40.57
CC 2 SLD (Collegamento 0020_-377)
Azioni sul collegamento: N=-7364.01 Ty=-2.66 Tz=3.78 Mx=0.01 Mz=-1.05
Sollecitazioni agenti localmente: Ty_l=-1338.91 Mx_l=-26.78
Tensioni nella sezione: σ=324.58 τ=40.57
CC 2 SLD (Collegamento 0020_-377)
Azioni sul collegamento: N=-7364.01 Ty=-3.69 Tz=3.78 Mx=0.01 Mz=-2.04
Sollecitazioni agenti localmente: Ty_l=-1338.91 Mx_l=-26.78
Tensioni nella sezione: σ=324.58 τ=40.57
CC 3 SLV (Collegamento 0020_-377)
Azioni sul collegamento: N=-3881.26 Ty=-3.39 Tz=-9.09 Mx=0.02 Mz=0.91
Sollecitazioni agenti localmente: Ty_l=-705.68 Mx_l=-14.11
Tensioni nella sezione: σ=171.07 τ=21.38
CC 3 SLV (Collegamento 0020_-377)
Azioni sul collegamento: N=-3881.26 Ty=-1.27 Tz=-9.09 Mx=0.02 Mz=0.17
Sollecitazioni agenti localmente: Ty_l=-705.68 Mx_l=-14.11
Tensioni nella sezione: σ=171.07 τ=21.38
CC 3 SLV (Collegamento 0020_-377)
Azioni sul collegamento: N=-3881.26 Ty=-3.39 Tz=10.37 Mx=0.02 Mz=0.91
Sollecitazioni agenti localmente: Ty_l=-705.68 Mx_l=-14.11
Tensioni nella sezione: σ=171.07 τ=21.38
CC 3 SLV (Collegamento 0020_-377)
Azioni sul collegamento: N=-3881.26 Ty=-1.27 Tz=10.37 Mx=0.02 Mz=0.17
Sollecitazioni agenti localmente: Ty_l=-705.68 Mx_l=-14.11
Tensioni nella sezione: σ=171.07 τ=21.38
CC 3 SLV (Collegamento 0020_-377)
Azioni sul collegamento: N=-9166.69 Ty=-3.39 Tz=-9.09 Mx=0.02 Mz=0.91
Sollecitazioni agenti localmente: Ty_l=-1666.67 Mx_l=-33.33
Tensioni nella sezione: σ=404.04 τ=50.51
CC 3 SLV (Collegamento 0020_-377)
Azioni sul collegamento: N=-9166.69 Ty=-1.27 Tz=-9.09 Mx=0.02 Mz=0.17
Sollecitazioni agenti localmente: Ty_l=-1666.67 Mx_l=-33.33
Tensioni nella sezione: σ=404.04 τ=50.51
CC 3 SLV (Collegamento 0020_-377)
Azioni sul collegamento: N=-9166.69 Ty=-3.39 Tz=10.38 Mx=0.02 Mz=0.91
Sollecitazioni agenti localmente: Ty_l=-1666.67 Mx_l=-33.33
Tensioni nella sezione: σ=404.04 τ=50.51
CC 3 SLV (Collegamento 0020_-377)
Azioni sul collegamento: N=-9166.69 Ty=-1.27 Tz=10.38 Mx=0.02 Mz=0.17
Sollecitazioni agenti localmente: Ty_l=-1666.67 Mx_l=-33.33
Tensioni nella sezione: σ=404.04 τ=50.51

CC 4 SLD (Collegamento 0020_-377)
Azioni sul collegamento: N=-5750.58 Ty=-2.85 Tz=-2.19 Mx=0.01 Mz=-1.43
Sollecitazioni agenti localmente: Ty_l=-1045.56 Mx_l=-20.91
Tensioni nella sezione: σ=253.47 τ=31.68
CC 4 SLD (Collegamento 0020_-377)
Azioni sul collegamento: N=-5750.58 Ty=-3.50 Tz=-2.19 Mx=0.01 Mz=-1.66
Sollecitazioni agenti localmente: Ty_l=-1045.56 Mx_l=-20.91
Tensioni nella sezione: σ=253.47 τ=31.68
CC 4 SLD (Collegamento 0020_-377)
Azioni sul collegamento: N=-5750.58 Ty=-2.85 Tz=3.74 Mx=0.01 Mz=-1.43
Sollecitazioni agenti localmente: Ty_l=-1045.56 Mx_l=-20.91
Tensioni nella sezione: σ=253.47 τ=31.68
CC 4 SLD (Collegamento 0020_-377)
Azioni sul collegamento: N=-5750.58 Ty=-3.50 Tz=3.74 Mx=0.01 Mz=-1.66
Sollecitazioni agenti localmente: Ty_l=-1045.56 Mx_l=-20.91
Tensioni nella sezione: σ=253.47 τ=31.68
CC 4 SLD (Collegamento 0020_-377)
Azioni sul collegamento: N=-7362.28 Ty=-2.85 Tz=-2.19 Mx=0.01 Mz=-1.43
Sollecitazioni agenti localmente: Ty_l=-1338.60 Mx_l=-26.77
Tensioni nella sezione: σ=324.51 τ=40.56
CC 4 SLD (Collegamento 0020_-377)
Azioni sul collegamento: N=-7362.28 Ty=-3.50 Tz=-2.19 Mx=0.01 Mz=-1.66
Sollecitazioni agenti localmente: Ty_l=-1338.60 Mx_l=-26.77
Tensioni nella sezione: σ=324.51 τ=40.56
CC 4 SLD (Collegamento 0020_-377)
Azioni sul collegamento: N=-7362.28 Ty=-2.85 Tz=3.74 Mx=0.01 Mz=-1.43
Sollecitazioni agenti localmente: Ty_l=-1338.60 Mx_l=-26.77
Tensioni nella sezione: σ=324.51 τ=40.56
CC 4 SLD (Collegamento 0020_-377)
Azioni sul collegamento: N=-7362.28 Ty=-3.50 Tz=3.74 Mx=0.01 Mz=-1.66
Sollecitazioni agenti localmente: Ty_l=-1338.60 Mx_l=-26.77
Tensioni nella sezione: σ=324.51 τ=40.56
CC 5 SLV (Collegamento 0020_-377)
Azioni sul collegamento: N=-9166.69 Ty=-1.27 Tz=10.38 Mx=0.02 Mz=0.17
Sollecitazioni agenti localmente: Ty_l=-1666.67 Mx_l=-33.33
Tensioni nella sezione: σ=404.04 τ=50.51
CC 5 SLV (Collegamento 0020_-377)
Azioni sul collegamento: N=-9166.69 Ty=-3.39 Tz=10.38 Mx=0.02 Mz=0.91
Sollecitazioni agenti localmente: Ty_l=-1666.67 Mx_l=-33.33
Tensioni nella sezione: σ=404.04 τ=50.51
CC 5 SLV (Collegamento 0020_-377)
Azioni sul collegamento: N=-9166.69 Ty=-1.27 Tz=-9.09 Mx=0.02 Mz=0.17
Sollecitazioni agenti localmente: Ty_l=-1666.67 Mx_l=-33.33
Tensioni nella sezione: σ=404.04 τ=50.51
CC 5 SLV (Collegamento 0020_-377)
Azioni sul collegamento: N=-9166.69 Ty=-3.39 Tz=-9.09 Mx=0.02 Mz=0.91
Sollecitazioni agenti localmente: Ty_l=-1666.67 Mx_l=-33.33
Tensioni nella sezione: σ=404.04 τ=50.51
CC 5 SLV (Collegamento 0020_-377)
Azioni sul collegamento: N=-3881.26 Ty=-1.27 Tz=10.37 Mx=0.02 Mz=0.17
Sollecitazioni agenti localmente: Ty_l=-705.68 Mx_l=-14.11
Tensioni nella sezione: σ=171.07 τ=21.38
CC 5 SLV (Collegamento 0020_-377)
Azioni sul collegamento: N=-3881.26 Ty=-3.39 Tz=10.37 Mx=0.02 Mz=0.91
Sollecitazioni agenti localmente: Ty_l=-705.68 Mx_l=-14.11
Tensioni nella sezione: σ=171.07 τ=21.38
CC 5 SLV (Collegamento 0020_-377)
Azioni sul collegamento: N=-3881.26 Ty=-1.27 Tz=-9.09 Mx=0.02 Mz=0.17
Sollecitazioni agenti localmente: Ty_l=-705.68 Mx_l=-14.11
Tensioni nella sezione: σ=171.07 τ=21.38
CC 5 SLV (Collegamento 0020_-377)
Azioni sul collegamento: N=-3881.26 Ty=-3.39 Tz=-9.09 Mx=0.02 Mz=0.91
Sollecitazioni agenti localmente: Ty_l=-705.68 Mx_l=-14.11
Tensioni nella sezione: σ=171.07 τ=21.38
CC 6 SLD (Collegamento 0020_-377)
Azioni sul collegamento: N=-7362.28 Ty=-3.50 Tz=3.74 Mx=0.01 Mz=-1.66
Sollecitazioni agenti localmente: Ty_l=-1338.60 Mx_l=-26.77
Tensioni nella sezione: σ=324.51 τ=40.56
CC 6 SLD (Collegamento 0020_-377)
Azioni sul collegamento: N=-7362.28 Ty=-2.85 Tz=3.74 Mx=0.01 Mz=-1.43
Sollecitazioni agenti localmente: Ty_l=-1338.60 Mx_l=-26.77
Tensioni nella sezione: σ=324.51 τ=40.56
CC 6 SLD (Collegamento 0020_-377)
Azioni sul collegamento: N=-7362.28 Ty=-3.50 Tz=-2.19 Mx=0.01 Mz=-1.66
Sollecitazioni agenti localmente: Ty_l=-1338.60 Mx_l=-26.77
Tensioni nella sezione: σ=324.51 τ=40.56
CC 6 SLD (Collegamento 0020_-377)
Azioni sul collegamento: N=-7362.28 Ty=-2.85 Tz=-2.19 Mx=0.01 Mz=-1.43
Sollecitazioni agenti localmente: Ty_l=-1338.60 Mx_l=-26.77

Tensioni nella sezione: σ=324.51 τ=40.56
CC 6 SLD (Collegamento 0020_-377)
Azioni sul collegamento: N=-5750.58 Ty=-3.50 Tz=3.74 Mx=0.01 Mz=-1.66
Sollecitazioni agenti localmente: Ty_l=-1045.56 Mx_l=-20.91
Tensioni nella sezione: σ=253.47 τ=31.68
CC 6 SLD (Collegamento 0020_-377)
Azioni sul collegamento: N=-5750.58 Ty=-2.85 Tz=3.74 Mx=0.01 Mz=-1.43
Sollecitazioni agenti localmente: Ty_l=-1045.56 Mx_l=-20.91
Tensioni nella sezione: σ=253.47 τ=31.68
CC 6 SLD (Collegamento 0020_-377)
Azioni sul collegamento: N=-5750.58 Ty=-3.50 Tz=-2.19 Mx=0.01 Mz=-1.66
Sollecitazioni agenti localmente: Ty_l=-1045.56 Mx_l=-20.91
Tensioni nella sezione: σ=253.47 τ=31.68
CC 6 SLD (Collegamento 0020_-377)
Azioni sul collegamento: N=-5750.58 Ty=-2.85 Tz=-2.19 Mx=0.01 Mz=-1.43
Sollecitazioni agenti localmente: Ty_l=-1045.56 Mx_l=-20.91
Tensioni nella sezione: σ=253.47 τ=31.68
CC 7 SLV (Collegamento 0020_-377)
Azioni sul collegamento: N=-9172.38 Ty=-0.64 Tz=10.50 Mx=0.01 Mz=-1.09
Sollecitazioni agenti localmente: Ty_l=-1667.70 Mx_l=-33.35
Tensioni nella sezione: σ=404.29 τ=50.54
CC 7 SLV (Collegamento 0020_-377)
Azioni sul collegamento: N=-9172.38 Ty=-4.02 Tz=10.50 Mx=0.01 Mz=2.16
Sollecitazioni agenti localmente: Ty_l=-1667.70 Mx_l=-33.35
Tensioni nella sezione: σ=404.29 τ=50.54
CC 7 SLV (Collegamento 0020_-377)
Azioni sul collegamento: N=-9172.38 Ty=-0.64 Tz=-9.21 Mx=0.01 Mz=-1.09
Sollecitazioni agenti localmente: Ty_l=-1667.70 Mx_l=-33.35
Tensioni nella sezione: σ=404.29 τ=50.54
CC 7 SLV (Collegamento 0020_-377)
Azioni sul collegamento: N=-9172.38 Ty=-4.02 Tz=-9.21 Mx=0.01 Mz=2.16
Sollecitazioni agenti localmente: Ty_l=-1667.70 Mx_l=-33.35
Tensioni nella sezione: σ=404.29 τ=50.54
CC 7 SLV (Collegamento 0020_-377)
Azioni sul collegamento: N=-3875.57 Ty=-0.64 Tz=10.50 Mx=0.01 Mz=-1.09
Sollecitazioni agenti localmente: Ty_l=-704.65 Mx_l=-14.09
Tensioni nella sezione: σ=170.82 τ=21.35
CC 7 SLV (Collegamento 0020_-377)
Azioni sul collegamento: N=-3875.57 Ty=-4.02 Tz=10.50 Mx=0.01 Mz=2.16
Sollecitazioni agenti localmente: Ty_l=-704.65 Mx_l=-14.09
Tensioni nella sezione: σ=170.82 τ=21.35
CC 7 SLV (Collegamento 0020_-377)
Azioni sul collegamento: N=-3875.57 Ty=-0.64 Tz=-9.21 Mx=0.01 Mz=-1.09
Sollecitazioni agenti localmente: Ty_l=-704.65 Mx_l=-14.09
Tensioni nella sezione: σ=170.82 τ=21.35
CC 7 SLV (Collegamento 0020_-377)
Azioni sul collegamento: N=-3875.57 Ty=-4.02 Tz=-9.21 Mx=0.01 Mz=2.16
Sollecitazioni agenti localmente: Ty_l=-704.65 Mx_l=-14.09
Tensioni nella sezione: σ=170.82 τ=21.35
CC 8 SLD (Collegamento 0020_-377)
Azioni sul collegamento: N=-7364.01 Ty=-3.69 Tz=3.78 Mx=0.01 Mz=-2.04
Sollecitazioni agenti localmente: Ty_l=-1338.91 Mx_l=-26.78
Tensioni nella sezione: σ=324.58 τ=40.57
CC 8 SLD (Collegamento 0020_-377)
Azioni sul collegamento: N=-7364.01 Ty=-2.66 Tz=3.78 Mx=0.01 Mz=-1.05
Sollecitazioni agenti localmente: Ty_l=-1338.91 Mx_l=-26.78
Tensioni nella sezione: σ=324.58 τ=40.57
CC 8 SLD (Collegamento 0020_-377)
Azioni sul collegamento: N=-7364.01 Ty=-3.69 Tz=-2.23 Mx=0.01 Mz=-2.04
Sollecitazioni agenti localmente: Ty_l=-1338.91 Mx_l=-26.78
Tensioni nella sezione: σ=324.58 τ=40.57
CC 8 SLD (Collegamento 0020_-377)
Azioni sul collegamento: N=-7364.01 Ty=-2.66 Tz=-2.23 Mx=0.01 Mz=-1.05
Sollecitazioni agenti localmente: Ty_l=-1338.91 Mx_l=-26.78
Tensioni nella sezione: σ=324.58 τ=40.57
CC 8 SLD (Collegamento 0020_-377)
Azioni sul collegamento: N=-5748.85 Ty=-3.69 Tz=3.78 Mx=0.01 Mz=-2.04
Sollecitazioni agenti localmente: Ty_l=-1045.24 Mx_l=-20.90
Tensioni nella sezione: σ=253.39 τ=31.67
CC 8 SLD (Collegamento 0020_-377)
Azioni sul collegamento: N=-5748.85 Ty=-2.66 Tz=3.78 Mx=0.01 Mz=-1.05
Sollecitazioni agenti localmente: Ty_l=-1045.24 Mx_l=-20.90
Tensioni nella sezione: σ=253.39 τ=31.67
CC 8 SLD (Collegamento 0020_-377)
Azioni sul collegamento: N=-5748.85 Ty=-3.69 Tz=-2.23 Mx=0.01 Mz=-2.04
Sollecitazioni agenti localmente: Ty_l=-1045.24 Mx_l=-20.90
Tensioni nella sezione: σ=253.39 τ=31.67
CC 8 SLD (Collegamento 0020_-377)
Azioni sul collegamento: N=-5748.85 Ty=-2.66 Tz=-2.23 Mx=0.01 Mz=-1.05

Sollecitazioni agenti localmente: Ty_l=-1045.24 Mx_l=-20.90
Tensioni nella sezione: σ=253.39 τ=31.67
CC 9 SLV (Collegamento 0020_-377)
Azioni sul collegamento: N=-5720.83 Ty=-3.80 Tz=-2.51 Mx=0.03 Mz=2.93
Sollecitazioni agenti localmente: Ty_l=-1040.15 Mx_l=-20.80
Tensioni nella sezione: σ=252.16 τ=31.52
CC 9 SLV (Collegamento 0020_-377)
Azioni sul collegamento: N=-5720.83 Ty=-0.86 Tz=-2.51 Mx=0.03 Mz=-1.85
Sollecitazioni agenti localmente: Ty_l=-1040.15 Mx_l=-20.80
Tensioni nella sezione: σ=252.16 τ=31.52
CC 9 SLV (Collegamento 0020_-377)
Azioni sul collegamento: N=-5720.83 Ty=-3.80 Tz=3.80 Mx=0.03 Mz=2.93
Sollecitazioni agenti localmente: Ty_l=-1040.15 Mx_l=-20.80
Tensioni nella sezione: σ=252.16 τ=31.52
CC 9 SLV (Collegamento 0020_-377)
Azioni sul collegamento: N=-5720.83 Ty=-0.86 Tz=3.80 Mx=0.03 Mz=-1.85
Sollecitazioni agenti localmente: Ty_l=-1040.15 Mx_l=-20.80
Tensioni nella sezione: σ=252.16 τ=31.52
CC 9 SLV (Collegamento 0020_-377)
Azioni sul collegamento: N=-7327.12 Ty=-3.80 Tz=-2.51 Mx=0.03 Mz=2.93
Sollecitazioni agenti localmente: Ty_l=-1332.20 Mx_l=-26.64
Tensioni nella sezione: σ=322.96 τ=40.37
CC 9 SLV (Collegamento 0020_-377)
Azioni sul collegamento: N=-7327.12 Ty=-0.86 Tz=-2.51 Mx=0.03 Mz=-1.85
Sollecitazioni agenti localmente: Ty_l=-1332.20 Mx_l=-26.64
Tensioni nella sezione: σ=322.96 τ=40.37
CC 9 SLV (Collegamento 0020_-377)
Azioni sul collegamento: N=-7327.12 Ty=-3.80 Tz=3.80 Mx=0.03 Mz=2.93
Sollecitazioni agenti localmente: Ty_l=-1332.20 Mx_l=-26.64
Tensioni nella sezione: σ=322.96 τ=40.37
CC 9 SLV (Collegamento 0020_-377)
Azioni sul collegamento: N=-7327.12 Ty=-0.86 Tz=3.80 Mx=0.03 Mz=-1.85
Sollecitazioni agenti localmente: Ty_l=-1332.20 Mx_l=-26.64
Tensioni nella sezione: σ=322.96 τ=40.37
CC 10 SLD (Collegamento 0020_-377)
Azioni sul collegamento: N=-6311.52 Ty=-2.73 Tz=-0.19 Mx=0.01 Mz=-0.81
Sollecitazioni agenti localmente: Ty_l=-1147.55 Mx_l=-22.95
Tensioni nella sezione: σ=278.19 τ=34.77
CC 10 SLD (Collegamento 0020_-377)
Azioni sul collegamento: N=-6311.52 Ty=-3.62 Tz=-0.19 Mx=0.01 Mz=-2.27
Sollecitazioni agenti localmente: Ty_l=-1147.55 Mx_l=-22.95
Tensioni nella sezione: σ=278.19 τ=34.77
CC 10 SLD (Collegamento 0020_-377)
Azioni sul collegamento: N=-6311.52 Ty=-2.73 Tz=1.73 Mx=0.01 Mz=-0.81
Sollecitazioni agenti localmente: Ty_l=-1147.55 Mx_l=-22.95
Tensioni nella sezione: σ=278.19 τ=34.77
CC 10 SLD (Collegamento 0020_-377)
Azioni sul collegamento: N=-6311.52 Ty=-3.62 Tz=1.73 Mx=0.01 Mz=-2.27
Sollecitazioni agenti localmente: Ty_l=-1147.55 Mx_l=-22.95
Tensioni nella sezione: σ=278.19 τ=34.77
CC 10 SLD (Collegamento 0020_-377)
Azioni sul collegamento: N=-6801.33 Ty=-2.73 Tz=-0.19 Mx=0.01 Mz=-0.81
Sollecitazioni agenti localmente: Ty_l=-1236.61 Mx_l=-24.73
Tensioni nella sezione: σ=299.78 τ=37.47
CC 10 SLD (Collegamento 0020_-377)
Azioni sul collegamento: N=-6801.33 Ty=-3.62 Tz=-0.19 Mx=0.01 Mz=-2.27
Sollecitazioni agenti localmente: Ty_l=-1236.61 Mx_l=-24.73
Tensioni nella sezione: σ=299.78 τ=37.47
CC 10 SLD (Collegamento 0020_-377)
Azioni sul collegamento: N=-6801.33 Ty=-2.73 Tz=1.73 Mx=0.01 Mz=-0.81
Sollecitazioni agenti localmente: Ty_l=-1236.61 Mx_l=-24.73
Tensioni nella sezione: σ=299.78 τ=37.47
CC 10 SLD (Collegamento 0020_-377)
Azioni sul collegamento: N=-6801.33 Ty=-3.62 Tz=1.73 Mx=0.01 Mz=-2.27
Sollecitazioni agenti localmente: Ty_l=-1236.61 Mx_l=-24.73
Tensioni nella sezione: σ=299.78 τ=37.47
CC 11 SLV (Collegamento 0020_-377)
Azioni sul collegamento: N=-7308.16 Ty=-2.97 Tz=3.37 Mx=0.02 Mz=2.33
Sollecitazioni agenti localmente: Ty_l=-1328.76 Mx_l=-26.58
Tensioni nella sezione: σ=322.12 τ=40.27
CC 11 SLV (Collegamento 0020_-377)
Azioni sul collegamento: N=-7308.16 Ty=-1.68 Tz=3.37 Mx=0.02 Mz=-1.26
Sollecitazioni agenti localmente: Ty_l=-1328.76 Mx_l=-26.58
Tensioni nella sezione: σ=322.12 τ=40.27
CC 11 SLV (Collegamento 0020_-377)
Azioni sul collegamento: N=-7308.16 Ty=-2.97 Tz=-2.08 Mx=0.02 Mz=2.33
Sollecitazioni agenti localmente: Ty_l=-1328.76 Mx_l=-26.58
Tensioni nella sezione: σ=322.12 τ=40.27
CC 11 SLV (Collegamento 0020_-377)

Azioni sul collegamento: N=-7308.16 Ty=-1.68 Tz=-2.08 Mx=0.02 Mz=-1.26
Sollecitazioni agenti localmente: Ty_l=-1328.76 Mx_l=-26.58
Tensioni nella sezione: σ=322.12 τ=40.27
CC 11 SLV (Collegamento 0020_-377)
Azioni sul collegamento: N=-5739.79 Ty=-2.97 Tz=3.37 Mx=0.02 Mz=2.33
Sollecitazioni agenti localmente: Ty_l=-1043.60 Mx_l=-20.87
Tensioni nella sezione: σ=252.99 τ=31.62
CC 11 SLV (Collegamento 0020_-377)
Azioni sul collegamento: N=-5739.79 Ty=-1.68 Tz=3.37 Mx=0.02 Mz=-1.26
Sollecitazioni agenti localmente: Ty_l=-1043.60 Mx_l=-20.87
Tensioni nella sezione: σ=252.99 τ=31.62
CC 11 SLV (Collegamento 0020_-377)
Azioni sul collegamento: N=-5739.79 Ty=-2.97 Tz=-2.08 Mx=0.02 Mz=2.33
Sollecitazioni agenti localmente: Ty_l=-1043.60 Mx_l=-20.87
Tensioni nella sezione: σ=252.99 τ=31.62
CC 11 SLV (Collegamento 0020_-377)
Azioni sul collegamento: N=-5739.79 Ty=-1.68 Tz=-2.08 Mx=0.02 Mz=-1.26
Sollecitazioni agenti localmente: Ty_l=-1043.60 Mx_l=-20.87
Tensioni nella sezione: σ=252.99 τ=31.62
CC 12 SLD (Collegamento 0020_-377)
Azioni sul collegamento: N=-6795.55 Ty=-2.98 Tz=1.60 Mx=0.01 Mz=-1.00
Sollecitazioni agenti localmente: Ty_l=-1235.55 Mx_l=-24.71
Tensioni nella sezione: σ=299.53 τ=37.44
CC 12 SLD (Collegamento 0020_-377)
Azioni sul collegamento: N=-6795.55 Ty=-3.37 Tz=1.60 Mx=0.01 Mz=-2.09
Sollecitazioni agenti localmente: Ty_l=-1235.55 Mx_l=-24.71
Tensioni nella sezione: σ=299.53 τ=37.44
CC 12 SLD (Collegamento 0020_-377)
Azioni sul collegamento: N=-6795.55 Ty=-2.98 Tz=-0.06 Mx=0.01 Mz=-1.00
Sollecitazioni agenti localmente: Ty_l=-1235.55 Mx_l=-24.71
Tensioni nella sezione: σ=299.53 τ=37.44
CC 12 SLD (Collegamento 0020_-377)
Azioni sul collegamento: N=-6795.55 Ty=-3.37 Tz=-0.06 Mx=0.01 Mz=-2.09
Sollecitazioni agenti localmente: Ty_l=-1235.55 Mx_l=-24.71
Tensioni nella sezione: σ=299.53 τ=37.44
CC 12 SLD (Collegamento 0020_-377)
Azioni sul collegamento: N=-6317.31 Ty=-2.98 Tz=1.60 Mx=0.01 Mz=-1.00
Sollecitazioni agenti localmente: Ty_l=-1148.60 Mx_l=-22.97
Tensioni nella sezione: σ=278.45 τ=34.81
CC 12 SLD (Collegamento 0020_-377)
Azioni sul collegamento: N=-6317.31 Ty=-3.37 Tz=1.60 Mx=0.01 Mz=-2.09
Sollecitazioni agenti localmente: Ty_l=-1148.60 Mx_l=-22.97
Tensioni nella sezione: σ=278.45 τ=34.81
CC 12 SLD (Collegamento 0020_-377)
Azioni sul collegamento: N=-6317.31 Ty=-2.98 Tz=-0.06 Mx=0.01 Mz=-1.00
Sollecitazioni agenti localmente: Ty_l=-1148.60 Mx_l=-22.97
Tensioni nella sezione: σ=278.45 τ=34.81
CC 12 SLD (Collegamento 0020_-377)
Azioni sul collegamento: N=-6317.31 Ty=-3.37 Tz=-0.06 Mx=0.01 Mz=-2.09
Sollecitazioni agenti localmente: Ty_l=-1148.60 Mx_l=-22.97
Tensioni nella sezione: σ=278.45 τ=34.81
CC 13 SLV (Collegamento 0020_-377)
Azioni sul collegamento: N=-5739.79 Ty=-1.68 Tz=-2.08 Mx=0.01 Mz=-1.26
Sollecitazioni agenti localmente: Ty_l=-1043.60 Mx_l=-20.87
Tensioni nella sezione: σ=252.99 τ=31.62
CC 13 SLV (Collegamento 0020_-377)
Azioni sul collegamento: N=-5739.79 Ty=-2.97 Tz=-2.08 Mx=0.01 Mz=2.33
Sollecitazioni agenti localmente: Ty_l=-1043.60 Mx_l=-20.87
Tensioni nella sezione: σ=252.99 τ=31.62
CC 13 SLV (Collegamento 0020_-377)
Azioni sul collegamento: N=-5739.79 Ty=-1.68 Tz=3.37 Mx=0.01 Mz=-1.26
Sollecitazioni agenti localmente: Ty_l=-1043.60 Mx_l=-20.87
Tensioni nella sezione: σ=252.99 τ=31.62
CC 13 SLV (Collegamento 0020_-377)
Azioni sul collegamento: N=-5739.79 Ty=-2.97 Tz=3.37 Mx=0.01 Mz=2.33
Sollecitazioni agenti localmente: Ty_l=-1043.60 Mx_l=-20.87
Tensioni nella sezione: σ=252.99 τ=31.62
CC 13 SLV (Collegamento 0020_-377)
Azioni sul collegamento: N=-7308.16 Ty=-1.68 Tz=-2.08 Mx=0.01 Mz=-1.26
Sollecitazioni agenti localmente: Ty_l=-1328.76 Mx_l=-26.58
Tensioni nella sezione: σ=322.12 τ=40.27
CC 13 SLV (Collegamento 0020_-377)
Azioni sul collegamento: N=-7308.16 Ty=-2.97 Tz=-2.08 Mx=0.01 Mz=2.33
Sollecitazioni agenti localmente: Ty_l=-1328.76 Mx_l=-26.58
Tensioni nella sezione: σ=322.12 τ=40.27
CC 13 SLV (Collegamento 0020_-377)
Azioni sul collegamento: N=-7308.16 Ty=-1.68 Tz=3.37 Mx=0.01 Mz=-1.26
Sollecitazioni agenti localmente: Ty_l=-1328.76 Mx_l=-26.58
Tensioni nella sezione: σ=322.12 τ=40.27

CC 13 SLV (Collegamento 0020_-377)
Azioni sul collegamento: N=-7308.16 Ty=-2.97 Tz=3.37 Mx=0.01 Mz=2.33
Sollecitazioni agenti localmente: Ty_l=-1328.76 Mx_l=-26.58
Tensioni nella sezione: σ=322.12 τ=40.27
CC 14 SLD (Collegamento 0020_-377)
Azioni sul collegamento: N=-6317.31 Ty=-3.37 Tz=-0.06 Mx=0.01 Mz=-2.09
Sollecitazioni agenti localmente: Ty_l=-1148.60 Mx_l=-22.97
Tensioni nella sezione: σ=278.45 τ=34.81
CC 14 SLD (Collegamento 0020_-377)
Azioni sul collegamento: N=-6317.31 Ty=-2.98 Tz=-0.06 Mx=0.01 Mz=-1.00
Sollecitazioni agenti localmente: Ty_l=-1148.60 Mx_l=-22.97
Tensioni nella sezione: σ=278.45 τ=34.81
CC 14 SLD (Collegamento 0020_-377)
Azioni sul collegamento: N=-6317.31 Ty=-3.37 Tz=1.60 Mx=0.01 Mz=-2.09
Sollecitazioni agenti localmente: Ty_l=-1148.60 Mx_l=-22.97
Tensioni nella sezione: σ=278.45 τ=34.81
CC 14 SLD (Collegamento 0020_-377)
Azioni sul collegamento: N=-6317.31 Ty=-2.98 Tz=1.60 Mx=0.01 Mz=-1.00
Sollecitazioni agenti localmente: Ty_l=-1148.60 Mx_l=-22.97
Tensioni nella sezione: σ=278.45 τ=34.81
CC 14 SLD (Collegamento 0020_-377)
Azioni sul collegamento: N=-6795.55 Ty=-3.37 Tz=-0.06 Mx=0.01 Mz=-2.09
Sollecitazioni agenti localmente: Ty_l=-1235.55 Mx_l=-24.71
Tensioni nella sezione: σ=299.53 τ=37.44
CC 14 SLD (Collegamento 0020_-377)
Azioni sul collegamento: N=-6795.55 Ty=-2.98 Tz=-0.06 Mx=0.01 Mz=-1.00
Sollecitazioni agenti localmente: Ty_l=-1235.55 Mx_l=-24.71
Tensioni nella sezione: σ=299.53 τ=37.44
CC 14 SLD (Collegamento 0020_-377)
Azioni sul collegamento: N=-6795.55 Ty=-3.37 Tz=1.60 Mx=0.01 Mz=-2.09
Sollecitazioni agenti localmente: Ty_l=-1235.55 Mx_l=-24.71
Tensioni nella sezione: σ=299.53 τ=37.44
CC 14 SLD (Collegamento 0020_-377)
Azioni sul collegamento: N=-6795.55 Ty=-2.98 Tz=1.60 Mx=0.01 Mz=-1.00
Sollecitazioni agenti localmente: Ty_l=-1235.55 Mx_l=-24.71
Tensioni nella sezione: σ=299.53 τ=37.44
CC 15 SLV (Collegamento 0020_-377)
Azioni sul collegamento: N=-7327.12 Ty=-0.86 Tz=3.80 Mx=0.01 Mz=-1.85
Sollecitazioni agenti localmente: Ty_l=-1332.20 Mx_l=-26.64
Tensioni nella sezione: σ=322.96 τ=40.37
CC 15 SLV (Collegamento 0020_-377)
Azioni sul collegamento: N=-7327.12 Ty=-3.80 Tz=3.80 Mx=0.01 Mz=2.93
Sollecitazioni agenti localmente: Ty_l=-1332.20 Mx_l=-26.64
Tensioni nella sezione: σ=322.96 τ=40.37
CC 15 SLV (Collegamento 0020_-377)
Azioni sul collegamento: N=-7327.12 Ty=-0.86 Tz=-2.51 Mx=0.01 Mz=-1.85
Sollecitazioni agenti localmente: Ty_l=-1332.20 Mx_l=-26.64
Tensioni nella sezione: σ=322.96 τ=40.37
CC 15 SLV (Collegamento 0020_-377)
Azioni sul collegamento: N=-7327.12 Ty=-3.80 Tz=-2.51 Mx=0.01 Mz=2.93
Sollecitazioni agenti localmente: Ty_l=-1332.20 Mx_l=-26.64
Tensioni nella sezione: σ=322.96 τ=40.37
CC 15 SLV (Collegamento 0020_-377)
Azioni sul collegamento: N=-5720.83 Ty=-0.86 Tz=3.80 Mx=0.01 Mz=-1.85
Sollecitazioni agenti localmente: Ty_l=-1040.15 Mx_l=-20.80
Tensioni nella sezione: σ=252.16 τ=31.52
CC 15 SLV (Collegamento 0020_-377)
Azioni sul collegamento: N=-5720.83 Ty=-3.80 Tz=3.80 Mx=0.01 Mz=2.93
Sollecitazioni agenti localmente: Ty_l=-1040.15 Mx_l=-20.80
Tensioni nella sezione: σ=252.16 τ=31.52
CC 15 SLV (Collegamento 0020_-377)
Azioni sul collegamento: N=-5720.83 Ty=-0.86 Tz=-2.51 Mx=0.01 Mz=-1.85
Sollecitazioni agenti localmente: Ty_l=-1040.15 Mx_l=-20.80
Tensioni nella sezione: σ=252.16 τ=31.52
CC 15 SLV (Collegamento 0020_-377)
Azioni sul collegamento: N=-5720.83 Ty=-3.80 Tz=-2.51 Mx=0.01 Mz=2.93
Sollecitazioni agenti localmente: Ty_l=-1040.15 Mx_l=-20.80
Tensioni nella sezione: σ=252.16 τ=31.52
CC 16 SLD (Collegamento 0020_-377)
Azioni sul collegamento: N=-6801.33 Ty=-3.62 Tz=1.73 Mx=0.01 Mz=-2.27
Sollecitazioni agenti localmente: Ty_l=-1236.61 Mx_l=-24.73
Tensioni nella sezione: σ=299.78 τ=37.47
CC 16 SLD (Collegamento 0020_-377)
Azioni sul collegamento: N=-6801.33 Ty=-2.73 Tz=1.73 Mx=0.01 Mz=-0.81
Sollecitazioni agenti localmente: Ty_l=-1236.61 Mx_l=-24.73
Tensioni nella sezione: σ=299.78 τ=37.47
CC 16 SLD (Collegamento 0020_-377)
Azioni sul collegamento: N=-6801.33 Ty=-3.62 Tz=-0.19 Mx=0.01 Mz=-2.27
Sollecitazioni agenti localmente: Ty_l=-1236.61 Mx_l=-24.73

Tensioni nella sezione: σ=299.78 τ=37.47
CC 16 SLD (Collegamento 0020_-377)
Azioni sul collegamento: N=-6801.33 Ty=-2.73 Tz=-0.19 Mx=0.01 Mz=-0.81
Sollecitazioni agenti localmente: Ty_l=-1236.61 Mx_l=-24.73
Tensioni nella sezione: σ=299.78 τ=37.47
CC 16 SLD (Collegamento 0020_-377)
Azioni sul collegamento: N=-6311.52 Ty=-3.62 Tz=1.73 Mx=0.01 Mz=-2.27
Sollecitazioni agenti localmente: Ty_l=-1147.55 Mx_l=-22.95
Tensioni nella sezione: σ=278.19 τ=34.77
CC 16 SLD (Collegamento 0020_-377)
Azioni sul collegamento: N=-6311.52 Ty=-2.73 Tz=1.73 Mx=0.01 Mz=-0.81
Sollecitazioni agenti localmente: Ty_l=-1147.55 Mx_l=-22.95
Tensioni nella sezione: σ=278.19 τ=34.77
CC 16 SLD (Collegamento 0020_-377)
Azioni sul collegamento: N=-6311.52 Ty=-3.62 Tz=-0.19 Mx=0.01 Mz=-2.27
Sollecitazioni agenti localmente: Ty_l=-1147.55 Mx_l=-22.95
Tensioni nella sezione: σ=278.19 τ=34.77
CC 16 SLD (Collegamento 0020_-377)
Azioni sul collegamento: N=-6311.52 Ty=-2.73 Tz=-0.19 Mx=0.01 Mz=-0.81
Sollecitazioni agenti localmente: Ty_l=-1147.55 Mx_l=-22.95
Tensioni nella sezione: σ=278.19 τ=34.77
CC 17 SLV (Collegamento 0020_-377)
Azioni sul collegamento: N=-3968.96 Ty=-3.07 Tz=-8.85 Mx=-0.01 Mz=-3.83
Sollecitazioni agenti localmente: Ty_l=-721.63 Mx_l=-14.43
Tensioni nella sezione: σ=174.94 τ=21.87
CC 17 SLV (Collegamento 0020_-377)
Azioni sul collegamento: N=-3968.96 Ty=-6.45 Tz=-8.85 Mx=-0.01 Mz=-7.08
Sollecitazioni agenti localmente: Ty_l=-721.63 Mx_l=-14.43
Tensioni nella sezione: σ=174.94 τ=21.87
CC 17 SLV (Collegamento 0020_-377)
Azioni sul collegamento: N=-3968.96 Ty=-3.07 Tz=10.87 Mx=-0.01 Mz=-3.83
Sollecitazioni agenti localmente: Ty_l=-721.63 Mx_l=-14.43
Tensioni nella sezione: σ=174.94 τ=21.87
CC 17 SLV (Collegamento 0020_-377)
Azioni sul collegamento: N=-3968.96 Ty=-6.45 Tz=10.87 Mx=-0.01 Mz=-7.08
Sollecitazioni agenti localmente: Ty_l=-721.63 Mx_l=-14.43
Tensioni nella sezione: σ=174.94 τ=21.87
CC 17 SLV (Collegamento 0020_-377)
Azioni sul collegamento: N=-9265.76 Ty=-3.07 Tz=-8.85 Mx=-0.01 Mz=-3.83
Sollecitazioni agenti localmente: Ty_l=-1684.68 Mx_l=-33.69
Tensioni nella sezione: σ=408.41 τ=51.05
CC 17 SLV (Collegamento 0020_-377)
Azioni sul collegamento: N=-9265.76 Ty=-6.45 Tz=-8.85 Mx=-0.01 Mz=-7.08
Sollecitazioni agenti localmente: Ty_l=-1684.68 Mx_l=-33.69
Tensioni nella sezione: σ=408.41 τ=51.05
CC 17 SLV (Collegamento 0020_-377)
Azioni sul collegamento: N=-9265.76 Ty=-3.07 Tz=10.87 Mx=-0.01 Mz=-3.83
Sollecitazioni agenti localmente: Ty_l=-1684.68 Mx_l=-33.69
Tensioni nella sezione: σ=408.41 τ=51.05
CC 17 SLV (Collegamento 0020_-377)
Azioni sul collegamento: N=-9265.76 Ty=-6.45 Tz=10.87 Mx=-0.01 Mz=-7.08
Sollecitazioni agenti localmente: Ty_l=-1684.68 Mx_l=-33.69
Tensioni nella sezione: σ=408.41 τ=51.05
CC 18 SLD (Collegamento 0020_-377)
Azioni sul collegamento: N=-5777.32 Ty=-3.40 Tz=-2.12 Mx=-0.00 Mz=-2.87
Sollecitazioni agenti localmente: Ty_l=-1050.42 Mx_l=-21.01
Tensioni nella sezione: σ=254.65 τ=31.83
CC 18 SLD (Collegamento 0020_-377)
Azioni sul collegamento: N=-5777.32 Ty=-4.43 Tz=-2.12 Mx=-0.00 Mz=-3.87
Sollecitazioni agenti localmente: Ty_l=-1050.42 Mx_l=-21.01
Tensioni nella sezione: σ=254.65 τ=31.83
CC 18 SLD (Collegamento 0020_-377)
Azioni sul collegamento: N=-5777.32 Ty=-3.40 Tz=3.89 Mx=-0.00 Mz=-2.87
Sollecitazioni agenti localmente: Ty_l=-1050.42 Mx_l=-21.01
Tensioni nella sezione: σ=254.65 τ=31.83
CC 18 SLD (Collegamento 0020_-377)
Azioni sul collegamento: N=-5777.32 Ty=-4.43 Tz=3.89 Mx=-0.00 Mz=-3.87
Sollecitazioni agenti localmente: Ty_l=-1050.42 Mx_l=-21.01
Tensioni nella sezione: σ=254.65 τ=31.83
CC 18 SLD (Collegamento 0020_-377)
Azioni sul collegamento: N=-7392.49 Ty=-3.40 Tz=-2.12 Mx=-0.00 Mz=-2.87
Sollecitazioni agenti localmente: Ty_l=-1344.09 Mx_l=-26.88
Tensioni nella sezione: σ=325.84 τ=40.73
CC 18 SLD (Collegamento 0020_-377)
Azioni sul collegamento: N=-7392.49 Ty=-4.43 Tz=-2.12 Mx=-0.00 Mz=-3.87
Sollecitazioni agenti localmente: Ty_l=-1344.09 Mx_l=-26.88
Tensioni nella sezione: σ=325.84 τ=40.73
CC 18 SLD (Collegamento 0020_-377)
Azioni sul collegamento: N=-7392.49 Ty=-3.40 Tz=3.89 Mx=-0.00 Mz=-2.87

Sollecitazioni agenti localmente: Ty_l=-1344.09 Mx_l=-26.88
Tensioni nella sezione: σ=325.84 τ=40.73
CC 18 SLD (Collegamento 0020_-377)
Azioni sul collegamento: N=-7392.49 Ty=-4.43 Tz=3.89 Mx=-0.00 Mz=-3.87
Sollecitazioni agenti localmente: Ty_l=-1344.09 Mx_l=-26.88
Tensioni nella sezione: σ=325.84 τ=40.73
CC 19 SLV (Collegamento 0020_-377)
Azioni sul collegamento: N=-3974.65 Ty=-3.70 Tz=-8.72 Mx=-0.01 Mz=-5.08
Sollecitazioni agenti localmente: Ty_l=-722.66 Mx_l=-14.45
Tensioni nella sezione: σ=175.19 τ=21.90
CC 19 SLV (Collegamento 0020_-377)
Azioni sul collegamento: N=-3974.65 Ty=-5.81 Tz=-8.72 Mx=-0.01 Mz=-5.82
Sollecitazioni agenti localmente: Ty_l=-722.66 Mx_l=-14.45
Tensioni nella sezione: σ=175.19 τ=21.90
CC 19 SLV (Collegamento 0020_-377)
Azioni sul collegamento: N=-3974.65 Ty=-3.70 Tz=10.74 Mx=-0.01 Mz=-5.08
Sollecitazioni agenti localmente: Ty_l=-722.66 Mx_l=-14.45
Tensioni nella sezione: σ=175.19 τ=21.90
CC 19 SLV (Collegamento 0020_-377)
Azioni sul collegamento: N=-3974.65 Ty=-5.81 Tz=10.74 Mx=-0.01 Mz=-5.82
Sollecitazioni agenti localmente: Ty_l=-722.66 Mx_l=-14.45
Tensioni nella sezione: σ=175.19 τ=21.90
CC 19 SLV (Collegamento 0020_-377)
Azioni sul collegamento: N=-9260.08 Ty=-3.70 Tz=-8.72 Mx=-0.01 Mz=-5.08
Sollecitazioni agenti localmente: Ty_l=-1683.65 Mx_l=-33.67
Tensioni nella sezione: σ=408.16 τ=51.02
CC 19 SLV (Collegamento 0020_-377)
Azioni sul collegamento: N=-9260.08 Ty=-5.81 Tz=-8.72 Mx=-0.01 Mz=-5.82
Sollecitazioni agenti localmente: Ty_l=-1683.65 Mx_l=-33.67
Tensioni nella sezione: σ=408.16 τ=51.02
CC 19 SLV (Collegamento 0020_-377)
Azioni sul collegamento: N=-9260.08 Ty=-3.70 Tz=10.74 Mx=-0.01 Mz=-5.08
Sollecitazioni agenti localmente: Ty_l=-1683.65 Mx_l=-33.67
Tensioni nella sezione: σ=408.16 τ=51.02
CC 19 SLV (Collegamento 0020_-377)
Azioni sul collegamento: N=-9260.08 Ty=-5.81 Tz=10.74 Mx=-0.01 Mz=-5.82
Sollecitazioni agenti localmente: Ty_l=-1683.65 Mx_l=-33.67
Tensioni nella sezione: σ=408.16 τ=51.02
CC 20 SLD (Collegamento 0020_-377)
Azioni sul collegamento: N=-5779.06 Ty=-3.59 Tz=-2.08 Mx=-0.00 Mz=-3.26
Sollecitazioni agenti localmente: Ty_l=-1050.74 Mx_l=-21.01
Tensioni nella sezione: σ=254.72 τ=31.84
CC 20 SLD (Collegamento 0020_-377)
Azioni sul collegamento: N=-5779.06 Ty=-4.24 Tz=-2.08 Mx=-0.00 Mz=-3.48
Sollecitazioni agenti localmente: Ty_l=-1050.74 Mx_l=-21.01
Tensioni nella sezione: σ=254.72 τ=31.84
CC 20 SLD (Collegamento 0020_-377)
Azioni sul collegamento: N=-5779.06 Ty=-3.59 Tz=3.85 Mx=-0.00 Mz=-3.26
Sollecitazioni agenti localmente: Ty_l=-1050.74 Mx_l=-21.01
Tensioni nella sezione: σ=254.72 τ=31.84
CC 20 SLD (Collegamento 0020_-377)
Azioni sul collegamento: N=-5779.06 Ty=-4.24 Tz=3.85 Mx=-0.00 Mz=-3.48
Sollecitazioni agenti localmente: Ty_l=-1050.74 Mx_l=-21.01
Tensioni nella sezione: σ=254.72 τ=31.84
CC 20 SLD (Collegamento 0020_-377)
Azioni sul collegamento: N=-7390.75 Ty=-3.59 Tz=-2.08 Mx=-0.00 Mz=-3.26
Sollecitazioni agenti localmente: Ty_l=-1343.77 Mx_l=-26.88
Tensioni nella sezione: σ=325.76 τ=40.72
CC 20 SLD (Collegamento 0020_-377)
Azioni sul collegamento: N=-7390.75 Ty=-4.24 Tz=-2.08 Mx=-0.00 Mz=-3.48
Sollecitazioni agenti localmente: Ty_l=-1343.77 Mx_l=-26.88
Tensioni nella sezione: σ=325.76 τ=40.72
CC 20 SLD (Collegamento 0020_-377)
Azioni sul collegamento: N=-7390.75 Ty=-3.59 Tz=3.85 Mx=-0.00 Mz=-3.26
Sollecitazioni agenti localmente: Ty_l=-1343.77 Mx_l=-26.88
Tensioni nella sezione: σ=325.76 τ=40.72
CC 20 SLD (Collegamento 0020_-377)
Azioni sul collegamento: N=-7390.75 Ty=-4.24 Tz=3.85 Mx=-0.00 Mz=-3.48
Sollecitazioni agenti localmente: Ty_l=-1343.77 Mx_l=-26.88
Tensioni nella sezione: σ=325.76 τ=40.72
CC 21 SLV (Collegamento 0020_-377)
Azioni sul collegamento: N=-9260.08 Ty=-5.81 Tz=10.74 Mx=-0.01 Mz=-5.82
Sollecitazioni agenti localmente: Ty_l=-1683.65 Mx_l=-33.67
Tensioni nella sezione: σ=408.16 τ=51.02
CC 21 SLV (Collegamento 0020_-377)
Azioni sul collegamento: N=-9260.08 Ty=-3.70 Tz=10.74 Mx=-0.01 Mz=-5.08
Sollecitazioni agenti localmente: Ty_l=-1683.65 Mx_l=-33.67
Tensioni nella sezione: σ=408.16 τ=51.02
CC 21 SLV (Collegamento 0020_-377)

Azioni sul collegamento: N=-9260.08 Ty=-5.81 Tz=-8.72 Mx=-0.01 Mz=-5.82
Sollecitazioni agenti localmente: Ty_l=-1683.65 Mx_l=-33.67
Tensioni nella sezione: σ=408.16 τ=51.02
CC 21 SLV (Collegamento 0020_-377)
Azioni sul collegamento: N=-9260.08 Ty=-3.70 Tz=-8.72 Mx=-0.01 Mz=-5.08
Sollecitazioni agenti localmente: Ty_l=-1683.65 Mx_l=-33.67
Tensioni nella sezione: σ=408.16 τ=51.02
CC 21 SLV (Collegamento 0020_-377)
Azioni sul collegamento: N=-3974.65 Ty=-5.81 Tz=10.74 Mx=-0.01 Mz=-5.82
Sollecitazioni agenti localmente: Ty_l=-722.66 Mx_l=-14.45
Tensioni nella sezione: σ=175.19 τ=21.90
CC 21 SLV (Collegamento 0020_-377)
Azioni sul collegamento: N=-3974.65 Ty=-3.70 Tz=10.74 Mx=-0.01 Mz=-5.08
Sollecitazioni agenti localmente: Ty_l=-722.66 Mx_l=-14.45
Tensioni nella sezione: σ=175.19 τ=21.90
CC 21 SLV (Collegamento 0020_-377)
Azioni sul collegamento: N=-3974.65 Ty=-5.81 Tz=-8.72 Mx=-0.01 Mz=-5.82
Sollecitazioni agenti localmente: Ty_l=-722.66 Mx_l=-14.45
Tensioni nella sezione: σ=175.19 τ=21.90
CC 21 SLV (Collegamento 0020_-377)
Azioni sul collegamento: N=-3974.65 Ty=-3.70 Tz=-8.72 Mx=-0.01 Mz=-5.08
Sollecitazioni agenti localmente: Ty_l=-722.66 Mx_l=-14.45
Tensioni nella sezione: σ=175.19 τ=21.90
CC 22 SLD (Collegamento 0020_-377)
Azioni sul collegamento: N=-7390.75 Ty=-4.24 Tz=3.85 Mx=-0.00 Mz=-3.48
Sollecitazioni agenti localmente: Ty_l=-1343.77 Mx_l=-26.88
Tensioni nella sezione: σ=325.76 τ=40.72
CC 22 SLD (Collegamento 0020_-377)
Azioni sul collegamento: N=-7390.75 Ty=-3.59 Tz=3.85 Mx=-0.00 Mz=-3.26
Sollecitazioni agenti localmente: Ty_l=-1343.77 Mx_l=-26.88
Tensioni nella sezione: σ=325.76 τ=40.72
CC 22 SLD (Collegamento 0020_-377)
Azioni sul collegamento: N=-7390.75 Ty=-4.24 Tz=-2.08 Mx=-0.00 Mz=-3.48
Sollecitazioni agenti localmente: Ty_l=-1343.77 Mx_l=-26.88
Tensioni nella sezione: σ=325.76 τ=40.72
CC 22 SLD (Collegamento 0020_-377)
Azioni sul collegamento: N=-7390.75 Ty=-3.59 Tz=-2.08 Mx=-0.00 Mz=-3.26
Sollecitazioni agenti localmente: Ty_l=-1343.77 Mx_l=-26.88
Tensioni nella sezione: σ=325.76 τ=40.72
CC 22 SLD (Collegamento 0020_-377)
Azioni sul collegamento: N=-5779.06 Ty=-4.24 Tz=3.85 Mx=-0.00 Mz=-3.48
Sollecitazioni agenti localmente: Ty_l=-1050.74 Mx_l=-21.01
Tensioni nella sezione: σ=254.72 τ=31.84
CC 22 SLD (Collegamento 0020_-377)
Azioni sul collegamento: N=-5779.06 Ty=-3.59 Tz=3.85 Mx=-0.00 Mz=-3.26
Sollecitazioni agenti localmente: Ty_l=-1050.74 Mx_l=-21.01
Tensioni nella sezione: σ=254.72 τ=31.84
CC 22 SLD (Collegamento 0020_-377)
Azioni sul collegamento: N=-5779.06 Ty=-4.24 Tz=-2.08 Mx=-0.00 Mz=-3.48
Sollecitazioni agenti localmente: Ty_l=-1050.74 Mx_l=-21.01
Tensioni nella sezione: σ=254.72 τ=31.84
CC 22 SLD (Collegamento 0020_-377)
Azioni sul collegamento: N=-5779.06 Ty=-3.59 Tz=-2.08 Mx=-0.00 Mz=-3.26
Sollecitazioni agenti localmente: Ty_l=-1050.74 Mx_l=-21.01
Tensioni nella sezione: σ=254.72 τ=31.84
CC 23 SLV (Collegamento 0020_-377)
Azioni sul collegamento: N=-9265.76 Ty=-6.45 Tz=10.87 Mx=-0.01 Mz=-7.08
Sollecitazioni agenti localmente: Ty_l=-1684.68 Mx_l=-33.69
Tensioni nella sezione: σ=408.41 τ=51.05
CC 23 SLV (Collegamento 0020_-377)
Azioni sul collegamento: N=-9265.76 Ty=-3.07 Tz=10.87 Mx=-0.01 Mz=-3.83
Sollecitazioni agenti localmente: Ty_l=-1684.68 Mx_l=-33.69
Tensioni nella sezione: σ=408.41 τ=51.05
CC 23 SLV (Collegamento 0020_-377)
Azioni sul collegamento: N=-9265.76 Ty=-6.45 Tz=-8.85 Mx=-0.01 Mz=-7.08
Sollecitazioni agenti localmente: Ty_l=-1684.68 Mx_l=-33.69
Tensioni nella sezione: σ=408.41 τ=51.05
CC 23 SLV (Collegamento 0020_-377)
Azioni sul collegamento: N=-9265.76 Ty=-3.07 Tz=-8.85 Mx=-0.01 Mz=-3.83
Sollecitazioni agenti localmente: Ty_l=-1684.68 Mx_l=-33.69
Tensioni nella sezione: σ=408.41 τ=51.05
CC 23 SLV (Collegamento 0020_-377)
Azioni sul collegamento: N=-3968.96 Ty=-6.45 Tz=10.87 Mx=-0.01 Mz=-7.08
Sollecitazioni agenti localmente: Ty_l=-721.63 Mx_l=-14.43
Tensioni nella sezione: σ=174.94 τ=21.87
CC 23 SLV (Collegamento 0020_-377)
Azioni sul collegamento: N=-3968.96 Ty=-3.07 Tz=10.87 Mx=-0.01 Mz=-3.83
Sollecitazioni agenti localmente: Ty_l=-721.63 Mx_l=-14.43
Tensioni nella sezione: σ=174.94 τ=21.87

CC 23 SLV (Collegamento 0020_-377)
Azioni sul collegamento: N=-3968.96 Ty=-6.45 Tz=-8.85 Mx=-0.01 Mz=-7.08
Sollecitazioni agenti localmente: Ty_l=-721.63 Mx_l=-14.43
Tensioni nella sezione: σ=174.94 τ=21.87
CC 23 SLV (Collegamento 0020_-377)
Azioni sul collegamento: N=-3968.96 Ty=-3.07 Tz=-8.85 Mx=-0.01 Mz=-3.83
Sollecitazioni agenti localmente: Ty_l=-721.63 Mx_l=-14.43
Tensioni nella sezione: σ=174.94 τ=21.87
CC 24 SLD (Collegamento 0020_-377)
Azioni sul collegamento: N=-7392.49 Ty=-4.43 Tz=3.89 Mx=0.00 Mz=-3.87
Sollecitazioni agenti localmente: Ty_l=-1344.09 Mx_l=-26.88
Tensioni nella sezione: σ=325.84 τ=40.73
CC 24 SLD (Collegamento 0020_-377)
Azioni sul collegamento: N=-7392.49 Ty=-3.40 Tz=3.89 Mx=0.00 Mz=-2.87
Sollecitazioni agenti localmente: Ty_l=-1344.09 Mx_l=-26.88
Tensioni nella sezione: σ=325.84 τ=40.73
CC 24 SLD (Collegamento 0020_-377)
Azioni sul collegamento: N=-7392.49 Ty=-4.43 Tz=-2.12 Mx=0.00 Mz=-3.87
Sollecitazioni agenti localmente: Ty_l=-1344.09 Mx_l=-26.88
Tensioni nella sezione: σ=325.84 τ=40.73
CC 24 SLD (Collegamento 0020_-377)
Azioni sul collegamento: N=-7392.49 Ty=-3.40 Tz=-2.12 Mx=0.00 Mz=-2.87
Sollecitazioni agenti localmente: Ty_l=-1344.09 Mx_l=-26.88
Tensioni nella sezione: σ=325.84 τ=40.73
CC 24 SLD (Collegamento 0020_-377)
Azioni sul collegamento: N=-5777.32 Ty=-4.43 Tz=3.89 Mx=0.00 Mz=-3.87
Sollecitazioni agenti localmente: Ty_l=-1050.42 Mx_l=-21.01
Tensioni nella sezione: σ=254.65 τ=31.83
CC 24 SLD (Collegamento 0020_-377)
Azioni sul collegamento: N=-5777.32 Ty=-3.40 Tz=3.89 Mx=0.00 Mz=-2.87
Sollecitazioni agenti localmente: Ty_l=-1050.42 Mx_l=-21.01
Tensioni nella sezione: σ=254.65 τ=31.83
CC 24 SLD (Collegamento 0020_-377)
Azioni sul collegamento: N=-5777.32 Ty=-4.43 Tz=-2.12 Mx=0.00 Mz=-3.87
Sollecitazioni agenti localmente: Ty_l=-1050.42 Mx_l=-21.01
Tensioni nella sezione: σ=254.65 τ=31.83
CC 24 SLD (Collegamento 0020_-377)
Azioni sul collegamento: N=-5777.32 Ty=-3.40 Tz=-2.12 Mx=0.00 Mz=-2.87
Sollecitazioni agenti localmente: Ty_l=-1050.42 Mx_l=-21.01
Tensioni nella sezione: σ=254.65 τ=31.83
CC 25 SLV (Collegamento 0020_-377)
Azioni sul collegamento: N=-5814.21 Ty=-3.29 Tz=-2.14 Mx=-0.02 Mz=-3.06
Sollecitazioni agenti localmente: Ty_l=-1057.13 Mx_l=-21.14
Tensioni nella sezione: σ=256.27 τ=32.03
CC 25 SLV (Collegamento 0020_-377)
Azioni sul collegamento: N=-5814.21 Ty=-6.23 Tz=-2.14 Mx=-0.02 Mz=-7.84
Sollecitazioni agenti localmente: Ty_l=-1057.13 Mx_l=-21.14
Tensioni nella sezione: σ=256.27 τ=32.03
CC 25 SLV (Collegamento 0020_-377)
Azioni sul collegamento: N=-5814.21 Ty=-3.29 Tz=4.16 Mx=-0.02 Mz=-3.06
Sollecitazioni agenti localmente: Ty_l=-1057.13 Mx_l=-21.14
Tensioni nella sezione: σ=256.27 τ=32.03
CC 25 SLV (Collegamento 0020_-377)
Azioni sul collegamento: N=-5814.21 Ty=-6.23 Tz=4.16 Mx=-0.02 Mz=-7.84
Sollecitazioni agenti localmente: Ty_l=-1057.13 Mx_l=-21.14
Tensioni nella sezione: σ=256.27 τ=32.03
CC 25 SLV (Collegamento 0020_-377)
Azioni sul collegamento: N=-7420.51 Ty=-3.29 Tz=-2.14 Mx=-0.02 Mz=-3.06
Sollecitazioni agenti localmente: Ty_l=-1349.18 Mx_l=-26.98
Tensioni nella sezione: σ=327.07 τ=40.88
CC 25 SLV (Collegamento 0020_-377)
Azioni sul collegamento: N=-7420.51 Ty=-6.23 Tz=-2.14 Mx=-0.02 Mz=-7.84
Sollecitazioni agenti localmente: Ty_l=-1349.18 Mx_l=-26.98
Tensioni nella sezione: σ=327.07 τ=40.88
CC 25 SLV (Collegamento 0020_-377)
Azioni sul collegamento: N=-7420.51 Ty=-3.29 Tz=4.16 Mx=-0.02 Mz=-3.06
Sollecitazioni agenti localmente: Ty_l=-1349.18 Mx_l=-26.98
Tensioni nella sezione: σ=327.07 τ=40.88
CC 25 SLV (Collegamento 0020_-377)
Azioni sul collegamento: N=-7420.51 Ty=-6.23 Tz=4.16 Mx=-0.02 Mz=-7.84
Sollecitazioni agenti localmente: Ty_l=-1349.18 Mx_l=-26.98
Tensioni nella sezione: σ=327.07 τ=40.88
CC 26 SLD (Collegamento 0020_-377)
Azioni sul collegamento: N=-6340.00 Ty=-3.47 Tz=-0.08 Mx=-0.00 Mz=-2.64
Sollecitazioni agenti localmente: Ty_l=-1152.73 Mx_l=-23.05
Tensioni nella sezione: σ=279.45 τ=34.93
CC 26 SLD (Collegamento 0020_-377)
Azioni sul collegamento: N=-6340.00 Ty=-4.36 Tz=-0.08 Mx=-0.00 Mz=-4.10
Sollecitazioni agenti localmente: Ty_l=-1152.73 Mx_l=-23.05

Tensioni nella sezione: σ=279.45 τ=34.93
CC 26 SLD (Collegamento 0020_-377)
Azioni sul collegamento: N=-6340.00 Ty=-3.47 Tz=1.85 Mx=-0.00 Mz=-2.64
Sollecitazioni agenti localmente: Ty_l=-1152.73 Mx_l=-23.05
Tensioni nella sezione: σ=279.45 τ=34.93
CC 26 SLD (Collegamento 0020_-377)
Azioni sul collegamento: N=-6340.00 Ty=-4.36 Tz=1.85 Mx=-0.00 Mz=-4.10
Sollecitazioni agenti localmente: Ty_l=-1152.73 Mx_l=-23.05
Tensioni nella sezione: σ=279.45 τ=34.93
CC 26 SLD (Collegamento 0020_-377)
Azioni sul collegamento: N=-6829.81 Ty=-3.47 Tz=-0.08 Mx=-0.00 Mz=-2.64
Sollecitazioni agenti localmente: Ty_l=-1241.78 Mx_l=-24.84
Tensioni nella sezione: σ=301.04 τ=37.63
CC 26 SLD (Collegamento 0020_-377)
Azioni sul collegamento: N=-6829.81 Ty=-4.36 Tz=-0.08 Mx=-0.00 Mz=-4.10
Sollecitazioni agenti localmente: Ty_l=-1241.78 Mx_l=-24.84
Tensioni nella sezione: σ=301.04 τ=37.63
CC 26 SLD (Collegamento 0020_-377)
Azioni sul collegamento: N=-6829.81 Ty=-3.47 Tz=1.85 Mx=-0.00 Mz=-2.64
Sollecitazioni agenti localmente: Ty_l=-1241.78 Mx_l=-24.84
Tensioni nella sezione: σ=301.04 τ=37.63
CC 26 SLD (Collegamento 0020_-377)
Azioni sul collegamento: N=-6829.81 Ty=-4.36 Tz=1.85 Mx=-0.00 Mz=-4.10
Sollecitazioni agenti localmente: Ty_l=-1241.78 Mx_l=-24.84
Tensioni nella sezione: σ=301.04 τ=37.63
CC 27 SLV (Collegamento 0020_-377)
Azioni sul collegamento: N=-7401.55 Ty=-4.11 Tz=3.74 Mx=-0.02 Mz=-3.66
Sollecitazioni agenti localmente: Ty_l=-1345.74 Mx_l=-26.91
Tensioni nella sezione: σ=326.24 τ=40.78
CC 27 SLV (Collegamento 0020_-377)
Azioni sul collegamento: N=-7401.55 Ty=-5.40 Tz=3.74 Mx=-0.02 Mz=-7.25
Sollecitazioni agenti localmente: Ty_l=-1345.74 Mx_l=-26.91
Tensioni nella sezione: σ=326.24 τ=40.78
CC 27 SLV (Collegamento 0020_-377)
Azioni sul collegamento: N=-7401.55 Ty=-4.11 Tz=-1.71 Mx=-0.02 Mz=-3.66
Sollecitazioni agenti localmente: Ty_l=-1345.74 Mx_l=-26.91
Tensioni nella sezione: σ=326.24 τ=40.78
CC 27 SLV (Collegamento 0020_-377)
Azioni sul collegamento: N=-7401.55 Ty=-5.40 Tz=-1.71 Mx=-0.02 Mz=-7.25
Sollecitazioni agenti localmente: Ty_l=-1345.74 Mx_l=-26.91
Tensioni nella sezione: σ=326.24 τ=40.78
CC 27 SLV (Collegamento 0020_-377)
Azioni sul collegamento: N=-5833.17 Ty=-4.11 Tz=3.74 Mx=-0.02 Mz=-3.66
Sollecitazioni agenti localmente: Ty_l=-1060.58 Mx_l=-21.21
Tensioni nella sezione: σ=257.11 τ=32.14
CC 27 SLV (Collegamento 0020_-377)
Azioni sul collegamento: N=-5833.17 Ty=-5.40 Tz=3.74 Mx=-0.02 Mz=-7.25
Sollecitazioni agenti localmente: Ty_l=-1060.58 Mx_l=-21.21
Tensioni nella sezione: σ=257.11 τ=32.14
CC 27 SLV (Collegamento 0020_-377)
Azioni sul collegamento: N=-5833.17 Ty=-4.11 Tz=-1.71 Mx=-0.02 Mz=-3.66
Sollecitazioni agenti localmente: Ty_l=-1060.58 Mx_l=-21.21
Tensioni nella sezione: σ=257.11 τ=32.14
CC 27 SLV (Collegamento 0020_-377)
Azioni sul collegamento: N=-5833.17 Ty=-5.40 Tz=-1.71 Mx=-0.02 Mz=-7.25
Sollecitazioni agenti localmente: Ty_l=-1060.58 Mx_l=-21.21
Tensioni nella sezione: σ=257.11 τ=32.14
CC 28 SLD (Collegamento 0020_-377)
Azioni sul collegamento: N=-6824.03 Ty=-3.72 Tz=1.72 Mx=-0.00 Mz=-2.82
Sollecitazioni agenti localmente: Ty_l=-1240.73 Mx_l=-24.81
Tensioni nella sezione: σ=300.78 τ=37.60
CC 28 SLD (Collegamento 0020_-377)
Azioni sul collegamento: N=-6824.03 Ty=-4.11 Tz=1.72 Mx=-0.00 Mz=-3.92
Sollecitazioni agenti localmente: Ty_l=-1240.73 Mx_l=-24.81
Tensioni nella sezione: σ=300.78 τ=37.60
CC 28 SLD (Collegamento 0020_-377)
Azioni sul collegamento: N=-6824.03 Ty=-3.72 Tz=0.05 Mx=-0.00 Mz=-2.82
Sollecitazioni agenti localmente: Ty_l=-1240.73 Mx_l=-24.81
Tensioni nella sezione: σ=300.78 τ=37.60
CC 28 SLD (Collegamento 0020_-377)
Azioni sul collegamento: N=-6824.03 Ty=-4.11 Tz=0.05 Mx=-0.00 Mz=-3.92
Sollecitazioni agenti localmente: Ty_l=-1240.73 Mx_l=-24.81
Tensioni nella sezione: σ=300.78 τ=37.60
CC 28 SLD (Collegamento 0020_-377)
Azioni sul collegamento: N=-6345.78 Ty=-3.72 Tz=1.72 Mx=-0.00 Mz=-2.82
Sollecitazioni agenti localmente: Ty_l=-1153.78 Mx_l=-23.08
Tensioni nella sezione: σ=279.70 τ=34.96
CC 28 SLD (Collegamento 0020_-377)
Azioni sul collegamento: N=-6345.78 Ty=-4.11 Tz=1.72 Mx=-0.00 Mz=-3.92

Sollecitazioni agenti localmente: Ty_l=-1153.78 Mx_l=-23.08
Tensioni nella sezione: σ=279.70 τ=34.96
CC 28 SLD (Collegamento 0020_-377)
Azioni sul collegamento: N=-6345.78 Ty=-3.72 Tz=0.05 Mx=-0.00 Mz=-2.82
Sollecitazioni agenti localmente: Ty_l=-1153.78 Mx_l=-23.08
Tensioni nella sezione: σ=279.70 τ=34.96
CC 28 SLD (Collegamento 0020_-377)
Azioni sul collegamento: N=-6345.78 Ty=-4.11 Tz=0.05 Mx=-0.00 Mz=-3.92
Sollecitazioni agenti localmente: Ty_l=-1153.78 Mx_l=-23.08
Tensioni nella sezione: σ=279.70 τ=34.96
CC 29 SLV (Collegamento 0020_-377)
Azioni sul collegamento: N=-5833.17 Ty=-5.40 Tz=-1.71 Mx=-0.00 Mz=-7.25
Sollecitazioni agenti localmente: Ty_l=-1060.58 Mx_l=-21.21
Tensioni nella sezione: σ=257.11 τ=32.14
CC 29 SLV (Collegamento 0020_-377)
Azioni sul collegamento: N=-5833.17 Ty=-4.11 Tz=-1.71 Mx=-0.00 Mz=-3.66
Sollecitazioni agenti localmente: Ty_l=-1060.58 Mx_l=-21.21
Tensioni nella sezione: σ=257.11 τ=32.14
CC 29 SLV (Collegamento 0020_-377)
Azioni sul collegamento: N=-5833.17 Ty=-5.40 Tz=3.74 Mx=-0.00 Mz=-7.25
Sollecitazioni agenti localmente: Ty_l=-1060.58 Mx_l=-21.21
Tensioni nella sezione: σ=257.11 τ=32.14
CC 29 SLV (Collegamento 0020_-377)
Azioni sul collegamento: N=-5833.17 Ty=-4.11 Tz=3.74 Mx=-0.00 Mz=-3.66
Sollecitazioni agenti localmente: Ty_l=-1060.58 Mx_l=-21.21
Tensioni nella sezione: σ=257.11 τ=32.14
CC 29 SLV (Collegamento 0020_-377)
Azioni sul collegamento: N=-7401.55 Ty=-5.40 Tz=-1.71 Mx=-0.00 Mz=-7.25
Sollecitazioni agenti localmente: Ty_l=-1345.74 Mx_l=-26.91
Tensioni nella sezione: σ=326.24 τ=40.78
CC 29 SLV (Collegamento 0020_-377)
Azioni sul collegamento: N=-7401.55 Ty=-4.11 Tz=-1.71 Mx=-0.00 Mz=-3.66
Sollecitazioni agenti localmente: Ty_l=-1345.74 Mx_l=-26.91
Tensioni nella sezione: σ=326.24 τ=40.78
CC 29 SLV (Collegamento 0020_-377)
Azioni sul collegamento: N=-7401.55 Ty=-5.40 Tz=3.74 Mx=-0.00 Mz=-7.25
Sollecitazioni agenti localmente: Ty_l=-1345.74 Mx_l=-26.91
Tensioni nella sezione: σ=326.24 τ=40.78
CC 29 SLV (Collegamento 0020_-377)
Azioni sul collegamento: N=-7401.55 Ty=-4.11 Tz=3.74 Mx=-0.00 Mz=-3.66
Sollecitazioni agenti localmente: Ty_l=-1345.74 Mx_l=-26.91
Tensioni nella sezione: σ=326.24 τ=40.78
CC 30 SLD (Collegamento 0020_-377)
Azioni sul collegamento: N=-6345.78 Ty=-4.11 Tz=0.05 Mx=0.00 Mz=-3.92
Sollecitazioni agenti localmente: Ty_l=-1153.78 Mx_l=-23.08
Tensioni nella sezione: σ=279.70 τ=34.96
CC 30 SLD (Collegamento 0020_-377)
Azioni sul collegamento: N=-6345.78 Ty=-3.72 Tz=0.05 Mx=0.00 Mz=-2.82
Sollecitazioni agenti localmente: Ty_l=-1153.78 Mx_l=-23.08
Tensioni nella sezione: σ=279.70 τ=34.96
CC 30 SLD (Collegamento 0020_-377)
Azioni sul collegamento: N=-6345.78 Ty=-4.11 Tz=1.72 Mx=0.00 Mz=-3.92
Sollecitazioni agenti localmente: Ty_l=-1153.78 Mx_l=-23.08
Tensioni nella sezione: σ=279.70 τ=34.96
CC 30 SLD (Collegamento 0020_-377)
Azioni sul collegamento: N=-6345.78 Ty=-3.72 Tz=1.72 Mx=0.00 Mz=-2.82
Sollecitazioni agenti localmente: Ty_l=-1153.78 Mx_l=-23.08
Tensioni nella sezione: σ=279.70 τ=34.96
CC 30 SLD (Collegamento 0020_-377)
Azioni sul collegamento: N=-6824.03 Ty=-4.11 Tz=0.05 Mx=0.00 Mz=-3.92
Sollecitazioni agenti localmente: Ty_l=-1240.73 Mx_l=-24.81
Tensioni nella sezione: σ=300.78 τ=37.60
CC 30 SLD (Collegamento 0020_-377)
Azioni sul collegamento: N=-6824.03 Ty=-3.72 Tz=0.05 Mx=0.00 Mz=-2.82
Sollecitazioni agenti localmente: Ty_l=-1240.73 Mx_l=-24.81
Tensioni nella sezione: σ=300.78 τ=37.60
CC 30 SLD (Collegamento 0020_-377)
Azioni sul collegamento: N=-6824.03 Ty=-4.11 Tz=1.72 Mx=0.00 Mz=-3.92
Sollecitazioni agenti localmente: Ty_l=-1240.73 Mx_l=-24.81
Tensioni nella sezione: σ=300.78 τ=37.60
CC 30 SLD (Collegamento 0020_-377)
Azioni sul collegamento: N=-6824.03 Ty=-3.72 Tz=1.72 Mx=0.00 Mz=-2.82
Sollecitazioni agenti localmente: Ty_l=-1240.73 Mx_l=-24.81
Tensioni nella sezione: σ=300.78 τ=37.60
CC 31 SLV (Collegamento 0020_-377)
Azioni sul collegamento: N=-7420.51 Ty=-6.23 Tz=4.16 Mx=-0.00 Mz=-7.84
Sollecitazioni agenti localmente: Ty_l=-1349.18 Mx_l=-26.98
Tensioni nella sezione: σ=327.07 τ=40.88
CC 31 SLV (Collegamento 0020_-377)

Azioni sul collegamento: N=-7420.51 Ty=-3.29 Tz=4.16 Mx=-0.00 Mz=-3.06
Sollecitazioni agenti localmente: Ty_l=-1349.18 Mx_l=-26.98
Tensioni nella sezione: σ=327.07 τ=40.88
CC 31 SLV (Collegamento 0020_-377)
Azioni sul collegamento: N=-7420.51 Ty=-6.23 Tz=-2.14 Mx=-0.00 Mz=-7.84
Sollecitazioni agenti localmente: Ty_l=-1349.18 Mx_l=-26.98
Tensioni nella sezione: σ=327.07 τ=40.88
CC 31 SLV (Collegamento 0020_-377)
Azioni sul collegamento: N=-7420.51 Ty=-3.29 Tz=-2.14 Mx=-0.00 Mz=-3.06
Sollecitazioni agenti localmente: Ty_l=-1349.18 Mx_l=-26.98
Tensioni nella sezione: σ=327.07 τ=40.88
CC 31 SLV (Collegamento 0020_-377)
Azioni sul collegamento: N=-5814.21 Ty=-6.23 Tz=4.16 Mx=-0.00 Mz=-7.84
Sollecitazioni agenti localmente: Ty_l=-1057.13 Mx_l=-21.14
Tensioni nella sezione: σ=256.27 τ=32.03
CC 31 SLV (Collegamento 0020_-377)
Azioni sul collegamento: N=-5814.21 Ty=-3.29 Tz=4.16 Mx=-0.00 Mz=-3.06
Sollecitazioni agenti localmente: Ty_l=-1057.13 Mx_l=-21.14
Tensioni nella sezione: σ=256.27 τ=32.03
CC 31 SLV (Collegamento 0020_-377)
Azioni sul collegamento: N=-5814.21 Ty=-6.23 Tz=-2.14 Mx=-0.00 Mz=-7.84
Sollecitazioni agenti localmente: Ty_l=-1057.13 Mx_l=-21.14
Tensioni nella sezione: σ=256.27 τ=32.03
CC 31 SLV (Collegamento 0020_-377)
Azioni sul collegamento: N=-5814.21 Ty=-3.29 Tz=-2.14 Mx=-0.00 Mz=-3.06
Sollecitazioni agenti localmente: Ty_l=-1057.13 Mx_l=-21.14
Tensioni nella sezione: σ=256.27 τ=32.03
CC 32 SLD (Collegamento 0020_-377)
Azioni sul collegamento: N=-6829.81 Ty=-4.36 Tz=1.85 Mx=0.00 Mz=-4.10
Sollecitazioni agenti localmente: Ty_l=-1241.78 Mx_l=-24.84
Tensioni nella sezione: σ=301.04 τ=37.63
CC 32 SLD (Collegamento 0020_-377)
Azioni sul collegamento: N=-6829.81 Ty=-3.47 Tz=1.85 Mx=0.00 Mz=-2.64
Sollecitazioni agenti localmente: Ty_l=-1241.78 Mx_l=-24.84
Tensioni nella sezione: σ=301.04 τ=37.63
CC 32 SLD (Collegamento 0020_-377)
Azioni sul collegamento: N=-6829.81 Ty=-4.36 Tz=-0.08 Mx=0.00 Mz=-4.10
Sollecitazioni agenti localmente: Ty_l=-1241.78 Mx_l=-24.84
Tensioni nella sezione: σ=301.04 τ=37.63
CC 32 SLD (Collegamento 0020_-377)
Azioni sul collegamento: N=-6829.81 Ty=-3.47 Tz=-0.08 Mx=0.00 Mz=-2.64
Sollecitazioni agenti localmente: Ty_l=-1241.78 Mx_l=-24.84
Tensioni nella sezione: σ=301.04 τ=37.63
CC 32 SLD (Collegamento 0020_-377)
Azioni sul collegamento: N=-6340.00 Ty=-4.36 Tz=1.85 Mx=0.00 Mz=-4.10
Sollecitazioni agenti localmente: Ty_l=-1152.73 Mx_l=-23.05
Tensioni nella sezione: σ=279.45 τ=34.93
CC 32 SLD (Collegamento 0020_-377)
Azioni sul collegamento: N=-6340.00 Ty=-3.47 Tz=1.85 Mx=0.00 Mz=-2.64
Sollecitazioni agenti localmente: Ty_l=-1152.73 Mx_l=-23.05
Tensioni nella sezione: σ=279.45 τ=34.93
CC 32 SLD (Collegamento 0020_-377)
Azioni sul collegamento: N=-6340.00 Ty=-4.36 Tz=-0.08 Mx=0.00 Mz=-4.10
Sollecitazioni agenti localmente: Ty_l=-1152.73 Mx_l=-23.05
Tensioni nella sezione: σ=279.45 τ=34.93
CC 32 SLD (Collegamento 0020_-377)
Azioni sul collegamento: N=-6340.00 Ty=-3.47 Tz=-0.08 Mx=0.00 Mz=-2.64
Sollecitazioni agenti localmente: Ty_l=-1152.73 Mx_l=-23.05
Tensioni nella sezione: σ=279.45 τ=34.93
CC 33 SLU (Collegamento 0020_-377)
Azioni sul collegamento: N=-30337.70 Ty=-5.16 Tz=79.98 Mx=0.01 Mz=-3.50
Sollecitazioni agenti localmente: Ty_l=-5515.96 Mx_l=-110.32
Tensioni nella sezione: σ=1337.20 τ=167.15
CC 34 SLU (Collegamento 0020_-377)
Azioni sul collegamento: N=-30888.30 Ty=-5.44 Tz=82.02 Mx=0.01 Mz=-3.71
Sollecitazioni agenti localmente: Ty_l=-5616.05 Mx_l=-112.32
Tensioni nella sezione: σ=1361.46 τ=170.18
CC 35 SLU (Collegamento 0020_-377)
Azioni sul collegamento: N=-30612.00 Ty=-5.19 Tz=81.02 Mx=0.01 Mz=-3.39
Sollecitazioni agenti localmente: Ty_l=-5565.82 Mx_l=-111.32
Tensioni nella sezione: σ=1349.29 τ=168.66
CC 36 SLU (Collegamento 0020_-377)
Azioni sul collegamento: N=-30614.00 Ty=-5.41 Tz=80.97 Mx=0.01 Mz=-3.82
Sollecitazioni agenti localmente: Ty_l=-5566.18 Mx_l=-111.32
Tensioni nella sezione: σ=1349.37 τ=168.67
CC 37 SLU (Collegamento 0020_-377)
Azioni sul collegamento: N=-32266.80 Ty=-5.04 Tz=86.42 Mx=-0.00 Mz=-3.56
Sollecitazioni agenti localmente: Ty_l=-5866.68 Mx_l=-117.33
Tensioni nella sezione: σ=1422.22 τ=177.78

CC 38 SLU (Collegamento 0020_-377)
Azioni sul collegamento: N=-32817.30 Ty=-5.33 Tz=88.46 Mx=-0.00 Mz=-3.76
Sollecitazioni agenti localmente: Ty_l=-5966.78 Mx_l=-119.33
Tensioni nella sezione: σ=1446.49 τ=180.81
CC 39 SLU (Collegamento 0020_-377)
Azioni sul collegamento: N=-32541.00 Ty=-5.08 Tz=87.47 Mx=-0.00 Mz=-3.44
Sollecitazioni agenti localmente: Ty_l=-5916.55 Mx_l=-118.33
Tensioni nella sezione: σ=1434.31 τ=179.29
CC 40 SLU (Collegamento 0020_-377)
Azioni sul collegamento: N=-32543.00 Ty=-5.30 Tz=87.42 Mx=-0.00 Mz=-3.88
Sollecitazioni agenti localmente: Ty_l=-5916.91 Mx_l=-118.34
Tensioni nella sezione: σ=1434.40 τ=179.30
CC 41 SLU (Collegamento 0020_-377)
Azioni sul collegamento: N=-21046.60 Ty=-6.03 Tz=45.82 Mx=0.01 Mz=-4.13
Sollecitazioni agenti localmente: Ty_l=-3826.65 Mx_l=-76.53
Tensioni nella sezione: σ=927.67 τ=115.96
CC 42 SLU (Collegamento 0020_-377)
Azioni sul collegamento: N=-21597.10 Ty=-6.32 Tz=47.86 Mx=0.01 Mz=-4.34
Sollecitazioni agenti localmente: Ty_l=-3926.75 Mx_l=-78.53
Tensioni nella sezione: σ=951.94 τ=118.99
CC 43 SLU (Collegamento 0020_-377)
Azioni sul collegamento: N=-21320.90 Ty=-6.07 Tz=46.87 Mx=0.01 Mz=-4.02
Sollecitazioni agenti localmente: Ty_l=-3876.52 Mx_l=-77.53
Tensioni nella sezione: σ=939.76 τ=117.47
CC 44 SLU (Collegamento 0020_-377)
Azioni sul collegamento: N=-21322.80 Ty=-6.29 Tz=46.82 Mx=0.01 Mz=-4.45
Sollecitazioni agenti localmente: Ty_l=-3876.88 Mx_l=-77.54
Tensioni nella sezione: σ=939.85 τ=117.48
CC 45 SLU (Collegamento 0020_-377)
Azioni sul collegamento: N=-23139.00 Ty=-5.73 Tz=53.57 Mx=0.01 Mz=-3.96
Sollecitazioni agenti localmente: Ty_l=-4207.09 Mx_l=-84.14
Tensioni nella sezione: σ=1019.90 τ=127.49
CC 46 SLU (Collegamento 0020_-377)
Azioni sul collegamento: N=-23689.50 Ty=-6.01 Tz=55.60 Mx=0.01 Mz=-4.17
Sollecitazioni agenti localmente: Ty_l=-4307.18 Mx_l=-86.14
Tensioni nella sezione: σ=1044.16 τ=130.52
CC 47 SLU (Collegamento 0020_-377)
Azioni sul collegamento: N=-23413.30 Ty=-5.76 Tz=54.61 Mx=0.01 Mz=-3.84
Sollecitazioni agenti localmente: Ty_l=-4256.95 Mx_l=-85.14
Tensioni nella sezione: σ=1031.99 τ=129.00
CC 48 SLU (Collegamento 0020_-377)
Azioni sul collegamento: N=-23415.20 Ty=-5.98 Tz=54.56 Mx=0.01 Mz=-4.28
Sollecitazioni agenti localmente: Ty_l=-4257.31 Mx_l=-85.15
Tensioni nella sezione: σ=1032.07 τ=129.01
CC 49 SLU (Collegamento 0020_-377)
Azioni sul collegamento: N=-24582.20 Ty=-5.64 Tz=58.39 Mx=0.00 Mz=-4.00
Sollecitazioni agenti localmente: Ty_l=-4469.48 Mx_l=-89.39
Tensioni nella sezione: σ=1083.51 τ=135.44
CC 50 SLU (Collegamento 0020_-377)
Azioni sul collegamento: N=-25132.70 Ty=-5.93 Tz=60.42 Mx=0.00 Mz=-4.21
Sollecitazioni agenti localmente: Ty_l=-4569.58 Mx_l=-91.39
Tensioni nella sezione: σ=1107.77 τ=138.47
CC 51 SLU (Collegamento 0020_-377)
Azioni sul collegamento: N=-24856.40 Ty=-5.68 Tz=59.43 Mx=-0.00 Mz=-3.89
Sollecitazioni agenti localmente: Ty_l=-4519.35 Mx_l=-90.39
Tensioni nella sezione: σ=1095.60 τ=136.95
CC 52 SLU (Collegamento 0020_-377)
Azioni sul collegamento: N=-24858.40 Ty=-5.89 Tz=59.38 Mx=0.00 Mz=-4.32
Sollecitazioni agenti localmente: Ty_l=-4519.71 Mx_l=-90.39
Tensioni nella sezione: σ=1095.68 τ=136.96
CC 53 SLU (Collegamento 0020_-377)
Azioni sul collegamento: N=-16187.80 Ty=-6.38 Tz=28.01 Mx=0.01 Mz=-4.43
Sollecitazioni agenti localmente: Ty_l=-2943.24 Mx_l=-58.86
Tensioni nella sezione: σ=713.51 τ=89.19
CC 54 SLU (Collegamento 0020_-377)
Azioni sul collegamento: N=-16738.30 Ty=-6.67 Tz=30.05 Mx=0.01 Mz=-4.64
Sollecitazioni agenti localmente: Ty_l=-3043.34 Mx_l=-60.87
Tensioni nella sezione: σ=737.78 τ=92.22
CC 55 SLU (Collegamento 0020_-377)
Azioni sul collegamento: N=-16462.10 Ty=-6.42 Tz=29.05 Mx=0.01 Mz=-4.32
Sollecitazioni agenti localmente: Ty_l=-2993.11 Mx_l=-59.86
Tensioni nella sezione: σ=725.60 τ=90.70
CC 56 SLU (Collegamento 0020_-377)
Azioni sul collegamento: N=-16464.10 Ty=-6.64 Tz=29.01 Mx=0.01 Mz=-4.75
Sollecitazioni agenti localmente: Ty_l=-2993.47 Mx_l=-59.87
Tensioni nella sezione: σ=725.69 τ=90.71
CC 57 SLU (Collegamento 0020_-377)
Azioni sul collegamento: N=-23519.50 Ty=-6.15 Tz=55.00 Mx=0.01 Mz=-4.26
Sollecitazioni agenti localmente: Ty_l=-4276.28 Mx_l=-85.53

Tensioni nella sezione: σ=1036.67 τ=129.58
CC 58 SLU (Collegamento 0020_-377)
Azioni sul collegamento: N=-24070.10 Ty=-6.43 Tz=57.04 Mx=0.01 Mz=-4.47
Sollecitazioni agenti localmente: Ty_l=-4376.37 Mx_l=-87.53
Tensioni nella sezione: σ=1060.94 τ=132.62
CC 59 SLU (Collegamento 0020_-377)
Azioni sul collegamento: N=-23793.80 Ty=-6.18 Tz=56.05 Mx=0.01 Mz=-4.15
Sollecitazioni agenti localmente: Ty_l=-4326.14 Mx_l=-86.52
Tensioni nella sezione: σ=1048.76 τ=131.09
CC 60 SLU (Collegamento 0020_-377)
Azioni sul collegamento: N=-23795.80 Ty=-6.40 Tz=56.00 Mx=0.01 Mz=-4.58
Sollecitazioni agenti localmente: Ty_l=-4326.50 Mx_l=-86.53
Tensioni nella sezione: σ=1048.85 τ=131.11
CC 61 SLU (Collegamento 0020_-377)
Azioni sul collegamento: N=-24962.70 Ty=-6.06 Tz=59.83 Mx=0.00 Mz=-4.30
Sollecitazioni agenti localmente: Ty_l=-4538.67 Mx_l=-90.77
Tensioni nella sezione: σ=1100.28 τ=137.54
CC 62 SLU (Collegamento 0020_-377)
Azioni sul collegamento: N=-25513.20 Ty=-6.35 Tz=61.87 Mx=0.00 Mz=-4.51
Sollecitazioni agenti localmente: Ty_l=-4638.77 Mx_l=-92.78
Tensioni nella sezione: σ=1124.55 τ=140.57
CC 63 SLU (Collegamento 0020_-377)
Azioni sul collegamento: N=-25237.00 Ty=-6.10 Tz=60.87 Mx=-0.00 Mz=-4.19
Sollecitazioni agenti localmente: Ty_l=-4588.54 Mx_l=-91.77
Tensioni nella sezione: σ=1112.37 τ=139.05
CC 64 SLU (Collegamento 0020_-377)
Azioni sul collegamento: N=-25238.90 Ty=-6.31 Tz=60.82 Mx=0.00 Mz=-4.62
Sollecitazioni agenti localmente: Ty_l=-4588.90 Mx_l=-91.78
Tensioni nella sezione: σ=1112.46 τ=139.06
CC 65 SLU (Collegamento 0020_-377)
Azioni sul collegamento: N=-16568.40 Ty=-6.80 Tz=29.45 Mx=0.01 Mz=-4.74
Sollecitazioni agenti localmente: Ty_l=-3012.43 Mx_l=-60.25
Tensioni nella sezione: σ=730.28 τ=91.29
CC 66 SLU (Collegamento 0020_-377)
Azioni sul collegamento: N=-17118.90 Ty=-7.09 Tz=31.49 Mx=0.01 Mz=-4.94
Sollecitazioni agenti localmente: Ty_l=-3112.53 Mx_l=-62.25
Tensioni nella sezione: σ=754.55 τ=94.32
CC 67 SLU (Collegamento 0020_-377)
Azioni sul collegamento: N=-16842.60 Ty=-6.84 Tz=30.49 Mx=0.01 Mz=-4.62
Sollecitazioni agenti localmente: Ty_l=-3062.30 Mx_l=-61.25
Tensioni nella sezione: σ=742.37 τ=92.80
CC 68 SLU (Collegamento 0020_-377)
Azioni sul collegamento: N=-16844.60 Ty=-7.06 Tz=30.45 Mx=0.01 Mz=-5.06
Sollecitazioni agenti localmente: Ty_l=-3062.66 Mx_l=-61.25
Tensioni nella sezione: σ=742.46 τ=92.81
CC 97 SLU (Collegamento 0020_-377)
Azioni sul collegamento: N=-16826.20 Ty=-0.37 Tz=38.55 Mx=0.05 Mz=7.28
Sollecitazioni agenti localmente: Ty_l=-3059.31 Mx_l=-61.19
Tensioni nella sezione: σ=741.65 τ=92.71
CC 98 SLU (Collegamento 0020_-377)
Azioni sul collegamento: N=-17376.70 Ty=-0.65 Tz=40.58 Mx=0.05 Mz=7.07
Sollecitazioni agenti localmente: Ty_l=-3159.41 Mx_l=-63.19
Tensioni nella sezione: σ=765.91 τ=95.74
CC 99 SLU (Collegamento 0020_-377)
Azioni sul collegamento: N=-17100.50 Ty=-0.40 Tz=39.59 Mx=0.05 Mz=7.39
Sollecitazioni agenti localmente: Ty_l=-3109.18 Mx_l=-62.18
Tensioni nella sezione: σ=753.74 τ=94.22
CC 100 SLU (Collegamento 0020_-377)
Azioni sul collegamento: N=-17102.50 Ty=-0.62 Tz=39.54 Mx=0.05 Mz=6.96
Sollecitazioni agenti localmente: Ty_l=-3109.54 Mx_l=-62.19
Tensioni nella sezione: σ=753.83 τ=94.23
CC 101 SLU (Collegamento 0020_-377)
Azioni sul collegamento: N=-6585.90 Ty=-4.08 Tz=0.92 Mx=-0.00 Mz=-3.64
Sollecitazioni agenti localmente: Ty_l=-1197.44 Mx_l=-23.95
Tensioni nella sezione: σ=290.29 τ=36.29
CC 102 SLU (Collegamento 0020_-377)
Azioni sul collegamento: N=-7136.43 Ty=-4.37 Tz=2.96 Mx=-0.00 Mz=-3.85
Sollecitazioni agenti localmente: Ty_l=-1297.53 Mx_l=-25.95
Tensioni nella sezione: σ=314.55 τ=39.32
CC 103 SLU (Collegamento 0020_-377)
Azioni sul collegamento: N=-6860.18 Ty=-4.11 Tz=1.96 Mx=-0.00 Mz=-3.53
Sollecitazioni agenti localmente: Ty_l=-1247.31 Mx_l=-24.95
Tensioni nella sezione: σ=302.38 τ=37.80
CC 104 SLU (Collegamento 0020_-377)
Azioni sul collegamento: N=-6862.15 Ty=-4.33 Tz=1.92 Mx=-0.00 Mz=-3.96
Sollecitazioni agenti localmente: Ty_l=-1247.66 Mx_l=-24.95
Tensioni nella sezione: σ=302.46 τ=37.81

Flessione attacco inferiore piastra

Bnetta=220.00 Hnetta=15.00
CC 1 SLV (Collegamento 0020_-377)
Azioni sul collegamento: N=-3875.57 Ty=-4.02 Tz=-9.21 Mx=0.02 Mz=2.16
Sollecitazioni agenti localmente: Ty_l=-704.65 Mx_l=-14.09
Tensioni nella sezione: σ=170.82 τ=21.35
CC 1 SLV (Collegamento 0020_-377)
Azioni sul collegamento: N=-3875.57 Ty=-0.64 Tz=-9.21 Mx=0.02 Mz=-1.09
Sollecitazioni agenti localmente: Ty_l=-704.65 Mx_l=-14.09
Tensioni nella sezione: σ=170.82 τ=21.35
CC 1 SLV (Collegamento 0020_-377)
Azioni sul collegamento: N=-3875.57 Ty=-4.02 Tz=10.50 Mx=0.02 Mz=2.16
Sollecitazioni agenti localmente: Ty_l=-704.65 Mx_l=-14.09
Tensioni nella sezione: σ=170.82 τ=21.35
CC 1 SLV (Collegamento 0020_-377)
Azioni sul collegamento: N=-3875.57 Ty=-0.64 Tz=10.50 Mx=0.02 Mz=-1.09
Sollecitazioni agenti localmente: Ty_l=-704.65 Mx_l=-14.09
Tensioni nella sezione: σ=170.82 τ=21.35
CC 1 SLV (Collegamento 0020_-377)
Azioni sul collegamento: N=-9172.38 Ty=-4.02 Tz=-9.21 Mx=0.02 Mz=2.16
Sollecitazioni agenti localmente: Ty_l=-1667.71 Mx_l=-33.35
Tensioni nella sezione: σ=404.29 τ=50.54
CC 1 SLV (Collegamento 0020_-377)
Azioni sul collegamento: N=-9172.38 Ty=-0.64 Tz=-9.21 Mx=0.02 Mz=-1.09
Sollecitazioni agenti localmente: Ty_l=-1667.71 Mx_l=-33.35
Tensioni nella sezione: σ=404.29 τ=50.54
CC 1 SLV (Collegamento 0020_-377)
Azioni sul collegamento: N=-9172.38 Ty=-4.02 Tz=10.50 Mx=0.02 Mz=2.16
Sollecitazioni agenti localmente: Ty_l=-1667.71 Mx_l=-33.35
Tensioni nella sezione: σ=404.29 τ=50.54
CC 1 SLV (Collegamento 0020_-377)
Azioni sul collegamento: N=-9172.38 Ty=-0.64 Tz=10.50 Mx=0.02 Mz=-1.09
Sollecitazioni agenti localmente: Ty_l=-1667.71 Mx_l=-33.35
Tensioni nella sezione: σ=404.29 τ=50.54
CC 2 SLD (Collegamento 0020_-377)
Azioni sul collegamento: N=-5748.85 Ty=-2.66 Tz=-2.23 Mx=0.01 Mz=-1.05
Sollecitazioni agenti localmente: Ty_l=-1045.24 Mx_l=-20.90
Tensioni nella sezione: σ=253.39 τ=31.67
CC 2 SLD (Collegamento 0020_-377)
Azioni sul collegamento: N=-5748.85 Ty=-3.69 Tz=-2.23 Mx=0.01 Mz=-2.04
Sollecitazioni agenti localmente: Ty_l=-1045.24 Mx_l=-20.90
Tensioni nella sezione: σ=253.39 τ=31.67
CC 2 SLD (Collegamento 0020_-377)
Azioni sul collegamento: N=-5748.85 Ty=-2.66 Tz=3.78 Mx=0.01 Mz=-1.05
Sollecitazioni agenti localmente: Ty_l=-1045.24 Mx_l=-20.90
Tensioni nella sezione: σ=253.39 τ=31.67
CC 2 SLD (Collegamento 0020_-377)
Azioni sul collegamento: N=-5748.85 Ty=-3.69 Tz=3.78 Mx=0.01 Mz=-2.04
Sollecitazioni agenti localmente: Ty_l=-1045.24 Mx_l=-20.90
Tensioni nella sezione: σ=253.39 τ=31.67
CC 2 SLD (Collegamento 0020_-377)
Azioni sul collegamento: N=-7364.01 Ty=-2.66 Tz=-2.23 Mx=0.01 Mz=-1.05
Sollecitazioni agenti localmente: Ty_l=-1338.91 Mx_l=-26.78
Tensioni nella sezione: σ=324.58 τ=40.57
CC 2 SLD (Collegamento 0020_-377)
Azioni sul collegamento: N=-7364.01 Ty=-3.69 Tz=-2.23 Mx=0.01 Mz=-2.04
Sollecitazioni agenti localmente: Ty_l=-1338.91 Mx_l=-26.78
Tensioni nella sezione: σ=324.58 τ=40.57
CC 2 SLD (Collegamento 0020_-377)
Azioni sul collegamento: N=-7364.01 Ty=-2.66 Tz=3.78 Mx=0.01 Mz=-1.05
Sollecitazioni agenti localmente: Ty_l=-1338.91 Mx_l=-26.78
Tensioni nella sezione: σ=324.58 τ=40.57
CC 2 SLD (Collegamento 0020_-377)
Azioni sul collegamento: N=-7364.01 Ty=-3.69 Tz=3.78 Mx=0.01 Mz=-2.04
Sollecitazioni agenti localmente: Ty_l=-1338.91 Mx_l=-26.78
Tensioni nella sezione: σ=324.58 τ=40.57
CC 3 SLV (Collegamento 0020_-377)
Azioni sul collegamento: N=-3881.26 Ty=-3.39 Tz=-9.09 Mx=0.02 Mz=0.91
Sollecitazioni agenti localmente: Ty_l=-705.68 Mx_l=-14.11
Tensioni nella sezione: σ=171.07 τ=21.38
CC 3 SLV (Collegamento 0020_-377)
Azioni sul collegamento: N=-3881.26 Ty=-1.27 Tz=-9.09 Mx=0.02 Mz=0.17
Sollecitazioni agenti localmente: Ty_l=-705.68 Mx_l=-14.11
Tensioni nella sezione: σ=171.07 τ=21.38
CC 3 SLV (Collegamento 0020_-377)
Azioni sul collegamento: N=-3881.26 Ty=-3.39 Tz=10.37 Mx=0.02 Mz=0.91
Sollecitazioni agenti localmente: Ty_l=-705.68 Mx_l=-14.11
Tensioni nella sezione: σ=171.07 τ=21.38
CC 3 SLV (Collegamento 0020_-377)

Azioni sul collegamento: N=-3881.26 Ty=-1.27 Tz=10.37 Mx=0.02 Mz=0.17
Sollecitazioni agenti localmente: Ty_l=-705.68 Mx_l=-14.11
Tensioni nella sezione: σ=171.07 τ=21.38
CC 3 SLV (Collegamento 0020_-377)
Azioni sul collegamento: N=-9166.69 Ty=-3.39 Tz=-9.09 Mx=0.02 Mz=0.91
Sollecitazioni agenti localmente: Ty_l=-1666.67 Mx_l=-33.33
Tensioni nella sezione: σ=404.04 τ=50.51
CC 3 SLV (Collegamento 0020_-377)
Azioni sul collegamento: N=-9166.69 Ty=-1.27 Tz=-9.09 Mx=0.02 Mz=0.17
Sollecitazioni agenti localmente: Ty_l=-1666.67 Mx_l=-33.33
Tensioni nella sezione: σ=404.04 τ=50.51
CC 3 SLV (Collegamento 0020_-377)
Azioni sul collegamento: N=-9166.69 Ty=-3.39 Tz=10.38 Mx=0.02 Mz=0.91
Sollecitazioni agenti localmente: Ty_l=-1666.67 Mx_l=-33.33
Tensioni nella sezione: σ=404.04 τ=50.51
CC 3 SLV (Collegamento 0020_-377)
Azioni sul collegamento: N=-9166.69 Ty=-1.27 Tz=10.38 Mx=0.02 Mz=0.17
Sollecitazioni agenti localmente: Ty_l=-1666.67 Mx_l=-33.33
Tensioni nella sezione: σ=404.04 τ=50.51
CC 4 SLD (Collegamento 0020_-377)
Azioni sul collegamento: N=-5750.58 Ty=-2.85 Tz=-2.19 Mx=0.01 Mz=-1.43
Sollecitazioni agenti localmente: Ty_l=-1045.56 Mx_l=-20.91
Tensioni nella sezione: σ=253.47 τ=31.68
CC 4 SLD (Collegamento 0020_-377)
Azioni sul collegamento: N=-5750.58 Ty=-3.50 Tz=-2.19 Mx=0.01 Mz=-1.66
Sollecitazioni agenti localmente: Ty_l=-1045.56 Mx_l=-20.91
Tensioni nella sezione: σ=253.47 τ=31.68
CC 4 SLD (Collegamento 0020_-377)
Azioni sul collegamento: N=-5750.58 Ty=-2.85 Tz=3.74 Mx=0.01 Mz=-1.43
Sollecitazioni agenti localmente: Ty_l=-1045.56 Mx_l=-20.91
Tensioni nella sezione: σ=253.47 τ=31.68
CC 4 SLD (Collegamento 0020_-377)
Azioni sul collegamento: N=-5750.58 Ty=-3.50 Tz=3.74 Mx=0.01 Mz=-1.66
Sollecitazioni agenti localmente: Ty_l=-1045.56 Mx_l=-20.91
Tensioni nella sezione: σ=253.47 τ=31.68
CC 4 SLD (Collegamento 0020_-377)
Azioni sul collegamento: N=-7362.28 Ty=-2.85 Tz=-2.19 Mx=0.01 Mz=-1.43
Sollecitazioni agenti localmente: Ty_l=-1338.60 Mx_l=-26.77
Tensioni nella sezione: σ=324.51 τ=40.56
CC 4 SLD (Collegamento 0020_-377)
Azioni sul collegamento: N=-7362.28 Ty=-3.50 Tz=-2.19 Mx=0.01 Mz=-1.66
Sollecitazioni agenti localmente: Ty_l=-1338.60 Mx_l=-26.77
Tensioni nella sezione: σ=324.51 τ=40.56
CC 4 SLD (Collegamento 0020_-377)
Azioni sul collegamento: N=-7362.28 Ty=-2.85 Tz=3.74 Mx=0.01 Mz=-1.43
Sollecitazioni agenti localmente: Ty_l=-1338.60 Mx_l=-26.77
Tensioni nella sezione: σ=324.51 τ=40.56
CC 4 SLD (Collegamento 0020_-377)
Azioni sul collegamento: N=-7362.28 Ty=-3.50 Tz=3.74 Mx=0.01 Mz=-1.66
Sollecitazioni agenti localmente: Ty_l=-1338.60 Mx_l=-26.77
Tensioni nella sezione: σ=324.51 τ=40.56
CC 5 SLV (Collegamento 0020_-377)
Azioni sul collegamento: N=-9166.69 Ty=-1.27 Tz=10.38 Mx=0.02 Mz=0.17
Sollecitazioni agenti localmente: Ty_l=-1666.67 Mx_l=-33.33
Tensioni nella sezione: σ=404.04 τ=50.51
CC 5 SLV (Collegamento 0020_-377)
Azioni sul collegamento: N=-9166.69 Ty=-3.39 Tz=10.38 Mx=0.02 Mz=0.91
Sollecitazioni agenti localmente: Ty_l=-1666.67 Mx_l=-33.33
Tensioni nella sezione: σ=404.04 τ=50.51
CC 5 SLV (Collegamento 0020_-377)
Azioni sul collegamento: N=-9166.69 Ty=-1.27 Tz=-9.09 Mx=0.02 Mz=0.17
Sollecitazioni agenti localmente: Ty_l=-1666.67 Mx_l=-33.33
Tensioni nella sezione: σ=404.04 τ=50.51
CC 5 SLV (Collegamento 0020_-377)
Azioni sul collegamento: N=-9166.69 Ty=-3.39 Tz=-9.09 Mx=0.02 Mz=0.91
Sollecitazioni agenti localmente: Ty_l=-1666.67 Mx_l=-33.33
Tensioni nella sezione: σ=404.04 τ=50.51
CC 5 SLV (Collegamento 0020_-377)
Azioni sul collegamento: N=-3881.26 Ty=-1.27 Tz=10.37 Mx=0.02 Mz=0.17
Sollecitazioni agenti localmente: Ty_l=-705.68 Mx_l=-14.11
Tensioni nella sezione: σ=171.07 τ=21.38
CC 5 SLV (Collegamento 0020_-377)
Azioni sul collegamento: N=-3881.26 Ty=-3.39 Tz=10.37 Mx=0.02 Mz=0.91
Sollecitazioni agenti localmente: Ty_l=-705.68 Mx_l=-14.11
Tensioni nella sezione: σ=171.07 τ=21.38
CC 5 SLV (Collegamento 0020_-377)
Azioni sul collegamento: N=-3881.26 Ty=-1.27 Tz=-9.09 Mx=0.02 Mz=0.17
Sollecitazioni agenti localmente: Ty_l=-705.68 Mx_l=-14.11
Tensioni nella sezione: σ=171.07 τ=21.38

CC 5 SLV (Collegamento 0020_-377)
Azioni sul collegamento: N=-3881.26 Ty=-3.39 Tz=-9.09 Mx=0.02 Mz=0.91
Sollecitazioni agenti localmente: Ty_l=-705.68 Mx_l=-14.11
Tensioni nella sezione: σ=171.07 τ=21.38
CC 6 SLD (Collegamento 0020_-377)
Azioni sul collegamento: N=-7362.28 Ty=-3.50 Tz=3.74 Mx=0.01 Mz=-1.66
Sollecitazioni agenti localmente: Ty_l=-1338.60 Mx_l=-26.77
Tensioni nella sezione: σ=324.51 τ=40.56
CC 6 SLD (Collegamento 0020_-377)
Azioni sul collegamento: N=-7362.28 Ty=-2.85 Tz=3.74 Mx=0.01 Mz=-1.43
Sollecitazioni agenti localmente: Ty_l=-1338.60 Mx_l=-26.77
Tensioni nella sezione: σ=324.51 τ=40.56
CC 6 SLD (Collegamento 0020_-377)
Azioni sul collegamento: N=-7362.28 Ty=-3.50 Tz=-2.19 Mx=0.01 Mz=-1.66
Sollecitazioni agenti localmente: Ty_l=-1338.60 Mx_l=-26.77
Tensioni nella sezione: σ=324.51 τ=40.56
CC 6 SLD (Collegamento 0020_-377)
Azioni sul collegamento: N=-7362.28 Ty=-2.85 Tz=-2.19 Mx=0.01 Mz=-1.43
Sollecitazioni agenti localmente: Ty_l=-1338.60 Mx_l=-26.77
Tensioni nella sezione: σ=324.51 τ=40.56
CC 6 SLD (Collegamento 0020_-377)
Azioni sul collegamento: N=-5750.58 Ty=-3.50 Tz=3.74 Mx=0.01 Mz=-1.66
Sollecitazioni agenti localmente: Ty_l=-1045.56 Mx_l=-20.91
Tensioni nella sezione: σ=253.47 τ=31.68
CC 6 SLD (Collegamento 0020_-377)
Azioni sul collegamento: N=-5750.58 Ty=-2.85 Tz=3.74 Mx=0.01 Mz=-1.43
Sollecitazioni agenti localmente: Ty_l=-1045.56 Mx_l=-20.91
Tensioni nella sezione: σ=253.47 τ=31.68
CC 6 SLD (Collegamento 0020_-377)
Azioni sul collegamento: N=-5750.58 Ty=-3.50 Tz=-2.19 Mx=0.01 Mz=-1.66
Sollecitazioni agenti localmente: Ty_l=-1045.56 Mx_l=-20.91
Tensioni nella sezione: σ=253.47 τ=31.68
CC 6 SLD (Collegamento 0020_-377)
Azioni sul collegamento: N=-5750.58 Ty=-2.85 Tz=-2.19 Mx=0.01 Mz=-1.43
Sollecitazioni agenti localmente: Ty_l=-1045.56 Mx_l=-20.91
Tensioni nella sezione: σ=253.47 τ=31.68
CC 7 SLV (Collegamento 0020_-377)
Azioni sul collegamento: N=-9172.38 Ty=-0.64 Tz=10.50 Mx=0.01 Mz=-1.09
Sollecitazioni agenti localmente: Ty_l=-1667.71 Mx_l=-33.35
Tensioni nella sezione: σ=404.29 τ=50.54
CC 7 SLV (Collegamento 0020_-377)
Azioni sul collegamento: N=-9172.38 Ty=-4.02 Tz=10.50 Mx=0.01 Mz=2.16
Sollecitazioni agenti localmente: Ty_l=-1667.71 Mx_l=-33.35
Tensioni nella sezione: σ=404.29 τ=50.54
CC 7 SLV (Collegamento 0020_-377)
Azioni sul collegamento: N=-9172.38 Ty=-0.64 Tz=-9.21 Mx=0.01 Mz=-1.09
Sollecitazioni agenti localmente: Ty_l=-1667.71 Mx_l=-33.35
Tensioni nella sezione: σ=404.29 τ=50.54
CC 7 SLV (Collegamento 0020_-377)
Azioni sul collegamento: N=-9172.38 Ty=-4.02 Tz=-9.21 Mx=0.01 Mz=2.16
Sollecitazioni agenti localmente: Ty_l=-1667.71 Mx_l=-33.35
Tensioni nella sezione: σ=404.29 τ=50.54
CC 7 SLV (Collegamento 0020_-377)
Azioni sul collegamento: N=-3875.57 Ty=-0.64 Tz=10.50 Mx=0.01 Mz=-1.09
Sollecitazioni agenti localmente: Ty_l=-704.65 Mx_l=-14.09
Tensioni nella sezione: σ=170.82 τ=21.35
CC 7 SLV (Collegamento 0020_-377)
Azioni sul collegamento: N=-3875.57 Ty=-4.02 Tz=10.50 Mx=0.01 Mz=2.16
Sollecitazioni agenti localmente: Ty_l=-704.65 Mx_l=-14.09
Tensioni nella sezione: σ=170.82 τ=21.35
CC 7 SLV (Collegamento 0020_-377)
Azioni sul collegamento: N=-3875.57 Ty=-0.64 Tz=-9.21 Mx=0.01 Mz=-1.09
Sollecitazioni agenti localmente: Ty_l=-704.65 Mx_l=-14.09
Tensioni nella sezione: σ=170.82 τ=21.35
CC 7 SLV (Collegamento 0020_-377)
Azioni sul collegamento: N=-3875.57 Ty=-4.02 Tz=-9.21 Mx=0.01 Mz=2.16
Sollecitazioni agenti localmente: Ty_l=-704.65 Mx_l=-14.09
Tensioni nella sezione: σ=170.82 τ=21.35
CC 8 SLD (Collegamento 0020_-377)
Azioni sul collegamento: N=-7364.01 Ty=-3.69 Tz=3.78 Mx=0.01 Mz=-2.04
Sollecitazioni agenti localmente: Ty_l=-1338.91 Mx_l=-26.78
Tensioni nella sezione: σ=324.58 τ=40.57
CC 8 SLD (Collegamento 0020_-377)
Azioni sul collegamento: N=-7364.01 Ty=-2.66 Tz=3.78 Mx=0.01 Mz=-1.05
Sollecitazioni agenti localmente: Ty_l=-1338.91 Mx_l=-26.78
Tensioni nella sezione: σ=324.58 τ=40.57
CC 8 SLD (Collegamento 0020_-377)
Azioni sul collegamento: N=-7364.01 Ty=-3.69 Tz=-2.23 Mx=0.01 Mz=-2.04
Sollecitazioni agenti localmente: Ty_l=-1338.91 Mx_l=-26.78

Tensioni nella sezione: σ=324.58 τ=40.57
CC 8 SLD (Collegamento 0020_-377)
Azioni sul collegamento: N=-7364.01 Ty=-2.66 Tz=-2.23 Mx=0.01 Mz=-1.05
Sollecitazioni agenti localmente: Ty_l=-1338.91 Mx_l=-26.78
Tensioni nella sezione: σ=324.58 τ=40.57
CC 8 SLD (Collegamento 0020_-377)
Azioni sul collegamento: N=-5748.85 Ty=-3.69 Tz=3.78 Mx=0.01 Mz=-2.04
Sollecitazioni agenti localmente: Ty_l=-1045.24 Mx_l=-20.90
Tensioni nella sezione: σ=253.39 τ=31.67
CC 8 SLD (Collegamento 0020_-377)
Azioni sul collegamento: N=-5748.85 Ty=-2.66 Tz=3.78 Mx=0.01 Mz=-1.05
Sollecitazioni agenti localmente: Ty_l=-1045.24 Mx_l=-20.90
Tensioni nella sezione: σ=253.39 τ=31.67
CC 8 SLD (Collegamento 0020_-377)
Azioni sul collegamento: N=-5748.85 Ty=-3.69 Tz=-2.23 Mx=0.01 Mz=-2.04
Sollecitazioni agenti localmente: Ty_l=-1045.24 Mx_l=-20.90
Tensioni nella sezione: σ=253.39 τ=31.67
CC 8 SLD (Collegamento 0020_-377)
Azioni sul collegamento: N=-5748.85 Ty=-2.66 Tz=-2.23 Mx=0.01 Mz=-1.05
Sollecitazioni agenti localmente: Ty_l=-1045.24 Mx_l=-20.90
Tensioni nella sezione: σ=253.39 τ=31.67
CC 9 SLV (Collegamento 0020_-377)
Azioni sul collegamento: N=-5720.83 Ty=-3.80 Tz=-2.51 Mx=0.03 Mz=2.93
Sollecitazioni agenti localmente: Ty_l=-1040.15 Mx_l=-20.80
Tensioni nella sezione: σ=252.16 τ=31.52
CC 9 SLV (Collegamento 0020_-377)
Azioni sul collegamento: N=-5720.83 Ty=-0.86 Tz=-2.51 Mx=0.03 Mz=-1.85
Sollecitazioni agenti localmente: Ty_l=-1040.15 Mx_l=-20.80
Tensioni nella sezione: σ=252.16 τ=31.52
CC 9 SLV (Collegamento 0020_-377)
Azioni sul collegamento: N=-5720.83 Ty=-3.80 Tz=3.80 Mx=0.03 Mz=2.93
Sollecitazioni agenti localmente: Ty_l=-1040.15 Mx_l=-20.80
Tensioni nella sezione: σ=252.16 τ=31.52
CC 9 SLV (Collegamento 0020_-377)
Azioni sul collegamento: N=-5720.83 Ty=-0.86 Tz=3.80 Mx=0.03 Mz=-1.85
Sollecitazioni agenti localmente: Ty_l=-1040.15 Mx_l=-20.80
Tensioni nella sezione: σ=252.16 τ=31.52
CC 9 SLV (Collegamento 0020_-377)
Azioni sul collegamento: N=-7327.12 Ty=-3.80 Tz=-2.51 Mx=0.03 Mz=2.93
Sollecitazioni agenti localmente: Ty_l=-1332.20 Mx_l=-26.64
Tensioni nella sezione: σ=322.96 τ=40.37
CC 9 SLV (Collegamento 0020_-377)
Azioni sul collegamento: N=-7327.12 Ty=-0.86 Tz=-2.51 Mx=0.03 Mz=-1.85
Sollecitazioni agenti localmente: Ty_l=-1332.20 Mx_l=-26.64
Tensioni nella sezione: σ=322.96 τ=40.37
CC 9 SLV (Collegamento 0020_-377)
Azioni sul collegamento: N=-7327.12 Ty=-3.80 Tz=3.80 Mx=0.03 Mz=2.93
Sollecitazioni agenti localmente: Ty_l=-1332.20 Mx_l=-26.64
Tensioni nella sezione: σ=322.96 τ=40.37
CC 9 SLV (Collegamento 0020_-377)
Azioni sul collegamento: N=-7327.12 Ty=-0.86 Tz=3.80 Mx=0.03 Mz=-1.85
Sollecitazioni agenti localmente: Ty_l=-1332.20 Mx_l=-26.64
Tensioni nella sezione: σ=322.96 τ=40.37
CC 10 SLD (Collegamento 0020_-377)
Azioni sul collegamento: N=-6311.52 Ty=-2.73 Tz=-0.19 Mx=0.01 Mz=-0.81
Sollecitazioni agenti localmente: Ty_l=-1147.55 Mx_l=-22.95
Tensioni nella sezione: σ=278.19 τ=34.77
CC 10 SLD (Collegamento 0020_-377)
Azioni sul collegamento: N=-6311.52 Ty=-3.62 Tz=-0.19 Mx=0.01 Mz=-2.27
Sollecitazioni agenti localmente: Ty_l=-1147.55 Mx_l=-22.95
Tensioni nella sezione: σ=278.19 τ=34.77
CC 10 SLD (Collegamento 0020_-377)
Azioni sul collegamento: N=-6311.52 Ty=-2.73 Tz=1.73 Mx=0.01 Mz=-0.81
Sollecitazioni agenti localmente: Ty_l=-1147.55 Mx_l=-22.95
Tensioni nella sezione: σ=278.19 τ=34.77
CC 10 SLD (Collegamento 0020_-377)
Azioni sul collegamento: N=-6311.52 Ty=-3.62 Tz=1.73 Mx=0.01 Mz=-2.27
Sollecitazioni agenti localmente: Ty_l=-1147.55 Mx_l=-22.95
Tensioni nella sezione: σ=278.19 τ=34.77
CC 10 SLD (Collegamento 0020_-377)
Azioni sul collegamento: N=-6801.33 Ty=-2.73 Tz=-0.19 Mx=0.01 Mz=-0.81
Sollecitazioni agenti localmente: Ty_l=-1236.61 Mx_l=-24.73
Tensioni nella sezione: σ=299.78 τ=37.47
CC 10 SLD (Collegamento 0020_-377)
Azioni sul collegamento: N=-6801.33 Ty=-3.62 Tz=-0.19 Mx=0.01 Mz=-2.27
Sollecitazioni agenti localmente: Ty_l=-1236.61 Mx_l=-24.73
Tensioni nella sezione: σ=299.78 τ=37.47
CC 10 SLD (Collegamento 0020_-377)
Azioni sul collegamento: N=-6801.33 Ty=-2.73 Tz=1.73 Mx=0.01 Mz=-0.81

Sollecitazioni agenti localmente: Ty_l=-1236.61 Mx_l=-24.73
Tensioni nella sezione: σ=299.78 τ=37.47
CC 10 SLD (Collegamento 0020_-377)
Azioni sul collegamento: N=-6801.33 Ty=-3.62 Tz=1.73 Mx=0.01 Mz=-2.27
Sollecitazioni agenti localmente: Ty_l=-1236.61 Mx_l=-24.73
Tensioni nella sezione: σ=299.78 τ=37.47
CC 11 SLV (Collegamento 0020_-377)
Azioni sul collegamento: N=-7308.16 Ty=-2.97 Tz=3.37 Mx=0.02 Mz=2.33
Sollecitazioni agenti localmente: Ty_l=-1328.76 Mx_l=-26.58
Tensioni nella sezione: σ=322.12 τ=40.27
CC 11 SLV (Collegamento 0020_-377)
Azioni sul collegamento: N=-7308.16 Ty=-1.68 Tz=3.37 Mx=0.02 Mz=-1.26
Sollecitazioni agenti localmente: Ty_l=-1328.76 Mx_l=-26.58
Tensioni nella sezione: σ=322.12 τ=40.27
CC 11 SLV (Collegamento 0020_-377)
Azioni sul collegamento: N=-7308.16 Ty=-2.97 Tz=-2.08 Mx=0.02 Mz=2.33
Sollecitazioni agenti localmente: Ty_l=-1328.76 Mx_l=-26.58
Tensioni nella sezione: σ=322.12 τ=40.27
CC 11 SLV (Collegamento 0020_-377)
Azioni sul collegamento: N=-7308.16 Ty=-1.68 Tz=-2.08 Mx=0.02 Mz=-1.26
Sollecitazioni agenti localmente: Ty_l=-1328.76 Mx_l=-26.58
Tensioni nella sezione: σ=322.12 τ=40.27
CC 11 SLV (Collegamento 0020_-377)
Azioni sul collegamento: N=-5739.79 Ty=-2.97 Tz=3.37 Mx=0.02 Mz=2.33
Sollecitazioni agenti localmente: Ty_l=-1043.60 Mx_l=-20.87
Tensioni nella sezione: σ=252.99 τ=31.62
CC 11 SLV (Collegamento 0020_-377)
Azioni sul collegamento: N=-5739.79 Ty=-1.68 Tz=3.37 Mx=0.02 Mz=-1.26
Sollecitazioni agenti localmente: Ty_l=-1043.60 Mx_l=-20.87
Tensioni nella sezione: σ=252.99 τ=31.62
CC 11 SLV (Collegamento 0020_-377)
Azioni sul collegamento: N=-5739.79 Ty=-2.97 Tz=-2.08 Mx=0.02 Mz=2.33
Sollecitazioni agenti localmente: Ty_l=-1043.60 Mx_l=-20.87
Tensioni nella sezione: σ=252.99 τ=31.62
CC 11 SLV (Collegamento 0020_-377)
Azioni sul collegamento: N=-5739.79 Ty=-1.68 Tz=-2.08 Mx=0.02 Mz=-1.26
Sollecitazioni agenti localmente: Ty_l=-1043.60 Mx_l=-20.87
Tensioni nella sezione: σ=252.99 τ=31.62
CC 12 SLD (Collegamento 0020_-377)
Azioni sul collegamento: N=-6795.55 Ty=-2.98 Tz=1.60 Mx=0.01 Mz=-1.00
Sollecitazioni agenti localmente: Ty_l=-1235.56 Mx_l=-24.71
Tensioni nella sezione: σ=299.53 τ=37.44
CC 12 SLD (Collegamento 0020_-377)
Azioni sul collegamento: N=-6795.55 Ty=-3.37 Tz=1.60 Mx=0.01 Mz=-2.09
Sollecitazioni agenti localmente: Ty_l=-1235.56 Mx_l=-24.71
Tensioni nella sezione: σ=299.53 τ=37.44
CC 12 SLD (Collegamento 0020_-377)
Azioni sul collegamento: N=-6795.55 Ty=-2.98 Tz=-0.06 Mx=0.01 Mz=-1.00
Sollecitazioni agenti localmente: Ty_l=-1235.56 Mx_l=-24.71
Tensioni nella sezione: σ=299.53 τ=37.44
CC 12 SLD (Collegamento 0020_-377)
Azioni sul collegamento: N=-6795.55 Ty=-3.37 Tz=-0.06 Mx=0.01 Mz=-2.09
Sollecitazioni agenti localmente: Ty_l=-1235.56 Mx_l=-24.71
Tensioni nella sezione: σ=299.53 τ=37.44
CC 12 SLD (Collegamento 0020_-377)
Azioni sul collegamento: N=-6317.31 Ty=-2.98 Tz=1.60 Mx=0.01 Mz=-1.00
Sollecitazioni agenti localmente: Ty_l=-1148.60 Mx_l=-22.97
Tensioni nella sezione: σ=278.45 τ=34.81
CC 12 SLD (Collegamento 0020_-377)
Azioni sul collegamento: N=-6317.31 Ty=-3.37 Tz=1.60 Mx=0.01 Mz=-2.09
Sollecitazioni agenti localmente: Ty_l=-1148.60 Mx_l=-22.97
Tensioni nella sezione: σ=278.45 τ=34.81
CC 12 SLD (Collegamento 0020_-377)
Azioni sul collegamento: N=-6317.31 Ty=-2.98 Tz=-0.06 Mx=0.01 Mz=-1.00
Sollecitazioni agenti localmente: Ty_l=-1148.60 Mx_l=-22.97
Tensioni nella sezione: σ=278.45 τ=34.81
CC 12 SLD (Collegamento 0020_-377)
Azioni sul collegamento: N=-6317.31 Ty=-3.37 Tz=-0.06 Mx=0.01 Mz=-2.09
Sollecitazioni agenti localmente: Ty_l=-1148.60 Mx_l=-22.97
Tensioni nella sezione: σ=278.45 τ=34.81
CC 13 SLV (Collegamento 0020_-377)
Azioni sul collegamento: N=-5739.79 Ty=-1.68 Tz=-2.08 Mx=0.01 Mz=-1.26
Sollecitazioni agenti localmente: Ty_l=-1043.60 Mx_l=-20.87
Tensioni nella sezione: σ=252.99 τ=31.62
CC 13 SLV (Collegamento 0020_-377)
Azioni sul collegamento: N=-5739.79 Ty=-2.97 Tz=-2.08 Mx=0.01 Mz=2.33
Sollecitazioni agenti localmente: Ty_l=-1043.60 Mx_l=-20.87
Tensioni nella sezione: σ=252.99 τ=31.62
CC 13 SLV (Collegamento 0020_-377)

Azioni sul collegamento: N=-5739.79 Ty=-1.68 Tz=3.37 Mx=0.01 Mz=-1.26
Sollecitazioni agenti localmente: Ty_l=-1043.60 Mx_l=-20.87
Tensioni nella sezione: σ=252.99 τ=31.62
CC 13 SLV (Collegamento 0020_-377)
Azioni sul collegamento: N=-5739.79 Ty=-2.97 Tz=3.37 Mx=0.01 Mz=2.33
Sollecitazioni agenti localmente: Ty_l=-1043.60 Mx_l=-20.87
Tensioni nella sezione: σ=252.99 τ=31.62
CC 13 SLV (Collegamento 0020_-377)
Azioni sul collegamento: N=-7308.16 Ty=-1.68 Tz=-2.08 Mx=0.01 Mz=-1.26
Sollecitazioni agenti localmente: Ty_l=-1328.76 Mx_l=-26.58
Tensioni nella sezione: σ=322.12 τ=40.27
CC 13 SLV (Collegamento 0020_-377)
Azioni sul collegamento: N=-7308.16 Ty=-2.97 Tz=-2.08 Mx=0.01 Mz=2.33
Sollecitazioni agenti localmente: Ty_l=-1328.76 Mx_l=-26.58
Tensioni nella sezione: σ=322.12 τ=40.27
CC 13 SLV (Collegamento 0020_-377)
Azioni sul collegamento: N=-7308.16 Ty=-1.68 Tz=3.37 Mx=0.01 Mz=-1.26
Sollecitazioni agenti localmente: Ty_l=-1328.76 Mx_l=-26.58
Tensioni nella sezione: σ=322.12 τ=40.27
CC 13 SLV (Collegamento 0020_-377)
Azioni sul collegamento: N=-7308.16 Ty=-2.97 Tz=3.37 Mx=0.01 Mz=2.33
Sollecitazioni agenti localmente: Ty_l=-1328.76 Mx_l=-26.58
Tensioni nella sezione: σ=322.12 τ=40.27
CC 14 SLD (Collegamento 0020_-377)
Azioni sul collegamento: N=-6317.31 Ty=-3.37 Tz=-0.06 Mx=0.01 Mz=-2.09
Sollecitazioni agenti localmente: Ty_l=-1148.60 Mx_l=-22.97
Tensioni nella sezione: σ=278.45 τ=34.81
CC 14 SLD (Collegamento 0020_-377)
Azioni sul collegamento: N=-6317.31 Ty=-2.98 Tz=-0.06 Mx=0.01 Mz=-1.00
Sollecitazioni agenti localmente: Ty_l=-1148.60 Mx_l=-22.97
Tensioni nella sezione: σ=278.45 τ=34.81
CC 14 SLD (Collegamento 0020_-377)
Azioni sul collegamento: N=-6317.31 Ty=-3.37 Tz=1.60 Mx=0.01 Mz=-2.09
Sollecitazioni agenti localmente: Ty_l=-1148.60 Mx_l=-22.97
Tensioni nella sezione: σ=278.45 τ=34.81
CC 14 SLD (Collegamento 0020_-377)
Azioni sul collegamento: N=-6317.31 Ty=-2.98 Tz=1.60 Mx=0.01 Mz=-1.00
Sollecitazioni agenti localmente: Ty_l=-1148.60 Mx_l=-22.97
Tensioni nella sezione: σ=278.45 τ=34.81
CC 14 SLD (Collegamento 0020_-377)
Azioni sul collegamento: N=-6795.55 Ty=-3.37 Tz=-0.06 Mx=0.01 Mz=-2.09
Sollecitazioni agenti localmente: Ty_l=-1235.56 Mx_l=-24.71
Tensioni nella sezione: σ=299.53 τ=37.44
CC 14 SLD (Collegamento 0020_-377)
Azioni sul collegamento: N=-6795.55 Ty=-2.98 Tz=-0.06 Mx=0.01 Mz=-1.00
Sollecitazioni agenti localmente: Ty_l=-1235.56 Mx_l=-24.71
Tensioni nella sezione: σ=299.53 τ=37.44
CC 14 SLD (Collegamento 0020_-377)
Azioni sul collegamento: N=-6795.55 Ty=-3.37 Tz=1.60 Mx=0.01 Mz=-2.09
Sollecitazioni agenti localmente: Ty_l=-1235.56 Mx_l=-24.71
Tensioni nella sezione: σ=299.53 τ=37.44
CC 14 SLD (Collegamento 0020_-377)
Azioni sul collegamento: N=-6795.55 Ty=-2.98 Tz=1.60 Mx=0.01 Mz=-1.00
Sollecitazioni agenti localmente: Ty_l=-1235.56 Mx_l=-24.71
Tensioni nella sezione: σ=299.53 τ=37.44
CC 15 SLV (Collegamento 0020_-377)
Azioni sul collegamento: N=-7327.12 Ty=-0.86 Tz=3.80 Mx=0.01 Mz=-1.85
Sollecitazioni agenti localmente: Ty_l=-1332.20 Mx_l=-26.64
Tensioni nella sezione: σ=322.96 τ=40.37
CC 15 SLV (Collegamento 0020_-377)
Azioni sul collegamento: N=-7327.12 Ty=-3.80 Tz=3.80 Mx=0.01 Mz=2.93
Sollecitazioni agenti localmente: Ty_l=-1332.20 Mx_l=-26.64
Tensioni nella sezione: σ=322.96 τ=40.37
CC 15 SLV (Collegamento 0020_-377)
Azioni sul collegamento: N=-7327.12 Ty=-0.86 Tz=-2.51 Mx=0.01 Mz=-1.85
Sollecitazioni agenti localmente: Ty_l=-1332.20 Mx_l=-26.64
Tensioni nella sezione: σ=322.96 τ=40.37
CC 15 SLV (Collegamento 0020_-377)
Azioni sul collegamento: N=-7327.12 Ty=-3.80 Tz=-2.51 Mx=0.01 Mz=2.93
Sollecitazioni agenti localmente: Ty_l=-1332.20 Mx_l=-26.64
Tensioni nella sezione: σ=322.96 τ=40.37
CC 15 SLV (Collegamento 0020_-377)
Azioni sul collegamento: N=-5720.83 Ty=-0.86 Tz=3.80 Mx=0.01 Mz=-1.85
Sollecitazioni agenti localmente: Ty_l=-1040.15 Mx_l=-20.80
Tensioni nella sezione: σ=252.16 τ=31.52
CC 15 SLV (Collegamento 0020_-377)
Azioni sul collegamento: N=-5720.83 Ty=-3.80 Tz=3.80 Mx=0.01 Mz=2.93
Sollecitazioni agenti localmente: Ty_l=-1040.15 Mx_l=-20.80
Tensioni nella sezione: σ=252.16 τ=31.52

CC 15 SLV (Collegamento 0020_-377)
Azioni sul collegamento: N=-5720.83 Ty=-0.86 Tz=-2.51 Mx=0.01 Mz=-1.85
Sollecitazioni agenti localmente: Ty_l=-1040.15 Mx_l=-20.80
Tensioni nella sezione: σ=252.16 τ=31.52
CC 15 SLV (Collegamento 0020_-377)
Azioni sul collegamento: N=-5720.83 Ty=-3.80 Tz=-2.51 Mx=0.01 Mz=2.93
Sollecitazioni agenti localmente: Ty_l=-1040.15 Mx_l=-20.80
Tensioni nella sezione: σ=252.16 τ=31.52
CC 16 SLD (Collegamento 0020_-377)
Azioni sul collegamento: N=-6801.33 Ty=-3.62 Tz=1.73 Mx=0.01 Mz=-2.27
Sollecitazioni agenti localmente: Ty_l=-1236.61 Mx_l=-24.73
Tensioni nella sezione: σ=299.78 τ=37.47
CC 16 SLD (Collegamento 0020_-377)
Azioni sul collegamento: N=-6801.33 Ty=-2.73 Tz=1.73 Mx=0.01 Mz=-0.81
Sollecitazioni agenti localmente: Ty_l=-1236.61 Mx_l=-24.73
Tensioni nella sezione: σ=299.78 τ=37.47
CC 16 SLD (Collegamento 0020_-377)
Azioni sul collegamento: N=-6801.33 Ty=-3.62 Tz=-0.19 Mx=0.01 Mz=-2.27
Sollecitazioni agenti localmente: Ty_l=-1236.61 Mx_l=-24.73
Tensioni nella sezione: σ=299.78 τ=37.47
CC 16 SLD (Collegamento 0020_-377)
Azioni sul collegamento: N=-6801.33 Ty=-2.73 Tz=-0.19 Mx=0.01 Mz=-0.81
Sollecitazioni agenti localmente: Ty_l=-1236.61 Mx_l=-24.73
Tensioni nella sezione: σ=299.78 τ=37.47
CC 16 SLD (Collegamento 0020_-377)
Azioni sul collegamento: N=-6311.52 Ty=-3.62 Tz=1.73 Mx=0.01 Mz=-2.27
Sollecitazioni agenti localmente: Ty_l=-1147.55 Mx_l=-22.95
Tensioni nella sezione: σ=278.19 τ=34.77
CC 16 SLD (Collegamento 0020_-377)
Azioni sul collegamento: N=-6311.52 Ty=-2.73 Tz=1.73 Mx=0.01 Mz=-0.81
Sollecitazioni agenti localmente: Ty_l=-1147.55 Mx_l=-22.95
Tensioni nella sezione: σ=278.19 τ=34.77
CC 16 SLD (Collegamento 0020_-377)
Azioni sul collegamento: N=-6311.52 Ty=-3.62 Tz=-0.19 Mx=0.01 Mz=-2.27
Sollecitazioni agenti localmente: Ty_l=-1147.55 Mx_l=-22.95
Tensioni nella sezione: σ=278.19 τ=34.77
CC 16 SLD (Collegamento 0020_-377)
Azioni sul collegamento: N=-6311.52 Ty=-2.73 Tz=-0.19 Mx=0.01 Mz=-0.81
Sollecitazioni agenti localmente: Ty_l=-1147.55 Mx_l=-22.95
Tensioni nella sezione: σ=278.19 τ=34.77
CC 17 SLV (Collegamento 0020_-377)
Azioni sul collegamento: N=-3968.96 Ty=-3.07 Tz=-8.85 Mx=-0.01 Mz=-3.83
Sollecitazioni agenti localmente: Ty_l=-721.63 Mx_l=-14.43
Tensioni nella sezione: σ=174.94 τ=21.87
CC 17 SLV (Collegamento 0020_-377)
Azioni sul collegamento: N=-3968.96 Ty=-6.45 Tz=-8.85 Mx=-0.01 Mz=-7.08
Sollecitazioni agenti localmente: Ty_l=-721.63 Mx_l=-14.43
Tensioni nella sezione: σ=174.94 τ=21.87
CC 17 SLV (Collegamento 0020_-377)
Azioni sul collegamento: N=-3968.96 Ty=-3.07 Tz=10.87 Mx=-0.01 Mz=-3.83
Sollecitazioni agenti localmente: Ty_l=-721.63 Mx_l=-14.43
Tensioni nella sezione: σ=174.94 τ=21.87
CC 17 SLV (Collegamento 0020_-377)
Azioni sul collegamento: N=-3968.96 Ty=-6.45 Tz=10.87 Mx=-0.01 Mz=-7.08
Sollecitazioni agenti localmente: Ty_l=-721.63 Mx_l=-14.43
Tensioni nella sezione: σ=174.94 τ=21.87
CC 17 SLV (Collegamento 0020_-377)
Azioni sul collegamento: N=-9265.76 Ty=-3.07 Tz=-8.85 Mx=-0.01 Mz=-3.83
Sollecitazioni agenti localmente: Ty_l=-1684.68 Mx_l=-33.69
Tensioni nella sezione: σ=408.41 τ=51.05
CC 17 SLV (Collegamento 0020_-377)
Azioni sul collegamento: N=-9265.76 Ty=-6.45 Tz=-8.85 Mx=-0.01 Mz=-7.08
Sollecitazioni agenti localmente: Ty_l=-1684.68 Mx_l=-33.69
Tensioni nella sezione: σ=408.41 τ=51.05
CC 17 SLV (Collegamento 0020_-377)
Azioni sul collegamento: N=-9265.76 Ty=-3.07 Tz=10.87 Mx=-0.01 Mz=-3.83
Sollecitazioni agenti localmente: Ty_l=-1684.68 Mx_l=-33.69
Tensioni nella sezione: σ=408.41 τ=51.05
CC 17 SLV (Collegamento 0020_-377)
Azioni sul collegamento: N=-9265.76 Ty=-6.45 Tz=10.87 Mx=-0.01 Mz=-7.08
Sollecitazioni agenti localmente: Ty_l=-1684.68 Mx_l=-33.69
Tensioni nella sezione: σ=408.41 τ=51.05
CC 18 SLD (Collegamento 0020_-377)
Azioni sul collegamento: N=-5777.32 Ty=-3.40 Tz=-2.12 Mx=-0.00 Mz=-2.87
Sollecitazioni agenti localmente: Ty_l=-1050.42 Mx_l=-21.01
Tensioni nella sezione: σ=254.65 τ=31.83
CC 18 SLD (Collegamento 0020_-377)
Azioni sul collegamento: N=-5777.32 Ty=-4.43 Tz=-2.12 Mx=-0.00 Mz=-3.87
Sollecitazioni agenti localmente: Ty_l=-1050.42 Mx_l=-21.01

Tensioni nella sezione: σ=254.65 τ=31.83
CC 18 SLD (Collegamento 0020_-377)
Azioni sul collegamento: N=-5777.32 Ty=-3.40 Tz=3.89 Mx=-0.00 Mz=-2.87
Sollecitazioni agenti localmente: Ty_l=-1050.42 Mx_l=-21.01
Tensioni nella sezione: σ=254.65 τ=31.83
CC 18 SLD (Collegamento 0020_-377)
Azioni sul collegamento: N=-5777.32 Ty=-4.43 Tz=3.89 Mx=-0.00 Mz=-3.87
Sollecitazioni agenti localmente: Ty_l=-1050.42 Mx_l=-21.01
Tensioni nella sezione: σ=254.65 τ=31.83
CC 18 SLD (Collegamento 0020_-377)
Azioni sul collegamento: N=-7392.49 Ty=-3.40 Tz=-2.12 Mx=-0.00 Mz=-2.87
Sollecitazioni agenti localmente: Ty_l=-1344.09 Mx_l=-26.88
Tensioni nella sezione: σ=325.84 τ=40.73
CC 18 SLD (Collegamento 0020_-377)
Azioni sul collegamento: N=-7392.49 Ty=-4.43 Tz=-2.12 Mx=-0.00 Mz=-3.87
Sollecitazioni agenti localmente: Ty_l=-1344.09 Mx_l=-26.88
Tensioni nella sezione: σ=325.84 τ=40.73
CC 18 SLD (Collegamento 0020_-377)
Azioni sul collegamento: N=-7392.49 Ty=-3.40 Tz=3.89 Mx=-0.00 Mz=-2.87
Sollecitazioni agenti localmente: Ty_l=-1344.09 Mx_l=-26.88
Tensioni nella sezione: σ=325.84 τ=40.73
CC 18 SLD (Collegamento 0020_-377)
Azioni sul collegamento: N=-7392.49 Ty=-4.43 Tz=3.89 Mx=-0.00 Mz=-3.87
Sollecitazioni agenti localmente: Ty_l=-1344.09 Mx_l=-26.88
Tensioni nella sezione: σ=325.84 τ=40.73
CC 19 SLV (Collegamento 0020_-377)
Azioni sul collegamento: N=-3974.65 Ty=-3.70 Tz=-8.72 Mx=-0.01 Mz=-5.08
Sollecitazioni agenti localmente: Ty_l=-722.66 Mx_l=-14.45
Tensioni nella sezione: σ=175.19 τ=21.90
CC 19 SLV (Collegamento 0020_-377)
Azioni sul collegamento: N=-3974.65 Ty=-5.81 Tz=-8.72 Mx=-0.01 Mz=-5.82
Sollecitazioni agenti localmente: Ty_l=-722.66 Mx_l=-14.45
Tensioni nella sezione: σ=175.19 τ=21.90
CC 19 SLV (Collegamento 0020_-377)
Azioni sul collegamento: N=-3974.65 Ty=-3.70 Tz=10.74 Mx=-0.01 Mz=-5.08
Sollecitazioni agenti localmente: Ty_l=-722.66 Mx_l=-14.45
Tensioni nella sezione: σ=175.19 τ=21.90
CC 19 SLV (Collegamento 0020_-377)
Azioni sul collegamento: N=-3974.65 Ty=-5.81 Tz=10.74 Mx=-0.01 Mz=-5.82
Sollecitazioni agenti localmente: Ty_l=-722.66 Mx_l=-14.45
Tensioni nella sezione: σ=175.19 τ=21.90
CC 19 SLV (Collegamento 0020_-377)
Azioni sul collegamento: N=-9260.08 Ty=-3.70 Tz=-8.72 Mx=-0.01 Mz=-5.08
Sollecitazioni agenti localmente: Ty_l=-1683.65 Mx_l=-33.67
Tensioni nella sezione: σ=408.16 τ=51.02
CC 19 SLV (Collegamento 0020_-377)
Azioni sul collegamento: N=-9260.08 Ty=-5.81 Tz=-8.72 Mx=-0.01 Mz=-5.82
Sollecitazioni agenti localmente: Ty_l=-1683.65 Mx_l=-33.67
Tensioni nella sezione: σ=408.16 τ=51.02
CC 19 SLV (Collegamento 0020_-377)
Azioni sul collegamento: N=-9260.08 Ty=-3.70 Tz=10.74 Mx=-0.01 Mz=-5.08
Sollecitazioni agenti localmente: Ty_l=-1683.65 Mx_l=-33.67
Tensioni nella sezione: σ=408.16 τ=51.02
CC 19 SLV (Collegamento 0020_-377)
Azioni sul collegamento: N=-9260.08 Ty=-5.81 Tz=10.74 Mx=-0.01 Mz=-5.82
Sollecitazioni agenti localmente: Ty_l=-1683.65 Mx_l=-33.67
Tensioni nella sezione: σ=408.16 τ=51.02
CC 20 SLD (Collegamento 0020_-377)
Azioni sul collegamento: N=-5779.06 Ty=-3.59 Tz=-2.08 Mx=-0.00 Mz=-3.26
Sollecitazioni agenti localmente: Ty_l=-1050.74 Mx_l=-21.01
Tensioni nella sezione: σ=254.72 τ=31.84
CC 20 SLD (Collegamento 0020_-377)
Azioni sul collegamento: N=-5779.06 Ty=-4.24 Tz=-2.08 Mx=-0.00 Mz=-3.48
Sollecitazioni agenti localmente: Ty_l=-1050.74 Mx_l=-21.01
Tensioni nella sezione: σ=254.72 τ=31.84
CC 20 SLD (Collegamento 0020_-377)
Azioni sul collegamento: N=-5779.06 Ty=-3.59 Tz=3.85 Mx=-0.00 Mz=-3.26
Sollecitazioni agenti localmente: Ty_l=-1050.74 Mx_l=-21.01
Tensioni nella sezione: σ=254.72 τ=31.84
CC 20 SLD (Collegamento 0020_-377)
Azioni sul collegamento: N=-5779.06 Ty=-4.24 Tz=3.85 Mx=-0.00 Mz=-3.48
Sollecitazioni agenti localmente: Ty_l=-1050.74 Mx_l=-21.01
Tensioni nella sezione: σ=254.72 τ=31.84
CC 20 SLD (Collegamento 0020_-377)
Azioni sul collegamento: N=-7390.75 Ty=-3.59 Tz=-2.08 Mx=-0.00 Mz=-3.26
Sollecitazioni agenti localmente: Ty_l=-1343.77 Mx_l=-26.88
Tensioni nella sezione: σ=325.76 τ=40.72
CC 20 SLD (Collegamento 0020_-377)
Azioni sul collegamento: N=-7390.75 Ty=-4.24 Tz=-2.08 Mx=-0.00 Mz=-3.48

Sollecitazioni agenti localmente: Ty_l=-1343.77 Mx_l=-26.88
Tensioni nella sezione: σ=325.76 τ=40.72
CC 20 SLD (Collegamento 0020_-377)
Azioni sul collegamento: N=-7390.75 Ty=-3.59 Tz=3.85 Mx=-0.00 Mz=-3.26
Sollecitazioni agenti localmente: Ty_l=-1343.77 Mx_l=-26.88
Tensioni nella sezione: σ=325.76 τ=40.72
CC 20 SLD (Collegamento 0020_-377)
Azioni sul collegamento: N=-7390.75 Ty=-4.24 Tz=3.85 Mx=-0.00 Mz=-3.48
Sollecitazioni agenti localmente: Ty_l=-1343.77 Mx_l=-26.88
Tensioni nella sezione: σ=325.76 τ=40.72
CC 21 SLV (Collegamento 0020_-377)
Azioni sul collegamento: N=-9260.08 Ty=-5.81 Tz=10.74 Mx=-0.01 Mz=-5.82
Sollecitazioni agenti localmente: Ty_l=-1683.65 Mx_l=-33.67
Tensioni nella sezione: σ=408.16 τ=51.02
CC 21 SLV (Collegamento 0020_-377)
Azioni sul collegamento: N=-9260.08 Ty=-3.70 Tz=10.74 Mx=-0.01 Mz=-5.08
Sollecitazioni agenti localmente: Ty_l=-1683.65 Mx_l=-33.67
Tensioni nella sezione: σ=408.16 τ=51.02
CC 21 SLV (Collegamento 0020_-377)
Azioni sul collegamento: N=-9260.08 Ty=-5.81 Tz=-8.72 Mx=-0.01 Mz=-5.82
Sollecitazioni agenti localmente: Ty_l=-1683.65 Mx_l=-33.67
Tensioni nella sezione: σ=408.16 τ=51.02
CC 21 SLV (Collegamento 0020_-377)
Azioni sul collegamento: N=-9260.08 Ty=-3.70 Tz=-8.72 Mx=-0.01 Mz=-5.08
Sollecitazioni agenti localmente: Ty_l=-1683.65 Mx_l=-33.67
Tensioni nella sezione: σ=408.16 τ=51.02
CC 21 SLV (Collegamento 0020_-377)
Azioni sul collegamento: N=-3974.65 Ty=-5.81 Tz=10.74 Mx=-0.01 Mz=-5.82
Sollecitazioni agenti localmente: Ty_l=-722.66 Mx_l=-14.45
Tensioni nella sezione: σ=175.19 τ=21.90
CC 21 SLV (Collegamento 0020_-377)
Azioni sul collegamento: N=-3974.65 Ty=-3.70 Tz=10.74 Mx=-0.01 Mz=-5.08
Sollecitazioni agenti localmente: Ty_l=-722.66 Mx_l=-14.45
Tensioni nella sezione: σ=175.19 τ=21.90
CC 21 SLV (Collegamento 0020_-377)
Azioni sul collegamento: N=-3974.65 Ty=-5.81 Tz=-8.72 Mx=-0.01 Mz=-5.82
Sollecitazioni agenti localmente: Ty_l=-722.66 Mx_l=-14.45
Tensioni nella sezione: σ=175.19 τ=21.90
CC 21 SLV (Collegamento 0020_-377)
Azioni sul collegamento: N=-3974.65 Ty=-3.70 Tz=-8.72 Mx=-0.01 Mz=-5.08
Sollecitazioni agenti localmente: Ty_l=-722.66 Mx_l=-14.45
Tensioni nella sezione: σ=175.19 τ=21.90
CC 22 SLD (Collegamento 0020_-377)
Azioni sul collegamento: N=-7390.75 Ty=-4.24 Tz=3.85 Mx=-0.00 Mz=-3.48
Sollecitazioni agenti localmente: Ty_l=-1343.77 Mx_l=-26.88
Tensioni nella sezione: σ=325.76 τ=40.72
CC 22 SLD (Collegamento 0020_-377)
Azioni sul collegamento: N=-7390.75 Ty=-3.59 Tz=3.85 Mx=-0.00 Mz=-3.26
Sollecitazioni agenti localmente: Ty_l=-1343.77 Mx_l=-26.88
Tensioni nella sezione: σ=325.76 τ=40.72
CC 22 SLD (Collegamento 0020_-377)
Azioni sul collegamento: N=-7390.75 Ty=-4.24 Tz=-2.08 Mx=-0.00 Mz=-3.48
Sollecitazioni agenti localmente: Ty_l=-1343.77 Mx_l=-26.88
Tensioni nella sezione: σ=325.76 τ=40.72
CC 22 SLD (Collegamento 0020_-377)
Azioni sul collegamento: N=-7390.75 Ty=-3.59 Tz=-2.08 Mx=-0.00 Mz=-3.26
Sollecitazioni agenti localmente: Ty_l=-1343.77 Mx_l=-26.88
Tensioni nella sezione: σ=325.76 τ=40.72
CC 22 SLD (Collegamento 0020_-377)
Azioni sul collegamento: N=-5779.06 Ty=-4.24 Tz=3.85 Mx=-0.00 Mz=-3.48
Sollecitazioni agenti localmente: Ty_l=-1050.74 Mx_l=-21.01
Tensioni nella sezione: σ=254.72 τ=31.84
CC 22 SLD (Collegamento 0020_-377)
Azioni sul collegamento: N=-5779.06 Ty=-3.59 Tz=3.85 Mx=-0.00 Mz=-3.26
Sollecitazioni agenti localmente: Ty_l=-1050.74 Mx_l=-21.01
Tensioni nella sezione: σ=254.72 τ=31.84
CC 22 SLD (Collegamento 0020_-377)
Azioni sul collegamento: N=-5779.06 Ty=-4.24 Tz=-2.08 Mx=-0.00 Mz=-3.48
Sollecitazioni agenti localmente: Ty_l=-1050.74 Mx_l=-21.01
Tensioni nella sezione: σ=254.72 τ=31.84
CC 22 SLD (Collegamento 0020_-377)
Azioni sul collegamento: N=-5779.06 Ty=-3.59 Tz=-2.08 Mx=-0.00 Mz=-3.26
Sollecitazioni agenti localmente: Ty_l=-1050.74 Mx_l=-21.01
Tensioni nella sezione: σ=254.72 τ=31.84
CC 23 SLV (Collegamento 0020_-377)
Azioni sul collegamento: N=-9265.76 Ty=-6.45 Tz=10.87 Mx=-0.01 Mz=-7.08
Sollecitazioni agenti localmente: Ty_l=-1684.68 Mx_l=-33.69
Tensioni nella sezione: σ=408.41 τ=51.05
CC 23 SLV (Collegamento 0020_-377)

Azioni sul collegamento: N=-9265.76 Ty=-3.07 Tz=10.87 Mx=-0.01 Mz=-3.83
Sollecitazioni agenti localmente: Ty_l=-1684.68 Mx_l=-33.69
Tensioni nella sezione: σ=408.41 τ=51.05
CC 23 SLV (Collegamento 0020_-377)
Azioni sul collegamento: N=-9265.76 Ty=-6.45 Tz=-8.85 Mx=-0.01 Mz=-7.08
Sollecitazioni agenti localmente: Ty_l=-1684.68 Mx_l=-33.69
Tensioni nella sezione: σ=408.41 τ=51.05
CC 23 SLV (Collegamento 0020_-377)
Azioni sul collegamento: N=-9265.76 Ty=-3.07 Tz=-8.85 Mx=-0.01 Mz=-3.83
Sollecitazioni agenti localmente: Ty_l=-1684.68 Mx_l=-33.69
Tensioni nella sezione: σ=408.41 τ=51.05
CC 23 SLV (Collegamento 0020_-377)
Azioni sul collegamento: N=-3968.96 Ty=-6.45 Tz=10.87 Mx=-0.01 Mz=-7.08
Sollecitazioni agenti localmente: Ty_l=-721.63 Mx_l=-14.43
Tensioni nella sezione: σ=174.94 τ=21.87
CC 23 SLV (Collegamento 0020_-377)
Azioni sul collegamento: N=-3968.96 Ty=-3.07 Tz=10.87 Mx=-0.01 Mz=-3.83
Sollecitazioni agenti localmente: Ty_l=-721.63 Mx_l=-14.43
Tensioni nella sezione: σ=174.94 τ=21.87
CC 23 SLV (Collegamento 0020_-377)
Azioni sul collegamento: N=-3968.96 Ty=-6.45 Tz=-8.85 Mx=-0.01 Mz=-7.08
Sollecitazioni agenti localmente: Ty_l=-721.63 Mx_l=-14.43
Tensioni nella sezione: σ=174.94 τ=21.87
CC 23 SLV (Collegamento 0020_-377)
Azioni sul collegamento: N=-3968.96 Ty=-3.07 Tz=-8.85 Mx=-0.01 Mz=-3.83
Sollecitazioni agenti localmente: Ty_l=-721.63 Mx_l=-14.43
Tensioni nella sezione: σ=174.94 τ=21.87
CC 24 SLD (Collegamento 0020_-377)
Azioni sul collegamento: N=-7392.49 Ty=-4.43 Tz=3.89 Mx=0.00 Mz=-3.87
Sollecitazioni agenti localmente: Ty_l=-1344.09 Mx_l=-26.88
Tensioni nella sezione: σ=325.84 τ=40.73
CC 24 SLD (Collegamento 0020_-377)
Azioni sul collegamento: N=-7392.49 Ty=-3.40 Tz=3.89 Mx=0.00 Mz=-2.87
Sollecitazioni agenti localmente: Ty_l=-1344.09 Mx_l=-26.88
Tensioni nella sezione: σ=325.84 τ=40.73
CC 24 SLD (Collegamento 0020_-377)
Azioni sul collegamento: N=-7392.49 Ty=-4.43 Tz=-2.12 Mx=0.00 Mz=-3.87
Sollecitazioni agenti localmente: Ty_l=-1344.09 Mx_l=-26.88
Tensioni nella sezione: σ=325.84 τ=40.73
CC 24 SLD (Collegamento 0020_-377)
Azioni sul collegamento: N=-7392.49 Ty=-3.40 Tz=-2.12 Mx=0.00 Mz=-2.87
Sollecitazioni agenti localmente: Ty_l=-1344.09 Mx_l=-26.88
Tensioni nella sezione: σ=325.84 τ=40.73
CC 24 SLD (Collegamento 0020_-377)
Azioni sul collegamento: N=-5777.32 Ty=-4.43 Tz=3.89 Mx=0.00 Mz=-3.87
Sollecitazioni agenti localmente: Ty_l=-1050.42 Mx_l=-21.01
Tensioni nella sezione: σ=254.65 τ=31.83
CC 24 SLD (Collegamento 0020_-377)
Azioni sul collegamento: N=-5777.32 Ty=-3.40 Tz=3.89 Mx=0.00 Mz=-2.87
Sollecitazioni agenti localmente: Ty_l=-1050.42 Mx_l=-21.01
Tensioni nella sezione: σ=254.65 τ=31.83
CC 24 SLD (Collegamento 0020_-377)
Azioni sul collegamento: N=-5777.32 Ty=-4.43 Tz=-2.12 Mx=0.00 Mz=-3.87
Sollecitazioni agenti localmente: Ty_l=-1050.42 Mx_l=-21.01
Tensioni nella sezione: σ=254.65 τ=31.83
CC 24 SLD (Collegamento 0020_-377)
Azioni sul collegamento: N=-5777.32 Ty=-3.40 Tz=-2.12 Mx=0.00 Mz=-2.87
Sollecitazioni agenti localmente: Ty_l=-1050.42 Mx_l=-21.01
Tensioni nella sezione: σ=254.65 τ=31.83
CC 25 SLV (Collegamento 0020_-377)
Azioni sul collegamento: N=-5814.21 Ty=-3.29 Tz=-2.14 Mx=-0.02 Mz=-3.06
Sollecitazioni agenti localmente: Ty_l=-1057.13 Mx_l=-21.14
Tensioni nella sezione: σ=256.27 τ=32.03
CC 25 SLV (Collegamento 0020_-377)
Azioni sul collegamento: N=-5814.21 Ty=-6.23 Tz=-2.14 Mx=-0.02 Mz=-7.84
Sollecitazioni agenti localmente: Ty_l=-1057.13 Mx_l=-21.14
Tensioni nella sezione: σ=256.27 τ=32.03
CC 25 SLV (Collegamento 0020_-377)
Azioni sul collegamento: N=-5814.21 Ty=-3.29 Tz=4.16 Mx=-0.02 Mz=-3.06
Sollecitazioni agenti localmente: Ty_l=-1057.13 Mx_l=-21.14
Tensioni nella sezione: σ=256.27 τ=32.03
CC 25 SLV (Collegamento 0020_-377)
Azioni sul collegamento: N=-5814.21 Ty=-6.23 Tz=4.16 Mx=-0.02 Mz=-7.84
Sollecitazioni agenti localmente: Ty_l=-1057.13 Mx_l=-21.14
Tensioni nella sezione: σ=256.27 τ=32.03
CC 25 SLV (Collegamento 0020_-377)
Azioni sul collegamento: N=-7420.51 Ty=-3.29 Tz=-2.14 Mx=-0.02 Mz=-3.06
Sollecitazioni agenti localmente: Ty_l=-1349.18 Mx_l=-26.98
Tensioni nella sezione: σ=327.07 τ=40.88

CC 25 SLV (Collegamento 0020_-377)
Azioni sul collegamento: N=-7420.51 Ty=-6.23 Tz=-2.14 Mx=-0.02 Mz=-7.84
Sollecitazioni agenti localmente: Ty_l=-1349.18 Mx_l=-26.98
Tensioni nella sezione: σ=327.07 τ=40.88
CC 25 SLV (Collegamento 0020_-377)
Azioni sul collegamento: N=-7420.51 Ty=-3.29 Tz=4.16 Mx=-0.02 Mz=-3.06
Sollecitazioni agenti localmente: Ty_l=-1349.18 Mx_l=-26.98
Tensioni nella sezione: σ=327.07 τ=40.88
CC 25 SLV (Collegamento 0020_-377)
Azioni sul collegamento: N=-7420.51 Ty=-6.23 Tz=4.16 Mx=-0.02 Mz=-7.84
Sollecitazioni agenti localmente: Ty_l=-1349.18 Mx_l=-26.98
Tensioni nella sezione: σ=327.07 τ=40.88
CC 26 SLD (Collegamento 0020_-377)
Azioni sul collegamento: N=-6340.00 Ty=-3.47 Tz=-0.08 Mx=-0.00 Mz=-2.64
Sollecitazioni agenti localmente: Ty_l=-1152.73 Mx_l=-23.05
Tensioni nella sezione: σ=279.45 τ=34.93
CC 26 SLD (Collegamento 0020_-377)
Azioni sul collegamento: N=-6340.00 Ty=-4.36 Tz=-0.08 Mx=-0.00 Mz=-4.10
Sollecitazioni agenti localmente: Ty_l=-1152.73 Mx_l=-23.05
Tensioni nella sezione: σ=279.45 τ=34.93
CC 26 SLD (Collegamento 0020_-377)
Azioni sul collegamento: N=-6340.00 Ty=-3.47 Tz=1.85 Mx=-0.00 Mz=-2.64
Sollecitazioni agenti localmente: Ty_l=-1152.73 Mx_l=-23.05
Tensioni nella sezione: σ=279.45 τ=34.93
CC 26 SLD (Collegamento 0020_-377)
Azioni sul collegamento: N=-6340.00 Ty=-4.36 Tz=1.85 Mx=-0.00 Mz=-4.10
Sollecitazioni agenti localmente: Ty_l=-1152.73 Mx_l=-23.05
Tensioni nella sezione: σ=279.45 τ=34.93
CC 26 SLD (Collegamento 0020_-377)
Azioni sul collegamento: N=-6829.81 Ty=-3.47 Tz=-0.08 Mx=-0.00 Mz=-2.64
Sollecitazioni agenti localmente: Ty_l=-1241.78 Mx_l=-24.84
Tensioni nella sezione: σ=301.04 τ=37.63
CC 26 SLD (Collegamento 0020_-377)
Azioni sul collegamento: N=-6829.81 Ty=-4.36 Tz=-0.08 Mx=-0.00 Mz=-4.10
Sollecitazioni agenti localmente: Ty_l=-1241.78 Mx_l=-24.84
Tensioni nella sezione: σ=301.04 τ=37.63
CC 26 SLD (Collegamento 0020_-377)
Azioni sul collegamento: N=-6829.81 Ty=-3.47 Tz=1.85 Mx=-0.00 Mz=-2.64
Sollecitazioni agenti localmente: Ty_l=-1241.78 Mx_l=-24.84
Tensioni nella sezione: σ=301.04 τ=37.63
CC 26 SLD (Collegamento 0020_-377)
Azioni sul collegamento: N=-6829.81 Ty=-4.36 Tz=1.85 Mx=-0.00 Mz=-4.10
Sollecitazioni agenti localmente: Ty_l=-1241.78 Mx_l=-24.84
Tensioni nella sezione: σ=301.04 τ=37.63
CC 27 SLV (Collegamento 0020_-377)
Azioni sul collegamento: N=-7401.55 Ty=-4.11 Tz=3.74 Mx=-0.02 Mz=-3.66
Sollecitazioni agenti localmente: Ty_l=-1345.74 Mx_l=-26.91
Tensioni nella sezione: σ=326.24 τ=40.78
CC 27 SLV (Collegamento 0020_-377)
Azioni sul collegamento: N=-7401.55 Ty=-5.40 Tz=3.74 Mx=-0.02 Mz=-7.25
Sollecitazioni agenti localmente: Ty_l=-1345.74 Mx_l=-26.91
Tensioni nella sezione: σ=326.24 τ=40.78
CC 27 SLV (Collegamento 0020_-377)
Azioni sul collegamento: N=-7401.55 Ty=-4.11 Tz=-1.71 Mx=-0.02 Mz=-3.66
Sollecitazioni agenti localmente: Ty_l=-1345.74 Mx_l=-26.91
Tensioni nella sezione: σ=326.24 τ=40.78
CC 27 SLV (Collegamento 0020_-377)
Azioni sul collegamento: N=-7401.55 Ty=-5.40 Tz=-1.71 Mx=-0.02 Mz=-7.25
Sollecitazioni agenti localmente: Ty_l=-1345.74 Mx_l=-26.91
Tensioni nella sezione: σ=326.24 τ=40.78
CC 27 SLV (Collegamento 0020_-377)
Azioni sul collegamento: N=-5833.17 Ty=-4.11 Tz=3.74 Mx=-0.02 Mz=-3.66
Sollecitazioni agenti localmente: Ty_l=-1060.58 Mx_l=-21.21
Tensioni nella sezione: σ=257.11 τ=32.14
CC 27 SLV (Collegamento 0020_-377)
Azioni sul collegamento: N=-5833.17 Ty=-5.40 Tz=3.74 Mx=-0.02 Mz=-7.25
Sollecitazioni agenti localmente: Ty_l=-1060.58 Mx_l=-21.21
Tensioni nella sezione: σ=257.11 τ=32.14
CC 27 SLV (Collegamento 0020_-377)
Azioni sul collegamento: N=-5833.17 Ty=-4.11 Tz=-1.71 Mx=-0.02 Mz=-3.66
Sollecitazioni agenti localmente: Ty_l=-1060.58 Mx_l=-21.21
Tensioni nella sezione: σ=257.11 τ=32.14
CC 27 SLV (Collegamento 0020_-377)
Azioni sul collegamento: N=-5833.17 Ty=-5.40 Tz=-1.71 Mx=-0.02 Mz=-7.25
Sollecitazioni agenti localmente: Ty_l=-1060.58 Mx_l=-21.21
Tensioni nella sezione: σ=257.11 τ=32.14
CC 28 SLD (Collegamento 0020_-377)
Azioni sul collegamento: N=-6824.03 Ty=-3.72 Tz=1.72 Mx=-0.00 Mz=-2.82
Sollecitazioni agenti localmente: Ty_l=-1240.73 Mx_l=-24.81

Tensioni nella sezione: σ=300.78 τ=37.60
CC 28 SLD (Collegamento 0020_-377)
Azioni sul collegamento: N=-6824.03 Ty=-4.11 Tz=1.72 Mx=-0.00 Mz=-3.92
Sollecitazioni agenti localmente: Ty_l=-1240.73 Mx_l=-24.81
Tensioni nella sezione: σ=300.78 τ=37.60
CC 28 SLD (Collegamento 0020_-377)
Azioni sul collegamento: N=-6824.03 Ty=-3.72 Tz=0.05 Mx=-0.00 Mz=-2.82
Sollecitazioni agenti localmente: Ty_l=-1240.73 Mx_l=-24.81
Tensioni nella sezione: σ=300.78 τ=37.60
CC 28 SLD (Collegamento 0020_-377)
Azioni sul collegamento: N=-6824.03 Ty=-4.11 Tz=0.05 Mx=-0.00 Mz=-3.92
Sollecitazioni agenti localmente: Ty_l=-1240.73 Mx_l=-24.81
Tensioni nella sezione: σ=300.78 τ=37.60
CC 28 SLD (Collegamento 0020_-377)
Azioni sul collegamento: N=-6345.78 Ty=-3.72 Tz=1.72 Mx=-0.00 Mz=-2.82
Sollecitazioni agenti localmente: Ty_l=-1153.78 Mx_l=-23.08
Tensioni nella sezione: σ=279.70 τ=34.96
CC 28 SLD (Collegamento 0020_-377)
Azioni sul collegamento: N=-6345.78 Ty=-4.11 Tz=1.72 Mx=-0.00 Mz=-3.92
Sollecitazioni agenti localmente: Ty_l=-1153.78 Mx_l=-23.08
Tensioni nella sezione: σ=279.70 τ=34.96
CC 28 SLD (Collegamento 0020_-377)
Azioni sul collegamento: N=-6345.78 Ty=-3.72 Tz=0.05 Mx=-0.00 Mz=-2.82
Sollecitazioni agenti localmente: Ty_l=-1153.78 Mx_l=-23.08
Tensioni nella sezione: σ=279.70 τ=34.96
CC 28 SLD (Collegamento 0020_-377)
Azioni sul collegamento: N=-6345.78 Ty=-4.11 Tz=0.05 Mx=-0.00 Mz=-3.92
Sollecitazioni agenti localmente: Ty_l=-1153.78 Mx_l=-23.08
Tensioni nella sezione: σ=279.70 τ=34.96
CC 29 SLV (Collegamento 0020_-377)
Azioni sul collegamento: N=-5833.17 Ty=-5.40 Tz=-1.71 Mx=-0.00 Mz=-7.25
Sollecitazioni agenti localmente: Ty_l=-1060.58 Mx_l=-21.21
Tensioni nella sezione: σ=257.11 τ=32.14
CC 29 SLV (Collegamento 0020_-377)
Azioni sul collegamento: N=-5833.17 Ty=-4.11 Tz=-1.71 Mx=-0.00 Mz=-3.66
Sollecitazioni agenti localmente: Ty_l=-1060.58 Mx_l=-21.21
Tensioni nella sezione: σ=257.11 τ=32.14
CC 29 SLV (Collegamento 0020_-377)
Azioni sul collegamento: N=-5833.17 Ty=-5.40 Tz=3.74 Mx=-0.00 Mz=-7.25
Sollecitazioni agenti localmente: Ty_l=-1060.58 Mx_l=-21.21
Tensioni nella sezione: σ=257.11 τ=32.14
CC 29 SLV (Collegamento 0020_-377)
Azioni sul collegamento: N=-5833.17 Ty=-4.11 Tz=3.74 Mx=-0.00 Mz=-3.66
Sollecitazioni agenti localmente: Ty_l=-1060.58 Mx_l=-21.21
Tensioni nella sezione: σ=257.11 τ=32.14
CC 29 SLV (Collegamento 0020_-377)
Azioni sul collegamento: N=-7401.55 Ty=-5.40 Tz=-1.71 Mx=-0.00 Mz=-7.25
Sollecitazioni agenti localmente: Ty_l=-1345.74 Mx_l=-26.91
Tensioni nella sezione: σ=326.24 τ=40.78
CC 29 SLV (Collegamento 0020_-377)
Azioni sul collegamento: N=-7401.55 Ty=-4.11 Tz=-1.71 Mx=-0.00 Mz=-3.66
Sollecitazioni agenti localmente: Ty_l=-1345.74 Mx_l=-26.91
Tensioni nella sezione: σ=326.24 τ=40.78
CC 29 SLV (Collegamento 0020_-377)
Azioni sul collegamento: N=-7401.55 Ty=-5.40 Tz=3.74 Mx=-0.00 Mz=-7.25
Sollecitazioni agenti localmente: Ty_l=-1345.74 Mx_l=-26.91
Tensioni nella sezione: σ=326.24 τ=40.78
CC 29 SLV (Collegamento 0020_-377)
Azioni sul collegamento: N=-7401.55 Ty=-4.11 Tz=3.74 Mx=-0.00 Mz=-3.66
Sollecitazioni agenti localmente: Ty_l=-1345.74 Mx_l=-26.91
Tensioni nella sezione: σ=326.24 τ=40.78
CC 30 SLD (Collegamento 0020_-377)
Azioni sul collegamento: N=-6345.78 Ty=-4.11 Tz=0.05 Mx=0.00 Mz=-3.92
Sollecitazioni agenti localmente: Ty_l=-1153.78 Mx_l=-23.08
Tensioni nella sezione: σ=279.70 τ=34.96
CC 30 SLD (Collegamento 0020_-377)
Azioni sul collegamento: N=-6345.78 Ty=-3.72 Tz=0.05 Mx=0.00 Mz=-2.82
Sollecitazioni agenti localmente: Ty_l=-1153.78 Mx_l=-23.08
Tensioni nella sezione: σ=279.70 τ=34.96
CC 30 SLD (Collegamento 0020_-377)
Azioni sul collegamento: N=-6345.78 Ty=-4.11 Tz=1.72 Mx=0.00 Mz=-3.92
Sollecitazioni agenti localmente: Ty_l=-1153.78 Mx_l=-23.08
Tensioni nella sezione: σ=279.70 τ=34.96
CC 30 SLD (Collegamento 0020_-377)
Azioni sul collegamento: N=-6345.78 Ty=-3.72 Tz=1.72 Mx=0.00 Mz=-2.82
Sollecitazioni agenti localmente: Ty_l=-1153.78 Mx_l=-23.08
Tensioni nella sezione: σ=279.70 τ=34.96
CC 30 SLD (Collegamento 0020_-377)
Azioni sul collegamento: N=-6824.03 Ty=-4.11 Tz=0.05 Mx=0.00 Mz=-3.92

Sollecitazioni agenti localmente: Ty_l=-1240.73 Mx_l=-24.81
Tensioni nella sezione: σ=300.78 τ=37.60
CC 30 SLD (Collegamento 0020_-377)
Azioni sul collegamento: N=-6824.03 Ty=-3.72 Tz=0.05 Mx=0.00 Mz=-2.82
Sollecitazioni agenti localmente: Ty_l=-1240.73 Mx_l=-24.81
Tensioni nella sezione: σ=300.78 τ=37.60
CC 30 SLD (Collegamento 0020_-377)
Azioni sul collegamento: N=-6824.03 Ty=-4.11 Tz=1.72 Mx=0.00 Mz=-3.92
Sollecitazioni agenti localmente: Ty_l=-1240.73 Mx_l=-24.81
Tensioni nella sezione: σ=300.78 τ=37.60
CC 30 SLD (Collegamento 0020_-377)
Azioni sul collegamento: N=-6824.03 Ty=-3.72 Tz=1.72 Mx=0.00 Mz=-2.82
Sollecitazioni agenti localmente: Ty_l=-1240.73 Mx_l=-24.81
Tensioni nella sezione: σ=300.78 τ=37.60
CC 31 SLV (Collegamento 0020_-377)
Azioni sul collegamento: N=-7420.51 Ty=-6.23 Tz=4.16 Mx=-0.00 Mz=-7.84
Sollecitazioni agenti localmente: Ty_l=-1349.18 Mx_l=-26.98
Tensioni nella sezione: σ=327.07 τ=40.88
CC 31 SLV (Collegamento 0020_-377)
Azioni sul collegamento: N=-7420.51 Ty=-3.29 Tz=4.16 Mx=-0.00 Mz=-3.06
Sollecitazioni agenti localmente: Ty_l=-1349.18 Mx_l=-26.98
Tensioni nella sezione: σ=327.07 τ=40.88
CC 31 SLV (Collegamento 0020_-377)
Azioni sul collegamento: N=-7420.51 Ty=-6.23 Tz=-2.14 Mx=-0.00 Mz=-7.84
Sollecitazioni agenti localmente: Ty_l=-1349.18 Mx_l=-26.98
Tensioni nella sezione: σ=327.07 τ=40.88
CC 31 SLV (Collegamento 0020_-377)
Azioni sul collegamento: N=-7420.51 Ty=-3.29 Tz=-2.14 Mx=-0.00 Mz=-3.06
Sollecitazioni agenti localmente: Ty_l=-1349.18 Mx_l=-26.98
Tensioni nella sezione: σ=327.07 τ=40.88
CC 31 SLV (Collegamento 0020_-377)
Azioni sul collegamento: N=-5814.21 Ty=-6.23 Tz=4.16 Mx=-0.00 Mz=-7.84
Sollecitazioni agenti localmente: Ty_l=-1057.13 Mx_l=-21.14
Tensioni nella sezione: σ=256.27 τ=32.03
CC 31 SLV (Collegamento 0020_-377)
Azioni sul collegamento: N=-5814.21 Ty=-3.29 Tz=4.16 Mx=-0.00 Mz=-3.06
Sollecitazioni agenti localmente: Ty_l=-1057.13 Mx_l=-21.14
Tensioni nella sezione: σ=256.27 τ=32.03
CC 31 SLV (Collegamento 0020_-377)
Azioni sul collegamento: N=-5814.21 Ty=-6.23 Tz=-2.14 Mx=-0.00 Mz=-7.84
Sollecitazioni agenti localmente: Ty_l=-1057.13 Mx_l=-21.14
Tensioni nella sezione: σ=256.27 τ=32.03
CC 31 SLV (Collegamento 0020_-377)
Azioni sul collegamento: N=-5814.21 Ty=-3.29 Tz=-2.14 Mx=-0.00 Mz=-3.06
Sollecitazioni agenti localmente: Ty_l=-1057.13 Mx_l=-21.14
Tensioni nella sezione: σ=256.27 τ=32.03
CC 32 SLD (Collegamento 0020_-377)
Azioni sul collegamento: N=-6829.81 Ty=-4.36 Tz=1.85 Mx=0.00 Mz=-4.10
Sollecitazioni agenti localmente: Ty_l=-1241.78 Mx_l=-24.84
Tensioni nella sezione: σ=301.04 τ=37.63
CC 32 SLD (Collegamento 0020_-377)
Azioni sul collegamento: N=-6829.81 Ty=-3.47 Tz=1.85 Mx=0.00 Mz=-2.64
Sollecitazioni agenti localmente: Ty_l=-1241.78 Mx_l=-24.84
Tensioni nella sezione: σ=301.04 τ=37.63
CC 32 SLD (Collegamento 0020_-377)
Azioni sul collegamento: N=-6829.81 Ty=-4.36 Tz=-0.08 Mx=0.00 Mz=-4.10
Sollecitazioni agenti localmente: Ty_l=-1241.78 Mx_l=-24.84
Tensioni nella sezione: σ=301.04 τ=37.63
CC 32 SLD (Collegamento 0020_-377)
Azioni sul collegamento: N=-6829.81 Ty=-3.47 Tz=-0.08 Mx=0.00 Mz=-2.64
Sollecitazioni agenti localmente: Ty_l=-1241.78 Mx_l=-24.84
Tensioni nella sezione: σ=301.04 τ=37.63
CC 32 SLD (Collegamento 0020_-377)
Azioni sul collegamento: N=-6340.00 Ty=-4.36 Tz=1.85 Mx=0.00 Mz=-4.10
Sollecitazioni agenti localmente: Ty_l=-1152.73 Mx_l=-23.05
Tensioni nella sezione: σ=279.45 τ=34.93
CC 32 SLD (Collegamento 0020_-377)
Azioni sul collegamento: N=-6340.00 Ty=-3.47 Tz=1.85 Mx=0.00 Mz=-2.64
Sollecitazioni agenti localmente: Ty_l=-1152.73 Mx_l=-23.05
Tensioni nella sezione: σ=279.45 τ=34.93
CC 32 SLD (Collegamento 0020_-377)
Azioni sul collegamento: N=-6340.00 Ty=-4.36 Tz=-0.08 Mx=0.00 Mz=-4.10
Sollecitazioni agenti localmente: Ty_l=-1152.73 Mx_l=-23.05
Tensioni nella sezione: σ=279.45 τ=34.93
CC 32 SLD (Collegamento 0020_-377)
Azioni sul collegamento: N=-6340.00 Ty=-3.47 Tz=-0.08 Mx=0.00 Mz=-2.64
Sollecitazioni agenti localmente: Ty_l=-1152.73 Mx_l=-23.05
Tensioni nella sezione: σ=279.45 τ=34.93
CC 33 SLU (Collegamento 0020_-377)

Azioni sul collegamento: N=-30337.70 Ty=-5.16 Tz=79.98 Mx=0.01 Mz=-3.50
Sollecitazioni agenti localmente: Ty_l=-5515.96 Mx_l=-110.32
Tensioni nella sezione: σ=1337.20 τ=167.15
CC 34 SLU (Collegamento 0020_-377)
Azioni sul collegamento: N=-30888.30 Ty=-5.44 Tz=82.02 Mx=0.01 Mz=-3.71
Sollecitazioni agenti localmente: Ty_l=-5616.05 Mx_l=-112.32
Tensioni nella sezione: σ=1361.46 τ=170.18
CC 35 SLU (Collegamento 0020_-377)
Azioni sul collegamento: N=-30612.00 Ty=-5.19 Tz=81.02 Mx=0.01 Mz=-3.39
Sollecitazioni agenti localmente: Ty_l=-5565.82 Mx_l=-111.32
Tensioni nella sezione: σ=1349.29 τ=168.66
CC 36 SLU (Collegamento 0020_-377)
Azioni sul collegamento: N=-30614.00 Ty=-5.41 Tz=80.97 Mx=0.01 Mz=-3.82
Sollecitazioni agenti localmente: Ty_l=-5566.18 Mx_l=-111.32
Tensioni nella sezione: σ=1349.37 τ=168.67
CC 37 SLU (Collegamento 0020_-377)
Azioni sul collegamento: N=-32266.80 Ty=-5.04 Tz=86.42 Mx=-0.00 Mz=-3.56
Sollecitazioni agenti localmente: Ty_l=-5866.68 Mx_l=-117.33
Tensioni nella sezione: σ=1422.22 τ=177.78
CC 38 SLU (Collegamento 0020_-377)
Azioni sul collegamento: N=-32817.30 Ty=-5.33 Tz=88.46 Mx=-0.00 Mz=-3.76
Sollecitazioni agenti localmente: Ty_l=-5966.78 Mx_l=-119.33
Tensioni nella sezione: σ=1446.49 τ=180.81
CC 39 SLU (Collegamento 0020_-377)
Azioni sul collegamento: N=-32541.00 Ty=-5.08 Tz=87.47 Mx=-0.00 Mz=-3.44
Sollecitazioni agenti localmente: Ty_l=-5916.55 Mx_l=-118.33
Tensioni nella sezione: σ=1434.31 τ=179.29
CC 40 SLU (Collegamento 0020_-377)
Azioni sul collegamento: N=-32543.00 Ty=-5.30 Tz=87.42 Mx=-0.00 Mz=-3.88
Sollecitazioni agenti localmente: Ty_l=-5916.91 Mx_l=-118.34
Tensioni nella sezione: σ=1434.40 τ=179.30
CC 41 SLU (Collegamento 0020_-377)
Azioni sul collegamento: N=-21046.60 Ty=-6.03 Tz=45.82 Mx=0.01 Mz=-4.13
Sollecitazioni agenti localmente: Ty_l=-3826.65 Mx_l=-76.53
Tensioni nella sezione: σ=927.67 τ=115.96
CC 42 SLU (Collegamento 0020_-377)
Azioni sul collegamento: N=-21597.10 Ty=-6.32 Tz=47.86 Mx=0.01 Mz=-4.34
Sollecitazioni agenti localmente: Ty_l=-3926.75 Mx_l=-78.53
Tensioni nella sezione: σ=951.94 τ=118.99
CC 43 SLU (Collegamento 0020_-377)
Azioni sul collegamento: N=-21320.90 Ty=-6.07 Tz=46.87 Mx=0.01 Mz=-4.02
Sollecitazioni agenti localmente: Ty_l=-3876.52 Mx_l=-77.53
Tensioni nella sezione: σ=939.76 τ=117.47
CC 44 SLU (Collegamento 0020_-377)
Azioni sul collegamento: N=-21322.80 Ty=-6.29 Tz=46.82 Mx=0.01 Mz=-4.45
Sollecitazioni agenti localmente: Ty_l=-3876.88 Mx_l=-77.54
Tensioni nella sezione: σ=939.85 τ=117.48
CC 45 SLU (Collegamento 0020_-377)
Azioni sul collegamento: N=-23139.00 Ty=-5.73 Tz=53.57 Mx=0.01 Mz=-3.96
Sollecitazioni agenti localmente: Ty_l=-4207.09 Mx_l=-84.14
Tensioni nella sezione: σ=1019.90 τ=127.49
CC 46 SLU (Collegamento 0020_-377)
Azioni sul collegamento: N=-23689.50 Ty=-6.01 Tz=55.60 Mx=0.01 Mz=-4.17
Sollecitazioni agenti localmente: Ty_l=-4307.19 Mx_l=-86.14
Tensioni nella sezione: σ=1044.16 τ=130.52
CC 47 SLU (Collegamento 0020_-377)
Azioni sul collegamento: N=-23413.30 Ty=-5.76 Tz=54.61 Mx=0.01 Mz=-3.84
Sollecitazioni agenti localmente: Ty_l=-4256.96 Mx_l=-85.14
Tensioni nella sezione: σ=1031.99 τ=129.00
CC 48 SLU (Collegamento 0020_-377)
Azioni sul collegamento: N=-23415.20 Ty=-5.98 Tz=54.56 Mx=0.01 Mz=-4.28
Sollecitazioni agenti localmente: Ty_l=-4257.31 Mx_l=-85.15
Tensioni nella sezione: σ=1032.07 τ=129.01
CC 49 SLU (Collegamento 0020_-377)
Azioni sul collegamento: N=-24582.20 Ty=-5.64 Tz=58.39 Mx=0.00 Mz=-4.00
Sollecitazioni agenti localmente: Ty_l=-4469.48 Mx_l=-89.39
Tensioni nella sezione: σ=1083.51 τ=135.44
CC 50 SLU (Collegamento 0020_-377)
Azioni sul collegamento: N=-25132.70 Ty=-5.93 Tz=60.42 Mx=0.00 Mz=-4.21
Sollecitazioni agenti localmente: Ty_l=-4569.58 Mx_l=-91.39
Tensioni nella sezione: σ=1107.77 τ=138.47
CC 51 SLU (Collegamento 0020_-377)
Azioni sul collegamento: N=-24856.40 Ty=-5.68 Tz=59.43 Mx=-0.00 Mz=-3.89
Sollecitazioni agenti localmente: Ty_l=-4519.35 Mx_l=-90.39
Tensioni nella sezione: σ=1095.60 τ=136.95
CC 52 SLU (Collegamento 0020_-377)
Azioni sul collegamento: N=-24858.40 Ty=-5.89 Tz=59.38 Mx=0.00 Mz=-4.32
Sollecitazioni agenti localmente: Ty_l=-4519.71 Mx_l=-90.39
Tensioni nella sezione: σ=1095.69 τ=136.96

CC 53 SLU (Collegamento 0020_-377)
Azioni sul collegamento: N=-16187.80 Ty=-6.38 Tz=28.01 Mx=0.01 Mz=-4.43
Sollecitazioni agenti localmente: Ty_l=-2943.24 Mx_l=-58.86
Tensioni nella sezione: σ=713.51 τ=89.19
CC 54 SLU (Collegamento 0020_-377)
Azioni sul collegamento: N=-16738.30 Ty=-6.67 Tz=30.05 Mx=0.01 Mz=-4.64
Sollecitazioni agenti localmente: Ty_l=-3043.34 Mx_l=-60.87
Tensioni nella sezione: σ=737.78 τ=92.22
CC 55 SLU (Collegamento 0020_-377)
Azioni sul collegamento: N=-16462.10 Ty=-6.42 Tz=29.05 Mx=0.01 Mz=-4.32
Sollecitazioni agenti localmente: Ty_l=-2993.11 Mx_l=-59.86
Tensioni nella sezione: σ=725.60 τ=90.70
CC 56 SLU (Collegamento 0020_-377)
Azioni sul collegamento: N=-16464.10 Ty=-6.64 Tz=29.01 Mx=0.01 Mz=-4.75
Sollecitazioni agenti localmente: Ty_l=-2993.47 Mx_l=-59.87
Tensioni nella sezione: σ=725.69 τ=90.71
CC 57 SLU (Collegamento 0020_-377)
Azioni sul collegamento: N=-23519.50 Ty=-6.15 Tz=55.00 Mx=0.01 Mz=-4.26
Sollecitazioni agenti localmente: Ty_l=-4276.28 Mx_l=-85.53
Tensioni nella sezione: σ=1036.67 τ=129.58
CC 58 SLU (Collegamento 0020_-377)
Azioni sul collegamento: N=-24070.10 Ty=-6.43 Tz=57.04 Mx=0.01 Mz=-4.47
Sollecitazioni agenti localmente: Ty_l=-4376.37 Mx_l=-87.53
Tensioni nella sezione: σ=1060.94 τ=132.62
CC 59 SLU (Collegamento 0020_-377)
Azioni sul collegamento: N=-23793.80 Ty=-6.18 Tz=56.05 Mx=0.01 Mz=-4.15
Sollecitazioni agenti localmente: Ty_l=-4326.15 Mx_l=-86.52
Tensioni nella sezione: σ=1048.76 τ=131.09
CC 60 SLU (Collegamento 0020_-377)
Azioni sul collegamento: N=-23795.80 Ty=-6.40 Tz=56.00 Mx=0.01 Mz=-4.58
Sollecitazioni agenti localmente: Ty_l=-4326.50 Mx_l=-86.53
Tensioni nella sezione: σ=1048.85 τ=131.11
CC 61 SLU (Collegamento 0020_-377)
Azioni sul collegamento: N=-24962.70 Ty=-6.06 Tz=59.83 Mx=0.00 Mz=-4.30
Sollecitazioni agenti localmente: Ty_l=-4538.67 Mx_l=-90.77
Tensioni nella sezione: σ=1100.28 τ=137.54
CC 62 SLU (Collegamento 0020_-377)
Azioni sul collegamento: N=-25513.20 Ty=-6.35 Tz=61.87 Mx=0.00 Mz=-4.51
Sollecitazioni agenti localmente: Ty_l=-4638.77 Mx_l=-92.78
Tensioni nella sezione: σ=1124.55 τ=140.57
CC 63 SLU (Collegamento 0020_-377)
Azioni sul collegamento: N=-25237.00 Ty=-6.10 Tz=60.87 Mx=-0.00 Mz=-4.19
Sollecitazioni agenti localmente: Ty_l=-4588.54 Mx_l=-91.77
Tensioni nella sezione: σ=1112.37 τ=139.05
CC 64 SLU (Collegamento 0020_-377)
Azioni sul collegamento: N=-25238.90 Ty=-6.31 Tz=60.82 Mx=0.00 Mz=-4.62
Sollecitazioni agenti localmente: Ty_l=-4588.90 Mx_l=-91.78
Tensioni nella sezione: σ=1112.46 τ=139.06
CC 65 SLU (Collegamento 0020_-377)
Azioni sul collegamento: N=-16568.40 Ty=-6.80 Tz=29.45 Mx=0.01 Mz=-4.74
Sollecitazioni agenti localmente: Ty_l=-3012.43 Mx_l=-60.25
Tensioni nella sezione: σ=730.28 τ=91.29
CC 66 SLU (Collegamento 0020_-377)
Azioni sul collegamento: N=-17118.90 Ty=-7.09 Tz=31.49 Mx=0.01 Mz=-4.94
Sollecitazioni agenti localmente: Ty_l=-3112.53 Mx_l=-62.25
Tensioni nella sezione: σ=754.55 τ=94.32
CC 67 SLU (Collegamento 0020_-377)
Azioni sul collegamento: N=-16842.60 Ty=-6.84 Tz=30.49 Mx=0.01 Mz=-4.62
Sollecitazioni agenti localmente: Ty_l=-3062.30 Mx_l=-61.25
Tensioni nella sezione: σ=742.37 τ=92.80
CC 68 SLU (Collegamento 0020_-377)
Azioni sul collegamento: N=-16844.60 Ty=-7.06 Tz=30.45 Mx=0.01 Mz=-5.06
Sollecitazioni agenti localmente: Ty_l=-3062.66 Mx_l=-61.25
Tensioni nella sezione: σ=742.46 τ=92.81
CC 97 SLU (Collegamento 0020_-377)
Azioni sul collegamento: N=-16826.20 Ty=-0.37 Tz=38.55 Mx=0.05 Mz=7.28
Sollecitazioni agenti localmente: Ty_l=-3059.31 Mx_l=-61.19
Tensioni nella sezione: σ=741.65 τ=92.71
CC 98 SLU (Collegamento 0020_-377)
Azioni sul collegamento: N=-17376.70 Ty=-0.65 Tz=40.58 Mx=0.05 Mz=7.07
Sollecitazioni agenti localmente: Ty_l=-3159.41 Mx_l=-63.19
Tensioni nella sezione: σ=765.92 τ=95.74
CC 99 SLU (Collegamento 0020_-377)
Azioni sul collegamento: N=-17100.50 Ty=-0.40 Tz=39.59 Mx=0.05 Mz=7.39
Sollecitazioni agenti localmente: Ty_l=-3109.18 Mx_l=-62.18
Tensioni nella sezione: σ=753.74 τ=94.22
CC 100 SLU (Collegamento 0020_-377)
Azioni sul collegamento: N=-17102.50 Ty=-0.62 Tz=39.54 Mx=0.05 Mz=6.96
Sollecitazioni agenti localmente: Ty_l=-3109.54 Mx_l=-62.19

Tensioni nella sezione: σ=753.83 τ=94.23
CC 101 SLU (Collegamento 0020_-377)
Azioni sul collegamento: N=-6585.90 Ty=-4.08 Tz=0.92 Mx=-0.00 Mz=-3.64
Sollecitazioni agenti localmente: Ty_l=-1197.44 Mx_l=-23.95
Tensioni nella sezione: σ=290.29 τ=36.29
CC 102 SLU (Collegamento 0020_-377)
Azioni sul collegamento: N=-7136.43 Ty=-4.37 Tz=2.96 Mx=-0.00 Mz=-3.85
Sollecitazioni agenti localmente: Ty_l=-1297.53 Mx_l=-25.95
Tensioni nella sezione: σ=314.55 τ=39.32
CC 103 SLU (Collegamento 0020_-377)
Azioni sul collegamento: N=-6860.18 Ty=-4.11 Tz=1.96 Mx=-0.00 Mz=-3.53
Sollecitazioni agenti localmente: Ty_l=-1247.31 Mx_l=-24.95
Tensioni nella sezione: σ=302.38 τ=37.80
CC 104 SLU (Collegamento 0020_-377)
Azioni sul collegamento: N=-6862.15 Ty=-4.33 Tz=1.92 Mx=-0.00 Mz=-3.96
Sollecitazioni agenti localmente: Ty_l=-1247.66 Mx_l=-24.95
Tensioni nella sezione: σ=302.46 τ=37.81

Flessione attacco destro piastra

Bnetta=220.00 Hnetta=15.00
CC 1 SLV (Collegamento 0020_-377)
Azioni sul collegamento: N=-3875.57 Ty=-4.02 Tz=-9.21 Mx=0.02 Mz=2.16
Sollecitazioni agenti localmente: Ty_l=-695.63 My_l=-14.27
Tensioni nella sezione: σ=173.00 τ=21.08
CC 1 SLV (Collegamento 0020_-377)
Azioni sul collegamento: N=-3875.57 Ty=-0.64 Tz=-9.21 Mx=0.02 Mz=-1.09
Sollecitazioni agenti localmente: Ty_l=-682.72 My_l=-13.99
Tensioni nella sezione: σ=169.57 τ=20.69
CC 1 SLV (Collegamento 0020_-377)
Azioni sul collegamento: N=-3875.57 Ty=-4.02 Tz=10.50 Mx=0.02 Mz=2.16
Sollecitazioni agenti localmente: Ty_l=-695.63 My_l=-14.27
Tensioni nella sezione: σ=173.00 τ=21.08
CC 1 SLV (Collegamento 0020_-377)
Azioni sul collegamento: N=-3875.57 Ty=-0.64 Tz=10.50 Mx=0.02 Mz=-1.09
Sollecitazioni agenti localmente: Ty_l=-682.72 My_l=-13.99
Tensioni nella sezione: σ=169.57 τ=20.69
CC 1 SLV (Collegamento 0020_-377)
Azioni sul collegamento: N=-9172.38 Ty=-4.02 Tz=-9.21 Mx=0.02 Mz=2.16
Sollecitazioni agenti localmente: Ty_l=-1634.61 My_l=-33.52
Tensioni nella sezione: σ=406.32 τ=49.53
CC 1 SLV (Collegamento 0020_-377)
Azioni sul collegamento: N=-9172.38 Ty=-0.64 Tz=-9.21 Mx=0.02 Mz=-1.09
Sollecitazioni agenti localmente: Ty_l=-1621.70 My_l=-33.24
Tensioni nella sezione: σ=402.89 τ=49.14
CC 1 SLV (Collegamento 0020_-377)
Azioni sul collegamento: N=-9172.38 Ty=-4.02 Tz=10.50 Mx=0.02 Mz=2.16
Sollecitazioni agenti localmente: Ty_l=-1634.61 My_l=-33.52
Tensioni nella sezione: σ=406.32 τ=49.53
CC 1 SLV (Collegamento 0020_-377)
Azioni sul collegamento: N=-9172.38 Ty=-0.64 Tz=10.50 Mx=0.02 Mz=-1.09
Sollecitazioni agenti localmente: Ty_l=-1621.70 My_l=-33.24
Tensioni nella sezione: σ=402.89 τ=49.14
CC 2 SLD (Collegamento 0020_-377)
Azioni sul collegamento: N=-5748.85 Ty=-2.66 Tz=-2.23 Mx=0.01 Mz=-1.05
Sollecitazioni agenti localmente: Ty_l=-1014.94 My_l=-20.80
Tensioni nella sezione: σ=252.13 τ=30.76
CC 2 SLD (Collegamento 0020_-377)
Azioni sul collegamento: N=-5748.85 Ty=-3.69 Tz=-2.23 Mx=0.01 Mz=-2.04
Sollecitazioni agenti localmente: Ty_l=-1011.01 My_l=-20.71
Tensioni nella sezione: σ=251.08 τ=30.64
CC 2 SLD (Collegamento 0020_-377)
Azioni sul collegamento: N=-5748.85 Ty=-2.66 Tz=3.78 Mx=0.01 Mz=-1.05
Sollecitazioni agenti localmente: Ty_l=-1014.94 My_l=-20.80
Tensioni nella sezione: σ=252.13 τ=30.76
CC 2 SLD (Collegamento 0020_-377)
Azioni sul collegamento: N=-5748.85 Ty=-3.69 Tz=3.78 Mx=0.01 Mz=-2.04
Sollecitazioni agenti localmente: Ty_l=-1011.01 My_l=-20.71
Tensioni nella sezione: σ=251.08 τ=30.64
CC 2 SLD (Collegamento 0020_-377)
Azioni sul collegamento: N=-7364.01 Ty=-2.66 Tz=-2.23 Mx=0.01 Mz=-1.05
Sollecitazioni agenti localmente: Ty_l=-1301.27 My_l=-26.67
Tensioni nella sezione: σ=323.27 τ=39.43
CC 2 SLD (Collegamento 0020_-377)
Azioni sul collegamento: N=-7364.01 Ty=-3.69 Tz=-2.23 Mx=0.01 Mz=-2.04
Sollecitazioni agenti localmente: Ty_l=-1297.33 My_l=-26.58
Tensioni nella sezione: σ=322.23 τ=39.31
CC 2 SLD (Collegamento 0020_-377)
Azioni sul collegamento: N=-7364.01 Ty=-2.66 Tz=3.78 Mx=0.01 Mz=-1.05

Sollecitazioni agenti localmente: Ty_l=-1301.27 My_l=-26.67
Tensioni nella sezione: σ=323.27 τ=39.43
CC 2 SLD (Collegamento 0020_-377)
Azioni sul collegamento: N=-7364.01 Ty=-3.69 Tz=3.78 Mx=0.01 Mz=-2.04
Sollecitazioni agenti localmente: Ty_l=-1297.33 My_l=-26.58
Tensioni nella sezione: σ=322.23 τ=39.31
CC 3 SLV (Collegamento 0020_-377)
Azioni sul collegamento: N=-3881.26 Ty=-3.39 Tz=-9.09 Mx=0.02 Mz=0.91
Sollecitazioni agenti localmente: Ty_l=-691.65 My_l=-14.18
Tensioni nella sezione: σ=171.93 τ=20.96
CC 3 SLV (Collegamento 0020_-377)
Azioni sul collegamento: N=-3881.26 Ty=-1.27 Tz=-9.09 Mx=0.02 Mz=0.17
Sollecitazioni agenti localmente: Ty_l=-688.72 My_l=-14.12
Tensioni nella sezione: σ=171.15 τ=20.87
CC 3 SLV (Collegamento 0020_-377)
Azioni sul collegamento: N=-3881.26 Ty=-3.39 Tz=10.37 Mx=0.02 Mz=0.91
Sollecitazioni agenti localmente: Ty_l=-691.65 My_l=-14.18
Tensioni nella sezione: σ=171.93 τ=20.96
CC 3 SLV (Collegamento 0020_-377)
Azioni sul collegamento: N=-3881.26 Ty=-1.27 Tz=10.37 Mx=0.02 Mz=0.17
Sollecitazioni agenti localmente: Ty_l=-688.72 My_l=-14.12
Tensioni nella sezione: σ=171.15 τ=20.87
CC 3 SLV (Collegamento 0020_-377)
Azioni sul collegamento: N=-9166.69 Ty=-3.39 Tz=-9.09 Mx=0.02 Mz=0.91
Sollecitazioni agenti localmente: Ty_l=-1628.61 My_l=-33.39
Tensioni nella sezione: σ=404.75 τ=49.35
CC 3 SLV (Collegamento 0020_-377)
Azioni sul collegamento: N=-9166.69 Ty=-1.27 Tz=-9.09 Mx=0.02 Mz=0.17
Sollecitazioni agenti localmente: Ty_l=-1625.68 My_l=-33.33
Tensioni nella sezione: σ=403.97 τ=49.26
CC 3 SLV (Collegamento 0020_-377)
Azioni sul collegamento: N=-9166.69 Ty=-3.39 Tz=10.38 Mx=0.02 Mz=0.91
Sollecitazioni agenti localmente: Ty_l=-1628.61 My_l=-33.39
Tensioni nella sezione: σ=404.75 τ=49.35
CC 3 SLV (Collegamento 0020_-377)
Azioni sul collegamento: N=-9166.69 Ty=-1.27 Tz=10.38 Mx=0.02 Mz=0.17
Sollecitazioni agenti localmente: Ty_l=-1625.68 My_l=-33.33
Tensioni nella sezione: σ=403.97 τ=49.26
CC 4 SLD (Collegamento 0020_-377)
Azioni sul collegamento: N=-5750.58 Ty=-2.85 Tz=-2.19 Mx=0.01 Mz=-1.43
Sollecitazioni agenti localmente: Ty_l=-1013.73 My_l=-20.77
Tensioni nella sezione: σ=251.80 τ=30.72
CC 4 SLD (Collegamento 0020_-377)
Azioni sul collegamento: N=-5750.58 Ty=-3.50 Tz=-2.19 Mx=0.01 Mz=-1.66
Sollecitazioni agenti localmente: Ty_l=-1012.84 My_l=-20.75
Tensioni nella sezione: σ=251.56 τ=30.69
CC 4 SLD (Collegamento 0020_-377)
Azioni sul collegamento: N=-5750.58 Ty=-2.85 Tz=3.74 Mx=0.01 Mz=-1.43
Sollecitazioni agenti localmente: Ty_l=-1013.73 My_l=-20.77
Tensioni nella sezione: σ=251.80 τ=30.72
CC 4 SLD (Collegamento 0020_-377)
Azioni sul collegamento: N=-5750.58 Ty=-3.50 Tz=3.74 Mx=0.01 Mz=-1.66
Sollecitazioni agenti localmente: Ty_l=-1012.84 My_l=-20.75
Tensioni nella sezione: σ=251.56 τ=30.69
CC 4 SLD (Collegamento 0020_-377)
Azioni sul collegamento: N=-7362.28 Ty=-2.85 Tz=-2.19 Mx=0.01 Mz=-1.43
Sollecitazioni agenti localmente: Ty_l=-1299.44 My_l=-26.63
Tensioni nella sezione: σ=322.79 τ=39.38
CC 4 SLD (Collegamento 0020_-377)
Azioni sul collegamento: N=-7362.28 Ty=-3.50 Tz=-2.19 Mx=0.01 Mz=-1.66
Sollecitazioni agenti localmente: Ty_l=-1298.55 My_l=-26.61
Tensioni nella sezione: σ=322.56 τ=39.35
CC 4 SLD (Collegamento 0020_-377)
Azioni sul collegamento: N=-7362.28 Ty=-2.85 Tz=3.74 Mx=0.01 Mz=-1.43
Sollecitazioni agenti localmente: Ty_l=-1299.44 My_l=-26.63
Tensioni nella sezione: σ=322.79 τ=39.38
CC 4 SLD (Collegamento 0020_-377)
Azioni sul collegamento: N=-7362.28 Ty=-3.50 Tz=3.74 Mx=0.01 Mz=-1.66
Sollecitazioni agenti localmente: Ty_l=-1298.55 My_l=-26.61
Tensioni nella sezione: σ=322.56 τ=39.35
CC 5 SLV (Collegamento 0020_-377)
Azioni sul collegamento: N=-9166.69 Ty=-1.27 Tz=10.38 Mx=0.02 Mz=0.17
Sollecitazioni agenti localmente: Ty_l=-1625.68 My_l=-33.33
Tensioni nella sezione: σ=403.97 τ=49.26
CC 5 SLV (Collegamento 0020_-377)
Azioni sul collegamento: N=-9166.69 Ty=-3.39 Tz=10.38 Mx=0.02 Mz=0.91
Sollecitazioni agenti localmente: Ty_l=-1628.61 My_l=-33.39
Tensioni nella sezione: σ=404.75 τ=49.35
CC 5 SLV (Collegamento 0020_-377)

Azioni sul collegamento: N=-9166.69 Ty=-1.27 Tz=-9.09 Mx=0.02 Mz=0.17
Sollecitazioni agenti localmente: Ty_l=-1625.68 My_l=-33.33
Tensioni nella sezione: σ=403.97 τ=49.26
CC 5 SLV (Collegamento 0020_-377)
Azioni sul collegamento: N=-9166.69 Ty=-3.39 Tz=-9.09 Mx=0.02 Mz=0.91
Sollecitazioni agenti localmente: Ty_l=-1628.61 My_l=-33.39
Tensioni nella sezione: σ=404.75 τ=49.35
CC 5 SLV (Collegamento 0020_-377)
Azioni sul collegamento: N=-3881.26 Ty=-1.27 Tz=10.37 Mx=0.02 Mz=0.17
Sollecitazioni agenti localmente: Ty_l=-688.72 My_l=-14.12
Tensioni nella sezione: σ=171.15 τ=20.87
CC 5 SLV (Collegamento 0020_-377)
Azioni sul collegamento: N=-3881.26 Ty=-3.39 Tz=10.37 Mx=0.02 Mz=0.91
Sollecitazioni agenti localmente: Ty_l=-691.65 My_l=-14.18
Tensioni nella sezione: σ=171.93 τ=20.96
CC 5 SLV (Collegamento 0020_-377)
Azioni sul collegamento: N=-3881.26 Ty=-1.27 Tz=-9.09 Mx=0.02 Mz=0.17
Sollecitazioni agenti localmente: Ty_l=-688.72 My_l=-14.12
Tensioni nella sezione: σ=171.15 τ=20.87
CC 5 SLV (Collegamento 0020_-377)
Azioni sul collegamento: N=-3881.26 Ty=-3.39 Tz=-9.09 Mx=0.02 Mz=0.91
Sollecitazioni agenti localmente: Ty_l=-691.65 My_l=-14.18
Tensioni nella sezione: σ=171.93 τ=20.96
CC 6 SLD (Collegamento 0020_-377)
Azioni sul collegamento: N=-7362.28 Ty=-3.50 Tz=3.74 Mx=0.01 Mz=-1.66
Sollecitazioni agenti localmente: Ty_l=-1298.55 My_l=-26.61
Tensioni nella sezione: σ=322.56 τ=39.35
CC 6 SLD (Collegamento 0020_-377)
Azioni sul collegamento: N=-7362.28 Ty=-2.85 Tz=3.74 Mx=0.01 Mz=-1.43
Sollecitazioni agenti localmente: Ty_l=-1299.44 My_l=-26.63
Tensioni nella sezione: σ=322.79 τ=39.38
CC 6 SLD (Collegamento 0020_-377)
Azioni sul collegamento: N=-7362.28 Ty=-3.50 Tz=-2.19 Mx=0.01 Mz=-1.66
Sollecitazioni agenti localmente: Ty_l=-1298.55 My_l=-26.61
Tensioni nella sezione: σ=322.56 τ=39.35
CC 6 SLD (Collegamento 0020_-377)
Azioni sul collegamento: N=-7362.28 Ty=-2.85 Tz=-2.19 Mx=0.01 Mz=-1.43
Sollecitazioni agenti localmente: Ty_l=-1299.44 My_l=-26.63
Tensioni nella sezione: σ=322.79 τ=39.38
CC 6 SLD (Collegamento 0020_-377)
Azioni sul collegamento: N=-5750.58 Ty=-3.50 Tz=3.74 Mx=0.01 Mz=-1.66
Sollecitazioni agenti localmente: Ty_l=-1012.84 My_l=-20.75
Tensioni nella sezione: σ=251.56 τ=30.69
CC 6 SLD (Collegamento 0020_-377)
Azioni sul collegamento: N=-5750.58 Ty=-2.85 Tz=3.74 Mx=0.01 Mz=-1.43
Sollecitazioni agenti localmente: Ty_l=-1013.73 My_l=-20.77
Tensioni nella sezione: σ=251.80 τ=30.72
CC 6 SLD (Collegamento 0020_-377)
Azioni sul collegamento: N=-5750.58 Ty=-3.50 Tz=-2.19 Mx=0.01 Mz=-1.66
Sollecitazioni agenti localmente: Ty_l=-1012.84 My_l=-20.75
Tensioni nella sezione: σ=251.56 τ=30.69
CC 6 SLD (Collegamento 0020_-377)
Azioni sul collegamento: N=-5750.58 Ty=-2.85 Tz=-2.19 Mx=0.01 Mz=-1.43
Sollecitazioni agenti localmente: Ty_l=-1013.73 My_l=-20.77
Tensioni nella sezione: σ=251.80 τ=30.72
CC 7 SLV (Collegamento 0020_-377)
Azioni sul collegamento: N=-9172.38 Ty=-0.64 Tz=10.50 Mx=0.01 Mz=-1.09
Sollecitazioni agenti localmente: Ty_l=-1621.70 My_l=-33.24
Tensioni nella sezione: σ=402.89 τ=49.14
CC 7 SLV (Collegamento 0020_-377)
Azioni sul collegamento: N=-9172.38 Ty=-4.02 Tz=10.50 Mx=0.01 Mz=2.16
Sollecitazioni agenti localmente: Ty_l=-1634.61 My_l=-33.52
Tensioni nella sezione: σ=406.32 τ=49.53
CC 7 SLV (Collegamento 0020_-377)
Azioni sul collegamento: N=-9172.38 Ty=-0.64 Tz=-9.21 Mx=0.01 Mz=-1.09
Sollecitazioni agenti localmente: Ty_l=-1621.70 My_l=-33.24
Tensioni nella sezione: σ=402.89 τ=49.14
CC 7 SLV (Collegamento 0020_-377)
Azioni sul collegamento: N=-9172.38 Ty=-4.02 Tz=-9.21 Mx=0.01 Mz=2.16
Sollecitazioni agenti localmente: Ty_l=-1634.61 My_l=-33.52
Tensioni nella sezione: σ=406.32 τ=49.53
CC 7 SLV (Collegamento 0020_-377)
Azioni sul collegamento: N=-3875.57 Ty=-0.64 Tz=10.50 Mx=0.01 Mz=-1.09
Sollecitazioni agenti localmente: Ty_l=-682.72 My_l=-13.99
Tensioni nella sezione: σ=169.57 τ=20.69
CC 7 SLV (Collegamento 0020_-377)
Azioni sul collegamento: N=-3875.57 Ty=-4.02 Tz=10.50 Mx=0.01 Mz=2.16
Sollecitazioni agenti localmente: Ty_l=-695.63 My_l=-14.27
Tensioni nella sezione: σ=173.00 τ=21.08

CC 7 SLV (Collegamento 0020_-377)
Azioni sul collegamento: N=-3875.57 Ty=-0.64 Tz=-9.21 Mx=0.01 Mz=-1.09
Sollecitazioni agenti localmente: Ty_l=-682.72 My_l=-13.99
Tensioni nella sezione: σ=169.57 τ=20.69
CC 7 SLV (Collegamento 0020_-377)
Azioni sul collegamento: N=-3875.57 Ty=-4.02 Tz=-9.21 Mx=0.01 Mz=2.16
Sollecitazioni agenti localmente: Ty_l=-695.63 My_l=-14.27
Tensioni nella sezione: σ=173.00 τ=21.08
CC 8 SLD (Collegamento 0020_-377)
Azioni sul collegamento: N=-7364.01 Ty=-3.69 Tz=3.78 Mx=0.01 Mz=-2.04
Sollecitazioni agenti localmente: Ty_l=-1297.33 My_l=-26.58
Tensioni nella sezione: σ=322.23 τ=39.31
CC 8 SLD (Collegamento 0020_-377)
Azioni sul collegamento: N=-7364.01 Ty=-2.66 Tz=3.78 Mx=0.01 Mz=-1.05
Sollecitazioni agenti localmente: Ty_l=-1301.27 My_l=-26.67
Tensioni nella sezione: σ=323.27 τ=39.43
CC 8 SLD (Collegamento 0020_-377)
Azioni sul collegamento: N=-7364.01 Ty=-3.69 Tz=-2.23 Mx=0.01 Mz=-2.04
Sollecitazioni agenti localmente: Ty_l=-1297.33 My_l=-26.58
Tensioni nella sezione: σ=322.23 τ=39.31
CC 8 SLD (Collegamento 0020_-377)
Azioni sul collegamento: N=-7364.01 Ty=-2.66 Tz=-2.23 Mx=0.01 Mz=-1.05
Sollecitazioni agenti localmente: Ty_l=-1301.27 My_l=-26.67
Tensioni nella sezione: σ=323.27 τ=39.43
CC 8 SLD (Collegamento 0020_-377)
Azioni sul collegamento: N=-5748.85 Ty=-3.69 Tz=3.78 Mx=0.01 Mz=-2.04
Sollecitazioni agenti localmente: Ty_l=-1011.01 My_l=-20.71
Tensioni nella sezione: σ=251.08 τ=30.64
CC 8 SLD (Collegamento 0020_-377)
Azioni sul collegamento: N=-5748.85 Ty=-2.66 Tz=3.78 Mx=0.01 Mz=-1.05
Sollecitazioni agenti localmente: Ty_l=-1014.94 My_l=-20.80
Tensioni nella sezione: σ=252.13 τ=30.76
CC 8 SLD (Collegamento 0020_-377)
Azioni sul collegamento: N=-5748.85 Ty=-3.69 Tz=-2.23 Mx=0.01 Mz=-2.04
Sollecitazioni agenti localmente: Ty_l=-1011.01 My_l=-20.71
Tensioni nella sezione: σ=251.08 τ=30.64
CC 8 SLD (Collegamento 0020_-377)
Azioni sul collegamento: N=-5748.85 Ty=-2.66 Tz=-2.23 Mx=0.01 Mz=-1.05
Sollecitazioni agenti localmente: Ty_l=-1014.94 My_l=-20.80
Tensioni nella sezione: σ=252.13 τ=30.76
CC 9 SLV (Collegamento 0020_-377)
Azioni sul collegamento: N=-5720.83 Ty=-3.80 Tz=-2.51 Mx=0.03 Mz=2.93
Sollecitazioni agenti localmente: Ty_l=-1025.80 My_l=-21.05
Tensioni nella sezione: σ=255.09 τ=31.09
CC 9 SLV (Collegamento 0020_-377)
Azioni sul collegamento: N=-5720.83 Ty=-0.86 Tz=-2.51 Mx=0.03 Mz=-1.85
Sollecitazioni agenti localmente: Ty_l=-1006.77 My_l=-20.63
Tensioni nella sezione: σ=250.04 τ=30.51
CC 9 SLV (Collegamento 0020_-377)
Azioni sul collegamento: N=-5720.83 Ty=-3.80 Tz=3.80 Mx=0.03 Mz=2.93
Sollecitazioni agenti localmente: Ty_l=-1025.80 My_l=-21.05
Tensioni nella sezione: σ=255.09 τ=31.09
CC 9 SLV (Collegamento 0020_-377)
Azioni sul collegamento: N=-5720.83 Ty=-0.86 Tz=3.80 Mx=0.03 Mz=-1.85
Sollecitazioni agenti localmente: Ty_l=-1006.77 My_l=-20.63
Tensioni nella sezione: σ=250.04 τ=30.51
CC 9 SLV (Collegamento 0020_-377)
Azioni sul collegamento: N=-7327.12 Ty=-3.80 Tz=-2.51 Mx=0.03 Mz=2.93
Sollecitazioni agenti localmente: Ty_l=-1310.56 My_l=-26.88
Tensioni nella sezione: σ=325.85 τ=39.71
CC 9 SLV (Collegamento 0020_-377)
Azioni sul collegamento: N=-7327.12 Ty=-0.86 Tz=-2.51 Mx=0.03 Mz=-1.85
Sollecitazioni agenti localmente: Ty_l=-1291.53 My_l=-26.47
Tensioni nella sezione: σ=320.80 τ=39.14
CC 9 SLV (Collegamento 0020_-377)
Azioni sul collegamento: N=-7327.12 Ty=-3.80 Tz=3.80 Mx=0.03 Mz=2.93
Sollecitazioni agenti localmente: Ty_l=-1310.56 My_l=-26.88
Tensioni nella sezione: σ=325.85 τ=39.71
CC 9 SLV (Collegamento 0020_-377)
Azioni sul collegamento: N=-7327.12 Ty=-0.86 Tz=3.80 Mx=0.03 Mz=-1.85
Sollecitazioni agenti localmente: Ty_l=-1291.53 My_l=-26.47
Tensioni nella sezione: σ=320.80 τ=39.14
CC 10 SLD (Collegamento 0020_-377)
Azioni sul collegamento: N=-6311.52 Ty=-2.73 Tz=-0.19 Mx=0.01 Mz=-0.81
Sollecitazioni agenti localmente: Ty_l=-1115.62 My_l=-22.87
Tensioni nella sezione: σ=277.16 τ=33.81
CC 10 SLD (Collegamento 0020_-377)
Azioni sul collegamento: N=-6311.52 Ty=-3.62 Tz=-0.19 Mx=0.01 Mz=-2.27
Sollecitazioni agenti localmente: Ty_l=-1109.82 My_l=-22.74

Tensioni nella sezione: σ=275.62 τ=33.63
CC 10 SLD (Collegamento 0020_-377)
Azioni sul collegamento: N=-6311.52 Ty=-2.73 Tz=1.73 Mx=0.01 Mz=-0.81
Sollecitazioni agenti localmente: Ty_l=-1115.62 My_l=-22.87
Tensioni nella sezione: σ=277.16 τ=33.81
CC 10 SLD (Collegamento 0020_-377)
Azioni sul collegamento: N=-6311.52 Ty=-3.62 Tz=1.73 Mx=0.01 Mz=-2.27
Sollecitazioni agenti localmente: Ty_l=-1109.82 My_l=-22.74
Tensioni nella sezione: σ=275.62 τ=33.63
CC 10 SLD (Collegamento 0020_-377)
Azioni sul collegamento: N=-6801.33 Ty=-2.73 Tz=-0.19 Mx=0.01 Mz=-0.81
Sollecitazioni agenti localmente: Ty_l=-1202.45 My_l=-24.65
Tensioni nella sezione: σ=298.74 τ=36.44
CC 10 SLD (Collegamento 0020_-377)
Azioni sul collegamento: N=-6801.33 Ty=-3.62 Tz=-0.19 Mx=0.01 Mz=-2.27
Sollecitazioni agenti localmente: Ty_l=-1196.65 My_l=-24.52
Tensioni nella sezione: σ=297.20 τ=36.26
CC 10 SLD (Collegamento 0020_-377)
Azioni sul collegamento: N=-6801.33 Ty=-2.73 Tz=1.73 Mx=0.01 Mz=-0.81
Sollecitazioni agenti localmente: Ty_l=-1202.45 My_l=-24.65
Tensioni nella sezione: σ=298.74 τ=36.44
CC 10 SLD (Collegamento 0020_-377)
Azioni sul collegamento: N=-6801.33 Ty=-3.62 Tz=1.73 Mx=0.01 Mz=-2.27
Sollecitazioni agenti localmente: Ty_l=-1196.65 My_l=-24.52
Tensioni nella sezione: σ=297.20 τ=36.26
CC 11 SLV (Collegamento 0020_-377)
Azioni sul collegamento: N=-7308.16 Ty=-2.97 Tz=3.37 Mx=0.02 Mz=2.33
Sollecitazioni agenti localmente: Ty_l=-1304.82 My_l=-26.76
Tensioni nella sezione: σ=324.38 τ=39.54
CC 11 SLV (Collegamento 0020_-377)
Azioni sul collegamento: N=-7308.16 Ty=-1.68 Tz=3.37 Mx=0.02 Mz=-1.26
Sollecitazioni agenti localmente: Ty_l=-1290.54 My_l=-26.45
Tensioni nella sezione: σ=320.60 τ=39.11
CC 11 SLV (Collegamento 0020_-377)
Azioni sul collegamento: N=-7308.16 Ty=-2.97 Tz=-2.08 Mx=0.02 Mz=2.33
Sollecitazioni agenti localmente: Ty_l=-1304.82 My_l=-26.76
Tensioni nella sezione: σ=324.38 τ=39.54
CC 11 SLV (Collegamento 0020_-377)
Azioni sul collegamento: N=-7308.16 Ty=-1.68 Tz=-2.08 Mx=0.02 Mz=-1.26
Sollecitazioni agenti localmente: Ty_l=-1290.54 My_l=-26.45
Tensioni nella sezione: σ=320.60 τ=39.11
CC 11 SLV (Collegamento 0020_-377)
Azioni sul collegamento: N=-5739.79 Ty=-2.97 Tz=3.37 Mx=0.02 Mz=2.33
Sollecitazioni agenti localmente: Ty_l=-1026.79 My_l=-21.06
Tensioni nella sezione: σ=255.30 τ=31.11
CC 11 SLV (Collegamento 0020_-377)
Azioni sul collegamento: N=-5739.79 Ty=-1.68 Tz=3.37 Mx=0.02 Mz=-1.26
Sollecitazioni agenti localmente: Ty_l=-1012.51 My_l=-20.75
Tensioni nella sezione: σ=251.51 τ=30.68
CC 11 SLV (Collegamento 0020_-377)
Azioni sul collegamento: N=-5739.79 Ty=-2.97 Tz=-2.08 Mx=0.02 Mz=2.33
Sollecitazioni agenti localmente: Ty_l=-1026.79 My_l=-21.06
Tensioni nella sezione: σ=255.30 τ=31.11
CC 11 SLV (Collegamento 0020_-377)
Azioni sul collegamento: N=-5739.79 Ty=-1.68 Tz=-2.08 Mx=0.02 Mz=-1.26
Sollecitazioni agenti localmente: Ty_l=-1012.51 My_l=-20.75
Tensioni nella sezione: σ=251.51 τ=30.68
CC 12 SLD (Collegamento 0020_-377)
Azioni sul collegamento: N=-6795.55 Ty=-2.98 Tz=1.60 Mx=0.01 Mz=-1.00
Sollecitazioni agenti localmente: Ty_l=-1200.70 My_l=-24.61
Tensioni nella sezione: σ=298.29 τ=36.38
CC 12 SLD (Collegamento 0020_-377)
Azioni sul collegamento: N=-6795.55 Ty=-3.37 Tz=1.60 Mx=0.01 Mz=-2.09
Sollecitazioni agenti localmente: Ty_l=-1196.35 My_l=-24.51
Tensioni nella sezione: σ=297.13 τ=36.25
CC 12 SLD (Collegamento 0020_-377)
Azioni sul collegamento: N=-6795.55 Ty=-2.98 Tz=-0.06 Mx=0.01 Mz=-1.00
Sollecitazioni agenti localmente: Ty_l=-1200.70 My_l=-24.61
Tensioni nella sezione: σ=298.29 τ=36.38
CC 12 SLD (Collegamento 0020_-377)
Azioni sul collegamento: N=-6795.55 Ty=-3.37 Tz=-0.06 Mx=0.01 Mz=-2.09
Sollecitazioni agenti localmente: Ty_l=-1196.35 My_l=-24.51
Tensioni nella sezione: σ=297.13 τ=36.25
CC 12 SLD (Collegamento 0020_-377)
Azioni sul collegamento: N=-6317.31 Ty=-2.98 Tz=1.60 Mx=0.01 Mz=-1.00
Sollecitazioni agenti localmente: Ty_l=-1115.92 My_l=-22.87
Tensioni nella sezione: σ=277.22 τ=33.82
CC 12 SLD (Collegamento 0020_-377)
Azioni sul collegamento: N=-6317.31 Ty=-3.37 Tz=1.60 Mx=0.01 Mz=-2.09

Sollecitazioni agenti localmente: Ty_l=-1111.57 My_l=-22.78
Tensioni nella sezione: σ=276.07 τ=33.68
CC 12 SLD (Collegamento 0020_-377)
Azioni sul collegamento: N=-6317.31 Ty=-2.98 Tz=-0.06 Mx=0.01 Mz=-1.00
Sollecitazioni agenti localmente: Ty_l=-1115.92 My_l=-22.87
Tensioni nella sezione: σ=277.22 τ=33.82
CC 12 SLD (Collegamento 0020_-377)
Azioni sul collegamento: N=-6317.31 Ty=-3.37 Tz=-0.06 Mx=0.01 Mz=-2.09
Sollecitazioni agenti localmente: Ty_l=-1111.57 My_l=-22.78
Tensioni nella sezione: σ=276.07 τ=33.68
CC 13 SLV (Collegamento 0020_-377)
Azioni sul collegamento: N=-5739.79 Ty=-1.68 Tz=-2.08 Mx=0.01 Mz=-1.26
Sollecitazioni agenti localmente: Ty_l=-1012.51 My_l=-20.75
Tensioni nella sezione: σ=251.51 τ=30.68
CC 13 SLV (Collegamento 0020_-377)
Azioni sul collegamento: N=-5739.79 Ty=-2.97 Tz=-2.08 Mx=0.01 Mz=2.33
Sollecitazioni agenti localmente: Ty_l=-1026.79 My_l=-21.06
Tensioni nella sezione: σ=255.30 τ=31.11
CC 13 SLV (Collegamento 0020_-377)
Azioni sul collegamento: N=-5739.79 Ty=-1.68 Tz=3.37 Mx=0.01 Mz=-1.26
Sollecitazioni agenti localmente: Ty_l=-1012.51 My_l=-20.75
Tensioni nella sezione: σ=251.51 τ=30.68
CC 13 SLV (Collegamento 0020_-377)
Azioni sul collegamento: N=-5739.79 Ty=-2.97 Tz=3.37 Mx=0.01 Mz=2.33
Sollecitazioni agenti localmente: Ty_l=-1026.79 My_l=-21.06
Tensioni nella sezione: σ=255.30 τ=31.11
CC 13 SLV (Collegamento 0020_-377)
Azioni sul collegamento: N=-7308.16 Ty=-1.68 Tz=-2.08 Mx=0.01 Mz=-1.26
Sollecitazioni agenti localmente: Ty_l=-1290.54 My_l=-26.45
Tensioni nella sezione: σ=320.60 τ=39.11
CC 13 SLV (Collegamento 0020_-377)
Azioni sul collegamento: N=-7308.16 Ty=-2.97 Tz=-2.08 Mx=0.01 Mz=2.33
Sollecitazioni agenti localmente: Ty_l=-1304.82 My_l=-26.76
Tensioni nella sezione: σ=324.38 τ=39.54
CC 13 SLV (Collegamento 0020_-377)
Azioni sul collegamento: N=-7308.16 Ty=-1.68 Tz=3.37 Mx=0.01 Mz=-1.26
Sollecitazioni agenti localmente: Ty_l=-1290.54 My_l=-26.45
Tensioni nella sezione: σ=320.60 τ=39.11
CC 13 SLV (Collegamento 0020_-377)
Azioni sul collegamento: N=-7308.16 Ty=-2.97 Tz=3.37 Mx=0.01 Mz=2.33
Sollecitazioni agenti localmente: Ty_l=-1304.82 My_l=-26.76
Tensioni nella sezione: σ=324.38 τ=39.54
CC 14 SLD (Collegamento 0020_-377)
Azioni sul collegamento: N=-6317.31 Ty=-3.37 Tz=-0.06 Mx=0.01 Mz=-2.09
Sollecitazioni agenti localmente: Ty_l=-1111.57 My_l=-22.78
Tensioni nella sezione: σ=276.07 τ=33.68
CC 14 SLD (Collegamento 0020_-377)
Azioni sul collegamento: N=-6317.31 Ty=-2.98 Tz=-0.06 Mx=0.01 Mz=-1.00
Sollecitazioni agenti localmente: Ty_l=-1115.92 My_l=-22.87
Tensioni nella sezione: σ=277.22 τ=33.82
CC 14 SLD (Collegamento 0020_-377)
Azioni sul collegamento: N=-6317.31 Ty=-3.37 Tz=1.60 Mx=0.01 Mz=-2.09
Sollecitazioni agenti localmente: Ty_l=-1111.57 My_l=-22.78
Tensioni nella sezione: σ=276.07 τ=33.68
CC 14 SLD (Collegamento 0020_-377)
Azioni sul collegamento: N=-6317.31 Ty=-2.98 Tz=1.60 Mx=0.01 Mz=-1.00
Sollecitazioni agenti localmente: Ty_l=-1115.92 My_l=-22.87
Tensioni nella sezione: σ=277.22 τ=33.82
CC 14 SLD (Collegamento 0020_-377)
Azioni sul collegamento: N=-6795.55 Ty=-3.37 Tz=-0.06 Mx=0.01 Mz=-2.09
Sollecitazioni agenti localmente: Ty_l=-1196.35 My_l=-24.51
Tensioni nella sezione: σ=297.13 τ=36.25
CC 14 SLD (Collegamento 0020_-377)
Azioni sul collegamento: N=-6795.55 Ty=-2.98 Tz=-0.06 Mx=0.01 Mz=-1.00
Sollecitazioni agenti localmente: Ty_l=-1200.70 My_l=-24.61
Tensioni nella sezione: σ=298.29 τ=36.38
CC 14 SLD (Collegamento 0020_-377)
Azioni sul collegamento: N=-6795.55 Ty=-3.37 Tz=1.60 Mx=0.01 Mz=-2.09
Sollecitazioni agenti localmente: Ty_l=-1196.35 My_l=-24.51
Tensioni nella sezione: σ=297.13 τ=36.25
CC 14 SLD (Collegamento 0020_-377)
Azioni sul collegamento: N=-6795.55 Ty=-2.98 Tz=1.60 Mx=0.01 Mz=-1.00
Sollecitazioni agenti localmente: Ty_l=-1200.70 My_l=-24.61
Tensioni nella sezione: σ=298.29 τ=36.38
CC 15 SLV (Collegamento 0020_-377)
Azioni sul collegamento: N=-7327.12 Ty=-0.86 Tz=3.80 Mx=0.01 Mz=-1.85
Sollecitazioni agenti localmente: Ty_l=-1291.53 My_l=-26.47
Tensioni nella sezione: σ=320.80 τ=39.14
CC 15 SLV (Collegamento 0020_-377)

Azioni sul collegamento: N=-7327.12 Ty=-3.80 Tz=3.80 Mx=0.01 Mz=2.93
Sollecitazioni agenti localmente: Ty_l=-1310.56 My_l=-26.88
Tensioni nella sezione: σ=325.85 τ=39.71
CC 15 SLV (Collegamento 0020_-377)
Azioni sul collegamento: N=-7327.12 Ty=-0.86 Tz=-2.51 Mx=0.01 Mz=-1.85
Sollecitazioni agenti localmente: Ty_l=-1291.53 My_l=-26.47
Tensioni nella sezione: σ=320.80 τ=39.14
CC 15 SLV (Collegamento 0020_-377)
Azioni sul collegamento: N=-7327.12 Ty=-3.80 Tz=-2.51 Mx=0.01 Mz=2.93
Sollecitazioni agenti localmente: Ty_l=-1310.56 My_l=-26.88
Tensioni nella sezione: σ=325.85 τ=39.71
CC 15 SLV (Collegamento 0020_-377)
Azioni sul collegamento: N=-5720.83 Ty=-0.86 Tz=3.80 Mx=0.01 Mz=-1.85
Sollecitazioni agenti localmente: Ty_l=-1006.77 My_l=-20.63
Tensioni nella sezione: σ=250.04 τ=30.51
CC 15 SLV (Collegamento 0020_-377)
Azioni sul collegamento: N=-5720.83 Ty=-3.80 Tz=3.80 Mx=0.01 Mz=2.93
Sollecitazioni agenti localmente: Ty_l=-1025.80 My_l=-21.05
Tensioni nella sezione: σ=255.09 τ=31.09
CC 15 SLV (Collegamento 0020_-377)
Azioni sul collegamento: N=-5720.83 Ty=-0.86 Tz=-2.51 Mx=0.01 Mz=-1.85
Sollecitazioni agenti localmente: Ty_l=-1006.77 My_l=-20.63
Tensioni nella sezione: σ=250.04 τ=30.51
CC 15 SLV (Collegamento 0020_-377)
Azioni sul collegamento: N=-5720.83 Ty=-3.80 Tz=-2.51 Mx=0.01 Mz=2.93
Sollecitazioni agenti localmente: Ty_l=-1025.80 My_l=-21.05
Tensioni nella sezione: σ=255.09 τ=31.09
CC 16 SLD (Collegamento 0020_-377)
Azioni sul collegamento: N=-6801.33 Ty=-3.62 Tz=1.73 Mx=0.01 Mz=-2.27
Sollecitazioni agenti localmente: Ty_l=-1196.65 My_l=-24.52
Tensioni nella sezione: σ=297.20 τ=36.26
CC 16 SLD (Collegamento 0020_-377)
Azioni sul collegamento: N=-6801.33 Ty=-2.73 Tz=1.73 Mx=0.01 Mz=-0.81
Sollecitazioni agenti localmente: Ty_l=-1202.45 My_l=-24.65
Tensioni nella sezione: σ=298.74 τ=36.44
CC 16 SLD (Collegamento 0020_-377)
Azioni sul collegamento: N=-6801.33 Ty=-3.62 Tz=-0.19 Mx=0.01 Mz=-2.27
Sollecitazioni agenti localmente: Ty_l=-1196.65 My_l=-24.52
Tensioni nella sezione: σ=297.20 τ=36.26
CC 16 SLD (Collegamento 0020_-377)
Azioni sul collegamento: N=-6801.33 Ty=-2.73 Tz=-0.19 Mx=0.01 Mz=-0.81
Sollecitazioni agenti localmente: Ty_l=-1202.45 My_l=-24.65
Tensioni nella sezione: σ=298.74 τ=36.44
CC 16 SLD (Collegamento 0020_-377)
Azioni sul collegamento: N=-6311.52 Ty=-3.62 Tz=1.73 Mx=0.01 Mz=-2.27
Sollecitazioni agenti localmente: Ty_l=-1109.82 My_l=-22.74
Tensioni nella sezione: σ=275.62 τ=33.63
CC 16 SLD (Collegamento 0020_-377)
Azioni sul collegamento: N=-6311.52 Ty=-2.73 Tz=1.73 Mx=0.01 Mz=-0.81
Sollecitazioni agenti localmente: Ty_l=-1115.62 My_l=-22.87
Tensioni nella sezione: σ=277.16 τ=33.81
CC 16 SLD (Collegamento 0020_-377)
Azioni sul collegamento: N=-6311.52 Ty=-3.62 Tz=-0.19 Mx=0.01 Mz=-2.27
Sollecitazioni agenti localmente: Ty_l=-1109.82 My_l=-22.74
Tensioni nella sezione: σ=275.62 τ=33.63
CC 16 SLD (Collegamento 0020_-377)
Azioni sul collegamento: N=-6311.52 Ty=-2.73 Tz=-0.19 Mx=0.01 Mz=-0.81
Sollecitazioni agenti localmente: Ty_l=-1115.62 My_l=-22.87
Tensioni nella sezione: σ=277.16 τ=33.81
CC 17 SLV (Collegamento 0020_-377)
Azioni sul collegamento: N=-3968.96 Ty=-3.07 Tz=-8.85 Mx=-0.01 Mz=-3.83
Sollecitazioni agenti localmente: Ty_l=-688.36 My_l=-14.09
Tensioni nella sezione: σ=170.79 τ=20.86
CC 17 SLV (Collegamento 0020_-377)
Azioni sul collegamento: N=-3968.96 Ty=-6.45 Tz=-8.85 Mx=-0.01 Mz=-7.08
Sollecitazioni agenti localmente: Ty_l=-675.44 My_l=-13.81
Tensioni nella sezione: σ=167.36 τ=20.47
CC 17 SLV (Collegamento 0020_-377)
Azioni sul collegamento: N=-3968.96 Ty=-3.07 Tz=10.87 Mx=-0.01 Mz=-3.83
Sollecitazioni agenti localmente: Ty_l=-688.36 My_l=-14.09
Tensioni nella sezione: σ=170.79 τ=20.86
CC 17 SLV (Collegamento 0020_-377)
Azioni sul collegamento: N=-3968.96 Ty=-6.45 Tz=10.87 Mx=-0.01 Mz=-7.08
Sollecitazioni agenti localmente: Ty_l=-675.44 My_l=-13.81
Tensioni nella sezione: σ=167.36 τ=20.47
CC 17 SLV (Collegamento 0020_-377)
Azioni sul collegamento: N=-9265.76 Ty=-3.07 Tz=-8.85 Mx=-0.01 Mz=-3.83
Sollecitazioni agenti localmente: Ty_l=-1627.34 My_l=-33.34
Tensioni nella sezione: σ=404.11 τ=49.31

CC 17 SLV (Collegamento 0020_-377)
Azioni sul collegamento: N=-9265.76 Ty=-6.45 Tz=-8.85 Mx=-0.01 Mz=-7.08
Sollecitazioni agenti localmente: Ty_l=-1614.42 My_l=-33.06
Tensioni nella sezione: σ=400.68 τ=48.92
CC 17 SLV (Collegamento 0020_-377)
Azioni sul collegamento: N=-9265.76 Ty=-3.07 Tz=10.87 Mx=-0.01 Mz=-3.83
Sollecitazioni agenti localmente: Ty_l=-1627.34 My_l=-33.34
Tensioni nella sezione: σ=404.11 τ=49.31
CC 17 SLV (Collegamento 0020_-377)
Azioni sul collegamento: N=-9265.76 Ty=-6.45 Tz=10.87 Mx=-0.01 Mz=-7.08
Sollecitazioni agenti localmente: Ty_l=-1614.42 My_l=-33.06
Tensioni nella sezione: σ=400.68 τ=48.92
CC 18 SLD (Collegamento 0020_-377)
Azioni sul collegamento: N=-5777.32 Ty=-3.40 Tz=-2.12 Mx=-0.00 Mz=-2.87
Sollecitazioni agenti localmente: Ty_l=-1012.73 My_l=-20.74
Tensioni nella sezione: σ=251.45 τ=30.69
CC 18 SLD (Collegamento 0020_-377)
Azioni sul collegamento: N=-5777.32 Ty=-4.43 Tz=-2.12 Mx=-0.00 Mz=-3.87
Sollecitazioni agenti localmente: Ty_l=-1008.79 My_l=-20.66
Tensioni nella sezione: σ=250.41 τ=30.57
CC 18 SLD (Collegamento 0020_-377)
Azioni sul collegamento: N=-5777.32 Ty=-3.40 Tz=3.89 Mx=-0.00 Mz=-2.87
Sollecitazioni agenti localmente: Ty_l=-1012.73 My_l=-20.74
Tensioni nella sezione: σ=251.45 τ=30.69
CC 18 SLD (Collegamento 0020_-377)
Azioni sul collegamento: N=-5777.32 Ty=-4.43 Tz=3.89 Mx=-0.00 Mz=-3.87
Sollecitazioni agenti localmente: Ty_l=-1008.79 My_l=-20.66
Tensioni nella sezione: σ=250.41 τ=30.57
CC 18 SLD (Collegamento 0020_-377)
Azioni sul collegamento: N=-7392.49 Ty=-3.40 Tz=-2.12 Mx=-0.00 Mz=-2.87
Sollecitazioni agenti localmente: Ty_l=-1299.05 My_l=-26.61
Tensioni nella sezione: σ=322.60 τ=39.37
CC 18 SLD (Collegamento 0020_-377)
Azioni sul collegamento: N=-7392.49 Ty=-4.43 Tz=-2.12 Mx=-0.00 Mz=-3.87
Sollecitazioni agenti localmente: Ty_l=-1295.11 My_l=-26.53
Tensioni nella sezione: σ=321.56 τ=39.25
CC 18 SLD (Collegamento 0020_-377)
Azioni sul collegamento: N=-7392.49 Ty=-3.40 Tz=3.89 Mx=-0.00 Mz=-2.87
Sollecitazioni agenti localmente: Ty_l=-1299.05 My_l=-26.61
Tensioni nella sezione: σ=322.60 τ=39.37
CC 18 SLD (Collegamento 0020_-377)
Azioni sul collegamento: N=-7392.49 Ty=-4.43 Tz=3.89 Mx=-0.00 Mz=-3.87
Sollecitazioni agenti localmente: Ty_l=-1295.11 My_l=-26.53
Tensioni nella sezione: σ=321.56 τ=39.25
CC 19 SLV (Collegamento 0020_-377)
Azioni sul collegamento: N=-3974.65 Ty=-3.70 Tz=-8.72 Mx=-0.01 Mz=-5.08
Sollecitazioni agenti localmente: Ty_l=-684.37 My_l=-14.00
Tensioni nella sezione: σ=169.71 τ=20.74
CC 19 SLV (Collegamento 0020_-377)
Azioni sul collegamento: N=-3974.65 Ty=-5.81 Tz=-8.72 Mx=-0.01 Mz=-5.82
Sollecitazioni agenti localmente: Ty_l=-681.45 My_l=-13.94
Tensioni nella sezione: σ=168.94 τ=20.65
CC 19 SLV (Collegamento 0020_-377)
Azioni sul collegamento: N=-3974.65 Ty=-3.70 Tz=10.74 Mx=-0.01 Mz=-5.08
Sollecitazioni agenti localmente: Ty_l=-684.37 My_l=-14.00
Tensioni nella sezione: σ=169.71 τ=20.74
CC 19 SLV (Collegamento 0020_-377)
Azioni sul collegamento: N=-3974.65 Ty=-5.81 Tz=10.74 Mx=-0.01 Mz=-5.82
Sollecitazioni agenti localmente: Ty_l=-681.45 My_l=-13.94
Tensioni nella sezione: σ=168.94 τ=20.65
CC 19 SLV (Collegamento 0020_-377)
Azioni sul collegamento: N=-9260.08 Ty=-3.70 Tz=-8.72 Mx=-0.01 Mz=-5.08
Sollecitazioni agenti localmente: Ty_l=-1621.34 My_l=-33.21
Tensioni nella sezione: σ=402.53 τ=49.13
CC 19 SLV (Collegamento 0020_-377)
Azioni sul collegamento: N=-9260.08 Ty=-5.81 Tz=-8.72 Mx=-0.01 Mz=-5.82
Sollecitazioni agenti localmente: Ty_l=-1618.41 My_l=-33.15
Tensioni nella sezione: σ=401.76 τ=49.04
CC 19 SLV (Collegamento 0020_-377)
Azioni sul collegamento: N=-9260.08 Ty=-3.70 Tz=10.74 Mx=-0.01 Mz=-5.08
Sollecitazioni agenti localmente: Ty_l=-1621.34 My_l=-33.21
Tensioni nella sezione: σ=402.53 τ=49.13
CC 19 SLV (Collegamento 0020_-377)
Azioni sul collegamento: N=-9260.08 Ty=-5.81 Tz=10.74 Mx=-0.01 Mz=-5.82
Sollecitazioni agenti localmente: Ty_l=-1618.41 My_l=-33.15
Tensioni nella sezione: σ=401.76 τ=49.04
CC 20 SLD (Collegamento 0020_-377)
Azioni sul collegamento: N=-5779.06 Ty=-3.59 Tz=-2.08 Mx=-0.00 Mz=-3.26
Sollecitazioni agenti localmente: Ty_l=-1011.51 My_l=-20.72

Tensioni nella sezione: σ=251.13 τ=30.65
CC 20 SLD (Collegamento 0020_-377)
Azioni sul collegamento: N=-5779.06 Ty=-4.24 Tz=-2.08 Mx=-0.00 Mz=-3.48
Sollecitazioni agenti localmente: Ty_l=-1010.62 My_l=-20.70
Tensioni nella sezione: σ=250.89 τ=30.62
CC 20 SLD (Collegamento 0020_-377)
Azioni sul collegamento: N=-5779.06 Ty=-3.59 Tz=3.85 Mx=-0.00 Mz=-3.26
Sollecitazioni agenti localmente: Ty_l=-1011.51 My_l=-20.72
Tensioni nella sezione: σ=251.13 τ=30.65
CC 20 SLD (Collegamento 0020_-377)
Azioni sul collegamento: N=-5779.06 Ty=-4.24 Tz=3.85 Mx=-0.00 Mz=-3.48
Sollecitazioni agenti localmente: Ty_l=-1010.62 My_l=-20.70
Tensioni nella sezione: σ=250.89 τ=30.62
CC 20 SLD (Collegamento 0020_-377)
Azioni sul collegamento: N=-7390.75 Ty=-3.59 Tz=-2.08 Mx=-0.00 Mz=-3.26
Sollecitazioni agenti localmente: Ty_l=-1297.22 My_l=-26.57
Tensioni nella sezione: σ=322.12 τ=39.31
CC 20 SLD (Collegamento 0020_-377)
Azioni sul collegamento: N=-7390.75 Ty=-4.24 Tz=-2.08 Mx=-0.00 Mz=-3.48
Sollecitazioni agenti localmente: Ty_l=-1296.33 My_l=-26.56
Tensioni nella sezione: σ=321.88 τ=39.28
CC 20 SLD (Collegamento 0020_-377)
Azioni sul collegamento: N=-7390.75 Ty=-3.59 Tz=3.85 Mx=-0.00 Mz=-3.26
Sollecitazioni agenti localmente: Ty_l=-1297.22 My_l=-26.57
Tensioni nella sezione: σ=322.12 τ=39.31
CC 20 SLD (Collegamento 0020_-377)
Azioni sul collegamento: N=-7390.75 Ty=-4.24 Tz=3.85 Mx=-0.00 Mz=-3.48
Sollecitazioni agenti localmente: Ty_l=-1296.33 My_l=-26.56
Tensioni nella sezione: σ=321.88 τ=39.28
CC 21 SLV (Collegamento 0020_-377)
Azioni sul collegamento: N=-9260.08 Ty=-5.81 Tz=10.74 Mx=-0.01 Mz=-5.82
Sollecitazioni agenti localmente: Ty_l=-1618.41 My_l=-33.15
Tensioni nella sezione: σ=401.76 τ=49.04
CC 21 SLV (Collegamento 0020_-377)
Azioni sul collegamento: N=-9260.08 Ty=-3.70 Tz=10.74 Mx=-0.01 Mz=-5.08
Sollecitazioni agenti localmente: Ty_l=-1621.34 My_l=-33.21
Tensioni nella sezione: σ=402.53 τ=49.13
CC 21 SLV (Collegamento 0020_-377)
Azioni sul collegamento: N=-9260.08 Ty=-5.81 Tz=-8.72 Mx=-0.01 Mz=-5.82
Sollecitazioni agenti localmente: Ty_l=-1618.41 My_l=-33.15
Tensioni nella sezione: σ=401.76 τ=49.04
CC 21 SLV (Collegamento 0020_-377)
Azioni sul collegamento: N=-9260.08 Ty=-3.70 Tz=-8.72 Mx=-0.01 Mz=-5.08
Sollecitazioni agenti localmente: Ty_l=-1621.34 My_l=-33.21
Tensioni nella sezione: σ=402.53 τ=49.13
CC 21 SLV (Collegamento 0020_-377)
Azioni sul collegamento: N=-3974.65 Ty=-5.81 Tz=10.74 Mx=-0.01 Mz=-5.82
Sollecitazioni agenti localmente: Ty_l=-681.45 My_l=-13.94
Tensioni nella sezione: σ=168.94 τ=20.65
CC 21 SLV (Collegamento 0020_-377)
Azioni sul collegamento: N=-3974.65 Ty=-3.70 Tz=10.74 Mx=-0.01 Mz=-5.08
Sollecitazioni agenti localmente: Ty_l=-684.37 My_l=-14.00
Tensioni nella sezione: σ=169.71 τ=20.74
CC 21 SLV (Collegamento 0020_-377)
Azioni sul collegamento: N=-3974.65 Ty=-5.81 Tz=-8.72 Mx=-0.01 Mz=-5.82
Sollecitazioni agenti localmente: Ty_l=-681.45 My_l=-13.94
Tensioni nella sezione: σ=168.94 τ=20.65
CC 21 SLV (Collegamento 0020_-377)
Azioni sul collegamento: N=-3974.65 Ty=-3.70 Tz=-8.72 Mx=-0.01 Mz=-5.08
Sollecitazioni agenti localmente: Ty_l=-684.37 My_l=-14.00
Tensioni nella sezione: σ=169.71 τ=20.74
CC 22 SLD (Collegamento 0020_-377)
Azioni sul collegamento: N=-7390.75 Ty=-4.24 Tz=3.85 Mx=-0.00 Mz=-3.48
Sollecitazioni agenti localmente: Ty_l=-1296.33 My_l=-26.56
Tensioni nella sezione: σ=321.88 τ=39.28
CC 22 SLD (Collegamento 0020_-377)
Azioni sul collegamento: N=-7390.75 Ty=-3.59 Tz=3.85 Mx=-0.00 Mz=-3.26
Sollecitazioni agenti localmente: Ty_l=-1297.22 My_l=-26.57
Tensioni nella sezione: σ=322.12 τ=39.31
CC 22 SLD (Collegamento 0020_-377)
Azioni sul collegamento: N=-7390.75 Ty=-4.24 Tz=-2.08 Mx=-0.00 Mz=-3.48
Sollecitazioni agenti localmente: Ty_l=-1296.33 My_l=-26.56
Tensioni nella sezione: σ=321.88 τ=39.28
CC 22 SLD (Collegamento 0020_-377)
Azioni sul collegamento: N=-7390.75 Ty=-3.59 Tz=-2.08 Mx=-0.00 Mz=-3.26
Sollecitazioni agenti localmente: Ty_l=-1297.22 My_l=-26.57
Tensioni nella sezione: σ=322.12 τ=39.31
CC 22 SLD (Collegamento 0020_-377)
Azioni sul collegamento: N=-5779.06 Ty=-4.24 Tz=3.85 Mx=-0.00 Mz=-3.48

Sollecitazioni agenti localmente: Ty_l=-1010.62 My_l=-20.70
Tensioni nella sezione: σ=250.89 τ=30.62
CC 22 SLD (Collegamento 0020_-377)
Azioni sul collegamento: N=-5779.06 Ty=-3.59 Tz=3.85 Mx=-0.00 Mz=-3.26
Sollecitazioni agenti localmente: Ty_l=-1011.51 My_l=-20.72
Tensioni nella sezione: σ=251.13 τ=30.65
CC 22 SLD (Collegamento 0020_-377)
Azioni sul collegamento: N=-5779.06 Ty=-4.24 Tz=-2.08 Mx=-0.00 Mz=-3.48
Sollecitazioni agenti localmente: Ty_l=-1010.62 My_l=-20.70
Tensioni nella sezione: σ=250.89 τ=30.62
CC 22 SLD (Collegamento 0020_-377)
Azioni sul collegamento: N=-5779.06 Ty=-3.59 Tz=-2.08 Mx=-0.00 Mz=-3.26
Sollecitazioni agenti localmente: Ty_l=-1011.51 My_l=-20.72
Tensioni nella sezione: σ=251.13 τ=30.65
CC 23 SLV (Collegamento 0020_-377)
Azioni sul collegamento: N=-9265.76 Ty=-6.45 Tz=10.87 Mx=-0.01 Mz=-7.08
Sollecitazioni agenti localmente: Ty_l=-1614.42 My_l=-33.06
Tensioni nella sezione: σ=400.68 τ=48.92
CC 23 SLV (Collegamento 0020_-377)
Azioni sul collegamento: N=-9265.76 Ty=-3.07 Tz=10.87 Mx=-0.01 Mz=-3.83
Sollecitazioni agenti localmente: Ty_l=-1627.34 My_l=-33.34
Tensioni nella sezione: σ=404.11 τ=49.31
CC 23 SLV (Collegamento 0020_-377)
Azioni sul collegamento: N=-9265.76 Ty=-6.45 Tz=-8.85 Mx=-0.01 Mz=-7.08
Sollecitazioni agenti localmente: Ty_l=-1614.42 My_l=-33.06
Tensioni nella sezione: σ=400.68 τ=48.92
CC 23 SLV (Collegamento 0020_-377)
Azioni sul collegamento: N=-9265.76 Ty=-3.07 Tz=-8.85 Mx=-0.01 Mz=-3.83
Sollecitazioni agenti localmente: Ty_l=-1627.34 My_l=-33.34
Tensioni nella sezione: σ=404.11 τ=49.31
CC 23 SLV (Collegamento 0020_-377)
Azioni sul collegamento: N=-3968.96 Ty=-6.45 Tz=10.87 Mx=-0.01 Mz=-7.08
Sollecitazioni agenti localmente: Ty_l=-675.44 My_l=-13.81
Tensioni nella sezione: σ=167.36 τ=20.47
CC 23 SLV (Collegamento 0020_-377)
Azioni sul collegamento: N=-3968.96 Ty=-3.07 Tz=10.87 Mx=-0.01 Mz=-3.83
Sollecitazioni agenti localmente: Ty_l=-688.36 My_l=-14.09
Tensioni nella sezione: σ=170.79 τ=20.86
CC 23 SLV (Collegamento 0020_-377)
Azioni sul collegamento: N=-3968.96 Ty=-6.45 Tz=-8.85 Mx=-0.01 Mz=-7.08
Sollecitazioni agenti localmente: Ty_l=-675.44 My_l=-13.81
Tensioni nella sezione: σ=167.36 τ=20.47
CC 23 SLV (Collegamento 0020_-377)
Azioni sul collegamento: N=-3968.96 Ty=-3.07 Tz=-8.85 Mx=-0.01 Mz=-3.83
Sollecitazioni agenti localmente: Ty_l=-688.36 My_l=-14.09
Tensioni nella sezione: σ=170.79 τ=20.86
CC 24 SLD (Collegamento 0020_-377)
Azioni sul collegamento: N=-7392.49 Ty=-4.43 Tz=3.89 Mx=0.00 Mz=-3.87
Sollecitazioni agenti localmente: Ty_l=-1295.11 My_l=-26.53
Tensioni nella sezione: σ=321.56 τ=39.25
CC 24 SLD (Collegamento 0020_-377)
Azioni sul collegamento: N=-7392.49 Ty=-3.40 Tz=3.89 Mx=0.00 Mz=-2.87
Sollecitazioni agenti localmente: Ty_l=-1299.05 My_l=-26.61
Tensioni nella sezione: σ=322.60 τ=39.37
CC 24 SLD (Collegamento 0020_-377)
Azioni sul collegamento: N=-7392.49 Ty=-4.43 Tz=-2.12 Mx=0.00 Mz=-3.87
Sollecitazioni agenti localmente: Ty_l=-1295.11 My_l=-26.53
Tensioni nella sezione: σ=321.56 τ=39.25
CC 24 SLD (Collegamento 0020_-377)
Azioni sul collegamento: N=-7392.49 Ty=-3.40 Tz=-2.12 Mx=0.00 Mz=-2.87
Sollecitazioni agenti localmente: Ty_l=-1299.05 My_l=-26.61
Tensioni nella sezione: σ=322.60 τ=39.37
CC 24 SLD (Collegamento 0020_-377)
Azioni sul collegamento: N=-5777.32 Ty=-4.43 Tz=3.89 Mx=0.00 Mz=-3.87
Sollecitazioni agenti localmente: Ty_l=-1008.79 My_l=-20.66
Tensioni nella sezione: σ=250.41 τ=30.57
CC 24 SLD (Collegamento 0020_-377)
Azioni sul collegamento: N=-5777.32 Ty=-3.40 Tz=3.89 Mx=0.00 Mz=-2.87
Sollecitazioni agenti localmente: Ty_l=-1012.73 My_l=-20.74
Tensioni nella sezione: σ=251.45 τ=30.69
CC 24 SLD (Collegamento 0020_-377)
Azioni sul collegamento: N=-5777.32 Ty=-4.43 Tz=-2.12 Mx=0.00 Mz=-3.87
Sollecitazioni agenti localmente: Ty_l=-1008.79 My_l=-20.66
Tensioni nella sezione: σ=250.41 τ=30.57
CC 24 SLD (Collegamento 0020_-377)
Azioni sul collegamento: N=-5777.32 Ty=-3.40 Tz=-2.12 Mx=0.00 Mz=-2.87
Sollecitazioni agenti localmente: Ty_l=-1012.73 My_l=-20.74
Tensioni nella sezione: σ=251.45 τ=30.69
CC 25 SLV (Collegamento 0020_-377)

Azioni sul collegamento: N=-5814.21 Ty=-3.29 Tz=-2.14 Mx=-0.02 Mz=-3.06
Sollecitazioni agenti localmente: Ty_l=-1018.53 My_l=-20.86
Tensioni nella sezione: σ=252.88 τ=30.86
CC 25 SLV (Collegamento 0020_-377)
Azioni sul collegamento: N=-5814.21 Ty=-6.23 Tz=-2.14 Mx=-0.02 Mz=-7.84
Sollecitazioni agenti localmente: Ty_l=-999.50 My_l=-20.45
Tensioni nella sezione: σ=247.83 τ=30.29
CC 25 SLV (Collegamento 0020_-377)
Azioni sul collegamento: N=-5814.21 Ty=-3.29 Tz=4.16 Mx=-0.02 Mz=-3.06
Sollecitazioni agenti localmente: Ty_l=-1018.53 My_l=-20.86
Tensioni nella sezione: σ=252.88 τ=30.86
CC 25 SLV (Collegamento 0020_-377)
Azioni sul collegamento: N=-5814.21 Ty=-6.23 Tz=4.16 Mx=-0.02 Mz=-7.84
Sollecitazioni agenti localmente: Ty_l=-999.50 My_l=-20.45
Tensioni nella sezione: σ=247.83 τ=30.29
CC 25 SLV (Collegamento 0020_-377)
Azioni sul collegamento: N=-7420.51 Ty=-3.29 Tz=-2.14 Mx=-0.02 Mz=-3.06
Sollecitazioni agenti localmente: Ty_l=-1303.28 My_l=-26.70
Tensioni nella sezione: σ=323.64 τ=39.49
CC 25 SLV (Collegamento 0020_-377)
Azioni sul collegamento: N=-7420.51 Ty=-6.23 Tz=-2.14 Mx=-0.02 Mz=-7.84
Sollecitazioni agenti localmente: Ty_l=-1284.25 My_l=-26.28
Tensioni nella sezione: σ=318.59 τ=38.92
CC 25 SLV (Collegamento 0020_-377)
Azioni sul collegamento: N=-7420.51 Ty=-3.29 Tz=4.16 Mx=-0.02 Mz=-3.06
Sollecitazioni agenti localmente: Ty_l=-1303.28 My_l=-26.70
Tensioni nella sezione: σ=323.64 τ=39.49
CC 25 SLV (Collegamento 0020_-377)
Azioni sul collegamento: N=-7420.51 Ty=-6.23 Tz=4.16 Mx=-0.02 Mz=-7.84
Sollecitazioni agenti localmente: Ty_l=-1284.25 My_l=-26.28
Tensioni nella sezione: σ=318.59 τ=38.92
CC 26 SLD (Collegamento 0020_-377)
Azioni sul collegamento: N=-6340.00 Ty=-3.47 Tz=-0.08 Mx=-0.00 Mz=-2.64
Sollecitazioni agenti localmente: Ty_l=-1113.41 My_l=-22.81
Tensioni nella sezione: σ=276.49 τ=33.74
CC 26 SLD (Collegamento 0020_-377)
Azioni sul collegamento: N=-6340.00 Ty=-4.36 Tz=-0.08 Mx=-0.00 Mz=-4.10
Sollecitazioni agenti localmente: Ty_l=-1107.60 My_l=-22.68
Tensioni nella sezione: σ=274.95 τ=33.56
CC 26 SLD (Collegamento 0020_-377)
Azioni sul collegamento: N=-6340.00 Ty=-3.47 Tz=1.85 Mx=-0.00 Mz=-2.64
Sollecitazioni agenti localmente: Ty_l=-1113.41 My_l=-22.81
Tensioni nella sezione: σ=276.49 τ=33.74
CC 26 SLD (Collegamento 0020_-377)
Azioni sul collegamento: N=-6340.00 Ty=-4.36 Tz=1.85 Mx=-0.00 Mz=-4.10
Sollecitazioni agenti localmente: Ty_l=-1107.60 My_l=-22.68
Tensioni nella sezione: σ=274.95 τ=33.56
CC 26 SLD (Collegamento 0020_-377)
Azioni sul collegamento: N=-6829.81 Ty=-3.47 Tz=-0.08 Mx=-0.00 Mz=-2.64
Sollecitazioni agenti localmente: Ty_l=-1200.24 My_l=-24.59
Tensioni nella sezione: σ=298.06 τ=36.37
CC 26 SLD (Collegamento 0020_-377)
Azioni sul collegamento: N=-6829.81 Ty=-4.36 Tz=-0.08 Mx=-0.00 Mz=-4.10
Sollecitazioni agenti localmente: Ty_l=-1194.43 My_l=-24.46
Tensioni nella sezione: σ=296.52 τ=36.19
CC 26 SLD (Collegamento 0020_-377)
Azioni sul collegamento: N=-6829.81 Ty=-3.47 Tz=1.85 Mx=-0.00 Mz=-2.64
Sollecitazioni agenti localmente: Ty_l=-1200.24 My_l=-24.59
Tensioni nella sezione: σ=298.06 τ=36.37
CC 26 SLD (Collegamento 0020_-377)
Azioni sul collegamento: N=-6829.81 Ty=-4.36 Tz=1.85 Mx=-0.00 Mz=-4.10
Sollecitazioni agenti localmente: Ty_l=-1194.43 My_l=-24.46
Tensioni nella sezione: σ=296.52 τ=36.19
CC 27 SLV (Collegamento 0020_-377)
Azioni sul collegamento: N=-7401.55 Ty=-4.11 Tz=3.74 Mx=-0.02 Mz=-3.66
Sollecitazioni agenti localmente: Ty_l=-1297.54 My_l=-26.58
Tensioni nella sezione: σ=322.17 τ=39.32
CC 27 SLV (Collegamento 0020_-377)
Azioni sul collegamento: N=-7401.55 Ty=-5.40 Tz=3.74 Mx=-0.02 Mz=-7.25
Sollecitazioni agenti localmente: Ty_l=-1283.27 My_l=-26.27
Tensioni nella sezione: σ=318.38 τ=38.89
CC 27 SLV (Collegamento 0020_-377)
Azioni sul collegamento: N=-7401.55 Ty=-4.11 Tz=-1.71 Mx=-0.02 Mz=-3.66
Sollecitazioni agenti localmente: Ty_l=-1297.54 My_l=-26.58
Tensioni nella sezione: σ=322.17 τ=39.32
CC 27 SLV (Collegamento 0020_-377)
Azioni sul collegamento: N=-7401.55 Ty=-5.40 Tz=-1.71 Mx=-0.02 Mz=-7.25
Sollecitazioni agenti localmente: Ty_l=-1283.27 My_l=-26.27
Tensioni nella sezione: σ=318.38 τ=38.89

CC 27 SLV (Collegamento 0020_-377)
Azioni sul collegamento: N=-5833.17 Ty=-4.11 Tz=3.74 Mx=-0.02 Mz=-3.66
Sollecitazioni agenti localmente: Ty_l=-1019.51 My_l=-20.88
Tensioni nella sezione: σ=253.09 τ=30.89
CC 27 SLV (Collegamento 0020_-377)
Azioni sul collegamento: N=-5833.17 Ty=-5.40 Tz=3.74 Mx=-0.02 Mz=-7.25
Sollecitazioni agenti localmente: Ty_l=-1005.24 My_l=-20.57
Tensioni nella sezione: σ=249.30 τ=30.46
CC 27 SLV (Collegamento 0020_-377)
Azioni sul collegamento: N=-5833.17 Ty=-4.11 Tz=-1.71 Mx=-0.02 Mz=-3.66
Sollecitazioni agenti localmente: Ty_l=-1019.51 My_l=-20.88
Tensioni nella sezione: σ=253.09 τ=30.89
CC 27 SLV (Collegamento 0020_-377)
Azioni sul collegamento: N=-5833.17 Ty=-5.40 Tz=-1.71 Mx=-0.02 Mz=-7.25
Sollecitazioni agenti localmente: Ty_l=-1005.24 My_l=-20.57
Tensioni nella sezione: σ=249.30 τ=30.46
CC 28 SLD (Collegamento 0020_-377)
Azioni sul collegamento: N=-6824.03 Ty=-3.72 Tz=1.72 Mx=-0.00 Mz=-2.82
Sollecitazioni agenti localmente: Ty_l=-1198.49 My_l=-24.55
Tensioni nella sezione: σ=297.62 τ=36.32
CC 28 SLD (Collegamento 0020_-377)
Azioni sul collegamento: N=-6824.03 Ty=-4.11 Tz=1.72 Mx=-0.00 Mz=-3.92
Sollecitazioni agenti localmente: Ty_l=-1194.13 My_l=-24.46
Tensioni nella sezione: σ=296.46 τ=36.19
CC 28 SLD (Collegamento 0020_-377)
Azioni sul collegamento: N=-6824.03 Ty=-3.72 Tz=0.05 Mx=-0.00 Mz=-2.82
Sollecitazioni agenti localmente: Ty_l=-1198.49 My_l=-24.55
Tensioni nella sezione: σ=297.62 τ=36.32
CC 28 SLD (Collegamento 0020_-377)
Azioni sul collegamento: N=-6824.03 Ty=-4.11 Tz=0.05 Mx=-0.00 Mz=-3.92
Sollecitazioni agenti localmente: Ty_l=-1194.13 My_l=-24.46
Tensioni nella sezione: σ=296.46 τ=36.19
CC 28 SLD (Collegamento 0020_-377)
Azioni sul collegamento: N=-6345.78 Ty=-3.72 Tz=1.72 Mx=-0.00 Mz=-2.82
Sollecitazioni agenti localmente: Ty_l=-1113.71 My_l=-22.82
Tensioni nella sezione: σ=276.55 τ=33.75
CC 28 SLD (Collegamento 0020_-377)
Azioni sul collegamento: N=-6345.78 Ty=-4.11 Tz=1.72 Mx=-0.00 Mz=-3.92
Sollecitazioni agenti localmente: Ty_l=-1109.35 My_l=-22.72
Tensioni nella sezione: σ=275.39 τ=33.62
CC 28 SLD (Collegamento 0020_-377)
Azioni sul collegamento: N=-6345.78 Ty=-3.72 Tz=0.05 Mx=-0.00 Mz=-2.82
Sollecitazioni agenti localmente: Ty_l=-1113.71 My_l=-22.82
Tensioni nella sezione: σ=276.55 τ=33.75
CC 28 SLD (Collegamento 0020_-377)
Azioni sul collegamento: N=-6345.78 Ty=-4.11 Tz=0.05 Mx=-0.00 Mz=-3.92
Sollecitazioni agenti localmente: Ty_l=-1109.35 My_l=-22.72
Tensioni nella sezione: σ=275.39 τ=33.62
CC 29 SLV (Collegamento 0020_-377)
Azioni sul collegamento: N=-5833.17 Ty=-5.40 Tz=-1.71 Mx=-0.00 Mz=-7.25
Sollecitazioni agenti localmente: Ty_l=-1005.24 My_l=-20.57
Tensioni nella sezione: σ=249.30 τ=30.46
CC 29 SLV (Collegamento 0020_-377)
Azioni sul collegamento: N=-5833.17 Ty=-4.11 Tz=-1.71 Mx=-0.00 Mz=-3.66
Sollecitazioni agenti localmente: Ty_l=-1019.51 My_l=-20.88
Tensioni nella sezione: σ=253.09 τ=30.89
CC 29 SLV (Collegamento 0020_-377)
Azioni sul collegamento: N=-5833.17 Ty=-5.40 Tz=3.74 Mx=-0.00 Mz=-7.25
Sollecitazioni agenti localmente: Ty_l=-1005.24 My_l=-20.57
Tensioni nella sezione: σ=249.30 τ=30.46
CC 29 SLV (Collegamento 0020_-377)
Azioni sul collegamento: N=-5833.17 Ty=-4.11 Tz=3.74 Mx=-0.00 Mz=-3.66
Sollecitazioni agenti localmente: Ty_l=-1019.51 My_l=-20.88
Tensioni nella sezione: σ=253.09 τ=30.89
CC 29 SLV (Collegamento 0020_-377)
Azioni sul collegamento: N=-7401.55 Ty=-5.40 Tz=-1.71 Mx=-0.00 Mz=-7.25
Sollecitazioni agenti localmente: Ty_l=-1283.27 My_l=-26.27
Tensioni nella sezione: σ=318.38 τ=38.89
CC 29 SLV (Collegamento 0020_-377)
Azioni sul collegamento: N=-7401.55 Ty=-4.11 Tz=-1.71 Mx=-0.00 Mz=-3.66
Sollecitazioni agenti localmente: Ty_l=-1297.54 My_l=-26.58
Tensioni nella sezione: σ=322.17 τ=39.32
CC 29 SLV (Collegamento 0020_-377)
Azioni sul collegamento: N=-7401.55 Ty=-5.40 Tz=3.74 Mx=-0.00 Mz=-7.25
Sollecitazioni agenti localmente: Ty_l=-1283.27 My_l=-26.27
Tensioni nella sezione: σ=318.38 τ=38.89
CC 29 SLV (Collegamento 0020_-377)
Azioni sul collegamento: N=-7401.55 Ty=-4.11 Tz=3.74 Mx=-0.00 Mz=-3.66
Sollecitazioni agenti localmente: Ty_l=-1297.54 My_l=-26.58

Tensioni nella sezione: σ=322.17 τ=39.32
CC 30 SLD (Collegamento 0020_-377)
Azioni sul collegamento: N=-6345.78 Ty=-4.11 Tz=0.05 Mx=0.00 Mz=-3.92
Sollecitazioni agenti localmente: Ty_l=-1109.35 My_l=-22.72
Tensioni nella sezione: σ=275.39 τ=33.62
CC 30 SLD (Collegamento 0020_-377)
Azioni sul collegamento: N=-6345.78 Ty=-3.72 Tz=0.05 Mx=0.00 Mz=-2.82
Sollecitazioni agenti localmente: Ty_l=-1113.71 My_l=-22.82
Tensioni nella sezione: σ=276.55 τ=33.75
CC 30 SLD (Collegamento 0020_-377)
Azioni sul collegamento: N=-6345.78 Ty=-4.11 Tz=1.72 Mx=0.00 Mz=-3.92
Sollecitazioni agenti localmente: Ty_l=-1109.35 My_l=-22.72
Tensioni nella sezione: σ=275.39 τ=33.62
CC 30 SLD (Collegamento 0020_-377)
Azioni sul collegamento: N=-6345.78 Ty=-3.72 Tz=1.72 Mx=0.00 Mz=-2.82
Sollecitazioni agenti localmente: Ty_l=-1113.71 My_l=-22.82
Tensioni nella sezione: σ=276.55 τ=33.75
CC 30 SLD (Collegamento 0020_-377)
Azioni sul collegamento: N=-6824.03 Ty=-4.11 Tz=0.05 Mx=0.00 Mz=-3.92
Sollecitazioni agenti localmente: Ty_l=-1194.13 My_l=-24.46
Tensioni nella sezione: σ=296.46 τ=36.19
CC 30 SLD (Collegamento 0020_-377)
Azioni sul collegamento: N=-6824.03 Ty=-3.72 Tz=0.05 Mx=0.00 Mz=-2.82
Sollecitazioni agenti localmente: Ty_l=-1198.49 My_l=-24.55
Tensioni nella sezione: σ=297.62 τ=36.32
CC 30 SLD (Collegamento 0020_-377)
Azioni sul collegamento: N=-6824.03 Ty=-4.11 Tz=1.72 Mx=0.00 Mz=-3.92
Sollecitazioni agenti localmente: Ty_l=-1194.13 My_l=-24.46
Tensioni nella sezione: σ=296.46 τ=36.19
CC 30 SLD (Collegamento 0020_-377)
Azioni sul collegamento: N=-6824.03 Ty=-3.72 Tz=1.72 Mx=0.00 Mz=-2.82
Sollecitazioni agenti localmente: Ty_l=-1198.49 My_l=-24.55
Tensioni nella sezione: σ=297.62 τ=36.32
CC 31 SLV (Collegamento 0020_-377)
Azioni sul collegamento: N=-7420.51 Ty=-6.23 Tz=4.16 Mx=-0.00 Mz=-7.84
Sollecitazioni agenti localmente: Ty_l=-1284.25 My_l=-26.28
Tensioni nella sezione: σ=318.59 τ=38.92
CC 31 SLV (Collegamento 0020_-377)
Azioni sul collegamento: N=-7420.51 Ty=-3.29 Tz=4.16 Mx=-0.00 Mz=-3.06
Sollecitazioni agenti localmente: Ty_l=-1303.28 My_l=-26.70
Tensioni nella sezione: σ=323.64 τ=39.49
CC 31 SLV (Collegamento 0020_-377)
Azioni sul collegamento: N=-7420.51 Ty=-6.23 Tz=-2.14 Mx=-0.00 Mz=-7.84
Sollecitazioni agenti localmente: Ty_l=-1284.25 My_l=-26.28
Tensioni nella sezione: σ=318.59 τ=38.92
CC 31 SLV (Collegamento 0020_-377)
Azioni sul collegamento: N=-7420.51 Ty=-3.29 Tz=-2.14 Mx=-0.00 Mz=-3.06
Sollecitazioni agenti localmente: Ty_l=-1303.28 My_l=-26.70
Tensioni nella sezione: σ=323.64 τ=39.49
CC 31 SLV (Collegamento 0020_-377)
Azioni sul collegamento: N=-5814.21 Ty=-6.23 Tz=4.16 Mx=-0.00 Mz=-7.84
Sollecitazioni agenti localmente: Ty_l=-999.50 My_l=-20.45
Tensioni nella sezione: σ=247.83 τ=30.29
CC 31 SLV (Collegamento 0020_-377)
Azioni sul collegamento: N=-5814.21 Ty=-3.29 Tz=4.16 Mx=-0.00 Mz=-3.06
Sollecitazioni agenti localmente: Ty_l=-1018.53 My_l=-20.86
Tensioni nella sezione: σ=252.88 τ=30.86
CC 31 SLV (Collegamento 0020_-377)
Azioni sul collegamento: N=-5814.21 Ty=-6.23 Tz=-2.14 Mx=-0.00 Mz=-7.84
Sollecitazioni agenti localmente: Ty_l=-999.50 My_l=-20.45
Tensioni nella sezione: σ=247.83 τ=30.29
CC 31 SLV (Collegamento 0020_-377)
Azioni sul collegamento: N=-5814.21 Ty=-3.29 Tz=-2.14 Mx=-0.00 Mz=-3.06
Sollecitazioni agenti localmente: Ty_l=-1018.53 My_l=-20.86
Tensioni nella sezione: σ=252.88 τ=30.86
CC 32 SLD (Collegamento 0020_-377)
Azioni sul collegamento: N=-6829.81 Ty=-4.36 Tz=1.85 Mx=0.00 Mz=-4.10
Sollecitazioni agenti localmente: Ty_l=-1194.43 My_l=-24.46
Tensioni nella sezione: σ=296.52 τ=36.19
CC 32 SLD (Collegamento 0020_-377)
Azioni sul collegamento: N=-6829.81 Ty=-3.47 Tz=1.85 Mx=0.00 Mz=-2.64
Sollecitazioni agenti localmente: Ty_l=-1200.24 My_l=-24.59
Tensioni nella sezione: σ=298.06 τ=36.37
CC 32 SLD (Collegamento 0020_-377)
Azioni sul collegamento: N=-6829.81 Ty=-4.36 Tz=-0.08 Mx=0.00 Mz=-4.10
Sollecitazioni agenti localmente: Ty_l=-1194.43 My_l=-24.46
Tensioni nella sezione: σ=296.52 τ=36.19
CC 32 SLD (Collegamento 0020_-377)
Azioni sul collegamento: N=-6829.81 Ty=-3.47 Tz=-0.08 Mx=0.00 Mz=-2.64

Sollecitazioni agenti localmente: Ty_l=-1200.24 My_l=-24.59
Tensioni nella sezione: σ=298.06 τ=36.37
CC 32 SLD (Collegamento 0020_-377)
Azioni sul collegamento: N=-6340.00 Ty=-4.36 Tz=1.85 Mx=0.00 Mz=-4.10
Sollecitazioni agenti localmente: Ty_l=-1107.60 My_l=-22.68
Tensioni nella sezione: σ=274.95 τ=33.56
CC 32 SLD (Collegamento 0020_-377)
Azioni sul collegamento: N=-6340.00 Ty=-3.47 Tz=1.85 Mx=0.00 Mz=-2.64
Sollecitazioni agenti localmente: Ty_l=-1113.41 My_l=-22.81
Tensioni nella sezione: σ=276.49 τ=33.74
CC 32 SLD (Collegamento 0020_-377)
Azioni sul collegamento: N=-6340.00 Ty=-4.36 Tz=-0.08 Mx=0.00 Mz=-4.10
Sollecitazioni agenti localmente: Ty_l=-1107.60 My_l=-22.68
Tensioni nella sezione: σ=274.95 τ=33.56
CC 32 SLD (Collegamento 0020_-377)
Azioni sul collegamento: N=-6340.00 Ty=-3.47 Tz=-0.08 Mx=0.00 Mz=-2.64
Sollecitazioni agenti localmente: Ty_l=-1113.41 My_l=-22.81
Tensioni nella sezione: σ=276.49 τ=33.74
CC 33 SLU (Collegamento 0020_-377)
Azioni sul collegamento: N=-30337.70 Ty=-5.16 Tz=79.98 Mx=0.01 Mz=-3.50
Sollecitazioni agenti localmente: Ty_l=-5364.13 My_l=-109.94
Tensioni nella sezione: σ=1332.67 τ=162.55
CC 34 SLU (Collegamento 0020_-377)
Azioni sul collegamento: N=-30888.30 Ty=-5.44 Tz=82.02 Mx=0.01 Mz=-3.71
Sollecitazioni agenti localmente: Ty_l=-5460.90 My_l=-111.93
Tensioni nella sezione: σ=1356.70 τ=165.48
CC 35 SLU (Collegamento 0020_-377)
Azioni sul collegamento: N=-30612.00 Ty=-5.19 Tz=81.02 Mx=0.01 Mz=-3.39
Sollecitazioni agenti localmente: Ty_l=-5413.21 My_l=-110.95
Tensioni nella sezione: σ=1344.87 τ=164.04
CC 36 SLU (Collegamento 0020_-377)
Azioni sul collegamento: N=-30614.00 Ty=-5.41 Tz=80.97 Mx=0.01 Mz=-3.82
Sollecitazioni agenti localmente: Ty_l=-5411.82 My_l=-110.92
Tensioni nella sezione: σ=1344.50 τ=164.00
CC 37 SLU (Collegamento 0020_-377)
Azioni sul collegamento: N=-32266.80 Ty=-5.04 Tz=86.42 Mx=-0.00 Mz=-3.56
Sollecitazioni agenti localmente: Ty_l=-5705.87 My_l=-116.95
Tensioni nella sezione: σ=1417.58 τ=172.91
CC 38 SLU (Collegamento 0020_-377)
Azioni sul collegamento: N=-32817.30 Ty=-5.33 Tz=88.46 Mx=-0.00 Mz=-3.76
Sollecitazioni agenti localmente: Ty_l=-5802.64 My_l=-118.93
Tensioni nella sezione: σ=1441.61 τ=175.84
CC 39 SLU (Collegamento 0020_-377)
Azioni sul collegamento: N=-32541.00 Ty=-5.08 Tz=87.47 Mx=-0.00 Mz=-3.44
Sollecitazioni agenti localmente: Ty_l=-5754.95 My_l=-117.96
Tensioni nella sezione: σ=1429.78 τ=174.39
CC 40 SLU (Collegamento 0020_-377)
Azioni sul collegamento: N=-32543.00 Ty=-5.30 Tz=87.42 Mx=-0.00 Mz=-3.88
Sollecitazioni agenti localmente: Ty_l=-5753.56 My_l=-117.93
Tensioni nella sezione: σ=1429.41 τ=174.35
CC 41 SLU (Collegamento 0020_-377)
Azioni sul collegamento: N=-21046.60 Ty=-6.03 Tz=45.82 Mx=0.01 Mz=-4.13
Sollecitazioni agenti localmente: Ty_l=-3714.55 My_l=-76.13
Tensioni nella sezione: σ=922.73 τ=112.56
CC 42 SLU (Collegamento 0020_-377)
Azioni sul collegamento: N=-21597.10 Ty=-6.32 Tz=47.86 Mx=0.01 Mz=-4.34
Sollecitazioni agenti localmente: Ty_l=-3811.32 My_l=-78.11
Tensioni nella sezione: σ=946.76 τ=115.49
CC 43 SLU (Collegamento 0020_-377)
Azioni sul collegamento: N=-21320.90 Ty=-6.07 Tz=46.87 Mx=0.01 Mz=-4.02
Sollecitazioni agenti localmente: Ty_l=-3763.62 My_l=-77.13
Tensioni nella sezione: σ=934.93 τ=114.05
CC 44 SLU (Collegamento 0020_-377)
Azioni sul collegamento: N=-21322.80 Ty=-6.29 Tz=46.82 Mx=0.01 Mz=-4.45
Sollecitazioni agenti localmente: Ty_l=-3762.24 My_l=-77.10
Tensioni nella sezione: σ=934.56 τ=114.01
CC 45 SLU (Collegamento 0020_-377)
Azioni sul collegamento: N=-23139.00 Ty=-5.73 Tz=53.57 Mx=0.01 Mz=-3.96
Sollecitazioni agenti localmente: Ty_l=-4086.16 My_l=-83.74
Tensioni nella sezione: σ=1015.08 τ=123.82
CC 46 SLU (Collegamento 0020_-377)
Azioni sul collegamento: N=-23689.50 Ty=-6.01 Tz=55.60 Mx=0.01 Mz=-4.17
Sollecitazioni agenti localmente: Ty_l=-4182.93 My_l=-85.73
Tensioni nella sezione: σ=1039.11 τ=126.76
CC 47 SLU (Collegamento 0020_-377)
Azioni sul collegamento: N=-23413.30 Ty=-5.76 Tz=54.61 Mx=0.01 Mz=-3.84
Sollecitazioni agenti localmente: Ty_l=-4135.24 My_l=-84.75
Tensioni nella sezione: σ=1027.29 τ=125.31
CC 48 SLU (Collegamento 0020_-377)

Azioni sul collegamento: N=-23415.20 Ty=-5.98 Tz=54.56 Mx=0.01 Mz=-4.28
Sollecitazioni agenti localmente: Ty_l=-4133.86 My_l=-84.72
Tensioni nella sezione: σ=1026.91 τ=125.27
CC 49 SLU (Collegamento 0020_-377)
Azioni sul collegamento: N=-24582.20 Ty=-5.64 Tz=58.39 Mx=0.00 Mz=-4.00
Sollecitazioni agenti localmente: Ty_l=-4341.84 My_l=-88.99
Tensioni nella sezione: σ=1078.61 τ=131.57
CC 50 SLU (Collegamento 0020_-377)
Azioni sul collegamento: N=-25132.70 Ty=-5.93 Tz=60.42 Mx=0.00 Mz=-4.21
Sollecitazioni agenti localmente: Ty_l=-4438.61 My_l=-90.97
Tensioni nella sezione: σ=1102.64 τ=134.50
CC 51 SLU (Collegamento 0020_-377)
Azioni sul collegamento: N=-24856.40 Ty=-5.68 Tz=59.43 Mx=-0.00 Mz=-3.89
Sollecitazioni agenti localmente: Ty_l=-4390.91 My_l=-89.99
Tensioni nella sezione: σ=1090.81 τ=133.06
CC 52 SLU (Collegamento 0020_-377)
Azioni sul collegamento: N=-24858.40 Ty=-5.89 Tz=59.38 Mx=0.00 Mz=-4.32
Sollecitazioni agenti localmente: Ty_l=-4389.53 My_l=-89.96
Tensioni nella sezione: σ=1090.44 τ=133.02
CC 53 SLU (Collegamento 0020_-377)
Azioni sul collegamento: N=-16187.80 Ty=-6.38 Tz=28.01 Mx=0.01 Mz=-4.43
Sollecitazioni agenti localmente: Ty_l=-2852.03 My_l=-58.44
Tensioni nella sezione: σ=708.39 τ=86.43
CC 54 SLU (Collegamento 0020_-377)
Azioni sul collegamento: N=-16738.30 Ty=-6.67 Tz=30.05 Mx=0.01 Mz=-4.64
Sollecitazioni agenti localmente: Ty_l=-2948.80 My_l=-60.42
Tensioni nella sezione: σ=732.42 τ=89.36
CC 55 SLU (Collegamento 0020_-377)
Azioni sul collegamento: N=-16462.10 Ty=-6.42 Tz=29.05 Mx=0.01 Mz=-4.32
Sollecitazioni agenti localmente: Ty_l=-2901.11 My_l=-59.45
Tensioni nella sezione: σ=720.59 τ=87.91
CC 56 SLU (Collegamento 0020_-377)
Azioni sul collegamento: N=-16464.10 Ty=-6.64 Tz=29.01 Mx=0.01 Mz=-4.75
Sollecitazioni agenti localmente: Ty_l=-2899.72 My_l=-59.42
Tensioni nella sezione: σ=720.22 τ=87.87
CC 57 SLU (Collegamento 0020_-377)
Azioni sul collegamento: N=-23519.50 Ty=-6.15 Tz=55.00 Mx=0.01 Mz=-4.26
Sollecitazioni agenti localmente: Ty_l=-4152.42 My_l=-85.10
Tensioni nella sezione: σ=1031.52 τ=125.83
CC 58 SLU (Collegamento 0020_-377)
Azioni sul collegamento: N=-24070.10 Ty=-6.43 Tz=57.04 Mx=0.01 Mz=-4.47
Sollecitazioni agenti localmente: Ty_l=-4249.19 My_l=-87.08
Tensioni nella sezione: σ=1055.56 τ=128.76
CC 59 SLU (Collegamento 0020_-377)
Azioni sul collegamento: N=-23793.80 Ty=-6.18 Tz=56.05 Mx=0.01 Mz=-4.15
Sollecitazioni agenti localmente: Ty_l=-4201.49 My_l=-86.11
Tensioni nella sezione: σ=1043.73 τ=127.32
CC 60 SLU (Collegamento 0020_-377)
Azioni sul collegamento: N=-23795.80 Ty=-6.40 Tz=56.00 Mx=0.01 Mz=-4.58
Sollecitazioni agenti localmente: Ty_l=-4200.11 My_l=-86.08
Tensioni nella sezione: σ=1043.35 τ=127.28
CC 61 SLU (Collegamento 0020_-377)
Azioni sul collegamento: N=-24962.70 Ty=-6.06 Tz=59.83 Mx=0.00 Mz=-4.30
Sollecitazioni agenti localmente: Ty_l=-4408.09 My_l=-90.34
Tensioni nella sezione: σ=1095.05 τ=133.58
CC 62 SLU (Collegamento 0020_-377)
Azioni sul collegamento: N=-25513.20 Ty=-6.35 Tz=61.87 Mx=0.00 Mz=-4.51
Sollecitazioni agenti localmente: Ty_l=-4504.86 My_l=-92.32
Tensioni nella sezione: σ=1119.08 τ=136.51
CC 63 SLU (Collegamento 0020_-377)
Azioni sul collegamento: N=-25237.00 Ty=-6.10 Tz=60.87 Mx=-0.00 Mz=-4.19
Sollecitazioni agenti localmente: Ty_l=-4457.17 My_l=-91.35
Tensioni nella sezione: σ=1107.26 τ=135.07
CC 64 SLU (Collegamento 0020_-377)
Azioni sul collegamento: N=-25238.90 Ty=-6.31 Tz=60.82 Mx=0.00 Mz=-4.62
Sollecitazioni agenti localmente: Ty_l=-4455.78 My_l=-91.32
Tensioni nella sezione: σ=1106.88 τ=135.02
CC 65 SLU (Collegamento 0020_-377)
Azioni sul collegamento: N=-16568.40 Ty=-6.80 Tz=29.45 Mx=0.01 Mz=-4.74
Sollecitazioni agenti localmente: Ty_l=-2918.28 My_l=-59.80
Tensioni nella sezione: σ=724.83 τ=88.43
CC 66 SLU (Collegamento 0020_-377)
Azioni sul collegamento: N=-17118.90 Ty=-7.09 Tz=31.49 Mx=0.01 Mz=-4.94
Sollecitazioni agenti localmente: Ty_l=-3015.05 My_l=-61.78
Tensioni nella sezione: σ=748.86 τ=91.37
CC 67 SLU (Collegamento 0020_-377)
Azioni sul collegamento: N=-16842.60 Ty=-6.84 Tz=30.49 Mx=0.01 Mz=-4.62
Sollecitazioni agenti localmente: Ty_l=-2967.36 My_l=-60.81
Tensioni nella sezione: σ=737.03 τ=89.92

CC 68 SLU (Collegamento 0020_-377)
Azioni sul collegamento: N=-16844.60 Ty=-7.06 Tz=30.45 Mx=0.01 Mz=-5.06
Sollecitazioni agenti localmente: Ty_l=-2965.98 My_l=-60.77
Tensioni nella sezione: σ=736.66 τ=89.88
CC 97 SLU (Collegamento 0020_-377)
Azioni sul collegamento: N=-16826.20 Ty=-0.37 Tz=38.55 Mx=0.05 Mz=7.28
Sollecitazioni agenti localmente: Ty_l=-3011.77 My_l=-61.78
Tensioni nella sezione: σ=748.87 τ=91.27
CC 98 SLU (Collegamento 0020_-377)
Azioni sul collegamento: N=-17376.70 Ty=-0.65 Tz=40.58 Mx=0.05 Mz=7.07
Sollecitazioni agenti localmente: Ty_l=-3108.55 My_l=-63.76
Tensioni nella sezione: σ=772.90 τ=94.20
CC 99 SLU (Collegamento 0020_-377)
Azioni sul collegamento: N=-17100.50 Ty=-0.40 Tz=39.59 Mx=0.05 Mz=7.39
Sollecitazioni agenti localmente: Ty_l=-3060.85 My_l=-62.79
Tensioni nella sezione: σ=761.07 τ=92.75
CC 100 SLU (Collegamento 0020_-377)
Azioni sul collegamento: N=-17102.50 Ty=-0.62 Tz=39.54 Mx=0.05 Mz=6.96
Sollecitazioni agenti localmente: Ty_l=-3059.47 My_l=-62.76
Tensioni nella sezione: σ=760.70 τ=92.71
CC 101 SLU (Collegamento 0020_-377)
Azioni sul collegamento: N=-6585.90 Ty=-4.08 Tz=0.92 Mx=-0.00 Mz=-3.64
Sollecitazioni agenti localmente: Ty_l=-1153.02 My_l=-23.62
Tensioni nella sezione: σ=286.26 τ=34.94
CC 102 SLU (Collegamento 0020_-377)
Azioni sul collegamento: N=-7136.43 Ty=-4.37 Tz=2.96 Mx=-0.00 Mz=-3.85
Sollecitazioni agenti localmente: Ty_l=-1249.79 My_l=-25.60
Tensioni nella sezione: σ=310.29 τ=37.87
CC 103 SLU (Collegamento 0020_-377)
Azioni sul collegamento: N=-6860.18 Ty=-4.11 Tz=1.96 Mx=-0.00 Mz=-3.53
Sollecitazioni agenti localmente: Ty_l=-1202.09 My_l=-24.62
Tensioni nella sezione: σ=298.46 τ=36.43
CC 104 SLU (Collegamento 0020_-377)
Azioni sul collegamento: N=-6862.15 Ty=-4.33 Tz=1.92 Mx=-0.00 Mz=-3.96
Sollecitazioni agenti localmente: Ty_l=-1200.71 My_l=-24.59
Tensioni nella sezione: σ=298.09 τ=36.39

Flessione attacco sinistro piastra

Bnetta=220.00 Hnetta=15.00
CC 1 SLV (Collegamento 0020_-377)
Azioni sul collegamento: N=-3875.57 Ty=-4.02 Tz=-9.21 Mx=0.02 Mz=2.16
Sollecitazioni agenti localmente: Ty_l=-678.43 My_l=-13.90
Tensioni nella sezione: σ=168.43 τ=20.56
CC 1 SLV (Collegamento 0020_-377)
Azioni sul collegamento: N=-3875.57 Ty=-0.64 Tz=-9.21 Mx=0.02 Mz=-1.09
Sollecitazioni agenti localmente: Ty_l=-691.35 My_l=-14.18
Tensioni nella sezione: σ=171.86 τ=20.95
CC 1 SLV (Collegamento 0020_-377)
Azioni sul collegamento: N=-3875.57 Ty=-4.02 Tz=10.50 Mx=0.02 Mz=2.16
Sollecitazioni agenti localmente: Ty_l=-678.43 My_l=-13.90
Tensioni nella sezione: σ=168.43 τ=20.56
CC 1 SLV (Collegamento 0020_-377)
Azioni sul collegamento: N=-3875.57 Ty=-0.64 Tz=10.50 Mx=0.02 Mz=-1.09
Sollecitazioni agenti localmente: Ty_l=-691.35 My_l=-14.18
Tensioni nella sezione: σ=171.86 τ=20.95
CC 1 SLV (Collegamento 0020_-377)
Azioni sul collegamento: N=-9172.38 Ty=-4.02 Tz=-9.21 Mx=0.02 Mz=2.16
Sollecitazioni agenti localmente: Ty_l=-1617.41 My_l=-33.14
Tensioni nella sezione: σ=401.76 τ=49.01
CC 1 SLV (Collegamento 0020_-377)
Azioni sul collegamento: N=-9172.38 Ty=-0.64 Tz=-9.21 Mx=0.02 Mz=-1.09
Sollecitazioni agenti localmente: Ty_l=-1630.33 My_l=-33.43
Tensioni nella sezione: σ=405.19 τ=49.40
CC 1 SLV (Collegamento 0020_-377)
Azioni sul collegamento: N=-9172.38 Ty=-4.02 Tz=10.50 Mx=0.02 Mz=2.16
Sollecitazioni agenti localmente: Ty_l=-1617.41 My_l=-33.14
Tensioni nella sezione: σ=401.76 τ=49.01
CC 1 SLV (Collegamento 0020_-377)
Azioni sul collegamento: N=-9172.38 Ty=-0.64 Tz=10.50 Mx=0.02 Mz=-1.09
Sollecitazioni agenti localmente: Ty_l=-1630.33 My_l=-33.43
Tensioni nella sezione: σ=405.19 τ=49.40
CC 2 SLD (Collegamento 0020_-377)
Azioni sul collegamento: N=-5748.85 Ty=-2.66 Tz=-2.23 Mx=0.01 Mz=-1.05
Sollecitazioni agenti localmente: Ty_l=-1023.28 My_l=-20.98
Tensioni nella sezione: σ=254.34 τ=31.01
CC 2 SLD (Collegamento 0020_-377)
Azioni sul collegamento: N=-5748.85 Ty=-3.69 Tz=-2.23 Mx=0.01 Mz=-2.04
Sollecitazioni agenti localmente: Ty_l=-1027.22 My_l=-21.07

Tensioni nella sezione: σ=255.39 τ=31.13
CC 2 SLD (Collegamento 0020_-377)
Azioni sul collegamento: N=-5748.85 Ty=-2.66 Tz=3.78 Mx=0.01 Mz=-1.05
Sollecitazioni agenti localmente: Ty_l=-1023.28 My_l=-20.98
Tensioni nella sezione: σ=254.34 τ=31.01
CC 2 SLD (Collegamento 0020_-377)
Azioni sul collegamento: N=-5748.85 Ty=-3.69 Tz=3.78 Mx=0.01 Mz=-2.04
Sollecitazioni agenti localmente: Ty_l=-1027.22 My_l=-21.07
Tensioni nella sezione: σ=255.39 τ=31.13
CC 2 SLD (Collegamento 0020_-377)
Azioni sul collegamento: N=-7364.01 Ty=-2.66 Tz=-2.23 Mx=0.01 Mz=-1.05
Sollecitazioni agenti localmente: Ty_l=-1309.61 My_l=-26.85
Tensioni nella sezione: σ=325.49 τ=39.69
CC 2 SLD (Collegamento 0020_-377)
Azioni sul collegamento: N=-7364.01 Ty=-3.69 Tz=-2.23 Mx=0.01 Mz=-2.04
Sollecitazioni agenti localmente: Ty_l=-1313.55 My_l=-26.94
Tensioni nella sezione: σ=326.53 τ=39.80
CC 2 SLD (Collegamento 0020_-377)
Azioni sul collegamento: N=-7364.01 Ty=-2.66 Tz=3.78 Mx=0.01 Mz=-1.05
Sollecitazioni agenti localmente: Ty_l=-1309.61 My_l=-26.85
Tensioni nella sezione: σ=325.49 τ=39.69
CC 2 SLD (Collegamento 0020_-377)
Azioni sul collegamento: N=-7364.01 Ty=-3.69 Tz=3.78 Mx=0.01 Mz=-2.04
Sollecitazioni agenti localmente: Ty_l=-1313.55 My_l=-26.94
Tensioni nella sezione: σ=326.53 τ=39.80
CC 3 SLV (Collegamento 0020_-377)
Azioni sul collegamento: N=-3881.26 Ty=-3.39 Tz=-9.09 Mx=0.02 Mz=0.91
Sollecitazioni agenti localmente: Ty_l=-684.44 My_l=-14.03
Tensioni nella sezione: σ=170.01 τ=20.74
CC 3 SLV (Collegamento 0020_-377)
Azioni sul collegamento: N=-3881.26 Ty=-1.27 Tz=-9.09 Mx=0.02 Mz=0.17
Sollecitazioni agenti localmente: Ty_l=-687.36 My_l=-14.09
Tensioni nella sezione: σ=170.79 τ=20.83
CC 3 SLV (Collegamento 0020_-377)
Azioni sul collegamento: N=-3881.26 Ty=-3.39 Tz=10.37 Mx=0.02 Mz=0.91
Sollecitazioni agenti localmente: Ty_l=-684.44 My_l=-14.03
Tensioni nella sezione: σ=170.01 τ=20.74
CC 3 SLV (Collegamento 0020_-377)
Azioni sul collegamento: N=-3881.26 Ty=-1.27 Tz=10.37 Mx=0.02 Mz=0.17
Sollecitazioni agenti localmente: Ty_l=-687.36 My_l=-14.09
Tensioni nella sezione: σ=170.79 τ=20.83
CC 3 SLV (Collegamento 0020_-377)
Azioni sul collegamento: N=-9166.69 Ty=-3.39 Tz=-9.09 Mx=0.02 Mz=0.91
Sollecitazioni agenti localmente: Ty_l=-1621.40 My_l=-33.23
Tensioni nella sezione: σ=402.83 τ=49.13
CC 3 SLV (Collegamento 0020_-377)
Azioni sul collegamento: N=-9166.69 Ty=-1.27 Tz=-9.09 Mx=0.02 Mz=0.17
Sollecitazioni agenti localmente: Ty_l=-1624.32 My_l=-33.30
Tensioni nella sezione: σ=403.61 τ=49.22
CC 3 SLV (Collegamento 0020_-377)
Azioni sul collegamento: N=-9166.69 Ty=-3.39 Tz=10.38 Mx=0.02 Mz=0.91
Sollecitazioni agenti localmente: Ty_l=-1621.40 My_l=-33.23
Tensioni nella sezione: σ=402.83 τ=49.13
CC 3 SLV (Collegamento 0020_-377)
Azioni sul collegamento: N=-9166.69 Ty=-1.27 Tz=10.38 Mx=0.02 Mz=0.17
Sollecitazioni agenti localmente: Ty_l=-1624.32 My_l=-33.30
Tensioni nella sezione: σ=403.61 τ=49.22
CC 4 SLD (Collegamento 0020_-377)
Azioni sul collegamento: N=-5750.58 Ty=-2.85 Tz=-2.19 Mx=0.01 Mz=-1.43
Sollecitazioni agenti localmente: Ty_l=-1025.11 My_l=-21.02
Tensioni nella sezione: σ=254.82 τ=31.06
CC 4 SLD (Collegamento 0020_-377)
Azioni sul collegamento: N=-5750.58 Ty=-3.50 Tz=-2.19 Mx=0.01 Mz=-1.66
Sollecitazioni agenti localmente: Ty_l=-1026.01 My_l=-21.04
Tensioni nella sezione: σ=255.06 τ=31.09
CC 4 SLD (Collegamento 0020_-377)
Azioni sul collegamento: N=-5750.58 Ty=-2.85 Tz=3.74 Mx=0.01 Mz=-1.43
Sollecitazioni agenti localmente: Ty_l=-1025.11 My_l=-21.02
Tensioni nella sezione: σ=254.82 τ=31.06
CC 4 SLD (Collegamento 0020_-377)
Azioni sul collegamento: N=-5750.58 Ty=-3.50 Tz=3.74 Mx=0.01 Mz=-1.66
Sollecitazioni agenti localmente: Ty_l=-1026.01 My_l=-21.04
Tensioni nella sezione: σ=255.06 τ=31.09
CC 4 SLD (Collegamento 0020_-377)
Azioni sul collegamento: N=-7362.28 Ty=-2.85 Tz=-2.19 Mx=0.01 Mz=-1.43
Sollecitazioni agenti localmente: Ty_l=-1310.82 My_l=-26.88
Tensioni nella sezione: σ=325.82 τ=39.72
CC 4 SLD (Collegamento 0020_-377)
Azioni sul collegamento: N=-7362.28 Ty=-3.50 Tz=-2.19 Mx=0.01 Mz=-1.66

Sollecitazioni agenti localmente: Ty_l=-1311.72 My_l=-26.90
Tensioni nella sezione: σ=326.05 τ=39.75
CC 4 SLD (Collegamento 0020_-377)
Azioni sul collegamento: N=-7362.28 Ty=-2.85 Tz=3.74 Mx=0.01 Mz=-1.43
Sollecitazioni agenti localmente: Ty_l=-1310.82 My_l=-26.88
Tensioni nella sezione: σ=325.82 τ=39.72
CC 4 SLD (Collegamento 0020_-377)
Azioni sul collegamento: N=-7362.28 Ty=-3.50 Tz=3.74 Mx=0.01 Mz=-1.66
Sollecitazioni agenti localmente: Ty_l=-1311.72 My_l=-26.90
Tensioni nella sezione: σ=326.05 τ=39.75
CC 5 SLV (Collegamento 0020_-377)
Azioni sul collegamento: N=-9166.69 Ty=-1.27 Tz=10.38 Mx=0.02 Mz=0.17
Sollecitazioni agenti localmente: Ty_l=-1624.32 My_l=-33.30
Tensioni nella sezione: σ=403.61 τ=49.22
CC 5 SLV (Collegamento 0020_-377)
Azioni sul collegamento: N=-9166.69 Ty=-3.39 Tz=10.38 Mx=0.02 Mz=0.91
Sollecitazioni agenti localmente: Ty_l=-1621.40 My_l=-33.23
Tensioni nella sezione: σ=402.83 τ=49.13
CC 5 SLV (Collegamento 0020_-377)
Azioni sul collegamento: N=-9166.69 Ty=-1.27 Tz=-9.09 Mx=0.02 Mz=0.17
Sollecitazioni agenti localmente: Ty_l=-1624.32 My_l=-33.30
Tensioni nella sezione: σ=403.61 τ=49.22
CC 5 SLV (Collegamento 0020_-377)
Azioni sul collegamento: N=-9166.69 Ty=-3.39 Tz=-9.09 Mx=0.02 Mz=0.91
Sollecitazioni agenti localmente: Ty_l=-1621.40 My_l=-33.23
Tensioni nella sezione: σ=402.83 τ=49.13
CC 5 SLV (Collegamento 0020_-377)
Azioni sul collegamento: N=-3881.26 Ty=-1.27 Tz=10.37 Mx=0.02 Mz=0.17
Sollecitazioni agenti localmente: Ty_l=-687.36 My_l=-14.09
Tensioni nella sezione: σ=170.79 τ=20.83
CC 5 SLV (Collegamento 0020_-377)
Azioni sul collegamento: N=-3881.26 Ty=-3.39 Tz=10.37 Mx=0.02 Mz=0.91
Sollecitazioni agenti localmente: Ty_l=-684.44 My_l=-14.03
Tensioni nella sezione: σ=170.01 τ=20.74
CC 5 SLV (Collegamento 0020_-377)
Azioni sul collegamento: N=-3881.26 Ty=-1.27 Tz=-9.09 Mx=0.02 Mz=0.17
Sollecitazioni agenti localmente: Ty_l=-687.36 My_l=-14.09
Tensioni nella sezione: σ=170.79 τ=20.83
CC 5 SLV (Collegamento 0020_-377)
Azioni sul collegamento: N=-3881.26 Ty=-3.39 Tz=-9.09 Mx=0.02 Mz=0.91
Sollecitazioni agenti localmente: Ty_l=-684.44 My_l=-14.03
Tensioni nella sezione: σ=170.01 τ=20.74
CC 6 SLD (Collegamento 0020_-377)
Azioni sul collegamento: N=-7362.28 Ty=-3.50 Tz=3.74 Mx=0.01 Mz=-1.66
Sollecitazioni agenti localmente: Ty_l=-1311.72 My_l=-26.90
Tensioni nella sezione: σ=326.05 τ=39.75
CC 6 SLD (Collegamento 0020_-377)
Azioni sul collegamento: N=-7362.28 Ty=-2.85 Tz=3.74 Mx=0.01 Mz=-1.43
Sollecitazioni agenti localmente: Ty_l=-1310.82 My_l=-26.88
Tensioni nella sezione: σ=325.82 τ=39.72
CC 6 SLD (Collegamento 0020_-377)
Azioni sul collegamento: N=-7362.28 Ty=-3.50 Tz=-2.19 Mx=0.01 Mz=-1.66
Sollecitazioni agenti localmente: Ty_l=-1311.72 My_l=-26.90
Tensioni nella sezione: σ=326.05 τ=39.75
CC 6 SLD (Collegamento 0020_-377)
Azioni sul collegamento: N=-7362.28 Ty=-2.85 Tz=-2.19 Mx=0.01 Mz=-1.43
Sollecitazioni agenti localmente: Ty_l=-1310.82 My_l=-26.88
Tensioni nella sezione: σ=325.82 τ=39.72
CC 6 SLD (Collegamento 0020_-377)
Azioni sul collegamento: N=-5750.58 Ty=-3.50 Tz=3.74 Mx=0.01 Mz=-1.66
Sollecitazioni agenti localmente: Ty_l=-1026.01 My_l=-21.04
Tensioni nella sezione: σ=255.06 τ=31.09
CC 6 SLD (Collegamento 0020_-377)
Azioni sul collegamento: N=-5750.58 Ty=-2.85 Tz=3.74 Mx=0.01 Mz=-1.43
Sollecitazioni agenti localmente: Ty_l=-1025.11 My_l=-21.02
Tensioni nella sezione: σ=254.82 τ=31.06
CC 6 SLD (Collegamento 0020_-377)
Azioni sul collegamento: N=-5750.58 Ty=-3.50 Tz=-2.19 Mx=0.01 Mz=-1.66
Sollecitazioni agenti localmente: Ty_l=-1026.01 My_l=-21.04
Tensioni nella sezione: σ=255.06 τ=31.09
CC 6 SLD (Collegamento 0020_-377)
Azioni sul collegamento: N=-5750.58 Ty=-2.85 Tz=-2.19 Mx=0.01 Mz=-1.43
Sollecitazioni agenti localmente: Ty_l=-1025.11 My_l=-21.02
Tensioni nella sezione: σ=254.82 τ=31.06
CC 7 SLV (Collegamento 0020_-377)
Azioni sul collegamento: N=-9172.38 Ty=-0.64 Tz=10.50 Mx=0.01 Mz=-1.09
Sollecitazioni agenti localmente: Ty_l=-1630.33 My_l=-33.43
Tensioni nella sezione: σ=405.19 τ=49.40
CC 7 SLV (Collegamento 0020_-377)

Azioni sul collegamento: N=-9172.38 Ty=-4.02 Tz=10.50 Mx=0.01 Mz=2.16
Sollecitazioni agenti localmente: Ty_l=-1617.41 My_l=-33.14
Tensioni nella sezione: σ=401.76 τ=49.01
CC 7 SLV (Collegamento 0020_-377)
Azioni sul collegamento: N=-9172.38 Ty=-0.64 Tz=-9.21 Mx=0.01 Mz=-1.09
Sollecitazioni agenti localmente: Ty_l=-1630.33 My_l=-33.43
Tensioni nella sezione: σ=405.19 τ=49.40
CC 7 SLV (Collegamento 0020_-377)
Azioni sul collegamento: N=-9172.38 Ty=-4.02 Tz=-9.21 Mx=0.01 Mz=2.16
Sollecitazioni agenti localmente: Ty_l=-1617.41 My_l=-33.14
Tensioni nella sezione: σ=401.76 τ=49.01
CC 7 SLV (Collegamento 0020_-377)
Azioni sul collegamento: N=-3875.57 Ty=-0.64 Tz=10.50 Mx=0.01 Mz=-1.09
Sollecitazioni agenti localmente: Ty_l=-691.35 My_l=-14.18
Tensioni nella sezione: σ=171.86 τ=20.95
CC 7 SLV (Collegamento 0020_-377)
Azioni sul collegamento: N=-3875.57 Ty=-4.02 Tz=10.50 Mx=0.01 Mz=2.16
Sollecitazioni agenti localmente: Ty_l=-678.43 My_l=-13.90
Tensioni nella sezione: σ=168.43 τ=20.56
CC 7 SLV (Collegamento 0020_-377)
Azioni sul collegamento: N=-3875.57 Ty=-0.64 Tz=-9.21 Mx=0.01 Mz=-1.09
Sollecitazioni agenti localmente: Ty_l=-691.35 My_l=-14.18
Tensioni nella sezione: σ=171.86 τ=20.95
CC 7 SLV (Collegamento 0020_-377)
Azioni sul collegamento: N=-3875.57 Ty=-4.02 Tz=-9.21 Mx=0.01 Mz=2.16
Sollecitazioni agenti localmente: Ty_l=-678.43 My_l=-13.90
Tensioni nella sezione: σ=168.43 τ=20.56
CC 8 SLD (Collegamento 0020_-377)
Azioni sul collegamento: N=-7364.01 Ty=-3.69 Tz=3.78 Mx=0.01 Mz=-2.04
Sollecitazioni agenti localmente: Ty_l=-1313.55 My_l=-26.94
Tensioni nella sezione: σ=326.53 τ=39.80
CC 8 SLD (Collegamento 0020_-377)
Azioni sul collegamento: N=-7364.01 Ty=-2.66 Tz=3.78 Mx=0.01 Mz=-1.05
Sollecitazioni agenti localmente: Ty_l=-1309.61 My_l=-26.85
Tensioni nella sezione: σ=325.49 τ=39.69
CC 8 SLD (Collegamento 0020_-377)
Azioni sul collegamento: N=-7364.01 Ty=-3.69 Tz=-2.23 Mx=0.01 Mz=-2.04
Sollecitazioni agenti localmente: Ty_l=-1313.55 My_l=-26.94
Tensioni nella sezione: σ=326.53 τ=39.80
CC 8 SLD (Collegamento 0020_-377)
Azioni sul collegamento: N=-7364.01 Ty=-2.66 Tz=-2.23 Mx=0.01 Mz=-1.05
Sollecitazioni agenti localmente: Ty_l=-1309.61 My_l=-26.85
Tensioni nella sezione: σ=325.49 τ=39.69
CC 8 SLD (Collegamento 0020_-377)
Azioni sul collegamento: N=-5748.85 Ty=-3.69 Tz=3.78 Mx=0.01 Mz=-2.04
Sollecitazioni agenti localmente: Ty_l=-1027.22 My_l=-21.07
Tensioni nella sezione: σ=255.39 τ=31.13
CC 8 SLD (Collegamento 0020_-377)
Azioni sul collegamento: N=-5748.85 Ty=-2.66 Tz=3.78 Mx=0.01 Mz=-1.05
Sollecitazioni agenti localmente: Ty_l=-1023.28 My_l=-20.98
Tensioni nella sezione: σ=254.34 τ=31.01
CC 8 SLD (Collegamento 0020_-377)
Azioni sul collegamento: N=-5748.85 Ty=-3.69 Tz=-2.23 Mx=0.01 Mz=-2.04
Sollecitazioni agenti localmente: Ty_l=-1027.22 My_l=-21.07
Tensioni nella sezione: σ=255.39 τ=31.13
CC 8 SLD (Collegamento 0020_-377)
Azioni sul collegamento: N=-5748.85 Ty=-2.66 Tz=-2.23 Mx=0.01 Mz=-1.05
Sollecitazioni agenti localmente: Ty_l=-1023.28 My_l=-20.98
Tensioni nella sezione: σ=254.34 τ=31.01
CC 9 SLV (Collegamento 0020_-377)
Azioni sul collegamento: N=-5720.83 Ty=-3.80 Tz=-2.51 Mx=0.03 Mz=2.93
Sollecitazioni agenti localmente: Ty_l=-1002.49 My_l=-20.53
Tensioni nella sezione: σ=248.91 τ=30.38
CC 9 SLV (Collegamento 0020_-377)
Azioni sul collegamento: N=-5720.83 Ty=-0.86 Tz=-2.51 Mx=0.03 Mz=-1.85
Sollecitazioni agenti localmente: Ty_l=-1021.52 My_l=-20.95
Tensioni nella sezione: σ=253.96 τ=30.96
CC 9 SLV (Collegamento 0020_-377)
Azioni sul collegamento: N=-5720.83 Ty=-3.80 Tz=3.80 Mx=0.03 Mz=2.93
Sollecitazioni agenti localmente: Ty_l=-1002.49 My_l=-20.53
Tensioni nella sezione: σ=248.91 τ=30.38
CC 9 SLV (Collegamento 0020_-377)
Azioni sul collegamento: N=-5720.83 Ty=-0.86 Tz=3.80 Mx=0.03 Mz=-1.85
Sollecitazioni agenti localmente: Ty_l=-1021.52 My_l=-20.95
Tensioni nella sezione: σ=253.96 τ=30.96
CC 9 SLV (Collegamento 0020_-377)
Azioni sul collegamento: N=-7327.12 Ty=-3.80 Tz=-2.51 Mx=0.03 Mz=2.93
Sollecitazioni agenti localmente: Ty_l=-1287.24 My_l=-26.37
Tensioni nella sezione: σ=319.66 τ=39.01

CC 9 SLV (Collegamento 0020_-377)
Azioni sul collegamento: N=-7327.12 Ty=-0.86 Tz=-2.51 Mx=0.03 Mz=-1.85
Sollecitazioni agenti localmente: Ty_l=-1306.27 My_l=-26.79
Tensioni nella sezione: σ=324.71 τ=39.58
CC 9 SLV (Collegamento 0020_-377)
Azioni sul collegamento: N=-7327.12 Ty=-3.80 Tz=3.80 Mx=0.03 Mz=2.93
Sollecitazioni agenti localmente: Ty_l=-1287.24 My_l=-26.37
Tensioni nella sezione: σ=319.66 τ=39.01
CC 9 SLV (Collegamento 0020_-377)
Azioni sul collegamento: N=-7327.12 Ty=-0.86 Tz=3.80 Mx=0.03 Mz=-1.85
Sollecitazioni agenti localmente: Ty_l=-1306.27 My_l=-26.79
Tensioni nella sezione: σ=324.71 τ=39.58
CC 10 SLD (Collegamento 0020_-377)
Azioni sul collegamento: N=-6311.52 Ty=-2.73 Tz=-0.19 Mx=0.01 Mz=-0.81
Sollecitazioni agenti localmente: Ty_l=-1122.10 My_l=-23.01
Tensioni nella sezione: σ=278.88 τ=34.00
CC 10 SLD (Collegamento 0020_-377)
Azioni sul collegamento: N=-6311.52 Ty=-3.62 Tz=-0.19 Mx=0.01 Mz=-2.27
Sollecitazioni agenti localmente: Ty_l=-1127.90 My_l=-23.13
Tensioni nella sezione: σ=280.42 τ=34.18
CC 10 SLD (Collegamento 0020_-377)
Azioni sul collegamento: N=-6311.52 Ty=-2.73 Tz=1.73 Mx=0.01 Mz=-0.81
Sollecitazioni agenti localmente: Ty_l=-1122.10 My_l=-23.01
Tensioni nella sezione: σ=278.88 τ=34.00
CC 10 SLD (Collegamento 0020_-377)
Azioni sul collegamento: N=-6311.52 Ty=-3.62 Tz=1.73 Mx=0.01 Mz=-2.27
Sollecitazioni agenti localmente: Ty_l=-1127.90 My_l=-23.13
Tensioni nella sezione: σ=280.42 τ=34.18
CC 10 SLD (Collegamento 0020_-377)
Azioni sul collegamento: N=-6801.33 Ty=-2.73 Tz=-0.19 Mx=0.01 Mz=-0.81
Sollecitazioni agenti localmente: Ty_l=-1208.93 My_l=-24.79
Tensioni nella sezione: σ=300.45 τ=36.63
CC 10 SLD (Collegamento 0020_-377)
Azioni sul collegamento: N=-6801.33 Ty=-3.62 Tz=-0.19 Mx=0.01 Mz=-2.27
Sollecitazioni agenti localmente: Ty_l=-1214.73 My_l=-24.91
Tensioni nella sezione: σ=302.00 τ=36.81
CC 10 SLD (Collegamento 0020_-377)
Azioni sul collegamento: N=-6801.33 Ty=-2.73 Tz=1.73 Mx=0.01 Mz=-0.81
Sollecitazioni agenti localmente: Ty_l=-1208.93 My_l=-24.79
Tensioni nella sezione: σ=300.45 τ=36.63
CC 10 SLD (Collegamento 0020_-377)
Azioni sul collegamento: N=-6801.33 Ty=-3.62 Tz=1.73 Mx=0.01 Mz=-2.27
Sollecitazioni agenti localmente: Ty_l=-1214.73 My_l=-24.91
Tensioni nella sezione: σ=302.00 τ=36.81
CC 11 SLV (Collegamento 0020_-377)
Azioni sul collegamento: N=-7308.16 Ty=-2.97 Tz=3.37 Mx=0.02 Mz=2.33
Sollecitazioni agenti localmente: Ty_l=-1286.26 My_l=-26.36
Tensioni nella sezione: σ=319.46 τ=38.98
CC 11 SLV (Collegamento 0020_-377)
Azioni sul collegamento: N=-7308.16 Ty=-1.68 Tz=3.37 Mx=0.02 Mz=-1.26
Sollecitazioni agenti localmente: Ty_l=-1300.53 My_l=-26.67
Tensioni nella sezione: σ=323.25 τ=39.41
CC 11 SLV (Collegamento 0020_-377)
Azioni sul collegamento: N=-7308.16 Ty=-2.97 Tz=-2.08 Mx=0.02 Mz=2.33
Sollecitazioni agenti localmente: Ty_l=-1286.26 My_l=-26.36
Tensioni nella sezione: σ=319.46 τ=38.98
CC 11 SLV (Collegamento 0020_-377)
Azioni sul collegamento: N=-7308.16 Ty=-1.68 Tz=-2.08 Mx=0.02 Mz=-1.26
Sollecitazioni agenti localmente: Ty_l=-1300.53 My_l=-26.67
Tensioni nella sezione: σ=323.25 τ=39.41
CC 11 SLV (Collegamento 0020_-377)
Azioni sul collegamento: N=-5739.79 Ty=-2.97 Tz=3.37 Mx=0.02 Mz=2.33
Sollecitazioni agenti localmente: Ty_l=-1008.23 My_l=-20.66
Tensioni nella sezione: σ=250.37 τ=30.55
CC 11 SLV (Collegamento 0020_-377)
Azioni sul collegamento: N=-5739.79 Ty=-1.68 Tz=3.37 Mx=0.02 Mz=-1.26
Sollecitazioni agenti localmente: Ty_l=-1022.50 My_l=-20.97
Tensioni nella sezione: σ=254.16 τ=30.98
CC 11 SLV (Collegamento 0020_-377)
Azioni sul collegamento: N=-5739.79 Ty=-2.97 Tz=-2.08 Mx=0.02 Mz=2.33
Sollecitazioni agenti localmente: Ty_l=-1008.23 My_l=-20.66
Tensioni nella sezione: σ=250.37 τ=30.55
CC 11 SLV (Collegamento 0020_-377)
Azioni sul collegamento: N=-5739.79 Ty=-1.68 Tz=-2.08 Mx=0.02 Mz=-1.26
Sollecitazioni agenti localmente: Ty_l=-1022.50 My_l=-20.97
Tensioni nella sezione: σ=254.16 τ=30.98
CC 12 SLD (Collegamento 0020_-377)
Azioni sul collegamento: N=-6795.55 Ty=-2.98 Tz=1.60 Mx=0.01 Mz=-1.00
Sollecitazioni agenti localmente: Ty_l=-1208.63 My_l=-24.78

Tensioni nella sezione: σ=300.39 τ=36.63
CC 12 SLD (Collegamento 0020_-377)
Azioni sul collegamento: N=-6795.55 Ty=-3.37 Tz=1.60 Mx=0.01 Mz=-2.09
Sollecitazioni agenti localmente: Ty_l=-1212.98 My_l=-24.88
Tensioni nella sezione: σ=301.55 τ=36.76
CC 12 SLD (Collegamento 0020_-377)
Azioni sul collegamento: N=-6795.55 Ty=-2.98 Tz=-0.06 Mx=0.01 Mz=-1.00
Sollecitazioni agenti localmente: Ty_l=-1208.63 My_l=-24.78
Tensioni nella sezione: σ=300.39 τ=36.63
CC 12 SLD (Collegamento 0020_-377)
Azioni sul collegamento: N=-6795.55 Ty=-3.37 Tz=-0.06 Mx=0.01 Mz=-2.09
Sollecitazioni agenti localmente: Ty_l=-1212.98 My_l=-24.88
Tensioni nella sezione: σ=301.55 τ=36.76
CC 12 SLD (Collegamento 0020_-377)
Azioni sul collegamento: N=-6317.31 Ty=-2.98 Tz=1.60 Mx=0.01 Mz=-1.00
Sollecitazioni agenti localmente: Ty_l=-1123.85 My_l=-23.04
Tensioni nella sezione: σ=279.33 τ=34.06
CC 12 SLD (Collegamento 0020_-377)
Azioni sul collegamento: N=-6317.31 Ty=-3.37 Tz=1.60 Mx=0.01 Mz=-2.09
Sollecitazioni agenti localmente: Ty_l=-1128.20 My_l=-23.14
Tensioni nella sezione: σ=280.48 τ=34.19
CC 12 SLD (Collegamento 0020_-377)
Azioni sul collegamento: N=-6317.31 Ty=-2.98 Tz=-0.06 Mx=0.01 Mz=-1.00
Sollecitazioni agenti localmente: Ty_l=-1123.85 My_l=-23.04
Tensioni nella sezione: σ=279.33 τ=34.06
CC 12 SLD (Collegamento 0020_-377)
Azioni sul collegamento: N=-6317.31 Ty=-3.37 Tz=-0.06 Mx=0.01 Mz=-2.09
Sollecitazioni agenti localmente: Ty_l=-1128.20 My_l=-23.14
Tensioni nella sezione: σ=280.48 τ=34.19
CC 13 SLV (Collegamento 0020_-377)
Azioni sul collegamento: N=-5739.79 Ty=-1.68 Tz=-2.08 Mx=0.01 Mz=-1.26
Sollecitazioni agenti localmente: Ty_l=-1022.50 My_l=-20.97
Tensioni nella sezione: σ=254.16 τ=30.98
CC 13 SLV (Collegamento 0020_-377)
Azioni sul collegamento: N=-5739.79 Ty=-2.97 Tz=-2.08 Mx=0.01 Mz=2.33
Sollecitazioni agenti localmente: Ty_l=-1008.23 My_l=-20.66
Tensioni nella sezione: σ=250.37 τ=30.55
CC 13 SLV (Collegamento 0020_-377)
Azioni sul collegamento: N=-5739.79 Ty=-1.68 Tz=3.37 Mx=0.01 Mz=-1.26
Sollecitazioni agenti localmente: Ty_l=-1022.50 My_l=-20.97
Tensioni nella sezione: σ=254.16 τ=30.98
CC 13 SLV (Collegamento 0020_-377)
Azioni sul collegamento: N=-5739.79 Ty=-2.97 Tz=3.37 Mx=0.01 Mz=2.33
Sollecitazioni agenti localmente: Ty_l=-1008.23 My_l=-20.66
Tensioni nella sezione: σ=250.37 τ=30.55
CC 13 SLV (Collegamento 0020_-377)
Azioni sul collegamento: N=-7308.16 Ty=-1.68 Tz=-2.08 Mx=0.01 Mz=-1.26
Sollecitazioni agenti localmente: Ty_l=-1300.53 My_l=-26.67
Tensioni nella sezione: σ=323.25 τ=39.41
CC 13 SLV (Collegamento 0020_-377)
Azioni sul collegamento: N=-7308.16 Ty=-2.97 Tz=-2.08 Mx=0.01 Mz=2.33
Sollecitazioni agenti localmente: Ty_l=-1286.26 My_l=-26.36
Tensioni nella sezione: σ=319.46 τ=38.98
CC 13 SLV (Collegamento 0020_-377)
Azioni sul collegamento: N=-7308.16 Ty=-1.68 Tz=3.37 Mx=0.01 Mz=-1.26
Sollecitazioni agenti localmente: Ty_l=-1300.53 My_l=-26.67
Tensioni nella sezione: σ=323.25 τ=39.41
CC 13 SLV (Collegamento 0020_-377)
Azioni sul collegamento: N=-7308.16 Ty=-2.97 Tz=3.37 Mx=0.01 Mz=2.33
Sollecitazioni agenti localmente: Ty_l=-1286.26 My_l=-26.36
Tensioni nella sezione: σ=319.46 τ=38.98
CC 14 SLD (Collegamento 0020_-377)
Azioni sul collegamento: N=-6317.31 Ty=-3.37 Tz=-0.06 Mx=0.01 Mz=-2.09
Sollecitazioni agenti localmente: Ty_l=-1128.20 My_l=-23.14
Tensioni nella sezione: σ=280.48 τ=34.19
CC 14 SLD (Collegamento 0020_-377)
Azioni sul collegamento: N=-6317.31 Ty=-2.98 Tz=-0.06 Mx=0.01 Mz=-1.00
Sollecitazioni agenti localmente: Ty_l=-1123.85 My_l=-23.04
Tensioni nella sezione: σ=279.33 τ=34.06
CC 14 SLD (Collegamento 0020_-377)
Azioni sul collegamento: N=-6317.31 Ty=-3.37 Tz=1.60 Mx=0.01 Mz=-2.09
Sollecitazioni agenti localmente: Ty_l=-1128.20 My_l=-23.14
Tensioni nella sezione: σ=280.48 τ=34.19
CC 14 SLD (Collegamento 0020_-377)
Azioni sul collegamento: N=-6317.31 Ty=-2.98 Tz=1.60 Mx=0.01 Mz=-1.00
Sollecitazioni agenti localmente: Ty_l=-1123.85 My_l=-23.04
Tensioni nella sezione: σ=279.33 τ=34.06
CC 14 SLD (Collegamento 0020_-377)
Azioni sul collegamento: N=-6795.55 Ty=-3.37 Tz=-0.06 Mx=0.01 Mz=-2.09

Sollecitazioni agenti localmente: Ty_l=-1212.98 My_l=-24.88
Tensioni nella sezione: σ=301.55 τ=36.76
CC 14 SLD (Collegamento 0020_-377)
Azioni sul collegamento: N=-6795.55 Ty=-2.98 Tz=-0.06 Mx=0.01 Mz=-1.00
Sollecitazioni agenti localmente: Ty_l=-1208.63 My_l=-24.78
Tensioni nella sezione: σ=300.39 τ=36.63
CC 14 SLD (Collegamento 0020_-377)
Azioni sul collegamento: N=-6795.55 Ty=-3.37 Tz=1.60 Mx=0.01 Mz=-2.09
Sollecitazioni agenti localmente: Ty_l=-1212.98 My_l=-24.88
Tensioni nella sezione: σ=301.55 τ=36.76
CC 14 SLD (Collegamento 0020_-377)
Azioni sul collegamento: N=-6795.55 Ty=-2.98 Tz=1.60 Mx=0.01 Mz=-1.00
Sollecitazioni agenti localmente: Ty_l=-1208.63 My_l=-24.78
Tensioni nella sezione: σ=300.39 τ=36.63
CC 15 SLV (Collegamento 0020_-377)
Azioni sul collegamento: N=-7327.12 Ty=-0.86 Tz=3.80 Mx=0.01 Mz=-1.85
Sollecitazioni agenti localmente: Ty_l=-1306.27 My_l=-26.79
Tensioni nella sezione: σ=324.71 τ=39.58
CC 15 SLV (Collegamento 0020_-377)
Azioni sul collegamento: N=-7327.12 Ty=-3.80 Tz=3.80 Mx=0.01 Mz=2.93
Sollecitazioni agenti localmente: Ty_l=-1287.24 My_l=-26.37
Tensioni nella sezione: σ=319.66 τ=39.01
CC 15 SLV (Collegamento 0020_-377)
Azioni sul collegamento: N=-7327.12 Ty=-0.86 Tz=-2.51 Mx=0.01 Mz=-1.85
Sollecitazioni agenti localmente: Ty_l=-1306.27 My_l=-26.79
Tensioni nella sezione: σ=324.71 τ=39.58
CC 15 SLV (Collegamento 0020_-377)
Azioni sul collegamento: N=-7327.12 Ty=-3.80 Tz=-2.51 Mx=0.01 Mz=2.93
Sollecitazioni agenti localmente: Ty_l=-1287.24 My_l=-26.37
Tensioni nella sezione: σ=319.66 τ=39.01
CC 15 SLV (Collegamento 0020_-377)
Azioni sul collegamento: N=-5720.83 Ty=-0.86 Tz=3.80 Mx=0.01 Mz=-1.85
Sollecitazioni agenti localmente: Ty_l=-1021.52 My_l=-20.95
Tensioni nella sezione: σ=253.96 τ=30.96
CC 15 SLV (Collegamento 0020_-377)
Azioni sul collegamento: N=-5720.83 Ty=-3.80 Tz=3.80 Mx=0.01 Mz=2.93
Sollecitazioni agenti localmente: Ty_l=-1002.49 My_l=-20.53
Tensioni nella sezione: σ=248.91 τ=30.38
CC 15 SLV (Collegamento 0020_-377)
Azioni sul collegamento: N=-5720.83 Ty=-0.86 Tz=-2.51 Mx=0.01 Mz=-1.85
Sollecitazioni agenti localmente: Ty_l=-1021.52 My_l=-20.95
Tensioni nella sezione: σ=253.96 τ=30.96
CC 15 SLV (Collegamento 0020_-377)
Azioni sul collegamento: N=-5720.83 Ty=-3.80 Tz=-2.51 Mx=0.01 Mz=2.93
Sollecitazioni agenti localmente: Ty_l=-1002.49 My_l=-20.53
Tensioni nella sezione: σ=248.91 τ=30.38
CC 16 SLD (Collegamento 0020_-377)
Azioni sul collegamento: N=-6801.33 Ty=-3.62 Tz=1.73 Mx=0.01 Mz=-2.27
Sollecitazioni agenti localmente: Ty_l=-1214.73 My_l=-24.91
Tensioni nella sezione: σ=302.00 τ=36.81
CC 16 SLD (Collegamento 0020_-377)
Azioni sul collegamento: N=-6801.33 Ty=-2.73 Tz=1.73 Mx=0.01 Mz=-0.81
Sollecitazioni agenti localmente: Ty_l=-1208.93 My_l=-24.79
Tensioni nella sezione: σ=300.45 τ=36.63
CC 16 SLD (Collegamento 0020_-377)
Azioni sul collegamento: N=-6801.33 Ty=-3.62 Tz=-0.19 Mx=0.01 Mz=-2.27
Sollecitazioni agenti localmente: Ty_l=-1214.73 My_l=-24.91
Tensioni nella sezione: σ=302.00 τ=36.81
CC 16 SLD (Collegamento 0020_-377)
Azioni sul collegamento: N=-6801.33 Ty=-2.73 Tz=-0.19 Mx=0.01 Mz=-0.81
Sollecitazioni agenti localmente: Ty_l=-1208.93 My_l=-24.79
Tensioni nella sezione: σ=300.45 τ=36.63
CC 16 SLD (Collegamento 0020_-377)
Azioni sul collegamento: N=-6311.52 Ty=-3.62 Tz=1.73 Mx=0.01 Mz=-2.27
Sollecitazioni agenti localmente: Ty_l=-1127.90 My_l=-23.13
Tensioni nella sezione: σ=280.42 τ=34.18
CC 16 SLD (Collegamento 0020_-377)
Azioni sul collegamento: N=-6311.52 Ty=-2.73 Tz=1.73 Mx=0.01 Mz=-0.81
Sollecitazioni agenti localmente: Ty_l=-1122.10 My_l=-23.01
Tensioni nella sezione: σ=278.88 τ=34.00
CC 16 SLD (Collegamento 0020_-377)
Azioni sul collegamento: N=-6311.52 Ty=-3.62 Tz=-0.19 Mx=0.01 Mz=-2.27
Sollecitazioni agenti localmente: Ty_l=-1127.90 My_l=-23.13
Tensioni nella sezione: σ=280.42 τ=34.18
CC 16 SLD (Collegamento 0020_-377)
Azioni sul collegamento: N=-6311.52 Ty=-2.73 Tz=-0.19 Mx=0.01 Mz=-0.81
Sollecitazioni agenti localmente: Ty_l=-1122.10 My_l=-23.01
Tensioni nella sezione: σ=278.88 τ=34.00
CC 17 SLV (Collegamento 0020_-377)

Azioni sul collegamento: N=-3968.96 Ty=-3.07 Tz=-8.85 Mx=-0.01 Mz=-3.83
Sollecitazioni agenti localmente: Ty_l=-718.82 My_l=-14.76
Tensioni nella sezione: σ=178.87 τ=21.78
CC 17 SLV (Collegamento 0020_-377)
Azioni sul collegamento: N=-3968.96 Ty=-6.45 Tz=-8.85 Mx=-0.01 Mz=-7.08
Sollecitazioni agenti localmente: Ty_l=-731.73 My_l=-15.04
Tensioni nella sezione: σ=182.30 τ=22.17
CC 17 SLV (Collegamento 0020_-377)
Azioni sul collegamento: N=-3968.96 Ty=-3.07 Tz=10.87 Mx=-0.01 Mz=-3.83
Sollecitazioni agenti localmente: Ty_l=-718.82 My_l=-14.76
Tensioni nella sezione: σ=178.87 τ=21.78
CC 17 SLV (Collegamento 0020_-377)
Azioni sul collegamento: N=-3968.96 Ty=-6.45 Tz=10.87 Mx=-0.01 Mz=-7.08
Sollecitazioni agenti localmente: Ty_l=-731.73 My_l=-15.04
Tensioni nella sezione: σ=182.30 τ=22.17
CC 17 SLV (Collegamento 0020_-377)
Azioni sul collegamento: N=-9265.76 Ty=-3.07 Tz=-8.85 Mx=-0.01 Mz=-3.83
Sollecitazioni agenti localmente: Ty_l=-1657.79 My_l=-34.01
Tensioni nella sezione: σ=412.19 τ=50.24
CC 17 SLV (Collegamento 0020_-377)
Azioni sul collegamento: N=-9265.76 Ty=-6.45 Tz=-8.85 Mx=-0.01 Mz=-7.08
Sollecitazioni agenti localmente: Ty_l=-1670.71 My_l=-34.29
Tensioni nella sezione: σ=415.62 τ=50.63
CC 17 SLV (Collegamento 0020_-377)
Azioni sul collegamento: N=-9265.76 Ty=-3.07 Tz=10.87 Mx=-0.01 Mz=-3.83
Sollecitazioni agenti localmente: Ty_l=-1657.79 My_l=-34.01
Tensioni nella sezione: σ=412.19 τ=50.24
CC 17 SLV (Collegamento 0020_-377)
Azioni sul collegamento: N=-9265.76 Ty=-6.45 Tz=10.87 Mx=-0.01 Mz=-7.08
Sollecitazioni agenti localmente: Ty_l=-1670.71 My_l=-34.29
Tensioni nella sezione: σ=415.62 τ=50.63
CC 18 SLD (Collegamento 0020_-377)
Azioni sul collegamento: N=-5777.32 Ty=-3.40 Tz=-2.12 Mx=-0.00 Mz=-2.87
Sollecitazioni agenti localmente: Ty_l=-1035.60 My_l=-21.25
Tensioni nella sezione: σ=257.52 τ=31.38
CC 18 SLD (Collegamento 0020_-377)
Azioni sul collegamento: N=-5777.32 Ty=-4.43 Tz=-2.12 Mx=-0.00 Mz=-3.87
Sollecitazioni agenti localmente: Ty_l=-1039.54 My_l=-21.33
Tensioni nella sezione: σ=258.57 τ=31.50
CC 18 SLD (Collegamento 0020_-377)
Azioni sul collegamento: N=-5777.32 Ty=-3.40 Tz=3.89 Mx=-0.00 Mz=-2.87
Sollecitazioni agenti localmente: Ty_l=-1035.60 My_l=-21.25
Tensioni nella sezione: σ=257.52 τ=31.38
CC 18 SLD (Collegamento 0020_-377)
Azioni sul collegamento: N=-5777.32 Ty=-4.43 Tz=3.89 Mx=-0.00 Mz=-3.87
Sollecitazioni agenti localmente: Ty_l=-1039.54 My_l=-21.33
Tensioni nella sezione: σ=258.57 τ=31.50
CC 18 SLD (Collegamento 0020_-377)
Azioni sul collegamento: N=-7392.49 Ty=-3.40 Tz=-2.12 Mx=-0.00 Mz=-2.87
Sollecitazioni agenti localmente: Ty_l=-1321.92 My_l=-27.12
Tensioni nella sezione: σ=328.67 τ=40.06
CC 18 SLD (Collegamento 0020_-377)
Azioni sul collegamento: N=-7392.49 Ty=-4.43 Tz=-2.12 Mx=-0.00 Mz=-3.87
Sollecitazioni agenti localmente: Ty_l=-1325.86 My_l=-27.20
Tensioni nella sezione: σ=329.72 τ=40.18
CC 18 SLD (Collegamento 0020_-377)
Azioni sul collegamento: N=-7392.49 Ty=-3.40 Tz=3.89 Mx=-0.00 Mz=-2.87
Sollecitazioni agenti localmente: Ty_l=-1321.92 My_l=-27.12
Tensioni nella sezione: σ=328.67 τ=40.06
CC 18 SLD (Collegamento 0020_-377)
Azioni sul collegamento: N=-7392.49 Ty=-4.43 Tz=3.89 Mx=-0.00 Mz=-3.87
Sollecitazioni agenti localmente: Ty_l=-1325.86 My_l=-27.20
Tensioni nella sezione: σ=329.72 τ=40.18
CC 19 SLV (Collegamento 0020_-377)
Azioni sul collegamento: N=-3974.65 Ty=-3.70 Tz=-8.72 Mx=-0.01 Mz=-5.08
Sollecitazioni agenti localmente: Ty_l=-724.82 My_l=-14.89
Tensioni nella sezione: σ=180.45 τ=21.96
CC 19 SLV (Collegamento 0020_-377)
Azioni sul collegamento: N=-3974.65 Ty=-5.81 Tz=-8.72 Mx=-0.01 Mz=-5.82
Sollecitazioni agenti localmente: Ty_l=-727.75 My_l=-14.95
Tensioni nella sezione: σ=181.23 τ=22.05
CC 19 SLV (Collegamento 0020_-377)
Azioni sul collegamento: N=-3974.65 Ty=-3.70 Tz=10.74 Mx=-0.01 Mz=-5.08
Sollecitazioni agenti localmente: Ty_l=-724.82 My_l=-14.89
Tensioni nella sezione: σ=180.45 τ=21.96
CC 19 SLV (Collegamento 0020_-377)
Azioni sul collegamento: N=-3974.65 Ty=-5.81 Tz=10.74 Mx=-0.01 Mz=-5.82
Sollecitazioni agenti localmente: Ty_l=-727.75 My_l=-14.95
Tensioni nella sezione: σ=181.23 τ=22.05

CC 19 SLV (Collegamento 0020_-377)
Azioni sul collegamento: N=-9260.08 Ty=-3.70 Tz=-8.72 Mx=-0.01 Mz=-5.08
Sollecitazioni agenti localmente: Ty_l=-1661.78 My_l=-34.09
Tensioni nella sezione: σ=413.27 τ=50.36
CC 19 SLV (Collegamento 0020_-377)
Azioni sul collegamento: N=-9260.08 Ty=-5.81 Tz=-8.72 Mx=-0.01 Mz=-5.82
Sollecitazioni agenti localmente: Ty_l=-1664.71 My_l=-34.16
Tensioni nella sezione: σ=414.05 τ=50.45
CC 19 SLV (Collegamento 0020_-377)
Azioni sul collegamento: N=-9260.08 Ty=-3.70 Tz=10.74 Mx=-0.01 Mz=-5.08
Sollecitazioni agenti localmente: Ty_l=-1661.78 My_l=-34.09
Tensioni nella sezione: σ=413.27 τ=50.36
CC 19 SLV (Collegamento 0020_-377)
Azioni sul collegamento: N=-9260.08 Ty=-5.81 Tz=10.74 Mx=-0.01 Mz=-5.82
Sollecitazioni agenti localmente: Ty_l=-1664.71 My_l=-34.16
Tensioni nella sezione: σ=414.05 τ=50.45
CC 20 SLD (Collegamento 0020_-377)
Azioni sul collegamento: N=-5779.06 Ty=-3.59 Tz=-2.08 Mx=-0.00 Mz=-3.26
Sollecitazioni agenti localmente: Ty_l=-1037.43 My_l=-21.29
Tensioni nella sezione: σ=258.00 τ=31.44
CC 20 SLD (Collegamento 0020_-377)
Azioni sul collegamento: N=-5779.06 Ty=-4.24 Tz=-2.08 Mx=-0.00 Mz=-3.48
Sollecitazioni agenti localmente: Ty_l=-1038.32 My_l=-21.30
Tensioni nella sezione: σ=258.24 τ=31.46
CC 20 SLD (Collegamento 0020_-377)
Azioni sul collegamento: N=-5779.06 Ty=-3.59 Tz=3.85 Mx=-0.00 Mz=-3.26
Sollecitazioni agenti localmente: Ty_l=-1037.43 My_l=-21.29
Tensioni nella sezione: σ=258.00 τ=31.44
CC 20 SLD (Collegamento 0020_-377)
Azioni sul collegamento: N=-5779.06 Ty=-4.24 Tz=3.85 Mx=-0.00 Mz=-3.48
Sollecitazioni agenti localmente: Ty_l=-1038.32 My_l=-21.30
Tensioni nella sezione: σ=258.24 τ=31.46
CC 20 SLD (Collegamento 0020_-377)
Azioni sul collegamento: N=-7390.75 Ty=-3.59 Tz=-2.08 Mx=-0.00 Mz=-3.26
Sollecitazioni agenti localmente: Ty_l=-1323.14 My_l=-27.14
Tensioni nella sezione: σ=329.00 τ=40.10
CC 20 SLD (Collegamento 0020_-377)
Azioni sul collegamento: N=-7390.75 Ty=-4.24 Tz=-2.08 Mx=-0.00 Mz=-3.48
Sollecitazioni agenti localmente: Ty_l=-1324.03 My_l=-27.16
Tensioni nella sezione: σ=329.24 τ=40.12
CC 20 SLD (Collegamento 0020_-377)
Azioni sul collegamento: N=-7390.75 Ty=-3.59 Tz=3.85 Mx=-0.00 Mz=-3.26
Sollecitazioni agenti localmente: Ty_l=-1323.14 My_l=-27.14
Tensioni nella sezione: σ=329.00 τ=40.10
CC 20 SLD (Collegamento 0020_-377)
Azioni sul collegamento: N=-7390.75 Ty=-4.24 Tz=3.85 Mx=-0.00 Mz=-3.48
Sollecitazioni agenti localmente: Ty_l=-1324.03 My_l=-27.16
Tensioni nella sezione: σ=329.24 τ=40.12
CC 21 SLV (Collegamento 0020_-377)
Azioni sul collegamento: N=-9260.08 Ty=-5.81 Tz=10.74 Mx=-0.01 Mz=-5.82
Sollecitazioni agenti localmente: Ty_l=-1664.71 My_l=-34.16
Tensioni nella sezione: σ=414.05 τ=50.45
CC 21 SLV (Collegamento 0020_-377)
Azioni sul collegamento: N=-9260.08 Ty=-3.70 Tz=10.74 Mx=-0.01 Mz=-5.08
Sollecitazioni agenti localmente: Ty_l=-1661.78 My_l=-34.09
Tensioni nella sezione: σ=413.27 τ=50.36
CC 21 SLV (Collegamento 0020_-377)
Azioni sul collegamento: N=-9260.08 Ty=-5.81 Tz=-8.72 Mx=-0.01 Mz=-5.82
Sollecitazioni agenti localmente: Ty_l=-1664.71 My_l=-34.16
Tensioni nella sezione: σ=414.05 τ=50.45
CC 21 SLV (Collegamento 0020_-377)
Azioni sul collegamento: N=-9260.08 Ty=-3.70 Tz=-8.72 Mx=-0.01 Mz=-5.08
Sollecitazioni agenti localmente: Ty_l=-1661.78 My_l=-34.09
Tensioni nella sezione: σ=413.27 τ=50.36
CC 21 SLV (Collegamento 0020_-377)
Azioni sul collegamento: N=-3974.65 Ty=-5.81 Tz=10.74 Mx=-0.01 Mz=-5.82
Sollecitazioni agenti localmente: Ty_l=-727.75 My_l=-14.95
Tensioni nella sezione: σ=181.23 τ=22.05
CC 21 SLV (Collegamento 0020_-377)
Azioni sul collegamento: N=-3974.65 Ty=-3.70 Tz=10.74 Mx=-0.01 Mz=-5.08
Sollecitazioni agenti localmente: Ty_l=-724.82 My_l=-14.89
Tensioni nella sezione: σ=180.45 τ=21.96
CC 21 SLV (Collegamento 0020_-377)
Azioni sul collegamento: N=-3974.65 Ty=-5.81 Tz=-8.72 Mx=-0.01 Mz=-5.82
Sollecitazioni agenti localmente: Ty_l=-727.75 My_l=-14.95
Tensioni nella sezione: σ=181.23 τ=22.05
CC 21 SLV (Collegamento 0020_-377)
Azioni sul collegamento: N=-3974.65 Ty=-3.70 Tz=-8.72 Mx=-0.01 Mz=-5.08
Sollecitazioni agenti localmente: Ty_l=-724.82 My_l=-14.89

Tensioni nella sezione: σ=180.45 τ=21.96
CC 22 SLD (Collegamento 0020_-377)
Azioni sul collegamento: N=-7390.75 Ty=-4.24 Tz=3.85 Mx=-0.00 Mz=-3.48
Sollecitazioni agenti localmente: Ty_l=-1324.03 My_l=-27.16
Tensioni nella sezione: σ=329.24 τ=40.12
CC 22 SLD (Collegamento 0020_-377)
Azioni sul collegamento: N=-7390.75 Ty=-3.59 Tz=3.85 Mx=-0.00 Mz=-3.26
Sollecitazioni agenti localmente: Ty_l=-1323.14 My_l=-27.14
Tensioni nella sezione: σ=329.00 τ=40.10
CC 22 SLD (Collegamento 0020_-377)
Azioni sul collegamento: N=-7390.75 Ty=-4.24 Tz=-2.08 Mx=-0.00 Mz=-3.48
Sollecitazioni agenti localmente: Ty_l=-1324.03 My_l=-27.16
Tensioni nella sezione: σ=329.24 τ=40.12
CC 22 SLD (Collegamento 0020_-377)
Azioni sul collegamento: N=-7390.75 Ty=-3.59 Tz=-2.08 Mx=-0.00 Mz=-3.26
Sollecitazioni agenti localmente: Ty_l=-1323.14 My_l=-27.14
Tensioni nella sezione: σ=329.00 τ=40.10
CC 22 SLD (Collegamento 0020_-377)
Azioni sul collegamento: N=-5779.06 Ty=-4.24 Tz=3.85 Mx=-0.00 Mz=-3.48
Sollecitazioni agenti localmente: Ty_l=-1038.32 My_l=-21.30
Tensioni nella sezione: σ=258.24 τ=31.46
CC 22 SLD (Collegamento 0020_-377)
Azioni sul collegamento: N=-5779.06 Ty=-3.59 Tz=3.85 Mx=-0.00 Mz=-3.26
Sollecitazioni agenti localmente: Ty_l=-1037.43 My_l=-21.29
Tensioni nella sezione: σ=258.00 τ=31.44
CC 22 SLD (Collegamento 0020_-377)
Azioni sul collegamento: N=-5779.06 Ty=-4.24 Tz=-2.08 Mx=-0.00 Mz=-3.48
Sollecitazioni agenti localmente: Ty_l=-1038.32 My_l=-21.30
Tensioni nella sezione: σ=258.24 τ=31.46
CC 22 SLD (Collegamento 0020_-377)
Azioni sul collegamento: N=-5779.06 Ty=-3.59 Tz=-2.08 Mx=-0.00 Mz=-3.26
Sollecitazioni agenti localmente: Ty_l=-1037.43 My_l=-21.29
Tensioni nella sezione: σ=258.00 τ=31.44
CC 23 SLV (Collegamento 0020_-377)
Azioni sul collegamento: N=-9265.76 Ty=-6.45 Tz=10.87 Mx=-0.01 Mz=-7.08
Sollecitazioni agenti localmente: Ty_l=-1670.71 My_l=-34.29
Tensioni nella sezione: σ=415.62 τ=50.63
CC 23 SLV (Collegamento 0020_-377)
Azioni sul collegamento: N=-9265.76 Ty=-3.07 Tz=10.87 Mx=-0.01 Mz=-3.83
Sollecitazioni agenti localmente: Ty_l=-1657.79 My_l=-34.01
Tensioni nella sezione: σ=412.19 τ=50.24
CC 23 SLV (Collegamento 0020_-377)
Azioni sul collegamento: N=-9265.76 Ty=-6.45 Tz=-8.85 Mx=-0.01 Mz=-7.08
Sollecitazioni agenti localmente: Ty_l=-1670.71 My_l=-34.29
Tensioni nella sezione: σ=415.62 τ=50.63
CC 23 SLV (Collegamento 0020_-377)
Azioni sul collegamento: N=-9265.76 Ty=-3.07 Tz=-8.85 Mx=-0.01 Mz=-3.83
Sollecitazioni agenti localmente: Ty_l=-1657.79 My_l=-34.01
Tensioni nella sezione: σ=412.19 τ=50.24
CC 23 SLV (Collegamento 0020_-377)
Azioni sul collegamento: N=-3968.96 Ty=-6.45 Tz=10.87 Mx=-0.01 Mz=-7.08
Sollecitazioni agenti localmente: Ty_l=-731.73 My_l=-15.04
Tensioni nella sezione: σ=182.30 τ=22.17
CC 23 SLV (Collegamento 0020_-377)
Azioni sul collegamento: N=-3968.96 Ty=-3.07 Tz=10.87 Mx=-0.01 Mz=-3.83
Sollecitazioni agenti localmente: Ty_l=-718.82 My_l=-14.76
Tensioni nella sezione: σ=178.87 τ=21.78
CC 23 SLV (Collegamento 0020_-377)
Azioni sul collegamento: N=-3968.96 Ty=-6.45 Tz=-8.85 Mx=-0.01 Mz=-7.08
Sollecitazioni agenti localmente: Ty_l=-731.73 My_l=-15.04
Tensioni nella sezione: σ=182.30 τ=22.17
CC 23 SLV (Collegamento 0020_-377)
Azioni sul collegamento: N=-3968.96 Ty=-3.07 Tz=-8.85 Mx=-0.01 Mz=-3.83
Sollecitazioni agenti localmente: Ty_l=-718.82 My_l=-14.76
Tensioni nella sezione: σ=178.87 τ=21.78
CC 24 SLD (Collegamento 0020_-377)
Azioni sul collegamento: N=-7392.49 Ty=-4.43 Tz=3.89 Mx=0.00 Mz=-3.87
Sollecitazioni agenti localmente: Ty_l=-1325.86 My_l=-27.20
Tensioni nella sezione: σ=329.72 τ=40.18
CC 24 SLD (Collegamento 0020_-377)
Azioni sul collegamento: N=-7392.49 Ty=-3.40 Tz=3.89 Mx=0.00 Mz=-2.87
Sollecitazioni agenti localmente: Ty_l=-1321.92 My_l=-27.12
Tensioni nella sezione: σ=328.67 τ=40.06
CC 24 SLD (Collegamento 0020_-377)
Azioni sul collegamento: N=-7392.49 Ty=-4.43 Tz=-2.12 Mx=0.00 Mz=-3.87
Sollecitazioni agenti localmente: Ty_l=-1325.86 My_l=-27.20
Tensioni nella sezione: σ=329.72 τ=40.18
CC 24 SLD (Collegamento 0020_-377)
Azioni sul collegamento: N=-7392.49 Ty=-3.40 Tz=-2.12 Mx=0.00 Mz=-2.87

Sollecitazioni agenti localmente: Ty_l=-1321.92 My_l=-27.12
Tensioni nella sezione: σ=328.67 τ=40.06
CC 24 SLD (Collegamento 0020_-377)
Azioni sul collegamento: N=-5777.32 Ty=-4.43 Tz=3.89 Mx=0.00 Mz=-3.87
Sollecitazioni agenti localmente: Ty_l=-1039.54 My_l=-21.33
Tensioni nella sezione: σ=258.57 τ=31.50
CC 24 SLD (Collegamento 0020_-377)
Azioni sul collegamento: N=-5777.32 Ty=-3.40 Tz=3.89 Mx=0.00 Mz=-2.87
Sollecitazioni agenti localmente: Ty_l=-1035.60 My_l=-21.25
Tensioni nella sezione: σ=257.52 τ=31.38
CC 24 SLD (Collegamento 0020_-377)
Azioni sul collegamento: N=-5777.32 Ty=-4.43 Tz=-2.12 Mx=0.00 Mz=-3.87
Sollecitazioni agenti localmente: Ty_l=-1039.54 My_l=-21.33
Tensioni nella sezione: σ=258.57 τ=31.50
CC 24 SLD (Collegamento 0020_-377)
Azioni sul collegamento: N=-5777.32 Ty=-3.40 Tz=-2.12 Mx=0.00 Mz=-2.87
Sollecitazioni agenti localmente: Ty_l=-1035.60 My_l=-21.25
Tensioni nella sezione: σ=257.52 τ=31.38
CC 25 SLV (Collegamento 0020_-377)
Azioni sul collegamento: N=-5814.21 Ty=-3.29 Tz=-2.14 Mx=-0.02 Mz=-3.06
Sollecitazioni agenti localmente: Ty_l=-1042.87 My_l=-21.40
Tensioni nella sezione: σ=259.35 τ=31.60
CC 25 SLV (Collegamento 0020_-377)
Azioni sul collegamento: N=-5814.21 Ty=-6.23 Tz=-2.14 Mx=-0.02 Mz=-7.84
Sollecitazioni agenti localmente: Ty_l=-1061.90 My_l=-21.81
Tensioni nella sezione: σ=264.40 τ=32.18
CC 25 SLV (Collegamento 0020_-377)
Azioni sul collegamento: N=-5814.21 Ty=-3.29 Tz=4.16 Mx=-0.02 Mz=-3.06
Sollecitazioni agenti localmente: Ty_l=-1042.87 My_l=-21.40
Tensioni nella sezione: σ=259.35 τ=31.60
CC 25 SLV (Collegamento 0020_-377)
Azioni sul collegamento: N=-5814.21 Ty=-6.23 Tz=4.16 Mx=-0.02 Mz=-7.84
Sollecitazioni agenti localmente: Ty_l=-1061.90 My_l=-21.81
Tensioni nella sezione: σ=264.40 τ=32.18
CC 25 SLV (Collegamento 0020_-377)
Azioni sul collegamento: N=-7420.51 Ty=-3.29 Tz=-2.14 Mx=-0.02 Mz=-3.06
Sollecitazioni agenti localmente: Ty_l=-1327.63 My_l=-27.23
Tensioni nella sezione: σ=330.10 τ=40.23
CC 25 SLV (Collegamento 0020_-377)
Azioni sul collegamento: N=-7420.51 Ty=-6.23 Tz=-2.14 Mx=-0.02 Mz=-7.84
Sollecitazioni agenti localmente: Ty_l=-1346.65 My_l=-27.65
Tensioni nella sezione: σ=335.15 τ=40.81
CC 25 SLV (Collegamento 0020_-377)
Azioni sul collegamento: N=-7420.51 Ty=-3.29 Tz=4.16 Mx=-0.02 Mz=-3.06
Sollecitazioni agenti localmente: Ty_l=-1327.63 My_l=-27.23
Tensioni nella sezione: σ=330.10 τ=40.23
CC 25 SLV (Collegamento 0020_-377)
Azioni sul collegamento: N=-7420.51 Ty=-6.23 Tz=4.16 Mx=-0.02 Mz=-7.84
Sollecitazioni agenti localmente: Ty_l=-1346.65 My_l=-27.65
Tensioni nella sezione: σ=335.15 τ=40.81
CC 26 SLD (Collegamento 0020_-377)
Azioni sul collegamento: N=-6340.00 Ty=-3.47 Tz=-0.08 Mx=-0.00 Mz=-2.64
Sollecitazioni agenti localmente: Ty_l=-1134.41 My_l=-23.27
Tensioni nella sezione: σ=282.06 τ=34.38
CC 26 SLD (Collegamento 0020_-377)
Azioni sul collegamento: N=-6340.00 Ty=-4.36 Tz=-0.08 Mx=-0.00 Mz=-4.10
Sollecitazioni agenti localmente: Ty_l=-1140.22 My_l=-23.40
Tensioni nella sezione: σ=283.60 τ=34.55
CC 26 SLD (Collegamento 0020_-377)
Azioni sul collegamento: N=-6340.00 Ty=-3.47 Tz=1.85 Mx=-0.00 Mz=-2.64
Sollecitazioni agenti localmente: Ty_l=-1134.41 My_l=-23.27
Tensioni nella sezione: σ=282.06 τ=34.38
CC 26 SLD (Collegamento 0020_-377)
Azioni sul collegamento: N=-6340.00 Ty=-4.36 Tz=1.85 Mx=-0.00 Mz=-4.10
Sollecitazioni agenti localmente: Ty_l=-1140.22 My_l=-23.40
Tensioni nella sezione: σ=283.60 τ=34.55
CC 26 SLD (Collegamento 0020_-377)
Azioni sul collegamento: N=-6829.81 Ty=-3.47 Tz=-0.08 Mx=-0.00 Mz=-2.64
Sollecitazioni agenti localmente: Ty_l=-1221.24 My_l=-25.05
Tensioni nella sezione: σ=303.64 τ=37.01
CC 26 SLD (Collegamento 0020_-377)
Azioni sul collegamento: N=-6829.81 Ty=-4.36 Tz=-0.08 Mx=-0.00 Mz=-4.10
Sollecitazioni agenti localmente: Ty_l=-1227.05 My_l=-25.18
Tensioni nella sezione: σ=305.18 τ=37.18
CC 26 SLD (Collegamento 0020_-377)
Azioni sul collegamento: N=-6829.81 Ty=-3.47 Tz=1.85 Mx=-0.00 Mz=-2.64
Sollecitazioni agenti localmente: Ty_l=-1221.24 My_l=-25.05
Tensioni nella sezione: σ=303.64 τ=37.01
CC 26 SLD (Collegamento 0020_-377)

Azioni sul collegamento: N=-6829.81 Ty=-4.36 Tz=1.85 Mx=-0.00 Mz=-4.10
Sollecitazioni agenti localmente: Ty_l=-1227.05 My_l=-25.18
Tensioni nella sezione: σ=305.18 τ=37.18
CC 27 SLV (Collegamento 0020_-377)
Azioni sul collegamento: N=-7401.55 Ty=-4.11 Tz=3.74 Mx=-0.02 Mz=-3.66
Sollecitazioni agenti localmente: Ty_l=-1326.64 My_l=-27.22
Tensioni nella sezione: σ=329.90 τ=40.20
CC 27 SLV (Collegamento 0020_-377)
Azioni sul collegamento: N=-7401.55 Ty=-5.40 Tz=3.74 Mx=-0.02 Mz=-7.25
Sollecitazioni agenti localmente: Ty_l=-1340.92 My_l=-27.53
Tensioni nella sezione: σ=333.69 τ=40.63
CC 27 SLV (Collegamento 0020_-377)
Azioni sul collegamento: N=-7401.55 Ty=-4.11 Tz=-1.71 Mx=-0.02 Mz=-3.66
Sollecitazioni agenti localmente: Ty_l=-1326.64 My_l=-27.22
Tensioni nella sezione: σ=329.90 τ=40.20
CC 27 SLV (Collegamento 0020_-377)
Azioni sul collegamento: N=-7401.55 Ty=-5.40 Tz=-1.71 Mx=-0.02 Mz=-7.25
Sollecitazioni agenti localmente: Ty_l=-1340.92 My_l=-27.53
Tensioni nella sezione: σ=333.69 τ=40.63
CC 27 SLV (Collegamento 0020_-377)
Azioni sul collegamento: N=-5833.17 Ty=-4.11 Tz=3.74 Mx=-0.02 Mz=-3.66
Sollecitazioni agenti localmente: Ty_l=-1048.61 My_l=-21.52
Tensioni nella sezione: σ=260.81 τ=31.78
CC 27 SLV (Collegamento 0020_-377)
Azioni sul collegamento: N=-5833.17 Ty=-5.40 Tz=3.74 Mx=-0.02 Mz=-7.25
Sollecitazioni agenti localmente: Ty_l=-1062.89 My_l=-21.83
Tensioni nella sezione: σ=264.60 τ=32.21
CC 27 SLV (Collegamento 0020_-377)
Azioni sul collegamento: N=-5833.17 Ty=-4.11 Tz=-1.71 Mx=-0.02 Mz=-3.66
Sollecitazioni agenti localmente: Ty_l=-1048.61 My_l=-21.52
Tensioni nella sezione: σ=260.81 τ=31.78
CC 27 SLV (Collegamento 0020_-377)
Azioni sul collegamento: N=-5833.17 Ty=-5.40 Tz=-1.71 Mx=-0.02 Mz=-7.25
Sollecitazioni agenti localmente: Ty_l=-1062.89 My_l=-21.83
Tensioni nella sezione: σ=264.60 τ=32.21
CC 28 SLD (Collegamento 0020_-377)
Azioni sul collegamento: N=-6824.03 Ty=-3.72 Tz=1.72 Mx=-0.00 Mz=-2.82
Sollecitazioni agenti localmente: Ty_l=-1220.94 My_l=-25.05
Tensioni nella sezione: σ=303.58 τ=37.00
CC 28 SLD (Collegamento 0020_-377)
Azioni sul collegamento: N=-6824.03 Ty=-4.11 Tz=1.72 Mx=-0.00 Mz=-3.92
Sollecitazioni agenti localmente: Ty_l=-1225.30 My_l=-25.14
Tensioni nella sezione: σ=304.73 τ=37.13
CC 28 SLD (Collegamento 0020_-377)
Azioni sul collegamento: N=-6824.03 Ty=-3.72 Tz=0.05 Mx=-0.00 Mz=-2.82
Sollecitazioni agenti localmente: Ty_l=-1220.94 My_l=-25.05
Tensioni nella sezione: σ=303.58 τ=37.00
CC 28 SLD (Collegamento 0020_-377)
Azioni sul collegamento: N=-6824.03 Ty=-4.11 Tz=0.05 Mx=-0.00 Mz=-3.92
Sollecitazioni agenti localmente: Ty_l=-1225.30 My_l=-25.14
Tensioni nella sezione: σ=304.73 τ=37.13
CC 28 SLD (Collegamento 0020_-377)
Azioni sul collegamento: N=-6345.78 Ty=-3.72 Tz=1.72 Mx=-0.00 Mz=-2.82
Sollecitazioni agenti localmente: Ty_l=-1136.16 My_l=-23.31
Tensioni nella sezione: σ=282.51 τ=34.43
CC 28 SLD (Collegamento 0020_-377)
Azioni sul collegamento: N=-6345.78 Ty=-4.11 Tz=1.72 Mx=-0.00 Mz=-3.92
Sollecitazioni agenti localmente: Ty_l=-1140.52 My_l=-23.40
Tensioni nella sezione: σ=283.67 τ=34.56
CC 28 SLD (Collegamento 0020_-377)
Azioni sul collegamento: N=-6345.78 Ty=-3.72 Tz=0.05 Mx=-0.00 Mz=-2.82
Sollecitazioni agenti localmente: Ty_l=-1136.16 My_l=-23.31
Tensioni nella sezione: σ=282.51 τ=34.43
CC 28 SLD (Collegamento 0020_-377)
Azioni sul collegamento: N=-6345.78 Ty=-4.11 Tz=0.05 Mx=-0.00 Mz=-3.92
Sollecitazioni agenti localmente: Ty_l=-1140.52 My_l=-23.40
Tensioni nella sezione: σ=283.67 τ=34.56
CC 29 SLV (Collegamento 0020_-377)
Azioni sul collegamento: N=-5833.17 Ty=-5.40 Tz=-1.71 Mx=-0.00 Mz=-7.25
Sollecitazioni agenti localmente: Ty_l=-1062.89 My_l=-21.83
Tensioni nella sezione: σ=264.60 τ=32.21
CC 29 SLV (Collegamento 0020_-377)
Azioni sul collegamento: N=-5833.17 Ty=-4.11 Tz=-1.71 Mx=-0.00 Mz=-3.66
Sollecitazioni agenti localmente: Ty_l=-1048.61 My_l=-21.52
Tensioni nella sezione: σ=260.81 τ=31.78
CC 29 SLV (Collegamento 0020_-377)
Azioni sul collegamento: N=-5833.17 Ty=-5.40 Tz=3.74 Mx=-0.00 Mz=-7.25
Sollecitazioni agenti localmente: Ty_l=-1062.89 My_l=-21.83
Tensioni nella sezione: σ=264.60 τ=32.21

CC 29 SLV (Collegamento 0020_-377)
Azioni sul collegamento: N=-5833.17 Ty=-4.11 Tz=3.74 Mx=-0.00 Mz=-3.66
Sollecitazioni agenti localmente: Ty_l=-1048.61 My_l=-21.52
Tensioni nella sezione: σ=260.81 τ=31.78
CC 29 SLV (Collegamento 0020_-377)
Azioni sul collegamento: N=-7401.55 Ty=-5.40 Tz=-1.71 Mx=-0.00 Mz=-7.25
Sollecitazioni agenti localmente: Ty_l=-1340.92 My_l=-27.53
Tensioni nella sezione: σ=333.69 τ=40.63
CC 29 SLV (Collegamento 0020_-377)
Azioni sul collegamento: N=-7401.55 Ty=-4.11 Tz=-1.71 Mx=-0.00 Mz=-3.66
Sollecitazioni agenti localmente: Ty_l=-1326.64 My_l=-27.22
Tensioni nella sezione: σ=329.90 τ=40.20
CC 29 SLV (Collegamento 0020_-377)
Azioni sul collegamento: N=-7401.55 Ty=-5.40 Tz=3.74 Mx=-0.00 Mz=-7.25
Sollecitazioni agenti localmente: Ty_l=-1340.92 My_l=-27.53
Tensioni nella sezione: σ=333.69 τ=40.63
CC 29 SLV (Collegamento 0020_-377)
Azioni sul collegamento: N=-7401.55 Ty=-4.11 Tz=3.74 Mx=-0.00 Mz=-3.66
Sollecitazioni agenti localmente: Ty_l=-1326.64 My_l=-27.22
Tensioni nella sezione: σ=329.90 τ=40.20
CC 30 SLD (Collegamento 0020_-377)
Azioni sul collegamento: N=-6345.78 Ty=-4.11 Tz=0.05 Mx=0.00 Mz=-3.92
Sollecitazioni agenti localmente: Ty_l=-1140.52 My_l=-23.40
Tensioni nella sezione: σ=283.67 τ=34.56
CC 30 SLD (Collegamento 0020_-377)
Azioni sul collegamento: N=-6345.78 Ty=-3.72 Tz=0.05 Mx=0.00 Mz=-2.82
Sollecitazioni agenti localmente: Ty_l=-1136.16 My_l=-23.31
Tensioni nella sezione: σ=282.51 τ=34.43
CC 30 SLD (Collegamento 0020_-377)
Azioni sul collegamento: N=-6345.78 Ty=-4.11 Tz=1.72 Mx=0.00 Mz=-3.92
Sollecitazioni agenti localmente: Ty_l=-1140.52 My_l=-23.40
Tensioni nella sezione: σ=283.67 τ=34.56
CC 30 SLD (Collegamento 0020_-377)
Azioni sul collegamento: N=-6345.78 Ty=-3.72 Tz=1.72 Mx=0.00 Mz=-2.82
Sollecitazioni agenti localmente: Ty_l=-1136.16 My_l=-23.31
Tensioni nella sezione: σ=282.51 τ=34.43
CC 30 SLD (Collegamento 0020_-377)
Azioni sul collegamento: N=-6824.03 Ty=-4.11 Tz=0.05 Mx=0.00 Mz=-3.92
Sollecitazioni agenti localmente: Ty_l=-1225.30 My_l=-25.14
Tensioni nella sezione: σ=304.73 τ=37.13
CC 30 SLD (Collegamento 0020_-377)
Azioni sul collegamento: N=-6824.03 Ty=-3.72 Tz=0.05 Mx=0.00 Mz=-2.82
Sollecitazioni agenti localmente: Ty_l=-1220.94 My_l=-25.05
Tensioni nella sezione: σ=303.58 τ=37.00
CC 30 SLD (Collegamento 0020_-377)
Azioni sul collegamento: N=-6824.03 Ty=-4.11 Tz=1.72 Mx=0.00 Mz=-3.92
Sollecitazioni agenti localmente: Ty_l=-1225.30 My_l=-25.14
Tensioni nella sezione: σ=304.73 τ=37.13
CC 30 SLD (Collegamento 0020_-377)
Azioni sul collegamento: N=-6824.03 Ty=-3.72 Tz=1.72 Mx=0.00 Mz=-2.82
Sollecitazioni agenti localmente: Ty_l=-1220.94 My_l=-25.05
Tensioni nella sezione: σ=303.58 τ=37.00
CC 31 SLV (Collegamento 0020_-377)
Azioni sul collegamento: N=-7420.51 Ty=-6.23 Tz=4.16 Mx=-0.00 Mz=-7.84
Sollecitazioni agenti localmente: Ty_l=-1346.65 My_l=-27.65
Tensioni nella sezione: σ=335.15 τ=40.81
CC 31 SLV (Collegamento 0020_-377)
Azioni sul collegamento: N=-7420.51 Ty=-3.29 Tz=4.16 Mx=-0.00 Mz=-3.06
Sollecitazioni agenti localmente: Ty_l=-1327.63 My_l=-27.23
Tensioni nella sezione: σ=330.10 τ=40.23
CC 31 SLV (Collegamento 0020_-377)
Azioni sul collegamento: N=-7420.51 Ty=-6.23 Tz=-2.14 Mx=-0.00 Mz=-7.84
Sollecitazioni agenti localmente: Ty_l=-1346.65 My_l=-27.65
Tensioni nella sezione: σ=335.15 τ=40.81
CC 31 SLV (Collegamento 0020_-377)
Azioni sul collegamento: N=-7420.51 Ty=-3.29 Tz=-2.14 Mx=-0.00 Mz=-3.06
Sollecitazioni agenti localmente: Ty_l=-1327.63 My_l=-27.23
Tensioni nella sezione: σ=330.10 τ=40.23
CC 31 SLV (Collegamento 0020_-377)
Azioni sul collegamento: N=-5814.21 Ty=-6.23 Tz=4.16 Mx=-0.00 Mz=-7.84
Sollecitazioni agenti localmente: Ty_l=-1061.90 My_l=-21.81
Tensioni nella sezione: σ=264.40 τ=32.18
CC 31 SLV (Collegamento 0020_-377)
Azioni sul collegamento: N=-5814.21 Ty=-3.29 Tz=4.16 Mx=-0.00 Mz=-3.06
Sollecitazioni agenti localmente: Ty_l=-1042.87 My_l=-21.40
Tensioni nella sezione: σ=259.35 τ=31.60
CC 31 SLV (Collegamento 0020_-377)
Azioni sul collegamento: N=-5814.21 Ty=-6.23 Tz=-2.14 Mx=-0.00 Mz=-7.84
Sollecitazioni agenti localmente: Ty_l=-1061.90 My_l=-21.81

Tensioni nella sezione: σ=264.40 τ=32.18
CC 31 SLV (Collegamento 0020_-377)
Azioni sul collegamento: N=-5814.21 Ty=-3.29 Tz=-2.14 Mx=-0.00 Mz=-3.06
Sollecitazioni agenti localmente: Ty_l=-1042.87 My_l=-21.40
Tensioni nella sezione: σ=259.35 τ=31.60
CC 32 SLD (Collegamento 0020_-377)
Azioni sul collegamento: N=-6829.81 Ty=-4.36 Tz=1.85 Mx=0.00 Mz=-4.10
Sollecitazioni agenti localmente: Ty_l=-1227.05 My_l=-25.18
Tensioni nella sezione: σ=305.18 τ=37.18
CC 32 SLD (Collegamento 0020_-377)
Azioni sul collegamento: N=-6829.81 Ty=-3.47 Tz=1.85 Mx=0.00 Mz=-2.64
Sollecitazioni agenti localmente: Ty_l=-1221.24 My_l=-25.05
Tensioni nella sezione: σ=303.64 τ=37.01
CC 32 SLD (Collegamento 0020_-377)
Azioni sul collegamento: N=-6829.81 Ty=-4.36 Tz=-0.08 Mx=0.00 Mz=-4.10
Sollecitazioni agenti localmente: Ty_l=-1227.05 My_l=-25.18
Tensioni nella sezione: σ=305.18 τ=37.18
CC 32 SLD (Collegamento 0020_-377)
Azioni sul collegamento: N=-6829.81 Ty=-3.47 Tz=-0.08 Mx=0.00 Mz=-2.64
Sollecitazioni agenti localmente: Ty_l=-1221.24 My_l=-25.05
Tensioni nella sezione: σ=303.64 τ=37.01
CC 32 SLD (Collegamento 0020_-377)
Azioni sul collegamento: N=-6340.00 Ty=-4.36 Tz=1.85 Mx=0.00 Mz=-4.10
Sollecitazioni agenti localmente: Ty_l=-1140.22 My_l=-23.40
Tensioni nella sezione: σ=283.60 τ=34.55
CC 32 SLD (Collegamento 0020_-377)
Azioni sul collegamento: N=-6340.00 Ty=-3.47 Tz=1.85 Mx=0.00 Mz=-2.64
Sollecitazioni agenti localmente: Ty_l=-1134.41 My_l=-23.27
Tensioni nella sezione: σ=282.06 τ=34.38
CC 32 SLD (Collegamento 0020_-377)
Azioni sul collegamento: N=-6340.00 Ty=-4.36 Tz=-0.08 Mx=0.00 Mz=-4.10
Sollecitazioni agenti localmente: Ty_l=-1140.22 My_l=-23.40
Tensioni nella sezione: σ=283.60 τ=34.55
CC 32 SLD (Collegamento 0020_-377)
Azioni sul collegamento: N=-6340.00 Ty=-3.47 Tz=-0.08 Mx=0.00 Mz=-2.64
Sollecitazioni agenti localmente: Ty_l=-1134.41 My_l=-23.27
Tensioni nella sezione: σ=282.06 τ=34.38
CC 33 SLU (Collegamento 0020_-377)
Azioni sul collegamento: N=-30337.70 Ty=-5.16 Tz=79.98 Mx=0.01 Mz=-3.50
Sollecitazioni agenti localmente: Ty_l=-5391.98 My_l=-110.56
Tensioni nella sezione: σ=1340.06 τ=163.39
CC 34 SLU (Collegamento 0020_-377)
Azioni sul collegamento: N=-30888.30 Ty=-5.44 Tz=82.02 Mx=0.01 Mz=-3.71
Sollecitazioni agenti localmente: Ty_l=-5490.40 My_l=-112.57
Tensioni nella sezione: σ=1364.53 τ=166.38
CC 35 SLU (Collegamento 0020_-377)
Azioni sul collegamento: N=-30612.00 Ty=-5.19 Tz=81.02 Mx=0.01 Mz=-3.39
Sollecitazioni agenti localmente: Ty_l=-5440.15 My_l=-111.54
Tensioni nella sezione: σ=1352.02 τ=164.85
CC 36 SLU (Collegamento 0020_-377)
Azioni sul collegamento: N=-30614.00 Ty=-5.41 Tz=80.97 Mx=0.01 Mz=-3.82
Sollecitazioni agenti localmente: Ty_l=-5442.23 My_l=-111.59
Tensioni nella sezione: σ=1352.57 τ=164.92
CC 37 SLU (Collegamento 0020_-377)
Azioni sul collegamento: N=-32266.80 Ty=-5.04 Tz=86.42 Mx=-0.00 Mz=-3.56
Sollecitazioni agenti localmente: Ty_l=-5734.16 My_l=-117.57
Tensioni nella sezione: σ=1425.09 τ=173.76
CC 38 SLU (Collegamento 0020_-377)
Azioni sul collegamento: N=-32817.30 Ty=-5.33 Tz=88.46 Mx=-0.00 Mz=-3.76
Sollecitazioni agenti localmente: Ty_l=-5832.58 My_l=-119.59
Tensioni nella sezione: σ=1449.56 τ=176.75
CC 39 SLU (Collegamento 0020_-377)
Azioni sul collegamento: N=-32541.00 Ty=-5.08 Tz=87.47 Mx=-0.00 Mz=-3.44
Sollecitazioni agenti localmente: Ty_l=-5782.33 My_l=-118.56
Tensioni nella sezione: σ=1437.05 τ=175.22
CC 40 SLU (Collegamento 0020_-377)
Azioni sul collegamento: N=-32543.00 Ty=-5.30 Tz=87.42 Mx=-0.00 Mz=-3.88
Sollecitazioni agenti localmente: Ty_l=-5784.41 My_l=-118.60
Tensioni nella sezione: σ=1437.60 τ=175.28
CC 41 SLU (Collegamento 0020_-377)
Azioni sul collegamento: N=-21046.60 Ty=-6.03 Tz=45.82 Mx=0.01 Mz=-4.13
Sollecitazioni agenti localmente: Ty_l=-3747.43 My_l=-76.85
Tensioni nella sezione: σ=931.46 τ=113.56
CC 42 SLU (Collegamento 0020_-377)
Azioni sul collegamento: N=-21597.10 Ty=-6.32 Tz=47.86 Mx=0.01 Mz=-4.34
Sollecitazioni agenti localmente: Ty_l=-3845.85 My_l=-78.86
Tensioni nella sezione: σ=955.93 τ=116.54
CC 43 SLU (Collegamento 0020_-377)
Azioni sul collegamento: N=-21320.90 Ty=-6.07 Tz=46.87 Mx=0.01 Mz=-4.02

Sollecitazioni agenti localmente: Ty_l=-3795.60 My_l=-77.83
Tensioni nella sezione: σ=943.42 τ=115.02
CC 44 SLU (Collegamento 0020_-377)
Azioni sul collegamento: N=-21322.80 Ty=-6.29 Tz=46.82 Mx=0.01 Mz=-4.45
Sollecitazioni agenti localmente: Ty_l=-3797.68 My_l=-77.88
Tensioni nella sezione: σ=943.97 τ=115.08
CC 45 SLU (Collegamento 0020_-377)
Azioni sul collegamento: N=-23139.00 Ty=-5.73 Tz=53.57 Mx=0.01 Mz=-3.96
Sollecitazioni agenti localmente: Ty_l=-4117.65 My_l=-84.43
Tensioni nella sezione: σ=1023.44 τ=124.78
CC 46 SLU (Collegamento 0020_-377)
Azioni sul collegamento: N=-23689.50 Ty=-6.01 Tz=55.60 Mx=0.01 Mz=-4.17
Sollecitazioni agenti localmente: Ty_l=-4216.07 My_l=-86.45
Tensioni nella sezione: σ=1047.91 τ=127.76
CC 47 SLU (Collegamento 0020_-377)
Azioni sul collegamento: N=-23413.30 Ty=-5.76 Tz=54.61 Mx=0.01 Mz=-3.84
Sollecitazioni agenti localmente: Ty_l=-4165.82 My_l=-85.42
Tensioni nella sezione: σ=1035.40 τ=126.24
CC 48 SLU (Collegamento 0020_-377)
Azioni sul collegamento: N=-23415.20 Ty=-5.98 Tz=54.56 Mx=0.01 Mz=-4.28
Sollecitazioni agenti localmente: Ty_l=-4167.90 My_l=-85.47
Tensioni nella sezione: σ=1035.95 τ=126.30
CC 49 SLU (Collegamento 0020_-377)
Azioni sul collegamento: N=-24582.20 Ty=-5.64 Tz=58.39 Mx=0.00 Mz=-4.00
Sollecitazioni agenti localmente: Ty_l=-4373.65 My_l=-89.68
Tensioni nella sezione: σ=1087.06 τ=132.53
CC 50 SLU (Collegamento 0020_-377)
Azioni sul collegamento: N=-25132.70 Ty=-5.93 Tz=60.42 Mx=0.00 Mz=-4.21
Sollecitazioni agenti localmente: Ty_l=-4472.07 My_l=-91.70
Tensioni nella sezione: σ=1111.53 τ=135.52
CC 51 SLU (Collegamento 0020_-377)
Azioni sul collegamento: N=-24856.40 Ty=-5.68 Tz=59.43 Mx=-0.00 Mz=-3.89
Sollecitazioni agenti localmente: Ty_l=-4421.82 My_l=-90.67
Tensioni nella sezione: σ=1099.02 τ=134.00
CC 52 SLU (Collegamento 0020_-377)
Azioni sul collegamento: N=-24858.40 Ty=-5.89 Tz=59.38 Mx=0.00 Mz=-4.32
Sollecitazioni agenti localmente: Ty_l=-4423.90 My_l=-90.71
Tensioni nella sezione: σ=1099.56 τ=134.06
CC 53 SLU (Collegamento 0020_-377)
Azioni sul collegamento: N=-16187.80 Ty=-6.38 Tz=28.01 Mx=0.01 Mz=-4.43
Sollecitazioni agenti localmente: Ty_l=-2887.29 My_l=-59.21
Tensioni nella sezione: σ=717.75 τ=87.49
CC 54 SLU (Collegamento 0020_-377)
Azioni sul collegamento: N=-16738.30 Ty=-6.67 Tz=30.05 Mx=0.01 Mz=-4.64
Sollecitazioni agenti localmente: Ty_l=-2985.70 My_l=-61.23
Tensioni nella sezione: σ=742.22 τ=90.48
CC 55 SLU (Collegamento 0020_-377)
Azioni sul collegamento: N=-16462.10 Ty=-6.42 Tz=29.05 Mx=0.01 Mz=-4.32
Sollecitazioni agenti localmente: Ty_l=-2935.45 My_l=-60.20
Tensioni nella sezione: σ=729.71 τ=88.95
CC 56 SLU (Collegamento 0020_-377)
Azioni sul collegamento: N=-16464.10 Ty=-6.64 Tz=29.01 Mx=0.01 Mz=-4.75
Sollecitazioni agenti localmente: Ty_l=-2937.53 My_l=-60.25
Tensioni nella sezione: σ=730.25 τ=89.02
CC 57 SLU (Collegamento 0020_-377)
Azioni sul collegamento: N=-23519.50 Ty=-6.15 Tz=55.00 Mx=0.01 Mz=-4.26
Sollecitazioni agenti localmente: Ty_l=-4186.32 My_l=-85.84
Tensioni nella sezione: σ=1040.53 τ=126.86
CC 58 SLU (Collegamento 0020_-377)
Azioni sul collegamento: N=-24070.10 Ty=-6.43 Tz=57.04 Mx=0.01 Mz=-4.47
Sollecitazioni agenti localmente: Ty_l=-4284.74 My_l=-87.86
Tensioni nella sezione: σ=1064.99 τ=129.84
CC 59 SLU (Collegamento 0020_-377)
Azioni sul collegamento: N=-23793.80 Ty=-6.18 Tz=56.05 Mx=0.01 Mz=-4.15
Sollecitazioni agenti localmente: Ty_l=-4234.49 My_l=-86.83
Tensioni nella sezione: σ=1052.49 τ=128.32
CC 60 SLU (Collegamento 0020_-377)
Azioni sul collegamento: N=-23795.80 Ty=-6.40 Tz=56.00 Mx=0.01 Mz=-4.58
Sollecitazioni agenti localmente: Ty_l=-4236.57 My_l=-86.88
Tensioni nella sezione: σ=1053.03 τ=128.38
CC 61 SLU (Collegamento 0020_-377)
Azioni sul collegamento: N=-24962.70 Ty=-6.06 Tz=59.83 Mx=0.00 Mz=-4.30
Sollecitazioni agenti localmente: Ty_l=-4442.32 My_l=-91.09
Tensioni nella sezione: σ=1104.14 τ=134.62
CC 62 SLU (Collegamento 0020_-377)
Azioni sul collegamento: N=-25513.20 Ty=-6.35 Tz=61.87 Mx=0.00 Mz=-4.51
Sollecitazioni agenti localmente: Ty_l=-4540.74 My_l=-93.11
Tensioni nella sezione: σ=1128.61 τ=137.60
CC 63 SLU (Collegamento 0020_-377)

Azioni sul collegamento: N=-25237.00 Ty=-6.10 Tz=60.87 Mx=-0.00 Mz=-4.19
Sollecitazioni agenti localmente: Ty_l=-4490.49 My_l=-92.08
Tensioni nella sezione: σ=1116.10 τ=136.07
CC 64 SLU (Collegamento 0020_-377)
Azioni sul collegamento: N=-25238.90 Ty=-6.31 Tz=60.82 Mx=0.00 Mz=-4.62
Sollecitazioni agenti localmente: Ty_l=-4492.57 My_l=-92.12
Tensioni nella sezione: σ=1116.65 τ=136.14
CC 65 SLU (Collegamento 0020_-377)
Azioni sul collegamento: N=-16568.40 Ty=-6.80 Tz=29.45 Mx=0.01 Mz=-4.74
Sollecitazioni agenti localmente: Ty_l=-2955.95 My_l=-60.62
Tensioni nella sezione: σ=734.83 τ=89.57
CC 66 SLU (Collegamento 0020_-377)
Azioni sul collegamento: N=-17118.90 Ty=-7.09 Tz=31.49 Mx=0.01 Mz=-4.94
Sollecitazioni agenti localmente: Ty_l=-3054.37 My_l=-62.64
Tensioni nella sezione: σ=759.30 τ=92.56
CC 67 SLU (Collegamento 0020_-377)
Azioni sul collegamento: N=-16842.60 Ty=-6.84 Tz=30.49 Mx=0.01 Mz=-4.62
Sollecitazioni agenti localmente: Ty_l=-3004.12 My_l=-61.61
Tensioni nella sezione: σ=746.79 τ=91.03
CC 68 SLU (Collegamento 0020_-377)
Azioni sul collegamento: N=-16844.60 Ty=-7.06 Tz=30.45 Mx=0.01 Mz=-5.06
Sollecitazioni agenti localmente: Ty_l=-3006.20 My_l=-61.66
Tensioni nella sezione: σ=747.34 τ=91.10
CC 97 SLU (Collegamento 0020_-377)
Azioni sul collegamento: N=-16826.20 Ty=-0.37 Tz=38.55 Mx=0.05 Mz=7.28
Sollecitazioni agenti localmente: Ty_l=-2953.88 My_l=-60.51
Tensioni nella sezione: σ=733.50 τ=89.51
CC 98 SLU (Collegamento 0020_-377)
Azioni sul collegamento: N=-17376.70 Ty=-0.65 Tz=40.58 Mx=0.05 Mz=7.07
Sollecitazioni agenti localmente: Ty_l=-3052.30 My_l=-62.53
Tensioni nella sezione: σ=757.97 τ=92.49
CC 99 SLU (Collegamento 0020_-377)
Azioni sul collegamento: N=-17100.50 Ty=-0.40 Tz=39.59 Mx=0.05 Mz=7.39
Sollecitazioni agenti localmente: Ty_l=-3002.05 My_l=-61.50
Tensioni nella sezione: σ=745.47 τ=90.97
CC 100 SLU (Collegamento 0020_-377)
Azioni sul collegamento: N=-17102.50 Ty=-0.62 Tz=39.54 Mx=0.05 Mz=6.96
Sollecitazioni agenti localmente: Ty_l=-3004.13 My_l=-61.55
Tensioni nella sezione: σ=746.01 τ=91.03
CC 101 SLU (Collegamento 0020_-377)
Azioni sul collegamento: N=-6585.90 Ty=-4.08 Tz=0.92 Mx=-0.00 Mz=-3.64
Sollecitazioni agenti localmente: Ty_l=-1181.98 My_l=-24.25
Tensioni nella sezione: σ=293.95 τ=35.82
CC 102 SLU (Collegamento 0020_-377)
Azioni sul collegamento: N=-7136.43 Ty=-4.37 Tz=2.96 Mx=-0.00 Mz=-3.85
Sollecitazioni agenti localmente: Ty_l=-1280.40 My_l=-26.27
Tensioni nella sezione: σ=318.42 τ=38.80
CC 103 SLU (Collegamento 0020_-377)
Azioni sul collegamento: N=-6860.18 Ty=-4.11 Tz=1.96 Mx=-0.00 Mz=-3.53
Sollecitazioni agenti localmente: Ty_l=-1230.15 My_l=-25.24
Tensioni nella sezione: σ=305.91 τ=37.28
CC 104 SLU (Collegamento 0020_-377)
Azioni sul collegamento: N=-6862.15 Ty=-4.33 Tz=1.92 Mx=-0.00 Mz=-3.96
Sollecitazioni agenti localmente: Ty_l=-1232.23 My_l=-25.28
Tensioni nella sezione: σ=306.46 τ=37.34

Collegamento 0021_-378

Piastra 220.00 x 220.00 s=15.00 - 6 Tirafondi ϕ 16 - Profondità di infissione: 350.00
3 righe ad interasse 89.00
2 colonne ad interasse 178.00
Altezza di gola saldature: anima 7.07 - ala 7.07

Tirafondi e calcestruzzo

CC 1 SLV (Collegamento 0021_-378)
Azioni sul collegamento: N=-3968.96 Ty=6.45 Tz=-8.85 Mx=0.01 Mz=7.08
Sollecitazioni agenti localmente: Tx_l=6.45 Ty_l=-8.85 N_l=-3968.96 Mx_l=-0.00 My_l=7.08 Mz_l=0.01
Taglio nei bulloni: Fv,Ed=1.85 Fv,Rd=7720.78
Rifollamento lato piastra: Fb,Ed,p=1.83 Fb,Rd,p=10430.40
Tirafondi:LT=0.45 (0.31) σ_{cR}=0.00 σ_{fR}=0.00
Compressione nel calcestruzzo: σ_c=8.60
CC 1 SLV (Collegamento 0021_-378)
Azioni sul collegamento: N=-3968.96 Ty=3.07 Tz=-8.85 Mx=0.01 Mz=3.83
Sollecitazioni agenti localmente: Tx_l=3.07 Ty_l=-8.85 N_l=-3968.96 Mx_l=-0.00 My_l=3.83 Mz_l=0.01
Taglio nei bulloni: Fv,Ed=1.58 Fv,Rd=7720.78
Rifollamento lato piastra: Fb,Ed,p=1.57 Fb,Rd,p=6972.73
Tirafondi:LT=0.45 (0.31) σ_{cR}=0.00 σ_{fR}=0.00

Compressione nel calcestruzzo: σ_c=8.42
CC 1 SLV (Collegamento 0021_-378)
Azioni sul collegamento: N=-3968.96 Ty=6.45 Tz=10.87 Mx=0.01 Mz=7.08
Sollecitazioni agenti localmente: Tx_l=6.45 Ty_l=10.87 N_l=-3968.96 Mx_l=-0.00 My_l=7.08 Mz_l=0.01
Taglio nei bulloni: Fv,Ed=2.13 Fv,Rd=7720.78
Rifollamento lato piastra: Fb,Ed,p=2.13 Fb,Rd,p=9213.55
Tirafondi:LT=0.45 (0.31) σ_{cR}=0.00 σ_{fR}=0.00
Compressione nel calcestruzzo: σ_c=8.60
CC 1 SLV (Collegamento 0021_-378)
Azioni sul collegamento: N=-3968.96 Ty=3.07 Tz=10.87 Mx=0.01 Mz=3.83
Sollecitazioni agenti localmente: Tx_l=3.07 Ty_l=10.87 N_l=-3968.96 Mx_l=-0.00 My_l=3.83 Mz_l=0.01
Taglio nei bulloni: Fv,Ed=1.90 Fv,Rd=7720.78
Rifollamento lato piastra: Fb,Ed,p=1.90 Fb,Rd,p=6720.62
Tirafondi:LT=0.45 (0.31) σ_{cR}=0.00 σ_{fR}=0.00
Compressione nel calcestruzzo: σ_c=8.42
CC 1 SLV (Collegamento 0021_-378)
Azioni sul collegamento: N=-9265.76 Ty=6.45 Tz=-8.85 Mx=0.01 Mz=7.08
Sollecitazioni agenti localmente: Tx_l=6.45 Ty_l=-8.85 N_l=-9265.76 Mx_l=-0.00 My_l=7.08 Mz_l=0.01
Taglio nei bulloni: Fv,Ed=1.85 Fv,Rd=7720.78
Rifollamento lato piastra: Fb,Ed,p=1.83 Fb,Rd,p=10430.40
Tirafondi:LT=0.45 (0.31) σ_{cR}=0.00 σ_{fR}=0.00
Compressione nel calcestruzzo: σ_c=19.54
CC 1 SLV (Collegamento 0021_-378)
Azioni sul collegamento: N=-9265.76 Ty=3.07 Tz=-8.85 Mx=0.01 Mz=3.83
Sollecitazioni agenti localmente: Tx_l=3.07 Ty_l=-8.85 N_l=-9265.76 Mx_l=-0.00 My_l=3.83 Mz_l=0.01
Taglio nei bulloni: Fv,Ed=1.58 Fv,Rd=7720.78
Rifollamento lato piastra: Fb,Ed,p=1.57 Fb,Rd,p=6972.70
Tirafondi:LT=0.45 (0.31) σ_{cR}=0.00 σ_{fR}=0.00
Compressione nel calcestruzzo: σ_c=19.36
CC 1 SLV (Collegamento 0021_-378)
Azioni sul collegamento: N=-9265.76 Ty=6.45 Tz=10.87 Mx=0.01 Mz=7.08
Sollecitazioni agenti localmente: Tx_l=6.45 Ty_l=10.87 N_l=-9265.76 Mx_l=-0.00 My_l=7.08 Mz_l=0.01
Taglio nei bulloni: Fv,Ed=2.13 Fv,Rd=7720.78
Rifollamento lato piastra: Fb,Ed,p=2.13 Fb,Rd,p=9213.40
Tirafondi:LT=0.45 (0.31) σ_{cR}=0.00 σ_{fR}=0.00
Compressione nel calcestruzzo: σ_c=19.54
CC 1 SLV (Collegamento 0021_-378)
Azioni sul collegamento: N=-9265.76 Ty=3.07 Tz=10.87 Mx=0.01 Mz=3.83
Sollecitazioni agenti localmente: Tx_l=3.07 Ty_l=10.87 N_l=-9265.76 Mx_l=-0.00 My_l=3.83 Mz_l=0.01
Taglio nei bulloni: Fv,Ed=1.90 Fv,Rd=7720.78
Rifollamento lato piastra: Fb,Ed,p=1.90 Fb,Rd,p=6720.59
Tirafondi:LT=0.45 (0.31) σ_{cR}=0.00 σ_{fR}=0.00
Compressione nel calcestruzzo: σ_c=19.36
CC 2 SLD (Collegamento 0021_-378)
Azioni sul collegamento: N=-5777.33 Ty=4.43 Tz=-2.12 Mx=0.00 Mz=3.87
Sollecitazioni agenti localmente: Tx_l=4.43 Ty_l=-2.12 N_l=-5777.33 Mx_l=-0.00 My_l=3.87 Mz_l=0.00
Taglio nei bulloni: Fv,Ed=0.82 Fv,Rd=9650.97
Rifollamento lato piastra: Fb,Ed,p=0.82 Fb,Rd,p=10072.30
Tirafondi:LT=0.45 (0.31) σ_{cR}=0.00 σ_{fR}=0.00
Compressione nel calcestruzzo: σ_c=12.15
CC 2 SLD (Collegamento 0021_-378)
Azioni sul collegamento: N=-5777.33 Ty=3.40 Tz=-2.12 Mx=0.00 Mz=2.88
Sollecitazioni agenti localmente: Tx_l=3.40 Ty_l=-2.12 N_l=-5777.33 Mx_l=-0.00 My_l=2.88 Mz_l=0.00
Taglio nei bulloni: Fv,Ed=0.67 Fv,Rd=9650.97
Rifollamento lato piastra: Fb,Ed,p=0.67 Fb,Rd,p=11923.90
Tirafondi:LT=0.45 (0.31) σ_{cR}=0.00 σ_{fR}=0.00
Compressione nel calcestruzzo: σ_c=12.10
CC 2 SLD (Collegamento 0021_-378)
Azioni sul collegamento: N=-5777.32 Ty=4.43 Tz=3.89 Mx=0.00 Mz=3.87
Sollecitazioni agenti localmente: Tx_l=4.43 Ty_l=3.89 N_l=-5777.32 Mx_l=-0.00 My_l=3.87 Mz_l=0.00
Taglio nei bulloni: Fv,Ed=0.98 Fv,Rd=9650.97
Rifollamento lato piastra: Fb,Ed,p=0.98 Fb,Rd,p=14109.70
Tirafondi:LT=0.45 (0.31) σ_{cR}=0.00 σ_{fR}=0.00
Compressione nel calcestruzzo: σ_c=12.15
CC 2 SLD (Collegamento 0021_-378)
Azioni sul collegamento: N=-5777.32 Ty=3.40 Tz=3.89 Mx=0.00 Mz=2.88
Sollecitazioni agenti localmente: Tx_l=3.40 Ty_l=3.89 N_l=-5777.32 Mx_l=-0.00 My_l=2.88 Mz_l=0.00
Taglio nei bulloni: Fv,Ed=0.86 Fv,Rd=9650.97
Rifollamento lato piastra: Fb,Ed,p=0.86 Fb,Rd,p=14108.90
Tirafondi:LT=0.45 (0.31) σ_{cR}=0.00 σ_{fR}=0.00
Compressione nel calcestruzzo: σ_c=12.10
CC 2 SLD (Collegamento 0021_-378)
Azioni sul collegamento: N=-7392.49 Ty=4.43 Tz=-2.12 Mx=0.00 Mz=3.87
Sollecitazioni agenti localmente: Tx_l=4.43 Ty_l=-2.12 N_l=-7392.49 Mx_l=-0.00 My_l=3.87 Mz_l=0.00
Taglio nei bulloni: Fv,Ed=0.82 Fv,Rd=9650.97
Rifollamento lato piastra: Fb,Ed,p=0.82 Fb,Rd,p=10072.50
Tirafondi:LT=0.45 (0.31) σ_{cR}=0.00 σ_{fR}=0.00
Compressione nel calcestruzzo: σ_c=15.49

CC 2 SLD (Collegamento 0021_-378)
Azioni sul collegamento: N=-7392.49 Ty=3.40 Tz=-2.12 Mx=0.00 Mz=2.88
Sollecitazioni agenti localmente: Tx_l=3.40 Ty_l=-2.12 N_l=-7392.49 Mx_l=-0.00 My_l=2.88 Mz_l=0.00
Taglio nei bulloni: Fv,Ed=0.67 Fv,Rd=9650.97
Rifollamento lato piastra: Fb,Ed,p=0.67 Fb,Rd,p=11924.30
Tirafondi:LT=0.45 (0.31) σ_{cR}=0.00 σ_{fR}=0.00
Compressione nel calcestruzzo: σ_c=15.44
CC 2 SLD (Collegamento 0021_-378)
Azioni sul collegamento: N=-7392.49 Ty=4.43 Tz=3.89 Mx=0.00 Mz=3.87
Sollecitazioni agenti localmente: Tx_l=4.43 Ty_l=3.89 N_l=-7392.49 Mx_l=-0.00 My_l=3.87 Mz_l=0.00
Taglio nei bulloni: Fv,Ed=0.98 Fv,Rd=9650.97
Rifollamento lato piastra: Fb,Ed,p=0.98 Fb,Rd,p=14109.60
Tirafondi:LT=0.45 (0.31) σ_{cR}=0.00 σ_{fR}=0.00
Compressione nel calcestruzzo: σ_c=15.49
CC 2 SLD (Collegamento 0021_-378)
Azioni sul collegamento: N=-7392.49 Ty=3.40 Tz=3.89 Mx=0.00 Mz=2.88
Sollecitazioni agenti localmente: Tx_l=3.40 Ty_l=3.89 N_l=-7392.49 Mx_l=-0.00 My_l=2.88 Mz_l=0.00
Taglio nei bulloni: Fv,Ed=0.86 Fv,Rd=9650.97
Rifollamento lato piastra: Fb,Ed,p=0.86 Fb,Rd,p=14109.00
Tirafondi:LT=0.45 (0.31) σ_{cR}=0.00 σ_{fR}=0.00
Compressione nel calcestruzzo: σ_c=15.44
CC 3 SLV (Collegamento 0021_-378)
Azioni sul collegamento: N=-3974.64 Ty=5.81 Tz=-8.72 Mx=0.01 Mz=5.82
Sollecitazioni agenti localmente: Tx_l=5.81 Ty_l=-8.72 N_l=-3974.64 Mx_l=-0.00 My_l=5.82 Mz_l=0.01
Taglio nei bulloni: Fv,Ed=1.76 Fv,Rd=7720.78
Rifollamento lato piastra: Fb,Ed,p=1.75 Fb,Rd,p=9905.71
Tirafondi:LT=0.45 (0.31) σ_{cR}=0.00 σ_{fR}=0.00
Compressione nel calcestruzzo: σ_c=8.54
CC 3 SLV (Collegamento 0021_-378)
Azioni sul collegamento: N=-3974.64 Ty=3.70 Tz=-8.72 Mx=0.01 Mz=5.08
Sollecitazioni agenti localmente: Tx_l=3.70 Ty_l=-8.72 N_l=-3974.64 Mx_l=-0.00 My_l=5.08 Mz_l=0.01
Taglio nei bulloni: Fv,Ed=1.59 Fv,Rd=7720.78
Rifollamento lato piastra: Fb,Ed,p=1.58 Fb,Rd,p=7528.15
Tirafondi:LT=0.45 (0.31) σ_{cR}=0.00 σ_{fR}=0.00
Compressione nel calcestruzzo: σ_c=8.50
CC 3 SLV (Collegamento 0021_-378)
Azioni sul collegamento: N=-3974.64 Ty=5.81 Tz=10.74 Mx=0.01 Mz=5.82
Sollecitazioni agenti localmente: Tx_l=5.81 Ty_l=10.74 N_l=-3974.64 Mx_l=-0.00 My_l=5.82 Mz_l=0.01
Taglio nei bulloni: Fv,Ed=2.05 Fv,Rd=7720.78
Rifollamento lato piastra: Fb,Ed,p=2.05 Fb,Rd,p=8656.88
Tirafondi:LT=0.45 (0.31) σ_{cR}=0.00 σ_{fR}=0.00
Compressione nel calcestruzzo: σ_c=8.54
CC 3 SLV (Collegamento 0021_-378)
Azioni sul collegamento: N=-3974.64 Ty=3.70 Tz=10.74 Mx=0.01 Mz=5.08
Sollecitazioni agenti localmente: Tx_l=3.70 Ty_l=10.74 N_l=-3974.64 Mx_l=-0.00 My_l=5.08 Mz_l=0.01
Taglio nei bulloni: Fv,Ed=1.91 Fv,Rd=7720.78
Rifollamento lato piastra: Fb,Ed,p=1.91 Fb,Rd,p=7064.50
Tirafondi:LT=0.45 (0.31) σ_{cR}=0.00 σ_{fR}=0.00
Compressione nel calcestruzzo: σ_c=8.50
CC 3 SLV (Collegamento 0021_-378)
Azioni sul collegamento: N=-9260.08 Ty=5.81 Tz=-8.72 Mx=0.01 Mz=5.82
Sollecitazioni agenti localmente: Tx_l=5.81 Ty_l=-8.72 N_l=-9260.08 Mx_l=-0.00 My_l=5.82 Mz_l=0.01
Taglio nei bulloni: Fv,Ed=1.76 Fv,Rd=7720.78
Rifollamento lato piastra: Fb,Ed,p=1.75 Fb,Rd,p=9905.94
Tirafondi:LT=0.45 (0.31) σ_{cR}=0.00 σ_{fR}=0.00
Compressione nel calcestruzzo: σ_c=19.46
CC 3 SLV (Collegamento 0021_-378)
Azioni sul collegamento: N=-9260.08 Ty=3.70 Tz=-8.72 Mx=0.01 Mz=5.08
Sollecitazioni agenti localmente: Tx_l=3.70 Ty_l=-8.72 N_l=-9260.08 Mx_l=-0.00 My_l=5.08 Mz_l=0.01
Taglio nei bulloni: Fv,Ed=1.59 Fv,Rd=7720.78
Rifollamento lato piastra: Fb,Ed,p=1.58 Fb,Rd,p=7528.23
Tirafondi:LT=0.45 (0.31) σ_{cR}=0.00 σ_{fR}=0.00
Compressione nel calcestruzzo: σ_c=19.42
CC 3 SLV (Collegamento 0021_-378)
Azioni sul collegamento: N=-9260.08 Ty=5.81 Tz=10.74 Mx=0.01 Mz=5.82
Sollecitazioni agenti localmente: Tx_l=5.81 Ty_l=10.74 N_l=-9260.08 Mx_l=-0.00 My_l=5.82 Mz_l=0.01
Taglio nei bulloni: Fv,Ed=2.05 Fv,Rd=7720.78
Rifollamento lato piastra: Fb,Ed,p=2.05 Fb,Rd,p=8656.84
Tirafondi:LT=0.45 (0.31) σ_{cR}=0.00 σ_{fR}=0.00
Compressione nel calcestruzzo: σ_c=19.46
CC 3 SLV (Collegamento 0021_-378)
Azioni sul collegamento: N=-9260.08 Ty=3.70 Tz=10.74 Mx=0.01 Mz=5.08
Sollecitazioni agenti localmente: Tx_l=3.70 Ty_l=10.74 N_l=-9260.08 Mx_l=-0.00 My_l=5.08 Mz_l=0.01
Taglio nei bulloni: Fv,Ed=1.91 Fv,Rd=7720.78
Rifollamento lato piastra: Fb,Ed,p=1.91 Fb,Rd,p=7064.48
Tirafondi:LT=0.45 (0.31) σ_{cR}=0.00 σ_{fR}=0.00
Compressione nel calcestruzzo: σ_c=19.42
CC 4 SLD (Collegamento 0021_-378)

Azioni sul collegamento: N=-5779.06 Ty=4.24 Tz=-2.08 Mx=0.00 Mz=3.48
Sollecitazioni agenti localmente: Tx_l=4.24 Ty_l=-2.08 N_l=-5779.06 Mx_l=-0.00 My_l=3.48 Mz_l=0.00
Taglio nei bulloni: Fv,Ed=0.79 Fv,Rd=9650.97
Rifollamento lato piastra: Fb,Ed,p=0.79 Fb,Rd,p=10200.70
Tirafondi:LT=0.45 (0.31) σ_{cR}=0.00 σ_{fR}=0.00
Compressione nel calcestruzzo: σ_c=12.14
CC 4 SLD (Collegamento 0021_-378)
Azioni sul collegamento: N=-5779.06 Ty=3.59 Tz=-2.08 Mx=0.00 Mz=3.26
Sollecitazioni agenti localmente: Tx_l=3.59 Ty_l=-2.08 N_l=-5779.06 Mx_l=-0.00 My_l=3.26 Mz_l=0.00
Taglio nei bulloni: Fv,Ed=0.69 Fv,Rd=9650.97
Rifollamento lato piastra: Fb,Ed,p=0.69 Fb,Rd,p=11288.20
Tirafondi:LT=0.45 (0.31) σ_{cR}=0.00 σ_{fR}=0.00
Compressione nel calcestruzzo: σ_c=12.12
CC 4 SLD (Collegamento 0021_-378)
Azioni sul collegamento: N=-5779.06 Ty=4.24 Tz=3.85 Mx=0.00 Mz=3.48
Sollecitazioni agenti localmente: Tx_l=4.24 Ty_l=3.85 N_l=-5779.06 Mx_l=-0.00 My_l=3.48 Mz_l=0.00
Taglio nei bulloni: Fv,Ed=0.95 Fv,Rd=9650.97
Rifollamento lato piastra: Fb,Ed,p=0.95 Fb,Rd,p=14357.20
Tirafondi:LT=0.45 (0.31) σ_{cR}=0.00 σ_{fR}=0.00
Compressione nel calcestruzzo: σ_c=12.14
CC 4 SLD (Collegamento 0021_-378)
Azioni sul collegamento: N=-5779.06 Ty=3.59 Tz=3.85 Mx=0.00 Mz=3.26
Sollecitazioni agenti localmente: Tx_l=3.59 Ty_l=3.85 N_l=-5779.06 Mx_l=-0.00 My_l=3.26 Mz_l=0.00
Taglio nei bulloni: Fv,Ed=0.88 Fv,Rd=9650.97
Rifollamento lato piastra: Fb,Ed,p=0.88 Fb,Rd,p=14526.80
Tirafondi:LT=0.45 (0.31) σ_{cR}=0.00 σ_{fR}=0.00
Compressione nel calcestruzzo: σ_c=12.12
CC 4 SLD (Collegamento 0021_-378)
Azioni sul collegamento: N=-7390.75 Ty=4.24 Tz=-2.08 Mx=0.00 Mz=3.48
Sollecitazioni agenti localmente: Tx_l=4.24 Ty_l=-2.08 N_l=-7390.75 Mx_l=-0.00 My_l=3.48 Mz_l=0.00
Taglio nei bulloni: Fv,Ed=0.79 Fv,Rd=9650.97
Rifollamento lato piastra: Fb,Ed,p=0.79 Fb,Rd,p=10200.10
Tirafondi:LT=0.45 (0.31) σ_{cR}=0.00 σ_{fR}=0.00
Compressione nel calcestruzzo: σ_c=15.47
CC 4 SLD (Collegamento 0021_-378)
Azioni sul collegamento: N=-7390.75 Ty=3.59 Tz=-2.08 Mx=0.00 Mz=3.26
Sollecitazioni agenti localmente: Tx_l=3.59 Ty_l=-2.08 N_l=-7390.75 Mx_l=-0.00 My_l=3.26 Mz_l=0.00
Taglio nei bulloni: Fv,Ed=0.69 Fv,Rd=9650.97
Rifollamento lato piastra: Fb,Ed,p=0.69 Fb,Rd,p=11287.40
Tirafondi:LT=0.45 (0.31) σ_{cR}=0.00 σ_{fR}=0.00
Compressione nel calcestruzzo: σ_c=15.45
CC 4 SLD (Collegamento 0021_-378)
Azioni sul collegamento: N=-7390.75 Ty=4.24 Tz=3.85 Mx=0.00 Mz=3.48
Sollecitazioni agenti localmente: Tx_l=4.24 Ty_l=3.85 N_l=-7390.75 Mx_l=-0.00 My_l=3.48 Mz_l=0.00
Taglio nei bulloni: Fv,Ed=0.95 Fv,Rd=9650.97
Rifollamento lato piastra: Fb,Ed,p=0.95 Fb,Rd,p=14356.70
Tirafondi:LT=0.45 (0.31) σ_{cR}=0.00 σ_{fR}=0.00
Compressione nel calcestruzzo: σ_c=15.47
CC 4 SLD (Collegamento 0021_-378)
Azioni sul collegamento: N=-7390.75 Ty=3.59 Tz=3.85 Mx=0.00 Mz=3.26
Sollecitazioni agenti localmente: Tx_l=3.59 Ty_l=3.85 N_l=-7390.75 Mx_l=-0.00 My_l=3.26 Mz_l=0.00
Taglio nei bulloni: Fv,Ed=0.88 Fv,Rd=9650.97
Rifollamento lato piastra: Fb,Ed,p=0.88 Fb,Rd,p=14527.20
Tirafondi:LT=0.45 (0.31) σ_{cR}=0.00 σ_{fR}=0.00
Compressione nel calcestruzzo: σ_c=15.45
CC 5 SLV (Collegamento 0021_-378)
Azioni sul collegamento: N=-9260.08 Ty=3.70 Tz=10.74 Mx=0.01 Mz=5.08
Sollecitazioni agenti localmente: Tx_l=3.70 Ty_l=10.74 N_l=-9260.08 Mx_l=-0.00 My_l=5.08 Mz_l=0.01
Taglio nei bulloni: Fv,Ed=1.91 Fv,Rd=7720.78
Rifollamento lato piastra: Fb,Ed,p=1.91 Fb,Rd,p=7069.42
Tirafondi:LT=0.45 (0.31) σ_{cR}=0.00 σ_{fR}=0.00
Compressione nel calcestruzzo: σ_c=19.42
CC 5 SLV (Collegamento 0021_-378)
Azioni sul collegamento: N=-9260.08 Ty=5.81 Tz=10.74 Mx=0.01 Mz=5.82
Sollecitazioni agenti localmente: Tx_l=5.81 Ty_l=10.74 N_l=-9260.08 Mx_l=-0.00 My_l=5.82 Mz_l=0.01
Taglio nei bulloni: Fv,Ed=2.05 Fv,Rd=7720.78
Rifollamento lato piastra: Fb,Ed,p=2.05 Fb,Rd,p=8662.35
Tirafondi:LT=0.45 (0.31) σ_{cR}=0.00 σ_{fR}=0.00
Compressione nel calcestruzzo: σ_c=19.46
CC 5 SLV (Collegamento 0021_-378)
Azioni sul collegamento: N=-9260.08 Ty=3.70 Tz=-8.72 Mx=0.01 Mz=5.08
Sollecitazioni agenti localmente: Tx_l=3.70 Ty_l=-8.72 N_l=-9260.08 Mx_l=-0.00 My_l=5.08 Mz_l=0.01
Taglio nei bulloni: Fv,Ed=1.59 Fv,Rd=7720.78
Rifollamento lato piastra: Fb,Ed,p=1.58 Fb,Rd,p=7512.44
Tirafondi:LT=0.45 (0.31) σ_{cR}=0.00 σ_{fR}=0.00
Compressione nel calcestruzzo: σ_c=19.42
CC 5 SLV (Collegamento 0021_-378)
Azioni sul collegamento: N=-9260.08 Ty=5.81 Tz=-8.72 Mx=0.01 Mz=5.82

Sollecitazioni agenti localmente: Tx_l=5.81 Ty_l=-8.72 N_l=-9260.08 Mx_l=-0.00 My_l=5.82 Mz_l=0.01
Taglio nei bulloni: Fv,Ed=1.76 Fv,Rd=7720.78
Rifollamento lato piastra: Fb,Ed,p=1.75 Fb,Rd,p=9875.93
Tirafondi:LT=0.45 (0.31) σ_{cR}=0.00 σ_{fR}=0.00
Compressione nel calcestruzzo: σ_c=19.46
CC 5 SLV (Collegamento 0021_-378)
Azioni sul collegamento: N=-3974.64 Ty=3.70 Tz=10.74 Mx=0.01 Mz=5.08
Sollecitazioni agenti localmente: Tx_l=3.70 Ty_l=10.74 N_l=-3974.64 Mx_l=-0.00 My_l=5.08 Mz_l=0.01
Taglio nei bulloni: Fv,Ed=1.91 Fv,Rd=7720.78
Rifollamento lato piastra: Fb,Ed,p=1.91 Fb,Rd,p=7069.44
Tirafondi:LT=0.45 (0.31) σ_{cR}=0.00 σ_{fR}=0.00
Compressione nel calcestruzzo: σ_c=8.50
CC 5 SLV (Collegamento 0021_-378)
Azioni sul collegamento: N=-3974.64 Ty=5.81 Tz=10.74 Mx=0.01 Mz=5.82
Sollecitazioni agenti localmente: Tx_l=5.81 Ty_l=10.74 N_l=-3974.64 Mx_l=-0.00 My_l=5.82 Mz_l=0.01
Taglio nei bulloni: Fv,Ed=2.05 Fv,Rd=7720.78
Rifollamento lato piastra: Fb,Ed,p=2.05 Fb,Rd,p=8662.40
Tirafondi:LT=0.45 (0.31) σ_{cR}=0.00 σ_{fR}=0.00
Compressione nel calcestruzzo: σ_c=8.54
CC 5 SLV (Collegamento 0021_-378)
Azioni sul collegamento: N=-3974.64 Ty=3.70 Tz=-8.72 Mx=0.01 Mz=5.08
Sollecitazioni agenti localmente: Tx_l=3.70 Ty_l=-8.72 N_l=-3974.64 Mx_l=-0.00 My_l=5.08 Mz_l=0.01
Taglio nei bulloni: Fv,Ed=1.59 Fv,Rd=7720.78
Rifollamento lato piastra: Fb,Ed,p=1.58 Fb,Rd,p=7512.36
Tirafondi:LT=0.45 (0.31) σ_{cR}=0.00 σ_{fR}=0.00
Compressione nel calcestruzzo: σ_c=8.50
CC 5 SLV (Collegamento 0021_-378)
Azioni sul collegamento: N=-3974.64 Ty=5.81 Tz=-8.72 Mx=0.01 Mz=5.82
Sollecitazioni agenti localmente: Tx_l=5.81 Ty_l=-8.72 N_l=-3974.64 Mx_l=-0.00 My_l=5.82 Mz_l=0.01
Taglio nei bulloni: Fv,Ed=1.76 Fv,Rd=7720.78
Rifollamento lato piastra: Fb,Ed,p=1.75 Fb,Rd,p=9875.70
Tirafondi:LT=0.45 (0.31) σ_{cR}=0.00 σ_{fR}=0.00
Compressione nel calcestruzzo: σ_c=8.54
CC 6 SLD (Collegamento 0021_-378)
Azioni sul collegamento: N=-7390.75 Ty=3.59 Tz=3.85 Mx=0.00 Mz=3.26
Sollecitazioni agenti localmente: Tx_l=3.59 Ty_l=3.85 N_l=-7390.75 Mx_l=-0.00 My_l=3.26 Mz_l=0.00
Taglio nei bulloni: Fv,Ed=0.88 Fv,Rd=9650.97
Rifollamento lato piastra: Fb,Ed,p=0.88 Fb,Rd,p=14527.70
Tirafondi:LT=0.45 (0.31) σ_{cR}=0.00 σ_{fR}=0.00
Compressione nel calcestruzzo: σ_c=15.45
CC 6 SLD (Collegamento 0021_-378)
Azioni sul collegamento: N=-7390.75 Ty=4.24 Tz=3.85 Mx=0.00 Mz=3.48
Sollecitazioni agenti localmente: Tx_l=4.24 Ty_l=3.85 N_l=-7390.75 Mx_l=-0.00 My_l=3.48 Mz_l=0.00
Taglio nei bulloni: Fv,Ed=0.96 Fv,Rd=9650.97
Rifollamento lato piastra: Fb,Ed,p=0.95 Fb,Rd,p=14344.00
Tirafondi:LT=0.45 (0.31) σ_{cR}=0.00 σ_{fR}=0.00
Compressione nel calcestruzzo: σ_c=15.47
CC 6 SLD (Collegamento 0021_-378)
Azioni sul collegamento: N=-7390.75 Ty=3.59 Tz=-2.08 Mx=0.00 Mz=3.26
Sollecitazioni agenti localmente: Tx_l=3.59 Ty_l=-2.08 N_l=-7390.75 Mx_l=-0.00 My_l=3.26 Mz_l=0.00
Taglio nei bulloni: Fv,Ed=0.69 Fv,Rd=9650.97
Rifollamento lato piastra: Fb,Ed,p=0.69 Fb,Rd,p=11293.60
Tirafondi:LT=0.45 (0.31) σ_{cR}=0.00 σ_{fR}=0.00
Compressione nel calcestruzzo: σ_c=15.45
CC 6 SLD (Collegamento 0021_-378)
Azioni sul collegamento: N=-7390.75 Ty=4.24 Tz=-2.08 Mx=0.00 Mz=3.48
Sollecitazioni agenti localmente: Tx_l=4.24 Ty_l=-2.08 N_l=-7390.75 Mx_l=-0.00 My_l=3.48 Mz_l=0.00
Taglio nei bulloni: Fv,Ed=0.79 Fv,Rd=9650.97
Rifollamento lato piastra: Fb,Ed,p=0.79 Fb,Rd,p=10205.40
Tirafondi:LT=0.45 (0.31) σ_{cR}=0.00 σ_{fR}=0.00
Compressione nel calcestruzzo: σ_c=15.47
CC 6 SLD (Collegamento 0021_-378)
Azioni sul collegamento: N=-5779.06 Ty=3.59 Tz=3.85 Mx=0.00 Mz=3.26
Sollecitazioni agenti localmente: Tx_l=3.59 Ty_l=3.85 N_l=-5779.06 Mx_l=-0.00 My_l=3.26 Mz_l=0.00
Taglio nei bulloni: Fv,Ed=0.88 Fv,Rd=9650.97
Rifollamento lato piastra: Fb,Ed,p=0.88 Fb,Rd,p=14527.30
Tirafondi:LT=0.45 (0.31) σ_{cR}=0.00 σ_{fR}=0.00
Compressione nel calcestruzzo: σ_c=12.12
CC 6 SLD (Collegamento 0021_-378)
Azioni sul collegamento: N=-5779.06 Ty=4.24 Tz=3.85 Mx=0.00 Mz=3.48
Sollecitazioni agenti localmente: Tx_l=4.24 Ty_l=3.85 N_l=-5779.06 Mx_l=-0.00 My_l=3.48 Mz_l=0.00
Taglio nei bulloni: Fv,Ed=0.96 Fv,Rd=9650.97
Rifollamento lato piastra: Fb,Ed,p=0.95 Fb,Rd,p=14344.40
Tirafondi:LT=0.45 (0.31) σ_{cR}=0.00 σ_{fR}=0.00
Compressione nel calcestruzzo: σ_c=12.14
CC 6 SLD (Collegamento 0021_-378)
Azioni sul collegamento: N=-5779.06 Ty=3.59 Tz=-2.08 Mx=0.00 Mz=3.26
Sollecitazioni agenti localmente: Tx_l=3.59 Ty_l=-2.08 N_l=-5779.06 Mx_l=-0.00 My_l=3.26 Mz_l=0.00

Taglio nei bulloni: Fv,Ed=0.69 Fv,Rd=9650.97
Rifollamento lato piastra: Fb,Ed,p=0.69 Fb,Rd,p=11294.50
Tirafondi:LT=0.45 (0.31) σ_{cR}=0.00 σ_{fR}=0.00
Compressione nel calcestruzzo: σ_c=12.12
CC 6 SLD (Collegamento 0021_-378)
Azioni sul collegamento: N=-5779.06 Ty=4.24 Tz=-2.08 Mx=0.00 Mz=3.48
Sollecitazioni agenti localmente: Tx_l=4.24 Ty_l=-2.08 N_l=-5779.06 Mx_l=-0.00 My_l=3.48 Mz_l=0.00
Taglio nei bulloni: Fv,Ed=0.79 Fv,Rd=9650.97
Rifollamento lato piastra: Fb,Ed,p=0.79 Fb,Rd,p=10206.10
Tirafondi:LT=0.45 (0.31) σ_{cR}=0.00 σ_{fR}=0.00
Compressione nel calcestruzzo: σ_c=12.14
CC 7 SLV (Collegamento 0021_-378)
Azioni sul collegamento: N=-9265.76 Ty=3.07 Tz=10.87 Mx=0.01 Mz=3.83
Sollecitazioni agenti localmente: Tx_l=3.07 Ty_l=10.87 N_l=-9265.76 Mx_l=-0.00 My_l=3.83 Mz_l=0.01
Taglio nei bulloni: Fv,Ed=1.89 Fv,Rd=7720.78
Rifollamento lato piastra: Fb,Ed,p=1.89 Fb,Rd,p=6703.44
Tirafondi:LT=0.45 (0.31) σ_{cR}=0.00 σ_{fR}=0.00
Compressione nel calcestruzzo: σ_c=19.36
CC 7 SLV (Collegamento 0021_-378)
Azioni sul collegamento: N=-9265.76 Ty=6.45 Tz=10.87 Mx=0.01 Mz=7.08
Sollecitazioni agenti localmente: Tx_l=6.45 Ty_l=10.87 N_l=-9265.76 Mx_l=-0.00 My_l=7.08 Mz_l=0.01
Taglio nei bulloni: Fv,Ed=2.12 Fv,Rd=7720.78
Rifollamento lato piastra: Fb,Ed,p=2.12 Fb,Rd,p=9192.53
Tirafondi:LT=0.45 (0.31) σ_{cR}=0.00 σ_{fR}=0.00
Compressione nel calcestruzzo: σ_c=19.54
CC 7 SLV (Collegamento 0021_-378)
Azioni sul collegamento: N=-9265.76 Ty=3.07 Tz=-8.85 Mx=0.01 Mz=3.83
Sollecitazioni agenti localmente: Tx_l=3.07 Ty_l=-8.85 N_l=-9265.76 Mx_l=-0.00 My_l=3.83 Mz_l=0.01
Taglio nei bulloni: Fv,Ed=1.57 Fv,Rd=7720.78
Rifollamento lato piastra: Fb,Ed,p=1.56 Fb,Rd,p=7019.31
Tirafondi:LT=0.45 (0.31) σ_{cR}=0.00 σ_{fR}=0.00
Compressione nel calcestruzzo: σ_c=19.36
CC 7 SLV (Collegamento 0021_-378)
Azioni sul collegamento: N=-9265.76 Ty=6.45 Tz=-8.85 Mx=0.01 Mz=7.08
Sollecitazioni agenti localmente: Tx_l=6.45 Ty_l=-8.85 N_l=-9265.76 Mx_l=-0.00 My_l=7.08 Mz_l=0.01
Taglio nei bulloni: Fv,Ed=1.83 Fv,Rd=7720.78
Rifollamento lato piastra: Fb,Ed,p=1.83 Fb,Rd,p=10479.10
Tirafondi:LT=0.45 (0.31) σ_{cR}=0.00 σ_{fR}=0.00
Compressione nel calcestruzzo: σ_c=19.54
CC 7 SLV (Collegamento 0021_-378)
Azioni sul collegamento: N=-3968.96 Ty=3.07 Tz=10.87 Mx=0.01 Mz=3.83
Sollecitazioni agenti localmente: Tx_l=3.07 Ty_l=10.87 N_l=-3968.96 Mx_l=-0.00 My_l=3.83 Mz_l=0.01
Taglio nei bulloni: Fv,Ed=1.89 Fv,Rd=7720.78
Rifollamento lato piastra: Fb,Ed,p=1.89 Fb,Rd,p=6703.48
Tirafondi:LT=0.45 (0.31) σ_{cR}=0.00 σ_{fR}=0.00
Compressione nel calcestruzzo: σ_c=8.42
CC 7 SLV (Collegamento 0021_-378)
Azioni sul collegamento: N=-3968.96 Ty=6.45 Tz=10.87 Mx=0.01 Mz=7.08
Sollecitazioni agenti localmente: Tx_l=6.45 Ty_l=10.87 N_l=-3968.96 Mx_l=-0.00 My_l=7.08 Mz_l=0.01
Taglio nei bulloni: Fv,Ed=2.12 Fv,Rd=7720.78
Rifollamento lato piastra: Fb,Ed,p=2.12 Fb,Rd,p=9192.68
Tirafondi:LT=0.45 (0.31) σ_{cR}=0.00 σ_{fR}=0.00
Compressione nel calcestruzzo: σ_c=8.60
CC 7 SLV (Collegamento 0021_-378)
Azioni sul collegamento: N=-3968.96 Ty=3.07 Tz=-8.85 Mx=0.01 Mz=3.83
Sollecitazioni agenti localmente: Tx_l=3.07 Ty_l=-8.85 N_l=-3968.96 Mx_l=-0.00 My_l=3.83 Mz_l=0.01
Taglio nei bulloni: Fv,Ed=1.57 Fv,Rd=7720.78
Rifollamento lato piastra: Fb,Ed,p=1.56 Fb,Rd,p=7019.33
Tirafondi:LT=0.45 (0.31) σ_{cR}=0.00 σ_{fR}=0.00
Compressione nel calcestruzzo: σ_c=8.42
CC 7 SLV (Collegamento 0021_-378)
Azioni sul collegamento: N=-3968.96 Ty=6.45 Tz=-8.85 Mx=0.01 Mz=7.08
Sollecitazioni agenti localmente: Tx_l=6.45 Ty_l=-8.85 N_l=-3968.96 Mx_l=-0.00 My_l=7.08 Mz_l=0.01
Taglio nei bulloni: Fv,Ed=1.83 Fv,Rd=7720.78
Rifollamento lato piastra: Fb,Ed,p=1.83 Fb,Rd,p=10479.10
Tirafondi:LT=0.45 (0.31) σ_{cR}=0.00 σ_{fR}=0.00
Compressione nel calcestruzzo: σ_c=8.60
CC 8 SLD (Collegamento 0021_-378)
Azioni sul collegamento: N=-7392.49 Ty=3.40 Tz=3.89 Mx=-0.00 Mz=2.88
Sollecitazioni agenti localmente: Tx_l=3.40 Ty_l=3.89 N_l=-7392.49 Mx_l=-0.00 My_l=2.88 Mz_l=-0.00
Taglio nei bulloni: Fv,Ed=0.86 Fv,Rd=9650.97
Rifollamento lato piastra: Fb,Ed,p=0.86 Fb,Rd,p=14088.20
Tirafondi:LT=0.45 (0.31) σ_{cR}=0.00 σ_{fR}=0.00
Compressione nel calcestruzzo: σ_c=15.44
CC 8 SLD (Collegamento 0021_-378)
Azioni sul collegamento: N=-7392.49 Ty=4.43 Tz=3.89 Mx=-0.00 Mz=3.87
Sollecitazioni agenti localmente: Tx_l=4.43 Ty_l=3.89 N_l=-7392.49 Mx_l=-0.00 My_l=3.87 Mz_l=-0.00
Taglio nei bulloni: Fv,Ed=0.98 Fv,Rd=9650.97

Rifollamento lato piastra: Fb,Ed,p=0.98 Fb,Rd,p=14140.50
Tirafondi:LT=0.45 (0.31) σ_{cR}=0.00 σ_{fR}=0.00
Compressione nel calcestruzzo: σ_c=15.49
CC 8 SLD (Collegamento 0021_-378)
Azioni sul collegamento: N=-7392.49 Ty=3.40 Tz=-2.12 Mx=-0.00 Mz=2.88
Sollecitazioni agenti localmente: Tx_l=3.40 Ty_l=-2.12 N_l=-7392.49 Mx_l=-0.00 My_l=2.88 Mz_l=-0.00
Taglio nei bulloni: Fv,Ed=0.67 Fv,Rd=9650.97
Rifollamento lato piastra: Fb,Ed,p=0.67 Fb,Rd,p=11870.10
Tirafondi:LT=0.45 (0.31) σ_{cR}=0.00 σ_{fR}=0.00
Compressione nel calcestruzzo: σ_c=15.44
CC 8 SLD (Collegamento 0021_-378)
Azioni sul collegamento: N=-7392.49 Ty=4.43 Tz=-2.12 Mx=-0.00 Mz=3.87
Sollecitazioni agenti localmente: Tx_l=4.43 Ty_l=-2.12 N_l=-7392.49 Mx_l=-0.00 My_l=3.87 Mz_l=-0.00
Taglio nei bulloni: Fv,Ed=0.82 Fv,Rd=9650.97
Rifollamento lato piastra: Fb,Ed,p=0.82 Fb,Rd,p=10039.50
Tirafondi:LT=0.45 (0.31) σ_{cR}=0.00 σ_{fR}=0.00
Compressione nel calcestruzzo: σ_c=15.49
CC 8 SLD (Collegamento 0021_-378)
Azioni sul collegamento: N=-5777.32 Ty=3.40 Tz=3.89 Mx=-0.00 Mz=2.88
Sollecitazioni agenti localmente: Tx_l=3.40 Ty_l=3.89 N_l=-5777.32 Mx_l=-0.00 My_l=2.88 Mz_l=-0.00
Taglio nei bulloni: Fv,Ed=0.86 Fv,Rd=9650.97
Rifollamento lato piastra: Fb,Ed,p=0.86 Fb,Rd,p=14088.10
Tirafondi:LT=0.45 (0.31) σ_{cR}=0.00 σ_{fR}=0.00
Compressione nel calcestruzzo: σ_c=12.10
CC 8 SLD (Collegamento 0021_-378)
Azioni sul collegamento: N=-5777.32 Ty=4.43 Tz=3.89 Mx=-0.00 Mz=3.87
Sollecitazioni agenti localmente: Tx_l=4.43 Ty_l=3.89 N_l=-5777.32 Mx_l=-0.00 My_l=3.87 Mz_l=-0.00
Taglio nei bulloni: Fv,Ed=0.98 Fv,Rd=9650.97
Rifollamento lato piastra: Fb,Ed,p=0.98 Fb,Rd,p=14140.60
Tirafondi:LT=0.45 (0.31) σ_{cR}=0.00 σ_{fR}=0.00
Compressione nel calcestruzzo: σ_c=12.15
CC 8 SLD (Collegamento 0021_-378)
Azioni sul collegamento: N=-5777.33 Ty=3.40 Tz=-2.12 Mx=-0.00 Mz=2.88
Sollecitazioni agenti localmente: Tx_l=3.40 Ty_l=-2.12 N_l=-5777.33 Mx_l=-0.00 My_l=2.88 Mz_l=-0.00
Taglio nei bulloni: Fv,Ed=0.67 Fv,Rd=9650.97
Rifollamento lato piastra: Fb,Ed,p=0.67 Fb,Rd,p=11869.70
Tirafondi:LT=0.45 (0.31) σ_{cR}=0.00 σ_{fR}=0.00
Compressione nel calcestruzzo: σ_c=12.10
CC 8 SLD (Collegamento 0021_-378)
Azioni sul collegamento: N=-5777.33 Ty=4.43 Tz=-2.12 Mx=-0.00 Mz=3.87
Sollecitazioni agenti localmente: Tx_l=4.43 Ty_l=-2.12 N_l=-5777.33 Mx_l=-0.00 My_l=3.87 Mz_l=-0.00
Taglio nei bulloni: Fv,Ed=0.82 Fv,Rd=9650.97
Rifollamento lato piastra: Fb,Ed,p=0.82 Fb,Rd,p=10039.30
Tirafondi:LT=0.45 (0.31) σ_{cR}=0.00 σ_{fR}=0.00
Compressione nel calcestruzzo: σ_c=12.15
CC 9 SLV (Collegamento 0021_-378)
Azioni sul collegamento: N=-5814.22 Ty=6.23 Tz=-2.14 Mx=0.02 Mz=7.84
Sollecitazioni agenti localmente: Tx_l=6.23 Ty_l=-2.14 N_l=-5814.22 Mx_l=-0.00 My_l=7.84 Mz_l=0.02
Taglio nei bulloni: Fv,Ed=1.12 Fv,Rd=7720.78
Rifollamento lato piastra: Fb,Ed,p=1.12 Fb,Rd,p=7115.19
Tirafondi:LT=0.45 (0.31) σ_{cR}=0.00 σ_{fR}=0.00
Compressione nel calcestruzzo: σ_c=12.45
CC 9 SLV (Collegamento 0021_-378)
Azioni sul collegamento: N=-5814.22 Ty=3.29 Tz=-2.14 Mx=0.02 Mz=3.06
Sollecitazioni agenti localmente: Tx_l=3.29 Ty_l=-2.14 N_l=-5814.22 Mx_l=-0.00 My_l=3.06 Mz_l=0.02
Taglio nei bulloni: Fv,Ed=0.68 Fv,Rd=7720.78
Rifollamento lato piastra: Fb,Ed,p=0.68 Fb,Rd,p=9989.85
Tirafondi:LT=0.45 (0.31) σ_{cR}=0.00 σ_{fR}=0.00
Compressione nel calcestruzzo: σ_c=12.19
CC 9 SLV (Collegamento 0021_-378)
Azioni sul collegamento: N=-5814.22 Ty=6.23 Tz=4.16 Mx=0.02 Mz=7.84
Sollecitazioni agenti localmente: Tx_l=6.23 Ty_l=4.16 N_l=-5814.22 Mx_l=-0.00 My_l=7.84 Mz_l=0.02
Taglio nei bulloni: Fv,Ed=1.28 Fv,Rd=7720.78
Rifollamento lato piastra: Fb,Ed,p=1.25 Fb,Rd,p=9677.09
Tirafondi:LT=0.45 (0.31) σ_{cR}=0.00 σ_{fR}=0.00
Compressione nel calcestruzzo: σ_c=12.45
CC 9 SLV (Collegamento 0021_-378)
Azioni sul collegamento: N=-5814.22 Ty=3.29 Tz=4.16 Mx=0.02 Mz=3.06
Sollecitazioni agenti localmente: Tx_l=3.29 Ty_l=4.16 N_l=-5814.22 Mx_l=-0.00 My_l=3.06 Mz_l=0.02
Taglio nei bulloni: Fv,Ed=0.91 Fv,Rd=7720.78
Rifollamento lato piastra: Fb,Ed,p=0.91 Fb,Rd,p=10862.80
Tirafondi:LT=0.45 (0.31) σ_{cR}=0.00 σ_{fR}=0.00
Compressione nel calcestruzzo: σ_c=12.19
CC 9 SLV (Collegamento 0021_-378)
Azioni sul collegamento: N=-7420.50 Ty=6.23 Tz=-2.14 Mx=0.02 Mz=7.84
Sollecitazioni agenti localmente: Tx_l=6.23 Ty_l=-2.14 N_l=-7420.50 Mx_l=-0.00 My_l=7.84 Mz_l=0.02
Taglio nei bulloni: Fv,Ed=1.12 Fv,Rd=7720.78
Rifollamento lato piastra: Fb,Ed,p=1.12 Fb,Rd,p=7115.09

Tirafondi:LT=0.45 (0.31) σ_{cR}=0.00 σ_{fR}=0.00
Compressione nel calcestruzzo: σ_c=15.77
CC 9 SLV (Collegamento 0021_-378)
Azioni sul collegamento: N=-7420.50 Ty=3.29 Tz=-2.14 Mx=0.02 Mz=3.06
Sollecitazioni agenti localmente: Tx_l=3.29 Ty_l=-2.14 N_l=-7420.50 Mx_l=-0.00 My_l=3.06 Mz_l=0.02
Taglio nei bulloni: Fv,Ed=0.68 Fv,Rd=7720.78
Rifollamento lato piastra: Fb,Ed,p=0.68 Fb,Rd,p=9989.48
Tirafondi:LT=0.45 (0.31) σ_{cR}=0.00 σ_{fR}=0.00
Compressione nel calcestruzzo: σ_c=15.50
CC 9 SLV (Collegamento 0021_-378)
Azioni sul collegamento: N=-7420.50 Ty=6.23 Tz=4.16 Mx=0.02 Mz=7.84
Sollecitazioni agenti localmente: Tx_l=6.23 Ty_l=4.16 N_l=-7420.50 Mx_l=-0.00 My_l=7.84 Mz_l=0.02
Taglio nei bulloni: Fv,Ed=1.28 Fv,Rd=7720.78
Rifollamento lato piastra: Fb,Ed,p=1.25 Fb,Rd,p=9677.28
Tirafondi:LT=0.45 (0.31) σ_{cR}=0.00 σ_{fR}=0.00
Compressione nel calcestruzzo: σ_c=15.77
CC 9 SLV (Collegamento 0021_-378)
Azioni sul collegamento: N=-7420.50 Ty=3.29 Tz=4.16 Mx=0.02 Mz=3.06
Sollecitazioni agenti localmente: Tx_l=3.29 Ty_l=4.16 N_l=-7420.50 Mx_l=-0.00 My_l=3.06 Mz_l=0.02
Taglio nei bulloni: Fv,Ed=0.91 Fv,Rd=7720.78
Rifollamento lato piastra: Fb,Ed,p=0.91 Fb,Rd,p=10862.70
Tirafondi:LT=0.45 (0.31) σ_{cR}=0.00 σ_{fR}=0.00
Compressione nel calcestruzzo: σ_c=15.50
CC 10 SLD (Collegamento 0021_-378)
Azioni sul collegamento: N=-6340.00 Ty=4.36 Tz=-0.08 Mx=0.00 Mz=4.10
Sollecitazioni agenti localmente: Tx_l=4.36 Ty_l=-0.08 N_l=-6340.00 Mx_l=-0.00 My_l=4.10 Mz_l=0.00
Taglio nei bulloni: Fv,Ed=0.73 Fv,Rd=9650.97
Rifollamento lato piastra: Fb,Ed,p=0.73 Fb,Rd,p=7479.28
Tirafondi:LT=0.45 (0.31) σ_{cR}=0.00 σ_{fR}=0.00
Compressione nel calcestruzzo: σ_c=13.33
CC 10 SLD (Collegamento 0021_-378)
Azioni sul collegamento: N=-6340.00 Ty=3.47 Tz=-0.08 Mx=0.00 Mz=2.64
Sollecitazioni agenti localmente: Tx_l=3.47 Ty_l=-0.08 N_l=-6340.00 Mx_l=-0.00 My_l=2.64 Mz_l=0.00
Taglio nei bulloni: Fv,Ed=0.58 Fv,Rd=9650.97
Rifollamento lato piastra: Fb,Ed,p=0.58 Fb,Rd,p=7482.36
Tirafondi:LT=0.45 (0.31) σ_{cR}=0.00 σ_{fR}=0.00
Compressione nel calcestruzzo: σ_c=13.25
CC 10 SLD (Collegamento 0021_-378)
Azioni sul collegamento: N=-6340.00 Ty=4.36 Tz=1.85 Mx=0.00 Mz=4.10
Sollecitazioni agenti localmente: Tx_l=4.36 Ty_l=1.85 N_l=-6340.00 Mx_l=-0.00 My_l=4.10 Mz_l=0.00
Taglio nei bulloni: Fv,Ed=0.79 Fv,Rd=9650.97
Rifollamento lato piastra: Fb,Ed,p=0.79 Fb,Rd,p=9425.15
Tirafondi:LT=0.45 (0.31) σ_{cR}=0.00 σ_{fR}=0.00
Compressione nel calcestruzzo: σ_c=13.33
CC 10 SLD (Collegamento 0021_-378)
Azioni sul collegamento: N=-6340.00 Ty=3.47 Tz=1.85 Mx=0.00 Mz=2.64
Sollecitazioni agenti localmente: Tx_l=3.47 Ty_l=1.85 N_l=-6340.00 Mx_l=-0.00 My_l=2.64 Mz_l=0.00
Taglio nei bulloni: Fv,Ed=0.66 Fv,Rd=9650.97
Rifollamento lato piastra: Fb,Ed,p=0.66 Fb,Rd,p=10576.60
Tirafondi:LT=0.45 (0.31) σ_{cR}=0.00 σ_{fR}=0.00
Compressione nel calcestruzzo: σ_c=13.25
CC 10 SLD (Collegamento 0021_-378)
Azioni sul collegamento: N=-6829.81 Ty=4.36 Tz=-0.08 Mx=0.00 Mz=4.10
Sollecitazioni agenti localmente: Tx_l=4.36 Ty_l=-0.08 N_l=-6829.81 Mx_l=-0.00 My_l=4.10 Mz_l=0.00
Taglio nei bulloni: Fv,Ed=0.73 Fv,Rd=9650.97
Rifollamento lato piastra: Fb,Ed,p=0.73 Fb,Rd,p=7479.32
Tirafondi:LT=0.45 (0.31) σ_{cR}=0.00 σ_{fR}=0.00
Compressione nel calcestruzzo: σ_c=14.34
CC 10 SLD (Collegamento 0021_-378)
Azioni sul collegamento: N=-6829.81 Ty=3.47 Tz=-0.08 Mx=0.00 Mz=2.64
Sollecitazioni agenti localmente: Tx_l=3.47 Ty_l=-0.08 N_l=-6829.81 Mx_l=-0.00 My_l=2.64 Mz_l=0.00
Taglio nei bulloni: Fv,Ed=0.58 Fv,Rd=9650.97
Rifollamento lato piastra: Fb,Ed,p=0.58 Fb,Rd,p=7482.43
Tirafondi:LT=0.45 (0.31) σ_{cR}=0.00 σ_{fR}=0.00
Compressione nel calcestruzzo: σ_c=14.26
CC 10 SLD (Collegamento 0021_-378)
Azioni sul collegamento: N=-6829.81 Ty=4.36 Tz=1.85 Mx=0.00 Mz=4.10
Sollecitazioni agenti localmente: Tx_l=4.36 Ty_l=1.85 N_l=-6829.81 Mx_l=-0.00 My_l=4.10 Mz_l=0.00
Taglio nei bulloni: Fv,Ed=0.79 Fv,Rd=9650.97
Rifollamento lato piastra: Fb,Ed,p=0.79 Fb,Rd,p=9425.82
Tirafondi:LT=0.45 (0.31) σ_{cR}=0.00 σ_{fR}=0.00
Compressione nel calcestruzzo: σ_c=14.34
CC 10 SLD (Collegamento 0021_-378)
Azioni sul collegamento: N=-6829.81 Ty=3.47 Tz=1.85 Mx=0.00 Mz=2.64
Sollecitazioni agenti localmente: Tx_l=3.47 Ty_l=1.85 N_l=-6829.81 Mx_l=-0.00 My_l=2.64 Mz_l=0.00
Taglio nei bulloni: Fv,Ed=0.66 Fv,Rd=9650.97
Rifollamento lato piastra: Fb,Ed,p=0.66 Fb,Rd,p=10577.70
Tirafondi:LT=0.45 (0.31) σ_{cR}=0.00 σ_{fR}=0.00

Compressione nel calcestruzzo: σ_c=14.26
CC 11 SLV (Collegamento 0021_-378)
Azioni sul collegamento: N=-7401.56 Ty=5.40 Tz=3.74 Mx=0.02 Mz=7.25
Sollecitazioni agenti localmente: Tx_l=5.40 Ty_l=3.74 N_l=-7401.56 Mx_l=-0.00 My_l=7.25 Mz_l=0.02
Taglio nei bulloni: Fv,Ed=1.12 Fv,Rd=7720.78
Rifollamento lato piastra: Fb,Ed,p=1.10 Fb,Rd,p=9909.74
Tirafondi:LT=0.45 (0.31) σ_{cR}=0.00 σ_{fR}=0.00
Compressione nel calcestruzzo: σ_c=15.70
CC 11 SLV (Collegamento 0021_-378)
Azioni sul collegamento: N=-7401.56 Ty=4.11 Tz=3.74 Mx=0.02 Mz=3.66
Sollecitazioni agenti localmente: Tx_l=4.11 Ty_l=3.74 N_l=-7401.56 Mx_l=-0.00 My_l=3.66 Mz_l=0.02
Taglio nei bulloni: Fv,Ed=0.95 Fv,Rd=7720.78
Rifollamento lato piastra: Fb,Ed,p=0.93 Fb,Rd,p=11188.50
Tirafondi:LT=0.45 (0.31) σ_{cR}=0.00 σ_{fR}=0.00
Compressione nel calcestruzzo: σ_c=15.50
CC 11 SLV (Collegamento 0021_-378)
Azioni sul collegamento: N=-7401.56 Ty=5.40 Tz=-1.71 Mx=0.02 Mz=7.25
Sollecitazioni agenti localmente: Tx_l=5.40 Ty_l=-1.71 N_l=-7401.56 Mx_l=-0.00 My_l=7.25 Mz_l=0.02
Taglio nei bulloni: Fv,Ed=0.97 Fv,Rd=7720.78
Rifollamento lato piastra: Fb,Ed,p=0.97 Fb,Rd,p=6959.87
Tirafondi:LT=0.45 (0.31) σ_{cR}=0.00 σ_{fR}=0.00
Compressione nel calcestruzzo: σ_c=15.70
CC 11 SLV (Collegamento 0021_-378)
Azioni sul collegamento: N=-7401.56 Ty=4.11 Tz=-1.71 Mx=0.02 Mz=3.66
Sollecitazioni agenti localmente: Tx_l=4.11 Ty_l=-1.71 N_l=-7401.56 Mx_l=-0.00 My_l=3.66 Mz_l=0.02
Taglio nei bulloni: Fv,Ed=0.77 Fv,Rd=7720.78
Rifollamento lato piastra: Fb,Ed,p=0.77 Fb,Rd,p=7657.61
Tirafondi:LT=0.45 (0.31) σ_{cR}=0.00 σ_{fR}=0.00
Compressione nel calcestruzzo: σ_c=15.50
CC 11 SLV (Collegamento 0021_-378)
Azioni sul collegamento: N=-5833.17 Ty=5.40 Tz=3.74 Mx=0.02 Mz=7.25
Sollecitazioni agenti localmente: Tx_l=5.40 Ty_l=3.74 N_l=-5833.17 Mx_l=-0.00 My_l=7.25 Mz_l=0.02
Taglio nei bulloni: Fv,Ed=1.12 Fv,Rd=7720.78
Rifollamento lato piastra: Fb,Ed,p=1.10 Fb,Rd,p=9909.80
Tirafondi:LT=0.45 (0.31) σ_{cR}=0.00 σ_{fR}=0.00
Compressione nel calcestruzzo: σ_c=12.46
CC 11 SLV (Collegamento 0021_-378)
Azioni sul collegamento: N=-5833.17 Ty=4.11 Tz=3.74 Mx=0.02 Mz=3.66
Sollecitazioni agenti localmente: Tx_l=4.11 Ty_l=3.74 N_l=-5833.17 Mx_l=-0.00 My_l=3.66 Mz_l=0.02
Taglio nei bulloni: Fv,Ed=0.95 Fv,Rd=7720.78
Rifollamento lato piastra: Fb,Ed,p=0.93 Fb,Rd,p=11188.50
Tirafondi:LT=0.45 (0.31) σ_{cR}=0.00 σ_{fR}=0.00
Compressione nel calcestruzzo: σ_c=12.26
CC 11 SLV (Collegamento 0021_-378)
Azioni sul collegamento: N=-5833.17 Ty=5.40 Tz=-1.71 Mx=0.02 Mz=7.25
Sollecitazioni agenti localmente: Tx_l=5.40 Ty_l=-1.71 N_l=-5833.17 Mx_l=-0.00 My_l=7.25 Mz_l=0.02
Taglio nei bulloni: Fv,Ed=0.97 Fv,Rd=7720.78
Rifollamento lato piastra: Fb,Ed,p=0.97 Fb,Rd,p=6959.97
Tirafondi:LT=0.45 (0.31) σ_{cR}=0.00 σ_{fR}=0.00
Compressione nel calcestruzzo: σ_c=12.46
CC 11 SLV (Collegamento 0021_-378)
Azioni sul collegamento: N=-5833.17 Ty=4.11 Tz=-1.71 Mx=0.02 Mz=3.66
Sollecitazioni agenti localmente: Tx_l=4.11 Ty_l=-1.71 N_l=-5833.17 Mx_l=-0.00 My_l=3.66 Mz_l=0.02
Taglio nei bulloni: Fv,Ed=0.77 Fv,Rd=7720.78
Rifollamento lato piastra: Fb,Ed,p=0.77 Fb,Rd,p=7657.80
Tirafondi:LT=0.45 (0.31) σ_{cR}=0.00 σ_{fR}=0.00
Compressione nel calcestruzzo: σ_c=12.26
CC 12 SLD (Collegamento 0021_-378)
Azioni sul collegamento: N=-6824.03 Ty=4.11 Tz=1.72 Mx=0.00 Mz=3.92
Sollecitazioni agenti localmente: Tx_l=4.11 Ty_l=1.72 N_l=-6824.03 Mx_l=-0.00 My_l=3.92 Mz_l=0.00
Taglio nei bulloni: Fv,Ed=0.75 Fv,Rd=9650.97
Rifollamento lato piastra: Fb,Ed,p=0.74 Fb,Rd,p=9372.12
Tirafondi:LT=0.45 (0.31) σ_{cR}=0.00 σ_{fR}=0.00
Compressione nel calcestruzzo: σ_c=14.32
CC 12 SLD (Collegamento 0021_-378)
Azioni sul collegamento: N=-6824.03 Ty=3.72 Tz=1.72 Mx=0.00 Mz=2.82
Sollecitazioni agenti localmente: Tx_l=3.72 Ty_l=1.72 N_l=-6824.03 Mx_l=-0.00 My_l=2.82 Mz_l=0.00
Taglio nei bulloni: Fv,Ed=0.69 Fv,Rd=9650.97
Rifollamento lato piastra: Fb,Ed,p=0.68 Fb,Rd,p=9798.39
Tirafondi:LT=0.45 (0.31) σ_{cR}=0.00 σ_{fR}=0.00
Compressione nel calcestruzzo: σ_c=14.26
CC 12 SLD (Collegamento 0021_-378)
Azioni sul collegamento: N=-6824.03 Ty=4.11 Tz=0.05 Mx=0.00 Mz=3.92
Sollecitazioni agenti localmente: Tx_l=4.11 Ty_l=0.05 N_l=-6824.03 Mx_l=-0.00 My_l=3.92 Mz_l=0.00
Taglio nei bulloni: Fv,Ed=0.69 Fv,Rd=9650.97
Rifollamento lato piastra: Fb,Ed,p=0.69 Fb,Rd,p=7474.82
Tirafondi:LT=0.45 (0.31) σ_{cR}=0.00 σ_{fR}=0.00
Compressione nel calcestruzzo: σ_c=14.32

CC 12 SLD (Collegamento 0021_-378)
Azioni sul collegamento: N=-6824.03 Ty=3.72 Tz=0.05 Mx=0.00 Mz=2.82
Sollecitazioni agenti localmente: Tx_l=3.72 Ty_l=0.05 N_l=-6824.03 Mx_l=-0.00 My_l=2.82 Mz_l=0.00
Taglio nei bulloni: Fv,Ed=0.62 Fv,Rd=9650.97
Rifollamento lato piastra: Fb,Ed,p=0.62 Fb,Rd,p=7475.00
Tirafondi:LT=0.45 (0.31) σ_{cR}=0.00 σ_{fR}=0.00
Compressione nel calcestruzzo: σ_c=14.26
CC 12 SLD (Collegamento 0021_-378)
Azioni sul collegamento: N=-6345.78 Ty=4.11 Tz=1.72 Mx=0.00 Mz=3.92
Sollecitazioni agenti localmente: Tx_l=4.11 Ty_l=1.72 N_l=-6345.78 Mx_l=-0.00 My_l=3.92 Mz_l=0.00
Taglio nei bulloni: Fv,Ed=0.75 Fv,Rd=9650.97
Rifollamento lato piastra: Fb,Ed,p=0.74 Fb,Rd,p=9372.39
Tirafondi:LT=0.45 (0.31) σ_{cR}=0.00 σ_{fR}=0.00
Compressione nel calcestruzzo: σ_c=13.33
CC 12 SLD (Collegamento 0021_-378)
Azioni sul collegamento: N=-6345.78 Ty=3.72 Tz=1.72 Mx=0.00 Mz=2.82
Sollecitazioni agenti localmente: Tx_l=3.72 Ty_l=1.72 N_l=-6345.78 Mx_l=-0.00 My_l=2.82 Mz_l=0.00
Taglio nei bulloni: Fv,Ed=0.69 Fv,Rd=9650.97
Rifollamento lato piastra: Fb,Ed,p=0.68 Fb,Rd,p=9798.70
Tirafondi:LT=0.45 (0.31) σ_{cR}=0.00 σ_{fR}=0.00
Compressione nel calcestruzzo: σ_c=13.27
CC 12 SLD (Collegamento 0021_-378)
Azioni sul collegamento: N=-6345.78 Ty=4.11 Tz=0.05 Mx=0.00 Mz=3.92
Sollecitazioni agenti localmente: Tx_l=4.11 Ty_l=0.05 N_l=-6345.78 Mx_l=-0.00 My_l=3.92 Mz_l=0.00
Taglio nei bulloni: Fv,Ed=0.69 Fv,Rd=9650.97
Rifollamento lato piastra: Fb,Ed,p=0.69 Fb,Rd,p=7474.81
Tirafondi:LT=0.45 (0.31) σ_{cR}=0.00 σ_{fR}=0.00
Compressione nel calcestruzzo: σ_c=13.33
CC 12 SLD (Collegamento 0021_-378)
Azioni sul collegamento: N=-6345.78 Ty=3.72 Tz=0.05 Mx=0.00 Mz=2.82
Sollecitazioni agenti localmente: Tx_l=3.72 Ty_l=0.05 N_l=-6345.78 Mx_l=-0.00 My_l=2.82 Mz_l=0.00
Taglio nei bulloni: Fv,Ed=0.62 Fv,Rd=9650.97
Rifollamento lato piastra: Fb,Ed,p=0.62 Fb,Rd,p=7474.99
Tirafondi:LT=0.45 (0.31) σ_{cR}=0.00 σ_{fR}=0.00
Compressione nel calcestruzzo: σ_c=13.27
CC 13 SLV (Collegamento 0021_-378)
Azioni sul collegamento: N=-5833.17 Ty=4.11 Tz=-1.71 Mx=0.00 Mz=3.66
Sollecitazioni agenti localmente: Tx_l=4.11 Ty_l=-1.71 N_l=-5833.17 Mx_l=-0.00 My_l=3.66 Mz_l=0.00
Taglio nei bulloni: Fv,Ed=0.75 Fv,Rd=7720.78
Rifollamento lato piastra: Fb,Ed,p=0.75 Fb,Rd,p=7550.17
Tirafondi:LT=0.45 (0.31) σ_{cR}=0.00 σ_{fR}=0.00
Compressione nel calcestruzzo: σ_c=12.26
CC 13 SLV (Collegamento 0021_-378)
Azioni sul collegamento: N=-5833.17 Ty=5.40 Tz=-1.71 Mx=0.00 Mz=7.25
Sollecitazioni agenti localmente: Tx_l=5.40 Ty_l=-1.71 N_l=-5833.17 Mx_l=-0.00 My_l=7.25 Mz_l=0.00
Taglio nei bulloni: Fv,Ed=0.95 Fv,Rd=7720.78
Rifollamento lato piastra: Fb,Ed,p=0.95 Fb,Rd,p=6886.87
Tirafondi:LT=0.45 (0.31) σ_{cR}=0.00 σ_{fR}=0.00
Compressione nel calcestruzzo: σ_c=12.46
CC 13 SLV (Collegamento 0021_-378)
Azioni sul collegamento: N=-5833.17 Ty=4.11 Tz=3.74 Mx=0.00 Mz=3.66
Sollecitazioni agenti localmente: Tx_l=4.11 Ty_l=3.74 N_l=-5833.17 Mx_l=-0.00 My_l=3.66 Mz_l=0.00
Taglio nei bulloni: Fv,Ed=0.93 Fv,Rd=7720.78
Rifollamento lato piastra: Fb,Ed,p=0.93 Fb,Rd,p=11443.60
Tirafondi:LT=0.45 (0.31) σ_{cR}=0.00 σ_{fR}=0.00
Compressione nel calcestruzzo: σ_c=12.26
CC 13 SLV (Collegamento 0021_-378)
Azioni sul collegamento: N=-5833.17 Ty=5.40 Tz=3.74 Mx=0.00 Mz=7.25
Sollecitazioni agenti localmente: Tx_l=5.40 Ty_l=3.74 N_l=-5833.17 Mx_l=-0.00 My_l=7.25 Mz_l=0.00
Taglio nei bulloni: Fv,Ed=1.10 Fv,Rd=7720.78
Rifollamento lato piastra: Fb,Ed,p=1.10 Fb,Rd,p=10298.60
Tirafondi:LT=0.45 (0.31) σ_{cR}=0.00 σ_{fR}=0.00
Compressione nel calcestruzzo: σ_c=12.46
CC 13 SLV (Collegamento 0021_-378)
Azioni sul collegamento: N=-7401.56 Ty=4.11 Tz=-1.71 Mx=0.00 Mz=3.66
Sollecitazioni agenti localmente: Tx_l=4.11 Ty_l=-1.71 N_l=-7401.56 Mx_l=-0.00 My_l=3.66 Mz_l=0.00
Taglio nei bulloni: Fv,Ed=0.75 Fv,Rd=7720.78
Rifollamento lato piastra: Fb,Ed,p=0.75 Fb,Rd,p=7549.98
Tirafondi:LT=0.45 (0.31) σ_{cR}=0.00 σ_{fR}=0.00
Compressione nel calcestruzzo: σ_c=15.50
CC 13 SLV (Collegamento 0021_-378)
Azioni sul collegamento: N=-7401.56 Ty=5.40 Tz=-1.71 Mx=0.00 Mz=7.25
Sollecitazioni agenti localmente: Tx_l=5.40 Ty_l=-1.71 N_l=-7401.56 Mx_l=-0.00 My_l=7.25 Mz_l=0.00
Taglio nei bulloni: Fv,Ed=0.95 Fv,Rd=7720.78
Rifollamento lato piastra: Fb,Ed,p=0.95 Fb,Rd,p=6886.76
Tirafondi:LT=0.45 (0.31) σ_{cR}=0.00 σ_{fR}=0.00
Compressione nel calcestruzzo: σ_c=15.70
CC 13 SLV (Collegamento 0021_-378)

Azioni sul collegamento: N=-7401.56 Ty=4.11 Tz=3.74 Mx=0.00 Mz=3.66
Sollecitazioni agenti localmente: Tx_l=4.11 Ty_l=3.74 N_l=-7401.56 Mx_l=-0.00 My_l=3.66 Mz_l=0.00
Taglio nei bulloni: Fv,Ed=0.93 Fv,Rd=7720.78
Rifollamento lato piastra: Fb,Ed,p=0.93 Fb,Rd,p=11443.60
Tirafondi:LT=0.45 (0.31) σ_{cR}=0.00 σ_{fR}=0.00
Compressione nel calcestruzzo: σ_c=15.50
CC 13 SLV (Collegamento 0021_-378)
Azioni sul collegamento: N=-7401.56 Ty=5.40 Tz=3.74 Mx=0.00 Mz=7.25
Sollecitazioni agenti localmente: Tx_l=5.40 Ty_l=3.74 N_l=-7401.56 Mx_l=-0.00 My_l=7.25 Mz_l=0.00
Taglio nei bulloni: Fv,Ed=1.10 Fv,Rd=7720.78
Rifollamento lato piastra: Fb,Ed,p=1.10 Fb,Rd,p=10298.50
Tirafondi:LT=0.45 (0.31) σ_{cR}=0.00 σ_{fR}=0.00
Compressione nel calcestruzzo: σ_c=15.70
CC 14 SLD (Collegamento 0021_-378)
Azioni sul collegamento: N=-6345.78 Ty=3.72 Tz=0.05 Mx=-0.00 Mz=2.82
Sollecitazioni agenti localmente: Tx_l=3.72 Ty_l=0.05 N_l=-6345.78 Mx_l=-0.00 My_l=2.82 Mz_l=-0.00
Taglio nei bulloni: Fv,Ed=0.62 Fv,Rd=9650.97
Rifollamento lato piastra: Fb,Ed,p=0.62 Fb,Rd,p=7477.50
Tirafondi:LT=0.45 (0.31) σ_{cR}=0.00 σ_{fR}=0.00
Compressione nel calcestruzzo: σ_c=13.27
CC 14 SLD (Collegamento 0021_-378)
Azioni sul collegamento: N=-6345.78 Ty=4.11 Tz=0.05 Mx=-0.00 Mz=3.92
Sollecitazioni agenti localmente: Tx_l=4.11 Ty_l=0.05 N_l=-6345.78 Mx_l=-0.00 My_l=3.92 Mz_l=-0.00
Taglio nei bulloni: Fv,Ed=0.69 Fv,Rd=9650.97
Rifollamento lato piastra: Fb,Ed,p=0.69 Fb,Rd,p=7476.86
Tirafondi:LT=0.45 (0.31) σ_{cR}=0.00 σ_{fR}=0.00
Compressione nel calcestruzzo: σ_c=13.33
CC 14 SLD (Collegamento 0021_-378)
Azioni sul collegamento: N=-6345.78 Ty=3.72 Tz=1.72 Mx=-0.00 Mz=2.82
Sollecitazioni agenti localmente: Tx_l=3.72 Ty_l=1.72 N_l=-6345.78 Mx_l=-0.00 My_l=2.82 Mz_l=-0.00
Taglio nei bulloni: Fv,Ed=0.69 Fv,Rd=9650.97
Rifollamento lato piastra: Fb,Ed,p=0.69 Fb,Rd,p=9891.11
Tirafondi:LT=0.45 (0.31) σ_{cR}=0.00 σ_{fR}=0.00
Compressione nel calcestruzzo: σ_c=13.27
CC 14 SLD (Collegamento 0021_-378)
Azioni sul collegamento: N=-6345.78 Ty=4.11 Tz=1.72 Mx=-0.00 Mz=3.92
Sollecitazioni agenti localmente: Tx_l=4.11 Ty_l=1.72 N_l=-6345.78 Mx_l=-0.00 My_l=3.92 Mz_l=-0.00
Taglio nei bulloni: Fv,Ed=0.75 Fv,Rd=9650.97
Rifollamento lato piastra: Fb,Ed,p=0.75 Fb,Rd,p=9447.22
Tirafondi:LT=0.45 (0.31) σ_{cR}=0.00 σ_{fR}=0.00
Compressione nel calcestruzzo: σ_c=13.33
CC 14 SLD (Collegamento 0021_-378)
Azioni sul collegamento: N=-6824.03 Ty=3.72 Tz=0.05 Mx=-0.00 Mz=2.82
Sollecitazioni agenti localmente: Tx_l=3.72 Ty_l=0.05 N_l=-6824.03 Mx_l=-0.00 My_l=2.82 Mz_l=-0.00
Taglio nei bulloni: Fv,Ed=0.62 Fv,Rd=9650.97
Rifollamento lato piastra: Fb,Ed,p=0.62 Fb,Rd,p=7477.53
Tirafondi:LT=0.45 (0.31) σ_{cR}=0.00 σ_{fR}=0.00
Compressione nel calcestruzzo: σ_c=14.26
CC 14 SLD (Collegamento 0021_-378)
Azioni sul collegamento: N=-6824.03 Ty=4.11 Tz=0.05 Mx=-0.00 Mz=3.92
Sollecitazioni agenti localmente: Tx_l=4.11 Ty_l=0.05 N_l=-6824.03 Mx_l=-0.00 My_l=3.92 Mz_l=-0.00
Taglio nei bulloni: Fv,Ed=0.69 Fv,Rd=9650.97
Rifollamento lato piastra: Fb,Ed,p=0.69 Fb,Rd,p=7476.88
Tirafondi:LT=0.45 (0.31) σ_{cR}=0.00 σ_{fR}=0.00
Compressione nel calcestruzzo: σ_c=14.32
CC 14 SLD (Collegamento 0021_-378)
Azioni sul collegamento: N=-6824.03 Ty=3.72 Tz=1.72 Mx=-0.00 Mz=2.82
Sollecitazioni agenti localmente: Tx_l=3.72 Ty_l=1.72 N_l=-6824.03 Mx_l=-0.00 My_l=2.82 Mz_l=-0.00
Taglio nei bulloni: Fv,Ed=0.69 Fv,Rd=9650.97
Rifollamento lato piastra: Fb,Ed,p=0.69 Fb,Rd,p=9890.78
Tirafondi:LT=0.45 (0.31) σ_{cR}=0.00 σ_{fR}=0.00
Compressione nel calcestruzzo: σ_c=14.26
CC 14 SLD (Collegamento 0021_-378)
Azioni sul collegamento: N=-6824.03 Ty=4.11 Tz=1.72 Mx=-0.00 Mz=3.92
Sollecitazioni agenti localmente: Tx_l=4.11 Ty_l=1.72 N_l=-6824.03 Mx_l=-0.00 My_l=3.92 Mz_l=-0.00
Taglio nei bulloni: Fv,Ed=0.75 Fv,Rd=9650.97
Rifollamento lato piastra: Fb,Ed,p=0.75 Fb,Rd,p=9446.95
Tirafondi:LT=0.45 (0.31) σ_{cR}=0.00 σ_{fR}=0.00
Compressione nel calcestruzzo: σ_c=14.32
CC 15 SLV (Collegamento 0021_-378)
Azioni sul collegamento: N=-7420.50 Ty=3.29 Tz=4.16 Mx=0.00 Mz=3.06
Sollecitazioni agenti localmente: Tx_l=3.29 Ty_l=4.16 N_l=-7420.50 Mx_l=-0.00 My_l=3.06 Mz_l=0.00
Taglio nei bulloni: Fv,Ed=0.89 Fv,Rd=7720.78
Rifollamento lato piastra: Fb,Ed,p=0.89 Fb,Rd,p=10833.70
Tirafondi:LT=0.45 (0.31) σ_{cR}=0.00 σ_{fR}=0.00
Compressione nel calcestruzzo: σ_c=15.50
CC 15 SLV (Collegamento 0021_-378)
Azioni sul collegamento: N=-7420.50 Ty=6.23 Tz=4.16 Mx=0.00 Mz=7.84

Sollecitazioni agenti localmente: T_{x_l}=6.23 T_{y_l}=4.16 N_l=-7420.50 M_{x_l}=-0.00 M_{y_l}=7.84 M_{z_l}=0.00
Taglio nei bulloni: Fv,Ed=1.25 Fv,Rd=7720.78
Rifollamento lato piastra: Fb,Ed,p=1.25 Fb,Rd,p=10036.90
Tirafondi:LT=0.45 (0.31) σ_{cR}=0.00 σ_{fR}=0.00
Compressione nel calcestruzzo: σ_c=15.77
CC 15 SLV (Collegamento 0021_-378)
Azioni sul collegamento: N=-7420.50 Ty=3.29 Tz=-2.14 Mx=0.00 Mz=3.06
Sollecitazioni agenti localmente: T_{x_l}=3.29 T_{y_l}=-2.14 N_l=-7420.50 M_{x_l}=-0.00 M_{y_l}=3.06 M_{z_l}=0.00
Taglio nei bulloni: Fv,Ed=0.66 Fv,Rd=7720.78
Rifollamento lato piastra: Fb,Ed,p=0.66 Fb,Rd,p=9848.24
Tirafondi:LT=0.45 (0.31) σ_{cR}=0.00 σ_{fR}=0.00
Compressione nel calcestruzzo: σ_c=15.50
CC 15 SLV (Collegamento 0021_-378)
Azioni sul collegamento: N=-7420.50 Ty=6.23 Tz=-2.14 Mx=0.00 Mz=7.84
Sollecitazioni agenti localmente: T_{x_l}=6.23 T_{y_l}=-2.14 N_l=-7420.50 M_{x_l}=-0.00 M_{y_l}=7.84 M_{z_l}=0.00
Taglio nei bulloni: Fv,Ed=1.10 Fv,Rd=7720.78
Rifollamento lato piastra: Fb,Ed,p=1.10 Fb,Rd,p=7041.55
Tirafondi:LT=0.45 (0.31) σ_{cR}=0.00 σ_{fR}=0.00
Compressione nel calcestruzzo: σ_c=15.77
CC 15 SLV (Collegamento 0021_-378)
Azioni sul collegamento: N=-5814.22 Ty=3.29 Tz=4.16 Mx=0.00 Mz=3.06
Sollecitazioni agenti localmente: T_{x_l}=3.29 T_{y_l}=4.16 N_l=-5814.22 M_{x_l}=-0.00 M_{y_l}=3.06 M_{z_l}=0.00
Taglio nei bulloni: Fv,Ed=0.89 Fv,Rd=7720.78
Rifollamento lato piastra: Fb,Ed,p=0.89 Fb,Rd,p=10833.80
Tirafondi:LT=0.45 (0.31) σ_{cR}=0.00 σ_{fR}=0.00
Compressione nel calcestruzzo: σ_c=12.19
CC 15 SLV (Collegamento 0021_-378)
Azioni sul collegamento: N=-5814.22 Ty=6.23 Tz=4.16 Mx=0.00 Mz=7.84
Sollecitazioni agenti localmente: T_{x_l}=6.23 T_{y_l}=4.16 N_l=-5814.22 M_{x_l}=-0.00 M_{y_l}=7.84 M_{z_l}=0.00
Taglio nei bulloni: Fv,Ed=1.25 Fv,Rd=7720.78
Rifollamento lato piastra: Fb,Ed,p=1.25 Fb,Rd,p=10036.70
Tirafondi:LT=0.45 (0.31) σ_{cR}=0.00 σ_{fR}=0.00
Compressione nel calcestruzzo: σ_c=12.45
CC 15 SLV (Collegamento 0021_-378)
Azioni sul collegamento: N=-5814.22 Ty=3.29 Tz=-2.14 Mx=0.00 Mz=3.06
Sollecitazioni agenti localmente: T_{x_l}=3.29 T_{y_l}=-2.14 N_l=-5814.22 M_{x_l}=-0.00 M_{y_l}=3.06 M_{z_l}=0.00
Taglio nei bulloni: Fv,Ed=0.66 Fv,Rd=7720.78
Rifollamento lato piastra: Fb,Ed,p=0.66 Fb,Rd,p=9848.61
Tirafondi:LT=0.45 (0.31) σ_{cR}=0.00 σ_{fR}=0.00
Compressione nel calcestruzzo: σ_c=12.19
CC 15 SLV (Collegamento 0021_-378)
Azioni sul collegamento: N=-5814.22 Ty=6.23 Tz=-2.14 Mx=0.00 Mz=7.84
Sollecitazioni agenti localmente: T_{x_l}=6.23 T_{y_l}=-2.14 N_l=-5814.22 M_{x_l}=-0.00 M_{y_l}=7.84 M_{z_l}=0.00
Taglio nei bulloni: Fv,Ed=1.10 Fv,Rd=7720.78
Rifollamento lato piastra: Fb,Ed,p=1.10 Fb,Rd,p=7041.65
Tirafondi:LT=0.45 (0.31) σ_{cR}=0.00 σ_{fR}=0.00
Compressione nel calcestruzzo: σ_c=12.45
CC 16 SLD (Collegamento 0021_-378)
Azioni sul collegamento: N=-6829.81 Ty=3.47 Tz=1.85 Mx=-0.00 Mz=2.64
Sollecitazioni agenti localmente: T_{x_l}=3.47 T_{y_l}=1.85 N_l=-6829.81 M_{x_l}=-0.00 M_{y_l}=2.64 M_{z_l}=-0.00
Taglio nei bulloni: Fv,Ed=0.66 Fv,Rd=9650.97
Rifollamento lato piastra: Fb,Ed,p=0.66 Fb,Rd,p=10706.00
Tirafondi:LT=0.45 (0.31) σ_{cR}=0.00 σ_{fR}=0.00
Compressione nel calcestruzzo: σ_c=14.26
CC 16 SLD (Collegamento 0021_-378)
Azioni sul collegamento: N=-6829.81 Ty=4.36 Tz=1.85 Mx=-0.00 Mz=4.10
Sollecitazioni agenti localmente: T_{x_l}=4.36 T_{y_l}=1.85 N_l=-6829.81 M_{x_l}=-0.00 M_{y_l}=4.10 M_{z_l}=-0.00
Taglio nei bulloni: Fv,Ed=0.79 Fv,Rd=9650.97
Rifollamento lato piastra: Fb,Ed,p=0.79 Fb,Rd,p=9505.04
Tirafondi:LT=0.45 (0.31) σ_{cR}=0.00 σ_{fR}=0.00
Compressione nel calcestruzzo: σ_c=14.34
CC 16 SLD (Collegamento 0021_-378)
Azioni sul collegamento: N=-6829.81 Ty=3.47 Tz=-0.08 Mx=-0.00 Mz=2.64
Sollecitazioni agenti localmente: T_{x_l}=3.47 T_{y_l}=-0.08 N_l=-6829.81 M_{x_l}=-0.00 M_{y_l}=2.64 M_{z_l}=-0.00
Taglio nei bulloni: Fv,Ed=0.58 Fv,Rd=9650.97
Rifollamento lato piastra: Fb,Ed,p=0.58 Fb,Rd,p=7477.47
Tirafondi:LT=0.45 (0.31) σ_{cR}=0.00 σ_{fR}=0.00
Compressione nel calcestruzzo: σ_c=14.26
CC 16 SLD (Collegamento 0021_-378)
Azioni sul collegamento: N=-6829.81 Ty=4.36 Tz=-0.08 Mx=-0.00 Mz=4.10
Sollecitazioni agenti localmente: T_{x_l}=4.36 T_{y_l}=-0.08 N_l=-6829.81 M_{x_l}=-0.00 M_{y_l}=4.10 M_{z_l}=-0.00
Taglio nei bulloni: Fv,Ed=0.73 Fv,Rd=9650.97
Rifollamento lato piastra: Fb,Ed,p=0.73 Fb,Rd,p=7476.18
Tirafondi:LT=0.45 (0.31) σ_{cR}=0.00 σ_{fR}=0.00
Compressione nel calcestruzzo: σ_c=14.34
CC 16 SLD (Collegamento 0021_-378)
Azioni sul collegamento: N=-6340.00 Ty=3.47 Tz=1.85 Mx=-0.00 Mz=2.64
Sollecitazioni agenti localmente: T_{x_l}=3.47 T_{y_l}=1.85 N_l=-6340.00 M_{x_l}=-0.00 M_{y_l}=2.64 M_{z_l}=-0.00

Taglio nei bulloni: Fv,Ed=0.66 Fv,Rd=9650.97
Rifollamento lato piastra: Fb,Ed,p=0.66 Fb,Rd,p=10704.90
Tirafondi:LT=0.45 (0.31) σ_{cR}=0.00 σ_{fR}=0.00
Compressione nel calcestruzzo: σ_c=13.25
CC 16 SLD (Collegamento 0021_-378)
Azioni sul collegamento: N=-6340.00 Ty=4.36 Tz=1.85 Mx=-0.00 Mz=4.10
Sollecitazioni agenti localmente: Tx_l=4.36 Ty_l=1.85 N_l=-6340.00 Mx_l=-0.00 My_l=4.10 Mz_l=-0.00
Taglio nei bulloni: Fv,Ed=0.79 Fv,Rd=9650.97
Rifollamento lato piastra: Fb,Ed,p=0.79 Fb,Rd,p=9504.35
Tirafondi:LT=0.45 (0.31) σ_{cR}=0.00 σ_{fR}=0.00
Compressione nel calcestruzzo: σ_c=13.33
CC 16 SLD (Collegamento 0021_-378)
Azioni sul collegamento: N=-6340.00 Ty=3.47 Tz=-0.08 Mx=-0.00 Mz=2.64
Sollecitazioni agenti localmente: Tx_l=3.47 Ty_l=-0.08 N_l=-6340.00 Mx_l=-0.00 My_l=2.64 Mz_l=-0.00
Taglio nei bulloni: Fv,Ed=0.58 Fv,Rd=9650.97
Rifollamento lato piastra: Fb,Ed,p=0.58 Fb,Rd,p=7477.43
Tirafondi:LT=0.45 (0.31) σ_{cR}=0.00 σ_{fR}=0.00
Compressione nel calcestruzzo: σ_c=13.25
CC 16 SLD (Collegamento 0021_-378)
Azioni sul collegamento: N=-6340.00 Ty=4.36 Tz=-0.08 Mx=-0.00 Mz=4.10
Sollecitazioni agenti localmente: Tx_l=4.36 Ty_l=-0.08 N_l=-6340.00 Mx_l=-0.00 My_l=4.10 Mz_l=-0.00
Taglio nei bulloni: Fv,Ed=0.73 Fv,Rd=9650.97
Rifollamento lato piastra: Fb,Ed,p=0.73 Fb,Rd,p=7476.15
Tirafondi:LT=0.45 (0.31) σ_{cR}=0.00 σ_{fR}=0.00
Compressione nel calcestruzzo: σ_c=13.33
CC 17 SLV (Collegamento 0021_-378)
Azioni sul collegamento: N=-3875.57 Ty=0.64 Tz=-9.21 Mx=-0.02 Mz=1.09
Sollecitazioni agenti localmente: Tx_l=0.64 Ty_l=-9.21 N_l=-3875.57 Mx_l=-0.00 My_l=1.09 Mz_l=-0.02
Taglio nei bulloni: Fv,Ed=1.56 Fv,Rd=7720.78
Rifollamento lato piastra: Fb,Ed,p=1.56 Fb,Rd,p=6040.86
Tirafondi:LT=0.45 (0.31) σ_{cR}=0.00 σ_{fR}=0.00
Compressione nel calcestruzzo: σ_c=8.07
CC 17 SLV (Collegamento 0021_-378)
Azioni sul collegamento: N=-3875.57 Ty=4.02 Tz=-9.21 Mx=-0.02 Mz=-2.16
Sollecitazioni agenti localmente: Tx_l=4.02 Ty_l=-9.21 N_l=-3875.57 Mx_l=-0.00 My_l=-2.16 Mz_l=-0.02
Taglio nei bulloni: Fv,Ed=1.71 Fv,Rd=7720.78
Rifollamento lato piastra: Fb,Ed,p=1.71 Fb,Rd,p=7758.75
Tirafondi:LT=0.45 (0.31) σ_{cR}=0.00 σ_{fR}=0.00
Compressione nel calcestruzzo: σ_c=8.13
CC 17 SLV (Collegamento 0021_-378)
Azioni sul collegamento: N=-3875.57 Ty=0.64 Tz=10.50 Mx=-0.02 Mz=1.09
Sollecitazioni agenti localmente: Tx_l=0.64 Ty_l=10.50 N_l=-3875.57 Mx_l=-0.00 My_l=1.09 Mz_l=-0.02
Taglio nei bulloni: Fv,Ed=1.78 Fv,Rd=7720.78
Rifollamento lato piastra: Fb,Ed,p=1.78 Fb,Rd,p=5998.65
Tirafondi:LT=0.45 (0.31) σ_{cR}=0.00 σ_{fR}=0.00
Compressione nel calcestruzzo: σ_c=8.07
CC 17 SLV (Collegamento 0021_-378)
Azioni sul collegamento: N=-3875.57 Ty=4.02 Tz=10.50 Mx=-0.02 Mz=-2.16
Sollecitazioni agenti localmente: Tx_l=4.02 Ty_l=10.50 N_l=-3875.57 Mx_l=-0.00 My_l=-2.16 Mz_l=-0.02
Taglio nei bulloni: Fv,Ed=1.90 Fv,Rd=7720.78
Rifollamento lato piastra: Fb,Ed,p=1.89 Fb,Rd,p=7168.80
Tirafondi:LT=0.45 (0.31) σ_{cR}=0.00 σ_{fR}=0.00
Compressione nel calcestruzzo: σ_c=8.13
CC 17 SLV (Collegamento 0021_-378)
Azioni sul collegamento: N=-9172.38 Ty=0.64 Tz=-9.21 Mx=-0.02 Mz=1.09
Sollecitazioni agenti localmente: Tx_l=0.64 Ty_l=-9.21 N_l=-9172.38 Mx_l=-0.00 My_l=1.09 Mz_l=-0.02
Taglio nei bulloni: Fv,Ed=1.56 Fv,Rd=7720.78
Rifollamento lato piastra: Fb,Ed,p=1.56 Fb,Rd,p=6040.86
Tirafondi:LT=0.45 (0.31) σ_{cR}=0.00 σ_{fR}=0.00
Compressione nel calcestruzzo: σ_c=19.01
CC 17 SLV (Collegamento 0021_-378)
Azioni sul collegamento: N=-9172.38 Ty=4.02 Tz=-9.21 Mx=-0.02 Mz=-2.16
Sollecitazioni agenti localmente: Tx_l=4.02 Ty_l=-9.21 N_l=-9172.38 Mx_l=-0.00 My_l=-2.16 Mz_l=-0.02
Taglio nei bulloni: Fv,Ed=1.71 Fv,Rd=7720.78
Rifollamento lato piastra: Fb,Ed,p=1.71 Fb,Rd,p=7758.92
Tirafondi:LT=0.45 (0.31) σ_{cR}=0.00 σ_{fR}=0.00
Compressione nel calcestruzzo: σ_c=19.07
CC 17 SLV (Collegamento 0021_-378)
Azioni sul collegamento: N=-9172.38 Ty=0.64 Tz=10.50 Mx=-0.02 Mz=1.09
Sollecitazioni agenti localmente: Tx_l=0.64 Ty_l=10.50 N_l=-9172.38 Mx_l=-0.00 My_l=1.09 Mz_l=-0.02
Taglio nei bulloni: Fv,Ed=1.78 Fv,Rd=7720.78
Rifollamento lato piastra: Fb,Ed,p=1.78 Fb,Rd,p=5998.64
Tirafondi:LT=0.45 (0.31) σ_{cR}=0.00 σ_{fR}=0.00
Compressione nel calcestruzzo: σ_c=19.01
CC 17 SLV (Collegamento 0021_-378)
Azioni sul collegamento: N=-9172.38 Ty=4.02 Tz=10.50 Mx=-0.02 Mz=-2.16
Sollecitazioni agenti localmente: Tx_l=4.02 Ty_l=10.50 N_l=-9172.38 Mx_l=-0.00 My_l=-2.16 Mz_l=-0.02
Taglio nei bulloni: Fv,Ed=1.90 Fv,Rd=7720.78

Rifollamento lato piastra: Fb,Ed,p=1.89 Fb,Rd,p=7168.75
Tirafondi:LT=0.45 (0.31) σ_{cR}=0.00 σ_{fR}=0.00
Compressione nel calcestruzzo: σ_c=19.07
CC 18 SLD (Collegamento 0021_-378)
Azioni sul collegamento: N=-5748.85 Ty=3.69 Tz=-2.23 Mx=-0.01 Mz=2.04
Sollecitazioni agenti localmente: Tx_l=3.69 Ty_l=-2.23 N_l=-5748.85 Mx_l=-0.00 My_l=2.04 Mz_l=-0.01
Taglio nei bulloni: Fv,Ed=0.73 Fv,Rd=9650.97
Rifollamento lato piastra: Fb,Ed,p=0.72 Fb,Rd,p=11287.00
Tirafondi:LT=0.45 (0.31) σ_{cR}=0.00 σ_{fR}=0.00
Compressione nel calcestruzzo: σ_c=11.99
CC 18 SLD (Collegamento 0021_-378)
Azioni sul collegamento: N=-5748.85 Ty=2.66 Tz=-2.23 Mx=-0.01 Mz=1.05
Sollecitazioni agenti localmente: Tx_l=2.66 Ty_l=-2.23 N_l=-5748.85 Mx_l=-0.00 My_l=1.05 Mz_l=-0.01
Taglio nei bulloni: Fv,Ed=0.59 Fv,Rd=9650.97
Rifollamento lato piastra: Fb,Ed,p=0.58 Fb,Rd,p=13601.00
Tirafondi:LT=0.45 (0.31) σ_{cR}=0.00 σ_{fR}=0.00
Compressione nel calcestruzzo: σ_c=11.94
CC 18 SLD (Collegamento 0021_-378)
Azioni sul collegamento: N=-5748.85 Ty=3.69 Tz=3.78 Mx=-0.01 Mz=2.04
Sollecitazioni agenti localmente: Tx_l=3.69 Ty_l=3.78 N_l=-5748.85 Mx_l=-0.00 My_l=2.04 Mz_l=-0.01
Taglio nei bulloni: Fv,Ed=0.89 Fv,Rd=9650.97
Rifollamento lato piastra: Fb,Ed,p=0.88 Fb,Rd,p=14617.70
Tirafondi:LT=0.45 (0.31) σ_{cR}=0.00 σ_{fR}=0.00
Compressione nel calcestruzzo: σ_c=11.99
CC 18 SLD (Collegamento 0021_-378)
Azioni sul collegamento: N=-5748.85 Ty=2.66 Tz=3.78 Mx=-0.01 Mz=1.05
Sollecitazioni agenti localmente: Tx_l=2.66 Ty_l=3.78 N_l=-5748.85 Mx_l=-0.00 My_l=1.05 Mz_l=-0.01
Taglio nei bulloni: Fv,Ed=0.78 Fv,Rd=9650.97
Rifollamento lato piastra: Fb,Ed,p=0.77 Fb,Rd,p=12705.70
Tirafondi:LT=0.45 (0.31) σ_{cR}=0.00 σ_{fR}=0.00
Compressione nel calcestruzzo: σ_c=11.94
CC 18 SLD (Collegamento 0021_-378)
Azioni sul collegamento: N=-7364.01 Ty=3.69 Tz=-2.23 Mx=-0.01 Mz=2.04
Sollecitazioni agenti localmente: Tx_l=3.69 Ty_l=-2.23 N_l=-7364.01 Mx_l=-0.00 My_l=2.04 Mz_l=-0.01
Taglio nei bulloni: Fv,Ed=0.73 Fv,Rd=9650.97
Rifollamento lato piastra: Fb,Ed,p=0.72 Fb,Rd,p=11287.30
Tirafondi:LT=0.45 (0.31) σ_{cR}=0.00 σ_{fR}=0.00
Compressione nel calcestruzzo: σ_c=15.33
CC 18 SLD (Collegamento 0021_-378)
Azioni sul collegamento: N=-7364.01 Ty=2.66 Tz=-2.23 Mx=-0.01 Mz=1.05
Sollecitazioni agenti localmente: Tx_l=2.66 Ty_l=-2.23 N_l=-7364.01 Mx_l=-0.00 My_l=1.05 Mz_l=-0.01
Taglio nei bulloni: Fv,Ed=0.59 Fv,Rd=9650.97
Rifollamento lato piastra: Fb,Ed,p=0.58 Fb,Rd,p=13601.20
Tirafondi:LT=0.45 (0.31) σ_{cR}=0.00 σ_{fR}=0.00
Compressione nel calcestruzzo: σ_c=15.27
CC 18 SLD (Collegamento 0021_-378)
Azioni sul collegamento: N=-7364.01 Ty=3.69 Tz=3.78 Mx=-0.01 Mz=2.04
Sollecitazioni agenti localmente: Tx_l=3.69 Ty_l=3.78 N_l=-7364.01 Mx_l=-0.00 My_l=2.04 Mz_l=-0.01
Taglio nei bulloni: Fv,Ed=0.89 Fv,Rd=9650.97
Rifollamento lato piastra: Fb,Ed,p=0.88 Fb,Rd,p=14617.80
Tirafondi:LT=0.45 (0.31) σ_{cR}=0.00 σ_{fR}=0.00
Compressione nel calcestruzzo: σ_c=15.33
CC 18 SLD (Collegamento 0021_-378)
Azioni sul collegamento: N=-7364.01 Ty=2.66 Tz=3.78 Mx=-0.01 Mz=1.05
Sollecitazioni agenti localmente: Tx_l=2.66 Ty_l=3.78 N_l=-7364.01 Mx_l=-0.00 My_l=1.05 Mz_l=-0.01
Taglio nei bulloni: Fv,Ed=0.78 Fv,Rd=9650.97
Rifollamento lato piastra: Fb,Ed,p=0.77 Fb,Rd,p=12705.90
Tirafondi:LT=0.45 (0.31) σ_{cR}=0.00 σ_{fR}=0.00
Compressione nel calcestruzzo: σ_c=15.27
CC 19 SLV (Collegamento 0021_-378)
Azioni sul collegamento: N=-3881.26 Ty=1.27 Tz=-9.09 Mx=-0.02 Mz=-0.17
Sollecitazioni agenti localmente: Tx_l=1.27 Ty_l=-9.09 N_l=-3881.26 Mx_l=-0.00 My_l=-0.17 Mz_l=-0.02
Taglio nei bulloni: Fv,Ed=1.55 Fv,Rd=7720.78
Rifollamento lato piastra: Fb,Ed,p=1.55 Fb,Rd,p=6179.83
Tirafondi:LT=0.45 (0.31) σ_{cR}=0.00 σ_{fR}=0.00
Compressione nel calcestruzzo: σ_c=8.03
CC 19 SLV (Collegamento 0021_-378)
Azioni sul collegamento: N=-3881.26 Ty=3.39 Tz=-9.09 Mx=-0.02 Mz=-0.91
Sollecitazioni agenti localmente: Tx_l=3.39 Ty_l=-9.09 N_l=-3881.26 Mx_l=-0.00 My_l=-0.91 Mz_l=-0.02
Taglio nei bulloni: Fv,Ed=1.64 Fv,Rd=7720.78
Rifollamento lato piastra: Fb,Ed,p=1.64 Fb,Rd,p=7274.08
Tirafondi:LT=0.45 (0.31) σ_{cR}=0.00 σ_{fR}=0.00
Compressione nel calcestruzzo: σ_c=8.07
CC 19 SLV (Collegamento 0021_-378)
Azioni sul collegamento: N=-3881.26 Ty=1.27 Tz=10.37 Mx=-0.02 Mz=-0.17
Sollecitazioni agenti localmente: Tx_l=1.27 Ty_l=10.37 N_l=-3881.26 Mx_l=-0.00 My_l=-0.17 Mz_l=-0.02
Taglio nei bulloni: Fv,Ed=1.76 Fv,Rd=7720.78
Rifollamento lato piastra: Fb,Ed,p=1.76 Fb,Rd,p=6088.72

Tirafondi:LT=0.45 (0.31) σ_{cR}=0.00 σ_{fR}=0.00
Compressione nel calcestruzzo: σ_c=8.03
CC 19 SLV (Collegamento 0021_-378)
Azioni sul collegamento: N=-3881.26 Ty=3.39 Tz=10.37 Mx=-0.02 Mz=-0.91
Sollecitazioni agenti localmente: Tx_l=3.39 Ty_l=10.37 N_l=-3881.26 Mx_l=-0.00 My_l=-0.91 Mz_l=-0.02
Taglio nei bulloni: Fv,Ed=1.84 Fv,Rd=7720.78
Rifollamento lato piastra: Fb,Ed,p=1.83 Fb,Rd,p=6852.27
Tirafondi:LT=0.45 (0.31) σ_{cR}=0.00 σ_{fR}=0.00
Compressione nel calcestruzzo: σ_c=8.07
CC 19 SLV (Collegamento 0021_-378)
Azioni sul collegamento: N=-9166.69 Ty=1.27 Tz=-9.09 Mx=-0.02 Mz=-0.17
Sollecitazioni agenti localmente: Tx_l=1.27 Ty_l=-9.09 N_l=-9166.69 Mx_l=-0.00 My_l=-0.17 Mz_l=-0.02
Taglio nei bulloni: Fv,Ed=1.55 Fv,Rd=7720.78
Rifollamento lato piastra: Fb,Ed,p=1.55 Fb,Rd,p=6179.83
Tirafondi:LT=0.45 (0.31) σ_{cR}=0.00 σ_{fR}=0.00
Compressione nel calcestruzzo: σ_c=18.95
CC 19 SLV (Collegamento 0021_-378)
Azioni sul collegamento: N=-9166.69 Ty=3.39 Tz=-9.09 Mx=-0.02 Mz=-0.91
Sollecitazioni agenti localmente: Tx_l=3.39 Ty_l=-9.09 N_l=-9166.69 Mx_l=-0.00 My_l=-0.91 Mz_l=-0.02
Taglio nei bulloni: Fv,Ed=1.64 Fv,Rd=7720.78
Rifollamento lato piastra: Fb,Ed,p=1.64 Fb,Rd,p=7274.11
Tirafondi:LT=0.45 (0.31) σ_{cR}=0.00 σ_{fR}=0.00
Compressione nel calcestruzzo: σ_c=18.99
CC 19 SLV (Collegamento 0021_-378)
Azioni sul collegamento: N=-9166.69 Ty=1.27 Tz=10.37 Mx=-0.02 Mz=-0.17
Sollecitazioni agenti localmente: Tx_l=1.27 Ty_l=10.37 N_l=-9166.69 Mx_l=-0.00 My_l=-0.17 Mz_l=-0.02
Taglio nei bulloni: Fv,Ed=1.76 Fv,Rd=7720.78
Rifollamento lato piastra: Fb,Ed,p=1.76 Fb,Rd,p=6088.72
Tirafondi:LT=0.45 (0.31) σ_{cR}=0.00 σ_{fR}=0.00
Compressione nel calcestruzzo: σ_c=18.95
CC 19 SLV (Collegamento 0021_-378)
Azioni sul collegamento: N=-9166.69 Ty=3.39 Tz=10.37 Mx=-0.02 Mz=-0.91
Sollecitazioni agenti localmente: Tx_l=3.39 Ty_l=10.37 N_l=-9166.69 Mx_l=-0.00 My_l=-0.91 Mz_l=-0.02
Taglio nei bulloni: Fv,Ed=1.84 Fv,Rd=7720.78
Rifollamento lato piastra: Fb,Ed,p=1.83 Fb,Rd,p=6852.28
Tirafondi:LT=0.45 (0.31) σ_{cR}=0.00 σ_{fR}=0.00
Compressione nel calcestruzzo: σ_c=18.99
CC 20 SLD (Collegamento 0021_-378)
Azioni sul collegamento: N=-5750.58 Ty=3.50 Tz=-2.19 Mx=-0.01 Mz=1.66
Sollecitazioni agenti localmente: Tx_l=3.50 Ty_l=-2.19 N_l=-5750.58 Mx_l=-0.00 My_l=1.66 Mz_l=-0.01
Taglio nei bulloni: Fv,Ed=0.70 Fv,Rd=9650.97
Rifollamento lato piastra: Fb,Ed,p=0.69 Fb,Rd,p=11628.80
Tirafondi:LT=0.45 (0.31) σ_{cR}=0.00 σ_{fR}=0.00
Compressione nel calcestruzzo: σ_c=11.97
CC 20 SLD (Collegamento 0021_-378)
Azioni sul collegamento: N=-5750.58 Ty=2.85 Tz=-2.19 Mx=-0.01 Mz=1.43
Sollecitazioni agenti localmente: Tx_l=2.85 Ty_l=-2.19 N_l=-5750.58 Mx_l=-0.00 My_l=1.43 Mz_l=-0.01
Taglio nei bulloni: Fv,Ed=0.61 Fv,Rd=9650.97
Rifollamento lato piastra: Fb,Ed,p=0.60 Fb,Rd,p=13208.20
Tirafondi:LT=0.45 (0.31) σ_{cR}=0.00 σ_{fR}=0.00
Compressione nel calcestruzzo: σ_c=11.96
CC 20 SLD (Collegamento 0021_-378)
Azioni sul collegamento: N=-5750.58 Ty=3.50 Tz=3.74 Mx=-0.01 Mz=1.66
Sollecitazioni agenti localmente: Tx_l=3.50 Ty_l=3.74 N_l=-5750.58 Mx_l=-0.00 My_l=1.66 Mz_l=-0.01
Taglio nei bulloni: Fv,Ed=0.87 Fv,Rd=9650.97
Rifollamento lato piastra: Fb,Ed,p=0.85 Fb,Rd,p=14356.40
Tirafondi:LT=0.45 (0.31) σ_{cR}=0.00 σ_{fR}=0.00
Compressione nel calcestruzzo: σ_c=11.97
CC 20 SLD (Collegamento 0021_-378)
Azioni sul collegamento: N=-5750.58 Ty=2.85 Tz=3.74 Mx=-0.01 Mz=1.43
Sollecitazioni agenti localmente: Tx_l=2.85 Ty_l=3.74 N_l=-5750.58 Mx_l=-0.00 My_l=1.43 Mz_l=-0.01
Taglio nei bulloni: Fv,Ed=0.80 Fv,Rd=9650.97
Rifollamento lato piastra: Fb,Ed,p=0.79 Fb,Rd,p=13209.70
Tirafondi:LT=0.45 (0.31) σ_{cR}=0.00 σ_{fR}=0.00
Compressione nel calcestruzzo: σ_c=11.96
CC 20 SLD (Collegamento 0021_-378)
Azioni sul collegamento: N=-7362.28 Ty=3.50 Tz=-2.19 Mx=-0.01 Mz=1.66
Sollecitazioni agenti localmente: Tx_l=3.50 Ty_l=-2.19 N_l=-7362.28 Mx_l=-0.00 My_l=1.66 Mz_l=-0.01
Taglio nei bulloni: Fv,Ed=0.70 Fv,Rd=9650.97
Rifollamento lato piastra: Fb,Ed,p=0.69 Fb,Rd,p=11627.90
Tirafondi:LT=0.45 (0.31) σ_{cR}=0.00 σ_{fR}=0.00
Compressione nel calcestruzzo: σ_c=15.30
CC 20 SLD (Collegamento 0021_-378)
Azioni sul collegamento: N=-7362.28 Ty=2.85 Tz=-2.19 Mx=-0.01 Mz=1.43
Sollecitazioni agenti localmente: Tx_l=2.85 Ty_l=-2.19 N_l=-7362.28 Mx_l=-0.00 My_l=1.43 Mz_l=-0.01
Taglio nei bulloni: Fv,Ed=0.61 Fv,Rd=9650.97
Rifollamento lato piastra: Fb,Ed,p=0.60 Fb,Rd,p=13207.70
Tirafondi:LT=0.45 (0.31) σ_{cR}=0.00 σ_{fR}=0.00

Compressione nel calcestruzzo: σ_c=15.29
CC 20 SLD (Collegamento 0021_-378)
Azioni sul collegamento: N=-7362.28 Ty=3.50 Tz=3.74 Mx=-0.01 Mz=1.66
Sollecitazioni agenti localmente: Tx_l=3.50 Ty_l=3.74 N_l=-7362.28 Mx_l=-0.00 My_l=1.66 Mz_l=-0.01
Taglio nei bulloni: Fv,Ed=0.87 Fv,Rd=9650.97
Rifollamento lato piastra: Fb,Ed,p=0.85 Fb,Rd,p=14356.30
Tirafondi:LT=0.45 (0.31) σ_{cR}=0.00 σ_{fR}=0.00
Compressione nel calcestruzzo: σ_c=15.30
CC 20 SLD (Collegamento 0021_-378)
Azioni sul collegamento: N=-7362.28 Ty=2.85 Tz=3.74 Mx=-0.01 Mz=1.43
Sollecitazioni agenti localmente: Tx_l=2.85 Ty_l=3.74 N_l=-7362.28 Mx_l=-0.00 My_l=1.43 Mz_l=-0.01
Taglio nei bulloni: Fv,Ed=0.80 Fv,Rd=9650.97
Rifollamento lato piastra: Fb,Ed,p=0.79 Fb,Rd,p=13209.60
Tirafondi:LT=0.45 (0.31) σ_{cR}=0.00 σ_{fR}=0.00
Compressione nel calcestruzzo: σ_c=15.29
CC 21 SLV (Collegamento 0021_-378)
Azioni sul collegamento: N=-9166.69 Ty=3.39 Tz=10.37 Mx=-0.02 Mz=-0.91
Sollecitazioni agenti localmente: Tx_l=3.39 Ty_l=10.37 N_l=-9166.69 Mx_l=-0.00 My_l=-0.91 Mz_l=-0.02
Taglio nei bulloni: Fv,Ed=1.84 Fv,Rd=7720.78
Rifollamento lato piastra: Fb,Ed,p=1.83 Fb,Rd,p=6843.13
Tirafondi:LT=0.45 (0.31) σ_{cR}=0.00 σ_{fR}=0.00
Compressione nel calcestruzzo: σ_c=18.99
CC 21 SLV (Collegamento 0021_-378)
Azioni sul collegamento: N=-9166.69 Ty=1.27 Tz=10.37 Mx=-0.02 Mz=-0.17
Sollecitazioni agenti localmente: Tx_l=1.27 Ty_l=10.37 N_l=-9166.69 Mx_l=-0.00 My_l=-0.17 Mz_l=-0.02
Taglio nei bulloni: Fv,Ed=1.76 Fv,Rd=7720.78
Rifollamento lato piastra: Fb,Ed,p=1.76 Fb,Rd,p=6086.02
Tirafondi:LT=0.45 (0.31) σ_{cR}=0.00 σ_{fR}=0.00
Compressione nel calcestruzzo: σ_c=18.95
CC 21 SLV (Collegamento 0021_-378)
Azioni sul collegamento: N=-9166.69 Ty=3.39 Tz=-9.09 Mx=-0.02 Mz=-0.91
Sollecitazioni agenti localmente: Tx_l=3.39 Ty_l=-9.09 N_l=-9166.69 Mx_l=-0.00 My_l=-0.91 Mz_l=-0.02
Taglio nei bulloni: Fv,Ed=1.64 Fv,Rd=7720.78
Rifollamento lato piastra: Fb,Ed,p=1.64 Fb,Rd,p=7280.16
Tirafondi:LT=0.45 (0.31) σ_{cR}=0.00 σ_{fR}=0.00
Compressione nel calcestruzzo: σ_c=18.99
CC 21 SLV (Collegamento 0021_-378)
Azioni sul collegamento: N=-9166.69 Ty=1.27 Tz=-9.09 Mx=-0.02 Mz=-0.17
Sollecitazioni agenti localmente: Tx_l=1.27 Ty_l=-9.09 N_l=-9166.69 Mx_l=-0.00 My_l=-0.17 Mz_l=-0.02
Taglio nei bulloni: Fv,Ed=1.55 Fv,Rd=7720.78
Rifollamento lato piastra: Fb,Ed,p=1.55 Fb,Rd,p=6183.06
Tirafondi:LT=0.45 (0.31) σ_{cR}=0.00 σ_{fR}=0.00
Compressione nel calcestruzzo: σ_c=18.95
CC 21 SLV (Collegamento 0021_-378)
Azioni sul collegamento: N=-3881.26 Ty=3.39 Tz=10.37 Mx=-0.02 Mz=-0.91
Sollecitazioni agenti localmente: Tx_l=3.39 Ty_l=10.37 N_l=-3881.26 Mx_l=-0.00 My_l=-0.91 Mz_l=-0.02
Taglio nei bulloni: Fv,Ed=1.84 Fv,Rd=7720.78
Rifollamento lato piastra: Fb,Ed,p=1.83 Fb,Rd,p=6843.12
Tirafondi:LT=0.45 (0.31) σ_{cR}=0.00 σ_{fR}=0.00
Compressione nel calcestruzzo: σ_c=8.07
CC 21 SLV (Collegamento 0021_-378)
Azioni sul collegamento: N=-3881.26 Ty=1.27 Tz=10.37 Mx=-0.02 Mz=-0.17
Sollecitazioni agenti localmente: Tx_l=1.27 Ty_l=10.37 N_l=-3881.26 Mx_l=-0.00 My_l=-0.17 Mz_l=-0.02
Taglio nei bulloni: Fv,Ed=1.76 Fv,Rd=7720.78
Rifollamento lato piastra: Fb,Ed,p=1.76 Fb,Rd,p=6086.01
Tirafondi:LT=0.45 (0.31) σ_{cR}=0.00 σ_{fR}=0.00
Compressione nel calcestruzzo: σ_c=8.03
CC 21 SLV (Collegamento 0021_-378)
Azioni sul collegamento: N=-3881.26 Ty=3.39 Tz=-9.09 Mx=-0.02 Mz=-0.91
Sollecitazioni agenti localmente: Tx_l=3.39 Ty_l=-9.09 N_l=-3881.26 Mx_l=-0.00 My_l=-0.91 Mz_l=-0.02
Taglio nei bulloni: Fv,Ed=1.64 Fv,Rd=7720.78
Rifollamento lato piastra: Fb,Ed,p=1.64 Fb,Rd,p=7280.13
Tirafondi:LT=0.45 (0.31) σ_{cR}=0.00 σ_{fR}=0.00
Compressione nel calcestruzzo: σ_c=8.07
CC 21 SLV (Collegamento 0021_-378)
Azioni sul collegamento: N=-3881.26 Ty=1.27 Tz=-9.09 Mx=-0.02 Mz=-0.17
Sollecitazioni agenti localmente: Tx_l=1.27 Ty_l=-9.09 N_l=-3881.26 Mx_l=-0.00 My_l=-0.17 Mz_l=-0.02
Taglio nei bulloni: Fv,Ed=1.55 Fv,Rd=7720.78
Rifollamento lato piastra: Fb,Ed,p=1.55 Fb,Rd,p=6183.06
Tirafondi:LT=0.45 (0.31) σ_{cR}=0.00 σ_{fR}=0.00
Compressione nel calcestruzzo: σ_c=8.03
CC 22 SLD (Collegamento 0021_-378)
Azioni sul collegamento: N=-7362.28 Ty=2.85 Tz=3.74 Mx=-0.01 Mz=1.43
Sollecitazioni agenti localmente: Tx_l=2.85 Ty_l=3.74 N_l=-7362.28 Mx_l=-0.00 My_l=1.43 Mz_l=-0.01
Taglio nei bulloni: Fv,Ed=0.80 Fv,Rd=9650.97
Rifollamento lato piastra: Fb,Ed,p=0.79 Fb,Rd,p=13198.20
Tirafondi:LT=0.45 (0.31) σ_{cR}=0.00 σ_{fR}=0.00
Compressione nel calcestruzzo: σ_c=15.29

CC 22 SLD (Collegamento 0021_-378)
Azioni sul collegamento: N=-7362.28 Ty=3.50 Tz=3.74 Mx=-0.01 Mz=1.66
Sollecitazioni agenti localmente: Tx_l=3.50 Ty_l=3.74 N_l=-7362.28 Mx_l=-0.00 My_l=1.66 Mz_l=-0.01
Taglio nei bulloni: Fv,Ed=0.87 Fv,Rd=9650.97
Rifollamento lato piastra: Fb,Ed,p=0.85 Fb,Rd,p=14342.00
Tirafondi:LT=0.45 (0.31) σ_{cR}=0.00 σ_{fR}=0.00
Compressione nel calcestruzzo: σ_c=15.30
CC 22 SLD (Collegamento 0021_-378)
Azioni sul collegamento: N=-7362.28 Ty=2.85 Tz=-2.19 Mx=-0.01 Mz=1.43
Sollecitazioni agenti localmente: Tx_l=2.85 Ty_l=-2.19 N_l=-7362.28 Mx_l=-0.00 My_l=1.43 Mz_l=-0.01
Taglio nei bulloni: Fv,Ed=0.61 Fv,Rd=9650.97
Rifollamento lato piastra: Fb,Ed,p=0.60 Fb,Rd,p=13192.70
Tirafondi:LT=0.45 (0.31) σ_{cR}=0.00 σ_{fR}=0.00
Compressione nel calcestruzzo: σ_c=15.29
CC 22 SLD (Collegamento 0021_-378)
Azioni sul collegamento: N=-7362.28 Ty=3.50 Tz=-2.19 Mx=-0.01 Mz=1.66
Sollecitazioni agenti localmente: Tx_l=3.50 Ty_l=-2.19 N_l=-7362.28 Mx_l=-0.00 My_l=1.66 Mz_l=-0.01
Taglio nei bulloni: Fv,Ed=0.70 Fv,Rd=9650.97
Rifollamento lato piastra: Fb,Ed,p=0.69 Fb,Rd,p=11602.70
Tirafondi:LT=0.45 (0.31) σ_{cR}=0.00 σ_{fR}=0.00
Compressione nel calcestruzzo: σ_c=15.30
CC 22 SLD (Collegamento 0021_-378)
Azioni sul collegamento: N=-5750.58 Ty=2.85 Tz=3.74 Mx=-0.01 Mz=1.43
Sollecitazioni agenti localmente: Tx_l=2.85 Ty_l=3.74 N_l=-5750.58 Mx_l=-0.00 My_l=1.43 Mz_l=-0.01
Taglio nei bulloni: Fv,Ed=0.80 Fv,Rd=9650.97
Rifollamento lato piastra: Fb,Ed,p=0.79 Fb,Rd,p=13198.20
Tirafondi:LT=0.45 (0.31) σ_{cR}=0.00 σ_{fR}=0.00
Compressione nel calcestruzzo: σ_c=11.96
CC 22 SLD (Collegamento 0021_-378)
Azioni sul collegamento: N=-5750.58 Ty=3.50 Tz=3.74 Mx=-0.01 Mz=1.66
Sollecitazioni agenti localmente: Tx_l=3.50 Ty_l=3.74 N_l=-5750.58 Mx_l=-0.00 My_l=1.66 Mz_l=-0.01
Taglio nei bulloni: Fv,Ed=0.87 Fv,Rd=9650.97
Rifollamento lato piastra: Fb,Ed,p=0.85 Fb,Rd,p=14342.10
Tirafondi:LT=0.45 (0.31) σ_{cR}=0.00 σ_{fR}=0.00
Compressione nel calcestruzzo: σ_c=11.97
CC 22 SLD (Collegamento 0021_-378)
Azioni sul collegamento: N=-5750.58 Ty=2.85 Tz=-2.19 Mx=-0.01 Mz=1.43
Sollecitazioni agenti localmente: Tx_l=2.85 Ty_l=-2.19 N_l=-5750.58 Mx_l=-0.00 My_l=1.43 Mz_l=-0.01
Taglio nei bulloni: Fv,Ed=0.61 Fv,Rd=9650.97
Rifollamento lato piastra: Fb,Ed,p=0.60 Fb,Rd,p=13193.20
Tirafondi:LT=0.45 (0.31) σ_{cR}=0.00 σ_{fR}=0.00
Compressione nel calcestruzzo: σ_c=11.96
CC 22 SLD (Collegamento 0021_-378)
Azioni sul collegamento: N=-5750.58 Ty=3.50 Tz=-2.19 Mx=-0.01 Mz=1.66
Sollecitazioni agenti localmente: Tx_l=3.50 Ty_l=-2.19 N_l=-5750.58 Mx_l=-0.00 My_l=1.66 Mz_l=-0.01
Taglio nei bulloni: Fv,Ed=0.70 Fv,Rd=9650.97
Rifollamento lato piastra: Fb,Ed,p=0.69 Fb,Rd,p=11603.60
Tirafondi:LT=0.45 (0.31) σ_{cR}=0.00 σ_{fR}=0.00
Compressione nel calcestruzzo: σ_c=11.97
CC 23 SLV (Collegamento 0021_-378)
Azioni sul collegamento: N=-9172.38 Ty=4.02 Tz=10.50 Mx=-0.01 Mz=-2.16
Sollecitazioni agenti localmente: Tx_l=4.02 Ty_l=10.50 N_l=-9172.38 Mx_l=-0.00 My_l=-2.16 Mz_l=-0.01
Taglio nei bulloni: Fv,Ed=1.89 Fv,Rd=7720.78
Rifollamento lato piastra: Fb,Ed,p=1.88 Fb,Rd,p=7212.50
Tirafondi:LT=0.45 (0.31) σ_{cR}=0.00 σ_{fR}=0.00
Compressione nel calcestruzzo: σ_c=19.07
CC 23 SLV (Collegamento 0021_-378)
Azioni sul collegamento: N=-9172.38 Ty=0.64 Tz=10.50 Mx=-0.01 Mz=1.09
Sollecitazioni agenti localmente: Tx_l=0.64 Ty_l=10.50 N_l=-9172.38 Mx_l=-0.00 My_l=1.09 Mz_l=-0.01
Taglio nei bulloni: Fv,Ed=1.77 Fv,Rd=7720.78
Rifollamento lato piastra: Fb,Ed,p=1.77 Fb,Rd,p=6003.07
Tirafondi:LT=0.45 (0.31) σ_{cR}=0.00 σ_{fR}=0.00
Compressione nel calcestruzzo: σ_c=19.01
CC 23 SLV (Collegamento 0021_-378)
Azioni sul collegamento: N=-9172.38 Ty=4.02 Tz=-9.21 Mx=-0.01 Mz=-2.16
Sollecitazioni agenti localmente: Tx_l=4.02 Ty_l=-9.21 N_l=-9172.38 Mx_l=-0.00 My_l=-2.16 Mz_l=-0.01
Taglio nei bulloni: Fv,Ed=1.69 Fv,Rd=7720.78
Rifollamento lato piastra: Fb,Ed,p=1.69 Fb,Rd,p=7734.29
Tirafondi:LT=0.45 (0.31) σ_{cR}=0.00 σ_{fR}=0.00
Compressione nel calcestruzzo: σ_c=19.07
CC 23 SLV (Collegamento 0021_-378)
Azioni sul collegamento: N=-9172.38 Ty=0.64 Tz=-9.21 Mx=-0.01 Mz=1.09
Sollecitazioni agenti localmente: Tx_l=0.64 Ty_l=-9.21 N_l=-9172.38 Mx_l=-0.00 My_l=1.09 Mz_l=-0.01
Taglio nei bulloni: Fv,Ed=1.56 Fv,Rd=7720.78
Rifollamento lato piastra: Fb,Ed,p=1.56 Fb,Rd,p=6033.64
Tirafondi:LT=0.45 (0.31) σ_{cR}=0.00 σ_{fR}=0.00
Compressione nel calcestruzzo: σ_c=19.01
CC 23 SLV (Collegamento 0021_-378)

Azioni sul collegamento: N=-3875.57 Ty=4.02 Tz=10.50 Mx=-0.01 Mz=-2.16
Sollecitazioni agenti localmente: Tx_l=4.02 Ty_l=10.50 N_l=-3875.57 Mx_l=-0.00 My_l=-2.16 Mz_l=-0.01
Taglio nei bulloni: Fv,Ed=1.89 Fv,Rd=7720.78
Rifollamento lato piastra: Fb,Ed,p=1.88 Fb,Rd,p=7212.55
Tirafondi:LT=0.45 (0.31) σ_{cR}=0.00 σ_{fR}=0.00
Compressione nel calcestruzzo: σ_c=8.13
CC 23 SLV (Collegamento 0021_-378)
Azioni sul collegamento: N=-3875.57 Ty=0.64 Tz=10.50 Mx=-0.01 Mz=1.09
Sollecitazioni agenti localmente: Tx_l=0.64 Ty_l=10.50 N_l=-3875.57 Mx_l=-0.00 My_l=1.09 Mz_l=-0.01
Taglio nei bulloni: Fv,Ed=1.77 Fv,Rd=7720.78
Rifollamento lato piastra: Fb,Ed,p=1.77 Fb,Rd,p=6003.07
Tirafondi:LT=0.45 (0.31) σ_{cR}=0.00 σ_{fR}=0.00
Compressione nel calcestruzzo: σ_c=8.07
CC 23 SLV (Collegamento 0021_-378)
Azioni sul collegamento: N=-3875.57 Ty=4.02 Tz=-9.21 Mx=-0.01 Mz=-2.16
Sollecitazioni agenti localmente: Tx_l=4.02 Ty_l=-9.21 N_l=-3875.57 Mx_l=-0.00 My_l=-2.16 Mz_l=-0.01
Taglio nei bulloni: Fv,Ed=1.70 Fv,Rd=7720.78
Rifollamento lato piastra: Fb,Ed,p=1.70 Fb,Rd,p=7734.12
Tirafondi:LT=0.45 (0.31) σ_{cR}=0.00 σ_{fR}=0.00
Compressione nel calcestruzzo: σ_c=8.13
CC 23 SLV (Collegamento 0021_-378)
Azioni sul collegamento: N=-3875.57 Ty=0.64 Tz=-9.21 Mx=-0.01 Mz=1.09
Sollecitazioni agenti localmente: Tx_l=0.64 Ty_l=-9.21 N_l=-3875.57 Mx_l=-0.00 My_l=1.09 Mz_l=-0.01
Taglio nei bulloni: Fv,Ed=1.56 Fv,Rd=7720.78
Rifollamento lato piastra: Fb,Ed,p=1.56 Fb,Rd,p=6033.63
Tirafondi:LT=0.45 (0.31) σ_{cR}=0.00 σ_{fR}=0.00
Compressione nel calcestruzzo: σ_c=8.07
CC 24 SLD (Collegamento 0021_-378)
Azioni sul collegamento: N=-7364.01 Ty=2.66 Tz=3.78 Mx=-0.01 Mz=1.05
Sollecitazioni agenti localmente: Tx_l=2.66 Ty_l=3.78 N_l=-7364.01 Mx_l=-0.00 My_l=1.05 Mz_l=-0.01
Taglio nei bulloni: Fv,Ed=0.78 Fv,Rd=9650.97
Rifollamento lato piastra: Fb,Ed,p=0.77 Fb,Rd,p=12814.80
Tirafondi:LT=0.45 (0.31) σ_{cR}=0.00 σ_{fR}=0.00
Compressione nel calcestruzzo: σ_c=15.27
CC 24 SLD (Collegamento 0021_-378)
Azioni sul collegamento: N=-7364.01 Ty=3.69 Tz=3.78 Mx=-0.01 Mz=2.04
Sollecitazioni agenti localmente: Tx_l=3.69 Ty_l=3.78 N_l=-7364.01 Mx_l=-0.00 My_l=2.04 Mz_l=-0.01
Taglio nei bulloni: Fv,Ed=0.89 Fv,Rd=9650.97
Rifollamento lato piastra: Fb,Ed,p=0.88 Fb,Rd,p=14675.70
Tirafondi:LT=0.45 (0.31) σ_{cR}=0.00 σ_{fR}=0.00
Compressione nel calcestruzzo: σ_c=15.33
CC 24 SLD (Collegamento 0021_-378)
Azioni sul collegamento: N=-7364.01 Ty=2.66 Tz=-2.23 Mx=-0.01 Mz=1.05
Sollecitazioni agenti localmente: Tx_l=2.66 Ty_l=-2.23 N_l=-7364.01 Mx_l=-0.00 My_l=1.05 Mz_l=-0.01
Taglio nei bulloni: Fv,Ed=0.59 Fv,Rd=9650.97
Rifollamento lato piastra: Fb,Ed,p=0.58 Fb,Rd,p=13670.30
Tirafondi:LT=0.45 (0.31) σ_{cR}=0.00 σ_{fR}=0.00
Compressione nel calcestruzzo: σ_c=15.27
CC 24 SLD (Collegamento 0021_-378)
Azioni sul collegamento: N=-7364.01 Ty=3.69 Tz=-2.23 Mx=-0.01 Mz=2.04
Sollecitazioni agenti localmente: Tx_l=3.69 Ty_l=-2.23 N_l=-7364.01 Mx_l=-0.00 My_l=2.04 Mz_l=-0.01
Taglio nei bulloni: Fv,Ed=0.73 Fv,Rd=9650.97
Rifollamento lato piastra: Fb,Ed,p=0.72 Fb,Rd,p=11376.20
Tirafondi:LT=0.45 (0.31) σ_{cR}=0.00 σ_{fR}=0.00
Compressione nel calcestruzzo: σ_c=15.33
CC 24 SLD (Collegamento 0021_-378)
Azioni sul collegamento: N=-5748.85 Ty=2.66 Tz=3.78 Mx=-0.01 Mz=1.05
Sollecitazioni agenti localmente: Tx_l=2.66 Ty_l=3.78 N_l=-5748.85 Mx_l=-0.00 My_l=1.05 Mz_l=-0.01
Taglio nei bulloni: Fv,Ed=0.78 Fv,Rd=9650.97
Rifollamento lato piastra: Fb,Ed,p=0.77 Fb,Rd,p=12814.50
Tirafondi:LT=0.45 (0.31) σ_{cR}=0.00 σ_{fR}=0.00
Compressione nel calcestruzzo: σ_c=11.94
CC 24 SLD (Collegamento 0021_-378)
Azioni sul collegamento: N=-5748.85 Ty=3.69 Tz=3.78 Mx=-0.01 Mz=2.04
Sollecitazioni agenti localmente: Tx_l=3.69 Ty_l=3.78 N_l=-5748.85 Mx_l=-0.00 My_l=2.04 Mz_l=-0.01
Taglio nei bulloni: Fv,Ed=0.89 Fv,Rd=9650.97
Rifollamento lato piastra: Fb,Ed,p=0.88 Fb,Rd,p=14675.60
Tirafondi:LT=0.45 (0.31) σ_{cR}=0.00 σ_{fR}=0.00
Compressione nel calcestruzzo: σ_c=11.99
CC 24 SLD (Collegamento 0021_-378)
Azioni sul collegamento: N=-5748.85 Ty=2.66 Tz=-2.23 Mx=-0.01 Mz=1.05
Sollecitazioni agenti localmente: Tx_l=2.66 Ty_l=-2.23 N_l=-5748.85 Mx_l=-0.00 My_l=1.05 Mz_l=-0.01
Taglio nei bulloni: Fv,Ed=0.59 Fv,Rd=9650.97
Rifollamento lato piastra: Fb,Ed,p=0.58 Fb,Rd,p=13670.10
Tirafondi:LT=0.45 (0.31) σ_{cR}=0.00 σ_{fR}=0.00
Compressione nel calcestruzzo: σ_c=11.94
CC 24 SLD (Collegamento 0021_-378)
Azioni sul collegamento: N=-5748.85 Ty=3.69 Tz=-2.23 Mx=-0.01 Mz=2.04

Sollecitazioni agenti localmente: Tx_l=3.69 Ty_l=-2.23 N_l=-5748.85 Mx_l=-0.00 My_l=2.04 Mz_l=-0.01
Taglio nei bulloni: Fv,Ed=0.73 Fv,Rd=9650.97
Rifollamento lato piastra: Fb,Ed,p=0.72 Fb,Rd,p=11375.80
Tirafondi:LT=0.45 (0.31) σ_{cR}=0.00 σ_{fR}=0.00
Compressione nel calcestruzzo: σ_c=11.99
CC 25 SLV (Collegamento 0021_-378)
Azioni sul collegamento: N=-5720.83 Ty=0.86 Tz=-2.51 Mx=-0.03 Mz=1.85
Sollecitazioni agenti localmente: Tx_l=0.86 Ty_l=-2.51 N_l=-5720.83 Mx_l=-0.00 My_l=1.85 Mz_l=-0.03
Taglio nei bulloni: Fv,Ed=0.48 Fv,Rd=7720.78
Rifollamento lato piastra: Fb,Ed,p=0.48 Fb,Rd,p=7311.54
Tirafondi:LT=0.45 (0.31) σ_{cR}=0.00 σ_{fR}=0.00
Compressione nel calcestruzzo: σ_c=11.92
CC 25 SLV (Collegamento 0021_-378)
Azioni sul collegamento: N=-5720.83 Ty=3.80 Tz=-2.51 Mx=-0.03 Mz=-2.93
Sollecitazioni agenti localmente: Tx_l=3.80 Ty_l=-2.51 N_l=-5720.83 Mx_l=-0.00 My_l=-2.93 Mz_l=-0.03
Taglio nei bulloni: Fv,Ed=0.80 Fv,Rd=7720.78
Rifollamento lato piastra: Fb,Ed,p=0.77 Fb,Rd,p=9125.42
Tirafondi:LT=0.45 (0.31) σ_{cR}=0.00 σ_{fR}=0.00
Compressione nel calcestruzzo: σ_c=11.98
CC 25 SLV (Collegamento 0021_-378)
Azioni sul collegamento: N=-5720.83 Ty=0.86 Tz=3.80 Mx=-0.03 Mz=1.85
Sollecitazioni agenti localmente: Tx_l=0.86 Ty_l=3.80 N_l=-5720.83 Mx_l=-0.00 My_l=1.85 Mz_l=-0.03
Taglio nei bulloni: Fv,Ed=0.68 Fv,Rd=7720.78
Rifollamento lato piastra: Fb,Ed,p=0.67 Fb,Rd,p=6247.73
Tirafondi:LT=0.45 (0.31) σ_{cR}=0.00 σ_{fR}=0.00
Compressione nel calcestruzzo: σ_c=11.92
CC 25 SLV (Collegamento 0021_-378)
Azioni sul collegamento: N=-5720.83 Ty=3.80 Tz=3.80 Mx=-0.03 Mz=-2.93
Sollecitazioni agenti localmente: Tx_l=3.80 Ty_l=3.80 N_l=-5720.83 Mx_l=-0.00 My_l=-2.93 Mz_l=-0.03
Taglio nei bulloni: Fv,Ed=0.94 Fv,Rd=7720.78
Rifollamento lato piastra: Fb,Ed,p=0.94 Fb,Rd,p=12018.30
Tirafondi:LT=0.45 (0.31) σ_{cR}=0.00 σ_{fR}=0.00
Compressione nel calcestruzzo: σ_c=11.98
CC 25 SLV (Collegamento 0021_-378)
Azioni sul collegamento: N=-7327.12 Ty=0.86 Tz=-2.51 Mx=-0.03 Mz=1.85
Sollecitazioni agenti localmente: Tx_l=0.86 Ty_l=-2.51 N_l=-7327.12 Mx_l=-0.00 My_l=1.85 Mz_l=-0.03
Taglio nei bulloni: Fv,Ed=0.48 Fv,Rd=7720.78
Rifollamento lato piastra: Fb,Ed,p=0.48 Fb,Rd,p=7311.64
Tirafondi:LT=0.45 (0.31) σ_{cR}=0.00 σ_{fR}=0.00
Compressione nel calcestruzzo: σ_c=15.24
CC 25 SLV (Collegamento 0021_-378)
Azioni sul collegamento: N=-7327.12 Ty=3.80 Tz=-2.51 Mx=-0.03 Mz=-2.93
Sollecitazioni agenti localmente: Tx_l=3.80 Ty_l=-2.51 N_l=-7327.12 Mx_l=-0.00 My_l=-2.93 Mz_l=-0.03
Taglio nei bulloni: Fv,Ed=0.80 Fv,Rd=7720.78
Rifollamento lato piastra: Fb,Ed,p=0.77 Fb,Rd,p=9125.14
Tirafondi:LT=0.45 (0.31) σ_{cR}=0.00 σ_{fR}=0.00
Compressione nel calcestruzzo: σ_c=15.30
CC 25 SLV (Collegamento 0021_-378)
Azioni sul collegamento: N=-7327.12 Ty=0.86 Tz=3.80 Mx=-0.03 Mz=1.85
Sollecitazioni agenti localmente: Tx_l=0.86 Ty_l=3.80 N_l=-7327.12 Mx_l=-0.00 My_l=1.85 Mz_l=-0.03
Taglio nei bulloni: Fv,Ed=0.68 Fv,Rd=7720.78
Rifollamento lato piastra: Fb,Ed,p=0.67 Fb,Rd,p=6247.71
Tirafondi:LT=0.45 (0.31) σ_{cR}=0.00 σ_{fR}=0.00
Compressione nel calcestruzzo: σ_c=15.24
CC 25 SLV (Collegamento 0021_-378)
Azioni sul collegamento: N=-7327.12 Ty=3.80 Tz=3.80 Mx=-0.03 Mz=-2.93
Sollecitazioni agenti localmente: Tx_l=3.80 Ty_l=3.80 N_l=-7327.12 Mx_l=-0.00 My_l=-2.93 Mz_l=-0.03
Taglio nei bulloni: Fv,Ed=0.94 Fv,Rd=7720.78
Rifollamento lato piastra: Fb,Ed,p=0.94 Fb,Rd,p=12018.40
Tirafondi:LT=0.45 (0.31) σ_{cR}=0.00 σ_{fR}=0.00
Compressione nel calcestruzzo: σ_c=15.30
CC 26 SLD (Collegamento 0021_-378)
Azioni sul collegamento: N=-6311.53 Ty=3.62 Tz=-0.19 Mx=-0.01 Mz=2.27
Sollecitazioni agenti localmente: Tx_l=3.62 Ty_l=-0.19 N_l=-6311.53 Mx_l=-0.00 My_l=2.27 Mz_l=-0.01
Taglio nei bulloni: Fv,Ed=0.62 Fv,Rd=9650.97
Rifollamento lato piastra: Fb,Ed,p=0.62 Fb,Rd,p=7485.42
Tirafondi:LT=0.45 (0.31) σ_{cR}=0.00 σ_{fR}=0.00
Compressione nel calcestruzzo: σ_c=13.17
CC 26 SLD (Collegamento 0021_-378)
Azioni sul collegamento: N=-6311.53 Ty=2.73 Tz=-0.19 Mx=-0.01 Mz=0.81
Sollecitazioni agenti localmente: Tx_l=2.73 Ty_l=-0.19 N_l=-6311.53 Mx_l=-0.00 My_l=0.81 Mz_l=-0.01
Taglio nei bulloni: Fv,Ed=0.47 Fv,Rd=9650.97
Rifollamento lato piastra: Fb,Ed,p=0.47 Fb,Rd,p=7493.95
Tirafondi:LT=0.45 (0.31) σ_{cR}=0.00 σ_{fR}=0.00
Compressione nel calcestruzzo: σ_c=13.09
CC 26 SLD (Collegamento 0021_-378)
Azioni sul collegamento: N=-6311.53 Ty=3.62 Tz=1.73 Mx=-0.01 Mz=2.27
Sollecitazioni agenti localmente: Tx_l=3.62 Ty_l=1.73 N_l=-6311.53 Mx_l=-0.00 My_l=2.27 Mz_l=-0.01

Taglio nei bulloni: Fv,Ed=0.68 Fv,Rd=9650.97
Rifollamento lato piastra: Fb,Ed,p=0.68 Fb,Rd,p=10166.90
Tirafondi:LT=0.45 (0.31) σ_{cR}=0.00 σ_{fR}=0.00
Compressione nel calcestruzzo: σ_c=13.17
CC 26 SLD (Collegamento 0021_-378)
Azioni sul collegamento: N=-6311.53 Ty=2.73 Tz=1.73 Mx=-0.01 Mz=0.81
Sollecitazioni agenti localmente: Tx_l=2.73 Ty_l=1.73 N_l=-6311.53 Mx_l=-0.00 My_l=0.81 Mz_l=-0.01
Taglio nei bulloni: Fv,Ed=0.55 Fv,Rd=9650.97
Rifollamento lato piastra: Fb,Ed,p=0.55 Fb,Rd,p=12218.30
Tirafondi:LT=0.45 (0.31) σ_{cR}=0.00 σ_{fR}=0.00
Compressione nel calcestruzzo: σ_c=13.09
CC 26 SLD (Collegamento 0021_-378)
Azioni sul collegamento: N=-6801.33 Ty=3.62 Tz=-0.19 Mx=-0.01 Mz=2.27
Sollecitazioni agenti localmente: Tx_l=3.62 Ty_l=-0.19 N_l=-6801.33 Mx_l=-0.00 My_l=2.27 Mz_l=-0.01
Taglio nei bulloni: Fv,Ed=0.62 Fv,Rd=9650.97
Rifollamento lato piastra: Fb,Ed,p=0.62 Fb,Rd,p=7485.50
Tirafondi:LT=0.45 (0.31) σ_{cR}=0.00 σ_{fR}=0.00
Compressione nel calcestruzzo: σ_c=14.18
CC 26 SLD (Collegamento 0021_-378)
Azioni sul collegamento: N=-6801.33 Ty=2.73 Tz=-0.19 Mx=-0.01 Mz=0.81
Sollecitazioni agenti localmente: Tx_l=2.73 Ty_l=-0.19 N_l=-6801.33 Mx_l=-0.00 My_l=0.81 Mz_l=-0.01
Taglio nei bulloni: Fv,Ed=0.47 Fv,Rd=9650.97
Rifollamento lato piastra: Fb,Ed,p=0.47 Fb,Rd,p=7494.08
Tirafondi:LT=0.45 (0.31) σ_{cR}=0.00 σ_{fR}=0.00
Compressione nel calcestruzzo: σ_c=14.10
CC 26 SLD (Collegamento 0021_-378)
Azioni sul collegamento: N=-6801.33 Ty=3.62 Tz=1.73 Mx=-0.01 Mz=2.27
Sollecitazioni agenti localmente: Tx_l=3.62 Ty_l=1.73 N_l=-6801.33 Mx_l=-0.00 My_l=2.27 Mz_l=-0.01
Taglio nei bulloni: Fv,Ed=0.68 Fv,Rd=9650.97
Rifollamento lato piastra: Fb,Ed,p=0.68 Fb,Rd,p=10166.70
Tirafondi:LT=0.45 (0.31) σ_{cR}=0.00 σ_{fR}=0.00
Compressione nel calcestruzzo: σ_c=14.18
CC 26 SLD (Collegamento 0021_-378)
Azioni sul collegamento: N=-6801.33 Ty=2.73 Tz=1.73 Mx=-0.01 Mz=0.81
Sollecitazioni agenti localmente: Tx_l=2.73 Ty_l=1.73 N_l=-6801.33 Mx_l=-0.00 My_l=0.81 Mz_l=-0.01
Taglio nei bulloni: Fv,Ed=0.55 Fv,Rd=9650.97
Rifollamento lato piastra: Fb,Ed,p=0.55 Fb,Rd,p=12217.90
Tirafondi:LT=0.45 (0.31) σ_{cR}=0.00 σ_{fR}=0.00
Compressione nel calcestruzzo: σ_c=14.10
CC 27 SLV (Collegamento 0021_-378)
Azioni sul collegamento: N=-7308.17 Ty=1.68 Tz=3.37 Mx=-0.02 Mz=1.26
Sollecitazioni agenti localmente: Tx_l=1.68 Ty_l=3.37 N_l=-7308.17 Mx_l=-0.00 My_l=1.26 Mz_l=-0.02
Taglio nei bulloni: Fv,Ed=0.66 Fv,Rd=7720.78
Rifollamento lato piastra: Fb,Ed,p=0.64 Fb,Rd,p=7639.98
Tirafondi:LT=0.45 (0.31) σ_{cR}=0.00 σ_{fR}=0.00
Compressione nel calcestruzzo: σ_c=15.17
CC 27 SLV (Collegamento 0021_-378)
Azioni sul collegamento: N=-7308.17 Ty=2.97 Tz=3.37 Mx=-0.02 Mz=-2.33
Sollecitazioni agenti localmente: Tx_l=2.97 Ty_l=3.37 N_l=-7308.17 Mx_l=-0.00 My_l=-2.33 Mz_l=-0.02
Taglio nei bulloni: Fv,Ed=0.79 Fv,Rd=7720.78
Rifollamento lato piastra: Fb,Ed,p=0.75 Fb,Rd,p=10854.00
Tirafondi:LT=0.45 (0.31) σ_{cR}=0.00 σ_{fR}=0.00
Compressione nel calcestruzzo: σ_c=15.23
CC 27 SLV (Collegamento 0021_-378)
Azioni sul collegamento: N=-7308.17 Ty=1.68 Tz=-2.08 Mx=-0.02 Mz=1.26
Sollecitazioni agenti localmente: Tx_l=1.68 Ty_l=-2.08 N_l=-7308.17 Mx_l=-0.00 My_l=1.26 Mz_l=-0.02
Taglio nei bulloni: Fv,Ed=0.48 Fv,Rd=7720.78
Rifollamento lato piastra: Fb,Ed,p=0.48 Fb,Rd,p=11013.50
Tirafondi:LT=0.45 (0.31) σ_{cR}=0.00 σ_{fR}=0.00
Compressione nel calcestruzzo: σ_c=15.17
CC 27 SLV (Collegamento 0021_-378)
Azioni sul collegamento: N=-7308.17 Ty=2.97 Tz=-2.08 Mx=-0.02 Mz=-2.33
Sollecitazioni agenti localmente: Tx_l=2.97 Ty_l=-2.08 N_l=-7308.17 Mx_l=-0.00 My_l=-2.33 Mz_l=-0.02
Taglio nei bulloni: Fv,Ed=0.64 Fv,Rd=7720.78
Rifollamento lato piastra: Fb,Ed,p=0.61 Fb,Rd,p=9360.30
Tirafondi:LT=0.45 (0.31) σ_{cR}=0.00 σ_{fR}=0.00
Compressione nel calcestruzzo: σ_c=15.23
CC 27 SLV (Collegamento 0021_-378)
Azioni sul collegamento: N=-5739.78 Ty=1.68 Tz=3.37 Mx=-0.02 Mz=1.26
Sollecitazioni agenti localmente: Tx_l=1.68 Ty_l=3.37 N_l=-5739.78 Mx_l=-0.00 My_l=1.26 Mz_l=-0.02
Taglio nei bulloni: Fv,Ed=0.67 Fv,Rd=7720.78
Rifollamento lato piastra: Fb,Ed,p=0.64 Fb,Rd,p=7639.95
Tirafondi:LT=0.45 (0.31) σ_{cR}=0.00 σ_{fR}=0.00
Compressione nel calcestruzzo: σ_c=11.93
CC 27 SLV (Collegamento 0021_-378)
Azioni sul collegamento: N=-5739.78 Ty=2.97 Tz=3.37 Mx=-0.02 Mz=-2.33
Sollecitazioni agenti localmente: Tx_l=2.97 Ty_l=3.37 N_l=-5739.78 Mx_l=-0.00 My_l=-2.33 Mz_l=-0.02
Taglio nei bulloni: Fv,Ed=0.79 Fv,Rd=7720.78

Rifollamento lato piastra: Fb,Ed,p=0.75 Fb,Rd,p=10854.00
Tirafondi:LT=0.45 (0.31) σ_{cR}=0.00 σ_{fR}=0.00
Compressione nel calcestruzzo: σ_c=11.99
CC 27 SLV (Collegamento 0021_-378)
Azioni sul collegamento: N=-5739.78 Ty=1.68 Tz=-2.08 Mx=-0.02 Mz=1.26
Sollecitazioni agenti localmente: Tx_l=1.68 Ty_l=-2.08 N_l=-5739.78 Mx_l=-0.00 My_l=1.26 Mz_l=-0.02
Taglio nei bulloni: Fv,Ed=0.48 Fv,Rd=7720.78
Rifollamento lato piastra: Fb,Ed,p=0.48 Fb,Rd,p=11013.90
Tirafondi:LT=0.45 (0.31) σ_{cR}=0.00 σ_{fR}=0.00
Compressione nel calcestruzzo: σ_c=11.93
CC 27 SLV (Collegamento 0021_-378)
Azioni sul collegamento: N=-5739.78 Ty=2.97 Tz=-2.08 Mx=-0.02 Mz=-2.33
Sollecitazioni agenti localmente: Tx_l=2.97 Ty_l=-2.08 N_l=-5739.78 Mx_l=-0.00 My_l=-2.33 Mz_l=-0.02
Taglio nei bulloni: Fv,Ed=0.64 Fv,Rd=7720.78
Rifollamento lato piastra: Fb,Ed,p=0.61 Fb,Rd,p=9359.51
Tirafondi:LT=0.45 (0.31) σ_{cR}=0.00 σ_{fR}=0.00
Compressione nel calcestruzzo: σ_c=11.99
CC 28 SLD (Collegamento 0021_-378)
Azioni sul collegamento: N=-6795.56 Ty=3.37 Tz=1.60 Mx=-0.01 Mz=2.09
Sollecitazioni agenti localmente: Tx_l=3.37 Ty_l=1.60 N_l=-6795.56 Mx_l=-0.00 My_l=2.09 Mz_l=-0.01
Taglio nei bulloni: Fv,Ed=0.64 Fv,Rd=9650.97
Rifollamento lato piastra: Fb,Ed,p=0.64 Fb,Rd,p=10139.00
Tirafondi:LT=0.45 (0.31) σ_{cR}=0.00 σ_{fR}=0.00
Compressione nel calcestruzzo: σ_c=14.16
CC 28 SLD (Collegamento 0021_-378)
Azioni sul collegamento: N=-6795.56 Ty=2.98 Tz=1.60 Mx=-0.01 Mz=1.00
Sollecitazioni agenti localmente: Tx_l=2.98 Ty_l=1.60 N_l=-6795.56 Mx_l=-0.00 My_l=1.00 Mz_l=-0.01
Taglio nei bulloni: Fv,Ed=0.58 Fv,Rd=9650.97
Rifollamento lato piastra: Fb,Ed,p=0.58 Fb,Rd,p=10885.20
Tirafondi:LT=0.45 (0.31) σ_{cR}=0.00 σ_{fR}=0.00
Compressione nel calcestruzzo: σ_c=14.10
CC 28 SLD (Collegamento 0021_-378)
Azioni sul collegamento: N=-6795.56 Ty=3.37 Tz=-0.06 Mx=-0.01 Mz=2.09
Sollecitazioni agenti localmente: Tx_l=3.37 Ty_l=-0.06 N_l=-6795.56 Mx_l=-0.00 My_l=2.09 Mz_l=-0.01
Taglio nei bulloni: Fv,Ed=0.57 Fv,Rd=9650.97
Rifollamento lato piastra: Fb,Ed,p=0.57 Fb,Rd,p=7474.04
Tirafondi:LT=0.45 (0.31) σ_{cR}=0.00 σ_{fR}=0.00
Compressione nel calcestruzzo: σ_c=14.16
CC 28 SLD (Collegamento 0021_-378)
Azioni sul collegamento: N=-6795.56 Ty=2.98 Tz=-0.06 Mx=-0.01 Mz=1.00
Sollecitazioni agenti localmente: Tx_l=2.98 Ty_l=-0.06 N_l=-6795.56 Mx_l=-0.00 My_l=1.00 Mz_l=-0.01
Taglio nei bulloni: Fv,Ed=0.51 Fv,Rd=9650.97
Rifollamento lato piastra: Fb,Ed,p=0.51 Fb,Rd,p=7474.08
Tirafondi:LT=0.45 (0.31) σ_{cR}=0.00 σ_{fR}=0.00
Compressione nel calcestruzzo: σ_c=14.10
CC 28 SLD (Collegamento 0021_-378)
Azioni sul collegamento: N=-6317.30 Ty=3.37 Tz=1.60 Mx=-0.01 Mz=2.09
Sollecitazioni agenti localmente: Tx_l=3.37 Ty_l=1.60 N_l=-6317.30 Mx_l=-0.00 My_l=2.09 Mz_l=-0.01
Taglio nei bulloni: Fv,Ed=0.64 Fv,Rd=9650.97
Rifollamento lato piastra: Fb,Ed,p=0.64 Fb,Rd,p=10139.40
Tirafondi:LT=0.45 (0.31) σ_{cR}=0.00 σ_{fR}=0.00
Compressione nel calcestruzzo: σ_c=13.17
CC 28 SLD (Collegamento 0021_-378)
Azioni sul collegamento: N=-6317.30 Ty=2.98 Tz=1.60 Mx=-0.01 Mz=1.00
Sollecitazioni agenti localmente: Tx_l=2.98 Ty_l=1.60 N_l=-6317.30 Mx_l=-0.00 My_l=1.00 Mz_l=-0.01
Taglio nei bulloni: Fv,Ed=0.58 Fv,Rd=9650.97
Rifollamento lato piastra: Fb,Ed,p=0.58 Fb,Rd,p=10885.60
Tirafondi:LT=0.45 (0.31) σ_{cR}=0.00 σ_{fR}=0.00
Compressione nel calcestruzzo: σ_c=13.11
CC 28 SLD (Collegamento 0021_-378)
Azioni sul collegamento: N=-6317.30 Ty=3.37 Tz=-0.06 Mx=-0.01 Mz=2.09
Sollecitazioni agenti localmente: Tx_l=3.37 Ty_l=-0.06 N_l=-6317.30 Mx_l=-0.00 My_l=2.09 Mz_l=-0.01
Taglio nei bulloni: Fv,Ed=0.57 Fv,Rd=9650.97
Rifollamento lato piastra: Fb,Ed,p=0.57 Fb,Rd,p=7474.04
Tirafondi:LT=0.45 (0.31) σ_{cR}=0.00 σ_{fR}=0.00
Compressione nel calcestruzzo: σ_c=13.17
CC 28 SLD (Collegamento 0021_-378)
Azioni sul collegamento: N=-6317.30 Ty=2.98 Tz=-0.06 Mx=-0.01 Mz=1.00
Sollecitazioni agenti localmente: Tx_l=2.98 Ty_l=-0.06 N_l=-6317.30 Mx_l=-0.00 My_l=1.00 Mz_l=-0.01
Taglio nei bulloni: Fv,Ed=0.51 Fv,Rd=9650.97
Rifollamento lato piastra: Fb,Ed,p=0.51 Fb,Rd,p=7474.07
Tirafondi:LT=0.45 (0.31) σ_{cR}=0.00 σ_{fR}=0.00
Compressione nel calcestruzzo: σ_c=13.11
CC 29 SLV (Collegamento 0021_-378)
Azioni sul collegamento: N=-5739.78 Ty=2.97 Tz=-2.08 Mx=-0.01 Mz=-2.33
Sollecitazioni agenti localmente: Tx_l=2.97 Ty_l=-2.08 N_l=-5739.78 Mx_l=-0.00 My_l=-2.33 Mz_l=-0.01
Taglio nei bulloni: Fv,Ed=0.62 Fv,Rd=7720.78
Rifollamento lato piastra: Fb,Ed,p=0.61 Fb,Rd,p=9995.14

Tirafondi:LT=0.45 (0.31) σ_{cR}=0.00 σ_{fR}=0.00
Compressione nel calcestruzzo: σ_c=11.99
CC 29 SLV (Collegamento 0021_-378)
Azioni sul collegamento: N=-5739.78 Ty=1.68 Tz=-2.08 Mx=-0.01 Mz=1.26
Sollecitazioni agenti localmente: Tx_l=1.68 Ty_l=-2.08 N_l=-5739.78 Mx_l=-0.00 My_l=1.26 Mz_l=-0.01
Taglio nei bulloni: Fv,Ed=0.46 Fv,Rd=7720.78
Rifollamento lato piastra: Fb,Ed,p=0.46 Fb,Rd,p=10969.20
Tirafondi:LT=0.45 (0.31) σ_{cR}=0.00 σ_{fR}=0.00
Compressione nel calcestruzzo: σ_c=11.93
CC 29 SLV (Collegamento 0021_-378)
Azioni sul collegamento: N=-5739.78 Ty=2.97 Tz=3.37 Mx=-0.01 Mz=-2.33
Sollecitazioni agenti localmente: Tx_l=2.97 Ty_l=3.37 N_l=-5739.78 Mx_l=-0.00 My_l=-2.33 Mz_l=-0.01
Taglio nei bulloni: Fv,Ed=0.76 Fv,Rd=7720.78
Rifollamento lato piastra: Fb,Ed,p=0.75 Fb,Rd,p=11138.90
Tirafondi:LT=0.45 (0.31) σ_{cR}=0.00 σ_{fR}=0.00
Compressione nel calcestruzzo: σ_c=11.99
CC 29 SLV (Collegamento 0021_-378)
Azioni sul collegamento: N=-5739.78 Ty=1.68 Tz=3.37 Mx=-0.01 Mz=1.26
Sollecitazioni agenti localmente: Tx_l=1.68 Ty_l=3.37 N_l=-5739.78 Mx_l=-0.00 My_l=1.26 Mz_l=-0.01
Taglio nei bulloni: Fv,Ed=0.64 Fv,Rd=7720.78
Rifollamento lato piastra: Fb,Ed,p=0.63 Fb,Rd,p=7986.38
Tirafondi:LT=0.45 (0.31) σ_{cR}=0.00 σ_{fR}=0.00
Compressione nel calcestruzzo: σ_c=11.93
CC 29 SLV (Collegamento 0021_-378)
Azioni sul collegamento: N=-7308.17 Ty=2.97 Tz=-2.08 Mx=-0.01 Mz=-2.33
Sollecitazioni agenti localmente: Tx_l=2.97 Ty_l=-2.08 N_l=-7308.17 Mx_l=-0.00 My_l=-2.33 Mz_l=-0.01
Taglio nei bulloni: Fv,Ed=0.62 Fv,Rd=7720.78
Rifollamento lato piastra: Fb,Ed,p=0.61 Fb,Rd,p=9996.02
Tirafondi:LT=0.45 (0.31) σ_{cR}=0.00 σ_{fR}=0.00
Compressione nel calcestruzzo: σ_c=15.23
CC 29 SLV (Collegamento 0021_-378)
Azioni sul collegamento: N=-7308.17 Ty=1.68 Tz=-2.08 Mx=-0.01 Mz=1.26
Sollecitazioni agenti localmente: Tx_l=1.68 Ty_l=-2.08 N_l=-7308.17 Mx_l=-0.00 My_l=1.26 Mz_l=-0.01
Taglio nei bulloni: Fv,Ed=0.46 Fv,Rd=7720.78
Rifollamento lato piastra: Fb,Ed,p=0.46 Fb,Rd,p=10968.80
Tirafondi:LT=0.45 (0.31) σ_{cR}=0.00 σ_{fR}=0.00
Compressione nel calcestruzzo: σ_c=15.17
CC 29 SLV (Collegamento 0021_-378)
Azioni sul collegamento: N=-7308.17 Ty=2.97 Tz=3.37 Mx=-0.01 Mz=-2.33
Sollecitazioni agenti localmente: Tx_l=2.97 Ty_l=3.37 N_l=-7308.17 Mx_l=-0.00 My_l=-2.33 Mz_l=-0.01
Taglio nei bulloni: Fv,Ed=0.76 Fv,Rd=7720.78
Rifollamento lato piastra: Fb,Ed,p=0.75 Fb,Rd,p=11139.00
Tirafondi:LT=0.45 (0.31) σ_{cR}=0.00 σ_{fR}=0.00
Compressione nel calcestruzzo: σ_c=15.23
CC 29 SLV (Collegamento 0021_-378)
Azioni sul collegamento: N=-7308.17 Ty=1.68 Tz=3.37 Mx=-0.01 Mz=1.26
Sollecitazioni agenti localmente: Tx_l=1.68 Ty_l=3.37 N_l=-7308.17 Mx_l=-0.00 My_l=1.26 Mz_l=-0.01
Taglio nei bulloni: Fv,Ed=0.64 Fv,Rd=7720.78
Rifollamento lato piastra: Fb,Ed,p=0.63 Fb,Rd,p=7986.42
Tirafondi:LT=0.45 (0.31) σ_{cR}=0.00 σ_{fR}=0.00
Compressione nel calcestruzzo: σ_c=15.17
CC 30 SLD (Collegamento 0021_-378)
Azioni sul collegamento: N=-6317.30 Ty=2.98 Tz=-0.06 Mx=-0.01 Mz=1.00
Sollecitazioni agenti localmente: Tx_l=2.98 Ty_l=-0.06 N_l=-6317.30 Mx_l=-0.00 My_l=1.00 Mz_l=-0.01
Taglio nei bulloni: Fv,Ed=0.50 Fv,Rd=9650.97
Rifollamento lato piastra: Fb,Ed,p=0.50 Fb,Rd,p=7474.51
Tirafondi:LT=0.45 (0.31) σ_{cR}=0.00 σ_{fR}=0.00
Compressione nel calcestruzzo: σ_c=13.11
CC 30 SLD (Collegamento 0021_-378)
Azioni sul collegamento: N=-6317.30 Ty=3.37 Tz=-0.06 Mx=-0.01 Mz=2.09
Sollecitazioni agenti localmente: Tx_l=3.37 Ty_l=-0.06 N_l=-6317.30 Mx_l=-0.00 My_l=2.09 Mz_l=-0.01
Taglio nei bulloni: Fv,Ed=0.57 Fv,Rd=9650.97
Rifollamento lato piastra: Fb,Ed,p=0.57 Fb,Rd,p=7474.39
Tirafondi:LT=0.45 (0.31) σ_{cR}=0.00 σ_{fR}=0.00
Compressione nel calcestruzzo: σ_c=13.17
CC 30 SLD (Collegamento 0021_-378)
Azioni sul collegamento: N=-6317.30 Ty=2.98 Tz=1.60 Mx=-0.01 Mz=1.00
Sollecitazioni agenti localmente: Tx_l=2.98 Ty_l=1.60 N_l=-6317.30 Mx_l=-0.00 My_l=1.00 Mz_l=-0.01
Taglio nei bulloni: Fv,Ed=0.57 Fv,Rd=9650.97
Rifollamento lato piastra: Fb,Ed,p=0.57 Fb,Rd,p=10827.50
Tirafondi:LT=0.45 (0.31) σ_{cR}=0.00 σ_{fR}=0.00
Compressione nel calcestruzzo: σ_c=13.11
CC 30 SLD (Collegamento 0021_-378)
Azioni sul collegamento: N=-6317.30 Ty=3.37 Tz=1.60 Mx=-0.01 Mz=2.09
Sollecitazioni agenti localmente: Tx_l=3.37 Ty_l=1.60 N_l=-6317.30 Mx_l=-0.00 My_l=2.09 Mz_l=-0.01
Taglio nei bulloni: Fv,Ed=0.63 Fv,Rd=9650.97
Rifollamento lato piastra: Fb,Ed,p=0.63 Fb,Rd,p=10087.90
Tirafondi:LT=0.45 (0.31) σ_{cR}=0.00 σ_{fR}=0.00

Compressione nel calcestruzzo: σ_c=13.17
CC 30 SLD (Collegamento 0021_-378)
Azioni sul collegamento: N=-6795.56 Ty=2.98 Tz=-0.06 Mx=-0.01 Mz=1.00
Sollecitazioni agenti localmente: Tx_l=2.98 Ty_l=-0.06 N_l=-6795.56 Mx_l=-0.00 My_l=1.00 Mz_l=-0.01
Taglio nei bulloni: Fv,Ed=0.50 Fv,Rd=9650.97
Rifollamento lato piastra: Fb,Ed,p=0.50 Fb,Rd,p=7474.49
Tirafondi:LT=0.45 (0.31) σ_{cR}=0.00 σ_{fR}=0.00
Compressione nel calcestruzzo: σ_c=14.10
CC 30 SLD (Collegamento 0021_-378)
Azioni sul collegamento: N=-6795.56 Ty=3.37 Tz=-0.06 Mx=-0.01 Mz=2.09
Sollecitazioni agenti localmente: Tx_l=3.37 Ty_l=-0.06 N_l=-6795.56 Mx_l=-0.00 My_l=2.09 Mz_l=-0.01
Taglio nei bulloni: Fv,Ed=0.57 Fv,Rd=9650.97
Rifollamento lato piastra: Fb,Ed,p=0.57 Fb,Rd,p=7474.38
Tirafondi:LT=0.45 (0.31) σ_{cR}=0.00 σ_{fR}=0.00
Compressione nel calcestruzzo: σ_c=14.16
CC 30 SLD (Collegamento 0021_-378)
Azioni sul collegamento: N=-6795.56 Ty=2.98 Tz=1.60 Mx=-0.01 Mz=1.00
Sollecitazioni agenti localmente: Tx_l=2.98 Ty_l=1.60 N_l=-6795.56 Mx_l=-0.00 My_l=1.00 Mz_l=-0.01
Taglio nei bulloni: Fv,Ed=0.57 Fv,Rd=9650.97
Rifollamento lato piastra: Fb,Ed,p=0.57 Fb,Rd,p=10827.00
Tirafondi:LT=0.45 (0.31) σ_{cR}=0.00 σ_{fR}=0.00
Compressione nel calcestruzzo: σ_c=14.10
CC 30 SLD (Collegamento 0021_-378)
Azioni sul collegamento: N=-6795.56 Ty=3.37 Tz=1.60 Mx=-0.01 Mz=2.09
Sollecitazioni agenti localmente: Tx_l=3.37 Ty_l=1.60 N_l=-6795.56 Mx_l=-0.00 My_l=2.09 Mz_l=-0.01
Taglio nei bulloni: Fv,Ed=0.63 Fv,Rd=9650.97
Rifollamento lato piastra: Fb,Ed,p=0.63 Fb,Rd,p=10087.50
Tirafondi:LT=0.45 (0.31) σ_{cR}=0.00 σ_{fR}=0.00
Compressione nel calcestruzzo: σ_c=14.16
CC 31 SLV (Collegamento 0021_-378)
Azioni sul collegamento: N=-7327.12 Ty=3.80 Tz=3.80 Mx=-0.01 Mz=-2.93
Sollecitazioni agenti localmente: Tx_l=3.80 Ty_l=3.80 N_l=-7327.12 Mx_l=-0.00 My_l=-2.93 Mz_l=-0.01
Taglio nei bulloni: Fv,Ed=0.91 Fv,Rd=7720.78
Rifollamento lato piastra: Fb,Ed,p=0.91 Fb,Rd,p=12018.40
Tirafondi:LT=0.45 (0.31) σ_{cR}=0.00 σ_{fR}=0.00
Compressione nel calcestruzzo: σ_c=15.30
CC 31 SLV (Collegamento 0021_-378)
Azioni sul collegamento: N=-7327.12 Ty=0.86 Tz=3.80 Mx=-0.01 Mz=1.85
Sollecitazioni agenti localmente: Tx_l=0.86 Ty_l=3.80 N_l=-7327.12 Mx_l=-0.00 My_l=1.85 Mz_l=-0.01
Taglio nei bulloni: Fv,Ed=0.66 Fv,Rd=7720.78
Rifollamento lato piastra: Fb,Ed,p=0.66 Fb,Rd,p=6364.41
Tirafondi:LT=0.45 (0.31) σ_{cR}=0.00 σ_{fR}=0.00
Compressione nel calcestruzzo: σ_c=15.24
CC 31 SLV (Collegamento 0021_-378)
Azioni sul collegamento: N=-7327.12 Ty=3.80 Tz=-2.51 Mx=-0.01 Mz=-2.93
Sollecitazioni agenti localmente: Tx_l=3.80 Ty_l=-2.51 N_l=-7327.12 Mx_l=-0.00 My_l=-2.93 Mz_l=-0.01
Taglio nei bulloni: Fv,Ed=0.77 Fv,Rd=7720.78
Rifollamento lato piastra: Fb,Ed,p=0.76 Fb,Rd,p=9652.21
Tirafondi:LT=0.45 (0.31) σ_{cR}=0.00 σ_{fR}=0.00
Compressione nel calcestruzzo: σ_c=15.30
CC 31 SLV (Collegamento 0021_-378)
Azioni sul collegamento: N=-7327.12 Ty=0.86 Tz=-2.51 Mx=-0.01 Mz=1.85
Sollecitazioni agenti localmente: Tx_l=0.86 Ty_l=-2.51 N_l=-7327.12 Mx_l=-0.00 My_l=1.85 Mz_l=-0.01
Taglio nei bulloni: Fv,Ed=0.45 Fv,Rd=7720.78
Rifollamento lato piastra: Fb,Ed,p=0.45 Fb,Rd,p=7130.17
Tirafondi:LT=0.45 (0.31) σ_{cR}=0.00 σ_{fR}=0.00
Compressione nel calcestruzzo: σ_c=15.24
CC 31 SLV (Collegamento 0021_-378)
Azioni sul collegamento: N=-5720.83 Ty=3.80 Tz=3.80 Mx=-0.01 Mz=-2.93
Sollecitazioni agenti localmente: Tx_l=3.80 Ty_l=3.80 N_l=-5720.83 Mx_l=-0.00 My_l=-2.93 Mz_l=-0.01
Taglio nei bulloni: Fv,Ed=0.91 Fv,Rd=7720.78
Rifollamento lato piastra: Fb,Ed,p=0.91 Fb,Rd,p=12018.20
Tirafondi:LT=0.45 (0.31) σ_{cR}=0.00 σ_{fR}=0.00
Compressione nel calcestruzzo: σ_c=11.98
CC 31 SLV (Collegamento 0021_-378)
Azioni sul collegamento: N=-5720.83 Ty=0.86 Tz=3.80 Mx=-0.01 Mz=1.85
Sollecitazioni agenti localmente: Tx_l=0.86 Ty_l=3.80 N_l=-5720.83 Mx_l=-0.00 My_l=1.85 Mz_l=-0.01
Taglio nei bulloni: Fv,Ed=0.66 Fv,Rd=7720.78
Rifollamento lato piastra: Fb,Ed,p=0.66 Fb,Rd,p=6364.43
Tirafondi:LT=0.45 (0.31) σ_{cR}=0.00 σ_{fR}=0.00
Compressione nel calcestruzzo: σ_c=11.92
CC 31 SLV (Collegamento 0021_-378)
Azioni sul collegamento: N=-5720.83 Ty=3.80 Tz=-2.51 Mx=-0.01 Mz=-2.93
Sollecitazioni agenti localmente: Tx_l=3.80 Ty_l=-2.51 N_l=-5720.83 Mx_l=-0.00 My_l=-2.93 Mz_l=-0.01
Taglio nei bulloni: Fv,Ed=0.77 Fv,Rd=7720.78
Rifollamento lato piastra: Fb,Ed,p=0.76 Fb,Rd,p=9652.53
Tirafondi:LT=0.45 (0.31) σ_{cR}=0.00 σ_{fR}=0.00
Compressione nel calcestruzzo: σ_c=11.98

CC 31 SLV (Collegamento 0021_-378)
Azioni sul collegamento: N=-5720.83 Ty=0.86 Tz=-2.51 Mx=-0.01 Mz=1.85
Sollecitazioni agenti localmente: Tx_l=0.86 Ty_l=-2.51 N_l=-5720.83 Mx_l=-0.00 My_l=1.85 Mz_l=-0.01
Taglio nei bulloni: Fv,Ed=0.45 Fv,Rd=7720.78
Rifollamento lato piastra: Fb,Ed,p=0.45 Fb,Rd,p=7130.07
Tirafondi:LT=0.45 (0.31) σ_{cR}=0.00 σ_{fR}=0.00
Compressione nel calcestruzzo: σ_c=11.92
CC 32 SLD (Collegamento 0021_-378)
Azioni sul collegamento: N=-6801.33 Ty=2.73 Tz=1.73 Mx=-0.01 Mz=0.81
Sollecitazioni agenti localmente: Tx_l=2.73 Ty_l=1.73 N_l=-6801.33 Mx_l=-0.00 My_l=0.81 Mz_l=-0.01
Taglio nei bulloni: Fv,Ed=0.55 Fv,Rd=9650.97
Rifollamento lato piastra: Fb,Ed,p=0.55 Fb,Rd,p=12151.80
Tirafondi:LT=0.45 (0.31) σ_{cR}=0.00 σ_{fR}=0.00
Compressione nel calcestruzzo: σ_c=14.10
CC 32 SLD (Collegamento 0021_-378)
Azioni sul collegamento: N=-6801.33 Ty=3.62 Tz=1.73 Mx=-0.01 Mz=2.27
Sollecitazioni agenti localmente: Tx_l=3.62 Ty_l=1.73 N_l=-6801.33 Mx_l=-0.00 My_l=2.27 Mz_l=-0.01
Taglio nei bulloni: Fv,Ed=0.68 Fv,Rd=9650.97
Rifollamento lato piastra: Fb,Ed,p=0.68 Fb,Rd,p=10113.30
Tirafondi:LT=0.45 (0.31) σ_{cR}=0.00 σ_{fR}=0.00
Compressione nel calcestruzzo: σ_c=14.18
CC 32 SLD (Collegamento 0021_-378)
Azioni sul collegamento: N=-6801.33 Ty=2.73 Tz=-0.19 Mx=-0.01 Mz=0.81
Sollecitazioni agenti localmente: Tx_l=2.73 Ty_l=-0.19 N_l=-6801.33 Mx_l=-0.00 My_l=0.81 Mz_l=-0.01
Taglio nei bulloni: Fv,Ed=0.46 Fv,Rd=9650.97
Rifollamento lato piastra: Fb,Ed,p=0.46 Fb,Rd,p=7508.18
Tirafondi:LT=0.45 (0.31) σ_{cR}=0.00 σ_{fR}=0.00
Compressione nel calcestruzzo: σ_c=14.10
CC 32 SLD (Collegamento 0021_-378)
Azioni sul collegamento: N=-6801.33 Ty=3.62 Tz=-0.19 Mx=-0.01 Mz=2.27
Sollecitazioni agenti localmente: Tx_l=3.62 Ty_l=-0.19 N_l=-6801.33 Mx_l=-0.00 My_l=2.27 Mz_l=-0.01
Taglio nei bulloni: Fv,Ed=0.61 Fv,Rd=9650.97
Rifollamento lato piastra: Fb,Ed,p=0.61 Fb,Rd,p=7493.47
Tirafondi:LT=0.45 (0.31) σ_{cR}=0.00 σ_{fR}=0.00
Compressione nel calcestruzzo: σ_c=14.18
CC 32 SLD (Collegamento 0021_-378)
Azioni sul collegamento: N=-6311.53 Ty=2.73 Tz=1.73 Mx=-0.01 Mz=0.81
Sollecitazioni agenti localmente: Tx_l=2.73 Ty_l=1.73 N_l=-6311.53 Mx_l=-0.00 My_l=0.81 Mz_l=-0.01
Taglio nei bulloni: Fv,Ed=0.55 Fv,Rd=9650.97
Rifollamento lato piastra: Fb,Ed,p=0.55 Fb,Rd,p=12152.20
Tirafondi:LT=0.45 (0.31) σ_{cR}=0.00 σ_{fR}=0.00
Compressione nel calcestruzzo: σ_c=13.09
CC 32 SLD (Collegamento 0021_-378)
Azioni sul collegamento: N=-6311.53 Ty=3.62 Tz=1.73 Mx=-0.01 Mz=2.27
Sollecitazioni agenti localmente: Tx_l=3.62 Ty_l=1.73 N_l=-6311.53 Mx_l=-0.00 My_l=2.27 Mz_l=-0.01
Taglio nei bulloni: Fv,Ed=0.68 Fv,Rd=9650.97
Rifollamento lato piastra: Fb,Ed,p=0.68 Fb,Rd,p=10113.50
Tirafondi:LT=0.45 (0.31) σ_{cR}=0.00 σ_{fR}=0.00
Compressione nel calcestruzzo: σ_c=13.17
CC 32 SLD (Collegamento 0021_-378)
Azioni sul collegamento: N=-6311.53 Ty=2.73 Tz=-0.19 Mx=-0.01 Mz=0.81
Sollecitazioni agenti localmente: Tx_l=2.73 Ty_l=-0.19 N_l=-6311.53 Mx_l=-0.00 My_l=0.81 Mz_l=-0.01
Taglio nei bulloni: Fv,Ed=0.46 Fv,Rd=9650.97
Rifollamento lato piastra: Fb,Ed,p=0.46 Fb,Rd,p=7508.01
Tirafondi:LT=0.45 (0.31) σ_{cR}=0.00 σ_{fR}=0.00
Compressione nel calcestruzzo: σ_c=13.09
CC 32 SLD (Collegamento 0021_-378)
Azioni sul collegamento: N=-6311.53 Ty=3.62 Tz=-0.19 Mx=-0.01 Mz=2.27
Sollecitazioni agenti localmente: Tx_l=3.62 Ty_l=-0.19 N_l=-6311.53 Mx_l=-0.00 My_l=2.27 Mz_l=-0.01
Taglio nei bulloni: Fv,Ed=0.61 Fv,Rd=9650.97
Rifollamento lato piastra: Fb,Ed,p=0.61 Fb,Rd,p=7493.37
Tirafondi:LT=0.45 (0.31) σ_{cR}=0.00 σ_{fR}=0.00
Compressione nel calcestruzzo: σ_c=13.17
CC 33 SLU (Collegamento 0021_-378)
Azioni sul collegamento: N=-30888.30 Ty=5.44 Tz=82.02 Mx=-0.01 Mz=3.71
Sollecitazioni agenti localmente: Tx_l=5.44 Ty_l=82.02 N_l=-30888.30 Mx_l=-0.00 My_l=3.71 Mz_l=-0.01
Taglio nei bulloni: Fv,Ed=13.71 Fv,Rd=7720.78
Rifollamento lato piastra: Fb,Ed,p=13.71 Fb,Rd,p=6017.49
Tirafondi:LT=0.45 (0.31) σ_{cR}=0.00 σ_{fR}=0.00
Compressione nel calcestruzzo: σ_c=64.03
CC 34 SLU (Collegamento 0021_-378)
Azioni sul collegamento: N=-30337.70 Ty=5.16 Tz=79.98 Mx=-0.01 Mz=3.50
Sollecitazioni agenti localmente: Tx_l=5.16 Ty_l=79.98 N_l=-30337.70 Mx_l=-0.00 My_l=3.50 Mz_l=-0.01
Taglio nei bulloni: Fv,Ed=13.37 Fv,Rd=7720.78
Rifollamento lato piastra: Fb,Ed,p=13.36 Fb,Rd,p=6015.33
Tirafondi:LT=0.45 (0.31) σ_{cR}=0.00 σ_{fR}=0.00
Compressione nel calcestruzzo: σ_c=62.88
CC 35 SLU (Collegamento 0021_-378)

Azioni sul collegamento: N=-30612.00 Ty=5.19 Tz=81.02 Mx=-0.01 Mz=3.39
Sollecitazioni agenti localmente: Tx_l=5.19 Ty_l=81.02 N_l=-30612.00 Mx_l=-0.00 My_l=3.39 Mz_l=-0.01
Taglio nei bulloni: Fv,Ed=13.54 Fv,Rd=7720.78
Rifollamento lato piastra: Fb,Ed,p=13.54 Fb,Rd,p=6014.95
Tirafondi:LT=0.45 (0.31) σ_{cR}=0.00 σ_{fR}=0.00
Compressione nel calcestruzzo: σ_c=63.44
CC 36 SLU (Collegamento 0021_-378)
Azioni sul collegamento: N=-30614.00 Ty=5.41 Tz=80.97 Mx=-0.01 Mz=3.82
Sollecitazioni agenti localmente: Tx_l=5.41 Ty_l=80.97 N_l=-30614.00 Mx_l=-0.00 My_l=3.82 Mz_l=-0.01
Taglio nei bulloni: Fv,Ed=13.54 Fv,Rd=7720.78
Rifollamento lato piastra: Fb,Ed,p=13.53 Fb,Rd,p=6017.92
Tirafondi:LT=0.45 (0.31) σ_{cR}=0.00 σ_{fR}=0.00
Compressione nel calcestruzzo: σ_c=63.47
CC 37 SLU (Collegamento 0021_-378)
Azioni sul collegamento: N=-21597.10 Ty=6.32 Tz=47.86 Mx=-0.01 Mz=4.34
Sollecitazioni agenti localmente: Tx_l=6.32 Ty_l=47.86 N_l=-21597.10 Mx_l=-0.00 My_l=4.34 Mz_l=-0.01
Taglio nei bulloni: Fv,Ed=8.06 Fv,Rd=7720.78
Rifollamento lato piastra: Fb,Ed,p=8.05 Fb,Rd,p=6131.38
Tirafondi:LT=0.45 (0.31) σ_{cR}=0.00 σ_{fR}=0.00
Compressione nel calcestruzzo: σ_c=44.87
CC 38 SLU (Collegamento 0021_-378)
Azioni sul collegamento: N=-21046.60 Ty=6.03 Tz=45.82 Mx=-0.01 Mz=4.13
Sollecitazioni agenti localmente: Tx_l=6.03 Ty_l=45.82 N_l=-21046.60 Mx_l=-0.00 My_l=4.13 Mz_l=-0.01
Taglio nei bulloni: Fv,Ed=7.71 Fv,Rd=7720.78
Rifollamento lato piastra: Fb,Ed,p=7.71 Fb,Rd,p=6130.52
Tirafondi:LT=0.45 (0.31) σ_{cR}=0.00 σ_{fR}=0.00
Compressione nel calcestruzzo: σ_c=43.72
CC 39 SLU (Collegamento 0021_-378)
Azioni sul collegamento: N=-21320.90 Ty=6.07 Tz=46.87 Mx=-0.01 Mz=4.02
Sollecitazioni agenti localmente: Tx_l=6.07 Ty_l=46.87 N_l=-21320.90 Mx_l=-0.00 My_l=4.02 Mz_l=-0.01
Taglio nei bulloni: Fv,Ed=7.88 Fv,Rd=7720.78
Rifollamento lato piastra: Fb,Ed,p=7.88 Fb,Rd,p=6125.75
Tirafondi:LT=0.45 (0.31) σ_{cR}=0.00 σ_{fR}=0.00
Compressione nel calcestruzzo: σ_c=44.28
CC 40 SLU (Collegamento 0021_-378)
Azioni sul collegamento: N=-21322.80 Ty=6.29 Tz=46.82 Mx=-0.01 Mz=4.45
Sollecitazioni agenti localmente: Tx_l=6.29 Ty_l=46.82 N_l=-21322.80 Mx_l=-0.00 My_l=4.45 Mz_l=-0.01
Taglio nei bulloni: Fv,Ed=7.88 Fv,Rd=7720.78
Rifollamento lato piastra: Fb,Ed,p=7.88 Fb,Rd,p=6136.27
Tirafondi:LT=0.45 (0.31) σ_{cR}=0.00 σ_{fR}=0.00
Compressione nel calcestruzzo: σ_c=44.31
CC 41 SLU (Collegamento 0021_-378)
Azioni sul collegamento: N=-32817.40 Ty=5.33 Tz=88.46 Mx=0.00 Mz=3.76
Sollecitazioni agenti localmente: Tx_l=5.33 Ty_l=88.46 N_l=-32817.40 Mx_l=-0.00 My_l=3.76 Mz_l=0.00
Taglio nei bulloni: Fv,Ed=14.77 Fv,Rd=7720.78
Rifollamento lato piastra: Fb,Ed,p=14.77 Fb,Rd,p=6011.53
Tirafondi:LT=0.45 (0.31) σ_{cR}=0.00 σ_{fR}=0.00
Compressione nel calcestruzzo: σ_c=68.02
CC 42 SLU (Collegamento 0021_-378)
Azioni sul collegamento: N=-32266.90 Ty=5.04 Tz=86.42 Mx=0.00 Mz=3.56
Sollecitazioni agenti localmente: Tx_l=5.04 Ty_l=86.42 N_l=-32266.90 Mx_l=-0.00 My_l=3.56 Mz_l=0.00
Taglio nei bulloni: Fv,Ed=14.43 Fv,Rd=7720.78
Rifollamento lato piastra: Fb,Ed,p=14.43 Fb,Rd,p=6009.56
Tirafondi:LT=0.45 (0.31) σ_{cR}=0.00 σ_{fR}=0.00
Compressione nel calcestruzzo: σ_c=66.87
CC 43 SLU (Collegamento 0021_-378)
Azioni sul collegamento: N=-32541.20 Ty=5.08 Tz=87.47 Mx=0.00 Mz=3.44
Sollecitazioni agenti localmente: Tx_l=5.08 Ty_l=87.47 N_l=-32541.20 Mx_l=-0.00 My_l=3.44 Mz_l=0.00
Taglio nei bulloni: Fv,Ed=14.61 Fv,Rd=7720.78
Rifollamento lato piastra: Fb,Ed,p=14.61 Fb,Rd,p=6009.29
Tirafondi:LT=0.45 (0.31) σ_{cR}=0.00 σ_{fR}=0.00
Compressione nel calcestruzzo: σ_c=67.43
CC 44 SLU (Collegamento 0021_-378)
Azioni sul collegamento: N=-32543.10 Ty=5.30 Tz=87.42 Mx=0.00 Mz=3.88
Sollecitazioni agenti localmente: Tx_l=5.30 Ty_l=87.42 N_l=-32543.10 Mx_l=-0.00 My_l=3.88 Mz_l=0.00
Taglio nei bulloni: Fv,Ed=14.60 Fv,Rd=7720.78
Rifollamento lato piastra: Fb,Ed,p=14.60 Fb,Rd,p=6011.84
Tirafondi:LT=0.45 (0.31) σ_{cR}=0.00 σ_{fR}=0.00
Compressione nel calcestruzzo: σ_c=67.46
CC 45 SLU (Collegamento 0021_-378)
Azioni sul collegamento: N=-23689.50 Ty=6.01 Tz=55.60 Mx=-0.01 Mz=4.17
Sollecitazioni agenti localmente: Tx_l=6.01 Ty_l=55.60 N_l=-23689.50 Mx_l=-0.00 My_l=4.17 Mz_l=-0.01
Taglio nei bulloni: Fv,Ed=9.33 Fv,Rd=7720.78
Rifollamento lato piastra: Fb,Ed,p=9.33 Fb,Rd,p=6081.09
Tirafondi:LT=0.45 (0.31) σ_{cR}=0.00 σ_{fR}=0.00
Compressione nel calcestruzzo: σ_c=49.18
CC 46 SLU (Collegamento 0021_-378)
Azioni sul collegamento: N=-23139.00 Ty=5.73 Tz=53.57 Mx=-0.01 Mz=3.96

Sollecitazioni agenti localmente: Tx_l=5.73 Ty_l=53.57 N_l=-23139.00 Mx_l=-0.00 My_l=3.96 Mz_l=-0.01
Taglio nei bulloni: Fv,Ed=8.99 Fv,Rd=7720.78
Rifollamento lato piastra: Fb,Ed,p=8.99 Fb,Rd,p=6078.77
Tirafondi:LT=0.45 (0.31) σ_{cR}=0.00 σ_{fR}=0.00
Compressione nel calcestruzzo: σ_c=48.03
CC 47 SLU (Collegamento 0021_-378)
Azioni sul collegamento: N=-23413.30 Ty=5.76 Tz=54.61 Mx=-0.01 Mz=3.84
Sollecitazioni agenti localmente: Tx_l=5.76 Ty_l=54.61 N_l=-23413.30 Mx_l=-0.00 My_l=3.84 Mz_l=-0.01
Taglio nei bulloni: Fv,Ed=9.16 Fv,Rd=7720.78
Rifollamento lato piastra: Fb,Ed,p=9.16 Fb,Rd,p=6076.32
Tirafondi:LT=0.45 (0.31) σ_{cR}=0.00 σ_{fR}=0.00
Compressione nel calcestruzzo: σ_c=48.59
CC 48 SLU (Collegamento 0021_-378)
Azioni sul collegamento: N=-23415.20 Ty=5.98 Tz=54.56 Mx=-0.01 Mz=4.28
Sollecitazioni agenti localmente: Tx_l=5.98 Ty_l=54.56 N_l=-23415.20 Mx_l=-0.00 My_l=4.28 Mz_l=-0.01
Taglio nei bulloni: Fv,Ed=9.16 Fv,Rd=7720.78
Rifollamento lato piastra: Fb,Ed,p=9.16 Fb,Rd,p=6083.64
Tirafondi:LT=0.45 (0.31) σ_{cR}=0.00 σ_{fR}=0.00
Compressione nel calcestruzzo: σ_c=48.62
CC 49 SLU (Collegamento 0021_-378)
Azioni sul collegamento: N=-16738.30 Ty=6.67 Tz=30.05 Mx=-0.01 Mz=4.64
Sollecitazioni agenti localmente: Tx_l=6.67 Ty_l=30.05 N_l=-16738.30 Mx_l=-0.00 My_l=4.64 Mz_l=-0.01
Taglio nei bulloni: Fv,Ed=5.14 Fv,Rd=7720.78
Rifollamento lato piastra: Fb,Ed,p=5.14 Fb,Rd,p=6409.88
Tirafondi:LT=0.45 (0.31) σ_{cR}=0.00 σ_{fR}=0.00
Compressione nel calcestruzzo: σ_c=34.84
CC 50 SLU (Collegamento 0021_-378)
Azioni sul collegamento: N=-16187.80 Ty=6.38 Tz=28.01 Mx=-0.01 Mz=4.43
Sollecitazioni agenti localmente: Tx_l=6.38 Ty_l=28.01 N_l=-16187.80 Mx_l=-0.00 My_l=4.43 Mz_l=-0.01
Taglio nei bulloni: Fv,Ed=4.80 Fv,Rd=7720.78
Rifollamento lato piastra: Fb,Ed,p=4.79 Fb,Rd,p=6433.25
Tirafondi:LT=0.45 (0.31) σ_{cR}=0.00 σ_{fR}=0.00
Compressione nel calcestruzzo: σ_c=33.70
CC 51 SLU (Collegamento 0021_-378)
Azioni sul collegamento: N=-16462.10 Ty=6.42 Tz=29.05 Mx=-0.01 Mz=4.32
Sollecitazioni agenti localmente: Tx_l=6.42 Ty_l=29.05 N_l=-16462.10 Mx_l=-0.00 My_l=4.32 Mz_l=-0.01
Taglio nei bulloni: Fv,Ed=4.97 Fv,Rd=7720.78
Rifollamento lato piastra: Fb,Ed,p=4.96 Fb,Rd,p=6406.48
Tirafondi:LT=0.45 (0.31) σ_{cR}=0.00 σ_{fR}=0.00
Compressione nel calcestruzzo: σ_c=34.26
CC 52 SLU (Collegamento 0021_-378)
Azioni sul collegamento: N=-16464.00 Ty=6.64 Tz=29.01 Mx=-0.01 Mz=4.75
Sollecitazioni agenti localmente: Tx_l=6.64 Ty_l=29.01 N_l=-16464.00 Mx_l=-0.00 My_l=4.75 Mz_l=-0.01
Taglio nei bulloni: Fv,Ed=4.97 Fv,Rd=7720.78
Rifollamento lato piastra: Fb,Ed,p=4.97 Fb,Rd,p=6435.97
Tirafondi:LT=0.45 (0.31) σ_{cR}=0.00 σ_{fR}=0.00
Compressione nel calcestruzzo: σ_c=34.28
CC 53 SLU (Collegamento 0021_-378)
Azioni sul collegamento: N=-25132.80 Ty=5.93 Tz=60.42 Mx=-0.00 Mz=4.21
Sollecitazioni agenti localmente: Tx_l=5.93 Ty_l=60.42 N_l=-25132.80 Mx_l=-0.00 My_l=4.21 Mz_l=-0.00
Taglio nei bulloni: Fv,Ed=10.12 Fv,Rd=7720.78
Rifollamento lato piastra: Fb,Ed,p=10.12 Fb,Rd,p=6064.53
Tirafondi:LT=0.45 (0.31) σ_{cR}=0.00 σ_{fR}=0.00
Compressione nel calcestruzzo: σ_c=52.16
CC 54 SLU (Collegamento 0021_-378)
Azioni sul collegamento: N=-24582.20 Ty=5.64 Tz=58.39 Mx=-0.00 Mz=4.00
Sollecitazioni agenti localmente: Tx_l=5.64 Ty_l=58.39 N_l=-24582.20 Mx_l=-0.00 My_l=4.00 Mz_l=-0.00
Taglio nei bulloni: Fv,Ed=9.78 Fv,Rd=7720.78
Rifollamento lato piastra: Fb,Ed,p=9.78 Fb,Rd,p=6062.04
Tirafondi:LT=0.45 (0.31) σ_{cR}=0.00 σ_{fR}=0.00
Compressione nel calcestruzzo: σ_c=51.02
CC 55 SLU (Collegamento 0021_-378)
Azioni sul collegamento: N=-24856.50 Ty=5.68 Tz=59.43 Mx=0.00 Mz=3.89
Sollecitazioni agenti localmente: Tx_l=5.68 Ty_l=59.43 N_l=-24856.50 Mx_l=-0.00 My_l=3.89 Mz_l=0.00
Taglio nei bulloni: Fv,Ed=9.95 Fv,Rd=7720.78
Rifollamento lato piastra: Fb,Ed,p=9.95 Fb,Rd,p=6060.23
Tirafondi:LT=0.45 (0.31) σ_{cR}=0.00 σ_{fR}=0.00
Compressione nel calcestruzzo: σ_c=51.58
CC 56 SLU (Collegamento 0021_-378)
Azioni sul collegamento: N=-24858.50 Ty=5.89 Tz=59.38 Mx=-0.00 Mz=4.32
Sollecitazioni agenti localmente: Tx_l=5.89 Ty_l=59.38 N_l=-24858.50 Mx_l=-0.00 My_l=4.32 Mz_l=-0.00
Taglio nei bulloni: Fv,Ed=9.95 Fv,Rd=7720.78
Rifollamento lato piastra: Fb,Ed,p=9.95 Fb,Rd,p=6066.40
Tirafondi:LT=0.45 (0.31) σ_{cR}=0.00 σ_{fR}=0.00
Compressione nel calcestruzzo: σ_c=51.60
CC 57 SLU (Collegamento 0021_-378)
Azioni sul collegamento: N=-22071.60 Ty=5.40 Tz=49.65 Mx=-0.01 Mz=3.73
Sollecitazioni agenti localmente: Tx_l=5.40 Ty_l=49.65 N_l=-22071.60 Mx_l=-0.00 My_l=3.73 Mz_l=-0.01

Taglio nei bulloni: Fv,Ed=8.33 Fv,Rd=7720.78
Rifollamento lato piastra: Fb,Ed,p=8.33 Fb,Rd,p=6082.25
Tirafondi:LT=0.45 (0.31) σ_{cR}=0.00 σ_{fR}=0.00
Compressione nel calcestruzzo: σ_c=45.81
CC 58 SLU (Collegamento 0021_-378)
Azioni sul collegamento: N=-21521.10 Ty=5.11 Tz=47.61 Mx=-0.01 Mz=3.53
Sollecitazioni agenti localmente: Tx_l=5.11 Ty_l=47.61 N_l=-21521.10 Mx_l=-0.00 My_l=3.53 Mz_l=-0.01
Taglio nei bulloni: Fv,Ed=7.99 Fv,Rd=7720.78
Rifollamento lato piastra: Fb,Ed,p=7.99 Fb,Rd,p=6079.68
Tirafondi:LT=0.45 (0.31) σ_{cR}=0.00 σ_{fR}=0.00
Compressione nel calcestruzzo: σ_c=44.66
CC 59 SLU (Collegamento 0021_-378)
Azioni sul collegamento: N=-21795.30 Ty=5.15 Tz=48.65 Mx=-0.01 Mz=3.41
Sollecitazioni agenti localmente: Tx_l=5.15 Ty_l=48.65 N_l=-21795.30 Mx_l=-0.00 My_l=3.41 Mz_l=-0.01
Taglio nei bulloni: Fv,Ed=8.16 Fv,Rd=7720.78
Rifollamento lato piastra: Fb,Ed,p=8.16 Fb,Rd,p=6076.89
Tirafondi:LT=0.45 (0.31) σ_{cR}=0.00 σ_{fR}=0.00
Compressione nel calcestruzzo: σ_c=45.22
CC 60 SLU (Collegamento 0021_-378)
Azioni sul collegamento: N=-21797.30 Ty=5.37 Tz=48.60 Mx=-0.01 Mz=3.85
Sollecitazioni agenti localmente: Tx_l=5.37 Ty_l=48.60 N_l=-21797.30 Mx_l=-0.00 My_l=3.85 Mz_l=-0.01
Taglio nei bulloni: Fv,Ed=8.16 Fv,Rd=7720.78
Rifollamento lato piastra: Fb,Ed,p=8.16 Fb,Rd,p=6085.16
Tirafondi:LT=0.45 (0.31) σ_{cR}=0.00 σ_{fR}=0.00
Compressione nel calcestruzzo: σ_c=45.25
CC 61 SLU (Collegamento 0021_-378)
Azioni sul collegamento: N=-15120.40 Ty=6.06 Tz=24.09 Mx=-0.01 Mz=4.21
Sollecitazioni agenti localmente: Tx_l=6.06 Ty_l=24.09 N_l=-15120.40 Mx_l=-0.00 My_l=4.21 Mz_l=-0.01
Taglio nei bulloni: Fv,Ed=4.15 Fv,Rd=7720.78
Rifollamento lato piastra: Fb,Ed,p=4.15 Fb,Rd,p=6532.04
Tirafondi:LT=0.45 (0.31) σ_{cR}=0.00 σ_{fR}=0.00
Compressione nel calcestruzzo: σ_c=31.48
CC 62 SLU (Collegamento 0021_-378)
Azioni sul collegamento: N=-14569.90 Ty=5.77 Tz=22.06 Mx=-0.01 Mz=4.00
Sollecitazioni agenti localmente: Tx_l=5.77 Ty_l=22.06 N_l=-14569.90 Mx_l=-0.00 My_l=4.00 Mz_l=-0.01
Taglio nei bulloni: Fv,Ed=3.81 Fv,Rd=7720.78
Rifollamento lato piastra: Fb,Ed,p=3.80 Fb,Rd,p=6578.19
Tirafondi:LT=0.45 (0.31) σ_{cR}=0.00 σ_{fR}=0.00
Compressione nel calcestruzzo: σ_c=30.33
CC 63 SLU (Collegamento 0021_-378)
Azioni sul collegamento: N=-14844.20 Ty=5.80 Tz=23.10 Mx=-0.01 Mz=3.88
Sollecitazioni agenti localmente: Tx_l=5.80 Ty_l=23.10 N_l=-14844.20 Mx_l=-0.00 My_l=3.88 Mz_l=-0.01
Taglio nei bulloni: Fv,Ed=3.98 Fv,Rd=7720.78
Rifollamento lato piastra: Fb,Ed,p=3.97 Fb,Rd,p=6532.80
Tirafondi:LT=0.45 (0.31) σ_{cR}=0.00 σ_{fR}=0.00
Compressione nel calcestruzzo: σ_c=30.89
CC 64 SLU (Collegamento 0021_-378)
Azioni sul collegamento: N=-14846.10 Ty=6.02 Tz=23.05 Mx=-0.01 Mz=4.32
Sollecitazioni agenti localmente: Tx_l=6.02 Ty_l=23.05 N_l=-14846.10 Mx_l=-0.00 My_l=4.32 Mz_l=-0.01
Taglio nei bulloni: Fv,Ed=3.98 Fv,Rd=7720.78
Rifollamento lato piastra: Fb,Ed,p=3.98 Fb,Rd,p=6575.35
Tirafondi:LT=0.45 (0.31) σ_{cR}=0.00 σ_{fR}=0.00
Compressione nel calcestruzzo: σ_c=30.92
CC 65 SLU (Collegamento 0021_-378)
Azioni sul collegamento: N=-23514.90 Ty=5.31 Tz=54.47 Mx=0.00 Mz=3.77
Sollecitazioni agenti localmente: Tx_l=5.31 Ty_l=54.47 N_l=-23514.90 Mx_l=-0.00 My_l=3.77 Mz_l=0.00
Taglio nei bulloni: Fv,Ed=9.12 Fv,Rd=7720.78
Rifollamento lato piastra: Fb,Ed,p=9.12 Fb,Rd,p=6063.75
Tirafondi:LT=0.45 (0.31) σ_{cR}=0.00 σ_{fR}=0.00
Compressione nel calcestruzzo: σ_c=48.80
CC 66 SLU (Collegamento 0021_-378)
Azioni sul collegamento: N=-22964.30 Ty=5.03 Tz=52.43 Mx=0.00 Mz=3.57
Sollecitazioni agenti localmente: Tx_l=5.03 Ty_l=52.43 N_l=-22964.30 Mx_l=-0.00 My_l=3.57 Mz_l=0.00
Taglio nei bulloni: Fv,Ed=8.78 Fv,Rd=7720.78
Rifollamento lato piastra: Fb,Ed,p=8.78 Fb,Rd,p=6060.95
Tirafondi:LT=0.45 (0.31) σ_{cR}=0.00 σ_{fR}=0.00
Compressione nel calcestruzzo: σ_c=47.65
CC 67 SLU (Collegamento 0021_-378)
Azioni sul collegamento: N=-23238.60 Ty=5.06 Tz=53.47 Mx=0.00 Mz=3.45
Sollecitazioni agenti localmente: Tx_l=5.06 Ty_l=53.47 N_l=-23238.60 Mx_l=-0.00 My_l=3.45 Mz_l=0.00
Taglio nei bulloni: Fv,Ed=8.95 Fv,Rd=7720.78
Rifollamento lato piastra: Fb,Ed,p=8.95 Fb,Rd,p=6058.98
Tirafondi:LT=0.45 (0.31) σ_{cR}=0.00 σ_{fR}=0.00
Compressione nel calcestruzzo: σ_c=48.21
CC 68 SLU (Collegamento 0021_-378)
Azioni sul collegamento: N=-23240.60 Ty=5.28 Tz=53.43 Mx=-0.00 Mz=3.89
Sollecitazioni agenti localmente: Tx_l=5.28 Ty_l=53.43 N_l=-23240.60 Mx_l=-0.00 My_l=3.89 Mz_l=-0.00
Taglio nei bulloni: Fv,Ed=8.95 Fv,Rd=7720.78

Rifollamento lato piastra: Fb,Ed,p=8.95 Fb,Rd,p=6065.82
Tirafondi:LT=0.45 (0.31) σ_{cR}=0.00 σ_{fR}=0.00
Compressione nel calcestruzzo: σ_c=48.24
CC 97 SLU (Collegamento 0021_-378)
Azioni sul collegamento: N=-18052.20 Ty=-0.34 Tz=43.06 Mx=-0.05 Mz=-8.83
Sollecitazioni agenti localmente: Tx_l=-0.34 Ty_l=43.06 N_l=-18052.20 Mx_l=-0.00 My_l=-8.83 Mz_l=-0.05
Taglio nei bulloni: Fv,Ed=7.24 Fv,Rd=7720.78
Rifollamento lato piastra: Fb,Ed,p=7.24 Fb,Rd,p=5981.51
Tirafondi:LT=0.45 (0.31) σ_{cR}=0.00 σ_{fR}=0.00
Compressione nel calcestruzzo: σ_c=37.80
CC 98 SLU (Collegamento 0021_-378)
Azioni sul collegamento: N=-17501.60 Ty=-0.63 Tz=41.02 Mx=-0.05 Mz=-9.04
Sollecitazioni agenti localmente: Tx_l=-0.63 Ty_l=41.02 N_l=-17501.60 Mx_l=-0.00 My_l=-9.04 Mz_l=-0.05
Taglio nei bulloni: Fv,Ed=6.90 Fv,Rd=7720.78
Rifollamento lato piastra: Fb,Ed,p=6.90 Fb,Rd,p=5984.24
Tirafondi:LT=0.45 (0.31) σ_{cR}=0.00 σ_{fR}=0.00
Compressione nel calcestruzzo: σ_c=36.67
CC 99 SLU (Collegamento 0021_-378)
Azioni sul collegamento: N=-17775.90 Ty=-0.60 Tz=42.06 Mx=-0.05 Mz=-9.15
Sollecitazioni agenti localmente: Tx_l=-0.60 Ty_l=42.06 N_l=-17775.90 Mx_l=-0.00 My_l=-9.15 Mz_l=-0.05
Taglio nei bulloni: Fv,Ed=7.07 Fv,Rd=7720.78
Rifollamento lato piastra: Fb,Ed,p=7.07 Fb,Rd,p=5983.62
Tirafondi:LT=0.45 (0.31) σ_{cR}=0.00 σ_{fR}=0.00
Compressione nel calcestruzzo: σ_c=37.24
CC 100 SLU (Collegamento 0021_-378)
Azioni sul collegamento: N=-17777.90 Ty=-0.38 Tz=42.01 Mx=-0.05 Mz=-8.71
Sollecitazioni agenti localmente: Tx_l=-0.38 Ty_l=42.01 N_l=-17777.90 Mx_l=-0.00 My_l=-8.71 Mz_l=-0.05
Taglio nei bulloni: Fv,Ed=7.06 Fv,Rd=7720.78
Rifollamento lato piastra: Fb,Ed,p=7.06 Fb,Rd,p=5981.90
Tirafondi:LT=0.45 (0.31) σ_{cR}=0.00 σ_{fR}=0.00
Compressione nel calcestruzzo: σ_c=37.22
CC 101 SLU (Collegamento 0021_-378)
Azioni sul collegamento: N=-7136.43 Ty=4.37 Tz=2.96 Mx=0.00 Mz=3.85
Sollecitazioni agenti localmente: Tx_l=4.37 Ty_l=2.96 N_l=-7136.43 Mx_l=-0.00 My_l=3.85 Mz_l=0.00
Taglio nei bulloni: Fv,Ed=0.88 Fv,Rd=7720.78
Rifollamento lato piastra: Fb,Ed,p=0.88 Fb,Rd,p=10065.50
Tirafondi:LT=0.45 (0.31) σ_{cR}=0.00 σ_{fR}=0.00
Compressione nel calcestruzzo: σ_c=14.96
CC 102 SLU (Collegamento 0021_-378)
Azioni sul collegamento: N=-6585.90 Ty=4.08 Tz=0.92 Mx=0.00 Mz=3.64
Sollecitazioni agenti localmente: Tx_l=4.08 Ty_l=0.92 N_l=-6585.90 Mx_l=-0.00 My_l=3.64 Mz_l=0.00
Taglio nei bulloni: Fv,Ed=0.70 Fv,Rd=7720.78
Rifollamento lato piastra: Fb,Ed,p=0.70 Fb,Rd,p=6402.37
Tirafondi:LT=0.45 (0.31) σ_{cR}=0.00 σ_{fR}=0.00
Compressione nel calcestruzzo: σ_c=13.81
CC 103 SLU (Collegamento 0021_-378)
Azioni sul collegamento: N=-6860.19 Ty=4.11 Tz=1.96 Mx=0.00 Mz=3.53
Sollecitazioni agenti localmente: Tx_l=4.11 Ty_l=1.96 N_l=-6860.19 Mx_l=-0.00 My_l=3.53 Mz_l=0.00
Taglio nei bulloni: Fv,Ed=0.77 Fv,Rd=7720.78
Rifollamento lato piastra: Fb,Ed,p=0.76 Fb,Rd,p=7939.33
Tirafondi:LT=0.45 (0.31) σ_{cR}=0.00 σ_{fR}=0.00
Compressione nel calcestruzzo: σ_c=14.37
CC 104 SLU (Collegamento 0021_-378)
Azioni sul collegamento: N=-6862.15 Ty=4.33 Tz=1.92 Mx=0.00 Mz=3.96
Sollecitazioni agenti localmente: Tx_l=4.33 Ty_l=1.92 N_l=-6862.15 Mx_l=-0.00 My_l=3.96 Mz_l=0.00
Taglio nei bulloni: Fv,Ed=0.79 Fv,Rd=7720.78
Rifollamento lato piastra: Fb,Ed,p=0.79 Fb,Rd,p=7691.06
Tirafondi:LT=0.45 (0.31) σ_{cR}=0.00 σ_{fR}=0.00
Compressione nel calcestruzzo: σ_c=14.40

Saldatura profilo-piastra

CC 1 SLV (Collegamento 0021_-378)
Azioni sul collegamento: N=-3968.96 Ty=6.45 Tz=-8.85 Mx=0.01 Mz=7.08
Sollecitazioni agenti localmente: Tx_l=6.45 Ty_l=-8.85 N_l=-3968.96 My_l=-7.08 Mz_l=0.01
Azioni sul cordone: TP=0.46 TO=-0.64 NO=-293.39
Tensioni nel cordone: τ_P=0.15 τ_0=0.20 σ_0=103.59 σ_{ID}=103.59 Σ_T=103.79
CC 1 SLV (Collegamento 0021_-378)
Azioni sul collegamento: N=-3968.96 Ty=3.07 Tz=-8.85 Mx=0.01 Mz=3.83
Sollecitazioni agenti localmente: Tx_l=3.07 Ty_l=-8.85 N_l=-3968.96 My_l=-3.83 Mz_l=0.01
Azioni sul cordone: TP=0.21 TO=-0.64 NO=-293.39
Tensioni nel cordone: τ_P= 0.07 τ_0=0.20 σ_0=98.85 σ_{ID}=98.85 Σ_T=99.05
CC 1 SLV (Collegamento 0021_-378)
Azioni sul collegamento: N=-3968.96 Ty=6.45 Tz=10.87 Mx=0.01 Mz=7.08
Sollecitazioni agenti localmente: Tx_l=6.45 Ty_l=10.87 N_l=-3968.96 My_l=-7.08 Mz_l=0.01
Azioni sul cordone: TP=0.46 TO=0.81 NO=-293.39
Tensioni nel cordone: τ_P=0.15 τ_0=0.26 σ_0=103.59 σ_{ID}=103.59 Σ_T=103.85
CC 1 SLV (Collegamento 0021_-378)

Azioni sul collegamento: N=-3968.96 Ty=3.07 Tz=10.87 Mx=0.01 Mz=3.83
Sollecitazioni agenti localmente: Tx_l=3.07 Ty_l=10.87 N_l=-3968.96 My_l=-3.83 Mz_l=0.01
Azioni sul cordone: TP=0.21 TO=0.81 NO=-293.39
Tensioni nel cordone: τ_P= 0.07 τ_0=0.26 σ_0=98.85 σ_{ID}=98.85 Σ_T=99.10
CC 1 SLV (Collegamento 0021_-378)
Azioni sul collegamento: N=-9265.76 Ty=6.45 Tz=-8.85 Mx=0.01 Mz=7.08
Sollecitazioni agenti localmente: Tx_l=6.45 Ty_l=-8.85 N_l=-9265.76 My_l=-7.08 Mz_l=0.01
Azioni sul cordone: TP=0.46 TO=-0.64 NO=-684.93
Tensioni nel cordone: τ_P=0.15 τ_0=0.20 σ_0=228.04 σ_{ID}=228.04 Σ_T=228.25
CC 1 SLV (Collegamento 0021_-378)
Azioni sul collegamento: N=-9265.76 Ty=3.07 Tz=-8.85 Mx=0.01 Mz=3.83
Sollecitazioni agenti localmente: Tx_l=3.07 Ty_l=-8.85 N_l=-9265.76 My_l=-3.83 Mz_l=0.01
Azioni sul cordone: TP=0.21 TO=-0.64 NO=-684.93
Tensioni nel cordone: τ_P= 0.07 τ_0=0.20 σ_0=223.30 σ_{ID}=223.30 Σ_T=223.50
CC 1 SLV (Collegamento 0021_-378)
Azioni sul collegamento: N=-9265.76 Ty=6.45 Tz=10.87 Mx=0.01 Mz=7.08
Sollecitazioni agenti localmente: Tx_l=6.45 Ty_l=10.87 N_l=-9265.76 My_l=-7.08 Mz_l=0.01
Azioni sul cordone: TP=0.46 TO=0.81 NO=-684.93
Tensioni nel cordone: τ_P=0.15 τ_0=0.26 σ_0=228.04 σ_{ID}=228.04 Σ_T=228.30
CC 1 SLV (Collegamento 0021_-378)
Azioni sul collegamento: N=-9265.76 Ty=3.07 Tz=10.87 Mx=0.01 Mz=3.83
Sollecitazioni agenti localmente: Tx_l=3.07 Ty_l=10.87 N_l=-9265.76 My_l=-3.83 Mz_l=0.01
Azioni sul cordone: TP=0.21 TO=0.81 NO=-684.93
Tensioni nel cordone: τ_P= 0.07 τ_0=0.26 σ_0=223.30 σ_{ID}=223.30 Σ_T=223.56
CC 2 SLD (Collegamento 0021_-378)
Azioni sul collegamento: N=-5777.33 Ty=4.43 Tz=-2.12 Mx=0.00 Mz=3.87
Sollecitazioni agenti localmente: Tx_l=4.43 Ty_l=-2.12 N_l=-5777.33 My_l=-3.87 Mz_l=0.00
Azioni sul cordone: TP=0.33 TO=-0.16 NO=-427.06
Tensioni nel cordone: τ_P=0.10 τ_0= 0.05 σ_0=141.39 σ_{ID}=141.39 Σ_T=141.44
CC 2 SLD (Collegamento 0021_-378)
Azioni sul collegamento: N=-5777.33 Ty=3.40 Tz=-2.12 Mx=0.00 Mz=2.88
Sollecitazioni agenti localmente: Tx_l=3.40 Ty_l=-2.12 N_l=-5777.33 My_l=-2.88 Mz_l=0.00
Azioni sul cordone: TP=0.25 TO=-0.16 NO=-427.06
Tensioni nel cordone: τ_P= 0.08 τ_0= 0.05 σ_0=139.94 σ_{ID}=139.94 Σ_T=139.99
CC 2 SLD (Collegamento 0021_-378)
Azioni sul collegamento: N=-5777.32 Ty=4.43 Tz=3.89 Mx=0.00 Mz=3.87
Sollecitazioni agenti localmente: Tx_l=4.43 Ty_l=3.89 N_l=-5777.32 My_l=-3.87 Mz_l=0.00
Azioni sul cordone: TP=0.33 TO=0.29 NO=-427.06
Tensioni nel cordone: τ_P=0.10 τ_0= 0.09 σ_0=141.39 σ_{ID}=141.39 Σ_T=141.48
CC 2 SLD (Collegamento 0021_-378)
Azioni sul collegamento: N=-5777.32 Ty=3.40 Tz=3.89 Mx=0.00 Mz=2.88
Sollecitazioni agenti localmente: Tx_l=3.40 Ty_l=3.89 N_l=-5777.32 My_l=-2.88 Mz_l=0.00
Azioni sul cordone: TP=0.25 TO=0.29 NO=-427.06
Tensioni nel cordone: τ_P= 0.08 τ_0= 0.09 σ_0=139.94 σ_{ID}=139.94 Σ_T=140.03
CC 2 SLD (Collegamento 0021_-378)
Azioni sul collegamento: N=-7392.49 Ty=4.43 Tz=-2.12 Mx=0.00 Mz=3.87
Sollecitazioni agenti localmente: Tx_l=4.43 Ty_l=-2.12 N_l=-7392.49 My_l=-3.87 Mz_l=0.00
Azioni sul cordone: TP=0.33 TO=-0.16 NO=-546.46
Tensioni nel cordone: τ_P=0.10 τ_0= 0.05 σ_0=179.34 σ_{ID}=179.34 Σ_T=179.39
CC 2 SLD (Collegamento 0021_-378)
Azioni sul collegamento: N=-7392.49 Ty=3.40 Tz=-2.12 Mx=0.00 Mz=2.88
Sollecitazioni agenti localmente: Tx_l=3.40 Ty_l=-2.12 N_l=-7392.49 My_l=-2.88 Mz_l=0.00
Azioni sul cordone: TP=0.25 TO=-0.16 NO=-546.46
Tensioni nel cordone: τ_P= 0.08 τ_0= 0.05 σ_0=177.89 σ_{ID}=177.89 Σ_T=177.94
CC 2 SLD (Collegamento 0021_-378)
Azioni sul collegamento: N=-7392.49 Ty=4.43 Tz=3.89 Mx=0.00 Mz=3.87
Sollecitazioni agenti localmente: Tx_l=4.43 Ty_l=3.89 N_l=-7392.49 My_l=-3.87 Mz_l=0.00
Azioni sul cordone: TP=0.33 TO=0.29 NO=-546.46
Tensioni nel cordone: τ_P=0.10 τ_0= 0.09 σ_0=179.34 σ_{ID}=179.34 Σ_T=179.43
CC 2 SLD (Collegamento 0021_-378)
Azioni sul collegamento: N=-7392.49 Ty=3.40 Tz=3.89 Mx=0.00 Mz=2.88
Sollecitazioni agenti localmente: Tx_l=3.40 Ty_l=3.89 N_l=-7392.49 My_l=-2.88 Mz_l=0.00
Azioni sul cordone: TP=0.25 TO=0.29 NO=-546.46
Tensioni nel cordone: τ_P= 0.08 τ_0= 0.09 σ_0=177.89 σ_{ID}=177.89 Σ_T=177.98
CC 3 SLV (Collegamento 0021_-378)
Azioni sul collegamento: N=-3974.64 Ty=5.81 Tz=-8.72 Mx=0.01 Mz=5.82
Sollecitazioni agenti localmente: Tx_l=5.81 Ty_l=-8.72 N_l=-3974.64 My_l=-5.82 Mz_l=0.01
Azioni sul cordone: TP=0.42 TO=-0.64 NO=-293.81
Tensioni nel cordone: τ_P=0.13 τ_0=0.20 σ_0=101.89 σ_{ID}=101.89 Σ_T=102.09
CC 3 SLV (Collegamento 0021_-378)
Azioni sul collegamento: N=-3974.64 Ty=3.70 Tz=-8.72 Mx=0.01 Mz=5.08
Sollecitazioni agenti localmente: Tx_l=3.70 Ty_l=-8.72 N_l=-3974.64 My_l=-5.08 Mz_l=0.01
Azioni sul cordone: TP=0.26 TO=-0.64 NO=-293.81
Tensioni nel cordone: τ_P= 0.08 τ_0=0.20 σ_0=100.81 σ_{ID}=100.81 Σ_T=101.02
CC 3 SLV (Collegamento 0021_-378)
Azioni sul collegamento: N=-3974.64 Ty=5.81 Tz=10.74 Mx=0.01 Mz=5.82
Sollecitazioni agenti localmente: Tx_l=5.81 Ty_l=10.74 N_l=-3974.64 My_l=-5.82 Mz_l=0.01
Azioni sul cordone: TP=0.42 TO=0.80 NO=-293.81
Tensioni nel cordone: τ_P=0.13 τ_0=0.25 σ_0=101.89 σ_{ID}=101.89 Σ_T=102.14

CC 3 SLV (Collegamento 0021_-378)
Azioni sul collegamento: N=-3974.64 Ty=3.70 Tz=10.74 Mx=0.01 Mz=5.08
Sollecitazioni agenti localmente: Tx_l=3.70 Ty_l=10.74 N_l=-3974.64 My_l=-5.08 Mz_l=0.01
Azioni sul cordone: TP=0.26 TO=0.80 NO=-293.81
Tensioni nel cordone: τ_P= 0.08 τ_O=0.25 σ_O=100.81 σ_{ID}=100.81 Σ_T=101.07
CC 3 SLV (Collegamento 0021_-378)
Azioni sul collegamento: N=-9260.08 Ty=5.81 Tz=-8.72 Mx=0.01 Mz=5.82
Sollecitazioni agenti localmente: Tx_l=5.81 Ty_l=-8.72 N_l=-9260.08 My_l=-5.82 Mz_l=0.01
Azioni sul cordone: TP=0.42 TO=-0.64 NO=-684.51
Tensioni nel cordone: τ_P=0.13 τ_O=0.20 σ_O=226.07 σ_{ID}=226.07 Σ_T=226.28
CC 3 SLV (Collegamento 0021_-378)
Azioni sul collegamento: N=-9260.08 Ty=3.70 Tz=-8.72 Mx=0.01 Mz=5.08
Sollecitazioni agenti localmente: Tx_l=3.70 Ty_l=-8.72 N_l=-9260.08 My_l=-5.08 Mz_l=0.01
Azioni sul cordone: TP=0.26 TO=-0.64 NO=-684.51
Tensioni nel cordone: τ_P= 0.08 τ_O=0.20 σ_O=225.00 σ_{ID}=225.00 Σ_T=225.20
CC 3 SLV (Collegamento 0021_-378)
Azioni sul collegamento: N=-9260.08 Ty=5.81 Tz=10.74 Mx=0.01 Mz=5.82
Sollecitazioni agenti localmente: Tx_l=5.81 Ty_l=10.74 N_l=-9260.08 My_l=-5.82 Mz_l=0.01
Azioni sul cordone: TP=0.42 TO=0.80 NO=-684.51
Tensioni nel cordone: τ_P=0.13 τ_O=0.25 σ_O=226.07 σ_{ID}=226.07 Σ_T=226.33
CC 3 SLV (Collegamento 0021_-378)
Azioni sul collegamento: N=-9260.08 Ty=3.70 Tz=10.74 Mx=0.01 Mz=5.08
Sollecitazioni agenti localmente: Tx_l=3.70 Ty_l=10.74 N_l=-9260.08 My_l=-5.08 Mz_l=0.01
Azioni sul cordone: TP=0.26 TO=0.80 NO=-684.51
Tensioni nel cordone: τ_P= 0.08 τ_O=0.25 σ_O=225.00 σ_{ID}=225.00 Σ_T=225.25
CC 4 SLD (Collegamento 0021_-378)
Azioni sul collegamento: N=-5779.06 Ty=4.24 Tz=-2.08 Mx=0.00 Mz=3.48
Sollecitazioni agenti localmente: Tx_l=4.24 Ty_l=-2.08 N_l=-5779.06 My_l=-3.48 Mz_l=0.00
Azioni sul cordone: TP=0.31 TO=-0.15 NO=-427.19
Tensioni nel cordone: τ_P= 0.10 τ_O= 0.05 σ_O=140.87 σ_{ID}=140.87 Σ_T=140.92
CC 4 SLD (Collegamento 0021_-378)
Azioni sul collegamento: N=-5779.06 Ty=3.59 Tz=-2.08 Mx=0.00 Mz=3.26
Sollecitazioni agenti localmente: Tx_l=3.59 Ty_l=-2.08 N_l=-5779.06 My_l=-3.26 Mz_l=0.00
Azioni sul cordone: TP=0.27 TO=-0.15 NO=-427.19
Tensioni nel cordone: τ_P= 0.08 τ_O= 0.05 σ_O=140.54 σ_{ID}=140.54 Σ_T=140.59
CC 4 SLD (Collegamento 0021_-378)
Azioni sul collegamento: N=-5779.06 Ty=4.24 Tz=3.85 Mx=0.00 Mz=3.48
Sollecitazioni agenti localmente: Tx_l=4.24 Ty_l=3.85 N_l=-5779.06 My_l=-3.48 Mz_l=0.00
Azioni sul cordone: TP=0.31 TO=0.28 NO=-427.19
Tensioni nel cordone: τ_P= 0.10 τ_O= 0.09 σ_O=140.87 σ_{ID}=140.87 Σ_T=140.96
CC 4 SLD (Collegamento 0021_-378)
Azioni sul collegamento: N=-5779.06 Ty=3.59 Tz=3.85 Mx=0.00 Mz=3.26
Sollecitazioni agenti localmente: Tx_l=3.59 Ty_l=3.85 N_l=-5779.06 My_l=-3.26 Mz_l=0.00
Azioni sul cordone: TP=0.27 TO=0.28 NO=-427.19
Tensioni nel cordone: τ_P= 0.08 τ_O= 0.09 σ_O=140.54 σ_{ID}=140.54 Σ_T=140.63
CC 4 SLD (Collegamento 0021_-378)
Azioni sul collegamento: N=-7390.75 Ty=4.24 Tz=-2.08 Mx=0.00 Mz=3.48
Sollecitazioni agenti localmente: Tx_l=4.24 Ty_l=-2.08 N_l=-7390.75 My_l=-3.48 Mz_l=0.00
Azioni sul cordone: TP=0.31 TO=-0.15 NO=-546.33
Tensioni nel cordone: τ_P= 0.10 τ_O= 0.05 σ_O=178.74 σ_{ID}=178.74 Σ_T=178.79
CC 4 SLD (Collegamento 0021_-378)
Azioni sul collegamento: N=-7390.75 Ty=3.59 Tz=-2.08 Mx=0.00 Mz=3.26
Sollecitazioni agenti localmente: Tx_l=3.59 Ty_l=-2.08 N_l=-7390.75 My_l=-3.26 Mz_l=0.00
Azioni sul cordone: TP=0.27 TO=-0.15 NO=-546.33
Tensioni nel cordone: τ_P= 0.08 τ_O= 0.05 σ_O=178.41 σ_{ID}=178.41 Σ_T=178.46
CC 4 SLD (Collegamento 0021_-378)
Azioni sul collegamento: N=-7390.75 Ty=4.24 Tz=3.85 Mx=0.00 Mz=3.48
Sollecitazioni agenti localmente: Tx_l=4.24 Ty_l=3.85 N_l=-7390.75 My_l=-3.48 Mz_l=0.00
Azioni sul cordone: TP=0.31 TO=0.28 NO=-546.33
Tensioni nel cordone: τ_P= 0.10 τ_O= 0.09 σ_O=178.74 σ_{ID}=178.74 Σ_T=178.83
CC 4 SLD (Collegamento 0021_-378)
Azioni sul collegamento: N=-7390.75 Ty=3.59 Tz=3.85 Mx=0.00 Mz=3.26
Sollecitazioni agenti localmente: Tx_l=3.59 Ty_l=3.85 N_l=-7390.75 My_l=-3.26 Mz_l=0.00
Azioni sul cordone: TP=0.27 TO=0.28 NO=-546.33
Tensioni nel cordone: τ_P= 0.08 τ_O= 0.09 σ_O=178.41 σ_{ID}=178.41 Σ_T=178.50
CC 5 SLV (Collegamento 0021_-378)
Azioni sul collegamento: N=-9260.08 Ty=3.70 Tz=10.74 Mx=0.01 Mz=5.08
Sollecitazioni agenti localmente: Tx_l=3.70 Ty_l=10.74 N_l=-9260.08 My_l=-5.08 Mz_l=0.01
Azioni sul cordone: TP=0.26 TO=0.80 NO=-684.51
Tensioni nel cordone: τ_P= 0.08 τ_O=0.26 σ_O=225.00 σ_{ID}=225.00 Σ_T=225.25
CC 5 SLV (Collegamento 0021_-378)
Azioni sul collegamento: N=-9260.08 Ty=5.81 Tz=10.74 Mx=0.01 Mz=5.82
Sollecitazioni agenti localmente: Tx_l=5.81 Ty_l=10.74 N_l=-9260.08 My_l=-5.82 Mz_l=0.01
Azioni sul cordone: TP=0.42 TO=0.80 NO=-684.51
Tensioni nel cordone: τ_P=0.13 τ_O=0.26 σ_O=226.07 σ_{ID}=226.07 Σ_T=226.33
CC 5 SLV (Collegamento 0021_-378)
Azioni sul collegamento: N=-9260.08 Ty=3.70 Tz=-8.72 Mx=0.01 Mz=5.08
Sollecitazioni agenti localmente: Tx_l=3.70 Ty_l=-8.72 N_l=-9260.08 My_l=-5.08 Mz_l=0.01
Azioni sul cordone: TP=0.26 TO=-0.64 NO=-684.51

Tensioni nel cordone: τ_P= 0.08 τ_0=0.20 σ_0=225.00 σ_{ID}=225.00 Σ_T=225.20
CC 5 SLV (Collegamento 0021_-378)
Azioni sul collegamento: N=-9260.08 Ty=5.81 Tz=-8.72 Mx=0.01 Mz=5.82
Sollecitazioni agenti localmente: Tx_l=5.81 Ty_l=-8.72 N_l=-9260.08 My_l=-5.82 Mz_l=0.01
Azioni sul cordone: TP=0.42 TO=-0.64 NO=-684.51
Tensioni nel cordone: τ_P=0.13 τ_0=0.20 σ_0=226.07 σ_{ID}=226.07 Σ_T=226.27
CC 5 SLV (Collegamento 0021_-378)
Azioni sul collegamento: N=-3974.64 Ty=3.70 Tz=10.74 Mx=0.01 Mz=5.08
Sollecitazioni agenti localmente: Tx_l=3.70 Ty_l=10.74 N_l=-3974.64 My_l=-5.08 Mz_l=0.01
Azioni sul cordone: TP=0.26 TO=0.80 NO=-293.81
Tensioni nel cordone: τ_P= 0.08 τ_0=0.26 σ_0=100.81 σ_{ID}=100.81 Σ_T=101.07
CC 5 SLV (Collegamento 0021_-378)
Azioni sul collegamento: N=-3974.64 Ty=5.81 Tz=10.74 Mx=0.01 Mz=5.82
Sollecitazioni agenti localmente: Tx_l=5.81 Ty_l=10.74 N_l=-3974.64 My_l=-5.82 Mz_l=0.01
Azioni sul cordone: TP=0.42 TO=0.80 NO=-293.81
Tensioni nel cordone: τ_P=0.13 τ_0=0.26 σ_0=101.89 σ_{ID}=101.89 Σ_T=102.14
CC 5 SLV (Collegamento 0021_-378)
Azioni sul collegamento: N=-3974.64 Ty=3.70 Tz=-8.72 Mx=0.01 Mz=5.08
Sollecitazioni agenti localmente: Tx_l=3.70 Ty_l=-8.72 N_l=-3974.64 My_l=-5.08 Mz_l=0.01
Azioni sul cordone: TP=0.26 TO=-0.64 NO=-293.81
Tensioni nel cordone: τ_P= 0.08 τ_0=0.20 σ_0=100.81 σ_{ID}=100.81 Σ_T=101.02
CC 5 SLV (Collegamento 0021_-378)
Azioni sul collegamento: N=-3974.64 Ty=5.81 Tz=-8.72 Mx=0.01 Mz=5.82
Sollecitazioni agenti localmente: Tx_l=5.81 Ty_l=-8.72 N_l=-3974.64 My_l=-5.82 Mz_l=0.01
Azioni sul cordone: TP=0.42 TO=-0.64 NO=-293.81
Tensioni nel cordone: τ_P=0.13 τ_0=0.20 σ_0=101.89 σ_{ID}=101.89 Σ_T=102.09
CC 6 SLD (Collegamento 0021_-378)
Azioni sul collegamento: N=-7390.75 Ty=3.59 Tz=3.85 Mx=0.00 Mz=3.26
Sollecitazioni agenti localmente: Tx_l=3.59 Ty_l=3.85 N_l=-7390.75 My_l=-3.26 Mz_l=0.00
Azioni sul cordone: TP=0.26 TO=0.29 NO=-546.33
Tensioni nel cordone: τ_P= 0.08 τ_0= 0.09 σ_0=178.41 σ_{ID}=178.41 Σ_T=178.50
CC 6 SLD (Collegamento 0021_-378)
Azioni sul collegamento: N=-7390.75 Ty=4.24 Tz=3.85 Mx=0.00 Mz=3.48
Sollecitazioni agenti localmente: Tx_l=4.24 Ty_l=3.85 N_l=-7390.75 My_l=-3.48 Mz_l=0.00
Azioni sul cordone: TP=0.31 TO=0.29 NO=-546.33
Tensioni nel cordone: τ_P= 0.10 τ_0= 0.09 σ_0=178.74 σ_{ID}=178.74 Σ_T=178.83
CC 6 SLD (Collegamento 0021_-378)
Azioni sul collegamento: N=-7390.75 Ty=3.59 Tz=-2.08 Mx=0.00 Mz=3.26
Sollecitazioni agenti localmente: Tx_l=3.59 Ty_l=-2.08 N_l=-7390.75 My_l=-3.26 Mz_l=0.00
Azioni sul cordone: TP=0.26 TO=-0.15 NO=-546.33
Tensioni nel cordone: τ_P= 0.08 τ_0= 0.05 σ_0=178.41 σ_{ID}=178.41 Σ_T=178.46
CC 6 SLD (Collegamento 0021_-378)
Azioni sul collegamento: N=-7390.75 Ty=4.24 Tz=-2.08 Mx=0.00 Mz=3.48
Sollecitazioni agenti localmente: Tx_l=4.24 Ty_l=-2.08 N_l=-7390.75 My_l=-3.48 Mz_l=0.00
Azioni sul cordone: TP=0.31 TO=-0.15 NO=-546.33
Tensioni nel cordone: τ_P= 0.10 τ_0= 0.05 σ_0=178.74 σ_{ID}=178.74 Σ_T=178.78
CC 6 SLD (Collegamento 0021_-378)
Azioni sul collegamento: N=-5779.06 Ty=3.59 Tz=3.85 Mx=0.00 Mz=3.26
Sollecitazioni agenti localmente: Tx_l=3.59 Ty_l=3.85 N_l=-5779.06 My_l=-3.26 Mz_l=0.00
Azioni sul cordone: TP=0.26 TO=0.29 NO=-427.19
Tensioni nel cordone: τ_P= 0.08 τ_0= 0.09 σ_0=140.54 σ_{ID}=140.54 Σ_T=140.63
CC 6 SLD (Collegamento 0021_-378)
Azioni sul collegamento: N=-5779.06 Ty=4.24 Tz=3.85 Mx=0.00 Mz=3.48
Sollecitazioni agenti localmente: Tx_l=4.24 Ty_l=3.85 N_l=-5779.06 My_l=-3.48 Mz_l=0.00
Azioni sul cordone: TP=0.31 TO=0.29 NO=-427.19
Tensioni nel cordone: τ_P= 0.10 τ_0= 0.09 σ_0=140.87 σ_{ID}=140.87 Σ_T=140.96
CC 6 SLD (Collegamento 0021_-378)
Azioni sul collegamento: N=-5779.06 Ty=3.59 Tz=-2.08 Mx=0.00 Mz=3.26
Sollecitazioni agenti localmente: Tx_l=3.59 Ty_l=-2.08 N_l=-5779.06 My_l=-3.26 Mz_l=0.00
Azioni sul cordone: TP=0.26 TO=-0.15 NO=-427.19
Tensioni nel cordone: τ_P= 0.08 τ_0= 0.05 σ_0=140.54 σ_{ID}=140.54 Σ_T=140.59
CC 6 SLD (Collegamento 0021_-378)
Azioni sul collegamento: N=-5779.06 Ty=4.24 Tz=-2.08 Mx=0.00 Mz=3.48
Sollecitazioni agenti localmente: Tx_l=4.24 Ty_l=-2.08 N_l=-5779.06 My_l=-3.48 Mz_l=0.00
Azioni sul cordone: TP=0.31 TO=-0.15 NO=-427.19
Tensioni nel cordone: τ_P= 0.10 τ_0= 0.05 σ_0=140.87 σ_{ID}=140.87 Σ_T=140.92
CC 7 SLV (Collegamento 0021_-378)
Azioni sul collegamento: N=-9265.76 Ty=3.07 Tz=10.87 Mx=0.01 Mz=3.83
Sollecitazioni agenti localmente: Tx_l=3.07 Ty_l=10.87 N_l=-9265.76 My_l=-3.83 Mz_l=0.01
Azioni sul cordone: TP=0.22 TO=0.81 NO=-684.93
Tensioni nel cordone: τ_P= 0.07 τ_0=0.26 σ_0=223.30 σ_{ID}=223.30 Σ_T=223.55
CC 7 SLV (Collegamento 0021_-378)
Azioni sul collegamento: N=-9265.76 Ty=6.45 Tz=10.87 Mx=0.01 Mz=7.08
Sollecitazioni agenti localmente: Tx_l=6.45 Ty_l=10.87 N_l=-9265.76 My_l=-7.08 Mz_l=0.01
Azioni sul cordone: TP=0.47 TO=0.81 NO=-684.93
Tensioni nel cordone: τ_P=0.15 τ_0=0.26 σ_0=228.04 σ_{ID}=228.04 Σ_T=228.30
CC 7 SLV (Collegamento 0021_-378)
Azioni sul collegamento: N=-9265.76 Ty=3.07 Tz=-8.85 Mx=0.01 Mz=3.83
Sollecitazioni agenti localmente: Tx_l=3.07 Ty_l=-8.85 N_l=-9265.76 My_l=-3.83 Mz_l=0.01

Azioni sul cordone: TP=0.22 TO=-0.65 NO=-684.93
Tensioni nel cordone: τ_P= 0.07 τ_0=0.21 σ_0=223.30 σ_{ID}=223.30 Σ_T=223.50
CC 7 SLV (Collegamento 0021_-378)
Azioni sul collegamento: N=-9265.76 Ty=6.45 Tz=-8.85 Mx=0.01 Mz=7.08
Sollecitazioni agenti localmente: Tx_l=6.45 Ty_l=-8.85 N_l=-9265.76 My_l=-7.08 Mz_l=0.01
Azioni sul cordone: TP=0.47 TO=-0.65 NO=-684.93
Tensioni nel cordone: τ_P=0.15 τ_0=0.21 σ_0=228.04 σ_{ID}=228.04 Σ_T=228.25
CC 7 SLV (Collegamento 0021_-378)
Azioni sul collegamento: N=-3968.96 Ty=3.07 Tz=10.87 Mx=0.01 Mz=3.83
Sollecitazioni agenti localmente: Tx_l=3.07 Ty_l=10.87 N_l=-3968.96 My_l=-3.83 Mz_l=0.01
Azioni sul cordone: TP=0.22 TO=0.81 NO=-293.39
Tensioni nel cordone: τ_P= 0.07 τ_0=0.26 σ_0=98.85 σ_{ID}=98.85 Σ_T=99.10
CC 7 SLV (Collegamento 0021_-378)
Azioni sul collegamento: N=-3968.96 Ty=6.45 Tz=10.87 Mx=0.01 Mz=7.08
Sollecitazioni agenti localmente: Tx_l=6.45 Ty_l=10.87 N_l=-3968.96 My_l=-7.08 Mz_l=0.01
Azioni sul cordone: TP=0.47 TO=0.81 NO=-293.39
Tensioni nel cordone: τ_P=0.15 τ_0=0.26 σ_0=103.59 σ_{ID}=103.59 Σ_T=103.85
CC 7 SLV (Collegamento 0021_-378)
Azioni sul collegamento: N=-3968.96 Ty=3.07 Tz=-8.85 Mx=0.01 Mz=3.83
Sollecitazioni agenti localmente: Tx_l=3.07 Ty_l=-8.85 N_l=-3968.96 My_l=-3.83 Mz_l=0.01
Azioni sul cordone: TP=0.22 TO=-0.65 NO=-293.39
Tensioni nel cordone: τ_P= 0.07 τ_0=0.21 σ_0=98.85 σ_{ID}=98.85 Σ_T=99.05
CC 7 SLV (Collegamento 0021_-378)
Azioni sul collegamento: N=-3968.96 Ty=6.45 Tz=-8.85 Mx=0.01 Mz=7.08
Sollecitazioni agenti localmente: Tx_l=6.45 Ty_l=-8.85 N_l=-3968.96 My_l=-7.08 Mz_l=0.01
Azioni sul cordone: TP=0.47 TO=-0.65 NO=-293.39
Tensioni nel cordone: τ_P=0.15 τ_0=0.21 σ_0=103.59 σ_{ID}=103.59 Σ_T=103.80
CC 8 SLD (Collegamento 0021_-378)
Azioni sul collegamento: N=-7392.49 Ty=3.40 Tz=3.89 Mx=-0.00 Mz=2.88
Sollecitazioni agenti localmente: Tx_l=3.40 Ty_l=3.89 N_l=-7392.49 My_l=-2.88 Mz_l=-0.00
Azioni sul cordone: TP=0.25 TO=0.29 NO=-546.46
Tensioni nel cordone: τ_P= 0.08 τ_0= 0.09 σ_0=177.89 σ_{ID}=177.89 Σ_T=177.98
CC 8 SLD (Collegamento 0021_-378)
Azioni sul collegamento: N=-7392.49 Ty=4.43 Tz=3.89 Mx=-0.00 Mz=3.87
Sollecitazioni agenti localmente: Tx_l=4.43 Ty_l=3.89 N_l=-7392.49 My_l=-3.87 Mz_l=-0.00
Azioni sul cordone: TP=0.33 TO=0.29 NO=-546.46
Tensioni nel cordone: τ_P=0.10 τ_0= 0.09 σ_0=179.34 σ_{ID}=179.34 Σ_T=179.43
CC 8 SLD (Collegamento 0021_-378)
Azioni sul collegamento: N=-7392.49 Ty=3.40 Tz=-2.12 Mx=-0.00 Mz=2.88
Sollecitazioni agenti localmente: Tx_l=3.40 Ty_l=-2.12 N_l=-7392.49 My_l=-2.88 Mz_l=-0.00
Azioni sul cordone: TP=0.25 TO=-0.16 NO=-546.46
Tensioni nel cordone: τ_P= 0.08 τ_0= 0.05 σ_0=177.89 σ_{ID}=177.89 Σ_T=177.94
CC 8 SLD (Collegamento 0021_-378)
Azioni sul collegamento: N=-7392.49 Ty=4.43 Tz=-2.12 Mx=-0.00 Mz=3.87
Sollecitazioni agenti localmente: Tx_l=4.43 Ty_l=-2.12 N_l=-7392.49 My_l=-3.87 Mz_l=-0.00
Azioni sul cordone: TP=0.33 TO=-0.16 NO=-546.46
Tensioni nel cordone: τ_P=0.10 τ_0= 0.05 σ_0=179.34 σ_{ID}=179.34 Σ_T=179.39
CC 8 SLD (Collegamento 0021_-378)
Azioni sul collegamento: N=-5777.32 Ty=3.40 Tz=3.89 Mx=-0.00 Mz=2.88
Sollecitazioni agenti localmente: Tx_l=3.40 Ty_l=3.89 N_l=-5777.32 My_l=-2.88 Mz_l=-0.00
Azioni sul cordone: TP=0.25 TO=0.29 NO=-427.06
Tensioni nel cordone: τ_P= 0.08 τ_0= 0.09 σ_0=139.94 σ_{ID}=139.94 Σ_T=140.03
CC 8 SLD (Collegamento 0021_-378)
Azioni sul collegamento: N=-5777.32 Ty=4.43 Tz=3.89 Mx=-0.00 Mz=3.87
Sollecitazioni agenti localmente: Tx_l=4.43 Ty_l=3.89 N_l=-5777.32 My_l=-3.87 Mz_l=-0.00
Azioni sul cordone: TP=0.33 TO=0.29 NO=-427.06
Tensioni nel cordone: τ_P=0.10 τ_0= 0.09 σ_0=141.39 σ_{ID}=141.39 Σ_T=141.48
CC 8 SLD (Collegamento 0021_-378)
Azioni sul collegamento: N=-5777.33 Ty=3.40 Tz=-2.12 Mx=-0.00 Mz=2.88
Sollecitazioni agenti localmente: Tx_l=3.40 Ty_l=-2.12 N_l=-5777.33 My_l=-2.88 Mz_l=-0.00
Azioni sul cordone: TP=0.25 TO=-0.16 NO=-427.06
Tensioni nel cordone: τ_P= 0.08 τ_0= 0.05 σ_0=139.94 σ_{ID}=139.94 Σ_T=139.99
CC 8 SLD (Collegamento 0021_-378)
Azioni sul collegamento: N=-5777.33 Ty=4.43 Tz=-2.12 Mx=-0.00 Mz=3.87
Sollecitazioni agenti localmente: Tx_l=4.43 Ty_l=-2.12 N_l=-5777.33 My_l=-3.87 Mz_l=-0.00
Azioni sul cordone: TP=0.33 TO=-0.16 NO=-427.06
Tensioni nel cordone: τ_P=0.10 τ_0= 0.05 σ_0=141.39 σ_{ID}=141.39 Σ_T=141.44
CC 9 SLV (Collegamento 0021_-378)
Azioni sul collegamento: N=-5814.22 Ty=6.23 Tz=-2.14 Mx=0.02 Mz=7.84
Sollecitazioni agenti localmente: Tx_l=6.23 Ty_l=-2.14 N_l=-5814.22 My_l=-7.84 Mz_l=0.02
Azioni sul cordone: TP=0.44 TO=-0.14 NO=-429.79
Tensioni nel cordone: τ_P=0.14 τ_0= 0.05 σ_0=148.07 σ_{ID}=148.07 Σ_T=148.11
CC 9 SLV (Collegamento 0021_-378)
Azioni sul collegamento: N=-5814.22 Ty=3.29 Tz=-2.14 Mx=0.02 Mz=3.06
Sollecitazioni agenti localmente: Tx_l=3.29 Ty_l=-2.14 N_l=-5814.22 My_l=-3.06 Mz_l=0.02
Azioni sul cordone: TP=0.22 TO=-0.14 NO=-429.79
Tensioni nel cordone: τ_P= 0.07 τ_0= 0.05 σ_0=141.08 σ_{ID}=141.08 Σ_T=141.12
CC 9 SLV (Collegamento 0021_-378)
Azioni sul collegamento: N=-5814.22 Ty=6.23 Tz=4.16 Mx=0.02 Mz=7.84

Sollecitazioni agenti localmente: Tx_l=6.23 Ty_l=4.16 N_l=-5814.22 My_l=-7.84 Mz_l=0.02
Azioni sul cordone: TP=0.44 TO=0.32 NO=-429.79
Tensioni nel cordone: τ_P=0.14 τ_0=0.10 σ_0=148.07 σ_{ID}=148.07 Σ_T=148.17
CC 9 SLV (Collegamento 0021_-378)
Azioni sul collegamento: N=-5814.22 Ty=3.29 Tz=4.16 Mx=0.02 Mz=3.06
Sollecitazioni agenti localmente: Tx_l=3.29 Ty_l=4.16 N_l=-5814.22 My_l=-3.06 Mz_l=0.02
Azioni sul cordone: TP=0.22 TO=0.32 NO=-429.79
Tensioni nel cordone: τ_P= 0.07 τ_0=0.10 σ_0=141.08 σ_{ID}=141.08 Σ_T=141.18
CC 9 SLV (Collegamento 0021_-378)
Azioni sul collegamento: N=-7420.50 Ty=6.23 Tz=-2.14 Mx=0.02 Mz=7.84
Sollecitazioni agenti localmente: Tx_l=6.23 Ty_l=-2.14 N_l=-7420.50 My_l=-7.84 Mz_l=0.02
Azioni sul cordone: TP=0.44 TO=-0.14 NO=-548.53
Tensioni nel cordone: τ_P=0.14 τ_0= 0.05 σ_0=185.81 σ_{ID}=185.81 Σ_T=185.85
CC 9 SLV (Collegamento 0021_-378)
Azioni sul collegamento: N=-7420.50 Ty=3.29 Tz=-2.14 Mx=0.02 Mz=3.06
Sollecitazioni agenti localmente: Tx_l=3.29 Ty_l=-2.14 N_l=-7420.50 My_l=-3.06 Mz_l=0.02
Azioni sul cordone: TP=0.22 TO=-0.14 NO=-548.53
Tensioni nel cordone: τ_P= 0.07 τ_0= 0.05 σ_0=178.82 σ_{ID}=178.82 Σ_T=178.87
CC 9 SLV (Collegamento 0021_-378)
Azioni sul collegamento: N=-7420.50 Ty=6.23 Tz=4.16 Mx=0.02 Mz=7.84
Sollecitazioni agenti localmente: Tx_l=6.23 Ty_l=4.16 N_l=-7420.50 My_l=-7.84 Mz_l=0.02
Azioni sul cordone: TP=0.44 TO=0.32 NO=-548.53
Tensioni nel cordone: τ_P=0.14 τ_0=0.10 σ_0=185.81 σ_{ID}=185.81 Σ_T=185.91
CC 9 SLV (Collegamento 0021_-378)
Azioni sul collegamento: N=-7420.50 Ty=3.29 Tz=4.16 Mx=0.02 Mz=3.06
Sollecitazioni agenti localmente: Tx_l=3.29 Ty_l=4.16 N_l=-7420.50 My_l=-3.06 Mz_l=0.02
Azioni sul cordone: TP=0.22 TO=0.32 NO=-548.53
Tensioni nel cordone: τ_P= 0.07 τ_0=0.10 σ_0=178.82 σ_{ID}=178.82 Σ_T=178.92
CC 10 SLD (Collegamento 0021_-378)
Azioni sul collegamento: N=-6340.00 Ty=4.36 Tz=-0.08 Mx=0.00 Mz=4.10
Sollecitazioni agenti localmente: Tx_l=4.36 Ty_l=-0.08 N_l=-6340.00 My_l=-4.10 Mz_l=0.00
Azioni sul cordone: TP=0.32 TO=-0.00 NO=-468.65
Tensioni nel cordone: τ_P=0.10 τ_0=1.06E-03 σ_0=154.95 σ_{ID}=154.95 Σ_T=154.95
CC 10 SLD (Collegamento 0021_-378)
Azioni sul collegamento: N=-6340.00 Ty=3.47 Tz=-0.08 Mx=0.00 Mz=2.64
Sollecitazioni agenti localmente: Tx_l=3.47 Ty_l=-0.08 N_l=-6340.00 My_l=-2.64 Mz_l=0.00
Azioni sul cordone: TP=0.25 TO=-0.00 NO=-468.65
Tensioni nel cordone: τ_P= 0.08 τ_0=1.06E-03 σ_0=152.82 σ_{ID}=152.82 Σ_T=152.82
CC 10 SLD (Collegamento 0021_-378)
Azioni sul collegamento: N=-6340.00 Ty=4.36 Tz=1.85 Mx=0.00 Mz=4.10
Sollecitazioni agenti localmente: Tx_l=4.36 Ty_l=1.85 N_l=-6340.00 My_l=-4.10 Mz_l=0.00
Azioni sul cordone: TP=0.32 TO=0.14 NO=-468.65
Tensioni nel cordone: τ_P=0.10 τ_0= 0.04 σ_0=154.95 σ_{ID}=154.95 Σ_T=154.99
CC 10 SLD (Collegamento 0021_-378)
Azioni sul collegamento: N=-6340.00 Ty=3.47 Tz=1.85 Mx=0.00 Mz=2.64
Sollecitazioni agenti localmente: Tx_l=3.47 Ty_l=1.85 N_l=-6340.00 My_l=-2.64 Mz_l=0.00
Azioni sul cordone: TP=0.25 TO=0.14 NO=-468.65
Tensioni nel cordone: τ_P= 0.08 τ_0= 0.04 σ_0=152.82 σ_{ID}=152.82 Σ_T=152.86
CC 10 SLD (Collegamento 0021_-378)
Azioni sul collegamento: N=-6829.81 Ty=4.36 Tz=-0.08 Mx=0.00 Mz=4.10
Sollecitazioni agenti localmente: Tx_l=4.36 Ty_l=-0.08 N_l=-6829.81 My_l=-4.10 Mz_l=0.00
Azioni sul cordone: TP=0.32 TO=-0.00 NO=-504.86
Tensioni nel cordone: τ_P=0.10 τ_0=1.07E-03 σ_0=166.46 σ_{ID}=166.46 Σ_T=166.46
CC 10 SLD (Collegamento 0021_-378)
Azioni sul collegamento: N=-6829.81 Ty=3.47 Tz=-0.08 Mx=0.00 Mz=2.64
Sollecitazioni agenti localmente: Tx_l=3.47 Ty_l=-0.08 N_l=-6829.81 My_l=-2.64 Mz_l=0.00
Azioni sul cordone: TP=0.25 TO=-0.00 NO=-504.86
Tensioni nel cordone: τ_P= 0.08 τ_0=1.07E-03 σ_0=164.33 σ_{ID}=164.33 Σ_T=164.33
CC 10 SLD (Collegamento 0021_-378)
Azioni sul collegamento: N=-6829.81 Ty=4.36 Tz=1.85 Mx=0.00 Mz=4.10
Sollecitazioni agenti localmente: Tx_l=4.36 Ty_l=1.85 N_l=-6829.81 My_l=-4.10 Mz_l=0.00
Azioni sul cordone: TP=0.32 TO=0.14 NO=-504.86
Tensioni nel cordone: τ_P=0.10 τ_0= 0.04 σ_0=166.46 σ_{ID}=166.46 Σ_T=166.50
CC 10 SLD (Collegamento 0021_-378)
Azioni sul collegamento: N=-6829.81 Ty=3.47 Tz=1.85 Mx=0.00 Mz=2.64
Sollecitazioni agenti localmente: Tx_l=3.47 Ty_l=1.85 N_l=-6829.81 My_l=-2.64 Mz_l=0.00
Azioni sul cordone: TP=0.25 TO=0.14 NO=-504.86
Tensioni nel cordone: τ_P= 0.08 τ_0= 0.04 σ_0=164.33 σ_{ID}=164.33 Σ_T=164.37
CC 11 SLV (Collegamento 0021_-378)
Azioni sul collegamento: N=-7401.56 Ty=5.40 Tz=3.74 Mx=0.02 Mz=7.25
Sollecitazioni agenti localmente: Tx_l=5.40 Ty_l=3.74 N_l=-7401.56 My_l=-7.25 Mz_l=0.02
Azioni sul cordone: TP=0.38 TO=0.29 NO=-547.13
Tensioni nel cordone: τ_P=0.12 τ_0= 0.09 σ_0=184.49 σ_{ID}=184.49 Σ_T=184.58
CC 11 SLV (Collegamento 0021_-378)
Azioni sul collegamento: N=-7401.56 Ty=4.11 Tz=3.74 Mx=0.02 Mz=3.66
Sollecitazioni agenti localmente: Tx_l=4.11 Ty_l=3.74 N_l=-7401.56 My_l=-3.66 Mz_l=0.02
Azioni sul cordone: TP=0.28 TO=0.29 NO=-547.13
Tensioni nel cordone: τ_P= 0.09 τ_0= 0.09 σ_0=179.25 σ_{ID}=179.25 Σ_T=179.34
CC 11 SLV (Collegamento 0021_-378)

Azioni sul collegamento: N=-7401.56 Ty=5.40 Tz=-1.71 Mx=0.02 Mz=7.25
Sollecitazioni agenti localmente: Tx_l=5.40 Ty_l=-1.71 N_l=-7401.56 My_l=-7.25 Mz_l=0.02
Azioni sul cordone: TP=0.38 TO=-0.11 NO=-547.13
Tensioni nel cordone: τ_P=0.12 τ_0= 0.04 σ_0=184.49 σ_{ID}=184.49 Σ_T=184.53
CC 11 SLV (Collegamento 0021_-378)
Azioni sul collegamento: N=-7401.56 Ty=4.11 Tz=-1.71 Mx=0.02 Mz=3.66
Sollecitazioni agenti localmente: Tx_l=4.11 Ty_l=-1.71 N_l=-7401.56 My_l=-3.66 Mz_l=0.02
Azioni sul cordone: TP=0.28 TO=-0.11 NO=-547.13
Tensioni nel cordone: τ_P= 0.09 τ_0= 0.04 σ_0=179.25 σ_{ID}=179.25 Σ_T=179.28
CC 11 SLV (Collegamento 0021_-378)
Azioni sul collegamento: N=-5833.17 Ty=5.40 Tz=3.74 Mx=0.02 Mz=7.25
Sollecitazioni agenti localmente: Tx_l=5.40 Ty_l=3.74 N_l=-5833.17 My_l=-7.25 Mz_l=0.02
Azioni sul cordone: TP=0.38 TO=0.29 NO=-431.19
Tensioni nel cordone: τ_P=0.12 τ_0= 0.09 σ_0=147.64 σ_{ID}=147.64 Σ_T=147.73
CC 11 SLV (Collegamento 0021_-378)
Azioni sul collegamento: N=-5833.17 Ty=4.11 Tz=3.74 Mx=0.02 Mz=3.66
Sollecitazioni agenti localmente: Tx_l=4.11 Ty_l=3.74 N_l=-5833.17 My_l=-3.66 Mz_l=0.02
Azioni sul cordone: TP=0.28 TO=0.29 NO=-431.19
Tensioni nel cordone: τ_P= 0.09 τ_0= 0.09 σ_0=142.40 σ_{ID}=142.40 Σ_T=142.49
CC 11 SLV (Collegamento 0021_-378)
Azioni sul collegamento: N=-5833.17 Ty=5.40 Tz=-1.71 Mx=0.02 Mz=7.25
Sollecitazioni agenti localmente: Tx_l=5.40 Ty_l=-1.71 N_l=-5833.17 My_l=-7.25 Mz_l=0.02
Azioni sul cordone: TP=0.38 TO=-0.11 NO=-431.19
Tensioni nel cordone: τ_P=0.12 τ_0= 0.04 σ_0=147.64 σ_{ID}=147.64 Σ_T=147.68
CC 11 SLV (Collegamento 0021_-378)
Azioni sul collegamento: N=-5833.17 Ty=4.11 Tz=-1.71 Mx=0.02 Mz=3.66
Sollecitazioni agenti localmente: Tx_l=4.11 Ty_l=-1.71 N_l=-5833.17 My_l=-3.66 Mz_l=0.02
Azioni sul cordone: TP=0.28 TO=-0.11 NO=-431.19
Tensioni nel cordone: τ_P= 0.09 τ_0= 0.04 σ_0=142.40 σ_{ID}=142.40 Σ_T=142.43
CC 12 SLD (Collegamento 0021_-378)
Azioni sul collegamento: N=-6824.03 Ty=4.11 Tz=1.72 Mx=0.00 Mz=3.92
Sollecitazioni agenti localmente: Tx_l=4.11 Ty_l=1.72 N_l=-6824.03 My_l=-3.92 Mz_l=0.00
Azioni sul cordone: TP=0.30 TO=0.13 NO=-504.43
Tensioni nel cordone: τ_P= 0.10 τ_0= 0.04 σ_0=166.06 σ_{ID}=166.06 Σ_T=166.10
CC 12 SLD (Collegamento 0021_-378)
Azioni sul collegamento: N=-6824.03 Ty=3.72 Tz=1.72 Mx=0.00 Mz=2.82
Sollecitazioni agenti localmente: Tx_l=3.72 Ty_l=1.72 N_l=-6824.03 My_l=-2.82 Mz_l=0.00
Azioni sul cordone: TP=0.27 TO=0.13 NO=-504.43
Tensioni nel cordone: τ_P= 0.09 τ_0= 0.04 σ_0=164.46 σ_{ID}=164.46 Σ_T=164.50
CC 12 SLD (Collegamento 0021_-378)
Azioni sul collegamento: N=-6824.03 Ty=4.11 Tz=0.05 Mx=0.00 Mz=3.92
Sollecitazioni agenti localmente: Tx_l=4.11 Ty_l=0.05 N_l=-6824.03 My_l=-3.92 Mz_l=0.00
Azioni sul cordone: TP=0.30 TO=0.01 NO=-504.43
Tensioni nel cordone: τ_P= 0.10 τ_0=1.94E-03 σ_0=166.06 σ_{ID}=166.06 Σ_T=166.06
CC 12 SLD (Collegamento 0021_-378)
Azioni sul collegamento: N=-6824.03 Ty=3.72 Tz=0.05 Mx=0.00 Mz=2.82
Sollecitazioni agenti localmente: Tx_l=3.72 Ty_l=0.05 N_l=-6824.03 My_l=-2.82 Mz_l=0.00
Azioni sul cordone: TP=0.27 TO=0.01 NO=-504.43
Tensioni nel cordone: τ_P= 0.09 τ_0=1.94E-03 σ_0=164.46 σ_{ID}=164.46 Σ_T=164.46
CC 12 SLD (Collegamento 0021_-378)
Azioni sul collegamento: N=-6345.78 Ty=4.11 Tz=1.72 Mx=0.00 Mz=3.92
Sollecitazioni agenti localmente: Tx_l=4.11 Ty_l=1.72 N_l=-6345.78 My_l=-3.92 Mz_l=0.00
Azioni sul cordone: TP=0.30 TO=0.13 NO=-469.08
Tensioni nel cordone: τ_P= 0.10 τ_0= 0.04 σ_0=154.82 σ_{ID}=154.82 Σ_T=154.86
CC 12 SLD (Collegamento 0021_-378)
Azioni sul collegamento: N=-6345.78 Ty=3.72 Tz=1.72 Mx=0.00 Mz=2.82
Sollecitazioni agenti localmente: Tx_l=3.72 Ty_l=1.72 N_l=-6345.78 My_l=-2.82 Mz_l=0.00
Azioni sul cordone: TP=0.27 TO=0.13 NO=-469.08
Tensioni nel cordone: τ_P= 0.09 τ_0= 0.04 σ_0=153.22 σ_{ID}=153.22 Σ_T=153.26
CC 12 SLD (Collegamento 0021_-378)
Azioni sul collegamento: N=-6345.78 Ty=4.11 Tz=0.05 Mx=0.00 Mz=3.92
Sollecitazioni agenti localmente: Tx_l=4.11 Ty_l=0.05 N_l=-6345.78 My_l=-3.92 Mz_l=0.00
Azioni sul cordone: TP=0.30 TO=0.01 NO=-469.08
Tensioni nel cordone: τ_P= 0.10 τ_0=1.93E-03 σ_0=154.82 σ_{ID}=154.82 Σ_T=154.82
CC 12 SLD (Collegamento 0021_-378)
Azioni sul collegamento: N=-6345.78 Ty=3.72 Tz=0.05 Mx=0.00 Mz=2.82
Sollecitazioni agenti localmente: Tx_l=3.72 Ty_l=0.05 N_l=-6345.78 My_l=-2.82 Mz_l=0.00
Azioni sul cordone: TP=0.27 TO=0.01 NO=-469.08
Tensioni nel cordone: τ_P= 0.09 τ_0=1.93E-03 σ_0=153.22 σ_{ID}=153.22 Σ_T=153.22
CC 13 SLV (Collegamento 0021_-378)
Azioni sul collegamento: N=-5833.17 Ty=4.11 Tz=-1.71 Mx=0.00 Mz=3.66
Sollecitazioni agenti localmente: Tx_l=4.11 Ty_l=-1.71 N_l=-5833.17 My_l=-3.66 Mz_l=0.00
Azioni sul cordone: TP=0.30 TO=-0.12 NO=-431.19
Tensioni nel cordone: τ_P= 0.10 τ_0= 0.04 σ_0=142.40 σ_{ID}=142.40 Σ_T=142.44
CC 13 SLV (Collegamento 0021_-378)
Azioni sul collegamento: N=-5833.17 Ty=5.40 Tz=-1.71 Mx=0.00 Mz=7.25
Sollecitazioni agenti localmente: Tx_l=5.40 Ty_l=-1.71 N_l=-5833.17 My_l=-7.25 Mz_l=0.00
Azioni sul cordone: TP=0.40 TO=-0.12 NO=-431.19
Tensioni nel cordone: τ_P=0.13 τ_0= 0.04 σ_0=147.64 σ_{ID}=147.64 Σ_T=147.68

CC 13 SLV (Collegamento 0021_-378)
Azioni sul collegamento: N=-5833.17 Ty=4.11 Tz=3.74 Mx=0.00 Mz=3.66
Sollecitazioni agenti localmente: Tx_l=4.11 Ty_l=3.74 N_l=-5833.17 My_l=-3.66 Mz_l=0.00
Azioni sul cordone: TP=0.30 TO=0.28 NO=-431.19
Tensioni nel cordone: τ_P= 0.10 τ_0= 0.09 σ_0=142.40 σ_{ID}=142.40 Σ_T=142.49
CC 13 SLV (Collegamento 0021_-378)
Azioni sul collegamento: N=-5833.17 Ty=5.40 Tz=3.74 Mx=0.00 Mz=7.25
Sollecitazioni agenti localmente: Tx_l=5.40 Ty_l=3.74 N_l=-5833.17 My_l=-7.25 Mz_l=0.00
Azioni sul cordone: TP=0.40 TO=0.28 NO=-431.19
Tensioni nel cordone: τ_P=0.13 τ_0= 0.09 σ_0=147.64 σ_{ID}=147.64 Σ_T=147.73
CC 13 SLV (Collegamento 0021_-378)
Azioni sul collegamento: N=-7401.56 Ty=4.11 Tz=-1.71 Mx=0.00 Mz=3.66
Sollecitazioni agenti localmente: Tx_l=4.11 Ty_l=-1.71 N_l=-7401.56 My_l=-3.66 Mz_l=0.00
Azioni sul cordone: TP=0.30 TO=-0.12 NO=-547.13
Tensioni nel cordone: τ_P= 0.10 τ_0= 0.04 σ_0=179.25 σ_{ID}=179.25 Σ_T=179.29
CC 13 SLV (Collegamento 0021_-378)
Azioni sul collegamento: N=-7401.56 Ty=5.40 Tz=-1.71 Mx=0.00 Mz=7.25
Sollecitazioni agenti localmente: Tx_l=5.40 Ty_l=-1.71 N_l=-7401.56 My_l=-7.25 Mz_l=0.00
Azioni sul cordone: TP=0.40 TO=-0.12 NO=-547.13
Tensioni nel cordone: τ_P=0.13 τ_0= 0.04 σ_0=184.49 σ_{ID}=184.49 Σ_T=184.53
CC 13 SLV (Collegamento 0021_-378)
Azioni sul collegamento: N=-7401.56 Ty=4.11 Tz=3.74 Mx=0.00 Mz=3.66
Sollecitazioni agenti localmente: Tx_l=4.11 Ty_l=3.74 N_l=-7401.56 My_l=-3.66 Mz_l=0.00
Azioni sul cordone: TP=0.30 TO=0.28 NO=-547.13
Tensioni nel cordone: τ_P= 0.10 τ_0= 0.09 σ_0=179.25 σ_{ID}=179.25 Σ_T=179.34
CC 13 SLV (Collegamento 0021_-378)
Azioni sul collegamento: N=-7401.56 Ty=5.40 Tz=3.74 Mx=0.00 Mz=7.25
Sollecitazioni agenti localmente: Tx_l=5.40 Ty_l=3.74 N_l=-7401.56 My_l=-7.25 Mz_l=0.00
Azioni sul cordone: TP=0.40 TO=0.28 NO=-547.13
Tensioni nel cordone: τ_P=0.13 τ_0= 0.09 σ_0=184.49 σ_{ID}=184.49 Σ_T=184.58
CC 14 SLD (Collegamento 0021_-378)
Azioni sul collegamento: N=-6345.78 Ty=3.72 Tz=0.05 Mx=-0.00 Mz=2.82
Sollecitazioni agenti localmente: Tx_l=3.72 Ty_l=0.05 N_l=-6345.78 My_l=-2.82 Mz_l=-0.00
Azioni sul cordone: TP=0.28 TO=0.00 NO=-469.08
Tensioni nel cordone: τ_P= 0.09 τ_0=7.61E-04 σ_0=153.22 σ_{ID}=153.22 Σ_T=153.22
CC 14 SLD (Collegamento 0021_-378)
Azioni sul collegamento: N=-6345.78 Ty=4.11 Tz=0.05 Mx=-0.00 Mz=3.92
Sollecitazioni agenti localmente: Tx_l=4.11 Ty_l=0.05 N_l=-6345.78 My_l=-3.92 Mz_l=-0.00
Azioni sul cordone: TP=0.31 TO=0.00 NO=-469.08
Tensioni nel cordone: τ_P= 0.10 τ_0=7.61E-04 σ_0=154.82 σ_{ID}=154.82 Σ_T=154.82
CC 14 SLD (Collegamento 0021_-378)
Azioni sul collegamento: N=-6345.78 Ty=3.72 Tz=1.72 Mx=-0.00 Mz=2.82
Sollecitazioni agenti localmente: Tx_l=3.72 Ty_l=1.72 N_l=-6345.78 My_l=-2.82 Mz_l=-0.00
Azioni sul cordone: TP=0.28 TO=0.13 NO=-469.08
Tensioni nel cordone: τ_P= 0.09 τ_0= 0.04 σ_0=153.22 σ_{ID}=153.22 Σ_T=153.26
CC 14 SLD (Collegamento 0021_-378)
Azioni sul collegamento: N=-6345.78 Ty=4.11 Tz=1.72 Mx=-0.00 Mz=3.92
Sollecitazioni agenti localmente: Tx_l=4.11 Ty_l=1.72 N_l=-6345.78 My_l=-3.92 Mz_l=-0.00
Azioni sul cordone: TP=0.31 TO=0.13 NO=-469.08
Tensioni nel cordone: τ_P= 0.10 τ_0= 0.04 σ_0=154.82 σ_{ID}=154.82 Σ_T=154.86
CC 14 SLD (Collegamento 0021_-378)
Azioni sul collegamento: N=-6824.03 Ty=3.72 Tz=0.05 Mx=-0.00 Mz=2.82
Sollecitazioni agenti localmente: Tx_l=3.72 Ty_l=0.05 N_l=-6824.03 My_l=-2.82 Mz_l=-0.00
Azioni sul cordone: TP=0.28 TO=0.00 NO=-504.43
Tensioni nel cordone: τ_P= 0.09 τ_0=7.66E-04 σ_0=164.46 σ_{ID}=164.46 Σ_T=164.46
CC 14 SLD (Collegamento 0021_-378)
Azioni sul collegamento: N=-6824.03 Ty=4.11 Tz=0.05 Mx=-0.00 Mz=3.92
Sollecitazioni agenti localmente: Tx_l=4.11 Ty_l=0.05 N_l=-6824.03 My_l=-3.92 Mz_l=-0.00
Azioni sul cordone: TP=0.31 TO=0.00 NO=-504.43
Tensioni nel cordone: τ_P= 0.10 τ_0=7.66E-04 σ_0=166.06 σ_{ID}=166.06 Σ_T=166.06
CC 14 SLD (Collegamento 0021_-378)
Azioni sul collegamento: N=-6824.03 Ty=3.72 Tz=1.72 Mx=-0.00 Mz=2.82
Sollecitazioni agenti localmente: Tx_l=3.72 Ty_l=1.72 N_l=-6824.03 My_l=-2.82 Mz_l=-0.00
Azioni sul cordone: TP=0.28 TO=0.13 NO=-504.43
Tensioni nel cordone: τ_P= 0.09 τ_0= 0.04 σ_0=164.46 σ_{ID}=164.46 Σ_T=164.50
CC 14 SLD (Collegamento 0021_-378)
Azioni sul collegamento: N=-6824.03 Ty=4.11 Tz=1.72 Mx=-0.00 Mz=3.92
Sollecitazioni agenti localmente: Tx_l=4.11 Ty_l=1.72 N_l=-6824.03 My_l=-3.92 Mz_l=-0.00
Azioni sul cordone: TP=0.31 TO=0.13 NO=-504.43
Tensioni nel cordone: τ_P= 0.10 τ_0= 0.04 σ_0=166.06 σ_{ID}=166.06 Σ_T=166.10
CC 15 SLV (Collegamento 0021_-378)
Azioni sul collegamento: N=-7420.50 Ty=3.29 Tz=4.16 Mx=0.00 Mz=3.06
Sollecitazioni agenti localmente: Tx_l=3.29 Ty_l=4.16 N_l=-7420.50 My_l=-3.06 Mz_l=0.00
Azioni sul cordone: TP=0.24 TO=0.31 NO=-548.53
Tensioni nel cordone: τ_P= 0.08 τ_0= 0.10 σ_0=178.82 σ_{ID}=178.82 Σ_T=178.92
CC 15 SLV (Collegamento 0021_-378)
Azioni sul collegamento: N=-7420.50 Ty=6.23 Tz=4.16 Mx=0.00 Mz=7.84
Sollecitazioni agenti localmente: Tx_l=6.23 Ty_l=4.16 N_l=-7420.50 My_l=-7.84 Mz_l=0.00
Azioni sul cordone: TP=0.46 TO=0.31 NO=-548.53

Tensioni nel cordone: τ_P=0.15 τ_0= 0.10 σ_0=185.81 σ_{ID}=185.81 Σ_T=185.91
CC 15 SLV (Collegamento 0021_-378)
Azioni sul collegamento: N=-7420.50 Ty=3.29 Tz=-2.14 Mx=0.00 Mz=3.06
Sollecitazioni agenti localmente: Tx_l=3.29 Ty_l=-2.14 N_l=-7420.50 My_l=-3.06 Mz_l=0.00
Azioni sul cordone: TP=0.24 TO=-0.16 NO=-548.53
Tensioni nel cordone: τ_P= 0.08 τ_0= 0.05 σ_0=178.82 σ_{ID}=178.82 Σ_T=178.87
CC 15 SLV (Collegamento 0021_-378)
Azioni sul collegamento: N=-7420.50 Ty=6.23 Tz=-2.14 Mx=0.00 Mz=7.84
Sollecitazioni agenti localmente: Tx_l=6.23 Ty_l=-2.14 N_l=-7420.50 My_l=-7.84 Mz_l=0.00
Azioni sul cordone: TP=0.46 TO=-0.16 NO=-548.53
Tensioni nel cordone: τ_P=0.15 τ_0= 0.05 σ_0=185.81 σ_{ID}=185.81 Σ_T=185.86
CC 15 SLV (Collegamento 0021_-378)
Azioni sul collegamento: N=-5814.22 Ty=3.29 Tz=4.16 Mx=0.00 Mz=3.06
Sollecitazioni agenti localmente: Tx_l=3.29 Ty_l=4.16 N_l=-5814.22 My_l=-3.06 Mz_l=0.00
Azioni sul cordone: TP=0.24 TO=0.31 NO=-429.79
Tensioni nel cordone: τ_P= 0.08 τ_0= 0.10 σ_0=141.08 σ_{ID}=141.08 Σ_T=141.18
CC 15 SLV (Collegamento 0021_-378)
Azioni sul collegamento: N=-5814.22 Ty=6.23 Tz=4.16 Mx=0.00 Mz=7.84
Sollecitazioni agenti localmente: Tx_l=6.23 Ty_l=4.16 N_l=-5814.22 My_l=-7.84 Mz_l=0.00
Azioni sul cordone: TP=0.46 TO=0.31 NO=-429.79
Tensioni nel cordone: τ_P=0.15 τ_0= 0.10 σ_0=148.07 σ_{ID}=148.07 Σ_T=148.16
CC 15 SLV (Collegamento 0021_-378)
Azioni sul collegamento: N=-5814.22 Ty=3.29 Tz=-2.14 Mx=0.00 Mz=3.06
Sollecitazioni agenti localmente: Tx_l=3.29 Ty_l=-2.14 N_l=-5814.22 My_l=-3.06 Mz_l=0.00
Azioni sul cordone: TP=0.24 TO=-0.16 NO=-429.79
Tensioni nel cordone: τ_P= 0.08 τ_0= 0.05 σ_0=141.08 σ_{ID}=141.08 Σ_T=141.13
CC 15 SLV (Collegamento 0021_-378)
Azioni sul collegamento: N=-5814.22 Ty=6.23 Tz=-2.14 Mx=0.00 Mz=7.84
Sollecitazioni agenti localmente: Tx_l=6.23 Ty_l=-2.14 N_l=-5814.22 My_l=-7.84 Mz_l=0.00
Azioni sul cordone: TP=0.46 TO=-0.16 NO=-429.79
Tensioni nel cordone: τ_P=0.15 τ_0= 0.05 σ_0=148.07 σ_{ID}=148.07 Σ_T=148.12
CC 16 SLD (Collegamento 0021_-378)
Azioni sul collegamento: N=-6829.81 Ty=3.47 Tz=1.85 Mx=-0.00 Mz=2.64
Sollecitazioni agenti localmente: Tx_l=3.47 Ty_l=1.85 N_l=-6829.81 My_l=-2.64 Mz_l=-0.00
Azioni sul cordone: TP=0.26 TO=0.13 NO=-504.86
Tensioni nel cordone: τ_P= 0.08 τ_0= 0.04 σ_0=164.33 σ_{ID}=164.33 Σ_T=164.37
CC 16 SLD (Collegamento 0021_-378)
Azioni sul collegamento: N=-6829.81 Ty=4.36 Tz=1.85 Mx=-0.00 Mz=4.10
Sollecitazioni agenti localmente: Tx_l=4.36 Ty_l=1.85 N_l=-6829.81 My_l=-4.10 Mz_l=-0.00
Azioni sul cordone: TP=0.33 TO=0.13 NO=-504.86
Tensioni nel cordone: τ_P=0.10 τ_0= 0.04 σ_0=166.46 σ_{ID}=166.46 Σ_T=166.50
CC 16 SLD (Collegamento 0021_-378)
Azioni sul collegamento: N=-6829.81 Ty=3.47 Tz=-0.08 Mx=-0.00 Mz=2.64
Sollecitazioni agenti localmente: Tx_l=3.47 Ty_l=-0.08 N_l=-6829.81 My_l=-2.64 Mz_l=-0.00
Azioni sul cordone: TP=0.26 TO=-0.01 NO=-504.86
Tensioni nel cordone: τ_P= 0.08 τ_0=2.37E-03 σ_0=164.33 σ_{ID}=164.33 Σ_T=164.33
CC 16 SLD (Collegamento 0021_-378)
Azioni sul collegamento: N=-6829.81 Ty=4.36 Tz=-0.08 Mx=-0.00 Mz=4.10
Sollecitazioni agenti localmente: Tx_l=4.36 Ty_l=-0.08 N_l=-6829.81 My_l=-4.10 Mz_l=-0.00
Azioni sul cordone: TP=0.33 TO=-0.01 NO=-504.86
Tensioni nel cordone: τ_P=0.10 τ_0=2.37E-03 σ_0=166.46 σ_{ID}=166.46 Σ_T=166.46
CC 16 SLD (Collegamento 0021_-378)
Azioni sul collegamento: N=-6340.00 Ty=3.47 Tz=1.85 Mx=-0.00 Mz=2.64
Sollecitazioni agenti localmente: Tx_l=3.47 Ty_l=1.85 N_l=-6340.00 My_l=-2.64 Mz_l=-0.00
Azioni sul cordone: TP=0.26 TO=0.13 NO=-468.65
Tensioni nel cordone: τ_P= 0.08 τ_0= 0.04 σ_0=152.82 σ_{ID}=152.82 Σ_T=152.86
CC 16 SLD (Collegamento 0021_-378)
Azioni sul collegamento: N=-6340.00 Ty=4.36 Tz=1.85 Mx=-0.00 Mz=4.10
Sollecitazioni agenti localmente: Tx_l=4.36 Ty_l=1.85 N_l=-6340.00 My_l=-4.10 Mz_l=-0.00
Azioni sul cordone: TP=0.33 TO=0.13 NO=-468.65
Tensioni nel cordone: τ_P=0.10 τ_0= 0.04 σ_0=154.95 σ_{ID}=154.95 Σ_T=154.99
CC 16 SLD (Collegamento 0021_-378)
Azioni sul collegamento: N=-6340.00 Ty=3.47 Tz=-0.08 Mx=-0.00 Mz=2.64
Sollecitazioni agenti localmente: Tx_l=3.47 Ty_l=-0.08 N_l=-6340.00 My_l=-2.64 Mz_l=-0.00
Azioni sul cordone: TP=0.26 TO=-0.01 NO=-468.65
Tensioni nel cordone: τ_P= 0.08 τ_0=2.36E-03 σ_0=152.82 σ_{ID}=152.82 Σ_T=152.82
CC 16 SLD (Collegamento 0021_-378)
Azioni sul collegamento: N=-6340.00 Ty=4.36 Tz=-0.08 Mx=-0.00 Mz=4.10
Sollecitazioni agenti localmente: Tx_l=4.36 Ty_l=-0.08 N_l=-6340.00 My_l=-4.10 Mz_l=-0.00
Azioni sul cordone: TP=0.33 TO=-0.01 NO=-468.65
Tensioni nel cordone: τ_P=0.10 τ_0=2.36E-03 σ_0=154.95 σ_{ID}=154.95 Σ_T=154.95
CC 17 SLV (Collegamento 0021_-378)
Azioni sul collegamento: N=-3875.57 Ty=0.64 Tz=-9.21 Mx=-0.02 Mz=1.09
Sollecitazioni agenti localmente: Tx_l=0.64 Ty_l=-9.21 N_l=-3875.57 My_l=-1.09 Mz_l=-0.02
Azioni sul cordone: TP=0.07 TO=-0.70 NO=-286.48
Tensioni nel cordone: τ_P= 0.02 τ_0=0.22 σ_0=92.64 σ_{ID}=92.64 Σ_T=92.87
CC 17 SLV (Collegamento 0021_-378)
Azioni sul collegamento: N=-3875.57 Ty=4.02 Tz=-9.21 Mx=-0.02 Mz=-2.16
Sollecitazioni agenti localmente: Tx_l=4.02 Ty_l=-9.21 N_l=-3875.57 My_l=2.16 Mz_l=-0.02

Azioni sul cordone: TP=0.32 TO=-0.66 NO=-286.48
Tensioni nel cordone: τ_P=0.10 τ_O=0.21 σ_O=94.22 σ_{ID}=94.22 Σ_T=94.43
CC 17 SLV (Collegamento 0021_-378)
Azioni sul collegamento: N=-3875.57 Ty=0.64 Tz=10.50 Mx=-0.02 Mz=1.09
Sollecitazioni agenti localmente: Tx_l=0.64 Ty_l=10.50 N_l=-3875.57 My_l=-1.09 Mz_l=-0.02
Azioni sul cordone: TP=0.07 TO=0.76 NO=-286.48
Tensioni nel cordone: τ_P= 0.02 τ_O=0.24 σ_O=92.64 σ_{ID}=92.64 Σ_T=92.89
CC 17 SLV (Collegamento 0021_-378)
Azioni sul collegamento: N=-3875.57 Ty=4.02 Tz=10.50 Mx=-0.02 Mz=-2.16
Sollecitazioni agenti localmente: Tx_l=4.02 Ty_l=10.50 N_l=-3875.57 My_l=2.16 Mz_l=-0.02
Azioni sul cordone: TP=0.32 TO=0.79 NO=-286.48
Tensioni nel cordone: τ_P=0.10 τ_O=0.25 σ_O=94.22 σ_{ID}=94.22 Σ_T=94.47
CC 17 SLV (Collegamento 0021_-378)
Azioni sul collegamento: N=-9172.38 Ty=0.64 Tz=-9.21 Mx=-0.02 Mz=1.09
Sollecitazioni agenti localmente: Tx_l=0.64 Ty_l=-9.21 N_l=-9172.38 My_l=-1.09 Mz_l=-0.02
Azioni sul cordone: TP=0.07 TO=-0.70 NO=-678.02
Tensioni nel cordone: τ_P= 0.02 τ_O=0.22 σ_O=217.09 σ_{ID}=217.09 Σ_T=217.32
CC 17 SLV (Collegamento 0021_-378)
Azioni sul collegamento: N=-9172.38 Ty=4.02 Tz=-9.21 Mx=-0.02 Mz=-2.16
Sollecitazioni agenti localmente: Tx_l=4.02 Ty_l=-9.21 N_l=-9172.38 My_l=2.16 Mz_l=-0.02
Azioni sul cordone: TP=0.32 TO=-0.66 NO=-678.02
Tensioni nel cordone: τ_P=0.10 τ_O=0.21 σ_O=218.67 σ_{ID}=218.67 Σ_T=218.88
CC 17 SLV (Collegamento 0021_-378)
Azioni sul collegamento: N=-9172.38 Ty=0.64 Tz=10.50 Mx=-0.02 Mz=1.09
Sollecitazioni agenti localmente: Tx_l=0.64 Ty_l=10.50 N_l=-9172.38 My_l=-1.09 Mz_l=-0.02
Azioni sul cordone: TP=0.07 TO=0.76 NO=-678.02
Tensioni nel cordone: τ_P= 0.02 τ_O=0.24 σ_O=217.09 σ_{ID}=217.09 Σ_T=217.34
CC 17 SLV (Collegamento 0021_-378)
Azioni sul collegamento: N=-9172.38 Ty=4.02 Tz=10.50 Mx=-0.02 Mz=-2.16
Sollecitazioni agenti localmente: Tx_l=4.02 Ty_l=10.50 N_l=-9172.38 My_l=2.16 Mz_l=-0.02
Azioni sul cordone: TP=0.32 TO=0.79 NO=-678.02
Tensioni nel cordone: τ_P=0.10 τ_O=0.25 σ_O=218.67 σ_{ID}=218.67 Σ_T=218.92
CC 18 SLD (Collegamento 0021_-378)
Azioni sul collegamento: N=-5748.85 Ty=3.69 Tz=-2.23 Mx=-0.01 Mz=2.04
Sollecitazioni agenti localmente: Tx_l=3.69 Ty_l=-2.23 N_l=-5748.85 My_l=-2.04 Mz_l=-0.01
Azioni sul cordone: TP=0.28 TO=-0.17 NO=-424.96
Tensioni nel cordone: τ_P= 0.09 τ_O= 0.05 σ_O=138.05 σ_{ID}=138.05 Σ_T=138.10
CC 18 SLD (Collegamento 0021_-378)
Azioni sul collegamento: N=-5748.85 Ty=2.66 Tz=-2.23 Mx=-0.01 Mz=1.05
Sollecitazioni agenti localmente: Tx_l=2.66 Ty_l=-2.23 N_l=-5748.85 My_l=-1.05 Mz_l=-0.01
Azioni sul cordone: TP=0.21 TO=-0.17 NO=-424.96
Tensioni nel cordone: τ_P= 0.07 τ_O= 0.05 σ_O=136.60 σ_{ID}=136.60 Σ_T=136.66
CC 18 SLD (Collegamento 0021_-378)
Azioni sul collegamento: N=-5748.85 Ty=3.69 Tz=3.78 Mx=-0.01 Mz=2.04
Sollecitazioni agenti localmente: Tx_l=3.69 Ty_l=3.78 N_l=-5748.85 My_l=-2.04 Mz_l=-0.01
Azioni sul cordone: TP=0.28 TO=0.27 NO=-424.96
Tensioni nel cordone: τ_P= 0.09 τ_O= 0.09 σ_O=138.05 σ_{ID}=138.05 Σ_T=138.14
CC 18 SLD (Collegamento 0021_-378)
Azioni sul collegamento: N=-5748.85 Ty=2.66 Tz=3.78 Mx=-0.01 Mz=1.05
Sollecitazioni agenti localmente: Tx_l=2.66 Ty_l=3.78 N_l=-5748.85 My_l=-1.05 Mz_l=-0.01
Azioni sul cordone: TP=0.21 TO=0.27 NO=-424.96
Tensioni nel cordone: τ_P= 0.07 τ_O= 0.09 σ_O=136.60 σ_{ID}=136.60 Σ_T=136.69
CC 18 SLD (Collegamento 0021_-378)
Azioni sul collegamento: N=-7364.01 Ty=3.69 Tz=-2.23 Mx=-0.01 Mz=2.04
Sollecitazioni agenti localmente: Tx_l=3.69 Ty_l=-2.23 N_l=-7364.01 My_l=-2.04 Mz_l=-0.01
Azioni sul cordone: TP=0.28 TO=-0.17 NO=-544.35
Tensioni nel cordone: τ_P= 0.09 τ_O= 0.05 σ_O=176.00 σ_{ID}=176.00 Σ_T=176.05
CC 18 SLD (Collegamento 0021_-378)
Azioni sul collegamento: N=-7364.01 Ty=2.66 Tz=-2.23 Mx=-0.01 Mz=1.05
Sollecitazioni agenti localmente: Tx_l=2.66 Ty_l=-2.23 N_l=-7364.01 My_l=-1.05 Mz_l=-0.01
Azioni sul cordone: TP=0.21 TO=-0.17 NO=-544.35
Tensioni nel cordone: τ_P= 0.07 τ_O= 0.05 σ_O=174.55 σ_{ID}=174.55 Σ_T=174.61
CC 18 SLD (Collegamento 0021_-378)
Azioni sul collegamento: N=-7364.01 Ty=3.69 Tz=3.78 Mx=-0.01 Mz=2.04
Sollecitazioni agenti localmente: Tx_l=3.69 Ty_l=3.78 N_l=-7364.01 My_l=-2.04 Mz_l=-0.01
Azioni sul cordone: TP=0.28 TO=0.27 NO=-544.35
Tensioni nel cordone: τ_P= 0.09 τ_O= 0.09 σ_O=176.00 σ_{ID}=176.00 Σ_T=176.09
CC 18 SLD (Collegamento 0021_-378)
Azioni sul collegamento: N=-7364.01 Ty=2.66 Tz=3.78 Mx=-0.01 Mz=1.05
Sollecitazioni agenti localmente: Tx_l=2.66 Ty_l=3.78 N_l=-7364.01 My_l=-1.05 Mz_l=-0.01
Azioni sul cordone: TP=0.21 TO=0.27 NO=-544.35
Tensioni nel cordone: τ_P= 0.07 τ_O= 0.09 σ_O=174.55 σ_{ID}=174.55 Σ_T=174.64
CC 19 SLV (Collegamento 0021_-378)
Azioni sul collegamento: N=-3881.26 Ty=1.27 Tz=-9.09 Mx=-0.02 Mz=-0.17
Sollecitazioni agenti localmente: Tx_l=1.27 Ty_l=-9.09 N_l=-3881.26 My_l=0.17 Mz_l=-0.02
Azioni sul cordone: TP=0.11 TO=-0.66 NO=-286.90
Tensioni nel cordone: τ_P= 0.04 τ_O=0.21 σ_O=91.44 σ_{ID}=91.44 Σ_T=91.65
CC 19 SLV (Collegamento 0021_-378)
Azioni sul collegamento: N=-3881.26 Ty=3.39 Tz=-9.09 Mx=-0.02 Mz=-0.91

Sollecitazioni agenti localmente: Tx_l=3.39 Ty_l=-9.09 N_l=-3881.26 My_l=0.91 Mz_l=-0.02
Azioni sul cordone: TP=0.27 TO=-0.66 NO=-286.90
Tensioni nel cordone: τ_P= 0.09 τ_O=0.21 σ_O=92.52 σ_{ID}=92.52 Σ_T=92.73
CC 19 SLV (Collegamento 0021_-378)
Azioni sul collegamento: N=-3881.26 Ty=1.27 Tz=10.37 Mx=-0.02 Mz=-0.17
Sollecitazioni agenti localmente: Tx_l=1.27 Ty_l=10.37 N_l=-3881.26 My_l=0.17 Mz_l=-0.02
Azioni sul cordone: TP=0.11 TO=0.78 NO=-286.90
Tensioni nel cordone: τ_P= 0.04 τ_O=0.25 σ_O=91.44 σ_{ID}=91.44 Σ_T=91.69
CC 19 SLV (Collegamento 0021_-378)
Azioni sul collegamento: N=-3881.26 Ty=3.39 Tz=10.37 Mx=-0.02 Mz=-0.91
Sollecitazioni agenti localmente: Tx_l=3.39 Ty_l=10.37 N_l=-3881.26 My_l=0.91 Mz_l=-0.02
Azioni sul cordone: TP=0.27 TO=0.78 NO=-286.90
Tensioni nel cordone: τ_P= 0.09 τ_O=0.25 σ_O=92.52 σ_{ID}=92.52 Σ_T=92.76
CC 19 SLV (Collegamento 0021_-378)
Azioni sul collegamento: N=-9166.69 Ty=1.27 Tz=-9.09 Mx=-0.02 Mz=-0.17
Sollecitazioni agenti localmente: Tx_l=1.27 Ty_l=-9.09 N_l=-9166.69 My_l=0.17 Mz_l=-0.02
Azioni sul cordone: TP=0.11 TO=-0.66 NO=-677.61
Tensioni nel cordone: τ_P= 0.04 τ_O=0.21 σ_O=215.63 σ_{ID}=215.63 Σ_T=215.83
CC 19 SLV (Collegamento 0021_-378)
Azioni sul collegamento: N=-9166.69 Ty=3.39 Tz=-9.09 Mx=-0.02 Mz=-0.91
Sollecitazioni agenti localmente: Tx_l=3.39 Ty_l=-9.09 N_l=-9166.69 My_l=0.91 Mz_l=-0.02
Azioni sul cordone: TP=0.27 TO=-0.66 NO=-677.61
Tensioni nel cordone: τ_P= 0.09 τ_O=0.21 σ_O=216.70 σ_{ID}=216.70 Σ_T=216.91
CC 19 SLV (Collegamento 0021_-378)
Azioni sul collegamento: N=-9166.69 Ty=1.27 Tz=10.37 Mx=-0.02 Mz=-0.17
Sollecitazioni agenti localmente: Tx_l=1.27 Ty_l=10.37 N_l=-9166.69 My_l=0.17 Mz_l=-0.02
Azioni sul cordone: TP=0.11 TO=0.78 NO=-677.61
Tensioni nel cordone: τ_P= 0.04 τ_O=0.25 σ_O=215.63 σ_{ID}=215.63 Σ_T=215.87
CC 19 SLV (Collegamento 0021_-378)
Azioni sul collegamento: N=-9166.69 Ty=3.39 Tz=10.37 Mx=-0.02 Mz=-0.91
Sollecitazioni agenti localmente: Tx_l=3.39 Ty_l=10.37 N_l=-9166.69 My_l=0.91 Mz_l=-0.02
Azioni sul cordone: TP=0.27 TO=0.78 NO=-677.61
Tensioni nel cordone: τ_P= 0.09 τ_O=0.25 σ_O=216.70 σ_{ID}=216.70 Σ_T=216.95
CC 20 SLD (Collegamento 0021_-378)
Azioni sul collegamento: N=-5750.58 Ty=3.50 Tz=-2.19 Mx=-0.01 Mz=1.66
Sollecitazioni agenti localmente: Tx_l=3.50 Ty_l=-2.19 N_l=-5750.58 My_l=-1.66 Mz_l=-0.01
Azioni sul cordone: TP=0.27 TO=-0.17 NO=-425.08
Tensioni nel cordone: τ_P= 0.08 τ_O= 0.05 σ_O=137.53 σ_{ID}=137.53 Σ_T=137.59
CC 20 SLD (Collegamento 0021_-378)
Azioni sul collegamento: N=-5750.58 Ty=2.85 Tz=-2.19 Mx=-0.01 Mz=1.43
Sollecitazioni agenti localmente: Tx_l=2.85 Ty_l=-2.19 N_l=-5750.58 My_l=-1.43 Mz_l=-0.01
Azioni sul cordone: TP=0.22 TO=-0.17 NO=-425.08
Tensioni nel cordone: τ_P= 0.07 τ_O= 0.05 σ_O=137.20 σ_{ID}=137.20 Σ_T=137.26
CC 20 SLD (Collegamento 0021_-378)
Azioni sul collegamento: N=-5750.58 Ty=3.50 Tz=3.74 Mx=-0.01 Mz=1.66
Sollecitazioni agenti localmente: Tx_l=3.50 Ty_l=3.74 N_l=-5750.58 My_l=-1.66 Mz_l=-0.01
Azioni sul cordone: TP=0.27 TO=0.27 NO=-425.08
Tensioni nel cordone: τ_P= 0.08 τ_O= 0.09 σ_O=137.53 σ_{ID}=137.53 Σ_T=137.62
CC 20 SLD (Collegamento 0021_-378)
Azioni sul collegamento: N=-5750.58 Ty=2.85 Tz=3.74 Mx=-0.01 Mz=1.43
Sollecitazioni agenti localmente: Tx_l=2.85 Ty_l=3.74 N_l=-5750.58 My_l=-1.43 Mz_l=-0.01
Azioni sul cordone: TP=0.22 TO=0.27 NO=-425.08
Tensioni nel cordone: τ_P= 0.07 τ_O= 0.09 σ_O=137.20 σ_{ID}=137.20 Σ_T=137.29
CC 20 SLD (Collegamento 0021_-378)
Azioni sul collegamento: N=-7362.28 Ty=3.50 Tz=-2.19 Mx=-0.01 Mz=1.66
Sollecitazioni agenti localmente: Tx_l=3.50 Ty_l=-2.19 N_l=-7362.28 My_l=-1.66 Mz_l=-0.01
Azioni sul cordone: TP=0.27 TO=-0.17 NO=-544.22
Tensioni nel cordone: τ_P= 0.08 τ_O= 0.05 σ_O=175.40 σ_{ID}=175.40 Σ_T=175.45
CC 20 SLD (Collegamento 0021_-378)
Azioni sul collegamento: N=-7362.28 Ty=2.85 Tz=-2.19 Mx=-0.01 Mz=1.43
Sollecitazioni agenti localmente: Tx_l=2.85 Ty_l=-2.19 N_l=-7362.28 My_l=-1.43 Mz_l=-0.01
Azioni sul cordone: TP=0.22 TO=-0.17 NO=-544.22
Tensioni nel cordone: τ_P= 0.07 τ_O= 0.05 σ_O=175.07 σ_{ID}=175.07 Σ_T=175.13
CC 20 SLD (Collegamento 0021_-378)
Azioni sul collegamento: N=-7362.28 Ty=3.50 Tz=3.74 Mx=-0.01 Mz=1.66
Sollecitazioni agenti localmente: Tx_l=3.50 Ty_l=3.74 N_l=-7362.28 My_l=-1.66 Mz_l=-0.01
Azioni sul cordone: TP=0.27 TO=0.27 NO=-544.22
Tensioni nel cordone: τ_P= 0.08 τ_O= 0.09 σ_O=175.40 σ_{ID}=175.40 Σ_T=175.49
CC 20 SLD (Collegamento 0021_-378)
Azioni sul collegamento: N=-7362.28 Ty=2.85 Tz=3.74 Mx=-0.01 Mz=1.43
Sollecitazioni agenti localmente: Tx_l=2.85 Ty_l=3.74 N_l=-7362.28 My_l=-1.43 Mz_l=-0.01
Azioni sul cordone: TP=0.22 TO=0.27 NO=-544.22
Tensioni nel cordone: τ_P= 0.07 τ_O= 0.09 σ_O=175.07 σ_{ID}=175.07 Σ_T=175.16
CC 21 SLV (Collegamento 0021_-378)
Azioni sul collegamento: N=-9166.69 Ty=3.39 Tz=10.37 Mx=-0.02 Mz=-0.91
Sollecitazioni agenti localmente: Tx_l=3.39 Ty_l=10.37 N_l=-9166.69 My_l=0.91 Mz_l=-0.02
Azioni sul cordone: TP=0.27 TO=0.78 NO=-677.61
Tensioni nel cordone: τ_P= 0.09 τ_O=0.25 σ_O=216.70 σ_{ID}=216.70 Σ_T=216.95
CC 21 SLV (Collegamento 0021_-378)

Azioni sul collegamento: N=-9166.69 Ty=1.27 Tz=10.37 Mx=-0.02 Mz=-0.17
Sollecitazioni agenti localmente: Tx_l=1.27 Ty_l=10.37 N_l=-9166.69 My_l=0.17 Mz_l=-0.02
Azioni sul cordone: TP=0.12 TO=0.78 NO=-677.61
Tensioni nel cordone: τ_P= 0.04 τ_O=0.25 σ_O=215.63 σ_{ID}=215.63 Σ_T=215.87
CC 21 SLV (Collegamento 0021_-378)
Azioni sul collegamento: N=-9166.69 Ty=3.39 Tz=-9.09 Mx=-0.02 Mz=-0.91
Sollecitazioni agenti localmente: Tx_l=3.39 Ty_l=-9.09 N_l=-9166.69 My_l=0.91 Mz_l=-0.02
Azioni sul cordone: TP=0.27 TO=-0.66 NO=-677.61
Tensioni nel cordone: τ_P= 0.09 τ_O=0.21 σ_O=216.70 σ_{ID}=216.70 Σ_T=216.91
CC 21 SLV (Collegamento 0021_-378)
Azioni sul collegamento: N=-9166.69 Ty=1.27 Tz=-9.09 Mx=-0.02 Mz=-0.17
Sollecitazioni agenti localmente: Tx_l=1.27 Ty_l=-9.09 N_l=-9166.69 My_l=0.17 Mz_l=-0.02
Azioni sul cordone: TP=0.12 TO=-0.66 NO=-677.61
Tensioni nel cordone: τ_P= 0.04 τ_O=0.21 σ_O=215.63 σ_{ID}=215.63 Σ_T=215.83
CC 21 SLV (Collegamento 0021_-378)
Azioni sul collegamento: N=-3881.26 Ty=3.39 Tz=10.37 Mx=-0.02 Mz=-0.91
Sollecitazioni agenti localmente: Tx_l=3.39 Ty_l=10.37 N_l=-3881.26 My_l=0.91 Mz_l=-0.02
Azioni sul cordone: TP=0.27 TO=0.78 NO=-286.90
Tensioni nel cordone: τ_P= 0.09 τ_O=0.25 σ_O=92.52 σ_{ID}=92.52 Σ_T=92.76
CC 21 SLV (Collegamento 0021_-378)
Azioni sul collegamento: N=-3881.26 Ty=1.27 Tz=10.37 Mx=-0.02 Mz=-0.17
Sollecitazioni agenti localmente: Tx_l=1.27 Ty_l=10.37 N_l=-3881.26 My_l=0.17 Mz_l=-0.02
Azioni sul cordone: TP=0.12 TO=0.78 NO=-286.90
Tensioni nel cordone: τ_P= 0.04 τ_O=0.25 σ_O=91.44 σ_{ID}=91.44 Σ_T=91.69
CC 21 SLV (Collegamento 0021_-378)
Azioni sul collegamento: N=-3881.26 Ty=3.39 Tz=-9.09 Mx=-0.02 Mz=-0.91
Sollecitazioni agenti localmente: Tx_l=3.39 Ty_l=-9.09 N_l=-3881.26 My_l=0.91 Mz_l=-0.02
Azioni sul cordone: TP=0.27 TO=-0.66 NO=-286.90
Tensioni nel cordone: τ_P= 0.09 τ_O=0.21 σ_O=92.52 σ_{ID}=92.52 Σ_T=92.72
CC 21 SLV (Collegamento 0021_-378)
Azioni sul collegamento: N=-3881.26 Ty=1.27 Tz=-9.09 Mx=-0.02 Mz=-0.17
Sollecitazioni agenti localmente: Tx_l=1.27 Ty_l=-9.09 N_l=-3881.26 My_l=0.17 Mz_l=-0.02
Azioni sul cordone: TP=0.12 TO=-0.66 NO=-286.90
Tensioni nel cordone: τ_P= 0.04 τ_O=0.21 σ_O=91.44 σ_{ID}=91.44 Σ_T=91.65
CC 22 SLD (Collegamento 0021_-378)
Azioni sul collegamento: N=-7362.28 Ty=2.85 Tz=3.74 Mx=-0.01 Mz=1.43
Sollecitazioni agenti localmente: Tx_l=2.85 Ty_l=3.74 N_l=-7362.28 My_l=-1.43 Mz_l=-0.01
Azioni sul cordone: TP=0.22 TO=0.27 NO=-544.22
Tensioni nel cordone: τ_P= 0.07 τ_O= 0.09 σ_O=175.07 σ_{ID}=175.07 Σ_T=175.16
CC 22 SLD (Collegamento 0021_-378)
Azioni sul collegamento: N=-7362.28 Ty=3.50 Tz=3.74 Mx=-0.01 Mz=1.66
Sollecitazioni agenti localmente: Tx_l=3.50 Ty_l=3.74 N_l=-7362.28 My_l=-1.66 Mz_l=-0.01
Azioni sul cordone: TP=0.27 TO=0.27 NO=-544.22
Tensioni nel cordone: τ_P= 0.09 τ_O= 0.09 σ_O=175.40 σ_{ID}=175.40 Σ_T=175.49
CC 22 SLD (Collegamento 0021_-378)
Azioni sul collegamento: N=-7362.28 Ty=2.85 Tz=-2.19 Mx=-0.01 Mz=1.43
Sollecitazioni agenti localmente: Tx_l=2.85 Ty_l=-2.19 N_l=-7362.28 My_l=-1.43 Mz_l=-0.01
Azioni sul cordone: TP=0.22 TO=-0.17 NO=-544.22
Tensioni nel cordone: τ_P= 0.07 τ_O= 0.05 σ_O=175.07 σ_{ID}=175.07 Σ_T=175.13
CC 22 SLD (Collegamento 0021_-378)
Azioni sul collegamento: N=-7362.28 Ty=3.50 Tz=-2.19 Mx=-0.01 Mz=1.66
Sollecitazioni agenti localmente: Tx_l=3.50 Ty_l=-2.19 N_l=-7362.28 My_l=-1.66 Mz_l=-0.01
Azioni sul cordone: TP=0.27 TO=-0.17 NO=-544.22
Tensioni nel cordone: τ_P= 0.09 τ_O= 0.05 σ_O=175.40 σ_{ID}=175.40 Σ_T=175.45
CC 22 SLD (Collegamento 0021_-378)
Azioni sul collegamento: N=-5750.58 Ty=2.85 Tz=3.74 Mx=-0.01 Mz=1.43
Sollecitazioni agenti localmente: Tx_l=2.85 Ty_l=3.74 N_l=-5750.58 My_l=-1.43 Mz_l=-0.01
Azioni sul cordone: TP=0.22 TO=0.27 NO=-425.08
Tensioni nel cordone: τ_P= 0.07 τ_O= 0.09 σ_O=137.20 σ_{ID}=137.20 Σ_T=137.29
CC 22 SLD (Collegamento 0021_-378)
Azioni sul collegamento: N=-5750.58 Ty=3.50 Tz=3.74 Mx=-0.01 Mz=1.66
Sollecitazioni agenti localmente: Tx_l=3.50 Ty_l=3.74 N_l=-5750.58 My_l=-1.66 Mz_l=-0.01
Azioni sul cordone: TP=0.27 TO=0.27 NO=-425.08
Tensioni nel cordone: τ_P= 0.09 τ_O= 0.09 σ_O=137.53 σ_{ID}=137.53 Σ_T=137.62
CC 22 SLD (Collegamento 0021_-378)
Azioni sul collegamento: N=-5750.58 Ty=2.85 Tz=-2.19 Mx=-0.01 Mz=1.43
Sollecitazioni agenti localmente: Tx_l=2.85 Ty_l=-2.19 N_l=-5750.58 My_l=-1.43 Mz_l=-0.01
Azioni sul cordone: TP=0.22 TO=-0.17 NO=-425.08
Tensioni nel cordone: τ_P= 0.07 τ_O= 0.05 σ_O=137.20 σ_{ID}=137.20 Σ_T=137.26
CC 22 SLD (Collegamento 0021_-378)
Azioni sul collegamento: N=-5750.58 Ty=3.50 Tz=-2.19 Mx=-0.01 Mz=1.66
Sollecitazioni agenti localmente: Tx_l=3.50 Ty_l=-2.19 N_l=-5750.58 My_l=-1.66 Mz_l=-0.01
Azioni sul cordone: TP=0.27 TO=-0.17 NO=-425.08
Tensioni nel cordone: τ_P= 0.09 τ_O= 0.05 σ_O=137.53 σ_{ID}=137.53 Σ_T=137.59
CC 23 SLV (Collegamento 0021_-378)
Azioni sul collegamento: N=-9172.38 Ty=4.02 Tz=10.50 Mx=-0.01 Mz=-2.16
Sollecitazioni agenti localmente: Tx_l=4.02 Ty_l=10.50 N_l=-9172.38 My_l=2.16 Mz_l=-0.01
Azioni sul cordone: TP=0.31 TO=0.79 NO=-678.02
Tensioni nel cordone: τ_P= 0.10 τ_O=0.25 σ_O=218.67 σ_{ID}=218.67 Σ_T=218.92

CC 23 SLV (Collegamento 0021_-378)
Azioni sul collegamento: N=-9172.38 Ty=0.64 Tz=10.50 Mx=-0.01 Mz=1.09
Sollecitazioni agenti localmente: Tx_l=0.64 Ty_l=10.50 N_l=-9172.38 My_l=-1.09 Mz_l=-0.01
Azioni sul cordone: TP=0.06 TO=0.77 NO=-678.02
Tensioni nel cordone: τ_P= 0.02 τ_0=0.24 σ_0=217.09 σ_{ID}=217.09 Σ_T=217.34
CC 23 SLV (Collegamento 0021_-378)
Azioni sul collegamento: N=-9172.38 Ty=4.02 Tz=-9.21 Mx=-0.01 Mz=-2.16
Sollecitazioni agenti localmente: Tx_l=4.02 Ty_l=-9.21 N_l=-9172.38 My_l=2.16 Mz_l=-0.01
Azioni sul cordone: TP=0.31 TO=-0.67 NO=-678.02
Tensioni nel cordone: τ_P= 0.10 τ_0=0.21 σ_0=218.67 σ_{ID}=218.67 Σ_T=218.88
CC 23 SLV (Collegamento 0021_-378)
Azioni sul collegamento: N=-9172.38 Ty=0.64 Tz=-9.21 Mx=-0.01 Mz=1.09
Sollecitazioni agenti localmente: Tx_l=0.64 Ty_l=-9.21 N_l=-9172.38 My_l=-1.09 Mz_l=-0.01
Azioni sul cordone: TP=0.06 TO=-0.69 NO=-678.02
Tensioni nel cordone: τ_P= 0.02 τ_0=0.22 σ_0=217.09 σ_{ID}=217.09 Σ_T=217.31
CC 23 SLV (Collegamento 0021_-378)
Azioni sul collegamento: N=-3875.57 Ty=4.02 Tz=10.50 Mx=-0.01 Mz=-2.16
Sollecitazioni agenti localmente: Tx_l=4.02 Ty_l=10.50 N_l=-3875.57 My_l=2.16 Mz_l=-0.01
Azioni sul cordone: TP=0.31 TO=0.79 NO=-286.48
Tensioni nel cordone: τ_P= 0.10 τ_0=0.25 σ_0=94.22 σ_{ID}=94.22 Σ_T=94.47
CC 23 SLV (Collegamento 0021_-378)
Azioni sul collegamento: N=-3875.57 Ty=0.64 Tz=10.50 Mx=-0.01 Mz=1.09
Sollecitazioni agenti localmente: Tx_l=0.64 Ty_l=10.50 N_l=-3875.57 My_l=-1.09 Mz_l=-0.01
Azioni sul cordone: TP=0.06 TO=0.77 NO=-286.48
Tensioni nel cordone: τ_P= 0.02 τ_0=0.24 σ_0=92.64 σ_{ID}=92.64 Σ_T=92.89
CC 23 SLV (Collegamento 0021_-378)
Azioni sul collegamento: N=-3875.57 Ty=4.02 Tz=-9.21 Mx=-0.01 Mz=-2.16
Sollecitazioni agenti localmente: Tx_l=4.02 Ty_l=-9.21 N_l=-3875.57 My_l=2.16 Mz_l=-0.01
Azioni sul cordone: TP=0.31 TO=-0.67 NO=-286.48
Tensioni nel cordone: τ_P= 0.10 τ_0=0.21 σ_0=94.22 σ_{ID}=94.22 Σ_T=94.43
CC 23 SLV (Collegamento 0021_-378)
Azioni sul collegamento: N=-3875.57 Ty=0.64 Tz=-9.21 Mx=-0.01 Mz=1.09
Sollecitazioni agenti localmente: Tx_l=0.64 Ty_l=-9.21 N_l=-3875.57 My_l=-1.09 Mz_l=-0.01
Azioni sul cordone: TP=0.06 TO=-0.69 NO=-286.48
Tensioni nel cordone: τ_P= 0.02 τ_0=0.22 σ_0=92.64 σ_{ID}=92.64 Σ_T=92.86
CC 24 SLD (Collegamento 0021_-378)
Azioni sul collegamento: N=-7364.01 Ty=2.66 Tz=3.78 Mx=-0.01 Mz=1.05
Sollecitazioni agenti localmente: Tx_l=2.66 Ty_l=3.78 N_l=-7364.01 My_l=-1.05 Mz_l=-0.01
Azioni sul cordone: TP=0.20 TO=0.27 NO=-544.35
Tensioni nel cordone: τ_P= 0.06 τ_0= 0.09 σ_0=174.55 σ_{ID}=174.55 Σ_T=174.64
CC 24 SLD (Collegamento 0021_-378)
Azioni sul collegamento: N=-7364.01 Ty=3.69 Tz=3.78 Mx=-0.01 Mz=2.04
Sollecitazioni agenti localmente: Tx_l=3.69 Ty_l=3.78 N_l=-7364.01 My_l=-2.04 Mz_l=-0.01
Azioni sul cordone: TP=0.28 TO=0.27 NO=-544.35
Tensioni nel cordone: τ_P= 0.09 τ_0= 0.09 σ_0=176.00 σ_{ID}=176.00 Σ_T=176.09
CC 24 SLD (Collegamento 0021_-378)
Azioni sul collegamento: N=-7364.01 Ty=2.66 Tz=-2.23 Mx=-0.01 Mz=1.05
Sollecitazioni agenti localmente: Tx_l=2.66 Ty_l=-2.23 N_l=-7364.01 My_l=-1.05 Mz_l=-0.01
Azioni sul cordone: TP=0.20 TO=-0.17 NO=-544.35
Tensioni nel cordone: τ_P= 0.06 τ_0= 0.05 σ_0=174.55 σ_{ID}=174.55 Σ_T=174.61
CC 24 SLD (Collegamento 0021_-378)
Azioni sul collegamento: N=-7364.01 Ty=3.69 Tz=-2.23 Mx=-0.01 Mz=2.04
Sollecitazioni agenti localmente: Tx_l=3.69 Ty_l=-2.23 N_l=-7364.01 My_l=-2.04 Mz_l=-0.01
Azioni sul cordone: TP=0.28 TO=-0.17 NO=-544.35
Tensioni nel cordone: τ_P= 0.09 τ_0= 0.05 σ_0=176.00 σ_{ID}=176.00 Σ_T=176.05
CC 24 SLD (Collegamento 0021_-378)
Azioni sul collegamento: N=-5748.85 Ty=2.66 Tz=3.78 Mx=-0.01 Mz=1.05
Sollecitazioni agenti localmente: Tx_l=2.66 Ty_l=3.78 N_l=-5748.85 My_l=-1.05 Mz_l=-0.01
Azioni sul cordone: TP=0.20 TO=0.27 NO=-424.96
Tensioni nel cordone: τ_P= 0.06 τ_0= 0.09 σ_0=136.60 σ_{ID}=136.60 Σ_T=136.69
CC 24 SLD (Collegamento 0021_-378)
Azioni sul collegamento: N=-5748.85 Ty=3.69 Tz=3.78 Mx=-0.01 Mz=2.04
Sollecitazioni agenti localmente: Tx_l=3.69 Ty_l=3.78 N_l=-5748.85 My_l=-2.04 Mz_l=-0.01
Azioni sul cordone: TP=0.28 TO=0.27 NO=-424.96
Tensioni nel cordone: τ_P= 0.09 τ_0= 0.09 σ_0=138.05 σ_{ID}=138.05 Σ_T=138.14
CC 24 SLD (Collegamento 0021_-378)
Azioni sul collegamento: N=-5748.85 Ty=2.66 Tz=-2.23 Mx=-0.01 Mz=1.05
Sollecitazioni agenti localmente: Tx_l=2.66 Ty_l=-2.23 N_l=-5748.85 My_l=-1.05 Mz_l=-0.01
Azioni sul cordone: TP=0.20 TO=-0.17 NO=-424.96
Tensioni nel cordone: τ_P= 0.06 τ_0= 0.05 σ_0=136.60 σ_{ID}=136.60 Σ_T=136.66
CC 24 SLD (Collegamento 0021_-378)
Azioni sul collegamento: N=-5748.85 Ty=3.69 Tz=-2.23 Mx=-0.01 Mz=2.04
Sollecitazioni agenti localmente: Tx_l=3.69 Ty_l=-2.23 N_l=-5748.85 My_l=-2.04 Mz_l=-0.01
Azioni sul cordone: TP=0.28 TO=-0.17 NO=-424.96
Tensioni nel cordone: τ_P= 0.09 τ_0= 0.05 σ_0=138.05 σ_{ID}=138.05 Σ_T=138.10
CC 25 SLV (Collegamento 0021_-378)
Azioni sul collegamento: N=-5720.83 Ty=0.86 Tz=-2.51 Mx=-0.03 Mz=1.85
Sollecitazioni agenti localmente: Tx_l=0.86 Ty_l=-2.51 N_l=-5720.83 My_l=-1.85 Mz_l=-0.03
Azioni sul cordone: TP=0.09 TO=-0.21 NO=-422.89

Tensioni nel cordone: τ_P= 0.03 τ_0= 0.07 σ_0=137.12 σ_{ID}=137.12 Σ_T=137.19
CC 25 SLV (Collegamento 0021_-378)
Azioni sul collegamento: N=-5720.83 Ty=3.80 Tz=-2.51 Mx=-0.03 Mz=-2.93
Sollecitazioni agenti localmente: Tx_l=3.80 Ty_l=-2.51 N_l=-5720.83 My_l=2.93 Mz_l=-0.03
Azioni sul cordone: TP=0.31 TO=-0.16 NO=-422.89
Tensioni nel cordone: τ_P= 0.10 τ_0= 0.05 σ_0=138.69 σ_{ID}=138.69 Σ_T=138.75
CC 25 SLV (Collegamento 0021_-378)
Azioni sul collegamento: N=-5720.83 Ty=0.86 Tz=3.80 Mx=-0.03 Mz=1.85
Sollecitazioni agenti localmente: Tx_l=0.86 Ty_l=3.80 N_l=-5720.83 My_l=-1.85 Mz_l=-0.03
Azioni sul cordone: TP=0.09 TO=0.26 NO=-422.89
Tensioni nel cordone: τ_P= 0.03 τ_0= 0.08 σ_0=137.12 σ_{ID}=137.12 Σ_T=137.20
CC 25 SLV (Collegamento 0021_-378)
Azioni sul collegamento: N=-5720.83 Ty=3.80 Tz=3.80 Mx=-0.03 Mz=-2.93
Sollecitazioni agenti localmente: Tx_l=3.80 Ty_l=3.80 N_l=-5720.83 My_l=2.93 Mz_l=-0.03
Azioni sul cordone: TP=0.31 TO=0.30 NO=-422.89
Tensioni nel cordone: τ_P= 0.10 τ_0= 0.10 σ_0=138.69 σ_{ID}=138.69 Σ_T=138.79
CC 25 SLV (Collegamento 0021_-378)
Azioni sul collegamento: N=-7327.12 Ty=0.86 Tz=-2.51 Mx=-0.03 Mz=1.85
Sollecitazioni agenti localmente: Tx_l=0.86 Ty_l=-2.51 N_l=-7327.12 My_l=-1.85 Mz_l=-0.03
Azioni sul cordone: TP=0.09 TO=-0.21 NO=-541.62
Tensioni nel cordone: τ_P= 0.03 τ_0= 0.07 σ_0=174.86 σ_{ID}=174.86 Σ_T=174.93
CC 25 SLV (Collegamento 0021_-378)
Azioni sul collegamento: N=-7327.12 Ty=3.80 Tz=-2.51 Mx=-0.03 Mz=-2.93
Sollecitazioni agenti localmente: Tx_l=3.80 Ty_l=-2.51 N_l=-7327.12 My_l=2.93 Mz_l=-0.03
Azioni sul cordone: TP=0.31 TO=-0.16 NO=-541.62
Tensioni nel cordone: τ_P= 0.10 τ_0= 0.05 σ_0=176.44 σ_{ID}=176.44 Σ_T=176.49
CC 25 SLV (Collegamento 0021_-378)
Azioni sul collegamento: N=-7327.12 Ty=0.86 Tz=3.80 Mx=-0.03 Mz=1.85
Sollecitazioni agenti localmente: Tx_l=0.86 Ty_l=3.80 N_l=-7327.12 My_l=-1.85 Mz_l=-0.03
Azioni sul cordone: TP=0.09 TO=0.26 NO=-541.62
Tensioni nel cordone: τ_P= 0.03 τ_0= 0.08 σ_0=174.86 σ_{ID}=174.86 Σ_T=174.94
CC 25 SLV (Collegamento 0021_-378)
Azioni sul collegamento: N=-7327.12 Ty=3.80 Tz=3.80 Mx=-0.03 Mz=-2.93
Sollecitazioni agenti localmente: Tx_l=3.80 Ty_l=3.80 N_l=-7327.12 My_l=2.93 Mz_l=-0.03
Azioni sul cordone: TP=0.31 TO=0.30 NO=-541.62
Tensioni nel cordone: τ_P= 0.10 τ_0= 0.10 σ_0=176.44 σ_{ID}=176.44 Σ_T=176.53
CC 26 SLD (Collegamento 0021_-378)
Azioni sul collegamento: N=-6311.53 Ty=3.62 Tz=-0.19 Mx=-0.01 Mz=2.27
Sollecitazioni agenti localmente: Tx_l=3.62 Ty_l=-0.19 N_l=-6311.53 My_l=-2.27 Mz_l=-0.01
Azioni sul cordone: TP=0.28 TO=-0.02 NO=-466.55
Tensioni nel cordone: τ_P= 0.09 τ_0=7.07E-03 σ_0=151.61 σ_{ID}=151.61 Σ_T=151.62
CC 26 SLD (Collegamento 0021_-378)
Azioni sul collegamento: N=-6311.53 Ty=2.73 Tz=-0.19 Mx=-0.01 Mz=0.81
Sollecitazioni agenti localmente: Tx_l=2.73 Ty_l=-0.19 N_l=-6311.53 My_l=-0.81 Mz_l=-0.01
Azioni sul cordone: TP=0.21 TO=-0.02 NO=-466.55
Tensioni nel cordone: τ_P= 0.07 τ_0=7.07E-03 σ_0=149.48 σ_{ID}=149.48 Σ_T=149.49
CC 26 SLD (Collegamento 0021_-378)
Azioni sul collegamento: N=-6311.53 Ty=3.62 Tz=1.73 Mx=-0.01 Mz=2.27
Sollecitazioni agenti localmente: Tx_l=3.62 Ty_l=1.73 N_l=-6311.53 My_l=-2.27 Mz_l=-0.01
Azioni sul cordone: TP=0.28 TO=0.12 NO=-466.55
Tensioni nel cordone: τ_P= 0.09 τ_0= 0.04 σ_0=151.61 σ_{ID}=151.61 Σ_T=151.65
CC 26 SLD (Collegamento 0021_-378)
Azioni sul collegamento: N=-6311.53 Ty=2.73 Tz=1.73 Mx=-0.01 Mz=0.81
Sollecitazioni agenti localmente: Tx_l=2.73 Ty_l=1.73 N_l=-6311.53 My_l=-0.81 Mz_l=-0.01
Azioni sul cordone: TP=0.21 TO=0.12 NO=-466.55
Tensioni nel cordone: τ_P= 0.07 τ_0= 0.04 σ_0=149.48 σ_{ID}=149.48 Σ_T=149.52
CC 26 SLD (Collegamento 0021_-378)
Azioni sul collegamento: N=-6801.33 Ty=3.62 Tz=-0.19 Mx=-0.01 Mz=2.27
Sollecitazioni agenti localmente: Tx_l=3.62 Ty_l=-0.19 N_l=-6801.33 My_l=-2.27 Mz_l=-0.01
Azioni sul cordone: TP=0.28 TO=-0.02 NO=-502.76
Tensioni nel cordone: τ_P= 0.09 τ_0=7.08E-03 σ_0=163.12 σ_{ID}=163.12 Σ_T=163.13
CC 26 SLD (Collegamento 0021_-378)
Azioni sul collegamento: N=-6801.33 Ty=2.73 Tz=-0.19 Mx=-0.01 Mz=0.81
Sollecitazioni agenti localmente: Tx_l=2.73 Ty_l=-0.19 N_l=-6801.33 My_l=-0.81 Mz_l=-0.01
Azioni sul cordone: TP=0.21 TO=-0.02 NO=-502.76
Tensioni nel cordone: τ_P= 0.07 τ_0=7.08E-03 σ_0=160.99 σ_{ID}=160.99 Σ_T=161.00
CC 26 SLD (Collegamento 0021_-378)
Azioni sul collegamento: N=-6801.33 Ty=3.62 Tz=1.73 Mx=-0.01 Mz=2.27
Sollecitazioni agenti localmente: Tx_l=3.62 Ty_l=1.73 N_l=-6801.33 My_l=-2.27 Mz_l=-0.01
Azioni sul cordone: TP=0.28 TO=0.12 NO=-502.76
Tensioni nel cordone: τ_P= 0.09 τ_0= 0.04 σ_0=163.12 σ_{ID}=163.12 Σ_T=163.16
CC 26 SLD (Collegamento 0021_-378)
Azioni sul collegamento: N=-6801.33 Ty=2.73 Tz=1.73 Mx=-0.01 Mz=0.81
Sollecitazioni agenti localmente: Tx_l=2.73 Ty_l=1.73 N_l=-6801.33 My_l=-0.81 Mz_l=-0.01
Azioni sul cordone: TP=0.21 TO=0.12 NO=-502.76
Tensioni nel cordone: τ_P= 0.07 τ_0= 0.04 σ_0=160.99 σ_{ID}=160.99 Σ_T=161.03
CC 27 SLV (Collegamento 0021_-378)
Azioni sul collegamento: N=-7308.17 Ty=1.68 Tz=3.37 Mx=-0.02 Mz=1.26
Sollecitazioni agenti localmente: Tx_l=1.68 Ty_l=3.37 N_l=-7308.17 My_l=-1.26 Mz_l=-0.02

Azioni sul cordone: TP=0.15 TO=0.23 NO=-540.22
Tensioni nel cordone: τ_P= 0.05 τ_0= 0.07 σ_0=173.54 σ_{ID}=173.54 Σ_T=173.62
CC 27 SLV (Collegamento 0021_-378)
Azioni sul collegamento: N=-7308.17 Ty=2.97 Tz=3.37 Mx=-0.02 Mz=-2.33
Sollecitazioni agenti localmente: Tx_l=2.97 Ty_l=3.37 N_l=-7308.17 My_l=2.33 Mz_l=-0.02
Azioni sul cordone: TP=0.25 TO=0.27 NO=-540.22
Tensioni nel cordone: τ_P= 0.08 τ_0= 0.09 σ_0=175.12 σ_{ID}=175.12 Σ_T=175.20
CC 27 SLV (Collegamento 0021_-378)
Azioni sul collegamento: N=-7308.17 Ty=1.68 Tz=-2.08 Mx=-0.02 Mz=1.26
Sollecitazioni agenti localmente: Tx_l=1.68 Ty_l=-2.08 N_l=-7308.17 My_l=-1.26 Mz_l=-0.02
Azioni sul cordone: TP=0.15 TO=-0.17 NO=-540.22
Tensioni nel cordone: τ_P= 0.05 τ_0= 0.06 σ_0=173.54 σ_{ID}=173.54 Σ_T=173.60
CC 27 SLV (Collegamento 0021_-378)
Azioni sul collegamento: N=-7308.17 Ty=2.97 Tz=-2.08 Mx=-0.02 Mz=-2.33
Sollecitazioni agenti localmente: Tx_l=2.97 Ty_l=-2.08 N_l=-7308.17 My_l=2.33 Mz_l=-0.02
Azioni sul cordone: TP=0.25 TO=-0.13 NO=-540.22
Tensioni nel cordone: τ_P= 0.08 τ_0= 0.04 σ_0=175.12 σ_{ID}=175.12 Σ_T=175.16
CC 27 SLV (Collegamento 0021_-378)
Azioni sul collegamento: N=-5739.78 Ty=1.68 Tz=3.37 Mx=-0.02 Mz=1.26
Sollecitazioni agenti localmente: Tx_l=1.68 Ty_l=3.37 N_l=-5739.78 My_l=-1.26 Mz_l=-0.02
Azioni sul cordone: TP=0.15 TO=0.23 NO=-424.29
Tensioni nel cordone: τ_P= 0.05 τ_0= 0.07 σ_0=136.69 σ_{ID}=136.69 Σ_T=136.77
CC 27 SLV (Collegamento 0021_-378)
Azioni sul collegamento: N=-5739.78 Ty=2.97 Tz=3.37 Mx=-0.02 Mz=-2.33
Sollecitazioni agenti localmente: Tx_l=2.97 Ty_l=3.37 N_l=-5739.78 My_l=2.33 Mz_l=-0.02
Azioni sul cordone: TP=0.25 TO=0.27 NO=-424.29
Tensioni nel cordone: τ_P= 0.08 τ_0= 0.09 σ_0=138.27 σ_{ID}=138.27 Σ_T=138.35
CC 27 SLV (Collegamento 0021_-378)
Azioni sul collegamento: N=-5739.78 Ty=1.68 Tz=-2.08 Mx=-0.02 Mz=1.26
Sollecitazioni agenti localmente: Tx_l=1.68 Ty_l=-2.08 N_l=-5739.78 My_l=-1.26 Mz_l=-0.02
Azioni sul cordone: TP=0.15 TO=-0.17 NO=-424.29
Tensioni nel cordone: τ_P= 0.05 τ_0= 0.06 σ_0=136.69 σ_{ID}=136.69 Σ_T=136.75
CC 27 SLV (Collegamento 0021_-378)
Azioni sul collegamento: N=-5739.78 Ty=2.97 Tz=-2.08 Mx=-0.02 Mz=-2.33
Sollecitazioni agenti localmente: Tx_l=2.97 Ty_l=-2.08 N_l=-5739.78 My_l=2.33 Mz_l=-0.02
Azioni sul cordone: TP=0.25 TO=-0.13 NO=-424.29
Tensioni nel cordone: τ_P= 0.08 τ_0= 0.04 σ_0=138.27 σ_{ID}=138.27 Σ_T=138.31
CC 28 SLD (Collegamento 0021_-378)
Azioni sul collegamento: N=-6795.56 Ty=3.37 Tz=1.60 Mx=-0.01 Mz=2.09
Sollecitazioni agenti localmente: Tx_l=3.37 Ty_l=1.60 N_l=-6795.56 My_l=-2.09 Mz_l=-0.01
Azioni sul cordone: TP=0.26 TO=0.11 NO=-502.33
Tensioni nel cordone: τ_P= 0.08 τ_0= 0.04 σ_0=162.72 σ_{ID}=162.72 Σ_T=162.75
CC 28 SLD (Collegamento 0021_-378)
Azioni sul collegamento: N=-6795.56 Ty=2.98 Tz=1.60 Mx=-0.01 Mz=1.00
Sollecitazioni agenti localmente: Tx_l=2.98 Ty_l=1.60 N_l=-6795.56 My_l=-1.00 Mz_l=-0.01
Azioni sul cordone: TP=0.23 TO=0.11 NO=-502.33
Tensioni nel cordone: τ_P= 0.07 τ_0= 0.04 σ_0=161.12 σ_{ID}=161.12 Σ_T=161.16
CC 28 SLD (Collegamento 0021_-378)
Azioni sul collegamento: N=-6795.56 Ty=3.37 Tz=-0.06 Mx=-0.01 Mz=2.09
Sollecitazioni agenti localmente: Tx_l=3.37 Ty_l=-0.06 N_l=-6795.56 My_l=-2.09 Mz_l=-0.01
Azioni sul cordone: TP=0.26 TO=-0.01 NO=-502.33
Tensioni nel cordone: τ_P= 0.08 τ_0=3.94E-03 σ_0=162.72 σ_{ID}=162.72 Σ_T=162.72
CC 28 SLD (Collegamento 0021_-378)
Azioni sul collegamento: N=-6795.56 Ty=2.98 Tz=-0.06 Mx=-0.01 Mz=1.00
Sollecitazioni agenti localmente: Tx_l=2.98 Ty_l=-0.06 N_l=-6795.56 My_l=-1.00 Mz_l=-0.01
Azioni sul cordone: TP=0.23 TO=-0.01 NO=-502.33
Tensioni nel cordone: τ_P= 0.07 τ_0=3.94E-03 σ_0=161.12 σ_{ID}=161.12 Σ_T=161.12
CC 28 SLD (Collegamento 0021_-378)
Azioni sul collegamento: N=-6317.30 Ty=3.37 Tz=1.60 Mx=-0.01 Mz=2.09
Sollecitazioni agenti localmente: Tx_l=3.37 Ty_l=1.60 N_l=-6317.30 My_l=-2.09 Mz_l=-0.01
Azioni sul cordone: TP=0.26 TO=0.11 NO=-466.98
Tensioni nel cordone: τ_P= 0.08 τ_0= 0.04 σ_0=151.48 σ_{ID}=151.48 Σ_T=151.52
CC 28 SLD (Collegamento 0021_-378)
Azioni sul collegamento: N=-6317.30 Ty=2.98 Tz=1.60 Mx=-0.01 Mz=1.00
Sollecitazioni agenti localmente: Tx_l=2.98 Ty_l=1.60 N_l=-6317.30 My_l=-1.00 Mz_l=-0.01
Azioni sul cordone: TP=0.23 TO=0.11 NO=-466.98
Tensioni nel cordone: τ_P= 0.07 τ_0= 0.04 σ_0=149.88 σ_{ID}=149.88 Σ_T=149.92
CC 28 SLD (Collegamento 0021_-378)
Azioni sul collegamento: N=-6317.30 Ty=3.37 Tz=-0.06 Mx=-0.01 Mz=2.09
Sollecitazioni agenti localmente: Tx_l=3.37 Ty_l=-0.06 N_l=-6317.30 My_l=-2.09 Mz_l=-0.01
Azioni sul cordone: TP=0.26 TO=-0.01 NO=-466.98
Tensioni nel cordone: τ_P= 0.08 τ_0=3.95E-03 σ_0=151.48 σ_{ID}=151.48 Σ_T=151.49
CC 28 SLD (Collegamento 0021_-378)
Azioni sul collegamento: N=-6317.30 Ty=2.98 Tz=-0.06 Mx=-0.01 Mz=1.00
Sollecitazioni agenti localmente: Tx_l=2.98 Ty_l=-0.06 N_l=-6317.30 My_l=-1.00 Mz_l=-0.01
Azioni sul cordone: TP=0.23 TO=-0.01 NO=-466.98
Tensioni nel cordone: τ_P= 0.07 τ_0=3.95E-03 σ_0=149.88 σ_{ID}=149.88 Σ_T=149.89
CC 29 SLV (Collegamento 0021_-378)
Azioni sul collegamento: N=-5739.78 Ty=2.97 Tz=-2.08 Mx=-0.01 Mz=-2.33

Sollecitazioni agenti localmente: Tx_l=2.97 Ty_l=-2.08 N_l=-5739.78 My_l=2.33 Mz_l=-0.01
Azioni sul cordone: TP=0.23 TO=-0.15 NO=-424.29
Tensioni nel cordone: τ_P= 0.07 τ_O= 0.05 σ_O=138.27 σ_{ID}=138.27 Σ_T=138.31
CC 29 SLV (Collegamento 0021_-378)
Azioni sul collegamento: N=-5739.78 Ty=1.68 Tz=-2.08 Mx=-0.01 Mz=1.26
Sollecitazioni agenti localmente: Tx_l=1.68 Ty_l=-2.08 N_l=-5739.78 My_l=-1.26 Mz_l=-0.01
Azioni sul cordone: TP=0.14 TO=-0.16 NO=-424.29
Tensioni nel cordone: τ_P= 0.04 τ_O= 0.05 σ_O=136.69 σ_{ID}=136.69 Σ_T=136.75
CC 29 SLV (Collegamento 0021_-378)
Azioni sul collegamento: N=-5739.78 Ty=2.97 Tz=3.37 Mx=-0.01 Mz=-2.33
Sollecitazioni agenti localmente: Tx_l=2.97 Ty_l=3.37 N_l=-5739.78 My_l=2.33 Mz_l=-0.01
Azioni sul cordone: TP=0.23 TO=0.26 NO=-424.29
Tensioni nel cordone: τ_P= 0.07 τ_O= 0.08 σ_O=138.27 σ_{ID}=138.27 Σ_T=138.35
CC 29 SLV (Collegamento 0021_-378)
Azioni sul collegamento: N=-5739.78 Ty=1.68 Tz=3.37 Mx=-0.01 Mz=1.26
Sollecitazioni agenti localmente: Tx_l=1.68 Ty_l=3.37 N_l=-5739.78 My_l=-1.26 Mz_l=-0.01
Azioni sul cordone: TP=0.14 TO=0.24 NO=-424.29
Tensioni nel cordone: τ_P= 0.04 τ_O= 0.08 σ_O=136.69 σ_{ID}=136.69 Σ_T=136.77
CC 29 SLV (Collegamento 0021_-378)
Azioni sul collegamento: N=-7308.17 Ty=2.97 Tz=-2.08 Mx=-0.01 Mz=-2.33
Sollecitazioni agenti localmente: Tx_l=2.97 Ty_l=-2.08 N_l=-7308.17 My_l=2.33 Mz_l=-0.01
Azioni sul cordone: TP=0.23 TO=-0.15 NO=-540.22
Tensioni nel cordone: τ_P= 0.07 τ_O= 0.05 σ_O=175.12 σ_{ID}=175.12 Σ_T=175.16
CC 29 SLV (Collegamento 0021_-378)
Azioni sul collegamento: N=-7308.17 Ty=1.68 Tz=-2.08 Mx=-0.01 Mz=1.26
Sollecitazioni agenti localmente: Tx_l=1.68 Ty_l=-2.08 N_l=-7308.17 My_l=-1.26 Mz_l=-0.01
Azioni sul cordone: TP=0.14 TO=-0.16 NO=-540.22
Tensioni nel cordone: τ_P= 0.04 τ_O= 0.05 σ_O=173.54 σ_{ID}=173.54 Σ_T=173.59
CC 29 SLV (Collegamento 0021_-378)
Azioni sul collegamento: N=-7308.17 Ty=2.97 Tz=3.37 Mx=-0.01 Mz=-2.33
Sollecitazioni agenti localmente: Tx_l=2.97 Ty_l=3.37 N_l=-7308.17 My_l=2.33 Mz_l=-0.01
Azioni sul cordone: TP=0.23 TO=0.26 NO=-540.22
Tensioni nel cordone: τ_P= 0.07 τ_O= 0.08 σ_O=175.12 σ_{ID}=175.12 Σ_T=175.20
CC 29 SLV (Collegamento 0021_-378)
Azioni sul collegamento: N=-7308.17 Ty=1.68 Tz=3.37 Mx=-0.01 Mz=1.26
Sollecitazioni agenti localmente: Tx_l=1.68 Ty_l=3.37 N_l=-7308.17 My_l=-1.26 Mz_l=-0.01
Azioni sul cordone: TP=0.14 TO=0.24 NO=-540.22
Tensioni nel cordone: τ_P= 0.04 τ_O= 0.08 σ_O=173.54 σ_{ID}=173.54 Σ_T=173.62
CC 30 SLD (Collegamento 0021_-378)
Azioni sul collegamento: N=-6317.30 Ty=2.98 Tz=-0.06 Mx=-0.01 Mz=1.00
Sollecitazioni agenti localmente: Tx_l=2.98 Ty_l=-0.06 N_l=-6317.30 My_l=-1.00 Mz_l=-0.01
Azioni sul cordone: TP=0.23 TO=-0.01 NO=-466.98
Tensioni nel cordone: τ_P= 0.07 τ_O=2.78E-03 σ_O=149.88 σ_{ID}=149.88 Σ_T=149.89
CC 30 SLD (Collegamento 0021_-378)
Azioni sul collegamento: N=-6317.30 Ty=3.37 Tz=-0.06 Mx=-0.01 Mz=2.09
Sollecitazioni agenti localmente: Tx_l=3.37 Ty_l=-0.06 N_l=-6317.30 My_l=-2.09 Mz_l=-0.01
Azioni sul cordone: TP=0.26 TO=-0.01 NO=-466.98
Tensioni nel cordone: τ_P= 0.08 τ_O=2.78E-03 σ_O=151.48 σ_{ID}=151.48 Σ_T=151.49
CC 30 SLD (Collegamento 0021_-378)
Azioni sul collegamento: N=-6317.30 Ty=2.98 Tz=1.60 Mx=-0.01 Mz=1.00
Sollecitazioni agenti localmente: Tx_l=2.98 Ty_l=1.60 N_l=-6317.30 My_l=-1.00 Mz_l=-0.01
Azioni sul cordone: TP=0.23 TO=0.11 NO=-466.98
Tensioni nel cordone: τ_P= 0.07 τ_O= 0.04 σ_O=149.88 σ_{ID}=149.88 Σ_T=149.92
CC 30 SLD (Collegamento 0021_-378)
Azioni sul collegamento: N=-6317.30 Ty=3.37 Tz=1.60 Mx=-0.01 Mz=2.09
Sollecitazioni agenti localmente: Tx_l=3.37 Ty_l=1.60 N_l=-6317.30 My_l=-2.09 Mz_l=-0.01
Azioni sul cordone: TP=0.26 TO=0.11 NO=-466.98
Tensioni nel cordone: τ_P= 0.08 τ_O= 0.04 σ_O=151.48 σ_{ID}=151.48 Σ_T=151.52
CC 30 SLD (Collegamento 0021_-378)
Azioni sul collegamento: N=-6795.56 Ty=2.98 Tz=-0.06 Mx=-0.01 Mz=1.00
Sollecitazioni agenti localmente: Tx_l=2.98 Ty_l=-0.06 N_l=-6795.56 My_l=-1.00 Mz_l=-0.01
Azioni sul cordone: TP=0.23 TO=-0.01 NO=-502.33
Tensioni nel cordone: τ_P= 0.07 τ_O=2.78E-03 σ_O=161.12 σ_{ID}=161.12 Σ_T=161.12
CC 30 SLD (Collegamento 0021_-378)
Azioni sul collegamento: N=-6795.56 Ty=3.37 Tz=-0.06 Mx=-0.01 Mz=2.09
Sollecitazioni agenti localmente: Tx_l=3.37 Ty_l=-0.06 N_l=-6795.56 My_l=-2.09 Mz_l=-0.01
Azioni sul cordone: TP=0.26 TO=-0.01 NO=-502.33
Tensioni nel cordone: τ_P= 0.08 τ_O=2.78E-03 σ_O=162.72 σ_{ID}=162.72 Σ_T=162.72
CC 30 SLD (Collegamento 0021_-378)
Azioni sul collegamento: N=-6795.56 Ty=2.98 Tz=1.60 Mx=-0.01 Mz=1.00
Sollecitazioni agenti localmente: Tx_l=2.98 Ty_l=1.60 N_l=-6795.56 My_l=-1.00 Mz_l=-0.01
Azioni sul cordone: TP=0.23 TO=0.11 NO=-502.33
Tensioni nel cordone: τ_P= 0.07 τ_O= 0.04 σ_O=161.12 σ_{ID}=161.12 Σ_T=161.16
CC 30 SLD (Collegamento 0021_-378)
Azioni sul collegamento: N=-6795.56 Ty=3.37 Tz=1.60 Mx=-0.01 Mz=2.09
Sollecitazioni agenti localmente: Tx_l=3.37 Ty_l=1.60 N_l=-6795.56 My_l=-2.09 Mz_l=-0.01
Azioni sul cordone: TP=0.26 TO=0.11 NO=-502.33
Tensioni nel cordone: τ_P= 0.08 τ_O= 0.04 σ_O=162.72 σ_{ID}=162.72 Σ_T=162.75
CC 31 SLV (Collegamento 0021_-378)

Azioni sul collegamento: N=-7327.12 Ty=3.80 Tz=3.80 Mx=-0.01 Mz=-2.93
Sollecitazioni agenti localmente: Tx_l=3.80 Ty_l=3.80 N_l=-7327.12 My_l=2.93 Mz_l=-0.01
Azioni sul cordone: TP=0.29 TO=0.29 NO=-541.62
Tensioni nel cordone: τ_P= 0.09 τ_0= 0.09 σ_0=176.44 σ_{ID}=176.44 Σ_T=176.53
CC 31 SLV (Collegamento 0021_-378)
Azioni sul collegamento: N=-7327.12 Ty=0.86 Tz=3.80 Mx=-0.01 Mz=1.85
Sollecitazioni agenti localmente: Tx_l=0.86 Ty_l=3.80 N_l=-7327.12 My_l=-1.85 Mz_l=-0.01
Azioni sul cordone: TP=0.07 TO=0.27 NO=-541.62
Tensioni nel cordone: τ_P= 0.02 τ_0= 0.09 σ_0=174.86 σ_{ID}=174.86 Σ_T=174.95
CC 31 SLV (Collegamento 0021_-378)
Azioni sul collegamento: N=-7327.12 Ty=3.80 Tz=-2.51 Mx=-0.01 Mz=-2.93
Sollecitazioni agenti localmente: Tx_l=3.80 Ty_l=-2.51 N_l=-7327.12 My_l=2.93 Mz_l=-0.01
Azioni sul cordone: TP=0.29 TO=-0.18 NO=-541.62
Tensioni nel cordone: τ_P= 0.09 τ_0= 0.06 σ_0=176.44 σ_{ID}=176.44 Σ_T=176.49
CC 31 SLV (Collegamento 0021_-378)
Azioni sul collegamento: N=-7327.12 Ty=0.86 Tz=-2.51 Mx=-0.01 Mz=1.85
Sollecitazioni agenti localmente: Tx_l=0.86 Ty_l=-2.51 N_l=-7327.12 My_l=-1.85 Mz_l=-0.01
Azioni sul cordone: TP=0.07 TO=-0.19 NO=-541.62
Tensioni nel cordone: τ_P= 0.02 τ_0= 0.06 σ_0=174.86 σ_{ID}=174.86 Σ_T=174.92
CC 31 SLV (Collegamento 0021_-378)
Azioni sul collegamento: N=-5720.83 Ty=3.80 Tz=3.80 Mx=-0.01 Mz=-2.93
Sollecitazioni agenti localmente: Tx_l=3.80 Ty_l=3.80 N_l=-5720.83 My_l=2.93 Mz_l=-0.01
Azioni sul cordone: TP=0.29 TO=0.29 NO=-422.89
Tensioni nel cordone: τ_P= 0.09 τ_0= 0.09 σ_0=138.69 σ_{ID}=138.69 Σ_T=138.79
CC 31 SLV (Collegamento 0021_-378)
Azioni sul collegamento: N=-5720.83 Ty=0.86 Tz=3.80 Mx=-0.01 Mz=1.85
Sollecitazioni agenti localmente: Tx_l=0.86 Ty_l=3.80 N_l=-5720.83 My_l=-1.85 Mz_l=-0.01
Azioni sul cordone: TP=0.07 TO=0.27 NO=-422.89
Tensioni nel cordone: τ_P= 0.02 τ_0= 0.09 σ_0=137.12 σ_{ID}=137.12 Σ_T=137.21
CC 31 SLV (Collegamento 0021_-378)
Azioni sul collegamento: N=-5720.83 Ty=3.80 Tz=-2.51 Mx=-0.01 Mz=-2.93
Sollecitazioni agenti localmente: Tx_l=3.80 Ty_l=-2.51 N_l=-5720.83 My_l=2.93 Mz_l=-0.01
Azioni sul cordone: TP=0.29 TO=-0.18 NO=-422.89
Tensioni nel cordone: τ_P= 0.09 τ_0= 0.06 σ_0=138.69 σ_{ID}=138.69 Σ_T=138.75
CC 31 SLV (Collegamento 0021_-378)
Azioni sul collegamento: N=-5720.83 Ty=0.86 Tz=-2.51 Mx=-0.01 Mz=1.85
Sollecitazioni agenti localmente: Tx_l=0.86 Ty_l=-2.51 N_l=-5720.83 My_l=-1.85 Mz_l=-0.01
Azioni sul cordone: TP=0.07 TO=-0.19 NO=-422.89
Tensioni nel cordone: τ_P= 0.02 τ_0= 0.06 σ_0=137.12 σ_{ID}=137.12 Σ_T=137.18
CC 32 SLD (Collegamento 0021_-378)
Azioni sul collegamento: N=-6801.33 Ty=2.73 Tz=1.73 Mx=-0.01 Mz=0.81
Sollecitazioni agenti localmente: Tx_l=2.73 Ty_l=1.73 N_l=-6801.33 My_l=-0.81 Mz_l=-0.01
Azioni sul cordone: TP=0.21 TO=0.12 NO=-502.76
Tensioni nel cordone: τ_P= 0.07 τ_0= 0.04 σ_0=160.99 σ_{ID}=160.99 Σ_T=161.03
CC 32 SLD (Collegamento 0021_-378)
Azioni sul collegamento: N=-6801.33 Ty=3.62 Tz=1.73 Mx=-0.01 Mz=2.27
Sollecitazioni agenti localmente: Tx_l=3.62 Ty_l=1.73 N_l=-6801.33 My_l=-2.27 Mz_l=-0.01
Azioni sul cordone: TP=0.27 TO=0.12 NO=-502.76
Tensioni nel cordone: τ_P= 0.09 τ_0= 0.04 σ_0=163.12 σ_{ID}=163.12 Σ_T=163.16
CC 32 SLD (Collegamento 0021_-378)
Azioni sul collegamento: N=-6801.33 Ty=2.73 Tz=-0.19 Mx=-0.01 Mz=0.81
Sollecitazioni agenti localmente: Tx_l=2.73 Ty_l=-0.19 N_l=-6801.33 My_l=-0.81 Mz_l=-0.01
Azioni sul cordone: TP=0.21 TO=-0.02 NO=-502.76
Tensioni nel cordone: τ_P= 0.07 τ_0=5.78E-03 σ_0=160.99 σ_{ID}=160.99 Σ_T=161.00
CC 32 SLD (Collegamento 0021_-378)
Azioni sul collegamento: N=-6801.33 Ty=3.62 Tz=-0.19 Mx=-0.01 Mz=2.27
Sollecitazioni agenti localmente: Tx_l=3.62 Ty_l=-0.19 N_l=-6801.33 My_l=-2.27 Mz_l=-0.01
Azioni sul cordone: TP=0.27 TO=-0.02 NO=-502.76
Tensioni nel cordone: τ_P= 0.09 τ_0=5.78E-03 σ_0=163.12 σ_{ID}=163.12 Σ_T=163.13
CC 32 SLD (Collegamento 0021_-378)
Azioni sul collegamento: N=-6311.53 Ty=2.73 Tz=1.73 Mx=-0.01 Mz=0.81
Sollecitazioni agenti localmente: Tx_l=2.73 Ty_l=1.73 N_l=-6311.53 My_l=-0.81 Mz_l=-0.01
Azioni sul cordone: TP=0.21 TO=0.12 NO=-466.55
Tensioni nel cordone: τ_P= 0.07 τ_0= 0.04 σ_0=149.48 σ_{ID}=149.48 Σ_T=149.52
CC 32 SLD (Collegamento 0021_-378)
Azioni sul collegamento: N=-6311.53 Ty=3.62 Tz=1.73 Mx=-0.01 Mz=2.27
Sollecitazioni agenti localmente: Tx_l=3.62 Ty_l=1.73 N_l=-6311.53 My_l=-2.27 Mz_l=-0.01
Azioni sul cordone: TP=0.27 TO=0.12 NO=-466.55
Tensioni nel cordone: τ_P= 0.09 τ_0= 0.04 σ_0=151.61 σ_{ID}=151.61 Σ_T=151.65
CC 32 SLD (Collegamento 0021_-378)
Azioni sul collegamento: N=-6311.53 Ty=2.73 Tz=-0.19 Mx=-0.01 Mz=0.81
Sollecitazioni agenti localmente: Tx_l=2.73 Ty_l=-0.19 N_l=-6311.53 My_l=-0.81 Mz_l=-0.01
Azioni sul cordone: TP=0.21 TO=-0.02 NO=-466.55
Tensioni nel cordone: τ_P= 0.07 τ_0=5.77E-03 σ_0=149.48 σ_{ID}=149.48 Σ_T=149.49
CC 32 SLD (Collegamento 0021_-378)
Azioni sul collegamento: N=-6311.53 Ty=3.62 Tz=-0.19 Mx=-0.01 Mz=2.27
Sollecitazioni agenti localmente: Tx_l=3.62 Ty_l=-0.19 N_l=-6311.53 My_l=-2.27 Mz_l=-0.01
Azioni sul cordone: TP=0.27 TO=-0.02 NO=-466.55
Tensioni nel cordone: τ_P= 0.09 τ_0=5.77E-03 σ_0=151.61 σ_{ID}=151.61 Σ_T=151.62

CC 33 SLU (Collegamento 0021_-378)
Azioni sul collegamento: N=-30888.30 Ty=5.44 Tz=82.02 Mx=-0.01 Mz=3.71
Sollecitazioni agenti localmente: Tx_l=5.44 Ty_l=82.02 N_l=-30888.30 My_l=-3.71 Mz_l=-0.01
Azioni sul cordone: TP=0.41 TO=6.06 NO=-2283.27
Tensioni nel cordone: τ_P=0.13 τ_0=1.93 σ_0=731.15 σ_{ID}=731.15 Σ_T=733.08
CC 34 SLU (Collegamento 0021_-378)
Azioni sul collegamento: N=-30337.70 Ty=5.16 Tz=79.98 Mx=-0.01 Mz=3.50
Sollecitazioni agenti localmente: Tx_l=5.16 Ty_l=79.98 N_l=-30337.70 My_l=-3.50 Mz_l=-0.01
Azioni sul cordone: TP=0.39 TO=5.91 NO=-2242.58
Tensioni nel cordone: τ_P=0.12 τ_0=1.88 σ_0=717.91 σ_{ID}=717.92 Σ_T=719.79
CC 35 SLU (Collegamento 0021_-378)
Azioni sul collegamento: N=-30612.00 Ty=5.19 Tz=81.02 Mx=-0.01 Mz=3.39
Sollecitazioni agenti localmente: Tx_l=5.19 Ty_l=81.02 N_l=-30612.00 My_l=-3.39 Mz_l=-0.01
Azioni sul cordone: TP=0.39 TO=5.98 NO=-2262.85
Tensioni nel cordone: τ_P=0.12 τ_0=1.90 σ_0=724.19 σ_{ID}=724.20 Σ_T=726.09
CC 36 SLU (Collegamento 0021_-378)
Azioni sul collegamento: N=-30614.00 Ty=5.41 Tz=80.97 Mx=-0.01 Mz=3.82
Sollecitazioni agenti localmente: Tx_l=5.41 Ty_l=80.97 N_l=-30614.00 My_l=-3.82 Mz_l=-0.01
Azioni sul cordone: TP=0.41 TO=5.98 NO=-2263.00
Tensioni nel cordone: τ_P=0.13 τ_0=1.90 σ_0=724.88 σ_{ID}=724.88 Σ_T=726.77
CC 37 SLU (Collegamento 0021_-378)
Azioni sul collegamento: N=-21597.10 Ty=6.32 Tz=47.86 Mx=-0.01 Mz=4.34
Sollecitazioni agenti localmente: Tx_l=6.32 Ty_l=47.86 N_l=-21597.10 My_l=-4.34 Mz_l=-0.01
Azioni sul cordone: TP=0.48 TO=3.53 NO=-1596.46
Tensioni nel cordone: τ_P=0.15 τ_0=1.12 σ_0=513.77 σ_{ID}=513.78 Σ_T=514.90
CC 38 SLU (Collegamento 0021_-378)
Azioni sul collegamento: N=-21046.60 Ty=6.03 Tz=45.82 Mx=-0.01 Mz=4.13
Sollecitazioni agenti localmente: Tx_l=6.03 Ty_l=45.82 N_l=-21046.60 My_l=-4.13 Mz_l=-0.01
Azioni sul cordone: TP=0.45 TO=3.38 NO=-1555.77
Tensioni nel cordone: τ_P=0.14 τ_0=1.07 σ_0=500.54 σ_{ID}=500.54 Σ_T=501.61
CC 39 SLU (Collegamento 0021_-378)
Azioni sul collegamento: N=-21320.90 Ty=6.07 Tz=46.87 Mx=-0.01 Mz=4.02
Sollecitazioni agenti localmente: Tx_l=6.07 Ty_l=46.87 N_l=-21320.90 My_l=-4.02 Mz_l=-0.01
Azioni sul cordone: TP=0.46 TO=3.46 NO=-1576.04
Tensioni nel cordone: τ_P=0.14 τ_0=1.10 σ_0=506.81 σ_{ID}=506.82 Σ_T=507.92
CC 40 SLU (Collegamento 0021_-378)
Azioni sul collegamento: N=-21322.80 Ty=6.29 Tz=46.82 Mx=-0.01 Mz=4.45
Sollecitazioni agenti localmente: Tx_l=6.29 Ty_l=46.82 N_l=-21322.80 My_l=-4.45 Mz_l=-0.01
Azioni sul cordone: TP=0.47 TO=3.45 NO=-1576.19
Tensioni nel cordone: τ_P=0.15 τ_0=1.10 σ_0=507.50 σ_{ID}=507.50 Σ_T=508.60
CC 41 SLU (Collegamento 0021_-378)
Azioni sul collegamento: N=-32817.40 Ty=5.33 Tz=88.46 Mx=0.00 Mz=3.76
Sollecitazioni agenti localmente: Tx_l=5.33 Ty_l=88.46 N_l=-32817.40 My_l=-3.76 Mz_l=0.00
Azioni sul cordone: TP=0.39 TO=6.54 NO=-2425.87
Tensioni nel cordone: τ_P=0.12 τ_0=2.08 σ_0=776.56 σ_{ID}=776.56 Σ_T=778.64
CC 42 SLU (Collegamento 0021_-378)
Azioni sul collegamento: N=-32266.90 Ty=5.04 Tz=86.42 Mx=0.00 Mz=3.56
Sollecitazioni agenti localmente: Tx_l=5.04 Ty_l=86.42 N_l=-32266.90 My_l=-3.56 Mz_l=0.00
Azioni sul cordone: TP=0.37 TO=6.39 NO=-2385.18
Tensioni nel cordone: τ_P=0.12 τ_0=2.03 σ_0=763.32 σ_{ID}=763.32 Σ_T=765.35
CC 43 SLU (Collegamento 0021_-378)
Azioni sul collegamento: N=-32541.20 Ty=5.08 Tz=87.47 Mx=0.00 Mz=3.44
Sollecitazioni agenti localmente: Tx_l=5.08 Ty_l=87.47 N_l=-32541.20 My_l=-3.44 Mz_l=0.00
Azioni sul cordone: TP=0.37 TO=6.47 NO=-2405.45
Tensioni nel cordone: τ_P=0.12 τ_0=2.06 σ_0=769.60 σ_{ID}=769.60 Σ_T=771.65
CC 44 SLU (Collegamento 0021_-378)
Azioni sul collegamento: N=-32543.10 Ty=5.30 Tz=87.42 Mx=0.00 Mz=3.88
Sollecitazioni agenti localmente: Tx_l=5.30 Ty_l=87.42 N_l=-32543.10 My_l=-3.88 Mz_l=0.00
Azioni sul cordone: TP=0.39 TO=6.46 NO=-2405.60
Tensioni nel cordone: τ_P=0.12 τ_0=2.05 σ_0=770.28 σ_{ID}=770.28 Σ_T=772.34
CC 45 SLU (Collegamento 0021_-378)
Azioni sul collegamento: N=-23689.50 Ty=6.01 Tz=55.60 Mx=-0.01 Mz=4.17
Sollecitazioni agenti localmente: Tx_l=6.01 Ty_l=55.60 N_l=-23689.50 My_l=-4.17 Mz_l=-0.01
Azioni sul cordone: TP=0.45 TO=4.10 NO=-1751.14
Tensioni nel cordone: τ_P=0.14 τ_0=1.30 σ_0=562.68 σ_{ID}=562.68 Σ_T=563.99
CC 46 SLU (Collegamento 0021_-378)
Azioni sul collegamento: N=-23139.00 Ty=5.73 Tz=53.57 Mx=-0.01 Mz=3.96
Sollecitazioni agenti localmente: Tx_l=5.73 Ty_l=53.57 N_l=-23139.00 My_l=-3.96 Mz_l=-0.01
Azioni sul cordone: TP=0.43 TO=3.95 NO=-1710.44
Tensioni nel cordone: τ_P=0.14 τ_0=1.26 σ_0=549.44 σ_{ID}=549.45 Σ_T=550.70
CC 47 SLU (Collegamento 0021_-378)
Azioni sul collegamento: N=-23413.30 Ty=5.76 Tz=54.61 Mx=-0.01 Mz=3.84
Sollecitazioni agenti localmente: Tx_l=5.76 Ty_l=54.61 N_l=-23413.30 My_l=-3.84 Mz_l=-0.01
Azioni sul cordone: TP=0.43 TO=4.03 NO=-1730.71
Tensioni nel cordone: τ_P=0.14 τ_0=1.28 σ_0=555.72 σ_{ID}=555.72 Σ_T=557.00
CC 48 SLU (Collegamento 0021_-378)
Azioni sul collegamento: N=-23415.20 Ty=5.98 Tz=54.56 Mx=-0.01 Mz=4.28
Sollecitazioni agenti localmente: Tx_l=5.98 Ty_l=54.56 N_l=-23415.20 My_l=-4.28 Mz_l=-0.01
Azioni sul cordone: TP=0.45 TO=4.03 NO=-1730.86

Tensioni nel cordone: τ_P=0.14 τ_0=1.28 σ_0=556.40 σ_{ID}=556.41 Σ_T=557.68
CC 49 SLU (Collegamento 0021_-378)
Azioni sul collegamento: N=-16738.30 Ty=6.67 Tz=30.05 Mx=-0.01 Mz=4.64
Sollecitazioni agenti localmente: Tx_l=6.67 Ty_l=30.05 N_l=-16738.30 My_l=-4.64 Mz_l=-0.01
Azioni sul cordone: TP=0.50 TO=2.22 NO=-1237.30
Tensioni nel cordone: τ_P=0.16 τ_0=0.70 σ_0=400.05 σ_{ID}=400.05 Σ_T=400.76
CC 50 SLU (Collegamento 0021_-378)
Azioni sul collegamento: N=-16187.80 Ty=6.38 Tz=28.01 Mx=-0.01 Mz=4.43
Sollecitazioni agenti localmente: Tx_l=6.38 Ty_l=28.01 N_l=-16187.80 My_l=-4.43 Mz_l=-0.01
Azioni sul cordone: TP=0.48 TO=2.07 NO=-1196.61
Tensioni nel cordone: τ_P=0.15 τ_0=0.66 σ_0=386.81 σ_{ID}=386.81 Σ_T=387.47
CC 51 SLU (Collegamento 0021_-378)
Azioni sul collegamento: N=-16462.10 Ty=6.42 Tz=29.05 Mx=-0.01 Mz=4.32
Sollecitazioni agenti localmente: Tx_l=6.42 Ty_l=29.05 N_l=-16462.10 My_l=-4.32 Mz_l=-0.01
Azioni sul cordone: TP=0.48 TO=2.14 NO=-1216.88
Tensioni nel cordone: τ_P=0.15 τ_0=0.68 σ_0=393.09 σ_{ID}=393.09 Σ_T=393.77
CC 52 SLU (Collegamento 0021_-378)
Azioni sul collegamento: N=-16464.00 Ty=6.64 Tz=29.01 Mx=-0.01 Mz=4.75
Sollecitazioni agenti localmente: Tx_l=6.64 Ty_l=29.01 N_l=-16464.00 My_l=-4.75 Mz_l=-0.01
Azioni sul cordone: TP=0.50 TO=2.14 NO=-1217.03
Tensioni nel cordone: τ_P=0.16 τ_0=0.68 σ_0=393.77 σ_{ID}=393.77 Σ_T=394.45
CC 53 SLU (Collegamento 0021_-378)
Azioni sul collegamento: N=-25132.80 Ty=5.93 Tz=60.42 Mx=-0.00 Mz=4.21
Sollecitazioni agenti localmente: Tx_l=5.93 Ty_l=60.42 N_l=-25132.80 My_l=-4.21 Mz_l=-0.00
Azioni sul cordone: TP=0.44 TO=4.47 NO=-1857.82
Tensioni nel cordone: τ_P=0.14 τ_0=1.42 σ_0=596.65 σ_{ID}=596.65 Σ_T=598.07
CC 54 SLU (Collegamento 0021_-378)
Azioni sul collegamento: N=-24582.20 Ty=5.64 Tz=58.39 Mx=-0.00 Mz=4.00
Sollecitazioni agenti localmente: Tx_l=5.64 Ty_l=58.39 N_l=-24582.20 My_l=-4.00 Mz_l=-0.00
Azioni sul cordone: TP=0.42 TO=4.32 NO=-1817.13
Tensioni nel cordone: τ_P=0.13 τ_0=1.37 σ_0=583.41 σ_{ID}=583.42 Σ_T=584.79
CC 55 SLU (Collegamento 0021_-378)
Azioni sul collegamento: N=-24856.50 Ty=5.68 Tz=59.43 Mx=0.00 Mz=3.89
Sollecitazioni agenti localmente: Tx_l=5.68 Ty_l=59.43 N_l=-24856.50 My_l=-3.89 Mz_l=0.00
Azioni sul cordone: TP=0.42 TO=4.39 NO=-1837.40
Tensioni nel cordone: τ_P=0.13 τ_0=1.40 σ_0=589.69 σ_{ID}=589.69 Σ_T=591.09
CC 56 SLU (Collegamento 0021_-378)
Azioni sul collegamento: N=-24858.50 Ty=5.89 Tz=59.38 Mx=-0.00 Mz=4.32
Sollecitazioni agenti localmente: Tx_l=5.89 Ty_l=59.38 N_l=-24858.50 My_l=-4.32 Mz_l=-0.00
Azioni sul cordone: TP=0.44 TO=4.39 NO=-1837.55
Tensioni nel cordone: τ_P=0.14 τ_0=1.39 σ_0=590.38 σ_{ID}=590.38 Σ_T=591.77
CC 57 SLU (Collegamento 0021_-378)
Azioni sul collegamento: N=-22071.60 Ty=5.40 Tz=49.65 Mx=-0.01 Mz=3.73
Sollecitazioni agenti localmente: Tx_l=5.40 Ty_l=49.65 N_l=-22071.60 My_l=-3.73 Mz_l=-0.01
Azioni sul cordone: TP=0.41 TO=3.66 NO=-1631.54
Tensioni nel cordone: τ_P=0.13 τ_0=1.16 σ_0=524.03 σ_{ID}=524.04 Σ_T=525.20
CC 58 SLU (Collegamento 0021_-378)
Azioni sul collegamento: N=-21521.10 Ty=5.11 Tz=47.61 Mx=-0.01 Mz=3.53
Sollecitazioni agenti localmente: Tx_l=5.11 Ty_l=47.61 N_l=-21521.10 My_l=-3.53 Mz_l=-0.01
Azioni sul cordone: TP=0.39 TO=3.51 NO=-1590.84
Tensioni nel cordone: τ_P=0.12 τ_0=1.12 σ_0=510.80 σ_{ID}=510.80 Σ_T=511.92
CC 59 SLU (Collegamento 0021_-378)
Azioni sul collegamento: N=-21795.30 Ty=5.15 Tz=48.65 Mx=-0.01 Mz=3.41
Sollecitazioni agenti localmente: Tx_l=5.15 Ty_l=48.65 N_l=-21795.30 My_l=-3.41 Mz_l=-0.01
Azioni sul cordone: TP=0.39 TO=3.59 NO=-1611.12
Tensioni nel cordone: τ_P=0.12 τ_0=1.14 σ_0=517.08 σ_{ID}=517.08 Σ_T=518.22
CC 60 SLU (Collegamento 0021_-378)
Azioni sul collegamento: N=-21797.30 Ty=5.37 Tz=48.60 Mx=-0.01 Mz=3.85
Sollecitazioni agenti localmente: Tx_l=5.37 Ty_l=48.60 N_l=-21797.30 My_l=-3.85 Mz_l=-0.01
Azioni sul cordone: TP=0.41 TO=3.59 NO=-1611.26
Tensioni nel cordone: τ_P=0.13 τ_0=1.14 σ_0=517.76 σ_{ID}=517.76 Σ_T=518.90
CC 61 SLU (Collegamento 0021_-378)
Azioni sul collegamento: N=-15120.40 Ty=6.06 Tz=24.09 Mx=-0.01 Mz=4.21
Sollecitazioni agenti localmente: Tx_l=6.06 Ty_l=24.09 N_l=-15120.40 My_l=-4.21 Mz_l=-0.01
Azioni sul cordone: TP=0.46 TO=1.78 NO=-1117.71
Tensioni nel cordone: τ_P=0.14 τ_0=0.56 σ_0=361.40 σ_{ID}=361.41 Σ_T=361.97
CC 62 SLU (Collegamento 0021_-378)
Azioni sul collegamento: N=-14569.90 Ty=5.77 Tz=22.06 Mx=-0.01 Mz=4.00
Sollecitazioni agenti localmente: Tx_l=5.77 Ty_l=22.06 N_l=-14569.90 My_l=-4.00 Mz_l=-0.01
Azioni sul cordone: TP=0.43 TO=1.63 NO=-1077.01
Tensioni nel cordone: τ_P=0.14 τ_0=0.52 σ_0=348.17 σ_{ID}=348.17 Σ_T=348.69
CC 63 SLU (Collegamento 0021_-378)
Azioni sul collegamento: N=-14844.20 Ty=5.80 Tz=23.10 Mx=-0.01 Mz=3.88
Sollecitazioni agenti localmente: Tx_l=5.80 Ty_l=23.10 N_l=-14844.20 My_l=-3.88 Mz_l=-0.01
Azioni sul cordone: TP=0.44 TO=1.70 NO=-1097.29
Tensioni nel cordone: τ_P=0.14 τ_0=0.54 σ_0=354.44 σ_{ID}=354.45 Σ_T=354.99
CC 64 SLU (Collegamento 0021_-378)
Azioni sul collegamento: N=-14846.10 Ty=6.02 Tz=23.05 Mx=-0.01 Mz=4.32
Sollecitazioni agenti localmente: Tx_l=6.02 Ty_l=23.05 N_l=-14846.10 My_l=-4.32 Mz_l=-0.01

Azioni sul cordone: TP=0.45 TO=1.70 NO=-1097.43
Tensioni nel cordone: τ_P=0.14 τ_O=0.54 σ_O=355.13 σ_{ID}=355.13 Σ_T=355.67
CC 65 SLU (Collegamento 0021_-378)
Azioni sul collegamento: N=-23514.90 Ty=5.31 Tz=54.47 Mx=0.00 Mz=3.77
Sollecitazioni agenti localmente: Tx_l=5.31 Ty_l=54.47 N_l=-23514.90 My_l=-3.77 Mz_l=0.00
Azioni sul cordone: TP=0.39 TO=4.03 NO=-1738.23
Tensioni nel cordone: τ_P=0.12 τ_O=1.28 σ_O=558.01 σ_{ID}=558.01 Σ_T=559.29
CC 66 SLU (Collegamento 0021_-378)
Azioni sul collegamento: N=-22964.30 Ty=5.03 Tz=52.43 Mx=0.00 Mz=3.57
Sollecitazioni agenti localmente: Tx_l=5.03 Ty_l=52.43 N_l=-22964.30 My_l=-3.57 Mz_l=0.00
Azioni sul cordone: TP=0.37 TO=3.88 NO=-1697.53
Tensioni nel cordone: τ_P=0.12 τ_O=1.23 σ_O=544.77 σ_{ID}=544.77 Σ_T=546.00
CC 67 SLU (Collegamento 0021_-378)
Azioni sul collegamento: N=-23238.60 Ty=5.06 Tz=53.47 Mx=0.00 Mz=3.45
Sollecitazioni agenti localmente: Tx_l=5.06 Ty_l=53.47 N_l=-23238.60 My_l=-3.45 Mz_l=0.00
Azioni sul cordone: TP=0.37 TO=3.95 NO=-1717.81
Tensioni nel cordone: τ_P=0.12 τ_O=1.26 σ_O=551.05 σ_{ID}=551.05 Σ_T=552.30
CC 68 SLU (Collegamento 0021_-378)
Azioni sul collegamento: N=-23240.60 Ty=5.28 Tz=53.43 Mx=-0.00 Mz=3.89
Sollecitazioni agenti localmente: Tx_l=5.28 Ty_l=53.43 N_l=-23240.60 My_l=-3.89 Mz_l=-0.00
Azioni sul cordone: TP=0.39 TO=3.95 NO=-1717.95
Tensioni nel cordone: τ_P=0.12 τ_O=1.26 σ_O=551.73 σ_{ID}=551.73 Σ_T=552.98
CC 97 SLU (Collegamento 0021_-378)
Azioni sul collegamento: N=-18052.20 Ty=-0.34 Tz=43.06 Mx=-0.05 Mz=-8.83
Sollecitazioni agenti localmente: Tx_l=-0.34 Ty_l=43.06 N_l=-18052.20 My_l=8.83 Mz_l=-0.05
Azioni sul cordone: TP=0.04 TO=3.23 NO=-1334.42
Tensioni nel cordone: τ_P= 0.01 τ_O=1.03 σ_O=437.04 σ_{ID}=437.04 Σ_T=438.07
CC 98 SLU (Collegamento 0021_-378)
Azioni sul collegamento: N=-17501.60 Ty=-0.63 Tz=41.02 Mx=-0.05 Mz=-9.04
Sollecitazioni agenti localmente: Tx_l=-0.63 Ty_l=41.02 N_l=-17501.60 My_l=9.04 Mz_l=-0.05
Azioni sul cordone: TP=0.02 TO=3.07 NO=-1293.73
Tensioni nel cordone: τ_P=4.78E-03 τ_O=0.98 σ_O=424.41 σ_{ID}=424.41 Σ_T=425.39
CC 99 SLU (Collegamento 0021_-378)
Azioni sul collegamento: N=-17775.90 Ty=-0.60 Tz=42.06 Mx=-0.05 Mz=-9.15
Sollecitazioni agenti localmente: Tx_l=-0.60 Ty_l=42.06 N_l=-17775.90 My_l=9.15 Mz_l=-0.05
Azioni sul cordone: TP=0.02 TO=3.15 NO=-1314.00
Tensioni nel cordone: τ_P=5.32E-03 τ_O=1.00 σ_O=431.02 σ_{ID}=431.02 Σ_T=432.02
CC 100 SLU (Collegamento 0021_-378)
Azioni sul collegamento: N=-17777.90 Ty=-0.38 Tz=42.01 Mx=-0.05 Mz=-8.71
Sollecitazioni agenti localmente: Tx_l=-0.38 Ty_l=42.01 N_l=-17777.90 My_l=8.71 Mz_l=-0.05
Azioni sul cordone: TP=0.03 TO=3.15 NO=-1314.15
Tensioni nel cordone: τ_P= 0.01 τ_O=1.00 σ_O=430.43 σ_{ID}=430.43 Σ_T=431.43
CC 101 SLU (Collegamento 0021_-378)
Azioni sul collegamento: N=-7136.43 Ty=4.37 Tz=2.96 Mx=0.00 Mz=3.85
Sollecitazioni agenti localmente: Tx_l=4.37 Ty_l=2.96 N_l=-7136.43 My_l=-3.85 Mz_l=0.00
Azioni sul cordone: TP=0.32 TO=0.22 NO=-527.53
Tensioni nel cordone: τ_P=0.10 τ_O= 0.07 σ_O=173.30 σ_{ID}=173.30 Σ_T=173.37
CC 102 SLU (Collegamento 0021_-378)
Azioni sul collegamento: N=-6585.90 Ty=4.08 Tz=0.92 Mx=0.00 Mz=3.64
Sollecitazioni agenti localmente: Tx_l=4.08 Ty_l=0.92 N_l=-6585.90 My_l=-3.64 Mz_l=0.00
Azioni sul cordone: TP=0.30 TO=0.07 NO=-486.83
Tensioni nel cordone: τ_P= 0.09 τ_O= 0.02 σ_O=160.06 σ_{ID}=160.06 Σ_T=160.08
CC 103 SLU (Collegamento 0021_-378)
Azioni sul collegamento: N=-6860.19 Ty=4.11 Tz=1.96 Mx=0.00 Mz=3.53
Sollecitazioni agenti localmente: Tx_l=4.11 Ty_l=1.96 N_l=-6860.19 My_l=-3.53 Mz_l=0.00
Azioni sul cordone: TP=0.30 TO=0.15 NO=-507.11
Tensioni nel cordone: τ_P= 0.10 τ_O= 0.05 σ_O=166.34 σ_{ID}=166.34 Σ_T=166.38
CC 104 SLU (Collegamento 0021_-378)
Azioni sul collegamento: N=-6862.15 Ty=4.33 Tz=1.92 Mx=0.00 Mz=3.96
Sollecitazioni agenti localmente: Tx_l=4.33 Ty_l=1.92 N_l=-6862.15 My_l=-3.96 Mz_l=0.00
Azioni sul cordone: TP=0.32 TO=0.14 NO=-507.25
Tensioni nel cordone: τ_P=0.10 τ_O= 0.05 σ_O=167.02 σ_{ID}=167.02 Σ_T=167.06

Flessione attacco superiore piastra

Bnetta=220.00 Hnetta=15.00
CC 1 SLV (Collegamento 0021_-378)
Azioni sul collegamento: N=-3968.96 Ty=6.45 Tz=-8.85 Mx=0.01 Mz=7.08
Sollecitazioni agenti localmente: Ty_l=-721.63 Mx_l=-14.43
Tensioni nella sezione: σ=174.94 τ=21.87
CC 1 SLV (Collegamento 0021_-378)
Azioni sul collegamento: N=-3968.96 Ty=3.07 Tz=-8.85 Mx=0.01 Mz=3.83
Sollecitazioni agenti localmente: Ty_l=-721.63 Mx_l=-14.43
Tensioni nella sezione: σ=174.94 τ=21.87
CC 1 SLV (Collegamento 0021_-378)
Azioni sul collegamento: N=-3968.96 Ty=6.45 Tz=10.87 Mx=0.01 Mz=7.08
Sollecitazioni agenti localmente: Ty_l=-721.63 Mx_l=-14.43
Tensioni nella sezione: σ=174.94 τ=21.87
CC 1 SLV (Collegamento 0021_-378)

Azioni sul collegamento: N=-3968.96 Ty=3.07 Tz=10.87 Mx=0.01 Mz=3.83
Sollecitazioni agenti localmente: Ty_l=-721.63 Mx_l=-14.43
Tensioni nella sezione: σ=174.94 τ=21.87
CC 1 SLV (Collegamento 0021_-378)
Azioni sul collegamento: N=-9265.76 Ty=6.45 Tz=-8.85 Mx=0.01 Mz=7.08
Sollecitazioni agenti localmente: Ty_l=-1684.68 Mx_l=-33.69
Tensioni nella sezione: σ=408.41 τ=51.05
CC 1 SLV (Collegamento 0021_-378)
Azioni sul collegamento: N=-9265.76 Ty=3.07 Tz=-8.85 Mx=0.01 Mz=3.83
Sollecitazioni agenti localmente: Ty_l=-1684.68 Mx_l=-33.69
Tensioni nella sezione: σ=408.41 τ=51.05
CC 1 SLV (Collegamento 0021_-378)
Azioni sul collegamento: N=-9265.76 Ty=6.45 Tz=10.87 Mx=0.01 Mz=7.08
Sollecitazioni agenti localmente: Ty_l=-1684.68 Mx_l=-33.69
Tensioni nella sezione: σ=408.41 τ=51.05
CC 1 SLV (Collegamento 0021_-378)
Azioni sul collegamento: N=-9265.76 Ty=3.07 Tz=10.87 Mx=0.01 Mz=3.83
Sollecitazioni agenti localmente: Ty_l=-1684.68 Mx_l=-33.69
Tensioni nella sezione: σ=408.41 τ=51.05
CC 2 SLD (Collegamento 0021_-378)
Azioni sul collegamento: N=-5777.33 Ty=4.43 Tz=-2.12 Mx=0.00 Mz=3.87
Sollecitazioni agenti localmente: Ty_l=-1050.42 Mx_l=-21.01
Tensioni nella sezione: σ=254.65 τ=31.83
CC 2 SLD (Collegamento 0021_-378)
Azioni sul collegamento: N=-5777.33 Ty=3.40 Tz=-2.12 Mx=0.00 Mz=2.88
Sollecitazioni agenti localmente: Ty_l=-1050.42 Mx_l=-21.01
Tensioni nella sezione: σ=254.65 τ=31.83
CC 2 SLD (Collegamento 0021_-378)
Azioni sul collegamento: N=-5777.32 Ty=4.43 Tz=3.89 Mx=0.00 Mz=3.87
Sollecitazioni agenti localmente: Ty_l=-1050.42 Mx_l=-21.01
Tensioni nella sezione: σ=254.65 τ=31.83
CC 2 SLD (Collegamento 0021_-378)
Azioni sul collegamento: N=-5777.32 Ty=3.40 Tz=3.89 Mx=0.00 Mz=2.88
Sollecitazioni agenti localmente: Ty_l=-1050.42 Mx_l=-21.01
Tensioni nella sezione: σ=254.65 τ=31.83
CC 2 SLD (Collegamento 0021_-378)
Azioni sul collegamento: N=-7392.49 Ty=4.43 Tz=-2.12 Mx=0.00 Mz=3.87
Sollecitazioni agenti localmente: Ty_l=-1344.09 Mx_l=-26.88
Tensioni nella sezione: σ=325.84 τ=40.73
CC 2 SLD (Collegamento 0021_-378)
Azioni sul collegamento: N=-7392.49 Ty=3.40 Tz=-2.12 Mx=0.00 Mz=2.88
Sollecitazioni agenti localmente: Ty_l=-1344.09 Mx_l=-26.88
Tensioni nella sezione: σ=325.84 τ=40.73
CC 2 SLD (Collegamento 0021_-378)
Azioni sul collegamento: N=-7392.49 Ty=4.43 Tz=3.89 Mx=0.00 Mz=3.87
Sollecitazioni agenti localmente: Ty_l=-1344.09 Mx_l=-26.88
Tensioni nella sezione: σ=325.84 τ=40.73
CC 2 SLD (Collegamento 0021_-378)
Azioni sul collegamento: N=-7392.49 Ty=3.40 Tz=3.89 Mx=0.00 Mz=2.88
Sollecitazioni agenti localmente: Ty_l=-1344.09 Mx_l=-26.88
Tensioni nella sezione: σ=325.84 τ=40.73
CC 3 SLV (Collegamento 0021_-378)
Azioni sul collegamento: N=-3974.64 Ty=5.81 Tz=-8.72 Mx=0.01 Mz=5.82
Sollecitazioni agenti localmente: Ty_l=-722.66 Mx_l=-14.45
Tensioni nella sezione: σ=175.19 τ=21.90
CC 3 SLV (Collegamento 0021_-378)
Azioni sul collegamento: N=-3974.64 Ty=3.70 Tz=-8.72 Mx=0.01 Mz=5.08
Sollecitazioni agenti localmente: Ty_l=-722.66 Mx_l=-14.45
Tensioni nella sezione: σ=175.19 τ=21.90
CC 3 SLV (Collegamento 0021_-378)
Azioni sul collegamento: N=-3974.64 Ty=5.81 Tz=10.74 Mx=0.01 Mz=5.82
Sollecitazioni agenti localmente: Ty_l=-722.66 Mx_l=-14.45
Tensioni nella sezione: σ=175.19 τ=21.90
CC 3 SLV (Collegamento 0021_-378)
Azioni sul collegamento: N=-3974.64 Ty=3.70 Tz=10.74 Mx=0.01 Mz=5.08
Sollecitazioni agenti localmente: Ty_l=-722.66 Mx_l=-14.45
Tensioni nella sezione: σ=175.19 τ=21.90
CC 3 SLV (Collegamento 0021_-378)
Azioni sul collegamento: N=-9260.08 Ty=5.81 Tz=-8.72 Mx=0.01 Mz=5.82
Sollecitazioni agenti localmente: Ty_l=-1683.65 Mx_l=-33.67
Tensioni nella sezione: σ=408.16 τ=51.02
CC 3 SLV (Collegamento 0021_-378)
Azioni sul collegamento: N=-9260.08 Ty=3.70 Tz=-8.72 Mx=0.01 Mz=5.08
Sollecitazioni agenti localmente: Ty_l=-1683.65 Mx_l=-33.67
Tensioni nella sezione: σ=408.16 τ=51.02
CC 3 SLV (Collegamento 0021_-378)
Azioni sul collegamento: N=-9260.08 Ty=5.81 Tz=10.74 Mx=0.01 Mz=5.82
Sollecitazioni agenti localmente: Ty_l=-1683.65 Mx_l=-33.67
Tensioni nella sezione: σ=408.16 τ=51.02

CC 3 SLV (Collegamento 0021_-378)
Azioni sul collegamento: N=-9260.08 Ty=3.70 Tz=10.74 Mx=0.01 Mz=5.08
Sollecitazioni agenti localmente: Ty_l=-1683.65 Mx_l=-33.67
Tensioni nella sezione: σ=408.16 τ=51.02
CC 4 SLD (Collegamento 0021_-378)
Azioni sul collegamento: N=-5779.06 Ty=4.24 Tz=-2.08 Mx=0.00 Mz=3.48
Sollecitazioni agenti localmente: Ty_l=-1050.74 Mx_l=-21.01
Tensioni nella sezione: σ=254.72 τ=31.84
CC 4 SLD (Collegamento 0021_-378)
Azioni sul collegamento: N=-5779.06 Ty=3.59 Tz=-2.08 Mx=0.00 Mz=3.26
Sollecitazioni agenti localmente: Ty_l=-1050.74 Mx_l=-21.01
Tensioni nella sezione: σ=254.72 τ=31.84
CC 4 SLD (Collegamento 0021_-378)
Azioni sul collegamento: N=-5779.06 Ty=4.24 Tz=3.85 Mx=0.00 Mz=3.48
Sollecitazioni agenti localmente: Ty_l=-1050.74 Mx_l=-21.01
Tensioni nella sezione: σ=254.72 τ=31.84
CC 4 SLD (Collegamento 0021_-378)
Azioni sul collegamento: N=-5779.06 Ty=3.59 Tz=3.85 Mx=0.00 Mz=3.26
Sollecitazioni agenti localmente: Ty_l=-1050.74 Mx_l=-21.01
Tensioni nella sezione: σ=254.72 τ=31.84
CC 4 SLD (Collegamento 0021_-378)
Azioni sul collegamento: N=-7390.75 Ty=4.24 Tz=-2.08 Mx=0.00 Mz=3.48
Sollecitazioni agenti localmente: Ty_l=-1343.77 Mx_l=-26.88
Tensioni nella sezione: σ=325.76 τ=40.72
CC 4 SLD (Collegamento 0021_-378)
Azioni sul collegamento: N=-7390.75 Ty=3.59 Tz=-2.08 Mx=0.00 Mz=3.26
Sollecitazioni agenti localmente: Ty_l=-1343.77 Mx_l=-26.88
Tensioni nella sezione: σ=325.76 τ=40.72
CC 4 SLD (Collegamento 0021_-378)
Azioni sul collegamento: N=-7390.75 Ty=4.24 Tz=3.85 Mx=0.00 Mz=3.48
Sollecitazioni agenti localmente: Ty_l=-1343.77 Mx_l=-26.88
Tensioni nella sezione: σ=325.76 τ=40.72
CC 4 SLD (Collegamento 0021_-378)
Azioni sul collegamento: N=-7390.75 Ty=3.59 Tz=3.85 Mx=0.00 Mz=3.26
Sollecitazioni agenti localmente: Ty_l=-1343.77 Mx_l=-26.88
Tensioni nella sezione: σ=325.76 τ=40.72
CC 5 SLV (Collegamento 0021_-378)
Azioni sul collegamento: N=-9260.08 Ty=3.70 Tz=10.74 Mx=0.01 Mz=5.08
Sollecitazioni agenti localmente: Ty_l=-1683.65 Mx_l=-33.67
Tensioni nella sezione: σ=408.16 τ=51.02
CC 5 SLV (Collegamento 0021_-378)
Azioni sul collegamento: N=-9260.08 Ty=5.81 Tz=10.74 Mx=0.01 Mz=5.82
Sollecitazioni agenti localmente: Ty_l=-1683.65 Mx_l=-33.67
Tensioni nella sezione: σ=408.16 τ=51.02
CC 5 SLV (Collegamento 0021_-378)
Azioni sul collegamento: N=-9260.08 Ty=3.70 Tz=-8.72 Mx=0.01 Mz=5.08
Sollecitazioni agenti localmente: Ty_l=-1683.65 Mx_l=-33.67
Tensioni nella sezione: σ=408.16 τ=51.02
CC 5 SLV (Collegamento 0021_-378)
Azioni sul collegamento: N=-9260.08 Ty=5.81 Tz=-8.72 Mx=0.01 Mz=5.82
Sollecitazioni agenti localmente: Ty_l=-1683.65 Mx_l=-33.67
Tensioni nella sezione: σ=408.16 τ=51.02
CC 5 SLV (Collegamento 0021_-378)
Azioni sul collegamento: N=-3974.64 Ty=3.70 Tz=10.74 Mx=0.01 Mz=5.08
Sollecitazioni agenti localmente: Ty_l=-722.66 Mx_l=-14.45
Tensioni nella sezione: σ=175.19 τ=21.90
CC 5 SLV (Collegamento 0021_-378)
Azioni sul collegamento: N=-3974.64 Ty=5.81 Tz=10.74 Mx=0.01 Mz=5.82
Sollecitazioni agenti localmente: Ty_l=-722.66 Mx_l=-14.45
Tensioni nella sezione: σ=175.19 τ=21.90
CC 5 SLV (Collegamento 0021_-378)
Azioni sul collegamento: N=-3974.64 Ty=3.70 Tz=-8.72 Mx=0.01 Mz=5.08
Sollecitazioni agenti localmente: Ty_l=-722.66 Mx_l=-14.45
Tensioni nella sezione: σ=175.19 τ=21.90
CC 5 SLV (Collegamento 0021_-378)
Azioni sul collegamento: N=-3974.64 Ty=5.81 Tz=-8.72 Mx=0.01 Mz=5.82
Sollecitazioni agenti localmente: Ty_l=-722.66 Mx_l=-14.45
Tensioni nella sezione: σ=175.19 τ=21.90
CC 6 SLD (Collegamento 0021_-378)
Azioni sul collegamento: N=-7390.75 Ty=3.59 Tz=3.85 Mx=0.00 Mz=3.26
Sollecitazioni agenti localmente: Ty_l=-1343.77 Mx_l=-26.88
Tensioni nella sezione: σ=325.76 τ=40.72
CC 6 SLD (Collegamento 0021_-378)
Azioni sul collegamento: N=-7390.75 Ty=4.24 Tz=3.85 Mx=0.00 Mz=3.48
Sollecitazioni agenti localmente: Ty_l=-1343.77 Mx_l=-26.88
Tensioni nella sezione: σ=325.76 τ=40.72
CC 6 SLD (Collegamento 0021_-378)
Azioni sul collegamento: N=-7390.75 Ty=3.59 Tz=-2.08 Mx=0.00 Mz=3.26
Sollecitazioni agenti localmente: Ty_l=-1343.77 Mx_l=-26.88

Tensioni nella sezione: σ=325.76 τ=40.72
CC 6 SLD (Collegamento 0021_-378)
Azioni sul collegamento: N=-7390.75 Ty=4.24 Tz=-2.08 Mx=0.00 Mz=3.48
Sollecitazioni agenti localmente: Ty_l=-1343.77 Mx_l=-26.88
Tensioni nella sezione: σ=325.76 τ=40.72
CC 6 SLD (Collegamento 0021_-378)
Azioni sul collegamento: N=-5779.06 Ty=3.59 Tz=3.85 Mx=0.00 Mz=3.26
Sollecitazioni agenti localmente: Ty_l=-1050.74 Mx_l=-21.01
Tensioni nella sezione: σ=254.72 τ=31.84
CC 6 SLD (Collegamento 0021_-378)
Azioni sul collegamento: N=-5779.06 Ty=4.24 Tz=3.85 Mx=0.00 Mz=3.48
Sollecitazioni agenti localmente: Ty_l=-1050.74 Mx_l=-21.01
Tensioni nella sezione: σ=254.72 τ=31.84
CC 6 SLD (Collegamento 0021_-378)
Azioni sul collegamento: N=-5779.06 Ty=3.59 Tz=-2.08 Mx=0.00 Mz=3.26
Sollecitazioni agenti localmente: Ty_l=-1050.74 Mx_l=-21.01
Tensioni nella sezione: σ=254.72 τ=31.84
CC 6 SLD (Collegamento 0021_-378)
Azioni sul collegamento: N=-5779.06 Ty=4.24 Tz=-2.08 Mx=0.00 Mz=3.48
Sollecitazioni agenti localmente: Ty_l=-1050.74 Mx_l=-21.01
Tensioni nella sezione: σ=254.72 τ=31.84
CC 7 SLV (Collegamento 0021_-378)
Azioni sul collegamento: N=-9265.76 Ty=3.07 Tz=10.87 Mx=0.01 Mz=3.83
Sollecitazioni agenti localmente: Ty_l=-1684.68 Mx_l=-33.69
Tensioni nella sezione: σ=408.41 τ=51.05
CC 7 SLV (Collegamento 0021_-378)
Azioni sul collegamento: N=-9265.76 Ty=6.45 Tz=10.87 Mx=0.01 Mz=7.08
Sollecitazioni agenti localmente: Ty_l=-1684.68 Mx_l=-33.69
Tensioni nella sezione: σ=408.41 τ=51.05
CC 7 SLV (Collegamento 0021_-378)
Azioni sul collegamento: N=-9265.76 Ty=3.07 Tz=-8.85 Mx=0.01 Mz=3.83
Sollecitazioni agenti localmente: Ty_l=-1684.68 Mx_l=-33.69
Tensioni nella sezione: σ=408.41 τ=51.05
CC 7 SLV (Collegamento 0021_-378)
Azioni sul collegamento: N=-9265.76 Ty=6.45 Tz=-8.85 Mx=0.01 Mz=7.08
Sollecitazioni agenti localmente: Ty_l=-1684.68 Mx_l=-33.69
Tensioni nella sezione: σ=408.41 τ=51.05
CC 7 SLV (Collegamento 0021_-378)
Azioni sul collegamento: N=-3968.96 Ty=3.07 Tz=10.87 Mx=0.01 Mz=3.83
Sollecitazioni agenti localmente: Ty_l=-721.63 Mx_l=-14.43
Tensioni nella sezione: σ=174.94 τ=21.87
CC 7 SLV (Collegamento 0021_-378)
Azioni sul collegamento: N=-3968.96 Ty=6.45 Tz=10.87 Mx=0.01 Mz=7.08
Sollecitazioni agenti localmente: Ty_l=-721.63 Mx_l=-14.43
Tensioni nella sezione: σ=174.94 τ=21.87
CC 7 SLV (Collegamento 0021_-378)
Azioni sul collegamento: N=-3968.96 Ty=3.07 Tz=-8.85 Mx=0.01 Mz=3.83
Sollecitazioni agenti localmente: Ty_l=-721.63 Mx_l=-14.43
Tensioni nella sezione: σ=174.94 τ=21.87
CC 7 SLV (Collegamento 0021_-378)
Azioni sul collegamento: N=-3968.96 Ty=6.45 Tz=-8.85 Mx=0.01 Mz=7.08
Sollecitazioni agenti localmente: Ty_l=-721.63 Mx_l=-14.43
Tensioni nella sezione: σ=174.94 τ=21.87
CC 8 SLD (Collegamento 0021_-378)
Azioni sul collegamento: N=-7392.49 Ty=3.40 Tz=3.89 Mx=-0.00 Mz=2.88
Sollecitazioni agenti localmente: Ty_l=-1344.09 Mx_l=-26.88
Tensioni nella sezione: σ=325.84 τ=40.73
CC 8 SLD (Collegamento 0021_-378)
Azioni sul collegamento: N=-7392.49 Ty=4.43 Tz=3.89 Mx=-0.00 Mz=3.87
Sollecitazioni agenti localmente: Ty_l=-1344.09 Mx_l=-26.88
Tensioni nella sezione: σ=325.84 τ=40.73
CC 8 SLD (Collegamento 0021_-378)
Azioni sul collegamento: N=-7392.49 Ty=3.40 Tz=-2.12 Mx=-0.00 Mz=2.88
Sollecitazioni agenti localmente: Ty_l=-1344.09 Mx_l=-26.88
Tensioni nella sezione: σ=325.84 τ=40.73
CC 8 SLD (Collegamento 0021_-378)
Azioni sul collegamento: N=-7392.49 Ty=4.43 Tz=-2.12 Mx=-0.00 Mz=3.87
Sollecitazioni agenti localmente: Ty_l=-1344.09 Mx_l=-26.88
Tensioni nella sezione: σ=325.84 τ=40.73
CC 8 SLD (Collegamento 0021_-378)
Azioni sul collegamento: N=-5777.32 Ty=3.40 Tz=3.89 Mx=-0.00 Mz=2.88
Sollecitazioni agenti localmente: Ty_l=-1050.42 Mx_l=-21.01
Tensioni nella sezione: σ=254.65 τ=31.83
CC 8 SLD (Collegamento 0021_-378)
Azioni sul collegamento: N=-5777.32 Ty=4.43 Tz=3.89 Mx=-0.00 Mz=3.87
Sollecitazioni agenti localmente: Ty_l=-1050.42 Mx_l=-21.01
Tensioni nella sezione: σ=254.65 τ=31.83
CC 8 SLD (Collegamento 0021_-378)
Azioni sul collegamento: N=-5777.33 Ty=3.40 Tz=-2.12 Mx=-0.00 Mz=2.88

Sollecitazioni agenti localmente: Ty_l=-1050.42 Mx_l=-21.01
Tensioni nella sezione: σ=254.65 τ=31.83
CC 8 SLD (Collegamento 0021_-378)
Azioni sul collegamento: N=-5777.33 Ty=4.43 Tz=-2.12 Mx=-0.00 Mz=3.87
Sollecitazioni agenti localmente: Ty_l=-1050.42 Mx_l=-21.01
Tensioni nella sezione: σ=254.65 τ=31.83
CC 9 SLV (Collegamento 0021_-378)
Azioni sul collegamento: N=-5814.22 Ty=6.23 Tz=-2.14 Mx=0.02 Mz=7.84
Sollecitazioni agenti localmente: Ty_l=-1057.13 Mx_l=-21.14
Tensioni nella sezione: σ=256.27 τ=32.03
CC 9 SLV (Collegamento 0021_-378)
Azioni sul collegamento: N=-5814.22 Ty=3.29 Tz=-2.14 Mx=0.02 Mz=3.06
Sollecitazioni agenti localmente: Ty_l=-1057.13 Mx_l=-21.14
Tensioni nella sezione: σ=256.27 τ=32.03
CC 9 SLV (Collegamento 0021_-378)
Azioni sul collegamento: N=-5814.22 Ty=6.23 Tz=4.16 Mx=0.02 Mz=7.84
Sollecitazioni agenti localmente: Ty_l=-1057.13 Mx_l=-21.14
Tensioni nella sezione: σ=256.27 τ=32.03
CC 9 SLV (Collegamento 0021_-378)
Azioni sul collegamento: N=-5814.22 Ty=3.29 Tz=4.16 Mx=0.02 Mz=3.06
Sollecitazioni agenti localmente: Ty_l=-1057.13 Mx_l=-21.14
Tensioni nella sezione: σ=256.27 τ=32.03
CC 9 SLV (Collegamento 0021_-378)
Azioni sul collegamento: N=-7420.50 Ty=6.23 Tz=-2.14 Mx=0.02 Mz=7.84
Sollecitazioni agenti localmente: Ty_l=-1349.18 Mx_l=-26.98
Tensioni nella sezione: σ=327.07 τ=40.88
CC 9 SLV (Collegamento 0021_-378)
Azioni sul collegamento: N=-7420.50 Ty=3.29 Tz=-2.14 Mx=0.02 Mz=3.06
Sollecitazioni agenti localmente: Ty_l=-1349.18 Mx_l=-26.98
Tensioni nella sezione: σ=327.07 τ=40.88
CC 9 SLV (Collegamento 0021_-378)
Azioni sul collegamento: N=-7420.50 Ty=6.23 Tz=4.16 Mx=0.02 Mz=7.84
Sollecitazioni agenti localmente: Ty_l=-1349.18 Mx_l=-26.98
Tensioni nella sezione: σ=327.07 τ=40.88
CC 9 SLV (Collegamento 0021_-378)
Azioni sul collegamento: N=-7420.50 Ty=3.29 Tz=4.16 Mx=0.02 Mz=3.06
Sollecitazioni agenti localmente: Ty_l=-1349.18 Mx_l=-26.98
Tensioni nella sezione: σ=327.07 τ=40.88
CC 10 SLD (Collegamento 0021_-378)
Azioni sul collegamento: N=-6340.00 Ty=4.36 Tz=-0.08 Mx=0.00 Mz=4.10
Sollecitazioni agenti localmente: Ty_l=-1152.73 Mx_l=-23.05
Tensioni nella sezione: σ=279.45 τ=34.93
CC 10 SLD (Collegamento 0021_-378)
Azioni sul collegamento: N=-6340.00 Ty=3.47 Tz=-0.08 Mx=0.00 Mz=2.64
Sollecitazioni agenti localmente: Ty_l=-1152.73 Mx_l=-23.05
Tensioni nella sezione: σ=279.45 τ=34.93
CC 10 SLD (Collegamento 0021_-378)
Azioni sul collegamento: N=-6340.00 Ty=4.36 Tz=1.85 Mx=0.00 Mz=4.10
Sollecitazioni agenti localmente: Ty_l=-1152.73 Mx_l=-23.05
Tensioni nella sezione: σ=279.45 τ=34.93
CC 10 SLD (Collegamento 0021_-378)
Azioni sul collegamento: N=-6340.00 Ty=3.47 Tz=1.85 Mx=0.00 Mz=2.64
Sollecitazioni agenti localmente: Ty_l=-1152.73 Mx_l=-23.05
Tensioni nella sezione: σ=279.45 τ=34.93
CC 10 SLD (Collegamento 0021_-378)
Azioni sul collegamento: N=-6829.81 Ty=4.36 Tz=-0.08 Mx=0.00 Mz=4.10
Sollecitazioni agenti localmente: Ty_l=-1241.78 Mx_l=-24.84
Tensioni nella sezione: σ=301.04 τ=37.63
CC 10 SLD (Collegamento 0021_-378)
Azioni sul collegamento: N=-6829.81 Ty=3.47 Tz=-0.08 Mx=0.00 Mz=2.64
Sollecitazioni agenti localmente: Ty_l=-1241.78 Mx_l=-24.84
Tensioni nella sezione: σ=301.04 τ=37.63
CC 10 SLD (Collegamento 0021_-378)
Azioni sul collegamento: N=-6829.81 Ty=4.36 Tz=1.85 Mx=0.00 Mz=4.10
Sollecitazioni agenti localmente: Ty_l=-1241.78 Mx_l=-24.84
Tensioni nella sezione: σ=301.04 τ=37.63
CC 10 SLD (Collegamento 0021_-378)
Azioni sul collegamento: N=-6829.81 Ty=3.47 Tz=1.85 Mx=0.00 Mz=2.64
Sollecitazioni agenti localmente: Ty_l=-1241.78 Mx_l=-24.84
Tensioni nella sezione: σ=301.04 τ=37.63
CC 11 SLV (Collegamento 0021_-378)
Azioni sul collegamento: N=-7401.56 Ty=5.40 Tz=3.74 Mx=0.02 Mz=7.25
Sollecitazioni agenti localmente: Ty_l=-1345.74 Mx_l=-26.91
Tensioni nella sezione: σ=326.24 τ=40.78
CC 11 SLV (Collegamento 0021_-378)
Azioni sul collegamento: N=-7401.56 Ty=4.11 Tz=3.74 Mx=0.02 Mz=3.66
Sollecitazioni agenti localmente: Ty_l=-1345.74 Mx_l=-26.91
Tensioni nella sezione: σ=326.24 τ=40.78
CC 11 SLV (Collegamento 0021_-378)

Azioni sul collegamento: N=-7401.56 Ty=5.40 Tz=-1.71 Mx=0.02 Mz=7.25
Sollecitazioni agenti localmente: Ty_l=-1345.74 Mx_l=-26.91
Tensioni nella sezione: σ=326.24 τ=40.78
CC 11 SLV (Collegamento 0021_-378)
Azioni sul collegamento: N=-7401.56 Ty=4.11 Tz=-1.71 Mx=0.02 Mz=3.66
Sollecitazioni agenti localmente: Ty_l=-1345.74 Mx_l=-26.91
Tensioni nella sezione: σ=326.24 τ=40.78
CC 11 SLV (Collegamento 0021_-378)
Azioni sul collegamento: N=-5833.17 Ty=5.40 Tz=3.74 Mx=0.02 Mz=7.25
Sollecitazioni agenti localmente: Ty_l=-1060.58 Mx_l=-21.21
Tensioni nella sezione: σ=257.11 τ=32.14
CC 11 SLV (Collegamento 0021_-378)
Azioni sul collegamento: N=-5833.17 Ty=4.11 Tz=3.74 Mx=0.02 Mz=3.66
Sollecitazioni agenti localmente: Ty_l=-1060.58 Mx_l=-21.21
Tensioni nella sezione: σ=257.11 τ=32.14
CC 11 SLV (Collegamento 0021_-378)
Azioni sul collegamento: N=-5833.17 Ty=5.40 Tz=-1.71 Mx=0.02 Mz=7.25
Sollecitazioni agenti localmente: Ty_l=-1060.58 Mx_l=-21.21
Tensioni nella sezione: σ=257.11 τ=32.14
CC 11 SLV (Collegamento 0021_-378)
Azioni sul collegamento: N=-5833.17 Ty=4.11 Tz=-1.71 Mx=0.02 Mz=3.66
Sollecitazioni agenti localmente: Ty_l=-1060.58 Mx_l=-21.21
Tensioni nella sezione: σ=257.11 τ=32.14
CC 12 SLD (Collegamento 0021_-378)
Azioni sul collegamento: N=-6824.03 Ty=4.11 Tz=1.72 Mx=0.00 Mz=3.92
Sollecitazioni agenti localmente: Ty_l=-1240.73 Mx_l=-24.81
Tensioni nella sezione: σ=300.78 τ=37.60
CC 12 SLD (Collegamento 0021_-378)
Azioni sul collegamento: N=-6824.03 Ty=3.72 Tz=1.72 Mx=0.00 Mz=2.82
Sollecitazioni agenti localmente: Ty_l=-1240.73 Mx_l=-24.81
Tensioni nella sezione: σ=300.78 τ=37.60
CC 12 SLD (Collegamento 0021_-378)
Azioni sul collegamento: N=-6824.03 Ty=4.11 Tz=0.05 Mx=0.00 Mz=3.92
Sollecitazioni agenti localmente: Ty_l=-1240.73 Mx_l=-24.81
Tensioni nella sezione: σ=300.78 τ=37.60
CC 12 SLD (Collegamento 0021_-378)
Azioni sul collegamento: N=-6824.03 Ty=3.72 Tz=0.05 Mx=0.00 Mz=2.82
Sollecitazioni agenti localmente: Ty_l=-1240.73 Mx_l=-24.81
Tensioni nella sezione: σ=300.78 τ=37.60
CC 12 SLD (Collegamento 0021_-378)
Azioni sul collegamento: N=-6345.78 Ty=4.11 Tz=1.72 Mx=0.00 Mz=3.92
Sollecitazioni agenti localmente: Ty_l=-1153.78 Mx_l=-23.08
Tensioni nella sezione: σ=279.70 τ=34.96
CC 12 SLD (Collegamento 0021_-378)
Azioni sul collegamento: N=-6345.78 Ty=3.72 Tz=1.72 Mx=0.00 Mz=2.82
Sollecitazioni agenti localmente: Ty_l=-1153.78 Mx_l=-23.08
Tensioni nella sezione: σ=279.70 τ=34.96
CC 12 SLD (Collegamento 0021_-378)
Azioni sul collegamento: N=-6345.78 Ty=4.11 Tz=0.05 Mx=0.00 Mz=3.92
Sollecitazioni agenti localmente: Ty_l=-1153.78 Mx_l=-23.08
Tensioni nella sezione: σ=279.70 τ=34.96
CC 12 SLD (Collegamento 0021_-378)
Azioni sul collegamento: N=-6345.78 Ty=3.72 Tz=0.05 Mx=0.00 Mz=2.82
Sollecitazioni agenti localmente: Ty_l=-1153.78 Mx_l=-23.08
Tensioni nella sezione: σ=279.70 τ=34.96
CC 13 SLV (Collegamento 0021_-378)
Azioni sul collegamento: N=-5833.17 Ty=4.11 Tz=-1.71 Mx=0.00 Mz=3.66
Sollecitazioni agenti localmente: Ty_l=-1060.58 Mx_l=-21.21
Tensioni nella sezione: σ=257.11 τ=32.14
CC 13 SLV (Collegamento 0021_-378)
Azioni sul collegamento: N=-5833.17 Ty=5.40 Tz=-1.71 Mx=0.00 Mz=7.25
Sollecitazioni agenti localmente: Ty_l=-1060.58 Mx_l=-21.21
Tensioni nella sezione: σ=257.11 τ=32.14
CC 13 SLV (Collegamento 0021_-378)
Azioni sul collegamento: N=-5833.17 Ty=4.11 Tz=3.74 Mx=0.00 Mz=3.66
Sollecitazioni agenti localmente: Ty_l=-1060.58 Mx_l=-21.21
Tensioni nella sezione: σ=257.11 τ=32.14
CC 13 SLV (Collegamento 0021_-378)
Azioni sul collegamento: N=-5833.17 Ty=5.40 Tz=3.74 Mx=0.00 Mz=7.25
Sollecitazioni agenti localmente: Ty_l=-1060.58 Mx_l=-21.21
Tensioni nella sezione: σ=257.11 τ=32.14
CC 13 SLV (Collegamento 0021_-378)
Azioni sul collegamento: N=-7401.56 Ty=4.11 Tz=-1.71 Mx=0.00 Mz=3.66
Sollecitazioni agenti localmente: Ty_l=-1345.74 Mx_l=-26.91
Tensioni nella sezione: σ=326.24 τ=40.78
CC 13 SLV (Collegamento 0021_-378)
Azioni sul collegamento: N=-7401.56 Ty=5.40 Tz=-1.71 Mx=0.00 Mz=7.25
Sollecitazioni agenti localmente: Ty_l=-1345.74 Mx_l=-26.91
Tensioni nella sezione: σ=326.24 τ=40.78

CC 13 SLV (Collegamento 0021_-378)
Azioni sul collegamento: N=-7401.56 Ty=4.11 Tz=3.74 Mx=0.00 Mz=3.66
Sollecitazioni agenti localmente: Ty_l=-1345.74 Mx_l=-26.91
Tensioni nella sezione: σ=326.24 τ=40.78
CC 13 SLV (Collegamento 0021_-378)
Azioni sul collegamento: N=-7401.56 Ty=5.40 Tz=3.74 Mx=0.00 Mz=7.25
Sollecitazioni agenti localmente: Ty_l=-1345.74 Mx_l=-26.91
Tensioni nella sezione: σ=326.24 τ=40.78
CC 14 SLD (Collegamento 0021_-378)
Azioni sul collegamento: N=-6345.78 Ty=3.72 Tz=0.05 Mx=-0.00 Mz=2.82
Sollecitazioni agenti localmente: Ty_l=-1153.78 Mx_l=-23.08
Tensioni nella sezione: σ=279.70 τ=34.96
CC 14 SLD (Collegamento 0021_-378)
Azioni sul collegamento: N=-6345.78 Ty=4.11 Tz=0.05 Mx=-0.00 Mz=3.92
Sollecitazioni agenti localmente: Ty_l=-1153.78 Mx_l=-23.08
Tensioni nella sezione: σ=279.70 τ=34.96
CC 14 SLD (Collegamento 0021_-378)
Azioni sul collegamento: N=-6345.78 Ty=3.72 Tz=1.72 Mx=-0.00 Mz=2.82
Sollecitazioni agenti localmente: Ty_l=-1153.78 Mx_l=-23.08
Tensioni nella sezione: σ=279.70 τ=34.96
CC 14 SLD (Collegamento 0021_-378)
Azioni sul collegamento: N=-6345.78 Ty=4.11 Tz=1.72 Mx=-0.00 Mz=3.92
Sollecitazioni agenti localmente: Ty_l=-1153.78 Mx_l=-23.08
Tensioni nella sezione: σ=279.70 τ=34.96
CC 14 SLD (Collegamento 0021_-378)
Azioni sul collegamento: N=-6824.03 Ty=3.72 Tz=0.05 Mx=-0.00 Mz=2.82
Sollecitazioni agenti localmente: Ty_l=-1240.73 Mx_l=-24.81
Tensioni nella sezione: σ=300.78 τ=37.60
CC 14 SLD (Collegamento 0021_-378)
Azioni sul collegamento: N=-6824.03 Ty=4.11 Tz=0.05 Mx=-0.00 Mz=3.92
Sollecitazioni agenti localmente: Ty_l=-1240.73 Mx_l=-24.81
Tensioni nella sezione: σ=300.78 τ=37.60
CC 14 SLD (Collegamento 0021_-378)
Azioni sul collegamento: N=-6824.03 Ty=3.72 Tz=1.72 Mx=-0.00 Mz=2.82
Sollecitazioni agenti localmente: Ty_l=-1240.73 Mx_l=-24.81
Tensioni nella sezione: σ=300.78 τ=37.60
CC 14 SLD (Collegamento 0021_-378)
Azioni sul collegamento: N=-6824.03 Ty=4.11 Tz=1.72 Mx=-0.00 Mz=3.92
Sollecitazioni agenti localmente: Ty_l=-1240.73 Mx_l=-24.81
Tensioni nella sezione: σ=300.78 τ=37.60
CC 15 SLV (Collegamento 0021_-378)
Azioni sul collegamento: N=-7420.50 Ty=3.29 Tz=4.16 Mx=0.00 Mz=3.06
Sollecitazioni agenti localmente: Ty_l=-1349.18 Mx_l=-26.98
Tensioni nella sezione: σ=327.07 τ=40.88
CC 15 SLV (Collegamento 0021_-378)
Azioni sul collegamento: N=-7420.50 Ty=6.23 Tz=4.16 Mx=0.00 Mz=7.84
Sollecitazioni agenti localmente: Ty_l=-1349.18 Mx_l=-26.98
Tensioni nella sezione: σ=327.07 τ=40.88
CC 15 SLV (Collegamento 0021_-378)
Azioni sul collegamento: N=-7420.50 Ty=3.29 Tz=-2.14 Mx=0.00 Mz=3.06
Sollecitazioni agenti localmente: Ty_l=-1349.18 Mx_l=-26.98
Tensioni nella sezione: σ=327.07 τ=40.88
CC 15 SLV (Collegamento 0021_-378)
Azioni sul collegamento: N=-7420.50 Ty=6.23 Tz=-2.14 Mx=0.00 Mz=7.84
Sollecitazioni agenti localmente: Ty_l=-1349.18 Mx_l=-26.98
Tensioni nella sezione: σ=327.07 τ=40.88
CC 15 SLV (Collegamento 0021_-378)
Azioni sul collegamento: N=-5814.22 Ty=3.29 Tz=4.16 Mx=0.00 Mz=3.06
Sollecitazioni agenti localmente: Ty_l=-1057.13 Mx_l=-21.14
Tensioni nella sezione: σ=256.27 τ=32.03
CC 15 SLV (Collegamento 0021_-378)
Azioni sul collegamento: N=-5814.22 Ty=6.23 Tz=4.16 Mx=0.00 Mz=7.84
Sollecitazioni agenti localmente: Ty_l=-1057.13 Mx_l=-21.14
Tensioni nella sezione: σ=256.27 τ=32.03
CC 15 SLV (Collegamento 0021_-378)
Azioni sul collegamento: N=-5814.22 Ty=3.29 Tz=-2.14 Mx=0.00 Mz=3.06
Sollecitazioni agenti localmente: Ty_l=-1057.13 Mx_l=-21.14
Tensioni nella sezione: σ=256.27 τ=32.03
CC 15 SLV (Collegamento 0021_-378)
Azioni sul collegamento: N=-5814.22 Ty=6.23 Tz=-2.14 Mx=0.00 Mz=7.84
Sollecitazioni agenti localmente: Ty_l=-1057.13 Mx_l=-21.14
Tensioni nella sezione: σ=256.27 τ=32.03
CC 16 SLD (Collegamento 0021_-378)
Azioni sul collegamento: N=-6829.81 Ty=3.47 Tz=1.85 Mx=-0.00 Mz=2.64
Sollecitazioni agenti localmente: Ty_l=-1241.78 Mx_l=-24.84
Tensioni nella sezione: σ=301.04 τ=37.63
CC 16 SLD (Collegamento 0021_-378)
Azioni sul collegamento: N=-6829.81 Ty=4.36 Tz=1.85 Mx=-0.00 Mz=4.10
Sollecitazioni agenti localmente: Ty_l=-1241.78 Mx_l=-24.84

Tensioni nella sezione: σ=301.04 τ=37.63
CC 16 SLD (Collegamento 0021_-378)
Azioni sul collegamento: N=-6829.81 Ty=3.47 Tz=-0.08 Mx=-0.00 Mz=2.64
Sollecitazioni agenti localmente: Ty_l=-1241.78 Mx_l=-24.84
Tensioni nella sezione: σ=301.04 τ=37.63
CC 16 SLD (Collegamento 0021_-378)
Azioni sul collegamento: N=-6829.81 Ty=4.36 Tz=-0.08 Mx=-0.00 Mz=4.10
Sollecitazioni agenti localmente: Ty_l=-1241.78 Mx_l=-24.84
Tensioni nella sezione: σ=301.04 τ=37.63
CC 16 SLD (Collegamento 0021_-378)
Azioni sul collegamento: N=-6340.00 Ty=3.47 Tz=1.85 Mx=-0.00 Mz=2.64
Sollecitazioni agenti localmente: Ty_l=-1152.73 Mx_l=-23.05
Tensioni nella sezione: σ=279.45 τ=34.93
CC 16 SLD (Collegamento 0021_-378)
Azioni sul collegamento: N=-6340.00 Ty=4.36 Tz=1.85 Mx=-0.00 Mz=4.10
Sollecitazioni agenti localmente: Ty_l=-1152.73 Mx_l=-23.05
Tensioni nella sezione: σ=279.45 τ=34.93
CC 16 SLD (Collegamento 0021_-378)
Azioni sul collegamento: N=-6340.00 Ty=3.47 Tz=-0.08 Mx=-0.00 Mz=2.64
Sollecitazioni agenti localmente: Ty_l=-1152.73 Mx_l=-23.05
Tensioni nella sezione: σ=279.45 τ=34.93
CC 16 SLD (Collegamento 0021_-378)
Azioni sul collegamento: N=-6340.00 Ty=4.36 Tz=-0.08 Mx=-0.00 Mz=4.10
Sollecitazioni agenti localmente: Ty_l=-1152.73 Mx_l=-23.05
Tensioni nella sezione: σ=279.45 τ=34.93
CC 17 SLV (Collegamento 0021_-378)
Azioni sul collegamento: N=-3875.57 Ty=0.64 Tz=-9.21 Mx=-0.02 Mz=1.09
Sollecitazioni agenti localmente: Ty_l=-704.65 Mx_l=-14.09
Tensioni nella sezione: σ=170.82 τ=21.35
CC 17 SLV (Collegamento 0021_-378)
Azioni sul collegamento: N=-3875.57 Ty=4.02 Tz=-9.21 Mx=-0.02 Mz=-2.16
Sollecitazioni agenti localmente: Ty_l=-704.65 Mx_l=-14.09
Tensioni nella sezione: σ=170.82 τ=21.35
CC 17 SLV (Collegamento 0021_-378)
Azioni sul collegamento: N=-3875.57 Ty=0.64 Tz=10.50 Mx=-0.02 Mz=1.09
Sollecitazioni agenti localmente: Ty_l=-704.65 Mx_l=-14.09
Tensioni nella sezione: σ=170.82 τ=21.35
CC 17 SLV (Collegamento 0021_-378)
Azioni sul collegamento: N=-3875.57 Ty=4.02 Tz=10.50 Mx=-0.02 Mz=-2.16
Sollecitazioni agenti localmente: Ty_l=-704.65 Mx_l=-14.09
Tensioni nella sezione: σ=170.82 τ=21.35
CC 17 SLV (Collegamento 0021_-378)
Azioni sul collegamento: N=-9172.38 Ty=0.64 Tz=-9.21 Mx=-0.02 Mz=1.09
Sollecitazioni agenti localmente: Ty_l=-1667.70 Mx_l=-33.35
Tensioni nella sezione: σ=404.29 τ=50.54
CC 17 SLV (Collegamento 0021_-378)
Azioni sul collegamento: N=-9172.38 Ty=4.02 Tz=-9.21 Mx=-0.02 Mz=-2.16
Sollecitazioni agenti localmente: Ty_l=-1667.70 Mx_l=-33.35
Tensioni nella sezione: σ=404.29 τ=50.54
CC 17 SLV (Collegamento 0021_-378)
Azioni sul collegamento: N=-9172.38 Ty=0.64 Tz=10.50 Mx=-0.02 Mz=1.09
Sollecitazioni agenti localmente: Ty_l=-1667.70 Mx_l=-33.35
Tensioni nella sezione: σ=404.29 τ=50.54
CC 17 SLV (Collegamento 0021_-378)
Azioni sul collegamento: N=-9172.38 Ty=4.02 Tz=10.50 Mx=-0.02 Mz=-2.16
Sollecitazioni agenti localmente: Ty_l=-1667.70 Mx_l=-33.35
Tensioni nella sezione: σ=404.29 τ=50.54
CC 18 SLD (Collegamento 0021_-378)
Azioni sul collegamento: N=-5748.85 Ty=3.69 Tz=-2.23 Mx=-0.01 Mz=2.04
Sollecitazioni agenti localmente: Ty_l=-1045.24 Mx_l=-20.90
Tensioni nella sezione: σ=253.39 τ=31.67
CC 18 SLD (Collegamento 0021_-378)
Azioni sul collegamento: N=-5748.85 Ty=2.66 Tz=-2.23 Mx=-0.01 Mz=1.05
Sollecitazioni agenti localmente: Ty_l=-1045.24 Mx_l=-20.90
Tensioni nella sezione: σ=253.39 τ=31.67
CC 18 SLD (Collegamento 0021_-378)
Azioni sul collegamento: N=-5748.85 Ty=3.69 Tz=3.78 Mx=-0.01 Mz=2.04
Sollecitazioni agenti localmente: Ty_l=-1045.24 Mx_l=-20.90
Tensioni nella sezione: σ=253.39 τ=31.67
CC 18 SLD (Collegamento 0021_-378)
Azioni sul collegamento: N=-5748.85 Ty=2.66 Tz=3.78 Mx=-0.01 Mz=1.05
Sollecitazioni agenti localmente: Ty_l=-1045.24 Mx_l=-20.90
Tensioni nella sezione: σ=253.39 τ=31.67
CC 18 SLD (Collegamento 0021_-378)
Azioni sul collegamento: N=-7364.01 Ty=3.69 Tz=-2.23 Mx=-0.01 Mz=2.04
Sollecitazioni agenti localmente: Ty_l=-1338.91 Mx_l=-26.78
Tensioni nella sezione: σ=324.58 τ=40.57
CC 18 SLD (Collegamento 0021_-378)
Azioni sul collegamento: N=-7364.01 Ty=2.66 Tz=-2.23 Mx=-0.01 Mz=1.05

Sollecitazioni agenti localmente: Ty_l=-1338.91 Mx_l=-26.78
Tensioni nella sezione: σ=324.58 τ=40.57
CC 18 SLD (Collegamento 0021_-378)
Azioni sul collegamento: N=-7364.01 Ty=3.69 Tz=3.78 Mx=-0.01 Mz=2.04
Sollecitazioni agenti localmente: Ty_l=-1338.91 Mx_l=-26.78
Tensioni nella sezione: σ=324.58 τ=40.57
CC 18 SLD (Collegamento 0021_-378)
Azioni sul collegamento: N=-7364.01 Ty=2.66 Tz=3.78 Mx=-0.01 Mz=1.05
Sollecitazioni agenti localmente: Ty_l=-1338.91 Mx_l=-26.78
Tensioni nella sezione: σ=324.58 τ=40.57
CC 19 SLV (Collegamento 0021_-378)
Azioni sul collegamento: N=-3881.26 Ty=1.27 Tz=-9.09 Mx=-0.02 Mz=-0.17
Sollecitazioni agenti localmente: Ty_l=-705.68 Mx_l=-14.11
Tensioni nella sezione: σ=171.07 τ=21.38
CC 19 SLV (Collegamento 0021_-378)
Azioni sul collegamento: N=-3881.26 Ty=3.39 Tz=-9.09 Mx=-0.02 Mz=-0.91
Sollecitazioni agenti localmente: Ty_l=-705.68 Mx_l=-14.11
Tensioni nella sezione: σ=171.07 τ=21.38
CC 19 SLV (Collegamento 0021_-378)
Azioni sul collegamento: N=-3881.26 Ty=1.27 Tz=10.37 Mx=-0.02 Mz=-0.17
Sollecitazioni agenti localmente: Ty_l=-705.68 Mx_l=-14.11
Tensioni nella sezione: σ=171.07 τ=21.38
CC 19 SLV (Collegamento 0021_-378)
Azioni sul collegamento: N=-3881.26 Ty=3.39 Tz=10.37 Mx=-0.02 Mz=-0.91
Sollecitazioni agenti localmente: Ty_l=-705.68 Mx_l=-14.11
Tensioni nella sezione: σ=171.07 τ=21.38
CC 19 SLV (Collegamento 0021_-378)
Azioni sul collegamento: N=-9166.69 Ty=1.27 Tz=-9.09 Mx=-0.02 Mz=-0.17
Sollecitazioni agenti localmente: Ty_l=-1666.67 Mx_l=-33.33
Tensioni nella sezione: σ=404.04 τ=50.51
CC 19 SLV (Collegamento 0021_-378)
Azioni sul collegamento: N=-9166.69 Ty=3.39 Tz=-9.09 Mx=-0.02 Mz=-0.91
Sollecitazioni agenti localmente: Ty_l=-1666.67 Mx_l=-33.33
Tensioni nella sezione: σ=404.04 τ=50.51
CC 19 SLV (Collegamento 0021_-378)
Azioni sul collegamento: N=-9166.69 Ty=1.27 Tz=10.37 Mx=-0.02 Mz=-0.17
Sollecitazioni agenti localmente: Ty_l=-1666.67 Mx_l=-33.33
Tensioni nella sezione: σ=404.04 τ=50.51
CC 19 SLV (Collegamento 0021_-378)
Azioni sul collegamento: N=-9166.69 Ty=3.39 Tz=10.37 Mx=-0.02 Mz=-0.91
Sollecitazioni agenti localmente: Ty_l=-1666.67 Mx_l=-33.33
Tensioni nella sezione: σ=404.04 τ=50.51
CC 20 SLD (Collegamento 0021_-378)
Azioni sul collegamento: N=-5750.58 Ty=3.50 Tz=-2.19 Mx=-0.01 Mz=1.66
Sollecitazioni agenti localmente: Ty_l=-1045.56 Mx_l=-20.91
Tensioni nella sezione: σ=253.47 τ=31.68
CC 20 SLD (Collegamento 0021_-378)
Azioni sul collegamento: N=-5750.58 Ty=2.85 Tz=-2.19 Mx=-0.01 Mz=1.43
Sollecitazioni agenti localmente: Ty_l=-1045.56 Mx_l=-20.91
Tensioni nella sezione: σ=253.47 τ=31.68
CC 20 SLD (Collegamento 0021_-378)
Azioni sul collegamento: N=-5750.58 Ty=3.50 Tz=3.74 Mx=-0.01 Mz=1.66
Sollecitazioni agenti localmente: Ty_l=-1045.56 Mx_l=-20.91
Tensioni nella sezione: σ=253.47 τ=31.68
CC 20 SLD (Collegamento 0021_-378)
Azioni sul collegamento: N=-5750.58 Ty=2.85 Tz=3.74 Mx=-0.01 Mz=1.43
Sollecitazioni agenti localmente: Ty_l=-1045.56 Mx_l=-20.91
Tensioni nella sezione: σ=253.47 τ=31.68
CC 20 SLD (Collegamento 0021_-378)
Azioni sul collegamento: N=-7362.28 Ty=3.50 Tz=-2.19 Mx=-0.01 Mz=1.66
Sollecitazioni agenti localmente: Ty_l=-1338.60 Mx_l=-26.77
Tensioni nella sezione: σ=324.51 τ=40.56
CC 20 SLD (Collegamento 0021_-378)
Azioni sul collegamento: N=-7362.28 Ty=2.85 Tz=-2.19 Mx=-0.01 Mz=1.43
Sollecitazioni agenti localmente: Ty_l=-1338.60 Mx_l=-26.77
Tensioni nella sezione: σ=324.51 τ=40.56
CC 20 SLD (Collegamento 0021_-378)
Azioni sul collegamento: N=-7362.28 Ty=3.50 Tz=3.74 Mx=-0.01 Mz=1.66
Sollecitazioni agenti localmente: Ty_l=-1338.60 Mx_l=-26.77
Tensioni nella sezione: σ=324.51 τ=40.56
CC 20 SLD (Collegamento 0021_-378)
Azioni sul collegamento: N=-7362.28 Ty=2.85 Tz=3.74 Mx=-0.01 Mz=1.43
Sollecitazioni agenti localmente: Ty_l=-1338.60 Mx_l=-26.77
Tensioni nella sezione: σ=324.51 τ=40.56
CC 21 SLV (Collegamento 0021_-378)
Azioni sul collegamento: N=-9166.69 Ty=3.39 Tz=10.37 Mx=-0.02 Mz=-0.91
Sollecitazioni agenti localmente: Ty_l=-1666.67 Mx_l=-33.33
Tensioni nella sezione: σ=404.04 τ=50.51
CC 21 SLV (Collegamento 0021_-378)

Azioni sul collegamento: N=-9166.69 Ty=1.27 Tz=10.37 Mx=-0.02 Mz=-0.17
Sollecitazioni agenti localmente: Ty_l=-1666.67 Mx_l=-33.33
Tensioni nella sezione: σ=404.04 τ=50.51
CC 21 SLV (Collegamento 0021_-378)
Azioni sul collegamento: N=-9166.69 Ty=3.39 Tz=-9.09 Mx=-0.02 Mz=-0.91
Sollecitazioni agenti localmente: Ty_l=-1666.67 Mx_l=-33.33
Tensioni nella sezione: σ=404.04 τ=50.51
CC 21 SLV (Collegamento 0021_-378)
Azioni sul collegamento: N=-9166.69 Ty=1.27 Tz=-9.09 Mx=-0.02 Mz=-0.17
Sollecitazioni agenti localmente: Ty_l=-1666.67 Mx_l=-33.33
Tensioni nella sezione: σ=404.04 τ=50.51
CC 21 SLV (Collegamento 0021_-378)
Azioni sul collegamento: N=-3881.26 Ty=3.39 Tz=10.37 Mx=-0.02 Mz=-0.91
Sollecitazioni agenti localmente: Ty_l=-705.68 Mx_l=-14.11
Tensioni nella sezione: σ=171.07 τ=21.38
CC 21 SLV (Collegamento 0021_-378)
Azioni sul collegamento: N=-3881.26 Ty=1.27 Tz=10.37 Mx=-0.02 Mz=-0.17
Sollecitazioni agenti localmente: Ty_l=-705.68 Mx_l=-14.11
Tensioni nella sezione: σ=171.07 τ=21.38
CC 21 SLV (Collegamento 0021_-378)
Azioni sul collegamento: N=-3881.26 Ty=3.39 Tz=-9.09 Mx=-0.02 Mz=-0.91
Sollecitazioni agenti localmente: Ty_l=-705.68 Mx_l=-14.11
Tensioni nella sezione: σ=171.07 τ=21.38
CC 21 SLV (Collegamento 0021_-378)
Azioni sul collegamento: N=-3881.26 Ty=1.27 Tz=-9.09 Mx=-0.02 Mz=-0.17
Sollecitazioni agenti localmente: Ty_l=-705.68 Mx_l=-14.11
Tensioni nella sezione: σ=171.07 τ=21.38
CC 22 SLD (Collegamento 0021_-378)
Azioni sul collegamento: N=-7362.28 Ty=2.85 Tz=3.74 Mx=-0.01 Mz=1.43
Sollecitazioni agenti localmente: Ty_l=-1338.60 Mx_l=-26.77
Tensioni nella sezione: σ=324.51 τ=40.56
CC 22 SLD (Collegamento 0021_-378)
Azioni sul collegamento: N=-7362.28 Ty=3.50 Tz=3.74 Mx=-0.01 Mz=1.66
Sollecitazioni agenti localmente: Ty_l=-1338.60 Mx_l=-26.77
Tensioni nella sezione: σ=324.51 τ=40.56
CC 22 SLD (Collegamento 0021_-378)
Azioni sul collegamento: N=-7362.28 Ty=2.85 Tz=-2.19 Mx=-0.01 Mz=1.43
Sollecitazioni agenti localmente: Ty_l=-1338.60 Mx_l=-26.77
Tensioni nella sezione: σ=324.51 τ=40.56
CC 22 SLD (Collegamento 0021_-378)
Azioni sul collegamento: N=-7362.28 Ty=3.50 Tz=-2.19 Mx=-0.01 Mz=1.66
Sollecitazioni agenti localmente: Ty_l=-1338.60 Mx_l=-26.77
Tensioni nella sezione: σ=324.51 τ=40.56
CC 22 SLD (Collegamento 0021_-378)
Azioni sul collegamento: N=-5750.58 Ty=2.85 Tz=3.74 Mx=-0.01 Mz=1.43
Sollecitazioni agenti localmente: Ty_l=-1045.56 Mx_l=-20.91
Tensioni nella sezione: σ=253.47 τ=31.68
CC 22 SLD (Collegamento 0021_-378)
Azioni sul collegamento: N=-5750.58 Ty=3.50 Tz=3.74 Mx=-0.01 Mz=1.66
Sollecitazioni agenti localmente: Ty_l=-1045.56 Mx_l=-20.91
Tensioni nella sezione: σ=253.47 τ=31.68
CC 22 SLD (Collegamento 0021_-378)
Azioni sul collegamento: N=-5750.58 Ty=2.85 Tz=-2.19 Mx=-0.01 Mz=1.43
Sollecitazioni agenti localmente: Ty_l=-1045.56 Mx_l=-20.91
Tensioni nella sezione: σ=253.47 τ=31.68
CC 22 SLD (Collegamento 0021_-378)
Azioni sul collegamento: N=-5750.58 Ty=3.50 Tz=-2.19 Mx=-0.01 Mz=1.66
Sollecitazioni agenti localmente: Ty_l=-1045.56 Mx_l=-20.91
Tensioni nella sezione: σ=253.47 τ=31.68
CC 23 SLV (Collegamento 0021_-378)
Azioni sul collegamento: N=-9172.38 Ty=4.02 Tz=10.50 Mx=-0.01 Mz=-2.16
Sollecitazioni agenti localmente: Ty_l=-1667.70 Mx_l=-33.35
Tensioni nella sezione: σ=404.29 τ=50.54
CC 23 SLV (Collegamento 0021_-378)
Azioni sul collegamento: N=-9172.38 Ty=0.64 Tz=10.50 Mx=-0.01 Mz=1.09
Sollecitazioni agenti localmente: Ty_l=-1667.70 Mx_l=-33.35
Tensioni nella sezione: σ=404.29 τ=50.54
CC 23 SLV (Collegamento 0021_-378)
Azioni sul collegamento: N=-9172.38 Ty=4.02 Tz=-9.21 Mx=-0.01 Mz=-2.16
Sollecitazioni agenti localmente: Ty_l=-1667.70 Mx_l=-33.35
Tensioni nella sezione: σ=404.29 τ=50.54
CC 23 SLV (Collegamento 0021_-378)
Azioni sul collegamento: N=-9172.38 Ty=0.64 Tz=-9.21 Mx=-0.01 Mz=1.09
Sollecitazioni agenti localmente: Ty_l=-1667.70 Mx_l=-33.35
Tensioni nella sezione: σ=404.29 τ=50.54
CC 23 SLV (Collegamento 0021_-378)
Azioni sul collegamento: N=-3875.57 Ty=4.02 Tz=10.50 Mx=-0.01 Mz=-2.16
Sollecitazioni agenti localmente: Ty_l=-704.65 Mx_l=-14.09
Tensioni nella sezione: σ=170.82 τ=21.35

CC 23 SLV (Collegamento 0021_-378)
Azioni sul collegamento: N=-3875.57 Ty=0.64 Tz=10.50 Mx=-0.01 Mz=1.09
Sollecitazioni agenti localmente: Ty_l=-704.65 Mx_l=-14.09
Tensioni nella sezione: σ=170.82 τ=21.35
CC 23 SLV (Collegamento 0021_-378)
Azioni sul collegamento: N=-3875.57 Ty=4.02 Tz=-9.21 Mx=-0.01 Mz=-2.16
Sollecitazioni agenti localmente: Ty_l=-704.65 Mx_l=-14.09
Tensioni nella sezione: σ=170.82 τ=21.35
CC 23 SLV (Collegamento 0021_-378)
Azioni sul collegamento: N=-3875.57 Ty=0.64 Tz=-9.21 Mx=-0.01 Mz=1.09
Sollecitazioni agenti localmente: Ty_l=-704.65 Mx_l=-14.09
Tensioni nella sezione: σ=170.82 τ=21.35
CC 24 SLD (Collegamento 0021_-378)
Azioni sul collegamento: N=-7364.01 Ty=2.66 Tz=3.78 Mx=-0.01 Mz=1.05
Sollecitazioni agenti localmente: Ty_l=-1338.91 Mx_l=-26.78
Tensioni nella sezione: σ=324.58 τ=40.57
CC 24 SLD (Collegamento 0021_-378)
Azioni sul collegamento: N=-7364.01 Ty=3.69 Tz=3.78 Mx=-0.01 Mz=2.04
Sollecitazioni agenti localmente: Ty_l=-1338.91 Mx_l=-26.78
Tensioni nella sezione: σ=324.58 τ=40.57
CC 24 SLD (Collegamento 0021_-378)
Azioni sul collegamento: N=-7364.01 Ty=2.66 Tz=-2.23 Mx=-0.01 Mz=1.05
Sollecitazioni agenti localmente: Ty_l=-1338.91 Mx_l=-26.78
Tensioni nella sezione: σ=324.58 τ=40.57
CC 24 SLD (Collegamento 0021_-378)
Azioni sul collegamento: N=-7364.01 Ty=3.69 Tz=-2.23 Mx=-0.01 Mz=2.04
Sollecitazioni agenti localmente: Ty_l=-1338.91 Mx_l=-26.78
Tensioni nella sezione: σ=324.58 τ=40.57
CC 24 SLD (Collegamento 0021_-378)
Azioni sul collegamento: N=-5748.85 Ty=2.66 Tz=3.78 Mx=-0.01 Mz=1.05
Sollecitazioni agenti localmente: Ty_l=-1045.24 Mx_l=-20.90
Tensioni nella sezione: σ=253.39 τ=31.67
CC 24 SLD (Collegamento 0021_-378)
Azioni sul collegamento: N=-5748.85 Ty=3.69 Tz=3.78 Mx=-0.01 Mz=2.04
Sollecitazioni agenti localmente: Ty_l=-1045.24 Mx_l=-20.90
Tensioni nella sezione: σ=253.39 τ=31.67
CC 24 SLD (Collegamento 0021_-378)
Azioni sul collegamento: N=-5748.85 Ty=2.66 Tz=-2.23 Mx=-0.01 Mz=1.05
Sollecitazioni agenti localmente: Ty_l=-1045.24 Mx_l=-20.90
Tensioni nella sezione: σ=253.39 τ=31.67
CC 24 SLD (Collegamento 0021_-378)
Azioni sul collegamento: N=-5748.85 Ty=3.69 Tz=-2.23 Mx=-0.01 Mz=2.04
Sollecitazioni agenti localmente: Ty_l=-1045.24 Mx_l=-20.90
Tensioni nella sezione: σ=253.39 τ=31.67
CC 25 SLV (Collegamento 0021_-378)
Azioni sul collegamento: N=-5720.83 Ty=0.86 Tz=-2.51 Mx=-0.03 Mz=1.85
Sollecitazioni agenti localmente: Ty_l=-1040.15 Mx_l=-20.80
Tensioni nella sezione: σ=252.16 τ=31.52
CC 25 SLV (Collegamento 0021_-378)
Azioni sul collegamento: N=-5720.83 Ty=3.80 Tz=-2.51 Mx=-0.03 Mz=-2.93
Sollecitazioni agenti localmente: Ty_l=-1040.15 Mx_l=-20.80
Tensioni nella sezione: σ=252.16 τ=31.52
CC 25 SLV (Collegamento 0021_-378)
Azioni sul collegamento: N=-5720.83 Ty=0.86 Tz=3.80 Mx=-0.03 Mz=1.85
Sollecitazioni agenti localmente: Ty_l=-1040.15 Mx_l=-20.80
Tensioni nella sezione: σ=252.16 τ=31.52
CC 25 SLV (Collegamento 0021_-378)
Azioni sul collegamento: N=-5720.83 Ty=3.80 Tz=3.80 Mx=-0.03 Mz=-2.93
Sollecitazioni agenti localmente: Ty_l=-1040.15 Mx_l=-20.80
Tensioni nella sezione: σ=252.16 τ=31.52
CC 25 SLV (Collegamento 0021_-378)
Azioni sul collegamento: N=-7327.12 Ty=0.86 Tz=-2.51 Mx=-0.03 Mz=1.85
Sollecitazioni agenti localmente: Ty_l=-1332.20 Mx_l=-26.64
Tensioni nella sezione: σ=322.96 τ=40.37
CC 25 SLV (Collegamento 0021_-378)
Azioni sul collegamento: N=-7327.12 Ty=3.80 Tz=-2.51 Mx=-0.03 Mz=-2.93
Sollecitazioni agenti localmente: Ty_l=-1332.20 Mx_l=-26.64
Tensioni nella sezione: σ=322.96 τ=40.37
CC 25 SLV (Collegamento 0021_-378)
Azioni sul collegamento: N=-7327.12 Ty=0.86 Tz=3.80 Mx=-0.03 Mz=1.85
Sollecitazioni agenti localmente: Ty_l=-1332.20 Mx_l=-26.64
Tensioni nella sezione: σ=322.96 τ=40.37
CC 25 SLV (Collegamento 0021_-378)
Azioni sul collegamento: N=-7327.12 Ty=3.80 Tz=3.80 Mx=-0.03 Mz=-2.93
Sollecitazioni agenti localmente: Ty_l=-1332.20 Mx_l=-26.64
Tensioni nella sezione: σ=322.96 τ=40.37
CC 26 SLD (Collegamento 0021_-378)
Azioni sul collegamento: N=-6311.53 Ty=3.62 Tz=-0.19 Mx=-0.01 Mz=2.27
Sollecitazioni agenti localmente: Ty_l=-1147.55 Mx_l=-22.95

Tensioni nella sezione: σ=278.19 τ=34.77
CC 26 SLD (Collegamento 0021_-378)
Azioni sul collegamento: N=-6311.53 Ty=2.73 Tz=-0.19 Mx=-0.01 Mz=0.81
Sollecitazioni agenti localmente: Ty_l=-1147.55 Mx_l=-22.95
Tensioni nella sezione: σ=278.19 τ=34.77
CC 26 SLD (Collegamento 0021_-378)
Azioni sul collegamento: N=-6311.53 Ty=3.62 Tz=1.73 Mx=-0.01 Mz=2.27
Sollecitazioni agenti localmente: Ty_l=-1147.55 Mx_l=-22.95
Tensioni nella sezione: σ=278.19 τ=34.77
CC 26 SLD (Collegamento 0021_-378)
Azioni sul collegamento: N=-6311.53 Ty=2.73 Tz=1.73 Mx=-0.01 Mz=0.81
Sollecitazioni agenti localmente: Ty_l=-1147.55 Mx_l=-22.95
Tensioni nella sezione: σ=278.19 τ=34.77
CC 26 SLD (Collegamento 0021_-378)
Azioni sul collegamento: N=-6801.33 Ty=3.62 Tz=-0.19 Mx=-0.01 Mz=2.27
Sollecitazioni agenti localmente: Ty_l=-1236.61 Mx_l=-24.73
Tensioni nella sezione: σ=299.78 τ=37.47
CC 26 SLD (Collegamento 0021_-378)
Azioni sul collegamento: N=-6801.33 Ty=2.73 Tz=-0.19 Mx=-0.01 Mz=0.81
Sollecitazioni agenti localmente: Ty_l=-1236.61 Mx_l=-24.73
Tensioni nella sezione: σ=299.78 τ=37.47
CC 26 SLD (Collegamento 0021_-378)
Azioni sul collegamento: N=-6801.33 Ty=3.62 Tz=1.73 Mx=-0.01 Mz=2.27
Sollecitazioni agenti localmente: Ty_l=-1236.61 Mx_l=-24.73
Tensioni nella sezione: σ=299.78 τ=37.47
CC 26 SLD (Collegamento 0021_-378)
Azioni sul collegamento: N=-6801.33 Ty=2.73 Tz=1.73 Mx=-0.01 Mz=0.81
Sollecitazioni agenti localmente: Ty_l=-1236.61 Mx_l=-24.73
Tensioni nella sezione: σ=299.78 τ=37.47
CC 27 SLV (Collegamento 0021_-378)
Azioni sul collegamento: N=-7308.17 Ty=1.68 Tz=3.37 Mx=-0.02 Mz=1.26
Sollecitazioni agenti localmente: Ty_l=-1328.76 Mx_l=-26.58
Tensioni nella sezione: σ=322.12 τ=40.27
CC 27 SLV (Collegamento 0021_-378)
Azioni sul collegamento: N=-7308.17 Ty=2.97 Tz=3.37 Mx=-0.02 Mz=-2.33
Sollecitazioni agenti localmente: Ty_l=-1328.76 Mx_l=-26.58
Tensioni nella sezione: σ=322.12 τ=40.27
CC 27 SLV (Collegamento 0021_-378)
Azioni sul collegamento: N=-7308.17 Ty=1.68 Tz=-2.08 Mx=-0.02 Mz=1.26
Sollecitazioni agenti localmente: Ty_l=-1328.76 Mx_l=-26.58
Tensioni nella sezione: σ=322.12 τ=40.27
CC 27 SLV (Collegamento 0021_-378)
Azioni sul collegamento: N=-7308.17 Ty=2.97 Tz=-2.08 Mx=-0.02 Mz=-2.33
Sollecitazioni agenti localmente: Ty_l=-1328.76 Mx_l=-26.58
Tensioni nella sezione: σ=322.12 τ=40.27
CC 27 SLV (Collegamento 0021_-378)
Azioni sul collegamento: N=-5739.78 Ty=1.68 Tz=3.37 Mx=-0.02 Mz=1.26
Sollecitazioni agenti localmente: Ty_l=-1043.60 Mx_l=-20.87
Tensioni nella sezione: σ=252.99 τ=31.62
CC 27 SLV (Collegamento 0021_-378)
Azioni sul collegamento: N=-5739.78 Ty=2.97 Tz=3.37 Mx=-0.02 Mz=-2.33
Sollecitazioni agenti localmente: Ty_l=-1043.60 Mx_l=-20.87
Tensioni nella sezione: σ=252.99 τ=31.62
CC 27 SLV (Collegamento 0021_-378)
Azioni sul collegamento: N=-5739.78 Ty=1.68 Tz=-2.08 Mx=-0.02 Mz=1.26
Sollecitazioni agenti localmente: Ty_l=-1043.60 Mx_l=-20.87
Tensioni nella sezione: σ=252.99 τ=31.62
CC 27 SLV (Collegamento 0021_-378)
Azioni sul collegamento: N=-5739.78 Ty=2.97 Tz=-2.08 Mx=-0.02 Mz=-2.33
Sollecitazioni agenti localmente: Ty_l=-1043.60 Mx_l=-20.87
Tensioni nella sezione: σ=252.99 τ=31.62
CC 28 SLD (Collegamento 0021_-378)
Azioni sul collegamento: N=-6795.56 Ty=3.37 Tz=1.60 Mx=-0.01 Mz=2.09
Sollecitazioni agenti localmente: Ty_l=-1235.56 Mx_l=-24.71
Tensioni nella sezione: σ=299.53 τ=37.44
CC 28 SLD (Collegamento 0021_-378)
Azioni sul collegamento: N=-6795.56 Ty=2.98 Tz=1.60 Mx=-0.01 Mz=1.00
Sollecitazioni agenti localmente: Ty_l=-1235.56 Mx_l=-24.71
Tensioni nella sezione: σ=299.53 τ=37.44
CC 28 SLD (Collegamento 0021_-378)
Azioni sul collegamento: N=-6795.56 Ty=3.37 Tz=-0.06 Mx=-0.01 Mz=2.09
Sollecitazioni agenti localmente: Ty_l=-1235.56 Mx_l=-24.71
Tensioni nella sezione: σ=299.53 τ=37.44
CC 28 SLD (Collegamento 0021_-378)
Azioni sul collegamento: N=-6795.56 Ty=2.98 Tz=-0.06 Mx=-0.01 Mz=1.00
Sollecitazioni agenti localmente: Ty_l=-1235.56 Mx_l=-24.71
Tensioni nella sezione: σ=299.53 τ=37.44
CC 28 SLD (Collegamento 0021_-378)
Azioni sul collegamento: N=-6317.30 Ty=3.37 Tz=1.60 Mx=-0.01 Mz=2.09

Sollecitazioni agenti localmente: Ty_l=-1148.60 Mx_l=-22.97
Tensioni nella sezione: σ=278.45 τ=34.81
CC 28 SLD (Collegamento 0021_-378)
Azioni sul collegamento: N=-6317.30 Ty=2.98 Tz=1.60 Mx=-0.01 Mz=1.00
Sollecitazioni agenti localmente: Ty_l=-1148.60 Mx_l=-22.97
Tensioni nella sezione: σ=278.45 τ=34.81
CC 28 SLD (Collegamento 0021_-378)
Azioni sul collegamento: N=-6317.30 Ty=3.37 Tz=-0.06 Mx=-0.01 Mz=2.09
Sollecitazioni agenti localmente: Ty_l=-1148.60 Mx_l=-22.97
Tensioni nella sezione: σ=278.45 τ=34.81
CC 28 SLD (Collegamento 0021_-378)
Azioni sul collegamento: N=-6317.30 Ty=2.98 Tz=-0.06 Mx=-0.01 Mz=1.00
Sollecitazioni agenti localmente: Ty_l=-1148.60 Mx_l=-22.97
Tensioni nella sezione: σ=278.45 τ=34.81
CC 29 SLV (Collegamento 0021_-378)
Azioni sul collegamento: N=-5739.78 Ty=2.97 Tz=-2.08 Mx=-0.01 Mz=-2.33
Sollecitazioni agenti localmente: Ty_l=-1043.60 Mx_l=-20.87
Tensioni nella sezione: σ=252.99 τ=31.62
CC 29 SLV (Collegamento 0021_-378)
Azioni sul collegamento: N=-5739.78 Ty=1.68 Tz=-2.08 Mx=-0.01 Mz=1.26
Sollecitazioni agenti localmente: Ty_l=-1043.60 Mx_l=-20.87
Tensioni nella sezione: σ=252.99 τ=31.62
CC 29 SLV (Collegamento 0021_-378)
Azioni sul collegamento: N=-5739.78 Ty=2.97 Tz=3.37 Mx=-0.01 Mz=-2.33
Sollecitazioni agenti localmente: Ty_l=-1043.60 Mx_l=-20.87
Tensioni nella sezione: σ=252.99 τ=31.62
CC 29 SLV (Collegamento 0021_-378)
Azioni sul collegamento: N=-5739.78 Ty=1.68 Tz=3.37 Mx=-0.01 Mz=1.26
Sollecitazioni agenti localmente: Ty_l=-1043.60 Mx_l=-20.87
Tensioni nella sezione: σ=252.99 τ=31.62
CC 29 SLV (Collegamento 0021_-378)
Azioni sul collegamento: N=-7308.17 Ty=2.97 Tz=-2.08 Mx=-0.01 Mz=-2.33
Sollecitazioni agenti localmente: Ty_l=-1328.76 Mx_l=-26.58
Tensioni nella sezione: σ=322.12 τ=40.27
CC 29 SLV (Collegamento 0021_-378)
Azioni sul collegamento: N=-7308.17 Ty=1.68 Tz=-2.08 Mx=-0.01 Mz=1.26
Sollecitazioni agenti localmente: Ty_l=-1328.76 Mx_l=-26.58
Tensioni nella sezione: σ=322.12 τ=40.27
CC 29 SLV (Collegamento 0021_-378)
Azioni sul collegamento: N=-7308.17 Ty=2.97 Tz=3.37 Mx=-0.01 Mz=-2.33
Sollecitazioni agenti localmente: Ty_l=-1328.76 Mx_l=-26.58
Tensioni nella sezione: σ=322.12 τ=40.27
CC 29 SLV (Collegamento 0021_-378)
Azioni sul collegamento: N=-7308.17 Ty=1.68 Tz=3.37 Mx=-0.01 Mz=1.26
Sollecitazioni agenti localmente: Ty_l=-1328.76 Mx_l=-26.58
Tensioni nella sezione: σ=322.12 τ=40.27
CC 30 SLD (Collegamento 0021_-378)
Azioni sul collegamento: N=-6317.30 Ty=2.98 Tz=-0.06 Mx=-0.01 Mz=1.00
Sollecitazioni agenti localmente: Ty_l=-1148.60 Mx_l=-22.97
Tensioni nella sezione: σ=278.45 τ=34.81
CC 30 SLD (Collegamento 0021_-378)
Azioni sul collegamento: N=-6317.30 Ty=3.37 Tz=-0.06 Mx=-0.01 Mz=2.09
Sollecitazioni agenti localmente: Ty_l=-1148.60 Mx_l=-22.97
Tensioni nella sezione: σ=278.45 τ=34.81
CC 30 SLD (Collegamento 0021_-378)
Azioni sul collegamento: N=-6317.30 Ty=2.98 Tz=1.60 Mx=-0.01 Mz=1.00
Sollecitazioni agenti localmente: Ty_l=-1148.60 Mx_l=-22.97
Tensioni nella sezione: σ=278.45 τ=34.81
CC 30 SLD (Collegamento 0021_-378)
Azioni sul collegamento: N=-6317.30 Ty=3.37 Tz=1.60 Mx=-0.01 Mz=2.09
Sollecitazioni agenti localmente: Ty_l=-1148.60 Mx_l=-22.97
Tensioni nella sezione: σ=278.45 τ=34.81
CC 30 SLD (Collegamento 0021_-378)
Azioni sul collegamento: N=-6795.56 Ty=2.98 Tz=-0.06 Mx=-0.01 Mz=1.00
Sollecitazioni agenti localmente: Ty_l=-1235.56 Mx_l=-24.71
Tensioni nella sezione: σ=299.53 τ=37.44
CC 30 SLD (Collegamento 0021_-378)
Azioni sul collegamento: N=-6795.56 Ty=3.37 Tz=-0.06 Mx=-0.01 Mz=2.09
Sollecitazioni agenti localmente: Ty_l=-1235.56 Mx_l=-24.71
Tensioni nella sezione: σ=299.53 τ=37.44
CC 30 SLD (Collegamento 0021_-378)
Azioni sul collegamento: N=-6795.56 Ty=2.98 Tz=1.60 Mx=-0.01 Mz=1.00
Sollecitazioni agenti localmente: Ty_l=-1235.56 Mx_l=-24.71
Tensioni nella sezione: σ=299.53 τ=37.44
CC 30 SLD (Collegamento 0021_-378)
Azioni sul collegamento: N=-6795.56 Ty=3.37 Tz=1.60 Mx=-0.01 Mz=2.09
Sollecitazioni agenti localmente: Ty_l=-1235.56 Mx_l=-24.71
Tensioni nella sezione: σ=299.53 τ=37.44
CC 31 SLV (Collegamento 0021_-378)

Azioni sul collegamento: N=-7327.12 Ty=3.80 Tz=3.80 Mx=-0.01 Mz=-2.93
Sollecitazioni agenti localmente: Ty_l=-1332.20 Mx_l=-26.64
Tensioni nella sezione: σ=322.96 τ=40.37
CC 31 SLV (Collegamento 0021_-378)
Azioni sul collegamento: N=-7327.12 Ty=0.86 Tz=3.80 Mx=-0.01 Mz=1.85
Sollecitazioni agenti localmente: Ty_l=-1332.20 Mx_l=-26.64
Tensioni nella sezione: σ=322.96 τ=40.37
CC 31 SLV (Collegamento 0021_-378)
Azioni sul collegamento: N=-7327.12 Ty=3.80 Tz=-2.51 Mx=-0.01 Mz=-2.93
Sollecitazioni agenti localmente: Ty_l=-1332.20 Mx_l=-26.64
Tensioni nella sezione: σ=322.96 τ=40.37
CC 31 SLV (Collegamento 0021_-378)
Azioni sul collegamento: N=-7327.12 Ty=0.86 Tz=-2.51 Mx=-0.01 Mz=1.85
Sollecitazioni agenti localmente: Ty_l=-1332.20 Mx_l=-26.64
Tensioni nella sezione: σ=322.96 τ=40.37
CC 31 SLV (Collegamento 0021_-378)
Azioni sul collegamento: N=-5720.83 Ty=3.80 Tz=3.80 Mx=-0.01 Mz=-2.93
Sollecitazioni agenti localmente: Ty_l=-1040.15 Mx_l=-20.80
Tensioni nella sezione: σ=252.16 τ=31.52
CC 31 SLV (Collegamento 0021_-378)
Azioni sul collegamento: N=-5720.83 Ty=0.86 Tz=3.80 Mx=-0.01 Mz=1.85
Sollecitazioni agenti localmente: Ty_l=-1040.15 Mx_l=-20.80
Tensioni nella sezione: σ=252.16 τ=31.52
CC 31 SLV (Collegamento 0021_-378)
Azioni sul collegamento: N=-5720.83 Ty=3.80 Tz=-2.51 Mx=-0.01 Mz=-2.93
Sollecitazioni agenti localmente: Ty_l=-1040.15 Mx_l=-20.80
Tensioni nella sezione: σ=252.16 τ=31.52
CC 31 SLV (Collegamento 0021_-378)
Azioni sul collegamento: N=-5720.83 Ty=0.86 Tz=-2.51 Mx=-0.01 Mz=1.85
Sollecitazioni agenti localmente: Ty_l=-1040.15 Mx_l=-20.80
Tensioni nella sezione: σ=252.16 τ=31.52
CC 32 SLD (Collegamento 0021_-378)
Azioni sul collegamento: N=-6801.33 Ty=2.73 Tz=1.73 Mx=-0.01 Mz=0.81
Sollecitazioni agenti localmente: Ty_l=-1236.61 Mx_l=-24.73
Tensioni nella sezione: σ=299.78 τ=37.47
CC 32 SLD (Collegamento 0021_-378)
Azioni sul collegamento: N=-6801.33 Ty=3.62 Tz=1.73 Mx=-0.01 Mz=2.27
Sollecitazioni agenti localmente: Ty_l=-1236.61 Mx_l=-24.73
Tensioni nella sezione: σ=299.78 τ=37.47
CC 32 SLD (Collegamento 0021_-378)
Azioni sul collegamento: N=-6801.33 Ty=2.73 Tz=-0.19 Mx=-0.01 Mz=0.81
Sollecitazioni agenti localmente: Ty_l=-1236.61 Mx_l=-24.73
Tensioni nella sezione: σ=299.78 τ=37.47
CC 32 SLD (Collegamento 0021_-378)
Azioni sul collegamento: N=-6801.33 Ty=3.62 Tz=-0.19 Mx=-0.01 Mz=2.27
Sollecitazioni agenti localmente: Ty_l=-1236.61 Mx_l=-24.73
Tensioni nella sezione: σ=299.78 τ=37.47
CC 32 SLD (Collegamento 0021_-378)
Azioni sul collegamento: N=-6311.53 Ty=2.73 Tz=1.73 Mx=-0.01 Mz=0.81
Sollecitazioni agenti localmente: Ty_l=-1147.55 Mx_l=-22.95
Tensioni nella sezione: σ=278.19 τ=34.77
CC 32 SLD (Collegamento 0021_-378)
Azioni sul collegamento: N=-6311.53 Ty=3.62 Tz=1.73 Mx=-0.01 Mz=2.27
Sollecitazioni agenti localmente: Ty_l=-1147.55 Mx_l=-22.95
Tensioni nella sezione: σ=278.19 τ=34.77
CC 32 SLD (Collegamento 0021_-378)
Azioni sul collegamento: N=-6311.53 Ty=2.73 Tz=-0.19 Mx=-0.01 Mz=0.81
Sollecitazioni agenti localmente: Ty_l=-1147.55 Mx_l=-22.95
Tensioni nella sezione: σ=278.19 τ=34.77
CC 32 SLD (Collegamento 0021_-378)
Azioni sul collegamento: N=-6311.53 Ty=3.62 Tz=-0.19 Mx=-0.01 Mz=2.27
Sollecitazioni agenti localmente: Ty_l=-1147.55 Mx_l=-22.95
Tensioni nella sezione: σ=278.19 τ=34.77
CC 33 SLU (Collegamento 0021_-378)
Azioni sul collegamento: N=-30888.30 Ty=5.44 Tz=82.02 Mx=-0.01 Mz=3.71
Sollecitazioni agenti localmente: Ty_l=-5616.05 Mx_l=-112.32
Tensioni nella sezione: σ=1361.46 τ=170.18
CC 34 SLU (Collegamento 0021_-378)
Azioni sul collegamento: N=-30337.70 Ty=5.16 Tz=79.98 Mx=-0.01 Mz=3.50
Sollecitazioni agenti localmente: Ty_l=-5515.96 Mx_l=-110.32
Tensioni nella sezione: σ=1337.20 τ=167.15
CC 35 SLU (Collegamento 0021_-378)
Azioni sul collegamento: N=-30612.00 Ty=5.19 Tz=81.02 Mx=-0.01 Mz=3.39
Sollecitazioni agenti localmente: Ty_l=-5565.82 Mx_l=-111.32
Tensioni nella sezione: σ=1349.29 τ=168.66
CC 36 SLU (Collegamento 0021_-378)
Azioni sul collegamento: N=-30614.00 Ty=5.41 Tz=80.97 Mx=-0.01 Mz=3.82
Sollecitazioni agenti localmente: Ty_l=-5566.18 Mx_l=-111.32
Tensioni nella sezione: σ=1349.37 τ=168.67

CC 37 SLU (Collegamento 0021_-378)
Azioni sul collegamento: N=-21597.10 Ty=6.32 Tz=47.86 Mx=-0.01 Mz=4.34
Sollecitazioni agenti localmente: Ty_l=-3926.75 Mx_l=-78.53
Tensioni nella sezione: σ=951.94 τ=118.99
CC 38 SLU (Collegamento 0021_-378)
Azioni sul collegamento: N=-21046.60 Ty=6.03 Tz=45.82 Mx=-0.01 Mz=4.13
Sollecitazioni agenti localmente: Ty_l=-3826.65 Mx_l=-76.53
Tensioni nella sezione: σ=927.67 τ=115.96
CC 39 SLU (Collegamento 0021_-378)
Azioni sul collegamento: N=-21320.90 Ty=6.07 Tz=46.87 Mx=-0.01 Mz=4.02
Sollecitazioni agenti localmente: Ty_l=-3876.52 Mx_l=-77.53
Tensioni nella sezione: σ=939.76 τ=117.47
CC 40 SLU (Collegamento 0021_-378)
Azioni sul collegamento: N=-21322.80 Ty=6.29 Tz=46.82 Mx=-0.01 Mz=4.45
Sollecitazioni agenti localmente: Ty_l=-3876.88 Mx_l=-77.54
Tensioni nella sezione: σ=939.85 τ=117.48
CC 41 SLU (Collegamento 0021_-378)
Azioni sul collegamento: N=-32817.40 Ty=5.33 Tz=88.46 Mx=0.00 Mz=3.76
Sollecitazioni agenti localmente: Ty_l=-5966.80 Mx_l=-119.34
Tensioni nella sezione: σ=1446.49 τ=180.81
CC 42 SLU (Collegamento 0021_-378)
Azioni sul collegamento: N=-32266.90 Ty=5.04 Tz=86.42 Mx=0.00 Mz=3.56
Sollecitazioni agenti localmente: Ty_l=-5866.70 Mx_l=-117.33
Tensioni nella sezione: σ=1422.23 τ=177.78
CC 43 SLU (Collegamento 0021_-378)
Azioni sul collegamento: N=-32541.20 Ty=5.08 Tz=87.47 Mx=0.00 Mz=3.44
Sollecitazioni agenti localmente: Ty_l=-5916.58 Mx_l=-118.33
Tensioni nella sezione: σ=1434.32 τ=179.29
CC 44 SLU (Collegamento 0021_-378)
Azioni sul collegamento: N=-32543.10 Ty=5.30 Tz=87.42 Mx=0.00 Mz=3.88
Sollecitazioni agenti localmente: Ty_l=-5916.93 Mx_l=-118.34
Tensioni nella sezione: σ=1434.40 τ=179.30
CC 45 SLU (Collegamento 0021_-378)
Azioni sul collegamento: N=-23689.50 Ty=6.01 Tz=55.60 Mx=-0.01 Mz=4.17
Sollecitazioni agenti localmente: Ty_l=-4307.18 Mx_l=-86.14
Tensioni nella sezione: σ=1044.16 τ=130.52
CC 46 SLU (Collegamento 0021_-378)
Azioni sul collegamento: N=-23139.00 Ty=5.73 Tz=53.57 Mx=-0.01 Mz=3.96
Sollecitazioni agenti localmente: Ty_l=-4207.09 Mx_l=-84.14
Tensioni nella sezione: σ=1019.90 τ=127.49
CC 47 SLU (Collegamento 0021_-378)
Azioni sul collegamento: N=-23413.30 Ty=5.76 Tz=54.61 Mx=-0.01 Mz=3.84
Sollecitazioni agenti localmente: Ty_l=-4256.95 Mx_l=-85.14
Tensioni nella sezione: σ=1031.99 τ=129.00
CC 48 SLU (Collegamento 0021_-378)
Azioni sul collegamento: N=-23415.20 Ty=5.98 Tz=54.56 Mx=-0.01 Mz=4.28
Sollecitazioni agenti localmente: Ty_l=-4257.31 Mx_l=-85.15
Tensioni nella sezione: σ=1032.07 τ=129.01
CC 49 SLU (Collegamento 0021_-378)
Azioni sul collegamento: N=-16738.30 Ty=6.67 Tz=30.05 Mx=-0.01 Mz=4.64
Sollecitazioni agenti localmente: Ty_l=-3043.33 Mx_l=-60.87
Tensioni nella sezione: σ=737.78 τ=92.22
CC 50 SLU (Collegamento 0021_-378)
Azioni sul collegamento: N=-16187.80 Ty=6.38 Tz=28.01 Mx=-0.01 Mz=4.43
Sollecitazioni agenti localmente: Ty_l=-2943.24 Mx_l=-58.86
Tensioni nella sezione: σ=713.51 τ=89.19
CC 51 SLU (Collegamento 0021_-378)
Azioni sul collegamento: N=-16462.10 Ty=6.42 Tz=29.05 Mx=-0.01 Mz=4.32
Sollecitazioni agenti localmente: Ty_l=-2993.11 Mx_l=-59.86
Tensioni nella sezione: σ=725.60 τ=90.70
CC 52 SLU (Collegamento 0021_-378)
Azioni sul collegamento: N=-16464.00 Ty=6.64 Tz=29.01 Mx=-0.01 Mz=4.75
Sollecitazioni agenti localmente: Ty_l=-2993.46 Mx_l=-59.87
Tensioni nella sezione: σ=725.69 τ=90.71
CC 53 SLU (Collegamento 0021_-378)
Azioni sul collegamento: N=-25132.80 Ty=5.93 Tz=60.42 Mx=-0.00 Mz=4.21
Sollecitazioni agenti localmente: Ty_l=-4569.59 Mx_l=-91.39
Tensioni nella sezione: σ=1107.78 τ=138.47
CC 54 SLU (Collegamento 0021_-378)
Azioni sul collegamento: N=-24582.20 Ty=5.64 Tz=58.39 Mx=-0.00 Mz=4.00
Sollecitazioni agenti localmente: Ty_l=-4469.50 Mx_l=-89.39
Tensioni nella sezione: σ=1083.51 τ=135.44
CC 55 SLU (Collegamento 0021_-378)
Azioni sul collegamento: N=-24856.50 Ty=5.68 Tz=59.43 Mx=0.00 Mz=3.89
Sollecitazioni agenti localmente: Ty_l=-4519.37 Mx_l=-90.39
Tensioni nella sezione: σ=1095.60 τ=136.95
CC 56 SLU (Collegamento 0021_-378)
Azioni sul collegamento: N=-24858.50 Ty=5.89 Tz=59.38 Mx=-0.00 Mz=4.32
Sollecitazioni agenti localmente: Ty_l=-4519.73 Mx_l=-90.39

Tensioni nella sezione: σ=1095.69 τ=136.96
CC 57 SLU (Collegamento 0021_-378)
Azioni sul collegamento: N=-22071.60 Ty=5.40 Tz=49.65 Mx=-0.01 Mz=3.73
Sollecitazioni agenti localmente: Ty_l=-4013.02 Mx_l=-80.26
Tensioni nella sezione: σ=972.85 τ=121.61
CC 58 SLU (Collegamento 0021_-378)
Azioni sul collegamento: N=-21521.10 Ty=5.11 Tz=47.61 Mx=-0.01 Mz=3.53
Sollecitazioni agenti localmente: Ty_l=-3912.92 Mx_l=-78.26
Tensioni nella sezione: σ=948.59 τ=118.57
CC 59 SLU (Collegamento 0021_-378)
Azioni sul collegamento: N=-21795.30 Ty=5.15 Tz=48.65 Mx=-0.01 Mz=3.41
Sollecitazioni agenti localmente: Ty_l=-3962.79 Mx_l=-79.26
Tensioni nella sezione: σ=960.67 τ=120.08
CC 60 SLU (Collegamento 0021_-378)
Azioni sul collegamento: N=-21797.30 Ty=5.37 Tz=48.60 Mx=-0.01 Mz=3.85
Sollecitazioni agenti localmente: Ty_l=-3963.15 Mx_l=-79.26
Tensioni nella sezione: σ=960.76 τ=120.09
CC 61 SLU (Collegamento 0021_-378)
Azioni sul collegamento: N=-15120.40 Ty=6.06 Tz=24.09 Mx=-0.01 Mz=4.21
Sollecitazioni agenti localmente: Ty_l=-2749.17 Mx_l=-54.98
Tensioni nella sezione: σ=666.46 τ=83.31
CC 62 SLU (Collegamento 0021_-378)
Azioni sul collegamento: N=-14569.90 Ty=5.77 Tz=22.06 Mx=-0.01 Mz=4.00
Sollecitazioni agenti localmente: Ty_l=-2649.07 Mx_l=-52.98
Tensioni nella sezione: σ=642.20 τ=80.27
CC 63 SLU (Collegamento 0021_-378)
Azioni sul collegamento: N=-14844.20 Ty=5.80 Tz=23.10 Mx=-0.01 Mz=3.88
Sollecitazioni agenti localmente: Ty_l=-2698.94 Mx_l=-53.98
Tensioni nella sezione: σ=654.29 τ=81.79
CC 64 SLU (Collegamento 0021_-378)
Azioni sul collegamento: N=-14846.10 Ty=6.02 Tz=23.05 Mx=-0.01 Mz=4.32
Sollecitazioni agenti localmente: Ty_l=-2699.30 Mx_l=-53.99
Tensioni nella sezione: σ=654.37 τ=81.80
CC 65 SLU (Collegamento 0021_-378)
Azioni sul collegamento: N=-23514.90 Ty=5.31 Tz=54.47 Mx=0.00 Mz=3.77
Sollecitazioni agenti localmente: Ty_l=-4275.43 Mx_l=-85.51
Tensioni nella sezione: σ=1036.47 τ=129.56
CC 66 SLU (Collegamento 0021_-378)
Azioni sul collegamento: N=-22964.30 Ty=5.03 Tz=52.43 Mx=0.00 Mz=3.57
Sollecitazioni agenti localmente: Ty_l=-4175.33 Mx_l=-83.51
Tensioni nella sezione: σ=1012.20 τ=126.53
CC 67 SLU (Collegamento 0021_-378)
Azioni sul collegamento: N=-23238.60 Ty=5.06 Tz=53.47 Mx=0.00 Mz=3.45
Sollecitazioni agenti localmente: Ty_l=-4225.20 Mx_l=-84.50
Tensioni nella sezione: σ=1024.29 τ=128.04
CC 68 SLU (Collegamento 0021_-378)
Azioni sul collegamento: N=-23240.60 Ty=5.28 Tz=53.43 Mx=-0.00 Mz=3.89
Sollecitazioni agenti localmente: Ty_l=-4225.56 Mx_l=-84.51
Tensioni nella sezione: σ=1024.38 τ=128.05
CC 97 SLU (Collegamento 0021_-378)
Azioni sul collegamento: N=-18052.20 Ty=-0.34 Tz=43.06 Mx=-0.05 Mz=-8.83
Sollecitazioni agenti localmente: Ty_l=-3282.21 Mx_l=-65.64
Tensioni nella sezione: σ=795.69 τ=99.46
CC 98 SLU (Collegamento 0021_-378)
Azioni sul collegamento: N=-17501.60 Ty=-0.63 Tz=41.02 Mx=-0.05 Mz=-9.04
Sollecitazioni agenti localmente: Ty_l=-3182.12 Mx_l=-63.64
Tensioni nella sezione: σ=771.42 τ=96.43
CC 99 SLU (Collegamento 0021_-378)
Azioni sul collegamento: N=-17775.90 Ty=-0.60 Tz=42.06 Mx=-0.05 Mz=-9.15
Sollecitazioni agenti localmente: Ty_l=-3231.98 Mx_l=-64.64
Tensioni nella sezione: σ=783.51 τ=97.94
CC 100 SLU (Collegamento 0021_-378)
Azioni sul collegamento: N=-17777.90 Ty=-0.38 Tz=42.01 Mx=-0.05 Mz=-8.71
Sollecitazioni agenti localmente: Ty_l=-3232.34 Mx_l=-64.65
Tensioni nella sezione: σ=783.60 τ=97.95
CC 101 SLU (Collegamento 0021_-378)
Azioni sul collegamento: N=-7136.43 Ty=4.37 Tz=2.96 Mx=0.00 Mz=3.85
Sollecitazioni agenti localmente: Ty_l=-1297.53 Mx_l=-25.95
Tensioni nella sezione: σ=314.55 τ=39.32
CC 102 SLU (Collegamento 0021_-378)
Azioni sul collegamento: N=-6585.90 Ty=4.08 Tz=0.92 Mx=0.00 Mz=3.64
Sollecitazioni agenti localmente: Ty_l=-1197.44 Mx_l=-23.95
Tensioni nella sezione: σ=290.29 τ=36.29
CC 103 SLU (Collegamento 0021_-378)
Azioni sul collegamento: N=-6860.19 Ty=4.11 Tz=1.96 Mx=0.00 Mz=3.53
Sollecitazioni agenti localmente: Ty_l=-1247.31 Mx_l=-24.95
Tensioni nella sezione: σ=302.38 τ=37.80
CC 104 SLU (Collegamento 0021_-378)
Azioni sul collegamento: N=-6862.15 Ty=4.33 Tz=1.92 Mx=0.00 Mz=3.96

Sollecitazioni agenti localmente: T_{y_l}=-1247.66 M_{x_l}=-24.95
Tensioni nella sezione: σ=302.46 τ=37.81

Flessione attacco inferiore piastra

Bnetta=220.00 Hnetta=15.00
CC 1 SLV (Collegamento 0021_-378)
Azioni sul collegamento: N=-3968.96 Ty=6.45 Tz=-8.85 Mx=0.01 Mz=7.08
Sollecitazioni agenti localmente: T_{y_l}=-721.63 M_{x_l}=-14.43
Tensioni nella sezione: σ=174.94 τ=21.87
CC 1 SLV (Collegamento 0021_-378)
Azioni sul collegamento: N=-3968.96 Ty=3.07 Tz=-8.85 Mx=0.01 Mz=3.83
Sollecitazioni agenti localmente: T_{y_l}=-721.63 M_{x_l}=-14.43
Tensioni nella sezione: σ=174.94 τ=21.87
CC 1 SLV (Collegamento 0021_-378)
Azioni sul collegamento: N=-3968.96 Ty=6.45 Tz=10.87 Mx=0.01 Mz=7.08
Sollecitazioni agenti localmente: T_{y_l}=-721.63 M_{x_l}=-14.43
Tensioni nella sezione: σ=174.94 τ=21.87
CC 1 SLV (Collegamento 0021_-378)
Azioni sul collegamento: N=-3968.96 Ty=3.07 Tz=10.87 Mx=0.01 Mz=3.83
Sollecitazioni agenti localmente: T_{y_l}=-721.63 M_{x_l}=-14.43
Tensioni nella sezione: σ=174.94 τ=21.87
CC 1 SLV (Collegamento 0021_-378)
Azioni sul collegamento: N=-9265.76 Ty=6.45 Tz=-8.85 Mx=0.01 Mz=7.08
Sollecitazioni agenti localmente: T_{y_l}=-1684.68 M_{x_l}=-33.69
Tensioni nella sezione: σ=408.41 τ=51.05
CC 1 SLV (Collegamento 0021_-378)
Azioni sul collegamento: N=-9265.76 Ty=3.07 Tz=-8.85 Mx=0.01 Mz=3.83
Sollecitazioni agenti localmente: T_{y_l}=-1684.68 M_{x_l}=-33.69
Tensioni nella sezione: σ=408.41 τ=51.05
CC 1 SLV (Collegamento 0021_-378)
Azioni sul collegamento: N=-9265.76 Ty=6.45 Tz=10.87 Mx=0.01 Mz=7.08
Sollecitazioni agenti localmente: T_{y_l}=-1684.68 M_{x_l}=-33.69
Tensioni nella sezione: σ=408.41 τ=51.05
CC 1 SLV (Collegamento 0021_-378)
Azioni sul collegamento: N=-9265.76 Ty=3.07 Tz=10.87 Mx=0.01 Mz=3.83
Sollecitazioni agenti localmente: T_{y_l}=-1684.68 M_{x_l}=-33.69
Tensioni nella sezione: σ=408.41 τ=51.05
CC 2 SLD (Collegamento 0021_-378)
Azioni sul collegamento: N=-5777.33 Ty=4.43 Tz=-2.12 Mx=0.00 Mz=3.87
Sollecitazioni agenti localmente: T_{y_l}=-1050.42 M_{x_l}=-21.01
Tensioni nella sezione: σ=254.65 τ=31.83
CC 2 SLD (Collegamento 0021_-378)
Azioni sul collegamento: N=-5777.33 Ty=3.40 Tz=-2.12 Mx=0.00 Mz=2.88
Sollecitazioni agenti localmente: T_{y_l}=-1050.42 M_{x_l}=-21.01
Tensioni nella sezione: σ=254.65 τ=31.83
CC 2 SLD (Collegamento 0021_-378)
Azioni sul collegamento: N=-5777.32 Ty=4.43 Tz=3.89 Mx=0.00 Mz=3.87
Sollecitazioni agenti localmente: T_{y_l}=-1050.42 M_{x_l}=-21.01
Tensioni nella sezione: σ=254.65 τ=31.83
CC 2 SLD (Collegamento 0021_-378)
Azioni sul collegamento: N=-5777.32 Ty=3.40 Tz=3.89 Mx=0.00 Mz=2.88
Sollecitazioni agenti localmente: T_{y_l}=-1050.42 M_{x_l}=-21.01
Tensioni nella sezione: σ=254.65 τ=31.83
CC 2 SLD (Collegamento 0021_-378)
Azioni sul collegamento: N=-7392.49 Ty=4.43 Tz=-2.12 Mx=0.00 Mz=3.87
Sollecitazioni agenti localmente: T_{y_l}=-1344.09 M_{x_l}=-26.88
Tensioni nella sezione: σ=325.84 τ=40.73
CC 2 SLD (Collegamento 0021_-378)
Azioni sul collegamento: N=-7392.49 Ty=3.40 Tz=-2.12 Mx=0.00 Mz=2.88
Sollecitazioni agenti localmente: T_{y_l}=-1344.09 M_{x_l}=-26.88
Tensioni nella sezione: σ=325.84 τ=40.73
CC 2 SLD (Collegamento 0021_-378)
Azioni sul collegamento: N=-7392.49 Ty=4.43 Tz=3.89 Mx=0.00 Mz=3.87
Sollecitazioni agenti localmente: T_{y_l}=-1344.09 M_{x_l}=-26.88
Tensioni nella sezione: σ=325.84 τ=40.73
CC 2 SLD (Collegamento 0021_-378)
Azioni sul collegamento: N=-7392.49 Ty=3.40 Tz=3.89 Mx=0.00 Mz=2.88
Sollecitazioni agenti localmente: T_{y_l}=-1344.09 M_{x_l}=-26.88
Tensioni nella sezione: σ=325.84 τ=40.73
CC 3 SLV (Collegamento 0021_-378)
Azioni sul collegamento: N=-3974.64 Ty=5.81 Tz=-8.72 Mx=0.01 Mz=5.82
Sollecitazioni agenti localmente: T_{y_l}=-722.66 M_{x_l}=-14.45
Tensioni nella sezione: σ=175.19 τ=21.90
CC 3 SLV (Collegamento 0021_-378)
Azioni sul collegamento: N=-3974.64 Ty=3.70 Tz=-8.72 Mx=0.01 Mz=5.08
Sollecitazioni agenti localmente: T_{y_l}=-722.66 M_{x_l}=-14.45
Tensioni nella sezione: σ=175.19 τ=21.90
CC 3 SLV (Collegamento 0021_-378)

Azioni sul collegamento: N=-3974.64 Ty=5.81 Tz=10.74 Mx=0.01 Mz=5.82
Sollecitazioni agenti localmente: Ty_l=-722.66 Mx_l=-14.45
Tensioni nella sezione: σ=175.19 τ=21.90
CC 3 SLV (Collegamento 0021_-378)
Azioni sul collegamento: N=-3974.64 Ty=3.70 Tz=10.74 Mx=0.01 Mz=5.08
Sollecitazioni agenti localmente: Ty_l=-722.66 Mx_l=-14.45
Tensioni nella sezione: σ=175.19 τ=21.90
CC 3 SLV (Collegamento 0021_-378)
Azioni sul collegamento: N=-9260.08 Ty=5.81 Tz=-8.72 Mx=0.01 Mz=5.82
Sollecitazioni agenti localmente: Ty_l=-1683.65 Mx_l=-33.67
Tensioni nella sezione: σ=408.16 τ=51.02
CC 3 SLV (Collegamento 0021_-378)
Azioni sul collegamento: N=-9260.08 Ty=3.70 Tz=-8.72 Mx=0.01 Mz=5.08
Sollecitazioni agenti localmente: Ty_l=-1683.65 Mx_l=-33.67
Tensioni nella sezione: σ=408.16 τ=51.02
CC 3 SLV (Collegamento 0021_-378)
Azioni sul collegamento: N=-9260.08 Ty=5.81 Tz=10.74 Mx=0.01 Mz=5.82
Sollecitazioni agenti localmente: Ty_l=-1683.65 Mx_l=-33.67
Tensioni nella sezione: σ=408.16 τ=51.02
CC 3 SLV (Collegamento 0021_-378)
Azioni sul collegamento: N=-9260.08 Ty=3.70 Tz=10.74 Mx=0.01 Mz=5.08
Sollecitazioni agenti localmente: Ty_l=-1683.65 Mx_l=-33.67
Tensioni nella sezione: σ=408.16 τ=51.02
CC 4 SLD (Collegamento 0021_-378)
Azioni sul collegamento: N=-5779.06 Ty=4.24 Tz=-2.08 Mx=0.00 Mz=3.48
Sollecitazioni agenti localmente: Ty_l=-1050.74 Mx_l=-21.01
Tensioni nella sezione: σ=254.72 τ=31.84
CC 4 SLD (Collegamento 0021_-378)
Azioni sul collegamento: N=-5779.06 Ty=3.59 Tz=-2.08 Mx=0.00 Mz=3.26
Sollecitazioni agenti localmente: Ty_l=-1050.74 Mx_l=-21.01
Tensioni nella sezione: σ=254.72 τ=31.84
CC 4 SLD (Collegamento 0021_-378)
Azioni sul collegamento: N=-5779.06 Ty=4.24 Tz=3.85 Mx=0.00 Mz=3.48
Sollecitazioni agenti localmente: Ty_l=-1050.74 Mx_l=-21.01
Tensioni nella sezione: σ=254.72 τ=31.84
CC 4 SLD (Collegamento 0021_-378)
Azioni sul collegamento: N=-5779.06 Ty=3.59 Tz=3.85 Mx=0.00 Mz=3.26
Sollecitazioni agenti localmente: Ty_l=-1050.74 Mx_l=-21.01
Tensioni nella sezione: σ=254.72 τ=31.84
CC 4 SLD (Collegamento 0021_-378)
Azioni sul collegamento: N=-7390.75 Ty=4.24 Tz=-2.08 Mx=0.00 Mz=3.48
Sollecitazioni agenti localmente: Ty_l=-1343.77 Mx_l=-26.88
Tensioni nella sezione: σ=325.76 τ=40.72
CC 4 SLD (Collegamento 0021_-378)
Azioni sul collegamento: N=-7390.75 Ty=3.59 Tz=-2.08 Mx=0.00 Mz=3.26
Sollecitazioni agenti localmente: Ty_l=-1343.77 Mx_l=-26.88
Tensioni nella sezione: σ=325.76 τ=40.72
CC 4 SLD (Collegamento 0021_-378)
Azioni sul collegamento: N=-7390.75 Ty=4.24 Tz=3.85 Mx=0.00 Mz=3.48
Sollecitazioni agenti localmente: Ty_l=-1343.77 Mx_l=-26.88
Tensioni nella sezione: σ=325.76 τ=40.72
CC 4 SLD (Collegamento 0021_-378)
Azioni sul collegamento: N=-7390.75 Ty=3.59 Tz=3.85 Mx=0.00 Mz=3.26
Sollecitazioni agenti localmente: Ty_l=-1343.77 Mx_l=-26.88
Tensioni nella sezione: σ=325.76 τ=40.72
CC 5 SLV (Collegamento 0021_-378)
Azioni sul collegamento: N=-9260.08 Ty=3.70 Tz=10.74 Mx=0.01 Mz=5.08
Sollecitazioni agenti localmente: Ty_l=-1683.65 Mx_l=-33.67
Tensioni nella sezione: σ=408.16 τ=51.02
CC 5 SLV (Collegamento 0021_-378)
Azioni sul collegamento: N=-9260.08 Ty=5.81 Tz=10.74 Mx=0.01 Mz=5.82
Sollecitazioni agenti localmente: Ty_l=-1683.65 Mx_l=-33.67
Tensioni nella sezione: σ=408.16 τ=51.02
CC 5 SLV (Collegamento 0021_-378)
Azioni sul collegamento: N=-9260.08 Ty=3.70 Tz=-8.72 Mx=0.01 Mz=5.08
Sollecitazioni agenti localmente: Ty_l=-1683.65 Mx_l=-33.67
Tensioni nella sezione: σ=408.16 τ=51.02
CC 5 SLV (Collegamento 0021_-378)
Azioni sul collegamento: N=-9260.08 Ty=5.81 Tz=-8.72 Mx=0.01 Mz=5.82
Sollecitazioni agenti localmente: Ty_l=-1683.65 Mx_l=-33.67
Tensioni nella sezione: σ=408.16 τ=51.02
CC 5 SLV (Collegamento 0021_-378)
Azioni sul collegamento: N=-3974.64 Ty=3.70 Tz=10.74 Mx=0.01 Mz=5.08
Sollecitazioni agenti localmente: Ty_l=-722.66 Mx_l=-14.45
Tensioni nella sezione: σ=175.19 τ=21.90
CC 5 SLV (Collegamento 0021_-378)
Azioni sul collegamento: N=-3974.64 Ty=5.81 Tz=10.74 Mx=0.01 Mz=5.82
Sollecitazioni agenti localmente: Ty_l=-722.66 Mx_l=-14.45
Tensioni nella sezione: σ=175.19 τ=21.90

CC 5 SLV (Collegamento 0021_-378)
Azioni sul collegamento: N=-3974.64 Ty=3.70 Tz=-8.72 Mx=0.01 Mz=5.08
Sollecitazioni agenti localmente: Ty_l=-722.66 Mx_l=-14.45
Tensioni nella sezione: σ=175.19 τ=21.90
CC 5 SLV (Collegamento 0021_-378)
Azioni sul collegamento: N=-3974.64 Ty=5.81 Tz=-8.72 Mx=0.01 Mz=5.82
Sollecitazioni agenti localmente: Ty_l=-722.66 Mx_l=-14.45
Tensioni nella sezione: σ=175.19 τ=21.90
CC 6 SLD (Collegamento 0021_-378)
Azioni sul collegamento: N=-7390.75 Ty=3.59 Tz=3.85 Mx=0.00 Mz=3.26
Sollecitazioni agenti localmente: Ty_l=-1343.77 Mx_l=-26.88
Tensioni nella sezione: σ=325.76 τ=40.72
CC 6 SLD (Collegamento 0021_-378)
Azioni sul collegamento: N=-7390.75 Ty=4.24 Tz=3.85 Mx=0.00 Mz=3.48
Sollecitazioni agenti localmente: Ty_l=-1343.77 Mx_l=-26.88
Tensioni nella sezione: σ=325.76 τ=40.72
CC 6 SLD (Collegamento 0021_-378)
Azioni sul collegamento: N=-7390.75 Ty=3.59 Tz=-2.08 Mx=0.00 Mz=3.26
Sollecitazioni agenti localmente: Ty_l=-1343.77 Mx_l=-26.88
Tensioni nella sezione: σ=325.76 τ=40.72
CC 6 SLD (Collegamento 0021_-378)
Azioni sul collegamento: N=-7390.75 Ty=4.24 Tz=-2.08 Mx=0.00 Mz=3.48
Sollecitazioni agenti localmente: Ty_l=-1343.77 Mx_l=-26.88
Tensioni nella sezione: σ=325.76 τ=40.72
CC 6 SLD (Collegamento 0021_-378)
Azioni sul collegamento: N=-5779.06 Ty=3.59 Tz=3.85 Mx=0.00 Mz=3.26
Sollecitazioni agenti localmente: Ty_l=-1050.74 Mx_l=-21.01
Tensioni nella sezione: σ=254.72 τ=31.84
CC 6 SLD (Collegamento 0021_-378)
Azioni sul collegamento: N=-5779.06 Ty=4.24 Tz=3.85 Mx=0.00 Mz=3.48
Sollecitazioni agenti localmente: Ty_l=-1050.74 Mx_l=-21.01
Tensioni nella sezione: σ=254.72 τ=31.84
CC 6 SLD (Collegamento 0021_-378)
Azioni sul collegamento: N=-5779.06 Ty=3.59 Tz=-2.08 Mx=0.00 Mz=3.26
Sollecitazioni agenti localmente: Ty_l=-1050.74 Mx_l=-21.01
Tensioni nella sezione: σ=254.72 τ=31.84
CC 6 SLD (Collegamento 0021_-378)
Azioni sul collegamento: N=-5779.06 Ty=4.24 Tz=-2.08 Mx=0.00 Mz=3.48
Sollecitazioni agenti localmente: Ty_l=-1050.74 Mx_l=-21.01
Tensioni nella sezione: σ=254.72 τ=31.84
CC 7 SLV (Collegamento 0021_-378)
Azioni sul collegamento: N=-9265.76 Ty=3.07 Tz=10.87 Mx=0.01 Mz=3.83
Sollecitazioni agenti localmente: Ty_l=-1684.68 Mx_l=-33.69
Tensioni nella sezione: σ=408.41 τ=51.05
CC 7 SLV (Collegamento 0021_-378)
Azioni sul collegamento: N=-9265.76 Ty=6.45 Tz=10.87 Mx=0.01 Mz=7.08
Sollecitazioni agenti localmente: Ty_l=-1684.68 Mx_l=-33.69
Tensioni nella sezione: σ=408.41 τ=51.05
CC 7 SLV (Collegamento 0021_-378)
Azioni sul collegamento: N=-9265.76 Ty=3.07 Tz=-8.85 Mx=0.01 Mz=3.83
Sollecitazioni agenti localmente: Ty_l=-1684.68 Mx_l=-33.69
Tensioni nella sezione: σ=408.41 τ=51.05
CC 7 SLV (Collegamento 0021_-378)
Azioni sul collegamento: N=-9265.76 Ty=6.45 Tz=-8.85 Mx=0.01 Mz=7.08
Sollecitazioni agenti localmente: Ty_l=-1684.68 Mx_l=-33.69
Tensioni nella sezione: σ=408.41 τ=51.05
CC 7 SLV (Collegamento 0021_-378)
Azioni sul collegamento: N=-3968.96 Ty=3.07 Tz=10.87 Mx=0.01 Mz=3.83
Sollecitazioni agenti localmente: Ty_l=-721.63 Mx_l=-14.43
Tensioni nella sezione: σ=174.94 τ=21.87
CC 7 SLV (Collegamento 0021_-378)
Azioni sul collegamento: N=-3968.96 Ty=6.45 Tz=10.87 Mx=0.01 Mz=7.08
Sollecitazioni agenti localmente: Ty_l=-721.63 Mx_l=-14.43
Tensioni nella sezione: σ=174.94 τ=21.87
CC 7 SLV (Collegamento 0021_-378)
Azioni sul collegamento: N=-3968.96 Ty=3.07 Tz=-8.85 Mx=0.01 Mz=3.83
Sollecitazioni agenti localmente: Ty_l=-721.63 Mx_l=-14.43
Tensioni nella sezione: σ=174.94 τ=21.87
CC 7 SLV (Collegamento 0021_-378)
Azioni sul collegamento: N=-3968.96 Ty=6.45 Tz=-8.85 Mx=0.01 Mz=7.08
Sollecitazioni agenti localmente: Ty_l=-721.63 Mx_l=-14.43
Tensioni nella sezione: σ=174.94 τ=21.87
CC 8 SLD (Collegamento 0021_-378)
Azioni sul collegamento: N=-7392.49 Ty=3.40 Tz=3.89 Mx=-0.00 Mz=2.88
Sollecitazioni agenti localmente: Ty_l=-1344.09 Mx_l=-26.88
Tensioni nella sezione: σ=325.84 τ=40.73
CC 8 SLD (Collegamento 0021_-378)
Azioni sul collegamento: N=-7392.49 Ty=4.43 Tz=3.89 Mx=-0.00 Mz=3.87
Sollecitazioni agenti localmente: Ty_l=-1344.09 Mx_l=-26.88

Tensioni nella sezione: σ=325.84 τ=40.73
CC 8 SLD (Collegamento 0021_-378)
Azioni sul collegamento: N=-7392.49 Ty=3.40 Tz=-2.12 Mx=-0.00 Mz=2.88
Sollecitazioni agenti localmente: Ty_l=-1344.09 Mx_l=-26.88
Tensioni nella sezione: σ=325.84 τ=40.73
CC 8 SLD (Collegamento 0021_-378)
Azioni sul collegamento: N=-7392.49 Ty=4.43 Tz=-2.12 Mx=-0.00 Mz=3.87
Sollecitazioni agenti localmente: Ty_l=-1344.09 Mx_l=-26.88
Tensioni nella sezione: σ=325.84 τ=40.73
CC 8 SLD (Collegamento 0021_-378)
Azioni sul collegamento: N=-5777.32 Ty=3.40 Tz=3.89 Mx=-0.00 Mz=2.88
Sollecitazioni agenti localmente: Ty_l=-1050.42 Mx_l=-21.01
Tensioni nella sezione: σ=254.65 τ=31.83
CC 8 SLD (Collegamento 0021_-378)
Azioni sul collegamento: N=-5777.32 Ty=4.43 Tz=3.89 Mx=-0.00 Mz=3.87
Sollecitazioni agenti localmente: Ty_l=-1050.42 Mx_l=-21.01
Tensioni nella sezione: σ=254.65 τ=31.83
CC 8 SLD (Collegamento 0021_-378)
Azioni sul collegamento: N=-5777.33 Ty=3.40 Tz=-2.12 Mx=-0.00 Mz=2.88
Sollecitazioni agenti localmente: Ty_l=-1050.42 Mx_l=-21.01
Tensioni nella sezione: σ=254.65 τ=31.83
CC 8 SLD (Collegamento 0021_-378)
Azioni sul collegamento: N=-5777.33 Ty=4.43 Tz=-2.12 Mx=-0.00 Mz=3.87
Sollecitazioni agenti localmente: Ty_l=-1050.42 Mx_l=-21.01
Tensioni nella sezione: σ=254.65 τ=31.83
CC 9 SLV (Collegamento 0021_-378)
Azioni sul collegamento: N=-5814.22 Ty=6.23 Tz=-2.14 Mx=0.02 Mz=7.84
Sollecitazioni agenti localmente: Ty_l=-1057.13 Mx_l=-21.14
Tensioni nella sezione: σ=256.27 τ=32.03
CC 9 SLV (Collegamento 0021_-378)
Azioni sul collegamento: N=-5814.22 Ty=3.29 Tz=-2.14 Mx=0.02 Mz=3.06
Sollecitazioni agenti localmente: Ty_l=-1057.13 Mx_l=-21.14
Tensioni nella sezione: σ=256.27 τ=32.03
CC 9 SLV (Collegamento 0021_-378)
Azioni sul collegamento: N=-5814.22 Ty=6.23 Tz=4.16 Mx=0.02 Mz=7.84
Sollecitazioni agenti localmente: Ty_l=-1057.13 Mx_l=-21.14
Tensioni nella sezione: σ=256.27 τ=32.03
CC 9 SLV (Collegamento 0021_-378)
Azioni sul collegamento: N=-5814.22 Ty=3.29 Tz=4.16 Mx=0.02 Mz=3.06
Sollecitazioni agenti localmente: Ty_l=-1057.13 Mx_l=-21.14
Tensioni nella sezione: σ=256.27 τ=32.03
CC 9 SLV (Collegamento 0021_-378)
Azioni sul collegamento: N=-7420.50 Ty=6.23 Tz=-2.14 Mx=0.02 Mz=7.84
Sollecitazioni agenti localmente: Ty_l=-1349.18 Mx_l=-26.98
Tensioni nella sezione: σ=327.07 τ=40.88
CC 9 SLV (Collegamento 0021_-378)
Azioni sul collegamento: N=-7420.50 Ty=3.29 Tz=-2.14 Mx=0.02 Mz=3.06
Sollecitazioni agenti localmente: Ty_l=-1349.18 Mx_l=-26.98
Tensioni nella sezione: σ=327.07 τ=40.88
CC 9 SLV (Collegamento 0021_-378)
Azioni sul collegamento: N=-7420.50 Ty=6.23 Tz=4.16 Mx=0.02 Mz=7.84
Sollecitazioni agenti localmente: Ty_l=-1349.18 Mx_l=-26.98
Tensioni nella sezione: σ=327.07 τ=40.88
CC 9 SLV (Collegamento 0021_-378)
Azioni sul collegamento: N=-7420.50 Ty=3.29 Tz=4.16 Mx=0.02 Mz=3.06
Sollecitazioni agenti localmente: Ty_l=-1349.18 Mx_l=-26.98
Tensioni nella sezione: σ=327.07 τ=40.88
CC 10 SLD (Collegamento 0021_-378)
Azioni sul collegamento: N=-6340.00 Ty=4.36 Tz=-0.08 Mx=0.00 Mz=4.10
Sollecitazioni agenti localmente: Ty_l=-1152.73 Mx_l=-23.05
Tensioni nella sezione: σ=279.45 τ=34.93
CC 10 SLD (Collegamento 0021_-378)
Azioni sul collegamento: N=-6340.00 Ty=3.47 Tz=-0.08 Mx=0.00 Mz=2.64
Sollecitazioni agenti localmente: Ty_l=-1152.73 Mx_l=-23.05
Tensioni nella sezione: σ=279.45 τ=34.93
CC 10 SLD (Collegamento 0021_-378)
Azioni sul collegamento: N=-6340.00 Ty=4.36 Tz=1.85 Mx=0.00 Mz=4.10
Sollecitazioni agenti localmente: Ty_l=-1152.73 Mx_l=-23.05
Tensioni nella sezione: σ=279.45 τ=34.93
CC 10 SLD (Collegamento 0021_-378)
Azioni sul collegamento: N=-6340.00 Ty=3.47 Tz=1.85 Mx=0.00 Mz=2.64
Sollecitazioni agenti localmente: Ty_l=-1152.73 Mx_l=-23.05
Tensioni nella sezione: σ=279.45 τ=34.93
CC 10 SLD (Collegamento 0021_-378)
Azioni sul collegamento: N=-6829.81 Ty=4.36 Tz=-0.08 Mx=0.00 Mz=4.10
Sollecitazioni agenti localmente: Ty_l=-1241.78 Mx_l=-24.84
Tensioni nella sezione: σ=301.04 τ=37.63
CC 10 SLD (Collegamento 0021_-378)
Azioni sul collegamento: N=-6829.81 Ty=3.47 Tz=-0.08 Mx=0.00 Mz=2.64

Sollecitazioni agenti localmente: Ty_l=-1241.78 Mx_l=-24.84
Tensioni nella sezione: σ=301.04 τ=37.63
CC 10 SLD (Collegamento 0021_-378)
Azioni sul collegamento: N=-6829.81 Ty=4.36 Tz=1.85 Mx=0.00 Mz=4.10
Sollecitazioni agenti localmente: Ty_l=-1241.78 Mx_l=-24.84
Tensioni nella sezione: σ=301.04 τ=37.63
CC 10 SLD (Collegamento 0021_-378)
Azioni sul collegamento: N=-6829.81 Ty=3.47 Tz=1.85 Mx=0.00 Mz=2.64
Sollecitazioni agenti localmente: Ty_l=-1241.78 Mx_l=-24.84
Tensioni nella sezione: σ=301.04 τ=37.63
CC 11 SLV (Collegamento 0021_-378)
Azioni sul collegamento: N=-7401.56 Ty=5.40 Tz=3.74 Mx=0.02 Mz=7.25
Sollecitazioni agenti localmente: Ty_l=-1345.74 Mx_l=-26.91
Tensioni nella sezione: σ=326.24 τ=40.78
CC 11 SLV (Collegamento 0021_-378)
Azioni sul collegamento: N=-7401.56 Ty=4.11 Tz=3.74 Mx=0.02 Mz=3.66
Sollecitazioni agenti localmente: Ty_l=-1345.74 Mx_l=-26.91
Tensioni nella sezione: σ=326.24 τ=40.78
CC 11 SLV (Collegamento 0021_-378)
Azioni sul collegamento: N=-7401.56 Ty=5.40 Tz=-1.71 Mx=0.02 Mz=7.25
Sollecitazioni agenti localmente: Ty_l=-1345.74 Mx_l=-26.91
Tensioni nella sezione: σ=326.24 τ=40.78
CC 11 SLV (Collegamento 0021_-378)
Azioni sul collegamento: N=-7401.56 Ty=4.11 Tz=-1.71 Mx=0.02 Mz=3.66
Sollecitazioni agenti localmente: Ty_l=-1345.74 Mx_l=-26.91
Tensioni nella sezione: σ=326.24 τ=40.78
CC 11 SLV (Collegamento 0021_-378)
Azioni sul collegamento: N=-5833.17 Ty=5.40 Tz=3.74 Mx=0.02 Mz=7.25
Sollecitazioni agenti localmente: Ty_l=-1060.58 Mx_l=-21.21
Tensioni nella sezione: σ=257.11 τ=32.14
CC 11 SLV (Collegamento 0021_-378)
Azioni sul collegamento: N=-5833.17 Ty=4.11 Tz=3.74 Mx=0.02 Mz=3.66
Sollecitazioni agenti localmente: Ty_l=-1060.58 Mx_l=-21.21
Tensioni nella sezione: σ=257.11 τ=32.14
CC 11 SLV (Collegamento 0021_-378)
Azioni sul collegamento: N=-5833.17 Ty=5.40 Tz=-1.71 Mx=0.02 Mz=7.25
Sollecitazioni agenti localmente: Ty_l=-1060.58 Mx_l=-21.21
Tensioni nella sezione: σ=257.11 τ=32.14
CC 11 SLV (Collegamento 0021_-378)
Azioni sul collegamento: N=-5833.17 Ty=4.11 Tz=-1.71 Mx=0.02 Mz=3.66
Sollecitazioni agenti localmente: Ty_l=-1060.58 Mx_l=-21.21
Tensioni nella sezione: σ=257.11 τ=32.14
CC 12 SLD (Collegamento 0021_-378)
Azioni sul collegamento: N=-6824.03 Ty=4.11 Tz=1.72 Mx=0.00 Mz=3.92
Sollecitazioni agenti localmente: Ty_l=-1240.73 Mx_l=-24.81
Tensioni nella sezione: σ=300.78 τ=37.60
CC 12 SLD (Collegamento 0021_-378)
Azioni sul collegamento: N=-6824.03 Ty=3.72 Tz=1.72 Mx=0.00 Mz=2.82
Sollecitazioni agenti localmente: Ty_l=-1240.73 Mx_l=-24.81
Tensioni nella sezione: σ=300.78 τ=37.60
CC 12 SLD (Collegamento 0021_-378)
Azioni sul collegamento: N=-6824.03 Ty=4.11 Tz=0.05 Mx=0.00 Mz=3.92
Sollecitazioni agenti localmente: Ty_l=-1240.73 Mx_l=-24.81
Tensioni nella sezione: σ=300.78 τ=37.60
CC 12 SLD (Collegamento 0021_-378)
Azioni sul collegamento: N=-6824.03 Ty=3.72 Tz=0.05 Mx=0.00 Mz=2.82
Sollecitazioni agenti localmente: Ty_l=-1240.73 Mx_l=-24.81
Tensioni nella sezione: σ=300.78 τ=37.60
CC 12 SLD (Collegamento 0021_-378)
Azioni sul collegamento: N=-6345.78 Ty=4.11 Tz=1.72 Mx=0.00 Mz=3.92
Sollecitazioni agenti localmente: Ty_l=-1153.78 Mx_l=-23.08
Tensioni nella sezione: σ=279.70 τ=34.96
CC 12 SLD (Collegamento 0021_-378)
Azioni sul collegamento: N=-6345.78 Ty=3.72 Tz=1.72 Mx=0.00 Mz=2.82
Sollecitazioni agenti localmente: Ty_l=-1153.78 Mx_l=-23.08
Tensioni nella sezione: σ=279.70 τ=34.96
CC 12 SLD (Collegamento 0021_-378)
Azioni sul collegamento: N=-6345.78 Ty=4.11 Tz=0.05 Mx=0.00 Mz=3.92
Sollecitazioni agenti localmente: Ty_l=-1153.78 Mx_l=-23.08
Tensioni nella sezione: σ=279.70 τ=34.96
CC 12 SLD (Collegamento 0021_-378)
Azioni sul collegamento: N=-6345.78 Ty=3.72 Tz=0.05 Mx=0.00 Mz=2.82
Sollecitazioni agenti localmente: Ty_l=-1153.78 Mx_l=-23.08
Tensioni nella sezione: σ=279.70 τ=34.96
CC 13 SLV (Collegamento 0021_-378)
Azioni sul collegamento: N=-5833.17 Ty=4.11 Tz=-1.71 Mx=0.00 Mz=3.66
Sollecitazioni agenti localmente: Ty_l=-1060.58 Mx_l=-21.21
Tensioni nella sezione: σ=257.11 τ=32.14
CC 13 SLV (Collegamento 0021_-378)

Azioni sul collegamento: N=-5833.17 Ty=5.40 Tz=-1.71 Mx=0.00 Mz=7.25
Sollecitazioni agenti localmente: Ty_l=-1060.58 Mx_l=-21.21
Tensioni nella sezione: σ=257.11 τ=32.14
CC 13 SLV (Collegamento 0021_-378)
Azioni sul collegamento: N=-5833.17 Ty=4.11 Tz=3.74 Mx=0.00 Mz=3.66
Sollecitazioni agenti localmente: Ty_l=-1060.58 Mx_l=-21.21
Tensioni nella sezione: σ=257.11 τ=32.14
CC 13 SLV (Collegamento 0021_-378)
Azioni sul collegamento: N=-5833.17 Ty=5.40 Tz=3.74 Mx=0.00 Mz=7.25
Sollecitazioni agenti localmente: Ty_l=-1060.58 Mx_l=-21.21
Tensioni nella sezione: σ=257.11 τ=32.14
CC 13 SLV (Collegamento 0021_-378)
Azioni sul collegamento: N=-7401.56 Ty=4.11 Tz=-1.71 Mx=0.00 Mz=3.66
Sollecitazioni agenti localmente: Ty_l=-1345.74 Mx_l=-26.91
Tensioni nella sezione: σ=326.24 τ=40.78
CC 13 SLV (Collegamento 0021_-378)
Azioni sul collegamento: N=-7401.56 Ty=5.40 Tz=-1.71 Mx=0.00 Mz=7.25
Sollecitazioni agenti localmente: Ty_l=-1345.74 Mx_l=-26.91
Tensioni nella sezione: σ=326.24 τ=40.78
CC 13 SLV (Collegamento 0021_-378)
Azioni sul collegamento: N=-7401.56 Ty=4.11 Tz=3.74 Mx=0.00 Mz=3.66
Sollecitazioni agenti localmente: Ty_l=-1345.74 Mx_l=-26.91
Tensioni nella sezione: σ=326.24 τ=40.78
CC 13 SLV (Collegamento 0021_-378)
Azioni sul collegamento: N=-7401.56 Ty=5.40 Tz=3.74 Mx=0.00 Mz=7.25
Sollecitazioni agenti localmente: Ty_l=-1345.74 Mx_l=-26.91
Tensioni nella sezione: σ=326.24 τ=40.78
CC 14 SLD (Collegamento 0021_-378)
Azioni sul collegamento: N=-6345.78 Ty=3.72 Tz=0.05 Mx=-0.00 Mz=2.82
Sollecitazioni agenti localmente: Ty_l=-1153.78 Mx_l=-23.08
Tensioni nella sezione: σ=279.70 τ=34.96
CC 14 SLD (Collegamento 0021_-378)
Azioni sul collegamento: N=-6345.78 Ty=4.11 Tz=0.05 Mx=-0.00 Mz=3.92
Sollecitazioni agenti localmente: Ty_l=-1153.78 Mx_l=-23.08
Tensioni nella sezione: σ=279.70 τ=34.96
CC 14 SLD (Collegamento 0021_-378)
Azioni sul collegamento: N=-6345.78 Ty=3.72 Tz=1.72 Mx=-0.00 Mz=2.82
Sollecitazioni agenti localmente: Ty_l=-1153.78 Mx_l=-23.08
Tensioni nella sezione: σ=279.70 τ=34.96
CC 14 SLD (Collegamento 0021_-378)
Azioni sul collegamento: N=-6345.78 Ty=4.11 Tz=1.72 Mx=-0.00 Mz=3.92
Sollecitazioni agenti localmente: Ty_l=-1153.78 Mx_l=-23.08
Tensioni nella sezione: σ=279.70 τ=34.96
CC 14 SLD (Collegamento 0021_-378)
Azioni sul collegamento: N=-6824.03 Ty=3.72 Tz=0.05 Mx=-0.00 Mz=2.82
Sollecitazioni agenti localmente: Ty_l=-1240.73 Mx_l=-24.81
Tensioni nella sezione: σ=300.78 τ=37.60
CC 14 SLD (Collegamento 0021_-378)
Azioni sul collegamento: N=-6824.03 Ty=4.11 Tz=0.05 Mx=-0.00 Mz=3.92
Sollecitazioni agenti localmente: Ty_l=-1240.73 Mx_l=-24.81
Tensioni nella sezione: σ=300.78 τ=37.60
CC 14 SLD (Collegamento 0021_-378)
Azioni sul collegamento: N=-6824.03 Ty=3.72 Tz=1.72 Mx=-0.00 Mz=2.82
Sollecitazioni agenti localmente: Ty_l=-1240.73 Mx_l=-24.81
Tensioni nella sezione: σ=300.78 τ=37.60
CC 14 SLD (Collegamento 0021_-378)
Azioni sul collegamento: N=-6824.03 Ty=4.11 Tz=1.72 Mx=-0.00 Mz=3.92
Sollecitazioni agenti localmente: Ty_l=-1240.73 Mx_l=-24.81
Tensioni nella sezione: σ=300.78 τ=37.60
CC 15 SLV (Collegamento 0021_-378)
Azioni sul collegamento: N=-7420.50 Ty=3.29 Tz=4.16 Mx=0.00 Mz=3.06
Sollecitazioni agenti localmente: Ty_l=-1349.18 Mx_l=-26.98
Tensioni nella sezione: σ=327.07 τ=40.88
CC 15 SLV (Collegamento 0021_-378)
Azioni sul collegamento: N=-7420.50 Ty=6.23 Tz=4.16 Mx=0.00 Mz=7.84
Sollecitazioni agenti localmente: Ty_l=-1349.18 Mx_l=-26.98
Tensioni nella sezione: σ=327.07 τ=40.88
CC 15 SLV (Collegamento 0021_-378)
Azioni sul collegamento: N=-7420.50 Ty=3.29 Tz=-2.14 Mx=0.00 Mz=3.06
Sollecitazioni agenti localmente: Ty_l=-1349.18 Mx_l=-26.98
Tensioni nella sezione: σ=327.07 τ=40.88
CC 15 SLV (Collegamento 0021_-378)
Azioni sul collegamento: N=-7420.50 Ty=6.23 Tz=-2.14 Mx=0.00 Mz=7.84
Sollecitazioni agenti localmente: Ty_l=-1349.18 Mx_l=-26.98
Tensioni nella sezione: σ=327.07 τ=40.88
CC 15 SLV (Collegamento 0021_-378)
Azioni sul collegamento: N=-5814.22 Ty=3.29 Tz=4.16 Mx=0.00 Mz=3.06
Sollecitazioni agenti localmente: Ty_l=-1057.13 Mx_l=-21.14
Tensioni nella sezione: σ=256.27 τ=32.03

CC 15 SLV (Collegamento 0021_-378)
Azioni sul collegamento: N=-5814.22 Ty=6.23 Tz=4.16 Mx=0.00 Mz=7.84
Sollecitazioni agenti localmente: Ty_l=-1057.13 Mx_l=-21.14
Tensioni nella sezione: σ=256.27 τ=32.03
CC 15 SLV (Collegamento 0021_-378)
Azioni sul collegamento: N=-5814.22 Ty=3.29 Tz=-2.14 Mx=0.00 Mz=3.06
Sollecitazioni agenti localmente: Ty_l=-1057.13 Mx_l=-21.14
Tensioni nella sezione: σ=256.27 τ=32.03
CC 15 SLV (Collegamento 0021_-378)
Azioni sul collegamento: N=-5814.22 Ty=6.23 Tz=-2.14 Mx=0.00 Mz=7.84
Sollecitazioni agenti localmente: Ty_l=-1057.13 Mx_l=-21.14
Tensioni nella sezione: σ=256.27 τ=32.03
CC 16 SLD (Collegamento 0021_-378)
Azioni sul collegamento: N=-6829.81 Ty=3.47 Tz=1.85 Mx=-0.00 Mz=2.64
Sollecitazioni agenti localmente: Ty_l=-1241.78 Mx_l=-24.84
Tensioni nella sezione: σ=301.04 τ=37.63
CC 16 SLD (Collegamento 0021_-378)
Azioni sul collegamento: N=-6829.81 Ty=4.36 Tz=1.85 Mx=-0.00 Mz=4.10
Sollecitazioni agenti localmente: Ty_l=-1241.78 Mx_l=-24.84
Tensioni nella sezione: σ=301.04 τ=37.63
CC 16 SLD (Collegamento 0021_-378)
Azioni sul collegamento: N=-6829.81 Ty=3.47 Tz=-0.08 Mx=-0.00 Mz=2.64
Sollecitazioni agenti localmente: Ty_l=-1241.78 Mx_l=-24.84
Tensioni nella sezione: σ=301.04 τ=37.63
CC 16 SLD (Collegamento 0021_-378)
Azioni sul collegamento: N=-6829.81 Ty=4.36 Tz=-0.08 Mx=-0.00 Mz=4.10
Sollecitazioni agenti localmente: Ty_l=-1241.78 Mx_l=-24.84
Tensioni nella sezione: σ=301.04 τ=37.63
CC 16 SLD (Collegamento 0021_-378)
Azioni sul collegamento: N=-6340.00 Ty=3.47 Tz=1.85 Mx=-0.00 Mz=2.64
Sollecitazioni agenti localmente: Ty_l=-1152.73 Mx_l=-23.05
Tensioni nella sezione: σ=279.45 τ=34.93
CC 16 SLD (Collegamento 0021_-378)
Azioni sul collegamento: N=-6340.00 Ty=4.36 Tz=1.85 Mx=-0.00 Mz=4.10
Sollecitazioni agenti localmente: Ty_l=-1152.73 Mx_l=-23.05
Tensioni nella sezione: σ=279.45 τ=34.93
CC 16 SLD (Collegamento 0021_-378)
Azioni sul collegamento: N=-6340.00 Ty=3.47 Tz=-0.08 Mx=-0.00 Mz=2.64
Sollecitazioni agenti localmente: Ty_l=-1152.73 Mx_l=-23.05
Tensioni nella sezione: σ=279.45 τ=34.93
CC 16 SLD (Collegamento 0021_-378)
Azioni sul collegamento: N=-6340.00 Ty=4.36 Tz=-0.08 Mx=-0.00 Mz=4.10
Sollecitazioni agenti localmente: Ty_l=-1152.73 Mx_l=-23.05
Tensioni nella sezione: σ=279.45 τ=34.93
CC 17 SLV (Collegamento 0021_-378)
Azioni sul collegamento: N=-3875.57 Ty=0.64 Tz=-9.21 Mx=-0.02 Mz=1.09
Sollecitazioni agenti localmente: Ty_l=-704.65 Mx_l=-14.09
Tensioni nella sezione: σ=170.82 τ=21.35
CC 17 SLV (Collegamento 0021_-378)
Azioni sul collegamento: N=-3875.57 Ty=4.02 Tz=-9.21 Mx=-0.02 Mz=-2.16
Sollecitazioni agenti localmente: Ty_l=-704.65 Mx_l=-14.09
Tensioni nella sezione: σ=170.82 τ=21.35
CC 17 SLV (Collegamento 0021_-378)
Azioni sul collegamento: N=-3875.57 Ty=0.64 Tz=10.50 Mx=-0.02 Mz=1.09
Sollecitazioni agenti localmente: Ty_l=-704.65 Mx_l=-14.09
Tensioni nella sezione: σ=170.82 τ=21.35
CC 17 SLV (Collegamento 0021_-378)
Azioni sul collegamento: N=-3875.57 Ty=4.02 Tz=10.50 Mx=-0.02 Mz=-2.16
Sollecitazioni agenti localmente: Ty_l=-704.65 Mx_l=-14.09
Tensioni nella sezione: σ=170.82 τ=21.35
CC 17 SLV (Collegamento 0021_-378)
Azioni sul collegamento: N=-9172.38 Ty=0.64 Tz=-9.21 Mx=-0.02 Mz=1.09
Sollecitazioni agenti localmente: Ty_l=-1667.70 Mx_l=-33.35
Tensioni nella sezione: σ=404.29 τ=50.54
CC 17 SLV (Collegamento 0021_-378)
Azioni sul collegamento: N=-9172.38 Ty=4.02 Tz=-9.21 Mx=-0.02 Mz=-2.16
Sollecitazioni agenti localmente: Ty_l=-1667.70 Mx_l=-33.35
Tensioni nella sezione: σ=404.29 τ=50.54
CC 17 SLV (Collegamento 0021_-378)
Azioni sul collegamento: N=-9172.38 Ty=0.64 Tz=10.50 Mx=-0.02 Mz=1.09
Sollecitazioni agenti localmente: Ty_l=-1667.70 Mx_l=-33.35
Tensioni nella sezione: σ=404.29 τ=50.54
CC 17 SLV (Collegamento 0021_-378)
Azioni sul collegamento: N=-9172.38 Ty=4.02 Tz=10.50 Mx=-0.02 Mz=-2.16
Sollecitazioni agenti localmente: Ty_l=-1667.70 Mx_l=-33.35
Tensioni nella sezione: σ=404.29 τ=50.54
CC 18 SLD (Collegamento 0021_-378)
Azioni sul collegamento: N=-5748.85 Ty=3.69 Tz=-2.23 Mx=-0.01 Mz=2.04
Sollecitazioni agenti localmente: Ty_l=-1045.24 Mx_l=-20.90

Tensioni nella sezione: σ=253.39 τ=31.67
CC 18 SLD (Collegamento 0021_-378)
Azioni sul collegamento: N=-5748.85 Ty=2.66 Tz=-2.23 Mx=-0.01 Mz=1.05
Sollecitazioni agenti localmente: Ty_l=-1045.24 Mx_l=-20.90
Tensioni nella sezione: σ=253.39 τ=31.67
CC 18 SLD (Collegamento 0021_-378)
Azioni sul collegamento: N=-5748.85 Ty=3.69 Tz=3.78 Mx=-0.01 Mz=2.04
Sollecitazioni agenti localmente: Ty_l=-1045.24 Mx_l=-20.90
Tensioni nella sezione: σ=253.39 τ=31.67
CC 18 SLD (Collegamento 0021_-378)
Azioni sul collegamento: N=-5748.85 Ty=2.66 Tz=3.78 Mx=-0.01 Mz=1.05
Sollecitazioni agenti localmente: Ty_l=-1045.24 Mx_l=-20.90
Tensioni nella sezione: σ=253.39 τ=31.67
CC 18 SLD (Collegamento 0021_-378)
Azioni sul collegamento: N=-7364.01 Ty=3.69 Tz=-2.23 Mx=-0.01 Mz=2.04
Sollecitazioni agenti localmente: Ty_l=-1338.91 Mx_l=-26.78
Tensioni nella sezione: σ=324.58 τ=40.57
CC 18 SLD (Collegamento 0021_-378)
Azioni sul collegamento: N=-7364.01 Ty=2.66 Tz=-2.23 Mx=-0.01 Mz=1.05
Sollecitazioni agenti localmente: Ty_l=-1338.91 Mx_l=-26.78
Tensioni nella sezione: σ=324.58 τ=40.57
CC 18 SLD (Collegamento 0021_-378)
Azioni sul collegamento: N=-7364.01 Ty=3.69 Tz=3.78 Mx=-0.01 Mz=2.04
Sollecitazioni agenti localmente: Ty_l=-1338.91 Mx_l=-26.78
Tensioni nella sezione: σ=324.58 τ=40.57
CC 18 SLD (Collegamento 0021_-378)
Azioni sul collegamento: N=-7364.01 Ty=2.66 Tz=3.78 Mx=-0.01 Mz=1.05
Sollecitazioni agenti localmente: Ty_l=-1338.91 Mx_l=-26.78
Tensioni nella sezione: σ=324.58 τ=40.57
CC 19 SLV (Collegamento 0021_-378)
Azioni sul collegamento: N=-3881.26 Ty=1.27 Tz=-9.09 Mx=-0.02 Mz=-0.17
Sollecitazioni agenti localmente: Ty_l=-705.68 Mx_l=-14.11
Tensioni nella sezione: σ=171.07 τ=21.38
CC 19 SLV (Collegamento 0021_-378)
Azioni sul collegamento: N=-3881.26 Ty=3.39 Tz=-9.09 Mx=-0.02 Mz=-0.91
Sollecitazioni agenti localmente: Ty_l=-705.68 Mx_l=-14.11
Tensioni nella sezione: σ=171.07 τ=21.38
CC 19 SLV (Collegamento 0021_-378)
Azioni sul collegamento: N=-3881.26 Ty=1.27 Tz=10.37 Mx=-0.02 Mz=-0.17
Sollecitazioni agenti localmente: Ty_l=-705.68 Mx_l=-14.11
Tensioni nella sezione: σ=171.07 τ=21.38
CC 19 SLV (Collegamento 0021_-378)
Azioni sul collegamento: N=-3881.26 Ty=3.39 Tz=10.37 Mx=-0.02 Mz=-0.91
Sollecitazioni agenti localmente: Ty_l=-705.68 Mx_l=-14.11
Tensioni nella sezione: σ=171.07 τ=21.38
CC 19 SLV (Collegamento 0021_-378)
Azioni sul collegamento: N=-9166.69 Ty=1.27 Tz=-9.09 Mx=-0.02 Mz=-0.17
Sollecitazioni agenti localmente: Ty_l=-1666.67 Mx_l=-33.33
Tensioni nella sezione: σ=404.04 τ=50.51
CC 19 SLV (Collegamento 0021_-378)
Azioni sul collegamento: N=-9166.69 Ty=3.39 Tz=-9.09 Mx=-0.02 Mz=-0.91
Sollecitazioni agenti localmente: Ty_l=-1666.67 Mx_l=-33.33
Tensioni nella sezione: σ=404.04 τ=50.51
CC 19 SLV (Collegamento 0021_-378)
Azioni sul collegamento: N=-9166.69 Ty=1.27 Tz=10.37 Mx=-0.02 Mz=-0.17
Sollecitazioni agenti localmente: Ty_l=-1666.67 Mx_l=-33.33
Tensioni nella sezione: σ=404.04 τ=50.51
CC 19 SLV (Collegamento 0021_-378)
Azioni sul collegamento: N=-9166.69 Ty=3.39 Tz=10.37 Mx=-0.02 Mz=-0.91
Sollecitazioni agenti localmente: Ty_l=-1666.67 Mx_l=-33.33
Tensioni nella sezione: σ=404.04 τ=50.51
CC 20 SLD (Collegamento 0021_-378)
Azioni sul collegamento: N=-5750.58 Ty=3.50 Tz=-2.19 Mx=-0.01 Mz=1.66
Sollecitazioni agenti localmente: Ty_l=-1045.56 Mx_l=-20.91
Tensioni nella sezione: σ=253.47 τ=31.68
CC 20 SLD (Collegamento 0021_-378)
Azioni sul collegamento: N=-5750.58 Ty=2.85 Tz=-2.19 Mx=-0.01 Mz=1.43
Sollecitazioni agenti localmente: Ty_l=-1045.56 Mx_l=-20.91
Tensioni nella sezione: σ=253.47 τ=31.68
CC 20 SLD (Collegamento 0021_-378)
Azioni sul collegamento: N=-5750.58 Ty=3.50 Tz=3.74 Mx=-0.01 Mz=1.66
Sollecitazioni agenti localmente: Ty_l=-1045.56 Mx_l=-20.91
Tensioni nella sezione: σ=253.47 τ=31.68
CC 20 SLD (Collegamento 0021_-378)
Azioni sul collegamento: N=-5750.58 Ty=2.85 Tz=3.74 Mx=-0.01 Mz=1.43
Sollecitazioni agenti localmente: Ty_l=-1045.56 Mx_l=-20.91
Tensioni nella sezione: σ=253.47 τ=31.68
CC 20 SLD (Collegamento 0021_-378)
Azioni sul collegamento: N=-7362.28 Ty=3.50 Tz=-2.19 Mx=-0.01 Mz=1.66

Sollecitazioni agenti localmente: Ty_l=-1338.60 Mx_l=-26.77
Tensioni nella sezione: σ=324.51 τ=40.56
CC 20 SLD (Collegamento 0021_-378)
Azioni sul collegamento: N=-7362.28 Ty=2.85 Tz=-2.19 Mx=-0.01 Mz=1.43
Sollecitazioni agenti localmente: Ty_l=-1338.60 Mx_l=-26.77
Tensioni nella sezione: σ=324.51 τ=40.56
CC 20 SLD (Collegamento 0021_-378)
Azioni sul collegamento: N=-7362.28 Ty=3.50 Tz=3.74 Mx=-0.01 Mz=1.66
Sollecitazioni agenti localmente: Ty_l=-1338.60 Mx_l=-26.77
Tensioni nella sezione: σ=324.51 τ=40.56
CC 20 SLD (Collegamento 0021_-378)
Azioni sul collegamento: N=-7362.28 Ty=2.85 Tz=3.74 Mx=-0.01 Mz=1.43
Sollecitazioni agenti localmente: Ty_l=-1338.60 Mx_l=-26.77
Tensioni nella sezione: σ=324.51 τ=40.56
CC 21 SLV (Collegamento 0021_-378)
Azioni sul collegamento: N=-9166.69 Ty=3.39 Tz=10.37 Mx=-0.02 Mz=-0.91
Sollecitazioni agenti localmente: Ty_l=-1666.67 Mx_l=-33.33
Tensioni nella sezione: σ=404.04 τ=50.51
CC 21 SLV (Collegamento 0021_-378)
Azioni sul collegamento: N=-9166.69 Ty=1.27 Tz=10.37 Mx=-0.02 Mz=-0.17
Sollecitazioni agenti localmente: Ty_l=-1666.67 Mx_l=-33.33
Tensioni nella sezione: σ=404.04 τ=50.51
CC 21 SLV (Collegamento 0021_-378)
Azioni sul collegamento: N=-9166.69 Ty=3.39 Tz=-9.09 Mx=-0.02 Mz=-0.91
Sollecitazioni agenti localmente: Ty_l=-1666.67 Mx_l=-33.33
Tensioni nella sezione: σ=404.04 τ=50.51
CC 21 SLV (Collegamento 0021_-378)
Azioni sul collegamento: N=-9166.69 Ty=1.27 Tz=-9.09 Mx=-0.02 Mz=-0.17
Sollecitazioni agenti localmente: Ty_l=-1666.67 Mx_l=-33.33
Tensioni nella sezione: σ=404.04 τ=50.51
CC 21 SLV (Collegamento 0021_-378)
Azioni sul collegamento: N=-3881.26 Ty=3.39 Tz=10.37 Mx=-0.02 Mz=-0.91
Sollecitazioni agenti localmente: Ty_l=-705.68 Mx_l=-14.11
Tensioni nella sezione: σ=171.07 τ=21.38
CC 21 SLV (Collegamento 0021_-378)
Azioni sul collegamento: N=-3881.26 Ty=1.27 Tz=10.37 Mx=-0.02 Mz=-0.17
Sollecitazioni agenti localmente: Ty_l=-705.68 Mx_l=-14.11
Tensioni nella sezione: σ=171.07 τ=21.38
CC 21 SLV (Collegamento 0021_-378)
Azioni sul collegamento: N=-3881.26 Ty=3.39 Tz=-9.09 Mx=-0.02 Mz=-0.91
Sollecitazioni agenti localmente: Ty_l=-705.68 Mx_l=-14.11
Tensioni nella sezione: σ=171.07 τ=21.38
CC 21 SLV (Collegamento 0021_-378)
Azioni sul collegamento: N=-3881.26 Ty=1.27 Tz=-9.09 Mx=-0.02 Mz=-0.17
Sollecitazioni agenti localmente: Ty_l=-705.68 Mx_l=-14.11
Tensioni nella sezione: σ=171.07 τ=21.38
CC 22 SLD (Collegamento 0021_-378)
Azioni sul collegamento: N=-7362.28 Ty=2.85 Tz=3.74 Mx=-0.01 Mz=1.43
Sollecitazioni agenti localmente: Ty_l=-1338.60 Mx_l=-26.77
Tensioni nella sezione: σ=324.51 τ=40.56
CC 22 SLD (Collegamento 0021_-378)
Azioni sul collegamento: N=-7362.28 Ty=3.50 Tz=3.74 Mx=-0.01 Mz=1.66
Sollecitazioni agenti localmente: Ty_l=-1338.60 Mx_l=-26.77
Tensioni nella sezione: σ=324.51 τ=40.56
CC 22 SLD (Collegamento 0021_-378)
Azioni sul collegamento: N=-7362.28 Ty=2.85 Tz=-2.19 Mx=-0.01 Mz=1.43
Sollecitazioni agenti localmente: Ty_l=-1338.60 Mx_l=-26.77
Tensioni nella sezione: σ=324.51 τ=40.56
CC 22 SLD (Collegamento 0021_-378)
Azioni sul collegamento: N=-7362.28 Ty=3.50 Tz=-2.19 Mx=-0.01 Mz=1.66
Sollecitazioni agenti localmente: Ty_l=-1338.60 Mx_l=-26.77
Tensioni nella sezione: σ=324.51 τ=40.56
CC 22 SLD (Collegamento 0021_-378)
Azioni sul collegamento: N=-5750.58 Ty=2.85 Tz=3.74 Mx=-0.01 Mz=1.43
Sollecitazioni agenti localmente: Ty_l=-1045.56 Mx_l=-20.91
Tensioni nella sezione: σ=253.47 τ=31.68
CC 22 SLD (Collegamento 0021_-378)
Azioni sul collegamento: N=-5750.58 Ty=3.50 Tz=3.74 Mx=-0.01 Mz=1.66
Sollecitazioni agenti localmente: Ty_l=-1045.56 Mx_l=-20.91
Tensioni nella sezione: σ=253.47 τ=31.68
CC 22 SLD (Collegamento 0021_-378)
Azioni sul collegamento: N=-5750.58 Ty=2.85 Tz=-2.19 Mx=-0.01 Mz=1.43
Sollecitazioni agenti localmente: Ty_l=-1045.56 Mx_l=-20.91
Tensioni nella sezione: σ=253.47 τ=31.68
CC 22 SLD (Collegamento 0021_-378)
Azioni sul collegamento: N=-5750.58 Ty=3.50 Tz=-2.19 Mx=-0.01 Mz=1.66
Sollecitazioni agenti localmente: Ty_l=-1045.56 Mx_l=-20.91
Tensioni nella sezione: σ=253.47 τ=31.68
CC 23 SLV (Collegamento 0021_-378)

Azioni sul collegamento: N=-9172.38 Ty=4.02 Tz=10.50 Mx=-0.01 Mz=-2.16
Sollecitazioni agenti localmente: Ty_l=-1667.70 Mx_l=-33.35
Tensioni nella sezione: σ=404.29 τ=50.54
CC 23 SLV (Collegamento 0021_-378)
Azioni sul collegamento: N=-9172.38 Ty=0.64 Tz=10.50 Mx=-0.01 Mz=1.09
Sollecitazioni agenti localmente: Ty_l=-1667.70 Mx_l=-33.35
Tensioni nella sezione: σ=404.29 τ=50.54
CC 23 SLV (Collegamento 0021_-378)
Azioni sul collegamento: N=-9172.38 Ty=4.02 Tz=-9.21 Mx=-0.01 Mz=-2.16
Sollecitazioni agenti localmente: Ty_l=-1667.70 Mx_l=-33.35
Tensioni nella sezione: σ=404.29 τ=50.54
CC 23 SLV (Collegamento 0021_-378)
Azioni sul collegamento: N=-9172.38 Ty=0.64 Tz=-9.21 Mx=-0.01 Mz=1.09
Sollecitazioni agenti localmente: Ty_l=-1667.70 Mx_l=-33.35
Tensioni nella sezione: σ=404.29 τ=50.54
CC 23 SLV (Collegamento 0021_-378)
Azioni sul collegamento: N=-3875.57 Ty=4.02 Tz=10.50 Mx=-0.01 Mz=-2.16
Sollecitazioni agenti localmente: Ty_l=-704.65 Mx_l=-14.09
Tensioni nella sezione: σ=170.82 τ=21.35
CC 23 SLV (Collegamento 0021_-378)
Azioni sul collegamento: N=-3875.57 Ty=0.64 Tz=10.50 Mx=-0.01 Mz=1.09
Sollecitazioni agenti localmente: Ty_l=-704.65 Mx_l=-14.09
Tensioni nella sezione: σ=170.82 τ=21.35
CC 23 SLV (Collegamento 0021_-378)
Azioni sul collegamento: N=-3875.57 Ty=4.02 Tz=-9.21 Mx=-0.01 Mz=-2.16
Sollecitazioni agenti localmente: Ty_l=-704.65 Mx_l=-14.09
Tensioni nella sezione: σ=170.82 τ=21.35
CC 23 SLV (Collegamento 0021_-378)
Azioni sul collegamento: N=-3875.57 Ty=0.64 Tz=-9.21 Mx=-0.01 Mz=1.09
Sollecitazioni agenti localmente: Ty_l=-704.65 Mx_l=-14.09
Tensioni nella sezione: σ=170.82 τ=21.35
CC 24 SLD (Collegamento 0021_-378)
Azioni sul collegamento: N=-7364.01 Ty=2.66 Tz=3.78 Mx=-0.01 Mz=1.05
Sollecitazioni agenti localmente: Ty_l=-1338.91 Mx_l=-26.78
Tensioni nella sezione: σ=324.58 τ=40.57
CC 24 SLD (Collegamento 0021_-378)
Azioni sul collegamento: N=-7364.01 Ty=3.69 Tz=3.78 Mx=-0.01 Mz=2.04
Sollecitazioni agenti localmente: Ty_l=-1338.91 Mx_l=-26.78
Tensioni nella sezione: σ=324.58 τ=40.57
CC 24 SLD (Collegamento 0021_-378)
Azioni sul collegamento: N=-7364.01 Ty=2.66 Tz=-2.23 Mx=-0.01 Mz=1.05
Sollecitazioni agenti localmente: Ty_l=-1338.91 Mx_l=-26.78
Tensioni nella sezione: σ=324.58 τ=40.57
CC 24 SLD (Collegamento 0021_-378)
Azioni sul collegamento: N=-7364.01 Ty=3.69 Tz=-2.23 Mx=-0.01 Mz=2.04
Sollecitazioni agenti localmente: Ty_l=-1338.91 Mx_l=-26.78
Tensioni nella sezione: σ=324.58 τ=40.57
CC 24 SLD (Collegamento 0021_-378)
Azioni sul collegamento: N=-5748.85 Ty=2.66 Tz=3.78 Mx=-0.01 Mz=1.05
Sollecitazioni agenti localmente: Ty_l=-1045.24 Mx_l=-20.90
Tensioni nella sezione: σ=253.39 τ=31.67
CC 24 SLD (Collegamento 0021_-378)
Azioni sul collegamento: N=-5748.85 Ty=3.69 Tz=3.78 Mx=-0.01 Mz=2.04
Sollecitazioni agenti localmente: Ty_l=-1045.24 Mx_l=-20.90
Tensioni nella sezione: σ=253.39 τ=31.67
CC 24 SLD (Collegamento 0021_-378)
Azioni sul collegamento: N=-5748.85 Ty=2.66 Tz=-2.23 Mx=-0.01 Mz=1.05
Sollecitazioni agenti localmente: Ty_l=-1045.24 Mx_l=-20.90
Tensioni nella sezione: σ=253.39 τ=31.67
CC 24 SLD (Collegamento 0021_-378)
Azioni sul collegamento: N=-5748.85 Ty=3.69 Tz=-2.23 Mx=-0.01 Mz=2.04
Sollecitazioni agenti localmente: Ty_l=-1045.24 Mx_l=-20.90
Tensioni nella sezione: σ=253.39 τ=31.67
CC 25 SLV (Collegamento 0021_-378)
Azioni sul collegamento: N=-5720.83 Ty=0.86 Tz=-2.51 Mx=-0.03 Mz=1.85
Sollecitazioni agenti localmente: Ty_l=-1040.15 Mx_l=-20.80
Tensioni nella sezione: σ=252.16 τ=31.52
CC 25 SLV (Collegamento 0021_-378)
Azioni sul collegamento: N=-5720.83 Ty=3.80 Tz=-2.51 Mx=-0.03 Mz=-2.93
Sollecitazioni agenti localmente: Ty_l=-1040.15 Mx_l=-20.80
Tensioni nella sezione: σ=252.16 τ=31.52
CC 25 SLV (Collegamento 0021_-378)
Azioni sul collegamento: N=-5720.83 Ty=0.86 Tz=3.80 Mx=-0.03 Mz=1.85
Sollecitazioni agenti localmente: Ty_l=-1040.15 Mx_l=-20.80
Tensioni nella sezione: σ=252.16 τ=31.52
CC 25 SLV (Collegamento 0021_-378)
Azioni sul collegamento: N=-5720.83 Ty=3.80 Tz=3.80 Mx=-0.03 Mz=-2.93
Sollecitazioni agenti localmente: Ty_l=-1040.15 Mx_l=-20.80
Tensioni nella sezione: σ=252.16 τ=31.52

CC 25 SLV (Collegamento 0021_-378)
Azioni sul collegamento: N=-7327.12 Ty=0.86 Tz=-2.51 Mx=-0.03 Mz=1.85
Sollecitazioni agenti localmente: Ty_l=-1332.20 Mx_l=-26.64
Tensioni nella sezione: σ=322.96 τ=40.37
CC 25 SLV (Collegamento 0021_-378)
Azioni sul collegamento: N=-7327.12 Ty=3.80 Tz=-2.51 Mx=-0.03 Mz=-2.93
Sollecitazioni agenti localmente: Ty_l=-1332.20 Mx_l=-26.64
Tensioni nella sezione: σ=322.96 τ=40.37
CC 25 SLV (Collegamento 0021_-378)
Azioni sul collegamento: N=-7327.12 Ty=0.86 Tz=3.80 Mx=-0.03 Mz=1.85
Sollecitazioni agenti localmente: Ty_l=-1332.20 Mx_l=-26.64
Tensioni nella sezione: σ=322.96 τ=40.37
CC 25 SLV (Collegamento 0021_-378)
Azioni sul collegamento: N=-7327.12 Ty=3.80 Tz=3.80 Mx=-0.03 Mz=-2.93
Sollecitazioni agenti localmente: Ty_l=-1332.20 Mx_l=-26.64
Tensioni nella sezione: σ=322.96 τ=40.37
CC 26 SLD (Collegamento 0021_-378)
Azioni sul collegamento: N=-6311.53 Ty=3.62 Tz=-0.19 Mx=-0.01 Mz=2.27
Sollecitazioni agenti localmente: Ty_l=-1147.55 Mx_l=-22.95
Tensioni nella sezione: σ=278.19 τ=34.77
CC 26 SLD (Collegamento 0021_-378)
Azioni sul collegamento: N=-6311.53 Ty=2.73 Tz=-0.19 Mx=-0.01 Mz=0.81
Sollecitazioni agenti localmente: Ty_l=-1147.55 Mx_l=-22.95
Tensioni nella sezione: σ=278.19 τ=34.77
CC 26 SLD (Collegamento 0021_-378)
Azioni sul collegamento: N=-6311.53 Ty=3.62 Tz=1.73 Mx=-0.01 Mz=2.27
Sollecitazioni agenti localmente: Ty_l=-1147.55 Mx_l=-22.95
Tensioni nella sezione: σ=278.19 τ=34.77
CC 26 SLD (Collegamento 0021_-378)
Azioni sul collegamento: N=-6311.53 Ty=2.73 Tz=1.73 Mx=-0.01 Mz=0.81
Sollecitazioni agenti localmente: Ty_l=-1147.55 Mx_l=-22.95
Tensioni nella sezione: σ=278.19 τ=34.77
CC 26 SLD (Collegamento 0021_-378)
Azioni sul collegamento: N=-6801.33 Ty=3.62 Tz=-0.19 Mx=-0.01 Mz=2.27
Sollecitazioni agenti localmente: Ty_l=-1236.61 Mx_l=-24.73
Tensioni nella sezione: σ=299.78 τ=37.47
CC 26 SLD (Collegamento 0021_-378)
Azioni sul collegamento: N=-6801.33 Ty=2.73 Tz=-0.19 Mx=-0.01 Mz=0.81
Sollecitazioni agenti localmente: Ty_l=-1236.61 Mx_l=-24.73
Tensioni nella sezione: σ=299.78 τ=37.47
CC 26 SLD (Collegamento 0021_-378)
Azioni sul collegamento: N=-6801.33 Ty=3.62 Tz=1.73 Mx=-0.01 Mz=2.27
Sollecitazioni agenti localmente: Ty_l=-1236.61 Mx_l=-24.73
Tensioni nella sezione: σ=299.78 τ=37.47
CC 26 SLD (Collegamento 0021_-378)
Azioni sul collegamento: N=-6801.33 Ty=2.73 Tz=1.73 Mx=-0.01 Mz=0.81
Sollecitazioni agenti localmente: Ty_l=-1236.61 Mx_l=-24.73
Tensioni nella sezione: σ=299.78 τ=37.47
CC 27 SLV (Collegamento 0021_-378)
Azioni sul collegamento: N=-7308.17 Ty=1.68 Tz=3.37 Mx=-0.02 Mz=1.26
Sollecitazioni agenti localmente: Ty_l=-1328.76 Mx_l=-26.58
Tensioni nella sezione: σ=322.12 τ=40.27
CC 27 SLV (Collegamento 0021_-378)
Azioni sul collegamento: N=-7308.17 Ty=2.97 Tz=3.37 Mx=-0.02 Mz=-2.33
Sollecitazioni agenti localmente: Ty_l=-1328.76 Mx_l=-26.58
Tensioni nella sezione: σ=322.12 τ=40.27
CC 27 SLV (Collegamento 0021_-378)
Azioni sul collegamento: N=-7308.17 Ty=1.68 Tz=-2.08 Mx=-0.02 Mz=1.26
Sollecitazioni agenti localmente: Ty_l=-1328.76 Mx_l=-26.58
Tensioni nella sezione: σ=322.12 τ=40.27
CC 27 SLV (Collegamento 0021_-378)
Azioni sul collegamento: N=-7308.17 Ty=2.97 Tz=-2.08 Mx=-0.02 Mz=-2.33
Sollecitazioni agenti localmente: Ty_l=-1328.76 Mx_l=-26.58
Tensioni nella sezione: σ=322.12 τ=40.27
CC 27 SLV (Collegamento 0021_-378)
Azioni sul collegamento: N=-5739.78 Ty=1.68 Tz=3.37 Mx=-0.02 Mz=1.26
Sollecitazioni agenti localmente: Ty_l=-1043.60 Mx_l=-20.87
Tensioni nella sezione: σ=252.99 τ=31.62
CC 27 SLV (Collegamento 0021_-378)
Azioni sul collegamento: N=-5739.78 Ty=2.97 Tz=3.37 Mx=-0.02 Mz=-2.33
Sollecitazioni agenti localmente: Ty_l=-1043.60 Mx_l=-20.87
Tensioni nella sezione: σ=252.99 τ=31.62
CC 27 SLV (Collegamento 0021_-378)
Azioni sul collegamento: N=-5739.78 Ty=1.68 Tz=-2.08 Mx=-0.02 Mz=1.26
Sollecitazioni agenti localmente: Ty_l=-1043.60 Mx_l=-20.87
Tensioni nella sezione: σ=252.99 τ=31.62
CC 27 SLV (Collegamento 0021_-378)
Azioni sul collegamento: N=-5739.78 Ty=2.97 Tz=-2.08 Mx=-0.02 Mz=-2.33
Sollecitazioni agenti localmente: Ty_l=-1043.60 Mx_l=-20.87

Tensioni nella sezione: σ=252.99 τ=31.62
CC 28 SLD (Collegamento 0021_-378)
Azioni sul collegamento: N=-6795.56 Ty=3.37 Tz=1.60 Mx=-0.01 Mz=2.09
Sollecitazioni agenti localmente: Ty_l=-1235.56 Mx_l=-24.71
Tensioni nella sezione: σ=299.53 τ=37.44
CC 28 SLD (Collegamento 0021_-378)
Azioni sul collegamento: N=-6795.56 Ty=2.98 Tz=1.60 Mx=-0.01 Mz=1.00
Sollecitazioni agenti localmente: Ty_l=-1235.56 Mx_l=-24.71
Tensioni nella sezione: σ=299.53 τ=37.44
CC 28 SLD (Collegamento 0021_-378)
Azioni sul collegamento: N=-6795.56 Ty=3.37 Tz=-0.06 Mx=-0.01 Mz=2.09
Sollecitazioni agenti localmente: Ty_l=-1235.56 Mx_l=-24.71
Tensioni nella sezione: σ=299.53 τ=37.44
CC 28 SLD (Collegamento 0021_-378)
Azioni sul collegamento: N=-6795.56 Ty=2.98 Tz=-0.06 Mx=-0.01 Mz=1.00
Sollecitazioni agenti localmente: Ty_l=-1235.56 Mx_l=-24.71
Tensioni nella sezione: σ=299.53 τ=37.44
CC 28 SLD (Collegamento 0021_-378)
Azioni sul collegamento: N=-6317.30 Ty=3.37 Tz=1.60 Mx=-0.01 Mz=2.09
Sollecitazioni agenti localmente: Ty_l=-1148.60 Mx_l=-22.97
Tensioni nella sezione: σ=278.45 τ=34.81
CC 28 SLD (Collegamento 0021_-378)
Azioni sul collegamento: N=-6317.30 Ty=2.98 Tz=1.60 Mx=-0.01 Mz=1.00
Sollecitazioni agenti localmente: Ty_l=-1148.60 Mx_l=-22.97
Tensioni nella sezione: σ=278.45 τ=34.81
CC 28 SLD (Collegamento 0021_-378)
Azioni sul collegamento: N=-6317.30 Ty=3.37 Tz=-0.06 Mx=-0.01 Mz=2.09
Sollecitazioni agenti localmente: Ty_l=-1148.60 Mx_l=-22.97
Tensioni nella sezione: σ=278.45 τ=34.81
CC 28 SLD (Collegamento 0021_-378)
Azioni sul collegamento: N=-6317.30 Ty=2.98 Tz=-0.06 Mx=-0.01 Mz=1.00
Sollecitazioni agenti localmente: Ty_l=-1148.60 Mx_l=-22.97
Tensioni nella sezione: σ=278.45 τ=34.81
CC 29 SLV (Collegamento 0021_-378)
Azioni sul collegamento: N=-5739.78 Ty=2.97 Tz=-2.08 Mx=-0.01 Mz=-2.33
Sollecitazioni agenti localmente: Ty_l=-1043.60 Mx_l=-20.87
Tensioni nella sezione: σ=252.99 τ=31.62
CC 29 SLV (Collegamento 0021_-378)
Azioni sul collegamento: N=-5739.78 Ty=1.68 Tz=-2.08 Mx=-0.01 Mz=1.26
Sollecitazioni agenti localmente: Ty_l=-1043.60 Mx_l=-20.87
Tensioni nella sezione: σ=252.99 τ=31.62
CC 29 SLV (Collegamento 0021_-378)
Azioni sul collegamento: N=-5739.78 Ty=2.97 Tz=3.37 Mx=-0.01 Mz=-2.33
Sollecitazioni agenti localmente: Ty_l=-1043.60 Mx_l=-20.87
Tensioni nella sezione: σ=252.99 τ=31.62
CC 29 SLV (Collegamento 0021_-378)
Azioni sul collegamento: N=-5739.78 Ty=1.68 Tz=3.37 Mx=-0.01 Mz=1.26
Sollecitazioni agenti localmente: Ty_l=-1043.60 Mx_l=-20.87
Tensioni nella sezione: σ=252.99 τ=31.62
CC 29 SLV (Collegamento 0021_-378)
Azioni sul collegamento: N=-7308.17 Ty=2.97 Tz=-2.08 Mx=-0.01 Mz=-2.33
Sollecitazioni agenti localmente: Ty_l=-1328.76 Mx_l=-26.58
Tensioni nella sezione: σ=322.12 τ=40.27
CC 29 SLV (Collegamento 0021_-378)
Azioni sul collegamento: N=-7308.17 Ty=1.68 Tz=-2.08 Mx=-0.01 Mz=1.26
Sollecitazioni agenti localmente: Ty_l=-1328.76 Mx_l=-26.58
Tensioni nella sezione: σ=322.12 τ=40.27
CC 29 SLV (Collegamento 0021_-378)
Azioni sul collegamento: N=-7308.17 Ty=2.97 Tz=3.37 Mx=-0.01 Mz=-2.33
Sollecitazioni agenti localmente: Ty_l=-1328.76 Mx_l=-26.58
Tensioni nella sezione: σ=322.12 τ=40.27
CC 29 SLV (Collegamento 0021_-378)
Azioni sul collegamento: N=-7308.17 Ty=1.68 Tz=3.37 Mx=-0.01 Mz=1.26
Sollecitazioni agenti localmente: Ty_l=-1328.76 Mx_l=-26.58
Tensioni nella sezione: σ=322.12 τ=40.27
CC 30 SLD (Collegamento 0021_-378)
Azioni sul collegamento: N=-6317.30 Ty=2.98 Tz=-0.06 Mx=-0.01 Mz=1.00
Sollecitazioni agenti localmente: Ty_l=-1148.60 Mx_l=-22.97
Tensioni nella sezione: σ=278.45 τ=34.81
CC 30 SLD (Collegamento 0021_-378)
Azioni sul collegamento: N=-6317.30 Ty=3.37 Tz=-0.06 Mx=-0.01 Mz=2.09
Sollecitazioni agenti localmente: Ty_l=-1148.60 Mx_l=-22.97
Tensioni nella sezione: σ=278.45 τ=34.81
CC 30 SLD (Collegamento 0021_-378)
Azioni sul collegamento: N=-6317.30 Ty=2.98 Tz=1.60 Mx=-0.01 Mz=1.00
Sollecitazioni agenti localmente: Ty_l=-1148.60 Mx_l=-22.97
Tensioni nella sezione: σ=278.45 τ=34.81
CC 30 SLD (Collegamento 0021_-378)
Azioni sul collegamento: N=-6317.30 Ty=3.37 Tz=1.60 Mx=-0.01 Mz=2.09

Sollecitazioni agenti localmente: Ty_l=-1148.60 Mx_l=-22.97
Tensioni nella sezione: σ=278.45 τ=34.81
CC 30 SLD (Collegamento 0021_-378)
Azioni sul collegamento: N=-6795.56 Ty=2.98 Tz=-0.06 Mx=-0.01 Mz=1.00
Sollecitazioni agenti localmente: Ty_l=-1235.56 Mx_l=-24.71
Tensioni nella sezione: σ=299.53 τ=37.44
CC 30 SLD (Collegamento 0021_-378)
Azioni sul collegamento: N=-6795.56 Ty=3.37 Tz=-0.06 Mx=-0.01 Mz=2.09
Sollecitazioni agenti localmente: Ty_l=-1235.56 Mx_l=-24.71
Tensioni nella sezione: σ=299.53 τ=37.44
CC 30 SLD (Collegamento 0021_-378)
Azioni sul collegamento: N=-6795.56 Ty=2.98 Tz=1.60 Mx=-0.01 Mz=1.00
Sollecitazioni agenti localmente: Ty_l=-1235.56 Mx_l=-24.71
Tensioni nella sezione: σ=299.53 τ=37.44
CC 30 SLD (Collegamento 0021_-378)
Azioni sul collegamento: N=-6795.56 Ty=3.37 Tz=1.60 Mx=-0.01 Mz=2.09
Sollecitazioni agenti localmente: Ty_l=-1235.56 Mx_l=-24.71
Tensioni nella sezione: σ=299.53 τ=37.44
CC 31 SLV (Collegamento 0021_-378)
Azioni sul collegamento: N=-7327.12 Ty=3.80 Tz=3.80 Mx=-0.01 Mz=-2.93
Sollecitazioni agenti localmente: Ty_l=-1332.20 Mx_l=-26.64
Tensioni nella sezione: σ=322.96 τ=40.37
CC 31 SLV (Collegamento 0021_-378)
Azioni sul collegamento: N=-7327.12 Ty=0.86 Tz=3.80 Mx=-0.01 Mz=1.85
Sollecitazioni agenti localmente: Ty_l=-1332.20 Mx_l=-26.64
Tensioni nella sezione: σ=322.96 τ=40.37
CC 31 SLV (Collegamento 0021_-378)
Azioni sul collegamento: N=-7327.12 Ty=3.80 Tz=-2.51 Mx=-0.01 Mz=-2.93
Sollecitazioni agenti localmente: Ty_l=-1332.20 Mx_l=-26.64
Tensioni nella sezione: σ=322.96 τ=40.37
CC 31 SLV (Collegamento 0021_-378)
Azioni sul collegamento: N=-7327.12 Ty=0.86 Tz=-2.51 Mx=-0.01 Mz=1.85
Sollecitazioni agenti localmente: Ty_l=-1332.20 Mx_l=-26.64
Tensioni nella sezione: σ=322.96 τ=40.37
CC 31 SLV (Collegamento 0021_-378)
Azioni sul collegamento: N=-5720.83 Ty=3.80 Tz=3.80 Mx=-0.01 Mz=-2.93
Sollecitazioni agenti localmente: Ty_l=-1040.15 Mx_l=-20.80
Tensioni nella sezione: σ=252.16 τ=31.52
CC 31 SLV (Collegamento 0021_-378)
Azioni sul collegamento: N=-5720.83 Ty=0.86 Tz=3.80 Mx=-0.01 Mz=1.85
Sollecitazioni agenti localmente: Ty_l=-1040.15 Mx_l=-20.80
Tensioni nella sezione: σ=252.16 τ=31.52
CC 31 SLV (Collegamento 0021_-378)
Azioni sul collegamento: N=-5720.83 Ty=3.80 Tz=-2.51 Mx=-0.01 Mz=-2.93
Sollecitazioni agenti localmente: Ty_l=-1040.15 Mx_l=-20.80
Tensioni nella sezione: σ=252.16 τ=31.52
CC 31 SLV (Collegamento 0021_-378)
Azioni sul collegamento: N=-5720.83 Ty=0.86 Tz=-2.51 Mx=-0.01 Mz=1.85
Sollecitazioni agenti localmente: Ty_l=-1040.15 Mx_l=-20.80
Tensioni nella sezione: σ=252.16 τ=31.52
CC 32 SLD (Collegamento 0021_-378)
Azioni sul collegamento: N=-6801.33 Ty=2.73 Tz=1.73 Mx=-0.01 Mz=0.81
Sollecitazioni agenti localmente: Ty_l=-1236.61 Mx_l=-24.73
Tensioni nella sezione: σ=299.78 τ=37.47
CC 32 SLD (Collegamento 0021_-378)
Azioni sul collegamento: N=-6801.33 Ty=3.62 Tz=1.73 Mx=-0.01 Mz=2.27
Sollecitazioni agenti localmente: Ty_l=-1236.61 Mx_l=-24.73
Tensioni nella sezione: σ=299.78 τ=37.47
CC 32 SLD (Collegamento 0021_-378)
Azioni sul collegamento: N=-6801.33 Ty=2.73 Tz=-0.19 Mx=-0.01 Mz=0.81
Sollecitazioni agenti localmente: Ty_l=-1236.61 Mx_l=-24.73
Tensioni nella sezione: σ=299.78 τ=37.47
CC 32 SLD (Collegamento 0021_-378)
Azioni sul collegamento: N=-6801.33 Ty=3.62 Tz=-0.19 Mx=-0.01 Mz=2.27
Sollecitazioni agenti localmente: Ty_l=-1236.61 Mx_l=-24.73
Tensioni nella sezione: σ=299.78 τ=37.47
CC 32 SLD (Collegamento 0021_-378)
Azioni sul collegamento: N=-6311.53 Ty=2.73 Tz=1.73 Mx=-0.01 Mz=0.81
Sollecitazioni agenti localmente: Ty_l=-1147.55 Mx_l=-22.95
Tensioni nella sezione: σ=278.19 τ=34.77
CC 32 SLD (Collegamento 0021_-378)
Azioni sul collegamento: N=-6311.53 Ty=3.62 Tz=1.73 Mx=-0.01 Mz=2.27
Sollecitazioni agenti localmente: Ty_l=-1147.55 Mx_l=-22.95
Tensioni nella sezione: σ=278.19 τ=34.77
CC 32 SLD (Collegamento 0021_-378)
Azioni sul collegamento: N=-6311.53 Ty=2.73 Tz=-0.19 Mx=-0.01 Mz=0.81
Sollecitazioni agenti localmente: Ty_l=-1147.55 Mx_l=-22.95
Tensioni nella sezione: σ=278.19 τ=34.77
CC 32 SLD (Collegamento 0021_-378)

Azioni sul collegamento: N=-6311.53 Ty=3.62 Tz=-0.19 Mx=-0.01 Mz=2.27
Sollecitazioni agenti localmente: Ty_l=-1147.55 Mx_l=-22.95
Tensioni nella sezione: σ=278.19 τ=34.77
CC 33 SLU (Collegamento 0021_-378)
Azioni sul collegamento: N=-30888.30 Ty=5.44 Tz=82.02 Mx=-0.01 Mz=3.71
Sollecitazioni agenti localmente: Ty_l=-5616.05 Mx_l=-112.32
Tensioni nella sezione: σ=1361.46 τ=170.18
CC 34 SLU (Collegamento 0021_-378)
Azioni sul collegamento: N=-30337.70 Ty=5.16 Tz=79.98 Mx=-0.01 Mz=3.50
Sollecitazioni agenti localmente: Ty_l=-5515.96 Mx_l=-110.32
Tensioni nella sezione: σ=1337.20 τ=167.15
CC 35 SLU (Collegamento 0021_-378)
Azioni sul collegamento: N=-30612.00 Ty=5.19 Tz=81.02 Mx=-0.01 Mz=3.39
Sollecitazioni agenti localmente: Ty_l=-5565.82 Mx_l=-111.32
Tensioni nella sezione: σ=1349.29 τ=168.66
CC 36 SLU (Collegamento 0021_-378)
Azioni sul collegamento: N=-30614.00 Ty=5.41 Tz=80.97 Mx=-0.01 Mz=3.82
Sollecitazioni agenti localmente: Ty_l=-5566.18 Mx_l=-111.32
Tensioni nella sezione: σ=1349.37 τ=168.67
CC 37 SLU (Collegamento 0021_-378)
Azioni sul collegamento: N=-21597.10 Ty=6.32 Tz=47.86 Mx=-0.01 Mz=4.34
Sollecitazioni agenti localmente: Ty_l=-3926.75 Mx_l=-78.53
Tensioni nella sezione: σ=951.94 τ=118.99
CC 38 SLU (Collegamento 0021_-378)
Azioni sul collegamento: N=-21046.60 Ty=6.03 Tz=45.82 Mx=-0.01 Mz=4.13
Sollecitazioni agenti localmente: Ty_l=-3826.65 Mx_l=-76.53
Tensioni nella sezione: σ=927.67 τ=115.96
CC 39 SLU (Collegamento 0021_-378)
Azioni sul collegamento: N=-21320.90 Ty=6.07 Tz=46.87 Mx=-0.01 Mz=4.02
Sollecitazioni agenti localmente: Ty_l=-3876.52 Mx_l=-77.53
Tensioni nella sezione: σ=939.76 τ=117.47
CC 40 SLU (Collegamento 0021_-378)
Azioni sul collegamento: N=-21322.80 Ty=6.29 Tz=46.82 Mx=-0.01 Mz=4.45
Sollecitazioni agenti localmente: Ty_l=-3876.88 Mx_l=-77.54
Tensioni nella sezione: σ=939.85 τ=117.48
CC 41 SLU (Collegamento 0021_-378)
Azioni sul collegamento: N=-32817.40 Ty=5.33 Tz=88.46 Mx=0.00 Mz=3.76
Sollecitazioni agenti localmente: Ty_l=-5966.80 Mx_l=-119.34
Tensioni nella sezione: σ=1446.49 τ=180.81
CC 42 SLU (Collegamento 0021_-378)
Azioni sul collegamento: N=-32266.90 Ty=5.04 Tz=86.42 Mx=0.00 Mz=3.56
Sollecitazioni agenti localmente: Ty_l=-5866.70 Mx_l=-117.33
Tensioni nella sezione: σ=1422.23 τ=177.78
CC 43 SLU (Collegamento 0021_-378)
Azioni sul collegamento: N=-32541.20 Ty=5.08 Tz=87.47 Mx=0.00 Mz=3.44
Sollecitazioni agenti localmente: Ty_l=-5916.58 Mx_l=-118.33
Tensioni nella sezione: σ=1434.32 τ=179.29
CC 44 SLU (Collegamento 0021_-378)
Azioni sul collegamento: N=-32543.10 Ty=5.30 Tz=87.42 Mx=0.00 Mz=3.88
Sollecitazioni agenti localmente: Ty_l=-5916.93 Mx_l=-118.34
Tensioni nella sezione: σ=1434.41 τ=179.30
CC 45 SLU (Collegamento 0021_-378)
Azioni sul collegamento: N=-23689.50 Ty=6.01 Tz=55.60 Mx=-0.01 Mz=4.17
Sollecitazioni agenti localmente: Ty_l=-4307.19 Mx_l=-86.14
Tensioni nella sezione: σ=1044.16 τ=130.52
CC 46 SLU (Collegamento 0021_-378)
Azioni sul collegamento: N=-23139.00 Ty=5.73 Tz=53.57 Mx=-0.01 Mz=3.96
Sollecitazioni agenti localmente: Ty_l=-4207.09 Mx_l=-84.14
Tensioni nella sezione: σ=1019.90 τ=127.49
CC 47 SLU (Collegamento 0021_-378)
Azioni sul collegamento: N=-23413.30 Ty=5.76 Tz=54.61 Mx=-0.01 Mz=3.84
Sollecitazioni agenti localmente: Ty_l=-4256.96 Mx_l=-85.14
Tensioni nella sezione: σ=1031.99 τ=129.00
CC 48 SLU (Collegamento 0021_-378)
Azioni sul collegamento: N=-23415.20 Ty=5.98 Tz=54.56 Mx=-0.01 Mz=4.28
Sollecitazioni agenti localmente: Ty_l=-4257.31 Mx_l=-85.15
Tensioni nella sezione: σ=1032.07 τ=129.01
CC 49 SLU (Collegamento 0021_-378)
Azioni sul collegamento: N=-16738.30 Ty=6.67 Tz=30.05 Mx=-0.01 Mz=4.64
Sollecitazioni agenti localmente: Ty_l=-3043.33 Mx_l=-60.87
Tensioni nella sezione: σ=737.78 τ=92.22
CC 50 SLU (Collegamento 0021_-378)
Azioni sul collegamento: N=-16187.80 Ty=6.38 Tz=28.01 Mx=-0.01 Mz=4.43
Sollecitazioni agenti localmente: Ty_l=-2943.24 Mx_l=-58.86
Tensioni nella sezione: σ=713.51 τ=89.19
CC 51 SLU (Collegamento 0021_-378)
Azioni sul collegamento: N=-16462.10 Ty=6.42 Tz=29.05 Mx=-0.01 Mz=4.32
Sollecitazioni agenti localmente: Ty_l=-2993.11 Mx_l=-59.86
Tensioni nella sezione: σ=725.60 τ=90.70

CC 52 SLU (Collegamento 0021_-378)
Azioni sul collegamento: N=-16464.00 Ty=6.64 Tz=29.01 Mx=-0.01 Mz=4.75
Sollecitazioni agenti localmente: Ty_l=-2993.46 Mx_l=-59.87
Tensioni nella sezione: σ=725.69 τ=90.71
CC 53 SLU (Collegamento 0021_-378)
Azioni sul collegamento: N=-25132.80 Ty=5.93 Tz=60.42 Mx=-0.00 Mz=4.21
Sollecitazioni agenti localmente: Ty_l=-4569.60 Mx_l=-91.39
Tensioni nella sezione: σ=1107.78 τ=138.47
CC 54 SLU (Collegamento 0021_-378)
Azioni sul collegamento: N=-24582.20 Ty=5.64 Tz=58.39 Mx=-0.00 Mz=4.00
Sollecitazioni agenti localmente: Ty_l=-4469.50 Mx_l=-89.39
Tensioni nella sezione: σ=1083.51 τ=135.44
CC 55 SLU (Collegamento 0021_-378)
Azioni sul collegamento: N=-24856.50 Ty=5.68 Tz=59.43 Mx=0.00 Mz=3.89
Sollecitazioni agenti localmente: Ty_l=-4519.37 Mx_l=-90.39
Tensioni nella sezione: σ=1095.60 τ=136.95
CC 56 SLU (Collegamento 0021_-378)
Azioni sul collegamento: N=-24858.50 Ty=5.89 Tz=59.38 Mx=-0.00 Mz=4.32
Sollecitazioni agenti localmente: Ty_l=-4519.73 Mx_l=-90.39
Tensioni nella sezione: σ=1095.69 τ=136.96
CC 57 SLU (Collegamento 0021_-378)
Azioni sul collegamento: N=-22071.60 Ty=5.40 Tz=49.65 Mx=-0.01 Mz=3.73
Sollecitazioni agenti localmente: Ty_l=-4013.02 Mx_l=-80.26
Tensioni nella sezione: σ=972.85 τ=121.61
CC 58 SLU (Collegamento 0021_-378)
Azioni sul collegamento: N=-21521.10 Ty=5.11 Tz=47.61 Mx=-0.01 Mz=3.53
Sollecitazioni agenti localmente: Ty_l=-3912.92 Mx_l=-78.26
Tensioni nella sezione: σ=948.59 τ=118.57
CC 59 SLU (Collegamento 0021_-378)
Azioni sul collegamento: N=-21795.30 Ty=5.15 Tz=48.65 Mx=-0.01 Mz=3.41
Sollecitazioni agenti localmente: Ty_l=-3962.79 Mx_l=-79.26
Tensioni nella sezione: σ=960.67 τ=120.08
CC 60 SLU (Collegamento 0021_-378)
Azioni sul collegamento: N=-21797.30 Ty=5.37 Tz=48.60 Mx=-0.01 Mz=3.85
Sollecitazioni agenti localmente: Ty_l=-3963.15 Mx_l=-79.26
Tensioni nella sezione: σ=960.76 τ=120.09
CC 61 SLU (Collegamento 0021_-378)
Azioni sul collegamento: N=-15120.40 Ty=6.06 Tz=24.09 Mx=-0.01 Mz=4.21
Sollecitazioni agenti localmente: Ty_l=-2749.17 Mx_l=-54.98
Tensioni nella sezione: σ=666.46 τ=83.31
CC 62 SLU (Collegamento 0021_-378)
Azioni sul collegamento: N=-14569.90 Ty=5.77 Tz=22.06 Mx=-0.01 Mz=4.00
Sollecitazioni agenti localmente: Ty_l=-2649.07 Mx_l=-52.98
Tensioni nella sezione: σ=642.20 τ=80.27
CC 63 SLU (Collegamento 0021_-378)
Azioni sul collegamento: N=-14844.20 Ty=5.80 Tz=23.10 Mx=-0.01 Mz=3.88
Sollecitazioni agenti localmente: Ty_l=-2698.94 Mx_l=-53.98
Tensioni nella sezione: σ=654.29 τ=81.79
CC 64 SLU (Collegamento 0021_-378)
Azioni sul collegamento: N=-14846.10 Ty=6.02 Tz=23.05 Mx=-0.01 Mz=4.32
Sollecitazioni agenti localmente: Ty_l=-2699.30 Mx_l=-53.99
Tensioni nella sezione: σ=654.37 τ=81.80
CC 65 SLU (Collegamento 0021_-378)
Azioni sul collegamento: N=-23514.90 Ty=5.31 Tz=54.47 Mx=0.00 Mz=3.77
Sollecitazioni agenti localmente: Ty_l=-4275.43 Mx_l=-85.51
Tensioni nella sezione: σ=1036.47 τ=129.56
CC 66 SLU (Collegamento 0021_-378)
Azioni sul collegamento: N=-22964.30 Ty=5.03 Tz=52.43 Mx=0.00 Mz=3.57
Sollecitazioni agenti localmente: Ty_l=-4175.33 Mx_l=-83.51
Tensioni nella sezione: σ=1012.20 τ=126.53
CC 67 SLU (Collegamento 0021_-378)
Azioni sul collegamento: N=-23238.60 Ty=5.06 Tz=53.47 Mx=0.00 Mz=3.45
Sollecitazioni agenti localmente: Ty_l=-4225.20 Mx_l=-84.50
Tensioni nella sezione: σ=1024.29 τ=128.04
CC 68 SLU (Collegamento 0021_-378)
Azioni sul collegamento: N=-23240.60 Ty=5.28 Tz=53.43 Mx=-0.00 Mz=3.89
Sollecitazioni agenti localmente: Ty_l=-4225.56 Mx_l=-84.51
Tensioni nella sezione: σ=1024.38 τ=128.05
CC 97 SLU (Collegamento 0021_-378)
Azioni sul collegamento: N=-18052.20 Ty=-0.34 Tz=43.06 Mx=-0.05 Mz=-8.83
Sollecitazioni agenti localmente: Ty_l=-3282.21 Mx_l=-65.64
Tensioni nella sezione: σ=795.69 τ=99.46
CC 98 SLU (Collegamento 0021_-378)
Azioni sul collegamento: N=-17501.60 Ty=-0.63 Tz=41.02 Mx=-0.05 Mz=-9.04
Sollecitazioni agenti localmente: Ty_l=-3182.12 Mx_l=-63.64
Tensioni nella sezione: σ=771.42 τ=96.43
CC 99 SLU (Collegamento 0021_-378)
Azioni sul collegamento: N=-17775.90 Ty=-0.60 Tz=42.06 Mx=-0.05 Mz=-9.15
Sollecitazioni agenti localmente: Ty_l=-3231.99 Mx_l=-64.64

Tensioni nella sezione: σ=783.51 τ=97.94
CC 100 SLU (Collegamento 0021_-378)
Azioni sul collegamento: N=-17777.90 Ty=-0.38 Tz=42.01 Mx=-0.05 Mz=-8.71
Sollecitazioni agenti localmente: Ty_l=-3232.34 Mx_l=-64.65
Tensioni nella sezione: σ=783.60 τ=97.95
CC 101 SLU (Collegamento 0021_-378)
Azioni sul collegamento: N=-7136.43 Ty=4.37 Tz=2.96 Mx=0.00 Mz=3.85
Sollecitazioni agenti localmente: Ty_l=-1297.53 Mx_l=-25.95
Tensioni nella sezione: σ=314.55 τ=39.32
CC 102 SLU (Collegamento 0021_-378)
Azioni sul collegamento: N=-6585.90 Ty=4.08 Tz=0.92 Mx=0.00 Mz=3.64
Sollecitazioni agenti localmente: Ty_l=-1197.44 Mx_l=-23.95
Tensioni nella sezione: σ=290.29 τ=36.29
CC 103 SLU (Collegamento 0021_-378)
Azioni sul collegamento: N=-6860.19 Ty=4.11 Tz=1.96 Mx=0.00 Mz=3.53
Sollecitazioni agenti localmente: Ty_l=-1247.31 Mx_l=-24.95
Tensioni nella sezione: σ=302.38 τ=37.80
CC 104 SLU (Collegamento 0021_-378)
Azioni sul collegamento: N=-6862.15 Ty=4.33 Tz=1.92 Mx=0.00 Mz=3.96
Sollecitazioni agenti localmente: Ty_l=-1247.66 Mx_l=-24.95
Tensioni nella sezione: σ=302.46 τ=37.81

Flessione attacco destro piastra

Bnetta=220.00 Hnetta=15.00
CC 1 SLV (Collegamento 0021_-378)
Azioni sul collegamento: N=-3968.96 Ty=6.45 Tz=-8.85 Mx=0.01 Mz=7.08
Sollecitazioni agenti localmente: Ty_l=-731.73 My_l=-15.04
Tensioni nella sezione: σ=182.30 τ=22.17
CC 1 SLV (Collegamento 0021_-378)
Azioni sul collegamento: N=-3968.96 Ty=3.07 Tz=-8.85 Mx=0.01 Mz=3.83
Sollecitazioni agenti localmente: Ty_l=-718.82 My_l=-14.76
Tensioni nella sezione: σ=178.87 τ=21.78
CC 1 SLV (Collegamento 0021_-378)
Azioni sul collegamento: N=-3968.96 Ty=6.45 Tz=10.87 Mx=0.01 Mz=7.08
Sollecitazioni agenti localmente: Ty_l=-731.73 My_l=-15.04
Tensioni nella sezione: σ=182.30 τ=22.17
CC 1 SLV (Collegamento 0021_-378)
Azioni sul collegamento: N=-3968.96 Ty=3.07 Tz=10.87 Mx=0.01 Mz=3.83
Sollecitazioni agenti localmente: Ty_l=-718.82 My_l=-14.76
Tensioni nella sezione: σ=178.87 τ=21.78
CC 1 SLV (Collegamento 0021_-378)
Azioni sul collegamento: N=-9265.76 Ty=6.45 Tz=-8.85 Mx=0.01 Mz=7.08
Sollecitazioni agenti localmente: Ty_l=-1670.71 My_l=-34.29
Tensioni nella sezione: σ=415.62 τ=50.63
CC 1 SLV (Collegamento 0021_-378)
Azioni sul collegamento: N=-9265.76 Ty=3.07 Tz=-8.85 Mx=0.01 Mz=3.83
Sollecitazioni agenti localmente: Ty_l=-1657.79 My_l=-34.01
Tensioni nella sezione: σ=412.19 τ=50.24
CC 1 SLV (Collegamento 0021_-378)
Azioni sul collegamento: N=-9265.76 Ty=6.45 Tz=10.87 Mx=0.01 Mz=7.08
Sollecitazioni agenti localmente: Ty_l=-1670.71 My_l=-34.29
Tensioni nella sezione: σ=415.62 τ=50.63
CC 1 SLV (Collegamento 0021_-378)
Azioni sul collegamento: N=-9265.76 Ty=3.07 Tz=10.87 Mx=0.01 Mz=3.83
Sollecitazioni agenti localmente: Ty_l=-1657.79 My_l=-34.01
Tensioni nella sezione: σ=412.19 τ=50.24
CC 2 SLD (Collegamento 0021_-378)
Azioni sul collegamento: N=-5777.33 Ty=4.43 Tz=-2.12 Mx=0.00 Mz=3.87
Sollecitazioni agenti localmente: Ty_l=-1039.54 My_l=-21.33
Tensioni nella sezione: σ=258.57 τ=31.50
CC 2 SLD (Collegamento 0021_-378)
Azioni sul collegamento: N=-5777.33 Ty=3.40 Tz=-2.12 Mx=0.00 Mz=2.88
Sollecitazioni agenti localmente: Ty_l=-1035.60 My_l=-21.25
Tensioni nella sezione: σ=257.52 τ=31.38
CC 2 SLD (Collegamento 0021_-378)
Azioni sul collegamento: N=-5777.32 Ty=4.43 Tz=3.89 Mx=0.00 Mz=3.87
Sollecitazioni agenti localmente: Ty_l=-1039.54 My_l=-21.33
Tensioni nella sezione: σ=258.57 τ=31.50
CC 2 SLD (Collegamento 0021_-378)
Azioni sul collegamento: N=-5777.32 Ty=3.40 Tz=3.89 Mx=0.00 Mz=2.88
Sollecitazioni agenti localmente: Ty_l=-1035.60 My_l=-21.25
Tensioni nella sezione: σ=257.52 τ=31.38
CC 2 SLD (Collegamento 0021_-378)
Azioni sul collegamento: N=-7392.49 Ty=4.43 Tz=-2.12 Mx=0.00 Mz=3.87
Sollecitazioni agenti localmente: Ty_l=-1325.86 My_l=-27.20
Tensioni nella sezione: σ=329.72 τ=40.18
CC 2 SLD (Collegamento 0021_-378)
Azioni sul collegamento: N=-7392.49 Ty=3.40 Tz=-2.12 Mx=0.00 Mz=2.88

Sollecitazioni agenti localmente: Ty_l=-1321.92 My_l=-27.12
Tensioni nella sezione: σ=328.67 τ=40.06
CC 2 SLD (Collegamento 0021_-378)
Azioni sul collegamento: N=-7392.49 Ty=4.43 Tz=3.89 Mx=0.00 Mz=3.87
Sollecitazioni agenti localmente: Ty_l=-1325.86 My_l=-27.20
Tensioni nella sezione: σ=329.72 τ=40.18
CC 2 SLD (Collegamento 0021_-378)
Azioni sul collegamento: N=-7392.49 Ty=3.40 Tz=3.89 Mx=0.00 Mz=2.88
Sollecitazioni agenti localmente: Ty_l=-1321.92 My_l=-27.12
Tensioni nella sezione: σ=328.67 τ=40.06
CC 3 SLV (Collegamento 0021_-378)
Azioni sul collegamento: N=-3974.64 Ty=5.81 Tz=-8.72 Mx=0.01 Mz=5.82
Sollecitazioni agenti localmente: Ty_l=-727.75 My_l=-14.95
Tensioni nella sezione: σ=181.23 τ=22.05
CC 3 SLV (Collegamento 0021_-378)
Azioni sul collegamento: N=-3974.64 Ty=3.70 Tz=-8.72 Mx=0.01 Mz=5.08
Sollecitazioni agenti localmente: Ty_l=-724.82 My_l=-14.89
Tensioni nella sezione: σ=180.45 τ=21.96
CC 3 SLV (Collegamento 0021_-378)
Azioni sul collegamento: N=-3974.64 Ty=5.81 Tz=10.74 Mx=0.01 Mz=5.82
Sollecitazioni agenti localmente: Ty_l=-727.75 My_l=-14.95
Tensioni nella sezione: σ=181.23 τ=22.05
CC 3 SLV (Collegamento 0021_-378)
Azioni sul collegamento: N=-3974.64 Ty=3.70 Tz=10.74 Mx=0.01 Mz=5.08
Sollecitazioni agenti localmente: Ty_l=-724.82 My_l=-14.89
Tensioni nella sezione: σ=180.45 τ=21.96
CC 3 SLV (Collegamento 0021_-378)
Azioni sul collegamento: N=-9260.08 Ty=5.81 Tz=-8.72 Mx=0.01 Mz=5.82
Sollecitazioni agenti localmente: Ty_l=-1664.71 My_l=-34.16
Tensioni nella sezione: σ=414.05 τ=50.45
CC 3 SLV (Collegamento 0021_-378)
Azioni sul collegamento: N=-9260.08 Ty=3.70 Tz=-8.72 Mx=0.01 Mz=5.08
Sollecitazioni agenti localmente: Ty_l=-1661.78 My_l=-34.09
Tensioni nella sezione: σ=413.27 τ=50.36
CC 3 SLV (Collegamento 0021_-378)
Azioni sul collegamento: N=-9260.08 Ty=5.81 Tz=10.74 Mx=0.01 Mz=5.82
Sollecitazioni agenti localmente: Ty_l=-1664.71 My_l=-34.16
Tensioni nella sezione: σ=414.05 τ=50.45
CC 3 SLV (Collegamento 0021_-378)
Azioni sul collegamento: N=-9260.08 Ty=3.70 Tz=10.74 Mx=0.01 Mz=5.08
Sollecitazioni agenti localmente: Ty_l=-1661.78 My_l=-34.09
Tensioni nella sezione: σ=413.27 τ=50.36
CC 4 SLD (Collegamento 0021_-378)
Azioni sul collegamento: N=-5779.06 Ty=4.24 Tz=-2.08 Mx=0.00 Mz=3.48
Sollecitazioni agenti localmente: Ty_l=-1038.32 My_l=-21.30
Tensioni nella sezione: σ=258.24 τ=31.46
CC 4 SLD (Collegamento 0021_-378)
Azioni sul collegamento: N=-5779.06 Ty=3.59 Tz=-2.08 Mx=0.00 Mz=3.26
Sollecitazioni agenti localmente: Ty_l=-1037.43 My_l=-21.29
Tensioni nella sezione: σ=258.00 τ=31.44
CC 4 SLD (Collegamento 0021_-378)
Azioni sul collegamento: N=-5779.06 Ty=4.24 Tz=3.85 Mx=0.00 Mz=3.48
Sollecitazioni agenti localmente: Ty_l=-1038.32 My_l=-21.30
Tensioni nella sezione: σ=258.24 τ=31.46
CC 4 SLD (Collegamento 0021_-378)
Azioni sul collegamento: N=-5779.06 Ty=3.59 Tz=3.85 Mx=0.00 Mz=3.26
Sollecitazioni agenti localmente: Ty_l=-1037.43 My_l=-21.29
Tensioni nella sezione: σ=258.00 τ=31.44
CC 4 SLD (Collegamento 0021_-378)
Azioni sul collegamento: N=-7390.75 Ty=4.24 Tz=-2.08 Mx=0.00 Mz=3.48
Sollecitazioni agenti localmente: Ty_l=-1324.03 My_l=-27.16
Tensioni nella sezione: σ=329.24 τ=40.12
CC 4 SLD (Collegamento 0021_-378)
Azioni sul collegamento: N=-7390.75 Ty=3.59 Tz=-2.08 Mx=0.00 Mz=3.26
Sollecitazioni agenti localmente: Ty_l=-1323.14 My_l=-27.14
Tensioni nella sezione: σ=329.00 τ=40.10
CC 4 SLD (Collegamento 0021_-378)
Azioni sul collegamento: N=-7390.75 Ty=4.24 Tz=3.85 Mx=0.00 Mz=3.48
Sollecitazioni agenti localmente: Ty_l=-1324.03 My_l=-27.16
Tensioni nella sezione: σ=329.24 τ=40.12
CC 4 SLD (Collegamento 0021_-378)
Azioni sul collegamento: N=-7390.75 Ty=3.59 Tz=3.85 Mx=0.00 Mz=3.26
Sollecitazioni agenti localmente: Ty_l=-1323.14 My_l=-27.14
Tensioni nella sezione: σ=329.00 τ=40.10
CC 5 SLV (Collegamento 0021_-378)
Azioni sul collegamento: N=-9260.08 Ty=3.70 Tz=10.74 Mx=0.01 Mz=5.08
Sollecitazioni agenti localmente: Ty_l=-1661.78 My_l=-34.09
Tensioni nella sezione: σ=413.27 τ=50.36
CC 5 SLV (Collegamento 0021_-378)

Azioni sul collegamento: N=-9260.08 Ty=5.81 Tz=10.74 Mx=0.01 Mz=5.82
Sollecitazioni agenti localmente: Ty_l=-1664.71 My_l=-34.16
Tensioni nella sezione: σ=414.05 τ=50.45
CC 5 SLV (Collegamento 0021_-378)
Azioni sul collegamento: N=-9260.08 Ty=3.70 Tz=-8.72 Mx=0.01 Mz=5.08
Sollecitazioni agenti localmente: Ty_l=-1661.78 My_l=-34.09
Tensioni nella sezione: σ=413.27 τ=50.36
CC 5 SLV (Collegamento 0021_-378)
Azioni sul collegamento: N=-9260.08 Ty=5.81 Tz=-8.72 Mx=0.01 Mz=5.82
Sollecitazioni agenti localmente: Ty_l=-1664.71 My_l=-34.16
Tensioni nella sezione: σ=414.05 τ=50.45
CC 5 SLV (Collegamento 0021_-378)
Azioni sul collegamento: N=-3974.64 Ty=3.70 Tz=10.74 Mx=0.01 Mz=5.08
Sollecitazioni agenti localmente: Ty_l=-724.82 My_l=-14.89
Tensioni nella sezione: σ=180.45 τ=21.96
CC 5 SLV (Collegamento 0021_-378)
Azioni sul collegamento: N=-3974.64 Ty=5.81 Tz=10.74 Mx=0.01 Mz=5.82
Sollecitazioni agenti localmente: Ty_l=-727.75 My_l=-14.95
Tensioni nella sezione: σ=181.23 τ=22.05
CC 5 SLV (Collegamento 0021_-378)
Azioni sul collegamento: N=-3974.64 Ty=3.70 Tz=-8.72 Mx=0.01 Mz=5.08
Sollecitazioni agenti localmente: Ty_l=-724.82 My_l=-14.89
Tensioni nella sezione: σ=180.45 τ=21.96
CC 5 SLV (Collegamento 0021_-378)
Azioni sul collegamento: N=-3974.64 Ty=5.81 Tz=-8.72 Mx=0.01 Mz=5.82
Sollecitazioni agenti localmente: Ty_l=-727.75 My_l=-14.95
Tensioni nella sezione: σ=181.23 τ=22.05
CC 6 SLD (Collegamento 0021_-378)
Azioni sul collegamento: N=-7390.75 Ty=3.59 Tz=3.85 Mx=0.00 Mz=3.26
Sollecitazioni agenti localmente: Ty_l=-1323.14 My_l=-27.14
Tensioni nella sezione: σ=329.00 τ=40.10
CC 6 SLD (Collegamento 0021_-378)
Azioni sul collegamento: N=-7390.75 Ty=4.24 Tz=3.85 Mx=0.00 Mz=3.48
Sollecitazioni agenti localmente: Ty_l=-1324.03 My_l=-27.16
Tensioni nella sezione: σ=329.24 τ=40.12
CC 6 SLD (Collegamento 0021_-378)
Azioni sul collegamento: N=-7390.75 Ty=3.59 Tz=-2.08 Mx=0.00 Mz=3.26
Sollecitazioni agenti localmente: Ty_l=-1323.14 My_l=-27.14
Tensioni nella sezione: σ=329.00 τ=40.10
CC 6 SLD (Collegamento 0021_-378)
Azioni sul collegamento: N=-7390.75 Ty=4.24 Tz=-2.08 Mx=0.00 Mz=3.48
Sollecitazioni agenti localmente: Ty_l=-1324.03 My_l=-27.16
Tensioni nella sezione: σ=329.24 τ=40.12
CC 6 SLD (Collegamento 0021_-378)
Azioni sul collegamento: N=-5779.06 Ty=3.59 Tz=3.85 Mx=0.00 Mz=3.26
Sollecitazioni agenti localmente: Ty_l=-1037.43 My_l=-21.29
Tensioni nella sezione: σ=258.00 τ=31.44
CC 6 SLD (Collegamento 0021_-378)
Azioni sul collegamento: N=-5779.06 Ty=4.24 Tz=3.85 Mx=0.00 Mz=3.48
Sollecitazioni agenti localmente: Ty_l=-1038.32 My_l=-21.30
Tensioni nella sezione: σ=258.24 τ=31.46
CC 6 SLD (Collegamento 0021_-378)
Azioni sul collegamento: N=-5779.06 Ty=3.59 Tz=-2.08 Mx=0.00 Mz=3.26
Sollecitazioni agenti localmente: Ty_l=-1037.43 My_l=-21.29
Tensioni nella sezione: σ=258.00 τ=31.44
CC 6 SLD (Collegamento 0021_-378)
Azioni sul collegamento: N=-5779.06 Ty=4.24 Tz=-2.08 Mx=0.00 Mz=3.48
Sollecitazioni agenti localmente: Ty_l=-1038.32 My_l=-21.30
Tensioni nella sezione: σ=258.24 τ=31.46
CC 7 SLV (Collegamento 0021_-378)
Azioni sul collegamento: N=-9265.76 Ty=3.07 Tz=10.87 Mx=0.01 Mz=3.83
Sollecitazioni agenti localmente: Ty_l=-1657.79 My_l=-34.01
Tensioni nella sezione: σ=412.19 τ=50.24
CC 7 SLV (Collegamento 0021_-378)
Azioni sul collegamento: N=-9265.76 Ty=6.45 Tz=10.87 Mx=0.01 Mz=7.08
Sollecitazioni agenti localmente: Ty_l=-1670.71 My_l=-34.29
Tensioni nella sezione: σ=415.62 τ=50.63
CC 7 SLV (Collegamento 0021_-378)
Azioni sul collegamento: N=-9265.76 Ty=3.07 Tz=-8.85 Mx=0.01 Mz=3.83
Sollecitazioni agenti localmente: Ty_l=-1657.79 My_l=-34.01
Tensioni nella sezione: σ=412.19 τ=50.24
CC 7 SLV (Collegamento 0021_-378)
Azioni sul collegamento: N=-9265.76 Ty=6.45 Tz=-8.85 Mx=0.01 Mz=7.08
Sollecitazioni agenti localmente: Ty_l=-1670.71 My_l=-34.29
Tensioni nella sezione: σ=415.62 τ=50.63
CC 7 SLV (Collegamento 0021_-378)
Azioni sul collegamento: N=-3968.96 Ty=3.07 Tz=10.87 Mx=0.01 Mz=3.83
Sollecitazioni agenti localmente: Ty_l=-718.82 My_l=-14.76
Tensioni nella sezione: σ=178.87 τ=21.78

CC 7 SLV (Collegamento 0021_-378)
Azioni sul collegamento: N=-3968.96 Ty=6.45 Tz=10.87 Mx=0.01 Mz=7.08
Sollecitazioni agenti localmente: Ty_l=-731.73 My_l=-15.04
Tensioni nella sezione: σ=182.30 τ=22.17
CC 7 SLV (Collegamento 0021_-378)
Azioni sul collegamento: N=-3968.96 Ty=3.07 Tz=-8.85 Mx=0.01 Mz=3.83
Sollecitazioni agenti localmente: Ty_l=-718.82 My_l=-14.76
Tensioni nella sezione: σ=178.87 τ=21.78
CC 7 SLV (Collegamento 0021_-378)
Azioni sul collegamento: N=-3968.96 Ty=6.45 Tz=-8.85 Mx=0.01 Mz=7.08
Sollecitazioni agenti localmente: Ty_l=-731.73 My_l=-15.04
Tensioni nella sezione: σ=182.30 τ=22.17
CC 8 SLD (Collegamento 0021_-378)
Azioni sul collegamento: N=-7392.49 Ty=3.40 Tz=3.89 Mx=-0.00 Mz=2.88
Sollecitazioni agenti localmente: Ty_l=-1321.92 My_l=-27.12
Tensioni nella sezione: σ=328.67 τ=40.06
CC 8 SLD (Collegamento 0021_-378)
Azioni sul collegamento: N=-7392.49 Ty=4.43 Tz=3.89 Mx=-0.00 Mz=3.87
Sollecitazioni agenti localmente: Ty_l=-1325.86 My_l=-27.20
Tensioni nella sezione: σ=329.72 τ=40.18
CC 8 SLD (Collegamento 0021_-378)
Azioni sul collegamento: N=-7392.49 Ty=3.40 Tz=-2.12 Mx=-0.00 Mz=2.88
Sollecitazioni agenti localmente: Ty_l=-1321.92 My_l=-27.12
Tensioni nella sezione: σ=328.67 τ=40.06
CC 8 SLD (Collegamento 0021_-378)
Azioni sul collegamento: N=-7392.49 Ty=4.43 Tz=-2.12 Mx=-0.00 Mz=3.87
Sollecitazioni agenti localmente: Ty_l=-1325.86 My_l=-27.20
Tensioni nella sezione: σ=329.72 τ=40.18
CC 8 SLD (Collegamento 0021_-378)
Azioni sul collegamento: N=-5777.32 Ty=3.40 Tz=3.89 Mx=-0.00 Mz=2.88
Sollecitazioni agenti localmente: Ty_l=-1035.60 My_l=-21.25
Tensioni nella sezione: σ=257.52 τ=31.38
CC 8 SLD (Collegamento 0021_-378)
Azioni sul collegamento: N=-5777.32 Ty=4.43 Tz=3.89 Mx=-0.00 Mz=3.87
Sollecitazioni agenti localmente: Ty_l=-1039.54 My_l=-21.33
Tensioni nella sezione: σ=258.57 τ=31.50
CC 8 SLD (Collegamento 0021_-378)
Azioni sul collegamento: N=-5777.33 Ty=3.40 Tz=-2.12 Mx=-0.00 Mz=2.88
Sollecitazioni agenti localmente: Ty_l=-1035.60 My_l=-21.25
Tensioni nella sezione: σ=257.52 τ=31.38
CC 8 SLD (Collegamento 0021_-378)
Azioni sul collegamento: N=-5777.33 Ty=4.43 Tz=-2.12 Mx=-0.00 Mz=3.87
Sollecitazioni agenti localmente: Ty_l=-1039.54 My_l=-21.33
Tensioni nella sezione: σ=258.57 τ=31.50
CC 9 SLV (Collegamento 0021_-378)
Azioni sul collegamento: N=-5814.22 Ty=6.23 Tz=-2.14 Mx=0.02 Mz=7.84
Sollecitazioni agenti localmente: Ty_l=-1061.90 My_l=-21.81
Tensioni nella sezione: σ=264.40 τ=32.18
CC 9 SLV (Collegamento 0021_-378)
Azioni sul collegamento: N=-5814.22 Ty=3.29 Tz=-2.14 Mx=0.02 Mz=3.06
Sollecitazioni agenti localmente: Ty_l=-1042.88 My_l=-21.40
Tensioni nella sezione: σ=259.35 τ=31.60
CC 9 SLV (Collegamento 0021_-378)
Azioni sul collegamento: N=-5814.22 Ty=6.23 Tz=4.16 Mx=0.02 Mz=7.84
Sollecitazioni agenti localmente: Ty_l=-1061.90 My_l=-21.81
Tensioni nella sezione: σ=264.40 τ=32.18
CC 9 SLV (Collegamento 0021_-378)
Azioni sul collegamento: N=-5814.22 Ty=3.29 Tz=4.16 Mx=0.02 Mz=3.06
Sollecitazioni agenti localmente: Ty_l=-1042.88 My_l=-21.40
Tensioni nella sezione: σ=259.35 τ=31.60
CC 9 SLV (Collegamento 0021_-378)
Azioni sul collegamento: N=-7420.50 Ty=6.23 Tz=-2.14 Mx=0.02 Mz=7.84
Sollecitazioni agenti localmente: Ty_l=-1346.65 My_l=-27.65
Tensioni nella sezione: σ=335.15 τ=40.81
CC 9 SLV (Collegamento 0021_-378)
Azioni sul collegamento: N=-7420.50 Ty=3.29 Tz=-2.14 Mx=0.02 Mz=3.06
Sollecitazioni agenti localmente: Ty_l=-1327.63 My_l=-27.23
Tensioni nella sezione: σ=330.10 τ=40.23
CC 9 SLV (Collegamento 0021_-378)
Azioni sul collegamento: N=-7420.50 Ty=6.23 Tz=4.16 Mx=0.02 Mz=7.84
Sollecitazioni agenti localmente: Ty_l=-1346.65 My_l=-27.65
Tensioni nella sezione: σ=335.15 τ=40.81
CC 9 SLV (Collegamento 0021_-378)
Azioni sul collegamento: N=-7420.50 Ty=3.29 Tz=4.16 Mx=0.02 Mz=3.06
Sollecitazioni agenti localmente: Ty_l=-1327.63 My_l=-27.23
Tensioni nella sezione: σ=330.10 τ=40.23
CC 10 SLD (Collegamento 0021_-378)
Azioni sul collegamento: N=-6340.00 Ty=4.36 Tz=-0.08 Mx=0.00 Mz=4.10
Sollecitazioni agenti localmente: Ty_l=-1140.22 My_l=-23.40

Tensioni nella sezione: σ=283.60 τ=34.55
CC 10 SLD (Collegamento 0021_-378)
Azioni sul collegamento: N=-6340.00 Ty=3.47 Tz=-0.08 Mx=0.00 Mz=2.64
Sollecitazioni agenti localmente: Ty_l=-1134.41 My_l=-23.27
Tensioni nella sezione: σ=282.06 τ=34.38
CC 10 SLD (Collegamento 0021_-378)
Azioni sul collegamento: N=-6340.00 Ty=4.36 Tz=1.85 Mx=0.00 Mz=4.10
Sollecitazioni agenti localmente: Ty_l=-1140.22 My_l=-23.40
Tensioni nella sezione: σ=283.60 τ=34.55
CC 10 SLD (Collegamento 0021_-378)
Azioni sul collegamento: N=-6340.00 Ty=3.47 Tz=1.85 Mx=0.00 Mz=2.64
Sollecitazioni agenti localmente: Ty_l=-1134.41 My_l=-23.27
Tensioni nella sezione: σ=282.06 τ=34.38
CC 10 SLD (Collegamento 0021_-378)
Azioni sul collegamento: N=-6829.81 Ty=4.36 Tz=-0.08 Mx=0.00 Mz=4.10
Sollecitazioni agenti localmente: Ty_l=-1227.04 My_l=-25.18
Tensioni nella sezione: σ=305.18 τ=37.18
CC 10 SLD (Collegamento 0021_-378)
Azioni sul collegamento: N=-6829.81 Ty=3.47 Tz=-0.08 Mx=0.00 Mz=2.64
Sollecitazioni agenti localmente: Ty_l=-1221.24 My_l=-25.05
Tensioni nella sezione: σ=303.64 τ=37.01
CC 10 SLD (Collegamento 0021_-378)
Azioni sul collegamento: N=-6829.81 Ty=4.36 Tz=1.85 Mx=0.00 Mz=4.10
Sollecitazioni agenti localmente: Ty_l=-1227.04 My_l=-25.18
Tensioni nella sezione: σ=305.18 τ=37.18
CC 10 SLD (Collegamento 0021_-378)
Azioni sul collegamento: N=-6829.81 Ty=3.47 Tz=1.85 Mx=0.00 Mz=2.64
Sollecitazioni agenti localmente: Ty_l=-1221.24 My_l=-25.05
Tensioni nella sezione: σ=303.64 τ=37.01
CC 11 SLV (Collegamento 0021_-378)
Azioni sul collegamento: N=-7401.56 Ty=5.40 Tz=3.74 Mx=0.02 Mz=7.25
Sollecitazioni agenti localmente: Ty_l=-1340.92 My_l=-27.53
Tensioni nella sezione: σ=333.69 τ=40.63
CC 11 SLV (Collegamento 0021_-378)
Azioni sul collegamento: N=-7401.56 Ty=4.11 Tz=3.74 Mx=0.02 Mz=3.66
Sollecitazioni agenti localmente: Ty_l=-1326.64 My_l=-27.22
Tensioni nella sezione: σ=329.90 τ=40.20
CC 11 SLV (Collegamento 0021_-378)
Azioni sul collegamento: N=-7401.56 Ty=5.40 Tz=-1.71 Mx=0.02 Mz=7.25
Sollecitazioni agenti localmente: Ty_l=-1340.92 My_l=-27.53
Tensioni nella sezione: σ=333.69 τ=40.63
CC 11 SLV (Collegamento 0021_-378)
Azioni sul collegamento: N=-7401.56 Ty=4.11 Tz=-1.71 Mx=0.02 Mz=3.66
Sollecitazioni agenti localmente: Ty_l=-1326.64 My_l=-27.22
Tensioni nella sezione: σ=329.90 τ=40.20
CC 11 SLV (Collegamento 0021_-378)
Azioni sul collegamento: N=-5833.17 Ty=5.40 Tz=3.74 Mx=0.02 Mz=7.25
Sollecitazioni agenti localmente: Ty_l=-1062.88 My_l=-21.83
Tensioni nella sezione: σ=264.60 τ=32.21
CC 11 SLV (Collegamento 0021_-378)
Azioni sul collegamento: N=-5833.17 Ty=4.11 Tz=3.74 Mx=0.02 Mz=3.66
Sollecitazioni agenti localmente: Ty_l=-1048.61 My_l=-21.52
Tensioni nella sezione: σ=260.81 τ=31.78
CC 11 SLV (Collegamento 0021_-378)
Azioni sul collegamento: N=-5833.17 Ty=5.40 Tz=-1.71 Mx=0.02 Mz=7.25
Sollecitazioni agenti localmente: Ty_l=-1062.88 My_l=-21.83
Tensioni nella sezione: σ=264.60 τ=32.21
CC 11 SLV (Collegamento 0021_-378)
Azioni sul collegamento: N=-5833.17 Ty=4.11 Tz=-1.71 Mx=0.02 Mz=3.66
Sollecitazioni agenti localmente: Ty_l=-1048.61 My_l=-21.52
Tensioni nella sezione: σ=260.81 τ=31.78
CC 12 SLD (Collegamento 0021_-378)
Azioni sul collegamento: N=-6824.03 Ty=4.11 Tz=1.72 Mx=0.00 Mz=3.92
Sollecitazioni agenti localmente: Ty_l=-1225.30 My_l=-25.14
Tensioni nella sezione: σ=304.73 τ=37.13
CC 12 SLD (Collegamento 0021_-378)
Azioni sul collegamento: N=-6824.03 Ty=3.72 Tz=1.72 Mx=0.00 Mz=2.82
Sollecitazioni agenti localmente: Ty_l=-1220.94 My_l=-25.05
Tensioni nella sezione: σ=303.58 τ=37.00
CC 12 SLD (Collegamento 0021_-378)
Azioni sul collegamento: N=-6824.03 Ty=4.11 Tz=0.05 Mx=0.00 Mz=3.92
Sollecitazioni agenti localmente: Ty_l=-1225.30 My_l=-25.14
Tensioni nella sezione: σ=304.73 τ=37.13
CC 12 SLD (Collegamento 0021_-378)
Azioni sul collegamento: N=-6824.03 Ty=3.72 Tz=0.05 Mx=0.00 Mz=2.82
Sollecitazioni agenti localmente: Ty_l=-1220.94 My_l=-25.05
Tensioni nella sezione: σ=303.58 τ=37.00
CC 12 SLD (Collegamento 0021_-378)
Azioni sul collegamento: N=-6345.78 Ty=4.11 Tz=1.72 Mx=0.00 Mz=3.92

Sollecitazioni agenti localmente: Ty_l=-1140.52 My_l=-23.40
Tensioni nella sezione: σ=283.67 τ=34.56
CC 12 SLD (Collegamento 0021_-378)
Azioni sul collegamento: N=-6345.78 Ty=3.72 Tz=1.72 Mx=0.00 Mz=2.82
Sollecitazioni agenti localmente: Ty_l=-1136.16 My_l=-23.31
Tensioni nella sezione: σ=282.51 τ=34.43
CC 12 SLD (Collegamento 0021_-378)
Azioni sul collegamento: N=-6345.78 Ty=4.11 Tz=0.05 Mx=0.00 Mz=3.92
Sollecitazioni agenti localmente: Ty_l=-1140.52 My_l=-23.40
Tensioni nella sezione: σ=283.67 τ=34.56
CC 12 SLD (Collegamento 0021_-378)
Azioni sul collegamento: N=-6345.78 Ty=3.72 Tz=0.05 Mx=0.00 Mz=2.82
Sollecitazioni agenti localmente: Ty_l=-1136.16 My_l=-23.31
Tensioni nella sezione: σ=282.51 τ=34.43
CC 13 SLV (Collegamento 0021_-378)
Azioni sul collegamento: N=-5833.17 Ty=4.11 Tz=-1.71 Mx=0.00 Mz=3.66
Sollecitazioni agenti localmente: Ty_l=-1048.61 My_l=-21.52
Tensioni nella sezione: σ=260.81 τ=31.78
CC 13 SLV (Collegamento 0021_-378)
Azioni sul collegamento: N=-5833.17 Ty=5.40 Tz=-1.71 Mx=0.00 Mz=7.25
Sollecitazioni agenti localmente: Ty_l=-1062.88 My_l=-21.83
Tensioni nella sezione: σ=264.60 τ=32.21
CC 13 SLV (Collegamento 0021_-378)
Azioni sul collegamento: N=-5833.17 Ty=4.11 Tz=3.74 Mx=0.00 Mz=3.66
Sollecitazioni agenti localmente: Ty_l=-1048.61 My_l=-21.52
Tensioni nella sezione: σ=260.81 τ=31.78
CC 13 SLV (Collegamento 0021_-378)
Azioni sul collegamento: N=-5833.17 Ty=5.40 Tz=3.74 Mx=0.00 Mz=7.25
Sollecitazioni agenti localmente: Ty_l=-1062.88 My_l=-21.83
Tensioni nella sezione: σ=264.60 τ=32.21
CC 13 SLV (Collegamento 0021_-378)
Azioni sul collegamento: N=-7401.56 Ty=4.11 Tz=-1.71 Mx=0.00 Mz=3.66
Sollecitazioni agenti localmente: Ty_l=-1326.64 My_l=-27.22
Tensioni nella sezione: σ=329.90 τ=40.20
CC 13 SLV (Collegamento 0021_-378)
Azioni sul collegamento: N=-7401.56 Ty=5.40 Tz=-1.71 Mx=0.00 Mz=7.25
Sollecitazioni agenti localmente: Ty_l=-1340.92 My_l=-27.53
Tensioni nella sezione: σ=333.69 τ=40.63
CC 13 SLV (Collegamento 0021_-378)
Azioni sul collegamento: N=-7401.56 Ty=4.11 Tz=3.74 Mx=0.00 Mz=3.66
Sollecitazioni agenti localmente: Ty_l=-1326.64 My_l=-27.22
Tensioni nella sezione: σ=329.90 τ=40.20
CC 13 SLV (Collegamento 0021_-378)
Azioni sul collegamento: N=-7401.56 Ty=5.40 Tz=3.74 Mx=0.00 Mz=7.25
Sollecitazioni agenti localmente: Ty_l=-1340.92 My_l=-27.53
Tensioni nella sezione: σ=333.69 τ=40.63
CC 14 SLD (Collegamento 0021_-378)
Azioni sul collegamento: N=-6345.78 Ty=3.72 Tz=0.05 Mx=-0.00 Mz=2.82
Sollecitazioni agenti localmente: Ty_l=-1136.16 My_l=-23.31
Tensioni nella sezione: σ=282.51 τ=34.43
CC 14 SLD (Collegamento 0021_-378)
Azioni sul collegamento: N=-6345.78 Ty=4.11 Tz=0.05 Mx=-0.00 Mz=3.92
Sollecitazioni agenti localmente: Ty_l=-1140.52 My_l=-23.40
Tensioni nella sezione: σ=283.67 τ=34.56
CC 14 SLD (Collegamento 0021_-378)
Azioni sul collegamento: N=-6345.78 Ty=3.72 Tz=1.72 Mx=-0.00 Mz=2.82
Sollecitazioni agenti localmente: Ty_l=-1136.16 My_l=-23.31
Tensioni nella sezione: σ=282.51 τ=34.43
CC 14 SLD (Collegamento 0021_-378)
Azioni sul collegamento: N=-6345.78 Ty=4.11 Tz=1.72 Mx=-0.00 Mz=3.92
Sollecitazioni agenti localmente: Ty_l=-1140.52 My_l=-23.40
Tensioni nella sezione: σ=283.67 τ=34.56
CC 14 SLD (Collegamento 0021_-378)
Azioni sul collegamento: N=-6824.03 Ty=3.72 Tz=0.05 Mx=-0.00 Mz=2.82
Sollecitazioni agenti localmente: Ty_l=-1220.94 My_l=-25.05
Tensioni nella sezione: σ=303.58 τ=37.00
CC 14 SLD (Collegamento 0021_-378)
Azioni sul collegamento: N=-6824.03 Ty=4.11 Tz=0.05 Mx=-0.00 Mz=3.92
Sollecitazioni agenti localmente: Ty_l=-1225.30 My_l=-25.14
Tensioni nella sezione: σ=304.73 τ=37.13
CC 14 SLD (Collegamento 0021_-378)
Azioni sul collegamento: N=-6824.03 Ty=3.72 Tz=1.72 Mx=-0.00 Mz=2.82
Sollecitazioni agenti localmente: Ty_l=-1220.94 My_l=-25.05
Tensioni nella sezione: σ=303.58 τ=37.00
CC 14 SLD (Collegamento 0021_-378)
Azioni sul collegamento: N=-6824.03 Ty=4.11 Tz=1.72 Mx=-0.00 Mz=3.92
Sollecitazioni agenti localmente: Ty_l=-1225.30 My_l=-25.14
Tensioni nella sezione: σ=304.73 τ=37.13
CC 15 SLV (Collegamento 0021_-378)

Azioni sul collegamento: N=-7420.50 Ty=3.29 Tz=4.16 Mx=0.00 Mz=3.06
Sollecitazioni agenti localmente: Ty_l=-1327.63 My_l=-27.23
Tensioni nella sezione: σ=330.10 τ=40.23
CC 15 SLV (Collegamento 0021_-378)
Azioni sul collegamento: N=-7420.50 Ty=6.23 Tz=4.16 Mx=0.00 Mz=7.84
Sollecitazioni agenti localmente: Ty_l=-1346.65 My_l=-27.65
Tensioni nella sezione: σ=335.15 τ=40.81
CC 15 SLV (Collegamento 0021_-378)
Azioni sul collegamento: N=-7420.50 Ty=3.29 Tz=-2.14 Mx=0.00 Mz=3.06
Sollecitazioni agenti localmente: Ty_l=-1327.63 My_l=-27.23
Tensioni nella sezione: σ=330.10 τ=40.23
CC 15 SLV (Collegamento 0021_-378)
Azioni sul collegamento: N=-7420.50 Ty=6.23 Tz=-2.14 Mx=0.00 Mz=7.84
Sollecitazioni agenti localmente: Ty_l=-1346.65 My_l=-27.65
Tensioni nella sezione: σ=335.15 τ=40.81
CC 15 SLV (Collegamento 0021_-378)
Azioni sul collegamento: N=-5814.22 Ty=3.29 Tz=4.16 Mx=0.00 Mz=3.06
Sollecitazioni agenti localmente: Ty_l=-1042.88 My_l=-21.40
Tensioni nella sezione: σ=259.35 τ=31.60
CC 15 SLV (Collegamento 0021_-378)
Azioni sul collegamento: N=-5814.22 Ty=6.23 Tz=4.16 Mx=0.00 Mz=7.84
Sollecitazioni agenti localmente: Ty_l=-1061.90 My_l=-21.81
Tensioni nella sezione: σ=264.40 τ=32.18
CC 15 SLV (Collegamento 0021_-378)
Azioni sul collegamento: N=-5814.22 Ty=3.29 Tz=-2.14 Mx=0.00 Mz=3.06
Sollecitazioni agenti localmente: Ty_l=-1042.88 My_l=-21.40
Tensioni nella sezione: σ=259.35 τ=31.60
CC 15 SLV (Collegamento 0021_-378)
Azioni sul collegamento: N=-5814.22 Ty=6.23 Tz=-2.14 Mx=0.00 Mz=7.84
Sollecitazioni agenti localmente: Ty_l=-1061.90 My_l=-21.81
Tensioni nella sezione: σ=264.40 τ=32.18
CC 16 SLD (Collegamento 0021_-378)
Azioni sul collegamento: N=-6829.81 Ty=3.47 Tz=1.85 Mx=-0.00 Mz=2.64
Sollecitazioni agenti localmente: Ty_l=-1221.24 My_l=-25.05
Tensioni nella sezione: σ=303.64 τ=37.01
CC 16 SLD (Collegamento 0021_-378)
Azioni sul collegamento: N=-6829.81 Ty=4.36 Tz=1.85 Mx=-0.00 Mz=4.10
Sollecitazioni agenti localmente: Ty_l=-1227.04 My_l=-25.18
Tensioni nella sezione: σ=305.18 τ=37.18
CC 16 SLD (Collegamento 0021_-378)
Azioni sul collegamento: N=-6829.81 Ty=3.47 Tz=-0.08 Mx=-0.00 Mz=2.64
Sollecitazioni agenti localmente: Ty_l=-1221.24 My_l=-25.05
Tensioni nella sezione: σ=303.64 τ=37.01
CC 16 SLD (Collegamento 0021_-378)
Azioni sul collegamento: N=-6829.81 Ty=4.36 Tz=-0.08 Mx=-0.00 Mz=4.10
Sollecitazioni agenti localmente: Ty_l=-1227.04 My_l=-25.18
Tensioni nella sezione: σ=305.18 τ=37.18
CC 16 SLD (Collegamento 0021_-378)
Azioni sul collegamento: N=-6340.00 Ty=3.47 Tz=1.85 Mx=-0.00 Mz=2.64
Sollecitazioni agenti localmente: Ty_l=-1134.41 My_l=-23.27
Tensioni nella sezione: σ=282.06 τ=34.38
CC 16 SLD (Collegamento 0021_-378)
Azioni sul collegamento: N=-6340.00 Ty=4.36 Tz=1.85 Mx=-0.00 Mz=4.10
Sollecitazioni agenti localmente: Ty_l=-1140.22 My_l=-23.40
Tensioni nella sezione: σ=283.60 τ=34.55
CC 16 SLD (Collegamento 0021_-378)
Azioni sul collegamento: N=-6340.00 Ty=3.47 Tz=-0.08 Mx=-0.00 Mz=2.64
Sollecitazioni agenti localmente: Ty_l=-1134.41 My_l=-23.27
Tensioni nella sezione: σ=282.06 τ=34.38
CC 16 SLD (Collegamento 0021_-378)
Azioni sul collegamento: N=-6340.00 Ty=4.36 Tz=-0.08 Mx=-0.00 Mz=4.10
Sollecitazioni agenti localmente: Ty_l=-1140.22 My_l=-23.40
Tensioni nella sezione: σ=283.60 τ=34.55
CC 17 SLV (Collegamento 0021_-378)
Azioni sul collegamento: N=-3875.57 Ty=0.64 Tz=-9.21 Mx=-0.02 Mz=1.09
Sollecitazioni agenti localmente: Ty_l=-691.35 My_l=-14.18
Tensioni nella sezione: σ=171.86 τ=20.95
CC 17 SLV (Collegamento 0021_-378)
Azioni sul collegamento: N=-3875.57 Ty=4.02 Tz=-9.21 Mx=-0.02 Mz=-2.16
Sollecitazioni agenti localmente: Ty_l=-678.43 My_l=-13.90
Tensioni nella sezione: σ=168.44 τ=20.56
CC 17 SLV (Collegamento 0021_-378)
Azioni sul collegamento: N=-3875.57 Ty=0.64 Tz=10.50 Mx=-0.02 Mz=1.09
Sollecitazioni agenti localmente: Ty_l=-691.35 My_l=-14.18
Tensioni nella sezione: σ=171.86 τ=20.95
CC 17 SLV (Collegamento 0021_-378)
Azioni sul collegamento: N=-3875.57 Ty=4.02 Tz=10.50 Mx=-0.02 Mz=-2.16
Sollecitazioni agenti localmente: Ty_l=-678.43 My_l=-13.90
Tensioni nella sezione: σ=168.44 τ=20.56

CC 17 SLV (Collegamento 0021_-378)
Azioni sul collegamento: N=-9172.38 Ty=0.64 Tz=-9.21 Mx=-0.02 Mz=1.09
Sollecitazioni agenti localmente: Ty_l=-1630.33 My_l=-33.43
Tensioni nella sezione: σ=405.19 τ=49.40
CC 17 SLV (Collegamento 0021_-378)
Azioni sul collegamento: N=-9172.38 Ty=4.02 Tz=-9.21 Mx=-0.02 Mz=-2.16
Sollecitazioni agenti localmente: Ty_l=-1617.41 My_l=-33.14
Tensioni nella sezione: σ=401.76 τ=49.01
CC 17 SLV (Collegamento 0021_-378)
Azioni sul collegamento: N=-9172.38 Ty=0.64 Tz=10.50 Mx=-0.02 Mz=1.09
Sollecitazioni agenti localmente: Ty_l=-1630.33 My_l=-33.43
Tensioni nella sezione: σ=405.19 τ=49.40
CC 17 SLV (Collegamento 0021_-378)
Azioni sul collegamento: N=-9172.38 Ty=4.02 Tz=10.50 Mx=-0.02 Mz=-2.16
Sollecitazioni agenti localmente: Ty_l=-1617.41 My_l=-33.14
Tensioni nella sezione: σ=401.76 τ=49.01
CC 18 SLD (Collegamento 0021_-378)
Azioni sul collegamento: N=-5748.85 Ty=3.69 Tz=-2.23 Mx=-0.01 Mz=2.04
Sollecitazioni agenti localmente: Ty_l=-1027.22 My_l=-21.07
Tensioni nella sezione: σ=255.39 τ=31.13
CC 18 SLD (Collegamento 0021_-378)
Azioni sul collegamento: N=-5748.85 Ty=2.66 Tz=-2.23 Mx=-0.01 Mz=1.05
Sollecitazioni agenti localmente: Ty_l=-1023.28 My_l=-20.98
Tensioni nella sezione: σ=254.34 τ=31.01
CC 18 SLD (Collegamento 0021_-378)
Azioni sul collegamento: N=-5748.85 Ty=3.69 Tz=3.78 Mx=-0.01 Mz=2.04
Sollecitazioni agenti localmente: Ty_l=-1027.22 My_l=-21.07
Tensioni nella sezione: σ=255.39 τ=31.13
CC 18 SLD (Collegamento 0021_-378)
Azioni sul collegamento: N=-5748.85 Ty=2.66 Tz=3.78 Mx=-0.01 Mz=1.05
Sollecitazioni agenti localmente: Ty_l=-1023.28 My_l=-20.98
Tensioni nella sezione: σ=254.34 τ=31.01
CC 18 SLD (Collegamento 0021_-378)
Azioni sul collegamento: N=-7364.01 Ty=3.69 Tz=-2.23 Mx=-0.01 Mz=2.04
Sollecitazioni agenti localmente: Ty_l=-1313.55 My_l=-26.94
Tensioni nella sezione: σ=326.53 τ=39.80
CC 18 SLD (Collegamento 0021_-378)
Azioni sul collegamento: N=-7364.01 Ty=2.66 Tz=-2.23 Mx=-0.01 Mz=1.05
Sollecitazioni agenti localmente: Ty_l=-1309.61 My_l=-26.85
Tensioni nella sezione: σ=325.49 τ=39.69
CC 18 SLD (Collegamento 0021_-378)
Azioni sul collegamento: N=-7364.01 Ty=3.69 Tz=3.78 Mx=-0.01 Mz=2.04
Sollecitazioni agenti localmente: Ty_l=-1313.55 My_l=-26.94
Tensioni nella sezione: σ=326.53 τ=39.80
CC 18 SLD (Collegamento 0021_-378)
Azioni sul collegamento: N=-7364.01 Ty=2.66 Tz=3.78 Mx=-0.01 Mz=1.05
Sollecitazioni agenti localmente: Ty_l=-1309.61 My_l=-26.85
Tensioni nella sezione: σ=325.49 τ=39.69
CC 19 SLV (Collegamento 0021_-378)
Azioni sul collegamento: N=-3881.26 Ty=1.27 Tz=-9.09 Mx=-0.02 Mz=-0.17
Sollecitazioni agenti localmente: Ty_l=-687.36 My_l=-14.09
Tensioni nella sezione: σ=170.79 τ=20.83
CC 19 SLV (Collegamento 0021_-378)
Azioni sul collegamento: N=-3881.26 Ty=3.39 Tz=-9.09 Mx=-0.02 Mz=-0.91
Sollecitazioni agenti localmente: Ty_l=-684.44 My_l=-14.03
Tensioni nella sezione: σ=170.01 τ=20.74
CC 19 SLV (Collegamento 0021_-378)
Azioni sul collegamento: N=-3881.26 Ty=1.27 Tz=10.37 Mx=-0.02 Mz=-0.17
Sollecitazioni agenti localmente: Ty_l=-687.36 My_l=-14.09
Tensioni nella sezione: σ=170.79 τ=20.83
CC 19 SLV (Collegamento 0021_-378)
Azioni sul collegamento: N=-3881.26 Ty=3.39 Tz=10.37 Mx=-0.02 Mz=-0.91
Sollecitazioni agenti localmente: Ty_l=-684.44 My_l=-14.03
Tensioni nella sezione: σ=170.01 τ=20.74
CC 19 SLV (Collegamento 0021_-378)
Azioni sul collegamento: N=-9166.69 Ty=1.27 Tz=-9.09 Mx=-0.02 Mz=-0.17
Sollecitazioni agenti localmente: Ty_l=-1624.33 My_l=-33.30
Tensioni nella sezione: σ=403.61 τ=49.22
CC 19 SLV (Collegamento 0021_-378)
Azioni sul collegamento: N=-9166.69 Ty=3.39 Tz=-9.09 Mx=-0.02 Mz=-0.91
Sollecitazioni agenti localmente: Ty_l=-1621.40 My_l=-33.23
Tensioni nella sezione: σ=402.83 τ=49.13
CC 19 SLV (Collegamento 0021_-378)
Azioni sul collegamento: N=-9166.69 Ty=1.27 Tz=10.37 Mx=-0.02 Mz=-0.17
Sollecitazioni agenti localmente: Ty_l=-1624.33 My_l=-33.30
Tensioni nella sezione: σ=403.61 τ=49.22
CC 19 SLV (Collegamento 0021_-378)
Azioni sul collegamento: N=-9166.69 Ty=3.39 Tz=10.37 Mx=-0.02 Mz=-0.91
Sollecitazioni agenti localmente: Ty_l=-1621.40 My_l=-33.23

Tensioni nella sezione: σ=402.83 τ=49.13
CC 20 SLD (Collegamento 0021_-378)
Azioni sul collegamento: N=-5750.58 Ty=3.50 Tz=-2.19 Mx=-0.01 Mz=1.66
Sollecitazioni agenti localmente: Ty_l=-1026.01 My_l=-21.04
Tensioni nella sezione: σ=255.06 τ=31.09
CC 20 SLD (Collegamento 0021_-378)
Azioni sul collegamento: N=-5750.58 Ty=2.85 Tz=-2.19 Mx=-0.01 Mz=1.43
Sollecitazioni agenti localmente: Ty_l=-1025.11 My_l=-21.02
Tensioni nella sezione: σ=254.82 τ=31.06
CC 20 SLD (Collegamento 0021_-378)
Azioni sul collegamento: N=-5750.58 Ty=3.50 Tz=3.74 Mx=-0.01 Mz=1.66
Sollecitazioni agenti localmente: Ty_l=-1026.01 My_l=-21.04
Tensioni nella sezione: σ=255.06 τ=31.09
CC 20 SLD (Collegamento 0021_-378)
Azioni sul collegamento: N=-5750.58 Ty=2.85 Tz=3.74 Mx=-0.01 Mz=1.43
Sollecitazioni agenti localmente: Ty_l=-1025.11 My_l=-21.02
Tensioni nella sezione: σ=254.82 τ=31.06
CC 20 SLD (Collegamento 0021_-378)
Azioni sul collegamento: N=-7362.28 Ty=3.50 Tz=-2.19 Mx=-0.01 Mz=1.66
Sollecitazioni agenti localmente: Ty_l=-1311.72 My_l=-26.90
Tensioni nella sezione: σ=326.05 τ=39.75
CC 20 SLD (Collegamento 0021_-378)
Azioni sul collegamento: N=-7362.28 Ty=2.85 Tz=-2.19 Mx=-0.01 Mz=1.43
Sollecitazioni agenti localmente: Ty_l=-1310.82 My_l=-26.88
Tensioni nella sezione: σ=325.82 τ=39.72
CC 20 SLD (Collegamento 0021_-378)
Azioni sul collegamento: N=-7362.28 Ty=3.50 Tz=3.74 Mx=-0.01 Mz=1.66
Sollecitazioni agenti localmente: Ty_l=-1311.72 My_l=-26.90
Tensioni nella sezione: σ=326.05 τ=39.75
CC 20 SLD (Collegamento 0021_-378)
Azioni sul collegamento: N=-7362.28 Ty=2.85 Tz=3.74 Mx=-0.01 Mz=1.43
Sollecitazioni agenti localmente: Ty_l=-1310.82 My_l=-26.88
Tensioni nella sezione: σ=325.82 τ=39.72
CC 21 SLV (Collegamento 0021_-378)
Azioni sul collegamento: N=-9166.69 Ty=3.39 Tz=10.37 Mx=-0.02 Mz=-0.91
Sollecitazioni agenti localmente: Ty_l=-1621.40 My_l=-33.23
Tensioni nella sezione: σ=402.83 τ=49.13
CC 21 SLV (Collegamento 0021_-378)
Azioni sul collegamento: N=-9166.69 Ty=1.27 Tz=10.37 Mx=-0.02 Mz=-0.17
Sollecitazioni agenti localmente: Ty_l=-1624.33 My_l=-33.30
Tensioni nella sezione: σ=403.61 τ=49.22
CC 21 SLV (Collegamento 0021_-378)
Azioni sul collegamento: N=-9166.69 Ty=3.39 Tz=-9.09 Mx=-0.02 Mz=-0.91
Sollecitazioni agenti localmente: Ty_l=-1621.40 My_l=-33.23
Tensioni nella sezione: σ=402.83 τ=49.13
CC 21 SLV (Collegamento 0021_-378)
Azioni sul collegamento: N=-9166.69 Ty=1.27 Tz=-9.09 Mx=-0.02 Mz=-0.17
Sollecitazioni agenti localmente: Ty_l=-1624.33 My_l=-33.30
Tensioni nella sezione: σ=403.61 τ=49.22
CC 21 SLV (Collegamento 0021_-378)
Azioni sul collegamento: N=-3881.26 Ty=3.39 Tz=10.37 Mx=-0.02 Mz=-0.91
Sollecitazioni agenti localmente: Ty_l=-684.44 My_l=-14.03
Tensioni nella sezione: σ=170.01 τ=20.74
CC 21 SLV (Collegamento 0021_-378)
Azioni sul collegamento: N=-3881.26 Ty=1.27 Tz=10.37 Mx=-0.02 Mz=-0.17
Sollecitazioni agenti localmente: Ty_l=-687.36 My_l=-14.09
Tensioni nella sezione: σ=170.79 τ=20.83
CC 21 SLV (Collegamento 0021_-378)
Azioni sul collegamento: N=-3881.26 Ty=3.39 Tz=-9.09 Mx=-0.02 Mz=-0.91
Sollecitazioni agenti localmente: Ty_l=-684.44 My_l=-14.03
Tensioni nella sezione: σ=170.01 τ=20.74
CC 21 SLV (Collegamento 0021_-378)
Azioni sul collegamento: N=-3881.26 Ty=1.27 Tz=-9.09 Mx=-0.02 Mz=-0.17
Sollecitazioni agenti localmente: Ty_l=-687.36 My_l=-14.09
Tensioni nella sezione: σ=170.79 τ=20.83
CC 22 SLD (Collegamento 0021_-378)
Azioni sul collegamento: N=-7362.28 Ty=2.85 Tz=3.74 Mx=-0.01 Mz=1.43
Sollecitazioni agenti localmente: Ty_l=-1310.82 My_l=-26.88
Tensioni nella sezione: σ=325.82 τ=39.72
CC 22 SLD (Collegamento 0021_-378)
Azioni sul collegamento: N=-7362.28 Ty=3.50 Tz=3.74 Mx=-0.01 Mz=1.66
Sollecitazioni agenti localmente: Ty_l=-1311.72 My_l=-26.90
Tensioni nella sezione: σ=326.05 τ=39.75
CC 22 SLD (Collegamento 0021_-378)
Azioni sul collegamento: N=-7362.28 Ty=2.85 Tz=-2.19 Mx=-0.01 Mz=1.43
Sollecitazioni agenti localmente: Ty_l=-1310.82 My_l=-26.88
Tensioni nella sezione: σ=325.82 τ=39.72
CC 22 SLD (Collegamento 0021_-378)
Azioni sul collegamento: N=-7362.28 Ty=3.50 Tz=-2.19 Mx=-0.01 Mz=1.66

Sollecitazioni agenti localmente: Ty_l=-1311.72 My_l=-26.90
Tensioni nella sezione: σ=326.05 τ=39.75
CC 22 SLD (Collegamento 0021_-378)
Azioni sul collegamento: N=-5750.58 Ty=2.85 Tz=3.74 Mx=-0.01 Mz=1.43
Sollecitazioni agenti localmente: Ty_l=-1025.11 My_l=-21.02
Tensioni nella sezione: σ=254.82 τ=31.06
CC 22 SLD (Collegamento 0021_-378)
Azioni sul collegamento: N=-5750.58 Ty=3.50 Tz=3.74 Mx=-0.01 Mz=1.66
Sollecitazioni agenti localmente: Ty_l=-1026.01 My_l=-21.04
Tensioni nella sezione: σ=255.06 τ=31.09
CC 22 SLD (Collegamento 0021_-378)
Azioni sul collegamento: N=-5750.58 Ty=2.85 Tz=-2.19 Mx=-0.01 Mz=1.43
Sollecitazioni agenti localmente: Ty_l=-1025.11 My_l=-21.02
Tensioni nella sezione: σ=254.82 τ=31.06
CC 22 SLD (Collegamento 0021_-378)
Azioni sul collegamento: N=-5750.58 Ty=3.50 Tz=-2.19 Mx=-0.01 Mz=1.66
Sollecitazioni agenti localmente: Ty_l=-1026.01 My_l=-21.04
Tensioni nella sezione: σ=255.06 τ=31.09
CC 23 SLV (Collegamento 0021_-378)
Azioni sul collegamento: N=-9172.38 Ty=4.02 Tz=10.50 Mx=-0.01 Mz=-2.16
Sollecitazioni agenti localmente: Ty_l=-1617.41 My_l=-33.14
Tensioni nella sezione: σ=401.76 τ=49.01
CC 23 SLV (Collegamento 0021_-378)
Azioni sul collegamento: N=-9172.38 Ty=0.64 Tz=10.50 Mx=-0.01 Mz=1.09
Sollecitazioni agenti localmente: Ty_l=-1630.33 My_l=-33.43
Tensioni nella sezione: σ=405.19 τ=49.40
CC 23 SLV (Collegamento 0021_-378)
Azioni sul collegamento: N=-9172.38 Ty=4.02 Tz=-9.21 Mx=-0.01 Mz=-2.16
Sollecitazioni agenti localmente: Ty_l=-1617.41 My_l=-33.14
Tensioni nella sezione: σ=401.76 τ=49.01
CC 23 SLV (Collegamento 0021_-378)
Azioni sul collegamento: N=-9172.38 Ty=0.64 Tz=-9.21 Mx=-0.01 Mz=1.09
Sollecitazioni agenti localmente: Ty_l=-1630.33 My_l=-33.43
Tensioni nella sezione: σ=405.19 τ=49.40
CC 23 SLV (Collegamento 0021_-378)
Azioni sul collegamento: N=-3875.57 Ty=4.02 Tz=10.50 Mx=-0.01 Mz=-2.16
Sollecitazioni agenti localmente: Ty_l=-678.43 My_l=-13.90
Tensioni nella sezione: σ=168.44 τ=20.56
CC 23 SLV (Collegamento 0021_-378)
Azioni sul collegamento: N=-3875.57 Ty=0.64 Tz=10.50 Mx=-0.01 Mz=1.09
Sollecitazioni agenti localmente: Ty_l=-691.35 My_l=-14.18
Tensioni nella sezione: σ=171.86 τ=20.95
CC 23 SLV (Collegamento 0021_-378)
Azioni sul collegamento: N=-3875.57 Ty=4.02 Tz=-9.21 Mx=-0.01 Mz=-2.16
Sollecitazioni agenti localmente: Ty_l=-678.43 My_l=-13.90
Tensioni nella sezione: σ=168.44 τ=20.56
CC 23 SLV (Collegamento 0021_-378)
Azioni sul collegamento: N=-3875.57 Ty=0.64 Tz=-9.21 Mx=-0.01 Mz=1.09
Sollecitazioni agenti localmente: Ty_l=-691.35 My_l=-14.18
Tensioni nella sezione: σ=171.86 τ=20.95
CC 24 SLD (Collegamento 0021_-378)
Azioni sul collegamento: N=-7364.01 Ty=2.66 Tz=3.78 Mx=-0.01 Mz=1.05
Sollecitazioni agenti localmente: Ty_l=-1309.61 My_l=-26.85
Tensioni nella sezione: σ=325.49 τ=39.69
CC 24 SLD (Collegamento 0021_-378)
Azioni sul collegamento: N=-7364.01 Ty=3.69 Tz=3.78 Mx=-0.01 Mz=2.04
Sollecitazioni agenti localmente: Ty_l=-1313.55 My_l=-26.94
Tensioni nella sezione: σ=326.53 τ=39.80
CC 24 SLD (Collegamento 0021_-378)
Azioni sul collegamento: N=-7364.01 Ty=2.66 Tz=-2.23 Mx=-0.01 Mz=1.05
Sollecitazioni agenti localmente: Ty_l=-1309.61 My_l=-26.85
Tensioni nella sezione: σ=325.49 τ=39.69
CC 24 SLD (Collegamento 0021_-378)
Azioni sul collegamento: N=-7364.01 Ty=3.69 Tz=-2.23 Mx=-0.01 Mz=2.04
Sollecitazioni agenti localmente: Ty_l=-1313.55 My_l=-26.94
Tensioni nella sezione: σ=326.53 τ=39.80
CC 24 SLD (Collegamento 0021_-378)
Azioni sul collegamento: N=-5748.85 Ty=2.66 Tz=3.78 Mx=-0.01 Mz=1.05
Sollecitazioni agenti localmente: Ty_l=-1023.28 My_l=-20.98
Tensioni nella sezione: σ=254.34 τ=31.01
CC 24 SLD (Collegamento 0021_-378)
Azioni sul collegamento: N=-5748.85 Ty=3.69 Tz=3.78 Mx=-0.01 Mz=2.04
Sollecitazioni agenti localmente: Ty_l=-1027.22 My_l=-21.07
Tensioni nella sezione: σ=255.39 τ=31.13
CC 24 SLD (Collegamento 0021_-378)
Azioni sul collegamento: N=-5748.85 Ty=2.66 Tz=-2.23 Mx=-0.01 Mz=1.05
Sollecitazioni agenti localmente: Ty_l=-1023.28 My_l=-20.98
Tensioni nella sezione: σ=254.34 τ=31.01
CC 24 SLD (Collegamento 0021_-378)

Azioni sul collegamento: N=-5748.85 Ty=3.69 Tz=-2.23 Mx=-0.01 Mz=2.04
Sollecitazioni agenti localmente: Ty_l=-1027.22 My_l=-21.07
Tensioni nella sezione: σ=255.39 τ=31.13
CC 25 SLV (Collegamento 0021_-378)
Azioni sul collegamento: N=-5720.83 Ty=0.86 Tz=-2.51 Mx=-0.03 Mz=1.85
Sollecitazioni agenti localmente: Ty_l=-1021.52 My_l=-20.95
Tensioni nella sezione: σ=253.96 τ=30.96
CC 25 SLV (Collegamento 0021_-378)
Azioni sul collegamento: N=-5720.83 Ty=3.80 Tz=-2.51 Mx=-0.03 Mz=-2.93
Sollecitazioni agenti localmente: Ty_l=-1002.49 My_l=-20.53
Tensioni nella sezione: σ=248.91 τ=30.38
CC 25 SLV (Collegamento 0021_-378)
Azioni sul collegamento: N=-5720.83 Ty=0.86 Tz=3.80 Mx=-0.03 Mz=1.85
Sollecitazioni agenti localmente: Ty_l=-1021.52 My_l=-20.95
Tensioni nella sezione: σ=253.96 τ=30.96
CC 25 SLV (Collegamento 0021_-378)
Azioni sul collegamento: N=-5720.83 Ty=3.80 Tz=3.80 Mx=-0.03 Mz=-2.93
Sollecitazioni agenti localmente: Ty_l=-1002.49 My_l=-20.53
Tensioni nella sezione: σ=248.91 τ=30.38
CC 25 SLV (Collegamento 0021_-378)
Azioni sul collegamento: N=-7327.12 Ty=0.86 Tz=-2.51 Mx=-0.03 Mz=1.85
Sollecitazioni agenti localmente: Ty_l=-1306.27 My_l=-26.79
Tensioni nella sezione: σ=324.71 τ=39.58
CC 25 SLV (Collegamento 0021_-378)
Azioni sul collegamento: N=-7327.12 Ty=3.80 Tz=-2.51 Mx=-0.03 Mz=-2.93
Sollecitazioni agenti localmente: Ty_l=-1287.24 My_l=-26.37
Tensioni nella sezione: σ=319.66 τ=39.01
CC 25 SLV (Collegamento 0021_-378)
Azioni sul collegamento: N=-7327.12 Ty=0.86 Tz=3.80 Mx=-0.03 Mz=1.85
Sollecitazioni agenti localmente: Ty_l=-1306.27 My_l=-26.79
Tensioni nella sezione: σ=324.71 τ=39.58
CC 25 SLV (Collegamento 0021_-378)
Azioni sul collegamento: N=-7327.12 Ty=3.80 Tz=3.80 Mx=-0.03 Mz=-2.93
Sollecitazioni agenti localmente: Ty_l=-1287.24 My_l=-26.37
Tensioni nella sezione: σ=319.66 τ=39.01
CC 26 SLD (Collegamento 0021_-378)
Azioni sul collegamento: N=-6311.53 Ty=3.62 Tz=-0.19 Mx=-0.01 Mz=2.27
Sollecitazioni agenti localmente: Ty_l=-1127.90 My_l=-23.13
Tensioni nella sezione: σ=280.42 τ=34.18
CC 26 SLD (Collegamento 0021_-378)
Azioni sul collegamento: N=-6311.53 Ty=2.73 Tz=-0.19 Mx=-0.01 Mz=0.81
Sollecitazioni agenti localmente: Ty_l=-1122.10 My_l=-23.01
Tensioni nella sezione: σ=278.88 τ=34.00
CC 26 SLD (Collegamento 0021_-378)
Azioni sul collegamento: N=-6311.53 Ty=3.62 Tz=1.73 Mx=-0.01 Mz=2.27
Sollecitazioni agenti localmente: Ty_l=-1127.90 My_l=-23.13
Tensioni nella sezione: σ=280.42 τ=34.18
CC 26 SLD (Collegamento 0021_-378)
Azioni sul collegamento: N=-6311.53 Ty=2.73 Tz=1.73 Mx=-0.01 Mz=0.81
Sollecitazioni agenti localmente: Ty_l=-1122.10 My_l=-23.01
Tensioni nella sezione: σ=278.88 τ=34.00
CC 26 SLD (Collegamento 0021_-378)
Azioni sul collegamento: N=-6801.33 Ty=3.62 Tz=-0.19 Mx=-0.01 Mz=2.27
Sollecitazioni agenti localmente: Ty_l=-1214.73 My_l=-24.91
Tensioni nella sezione: σ=302.00 τ=36.81
CC 26 SLD (Collegamento 0021_-378)
Azioni sul collegamento: N=-6801.33 Ty=2.73 Tz=-0.19 Mx=-0.01 Mz=0.81
Sollecitazioni agenti localmente: Ty_l=-1208.93 My_l=-24.79
Tensioni nella sezione: σ=300.45 τ=36.63
CC 26 SLD (Collegamento 0021_-378)
Azioni sul collegamento: N=-6801.33 Ty=3.62 Tz=1.73 Mx=-0.01 Mz=2.27
Sollecitazioni agenti localmente: Ty_l=-1214.73 My_l=-24.91
Tensioni nella sezione: σ=302.00 τ=36.81
CC 26 SLD (Collegamento 0021_-378)
Azioni sul collegamento: N=-6801.33 Ty=2.73 Tz=1.73 Mx=-0.01 Mz=0.81
Sollecitazioni agenti localmente: Ty_l=-1208.93 My_l=-24.79
Tensioni nella sezione: σ=300.46 τ=36.63
CC 27 SLV (Collegamento 0021_-378)
Azioni sul collegamento: N=-7308.17 Ty=1.68 Tz=3.37 Mx=-0.02 Mz=1.26
Sollecitazioni agenti localmente: Ty_l=-1300.53 My_l=-26.67
Tensioni nella sezione: σ=323.25 τ=39.41
CC 27 SLV (Collegamento 0021_-378)
Azioni sul collegamento: N=-7308.17 Ty=2.97 Tz=3.37 Mx=-0.02 Mz=-2.33
Sollecitazioni agenti localmente: Ty_l=-1286.26 My_l=-26.36
Tensioni nella sezione: σ=319.46 τ=38.98
CC 27 SLV (Collegamento 0021_-378)
Azioni sul collegamento: N=-7308.17 Ty=1.68 Tz=-2.08 Mx=-0.02 Mz=1.26
Sollecitazioni agenti localmente: Ty_l=-1300.53 My_l=-26.67
Tensioni nella sezione: σ=323.25 τ=39.41

CC 27 SLV (Collegamento 0021_-378)
Azioni sul collegamento: N=-7308.17 Ty=2.97 Tz=-2.08 Mx=-0.02 Mz=-2.33
Sollecitazioni agenti localmente: Ty_l=-1286.26 My_l=-26.36
Tensioni nella sezione: σ=319.46 τ=38.98
CC 27 SLV (Collegamento 0021_-378)
Azioni sul collegamento: N=-5739.78 Ty=1.68 Tz=3.37 Mx=-0.02 Mz=1.26
Sollecitazioni agenti localmente: Ty_l=-1022.50 My_l=-20.97
Tensioni nella sezione: σ=254.16 τ=30.98
CC 27 SLV (Collegamento 0021_-378)
Azioni sul collegamento: N=-5739.78 Ty=2.97 Tz=3.37 Mx=-0.02 Mz=-2.33
Sollecitazioni agenti localmente: Ty_l=-1008.23 My_l=-20.66
Tensioni nella sezione: σ=250.37 τ=30.55
CC 27 SLV (Collegamento 0021_-378)
Azioni sul collegamento: N=-5739.78 Ty=1.68 Tz=-2.08 Mx=-0.02 Mz=1.26
Sollecitazioni agenti localmente: Ty_l=-1022.50 My_l=-20.97
Tensioni nella sezione: σ=254.16 τ=30.98
CC 27 SLV (Collegamento 0021_-378)
Azioni sul collegamento: N=-5739.78 Ty=2.97 Tz=-2.08 Mx=-0.02 Mz=-2.33
Sollecitazioni agenti localmente: Ty_l=-1008.23 My_l=-20.66
Tensioni nella sezione: σ=250.37 τ=30.55
CC 28 SLD (Collegamento 0021_-378)
Azioni sul collegamento: N=-6795.56 Ty=3.37 Tz=1.60 Mx=-0.01 Mz=2.09
Sollecitazioni agenti localmente: Ty_l=-1212.98 My_l=-24.88
Tensioni nella sezione: σ=301.55 τ=36.76
CC 28 SLD (Collegamento 0021_-378)
Azioni sul collegamento: N=-6795.56 Ty=2.98 Tz=1.60 Mx=-0.01 Mz=1.00
Sollecitazioni agenti localmente: Ty_l=-1208.63 My_l=-24.78
Tensioni nella sezione: σ=300.39 τ=36.63
CC 28 SLD (Collegamento 0021_-378)
Azioni sul collegamento: N=-6795.56 Ty=3.37 Tz=-0.06 Mx=-0.01 Mz=2.09
Sollecitazioni agenti localmente: Ty_l=-1212.98 My_l=-24.88
Tensioni nella sezione: σ=301.55 τ=36.76
CC 28 SLD (Collegamento 0021_-378)
Azioni sul collegamento: N=-6795.56 Ty=2.98 Tz=-0.06 Mx=-0.01 Mz=1.00
Sollecitazioni agenti localmente: Ty_l=-1208.63 My_l=-24.78
Tensioni nella sezione: σ=300.39 τ=36.63
CC 28 SLD (Collegamento 0021_-378)
Azioni sul collegamento: N=-6317.30 Ty=3.37 Tz=1.60 Mx=-0.01 Mz=2.09
Sollecitazioni agenti localmente: Ty_l=-1128.20 My_l=-23.14
Tensioni nella sezione: σ=280.48 τ=34.19
CC 28 SLD (Collegamento 0021_-378)
Azioni sul collegamento: N=-6317.30 Ty=2.98 Tz=1.60 Mx=-0.01 Mz=1.00
Sollecitazioni agenti localmente: Ty_l=-1123.85 My_l=-23.04
Tensioni nella sezione: σ=279.33 τ=34.06
CC 28 SLD (Collegamento 0021_-378)
Azioni sul collegamento: N=-6317.30 Ty=3.37 Tz=-0.06 Mx=-0.01 Mz=2.09
Sollecitazioni agenti localmente: Ty_l=-1128.20 My_l=-23.14
Tensioni nella sezione: σ=280.48 τ=34.19
CC 28 SLD (Collegamento 0021_-378)
Azioni sul collegamento: N=-6317.30 Ty=2.98 Tz=-0.06 Mx=-0.01 Mz=1.00
Sollecitazioni agenti localmente: Ty_l=-1123.85 My_l=-23.04
Tensioni nella sezione: σ=279.33 τ=34.06
CC 29 SLV (Collegamento 0021_-378)
Azioni sul collegamento: N=-5739.78 Ty=2.97 Tz=-2.08 Mx=-0.01 Mz=-2.33
Sollecitazioni agenti localmente: Ty_l=-1008.23 My_l=-20.66
Tensioni nella sezione: σ=250.37 τ=30.55
CC 29 SLV (Collegamento 0021_-378)
Azioni sul collegamento: N=-5739.78 Ty=1.68 Tz=-2.08 Mx=-0.01 Mz=1.26
Sollecitazioni agenti localmente: Ty_l=-1022.50 My_l=-20.97
Tensioni nella sezione: σ=254.16 τ=30.98
CC 29 SLV (Collegamento 0021_-378)
Azioni sul collegamento: N=-5739.78 Ty=2.97 Tz=3.37 Mx=-0.01 Mz=-2.33
Sollecitazioni agenti localmente: Ty_l=-1008.23 My_l=-20.66
Tensioni nella sezione: σ=250.37 τ=30.55
CC 29 SLV (Collegamento 0021_-378)
Azioni sul collegamento: N=-5739.78 Ty=1.68 Tz=3.37 Mx=-0.01 Mz=1.26
Sollecitazioni agenti localmente: Ty_l=-1022.50 My_l=-20.97
Tensioni nella sezione: σ=254.16 τ=30.98
CC 29 SLV (Collegamento 0021_-378)
Azioni sul collegamento: N=-7308.17 Ty=2.97 Tz=-2.08 Mx=-0.01 Mz=-2.33
Sollecitazioni agenti localmente: Ty_l=-1286.26 My_l=-26.36
Tensioni nella sezione: σ=319.46 τ=38.98
CC 29 SLV (Collegamento 0021_-378)
Azioni sul collegamento: N=-7308.17 Ty=1.68 Tz=-2.08 Mx=-0.01 Mz=1.26
Sollecitazioni agenti localmente: Ty_l=-1300.53 My_l=-26.67
Tensioni nella sezione: σ=323.25 τ=39.41
CC 29 SLV (Collegamento 0021_-378)
Azioni sul collegamento: N=-7308.17 Ty=2.97 Tz=3.37 Mx=-0.01 Mz=-2.33
Sollecitazioni agenti localmente: Ty_l=-1286.26 My_l=-26.36

Tensioni nella sezione: σ=319.46 τ=38.98
CC 29 SLV (Collegamento 0021_-378)
Azioni sul collegamento: N=-7308.17 Ty=1.68 Tz=3.37 Mx=-0.01 Mz=1.26
Sollecitazioni agenti localmente: Ty_l=-1300.53 My_l=-26.67
Tensioni nella sezione: σ=323.25 τ=39.41
CC 30 SLD (Collegamento 0021_-378)
Azioni sul collegamento: N=-6317.30 Ty=2.98 Tz=-0.06 Mx=-0.01 Mz=1.00
Sollecitazioni agenti localmente: Ty_l=-1123.85 My_l=-23.04
Tensioni nella sezione: σ=279.33 τ=34.06
CC 30 SLD (Collegamento 0021_-378)
Azioni sul collegamento: N=-6317.30 Ty=3.37 Tz=-0.06 Mx=-0.01 Mz=2.09
Sollecitazioni agenti localmente: Ty_l=-1128.20 My_l=-23.14
Tensioni nella sezione: σ=280.48 τ=34.19
CC 30 SLD (Collegamento 0021_-378)
Azioni sul collegamento: N=-6317.30 Ty=2.98 Tz=1.60 Mx=-0.01 Mz=1.00
Sollecitazioni agenti localmente: Ty_l=-1123.85 My_l=-23.04
Tensioni nella sezione: σ=279.33 τ=34.06
CC 30 SLD (Collegamento 0021_-378)
Azioni sul collegamento: N=-6317.30 Ty=3.37 Tz=1.60 Mx=-0.01 Mz=2.09
Sollecitazioni agenti localmente: Ty_l=-1128.20 My_l=-23.14
Tensioni nella sezione: σ=280.48 τ=34.19
CC 30 SLD (Collegamento 0021_-378)
Azioni sul collegamento: N=-6795.56 Ty=2.98 Tz=-0.06 Mx=-0.01 Mz=1.00
Sollecitazioni agenti localmente: Ty_l=-1208.63 My_l=-24.78
Tensioni nella sezione: σ=300.39 τ=36.63
CC 30 SLD (Collegamento 0021_-378)
Azioni sul collegamento: N=-6795.56 Ty=3.37 Tz=-0.06 Mx=-0.01 Mz=2.09
Sollecitazioni agenti localmente: Ty_l=-1212.98 My_l=-24.88
Tensioni nella sezione: σ=301.55 τ=36.76
CC 30 SLD (Collegamento 0021_-378)
Azioni sul collegamento: N=-6795.56 Ty=2.98 Tz=1.60 Mx=-0.01 Mz=1.00
Sollecitazioni agenti localmente: Ty_l=-1208.63 My_l=-24.78
Tensioni nella sezione: σ=300.39 τ=36.63
CC 30 SLD (Collegamento 0021_-378)
Azioni sul collegamento: N=-6795.56 Ty=3.37 Tz=1.60 Mx=-0.01 Mz=2.09
Sollecitazioni agenti localmente: Ty_l=-1212.98 My_l=-24.88
Tensioni nella sezione: σ=301.55 τ=36.76
CC 31 SLV (Collegamento 0021_-378)
Azioni sul collegamento: N=-7327.12 Ty=3.80 Tz=3.80 Mx=-0.01 Mz=-2.93
Sollecitazioni agenti localmente: Ty_l=-1287.24 My_l=-26.37
Tensioni nella sezione: σ=319.66 τ=39.01
CC 31 SLV (Collegamento 0021_-378)
Azioni sul collegamento: N=-7327.12 Ty=0.86 Tz=3.80 Mx=-0.01 Mz=1.85
Sollecitazioni agenti localmente: Ty_l=-1306.27 My_l=-26.79
Tensioni nella sezione: σ=324.71 τ=39.58
CC 31 SLV (Collegamento 0021_-378)
Azioni sul collegamento: N=-7327.12 Ty=3.80 Tz=-2.51 Mx=-0.01 Mz=-2.93
Sollecitazioni agenti localmente: Ty_l=-1287.24 My_l=-26.37
Tensioni nella sezione: σ=319.66 τ=39.01
CC 31 SLV (Collegamento 0021_-378)
Azioni sul collegamento: N=-7327.12 Ty=0.86 Tz=-2.51 Mx=-0.01 Mz=1.85
Sollecitazioni agenti localmente: Ty_l=-1306.27 My_l=-26.79
Tensioni nella sezione: σ=324.71 τ=39.58
CC 31 SLV (Collegamento 0021_-378)
Azioni sul collegamento: N=-5720.83 Ty=3.80 Tz=3.80 Mx=-0.01 Mz=-2.93
Sollecitazioni agenti localmente: Ty_l=-1002.49 My_l=-20.53
Tensioni nella sezione: σ=248.91 τ=30.38
CC 31 SLV (Collegamento 0021_-378)
Azioni sul collegamento: N=-5720.83 Ty=0.86 Tz=3.80 Mx=-0.01 Mz=1.85
Sollecitazioni agenti localmente: Ty_l=-1021.52 My_l=-20.95
Tensioni nella sezione: σ=253.96 τ=30.96
CC 31 SLV (Collegamento 0021_-378)
Azioni sul collegamento: N=-5720.83 Ty=3.80 Tz=-2.51 Mx=-0.01 Mz=-2.93
Sollecitazioni agenti localmente: Ty_l=-1002.49 My_l=-20.53
Tensioni nella sezione: σ=248.91 τ=30.38
CC 31 SLV (Collegamento 0021_-378)
Azioni sul collegamento: N=-5720.83 Ty=0.86 Tz=-2.51 Mx=-0.01 Mz=1.85
Sollecitazioni agenti localmente: Ty_l=-1021.52 My_l=-20.95
Tensioni nella sezione: σ=253.96 τ=30.96
CC 32 SLD (Collegamento 0021_-378)
Azioni sul collegamento: N=-6801.33 Ty=2.73 Tz=1.73 Mx=-0.01 Mz=0.81
Sollecitazioni agenti localmente: Ty_l=-1208.93 My_l=-24.79
Tensioni nella sezione: σ=300.46 τ=36.63
CC 32 SLD (Collegamento 0021_-378)
Azioni sul collegamento: N=-6801.33 Ty=3.62 Tz=1.73 Mx=-0.01 Mz=2.27
Sollecitazioni agenti localmente: Ty_l=-1214.73 My_l=-24.91
Tensioni nella sezione: σ=302.00 τ=36.81
CC 32 SLD (Collegamento 0021_-378)
Azioni sul collegamento: N=-6801.33 Ty=2.73 Tz=-0.19 Mx=-0.01 Mz=0.81

Sollecitazioni agenti localmente: Ty_l=-1208.93 My_l=-24.79
Tensioni nella sezione: σ=300.45 τ=36.63
CC 32 SLD (Collegamento 0021_-378)
Azioni sul collegamento: N=-6801.33 Ty=3.62 Tz=-0.19 Mx=-0.01 Mz=2.27
Sollecitazioni agenti localmente: Ty_l=-1214.73 My_l=-24.91
Tensioni nella sezione: σ=302.00 τ=36.81
CC 32 SLD (Collegamento 0021_-378)
Azioni sul collegamento: N=-6311.53 Ty=2.73 Tz=1.73 Mx=-0.01 Mz=0.81
Sollecitazioni agenti localmente: Ty_l=-1122.10 My_l=-23.01
Tensioni nella sezione: σ=278.88 τ=34.00
CC 32 SLD (Collegamento 0021_-378)
Azioni sul collegamento: N=-6311.53 Ty=3.62 Tz=1.73 Mx=-0.01 Mz=2.27
Sollecitazioni agenti localmente: Ty_l=-1127.90 My_l=-23.13
Tensioni nella sezione: σ=280.42 τ=34.18
CC 32 SLD (Collegamento 0021_-378)
Azioni sul collegamento: N=-6311.53 Ty=2.73 Tz=-0.19 Mx=-0.01 Mz=0.81
Sollecitazioni agenti localmente: Ty_l=-1122.10 My_l=-23.01
Tensioni nella sezione: σ=278.88 τ=34.00
CC 32 SLD (Collegamento 0021_-378)
Azioni sul collegamento: N=-6311.53 Ty=3.62 Tz=-0.19 Mx=-0.01 Mz=2.27
Sollecitazioni agenti localmente: Ty_l=-1127.90 My_l=-23.13
Tensioni nella sezione: σ=280.42 τ=34.18
CC 33 SLU (Collegamento 0021_-378)
Azioni sul collegamento: N=-30888.30 Ty=5.44 Tz=82.02 Mx=-0.01 Mz=3.71
Sollecitazioni agenti localmente: Ty_l=-5490.40 My_l=-112.57
Tensioni nella sezione: σ=1364.53 τ=166.38
CC 34 SLU (Collegamento 0021_-378)
Azioni sul collegamento: N=-30337.70 Ty=5.16 Tz=79.98 Mx=-0.01 Mz=3.50
Sollecitazioni agenti localmente: Ty_l=-5391.98 My_l=-110.56
Tensioni nella sezione: σ=1340.06 τ=163.39
CC 35 SLU (Collegamento 0021_-378)
Azioni sul collegamento: N=-30612.00 Ty=5.19 Tz=81.02 Mx=-0.01 Mz=3.39
Sollecitazioni agenti localmente: Ty_l=-5440.15 My_l=-111.54
Tensioni nella sezione: σ=1352.02 τ=164.85
CC 36 SLU (Collegamento 0021_-378)
Azioni sul collegamento: N=-30614.00 Ty=5.41 Tz=80.97 Mx=-0.01 Mz=3.82
Sollecitazioni agenti localmente: Ty_l=-5442.23 My_l=-111.59
Tensioni nella sezione: σ=1352.57 τ=164.92
CC 37 SLU (Collegamento 0021_-378)
Azioni sul collegamento: N=-21597.10 Ty=6.32 Tz=47.86 Mx=-0.01 Mz=4.34
Sollecitazioni agenti localmente: Ty_l=-3845.84 My_l=-78.86
Tensioni nella sezione: σ=955.93 τ=116.54
CC 38 SLU (Collegamento 0021_-378)
Azioni sul collegamento: N=-21046.60 Ty=6.03 Tz=45.82 Mx=-0.01 Mz=4.13
Sollecitazioni agenti localmente: Ty_l=-3747.42 My_l=-76.85
Tensioni nella sezione: σ=931.46 τ=113.56
CC 39 SLU (Collegamento 0021_-378)
Azioni sul collegamento: N=-21320.90 Ty=6.07 Tz=46.87 Mx=-0.01 Mz=4.02
Sollecitazioni agenti localmente: Ty_l=-3795.59 My_l=-77.83
Tensioni nella sezione: σ=943.42 τ=115.02
CC 40 SLU (Collegamento 0021_-378)
Azioni sul collegamento: N=-21322.80 Ty=6.29 Tz=46.82 Mx=-0.01 Mz=4.45
Sollecitazioni agenti localmente: Ty_l=-3797.67 My_l=-77.88
Tensioni nella sezione: σ=943.97 τ=115.08
CC 41 SLU (Collegamento 0021_-378)
Azioni sul collegamento: N=-32817.40 Ty=5.33 Tz=88.46 Mx=0.00 Mz=3.76
Sollecitazioni agenti localmente: Ty_l=-5832.60 My_l=-119.59
Tensioni nella sezione: σ=1449.57 τ=176.75
CC 42 SLU (Collegamento 0021_-378)
Azioni sul collegamento: N=-32266.90 Ty=5.04 Tz=86.42 Mx=0.00 Mz=3.56
Sollecitazioni agenti localmente: Ty_l=-5734.18 My_l=-117.57
Tensioni nella sezione: σ=1425.10 τ=173.76
CC 43 SLU (Collegamento 0021_-378)
Azioni sul collegamento: N=-32541.20 Ty=5.08 Tz=87.47 Mx=0.00 Mz=3.44
Sollecitazioni agenti localmente: Ty_l=-5782.35 My_l=-118.56
Tensioni nella sezione: σ=1437.06 τ=175.22
CC 44 SLU (Collegamento 0021_-378)
Azioni sul collegamento: N=-32543.10 Ty=5.30 Tz=87.42 Mx=0.00 Mz=3.88
Sollecitazioni agenti localmente: Ty_l=-5784.43 My_l=-118.60
Tensioni nella sezione: σ=1437.61 τ=175.29
CC 45 SLU (Collegamento 0021_-378)
Azioni sul collegamento: N=-23689.50 Ty=6.01 Tz=55.60 Mx=-0.01 Mz=4.17
Sollecitazioni agenti localmente: Ty_l=-4216.07 My_l=-86.45
Tensioni nella sezione: σ=1047.91 τ=127.76
CC 46 SLU (Collegamento 0021_-378)
Azioni sul collegamento: N=-23139.00 Ty=5.73 Tz=53.57 Mx=-0.01 Mz=3.96
Sollecitazioni agenti localmente: Ty_l=-4117.66 My_l=-84.43
Tensioni nella sezione: σ=1023.44 τ=124.78
CC 47 SLU (Collegamento 0021_-378)

Azioni sul collegamento: N=-23413.30 Ty=5.76 Tz=54.61 Mx=-0.01 Mz=3.84
Sollecitazioni agenti localmente: Ty_l=-4165.82 My_l=-85.42
Tensioni nella sezione: σ=1035.40 τ=126.24
CC 48 SLU (Collegamento 0021_-378)
Azioni sul collegamento: N=-23415.20 Ty=5.98 Tz=54.56 Mx=-0.01 Mz=4.28
Sollecitazioni agenti localmente: Ty_l=-4167.90 My_l=-85.47
Tensioni nella sezione: σ=1035.95 τ=126.30
CC 49 SLU (Collegamento 0021_-378)
Azioni sul collegamento: N=-16738.30 Ty=6.67 Tz=30.05 Mx=-0.01 Mz=4.64
Sollecitazioni agenti localmente: Ty_l=-2985.70 My_l=-61.23
Tensioni nella sezione: σ=742.21 τ=90.48
CC 50 SLU (Collegamento 0021_-378)
Azioni sul collegamento: N=-16187.80 Ty=6.38 Tz=28.01 Mx=-0.01 Mz=4.43
Sollecitazioni agenti localmente: Ty_l=-2887.28 My_l=-59.21
Tensioni nella sezione: σ=717.75 τ=87.49
CC 51 SLU (Collegamento 0021_-378)
Azioni sul collegamento: N=-16462.10 Ty=6.42 Tz=29.05 Mx=-0.01 Mz=4.32
Sollecitazioni agenti localmente: Ty_l=-2935.45 My_l=-60.20
Tensioni nella sezione: σ=729.71 τ=88.95
CC 52 SLU (Collegamento 0021_-378)
Azioni sul collegamento: N=-16464.00 Ty=6.64 Tz=29.01 Mx=-0.01 Mz=4.75
Sollecitazioni agenti localmente: Ty_l=-2937.53 My_l=-60.25
Tensioni nella sezione: σ=730.25 τ=89.02
CC 53 SLU (Collegamento 0021_-378)
Azioni sul collegamento: N=-25132.80 Ty=5.93 Tz=60.42 Mx=-0.00 Mz=4.21
Sollecitazioni agenti localmente: Ty_l=-4472.09 My_l=-91.70
Tensioni nella sezione: σ=1111.53 τ=135.52
CC 54 SLU (Collegamento 0021_-378)
Azioni sul collegamento: N=-24582.20 Ty=5.64 Tz=58.39 Mx=-0.00 Mz=4.00
Sollecitazioni agenti localmente: Ty_l=-4373.67 My_l=-89.68
Tensioni nella sezione: σ=1087.06 τ=132.54
CC 55 SLU (Collegamento 0021_-378)
Azioni sul collegamento: N=-24856.50 Ty=5.68 Tz=59.43 Mx=0.00 Mz=3.89
Sollecitazioni agenti localmente: Ty_l=-4421.84 My_l=-90.67
Tensioni nella sezione: σ=1099.02 τ=134.00
CC 56 SLU (Collegamento 0021_-378)
Azioni sul collegamento: N=-24858.50 Ty=5.89 Tz=59.38 Mx=-0.00 Mz=4.32
Sollecitazioni agenti localmente: Ty_l=-4423.92 My_l=-90.71
Tensioni nella sezione: σ=1099.57 τ=134.06
CC 57 SLU (Collegamento 0021_-378)
Azioni sul collegamento: N=-22071.60 Ty=5.40 Tz=49.65 Mx=-0.01 Mz=3.73
Sollecitazioni agenti localmente: Ty_l=-3927.54 My_l=-80.54
Tensioni nella sezione: σ=976.19 τ=119.02
CC 58 SLU (Collegamento 0021_-378)
Azioni sul collegamento: N=-21521.10 Ty=5.11 Tz=47.61 Mx=-0.01 Mz=3.53
Sollecitazioni agenti localmente: Ty_l=-3829.12 My_l=-78.52
Tensioni nella sezione: σ=951.72 τ=116.03
CC 59 SLU (Collegamento 0021_-378)
Azioni sul collegamento: N=-21795.30 Ty=5.15 Tz=48.65 Mx=-0.01 Mz=3.41
Sollecitazioni agenti localmente: Ty_l=-3877.29 My_l=-79.50
Tensioni nella sezione: σ=963.68 τ=117.49
CC 60 SLU (Collegamento 0021_-378)
Azioni sul collegamento: N=-21797.30 Ty=5.37 Tz=48.60 Mx=-0.01 Mz=3.85
Sollecitazioni agenti localmente: Ty_l=-3879.37 My_l=-79.55
Tensioni nella sezione: σ=964.22 τ=117.56
CC 61 SLU (Collegamento 0021_-378)
Azioni sul collegamento: N=-15120.40 Ty=6.06 Tz=24.09 Mx=-0.01 Mz=4.21
Sollecitazioni agenti localmente: Ty_l=-2697.17 My_l=-55.32
Tensioni nella sezione: σ=670.49 τ=81.73
CC 62 SLU (Collegamento 0021_-378)
Azioni sul collegamento: N=-14569.90 Ty=5.77 Tz=22.06 Mx=-0.01 Mz=4.00
Sollecitazioni agenti localmente: Ty_l=-2598.75 My_l=-53.30
Tensioni nella sezione: σ=646.02 τ=78.75
CC 63 SLU (Collegamento 0021_-378)
Azioni sul collegamento: N=-14844.20 Ty=5.80 Tz=23.10 Mx=-0.01 Mz=3.88
Sollecitazioni agenti localmente: Ty_l=-2646.92 My_l=-54.28
Tensioni nella sezione: σ=657.98 τ=80.21
CC 64 SLU (Collegamento 0021_-378)
Azioni sul collegamento: N=-14846.10 Ty=6.02 Tz=23.05 Mx=-0.01 Mz=4.32
Sollecitazioni agenti localmente: Ty_l=-2649.00 My_l=-54.33
Tensioni nella sezione: σ=658.53 τ=80.27
CC 65 SLU (Collegamento 0021_-378)
Azioni sul collegamento: N=-23514.90 Ty=5.31 Tz=54.47 Mx=0.00 Mz=3.77
Sollecitazioni agenti localmente: Ty_l=-4183.55 My_l=-85.78
Tensioni nella sezione: σ=1039.80 τ=126.77
CC 66 SLU (Collegamento 0021_-378)
Azioni sul collegamento: N=-22964.30 Ty=5.03 Tz=52.43 Mx=0.00 Mz=3.57
Sollecitazioni agenti localmente: Ty_l=-4085.14 My_l=-83.77
Tensioni nella sezione: σ=1015.34 τ=123.79

CC 67 SLU (Collegamento 0021_-378)
Azioni sul collegamento: N=-23238.60 Ty=5.06 Tz=53.47 Mx=0.00 Mz=3.45
Sollecitazioni agenti localmente: Ty_l=-4133.31 My_l=-84.75
Tensioni nella sezione: σ=1027.30 τ=125.25
CC 68 SLU (Collegamento 0021_-378)
Azioni sul collegamento: N=-23240.60 Ty=5.28 Tz=53.43 Mx=-0.00 Mz=3.89
Sollecitazioni agenti localmente: Ty_l=-4135.39 My_l=-84.80
Tensioni nella sezione: σ=1027.84 τ=125.31
CC 97 SLU (Collegamento 0021_-378)
Azioni sul collegamento: N=-18052.20 Ty=-0.34 Tz=43.06 Mx=-0.05 Mz=-8.83
Sollecitazioni agenti localmente: Ty_l=-3165.04 My_l=-64.83
Tensioni nella sezione: σ=785.87 τ=95.91
CC 98 SLU (Collegamento 0021_-378)
Azioni sul collegamento: N=-17501.60 Ty=-0.63 Tz=41.02 Mx=-0.05 Mz=-9.04
Sollecitazioni agenti localmente: Ty_l=-3066.62 My_l=-62.82
Tensioni nella sezione: σ=761.40 τ=92.93
CC 99 SLU (Collegamento 0021_-378)
Azioni sul collegamento: N=-17775.90 Ty=-0.60 Tz=42.06 Mx=-0.05 Mz=-9.15
Sollecitazioni agenti localmente: Ty_l=-3114.79 My_l=-63.80
Tensioni nella sezione: σ=773.36 τ=94.39
CC 100 SLU (Collegamento 0021_-378)
Azioni sul collegamento: N=-17777.90 Ty=-0.38 Tz=42.01 Mx=-0.05 Mz=-8.71
Sollecitazioni agenti localmente: Ty_l=-3116.87 My_l=-63.85
Tensioni nella sezione: σ=773.91 τ=94.45
CC 101 SLU (Collegamento 0021_-378)
Azioni sul collegamento: N=-7136.43 Ty=4.37 Tz=2.96 Mx=0.00 Mz=3.85
Sollecitazioni agenti localmente: Ty_l=-1280.40 My_l=-26.27
Tensioni nella sezione: σ=318.42 τ=38.80
CC 102 SLU (Collegamento 0021_-378)
Azioni sul collegamento: N=-6585.90 Ty=4.08 Tz=0.92 Mx=0.00 Mz=3.64
Sollecitazioni agenti localmente: Ty_l=-1181.98 My_l=-24.25
Tensioni nella sezione: σ=293.95 τ=35.82
CC 103 SLU (Collegamento 0021_-378)
Azioni sul collegamento: N=-6860.19 Ty=4.11 Tz=1.96 Mx=0.00 Mz=3.53
Sollecitazioni agenti localmente: Ty_l=-1230.15 My_l=-25.24
Tensioni nella sezione: σ=305.91 τ=37.28
CC 104 SLU (Collegamento 0021_-378)
Azioni sul collegamento: N=-6862.15 Ty=4.33 Tz=1.92 Mx=0.00 Mz=3.96
Sollecitazioni agenti localmente: Ty_l=-1232.23 My_l=-25.28
Tensioni nella sezione: σ=306.46 τ=37.34

Flessione attacco sinistro piastra

Bnetta=220.00 Hnetta=15.00
CC 1 SLV (Collegamento 0021_-378)
Azioni sul collegamento: N=-3968.96 Ty=6.45 Tz=-8.85 Mx=0.01 Mz=7.08
Sollecitazioni agenti localmente: Ty_l=-675.44 My_l=-13.81
Tensioni nella sezione: σ=167.36 τ=20.47
CC 1 SLV (Collegamento 0021_-378)
Azioni sul collegamento: N=-3968.96 Ty=3.07 Tz=-8.85 Mx=0.01 Mz=3.83
Sollecitazioni agenti localmente: Ty_l=-688.36 My_l=-14.09
Tensioni nella sezione: σ=170.79 τ=20.86
CC 1 SLV (Collegamento 0021_-378)
Azioni sul collegamento: N=-3968.96 Ty=6.45 Tz=10.87 Mx=0.01 Mz=7.08
Sollecitazioni agenti localmente: Ty_l=-675.44 My_l=-13.81
Tensioni nella sezione: σ=167.36 τ=20.47
CC 1 SLV (Collegamento 0021_-378)
Azioni sul collegamento: N=-3968.96 Ty=3.07 Tz=10.87 Mx=0.01 Mz=3.83
Sollecitazioni agenti localmente: Ty_l=-688.36 My_l=-14.09
Tensioni nella sezione: σ=170.79 τ=20.86
CC 1 SLV (Collegamento 0021_-378)
Azioni sul collegamento: N=-9265.76 Ty=6.45 Tz=-8.85 Mx=0.01 Mz=7.08
Sollecitazioni agenti localmente: Ty_l=-1614.42 My_l=-33.06
Tensioni nella sezione: σ=400.68 τ=48.92
CC 1 SLV (Collegamento 0021_-378)
Azioni sul collegamento: N=-9265.76 Ty=3.07 Tz=-8.85 Mx=0.01 Mz=3.83
Sollecitazioni agenti localmente: Ty_l=-1627.34 My_l=-33.34
Tensioni nella sezione: σ=404.11 τ=49.31
CC 1 SLV (Collegamento 0021_-378)
Azioni sul collegamento: N=-9265.76 Ty=6.45 Tz=10.87 Mx=0.01 Mz=7.08
Sollecitazioni agenti localmente: Ty_l=-1614.42 My_l=-33.06
Tensioni nella sezione: σ=400.68 τ=48.92
CC 1 SLV (Collegamento 0021_-378)
Azioni sul collegamento: N=-9265.76 Ty=3.07 Tz=10.87 Mx=0.01 Mz=3.83
Sollecitazioni agenti localmente: Ty_l=-1627.34 My_l=-33.34
Tensioni nella sezione: σ=404.11 τ=49.31
CC 2 SLD (Collegamento 0021_-378)
Azioni sul collegamento: N=-5777.33 Ty=4.43 Tz=-2.12 Mx=0.00 Mz=3.87
Sollecitazioni agenti localmente: Ty_l=-1008.79 My_l=-20.66

Tensioni nella sezione: σ=250.41 τ=30.57
CC 2 SLD (Collegamento 0021_-378)
Azioni sul collegamento: N=-5777.33 Ty=3.40 Tz=-2.12 Mx=0.00 Mz=2.88
Sollecitazioni agenti localmente: Ty_l=-1012.73 My_l=-20.74
Tensioni nella sezione: σ=251.45 τ=30.69
CC 2 SLD (Collegamento 0021_-378)
Azioni sul collegamento: N=-5777.32 Ty=4.43 Tz=3.89 Mx=0.00 Mz=3.87
Sollecitazioni agenti localmente: Ty_l=-1008.79 My_l=-20.66
Tensioni nella sezione: σ=250.41 τ=30.57
CC 2 SLD (Collegamento 0021_-378)
Azioni sul collegamento: N=-5777.32 Ty=3.40 Tz=3.89 Mx=0.00 Mz=2.88
Sollecitazioni agenti localmente: Ty_l=-1012.73 My_l=-20.74
Tensioni nella sezione: σ=251.45 τ=30.69
CC 2 SLD (Collegamento 0021_-378)
Azioni sul collegamento: N=-7392.49 Ty=4.43 Tz=-2.12 Mx=0.00 Mz=3.87
Sollecitazioni agenti localmente: Ty_l=-1295.11 My_l=-26.53
Tensioni nella sezione: σ=321.56 τ=39.25
CC 2 SLD (Collegamento 0021_-378)
Azioni sul collegamento: N=-7392.49 Ty=3.40 Tz=-2.12 Mx=0.00 Mz=2.88
Sollecitazioni agenti localmente: Ty_l=-1299.05 My_l=-26.61
Tensioni nella sezione: σ=322.60 τ=39.37
CC 2 SLD (Collegamento 0021_-378)
Azioni sul collegamento: N=-7392.49 Ty=4.43 Tz=3.89 Mx=0.00 Mz=3.87
Sollecitazioni agenti localmente: Ty_l=-1295.11 My_l=-26.53
Tensioni nella sezione: σ=321.56 τ=39.25
CC 2 SLD (Collegamento 0021_-378)
Azioni sul collegamento: N=-7392.49 Ty=3.40 Tz=3.89 Mx=0.00 Mz=2.88
Sollecitazioni agenti localmente: Ty_l=-1299.05 My_l=-26.61
Tensioni nella sezione: σ=322.60 τ=39.37
CC 3 SLV (Collegamento 0021_-378)
Azioni sul collegamento: N=-3974.64 Ty=5.81 Tz=-8.72 Mx=0.01 Mz=5.82
Sollecitazioni agenti localmente: Ty_l=-681.45 My_l=-13.94
Tensioni nella sezione: σ=168.94 τ=20.65
CC 3 SLV (Collegamento 0021_-378)
Azioni sul collegamento: N=-3974.64 Ty=3.70 Tz=-8.72 Mx=0.01 Mz=5.08
Sollecitazioni agenti localmente: Ty_l=-684.37 My_l=-14.00
Tensioni nella sezione: σ=169.71 τ=20.74
CC 3 SLV (Collegamento 0021_-378)
Azioni sul collegamento: N=-3974.64 Ty=5.81 Tz=10.74 Mx=0.01 Mz=5.82
Sollecitazioni agenti localmente: Ty_l=-681.45 My_l=-13.94
Tensioni nella sezione: σ=168.94 τ=20.65
CC 3 SLV (Collegamento 0021_-378)
Azioni sul collegamento: N=-3974.64 Ty=3.70 Tz=10.74 Mx=0.01 Mz=5.08
Sollecitazioni agenti localmente: Ty_l=-684.37 My_l=-14.00
Tensioni nella sezione: σ=169.71 τ=20.74
CC 3 SLV (Collegamento 0021_-378)
Azioni sul collegamento: N=-9260.08 Ty=5.81 Tz=-8.72 Mx=0.01 Mz=5.82
Sollecitazioni agenti localmente: Ty_l=-1618.41 My_l=-33.15
Tensioni nella sezione: σ=401.76 τ=49.04
CC 3 SLV (Collegamento 0021_-378)
Azioni sul collegamento: N=-9260.08 Ty=3.70 Tz=-8.72 Mx=0.01 Mz=5.08
Sollecitazioni agenti localmente: Ty_l=-1621.34 My_l=-33.21
Tensioni nella sezione: σ=402.53 τ=49.13
CC 3 SLV (Collegamento 0021_-378)
Azioni sul collegamento: N=-9260.08 Ty=5.81 Tz=10.74 Mx=0.01 Mz=5.82
Sollecitazioni agenti localmente: Ty_l=-1618.41 My_l=-33.15
Tensioni nella sezione: σ=401.76 τ=49.04
CC 3 SLV (Collegamento 0021_-378)
Azioni sul collegamento: N=-9260.08 Ty=3.70 Tz=10.74 Mx=0.01 Mz=5.08
Sollecitazioni agenti localmente: Ty_l=-1621.34 My_l=-33.21
Tensioni nella sezione: σ=402.53 τ=49.13
CC 4 SLD (Collegamento 0021_-378)
Azioni sul collegamento: N=-5779.06 Ty=4.24 Tz=-2.08 Mx=0.00 Mz=3.48
Sollecitazioni agenti localmente: Ty_l=-1010.62 My_l=-20.70
Tensioni nella sezione: σ=250.89 τ=30.62
CC 4 SLD (Collegamento 0021_-378)
Azioni sul collegamento: N=-5779.06 Ty=3.59 Tz=-2.08 Mx=0.00 Mz=3.26
Sollecitazioni agenti localmente: Ty_l=-1011.51 My_l=-20.72
Tensioni nella sezione: σ=251.13 τ=30.65
CC 4 SLD (Collegamento 0021_-378)
Azioni sul collegamento: N=-5779.06 Ty=4.24 Tz=3.85 Mx=0.00 Mz=3.48
Sollecitazioni agenti localmente: Ty_l=-1010.62 My_l=-20.70
Tensioni nella sezione: σ=250.89 τ=30.62
CC 4 SLD (Collegamento 0021_-378)
Azioni sul collegamento: N=-5779.06 Ty=3.59 Tz=3.85 Mx=0.00 Mz=3.26
Sollecitazioni agenti localmente: Ty_l=-1011.51 My_l=-20.72
Tensioni nella sezione: σ=251.13 τ=30.65
CC 4 SLD (Collegamento 0021_-378)
Azioni sul collegamento: N=-7390.75 Ty=4.24 Tz=-2.08 Mx=0.00 Mz=3.48

Sollecitazioni agenti localmente: Ty_l=-1296.33 My_l=-26.56
Tensioni nella sezione: σ=321.88 τ=39.28
CC 4 SLD (Collegamento 0021_-378)
Azioni sul collegamento: N=-7390.75 Ty=3.59 Tz=-2.08 Mx=0.00 Mz=3.26
Sollecitazioni agenti localmente: Ty_l=-1297.22 My_l=-26.57
Tensioni nella sezione: σ=322.12 τ=39.31
CC 4 SLD (Collegamento 0021_-378)
Azioni sul collegamento: N=-7390.75 Ty=4.24 Tz=3.85 Mx=0.00 Mz=3.48
Sollecitazioni agenti localmente: Ty_l=-1296.33 My_l=-26.56
Tensioni nella sezione: σ=321.88 τ=39.28
CC 4 SLD (Collegamento 0021_-378)
Azioni sul collegamento: N=-7390.75 Ty=3.59 Tz=3.85 Mx=0.00 Mz=3.26
Sollecitazioni agenti localmente: Ty_l=-1297.22 My_l=-26.57
Tensioni nella sezione: σ=322.12 τ=39.31
CC 5 SLV (Collegamento 0021_-378)
Azioni sul collegamento: N=-9260.08 Ty=3.70 Tz=10.74 Mx=0.01 Mz=5.08
Sollecitazioni agenti localmente: Ty_l=-1621.34 My_l=-33.21
Tensioni nella sezione: σ=402.53 τ=49.13
CC 5 SLV (Collegamento 0021_-378)
Azioni sul collegamento: N=-9260.08 Ty=5.81 Tz=10.74 Mx=0.01 Mz=5.82
Sollecitazioni agenti localmente: Ty_l=-1618.41 My_l=-33.15
Tensioni nella sezione: σ=401.76 τ=49.04
CC 5 SLV (Collegamento 0021_-378)
Azioni sul collegamento: N=-9260.08 Ty=3.70 Tz=-8.72 Mx=0.01 Mz=5.08
Sollecitazioni agenti localmente: Ty_l=-1621.34 My_l=-33.21
Tensioni nella sezione: σ=402.53 τ=49.13
CC 5 SLV (Collegamento 0021_-378)
Azioni sul collegamento: N=-9260.08 Ty=5.81 Tz=-8.72 Mx=0.01 Mz=5.82
Sollecitazioni agenti localmente: Ty_l=-1618.41 My_l=-33.15
Tensioni nella sezione: σ=401.76 τ=49.04
CC 5 SLV (Collegamento 0021_-378)
Azioni sul collegamento: N=-3974.64 Ty=3.70 Tz=10.74 Mx=0.01 Mz=5.08
Sollecitazioni agenti localmente: Ty_l=-684.37 My_l=-14.00
Tensioni nella sezione: σ=169.71 τ=20.74
CC 5 SLV (Collegamento 0021_-378)
Azioni sul collegamento: N=-3974.64 Ty=5.81 Tz=10.74 Mx=0.01 Mz=5.82
Sollecitazioni agenti localmente: Ty_l=-681.45 My_l=-13.94
Tensioni nella sezione: σ=168.94 τ=20.65
CC 5 SLV (Collegamento 0021_-378)
Azioni sul collegamento: N=-3974.64 Ty=3.70 Tz=-8.72 Mx=0.01 Mz=5.08
Sollecitazioni agenti localmente: Ty_l=-684.37 My_l=-14.00
Tensioni nella sezione: σ=169.71 τ=20.74
CC 5 SLV (Collegamento 0021_-378)
Azioni sul collegamento: N=-3974.64 Ty=5.81 Tz=-8.72 Mx=0.01 Mz=5.82
Sollecitazioni agenti localmente: Ty_l=-681.45 My_l=-13.94
Tensioni nella sezione: σ=168.94 τ=20.65
CC 6 SLD (Collegamento 0021_-378)
Azioni sul collegamento: N=-7390.75 Ty=3.59 Tz=3.85 Mx=0.00 Mz=3.26
Sollecitazioni agenti localmente: Ty_l=-1297.22 My_l=-26.57
Tensioni nella sezione: σ=322.12 τ=39.31
CC 6 SLD (Collegamento 0021_-378)
Azioni sul collegamento: N=-7390.75 Ty=4.24 Tz=3.85 Mx=0.00 Mz=3.48
Sollecitazioni agenti localmente: Ty_l=-1296.33 My_l=-26.56
Tensioni nella sezione: σ=321.88 τ=39.28
CC 6 SLD (Collegamento 0021_-378)
Azioni sul collegamento: N=-7390.75 Ty=3.59 Tz=-2.08 Mx=0.00 Mz=3.26
Sollecitazioni agenti localmente: Ty_l=-1297.22 My_l=-26.57
Tensioni nella sezione: σ=322.12 τ=39.31
CC 6 SLD (Collegamento 0021_-378)
Azioni sul collegamento: N=-7390.75 Ty=4.24 Tz=-2.08 Mx=0.00 Mz=3.48
Sollecitazioni agenti localmente: Ty_l=-1296.33 My_l=-26.56
Tensioni nella sezione: σ=321.88 τ=39.28
CC 6 SLD (Collegamento 0021_-378)
Azioni sul collegamento: N=-5779.06 Ty=3.59 Tz=3.85 Mx=0.00 Mz=3.26
Sollecitazioni agenti localmente: Ty_l=-1011.51 My_l=-20.72
Tensioni nella sezione: σ=251.13 τ=30.65
CC 6 SLD (Collegamento 0021_-378)
Azioni sul collegamento: N=-5779.06 Ty=4.24 Tz=3.85 Mx=0.00 Mz=3.48
Sollecitazioni agenti localmente: Ty_l=-1010.62 My_l=-20.70
Tensioni nella sezione: σ=250.89 τ=30.62
CC 6 SLD (Collegamento 0021_-378)
Azioni sul collegamento: N=-5779.06 Ty=3.59 Tz=-2.08 Mx=0.00 Mz=3.26
Sollecitazioni agenti localmente: Ty_l=-1011.51 My_l=-20.72
Tensioni nella sezione: σ=251.13 τ=30.65
CC 6 SLD (Collegamento 0021_-378)
Azioni sul collegamento: N=-5779.06 Ty=4.24 Tz=-2.08 Mx=0.00 Mz=3.48
Sollecitazioni agenti localmente: Ty_l=-1010.62 My_l=-20.70
Tensioni nella sezione: σ=250.89 τ=30.62
CC 7 SLV (Collegamento 0021_-378)

Azioni sul collegamento: N=-9265.76 Ty=3.07 Tz=10.87 Mx=0.01 Mz=3.83
Sollecitazioni agenti localmente: Ty_l=-1627.34 My_l=-33.34
Tensioni nella sezione: σ=404.11 τ=49.31
CC 7 SLV (Collegamento 0021_-378)
Azioni sul collegamento: N=-9265.76 Ty=6.45 Tz=10.87 Mx=0.01 Mz=7.08
Sollecitazioni agenti localmente: Ty_l=-1614.42 My_l=-33.06
Tensioni nella sezione: σ=400.68 τ=48.92
CC 7 SLV (Collegamento 0021_-378)
Azioni sul collegamento: N=-9265.76 Ty=3.07 Tz=-8.85 Mx=0.01 Mz=3.83
Sollecitazioni agenti localmente: Ty_l=-1627.34 My_l=-33.34
Tensioni nella sezione: σ=404.11 τ=49.31
CC 7 SLV (Collegamento 0021_-378)
Azioni sul collegamento: N=-9265.76 Ty=6.45 Tz=-8.85 Mx=0.01 Mz=7.08
Sollecitazioni agenti localmente: Ty_l=-1614.42 My_l=-33.06
Tensioni nella sezione: σ=400.68 τ=48.92
CC 7 SLV (Collegamento 0021_-378)
Azioni sul collegamento: N=-3968.96 Ty=3.07 Tz=10.87 Mx=0.01 Mz=3.83
Sollecitazioni agenti localmente: Ty_l=-688.36 My_l=-14.09
Tensioni nella sezione: σ=170.79 τ=20.86
CC 7 SLV (Collegamento 0021_-378)
Azioni sul collegamento: N=-3968.96 Ty=6.45 Tz=10.87 Mx=0.01 Mz=7.08
Sollecitazioni agenti localmente: Ty_l=-675.44 My_l=-13.81
Tensioni nella sezione: σ=167.36 τ=20.47
CC 7 SLV (Collegamento 0021_-378)
Azioni sul collegamento: N=-3968.96 Ty=3.07 Tz=-8.85 Mx=0.01 Mz=3.83
Sollecitazioni agenti localmente: Ty_l=-688.36 My_l=-14.09
Tensioni nella sezione: σ=170.79 τ=20.86
CC 7 SLV (Collegamento 0021_-378)
Azioni sul collegamento: N=-3968.96 Ty=6.45 Tz=-8.85 Mx=0.01 Mz=7.08
Sollecitazioni agenti localmente: Ty_l=-675.44 My_l=-13.81
Tensioni nella sezione: σ=167.36 τ=20.47
CC 8 SLD (Collegamento 0021_-378)
Azioni sul collegamento: N=-7392.49 Ty=3.40 Tz=3.89 Mx=-0.00 Mz=2.88
Sollecitazioni agenti localmente: Ty_l=-1299.05 My_l=-26.61
Tensioni nella sezione: σ=322.60 τ=39.37
CC 8 SLD (Collegamento 0021_-378)
Azioni sul collegamento: N=-7392.49 Ty=4.43 Tz=3.89 Mx=-0.00 Mz=3.87
Sollecitazioni agenti localmente: Ty_l=-1295.11 My_l=-26.53
Tensioni nella sezione: σ=321.56 τ=39.25
CC 8 SLD (Collegamento 0021_-378)
Azioni sul collegamento: N=-7392.49 Ty=3.40 Tz=-2.12 Mx=-0.00 Mz=2.88
Sollecitazioni agenti localmente: Ty_l=-1299.05 My_l=-26.61
Tensioni nella sezione: σ=322.60 τ=39.37
CC 8 SLD (Collegamento 0021_-378)
Azioni sul collegamento: N=-7392.49 Ty=4.43 Tz=-2.12 Mx=-0.00 Mz=3.87
Sollecitazioni agenti localmente: Ty_l=-1295.11 My_l=-26.53
Tensioni nella sezione: σ=321.56 τ=39.25
CC 8 SLD (Collegamento 0021_-378)
Azioni sul collegamento: N=-5777.32 Ty=3.40 Tz=3.89 Mx=-0.00 Mz=2.88
Sollecitazioni agenti localmente: Ty_l=-1012.73 My_l=-20.74
Tensioni nella sezione: σ=251.45 τ=30.69
CC 8 SLD (Collegamento 0021_-378)
Azioni sul collegamento: N=-5777.32 Ty=4.43 Tz=3.89 Mx=-0.00 Mz=3.87
Sollecitazioni agenti localmente: Ty_l=-1008.79 My_l=-20.66
Tensioni nella sezione: σ=250.41 τ=30.57
CC 8 SLD (Collegamento 0021_-378)
Azioni sul collegamento: N=-5777.33 Ty=3.40 Tz=-2.12 Mx=-0.00 Mz=2.88
Sollecitazioni agenti localmente: Ty_l=-1012.73 My_l=-20.74
Tensioni nella sezione: σ=251.45 τ=30.69
CC 8 SLD (Collegamento 0021_-378)
Azioni sul collegamento: N=-5777.33 Ty=4.43 Tz=-2.12 Mx=-0.00 Mz=3.87
Sollecitazioni agenti localmente: Ty_l=-1008.79 My_l=-20.66
Tensioni nella sezione: σ=250.41 τ=30.57
CC 9 SLV (Collegamento 0021_-378)
Azioni sul collegamento: N=-5814.22 Ty=6.23 Tz=-2.14 Mx=0.02 Mz=7.84
Sollecitazioni agenti localmente: Ty_l=-999.50 My_l=-20.45
Tensioni nella sezione: σ=247.83 τ=30.29
CC 9 SLV (Collegamento 0021_-378)
Azioni sul collegamento: N=-5814.22 Ty=3.29 Tz=-2.14 Mx=0.02 Mz=3.06
Sollecitazioni agenti localmente: Ty_l=-1018.53 My_l=-20.86
Tensioni nella sezione: σ=252.88 τ=30.86
CC 9 SLV (Collegamento 0021_-378)
Azioni sul collegamento: N=-5814.22 Ty=6.23 Tz=4.16 Mx=0.02 Mz=7.84
Sollecitazioni agenti localmente: Ty_l=-999.50 My_l=-20.45
Tensioni nella sezione: σ=247.83 τ=30.29
CC 9 SLV (Collegamento 0021_-378)
Azioni sul collegamento: N=-5814.22 Ty=3.29 Tz=4.16 Mx=0.02 Mz=3.06
Sollecitazioni agenti localmente: Ty_l=-1018.53 My_l=-20.86
Tensioni nella sezione: σ=252.88 τ=30.86

CC 9 SLV (Collegamento 0021_-378)
Azioni sul collegamento: N=-7420.50 Ty=6.23 Tz=-2.14 Mx=0.02 Mz=7.84
Sollecitazioni agenti localmente: Ty_l=-1284.25 My_l=-26.28
Tensioni nella sezione: σ=318.59 τ=38.92
CC 9 SLV (Collegamento 0021_-378)
Azioni sul collegamento: N=-7420.50 Ty=3.29 Tz=-2.14 Mx=0.02 Mz=3.06
Sollecitazioni agenti localmente: Ty_l=-1303.28 My_l=-26.70
Tensioni nella sezione: σ=323.64 τ=39.49
CC 9 SLV (Collegamento 0021_-378)
Azioni sul collegamento: N=-7420.50 Ty=6.23 Tz=4.16 Mx=0.02 Mz=7.84
Sollecitazioni agenti localmente: Ty_l=-1284.25 My_l=-26.28
Tensioni nella sezione: σ=318.59 τ=38.92
CC 9 SLV (Collegamento 0021_-378)
Azioni sul collegamento: N=-7420.50 Ty=3.29 Tz=4.16 Mx=0.02 Mz=3.06
Sollecitazioni agenti localmente: Ty_l=-1303.28 My_l=-26.70
Tensioni nella sezione: σ=323.64 τ=39.49
CC 10 SLD (Collegamento 0021_-378)
Azioni sul collegamento: N=-6340.00 Ty=4.36 Tz=-0.08 Mx=0.00 Mz=4.10
Sollecitazioni agenti localmente: Ty_l=-1107.60 My_l=-22.68
Tensioni nella sezione: σ=274.95 τ=33.56
CC 10 SLD (Collegamento 0021_-378)
Azioni sul collegamento: N=-6340.00 Ty=3.47 Tz=-0.08 Mx=0.00 Mz=2.64
Sollecitazioni agenti localmente: Ty_l=-1113.41 My_l=-22.81
Tensioni nella sezione: σ=276.49 τ=33.74
CC 10 SLD (Collegamento 0021_-378)
Azioni sul collegamento: N=-6340.00 Ty=4.36 Tz=1.85 Mx=0.00 Mz=4.10
Sollecitazioni agenti localmente: Ty_l=-1107.60 My_l=-22.68
Tensioni nella sezione: σ=274.95 τ=33.56
CC 10 SLD (Collegamento 0021_-378)
Azioni sul collegamento: N=-6340.00 Ty=3.47 Tz=1.85 Mx=0.00 Mz=2.64
Sollecitazioni agenti localmente: Ty_l=-1113.41 My_l=-22.81
Tensioni nella sezione: σ=276.49 τ=33.74
CC 10 SLD (Collegamento 0021_-378)
Azioni sul collegamento: N=-6829.81 Ty=4.36 Tz=-0.08 Mx=0.00 Mz=4.10
Sollecitazioni agenti localmente: Ty_l=-1194.43 My_l=-24.46
Tensioni nella sezione: σ=296.52 τ=36.19
CC 10 SLD (Collegamento 0021_-378)
Azioni sul collegamento: N=-6829.81 Ty=3.47 Tz=-0.08 Mx=0.00 Mz=2.64
Sollecitazioni agenti localmente: Ty_l=-1200.23 My_l=-24.59
Tensioni nella sezione: σ=298.06 τ=36.37
CC 10 SLD (Collegamento 0021_-378)
Azioni sul collegamento: N=-6829.81 Ty=4.36 Tz=1.85 Mx=0.00 Mz=4.10
Sollecitazioni agenti localmente: Ty_l=-1194.43 My_l=-24.46
Tensioni nella sezione: σ=296.52 τ=36.19
CC 10 SLD (Collegamento 0021_-378)
Azioni sul collegamento: N=-6829.81 Ty=3.47 Tz=1.85 Mx=0.00 Mz=2.64
Sollecitazioni agenti localmente: Ty_l=-1200.23 My_l=-24.59
Tensioni nella sezione: σ=298.06 τ=36.37
CC 11 SLV (Collegamento 0021_-378)
Azioni sul collegamento: N=-7401.56 Ty=5.40 Tz=3.74 Mx=0.02 Mz=7.25
Sollecitazioni agenti localmente: Ty_l=-1283.27 My_l=-26.27
Tensioni nella sezione: σ=318.38 τ=38.89
CC 11 SLV (Collegamento 0021_-378)
Azioni sul collegamento: N=-7401.56 Ty=4.11 Tz=3.74 Mx=0.02 Mz=3.66
Sollecitazioni agenti localmente: Ty_l=-1297.54 My_l=-26.58
Tensioni nella sezione: σ=322.17 τ=39.32
CC 11 SLV (Collegamento 0021_-378)
Azioni sul collegamento: N=-7401.56 Ty=5.40 Tz=-1.71 Mx=0.02 Mz=7.25
Sollecitazioni agenti localmente: Ty_l=-1283.27 My_l=-26.27
Tensioni nella sezione: σ=318.38 τ=38.89
CC 11 SLV (Collegamento 0021_-378)
Azioni sul collegamento: N=-7401.56 Ty=4.11 Tz=-1.71 Mx=0.02 Mz=3.66
Sollecitazioni agenti localmente: Ty_l=-1297.54 My_l=-26.58
Tensioni nella sezione: σ=322.17 τ=39.32
CC 11 SLV (Collegamento 0021_-378)
Azioni sul collegamento: N=-5833.17 Ty=5.40 Tz=3.74 Mx=0.02 Mz=7.25
Sollecitazioni agenti localmente: Ty_l=-1005.24 My_l=-20.57
Tensioni nella sezione: σ=249.30 τ=30.46
CC 11 SLV (Collegamento 0021_-378)
Azioni sul collegamento: N=-5833.17 Ty=4.11 Tz=3.74 Mx=0.02 Mz=3.66
Sollecitazioni agenti localmente: Ty_l=-1019.51 My_l=-20.88
Tensioni nella sezione: σ=253.09 τ=30.89
CC 11 SLV (Collegamento 0021_-378)
Azioni sul collegamento: N=-5833.17 Ty=5.40 Tz=-1.71 Mx=0.02 Mz=7.25
Sollecitazioni agenti localmente: Ty_l=-1005.24 My_l=-20.57
Tensioni nella sezione: σ=249.30 τ=30.46
CC 11 SLV (Collegamento 0021_-378)
Azioni sul collegamento: N=-5833.17 Ty=4.11 Tz=-1.71 Mx=0.02 Mz=3.66
Sollecitazioni agenti localmente: Ty_l=-1019.51 My_l=-20.88

Tensioni nella sezione: σ=253.09 τ=30.89
CC 12 SLD (Collegamento 0021_-378)
Azioni sul collegamento: N=-6824.03 Ty=4.11 Tz=1.72 Mx=0.00 Mz=3.92
Sollecitazioni agenti localmente: Ty_l=-1194.13 My_l=-24.46
Tensioni nella sezione: σ=296.46 τ=36.19
CC 12 SLD (Collegamento 0021_-378)
Azioni sul collegamento: N=-6824.03 Ty=3.72 Tz=1.72 Mx=0.00 Mz=2.82
Sollecitazioni agenti localmente: Ty_l=-1198.49 My_l=-24.55
Tensioni nella sezione: σ=297.62 τ=36.32
CC 12 SLD (Collegamento 0021_-378)
Azioni sul collegamento: N=-6824.03 Ty=4.11 Tz=0.05 Mx=0.00 Mz=3.92
Sollecitazioni agenti localmente: Ty_l=-1194.13 My_l=-24.46
Tensioni nella sezione: σ=296.46 τ=36.19
CC 12 SLD (Collegamento 0021_-378)
Azioni sul collegamento: N=-6824.03 Ty=3.72 Tz=0.05 Mx=0.00 Mz=2.82
Sollecitazioni agenti localmente: Ty_l=-1198.49 My_l=-24.55
Tensioni nella sezione: σ=297.62 τ=36.32
CC 12 SLD (Collegamento 0021_-378)
Azioni sul collegamento: N=-6345.78 Ty=4.11 Tz=1.72 Mx=0.00 Mz=3.92
Sollecitazioni agenti localmente: Ty_l=-1109.35 My_l=-22.72
Tensioni nella sezione: σ=275.39 τ=33.62
CC 12 SLD (Collegamento 0021_-378)
Azioni sul collegamento: N=-6345.78 Ty=3.72 Tz=1.72 Mx=0.00 Mz=2.82
Sollecitazioni agenti localmente: Ty_l=-1113.70 My_l=-22.82
Tensioni nella sezione: σ=276.55 τ=33.75
CC 12 SLD (Collegamento 0021_-378)
Azioni sul collegamento: N=-6345.78 Ty=4.11 Tz=0.05 Mx=0.00 Mz=3.92
Sollecitazioni agenti localmente: Ty_l=-1109.35 My_l=-22.72
Tensioni nella sezione: σ=275.39 τ=33.62
CC 12 SLD (Collegamento 0021_-378)
Azioni sul collegamento: N=-6345.78 Ty=3.72 Tz=0.05 Mx=0.00 Mz=2.82
Sollecitazioni agenti localmente: Ty_l=-1113.70 My_l=-22.82
Tensioni nella sezione: σ=276.55 τ=33.75
CC 13 SLV (Collegamento 0021_-378)
Azioni sul collegamento: N=-5833.17 Ty=4.11 Tz=-1.71 Mx=0.00 Mz=3.66
Sollecitazioni agenti localmente: Ty_l=-1019.51 My_l=-20.88
Tensioni nella sezione: σ=253.09 τ=30.89
CC 13 SLV (Collegamento 0021_-378)
Azioni sul collegamento: N=-5833.17 Ty=5.40 Tz=-1.71 Mx=0.00 Mz=7.25
Sollecitazioni agenti localmente: Ty_l=-1005.24 My_l=-20.57
Tensioni nella sezione: σ=249.30 τ=30.46
CC 13 SLV (Collegamento 0021_-378)
Azioni sul collegamento: N=-5833.17 Ty=4.11 Tz=3.74 Mx=0.00 Mz=3.66
Sollecitazioni agenti localmente: Ty_l=-1019.51 My_l=-20.88
Tensioni nella sezione: σ=253.09 τ=30.89
CC 13 SLV (Collegamento 0021_-378)
Azioni sul collegamento: N=-5833.17 Ty=5.40 Tz=3.74 Mx=0.00 Mz=7.25
Sollecitazioni agenti localmente: Ty_l=-1005.24 My_l=-20.57
Tensioni nella sezione: σ=249.30 τ=30.46
CC 13 SLV (Collegamento 0021_-378)
Azioni sul collegamento: N=-7401.56 Ty=4.11 Tz=-1.71 Mx=0.00 Mz=3.66
Sollecitazioni agenti localmente: Ty_l=-1297.54 My_l=-26.58
Tensioni nella sezione: σ=322.17 τ=39.32
CC 13 SLV (Collegamento 0021_-378)
Azioni sul collegamento: N=-7401.56 Ty=5.40 Tz=-1.71 Mx=0.00 Mz=7.25
Sollecitazioni agenti localmente: Ty_l=-1283.27 My_l=-26.27
Tensioni nella sezione: σ=318.38 τ=38.89
CC 13 SLV (Collegamento 0021_-378)
Azioni sul collegamento: N=-7401.56 Ty=4.11 Tz=3.74 Mx=0.00 Mz=3.66
Sollecitazioni agenti localmente: Ty_l=-1297.54 My_l=-26.58
Tensioni nella sezione: σ=322.17 τ=39.32
CC 13 SLV (Collegamento 0021_-378)
Azioni sul collegamento: N=-7401.56 Ty=5.40 Tz=3.74 Mx=0.00 Mz=7.25
Sollecitazioni agenti localmente: Ty_l=-1283.27 My_l=-26.27
Tensioni nella sezione: σ=318.38 τ=38.89
CC 14 SLD (Collegamento 0021_-378)
Azioni sul collegamento: N=-6345.78 Ty=3.72 Tz=0.05 Mx=-0.00 Mz=2.82
Sollecitazioni agenti localmente: Ty_l=-1113.70 My_l=-22.82
Tensioni nella sezione: σ=276.55 τ=33.75
CC 14 SLD (Collegamento 0021_-378)
Azioni sul collegamento: N=-6345.78 Ty=4.11 Tz=0.05 Mx=-0.00 Mz=3.92
Sollecitazioni agenti localmente: Ty_l=-1109.35 My_l=-22.72
Tensioni nella sezione: σ=275.39 τ=33.62
CC 14 SLD (Collegamento 0021_-378)
Azioni sul collegamento: N=-6345.78 Ty=3.72 Tz=1.72 Mx=-0.00 Mz=2.82
Sollecitazioni agenti localmente: Ty_l=-1113.70 My_l=-22.82
Tensioni nella sezione: σ=276.55 τ=33.75
CC 14 SLD (Collegamento 0021_-378)
Azioni sul collegamento: N=-6345.78 Ty=4.11 Tz=1.72 Mx=-0.00 Mz=3.92

Sollecitazioni agenti localmente: Ty_l=-1109.35 My_l=-22.72
Tensioni nella sezione: σ=275.39 τ=33.62
CC 14 SLD (Collegamento 0021_-378)
Azioni sul collegamento: N=-6824.03 Ty=3.72 Tz=0.05 Mx=-0.00 Mz=2.82
Sollecitazioni agenti localmente: Ty_l=-1198.49 My_l=-24.55
Tensioni nella sezione: σ=297.62 τ=36.32
CC 14 SLD (Collegamento 0021_-378)
Azioni sul collegamento: N=-6824.03 Ty=4.11 Tz=0.05 Mx=-0.00 Mz=3.92
Sollecitazioni agenti localmente: Ty_l=-1194.13 My_l=-24.46
Tensioni nella sezione: σ=296.46 τ=36.19
CC 14 SLD (Collegamento 0021_-378)
Azioni sul collegamento: N=-6824.03 Ty=3.72 Tz=1.72 Mx=-0.00 Mz=2.82
Sollecitazioni agenti localmente: Ty_l=-1198.49 My_l=-24.55
Tensioni nella sezione: σ=297.62 τ=36.32
CC 14 SLD (Collegamento 0021_-378)
Azioni sul collegamento: N=-6824.03 Ty=4.11 Tz=1.72 Mx=-0.00 Mz=3.92
Sollecitazioni agenti localmente: Ty_l=-1194.13 My_l=-24.46
Tensioni nella sezione: σ=296.46 τ=36.19
CC 15 SLV (Collegamento 0021_-378)
Azioni sul collegamento: N=-7420.50 Ty=3.29 Tz=4.16 Mx=0.00 Mz=3.06
Sollecitazioni agenti localmente: Ty_l=-1303.28 My_l=-26.70
Tensioni nella sezione: σ=323.64 τ=39.49
CC 15 SLV (Collegamento 0021_-378)
Azioni sul collegamento: N=-7420.50 Ty=6.23 Tz=4.16 Mx=0.00 Mz=7.84
Sollecitazioni agenti localmente: Ty_l=-1284.25 My_l=-26.28
Tensioni nella sezione: σ=318.59 τ=38.92
CC 15 SLV (Collegamento 0021_-378)
Azioni sul collegamento: N=-7420.50 Ty=3.29 Tz=-2.14 Mx=0.00 Mz=3.06
Sollecitazioni agenti localmente: Ty_l=-1303.28 My_l=-26.70
Tensioni nella sezione: σ=323.64 τ=39.49
CC 15 SLV (Collegamento 0021_-378)
Azioni sul collegamento: N=-7420.50 Ty=6.23 Tz=-2.14 Mx=0.00 Mz=7.84
Sollecitazioni agenti localmente: Ty_l=-1284.25 My_l=-26.28
Tensioni nella sezione: σ=318.59 τ=38.92
CC 15 SLV (Collegamento 0021_-378)
Azioni sul collegamento: N=-5814.22 Ty=3.29 Tz=4.16 Mx=0.00 Mz=3.06
Sollecitazioni agenti localmente: Ty_l=-1018.53 My_l=-20.86
Tensioni nella sezione: σ=252.88 τ=30.86
CC 15 SLV (Collegamento 0021_-378)
Azioni sul collegamento: N=-5814.22 Ty=6.23 Tz=4.16 Mx=0.00 Mz=7.84
Sollecitazioni agenti localmente: Ty_l=-999.50 My_l=-20.45
Tensioni nella sezione: σ=247.83 τ=30.29
CC 15 SLV (Collegamento 0021_-378)
Azioni sul collegamento: N=-5814.22 Ty=3.29 Tz=-2.14 Mx=0.00 Mz=3.06
Sollecitazioni agenti localmente: Ty_l=-1018.53 My_l=-20.86
Tensioni nella sezione: σ=252.88 τ=30.86
CC 15 SLV (Collegamento 0021_-378)
Azioni sul collegamento: N=-5814.22 Ty=6.23 Tz=-2.14 Mx=0.00 Mz=7.84
Sollecitazioni agenti localmente: Ty_l=-999.50 My_l=-20.45
Tensioni nella sezione: σ=247.83 τ=30.29
CC 16 SLD (Collegamento 0021_-378)
Azioni sul collegamento: N=-6829.81 Ty=3.47 Tz=1.85 Mx=-0.00 Mz=2.64
Sollecitazioni agenti localmente: Ty_l=-1200.23 My_l=-24.59
Tensioni nella sezione: σ=298.06 τ=36.37
CC 16 SLD (Collegamento 0021_-378)
Azioni sul collegamento: N=-6829.81 Ty=4.36 Tz=1.85 Mx=-0.00 Mz=4.10
Sollecitazioni agenti localmente: Ty_l=-1194.43 My_l=-24.46
Tensioni nella sezione: σ=296.52 τ=36.19
CC 16 SLD (Collegamento 0021_-378)
Azioni sul collegamento: N=-6829.81 Ty=3.47 Tz=-0.08 Mx=-0.00 Mz=2.64
Sollecitazioni agenti localmente: Ty_l=-1200.23 My_l=-24.59
Tensioni nella sezione: σ=298.06 τ=36.37
CC 16 SLD (Collegamento 0021_-378)
Azioni sul collegamento: N=-6829.81 Ty=4.36 Tz=-0.08 Mx=-0.00 Mz=4.10
Sollecitazioni agenti localmente: Ty_l=-1194.43 My_l=-24.46
Tensioni nella sezione: σ=296.52 τ=36.19
CC 16 SLD (Collegamento 0021_-378)
Azioni sul collegamento: N=-6340.00 Ty=3.47 Tz=1.85 Mx=-0.00 Mz=2.64
Sollecitazioni agenti localmente: Ty_l=-1113.41 My_l=-22.81
Tensioni nella sezione: σ=276.49 τ=33.74
CC 16 SLD (Collegamento 0021_-378)
Azioni sul collegamento: N=-6340.00 Ty=4.36 Tz=1.85 Mx=-0.00 Mz=4.10
Sollecitazioni agenti localmente: Ty_l=-1107.60 My_l=-22.68
Tensioni nella sezione: σ=274.95 τ=33.56
CC 16 SLD (Collegamento 0021_-378)
Azioni sul collegamento: N=-6340.00 Ty=3.47 Tz=-0.08 Mx=-0.00 Mz=2.64
Sollecitazioni agenti localmente: Ty_l=-1113.41 My_l=-22.81
Tensioni nella sezione: σ=276.49 τ=33.74
CC 16 SLD (Collegamento 0021_-378)

Azioni sul collegamento: N=-6340.00 Ty=4.36 Tz=-0.08 Mx=-0.00 Mz=4.10
Sollecitazioni agenti localmente: Ty_l=-1107.60 My_l=-22.68
Tensioni nella sezione: σ=274.95 τ=33.56
CC 17 SLV (Collegamento 0021_-378)
Azioni sul collegamento: N=-3875.57 Ty=0.64 Tz=-9.21 Mx=-0.02 Mz=1.09
Sollecitazioni agenti localmente: Ty_l=-682.72 My_l=-13.99
Tensioni nella sezione: σ=169.57 τ=20.69
CC 17 SLV (Collegamento 0021_-378)
Azioni sul collegamento: N=-3875.57 Ty=4.02 Tz=-9.21 Mx=-0.02 Mz=-2.16
Sollecitazioni agenti localmente: Ty_l=-695.63 My_l=-14.27
Tensioni nella sezione: σ=173.00 τ=21.08
CC 17 SLV (Collegamento 0021_-378)
Azioni sul collegamento: N=-3875.57 Ty=0.64 Tz=10.50 Mx=-0.02 Mz=1.09
Sollecitazioni agenti localmente: Ty_l=-682.72 My_l=-13.99
Tensioni nella sezione: σ=169.57 τ=20.69
CC 17 SLV (Collegamento 0021_-378)
Azioni sul collegamento: N=-3875.57 Ty=4.02 Tz=10.50 Mx=-0.02 Mz=-2.16
Sollecitazioni agenti localmente: Ty_l=-695.63 My_l=-14.27
Tensioni nella sezione: σ=173.00 τ=21.08
CC 17 SLV (Collegamento 0021_-378)
Azioni sul collegamento: N=-9172.38 Ty=0.64 Tz=-9.21 Mx=-0.02 Mz=1.09
Sollecitazioni agenti localmente: Ty_l=-1621.70 My_l=-33.24
Tensioni nella sezione: σ=402.89 τ=49.14
CC 17 SLV (Collegamento 0021_-378)
Azioni sul collegamento: N=-9172.38 Ty=4.02 Tz=-9.21 Mx=-0.02 Mz=-2.16
Sollecitazioni agenti localmente: Ty_l=-1634.61 My_l=-33.52
Tensioni nella sezione: σ=406.32 τ=49.53
CC 17 SLV (Collegamento 0021_-378)
Azioni sul collegamento: N=-9172.38 Ty=0.64 Tz=10.50 Mx=-0.02 Mz=1.09
Sollecitazioni agenti localmente: Ty_l=-1621.70 My_l=-33.24
Tensioni nella sezione: σ=402.89 τ=49.14
CC 17 SLV (Collegamento 0021_-378)
Azioni sul collegamento: N=-9172.38 Ty=4.02 Tz=10.50 Mx=-0.02 Mz=-2.16
Sollecitazioni agenti localmente: Ty_l=-1634.61 My_l=-33.52
Tensioni nella sezione: σ=406.32 τ=49.53
CC 18 SLD (Collegamento 0021_-378)
Azioni sul collegamento: N=-5748.85 Ty=3.69 Tz=-2.23 Mx=-0.01 Mz=2.04
Sollecitazioni agenti localmente: Ty_l=-1011.01 My_l=-20.71
Tensioni nella sezione: σ=251.08 τ=30.64
CC 18 SLD (Collegamento 0021_-378)
Azioni sul collegamento: N=-5748.85 Ty=2.66 Tz=-2.23 Mx=-0.01 Mz=1.05
Sollecitazioni agenti localmente: Ty_l=-1014.94 My_l=-20.80
Tensioni nella sezione: σ=252.13 τ=30.76
CC 18 SLD (Collegamento 0021_-378)
Azioni sul collegamento: N=-5748.85 Ty=3.69 Tz=3.78 Mx=-0.01 Mz=2.04
Sollecitazioni agenti localmente: Ty_l=-1011.01 My_l=-20.71
Tensioni nella sezione: σ=251.08 τ=30.64
CC 18 SLD (Collegamento 0021_-378)
Azioni sul collegamento: N=-5748.85 Ty=2.66 Tz=3.78 Mx=-0.01 Mz=1.05
Sollecitazioni agenti localmente: Ty_l=-1014.94 My_l=-20.80
Tensioni nella sezione: σ=252.13 τ=30.76
CC 18 SLD (Collegamento 0021_-378)
Azioni sul collegamento: N=-7364.01 Ty=3.69 Tz=-2.23 Mx=-0.01 Mz=2.04
Sollecitazioni agenti localmente: Ty_l=-1297.33 My_l=-26.58
Tensioni nella sezione: σ=322.23 τ=39.31
CC 18 SLD (Collegamento 0021_-378)
Azioni sul collegamento: N=-7364.01 Ty=2.66 Tz=-2.23 Mx=-0.01 Mz=1.05
Sollecitazioni agenti localmente: Ty_l=-1301.27 My_l=-26.67
Tensioni nella sezione: σ=323.27 τ=39.43
CC 18 SLD (Collegamento 0021_-378)
Azioni sul collegamento: N=-7364.01 Ty=3.69 Tz=3.78 Mx=-0.01 Mz=2.04
Sollecitazioni agenti localmente: Ty_l=-1297.33 My_l=-26.58
Tensioni nella sezione: σ=322.23 τ=39.31
CC 18 SLD (Collegamento 0021_-378)
Azioni sul collegamento: N=-7364.01 Ty=2.66 Tz=3.78 Mx=-0.01 Mz=1.05
Sollecitazioni agenti localmente: Ty_l=-1301.27 My_l=-26.67
Tensioni nella sezione: σ=323.27 τ=39.43
CC 19 SLV (Collegamento 0021_-378)
Azioni sul collegamento: N=-3881.26 Ty=1.27 Tz=-9.09 Mx=-0.02 Mz=-0.17
Sollecitazioni agenti localmente: Ty_l=-688.72 My_l=-14.12
Tensioni nella sezione: σ=171.15 τ=20.87
CC 19 SLV (Collegamento 0021_-378)
Azioni sul collegamento: N=-3881.26 Ty=3.39 Tz=-9.09 Mx=-0.02 Mz=-0.91
Sollecitazioni agenti localmente: Ty_l=-691.65 My_l=-14.18
Tensioni nella sezione: σ=171.93 τ=20.96
CC 19 SLV (Collegamento 0021_-378)
Azioni sul collegamento: N=-3881.26 Ty=1.27 Tz=10.37 Mx=-0.02 Mz=-0.17
Sollecitazioni agenti localmente: Ty_l=-688.72 My_l=-14.12
Tensioni nella sezione: σ=171.15 τ=20.87

CC 19 SLV (Collegamento 0021_-378)
Azioni sul collegamento: N=-3881.26 Ty=3.39 Tz=10.37 Mx=-0.02 Mz=-0.91
Sollecitazioni agenti localmente: Ty_l=-691.65 My_l=-14.18
Tensioni nella sezione: σ=171.93 τ=20.96
CC 19 SLV (Collegamento 0021_-378)
Azioni sul collegamento: N=-9166.69 Ty=1.27 Tz=-9.09 Mx=-0.02 Mz=-0.17
Sollecitazioni agenti localmente: Ty_l=-1625.68 My_l=-33.33
Tensioni nella sezione: σ=403.97 τ=49.26
CC 19 SLV (Collegamento 0021_-378)
Azioni sul collegamento: N=-9166.69 Ty=3.39 Tz=-9.09 Mx=-0.02 Mz=-0.91
Sollecitazioni agenti localmente: Ty_l=-1628.61 My_l=-33.39
Tensioni nella sezione: σ=404.75 τ=49.35
CC 19 SLV (Collegamento 0021_-378)
Azioni sul collegamento: N=-9166.69 Ty=1.27 Tz=10.37 Mx=-0.02 Mz=-0.17
Sollecitazioni agenti localmente: Ty_l=-1625.68 My_l=-33.33
Tensioni nella sezione: σ=403.97 τ=49.26
CC 19 SLV (Collegamento 0021_-378)
Azioni sul collegamento: N=-9166.69 Ty=3.39 Tz=10.37 Mx=-0.02 Mz=-0.91
Sollecitazioni agenti localmente: Ty_l=-1628.61 My_l=-33.39
Tensioni nella sezione: σ=404.75 τ=49.35
CC 20 SLD (Collegamento 0021_-378)
Azioni sul collegamento: N=-5750.58 Ty=3.50 Tz=-2.19 Mx=-0.01 Mz=1.66
Sollecitazioni agenti localmente: Ty_l=-1012.84 My_l=-20.75
Tensioni nella sezione: σ=251.56 τ=30.69
CC 20 SLD (Collegamento 0021_-378)
Azioni sul collegamento: N=-5750.58 Ty=2.85 Tz=-2.19 Mx=-0.01 Mz=1.43
Sollecitazioni agenti localmente: Ty_l=-1013.73 My_l=-20.77
Tensioni nella sezione: σ=251.80 τ=30.72
CC 20 SLD (Collegamento 0021_-378)
Azioni sul collegamento: N=-5750.58 Ty=3.50 Tz=3.74 Mx=-0.01 Mz=1.66
Sollecitazioni agenti localmente: Ty_l=-1012.84 My_l=-20.75
Tensioni nella sezione: σ=251.56 τ=30.69
CC 20 SLD (Collegamento 0021_-378)
Azioni sul collegamento: N=-5750.58 Ty=2.85 Tz=3.74 Mx=-0.01 Mz=1.43
Sollecitazioni agenti localmente: Ty_l=-1013.73 My_l=-20.77
Tensioni nella sezione: σ=251.80 τ=30.72
CC 20 SLD (Collegamento 0021_-378)
Azioni sul collegamento: N=-7362.28 Ty=3.50 Tz=-2.19 Mx=-0.01 Mz=1.66
Sollecitazioni agenti localmente: Ty_l=-1298.55 My_l=-26.61
Tensioni nella sezione: σ=322.56 τ=39.35
CC 20 SLD (Collegamento 0021_-378)
Azioni sul collegamento: N=-7362.28 Ty=2.85 Tz=-2.19 Mx=-0.01 Mz=1.43
Sollecitazioni agenti localmente: Ty_l=-1299.44 My_l=-26.63
Tensioni nella sezione: σ=322.79 τ=39.38
CC 20 SLD (Collegamento 0021_-378)
Azioni sul collegamento: N=-7362.28 Ty=3.50 Tz=3.74 Mx=-0.01 Mz=1.66
Sollecitazioni agenti localmente: Ty_l=-1298.55 My_l=-26.61
Tensioni nella sezione: σ=322.56 τ=39.35
CC 20 SLD (Collegamento 0021_-378)
Azioni sul collegamento: N=-7362.28 Ty=2.85 Tz=3.74 Mx=-0.01 Mz=1.43
Sollecitazioni agenti localmente: Ty_l=-1299.44 My_l=-26.63
Tensioni nella sezione: σ=322.79 τ=39.38
CC 21 SLV (Collegamento 0021_-378)
Azioni sul collegamento: N=-9166.69 Ty=3.39 Tz=10.37 Mx=-0.02 Mz=-0.91
Sollecitazioni agenti localmente: Ty_l=-1628.61 My_l=-33.39
Tensioni nella sezione: σ=404.75 τ=49.35
CC 21 SLV (Collegamento 0021_-378)
Azioni sul collegamento: N=-9166.69 Ty=1.27 Tz=10.37 Mx=-0.02 Mz=-0.17
Sollecitazioni agenti localmente: Ty_l=-1625.68 My_l=-33.33
Tensioni nella sezione: σ=403.97 τ=49.26
CC 21 SLV (Collegamento 0021_-378)
Azioni sul collegamento: N=-9166.69 Ty=3.39 Tz=-9.09 Mx=-0.02 Mz=-0.91
Sollecitazioni agenti localmente: Ty_l=-1628.61 My_l=-33.39
Tensioni nella sezione: σ=404.75 τ=49.35
CC 21 SLV (Collegamento 0021_-378)
Azioni sul collegamento: N=-9166.69 Ty=1.27 Tz=-9.09 Mx=-0.02 Mz=-0.17
Sollecitazioni agenti localmente: Ty_l=-1625.68 My_l=-33.33
Tensioni nella sezione: σ=403.97 τ=49.26
CC 21 SLV (Collegamento 0021_-378)
Azioni sul collegamento: N=-3881.26 Ty=3.39 Tz=10.37 Mx=-0.02 Mz=-0.91
Sollecitazioni agenti localmente: Ty_l=-691.65 My_l=-14.18
Tensioni nella sezione: σ=171.93 τ=20.96
CC 21 SLV (Collegamento 0021_-378)
Azioni sul collegamento: N=-3881.26 Ty=1.27 Tz=10.37 Mx=-0.02 Mz=-0.17
Sollecitazioni agenti localmente: Ty_l=-688.72 My_l=-14.12
Tensioni nella sezione: σ=171.15 τ=20.87
CC 21 SLV (Collegamento 0021_-378)
Azioni sul collegamento: N=-3881.26 Ty=3.39 Tz=-9.09 Mx=-0.02 Mz=-0.91
Sollecitazioni agenti localmente: Ty_l=-691.65 My_l=-14.18

Tensioni nella sezione: σ=171.93 τ=20.96
CC 21 SLV (Collegamento 0021_-378)
Azioni sul collegamento: N=-3881.26 Ty=1.27 Tz=-9.09 Mx=-0.02 Mz=-0.17
Sollecitazioni agenti localmente: Ty_l=-688.72 My_l=-14.12
Tensioni nella sezione: σ=171.15 τ=20.87
CC 22 SLD (Collegamento 0021_-378)
Azioni sul collegamento: N=-7362.28 Ty=2.85 Tz=3.74 Mx=-0.01 Mz=1.43
Sollecitazioni agenti localmente: Ty_l=-1299.44 My_l=-26.63
Tensioni nella sezione: σ=322.79 τ=39.38
CC 22 SLD (Collegamento 0021_-378)
Azioni sul collegamento: N=-7362.28 Ty=3.50 Tz=3.74 Mx=-0.01 Mz=1.66
Sollecitazioni agenti localmente: Ty_l=-1298.55 My_l=-26.61
Tensioni nella sezione: σ=322.56 τ=39.35
CC 22 SLD (Collegamento 0021_-378)
Azioni sul collegamento: N=-7362.28 Ty=2.85 Tz=-2.19 Mx=-0.01 Mz=1.43
Sollecitazioni agenti localmente: Ty_l=-1299.44 My_l=-26.63
Tensioni nella sezione: σ=322.79 τ=39.38
CC 22 SLD (Collegamento 0021_-378)
Azioni sul collegamento: N=-7362.28 Ty=3.50 Tz=-2.19 Mx=-0.01 Mz=1.66
Sollecitazioni agenti localmente: Ty_l=-1298.55 My_l=-26.61
Tensioni nella sezione: σ=322.56 τ=39.35
CC 22 SLD (Collegamento 0021_-378)
Azioni sul collegamento: N=-5750.58 Ty=2.85 Tz=3.74 Mx=-0.01 Mz=1.43
Sollecitazioni agenti localmente: Ty_l=-1013.73 My_l=-20.77
Tensioni nella sezione: σ=251.80 τ=30.72
CC 22 SLD (Collegamento 0021_-378)
Azioni sul collegamento: N=-5750.58 Ty=3.50 Tz=3.74 Mx=-0.01 Mz=1.66
Sollecitazioni agenti localmente: Ty_l=-1012.84 My_l=-20.75
Tensioni nella sezione: σ=251.56 τ=30.69
CC 22 SLD (Collegamento 0021_-378)
Azioni sul collegamento: N=-5750.58 Ty=2.85 Tz=-2.19 Mx=-0.01 Mz=1.43
Sollecitazioni agenti localmente: Ty_l=-1013.73 My_l=-20.77
Tensioni nella sezione: σ=251.80 τ=30.72
CC 22 SLD (Collegamento 0021_-378)
Azioni sul collegamento: N=-5750.58 Ty=3.50 Tz=-2.19 Mx=-0.01 Mz=1.66
Sollecitazioni agenti localmente: Ty_l=-1012.84 My_l=-20.75
Tensioni nella sezione: σ=251.56 τ=30.69
CC 23 SLV (Collegamento 0021_-378)
Azioni sul collegamento: N=-9172.38 Ty=4.02 Tz=10.50 Mx=-0.01 Mz=-2.16
Sollecitazioni agenti localmente: Ty_l=-1634.61 My_l=-33.52
Tensioni nella sezione: σ=406.32 τ=49.53
CC 23 SLV (Collegamento 0021_-378)
Azioni sul collegamento: N=-9172.38 Ty=0.64 Tz=10.50 Mx=-0.01 Mz=1.09
Sollecitazioni agenti localmente: Ty_l=-1621.70 My_l=-33.24
Tensioni nella sezione: σ=402.89 τ=49.14
CC 23 SLV (Collegamento 0021_-378)
Azioni sul collegamento: N=-9172.38 Ty=4.02 Tz=-9.21 Mx=-0.01 Mz=-2.16
Sollecitazioni agenti localmente: Ty_l=-1634.61 My_l=-33.52
Tensioni nella sezione: σ=406.32 τ=49.53
CC 23 SLV (Collegamento 0021_-378)
Azioni sul collegamento: N=-9172.38 Ty=0.64 Tz=-9.21 Mx=-0.01 Mz=1.09
Sollecitazioni agenti localmente: Ty_l=-1621.70 My_l=-33.24
Tensioni nella sezione: σ=402.89 τ=49.14
CC 23 SLV (Collegamento 0021_-378)
Azioni sul collegamento: N=-3875.57 Ty=4.02 Tz=10.50 Mx=-0.01 Mz=-2.16
Sollecitazioni agenti localmente: Ty_l=-695.63 My_l=-14.27
Tensioni nella sezione: σ=173.00 τ=21.08
CC 23 SLV (Collegamento 0021_-378)
Azioni sul collegamento: N=-3875.57 Ty=0.64 Tz=10.50 Mx=-0.01 Mz=1.09
Sollecitazioni agenti localmente: Ty_l=-682.72 My_l=-13.99
Tensioni nella sezione: σ=169.57 τ=20.69
CC 23 SLV (Collegamento 0021_-378)
Azioni sul collegamento: N=-3875.57 Ty=4.02 Tz=-9.21 Mx=-0.01 Mz=-2.16
Sollecitazioni agenti localmente: Ty_l=-695.63 My_l=-14.27
Tensioni nella sezione: σ=173.00 τ=21.08
CC 23 SLV (Collegamento 0021_-378)
Azioni sul collegamento: N=-3875.57 Ty=0.64 Tz=-9.21 Mx=-0.01 Mz=1.09
Sollecitazioni agenti localmente: Ty_l=-682.72 My_l=-13.99
Tensioni nella sezione: σ=169.57 τ=20.69
CC 24 SLD (Collegamento 0021_-378)
Azioni sul collegamento: N=-7364.01 Ty=2.66 Tz=3.78 Mx=-0.01 Mz=1.05
Sollecitazioni agenti localmente: Ty_l=-1301.27 My_l=-26.67
Tensioni nella sezione: σ=323.27 τ=39.43
CC 24 SLD (Collegamento 0021_-378)
Azioni sul collegamento: N=-7364.01 Ty=3.69 Tz=3.78 Mx=-0.01 Mz=2.04
Sollecitazioni agenti localmente: Ty_l=-1297.33 My_l=-26.58
Tensioni nella sezione: σ=322.23 τ=39.31
CC 24 SLD (Collegamento 0021_-378)
Azioni sul collegamento: N=-7364.01 Ty=2.66 Tz=-2.23 Mx=-0.01 Mz=1.05

Sollecitazioni agenti localmente: Ty_l=-1301.27 My_l=-26.67
Tensioni nella sezione: σ=323.27 τ=39.43
CC 24 SLD (Collegamento 0021_-378)
Azioni sul collegamento: N=-7364.01 Ty=3.69 Tz=-2.23 Mx=-0.01 Mz=2.04
Sollecitazioni agenti localmente: Ty_l=-1297.33 My_l=-26.58
Tensioni nella sezione: σ=322.23 τ=39.31
CC 24 SLD (Collegamento 0021_-378)
Azioni sul collegamento: N=-5748.85 Ty=2.66 Tz=3.78 Mx=-0.01 Mz=1.05
Sollecitazioni agenti localmente: Ty_l=-1014.94 My_l=-20.80
Tensioni nella sezione: σ=252.13 τ=30.76
CC 24 SLD (Collegamento 0021_-378)
Azioni sul collegamento: N=-5748.85 Ty=3.69 Tz=3.78 Mx=-0.01 Mz=2.04
Sollecitazioni agenti localmente: Ty_l=-1011.01 My_l=-20.71
Tensioni nella sezione: σ=251.08 τ=30.64
CC 24 SLD (Collegamento 0021_-378)
Azioni sul collegamento: N=-5748.85 Ty=2.66 Tz=-2.23 Mx=-0.01 Mz=1.05
Sollecitazioni agenti localmente: Ty_l=-1014.94 My_l=-20.80
Tensioni nella sezione: σ=252.13 τ=30.76
CC 24 SLD (Collegamento 0021_-378)
Azioni sul collegamento: N=-5748.85 Ty=3.69 Tz=-2.23 Mx=-0.01 Mz=2.04
Sollecitazioni agenti localmente: Ty_l=-1011.01 My_l=-20.71
Tensioni nella sezione: σ=251.08 τ=30.64
CC 25 SLV (Collegamento 0021_-378)
Azioni sul collegamento: N=-5720.83 Ty=0.86 Tz=-2.51 Mx=-0.03 Mz=1.85
Sollecitazioni agenti localmente: Ty_l=-1006.78 My_l=-20.63
Tensioni nella sezione: σ=250.04 τ=30.51
CC 25 SLV (Collegamento 0021_-378)
Azioni sul collegamento: N=-5720.83 Ty=3.80 Tz=-2.51 Mx=-0.03 Mz=-2.93
Sollecitazioni agenti localmente: Ty_l=-1025.80 My_l=-21.05
Tensioni nella sezione: σ=255.09 τ=31.08
CC 25 SLV (Collegamento 0021_-378)
Azioni sul collegamento: N=-5720.83 Ty=0.86 Tz=3.80 Mx=-0.03 Mz=1.85
Sollecitazioni agenti localmente: Ty_l=-1006.78 My_l=-20.63
Tensioni nella sezione: σ=250.04 τ=30.51
CC 25 SLV (Collegamento 0021_-378)
Azioni sul collegamento: N=-5720.83 Ty=3.80 Tz=3.80 Mx=-0.03 Mz=-2.93
Sollecitazioni agenti localmente: Ty_l=-1025.80 My_l=-21.05
Tensioni nella sezione: σ=255.09 τ=31.08
CC 25 SLV (Collegamento 0021_-378)
Azioni sul collegamento: N=-7327.12 Ty=0.86 Tz=-2.51 Mx=-0.03 Mz=1.85
Sollecitazioni agenti localmente: Ty_l=-1291.53 My_l=-26.47
Tensioni nella sezione: σ=320.80 τ=39.14
CC 25 SLV (Collegamento 0021_-378)
Azioni sul collegamento: N=-7327.12 Ty=3.80 Tz=-2.51 Mx=-0.03 Mz=-2.93
Sollecitazioni agenti localmente: Ty_l=-1310.55 My_l=-26.88
Tensioni nella sezione: σ=325.85 τ=39.71
CC 25 SLV (Collegamento 0021_-378)
Azioni sul collegamento: N=-7327.12 Ty=0.86 Tz=3.80 Mx=-0.03 Mz=1.85
Sollecitazioni agenti localmente: Ty_l=-1291.53 My_l=-26.47
Tensioni nella sezione: σ=320.80 τ=39.14
CC 25 SLV (Collegamento 0021_-378)
Azioni sul collegamento: N=-7327.12 Ty=3.80 Tz=3.80 Mx=-0.03 Mz=-2.93
Sollecitazioni agenti localmente: Ty_l=-1310.55 My_l=-26.88
Tensioni nella sezione: σ=325.85 τ=39.71
CC 26 SLD (Collegamento 0021_-378)
Azioni sul collegamento: N=-6311.53 Ty=3.62 Tz=-0.19 Mx=-0.01 Mz=2.27
Sollecitazioni agenti localmente: Ty_l=-1109.82 My_l=-22.74
Tensioni nella sezione: σ=275.62 τ=33.63
CC 26 SLD (Collegamento 0021_-378)
Azioni sul collegamento: N=-6311.53 Ty=2.73 Tz=-0.19 Mx=-0.01 Mz=0.81
Sollecitazioni agenti localmente: Ty_l=-1115.62 My_l=-22.87
Tensioni nella sezione: σ=277.16 τ=33.81
CC 26 SLD (Collegamento 0021_-378)
Azioni sul collegamento: N=-6311.53 Ty=3.62 Tz=1.73 Mx=-0.01 Mz=2.27
Sollecitazioni agenti localmente: Ty_l=-1109.82 My_l=-22.74
Tensioni nella sezione: σ=275.62 τ=33.63
CC 26 SLD (Collegamento 0021_-378)
Azioni sul collegamento: N=-6311.53 Ty=2.73 Tz=1.73 Mx=-0.01 Mz=0.81
Sollecitazioni agenti localmente: Ty_l=-1115.62 My_l=-22.87
Tensioni nella sezione: σ=277.16 τ=33.81
CC 26 SLD (Collegamento 0021_-378)
Azioni sul collegamento: N=-6801.33 Ty=3.62 Tz=-0.19 Mx=-0.01 Mz=2.27
Sollecitazioni agenti localmente: Ty_l=-1196.65 My_l=-24.52
Tensioni nella sezione: σ=297.20 τ=36.26
CC 26 SLD (Collegamento 0021_-378)
Azioni sul collegamento: N=-6801.33 Ty=2.73 Tz=-0.19 Mx=-0.01 Mz=0.81
Sollecitazioni agenti localmente: Ty_l=-1202.45 My_l=-24.65
Tensioni nella sezione: σ=298.74 τ=36.44
CC 26 SLD (Collegamento 0021_-378)

Azioni sul collegamento: N=-6801.33 Ty=3.62 Tz=1.73 Mx=-0.01 Mz=2.27
Sollecitazioni agenti localmente: Ty_l=-1196.65 My_l=-24.52
Tensioni nella sezione: σ=297.20 τ=36.26
CC 26 SLD (Collegamento 0021_-378)
Azioni sul collegamento: N=-6801.33 Ty=2.73 Tz=1.73 Mx=-0.01 Mz=0.81
Sollecitazioni agenti localmente: Ty_l=-1202.45 My_l=-24.65
Tensioni nella sezione: σ=298.74 τ=36.44
CC 27 SLV (Collegamento 0021_-378)
Azioni sul collegamento: N=-7308.17 Ty=1.68 Tz=3.37 Mx=-0.02 Mz=1.26
Sollecitazioni agenti localmente: Ty_l=-1290.54 My_l=-26.45
Tensioni nella sezione: σ=320.60 τ=39.11
CC 27 SLV (Collegamento 0021_-378)
Azioni sul collegamento: N=-7308.17 Ty=2.97 Tz=3.37 Mx=-0.02 Mz=-2.33
Sollecitazioni agenti localmente: Ty_l=-1304.82 My_l=-26.76
Tensioni nella sezione: σ=324.38 τ=39.54
CC 27 SLV (Collegamento 0021_-378)
Azioni sul collegamento: N=-7308.17 Ty=1.68 Tz=-2.08 Mx=-0.02 Mz=1.26
Sollecitazioni agenti localmente: Ty_l=-1290.54 My_l=-26.45
Tensioni nella sezione: σ=320.60 τ=39.11
CC 27 SLV (Collegamento 0021_-378)
Azioni sul collegamento: N=-7308.17 Ty=2.97 Tz=-2.08 Mx=-0.02 Mz=-2.33
Sollecitazioni agenti localmente: Ty_l=-1304.82 My_l=-26.76
Tensioni nella sezione: σ=324.38 τ=39.54
CC 27 SLV (Collegamento 0021_-378)
Azioni sul collegamento: N=-5739.78 Ty=1.68 Tz=3.37 Mx=-0.02 Mz=1.26
Sollecitazioni agenti localmente: Ty_l=-1012.51 My_l=-20.75
Tensioni nella sezione: σ=251.51 τ=30.68
CC 27 SLV (Collegamento 0021_-378)
Azioni sul collegamento: N=-5739.78 Ty=2.97 Tz=3.37 Mx=-0.02 Mz=-2.33
Sollecitazioni agenti localmente: Ty_l=-1026.79 My_l=-21.06
Tensioni nella sezione: σ=255.30 τ=31.11
CC 27 SLV (Collegamento 0021_-378)
Azioni sul collegamento: N=-5739.78 Ty=1.68 Tz=-2.08 Mx=-0.02 Mz=1.26
Sollecitazioni agenti localmente: Ty_l=-1012.51 My_l=-20.75
Tensioni nella sezione: σ=251.51 τ=30.68
CC 27 SLV (Collegamento 0021_-378)
Azioni sul collegamento: N=-5739.78 Ty=2.97 Tz=-2.08 Mx=-0.02 Mz=-2.33
Sollecitazioni agenti localmente: Ty_l=-1026.79 My_l=-21.06
Tensioni nella sezione: σ=255.30 τ=31.11
CC 28 SLD (Collegamento 0021_-378)
Azioni sul collegamento: N=-6795.56 Ty=3.37 Tz=1.60 Mx=-0.01 Mz=2.09
Sollecitazioni agenti localmente: Ty_l=-1196.35 My_l=-24.51
Tensioni nella sezione: σ=297.13 τ=36.25
CC 28 SLD (Collegamento 0021_-378)
Azioni sul collegamento: N=-6795.56 Ty=2.98 Tz=1.60 Mx=-0.01 Mz=1.00
Sollecitazioni agenti localmente: Ty_l=-1200.70 My_l=-24.61
Tensioni nella sezione: σ=298.29 τ=36.38
CC 28 SLD (Collegamento 0021_-378)
Azioni sul collegamento: N=-6795.56 Ty=3.37 Tz=-0.06 Mx=-0.01 Mz=2.09
Sollecitazioni agenti localmente: Ty_l=-1196.35 My_l=-24.51
Tensioni nella sezione: σ=297.13 τ=36.25
CC 28 SLD (Collegamento 0021_-378)
Azioni sul collegamento: N=-6795.56 Ty=2.98 Tz=-0.06 Mx=-0.01 Mz=1.00
Sollecitazioni agenti localmente: Ty_l=-1200.70 My_l=-24.61
Tensioni nella sezione: σ=298.29 τ=36.38
CC 28 SLD (Collegamento 0021_-378)
Azioni sul collegamento: N=-6317.30 Ty=3.37 Tz=1.60 Mx=-0.01 Mz=2.09
Sollecitazioni agenti localmente: Ty_l=-1111.57 My_l=-22.78
Tensioni nella sezione: σ=276.07 τ=33.68
CC 28 SLD (Collegamento 0021_-378)
Azioni sul collegamento: N=-6317.30 Ty=2.98 Tz=1.60 Mx=-0.01 Mz=1.00
Sollecitazioni agenti localmente: Ty_l=-1115.92 My_l=-22.87
Tensioni nella sezione: σ=277.22 τ=33.82
CC 28 SLD (Collegamento 0021_-378)
Azioni sul collegamento: N=-6317.30 Ty=3.37 Tz=-0.06 Mx=-0.01 Mz=2.09
Sollecitazioni agenti localmente: Ty_l=-1111.57 My_l=-22.78
Tensioni nella sezione: σ=276.07 τ=33.68
CC 28 SLD (Collegamento 0021_-378)
Azioni sul collegamento: N=-6317.30 Ty=2.98 Tz=-0.06 Mx=-0.01 Mz=1.00
Sollecitazioni agenti localmente: Ty_l=-1115.92 My_l=-22.87
Tensioni nella sezione: σ=277.22 τ=33.82
CC 29 SLV (Collegamento 0021_-378)
Azioni sul collegamento: N=-5739.78 Ty=2.97 Tz=-2.08 Mx=-0.01 Mz=-2.33
Sollecitazioni agenti localmente: Ty_l=-1026.79 My_l=-21.06
Tensioni nella sezione: σ=255.30 τ=31.11
CC 29 SLV (Collegamento 0021_-378)
Azioni sul collegamento: N=-5739.78 Ty=1.68 Tz=-2.08 Mx=-0.01 Mz=1.26
Sollecitazioni agenti localmente: Ty_l=-1012.51 My_l=-20.75
Tensioni nella sezione: σ=251.51 τ=30.68

CC 29 SLV (Collegamento 0021_-378)
Azioni sul collegamento: N=-5739.78 Ty=2.97 Tz=3.37 Mx=-0.01 Mz=-2.33
Sollecitazioni agenti localmente: Ty_l=-1026.79 My_l=-21.06
Tensioni nella sezione: σ=255.30 τ=31.11
CC 29 SLV (Collegamento 0021_-378)
Azioni sul collegamento: N=-5739.78 Ty=1.68 Tz=3.37 Mx=-0.01 Mz=1.26
Sollecitazioni agenti localmente: Ty_l=-1012.51 My_l=-20.75
Tensioni nella sezione: σ=251.51 τ=30.68
CC 29 SLV (Collegamento 0021_-378)
Azioni sul collegamento: N=-7308.17 Ty=2.97 Tz=-2.08 Mx=-0.01 Mz=-2.33
Sollecitazioni agenti localmente: Ty_l=-1304.82 My_l=-26.76
Tensioni nella sezione: σ=324.38 τ=39.54
CC 29 SLV (Collegamento 0021_-378)
Azioni sul collegamento: N=-7308.17 Ty=1.68 Tz=-2.08 Mx=-0.01 Mz=1.26
Sollecitazioni agenti localmente: Ty_l=-1290.54 My_l=-26.45
Tensioni nella sezione: σ=320.60 τ=39.11
CC 29 SLV (Collegamento 0021_-378)
Azioni sul collegamento: N=-7308.17 Ty=2.97 Tz=3.37 Mx=-0.01 Mz=-2.33
Sollecitazioni agenti localmente: Ty_l=-1304.82 My_l=-26.76
Tensioni nella sezione: σ=324.38 τ=39.54
CC 29 SLV (Collegamento 0021_-378)
Azioni sul collegamento: N=-7308.17 Ty=1.68 Tz=3.37 Mx=-0.01 Mz=1.26
Sollecitazioni agenti localmente: Ty_l=-1290.54 My_l=-26.45
Tensioni nella sezione: σ=320.60 τ=39.11
CC 30 SLD (Collegamento 0021_-378)
Azioni sul collegamento: N=-6317.30 Ty=2.98 Tz=-0.06 Mx=-0.01 Mz=1.00
Sollecitazioni agenti localmente: Ty_l=-1115.92 My_l=-22.87
Tensioni nella sezione: σ=277.22 τ=33.82
CC 30 SLD (Collegamento 0021_-378)
Azioni sul collegamento: N=-6317.30 Ty=3.37 Tz=-0.06 Mx=-0.01 Mz=2.09
Sollecitazioni agenti localmente: Ty_l=-1111.57 My_l=-22.78
Tensioni nella sezione: σ=276.07 τ=33.68
CC 30 SLD (Collegamento 0021_-378)
Azioni sul collegamento: N=-6317.30 Ty=2.98 Tz=1.60 Mx=-0.01 Mz=1.00
Sollecitazioni agenti localmente: Ty_l=-1115.92 My_l=-22.87
Tensioni nella sezione: σ=277.22 τ=33.82
CC 30 SLD (Collegamento 0021_-378)
Azioni sul collegamento: N=-6317.30 Ty=3.37 Tz=1.60 Mx=-0.01 Mz=2.09
Sollecitazioni agenti localmente: Ty_l=-1111.57 My_l=-22.78
Tensioni nella sezione: σ=276.07 τ=33.68
CC 30 SLD (Collegamento 0021_-378)
Azioni sul collegamento: N=-6795.56 Ty=2.98 Tz=-0.06 Mx=-0.01 Mz=1.00
Sollecitazioni agenti localmente: Ty_l=-1200.70 My_l=-24.61
Tensioni nella sezione: σ=298.29 τ=36.38
CC 30 SLD (Collegamento 0021_-378)
Azioni sul collegamento: N=-6795.56 Ty=3.37 Tz=-0.06 Mx=-0.01 Mz=2.09
Sollecitazioni agenti localmente: Ty_l=-1196.35 My_l=-24.51
Tensioni nella sezione: σ=297.13 τ=36.25
CC 30 SLD (Collegamento 0021_-378)
Azioni sul collegamento: N=-6795.56 Ty=2.98 Tz=1.60 Mx=-0.01 Mz=1.00
Sollecitazioni agenti localmente: Ty_l=-1200.70 My_l=-24.61
Tensioni nella sezione: σ=298.29 τ=36.38
CC 30 SLD (Collegamento 0021_-378)
Azioni sul collegamento: N=-6795.56 Ty=3.37 Tz=1.60 Mx=-0.01 Mz=2.09
Sollecitazioni agenti localmente: Ty_l=-1196.35 My_l=-24.51
Tensioni nella sezione: σ=297.13 τ=36.25
CC 31 SLV (Collegamento 0021_-378)
Azioni sul collegamento: N=-7327.12 Ty=3.80 Tz=3.80 Mx=-0.01 Mz=-2.93
Sollecitazioni agenti localmente: Ty_l=-1310.55 My_l=-26.88
Tensioni nella sezione: σ=325.85 τ=39.71
CC 31 SLV (Collegamento 0021_-378)
Azioni sul collegamento: N=-7327.12 Ty=0.86 Tz=3.80 Mx=-0.01 Mz=1.85
Sollecitazioni agenti localmente: Ty_l=-1291.53 My_l=-26.47
Tensioni nella sezione: σ=320.80 τ=39.14
CC 31 SLV (Collegamento 0021_-378)
Azioni sul collegamento: N=-7327.12 Ty=3.80 Tz=-2.51 Mx=-0.01 Mz=-2.93
Sollecitazioni agenti localmente: Ty_l=-1310.55 My_l=-26.88
Tensioni nella sezione: σ=325.85 τ=39.71
CC 31 SLV (Collegamento 0021_-378)
Azioni sul collegamento: N=-7327.12 Ty=0.86 Tz=-2.51 Mx=-0.01 Mz=1.85
Sollecitazioni agenti localmente: Ty_l=-1291.53 My_l=-26.47
Tensioni nella sezione: σ=320.80 τ=39.14
CC 31 SLV (Collegamento 0021_-378)
Azioni sul collegamento: N=-5720.83 Ty=3.80 Tz=3.80 Mx=-0.01 Mz=-2.93
Sollecitazioni agenti localmente: Ty_l=-1025.80 My_l=-21.05
Tensioni nella sezione: σ=255.09 τ=31.08
CC 31 SLV (Collegamento 0021_-378)
Azioni sul collegamento: N=-5720.83 Ty=0.86 Tz=3.80 Mx=-0.01 Mz=1.85
Sollecitazioni agenti localmente: Ty_l=-1006.78 My_l=-20.63

Tensioni nella sezione: σ=250.04 τ=30.51
CC 31 SLV (Collegamento 0021_-378)
Azioni sul collegamento: N=-5720.83 Ty=3.80 Tz=-2.51 Mx=-0.01 Mz=-2.93
Sollecitazioni agenti localmente: Ty_l=-1025.80 My_l=-21.05
Tensioni nella sezione: σ=255.09 τ=31.08
CC 31 SLV (Collegamento 0021_-378)
Azioni sul collegamento: N=-5720.83 Ty=0.86 Tz=-2.51 Mx=-0.01 Mz=1.85
Sollecitazioni agenti localmente: Ty_l=-1006.78 My_l=-20.63
Tensioni nella sezione: σ=250.04 τ=30.51
CC 32 SLD (Collegamento 0021_-378)
Azioni sul collegamento: N=-6801.33 Ty=2.73 Tz=1.73 Mx=-0.01 Mz=0.81
Sollecitazioni agenti localmente: Ty_l=-1202.45 My_l=-24.65
Tensioni nella sezione: σ=298.74 τ=36.44
CC 32 SLD (Collegamento 0021_-378)
Azioni sul collegamento: N=-6801.33 Ty=3.62 Tz=1.73 Mx=-0.01 Mz=2.27
Sollecitazioni agenti localmente: Ty_l=-1196.65 My_l=-24.52
Tensioni nella sezione: σ=297.20 τ=36.26
CC 32 SLD (Collegamento 0021_-378)
Azioni sul collegamento: N=-6801.33 Ty=2.73 Tz=-0.19 Mx=-0.01 Mz=0.81
Sollecitazioni agenti localmente: Ty_l=-1202.45 My_l=-24.65
Tensioni nella sezione: σ=298.74 τ=36.44
CC 32 SLD (Collegamento 0021_-378)
Azioni sul collegamento: N=-6801.33 Ty=3.62 Tz=-0.19 Mx=-0.01 Mz=2.27
Sollecitazioni agenti localmente: Ty_l=-1196.65 My_l=-24.52
Tensioni nella sezione: σ=297.20 τ=36.26
CC 32 SLD (Collegamento 0021_-378)
Azioni sul collegamento: N=-6311.53 Ty=2.73 Tz=1.73 Mx=-0.01 Mz=0.81
Sollecitazioni agenti localmente: Ty_l=-1115.62 My_l=-22.87
Tensioni nella sezione: σ=277.16 τ=33.81
CC 32 SLD (Collegamento 0021_-378)
Azioni sul collegamento: N=-6311.53 Ty=3.62 Tz=1.73 Mx=-0.01 Mz=2.27
Sollecitazioni agenti localmente: Ty_l=-1109.82 My_l=-22.74
Tensioni nella sezione: σ=275.62 τ=33.63
CC 32 SLD (Collegamento 0021_-378)
Azioni sul collegamento: N=-6311.53 Ty=2.73 Tz=-0.19 Mx=-0.01 Mz=0.81
Sollecitazioni agenti localmente: Ty_l=-1115.62 My_l=-22.87
Tensioni nella sezione: σ=277.16 τ=33.81
CC 32 SLD (Collegamento 0021_-378)
Azioni sul collegamento: N=-6311.53 Ty=3.62 Tz=-0.19 Mx=-0.01 Mz=2.27
Sollecitazioni agenti localmente: Ty_l=-1109.82 My_l=-22.74
Tensioni nella sezione: σ=275.62 τ=33.63
CC 33 SLU (Collegamento 0021_-378)
Azioni sul collegamento: N=-30888.30 Ty=5.44 Tz=82.02 Mx=-0.01 Mz=3.71
Sollecitazioni agenti localmente: Ty_l=-5460.90 My_l=-111.93
Tensioni nella sezione: σ=1356.70 τ=165.48
CC 34 SLU (Collegamento 0021_-378)
Azioni sul collegamento: N=-30337.70 Ty=5.16 Tz=79.98 Mx=-0.01 Mz=3.50
Sollecitazioni agenti localmente: Ty_l=-5364.13 My_l=-109.94
Tensioni nella sezione: σ=1332.67 τ=162.55
CC 35 SLU (Collegamento 0021_-378)
Azioni sul collegamento: N=-30612.00 Ty=5.19 Tz=81.02 Mx=-0.01 Mz=3.39
Sollecitazioni agenti localmente: Ty_l=-5413.21 My_l=-110.95
Tensioni nella sezione: σ=1344.87 τ=164.04
CC 36 SLU (Collegamento 0021_-378)
Azioni sul collegamento: N=-30614.00 Ty=5.41 Tz=80.97 Mx=-0.01 Mz=3.82
Sollecitazioni agenti localmente: Ty_l=-5411.82 My_l=-110.92
Tensioni nella sezione: σ=1344.50 τ=164.00
CC 37 SLU (Collegamento 0021_-378)
Azioni sul collegamento: N=-21597.10 Ty=6.32 Tz=47.86 Mx=-0.01 Mz=4.34
Sollecitazioni agenti localmente: Ty_l=-3811.31 My_l=-78.11
Tensioni nella sezione: σ=946.76 τ=115.49
CC 38 SLU (Collegamento 0021_-378)
Azioni sul collegamento: N=-21046.60 Ty=6.03 Tz=45.82 Mx=-0.01 Mz=4.13
Sollecitazioni agenti localmente: Ty_l=-3714.54 My_l=-76.13
Tensioni nella sezione: σ=922.73 τ=112.56
CC 39 SLU (Collegamento 0021_-378)
Azioni sul collegamento: N=-21320.90 Ty=6.07 Tz=46.87 Mx=-0.01 Mz=4.02
Sollecitazioni agenti localmente: Ty_l=-3763.62 My_l=-77.13
Tensioni nella sezione: σ=934.93 τ=114.05
CC 40 SLU (Collegamento 0021_-378)
Azioni sul collegamento: N=-21322.80 Ty=6.29 Tz=46.82 Mx=-0.01 Mz=4.45
Sollecitazioni agenti localmente: Ty_l=-3762.24 My_l=-77.10
Tensioni nella sezione: σ=934.56 τ=114.01
CC 41 SLU (Collegamento 0021_-378)
Azioni sul collegamento: N=-32817.40 Ty=5.33 Tz=88.46 Mx=0.00 Mz=3.76
Sollecitazioni agenti localmente: Ty_l=-5802.66 My_l=-118.93
Tensioni nella sezione: σ=1441.62 τ=175.84
CC 42 SLU (Collegamento 0021_-378)
Azioni sul collegamento: N=-32266.90 Ty=5.04 Tz=86.42 Mx=0.00 Mz=3.56

Sollecitazioni agenti localmente: Ty_l=-5705.89 My_l=-116.95
Tensioni nella sezione: σ=1417.59 τ=172.91
CC 43 SLU (Collegamento 0021_-378)
Azioni sul collegamento: N=-32541.20 Ty=5.08 Tz=87.47 Mx=0.00 Mz=3.44
Sollecitazioni agenti localmente: Ty_l=-5754.97 My_l=-117.96
Tensioni nella sezione: σ=1429.79 τ=174.39
CC 44 SLU (Collegamento 0021_-378)
Azioni sul collegamento: N=-32543.10 Ty=5.30 Tz=87.42 Mx=0.00 Mz=3.88
Sollecitazioni agenti localmente: Ty_l=-5753.58 My_l=-117.93
Tensioni nella sezione: σ=1429.42 τ=174.35
CC 45 SLU (Collegamento 0021_-378)
Azioni sul collegamento: N=-23689.50 Ty=6.01 Tz=55.60 Mx=-0.01 Mz=4.17
Sollecitazioni agenti localmente: Ty_l=-4182.93 My_l=-85.73
Tensioni nella sezione: σ=1039.11 τ=126.76
CC 46 SLU (Collegamento 0021_-378)
Azioni sul collegamento: N=-23139.00 Ty=5.73 Tz=53.57 Mx=-0.01 Mz=3.96
Sollecitazioni agenti localmente: Ty_l=-4086.16 My_l=-83.74
Tensioni nella sezione: σ=1015.08 τ=123.82
CC 47 SLU (Collegamento 0021_-378)
Azioni sul collegamento: N=-23413.30 Ty=5.76 Tz=54.61 Mx=-0.01 Mz=3.84
Sollecitazioni agenti localmente: Ty_l=-4135.24 My_l=-84.75
Tensioni nella sezione: σ=1027.29 τ=125.31
CC 48 SLU (Collegamento 0021_-378)
Azioni sul collegamento: N=-23415.20 Ty=5.98 Tz=54.56 Mx=-0.01 Mz=4.28
Sollecitazioni agenti localmente: Ty_l=-4133.86 My_l=-84.72
Tensioni nella sezione: σ=1026.91 τ=125.27
CC 49 SLU (Collegamento 0021_-378)
Azioni sul collegamento: N=-16738.30 Ty=6.67 Tz=30.05 Mx=-0.01 Mz=4.64
Sollecitazioni agenti localmente: Ty_l=-2948.80 My_l=-60.42
Tensioni nella sezione: σ=732.42 τ=89.36
CC 50 SLU (Collegamento 0021_-378)
Azioni sul collegamento: N=-16187.80 Ty=6.38 Tz=28.01 Mx=-0.01 Mz=4.43
Sollecitazioni agenti localmente: Ty_l=-2852.03 My_l=-58.44
Tensioni nella sezione: σ=708.39 τ=86.43
CC 51 SLU (Collegamento 0021_-378)
Azioni sul collegamento: N=-16462.10 Ty=6.42 Tz=29.05 Mx=-0.01 Mz=4.32
Sollecitazioni agenti localmente: Ty_l=-2901.11 My_l=-59.45
Tensioni nella sezione: σ=720.59 τ=87.91
CC 52 SLU (Collegamento 0021_-378)
Azioni sul collegamento: N=-16464.00 Ty=6.64 Tz=29.01 Mx=-0.01 Mz=4.75
Sollecitazioni agenti localmente: Ty_l=-2899.72 My_l=-59.42
Tensioni nella sezione: σ=720.22 τ=87.87
CC 53 SLU (Collegamento 0021_-378)
Azioni sul collegamento: N=-25132.80 Ty=5.93 Tz=60.42 Mx=-0.00 Mz=4.21
Sollecitazioni agenti localmente: Ty_l=-4438.62 My_l=-90.97
Tensioni nella sezione: σ=1102.65 τ=134.50
CC 54 SLU (Collegamento 0021_-378)
Azioni sul collegamento: N=-24582.20 Ty=5.64 Tz=58.39 Mx=-0.00 Mz=4.00
Sollecitazioni agenti localmente: Ty_l=-4341.85 My_l=-88.99
Tensioni nella sezione: σ=1078.61 τ=131.57
CC 55 SLU (Collegamento 0021_-378)
Azioni sul collegamento: N=-24856.50 Ty=5.68 Tz=59.43 Mx=0.00 Mz=3.89
Sollecitazioni agenti localmente: Ty_l=-4390.93 My_l=-89.99
Tensioni nella sezione: σ=1090.82 τ=133.06
CC 56 SLU (Collegamento 0021_-378)
Azioni sul collegamento: N=-24858.50 Ty=5.89 Tz=59.38 Mx=-0.00 Mz=4.32
Sollecitazioni agenti localmente: Ty_l=-4389.54 My_l=-89.96
Tensioni nella sezione: σ=1090.44 τ=133.02
CC 57 SLU (Collegamento 0021_-378)
Azioni sul collegamento: N=-22071.60 Ty=5.40 Tz=49.65 Mx=-0.01 Mz=3.73
Sollecitazioni agenti localmente: Ty_l=-3897.85 My_l=-79.89
Tensioni nella sezione: σ=968.30 τ=118.12
CC 58 SLU (Collegamento 0021_-378)
Azioni sul collegamento: N=-21521.10 Ty=5.11 Tz=47.61 Mx=-0.01 Mz=3.53
Sollecitazioni agenti localmente: Ty_l=-3801.07 My_l=-77.90
Tensioni nella sezione: σ=944.27 τ=115.18
CC 59 SLU (Collegamento 0021_-378)
Azioni sul collegamento: N=-21795.30 Ty=5.15 Tz=48.65 Mx=-0.01 Mz=3.41
Sollecitazioni agenti localmente: Ty_l=-3850.15 My_l=-78.91
Tensioni nella sezione: σ=956.47 τ=116.67
CC 60 SLU (Collegamento 0021_-378)
Azioni sul collegamento: N=-21797.30 Ty=5.37 Tz=48.60 Mx=-0.01 Mz=3.85
Sollecitazioni agenti localmente: Ty_l=-3848.77 My_l=-78.88
Tensioni nella sezione: σ=956.10 τ=116.63
CC 61 SLU (Collegamento 0021_-378)
Azioni sul collegamento: N=-15120.40 Ty=6.06 Tz=24.09 Mx=-0.01 Mz=4.21
Sollecitazioni agenti localmente: Ty_l=-2663.71 My_l=-54.58
Tensioni nella sezione: σ=661.61 τ=80.72
CC 62 SLU (Collegamento 0021_-378)

Azioni sul collegamento: N=-14569.90 Ty=5.77 Tz=22.06 Mx=-0.01 Mz=4.00
Sollecitazioni agenti localmente: Ty_l=-2566.94 My_l=-52.60
Tensioni nella sezione: σ=637.58 τ=77.79
CC 63 SLU (Collegamento 0021_-378)
Azioni sul collegamento: N=-14844.20 Ty=5.80 Tz=23.10 Mx=-0.01 Mz=3.88
Sollecitazioni agenti localmente: Ty_l=-2616.02 My_l=-53.61
Tensioni nella sezione: σ=649.78 τ=79.27
CC 64 SLU (Collegamento 0021_-378)
Azioni sul collegamento: N=-14846.10 Ty=6.02 Tz=23.05 Mx=-0.01 Mz=4.32
Sollecitazioni agenti localmente: Ty_l=-2614.63 My_l=-53.58
Tensioni nella sezione: σ=649.40 τ=79.23
CC 65 SLU (Collegamento 0021_-378)
Azioni sul collegamento: N=-23514.90 Ty=5.31 Tz=54.47 Mx=0.00 Mz=3.77
Sollecitazioni agenti localmente: Ty_l=-4153.53 My_l=-85.13
Tensioni nella sezione: σ=1031.84 τ=125.86
CC 66 SLU (Collegamento 0021_-378)
Azioni sul collegamento: N=-22964.30 Ty=5.03 Tz=52.43 Mx=0.00 Mz=3.57
Sollecitazioni agenti localmente: Ty_l=-4056.76 My_l=-83.14
Tensioni nella sezione: σ=1007.80 τ=122.93
CC 67 SLU (Collegamento 0021_-378)
Azioni sul collegamento: N=-23238.60 Ty=5.06 Tz=53.47 Mx=0.00 Mz=3.45
Sollecitazioni agenti localmente: Ty_l=-4105.84 My_l=-84.15
Tensioni nella sezione: σ=1020.01 τ=124.42
CC 68 SLU (Collegamento 0021_-378)
Azioni sul collegamento: N=-23240.60 Ty=5.28 Tz=53.43 Mx=-0.00 Mz=3.89
Sollecitazioni agenti localmente: Ty_l=-4104.46 My_l=-84.12
Tensioni nella sezione: σ=1019.63 τ=124.38
CC 97 SLU (Collegamento 0021_-378)
Azioni sul collegamento: N=-18052.20 Ty=-0.34 Tz=43.06 Mx=-0.05 Mz=-8.83
Sollecitazioni agenti localmente: Ty_l=-3235.28 My_l=-66.37
Tensioni nella sezione: σ=804.51 τ=98.04
CC 98 SLU (Collegamento 0021_-378)
Azioni sul collegamento: N=-17501.60 Ty=-0.63 Tz=41.02 Mx=-0.05 Mz=-9.04
Sollecitazioni agenti localmente: Ty_l=-3138.50 My_l=-64.39
Tensioni nella sezione: σ=780.48 τ=95.11
CC 99 SLU (Collegamento 0021_-378)
Azioni sul collegamento: N=-17775.90 Ty=-0.60 Tz=42.06 Mx=-0.05 Mz=-9.15
Sollecitazioni agenti localmente: Ty_l=-3187.58 My_l=-65.40
Tensioni nella sezione: σ=792.68 τ=96.59
CC 100 SLU (Collegamento 0021_-378)
Azioni sul collegamento: N=-17777.90 Ty=-0.38 Tz=42.01 Mx=-0.05 Mz=-8.71
Sollecitazioni agenti localmente: Ty_l=-3186.20 My_l=-65.37
Tensioni nella sezione: σ=792.31 τ=96.55
CC 101 SLU (Collegamento 0021_-378)
Azioni sul collegamento: N=-7136.43 Ty=4.37 Tz=2.96 Mx=0.00 Mz=3.85
Sollecitazioni agenti localmente: Ty_l=-1249.79 My_l=-25.60
Tensioni nella sezione: σ=310.29 τ=37.87
CC 102 SLU (Collegamento 0021_-378)
Azioni sul collegamento: N=-6585.90 Ty=4.08 Tz=0.92 Mx=0.00 Mz=3.64
Sollecitazioni agenti localmente: Ty_l=-1153.02 My_l=-23.62
Tensioni nella sezione: σ=286.26 τ=34.94
CC 103 SLU (Collegamento 0021_-378)
Azioni sul collegamento: N=-6860.19 Ty=4.11 Tz=1.96 Mx=0.00 Mz=3.53
Sollecitazioni agenti localmente: Ty_l=-1202.09 My_l=-24.62
Tensioni nella sezione: σ=298.46 τ=36.43
CC 104 SLU (Collegamento 0021_-378)
Azioni sul collegamento: N=-6862.15 Ty=4.33 Tz=1.92 Mx=0.00 Mz=3.96
Sollecitazioni agenti localmente: Ty_l=-1200.71 My_l=-24.59
Tensioni nella sezione: σ=298.09 τ=36.39

Collegamento 0022_-379

Piastra 220.00 x 220.00 s=15.00 - 6 Tirafondi ϕ 16 - Profondità di infissione: 350.00
3 righe ad interasse 89.00
2 colonne ad interasse 178.00
Altezza di gola saldature: anima 7.07 - ala 7.07

Tirafondi e calcestruzzo

CC 1 SLV (Collegamento 0022_-379)
Azioni sul collegamento: N=-3330.52 Ty=1.59 Tz=5.89 Mx=0.02 Mz=3.75
Sollecitazioni agenti localmente: Tx_l=1.59 Ty_l=5.89 N_l=-3330.52 Mx_l=-0.00 My_l=3.75 Mz_l=0.02
Taglio nei bulloni: Fv,Ed=1.04 Fv,Rd=7720.78
Rifollamento lato piastra: Fb,Ed,p=1.04 Fb,Rd,p=6695.56
Tirafondi:LT=0.45 (0.31) σ_{cR}=0.00 σ_{fR}=0.00
Compressione nel calcestruzzo: σ_c=7.09
CC 1 SLV (Collegamento 0022_-379)
Azioni sul collegamento: N=-3330.52 Ty=0.88 Tz=5.89 Mx=0.02 Mz=2.36
Sollecitazioni agenti localmente: Tx_l=0.88 Ty_l=5.89 N_l=-3330.52 Mx_l=-0.00 My_l=2.36 Mz_l=0.02

Taglio nei bulloni: Fv,Ed=1.01 Fv,Rd=7720.78
Rifollamento lato piastra: Fb,Ed,p=1.01 Fb,Rd,p=6223.30
Tirafondi:LT=0.45 (0.31) σ_{cR}=0.00 σ_{fR}=0.00
Compressione nel calcestruzzo: σ_c=7.01
CC 1 SLV (Collegamento 0022_-379)
Azioni sul collegamento: N=-3330.52 Ty=1.59 Tz=-11.19 Mx=0.02 Mz=3.75
Sollecitazioni agenti localmente: Tx_l=1.59 Ty_l=-11.19 N_l=-3330.52 Mx_l=-0.00 My_l=3.75 Mz_l=0.02
Taglio nei bulloni: Fv,Ed=1.90 Fv,Rd=7720.78
Rifollamento lato piastra: Fb,Ed,p=1.90 Fb,Rd,p=6131.51
Tirafondi:LT=0.45 (0.31) σ_{cR}=0.00 σ_{fR}=0.00
Compressione nel calcestruzzo: σ_c=7.09
CC 1 SLV (Collegamento 0022_-379)
Azioni sul collegamento: N=-3330.52 Ty=0.88 Tz=-11.19 Mx=0.02 Mz=2.36
Sollecitazioni agenti localmente: Tx_l=0.88 Ty_l=-11.19 N_l=-3330.52 Mx_l=-0.00 My_l=2.36 Mz_l=0.02
Taglio nei bulloni: Fv,Ed=1.89 Fv,Rd=7720.78
Rifollamento lato piastra: Fb,Ed,p=1.89 Fb,Rd,p=6020.90
Tirafondi:LT=0.45 (0.31) σ_{cR}=0.00 σ_{fR}=0.00
Compressione nel calcestruzzo: σ_c=7.01
CC 1 SLV (Collegamento 0022_-379)
Azioni sul collegamento: N=-7936.99 Ty=1.59 Tz=5.89 Mx=0.02 Mz=3.75
Sollecitazioni agenti localmente: Tx_l=1.59 Ty_l=5.89 N_l=-7936.99 Mx_l=-0.00 My_l=3.75 Mz_l=0.02
Taglio nei bulloni: Fv,Ed=1.04 Fv,Rd=7720.78
Rifollamento lato piastra: Fb,Ed,p=1.04 Fb,Rd,p=6695.54
Tirafondi:LT=0.45 (0.31) σ_{cR}=0.00 σ_{fR}=0.00
Compressione nel calcestruzzo: σ_c=16.61
CC 1 SLV (Collegamento 0022_-379)
Azioni sul collegamento: N=-7936.99 Ty=0.88 Tz=5.89 Mx=0.02 Mz=2.36
Sollecitazioni agenti localmente: Tx_l=0.88 Ty_l=5.89 N_l=-7936.99 Mx_l=-0.00 My_l=2.36 Mz_l=0.02
Taglio nei bulloni: Fv,Ed=1.01 Fv,Rd=7720.78
Rifollamento lato piastra: Fb,Ed,p=1.01 Fb,Rd,p=6223.30
Tirafondi:LT=0.45 (0.31) σ_{cR}=0.00 σ_{fR}=0.00
Compressione nel calcestruzzo: σ_c=16.53
CC 1 SLV (Collegamento 0022_-379)
Azioni sul collegamento: N=-7936.99 Ty=1.59 Tz=-11.19 Mx=0.02 Mz=3.75
Sollecitazioni agenti localmente: Tx_l=1.59 Ty_l=-11.19 N_l=-7936.99 Mx_l=-0.00 My_l=3.75 Mz_l=0.02
Taglio nei bulloni: Fv,Ed=1.90 Fv,Rd=7720.78
Rifollamento lato piastra: Fb,Ed,p=1.90 Fb,Rd,p=6131.51
Tirafondi:LT=0.45 (0.31) σ_{cR}=0.00 σ_{fR}=0.00
Compressione nel calcestruzzo: σ_c=16.61
CC 1 SLV (Collegamento 0022_-379)
Azioni sul collegamento: N=-7936.99 Ty=0.88 Tz=-11.19 Mx=0.02 Mz=2.36
Sollecitazioni agenti localmente: Tx_l=0.88 Ty_l=-11.19 N_l=-7936.99 Mx_l=-0.00 My_l=2.36 Mz_l=0.02
Taglio nei bulloni: Fv,Ed=1.89 Fv,Rd=7720.78
Rifollamento lato piastra: Fb,Ed,p=1.89 Fb,Rd,p=6020.90
Tirafondi:LT=0.45 (0.31) σ_{cR}=0.00 σ_{fR}=0.00
Compressione nel calcestruzzo: σ_c=16.53
CC 2 SLD (Collegamento 0022_-379)
Azioni sul collegamento: N=-4931.25 Ty=0.54 Tz=-0.05 Mx=0.01 Mz=1.22
Sollecitazioni agenti localmente: Tx_l=0.54 Ty_l=-0.05 N_l=-4931.25 Mx_l=-0.00 My_l=1.22 Mz_l=0.01
Rifollamento lato piastra: Fb,Ed,p=0.10 Fb,Rd,p=7714.41
Tirafondi:LT=0.45 (0.31) σ_{cR}=0.00 σ_{fR}=0.00
Compressione nel calcestruzzo: σ_c=10.26
CC 2 SLD (Collegamento 0022_-379)
Azioni sul collegamento: N=-4931.25 Ty=0.32 Tz=-0.05 Mx=0.01 Mz=0.79
Sollecitazioni agenti localmente: Tx_l=0.32 Ty_l=-0.05 N_l=-4931.25 Mx_l=-0.00 My_l=0.79 Mz_l=0.01
Tirafondi:LT=0.45 (0.31) σ_{cR}=0.00 σ_{fR}=0.00
Compressione nel calcestruzzo: σ_c=10.23
CC 2 SLD (Collegamento 0022_-379)
Azioni sul collegamento: N=-4931.25 Ty=0.54 Tz=-5.26 Mx=0.01 Mz=1.22
Sollecitazioni agenti localmente: Tx_l=0.54 Ty_l=-5.26 N_l=-4931.25 Mx_l=-0.00 My_l=1.22 Mz_l=0.01
Taglio nei bulloni: Fv,Ed=0.89 Fv,Rd=9650.97
Rifollamento lato piastra: Fb,Ed,p=0.89 Fb,Rd,p=7573.70
Tirafondi:LT=0.45 (0.31) σ_{cR}=0.00 σ_{fR}=0.00
Compressione nel calcestruzzo: σ_c=10.26
CC 2 SLD (Collegamento 0022_-379)
Azioni sul collegamento: N=-4931.25 Ty=0.32 Tz=-5.26 Mx=0.01 Mz=0.79
Sollecitazioni agenti localmente: Tx_l=0.32 Ty_l=-5.26 N_l=-4931.25 Mx_l=-0.00 My_l=0.79 Mz_l=0.01
Taglio nei bulloni: Fv,Ed=0.88 Fv,Rd=9650.97
Rifollamento lato piastra: Fb,Ed,p=0.88 Fb,Rd,p=7506.51
Tirafondi:LT=0.45 (0.31) σ_{cR}=0.00 σ_{fR}=0.00
Compressione nel calcestruzzo: σ_c=10.23
CC 2 SLD (Collegamento 0022_-379)
Azioni sul collegamento: N=-6335.90 Ty=0.54 Tz=-0.05 Mx=0.01 Mz=1.22
Sollecitazioni agenti localmente: Tx_l=0.54 Ty_l=-0.05 N_l=-6335.90 Mx_l=-0.00 My_l=1.22 Mz_l=0.01
Rifollamento lato piastra: Fb,Ed,p=0.10 Fb,Rd,p=7713.66
Tirafondi:LT=0.45 (0.31) σ_{cR}=0.00 σ_{fR}=0.00
Compressione nel calcestruzzo: σ_c=13.16
CC 2 SLD (Collegamento 0022_-379)

Azioni sul collegamento: N=-6335.90 Ty=0.32 Tz=-0.05 Mx=0.01 Mz=0.79
Sollecitazioni agenti localmente: Tx_l=0.32 Ty_l=-0.05 N_l=-6335.90 Mx_l=-0.00 My_l=0.79 Mz_l=0.01
Tirafondi:LT=0.45 (0.31) σ_{cR}=0.00 σ_{fR}=0.00
Compressione nel calcestruzzo: σ_c=13.14
CC 2 SLD (Collegamento 0022_-379)
Azioni sul collegamento: N=-6335.90 Ty=0.54 Tz=-5.26 Mx=0.01 Mz=1.22
Sollecitazioni agenti localmente: Tx_l=0.54 Ty_l=-5.26 N_l=-6335.90 Mx_l=-0.00 My_l=1.22 Mz_l=0.01
Taglio nei bulloni: Fv,Ed=0.89 Fv,Rd=9650.97
Rifollamento lato piastra: Fb,Ed,p=0.89 Fb,Rd,p=7573.70
Tirafondi:LT=0.45 (0.31) σ_{cR}=0.00 σ_{fR}=0.00
Compressione nel calcestruzzo: σ_c=13.16
CC 2 SLD (Collegamento 0022_-379)
Azioni sul collegamento: N=-6335.90 Ty=0.32 Tz=-5.26 Mx=0.01 Mz=0.79
Sollecitazioni agenti localmente: Tx_l=0.32 Ty_l=-5.26 N_l=-6335.90 Mx_l=-0.00 My_l=0.79 Mz_l=0.01
Taglio nei bulloni: Fv,Ed=0.88 Fv,Rd=9650.97
Rifollamento lato piastra: Fb,Ed,p=0.88 Fb,Rd,p=7506.51
Tirafondi:LT=0.45 (0.31) σ_{cR}=0.00 σ_{fR}=0.00
Compressione nel calcestruzzo: σ_c=13.14
CC 3 SLV (Collegamento 0022_-379)
Azioni sul collegamento: N=-3330.55 Ty=0.90 Tz=5.89 Mx=0.01 Mz=2.40
Sollecitazioni agenti localmente: Tx_l=0.90 Ty_l=5.89 N_l=-3330.55 Mx_l=-0.00 My_l=2.40 Mz_l=0.01
Taglio nei bulloni: Fv,Ed=1.01 Fv,Rd=7720.78
Rifollamento lato piastra: Fb,Ed,p=1.01 Fb,Rd,p=6215.70
Tirafondi:LT=0.45 (0.31) σ_{cR}=0.00 σ_{fR}=0.00
Compressione nel calcestruzzo: σ_c=7.02
CC 3 SLV (Collegamento 0022_-379)
Azioni sul collegamento: N=-3330.55 Ty=1.58 Tz=5.89 Mx=0.01 Mz=3.71
Sollecitazioni agenti localmente: Tx_l=1.58 Ty_l=5.89 N_l=-3330.55 Mx_l=-0.00 My_l=3.71 Mz_l=0.01
Taglio nei bulloni: Fv,Ed=1.03 Fv,Rd=7720.78
Rifollamento lato piastra: Fb,Ed,p=1.03 Fb,Rd,p=6663.17
Tirafondi:LT=0.45 (0.31) σ_{cR}=0.00 σ_{fR}=0.00
Compressione nel calcestruzzo: σ_c=7.09
CC 3 SLV (Collegamento 0022_-379)
Azioni sul collegamento: N=-3330.55 Ty=0.90 Tz=-11.19 Mx=0.01 Mz=2.40
Sollecitazioni agenti localmente: Tx_l=0.90 Ty_l=-11.19 N_l=-3330.55 Mx_l=-0.00 My_l=2.40 Mz_l=0.01
Taglio nei bulloni: Fv,Ed=1.88 Fv,Rd=7720.78
Rifollamento lato piastra: Fb,Ed,p=1.88 Fb,Rd,p=6026.57
Tirafondi:LT=0.45 (0.31) σ_{cR}=0.00 σ_{fR}=0.00
Compressione nel calcestruzzo: σ_c=7.02
CC 3 SLV (Collegamento 0022_-379)
Azioni sul collegamento: N=-3330.55 Ty=1.58 Tz=-11.19 Mx=0.01 Mz=3.71
Sollecitazioni agenti localmente: Tx_l=1.58 Ty_l=-11.19 N_l=-3330.55 Mx_l=-0.00 My_l=3.71 Mz_l=0.01
Taglio nei bulloni: Fv,Ed=1.90 Fv,Rd=7720.78
Rifollamento lato piastra: Fb,Ed,p=1.89 Fb,Rd,p=6136.92
Tirafondi:LT=0.45 (0.31) σ_{cR}=0.00 σ_{fR}=0.00
Compressione nel calcestruzzo: σ_c=7.09
CC 3 SLV (Collegamento 0022_-379)
Azioni sul collegamento: N=-7936.97 Ty=0.90 Tz=5.89 Mx=0.01 Mz=2.40
Sollecitazioni agenti localmente: Tx_l=0.90 Ty_l=5.89 N_l=-7936.97 Mx_l=-0.00 My_l=2.40 Mz_l=0.01
Taglio nei bulloni: Fv,Ed=1.01 Fv,Rd=7720.78
Rifollamento lato piastra: Fb,Ed,p=1.01 Fb,Rd,p=6215.68
Tirafondi:LT=0.45 (0.31) σ_{cR}=0.00 σ_{fR}=0.00
Compressione nel calcestruzzo: σ_c=16.53
CC 3 SLV (Collegamento 0022_-379)
Azioni sul collegamento: N=-7936.97 Ty=1.58 Tz=5.89 Mx=0.01 Mz=3.71
Sollecitazioni agenti localmente: Tx_l=1.58 Ty_l=5.89 N_l=-7936.97 Mx_l=-0.00 My_l=3.71 Mz_l=0.01
Taglio nei bulloni: Fv,Ed=1.03 Fv,Rd=7720.78
Rifollamento lato piastra: Fb,Ed,p=1.03 Fb,Rd,p=6663.11
Tirafondi:LT=0.45 (0.31) σ_{cR}=0.00 σ_{fR}=0.00
Compressione nel calcestruzzo: σ_c=16.61
CC 3 SLV (Collegamento 0022_-379)
Azioni sul collegamento: N=-7936.97 Ty=0.90 Tz=-11.19 Mx=0.01 Mz=2.40
Sollecitazioni agenti localmente: Tx_l=0.90 Ty_l=-11.19 N_l=-7936.97 Mx_l=-0.00 My_l=2.40 Mz_l=0.01
Taglio nei bulloni: Fv,Ed=1.88 Fv,Rd=7720.78
Rifollamento lato piastra: Fb,Ed,p=1.88 Fb,Rd,p=6026.57
Tirafondi:LT=0.45 (0.31) σ_{cR}=0.00 σ_{fR}=0.00
Compressione nel calcestruzzo: σ_c=16.53
CC 3 SLV (Collegamento 0022_-379)
Azioni sul collegamento: N=-7936.97 Ty=1.58 Tz=-11.19 Mx=0.01 Mz=3.71
Sollecitazioni agenti localmente: Tx_l=1.58 Ty_l=-11.19 N_l=-7936.97 Mx_l=-0.00 My_l=3.71 Mz_l=0.01
Taglio nei bulloni: Fv,Ed=1.90 Fv,Rd=7720.78
Rifollamento lato piastra: Fb,Ed,p=1.89 Fb,Rd,p=6136.92
Tirafondi:LT=0.45 (0.31) σ_{cR}=0.00 σ_{fR}=0.00
Compressione nel calcestruzzo: σ_c=16.61
CC 4 SLD (Collegamento 0022_-379)
Azioni sul collegamento: N=-4931.25 Ty=0.33 Tz=-0.05 Mx=0.00 Mz=0.80
Sollecitazioni agenti localmente: Tx_l=0.33 Ty_l=-0.05 N_l=-4931.25 Mx_l=-0.00 My_l=0.80 Mz_l=0.00
Tirafondi:LT=0.45 (0.31) σ_{cR}=0.00 σ_{fR}=0.00

Compressione nel calcestruzzo: σ_c=10.23
CC 4 SLD (Collegamento 0022_-379)
Azioni sul collegamento: N=-4931.25 Ty=0.53 Tz=-0.05 Mx=0.00 Mz=1.20
Sollecitazioni agenti localmente: Tx_l=0.53 Ty_l=-0.05 N_l=-4931.25 Mx_l=-0.00 My_l=1.20 Mz_l=0.00
Rifollamento lato piastra: Fb,Ed,p=0.09 Fb,Rd,p=7668.35
Tirafondi:LT=0.45 (0.31) σ_{cR}=0.00 σ_{fR}=0.00
Compressione nel calcestruzzo: σ_c=10.26
CC 4 SLD (Collegamento 0022_-379)
Azioni sul collegamento: N=-4931.25 Ty=0.33 Tz=-5.26 Mx=0.00 Mz=0.80
Sollecitazioni agenti localmente: Tx_l=0.33 Ty_l=-5.26 N_l=-4931.25 Mx_l=-0.00 My_l=0.80 Mz_l=0.00
Taglio nei bulloni: Fv,Ed=0.88 Fv,Rd=9650.97
Rifollamento lato piastra: Fb,Ed,p=0.88 Fb,Rd,p=7510.11
Tirafondi:LT=0.45 (0.31) σ_{cR}=0.00 σ_{fR}=0.00
Compressione nel calcestruzzo: σ_c=10.23
CC 4 SLD (Collegamento 0022_-379)
Azioni sul collegamento: N=-4931.25 Ty=0.53 Tz=-5.26 Mx=0.00 Mz=1.20
Sollecitazioni agenti localmente: Tx_l=0.53 Ty_l=-5.26 N_l=-4931.25 Mx_l=-0.00 My_l=1.20 Mz_l=0.00
Taglio nei bulloni: Fv,Ed=0.89 Fv,Rd=9650.97
Rifollamento lato piastra: Fb,Ed,p=0.88 Fb,Rd,p=7576.71
Tirafondi:LT=0.45 (0.31) σ_{cR}=0.00 σ_{fR}=0.00
Compressione nel calcestruzzo: σ_c=10.26
CC 4 SLD (Collegamento 0022_-379)
Azioni sul collegamento: N=-6335.90 Ty=0.33 Tz=-0.05 Mx=0.00 Mz=0.80
Sollecitazioni agenti localmente: Tx_l=0.33 Ty_l=-0.05 N_l=-6335.90 Mx_l=-0.00 My_l=0.80 Mz_l=0.00
Tirafondi:LT=0.45 (0.31) σ_{cR}=0.00 σ_{fR}=0.00
Compressione nel calcestruzzo: σ_c=13.14
CC 4 SLD (Collegamento 0022_-379)
Azioni sul collegamento: N=-6335.90 Ty=0.53 Tz=-0.05 Mx=0.00 Mz=1.20
Sollecitazioni agenti localmente: Tx_l=0.53 Ty_l=-0.05 N_l=-6335.90 Mx_l=-0.00 My_l=1.20 Mz_l=0.00
Rifollamento lato piastra: Fb,Ed,p=0.09 Fb,Rd,p=7667.10
Tirafondi:LT=0.45 (0.31) σ_{cR}=0.00 σ_{fR}=0.00
Compressione nel calcestruzzo: σ_c=13.16
CC 4 SLD (Collegamento 0022_-379)
Azioni sul collegamento: N=-6335.90 Ty=0.33 Tz=-5.26 Mx=0.00 Mz=0.80
Sollecitazioni agenti localmente: Tx_l=0.33 Ty_l=-5.26 N_l=-6335.90 Mx_l=-0.00 My_l=0.80 Mz_l=0.00
Taglio nei bulloni: Fv,Ed=0.88 Fv,Rd=9650.97
Rifollamento lato piastra: Fb,Ed,p=0.88 Fb,Rd,p=7510.11
Tirafondi:LT=0.45 (0.31) σ_{cR}=0.00 σ_{fR}=0.00
Compressione nel calcestruzzo: σ_c=13.14
CC 4 SLD (Collegamento 0022_-379)
Azioni sul collegamento: N=-6335.90 Ty=0.53 Tz=-5.26 Mx=0.00 Mz=1.20
Sollecitazioni agenti localmente: Tx_l=0.53 Ty_l=-5.26 N_l=-6335.90 Mx_l=-0.00 My_l=1.20 Mz_l=0.00
Taglio nei bulloni: Fv,Ed=0.89 Fv,Rd=9650.97
Rifollamento lato piastra: Fb,Ed,p=0.88 Fb,Rd,p=7576.71
Tirafondi:LT=0.45 (0.31) σ_{cR}=0.00 σ_{fR}=0.00
Compressione nel calcestruzzo: σ_c=13.16
CC 5 SLV (Collegamento 0022_-379)
Azioni sul collegamento: N=-7936.97 Ty=1.58 Tz=-11.19 Mx=0.02 Mz=3.71
Sollecitazioni agenti localmente: Tx_l=1.58 Ty_l=-11.19 N_l=-7936.97 Mx_l=-0.00 My_l=3.71 Mz_l=0.02
Taglio nei bulloni: Fv,Ed=1.90 Fv,Rd=7720.78
Rifollamento lato piastra: Fb,Ed,p=1.90 Fb,Rd,p=6129.04
Tirafondi:LT=0.45 (0.31) σ_{cR}=0.00 σ_{fR}=0.00
Compressione nel calcestruzzo: σ_c=16.61
CC 5 SLV (Collegamento 0022_-379)
Azioni sul collegamento: N=-7936.97 Ty=0.90 Tz=-11.19 Mx=0.02 Mz=2.40
Sollecitazioni agenti localmente: Tx_l=0.90 Ty_l=-11.19 N_l=-7936.97 Mx_l=-0.00 My_l=2.40 Mz_l=0.02
Taglio nei bulloni: Fv,Ed=1.89 Fv,Rd=7720.78
Rifollamento lato piastra: Fb,Ed,p=1.89 Fb,Rd,p=6022.53
Tirafondi:LT=0.45 (0.31) σ_{cR}=0.00 σ_{fR}=0.00
Compressione nel calcestruzzo: σ_c=16.53
CC 5 SLV (Collegamento 0022_-379)
Azioni sul collegamento: N=-7936.97 Ty=1.58 Tz=5.89 Mx=0.02 Mz=3.71
Sollecitazioni agenti localmente: Tx_l=1.58 Ty_l=5.89 N_l=-7936.97 Mx_l=-0.00 My_l=3.71 Mz_l=0.02
Taglio nei bulloni: Fv,Ed=1.04 Fv,Rd=7720.78
Rifollamento lato piastra: Fb,Ed,p=1.04 Fb,Rd,p=6683.37
Tirafondi:LT=0.45 (0.31) σ_{cR}=0.00 σ_{fR}=0.00
Compressione nel calcestruzzo: σ_c=16.61
CC 5 SLV (Collegamento 0022_-379)
Azioni sul collegamento: N=-7936.97 Ty=0.90 Tz=5.89 Mx=0.02 Mz=2.40
Sollecitazioni agenti localmente: Tx_l=0.90 Ty_l=5.89 N_l=-7936.97 Mx_l=-0.00 My_l=2.40 Mz_l=0.02
Taglio nei bulloni: Fv,Ed=1.01 Fv,Rd=7720.78
Rifollamento lato piastra: Fb,Ed,p=1.01 Fb,Rd,p=6229.49
Tirafondi:LT=0.45 (0.31) σ_{cR}=0.00 σ_{fR}=0.00
Compressione nel calcestruzzo: σ_c=16.53
CC 5 SLV (Collegamento 0022_-379)
Azioni sul collegamento: N=-3330.55 Ty=1.58 Tz=-11.19 Mx=0.02 Mz=3.71
Sollecitazioni agenti localmente: Tx_l=1.58 Ty_l=-11.19 N_l=-3330.55 Mx_l=-0.00 My_l=3.71 Mz_l=0.02
Taglio nei bulloni: Fv,Ed=1.90 Fv,Rd=7720.78

Rifollamento lato piastra: Fb,Ed,p=1.90 Fb,Rd,p=6129.05
Tirafondi:LT=0.45 (0.31) σ_{cR}=0.00 σ_{fR}=0.00
Compressione nel calcestruzzo: σ_c=7.09
CC 5 SLV (Collegamento 0022_-379)
Azioni sul collegamento: N=-3330.55 Ty=0.90 Tz=-11.19 Mx=0.02 Mz=2.40
Sollecitazioni agenti localmente: Tx_l=0.90 Ty_l=-11.19 N_l=-3330.55 Mx_l=-0.00 My_l=2.40 Mz_l=0.02
Taglio nei bulloni: Fv,Ed=1.89 Fv,Rd=7720.78
Rifollamento lato piastra: Fb,Ed,p=1.89 Fb,Rd,p=6022.53
Tirafondi:LT=0.45 (0.31) σ_{cR}=0.00 σ_{fR}=0.00
Compressione nel calcestruzzo: σ_c=7.02
CC 5 SLV (Collegamento 0022_-379)
Azioni sul collegamento: N=-3330.55 Ty=1.58 Tz=5.89 Mx=0.02 Mz=3.71
Sollecitazioni agenti localmente: Tx_l=1.58 Ty_l=5.89 N_l=-3330.55 Mx_l=-0.00 My_l=3.71 Mz_l=0.02
Taglio nei bulloni: Fv,Ed=1.04 Fv,Rd=7720.78
Rifollamento lato piastra: Fb,Ed,p=1.04 Fb,Rd,p=6683.43
Tirafondi:LT=0.45 (0.31) σ_{cR}=0.00 σ_{fR}=0.00
Compressione nel calcestruzzo: σ_c=7.09
CC 5 SLV (Collegamento 0022_-379)
Azioni sul collegamento: N=-3330.55 Ty=0.90 Tz=5.89 Mx=0.02 Mz=2.40
Sollecitazioni agenti localmente: Tx_l=0.90 Ty_l=5.89 N_l=-3330.55 Mx_l=-0.00 My_l=2.40 Mz_l=0.02
Taglio nei bulloni: Fv,Ed=1.01 Fv,Rd=7720.78
Rifollamento lato piastra: Fb,Ed,p=1.01 Fb,Rd,p=6229.50
Tirafondi:LT=0.45 (0.31) σ_{cR}=0.00 σ_{fR}=0.00
Compressione nel calcestruzzo: σ_c=7.02
CC 6 SLD (Collegamento 0022_-379)
Azioni sul collegamento: N=-6335.90 Ty=0.53 Tz=-5.26 Mx=0.01 Mz=1.20
Sollecitazioni agenti localmente: Tx_l=0.53 Ty_l=-5.26 N_l=-6335.90 Mx_l=-0.00 My_l=1.20 Mz_l=0.01
Taglio nei bulloni: Fv,Ed=0.89 Fv,Rd=9650.97
Rifollamento lato piastra: Fb,Ed,p=0.89 Fb,Rd,p=7572.23
Tirafondi:LT=0.45 (0.31) σ_{cR}=0.00 σ_{fR}=0.00
Compressione nel calcestruzzo: σ_c=13.16
CC 6 SLD (Collegamento 0022_-379)
Azioni sul collegamento: N=-6335.90 Ty=0.33 Tz=-5.26 Mx=0.01 Mz=0.80
Sollecitazioni agenti localmente: Tx_l=0.33 Ty_l=-5.26 N_l=-6335.90 Mx_l=-0.00 My_l=0.80 Mz_l=0.01
Taglio nei bulloni: Fv,Ed=0.88 Fv,Rd=9650.97
Rifollamento lato piastra: Fb,Ed,p=0.88 Fb,Rd,p=7507.57
Tirafondi:LT=0.45 (0.31) σ_{cR}=0.00 σ_{fR}=0.00
Compressione nel calcestruzzo: σ_c=13.14
CC 6 SLD (Collegamento 0022_-379)
Azioni sul collegamento: N=-6335.90 Ty=0.53 Tz=-0.05 Mx=0.01 Mz=1.20
Sollecitazioni agenti localmente: Tx_l=0.53 Ty_l=-0.05 N_l=-6335.90 Mx_l=-0.00 My_l=1.20 Mz_l=0.01
Rifollamento lato piastra: Fb,Ed,p=0.10 Fb,Rd,p=7715.83
Tirafondi:LT=0.45 (0.31) σ_{cR}=0.00 σ_{fR}=0.00
Compressione nel calcestruzzo: σ_c=13.16
CC 6 SLD (Collegamento 0022_-379)
Azioni sul collegamento: N=-6335.90 Ty=0.33 Tz=-0.05 Mx=0.01 Mz=0.80
Sollecitazioni agenti localmente: Tx_l=0.33 Ty_l=-0.05 N_l=-6335.90 Mx_l=-0.00 My_l=0.80 Mz_l=0.01
Tirafondi:LT=0.45 (0.31) σ_{cR}=0.00 σ_{fR}=0.00
Compressione nel calcestruzzo: σ_c=13.14
CC 6 SLD (Collegamento 0022_-379)
Azioni sul collegamento: N=-4931.25 Ty=0.53 Tz=-5.26 Mx=0.01 Mz=1.20
Sollecitazioni agenti localmente: Tx_l=0.53 Ty_l=-5.26 N_l=-4931.25 Mx_l=-0.00 My_l=1.20 Mz_l=0.01
Taglio nei bulloni: Fv,Ed=0.89 Fv,Rd=9650.97
Rifollamento lato piastra: Fb,Ed,p=0.89 Fb,Rd,p=7572.23
Tirafondi:LT=0.45 (0.31) σ_{cR}=0.00 σ_{fR}=0.00
Compressione nel calcestruzzo: σ_c=10.26
CC 6 SLD (Collegamento 0022_-379)
Azioni sul collegamento: N=-4931.25 Ty=0.33 Tz=-5.26 Mx=0.01 Mz=0.80
Sollecitazioni agenti localmente: Tx_l=0.33 Ty_l=-5.26 N_l=-4931.25 Mx_l=-0.00 My_l=0.80 Mz_l=0.01
Taglio nei bulloni: Fv,Ed=0.88 Fv,Rd=9650.97
Rifollamento lato piastra: Fb,Ed,p=0.88 Fb,Rd,p=7507.57
Tirafondi:LT=0.45 (0.31) σ_{cR}=0.00 σ_{fR}=0.00
Compressione nel calcestruzzo: σ_c=10.23
CC 6 SLD (Collegamento 0022_-379)
Azioni sul collegamento: N=-4931.25 Ty=0.53 Tz=-0.05 Mx=0.01 Mz=1.20
Sollecitazioni agenti localmente: Tx_l=0.53 Ty_l=-0.05 N_l=-4931.25 Mx_l=-0.00 My_l=1.20 Mz_l=0.01
Rifollamento lato piastra: Fb,Ed,p=0.10 Fb,Rd,p=7717.21
Tirafondi:LT=0.45 (0.31) σ_{cR}=0.00 σ_{fR}=0.00
Compressione nel calcestruzzo: σ_c=10.26
CC 6 SLD (Collegamento 0022_-379)
Azioni sul collegamento: N=-4931.25 Ty=0.33 Tz=-0.05 Mx=0.01 Mz=0.80
Sollecitazioni agenti localmente: Tx_l=0.33 Ty_l=-0.05 N_l=-4931.25 Mx_l=-0.00 My_l=0.80 Mz_l=0.01
Tirafondi:LT=0.45 (0.31) σ_{cR}=0.00 σ_{fR}=0.00
Compressione nel calcestruzzo: σ_c=10.23
CC 7 SLV (Collegamento 0022_-379)
Azioni sul collegamento: N=-7936.99 Ty=0.88 Tz=-11.19 Mx=0.01 Mz=2.36
Sollecitazioni agenti localmente: Tx_l=0.88 Ty_l=-11.19 N_l=-7936.99 Mx_l=-0.00 My_l=2.36 Mz_l=0.01
Taglio nei bulloni: Fv,Ed=1.88 Fv,Rd=7720.78

Rifollamento lato piastra: Fb,Ed,p=1.88 Fb,Rd,p=6025.18
Tirafondi:LT=0.45 (0.31) σ_{cR}=0.00 σ_{fR}=0.00
Compressione nel calcestruzzo: σ_c=16.53
CC 7 SLV (Collegamento 0022_-379)
Azioni sul collegamento: N=-7936.99 Ty=1.59 Tz=-11.19 Mx=0.01 Mz=3.75
Sollecitazioni agenti localmente: Tx_l=1.59 Ty_l=-11.19 N_l=-7936.99 Mx_l=-0.00 My_l=3.75 Mz_l=0.01
Taglio nei bulloni: Fv,Ed=1.90 Fv,Rd=7720.78
Rifollamento lato piastra: Fb,Ed,p=1.89 Fb,Rd,p=6140.08
Tirafondi:LT=0.45 (0.31) σ_{cR}=0.00 σ_{fR}=0.00
Compressione nel calcestruzzo: σ_c=16.61
CC 7 SLV (Collegamento 0022_-379)
Azioni sul collegamento: N=-7936.99 Ty=0.88 Tz=5.89 Mx=0.01 Mz=2.36
Sollecitazioni agenti localmente: Tx_l=0.88 Ty_l=5.89 N_l=-7936.99 Mx_l=-0.00 My_l=2.36 Mz_l=0.01
Taglio nei bulloni: Fv,Ed=1.01 Fv,Rd=7720.78
Rifollamento lato piastra: Fb,Ed,p=1.01 Fb,Rd,p=6208.58
Tirafondi:LT=0.45 (0.31) σ_{cR}=0.00 σ_{fR}=0.00
Compressione nel calcestruzzo: σ_c=16.53
CC 7 SLV (Collegamento 0022_-379)
Azioni sul collegamento: N=-7936.99 Ty=1.59 Tz=5.89 Mx=0.01 Mz=3.75
Sollecitazioni agenti localmente: Tx_l=1.59 Ty_l=5.89 N_l=-7936.99 Mx_l=-0.00 My_l=3.75 Mz_l=0.01
Taglio nei bulloni: Fv,Ed=1.03 Fv,Rd=7720.78
Rifollamento lato piastra: Fb,Ed,p=1.03 Fb,Rd,p=6673.59
Tirafondi:LT=0.45 (0.31) σ_{cR}=0.00 σ_{fR}=0.00
Compressione nel calcestruzzo: σ_c=16.61
CC 7 SLV (Collegamento 0022_-379)
Azioni sul collegamento: N=-3330.52 Ty=0.88 Tz=-11.19 Mx=0.01 Mz=2.36
Sollecitazioni agenti localmente: Tx_l=0.88 Ty_l=-11.19 N_l=-3330.52 Mx_l=-0.00 My_l=2.36 Mz_l=0.01
Taglio nei bulloni: Fv,Ed=1.88 Fv,Rd=7720.78
Rifollamento lato piastra: Fb,Ed,p=1.88 Fb,Rd,p=6025.18
Tirafondi:LT=0.45 (0.31) σ_{cR}=0.00 σ_{fR}=0.00
Compressione nel calcestruzzo: σ_c=7.01
CC 7 SLV (Collegamento 0022_-379)
Azioni sul collegamento: N=-3330.52 Ty=1.59 Tz=-11.19 Mx=0.01 Mz=3.75
Sollecitazioni agenti localmente: Tx_l=1.59 Ty_l=-11.19 N_l=-3330.52 Mx_l=-0.00 My_l=3.75 Mz_l=0.01
Taglio nei bulloni: Fv,Ed=1.90 Fv,Rd=7720.78
Rifollamento lato piastra: Fb,Ed,p=1.89 Fb,Rd,p=6140.09
Tirafondi:LT=0.45 (0.31) σ_{cR}=0.00 σ_{fR}=0.00
Compressione nel calcestruzzo: σ_c=7.09
CC 7 SLV (Collegamento 0022_-379)
Azioni sul collegamento: N=-3330.52 Ty=0.88 Tz=5.89 Mx=0.01 Mz=2.36
Sollecitazioni agenti localmente: Tx_l=0.88 Ty_l=5.89 N_l=-3330.52 Mx_l=-0.00 My_l=2.36 Mz_l=0.01
Taglio nei bulloni: Fv,Ed=1.01 Fv,Rd=7720.78
Rifollamento lato piastra: Fb,Ed,p=1.01 Fb,Rd,p=6208.58
Tirafondi:LT=0.45 (0.31) σ_{cR}=0.00 σ_{fR}=0.00
Compressione nel calcestruzzo: σ_c=7.01
CC 7 SLV (Collegamento 0022_-379)
Azioni sul collegamento: N=-3330.52 Ty=1.59 Tz=5.89 Mx=0.01 Mz=3.75
Sollecitazioni agenti localmente: Tx_l=1.59 Ty_l=5.89 N_l=-3330.52 Mx_l=-0.00 My_l=3.75 Mz_l=0.01
Taglio nei bulloni: Fv,Ed=1.03 Fv,Rd=7720.78
Rifollamento lato piastra: Fb,Ed,p=1.03 Fb,Rd,p=6673.61
Tirafondi:LT=0.45 (0.31) σ_{cR}=0.00 σ_{fR}=0.00
Compressione nel calcestruzzo: σ_c=7.09
CC 8 SLD (Collegamento 0022_-379)
Azioni sul collegamento: N=-6335.90 Ty=0.32 Tz=-5.26 Mx=0.00 Mz=0.79
Sollecitazioni agenti localmente: Tx_l=0.32 Ty_l=-5.26 N_l=-6335.90 Mx_l=-0.00 My_l=0.79 Mz_l=0.00
Taglio nei bulloni: Fv,Ed=0.88 Fv,Rd=9650.97
Rifollamento lato piastra: Fb,Ed,p=0.88 Fb,Rd,p=7509.21
Tirafondi:LT=0.45 (0.31) σ_{cR}=0.00 σ_{fR}=0.00
Compressione nel calcestruzzo: σ_c=13.14
CC 8 SLD (Collegamento 0022_-379)
Azioni sul collegamento: N=-6335.90 Ty=0.54 Tz=-5.26 Mx=0.00 Mz=1.22
Sollecitazioni agenti localmente: Tx_l=0.54 Ty_l=-5.26 N_l=-6335.90 Mx_l=-0.00 My_l=1.22 Mz_l=0.00
Taglio nei bulloni: Fv,Ed=0.89 Fv,Rd=9650.97
Rifollamento lato piastra: Fb,Ed,p=0.88 Fb,Rd,p=7578.58
Tirafondi:LT=0.45 (0.31) σ_{cR}=0.00 σ_{fR}=0.00
Compressione nel calcestruzzo: σ_c=13.16
CC 8 SLD (Collegamento 0022_-379)
Azioni sul collegamento: N=-6335.90 Ty=0.32 Tz=-0.05 Mx=0.00 Mz=0.79
Sollecitazioni agenti localmente: Tx_l=0.32 Ty_l=-0.05 N_l=-6335.90 Mx_l=-0.00 My_l=0.79 Mz_l=0.00
Tirafondi:LT=0.45 (0.31) σ_{cR}=0.00 σ_{fR}=0.00
Compressione nel calcestruzzo: σ_c=13.14
CC 8 SLD (Collegamento 0022_-379)
Azioni sul collegamento: N=-6335.90 Ty=0.54 Tz=-0.05 Mx=0.00 Mz=1.22
Sollecitazioni agenti localmente: Tx_l=0.54 Ty_l=-0.05 N_l=-6335.90 Mx_l=-0.00 My_l=1.22 Mz_l=0.00
Rifollamento lato piastra: Fb,Ed,p=0.09 Fb,Rd,p=7661.85
Tirafondi:LT=0.45 (0.31) σ_{cR}=0.00 σ_{fR}=0.00
Compressione nel calcestruzzo: σ_c=13.16
CC 8 SLD (Collegamento 0022_-379)

Azioni sul collegamento: N=-4931.25 Ty=0.32 Tz=-5.26 Mx=0.00 Mz=0.79
Sollecitazioni agenti localmente: Tx_l=0.32 Ty_l=-5.26 N_l=-4931.25 Mx_l=-0.00 My_l=0.79 Mz_l=0.00
Taglio nei bulloni: Fv,Ed=0.88 Fv,Rd=9650.97
Rifollamento lato piastra: Fb,Ed,p=0.88 Fb,Rd,p=7509.21
Tirafondi:LT=0.45 (0.31) σ_{cR}=0.00 σ_{fR}=0.00
Compressione nel calcestruzzo: σ_c=10.23
CC 8 SLD (Collegamento 0022_-379)
Azioni sul collegamento: N=-4931.25 Ty=0.54 Tz=-5.26 Mx=0.00 Mz=1.22
Sollecitazioni agenti localmente: Tx_l=0.54 Ty_l=-5.26 N_l=-4931.25 Mx_l=-0.00 My_l=1.22 Mz_l=0.00
Taglio nei bulloni: Fv,Ed=0.89 Fv,Rd=9650.97
Rifollamento lato piastra: Fb,Ed,p=0.88 Fb,Rd,p=7578.57
Tirafondi:LT=0.45 (0.31) σ_{cR}=0.00 σ_{fR}=0.00
Compressione nel calcestruzzo: σ_c=10.26
CC 8 SLD (Collegamento 0022_-379)
Azioni sul collegamento: N=-4931.25 Ty=0.32 Tz=-0.05 Mx=0.00 Mz=0.79
Sollecitazioni agenti localmente: Tx_l=0.32 Ty_l=-0.05 N_l=-4931.25 Mx_l=-0.00 My_l=0.79 Mz_l=0.00
Tirafondi:LT=0.45 (0.31) σ_{cR}=0.00 σ_{fR}=0.00
Compressione nel calcestruzzo: σ_c=10.23
CC 8 SLD (Collegamento 0022_-379)
Azioni sul collegamento: N=-4931.25 Ty=0.54 Tz=-0.05 Mx=0.00 Mz=1.22
Sollecitazioni agenti localmente: Tx_l=0.54 Ty_l=-0.05 N_l=-4931.25 Mx_l=-0.00 My_l=1.22 Mz_l=0.00
Rifollamento lato piastra: Fb,Ed,p=0.09 Fb,Rd,p=7662.54
Tirafondi:LT=0.45 (0.31) σ_{cR}=0.00 σ_{fR}=0.00
Compressione nel calcestruzzo: σ_c=10.26
CC 9 SLV (Collegamento 0022_-379)
Azioni sul collegamento: N=-4942.75 Ty=2.39 Tz=-0.09 Mx=0.02 Mz=5.32
Sollecitazioni agenti localmente: Tx_l=2.39 Ty_l=-0.09 N_l=-4942.75 Mx_l=-0.00 My_l=5.32 Mz_l=0.02
Taglio nei bulloni: Fv,Ed=0.43 Fv,Rd=7720.78
Rifollamento lato piastra: Fb,Ed,p=0.43 Fb,Rd,p=6058.13
Tirafondi:LT=0.45 (0.31) σ_{cR}=0.00 σ_{fR}=0.00
Compressione nel calcestruzzo: σ_c=10.51
CC 9 SLV (Collegamento 0022_-379)
Azioni sul collegamento: N=-4942.75 Ty=0.08 Tz=-0.09 Mx=0.02 Mz=0.80
Sollecitazioni agenti localmente: Tx_l=0.08 Ty_l=-0.09 N_l=-4942.75 Mx_l=-0.00 My_l=0.80 Mz_l=0.02
Tirafondi:LT=0.45 (0.31) σ_{cR}=0.00 σ_{fR}=0.00
Compressione nel calcestruzzo: σ_c=10.26
CC 9 SLV (Collegamento 0022_-379)
Azioni sul collegamento: N=-4942.75 Ty=2.39 Tz=-5.22 Mx=0.02 Mz=5.32
Sollecitazioni agenti localmente: Tx_l=2.39 Ty_l=-5.22 N_l=-4942.75 Mx_l=-0.00 My_l=5.32 Mz_l=0.02
Taglio nei bulloni: Fv,Ed=0.99 Fv,Rd=7720.78
Rifollamento lato piastra: Fb,Ed,p=0.97 Fb,Rd,p=7548.27
Tirafondi:LT=0.45 (0.31) σ_{cR}=0.00 σ_{fR}=0.00
Compressione nel calcestruzzo: σ_c=10.51
CC 9 SLV (Collegamento 0022_-379)
Azioni sul collegamento: N=-4942.75 Ty=0.08 Tz=-5.22 Mx=0.02 Mz=0.80
Sollecitazioni agenti localmente: Tx_l=0.08 Ty_l=-5.22 N_l=-4942.75 Mx_l=-0.00 My_l=0.80 Mz_l=0.02
Taglio nei bulloni: Fv,Ed=0.90 Fv,Rd=7720.78
Rifollamento lato piastra: Fb,Ed,p=0.89 Fb,Rd,p=5980.56
Tirafondi:LT=0.45 (0.31) σ_{cR}=0.00 σ_{fR}=0.00
Compressione nel calcestruzzo: σ_c=10.26
CC 9 SLV (Collegamento 0022_-379)
Azioni sul collegamento: N=-6324.76 Ty=2.39 Tz=-0.09 Mx=0.02 Mz=5.32
Sollecitazioni agenti localmente: Tx_l=2.39 Ty_l=-0.09 N_l=-6324.76 Mx_l=-0.00 My_l=5.32 Mz_l=0.02
Taglio nei bulloni: Fv,Ed=0.43 Fv,Rd=7720.78
Rifollamento lato piastra: Fb,Ed,p=0.43 Fb,Rd,p=6057.98
Tirafondi:LT=0.45 (0.31) σ_{cR}=0.00 σ_{fR}=0.00
Compressione nel calcestruzzo: σ_c=13.37
CC 9 SLV (Collegamento 0022_-379)
Azioni sul collegamento: N=-6324.76 Ty=0.08 Tz=-0.09 Mx=0.02 Mz=0.80
Sollecitazioni agenti localmente: Tx_l=0.08 Ty_l=-0.09 N_l=-6324.76 Mx_l=-0.00 My_l=0.80 Mz_l=0.02
Tirafondi:LT=0.45 (0.31) σ_{cR}=0.00 σ_{fR}=0.00
Compressione nel calcestruzzo: σ_c=13.11
CC 9 SLV (Collegamento 0022_-379)
Azioni sul collegamento: N=-6324.76 Ty=2.39 Tz=-5.22 Mx=0.02 Mz=5.32
Sollecitazioni agenti localmente: Tx_l=2.39 Ty_l=-5.22 N_l=-6324.76 Mx_l=-0.00 My_l=5.32 Mz_l=0.02
Taglio nei bulloni: Fv,Ed=0.99 Fv,Rd=7720.78
Rifollamento lato piastra: Fb,Ed,p=0.97 Fb,Rd,p=7548.42
Tirafondi:LT=0.45 (0.31) σ_{cR}=0.00 σ_{fR}=0.00
Compressione nel calcestruzzo: σ_c=13.37
CC 9 SLV (Collegamento 0022_-379)
Azioni sul collegamento: N=-6324.76 Ty=0.08 Tz=-5.22 Mx=0.02 Mz=0.80
Sollecitazioni agenti localmente: Tx_l=0.08 Ty_l=-5.22 N_l=-6324.76 Mx_l=-0.00 My_l=0.80 Mz_l=0.02
Taglio nei bulloni: Fv,Ed=0.90 Fv,Rd=7720.78
Rifollamento lato piastra: Fb,Ed,p=0.89 Fb,Rd,p=5980.56
Tirafondi:LT=0.45 (0.31) σ_{cR}=0.00 σ_{fR}=0.00
Compressione nel calcestruzzo: σ_c=13.11
CC 10 SLD (Collegamento 0022_-379)
Azioni sul collegamento: N=-5422.87 Ty=0.78 Tz=-1.87 Mx=0.01 Mz=1.69

Sollecitazioni agenti localmente: Tx_l=0.78 Ty_l=-1.87 N_l=-5422.87 Mx_l=-0.00 My_l=1.69 Mz_l=0.01
Taglio nei bulloni: Fv,Ed=0.35 Fv,Rd=9650.97
Rifollamento lato piastra: Fb,Ed,p=0.34 Fb,Rd,p=9115.18
Tirafondi:LT=0.45 (0.31) σ_{cR}=0.00 σ_{fR}=0.00
Compressione nel calcestruzzo: σ_c=11.30
CC 10 SLD (Collegamento 0022_-379)
Azioni sul collegamento: N=-5422.87 Ty=0.08 Tz=-1.87 Mx=0.01 Mz=0.31
Sollecitazioni agenti localmente: Tx_l=0.08 Ty_l=-1.87 N_l=-5422.87 Mx_l=-0.00 My_l=0.31 Mz_l=0.01
Taglio nei bulloni: Fv,Ed=0.32 Fv,Rd=9650.97
Rifollamento lato piastra: Fb,Ed,p=0.32 Fb,Rd,p=7476.65
Tirafondi:LT=0.45 (0.31) σ_{cR}=0.00 σ_{fR}=0.00
Compressione nel calcestruzzo: σ_c=11.22
CC 10 SLD (Collegamento 0022_-379)
Azioni sul collegamento: N=-5422.87 Ty=0.78 Tz=-3.44 Mx=0.01 Mz=1.69
Sollecitazioni agenti localmente: Tx_l=0.78 Ty_l=-3.44 N_l=-5422.87 Mx_l=-0.00 My_l=1.69 Mz_l=0.01
Taglio nei bulloni: Fv,Ed=0.60 Fv,Rd=9650.97
Rifollamento lato piastra: Fb,Ed,p=0.59 Fb,Rd,p=7968.54
Tirafondi:LT=0.45 (0.31) σ_{cR}=0.00 σ_{fR}=0.00
Compressione nel calcestruzzo: σ_c=11.30
CC 10 SLD (Collegamento 0022_-379)
Azioni sul collegamento: N=-5422.87 Ty=0.08 Tz=-3.44 Mx=0.01 Mz=0.31
Sollecitazioni agenti localmente: Tx_l=0.08 Ty_l=-3.44 N_l=-5422.87 Mx_l=-0.00 My_l=0.31 Mz_l=0.01
Taglio nei bulloni: Fv,Ed=0.58 Fv,Rd=9650.97
Rifollamento lato piastra: Fb,Ed,p=0.58 Fb,Rd,p=7474.78
Tirafondi:LT=0.45 (0.31) σ_{cR}=0.00 σ_{fR}=0.00
Compressione nel calcestruzzo: σ_c=11.22
CC 10 SLD (Collegamento 0022_-379)
Azioni sul collegamento: N=-5844.28 Ty=0.78 Tz=-1.87 Mx=0.01 Mz=1.69
Sollecitazioni agenti localmente: Tx_l=0.78 Ty_l=-1.87 N_l=-5844.28 Mx_l=-0.00 My_l=1.69 Mz_l=0.01
Taglio nei bulloni: Fv,Ed=0.35 Fv,Rd=9650.97
Rifollamento lato piastra: Fb,Ed,p=0.34 Fb,Rd,p=9114.80
Tirafondi:LT=0.45 (0.31) σ_{cR}=0.00 σ_{fR}=0.00
Compressione nel calcestruzzo: σ_c=12.17
CC 10 SLD (Collegamento 0022_-379)
Azioni sul collegamento: N=-5844.28 Ty=0.08 Tz=-1.87 Mx=0.01 Mz=0.31
Sollecitazioni agenti localmente: Tx_l=0.08 Ty_l=-1.87 N_l=-5844.28 Mx_l=-0.00 My_l=0.31 Mz_l=0.01
Taglio nei bulloni: Fv,Ed=0.32 Fv,Rd=9650.97
Rifollamento lato piastra: Fb,Ed,p=0.32 Fb,Rd,p=7476.65
Tirafondi:LT=0.45 (0.31) σ_{cR}=0.00 σ_{fR}=0.00
Compressione nel calcestruzzo: σ_c=12.09
CC 10 SLD (Collegamento 0022_-379)
Azioni sul collegamento: N=-5844.28 Ty=0.78 Tz=-3.44 Mx=0.01 Mz=1.69
Sollecitazioni agenti localmente: Tx_l=0.78 Ty_l=-3.44 N_l=-5844.28 Mx_l=-0.00 My_l=1.69 Mz_l=0.01
Taglio nei bulloni: Fv,Ed=0.60 Fv,Rd=9650.97
Rifollamento lato piastra: Fb,Ed,p=0.59 Fb,Rd,p=7968.56
Tirafondi:LT=0.45 (0.31) σ_{cR}=0.00 σ_{fR}=0.00
Compressione nel calcestruzzo: σ_c=12.17
CC 10 SLD (Collegamento 0022_-379)
Azioni sul collegamento: N=-5844.28 Ty=0.08 Tz=-3.44 Mx=0.01 Mz=0.31
Sollecitazioni agenti localmente: Tx_l=0.08 Ty_l=-3.44 N_l=-5844.28 Mx_l=-0.00 My_l=0.31 Mz_l=0.01
Taglio nei bulloni: Fv,Ed=0.58 Fv,Rd=9650.97
Rifollamento lato piastra: Fb,Ed,p=0.58 Fb,Rd,p=7474.78
Tirafondi:LT=0.45 (0.31) σ_{cR}=0.00 σ_{fR}=0.00
Compressione nel calcestruzzo: σ_c=12.09
CC 11 SLV (Collegamento 0022_-379)
Azioni sul collegamento: N=-6324.69 Ty=2.39 Tz=-5.21 Mx=0.02 Mz=5.31
Sollecitazioni agenti localmente: Tx_l=2.39 Ty_l=-5.21 N_l=-6324.69 Mx_l=-0.00 My_l=5.31 Mz_l=0.02
Taglio nei bulloni: Fv,Ed=0.99 Fv,Rd=7720.78
Rifollamento lato piastra: Fb,Ed,p=0.97 Fb,Rd,p=7544.53
Tirafondi:LT=0.45 (0.31) σ_{cR}=0.00 σ_{fR}=0.00
Compressione nel calcestruzzo: σ_c=13.37
CC 11 SLV (Collegamento 0022_-379)
Azioni sul collegamento: N=-6324.69 Ty=0.09 Tz=-5.21 Mx=0.02 Mz=0.81
Sollecitazioni agenti localmente: Tx_l=0.09 Ty_l=-5.21 N_l=-6324.69 Mx_l=-0.00 My_l=0.81 Mz_l=0.02
Taglio nei bulloni: Fv,Ed=0.89 Fv,Rd=7720.78
Rifollamento lato piastra: Fb,Ed,p=0.89 Fb,Rd,p=5980.38
Tirafondi:LT=0.45 (0.31) σ_{cR}=0.00 σ_{fR}=0.00
Compressione nel calcestruzzo: σ_c=13.11
CC 11 SLV (Collegamento 0022_-379)
Azioni sul collegamento: N=-6324.69 Ty=2.39 Tz=-0.09 Mx=0.02 Mz=5.31
Sollecitazioni agenti localmente: Tx_l=2.39 Ty_l=-0.09 N_l=-6324.69 Mx_l=-0.00 My_l=5.31 Mz_l=0.02
Taglio nei bulloni: Fv,Ed=0.42 Fv,Rd=7720.78
Rifollamento lato piastra: Fb,Ed,p=0.42 Fb,Rd,p=6059.08
Tirafondi:LT=0.45 (0.31) σ_{cR}=0.00 σ_{fR}=0.00
Compressione nel calcestruzzo: σ_c=13.37
CC 11 SLV (Collegamento 0022_-379)
Azioni sul collegamento: N=-6324.69 Ty=0.09 Tz=-0.09 Mx=0.02 Mz=0.81
Sollecitazioni agenti localmente: Tx_l=0.09 Ty_l=-0.09 N_l=-6324.69 Mx_l=-0.00 My_l=0.81 Mz_l=0.02

Tirafondi:LT=0.45 (0.31) σ_{cR}=0.00 σ_{fR}=0.00
Compressione nel calcestruzzo: σ_c=13.11
CC 11 SLV (Collegamento 0022_-379)
Azioni sul collegamento: N=-4942.83 Ty=2.39 Tz=-5.21 Mx=0.02 Mz=5.31
Sollecitazioni agenti localmente: Tx_l=2.39 Ty_l=-5.21 N_l=-4942.83 Mx_l=-0.00 My_l=5.31 Mz_l=0.02
Taglio nei bulloni: Fv,Ed=0.99 Fv,Rd=7720.78
Rifollamento lato piastra: Fb,Ed,p=0.97 Fb,Rd,p=7544.38
Tirafondi:LT=0.45 (0.31) σ_{cR}=0.00 σ_{fR}=0.00
Compressione nel calcestruzzo: σ_c=10.51
CC 11 SLV (Collegamento 0022_-379)
Azioni sul collegamento: N=-4942.83 Ty=0.09 Tz=-5.21 Mx=0.02 Mz=0.81
Sollecitazioni agenti localmente: Tx_l=0.09 Ty_l=-5.21 N_l=-4942.83 Mx_l=-0.00 My_l=0.81 Mz_l=0.02
Taglio nei bulloni: Fv,Ed=0.89 Fv,Rd=7720.78
Rifollamento lato piastra: Fb,Ed,p=0.89 Fb,Rd,p=5980.38
Tirafondi:LT=0.45 (0.31) σ_{cR}=0.00 σ_{fR}=0.00
Compressione nel calcestruzzo: σ_c=10.26
CC 11 SLV (Collegamento 0022_-379)
Azioni sul collegamento: N=-4942.83 Ty=2.39 Tz=-0.09 Mx=0.02 Mz=5.31
Sollecitazioni agenti localmente: Tx_l=2.39 Ty_l=-0.09 N_l=-4942.83 Mx_l=-0.00 My_l=5.31 Mz_l=0.02
Taglio nei bulloni: Fv,Ed=0.42 Fv,Rd=7720.78
Rifollamento lato piastra: Fb,Ed,p=0.42 Fb,Rd,p=6059.36
Tirafondi:LT=0.45 (0.31) σ_{cR}=0.00 σ_{fR}=0.00
Compressione nel calcestruzzo: σ_c=10.51
CC 11 SLV (Collegamento 0022_-379)
Azioni sul collegamento: N=-4942.83 Ty=0.09 Tz=-0.09 Mx=0.02 Mz=0.81
Sollecitazioni agenti localmente: Tx_l=0.09 Ty_l=-0.09 N_l=-4942.83 Mx_l=-0.00 My_l=0.81 Mz_l=0.02
Tirafondi:LT=0.45 (0.31) σ_{cR}=0.00 σ_{fR}=0.00
Compressione nel calcestruzzo: σ_c=10.26
CC 12 SLD (Collegamento 0022_-379)
Azioni sul collegamento: N=-5844.26 Ty=0.78 Tz=-3.43 Mx=0.01 Mz=1.69
Sollecitazioni agenti localmente: Tx_l=0.78 Ty_l=-3.43 N_l=-5844.26 Mx_l=-0.00 My_l=1.69 Mz_l=0.01
Taglio nei bulloni: Fv,Ed=0.60 Fv,Rd=9650.97
Rifollamento lato piastra: Fb,Ed,p=0.59 Fb,Rd,p=7967.19
Tirafondi:LT=0.45 (0.31) σ_{cR}=0.00 σ_{fR}=0.00
Compressione nel calcestruzzo: σ_c=12.17
CC 12 SLD (Collegamento 0022_-379)
Azioni sul collegamento: N=-5844.26 Ty=0.08 Tz=-3.43 Mx=0.01 Mz=0.32
Sollecitazioni agenti localmente: Tx_l=0.08 Ty_l=-3.43 N_l=-5844.26 Mx_l=-0.00 My_l=0.32 Mz_l=0.01
Taglio nei bulloni: Fv,Ed=0.58 Fv,Rd=9650.97
Rifollamento lato piastra: Fb,Ed,p=0.58 Fb,Rd,p=7474.85
Tirafondi:LT=0.45 (0.31) σ_{cR}=0.00 σ_{fR}=0.00
Compressione nel calcestruzzo: σ_c=12.09
CC 12 SLD (Collegamento 0022_-379)
Azioni sul collegamento: N=-5844.26 Ty=0.78 Tz=-1.87 Mx=0.01 Mz=1.69
Sollecitazioni agenti localmente: Tx_l=0.78 Ty_l=-1.87 N_l=-5844.26 Mx_l=-0.00 My_l=1.69 Mz_l=0.01
Taglio nei bulloni: Fv,Ed=0.35 Fv,Rd=9650.97
Rifollamento lato piastra: Fb,Ed,p=0.34 Fb,Rd,p=9109.12
Tirafondi:LT=0.45 (0.31) σ_{cR}=0.00 σ_{fR}=0.00
Compressione nel calcestruzzo: σ_c=12.17
CC 12 SLD (Collegamento 0022_-379)
Azioni sul collegamento: N=-5844.26 Ty=0.08 Tz=-1.87 Mx=0.01 Mz=0.32
Sollecitazioni agenti localmente: Tx_l=0.08 Ty_l=-1.87 N_l=-5844.26 Mx_l=-0.00 My_l=0.32 Mz_l=0.01
Taglio nei bulloni: Fv,Ed=0.32 Fv,Rd=9650.97
Rifollamento lato piastra: Fb,Ed,p=0.32 Fb,Rd,p=7476.90
Tirafondi:LT=0.45 (0.31) σ_{cR}=0.00 σ_{fR}=0.00
Compressione nel calcestruzzo: σ_c=12.09
CC 12 SLD (Collegamento 0022_-379)
Azioni sul collegamento: N=-5422.89 Ty=0.78 Tz=-3.43 Mx=0.01 Mz=1.69
Sollecitazioni agenti localmente: Tx_l=0.78 Ty_l=-3.43 N_l=-5422.89 Mx_l=-0.00 My_l=1.69 Mz_l=0.01
Taglio nei bulloni: Fv,Ed=0.60 Fv,Rd=9650.97
Rifollamento lato piastra: Fb,Ed,p=0.59 Fb,Rd,p=7967.26
Tirafondi:LT=0.45 (0.31) σ_{cR}=0.00 σ_{fR}=0.00
Compressione nel calcestruzzo: σ_c=11.30
CC 12 SLD (Collegamento 0022_-379)
Azioni sul collegamento: N=-5422.89 Ty=0.08 Tz=-3.43 Mx=0.01 Mz=0.32
Sollecitazioni agenti localmente: Tx_l=0.08 Ty_l=-3.43 N_l=-5422.89 Mx_l=-0.00 My_l=0.32 Mz_l=0.01
Taglio nei bulloni: Fv,Ed=0.58 Fv,Rd=9650.97
Rifollamento lato piastra: Fb,Ed,p=0.58 Fb,Rd,p=7474.85
Tirafondi:LT=0.45 (0.31) σ_{cR}=0.00 σ_{fR}=0.00
Compressione nel calcestruzzo: σ_c=11.22
CC 12 SLD (Collegamento 0022_-379)
Azioni sul collegamento: N=-5422.89 Ty=0.78 Tz=-1.87 Mx=0.01 Mz=1.69
Sollecitazioni agenti localmente: Tx_l=0.78 Ty_l=-1.87 N_l=-5422.89 Mx_l=-0.00 My_l=1.69 Mz_l=0.01
Taglio nei bulloni: Fv,Ed=0.35 Fv,Rd=9650.97
Rifollamento lato piastra: Fb,Ed,p=0.34 Fb,Rd,p=9108.67
Tirafondi:LT=0.45 (0.31) σ_{cR}=0.00 σ_{fR}=0.00
Compressione nel calcestruzzo: σ_c=11.30
CC 12 SLD (Collegamento 0022_-379)

Azioni sul collegamento: N=-5422.89 Ty=0.08 Tz=-1.87 Mx=0.01 Mz=0.32
Sollecitazioni agenti localmente: Tx_l=0.08 Ty_l=-1.87 N_l=-5422.89 Mx_l=-0.00 My_l=0.32 Mz_l=0.01
Taglio nei bulloni: Fv,Ed=0.32 Fv,Rd=9650.97
Rifollamento lato piastra: Fb,Ed,p=0.32 Fb,Rd,p=7476.90
Tirafondi:LT=0.45 (0.31) σ_{cR}=0.00 σ_{fR}=0.00
Compressione nel calcestruzzo: σ_c=11.22
CC 13 SLV (Collegamento 0022_-379)
Azioni sul collegamento: N=-4942.83 Ty=0.09 Tz=-0.09 Mx=0.00 Mz=0.81
Sollecitazioni agenti localmente: Tx_l=0.09 Ty_l=-0.09 N_l=-4942.83 Mx_l=-0.00 My_l=0.81 Mz_l=0.00
Tirafondi:LT=0.45 (0.31) σ_{cR}=0.00 σ_{fR}=0.00
Compressione nel calcestruzzo: σ_c=10.26
CC 13 SLV (Collegamento 0022_-379)
Azioni sul collegamento: N=-4942.83 Ty=2.39 Tz=-0.09 Mx=0.00 Mz=5.31
Sollecitazioni agenti localmente: Tx_l=2.39 Ty_l=-0.09 N_l=-4942.83 Mx_l=-0.00 My_l=5.31 Mz_l=0.00
Taglio nei bulloni: Fv,Ed=0.40 Fv,Rd=7720.78
Rifollamento lato piastra: Fb,Ed,p=0.40 Fb,Rd,p=6002.94
Tirafondi:LT=0.45 (0.31) σ_{cR}=0.00 σ_{fR}=0.00
Compressione nel calcestruzzo: σ_c=10.51
CC 13 SLV (Collegamento 0022_-379)
Azioni sul collegamento: N=-4942.83 Ty=0.09 Tz=-5.21 Mx=0.00 Mz=0.81
Sollecitazioni agenti localmente: Tx_l=0.09 Ty_l=-5.21 N_l=-4942.83 Mx_l=-0.00 My_l=0.81 Mz_l=0.00
Taglio nei bulloni: Fv,Ed=0.87 Fv,Rd=7720.78
Rifollamento lato piastra: Fb,Ed,p=0.87 Fb,Rd,p=5980.08
Tirafondi:LT=0.45 (0.31) σ_{cR}=0.00 σ_{fR}=0.00
Compressione nel calcestruzzo: σ_c=10.26
CC 13 SLV (Collegamento 0022_-379)
Azioni sul collegamento: N=-4942.83 Ty=2.39 Tz=-5.21 Mx=0.00 Mz=5.31
Sollecitazioni agenti localmente: Tx_l=2.39 Ty_l=-5.21 N_l=-4942.83 Mx_l=-0.00 My_l=5.31 Mz_l=0.00
Taglio nei bulloni: Fv,Ed=0.96 Fv,Rd=7720.78
Rifollamento lato piastra: Fb,Ed,p=0.96 Fb,Rd,p=7791.14
Tirafondi:LT=0.45 (0.31) σ_{cR}=0.00 σ_{fR}=0.00
Compressione nel calcestruzzo: σ_c=10.51
CC 13 SLV (Collegamento 0022_-379)
Azioni sul collegamento: N=-6324.69 Ty=0.09 Tz=-0.09 Mx=0.00 Mz=0.81
Sollecitazioni agenti localmente: Tx_l=0.09 Ty_l=-0.09 N_l=-6324.69 Mx_l=-0.00 My_l=0.81 Mz_l=0.00
Tirafondi:LT=0.45 (0.31) σ_{cR}=0.00 σ_{fR}=0.00
Compressione nel calcestruzzo: σ_c=13.11
CC 13 SLV (Collegamento 0022_-379)
Azioni sul collegamento: N=-6324.69 Ty=2.39 Tz=-0.09 Mx=0.00 Mz=5.31
Sollecitazioni agenti localmente: Tx_l=2.39 Ty_l=-0.09 N_l=-6324.69 Mx_l=-0.00 My_l=5.31 Mz_l=0.00
Taglio nei bulloni: Fv,Ed=0.40 Fv,Rd=7720.78
Rifollamento lato piastra: Fb,Ed,p=0.40 Fb,Rd,p=6002.78
Tirafondi:LT=0.45 (0.31) σ_{cR}=0.00 σ_{fR}=0.00
Compressione nel calcestruzzo: σ_c=13.37
CC 13 SLV (Collegamento 0022_-379)
Azioni sul collegamento: N=-6324.69 Ty=0.09 Tz=-5.21 Mx=0.00 Mz=0.81
Sollecitazioni agenti localmente: Tx_l=0.09 Ty_l=-5.21 N_l=-6324.69 Mx_l=-0.00 My_l=0.81 Mz_l=0.00
Taglio nei bulloni: Fv,Ed=0.87 Fv,Rd=7720.78
Rifollamento lato piastra: Fb,Ed,p=0.87 Fb,Rd,p=5980.08
Tirafondi:LT=0.45 (0.31) σ_{cR}=0.00 σ_{fR}=0.00
Compressione nel calcestruzzo: σ_c=13.11
CC 13 SLV (Collegamento 0022_-379)
Azioni sul collegamento: N=-6324.69 Ty=2.39 Tz=-5.21 Mx=0.00 Mz=5.31
Sollecitazioni agenti localmente: Tx_l=2.39 Ty_l=-5.21 N_l=-6324.69 Mx_l=-0.00 My_l=5.31 Mz_l=0.00
Taglio nei bulloni: Fv,Ed=0.96 Fv,Rd=7720.78
Rifollamento lato piastra: Fb,Ed,p=0.96 Fb,Rd,p=7791.30
Tirafondi:LT=0.45 (0.31) σ_{cR}=0.00 σ_{fR}=0.00
Compressione nel calcestruzzo: σ_c=13.37
CC 14 SLD (Collegamento 0022_-379)
Azioni sul collegamento: N=-5422.89 Ty=0.08 Tz=-1.87 Mx=0.00 Mz=0.32
Sollecitazioni agenti localmente: Tx_l=0.08 Ty_l=-1.87 N_l=-5422.89 Mx_l=-0.00 My_l=0.32 Mz_l=0.00
Taglio nei bulloni: Fv,Ed=0.31 Fv,Rd=9650.97
Rifollamento lato piastra: Fb,Ed,p=0.31 Fb,Rd,p=7487.81
Tirafondi:LT=0.45 (0.31) σ_{cR}=0.00 σ_{fR}=0.00
Compressione nel calcestruzzo: σ_c=11.22
CC 14 SLD (Collegamento 0022_-379)
Azioni sul collegamento: N=-5422.89 Ty=0.78 Tz=-1.87 Mx=0.00 Mz=1.69
Sollecitazioni agenti localmente: Tx_l=0.78 Ty_l=-1.87 N_l=-5422.89 Mx_l=-0.00 My_l=1.69 Mz_l=0.00
Taglio nei bulloni: Fv,Ed=0.34 Fv,Rd=9650.97
Rifollamento lato piastra: Fb,Ed,p=0.34 Fb,Rd,p=9340.62
Tirafondi:LT=0.45 (0.31) σ_{cR}=0.00 σ_{fR}=0.00
Compressione nel calcestruzzo: σ_c=11.30
CC 14 SLD (Collegamento 0022_-379)
Azioni sul collegamento: N=-5422.89 Ty=0.08 Tz=-3.43 Mx=0.00 Mz=0.32
Sollecitazioni agenti localmente: Tx_l=0.08 Ty_l=-3.43 N_l=-5422.89 Mx_l=-0.00 My_l=0.32 Mz_l=0.00
Taglio nei bulloni: Fv,Ed=0.57 Fv,Rd=9650.97
Rifollamento lato piastra: Fb,Ed,p=0.57 Fb,Rd,p=7478.10
Tirafondi:LT=0.45 (0.31) σ_{cR}=0.00 σ_{fR}=0.00

Compressione nel calcestruzzo: σ_c=11.22
CC 14 SLD (Collegamento 0022_-379)
Azioni sul collegamento: N=-5422.89 Ty=0.78 Tz=-3.43 Mx=0.00 Mz=1.69
Sollecitazioni agenti localmente: Tx_l=0.78 Ty_l=-3.43 N_l=-5422.89 Mx_l=-0.00 My_l=1.69 Mz_l=0.00
Taglio nei bulloni: Fv,Ed=0.59 Fv,Rd=9650.97
Rifollamento lato piastra: Fb,Ed,p=0.59 Fb,Rd,p=8027.34
Tirafondi:LT=0.45 (0.31) σ_{cR}=0.00 σ_{fR}=0.00
Compressione nel calcestruzzo: σ_c=11.30
CC 14 SLD (Collegamento 0022_-379)
Azioni sul collegamento: N=-5844.26 Ty=0.08 Tz=-1.87 Mx=0.00 Mz=0.32
Sollecitazioni agenti localmente: Tx_l=0.08 Ty_l=-1.87 N_l=-5844.26 Mx_l=-0.00 My_l=0.32 Mz_l=0.00
Taglio nei bulloni: Fv,Ed=0.31 Fv,Rd=9650.97
Rifollamento lato piastra: Fb,Ed,p=0.31 Fb,Rd,p=7487.82
Tirafondi:LT=0.45 (0.31) σ_{cR}=0.00 σ_{fR}=0.00
Compressione nel calcestruzzo: σ_c=12.09
CC 14 SLD (Collegamento 0022_-379)
Azioni sul collegamento: N=-5844.26 Ty=0.78 Tz=-1.87 Mx=0.00 Mz=1.69
Sollecitazioni agenti localmente: Tx_l=0.78 Ty_l=-1.87 N_l=-5844.26 Mx_l=-0.00 My_l=1.69 Mz_l=0.00
Taglio nei bulloni: Fv,Ed=0.34 Fv,Rd=9650.97
Rifollamento lato piastra: Fb,Ed,p=0.34 Fb,Rd,p=9341.13
Tirafondi:LT=0.45 (0.31) σ_{cR}=0.00 σ_{fR}=0.00
Compressione nel calcestruzzo: σ_c=12.17
CC 14 SLD (Collegamento 0022_-379)
Azioni sul collegamento: N=-5844.26 Ty=0.08 Tz=-3.43 Mx=0.00 Mz=0.32
Sollecitazioni agenti localmente: Tx_l=0.08 Ty_l=-3.43 N_l=-5844.26 Mx_l=-0.00 My_l=0.32 Mz_l=0.00
Taglio nei bulloni: Fv,Ed=0.57 Fv,Rd=9650.97
Rifollamento lato piastra: Fb,Ed,p=0.57 Fb,Rd,p=7478.10
Tirafondi:LT=0.45 (0.31) σ_{cR}=0.00 σ_{fR}=0.00
Compressione nel calcestruzzo: σ_c=12.09
CC 14 SLD (Collegamento 0022_-379)
Azioni sul collegamento: N=-5844.26 Ty=0.78 Tz=-3.43 Mx=0.00 Mz=1.69
Sollecitazioni agenti localmente: Tx_l=0.78 Ty_l=-3.43 N_l=-5844.26 Mx_l=-0.00 My_l=1.69 Mz_l=0.00
Taglio nei bulloni: Fv,Ed=0.59 Fv,Rd=9650.97
Rifollamento lato piastra: Fb,Ed,p=0.59 Fb,Rd,p=8027.26
Tirafondi:LT=0.45 (0.31) σ_{cR}=0.00 σ_{fR}=0.00
Compressione nel calcestruzzo: σ_c=12.17
CC 15 SLV (Collegamento 0022_-379)
Azioni sul collegamento: N=-6324.76 Ty=0.08 Tz=-5.22 Mx=0.00 Mz=0.80
Sollecitazioni agenti localmente: Tx_l=0.08 Ty_l=-5.22 N_l=-6324.76 Mx_l=-0.00 My_l=0.80 Mz_l=0.00
Taglio nei bulloni: Fv,Ed=0.87 Fv,Rd=7720.78
Rifollamento lato piastra: Fb,Ed,p=0.87 Fb,Rd,p=5979.95
Tirafondi:LT=0.45 (0.31) σ_{cR}=0.00 σ_{fR}=0.00
Compressione nel calcestruzzo: σ_c=13.11
CC 15 SLV (Collegamento 0022_-379)
Azioni sul collegamento: N=-6324.76 Ty=2.39 Tz=-5.22 Mx=0.00 Mz=5.32
Sollecitazioni agenti localmente: Tx_l=2.39 Ty_l=-5.22 N_l=-6324.76 Mx_l=-0.00 My_l=5.32 Mz_l=0.00
Taglio nei bulloni: Fv,Ed=0.96 Fv,Rd=7720.78
Rifollamento lato piastra: Fb,Ed,p=0.96 Fb,Rd,p=7797.28
Tirafondi:LT=0.45 (0.31) σ_{cR}=0.00 σ_{fR}=0.00
Compressione nel calcestruzzo: σ_c=13.37
CC 15 SLV (Collegamento 0022_-379)
Azioni sul collegamento: N=-6324.76 Ty=0.08 Tz=-0.09 Mx=0.00 Mz=0.80
Sollecitazioni agenti localmente: Tx_l=0.08 Ty_l=-0.09 N_l=-6324.76 Mx_l=-0.00 My_l=0.80 Mz_l=0.00
Tirafondi:LT=0.45 (0.31) σ_{cR}=0.00 σ_{fR}=0.00
Compressione nel calcestruzzo: σ_c=13.11
CC 15 SLV (Collegamento 0022_-379)
Azioni sul collegamento: N=-6324.76 Ty=2.39 Tz=-0.09 Mx=0.00 Mz=5.32
Sollecitazioni agenti localmente: Tx_l=2.39 Ty_l=-0.09 N_l=-6324.76 Mx_l=-0.00 My_l=5.32 Mz_l=0.00
Taglio nei bulloni: Fv,Ed=0.40 Fv,Rd=7720.78
Rifollamento lato piastra: Fb,Ed,p=0.40 Fb,Rd,p=6001.95
Tirafondi:LT=0.45 (0.31) σ_{cR}=0.00 σ_{fR}=0.00
Compressione nel calcestruzzo: σ_c=13.37
CC 15 SLV (Collegamento 0022_-379)
Azioni sul collegamento: N=-4942.75 Ty=0.08 Tz=-5.22 Mx=0.00 Mz=0.80
Sollecitazioni agenti localmente: Tx_l=0.08 Ty_l=-5.22 N_l=-4942.75 Mx_l=-0.00 My_l=0.80 Mz_l=0.00
Taglio nei bulloni: Fv,Ed=0.88 Fv,Rd=7720.78
Rifollamento lato piastra: Fb,Ed,p=0.87 Fb,Rd,p=5979.95
Tirafondi:LT=0.45 (0.31) σ_{cR}=0.00 σ_{fR}=0.00
Compressione nel calcestruzzo: σ_c=10.26
CC 15 SLV (Collegamento 0022_-379)
Azioni sul collegamento: N=-4942.75 Ty=2.39 Tz=-5.22 Mx=0.00 Mz=5.32
Sollecitazioni agenti localmente: Tx_l=2.39 Ty_l=-5.22 N_l=-4942.75 Mx_l=-0.00 My_l=5.32 Mz_l=0.00
Taglio nei bulloni: Fv,Ed=0.96 Fv,Rd=7720.78
Rifollamento lato piastra: Fb,Ed,p=0.96 Fb,Rd,p=7797.09
Tirafondi:LT=0.45 (0.31) σ_{cR}=0.00 σ_{fR}=0.00
Compressione nel calcestruzzo: σ_c=10.51
CC 15 SLV (Collegamento 0022_-379)
Azioni sul collegamento: N=-4942.75 Ty=0.08 Tz=-0.09 Mx=0.00 Mz=0.80

Sollecitazioni agenti localmente: Tx_l=0.08 Ty_l=-0.09 N_l=-4942.75 Mx_l=-0.00 My_l=0.80 Mz_l=0.00
Tirafondi:LT=0.45 (0.31) σ_{cR}=0.00 σ_{fR}=0.00
Compressione nel calcestruzzo: σ_c=10.26
CC 15 SLV (Collegamento 0022_-379)
Azioni sul collegamento: N=-4942.75 Ty=2.39 Tz=-0.09 Mx=0.00 Mz=5.32
Sollecitazioni agenti localmente: Tx_l=2.39 Ty_l=-0.09 N_l=-4942.75 Mx_l=-0.00 My_l=5.32 Mz_l=0.00
Taglio nei bulloni: Fv,Ed=0.40 Fv,Rd=7720.78
Rifollamento lato piastra: Fb,Ed,p=0.40 Fb,Rd,p=6002.03
Tirafondi:LT=0.45 (0.31) σ_{cR}=0.00 σ_{fR}=0.00
Compressione nel calcestruzzo: σ_c=10.51
CC 16 SLD (Collegamento 0022_-379)
Azioni sul collegamento: N=-5844.28 Ty=0.08 Tz=-3.44 Mx=0.00 Mz=0.31
Sollecitazioni agenti localmente: Tx_l=0.08 Ty_l=-3.44 N_l=-5844.28 Mx_l=-0.00 My_l=0.31 Mz_l=0.00
Taglio nei bulloni: Fv,Ed=0.57 Fv,Rd=9650.97
Rifollamento lato piastra: Fb,Ed,p=0.57 Fb,Rd,p=7477.96
Tirafondi:LT=0.45 (0.31) σ_{cR}=0.00 σ_{fR}=0.00
Compressione nel calcestruzzo: σ_c=12.09
CC 16 SLD (Collegamento 0022_-379)
Azioni sul collegamento: N=-5844.28 Ty=0.78 Tz=-3.44 Mx=0.00 Mz=1.69
Sollecitazioni agenti localmente: Tx_l=0.78 Ty_l=-3.44 N_l=-5844.28 Mx_l=-0.00 My_l=1.69 Mz_l=0.00
Taglio nei bulloni: Fv,Ed=0.59 Fv,Rd=9650.97
Rifollamento lato piastra: Fb,Ed,p=0.59 Fb,Rd,p=8029.15
Tirafondi:LT=0.45 (0.31) σ_{cR}=0.00 σ_{fR}=0.00
Compressione nel calcestruzzo: σ_c=12.17
CC 16 SLD (Collegamento 0022_-379)
Azioni sul collegamento: N=-5844.28 Ty=0.08 Tz=-1.87 Mx=0.00 Mz=0.31
Sollecitazioni agenti localmente: Tx_l=0.08 Ty_l=-1.87 N_l=-5844.28 Mx_l=-0.00 My_l=0.31 Mz_l=0.00
Taglio nei bulloni: Fv,Ed=0.31 Fv,Rd=9650.97
Rifollamento lato piastra: Fb,Ed,p=0.31 Fb,Rd,p=7487.36
Tirafondi:LT=0.45 (0.31) σ_{cR}=0.00 σ_{fR}=0.00
Compressione nel calcestruzzo: σ_c=12.09
CC 16 SLD (Collegamento 0022_-379)
Azioni sul collegamento: N=-5844.28 Ty=0.78 Tz=-1.87 Mx=0.00 Mz=1.69
Sollecitazioni agenti localmente: Tx_l=0.78 Ty_l=-1.87 N_l=-5844.28 Mx_l=-0.00 My_l=1.69 Mz_l=0.00
Taglio nei bulloni: Fv,Ed=0.34 Fv,Rd=9650.97
Rifollamento lato piastra: Fb,Ed,p=0.34 Fb,Rd,p=9349.04
Tirafondi:LT=0.45 (0.31) σ_{cR}=0.00 σ_{fR}=0.00
Compressione nel calcestruzzo: σ_c=12.17
CC 16 SLD (Collegamento 0022_-379)
Azioni sul collegamento: N=-5422.87 Ty=0.08 Tz=-3.44 Mx=0.00 Mz=0.31
Sollecitazioni agenti localmente: Tx_l=0.08 Ty_l=-3.44 N_l=-5422.87 Mx_l=-0.00 My_l=0.31 Mz_l=0.00
Taglio nei bulloni: Fv,Ed=0.57 Fv,Rd=9650.97
Rifollamento lato piastra: Fb,Ed,p=0.57 Fb,Rd,p=7477.96
Tirafondi:LT=0.45 (0.31) σ_{cR}=0.00 σ_{fR}=0.00
Compressione nel calcestruzzo: σ_c=11.22
CC 16 SLD (Collegamento 0022_-379)
Azioni sul collegamento: N=-5422.87 Ty=0.78 Tz=-3.44 Mx=0.00 Mz=1.69
Sollecitazioni agenti localmente: Tx_l=0.78 Ty_l=-3.44 N_l=-5422.87 Mx_l=-0.00 My_l=1.69 Mz_l=0.00
Taglio nei bulloni: Fv,Ed=0.59 Fv,Rd=9650.97
Rifollamento lato piastra: Fb,Ed,p=0.59 Fb,Rd,p=8029.12
Tirafondi:LT=0.45 (0.31) σ_{cR}=0.00 σ_{fR}=0.00
Compressione nel calcestruzzo: σ_c=11.30
CC 16 SLD (Collegamento 0022_-379)
Azioni sul collegamento: N=-5422.87 Ty=0.08 Tz=-1.87 Mx=0.00 Mz=0.31
Sollecitazioni agenti localmente: Tx_l=0.08 Ty_l=-1.87 N_l=-5422.87 Mx_l=-0.00 My_l=0.31 Mz_l=0.00
Taglio nei bulloni: Fv,Ed=0.31 Fv,Rd=9650.97
Rifollamento lato piastra: Fb,Ed,p=0.31 Fb,Rd,p=7487.36
Tirafondi:LT=0.45 (0.31) σ_{cR}=0.00 σ_{fR}=0.00
Compressione nel calcestruzzo: σ_c=11.22
CC 16 SLD (Collegamento 0022_-379)
Azioni sul collegamento: N=-5422.87 Ty=0.78 Tz=-1.87 Mx=0.00 Mz=1.69
Sollecitazioni agenti localmente: Tx_l=0.78 Ty_l=-1.87 N_l=-5422.87 Mx_l=-0.00 My_l=1.69 Mz_l=0.00
Taglio nei bulloni: Fv,Ed=0.34 Fv,Rd=9650.97
Rifollamento lato piastra: Fb,Ed,p=0.34 Fb,Rd,p=9349.48
Tirafondi:LT=0.45 (0.31) σ_{cR}=0.00 σ_{fR}=0.00
Compressione nel calcestruzzo: σ_c=11.30
CC 17 SLV (Collegamento 0022_-379)
Azioni sul collegamento: N=-3330.00 Ty=-0.74 Tz=5.89 Mx=-0.02 Mz=-2.16
Sollecitazioni agenti localmente: Tx_l=-0.74 Ty_l=5.89 N_l=-3330.00 Mx_l=-0.00 My_l=-2.16 Mz_l=-0.02
Taglio nei bulloni: Fv,Ed=1.01 Fv,Rd=7720.78
Rifollamento lato piastra: Fb,Ed,p=1.01 Fb,Rd,p=6154.63
Tirafondi:LT=0.45 (0.31) σ_{cR}=0.00 σ_{fR}=0.00
Compressione nel calcestruzzo: σ_c=7.00
CC 17 SLV (Collegamento 0022_-379)
Azioni sul collegamento: N=-3330.00 Ty=-1.44 Tz=5.89 Mx=-0.02 Mz=-3.55
Sollecitazioni agenti localmente: Tx_l=-1.44 Ty_l=5.89 N_l=-3330.00 Mx_l=-0.00 My_l=-3.55 Mz_l=-0.02
Taglio nei bulloni: Fv,Ed=1.03 Fv,Rd=7720.78
Rifollamento lato piastra: Fb,Ed,p=1.03 Fb,Rd,p=6573.72

Tirafondi:LT=0.45 (0.31) σ_{cR}=0.00 σ_{fR}=0.00
Compressione nel calcestruzzo: σ_c=7.08
CC 17 SLV (Collegamento 0022_-379)
Azioni sul collegamento: N=-3330.00 Ty=-0.74 Tz=-11.20 Mx=-0.02 Mz=-2.16
Sollecitazioni agenti localmente: Tx_l=-0.74 Ty_l=-11.20 N_l=-3330.00 Mx_l=-0.00 My_l=-2.16 Mz_l=-0.02
Taglio nei bulloni: Fv,Ed=1.89 Fv,Rd=7720.78
Rifollamento lato piastra: Fb,Ed,p=1.89 Fb,Rd,p=6006.74
Tirafondi:LT=0.45 (0.31) σ_{cR}=0.00 σ_{fR}=0.00
Compressione nel calcestruzzo: σ_c=7.00
CC 17 SLV (Collegamento 0022_-379)
Azioni sul collegamento: N=-3330.00 Ty=-1.44 Tz=-11.20 Mx=-0.02 Mz=-3.55
Sollecitazioni agenti localmente: Tx_l=-1.44 Ty_l=-11.20 N_l=-3330.00 Mx_l=-0.00 My_l=-3.55 Mz_l=-0.02
Taglio nei bulloni: Fv,Ed=1.90 Fv,Rd=7720.78
Rifollamento lato piastra: Fb,Ed,p=1.90 Fb,Rd,p=6103.11
Tirafondi:LT=0.45 (0.31) σ_{cR}=0.00 σ_{fR}=0.00
Compressione nel calcestruzzo: σ_c=7.08
CC 17 SLV (Collegamento 0022_-379)
Azioni sul collegamento: N=-7936.47 Ty=-0.74 Tz=5.89 Mx=-0.02 Mz=-2.16
Sollecitazioni agenti localmente: Tx_l=-0.74 Ty_l=5.89 N_l=-7936.47 Mx_l=-0.00 My_l=-2.16 Mz_l=-0.02
Taglio nei bulloni: Fv,Ed=1.01 Fv,Rd=7720.78
Rifollamento lato piastra: Fb,Ed,p=1.01 Fb,Rd,p=6154.63
Tirafondi:LT=0.45 (0.31) σ_{cR}=0.00 σ_{fR}=0.00
Compressione nel calcestruzzo: σ_c=16.52
CC 17 SLV (Collegamento 0022_-379)
Azioni sul collegamento: N=-7936.47 Ty=-1.44 Tz=5.89 Mx=-0.02 Mz=-3.55
Sollecitazioni agenti localmente: Tx_l=-1.44 Ty_l=5.89 N_l=-7936.47 Mx_l=-0.00 My_l=-3.55 Mz_l=-0.02
Taglio nei bulloni: Fv,Ed=1.03 Fv,Rd=7720.78
Rifollamento lato piastra: Fb,Ed,p=1.03 Fb,Rd,p=6573.73
Tirafondi:LT=0.45 (0.31) σ_{cR}=0.00 σ_{fR}=0.00
Compressione nel calcestruzzo: σ_c=16.60
CC 17 SLV (Collegamento 0022_-379)
Azioni sul collegamento: N=-7936.47 Ty=-0.74 Tz=-11.20 Mx=-0.02 Mz=-2.16
Sollecitazioni agenti localmente: Tx_l=-0.74 Ty_l=-11.20 N_l=-7936.47 Mx_l=-0.00 My_l=-2.16 Mz_l=-0.02
Taglio nei bulloni: Fv,Ed=1.89 Fv,Rd=7720.78
Rifollamento lato piastra: Fb,Ed,p=1.89 Fb,Rd,p=6006.74
Tirafondi:LT=0.45 (0.31) σ_{cR}=0.00 σ_{fR}=0.00
Compressione nel calcestruzzo: σ_c=16.52
CC 17 SLV (Collegamento 0022_-379)
Azioni sul collegamento: N=-7936.47 Ty=-1.44 Tz=-11.20 Mx=-0.02 Mz=-3.55
Sollecitazioni agenti localmente: Tx_l=-1.44 Ty_l=-11.20 N_l=-7936.47 Mx_l=-0.00 My_l=-3.55 Mz_l=-0.02
Taglio nei bulloni: Fv,Ed=1.90 Fv,Rd=7720.78
Rifollamento lato piastra: Fb,Ed,p=1.90 Fb,Rd,p=6103.11
Tirafondi:LT=0.45 (0.31) σ_{cR}=0.00 σ_{fR}=0.00
Compressione nel calcestruzzo: σ_c=16.60
CC 18 SLD (Collegamento 0022_-379)
Azioni sul collegamento: N=-4931.08 Ty=-0.17 Tz=-0.05 Mx=-0.00 Mz=-0.59
Sollecitazioni agenti localmente: Tx_l=-0.17 Ty_l=-0.05 N_l=-4931.08 Mx_l=-0.00 My_l=-0.59 Mz_l=-0.00
Tirafondi:LT=0.45 (0.31) σ_{cR}=0.00 σ_{fR}=0.00
Compressione nel calcestruzzo: σ_c=10.22
CC 18 SLD (Collegamento 0022_-379)
Azioni sul collegamento: N=-4931.08 Ty=-0.39 Tz=-0.05 Mx=-0.00 Mz=-1.01
Sollecitazioni agenti localmente: Tx_l=-0.39 Ty_l=-0.05 N_l=-4931.08 Mx_l=-0.00 My_l=-1.01 Mz_l=-0.00
Tirafondi:LT=0.45 (0.31) σ_{cR}=0.00 σ_{fR}=0.00
Compressione nel calcestruzzo: σ_c=10.25
CC 18 SLD (Collegamento 0022_-379)
Azioni sul collegamento: N=-4931.09 Ty=-0.17 Tz=-5.26 Mx=-0.00 Mz=-0.59
Sollecitazioni agenti localmente: Tx_l=-0.17 Ty_l=-5.26 N_l=-4931.09 Mx_l=-0.00 My_l=-0.59 Mz_l=-0.00
Taglio nei bulloni: Fv,Ed=0.88 Fv,Rd=9650.97
Rifollamento lato piastra: Fb,Ed,p=0.88 Fb,Rd,p=7481.92
Tirafondi:LT=0.45 (0.31) σ_{cR}=0.00 σ_{fR}=0.00
Compressione nel calcestruzzo: σ_c=10.22
CC 18 SLD (Collegamento 0022_-379)
Azioni sul collegamento: N=-4931.09 Ty=-0.39 Tz=-5.26 Mx=-0.00 Mz=-1.01
Sollecitazioni agenti localmente: Tx_l=-0.39 Ty_l=-5.26 N_l=-4931.09 Mx_l=-0.00 My_l=-1.01 Mz_l=-0.00
Taglio nei bulloni: Fv,Ed=0.88 Fv,Rd=9650.97
Rifollamento lato piastra: Fb,Ed,p=0.88 Fb,Rd,p=7524.41
Tirafondi:LT=0.45 (0.31) σ_{cR}=0.00 σ_{fR}=0.00
Compressione nel calcestruzzo: σ_c=10.25
CC 18 SLD (Collegamento 0022_-379)
Azioni sul collegamento: N=-6335.74 Ty=-0.17 Tz=-0.05 Mx=-0.00 Mz=-0.59
Sollecitazioni agenti localmente: Tx_l=-0.17 Ty_l=-0.05 N_l=-6335.74 Mx_l=-0.00 My_l=-0.59 Mz_l=-0.00
Tirafondi:LT=0.45 (0.31) σ_{cR}=0.00 σ_{fR}=0.00
Compressione nel calcestruzzo: σ_c=13.12
CC 18 SLD (Collegamento 0022_-379)
Azioni sul collegamento: N=-6335.74 Ty=-0.39 Tz=-0.05 Mx=-0.00 Mz=-1.01
Sollecitazioni agenti localmente: Tx_l=-0.39 Ty_l=-0.05 N_l=-6335.74 Mx_l=-0.00 My_l=-1.01 Mz_l=-0.00
Tirafondi:LT=0.45 (0.31) σ_{cR}=0.00 σ_{fR}=0.00
Compressione nel calcestruzzo: σ_c=13.15

CC 18 SLD (Collegamento 0022_-379)
Azioni sul collegamento: N=-6335.74 Ty=-0.17 Tz=-5.26 Mx=-0.00 Mz=-0.59
Sollecitazioni agenti localmente: Tx_l=-0.17 Ty_l=-5.26 N_l=-6335.74 Mx_l=-0.00 My_l=-0.59 Mz_l=-0.00
Taglio nei bulloni: Fv,Ed=0.88 Fv,Rd=9650.97
Rifollamento lato piastra: Fb,Ed,p=0.88 Fb,Rd,p=7481.91
Tirafondi:LT=0.45 (0.31) σ_{cR}=0.00 σ_{fR}=0.00
Compressione nel calcestruzzo: σ_c=13.12
CC 18 SLD (Collegamento 0022_-379)
Azioni sul collegamento: N=-6335.74 Ty=-0.39 Tz=-5.26 Mx=-0.00 Mz=-1.01
Sollecitazioni agenti localmente: Tx_l=-0.39 Ty_l=-5.26 N_l=-6335.74 Mx_l=-0.00 My_l=-1.01 Mz_l=-0.00
Taglio nei bulloni: Fv,Ed=0.88 Fv,Rd=9650.97
Rifollamento lato piastra: Fb,Ed,p=0.88 Fb,Rd,p=7524.41
Tirafondi:LT=0.45 (0.31) σ_{cR}=0.00 σ_{fR}=0.00
Compressione nel calcestruzzo: σ_c=13.15
CC 19 SLV (Collegamento 0022_-379)
Azioni sul collegamento: N=-3330.02 Ty=-1.43 Tz=5.88 Mx=-0.01 Mz=-3.51
Sollecitazioni agenti localmente: Tx_l=-1.43 Ty_l=5.88 N_l=-3330.02 Mx_l=-0.00 My_l=-3.51 Mz_l=-0.01
Taglio nei bulloni: Fv,Ed=1.02 Fv,Rd=7720.78
Rifollamento lato piastra: Fb,Ed,p=1.02 Fb,Rd,p=6543.62
Tirafondi:LT=0.45 (0.31) σ_{cR}=0.00 σ_{fR}=0.00
Compressione nel calcestruzzo: σ_c=7.08
CC 19 SLV (Collegamento 0022_-379)
Azioni sul collegamento: N=-3330.02 Ty=-0.75 Tz=5.88 Mx=-0.01 Mz=-2.19
Sollecitazioni agenti localmente: Tx_l=-0.75 Ty_l=5.88 N_l=-3330.02 Mx_l=-0.00 My_l=-2.19 Mz_l=-0.01
Taglio nei bulloni: Fv,Ed=1.00 Fv,Rd=7720.78
Rifollamento lato piastra: Fb,Ed,p=1.00 Fb,Rd,p=6147.83
Tirafondi:LT=0.45 (0.31) σ_{cR}=0.00 σ_{fR}=0.00
Compressione nel calcestruzzo: σ_c=7.00
CC 19 SLV (Collegamento 0022_-379)
Azioni sul collegamento: N=-3330.02 Ty=-1.43 Tz=-11.19 Mx=-0.01 Mz=-3.51
Sollecitazioni agenti localmente: Tx_l=-1.43 Ty_l=-11.19 N_l=-3330.02 Mx_l=-0.00 My_l=-3.51 Mz_l=-0.01
Taglio nei bulloni: Fv,Ed=1.89 Fv,Rd=7720.78
Rifollamento lato piastra: Fb,Ed,p=1.89 Fb,Rd,p=6107.91
Tirafondi:LT=0.45 (0.31) σ_{cR}=0.00 σ_{fR}=0.00
Compressione nel calcestruzzo: σ_c=7.08
CC 19 SLV (Collegamento 0022_-379)
Azioni sul collegamento: N=-3330.02 Ty=-0.75 Tz=-11.19 Mx=-0.01 Mz=-2.19
Sollecitazioni agenti localmente: Tx_l=-0.75 Ty_l=-11.19 N_l=-3330.02 Mx_l=-0.00 My_l=-2.19 Mz_l=-0.01
Taglio nei bulloni: Fv,Ed=1.88 Fv,Rd=7720.78
Rifollamento lato piastra: Fb,Ed,p=1.88 Fb,Rd,p=6011.34
Tirafondi:LT=0.45 (0.31) σ_{cR}=0.00 σ_{fR}=0.00
Compressione nel calcestruzzo: σ_c=7.00
CC 19 SLV (Collegamento 0022_-379)
Azioni sul collegamento: N=-7936.44 Ty=-1.43 Tz=5.88 Mx=-0.01 Mz=-3.51
Sollecitazioni agenti localmente: Tx_l=-1.43 Ty_l=5.88 N_l=-7936.44 Mx_l=-0.00 My_l=-3.51 Mz_l=-0.01
Taglio nei bulloni: Fv,Ed=1.02 Fv,Rd=7720.78
Rifollamento lato piastra: Fb,Ed,p=1.02 Fb,Rd,p=6543.57
Tirafondi:LT=0.45 (0.31) σ_{cR}=0.00 σ_{fR}=0.00
Compressione nel calcestruzzo: σ_c=16.60
CC 19 SLV (Collegamento 0022_-379)
Azioni sul collegamento: N=-7936.44 Ty=-0.75 Tz=5.88 Mx=-0.01 Mz=-2.19
Sollecitazioni agenti localmente: Tx_l=-0.75 Ty_l=5.88 N_l=-7936.44 Mx_l=-0.00 My_l=-2.19 Mz_l=-0.01
Taglio nei bulloni: Fv,Ed=1.00 Fv,Rd=7720.78
Rifollamento lato piastra: Fb,Ed,p=1.00 Fb,Rd,p=6147.81
Tirafondi:LT=0.45 (0.31) σ_{cR}=0.00 σ_{fR}=0.00
Compressione nel calcestruzzo: σ_c=16.52
CC 19 SLV (Collegamento 0022_-379)
Azioni sul collegamento: N=-7936.44 Ty=-1.43 Tz=-11.19 Mx=-0.01 Mz=-3.51
Sollecitazioni agenti localmente: Tx_l=-1.43 Ty_l=-11.19 N_l=-7936.44 Mx_l=-0.00 My_l=-3.51 Mz_l=-0.01
Taglio nei bulloni: Fv,Ed=1.89 Fv,Rd=7720.78
Rifollamento lato piastra: Fb,Ed,p=1.89 Fb,Rd,p=6107.91
Tirafondi:LT=0.45 (0.31) σ_{cR}=0.00 σ_{fR}=0.00
Compressione nel calcestruzzo: σ_c=16.60
CC 19 SLV (Collegamento 0022_-379)
Azioni sul collegamento: N=-7936.44 Ty=-0.75 Tz=-11.19 Mx=-0.01 Mz=-2.19
Sollecitazioni agenti localmente: Tx_l=-0.75 Ty_l=-11.19 N_l=-7936.44 Mx_l=-0.00 My_l=-2.19 Mz_l=-0.01
Taglio nei bulloni: Fv,Ed=1.88 Fv,Rd=7720.78
Rifollamento lato piastra: Fb,Ed,p=1.88 Fb,Rd,p=6011.34
Tirafondi:LT=0.45 (0.31) σ_{cR}=0.00 σ_{fR}=0.00
Compressione nel calcestruzzo: σ_c=16.52
CC 20 SLD (Collegamento 0022_-379)
Azioni sul collegamento: N=-4931.09 Ty=-0.38 Tz=-0.05 Mx=-0.00 Mz=-1.00
Sollecitazioni agenti localmente: Tx_l=-0.38 Ty_l=-0.05 N_l=-4931.09 Mx_l=-0.00 My_l=-1.00 Mz_l=-0.00
Tirafondi:LT=0.45 (0.31) σ_{cR}=0.00 σ_{fR}=0.00
Compressione nel calcestruzzo: σ_c=10.24
CC 20 SLD (Collegamento 0022_-379)
Azioni sul collegamento: N=-4931.09 Ty=-0.18 Tz=-0.05 Mx=-0.00 Mz=-0.60
Sollecitazioni agenti localmente: Tx_l=-0.18 Ty_l=-0.05 N_l=-4931.09 Mx_l=-0.00 My_l=-0.60 Mz_l=-0.00

Tirafondi:LT=0.45 (0.31) σ_{cR}=0.00 σ_{fR}=0.00
Compressione nel calcestruzzo: σ_c=10.22
CC 20 SLD (Collegamento 0022_-379)
Azioni sul collegamento: N=-4931.09 Ty=-0.38 Tz=-5.26 Mx=-0.00 Mz=-1.00
Sollecitazioni agenti localmente: Tx_l=-0.38 Ty_l=-5.26 N_l=-4931.09 Mx_l=-0.00 My_l=-1.00 Mz_l=-0.00
Taglio nei bulloni: Fv,Ed=0.88 Fv,Rd=9650.97
Rifollamento lato piastra: Fb,Ed,p=0.88 Fb,Rd,p=7526.46
Tirafondi:LT=0.45 (0.31) σ_{cR}=0.00 σ_{fR}=0.00
Compressione nel calcestruzzo: σ_c=10.24
CC 20 SLD (Collegamento 0022_-379)
Azioni sul collegamento: N=-4931.09 Ty=-0.18 Tz=-5.26 Mx=-0.00 Mz=-0.60
Sollecitazioni agenti localmente: Tx_l=-0.18 Ty_l=-5.26 N_l=-4931.09 Mx_l=-0.00 My_l=-0.60 Mz_l=-0.00
Taglio nei bulloni: Fv,Ed=0.88 Fv,Rd=9650.97
Rifollamento lato piastra: Fb,Ed,p=0.88 Fb,Rd,p=7483.71
Tirafondi:LT=0.45 (0.31) σ_{cR}=0.00 σ_{fR}=0.00
Compressione nel calcestruzzo: σ_c=10.22
CC 20 SLD (Collegamento 0022_-379)
Azioni sul collegamento: N=-6335.74 Ty=-0.38 Tz=-0.05 Mx=-0.00 Mz=-1.00
Sollecitazioni agenti localmente: Tx_l=-0.38 Ty_l=-0.05 N_l=-6335.74 Mx_l=-0.00 My_l=-1.00 Mz_l=-0.00
Tirafondi:LT=0.45 (0.31) σ_{cR}=0.00 σ_{fR}=0.00
Compressione nel calcestruzzo: σ_c=13.15
CC 20 SLD (Collegamento 0022_-379)
Azioni sul collegamento: N=-6335.74 Ty=-0.18 Tz=-0.05 Mx=-0.00 Mz=-0.60
Sollecitazioni agenti localmente: Tx_l=-0.18 Ty_l=-0.05 N_l=-6335.74 Mx_l=-0.00 My_l=-0.60 Mz_l=-0.00
Tirafondi:LT=0.45 (0.31) σ_{cR}=0.00 σ_{fR}=0.00
Compressione nel calcestruzzo: σ_c=13.12
CC 20 SLD (Collegamento 0022_-379)
Azioni sul collegamento: N=-6335.74 Ty=-0.38 Tz=-5.26 Mx=-0.00 Mz=-1.00
Sollecitazioni agenti localmente: Tx_l=-0.38 Ty_l=-5.26 N_l=-6335.74 Mx_l=-0.00 My_l=-1.00 Mz_l=-0.00
Taglio nei bulloni: Fv,Ed=0.88 Fv,Rd=9650.97
Rifollamento lato piastra: Fb,Ed,p=0.88 Fb,Rd,p=7526.47
Tirafondi:LT=0.45 (0.31) σ_{cR}=0.00 σ_{fR}=0.00
Compressione nel calcestruzzo: σ_c=13.15
CC 20 SLD (Collegamento 0022_-379)
Azioni sul collegamento: N=-6335.74 Ty=-0.18 Tz=-5.26 Mx=-0.00 Mz=-0.60
Sollecitazioni agenti localmente: Tx_l=-0.18 Ty_l=-5.26 N_l=-6335.74 Mx_l=-0.00 My_l=-0.60 Mz_l=-0.00
Taglio nei bulloni: Fv,Ed=0.88 Fv,Rd=9650.97
Rifollamento lato piastra: Fb,Ed,p=0.88 Fb,Rd,p=7483.71
Tirafondi:LT=0.45 (0.31) σ_{cR}=0.00 σ_{fR}=0.00
Compressione nel calcestruzzo: σ_c=13.12
CC 21 SLV (Collegamento 0022_-379)
Azioni sul collegamento: N=-7936.44 Ty=-0.75 Tz=-11.19 Mx=-0.02 Mz=-2.19
Sollecitazioni agenti localmente: Tx_l=-0.75 Ty_l=-11.19 N_l=-7936.44 Mx_l=-0.00 My_l=-2.19 Mz_l=-0.02
Taglio nei bulloni: Fv,Ed=1.89 Fv,Rd=7720.78
Rifollamento lato piastra: Fb,Ed,p=1.89 Fb,Rd,p=6008.07
Tirafondi:LT=0.45 (0.31) σ_{cR}=0.00 σ_{fR}=0.00
Compressione nel calcestruzzo: σ_c=16.52
CC 21 SLV (Collegamento 0022_-379)
Azioni sul collegamento: N=-7936.44 Ty=-1.43 Tz=-11.19 Mx=-0.02 Mz=-3.51
Sollecitazioni agenti localmente: Tx_l=-1.43 Ty_l=-11.19 N_l=-7936.44 Mx_l=-0.00 My_l=-3.51 Mz_l=-0.02
Taglio nei bulloni: Fv,Ed=1.90 Fv,Rd=7720.78
Rifollamento lato piastra: Fb,Ed,p=1.90 Fb,Rd,p=6100.89
Tirafondi:LT=0.45 (0.31) σ_{cR}=0.00 σ_{fR}=0.00
Compressione nel calcestruzzo: σ_c=16.60
CC 21 SLV (Collegamento 0022_-379)
Azioni sul collegamento: N=-7936.44 Ty=-0.75 Tz=5.88 Mx=-0.02 Mz=-2.19
Sollecitazioni agenti localmente: Tx_l=-0.75 Ty_l=5.88 N_l=-7936.44 Mx_l=-0.00 My_l=-2.19 Mz_l=-0.02
Taglio nei bulloni: Fv,Ed=1.01 Fv,Rd=7720.78
Rifollamento lato piastra: Fb,Ed,p=1.01 Fb,Rd,p=6159.86
Tirafondi:LT=0.45 (0.31) σ_{cR}=0.00 σ_{fR}=0.00
Compressione nel calcestruzzo: σ_c=16.52
CC 21 SLV (Collegamento 0022_-379)
Azioni sul collegamento: N=-7936.44 Ty=-1.43 Tz=5.88 Mx=-0.02 Mz=-3.51
Sollecitazioni agenti localmente: Tx_l=-1.43 Ty_l=5.88 N_l=-7936.44 Mx_l=-0.00 My_l=-3.51 Mz_l=-0.02
Taglio nei bulloni: Fv,Ed=1.03 Fv,Rd=7720.78
Rifollamento lato piastra: Fb,Ed,p=1.03 Fb,Rd,p=6562.63
Tirafondi:LT=0.45 (0.31) σ_{cR}=0.00 σ_{fR}=0.00
Compressione nel calcestruzzo: σ_c=16.60
CC 21 SLV (Collegamento 0022_-379)
Azioni sul collegamento: N=-3330.02 Ty=-0.75 Tz=-11.19 Mx=-0.02 Mz=-2.19
Sollecitazioni agenti localmente: Tx_l=-0.75 Ty_l=-11.19 N_l=-3330.02 Mx_l=-0.00 My_l=-2.19 Mz_l=-0.02
Taglio nei bulloni: Fv,Ed=1.89 Fv,Rd=7720.78
Rifollamento lato piastra: Fb,Ed,p=1.89 Fb,Rd,p=6008.07
Tirafondi:LT=0.45 (0.31) σ_{cR}=0.00 σ_{fR}=0.00
Compressione nel calcestruzzo: σ_c=7.00
CC 21 SLV (Collegamento 0022_-379)
Azioni sul collegamento: N=-3330.02 Ty=-1.43 Tz=-11.19 Mx=-0.02 Mz=-3.51
Sollecitazioni agenti localmente: Tx_l=-1.43 Ty_l=-11.19 N_l=-3330.02 Mx_l=-0.00 My_l=-3.51 Mz_l=-0.02

Taglio nei bulloni: Fv,Ed=1.90 Fv,Rd=7720.78
Rifollamento lato piastra: Fb,Ed,p=1.90 Fb,Rd,p=6100.89
Tirafondi:LT=0.45 (0.31) σ_{cR}=0.00 σ_{fR}=0.00
Compressione nel calcestruzzo: σ_c=7.08
CC 21 SLV (Collegamento 0022_-379)
Azioni sul collegamento: N=-3330.02 Ty=-0.75 Tz=5.88 Mx=-0.02 Mz=-2.19
Sollecitazioni agenti localmente: Tx_l=-0.75 Ty_l=5.88 N_l=-3330.02 Mx_l=-0.00 My_l=-2.19 Mz_l=-0.02
Taglio nei bulloni: Fv,Ed=1.01 Fv,Rd=7720.78
Rifollamento lato piastra: Fb,Ed,p=1.01 Fb,Rd,p=6159.88
Tirafondi:LT=0.45 (0.31) σ_{cR}=0.00 σ_{fR}=0.00
Compressione nel calcestruzzo: σ_c=7.00
CC 21 SLV (Collegamento 0022_-379)
Azioni sul collegamento: N=-3330.02 Ty=-1.43 Tz=5.88 Mx=-0.02 Mz=-3.51
Sollecitazioni agenti localmente: Tx_l=-1.43 Ty_l=5.88 N_l=-3330.02 Mx_l=-0.00 My_l=-3.51 Mz_l=-0.02
Taglio nei bulloni: Fv,Ed=1.03 Fv,Rd=7720.78
Rifollamento lato piastra: Fb,Ed,p=1.03 Fb,Rd,p=6562.68
Tirafondi:LT=0.45 (0.31) σ_{cR}=0.00 σ_{fR}=0.00
Compressione nel calcestruzzo: σ_c=7.08
CC 22 SLD (Collegamento 0022_-379)
Azioni sul collegamento: N=-6335.74 Ty=-0.18 Tz=-5.26 Mx=-0.00 Mz=-0.60
Sollecitazioni agenti localmente: Tx_l=-0.18 Ty_l=-5.26 N_l=-6335.74 Mx_l=-0.00 My_l=-0.60 Mz_l=-0.00
Taglio nei bulloni: Fv,Ed=0.88 Fv,Rd=9650.97
Rifollamento lato piastra: Fb,Ed,p=0.88 Fb,Rd,p=7482.44
Tirafondi:LT=0.45 (0.31) σ_{cR}=0.00 σ_{fR}=0.00
Compressione nel calcestruzzo: σ_c=13.12
CC 22 SLD (Collegamento 0022_-379)
Azioni sul collegamento: N=-6335.74 Ty=-0.38 Tz=-5.26 Mx=-0.00 Mz=-1.00
Sollecitazioni agenti localmente: Tx_l=-0.38 Ty_l=-5.26 N_l=-6335.74 Mx_l=-0.00 My_l=-1.00 Mz_l=-0.00
Taglio nei bulloni: Fv,Ed=0.88 Fv,Rd=9650.97
Rifollamento lato piastra: Fb,Ed,p=0.88 Fb,Rd,p=7523.36
Tirafondi:LT=0.45 (0.31) σ_{cR}=0.00 σ_{fR}=0.00
Compressione nel calcestruzzo: σ_c=13.15
CC 22 SLD (Collegamento 0022_-379)
Azioni sul collegamento: N=-6335.74 Ty=-0.18 Tz=-0.05 Mx=-0.00 Mz=-0.60
Sollecitazioni agenti localmente: Tx_l=-0.18 Ty_l=-0.05 N_l=-6335.74 Mx_l=-0.00 My_l=-0.60 Mz_l=-0.00
Tirafondi:LT=0.45 (0.31) σ_{cR}=0.00 σ_{fR}=0.00
Compressione nel calcestruzzo: σ_c=13.12
CC 22 SLD (Collegamento 0022_-379)
Azioni sul collegamento: N=-6335.74 Ty=-0.38 Tz=-0.05 Mx=-0.00 Mz=-1.00
Sollecitazioni agenti localmente: Tx_l=-0.38 Ty_l=-0.05 N_l=-6335.74 Mx_l=-0.00 My_l=-1.00 Mz_l=-0.00
Tirafondi:LT=0.45 (0.31) σ_{cR}=0.00 σ_{fR}=0.00
Compressione nel calcestruzzo: σ_c=13.15
CC 22 SLD (Collegamento 0022_-379)
Azioni sul collegamento: N=-4931.09 Ty=-0.18 Tz=-5.26 Mx=-0.00 Mz=-0.60
Sollecitazioni agenti localmente: Tx_l=-0.18 Ty_l=-5.26 N_l=-4931.09 Mx_l=-0.00 My_l=-0.60 Mz_l=-0.00
Taglio nei bulloni: Fv,Ed=0.88 Fv,Rd=9650.97
Rifollamento lato piastra: Fb,Ed,p=0.88 Fb,Rd,p=7482.44
Tirafondi:LT=0.45 (0.31) σ_{cR}=0.00 σ_{fR}=0.00
Compressione nel calcestruzzo: σ_c=10.22
CC 22 SLD (Collegamento 0022_-379)
Azioni sul collegamento: N=-4931.09 Ty=-0.38 Tz=-5.26 Mx=-0.00 Mz=-1.00
Sollecitazioni agenti localmente: Tx_l=-0.38 Ty_l=-5.26 N_l=-4931.09 Mx_l=-0.00 My_l=-1.00 Mz_l=-0.00
Taglio nei bulloni: Fv,Ed=0.88 Fv,Rd=9650.97
Rifollamento lato piastra: Fb,Ed,p=0.88 Fb,Rd,p=7523.35
Tirafondi:LT=0.45 (0.31) σ_{cR}=0.00 σ_{fR}=0.00
Compressione nel calcestruzzo: σ_c=10.24
CC 22 SLD (Collegamento 0022_-379)
Azioni sul collegamento: N=-4931.09 Ty=-0.18 Tz=-0.05 Mx=-0.00 Mz=-0.60
Sollecitazioni agenti localmente: Tx_l=-0.18 Ty_l=-0.05 N_l=-4931.09 Mx_l=-0.00 My_l=-0.60 Mz_l=-0.00
Tirafondi:LT=0.45 (0.31) σ_{cR}=0.00 σ_{fR}=0.00
Compressione nel calcestruzzo: σ_c=10.22
CC 22 SLD (Collegamento 0022_-379)
Azioni sul collegamento: N=-4931.09 Ty=-0.38 Tz=-0.05 Mx=-0.00 Mz=-1.00
Sollecitazioni agenti localmente: Tx_l=-0.38 Ty_l=-0.05 N_l=-4931.09 Mx_l=-0.00 My_l=-1.00 Mz_l=-0.00
Tirafondi:LT=0.45 (0.31) σ_{cR}=0.00 σ_{fR}=0.00
Compressione nel calcestruzzo: σ_c=10.24
CC 23 SLV (Collegamento 0022_-379)
Azioni sul collegamento: N=-7936.47 Ty=-1.44 Tz=-11.20 Mx=-0.01 Mz=-3.55
Sollecitazioni agenti localmente: Tx_l=-1.44 Ty_l=-11.20 N_l=-7936.47 Mx_l=-0.00 My_l=-3.55 Mz_l=-0.01
Taglio nei bulloni: Fv,Ed=1.89 Fv,Rd=7720.78
Rifollamento lato piastra: Fb,Ed,p=1.89 Fb,Rd,p=6110.76
Tirafondi:LT=0.45 (0.31) σ_{cR}=0.00 σ_{fR}=0.00
Compressione nel calcestruzzo: σ_c=16.60
CC 23 SLV (Collegamento 0022_-379)
Azioni sul collegamento: N=-7936.47 Ty=-0.74 Tz=-11.20 Mx=-0.01 Mz=-2.16
Sollecitazioni agenti localmente: Tx_l=-0.74 Ty_l=-11.20 N_l=-7936.47 Mx_l=-0.00 My_l=-2.16 Mz_l=-0.01
Taglio nei bulloni: Fv,Ed=1.88 Fv,Rd=7720.78
Rifollamento lato piastra: Fb,Ed,p=1.88 Fb,Rd,p=6010.20

Tirafondi:LT=0.45 (0.31) σ_{cR}=0.00 σ_{fR}=0.00
Compressione nel calcestruzzo: σ_c=16.52
CC 23 SLV (Collegamento 0022_-379)
Azioni sul collegamento: N=-7936.47 Ty=-1.44 Tz=5.89 Mx=-0.01 Mz=-3.55
Sollecitazioni agenti localmente: Tx_l=-1.44 Ty_l=5.89 N_l=-7936.47 Mx_l=-0.00 My_l=-3.55 Mz_l=-0.01
Taglio nei bulloni: Fv,Ed=1.02 Fv,Rd=7720.78
Rifollamento lato piastra: Fb,Ed,p=1.02 Fb,Rd,p=6553.06
Tirafondi:LT=0.45 (0.31) σ_{cR}=0.00 σ_{fR}=0.00
Compressione nel calcestruzzo: σ_c=16.60
CC 23 SLV (Collegamento 0022_-379)
Azioni sul collegamento: N=-7936.47 Ty=-0.74 Tz=5.89 Mx=-0.01 Mz=-2.16
Sollecitazioni agenti localmente: Tx_l=-0.74 Ty_l=5.89 N_l=-7936.47 Mx_l=-0.00 My_l=-2.16 Mz_l=-0.01
Taglio nei bulloni: Fv,Ed=1.00 Fv,Rd=7720.78
Rifollamento lato piastra: Fb,Ed,p=1.00 Fb,Rd,p=6141.81
Tirafondi:LT=0.45 (0.31) σ_{cR}=0.00 σ_{fR}=0.00
Compressione nel calcestruzzo: σ_c=16.52
CC 23 SLV (Collegamento 0022_-379)
Azioni sul collegamento: N=-3330.00 Ty=-1.44 Tz=-11.20 Mx=-0.01 Mz=-3.55
Sollecitazioni agenti localmente: Tx_l=-1.44 Ty_l=-11.20 N_l=-3330.00 Mx_l=-0.00 My_l=-3.55 Mz_l=-0.01
Taglio nei bulloni: Fv,Ed=1.89 Fv,Rd=7720.78
Rifollamento lato piastra: Fb,Ed,p=1.89 Fb,Rd,p=6110.77
Tirafondi:LT=0.45 (0.31) σ_{cR}=0.00 σ_{fR}=0.00
Compressione nel calcestruzzo: σ_c=7.08
CC 23 SLV (Collegamento 0022_-379)
Azioni sul collegamento: N=-3330.00 Ty=-0.74 Tz=-11.20 Mx=-0.01 Mz=-2.16
Sollecitazioni agenti localmente: Tx_l=-0.74 Ty_l=-11.20 N_l=-3330.00 Mx_l=-0.00 My_l=-2.16 Mz_l=-0.01
Taglio nei bulloni: Fv,Ed=1.88 Fv,Rd=7720.78
Rifollamento lato piastra: Fb,Ed,p=1.88 Fb,Rd,p=6010.20
Tirafondi:LT=0.45 (0.31) σ_{cR}=0.00 σ_{fR}=0.00
Compressione nel calcestruzzo: σ_c=7.00
CC 23 SLV (Collegamento 0022_-379)
Azioni sul collegamento: N=-3330.00 Ty=-1.44 Tz=5.89 Mx=-0.01 Mz=-3.55
Sollecitazioni agenti localmente: Tx_l=-1.44 Ty_l=5.89 N_l=-3330.00 Mx_l=-0.00 My_l=-3.55 Mz_l=-0.01
Taglio nei bulloni: Fv,Ed=1.02 Fv,Rd=7720.78
Rifollamento lato piastra: Fb,Ed,p=1.02 Fb,Rd,p=6553.05
Tirafondi:LT=0.45 (0.31) σ_{cR}=0.00 σ_{fR}=0.00
Compressione nel calcestruzzo: σ_c=7.08
CC 23 SLV (Collegamento 0022_-379)
Azioni sul collegamento: N=-3330.00 Ty=-0.74 Tz=5.89 Mx=-0.01 Mz=-2.16
Sollecitazioni agenti localmente: Tx_l=-0.74 Ty_l=5.89 N_l=-3330.00 Mx_l=-0.00 My_l=-2.16 Mz_l=-0.01
Taglio nei bulloni: Fv,Ed=1.00 Fv,Rd=7720.78
Rifollamento lato piastra: Fb,Ed,p=1.00 Fb,Rd,p=6141.81
Tirafondi:LT=0.45 (0.31) σ_{cR}=0.00 σ_{fR}=0.00
Compressione nel calcestruzzo: σ_c=7.00
CC 24 SLD (Collegamento 0022_-379)
Azioni sul collegamento: N=-6335.74 Ty=-0.39 Tz=-5.26 Mx=-0.00 Mz=-1.01
Sollecitazioni agenti localmente: Tx_l=-0.39 Ty_l=-5.26 N_l=-6335.74 Mx_l=-0.00 My_l=-1.01 Mz_l=-0.00
Taglio nei bulloni: Fv,Ed=0.88 Fv,Rd=9650.97
Rifollamento lato piastra: Fb,Ed,p=0.88 Fb,Rd,p=7527.80
Tirafondi:LT=0.45 (0.31) σ_{cR}=0.00 σ_{fR}=0.00
Compressione nel calcestruzzo: σ_c=13.15
CC 24 SLD (Collegamento 0022_-379)
Azioni sul collegamento: N=-6335.74 Ty=-0.17 Tz=-5.26 Mx=-0.00 Mz=-0.59
Sollecitazioni agenti localmente: Tx_l=-0.17 Ty_l=-5.26 N_l=-6335.74 Mx_l=-0.00 My_l=-0.59 Mz_l=-0.00
Taglio nei bulloni: Fv,Ed=0.88 Fv,Rd=9650.97
Rifollamento lato piastra: Fb,Ed,p=0.88 Fb,Rd,p=7483.24
Tirafondi:LT=0.45 (0.31) σ_{cR}=0.00 σ_{fR}=0.00
Compressione nel calcestruzzo: σ_c=13.12
CC 24 SLD (Collegamento 0022_-379)
Azioni sul collegamento: N=-6335.74 Ty=-0.39 Tz=-0.05 Mx=-0.00 Mz=-1.01
Sollecitazioni agenti localmente: Tx_l=-0.39 Ty_l=-0.05 N_l=-6335.74 Mx_l=-0.00 My_l=-1.01 Mz_l=-0.00
Tirafondi:LT=0.45 (0.31) σ_{cR}=0.00 σ_{fR}=0.00
Compressione nel calcestruzzo: σ_c=13.15
CC 24 SLD (Collegamento 0022_-379)
Azioni sul collegamento: N=-6335.74 Ty=-0.17 Tz=-0.05 Mx=-0.00 Mz=-0.59
Sollecitazioni agenti localmente: Tx_l=-0.17 Ty_l=-0.05 N_l=-6335.74 Mx_l=-0.00 My_l=-0.59 Mz_l=-0.00
Tirafondi:LT=0.45 (0.31) σ_{cR}=0.00 σ_{fR}=0.00
Compressione nel calcestruzzo: σ_c=13.12
CC 24 SLD (Collegamento 0022_-379)
Azioni sul collegamento: N=-4931.09 Ty=-0.39 Tz=-5.26 Mx=-0.00 Mz=-1.01
Sollecitazioni agenti localmente: Tx_l=-0.39 Ty_l=-5.26 N_l=-4931.09 Mx_l=-0.00 My_l=-1.01 Mz_l=-0.00
Taglio nei bulloni: Fv,Ed=0.88 Fv,Rd=9650.97
Rifollamento lato piastra: Fb,Ed,p=0.88 Fb,Rd,p=7527.80
Tirafondi:LT=0.45 (0.31) σ_{cR}=0.00 σ_{fR}=0.00
Compressione nel calcestruzzo: σ_c=10.25
CC 24 SLD (Collegamento 0022_-379)
Azioni sul collegamento: N=-4931.09 Ty=-0.17 Tz=-5.26 Mx=-0.00 Mz=-0.59
Sollecitazioni agenti localmente: Tx_l=-0.17 Ty_l=-5.26 N_l=-4931.09 Mx_l=-0.00 My_l=-0.59 Mz_l=-0.00

Taglio nei bulloni: Fv,Ed=0.88 Fv,Rd=9650.97
Rifollamento lato piastra: Fb,Ed,p=0.88 Fb,Rd,p=7483.24
Tirafondi:LT=0.45 (0.31) σ_{cR}=0.00 σ_{fR}=0.00
Compressione nel calcestruzzo: σ_c=10.22
CC 24 SLD (Collegamento 0022_-379)
Azioni sul collegamento: N=-4931.08 Ty=-0.39 Tz=-0.05 Mx=-0.00 Mz=-1.01
Sollecitazioni agenti localmente: Tx_l=-0.39 Ty_l=-0.05 N_l=-4931.08 Mx_l=-0.00 My_l=-1.01 Mz_l=-0.00
Tirafondi:LT=0.45 (0.31) σ_{cR}=0.00 σ_{fR}=0.00
Compressione nel calcestruzzo: σ_c=10.25
CC 24 SLD (Collegamento 0022_-379)
Azioni sul collegamento: N=-4931.08 Ty=-0.17 Tz=-0.05 Mx=-0.00 Mz=-0.59
Sollecitazioni agenti localmente: Tx_l=-0.17 Ty_l=-0.05 N_l=-4931.08 Mx_l=-0.00 My_l=-0.59 Mz_l=-0.00
Tirafondi:LT=0.45 (0.31) σ_{cR}=0.00 σ_{fR}=0.00
Compressione nel calcestruzzo: σ_c=10.22
CC 25 SLV (Collegamento 0022_-379)
Azioni sul collegamento: N=-4942.23 Ty=0.07 Tz=-0.09 Mx=-0.02 Mz=-0.59
Sollecitazioni agenti localmente: Tx_l=0.07 Ty_l=-0.09 N_l=-4942.23 Mx_l=-0.00 My_l=-0.59 Mz_l=-0.02
Tirafondi:LT=0.45 (0.31) σ_{cR}=0.00 σ_{fR}=0.00
Compressione nel calcestruzzo: σ_c=10.24
CC 25 SLV (Collegamento 0022_-379)
Azioni sul collegamento: N=-4942.23 Ty=-2.24 Tz=-0.09 Mx=-0.02 Mz=-5.11
Sollecitazioni agenti localmente: Tx_l=-2.24 Ty_l=-0.09 N_l=-4942.23 Mx_l=-0.00 My_l=-5.11 Mz_l=-0.02
Taglio nei bulloni: Fv,Ed=0.40 Fv,Rd=7720.78
Rifollamento lato piastra: Fb,Ed,p=0.40 Fb,Rd,p=6067.48
Tirafondi:LT=0.45 (0.31) σ_{cR}=0.00 σ_{fR}=0.00
Compressione nel calcestruzzo: σ_c=10.50
CC 25 SLV (Collegamento 0022_-379)
Azioni sul collegamento: N=-4942.23 Ty=0.07 Tz=-5.22 Mx=-0.02 Mz=-0.59
Sollecitazioni agenti localmente: Tx_l=0.07 Ty_l=-5.22 N_l=-4942.23 Mx_l=-0.00 My_l=-0.59 Mz_l=-0.02
Taglio nei bulloni: Fv,Ed=0.89 Fv,Rd=7720.78
Rifollamento lato piastra: Fb,Ed,p=0.89 Fb,Rd,p=5993.06
Tirafondi:LT=0.45 (0.31) σ_{cR}=0.00 σ_{fR}=0.00
Compressione nel calcestruzzo: σ_c=10.24
CC 25 SLV (Collegamento 0022_-379)
Azioni sul collegamento: N=-4942.23 Ty=-2.24 Tz=-5.22 Mx=-0.02 Mz=-5.11
Sollecitazioni agenti localmente: Tx_l=-2.24 Ty_l=-5.22 N_l=-4942.23 Mx_l=-0.00 My_l=-5.11 Mz_l=-0.02
Taglio nei bulloni: Fv,Ed=0.98 Fv,Rd=7720.78
Rifollamento lato piastra: Fb,Ed,p=0.96 Fb,Rd,p=7350.44
Tirafondi:LT=0.45 (0.31) σ_{cR}=0.00 σ_{fR}=0.00
Compressione nel calcestruzzo: σ_c=10.50
CC 25 SLV (Collegamento 0022_-379)
Azioni sul collegamento: N=-6324.24 Ty=0.07 Tz=-0.09 Mx=-0.02 Mz=-0.59
Sollecitazioni agenti localmente: Tx_l=0.07 Ty_l=-0.09 N_l=-6324.24 Mx_l=-0.00 My_l=-0.59 Mz_l=-0.02
Tirafondi:LT=0.45 (0.31) σ_{cR}=0.00 σ_{fR}=0.00
Compressione nel calcestruzzo: σ_c=13.10
CC 25 SLV (Collegamento 0022_-379)
Azioni sul collegamento: N=-6324.24 Ty=-2.24 Tz=-0.09 Mx=-0.02 Mz=-5.11
Sollecitazioni agenti localmente: Tx_l=-2.24 Ty_l=-0.09 N_l=-6324.24 Mx_l=-0.00 My_l=-5.11 Mz_l=-0.02
Taglio nei bulloni: Fv,Ed=0.40 Fv,Rd=7720.78
Rifollamento lato piastra: Fb,Ed,p=0.40 Fb,Rd,p=6067.42
Tirafondi:LT=0.45 (0.31) σ_{cR}=0.00 σ_{fR}=0.00
Compressione nel calcestruzzo: σ_c=13.35
CC 25 SLV (Collegamento 0022_-379)
Azioni sul collegamento: N=-6324.24 Ty=0.07 Tz=-5.22 Mx=-0.02 Mz=-0.59
Sollecitazioni agenti localmente: Tx_l=0.07 Ty_l=-5.22 N_l=-6324.24 Mx_l=-0.00 My_l=-0.59 Mz_l=-0.02
Taglio nei bulloni: Fv,Ed=0.89 Fv,Rd=7720.78
Rifollamento lato piastra: Fb,Ed,p=0.89 Fb,Rd,p=5993.06
Tirafondi:LT=0.45 (0.31) σ_{cR}=0.00 σ_{fR}=0.00
Compressione nel calcestruzzo: σ_c=13.10
CC 25 SLV (Collegamento 0022_-379)
Azioni sul collegamento: N=-6324.24 Ty=-2.24 Tz=-5.22 Mx=-0.02 Mz=-5.11
Sollecitazioni agenti localmente: Tx_l=-2.24 Ty_l=-5.22 N_l=-6324.24 Mx_l=-0.00 My_l=-5.11 Mz_l=-0.02
Taglio nei bulloni: Fv,Ed=0.98 Fv,Rd=7720.78
Rifollamento lato piastra: Fb,Ed,p=0.96 Fb,Rd,p=7350.49
Tirafondi:LT=0.45 (0.31) σ_{cR}=0.00 σ_{fR}=0.00
Compressione nel calcestruzzo: σ_c=13.35
CC 26 SLD (Collegamento 0022_-379)
Azioni sul collegamento: N=-5422.71 Ty=0.07 Tz=-1.87 Mx=-0.01 Mz=-0.11
Sollecitazioni agenti localmente: Tx_l=0.07 Ty_l=-1.87 N_l=-5422.71 Mx_l=-0.00 My_l=-0.11 Mz_l=-0.01
Taglio nei bulloni: Fv,Ed=0.32 Fv,Rd=9650.97
Rifollamento lato piastra: Fb,Ed,p=0.32 Fb,Rd,p=7514.01
Tirafondi:LT=0.45 (0.31) σ_{cR}=0.00 σ_{fR}=0.00
Compressione nel calcestruzzo: σ_c=11.21
CC 26 SLD (Collegamento 0022_-379)
Azioni sul collegamento: N=-5422.71 Ty=-0.63 Tz=-1.87 Mx=-0.01 Mz=-1.49
Sollecitazioni agenti localmente: Tx_l=-0.63 Ty_l=-1.87 N_l=-5422.71 Mx_l=-0.00 My_l=-1.49 Mz_l=-0.01
Taglio nei bulloni: Fv,Ed=0.34 Fv,Rd=9650.97
Rifollamento lato piastra: Fb,Ed,p=0.33 Fb,Rd,p=8529.49

Tirafondi:LT=0.45 (0.31) σ_{cR}=0.00 σ_{fR}=0.00
Compressione nel calcestruzzo: σ_c=11.29
CC 26 SLD (Collegamento 0022_-379)
Azioni sul collegamento: N=-5422.71 Ty=0.07 Tz=-3.44 Mx=-0.01 Mz=-0.11
Sollecitazioni agenti localmente: Tx_l=0.07 Ty_l=-3.44 N_l=-5422.71 Mx_l=-0.00 My_l=-0.11 Mz_l=-0.01
Taglio nei bulloni: Fv,Ed=0.58 Fv,Rd=9650.97
Rifollamento lato piastra: Fb,Ed,p=0.58 Fb,Rd,p=7486.10
Tirafondi:LT=0.45 (0.31) σ_{cR}=0.00 σ_{fR}=0.00
Compressione nel calcestruzzo: σ_c=11.21
CC 26 SLD (Collegamento 0022_-379)
Azioni sul collegamento: N=-5422.71 Ty=-0.63 Tz=-3.44 Mx=-0.01 Mz=-1.49
Sollecitazioni agenti localmente: Tx_l=-0.63 Ty_l=-3.44 N_l=-5422.71 Mx_l=-0.00 My_l=-1.49 Mz_l=-0.01
Taglio nei bulloni: Fv,Ed=0.59 Fv,Rd=9650.97
Rifollamento lato piastra: Fb,Ed,p=0.59 Fb,Rd,p=7792.50
Tirafondi:LT=0.45 (0.31) σ_{cR}=0.00 σ_{fR}=0.00
Compressione nel calcestruzzo: σ_c=11.29
CC 26 SLD (Collegamento 0022_-379)
Azioni sul collegamento: N=-5844.12 Ty=0.07 Tz=-1.87 Mx=-0.01 Mz=-0.11
Sollecitazioni agenti localmente: Tx_l=0.07 Ty_l=-1.87 N_l=-5844.12 Mx_l=-0.00 My_l=-0.11 Mz_l=-0.01
Taglio nei bulloni: Fv,Ed=0.32 Fv,Rd=9650.97
Rifollamento lato piastra: Fb,Ed,p=0.32 Fb,Rd,p=7514.01
Tirafondi:LT=0.45 (0.31) σ_{cR}=0.00 σ_{fR}=0.00
Compressione nel calcestruzzo: σ_c=12.08
CC 26 SLD (Collegamento 0022_-379)
Azioni sul collegamento: N=-5844.12 Ty=-0.63 Tz=-1.87 Mx=-0.01 Mz=-1.49
Sollecitazioni agenti localmente: Tx_l=-0.63 Ty_l=-1.87 N_l=-5844.12 Mx_l=-0.00 My_l=-1.49 Mz_l=-0.01
Taglio nei bulloni: Fv,Ed=0.34 Fv,Rd=9650.97
Rifollamento lato piastra: Fb,Ed,p=0.33 Fb,Rd,p=8529.45
Tirafondi:LT=0.45 (0.31) σ_{cR}=0.00 σ_{fR}=0.00
Compressione nel calcestruzzo: σ_c=12.16
CC 26 SLD (Collegamento 0022_-379)
Azioni sul collegamento: N=-5844.12 Ty=0.07 Tz=-3.44 Mx=-0.01 Mz=-0.11
Sollecitazioni agenti localmente: Tx_l=0.07 Ty_l=-3.44 N_l=-5844.12 Mx_l=-0.00 My_l=-0.11 Mz_l=-0.01
Taglio nei bulloni: Fv,Ed=0.58 Fv,Rd=9650.97
Rifollamento lato piastra: Fb,Ed,p=0.58 Fb,Rd,p=7486.10
Tirafondi:LT=0.45 (0.31) σ_{cR}=0.00 σ_{fR}=0.00
Compressione nel calcestruzzo: σ_c=12.08
CC 26 SLD (Collegamento 0022_-379)
Azioni sul collegamento: N=-5844.12 Ty=-0.63 Tz=-3.44 Mx=-0.01 Mz=-1.49
Sollecitazioni agenti localmente: Tx_l=-0.63 Ty_l=-3.44 N_l=-5844.12 Mx_l=-0.00 My_l=-1.49 Mz_l=-0.01
Taglio nei bulloni: Fv,Ed=0.59 Fv,Rd=9650.97
Rifollamento lato piastra: Fb,Ed,p=0.59 Fb,Rd,p=7792.51
Tirafondi:LT=0.45 (0.31) σ_{cR}=0.00 σ_{fR}=0.00
Compressione nel calcestruzzo: σ_c=12.16
CC 27 SLV (Collegamento 0022_-379)
Azioni sul collegamento: N=-6324.16 Ty=0.06 Tz=-5.22 Mx=-0.02 Mz=-0.60
Sollecitazioni agenti localmente: Tx_l=0.06 Ty_l=-5.22 N_l=-6324.16 Mx_l=-0.00 My_l=-0.60 Mz_l=-0.02
Taglio nei bulloni: Fv,Ed=0.89 Fv,Rd=7720.78
Rifollamento lato piastra: Fb,Ed,p=0.89 Fb,Rd,p=5992.49
Tirafondi:LT=0.45 (0.31) σ_{cR}=0.00 σ_{fR}=0.00
Compressione nel calcestruzzo: σ_c=13.10
CC 27 SLV (Collegamento 0022_-379)
Azioni sul collegamento: N=-6324.16 Ty=-2.24 Tz=-5.22 Mx=-0.02 Mz=-5.10
Sollecitazioni agenti localmente: Tx_l=-2.24 Ty_l=-5.22 N_l=-6324.16 Mx_l=-0.00 My_l=-5.10 Mz_l=-0.02
Taglio nei bulloni: Fv,Ed=0.98 Fv,Rd=7720.78
Rifollamento lato piastra: Fb,Ed,p=0.96 Fb,Rd,p=7346.77
Tirafondi:LT=0.45 (0.31) σ_{cR}=0.00 σ_{fR}=0.00
Compressione nel calcestruzzo: σ_c=13.35
CC 27 SLV (Collegamento 0022_-379)
Azioni sul collegamento: N=-6324.16 Ty=0.06 Tz=-0.09 Mx=-0.02 Mz=-0.60
Sollecitazioni agenti localmente: Tx_l=0.06 Ty_l=-0.09 N_l=-6324.16 Mx_l=-0.00 My_l=-0.60 Mz_l=-0.02
Tirafondi:LT=0.45 (0.31) σ_{cR}=0.00 σ_{fR}=0.00
Compressione nel calcestruzzo: σ_c=13.10
CC 27 SLV (Collegamento 0022_-379)
Azioni sul collegamento: N=-6324.16 Ty=-2.24 Tz=-0.09 Mx=-0.02 Mz=-5.10
Sollecitazioni agenti localmente: Tx_l=-2.24 Ty_l=-0.09 N_l=-6324.16 Mx_l=-0.00 My_l=-5.10 Mz_l=-0.02
Taglio nei bulloni: Fv,Ed=0.40 Fv,Rd=7720.78
Rifollamento lato piastra: Fb,Ed,p=0.40 Fb,Rd,p=6068.69
Tirafondi:LT=0.45 (0.31) σ_{cR}=0.00 σ_{fR}=0.00
Compressione nel calcestruzzo: σ_c=13.35
CC 27 SLV (Collegamento 0022_-379)
Azioni sul collegamento: N=-4942.30 Ty=0.06 Tz=-5.22 Mx=-0.02 Mz=-0.60
Sollecitazioni agenti localmente: Tx_l=0.06 Ty_l=-5.22 N_l=-4942.30 Mx_l=-0.00 My_l=-0.60 Mz_l=-0.02
Taglio nei bulloni: Fv,Ed=0.89 Fv,Rd=7720.78
Rifollamento lato piastra: Fb,Ed,p=0.89 Fb,Rd,p=5992.49
Tirafondi:LT=0.45 (0.31) σ_{cR}=0.00 σ_{fR}=0.00
Compressione nel calcestruzzo: σ_c=10.25
CC 27 SLV (Collegamento 0022_-379)

Azioni sul collegamento: N=-4942.30 Ty=-2.24 Tz=-5.22 Mx=-0.02 Mz=-5.10
Sollecitazioni agenti localmente: Tx_l=-2.24 Ty_l=-5.22 N_l=-4942.30 Mx_l=-0.00 My_l=-5.10 Mz_l=-0.02
Taglio nei bulloni: Fv,Ed=0.98 Fv,Rd=7720.78
Rifollamento lato piastra: Fb,Ed,p=0.96 Fb,Rd,p=7346.73
Tirafondi:LT=0.45 (0.31) σ_{cR}=0.00 σ_{fR}=0.00
Compressione nel calcestruzzo: σ_c=10.50
CC 27 SLV (Collegamento 0022_-379)
Azioni sul collegamento: N=-4942.30 Ty=0.06 Tz=-0.09 Mx=-0.02 Mz=-0.60
Sollecitazioni agenti localmente: Tx_l=0.06 Ty_l=-0.09 N_l=-4942.30 Mx_l=-0.00 My_l=-0.60 Mz_l=-0.02
Tirafondi:LT=0.45 (0.31) σ_{cR}=0.00 σ_{fR}=0.00
Compressione nel calcestruzzo: σ_c=10.25
CC 27 SLV (Collegamento 0022_-379)
Azioni sul collegamento: N=-4942.30 Ty=-2.24 Tz=-0.09 Mx=-0.02 Mz=-5.10
Sollecitazioni agenti localmente: Tx_l=-2.24 Ty_l=-0.09 N_l=-4942.30 Mx_l=-0.00 My_l=-5.10 Mz_l=-0.02
Taglio nei bulloni: Fv,Ed=0.40 Fv,Rd=7720.78
Rifollamento lato piastra: Fb,Ed,p=0.40 Fb,Rd,p=6068.88
Tirafondi:LT=0.45 (0.31) σ_{cR}=0.00 σ_{fR}=0.00
Compressione nel calcestruzzo: σ_c=10.50
CC 28 SLD (Collegamento 0022_-379)
Azioni sul collegamento: N=-5844.10 Ty=0.07 Tz=-3.44 Mx=-0.01 Mz=-0.11
Sollecitazioni agenti localmente: Tx_l=0.07 Ty_l=-3.44 N_l=-5844.10 Mx_l=-0.00 My_l=-0.11 Mz_l=-0.01
Taglio nei bulloni: Fv,Ed=0.58 Fv,Rd=9650.97
Rifollamento lato piastra: Fb,Ed,p=0.58 Fb,Rd,p=7485.82
Tirafondi:LT=0.45 (0.31) σ_{cR}=0.00 σ_{fR}=0.00
Compressione nel calcestruzzo: σ_c=12.08
CC 28 SLD (Collegamento 0022_-379)
Azioni sul collegamento: N=-5844.10 Ty=-0.63 Tz=-3.44 Mx=-0.01 Mz=-1.48
Sollecitazioni agenti localmente: Tx_l=-0.63 Ty_l=-3.44 N_l=-5844.10 Mx_l=-0.00 My_l=-1.48 Mz_l=-0.01
Taglio nei bulloni: Fv,Ed=0.59 Fv,Rd=9650.97
Rifollamento lato piastra: Fb,Ed,p=0.59 Fb,Rd,p=7791.39
Tirafondi:LT=0.45 (0.31) σ_{cR}=0.00 σ_{fR}=0.00
Compressione nel calcestruzzo: σ_c=12.16
CC 28 SLD (Collegamento 0022_-379)
Azioni sul collegamento: N=-5844.10 Ty=0.07 Tz=-1.87 Mx=-0.01 Mz=-0.11
Sollecitazioni agenti localmente: Tx_l=0.07 Ty_l=-1.87 N_l=-5844.10 Mx_l=-0.00 My_l=-0.11 Mz_l=-0.01
Taglio nei bulloni: Fv,Ed=0.32 Fv,Rd=9650.97
Rifollamento lato piastra: Fb,Ed,p=0.32 Fb,Rd,p=7513.03
Tirafondi:LT=0.45 (0.31) σ_{cR}=0.00 σ_{fR}=0.00
Compressione nel calcestruzzo: σ_c=12.08
CC 28 SLD (Collegamento 0022_-379)
Azioni sul collegamento: N=-5844.10 Ty=-0.63 Tz=-1.87 Mx=-0.01 Mz=-1.48
Sollecitazioni agenti localmente: Tx_l=-0.63 Ty_l=-1.87 N_l=-5844.10 Mx_l=-0.00 My_l=-1.48 Mz_l=-0.01
Taglio nei bulloni: Fv,Ed=0.34 Fv,Rd=9650.97
Rifollamento lato piastra: Fb,Ed,p=0.33 Fb,Rd,p=8524.81
Tirafondi:LT=0.45 (0.31) σ_{cR}=0.00 σ_{fR}=0.00
Compressione nel calcestruzzo: σ_c=12.16
CC 28 SLD (Collegamento 0022_-379)
Azioni sul collegamento: N=-5422.73 Ty=0.07 Tz=-3.44 Mx=-0.01 Mz=-0.11
Sollecitazioni agenti localmente: Tx_l=0.07 Ty_l=-3.44 N_l=-5422.73 Mx_l=-0.00 My_l=-0.11 Mz_l=-0.01
Taglio nei bulloni: Fv,Ed=0.58 Fv,Rd=9650.97
Rifollamento lato piastra: Fb,Ed,p=0.58 Fb,Rd,p=7485.82
Tirafondi:LT=0.45 (0.31) σ_{cR}=0.00 σ_{fR}=0.00
Compressione nel calcestruzzo: σ_c=11.21
CC 28 SLD (Collegamento 0022_-379)
Azioni sul collegamento: N=-5422.73 Ty=-0.63 Tz=-3.44 Mx=-0.01 Mz=-1.48
Sollecitazioni agenti localmente: Tx_l=-0.63 Ty_l=-3.44 N_l=-5422.73 Mx_l=-0.00 My_l=-1.48 Mz_l=-0.01
Taglio nei bulloni: Fv,Ed=0.59 Fv,Rd=9650.97
Rifollamento lato piastra: Fb,Ed,p=0.59 Fb,Rd,p=7791.43
Tirafondi:LT=0.45 (0.31) σ_{cR}=0.00 σ_{fR}=0.00
Compressione nel calcestruzzo: σ_c=11.29
CC 28 SLD (Collegamento 0022_-379)
Azioni sul collegamento: N=-5422.73 Ty=0.07 Tz=-1.87 Mx=-0.01 Mz=-0.11
Sollecitazioni agenti localmente: Tx_l=0.07 Ty_l=-1.87 N_l=-5422.73 Mx_l=-0.00 My_l=-0.11 Mz_l=-0.01
Taglio nei bulloni: Fv,Ed=0.32 Fv,Rd=9650.97
Rifollamento lato piastra: Fb,Ed,p=0.32 Fb,Rd,p=7513.03
Tirafondi:LT=0.45 (0.31) σ_{cR}=0.00 σ_{fR}=0.00
Compressione nel calcestruzzo: σ_c=11.21
CC 28 SLD (Collegamento 0022_-379)
Azioni sul collegamento: N=-5422.73 Ty=-0.63 Tz=-1.87 Mx=-0.01 Mz=-1.48
Sollecitazioni agenti localmente: Tx_l=-0.63 Ty_l=-1.87 N_l=-5422.73 Mx_l=-0.00 My_l=-1.48 Mz_l=-0.01
Taglio nei bulloni: Fv,Ed=0.34 Fv,Rd=9650.97
Rifollamento lato piastra: Fb,Ed,p=0.33 Fb,Rd,p=8524.73
Tirafondi:LT=0.45 (0.31) σ_{cR}=0.00 σ_{fR}=0.00
Compressione nel calcestruzzo: σ_c=11.29
CC 29 SLV (Collegamento 0022_-379)
Azioni sul collegamento: N=-4942.30 Ty=-2.24 Tz=-0.09 Mx=-0.00 Mz=-5.10
Sollecitazioni agenti localmente: Tx_l=-2.24 Ty_l=-0.09 N_l=-4942.30 Mx_l=-0.00 My_l=-5.10 Mz_l=-0.00
Taglio nei bulloni: Fv,Ed=0.38 Fv,Rd=7720.78

Rifollamento lato piastra: Fb,Ed,p=0.38 Fb,Rd,p=6005.64
Tirafondi:LT=0.45 (0.31) σ_{cR}=0.00 σ_{fR}=0.00
Compressione nel calcestruzzo: σ_c=10.50
CC 29 SLV (Collegamento 0022_-379)
Azioni sul collegamento: N=-4942.30 Ty=0.06 Tz=-0.09 Mx=-0.00 Mz=-0.60
Sollecitazioni agenti localmente: Tx_l=0.06 Ty_l=-0.09 N_l=-4942.30 Mx_l=-0.00 My_l=-0.60 Mz_l=-0.00
Tirafondi:LT=0.45 (0.31) σ_{cR}=0.00 σ_{fR}=0.00
Compressione nel calcestruzzo: σ_c=10.25
CC 29 SLV (Collegamento 0022_-379)
Azioni sul collegamento: N=-4942.30 Ty=-2.24 Tz=-5.22 Mx=-0.00 Mz=-5.10
Sollecitazioni agenti localmente: Tx_l=-2.24 Ty_l=-5.22 N_l=-4942.30 Mx_l=-0.00 My_l=-5.10 Mz_l=-0.00
Taglio nei bulloni: Fv,Ed=0.95 Fv,Rd=7720.78
Rifollamento lato piastra: Fb,Ed,p=0.95 Fb,Rd,p=7572.98
Tirafondi:LT=0.45 (0.31) σ_{cR}=0.00 σ_{fR}=0.00
Compressione nel calcestruzzo: σ_c=10.50
CC 29 SLV (Collegamento 0022_-379)
Azioni sul collegamento: N=-4942.30 Ty=0.06 Tz=-5.22 Mx=-0.00 Mz=-0.60
Sollecitazioni agenti localmente: Tx_l=0.06 Ty_l=-5.22 N_l=-4942.30 Mx_l=-0.00 My_l=-0.60 Mz_l=-0.00
Taglio nei bulloni: Fv,Ed=0.87 Fv,Rd=7720.78
Rifollamento lato piastra: Fb,Ed,p=0.87 Fb,Rd,p=5981.89
Tirafondi:LT=0.45 (0.31) σ_{cR}=0.00 σ_{fR}=0.00
Compressione nel calcestruzzo: σ_c=10.25
CC 29 SLV (Collegamento 0022_-379)
Azioni sul collegamento: N=-6324.16 Ty=-2.24 Tz=-0.09 Mx=-0.00 Mz=-5.10
Sollecitazioni agenti localmente: Tx_l=-2.24 Ty_l=-0.09 N_l=-6324.16 Mx_l=-0.00 My_l=-5.10 Mz_l=-0.00
Taglio nei bulloni: Fv,Ed=0.38 Fv,Rd=7720.78
Rifollamento lato piastra: Fb,Ed,p=0.38 Fb,Rd,p=6005.53
Tirafondi:LT=0.45 (0.31) σ_{cR}=0.00 σ_{fR}=0.00
Compressione nel calcestruzzo: σ_c=13.35
CC 29 SLV (Collegamento 0022_-379)
Azioni sul collegamento: N=-6324.16 Ty=0.06 Tz=-0.09 Mx=-0.00 Mz=-0.60
Sollecitazioni agenti localmente: Tx_l=0.06 Ty_l=-0.09 N_l=-6324.16 Mx_l=-0.00 My_l=-0.60 Mz_l=-0.00
Tirafondi:LT=0.45 (0.31) σ_{cR}=0.00 σ_{fR}=0.00
Compressione nel calcestruzzo: σ_c=13.10
CC 29 SLV (Collegamento 0022_-379)
Azioni sul collegamento: N=-6324.16 Ty=-2.24 Tz=-5.22 Mx=-0.00 Mz=-5.10
Sollecitazioni agenti localmente: Tx_l=-2.24 Ty_l=-5.22 N_l=-6324.16 Mx_l=-0.00 My_l=-5.10 Mz_l=-0.00
Taglio nei bulloni: Fv,Ed=0.95 Fv,Rd=7720.78
Rifollamento lato piastra: Fb,Ed,p=0.95 Fb,Rd,p=7573.03
Tirafondi:LT=0.45 (0.31) σ_{cR}=0.00 σ_{fR}=0.00
Compressione nel calcestruzzo: σ_c=13.35
CC 29 SLV (Collegamento 0022_-379)
Azioni sul collegamento: N=-6324.16 Ty=0.06 Tz=-5.22 Mx=-0.00 Mz=-0.60
Sollecitazioni agenti localmente: Tx_l=0.06 Ty_l=-5.22 N_l=-6324.16 Mx_l=-0.00 My_l=-0.60 Mz_l=-0.00
Taglio nei bulloni: Fv,Ed=0.87 Fv,Rd=7720.78
Rifollamento lato piastra: Fb,Ed,p=0.87 Fb,Rd,p=5981.89
Tirafondi:LT=0.45 (0.31) σ_{cR}=0.00 σ_{fR}=0.00
Compressione nel calcestruzzo: σ_c=13.10
CC 30 SLD (Collegamento 0022_-379)
Azioni sul collegamento: N=-5422.73 Ty=-0.63 Tz=-1.87 Mx=-0.00 Mz=-1.48
Sollecitazioni agenti localmente: Tx_l=-0.63 Ty_l=-1.87 N_l=-5422.73 Mx_l=-0.00 My_l=-1.48 Mz_l=-0.00
Taglio nei bulloni: Fv,Ed=0.33 Fv,Rd=9650.97
Rifollamento lato piastra: Fb,Ed,p=0.33 Fb,Rd,p=8700.91
Tirafondi:LT=0.45 (0.31) σ_{cR}=0.00 σ_{fR}=0.00
Compressione nel calcestruzzo: σ_c=11.29
CC 30 SLD (Collegamento 0022_-379)
Azioni sul collegamento: N=-5422.73 Ty=0.07 Tz=-1.87 Mx=-0.00 Mz=-0.11
Sollecitazioni agenti localmente: Tx_l=0.07 Ty_l=-1.87 N_l=-5422.73 Mx_l=-0.00 My_l=-0.11 Mz_l=-0.00
Taglio nei bulloni: Fv,Ed=0.31 Fv,Rd=9650.97
Rifollamento lato piastra: Fb,Ed,p=0.31 Fb,Rd,p=7493.24
Tirafondi:LT=0.45 (0.31) σ_{cR}=0.00 σ_{fR}=0.00
Compressione nel calcestruzzo: σ_c=11.21
CC 30 SLD (Collegamento 0022_-379)
Azioni sul collegamento: N=-5422.73 Ty=-0.63 Tz=-3.44 Mx=-0.00 Mz=-1.48
Sollecitazioni agenti localmente: Tx_l=-0.63 Ty_l=-3.44 N_l=-5422.73 Mx_l=-0.00 My_l=-1.48 Mz_l=-0.00
Taglio nei bulloni: Fv,Ed=0.58 Fv,Rd=9650.97
Rifollamento lato piastra: Fb,Ed,p=0.58 Fb,Rd,p=7838.19
Tirafondi:LT=0.45 (0.31) σ_{cR}=0.00 σ_{fR}=0.00
Compressione nel calcestruzzo: σ_c=11.29
CC 30 SLD (Collegamento 0022_-379)
Azioni sul collegamento: N=-5422.73 Ty=0.07 Tz=-3.44 Mx=-0.00 Mz=-0.11
Sollecitazioni agenti localmente: Tx_l=0.07 Ty_l=-3.44 N_l=-5422.73 Mx_l=-0.00 My_l=-0.11 Mz_l=-0.00
Taglio nei bulloni: Fv,Ed=0.57 Fv,Rd=9650.97
Rifollamento lato piastra: Fb,Ed,p=0.57 Fb,Rd,p=7479.71
Tirafondi:LT=0.45 (0.31) σ_{cR}=0.00 σ_{fR}=0.00
Compressione nel calcestruzzo: σ_c=11.21
CC 30 SLD (Collegamento 0022_-379)
Azioni sul collegamento: N=-5844.10 Ty=-0.63 Tz=-1.87 Mx=-0.00 Mz=-1.48

Sollecitazioni agenti localmente: Tx_l=-0.63 Ty_l=-1.87 N_l=-5844.10 Mx_l=-0.00 My_l=-1.48 Mz_l=-0.00
Taglio nei bulloni: Fv,Ed=0.33 Fv,Rd=9650.97
Rifollamento lato piastra: Fb,Ed,p=0.33 Fb,Rd,p=8701.00
Tirafondi:LT=0.45 (0.31) σ_{cR}=0.00 σ_{fR}=0.00
Compressione nel calcestruzzo: σ_c=12.16
CC 30 SLD (Collegamento 0022_-379)
Azioni sul collegamento: N=-5844.10 Ty=0.07 Tz=-1.87 Mx=-0.00 Mz=-0.11
Sollecitazioni agenti localmente: Tx_l=0.07 Ty_l=-1.87 N_l=-5844.10 Mx_l=-0.00 My_l=-0.11 Mz_l=-0.00
Taglio nei bulloni: Fv,Ed=0.31 Fv,Rd=9650.97
Rifollamento lato piastra: Fb,Ed,p=0.31 Fb,Rd,p=7493.24
Tirafondi:LT=0.45 (0.31) σ_{cR}=0.00 σ_{fR}=0.00
Compressione nel calcestruzzo: σ_c=12.08
CC 30 SLD (Collegamento 0022_-379)
Azioni sul collegamento: N=-5844.10 Ty=-0.63 Tz=-3.44 Mx=-0.00 Mz=-1.48
Sollecitazioni agenti localmente: Tx_l=-0.63 Ty_l=-3.44 N_l=-5844.10 Mx_l=-0.00 My_l=-1.48 Mz_l=-0.00
Taglio nei bulloni: Fv,Ed=0.58 Fv,Rd=9650.97
Rifollamento lato piastra: Fb,Ed,p=0.58 Fb,Rd,p=7838.14
Tirafondi:LT=0.45 (0.31) σ_{cR}=0.00 σ_{fR}=0.00
Compressione nel calcestruzzo: σ_c=12.16
CC 30 SLD (Collegamento 0022_-379)
Azioni sul collegamento: N=-5844.10 Ty=0.07 Tz=-3.44 Mx=-0.00 Mz=-0.11
Sollecitazioni agenti localmente: Tx_l=0.07 Ty_l=-3.44 N_l=-5844.10 Mx_l=-0.00 My_l=-0.11 Mz_l=-0.00
Taglio nei bulloni: Fv,Ed=0.57 Fv,Rd=9650.97
Rifollamento lato piastra: Fb,Ed,p=0.57 Fb,Rd,p=7479.72
Tirafondi:LT=0.45 (0.31) σ_{cR}=0.00 σ_{fR}=0.00
Compressione nel calcestruzzo: σ_c=12.08
CC 31 SLV (Collegamento 0022_-379)
Azioni sul collegamento: N=-6324.24 Ty=-2.24 Tz=-5.22 Mx=-0.00 Mz=-5.11
Sollecitazioni agenti localmente: Tx_l=-2.24 Ty_l=-5.22 N_l=-6324.24 Mx_l=-0.00 My_l=-5.11 Mz_l=-0.00
Taglio nei bulloni: Fv,Ed=0.95 Fv,Rd=7720.78
Rifollamento lato piastra: Fb,Ed,p=0.95 Fb,Rd,p=7578.67
Tirafondi:LT=0.45 (0.31) σ_{cR}=0.00 σ_{fR}=0.00
Compressione nel calcestruzzo: σ_c=13.35
CC 31 SLV (Collegamento 0022_-379)
Azioni sul collegamento: N=-6324.24 Ty=0.07 Tz=-5.22 Mx=-0.00 Mz=-0.59
Sollecitazioni agenti localmente: Tx_l=0.07 Ty_l=-5.22 N_l=-6324.24 Mx_l=-0.00 My_l=-0.59 Mz_l=-0.00
Taglio nei bulloni: Fv,Ed=0.87 Fv,Rd=7720.78
Rifollamento lato piastra: Fb,Ed,p=0.87 Fb,Rd,p=5982.11
Tirafondi:LT=0.45 (0.31) σ_{cR}=0.00 σ_{fR}=0.00
Compressione nel calcestruzzo: σ_c=13.10
CC 31 SLV (Collegamento 0022_-379)
Azioni sul collegamento: N=-6324.24 Ty=-2.24 Tz=-0.09 Mx=-0.00 Mz=-5.11
Sollecitazioni agenti localmente: Tx_l=-2.24 Ty_l=-0.09 N_l=-6324.24 Mx_l=-0.00 My_l=-5.11 Mz_l=-0.00
Taglio nei bulloni: Fv,Ed=0.38 Fv,Rd=7720.78
Rifollamento lato piastra: Fb,Ed,p=0.38 Fb,Rd,p=6004.59
Tirafondi:LT=0.45 (0.31) σ_{cR}=0.00 σ_{fR}=0.00
Compressione nel calcestruzzo: σ_c=13.35
CC 31 SLV (Collegamento 0022_-379)
Azioni sul collegamento: N=-6324.24 Ty=0.07 Tz=-0.09 Mx=-0.00 Mz=-0.59
Sollecitazioni agenti localmente: Tx_l=0.07 Ty_l=-0.09 N_l=-6324.24 Mx_l=-0.00 My_l=-0.59 Mz_l=-0.00
Tirafondi:LT=0.45 (0.31) σ_{cR}=0.00 σ_{fR}=0.00
Compressione nel calcestruzzo: σ_c=13.10
CC 31 SLV (Collegamento 0022_-379)
Azioni sul collegamento: N=-4942.23 Ty=-2.24 Tz=-5.22 Mx=-0.00 Mz=-5.11
Sollecitazioni agenti localmente: Tx_l=-2.24 Ty_l=-5.22 N_l=-4942.23 Mx_l=-0.00 My_l=-5.11 Mz_l=-0.00
Taglio nei bulloni: Fv,Ed=0.95 Fv,Rd=7720.78
Rifollamento lato piastra: Fb,Ed,p=0.95 Fb,Rd,p=7578.61
Tirafondi:LT=0.45 (0.31) σ_{cR}=0.00 σ_{fR}=0.00
Compressione nel calcestruzzo: σ_c=10.50
CC 31 SLV (Collegamento 0022_-379)
Azioni sul collegamento: N=-4942.23 Ty=0.07 Tz=-5.22 Mx=-0.00 Mz=-0.59
Sollecitazioni agenti localmente: Tx_l=0.07 Ty_l=-5.22 N_l=-4942.23 Mx_l=-0.00 My_l=-0.59 Mz_l=-0.00
Taglio nei bulloni: Fv,Ed=0.87 Fv,Rd=7720.78
Rifollamento lato piastra: Fb,Ed,p=0.87 Fb,Rd,p=5982.11
Tirafondi:LT=0.45 (0.31) σ_{cR}=0.00 σ_{fR}=0.00
Compressione nel calcestruzzo: σ_c=10.24
CC 31 SLV (Collegamento 0022_-379)
Azioni sul collegamento: N=-4942.23 Ty=-2.24 Tz=-0.09 Mx=-0.00 Mz=-5.11
Sollecitazioni agenti localmente: Tx_l=-2.24 Ty_l=-0.09 N_l=-4942.23 Mx_l=-0.00 My_l=-5.11 Mz_l=-0.00
Taglio nei bulloni: Fv,Ed=0.38 Fv,Rd=7720.78
Rifollamento lato piastra: Fb,Ed,p=0.38 Fb,Rd,p=6004.62
Tirafondi:LT=0.45 (0.31) σ_{cR}=0.00 σ_{fR}=0.00
Compressione nel calcestruzzo: σ_c=10.50
CC 31 SLV (Collegamento 0022_-379)
Azioni sul collegamento: N=-4942.23 Ty=0.07 Tz=-0.09 Mx=-0.00 Mz=-0.59
Sollecitazioni agenti localmente: Tx_l=0.07 Ty_l=-0.09 N_l=-4942.23 Mx_l=-0.00 My_l=-0.59 Mz_l=-0.00
Tirafondi:LT=0.45 (0.31) σ_{cR}=0.00 σ_{fR}=0.00
Compressione nel calcestruzzo: σ_c=10.24

CC 32 SLD (Collegamento 0022_-379)
Azioni sul collegamento: N=-5844.12 Ty=-0.63 Tz=-3.44 Mx=-0.00 Mz=-1.49
Sollecitazioni agenti localmente: Tx_l=-0.63 Ty_l=-3.44 N_l=-5844.12 Mx_l=-0.00 My_l=-1.49 Mz_l=-0.00
Taglio nei bulloni: Fv,Ed=0.58 Fv,Rd=9650.97
Rifollamento lato piastra: Fb,Ed,p=0.58 Fb,Rd,p=7839.69
Tirafondi:LT=0.45 (0.31) σ_{cR}=0.00 σ_{fR}=0.00
Compressione nel calcestruzzo: σ_c=12.16
CC 32 SLD (Collegamento 0022_-379)
Azioni sul collegamento: N=-5844.12 Ty=0.07 Tz=-3.44 Mx=-0.00 Mz=-0.11
Sollecitazioni agenti localmente: Tx_l=0.07 Ty_l=-3.44 N_l=-5844.12 Mx_l=-0.00 My_l=-0.11 Mz_l=-0.00
Taglio nei bulloni: Fv,Ed=0.57 Fv,Rd=9650.97
Rifollamento lato piastra: Fb,Ed,p=0.57 Fb,Rd,p=7479.88
Tirafondi:LT=0.45 (0.31) σ_{cR}=0.00 σ_{fR}=0.00
Compressione nel calcestruzzo: σ_c=12.08
CC 32 SLD (Collegamento 0022_-379)
Azioni sul collegamento: N=-5844.12 Ty=-0.63 Tz=-1.87 Mx=-0.00 Mz=-1.49
Sollecitazioni agenti localmente: Tx_l=-0.63 Ty_l=-1.87 N_l=-5844.12 Mx_l=-0.00 My_l=-1.49 Mz_l=-0.00
Taglio nei bulloni: Fv,Ed=0.33 Fv,Rd=9650.97
Rifollamento lato piastra: Fb,Ed,p=0.33 Fb,Rd,p=8707.46
Tirafondi:LT=0.45 (0.31) σ_{cR}=0.00 σ_{fR}=0.00
Compressione nel calcestruzzo: σ_c=12.16
CC 32 SLD (Collegamento 0022_-379)
Azioni sul collegamento: N=-5844.12 Ty=0.07 Tz=-1.87 Mx=-0.00 Mz=-0.11
Sollecitazioni agenti localmente: Tx_l=0.07 Ty_l=-1.87 N_l=-5844.12 Mx_l=-0.00 My_l=-0.11 Mz_l=-0.00
Taglio nei bulloni: Fv,Ed=0.31 Fv,Rd=9650.97
Rifollamento lato piastra: Fb,Ed,p=0.31 Fb,Rd,p=7493.82
Tirafondi:LT=0.45 (0.31) σ_{cR}=0.00 σ_{fR}=0.00
Compressione nel calcestruzzo: σ_c=12.08
CC 32 SLD (Collegamento 0022_-379)
Azioni sul collegamento: N=-5422.71 Ty=-0.63 Tz=-3.44 Mx=-0.00 Mz=-1.49
Sollecitazioni agenti localmente: Tx_l=-0.63 Ty_l=-3.44 N_l=-5422.71 Mx_l=-0.00 My_l=-1.49 Mz_l=-0.00
Taglio nei bulloni: Fv,Ed=0.58 Fv,Rd=9650.97
Rifollamento lato piastra: Fb,Ed,p=0.58 Fb,Rd,p=7839.67
Tirafondi:LT=0.45 (0.31) σ_{cR}=0.00 σ_{fR}=0.00
Compressione nel calcestruzzo: σ_c=11.29
CC 32 SLD (Collegamento 0022_-379)
Azioni sul collegamento: N=-5422.71 Ty=0.07 Tz=-3.44 Mx=-0.00 Mz=-0.11
Sollecitazioni agenti localmente: Tx_l=0.07 Ty_l=-3.44 N_l=-5422.71 Mx_l=-0.00 My_l=-0.11 Mz_l=-0.00
Taglio nei bulloni: Fv,Ed=0.57 Fv,Rd=9650.97
Rifollamento lato piastra: Fb,Ed,p=0.57 Fb,Rd,p=7479.88
Tirafondi:LT=0.45 (0.31) σ_{cR}=0.00 σ_{fR}=0.00
Compressione nel calcestruzzo: σ_c=11.21
CC 32 SLD (Collegamento 0022_-379)
Azioni sul collegamento: N=-5422.71 Ty=-0.63 Tz=-1.87 Mx=-0.00 Mz=-1.49
Sollecitazioni agenti localmente: Tx_l=-0.63 Ty_l=-1.87 N_l=-5422.71 Mx_l=-0.00 My_l=-1.49 Mz_l=-0.00
Taglio nei bulloni: Fv,Ed=0.33 Fv,Rd=9650.97
Rifollamento lato piastra: Fb,Ed,p=0.33 Fb,Rd,p=8707.51
Tirafondi:LT=0.45 (0.31) σ_{cR}=0.00 σ_{fR}=0.00
Compressione nel calcestruzzo: σ_c=11.29
CC 32 SLD (Collegamento 0022_-379)
Azioni sul collegamento: N=-5422.71 Ty=0.07 Tz=-1.87 Mx=-0.00 Mz=-0.11
Sollecitazioni agenti localmente: Tx_l=0.07 Ty_l=-1.87 N_l=-5422.71 Mx_l=-0.00 My_l=-0.11 Mz_l=-0.00
Taglio nei bulloni: Fv,Ed=0.31 Fv,Rd=9650.97
Rifollamento lato piastra: Fb,Ed,p=0.31 Fb,Rd,p=7493.82
Tirafondi:LT=0.45 (0.31) σ_{cR}=0.00 σ_{fR}=0.00
Compressione nel calcestruzzo: σ_c=11.21
CC 33 SLU (Collegamento 0022_-379)
Azioni sul collegamento: N=-28967.90 Ty=0.05 Tz=74.90 Mx=0.00 Mz=0.12
Sollecitazioni agenti localmente: Tx_l=0.05 Ty_l=74.90 N_l=-28967.90 Mx_l=-0.00 My_l=0.12 Mz_l=0.00
Taglio nei bulloni: Fv,Ed=12.48 Fv,Rd=7720.78
Rifollamento lato piastra: Fb,Ed,p=12.48 Fb,Rd,p=5979.18
Tirafondi:LT=0.45 (0.31) σ_{cR}=0.00 σ_{fR}=0.00
Compressione nel calcestruzzo: σ_c=59.86
CC 34 SLU (Collegamento 0022_-379)
Azioni sul collegamento: N=-29447.20 Ty=0.05 Tz=76.67 Mx=0.00 Mz=0.12
Sollecitazioni agenti localmente: Tx_l=0.05 Ty_l=76.67 N_l=-29447.20 Mx_l=-0.00 My_l=0.12 Mz_l=0.00
Taglio nei bulloni: Fv,Ed=12.78 Fv,Rd=7720.78
Rifollamento lato piastra: Fb,Ed,p=12.78 Fb,Rd,p=5979.18
Tirafondi:LT=0.45 (0.31) σ_{cR}=0.00 σ_{fR}=0.00
Compressione nel calcestruzzo: σ_c=60.85
CC 35 SLU (Collegamento 0022_-379)
Azioni sul collegamento: N=-29207.50 Ty=0.17 Tz=75.78 Mx=-0.00 Mz=0.35
Sollecitazioni agenti localmente: Tx_l=0.17 Ty_l=75.78 N_l=-29207.50 Mx_l=-0.00 My_l=0.35 Mz_l=-0.00
Taglio nei bulloni: Fv,Ed=12.63 Fv,Rd=7720.78
Rifollamento lato piastra: Fb,Ed,p=12.63 Fb,Rd,p=5979.21
Tirafondi:LT=0.45 (0.31) σ_{cR}=0.00 σ_{fR}=0.00
Compressione nel calcestruzzo: σ_c=60.37
CC 36 SLU (Collegamento 0022_-379)

Azioni sul collegamento: N=-29207.50 Ty=-0.07 Tz=75.79 Mx=0.00 Mz=-0.12
Sollecitazioni agenti localmente: Tx_l=-0.07 Ty_l=75.79 N_l=-29207.50 Mx_l=-0.00 My_l=-0.12 Mz_l=0.00
Taglio nei bulloni: Fv,Ed=12.63 Fv,Rd=7720.78
Rifollamento lato piastra: Fb,Ed,p=12.63 Fb,Rd,p=5979.18
Tirafondi:LT=0.45 (0.31) σ_{cR}=0.00 σ_{fR}=0.00
Compressione nel calcestruzzo: σ_c=60.35
CC 37 SLU (Collegamento 0022_-379)
Azioni sul collegamento: N=-29152.80 Ty=0.07 Tz=74.88 Mx=0.00 Mz=0.13
Sollecitazioni agenti localmente: Tx_l=0.07 Ty_l=74.88 N_l=-29152.80 Mx_l=-0.00 My_l=0.13 Mz_l=0.00
Taglio nei bulloni: Fv,Ed=12.48 Fv,Rd=7720.78
Rifollamento lato piastra: Fb,Ed,p=12.48 Fb,Rd,p=5979.18
Tirafondi:LT=0.45 (0.31) σ_{cR}=0.00 σ_{fR}=0.00
Compressione nel calcestruzzo: σ_c=60.24
CC 38 SLU (Collegamento 0022_-379)
Azioni sul collegamento: N=-29632.10 Ty=0.07 Tz=76.66 Mx=0.00 Mz=0.13
Sollecitazioni agenti localmente: Tx_l=0.07 Ty_l=76.66 N_l=-29632.10 Mx_l=-0.00 My_l=0.13 Mz_l=0.00
Taglio nei bulloni: Fv,Ed=12.78 Fv,Rd=7720.78
Rifollamento lato piastra: Fb,Ed,p=12.78 Fb,Rd,p=5979.18
Tirafondi:LT=0.45 (0.31) σ_{cR}=0.00 σ_{fR}=0.00
Compressione nel calcestruzzo: σ_c=61.23
CC 39 SLU (Collegamento 0022_-379)
Azioni sul collegamento: N=-29392.40 Ty=0.19 Tz=75.77 Mx=-0.00 Mz=0.36
Sollecitazioni agenti localmente: Tx_l=0.19 Ty_l=75.77 N_l=-29392.40 Mx_l=-0.00 My_l=0.36 Mz_l=-0.00
Taglio nei bulloni: Fv,Ed=12.63 Fv,Rd=7720.78
Rifollamento lato piastra: Fb,Ed,p=12.63 Fb,Rd,p=5979.23
Tirafondi:LT=0.45 (0.31) σ_{cR}=0.00 σ_{fR}=0.00
Compressione nel calcestruzzo: σ_c=60.75
CC 40 SLU (Collegamento 0022_-379)
Azioni sul collegamento: N=-29392.40 Ty=-0.05 Tz=75.77 Mx=0.00 Mz=-0.10
Sollecitazioni agenti localmente: Tx_l=-0.05 Ty_l=75.77 N_l=-29392.40 Mx_l=-0.00 My_l=-0.10 Mz_l=0.00
Taglio nei bulloni: Fv,Ed=12.63 Fv,Rd=7720.78
Rifollamento lato piastra: Fb,Ed,p=12.63 Fb,Rd,p=5979.17
Tirafondi:LT=0.45 (0.31) σ_{cR}=0.00 σ_{fR}=0.00
Compressione nel calcestruzzo: σ_c=60.73
CC 41 SLU (Collegamento 0022_-379)
Azioni sul collegamento: N=-19454.60 Ty=0.08 Tz=39.91 Mx=0.00 Mz=0.13
Sollecitazioni agenti localmente: Tx_l=0.08 Ty_l=39.91 N_l=-19454.60 Mx_l=-0.00 My_l=0.13 Mz_l=0.00
Taglio nei bulloni: Fv,Ed=6.65 Fv,Rd=7720.78
Rifollamento lato piastra: Fb,Ed,p=6.65 Fb,Rd,p=5979.21
Tirafondi:LT=0.45 (0.31) σ_{cR}=0.00 σ_{fR}=0.00
Compressione nel calcestruzzo: σ_c=40.20
CC 42 SLU (Collegamento 0022_-379)
Azioni sul collegamento: N=-19933.90 Ty=0.08 Tz=41.69 Mx=0.00 Mz=0.13
Sollecitazioni agenti localmente: Tx_l=0.08 Ty_l=41.69 N_l=-19933.90 Mx_l=-0.00 My_l=0.13 Mz_l=0.00
Taglio nei bulloni: Fv,Ed=6.95 Fv,Rd=7720.78
Rifollamento lato piastra: Fb,Ed,p=6.95 Fb,Rd,p=5979.20
Tirafondi:LT=0.45 (0.31) σ_{cR}=0.00 σ_{fR}=0.00
Compressione nel calcestruzzo: σ_c=41.19
CC 43 SLU (Collegamento 0022_-379)
Azioni sul collegamento: N=-19694.20 Ty=0.20 Tz=40.80 Mx=-0.00 Mz=0.36
Sollecitazioni agenti localmente: Tx_l=0.20 Ty_l=40.80 N_l=-19694.20 Mx_l=-0.00 My_l=0.36 Mz_l=-0.00
Taglio nei bulloni: Fv,Ed=6.80 Fv,Rd=7720.78
Rifollamento lato piastra: Fb,Ed,p=6.80 Fb,Rd,p=5979.37
Tirafondi:LT=0.45 (0.31) σ_{cR}=0.00 σ_{fR}=0.00
Compressione nel calcestruzzo: σ_c=40.71
CC 44 SLU (Collegamento 0022_-379)
Azioni sul collegamento: N=-19694.20 Ty=-0.04 Tz=40.80 Mx=0.00 Mz=-0.10
Sollecitazioni agenti localmente: Tx_l=-0.04 Ty_l=40.80 N_l=-19694.20 Mx_l=-0.00 My_l=-0.10 Mz_l=0.00
Taglio nei bulloni: Fv,Ed=6.80 Fv,Rd=7720.78
Rifollamento lato piastra: Fb,Ed,p=6.80 Fb,Rd,p=5979.18
Tirafondi:LT=0.45 (0.31) σ_{cR}=0.00 σ_{fR}=0.00
Compressione nel calcestruzzo: σ_c=40.70
CC 45 SLU (Collegamento 0022_-379)
Azioni sul collegamento: N=-21628.70 Ty=0.08 Tz=47.97 Mx=0.00 Mz=0.14
Sollecitazioni agenti localmente: Tx_l=0.08 Ty_l=47.97 N_l=-21628.70 Mx_l=-0.00 My_l=0.14 Mz_l=0.00
Taglio nei bulloni: Fv,Ed=8.00 Fv,Rd=7720.78
Rifollamento lato piastra: Fb,Ed,p=8.00 Fb,Rd,p=5979.19
Tirafondi:LT=0.45 (0.31) σ_{cR}=0.00 σ_{fR}=0.00
Compressione nel calcestruzzo: σ_c=44.70
CC 46 SLU (Collegamento 0022_-379)
Azioni sul collegamento: N=-22108.00 Ty=0.08 Tz=49.75 Mx=0.00 Mz=0.14
Sollecitazioni agenti localmente: Tx_l=0.08 Ty_l=49.75 N_l=-22108.00 Mx_l=-0.00 My_l=0.14 Mz_l=0.00
Taglio nei bulloni: Fv,Ed=8.29 Fv,Rd=7720.78
Rifollamento lato piastra: Fb,Ed,p=8.29 Fb,Rd,p=5979.19
Tirafondi:LT=0.45 (0.31) σ_{cR}=0.00 σ_{fR}=0.00
Compressione nel calcestruzzo: σ_c=45.69
CC 47 SLU (Collegamento 0022_-379)
Azioni sul collegamento: N=-21868.40 Ty=0.20 Tz=48.86 Mx=-0.00 Mz=0.37

Sollecitazioni agenti localmente: Tx_l=0.20 Ty_l=48.86 N_l=-21868.40 Mx_l=-0.00 My_l=0.37 Mz_l=-0.00
Taglio nei bulloni: Fv,Ed=8.14 Fv,Rd=7720.78
Rifollamento lato piastra: Fb,Ed,p=8.14 Fb,Rd,p=5979.31
Tirafondi:LT=0.45 (0.31) σ_{cR}=0.00 σ_{fR}=0.00
Compressione nel calcestruzzo: σ_c=45.20
CC 48 SLU (Collegamento 0022_-379)
Azioni sul collegamento: N=-21868.40 Ty=-0.04 Tz=48.86 Mx=0.00 Mz=-0.10
Sollecitazioni agenti localmente: Tx_l=-0.04 Ty_l=48.86 N_l=-21868.40 Mx_l=-0.00 My_l=-0.10 Mz_l=0.00
Taglio nei bulloni: Fv,Ed=8.14 Fv,Rd=7720.78
Rifollamento lato piastra: Fb,Ed,p=8.14 Fb,Rd,p=5979.18
Tirafondi:LT=0.45 (0.31) σ_{cR}=0.00 σ_{fR}=0.00
Compressione nel calcestruzzo: σ_c=45.19
CC 49 SLU (Collegamento 0022_-379)
Azioni sul collegamento: N=-21767.10 Ty=0.10 Tz=47.96 Mx=0.00 Mz=0.15
Sollecitazioni agenti localmente: Tx_l=0.10 Ty_l=47.96 N_l=-21767.10 Mx_l=-0.00 My_l=0.15 Mz_l=0.00
Taglio nei bulloni: Fv,Ed=7.99 Fv,Rd=7720.78
Rifollamento lato piastra: Fb,Ed,p=7.99 Fb,Rd,p=5979.21
Tirafondi:LT=0.45 (0.31) σ_{cR}=0.00 σ_{fR}=0.00
Compressione nel calcestruzzo: σ_c=44.98
CC 50 SLU (Collegamento 0022_-379)
Azioni sul collegamento: N=-22246.40 Ty=0.10 Tz=49.73 Mx=0.00 Mz=0.15
Sollecitazioni agenti localmente: Tx_l=0.10 Ty_l=49.73 N_l=-22246.40 Mx_l=-0.00 My_l=0.15 Mz_l=0.00
Taglio nei bulloni: Fv,Ed=8.29 Fv,Rd=7720.78
Rifollamento lato piastra: Fb,Ed,p=8.29 Fb,Rd,p=5979.21
Tirafondi:LT=0.45 (0.31) σ_{cR}=0.00 σ_{fR}=0.00
Compressione nel calcestruzzo: σ_c=45.97
CC 51 SLU (Collegamento 0022_-379)
Azioni sul collegamento: N=-22006.70 Ty=0.22 Tz=48.85 Mx=-0.00 Mz=0.38
Sollecitazioni agenti localmente: Tx_l=0.22 Ty_l=48.85 N_l=-22006.70 Mx_l=-0.00 My_l=0.38 Mz_l=-0.00
Taglio nei bulloni: Fv,Ed=8.14 Fv,Rd=7720.78
Rifollamento lato piastra: Fb,Ed,p=8.14 Fb,Rd,p=5979.34
Tirafondi:LT=0.45 (0.31) σ_{cR}=0.00 σ_{fR}=0.00
Compressione nel calcestruzzo: σ_c=45.49
CC 52 SLU (Collegamento 0022_-379)
Azioni sul collegamento: N=-22006.70 Ty=-0.02 Tz=48.85 Mx=0.00 Mz=-0.09
Sollecitazioni agenti localmente: Tx_l=-0.02 Ty_l=48.85 N_l=-22006.70 Mx_l=-0.00 My_l=-0.09 Mz_l=0.00
Taglio nei bulloni: Fv,Ed=8.14 Fv,Rd=7720.78
Rifollamento lato piastra: Fb,Ed,p=8.14 Fb,Rd,p=5979.17
Tirafondi:LT=0.45 (0.31) σ_{cR}=0.00 σ_{fR}=0.00
Compressione nel calcestruzzo: σ_c=45.47
CC 53 SLU (Collegamento 0022_-379)
Azioni sul collegamento: N=-14511.40 Ty=0.10 Tz=21.80 Mx=0.00 Mz=0.15
Sollecitazioni agenti localmente: Tx_l=0.10 Ty_l=21.80 N_l=-14511.40 Mx_l=-0.00 My_l=0.15 Mz_l=0.00
Taglio nei bulloni: Fv,Ed=3.63 Fv,Rd=7720.78
Rifollamento lato piastra: Fb,Ed,p=3.63 Fb,Rd,p=5979.37
Tirafondi:LT=0.45 (0.31) σ_{cR}=0.00 σ_{fR}=0.00
Compressione nel calcestruzzo: σ_c=29.99
CC 54 SLU (Collegamento 0022_-379)
Azioni sul collegamento: N=-14990.70 Ty=0.10 Tz=23.57 Mx=0.00 Mz=0.15
Sollecitazioni agenti localmente: Tx_l=0.10 Ty_l=23.57 N_l=-14990.70 Mx_l=-0.00 My_l=0.15 Mz_l=0.00
Taglio nei bulloni: Fv,Ed=3.93 Fv,Rd=7720.78
Rifollamento lato piastra: Fb,Ed,p=3.93 Fb,Rd,p=5979.34
Tirafondi:LT=0.45 (0.31) σ_{cR}=0.00 σ_{fR}=0.00
Compressione nel calcestruzzo: σ_c=30.98
CC 55 SLU (Collegamento 0022_-379)
Azioni sul collegamento: N=-14751.00 Ty=0.22 Tz=22.69 Mx=-0.00 Mz=0.38
Sollecitazioni agenti localmente: Tx_l=0.22 Ty_l=22.69 N_l=-14751.00 Mx_l=-0.00 My_l=0.38 Mz_l=-0.00
Taglio nei bulloni: Fv,Ed=3.78 Fv,Rd=7720.78
Rifollamento lato piastra: Fb,Ed,p=3.78 Fb,Rd,p=5979.97
Tirafondi:LT=0.45 (0.31) σ_{cR}=0.00 σ_{fR}=0.00
Compressione nel calcestruzzo: σ_c=30.50
CC 56 SLU (Collegamento 0022_-379)
Azioni sul collegamento: N=-14751.00 Ty=-0.02 Tz=22.68 Mx=0.00 Mz=-0.09
Sollecitazioni agenti localmente: Tx_l=-0.02 Ty_l=22.68 N_l=-14751.00 Mx_l=-0.00 My_l=-0.09 Mz_l=0.00
Taglio nei bulloni: Fv,Ed=3.78 Fv,Rd=7720.78
Rifollamento lato piastra: Fb,Ed,p=3.78 Fb,Rd,p=5979.17
Tirafondi:LT=0.45 (0.31) σ_{cR}=0.00 σ_{fR}=0.00
Compressione nel calcestruzzo: σ_c=30.48
CC 57 SLU (Collegamento 0022_-379)
Azioni sul collegamento: N=-21907.00 Ty=0.07 Tz=49.04 Mx=0.00 Mz=0.14
Sollecitazioni agenti localmente: Tx_l=0.07 Ty_l=49.04 N_l=-21907.00 Mx_l=-0.00 My_l=0.14 Mz_l=0.00
Taglio nei bulloni: Fv,Ed=8.17 Fv,Rd=7720.78
Rifollamento lato piastra: Fb,Ed,p=8.17 Fb,Rd,p=5979.19
Tirafondi:LT=0.45 (0.31) σ_{cR}=0.00 σ_{fR}=0.00
Compressione nel calcestruzzo: σ_c=45.27
CC 58 SLU (Collegamento 0022_-379)
Azioni sul collegamento: N=-22386.30 Ty=0.07 Tz=50.82 Mx=0.00 Mz=0.13
Sollecitazioni agenti localmente: Tx_l=0.07 Ty_l=50.82 N_l=-22386.30 Mx_l=-0.00 My_l=0.13 Mz_l=0.00

Taglio nei bulloni: Fv,Ed=8.47 Fv,Rd=7720.78
Rifollamento lato piastra: Fb,Ed,p=8.47 Fb,Rd,p=5979.19
Tirafondi:LT=0.45 (0.31) σ_{cR}=0.00 σ_{fR}=0.00
Compressione nel calcestruzzo: σ_c=46.26
CC 59 SLU (Collegamento 0022_-379)
Azioni sul collegamento: N=-22146.70 Ty=0.19 Tz=49.93 Mx=-0.00 Mz=0.37
Sollecitazioni agenti localmente: Tx_l=0.19 Ty_l=49.93 N_l=-22146.70 Mx_l=-0.00 My_l=0.37 Mz_l=-0.00
Taglio nei bulloni: Fv,Ed=8.32 Fv,Rd=7720.78
Rifollamento lato piastra: Fb,Ed,p=8.32 Fb,Rd,p=5979.30
Tirafondi:LT=0.45 (0.31) σ_{cR}=0.00 σ_{fR}=0.00
Compressione nel calcestruzzo: σ_c=45.78
CC 60 SLU (Collegamento 0022_-379)
Azioni sul collegamento: N=-22146.70 Ty=-0.04 Tz=49.93 Mx=0.00 Mz=-0.10
Sollecitazioni agenti localmente: Tx_l=-0.04 Ty_l=49.93 N_l=-22146.70 Mx_l=-0.00 My_l=-0.10 Mz_l=0.00
Taglio nei bulloni: Fv,Ed=8.32 Fv,Rd=7720.78
Rifollamento lato piastra: Fb,Ed,p=8.32 Fb,Rd,p=5979.18
Tirafondi:LT=0.45 (0.31) σ_{cR}=0.00 σ_{fR}=0.00
Compressione nel calcestruzzo: σ_c=45.76
CC 61 SLU (Collegamento 0022_-379)
Azioni sul collegamento: N=-22045.30 Ty=0.09 Tz=49.02 Mx=0.00 Mz=0.14
Sollecitazioni agenti localmente: Tx_l=0.09 Ty_l=49.02 N_l=-22045.30 Mx_l=-0.00 My_l=0.14 Mz_l=0.00
Taglio nei bulloni: Fv,Ed=8.17 Fv,Rd=7720.78
Rifollamento lato piastra: Fb,Ed,p=8.17 Fb,Rd,p=5979.21
Tirafondi:LT=0.45 (0.31) σ_{cR}=0.00 σ_{fR}=0.00
Compressione nel calcestruzzo: σ_c=45.56
CC 62 SLU (Collegamento 0022_-379)
Azioni sul collegamento: N=-22524.60 Ty=0.09 Tz=50.80 Mx=0.00 Mz=0.14
Sollecitazioni agenti localmente: Tx_l=0.09 Ty_l=50.80 N_l=-22524.60 Mx_l=-0.00 My_l=0.14 Mz_l=0.00
Taglio nei bulloni: Fv,Ed=8.47 Fv,Rd=7720.78
Rifollamento lato piastra: Fb,Ed,p=8.47 Fb,Rd,p=5979.20
Tirafondi:LT=0.45 (0.31) σ_{cR}=0.00 σ_{fR}=0.00
Compressione nel calcestruzzo: σ_c=46.55
CC 63 SLU (Collegamento 0022_-379)
Azioni sul collegamento: N=-22285.00 Ty=0.21 Tz=49.91 Mx=-0.00 Mz=0.38
Sollecitazioni agenti localmente: Tx_l=0.21 Ty_l=49.91 N_l=-22285.00 Mx_l=-0.00 My_l=0.38 Mz_l=-0.00
Taglio nei bulloni: Fv,Ed=8.32 Fv,Rd=7720.78
Rifollamento lato piastra: Fb,Ed,p=8.32 Fb,Rd,p=5979.33
Tirafondi:LT=0.45 (0.31) σ_{cR}=0.00 σ_{fR}=0.00
Compressione nel calcestruzzo: σ_c=46.06
CC 64 SLU (Collegamento 0022_-379)
Azioni sul collegamento: N=-22285.00 Ty=-0.03 Tz=49.91 Mx=0.00 Mz=-0.09
Sollecitazioni agenti localmente: Tx_l=-0.03 Ty_l=49.91 N_l=-22285.00 Mx_l=-0.00 My_l=-0.09 Mz_l=0.00
Taglio nei bulloni: Fv,Ed=8.32 Fv,Rd=7720.78
Rifollamento lato piastra: Fb,Ed,p=8.32 Fb,Rd,p=5979.17
Tirafondi:LT=0.45 (0.31) σ_{cR}=0.00 σ_{fR}=0.00
Compressione nel calcestruzzo: σ_c=46.05
CC 65 SLU (Collegamento 0022_-379)
Azioni sul collegamento: N=-14789.70 Ty=0.10 Tz=22.86 Mx=0.00 Mz=0.14
Sollecitazioni agenti localmente: Tx_l=0.10 Ty_l=22.86 N_l=-14789.70 Mx_l=-0.00 My_l=0.14 Mz_l=0.00
Taglio nei bulloni: Fv,Ed=3.81 Fv,Rd=7720.78
Rifollamento lato piastra: Fb,Ed,p=3.81 Fb,Rd,p=5979.34
Tirafondi:LT=0.45 (0.31) σ_{cR}=0.00 σ_{fR}=0.00
Compressione nel calcestruzzo: σ_c=30.57
CC 66 SLU (Collegamento 0022_-379)
Azioni sul collegamento: N=-15269.00 Ty=0.10 Tz=24.64 Mx=0.00 Mz=0.14
Sollecitazioni agenti localmente: Tx_l=0.10 Ty_l=24.64 N_l=-15269.00 Mx_l=-0.00 My_l=0.14 Mz_l=0.00
Taglio nei bulloni: Fv,Ed=4.11 Fv,Rd=7720.78
Rifollamento lato piastra: Fb,Ed,p=4.11 Fb,Rd,p=5979.31
Tirafondi:LT=0.45 (0.31) σ_{cR}=0.00 σ_{fR}=0.00
Compressione nel calcestruzzo: σ_c=31.56
CC 67 SLU (Collegamento 0022_-379)
Azioni sul collegamento: N=-15029.30 Ty=0.22 Tz=23.75 Mx=-0.00 Mz=0.38
Sollecitazioni agenti localmente: Tx_l=0.22 Ty_l=23.75 N_l=-15029.30 Mx_l=-0.00 My_l=0.38 Mz_l=-0.00
Taglio nei bulloni: Fv,Ed=3.96 Fv,Rd=7720.78
Rifollamento lato piastra: Fb,Ed,p=3.96 Fb,Rd,p=5979.88
Tirafondi:LT=0.45 (0.31) σ_{cR}=0.00 σ_{fR}=0.00
Compressione nel calcestruzzo: σ_c=31.07
CC 68 SLU (Collegamento 0022_-379)
Azioni sul collegamento: N=-15029.30 Ty=-0.02 Tz=23.75 Mx=0.00 Mz=-0.09
Sollecitazioni agenti localmente: Tx_l=-0.02 Ty_l=23.75 N_l=-15029.30 Mx_l=-0.00 My_l=-0.09 Mz_l=0.00
Taglio nei bulloni: Fv,Ed=3.96 Fv,Rd=7720.78
Rifollamento lato piastra: Fb,Ed,p=3.96 Fb,Rd,p=5979.17
Tirafondi:LT=0.45 (0.31) σ_{cR}=0.00 σ_{fR}=0.00
Compressione nel calcestruzzo: σ_c=31.06
CC 97 SLU (Collegamento 0022_-379)
Azioni sul collegamento: N=-11572.90 Ty=11.37 Tz=19.27 Mx=0.04 Mz=15.92
Sollecitazioni agenti localmente: Tx_l=11.37 Ty_l=19.27 N_l=-11572.90 Mx_l=-0.00 My_l=15.92 Mz_l=0.04
Taglio nei bulloni: Fv,Ed=3.78 Fv,Rd=7720.78

Rifollamento lato piastra: Fb,Ed,p=3.78 Fb,Rd,p=9198.44
Tirafondi:LT=0.45 (0.31) σ_{cR}=0.00 σ_{fR}=0.00
Compressione nel calcestruzzo: σ_c=24.81
CC 98 SLU (Collegamento 0022_-379)
Azioni sul collegamento: N=-12052.20 Ty=11.37 Tz=21.05 Mx=0.04 Mz=15.92
Sollecitazioni agenti localmente: Tx_l=11.37 Ty_l=21.05 N_l=-12052.20 Mx_l=-0.00 My_l=15.92 Mz_l=0.04
Taglio nei bulloni: Fv,Ed=4.04 Fv,Rd=7720.78
Rifollamento lato piastra: Fb,Ed,p=4.04 Fb,Rd,p=8673.86
Tirafondi:LT=0.45 (0.31) σ_{cR}=0.00 σ_{fR}=0.00
Compressione nel calcestruzzo: σ_c=25.80
CC 99 SLU (Collegamento 0022_-379)
Azioni sul collegamento: N=-11812.60 Ty=11.49 Tz=20.16 Mx=0.04 Mz=16.15
Sollecitazioni agenti localmente: Tx_l=11.49 Ty_l=20.16 N_l=-11812.60 Mx_l=-0.00 My_l=16.15 Mz_l=0.04
Taglio nei bulloni: Fv,Ed=3.92 Fv,Rd=7720.78
Rifollamento lato piastra: Fb,Ed,p=3.92 Fb,Rd,p=8979.24
Tirafondi:LT=0.45 (0.31) σ_{cR}=0.00 σ_{fR}=0.00
Compressione nel calcestruzzo: σ_c=25.32
CC 100 SLU (Collegamento 0022_-379)
Azioni sul collegamento: N=-11812.60 Ty=11.25 Tz=20.16 Mx=0.04 Mz=15.68
Sollecitazioni agenti localmente: Tx_l=11.25 Ty_l=20.16 N_l=-11812.60 Mx_l=-0.00 My_l=15.68 Mz_l=0.04
Taglio nei bulloni: Fv,Ed=3.90 Fv,Rd=7720.78
Rifollamento lato piastra: Fb,Ed,p=3.90 Fb,Rd,p=8858.72
Tirafondi:LT=0.45 (0.31) σ_{cR}=0.00 σ_{fR}=0.00
Compressione nel calcestruzzo: σ_c=25.29
CC 101 SLU (Collegamento 0022_-379)
Azioni sul collegamento: N=-5887.16 Ty=-2.00 Tz=-1.73 Mx=-0.00 Mz=-2.22
Sollecitazioni agenti localmente: Tx_l=-2.00 Ty_l=-1.73 N_l=-5887.16 Mx_l=-0.00 My_l=-2.22 Mz_l=-0.00
Taglio nei bulloni: Fv,Ed=0.45 Fv,Rd=7720.78
Rifollamento lato piastra: Fb,Ed,p=0.45 Fb,Rd,p=11248.30
Tirafondi:LT=0.45 (0.31) σ_{cR}=0.00 σ_{fR}=0.00
Compressione nel calcestruzzo: σ_c=12.29
CC 102 SLU (Collegamento 0022_-379)
Azioni sul collegamento: N=-6366.46 Ty=-2.01 Tz=0.04 Mx=-0.00 Mz=-2.22
Sollecitazioni agenti localmente: Tx_l=-2.01 Ty_l=0.04 N_l=-6366.46 Mx_l=-0.00 My_l=-2.22 Mz_l=-0.00
Taglio nei bulloni: Fv,Ed=0.34 Fv,Rd=7720.78
Rifollamento lato piastra: Fb,Ed,p=0.34 Fb,Rd,p=5979.37
Tirafondi:LT=0.45 (0.31) σ_{cR}=0.00 σ_{fR}=0.00
Compressione nel calcestruzzo: σ_c=13.28
CC 103 SLU (Collegamento 0022_-379)
Azioni sul collegamento: N=-6126.81 Ty=-1.89 Tz=-0.85 Mx=-0.01 Mz=-1.98
Sollecitazioni agenti localmente: Tx_l=-1.89 Ty_l=-0.85 N_l=-6126.81 Mx_l=-0.00 My_l=-1.98 Mz_l=-0.01
Taglio nei bulloni: Fv,Ed=0.35 Fv,Rd=7720.78
Rifollamento lato piastra: Fb,Ed,p=0.35 Fb,Rd,p=7880.25
Tirafondi:LT=0.45 (0.31) σ_{cR}=0.00 σ_{fR}=0.00
Compressione nel calcestruzzo: σ_c=12.77
CC 104 SLU (Collegamento 0022_-379)
Azioni sul collegamento: N=-6126.80 Ty=-2.12 Tz=-0.84 Mx=-0.00 Mz=-2.45
Sollecitazioni agenti localmente: Tx_l=-2.12 Ty_l=-0.84 N_l=-6126.80 Mx_l=-0.00 My_l=-2.45 Mz_l=-0.00
Taglio nei bulloni: Fv,Ed=0.39 Fv,Rd=7720.78
Rifollamento lato piastra: Fb,Ed,p=0.39 Fb,Rd,p=7454.79
Tirafondi:LT=0.45 (0.31) σ_{cR}=0.00 σ_{fR}=0.00
Compressione nel calcestruzzo: σ_c=12.80

Saldatura profilo-piastra

CC 1 SLV (Collegamento 0022_-379)
Azioni sul collegamento: N=-3330.52 Ty=1.59 Tz=5.89 Mx=0.02 Mz=3.75
Sollecitazioni agenti localmente: Tx_l=1.59 Ty_l=5.89 N_l=-3330.52 My_l=-3.75 Mz_l=0.02
Azioni sul cordone: TP=0.10 TO=0.45 NO=-246.19
Tensioni nel cordone: τ_P= 0.03 τ_O=0.14 σ_O=83.74 σ_{ID}=83.74 Σ_T=83.88
CC 1 SLV (Collegamento 0022_-379)
Azioni sul collegamento: N=-3330.52 Ty=0.88 Tz=5.89 Mx=0.02 Mz=2.36
Sollecitazioni agenti localmente: Tx_l=0.88 Ty_l=5.89 N_l=-3330.52 My_l=-2.36 Mz_l=0.02
Azioni sul cordone: TP=0.05 TO=0.45 NO=-246.19
Tensioni nel cordone: τ_P= 0.01 τ_O=0.14 σ_O=81.70 σ_{ID}=81.70 Σ_T=81.84
CC 1 SLV (Collegamento 0022_-379)
Azioni sul collegamento: N=-3330.52 Ty=1.59 Tz=-11.19 Mx=0.02 Mz=3.75
Sollecitazioni agenti localmente: Tx_l=1.59 Ty_l=-11.19 N_l=-3330.52 My_l=-3.75 Mz_l=0.02
Azioni sul cordone: TP=0.10 TO=-0.81 NO=-246.19
Tensioni nel cordone: τ_P= 0.03 τ_O=0.26 σ_O=83.74 σ_{ID}=83.74 Σ_T=83.99
CC 1 SLV (Collegamento 0022_-379)
Azioni sul collegamento: N=-3330.52 Ty=0.88 Tz=-11.19 Mx=0.02 Mz=2.36
Sollecitazioni agenti localmente: Tx_l=0.88 Ty_l=-11.19 N_l=-3330.52 My_l=-2.36 Mz_l=0.02
Azioni sul cordone: TP=0.05 TO=-0.81 NO=-246.19
Tensioni nel cordone: τ_P= 0.01 τ_O=0.26 σ_O=81.70 σ_{ID}=81.70 Σ_T=81.96
CC 1 SLV (Collegamento 0022_-379)
Azioni sul collegamento: N=-7936.99 Ty=1.59 Tz=5.89 Mx=0.02 Mz=3.75
Sollecitazioni agenti localmente: Tx_l=1.59 Ty_l=5.89 N_l=-7936.99 My_l=-3.75 Mz_l=0.02
Azioni sul cordone: TP=0.10 TO=0.45 NO=-586.71

Tensioni nel cordone: τ_P= 0.03 τ_0=0.14 σ_0=191.97 σ_{ID}=191.97 Σ_T=192.11
CC 1 SLV (Collegamento 0022_-379)
Azioni sul collegamento: N=-7936.99 Ty=0.88 Tz=5.89 Mx=0.02 Mz=2.36
Sollecitazioni agenti localmente: Tx_l=0.88 Ty_l=5.89 N_l=-7936.99 My_l=-2.36 Mz_l=0.02
Azioni sul cordone: TP=0.05 TO=0.45 NO=-586.71
Tensioni nel cordone: τ_P= 0.01 τ_0=0.14 σ_0=189.93 σ_{ID}=189.93 Σ_T=190.08
CC 1 SLV (Collegamento 0022_-379)
Azioni sul collegamento: N=-7936.99 Ty=1.59 Tz=-11.19 Mx=0.02 Mz=3.75
Sollecitazioni agenti localmente: Tx_l=1.59 Ty_l=-11.19 N_l=-7936.99 My_l=-3.75 Mz_l=0.02
Azioni sul cordone: TP=0.10 TO=-0.81 NO=-586.71
Tensioni nel cordone: τ_P= 0.03 τ_0=0.26 σ_0=191.97 σ_{ID}=191.97 Σ_T=192.23
CC 1 SLV (Collegamento 0022_-379)
Azioni sul collegamento: N=-7936.99 Ty=0.88 Tz=-11.19 Mx=0.02 Mz=2.36
Sollecitazioni agenti localmente: Tx_l=0.88 Ty_l=-11.19 N_l=-7936.99 My_l=-2.36 Mz_l=0.02
Azioni sul cordone: TP=0.05 TO=-0.81 NO=-586.71
Tensioni nel cordone: τ_P= 0.01 τ_0=0.26 σ_0=189.93 σ_{ID}=189.93 Σ_T=190.19
CC 2 SLD (Collegamento 0022_-379)
Azioni sul collegamento: N=-4931.25 Ty=0.54 Tz=-0.05 Mx=0.01 Mz=1.22
Sollecitazioni agenti localmente: Tx_l=0.54 Ty_l=-0.05 N_l=-4931.25 My_l=-1.22 Mz_l=0.01
Azioni sul cordone: TP=0.03 TO=0.00 NO=-364.52
Tensioni nel cordone: τ_P= 0.01 τ_0=1.46E-04 σ_0=117.64 σ_{ID}=117.64 Σ_T=117.64
CC 2 SLD (Collegamento 0022_-379)
Azioni sul collegamento: N=-4931.25 Ty=0.32 Tz=-0.05 Mx=0.01 Mz=0.79
Sollecitazioni agenti localmente: Tx_l=0.32 Ty_l=-0.05 N_l=-4931.25 My_l=-0.79 Mz_l=0.01
Azioni sul cordone: TP=0.02 TO=0.00 NO=-364.52
Tensioni nel cordone: τ_P=5.66E-03 τ_0=1.46E-04 σ_0=117.02 σ_{ID}=117.02 Σ_T=117.02
CC 2 SLD (Collegamento 0022_-379)
Azioni sul collegamento: N=-4931.25 Ty=0.54 Tz=-5.26 Mx=0.01 Mz=1.22
Sollecitazioni agenti localmente: Tx_l=0.54 Ty_l=-5.26 N_l=-4931.25 My_l=-1.22 Mz_l=0.01
Azioni sul cordone: TP=0.03 TO=-0.38 NO=-364.52
Tensioni nel cordone: τ_P= 0.01 τ_0=0.12 σ_0=117.64 σ_{ID}=117.64 Σ_T=117.76
CC 2 SLD (Collegamento 0022_-379)
Azioni sul collegamento: N=-4931.25 Ty=0.32 Tz=-5.26 Mx=0.01 Mz=0.79
Sollecitazioni agenti localmente: Tx_l=0.32 Ty_l=-5.26 N_l=-4931.25 My_l=-0.79 Mz_l=0.01
Azioni sul cordone: TP=0.02 TO=-0.38 NO=-364.52
Tensioni nel cordone: τ_P=5.66E-03 τ_0=0.12 σ_0=117.02 σ_{ID}=117.02 Σ_T=117.14
CC 2 SLD (Collegamento 0022_-379)
Azioni sul collegamento: N=-6335.90 Ty=0.54 Tz=-0.05 Mx=0.01 Mz=1.22
Sollecitazioni agenti localmente: Tx_l=0.54 Ty_l=-0.05 N_l=-6335.90 My_l=-1.22 Mz_l=0.01
Azioni sul cordone: TP=0.03 TO=0.00 NO=-468.35
Tensioni nel cordone: τ_P= 0.01 τ_0=1.49E-04 σ_0=150.64 σ_{ID}=150.64 Σ_T=150.64
CC 2 SLD (Collegamento 0022_-379)
Azioni sul collegamento: N=-6335.90 Ty=0.32 Tz=-0.05 Mx=0.01 Mz=0.79
Sollecitazioni agenti localmente: Tx_l=0.32 Ty_l=-0.05 N_l=-6335.90 My_l=-0.79 Mz_l=0.01
Azioni sul cordone: TP=0.02 TO=0.00 NO=-468.35
Tensioni nel cordone: τ_P=5.66E-03 τ_0=1.49E-04 σ_0=150.02 σ_{ID}=150.02 Σ_T=150.02
CC 2 SLD (Collegamento 0022_-379)
Azioni sul collegamento: N=-6335.90 Ty=0.54 Tz=-5.26 Mx=0.01 Mz=1.22
Sollecitazioni agenti localmente: Tx_l=0.54 Ty_l=-5.26 N_l=-6335.90 My_l=-1.22 Mz_l=0.01
Azioni sul cordone: TP=0.03 TO=-0.38 NO=-468.35
Tensioni nel cordone: τ_P= 0.01 τ_0=0.12 σ_0=150.64 σ_{ID}=150.64 Σ_T=150.76
CC 2 SLD (Collegamento 0022_-379)
Azioni sul collegamento: N=-6335.90 Ty=0.32 Tz=-5.26 Mx=0.01 Mz=0.79
Sollecitazioni agenti localmente: Tx_l=0.32 Ty_l=-5.26 N_l=-6335.90 My_l=-0.79 Mz_l=0.01
Azioni sul cordone: TP=0.02 TO=-0.38 NO=-468.35
Tensioni nel cordone: τ_P=5.66E-03 τ_0=0.12 σ_0=150.02 σ_{ID}=150.02 Σ_T=150.14
CC 3 SLV (Collegamento 0022_-379)
Azioni sul collegamento: N=-3330.55 Ty=0.90 Tz=5.89 Mx=0.01 Mz=2.40
Sollecitazioni agenti localmente: Tx_l=0.90 Ty_l=5.89 N_l=-3330.55 My_l=-2.40 Mz_l=0.01
Azioni sul cordone: TP=0.05 TO=0.44 NO=-246.19
Tensioni nel cordone: τ_P= 0.02 τ_0=0.14 σ_0=81.76 σ_{ID}=81.76 Σ_T=81.90
CC 3 SLV (Collegamento 0022_-379)
Azioni sul collegamento: N=-3330.55 Ty=1.58 Tz=5.89 Mx=0.01 Mz=3.71
Sollecitazioni agenti localmente: Tx_l=1.58 Ty_l=5.89 N_l=-3330.55 My_l=-3.71 Mz_l=0.01
Azioni sul cordone: TP=0.10 TO=0.44 NO=-246.19
Tensioni nel cordone: τ_P= 0.03 τ_0=0.14 σ_0=83.68 σ_{ID}=83.68 Σ_T=83.82
CC 3 SLV (Collegamento 0022_-379)
Azioni sul collegamento: N=-3330.55 Ty=0.90 Tz=-11.19 Mx=0.01 Mz=2.40
Sollecitazioni agenti localmente: Tx_l=0.90 Ty_l=-11.19 N_l=-3330.55 My_l=-2.40 Mz_l=0.01
Azioni sul cordone: TP=0.05 TO=-0.82 NO=-246.19
Tensioni nel cordone: τ_P= 0.02 τ_0=0.26 σ_0=81.76 σ_{ID}=81.76 Σ_T=82.02
CC 3 SLV (Collegamento 0022_-379)
Azioni sul collegamento: N=-3330.55 Ty=1.58 Tz=-11.19 Mx=0.01 Mz=3.71
Sollecitazioni agenti localmente: Tx_l=1.58 Ty_l=-11.19 N_l=-3330.55 My_l=-3.71 Mz_l=0.01
Azioni sul cordone: TP=0.10 TO=-0.82 NO=-246.19
Tensioni nel cordone: τ_P= 0.03 τ_0=0.26 σ_0=83.68 σ_{ID}=83.68 Σ_T=83.94
CC 3 SLV (Collegamento 0022_-379)
Azioni sul collegamento: N=-7936.97 Ty=0.90 Tz=5.89 Mx=0.01 Mz=2.40
Sollecitazioni agenti localmente: Tx_l=0.90 Ty_l=5.89 N_l=-7936.97 My_l=-2.40 Mz_l=0.01

Azioni sul cordone: TP=0.05 TO=0.44 NO=-586.70
Tensioni nel cordone: τ_P= 0.02 τ_0=0.14 σ_0=189.99 σ_{ID}=189.99 Σ_T=190.13
CC 3 SLV (Collegamento 0022_-379)
Azioni sul collegamento: N=-7936.97 Ty=1.58 Tz=5.89 Mx=0.01 Mz=3.71
Sollecitazioni agenti localmente: Tx_l=1.58 Ty_l=5.89 N_l=-7936.97 My_l=-3.71 Mz_l=0.01
Azioni sul cordone: TP=0.10 TO=0.44 NO=-586.70
Tensioni nel cordone: τ_P= 0.03 τ_0=0.14 σ_0=191.91 σ_{ID}=191.91 Σ_T=192.05
CC 3 SLV (Collegamento 0022_-379)
Azioni sul collegamento: N=-7936.97 Ty=0.90 Tz=-11.19 Mx=0.01 Mz=2.40
Sollecitazioni agenti localmente: Tx_l=0.90 Ty_l=-11.19 N_l=-7936.97 My_l=-2.40 Mz_l=0.01
Azioni sul cordone: TP=0.05 TO=-0.82 NO=-586.70
Tensioni nel cordone: τ_P= 0.02 τ_0=0.26 σ_0=189.99 σ_{ID}=189.99 Σ_T=190.25
CC 3 SLV (Collegamento 0022_-379)
Azioni sul collegamento: N=-7936.97 Ty=1.58 Tz=-11.19 Mx=0.01 Mz=3.71
Sollecitazioni agenti localmente: Tx_l=1.58 Ty_l=-11.19 N_l=-7936.97 My_l=-3.71 Mz_l=0.01
Azioni sul cordone: TP=0.10 TO=-0.82 NO=-586.70
Tensioni nel cordone: τ_P= 0.03 τ_0=0.26 σ_0=191.91 σ_{ID}=191.91 Σ_T=192.17
CC 4 SLD (Collegamento 0022_-379)
Azioni sul collegamento: N=-4931.25 Ty=0.33 Tz=-0.05 Mx=0.00 Mz=0.80
Sollecitazioni agenti localmente: Tx_l=0.33 Ty_l=-0.05 N_l=-4931.25 My_l=-0.80 Mz_l=0.00
Azioni sul cordone: TP=0.02 TO=-0.00 NO=-364.52
Tensioni nel cordone: τ_P=6.34E-03 τ_0=2.62E-04 σ_0=117.04 σ_{ID}=117.04 Σ_T=117.04
CC 4 SLD (Collegamento 0022_-379)
Azioni sul collegamento: N=-4931.25 Ty=0.53 Tz=-0.05 Mx=0.00 Mz=1.20
Sollecitazioni agenti localmente: Tx_l=0.53 Ty_l=-0.05 N_l=-4931.25 My_l=-1.20 Mz_l=0.00
Azioni sul cordone: TP=0.04 TO=-0.00 NO=-364.52
Tensioni nel cordone: τ_P= 0.01 τ_0=2.62E-04 σ_0=117.62 σ_{ID}=117.62 Σ_T=117.62
CC 4 SLD (Collegamento 0022_-379)
Azioni sul collegamento: N=-4931.25 Ty=0.33 Tz=-5.26 Mx=0.00 Mz=0.80
Sollecitazioni agenti localmente: Tx_l=0.33 Ty_l=-5.26 N_l=-4931.25 My_l=-0.80 Mz_l=0.00
Azioni sul cordone: TP=0.02 TO=-0.39 NO=-364.52
Tensioni nel cordone: τ_P=6.34E-03 τ_0=0.12 σ_0=117.04 σ_{ID}=117.04 Σ_T=117.16
CC 4 SLD (Collegamento 0022_-379)
Azioni sul collegamento: N=-4931.25 Ty=0.53 Tz=-5.26 Mx=0.00 Mz=1.20
Sollecitazioni agenti localmente: Tx_l=0.53 Ty_l=-5.26 N_l=-4931.25 My_l=-1.20 Mz_l=0.00
Azioni sul cordone: TP=0.04 TO=-0.39 NO=-364.52
Tensioni nel cordone: τ_P= 0.01 τ_0=0.12 σ_0=117.62 σ_{ID}=117.62 Σ_T=117.74
CC 4 SLD (Collegamento 0022_-379)
Azioni sul collegamento: N=-6335.90 Ty=0.33 Tz=-0.05 Mx=0.00 Mz=0.80
Sollecitazioni agenti localmente: Tx_l=0.33 Ty_l=-0.05 N_l=-6335.90 My_l=-0.80 Mz_l=0.00
Azioni sul cordone: TP=0.02 TO=-0.00 NO=-468.35
Tensioni nel cordone: τ_P=6.34E-03 τ_0=2.57E-04 σ_0=150.04 σ_{ID}=150.04 Σ_T=150.04
CC 4 SLD (Collegamento 0022_-379)
Azioni sul collegamento: N=-6335.90 Ty=0.53 Tz=-0.05 Mx=0.00 Mz=1.20
Sollecitazioni agenti localmente: Tx_l=0.53 Ty_l=-0.05 N_l=-6335.90 My_l=-1.20 Mz_l=0.00
Azioni sul cordone: TP=0.04 TO=-0.00 NO=-468.35
Tensioni nel cordone: τ_P= 0.01 τ_0=2.57E-04 σ_0=150.62 σ_{ID}=150.62 Σ_T=150.63
CC 4 SLD (Collegamento 0022_-379)
Azioni sul collegamento: N=-6335.90 Ty=0.33 Tz=-5.26 Mx=0.00 Mz=0.80
Sollecitazioni agenti localmente: Tx_l=0.33 Ty_l=-5.26 N_l=-6335.90 My_l=-0.80 Mz_l=0.00
Azioni sul cordone: TP=0.02 TO=-0.39 NO=-468.35
Tensioni nel cordone: τ_P=6.34E-03 τ_0=0.12 σ_0=150.04 σ_{ID}=150.04 Σ_T=150.16
CC 4 SLD (Collegamento 0022_-379)
Azioni sul collegamento: N=-6335.90 Ty=0.53 Tz=-5.26 Mx=0.00 Mz=1.20
Sollecitazioni agenti localmente: Tx_l=0.53 Ty_l=-5.26 N_l=-6335.90 My_l=-1.20 Mz_l=0.00
Azioni sul cordone: TP=0.04 TO=-0.39 NO=-468.35
Tensioni nel cordone: τ_P= 0.01 τ_0=0.12 σ_0=150.62 σ_{ID}=150.62 Σ_T=150.75
CC 5 SLV (Collegamento 0022_-379)
Azioni sul collegamento: N=-7936.97 Ty=1.58 Tz=-11.19 Mx=0.02 Mz=3.71
Sollecitazioni agenti localmente: Tx_l=1.58 Ty_l=-11.19 N_l=-7936.97 My_l=-3.71 Mz_l=0.02
Azioni sul cordone: TP=0.10 TO=-0.81 NO=-586.70
Tensioni nel cordone: τ_P= 0.03 τ_0=0.26 σ_0=191.91 σ_{ID}=191.91 Σ_T=192.17
CC 5 SLV (Collegamento 0022_-379)
Azioni sul collegamento: N=-7936.97 Ty=0.90 Tz=-11.19 Mx=0.02 Mz=2.40
Sollecitazioni agenti localmente: Tx_l=0.90 Ty_l=-11.19 N_l=-7936.97 My_l=-2.40 Mz_l=0.02
Azioni sul cordone: TP=0.05 TO=-0.81 NO=-586.70
Tensioni nel cordone: τ_P= 0.02 τ_0=0.26 σ_0=189.99 σ_{ID}=189.99 Σ_T=190.25
CC 5 SLV (Collegamento 0022_-379)
Azioni sul collegamento: N=-7936.97 Ty=1.58 Tz=5.89 Mx=0.02 Mz=3.71
Sollecitazioni agenti localmente: Tx_l=1.58 Ty_l=5.89 N_l=-7936.97 My_l=-3.71 Mz_l=0.02
Azioni sul cordone: TP=0.10 TO=0.45 NO=-586.70
Tensioni nel cordone: τ_P= 0.03 τ_0=0.14 σ_0=191.91 σ_{ID}=191.91 Σ_T=192.05
CC 5 SLV (Collegamento 0022_-379)
Azioni sul collegamento: N=-7936.97 Ty=0.90 Tz=5.89 Mx=0.02 Mz=2.40
Sollecitazioni agenti localmente: Tx_l=0.90 Ty_l=5.89 N_l=-7936.97 My_l=-2.40 Mz_l=0.02
Azioni sul cordone: TP=0.05 TO=0.45 NO=-586.70
Tensioni nel cordone: τ_P= 0.02 τ_0=0.14 σ_0=189.99 σ_{ID}=189.99 Σ_T=190.13
CC 5 SLV (Collegamento 0022_-379)
Azioni sul collegamento: N=-3330.55 Ty=1.58 Tz=-11.19 Mx=0.02 Mz=3.71

Sollecitazioni agenti localmente: Tx_l=1.58 Ty_l=-11.19 N_l=-3330.55 My_l=-3.71 Mz_l=0.02
Azioni sul cordone: TP=0.10 TO=-0.81 NO=-246.19
Tensioni nel cordone: τ_P= 0.03 τ_O=0.26 σ_O=83.68 σ_{ID}=83.68 Σ_T=83.94
CC 5 SLV (Collegamento 0022_-379)
Azioni sul collegamento: N=-3330.55 Ty=0.90 Tz=-11.19 Mx=0.02 Mz=2.40
Sollecitazioni agenti localmente: Tx_l=0.90 Ty_l=-11.19 N_l=-3330.55 My_l=-2.40 Mz_l=0.02
Azioni sul cordone: TP=0.05 TO=-0.81 NO=-246.19
Tensioni nel cordone: τ_P= 0.02 τ_O=0.26 σ_O=81.76 σ_{ID}=81.76 Σ_T=82.02
CC 5 SLV (Collegamento 0022_-379)
Azioni sul collegamento: N=-3330.55 Ty=1.58 Tz=5.89 Mx=0.02 Mz=3.71
Sollecitazioni agenti localmente: Tx_l=1.58 Ty_l=5.89 N_l=-3330.55 My_l=-3.71 Mz_l=0.02
Azioni sul cordone: TP=0.10 TO=0.45 NO=-246.19
Tensioni nel cordone: τ_P= 0.03 τ_O=0.14 σ_O=83.68 σ_{ID}=83.68 Σ_T=83.82
CC 5 SLV (Collegamento 0022_-379)
Azioni sul collegamento: N=-3330.55 Ty=0.90 Tz=5.89 Mx=0.02 Mz=2.40
Sollecitazioni agenti localmente: Tx_l=0.90 Ty_l=5.89 N_l=-3330.55 My_l=-2.40 Mz_l=0.02
Azioni sul cordone: TP=0.05 TO=0.45 NO=-246.19
Tensioni nel cordone: τ_P= 0.02 τ_O=0.14 σ_O=81.76 σ_{ID}=81.76 Σ_T=81.90
CC 6 SLD (Collegamento 0022_-379)
Azioni sul collegamento: N=-6335.90 Ty=0.53 Tz=-5.26 Mx=0.01 Mz=1.20
Sollecitazioni agenti localmente: Tx_l=0.53 Ty_l=-5.26 N_l=-6335.90 My_l=-1.20 Mz_l=0.01
Azioni sul cordone: TP=0.03 TO=-0.38 NO=-468.35
Tensioni nel cordone: τ_P= 0.01 τ_O=0.12 σ_O=150.62 σ_{ID}=150.62 Σ_T=150.75
CC 6 SLD (Collegamento 0022_-379)
Azioni sul collegamento: N=-6335.90 Ty=0.33 Tz=-5.26 Mx=0.01 Mz=0.80
Sollecitazioni agenti localmente: Tx_l=0.33 Ty_l=-5.26 N_l=-6335.90 My_l=-0.80 Mz_l=0.01
Azioni sul cordone: TP=0.02 TO=-0.38 NO=-468.35
Tensioni nel cordone: τ_P=5.78E-03 τ_O=0.12 σ_O=150.04 σ_{ID}=150.04 Σ_T=150.16
CC 6 SLD (Collegamento 0022_-379)
Azioni sul collegamento: N=-6335.90 Ty=0.53 Tz=-0.05 Mx=0.01 Mz=1.20
Sollecitazioni agenti localmente: Tx_l=0.53 Ty_l=-0.05 N_l=-6335.90 My_l=-1.20 Mz_l=0.01
Azioni sul cordone: TP=0.03 TO=0.00 NO=-468.35
Tensioni nel cordone: τ_P= 0.01 τ_O=1.31E-04 σ_O=150.62 σ_{ID}=150.62 Σ_T=150.62
CC 6 SLD (Collegamento 0022_-379)
Azioni sul collegamento: N=-6335.90 Ty=0.33 Tz=-0.05 Mx=0.01 Mz=0.80
Sollecitazioni agenti localmente: Tx_l=0.33 Ty_l=-0.05 N_l=-6335.90 My_l=-0.80 Mz_l=0.01
Azioni sul cordone: TP=0.02 TO=0.00 NO=-468.35
Tensioni nel cordone: τ_P=5.78E-03 τ_O=1.31E-04 σ_O=150.04 σ_{ID}=150.04 Σ_T=150.04
CC 6 SLD (Collegamento 0022_-379)
Azioni sul collegamento: N=-4931.25 Ty=0.53 Tz=-5.26 Mx=0.01 Mz=1.20
Sollecitazioni agenti localmente: Tx_l=0.53 Ty_l=-5.26 N_l=-4931.25 My_l=-1.20 Mz_l=0.01
Azioni sul cordone: TP=0.03 TO=-0.38 NO=-364.52
Tensioni nel cordone: τ_P= 0.01 τ_O=0.12 σ_O=117.62 σ_{ID}=117.62 Σ_T=117.74
CC 6 SLD (Collegamento 0022_-379)
Azioni sul collegamento: N=-4931.25 Ty=0.33 Tz=-5.26 Mx=0.01 Mz=0.80
Sollecitazioni agenti localmente: Tx_l=0.33 Ty_l=-5.26 N_l=-4931.25 My_l=-0.80 Mz_l=0.01
Azioni sul cordone: TP=0.02 TO=-0.38 NO=-364.52
Tensioni nel cordone: τ_P=5.78E-03 τ_O=0.12 σ_O=117.04 σ_{ID}=117.04 Σ_T=117.16
CC 6 SLD (Collegamento 0022_-379)
Azioni sul collegamento: N=-4931.25 Ty=0.53 Tz=-0.05 Mx=0.01 Mz=1.20
Sollecitazioni agenti localmente: Tx_l=0.53 Ty_l=-0.05 N_l=-4931.25 My_l=-1.20 Mz_l=0.01
Azioni sul cordone: TP=0.03 TO=0.00 NO=-364.52
Tensioni nel cordone: τ_P= 0.01 τ_O=1.26E-04 σ_O=117.62 σ_{ID}=117.62 Σ_T=117.62
CC 6 SLD (Collegamento 0022_-379)
Azioni sul collegamento: N=-4931.25 Ty=0.33 Tz=-0.05 Mx=0.01 Mz=0.80
Sollecitazioni agenti localmente: Tx_l=0.33 Ty_l=-0.05 N_l=-4931.25 My_l=-0.80 Mz_l=0.01
Azioni sul cordone: TP=0.02 TO=0.00 NO=-364.52
Tensioni nel cordone: τ_P=5.78E-03 τ_O=1.26E-04 σ_O=117.04 σ_{ID}=117.04 Σ_T=117.04
CC 7 SLV (Collegamento 0022_-379)
Azioni sul collegamento: N=-7936.99 Ty=0.88 Tz=-11.19 Mx=0.01 Mz=2.36
Sollecitazioni agenti localmente: Tx_l=0.88 Ty_l=-11.19 N_l=-7936.99 My_l=-2.36 Mz_l=0.01
Azioni sul cordone: TP=0.05 TO=-0.82 NO=-586.71
Tensioni nel cordone: τ_P= 0.02 τ_O=0.26 σ_O=189.93 σ_{ID}=189.93 Σ_T=190.19
CC 7 SLV (Collegamento 0022_-379)
Azioni sul collegamento: N=-7936.99 Ty=1.59 Tz=-11.19 Mx=0.01 Mz=3.75
Sollecitazioni agenti localmente: Tx_l=1.59 Ty_l=-11.19 N_l=-7936.99 My_l=-3.75 Mz_l=0.01
Azioni sul cordone: TP=0.10 TO=-0.82 NO=-586.71
Tensioni nel cordone: τ_P= 0.03 τ_O=0.26 σ_O=191.97 σ_{ID}=191.97 Σ_T=192.23
CC 7 SLV (Collegamento 0022_-379)
Azioni sul collegamento: N=-7936.99 Ty=0.88 Tz=5.89 Mx=0.01 Mz=2.36
Sollecitazioni agenti localmente: Tx_l=0.88 Ty_l=5.89 N_l=-7936.99 My_l=-2.36 Mz_l=0.01
Azioni sul cordone: TP=0.05 TO=0.44 NO=-586.71
Tensioni nel cordone: τ_P= 0.02 τ_O=0.14 σ_O=189.93 σ_{ID}=189.93 Σ_T=190.07
CC 7 SLV (Collegamento 0022_-379)
Azioni sul collegamento: N=-7936.99 Ty=1.59 Tz=5.89 Mx=0.01 Mz=3.75
Sollecitazioni agenti localmente: Tx_l=1.59 Ty_l=5.89 N_l=-7936.99 My_l=-3.75 Mz_l=0.01
Azioni sul cordone: TP=0.10 TO=0.44 NO=-586.71
Tensioni nel cordone: τ_P= 0.03 τ_O=0.14 σ_O=191.97 σ_{ID}=191.97 Σ_T=192.11
CC 7 SLV (Collegamento 0022_-379)

Azioni sul collegamento: N=-3330.52 Ty=0.88 Tz=-11.19 Mx=0.01 Mz=2.36
Sollecitazioni agenti localmente: Tx_l=0.88 Ty_l=-11.19 N_l=-3330.52 My_l=-2.36 Mz_l=0.01
Azioni sul cordone: TP=0.05 TO=-0.82 NO=-246.19
Tensioni nel cordone: τ_P= 0.02 τ_O=0.26 σ_O=81.70 σ_{ID}=81.70 Σ_T=81.96
CC 7 SLV (Collegamento 0022_-379)
Azioni sul collegamento: N=-3330.52 Ty=1.59 Tz=-11.19 Mx=0.01 Mz=3.75
Sollecitazioni agenti localmente: Tx_l=1.59 Ty_l=-11.19 N_l=-3330.52 My_l=-3.75 Mz_l=0.01
Azioni sul cordone: TP=0.10 TO=-0.82 NO=-246.19
Tensioni nel cordone: τ_P= 0.03 τ_O=0.26 σ_O=83.74 σ_{ID}=83.74 Σ_T=84.00
CC 7 SLV (Collegamento 0022_-379)
Azioni sul collegamento: N=-3330.52 Ty=0.88 Tz=5.89 Mx=0.01 Mz=2.36
Sollecitazioni agenti localmente: Tx_l=0.88 Ty_l=5.89 N_l=-3330.52 My_l=-2.36 Mz_l=0.01
Azioni sul cordone: TP=0.05 TO=0.44 NO=-246.19
Tensioni nel cordone: τ_P= 0.02 τ_O=0.14 σ_O=81.70 σ_{ID}=81.70 Σ_T=81.84
CC 7 SLV (Collegamento 0022_-379)
Azioni sul collegamento: N=-3330.52 Ty=1.59 Tz=5.89 Mx=0.01 Mz=3.75
Sollecitazioni agenti localmente: Tx_l=1.59 Ty_l=5.89 N_l=-3330.52 My_l=-3.75 Mz_l=0.01
Azioni sul cordone: TP=0.10 TO=0.44 NO=-246.19
Tensioni nel cordone: τ_P= 0.03 τ_O=0.14 σ_O=83.74 σ_{ID}=83.74 Σ_T=83.88
CC 8 SLD (Collegamento 0022_-379)
Azioni sul collegamento: N=-6335.90 Ty=0.32 Tz=-5.26 Mx=0.00 Mz=0.79
Sollecitazioni agenti localmente: Tx_l=0.32 Ty_l=-5.26 N_l=-6335.90 My_l=-0.79 Mz_l=0.00
Azioni sul cordone: TP=0.02 TO=-0.39 NO=-468.35
Tensioni nel cordone: τ_P=6.26E-03 τ_O=0.12 σ_O=150.02 σ_{ID}=150.02 Σ_T=150.14
CC 8 SLD (Collegamento 0022_-379)
Azioni sul collegamento: N=-6335.90 Ty=0.54 Tz=-5.26 Mx=0.00 Mz=1.22
Sollecitazioni agenti localmente: Tx_l=0.54 Ty_l=-5.26 N_l=-6335.90 My_l=-1.22 Mz_l=0.00
Azioni sul cordone: TP=0.04 TO=-0.39 NO=-468.35
Tensioni nel cordone: τ_P= 0.01 τ_O=0.12 σ_O=150.64 σ_{ID}=150.64 Σ_T=150.76
CC 8 SLD (Collegamento 0022_-379)
Azioni sul collegamento: N=-6335.90 Ty=0.32 Tz=-0.05 Mx=0.00 Mz=0.79
Sollecitazioni agenti localmente: Tx_l=0.32 Ty_l=-0.05 N_l=-6335.90 My_l=-0.79 Mz_l=0.00
Azioni sul cordone: TP=0.02 TO=-0.00 NO=-468.35
Tensioni nel cordone: τ_P=6.26E-03 τ_O=2.70E-04 σ_O=150.02 σ_{ID}=150.02 Σ_T=150.02
CC 8 SLD (Collegamento 0022_-379)
Azioni sul collegamento: N=-6335.90 Ty=0.54 Tz=-0.05 Mx=0.00 Mz=1.22
Sollecitazioni agenti localmente: Tx_l=0.54 Ty_l=-0.05 N_l=-6335.90 My_l=-1.22 Mz_l=0.00
Azioni sul cordone: TP=0.04 TO=-0.00 NO=-468.35
Tensioni nel cordone: τ_P= 0.01 τ_O=2.70E-04 σ_O=150.64 σ_{ID}=150.64 Σ_T=150.64
CC 8 SLD (Collegamento 0022_-379)
Azioni sul collegamento: N=-4931.25 Ty=0.32 Tz=-5.26 Mx=0.00 Mz=0.79
Sollecitazioni agenti localmente: Tx_l=0.32 Ty_l=-5.26 N_l=-4931.25 My_l=-0.79 Mz_l=0.00
Azioni sul cordone: TP=0.02 TO=-0.39 NO=-364.52
Tensioni nel cordone: τ_P=6.26E-03 τ_O=0.12 σ_O=117.02 σ_{ID}=117.02 Σ_T=117.14
CC 8 SLD (Collegamento 0022_-379)
Azioni sul collegamento: N=-4931.25 Ty=0.54 Tz=-5.26 Mx=0.00 Mz=1.22
Sollecitazioni agenti localmente: Tx_l=0.54 Ty_l=-5.26 N_l=-4931.25 My_l=-1.22 Mz_l=0.00
Azioni sul cordone: TP=0.04 TO=-0.39 NO=-364.52
Tensioni nel cordone: τ_P= 0.01 τ_O=0.12 σ_O=117.64 σ_{ID}=117.64 Σ_T=117.76
CC 8 SLD (Collegamento 0022_-379)
Azioni sul collegamento: N=-4931.25 Ty=0.32 Tz=-0.05 Mx=0.00 Mz=0.79
Sollecitazioni agenti localmente: Tx_l=0.32 Ty_l=-0.05 N_l=-4931.25 My_l=-0.79 Mz_l=0.00
Azioni sul cordone: TP=0.02 TO=-0.00 NO=-364.52
Tensioni nel cordone: τ_P=6.26E-03 τ_O=2.73E-04 σ_O=117.02 σ_{ID}=117.02 Σ_T=117.02
CC 8 SLD (Collegamento 0022_-379)
Azioni sul collegamento: N=-4931.25 Ty=0.54 Tz=-0.05 Mx=0.00 Mz=1.22
Sollecitazioni agenti localmente: Tx_l=0.54 Ty_l=-0.05 N_l=-4931.25 My_l=-1.22 Mz_l=0.00
Azioni sul cordone: TP=0.04 TO=-0.00 NO=-364.52
Tensioni nel cordone: τ_P= 0.01 τ_O=2.73E-04 σ_O=117.64 σ_{ID}=117.64 Σ_T=117.64
CC 9 SLV (Collegamento 0022_-379)
Azioni sul collegamento: N=-4942.75 Ty=2.39 Tz=-0.09 Mx=0.02 Mz=5.32
Sollecitazioni agenti localmente: Tx_l=2.39 Ty_l=-0.09 N_l=-4942.75 My_l=-5.32 Mz_l=0.02
Azioni sul cordone: TP=0.15 TO=0.01 NO=-365.37
Tensioni nel cordone: τ_P= 0.05 τ_O=3.55E-03 σ_O=123.90 σ_{ID}=123.90 Σ_T=123.91
CC 9 SLV (Collegamento 0022_-379)
Azioni sul collegamento: N=-4942.75 Ty=0.08 Tz=-0.09 Mx=0.02 Mz=0.80
Sollecitazioni agenti localmente: Tx_l=0.08 Ty_l=-0.09 N_l=-4942.75 My_l=-0.80 Mz_l=0.02
Azioni sul cordone: TP=-0.02 TO=0.01 NO=-365.37
Tensioni nel cordone: τ_P=6.25E-03 τ_O=3.55E-03 σ_O=117.30 σ_{ID}=117.30 Σ_T=117.30
CC 9 SLV (Collegamento 0022_-379)
Azioni sul collegamento: N=-4942.75 Ty=2.39 Tz=-5.22 Mx=0.02 Mz=5.32
Sollecitazioni agenti localmente: Tx_l=2.39 Ty_l=-5.22 N_l=-4942.75 My_l=-5.32 Mz_l=0.02
Azioni sul cordone: TP=0.15 TO=-0.37 NO=-365.37
Tensioni nel cordone: τ_P= 0.05 τ_O=0.12 σ_O=123.90 σ_{ID}=123.90 Σ_T=124.02
CC 9 SLV (Collegamento 0022_-379)
Azioni sul collegamento: N=-4942.75 Ty=0.08 Tz=-5.22 Mx=0.02 Mz=0.80
Sollecitazioni agenti localmente: Tx_l=0.08 Ty_l=-5.22 N_l=-4942.75 My_l=-0.80 Mz_l=0.02
Azioni sul cordone: TP=-0.02 TO=-0.37 NO=-365.37
Tensioni nel cordone: τ_P=6.25E-03 τ_O=0.12 σ_O=117.30 σ_{ID}=117.30 Σ_T=117.41

CC 9 SLV (Collegamento 0022_-379)
Azioni sul collegamento: N=-6324.76 Ty=2.39 Tz=-0.09 Mx=0.02 Mz=5.32
Sollecitazioni agenti localmente: Tx_l=2.39 Ty_l=-0.09 N_l=-6324.76 My_l=-5.32 Mz_l=0.02
Azioni sul cordone: TP=0.15 TO=0.01 NO=-467.53
Tensioni nel cordone: τ_P= 0.05 τ_O=3.56E-03 σ_O=156.37 σ_{ID}=156.37 Σ_T=156.38
CC 9 SLV (Collegamento 0022_-379)
Azioni sul collegamento: N=-6324.76 Ty=0.08 Tz=-0.09 Mx=0.02 Mz=0.80
Sollecitazioni agenti localmente: Tx_l=0.08 Ty_l=-0.09 N_l=-6324.76 My_l=-0.80 Mz_l=0.02
Azioni sul cordone: TP=-0.02 TO=0.01 NO=-467.53
Tensioni nel cordone: τ_P=6.25E-03 τ_O=3.56E-03 σ_O=149.77 σ_{ID}=149.77 Σ_T=149.77
CC 9 SLV (Collegamento 0022_-379)
Azioni sul collegamento: N=-6324.76 Ty=2.39 Tz=-5.22 Mx=0.02 Mz=5.32
Sollecitazioni agenti localmente: Tx_l=2.39 Ty_l=-5.22 N_l=-6324.76 My_l=-5.32 Mz_l=0.02
Azioni sul cordone: TP=0.15 TO=-0.37 NO=-467.53
Tensioni nel cordone: τ_P= 0.05 τ_O=0.12 σ_O=156.37 σ_{ID}=156.37 Σ_T=156.49
CC 9 SLV (Collegamento 0022_-379)
Azioni sul collegamento: N=-6324.76 Ty=0.08 Tz=-5.22 Mx=0.02 Mz=0.80
Sollecitazioni agenti localmente: Tx_l=0.08 Ty_l=-5.22 N_l=-6324.76 My_l=-0.80 Mz_l=0.02
Azioni sul cordone: TP=-0.02 TO=-0.37 NO=-467.53
Tensioni nel cordone: τ_P=6.25E-03 τ_O=0.12 σ_O=149.77 σ_{ID}=149.77 Σ_T=149.88
CC 10 SLD (Collegamento 0022_-379)
Azioni sul collegamento: N=-5422.87 Ty=0.78 Tz=-1.87 Mx=0.01 Mz=1.69
Sollecitazioni agenti localmente: Tx_l=0.78 Ty_l=-1.87 N_l=-5422.87 My_l=-1.69 Mz_l=0.01
Azioni sul cordone: TP=0.05 TO=-0.13 NO=-400.86
Tensioni nel cordone: τ_P= 0.02 τ_O= 0.04 σ_O=129.89 σ_{ID}=129.89 Σ_T=129.93
CC 10 SLD (Collegamento 0022_-379)
Azioni sul collegamento: N=-5422.87 Ty=0.08 Tz=-1.87 Mx=0.01 Mz=0.31
Sollecitazioni agenti localmente: Tx_l=0.08 Ty_l=-1.87 N_l=-5422.87 My_l=-0.31 Mz_l=0.01
Azioni sul cordone: TP=-0.00 TO=-0.13 NO=-400.86
Tensioni nel cordone: τ_P=7.57E-04 τ_O= 0.04 σ_O=127.87 σ_{ID}=127.87 Σ_T=127.91
CC 10 SLD (Collegamento 0022_-379)
Azioni sul collegamento: N=-5422.87 Ty=0.78 Tz=-3.44 Mx=0.01 Mz=1.69
Sollecitazioni agenti localmente: Tx_l=0.78 Ty_l=-3.44 N_l=-5422.87 My_l=-1.69 Mz_l=0.01
Azioni sul cordone: TP=0.05 TO=-0.25 NO=-400.86
Tensioni nel cordone: τ_P= 0.02 τ_O= 0.08 σ_O=129.89 σ_{ID}=129.89 Σ_T=129.97
CC 10 SLD (Collegamento 0022_-379)
Azioni sul collegamento: N=-5422.87 Ty=0.08 Tz=-3.44 Mx=0.01 Mz=0.31
Sollecitazioni agenti localmente: Tx_l=0.08 Ty_l=-3.44 N_l=-5422.87 My_l=-0.31 Mz_l=0.01
Azioni sul cordone: TP=-0.00 TO=-0.25 NO=-400.86
Tensioni nel cordone: τ_P=7.57E-04 τ_O= 0.08 σ_O=127.87 σ_{ID}=127.87 Σ_T=127.95
CC 10 SLD (Collegamento 0022_-379)
Azioni sul collegamento: N=-5844.28 Ty=0.78 Tz=-1.87 Mx=0.01 Mz=1.69
Sollecitazioni agenti localmente: Tx_l=0.78 Ty_l=-1.87 N_l=-5844.28 My_l=-1.69 Mz_l=0.01
Azioni sul cordone: TP=0.05 TO=-0.13 NO=-432.01
Tensioni nel cordone: τ_P= 0.02 τ_O= 0.04 σ_O=139.79 σ_{ID}=139.79 Σ_T=139.83
CC 10 SLD (Collegamento 0022_-379)
Azioni sul collegamento: N=-5844.28 Ty=0.08 Tz=-1.87 Mx=0.01 Mz=0.31
Sollecitazioni agenti localmente: Tx_l=0.08 Ty_l=-1.87 N_l=-5844.28 My_l=-0.31 Mz_l=0.01
Azioni sul cordone: TP=-0.00 TO=-0.13 NO=-432.01
Tensioni nel cordone: τ_P=7.57E-04 τ_O= 0.04 σ_O=137.77 σ_{ID}=137.77 Σ_T=137.82
CC 10 SLD (Collegamento 0022_-379)
Azioni sul collegamento: N=-5844.28 Ty=0.78 Tz=-3.44 Mx=0.01 Mz=1.69
Sollecitazioni agenti localmente: Tx_l=0.78 Ty_l=-3.44 N_l=-5844.28 My_l=-1.69 Mz_l=0.01
Azioni sul cordone: TP=0.05 TO=-0.25 NO=-432.01
Tensioni nel cordone: τ_P= 0.02 τ_O= 0.08 σ_O=139.79 σ_{ID}=139.79 Σ_T=139.87
CC 10 SLD (Collegamento 0022_-379)
Azioni sul collegamento: N=-5844.28 Ty=0.08 Tz=-3.44 Mx=0.01 Mz=0.31
Sollecitazioni agenti localmente: Tx_l=0.08 Ty_l=-3.44 N_l=-5844.28 My_l=-0.31 Mz_l=0.01
Azioni sul cordone: TP=-0.00 TO=-0.25 NO=-432.01
Tensioni nel cordone: τ_P=7.57E-04 τ_O= 0.08 σ_O=137.77 σ_{ID}=137.77 Σ_T=137.85
CC 11 SLV (Collegamento 0022_-379)
Azioni sul collegamento: N=-6324.69 Ty=2.39 Tz=-5.21 Mx=0.02 Mz=5.31
Sollecitazioni agenti localmente: Tx_l=2.39 Ty_l=-5.21 N_l=-6324.69 My_l=-5.31 Mz_l=0.02
Azioni sul cordone: TP=0.15 TO=-0.37 NO=-467.52
Tensioni nel cordone: τ_P= 0.05 τ_O=0.12 σ_O=156.35 σ_{ID}=156.35 Σ_T=156.47
CC 11 SLV (Collegamento 0022_-379)
Azioni sul collegamento: N=-6324.69 Ty=0.09 Tz=-5.21 Mx=0.02 Mz=0.81
Sollecitazioni agenti localmente: Tx_l=0.09 Ty_l=-5.21 N_l=-6324.69 My_l=-0.81 Mz_l=0.02
Azioni sul cordone: TP=-0.02 TO=-0.37 NO=-467.52
Tensioni nel cordone: τ_P=6.13E-03 τ_O=0.12 σ_O=149.78 σ_{ID}=149.78 Σ_T=149.90
CC 11 SLV (Collegamento 0022_-379)
Azioni sul collegamento: N=-6324.69 Ty=2.39 Tz=-0.09 Mx=0.02 Mz=5.31
Sollecitazioni agenti localmente: Tx_l=2.39 Ty_l=-0.09 N_l=-6324.69 My_l=-5.31 Mz_l=0.02
Azioni sul cordone: TP=0.15 TO=0.01 NO=-467.52
Tensioni nel cordone: τ_P= 0.05 τ_O=3.50E-03 σ_O=156.35 σ_{ID}=156.35 Σ_T=156.36
CC 11 SLV (Collegamento 0022_-379)
Azioni sul collegamento: N=-6324.69 Ty=0.09 Tz=-0.09 Mx=0.02 Mz=0.81
Sollecitazioni agenti localmente: Tx_l=0.09 Ty_l=-0.09 N_l=-6324.69 My_l=-0.81 Mz_l=0.02
Azioni sul cordone: TP=-0.02 TO=0.01 NO=-467.52

Tensioni nel cordone: τ_P=6.13E-03 τ_0=3.50E-03 σ_0=149.78 σ_{ID}=149.78 Σ_T=149.78
CC 11 SLV (Collegamento 0022_-379)
Azioni sul collegamento: N=-4942.83 Ty=2.39 Tz=-5.21 Mx=0.02 Mz=5.31
Sollecitazioni agenti localmente: Tx_l=2.39 Ty_l=-5.21 N_l=-4942.83 My_l=-5.31 Mz_l=0.02
Azioni sul cordone: TP=0.15 TO=-0.37 NO=-365.38
Tensioni nel cordone: τ_P= 0.05 τ_0=0.12 σ_0=123.89 σ_{ID}=123.89 Σ_T=124.00
CC 11 SLV (Collegamento 0022_-379)
Azioni sul collegamento: N=-4942.83 Ty=0.09 Tz=-5.21 Mx=0.02 Mz=0.81
Sollecitazioni agenti localmente: Tx_l=0.09 Ty_l=-5.21 N_l=-4942.83 My_l=-0.81 Mz_l=0.02
Azioni sul cordone: TP=-0.02 TO=-0.37 NO=-365.38
Tensioni nel cordone: τ_P=6.13E-03 τ_0=0.12 σ_0=117.31 σ_{ID}=117.31 Σ_T=117.43
CC 11 SLV (Collegamento 0022_-379)
Azioni sul collegamento: N=-4942.83 Ty=2.39 Tz=-0.09 Mx=0.02 Mz=5.31
Sollecitazioni agenti localmente: Tx_l=2.39 Ty_l=-0.09 N_l=-4942.83 My_l=-5.31 Mz_l=0.02
Azioni sul cordone: TP=0.15 TO=0.01 NO=-365.38
Tensioni nel cordone: τ_P= 0.05 τ_0=3.49E-03 σ_0=123.89 σ_{ID}=123.89 Σ_T=123.89
CC 11 SLV (Collegamento 0022_-379)
Azioni sul collegamento: N=-4942.83 Ty=0.09 Tz=-0.09 Mx=0.02 Mz=0.81
Sollecitazioni agenti localmente: Tx_l=0.09 Ty_l=-0.09 N_l=-4942.83 My_l=-0.81 Mz_l=0.02
Azioni sul cordone: TP=-0.02 TO=0.01 NO=-365.38
Tensioni nel cordone: τ_P=6.13E-03 τ_0=3.49E-03 σ_0=117.31 σ_{ID}=117.31 Σ_T=117.32
CC 12 SLD (Collegamento 0022_-379)
Azioni sul collegamento: N=-5844.26 Ty=0.78 Tz=-3.43 Mx=0.01 Mz=1.69
Sollecitazioni agenti localmente: Tx_l=0.78 Ty_l=-3.43 N_l=-5844.26 My_l=-1.69 Mz_l=0.01
Azioni sul cordone: TP=0.05 TO=-0.25 NO=-432.01
Tensioni nel cordone: τ_P= 0.02 τ_0= 0.08 σ_0=139.78 σ_{ID}=139.78 Σ_T=139.86
CC 12 SLD (Collegamento 0022_-379)
Azioni sul collegamento: N=-5844.26 Ty=0.08 Tz=-3.43 Mx=0.01 Mz=0.32
Sollecitazioni agenti localmente: Tx_l=0.08 Ty_l=-3.43 N_l=-5844.26 My_l=-0.32 Mz_l=0.01
Azioni sul cordone: TP=-0.00 TO=-0.25 NO=-432.01
Tensioni nel cordone: τ_P=7.21E-04 τ_0= 0.08 σ_0=137.78 σ_{ID}=137.78 Σ_T=137.86
CC 12 SLD (Collegamento 0022_-379)
Azioni sul collegamento: N=-5844.26 Ty=0.78 Tz=-1.87 Mx=0.01 Mz=1.69
Sollecitazioni agenti localmente: Tx_l=0.78 Ty_l=-1.87 N_l=-5844.26 My_l=-1.69 Mz_l=0.01
Azioni sul cordone: TP=0.05 TO=-0.13 NO=-432.01
Tensioni nel cordone: τ_P= 0.02 τ_0= 0.04 σ_0=139.78 σ_{ID}=139.78 Σ_T=139.82
CC 12 SLD (Collegamento 0022_-379)
Azioni sul collegamento: N=-5844.26 Ty=0.08 Tz=-1.87 Mx=0.01 Mz=0.32
Sollecitazioni agenti localmente: Tx_l=0.08 Ty_l=-1.87 N_l=-5844.26 My_l=-0.32 Mz_l=0.01
Azioni sul cordone: TP=-0.00 TO=-0.13 NO=-432.01
Tensioni nel cordone: τ_P=7.21E-04 τ_0= 0.04 σ_0=137.78 σ_{ID}=137.78 Σ_T=137.82
CC 12 SLD (Collegamento 0022_-379)
Azioni sul collegamento: N=-5422.89 Ty=0.78 Tz=-3.43 Mx=0.01 Mz=1.69
Sollecitazioni agenti localmente: Tx_l=0.78 Ty_l=-3.43 N_l=-5422.89 My_l=-1.69 Mz_l=0.01
Azioni sul cordone: TP=0.05 TO=-0.25 NO=-400.86
Tensioni nel cordone: τ_P= 0.02 τ_0= 0.08 σ_0=129.88 σ_{ID}=129.88 Σ_T=129.96
CC 12 SLD (Collegamento 0022_-379)
Azioni sul collegamento: N=-5422.89 Ty=0.08 Tz=-3.43 Mx=0.01 Mz=0.32
Sollecitazioni agenti localmente: Tx_l=0.08 Ty_l=-3.43 N_l=-5422.89 My_l=-0.32 Mz_l=0.01
Azioni sul cordone: TP=-0.00 TO=-0.25 NO=-400.86
Tensioni nel cordone: τ_P=7.21E-04 τ_0= 0.08 σ_0=127.88 σ_{ID}=127.88 Σ_T=127.96
CC 12 SLD (Collegamento 0022_-379)
Azioni sul collegamento: N=-5422.89 Ty=0.78 Tz=-1.87 Mx=0.01 Mz=1.69
Sollecitazioni agenti localmente: Tx_l=0.78 Ty_l=-1.87 N_l=-5422.89 My_l=-1.69 Mz_l=0.01
Azioni sul cordone: TP=0.05 TO=-0.13 NO=-400.86
Tensioni nel cordone: τ_P= 0.02 τ_0= 0.04 σ_0=129.88 σ_{ID}=129.88 Σ_T=129.92
CC 12 SLD (Collegamento 0022_-379)
Azioni sul collegamento: N=-5422.89 Ty=0.08 Tz=-1.87 Mx=0.01 Mz=0.32
Sollecitazioni agenti localmente: Tx_l=0.08 Ty_l=-1.87 N_l=-5422.89 My_l=-0.32 Mz_l=0.01
Azioni sul cordone: TP=-0.00 TO=-0.13 NO=-400.86
Tensioni nel cordone: τ_P=7.21E-04 τ_0= 0.04 σ_0=127.88 σ_{ID}=127.88 Σ_T=127.92
CC 13 SLV (Collegamento 0022_-379)
Azioni sul collegamento: N=-4942.83 Ty=0.09 Tz=-0.09 Mx=0.00 Mz=0.81
Sollecitazioni agenti localmente: Tx_l=0.09 Ty_l=-0.09 N_l=-4942.83 My_l=-0.81 Mz_l=0.00
Azioni sul cordone: TP=0.00 TO=-0.00 NO=-365.38
Tensioni nel cordone: τ_P=2.07E-04 τ_0=8.98E-04 σ_0=117.31 σ_{ID}=117.31 Σ_T=117.31
CC 13 SLV (Collegamento 0022_-379)
Azioni sul collegamento: N=-4942.83 Ty=2.39 Tz=-0.09 Mx=0.00 Mz=5.31
Sollecitazioni agenti localmente: Tx_l=2.39 Ty_l=-0.09 N_l=-4942.83 My_l=-5.31 Mz_l=0.00
Azioni sul cordone: TP=0.17 TO=-0.00 NO=-365.38
Tensioni nel cordone: τ_P= 0.05 τ_0=8.98E-04 σ_0=123.89 σ_{ID}=123.89 Σ_T=123.89
CC 13 SLV (Collegamento 0022_-379)
Azioni sul collegamento: N=-4942.83 Ty=0.09 Tz=-5.21 Mx=0.00 Mz=0.81
Sollecitazioni agenti localmente: Tx_l=0.09 Ty_l=-5.21 N_l=-4942.83 My_l=-0.81 Mz_l=0.00
Azioni sul cordone: TP=0.00 TO=-0.38 NO=-365.38
Tensioni nel cordone: τ_P=2.07E-04 τ_0=0.12 σ_0=117.31 σ_{ID}=117.31 Σ_T=117.44
CC 13 SLV (Collegamento 0022_-379)
Azioni sul collegamento: N=-4942.83 Ty=2.39 Tz=-5.21 Mx=0.00 Mz=5.31
Sollecitazioni agenti localmente: Tx_l=2.39 Ty_l=-5.21 N_l=-4942.83 My_l=-5.31 Mz_l=0.00

Azioni sul cordone: TP=0.17 TO=-0.38 NO=-365.38
Tensioni nel cordone: τ_P= 0.05 τ_O=0.12 σ_O=123.89 σ_{ID}=123.89 Σ_T=124.01
CC 13 SLV (Collegamento 0022_-379)
Azioni sul collegamento: N=-6324.69 Ty=0.09 Tz=-0.09 Mx=0.00 Mz=0.81
Sollecitazioni agenti localmente: Tx_l=0.09 Ty_l=-0.09 N_l=-6324.69 My_l=-0.81 Mz_l=0.00
Azioni sul cordone: TP=0.00 TO=-0.00 NO=-467.52
Tensioni nel cordone: τ_P=2.07E-04 τ_O=8.88E-04 σ_O=149.78 σ_{ID}=149.78 Σ_T=149.78
CC 13 SLV (Collegamento 0022_-379)
Azioni sul collegamento: N=-6324.69 Ty=2.39 Tz=-0.09 Mx=0.00 Mz=5.31
Sollecitazioni agenti localmente: Tx_l=2.39 Ty_l=-0.09 N_l=-6324.69 My_l=-5.31 Mz_l=0.00
Azioni sul cordone: TP=0.17 TO=-0.00 NO=-467.52
Tensioni nel cordone: τ_P= 0.05 τ_O=8.88E-04 σ_O=156.35 σ_{ID}=156.35 Σ_T=156.36
CC 13 SLV (Collegamento 0022_-379)
Azioni sul collegamento: N=-6324.69 Ty=0.09 Tz=-5.21 Mx=0.00 Mz=0.81
Sollecitazioni agenti localmente: Tx_l=0.09 Ty_l=-5.21 N_l=-6324.69 My_l=-0.81 Mz_l=0.00
Azioni sul cordone: TP=0.00 TO=-0.38 NO=-467.52
Tensioni nel cordone: τ_P=2.07E-04 τ_O=0.12 σ_O=149.78 σ_{ID}=149.78 Σ_T=149.90
CC 13 SLV (Collegamento 0022_-379)
Azioni sul collegamento: N=-6324.69 Ty=2.39 Tz=-5.21 Mx=0.00 Mz=5.31
Sollecitazioni agenti localmente: Tx_l=2.39 Ty_l=-5.21 N_l=-6324.69 My_l=-5.31 Mz_l=0.00
Azioni sul cordone: TP=0.17 TO=-0.38 NO=-467.52
Tensioni nel cordone: τ_P= 0.05 τ_O=0.12 σ_O=156.35 σ_{ID}=156.35 Σ_T=156.48
CC 14 SLD (Collegamento 0022_-379)
Azioni sul collegamento: N=-5422.89 Ty=0.08 Tz=-1.87 Mx=0.00 Mz=0.32
Sollecitazioni agenti localmente: Tx_l=0.08 Ty_l=-1.87 N_l=-5422.89 My_l=-0.32 Mz_l=0.00
Azioni sul cordone: TP=0.00 TO=-0.14 NO=-400.86
Tensioni nel cordone: τ_P=1.21E-03 τ_O= 0.04 σ_O=127.88 σ_{ID}=127.88 Σ_T=127.92
CC 14 SLD (Collegamento 0022_-379)
Azioni sul collegamento: N=-5422.89 Ty=0.78 Tz=-1.87 Mx=0.00 Mz=1.69
Sollecitazioni agenti localmente: Tx_l=0.78 Ty_l=-1.87 N_l=-5422.89 My_l=-1.69 Mz_l=0.00
Azioni sul cordone: TP=0.06 TO=-0.14 NO=-400.86
Tensioni nel cordone: τ_P= 0.02 τ_O= 0.04 σ_O=129.88 σ_{ID}=129.88 Σ_T=129.93
CC 14 SLD (Collegamento 0022_-379)
Azioni sul collegamento: N=-5422.89 Ty=0.08 Tz=-3.43 Mx=0.00 Mz=0.32
Sollecitazioni agenti localmente: Tx_l=0.08 Ty_l=-3.43 N_l=-5422.89 My_l=-0.32 Mz_l=0.00
Azioni sul cordone: TP=0.00 TO=-0.25 NO=-400.86
Tensioni nel cordone: τ_P=1.21E-03 τ_O= 0.08 σ_O=127.88 σ_{ID}=127.88 Σ_T=127.96
CC 14 SLD (Collegamento 0022_-379)
Azioni sul collegamento: N=-5422.89 Ty=0.78 Tz=-3.43 Mx=0.00 Mz=1.69
Sollecitazioni agenti localmente: Tx_l=0.78 Ty_l=-3.43 N_l=-5422.89 My_l=-1.69 Mz_l=0.00
Azioni sul cordone: TP=0.06 TO=-0.25 NO=-400.86
Tensioni nel cordone: τ_P= 0.02 τ_O= 0.08 σ_O=129.88 σ_{ID}=129.88 Σ_T=129.96
CC 14 SLD (Collegamento 0022_-379)
Azioni sul collegamento: N=-5844.26 Ty=0.08 Tz=-1.87 Mx=0.00 Mz=0.32
Sollecitazioni agenti localmente: Tx_l=0.08 Ty_l=-1.87 N_l=-5844.26 My_l=-0.32 Mz_l=0.00
Azioni sul cordone: TP=0.00 TO=-0.14 NO=-432.01
Tensioni nel cordone: τ_P=1.21E-03 τ_O= 0.04 σ_O=137.78 σ_{ID}=137.78 Σ_T=137.82
CC 14 SLD (Collegamento 0022_-379)
Azioni sul collegamento: N=-5844.26 Ty=0.78 Tz=-1.87 Mx=0.00 Mz=1.69
Sollecitazioni agenti localmente: Tx_l=0.78 Ty_l=-1.87 N_l=-5844.26 My_l=-1.69 Mz_l=0.00
Azioni sul cordone: TP=0.06 TO=-0.14 NO=-432.01
Tensioni nel cordone: τ_P= 0.02 τ_O= 0.04 σ_O=139.78 σ_{ID}=139.78 Σ_T=139.83
CC 14 SLD (Collegamento 0022_-379)
Azioni sul collegamento: N=-5844.26 Ty=0.08 Tz=-3.43 Mx=0.00 Mz=0.32
Sollecitazioni agenti localmente: Tx_l=0.08 Ty_l=-3.43 N_l=-5844.26 My_l=-0.32 Mz_l=0.00
Azioni sul cordone: TP=0.00 TO=-0.25 NO=-432.01
Tensioni nel cordone: τ_P=1.21E-03 τ_O= 0.08 σ_O=137.78 σ_{ID}=137.78 Σ_T=137.86
CC 14 SLD (Collegamento 0022_-379)
Azioni sul collegamento: N=-5844.26 Ty=0.78 Tz=-3.43 Mx=0.00 Mz=1.69
Sollecitazioni agenti localmente: Tx_l=0.78 Ty_l=-3.43 N_l=-5844.26 My_l=-1.69 Mz_l=0.00
Azioni sul cordone: TP=0.06 TO=-0.25 NO=-432.01
Tensioni nel cordone: τ_P= 0.02 τ_O= 0.08 σ_O=139.78 σ_{ID}=139.78 Σ_T=139.86
CC 15 SLV (Collegamento 0022_-379)
Azioni sul collegamento: N=-6324.76 Ty=0.08 Tz=-5.22 Mx=0.00 Mz=0.80
Sollecitazioni agenti localmente: Tx_l=0.08 Ty_l=-5.22 N_l=-6324.76 My_l=-0.80 Mz_l=0.00
Azioni sul cordone: TP=0.00 TO=-0.38 NO=-467.53
Tensioni nel cordone: τ_P=1.33E-04 τ_O=0.12 σ_O=149.77 σ_{ID}=149.77 Σ_T=149.89
CC 15 SLV (Collegamento 0022_-379)
Azioni sul collegamento: N=-6324.76 Ty=2.39 Tz=-5.22 Mx=0.00 Mz=5.32
Sollecitazioni agenti localmente: Tx_l=2.39 Ty_l=-5.22 N_l=-6324.76 My_l=-5.32 Mz_l=0.00
Azioni sul cordone: TP=0.17 TO=-0.38 NO=-467.53
Tensioni nel cordone: τ_P= 0.05 τ_O=0.12 σ_O=156.37 σ_{ID}=156.37 Σ_T=156.50
CC 15 SLV (Collegamento 0022_-379)
Azioni sul collegamento: N=-6324.76 Ty=0.08 Tz=-0.09 Mx=0.00 Mz=0.80
Sollecitazioni agenti localmente: Tx_l=0.08 Ty_l=-0.09 N_l=-6324.76 My_l=-0.80 Mz_l=0.00
Azioni sul cordone: TP=0.00 TO=-0.00 NO=-467.53
Tensioni nel cordone: τ_P=1.33E-04 τ_O=8.64E-04 σ_O=149.77 σ_{ID}=149.77 Σ_T=149.77
CC 15 SLV (Collegamento 0022_-379)
Azioni sul collegamento: N=-6324.76 Ty=2.39 Tz=-0.09 Mx=0.00 Mz=5.32

Sollecitazioni agenti localmente: Tx_l=2.39 Ty_l=-0.09 N_l=-6324.76 My_l=-5.32 Mz_l=0.00
Azioni sul cordone: TP=0.17 TO=-0.00 NO=-467.53
Tensioni nel cordone: τ_P= 0.05 τ_O=8.64E-04 σ_O=156.37 σ_{ID}=156.37 Σ_T=156.37
CC 15 SLV (Collegamento 0022_-379)
Azioni sul collegamento: N=-4942.75 Ty=0.08 Tz=-5.22 Mx=0.00 Mz=0.80
Sollecitazioni agenti localmente: Tx_l=0.08 Ty_l=-5.22 N_l=-4942.75 My_l=-0.80 Mz_l=0.00
Azioni sul cordone: TP=0.00 TO=-0.38 NO=-365.37
Tensioni nel cordone: τ_P=1.33E-04 τ_O=0.12 σ_O=117.30 σ_{ID}=117.30 Σ_T=117.42
CC 15 SLV (Collegamento 0022_-379)
Azioni sul collegamento: N=-4942.75 Ty=2.39 Tz=-5.22 Mx=0.00 Mz=5.32
Sollecitazioni agenti localmente: Tx_l=2.39 Ty_l=-5.22 N_l=-4942.75 My_l=-5.32 Mz_l=0.00
Azioni sul cordone: TP=0.17 TO=-0.38 NO=-365.37
Tensioni nel cordone: τ_P= 0.05 τ_O=0.12 σ_O=123.90 σ_{ID}=123.90 Σ_T=124.02
CC 15 SLV (Collegamento 0022_-379)
Azioni sul collegamento: N=-4942.75 Ty=0.08 Tz=-0.09 Mx=0.00 Mz=0.80
Sollecitazioni agenti localmente: Tx_l=0.08 Ty_l=-0.09 N_l=-4942.75 My_l=-0.80 Mz_l=0.00
Azioni sul cordone: TP=0.00 TO=-0.00 NO=-365.37
Tensioni nel cordone: τ_P=1.33E-04 τ_O=8.70E-04 σ_O=117.30 σ_{ID}=117.30 Σ_T=117.30
CC 15 SLV (Collegamento 0022_-379)
Azioni sul collegamento: N=-4942.75 Ty=2.39 Tz=-0.09 Mx=0.00 Mz=5.32
Sollecitazioni agenti localmente: Tx_l=2.39 Ty_l=-0.09 N_l=-4942.75 My_l=-5.32 Mz_l=0.00
Azioni sul cordone: TP=0.17 TO=-0.00 NO=-365.37
Tensioni nel cordone: τ_P= 0.05 τ_O=8.70E-04 σ_O=123.90 σ_{ID}=123.90 Σ_T=123.90
CC 16 SLD (Collegamento 0022_-379)
Azioni sul collegamento: N=-5844.28 Ty=0.08 Tz=-3.44 Mx=0.00 Mz=0.31
Sollecitazioni agenti localmente: Tx_l=0.08 Ty_l=-3.44 N_l=-5844.28 My_l=-0.31 Mz_l=0.00
Azioni sul cordone: TP=0.00 TO=-0.25 NO=-432.01
Tensioni nel cordone: τ_P=1.19E-03 τ_O= 0.08 σ_O=137.77 σ_{ID}=137.77 Σ_T=137.85
CC 16 SLD (Collegamento 0022_-379)
Azioni sul collegamento: N=-5844.28 Ty=0.78 Tz=-3.44 Mx=0.00 Mz=1.69
Sollecitazioni agenti localmente: Tx_l=0.78 Ty_l=-3.44 N_l=-5844.28 My_l=-1.69 Mz_l=0.00
Azioni sul cordone: TP=0.06 TO=-0.25 NO=-432.01
Tensioni nel cordone: τ_P= 0.02 τ_O= 0.08 σ_O=139.79 σ_{ID}=139.79 Σ_T=139.87
CC 16 SLD (Collegamento 0022_-379)
Azioni sul collegamento: N=-5844.28 Ty=0.08 Tz=-1.87 Mx=0.00 Mz=0.31
Sollecitazioni agenti localmente: Tx_l=0.08 Ty_l=-1.87 N_l=-5844.28 My_l=-0.31 Mz_l=0.00
Azioni sul cordone: TP=0.00 TO=-0.14 NO=-432.01
Tensioni nel cordone: τ_P=1.19E-03 τ_O= 0.04 σ_O=137.77 σ_{ID}=137.77 Σ_T=137.82
CC 16 SLD (Collegamento 0022_-379)
Azioni sul collegamento: N=-5844.28 Ty=0.78 Tz=-1.87 Mx=0.00 Mz=1.69
Sollecitazioni agenti localmente: Tx_l=0.78 Ty_l=-1.87 N_l=-5844.28 My_l=-1.69 Mz_l=0.00
Azioni sul cordone: TP=0.06 TO=-0.14 NO=-432.01
Tensioni nel cordone: τ_P= 0.02 τ_O= 0.04 σ_O=139.79 σ_{ID}=139.79 Σ_T=139.83
CC 16 SLD (Collegamento 0022_-379)
Azioni sul collegamento: N=-5422.87 Ty=0.08 Tz=-3.44 Mx=0.00 Mz=0.31
Sollecitazioni agenti localmente: Tx_l=0.08 Ty_l=-3.44 N_l=-5422.87 My_l=-0.31 Mz_l=0.00
Azioni sul cordone: TP=0.00 TO=-0.25 NO=-400.86
Tensioni nel cordone: τ_P=1.19E-03 τ_O= 0.08 σ_O=127.87 σ_{ID}=127.87 Σ_T=127.95
CC 16 SLD (Collegamento 0022_-379)
Azioni sul collegamento: N=-5422.87 Ty=0.78 Tz=-3.44 Mx=0.00 Mz=1.69
Sollecitazioni agenti localmente: Tx_l=0.78 Ty_l=-3.44 N_l=-5422.87 My_l=-1.69 Mz_l=0.00
Azioni sul cordone: TP=0.06 TO=-0.25 NO=-400.86
Tensioni nel cordone: τ_P= 0.02 τ_O= 0.08 σ_O=129.89 σ_{ID}=129.89 Σ_T=129.97
CC 16 SLD (Collegamento 0022_-379)
Azioni sul collegamento: N=-5422.87 Ty=0.08 Tz=-1.87 Mx=0.00 Mz=0.31
Sollecitazioni agenti localmente: Tx_l=0.08 Ty_l=-1.87 N_l=-5422.87 My_l=-0.31 Mz_l=0.00
Azioni sul cordone: TP=0.00 TO=-0.14 NO=-400.86
Tensioni nel cordone: τ_P=1.19E-03 τ_O= 0.04 σ_O=127.87 σ_{ID}=127.87 Σ_T=127.92
CC 16 SLD (Collegamento 0022_-379)
Azioni sul collegamento: N=-5422.87 Ty=0.78 Tz=-1.87 Mx=0.00 Mz=1.69
Sollecitazioni agenti localmente: Tx_l=0.78 Ty_l=-1.87 N_l=-5422.87 My_l=-1.69 Mz_l=0.00
Azioni sul cordone: TP=0.06 TO=-0.14 NO=-400.86
Tensioni nel cordone: τ_P= 0.02 τ_O= 0.04 σ_O=129.89 σ_{ID}=129.89 Σ_T=129.93
CC 17 SLV (Collegamento 0022_-379)
Azioni sul collegamento: N=-3330.00 Ty=-0.74 Tz=5.89 Mx=-0.02 Mz=-2.16
Sollecitazioni agenti localmente: Tx_l=-0.74 Ty_l=5.89 N_l=-3330.00 My_l=2.16 Mz_l=-0.02
Azioni sul cordone: TP=-0.04 TO=0.45 NO=-246.15
Tensioni nel cordone: τ_P= 0.01 τ_O=0.14 σ_O=81.39 σ_{ID}=81.39 Σ_T=81.53
CC 17 SLV (Collegamento 0022_-379)
Azioni sul collegamento: N=-3330.00 Ty=-1.44 Tz=5.89 Mx=-0.02 Mz=-3.55
Sollecitazioni agenti localmente: Tx_l=-1.44 Ty_l=5.89 N_l=-3330.00 My_l=3.55 Mz_l=-0.02
Azioni sul cordone: TP=-0.09 TO=0.45 NO=-246.15
Tensioni nel cordone: τ_P= 0.03 τ_O=0.14 σ_O=83.42 σ_{ID}=83.42 Σ_T=83.56
CC 17 SLV (Collegamento 0022_-379)
Azioni sul collegamento: N=-3330.00 Ty=-0.74 Tz=-11.20 Mx=-0.02 Mz=-2.16
Sollecitazioni agenti localmente: Tx_l=-0.74 Ty_l=-11.20 N_l=-3330.00 My_l=2.16 Mz_l=-0.02
Azioni sul cordone: TP=-0.04 TO=-0.81 NO=-246.15
Tensioni nel cordone: τ_P= 0.01 τ_O=0.26 σ_O=81.39 σ_{ID}=81.39 Σ_T=81.65
CC 17 SLV (Collegamento 0022_-379)

Azioni sul collegamento: N=-3330.00 Ty=-1.44 Tz=-11.20 Mx=-0.02 Mz=-3.55
Sollecitazioni agenti localmente: Tx_l=-1.44 Ty_l=-11.20 N_l=-3330.00 My_l=3.55 Mz_l=-0.02
Azioni sul cordone: TP=-0.09 TO=-0.81 NO=-246.15
Tensioni nel cordone: τ_P= 0.03 τ_O=0.26 σ_O=83.42 σ_{ID}=83.42 Σ_T=83.68
CC 17 SLV (Collegamento 0022_-379)
Azioni sul collegamento: N=-7936.47 Ty=-0.74 Tz=5.89 Mx=-0.02 Mz=-2.16
Sollecitazioni agenti localmente: Tx_l=-0.74 Ty_l=5.89 N_l=-7936.47 My_l=2.16 Mz_l=-0.02
Azioni sul cordone: TP=-0.04 TO=0.45 NO=-586.67
Tensioni nel cordone: τ_P= 0.01 τ_O=0.14 σ_O=189.62 σ_{ID}=189.62 Σ_T=189.76
CC 17 SLV (Collegamento 0022_-379)
Azioni sul collegamento: N=-7936.47 Ty=-1.44 Tz=5.89 Mx=-0.02 Mz=-3.55
Sollecitazioni agenti localmente: Tx_l=-1.44 Ty_l=5.89 N_l=-7936.47 My_l=3.55 Mz_l=-0.02
Azioni sul cordone: TP=-0.09 TO=0.45 NO=-586.67
Tensioni nel cordone: τ_P= 0.03 τ_O=0.14 σ_O=191.65 σ_{ID}=191.65 Σ_T=191.80
CC 17 SLV (Collegamento 0022_-379)
Azioni sul collegamento: N=-7936.47 Ty=-0.74 Tz=-11.20 Mx=-0.02 Mz=-2.16
Sollecitazioni agenti localmente: Tx_l=-0.74 Ty_l=-11.20 N_l=-7936.47 My_l=2.16 Mz_l=-0.02
Azioni sul cordone: TP=-0.04 TO=-0.81 NO=-586.67
Tensioni nel cordone: τ_P= 0.01 τ_O=0.26 σ_O=189.62 σ_{ID}=189.62 Σ_T=189.88
CC 17 SLV (Collegamento 0022_-379)
Azioni sul collegamento: N=-7936.47 Ty=-1.44 Tz=-11.20 Mx=-0.02 Mz=-3.55
Sollecitazioni agenti localmente: Tx_l=-1.44 Ty_l=-11.20 N_l=-7936.47 My_l=3.55 Mz_l=-0.02
Azioni sul cordone: TP=-0.09 TO=-0.81 NO=-586.67
Tensioni nel cordone: τ_P= 0.03 τ_O=0.26 σ_O=191.65 σ_{ID}=191.65 Σ_T=191.91
CC 18 SLD (Collegamento 0022_-379)
Azioni sul collegamento: N=-4931.08 Ty=-0.17 Tz=-0.05 Mx=-0.00 Mz=-0.59
Sollecitazioni agenti localmente: Tx_l=-0.17 Ty_l=-0.05 N_l=-4931.08 My_l=0.59 Mz_l=-0.00
Azioni sul cordone: TP=-0.01 TO=0.00 NO=-364.51
Tensioni nel cordone: τ_P=2.36E-03 τ_O=2.54E-06 σ_O=116.71 σ_{ID}=116.71 Σ_T=116.71
CC 18 SLD (Collegamento 0022_-379)
Azioni sul collegamento: N=-4931.08 Ty=-0.39 Tz=-0.05 Mx=-0.00 Mz=-1.01
Sollecitazioni agenti localmente: Tx_l=-0.39 Ty_l=-0.05 N_l=-4931.08 My_l=1.01 Mz_l=-0.00
Azioni sul cordone: TP=-0.02 TO=0.00 NO=-364.51
Tensioni nel cordone: τ_P=7.41E-03 τ_O=2.54E-06 σ_O=117.33 σ_{ID}=117.33 Σ_T=117.33
CC 18 SLD (Collegamento 0022_-379)
Azioni sul collegamento: N=-4931.09 Ty=-0.17 Tz=-5.26 Mx=-0.00 Mz=-0.59
Sollecitazioni agenti localmente: Tx_l=-0.17 Ty_l=-5.26 N_l=-4931.09 My_l=0.59 Mz_l=-0.00
Azioni sul cordone: TP=-0.01 TO=-0.38 NO=-364.51
Tensioni nel cordone: τ_P=2.36E-03 τ_O=0.12 σ_O=116.71 σ_{ID}=116.71 Σ_T=116.84
CC 18 SLD (Collegamento 0022_-379)
Azioni sul collegamento: N=-4931.09 Ty=-0.39 Tz=-5.26 Mx=-0.00 Mz=-1.01
Sollecitazioni agenti localmente: Tx_l=-0.39 Ty_l=-5.26 N_l=-4931.09 My_l=1.01 Mz_l=-0.00
Azioni sul cordone: TP=-0.02 TO=-0.38 NO=-364.51
Tensioni nel cordone: τ_P=7.41E-03 τ_O=0.12 σ_O=117.33 σ_{ID}=117.33 Σ_T=117.46
CC 18 SLD (Collegamento 0022_-379)
Azioni sul collegamento: N=-6335.74 Ty=-0.17 Tz=-0.05 Mx=-0.00 Mz=-0.59
Sollecitazioni agenti localmente: Tx_l=-0.17 Ty_l=-0.05 N_l=-6335.74 My_l=0.59 Mz_l=-0.00
Azioni sul cordone: TP=-0.01 TO=0.00 NO=-468.34
Tensioni nel cordone: τ_P=2.36E-03 τ_O=9.99E-06 σ_O=149.72 σ_{ID}=149.72 Σ_T=149.72
CC 18 SLD (Collegamento 0022_-379)
Azioni sul collegamento: N=-6335.74 Ty=-0.39 Tz=-0.05 Mx=-0.00 Mz=-1.01
Sollecitazioni agenti localmente: Tx_l=-0.39 Ty_l=-0.05 N_l=-6335.74 My_l=1.01 Mz_l=-0.00
Azioni sul cordone: TP=-0.02 TO=0.00 NO=-468.34
Tensioni nel cordone: τ_P=7.41E-03 τ_O=9.99E-06 σ_O=150.34 σ_{ID}=150.34 Σ_T=150.34
CC 18 SLD (Collegamento 0022_-379)
Azioni sul collegamento: N=-6335.74 Ty=-0.17 Tz=-5.26 Mx=-0.00 Mz=-0.59
Sollecitazioni agenti localmente: Tx_l=-0.17 Ty_l=-5.26 N_l=-6335.74 My_l=0.59 Mz_l=-0.00
Azioni sul cordone: TP=-0.01 TO=-0.38 NO=-468.34
Tensioni nel cordone: τ_P=2.36E-03 τ_O=0.12 σ_O=149.72 σ_{ID}=149.72 Σ_T=149.84
CC 18 SLD (Collegamento 0022_-379)
Azioni sul collegamento: N=-6335.74 Ty=-0.39 Tz=-5.26 Mx=-0.00 Mz=-1.01
Sollecitazioni agenti localmente: Tx_l=-0.39 Ty_l=-5.26 N_l=-6335.74 My_l=1.01 Mz_l=-0.00
Azioni sul cordone: TP=-0.02 TO=-0.38 NO=-468.34
Tensioni nel cordone: τ_P=7.41E-03 τ_O=0.12 σ_O=150.34 σ_{ID}=150.34 Σ_T=150.46
CC 19 SLV (Collegamento 0022_-379)
Azioni sul collegamento: N=-3330.02 Ty=-1.43 Tz=5.88 Mx=-0.01 Mz=-3.51
Sollecitazioni agenti localmente: Tx_l=-1.43 Ty_l=5.88 N_l=-3330.02 My_l=3.51 Mz_l=-0.01
Azioni sul cordone: TP=-0.09 TO=0.44 NO=-246.16
Tensioni nel cordone: τ_P= 0.03 τ_O=0.14 σ_O=83.37 σ_{ID}=83.37 Σ_T=83.51
CC 19 SLV (Collegamento 0022_-379)
Azioni sul collegamento: N=-3330.02 Ty=-0.75 Tz=5.88 Mx=-0.01 Mz=-2.19
Sollecitazioni agenti localmente: Tx_l=-0.75 Ty_l=5.88 N_l=-3330.02 My_l=2.19 Mz_l=-0.01
Azioni sul cordone: TP=-0.04 TO=0.44 NO=-246.16
Tensioni nel cordone: τ_P= 0.01 τ_O=0.14 σ_O=81.45 σ_{ID}=81.45 Σ_T=81.59
CC 19 SLV (Collegamento 0022_-379)
Azioni sul collegamento: N=-3330.02 Ty=-1.43 Tz=-11.19 Mx=-0.01 Mz=-3.51
Sollecitazioni agenti localmente: Tx_l=-1.43 Ty_l=-11.19 N_l=-3330.02 My_l=3.51 Mz_l=-0.01
Azioni sul cordone: TP=-0.09 TO=-0.82 NO=-246.16
Tensioni nel cordone: τ_P= 0.03 τ_O=0.26 σ_O=83.37 σ_{ID}=83.37 Σ_T=83.63

CC 19 SLV (Collegamento 0022_-379)
Azioni sul collegamento: N=-3330.02 Ty=-0.75 Tz=-11.19 Mx=-0.01 Mz=-2.19
Sollecitazioni agenti localmente: Tx_l=-0.75 Ty_l=-11.19 N_l=-3330.02 My_l=2.19 Mz_l=-0.01
Azioni sul cordone: TP=-0.04 TO=-0.82 NO=-246.16
Tensioni nel cordone: τ_P= 0.01 τ_O=0.26 σ_O=81.45 σ_{ID}=81.45 Σ_T=81.71
CC 19 SLV (Collegamento 0022_-379)
Azioni sul collegamento: N=-7936.44 Ty=-1.43 Tz=5.88 Mx=-0.01 Mz=-3.51
Sollecitazioni agenti localmente: Tx_l=-1.43 Ty_l=5.88 N_l=-7936.44 My_l=3.51 Mz_l=-0.01
Azioni sul cordone: TP=-0.09 TO=0.44 NO=-586.66
Tensioni nel cordone: τ_P= 0.03 τ_O=0.14 σ_O=191.60 σ_{ID}=191.60 Σ_T=191.74
CC 19 SLV (Collegamento 0022_-379)
Azioni sul collegamento: N=-7936.44 Ty=-0.75 Tz=5.88 Mx=-0.01 Mz=-2.19
Sollecitazioni agenti localmente: Tx_l=-0.75 Ty_l=5.88 N_l=-7936.44 My_l=2.19 Mz_l=-0.01
Azioni sul cordone: TP=-0.04 TO=0.44 NO=-586.66
Tensioni nel cordone: τ_P= 0.01 τ_O=0.14 σ_O=189.68 σ_{ID}=189.68 Σ_T=189.82
CC 19 SLV (Collegamento 0022_-379)
Azioni sul collegamento: N=-7936.44 Ty=-1.43 Tz=-11.19 Mx=-0.01 Mz=-3.51
Sollecitazioni agenti localmente: Tx_l=-1.43 Ty_l=-11.19 N_l=-7936.44 My_l=3.51 Mz_l=-0.01
Azioni sul cordone: TP=-0.09 TO=-0.82 NO=-586.66
Tensioni nel cordone: τ_P= 0.03 τ_O=0.26 σ_O=191.60 σ_{ID}=191.60 Σ_T=191.86
CC 19 SLV (Collegamento 0022_-379)
Azioni sul collegamento: N=-7936.44 Ty=-0.75 Tz=-11.19 Mx=-0.01 Mz=-2.19
Sollecitazioni agenti localmente: Tx_l=-0.75 Ty_l=-11.19 N_l=-7936.44 My_l=2.19 Mz_l=-0.01
Azioni sul cordone: TP=-0.04 TO=-0.82 NO=-586.66
Tensioni nel cordone: τ_P= 0.01 τ_O=0.26 σ_O=189.68 σ_{ID}=189.68 Σ_T=189.94
CC 20 SLD (Collegamento 0022_-379)
Azioni sul collegamento: N=-4931.09 Ty=-0.38 Tz=-0.05 Mx=-0.00 Mz=-1.00
Sollecitazioni agenti localmente: Tx_l=-0.38 Ty_l=-0.05 N_l=-4931.09 My_l=1.00 Mz_l=-0.00
Azioni sul cordone: TP=-0.02 TO=-0.00 NO=-364.51
Tensioni nel cordone: τ_P=7.89E-03 τ_O=4.06E-04 σ_O=117.32 σ_{ID}=117.32 Σ_T=117.32
CC 20 SLD (Collegamento 0022_-379)
Azioni sul collegamento: N=-4931.09 Ty=-0.18 Tz=-0.05 Mx=-0.00 Mz=-0.60
Sollecitazioni agenti localmente: Tx_l=-0.18 Ty_l=-0.05 N_l=-4931.09 My_l=0.60 Mz_l=-0.00
Azioni sul cordone: TP=-0.01 TO=-0.00 NO=-364.51
Tensioni nel cordone: τ_P=3.04E-03 τ_O=4.06E-04 σ_O=116.73 σ_{ID}=116.73 Σ_T=116.73
CC 20 SLD (Collegamento 0022_-379)
Azioni sul collegamento: N=-4931.09 Ty=-0.38 Tz=-5.26 Mx=-0.00 Mz=-1.00
Sollecitazioni agenti localmente: Tx_l=-0.38 Ty_l=-5.26 N_l=-4931.09 My_l=1.00 Mz_l=-0.00
Azioni sul cordone: TP=-0.02 TO=-0.39 NO=-364.51
Tensioni nel cordone: τ_P=7.89E-03 τ_O=0.12 σ_O=117.32 σ_{ID}=117.32 Σ_T=117.44
CC 20 SLD (Collegamento 0022_-379)
Azioni sul collegamento: N=-4931.09 Ty=-0.18 Tz=-5.26 Mx=-0.00 Mz=-0.60
Sollecitazioni agenti localmente: Tx_l=-0.18 Ty_l=-5.26 N_l=-4931.09 My_l=0.60 Mz_l=-0.00
Azioni sul cordone: TP=-0.01 TO=-0.39 NO=-364.51
Tensioni nel cordone: τ_P=3.04E-03 τ_O=0.12 σ_O=116.73 σ_{ID}=116.73 Σ_T=116.85
CC 20 SLD (Collegamento 0022_-379)
Azioni sul collegamento: N=-6335.74 Ty=-0.38 Tz=-0.05 Mx=-0.00 Mz=-1.00
Sollecitazioni agenti localmente: Tx_l=-0.38 Ty_l=-0.05 N_l=-6335.74 My_l=1.00 Mz_l=-0.00
Azioni sul cordone: TP=-0.02 TO=-0.00 NO=-468.34
Tensioni nel cordone: τ_P=7.89E-03 τ_O=4.04E-04 σ_O=150.32 σ_{ID}=150.32 Σ_T=150.32
CC 20 SLD (Collegamento 0022_-379)
Azioni sul collegamento: N=-6335.74 Ty=-0.18 Tz=-0.05 Mx=-0.00 Mz=-0.60
Sollecitazioni agenti localmente: Tx_l=-0.18 Ty_l=-0.05 N_l=-6335.74 My_l=0.60 Mz_l=-0.00
Azioni sul cordone: TP=-0.01 TO=-0.00 NO=-468.34
Tensioni nel cordone: τ_P=3.04E-03 τ_O=4.04E-04 σ_O=149.73 σ_{ID}=149.73 Σ_T=149.74
CC 20 SLD (Collegamento 0022_-379)
Azioni sul collegamento: N=-6335.74 Ty=-0.38 Tz=-5.26 Mx=-0.00 Mz=-1.00
Sollecitazioni agenti localmente: Tx_l=-0.38 Ty_l=-5.26 N_l=-6335.74 My_l=1.00 Mz_l=-0.00
Azioni sul cordone: TP=-0.02 TO=-0.39 NO=-468.34
Tensioni nel cordone: τ_P=7.89E-03 τ_O=0.12 σ_O=150.32 σ_{ID}=150.32 Σ_T=150.44
CC 20 SLD (Collegamento 0022_-379)
Azioni sul collegamento: N=-6335.74 Ty=-0.18 Tz=-5.26 Mx=-0.00 Mz=-0.60
Sollecitazioni agenti localmente: Tx_l=-0.18 Ty_l=-5.26 N_l=-6335.74 My_l=0.60 Mz_l=-0.00
Azioni sul cordone: TP=-0.01 TO=-0.39 NO=-468.34
Tensioni nel cordone: τ_P=3.04E-03 τ_O=0.12 σ_O=149.73 σ_{ID}=149.73 Σ_T=149.86
CC 21 SLV (Collegamento 0022_-379)
Azioni sul collegamento: N=-7936.44 Ty=-0.75 Tz=-11.19 Mx=-0.02 Mz=-2.19
Sollecitazioni agenti localmente: Tx_l=-0.75 Ty_l=-11.19 N_l=-7936.44 My_l=2.19 Mz_l=-0.02
Azioni sul cordone: TP=-0.04 TO=-0.82 NO=-586.66
Tensioni nel cordone: τ_P= 0.01 τ_O=0.26 σ_O=189.68 σ_{ID}=189.68 Σ_T=189.94
CC 21 SLV (Collegamento 0022_-379)
Azioni sul collegamento: N=-7936.44 Ty=-1.43 Tz=-11.19 Mx=-0.02 Mz=-3.51
Sollecitazioni agenti localmente: Tx_l=-1.43 Ty_l=-11.19 N_l=-7936.44 My_l=3.51 Mz_l=-0.02
Azioni sul cordone: TP=-0.09 TO=-0.82 NO=-586.66
Tensioni nel cordone: τ_P= 0.03 τ_O=0.26 σ_O=191.60 σ_{ID}=191.60 Σ_T=191.86
CC 21 SLV (Collegamento 0022_-379)
Azioni sul collegamento: N=-7936.44 Ty=-0.75 Tz=5.88 Mx=-0.02 Mz=-2.19
Sollecitazioni agenti localmente: Tx_l=-0.75 Ty_l=5.88 N_l=-7936.44 My_l=2.19 Mz_l=-0.02
Azioni sul cordone: TP=-0.04 TO=0.45 NO=-586.66

Tensioni nel cordone: τ_P= 0.01 τ_0=0.14 σ_0=189.68 σ_{ID}=189.68 Σ_T=189.82
CC 21 SLV (Collegamento 0022_-379)
Azioni sul collegamento: N=-7936.44 Ty=-1.43 Tz=5.88 Mx=-0.02 Mz=-3.51
Sollecitazioni agenti localmente: Tx_l=-1.43 Ty_l=5.88 N_l=-7936.44 My_l=3.51 Mz_l=-0.02
Azioni sul cordone: TP=-0.09 TO=0.45 NO=-586.66
Tensioni nel cordone: τ_P= 0.03 τ_0=0.14 σ_0=191.60 σ_{ID}=191.60 Σ_T=191.74
CC 21 SLV (Collegamento 0022_-379)
Azioni sul collegamento: N=-3330.02 Ty=-0.75 Tz=-11.19 Mx=-0.02 Mz=-2.19
Sollecitazioni agenti localmente: Tx_l=-0.75 Ty_l=-11.19 N_l=-3330.02 My_l=2.19 Mz_l=-0.02
Azioni sul cordone: TP=-0.04 TO=-0.82 NO=-246.16
Tensioni nel cordone: τ_P= 0.01 τ_0=0.26 σ_0=81.45 σ_{ID}=81.45 Σ_T=81.71
CC 21 SLV (Collegamento 0022_-379)
Azioni sul collegamento: N=-3330.02 Ty=-1.43 Tz=-11.19 Mx=-0.02 Mz=-3.51
Sollecitazioni agenti localmente: Tx_l=-1.43 Ty_l=-11.19 N_l=-3330.02 My_l=3.51 Mz_l=-0.02
Azioni sul cordone: TP=-0.09 TO=-0.82 NO=-246.16
Tensioni nel cordone: τ_P= 0.03 τ_0=0.26 σ_0=83.37 σ_{ID}=83.37 Σ_T=83.63
CC 21 SLV (Collegamento 0022_-379)
Azioni sul collegamento: N=-3330.02 Ty=-0.75 Tz=5.88 Mx=-0.02 Mz=-2.19
Sollecitazioni agenti localmente: Tx_l=-0.75 Ty_l=5.88 N_l=-3330.02 My_l=2.19 Mz_l=-0.02
Azioni sul cordone: TP=-0.04 TO=0.45 NO=-246.16
Tensioni nel cordone: τ_P= 0.01 τ_0=0.14 σ_0=81.45 σ_{ID}=81.45 Σ_T=81.59
CC 21 SLV (Collegamento 0022_-379)
Azioni sul collegamento: N=-3330.02 Ty=-1.43 Tz=5.88 Mx=-0.02 Mz=-3.51
Sollecitazioni agenti localmente: Tx_l=-1.43 Ty_l=5.88 N_l=-3330.02 My_l=3.51 Mz_l=-0.02
Azioni sul cordone: TP=-0.09 TO=0.45 NO=-246.16
Tensioni nel cordone: τ_P= 0.03 τ_0=0.14 σ_0=83.37 σ_{ID}=83.37 Σ_T=83.51
CC 22 SLD (Collegamento 0022_-379)
Azioni sul collegamento: N=-6335.74 Ty=-0.18 Tz=-5.26 Mx=-0.00 Mz=-0.60
Sollecitazioni agenti localmente: Tx_l=-0.18 Ty_l=-5.26 N_l=-6335.74 My_l=0.60 Mz_l=-0.00
Azioni sul cordone: TP=-0.01 TO=-0.39 NO=-468.34
Tensioni nel cordone: τ_P=2.48E-03 τ_0=0.12 σ_0=149.73 σ_{ID}=149.73 Σ_T=149.86
CC 22 SLD (Collegamento 0022_-379)
Azioni sul collegamento: N=-6335.74 Ty=-0.38 Tz=-5.26 Mx=-0.00 Mz=-1.00
Sollecitazioni agenti localmente: Tx_l=-0.38 Ty_l=-5.26 N_l=-6335.74 My_l=1.00 Mz_l=-0.00
Azioni sul cordone: TP=-0.02 TO=-0.39 NO=-468.34
Tensioni nel cordone: τ_P=7.33E-03 τ_0=0.12 σ_0=150.32 σ_{ID}=150.32 Σ_T=150.44
CC 22 SLD (Collegamento 0022_-379)
Azioni sul collegamento: N=-6335.74 Ty=-0.18 Tz=-0.05 Mx=-0.00 Mz=-0.60
Sollecitazioni agenti localmente: Tx_l=-0.18 Ty_l=-0.05 N_l=-6335.74 My_l=0.60 Mz_l=-0.00
Azioni sul cordone: TP=-0.01 TO=-0.00 NO=-468.34
Tensioni nel cordone: τ_P=2.48E-03 τ_0=1.65E-05 σ_0=149.73 σ_{ID}=149.73 Σ_T=149.73
CC 22 SLD (Collegamento 0022_-379)
Azioni sul collegamento: N=-6335.74 Ty=-0.38 Tz=-0.05 Mx=-0.00 Mz=-1.00
Sollecitazioni agenti localmente: Tx_l=-0.38 Ty_l=-0.05 N_l=-6335.74 My_l=1.00 Mz_l=-0.00
Azioni sul cordone: TP=-0.02 TO=-0.00 NO=-468.34
Tensioni nel cordone: τ_P=7.33E-03 τ_0=1.65E-05 σ_0=150.32 σ_{ID}=150.32 Σ_T=150.32
CC 22 SLD (Collegamento 0022_-379)
Azioni sul collegamento: N=-4931.09 Ty=-0.18 Tz=-5.26 Mx=-0.00 Mz=-0.60
Sollecitazioni agenti localmente: Tx_l=-0.18 Ty_l=-5.26 N_l=-4931.09 My_l=0.60 Mz_l=-0.00
Azioni sul cordone: TP=-0.01 TO=-0.39 NO=-364.51
Tensioni nel cordone: τ_P=2.48E-03 τ_0=0.12 σ_0=116.73 σ_{ID}=116.73 Σ_T=116.85
CC 22 SLD (Collegamento 0022_-379)
Azioni sul collegamento: N=-4931.09 Ty=-0.38 Tz=-5.26 Mx=-0.00 Mz=-1.00
Sollecitazioni agenti localmente: Tx_l=-0.38 Ty_l=-5.26 N_l=-4931.09 My_l=1.00 Mz_l=-0.00
Azioni sul cordone: TP=-0.02 TO=-0.39 NO=-364.51
Tensioni nel cordone: τ_P=7.33E-03 τ_0=0.12 σ_0=117.32 σ_{ID}=117.32 Σ_T=117.44
CC 22 SLD (Collegamento 0022_-379)
Azioni sul collegamento: N=-4931.09 Ty=-0.18 Tz=-0.05 Mx=-0.00 Mz=-0.60
Sollecitazioni agenti localmente: Tx_l=-0.18 Ty_l=-0.05 N_l=-4931.09 My_l=0.60 Mz_l=-0.00
Azioni sul cordone: TP=-0.01 TO=-0.00 NO=-364.51
Tensioni nel cordone: τ_P=2.48E-03 τ_0=1.77E-05 σ_0=116.73 σ_{ID}=116.73 Σ_T=116.73
CC 22 SLD (Collegamento 0022_-379)
Azioni sul collegamento: N=-4931.09 Ty=-0.38 Tz=-0.05 Mx=-0.00 Mz=-1.00
Sollecitazioni agenti localmente: Tx_l=-0.38 Ty_l=-0.05 N_l=-4931.09 My_l=1.00 Mz_l=-0.00
Azioni sul cordone: TP=-0.02 TO=-0.00 NO=-364.51
Tensioni nel cordone: τ_P=7.33E-03 τ_0=1.77E-05 σ_0=117.32 σ_{ID}=117.32 Σ_T=117.32
CC 23 SLV (Collegamento 0022_-379)
Azioni sul collegamento: N=-7936.47 Ty=-1.44 Tz=-11.20 Mx=-0.01 Mz=-3.55
Sollecitazioni agenti localmente: Tx_l=-1.44 Ty_l=-11.20 N_l=-7936.47 My_l=3.55 Mz_l=-0.01
Azioni sul cordone: TP=-0.09 TO=-0.82 NO=-586.67
Tensioni nel cordone: τ_P= 0.03 τ_0=0.26 σ_0=191.65 σ_{ID}=191.65 Σ_T=191.91
CC 23 SLV (Collegamento 0022_-379)
Azioni sul collegamento: N=-7936.47 Ty=-0.74 Tz=-11.20 Mx=-0.01 Mz=-2.16
Sollecitazioni agenti localmente: Tx_l=-0.74 Ty_l=-11.20 N_l=-7936.47 My_l=2.16 Mz_l=-0.01
Azioni sul cordone: TP=-0.04 TO=-0.82 NO=-586.67
Tensioni nel cordone: τ_P= 0.01 τ_0=0.26 σ_0=189.62 σ_{ID}=189.62 Σ_T=189.88
CC 23 SLV (Collegamento 0022_-379)
Azioni sul collegamento: N=-7936.47 Ty=-1.44 Tz=5.89 Mx=-0.01 Mz=-3.55
Sollecitazioni agenti localmente: Tx_l=-1.44 Ty_l=5.89 N_l=-7936.47 My_l=3.55 Mz_l=-0.01

Azioni sul cordone: TP=-0.09 TO=0.44 NO=-586.67
Tensioni nel cordone: τ_P= 0.03 τ_O=0.14 σ_O=191.65 σ_{ID}=191.65 Σ_T=191.79
CC 23 SLV (Collegamento 0022_-379)
Azioni sul collegamento: N=-7936.47 Ty=-0.74 Tz=5.89 Mx=-0.01 Mz=-2.16
Sollecitazioni agenti localmente: Tx_l=-0.74 Ty_l=5.89 N_l=-7936.47 My_l=2.16 Mz_l=-0.01
Azioni sul cordone: TP=-0.04 TO=0.44 NO=-586.67
Tensioni nel cordone: τ_P= 0.01 τ_O=0.14 σ_O=189.62 σ_{ID}=189.62 Σ_T=189.76
CC 23 SLV (Collegamento 0022_-379)
Azioni sul collegamento: N=-3330.00 Ty=-1.44 Tz=-11.20 Mx=-0.01 Mz=-3.55
Sollecitazioni agenti localmente: Tx_l=-1.44 Ty_l=-11.20 N_l=-3330.00 My_l=3.55 Mz_l=-0.01
Azioni sul cordone: TP=-0.09 TO=-0.82 NO=-246.15
Tensioni nel cordone: τ_P= 0.03 τ_O=0.26 σ_O=83.42 σ_{ID}=83.42 Σ_T=83.68
CC 23 SLV (Collegamento 0022_-379)
Azioni sul collegamento: N=-3330.00 Ty=-0.74 Tz=-11.20 Mx=-0.01 Mz=-2.16
Sollecitazioni agenti localmente: Tx_l=-0.74 Ty_l=-11.20 N_l=-3330.00 My_l=2.16 Mz_l=-0.01
Azioni sul cordone: TP=-0.04 TO=-0.82 NO=-246.15
Tensioni nel cordone: τ_P= 0.01 τ_O=0.26 σ_O=81.39 σ_{ID}=81.39 Σ_T=81.65
CC 23 SLV (Collegamento 0022_-379)
Azioni sul collegamento: N=-3330.00 Ty=-1.44 Tz=5.89 Mx=-0.01 Mz=-3.55
Sollecitazioni agenti localmente: Tx_l=-1.44 Ty_l=5.89 N_l=-3330.00 My_l=3.55 Mz_l=-0.01
Azioni sul cordone: TP=-0.09 TO=0.44 NO=-246.15
Tensioni nel cordone: τ_P= 0.03 τ_O=0.14 σ_O=83.42 σ_{ID}=83.42 Σ_T=83.56
CC 23 SLV (Collegamento 0022_-379)
Azioni sul collegamento: N=-3330.00 Ty=-0.74 Tz=5.89 Mx=-0.01 Mz=-2.16
Sollecitazioni agenti localmente: Tx_l=-0.74 Ty_l=5.89 N_l=-3330.00 My_l=2.16 Mz_l=-0.01
Azioni sul cordone: TP=-0.04 TO=0.44 NO=-246.15
Tensioni nel cordone: τ_P= 0.01 τ_O=0.14 σ_O=81.39 σ_{ID}=81.39 Σ_T=81.53
CC 24 SLD (Collegamento 0022_-379)
Azioni sul collegamento: N=-6335.74 Ty=-0.39 Tz=-5.26 Mx=-0.00 Mz=-1.01
Sollecitazioni agenti localmente: Tx_l=-0.39 Ty_l=-5.26 N_l=-6335.74 My_l=1.01 Mz_l=-0.00
Azioni sul cordone: TP=-0.03 TO=-0.39 NO=-468.34
Tensioni nel cordone: τ_P=8.01E-03 τ_O=0.12 σ_O=150.34 σ_{ID}=150.34 Σ_T=150.46
CC 24 SLD (Collegamento 0022_-379)
Azioni sul collegamento: N=-6335.74 Ty=-0.17 Tz=-5.26 Mx=-0.00 Mz=-0.59
Sollecitazioni agenti localmente: Tx_l=-0.17 Ty_l=-5.26 N_l=-6335.74 My_l=0.59 Mz_l=-0.00
Azioni sul cordone: TP=-0.01 TO=-0.39 NO=-468.34
Tensioni nel cordone: τ_P=2.96E-03 τ_O=0.12 σ_O=149.72 σ_{ID}=149.72 Σ_T=149.84
CC 24 SLD (Collegamento 0022_-379)
Azioni sul collegamento: N=-6335.74 Ty=-0.39 Tz=-0.05 Mx=-0.00 Mz=-1.01
Sollecitazioni agenti localmente: Tx_l=-0.39 Ty_l=-0.05 N_l=-6335.74 My_l=1.01 Mz_l=-0.00
Azioni sul cordone: TP=-0.03 TO=-0.00 NO=-468.34
Tensioni nel cordone: τ_P=8.01E-03 τ_O=4.08E-04 σ_O=150.34 σ_{ID}=150.34 Σ_T=150.34
CC 24 SLD (Collegamento 0022_-379)
Azioni sul collegamento: N=-6335.74 Ty=-0.17 Tz=-0.05 Mx=-0.00 Mz=-0.59
Sollecitazioni agenti localmente: Tx_l=-0.17 Ty_l=-0.05 N_l=-6335.74 My_l=0.59 Mz_l=-0.00
Azioni sul cordone: TP=-0.01 TO=-0.00 NO=-468.34
Tensioni nel cordone: τ_P=2.96E-03 τ_O=4.08E-04 σ_O=149.72 σ_{ID}=149.72 Σ_T=149.72
CC 24 SLD (Collegamento 0022_-379)
Azioni sul collegamento: N=-4931.09 Ty=-0.39 Tz=-5.26 Mx=-0.00 Mz=-1.01
Sollecitazioni agenti localmente: Tx_l=-0.39 Ty_l=-5.26 N_l=-4931.09 My_l=1.01 Mz_l=-0.00
Azioni sul cordone: TP=-0.03 TO=-0.39 NO=-364.51
Tensioni nel cordone: τ_P=8.01E-03 τ_O=0.12 σ_O=117.33 σ_{ID}=117.33 Σ_T=117.46
CC 24 SLD (Collegamento 0022_-379)
Azioni sul collegamento: N=-4931.09 Ty=-0.17 Tz=-5.26 Mx=-0.00 Mz=-0.59
Sollecitazioni agenti localmente: Tx_l=-0.17 Ty_l=-5.26 N_l=-4931.09 My_l=0.59 Mz_l=-0.00
Azioni sul cordone: TP=-0.01 TO=-0.39 NO=-364.51
Tensioni nel cordone: τ_P=2.96E-03 τ_O=0.12 σ_O=116.71 σ_{ID}=116.71 Σ_T=116.84
CC 24 SLD (Collegamento 0022_-379)
Azioni sul collegamento: N=-4931.08 Ty=-0.39 Tz=-0.05 Mx=-0.00 Mz=-1.01
Sollecitazioni agenti localmente: Tx_l=-0.39 Ty_l=-0.05 N_l=-4931.08 My_l=1.01 Mz_l=-0.00
Azioni sul cordone: TP=-0.03 TO=-0.00 NO=-364.51
Tensioni nel cordone: τ_P=8.01E-03 τ_O=4.16E-04 σ_O=117.33 σ_{ID}=117.33 Σ_T=117.33
CC 24 SLD (Collegamento 0022_-379)
Azioni sul collegamento: N=-4931.08 Ty=-0.17 Tz=-0.05 Mx=-0.00 Mz=-0.59
Sollecitazioni agenti localmente: Tx_l=-0.17 Ty_l=-0.05 N_l=-4931.08 My_l=0.59 Mz_l=-0.00
Azioni sul cordone: TP=-0.01 TO=-0.00 NO=-364.51
Tensioni nel cordone: τ_P=2.96E-03 τ_O=4.16E-04 σ_O=116.71 σ_{ID}=116.71 Σ_T=116.71
CC 25 SLV (Collegamento 0022_-379)
Azioni sul collegamento: N=-4942.23 Ty=0.07 Tz=-0.09 Mx=-0.02 Mz=-0.59
Sollecitazioni agenti localmente: Tx_l=0.07 Ty_l=-0.09 N_l=-4942.23 My_l=0.59 Mz_l=-0.02
Azioni sul cordone: TP=0.03 TO=0.01 NO=-365.33
Tensioni nel cordone: τ_P=9.55E-03 τ_O=3.38E-03 σ_O=116.98 σ_{ID}=116.98 Σ_T=116.99
CC 25 SLV (Collegamento 0022_-379)
Azioni sul collegamento: N=-4942.23 Ty=-2.24 Tz=-0.09 Mx=-0.02 Mz=-5.11
Sollecitazioni agenti localmente: Tx_l=-2.24 Ty_l=-0.09 N_l=-4942.23 My_l=5.11 Mz_l=-0.02
Azioni sul cordone: TP=-0.14 TO=0.01 NO=-365.33
Tensioni nel cordone: τ_P= 0.04 τ_O=3.38E-03 σ_O=123.59 σ_{ID}=123.59 Σ_T=123.59
CC 25 SLV (Collegamento 0022_-379)
Azioni sul collegamento: N=-4942.23 Ty=0.07 Tz=-5.22 Mx=-0.02 Mz=-0.59

Sollecitazioni agenti localmente: Tx_l=0.07 Ty_l=-5.22 N_l=-4942.23 My_l=0.59 Mz_l=-0.02
Azioni sul cordone: TP=0.03 TO=-0.37 NO=-365.33
Tensioni nel cordone: τ_P=9.55E-03 τ_O=0.12 σ_O=116.98 σ_{ID}=116.98 Σ_T=117.10
CC 25 SLV (Collegamento 0022_-379)
Azioni sul collegamento: N=-4942.23 Ty=-2.24 Tz=-5.22 Mx=-0.02 Mz=-5.11
Sollecitazioni agenti localmente: Tx_l=-2.24 Ty_l=-5.22 N_l=-4942.23 My_l=5.11 Mz_l=-0.02
Azioni sul cordone: TP=-0.14 TO=-0.37 NO=-365.33
Tensioni nel cordone: τ_P= 0.04 τ_O=0.12 σ_O=123.59 σ_{ID}=123.59 Σ_T=123.71
CC 25 SLV (Collegamento 0022_-379)
Azioni sul collegamento: N=-6324.24 Ty=0.07 Tz=-0.09 Mx=-0.02 Mz=-0.59
Sollecitazioni agenti localmente: Tx_l=0.07 Ty_l=-0.09 N_l=-6324.24 My_l=0.59 Mz_l=-0.02
Azioni sul cordone: TP=0.03 TO=0.01 NO=-467.49
Tensioni nel cordone: τ_P=9.55E-03 τ_O=3.38E-03 σ_O=149.45 σ_{ID}=149.45 Σ_T=149.46
CC 25 SLV (Collegamento 0022_-379)
Azioni sul collegamento: N=-6324.24 Ty=-2.24 Tz=-0.09 Mx=-0.02 Mz=-5.11
Sollecitazioni agenti localmente: Tx_l=-2.24 Ty_l=-0.09 N_l=-6324.24 My_l=5.11 Mz_l=-0.02
Azioni sul cordone: TP=-0.14 TO=0.01 NO=-467.49
Tensioni nel cordone: τ_P= 0.04 τ_O=3.38E-03 σ_O=156.06 σ_{ID}=156.06 Σ_T=156.06
CC 25 SLV (Collegamento 0022_-379)
Azioni sul collegamento: N=-6324.24 Ty=0.07 Tz=-5.22 Mx=-0.02 Mz=-0.59
Sollecitazioni agenti localmente: Tx_l=0.07 Ty_l=-5.22 N_l=-6324.24 My_l=0.59 Mz_l=-0.02
Azioni sul cordone: TP=0.03 TO=-0.37 NO=-467.49
Tensioni nel cordone: τ_P=9.55E-03 τ_O=0.12 σ_O=149.45 σ_{ID}=149.45 Σ_T=149.57
CC 25 SLV (Collegamento 0022_-379)
Azioni sul collegamento: N=-6324.24 Ty=-2.24 Tz=-5.22 Mx=-0.02 Mz=-5.11
Sollecitazioni agenti localmente: Tx_l=-2.24 Ty_l=-5.22 N_l=-6324.24 My_l=5.11 Mz_l=-0.02
Azioni sul cordone: TP=-0.14 TO=-0.37 NO=-467.49
Tensioni nel cordone: τ_P= 0.04 τ_O=0.12 σ_O=156.06 σ_{ID}=156.06 Σ_T=156.18
CC 26 SLD (Collegamento 0022_-379)
Azioni sul collegamento: N=-5422.71 Ty=0.07 Tz=-1.87 Mx=-0.01 Mz=-0.11
Sollecitazioni agenti localmente: Tx_l=0.07 Ty_l=-1.87 N_l=-5422.71 My_l=0.11 Mz_l=-0.01
Azioni sul cordone: TP=0.01 TO=-0.13 NO=-400.85
Tensioni nel cordone: τ_P=4.06E-03 τ_O= 0.04 σ_O=127.57 σ_{ID}=127.57 Σ_T=127.61
CC 26 SLD (Collegamento 0022_-379)
Azioni sul collegamento: N=-5422.71 Ty=-0.63 Tz=-1.87 Mx=-0.01 Mz=-1.49
Sollecitazioni agenti localmente: Tx_l=-0.63 Ty_l=-1.87 N_l=-5422.71 My_l=1.49 Mz_l=-0.01
Azioni sul cordone: TP=-0.04 TO=-0.13 NO=-400.85
Tensioni nel cordone: τ_P= 0.01 τ_O= 0.04 σ_O=129.58 σ_{ID}=129.58 Σ_T=129.62
CC 26 SLD (Collegamento 0022_-379)
Azioni sul collegamento: N=-5422.71 Ty=0.07 Tz=-3.44 Mx=-0.01 Mz=-0.11
Sollecitazioni agenti localmente: Tx_l=0.07 Ty_l=-3.44 N_l=-5422.71 My_l=0.11 Mz_l=-0.01
Azioni sul cordone: TP=0.01 TO=-0.25 NO=-400.85
Tensioni nel cordone: τ_P=4.06E-03 τ_O= 0.08 σ_O=127.57 σ_{ID}=127.57 Σ_T=127.65
CC 26 SLD (Collegamento 0022_-379)
Azioni sul collegamento: N=-5422.71 Ty=-0.63 Tz=-3.44 Mx=-0.01 Mz=-1.49
Sollecitazioni agenti localmente: Tx_l=-0.63 Ty_l=-3.44 N_l=-5422.71 My_l=1.49 Mz_l=-0.01
Azioni sul cordone: TP=-0.04 TO=-0.25 NO=-400.85
Tensioni nel cordone: τ_P= 0.01 τ_O= 0.08 σ_O=129.58 σ_{ID}=129.58 Σ_T=129.66
CC 26 SLD (Collegamento 0022_-379)
Azioni sul collegamento: N=-5844.12 Ty=0.07 Tz=-1.87 Mx=-0.01 Mz=-0.11
Sollecitazioni agenti localmente: Tx_l=0.07 Ty_l=-1.87 N_l=-5844.12 My_l=0.11 Mz_l=-0.01
Azioni sul cordone: TP=0.01 TO=-0.13 NO=-432.00
Tensioni nel cordone: τ_P=4.06E-03 τ_O= 0.04 σ_O=137.47 σ_{ID}=137.47 Σ_T=137.51
CC 26 SLD (Collegamento 0022_-379)
Azioni sul collegamento: N=-5844.12 Ty=-0.63 Tz=-1.87 Mx=-0.01 Mz=-1.49
Sollecitazioni agenti localmente: Tx_l=-0.63 Ty_l=-1.87 N_l=-5844.12 My_l=1.49 Mz_l=-0.01
Azioni sul cordone: TP=-0.04 TO=-0.13 NO=-432.00
Tensioni nel cordone: τ_P= 0.01 τ_O= 0.04 σ_O=139.48 σ_{ID}=139.48 Σ_T=139.53
CC 26 SLD (Collegamento 0022_-379)
Azioni sul collegamento: N=-5844.12 Ty=0.07 Tz=-3.44 Mx=-0.01 Mz=-0.11
Sollecitazioni agenti localmente: Tx_l=0.07 Ty_l=-3.44 N_l=-5844.12 My_l=0.11 Mz_l=-0.01
Azioni sul cordone: TP=0.01 TO=-0.25 NO=-432.00
Tensioni nel cordone: τ_P=4.06E-03 τ_O= 0.08 σ_O=137.47 σ_{ID}=137.47 Σ_T=137.55
CC 26 SLD (Collegamento 0022_-379)
Azioni sul collegamento: N=-5844.12 Ty=-0.63 Tz=-3.44 Mx=-0.01 Mz=-1.49
Sollecitazioni agenti localmente: Tx_l=-0.63 Ty_l=-3.44 N_l=-5844.12 My_l=1.49 Mz_l=-0.01
Azioni sul cordone: TP=-0.04 TO=-0.25 NO=-432.00
Tensioni nel cordone: τ_P= 0.01 τ_O= 0.08 σ_O=139.48 σ_{ID}=139.48 Σ_T=139.56
CC 27 SLV (Collegamento 0022_-379)
Azioni sul collegamento: N=-6324.16 Ty=0.06 Tz=-5.22 Mx=-0.02 Mz=-0.60
Sollecitazioni agenti localmente: Tx_l=0.06 Ty_l=-5.22 N_l=-6324.16 My_l=0.60 Mz_l=-0.02
Azioni sul cordone: TP=0.03 TO=-0.37 NO=-467.48
Tensioni nel cordone: τ_P=9.43E-03 τ_O=0.12 σ_O=149.47 σ_{ID}=149.47 Σ_T=149.59
CC 27 SLV (Collegamento 0022_-379)
Azioni sul collegamento: N=-6324.16 Ty=-2.24 Tz=-5.22 Mx=-0.02 Mz=-5.10
Sollecitazioni agenti localmente: Tx_l=-2.24 Ty_l=-5.22 N_l=-6324.16 My_l=5.10 Mz_l=-0.02
Azioni sul cordone: TP=-0.14 TO=-0.37 NO=-467.48
Tensioni nel cordone: τ_P= 0.04 τ_O=0.12 σ_O=156.04 σ_{ID}=156.04 Σ_T=156.16
CC 27 SLV (Collegamento 0022_-379)

Azioni sul collegamento: N=-6324.16 Ty=0.06 Tz=-0.09 Mx=-0.02 Mz=-0.60
Sollecitazioni agenti localmente: Tx_l=0.06 Ty_l=-0.09 N_l=-6324.16 My_l=0.60 Mz_l=-0.02
Azioni sul cordone: TP=0.03 TO=0.01 NO=-467.48
Tensioni nel cordone: τ_P=9.43E-03 τ_O=3.33E-03 σ_O=149.47 σ_{ID}=149.47 Σ_T=149.47
CC 27 SLV (Collegamento 0022_-379)
Azioni sul collegamento: N=-6324.16 Ty=-2.24 Tz=-0.09 Mx=-0.02 Mz=-5.10
Sollecitazioni agenti localmente: Tx_l=-2.24 Ty_l=-0.09 N_l=-6324.16 My_l=5.10 Mz_l=-0.02
Azioni sul cordone: TP=-0.14 TO=0.01 NO=-467.48
Tensioni nel cordone: τ_P= 0.04 τ_O=3.33E-03 σ_O=156.04 σ_{ID}=156.04 Σ_T=156.04
CC 27 SLV (Collegamento 0022_-379)
Azioni sul collegamento: N=-4942.30 Ty=0.06 Tz=-5.22 Mx=-0.02 Mz=-0.60
Sollecitazioni agenti localmente: Tx_l=0.06 Ty_l=-5.22 N_l=-4942.30 My_l=0.60 Mz_l=-0.02
Azioni sul cordone: TP=0.03 TO=-0.37 NO=-365.34
Tensioni nel cordone: τ_P=9.43E-03 τ_O=0.12 σ_O=117.00 σ_{ID}=117.00 Σ_T=117.12
CC 27 SLV (Collegamento 0022_-379)
Azioni sul collegamento: N=-4942.30 Ty=-2.24 Tz=-5.22 Mx=-0.02 Mz=-5.10
Sollecitazioni agenti localmente: Tx_l=-2.24 Ty_l=-5.22 N_l=-4942.30 My_l=5.10 Mz_l=-0.02
Azioni sul cordone: TP=-0.14 TO=-0.37 NO=-365.34
Tensioni nel cordone: τ_P= 0.04 τ_O=0.12 σ_O=123.57 σ_{ID}=123.57 Σ_T=123.69
CC 27 SLV (Collegamento 0022_-379)
Azioni sul collegamento: N=-4942.30 Ty=0.06 Tz=-0.09 Mx=-0.02 Mz=-0.60
Sollecitazioni agenti localmente: Tx_l=0.06 Ty_l=-0.09 N_l=-4942.30 My_l=0.60 Mz_l=-0.02
Azioni sul cordone: TP=0.03 TO=0.01 NO=-365.34
Tensioni nel cordone: τ_P=9.43E-03 τ_O=3.32E-03 σ_O=117.00 σ_{ID}=117.00 Σ_T=117.00
CC 27 SLV (Collegamento 0022_-379)
Azioni sul collegamento: N=-4942.30 Ty=-2.24 Tz=-0.09 Mx=-0.02 Mz=-5.10
Sollecitazioni agenti localmente: Tx_l=-2.24 Ty_l=-0.09 N_l=-4942.30 My_l=5.10 Mz_l=-0.02
Azioni sul cordone: TP=-0.14 TO=0.01 NO=-365.34
Tensioni nel cordone: τ_P= 0.04 τ_O=3.32E-03 σ_O=123.57 σ_{ID}=123.57 Σ_T=123.58
CC 28 SLD (Collegamento 0022_-379)
Azioni sul collegamento: N=-5844.10 Ty=0.07 Tz=-3.44 Mx=-0.01 Mz=-0.11
Sollecitazioni agenti localmente: Tx_l=0.07 Ty_l=-3.44 N_l=-5844.10 My_l=0.11 Mz_l=-0.01
Azioni sul cordone: TP=0.01 TO=-0.25 NO=-432.00
Tensioni nel cordone: τ_P=4.02E-03 τ_O= 0.08 σ_O=137.47 σ_{ID}=137.47 Σ_T=137.55
CC 28 SLD (Collegamento 0022_-379)
Azioni sul collegamento: N=-5844.10 Ty=-0.63 Tz=-3.44 Mx=-0.01 Mz=-1.48
Sollecitazioni agenti localmente: Tx_l=-0.63 Ty_l=-3.44 N_l=-5844.10 My_l=1.48 Mz_l=-0.01
Azioni sul cordone: TP=-0.04 TO=-0.25 NO=-432.00
Tensioni nel cordone: τ_P= 0.01 τ_O= 0.08 σ_O=139.48 σ_{ID}=139.48 Σ_T=139.56
CC 28 SLD (Collegamento 0022_-379)
Azioni sul collegamento: N=-5844.10 Ty=0.07 Tz=-1.87 Mx=-0.01 Mz=-0.11
Sollecitazioni agenti localmente: Tx_l=0.07 Ty_l=-1.87 N_l=-5844.10 My_l=0.11 Mz_l=-0.01
Azioni sul cordone: TP=0.01 TO=-0.13 NO=-432.00
Tensioni nel cordone: τ_P=4.02E-03 τ_O= 0.04 σ_O=137.47 σ_{ID}=137.47 Σ_T=137.52
CC 28 SLD (Collegamento 0022_-379)
Azioni sul collegamento: N=-5844.10 Ty=-0.63 Tz=-1.87 Mx=-0.01 Mz=-1.48
Sollecitazioni agenti localmente: Tx_l=-0.63 Ty_l=-1.87 N_l=-5844.10 My_l=1.48 Mz_l=-0.01
Azioni sul cordone: TP=-0.04 TO=-0.13 NO=-432.00
Tensioni nel cordone: τ_P= 0.01 τ_O= 0.04 σ_O=139.48 σ_{ID}=139.48 Σ_T=139.52
CC 28 SLD (Collegamento 0022_-379)
Azioni sul collegamento: N=-5422.73 Ty=0.07 Tz=-3.44 Mx=-0.01 Mz=-0.11
Sollecitazioni agenti localmente: Tx_l=0.07 Ty_l=-3.44 N_l=-5422.73 My_l=0.11 Mz_l=-0.01
Azioni sul cordone: TP=0.01 TO=-0.25 NO=-400.85
Tensioni nel cordone: τ_P=4.02E-03 τ_O= 0.08 σ_O=127.57 σ_{ID}=127.57 Σ_T=127.65
CC 28 SLD (Collegamento 0022_-379)
Azioni sul collegamento: N=-5422.73 Ty=-0.63 Tz=-3.44 Mx=-0.01 Mz=-1.48
Sollecitazioni agenti localmente: Tx_l=-0.63 Ty_l=-3.44 N_l=-5422.73 My_l=1.48 Mz_l=-0.01
Azioni sul cordone: TP=-0.04 TO=-0.25 NO=-400.85
Tensioni nel cordone: τ_P= 0.01 τ_O= 0.08 σ_O=129.58 σ_{ID}=129.58 Σ_T=129.66
CC 28 SLD (Collegamento 0022_-379)
Azioni sul collegamento: N=-5422.73 Ty=0.07 Tz=-1.87 Mx=-0.01 Mz=-0.11
Sollecitazioni agenti localmente: Tx_l=0.07 Ty_l=-1.87 N_l=-5422.73 My_l=0.11 Mz_l=-0.01
Azioni sul cordone: TP=0.01 TO=-0.13 NO=-400.85
Tensioni nel cordone: τ_P=4.02E-03 τ_O= 0.04 σ_O=127.57 σ_{ID}=127.57 Σ_T=127.62
CC 28 SLD (Collegamento 0022_-379)
Azioni sul collegamento: N=-5422.73 Ty=-0.63 Tz=-1.87 Mx=-0.01 Mz=-1.48
Sollecitazioni agenti localmente: Tx_l=-0.63 Ty_l=-1.87 N_l=-5422.73 My_l=1.48 Mz_l=-0.01
Azioni sul cordone: TP=-0.04 TO=-0.13 NO=-400.85
Tensioni nel cordone: τ_P= 0.01 τ_O= 0.04 σ_O=129.58 σ_{ID}=129.58 Σ_T=129.62
CC 29 SLV (Collegamento 0022_-379)
Azioni sul collegamento: N=-4942.30 Ty=-2.24 Tz=-0.09 Mx=-0.00 Mz=-5.10
Sollecitazioni agenti localmente: Tx_l=-2.24 Ty_l=-0.09 N_l=-4942.30 My_l=5.10 Mz_l=-0.00
Azioni sul cordone: TP=-0.16 TO=-0.00 NO=-365.34
Tensioni nel cordone: τ_P= 0.05 τ_O=1.07E-03 σ_O=123.57 σ_{ID}=123.57 Σ_T=123.58
CC 29 SLV (Collegamento 0022_-379)
Azioni sul collegamento: N=-4942.30 Ty=0.06 Tz=-0.09 Mx=-0.00 Mz=-0.60
Sollecitazioni agenti localmente: Tx_l=0.06 Ty_l=-0.09 N_l=-4942.30 My_l=0.60 Mz_l=-0.00
Azioni sul cordone: TP=0.01 TO=-0.00 NO=-365.34
Tensioni nel cordone: τ_P=3.10E-03 τ_O=1.07E-03 σ_O=117.00 σ_{ID}=117.00 Σ_T=117.00

CC 29 SLV (Collegamento 0022_-379)
Azioni sul collegamento: N=-4942.30 Ty=-2.24 Tz=-5.22 Mx=-0.00 Mz=-5.10
Sollecitazioni agenti localmente: Tx_l=-2.24 Ty_l=-5.22 N_l=-4942.30 My_l=5.10 Mz_l=-0.00
Azioni sul cordone: TP=-0.16 TO=-0.38 NO=-365.34
Tensioni nel cordone: τ_P= 0.05 τ_O=0.12 σ_O=123.57 σ_{ID}=123.57 Σ_T=123.70
CC 29 SLV (Collegamento 0022_-379)
Azioni sul collegamento: N=-4942.30 Ty=0.06 Tz=-5.22 Mx=-0.00 Mz=-0.60
Sollecitazioni agenti localmente: Tx_l=0.06 Ty_l=-5.22 N_l=-4942.30 My_l=0.60 Mz_l=-0.00
Azioni sul cordone: TP=0.01 TO=-0.38 NO=-365.34
Tensioni nel cordone: τ_P=3.10E-03 τ_O=0.12 σ_O=117.00 σ_{ID}=117.00 Σ_T=117.12
CC 29 SLV (Collegamento 0022_-379)
Azioni sul collegamento: N=-6324.16 Ty=-2.24 Tz=-0.09 Mx=-0.00 Mz=-5.10
Sollecitazioni agenti localmente: Tx_l=-2.24 Ty_l=-0.09 N_l=-6324.16 My_l=5.10 Mz_l=-0.00
Azioni sul cordone: TP=-0.16 TO=-0.00 NO=-467.48
Tensioni nel cordone: τ_P= 0.05 τ_O=1.07E-03 σ_O=156.04 σ_{ID}=156.04 Σ_T=156.04
CC 29 SLV (Collegamento 0022_-379)
Azioni sul collegamento: N=-6324.16 Ty=0.06 Tz=-0.09 Mx=-0.00 Mz=-0.60
Sollecitazioni agenti localmente: Tx_l=0.06 Ty_l=-0.09 N_l=-6324.16 My_l=0.60 Mz_l=-0.00
Azioni sul cordone: TP=0.01 TO=-0.00 NO=-467.48
Tensioni nel cordone: τ_P=3.10E-03 τ_O=1.07E-03 σ_O=149.47 σ_{ID}=149.47 Σ_T=149.47
CC 29 SLV (Collegamento 0022_-379)
Azioni sul collegamento: N=-6324.16 Ty=-2.24 Tz=-5.22 Mx=-0.00 Mz=-5.10
Sollecitazioni agenti localmente: Tx_l=-2.24 Ty_l=-5.22 N_l=-6324.16 My_l=5.10 Mz_l=-0.00
Azioni sul cordone: TP=-0.16 TO=-0.38 NO=-467.48
Tensioni nel cordone: τ_P= 0.05 τ_O=0.12 σ_O=156.04 σ_{ID}=156.04 Σ_T=156.16
CC 29 SLV (Collegamento 0022_-379)
Azioni sul collegamento: N=-6324.16 Ty=0.06 Tz=-5.22 Mx=-0.00 Mz=-0.60
Sollecitazioni agenti localmente: Tx_l=0.06 Ty_l=-5.22 N_l=-6324.16 My_l=0.60 Mz_l=-0.00
Azioni sul cordone: TP=0.01 TO=-0.38 NO=-467.48
Tensioni nel cordone: τ_P=3.10E-03 τ_O=0.12 σ_O=149.47 σ_{ID}=149.47 Σ_T=149.59
CC 30 SLD (Collegamento 0022_-379)
Azioni sul collegamento: N=-5422.73 Ty=-0.63 Tz=-1.87 Mx=-0.00 Mz=-1.48
Sollecitazioni agenti localmente: Tx_l=-0.63 Ty_l=-1.87 N_l=-5422.73 My_l=1.48 Mz_l=-0.00
Azioni sul cordone: TP=-0.05 TO=-0.14 NO=-400.85
Tensioni nel cordone: τ_P= 0.01 τ_O= 0.04 σ_O=129.58 σ_{ID}=129.58 Σ_T=129.62
CC 30 SLD (Collegamento 0022_-379)
Azioni sul collegamento: N=-5422.73 Ty=0.07 Tz=-1.87 Mx=-0.00 Mz=-0.11
Sollecitazioni agenti localmente: Tx_l=0.07 Ty_l=-1.87 N_l=-5422.73 My_l=0.11 Mz_l=-0.00
Azioni sul cordone: TP=0.01 TO=-0.14 NO=-400.85
Tensioni nel cordone: τ_P=2.09E-03 τ_O= 0.04 σ_O=127.57 σ_{ID}=127.57 Σ_T=127.62
CC 30 SLD (Collegamento 0022_-379)
Azioni sul collegamento: N=-5422.73 Ty=-0.63 Tz=-3.44 Mx=-0.00 Mz=-1.48
Sollecitazioni agenti localmente: Tx_l=-0.63 Ty_l=-3.44 N_l=-5422.73 My_l=1.48 Mz_l=-0.00
Azioni sul cordone: TP=-0.05 TO=-0.25 NO=-400.85
Tensioni nel cordone: τ_P= 0.01 τ_O= 0.08 σ_O=129.58 σ_{ID}=129.58 Σ_T=129.66
CC 30 SLD (Collegamento 0022_-379)
Azioni sul collegamento: N=-5422.73 Ty=0.07 Tz=-3.44 Mx=-0.00 Mz=-0.11
Sollecitazioni agenti localmente: Tx_l=0.07 Ty_l=-3.44 N_l=-5422.73 My_l=0.11 Mz_l=-0.00
Azioni sul cordone: TP=0.01 TO=-0.25 NO=-400.85
Tensioni nel cordone: τ_P=2.09E-03 τ_O= 0.08 σ_O=127.57 σ_{ID}=127.57 Σ_T=127.65
CC 30 SLD (Collegamento 0022_-379)
Azioni sul collegamento: N=-5844.10 Ty=-0.63 Tz=-1.87 Mx=-0.00 Mz=-1.48
Sollecitazioni agenti localmente: Tx_l=-0.63 Ty_l=-1.87 N_l=-5844.10 My_l=1.48 Mz_l=-0.00
Azioni sul cordone: TP=-0.05 TO=-0.14 NO=-432.00
Tensioni nel cordone: τ_P= 0.01 τ_O= 0.04 σ_O=139.48 σ_{ID}=139.48 Σ_T=139.52
CC 30 SLD (Collegamento 0022_-379)
Azioni sul collegamento: N=-5844.10 Ty=0.07 Tz=-1.87 Mx=-0.00 Mz=-0.11
Sollecitazioni agenti localmente: Tx_l=0.07 Ty_l=-1.87 N_l=-5844.10 My_l=0.11 Mz_l=-0.00
Azioni sul cordone: TP=0.01 TO=-0.14 NO=-432.00
Tensioni nel cordone: τ_P=2.09E-03 τ_O= 0.04 σ_O=137.47 σ_{ID}=137.47 Σ_T=137.52
CC 30 SLD (Collegamento 0022_-379)
Azioni sul collegamento: N=-5844.10 Ty=-0.63 Tz=-3.44 Mx=-0.00 Mz=-1.48
Sollecitazioni agenti localmente: Tx_l=-0.63 Ty_l=-3.44 N_l=-5844.10 My_l=1.48 Mz_l=-0.00
Azioni sul cordone: TP=-0.05 TO=-0.25 NO=-432.00
Tensioni nel cordone: τ_P= 0.01 τ_O= 0.08 σ_O=139.48 σ_{ID}=139.48 Σ_T=139.56
CC 30 SLD (Collegamento 0022_-379)
Azioni sul collegamento: N=-5844.10 Ty=0.07 Tz=-3.44 Mx=-0.00 Mz=-0.11
Sollecitazioni agenti localmente: Tx_l=0.07 Ty_l=-3.44 N_l=-5844.10 My_l=0.11 Mz_l=-0.00
Azioni sul cordone: TP=0.01 TO=-0.25 NO=-432.00
Tensioni nel cordone: τ_P=2.09E-03 τ_O= 0.08 σ_O=137.47 σ_{ID}=137.47 Σ_T=137.55
CC 31 SLV (Collegamento 0022_-379)
Azioni sul collegamento: N=-6324.24 Ty=-2.24 Tz=-5.22 Mx=-0.00 Mz=-5.11
Sollecitazioni agenti localmente: Tx_l=-2.24 Ty_l=-5.22 N_l=-6324.24 My_l=5.11 Mz_l=-0.00
Azioni sul cordone: TP=-0.16 TO=-0.38 NO=-467.49
Tensioni nel cordone: τ_P= 0.05 τ_O=0.12 σ_O=156.06 σ_{ID}=156.06 Σ_T=156.18
CC 31 SLV (Collegamento 0022_-379)
Azioni sul collegamento: N=-6324.24 Ty=0.07 Tz=-5.22 Mx=-0.00 Mz=-0.59
Sollecitazioni agenti localmente: Tx_l=0.07 Ty_l=-5.22 N_l=-6324.24 My_l=0.59 Mz_l=-0.00
Azioni sul cordone: TP=0.01 TO=-0.38 NO=-467.49

Tensioni nel cordone: τ_P=3.17E-03 τ_0=0.12 σ_0=149.45 σ_{ID}=149.45 Σ_T=149.57
CC 31 SLV (Collegamento 0022_-379)
Azioni sul collegamento: N=-6324.24 Ty=-2.24 Tz=-0.09 Mx=-0.00 Mz=-5.11
Sollecitazioni agenti localmente: Tx_l=-2.24 Ty_l=-0.09 N_l=-6324.24 My_l=5.11 Mz_l=-0.00
Azioni sul cordone: TP=-0.16 TO=-0.00 NO=-467.49
Tensioni nel cordone: τ_P= 0.05 τ_0=1.04E-03 σ_0=156.06 σ_{ID}=156.06 Σ_T=156.06
CC 31 SLV (Collegamento 0022_-379)
Azioni sul collegamento: N=-6324.24 Ty=0.07 Tz=-0.09 Mx=-0.00 Mz=-0.59
Sollecitazioni agenti localmente: Tx_l=0.07 Ty_l=-0.09 N_l=-6324.24 My_l=0.59 Mz_l=-0.00
Azioni sul cordone: TP=0.01 TO=-0.00 NO=-467.49
Tensioni nel cordone: τ_P=3.17E-03 τ_0=1.04E-03 σ_0=149.45 σ_{ID}=149.45 Σ_T=149.46
CC 31 SLV (Collegamento 0022_-379)
Azioni sul collegamento: N=-4942.23 Ty=-2.24 Tz=-5.22 Mx=-0.00 Mz=-5.11
Sollecitazioni agenti localmente: Tx_l=-2.24 Ty_l=-5.22 N_l=-4942.23 My_l=5.11 Mz_l=-0.00
Azioni sul cordone: TP=-0.16 TO=-0.38 NO=-365.33
Tensioni nel cordone: τ_P= 0.05 τ_0=0.12 σ_0=123.59 σ_{ID}=123.59 Σ_T=123.71
CC 31 SLV (Collegamento 0022_-379)
Azioni sul collegamento: N=-4942.23 Ty=0.07 Tz=-5.22 Mx=-0.00 Mz=-0.59
Sollecitazioni agenti localmente: Tx_l=0.07 Ty_l=-5.22 N_l=-4942.23 My_l=0.59 Mz_l=-0.00
Azioni sul cordone: TP=0.01 TO=-0.38 NO=-365.33
Tensioni nel cordone: τ_P=3.17E-03 τ_0=0.12 σ_0=116.98 σ_{ID}=116.98 Σ_T=117.10
CC 31 SLV (Collegamento 0022_-379)
Azioni sul collegamento: N=-4942.23 Ty=-2.24 Tz=-0.09 Mx=-0.00 Mz=-5.11
Sollecitazioni agenti localmente: Tx_l=-2.24 Ty_l=-0.09 N_l=-4942.23 My_l=5.11 Mz_l=-0.00
Azioni sul cordone: TP=-0.16 TO=-0.00 NO=-365.33
Tensioni nel cordone: τ_P= 0.05 τ_0=1.04E-03 σ_0=123.59 σ_{ID}=123.59 Σ_T=123.59
CC 31 SLV (Collegamento 0022_-379)
Azioni sul collegamento: N=-4942.23 Ty=0.07 Tz=-0.09 Mx=-0.00 Mz=-0.59
Sollecitazioni agenti localmente: Tx_l=0.07 Ty_l=-0.09 N_l=-4942.23 My_l=0.59 Mz_l=-0.00
Azioni sul cordone: TP=0.01 TO=-0.00 NO=-365.33
Tensioni nel cordone: τ_P=3.17E-03 τ_0=1.04E-03 σ_0=116.98 σ_{ID}=116.98 Σ_T=116.98
CC 32 SLD (Collegamento 0022_-379)
Azioni sul collegamento: N=-5844.12 Ty=-0.63 Tz=-3.44 Mx=-0.00 Mz=-1.49
Sollecitazioni agenti localmente: Tx_l=-0.63 Ty_l=-3.44 N_l=-5844.12 My_l=1.49 Mz_l=-0.00
Azioni sul cordone: TP=-0.05 TO=-0.25 NO=-432.00
Tensioni nel cordone: τ_P= 0.01 τ_0= 0.08 σ_0=139.48 σ_{ID}=139.48 Σ_T=139.56
CC 32 SLD (Collegamento 0022_-379)
Azioni sul collegamento: N=-5844.12 Ty=0.07 Tz=-3.44 Mx=-0.00 Mz=-0.11
Sollecitazioni agenti localmente: Tx_l=0.07 Ty_l=-3.44 N_l=-5844.12 My_l=0.11 Mz_l=-0.00
Azioni sul cordone: TP=0.01 TO=-0.25 NO=-432.00
Tensioni nel cordone: τ_P=2.11E-03 τ_0= 0.08 σ_0=137.47 σ_{ID}=137.47 Σ_T=137.55
CC 32 SLD (Collegamento 0022_-379)
Azioni sul collegamento: N=-5844.12 Ty=-0.63 Tz=-1.87 Mx=-0.00 Mz=-1.49
Sollecitazioni agenti localmente: Tx_l=-0.63 Ty_l=-1.87 N_l=-5844.12 My_l=1.49 Mz_l=-0.00
Azioni sul cordone: TP=-0.05 TO=-0.14 NO=-432.00
Tensioni nel cordone: τ_P= 0.01 τ_0= 0.04 σ_0=139.48 σ_{ID}=139.48 Σ_T=139.53
CC 32 SLD (Collegamento 0022_-379)
Azioni sul collegamento: N=-5844.12 Ty=0.07 Tz=-1.87 Mx=-0.00 Mz=-0.11
Sollecitazioni agenti localmente: Tx_l=0.07 Ty_l=-1.87 N_l=-5844.12 My_l=0.11 Mz_l=-0.00
Azioni sul cordone: TP=0.01 TO=-0.14 NO=-432.00
Tensioni nel cordone: τ_P=2.11E-03 τ_0= 0.04 σ_0=137.47 σ_{ID}=137.47 Σ_T=137.51
CC 32 SLD (Collegamento 0022_-379)
Azioni sul collegamento: N=-5422.71 Ty=-0.63 Tz=-3.44 Mx=-0.00 Mz=-1.49
Sollecitazioni agenti localmente: Tx_l=-0.63 Ty_l=-3.44 N_l=-5422.71 My_l=1.49 Mz_l=-0.00
Azioni sul cordone: TP=-0.05 TO=-0.25 NO=-400.85
Tensioni nel cordone: τ_P= 0.01 τ_0= 0.08 σ_0=129.58 σ_{ID}=129.58 Σ_T=129.66
CC 32 SLD (Collegamento 0022_-379)
Azioni sul collegamento: N=-5422.71 Ty=0.07 Tz=-3.44 Mx=-0.00 Mz=-0.11
Sollecitazioni agenti localmente: Tx_l=0.07 Ty_l=-3.44 N_l=-5422.71 My_l=0.11 Mz_l=-0.00
Azioni sul cordone: TP=0.01 TO=-0.25 NO=-400.85
Tensioni nel cordone: τ_P=2.11E-03 τ_0= 0.08 σ_0=127.57 σ_{ID}=127.57 Σ_T=127.65
CC 32 SLD (Collegamento 0022_-379)
Azioni sul collegamento: N=-5422.71 Ty=-0.63 Tz=-1.87 Mx=-0.00 Mz=-1.49
Sollecitazioni agenti localmente: Tx_l=-0.63 Ty_l=-1.87 N_l=-5422.71 My_l=1.49 Mz_l=-0.00
Azioni sul cordone: TP=-0.05 TO=-0.14 NO=-400.85
Tensioni nel cordone: τ_P= 0.01 τ_0= 0.04 σ_0=129.58 σ_{ID}=129.58 Σ_T=129.63
CC 32 SLD (Collegamento 0022_-379)
Azioni sul collegamento: N=-5422.71 Ty=0.07 Tz=-1.87 Mx=-0.00 Mz=-0.11
Sollecitazioni agenti localmente: Tx_l=0.07 Ty_l=-1.87 N_l=-5422.71 My_l=0.11 Mz_l=-0.00
Azioni sul cordone: TP=0.01 TO=-0.14 NO=-400.85
Tensioni nel cordone: τ_P=2.11E-03 τ_0= 0.04 σ_0=127.57 σ_{ID}=127.57 Σ_T=127.61
CC 33 SLU (Collegamento 0022_-379)
Azioni sul collegamento: N=-28967.90 Ty=0.05 Tz=74.90 Mx=0.00 Mz=0.12
Sollecitazioni agenti localmente: Tx_l=0.05 Ty_l=74.90 N_l=-28967.90 My_l=-0.12 Mz_l=0.00
Azioni sul cordone: TP=0.00 TO=5.54 NO=-2141.31
Tensioni nel cordone: τ_P=9.40E-04 τ_0=1.76 σ_0=680.79 σ_{ID}=680.79 Σ_T=682.55
CC 34 SLU (Collegamento 0022_-379)
Azioni sul collegamento: N=-29447.20 Ty=0.05 Tz=76.67 Mx=0.00 Mz=0.12
Sollecitazioni agenti localmente: Tx_l=0.05 Ty_l=76.67 N_l=-29447.20 My_l=-0.12 Mz_l=0.00

Azioni sul cordone: TP=0.00 TO=5.67 NO=-2176.74
Tensioni nel cordone: τ_P=9.22E-04 τ_o=1.80 σ_o=692.04 σ_{ID}=692.05 Σ_T=693.85
CC 35 SLU (Collegamento 0022_-379)
Azioni sul collegamento: N=-29207.50 Ty=0.17 Tz=75.78 Mx=-0.00 Mz=0.35
Sollecitazioni agenti localmente: Tx_l=0.17 Ty_l=75.78 N_l=-29207.50 My_l=-0.35 Mz_l=-0.00
Azioni sul cordone: TP=0.01 TO=5.60 NO=-2159.03
Tensioni nel cordone: τ_P=4.07E-03 τ_o=1.78 σ_o=686.76 σ_{ID}=686.76 Σ_T=688.54
CC 36 SLU (Collegamento 0022_-379)
Azioni sul collegamento: N=-29207.50 Ty=-0.07 Tz=75.79 Mx=0.00 Mz=-0.12
Sollecitazioni agenti localmente: Tx_l=-0.07 Ty_l=75.79 N_l=-29207.50 My_l=0.12 Mz_l=0.00
Azioni sul cordone: TP=-0.01 TO=5.60 NO=-2159.03
Tensioni nel cordone: τ_P=2.20E-03 τ_o=1.78 σ_o=686.41 σ_{ID}=686.42 Σ_T=688.20
CC 37 SLU (Collegamento 0022_-379)
Azioni sul collegamento: N=-29152.80 Ty=0.07 Tz=74.88 Mx=0.00 Mz=0.13
Sollecitazioni agenti localmente: Tx_l=0.07 Ty_l=74.88 N_l=-29152.80 My_l=-0.13 Mz_l=0.00
Azioni sul cordone: TP=0.00 TO=5.54 NO=-2154.98
Tensioni nel cordone: τ_P=1.57E-03 τ_o=1.76 σ_o=685.15 σ_{ID}=685.15 Σ_T=686.91
CC 38 SLU (Collegamento 0022_-379)
Azioni sul collegamento: N=-29632.10 Ty=0.07 Tz=76.66 Mx=0.00 Mz=0.13
Sollecitazioni agenti localmente: Tx_l=0.07 Ty_l=76.66 N_l=-29632.10 My_l=-0.13 Mz_l=0.00
Azioni sul cordone: TP=0.00 TO=5.67 NO=-2190.41
Tensioni nel cordone: τ_P=1.55E-03 τ_o=1.80 σ_o=696.41 σ_{ID}=696.41 Σ_T=698.21
CC 39 SLU (Collegamento 0022_-379)
Azioni sul collegamento: N=-29392.40 Ty=0.19 Tz=75.77 Mx=-0.00 Mz=0.36
Sollecitazioni agenti localmente: Tx_l=0.19 Ty_l=75.77 N_l=-29392.40 My_l=-0.36 Mz_l=-0.00
Azioni sul cordone: TP=0.01 TO=5.60 NO=-2172.70
Tensioni nel cordone: τ_P=4.69E-03 τ_o=1.78 σ_o=691.12 σ_{ID}=691.12 Σ_T=692.90
CC 40 SLU (Collegamento 0022_-379)
Azioni sul collegamento: N=-29392.40 Ty=-0.05 Tz=75.77 Mx=0.00 Mz=-0.10
Sollecitazioni agenti localmente: Tx_l=-0.05 Ty_l=75.77 N_l=-29392.40 My_l=0.10 Mz_l=0.00
Azioni sul cordone: TP=-0.00 TO=5.60 NO=-2172.70
Tensioni nel cordone: τ_P=1.58E-03 τ_o=1.78 σ_o=690.74 σ_{ID}=690.74 Σ_T=692.52
CC 41 SLU (Collegamento 0022_-379)
Azioni sul collegamento: N=-19454.60 Ty=0.08 Tz=39.91 Mx=0.00 Mz=0.13
Sollecitazioni agenti localmente: Tx_l=0.08 Ty_l=39.91 N_l=-19454.60 My_l=-0.13 Mz_l=0.00
Azioni sul cordone: TP=0.01 TO=2.95 NO=-1438.09
Tensioni nel cordone: τ_P=1.68E-03 τ_o=0.94 σ_o=457.29 σ_{ID}=457.29 Σ_T=458.22
CC 42 SLU (Collegamento 0022_-379)
Azioni sul collegamento: N=-19933.90 Ty=0.08 Tz=41.69 Mx=0.00 Mz=0.13
Sollecitazioni agenti localmente: Tx_l=0.08 Ty_l=41.69 N_l=-19933.90 My_l=-0.13 Mz_l=0.00
Azioni sul cordone: TP=0.01 TO=3.08 NO=-1473.52
Tensioni nel cordone: τ_P=1.67E-03 τ_o=0.98 σ_o=468.54 σ_{ID}=468.54 Σ_T=469.52
CC 43 SLU (Collegamento 0022_-379)
Azioni sul collegamento: N=-19694.20 Ty=0.20 Tz=40.80 Mx=-0.00 Mz=0.36
Sollecitazioni agenti localmente: Tx_l=0.20 Ty_l=40.80 N_l=-19694.20 My_l=-0.36 Mz_l=-0.00
Azioni sul cordone: TP=0.02 TO=3.02 NO=-1455.80
Tensioni nel cordone: τ_P=4.81E-03 τ_o=0.96 σ_o=463.26 σ_{ID}=463.26 Σ_T=464.21
CC 44 SLU (Collegamento 0022_-379)
Azioni sul collegamento: N=-19694.20 Ty=-0.04 Tz=40.80 Mx=0.00 Mz=-0.10
Sollecitazioni agenti localmente: Tx_l=-0.04 Ty_l=40.80 N_l=-19694.20 My_l=0.10 Mz_l=0.00
Azioni sul cordone: TP=-0.00 TO=3.01 NO=-1455.80
Tensioni nel cordone: τ_P=1.46E-03 τ_o=0.96 σ_o=462.88 σ_{ID}=462.88 Σ_T=463.84
CC 45 SLU (Collegamento 0022_-379)
Azioni sul collegamento: N=-21628.70 Ty=0.08 Tz=47.97 Mx=0.00 Mz=0.14
Sollecitazioni agenti localmente: Tx_l=0.08 Ty_l=47.97 N_l=-21628.70 My_l=-0.14 Mz_l=0.00
Azioni sul cordone: TP=0.01 TO=3.55 NO=-1598.80
Tensioni nel cordone: τ_P=1.66E-03 τ_o=1.13 σ_o=508.38 σ_{ID}=508.38 Σ_T=509.51
CC 46 SLU (Collegamento 0022_-379)
Azioni sul collegamento: N=-22108.00 Ty=0.08 Tz=49.75 Mx=0.00 Mz=0.14
Sollecitazioni agenti localmente: Tx_l=0.08 Ty_l=49.75 N_l=-22108.00 My_l=-0.14 Mz_l=0.00
Azioni sul cordone: TP=0.01 TO=3.68 NO=-1634.23
Tensioni nel cordone: τ_P=1.64E-03 τ_o=1.17 σ_o=519.64 σ_{ID}=519.64 Σ_T=520.81
CC 47 SLU (Collegamento 0022_-379)
Azioni sul collegamento: N=-21868.40 Ty=0.20 Tz=48.86 Mx=-0.00 Mz=0.37
Sollecitazioni agenti localmente: Tx_l=0.20 Ty_l=48.86 N_l=-21868.40 My_l=-0.37 Mz_l=-0.00
Azioni sul cordone: TP=0.02 TO=3.61 NO=-1616.52
Tensioni nel cordone: τ_P=4.79E-03 τ_o=1.15 σ_o=514.35 σ_{ID}=514.35 Σ_T=515.50
CC 48 SLU (Collegamento 0022_-379)
Azioni sul collegamento: N=-21868.40 Ty=-0.04 Tz=48.86 Mx=0.00 Mz=-0.10
Sollecitazioni agenti localmente: Tx_l=-0.04 Ty_l=48.86 N_l=-21868.40 My_l=0.10 Mz_l=0.00
Azioni sul cordone: TP=-0.00 TO=3.61 NO=-1616.52
Tensioni nel cordone: τ_P=1.49E-03 τ_o=1.15 σ_o=513.95 σ_{ID}=513.95 Σ_T=515.10
CC 49 SLU (Collegamento 0022_-379)
Azioni sul collegamento: N=-21767.10 Ty=0.10 Tz=47.96 Mx=0.00 Mz=0.15
Sollecitazioni agenti localmente: Tx_l=0.10 Ty_l=47.96 N_l=-21767.10 My_l=-0.15 Mz_l=0.00
Azioni sul cordone: TP=0.01 TO=3.55 NO=-1609.03
Tensioni nel cordone: τ_P=2.13E-03 τ_o=1.13 σ_o=511.64 σ_{ID}=511.65 Σ_T=512.77
CC 50 SLU (Collegamento 0022_-379)
Azioni sul collegamento: N=-22246.40 Ty=0.10 Tz=49.73 Mx=0.00 Mz=0.15

Sollecitazioni agenti localmente: Tx_l=0.10 Ty_l=49.73 N_l=-22246.40 My_l=-0.15 Mz_l=0.00
Azioni sul cordone: TP=0.01 TO=3.68 NO=-1644.46
Tensioni nel cordone: τ_P=2.11E-03 τ_O=1.17 σ_O=522.90 σ_{ID}=522.90 Σ_T=524.07
CC 51 SLU (Collegamento 0022_-379)
Azioni sul collegamento: N=-22006.70 Ty=0.22 Tz=48.85 Mx=-0.00 Mz=0.38
Sollecitazioni agenti localmente: Tx_l=0.22 Ty_l=48.85 N_l=-22006.70 My_l=-0.38 Mz_l=-0.00
Azioni sul cordone: TP=0.02 TO=3.61 NO=-1626.74
Tensioni nel cordone: τ_P=5.25E-03 τ_O=1.15 σ_O=517.62 σ_{ID}=517.62 Σ_T=518.76
CC 52 SLU (Collegamento 0022_-379)
Azioni sul collegamento: N=-22006.70 Ty=-0.02 Tz=48.85 Mx=0.00 Mz=-0.09
Sollecitazioni agenti localmente: Tx_l=-0.02 Ty_l=48.85 N_l=-22006.70 My_l=0.09 Mz_l=0.00
Azioni sul cordone: TP=-0.00 TO=3.61 NO=-1626.74
Tensioni nel cordone: τ_P=1.02E-03 τ_O=1.15 σ_O=517.18 σ_{ID}=517.19 Σ_T=518.33
CC 53 SLU (Collegamento 0022_-379)
Azioni sul collegamento: N=-14511.40 Ty=0.10 Tz=21.80 Mx=0.00 Mz=0.15
Sollecitazioni agenti localmente: Tx_l=0.10 Ty_l=21.80 N_l=-14511.40 My_l=-0.15 Mz_l=0.00
Azioni sul cordone: TP=0.01 TO=1.61 NO=-1072.69
Tensioni nel cordone: τ_P=2.22E-03 τ_O=0.51 σ_O=341.17 σ_{ID}=341.17 Σ_T=341.68
CC 54 SLU (Collegamento 0022_-379)
Azioni sul collegamento: N=-14990.70 Ty=0.10 Tz=23.57 Mx=0.00 Mz=0.15
Sollecitazioni agenti localmente: Tx_l=0.10 Ty_l=23.57 N_l=-14990.70 My_l=-0.15 Mz_l=0.00
Azioni sul cordone: TP=0.01 TO=1.74 NO=-1108.12
Tensioni nel cordone: τ_P=2.20E-03 τ_O=0.55 σ_O=352.43 σ_{ID}=352.43 Σ_T=352.98
CC 55 SLU (Collegamento 0022_-379)
Azioni sul collegamento: N=-14751.00 Ty=0.22 Tz=22.69 Mx=-0.00 Mz=0.38
Sollecitazioni agenti localmente: Tx_l=0.22 Ty_l=22.69 N_l=-14751.00 My_l=-0.38 Mz_l=-0.00
Azioni sul cordone: TP=0.02 TO=1.68 NO=-1090.40
Tensioni nel cordone: τ_P=5.34E-03 τ_O=0.53 σ_O=347.14 σ_{ID}=347.14 Σ_T=347.67
CC 56 SLU (Collegamento 0022_-379)
Azioni sul collegamento: N=-14751.00 Ty=-0.02 Tz=22.68 Mx=0.00 Mz=-0.09
Sollecitazioni agenti localmente: Tx_l=-0.02 Ty_l=22.68 N_l=-14751.00 My_l=0.09 Mz_l=0.00
Azioni sul cordone: TP=-0.00 TO=1.68 NO=-1090.40
Tensioni nel cordone: τ_P=9.29E-04 τ_O=0.53 σ_O=346.71 σ_{ID}=346.71 Σ_T=347.24
CC 57 SLU (Collegamento 0022_-379)
Azioni sul collegamento: N=-21907.00 Ty=0.07 Tz=49.04 Mx=0.00 Mz=0.14
Sollecitazioni agenti localmente: Tx_l=0.07 Ty_l=49.04 N_l=-21907.00 My_l=-0.14 Mz_l=0.00
Azioni sul cordone: TP=0.01 TO=3.63 NO=-1619.37
Tensioni nel cordone: τ_P=1.60E-03 τ_O=1.15 σ_O=514.91 σ_{ID}=514.92 Σ_T=516.07
CC 58 SLU (Collegamento 0022_-379)
Azioni sul collegamento: N=-22386.30 Ty=0.07 Tz=50.82 Mx=0.00 Mz=0.13
Sollecitazioni agenti localmente: Tx_l=0.07 Ty_l=50.82 N_l=-22386.30 My_l=-0.13 Mz_l=0.00
Azioni sul cordone: TP=0.00 TO=3.76 NO=-1654.80
Tensioni nel cordone: τ_P=1.59E-03 τ_O=1.19 σ_O=526.17 σ_{ID}=526.17 Σ_T=527.37
CC 59 SLU (Collegamento 0022_-379)
Azioni sul collegamento: N=-22146.70 Ty=0.19 Tz=49.93 Mx=-0.00 Mz=0.37
Sollecitazioni agenti localmente: Tx_l=0.19 Ty_l=49.93 N_l=-22146.70 My_l=-0.37 Mz_l=-0.00
Azioni sul cordone: TP=0.01 TO=3.69 NO=-1637.09
Tensioni nel cordone: τ_P=4.73E-03 τ_O=1.17 σ_O=520.88 σ_{ID}=520.89 Σ_T=522.06
CC 60 SLU (Collegamento 0022_-379)
Azioni sul collegamento: N=-22146.70 Ty=-0.04 Tz=49.93 Mx=0.00 Mz=-0.10
Sollecitazioni agenti localmente: Tx_l=-0.04 Ty_l=49.93 N_l=-22146.70 My_l=0.10 Mz_l=0.00
Azioni sul cordone: TP=-0.00 TO=3.69 NO=-1637.09
Tensioni nel cordone: τ_P=1.54E-03 τ_O=1.17 σ_O=520.49 σ_{ID}=520.49 Σ_T=521.66
CC 61 SLU (Collegamento 0022_-379)
Azioni sul collegamento: N=-22045.30 Ty=0.09 Tz=49.02 Mx=0.00 Mz=0.14
Sollecitazioni agenti localmente: Tx_l=0.09 Ty_l=49.02 N_l=-22045.30 My_l=-0.14 Mz_l=0.00
Azioni sul cordone: TP=0.01 TO=3.62 NO=-1629.60
Tensioni nel cordone: τ_P=2.07E-03 τ_O=1.15 σ_O=518.18 σ_{ID}=518.18 Σ_T=519.33
CC 62 SLU (Collegamento 0022_-379)
Azioni sul collegamento: N=-22524.60 Ty=0.09 Tz=50.80 Mx=0.00 Mz=0.14
Sollecitazioni agenti localmente: Tx_l=0.09 Ty_l=50.80 N_l=-22524.60 My_l=-0.14 Mz_l=0.00
Azioni sul cordone: TP=0.01 TO=3.76 NO=-1665.03
Tensioni nel cordone: τ_P=2.05E-03 τ_O=1.19 σ_O=529.43 σ_{ID}=529.44 Σ_T=530.63
CC 63 SLU (Collegamento 0022_-379)
Azioni sul collegamento: N=-22285.00 Ty=0.21 Tz=49.91 Mx=-0.00 Mz=0.38
Sollecitazioni agenti localmente: Tx_l=0.21 Ty_l=49.91 N_l=-22285.00 My_l=-0.38 Mz_l=-0.00
Azioni sul cordone: TP=0.02 TO=3.69 NO=-1647.31
Tensioni nel cordone: τ_P=5.20E-03 τ_O=1.17 σ_O=524.15 σ_{ID}=524.15 Σ_T=525.32
CC 64 SLU (Collegamento 0022_-379)
Azioni sul collegamento: N=-22285.00 Ty=-0.03 Tz=49.91 Mx=0.00 Mz=-0.09
Sollecitazioni agenti localmente: Tx_l=-0.03 Ty_l=49.91 N_l=-22285.00 My_l=0.09 Mz_l=0.00
Azioni sul cordone: TP=-0.00 TO=3.69 NO=-1647.31
Tensioni nel cordone: τ_P=1.07E-03 τ_O=1.17 σ_O=523.73 σ_{ID}=523.73 Σ_T=524.90
CC 65 SLU (Collegamento 0022_-379)
Azioni sul collegamento: N=-14789.70 Ty=0.10 Tz=22.86 Mx=0.00 Mz=0.14
Sollecitazioni agenti localmente: Tx_l=0.10 Ty_l=22.86 N_l=-14789.70 My_l=-0.14 Mz_l=0.00
Azioni sul cordone: TP=0.01 TO=1.69 NO=-1093.26
Tensioni nel cordone: τ_P=2.16E-03 τ_O=0.54 σ_O=347.70 σ_{ID}=347.70 Σ_T=348.24
CC 66 SLU (Collegamento 0022_-379)

Azioni sul collegamento: N=-15269.00 Ty=0.10 Tz=24.64 Mx=0.00 Mz=0.14
Sollecitazioni agenti localmente: Tx_l=0.10 Ty_l=24.64 N_l=-15269.00 My_l=-0.14 Mz_l=0.00
Azioni sul cordone: TP=0.01 TO=1.82 NO=-1128.69
Tensioni nel cordone: τ_P=2.14E-03 τ_O=0.58 σ_O=358.96 σ_{ID}=358.96 Σ_T=359.54
CC 67 SLU (Collegamento 0022_-379)
Azioni sul collegamento: N=-15029.30 Ty=0.22 Tz=23.75 Mx=-0.00 Mz=0.38
Sollecitazioni agenti localmente: Tx_l=0.22 Ty_l=23.75 N_l=-15029.30 My_l=-0.38 Mz_l=-0.00
Azioni sul cordone: TP=0.02 TO=1.76 NO=-1110.97
Tensioni nel cordone: τ_P=5.29E-03 τ_O=0.56 σ_O=353.67 σ_{ID}=353.67 Σ_T=354.23
CC 68 SLU (Collegamento 0022_-379)
Azioni sul collegamento: N=-15029.30 Ty=-0.02 Tz=23.75 Mx=0.00 Mz=-0.09
Sollecitazioni agenti localmente: Tx_l=-0.02 Ty_l=23.75 N_l=-15029.30 My_l=0.09 Mz_l=0.00
Azioni sul cordone: TP=-0.00 TO=1.75 NO=-1110.97
Tensioni nel cordone: τ_P=9.84E-04 τ_O=0.56 σ_O=353.25 σ_{ID}=353.25 Σ_T=353.81
CC 97 SLU (Collegamento 0022_-379)
Azioni sul collegamento: N=-11572.90 Ty=11.37 Tz=19.27 Mx=0.04 Mz=15.92
Sollecitazioni agenti localmente: Tx_l=11.37 Ty_l=19.27 N_l=-11572.90 My_l=-15.92 Mz_l=0.04
Azioni sul cordone: TP=0.80 TO=1.45 NO=-855.47
Tensioni nel cordone: τ_P=0.25 τ_O=0.46 σ_O=295.17 σ_{ID}=295.17 Σ_T=295.63
CC 98 SLU (Collegamento 0022_-379)
Azioni sul collegamento: N=-12052.20 Ty=11.37 Tz=21.05 Mx=0.04 Mz=15.92
Sollecitazioni agenti localmente: Tx_l=11.37 Ty_l=21.05 N_l=-12052.20 My_l=-15.92 Mz_l=0.04
Azioni sul cordone: TP=0.80 TO=1.58 NO=-890.90
Tensioni nel cordone: τ_P=0.25 τ_O=0.50 σ_O=306.42 σ_{ID}=306.43 Σ_T=306.93
CC 99 SLU (Collegamento 0022_-379)
Azioni sul collegamento: N=-11812.60 Ty=11.49 Tz=20.16 Mx=0.04 Mz=16.15
Sollecitazioni agenti localmente: Tx_l=11.49 Ty_l=20.16 N_l=-11812.60 My_l=-16.15 Mz_l=0.04
Azioni sul cordone: TP=0.81 TO=1.52 NO=-873.19
Tensioni nel cordone: τ_P=0.26 τ_O=0.48 σ_O=301.14 σ_{ID}=301.14 Σ_T=301.62
CC 100 SLU (Collegamento 0022_-379)
Azioni sul collegamento: N=-11812.60 Ty=11.25 Tz=20.16 Mx=0.04 Mz=15.68
Sollecitazioni agenti localmente: Tx_l=11.25 Ty_l=20.16 N_l=-11812.60 My_l=-15.68 Mz_l=0.04
Azioni sul cordone: TP=0.79 TO=1.52 NO=-873.19
Tensioni nel cordone: τ_P=0.25 τ_O=0.48 σ_O=300.45 σ_{ID}=300.45 Σ_T=300.94
CC 101 SLU (Collegamento 0022_-379)
Azioni sul collegamento: N=-5887.16 Ty=-2.00 Tz=-1.73 Mx=-0.00 Mz=-2.22
Sollecitazioni agenti localmente: Tx_l=-2.00 Ty_l=-1.73 N_l=-5887.16 My_l=2.22 Mz_l=-0.00
Azioni sul cordone: TP=-0.14 TO=-0.12 NO=-435.18
Tensioni nel cordone: τ_P= 0.05 τ_O= 0.04 σ_O=141.56 σ_{ID}=141.56 Σ_T=141.60
CC 102 SLU (Collegamento 0022_-379)
Azioni sul collegamento: N=-6366.46 Ty=-2.01 Tz=0.04 Mx=-0.00 Mz=-2.22
Sollecitazioni agenti localmente: Tx_l=-2.01 Ty_l=0.04 N_l=-6366.46 My_l=2.22 Mz_l=-0.00
Azioni sul cordone: TP=-0.14 TO=0.01 NO=-470.61
Tensioni nel cordone: τ_P= 0.05 τ_O=2.29E-03 σ_O=152.83 σ_{ID}=152.83 Σ_T=152.83
CC 103 SLU (Collegamento 0022_-379)
Azioni sul collegamento: N=-6126.81 Ty=-1.89 Tz=-0.85 Mx=-0.01 Mz=-1.98
Sollecitazioni agenti localmente: Tx_l=-1.89 Ty_l=-0.85 N_l=-6126.81 My_l=1.98 Mz_l=-0.01
Azioni sul cordone: TP=-0.13 TO=-0.06 NO=-452.90
Tensioni nel cordone: τ_P= 0.04 τ_O= 0.02 σ_O=146.85 σ_{ID}=146.85 Σ_T=146.87
CC 104 SLU (Collegamento 0022_-379)
Azioni sul collegamento: N=-6126.80 Ty=-2.12 Tz=-0.84 Mx=-0.00 Mz=-2.45
Sollecitazioni agenti localmente: Tx_l=-2.12 Ty_l=-0.84 N_l=-6126.80 My_l=2.45 Mz_l=-0.00
Azioni sul cordone: TP=-0.15 TO=-0.06 NO=-452.89
Tensioni nel cordone: τ_P= 0.05 τ_O= 0.02 σ_O=147.53 σ_{ID}=147.53 Σ_T=147.55

Flessione attacco superiore piastra

Bnetta=220.00 Hnetta=15.00
CC 1 SLV (Collegamento 0022_-379)
Azioni sul collegamento: N=-3330.52 Ty=1.59 Tz=5.89 Mx=0.02 Mz=3.75
Sollecitazioni agenti localmente: Ty_l=-605.55 Mx_l=-12.11
Tensioni nella sezione: σ=146.80 τ=18.35
CC 1 SLV (Collegamento 0022_-379)
Azioni sul collegamento: N=-3330.52 Ty=0.88 Tz=5.89 Mx=0.02 Mz=2.36
Sollecitazioni agenti localmente: Ty_l=-605.55 Mx_l=-12.11
Tensioni nella sezione: σ=146.80 τ=18.35
CC 1 SLV (Collegamento 0022_-379)
Azioni sul collegamento: N=-3330.52 Ty=1.59 Tz=-11.19 Mx=0.02 Mz=3.75
Sollecitazioni agenti localmente: Ty_l=-605.55 Mx_l=-12.11
Tensioni nella sezione: σ=146.80 τ=18.35
CC 1 SLV (Collegamento 0022_-379)
Azioni sul collegamento: N=-3330.52 Ty=0.88 Tz=-11.19 Mx=0.02 Mz=2.36
Sollecitazioni agenti localmente: Ty_l=-605.55 Mx_l=-12.11
Tensioni nella sezione: σ=146.80 τ=18.35
CC 1 SLV (Collegamento 0022_-379)
Azioni sul collegamento: N=-7936.99 Ty=1.59 Tz=5.89 Mx=0.02 Mz=3.75
Sollecitazioni agenti localmente: Ty_l=-1443.09 Mx_l=-28.86
Tensioni nella sezione: σ=349.84 τ=43.73
CC 1 SLV (Collegamento 0022_-379)

Azioni sul collegamento: N=-7936.99 Ty=0.88 Tz=5.89 Mx=0.02 Mz=2.36
Sollecitazioni agenti localmente: Ty_l=-1443.09 Mx_l=-28.86
Tensioni nella sezione: σ=349.84 τ=43.73
CC 1 SLV (Collegamento 0022_-379)
Azioni sul collegamento: N=-7936.99 Ty=1.59 Tz=-11.19 Mx=0.02 Mz=3.75
Sollecitazioni agenti localmente: Ty_l=-1443.09 Mx_l=-28.86
Tensioni nella sezione: σ=349.84 τ=43.73
CC 1 SLV (Collegamento 0022_-379)
Azioni sul collegamento: N=-7936.99 Ty=0.88 Tz=-11.19 Mx=0.02 Mz=2.36
Sollecitazioni agenti localmente: Ty_l=-1443.09 Mx_l=-28.86
Tensioni nella sezione: σ=349.84 τ=43.73
CC 2 SLD (Collegamento 0022_-379)
Azioni sul collegamento: N=-4931.25 Ty=0.54 Tz=-0.05 Mx=0.01 Mz=1.22
Sollecitazioni agenti localmente: Ty_l=-896.59 Mx_l=-17.93
Tensioni nella sezione: σ=217.35 τ=27.17
CC 2 SLD (Collegamento 0022_-379)
Azioni sul collegamento: N=-4931.25 Ty=0.32 Tz=-0.05 Mx=0.01 Mz=0.79
Sollecitazioni agenti localmente: Ty_l=-896.59 Mx_l=-17.93
Tensioni nella sezione: σ=217.35 τ=27.17
CC 2 SLD (Collegamento 0022_-379)
Azioni sul collegamento: N=-4931.25 Ty=0.54 Tz=-5.26 Mx=0.01 Mz=1.22
Sollecitazioni agenti localmente: Ty_l=-896.59 Mx_l=-17.93
Tensioni nella sezione: σ=217.35 τ=27.17
CC 2 SLD (Collegamento 0022_-379)
Azioni sul collegamento: N=-4931.25 Ty=0.32 Tz=-5.26 Mx=0.01 Mz=0.79
Sollecitazioni agenti localmente: Ty_l=-896.59 Mx_l=-17.93
Tensioni nella sezione: σ=217.35 τ=27.17
CC 2 SLD (Collegamento 0022_-379)
Azioni sul collegamento: N=-6335.90 Ty=0.54 Tz=-0.05 Mx=0.01 Mz=1.22
Sollecitazioni agenti localmente: Ty_l=-1151.98 Mx_l=-23.04
Tensioni nella sezione: σ=279.27 τ=34.91
CC 2 SLD (Collegamento 0022_-379)
Azioni sul collegamento: N=-6335.90 Ty=0.32 Tz=-0.05 Mx=0.01 Mz=0.79
Sollecitazioni agenti localmente: Ty_l=-1151.98 Mx_l=-23.04
Tensioni nella sezione: σ=279.27 τ=34.91
CC 2 SLD (Collegamento 0022_-379)
Azioni sul collegamento: N=-6335.90 Ty=0.54 Tz=-5.26 Mx=0.01 Mz=1.22
Sollecitazioni agenti localmente: Ty_l=-1151.98 Mx_l=-23.04
Tensioni nella sezione: σ=279.27 τ=34.91
CC 2 SLD (Collegamento 0022_-379)
Azioni sul collegamento: N=-6335.90 Ty=0.32 Tz=-5.26 Mx=0.01 Mz=0.79
Sollecitazioni agenti localmente: Ty_l=-1151.98 Mx_l=-23.04
Tensioni nella sezione: σ=279.27 τ=34.91
CC 3 SLV (Collegamento 0022_-379)
Azioni sul collegamento: N=-3330.55 Ty=0.90 Tz=5.89 Mx=0.01 Mz=2.40
Sollecitazioni agenti localmente: Ty_l=-605.55 Mx_l=-12.11
Tensioni nella sezione: σ=146.80 τ=18.35
CC 3 SLV (Collegamento 0022_-379)
Azioni sul collegamento: N=-3330.55 Ty=1.58 Tz=5.89 Mx=0.01 Mz=3.71
Sollecitazioni agenti localmente: Ty_l=-605.55 Mx_l=-12.11
Tensioni nella sezione: σ=146.80 τ=18.35
CC 3 SLV (Collegamento 0022_-379)
Azioni sul collegamento: N=-3330.55 Ty=0.90 Tz=-11.19 Mx=0.01 Mz=2.40
Sollecitazioni agenti localmente: Ty_l=-605.55 Mx_l=-12.11
Tensioni nella sezione: σ=146.80 τ=18.35
CC 3 SLV (Collegamento 0022_-379)
Azioni sul collegamento: N=-3330.55 Ty=1.58 Tz=-11.19 Mx=0.01 Mz=3.71
Sollecitazioni agenti localmente: Ty_l=-605.55 Mx_l=-12.11
Tensioni nella sezione: σ=146.80 τ=18.35
CC 3 SLV (Collegamento 0022_-379)
Azioni sul collegamento: N=-7936.97 Ty=0.90 Tz=5.89 Mx=0.01 Mz=2.40
Sollecitazioni agenti localmente: Ty_l=-1443.09 Mx_l=-28.86
Tensioni nella sezione: σ=349.84 τ=43.73
CC 3 SLV (Collegamento 0022_-379)
Azioni sul collegamento: N=-7936.97 Ty=1.58 Tz=5.89 Mx=0.01 Mz=3.71
Sollecitazioni agenti localmente: Ty_l=-1443.09 Mx_l=-28.86
Tensioni nella sezione: σ=349.84 τ=43.73
CC 3 SLV (Collegamento 0022_-379)
Azioni sul collegamento: N=-7936.97 Ty=0.90 Tz=-11.19 Mx=0.01 Mz=2.40
Sollecitazioni agenti localmente: Ty_l=-1443.09 Mx_l=-28.86
Tensioni nella sezione: σ=349.84 τ=43.73
CC 3 SLV (Collegamento 0022_-379)
Azioni sul collegamento: N=-7936.97 Ty=1.58 Tz=-11.19 Mx=0.01 Mz=3.71
Sollecitazioni agenti localmente: Ty_l=-1443.09 Mx_l=-28.86
Tensioni nella sezione: σ=349.84 τ=43.73
CC 4 SLD (Collegamento 0022_-379)
Azioni sul collegamento: N=-4931.25 Ty=0.33 Tz=-0.05 Mx=0.00 Mz=0.80
Sollecitazioni agenti localmente: Ty_l=-896.59 Mx_l=-17.93
Tensioni nella sezione: σ=217.35 τ=27.17

CC 4 SLD (Collegamento 0022_-379)
Azioni sul collegamento: N=-4931.25 Ty=0.53 Tz=-0.05 Mx=0.00 Mz=1.20
Sollecitazioni agenti localmente: Ty_l=-896.59 Mx_l=-17.93
Tensioni nella sezione: σ=217.35 τ=27.17
CC 4 SLD (Collegamento 0022_-379)
Azioni sul collegamento: N=-4931.25 Ty=0.33 Tz=-5.26 Mx=0.00 Mz=0.80
Sollecitazioni agenti localmente: Ty_l=-896.59 Mx_l=-17.93
Tensioni nella sezione: σ=217.35 τ=27.17
CC 4 SLD (Collegamento 0022_-379)
Azioni sul collegamento: N=-4931.25 Ty=0.53 Tz=-5.26 Mx=0.00 Mz=1.20
Sollecitazioni agenti localmente: Ty_l=-896.59 Mx_l=-17.93
Tensioni nella sezione: σ=217.35 τ=27.17
CC 4 SLD (Collegamento 0022_-379)
Azioni sul collegamento: N=-6335.90 Ty=0.33 Tz=-0.05 Mx=0.00 Mz=0.80
Sollecitazioni agenti localmente: Ty_l=-1151.98 Mx_l=-23.04
Tensioni nella sezione: σ=279.27 τ=34.91
CC 4 SLD (Collegamento 0022_-379)
Azioni sul collegamento: N=-6335.90 Ty=0.53 Tz=-0.05 Mx=0.00 Mz=1.20
Sollecitazioni agenti localmente: Ty_l=-1151.98 Mx_l=-23.04
Tensioni nella sezione: σ=279.27 τ=34.91
CC 4 SLD (Collegamento 0022_-379)
Azioni sul collegamento: N=-6335.90 Ty=0.33 Tz=-5.26 Mx=0.00 Mz=0.80
Sollecitazioni agenti localmente: Ty_l=-1151.98 Mx_l=-23.04
Tensioni nella sezione: σ=279.27 τ=34.91
CC 4 SLD (Collegamento 0022_-379)
Azioni sul collegamento: N=-6335.90 Ty=0.53 Tz=-5.26 Mx=0.00 Mz=1.20
Sollecitazioni agenti localmente: Ty_l=-1151.98 Mx_l=-23.04
Tensioni nella sezione: σ=279.27 τ=34.91
CC 5 SLV (Collegamento 0022_-379)
Azioni sul collegamento: N=-7936.97 Ty=1.58 Tz=-11.19 Mx=0.02 Mz=3.71
Sollecitazioni agenti localmente: Ty_l=-1443.09 Mx_l=-28.86
Tensioni nella sezione: σ=349.84 τ=43.73
CC 5 SLV (Collegamento 0022_-379)
Azioni sul collegamento: N=-7936.97 Ty=0.90 Tz=-11.19 Mx=0.02 Mz=2.40
Sollecitazioni agenti localmente: Ty_l=-1443.09 Mx_l=-28.86
Tensioni nella sezione: σ=349.84 τ=43.73
CC 5 SLV (Collegamento 0022_-379)
Azioni sul collegamento: N=-7936.97 Ty=1.58 Tz=5.89 Mx=0.02 Mz=3.71
Sollecitazioni agenti localmente: Ty_l=-1443.09 Mx_l=-28.86
Tensioni nella sezione: σ=349.84 τ=43.73
CC 5 SLV (Collegamento 0022_-379)
Azioni sul collegamento: N=-7936.97 Ty=0.90 Tz=5.89 Mx=0.02 Mz=2.40
Sollecitazioni agenti localmente: Ty_l=-1443.09 Mx_l=-28.86
Tensioni nella sezione: σ=349.84 τ=43.73
CC 5 SLV (Collegamento 0022_-379)
Azioni sul collegamento: N=-3330.55 Ty=1.58 Tz=-11.19 Mx=0.02 Mz=3.71
Sollecitazioni agenti localmente: Ty_l=-605.55 Mx_l=-12.11
Tensioni nella sezione: σ=146.80 τ=18.35
CC 5 SLV (Collegamento 0022_-379)
Azioni sul collegamento: N=-3330.55 Ty=0.90 Tz=-11.19 Mx=0.02 Mz=2.40
Sollecitazioni agenti localmente: Ty_l=-605.55 Mx_l=-12.11
Tensioni nella sezione: σ=146.80 τ=18.35
CC 5 SLV (Collegamento 0022_-379)
Azioni sul collegamento: N=-3330.55 Ty=1.58 Tz=5.89 Mx=0.02 Mz=3.71
Sollecitazioni agenti localmente: Ty_l=-605.55 Mx_l=-12.11
Tensioni nella sezione: σ=146.80 τ=18.35
CC 5 SLV (Collegamento 0022_-379)
Azioni sul collegamento: N=-3330.55 Ty=0.90 Tz=5.89 Mx=0.02 Mz=2.40
Sollecitazioni agenti localmente: Ty_l=-605.55 Mx_l=-12.11
Tensioni nella sezione: σ=146.80 τ=18.35
CC 6 SLD (Collegamento 0022_-379)
Azioni sul collegamento: N=-6335.90 Ty=0.53 Tz=-5.26 Mx=0.01 Mz=1.20
Sollecitazioni agenti localmente: Ty_l=-1151.98 Mx_l=-23.04
Tensioni nella sezione: σ=279.27 τ=34.91
CC 6 SLD (Collegamento 0022_-379)
Azioni sul collegamento: N=-6335.90 Ty=0.33 Tz=-5.26 Mx=0.01 Mz=0.80
Sollecitazioni agenti localmente: Ty_l=-1151.98 Mx_l=-23.04
Tensioni nella sezione: σ=279.27 τ=34.91
CC 6 SLD (Collegamento 0022_-379)
Azioni sul collegamento: N=-6335.90 Ty=0.53 Tz=-0.05 Mx=0.01 Mz=1.20
Sollecitazioni agenti localmente: Ty_l=-1151.98 Mx_l=-23.04
Tensioni nella sezione: σ=279.27 τ=34.91
CC 6 SLD (Collegamento 0022_-379)
Azioni sul collegamento: N=-6335.90 Ty=0.33 Tz=-0.05 Mx=0.01 Mz=0.80
Sollecitazioni agenti localmente: Ty_l=-1151.98 Mx_l=-23.04
Tensioni nella sezione: σ=279.27 τ=34.91
CC 6 SLD (Collegamento 0022_-379)
Azioni sul collegamento: N=-4931.25 Ty=0.53 Tz=-5.26 Mx=0.01 Mz=1.20
Sollecitazioni agenti localmente: Ty_l=-896.59 Mx_l=-17.93

Tensioni nella sezione: σ=217.35 τ=27.17
CC 6 SLD (Collegamento 0022_-379)
Azioni sul collegamento: N=-4931.25 Ty=0.33 Tz=-5.26 Mx=0.01 Mz=0.80
Sollecitazioni agenti localmente: Ty_l=-896.59 Mx_l=-17.93
Tensioni nella sezione: σ=217.35 τ=27.17
CC 6 SLD (Collegamento 0022_-379)
Azioni sul collegamento: N=-4931.25 Ty=0.53 Tz=-0.05 Mx=0.01 Mz=1.20
Sollecitazioni agenti localmente: Ty_l=-896.59 Mx_l=-17.93
Tensioni nella sezione: σ=217.35 τ=27.17
CC 6 SLD (Collegamento 0022_-379)
Azioni sul collegamento: N=-4931.25 Ty=0.33 Tz=-0.05 Mx=0.01 Mz=0.80
Sollecitazioni agenti localmente: Ty_l=-896.59 Mx_l=-17.93
Tensioni nella sezione: σ=217.35 τ=27.17
CC 7 SLV (Collegamento 0022_-379)
Azioni sul collegamento: N=-7936.99 Ty=0.88 Tz=-11.19 Mx=0.01 Mz=2.36
Sollecitazioni agenti localmente: Ty_l=-1443.09 Mx_l=-28.86
Tensioni nella sezione: σ=349.84 τ=43.73
CC 7 SLV (Collegamento 0022_-379)
Azioni sul collegamento: N=-7936.99 Ty=1.59 Tz=-11.19 Mx=0.01 Mz=3.75
Sollecitazioni agenti localmente: Ty_l=-1443.09 Mx_l=-28.86
Tensioni nella sezione: σ=349.84 τ=43.73
CC 7 SLV (Collegamento 0022_-379)
Azioni sul collegamento: N=-7936.99 Ty=0.88 Tz=5.89 Mx=0.01 Mz=2.36
Sollecitazioni agenti localmente: Ty_l=-1443.09 Mx_l=-28.86
Tensioni nella sezione: σ=349.84 τ=43.73
CC 7 SLV (Collegamento 0022_-379)
Azioni sul collegamento: N=-7936.99 Ty=1.59 Tz=5.89 Mx=0.01 Mz=3.75
Sollecitazioni agenti localmente: Ty_l=-1443.09 Mx_l=-28.86
Tensioni nella sezione: σ=349.84 τ=43.73
CC 7 SLV (Collegamento 0022_-379)
Azioni sul collegamento: N=-3330.52 Ty=0.88 Tz=-11.19 Mx=0.01 Mz=2.36
Sollecitazioni agenti localmente: Ty_l=-605.55 Mx_l=-12.11
Tensioni nella sezione: σ=146.80 τ=18.35
CC 7 SLV (Collegamento 0022_-379)
Azioni sul collegamento: N=-3330.52 Ty=1.59 Tz=-11.19 Mx=0.01 Mz=3.75
Sollecitazioni agenti localmente: Ty_l=-605.55 Mx_l=-12.11
Tensioni nella sezione: σ=146.80 τ=18.35
CC 7 SLV (Collegamento 0022_-379)
Azioni sul collegamento: N=-3330.52 Ty=0.88 Tz=5.89 Mx=0.01 Mz=2.36
Sollecitazioni agenti localmente: Ty_l=-605.55 Mx_l=-12.11
Tensioni nella sezione: σ=146.80 τ=18.35
CC 7 SLV (Collegamento 0022_-379)
Azioni sul collegamento: N=-3330.52 Ty=1.59 Tz=5.89 Mx=0.01 Mz=3.75
Sollecitazioni agenti localmente: Ty_l=-605.55 Mx_l=-12.11
Tensioni nella sezione: σ=146.80 τ=18.35
CC 8 SLD (Collegamento 0022_-379)
Azioni sul collegamento: N=-6335.90 Ty=0.32 Tz=-5.26 Mx=0.00 Mz=0.79
Sollecitazioni agenti localmente: Ty_l=-1151.98 Mx_l=-23.04
Tensioni nella sezione: σ=279.27 τ=34.91
CC 8 SLD (Collegamento 0022_-379)
Azioni sul collegamento: N=-6335.90 Ty=0.54 Tz=-5.26 Mx=0.00 Mz=1.22
Sollecitazioni agenti localmente: Ty_l=-1151.98 Mx_l=-23.04
Tensioni nella sezione: σ=279.27 τ=34.91
CC 8 SLD (Collegamento 0022_-379)
Azioni sul collegamento: N=-6335.90 Ty=0.32 Tz=-0.05 Mx=0.00 Mz=0.79
Sollecitazioni agenti localmente: Ty_l=-1151.98 Mx_l=-23.04
Tensioni nella sezione: σ=279.27 τ=34.91
CC 8 SLD (Collegamento 0022_-379)
Azioni sul collegamento: N=-6335.90 Ty=0.54 Tz=-0.05 Mx=0.00 Mz=1.22
Sollecitazioni agenti localmente: Ty_l=-1151.98 Mx_l=-23.04
Tensioni nella sezione: σ=279.27 τ=34.91
CC 8 SLD (Collegamento 0022_-379)
Azioni sul collegamento: N=-4931.25 Ty=0.32 Tz=-5.26 Mx=0.00 Mz=0.79
Sollecitazioni agenti localmente: Ty_l=-896.59 Mx_l=-17.93
Tensioni nella sezione: σ=217.35 τ=27.17
CC 8 SLD (Collegamento 0022_-379)
Azioni sul collegamento: N=-4931.25 Ty=0.54 Tz=-5.26 Mx=0.00 Mz=1.22
Sollecitazioni agenti localmente: Ty_l=-896.59 Mx_l=-17.93
Tensioni nella sezione: σ=217.35 τ=27.17
CC 8 SLD (Collegamento 0022_-379)
Azioni sul collegamento: N=-4931.25 Ty=0.32 Tz=-0.05 Mx=0.00 Mz=0.79
Sollecitazioni agenti localmente: Ty_l=-896.59 Mx_l=-17.93
Tensioni nella sezione: σ=217.35 τ=27.17
CC 8 SLD (Collegamento 0022_-379)
Azioni sul collegamento: N=-4931.25 Ty=0.54 Tz=-0.05 Mx=0.00 Mz=1.22
Sollecitazioni agenti localmente: Ty_l=-896.59 Mx_l=-17.93
Tensioni nella sezione: σ=217.35 τ=27.17
CC 9 SLV (Collegamento 0022_-379)
Azioni sul collegamento: N=-4942.75 Ty=2.39 Tz=-0.09 Mx=0.02 Mz=5.32

Sollecitazioni agenti localmente: Ty_l=-898.68 Mx_l=-17.97
Tensioni nella sezione: σ=217.86 τ=27.23
CC 9 SLV (Collegamento 0022_-379)
Azioni sul collegamento: N=-4942.75 Ty=0.08 Tz=-0.09 Mx=0.02 Mz=0.80
Sollecitazioni agenti localmente: Ty_l=-898.68 Mx_l=-17.97
Tensioni nella sezione: σ=217.86 τ=27.23
CC 9 SLV (Collegamento 0022_-379)
Azioni sul collegamento: N=-4942.75 Ty=2.39 Tz=-5.22 Mx=0.02 Mz=5.32
Sollecitazioni agenti localmente: Ty_l=-898.68 Mx_l=-17.97
Tensioni nella sezione: σ=217.86 τ=27.23
CC 9 SLV (Collegamento 0022_-379)
Azioni sul collegamento: N=-4942.75 Ty=0.08 Tz=-5.22 Mx=0.02 Mz=0.80
Sollecitazioni agenti localmente: Ty_l=-898.68 Mx_l=-17.97
Tensioni nella sezione: σ=217.86 τ=27.23
CC 9 SLV (Collegamento 0022_-379)
Azioni sul collegamento: N=-6324.76 Ty=2.39 Tz=-0.09 Mx=0.02 Mz=5.32
Sollecitazioni agenti localmente: Ty_l=-1149.96 Mx_l=-23.00
Tensioni nella sezione: σ=278.78 τ=34.85
CC 9 SLV (Collegamento 0022_-379)
Azioni sul collegamento: N=-6324.76 Ty=0.08 Tz=-0.09 Mx=0.02 Mz=0.80
Sollecitazioni agenti localmente: Ty_l=-1149.96 Mx_l=-23.00
Tensioni nella sezione: σ=278.78 τ=34.85
CC 9 SLV (Collegamento 0022_-379)
Azioni sul collegamento: N=-6324.76 Ty=2.39 Tz=-5.22 Mx=0.02 Mz=5.32
Sollecitazioni agenti localmente: Ty_l=-1149.96 Mx_l=-23.00
Tensioni nella sezione: σ=278.78 τ=34.85
CC 9 SLV (Collegamento 0022_-379)
Azioni sul collegamento: N=-6324.76 Ty=0.08 Tz=-5.22 Mx=0.02 Mz=0.80
Sollecitazioni agenti localmente: Ty_l=-1149.96 Mx_l=-23.00
Tensioni nella sezione: σ=278.78 τ=34.85
CC 10 SLD (Collegamento 0022_-379)
Azioni sul collegamento: N=-5422.87 Ty=0.78 Tz=-1.87 Mx=0.01 Mz=1.69
Sollecitazioni agenti localmente: Ty_l=-985.98 Mx_l=-19.72
Tensioni nella sezione: σ=239.02 τ=29.88
CC 10 SLD (Collegamento 0022_-379)
Azioni sul collegamento: N=-5422.87 Ty=0.08 Tz=-1.87 Mx=0.01 Mz=0.31
Sollecitazioni agenti localmente: Ty_l=-985.98 Mx_l=-19.72
Tensioni nella sezione: σ=239.02 τ=29.88
CC 10 SLD (Collegamento 0022_-379)
Azioni sul collegamento: N=-5422.87 Ty=0.78 Tz=-3.44 Mx=0.01 Mz=1.69
Sollecitazioni agenti localmente: Ty_l=-985.98 Mx_l=-19.72
Tensioni nella sezione: σ=239.02 τ=29.88
CC 10 SLD (Collegamento 0022_-379)
Azioni sul collegamento: N=-5422.87 Ty=0.08 Tz=-3.44 Mx=0.01 Mz=0.31
Sollecitazioni agenti localmente: Ty_l=-985.98 Mx_l=-19.72
Tensioni nella sezione: σ=239.02 τ=29.88
CC 10 SLD (Collegamento 0022_-379)
Azioni sul collegamento: N=-5844.28 Ty=0.78 Tz=-1.87 Mx=0.01 Mz=1.69
Sollecitazioni agenti localmente: Ty_l=-1062.60 Mx_l=-21.25
Tensioni nella sezione: σ=257.60 τ=32.20
CC 10 SLD (Collegamento 0022_-379)
Azioni sul collegamento: N=-5844.28 Ty=0.08 Tz=-1.87 Mx=0.01 Mz=0.31
Sollecitazioni agenti localmente: Ty_l=-1062.60 Mx_l=-21.25
Tensioni nella sezione: σ=257.60 τ=32.20
CC 10 SLD (Collegamento 0022_-379)
Azioni sul collegamento: N=-5844.28 Ty=0.78 Tz=-3.44 Mx=0.01 Mz=1.69
Sollecitazioni agenti localmente: Ty_l=-1062.60 Mx_l=-21.25
Tensioni nella sezione: σ=257.60 τ=32.20
CC 10 SLD (Collegamento 0022_-379)
Azioni sul collegamento: N=-5844.28 Ty=0.08 Tz=-3.44 Mx=0.01 Mz=0.31
Sollecitazioni agenti localmente: Ty_l=-1062.60 Mx_l=-21.25
Tensioni nella sezione: σ=257.60 τ=32.20
CC 11 SLV (Collegamento 0022_-379)
Azioni sul collegamento: N=-6324.69 Ty=2.39 Tz=-5.21 Mx=0.02 Mz=5.31
Sollecitazioni agenti localmente: Ty_l=-1149.94 Mx_l=-23.00
Tensioni nella sezione: σ=278.77 τ=34.85
CC 11 SLV (Collegamento 0022_-379)
Azioni sul collegamento: N=-6324.69 Ty=0.09 Tz=-5.21 Mx=0.02 Mz=0.81
Sollecitazioni agenti localmente: Ty_l=-1149.94 Mx_l=-23.00
Tensioni nella sezione: σ=278.77 τ=34.85
CC 11 SLV (Collegamento 0022_-379)
Azioni sul collegamento: N=-6324.69 Ty=2.39 Tz=-0.09 Mx=0.02 Mz=5.31
Sollecitazioni agenti localmente: Ty_l=-1149.94 Mx_l=-23.00
Tensioni nella sezione: σ=278.77 τ=34.85
CC 11 SLV (Collegamento 0022_-379)
Azioni sul collegamento: N=-6324.69 Ty=0.09 Tz=-0.09 Mx=0.02 Mz=0.81
Sollecitazioni agenti localmente: Ty_l=-1149.94 Mx_l=-23.00
Tensioni nella sezione: σ=278.77 τ=34.85
CC 11 SLV (Collegamento 0022_-379)

Azioni sul collegamento: N=-4942.83 Ty=2.39 Tz=-5.21 Mx=0.02 Mz=5.31
Sollecitazioni agenti localmente: Ty_l=-898.70 Mx_l=-17.97
Tensioni nella sezione: σ=217.87 τ=27.23
CC 11 SLV (Collegamento 0022_-379)
Azioni sul collegamento: N=-4942.83 Ty=0.09 Tz=-5.21 Mx=0.02 Mz=0.81
Sollecitazioni agenti localmente: Ty_l=-898.70 Mx_l=-17.97
Tensioni nella sezione: σ=217.87 τ=27.23
CC 11 SLV (Collegamento 0022_-379)
Azioni sul collegamento: N=-4942.83 Ty=2.39 Tz=-0.09 Mx=0.02 Mz=5.31
Sollecitazioni agenti localmente: Ty_l=-898.70 Mx_l=-17.97
Tensioni nella sezione: σ=217.87 τ=27.23
CC 11 SLV (Collegamento 0022_-379)
Azioni sul collegamento: N=-4942.83 Ty=0.09 Tz=-0.09 Mx=0.02 Mz=0.81
Sollecitazioni agenti localmente: Ty_l=-898.70 Mx_l=-17.97
Tensioni nella sezione: σ=217.87 τ=27.23
CC 12 SLD (Collegamento 0022_-379)
Azioni sul collegamento: N=-5844.26 Ty=0.78 Tz=-3.43 Mx=0.01 Mz=1.69
Sollecitazioni agenti localmente: Ty_l=-1062.59 Mx_l=-21.25
Tensioni nella sezione: σ=257.60 τ=32.20
CC 12 SLD (Collegamento 0022_-379)
Azioni sul collegamento: N=-5844.26 Ty=0.08 Tz=-3.43 Mx=0.01 Mz=0.32
Sollecitazioni agenti localmente: Ty_l=-1062.59 Mx_l=-21.25
Tensioni nella sezione: σ=257.60 τ=32.20
CC 12 SLD (Collegamento 0022_-379)
Azioni sul collegamento: N=-5844.26 Ty=0.78 Tz=-1.87 Mx=0.01 Mz=1.69
Sollecitazioni agenti localmente: Ty_l=-1062.59 Mx_l=-21.25
Tensioni nella sezione: σ=257.60 τ=32.20
CC 12 SLD (Collegamento 0022_-379)
Azioni sul collegamento: N=-5844.26 Ty=0.08 Tz=-1.87 Mx=0.01 Mz=0.32
Sollecitazioni agenti localmente: Ty_l=-1062.59 Mx_l=-21.25
Tensioni nella sezione: σ=257.60 τ=32.20
CC 12 SLD (Collegamento 0022_-379)
Azioni sul collegamento: N=-5422.89 Ty=0.78 Tz=-3.43 Mx=0.01 Mz=1.69
Sollecitazioni agenti localmente: Ty_l=-985.98 Mx_l=-19.72
Tensioni nella sezione: σ=239.03 τ=29.88
CC 12 SLD (Collegamento 0022_-379)
Azioni sul collegamento: N=-5422.89 Ty=0.08 Tz=-3.43 Mx=0.01 Mz=0.32
Sollecitazioni agenti localmente: Ty_l=-985.98 Mx_l=-19.72
Tensioni nella sezione: σ=239.03 τ=29.88
CC 12 SLD (Collegamento 0022_-379)
Azioni sul collegamento: N=-5422.89 Ty=0.78 Tz=-1.87 Mx=0.01 Mz=1.69
Sollecitazioni agenti localmente: Ty_l=-985.98 Mx_l=-19.72
Tensioni nella sezione: σ=239.03 τ=29.88
CC 12 SLD (Collegamento 0022_-379)
Azioni sul collegamento: N=-5422.89 Ty=0.08 Tz=-1.87 Mx=0.01 Mz=0.32
Sollecitazioni agenti localmente: Ty_l=-985.98 Mx_l=-19.72
Tensioni nella sezione: σ=239.03 τ=29.88
CC 13 SLV (Collegamento 0022_-379)
Azioni sul collegamento: N=-4942.83 Ty=0.09 Tz=-0.09 Mx=0.00 Mz=0.81
Sollecitazioni agenti localmente: Ty_l=-898.70 Mx_l=-17.97
Tensioni nella sezione: σ=217.87 τ=27.23
CC 13 SLV (Collegamento 0022_-379)
Azioni sul collegamento: N=-4942.83 Ty=2.39 Tz=-0.09 Mx=0.00 Mz=5.31
Sollecitazioni agenti localmente: Ty_l=-898.70 Mx_l=-17.97
Tensioni nella sezione: σ=217.87 τ=27.23
CC 13 SLV (Collegamento 0022_-379)
Azioni sul collegamento: N=-4942.83 Ty=0.09 Tz=-5.21 Mx=0.00 Mz=0.81
Sollecitazioni agenti localmente: Ty_l=-898.70 Mx_l=-17.97
Tensioni nella sezione: σ=217.87 τ=27.23
CC 13 SLV (Collegamento 0022_-379)
Azioni sul collegamento: N=-4942.83 Ty=2.39 Tz=-5.21 Mx=0.00 Mz=5.31
Sollecitazioni agenti localmente: Ty_l=-898.70 Mx_l=-17.97
Tensioni nella sezione: σ=217.87 τ=27.23
CC 13 SLV (Collegamento 0022_-379)
Azioni sul collegamento: N=-6324.69 Ty=0.09 Tz=-0.09 Mx=0.00 Mz=0.81
Sollecitazioni agenti localmente: Ty_l=-1149.94 Mx_l=-23.00
Tensioni nella sezione: σ=278.77 τ=34.85
CC 13 SLV (Collegamento 0022_-379)
Azioni sul collegamento: N=-6324.69 Ty=2.39 Tz=-0.09 Mx=0.00 Mz=5.31
Sollecitazioni agenti localmente: Ty_l=-1149.94 Mx_l=-23.00
Tensioni nella sezione: σ=278.77 τ=34.85
CC 13 SLV (Collegamento 0022_-379)
Azioni sul collegamento: N=-6324.69 Ty=0.09 Tz=-5.21 Mx=0.00 Mz=0.81
Sollecitazioni agenti localmente: Ty_l=-1149.94 Mx_l=-23.00
Tensioni nella sezione: σ=278.77 τ=34.85
CC 13 SLV (Collegamento 0022_-379)
Azioni sul collegamento: N=-6324.69 Ty=2.39 Tz=-5.21 Mx=0.00 Mz=5.31
Sollecitazioni agenti localmente: Ty_l=-1149.94 Mx_l=-23.00
Tensioni nella sezione: σ=278.77 τ=34.85

CC 14 SLD (Collegamento 0022_-379)
Azioni sul collegamento: N=-5422.89 Ty=0.08 Tz=-1.87 Mx=0.00 Mz=0.32
Sollecitazioni agenti localmente: Ty_l=-985.98 Mx_l=-19.72
Tensioni nella sezione: σ=239.03 τ=29.88
CC 14 SLD (Collegamento 0022_-379)
Azioni sul collegamento: N=-5422.89 Ty=0.78 Tz=-1.87 Mx=0.00 Mz=1.69
Sollecitazioni agenti localmente: Ty_l=-985.98 Mx_l=-19.72
Tensioni nella sezione: σ=239.03 τ=29.88
CC 14 SLD (Collegamento 0022_-379)
Azioni sul collegamento: N=-5422.89 Ty=0.08 Tz=-3.43 Mx=0.00 Mz=0.32
Sollecitazioni agenti localmente: Ty_l=-985.98 Mx_l=-19.72
Tensioni nella sezione: σ=239.03 τ=29.88
CC 14 SLD (Collegamento 0022_-379)
Azioni sul collegamento: N=-5422.89 Ty=0.78 Tz=-3.43 Mx=0.00 Mz=1.69
Sollecitazioni agenti localmente: Ty_l=-985.98 Mx_l=-19.72
Tensioni nella sezione: σ=239.03 τ=29.88
CC 14 SLD (Collegamento 0022_-379)
Azioni sul collegamento: N=-5844.26 Ty=0.08 Tz=-1.87 Mx=0.00 Mz=0.32
Sollecitazioni agenti localmente: Ty_l=-1062.59 Mx_l=-21.25
Tensioni nella sezione: σ=257.60 τ=32.20
CC 14 SLD (Collegamento 0022_-379)
Azioni sul collegamento: N=-5844.26 Ty=0.78 Tz=-1.87 Mx=0.00 Mz=1.69
Sollecitazioni agenti localmente: Ty_l=-1062.59 Mx_l=-21.25
Tensioni nella sezione: σ=257.60 τ=32.20
CC 14 SLD (Collegamento 0022_-379)
Azioni sul collegamento: N=-5844.26 Ty=0.08 Tz=-3.43 Mx=0.00 Mz=0.32
Sollecitazioni agenti localmente: Ty_l=-1062.59 Mx_l=-21.25
Tensioni nella sezione: σ=257.60 τ=32.20
CC 14 SLD (Collegamento 0022_-379)
Azioni sul collegamento: N=-5844.26 Ty=0.78 Tz=-3.43 Mx=0.00 Mz=1.69
Sollecitazioni agenti localmente: Ty_l=-1062.59 Mx_l=-21.25
Tensioni nella sezione: σ=257.60 τ=32.20
CC 15 SLV (Collegamento 0022_-379)
Azioni sul collegamento: N=-6324.76 Ty=0.08 Tz=-5.22 Mx=0.00 Mz=0.80
Sollecitazioni agenti localmente: Ty_l=-1149.96 Mx_l=-23.00
Tensioni nella sezione: σ=278.78 τ=34.85
CC 15 SLV (Collegamento 0022_-379)
Azioni sul collegamento: N=-6324.76 Ty=2.39 Tz=-5.22 Mx=0.00 Mz=5.32
Sollecitazioni agenti localmente: Ty_l=-1149.96 Mx_l=-23.00
Tensioni nella sezione: σ=278.78 τ=34.85
CC 15 SLV (Collegamento 0022_-379)
Azioni sul collegamento: N=-6324.76 Ty=0.08 Tz=-0.09 Mx=0.00 Mz=0.80
Sollecitazioni agenti localmente: Ty_l=-1149.96 Mx_l=-23.00
Tensioni nella sezione: σ=278.78 τ=34.85
CC 15 SLV (Collegamento 0022_-379)
Azioni sul collegamento: N=-6324.76 Ty=2.39 Tz=-0.09 Mx=0.00 Mz=5.32
Sollecitazioni agenti localmente: Ty_l=-1149.96 Mx_l=-23.00
Tensioni nella sezione: σ=278.78 τ=34.85
CC 15 SLV (Collegamento 0022_-379)
Azioni sul collegamento: N=-4942.75 Ty=0.08 Tz=-5.22 Mx=0.00 Mz=0.80
Sollecitazioni agenti localmente: Ty_l=-898.68 Mx_l=-17.97
Tensioni nella sezione: σ=217.86 τ=27.23
CC 15 SLV (Collegamento 0022_-379)
Azioni sul collegamento: N=-4942.75 Ty=2.39 Tz=-5.22 Mx=0.00 Mz=5.32
Sollecitazioni agenti localmente: Ty_l=-898.68 Mx_l=-17.97
Tensioni nella sezione: σ=217.86 τ=27.23
CC 15 SLV (Collegamento 0022_-379)
Azioni sul collegamento: N=-4942.75 Ty=0.08 Tz=-0.09 Mx=0.00 Mz=0.80
Sollecitazioni agenti localmente: Ty_l=-898.68 Mx_l=-17.97
Tensioni nella sezione: σ=217.86 τ=27.23
CC 15 SLV (Collegamento 0022_-379)
Azioni sul collegamento: N=-4942.75 Ty=2.39 Tz=-0.09 Mx=0.00 Mz=5.32
Sollecitazioni agenti localmente: Ty_l=-898.68 Mx_l=-17.97
Tensioni nella sezione: σ=217.86 τ=27.23
CC 16 SLD (Collegamento 0022_-379)
Azioni sul collegamento: N=-5844.28 Ty=0.08 Tz=-3.44 Mx=0.00 Mz=0.31
Sollecitazioni agenti localmente: Ty_l=-1062.60 Mx_l=-21.25
Tensioni nella sezione: σ=257.60 τ=32.20
CC 16 SLD (Collegamento 0022_-379)
Azioni sul collegamento: N=-5844.28 Ty=0.78 Tz=-3.44 Mx=0.00 Mz=1.69
Sollecitazioni agenti localmente: Ty_l=-1062.60 Mx_l=-21.25
Tensioni nella sezione: σ=257.60 τ=32.20
CC 16 SLD (Collegamento 0022_-379)
Azioni sul collegamento: N=-5844.28 Ty=0.08 Tz=-1.87 Mx=0.00 Mz=0.31
Sollecitazioni agenti localmente: Ty_l=-1062.60 Mx_l=-21.25
Tensioni nella sezione: σ=257.60 τ=32.20
CC 16 SLD (Collegamento 0022_-379)
Azioni sul collegamento: N=-5844.28 Ty=0.78 Tz=-1.87 Mx=0.00 Mz=1.69
Sollecitazioni agenti localmente: Ty_l=-1062.60 Mx_l=-21.25

Tensioni nella sezione: σ=257.60 τ=32.20
CC 16 SLD (Collegamento 0022_-379)
Azioni sul collegamento: N=-5422.87 Ty=0.08 Tz=-3.44 Mx=0.00 Mz=0.31
Sollecitazioni agenti localmente: Ty_l=-985.98 Mx_l=-19.72
Tensioni nella sezione: σ=239.02 τ=29.88
CC 16 SLD (Collegamento 0022_-379)
Azioni sul collegamento: N=-5422.87 Ty=0.78 Tz=-3.44 Mx=0.00 Mz=1.69
Sollecitazioni agenti localmente: Ty_l=-985.98 Mx_l=-19.72
Tensioni nella sezione: σ=239.02 τ=29.88
CC 16 SLD (Collegamento 0022_-379)
Azioni sul collegamento: N=-5422.87 Ty=0.08 Tz=-1.87 Mx=0.00 Mz=0.31
Sollecitazioni agenti localmente: Ty_l=-985.98 Mx_l=-19.72
Tensioni nella sezione: σ=239.02 τ=29.88
CC 16 SLD (Collegamento 0022_-379)
Azioni sul collegamento: N=-5422.87 Ty=0.78 Tz=-1.87 Mx=0.00 Mz=1.69
Sollecitazioni agenti localmente: Ty_l=-985.98 Mx_l=-19.72
Tensioni nella sezione: σ=239.02 τ=29.88
CC 17 SLV (Collegamento 0022_-379)
Azioni sul collegamento: N=-3330.00 Ty=-0.74 Tz=5.89 Mx=-0.02 Mz=-2.16
Sollecitazioni agenti localmente: Ty_l=-605.45 Mx_l=-12.11
Tensioni nella sezione: σ=146.78 τ=18.35
CC 17 SLV (Collegamento 0022_-379)
Azioni sul collegamento: N=-3330.00 Ty=-1.44 Tz=5.89 Mx=-0.02 Mz=-3.55
Sollecitazioni agenti localmente: Ty_l=-605.45 Mx_l=-12.11
Tensioni nella sezione: σ=146.78 τ=18.35
CC 17 SLV (Collegamento 0022_-379)
Azioni sul collegamento: N=-3330.00 Ty=-0.74 Tz=-11.20 Mx=-0.02 Mz=-2.16
Sollecitazioni agenti localmente: Ty_l=-605.45 Mx_l=-12.11
Tensioni nella sezione: σ=146.78 τ=18.35
CC 17 SLV (Collegamento 0022_-379)
Azioni sul collegamento: N=-3330.00 Ty=-1.44 Tz=-11.20 Mx=-0.02 Mz=-3.55
Sollecitazioni agenti localmente: Ty_l=-605.45 Mx_l=-12.11
Tensioni nella sezione: σ=146.78 τ=18.35
CC 17 SLV (Collegamento 0022_-379)
Azioni sul collegamento: N=-7936.47 Ty=-0.74 Tz=5.89 Mx=-0.02 Mz=-2.16
Sollecitazioni agenti localmente: Ty_l=-1442.99 Mx_l=-28.86
Tensioni nella sezione: σ=349.82 τ=43.73
CC 17 SLV (Collegamento 0022_-379)
Azioni sul collegamento: N=-7936.47 Ty=-1.44 Tz=5.89 Mx=-0.02 Mz=-3.55
Sollecitazioni agenti localmente: Ty_l=-1442.99 Mx_l=-28.86
Tensioni nella sezione: σ=349.82 τ=43.73
CC 17 SLV (Collegamento 0022_-379)
Azioni sul collegamento: N=-7936.47 Ty=-0.74 Tz=-11.20 Mx=-0.02 Mz=-2.16
Sollecitazioni agenti localmente: Ty_l=-1442.99 Mx_l=-28.86
Tensioni nella sezione: σ=349.82 τ=43.73
CC 17 SLV (Collegamento 0022_-379)
Azioni sul collegamento: N=-7936.47 Ty=-1.44 Tz=-11.20 Mx=-0.02 Mz=-3.55
Sollecitazioni agenti localmente: Ty_l=-1442.99 Mx_l=-28.86
Tensioni nella sezione: σ=349.82 τ=43.73
CC 18 SLD (Collegamento 0022_-379)
Azioni sul collegamento: N=-4931.08 Ty=-0.17 Tz=-0.05 Mx=-0.00 Mz=-0.59
Sollecitazioni agenti localmente: Ty_l=-896.56 Mx_l=-17.93
Tensioni nella sezione: σ=217.35 τ=27.17
CC 18 SLD (Collegamento 0022_-379)
Azioni sul collegamento: N=-4931.08 Ty=-0.39 Tz=-0.05 Mx=-0.00 Mz=-1.01
Sollecitazioni agenti localmente: Ty_l=-896.56 Mx_l=-17.93
Tensioni nella sezione: σ=217.35 τ=27.17
CC 18 SLD (Collegamento 0022_-379)
Azioni sul collegamento: N=-4931.09 Ty=-0.17 Tz=-5.26 Mx=-0.00 Mz=-0.59
Sollecitazioni agenti localmente: Ty_l=-896.56 Mx_l=-17.93
Tensioni nella sezione: σ=217.35 τ=27.17
CC 18 SLD (Collegamento 0022_-379)
Azioni sul collegamento: N=-4931.09 Ty=-0.39 Tz=-5.26 Mx=-0.00 Mz=-1.01
Sollecitazioni agenti localmente: Ty_l=-896.56 Mx_l=-17.93
Tensioni nella sezione: σ=217.35 τ=27.17
CC 18 SLD (Collegamento 0022_-379)
Azioni sul collegamento: N=-6335.74 Ty=-0.17 Tz=-0.05 Mx=-0.00 Mz=-0.59
Sollecitazioni agenti localmente: Ty_l=-1151.95 Mx_l=-23.04
Tensioni nella sezione: σ=279.26 τ=34.91
CC 18 SLD (Collegamento 0022_-379)
Azioni sul collegamento: N=-6335.74 Ty=-0.39 Tz=-0.05 Mx=-0.00 Mz=-1.01
Sollecitazioni agenti localmente: Ty_l=-1151.95 Mx_l=-23.04
Tensioni nella sezione: σ=279.26 τ=34.91
CC 18 SLD (Collegamento 0022_-379)
Azioni sul collegamento: N=-6335.74 Ty=-0.17 Tz=-5.26 Mx=-0.00 Mz=-0.59
Sollecitazioni agenti localmente: Ty_l=-1151.95 Mx_l=-23.04
Tensioni nella sezione: σ=279.26 τ=34.91
CC 18 SLD (Collegamento 0022_-379)
Azioni sul collegamento: N=-6335.74 Ty=-0.39 Tz=-5.26 Mx=-0.00 Mz=-1.01

Sollecitazioni agenti localmente: Ty_l=-1151.95 Mx_l=-23.04
Tensioni nella sezione: σ=279.26 τ=34.91
CC 19 SLV (Collegamento 0022_-379)
Azioni sul collegamento: N=-3330.02 Ty=-1.43 Tz=5.88 Mx=-0.01 Mz=-3.51
Sollecitazioni agenti localmente: Ty_l=-605.46 Mx_l=-12.11
Tensioni nella sezione: σ=146.78 τ=18.35
CC 19 SLV (Collegamento 0022_-379)
Azioni sul collegamento: N=-3330.02 Ty=-0.75 Tz=5.88 Mx=-0.01 Mz=-2.19
Sollecitazioni agenti localmente: Ty_l=-605.46 Mx_l=-12.11
Tensioni nella sezione: σ=146.78 τ=18.35
CC 19 SLV (Collegamento 0022_-379)
Azioni sul collegamento: N=-3330.02 Ty=-1.43 Tz=-11.19 Mx=-0.01 Mz=-3.51
Sollecitazioni agenti localmente: Ty_l=-605.46 Mx_l=-12.11
Tensioni nella sezione: σ=146.78 τ=18.35
CC 19 SLV (Collegamento 0022_-379)
Azioni sul collegamento: N=-3330.02 Ty=-0.75 Tz=-11.19 Mx=-0.01 Mz=-2.19
Sollecitazioni agenti localmente: Ty_l=-605.46 Mx_l=-12.11
Tensioni nella sezione: σ=146.78 τ=18.35
CC 19 SLV (Collegamento 0022_-379)
Azioni sul collegamento: N=-7936.44 Ty=-1.43 Tz=5.88 Mx=-0.01 Mz=-3.51
Sollecitazioni agenti localmente: Ty_l=-1442.99 Mx_l=-28.86
Tensioni nella sezione: σ=349.81 τ=43.73
CC 19 SLV (Collegamento 0022_-379)
Azioni sul collegamento: N=-7936.44 Ty=-0.75 Tz=5.88 Mx=-0.01 Mz=-2.19
Sollecitazioni agenti localmente: Ty_l=-1442.99 Mx_l=-28.86
Tensioni nella sezione: σ=349.81 τ=43.73
CC 19 SLV (Collegamento 0022_-379)
Azioni sul collegamento: N=-7936.44 Ty=-1.43 Tz=-11.19 Mx=-0.01 Mz=-3.51
Sollecitazioni agenti localmente: Ty_l=-1442.99 Mx_l=-28.86
Tensioni nella sezione: σ=349.81 τ=43.73
CC 19 SLV (Collegamento 0022_-379)
Azioni sul collegamento: N=-7936.44 Ty=-0.75 Tz=-11.19 Mx=-0.01 Mz=-2.19
Sollecitazioni agenti localmente: Ty_l=-1442.99 Mx_l=-28.86
Tensioni nella sezione: σ=349.81 τ=43.73
CC 20 SLD (Collegamento 0022_-379)
Azioni sul collegamento: N=-4931.09 Ty=-0.38 Tz=-0.05 Mx=-0.00 Mz=-1.00
Sollecitazioni agenti localmente: Ty_l=-896.56 Mx_l=-17.93
Tensioni nella sezione: σ=217.35 τ=27.17
CC 20 SLD (Collegamento 0022_-379)
Azioni sul collegamento: N=-4931.09 Ty=-0.18 Tz=-0.05 Mx=-0.00 Mz=-0.60
Sollecitazioni agenti localmente: Ty_l=-896.56 Mx_l=-17.93
Tensioni nella sezione: σ=217.35 τ=27.17
CC 20 SLD (Collegamento 0022_-379)
Azioni sul collegamento: N=-4931.09 Ty=-0.38 Tz=-5.26 Mx=-0.00 Mz=-1.00
Sollecitazioni agenti localmente: Ty_l=-896.56 Mx_l=-17.93
Tensioni nella sezione: σ=217.35 τ=27.17
CC 20 SLD (Collegamento 0022_-379)
Azioni sul collegamento: N=-4931.09 Ty=-0.18 Tz=-5.26 Mx=-0.00 Mz=-0.60
Sollecitazioni agenti localmente: Ty_l=-896.56 Mx_l=-17.93
Tensioni nella sezione: σ=217.35 τ=27.17
CC 20 SLD (Collegamento 0022_-379)
Azioni sul collegamento: N=-6335.74 Ty=-0.38 Tz=-0.05 Mx=-0.00 Mz=-1.00
Sollecitazioni agenti localmente: Ty_l=-1151.95 Mx_l=-23.04
Tensioni nella sezione: σ=279.26 τ=34.91
CC 20 SLD (Collegamento 0022_-379)
Azioni sul collegamento: N=-6335.74 Ty=-0.18 Tz=-0.05 Mx=-0.00 Mz=-0.60
Sollecitazioni agenti localmente: Ty_l=-1151.95 Mx_l=-23.04
Tensioni nella sezione: σ=279.26 τ=34.91
CC 20 SLD (Collegamento 0022_-379)
Azioni sul collegamento: N=-6335.74 Ty=-0.38 Tz=-5.26 Mx=-0.00 Mz=-1.00
Sollecitazioni agenti localmente: Ty_l=-1151.95 Mx_l=-23.04
Tensioni nella sezione: σ=279.26 τ=34.91
CC 20 SLD (Collegamento 0022_-379)
Azioni sul collegamento: N=-6335.74 Ty=-0.18 Tz=-5.26 Mx=-0.00 Mz=-0.60
Sollecitazioni agenti localmente: Ty_l=-1151.95 Mx_l=-23.04
Tensioni nella sezione: σ=279.26 τ=34.91
CC 21 SLV (Collegamento 0022_-379)
Azioni sul collegamento: N=-7936.44 Ty=-0.75 Tz=-11.19 Mx=-0.02 Mz=-2.19
Sollecitazioni agenti localmente: Ty_l=-1442.99 Mx_l=-28.86
Tensioni nella sezione: σ=349.81 τ=43.73
CC 21 SLV (Collegamento 0022_-379)
Azioni sul collegamento: N=-7936.44 Ty=-1.43 Tz=-11.19 Mx=-0.02 Mz=-3.51
Sollecitazioni agenti localmente: Ty_l=-1442.99 Mx_l=-28.86
Tensioni nella sezione: σ=349.81 τ=43.73
CC 21 SLV (Collegamento 0022_-379)
Azioni sul collegamento: N=-7936.44 Ty=-0.75 Tz=5.88 Mx=-0.02 Mz=-2.19
Sollecitazioni agenti localmente: Ty_l=-1442.99 Mx_l=-28.86
Tensioni nella sezione: σ=349.81 τ=43.73
CC 21 SLV (Collegamento 0022_-379)

Azioni sul collegamento: N=-7936.44 Ty=-1.43 Tz=5.88 Mx=-0.02 Mz=-3.51
Sollecitazioni agenti localmente: Ty_l=-1442.99 Mx_l=-28.86
Tensioni nella sezione: σ=349.81 τ=43.73
CC 21 SLV (Collegamento 0022_-379)
Azioni sul collegamento: N=-3330.02 Ty=-0.75 Tz=-11.19 Mx=-0.02 Mz=-2.19
Sollecitazioni agenti localmente: Ty_l=-605.46 Mx_l=-12.11
Tensioni nella sezione: σ=146.78 τ=18.35
CC 21 SLV (Collegamento 0022_-379)
Azioni sul collegamento: N=-3330.02 Ty=-1.43 Tz=-11.19 Mx=-0.02 Mz=-3.51
Sollecitazioni agenti localmente: Ty_l=-605.46 Mx_l=-12.11
Tensioni nella sezione: σ=146.78 τ=18.35
CC 21 SLV (Collegamento 0022_-379)
Azioni sul collegamento: N=-3330.02 Ty=-0.75 Tz=5.88 Mx=-0.02 Mz=-2.19
Sollecitazioni agenti localmente: Ty_l=-605.46 Mx_l=-12.11
Tensioni nella sezione: σ=146.78 τ=18.35
CC 21 SLV (Collegamento 0022_-379)
Azioni sul collegamento: N=-3330.02 Ty=-1.43 Tz=5.88 Mx=-0.02 Mz=-3.51
Sollecitazioni agenti localmente: Ty_l=-605.46 Mx_l=-12.11
Tensioni nella sezione: σ=146.78 τ=18.35
CC 22 SLD (Collegamento 0022_-379)
Azioni sul collegamento: N=-6335.74 Ty=-0.18 Tz=-5.26 Mx=-0.00 Mz=-0.60
Sollecitazioni agenti localmente: Ty_l=-1151.95 Mx_l=-23.04
Tensioni nella sezione: σ=279.26 τ=34.91
CC 22 SLD (Collegamento 0022_-379)
Azioni sul collegamento: N=-6335.74 Ty=-0.38 Tz=-5.26 Mx=-0.00 Mz=-1.00
Sollecitazioni agenti localmente: Ty_l=-1151.95 Mx_l=-23.04
Tensioni nella sezione: σ=279.26 τ=34.91
CC 22 SLD (Collegamento 0022_-379)
Azioni sul collegamento: N=-6335.74 Ty=-0.18 Tz=-0.05 Mx=-0.00 Mz=-0.60
Sollecitazioni agenti localmente: Ty_l=-1151.95 Mx_l=-23.04
Tensioni nella sezione: σ=279.26 τ=34.91
CC 22 SLD (Collegamento 0022_-379)
Azioni sul collegamento: N=-6335.74 Ty=-0.38 Tz=-0.05 Mx=-0.00 Mz=-1.00
Sollecitazioni agenti localmente: Ty_l=-1151.95 Mx_l=-23.04
Tensioni nella sezione: σ=279.26 τ=34.91
CC 22 SLD (Collegamento 0022_-379)
Azioni sul collegamento: N=-4931.09 Ty=-0.18 Tz=-5.26 Mx=-0.00 Mz=-0.60
Sollecitazioni agenti localmente: Ty_l=-896.56 Mx_l=-17.93
Tensioni nella sezione: σ=217.35 τ=27.17
CC 22 SLD (Collegamento 0022_-379)
Azioni sul collegamento: N=-4931.09 Ty=-0.38 Tz=-5.26 Mx=-0.00 Mz=-1.00
Sollecitazioni agenti localmente: Ty_l=-896.56 Mx_l=-17.93
Tensioni nella sezione: σ=217.35 τ=27.17
CC 22 SLD (Collegamento 0022_-379)
Azioni sul collegamento: N=-4931.09 Ty=-0.18 Tz=-0.05 Mx=-0.00 Mz=-0.60
Sollecitazioni agenti localmente: Ty_l=-896.56 Mx_l=-17.93
Tensioni nella sezione: σ=217.35 τ=27.17
CC 22 SLD (Collegamento 0022_-379)
Azioni sul collegamento: N=-4931.09 Ty=-0.38 Tz=-0.05 Mx=-0.00 Mz=-1.00
Sollecitazioni agenti localmente: Ty_l=-896.56 Mx_l=-17.93
Tensioni nella sezione: σ=217.35 τ=27.17
CC 23 SLV (Collegamento 0022_-379)
Azioni sul collegamento: N=-7936.47 Ty=-1.44 Tz=-11.20 Mx=-0.01 Mz=-3.55
Sollecitazioni agenti localmente: Ty_l=-1442.99 Mx_l=-28.86
Tensioni nella sezione: σ=349.82 τ=43.73
CC 23 SLV (Collegamento 0022_-379)
Azioni sul collegamento: N=-7936.47 Ty=-0.74 Tz=-11.20 Mx=-0.01 Mz=-2.16
Sollecitazioni agenti localmente: Ty_l=-1442.99 Mx_l=-28.86
Tensioni nella sezione: σ=349.82 τ=43.73
CC 23 SLV (Collegamento 0022_-379)
Azioni sul collegamento: N=-7936.47 Ty=-1.44 Tz=5.89 Mx=-0.01 Mz=-3.55
Sollecitazioni agenti localmente: Ty_l=-1442.99 Mx_l=-28.86
Tensioni nella sezione: σ=349.82 τ=43.73
CC 23 SLV (Collegamento 0022_-379)
Azioni sul collegamento: N=-7936.47 Ty=-0.74 Tz=5.89 Mx=-0.01 Mz=-2.16
Sollecitazioni agenti localmente: Ty_l=-1442.99 Mx_l=-28.86
Tensioni nella sezione: σ=349.82 τ=43.73
CC 23 SLV (Collegamento 0022_-379)
Azioni sul collegamento: N=-3330.00 Ty=-1.44 Tz=-11.20 Mx=-0.01 Mz=-3.55
Sollecitazioni agenti localmente: Ty_l=-605.45 Mx_l=-12.11
Tensioni nella sezione: σ=146.78 τ=18.35
CC 23 SLV (Collegamento 0022_-379)
Azioni sul collegamento: N=-3330.00 Ty=-0.74 Tz=-11.20 Mx=-0.01 Mz=-2.16
Sollecitazioni agenti localmente: Ty_l=-605.45 Mx_l=-12.11
Tensioni nella sezione: σ=146.78 τ=18.35
CC 23 SLV (Collegamento 0022_-379)
Azioni sul collegamento: N=-3330.00 Ty=-1.44 Tz=5.89 Mx=-0.01 Mz=-3.55
Sollecitazioni agenti localmente: Ty_l=-605.45 Mx_l=-12.11
Tensioni nella sezione: σ=146.78 τ=18.35

CC 23 SLV (Collegamento 0022_-379)
Azioni sul collegamento: N=-3330.00 Ty=-0.74 Tz=5.89 Mx=-0.01 Mz=-2.16
Sollecitazioni agenti localmente: Ty_l=-605.45 Mx_l=-12.11
Tensioni nella sezione: σ=146.78 τ=18.35
CC 24 SLD (Collegamento 0022_-379)
Azioni sul collegamento: N=-6335.74 Ty=-0.39 Tz=-5.26 Mx=-0.00 Mz=-1.01
Sollecitazioni agenti localmente: Ty_l=-1151.95 Mx_l=-23.04
Tensioni nella sezione: σ=279.26 τ=34.91
CC 24 SLD (Collegamento 0022_-379)
Azioni sul collegamento: N=-6335.74 Ty=-0.17 Tz=-5.26 Mx=-0.00 Mz=-0.59
Sollecitazioni agenti localmente: Ty_l=-1151.95 Mx_l=-23.04
Tensioni nella sezione: σ=279.26 τ=34.91
CC 24 SLD (Collegamento 0022_-379)
Azioni sul collegamento: N=-6335.74 Ty=-0.39 Tz=-0.05 Mx=-0.00 Mz=-1.01
Sollecitazioni agenti localmente: Ty_l=-1151.95 Mx_l=-23.04
Tensioni nella sezione: σ=279.26 τ=34.91
CC 24 SLD (Collegamento 0022_-379)
Azioni sul collegamento: N=-6335.74 Ty=-0.17 Tz=-0.05 Mx=-0.00 Mz=-0.59
Sollecitazioni agenti localmente: Ty_l=-1151.95 Mx_l=-23.04
Tensioni nella sezione: σ=279.26 τ=34.91
CC 24 SLD (Collegamento 0022_-379)
Azioni sul collegamento: N=-4931.09 Ty=-0.39 Tz=-5.26 Mx=-0.00 Mz=-1.01
Sollecitazioni agenti localmente: Ty_l=-896.56 Mx_l=-17.93
Tensioni nella sezione: σ=217.35 τ=27.17
CC 24 SLD (Collegamento 0022_-379)
Azioni sul collegamento: N=-4931.09 Ty=-0.17 Tz=-5.26 Mx=-0.00 Mz=-0.59
Sollecitazioni agenti localmente: Ty_l=-896.56 Mx_l=-17.93
Tensioni nella sezione: σ=217.35 τ=27.17
CC 24 SLD (Collegamento 0022_-379)
Azioni sul collegamento: N=-4931.08 Ty=-0.39 Tz=-0.05 Mx=-0.00 Mz=-1.01
Sollecitazioni agenti localmente: Ty_l=-896.56 Mx_l=-17.93
Tensioni nella sezione: σ=217.35 τ=27.17
CC 24 SLD (Collegamento 0022_-379)
Azioni sul collegamento: N=-4931.08 Ty=-0.17 Tz=-0.05 Mx=-0.00 Mz=-0.59
Sollecitazioni agenti localmente: Ty_l=-896.56 Mx_l=-17.93
Tensioni nella sezione: σ=217.35 τ=27.17
CC 25 SLV (Collegamento 0022_-379)
Azioni sul collegamento: N=-4942.23 Ty=0.07 Tz=-0.09 Mx=-0.02 Mz=-0.59
Sollecitazioni agenti localmente: Ty_l=-898.59 Mx_l=-17.97
Tensioni nella sezione: σ=217.84 τ=27.23
CC 25 SLV (Collegamento 0022_-379)
Azioni sul collegamento: N=-4942.23 Ty=-2.24 Tz=-0.09 Mx=-0.02 Mz=-5.11
Sollecitazioni agenti localmente: Ty_l=-898.59 Mx_l=-17.97
Tensioni nella sezione: σ=217.84 τ=27.23
CC 25 SLV (Collegamento 0022_-379)
Azioni sul collegamento: N=-4942.23 Ty=0.07 Tz=-5.22 Mx=-0.02 Mz=-0.59
Sollecitazioni agenti localmente: Ty_l=-898.59 Mx_l=-17.97
Tensioni nella sezione: σ=217.84 τ=27.23
CC 25 SLV (Collegamento 0022_-379)
Azioni sul collegamento: N=-4942.23 Ty=-2.24 Tz=-5.22 Mx=-0.02 Mz=-5.11
Sollecitazioni agenti localmente: Ty_l=-898.59 Mx_l=-17.97
Tensioni nella sezione: σ=217.84 τ=27.23
CC 25 SLV (Collegamento 0022_-379)
Azioni sul collegamento: N=-6324.24 Ty=0.07 Tz=-0.09 Mx=-0.02 Mz=-0.59
Sollecitazioni agenti localmente: Ty_l=-1149.86 Mx_l=-23.00
Tensioni nella sezione: σ=278.75 τ=34.84
CC 25 SLV (Collegamento 0022_-379)
Azioni sul collegamento: N=-6324.24 Ty=-2.24 Tz=-0.09 Mx=-0.02 Mz=-5.11
Sollecitazioni agenti localmente: Ty_l=-1149.86 Mx_l=-23.00
Tensioni nella sezione: σ=278.75 τ=34.84
CC 25 SLV (Collegamento 0022_-379)
Azioni sul collegamento: N=-6324.24 Ty=0.07 Tz=-5.22 Mx=-0.02 Mz=-0.59
Sollecitazioni agenti localmente: Ty_l=-1149.86 Mx_l=-23.00
Tensioni nella sezione: σ=278.75 τ=34.84
CC 25 SLV (Collegamento 0022_-379)
Azioni sul collegamento: N=-6324.24 Ty=-2.24 Tz=-5.22 Mx=-0.02 Mz=-5.11
Sollecitazioni agenti localmente: Ty_l=-1149.86 Mx_l=-23.00
Tensioni nella sezione: σ=278.75 τ=34.84
CC 26 SLD (Collegamento 0022_-379)
Azioni sul collegamento: N=-5422.71 Ty=0.07 Tz=-1.87 Mx=-0.01 Mz=-0.11
Sollecitazioni agenti localmente: Ty_l=-985.95 Mx_l=-19.72
Tensioni nella sezione: σ=239.02 τ=29.88
CC 26 SLD (Collegamento 0022_-379)
Azioni sul collegamento: N=-5422.71 Ty=-0.63 Tz=-1.87 Mx=-0.01 Mz=-1.49
Sollecitazioni agenti localmente: Ty_l=-985.95 Mx_l=-19.72
Tensioni nella sezione: σ=239.02 τ=29.88
CC 26 SLD (Collegamento 0022_-379)
Azioni sul collegamento: N=-5422.71 Ty=0.07 Tz=-3.44 Mx=-0.01 Mz=-0.11
Sollecitazioni agenti localmente: Ty_l=-985.95 Mx_l=-19.72

Tensioni nella sezione: σ=239.02 τ=29.88
CC 26 SLD (Collegamento 0022_-379)
Azioni sul collegamento: N=-5422.71 Ty=-0.63 Tz=-3.44 Mx=-0.01 Mz=-1.49
Sollecitazioni agenti localmente: Ty_l=-985.95 Mx_l=-19.72
Tensioni nella sezione: σ=239.02 τ=29.88
CC 26 SLD (Collegamento 0022_-379)
Azioni sul collegamento: N=-5844.12 Ty=0.07 Tz=-1.87 Mx=-0.01 Mz=-0.11
Sollecitazioni agenti localmente: Ty_l=-1062.57 Mx_l=-21.25
Tensioni nella sezione: σ=257.59 τ=32.20
CC 26 SLD (Collegamento 0022_-379)
Azioni sul collegamento: N=-5844.12 Ty=-0.63 Tz=-1.87 Mx=-0.01 Mz=-1.49
Sollecitazioni agenti localmente: Ty_l=-1062.57 Mx_l=-21.25
Tensioni nella sezione: σ=257.59 τ=32.20
CC 26 SLD (Collegamento 0022_-379)
Azioni sul collegamento: N=-5844.12 Ty=0.07 Tz=-3.44 Mx=-0.01 Mz=-0.11
Sollecitazioni agenti localmente: Ty_l=-1062.57 Mx_l=-21.25
Tensioni nella sezione: σ=257.59 τ=32.20
CC 26 SLD (Collegamento 0022_-379)
Azioni sul collegamento: N=-5844.12 Ty=-0.63 Tz=-3.44 Mx=-0.01 Mz=-1.49
Sollecitazioni agenti localmente: Ty_l=-1062.57 Mx_l=-21.25
Tensioni nella sezione: σ=257.59 τ=32.20
CC 27 SLV (Collegamento 0022_-379)
Azioni sul collegamento: N=-6324.16 Ty=0.06 Tz=-5.22 Mx=-0.02 Mz=-0.60
Sollecitazioni agenti localmente: Ty_l=-1149.85 Mx_l=-23.00
Tensioni nella sezione: σ=278.75 τ=34.84
CC 27 SLV (Collegamento 0022_-379)
Azioni sul collegamento: N=-6324.16 Ty=-2.24 Tz=-5.22 Mx=-0.02 Mz=-5.10
Sollecitazioni agenti localmente: Ty_l=-1149.85 Mx_l=-23.00
Tensioni nella sezione: σ=278.75 τ=34.84
CC 27 SLV (Collegamento 0022_-379)
Azioni sul collegamento: N=-6324.16 Ty=0.06 Tz=-0.09 Mx=-0.02 Mz=-0.60
Sollecitazioni agenti localmente: Ty_l=-1149.85 Mx_l=-23.00
Tensioni nella sezione: σ=278.75 τ=34.84
CC 27 SLV (Collegamento 0022_-379)
Azioni sul collegamento: N=-6324.16 Ty=-2.24 Tz=-0.09 Mx=-0.02 Mz=-5.10
Sollecitazioni agenti localmente: Ty_l=-1149.85 Mx_l=-23.00
Tensioni nella sezione: σ=278.75 τ=34.84
CC 27 SLV (Collegamento 0022_-379)
Azioni sul collegamento: N=-4942.30 Ty=0.06 Tz=-5.22 Mx=-0.02 Mz=-0.60
Sollecitazioni agenti localmente: Ty_l=-898.60 Mx_l=-17.97
Tensioni nella sezione: σ=217.84 τ=27.23
CC 27 SLV (Collegamento 0022_-379)
Azioni sul collegamento: N=-4942.30 Ty=-2.24 Tz=-5.22 Mx=-0.02 Mz=-5.10
Sollecitazioni agenti localmente: Ty_l=-898.60 Mx_l=-17.97
Tensioni nella sezione: σ=217.84 τ=27.23
CC 27 SLV (Collegamento 0022_-379)
Azioni sul collegamento: N=-4942.30 Ty=0.06 Tz=-0.09 Mx=-0.02 Mz=-0.60
Sollecitazioni agenti localmente: Ty_l=-898.60 Mx_l=-17.97
Tensioni nella sezione: σ=217.84 τ=27.23
CC 27 SLV (Collegamento 0022_-379)
Azioni sul collegamento: N=-4942.30 Ty=-2.24 Tz=-0.09 Mx=-0.02 Mz=-5.10
Sollecitazioni agenti localmente: Ty_l=-898.60 Mx_l=-17.97
Tensioni nella sezione: σ=217.84 τ=27.23
CC 28 SLD (Collegamento 0022_-379)
Azioni sul collegamento: N=-5844.10 Ty=0.07 Tz=-3.44 Mx=-0.01 Mz=-0.11
Sollecitazioni agenti localmente: Ty_l=-1062.56 Mx_l=-21.25
Tensioni nella sezione: σ=257.59 τ=32.20
CC 28 SLD (Collegamento 0022_-379)
Azioni sul collegamento: N=-5844.10 Ty=-0.63 Tz=-3.44 Mx=-0.01 Mz=-1.48
Sollecitazioni agenti localmente: Ty_l=-1062.56 Mx_l=-21.25
Tensioni nella sezione: σ=257.59 τ=32.20
CC 28 SLD (Collegamento 0022_-379)
Azioni sul collegamento: N=-5844.10 Ty=0.07 Tz=-1.87 Mx=-0.01 Mz=-0.11
Sollecitazioni agenti localmente: Ty_l=-1062.56 Mx_l=-21.25
Tensioni nella sezione: σ=257.59 τ=32.20
CC 28 SLD (Collegamento 0022_-379)
Azioni sul collegamento: N=-5844.10 Ty=-0.63 Tz=-1.87 Mx=-0.01 Mz=-1.48
Sollecitazioni agenti localmente: Ty_l=-1062.56 Mx_l=-21.25
Tensioni nella sezione: σ=257.59 τ=32.20
CC 28 SLD (Collegamento 0022_-379)
Azioni sul collegamento: N=-5422.73 Ty=0.07 Tz=-3.44 Mx=-0.01 Mz=-0.11
Sollecitazioni agenti localmente: Ty_l=-985.95 Mx_l=-19.72
Tensioni nella sezione: σ=239.02 τ=29.88
CC 28 SLD (Collegamento 0022_-379)
Azioni sul collegamento: N=-5422.73 Ty=-0.63 Tz=-3.44 Mx=-0.01 Mz=-1.48
Sollecitazioni agenti localmente: Ty_l=-985.95 Mx_l=-19.72
Tensioni nella sezione: σ=239.02 τ=29.88
CC 28 SLD (Collegamento 0022_-379)
Azioni sul collegamento: N=-5422.73 Ty=0.07 Tz=-1.87 Mx=-0.01 Mz=-0.11

Sollecitazioni agenti localmente: Ty_l=-985.95 Mx_l=-19.72
Tensioni nella sezione: σ=239.02 τ=29.88
CC 28 SLD (Collegamento 0022_-379)
Azioni sul collegamento: N=-5422.73 Ty=-0.63 Tz=-1.87 Mx=-0.01 Mz=-1.48
Sollecitazioni agenti localmente: Ty_l=-985.95 Mx_l=-19.72
Tensioni nella sezione: σ=239.02 τ=29.88
CC 29 SLV (Collegamento 0022_-379)
Azioni sul collegamento: N=-4942.30 Ty=-2.24 Tz=-0.09 Mx=-0.00 Mz=-5.10
Sollecitazioni agenti localmente: Ty_l=-898.60 Mx_l=-17.97
Tensioni nella sezione: σ=217.84 τ=27.23
CC 29 SLV (Collegamento 0022_-379)
Azioni sul collegamento: N=-4942.30 Ty=0.06 Tz=-0.09 Mx=-0.00 Mz=-0.60
Sollecitazioni agenti localmente: Ty_l=-898.60 Mx_l=-17.97
Tensioni nella sezione: σ=217.84 τ=27.23
CC 29 SLV (Collegamento 0022_-379)
Azioni sul collegamento: N=-4942.30 Ty=-2.24 Tz=-5.22 Mx=-0.00 Mz=-5.10
Sollecitazioni agenti localmente: Ty_l=-898.60 Mx_l=-17.97
Tensioni nella sezione: σ=217.84 τ=27.23
CC 29 SLV (Collegamento 0022_-379)
Azioni sul collegamento: N=-4942.30 Ty=0.06 Tz=-5.22 Mx=-0.00 Mz=-0.60
Sollecitazioni agenti localmente: Ty_l=-898.60 Mx_l=-17.97
Tensioni nella sezione: σ=217.84 τ=27.23
CC 29 SLV (Collegamento 0022_-379)
Azioni sul collegamento: N=-6324.16 Ty=-2.24 Tz=-0.09 Mx=-0.00 Mz=-5.10
Sollecitazioni agenti localmente: Ty_l=-1149.85 Mx_l=-23.00
Tensioni nella sezione: σ=278.75 τ=34.84
CC 29 SLV (Collegamento 0022_-379)
Azioni sul collegamento: N=-6324.16 Ty=0.06 Tz=-0.09 Mx=-0.00 Mz=-0.60
Sollecitazioni agenti localmente: Ty_l=-1149.85 Mx_l=-23.00
Tensioni nella sezione: σ=278.75 τ=34.84
CC 29 SLV (Collegamento 0022_-379)
Azioni sul collegamento: N=-6324.16 Ty=-2.24 Tz=-5.22 Mx=-0.00 Mz=-5.10
Sollecitazioni agenti localmente: Ty_l=-1149.85 Mx_l=-23.00
Tensioni nella sezione: σ=278.75 τ=34.84
CC 29 SLV (Collegamento 0022_-379)
Azioni sul collegamento: N=-6324.16 Ty=0.06 Tz=-5.22 Mx=-0.00 Mz=-0.60
Sollecitazioni agenti localmente: Ty_l=-1149.85 Mx_l=-23.00
Tensioni nella sezione: σ=278.75 τ=34.84
CC 30 SLD (Collegamento 0022_-379)
Azioni sul collegamento: N=-5422.73 Ty=-0.63 Tz=-1.87 Mx=-0.00 Mz=-1.48
Sollecitazioni agenti localmente: Ty_l=-985.95 Mx_l=-19.72
Tensioni nella sezione: σ=239.02 τ=29.88
CC 30 SLD (Collegamento 0022_-379)
Azioni sul collegamento: N=-5422.73 Ty=0.07 Tz=-1.87 Mx=-0.00 Mz=-0.11
Sollecitazioni agenti localmente: Ty_l=-985.95 Mx_l=-19.72
Tensioni nella sezione: σ=239.02 τ=29.88
CC 30 SLD (Collegamento 0022_-379)
Azioni sul collegamento: N=-5422.73 Ty=-0.63 Tz=-3.44 Mx=-0.00 Mz=-1.48
Sollecitazioni agenti localmente: Ty_l=-985.95 Mx_l=-19.72
Tensioni nella sezione: σ=239.02 τ=29.88
CC 30 SLD (Collegamento 0022_-379)
Azioni sul collegamento: N=-5422.73 Ty=0.07 Tz=-3.44 Mx=-0.00 Mz=-0.11
Sollecitazioni agenti localmente: Ty_l=-985.95 Mx_l=-19.72
Tensioni nella sezione: σ=239.02 τ=29.88
CC 30 SLD (Collegamento 0022_-379)
Azioni sul collegamento: N=-5844.10 Ty=-0.63 Tz=-1.87 Mx=-0.00 Mz=-1.48
Sollecitazioni agenti localmente: Ty_l=-1062.56 Mx_l=-21.25
Tensioni nella sezione: σ=257.59 τ=32.20
CC 30 SLD (Collegamento 0022_-379)
Azioni sul collegamento: N=-5844.10 Ty=0.07 Tz=-1.87 Mx=-0.00 Mz=-0.11
Sollecitazioni agenti localmente: Ty_l=-1062.56 Mx_l=-21.25
Tensioni nella sezione: σ=257.59 τ=32.20
CC 30 SLD (Collegamento 0022_-379)
Azioni sul collegamento: N=-5844.10 Ty=-0.63 Tz=-3.44 Mx=-0.00 Mz=-1.48
Sollecitazioni agenti localmente: Ty_l=-1062.56 Mx_l=-21.25
Tensioni nella sezione: σ=257.59 τ=32.20
CC 30 SLD (Collegamento 0022_-379)
Azioni sul collegamento: N=-5844.10 Ty=0.07 Tz=-3.44 Mx=-0.00 Mz=-0.11
Sollecitazioni agenti localmente: Ty_l=-1062.56 Mx_l=-21.25
Tensioni nella sezione: σ=257.59 τ=32.20
CC 31 SLV (Collegamento 0022_-379)
Azioni sul collegamento: N=-6324.24 Ty=-2.24 Tz=-5.22 Mx=-0.00 Mz=-5.11
Sollecitazioni agenti localmente: Ty_l=-1149.86 Mx_l=-23.00
Tensioni nella sezione: σ=278.75 τ=34.84
CC 31 SLV (Collegamento 0022_-379)
Azioni sul collegamento: N=-6324.24 Ty=0.07 Tz=-5.22 Mx=-0.00 Mz=-0.59
Sollecitazioni agenti localmente: Ty_l=-1149.86 Mx_l=-23.00
Tensioni nella sezione: σ=278.75 τ=34.84
CC 31 SLV (Collegamento 0022_-379)

Azioni sul collegamento: N=-6324.24 Ty=-2.24 Tz=-0.09 Mx=-0.00 Mz=-5.11
Sollecitazioni agenti localmente: Ty_l=-1149.86 Mx_l=-23.00
Tensioni nella sezione: σ=278.75 τ=34.84
CC 31 SLV (Collegamento 0022_-379)
Azioni sul collegamento: N=-6324.24 Ty=0.07 Tz=-0.09 Mx=-0.00 Mz=-0.59
Sollecitazioni agenti localmente: Ty_l=-1149.86 Mx_l=-23.00
Tensioni nella sezione: σ=278.75 τ=34.84
CC 31 SLV (Collegamento 0022_-379)
Azioni sul collegamento: N=-4942.23 Ty=-2.24 Tz=-5.22 Mx=-0.00 Mz=-5.11
Sollecitazioni agenti localmente: Ty_l=-898.59 Mx_l=-17.97
Tensioni nella sezione: σ=217.84 τ=27.23
CC 31 SLV (Collegamento 0022_-379)
Azioni sul collegamento: N=-4942.23 Ty=0.07 Tz=-5.22 Mx=-0.00 Mz=-0.59
Sollecitazioni agenti localmente: Ty_l=-898.59 Mx_l=-17.97
Tensioni nella sezione: σ=217.84 τ=27.23
CC 31 SLV (Collegamento 0022_-379)
Azioni sul collegamento: N=-4942.23 Ty=-2.24 Tz=-0.09 Mx=-0.00 Mz=-5.11
Sollecitazioni agenti localmente: Ty_l=-898.59 Mx_l=-17.97
Tensioni nella sezione: σ=217.84 τ=27.23
CC 31 SLV (Collegamento 0022_-379)
Azioni sul collegamento: N=-4942.23 Ty=0.07 Tz=-0.09 Mx=-0.00 Mz=-0.59
Sollecitazioni agenti localmente: Ty_l=-898.59 Mx_l=-17.97
Tensioni nella sezione: σ=217.84 τ=27.23
CC 32 SLD (Collegamento 0022_-379)
Azioni sul collegamento: N=-5844.12 Ty=-0.63 Tz=-3.44 Mx=-0.00 Mz=-1.49
Sollecitazioni agenti localmente: Ty_l=-1062.57 Mx_l=-21.25
Tensioni nella sezione: σ=257.59 τ=32.20
CC 32 SLD (Collegamento 0022_-379)
Azioni sul collegamento: N=-5844.12 Ty=0.07 Tz=-3.44 Mx=-0.00 Mz=-0.11
Sollecitazioni agenti localmente: Ty_l=-1062.57 Mx_l=-21.25
Tensioni nella sezione: σ=257.59 τ=32.20
CC 32 SLD (Collegamento 0022_-379)
Azioni sul collegamento: N=-5844.12 Ty=-0.63 Tz=-1.87 Mx=-0.00 Mz=-1.49
Sollecitazioni agenti localmente: Ty_l=-1062.57 Mx_l=-21.25
Tensioni nella sezione: σ=257.59 τ=32.20
CC 32 SLD (Collegamento 0022_-379)
Azioni sul collegamento: N=-5844.12 Ty=0.07 Tz=-1.87 Mx=-0.00 Mz=-0.11
Sollecitazioni agenti localmente: Ty_l=-1062.57 Mx_l=-21.25
Tensioni nella sezione: σ=257.59 τ=32.20
CC 32 SLD (Collegamento 0022_-379)
Azioni sul collegamento: N=-5422.71 Ty=-0.63 Tz=-3.44 Mx=-0.00 Mz=-1.49
Sollecitazioni agenti localmente: Ty_l=-985.95 Mx_l=-19.72
Tensioni nella sezione: σ=239.02 τ=29.88
CC 32 SLD (Collegamento 0022_-379)
Azioni sul collegamento: N=-5422.71 Ty=0.07 Tz=-3.44 Mx=-0.00 Mz=-0.11
Sollecitazioni agenti localmente: Ty_l=-985.95 Mx_l=-19.72
Tensioni nella sezione: σ=239.02 τ=29.88
CC 32 SLD (Collegamento 0022_-379)
Azioni sul collegamento: N=-5422.71 Ty=-0.63 Tz=-1.87 Mx=-0.00 Mz=-1.49
Sollecitazioni agenti localmente: Ty_l=-985.95 Mx_l=-19.72
Tensioni nella sezione: σ=239.02 τ=29.88
CC 32 SLD (Collegamento 0022_-379)
Azioni sul collegamento: N=-5422.71 Ty=0.07 Tz=-1.87 Mx=-0.00 Mz=-0.11
Sollecitazioni agenti localmente: Ty_l=-985.95 Mx_l=-19.72
Tensioni nella sezione: σ=239.02 τ=29.88
CC 33 SLU (Collegamento 0022_-379)
Azioni sul collegamento: N=-28967.90 Ty=0.05 Tz=74.90 Mx=0.00 Mz=0.12
Sollecitazioni agenti localmente: Ty_l=-5266.89 Mx_l=-105.34
Tensioni nella sezione: σ=1276.82 τ=159.60
CC 34 SLU (Collegamento 0022_-379)
Azioni sul collegamento: N=-29447.20 Ty=0.05 Tz=76.67 Mx=0.00 Mz=0.12
Sollecitazioni agenti localmente: Ty_l=-5354.03 Mx_l=-107.08
Tensioni nella sezione: σ=1297.94 τ=162.24
CC 35 SLU (Collegamento 0022_-379)
Azioni sul collegamento: N=-29207.50 Ty=0.17 Tz=75.78 Mx=-0.00 Mz=0.35
Sollecitazioni agenti localmente: Ty_l=-5310.46 Mx_l=-106.21
Tensioni nella sezione: σ=1287.38 τ=160.92
CC 36 SLU (Collegamento 0022_-379)
Azioni sul collegamento: N=-29207.50 Ty=-0.07 Tz=75.79 Mx=0.00 Mz=-0.12
Sollecitazioni agenti localmente: Ty_l=-5310.46 Mx_l=-106.21
Tensioni nella sezione: σ=1287.38 τ=160.92
CC 37 SLU (Collegamento 0022_-379)
Azioni sul collegamento: N=-29152.80 Ty=0.07 Tz=74.88 Mx=0.00 Mz=0.13
Sollecitazioni agenti localmente: Ty_l=-5300.50 Mx_l=-106.01
Tensioni nella sezione: σ=1284.97 τ=160.62
CC 38 SLU (Collegamento 0022_-379)
Azioni sul collegamento: N=-29632.10 Ty=0.07 Tz=76.66 Mx=0.00 Mz=0.13
Sollecitazioni agenti localmente: Ty_l=-5387.65 Mx_l=-107.75
Tensioni nella sezione: σ=1306.09 τ=163.26

CC 39 SLU (Collegamento 0022_-379)
Azioni sul collegamento: N=-29392.40 Ty=0.19 Tz=75.77 Mx=-0.00 Mz=0.36
Sollecitazioni agenti localmente: Ty_l=-5344.08 Mx_l=-106.88
Tensioni nella sezione: σ=1295.53 τ=161.94
CC 40 SLU (Collegamento 0022_-379)
Azioni sul collegamento: N=-29392.40 Ty=-0.05 Tz=75.77 Mx=0.00 Mz=-0.10
Sollecitazioni agenti localmente: Ty_l=-5344.08 Mx_l=-106.88
Tensioni nella sezione: σ=1295.53 τ=161.94
CC 41 SLU (Collegamento 0022_-379)
Azioni sul collegamento: N=-19454.60 Ty=0.08 Tz=39.91 Mx=0.00 Mz=0.13
Sollecitazioni agenti localmente: Ty_l=-3537.20 Mx_l=-70.74
Tensioni nella sezione: σ=857.50 τ=107.19
CC 42 SLU (Collegamento 0022_-379)
Azioni sul collegamento: N=-19933.90 Ty=0.08 Tz=41.69 Mx=0.00 Mz=0.13
Sollecitazioni agenti localmente: Ty_l=-3624.34 Mx_l=-72.49
Tensioni nella sezione: σ=878.63 τ=109.83
CC 43 SLU (Collegamento 0022_-379)
Azioni sul collegamento: N=-19694.20 Ty=0.20 Tz=40.80 Mx=-0.00 Mz=0.36
Sollecitazioni agenti localmente: Ty_l=-3580.77 Mx_l=-71.62
Tensioni nella sezione: σ=868.06 τ=108.51
CC 44 SLU (Collegamento 0022_-379)
Azioni sul collegamento: N=-19694.20 Ty=-0.04 Tz=40.80 Mx=0.00 Mz=-0.10
Sollecitazioni agenti localmente: Ty_l=-3580.77 Mx_l=-71.62
Tensioni nella sezione: σ=868.06 τ=108.51
CC 45 SLU (Collegamento 0022_-379)
Azioni sul collegamento: N=-21628.70 Ty=0.08 Tz=47.97 Mx=0.00 Mz=0.14
Sollecitazioni agenti localmente: Ty_l=-3932.50 Mx_l=-78.65
Tensioni nella sezione: σ=953.33 τ=119.17
CC 46 SLU (Collegamento 0022_-379)
Azioni sul collegamento: N=-22108.00 Ty=0.08 Tz=49.75 Mx=0.00 Mz=0.14
Sollecitazioni agenti localmente: Ty_l=-4019.65 Mx_l=-80.39
Tensioni nella sezione: σ=974.46 τ=121.81
CC 47 SLU (Collegamento 0022_-379)
Azioni sul collegamento: N=-21868.40 Ty=0.20 Tz=48.86 Mx=-0.00 Mz=0.37
Sollecitazioni agenti localmente: Ty_l=-3976.07 Mx_l=-79.52
Tensioni nella sezione: σ=963.89 τ=120.49
CC 48 SLU (Collegamento 0022_-379)
Azioni sul collegamento: N=-21868.40 Ty=-0.04 Tz=48.86 Mx=0.00 Mz=-0.10
Sollecitazioni agenti localmente: Ty_l=-3976.07 Mx_l=-79.52
Tensioni nella sezione: σ=963.89 τ=120.49
CC 49 SLU (Collegamento 0022_-379)
Azioni sul collegamento: N=-21767.10 Ty=0.10 Tz=47.96 Mx=0.00 Mz=0.15
Sollecitazioni agenti localmente: Ty_l=-3957.65 Mx_l=-79.15
Tensioni nella sezione: σ=959.43 τ=119.93
CC 50 SLU (Collegamento 0022_-379)
Azioni sul collegamento: N=-22246.40 Ty=0.10 Tz=49.73 Mx=0.00 Mz=0.15
Sollecitazioni agenti localmente: Ty_l=-4044.79 Mx_l=-80.90
Tensioni nella sezione: σ=980.55 τ=122.57
CC 51 SLU (Collegamento 0022_-379)
Azioni sul collegamento: N=-22006.70 Ty=0.22 Tz=48.85 Mx=-0.00 Mz=0.38
Sollecitazioni agenti localmente: Ty_l=-4001.22 Mx_l=-80.02
Tensioni nella sezione: σ=969.99 τ=121.25
CC 52 SLU (Collegamento 0022_-379)
Azioni sul collegamento: N=-22006.70 Ty=-0.02 Tz=48.85 Mx=0.00 Mz=-0.09
Sollecitazioni agenti localmente: Ty_l=-4001.22 Mx_l=-80.02
Tensioni nella sezione: σ=969.99 τ=121.25
CC 53 SLU (Collegamento 0022_-379)
Azioni sul collegamento: N=-14511.40 Ty=0.10 Tz=21.80 Mx=0.00 Mz=0.15
Sollecitazioni agenti localmente: Ty_l=-2638.43 Mx_l=-52.77
Tensioni nella sezione: σ=639.62 τ=79.95
CC 54 SLU (Collegamento 0022_-379)
Azioni sul collegamento: N=-14990.70 Ty=0.10 Tz=23.57 Mx=0.00 Mz=0.15
Sollecitazioni agenti localmente: Ty_l=-2725.58 Mx_l=-54.51
Tensioni nella sezione: σ=660.75 τ=82.59
CC 55 SLU (Collegamento 0022_-379)
Azioni sul collegamento: N=-14751.00 Ty=0.22 Tz=22.69 Mx=-0.00 Mz=0.38
Sollecitazioni agenti localmente: Ty_l=-2682.01 Mx_l=-53.64
Tensioni nella sezione: σ=650.18 τ=81.27
CC 56 SLU (Collegamento 0022_-379)
Azioni sul collegamento: N=-14751.00 Ty=-0.02 Tz=22.68 Mx=0.00 Mz=-0.09
Sollecitazioni agenti localmente: Ty_l=-2682.00 Mx_l=-53.64
Tensioni nella sezione: σ=650.18 τ=81.27
CC 57 SLU (Collegamento 0022_-379)
Azioni sul collegamento: N=-21907.00 Ty=0.07 Tz=49.04 Mx=0.00 Mz=0.14
Sollecitazioni agenti localmente: Ty_l=-3983.09 Mx_l=-79.66
Tensioni nella sezione: σ=965.60 τ=120.70
CC 58 SLU (Collegamento 0022_-379)
Azioni sul collegamento: N=-22386.30 Ty=0.07 Tz=50.82 Mx=0.00 Mz=0.13
Sollecitazioni agenti localmente: Ty_l=-4070.24 Mx_l=-81.40

Tensioni nella sezione: σ=986.72 τ=123.34
CC 59 SLU (Collegamento 0022_-379)
Azioni sul collegamento: N=-22146.70 Ty=0.19 Tz=49.93 Mx=-0.00 Mz=0.37
Sollecitazioni agenti localmente: Ty_l=-4026.67 Mx_l=-80.53
Tensioni nella sezione: σ=976.16 τ=122.02
CC 60 SLU (Collegamento 0022_-379)
Azioni sul collegamento: N=-22146.70 Ty=-0.04 Tz=49.93 Mx=0.00 Mz=-0.10
Sollecitazioni agenti localmente: Ty_l=-4026.67 Mx_l=-80.53
Tensioni nella sezione: σ=976.16 τ=122.02
CC 61 SLU (Collegamento 0022_-379)
Azioni sul collegamento: N=-22045.30 Ty=0.09 Tz=49.02 Mx=0.00 Mz=0.14
Sollecitazioni agenti localmente: Ty_l=-4008.24 Mx_l=-80.16
Tensioni nella sezione: σ=971.69 τ=121.46
CC 62 SLU (Collegamento 0022_-379)
Azioni sul collegamento: N=-22524.60 Ty=0.09 Tz=50.80 Mx=0.00 Mz=0.14
Sollecitazioni agenti localmente: Ty_l=-4095.39 Mx_l=-81.91
Tensioni nella sezione: σ=992.82 τ=124.10
CC 63 SLU (Collegamento 0022_-379)
Azioni sul collegamento: N=-22285.00 Ty=0.21 Tz=49.91 Mx=-0.00 Mz=0.38
Sollecitazioni agenti localmente: Ty_l=-4051.82 Mx_l=-81.04
Tensioni nella sezione: σ=982.26 τ=122.78
CC 64 SLU (Collegamento 0022_-379)
Azioni sul collegamento: N=-22285.00 Ty=-0.03 Tz=49.91 Mx=0.00 Mz=-0.09
Sollecitazioni agenti localmente: Ty_l=-4051.82 Mx_l=-81.04
Tensioni nella sezione: σ=982.26 τ=122.78
CC 65 SLU (Collegamento 0022_-379)
Azioni sul collegamento: N=-14789.70 Ty=0.10 Tz=22.86 Mx=0.00 Mz=0.14
Sollecitazioni agenti localmente: Ty_l=-2689.03 Mx_l=-53.78
Tensioni nella sezione: σ=651.88 τ=81.49
CC 66 SLU (Collegamento 0022_-379)
Azioni sul collegamento: N=-15269.00 Ty=0.10 Tz=24.64 Mx=0.00 Mz=0.14
Sollecitazioni agenti localmente: Ty_l=-2776.17 Mx_l=-55.52
Tensioni nella sezione: σ=673.01 τ=84.13
CC 67 SLU (Collegamento 0022_-379)
Azioni sul collegamento: N=-15029.30 Ty=0.22 Tz=23.75 Mx=-0.00 Mz=0.38
Sollecitazioni agenti localmente: Ty_l=-2732.60 Mx_l=-54.65
Tensioni nella sezione: σ=662.45 τ=82.81
CC 68 SLU (Collegamento 0022_-379)
Azioni sul collegamento: N=-15029.30 Ty=-0.02 Tz=23.75 Mx=0.00 Mz=-0.09
Sollecitazioni agenti localmente: Ty_l=-2732.60 Mx_l=-54.65
Tensioni nella sezione: σ=662.45 τ=82.81
CC 97 SLU (Collegamento 0022_-379)
Azioni sul collegamento: N=-11572.90 Ty=11.37 Tz=19.27 Mx=0.04 Mz=15.92
Sollecitazioni agenti localmente: Ty_l=-2104.17 Mx_l=-42.08
Tensioni nella sezione: σ=510.10 τ=63.76
CC 98 SLU (Collegamento 0022_-379)
Azioni sul collegamento: N=-12052.20 Ty=11.37 Tz=21.05 Mx=0.04 Mz=15.92
Sollecitazioni agenti localmente: Ty_l=-2191.31 Mx_l=-43.83
Tensioni nella sezione: σ=531.23 τ=66.40
CC 99 SLU (Collegamento 0022_-379)
Azioni sul collegamento: N=-11812.60 Ty=11.49 Tz=20.16 Mx=0.04 Mz=16.15
Sollecitazioni agenti localmente: Ty_l=-2147.74 Mx_l=-42.95
Tensioni nella sezione: σ=520.66 τ=65.08
CC 100 SLU (Collegamento 0022_-379)
Azioni sul collegamento: N=-11812.60 Ty=11.25 Tz=20.16 Mx=0.04 Mz=15.68
Sollecitazioni agenti localmente: Ty_l=-2147.74 Mx_l=-42.95
Tensioni nella sezione: σ=520.66 τ=65.08
CC 101 SLU (Collegamento 0022_-379)
Azioni sul collegamento: N=-5887.16 Ty=-2.00 Tz=-1.73 Mx=-0.00 Mz=-2.22
Sollecitazioni agenti localmente: Ty_l=-1070.39 Mx_l=-21.41
Tensioni nella sezione: σ=259.49 τ=32.44
CC 102 SLU (Collegamento 0022_-379)
Azioni sul collegamento: N=-6366.46 Ty=-2.01 Tz=0.04 Mx=-0.00 Mz=-2.22
Sollecitazioni agenti localmente: Ty_l=-1157.54 Mx_l=-23.15
Tensioni nella sezione: σ=280.62 τ=35.08
CC 103 SLU (Collegamento 0022_-379)
Azioni sul collegamento: N=-6126.81 Ty=-1.89 Tz=-0.85 Mx=-0.01 Mz=-1.98
Sollecitazioni agenti localmente: Ty_l=-1113.96 Mx_l=-22.28
Tensioni nella sezione: σ=270.05 τ=33.76
CC 104 SLU (Collegamento 0022_-379)
Azioni sul collegamento: N=-6126.80 Ty=-2.12 Tz=-0.84 Mx=-0.00 Mz=-2.45
Sollecitazioni agenti localmente: Ty_l=-1113.96 Mx_l=-22.28
Tensioni nella sezione: σ=270.05 τ=33.76

Flessione attacco inferiore piastra

Bnetta=220.00 Hnetta=15.00
CC 1 SLV (Collegamento 0022_-379)
Azioni sul collegamento: N=-3330.52 Ty=1.59 Tz=5.89 Mx=0.02 Mz=3.75

Sollecitazioni agenti localmente: Ty_l=-605.55 Mx_l=-12.11
Tensioni nella sezione: σ=146.80 τ=18.35
CC 1 SLV (Collegamento 0022_-379)
Azioni sul collegamento: N=-3330.52 Ty=0.88 Tz=5.89 Mx=0.02 Mz=2.36
Sollecitazioni agenti localmente: Ty_l=-605.55 Mx_l=-12.11
Tensioni nella sezione: σ=146.80 τ=18.35
CC 1 SLV (Collegamento 0022_-379)
Azioni sul collegamento: N=-3330.52 Ty=1.59 Tz=-11.19 Mx=0.02 Mz=3.75
Sollecitazioni agenti localmente: Ty_l=-605.55 Mx_l=-12.11
Tensioni nella sezione: σ=146.80 τ=18.35
CC 1 SLV (Collegamento 0022_-379)
Azioni sul collegamento: N=-3330.52 Ty=0.88 Tz=-11.19 Mx=0.02 Mz=2.36
Sollecitazioni agenti localmente: Ty_l=-605.55 Mx_l=-12.11
Tensioni nella sezione: σ=146.80 τ=18.35
CC 1 SLV (Collegamento 0022_-379)
Azioni sul collegamento: N=-7936.99 Ty=1.59 Tz=5.89 Mx=0.02 Mz=3.75
Sollecitazioni agenti localmente: Ty_l=-1443.09 Mx_l=-28.86
Tensioni nella sezione: σ=349.84 τ=43.73
CC 1 SLV (Collegamento 0022_-379)
Azioni sul collegamento: N=-7936.99 Ty=0.88 Tz=5.89 Mx=0.02 Mz=2.36
Sollecitazioni agenti localmente: Ty_l=-1443.09 Mx_l=-28.86
Tensioni nella sezione: σ=349.84 τ=43.73
CC 1 SLV (Collegamento 0022_-379)
Azioni sul collegamento: N=-7936.99 Ty=1.59 Tz=-11.19 Mx=0.02 Mz=3.75
Sollecitazioni agenti localmente: Ty_l=-1443.09 Mx_l=-28.86
Tensioni nella sezione: σ=349.84 τ=43.73
CC 1 SLV (Collegamento 0022_-379)
Azioni sul collegamento: N=-7936.99 Ty=0.88 Tz=-11.19 Mx=0.02 Mz=2.36
Sollecitazioni agenti localmente: Ty_l=-1443.09 Mx_l=-28.86
Tensioni nella sezione: σ=349.84 τ=43.73
CC 2 SLD (Collegamento 0022_-379)
Azioni sul collegamento: N=-4931.25 Ty=0.54 Tz=-0.05 Mx=0.01 Mz=1.22
Sollecitazioni agenti localmente: Ty_l=-896.59 Mx_l=-17.93
Tensioni nella sezione: σ=217.35 τ=27.17
CC 2 SLD (Collegamento 0022_-379)
Azioni sul collegamento: N=-4931.25 Ty=0.32 Tz=-0.05 Mx=0.01 Mz=0.79
Sollecitazioni agenti localmente: Ty_l=-896.59 Mx_l=-17.93
Tensioni nella sezione: σ=217.35 τ=27.17
CC 2 SLD (Collegamento 0022_-379)
Azioni sul collegamento: N=-4931.25 Ty=0.54 Tz=-5.26 Mx=0.01 Mz=1.22
Sollecitazioni agenti localmente: Ty_l=-896.59 Mx_l=-17.93
Tensioni nella sezione: σ=217.35 τ=27.17
CC 2 SLD (Collegamento 0022_-379)
Azioni sul collegamento: N=-4931.25 Ty=0.32 Tz=-5.26 Mx=0.01 Mz=0.79
Sollecitazioni agenti localmente: Ty_l=-896.59 Mx_l=-17.93
Tensioni nella sezione: σ=217.35 τ=27.17
CC 2 SLD (Collegamento 0022_-379)
Azioni sul collegamento: N=-6335.90 Ty=0.54 Tz=-0.05 Mx=0.01 Mz=1.22
Sollecitazioni agenti localmente: Ty_l=-1151.98 Mx_l=-23.04
Tensioni nella sezione: σ=279.27 τ=34.91
CC 2 SLD (Collegamento 0022_-379)
Azioni sul collegamento: N=-6335.90 Ty=0.32 Tz=-0.05 Mx=0.01 Mz=0.79
Sollecitazioni agenti localmente: Ty_l=-1151.98 Mx_l=-23.04
Tensioni nella sezione: σ=279.27 τ=34.91
CC 2 SLD (Collegamento 0022_-379)
Azioni sul collegamento: N=-6335.90 Ty=0.54 Tz=-5.26 Mx=0.01 Mz=1.22
Sollecitazioni agenti localmente: Ty_l=-1151.98 Mx_l=-23.04
Tensioni nella sezione: σ=279.27 τ=34.91
CC 2 SLD (Collegamento 0022_-379)
Azioni sul collegamento: N=-6335.90 Ty=0.32 Tz=-5.26 Mx=0.01 Mz=0.79
Sollecitazioni agenti localmente: Ty_l=-1151.98 Mx_l=-23.04
Tensioni nella sezione: σ=279.27 τ=34.91
CC 3 SLV (Collegamento 0022_-379)
Azioni sul collegamento: N=-3330.55 Ty=0.90 Tz=5.89 Mx=0.01 Mz=2.40
Sollecitazioni agenti localmente: Ty_l=-605.55 Mx_l=-12.11
Tensioni nella sezione: σ=146.80 τ=18.35
CC 3 SLV (Collegamento 0022_-379)
Azioni sul collegamento: N=-3330.55 Ty=1.58 Tz=5.89 Mx=0.01 Mz=3.71
Sollecitazioni agenti localmente: Ty_l=-605.55 Mx_l=-12.11
Tensioni nella sezione: σ=146.80 τ=18.35
CC 3 SLV (Collegamento 0022_-379)
Azioni sul collegamento: N=-3330.55 Ty=0.90 Tz=-11.19 Mx=0.01 Mz=2.40
Sollecitazioni agenti localmente: Ty_l=-605.55 Mx_l=-12.11
Tensioni nella sezione: σ=146.80 τ=18.35
CC 3 SLV (Collegamento 0022_-379)
Azioni sul collegamento: N=-3330.55 Ty=1.58 Tz=-11.19 Mx=0.01 Mz=3.71
Sollecitazioni agenti localmente: Ty_l=-605.55 Mx_l=-12.11
Tensioni nella sezione: σ=146.80 τ=18.35
CC 3 SLV (Collegamento 0022_-379)

Azioni sul collegamento: N=-7936.97 Ty=0.90 Tz=5.89 Mx=0.01 Mz=2.40
Sollecitazioni agenti localmente: Ty_l=-1443.09 Mx_l=-28.86
Tensioni nella sezione: σ=349.84 τ=43.73
CC 3 SLV (Collegamento 0022_-379)
Azioni sul collegamento: N=-7936.97 Ty=1.58 Tz=5.89 Mx=0.01 Mz=3.71
Sollecitazioni agenti localmente: Ty_l=-1443.09 Mx_l=-28.86
Tensioni nella sezione: σ=349.84 τ=43.73
CC 3 SLV (Collegamento 0022_-379)
Azioni sul collegamento: N=-7936.97 Ty=0.90 Tz=-11.19 Mx=0.01 Mz=2.40
Sollecitazioni agenti localmente: Ty_l=-1443.09 Mx_l=-28.86
Tensioni nella sezione: σ=349.84 τ=43.73
CC 3 SLV (Collegamento 0022_-379)
Azioni sul collegamento: N=-7936.97 Ty=1.58 Tz=-11.19 Mx=0.01 Mz=3.71
Sollecitazioni agenti localmente: Ty_l=-1443.09 Mx_l=-28.86
Tensioni nella sezione: σ=349.84 τ=43.73
CC 4 SLD (Collegamento 0022_-379)
Azioni sul collegamento: N=-4931.25 Ty=0.33 Tz=-0.05 Mx=0.00 Mz=0.80
Sollecitazioni agenti localmente: Ty_l=-896.59 Mx_l=-17.93
Tensioni nella sezione: σ=217.35 τ=27.17
CC 4 SLD (Collegamento 0022_-379)
Azioni sul collegamento: N=-4931.25 Ty=0.53 Tz=-0.05 Mx=0.00 Mz=1.20
Sollecitazioni agenti localmente: Ty_l=-896.59 Mx_l=-17.93
Tensioni nella sezione: σ=217.35 τ=27.17
CC 4 SLD (Collegamento 0022_-379)
Azioni sul collegamento: N=-4931.25 Ty=0.33 Tz=-5.26 Mx=0.00 Mz=0.80
Sollecitazioni agenti localmente: Ty_l=-896.59 Mx_l=-17.93
Tensioni nella sezione: σ=217.35 τ=27.17
CC 4 SLD (Collegamento 0022_-379)
Azioni sul collegamento: N=-4931.25 Ty=0.53 Tz=-5.26 Mx=0.00 Mz=1.20
Sollecitazioni agenti localmente: Ty_l=-896.59 Mx_l=-17.93
Tensioni nella sezione: σ=217.35 τ=27.17
CC 4 SLD (Collegamento 0022_-379)
Azioni sul collegamento: N=-6335.90 Ty=0.33 Tz=-0.05 Mx=0.00 Mz=0.80
Sollecitazioni agenti localmente: Ty_l=-1151.98 Mx_l=-23.04
Tensioni nella sezione: σ=279.27 τ=34.91
CC 4 SLD (Collegamento 0022_-379)
Azioni sul collegamento: N=-6335.90 Ty=0.53 Tz=-0.05 Mx=0.00 Mz=1.20
Sollecitazioni agenti localmente: Ty_l=-1151.98 Mx_l=-23.04
Tensioni nella sezione: σ=279.27 τ=34.91
CC 4 SLD (Collegamento 0022_-379)
Azioni sul collegamento: N=-6335.90 Ty=0.33 Tz=-5.26 Mx=0.00 Mz=0.80
Sollecitazioni agenti localmente: Ty_l=-1151.98 Mx_l=-23.04
Tensioni nella sezione: σ=279.27 τ=34.91
CC 4 SLD (Collegamento 0022_-379)
Azioni sul collegamento: N=-6335.90 Ty=0.53 Tz=-5.26 Mx=0.00 Mz=1.20
Sollecitazioni agenti localmente: Ty_l=-1151.98 Mx_l=-23.04
Tensioni nella sezione: σ=279.27 τ=34.91
CC 5 SLV (Collegamento 0022_-379)
Azioni sul collegamento: N=-7936.97 Ty=1.58 Tz=-11.19 Mx=0.02 Mz=3.71
Sollecitazioni agenti localmente: Ty_l=-1443.09 Mx_l=-28.86
Tensioni nella sezione: σ=349.84 τ=43.73
CC 5 SLV (Collegamento 0022_-379)
Azioni sul collegamento: N=-7936.97 Ty=0.90 Tz=-11.19 Mx=0.02 Mz=2.40
Sollecitazioni agenti localmente: Ty_l=-1443.09 Mx_l=-28.86
Tensioni nella sezione: σ=349.84 τ=43.73
CC 5 SLV (Collegamento 0022_-379)
Azioni sul collegamento: N=-7936.97 Ty=1.58 Tz=5.89 Mx=0.02 Mz=3.71
Sollecitazioni agenti localmente: Ty_l=-1443.09 Mx_l=-28.86
Tensioni nella sezione: σ=349.84 τ=43.73
CC 5 SLV (Collegamento 0022_-379)
Azioni sul collegamento: N=-7936.97 Ty=0.90 Tz=5.89 Mx=0.02 Mz=2.40
Sollecitazioni agenti localmente: Ty_l=-1443.09 Mx_l=-28.86
Tensioni nella sezione: σ=349.84 τ=43.73
CC 5 SLV (Collegamento 0022_-379)
Azioni sul collegamento: N=-3330.55 Ty=1.58 Tz=-11.19 Mx=0.02 Mz=3.71
Sollecitazioni agenti localmente: Ty_l=-605.55 Mx_l=-12.11
Tensioni nella sezione: σ=146.80 τ=18.35
CC 5 SLV (Collegamento 0022_-379)
Azioni sul collegamento: N=-3330.55 Ty=0.90 Tz=-11.19 Mx=0.02 Mz=2.40
Sollecitazioni agenti localmente: Ty_l=-605.55 Mx_l=-12.11
Tensioni nella sezione: σ=146.80 τ=18.35
CC 5 SLV (Collegamento 0022_-379)
Azioni sul collegamento: N=-3330.55 Ty=1.58 Tz=5.89 Mx=0.02 Mz=3.71
Sollecitazioni agenti localmente: Ty_l=-605.55 Mx_l=-12.11
Tensioni nella sezione: σ=146.80 τ=18.35
CC 5 SLV (Collegamento 0022_-379)
Azioni sul collegamento: N=-3330.55 Ty=0.90 Tz=5.89 Mx=0.02 Mz=2.40
Sollecitazioni agenti localmente: Ty_l=-605.55 Mx_l=-12.11
Tensioni nella sezione: σ=146.80 τ=18.35

CC 6 SLD (Collegamento 0022_-379)
Azioni sul collegamento: N=-6335.90 Ty=0.53 Tz=-5.26 Mx=0.01 Mz=1.20
Sollecitazioni agenti localmente: Ty_l=-1151.98 Mx_l=-23.04
Tensioni nella sezione: σ=279.27 τ=34.91
CC 6 SLD (Collegamento 0022_-379)
Azioni sul collegamento: N=-6335.90 Ty=0.33 Tz=-5.26 Mx=0.01 Mz=0.80
Sollecitazioni agenti localmente: Ty_l=-1151.98 Mx_l=-23.04
Tensioni nella sezione: σ=279.27 τ=34.91
CC 6 SLD (Collegamento 0022_-379)
Azioni sul collegamento: N=-6335.90 Ty=0.53 Tz=-0.05 Mx=0.01 Mz=1.20
Sollecitazioni agenti localmente: Ty_l=-1151.98 Mx_l=-23.04
Tensioni nella sezione: σ=279.27 τ=34.91
CC 6 SLD (Collegamento 0022_-379)
Azioni sul collegamento: N=-6335.90 Ty=0.33 Tz=-0.05 Mx=0.01 Mz=0.80
Sollecitazioni agenti localmente: Ty_l=-1151.98 Mx_l=-23.04
Tensioni nella sezione: σ=279.27 τ=34.91
CC 6 SLD (Collegamento 0022_-379)
Azioni sul collegamento: N=-4931.25 Ty=0.53 Tz=-5.26 Mx=0.01 Mz=1.20
Sollecitazioni agenti localmente: Ty_l=-896.59 Mx_l=-17.93
Tensioni nella sezione: σ=217.35 τ=27.17
CC 6 SLD (Collegamento 0022_-379)
Azioni sul collegamento: N=-4931.25 Ty=0.33 Tz=-5.26 Mx=0.01 Mz=0.80
Sollecitazioni agenti localmente: Ty_l=-896.59 Mx_l=-17.93
Tensioni nella sezione: σ=217.35 τ=27.17
CC 6 SLD (Collegamento 0022_-379)
Azioni sul collegamento: N=-4931.25 Ty=0.53 Tz=-0.05 Mx=0.01 Mz=1.20
Sollecitazioni agenti localmente: Ty_l=-896.59 Mx_l=-17.93
Tensioni nella sezione: σ=217.35 τ=27.17
CC 6 SLD (Collegamento 0022_-379)
Azioni sul collegamento: N=-4931.25 Ty=0.33 Tz=-0.05 Mx=0.01 Mz=0.80
Sollecitazioni agenti localmente: Ty_l=-896.59 Mx_l=-17.93
Tensioni nella sezione: σ=217.35 τ=27.17
CC 7 SLV (Collegamento 0022_-379)
Azioni sul collegamento: N=-7936.99 Ty=0.88 Tz=-11.19 Mx=0.01 Mz=2.36
Sollecitazioni agenti localmente: Ty_l=-1443.09 Mx_l=-28.86
Tensioni nella sezione: σ=349.84 τ=43.73
CC 7 SLV (Collegamento 0022_-379)
Azioni sul collegamento: N=-7936.99 Ty=1.59 Tz=-11.19 Mx=0.01 Mz=3.75
Sollecitazioni agenti localmente: Ty_l=-1443.09 Mx_l=-28.86
Tensioni nella sezione: σ=349.84 τ=43.73
CC 7 SLV (Collegamento 0022_-379)
Azioni sul collegamento: N=-7936.99 Ty=0.88 Tz=5.89 Mx=0.01 Mz=2.36
Sollecitazioni agenti localmente: Ty_l=-1443.09 Mx_l=-28.86
Tensioni nella sezione: σ=349.84 τ=43.73
CC 7 SLV (Collegamento 0022_-379)
Azioni sul collegamento: N=-7936.99 Ty=1.59 Tz=5.89 Mx=0.01 Mz=3.75
Sollecitazioni agenti localmente: Ty_l=-1443.09 Mx_l=-28.86
Tensioni nella sezione: σ=349.84 τ=43.73
CC 7 SLV (Collegamento 0022_-379)
Azioni sul collegamento: N=-3330.52 Ty=0.88 Tz=-11.19 Mx=0.01 Mz=2.36
Sollecitazioni agenti localmente: Ty_l=-605.55 Mx_l=-12.11
Tensioni nella sezione: σ=146.80 τ=18.35
CC 7 SLV (Collegamento 0022_-379)
Azioni sul collegamento: N=-3330.52 Ty=1.59 Tz=-11.19 Mx=0.01 Mz=3.75
Sollecitazioni agenti localmente: Ty_l=-605.55 Mx_l=-12.11
Tensioni nella sezione: σ=146.80 τ=18.35
CC 7 SLV (Collegamento 0022_-379)
Azioni sul collegamento: N=-3330.52 Ty=0.88 Tz=5.89 Mx=0.01 Mz=2.36
Sollecitazioni agenti localmente: Ty_l=-605.55 Mx_l=-12.11
Tensioni nella sezione: σ=146.80 τ=18.35
CC 7 SLV (Collegamento 0022_-379)
Azioni sul collegamento: N=-3330.52 Ty=1.59 Tz=5.89 Mx=0.01 Mz=3.75
Sollecitazioni agenti localmente: Ty_l=-605.55 Mx_l=-12.11
Tensioni nella sezione: σ=146.80 τ=18.35
CC 8 SLD (Collegamento 0022_-379)
Azioni sul collegamento: N=-6335.90 Ty=0.32 Tz=-5.26 Mx=0.00 Mz=0.79
Sollecitazioni agenti localmente: Ty_l=-1151.98 Mx_l=-23.04
Tensioni nella sezione: σ=279.27 τ=34.91
CC 8 SLD (Collegamento 0022_-379)
Azioni sul collegamento: N=-6335.90 Ty=0.54 Tz=-5.26 Mx=0.00 Mz=1.22
Sollecitazioni agenti localmente: Ty_l=-1151.98 Mx_l=-23.04
Tensioni nella sezione: σ=279.27 τ=34.91
CC 8 SLD (Collegamento 0022_-379)
Azioni sul collegamento: N=-6335.90 Ty=0.32 Tz=-0.05 Mx=0.00 Mz=0.79
Sollecitazioni agenti localmente: Ty_l=-1151.98 Mx_l=-23.04
Tensioni nella sezione: σ=279.27 τ=34.91
CC 8 SLD (Collegamento 0022_-379)
Azioni sul collegamento: N=-6335.90 Ty=0.54 Tz=-0.05 Mx=0.00 Mz=1.22
Sollecitazioni agenti localmente: Ty_l=-1151.98 Mx_l=-23.04

Tensioni nella sezione: σ=279.27 τ=34.91
CC 8 SLD (Collegamento 0022_-379)
Azioni sul collegamento: N=-4931.25 Ty=0.32 Tz=-5.26 Mx=0.00 Mz=0.79
Sollecitazioni agenti localmente: Ty_l=-896.59 Mx_l=-17.93
Tensioni nella sezione: σ=217.35 τ=27.17
CC 8 SLD (Collegamento 0022_-379)
Azioni sul collegamento: N=-4931.25 Ty=0.54 Tz=-5.26 Mx=0.00 Mz=1.22
Sollecitazioni agenti localmente: Ty_l=-896.59 Mx_l=-17.93
Tensioni nella sezione: σ=217.35 τ=27.17
CC 8 SLD (Collegamento 0022_-379)
Azioni sul collegamento: N=-4931.25 Ty=0.32 Tz=-0.05 Mx=0.00 Mz=0.79
Sollecitazioni agenti localmente: Ty_l=-896.59 Mx_l=-17.93
Tensioni nella sezione: σ=217.35 τ=27.17
CC 8 SLD (Collegamento 0022_-379)
Azioni sul collegamento: N=-4931.25 Ty=0.54 Tz=-0.05 Mx=0.00 Mz=1.22
Sollecitazioni agenti localmente: Ty_l=-896.59 Mx_l=-17.93
Tensioni nella sezione: σ=217.35 τ=27.17
CC 9 SLV (Collegamento 0022_-379)
Azioni sul collegamento: N=-4942.75 Ty=2.39 Tz=-0.09 Mx=0.02 Mz=5.32
Sollecitazioni agenti localmente: Ty_l=-898.68 Mx_l=-17.97
Tensioni nella sezione: σ=217.86 τ=27.23
CC 9 SLV (Collegamento 0022_-379)
Azioni sul collegamento: N=-4942.75 Ty=0.08 Tz=-0.09 Mx=0.02 Mz=0.80
Sollecitazioni agenti localmente: Ty_l=-898.68 Mx_l=-17.97
Tensioni nella sezione: σ=217.86 τ=27.23
CC 9 SLV (Collegamento 0022_-379)
Azioni sul collegamento: N=-4942.75 Ty=2.39 Tz=-5.22 Mx=0.02 Mz=5.32
Sollecitazioni agenti localmente: Ty_l=-898.68 Mx_l=-17.97
Tensioni nella sezione: σ=217.86 τ=27.23
CC 9 SLV (Collegamento 0022_-379)
Azioni sul collegamento: N=-4942.75 Ty=0.08 Tz=-5.22 Mx=0.02 Mz=0.80
Sollecitazioni agenti localmente: Ty_l=-898.68 Mx_l=-17.97
Tensioni nella sezione: σ=217.86 τ=27.23
CC 9 SLV (Collegamento 0022_-379)
Azioni sul collegamento: N=-6324.76 Ty=2.39 Tz=-0.09 Mx=0.02 Mz=5.32
Sollecitazioni agenti localmente: Ty_l=-1149.96 Mx_l=-23.00
Tensioni nella sezione: σ=278.78 τ=34.85
CC 9 SLV (Collegamento 0022_-379)
Azioni sul collegamento: N=-6324.76 Ty=0.08 Tz=-0.09 Mx=0.02 Mz=0.80
Sollecitazioni agenti localmente: Ty_l=-1149.96 Mx_l=-23.00
Tensioni nella sezione: σ=278.78 τ=34.85
CC 9 SLV (Collegamento 0022_-379)
Azioni sul collegamento: N=-6324.76 Ty=2.39 Tz=-5.22 Mx=0.02 Mz=5.32
Sollecitazioni agenti localmente: Ty_l=-1149.96 Mx_l=-23.00
Tensioni nella sezione: σ=278.78 τ=34.85
CC 9 SLV (Collegamento 0022_-379)
Azioni sul collegamento: N=-6324.76 Ty=0.08 Tz=-5.22 Mx=0.02 Mz=0.80
Sollecitazioni agenti localmente: Ty_l=-1149.96 Mx_l=-23.00
Tensioni nella sezione: σ=278.78 τ=34.85
CC 10 SLD (Collegamento 0022_-379)
Azioni sul collegamento: N=-5422.87 Ty=0.78 Tz=-1.87 Mx=0.01 Mz=1.69
Sollecitazioni agenti localmente: Ty_l=-985.98 Mx_l=-19.72
Tensioni nella sezione: σ=239.02 τ=29.88
CC 10 SLD (Collegamento 0022_-379)
Azioni sul collegamento: N=-5422.87 Ty=0.08 Tz=-1.87 Mx=0.01 Mz=0.31
Sollecitazioni agenti localmente: Ty_l=-985.98 Mx_l=-19.72
Tensioni nella sezione: σ=239.02 τ=29.88
CC 10 SLD (Collegamento 0022_-379)
Azioni sul collegamento: N=-5422.87 Ty=0.78 Tz=-3.44 Mx=0.01 Mz=1.69
Sollecitazioni agenti localmente: Ty_l=-985.98 Mx_l=-19.72
Tensioni nella sezione: σ=239.02 τ=29.88
CC 10 SLD (Collegamento 0022_-379)
Azioni sul collegamento: N=-5422.87 Ty=0.08 Tz=-3.44 Mx=0.01 Mz=0.31
Sollecitazioni agenti localmente: Ty_l=-985.98 Mx_l=-19.72
Tensioni nella sezione: σ=239.02 τ=29.88
CC 10 SLD (Collegamento 0022_-379)
Azioni sul collegamento: N=-5844.28 Ty=0.78 Tz=-1.87 Mx=0.01 Mz=1.69
Sollecitazioni agenti localmente: Ty_l=-1062.60 Mx_l=-21.25
Tensioni nella sezione: σ=257.60 τ=32.20
CC 10 SLD (Collegamento 0022_-379)
Azioni sul collegamento: N=-5844.28 Ty=0.08 Tz=-1.87 Mx=0.01 Mz=0.31
Sollecitazioni agenti localmente: Ty_l=-1062.60 Mx_l=-21.25
Tensioni nella sezione: σ=257.60 τ=32.20
CC 10 SLD (Collegamento 0022_-379)
Azioni sul collegamento: N=-5844.28 Ty=0.78 Tz=-3.44 Mx=0.01 Mz=1.69
Sollecitazioni agenti localmente: Ty_l=-1062.60 Mx_l=-21.25
Tensioni nella sezione: σ=257.60 τ=32.20
CC 10 SLD (Collegamento 0022_-379)
Azioni sul collegamento: N=-5844.28 Ty=0.08 Tz=-3.44 Mx=0.01 Mz=0.31

Sollecitazioni agenti localmente: Ty_l=-1062.60 Mx_l=-21.25
Tensioni nella sezione: σ=257.60 τ=32.20
CC 11 SLV (Collegamento 0022_-379)
Azioni sul collegamento: N=-6324.69 Ty=2.39 Tz=-5.21 Mx=0.02 Mz=5.31
Sollecitazioni agenti localmente: Ty_l=-1149.94 Mx_l=-23.00
Tensioni nella sezione: σ=278.77 τ=34.85
CC 11 SLV (Collegamento 0022_-379)
Azioni sul collegamento: N=-6324.69 Ty=0.09 Tz=-5.21 Mx=0.02 Mz=0.81
Sollecitazioni agenti localmente: Ty_l=-1149.94 Mx_l=-23.00
Tensioni nella sezione: σ=278.77 τ=34.85
CC 11 SLV (Collegamento 0022_-379)
Azioni sul collegamento: N=-6324.69 Ty=2.39 Tz=-0.09 Mx=0.02 Mz=5.31
Sollecitazioni agenti localmente: Ty_l=-1149.94 Mx_l=-23.00
Tensioni nella sezione: σ=278.77 τ=34.85
CC 11 SLV (Collegamento 0022_-379)
Azioni sul collegamento: N=-6324.69 Ty=0.09 Tz=-0.09 Mx=0.02 Mz=0.81
Sollecitazioni agenti localmente: Ty_l=-1149.94 Mx_l=-23.00
Tensioni nella sezione: σ=278.77 τ=34.85
CC 11 SLV (Collegamento 0022_-379)
Azioni sul collegamento: N=-4942.83 Ty=2.39 Tz=-5.21 Mx=0.02 Mz=5.31
Sollecitazioni agenti localmente: Ty_l=-898.70 Mx_l=-17.97
Tensioni nella sezione: σ=217.87 τ=27.23
CC 11 SLV (Collegamento 0022_-379)
Azioni sul collegamento: N=-4942.83 Ty=0.09 Tz=-5.21 Mx=0.02 Mz=0.81
Sollecitazioni agenti localmente: Ty_l=-898.70 Mx_l=-17.97
Tensioni nella sezione: σ=217.87 τ=27.23
CC 11 SLV (Collegamento 0022_-379)
Azioni sul collegamento: N=-4942.83 Ty=2.39 Tz=-0.09 Mx=0.02 Mz=5.31
Sollecitazioni agenti localmente: Ty_l=-898.70 Mx_l=-17.97
Tensioni nella sezione: σ=217.87 τ=27.23
CC 11 SLV (Collegamento 0022_-379)
Azioni sul collegamento: N=-4942.83 Ty=0.09 Tz=-0.09 Mx=0.02 Mz=0.81
Sollecitazioni agenti localmente: Ty_l=-898.70 Mx_l=-17.97
Tensioni nella sezione: σ=217.87 τ=27.23
CC 12 SLD (Collegamento 0022_-379)
Azioni sul collegamento: N=-5844.26 Ty=0.78 Tz=-3.43 Mx=0.01 Mz=1.69
Sollecitazioni agenti localmente: Ty_l=-1062.59 Mx_l=-21.25
Tensioni nella sezione: σ=257.60 τ=32.20
CC 12 SLD (Collegamento 0022_-379)
Azioni sul collegamento: N=-5844.26 Ty=0.08 Tz=-3.43 Mx=0.01 Mz=0.32
Sollecitazioni agenti localmente: Ty_l=-1062.59 Mx_l=-21.25
Tensioni nella sezione: σ=257.60 τ=32.20
CC 12 SLD (Collegamento 0022_-379)
Azioni sul collegamento: N=-5844.26 Ty=0.78 Tz=-1.87 Mx=0.01 Mz=1.69
Sollecitazioni agenti localmente: Ty_l=-1062.59 Mx_l=-21.25
Tensioni nella sezione: σ=257.60 τ=32.20
CC 12 SLD (Collegamento 0022_-379)
Azioni sul collegamento: N=-5844.26 Ty=0.08 Tz=-1.87 Mx=0.01 Mz=0.32
Sollecitazioni agenti localmente: Ty_l=-1062.59 Mx_l=-21.25
Tensioni nella sezione: σ=257.60 τ=32.20
CC 12 SLD (Collegamento 0022_-379)
Azioni sul collegamento: N=-5422.89 Ty=0.78 Tz=-3.43 Mx=0.01 Mz=1.69
Sollecitazioni agenti localmente: Ty_l=-985.98 Mx_l=-19.72
Tensioni nella sezione: σ=239.03 τ=29.88
CC 12 SLD (Collegamento 0022_-379)
Azioni sul collegamento: N=-5422.89 Ty=0.08 Tz=-3.43 Mx=0.01 Mz=0.32
Sollecitazioni agenti localmente: Ty_l=-985.98 Mx_l=-19.72
Tensioni nella sezione: σ=239.03 τ=29.88
CC 12 SLD (Collegamento 0022_-379)
Azioni sul collegamento: N=-5422.89 Ty=0.78 Tz=-1.87 Mx=0.01 Mz=1.69
Sollecitazioni agenti localmente: Ty_l=-985.98 Mx_l=-19.72
Tensioni nella sezione: σ=239.03 τ=29.88
CC 12 SLD (Collegamento 0022_-379)
Azioni sul collegamento: N=-5422.89 Ty=0.08 Tz=-1.87 Mx=0.01 Mz=0.32
Sollecitazioni agenti localmente: Ty_l=-985.98 Mx_l=-19.72
Tensioni nella sezione: σ=239.03 τ=29.88
CC 13 SLV (Collegamento 0022_-379)
Azioni sul collegamento: N=-4942.83 Ty=0.09 Tz=-0.09 Mx=0.00 Mz=0.81
Sollecitazioni agenti localmente: Ty_l=-898.70 Mx_l=-17.97
Tensioni nella sezione: σ=217.87 τ=27.23
CC 13 SLV (Collegamento 0022_-379)
Azioni sul collegamento: N=-4942.83 Ty=2.39 Tz=-0.09 Mx=0.00 Mz=5.31
Sollecitazioni agenti localmente: Ty_l=-898.70 Mx_l=-17.97
Tensioni nella sezione: σ=217.87 τ=27.23
CC 13 SLV (Collegamento 0022_-379)
Azioni sul collegamento: N=-4942.83 Ty=0.09 Tz=-5.21 Mx=0.00 Mz=0.81
Sollecitazioni agenti localmente: Ty_l=-898.70 Mx_l=-17.97
Tensioni nella sezione: σ=217.87 τ=27.23
CC 13 SLV (Collegamento 0022_-379)

Azioni sul collegamento: N=-4942.83 Ty=2.39 Tz=-5.21 Mx=0.00 Mz=5.31
Sollecitazioni agenti localmente: Ty_l=-898.70 Mx_l=-17.97
Tensioni nella sezione: σ=217.87 τ=27.23
CC 13 SLV (Collegamento 0022_-379)
Azioni sul collegamento: N=-6324.69 Ty=0.09 Tz=-0.09 Mx=0.00 Mz=0.81
Sollecitazioni agenti localmente: Ty_l=-1149.94 Mx_l=-23.00
Tensioni nella sezione: σ=278.77 τ=34.85
CC 13 SLV (Collegamento 0022_-379)
Azioni sul collegamento: N=-6324.69 Ty=2.39 Tz=-0.09 Mx=0.00 Mz=5.31
Sollecitazioni agenti localmente: Ty_l=-1149.94 Mx_l=-23.00
Tensioni nella sezione: σ=278.77 τ=34.85
CC 13 SLV (Collegamento 0022_-379)
Azioni sul collegamento: N=-6324.69 Ty=0.09 Tz=-5.21 Mx=0.00 Mz=0.81
Sollecitazioni agenti localmente: Ty_l=-1149.94 Mx_l=-23.00
Tensioni nella sezione: σ=278.77 τ=34.85
CC 13 SLV (Collegamento 0022_-379)
Azioni sul collegamento: N=-6324.69 Ty=2.39 Tz=-5.21 Mx=0.00 Mz=5.31
Sollecitazioni agenti localmente: Ty_l=-1149.94 Mx_l=-23.00
Tensioni nella sezione: σ=278.77 τ=34.85
CC 14 SLD (Collegamento 0022_-379)
Azioni sul collegamento: N=-5422.89 Ty=0.08 Tz=-1.87 Mx=0.00 Mz=0.32
Sollecitazioni agenti localmente: Ty_l=-985.98 Mx_l=-19.72
Tensioni nella sezione: σ=239.03 τ=29.88
CC 14 SLD (Collegamento 0022_-379)
Azioni sul collegamento: N=-5422.89 Ty=0.78 Tz=-1.87 Mx=0.00 Mz=1.69
Sollecitazioni agenti localmente: Ty_l=-985.98 Mx_l=-19.72
Tensioni nella sezione: σ=239.03 τ=29.88
CC 14 SLD (Collegamento 0022_-379)
Azioni sul collegamento: N=-5422.89 Ty=0.08 Tz=-3.43 Mx=0.00 Mz=0.32
Sollecitazioni agenti localmente: Ty_l=-985.98 Mx_l=-19.72
Tensioni nella sezione: σ=239.03 τ=29.88
CC 14 SLD (Collegamento 0022_-379)
Azioni sul collegamento: N=-5422.89 Ty=0.78 Tz=-3.43 Mx=0.00 Mz=1.69
Sollecitazioni agenti localmente: Ty_l=-985.98 Mx_l=-19.72
Tensioni nella sezione: σ=239.03 τ=29.88
CC 14 SLD (Collegamento 0022_-379)
Azioni sul collegamento: N=-5844.26 Ty=0.08 Tz=-1.87 Mx=0.00 Mz=0.32
Sollecitazioni agenti localmente: Ty_l=-1062.59 Mx_l=-21.25
Tensioni nella sezione: σ=257.60 τ=32.20
CC 14 SLD (Collegamento 0022_-379)
Azioni sul collegamento: N=-5844.26 Ty=0.78 Tz=-1.87 Mx=0.00 Mz=1.69
Sollecitazioni agenti localmente: Ty_l=-1062.59 Mx_l=-21.25
Tensioni nella sezione: σ=257.60 τ=32.20
CC 14 SLD (Collegamento 0022_-379)
Azioni sul collegamento: N=-5844.26 Ty=0.08 Tz=-3.43 Mx=0.00 Mz=0.32
Sollecitazioni agenti localmente: Ty_l=-1062.59 Mx_l=-21.25
Tensioni nella sezione: σ=257.60 τ=32.20
CC 14 SLD (Collegamento 0022_-379)
Azioni sul collegamento: N=-5844.26 Ty=0.78 Tz=-3.43 Mx=0.00 Mz=1.69
Sollecitazioni agenti localmente: Ty_l=-1062.59 Mx_l=-21.25
Tensioni nella sezione: σ=257.60 τ=32.20
CC 15 SLV (Collegamento 0022_-379)
Azioni sul collegamento: N=-6324.76 Ty=0.08 Tz=-5.22 Mx=0.00 Mz=0.80
Sollecitazioni agenti localmente: Ty_l=-1149.96 Mx_l=-23.00
Tensioni nella sezione: σ=278.78 τ=34.85
CC 15 SLV (Collegamento 0022_-379)
Azioni sul collegamento: N=-6324.76 Ty=2.39 Tz=-5.22 Mx=0.00 Mz=5.32
Sollecitazioni agenti localmente: Ty_l=-1149.96 Mx_l=-23.00
Tensioni nella sezione: σ=278.78 τ=34.85
CC 15 SLV (Collegamento 0022_-379)
Azioni sul collegamento: N=-6324.76 Ty=0.08 Tz=-0.09 Mx=0.00 Mz=0.80
Sollecitazioni agenti localmente: Ty_l=-1149.96 Mx_l=-23.00
Tensioni nella sezione: σ=278.78 τ=34.85
CC 15 SLV (Collegamento 0022_-379)
Azioni sul collegamento: N=-6324.76 Ty=2.39 Tz=-0.09 Mx=0.00 Mz=5.32
Sollecitazioni agenti localmente: Ty_l=-1149.96 Mx_l=-23.00
Tensioni nella sezione: σ=278.78 τ=34.85
CC 15 SLV (Collegamento 0022_-379)
Azioni sul collegamento: N=-4942.75 Ty=0.08 Tz=-5.22 Mx=0.00 Mz=0.80
Sollecitazioni agenti localmente: Ty_l=-898.68 Mx_l=-17.97
Tensioni nella sezione: σ=217.86 τ=27.23
CC 15 SLV (Collegamento 0022_-379)
Azioni sul collegamento: N=-4942.75 Ty=2.39 Tz=-5.22 Mx=0.00 Mz=5.32
Sollecitazioni agenti localmente: Ty_l=-898.68 Mx_l=-17.97
Tensioni nella sezione: σ=217.86 τ=27.23
CC 15 SLV (Collegamento 0022_-379)
Azioni sul collegamento: N=-4942.75 Ty=0.08 Tz=-0.09 Mx=0.00 Mz=0.80
Sollecitazioni agenti localmente: Ty_l=-898.68 Mx_l=-17.97
Tensioni nella sezione: σ=217.86 τ=27.23

CC 15 SLV (Collegamento 0022_-379)
Azioni sul collegamento: N=-4942.75 Ty=2.39 Tz=-0.09 Mx=0.00 Mz=5.32
Sollecitazioni agenti localmente: Ty_l=-898.68 Mx_l=-17.97
Tensioni nella sezione: σ=217.86 τ=27.23
CC 16 SLD (Collegamento 0022_-379)
Azioni sul collegamento: N=-5844.28 Ty=0.08 Tz=-3.44 Mx=0.00 Mz=0.31
Sollecitazioni agenti localmente: Ty_l=-1062.60 Mx_l=-21.25
Tensioni nella sezione: σ=257.60 τ=32.20
CC 16 SLD (Collegamento 0022_-379)
Azioni sul collegamento: N=-5844.28 Ty=0.78 Tz=-3.44 Mx=0.00 Mz=1.69
Sollecitazioni agenti localmente: Ty_l=-1062.60 Mx_l=-21.25
Tensioni nella sezione: σ=257.60 τ=32.20
CC 16 SLD (Collegamento 0022_-379)
Azioni sul collegamento: N=-5844.28 Ty=0.08 Tz=-1.87 Mx=0.00 Mz=0.31
Sollecitazioni agenti localmente: Ty_l=-1062.60 Mx_l=-21.25
Tensioni nella sezione: σ=257.60 τ=32.20
CC 16 SLD (Collegamento 0022_-379)
Azioni sul collegamento: N=-5844.28 Ty=0.78 Tz=-1.87 Mx=0.00 Mz=1.69
Sollecitazioni agenti localmente: Ty_l=-1062.60 Mx_l=-21.25
Tensioni nella sezione: σ=257.60 τ=32.20
CC 16 SLD (Collegamento 0022_-379)
Azioni sul collegamento: N=-5422.87 Ty=0.08 Tz=-3.44 Mx=0.00 Mz=0.31
Sollecitazioni agenti localmente: Ty_l=-985.98 Mx_l=-19.72
Tensioni nella sezione: σ=239.02 τ=29.88
CC 16 SLD (Collegamento 0022_-379)
Azioni sul collegamento: N=-5422.87 Ty=0.78 Tz=-3.44 Mx=0.00 Mz=1.69
Sollecitazioni agenti localmente: Ty_l=-985.98 Mx_l=-19.72
Tensioni nella sezione: σ=239.02 τ=29.88
CC 16 SLD (Collegamento 0022_-379)
Azioni sul collegamento: N=-5422.87 Ty=0.08 Tz=-1.87 Mx=0.00 Mz=0.31
Sollecitazioni agenti localmente: Ty_l=-985.98 Mx_l=-19.72
Tensioni nella sezione: σ=239.02 τ=29.88
CC 16 SLD (Collegamento 0022_-379)
Azioni sul collegamento: N=-5422.87 Ty=0.78 Tz=-1.87 Mx=0.00 Mz=1.69
Sollecitazioni agenti localmente: Ty_l=-985.98 Mx_l=-19.72
Tensioni nella sezione: σ=239.02 τ=29.88
CC 17 SLV (Collegamento 0022_-379)
Azioni sul collegamento: N=-3330.00 Ty=-0.74 Tz=5.89 Mx=-0.02 Mz=-2.16
Sollecitazioni agenti localmente: Ty_l=-605.45 Mx_l=-12.11
Tensioni nella sezione: σ=146.78 τ=18.35
CC 17 SLV (Collegamento 0022_-379)
Azioni sul collegamento: N=-3330.00 Ty=-1.44 Tz=5.89 Mx=-0.02 Mz=-3.55
Sollecitazioni agenti localmente: Ty_l=-605.45 Mx_l=-12.11
Tensioni nella sezione: σ=146.78 τ=18.35
CC 17 SLV (Collegamento 0022_-379)
Azioni sul collegamento: N=-3330.00 Ty=-0.74 Tz=-11.20 Mx=-0.02 Mz=-2.16
Sollecitazioni agenti localmente: Ty_l=-605.45 Mx_l=-12.11
Tensioni nella sezione: σ=146.78 τ=18.35
CC 17 SLV (Collegamento 0022_-379)
Azioni sul collegamento: N=-3330.00 Ty=-1.44 Tz=-11.20 Mx=-0.02 Mz=-3.55
Sollecitazioni agenti localmente: Ty_l=-605.45 Mx_l=-12.11
Tensioni nella sezione: σ=146.78 τ=18.35
CC 17 SLV (Collegamento 0022_-379)
Azioni sul collegamento: N=-7936.47 Ty=-0.74 Tz=5.89 Mx=-0.02 Mz=-2.16
Sollecitazioni agenti localmente: Ty_l=-1442.99 Mx_l=-28.86
Tensioni nella sezione: σ=349.82 τ=43.73
CC 17 SLV (Collegamento 0022_-379)
Azioni sul collegamento: N=-7936.47 Ty=-1.44 Tz=5.89 Mx=-0.02 Mz=-3.55
Sollecitazioni agenti localmente: Ty_l=-1442.99 Mx_l=-28.86
Tensioni nella sezione: σ=349.82 τ=43.73
CC 17 SLV (Collegamento 0022_-379)
Azioni sul collegamento: N=-7936.47 Ty=-0.74 Tz=-11.20 Mx=-0.02 Mz=-2.16
Sollecitazioni agenti localmente: Ty_l=-1442.99 Mx_l=-28.86
Tensioni nella sezione: σ=349.82 τ=43.73
CC 17 SLV (Collegamento 0022_-379)
Azioni sul collegamento: N=-7936.47 Ty=-1.44 Tz=-11.20 Mx=-0.02 Mz=-3.55
Sollecitazioni agenti localmente: Ty_l=-1442.99 Mx_l=-28.86
Tensioni nella sezione: σ=349.82 τ=43.73
CC 18 SLD (Collegamento 0022_-379)
Azioni sul collegamento: N=-4931.08 Ty=-0.17 Tz=-0.05 Mx=-0.00 Mz=-0.59
Sollecitazioni agenti localmente: Ty_l=-896.56 Mx_l=-17.93
Tensioni nella sezione: σ=217.35 τ=27.17
CC 18 SLD (Collegamento 0022_-379)
Azioni sul collegamento: N=-4931.08 Ty=-0.39 Tz=-0.05 Mx=-0.00 Mz=-1.01
Sollecitazioni agenti localmente: Ty_l=-896.56 Mx_l=-17.93
Tensioni nella sezione: σ=217.35 τ=27.17
CC 18 SLD (Collegamento 0022_-379)
Azioni sul collegamento: N=-4931.09 Ty=-0.17 Tz=-5.26 Mx=-0.00 Mz=-0.59
Sollecitazioni agenti localmente: Ty_l=-896.56 Mx_l=-17.93

Tensioni nella sezione: σ=217.35 τ=27.17
CC 18 SLD (Collegamento 0022_-379)
Azioni sul collegamento: N=-4931.09 Ty=-0.39 Tz=-5.26 Mx=-0.00 Mz=-1.01
Sollecitazioni agenti localmente: Ty_l=-896.56 Mx_l=-17.93
Tensioni nella sezione: σ=217.35 τ=27.17
CC 18 SLD (Collegamento 0022_-379)
Azioni sul collegamento: N=-6335.74 Ty=-0.17 Tz=-0.05 Mx=-0.00 Mz=-0.59
Sollecitazioni agenti localmente: Ty_l=-1151.95 Mx_l=-23.04
Tensioni nella sezione: σ=279.26 τ=34.91
CC 18 SLD (Collegamento 0022_-379)
Azioni sul collegamento: N=-6335.74 Ty=-0.39 Tz=-0.05 Mx=-0.00 Mz=-1.01
Sollecitazioni agenti localmente: Ty_l=-1151.95 Mx_l=-23.04
Tensioni nella sezione: σ=279.26 τ=34.91
CC 18 SLD (Collegamento 0022_-379)
Azioni sul collegamento: N=-6335.74 Ty=-0.17 Tz=-5.26 Mx=-0.00 Mz=-0.59
Sollecitazioni agenti localmente: Ty_l=-1151.95 Mx_l=-23.04
Tensioni nella sezione: σ=279.26 τ=34.91
CC 18 SLD (Collegamento 0022_-379)
Azioni sul collegamento: N=-6335.74 Ty=-0.39 Tz=-5.26 Mx=-0.00 Mz=-1.01
Sollecitazioni agenti localmente: Ty_l=-1151.95 Mx_l=-23.04
Tensioni nella sezione: σ=279.26 τ=34.91
CC 19 SLV (Collegamento 0022_-379)
Azioni sul collegamento: N=-3330.02 Ty=-1.43 Tz=5.88 Mx=-0.01 Mz=-3.51
Sollecitazioni agenti localmente: Ty_l=-605.46 Mx_l=-12.11
Tensioni nella sezione: σ=146.78 τ=18.35
CC 19 SLV (Collegamento 0022_-379)
Azioni sul collegamento: N=-3330.02 Ty=-0.75 Tz=5.88 Mx=-0.01 Mz=-2.19
Sollecitazioni agenti localmente: Ty_l=-605.46 Mx_l=-12.11
Tensioni nella sezione: σ=146.78 τ=18.35
CC 19 SLV (Collegamento 0022_-379)
Azioni sul collegamento: N=-3330.02 Ty=-1.43 Tz=-11.19 Mx=-0.01 Mz=-3.51
Sollecitazioni agenti localmente: Ty_l=-605.46 Mx_l=-12.11
Tensioni nella sezione: σ=146.78 τ=18.35
CC 19 SLV (Collegamento 0022_-379)
Azioni sul collegamento: N=-3330.02 Ty=-0.75 Tz=-11.19 Mx=-0.01 Mz=-2.19
Sollecitazioni agenti localmente: Ty_l=-605.46 Mx_l=-12.11
Tensioni nella sezione: σ=146.78 τ=18.35
CC 19 SLV (Collegamento 0022_-379)
Azioni sul collegamento: N=-7936.44 Ty=-1.43 Tz=5.88 Mx=-0.01 Mz=-3.51
Sollecitazioni agenti localmente: Ty_l=-1442.99 Mx_l=-28.86
Tensioni nella sezione: σ=349.81 τ=43.73
CC 19 SLV (Collegamento 0022_-379)
Azioni sul collegamento: N=-7936.44 Ty=-0.75 Tz=5.88 Mx=-0.01 Mz=-2.19
Sollecitazioni agenti localmente: Ty_l=-1442.99 Mx_l=-28.86
Tensioni nella sezione: σ=349.81 τ=43.73
CC 19 SLV (Collegamento 0022_-379)
Azioni sul collegamento: N=-7936.44 Ty=-1.43 Tz=-11.19 Mx=-0.01 Mz=-3.51
Sollecitazioni agenti localmente: Ty_l=-1442.99 Mx_l=-28.86
Tensioni nella sezione: σ=349.81 τ=43.73
CC 19 SLV (Collegamento 0022_-379)
Azioni sul collegamento: N=-7936.44 Ty=-0.75 Tz=-11.19 Mx=-0.01 Mz=-2.19
Sollecitazioni agenti localmente: Ty_l=-1442.99 Mx_l=-28.86
Tensioni nella sezione: σ=349.81 τ=43.73
CC 20 SLD (Collegamento 0022_-379)
Azioni sul collegamento: N=-4931.09 Ty=-0.38 Tz=-0.05 Mx=-0.00 Mz=-1.00
Sollecitazioni agenti localmente: Ty_l=-896.56 Mx_l=-17.93
Tensioni nella sezione: σ=217.35 τ=27.17
CC 20 SLD (Collegamento 0022_-379)
Azioni sul collegamento: N=-4931.09 Ty=-0.18 Tz=-0.05 Mx=-0.00 Mz=-0.60
Sollecitazioni agenti localmente: Ty_l=-896.56 Mx_l=-17.93
Tensioni nella sezione: σ=217.35 τ=27.17
CC 20 SLD (Collegamento 0022_-379)
Azioni sul collegamento: N=-4931.09 Ty=-0.38 Tz=-5.26 Mx=-0.00 Mz=-1.00
Sollecitazioni agenti localmente: Ty_l=-896.56 Mx_l=-17.93
Tensioni nella sezione: σ=217.35 τ=27.17
CC 20 SLD (Collegamento 0022_-379)
Azioni sul collegamento: N=-4931.09 Ty=-0.18 Tz=-5.26 Mx=-0.00 Mz=-0.60
Sollecitazioni agenti localmente: Ty_l=-896.56 Mx_l=-17.93
Tensioni nella sezione: σ=217.35 τ=27.17
CC 20 SLD (Collegamento 0022_-379)
Azioni sul collegamento: N=-6335.74 Ty=-0.38 Tz=-0.05 Mx=-0.00 Mz=-1.00
Sollecitazioni agenti localmente: Ty_l=-1151.95 Mx_l=-23.04
Tensioni nella sezione: σ=279.26 τ=34.91
CC 20 SLD (Collegamento 0022_-379)
Azioni sul collegamento: N=-6335.74 Ty=-0.18 Tz=-0.05 Mx=-0.00 Mz=-0.60
Sollecitazioni agenti localmente: Ty_l=-1151.95 Mx_l=-23.04
Tensioni nella sezione: σ=279.26 τ=34.91
CC 20 SLD (Collegamento 0022_-379)
Azioni sul collegamento: N=-6335.74 Ty=-0.38 Tz=-5.26 Mx=-0.00 Mz=-1.00

Sollecitazioni agenti localmente: Ty_l=-1151.95 Mx_l=-23.04
Tensioni nella sezione: σ=279.26 τ=34.91
CC 20 SLD (Collegamento 0022_-379)
Azioni sul collegamento: N=-6335.74 Ty=-0.18 Tz=-5.26 Mx=-0.00 Mz=-0.60
Sollecitazioni agenti localmente: Ty_l=-1151.95 Mx_l=-23.04
Tensioni nella sezione: σ=279.26 τ=34.91
CC 21 SLV (Collegamento 0022_-379)
Azioni sul collegamento: N=-7936.44 Ty=-0.75 Tz=-11.19 Mx=-0.02 Mz=-2.19
Sollecitazioni agenti localmente: Ty_l=-1442.99 Mx_l=-28.86
Tensioni nella sezione: σ=349.81 τ=43.73
CC 21 SLV (Collegamento 0022_-379)
Azioni sul collegamento: N=-7936.44 Ty=-1.43 Tz=-11.19 Mx=-0.02 Mz=-3.51
Sollecitazioni agenti localmente: Ty_l=-1442.99 Mx_l=-28.86
Tensioni nella sezione: σ=349.81 τ=43.73
CC 21 SLV (Collegamento 0022_-379)
Azioni sul collegamento: N=-7936.44 Ty=-0.75 Tz=5.88 Mx=-0.02 Mz=-2.19
Sollecitazioni agenti localmente: Ty_l=-1442.99 Mx_l=-28.86
Tensioni nella sezione: σ=349.81 τ=43.73
CC 21 SLV (Collegamento 0022_-379)
Azioni sul collegamento: N=-7936.44 Ty=-1.43 Tz=5.88 Mx=-0.02 Mz=-3.51
Sollecitazioni agenti localmente: Ty_l=-1442.99 Mx_l=-28.86
Tensioni nella sezione: σ=349.81 τ=43.73
CC 21 SLV (Collegamento 0022_-379)
Azioni sul collegamento: N=-3330.02 Ty=-0.75 Tz=-11.19 Mx=-0.02 Mz=-2.19
Sollecitazioni agenti localmente: Ty_l=-605.46 Mx_l=-12.11
Tensioni nella sezione: σ=146.78 τ=18.35
CC 21 SLV (Collegamento 0022_-379)
Azioni sul collegamento: N=-3330.02 Ty=-1.43 Tz=-11.19 Mx=-0.02 Mz=-3.51
Sollecitazioni agenti localmente: Ty_l=-605.46 Mx_l=-12.11
Tensioni nella sezione: σ=146.78 τ=18.35
CC 21 SLV (Collegamento 0022_-379)
Azioni sul collegamento: N=-3330.02 Ty=-0.75 Tz=5.88 Mx=-0.02 Mz=-2.19
Sollecitazioni agenti localmente: Ty_l=-605.46 Mx_l=-12.11
Tensioni nella sezione: σ=146.78 τ=18.35
CC 21 SLV (Collegamento 0022_-379)
Azioni sul collegamento: N=-3330.02 Ty=-1.43 Tz=5.88 Mx=-0.02 Mz=-3.51
Sollecitazioni agenti localmente: Ty_l=-605.46 Mx_l=-12.11
Tensioni nella sezione: σ=146.78 τ=18.35
CC 22 SLD (Collegamento 0022_-379)
Azioni sul collegamento: N=-6335.74 Ty=-0.18 Tz=-5.26 Mx=-0.00 Mz=-0.60
Sollecitazioni agenti localmente: Ty_l=-1151.95 Mx_l=-23.04
Tensioni nella sezione: σ=279.26 τ=34.91
CC 22 SLD (Collegamento 0022_-379)
Azioni sul collegamento: N=-6335.74 Ty=-0.38 Tz=-5.26 Mx=-0.00 Mz=-1.00
Sollecitazioni agenti localmente: Ty_l=-1151.95 Mx_l=-23.04
Tensioni nella sezione: σ=279.26 τ=34.91
CC 22 SLD (Collegamento 0022_-379)
Azioni sul collegamento: N=-6335.74 Ty=-0.18 Tz=-0.05 Mx=-0.00 Mz=-0.60
Sollecitazioni agenti localmente: Ty_l=-1151.95 Mx_l=-23.04
Tensioni nella sezione: σ=279.26 τ=34.91
CC 22 SLD (Collegamento 0022_-379)
Azioni sul collegamento: N=-6335.74 Ty=-0.38 Tz=-0.05 Mx=-0.00 Mz=-1.00
Sollecitazioni agenti localmente: Ty_l=-1151.95 Mx_l=-23.04
Tensioni nella sezione: σ=279.26 τ=34.91
CC 22 SLD (Collegamento 0022_-379)
Azioni sul collegamento: N=-4931.09 Ty=-0.18 Tz=-5.26 Mx=-0.00 Mz=-0.60
Sollecitazioni agenti localmente: Ty_l=-896.56 Mx_l=-17.93
Tensioni nella sezione: σ=217.35 τ=27.17
CC 22 SLD (Collegamento 0022_-379)
Azioni sul collegamento: N=-4931.09 Ty=-0.38 Tz=-5.26 Mx=-0.00 Mz=-1.00
Sollecitazioni agenti localmente: Ty_l=-896.56 Mx_l=-17.93
Tensioni nella sezione: σ=217.35 τ=27.17
CC 22 SLD (Collegamento 0022_-379)
Azioni sul collegamento: N=-4931.09 Ty=-0.18 Tz=-0.05 Mx=-0.00 Mz=-0.60
Sollecitazioni agenti localmente: Ty_l=-896.56 Mx_l=-17.93
Tensioni nella sezione: σ=217.35 τ=27.17
CC 22 SLD (Collegamento 0022_-379)
Azioni sul collegamento: N=-4931.09 Ty=-0.38 Tz=-0.05 Mx=-0.00 Mz=-1.00
Sollecitazioni agenti localmente: Ty_l=-896.56 Mx_l=-17.93
Tensioni nella sezione: σ=217.35 τ=27.17
CC 23 SLV (Collegamento 0022_-379)
Azioni sul collegamento: N=-7936.47 Ty=-1.44 Tz=-11.20 Mx=-0.01 Mz=-3.55
Sollecitazioni agenti localmente: Ty_l=-1442.99 Mx_l=-28.86
Tensioni nella sezione: σ=349.82 τ=43.73
CC 23 SLV (Collegamento 0022_-379)
Azioni sul collegamento: N=-7936.47 Ty=-0.74 Tz=-11.20 Mx=-0.01 Mz=-2.16
Sollecitazioni agenti localmente: Ty_l=-1442.99 Mx_l=-28.86
Tensioni nella sezione: σ=349.82 τ=43.73
CC 23 SLV (Collegamento 0022_-379)

Azioni sul collegamento: N=-7936.47 Ty=-1.44 Tz=5.89 Mx=-0.01 Mz=-3.55
Sollecitazioni agenti localmente: Ty_l=-1442.99 Mx_l=-28.86
Tensioni nella sezione: σ=349.82 τ=43.73
CC 23 SLV (Collegamento 0022_-379)
Azioni sul collegamento: N=-7936.47 Ty=-0.74 Tz=5.89 Mx=-0.01 Mz=-2.16
Sollecitazioni agenti localmente: Ty_l=-1442.99 Mx_l=-28.86
Tensioni nella sezione: σ=349.82 τ=43.73
CC 23 SLV (Collegamento 0022_-379)
Azioni sul collegamento: N=-3330.00 Ty=-1.44 Tz=-11.20 Mx=-0.01 Mz=-3.55
Sollecitazioni agenti localmente: Ty_l=-605.45 Mx_l=-12.11
Tensioni nella sezione: σ=146.78 τ=18.35
CC 23 SLV (Collegamento 0022_-379)
Azioni sul collegamento: N=-3330.00 Ty=-0.74 Tz=-11.20 Mx=-0.01 Mz=-2.16
Sollecitazioni agenti localmente: Ty_l=-605.45 Mx_l=-12.11
Tensioni nella sezione: σ=146.78 τ=18.35
CC 23 SLV (Collegamento 0022_-379)
Azioni sul collegamento: N=-3330.00 Ty=-1.44 Tz=5.89 Mx=-0.01 Mz=-3.55
Sollecitazioni agenti localmente: Ty_l=-605.45 Mx_l=-12.11
Tensioni nella sezione: σ=146.78 τ=18.35
CC 23 SLV (Collegamento 0022_-379)
Azioni sul collegamento: N=-3330.00 Ty=-0.74 Tz=5.89 Mx=-0.01 Mz=-2.16
Sollecitazioni agenti localmente: Ty_l=-605.45 Mx_l=-12.11
Tensioni nella sezione: σ=146.78 τ=18.35
CC 24 SLD (Collegamento 0022_-379)
Azioni sul collegamento: N=-6335.74 Ty=-0.39 Tz=-5.26 Mx=-0.00 Mz=-1.01
Sollecitazioni agenti localmente: Ty_l=-1151.95 Mx_l=-23.04
Tensioni nella sezione: σ=279.26 τ=34.91
CC 24 SLD (Collegamento 0022_-379)
Azioni sul collegamento: N=-6335.74 Ty=-0.17 Tz=-5.26 Mx=-0.00 Mz=-0.59
Sollecitazioni agenti localmente: Ty_l=-1151.95 Mx_l=-23.04
Tensioni nella sezione: σ=279.26 τ=34.91
CC 24 SLD (Collegamento 0022_-379)
Azioni sul collegamento: N=-6335.74 Ty=-0.39 Tz=-0.05 Mx=-0.00 Mz=-1.01
Sollecitazioni agenti localmente: Ty_l=-1151.95 Mx_l=-23.04
Tensioni nella sezione: σ=279.26 τ=34.91
CC 24 SLD (Collegamento 0022_-379)
Azioni sul collegamento: N=-6335.74 Ty=-0.17 Tz=-0.05 Mx=-0.00 Mz=-0.59
Sollecitazioni agenti localmente: Ty_l=-1151.95 Mx_l=-23.04
Tensioni nella sezione: σ=279.26 τ=34.91
CC 24 SLD (Collegamento 0022_-379)
Azioni sul collegamento: N=-4931.09 Ty=-0.39 Tz=-5.26 Mx=-0.00 Mz=-1.01
Sollecitazioni agenti localmente: Ty_l=-896.56 Mx_l=-17.93
Tensioni nella sezione: σ=217.35 τ=27.17
CC 24 SLD (Collegamento 0022_-379)
Azioni sul collegamento: N=-4931.09 Ty=-0.17 Tz=-5.26 Mx=-0.00 Mz=-0.59
Sollecitazioni agenti localmente: Ty_l=-896.56 Mx_l=-17.93
Tensioni nella sezione: σ=217.35 τ=27.17
CC 24 SLD (Collegamento 0022_-379)
Azioni sul collegamento: N=-4931.08 Ty=-0.39 Tz=-0.05 Mx=-0.00 Mz=-1.01
Sollecitazioni agenti localmente: Ty_l=-896.56 Mx_l=-17.93
Tensioni nella sezione: σ=217.35 τ=27.17
CC 24 SLD (Collegamento 0022_-379)
Azioni sul collegamento: N=-4931.08 Ty=-0.17 Tz=-0.05 Mx=-0.00 Mz=-0.59
Sollecitazioni agenti localmente: Ty_l=-896.56 Mx_l=-17.93
Tensioni nella sezione: σ=217.35 τ=27.17
CC 25 SLV (Collegamento 0022_-379)
Azioni sul collegamento: N=-4942.23 Ty=0.07 Tz=-0.09 Mx=-0.02 Mz=-0.59
Sollecitazioni agenti localmente: Ty_l=-898.59 Mx_l=-17.97
Tensioni nella sezione: σ=217.84 τ=27.23
CC 25 SLV (Collegamento 0022_-379)
Azioni sul collegamento: N=-4942.23 Ty=-2.24 Tz=-0.09 Mx=-0.02 Mz=-5.11
Sollecitazioni agenti localmente: Ty_l=-898.59 Mx_l=-17.97
Tensioni nella sezione: σ=217.84 τ=27.23
CC 25 SLV (Collegamento 0022_-379)
Azioni sul collegamento: N=-4942.23 Ty=0.07 Tz=-5.22 Mx=-0.02 Mz=-0.59
Sollecitazioni agenti localmente: Ty_l=-898.59 Mx_l=-17.97
Tensioni nella sezione: σ=217.84 τ=27.23
CC 25 SLV (Collegamento 0022_-379)
Azioni sul collegamento: N=-4942.23 Ty=-2.24 Tz=-5.22 Mx=-0.02 Mz=-5.11
Sollecitazioni agenti localmente: Ty_l=-898.59 Mx_l=-17.97
Tensioni nella sezione: σ=217.84 τ=27.23
CC 25 SLV (Collegamento 0022_-379)
Azioni sul collegamento: N=-6324.24 Ty=0.07 Tz=-0.09 Mx=-0.02 Mz=-0.59
Sollecitazioni agenti localmente: Ty_l=-1149.86 Mx_l=-23.00
Tensioni nella sezione: σ=278.75 τ=34.84
CC 25 SLV (Collegamento 0022_-379)
Azioni sul collegamento: N=-6324.24 Ty=-2.24 Tz=-0.09 Mx=-0.02 Mz=-5.11
Sollecitazioni agenti localmente: Ty_l=-1149.86 Mx_l=-23.00
Tensioni nella sezione: σ=278.75 τ=34.84

CC 25 SLV (Collegamento 0022_-379)
Azioni sul collegamento: N=-6324.24 Ty=0.07 Tz=-5.22 Mx=-0.02 Mz=-0.59
Sollecitazioni agenti localmente: Ty_l=-1149.86 Mx_l=-23.00
Tensioni nella sezione: σ=278.75 τ=34.84
CC 25 SLV (Collegamento 0022_-379)
Azioni sul collegamento: N=-6324.24 Ty=-2.24 Tz=-5.22 Mx=-0.02 Mz=-5.11
Sollecitazioni agenti localmente: Ty_l=-1149.86 Mx_l=-23.00
Tensioni nella sezione: σ=278.75 τ=34.84
CC 26 SLD (Collegamento 0022_-379)
Azioni sul collegamento: N=-5422.71 Ty=0.07 Tz=-1.87 Mx=-0.01 Mz=-0.11
Sollecitazioni agenti localmente: Ty_l=-985.95 Mx_l=-19.72
Tensioni nella sezione: σ=239.02 τ=29.88
CC 26 SLD (Collegamento 0022_-379)
Azioni sul collegamento: N=-5422.71 Ty=-0.63 Tz=-1.87 Mx=-0.01 Mz=-1.49
Sollecitazioni agenti localmente: Ty_l=-985.95 Mx_l=-19.72
Tensioni nella sezione: σ=239.02 τ=29.88
CC 26 SLD (Collegamento 0022_-379)
Azioni sul collegamento: N=-5422.71 Ty=0.07 Tz=-3.44 Mx=-0.01 Mz=-0.11
Sollecitazioni agenti localmente: Ty_l=-985.95 Mx_l=-19.72
Tensioni nella sezione: σ=239.02 τ=29.88
CC 26 SLD (Collegamento 0022_-379)
Azioni sul collegamento: N=-5422.71 Ty=-0.63 Tz=-3.44 Mx=-0.01 Mz=-1.49
Sollecitazioni agenti localmente: Ty_l=-985.95 Mx_l=-19.72
Tensioni nella sezione: σ=239.02 τ=29.88
CC 26 SLD (Collegamento 0022_-379)
Azioni sul collegamento: N=-5844.12 Ty=0.07 Tz=-1.87 Mx=-0.01 Mz=-0.11
Sollecitazioni agenti localmente: Ty_l=-1062.57 Mx_l=-21.25
Tensioni nella sezione: σ=257.59 τ=32.20
CC 26 SLD (Collegamento 0022_-379)
Azioni sul collegamento: N=-5844.12 Ty=-0.63 Tz=-1.87 Mx=-0.01 Mz=-1.49
Sollecitazioni agenti localmente: Ty_l=-1062.57 Mx_l=-21.25
Tensioni nella sezione: σ=257.59 τ=32.20
CC 26 SLD (Collegamento 0022_-379)
Azioni sul collegamento: N=-5844.12 Ty=0.07 Tz=-3.44 Mx=-0.01 Mz=-0.11
Sollecitazioni agenti localmente: Ty_l=-1062.57 Mx_l=-21.25
Tensioni nella sezione: σ=257.59 τ=32.20
CC 26 SLD (Collegamento 0022_-379)
Azioni sul collegamento: N=-5844.12 Ty=-0.63 Tz=-3.44 Mx=-0.01 Mz=-1.49
Sollecitazioni agenti localmente: Ty_l=-1062.57 Mx_l=-21.25
Tensioni nella sezione: σ=257.59 τ=32.20
CC 27 SLV (Collegamento 0022_-379)
Azioni sul collegamento: N=-6324.16 Ty=0.06 Tz=-5.22 Mx=-0.02 Mz=-0.60
Sollecitazioni agenti localmente: Ty_l=-1149.85 Mx_l=-23.00
Tensioni nella sezione: σ=278.75 τ=34.84
CC 27 SLV (Collegamento 0022_-379)
Azioni sul collegamento: N=-6324.16 Ty=-2.24 Tz=-5.22 Mx=-0.02 Mz=-5.10
Sollecitazioni agenti localmente: Ty_l=-1149.85 Mx_l=-23.00
Tensioni nella sezione: σ=278.75 τ=34.84
CC 27 SLV (Collegamento 0022_-379)
Azioni sul collegamento: N=-6324.16 Ty=0.06 Tz=-0.09 Mx=-0.02 Mz=-0.60
Sollecitazioni agenti localmente: Ty_l=-1149.85 Mx_l=-23.00
Tensioni nella sezione: σ=278.75 τ=34.84
CC 27 SLV (Collegamento 0022_-379)
Azioni sul collegamento: N=-6324.16 Ty=-2.24 Tz=-0.09 Mx=-0.02 Mz=-5.10
Sollecitazioni agenti localmente: Ty_l=-1149.85 Mx_l=-23.00
Tensioni nella sezione: σ=278.75 τ=34.84
CC 27 SLV (Collegamento 0022_-379)
Azioni sul collegamento: N=-4942.30 Ty=0.06 Tz=-5.22 Mx=-0.02 Mz=-0.60
Sollecitazioni agenti localmente: Ty_l=-898.60 Mx_l=-17.97
Tensioni nella sezione: σ=217.84 τ=27.23
CC 27 SLV (Collegamento 0022_-379)
Azioni sul collegamento: N=-4942.30 Ty=-2.24 Tz=-5.22 Mx=-0.02 Mz=-5.10
Sollecitazioni agenti localmente: Ty_l=-898.60 Mx_l=-17.97
Tensioni nella sezione: σ=217.84 τ=27.23
CC 27 SLV (Collegamento 0022_-379)
Azioni sul collegamento: N=-4942.30 Ty=0.06 Tz=-0.09 Mx=-0.02 Mz=-0.60
Sollecitazioni agenti localmente: Ty_l=-898.60 Mx_l=-17.97
Tensioni nella sezione: σ=217.84 τ=27.23
CC 27 SLV (Collegamento 0022_-379)
Azioni sul collegamento: N=-4942.30 Ty=-2.24 Tz=-0.09 Mx=-0.02 Mz=-5.10
Sollecitazioni agenti localmente: Ty_l=-898.60 Mx_l=-17.97
Tensioni nella sezione: σ=217.84 τ=27.23
CC 28 SLD (Collegamento 0022_-379)
Azioni sul collegamento: N=-5844.10 Ty=0.07 Tz=-3.44 Mx=-0.01 Mz=-0.11
Sollecitazioni agenti localmente: Ty_l=-1062.56 Mx_l=-21.25
Tensioni nella sezione: σ=257.59 τ=32.20
CC 28 SLD (Collegamento 0022_-379)
Azioni sul collegamento: N=-5844.10 Ty=-0.63 Tz=-3.44 Mx=-0.01 Mz=-1.48
Sollecitazioni agenti localmente: Ty_l=-1062.56 Mx_l=-21.25

Tensioni nella sezione: σ=257.59 τ=32.20
CC 28 SLD (Collegamento 0022_-379)
Azioni sul collegamento: N=-5844.10 Ty=0.07 Tz=-1.87 Mx=-0.01 Mz=-0.11
Sollecitazioni agenti localmente: Ty_l=-1062.56 Mx_l=-21.25
Tensioni nella sezione: σ=257.59 τ=32.20
CC 28 SLD (Collegamento 0022_-379)
Azioni sul collegamento: N=-5844.10 Ty=-0.63 Tz=-1.87 Mx=-0.01 Mz=-1.48
Sollecitazioni agenti localmente: Ty_l=-1062.56 Mx_l=-21.25
Tensioni nella sezione: σ=257.59 τ=32.20
CC 28 SLD (Collegamento 0022_-379)
Azioni sul collegamento: N=-5422.73 Ty=0.07 Tz=-3.44 Mx=-0.01 Mz=-0.11
Sollecitazioni agenti localmente: Ty_l=-985.95 Mx_l=-19.72
Tensioni nella sezione: σ=239.02 τ=29.88
CC 28 SLD (Collegamento 0022_-379)
Azioni sul collegamento: N=-5422.73 Ty=-0.63 Tz=-3.44 Mx=-0.01 Mz=-1.48
Sollecitazioni agenti localmente: Ty_l=-985.95 Mx_l=-19.72
Tensioni nella sezione: σ=239.02 τ=29.88
CC 28 SLD (Collegamento 0022_-379)
Azioni sul collegamento: N=-5422.73 Ty=0.07 Tz=-1.87 Mx=-0.01 Mz=-0.11
Sollecitazioni agenti localmente: Ty_l=-985.95 Mx_l=-19.72
Tensioni nella sezione: σ=239.02 τ=29.88
CC 28 SLD (Collegamento 0022_-379)
Azioni sul collegamento: N=-5422.73 Ty=-0.63 Tz=-1.87 Mx=-0.01 Mz=-1.48
Sollecitazioni agenti localmente: Ty_l=-985.95 Mx_l=-19.72
Tensioni nella sezione: σ=239.02 τ=29.88
CC 29 SLV (Collegamento 0022_-379)
Azioni sul collegamento: N=-4942.30 Ty=-2.24 Tz=-0.09 Mx=-0.00 Mz=-5.10
Sollecitazioni agenti localmente: Ty_l=-898.60 Mx_l=-17.97
Tensioni nella sezione: σ=217.84 τ=27.23
CC 29 SLV (Collegamento 0022_-379)
Azioni sul collegamento: N=-4942.30 Ty=0.06 Tz=-0.09 Mx=-0.00 Mz=-0.60
Sollecitazioni agenti localmente: Ty_l=-898.60 Mx_l=-17.97
Tensioni nella sezione: σ=217.84 τ=27.23
CC 29 SLV (Collegamento 0022_-379)
Azioni sul collegamento: N=-4942.30 Ty=-2.24 Tz=-5.22 Mx=-0.00 Mz=-5.10
Sollecitazioni agenti localmente: Ty_l=-898.60 Mx_l=-17.97
Tensioni nella sezione: σ=217.84 τ=27.23
CC 29 SLV (Collegamento 0022_-379)
Azioni sul collegamento: N=-4942.30 Ty=0.06 Tz=-5.22 Mx=-0.00 Mz=-0.60
Sollecitazioni agenti localmente: Ty_l=-898.60 Mx_l=-17.97
Tensioni nella sezione: σ=217.84 τ=27.23
CC 29 SLV (Collegamento 0022_-379)
Azioni sul collegamento: N=-6324.16 Ty=-2.24 Tz=-0.09 Mx=-0.00 Mz=-5.10
Sollecitazioni agenti localmente: Ty_l=-1149.85 Mx_l=-23.00
Tensioni nella sezione: σ=278.75 τ=34.84
CC 29 SLV (Collegamento 0022_-379)
Azioni sul collegamento: N=-6324.16 Ty=0.06 Tz=-0.09 Mx=-0.00 Mz=-0.60
Sollecitazioni agenti localmente: Ty_l=-1149.85 Mx_l=-23.00
Tensioni nella sezione: σ=278.75 τ=34.84
CC 29 SLV (Collegamento 0022_-379)
Azioni sul collegamento: N=-6324.16 Ty=-2.24 Tz=-5.22 Mx=-0.00 Mz=-5.10
Sollecitazioni agenti localmente: Ty_l=-1149.85 Mx_l=-23.00
Tensioni nella sezione: σ=278.75 τ=34.84
CC 29 SLV (Collegamento 0022_-379)
Azioni sul collegamento: N=-6324.16 Ty=0.06 Tz=-5.22 Mx=-0.00 Mz=-0.60
Sollecitazioni agenti localmente: Ty_l=-1149.85 Mx_l=-23.00
Tensioni nella sezione: σ=278.75 τ=34.84
CC 30 SLD (Collegamento 0022_-379)
Azioni sul collegamento: N=-5422.73 Ty=-0.63 Tz=-1.87 Mx=-0.00 Mz=-1.48
Sollecitazioni agenti localmente: Ty_l=-985.95 Mx_l=-19.72
Tensioni nella sezione: σ=239.02 τ=29.88
CC 30 SLD (Collegamento 0022_-379)
Azioni sul collegamento: N=-5422.73 Ty=0.07 Tz=-1.87 Mx=-0.00 Mz=-0.11
Sollecitazioni agenti localmente: Ty_l=-985.95 Mx_l=-19.72
Tensioni nella sezione: σ=239.02 τ=29.88
CC 30 SLD (Collegamento 0022_-379)
Azioni sul collegamento: N=-5422.73 Ty=-0.63 Tz=-3.44 Mx=-0.00 Mz=-1.48
Sollecitazioni agenti localmente: Ty_l=-985.95 Mx_l=-19.72
Tensioni nella sezione: σ=239.02 τ=29.88
CC 30 SLD (Collegamento 0022_-379)
Azioni sul collegamento: N=-5422.73 Ty=0.07 Tz=-3.44 Mx=-0.00 Mz=-0.11
Sollecitazioni agenti localmente: Ty_l=-985.95 Mx_l=-19.72
Tensioni nella sezione: σ=239.02 τ=29.88
CC 30 SLD (Collegamento 0022_-379)
Azioni sul collegamento: N=-5844.10 Ty=-0.63 Tz=-1.87 Mx=-0.00 Mz=-1.48
Sollecitazioni agenti localmente: Ty_l=-1062.56 Mx_l=-21.25
Tensioni nella sezione: σ=257.59 τ=32.20
CC 30 SLD (Collegamento 0022_-379)
Azioni sul collegamento: N=-5844.10 Ty=0.07 Tz=-1.87 Mx=-0.00 Mz=-0.11

Sollecitazioni agenti localmente: Ty_l=-1062.56 Mx_l=-21.25
Tensioni nella sezione: σ=257.59 τ=32.20
CC 30 SLD (Collegamento 0022_-379)
Azioni sul collegamento: N=-5844.10 Ty=-0.63 Tz=-3.44 Mx=-0.00 Mz=-1.48
Sollecitazioni agenti localmente: Ty_l=-1062.56 Mx_l=-21.25
Tensioni nella sezione: σ=257.59 τ=32.20
CC 30 SLD (Collegamento 0022_-379)
Azioni sul collegamento: N=-5844.10 Ty=0.07 Tz=-3.44 Mx=-0.00 Mz=-0.11
Sollecitazioni agenti localmente: Ty_l=-1062.56 Mx_l=-21.25
Tensioni nella sezione: σ=257.59 τ=32.20
CC 31 SLV (Collegamento 0022_-379)
Azioni sul collegamento: N=-6324.24 Ty=-2.24 Tz=-5.22 Mx=-0.00 Mz=-5.11
Sollecitazioni agenti localmente: Ty_l=-1149.86 Mx_l=-23.00
Tensioni nella sezione: σ=278.75 τ=34.84
CC 31 SLV (Collegamento 0022_-379)
Azioni sul collegamento: N=-6324.24 Ty=0.07 Tz=-5.22 Mx=-0.00 Mz=-0.59
Sollecitazioni agenti localmente: Ty_l=-1149.86 Mx_l=-23.00
Tensioni nella sezione: σ=278.75 τ=34.84
CC 31 SLV (Collegamento 0022_-379)
Azioni sul collegamento: N=-6324.24 Ty=-2.24 Tz=-0.09 Mx=-0.00 Mz=-5.11
Sollecitazioni agenti localmente: Ty_l=-1149.86 Mx_l=-23.00
Tensioni nella sezione: σ=278.75 τ=34.84
CC 31 SLV (Collegamento 0022_-379)
Azioni sul collegamento: N=-6324.24 Ty=0.07 Tz=-0.09 Mx=-0.00 Mz=-0.59
Sollecitazioni agenti localmente: Ty_l=-1149.86 Mx_l=-23.00
Tensioni nella sezione: σ=278.75 τ=34.84
CC 31 SLV (Collegamento 0022_-379)
Azioni sul collegamento: N=-4942.23 Ty=-2.24 Tz=-5.22 Mx=-0.00 Mz=-5.11
Sollecitazioni agenti localmente: Ty_l=-898.59 Mx_l=-17.97
Tensioni nella sezione: σ=217.84 τ=27.23
CC 31 SLV (Collegamento 0022_-379)
Azioni sul collegamento: N=-4942.23 Ty=0.07 Tz=-5.22 Mx=-0.00 Mz=-0.59
Sollecitazioni agenti localmente: Ty_l=-898.59 Mx_l=-17.97
Tensioni nella sezione: σ=217.84 τ=27.23
CC 31 SLV (Collegamento 0022_-379)
Azioni sul collegamento: N=-4942.23 Ty=-2.24 Tz=-0.09 Mx=-0.00 Mz=-5.11
Sollecitazioni agenti localmente: Ty_l=-898.59 Mx_l=-17.97
Tensioni nella sezione: σ=217.84 τ=27.23
CC 31 SLV (Collegamento 0022_-379)
Azioni sul collegamento: N=-4942.23 Ty=0.07 Tz=-0.09 Mx=-0.00 Mz=-0.59
Sollecitazioni agenti localmente: Ty_l=-898.59 Mx_l=-17.97
Tensioni nella sezione: σ=217.84 τ=27.23
CC 32 SLD (Collegamento 0022_-379)
Azioni sul collegamento: N=-5844.12 Ty=-0.63 Tz=-3.44 Mx=-0.00 Mz=-1.49
Sollecitazioni agenti localmente: Ty_l=-1062.57 Mx_l=-21.25
Tensioni nella sezione: σ=257.59 τ=32.20
CC 32 SLD (Collegamento 0022_-379)
Azioni sul collegamento: N=-5844.12 Ty=0.07 Tz=-3.44 Mx=-0.00 Mz=-0.11
Sollecitazioni agenti localmente: Ty_l=-1062.57 Mx_l=-21.25
Tensioni nella sezione: σ=257.59 τ=32.20
CC 32 SLD (Collegamento 0022_-379)
Azioni sul collegamento: N=-5844.12 Ty=-0.63 Tz=-1.87 Mx=-0.00 Mz=-1.49
Sollecitazioni agenti localmente: Ty_l=-1062.57 Mx_l=-21.25
Tensioni nella sezione: σ=257.59 τ=32.20
CC 32 SLD (Collegamento 0022_-379)
Azioni sul collegamento: N=-5844.12 Ty=0.07 Tz=-1.87 Mx=-0.00 Mz=-0.11
Sollecitazioni agenti localmente: Ty_l=-1062.57 Mx_l=-21.25
Tensioni nella sezione: σ=257.59 τ=32.20
CC 32 SLD (Collegamento 0022_-379)
Azioni sul collegamento: N=-5422.71 Ty=-0.63 Tz=-3.44 Mx=-0.00 Mz=-1.49
Sollecitazioni agenti localmente: Ty_l=-985.95 Mx_l=-19.72
Tensioni nella sezione: σ=239.02 τ=29.88
CC 32 SLD (Collegamento 0022_-379)
Azioni sul collegamento: N=-5422.71 Ty=0.07 Tz=-3.44 Mx=-0.00 Mz=-0.11
Sollecitazioni agenti localmente: Ty_l=-985.95 Mx_l=-19.72
Tensioni nella sezione: σ=239.02 τ=29.88
CC 32 SLD (Collegamento 0022_-379)
Azioni sul collegamento: N=-5422.71 Ty=-0.63 Tz=-1.87 Mx=-0.00 Mz=-1.49
Sollecitazioni agenti localmente: Ty_l=-985.95 Mx_l=-19.72
Tensioni nella sezione: σ=239.02 τ=29.88
CC 32 SLD (Collegamento 0022_-379)
Azioni sul collegamento: N=-5422.71 Ty=0.07 Tz=-1.87 Mx=-0.00 Mz=-0.11
Sollecitazioni agenti localmente: Ty_l=-985.95 Mx_l=-19.72
Tensioni nella sezione: σ=239.02 τ=29.88
CC 33 SLU (Collegamento 0022_-379)
Azioni sul collegamento: N=-28967.90 Ty=0.05 Tz=74.90 Mx=0.00 Mz=0.12
Sollecitazioni agenti localmente: Ty_l=-5266.89 Mx_l=-105.34
Tensioni nella sezione: σ=1276.82 τ=159.60
CC 34 SLU (Collegamento 0022_-379)

Azioni sul collegamento: N=-29447.20 Ty=0.05 Tz=76.67 Mx=0.00 Mz=0.12
Sollecitazioni agenti localmente: Ty_l=-5354.03 Mx_l=-107.08
Tensioni nella sezione: σ=1297.94 τ=162.24
CC 35 SLU (Collegamento 0022_-379)
Azioni sul collegamento: N=-29207.50 Ty=0.17 Tz=75.78 Mx=-0.00 Mz=0.35
Sollecitazioni agenti localmente: Ty_l=-5310.46 Mx_l=-106.21
Tensioni nella sezione: σ=1287.38 τ=160.92
CC 36 SLU (Collegamento 0022_-379)
Azioni sul collegamento: N=-29207.50 Ty=-0.07 Tz=75.79 Mx=0.00 Mz=-0.12
Sollecitazioni agenti localmente: Ty_l=-5310.46 Mx_l=-106.21
Tensioni nella sezione: σ=1287.38 τ=160.92
CC 37 SLU (Collegamento 0022_-379)
Azioni sul collegamento: N=-29152.80 Ty=0.07 Tz=74.88 Mx=0.00 Mz=0.13
Sollecitazioni agenti localmente: Ty_l=-5300.51 Mx_l=-106.01
Tensioni nella sezione: σ=1284.97 τ=160.62
CC 38 SLU (Collegamento 0022_-379)
Azioni sul collegamento: N=-29632.10 Ty=0.07 Tz=76.66 Mx=0.00 Mz=0.13
Sollecitazioni agenti localmente: Ty_l=-5387.65 Mx_l=-107.75
Tensioni nella sezione: σ=1306.09 τ=163.26
CC 39 SLU (Collegamento 0022_-379)
Azioni sul collegamento: N=-29392.40 Ty=0.19 Tz=75.77 Mx=-0.00 Mz=0.36
Sollecitazioni agenti localmente: Ty_l=-5344.08 Mx_l=-106.88
Tensioni nella sezione: σ=1295.53 τ=161.94
CC 40 SLU (Collegamento 0022_-379)
Azioni sul collegamento: N=-29392.40 Ty=-0.05 Tz=75.77 Mx=0.00 Mz=-0.10
Sollecitazioni agenti localmente: Ty_l=-5344.08 Mx_l=-106.88
Tensioni nella sezione: σ=1295.53 τ=161.94
CC 41 SLU (Collegamento 0022_-379)
Azioni sul collegamento: N=-19454.60 Ty=0.08 Tz=39.91 Mx=0.00 Mz=0.13
Sollecitazioni agenti localmente: Ty_l=-3537.20 Mx_l=-70.74
Tensioni nella sezione: σ=857.50 τ=107.19
CC 42 SLU (Collegamento 0022_-379)
Azioni sul collegamento: N=-19933.90 Ty=0.08 Tz=41.69 Mx=0.00 Mz=0.13
Sollecitazioni agenti localmente: Ty_l=-3624.34 Mx_l=-72.49
Tensioni nella sezione: σ=878.63 τ=109.83
CC 43 SLU (Collegamento 0022_-379)
Azioni sul collegamento: N=-19694.20 Ty=0.20 Tz=40.80 Mx=-0.00 Mz=0.36
Sollecitazioni agenti localmente: Ty_l=-3580.77 Mx_l=-71.62
Tensioni nella sezione: σ=868.06 τ=108.51
CC 44 SLU (Collegamento 0022_-379)
Azioni sul collegamento: N=-19694.20 Ty=-0.04 Tz=40.80 Mx=0.00 Mz=-0.10
Sollecitazioni agenti localmente: Ty_l=-3580.77 Mx_l=-71.62
Tensioni nella sezione: σ=868.06 τ=108.51
CC 45 SLU (Collegamento 0022_-379)
Azioni sul collegamento: N=-21628.70 Ty=0.08 Tz=47.97 Mx=0.00 Mz=0.14
Sollecitazioni agenti localmente: Ty_l=-3932.50 Mx_l=-78.65
Tensioni nella sezione: σ=953.33 τ=119.17
CC 46 SLU (Collegamento 0022_-379)
Azioni sul collegamento: N=-22108.00 Ty=0.08 Tz=49.75 Mx=0.00 Mz=0.14
Sollecitazioni agenti localmente: Ty_l=-4019.65 Mx_l=-80.39
Tensioni nella sezione: σ=974.46 τ=121.81
CC 47 SLU (Collegamento 0022_-379)
Azioni sul collegamento: N=-21868.40 Ty=0.20 Tz=48.86 Mx=-0.00 Mz=0.37
Sollecitazioni agenti localmente: Ty_l=-3976.07 Mx_l=-79.52
Tensioni nella sezione: σ=963.89 τ=120.49
CC 48 SLU (Collegamento 0022_-379)
Azioni sul collegamento: N=-21868.40 Ty=-0.04 Tz=48.86 Mx=0.00 Mz=-0.10
Sollecitazioni agenti localmente: Ty_l=-3976.07 Mx_l=-79.52
Tensioni nella sezione: σ=963.89 τ=120.49
CC 49 SLU (Collegamento 0022_-379)
Azioni sul collegamento: N=-21767.10 Ty=0.10 Tz=47.96 Mx=0.00 Mz=0.15
Sollecitazioni agenti localmente: Ty_l=-3957.65 Mx_l=-79.15
Tensioni nella sezione: σ=959.43 τ=119.93
CC 50 SLU (Collegamento 0022_-379)
Azioni sul collegamento: N=-22246.40 Ty=0.10 Tz=49.73 Mx=0.00 Mz=0.15
Sollecitazioni agenti localmente: Ty_l=-4044.79 Mx_l=-80.90
Tensioni nella sezione: σ=980.55 τ=122.57
CC 51 SLU (Collegamento 0022_-379)
Azioni sul collegamento: N=-22006.70 Ty=0.22 Tz=48.85 Mx=-0.00 Mz=0.38
Sollecitazioni agenti localmente: Ty_l=-4001.22 Mx_l=-80.02
Tensioni nella sezione: σ=969.99 τ=121.25
CC 52 SLU (Collegamento 0022_-379)
Azioni sul collegamento: N=-22006.70 Ty=-0.02 Tz=48.85 Mx=0.00 Mz=-0.09
Sollecitazioni agenti localmente: Ty_l=-4001.22 Mx_l=-80.02
Tensioni nella sezione: σ=969.99 τ=121.25
CC 53 SLU (Collegamento 0022_-379)
Azioni sul collegamento: N=-14511.40 Ty=0.10 Tz=21.80 Mx=0.00 Mz=0.15
Sollecitazioni agenti localmente: Ty_l=-2638.43 Mx_l=-52.77
Tensioni nella sezione: σ=639.62 τ=79.95

CC 54 SLU (Collegamento 0022_-379)
Azioni sul collegamento: N=-14990.70 Ty=0.10 Tz=23.57 Mx=0.00 Mz=0.15
Sollecitazioni agenti localmente: Ty_l=-2725.58 Mx_l=-54.51
Tensioni nella sezione: σ=660.75 τ=82.59
CC 55 SLU (Collegamento 0022_-379)
Azioni sul collegamento: N=-14751.00 Ty=0.22 Tz=22.69 Mx=-0.00 Mz=0.38
Sollecitazioni agenti localmente: Ty_l=-2682.01 Mx_l=-53.64
Tensioni nella sezione: σ=650.18 τ=81.27
CC 56 SLU (Collegamento 0022_-379)
Azioni sul collegamento: N=-14751.00 Ty=-0.02 Tz=22.68 Mx=0.00 Mz=-0.09
Sollecitazioni agenti localmente: Ty_l=-2682.01 Mx_l=-53.64
Tensioni nella sezione: σ=650.18 τ=81.27
CC 57 SLU (Collegamento 0022_-379)
Azioni sul collegamento: N=-21907.00 Ty=0.07 Tz=49.04 Mx=0.00 Mz=0.14
Sollecitazioni agenti localmente: Ty_l=-3983.10 Mx_l=-79.66
Tensioni nella sezione: σ=965.60 τ=120.70
CC 58 SLU (Collegamento 0022_-379)
Azioni sul collegamento: N=-22386.30 Ty=0.07 Tz=50.82 Mx=0.00 Mz=0.13
Sollecitazioni agenti localmente: Ty_l=-4070.24 Mx_l=-81.40
Tensioni nella sezione: σ=986.72 τ=123.34
CC 59 SLU (Collegamento 0022_-379)
Azioni sul collegamento: N=-22146.70 Ty=0.19 Tz=49.93 Mx=-0.00 Mz=0.37
Sollecitazioni agenti localmente: Ty_l=-4026.67 Mx_l=-80.53
Tensioni nella sezione: σ=976.16 τ=122.02
CC 60 SLU (Collegamento 0022_-379)
Azioni sul collegamento: N=-22146.70 Ty=-0.04 Tz=49.93 Mx=0.00 Mz=-0.10
Sollecitazioni agenti localmente: Ty_l=-4026.67 Mx_l=-80.53
Tensioni nella sezione: σ=976.16 τ=122.02
CC 61 SLU (Collegamento 0022_-379)
Azioni sul collegamento: N=-22045.30 Ty=0.09 Tz=49.02 Mx=0.00 Mz=0.14
Sollecitazioni agenti localmente: Ty_l=-4008.24 Mx_l=-80.16
Tensioni nella sezione: σ=971.69 τ=121.46
CC 62 SLU (Collegamento 0022_-379)
Azioni sul collegamento: N=-22524.60 Ty=0.09 Tz=50.80 Mx=0.00 Mz=0.14
Sollecitazioni agenti localmente: Ty_l=-4095.39 Mx_l=-81.91
Tensioni nella sezione: σ=992.82 τ=124.10
CC 63 SLU (Collegamento 0022_-379)
Azioni sul collegamento: N=-22285.00 Ty=0.21 Tz=49.91 Mx=-0.00 Mz=0.38
Sollecitazioni agenti localmente: Ty_l=-4051.82 Mx_l=-81.04
Tensioni nella sezione: σ=982.26 τ=122.78
CC 64 SLU (Collegamento 0022_-379)
Azioni sul collegamento: N=-22285.00 Ty=-0.03 Tz=49.91 Mx=0.00 Mz=-0.09
Sollecitazioni agenti localmente: Ty_l=-4051.82 Mx_l=-81.04
Tensioni nella sezione: σ=982.26 τ=122.78
CC 65 SLU (Collegamento 0022_-379)
Azioni sul collegamento: N=-14789.70 Ty=0.10 Tz=22.86 Mx=0.00 Mz=0.14
Sollecitazioni agenti localmente: Ty_l=-2689.03 Mx_l=-53.78
Tensioni nella sezione: σ=651.88 τ=81.49
CC 66 SLU (Collegamento 0022_-379)
Azioni sul collegamento: N=-15269.00 Ty=0.10 Tz=24.64 Mx=0.00 Mz=0.14
Sollecitazioni agenti localmente: Ty_l=-2776.17 Mx_l=-55.52
Tensioni nella sezione: σ=673.01 τ=84.13
CC 67 SLU (Collegamento 0022_-379)
Azioni sul collegamento: N=-15029.30 Ty=0.22 Tz=23.75 Mx=-0.00 Mz=0.38
Sollecitazioni agenti localmente: Ty_l=-2732.60 Mx_l=-54.65
Tensioni nella sezione: σ=662.45 τ=82.81
CC 68 SLU (Collegamento 0022_-379)
Azioni sul collegamento: N=-15029.30 Ty=-0.02 Tz=23.75 Mx=0.00 Mz=-0.09
Sollecitazioni agenti localmente: Ty_l=-2732.60 Mx_l=-54.65
Tensioni nella sezione: σ=662.45 τ=82.81
CC 97 SLU (Collegamento 0022_-379)
Azioni sul collegamento: N=-11572.90 Ty=11.37 Tz=19.27 Mx=0.04 Mz=15.92
Sollecitazioni agenti localmente: Ty_l=-2104.17 Mx_l=-42.08
Tensioni nella sezione: σ=510.10 τ=63.76
CC 98 SLU (Collegamento 0022_-379)
Azioni sul collegamento: N=-12052.20 Ty=11.37 Tz=21.05 Mx=0.04 Mz=15.92
Sollecitazioni agenti localmente: Ty_l=-2191.31 Mx_l=-43.83
Tensioni nella sezione: σ=531.23 τ=66.40
CC 99 SLU (Collegamento 0022_-379)
Azioni sul collegamento: N=-11812.60 Ty=11.49 Tz=20.16 Mx=0.04 Mz=16.15
Sollecitazioni agenti localmente: Ty_l=-2147.74 Mx_l=-42.95
Tensioni nella sezione: σ=520.66 τ=65.08
CC 100 SLU (Collegamento 0022_-379)
Azioni sul collegamento: N=-11812.60 Ty=11.25 Tz=20.16 Mx=0.04 Mz=15.68
Sollecitazioni agenti localmente: Ty_l=-2147.74 Mx_l=-42.95
Tensioni nella sezione: σ=520.66 τ=65.08
CC 101 SLU (Collegamento 0022_-379)
Azioni sul collegamento: N=-5887.16 Ty=-2.00 Tz=-1.73 Mx=-0.00 Mz=-2.22
Sollecitazioni agenti localmente: Ty_l=-1070.39 Mx_l=-21.41

Tensioni nella sezione: σ=259.49 τ=32.44
CC 102 SLU (Collegamento 0022_-379)
Azioni sul collegamento: N=-6366.46 Ty=-2.01 Tz=0.04 Mx=-0.00 Mz=-2.22
Sollecitazioni agenti localmente: Ty_l=-1157.54 Mx_l=-23.15
Tensioni nella sezione: σ=280.62 τ=35.08
CC 103 SLU (Collegamento 0022_-379)
Azioni sul collegamento: N=-6126.81 Ty=-1.89 Tz=-0.85 Mx=-0.01 Mz=-1.98
Sollecitazioni agenti localmente: Ty_l=-1113.97 Mx_l=-22.28
Tensioni nella sezione: σ=270.05 τ=33.76
CC 104 SLU (Collegamento 0022_-379)
Azioni sul collegamento: N=-6126.80 Ty=-2.12 Tz=-0.84 Mx=-0.00 Mz=-2.45
Sollecitazioni agenti localmente: Ty_l=-1113.96 Mx_l=-22.28
Tensioni nella sezione: σ=270.05 τ=33.76

Flessione attacco destro piastra

Bnetta=220.00 Hnetta=15.00
CC 1 SLV (Collegamento 0022_-379)
Azioni sul collegamento: N=-3330.52 Ty=1.59 Tz=5.89 Mx=0.02 Mz=3.75
Sollecitazioni agenti localmente: Ty_l=-605.34 My_l=-12.43
Tensioni nella sezione: σ=150.67 τ=18.34
CC 1 SLV (Collegamento 0022_-379)
Azioni sul collegamento: N=-3330.52 Ty=0.88 Tz=5.89 Mx=0.02 Mz=2.36
Sollecitazioni agenti localmente: Ty_l=-599.80 My_l=-12.31
Tensioni nella sezione: σ=149.20 τ=18.18
CC 1 SLV (Collegamento 0022_-379)
Azioni sul collegamento: N=-3330.52 Ty=1.59 Tz=-11.19 Mx=0.02 Mz=3.75
Sollecitazioni agenti localmente: Ty_l=-605.34 My_l=-12.43
Tensioni nella sezione: σ=150.67 τ=18.34
CC 1 SLV (Collegamento 0022_-379)
Azioni sul collegamento: N=-3330.52 Ty=0.88 Tz=-11.19 Mx=0.02 Mz=2.36
Sollecitazioni agenti localmente: Ty_l=-599.80 My_l=-12.31
Tensioni nella sezione: σ=149.20 τ=18.18
CC 1 SLV (Collegamento 0022_-379)
Azioni sul collegamento: N=-7936.99 Ty=1.59 Tz=5.89 Mx=0.02 Mz=3.75
Sollecitazioni agenti localmente: Ty_l=-1421.94 My_l=-29.17
Tensioni nella sezione: σ=353.58 τ=43.09
CC 1 SLV (Collegamento 0022_-379)
Azioni sul collegamento: N=-7936.99 Ty=0.88 Tz=5.89 Mx=0.02 Mz=2.36
Sollecitazioni agenti localmente: Ty_l=-1416.41 My_l=-29.05
Tensioni nella sezione: σ=352.12 τ=42.92
CC 1 SLV (Collegamento 0022_-379)
Azioni sul collegamento: N=-7936.99 Ty=1.59 Tz=-11.19 Mx=0.02 Mz=3.75
Sollecitazioni agenti localmente: Ty_l=-1421.94 My_l=-29.17
Tensioni nella sezione: σ=353.58 τ=43.09
CC 1 SLV (Collegamento 0022_-379)
Azioni sul collegamento: N=-7936.99 Ty=0.88 Tz=-11.19 Mx=0.02 Mz=2.36
Sollecitazioni agenti localmente: Ty_l=-1416.41 My_l=-29.05
Tensioni nella sezione: σ=352.12 τ=42.92
CC 2 SLD (Collegamento 0022_-379)
Azioni sul collegamento: N=-4931.25 Ty=0.54 Tz=-0.05 Mx=0.01 Mz=1.22
Sollecitazioni agenti localmente: Ty_l=-879.01 My_l=-18.03
Tensioni nella sezione: σ=218.50 τ=26.64
CC 2 SLD (Collegamento 0022_-379)
Azioni sul collegamento: N=-4931.25 Ty=0.32 Tz=-0.05 Mx=0.01 Mz=0.79
Sollecitazioni agenti localmente: Ty_l=-877.32 My_l=-17.99
Tensioni nella sezione: σ=218.06 τ=26.59
CC 2 SLD (Collegamento 0022_-379)
Azioni sul collegamento: N=-4931.25 Ty=0.54 Tz=-5.26 Mx=0.01 Mz=1.22
Sollecitazioni agenti localmente: Ty_l=-879.01 My_l=-18.03
Tensioni nella sezione: σ=218.50 τ=26.64
CC 2 SLD (Collegamento 0022_-379)
Azioni sul collegamento: N=-4931.25 Ty=0.32 Tz=-5.26 Mx=0.01 Mz=0.79
Sollecitazioni agenti localmente: Ty_l=-877.32 My_l=-17.99
Tensioni nella sezione: σ=218.06 τ=26.59
CC 2 SLD (Collegamento 0022_-379)
Azioni sul collegamento: N=-6335.90 Ty=0.54 Tz=-0.05 Mx=0.01 Mz=1.22
Sollecitazioni agenti localmente: Ty_l=-1128.02 My_l=-23.13
Tensioni nella sezione: σ=280.38 τ=34.18
CC 2 SLD (Collegamento 0022_-379)
Azioni sul collegamento: N=-6335.90 Ty=0.32 Tz=-0.05 Mx=0.01 Mz=0.79
Sollecitazioni agenti localmente: Ty_l=-1126.33 My_l=-23.09
Tensioni nella sezione: σ=279.93 τ=34.13
CC 2 SLD (Collegamento 0022_-379)
Azioni sul collegamento: N=-6335.90 Ty=0.54 Tz=-5.26 Mx=0.01 Mz=1.22
Sollecitazioni agenti localmente: Ty_l=-1128.02 My_l=-23.13
Tensioni nella sezione: σ=280.38 τ=34.18
CC 2 SLD (Collegamento 0022_-379)
Azioni sul collegamento: N=-6335.90 Ty=0.32 Tz=-5.26 Mx=0.01 Mz=0.79

Sollecitazioni agenti localmente: Ty_l=-1126.33 My_l=-23.09
Tensioni nella sezione: σ=279.93 τ=34.13
CC 3 SLV (Collegamento 0022_-379)
Azioni sul collegamento: N=-3330.55 Ty=0.90 Tz=5.89 Mx=0.01 Mz=2.40
Sollecitazioni agenti localmente: Ty_l=-599.96 My_l=-12.31
Tensioni nella sezione: σ=149.24 τ=18.18
CC 3 SLV (Collegamento 0022_-379)
Azioni sul collegamento: N=-3330.55 Ty=1.58 Tz=5.89 Mx=0.01 Mz=3.71
Sollecitazioni agenti localmente: Ty_l=-605.19 My_l=-12.43
Tensioni nella sezione: σ=150.63 τ=18.34
CC 3 SLV (Collegamento 0022_-379)
Azioni sul collegamento: N=-3330.55 Ty=0.90 Tz=-11.19 Mx=0.01 Mz=2.40
Sollecitazioni agenti localmente: Ty_l=-599.96 My_l=-12.31
Tensioni nella sezione: σ=149.24 τ=18.18
CC 3 SLV (Collegamento 0022_-379)
Azioni sul collegamento: N=-3330.55 Ty=1.58 Tz=-11.19 Mx=0.01 Mz=3.71
Sollecitazioni agenti localmente: Ty_l=-605.19 My_l=-12.43
Tensioni nella sezione: σ=150.63 τ=18.34
CC 3 SLV (Collegamento 0022_-379)
Azioni sul collegamento: N=-7936.97 Ty=0.90 Tz=5.89 Mx=0.01 Mz=2.40
Sollecitazioni agenti localmente: Ty_l=-1416.56 My_l=-29.05
Tensioni nella sezione: σ=352.15 τ=42.93
CC 3 SLV (Collegamento 0022_-379)
Azioni sul collegamento: N=-7936.97 Ty=1.58 Tz=5.89 Mx=0.01 Mz=3.71
Sollecitazioni agenti localmente: Ty_l=-1421.78 My_l=-29.17
Tensioni nella sezione: σ=353.54 τ=43.08
CC 3 SLV (Collegamento 0022_-379)
Azioni sul collegamento: N=-7936.97 Ty=0.90 Tz=-11.19 Mx=0.01 Mz=2.40
Sollecitazioni agenti localmente: Ty_l=-1416.56 My_l=-29.05
Tensioni nella sezione: σ=352.15 τ=42.93
CC 3 SLV (Collegamento 0022_-379)
Azioni sul collegamento: N=-7936.97 Ty=1.58 Tz=-11.19 Mx=0.01 Mz=3.71
Sollecitazioni agenti localmente: Ty_l=-1421.78 My_l=-29.17
Tensioni nella sezione: σ=353.54 τ=43.08
CC 4 SLD (Collegamento 0022_-379)
Azioni sul collegamento: N=-4931.25 Ty=0.33 Tz=-0.05 Mx=0.00 Mz=0.80
Sollecitazioni agenti localmente: Ty_l=-877.37 My_l=-17.99
Tensioni nella sezione: σ=218.07 τ=26.59
CC 4 SLD (Collegamento 0022_-379)
Azioni sul collegamento: N=-4931.25 Ty=0.53 Tz=-0.05 Mx=0.00 Mz=1.20
Sollecitazioni agenti localmente: Ty_l=-878.97 My_l=-18.03
Tensioni nella sezione: σ=218.49 τ=26.64
CC 4 SLD (Collegamento 0022_-379)
Azioni sul collegamento: N=-4931.25 Ty=0.33 Tz=-5.26 Mx=0.00 Mz=0.80
Sollecitazioni agenti localmente: Ty_l=-877.37 My_l=-17.99
Tensioni nella sezione: σ=218.07 τ=26.59
CC 4 SLD (Collegamento 0022_-379)
Azioni sul collegamento: N=-4931.25 Ty=0.53 Tz=-5.26 Mx=0.00 Mz=1.20
Sollecitazioni agenti localmente: Ty_l=-878.97 My_l=-18.03
Tensioni nella sezione: σ=218.49 τ=26.64
CC 4 SLD (Collegamento 0022_-379)
Azioni sul collegamento: N=-6335.90 Ty=0.33 Tz=-0.05 Mx=0.00 Mz=0.80
Sollecitazioni agenti localmente: Ty_l=-1126.38 My_l=-23.10
Tensioni nella sezione: σ=279.94 τ=34.13
CC 4 SLD (Collegamento 0022_-379)
Azioni sul collegamento: N=-6335.90 Ty=0.53 Tz=-0.05 Mx=0.00 Mz=1.20
Sollecitazioni agenti localmente: Ty_l=-1127.97 My_l=-23.13
Tensioni nella sezione: σ=280.37 τ=34.18
CC 4 SLD (Collegamento 0022_-379)
Azioni sul collegamento: N=-6335.90 Ty=0.33 Tz=-5.26 Mx=0.00 Mz=0.80
Sollecitazioni agenti localmente: Ty_l=-1126.38 My_l=-23.10
Tensioni nella sezione: σ=279.94 τ=34.13
CC 4 SLD (Collegamento 0022_-379)
Azioni sul collegamento: N=-6335.90 Ty=0.53 Tz=-5.26 Mx=0.00 Mz=1.20
Sollecitazioni agenti localmente: Ty_l=-1127.97 My_l=-23.13
Tensioni nella sezione: σ=280.37 τ=34.18
CC 5 SLV (Collegamento 0022_-379)
Azioni sul collegamento: N=-7936.97 Ty=1.58 Tz=-11.19 Mx=0.02 Mz=3.71
Sollecitazioni agenti localmente: Ty_l=-1421.78 My_l=-29.17
Tensioni nella sezione: σ=353.54 τ=43.08
CC 5 SLV (Collegamento 0022_-379)
Azioni sul collegamento: N=-7936.97 Ty=0.90 Tz=-11.19 Mx=0.02 Mz=2.40
Sollecitazioni agenti localmente: Ty_l=-1416.56 My_l=-29.05
Tensioni nella sezione: σ=352.15 τ=42.93
CC 5 SLV (Collegamento 0022_-379)
Azioni sul collegamento: N=-7936.97 Ty=1.58 Tz=5.89 Mx=0.02 Mz=3.71
Sollecitazioni agenti localmente: Ty_l=-1421.78 My_l=-29.17
Tensioni nella sezione: σ=353.54 τ=43.08
CC 5 SLV (Collegamento 0022_-379)

Azioni sul collegamento: N=-7936.97 Ty=0.90 Tz=5.89 Mx=0.02 Mz=2.40
Sollecitazioni agenti localmente: Ty_l=-1416.56 My_l=-29.05
Tensioni nella sezione: σ=352.15 τ=42.93
CC 5 SLV (Collegamento 0022_-379)
Azioni sul collegamento: N=-3330.55 Ty=1.58 Tz=-11.19 Mx=0.02 Mz=3.71
Sollecitazioni agenti localmente: Ty_l=-605.19 My_l=-12.43
Tensioni nella sezione: σ=150.63 τ=18.34
CC 5 SLV (Collegamento 0022_-379)
Azioni sul collegamento: N=-3330.55 Ty=0.90 Tz=-11.19 Mx=0.02 Mz=2.40
Sollecitazioni agenti localmente: Ty_l=-599.96 My_l=-12.31
Tensioni nella sezione: σ=149.24 τ=18.18
CC 5 SLV (Collegamento 0022_-379)
Azioni sul collegamento: N=-3330.55 Ty=1.58 Tz=5.89 Mx=0.02 Mz=3.71
Sollecitazioni agenti localmente: Ty_l=-605.19 My_l=-12.43
Tensioni nella sezione: σ=150.63 τ=18.34
CC 5 SLV (Collegamento 0022_-379)
Azioni sul collegamento: N=-3330.55 Ty=0.90 Tz=5.89 Mx=0.02 Mz=2.40
Sollecitazioni agenti localmente: Ty_l=-599.96 My_l=-12.31
Tensioni nella sezione: σ=149.24 τ=18.18
CC 6 SLD (Collegamento 0022_-379)
Azioni sul collegamento: N=-6335.90 Ty=0.53 Tz=-5.26 Mx=0.01 Mz=1.20
Sollecitazioni agenti localmente: Ty_l=-1127.97 My_l=-23.13
Tensioni nella sezione: σ=280.37 τ=34.18
CC 6 SLD (Collegamento 0022_-379)
Azioni sul collegamento: N=-6335.90 Ty=0.33 Tz=-5.26 Mx=0.01 Mz=0.80
Sollecitazioni agenti localmente: Ty_l=-1126.38 My_l=-23.10
Tensioni nella sezione: σ=279.94 τ=34.13
CC 6 SLD (Collegamento 0022_-379)
Azioni sul collegamento: N=-6335.90 Ty=0.53 Tz=-0.05 Mx=0.01 Mz=1.20
Sollecitazioni agenti localmente: Ty_l=-1127.97 My_l=-23.13
Tensioni nella sezione: σ=280.37 τ=34.18
CC 6 SLD (Collegamento 0022_-379)
Azioni sul collegamento: N=-6335.90 Ty=0.33 Tz=-0.05 Mx=0.01 Mz=0.80
Sollecitazioni agenti localmente: Ty_l=-1126.38 My_l=-23.10
Tensioni nella sezione: σ=279.94 τ=34.13
CC 6 SLD (Collegamento 0022_-379)
Azioni sul collegamento: N=-4931.25 Ty=0.53 Tz=-5.26 Mx=0.01 Mz=1.20
Sollecitazioni agenti localmente: Ty_l=-878.97 My_l=-18.03
Tensioni nella sezione: σ=218.49 τ=26.64
CC 6 SLD (Collegamento 0022_-379)
Azioni sul collegamento: N=-4931.25 Ty=0.33 Tz=-5.26 Mx=0.01 Mz=0.80
Sollecitazioni agenti localmente: Ty_l=-877.37 My_l=-17.99
Tensioni nella sezione: σ=218.07 τ=26.59
CC 6 SLD (Collegamento 0022_-379)
Azioni sul collegamento: N=-4931.25 Ty=0.53 Tz=-0.05 Mx=0.01 Mz=1.20
Sollecitazioni agenti localmente: Ty_l=-878.97 My_l=-18.03
Tensioni nella sezione: σ=218.49 τ=26.64
CC 6 SLD (Collegamento 0022_-379)
Azioni sul collegamento: N=-4931.25 Ty=0.33 Tz=-0.05 Mx=0.01 Mz=0.80
Sollecitazioni agenti localmente: Ty_l=-877.37 My_l=-17.99
Tensioni nella sezione: σ=218.07 τ=26.59
CC 7 SLV (Collegamento 0022_-379)
Azioni sul collegamento: N=-7936.99 Ty=0.88 Tz=-11.19 Mx=0.01 Mz=2.36
Sollecitazioni agenti localmente: Ty_l=-1416.41 My_l=-29.05
Tensioni nella sezione: σ=352.12 τ=42.92
CC 7 SLV (Collegamento 0022_-379)
Azioni sul collegamento: N=-7936.99 Ty=1.59 Tz=-11.19 Mx=0.01 Mz=3.75
Sollecitazioni agenti localmente: Ty_l=-1421.94 My_l=-29.17
Tensioni nella sezione: σ=353.58 τ=43.09
CC 7 SLV (Collegamento 0022_-379)
Azioni sul collegamento: N=-7936.99 Ty=0.88 Tz=5.89 Mx=0.01 Mz=2.36
Sollecitazioni agenti localmente: Ty_l=-1416.41 My_l=-29.05
Tensioni nella sezione: σ=352.12 τ=42.92
CC 7 SLV (Collegamento 0022_-379)
Azioni sul collegamento: N=-7936.99 Ty=1.59 Tz=5.89 Mx=0.01 Mz=3.75
Sollecitazioni agenti localmente: Ty_l=-1421.94 My_l=-29.17
Tensioni nella sezione: σ=353.58 τ=43.09
CC 7 SLV (Collegamento 0022_-379)
Azioni sul collegamento: N=-3330.52 Ty=0.88 Tz=-11.19 Mx=0.01 Mz=2.36
Sollecitazioni agenti localmente: Ty_l=-599.80 My_l=-12.31
Tensioni nella sezione: σ=149.20 τ=18.18
CC 7 SLV (Collegamento 0022_-379)
Azioni sul collegamento: N=-3330.52 Ty=1.59 Tz=-11.19 Mx=0.01 Mz=3.75
Sollecitazioni agenti localmente: Ty_l=-605.34 My_l=-12.43
Tensioni nella sezione: σ=150.67 τ=18.34
CC 7 SLV (Collegamento 0022_-379)
Azioni sul collegamento: N=-3330.52 Ty=0.88 Tz=5.89 Mx=0.01 Mz=2.36
Sollecitazioni agenti localmente: Ty_l=-599.80 My_l=-12.31
Tensioni nella sezione: σ=149.20 τ=18.18

CC 7 SLV (Collegamento 0022_-379)
Azioni sul collegamento: N=-3330.52 Ty=1.59 Tz=5.89 Mx=0.01 Mz=3.75
Sollecitazioni agenti localmente: Ty_l=-605.34 My_l=-12.43
Tensioni nella sezione: σ=150.67 τ=18.34
CC 8 SLD (Collegamento 0022_-379)
Azioni sul collegamento: N=-6335.90 Ty=0.32 Tz=-5.26 Mx=0.00 Mz=0.79
Sollecitazioni agenti localmente: Ty_l=-1126.33 My_l=-23.09
Tensioni nella sezione: σ=279.93 τ=34.13
CC 8 SLD (Collegamento 0022_-379)
Azioni sul collegamento: N=-6335.90 Ty=0.54 Tz=-5.26 Mx=0.00 Mz=1.22
Sollecitazioni agenti localmente: Ty_l=-1128.02 My_l=-23.13
Tensioni nella sezione: σ=280.38 τ=34.18
CC 8 SLD (Collegamento 0022_-379)
Azioni sul collegamento: N=-6335.90 Ty=0.32 Tz=-0.05 Mx=0.00 Mz=0.79
Sollecitazioni agenti localmente: Ty_l=-1126.33 My_l=-23.09
Tensioni nella sezione: σ=279.93 τ=34.13
CC 8 SLD (Collegamento 0022_-379)
Azioni sul collegamento: N=-6335.90 Ty=0.54 Tz=-0.05 Mx=0.00 Mz=1.22
Sollecitazioni agenti localmente: Ty_l=-1128.02 My_l=-23.13
Tensioni nella sezione: σ=280.38 τ=34.18
CC 8 SLD (Collegamento 0022_-379)
Azioni sul collegamento: N=-4931.25 Ty=0.32 Tz=-5.26 Mx=0.00 Mz=0.79
Sollecitazioni agenti localmente: Ty_l=-877.32 My_l=-17.99
Tensioni nella sezione: σ=218.06 τ=26.59
CC 8 SLD (Collegamento 0022_-379)
Azioni sul collegamento: N=-4931.25 Ty=0.54 Tz=-5.26 Mx=0.00 Mz=1.22
Sollecitazioni agenti localmente: Ty_l=-879.01 My_l=-18.03
Tensioni nella sezione: σ=218.50 τ=26.64
CC 8 SLD (Collegamento 0022_-379)
Azioni sul collegamento: N=-4931.25 Ty=0.32 Tz=-0.05 Mx=0.00 Mz=0.79
Sollecitazioni agenti localmente: Ty_l=-877.32 My_l=-17.99
Tensioni nella sezione: σ=218.06 τ=26.59
CC 8 SLD (Collegamento 0022_-379)
Azioni sul collegamento: N=-4931.25 Ty=0.54 Tz=-0.05 Mx=0.00 Mz=1.22
Sollecitazioni agenti localmente: Ty_l=-879.01 My_l=-18.03
Tensioni nella sezione: σ=218.50 τ=26.64
CC 9 SLV (Collegamento 0022_-379)
Azioni sul collegamento: N=-4942.75 Ty=2.39 Tz=-0.09 Mx=0.02 Mz=5.32
Sollecitazioni agenti localmente: Ty_l=-897.37 My_l=-18.43
Tensioni nella sezione: σ=223.34 τ=27.19
CC 9 SLV (Collegamento 0022_-379)
Azioni sul collegamento: N=-4942.75 Ty=0.08 Tz=-0.09 Mx=0.02 Mz=0.80
Sollecitazioni agenti localmente: Ty_l=-879.38 My_l=-18.03
Tensioni nella sezione: σ=218.57 τ=26.65
CC 9 SLV (Collegamento 0022_-379)
Azioni sul collegamento: N=-4942.75 Ty=2.39 Tz=-5.22 Mx=0.02 Mz=5.32
Sollecitazioni agenti localmente: Ty_l=-897.37 My_l=-18.43
Tensioni nella sezione: σ=223.34 τ=27.19
CC 9 SLV (Collegamento 0022_-379)
Azioni sul collegamento: N=-4942.75 Ty=0.08 Tz=-5.22 Mx=0.02 Mz=0.80
Sollecitazioni agenti localmente: Ty_l=-879.38 My_l=-18.03
Tensioni nella sezione: σ=218.57 τ=26.65
CC 9 SLV (Collegamento 0022_-379)
Azioni sul collegamento: N=-6324.76 Ty=2.39 Tz=-0.09 Mx=0.02 Mz=5.32
Sollecitazioni agenti localmente: Ty_l=-1142.36 My_l=-23.45
Tensioni nella sezione: σ=284.22 τ=34.62
CC 9 SLV (Collegamento 0022_-379)
Azioni sul collegamento: N=-6324.76 Ty=0.08 Tz=-0.09 Mx=0.02 Mz=0.80
Sollecitazioni agenti localmente: Ty_l=-1124.38 My_l=-23.05
Tensioni nella sezione: σ=279.44 τ=34.07
CC 9 SLV (Collegamento 0022_-379)
Azioni sul collegamento: N=-6324.76 Ty=2.39 Tz=-5.22 Mx=0.02 Mz=5.32
Sollecitazioni agenti localmente: Ty_l=-1142.36 My_l=-23.45
Tensioni nella sezione: σ=284.22 τ=34.62
CC 9 SLV (Collegamento 0022_-379)
Azioni sul collegamento: N=-6324.76 Ty=0.08 Tz=-5.22 Mx=0.02 Mz=0.80
Sollecitazioni agenti localmente: Ty_l=-1124.38 My_l=-23.05
Tensioni nella sezione: σ=279.44 τ=34.07
CC 10 SLD (Collegamento 0022_-379)
Azioni sul collegamento: N=-5422.87 Ty=0.78 Tz=-1.87 Mx=0.01 Mz=1.69
Sollecitazioni agenti localmente: Ty_l=-968.06 My_l=-19.85
Tensioni nella sezione: σ=240.66 τ=29.34
CC 10 SLD (Collegamento 0022_-379)
Azioni sul collegamento: N=-5422.87 Ty=0.08 Tz=-1.87 Mx=0.01 Mz=0.31
Sollecitazioni agenti localmente: Ty_l=-962.58 My_l=-19.73
Tensioni nella sezione: σ=239.21 τ=29.17
CC 10 SLD (Collegamento 0022_-379)
Azioni sul collegamento: N=-5422.87 Ty=0.78 Tz=-3.44 Mx=0.01 Mz=1.69
Sollecitazioni agenti localmente: Ty_l=-968.06 My_l=-19.85

Tensioni nella sezione: σ=240.66 τ=29.34
CC 10 SLD (Collegamento 0022_-379)
Azioni sul collegamento: N=-5422.87 Ty=0.08 Tz=-3.44 Mx=0.01 Mz=0.31
Sollecitazioni agenti localmente: Ty_l=-962.58 My_l=-19.73
Tensioni nella sezione: σ=239.21 τ=29.17
CC 10 SLD (Collegamento 0022_-379)
Azioni sul collegamento: N=-5844.28 Ty=0.78 Tz=-1.87 Mx=0.01 Mz=1.69
Sollecitazioni agenti localmente: Ty_l=-1042.77 My_l=-21.39
Tensioni nella sezione: σ=259.23 τ=31.60
CC 10 SLD (Collegamento 0022_-379)
Azioni sul collegamento: N=-5844.28 Ty=0.08 Tz=-1.87 Mx=0.01 Mz=0.31
Sollecitazioni agenti localmente: Ty_l=-1037.28 My_l=-21.27
Tensioni nella sezione: σ=257.77 τ=31.43
CC 10 SLD (Collegamento 0022_-379)
Azioni sul collegamento: N=-5844.28 Ty=0.78 Tz=-3.44 Mx=0.01 Mz=1.69
Sollecitazioni agenti localmente: Ty_l=-1042.77 My_l=-21.39
Tensioni nella sezione: σ=259.23 τ=31.60
CC 10 SLD (Collegamento 0022_-379)
Azioni sul collegamento: N=-5844.28 Ty=0.08 Tz=-3.44 Mx=0.01 Mz=0.31
Sollecitazioni agenti localmente: Ty_l=-1037.28 My_l=-21.27
Tensioni nella sezione: σ=257.77 τ=31.43
CC 11 SLV (Collegamento 0022_-379)
Azioni sul collegamento: N=-6324.69 Ty=2.39 Tz=-5.21 Mx=0.02 Mz=5.31
Sollecitazioni agenti localmente: Ty_l=-1142.30 My_l=-23.45
Tensioni nella sezione: σ=284.20 τ=34.62
CC 11 SLV (Collegamento 0022_-379)
Azioni sul collegamento: N=-6324.69 Ty=0.09 Tz=-5.21 Mx=0.02 Mz=0.81
Sollecitazioni agenti localmente: Ty_l=-1124.41 My_l=-23.05
Tensioni nella sezione: σ=279.45 τ=34.07
CC 11 SLV (Collegamento 0022_-379)
Azioni sul collegamento: N=-6324.69 Ty=2.39 Tz=-0.09 Mx=0.02 Mz=5.31
Sollecitazioni agenti localmente: Ty_l=-1142.30 My_l=-23.45
Tensioni nella sezione: σ=284.20 τ=34.62
CC 11 SLV (Collegamento 0022_-379)
Azioni sul collegamento: N=-6324.69 Ty=0.09 Tz=-0.09 Mx=0.02 Mz=0.81
Sollecitazioni agenti localmente: Ty_l=-1124.41 My_l=-23.05
Tensioni nella sezione: σ=279.45 τ=34.07
CC 11 SLV (Collegamento 0022_-379)
Azioni sul collegamento: N=-4942.83 Ty=2.39 Tz=-5.21 Mx=0.02 Mz=5.31
Sollecitazioni agenti localmente: Ty_l=-897.34 My_l=-18.43
Tensioni nella sezione: σ=223.33 τ=27.19
CC 11 SLV (Collegamento 0022_-379)
Azioni sul collegamento: N=-4942.83 Ty=0.09 Tz=-5.21 Mx=0.02 Mz=0.81
Sollecitazioni agenti localmente: Ty_l=-879.44 My_l=-18.03
Tensioni nella sezione: σ=218.58 τ=26.65
CC 11 SLV (Collegamento 0022_-379)
Azioni sul collegamento: N=-4942.83 Ty=2.39 Tz=-0.09 Mx=0.02 Mz=5.31
Sollecitazioni agenti localmente: Ty_l=-897.34 My_l=-18.43
Tensioni nella sezione: σ=223.33 τ=27.19
CC 11 SLV (Collegamento 0022_-379)
Azioni sul collegamento: N=-4942.83 Ty=0.09 Tz=-0.09 Mx=0.02 Mz=0.81
Sollecitazioni agenti localmente: Ty_l=-879.44 My_l=-18.03
Tensioni nella sezione: σ=218.58 τ=26.65
CC 12 SLD (Collegamento 0022_-379)
Azioni sul collegamento: N=-5844.26 Ty=0.78 Tz=-3.43 Mx=0.01 Mz=1.69
Sollecitazioni agenti localmente: Ty_l=-1042.75 My_l=-21.39
Tensioni nella sezione: σ=259.22 τ=31.60
CC 12 SLD (Collegamento 0022_-379)
Azioni sul collegamento: N=-5844.26 Ty=0.08 Tz=-3.43 Mx=0.01 Mz=0.32
Sollecitazioni agenti localmente: Ty_l=-1037.29 My_l=-21.27
Tensioni nella sezione: σ=257.77 τ=31.43
CC 12 SLD (Collegamento 0022_-379)
Azioni sul collegamento: N=-5844.26 Ty=0.78 Tz=-1.87 Mx=0.01 Mz=1.69
Sollecitazioni agenti localmente: Ty_l=-1042.75 My_l=-21.39
Tensioni nella sezione: σ=259.22 τ=31.60
CC 12 SLD (Collegamento 0022_-379)
Azioni sul collegamento: N=-5844.26 Ty=0.08 Tz=-1.87 Mx=0.01 Mz=0.32
Sollecitazioni agenti localmente: Ty_l=-1037.29 My_l=-21.27
Tensioni nella sezione: σ=257.77 τ=31.43
CC 12 SLD (Collegamento 0022_-379)
Azioni sul collegamento: N=-5422.89 Ty=0.78 Tz=-3.43 Mx=0.01 Mz=1.69
Sollecitazioni agenti localmente: Ty_l=-968.05 My_l=-19.85
Tensioni nella sezione: σ=240.66 τ=29.33
CC 12 SLD (Collegamento 0022_-379)
Azioni sul collegamento: N=-5422.89 Ty=0.08 Tz=-3.43 Mx=0.01 Mz=0.32
Sollecitazioni agenti localmente: Ty_l=-962.60 My_l=-19.73
Tensioni nella sezione: σ=239.21 τ=29.17
CC 12 SLD (Collegamento 0022_-379)
Azioni sul collegamento: N=-5422.89 Ty=0.78 Tz=-1.87 Mx=0.01 Mz=1.69

Sollecitazioni agenti localmente: Ty_l=-968.05 My_l=-19.85
Tensioni nella sezione: σ=240.66 τ=29.33
CC 12 SLD (Collegamento 0022_-379)
Azioni sul collegamento: N=-5422.89 Ty=0.08 Tz=-1.87 Mx=0.01 Mz=0.32
Sollecitazioni agenti localmente: Ty_l=-962.60 My_l=-19.73
Tensioni nella sezione: σ=239.21 τ=29.17
CC 13 SLV (Collegamento 0022_-379)
Azioni sul collegamento: N=-4942.83 Ty=0.09 Tz=-0.09 Mx=0.00 Mz=0.81
Sollecitazioni agenti localmente: Ty_l=-879.44 My_l=-18.03
Tensioni nella sezione: σ=218.58 τ=26.65
CC 13 SLV (Collegamento 0022_-379)
Azioni sul collegamento: N=-4942.83 Ty=2.39 Tz=-0.09 Mx=0.00 Mz=5.31
Sollecitazioni agenti localmente: Ty_l=-897.34 My_l=-18.43
Tensioni nella sezione: σ=223.33 τ=27.19
CC 13 SLV (Collegamento 0022_-379)
Azioni sul collegamento: N=-4942.83 Ty=0.09 Tz=-5.21 Mx=0.00 Mz=0.81
Sollecitazioni agenti localmente: Ty_l=-879.44 My_l=-18.03
Tensioni nella sezione: σ=218.58 τ=26.65
CC 13 SLV (Collegamento 0022_-379)
Azioni sul collegamento: N=-4942.83 Ty=2.39 Tz=-5.21 Mx=0.00 Mz=5.31
Sollecitazioni agenti localmente: Ty_l=-897.34 My_l=-18.43
Tensioni nella sezione: σ=223.33 τ=27.19
CC 13 SLV (Collegamento 0022_-379)
Azioni sul collegamento: N=-6324.69 Ty=0.09 Tz=-0.09 Mx=0.00 Mz=0.81
Sollecitazioni agenti localmente: Ty_l=-1124.41 My_l=-23.05
Tensioni nella sezione: σ=279.45 τ=34.07
CC 13 SLV (Collegamento 0022_-379)
Azioni sul collegamento: N=-6324.69 Ty=2.39 Tz=-0.09 Mx=0.00 Mz=5.31
Sollecitazioni agenti localmente: Ty_l=-1142.30 My_l=-23.45
Tensioni nella sezione: σ=284.20 τ=34.62
CC 13 SLV (Collegamento 0022_-379)
Azioni sul collegamento: N=-6324.69 Ty=0.09 Tz=-5.21 Mx=0.00 Mz=0.81
Sollecitazioni agenti localmente: Ty_l=-1124.41 My_l=-23.05
Tensioni nella sezione: σ=279.45 τ=34.07
CC 13 SLV (Collegamento 0022_-379)
Azioni sul collegamento: N=-6324.69 Ty=2.39 Tz=-5.21 Mx=0.00 Mz=5.31
Sollecitazioni agenti localmente: Ty_l=-1142.30 My_l=-23.45
Tensioni nella sezione: σ=284.20 τ=34.62
CC 14 SLD (Collegamento 0022_-379)
Azioni sul collegamento: N=-5422.89 Ty=0.08 Tz=-1.87 Mx=0.00 Mz=0.32
Sollecitazioni agenti localmente: Ty_l=-962.60 My_l=-19.73
Tensioni nella sezione: σ=239.21 τ=29.17
CC 14 SLD (Collegamento 0022_-379)
Azioni sul collegamento: N=-5422.89 Ty=0.78 Tz=-1.87 Mx=0.00 Mz=1.69
Sollecitazioni agenti localmente: Ty_l=-968.05 My_l=-19.85
Tensioni nella sezione: σ=240.66 τ=29.33
CC 14 SLD (Collegamento 0022_-379)
Azioni sul collegamento: N=-5422.89 Ty=0.08 Tz=-3.43 Mx=0.00 Mz=0.32
Sollecitazioni agenti localmente: Ty_l=-962.60 My_l=-19.73
Tensioni nella sezione: σ=239.21 τ=29.17
CC 14 SLD (Collegamento 0022_-379)
Azioni sul collegamento: N=-5422.89 Ty=0.78 Tz=-3.43 Mx=0.00 Mz=1.69
Sollecitazioni agenti localmente: Ty_l=-968.05 My_l=-19.85
Tensioni nella sezione: σ=240.66 τ=29.33
CC 14 SLD (Collegamento 0022_-379)
Azioni sul collegamento: N=-5844.26 Ty=0.08 Tz=-1.87 Mx=0.00 Mz=0.32
Sollecitazioni agenti localmente: Ty_l=-1037.29 My_l=-21.27
Tensioni nella sezione: σ=257.77 τ=31.43
CC 14 SLD (Collegamento 0022_-379)
Azioni sul collegamento: N=-5844.26 Ty=0.78 Tz=-1.87 Mx=0.00 Mz=1.69
Sollecitazioni agenti localmente: Ty_l=-1042.75 My_l=-21.39
Tensioni nella sezione: σ=259.22 τ=31.60
CC 14 SLD (Collegamento 0022_-379)
Azioni sul collegamento: N=-5844.26 Ty=0.08 Tz=-3.43 Mx=0.00 Mz=0.32
Sollecitazioni agenti localmente: Ty_l=-1037.29 My_l=-21.27
Tensioni nella sezione: σ=257.77 τ=31.43
CC 14 SLD (Collegamento 0022_-379)
Azioni sul collegamento: N=-5844.26 Ty=0.78 Tz=-3.43 Mx=0.00 Mz=1.69
Sollecitazioni agenti localmente: Ty_l=-1042.75 My_l=-21.39
Tensioni nella sezione: σ=259.22 τ=31.60
CC 15 SLV (Collegamento 0022_-379)
Azioni sul collegamento: N=-6324.76 Ty=0.08 Tz=-5.22 Mx=0.00 Mz=0.80
Sollecitazioni agenti localmente: Ty_l=-1124.38 My_l=-23.05
Tensioni nella sezione: σ=279.44 τ=34.07
CC 15 SLV (Collegamento 0022_-379)
Azioni sul collegamento: N=-6324.76 Ty=2.39 Tz=-5.22 Mx=0.00 Mz=5.32
Sollecitazioni agenti localmente: Ty_l=-1142.36 My_l=-23.45
Tensioni nella sezione: σ=284.22 τ=34.62
CC 15 SLV (Collegamento 0022_-379)

Azioni sul collegamento: N=-6324.76 Ty=0.08 Tz=-0.09 Mx=0.00 Mz=0.80
Sollecitazioni agenti localmente: Ty_l=-1124.38 My_l=-23.05
Tensioni nella sezione: σ=279.44 τ=34.07
CC 15 SLV (Collegamento 0022_-379)
Azioni sul collegamento: N=-6324.76 Ty=2.39 Tz=-0.09 Mx=0.00 Mz=5.32
Sollecitazioni agenti localmente: Ty_l=-1142.36 My_l=-23.45
Tensioni nella sezione: σ=284.22 τ=34.62
CC 15 SLV (Collegamento 0022_-379)
Azioni sul collegamento: N=-4942.75 Ty=0.08 Tz=-5.22 Mx=0.00 Mz=0.80
Sollecitazioni agenti localmente: Ty_l=-879.38 My_l=-18.03
Tensioni nella sezione: σ=218.57 τ=26.65
CC 15 SLV (Collegamento 0022_-379)
Azioni sul collegamento: N=-4942.75 Ty=2.39 Tz=-5.22 Mx=0.00 Mz=5.32
Sollecitazioni agenti localmente: Ty_l=-897.37 My_l=-18.43
Tensioni nella sezione: σ=223.34 τ=27.19
CC 15 SLV (Collegamento 0022_-379)
Azioni sul collegamento: N=-4942.75 Ty=0.08 Tz=-0.09 Mx=0.00 Mz=0.80
Sollecitazioni agenti localmente: Ty_l=-879.38 My_l=-18.03
Tensioni nella sezione: σ=218.57 τ=26.65
CC 15 SLV (Collegamento 0022_-379)
Azioni sul collegamento: N=-4942.75 Ty=2.39 Tz=-0.09 Mx=0.00 Mz=5.32
Sollecitazioni agenti localmente: Ty_l=-897.37 My_l=-18.43
Tensioni nella sezione: σ=223.34 τ=27.19
CC 16 SLD (Collegamento 0022_-379)
Azioni sul collegamento: N=-5844.28 Ty=0.08 Tz=-3.44 Mx=0.00 Mz=0.31
Sollecitazioni agenti localmente: Ty_l=-1037.28 My_l=-21.27
Tensioni nella sezione: σ=257.77 τ=31.43
CC 16 SLD (Collegamento 0022_-379)
Azioni sul collegamento: N=-5844.28 Ty=0.78 Tz=-3.44 Mx=0.00 Mz=1.69
Sollecitazioni agenti localmente: Ty_l=-1042.77 My_l=-21.39
Tensioni nella sezione: σ=259.23 τ=31.60
CC 16 SLD (Collegamento 0022_-379)
Azioni sul collegamento: N=-5844.28 Ty=0.08 Tz=-1.87 Mx=0.00 Mz=0.31
Sollecitazioni agenti localmente: Ty_l=-1037.28 My_l=-21.27
Tensioni nella sezione: σ=257.77 τ=31.43
CC 16 SLD (Collegamento 0022_-379)
Azioni sul collegamento: N=-5844.28 Ty=0.78 Tz=-1.87 Mx=0.00 Mz=1.69
Sollecitazioni agenti localmente: Ty_l=-1042.77 My_l=-21.39
Tensioni nella sezione: σ=259.23 τ=31.60
CC 16 SLD (Collegamento 0022_-379)
Azioni sul collegamento: N=-5422.87 Ty=0.08 Tz=-3.44 Mx=0.00 Mz=0.31
Sollecitazioni agenti localmente: Ty_l=-962.58 My_l=-19.73
Tensioni nella sezione: σ=239.21 τ=29.17
CC 16 SLD (Collegamento 0022_-379)
Azioni sul collegamento: N=-5422.87 Ty=0.78 Tz=-3.44 Mx=0.00 Mz=1.69
Sollecitazioni agenti localmente: Ty_l=-968.06 My_l=-19.85
Tensioni nella sezione: σ=240.66 τ=29.34
CC 16 SLD (Collegamento 0022_-379)
Azioni sul collegamento: N=-5422.87 Ty=0.08 Tz=-1.87 Mx=0.00 Mz=0.31
Sollecitazioni agenti localmente: Ty_l=-962.58 My_l=-19.73
Tensioni nella sezione: σ=239.21 τ=29.17
CC 16 SLD (Collegamento 0022_-379)
Azioni sul collegamento: N=-5422.87 Ty=0.78 Tz=-1.87 Mx=0.00 Mz=1.69
Sollecitazioni agenti localmente: Ty_l=-968.06 My_l=-19.85
Tensioni nella sezione: σ=240.66 τ=29.34
CC 17 SLV (Collegamento 0022_-379)
Azioni sul collegamento: N=-3330.00 Ty=-0.74 Tz=5.89 Mx=-0.02 Mz=-2.16
Sollecitazioni agenti localmente: Ty_l=-581.74 My_l=-11.91
Tensioni nella sezione: σ=144.41 τ=17.63
CC 17 SLV (Collegamento 0022_-379)
Azioni sul collegamento: N=-3330.00 Ty=-1.44 Tz=5.89 Mx=-0.02 Mz=-3.55
Sollecitazioni agenti localmente: Ty_l=-576.21 My_l=-11.79
Tensioni nella sezione: σ=142.94 τ=17.46
CC 17 SLV (Collegamento 0022_-379)
Azioni sul collegamento: N=-3330.00 Ty=-0.74 Tz=-11.20 Mx=-0.02 Mz=-2.16
Sollecitazioni agenti localmente: Ty_l=-581.74 My_l=-11.91
Tensioni nella sezione: σ=144.41 τ=17.63
CC 17 SLV (Collegamento 0022_-379)
Azioni sul collegamento: N=-3330.00 Ty=-1.44 Tz=-11.20 Mx=-0.02 Mz=-3.55
Sollecitazioni agenti localmente: Ty_l=-576.21 My_l=-11.79
Tensioni nella sezione: σ=142.94 τ=17.46
CC 17 SLV (Collegamento 0022_-379)
Azioni sul collegamento: N=-7936.47 Ty=-0.74 Tz=5.89 Mx=-0.02 Mz=-2.16
Sollecitazioni agenti localmente: Ty_l=-1398.34 My_l=-28.65
Tensioni nella sezione: σ=347.32 τ=42.37
CC 17 SLV (Collegamento 0022_-379)
Azioni sul collegamento: N=-7936.47 Ty=-1.44 Tz=5.89 Mx=-0.02 Mz=-3.55
Sollecitazioni agenti localmente: Ty_l=-1392.81 My_l=-28.53
Tensioni nella sezione: σ=345.85 τ=42.21

CC 17 SLV (Collegamento 0022_-379)
Azioni sul collegamento: N=-7936.47 Ty=-0.74 Tz=-11.20 Mx=-0.02 Mz=-2.16
Sollecitazioni agenti localmente: Ty_l=-1398.34 My_l=-28.65
Tensioni nella sezione: σ=347.32 τ=42.37
CC 17 SLV (Collegamento 0022_-379)
Azioni sul collegamento: N=-7936.47 Ty=-1.44 Tz=-11.20 Mx=-0.02 Mz=-3.55
Sollecitazioni agenti localmente: Ty_l=-1392.81 My_l=-28.53
Tensioni nella sezione: σ=345.85 τ=42.21
CC 18 SLD (Collegamento 0022_-379)
Azioni sul collegamento: N=-4931.08 Ty=-0.17 Tz=-0.05 Mx=-0.00 Mz=-0.59
Sollecitazioni agenti localmente: Ty_l=-871.82 My_l=-17.87
Tensioni nella sezione: σ=216.59 τ=26.42
CC 18 SLD (Collegamento 0022_-379)
Azioni sul collegamento: N=-4931.08 Ty=-0.39 Tz=-0.05 Mx=-0.00 Mz=-1.01
Sollecitazioni agenti localmente: Ty_l=-870.13 My_l=-17.83
Tensioni nella sezione: σ=216.15 τ=26.37
CC 18 SLD (Collegamento 0022_-379)
Azioni sul collegamento: N=-4931.09 Ty=-0.17 Tz=-5.26 Mx=-0.00 Mz=-0.59
Sollecitazioni agenti localmente: Ty_l=-871.82 My_l=-17.87
Tensioni nella sezione: σ=216.59 τ=26.42
CC 18 SLD (Collegamento 0022_-379)
Azioni sul collegamento: N=-4931.09 Ty=-0.39 Tz=-5.26 Mx=-0.00 Mz=-1.01
Sollecitazioni agenti localmente: Ty_l=-870.13 My_l=-17.83
Tensioni nella sezione: σ=216.15 τ=26.37
CC 18 SLD (Collegamento 0022_-379)
Azioni sul collegamento: N=-6335.74 Ty=-0.17 Tz=-0.05 Mx=-0.00 Mz=-0.59
Sollecitazioni agenti localmente: Ty_l=-1120.82 My_l=-22.97
Tensioni nella sezione: σ=278.47 τ=33.96
CC 18 SLD (Collegamento 0022_-379)
Azioni sul collegamento: N=-6335.74 Ty=-0.39 Tz=-0.05 Mx=-0.00 Mz=-1.01
Sollecitazioni agenti localmente: Ty_l=-1119.14 My_l=-22.94
Tensioni nella sezione: σ=278.02 τ=33.91
CC 18 SLD (Collegamento 0022_-379)
Azioni sul collegamento: N=-6335.74 Ty=-0.17 Tz=-5.26 Mx=-0.00 Mz=-0.59
Sollecitazioni agenti localmente: Ty_l=-1120.82 My_l=-22.97
Tensioni nella sezione: σ=278.47 τ=33.96
CC 18 SLD (Collegamento 0022_-379)
Azioni sul collegamento: N=-6335.74 Ty=-0.39 Tz=-5.26 Mx=-0.00 Mz=-1.01
Sollecitazioni agenti localmente: Ty_l=-1119.14 My_l=-22.94
Tensioni nella sezione: σ=278.02 τ=33.91
CC 19 SLV (Collegamento 0022_-379)
Azioni sul collegamento: N=-3330.02 Ty=-1.43 Tz=5.88 Mx=-0.01 Mz=-3.51
Sollecitazioni agenti localmente: Ty_l=-576.36 My_l=-11.80
Tensioni nella sezione: σ=142.98 τ=17.47
CC 19 SLV (Collegamento 0022_-379)
Azioni sul collegamento: N=-3330.02 Ty=-0.75 Tz=5.88 Mx=-0.01 Mz=-2.19
Sollecitazioni agenti localmente: Ty_l=-581.59 My_l=-11.91
Tensioni nella sezione: σ=144.37 τ=17.62
CC 19 SLV (Collegamento 0022_-379)
Azioni sul collegamento: N=-3330.02 Ty=-1.43 Tz=-11.19 Mx=-0.01 Mz=-3.51
Sollecitazioni agenti localmente: Ty_l=-576.36 My_l=-11.80
Tensioni nella sezione: σ=142.98 τ=17.47
CC 19 SLV (Collegamento 0022_-379)
Azioni sul collegamento: N=-3330.02 Ty=-0.75 Tz=-11.19 Mx=-0.01 Mz=-2.19
Sollecitazioni agenti localmente: Ty_l=-581.59 My_l=-11.91
Tensioni nella sezione: σ=144.37 τ=17.62
CC 19 SLV (Collegamento 0022_-379)
Azioni sul collegamento: N=-7936.44 Ty=-1.43 Tz=5.88 Mx=-0.01 Mz=-3.51
Sollecitazioni agenti localmente: Ty_l=-1392.96 My_l=-28.54
Tensioni nella sezione: σ=345.89 τ=42.21
CC 19 SLV (Collegamento 0022_-379)
Azioni sul collegamento: N=-7936.44 Ty=-0.75 Tz=5.88 Mx=-0.01 Mz=-2.19
Sollecitazioni agenti localmente: Ty_l=-1398.19 My_l=-28.65
Tensioni nella sezione: σ=347.28 τ=42.37
CC 19 SLV (Collegamento 0022_-379)
Azioni sul collegamento: N=-7936.44 Ty=-1.43 Tz=-11.19 Mx=-0.01 Mz=-3.51
Sollecitazioni agenti localmente: Ty_l=-1392.96 My_l=-28.54
Tensioni nella sezione: σ=345.89 τ=42.21
CC 19 SLV (Collegamento 0022_-379)
Azioni sul collegamento: N=-7936.44 Ty=-0.75 Tz=-11.19 Mx=-0.01 Mz=-2.19
Sollecitazioni agenti localmente: Ty_l=-1398.19 My_l=-28.65
Tensioni nella sezione: σ=347.28 τ=42.37
CC 20 SLD (Collegamento 0022_-379)
Azioni sul collegamento: N=-4931.09 Ty=-0.38 Tz=-0.05 Mx=-0.00 Mz=-1.00
Sollecitazioni agenti localmente: Ty_l=-870.18 My_l=-17.83
Tensioni nella sezione: σ=216.16 τ=26.37
CC 20 SLD (Collegamento 0022_-379)
Azioni sul collegamento: N=-4931.09 Ty=-0.18 Tz=-0.05 Mx=-0.00 Mz=-0.60
Sollecitazioni agenti localmente: Ty_l=-871.77 My_l=-17.87

Tensioni nella sezione: σ=216.58 τ=26.42
CC 20 SLD (Collegamento 0022_-379)
Azioni sul collegamento: N=-4931.09 Ty=-0.38 Tz=-5.26 Mx=-0.00 Mz=-1.00
Sollecitazioni agenti localmente: Ty_l=-870.18 My_l=-17.83
Tensioni nella sezione: σ=216.16 τ=26.37
CC 20 SLD (Collegamento 0022_-379)
Azioni sul collegamento: N=-4931.09 Ty=-0.18 Tz=-5.26 Mx=-0.00 Mz=-0.60
Sollecitazioni agenti localmente: Ty_l=-871.77 My_l=-17.87
Tensioni nella sezione: σ=216.58 τ=26.42
CC 20 SLD (Collegamento 0022_-379)
Azioni sul collegamento: N=-6335.74 Ty=-0.38 Tz=-0.05 Mx=-0.00 Mz=-1.00
Sollecitazioni agenti localmente: Ty_l=-1119.18 My_l=-22.94
Tensioni nella sezione: σ=278.03 τ=33.91
CC 20 SLD (Collegamento 0022_-379)
Azioni sul collegamento: N=-6335.74 Ty=-0.18 Tz=-0.05 Mx=-0.00 Mz=-0.60
Sollecitazioni agenti localmente: Ty_l=-1120.78 My_l=-22.97
Tensioni nella sezione: σ=278.46 τ=33.96
CC 20 SLD (Collegamento 0022_-379)
Azioni sul collegamento: N=-6335.74 Ty=-0.38 Tz=-5.26 Mx=-0.00 Mz=-1.00
Sollecitazioni agenti localmente: Ty_l=-1119.18 My_l=-22.94
Tensioni nella sezione: σ=278.03 τ=33.91
CC 20 SLD (Collegamento 0022_-379)
Azioni sul collegamento: N=-6335.74 Ty=-0.18 Tz=-5.26 Mx=-0.00 Mz=-0.60
Sollecitazioni agenti localmente: Ty_l=-1120.78 My_l=-22.97
Tensioni nella sezione: σ=278.46 τ=33.96
CC 21 SLV (Collegamento 0022_-379)
Azioni sul collegamento: N=-7936.44 Ty=-0.75 Tz=-11.19 Mx=-0.02 Mz=-2.19
Sollecitazioni agenti localmente: Ty_l=-1398.19 My_l=-28.65
Tensioni nella sezione: σ=347.28 τ=42.37
CC 21 SLV (Collegamento 0022_-379)
Azioni sul collegamento: N=-7936.44 Ty=-1.43 Tz=-11.19 Mx=-0.02 Mz=-3.51
Sollecitazioni agenti localmente: Ty_l=-1392.96 My_l=-28.54
Tensioni nella sezione: σ=345.89 τ=42.21
CC 21 SLV (Collegamento 0022_-379)
Azioni sul collegamento: N=-7936.44 Ty=-0.75 Tz=5.88 Mx=-0.02 Mz=-2.19
Sollecitazioni agenti localmente: Ty_l=-1398.19 My_l=-28.65
Tensioni nella sezione: σ=347.28 τ=42.37
CC 21 SLV (Collegamento 0022_-379)
Azioni sul collegamento: N=-7936.44 Ty=-1.43 Tz=5.88 Mx=-0.02 Mz=-3.51
Sollecitazioni agenti localmente: Ty_l=-1392.96 My_l=-28.54
Tensioni nella sezione: σ=345.89 τ=42.21
CC 21 SLV (Collegamento 0022_-379)
Azioni sul collegamento: N=-3330.02 Ty=-0.75 Tz=-11.19 Mx=-0.02 Mz=-2.19
Sollecitazioni agenti localmente: Ty_l=-581.59 My_l=-11.91
Tensioni nella sezione: σ=144.37 τ=17.62
CC 21 SLV (Collegamento 0022_-379)
Azioni sul collegamento: N=-3330.02 Ty=-1.43 Tz=-11.19 Mx=-0.02 Mz=-3.51
Sollecitazioni agenti localmente: Ty_l=-576.36 My_l=-11.80
Tensioni nella sezione: σ=142.98 τ=17.47
CC 21 SLV (Collegamento 0022_-379)
Azioni sul collegamento: N=-3330.02 Ty=-0.75 Tz=5.88 Mx=-0.02 Mz=-2.19
Sollecitazioni agenti localmente: Ty_l=-581.59 My_l=-11.91
Tensioni nella sezione: σ=144.37 τ=17.62
CC 21 SLV (Collegamento 0022_-379)
Azioni sul collegamento: N=-3330.02 Ty=-1.43 Tz=5.88 Mx=-0.02 Mz=-3.51
Sollecitazioni agenti localmente: Ty_l=-576.36 My_l=-11.80
Tensioni nella sezione: σ=142.98 τ=17.47
CC 22 SLD (Collegamento 0022_-379)
Azioni sul collegamento: N=-6335.74 Ty=-0.18 Tz=-5.26 Mx=-0.00 Mz=-0.60
Sollecitazioni agenti localmente: Ty_l=-1120.78 My_l=-22.97
Tensioni nella sezione: σ=278.46 τ=33.96
CC 22 SLD (Collegamento 0022_-379)
Azioni sul collegamento: N=-6335.74 Ty=-0.38 Tz=-5.26 Mx=-0.00 Mz=-1.00
Sollecitazioni agenti localmente: Ty_l=-1119.18 My_l=-22.94
Tensioni nella sezione: σ=278.03 τ=33.91
CC 22 SLD (Collegamento 0022_-379)
Azioni sul collegamento: N=-6335.74 Ty=-0.18 Tz=-0.05 Mx=-0.00 Mz=-0.60
Sollecitazioni agenti localmente: Ty_l=-1120.78 My_l=-22.97
Tensioni nella sezione: σ=278.46 τ=33.96
CC 22 SLD (Collegamento 0022_-379)
Azioni sul collegamento: N=-6335.74 Ty=-0.38 Tz=-0.05 Mx=-0.00 Mz=-1.00
Sollecitazioni agenti localmente: Ty_l=-1119.18 My_l=-22.94
Tensioni nella sezione: σ=278.03 τ=33.91
CC 22 SLD (Collegamento 0022_-379)
Azioni sul collegamento: N=-4931.09 Ty=-0.18 Tz=-5.26 Mx=-0.00 Mz=-0.60
Sollecitazioni agenti localmente: Ty_l=-871.77 My_l=-17.87
Tensioni nella sezione: σ=216.58 τ=26.42
CC 22 SLD (Collegamento 0022_-379)
Azioni sul collegamento: N=-4931.09 Ty=-0.38 Tz=-5.26 Mx=-0.00 Mz=-1.00

Sollecitazioni agenti localmente: Ty_l=-870.18 My_l=-17.83
Tensioni nella sezione: σ=216.16 τ=26.37
CC 22 SLD (Collegamento 0022_-379)
Azioni sul collegamento: N=-4931.09 Ty=-0.18 Tz=-0.05 Mx=-0.00 Mz=-0.60
Sollecitazioni agenti localmente: Ty_l=-871.77 My_l=-17.87
Tensioni nella sezione: σ=216.58 τ=26.42
CC 22 SLD (Collegamento 0022_-379)
Azioni sul collegamento: N=-4931.09 Ty=-0.38 Tz=-0.05 Mx=-0.00 Mz=-1.00
Sollecitazioni agenti localmente: Ty_l=-870.18 My_l=-17.83
Tensioni nella sezione: σ=216.16 τ=26.37
CC 23 SLV (Collegamento 0022_-379)
Azioni sul collegamento: N=-7936.47 Ty=-1.44 Tz=-11.20 Mx=-0.01 Mz=-3.55
Sollecitazioni agenti localmente: Ty_l=-1392.81 My_l=-28.53
Tensioni nella sezione: σ=345.85 τ=42.21
CC 23 SLV (Collegamento 0022_-379)
Azioni sul collegamento: N=-7936.47 Ty=-0.74 Tz=-11.20 Mx=-0.01 Mz=-2.16
Sollecitazioni agenti localmente: Ty_l=-1398.34 My_l=-28.65
Tensioni nella sezione: σ=347.32 τ=42.37
CC 23 SLV (Collegamento 0022_-379)
Azioni sul collegamento: N=-7936.47 Ty=-1.44 Tz=5.89 Mx=-0.01 Mz=-3.55
Sollecitazioni agenti localmente: Ty_l=-1392.81 My_l=-28.53
Tensioni nella sezione: σ=345.85 τ=42.21
CC 23 SLV (Collegamento 0022_-379)
Azioni sul collegamento: N=-7936.47 Ty=-0.74 Tz=5.89 Mx=-0.01 Mz=-2.16
Sollecitazioni agenti localmente: Ty_l=-1398.34 My_l=-28.65
Tensioni nella sezione: σ=347.32 τ=42.37
CC 23 SLV (Collegamento 0022_-379)
Azioni sul collegamento: N=-3330.00 Ty=-1.44 Tz=-11.20 Mx=-0.01 Mz=-3.55
Sollecitazioni agenti localmente: Ty_l=-576.21 My_l=-11.79
Tensioni nella sezione: σ=142.94 τ=17.46
CC 23 SLV (Collegamento 0022_-379)
Azioni sul collegamento: N=-3330.00 Ty=-0.74 Tz=-11.20 Mx=-0.01 Mz=-2.16
Sollecitazioni agenti localmente: Ty_l=-581.74 My_l=-11.91
Tensioni nella sezione: σ=144.41 τ=17.63
CC 23 SLV (Collegamento 0022_-379)
Azioni sul collegamento: N=-3330.00 Ty=-1.44 Tz=5.89 Mx=-0.01 Mz=-3.55
Sollecitazioni agenti localmente: Ty_l=-576.21 My_l=-11.79
Tensioni nella sezione: σ=142.94 τ=17.46
CC 23 SLV (Collegamento 0022_-379)
Azioni sul collegamento: N=-3330.00 Ty=-0.74 Tz=5.89 Mx=-0.01 Mz=-2.16
Sollecitazioni agenti localmente: Ty_l=-581.74 My_l=-11.91
Tensioni nella sezione: σ=144.41 τ=17.63
CC 24 SLD (Collegamento 0022_-379)
Azioni sul collegamento: N=-6335.74 Ty=-0.39 Tz=-5.26 Mx=-0.00 Mz=-1.01
Sollecitazioni agenti localmente: Ty_l=-1119.14 My_l=-22.94
Tensioni nella sezione: σ=278.02 τ=33.91
CC 24 SLD (Collegamento 0022_-379)
Azioni sul collegamento: N=-6335.74 Ty=-0.17 Tz=-5.26 Mx=-0.00 Mz=-0.59
Sollecitazioni agenti localmente: Ty_l=-1120.82 My_l=-22.97
Tensioni nella sezione: σ=278.47 τ=33.96
CC 24 SLD (Collegamento 0022_-379)
Azioni sul collegamento: N=-6335.74 Ty=-0.39 Tz=-0.05 Mx=-0.00 Mz=-1.01
Sollecitazioni agenti localmente: Ty_l=-1119.14 My_l=-22.94
Tensioni nella sezione: σ=278.02 τ=33.91
CC 24 SLD (Collegamento 0022_-379)
Azioni sul collegamento: N=-6335.74 Ty=-0.17 Tz=-0.05 Mx=-0.00 Mz=-0.59
Sollecitazioni agenti localmente: Ty_l=-1120.82 My_l=-22.97
Tensioni nella sezione: σ=278.47 τ=33.96
CC 24 SLD (Collegamento 0022_-379)
Azioni sul collegamento: N=-4931.09 Ty=-0.39 Tz=-5.26 Mx=-0.00 Mz=-1.01
Sollecitazioni agenti localmente: Ty_l=-870.13 My_l=-17.83
Tensioni nella sezione: σ=216.15 τ=26.37
CC 24 SLD (Collegamento 0022_-379)
Azioni sul collegamento: N=-4931.09 Ty=-0.17 Tz=-5.26 Mx=-0.00 Mz=-0.59
Sollecitazioni agenti localmente: Ty_l=-871.82 My_l=-17.87
Tensioni nella sezione: σ=216.59 τ=26.42
CC 24 SLD (Collegamento 0022_-379)
Azioni sul collegamento: N=-4931.08 Ty=-0.39 Tz=-0.05 Mx=-0.00 Mz=-1.01
Sollecitazioni agenti localmente: Ty_l=-870.13 My_l=-17.83
Tensioni nella sezione: σ=216.15 τ=26.37
CC 24 SLD (Collegamento 0022_-379)
Azioni sul collegamento: N=-4931.08 Ty=-0.17 Tz=-0.05 Mx=-0.00 Mz=-0.59
Sollecitazioni agenti localmente: Ty_l=-871.82 My_l=-17.87
Tensioni nella sezione: σ=216.59 τ=26.42
CC 25 SLV (Collegamento 0022_-379)
Azioni sul collegamento: N=-4942.23 Ty=0.07 Tz=-0.09 Mx=-0.02 Mz=-0.59
Sollecitazioni agenti localmente: Ty_l=-873.77 My_l=-17.91
Tensioni nella sezione: σ=217.08 τ=26.48
CC 25 SLV (Collegamento 0022_-379)

Azioni sul collegamento: N=-4942.23 Ty=-2.24 Tz=-0.09 Mx=-0.02 Mz=-5.11
Sollecitazioni agenti localmente: Ty_l=-855.78 My_l=-17.52
Tensioni nella sezione: σ=212.31 τ=25.93
CC 25 SLV (Collegamento 0022_-379)
Azioni sul collegamento: N=-4942.23 Ty=0.07 Tz=-5.22 Mx=-0.02 Mz=-0.59
Sollecitazioni agenti localmente: Ty_l=-873.77 My_l=-17.91
Tensioni nella sezione: σ=217.08 τ=26.48
CC 25 SLV (Collegamento 0022_-379)
Azioni sul collegamento: N=-4942.23 Ty=-2.24 Tz=-5.22 Mx=-0.02 Mz=-5.11
Sollecitazioni agenti localmente: Ty_l=-855.78 My_l=-17.52
Tensioni nella sezione: σ=212.31 τ=25.93
CC 25 SLV (Collegamento 0022_-379)
Azioni sul collegamento: N=-6324.24 Ty=0.07 Tz=-0.09 Mx=-0.02 Mz=-0.59
Sollecitazioni agenti localmente: Ty_l=-1118.77 My_l=-22.93
Tensioni nella sezione: σ=277.96 τ=33.90
CC 25 SLV (Collegamento 0022_-379)
Azioni sul collegamento: N=-6324.24 Ty=-2.24 Tz=-0.09 Mx=-0.02 Mz=-5.11
Sollecitazioni agenti localmente: Ty_l=-1100.78 My_l=-22.54
Tensioni nella sezione: σ=273.18 τ=33.36
CC 25 SLV (Collegamento 0022_-379)
Azioni sul collegamento: N=-6324.24 Ty=0.07 Tz=-5.22 Mx=-0.02 Mz=-0.59
Sollecitazioni agenti localmente: Ty_l=-1118.77 My_l=-22.93
Tensioni nella sezione: σ=277.96 τ=33.90
CC 25 SLV (Collegamento 0022_-379)
Azioni sul collegamento: N=-6324.24 Ty=-2.24 Tz=-5.22 Mx=-0.02 Mz=-5.11
Sollecitazioni agenti localmente: Ty_l=-1100.78 My_l=-22.54
Tensioni nella sezione: σ=273.18 τ=33.36
CC 26 SLD (Collegamento 0022_-379)
Azioni sul collegamento: N=-5422.71 Ty=0.07 Tz=-1.87 Mx=-0.01 Mz=-0.11
Sollecitazioni agenti localmente: Ty_l=-960.87 My_l=-19.70
Tensioni nella sezione: σ=238.75 τ=29.12
CC 26 SLD (Collegamento 0022_-379)
Azioni sul collegamento: N=-5422.71 Ty=-0.63 Tz=-1.87 Mx=-0.01 Mz=-1.49
Sollecitazioni agenti localmente: Ty_l=-955.38 My_l=-19.58
Tensioni nella sezione: σ=237.30 τ=28.95
CC 26 SLD (Collegamento 0022_-379)
Azioni sul collegamento: N=-5422.71 Ty=0.07 Tz=-3.44 Mx=-0.01 Mz=-0.11
Sollecitazioni agenti localmente: Ty_l=-960.87 My_l=-19.70
Tensioni nella sezione: σ=238.75 τ=29.12
CC 26 SLD (Collegamento 0022_-379)
Azioni sul collegamento: N=-5422.71 Ty=-0.63 Tz=-3.44 Mx=-0.01 Mz=-1.49
Sollecitazioni agenti localmente: Ty_l=-955.38 My_l=-19.58
Tensioni nella sezione: σ=237.30 τ=28.95
CC 26 SLD (Collegamento 0022_-379)
Azioni sul collegamento: N=-5844.12 Ty=0.07 Tz=-1.87 Mx=-0.01 Mz=-0.11
Sollecitazioni agenti localmente: Ty_l=-1035.57 My_l=-21.23
Tensioni nella sezione: σ=257.32 τ=31.38
CC 26 SLD (Collegamento 0022_-379)
Azioni sul collegamento: N=-5844.12 Ty=-0.63 Tz=-1.87 Mx=-0.01 Mz=-1.49
Sollecitazioni agenti localmente: Ty_l=-1030.09 My_l=-21.11
Tensioni nella sezione: σ=255.86 τ=31.21
CC 26 SLD (Collegamento 0022_-379)
Azioni sul collegamento: N=-5844.12 Ty=0.07 Tz=-3.44 Mx=-0.01 Mz=-0.11
Sollecitazioni agenti localmente: Ty_l=-1035.57 My_l=-21.23
Tensioni nella sezione: σ=257.32 τ=31.38
CC 26 SLD (Collegamento 0022_-379)
Azioni sul collegamento: N=-5844.12 Ty=-0.63 Tz=-3.44 Mx=-0.01 Mz=-1.49
Sollecitazioni agenti localmente: Ty_l=-1030.09 My_l=-21.11
Tensioni nella sezione: σ=255.86 τ=31.21
CC 27 SLV (Collegamento 0022_-379)
Azioni sul collegamento: N=-6324.16 Ty=0.06 Tz=-5.22 Mx=-0.02 Mz=-0.60
Sollecitazioni agenti localmente: Ty_l=-1118.71 My_l=-22.93
Tensioni nella sezione: σ=277.94 τ=33.90
CC 27 SLV (Collegamento 0022_-379)
Azioni sul collegamento: N=-6324.16 Ty=-2.24 Tz=-5.22 Mx=-0.02 Mz=-5.10
Sollecitazioni agenti localmente: Ty_l=-1100.81 My_l=-22.54
Tensioni nella sezione: σ=273.19 τ=33.36
CC 27 SLV (Collegamento 0022_-379)
Azioni sul collegamento: N=-6324.16 Ty=0.06 Tz=-0.09 Mx=-0.02 Mz=-0.60
Sollecitazioni agenti localmente: Ty_l=-1118.71 My_l=-22.93
Tensioni nella sezione: σ=277.94 τ=33.90
CC 27 SLV (Collegamento 0022_-379)
Azioni sul collegamento: N=-6324.16 Ty=-2.24 Tz=-0.09 Mx=-0.02 Mz=-5.10
Sollecitazioni agenti localmente: Ty_l=-1100.81 My_l=-22.54
Tensioni nella sezione: σ=273.19 τ=33.36
CC 27 SLV (Collegamento 0022_-379)
Azioni sul collegamento: N=-4942.30 Ty=0.06 Tz=-5.22 Mx=-0.02 Mz=-0.60
Sollecitazioni agenti localmente: Ty_l=-873.74 My_l=-17.91
Tensioni nella sezione: σ=217.07 τ=26.48

CC 27 SLV (Collegamento 0022_-379)
Azioni sul collegamento: N=-4942.30 Ty=-2.24 Tz=-5.22 Mx=-0.02 Mz=-5.10
Sollecitazioni agenti localmente: Ty_l=-855.85 My_l=-17.52
Tensioni nella sezione: σ=212.32 τ=25.93
CC 27 SLV (Collegamento 0022_-379)
Azioni sul collegamento: N=-4942.30 Ty=0.06 Tz=-0.09 Mx=-0.02 Mz=-0.60
Sollecitazioni agenti localmente: Ty_l=-873.74 My_l=-17.91
Tensioni nella sezione: σ=217.07 τ=26.48
CC 27 SLV (Collegamento 0022_-379)
Azioni sul collegamento: N=-4942.30 Ty=-2.24 Tz=-0.09 Mx=-0.02 Mz=-5.10
Sollecitazioni agenti localmente: Ty_l=-855.85 My_l=-17.52
Tensioni nella sezione: σ=212.32 τ=25.93
CC 28 SLD (Collegamento 0022_-379)
Azioni sul collegamento: N=-5844.10 Ty=0.07 Tz=-3.44 Mx=-0.01 Mz=-0.11
Sollecitazioni agenti localmente: Ty_l=-1035.55 My_l=-21.23
Tensioni nella sezione: σ=257.31 τ=31.38
CC 28 SLD (Collegamento 0022_-379)
Azioni sul collegamento: N=-5844.10 Ty=-0.63 Tz=-3.44 Mx=-0.01 Mz=-1.48
Sollecitazioni agenti localmente: Ty_l=-1030.10 My_l=-21.11
Tensioni nella sezione: σ=255.86 τ=31.22
CC 28 SLD (Collegamento 0022_-379)
Azioni sul collegamento: N=-5844.10 Ty=0.07 Tz=-1.87 Mx=-0.01 Mz=-0.11
Sollecitazioni agenti localmente: Ty_l=-1035.55 My_l=-21.23
Tensioni nella sezione: σ=257.31 τ=31.38
CC 28 SLD (Collegamento 0022_-379)
Azioni sul collegamento: N=-5844.10 Ty=-0.63 Tz=-1.87 Mx=-0.01 Mz=-1.48
Sollecitazioni agenti localmente: Ty_l=-1030.10 My_l=-21.11
Tensioni nella sezione: σ=255.86 τ=31.22
CC 28 SLD (Collegamento 0022_-379)
Azioni sul collegamento: N=-5422.73 Ty=0.07 Tz=-3.44 Mx=-0.01 Mz=-0.11
Sollecitazioni agenti localmente: Ty_l=-960.86 My_l=-19.70
Tensioni nella sezione: σ=238.75 τ=29.12
CC 28 SLD (Collegamento 0022_-379)
Azioni sul collegamento: N=-5422.73 Ty=-0.63 Tz=-3.44 Mx=-0.01 Mz=-1.48
Sollecitazioni agenti localmente: Ty_l=-955.40 My_l=-19.58
Tensioni nella sezione: σ=237.30 τ=28.95
CC 28 SLD (Collegamento 0022_-379)
Azioni sul collegamento: N=-5422.73 Ty=0.07 Tz=-1.87 Mx=-0.01 Mz=-0.11
Sollecitazioni agenti localmente: Ty_l=-960.86 My_l=-19.70
Tensioni nella sezione: σ=238.75 τ=29.12
CC 28 SLD (Collegamento 0022_-379)
Azioni sul collegamento: N=-5422.73 Ty=-0.63 Tz=-1.87 Mx=-0.01 Mz=-1.48
Sollecitazioni agenti localmente: Ty_l=-955.40 My_l=-19.58
Tensioni nella sezione: σ=237.30 τ=28.95
CC 29 SLV (Collegamento 0022_-379)
Azioni sul collegamento: N=-4942.30 Ty=-2.24 Tz=-0.09 Mx=-0.00 Mz=-5.10
Sollecitazioni agenti localmente: Ty_l=-855.85 My_l=-17.52
Tensioni nella sezione: σ=212.32 τ=25.93
CC 29 SLV (Collegamento 0022_-379)
Azioni sul collegamento: N=-4942.30 Ty=0.06 Tz=-0.09 Mx=-0.00 Mz=-0.60
Sollecitazioni agenti localmente: Ty_l=-873.74 My_l=-17.91
Tensioni nella sezione: σ=217.07 τ=26.48
CC 29 SLV (Collegamento 0022_-379)
Azioni sul collegamento: N=-4942.30 Ty=-2.24 Tz=-5.22 Mx=-0.00 Mz=-5.10
Sollecitazioni agenti localmente: Ty_l=-855.85 My_l=-17.52
Tensioni nella sezione: σ=212.32 τ=25.93
CC 29 SLV (Collegamento 0022_-379)
Azioni sul collegamento: N=-4942.30 Ty=0.06 Tz=-5.22 Mx=-0.00 Mz=-0.60
Sollecitazioni agenti localmente: Ty_l=-873.74 My_l=-17.91
Tensioni nella sezione: σ=217.07 τ=26.48
CC 29 SLV (Collegamento 0022_-379)
Azioni sul collegamento: N=-6324.16 Ty=-2.24 Tz=-0.09 Mx=-0.00 Mz=-5.10
Sollecitazioni agenti localmente: Ty_l=-1100.81 My_l=-22.54
Tensioni nella sezione: σ=273.19 τ=33.36
CC 29 SLV (Collegamento 0022_-379)
Azioni sul collegamento: N=-6324.16 Ty=0.06 Tz=-0.09 Mx=-0.00 Mz=-0.60
Sollecitazioni agenti localmente: Ty_l=-1118.71 My_l=-22.93
Tensioni nella sezione: σ=277.94 τ=33.90
CC 29 SLV (Collegamento 0022_-379)
Azioni sul collegamento: N=-6324.16 Ty=-2.24 Tz=-5.22 Mx=-0.00 Mz=-5.10
Sollecitazioni agenti localmente: Ty_l=-1100.81 My_l=-22.54
Tensioni nella sezione: σ=273.19 τ=33.36
CC 29 SLV (Collegamento 0022_-379)
Azioni sul collegamento: N=-6324.16 Ty=0.06 Tz=-5.22 Mx=-0.00 Mz=-0.60
Sollecitazioni agenti localmente: Ty_l=-1118.71 My_l=-22.93
Tensioni nella sezione: σ=277.94 τ=33.90
CC 30 SLD (Collegamento 0022_-379)
Azioni sul collegamento: N=-5422.73 Ty=-0.63 Tz=-1.87 Mx=-0.00 Mz=-1.48
Sollecitazioni agenti localmente: Ty_l=-955.40 My_l=-19.58

Tensioni nella sezione: σ=237.30 τ=28.95
CC 30 SLD (Collegamento 0022_-379)
Azioni sul collegamento: N=-5422.73 Ty=0.07 Tz=-1.87 Mx=-0.00 Mz=-0.11
Sollecitazioni agenti localmente: Ty_l=-960.86 My_l=-19.70
Tensioni nella sezione: σ=238.75 τ=29.12
CC 30 SLD (Collegamento 0022_-379)
Azioni sul collegamento: N=-5422.73 Ty=-0.63 Tz=-3.44 Mx=-0.00 Mz=-1.48
Sollecitazioni agenti localmente: Ty_l=-955.40 My_l=-19.58
Tensioni nella sezione: σ=237.30 τ=28.95
CC 30 SLD (Collegamento 0022_-379)
Azioni sul collegamento: N=-5422.73 Ty=0.07 Tz=-3.44 Mx=-0.00 Mz=-0.11
Sollecitazioni agenti localmente: Ty_l=-960.86 My_l=-19.70
Tensioni nella sezione: σ=238.75 τ=29.12
CC 30 SLD (Collegamento 0022_-379)
Azioni sul collegamento: N=-5844.10 Ty=-0.63 Tz=-1.87 Mx=-0.00 Mz=-1.48
Sollecitazioni agenti localmente: Ty_l=-1030.10 My_l=-21.11
Tensioni nella sezione: σ=255.86 τ=31.22
CC 30 SLD (Collegamento 0022_-379)
Azioni sul collegamento: N=-5844.10 Ty=0.07 Tz=-1.87 Mx=-0.00 Mz=-0.11
Sollecitazioni agenti localmente: Ty_l=-1035.55 My_l=-21.23
Tensioni nella sezione: σ=257.31 τ=31.38
CC 30 SLD (Collegamento 0022_-379)
Azioni sul collegamento: N=-5844.10 Ty=-0.63 Tz=-3.44 Mx=-0.00 Mz=-1.48
Sollecitazioni agenti localmente: Ty_l=-1030.10 My_l=-21.11
Tensioni nella sezione: σ=255.86 τ=31.22
CC 30 SLD (Collegamento 0022_-379)
Azioni sul collegamento: N=-5844.10 Ty=0.07 Tz=-3.44 Mx=-0.00 Mz=-0.11
Sollecitazioni agenti localmente: Ty_l=-1035.55 My_l=-21.23
Tensioni nella sezione: σ=257.31 τ=31.38
CC 31 SLV (Collegamento 0022_-379)
Azioni sul collegamento: N=-6324.24 Ty=-2.24 Tz=-5.22 Mx=-0.00 Mz=-5.11
Sollecitazioni agenti localmente: Ty_l=-1100.78 My_l=-22.54
Tensioni nella sezione: σ=273.18 τ=33.36
CC 31 SLV (Collegamento 0022_-379)
Azioni sul collegamento: N=-6324.24 Ty=0.07 Tz=-5.22 Mx=-0.00 Mz=-0.59
Sollecitazioni agenti localmente: Ty_l=-1118.77 My_l=-22.93
Tensioni nella sezione: σ=277.96 τ=33.90
CC 31 SLV (Collegamento 0022_-379)
Azioni sul collegamento: N=-6324.24 Ty=-2.24 Tz=-0.09 Mx=-0.00 Mz=-5.11
Sollecitazioni agenti localmente: Ty_l=-1100.78 My_l=-22.54
Tensioni nella sezione: σ=273.18 τ=33.36
CC 31 SLV (Collegamento 0022_-379)
Azioni sul collegamento: N=-6324.24 Ty=0.07 Tz=-0.09 Mx=-0.00 Mz=-0.59
Sollecitazioni agenti localmente: Ty_l=-1118.77 My_l=-22.93
Tensioni nella sezione: σ=277.96 τ=33.90
CC 31 SLV (Collegamento 0022_-379)
Azioni sul collegamento: N=-4942.23 Ty=-2.24 Tz=-5.22 Mx=-0.00 Mz=-5.11
Sollecitazioni agenti localmente: Ty_l=-855.78 My_l=-17.52
Tensioni nella sezione: σ=212.31 τ=25.93
CC 31 SLV (Collegamento 0022_-379)
Azioni sul collegamento: N=-4942.23 Ty=0.07 Tz=-5.22 Mx=-0.00 Mz=-0.59
Sollecitazioni agenti localmente: Ty_l=-873.77 My_l=-17.91
Tensioni nella sezione: σ=217.08 τ=26.48
CC 31 SLV (Collegamento 0022_-379)
Azioni sul collegamento: N=-4942.23 Ty=-2.24 Tz=-0.09 Mx=-0.00 Mz=-5.11
Sollecitazioni agenti localmente: Ty_l=-855.78 My_l=-17.52
Tensioni nella sezione: σ=212.31 τ=25.93
CC 31 SLV (Collegamento 0022_-379)
Azioni sul collegamento: N=-4942.23 Ty=0.07 Tz=-0.09 Mx=-0.00 Mz=-0.59
Sollecitazioni agenti localmente: Ty_l=-873.77 My_l=-17.91
Tensioni nella sezione: σ=217.08 τ=26.48
CC 32 SLD (Collegamento 0022_-379)
Azioni sul collegamento: N=-5844.12 Ty=-0.63 Tz=-3.44 Mx=-0.00 Mz=-1.49
Sollecitazioni agenti localmente: Ty_l=-1030.09 My_l=-21.11
Tensioni nella sezione: σ=255.86 τ=31.21
CC 32 SLD (Collegamento 0022_-379)
Azioni sul collegamento: N=-5844.12 Ty=0.07 Tz=-3.44 Mx=-0.00 Mz=-0.11
Sollecitazioni agenti localmente: Ty_l=-1035.57 My_l=-21.23
Tensioni nella sezione: σ=257.32 τ=31.38
CC 32 SLD (Collegamento 0022_-379)
Azioni sul collegamento: N=-5844.12 Ty=-0.63 Tz=-1.87 Mx=-0.00 Mz=-1.49
Sollecitazioni agenti localmente: Ty_l=-1030.09 My_l=-21.11
Tensioni nella sezione: σ=255.86 τ=31.21
CC 32 SLD (Collegamento 0022_-379)
Azioni sul collegamento: N=-5844.12 Ty=0.07 Tz=-1.87 Mx=-0.00 Mz=-0.11
Sollecitazioni agenti localmente: Ty_l=-1035.57 My_l=-21.23
Tensioni nella sezione: σ=257.32 τ=31.38
CC 32 SLD (Collegamento 0022_-379)
Azioni sul collegamento: N=-5422.71 Ty=-0.63 Tz=-3.44 Mx=-0.00 Mz=-1.49

Sollecitazioni agenti localmente: Ty_l=-955.38 My_l=-19.58
Tensioni nella sezione: σ=237.30 τ=28.95
CC 32 SLD (Collegamento 0022_-379)
Azioni sul collegamento: N=-5422.71 Ty=0.07 Tz=-3.44 Mx=-0.00 Mz=-0.11
Sollecitazioni agenti localmente: Ty_l=-960.87 My_l=-19.70
Tensioni nella sezione: σ=238.75 τ=29.12
CC 32 SLD (Collegamento 0022_-379)
Azioni sul collegamento: N=-5422.71 Ty=-0.63 Tz=-1.87 Mx=-0.00 Mz=-1.49
Sollecitazioni agenti localmente: Ty_l=-955.38 My_l=-19.58
Tensioni nella sezione: σ=237.30 τ=28.95
CC 32 SLD (Collegamento 0022_-379)
Azioni sul collegamento: N=-5422.71 Ty=0.07 Tz=-1.87 Mx=-0.00 Mz=-0.11
Sollecitazioni agenti localmente: Ty_l=-960.87 My_l=-19.70
Tensioni nella sezione: σ=238.75 τ=29.12
CC 33 SLU (Collegamento 0022_-379)
Azioni sul collegamento: N=-28967.90 Ty=0.05 Tz=74.90 Mx=0.00 Mz=0.12
Sollecitazioni agenti localmente: Ty_l=-5135.69 My_l=-105.28
Tensioni nella sezione: σ=1276.15 τ=155.63
CC 34 SLU (Collegamento 0022_-379)
Azioni sul collegamento: N=-29447.20 Ty=0.05 Tz=76.67 Mx=0.00 Mz=0.12
Sollecitazioni agenti localmente: Ty_l=-5220.64 My_l=-107.02
Tensioni nella sezione: σ=1297.26 τ=158.20
CC 35 SLU (Collegamento 0022_-379)
Azioni sul collegamento: N=-29207.50 Ty=0.17 Tz=75.78 Mx=-0.00 Mz=0.35
Sollecitazioni agenti localmente: Ty_l=-5179.10 My_l=-106.17
Tensioni nella sezione: σ=1286.95 τ=156.94
CC 36 SLU (Collegamento 0022_-379)
Azioni sul collegamento: N=-29207.50 Ty=-0.07 Tz=75.79 Mx=0.00 Mz=-0.12
Sollecitazioni agenti localmente: Ty_l=-5177.23 My_l=-106.13
Tensioni nella sezione: σ=1286.46 τ=156.89
CC 37 SLU (Collegamento 0022_-379)
Azioni sul collegamento: N=-29152.80 Ty=0.07 Tz=74.88 Mx=0.00 Mz=0.13
Sollecitazioni agenti localmente: Ty_l=-5168.51 My_l=-105.95
Tensioni nella sezione: σ=1284.31 τ=156.62
CC 38 SLU (Collegamento 0022_-379)
Azioni sul collegamento: N=-29632.10 Ty=0.07 Tz=76.66 Mx=0.00 Mz=0.13
Sollecitazioni agenti localmente: Ty_l=-5253.47 My_l=-107.70
Tensioni nella sezione: σ=1305.42 τ=159.20
CC 39 SLU (Collegamento 0022_-379)
Azioni sul collegamento: N=-29392.40 Ty=0.19 Tz=75.77 Mx=-0.00 Mz=0.36
Sollecitazioni agenti localmente: Ty_l=-5211.92 My_l=-106.85
Tensioni nella sezione: σ=1295.11 τ=157.94
CC 40 SLU (Collegamento 0022_-379)
Azioni sul collegamento: N=-29392.40 Ty=-0.05 Tz=75.77 Mx=0.00 Mz=-0.10
Sollecitazioni agenti localmente: Ty_l=-5210.06 My_l=-106.81
Tensioni nella sezione: σ=1294.61 τ=157.88
CC 41 SLU (Collegamento 0022_-379)
Azioni sul collegamento: N=-19454.60 Ty=0.08 Tz=39.91 Mx=0.00 Mz=0.13
Sollecitazioni agenti localmente: Ty_l=-3449.29 My_l=-70.71
Tensioni nella sezione: σ=857.10 τ=104.52
CC 42 SLU (Collegamento 0022_-379)
Azioni sul collegamento: N=-19933.90 Ty=0.08 Tz=41.69 Mx=0.00 Mz=0.13
Sollecitazioni agenti localmente: Ty_l=-3534.24 My_l=-72.45
Tensioni nella sezione: σ=878.21 τ=107.10
CC 43 SLU (Collegamento 0022_-379)
Azioni sul collegamento: N=-19694.20 Ty=0.20 Tz=40.80 Mx=-0.00 Mz=0.36
Sollecitazioni agenti localmente: Ty_l=-3492.70 My_l=-71.60
Tensioni nella sezione: σ=867.91 τ=105.84
CC 44 SLU (Collegamento 0022_-379)
Azioni sul collegamento: N=-19694.20 Ty=-0.04 Tz=40.80 Mx=0.00 Mz=-0.10
Sollecitazioni agenti localmente: Ty_l=-3490.83 My_l=-71.56
Tensioni nella sezione: σ=867.41 τ=105.78
CC 45 SLU (Collegamento 0022_-379)
Azioni sul collegamento: N=-21628.70 Ty=0.08 Tz=47.97 Mx=0.00 Mz=0.14
Sollecitazioni agenti localmente: Ty_l=-3834.74 My_l=-78.61
Tensioni nella sezione: σ=952.88 τ=116.20
CC 46 SLU (Collegamento 0022_-379)
Azioni sul collegamento: N=-22108.00 Ty=0.08 Tz=49.75 Mx=0.00 Mz=0.14
Sollecitazioni agenti localmente: Ty_l=-3919.70 My_l=-80.35
Tensioni nella sezione: σ=974.00 τ=118.78
CC 47 SLU (Collegamento 0022_-379)
Azioni sul collegamento: N=-21868.40 Ty=0.20 Tz=48.86 Mx=-0.00 Mz=0.37
Sollecitazioni agenti localmente: Ty_l=-3878.15 My_l=-79.50
Tensioni nella sezione: σ=963.69 τ=117.52
CC 48 SLU (Collegamento 0022_-379)
Azioni sul collegamento: N=-21868.40 Ty=-0.04 Tz=48.86 Mx=0.00 Mz=-0.10
Sollecitazioni agenti localmente: Ty_l=-3876.29 My_l=-79.46
Tensioni nella sezione: σ=963.19 τ=117.46
CC 49 SLU (Collegamento 0022_-379)

Azioni sul collegamento: N=-21767.10 Ty=0.10 Tz=47.96 Mx=0.00 Mz=0.15
Sollecitazioni agenti localmente: Ty_l=-3859.30 My_l=-79.12
Tensioni nella sezione: σ=958.99 τ=116.95
CC 50 SLU (Collegamento 0022_-379)
Azioni sul collegamento: N=-22246.40 Ty=0.10 Tz=49.73 Mx=0.00 Mz=0.15
Sollecitazioni agenti localmente: Ty_l=-3944.26 My_l=-80.86
Tensioni nella sezione: σ=980.10 τ=119.52
CC 51 SLU (Collegamento 0022_-379)
Azioni sul collegamento: N=-22006.70 Ty=0.22 Tz=48.85 Mx=-0.00 Mz=0.38
Sollecitazioni agenti localmente: Ty_l=-3902.71 My_l=-80.01
Tensioni nella sezione: σ=969.79 τ=118.26
CC 52 SLU (Collegamento 0022_-379)
Azioni sul collegamento: N=-22006.70 Ty=-0.02 Tz=48.85 Mx=0.00 Mz=-0.09
Sollecitazioni agenti localmente: Ty_l=-3900.85 My_l=-79.97
Tensioni nella sezione: σ=969.29 τ=118.21
CC 53 SLU (Collegamento 0022_-379)
Azioni sul collegamento: N=-14511.40 Ty=0.10 Tz=21.80 Mx=0.00 Mz=0.15
Sollecitazioni agenti localmente: Ty_l=-2573.06 My_l=-52.75
Tensioni nella sezione: σ=639.38 τ=77.97
CC 54 SLU (Collegamento 0022_-379)
Azioni sul collegamento: N=-14990.70 Ty=0.10 Tz=23.57 Mx=0.00 Mz=0.15
Sollecitazioni agenti localmente: Ty_l=-2658.02 My_l=-54.49
Tensioni nella sezione: σ=660.49 τ=80.55
CC 55 SLU (Collegamento 0022_-379)
Azioni sul collegamento: N=-14751.00 Ty=0.22 Tz=22.69 Mx=-0.00 Mz=0.38
Sollecitazioni agenti localmente: Ty_l=-2616.48 My_l=-53.64
Tensioni nella sezione: σ=650.18 τ=79.29
CC 56 SLU (Collegamento 0022_-379)
Azioni sul collegamento: N=-14751.00 Ty=-0.02 Tz=22.68 Mx=0.00 Mz=-0.09
Sollecitazioni agenti localmente: Ty_l=-2614.61 My_l=-53.60
Tensioni nella sezione: σ=649.68 τ=79.23
CC 57 SLU (Collegamento 0022_-379)
Azioni sul collegamento: N=-21907.00 Ty=0.07 Tz=49.04 Mx=0.00 Mz=0.14
Sollecitazioni agenti localmente: Ty_l=-3884.06 My_l=-79.62
Tensioni nella sezione: σ=965.14 τ=117.70
CC 58 SLU (Collegamento 0022_-379)
Azioni sul collegamento: N=-22386.30 Ty=0.07 Tz=50.82 Mx=0.00 Mz=0.13
Sollecitazioni agenti localmente: Ty_l=-3969.01 My_l=-81.37
Tensioni nella sezione: σ=986.25 τ=120.27
CC 59 SLU (Collegamento 0022_-379)
Azioni sul collegamento: N=-22146.70 Ty=0.19 Tz=49.93 Mx=-0.00 Mz=0.37
Sollecitazioni agenti localmente: Ty_l=-3927.47 My_l=-80.52
Tensioni nella sezione: σ=975.94 τ=119.01
CC 60 SLU (Collegamento 0022_-379)
Azioni sul collegamento: N=-22146.70 Ty=-0.04 Tz=49.93 Mx=0.00 Mz=-0.10
Sollecitazioni agenti localmente: Ty_l=-3925.60 My_l=-80.47
Tensioni nella sezione: σ=975.45 τ=118.96
CC 61 SLU (Collegamento 0022_-379)
Azioni sul collegamento: N=-22045.30 Ty=0.09 Tz=49.02 Mx=0.00 Mz=0.14
Sollecitazioni agenti localmente: Ty_l=-3908.61 My_l=-80.13
Tensioni nella sezione: σ=971.24 τ=118.44
CC 62 SLU (Collegamento 0022_-379)
Azioni sul collegamento: N=-22524.60 Ty=0.09 Tz=50.80 Mx=0.00 Mz=0.14
Sollecitazioni agenti localmente: Ty_l=-3993.57 My_l=-81.87
Tensioni nella sezione: σ=992.35 τ=121.02
CC 63 SLU (Collegamento 0022_-379)
Azioni sul collegamento: N=-22285.00 Ty=0.21 Tz=49.91 Mx=-0.00 Mz=0.38
Sollecitazioni agenti localmente: Ty_l=-3952.02 My_l=-81.02
Tensioni nella sezione: σ=982.04 τ=119.76
CC 64 SLU (Collegamento 0022_-379)
Azioni sul collegamento: N=-22285.00 Ty=-0.03 Tz=49.91 Mx=0.00 Mz=-0.09
Sollecitazioni agenti localmente: Ty_l=-3950.16 My_l=-80.98
Tensioni nella sezione: σ=981.55 τ=119.70
CC 65 SLU (Collegamento 0022_-379)
Azioni sul collegamento: N=-14789.70 Ty=0.10 Tz=22.86 Mx=0.00 Mz=0.14
Sollecitazioni agenti localmente: Ty_l=-2622.38 My_l=-53.76
Tensioni nella sezione: σ=651.63 τ=79.47
CC 66 SLU (Collegamento 0022_-379)
Azioni sul collegamento: N=-15269.00 Ty=0.10 Tz=24.64 Mx=0.00 Mz=0.14
Sollecitazioni agenti localmente: Ty_l=-2707.33 My_l=-55.50
Tensioni nella sezione: σ=672.74 τ=82.04
CC 67 SLU (Collegamento 0022_-379)
Azioni sul collegamento: N=-15029.30 Ty=0.22 Tz=23.75 Mx=-0.00 Mz=0.38
Sollecitazioni agenti localmente: Ty_l=-2665.79 My_l=-54.65
Tensioni nella sezione: σ=662.43 τ=80.78
CC 68 SLU (Collegamento 0022_-379)
Azioni sul collegamento: N=-15029.30 Ty=-0.02 Tz=23.75 Mx=0.00 Mz=-0.09
Sollecitazioni agenti localmente: Ty_l=-2663.92 My_l=-54.61
Tensioni nella sezione: σ=661.94 τ=80.72

CC 97 SLU (Collegamento 0022_-379)
Azioni sul collegamento: N=-11572.90 Ty=11.37 Tz=19.27 Mx=0.04 Mz=15.92
Sollecitazioni agenti localmente: Ty_l=-2114.88 My_l=-43.44
Tensioni nella sezione: σ=526.59 τ=64.09
CC 98 SLU (Collegamento 0022_-379)
Azioni sul collegamento: N=-12052.20 Ty=11.37 Tz=21.05 Mx=0.04 Mz=15.92
Sollecitazioni agenti localmente: Ty_l=-2199.84 My_l=-45.19
Tensioni nella sezione: σ=547.70 τ=66.66
CC 99 SLU (Collegamento 0022_-379)
Azioni sul collegamento: N=-11812.60 Ty=11.49 Tz=20.16 Mx=0.04 Mz=16.15
Sollecitazioni agenti localmente: Ty_l=-2158.29 My_l=-44.33
Tensioni nella sezione: σ=537.39 τ=65.40
CC 100 SLU (Collegamento 0022_-379)
Azioni sul collegamento: N=-11812.60 Ty=11.25 Tz=20.16 Mx=0.04 Mz=15.68
Sollecitazioni agenti localmente: Ty_l=-2156.43 My_l=-44.29
Tensioni nella sezione: σ=536.90 τ=65.35
CC 101 SLU (Collegamento 0022_-379)
Azioni sul collegamento: N=-5887.16 Ty=-2.00 Tz=-1.73 Mx=-0.00 Mz=-2.22
Sollecitazioni agenti localmente: Ty_l=-1034.82 My_l=-21.20
Tensioni nella sezione: σ=256.99 τ=31.36
CC 102 SLU (Collegamento 0022_-379)
Azioni sul collegamento: N=-6366.46 Ty=-2.01 Tz=0.04 Mx=-0.00 Mz=-2.22
Sollecitazioni agenti localmente: Ty_l=-1119.77 My_l=-22.94
Tensioni nella sezione: σ=278.10 τ=33.93
CC 103 SLU (Collegamento 0022_-379)
Azioni sul collegamento: N=-6126.81 Ty=-1.89 Tz=-0.85 Mx=-0.01 Mz=-1.98
Sollecitazioni agenti localmente: Ty_l=-1078.23 My_l=-22.09
Tensioni nella sezione: σ=267.79 τ=32.67
CC 104 SLU (Collegamento 0022_-379)
Azioni sul collegamento: N=-6126.80 Ty=-2.12 Tz=-0.84 Mx=-0.00 Mz=-2.45
Sollecitazioni agenti localmente: Ty_l=-1076.36 My_l=-22.05
Tensioni nella sezione: σ=267.29 τ=32.62

Flessione attacco sinistro piastra

Bnetta=220.00 Hnetta=15.00
CC 1 SLV (Collegamento 0022_-379)
Azioni sul collegamento: N=-3330.52 Ty=1.59 Tz=5.89 Mx=0.02 Mz=3.75
Sollecitazioni agenti localmente: Ty_l=-575.48 My_l=-11.78
Tensioni nella sezione: σ=142.75 τ=17.44
CC 1 SLV (Collegamento 0022_-379)
Azioni sul collegamento: N=-3330.52 Ty=0.88 Tz=5.89 Mx=0.02 Mz=2.36
Sollecitazioni agenti localmente: Ty_l=-581.02 My_l=-11.90
Tensioni nella sezione: σ=144.21 τ=17.61
CC 1 SLV (Collegamento 0022_-379)
Azioni sul collegamento: N=-3330.52 Ty=1.59 Tz=-11.19 Mx=0.02 Mz=3.75
Sollecitazioni agenti localmente: Ty_l=-575.48 My_l=-11.78
Tensioni nella sezione: σ=142.75 τ=17.44
CC 1 SLV (Collegamento 0022_-379)
Azioni sul collegamento: N=-3330.52 Ty=0.88 Tz=-11.19 Mx=0.02 Mz=2.36
Sollecitazioni agenti localmente: Ty_l=-581.02 My_l=-11.90
Tensioni nella sezione: σ=144.21 τ=17.61
CC 1 SLV (Collegamento 0022_-379)
Azioni sul collegamento: N=-7936.99 Ty=1.59 Tz=5.89 Mx=0.02 Mz=3.75
Sollecitazioni agenti localmente: Ty_l=-1392.08 My_l=-28.52
Tensioni nella sezione: σ=345.66 τ=42.18
CC 1 SLV (Collegamento 0022_-379)
Azioni sul collegamento: N=-7936.99 Ty=0.88 Tz=5.89 Mx=0.02 Mz=2.36
Sollecitazioni agenti localmente: Ty_l=-1397.62 My_l=-28.64
Tensioni nella sezione: σ=347.13 τ=42.35
CC 1 SLV (Collegamento 0022_-379)
Azioni sul collegamento: N=-7936.99 Ty=1.59 Tz=-11.19 Mx=0.02 Mz=3.75
Sollecitazioni agenti localmente: Ty_l=-1392.08 My_l=-28.52
Tensioni nella sezione: σ=345.66 τ=42.18
CC 1 SLV (Collegamento 0022_-379)
Azioni sul collegamento: N=-7936.99 Ty=0.88 Tz=-11.19 Mx=0.02 Mz=2.36
Sollecitazioni agenti localmente: Ty_l=-1397.62 My_l=-28.64
Tensioni nella sezione: σ=347.13 τ=42.35
CC 2 SLD (Collegamento 0022_-379)
Azioni sul collegamento: N=-4931.25 Ty=0.54 Tz=-0.05 Mx=0.01 Mz=1.22
Sollecitazioni agenti localmente: Ty_l=-869.34 My_l=-17.81
Tensioni nella sezione: σ=215.94 τ=26.34
CC 2 SLD (Collegamento 0022_-379)
Azioni sul collegamento: N=-4931.25 Ty=0.32 Tz=-0.05 Mx=0.01 Mz=0.79
Sollecitazioni agenti localmente: Ty_l=-871.03 My_l=-17.85
Tensioni nella sezione: σ=216.38 τ=26.39
CC 2 SLD (Collegamento 0022_-379)
Azioni sul collegamento: N=-4931.25 Ty=0.54 Tz=-5.26 Mx=0.01 Mz=1.22
Sollecitazioni agenti localmente: Ty_l=-869.34 My_l=-17.81

Tensioni nella sezione: σ=215.94 τ=26.34
CC 2 SLD (Collegamento 0022_-379)
Azioni sul collegamento: N=-4931.25 Ty=0.32 Tz=-5.26 Mx=0.01 Mz=0.79
Sollecitazioni agenti localmente: Ty_l=-871.03 My_l=-17.85
Tensioni nella sezione: σ=216.38 τ=26.39
CC 2 SLD (Collegamento 0022_-379)
Azioni sul collegamento: N=-6335.90 Ty=0.54 Tz=-0.05 Mx=0.01 Mz=1.22
Sollecitazioni agenti localmente: Ty_l=-1118.35 My_l=-22.92
Tensioni nella sezione: σ=277.81 τ=33.89
CC 2 SLD (Collegamento 0022_-379)
Azioni sul collegamento: N=-6335.90 Ty=0.32 Tz=-0.05 Mx=0.01 Mz=0.79
Sollecitazioni agenti localmente: Ty_l=-1120.03 My_l=-22.96
Tensioni nella sezione: σ=278.26 τ=33.94
CC 2 SLD (Collegamento 0022_-379)
Azioni sul collegamento: N=-6335.90 Ty=0.54 Tz=-5.26 Mx=0.01 Mz=1.22
Sollecitazioni agenti localmente: Ty_l=-1118.35 My_l=-22.92
Tensioni nella sezione: σ=277.81 τ=33.89
CC 2 SLD (Collegamento 0022_-379)
Azioni sul collegamento: N=-6335.90 Ty=0.32 Tz=-5.26 Mx=0.01 Mz=0.79
Sollecitazioni agenti localmente: Ty_l=-1120.03 My_l=-22.96
Tensioni nella sezione: σ=278.26 τ=33.94
CC 3 SLV (Collegamento 0022_-379)
Azioni sul collegamento: N=-3330.55 Ty=0.90 Tz=5.89 Mx=0.01 Mz=2.40
Sollecitazioni agenti localmente: Ty_l=-580.87 My_l=-11.89
Tensioni nella sezione: σ=144.18 τ=17.60
CC 3 SLV (Collegamento 0022_-379)
Azioni sul collegamento: N=-3330.55 Ty=1.58 Tz=5.89 Mx=0.01 Mz=3.71
Sollecitazioni agenti localmente: Ty_l=-575.64 My_l=-11.78
Tensioni nella sezione: σ=142.79 τ=17.44
CC 3 SLV (Collegamento 0022_-379)
Azioni sul collegamento: N=-3330.55 Ty=0.90 Tz=-11.19 Mx=0.01 Mz=2.40
Sollecitazioni agenti localmente: Ty_l=-580.87 My_l=-11.89
Tensioni nella sezione: σ=144.18 τ=17.60
CC 3 SLV (Collegamento 0022_-379)
Azioni sul collegamento: N=-3330.55 Ty=1.58 Tz=-11.19 Mx=0.01 Mz=3.71
Sollecitazioni agenti localmente: Ty_l=-575.64 My_l=-11.78
Tensioni nella sezione: σ=142.79 τ=17.44
CC 3 SLV (Collegamento 0022_-379)
Azioni sul collegamento: N=-7936.97 Ty=0.90 Tz=5.89 Mx=0.01 Mz=2.40
Sollecitazioni agenti localmente: Ty_l=-1397.46 My_l=-28.63
Tensioni nella sezione: σ=347.09 τ=42.35
CC 3 SLV (Collegamento 0022_-379)
Azioni sul collegamento: N=-7936.97 Ty=1.58 Tz=5.89 Mx=0.01 Mz=3.71
Sollecitazioni agenti localmente: Ty_l=-1392.23 My_l=-28.52
Tensioni nella sezione: σ=345.70 τ=42.19
CC 3 SLV (Collegamento 0022_-379)
Azioni sul collegamento: N=-7936.97 Ty=0.90 Tz=-11.19 Mx=0.01 Mz=2.40
Sollecitazioni agenti localmente: Ty_l=-1397.46 My_l=-28.63
Tensioni nella sezione: σ=347.09 τ=42.35
CC 3 SLV (Collegamento 0022_-379)
Azioni sul collegamento: N=-7936.97 Ty=1.58 Tz=-11.19 Mx=0.01 Mz=3.71
Sollecitazioni agenti localmente: Ty_l=-1392.23 My_l=-28.52
Tensioni nella sezione: σ=345.70 τ=42.19
CC 4 SLD (Collegamento 0022_-379)
Azioni sul collegamento: N=-4931.25 Ty=0.33 Tz=-0.05 Mx=0.00 Mz=0.80
Sollecitazioni agenti localmente: Ty_l=-870.98 My_l=-17.85
Tensioni nella sezione: σ=216.37 τ=26.39
CC 4 SLD (Collegamento 0022_-379)
Azioni sul collegamento: N=-4931.25 Ty=0.53 Tz=-0.05 Mx=0.00 Mz=1.20
Sollecitazioni agenti localmente: Ty_l=-869.39 My_l=-17.82
Tensioni nella sezione: σ=215.95 τ=26.34
CC 4 SLD (Collegamento 0022_-379)
Azioni sul collegamento: N=-4931.25 Ty=0.33 Tz=-5.26 Mx=0.00 Mz=0.80
Sollecitazioni agenti localmente: Ty_l=-870.98 My_l=-17.85
Tensioni nella sezione: σ=216.37 τ=26.39
CC 4 SLD (Collegamento 0022_-379)
Azioni sul collegamento: N=-4931.25 Ty=0.53 Tz=-5.26 Mx=0.00 Mz=1.20
Sollecitazioni agenti localmente: Ty_l=-869.39 My_l=-17.82
Tensioni nella sezione: σ=215.95 τ=26.34
CC 4 SLD (Collegamento 0022_-379)
Azioni sul collegamento: N=-6335.90 Ty=0.33 Tz=-0.05 Mx=0.00 Mz=0.80
Sollecitazioni agenti localmente: Ty_l=-1119.99 My_l=-22.96
Tensioni nella sezione: σ=278.25 τ=33.94
CC 4 SLD (Collegamento 0022_-379)
Azioni sul collegamento: N=-6335.90 Ty=0.53 Tz=-0.05 Mx=0.00 Mz=1.20
Sollecitazioni agenti localmente: Ty_l=-1118.39 My_l=-22.92
Tensioni nella sezione: σ=277.82 τ=33.89
CC 4 SLD (Collegamento 0022_-379)
Azioni sul collegamento: N=-6335.90 Ty=0.33 Tz=-5.26 Mx=0.00 Mz=0.80

Sollecitazioni agenti localmente: Ty_l=-1119.99 My_l=-22.96
Tensioni nella sezione: σ=278.25 τ=33.94
CC 4 SLD (Collegamento 0022_-379)
Azioni sul collegamento: N=-6335.90 Ty=0.53 Tz=-5.26 Mx=0.00 Mz=1.20
Sollecitazioni agenti localmente: Ty_l=-1118.39 My_l=-22.92
Tensioni nella sezione: σ=277.82 τ=33.89
CC 5 SLV (Collegamento 0022_-379)
Azioni sul collegamento: N=-7936.97 Ty=1.58 Tz=-11.19 Mx=0.02 Mz=3.71
Sollecitazioni agenti localmente: Ty_l=-1392.23 My_l=-28.52
Tensioni nella sezione: σ=345.70 τ=42.19
CC 5 SLV (Collegamento 0022_-379)
Azioni sul collegamento: N=-7936.97 Ty=0.90 Tz=-11.19 Mx=0.02 Mz=2.40
Sollecitazioni agenti localmente: Ty_l=-1397.46 My_l=-28.63
Tensioni nella sezione: σ=347.09 τ=42.35
CC 5 SLV (Collegamento 0022_-379)
Azioni sul collegamento: N=-7936.97 Ty=1.58 Tz=5.89 Mx=0.02 Mz=3.71
Sollecitazioni agenti localmente: Ty_l=-1392.23 My_l=-28.52
Tensioni nella sezione: σ=345.70 τ=42.19
CC 5 SLV (Collegamento 0022_-379)
Azioni sul collegamento: N=-7936.97 Ty=0.90 Tz=5.89 Mx=0.02 Mz=2.40
Sollecitazioni agenti localmente: Ty_l=-1397.46 My_l=-28.63
Tensioni nella sezione: σ=347.09 τ=42.35
CC 5 SLV (Collegamento 0022_-379)
Azioni sul collegamento: N=-3330.55 Ty=1.58 Tz=-11.19 Mx=0.02 Mz=3.71
Sollecitazioni agenti localmente: Ty_l=-575.64 My_l=-11.78
Tensioni nella sezione: σ=142.79 τ=17.44
CC 5 SLV (Collegamento 0022_-379)
Azioni sul collegamento: N=-3330.55 Ty=0.90 Tz=-11.19 Mx=0.02 Mz=2.40
Sollecitazioni agenti localmente: Ty_l=-580.87 My_l=-11.89
Tensioni nella sezione: σ=144.18 τ=17.60
CC 5 SLV (Collegamento 0022_-379)
Azioni sul collegamento: N=-3330.55 Ty=1.58 Tz=5.89 Mx=0.02 Mz=3.71
Sollecitazioni agenti localmente: Ty_l=-575.64 My_l=-11.78
Tensioni nella sezione: σ=142.79 τ=17.44
CC 5 SLV (Collegamento 0022_-379)
Azioni sul collegamento: N=-3330.55 Ty=0.90 Tz=5.89 Mx=0.02 Mz=2.40
Sollecitazioni agenti localmente: Ty_l=-580.87 My_l=-11.89
Tensioni nella sezione: σ=144.18 τ=17.60
CC 6 SLD (Collegamento 0022_-379)
Azioni sul collegamento: N=-6335.90 Ty=0.53 Tz=-5.26 Mx=0.01 Mz=1.20
Sollecitazioni agenti localmente: Ty_l=-1118.39 My_l=-22.92
Tensioni nella sezione: σ=277.82 τ=33.89
CC 6 SLD (Collegamento 0022_-379)
Azioni sul collegamento: N=-6335.90 Ty=0.33 Tz=-5.26 Mx=0.01 Mz=0.80
Sollecitazioni agenti localmente: Ty_l=-1119.99 My_l=-22.96
Tensioni nella sezione: σ=278.25 τ=33.94
CC 6 SLD (Collegamento 0022_-379)
Azioni sul collegamento: N=-6335.90 Ty=0.53 Tz=-0.05 Mx=0.01 Mz=1.20
Sollecitazioni agenti localmente: Ty_l=-1118.39 My_l=-22.92
Tensioni nella sezione: σ=277.82 τ=33.89
CC 6 SLD (Collegamento 0022_-379)
Azioni sul collegamento: N=-6335.90 Ty=0.33 Tz=-0.05 Mx=0.01 Mz=0.80
Sollecitazioni agenti localmente: Ty_l=-1119.99 My_l=-22.96
Tensioni nella sezione: σ=278.25 τ=33.94
CC 6 SLD (Collegamento 0022_-379)
Azioni sul collegamento: N=-4931.25 Ty=0.53 Tz=-5.26 Mx=0.01 Mz=1.20
Sollecitazioni agenti localmente: Ty_l=-869.39 My_l=-17.82
Tensioni nella sezione: σ=215.95 τ=26.34
CC 6 SLD (Collegamento 0022_-379)
Azioni sul collegamento: N=-4931.25 Ty=0.33 Tz=-5.26 Mx=0.01 Mz=0.80
Sollecitazioni agenti localmente: Ty_l=-870.98 My_l=-17.85
Tensioni nella sezione: σ=216.37 τ=26.39
CC 6 SLD (Collegamento 0022_-379)
Azioni sul collegamento: N=-4931.25 Ty=0.53 Tz=-0.05 Mx=0.01 Mz=1.20
Sollecitazioni agenti localmente: Ty_l=-869.39 My_l=-17.82
Tensioni nella sezione: σ=215.95 τ=26.34
CC 6 SLD (Collegamento 0022_-379)
Azioni sul collegamento: N=-4931.25 Ty=0.33 Tz=-0.05 Mx=0.01 Mz=0.80
Sollecitazioni agenti localmente: Ty_l=-870.98 My_l=-17.85
Tensioni nella sezione: σ=216.37 τ=26.39
CC 7 SLV (Collegamento 0022_-379)
Azioni sul collegamento: N=-7936.99 Ty=0.88 Tz=-11.19 Mx=0.01 Mz=2.36
Sollecitazioni agenti localmente: Ty_l=-1397.62 My_l=-28.64
Tensioni nella sezione: σ=347.13 τ=42.35
CC 7 SLV (Collegamento 0022_-379)
Azioni sul collegamento: N=-7936.99 Ty=1.59 Tz=-11.19 Mx=0.01 Mz=3.75
Sollecitazioni agenti localmente: Ty_l=-1392.08 My_l=-28.52
Tensioni nella sezione: σ=345.66 τ=42.18
CC 7 SLV (Collegamento 0022_-379)

Azioni sul collegamento: N=-7936.99 Ty=0.88 Tz=5.89 Mx=0.01 Mz=2.36
Sollecitazioni agenti localmente: Ty_l=-1397.62 My_l=-28.64
Tensioni nella sezione: σ=347.13 τ=42.35
CC 7 SLV (Collegamento 0022_-379)
Azioni sul collegamento: N=-7936.99 Ty=1.59 Tz=5.89 Mx=0.01 Mz=3.75
Sollecitazioni agenti localmente: Ty_l=-1392.08 My_l=-28.52
Tensioni nella sezione: σ=345.66 τ=42.18
CC 7 SLV (Collegamento 0022_-379)
Azioni sul collegamento: N=-3330.52 Ty=0.88 Tz=-11.19 Mx=0.01 Mz=2.36
Sollecitazioni agenti localmente: Ty_l=-581.02 My_l=-11.90
Tensioni nella sezione: σ=144.21 τ=17.61
CC 7 SLV (Collegamento 0022_-379)
Azioni sul collegamento: N=-3330.52 Ty=1.59 Tz=-11.19 Mx=0.01 Mz=3.75
Sollecitazioni agenti localmente: Ty_l=-575.48 My_l=-11.78
Tensioni nella sezione: σ=142.75 τ=17.44
CC 7 SLV (Collegamento 0022_-379)
Azioni sul collegamento: N=-3330.52 Ty=0.88 Tz=5.89 Mx=0.01 Mz=2.36
Sollecitazioni agenti localmente: Ty_l=-581.02 My_l=-11.90
Tensioni nella sezione: σ=144.21 τ=17.61
CC 7 SLV (Collegamento 0022_-379)
Azioni sul collegamento: N=-3330.52 Ty=1.59 Tz=5.89 Mx=0.01 Mz=3.75
Sollecitazioni agenti localmente: Ty_l=-575.48 My_l=-11.78
Tensioni nella sezione: σ=142.75 τ=17.44
CC 8 SLD (Collegamento 0022_-379)
Azioni sul collegamento: N=-6335.90 Ty=0.32 Tz=-5.26 Mx=0.00 Mz=0.79
Sollecitazioni agenti localmente: Ty_l=-1120.03 My_l=-22.96
Tensioni nella sezione: σ=278.26 τ=33.94
CC 8 SLD (Collegamento 0022_-379)
Azioni sul collegamento: N=-6335.90 Ty=0.54 Tz=-5.26 Mx=0.00 Mz=1.22
Sollecitazioni agenti localmente: Ty_l=-1118.35 My_l=-22.92
Tensioni nella sezione: σ=277.81 τ=33.89
CC 8 SLD (Collegamento 0022_-379)
Azioni sul collegamento: N=-6335.90 Ty=0.32 Tz=-0.05 Mx=0.00 Mz=0.79
Sollecitazioni agenti localmente: Ty_l=-1120.03 My_l=-22.96
Tensioni nella sezione: σ=278.26 τ=33.94
CC 8 SLD (Collegamento 0022_-379)
Azioni sul collegamento: N=-6335.90 Ty=0.54 Tz=-0.05 Mx=0.00 Mz=1.22
Sollecitazioni agenti localmente: Ty_l=-1118.35 My_l=-22.92
Tensioni nella sezione: σ=277.81 τ=33.89
CC 8 SLD (Collegamento 0022_-379)
Azioni sul collegamento: N=-4931.25 Ty=0.32 Tz=-5.26 Mx=0.00 Mz=0.79
Sollecitazioni agenti localmente: Ty_l=-871.03 My_l=-17.85
Tensioni nella sezione: σ=216.38 τ=26.39
CC 8 SLD (Collegamento 0022_-379)
Azioni sul collegamento: N=-4931.25 Ty=0.54 Tz=-5.26 Mx=0.00 Mz=1.22
Sollecitazioni agenti localmente: Ty_l=-869.34 My_l=-17.81
Tensioni nella sezione: σ=215.94 τ=26.34
CC 8 SLD (Collegamento 0022_-379)
Azioni sul collegamento: N=-4931.25 Ty=0.32 Tz=-0.05 Mx=0.00 Mz=0.79
Sollecitazioni agenti localmente: Ty_l=-871.03 My_l=-17.85
Tensioni nella sezione: σ=216.38 τ=26.39
CC 8 SLD (Collegamento 0022_-379)
Azioni sul collegamento: N=-4931.25 Ty=0.54 Tz=-0.05 Mx=0.00 Mz=1.22
Sollecitazioni agenti localmente: Ty_l=-869.34 My_l=-17.81
Tensioni nella sezione: σ=215.94 τ=26.34
CC 9 SLV (Collegamento 0022_-379)
Azioni sul collegamento: N=-4942.75 Ty=2.39 Tz=-0.09 Mx=0.02 Mz=5.32
Sollecitazioni agenti localmente: Ty_l=-855.06 My_l=-17.50
Tensioni nella sezione: σ=212.11 τ=25.91
CC 9 SLV (Collegamento 0022_-379)
Azioni sul collegamento: N=-4942.75 Ty=0.08 Tz=-0.09 Mx=0.02 Mz=0.80
Sollecitazioni agenti localmente: Ty_l=-873.05 My_l=-17.89
Tensioni nella sezione: σ=216.88 τ=26.46
CC 9 SLV (Collegamento 0022_-379)
Azioni sul collegamento: N=-4942.75 Ty=2.39 Tz=-5.22 Mx=0.02 Mz=5.32
Sollecitazioni agenti localmente: Ty_l=-855.06 My_l=-17.50
Tensioni nella sezione: σ=212.11 τ=25.91
CC 9 SLV (Collegamento 0022_-379)
Azioni sul collegamento: N=-4942.75 Ty=0.08 Tz=-5.22 Mx=0.02 Mz=0.80
Sollecitazioni agenti localmente: Ty_l=-873.05 My_l=-17.89
Tensioni nella sezione: σ=216.88 τ=26.46
CC 9 SLV (Collegamento 0022_-379)
Azioni sul collegamento: N=-6324.76 Ty=2.39 Tz=-0.09 Mx=0.02 Mz=5.32
Sollecitazioni agenti localmente: Ty_l=-1100.05 My_l=-22.52
Tensioni nella sezione: σ=272.99 τ=33.33
CC 9 SLV (Collegamento 0022_-379)
Azioni sul collegamento: N=-6324.76 Ty=0.08 Tz=-0.09 Mx=0.02 Mz=0.80
Sollecitazioni agenti localmente: Ty_l=-1118.04 My_l=-22.92
Tensioni nella sezione: σ=277.76 τ=33.88

CC 9 SLV (Collegamento 0022_-379)
Azioni sul collegamento: N=-6324.76 Ty=2.39 Tz=-5.22 Mx=0.02 Mz=5.32
Sollecitazioni agenti localmente: Ty_l=-1100.05 My_l=-22.52
Tensioni nella sezione: σ=272.99 τ=33.33
CC 9 SLV (Collegamento 0022_-379)
Azioni sul collegamento: N=-6324.76 Ty=0.08 Tz=-5.22 Mx=0.02 Mz=0.80
Sollecitazioni agenti localmente: Ty_l=-1118.04 My_l=-22.92
Tensioni nella sezione: σ=277.76 τ=33.88
CC 10 SLD (Collegamento 0022_-379)
Azioni sul collegamento: N=-5422.87 Ty=0.78 Tz=-1.87 Mx=0.01 Mz=1.69
Sollecitazioni agenti localmente: Ty_l=-954.59 My_l=-19.56
Tensioni nella sezione: σ=237.09 τ=28.93
CC 10 SLD (Collegamento 0022_-379)
Azioni sul collegamento: N=-5422.87 Ty=0.08 Tz=-1.87 Mx=0.01 Mz=0.31
Sollecitazioni agenti localmente: Ty_l=-960.08 My_l=-19.68
Tensioni nella sezione: σ=238.54 τ=29.09
CC 10 SLD (Collegamento 0022_-379)
Azioni sul collegamento: N=-5422.87 Ty=0.78 Tz=-3.44 Mx=0.01 Mz=1.69
Sollecitazioni agenti localmente: Ty_l=-954.59 My_l=-19.56
Tensioni nella sezione: σ=237.09 τ=28.93
CC 10 SLD (Collegamento 0022_-379)
Azioni sul collegamento: N=-5422.87 Ty=0.08 Tz=-3.44 Mx=0.01 Mz=0.31
Sollecitazioni agenti localmente: Ty_l=-960.08 My_l=-19.68
Tensioni nella sezione: σ=238.54 τ=29.09
CC 10 SLD (Collegamento 0022_-379)
Azioni sul collegamento: N=-5844.28 Ty=0.78 Tz=-1.87 Mx=0.01 Mz=1.69
Sollecitazioni agenti localmente: Ty_l=-1029.30 My_l=-21.09
Tensioni nella sezione: σ=255.65 τ=31.19
CC 10 SLD (Collegamento 0022_-379)
Azioni sul collegamento: N=-5844.28 Ty=0.08 Tz=-1.87 Mx=0.01 Mz=0.31
Sollecitazioni agenti localmente: Ty_l=-1034.78 My_l=-21.21
Tensioni nella sezione: σ=257.11 τ=31.36
CC 10 SLD (Collegamento 0022_-379)
Azioni sul collegamento: N=-5844.28 Ty=0.78 Tz=-3.44 Mx=0.01 Mz=1.69
Sollecitazioni agenti localmente: Ty_l=-1029.30 My_l=-21.09
Tensioni nella sezione: σ=255.65 τ=31.19
CC 10 SLD (Collegamento 0022_-379)
Azioni sul collegamento: N=-5844.28 Ty=0.08 Tz=-3.44 Mx=0.01 Mz=0.31
Sollecitazioni agenti localmente: Ty_l=-1034.78 My_l=-21.21
Tensioni nella sezione: σ=257.11 τ=31.36
CC 11 SLV (Collegamento 0022_-379)
Azioni sul collegamento: N=-6324.69 Ty=2.39 Tz=-5.21 Mx=0.02 Mz=5.31
Sollecitazioni agenti localmente: Ty_l=-1100.08 My_l=-22.52
Tensioni nella sezione: σ=273.00 τ=33.34
CC 11 SLV (Collegamento 0022_-379)
Azioni sul collegamento: N=-6324.69 Ty=0.09 Tz=-5.21 Mx=0.02 Mz=0.81
Sollecitazioni agenti localmente: Ty_l=-1117.98 My_l=-22.91
Tensioni nella sezione: σ=277.75 τ=33.88
CC 11 SLV (Collegamento 0022_-379)
Azioni sul collegamento: N=-6324.69 Ty=2.39 Tz=-0.09 Mx=0.02 Mz=5.31
Sollecitazioni agenti localmente: Ty_l=-1100.08 My_l=-22.52
Tensioni nella sezione: σ=273.00 τ=33.34
CC 11 SLV (Collegamento 0022_-379)
Azioni sul collegamento: N=-6324.69 Ty=0.09 Tz=-0.09 Mx=0.02 Mz=0.81
Sollecitazioni agenti localmente: Ty_l=-1117.98 My_l=-22.91
Tensioni nella sezione: σ=277.75 τ=33.88
CC 11 SLV (Collegamento 0022_-379)
Azioni sul collegamento: N=-4942.83 Ty=2.39 Tz=-5.21 Mx=0.02 Mz=5.31
Sollecitazioni agenti localmente: Ty_l=-855.12 My_l=-17.50
Tensioni nella sezione: σ=212.13 τ=25.91
CC 11 SLV (Collegamento 0022_-379)
Azioni sul collegamento: N=-4942.83 Ty=0.09 Tz=-5.21 Mx=0.02 Mz=0.81
Sollecitazioni agenti localmente: Ty_l=-873.01 My_l=-17.89
Tensioni nella sezione: σ=216.88 τ=26.45
CC 11 SLV (Collegamento 0022_-379)
Azioni sul collegamento: N=-4942.83 Ty=2.39 Tz=-0.09 Mx=0.02 Mz=5.31
Sollecitazioni agenti localmente: Ty_l=-855.12 My_l=-17.50
Tensioni nella sezione: σ=212.13 τ=25.91
CC 11 SLV (Collegamento 0022_-379)
Azioni sul collegamento: N=-4942.83 Ty=0.09 Tz=-0.09 Mx=0.02 Mz=0.81
Sollecitazioni agenti localmente: Ty_l=-873.01 My_l=-17.89
Tensioni nella sezione: σ=216.88 τ=26.45
CC 12 SLD (Collegamento 0022_-379)
Azioni sul collegamento: N=-5844.26 Ty=0.78 Tz=-3.43 Mx=0.01 Mz=1.69
Sollecitazioni agenti localmente: Ty_l=-1029.31 My_l=-21.09
Tensioni nella sezione: σ=255.65 τ=31.19
CC 12 SLD (Collegamento 0022_-379)
Azioni sul collegamento: N=-5844.26 Ty=0.08 Tz=-3.43 Mx=0.01 Mz=0.32
Sollecitazioni agenti localmente: Ty_l=-1034.76 My_l=-21.21

Tensioni nella sezione: σ=257.10 τ=31.36
CC 12 SLD (Collegamento 0022_-379)
Azioni sul collegamento: N=-5844.26 Ty=0.78 Tz=-1.87 Mx=0.01 Mz=1.69
Sollecitazioni agenti localmente: Ty_l=-1029.31 My_l=-21.09
Tensioni nella sezione: σ=255.65 τ=31.19
CC 12 SLD (Collegamento 0022_-379)
Azioni sul collegamento: N=-5844.26 Ty=0.08 Tz=-1.87 Mx=0.01 Mz=0.32
Sollecitazioni agenti localmente: Ty_l=-1034.76 My_l=-21.21
Tensioni nella sezione: σ=257.10 τ=31.36
CC 12 SLD (Collegamento 0022_-379)
Azioni sul collegamento: N=-5422.89 Ty=0.78 Tz=-3.43 Mx=0.01 Mz=1.69
Sollecitazioni agenti localmente: Ty_l=-954.61 My_l=-19.56
Tensioni nella sezione: σ=237.09 τ=28.93
CC 12 SLD (Collegamento 0022_-379)
Azioni sul collegamento: N=-5422.89 Ty=0.08 Tz=-3.43 Mx=0.01 Mz=0.32
Sollecitazioni agenti localmente: Ty_l=-960.07 My_l=-19.68
Tensioni nella sezione: σ=238.54 τ=29.09
CC 12 SLD (Collegamento 0022_-379)
Azioni sul collegamento: N=-5422.89 Ty=0.78 Tz=-1.87 Mx=0.01 Mz=1.69
Sollecitazioni agenti localmente: Ty_l=-954.61 My_l=-19.56
Tensioni nella sezione: σ=237.09 τ=28.93
CC 12 SLD (Collegamento 0022_-379)
Azioni sul collegamento: N=-5422.89 Ty=0.08 Tz=-1.87 Mx=0.01 Mz=0.32
Sollecitazioni agenti localmente: Ty_l=-960.07 My_l=-19.68
Tensioni nella sezione: σ=238.54 τ=29.09
CC 13 SLV (Collegamento 0022_-379)
Azioni sul collegamento: N=-4942.83 Ty=0.09 Tz=-0.09 Mx=0.00 Mz=0.81
Sollecitazioni agenti localmente: Ty_l=-873.01 My_l=-17.89
Tensioni nella sezione: σ=216.88 τ=26.45
CC 13 SLV (Collegamento 0022_-379)
Azioni sul collegamento: N=-4942.83 Ty=2.39 Tz=-0.09 Mx=0.00 Mz=5.31
Sollecitazioni agenti localmente: Ty_l=-855.12 My_l=-17.50
Tensioni nella sezione: σ=212.13 τ=25.91
CC 13 SLV (Collegamento 0022_-379)
Azioni sul collegamento: N=-4942.83 Ty=0.09 Tz=-5.21 Mx=0.00 Mz=0.81
Sollecitazioni agenti localmente: Ty_l=-873.01 My_l=-17.89
Tensioni nella sezione: σ=216.88 τ=26.45
CC 13 SLV (Collegamento 0022_-379)
Azioni sul collegamento: N=-4942.83 Ty=2.39 Tz=-5.21 Mx=0.00 Mz=5.31
Sollecitazioni agenti localmente: Ty_l=-855.12 My_l=-17.50
Tensioni nella sezione: σ=212.13 τ=25.91
CC 13 SLV (Collegamento 0022_-379)
Azioni sul collegamento: N=-6324.69 Ty=0.09 Tz=-0.09 Mx=0.00 Mz=0.81
Sollecitazioni agenti localmente: Ty_l=-1117.98 My_l=-22.91
Tensioni nella sezione: σ=277.75 τ=33.88
CC 13 SLV (Collegamento 0022_-379)
Azioni sul collegamento: N=-6324.69 Ty=2.39 Tz=-0.09 Mx=0.00 Mz=5.31
Sollecitazioni agenti localmente: Ty_l=-1100.08 My_l=-22.52
Tensioni nella sezione: σ=273.00 τ=33.34
CC 13 SLV (Collegamento 0022_-379)
Azioni sul collegamento: N=-6324.69 Ty=0.09 Tz=-5.21 Mx=0.00 Mz=0.81
Sollecitazioni agenti localmente: Ty_l=-1117.98 My_l=-22.91
Tensioni nella sezione: σ=277.75 τ=33.88
CC 13 SLV (Collegamento 0022_-379)
Azioni sul collegamento: N=-6324.69 Ty=2.39 Tz=-5.21 Mx=0.00 Mz=5.31
Sollecitazioni agenti localmente: Ty_l=-1100.08 My_l=-22.52
Tensioni nella sezione: σ=273.00 τ=33.34
CC 14 SLD (Collegamento 0022_-379)
Azioni sul collegamento: N=-5422.89 Ty=0.08 Tz=-1.87 Mx=0.00 Mz=0.32
Sollecitazioni agenti localmente: Ty_l=-960.07 My_l=-19.68
Tensioni nella sezione: σ=238.54 τ=29.09
CC 14 SLD (Collegamento 0022_-379)
Azioni sul collegamento: N=-5422.89 Ty=0.78 Tz=-1.87 Mx=0.00 Mz=1.69
Sollecitazioni agenti localmente: Ty_l=-954.61 My_l=-19.56
Tensioni nella sezione: σ=237.09 τ=28.93
CC 14 SLD (Collegamento 0022_-379)
Azioni sul collegamento: N=-5422.89 Ty=0.08 Tz=-3.43 Mx=0.00 Mz=0.32
Sollecitazioni agenti localmente: Ty_l=-960.07 My_l=-19.68
Tensioni nella sezione: σ=238.54 τ=29.09
CC 14 SLD (Collegamento 0022_-379)
Azioni sul collegamento: N=-5422.89 Ty=0.78 Tz=-3.43 Mx=0.00 Mz=1.69
Sollecitazioni agenti localmente: Ty_l=-954.61 My_l=-19.56
Tensioni nella sezione: σ=237.09 τ=28.93
CC 14 SLD (Collegamento 0022_-379)
Azioni sul collegamento: N=-5844.26 Ty=0.08 Tz=-1.87 Mx=0.00 Mz=0.32
Sollecitazioni agenti localmente: Ty_l=-1034.76 My_l=-21.21
Tensioni nella sezione: σ=257.10 τ=31.36
CC 14 SLD (Collegamento 0022_-379)
Azioni sul collegamento: N=-5844.26 Ty=0.78 Tz=-1.87 Mx=0.00 Mz=1.69

Sollecitazioni agenti localmente: Ty_l=-1029.31 My_l=-21.09
Tensioni nella sezione: σ=255.65 τ=31.19
CC 14 SLD (Collegamento 0022_-379)
Azioni sul collegamento: N=-5844.26 Ty=0.08 Tz=-3.43 Mx=0.00 Mz=0.32
Sollecitazioni agenti localmente: Ty_l=-1034.76 My_l=-21.21
Tensioni nella sezione: σ=257.10 τ=31.36
CC 14 SLD (Collegamento 0022_-379)
Azioni sul collegamento: N=-5844.26 Ty=0.78 Tz=-3.43 Mx=0.00 Mz=1.69
Sollecitazioni agenti localmente: Ty_l=-1029.31 My_l=-21.09
Tensioni nella sezione: σ=255.65 τ=31.19
CC 15 SLV (Collegamento 0022_-379)
Azioni sul collegamento: N=-6324.76 Ty=0.08 Tz=-5.22 Mx=0.00 Mz=0.80
Sollecitazioni agenti localmente: Ty_l=-1118.04 My_l=-22.92
Tensioni nella sezione: σ=277.76 τ=33.88
CC 15 SLV (Collegamento 0022_-379)
Azioni sul collegamento: N=-6324.76 Ty=2.39 Tz=-5.22 Mx=0.00 Mz=5.32
Sollecitazioni agenti localmente: Ty_l=-1100.05 My_l=-22.52
Tensioni nella sezione: σ=272.99 τ=33.33
CC 15 SLV (Collegamento 0022_-379)
Azioni sul collegamento: N=-6324.76 Ty=0.08 Tz=-0.09 Mx=0.00 Mz=0.80
Sollecitazioni agenti localmente: Ty_l=-1118.04 My_l=-22.92
Tensioni nella sezione: σ=277.76 τ=33.88
CC 15 SLV (Collegamento 0022_-379)
Azioni sul collegamento: N=-6324.76 Ty=2.39 Tz=-0.09 Mx=0.00 Mz=5.32
Sollecitazioni agenti localmente: Ty_l=-1100.05 My_l=-22.52
Tensioni nella sezione: σ=272.99 τ=33.33
CC 15 SLV (Collegamento 0022_-379)
Azioni sul collegamento: N=-4942.75 Ty=0.08 Tz=-5.22 Mx=0.00 Mz=0.80
Sollecitazioni agenti localmente: Ty_l=-873.05 My_l=-17.89
Tensioni nella sezione: σ=216.88 τ=26.46
CC 15 SLV (Collegamento 0022_-379)
Azioni sul collegamento: N=-4942.75 Ty=2.39 Tz=-5.22 Mx=0.00 Mz=5.32
Sollecitazioni agenti localmente: Ty_l=-855.06 My_l=-17.50
Tensioni nella sezione: σ=212.11 τ=25.91
CC 15 SLV (Collegamento 0022_-379)
Azioni sul collegamento: N=-4942.75 Ty=0.08 Tz=-0.09 Mx=0.00 Mz=0.80
Sollecitazioni agenti localmente: Ty_l=-873.05 My_l=-17.89
Tensioni nella sezione: σ=216.88 τ=26.46
CC 15 SLV (Collegamento 0022_-379)
Azioni sul collegamento: N=-4942.75 Ty=2.39 Tz=-0.09 Mx=0.00 Mz=5.32
Sollecitazioni agenti localmente: Ty_l=-855.06 My_l=-17.50
Tensioni nella sezione: σ=212.11 τ=25.91
CC 16 SLD (Collegamento 0022_-379)
Azioni sul collegamento: N=-5844.28 Ty=0.08 Tz=-3.44 Mx=0.00 Mz=0.31
Sollecitazioni agenti localmente: Ty_l=-1034.78 My_l=-21.21
Tensioni nella sezione: σ=257.11 τ=31.36
CC 16 SLD (Collegamento 0022_-379)
Azioni sul collegamento: N=-5844.28 Ty=0.78 Tz=-3.44 Mx=0.00 Mz=1.69
Sollecitazioni agenti localmente: Ty_l=-1029.30 My_l=-21.09
Tensioni nella sezione: σ=255.65 τ=31.19
CC 16 SLD (Collegamento 0022_-379)
Azioni sul collegamento: N=-5844.28 Ty=0.08 Tz=-1.87 Mx=0.00 Mz=0.31
Sollecitazioni agenti localmente: Ty_l=-1034.78 My_l=-21.21
Tensioni nella sezione: σ=257.11 τ=31.36
CC 16 SLD (Collegamento 0022_-379)
Azioni sul collegamento: N=-5844.28 Ty=0.78 Tz=-1.87 Mx=0.00 Mz=1.69
Sollecitazioni agenti localmente: Ty_l=-1029.30 My_l=-21.09
Tensioni nella sezione: σ=255.65 τ=31.19
CC 16 SLD (Collegamento 0022_-379)
Azioni sul collegamento: N=-5422.87 Ty=0.08 Tz=-3.44 Mx=0.00 Mz=0.31
Sollecitazioni agenti localmente: Ty_l=-960.08 My_l=-19.68
Tensioni nella sezione: σ=238.54 τ=29.09
CC 16 SLD (Collegamento 0022_-379)
Azioni sul collegamento: N=-5422.87 Ty=0.78 Tz=-3.44 Mx=0.00 Mz=1.69
Sollecitazioni agenti localmente: Ty_l=-954.59 My_l=-19.56
Tensioni nella sezione: σ=237.09 τ=28.93
CC 16 SLD (Collegamento 0022_-379)
Azioni sul collegamento: N=-5422.87 Ty=0.08 Tz=-1.87 Mx=0.00 Mz=0.31
Sollecitazioni agenti localmente: Ty_l=-960.08 My_l=-19.68
Tensioni nella sezione: σ=238.54 τ=29.09
CC 16 SLD (Collegamento 0022_-379)
Azioni sul collegamento: N=-5422.87 Ty=0.78 Tz=-1.87 Mx=0.00 Mz=1.69
Sollecitazioni agenti localmente: Ty_l=-954.59 My_l=-19.56
Tensioni nella sezione: σ=237.09 τ=28.93
CC 17 SLV (Collegamento 0022_-379)
Azioni sul collegamento: N=-3330.00 Ty=-0.74 Tz=5.89 Mx=-0.02 Mz=-2.16
Sollecitazioni agenti localmente: Ty_l=-598.89 My_l=-12.29
Tensioni nella sezione: σ=148.96 τ=18.15
CC 17 SLV (Collegamento 0022_-379)

Azioni sul collegamento: N=-3330.00 Ty=-1.44 Tz=5.89 Mx=-0.02 Mz=-3.55
Sollecitazioni agenti localmente: Ty_l=-604.43 My_l=-12.41
Tensioni nella sezione: σ=150.43 τ=18.32
CC 17 SLV (Collegamento 0022_-379)
Azioni sul collegamento: N=-3330.00 Ty=-0.74 Tz=-11.20 Mx=-0.02 Mz=-2.16
Sollecitazioni agenti localmente: Ty_l=-598.89 My_l=-12.29
Tensioni nella sezione: σ=148.96 τ=18.15
CC 17 SLV (Collegamento 0022_-379)
Azioni sul collegamento: N=-3330.00 Ty=-1.44 Tz=-11.20 Mx=-0.02 Mz=-3.55
Sollecitazioni agenti localmente: Ty_l=-604.43 My_l=-12.41
Tensioni nella sezione: σ=150.43 τ=18.32
CC 17 SLV (Collegamento 0022_-379)
Azioni sul collegamento: N=-7936.47 Ty=-0.74 Tz=5.89 Mx=-0.02 Mz=-2.16
Sollecitazioni agenti localmente: Ty_l=-1415.49 My_l=-29.03
Tensioni nella sezione: σ=351.87 τ=42.89
CC 17 SLV (Collegamento 0022_-379)
Azioni sul collegamento: N=-7936.47 Ty=-1.44 Tz=5.89 Mx=-0.02 Mz=-3.55
Sollecitazioni agenti localmente: Ty_l=-1421.03 My_l=-29.15
Tensioni nella sezione: σ=353.34 τ=43.06
CC 17 SLV (Collegamento 0022_-379)
Azioni sul collegamento: N=-7936.47 Ty=-0.74 Tz=-11.20 Mx=-0.02 Mz=-2.16
Sollecitazioni agenti localmente: Ty_l=-1415.49 My_l=-29.03
Tensioni nella sezione: σ=351.87 τ=42.89
CC 17 SLV (Collegamento 0022_-379)
Azioni sul collegamento: N=-7936.47 Ty=-1.44 Tz=-11.20 Mx=-0.02 Mz=-3.55
Sollecitazioni agenti localmente: Ty_l=-1421.03 My_l=-29.15
Tensioni nella sezione: σ=353.34 τ=43.06
CC 18 SLD (Collegamento 0022_-379)
Azioni sul collegamento: N=-4931.08 Ty=-0.17 Tz=-0.05 Mx=-0.00 Mz=-0.59
Sollecitazioni agenti localmente: Ty_l=-876.48 My_l=-17.97
Tensioni nella sezione: σ=217.83 τ=26.56
CC 18 SLD (Collegamento 0022_-379)
Azioni sul collegamento: N=-4931.08 Ty=-0.39 Tz=-0.05 Mx=-0.00 Mz=-1.01
Sollecitazioni agenti localmente: Ty_l=-878.16 My_l=-18.01
Tensioni nella sezione: σ=218.28 τ=26.61
CC 18 SLD (Collegamento 0022_-379)
Azioni sul collegamento: N=-4931.09 Ty=-0.17 Tz=-5.26 Mx=-0.00 Mz=-0.59
Sollecitazioni agenti localmente: Ty_l=-876.48 My_l=-17.97
Tensioni nella sezione: σ=217.83 τ=26.56
CC 18 SLD (Collegamento 0022_-379)
Azioni sul collegamento: N=-4931.09 Ty=-0.39 Tz=-5.26 Mx=-0.00 Mz=-1.01
Sollecitazioni agenti localmente: Ty_l=-878.16 My_l=-18.01
Tensioni nella sezione: σ=218.28 τ=26.61
CC 18 SLD (Collegamento 0022_-379)
Azioni sul collegamento: N=-6335.74 Ty=-0.17 Tz=-0.05 Mx=-0.00 Mz=-0.59
Sollecitazioni agenti localmente: Ty_l=-1125.48 My_l=-23.08
Tensioni nella sezione: σ=279.70 τ=34.11
CC 18 SLD (Collegamento 0022_-379)
Azioni sul collegamento: N=-6335.74 Ty=-0.39 Tz=-0.05 Mx=-0.00 Mz=-1.01
Sollecitazioni agenti localmente: Ty_l=-1127.17 My_l=-23.11
Tensioni nella sezione: σ=280.15 τ=34.16
CC 18 SLD (Collegamento 0022_-379)
Azioni sul collegamento: N=-6335.74 Ty=-0.17 Tz=-5.26 Mx=-0.00 Mz=-0.59
Sollecitazioni agenti localmente: Ty_l=-1125.48 My_l=-23.08
Tensioni nella sezione: σ=279.70 τ=34.11
CC 18 SLD (Collegamento 0022_-379)
Azioni sul collegamento: N=-6335.74 Ty=-0.39 Tz=-5.26 Mx=-0.00 Mz=-1.01
Sollecitazioni agenti localmente: Ty_l=-1127.17 My_l=-23.11
Tensioni nella sezione: σ=280.15 τ=34.16
CC 19 SLV (Collegamento 0022_-379)
Azioni sul collegamento: N=-3330.02 Ty=-1.43 Tz=5.88 Mx=-0.01 Mz=-3.51
Sollecitazioni agenti localmente: Ty_l=-604.28 My_l=-12.41
Tensioni nella sezione: σ=150.39 τ=18.31
CC 19 SLV (Collegamento 0022_-379)
Azioni sul collegamento: N=-3330.02 Ty=-0.75 Tz=5.88 Mx=-0.01 Mz=-2.19
Sollecitazioni agenti localmente: Ty_l=-599.05 My_l=-12.29
Tensioni nella sezione: σ=149.00 τ=18.15
CC 19 SLV (Collegamento 0022_-379)
Azioni sul collegamento: N=-3330.02 Ty=-1.43 Tz=-11.19 Mx=-0.01 Mz=-3.51
Sollecitazioni agenti localmente: Ty_l=-604.28 My_l=-12.41
Tensioni nella sezione: σ=150.39 τ=18.31
CC 19 SLV (Collegamento 0022_-379)
Azioni sul collegamento: N=-3330.02 Ty=-0.75 Tz=-11.19 Mx=-0.01 Mz=-2.19
Sollecitazioni agenti localmente: Ty_l=-599.05 My_l=-12.29
Tensioni nella sezione: σ=149.00 τ=18.15
CC 19 SLV (Collegamento 0022_-379)
Azioni sul collegamento: N=-7936.44 Ty=-1.43 Tz=5.88 Mx=-0.01 Mz=-3.51
Sollecitazioni agenti localmente: Ty_l=-1420.87 My_l=-29.15
Tensioni nella sezione: σ=353.30 τ=43.06

CC 19 SLV (Collegamento 0022_-379)
Azioni sul collegamento: N=-7936.44 Ty=-0.75 Tz=5.88 Mx=-0.01 Mz=-2.19
Sollecitazioni agenti localmente: Ty_l=-1415.64 My_l=-29.03
Tensioni nella sezione: σ=351.91 τ=42.90
CC 19 SLV (Collegamento 0022_-379)
Azioni sul collegamento: N=-7936.44 Ty=-1.43 Tz=-11.19 Mx=-0.01 Mz=-3.51
Sollecitazioni agenti localmente: Ty_l=-1420.87 My_l=-29.15
Tensioni nella sezione: σ=353.30 τ=43.06
CC 19 SLV (Collegamento 0022_-379)
Azioni sul collegamento: N=-7936.44 Ty=-0.75 Tz=-11.19 Mx=-0.01 Mz=-2.19
Sollecitazioni agenti localmente: Ty_l=-1415.64 My_l=-29.03
Tensioni nella sezione: σ=351.91 τ=42.90
CC 20 SLD (Collegamento 0022_-379)
Azioni sul collegamento: N=-4931.09 Ty=-0.38 Tz=-0.05 Mx=-0.00 Mz=-1.00
Sollecitazioni agenti localmente: Ty_l=-878.12 My_l=-18.01
Tensioni nella sezione: σ=218.27 τ=26.61
CC 20 SLD (Collegamento 0022_-379)
Azioni sul collegamento: N=-4931.09 Ty=-0.18 Tz=-0.05 Mx=-0.00 Mz=-0.60
Sollecitazioni agenti localmente: Ty_l=-876.52 My_l=-17.97
Tensioni nella sezione: σ=217.84 τ=26.56
CC 20 SLD (Collegamento 0022_-379)
Azioni sul collegamento: N=-4931.09 Ty=-0.38 Tz=-5.26 Mx=-0.00 Mz=-1.00
Sollecitazioni agenti localmente: Ty_l=-878.12 My_l=-18.01
Tensioni nella sezione: σ=218.27 τ=26.61
CC 20 SLD (Collegamento 0022_-379)
Azioni sul collegamento: N=-4931.09 Ty=-0.18 Tz=-5.26 Mx=-0.00 Mz=-0.60
Sollecitazioni agenti localmente: Ty_l=-876.52 My_l=-17.97
Tensioni nella sezione: σ=217.84 τ=26.56
CC 20 SLD (Collegamento 0022_-379)
Azioni sul collegamento: N=-6335.74 Ty=-0.38 Tz=-0.05 Mx=-0.00 Mz=-1.00
Sollecitazioni agenti localmente: Ty_l=-1127.12 My_l=-23.11
Tensioni nella sezione: σ=280.14 τ=34.16
CC 20 SLD (Collegamento 0022_-379)
Azioni sul collegamento: N=-6335.74 Ty=-0.18 Tz=-0.05 Mx=-0.00 Mz=-0.60
Sollecitazioni agenti localmente: Ty_l=-1125.53 My_l=-23.08
Tensioni nella sezione: σ=279.72 τ=34.11
CC 20 SLD (Collegamento 0022_-379)
Azioni sul collegamento: N=-6335.74 Ty=-0.38 Tz=-5.26 Mx=-0.00 Mz=-1.00
Sollecitazioni agenti localmente: Ty_l=-1127.12 My_l=-23.11
Tensioni nella sezione: σ=280.14 τ=34.16
CC 20 SLD (Collegamento 0022_-379)
Azioni sul collegamento: N=-6335.74 Ty=-0.18 Tz=-5.26 Mx=-0.00 Mz=-0.60
Sollecitazioni agenti localmente: Ty_l=-1125.53 My_l=-23.08
Tensioni nella sezione: σ=279.72 τ=34.11
CC 21 SLV (Collegamento 0022_-379)
Azioni sul collegamento: N=-7936.44 Ty=-0.75 Tz=-11.19 Mx=-0.02 Mz=-2.19
Sollecitazioni agenti localmente: Ty_l=-1415.64 My_l=-29.03
Tensioni nella sezione: σ=351.91 τ=42.90
CC 21 SLV (Collegamento 0022_-379)
Azioni sul collegamento: N=-7936.44 Ty=-1.43 Tz=-11.19 Mx=-0.02 Mz=-3.51
Sollecitazioni agenti localmente: Ty_l=-1420.87 My_l=-29.15
Tensioni nella sezione: σ=353.30 τ=43.06
CC 21 SLV (Collegamento 0022_-379)
Azioni sul collegamento: N=-7936.44 Ty=-0.75 Tz=5.88 Mx=-0.02 Mz=-2.19
Sollecitazioni agenti localmente: Ty_l=-1415.64 My_l=-29.03
Tensioni nella sezione: σ=351.91 τ=42.90
CC 21 SLV (Collegamento 0022_-379)
Azioni sul collegamento: N=-7936.44 Ty=-1.43 Tz=5.88 Mx=-0.02 Mz=-3.51
Sollecitazioni agenti localmente: Ty_l=-1420.87 My_l=-29.15
Tensioni nella sezione: σ=353.30 τ=43.06
CC 21 SLV (Collegamento 0022_-379)
Azioni sul collegamento: N=-3330.02 Ty=-0.75 Tz=-11.19 Mx=-0.02 Mz=-2.19
Sollecitazioni agenti localmente: Ty_l=-599.05 My_l=-12.29
Tensioni nella sezione: σ=149.00 τ=18.15
CC 21 SLV (Collegamento 0022_-379)
Azioni sul collegamento: N=-3330.02 Ty=-1.43 Tz=-11.19 Mx=-0.02 Mz=-3.51
Sollecitazioni agenti localmente: Ty_l=-604.28 My_l=-12.41
Tensioni nella sezione: σ=150.39 τ=18.31
CC 21 SLV (Collegamento 0022_-379)
Azioni sul collegamento: N=-3330.02 Ty=-0.75 Tz=5.88 Mx=-0.02 Mz=-2.19
Sollecitazioni agenti localmente: Ty_l=-599.05 My_l=-12.29
Tensioni nella sezione: σ=149.00 τ=18.15
CC 21 SLV (Collegamento 0022_-379)
Azioni sul collegamento: N=-3330.02 Ty=-1.43 Tz=5.88 Mx=-0.02 Mz=-3.51
Sollecitazioni agenti localmente: Ty_l=-604.28 My_l=-12.41
Tensioni nella sezione: σ=150.39 τ=18.31
CC 22 SLD (Collegamento 0022_-379)
Azioni sul collegamento: N=-6335.74 Ty=-0.18 Tz=-5.26 Mx=-0.00 Mz=-0.60
Sollecitazioni agenti localmente: Ty_l=-1125.53 My_l=-23.08

Tensioni nella sezione: σ=279.72 τ=34.11
CC 22 SLD (Collegamento 0022_-379)
Azioni sul collegamento: N=-6335.74 Ty=-0.38 Tz=-5.26 Mx=-0.00 Mz=-1.00
Sollecitazioni agenti localmente: Ty_l=-1127.12 My_l=-23.11
Tensioni nella sezione: σ=280.14 τ=34.16
CC 22 SLD (Collegamento 0022_-379)
Azioni sul collegamento: N=-6335.74 Ty=-0.18 Tz=-0.05 Mx=-0.00 Mz=-0.60
Sollecitazioni agenti localmente: Ty_l=-1125.53 My_l=-23.08
Tensioni nella sezione: σ=279.72 τ=34.11
CC 22 SLD (Collegamento 0022_-379)
Azioni sul collegamento: N=-6335.74 Ty=-0.38 Tz=-0.05 Mx=-0.00 Mz=-1.00
Sollecitazioni agenti localmente: Ty_l=-1127.12 My_l=-23.11
Tensioni nella sezione: σ=280.14 τ=34.16
CC 22 SLD (Collegamento 0022_-379)
Azioni sul collegamento: N=-4931.09 Ty=-0.18 Tz=-5.26 Mx=-0.00 Mz=-0.60
Sollecitazioni agenti localmente: Ty_l=-876.52 My_l=-17.97
Tensioni nella sezione: σ=217.84 τ=26.56
CC 22 SLD (Collegamento 0022_-379)
Azioni sul collegamento: N=-4931.09 Ty=-0.38 Tz=-5.26 Mx=-0.00 Mz=-1.00
Sollecitazioni agenti localmente: Ty_l=-878.12 My_l=-18.01
Tensioni nella sezione: σ=218.27 τ=26.61
CC 22 SLD (Collegamento 0022_-379)
Azioni sul collegamento: N=-4931.09 Ty=-0.18 Tz=-0.05 Mx=-0.00 Mz=-0.60
Sollecitazioni agenti localmente: Ty_l=-876.52 My_l=-17.97
Tensioni nella sezione: σ=217.84 τ=26.56
CC 22 SLD (Collegamento 0022_-379)
Azioni sul collegamento: N=-4931.09 Ty=-0.38 Tz=-0.05 Mx=-0.00 Mz=-1.00
Sollecitazioni agenti localmente: Ty_l=-878.12 My_l=-18.01
Tensioni nella sezione: σ=218.27 τ=26.61
CC 23 SLV (Collegamento 0022_-379)
Azioni sul collegamento: N=-7936.47 Ty=-1.44 Tz=-11.20 Mx=-0.01 Mz=-3.55
Sollecitazioni agenti localmente: Ty_l=-1421.03 My_l=-29.15
Tensioni nella sezione: σ=353.34 τ=43.06
CC 23 SLV (Collegamento 0022_-379)
Azioni sul collegamento: N=-7936.47 Ty=-0.74 Tz=-11.20 Mx=-0.01 Mz=-2.16
Sollecitazioni agenti localmente: Ty_l=-1415.49 My_l=-29.03
Tensioni nella sezione: σ=351.87 τ=42.89
CC 23 SLV (Collegamento 0022_-379)
Azioni sul collegamento: N=-7936.47 Ty=-1.44 Tz=5.89 Mx=-0.01 Mz=-3.55
Sollecitazioni agenti localmente: Ty_l=-1421.03 My_l=-29.15
Tensioni nella sezione: σ=353.34 τ=43.06
CC 23 SLV (Collegamento 0022_-379)
Azioni sul collegamento: N=-7936.47 Ty=-0.74 Tz=5.89 Mx=-0.01 Mz=-2.16
Sollecitazioni agenti localmente: Ty_l=-1415.49 My_l=-29.03
Tensioni nella sezione: σ=351.87 τ=42.89
CC 23 SLV (Collegamento 0022_-379)
Azioni sul collegamento: N=-3330.00 Ty=-1.44 Tz=-11.20 Mx=-0.01 Mz=-3.55
Sollecitazioni agenti localmente: Ty_l=-604.43 My_l=-12.41
Tensioni nella sezione: σ=150.43 τ=18.32
CC 23 SLV (Collegamento 0022_-379)
Azioni sul collegamento: N=-3330.00 Ty=-0.74 Tz=-11.20 Mx=-0.01 Mz=-2.16
Sollecitazioni agenti localmente: Ty_l=-598.89 My_l=-12.29
Tensioni nella sezione: σ=148.96 τ=18.15
CC 23 SLV (Collegamento 0022_-379)
Azioni sul collegamento: N=-3330.00 Ty=-1.44 Tz=5.89 Mx=-0.01 Mz=-3.55
Sollecitazioni agenti localmente: Ty_l=-604.43 My_l=-12.41
Tensioni nella sezione: σ=150.43 τ=18.32
CC 23 SLV (Collegamento 0022_-379)
Azioni sul collegamento: N=-3330.00 Ty=-0.74 Tz=5.89 Mx=-0.01 Mz=-2.16
Sollecitazioni agenti localmente: Ty_l=-598.89 My_l=-12.29
Tensioni nella sezione: σ=148.96 τ=18.15
CC 24 SLD (Collegamento 0022_-379)
Azioni sul collegamento: N=-6335.74 Ty=-0.39 Tz=-5.26 Mx=-0.00 Mz=-1.01
Sollecitazioni agenti localmente: Ty_l=-1127.17 My_l=-23.11
Tensioni nella sezione: σ=280.15 τ=34.16
CC 24 SLD (Collegamento 0022_-379)
Azioni sul collegamento: N=-6335.74 Ty=-0.17 Tz=-5.26 Mx=-0.00 Mz=-0.59
Sollecitazioni agenti localmente: Ty_l=-1125.48 My_l=-23.08
Tensioni nella sezione: σ=279.70 τ=34.11
CC 24 SLD (Collegamento 0022_-379)
Azioni sul collegamento: N=-6335.74 Ty=-0.39 Tz=-0.05 Mx=-0.00 Mz=-1.01
Sollecitazioni agenti localmente: Ty_l=-1127.17 My_l=-23.11
Tensioni nella sezione: σ=280.15 τ=34.16
CC 24 SLD (Collegamento 0022_-379)
Azioni sul collegamento: N=-6335.74 Ty=-0.17 Tz=-0.05 Mx=-0.00 Mz=-0.59
Sollecitazioni agenti localmente: Ty_l=-1125.48 My_l=-23.08
Tensioni nella sezione: σ=279.70 τ=34.11
CC 24 SLD (Collegamento 0022_-379)
Azioni sul collegamento: N=-4931.09 Ty=-0.39 Tz=-5.26 Mx=-0.00 Mz=-1.01

Sollecitazioni agenti localmente: Ty_l=-878.16 My_l=-18.01
Tensioni nella sezione: σ=218.28 τ=26.61
CC 24 SLD (Collegamento 0022_-379)
Azioni sul collegamento: N=-4931.09 Ty=-0.17 Tz=-5.26 Mx=-0.00 Mz=-0.59
Sollecitazioni agenti localmente: Ty_l=-876.48 My_l=-17.97
Tensioni nella sezione: σ=217.83 τ=26.56
CC 24 SLD (Collegamento 0022_-379)
Azioni sul collegamento: N=-4931.08 Ty=-0.39 Tz=-0.05 Mx=-0.00 Mz=-1.01
Sollecitazioni agenti localmente: Ty_l=-878.16 My_l=-18.01
Tensioni nella sezione: σ=218.28 τ=26.61
CC 24 SLD (Collegamento 0022_-379)
Azioni sul collegamento: N=-4931.08 Ty=-0.17 Tz=-0.05 Mx=-0.00 Mz=-0.59
Sollecitazioni agenti localmente: Ty_l=-876.48 My_l=-17.97
Tensioni nella sezione: σ=217.83 τ=26.56
CC 25 SLV (Collegamento 0022_-379)
Azioni sul collegamento: N=-4942.23 Ty=0.07 Tz=-0.09 Mx=-0.02 Mz=-0.59
Sollecitazioni agenti localmente: Ty_l=-878.47 My_l=-18.01
Tensioni nella sezione: σ=218.33 τ=26.62
CC 25 SLV (Collegamento 0022_-379)
Azioni sul collegamento: N=-4942.23 Ty=-2.24 Tz=-0.09 Mx=-0.02 Mz=-5.11
Sollecitazioni agenti localmente: Ty_l=-896.46 My_l=-18.41
Tensioni nella sezione: σ=223.10 τ=27.17
CC 25 SLV (Collegamento 0022_-379)
Azioni sul collegamento: N=-4942.23 Ty=0.07 Tz=-5.22 Mx=-0.02 Mz=-0.59
Sollecitazioni agenti localmente: Ty_l=-878.47 My_l=-18.01
Tensioni nella sezione: σ=218.33 τ=26.62
CC 25 SLV (Collegamento 0022_-379)
Azioni sul collegamento: N=-4942.23 Ty=-2.24 Tz=-5.22 Mx=-0.02 Mz=-5.11
Sollecitazioni agenti localmente: Ty_l=-896.46 My_l=-18.41
Tensioni nella sezione: σ=223.10 τ=27.17
CC 25 SLV (Collegamento 0022_-379)
Azioni sul collegamento: N=-6324.24 Ty=0.07 Tz=-0.09 Mx=-0.02 Mz=-0.59
Sollecitazioni agenti localmente: Ty_l=-1123.46 My_l=-23.03
Tensioni nella sezione: σ=279.20 τ=34.04
CC 25 SLV (Collegamento 0022_-379)
Azioni sul collegamento: N=-6324.24 Ty=-2.24 Tz=-0.09 Mx=-0.02 Mz=-5.11
Sollecitazioni agenti localmente: Ty_l=-1141.45 My_l=-23.43
Tensioni nella sezione: σ=283.98 τ=34.59
CC 25 SLV (Collegamento 0022_-379)
Azioni sul collegamento: N=-6324.24 Ty=0.07 Tz=-5.22 Mx=-0.02 Mz=-0.59
Sollecitazioni agenti localmente: Ty_l=-1123.46 My_l=-23.03
Tensioni nella sezione: σ=279.20 τ=34.04
CC 25 SLV (Collegamento 0022_-379)
Azioni sul collegamento: N=-6324.24 Ty=-2.24 Tz=-5.22 Mx=-0.02 Mz=-5.11
Sollecitazioni agenti localmente: Ty_l=-1141.45 My_l=-23.43
Tensioni nella sezione: σ=283.98 τ=34.59
CC 26 SLD (Collegamento 0022_-379)
Azioni sul collegamento: N=-5422.71 Ty=0.07 Tz=-1.87 Mx=-0.01 Mz=-0.11
Sollecitazioni agenti localmente: Ty_l=-961.73 My_l=-19.72
Tensioni nella sezione: σ=238.98 τ=29.14
CC 26 SLD (Collegamento 0022_-379)
Azioni sul collegamento: N=-5422.71 Ty=-0.63 Tz=-1.87 Mx=-0.01 Mz=-1.49
Sollecitazioni agenti localmente: Ty_l=-967.21 My_l=-19.84
Tensioni nella sezione: σ=240.44 τ=29.31
CC 26 SLD (Collegamento 0022_-379)
Azioni sul collegamento: N=-5422.71 Ty=0.07 Tz=-3.44 Mx=-0.01 Mz=-0.11
Sollecitazioni agenti localmente: Ty_l=-961.73 My_l=-19.72
Tensioni nella sezione: σ=238.98 τ=29.14
CC 26 SLD (Collegamento 0022_-379)
Azioni sul collegamento: N=-5422.71 Ty=-0.63 Tz=-3.44 Mx=-0.01 Mz=-1.49
Sollecitazioni agenti localmente: Ty_l=-967.21 My_l=-19.84
Tensioni nella sezione: σ=240.44 τ=29.31
CC 26 SLD (Collegamento 0022_-379)
Azioni sul collegamento: N=-5844.12 Ty=0.07 Tz=-1.87 Mx=-0.01 Mz=-0.11
Sollecitazioni agenti localmente: Ty_l=-1036.44 My_l=-21.25
Tensioni nella sezione: σ=257.55 τ=31.41
CC 26 SLD (Collegamento 0022_-379)
Azioni sul collegamento: N=-5844.12 Ty=-0.63 Tz=-1.87 Mx=-0.01 Mz=-1.49
Sollecitazioni agenti localmente: Ty_l=-1041.92 My_l=-21.37
Tensioni nella sezione: σ=259.00 τ=31.57
CC 26 SLD (Collegamento 0022_-379)
Azioni sul collegamento: N=-5844.12 Ty=0.07 Tz=-3.44 Mx=-0.01 Mz=-0.11
Sollecitazioni agenti localmente: Ty_l=-1036.44 My_l=-21.25
Tensioni nella sezione: σ=257.55 τ=31.41
CC 26 SLD (Collegamento 0022_-379)
Azioni sul collegamento: N=-5844.12 Ty=-0.63 Tz=-3.44 Mx=-0.01 Mz=-1.49
Sollecitazioni agenti localmente: Ty_l=-1041.92 My_l=-21.37
Tensioni nella sezione: σ=259.00 τ=31.57
CC 27 SLV (Collegamento 0022_-379)

Azioni sul collegamento: N=-6324.16 Ty=0.06 Tz=-5.22 Mx=-0.02 Mz=-0.60
Sollecitazioni agenti localmente: Ty_l=-1123.50 My_l=-23.04
Tensioni nella sezione: σ=279.21 τ=34.05
CC 27 SLV (Collegamento 0022_-379)
Azioni sul collegamento: N=-6324.16 Ty=-2.24 Tz=-5.22 Mx=-0.02 Mz=-5.10
Sollecitazioni agenti localmente: Ty_l=-1141.39 My_l=-23.43
Tensioni nella sezione: σ=283.96 τ=34.59
CC 27 SLV (Collegamento 0022_-379)
Azioni sul collegamento: N=-6324.16 Ty=0.06 Tz=-0.09 Mx=-0.02 Mz=-0.60
Sollecitazioni agenti localmente: Ty_l=-1123.50 My_l=-23.04
Tensioni nella sezione: σ=279.21 τ=34.05
CC 27 SLV (Collegamento 0022_-379)
Azioni sul collegamento: N=-6324.16 Ty=-2.24 Tz=-0.09 Mx=-0.02 Mz=-5.10
Sollecitazioni agenti localmente: Ty_l=-1141.39 My_l=-23.43
Tensioni nella sezione: σ=283.96 τ=34.59
CC 27 SLV (Collegamento 0022_-379)
Azioni sul collegamento: N=-4942.30 Ty=0.06 Tz=-5.22 Mx=-0.02 Mz=-0.60
Sollecitazioni agenti localmente: Ty_l=-878.53 My_l=-18.01
Tensioni nella sezione: σ=218.34 τ=26.62
CC 27 SLV (Collegamento 0022_-379)
Azioni sul collegamento: N=-4942.30 Ty=-2.24 Tz=-5.22 Mx=-0.02 Mz=-5.10
Sollecitazioni agenti localmente: Ty_l=-896.43 My_l=-18.41
Tensioni nella sezione: σ=223.09 τ=27.16
CC 27 SLV (Collegamento 0022_-379)
Azioni sul collegamento: N=-4942.30 Ty=0.06 Tz=-0.09 Mx=-0.02 Mz=-0.60
Sollecitazioni agenti localmente: Ty_l=-878.53 My_l=-18.01
Tensioni nella sezione: σ=218.34 τ=26.62
CC 27 SLV (Collegamento 0022_-379)
Azioni sul collegamento: N=-4942.30 Ty=-2.24 Tz=-0.09 Mx=-0.02 Mz=-5.10
Sollecitazioni agenti localmente: Ty_l=-896.43 My_l=-18.41
Tensioni nella sezione: σ=223.09 τ=27.16
CC 28 SLD (Collegamento 0022_-379)
Azioni sul collegamento: N=-5844.10 Ty=0.07 Tz=-3.44 Mx=-0.01 Mz=-0.11
Sollecitazioni agenti localmente: Ty_l=-1036.45 My_l=-21.25
Tensioni nella sezione: σ=257.55 τ=31.41
CC 28 SLD (Collegamento 0022_-379)
Azioni sul collegamento: N=-5844.10 Ty=-0.63 Tz=-3.44 Mx=-0.01 Mz=-1.48
Sollecitazioni agenti localmente: Ty_l=-1041.90 My_l=-21.37
Tensioni nella sezione: σ=259.00 τ=31.57
CC 28 SLD (Collegamento 0022_-379)
Azioni sul collegamento: N=-5844.10 Ty=0.07 Tz=-1.87 Mx=-0.01 Mz=-0.11
Sollecitazioni agenti localmente: Ty_l=-1036.45 My_l=-21.25
Tensioni nella sezione: σ=257.55 τ=31.41
CC 28 SLD (Collegamento 0022_-379)
Azioni sul collegamento: N=-5844.10 Ty=-0.63 Tz=-1.87 Mx=-0.01 Mz=-1.48
Sollecitazioni agenti localmente: Ty_l=-1041.90 My_l=-21.37
Tensioni nella sezione: σ=259.00 τ=31.57
CC 28 SLD (Collegamento 0022_-379)
Azioni sul collegamento: N=-5422.73 Ty=0.07 Tz=-3.44 Mx=-0.01 Mz=-0.11
Sollecitazioni agenti localmente: Ty_l=-961.75 My_l=-19.72
Tensioni nella sezione: σ=238.99 τ=29.14
CC 28 SLD (Collegamento 0022_-379)
Azioni sul collegamento: N=-5422.73 Ty=-0.63 Tz=-3.44 Mx=-0.01 Mz=-1.48
Sollecitazioni agenti localmente: Ty_l=-967.20 My_l=-19.84
Tensioni nella sezione: σ=240.44 τ=29.31
CC 28 SLD (Collegamento 0022_-379)
Azioni sul collegamento: N=-5422.73 Ty=0.07 Tz=-1.87 Mx=-0.01 Mz=-0.11
Sollecitazioni agenti localmente: Ty_l=-961.75 My_l=-19.72
Tensioni nella sezione: σ=238.99 τ=29.14
CC 28 SLD (Collegamento 0022_-379)
Azioni sul collegamento: N=-5422.73 Ty=-0.63 Tz=-1.87 Mx=-0.01 Mz=-1.48
Sollecitazioni agenti localmente: Ty_l=-967.20 My_l=-19.84
Tensioni nella sezione: σ=240.44 τ=29.31
CC 29 SLV (Collegamento 0022_-379)
Azioni sul collegamento: N=-4942.30 Ty=-2.24 Tz=-0.09 Mx=-0.00 Mz=-5.10
Sollecitazioni agenti localmente: Ty_l=-896.43 My_l=-18.41
Tensioni nella sezione: σ=223.09 τ=27.16
CC 29 SLV (Collegamento 0022_-379)
Azioni sul collegamento: N=-4942.30 Ty=0.06 Tz=-0.09 Mx=-0.00 Mz=-0.60
Sollecitazioni agenti localmente: Ty_l=-878.53 My_l=-18.01
Tensioni nella sezione: σ=218.34 τ=26.62
CC 29 SLV (Collegamento 0022_-379)
Azioni sul collegamento: N=-4942.30 Ty=-2.24 Tz=-5.22 Mx=-0.00 Mz=-5.10
Sollecitazioni agenti localmente: Ty_l=-896.43 My_l=-18.41
Tensioni nella sezione: σ=223.09 τ=27.16
CC 29 SLV (Collegamento 0022_-379)
Azioni sul collegamento: N=-4942.30 Ty=0.06 Tz=-5.22 Mx=-0.00 Mz=-0.60
Sollecitazioni agenti localmente: Ty_l=-878.53 My_l=-18.01
Tensioni nella sezione: σ=218.34 τ=26.62

CC 29 SLV (Collegamento 0022_-379)
Azioni sul collegamento: N=-6324.16 Ty=-2.24 Tz=-0.09 Mx=-0.00 Mz=-5.10
Sollecitazioni agenti localmente: Ty_l=-1141.39 My_l=-23.43
Tensioni nella sezione: σ=283.96 τ=34.59
CC 29 SLV (Collegamento 0022_-379)
Azioni sul collegamento: N=-6324.16 Ty=0.06 Tz=-0.09 Mx=-0.00 Mz=-0.60
Sollecitazioni agenti localmente: Ty_l=-1123.50 My_l=-23.04
Tensioni nella sezione: σ=279.21 τ=34.05
CC 29 SLV (Collegamento 0022_-379)
Azioni sul collegamento: N=-6324.16 Ty=-2.24 Tz=-5.22 Mx=-0.00 Mz=-5.10
Sollecitazioni agenti localmente: Ty_l=-1141.39 My_l=-23.43
Tensioni nella sezione: σ=283.96 τ=34.59
CC 29 SLV (Collegamento 0022_-379)
Azioni sul collegamento: N=-6324.16 Ty=0.06 Tz=-5.22 Mx=-0.00 Mz=-0.60
Sollecitazioni agenti localmente: Ty_l=-1123.50 My_l=-23.04
Tensioni nella sezione: σ=279.21 τ=34.05
CC 30 SLD (Collegamento 0022_-379)
Azioni sul collegamento: N=-5422.73 Ty=-0.63 Tz=-1.87 Mx=-0.00 Mz=-1.48
Sollecitazioni agenti localmente: Ty_l=-967.20 My_l=-19.84
Tensioni nella sezione: σ=240.44 τ=29.31
CC 30 SLD (Collegamento 0022_-379)
Azioni sul collegamento: N=-5422.73 Ty=0.07 Tz=-1.87 Mx=-0.00 Mz=-0.11
Sollecitazioni agenti localmente: Ty_l=-961.75 My_l=-19.72
Tensioni nella sezione: σ=238.99 τ=29.14
CC 30 SLD (Collegamento 0022_-379)
Azioni sul collegamento: N=-5422.73 Ty=-0.63 Tz=-3.44 Mx=-0.00 Mz=-1.48
Sollecitazioni agenti localmente: Ty_l=-967.20 My_l=-19.84
Tensioni nella sezione: σ=240.44 τ=29.31
CC 30 SLD (Collegamento 0022_-379)
Azioni sul collegamento: N=-5422.73 Ty=0.07 Tz=-3.44 Mx=-0.00 Mz=-0.11
Sollecitazioni agenti localmente: Ty_l=-961.75 My_l=-19.72
Tensioni nella sezione: σ=238.99 τ=29.14
CC 30 SLD (Collegamento 0022_-379)
Azioni sul collegamento: N=-5844.10 Ty=-0.63 Tz=-1.87 Mx=-0.00 Mz=-1.48
Sollecitazioni agenti localmente: Ty_l=-1041.90 My_l=-21.37
Tensioni nella sezione: σ=259.00 τ=31.57
CC 30 SLD (Collegamento 0022_-379)
Azioni sul collegamento: N=-5844.10 Ty=0.07 Tz=-1.87 Mx=-0.00 Mz=-0.11
Sollecitazioni agenti localmente: Ty_l=-1036.45 My_l=-21.25
Tensioni nella sezione: σ=257.55 τ=31.41
CC 30 SLD (Collegamento 0022_-379)
Azioni sul collegamento: N=-5844.10 Ty=-0.63 Tz=-3.44 Mx=-0.00 Mz=-1.48
Sollecitazioni agenti localmente: Ty_l=-1041.90 My_l=-21.37
Tensioni nella sezione: σ=259.00 τ=31.57
CC 30 SLD (Collegamento 0022_-379)
Azioni sul collegamento: N=-5844.10 Ty=0.07 Tz=-3.44 Mx=-0.00 Mz=-0.11
Sollecitazioni agenti localmente: Ty_l=-1036.45 My_l=-21.25
Tensioni nella sezione: σ=257.55 τ=31.41
CC 31 SLV (Collegamento 0022_-379)
Azioni sul collegamento: N=-6324.24 Ty=-2.24 Tz=-5.22 Mx=-0.00 Mz=-5.11
Sollecitazioni agenti localmente: Ty_l=-1141.45 My_l=-23.43
Tensioni nella sezione: σ=283.98 τ=34.59
CC 31 SLV (Collegamento 0022_-379)
Azioni sul collegamento: N=-6324.24 Ty=0.07 Tz=-5.22 Mx=-0.00 Mz=-0.59
Sollecitazioni agenti localmente: Ty_l=-1123.46 My_l=-23.03
Tensioni nella sezione: σ=279.20 τ=34.04
CC 31 SLV (Collegamento 0022_-379)
Azioni sul collegamento: N=-6324.24 Ty=-2.24 Tz=-0.09 Mx=-0.00 Mz=-5.11
Sollecitazioni agenti localmente: Ty_l=-1141.45 My_l=-23.43
Tensioni nella sezione: σ=283.98 τ=34.59
CC 31 SLV (Collegamento 0022_-379)
Azioni sul collegamento: N=-6324.24 Ty=0.07 Tz=-0.09 Mx=-0.00 Mz=-0.59
Sollecitazioni agenti localmente: Ty_l=-1123.46 My_l=-23.03
Tensioni nella sezione: σ=279.20 τ=34.04
CC 31 SLV (Collegamento 0022_-379)
Azioni sul collegamento: N=-4942.23 Ty=-2.24 Tz=-5.22 Mx=-0.00 Mz=-5.11
Sollecitazioni agenti localmente: Ty_l=-896.46 My_l=-18.41
Tensioni nella sezione: σ=223.10 τ=27.17
CC 31 SLV (Collegamento 0022_-379)
Azioni sul collegamento: N=-4942.23 Ty=0.07 Tz=-5.22 Mx=-0.00 Mz=-0.59
Sollecitazioni agenti localmente: Ty_l=-878.47 My_l=-18.01
Tensioni nella sezione: σ=218.33 τ=26.62
CC 31 SLV (Collegamento 0022_-379)
Azioni sul collegamento: N=-4942.23 Ty=-2.24 Tz=-0.09 Mx=-0.00 Mz=-5.11
Sollecitazioni agenti localmente: Ty_l=-896.46 My_l=-18.41
Tensioni nella sezione: σ=223.10 τ=27.17
CC 31 SLV (Collegamento 0022_-379)
Azioni sul collegamento: N=-4942.23 Ty=0.07 Tz=-0.09 Mx=-0.00 Mz=-0.59
Sollecitazioni agenti localmente: Ty_l=-878.47 My_l=-18.01

Tensioni nella sezione: σ=218.33 τ=26.62
CC 32 SLD (Collegamento 0022_-379)
Azioni sul collegamento: N=-5844.12 Ty=-0.63 Tz=-3.44 Mx=-0.00 Mz=-1.49
Sollecitazioni agenti localmente: Ty_l=-1041.92 My_l=-21.37
Tensioni nella sezione: σ=259.00 τ=31.57
CC 32 SLD (Collegamento 0022_-379)
Azioni sul collegamento: N=-5844.12 Ty=0.07 Tz=-3.44 Mx=-0.00 Mz=-0.11
Sollecitazioni agenti localmente: Ty_l=-1036.44 My_l=-21.25
Tensioni nella sezione: σ=257.55 τ=31.41
CC 32 SLD (Collegamento 0022_-379)
Azioni sul collegamento: N=-5844.12 Ty=-0.63 Tz=-1.87 Mx=-0.00 Mz=-1.49
Sollecitazioni agenti localmente: Ty_l=-1041.92 My_l=-21.37
Tensioni nella sezione: σ=259.00 τ=31.57
CC 32 SLD (Collegamento 0022_-379)
Azioni sul collegamento: N=-5844.12 Ty=0.07 Tz=-1.87 Mx=-0.00 Mz=-0.11
Sollecitazioni agenti localmente: Ty_l=-1036.44 My_l=-21.25
Tensioni nella sezione: σ=257.55 τ=31.41
CC 32 SLD (Collegamento 0022_-379)
Azioni sul collegamento: N=-5422.71 Ty=-0.63 Tz=-3.44 Mx=-0.00 Mz=-1.49
Sollecitazioni agenti localmente: Ty_l=-967.21 My_l=-19.84
Tensioni nella sezione: σ=240.44 τ=29.31
CC 32 SLD (Collegamento 0022_-379)
Azioni sul collegamento: N=-5422.71 Ty=0.07 Tz=-3.44 Mx=-0.00 Mz=-0.11
Sollecitazioni agenti localmente: Ty_l=-961.73 My_l=-19.72
Tensioni nella sezione: σ=238.98 τ=29.14
CC 32 SLD (Collegamento 0022_-379)
Azioni sul collegamento: N=-5422.71 Ty=-0.63 Tz=-1.87 Mx=-0.00 Mz=-1.49
Sollecitazioni agenti localmente: Ty_l=-967.21 My_l=-19.84
Tensioni nella sezione: σ=240.44 τ=29.31
CC 32 SLD (Collegamento 0022_-379)
Azioni sul collegamento: N=-5422.71 Ty=0.07 Tz=-1.87 Mx=-0.00 Mz=-0.11
Sollecitazioni agenti localmente: Ty_l=-961.73 My_l=-19.72
Tensioni nella sezione: σ=238.98 τ=29.14
CC 33 SLU (Collegamento 0022_-379)
Azioni sul collegamento: N=-28967.90 Ty=0.05 Tz=74.90 Mx=0.00 Mz=0.12
Sollecitazioni agenti localmente: Ty_l=-5134.74 My_l=-105.26
Tensioni nella sezione: σ=1275.90 τ=155.60
CC 34 SLU (Collegamento 0022_-379)
Azioni sul collegamento: N=-29447.20 Ty=0.05 Tz=76.67 Mx=0.00 Mz=0.12
Sollecitazioni agenti localmente: Ty_l=-5219.72 My_l=-107.00
Tensioni nella sezione: σ=1297.01 τ=158.17
CC 35 SLU (Collegamento 0022_-379)
Azioni sul collegamento: N=-29207.50 Ty=0.17 Tz=75.78 Mx=-0.00 Mz=0.35
Sollecitazioni agenti localmente: Ty_l=-5176.30 My_l=-106.11
Tensioni nella sezione: σ=1286.21 τ=156.86
CC 36 SLU (Collegamento 0022_-379)
Azioni sul collegamento: N=-29207.50 Ty=-0.07 Tz=75.79 Mx=0.00 Mz=-0.12
Sollecitazioni agenti localmente: Ty_l=-5178.16 My_l=-106.15
Tensioni nella sezione: σ=1286.70 τ=156.91
CC 37 SLU (Collegamento 0022_-379)
Azioni sul collegamento: N=-29152.80 Ty=0.07 Tz=74.88 Mx=0.00 Mz=0.13
Sollecitazioni agenti localmente: Ty_l=-5167.47 My_l=-105.93
Tensioni nella sezione: σ=1284.03 τ=156.59
CC 38 SLU (Collegamento 0022_-379)
Azioni sul collegamento: N=-29632.10 Ty=0.07 Tz=76.66 Mx=0.00 Mz=0.13
Sollecitazioni agenti localmente: Ty_l=-5252.45 My_l=-107.67
Tensioni nella sezione: σ=1305.15 τ=159.16
CC 39 SLU (Collegamento 0022_-379)
Azioni sul collegamento: N=-29392.40 Ty=0.19 Tz=75.77 Mx=-0.00 Mz=0.36
Sollecitazioni agenti localmente: Ty_l=-5209.03 My_l=-106.78
Tensioni nella sezione: σ=1294.34 τ=157.85
CC 40 SLU (Collegamento 0022_-379)
Azioni sul collegamento: N=-29392.40 Ty=-0.05 Tz=75.77 Mx=0.00 Mz=-0.10
Sollecitazioni agenti localmente: Ty_l=-5210.89 My_l=-106.82
Tensioni nella sezione: σ=1294.83 τ=157.91
CC 41 SLU (Collegamento 0022_-379)
Azioni sul collegamento: N=-19454.60 Ty=0.08 Tz=39.91 Mx=0.00 Mz=0.13
Sollecitazioni agenti localmente: Ty_l=-3448.24 My_l=-70.69
Tensioni nella sezione: σ=856.83 τ=104.49
CC 42 SLU (Collegamento 0022_-379)
Azioni sul collegamento: N=-19933.90 Ty=0.08 Tz=41.69 Mx=0.00 Mz=0.13
Sollecitazioni agenti localmente: Ty_l=-3533.22 My_l=-72.43
Tensioni nella sezione: σ=877.94 τ=107.07
CC 43 SLU (Collegamento 0022_-379)
Azioni sul collegamento: N=-19694.20 Ty=0.20 Tz=40.80 Mx=-0.00 Mz=0.36
Sollecitazioni agenti localmente: Ty_l=-3489.80 My_l=-71.54
Tensioni nella sezione: σ=867.14 τ=105.75
CC 44 SLU (Collegamento 0022_-379)
Azioni sul collegamento: N=-19694.20 Ty=-0.04 Tz=40.80 Mx=0.00 Mz=-0.10

Sollecitazioni agenti localmente: Ty_l=-3491.67 My_l=-71.58
Tensioni nella sezione: σ=867.63 τ=105.81
CC 45 SLU (Collegamento 0022_-379)
Azioni sul collegamento: N=-21628.70 Ty=0.08 Tz=47.97 Mx=0.00 Mz=0.14
Sollecitazioni agenti localmente: Ty_l=-3833.63 My_l=-78.59
Tensioni nella sezione: σ=952.59 τ=116.17
CC 46 SLU (Collegamento 0022_-379)
Azioni sul collegamento: N=-22108.00 Ty=0.08 Tz=49.75 Mx=0.00 Mz=0.14
Sollecitazioni agenti localmente: Ty_l=-3918.61 My_l=-80.33
Tensioni nella sezione: σ=973.71 τ=118.75
CC 47 SLU (Collegamento 0022_-379)
Azioni sul collegamento: N=-21868.40 Ty=0.20 Tz=48.86 Mx=-0.00 Mz=0.37
Sollecitazioni agenti localmente: Ty_l=-3875.19 My_l=-79.44
Tensioni nella sezione: σ=962.90 τ=117.43
CC 48 SLU (Collegamento 0022_-379)
Azioni sul collegamento: N=-21868.40 Ty=-0.04 Tz=48.86 Mx=0.00 Mz=-0.10
Sollecitazioni agenti localmente: Ty_l=-3877.05 My_l=-79.48
Tensioni nella sezione: σ=963.39 τ=117.49
CC 49 SLU (Collegamento 0022_-379)
Azioni sul collegamento: N=-21767.10 Ty=0.10 Tz=47.96 Mx=0.00 Mz=0.15
Sollecitazioni agenti localmente: Ty_l=-3858.11 My_l=-79.09
Tensioni nella sezione: σ=958.67 τ=116.91
CC 50 SLU (Collegamento 0022_-379)
Azioni sul collegamento: N=-22246.40 Ty=0.10 Tz=49.73 Mx=0.00 Mz=0.15
Sollecitazioni agenti localmente: Ty_l=-3943.09 My_l=-80.83
Tensioni nella sezione: σ=979.79 τ=119.49
CC 51 SLU (Collegamento 0022_-379)
Azioni sul collegamento: N=-22006.70 Ty=0.22 Tz=48.85 Mx=-0.00 Mz=0.38
Sollecitazioni agenti localmente: Ty_l=-3899.67 My_l=-79.94
Tensioni nella sezione: σ=968.98 τ=118.17
CC 52 SLU (Collegamento 0022_-379)
Azioni sul collegamento: N=-22006.70 Ty=-0.02 Tz=48.85 Mx=0.00 Mz=-0.09
Sollecitazioni agenti localmente: Ty_l=-3901.54 My_l=-79.98
Tensioni nella sezione: σ=969.48 τ=118.23
CC 53 SLU (Collegamento 0022_-379)
Azioni sul collegamento: N=-14511.40 Ty=0.10 Tz=21.80 Mx=0.00 Mz=0.15
Sollecitazioni agenti localmente: Ty_l=-2571.88 My_l=-52.72
Tensioni nella sezione: σ=639.06 τ=77.94
CC 54 SLU (Collegamento 0022_-379)
Azioni sul collegamento: N=-14990.70 Ty=0.10 Tz=23.57 Mx=0.00 Mz=0.15
Sollecitazioni agenti localmente: Ty_l=-2656.86 My_l=-54.46
Tensioni nella sezione: σ=660.18 τ=80.51
CC 55 SLU (Collegamento 0022_-379)
Azioni sul collegamento: N=-14751.00 Ty=0.22 Tz=22.69 Mx=-0.00 Mz=0.38
Sollecitazioni agenti localmente: Ty_l=-2613.44 My_l=-53.57
Tensioni nella sezione: σ=649.37 τ=79.20
CC 56 SLU (Collegamento 0022_-379)
Azioni sul collegamento: N=-14751.00 Ty=-0.02 Tz=22.68 Mx=0.00 Mz=-0.09
Sollecitazioni agenti localmente: Ty_l=-2615.30 My_l=-53.61
Tensioni nella sezione: σ=649.87 τ=79.25
CC 57 SLU (Collegamento 0022_-379)
Azioni sul collegamento: N=-21907.00 Ty=0.07 Tz=49.04 Mx=0.00 Mz=0.14
Sollecitazioni agenti localmente: Ty_l=-3882.98 My_l=-79.60
Tensioni nella sezione: σ=964.85 τ=117.67
CC 58 SLU (Collegamento 0022_-379)
Azioni sul collegamento: N=-22386.30 Ty=0.07 Tz=50.82 Mx=0.00 Mz=0.13
Sollecitazioni agenti localmente: Ty_l=-3967.95 My_l=-81.34
Tensioni nella sezione: σ=985.97 τ=120.24
CC 59 SLU (Collegamento 0022_-379)
Azioni sul collegamento: N=-22146.70 Ty=0.19 Tz=49.93 Mx=-0.00 Mz=0.37
Sollecitazioni agenti localmente: Ty_l=-3924.53 My_l=-80.45
Tensioni nella sezione: σ=975.16 τ=118.92
CC 60 SLU (Collegamento 0022_-379)
Azioni sul collegamento: N=-22146.70 Ty=-0.04 Tz=49.93 Mx=0.00 Mz=-0.10
Sollecitazioni agenti localmente: Ty_l=-3926.40 My_l=-80.49
Tensioni nella sezione: σ=975.66 τ=118.98
CC 61 SLU (Collegamento 0022_-379)
Azioni sul collegamento: N=-22045.30 Ty=0.09 Tz=49.02 Mx=0.00 Mz=0.14
Sollecitazioni agenti localmente: Ty_l=-3907.46 My_l=-80.10
Tensioni nella sezione: σ=970.93 τ=118.41
CC 62 SLU (Collegamento 0022_-379)
Azioni sul collegamento: N=-22524.60 Ty=0.09 Tz=50.80 Mx=0.00 Mz=0.14
Sollecitazioni agenti localmente: Ty_l=-3992.44 My_l=-81.84
Tensioni nella sezione: σ=992.05 τ=120.98
CC 63 SLU (Collegamento 0022_-379)
Azioni sul collegamento: N=-22285.00 Ty=0.21 Tz=49.91 Mx=-0.00 Mz=0.38
Sollecitazioni agenti localmente: Ty_l=-3949.02 My_l=-80.95
Tensioni nella sezione: σ=981.25 τ=119.67
CC 64 SLU (Collegamento 0022_-379)

Azioni sul collegamento: N=-22285.00 Ty=-0.03 Tz=49.91 Mx=0.00 Mz=-0.09
Sollecitazioni agenti localmente: Ty_l=-3950.88 My_l=-80.99
Tensioni nella sezione: σ=981.74 τ=119.72
CC 65 SLU (Collegamento 0022_-379)
Azioni sul collegamento: N=-14789.70 Ty=0.10 Tz=22.86 Mx=0.00 Mz=0.14
Sollecitazioni agenti localmente: Ty_l=-2621.23 My_l=-53.73
Tensioni nella sezione: σ=651.33 τ=79.43
CC 66 SLU (Collegamento 0022_-379)
Azioni sul collegamento: N=-15269.00 Ty=0.10 Tz=24.64 Mx=0.00 Mz=0.14
Sollecitazioni agenti localmente: Ty_l=-2706.21 My_l=-55.48
Tensioni nella sezione: σ=672.44 τ=82.01
CC 67 SLU (Collegamento 0022_-379)
Azioni sul collegamento: N=-15029.30 Ty=0.22 Tz=23.75 Mx=-0.00 Mz=0.38
Sollecitazioni agenti localmente: Ty_l=-2662.79 My_l=-54.59
Tensioni nella sezione: σ=661.64 τ=80.69
CC 68 SLU (Collegamento 0022_-379)
Azioni sul collegamento: N=-15029.30 Ty=-0.02 Tz=23.75 Mx=0.00 Mz=-0.09
Sollecitazioni agenti localmente: Ty_l=-2664.65 My_l=-54.63
Tensioni nella sezione: σ=662.13 τ=80.75
CC 97 SLU (Collegamento 0022_-379)
Azioni sul collegamento: N=-11572.90 Ty=11.37 Tz=19.27 Mx=0.04 Mz=15.92
Sollecitazioni agenti localmente: Ty_l=-1988.24 My_l=-40.67
Tensioni nella sezione: σ=492.98 τ=60.25
CC 98 SLU (Collegamento 0022_-379)
Azioni sul collegamento: N=-12052.20 Ty=11.37 Tz=21.05 Mx=0.04 Mz=15.92
Sollecitazioni agenti localmente: Ty_l=-2073.22 My_l=-42.41
Tensioni nella sezione: σ=514.09 τ=62.83
CC 99 SLU (Collegamento 0022_-379)
Azioni sul collegamento: N=-11812.60 Ty=11.49 Tz=20.16 Mx=0.04 Mz=16.15
Sollecitazioni agenti localmente: Ty_l=-2029.80 My_l=-41.52
Tensioni nella sezione: σ=503.29 τ=61.51
CC 100 SLU (Collegamento 0022_-379)
Azioni sul collegamento: N=-11812.60 Ty=11.25 Tz=20.16 Mx=0.04 Mz=15.68
Sollecitazioni agenti localmente: Ty_l=-2031.67 My_l=-41.56
Tensioni nella sezione: σ=503.78 τ=61.57
CC 101 SLU (Collegamento 0022_-379)
Azioni sul collegamento: N=-5887.16 Ty=-2.00 Tz=-1.73 Mx=-0.00 Mz=-2.22
Sollecitazioni agenti localmente: Ty_l=-1052.45 My_l=-21.59
Tensioni nella sezione: σ=261.67 τ=31.89
CC 102 SLU (Collegamento 0022_-379)
Azioni sul collegamento: N=-6366.46 Ty=-2.01 Tz=0.04 Mx=-0.00 Mz=-2.22
Sollecitazioni agenti localmente: Ty_l=-1137.43 My_l=-23.33
Tensioni nella sezione: σ=282.78 τ=34.47
CC 103 SLU (Collegamento 0022_-379)
Azioni sul collegamento: N=-6126.81 Ty=-1.89 Tz=-0.85 Mx=-0.01 Mz=-1.98
Sollecitazioni agenti localmente: Ty_l=-1094.01 My_l=-22.44
Tensioni nella sezione: σ=271.98 τ=33.15
CC 104 SLU (Collegamento 0022_-379)
Azioni sul collegamento: N=-6126.80 Ty=-2.12 Tz=-0.84 Mx=-0.00 Mz=-2.45
Sollecitazioni agenti localmente: Ty_l=-1095.87 My_l=-22.48
Tensioni nella sezione: σ=272.47 τ=33.21

Collegamento 0023_-380

Piastra 220.00 x 220.00 s=15.00 - 6 Tirafondi ϕ 16 - Profondità di infissione: 350.00
3 righe ad interasse 89.00
2 colonne ad interasse 178.00
Altezza di gola saldature: anima 7.07 - ala 7.07

Tirafondi e calcestruzzo

CC 1 SLV (Collegamento 0023_-380)
Azioni sul collegamento: N=-3330.00 Ty=1.44 Tz=5.89 Mx=0.02 Mz=3.55
Sollecitazioni agenti localmente: Tx_l=1.44 Ty_l=5.89 N_l=-3330.00 Mx_l=-0.00 My_l=3.55 Mz_l=0.02
Taglio nei bulloni: Fv,Ed=1.03 Fv,Rd=7720.78
Rifollamento lato piastra: Fb,Ed,p=1.03 Fb,Rd,p=6573.68
Tirafondi:LT=0.45 (0.31) σ_{cR}=0.00 σ_{fR}=0.00
Compressione nel calcestruzzo: σ_c=7.08
CC 1 SLV (Collegamento 0023_-380)
Azioni sul collegamento: N=-3330.00 Ty=0.74 Tz=5.89 Mx=0.02 Mz=2.16
Sollecitazioni agenti localmente: Tx_l=0.74 Ty_l=5.89 N_l=-3330.00 Mx_l=-0.00 My_l=2.16 Mz_l=0.02
Taglio nei bulloni: Fv,Ed=1.01 Fv,Rd=7720.78
Rifollamento lato piastra: Fb,Ed,p=1.01 Fb,Rd,p=6154.65
Tirafondi:LT=0.45 (0.31) σ_{cR}=0.00 σ_{fR}=0.00
Compressione nel calcestruzzo: σ_c=7.00
CC 1 SLV (Collegamento 0023_-380)
Azioni sul collegamento: N=-3330.00 Ty=1.44 Tz=-11.20 Mx=0.02 Mz=3.55
Sollecitazioni agenti localmente: Tx_l=1.44 Ty_l=-11.20 N_l=-3330.00 Mx_l=-0.00 My_l=3.55 Mz_l=0.02
Taglio nei bulloni: Fv,Ed=1.90 Fv,Rd=7720.78

Rifollamento lato piastra: Fb,Ed,p=1.90 Fb,Rd,p=6103.10
Tirafondi:LT=0.45 (0.31) σ_{cR}=0.00 σ_{fR}=0.00
Compressione nel calcestruzzo: σ_c=7.08
CC 1 SLV (Collegamento 0023_-380)
Azioni sul collegamento: N=-3330.00 Ty=0.74 Tz=-11.20 Mx=0.02 Mz=2.16
Sollecitazioni agenti localmente: Tx_l=0.74 Ty_l=-11.20 N_l=-3330.00 Mx_l=-0.00 My_l=2.16 Mz_l=0.02
Taglio nei bulloni: Fv,Ed=1.89 Fv,Rd=7720.78
Rifollamento lato piastra: Fb,Ed,p=1.89 Fb,Rd,p=6006.75
Tirafondi:LT=0.45 (0.31) σ_{cR}=0.00 σ_{fR}=0.00
Compressione nel calcestruzzo: σ_c=7.00
CC 1 SLV (Collegamento 0023_-380)
Azioni sul collegamento: N=-7936.47 Ty=1.44 Tz=5.89 Mx=0.02 Mz=3.55
Sollecitazioni agenti localmente: Tx_l=1.44 Ty_l=5.89 N_l=-7936.47 Mx_l=-0.00 My_l=3.55 Mz_l=0.02
Taglio nei bulloni: Fv,Ed=1.03 Fv,Rd=7720.78
Rifollamento lato piastra: Fb,Ed,p=1.03 Fb,Rd,p=6573.70
Tirafondi:LT=0.45 (0.31) σ_{cR}=0.00 σ_{fR}=0.00
Compressione nel calcestruzzo: σ_c=16.60
CC 1 SLV (Collegamento 0023_-380)
Azioni sul collegamento: N=-7936.47 Ty=0.74 Tz=5.89 Mx=0.02 Mz=2.16
Sollecitazioni agenti localmente: Tx_l=0.74 Ty_l=5.89 N_l=-7936.47 Mx_l=-0.00 My_l=2.16 Mz_l=0.02
Taglio nei bulloni: Fv,Ed=1.01 Fv,Rd=7720.78
Rifollamento lato piastra: Fb,Ed,p=1.01 Fb,Rd,p=6154.65
Tirafondi:LT=0.45 (0.31) σ_{cR}=0.00 σ_{fR}=0.00
Compressione nel calcestruzzo: σ_c=16.52
CC 1 SLV (Collegamento 0023_-380)
Azioni sul collegamento: N=-7936.47 Ty=1.44 Tz=-11.20 Mx=0.02 Mz=3.55
Sollecitazioni agenti localmente: Tx_l=1.44 Ty_l=-11.20 N_l=-7936.47 Mx_l=-0.00 My_l=3.55 Mz_l=0.02
Taglio nei bulloni: Fv,Ed=1.90 Fv,Rd=7720.78
Rifollamento lato piastra: Fb,Ed,p=1.90 Fb,Rd,p=6103.10
Tirafondi:LT=0.45 (0.31) σ_{cR}=0.00 σ_{fR}=0.00
Compressione nel calcestruzzo: σ_c=16.60
CC 1 SLV (Collegamento 0023_-380)
Azioni sul collegamento: N=-7936.47 Ty=0.74 Tz=-11.20 Mx=0.02 Mz=2.16
Sollecitazioni agenti localmente: Tx_l=0.74 Ty_l=-11.20 N_l=-7936.47 Mx_l=-0.00 My_l=2.16 Mz_l=0.02
Taglio nei bulloni: Fv,Ed=1.89 Fv,Rd=7720.78
Rifollamento lato piastra: Fb,Ed,p=1.89 Fb,Rd,p=6006.75
Tirafondi:LT=0.45 (0.31) σ_{cR}=0.00 σ_{fR}=0.00
Compressione nel calcestruzzo: σ_c=16.52
CC 2 SLD (Collegamento 0023_-380)
Azioni sul collegamento: N=-4931.09 Ty=0.39 Tz=-0.05 Mx=0.00 Mz=1.01
Sollecitazioni agenti localmente: Tx_l=0.39 Ty_l=-0.05 N_l=-4931.09 Mx_l=-0.00 My_l=1.01 Mz_l=0.00
Tirafondi:LT=0.45 (0.31) σ_{cR}=0.00 σ_{fR}=0.00
Compressione nel calcestruzzo: σ_c=10.25
CC 2 SLD (Collegamento 0023_-380)
Azioni sul collegamento: N=-4931.09 Ty=0.17 Tz=-0.05 Mx=0.00 Mz=0.59
Sollecitazioni agenti localmente: Tx_l=0.17 Ty_l=-0.05 N_l=-4931.09 Mx_l=-0.00 My_l=0.59 Mz_l=0.00
Tirafondi:LT=0.45 (0.31) σ_{cR}=0.00 σ_{fR}=0.00
Compressione nel calcestruzzo: σ_c=10.22
CC 2 SLD (Collegamento 0023_-380)
Azioni sul collegamento: N=-4931.09 Ty=0.39 Tz=-5.26 Mx=0.00 Mz=1.01
Sollecitazioni agenti localmente: Tx_l=0.39 Ty_l=-5.26 N_l=-4931.09 Mx_l=-0.00 My_l=1.01 Mz_l=0.00
Taglio nei bulloni: Fv,Ed=0.88 Fv,Rd=9650.97
Rifollamento lato piastra: Fb,Ed,p=0.88 Fb,Rd,p=7524.40
Tirafondi:LT=0.45 (0.31) σ_{cR}=0.00 σ_{fR}=0.00
Compressione nel calcestruzzo: σ_c=10.25
CC 2 SLD (Collegamento 0023_-380)
Azioni sul collegamento: N=-4931.09 Ty=0.17 Tz=-5.26 Mx=0.00 Mz=0.59
Sollecitazioni agenti localmente: Tx_l=0.17 Ty_l=-5.26 N_l=-4931.09 Mx_l=-0.00 My_l=0.59 Mz_l=0.00
Taglio nei bulloni: Fv,Ed=0.88 Fv,Rd=9650.97
Rifollamento lato piastra: Fb,Ed,p=0.88 Fb,Rd,p=7481.91
Tirafondi:LT=0.45 (0.31) σ_{cR}=0.00 σ_{fR}=0.00
Compressione nel calcestruzzo: σ_c=10.22
CC 2 SLD (Collegamento 0023_-380)
Azioni sul collegamento: N=-6335.74 Ty=0.39 Tz=-0.05 Mx=0.00 Mz=1.01
Sollecitazioni agenti localmente: Tx_l=0.39 Ty_l=-0.05 N_l=-6335.74 Mx_l=-0.00 My_l=1.01 Mz_l=0.00
Tirafondi:LT=0.45 (0.31) σ_{cR}=0.00 σ_{fR}=0.00
Compressione nel calcestruzzo: σ_c=13.15
CC 2 SLD (Collegamento 0023_-380)
Azioni sul collegamento: N=-6335.74 Ty=0.17 Tz=-0.05 Mx=0.00 Mz=0.59
Sollecitazioni agenti localmente: Tx_l=0.17 Ty_l=-0.05 N_l=-6335.74 Mx_l=-0.00 My_l=0.59 Mz_l=0.00
Tirafondi:LT=0.45 (0.31) σ_{cR}=0.00 σ_{fR}=0.00
Compressione nel calcestruzzo: σ_c=13.12
CC 2 SLD (Collegamento 0023_-380)
Azioni sul collegamento: N=-6335.74 Ty=0.39 Tz=-5.26 Mx=0.00 Mz=1.01
Sollecitazioni agenti localmente: Tx_l=0.39 Ty_l=-5.26 N_l=-6335.74 Mx_l=-0.00 My_l=1.01 Mz_l=0.00
Taglio nei bulloni: Fv,Ed=0.88 Fv,Rd=9650.97
Rifollamento lato piastra: Fb,Ed,p=0.88 Fb,Rd,p=7524.41
Tirafondi:LT=0.45 (0.31) σ_{cR}=0.00 σ_{fR}=0.00

Compressione nel calcestruzzo: σ_c=13.15
CC 2 SLD (Collegamento 0023_-380)
Azioni sul collegamento: N=-6335.74 Ty=0.17 Tz=-5.26 Mx=0.00 Mz=0.59
Sollecitazioni agenti localmente: Tx_l=0.17 Ty_l=-5.26 N_l=-6335.74 Mx_l=-0.00 My_l=0.59 Mz_l=0.00
Taglio nei bulloni: Fv,Ed=0.88 Fv,Rd=9650.97
Rifollamento lato piastra: Fb,Ed,p=0.88 Fb,Rd,p=7481.92
Tirafondi:LT=0.45 (0.31) σ_{cR}=0.00 σ_{fR}=0.00
Compressione nel calcestruzzo: σ_c=13.12
CC 3 SLV (Collegamento 0023_-380)
Azioni sul collegamento: N=-3330.02 Ty=0.75 Tz=5.88 Mx=0.01 Mz=2.19
Sollecitazioni agenti localmente: Tx_l=0.75 Ty_l=5.88 N_l=-3330.02 Mx_l=-0.00 My_l=2.19 Mz_l=0.01
Taglio nei bulloni: Fv,Ed=1.00 Fv,Rd=7720.78
Rifollamento lato piastra: Fb,Ed,p=1.00 Fb,Rd,p=6147.85
Tirafondi:LT=0.45 (0.31) σ_{cR}=0.00 σ_{fR}=0.00
Compressione nel calcestruzzo: σ_c=7.00
CC 3 SLV (Collegamento 0023_-380)
Azioni sul collegamento: N=-3330.02 Ty=1.43 Tz=5.88 Mx=0.01 Mz=3.51
Sollecitazioni agenti localmente: Tx_l=1.43 Ty_l=5.88 N_l=-3330.02 Mx_l=-0.00 My_l=3.51 Mz_l=0.01
Taglio nei bulloni: Fv,Ed=1.02 Fv,Rd=7720.78
Rifollamento lato piastra: Fb,Ed,p=1.02 Fb,Rd,p=6543.57
Tirafondi:LT=0.45 (0.31) σ_{cR}=0.00 σ_{fR}=0.00
Compressione nel calcestruzzo: σ_c=7.08
CC 3 SLV (Collegamento 0023_-380)
Azioni sul collegamento: N=-3330.02 Ty=0.75 Tz=-11.19 Mx=0.01 Mz=2.19
Sollecitazioni agenti localmente: Tx_l=0.75 Ty_l=-11.19 N_l=-3330.02 Mx_l=-0.00 My_l=2.19 Mz_l=0.01
Taglio nei bulloni: Fv,Ed=1.88 Fv,Rd=7720.78
Rifollamento lato piastra: Fb,Ed,p=1.88 Fb,Rd,p=6011.35
Tirafondi:LT=0.45 (0.31) σ_{cR}=0.00 σ_{fR}=0.00
Compressione nel calcestruzzo: σ_c=7.00
CC 3 SLV (Collegamento 0023_-380)
Azioni sul collegamento: N=-3330.02 Ty=1.43 Tz=-11.19 Mx=0.01 Mz=3.51
Sollecitazioni agenti localmente: Tx_l=1.43 Ty_l=-11.19 N_l=-3330.02 Mx_l=-0.00 My_l=3.51 Mz_l=0.01
Taglio nei bulloni: Fv,Ed=1.89 Fv,Rd=7720.78
Rifollamento lato piastra: Fb,Ed,p=1.89 Fb,Rd,p=6107.90
Tirafondi:LT=0.45 (0.31) σ_{cR}=0.00 σ_{fR}=0.00
Compressione nel calcestruzzo: σ_c=7.08
CC 3 SLV (Collegamento 0023_-380)
Azioni sul collegamento: N=-7936.44 Ty=0.75 Tz=5.88 Mx=0.01 Mz=2.19
Sollecitazioni agenti localmente: Tx_l=0.75 Ty_l=5.88 N_l=-7936.44 Mx_l=-0.00 My_l=2.19 Mz_l=0.01
Taglio nei bulloni: Fv,Ed=1.00 Fv,Rd=7720.78
Rifollamento lato piastra: Fb,Ed,p=1.00 Fb,Rd,p=6147.83
Tirafondi:LT=0.45 (0.31) σ_{cR}=0.00 σ_{fR}=0.00
Compressione nel calcestruzzo: σ_c=16.52
CC 3 SLV (Collegamento 0023_-380)
Azioni sul collegamento: N=-7936.44 Ty=1.43 Tz=5.88 Mx=0.01 Mz=3.51
Sollecitazioni agenti localmente: Tx_l=1.43 Ty_l=5.88 N_l=-7936.44 Mx_l=-0.00 My_l=3.51 Mz_l=0.01
Taglio nei bulloni: Fv,Ed=1.02 Fv,Rd=7720.78
Rifollamento lato piastra: Fb,Ed,p=1.02 Fb,Rd,p=6543.53
Tirafondi:LT=0.45 (0.31) σ_{cR}=0.00 σ_{fR}=0.00
Compressione nel calcestruzzo: σ_c=16.60
CC 3 SLV (Collegamento 0023_-380)
Azioni sul collegamento: N=-7936.44 Ty=0.75 Tz=-11.19 Mx=0.01 Mz=2.19
Sollecitazioni agenti localmente: Tx_l=0.75 Ty_l=-11.19 N_l=-7936.44 Mx_l=-0.00 My_l=2.19 Mz_l=0.01
Taglio nei bulloni: Fv,Ed=1.88 Fv,Rd=7720.78
Rifollamento lato piastra: Fb,Ed,p=1.88 Fb,Rd,p=6011.35
Tirafondi:LT=0.45 (0.31) σ_{cR}=0.00 σ_{fR}=0.00
Compressione nel calcestruzzo: σ_c=16.52
CC 3 SLV (Collegamento 0023_-380)
Azioni sul collegamento: N=-7936.44 Ty=1.43 Tz=-11.19 Mx=0.01 Mz=3.51
Sollecitazioni agenti localmente: Tx_l=1.43 Ty_l=-11.19 N_l=-7936.44 Mx_l=-0.00 My_l=3.51 Mz_l=0.01
Taglio nei bulloni: Fv,Ed=1.89 Fv,Rd=7720.78
Rifollamento lato piastra: Fb,Ed,p=1.89 Fb,Rd,p=6107.91
Tirafondi:LT=0.45 (0.31) σ_{cR}=0.00 σ_{fR}=0.00
Compressione nel calcestruzzo: σ_c=16.60
CC 4 SLD (Collegamento 0023_-380)
Azioni sul collegamento: N=-4931.09 Ty=0.18 Tz=-0.05 Mx=0.00 Mz=0.60
Sollecitazioni agenti localmente: Tx_l=0.18 Ty_l=-0.05 N_l=-4931.09 Mx_l=-0.00 My_l=0.60 Mz_l=0.00
Tirafondi:LT=0.45 (0.31) σ_{cR}=0.00 σ_{fR}=0.00
Compressione nel calcestruzzo: σ_c=10.22
CC 4 SLD (Collegamento 0023_-380)
Azioni sul collegamento: N=-4931.09 Ty=0.38 Tz=-0.05 Mx=0.00 Mz=1.00
Sollecitazioni agenti localmente: Tx_l=0.38 Ty_l=-0.05 N_l=-4931.09 Mx_l=-0.00 My_l=1.00 Mz_l=0.00
Tirafondi:LT=0.45 (0.31) σ_{cR}=0.00 σ_{fR}=0.00
Compressione nel calcestruzzo: σ_c=10.24
CC 4 SLD (Collegamento 0023_-380)
Azioni sul collegamento: N=-4931.09 Ty=0.18 Tz=-5.26 Mx=0.00 Mz=0.60
Sollecitazioni agenti localmente: Tx_l=0.18 Ty_l=-5.26 N_l=-4931.09 Mx_l=-0.00 My_l=0.60 Mz_l=0.00
Taglio nei bulloni: Fv,Ed=0.88 Fv,Rd=9650.97

Rifollamento lato piastra: Fb,Ed,p=0.88 Fb,Rd,p=7483.71
Tirafondi:LT=0.45 (0.31) σ_{cR}=0.00 σ_{fR}=0.00
Compressione nel calcestruzzo: σ_c=10.22
CC 4 SLD (Collegamento 0023_-380)
Azioni sul collegamento: N=-4931.09 Ty=0.38 Tz=-5.26 Mx=0.00 Mz=1.00
Sollecitazioni agenti localmente: Tx_l=0.38 Ty_l=-5.26 N_l=-4931.09 Mx_l=-0.00 My_l=1.00 Mz_l=0.00
Taglio nei bulloni: Fv,Ed=0.88 Fv,Rd=9650.97
Rifollamento lato piastra: Fb,Ed,p=0.88 Fb,Rd,p=7526.46
Tirafondi:LT=0.45 (0.31) σ_{cR}=0.00 σ_{fR}=0.00
Compressione nel calcestruzzo: σ_c=10.24
CC 4 SLD (Collegamento 0023_-380)
Azioni sul collegamento: N=-6335.74 Ty=0.18 Tz=-0.05 Mx=0.00 Mz=0.60
Sollecitazioni agenti localmente: Tx_l=0.18 Ty_l=-0.05 N_l=-6335.74 Mx_l=-0.00 My_l=0.60 Mz_l=0.00
Tirafondi:LT=0.45 (0.31) σ_{cR}=0.00 σ_{fR}=0.00
Compressione nel calcestruzzo: σ_c=13.12
CC 4 SLD (Collegamento 0023_-380)
Azioni sul collegamento: N=-6335.74 Ty=0.38 Tz=-0.05 Mx=0.00 Mz=1.00
Sollecitazioni agenti localmente: Tx_l=0.38 Ty_l=-0.05 N_l=-6335.74 Mx_l=-0.00 My_l=1.00 Mz_l=0.00
Tirafondi:LT=0.45 (0.31) σ_{cR}=0.00 σ_{fR}=0.00
Compressione nel calcestruzzo: σ_c=13.15
CC 4 SLD (Collegamento 0023_-380)
Azioni sul collegamento: N=-6335.74 Ty=0.18 Tz=-5.26 Mx=0.00 Mz=0.60
Sollecitazioni agenti localmente: Tx_l=0.18 Ty_l=-5.26 N_l=-6335.74 Mx_l=-0.00 My_l=0.60 Mz_l=0.00
Taglio nei bulloni: Fv,Ed=0.88 Fv,Rd=9650.97
Rifollamento lato piastra: Fb,Ed,p=0.88 Fb,Rd,p=7483.71
Tirafondi:LT=0.45 (0.31) σ_{cR}=0.00 σ_{fR}=0.00
Compressione nel calcestruzzo: σ_c=13.12
CC 4 SLD (Collegamento 0023_-380)
Azioni sul collegamento: N=-6335.74 Ty=0.38 Tz=-5.26 Mx=0.00 Mz=1.00
Sollecitazioni agenti localmente: Tx_l=0.38 Ty_l=-5.26 N_l=-6335.74 Mx_l=-0.00 My_l=1.00 Mz_l=0.00
Taglio nei bulloni: Fv,Ed=0.88 Fv,Rd=9650.97
Rifollamento lato piastra: Fb,Ed,p=0.88 Fb,Rd,p=7526.46
Tirafondi:LT=0.45 (0.31) σ_{cR}=0.00 σ_{fR}=0.00
Compressione nel calcestruzzo: σ_c=13.15
CC 5 SLV (Collegamento 0023_-380)
Azioni sul collegamento: N=-7936.44 Ty=1.43 Tz=-11.19 Mx=0.02 Mz=3.51
Sollecitazioni agenti localmente: Tx_l=1.43 Ty_l=-11.19 N_l=-7936.44 Mx_l=-0.00 My_l=3.51 Mz_l=0.02
Taglio nei bulloni: Fv,Ed=1.90 Fv,Rd=7720.78
Rifollamento lato piastra: Fb,Ed,p=1.90 Fb,Rd,p=6100.88
Tirafondi:LT=0.45 (0.31) σ_{cR}=0.00 σ_{fR}=0.00
Compressione nel calcestruzzo: σ_c=16.60
CC 5 SLV (Collegamento 0023_-380)
Azioni sul collegamento: N=-7936.44 Ty=0.75 Tz=-11.19 Mx=0.02 Mz=2.19
Sollecitazioni agenti localmente: Tx_l=0.75 Ty_l=-11.19 N_l=-7936.44 Mx_l=-0.00 My_l=2.19 Mz_l=0.02
Taglio nei bulloni: Fv,Ed=1.89 Fv,Rd=7720.78
Rifollamento lato piastra: Fb,Ed,p=1.89 Fb,Rd,p=6008.07
Tirafondi:LT=0.45 (0.31) σ_{cR}=0.00 σ_{fR}=0.00
Compressione nel calcestruzzo: σ_c=16.52
CC 5 SLV (Collegamento 0023_-380)
Azioni sul collegamento: N=-7936.44 Ty=1.43 Tz=5.88 Mx=0.02 Mz=3.51
Sollecitazioni agenti localmente: Tx_l=1.43 Ty_l=5.88 N_l=-7936.44 Mx_l=-0.00 My_l=3.51 Mz_l=0.02
Taglio nei bulloni: Fv,Ed=1.03 Fv,Rd=7720.78
Rifollamento lato piastra: Fb,Ed,p=1.03 Fb,Rd,p=6562.59
Tirafondi:LT=0.45 (0.31) σ_{cR}=0.00 σ_{fR}=0.00
Compressione nel calcestruzzo: σ_c=16.60
CC 5 SLV (Collegamento 0023_-380)
Azioni sul collegamento: N=-7936.44 Ty=0.75 Tz=5.88 Mx=0.02 Mz=2.19
Sollecitazioni agenti localmente: Tx_l=0.75 Ty_l=5.88 N_l=-7936.44 Mx_l=-0.00 My_l=2.19 Mz_l=0.02
Taglio nei bulloni: Fv,Ed=1.01 Fv,Rd=7720.78
Rifollamento lato piastra: Fb,Ed,p=1.01 Fb,Rd,p=6159.88
Tirafondi:LT=0.45 (0.31) σ_{cR}=0.00 σ_{fR}=0.00
Compressione nel calcestruzzo: σ_c=16.52
CC 5 SLV (Collegamento 0023_-380)
Azioni sul collegamento: N=-3330.02 Ty=1.43 Tz=-11.19 Mx=0.02 Mz=3.51
Sollecitazioni agenti localmente: Tx_l=1.43 Ty_l=-11.19 N_l=-3330.02 Mx_l=-0.00 My_l=3.51 Mz_l=0.02
Taglio nei bulloni: Fv,Ed=1.90 Fv,Rd=7720.78
Rifollamento lato piastra: Fb,Ed,p=1.90 Fb,Rd,p=6100.88
Tirafondi:LT=0.45 (0.31) σ_{cR}=0.00 σ_{fR}=0.00
Compressione nel calcestruzzo: σ_c=7.08
CC 5 SLV (Collegamento 0023_-380)
Azioni sul collegamento: N=-3330.02 Ty=0.75 Tz=-11.19 Mx=0.02 Mz=2.19
Sollecitazioni agenti localmente: Tx_l=0.75 Ty_l=-11.19 N_l=-3330.02 Mx_l=-0.00 My_l=2.19 Mz_l=0.02
Taglio nei bulloni: Fv,Ed=1.89 Fv,Rd=7720.78
Rifollamento lato piastra: Fb,Ed,p=1.89 Fb,Rd,p=6008.07
Tirafondi:LT=0.45 (0.31) σ_{cR}=0.00 σ_{fR}=0.00
Compressione nel calcestruzzo: σ_c=7.00
CC 5 SLV (Collegamento 0023_-380)
Azioni sul collegamento: N=-3330.02 Ty=1.43 Tz=5.88 Mx=0.02 Mz=3.51

Sollecitazioni agenti localmente: Tx_l=1.43 Ty_l=5.88 N_l=-3330.02 Mx_l=-0.00 My_l=3.51 Mz_l=0.02
Taglio nei bulloni: Fv,Ed=1.03 Fv,Rd=7720.78
Rifollamento lato piastra: Fb,Ed,p=1.03 Fb,Rd,p=6562.64
Tirafondi:LT=0.45 (0.31) σ_{cR}=0.00 σ_{fR}=0.00
Compressione nel calcestruzzo: σ_c=7.08
CC 5 SLV (Collegamento 0023_-380)
Azioni sul collegamento: N=-3330.02 Ty=0.75 Tz=5.88 Mx=0.02 Mz=2.19
Sollecitazioni agenti localmente: Tx_l=0.75 Ty_l=5.88 N_l=-3330.02 Mx_l=-0.00 My_l=2.19 Mz_l=0.02
Taglio nei bulloni: Fv,Ed=1.01 Fv,Rd=7720.78
Rifollamento lato piastra: Fb,Ed,p=1.01 Fb,Rd,p=6159.90
Tirafondi:LT=0.45 (0.31) σ_{cR}=0.00 σ_{fR}=0.00
Compressione nel calcestruzzo: σ_c=7.00
CC 6 SLD (Collegamento 0023_-380)
Azioni sul collegamento: N=-6335.74 Ty=0.38 Tz=-5.26 Mx=0.00 Mz=1.00
Sollecitazioni agenti localmente: Tx_l=0.38 Ty_l=-5.26 N_l=-6335.74 Mx_l=-0.00 My_l=1.00 Mz_l=0.00
Taglio nei bulloni: Fv,Ed=0.88 Fv,Rd=9650.97
Rifollamento lato piastra: Fb,Ed,p=0.88 Fb,Rd,p=7523.36
Tirafondi:LT=0.45 (0.31) σ_{cR}=0.00 σ_{fR}=0.00
Compressione nel calcestruzzo: σ_c=13.15
CC 6 SLD (Collegamento 0023_-380)
Azioni sul collegamento: N=-6335.74 Ty=0.18 Tz=-5.26 Mx=0.00 Mz=0.60
Sollecitazioni agenti localmente: Tx_l=0.18 Ty_l=-5.26 N_l=-6335.74 Mx_l=-0.00 My_l=0.60 Mz_l=0.00
Taglio nei bulloni: Fv,Ed=0.88 Fv,Rd=9650.97
Rifollamento lato piastra: Fb,Ed,p=0.88 Fb,Rd,p=7482.44
Tirafondi:LT=0.45 (0.31) σ_{cR}=0.00 σ_{fR}=0.00
Compressione nel calcestruzzo: σ_c=13.12
CC 6 SLD (Collegamento 0023_-380)
Azioni sul collegamento: N=-6335.74 Ty=0.38 Tz=-0.05 Mx=0.00 Mz=1.00
Sollecitazioni agenti localmente: Tx_l=0.38 Ty_l=-0.05 N_l=-6335.74 Mx_l=-0.00 My_l=1.00 Mz_l=0.00
Tirafondi:LT=0.45 (0.31) σ_{cR}=0.00 σ_{fR}=0.00
Compressione nel calcestruzzo: σ_c=13.15
CC 6 SLD (Collegamento 0023_-380)
Azioni sul collegamento: N=-6335.74 Ty=0.18 Tz=-0.05 Mx=0.00 Mz=0.60
Sollecitazioni agenti localmente: Tx_l=0.18 Ty_l=-0.05 N_l=-6335.74 Mx_l=-0.00 My_l=0.60 Mz_l=0.00
Tirafondi:LT=0.45 (0.31) σ_{cR}=0.00 σ_{fR}=0.00
Compressione nel calcestruzzo: σ_c=13.12
CC 6 SLD (Collegamento 0023_-380)
Azioni sul collegamento: N=-4931.09 Ty=0.38 Tz=-5.26 Mx=0.00 Mz=1.00
Sollecitazioni agenti localmente: Tx_l=0.38 Ty_l=-5.26 N_l=-4931.09 Mx_l=-0.00 My_l=1.00 Mz_l=0.00
Taglio nei bulloni: Fv,Ed=0.88 Fv,Rd=9650.97
Rifollamento lato piastra: Fb,Ed,p=0.88 Fb,Rd,p=7523.35
Tirafondi:LT=0.45 (0.31) σ_{cR}=0.00 σ_{fR}=0.00
Compressione nel calcestruzzo: σ_c=10.24
CC 6 SLD (Collegamento 0023_-380)
Azioni sul collegamento: N=-4931.09 Ty=0.18 Tz=-5.26 Mx=0.00 Mz=0.60
Sollecitazioni agenti localmente: Tx_l=0.18 Ty_l=-5.26 N_l=-4931.09 Mx_l=-0.00 My_l=0.60 Mz_l=0.00
Taglio nei bulloni: Fv,Ed=0.88 Fv,Rd=9650.97
Rifollamento lato piastra: Fb,Ed,p=0.88 Fb,Rd,p=7482.44
Tirafondi:LT=0.45 (0.31) σ_{cR}=0.00 σ_{fR}=0.00
Compressione nel calcestruzzo: σ_c=10.22
CC 6 SLD (Collegamento 0023_-380)
Azioni sul collegamento: N=-4931.09 Ty=0.38 Tz=-0.05 Mx=0.00 Mz=1.00
Sollecitazioni agenti localmente: Tx_l=0.38 Ty_l=-0.05 N_l=-4931.09 Mx_l=-0.00 My_l=1.00 Mz_l=0.00
Tirafondi:LT=0.45 (0.31) σ_{cR}=0.00 σ_{fR}=0.00
Compressione nel calcestruzzo: σ_c=10.24
CC 6 SLD (Collegamento 0023_-380)
Azioni sul collegamento: N=-4931.09 Ty=0.18 Tz=-0.05 Mx=0.00 Mz=0.60
Sollecitazioni agenti localmente: Tx_l=0.18 Ty_l=-0.05 N_l=-4931.09 Mx_l=-0.00 My_l=0.60 Mz_l=0.00
Tirafondi:LT=0.45 (0.31) σ_{cR}=0.00 σ_{fR}=0.00
Compressione nel calcestruzzo: σ_c=10.22
CC 7 SLV (Collegamento 0023_-380)
Azioni sul collegamento: N=-7936.47 Ty=0.74 Tz=-11.20 Mx=0.01 Mz=2.16
Sollecitazioni agenti localmente: Tx_l=0.74 Ty_l=-11.20 N_l=-7936.47 Mx_l=-0.00 My_l=2.16 Mz_l=0.01
Taglio nei bulloni: Fv,Ed=1.88 Fv,Rd=7720.78
Rifollamento lato piastra: Fb,Ed,p=1.88 Fb,Rd,p=6010.20
Tirafondi:LT=0.45 (0.31) σ_{cR}=0.00 σ_{fR}=0.00
Compressione nel calcestruzzo: σ_c=16.52
CC 7 SLV (Collegamento 0023_-380)
Azioni sul collegamento: N=-7936.47 Ty=1.44 Tz=-11.20 Mx=0.01 Mz=3.55
Sollecitazioni agenti localmente: Tx_l=1.44 Ty_l=-11.20 N_l=-7936.47 Mx_l=-0.00 My_l=3.55 Mz_l=0.01
Taglio nei bulloni: Fv,Ed=1.89 Fv,Rd=7720.78
Rifollamento lato piastra: Fb,Ed,p=1.89 Fb,Rd,p=6110.76
Tirafondi:LT=0.45 (0.31) σ_{cR}=0.00 σ_{fR}=0.00
Compressione nel calcestruzzo: σ_c=16.60
CC 7 SLV (Collegamento 0023_-380)
Azioni sul collegamento: N=-7936.47 Ty=0.74 Tz=5.89 Mx=0.01 Mz=2.16
Sollecitazioni agenti localmente: Tx_l=0.74 Ty_l=5.89 N_l=-7936.47 Mx_l=-0.00 My_l=2.16 Mz_l=0.01
Taglio nei bulloni: Fv,Ed=1.00 Fv,Rd=7720.78

Rifollamento lato piastra: Fb,Ed,p=1.00 Fb,Rd,p=6141.83
Tirafondi:LT=0.45 (0.31) σ_{cR}=0.00 σ_{fR}=0.00
Compressione nel calcestruzzo: σ_c=16.52
CC 7 SLV (Collegamento 0023_-380)
Azioni sul collegamento: N=-7936.47 Ty=1.44 Tz=5.89 Mx=0.01 Mz=3.55
Sollecitazioni agenti localmente: Tx_l=1.44 Ty_l=5.89 N_l=-7936.47 Mx_l=-0.00 My_l=3.55 Mz_l=0.01
Taglio nei bulloni: Fv,Ed=1.02 Fv,Rd=7720.78
Rifollamento lato piastra: Fb,Ed,p=1.02 Fb,Rd,p=6553.02
Tirafondi:LT=0.45 (0.31) σ_{cR}=0.00 σ_{fR}=0.00
Compressione nel calcestruzzo: σ_c=16.60
CC 7 SLV (Collegamento 0023_-380)
Azioni sul collegamento: N=-3330.00 Ty=0.74 Tz=-11.20 Mx=0.01 Mz=2.16
Sollecitazioni agenti localmente: Tx_l=0.74 Ty_l=-11.20 N_l=-3330.00 Mx_l=-0.00 My_l=2.16 Mz_l=0.01
Taglio nei bulloni: Fv,Ed=1.88 Fv,Rd=7720.78
Rifollamento lato piastra: Fb,Ed,p=1.88 Fb,Rd,p=6010.20
Tirafondi:LT=0.45 (0.31) σ_{cR}=0.00 σ_{fR}=0.00
Compressione nel calcestruzzo: σ_c=7.00
CC 7 SLV (Collegamento 0023_-380)
Azioni sul collegamento: N=-3330.00 Ty=1.44 Tz=-11.20 Mx=0.01 Mz=3.55
Sollecitazioni agenti localmente: Tx_l=1.44 Ty_l=-11.20 N_l=-3330.00 Mx_l=-0.00 My_l=3.55 Mz_l=0.01
Taglio nei bulloni: Fv,Ed=1.89 Fv,Rd=7720.78
Rifollamento lato piastra: Fb,Ed,p=1.89 Fb,Rd,p=6110.76
Tirafondi:LT=0.45 (0.31) σ_{cR}=0.00 σ_{fR}=0.00
Compressione nel calcestruzzo: σ_c=7.08
CC 7 SLV (Collegamento 0023_-380)
Azioni sul collegamento: N=-3330.00 Ty=0.74 Tz=5.89 Mx=0.01 Mz=2.16
Sollecitazioni agenti localmente: Tx_l=0.74 Ty_l=5.89 N_l=-3330.00 Mx_l=-0.00 My_l=2.16 Mz_l=0.01
Taglio nei bulloni: Fv,Ed=1.00 Fv,Rd=7720.78
Rifollamento lato piastra: Fb,Ed,p=1.00 Fb,Rd,p=6141.83
Tirafondi:LT=0.45 (0.31) σ_{cR}=0.00 σ_{fR}=0.00
Compressione nel calcestruzzo: σ_c=7.00
CC 7 SLV (Collegamento 0023_-380)
Azioni sul collegamento: N=-3330.00 Ty=1.44 Tz=5.89 Mx=0.01 Mz=3.55
Sollecitazioni agenti localmente: Tx_l=1.44 Ty_l=5.89 N_l=-3330.00 Mx_l=-0.00 My_l=3.55 Mz_l=0.01
Taglio nei bulloni: Fv,Ed=1.02 Fv,Rd=7720.78
Rifollamento lato piastra: Fb,Ed,p=1.02 Fb,Rd,p=6553.01
Tirafondi:LT=0.45 (0.31) σ_{cR}=0.00 σ_{fR}=0.00
Compressione nel calcestruzzo: σ_c=7.08
CC 8 SLD (Collegamento 0023_-380)
Azioni sul collegamento: N=-6335.74 Ty=0.17 Tz=-5.26 Mx=0.00 Mz=0.59
Sollecitazioni agenti localmente: Tx_l=0.17 Ty_l=-5.26 N_l=-6335.74 Mx_l=-0.00 My_l=0.59 Mz_l=0.00
Taglio nei bulloni: Fv,Ed=0.88 Fv,Rd=9650.97
Rifollamento lato piastra: Fb,Ed,p=0.88 Fb,Rd,p=7483.24
Tirafondi:LT=0.45 (0.31) σ_{cR}=0.00 σ_{fR}=0.00
Compressione nel calcestruzzo: σ_c=13.12
CC 8 SLD (Collegamento 0023_-380)
Azioni sul collegamento: N=-6335.74 Ty=0.39 Tz=-5.26 Mx=0.00 Mz=1.01
Sollecitazioni agenti localmente: Tx_l=0.39 Ty_l=-5.26 N_l=-6335.74 Mx_l=-0.00 My_l=1.01 Mz_l=0.00
Taglio nei bulloni: Fv,Ed=0.88 Fv,Rd=9650.97
Rifollamento lato piastra: Fb,Ed,p=0.88 Fb,Rd,p=7527.80
Tirafondi:LT=0.45 (0.31) σ_{cR}=0.00 σ_{fR}=0.00
Compressione nel calcestruzzo: σ_c=13.15
CC 8 SLD (Collegamento 0023_-380)
Azioni sul collegamento: N=-6335.74 Ty=0.17 Tz=-0.05 Mx=0.00 Mz=0.59
Sollecitazioni agenti localmente: Tx_l=0.17 Ty_l=-0.05 N_l=-6335.74 Mx_l=-0.00 My_l=0.59 Mz_l=0.00
Tirafondi:LT=0.45 (0.31) σ_{cR}=0.00 σ_{fR}=0.00
Compressione nel calcestruzzo: σ_c=13.12
CC 8 SLD (Collegamento 0023_-380)
Azioni sul collegamento: N=-6335.74 Ty=0.39 Tz=-0.05 Mx=0.00 Mz=1.01
Sollecitazioni agenti localmente: Tx_l=0.39 Ty_l=-0.05 N_l=-6335.74 Mx_l=-0.00 My_l=1.01 Mz_l=0.00
Tirafondi:LT=0.45 (0.31) σ_{cR}=0.00 σ_{fR}=0.00
Compressione nel calcestruzzo: σ_c=13.15
CC 8 SLD (Collegamento 0023_-380)
Azioni sul collegamento: N=-4931.09 Ty=0.17 Tz=-5.26 Mx=0.00 Mz=0.59
Sollecitazioni agenti localmente: Tx_l=0.17 Ty_l=-5.26 N_l=-4931.09 Mx_l=-0.00 My_l=0.59 Mz_l=0.00
Taglio nei bulloni: Fv,Ed=0.88 Fv,Rd=9650.97
Rifollamento lato piastra: Fb,Ed,p=0.88 Fb,Rd,p=7483.24
Tirafondi:LT=0.45 (0.31) σ_{cR}=0.00 σ_{fR}=0.00
Compressione nel calcestruzzo: σ_c=10.22
CC 8 SLD (Collegamento 0023_-380)
Azioni sul collegamento: N=-4931.09 Ty=0.39 Tz=-5.26 Mx=0.00 Mz=1.01
Sollecitazioni agenti localmente: Tx_l=0.39 Ty_l=-5.26 N_l=-4931.09 Mx_l=-0.00 My_l=1.01 Mz_l=0.00
Taglio nei bulloni: Fv,Ed=0.88 Fv,Rd=9650.97
Rifollamento lato piastra: Fb,Ed,p=0.88 Fb,Rd,p=7527.80
Tirafondi:LT=0.45 (0.31) σ_{cR}=0.00 σ_{fR}=0.00
Compressione nel calcestruzzo: σ_c=10.25
CC 8 SLD (Collegamento 0023_-380)
Azioni sul collegamento: N=-4931.09 Ty=0.17 Tz=-0.05 Mx=0.00 Mz=0.59

Sollecitazioni agenti localmente: Tx_l=0.17 Ty_l=-0.05 N_l=-4931.09 Mx_l=-0.00 My_l=0.59 Mz_l=0.00
Tirafondi:LT=0.45 (0.31) σ_{cR}=0.00 σ_{fR}=0.00
Compressione nel calcestruzzo: σ_c=10.22
CC 8 SLD (Collegamento 0023_-380)
Azioni sul collegamento: N=-4931.09 Ty=0.39 Tz=-0.05 Mx=0.00 Mz=1.01
Sollecitazioni agenti localmente: Tx_l=0.39 Ty_l=-0.05 N_l=-4931.09 Mx_l=-0.00 My_l=1.01 Mz_l=0.00
Tirafondi:LT=0.45 (0.31) σ_{cR}=0.00 σ_{fR}=0.00
Compressione nel calcestruzzo: σ_c=10.25
CC 9 SLV (Collegamento 0023_-380)
Azioni sul collegamento: N=-4942.23 Ty=2.24 Tz=-0.09 Mx=0.02 Mz=5.11
Sollecitazioni agenti localmente: Tx_l=2.24 Ty_l=-0.09 N_l=-4942.23 Mx_l=-0.00 My_l=5.11 Mz_l=0.02
Taglio nei bulloni: Fv,Ed=0.40 Fv,Rd=7720.78
Rifollamento lato piastra: Fb,Ed,p=0.40 Fb,Rd,p=6067.50
Tirafondi:LT=0.45 (0.31) σ_{cR}=0.00 σ_{fR}=0.00
Compressione nel calcestruzzo: σ_c=10.50
CC 9 SLV (Collegamento 0023_-380)
Azioni sul collegamento: N=-4942.23 Ty=-0.07 Tz=-0.09 Mx=0.02 Mz=0.59
Sollecitazioni agenti localmente: Tx_l=-0.07 Ty_l=-0.09 N_l=-4942.23 Mx_l=-0.00 My_l=0.59 Mz_l=0.02
Tirafondi:LT=0.45 (0.31) σ_{cR}=0.00 σ_{fR}=0.00
Compressione nel calcestruzzo: σ_c=10.24
CC 9 SLV (Collegamento 0023_-380)
Azioni sul collegamento: N=-4942.23 Ty=2.24 Tz=-5.22 Mx=0.02 Mz=5.11
Sollecitazioni agenti localmente: Tx_l=2.24 Ty_l=-5.22 N_l=-4942.23 Mx_l=-0.00 My_l=5.11 Mz_l=0.02
Taglio nei bulloni: Fv,Ed=0.98 Fv,Rd=7720.78
Rifollamento lato piastra: Fb,Ed,p=0.96 Fb,Rd,p=7350.20
Tirafondi:LT=0.45 (0.31) σ_{cR}=0.00 σ_{fR}=0.00
Compressione nel calcestruzzo: σ_c=10.50
CC 9 SLV (Collegamento 0023_-380)
Azioni sul collegamento: N=-4942.23 Ty=-0.07 Tz=-5.22 Mx=0.02 Mz=0.59
Sollecitazioni agenti localmente: Tx_l=-0.07 Ty_l=-5.22 N_l=-4942.23 Mx_l=-0.00 My_l=0.59 Mz_l=0.02
Taglio nei bulloni: Fv,Ed=0.89 Fv,Rd=7720.78
Rifollamento lato piastra: Fb,Ed,p=0.89 Fb,Rd,p=5993.04
Tirafondi:LT=0.45 (0.31) σ_{cR}=0.00 σ_{fR}=0.00
Compressione nel calcestruzzo: σ_c=10.24
CC 9 SLV (Collegamento 0023_-380)
Azioni sul collegamento: N=-6324.24 Ty=2.24 Tz=-0.09 Mx=0.02 Mz=5.11
Sollecitazioni agenti localmente: Tx_l=2.24 Ty_l=-0.09 N_l=-6324.24 Mx_l=-0.00 My_l=5.11 Mz_l=0.02
Taglio nei bulloni: Fv,Ed=0.40 Fv,Rd=7720.78
Rifollamento lato piastra: Fb,Ed,p=0.40 Fb,Rd,p=6067.45
Tirafondi:LT=0.45 (0.31) σ_{cR}=0.00 σ_{fR}=0.00
Compressione nel calcestruzzo: σ_c=13.35
CC 9 SLV (Collegamento 0023_-380)
Azioni sul collegamento: N=-6324.24 Ty=-0.07 Tz=-0.09 Mx=0.02 Mz=0.59
Sollecitazioni agenti localmente: Tx_l=-0.07 Ty_l=-0.09 N_l=-6324.24 Mx_l=-0.00 My_l=0.59 Mz_l=0.02
Tirafondi:LT=0.45 (0.31) σ_{cR}=0.00 σ_{fR}=0.00
Compressione nel calcestruzzo: σ_c=13.10
CC 9 SLV (Collegamento 0023_-380)
Azioni sul collegamento: N=-6324.24 Ty=2.24 Tz=-5.22 Mx=0.02 Mz=5.11
Sollecitazioni agenti localmente: Tx_l=2.24 Ty_l=-5.22 N_l=-6324.24 Mx_l=-0.00 My_l=5.11 Mz_l=0.02
Taglio nei bulloni: Fv,Ed=0.98 Fv,Rd=7720.78
Rifollamento lato piastra: Fb,Ed,p=0.96 Fb,Rd,p=7350.26
Tirafondi:LT=0.45 (0.31) σ_{cR}=0.00 σ_{fR}=0.00
Compressione nel calcestruzzo: σ_c=13.35
CC 9 SLV (Collegamento 0023_-380)
Azioni sul collegamento: N=-6324.24 Ty=-0.07 Tz=-5.22 Mx=0.02 Mz=0.59
Sollecitazioni agenti localmente: Tx_l=-0.07 Ty_l=-5.22 N_l=-6324.24 Mx_l=-0.00 My_l=0.59 Mz_l=0.02
Taglio nei bulloni: Fv,Ed=0.89 Fv,Rd=7720.78
Rifollamento lato piastra: Fb,Ed,p=0.89 Fb,Rd,p=5993.04
Tirafondi:LT=0.45 (0.31) σ_{cR}=0.00 σ_{fR}=0.00
Compressione nel calcestruzzo: σ_c=13.10
CC 10 SLD (Collegamento 0023_-380)
Azioni sul collegamento: N=-5422.71 Ty=0.63 Tz=-1.87 Mx=0.01 Mz=1.49
Sollecitazioni agenti localmente: Tx_l=0.63 Ty_l=-1.87 N_l=-5422.71 Mx_l=-0.00 My_l=1.49 Mz_l=0.01
Taglio nei bulloni: Fv,Ed=0.34 Fv,Rd=9650.97
Rifollamento lato piastra: Fb,Ed,p=0.33 Fb,Rd,p=8529.30
Tirafondi:LT=0.45 (0.31) σ_{cR}=0.00 σ_{fR}=0.00
Compressione nel calcestruzzo: σ_c=11.29
CC 10 SLD (Collegamento 0023_-380)
Azioni sul collegamento: N=-5422.71 Ty=-0.07 Tz=-1.87 Mx=0.01 Mz=0.11
Sollecitazioni agenti localmente: Tx_l=-0.07 Ty_l=-1.87 N_l=-5422.71 Mx_l=-0.00 My_l=0.11 Mz_l=0.01
Taglio nei bulloni: Fv,Ed=0.32 Fv,Rd=9650.97
Rifollamento lato piastra: Fb,Ed,p=0.32 Fb,Rd,p=7513.97
Tirafondi:LT=0.45 (0.31) σ_{cR}=0.00 σ_{fR}=0.00
Compressione nel calcestruzzo: σ_c=11.21
CC 10 SLD (Collegamento 0023_-380)
Azioni sul collegamento: N=-5422.71 Ty=0.63 Tz=-3.44 Mx=0.01 Mz=1.49
Sollecitazioni agenti localmente: Tx_l=0.63 Ty_l=-3.44 N_l=-5422.71 Mx_l=-0.00 My_l=1.49 Mz_l=0.01
Taglio nei bulloni: Fv,Ed=0.59 Fv,Rd=9650.97

Rifollamento lato piastra: Fb,Ed,p=0.59 Fb,Rd,p=7792.44
Tirafondi:LT=0.45 (0.31) σ_{cR}=0.00 σ_{fR}=0.00
Compressione nel calcestruzzo: σ_c=11.29
CC 10 SLD (Collegamento 0023_-380)
Azioni sul collegamento: N=-5422.71 Ty=-0.07 Tz=-3.44 Mx=0.01 Mz=0.11
Sollecitazioni agenti localmente: Tx_l=-0.07 Ty_l=-3.44 N_l=-5422.71 Mx_l=-0.00 My_l=0.11 Mz_l=0.01
Taglio nei bulloni: Fv,Ed=0.58 Fv,Rd=9650.97
Rifollamento lato piastra: Fb,Ed,p=0.58 Fb,Rd,p=7486.09
Tirafondi:LT=0.45 (0.31) σ_{cR}=0.00 σ_{fR}=0.00
Compressione nel calcestruzzo: σ_c=11.21
CC 10 SLD (Collegamento 0023_-380)
Azioni sul collegamento: N=-5844.12 Ty=0.63 Tz=-1.87 Mx=0.01 Mz=1.49
Sollecitazioni agenti localmente: Tx_l=0.63 Ty_l=-1.87 N_l=-5844.12 Mx_l=-0.00 My_l=1.49 Mz_l=0.01
Taglio nei bulloni: Fv,Ed=0.34 Fv,Rd=9650.97
Rifollamento lato piastra: Fb,Ed,p=0.33 Fb,Rd,p=8529.26
Tirafondi:LT=0.45 (0.31) σ_{cR}=0.00 σ_{fR}=0.00
Compressione nel calcestruzzo: σ_c=12.16
CC 10 SLD (Collegamento 0023_-380)
Azioni sul collegamento: N=-5844.12 Ty=-0.07 Tz=-1.87 Mx=0.01 Mz=0.11
Sollecitazioni agenti localmente: Tx_l=-0.07 Ty_l=-1.87 N_l=-5844.12 Mx_l=-0.00 My_l=0.11 Mz_l=0.01
Taglio nei bulloni: Fv,Ed=0.32 Fv,Rd=9650.97
Rifollamento lato piastra: Fb,Ed,p=0.32 Fb,Rd,p=7513.97
Tirafondi:LT=0.45 (0.31) σ_{cR}=0.00 σ_{fR}=0.00
Compressione nel calcestruzzo: σ_c=12.08
CC 10 SLD (Collegamento 0023_-380)
Azioni sul collegamento: N=-5844.12 Ty=0.63 Tz=-3.44 Mx=0.01 Mz=1.49
Sollecitazioni agenti localmente: Tx_l=0.63 Ty_l=-3.44 N_l=-5844.12 Mx_l=-0.00 My_l=1.49 Mz_l=0.01
Taglio nei bulloni: Fv,Ed=0.59 Fv,Rd=9650.97
Rifollamento lato piastra: Fb,Ed,p=0.59 Fb,Rd,p=7792.46
Tirafondi:LT=0.45 (0.31) σ_{cR}=0.00 σ_{fR}=0.00
Compressione nel calcestruzzo: σ_c=12.16
CC 10 SLD (Collegamento 0023_-380)
Azioni sul collegamento: N=-5844.12 Ty=-0.07 Tz=-3.44 Mx=0.01 Mz=0.11
Sollecitazioni agenti localmente: Tx_l=-0.07 Ty_l=-3.44 N_l=-5844.12 Mx_l=-0.00 My_l=0.11 Mz_l=0.01
Taglio nei bulloni: Fv,Ed=0.58 Fv,Rd=9650.97
Rifollamento lato piastra: Fb,Ed,p=0.58 Fb,Rd,p=7486.09
Tirafondi:LT=0.45 (0.31) σ_{cR}=0.00 σ_{fR}=0.00
Compressione nel calcestruzzo: σ_c=12.08
CC 11 SLV (Collegamento 0023_-380)
Azioni sul collegamento: N=-6324.16 Ty=2.24 Tz=-5.22 Mx=0.02 Mz=5.10
Sollecitazioni agenti localmente: Tx_l=2.24 Ty_l=-5.22 N_l=-6324.16 Mx_l=-0.00 My_l=5.10 Mz_l=0.02
Taglio nei bulloni: Fv,Ed=0.98 Fv,Rd=7720.78
Rifollamento lato piastra: Fb,Ed,p=0.96 Fb,Rd,p=7346.53
Tirafondi:LT=0.45 (0.31) σ_{cR}=0.00 σ_{fR}=0.00
Compressione nel calcestruzzo: σ_c=13.35
CC 11 SLV (Collegamento 0023_-380)
Azioni sul collegamento: N=-6324.16 Ty=-0.06 Tz=-5.22 Mx=0.02 Mz=0.60
Sollecitazioni agenti localmente: Tx_l=-0.06 Ty_l=-5.22 N_l=-6324.16 Mx_l=-0.00 My_l=0.60 Mz_l=0.02
Taglio nei bulloni: Fv,Ed=0.89 Fv,Rd=7720.78
Rifollamento lato piastra: Fb,Ed,p=0.89 Fb,Rd,p=5992.47
Tirafondi:LT=0.45 (0.31) σ_{cR}=0.00 σ_{fR}=0.00
Compressione nel calcestruzzo: σ_c=13.10
CC 11 SLV (Collegamento 0023_-380)
Azioni sul collegamento: N=-6324.16 Ty=2.24 Tz=-0.09 Mx=0.02 Mz=5.10
Sollecitazioni agenti localmente: Tx_l=2.24 Ty_l=-0.09 N_l=-6324.16 Mx_l=-0.00 My_l=5.10 Mz_l=0.02
Taglio nei bulloni: Fv,Ed=0.40 Fv,Rd=7720.78
Rifollamento lato piastra: Fb,Ed,p=0.40 Fb,Rd,p=6068.71
Tirafondi:LT=0.45 (0.31) σ_{cR}=0.00 σ_{fR}=0.00
Compressione nel calcestruzzo: σ_c=13.35
CC 11 SLV (Collegamento 0023_-380)
Azioni sul collegamento: N=-6324.16 Ty=-0.06 Tz=-0.09 Mx=0.02 Mz=0.60
Sollecitazioni agenti localmente: Tx_l=-0.06 Ty_l=-0.09 N_l=-6324.16 Mx_l=-0.00 My_l=0.60 Mz_l=0.02
Tirafondi:LT=0.45 (0.31) σ_{cR}=0.00 σ_{fR}=0.00
Compressione nel calcestruzzo: σ_c=13.10
CC 11 SLV (Collegamento 0023_-380)
Azioni sul collegamento: N=-4942.30 Ty=2.24 Tz=-5.22 Mx=0.02 Mz=5.10
Sollecitazioni agenti localmente: Tx_l=2.24 Ty_l=-5.22 N_l=-4942.30 Mx_l=-0.00 My_l=5.10 Mz_l=0.02
Taglio nei bulloni: Fv,Ed=0.98 Fv,Rd=7720.78
Rifollamento lato piastra: Fb,Ed,p=0.96 Fb,Rd,p=7346.49
Tirafondi:LT=0.45 (0.31) σ_{cR}=0.00 σ_{fR}=0.00
Compressione nel calcestruzzo: σ_c=10.50
CC 11 SLV (Collegamento 0023_-380)
Azioni sul collegamento: N=-4942.30 Ty=-0.06 Tz=-5.22 Mx=0.02 Mz=0.60
Sollecitazioni agenti localmente: Tx_l=-0.06 Ty_l=-5.22 N_l=-4942.30 Mx_l=-0.00 My_l=0.60 Mz_l=0.02
Taglio nei bulloni: Fv,Ed=0.89 Fv,Rd=7720.78
Rifollamento lato piastra: Fb,Ed,p=0.89 Fb,Rd,p=5992.47
Tirafondi:LT=0.45 (0.31) σ_{cR}=0.00 σ_{fR}=0.00
Compressione nel calcestruzzo: σ_c=10.25

CC 11 SLV (Collegamento 0023_-380)
Azioni sul collegamento: N=-4942.30 Ty=2.24 Tz=-0.09 Mx=0.02 Mz=5.10
Sollecitazioni agenti localmente: Tx_l=2.24 Ty_l=-0.09 N_l=-4942.30 Mx_l=-0.00 My_l=5.10 Mz_l=0.02
Taglio nei bulloni: Fv,Ed=0.40 Fv,Rd=7720.78
Rifollamento lato piastra: Fb,Ed,p=0.40 Fb,Rd,p=6068.91
Tirafondi:LT=0.45 (0.31) σ_{cR}=0.00 σ_{fR}=0.00
Compressione nel calcestruzzo: σ_c=10.50
CC 11 SLV (Collegamento 0023_-380)
Azioni sul collegamento: N=-4942.30 Ty=-0.06 Tz=-0.09 Mx=0.02 Mz=0.60
Sollecitazioni agenti localmente: Tx_l=-0.06 Ty_l=-0.09 N_l=-4942.30 Mx_l=-0.00 My_l=0.60 Mz_l=0.02
Tirafondi:LT=0.45 (0.31) σ_{cR}=0.00 σ_{fR}=0.00
Compressione nel calcestruzzo: σ_c=10.25
CC 12 SLD (Collegamento 0023_-380)
Azioni sul collegamento: N=-5844.10 Ty=0.63 Tz=-3.44 Mx=0.01 Mz=1.48
Sollecitazioni agenti localmente: Tx_l=0.63 Ty_l=-3.44 N_l=-5844.10 Mx_l=-0.00 My_l=1.48 Mz_l=0.01
Taglio nei bulloni: Fv,Ed=0.59 Fv,Rd=9650.97
Rifollamento lato piastra: Fb,Ed,p=0.59 Fb,Rd,p=7791.34
Tirafondi:LT=0.45 (0.31) σ_{cR}=0.00 σ_{fR}=0.00
Compressione nel calcestruzzo: σ_c=12.16
CC 12 SLD (Collegamento 0023_-380)
Azioni sul collegamento: N=-5844.10 Ty=-0.07 Tz=-3.44 Mx=0.01 Mz=0.11
Sollecitazioni agenti localmente: Tx_l=-0.07 Ty_l=-3.44 N_l=-5844.10 Mx_l=-0.00 My_l=0.11 Mz_l=0.01
Taglio nei bulloni: Fv,Ed=0.58 Fv,Rd=9650.97
Rifollamento lato piastra: Fb,Ed,p=0.58 Fb,Rd,p=7485.81
Tirafondi:LT=0.45 (0.31) σ_{cR}=0.00 σ_{fR}=0.00
Compressione nel calcestruzzo: σ_c=12.08
CC 12 SLD (Collegamento 0023_-380)
Azioni sul collegamento: N=-5844.10 Ty=0.63 Tz=-1.87 Mx=0.01 Mz=1.48
Sollecitazioni agenti localmente: Tx_l=0.63 Ty_l=-1.87 N_l=-5844.10 Mx_l=-0.00 My_l=1.48 Mz_l=0.01
Taglio nei bulloni: Fv,Ed=0.34 Fv,Rd=9650.97
Rifollamento lato piastra: Fb,Ed,p=0.33 Fb,Rd,p=8524.64
Tirafondi:LT=0.45 (0.31) σ_{cR}=0.00 σ_{fR}=0.00
Compressione nel calcestruzzo: σ_c=12.16
CC 12 SLD (Collegamento 0023_-380)
Azioni sul collegamento: N=-5844.10 Ty=-0.07 Tz=-1.87 Mx=0.01 Mz=0.11
Sollecitazioni agenti localmente: Tx_l=-0.07 Ty_l=-1.87 N_l=-5844.10 Mx_l=-0.00 My_l=0.11 Mz_l=0.01
Taglio nei bulloni: Fv,Ed=0.32 Fv,Rd=9650.97
Rifollamento lato piastra: Fb,Ed,p=0.32 Fb,Rd,p=7513.00
Tirafondi:LT=0.45 (0.31) σ_{cR}=0.00 σ_{fR}=0.00
Compressione nel calcestruzzo: σ_c=12.08
CC 12 SLD (Collegamento 0023_-380)
Azioni sul collegamento: N=-5422.73 Ty=0.63 Tz=-3.44 Mx=0.01 Mz=1.48
Sollecitazioni agenti localmente: Tx_l=0.63 Ty_l=-3.44 N_l=-5422.73 Mx_l=-0.00 My_l=1.48 Mz_l=0.01
Taglio nei bulloni: Fv,Ed=0.59 Fv,Rd=9650.97
Rifollamento lato piastra: Fb,Ed,p=0.59 Fb,Rd,p=7791.38
Tirafondi:LT=0.45 (0.31) σ_{cR}=0.00 σ_{fR}=0.00
Compressione nel calcestruzzo: σ_c=11.29
CC 12 SLD (Collegamento 0023_-380)
Azioni sul collegamento: N=-5422.73 Ty=-0.07 Tz=-3.44 Mx=0.01 Mz=0.11
Sollecitazioni agenti localmente: Tx_l=-0.07 Ty_l=-3.44 N_l=-5422.73 Mx_l=-0.00 My_l=0.11 Mz_l=0.01
Taglio nei bulloni: Fv,Ed=0.58 Fv,Rd=9650.97
Rifollamento lato piastra: Fb,Ed,p=0.58 Fb,Rd,p=7485.81
Tirafondi:LT=0.45 (0.31) σ_{cR}=0.00 σ_{fR}=0.00
Compressione nel calcestruzzo: σ_c=11.21
CC 12 SLD (Collegamento 0023_-380)
Azioni sul collegamento: N=-5422.73 Ty=0.63 Tz=-1.87 Mx=0.01 Mz=1.48
Sollecitazioni agenti localmente: Tx_l=0.63 Ty_l=-1.87 N_l=-5422.73 Mx_l=-0.00 My_l=1.48 Mz_l=0.01
Taglio nei bulloni: Fv,Ed=0.34 Fv,Rd=9650.97
Rifollamento lato piastra: Fb,Ed,p=0.33 Fb,Rd,p=8524.57
Tirafondi:LT=0.45 (0.31) σ_{cR}=0.00 σ_{fR}=0.00
Compressione nel calcestruzzo: σ_c=11.29
CC 12 SLD (Collegamento 0023_-380)
Azioni sul collegamento: N=-5422.73 Ty=-0.07 Tz=-1.87 Mx=0.01 Mz=0.11
Sollecitazioni agenti localmente: Tx_l=-0.07 Ty_l=-1.87 N_l=-5422.73 Mx_l=-0.00 My_l=0.11 Mz_l=0.01
Taglio nei bulloni: Fv,Ed=0.32 Fv,Rd=9650.97
Rifollamento lato piastra: Fb,Ed,p=0.32 Fb,Rd,p=7513.00
Tirafondi:LT=0.45 (0.31) σ_{cR}=0.00 σ_{fR}=0.00
Compressione nel calcestruzzo: σ_c=11.21
CC 13 SLV (Collegamento 0023_-380)
Azioni sul collegamento: N=-4942.30 Ty=-0.06 Tz=-0.09 Mx=0.00 Mz=0.60
Sollecitazioni agenti localmente: Tx_l=-0.06 Ty_l=-0.09 N_l=-4942.30 Mx_l=-0.00 My_l=0.60 Mz_l=0.00
Tirafondi:LT=0.45 (0.31) σ_{cR}=0.00 σ_{fR}=0.00
Compressione nel calcestruzzo: σ_c=10.25
CC 13 SLV (Collegamento 0023_-380)
Azioni sul collegamento: N=-4942.30 Ty=2.24 Tz=-0.09 Mx=0.00 Mz=5.10
Sollecitazioni agenti localmente: Tx_l=2.24 Ty_l=-0.09 N_l=-4942.30 Mx_l=-0.00 My_l=5.10 Mz_l=0.00
Taglio nei bulloni: Fv,Ed=0.38 Fv,Rd=7720.78
Rifollamento lato piastra: Fb,Ed,p=0.38 Fb,Rd,p=6005.64

Tirafondi:LT=0.45 (0.31) σ_{cR}=0.00 σ_{fR}=0.00
Compressione nel calcestruzzo: σ_c=10.50
CC 13 SLV (Collegamento 0023_-380)
Azioni sul collegamento: N=-4942.30 Ty=-0.06 Tz=-5.22 Mx=0.00 Mz=0.60
Sollecitazioni agenti localmente: Tx_l=-0.06 Ty_l=-5.22 N_l=-4942.30 Mx_l=-0.00 My_l=0.60 Mz_l=0.00
Taglio nei bulloni: Fv,Ed=0.87 Fv,Rd=7720.78
Rifollamento lato piastra: Fb,Ed,p=0.87 Fb,Rd,p=5981.88
Tirafondi:LT=0.45 (0.31) σ_{cR}=0.00 σ_{fR}=0.00
Compressione nel calcestruzzo: σ_c=10.25
CC 13 SLV (Collegamento 0023_-380)
Azioni sul collegamento: N=-4942.30 Ty=2.24 Tz=-5.22 Mx=0.00 Mz=5.10
Sollecitazioni agenti localmente: Tx_l=2.24 Ty_l=-5.22 N_l=-4942.30 Mx_l=-0.00 My_l=5.10 Mz_l=0.00
Taglio nei bulloni: Fv,Ed=0.95 Fv,Rd=7720.78
Rifollamento lato piastra: Fb,Ed,p=0.95 Fb,Rd,p=7572.77
Tirafondi:LT=0.45 (0.31) σ_{cR}=0.00 σ_{fR}=0.00
Compressione nel calcestruzzo: σ_c=10.50
CC 13 SLV (Collegamento 0023_-380)
Azioni sul collegamento: N=-6324.16 Ty=-0.06 Tz=-0.09 Mx=0.00 Mz=0.60
Sollecitazioni agenti localmente: Tx_l=-0.06 Ty_l=-0.09 N_l=-6324.16 Mx_l=-0.00 My_l=0.60 Mz_l=0.00
Tirafondi:LT=0.45 (0.31) σ_{cR}=0.00 σ_{fR}=0.00
Compressione nel calcestruzzo: σ_c=13.10
CC 13 SLV (Collegamento 0023_-380)
Azioni sul collegamento: N=-6324.16 Ty=2.24 Tz=-0.09 Mx=0.00 Mz=5.10
Sollecitazioni agenti localmente: Tx_l=2.24 Ty_l=-0.09 N_l=-6324.16 Mx_l=-0.00 My_l=5.10 Mz_l=0.00
Taglio nei bulloni: Fv,Ed=0.38 Fv,Rd=7720.78
Rifollamento lato piastra: Fb,Ed,p=0.38 Fb,Rd,p=6005.53
Tirafondi:LT=0.45 (0.31) σ_{cR}=0.00 σ_{fR}=0.00
Compressione nel calcestruzzo: σ_c=13.35
CC 13 SLV (Collegamento 0023_-380)
Azioni sul collegamento: N=-6324.16 Ty=-0.06 Tz=-5.22 Mx=0.00 Mz=0.60
Sollecitazioni agenti localmente: Tx_l=-0.06 Ty_l=-5.22 N_l=-6324.16 Mx_l=-0.00 My_l=0.60 Mz_l=0.00
Taglio nei bulloni: Fv,Ed=0.87 Fv,Rd=7720.78
Rifollamento lato piastra: Fb,Ed,p=0.87 Fb,Rd,p=5981.88
Tirafondi:LT=0.45 (0.31) σ_{cR}=0.00 σ_{fR}=0.00
Compressione nel calcestruzzo: σ_c=13.10
CC 13 SLV (Collegamento 0023_-380)
Azioni sul collegamento: N=-6324.16 Ty=2.24 Tz=-5.22 Mx=0.00 Mz=5.10
Sollecitazioni agenti localmente: Tx_l=2.24 Ty_l=-5.22 N_l=-6324.16 Mx_l=-0.00 My_l=5.10 Mz_l=0.00
Taglio nei bulloni: Fv,Ed=0.95 Fv,Rd=7720.78
Rifollamento lato piastra: Fb,Ed,p=0.95 Fb,Rd,p=7572.82
Tirafondi:LT=0.45 (0.31) σ_{cR}=0.00 σ_{fR}=0.00
Compressione nel calcestruzzo: σ_c=13.35
CC 14 SLD (Collegamento 0023_-380)
Azioni sul collegamento: N=-5422.73 Ty=-0.07 Tz=-1.87 Mx=0.00 Mz=0.11
Sollecitazioni agenti localmente: Tx_l=-0.07 Ty_l=-1.87 N_l=-5422.73 Mx_l=-0.00 My_l=0.11 Mz_l=0.00
Taglio nei bulloni: Fv,Ed=0.31 Fv,Rd=9650.97
Rifollamento lato piastra: Fb,Ed,p=0.31 Fb,Rd,p=7493.21
Tirafondi:LT=0.45 (0.31) σ_{cR}=0.00 σ_{fR}=0.00
Compressione nel calcestruzzo: σ_c=11.21
CC 14 SLD (Collegamento 0023_-380)
Azioni sul collegamento: N=-5422.73 Ty=0.63 Tz=-1.87 Mx=0.00 Mz=1.48
Sollecitazioni agenti localmente: Tx_l=0.63 Ty_l=-1.87 N_l=-5422.73 Mx_l=-0.00 My_l=1.48 Mz_l=0.00
Taglio nei bulloni: Fv,Ed=0.33 Fv,Rd=9650.97
Rifollamento lato piastra: Fb,Ed,p=0.33 Fb,Rd,p=8700.72
Tirafondi:LT=0.45 (0.31) σ_{cR}=0.00 σ_{fR}=0.00
Compressione nel calcestruzzo: σ_c=11.29
CC 14 SLD (Collegamento 0023_-380)
Azioni sul collegamento: N=-5422.73 Ty=-0.07 Tz=-3.44 Mx=0.00 Mz=0.11
Sollecitazioni agenti localmente: Tx_l=-0.07 Ty_l=-3.44 N_l=-5422.73 Mx_l=-0.00 My_l=0.11 Mz_l=0.00
Taglio nei bulloni: Fv,Ed=0.57 Fv,Rd=9650.97
Rifollamento lato piastra: Fb,Ed,p=0.57 Fb,Rd,p=7479.71
Tirafondi:LT=0.45 (0.31) σ_{cR}=0.00 σ_{fR}=0.00
Compressione nel calcestruzzo: σ_c=11.21
CC 14 SLD (Collegamento 0023_-380)
Azioni sul collegamento: N=-5422.73 Ty=0.63 Tz=-3.44 Mx=0.00 Mz=1.48
Sollecitazioni agenti localmente: Tx_l=0.63 Ty_l=-3.44 N_l=-5422.73 Mx_l=-0.00 My_l=1.48 Mz_l=0.00
Taglio nei bulloni: Fv,Ed=0.58 Fv,Rd=9650.97
Rifollamento lato piastra: Fb,Ed,p=0.58 Fb,Rd,p=7838.14
Tirafondi:LT=0.45 (0.31) σ_{cR}=0.00 σ_{fR}=0.00
Compressione nel calcestruzzo: σ_c=11.29
CC 14 SLD (Collegamento 0023_-380)
Azioni sul collegamento: N=-5844.10 Ty=-0.07 Tz=-1.87 Mx=0.00 Mz=0.11
Sollecitazioni agenti localmente: Tx_l=-0.07 Ty_l=-1.87 N_l=-5844.10 Mx_l=-0.00 My_l=0.11 Mz_l=0.00
Taglio nei bulloni: Fv,Ed=0.31 Fv,Rd=9650.97
Rifollamento lato piastra: Fb,Ed,p=0.31 Fb,Rd,p=7493.21
Tirafondi:LT=0.45 (0.31) σ_{cR}=0.00 σ_{fR}=0.00
Compressione nel calcestruzzo: σ_c=12.08
CC 14 SLD (Collegamento 0023_-380)

Azioni sul collegamento: N=-5844.10 Ty=0.63 Tz=-1.87 Mx=0.00 Mz=1.48
Sollecitazioni agenti localmente: Tx_l=0.63 Ty_l=-1.87 N_l=-5844.10 Mx_l=-0.00 My_l=1.48 Mz_l=0.00
Taglio nei bulloni: Fv,Ed=0.33 Fv,Rd=9650.97
Rifollamento lato piastra: Fb,Ed,p=0.33 Fb,Rd,p=8700.82
Tirafondi:LT=0.45 (0.31) σ_{cR}=0.00 σ_{fR}=0.00
Compressione nel calcestruzzo: σ_c=12.16
CC 14 SLD (Collegamento 0023_-380)
Azioni sul collegamento: N=-5844.10 Ty=-0.07 Tz=-3.44 Mx=0.00 Mz=0.11
Sollecitazioni agenti localmente: Tx_l=-0.07 Ty_l=-3.44 N_l=-5844.10 Mx_l=-0.00 My_l=0.11 Mz_l=0.00
Taglio nei bulloni: Fv,Ed=0.57 Fv,Rd=9650.97
Rifollamento lato piastra: Fb,Ed,p=0.57 Fb,Rd,p=7479.71
Tirafondi:LT=0.45 (0.31) σ_{cR}=0.00 σ_{fR}=0.00
Compressione nel calcestruzzo: σ_c=12.08
CC 14 SLD (Collegamento 0023_-380)
Azioni sul collegamento: N=-5844.10 Ty=0.63 Tz=-3.44 Mx=0.00 Mz=1.48
Sollecitazioni agenti localmente: Tx_l=0.63 Ty_l=-3.44 N_l=-5844.10 Mx_l=-0.00 My_l=1.48 Mz_l=0.00
Taglio nei bulloni: Fv,Ed=0.58 Fv,Rd=9650.97
Rifollamento lato piastra: Fb,Ed,p=0.58 Fb,Rd,p=7838.09
Tirafondi:LT=0.45 (0.31) σ_{cR}=0.00 σ_{fR}=0.00
Compressione nel calcestruzzo: σ_c=12.16
CC 15 SLV (Collegamento 0023_-380)
Azioni sul collegamento: N=-6324.24 Ty=-0.07 Tz=-5.22 Mx=0.00 Mz=0.59
Sollecitazioni agenti localmente: Tx_l=-0.07 Ty_l=-5.22 N_l=-6324.24 Mx_l=-0.00 My_l=0.59 Mz_l=0.00
Taglio nei bulloni: Fv,Ed=0.87 Fv,Rd=7720.78
Rifollamento lato piastra: Fb,Ed,p=0.87 Fb,Rd,p=5982.10
Tirafondi:LT=0.45 (0.31) σ_{cR}=0.00 σ_{fR}=0.00
Compressione nel calcestruzzo: σ_c=13.10
CC 15 SLV (Collegamento 0023_-380)
Azioni sul collegamento: N=-6324.24 Ty=2.24 Tz=-5.22 Mx=0.00 Mz=5.11
Sollecitazioni agenti localmente: Tx_l=2.24 Ty_l=-5.22 N_l=-6324.24 Mx_l=-0.00 My_l=5.11 Mz_l=0.00
Taglio nei bulloni: Fv,Ed=0.95 Fv,Rd=7720.78
Rifollamento lato piastra: Fb,Ed,p=0.95 Fb,Rd,p=7578.46
Tirafondi:LT=0.45 (0.31) σ_{cR}=0.00 σ_{fR}=0.00
Compressione nel calcestruzzo: σ_c=13.35
CC 15 SLV (Collegamento 0023_-380)
Azioni sul collegamento: N=-6324.24 Ty=-0.07 Tz=-0.09 Mx=0.00 Mz=0.59
Sollecitazioni agenti localmente: Tx_l=-0.07 Ty_l=-0.09 N_l=-6324.24 Mx_l=-0.00 My_l=0.59 Mz_l=0.00
Tirafondi:LT=0.45 (0.31) σ_{cR}=0.00 σ_{fR}=0.00
Compressione nel calcestruzzo: σ_c=13.10
CC 15 SLV (Collegamento 0023_-380)
Azioni sul collegamento: N=-6324.24 Ty=2.24 Tz=-0.09 Mx=0.00 Mz=5.11
Sollecitazioni agenti localmente: Tx_l=2.24 Ty_l=-0.09 N_l=-6324.24 Mx_l=-0.00 My_l=5.11 Mz_l=0.00
Taglio nei bulloni: Fv,Ed=0.38 Fv,Rd=7720.78
Rifollamento lato piastra: Fb,Ed,p=0.38 Fb,Rd,p=6004.58
Tirafondi:LT=0.45 (0.31) σ_{cR}=0.00 σ_{fR}=0.00
Compressione nel calcestruzzo: σ_c=13.35
CC 15 SLV (Collegamento 0023_-380)
Azioni sul collegamento: N=-4942.23 Ty=-0.07 Tz=-5.22 Mx=0.00 Mz=0.59
Sollecitazioni agenti localmente: Tx_l=-0.07 Ty_l=-5.22 N_l=-4942.23 Mx_l=-0.00 My_l=0.59 Mz_l=0.00
Taglio nei bulloni: Fv,Ed=0.87 Fv,Rd=7720.78
Rifollamento lato piastra: Fb,Ed,p=0.87 Fb,Rd,p=5982.10
Tirafondi:LT=0.45 (0.31) σ_{cR}=0.00 σ_{fR}=0.00
Compressione nel calcestruzzo: σ_c=10.24
CC 15 SLV (Collegamento 0023_-380)
Azioni sul collegamento: N=-4942.23 Ty=2.24 Tz=-5.22 Mx=0.00 Mz=5.11
Sollecitazioni agenti localmente: Tx_l=2.24 Ty_l=-5.22 N_l=-4942.23 Mx_l=-0.00 My_l=5.11 Mz_l=0.00
Taglio nei bulloni: Fv,Ed=0.95 Fv,Rd=7720.78
Rifollamento lato piastra: Fb,Ed,p=0.95 Fb,Rd,p=7578.39
Tirafondi:LT=0.45 (0.31) σ_{cR}=0.00 σ_{fR}=0.00
Compressione nel calcestruzzo: σ_c=10.50
CC 15 SLV (Collegamento 0023_-380)
Azioni sul collegamento: N=-4942.23 Ty=-0.07 Tz=-0.09 Mx=0.00 Mz=0.59
Sollecitazioni agenti localmente: Tx_l=-0.07 Ty_l=-0.09 N_l=-4942.23 Mx_l=-0.00 My_l=0.59 Mz_l=0.00
Tirafondi:LT=0.45 (0.31) σ_{cR}=0.00 σ_{fR}=0.00
Compressione nel calcestruzzo: σ_c=10.24
CC 15 SLV (Collegamento 0023_-380)
Azioni sul collegamento: N=-4942.23 Ty=2.24 Tz=-0.09 Mx=0.00 Mz=5.11
Sollecitazioni agenti localmente: Tx_l=2.24 Ty_l=-0.09 N_l=-4942.23 Mx_l=-0.00 My_l=5.11 Mz_l=0.00
Taglio nei bulloni: Fv,Ed=0.38 Fv,Rd=7720.78
Rifollamento lato piastra: Fb,Ed,p=0.38 Fb,Rd,p=6004.62
Tirafondi:LT=0.45 (0.31) σ_{cR}=0.00 σ_{fR}=0.00
Compressione nel calcestruzzo: σ_c=10.50
CC 16 SLD (Collegamento 0023_-380)
Azioni sul collegamento: N=-5844.12 Ty=-0.07 Tz=-3.44 Mx=0.00 Mz=0.11
Sollecitazioni agenti localmente: Tx_l=-0.07 Ty_l=-3.44 N_l=-5844.12 Mx_l=-0.00 My_l=0.11 Mz_l=0.00
Taglio nei bulloni: Fv,Ed=0.57 Fv,Rd=9650.97
Rifollamento lato piastra: Fb,Ed,p=0.57 Fb,Rd,p=7479.87
Tirafondi:LT=0.45 (0.31) σ_{cR}=0.00 σ_{fR}=0.00

Compressione nel calcestruzzo: σ_c=12.08
CC 16 SLD (Collegamento 0023_-380)
Azioni sul collegamento: N=-5844.12 Ty=0.63 Tz=-3.44 Mx=0.00 Mz=1.49
Sollecitazioni agenti localmente: Tx_l=0.63 Ty_l=-3.44 N_l=-5844.12 Mx_l=-0.00 My_l=1.49 Mz_l=0.00
Taglio nei bulloni: Fv,Ed=0.58 Fv,Rd=9650.97
Rifollamento lato piastra: Fb,Ed,p=0.58 Fb,Rd,p=7839.64
Tirafondi:LT=0.45 (0.31) σ_{cR}=0.00 σ_{fR}=0.00
Compressione nel calcestruzzo: σ_c=12.16
CC 16 SLD (Collegamento 0023_-380)
Azioni sul collegamento: N=-5844.12 Ty=-0.07 Tz=-1.87 Mx=0.00 Mz=0.11
Sollecitazioni agenti localmente: Tx_l=-0.07 Ty_l=-1.87 N_l=-5844.12 Mx_l=-0.00 My_l=0.11 Mz_l=0.00
Taglio nei bulloni: Fv,Ed=0.31 Fv,Rd=9650.97
Rifollamento lato piastra: Fb,Ed,p=0.31 Fb,Rd,p=7493.79
Tirafondi:LT=0.45 (0.31) σ_{cR}=0.00 σ_{fR}=0.00
Compressione nel calcestruzzo: σ_c=12.08
CC 16 SLD (Collegamento 0023_-380)
Azioni sul collegamento: N=-5844.12 Ty=0.63 Tz=-1.87 Mx=0.00 Mz=1.49
Sollecitazioni agenti localmente: Tx_l=0.63 Ty_l=-1.87 N_l=-5844.12 Mx_l=-0.00 My_l=1.49 Mz_l=0.00
Taglio nei bulloni: Fv,Ed=0.33 Fv,Rd=9650.97
Rifollamento lato piastra: Fb,Ed,p=0.33 Fb,Rd,p=8707.29
Tirafondi:LT=0.45 (0.31) σ_{cR}=0.00 σ_{fR}=0.00
Compressione nel calcestruzzo: σ_c=12.16
CC 16 SLD (Collegamento 0023_-380)
Azioni sul collegamento: N=-5422.71 Ty=-0.07 Tz=-3.44 Mx=0.00 Mz=0.11
Sollecitazioni agenti localmente: Tx_l=-0.07 Ty_l=-3.44 N_l=-5422.71 Mx_l=-0.00 My_l=0.11 Mz_l=0.00
Taglio nei bulloni: Fv,Ed=0.57 Fv,Rd=9650.97
Rifollamento lato piastra: Fb,Ed,p=0.57 Fb,Rd,p=7479.87
Tirafondi:LT=0.45 (0.31) σ_{cR}=0.00 σ_{fR}=0.00
Compressione nel calcestruzzo: σ_c=11.21
CC 16 SLD (Collegamento 0023_-380)
Azioni sul collegamento: N=-5422.71 Ty=0.63 Tz=-3.44 Mx=0.00 Mz=1.49
Sollecitazioni agenti localmente: Tx_l=0.63 Ty_l=-3.44 N_l=-5422.71 Mx_l=-0.00 My_l=1.49 Mz_l=0.00
Taglio nei bulloni: Fv,Ed=0.58 Fv,Rd=9650.97
Rifollamento lato piastra: Fb,Ed,p=0.58 Fb,Rd,p=7839.62
Tirafondi:LT=0.45 (0.31) σ_{cR}=0.00 σ_{fR}=0.00
Compressione nel calcestruzzo: σ_c=11.29
CC 16 SLD (Collegamento 0023_-380)
Azioni sul collegamento: N=-5422.71 Ty=-0.07 Tz=-1.87 Mx=0.00 Mz=0.11
Sollecitazioni agenti localmente: Tx_l=-0.07 Ty_l=-1.87 N_l=-5422.71 Mx_l=-0.00 My_l=0.11 Mz_l=0.00
Taglio nei bulloni: Fv,Ed=0.31 Fv,Rd=9650.97
Rifollamento lato piastra: Fb,Ed,p=0.31 Fb,Rd,p=7493.80
Tirafondi:LT=0.45 (0.31) σ_{cR}=0.00 σ_{fR}=0.00
Compressione nel calcestruzzo: σ_c=11.21
CC 16 SLD (Collegamento 0023_-380)
Azioni sul collegamento: N=-5422.71 Ty=0.63 Tz=-1.87 Mx=0.00 Mz=1.49
Sollecitazioni agenti localmente: Tx_l=0.63 Ty_l=-1.87 N_l=-5422.71 Mx_l=-0.00 My_l=1.49 Mz_l=0.00
Taglio nei bulloni: Fv,Ed=0.33 Fv,Rd=9650.97
Rifollamento lato piastra: Fb,Ed,p=0.33 Fb,Rd,p=8707.33
Tirafondi:LT=0.45 (0.31) σ_{cR}=0.00 σ_{fR}=0.00
Compressione nel calcestruzzo: σ_c=11.29
CC 17 SLV (Collegamento 0023_-380)
Azioni sul collegamento: N=-3330.52 Ty=-0.88 Tz=5.89 Mx=-0.02 Mz=-2.36
Sollecitazioni agenti localmente: Tx_l=-0.88 Ty_l=5.89 N_l=-3330.52 Mx_l=-0.00 My_l=-2.36 Mz_l=-0.02
Taglio nei bulloni: Fv,Ed=1.01 Fv,Rd=7720.78
Rifollamento lato piastra: Fb,Ed,p=1.01 Fb,Rd,p=6223.33
Tirafondi:LT=0.45 (0.31) σ_{cR}=0.00 σ_{fR}=0.00
Compressione nel calcestruzzo: σ_c=7.01
CC 17 SLV (Collegamento 0023_-380)
Azioni sul collegamento: N=-3330.52 Ty=-1.59 Tz=5.89 Mx=-0.02 Mz=-3.75
Sollecitazioni agenti localmente: Tx_l=-1.59 Ty_l=5.89 N_l=-3330.52 Mx_l=-0.00 My_l=-3.75 Mz_l=-0.02
Taglio nei bulloni: Fv,Ed=1.04 Fv,Rd=7720.78
Rifollamento lato piastra: Fb,Ed,p=1.04 Fb,Rd,p=6695.52
Tirafondi:LT=0.45 (0.31) σ_{cR}=0.00 σ_{fR}=0.00
Compressione nel calcestruzzo: σ_c=7.09
CC 17 SLV (Collegamento 0023_-380)
Azioni sul collegamento: N=-3330.52 Ty=-0.88 Tz=-11.19 Mx=-0.02 Mz=-2.36
Sollecitazioni agenti localmente: Tx_l=-0.88 Ty_l=-11.19 N_l=-3330.52 Mx_l=-0.00 My_l=-2.36 Mz_l=-0.02
Taglio nei bulloni: Fv,Ed=1.89 Fv,Rd=7720.78
Rifollamento lato piastra: Fb,Ed,p=1.89 Fb,Rd,p=6020.90
Tirafondi:LT=0.45 (0.31) σ_{cR}=0.00 σ_{fR}=0.00
Compressione nel calcestruzzo: σ_c=7.01
CC 17 SLV (Collegamento 0023_-380)
Azioni sul collegamento: N=-3330.52 Ty=-1.59 Tz=-11.19 Mx=-0.02 Mz=-3.75
Sollecitazioni agenti localmente: Tx_l=-1.59 Ty_l=-11.19 N_l=-3330.52 Mx_l=-0.00 My_l=-3.75 Mz_l=-0.02
Taglio nei bulloni: Fv,Ed=1.90 Fv,Rd=7720.78
Rifollamento lato piastra: Fb,Ed,p=1.90 Fb,Rd,p=6131.50
Tirafondi:LT=0.45 (0.31) σ_{cR}=0.00 σ_{fR}=0.00
Compressione nel calcestruzzo: σ_c=7.09

CC 17 SLV (Collegamento 0023_-380)
Azioni sul collegamento: N=-7936.99 Ty=-0.88 Tz=5.89 Mx=-0.02 Mz=-2.36
Sollecitazioni agenti localmente: Tx_l=-0.88 Ty_l=5.89 N_l=-7936.99 Mx_l=-0.00 My_l=-2.36 Mz_l=-0.02
Taglio nei bulloni: Fv,Ed=1.01 Fv,Rd=7720.78
Rifollamento lato piastra: Fb,Ed,p=1.01 Fb,Rd,p=6223.32
Tirafondi:LT=0.45 (0.31) σ_{cR}=0.00 σ_{fR}=0.00
Compressione nel calcestruzzo: σ_c=16.53
CC 17 SLV (Collegamento 0023_-380)
Azioni sul collegamento: N=-7936.99 Ty=-1.59 Tz=5.89 Mx=-0.02 Mz=-3.75
Sollecitazioni agenti localmente: Tx_l=-1.59 Ty_l=5.89 N_l=-7936.99 Mx_l=-0.00 My_l=-3.75 Mz_l=-0.02
Taglio nei bulloni: Fv,Ed=1.04 Fv,Rd=7720.78
Rifollamento lato piastra: Fb,Ed,p=1.04 Fb,Rd,p=6695.50
Tirafondi:LT=0.45 (0.31) σ_{cR}=0.00 σ_{fR}=0.00
Compressione nel calcestruzzo: σ_c=16.61
CC 17 SLV (Collegamento 0023_-380)
Azioni sul collegamento: N=-7936.99 Ty=-0.88 Tz=-11.19 Mx=-0.02 Mz=-2.36
Sollecitazioni agenti localmente: Tx_l=-0.88 Ty_l=-11.19 N_l=-7936.99 Mx_l=-0.00 My_l=-2.36 Mz_l=-0.02
Taglio nei bulloni: Fv,Ed=1.89 Fv,Rd=7720.78
Rifollamento lato piastra: Fb,Ed,p=1.89 Fb,Rd,p=6020.90
Tirafondi:LT=0.45 (0.31) σ_{cR}=0.00 σ_{fR}=0.00
Compressione nel calcestruzzo: σ_c=16.53
CC 17 SLV (Collegamento 0023_-380)
Azioni sul collegamento: N=-7936.99 Ty=-1.59 Tz=-11.19 Mx=-0.02 Mz=-3.75
Sollecitazioni agenti localmente: Tx_l=-1.59 Ty_l=-11.19 N_l=-7936.99 Mx_l=-0.00 My_l=-3.75 Mz_l=-0.02
Taglio nei bulloni: Fv,Ed=1.90 Fv,Rd=7720.78
Rifollamento lato piastra: Fb,Ed,p=1.90 Fb,Rd,p=6131.50
Tirafondi:LT=0.45 (0.31) σ_{cR}=0.00 σ_{fR}=0.00
Compressione nel calcestruzzo: σ_c=16.61
CC 18 SLD (Collegamento 0023_-380)
Azioni sul collegamento: N=-4931.25 Ty=-0.32 Tz=-0.05 Mx=-0.01 Mz=-0.79
Sollecitazioni agenti localmente: Tx_l=-0.32 Ty_l=-0.05 N_l=-4931.25 Mx_l=-0.00 My_l=-0.79 Mz_l=-0.01
Tirafondi:LT=0.45 (0.31) σ_{cR}=0.00 σ_{fR}=0.00
Compressione nel calcestruzzo: σ_c=10.23
CC 18 SLD (Collegamento 0023_-380)
Azioni sul collegamento: N=-4931.25 Ty=-0.54 Tz=-0.05 Mx=-0.01 Mz=-1.22
Sollecitazioni agenti localmente: Tx_l=-0.54 Ty_l=-0.05 N_l=-4931.25 Mx_l=-0.00 My_l=-1.22 Mz_l=-0.01
Rifollamento lato piastra: Fb,Ed,p=0.10 Fb,Rd,p=7714.45
Tirafondi:LT=0.45 (0.31) σ_{cR}=0.00 σ_{fR}=0.00
Compressione nel calcestruzzo: σ_c=10.26
CC 18 SLD (Collegamento 0023_-380)
Azioni sul collegamento: N=-4931.25 Ty=-0.32 Tz=-5.26 Mx=-0.01 Mz=-0.79
Sollecitazioni agenti localmente: Tx_l=-0.32 Ty_l=-5.26 N_l=-4931.25 Mx_l=-0.00 My_l=-0.79 Mz_l=-0.01
Taglio nei bulloni: Fv,Ed=0.88 Fv,Rd=9650.97
Rifollamento lato piastra: Fb,Ed,p=0.88 Fb,Rd,p=7506.52
Tirafondi:LT=0.45 (0.31) σ_{cR}=0.00 σ_{fR}=0.00
Compressione nel calcestruzzo: σ_c=10.23
CC 18 SLD (Collegamento 0023_-380)
Azioni sul collegamento: N=-4931.25 Ty=-0.54 Tz=-5.26 Mx=-0.01 Mz=-1.22
Sollecitazioni agenti localmente: Tx_l=-0.54 Ty_l=-5.26 N_l=-4931.25 Mx_l=-0.00 My_l=-1.22 Mz_l=-0.01
Taglio nei bulloni: Fv,Ed=0.89 Fv,Rd=9650.97
Rifollamento lato piastra: Fb,Ed,p=0.89 Fb,Rd,p=7573.69
Tirafondi:LT=0.45 (0.31) σ_{cR}=0.00 σ_{fR}=0.00
Compressione nel calcestruzzo: σ_c=10.26
CC 18 SLD (Collegamento 0023_-380)
Azioni sul collegamento: N=-6335.90 Ty=-0.32 Tz=-0.05 Mx=-0.01 Mz=-0.79
Sollecitazioni agenti localmente: Tx_l=-0.32 Ty_l=-0.05 N_l=-6335.90 Mx_l=-0.00 My_l=-0.79 Mz_l=-0.01
Tirafondi:LT=0.45 (0.31) σ_{cR}=0.00 σ_{fR}=0.00
Compressione nel calcestruzzo: σ_c=13.14
CC 18 SLD (Collegamento 0023_-380)
Azioni sul collegamento: N=-6335.90 Ty=-0.54 Tz=-0.05 Mx=-0.01 Mz=-1.22
Sollecitazioni agenti localmente: Tx_l=-0.54 Ty_l=-0.05 N_l=-6335.90 Mx_l=-0.00 My_l=-1.22 Mz_l=-0.01
Rifollamento lato piastra: Fb,Ed,p=0.10 Fb,Rd,p=7713.70
Tirafondi:LT=0.45 (0.31) σ_{cR}=0.00 σ_{fR}=0.00
Compressione nel calcestruzzo: σ_c=13.16
CC 18 SLD (Collegamento 0023_-380)
Azioni sul collegamento: N=-6335.90 Ty=-0.32 Tz=-5.26 Mx=-0.01 Mz=-0.79
Sollecitazioni agenti localmente: Tx_l=-0.32 Ty_l=-5.26 N_l=-6335.90 Mx_l=-0.00 My_l=-0.79 Mz_l=-0.01
Taglio nei bulloni: Fv,Ed=0.88 Fv,Rd=9650.97
Rifollamento lato piastra: Fb,Ed,p=0.88 Fb,Rd,p=7506.52
Tirafondi:LT=0.45 (0.31) σ_{cR}=0.00 σ_{fR}=0.00
Compressione nel calcestruzzo: σ_c=13.14
CC 18 SLD (Collegamento 0023_-380)
Azioni sul collegamento: N=-6335.90 Ty=-0.54 Tz=-5.26 Mx=-0.01 Mz=-1.22
Sollecitazioni agenti localmente: Tx_l=-0.54 Ty_l=-5.26 N_l=-6335.90 Mx_l=-0.00 My_l=-1.22 Mz_l=-0.01
Taglio nei bulloni: Fv,Ed=0.89 Fv,Rd=9650.97
Rifollamento lato piastra: Fb,Ed,p=0.89 Fb,Rd,p=7573.70
Tirafondi:LT=0.45 (0.31) σ_{cR}=0.00 σ_{fR}=0.00
Compressione nel calcestruzzo: σ_c=13.16

CC 19 SLV (Collegamento 0023_-380)
Azioni sul collegamento: N=-3330.55 Ty=-1.58 Tz=5.89 Mx=-0.01 Mz=-3.71
Sollecitazioni agenti localmente: Tx_l=-1.58 Ty_l=5.89 N_l=-3330.55 Mx_l=-0.00 My_l=-3.71 Mz_l=-0.01
Taglio nei bulloni: Fv,Ed=1.03 Fv,Rd=7720.78
Rifollamento lato piastra: Fb,Ed,p=1.03 Fb,Rd,p=6663.13
Tirafondi:LT=0.45 (0.31) σ_{cR}=0.00 σ_{fR}=0.00
Compressione nel calcestruzzo: σ_c=7.09
CC 19 SLV (Collegamento 0023_-380)
Azioni sul collegamento: N=-3330.55 Ty=-0.90 Tz=5.89 Mx=-0.01 Mz=-2.40
Sollecitazioni agenti localmente: Tx_l=-0.90 Ty_l=5.89 N_l=-3330.55 Mx_l=-0.00 My_l=-2.40 Mz_l=-0.01
Taglio nei bulloni: Fv,Ed=1.01 Fv,Rd=7720.78
Rifollamento lato piastra: Fb,Ed,p=1.01 Fb,Rd,p=6215.72
Tirafondi:LT=0.45 (0.31) σ_{cR}=0.00 σ_{fR}=0.00
Compressione nel calcestruzzo: σ_c=7.02
CC 19 SLV (Collegamento 0023_-380)
Azioni sul collegamento: N=-3330.55 Ty=-1.58 Tz=-11.19 Mx=-0.01 Mz=-3.71
Sollecitazioni agenti localmente: Tx_l=-1.58 Ty_l=-11.19 N_l=-3330.55 Mx_l=-0.00 My_l=-3.71 Mz_l=-0.01
Taglio nei bulloni: Fv,Ed=1.90 Fv,Rd=7720.78
Rifollamento lato piastra: Fb,Ed,p=1.89 Fb,Rd,p=6136.91
Tirafondi:LT=0.45 (0.31) σ_{cR}=0.00 σ_{fR}=0.00
Compressione nel calcestruzzo: σ_c=7.09
CC 19 SLV (Collegamento 0023_-380)
Azioni sul collegamento: N=-3330.55 Ty=-0.90 Tz=-11.19 Mx=-0.01 Mz=-2.40
Sollecitazioni agenti localmente: Tx_l=-0.90 Ty_l=-11.19 N_l=-3330.55 Mx_l=-0.00 My_l=-2.40 Mz_l=-0.01
Taglio nei bulloni: Fv,Ed=1.88 Fv,Rd=7720.78
Rifollamento lato piastra: Fb,Ed,p=1.88 Fb,Rd,p=6026.58
Tirafondi:LT=0.45 (0.31) σ_{cR}=0.00 σ_{fR}=0.00
Compressione nel calcestruzzo: σ_c=7.02
CC 19 SLV (Collegamento 0023_-380)
Azioni sul collegamento: N=-7936.97 Ty=-1.58 Tz=5.89 Mx=-0.01 Mz=-3.71
Sollecitazioni agenti localmente: Tx_l=-1.58 Ty_l=5.89 N_l=-7936.97 Mx_l=-0.00 My_l=-3.71 Mz_l=-0.01
Taglio nei bulloni: Fv,Ed=1.03 Fv,Rd=7720.78
Rifollamento lato piastra: Fb,Ed,p=1.03 Fb,Rd,p=6663.07
Tirafondi:LT=0.45 (0.31) σ_{cR}=0.00 σ_{fR}=0.00
Compressione nel calcestruzzo: σ_c=16.61
CC 19 SLV (Collegamento 0023_-380)
Azioni sul collegamento: N=-7936.97 Ty=-0.90 Tz=5.89 Mx=-0.01 Mz=-2.40
Sollecitazioni agenti localmente: Tx_l=-0.90 Ty_l=5.89 N_l=-7936.97 Mx_l=-0.00 My_l=-2.40 Mz_l=-0.01
Taglio nei bulloni: Fv,Ed=1.01 Fv,Rd=7720.78
Rifollamento lato piastra: Fb,Ed,p=1.01 Fb,Rd,p=6215.70
Tirafondi:LT=0.45 (0.31) σ_{cR}=0.00 σ_{fR}=0.00
Compressione nel calcestruzzo: σ_c=16.53
CC 19 SLV (Collegamento 0023_-380)
Azioni sul collegamento: N=-7936.97 Ty=-1.58 Tz=-11.19 Mx=-0.01 Mz=-3.71
Sollecitazioni agenti localmente: Tx_l=-1.58 Ty_l=-11.19 N_l=-7936.97 Mx_l=-0.00 My_l=-3.71 Mz_l=-0.01
Taglio nei bulloni: Fv,Ed=1.90 Fv,Rd=7720.78
Rifollamento lato piastra: Fb,Ed,p=1.89 Fb,Rd,p=6136.91
Tirafondi:LT=0.45 (0.31) σ_{cR}=0.00 σ_{fR}=0.00
Compressione nel calcestruzzo: σ_c=16.61
CC 19 SLV (Collegamento 0023_-380)
Azioni sul collegamento: N=-7936.97 Ty=-0.90 Tz=-11.19 Mx=-0.01 Mz=-2.40
Sollecitazioni agenti localmente: Tx_l=-0.90 Ty_l=-11.19 N_l=-7936.97 Mx_l=-0.00 My_l=-2.40 Mz_l=-0.01
Taglio nei bulloni: Fv,Ed=1.88 Fv,Rd=7720.78
Rifollamento lato piastra: Fb,Ed,p=1.88 Fb,Rd,p=6026.58
Tirafondi:LT=0.45 (0.31) σ_{cR}=0.00 σ_{fR}=0.00
Compressione nel calcestruzzo: σ_c=16.53
CC 20 SLD (Collegamento 0023_-380)
Azioni sul collegamento: N=-4931.25 Ty=-0.53 Tz=-0.05 Mx=-0.00 Mz=-1.20
Sollecitazioni agenti localmente: Tx_l=-0.53 Ty_l=-0.05 N_l=-4931.25 Mx_l=-0.00 My_l=-1.20 Mz_l=-0.00
Rifollamento lato piastra: Fb,Ed,p=0.09 Fb,Rd,p=7668.37
Tirafondi:LT=0.45 (0.31) σ_{cR}=0.00 σ_{fR}=0.00
Compressione nel calcestruzzo: σ_c=10.26
CC 20 SLD (Collegamento 0023_-380)
Azioni sul collegamento: N=-4931.25 Ty=-0.33 Tz=-0.05 Mx=-0.00 Mz=-0.80
Sollecitazioni agenti localmente: Tx_l=-0.33 Ty_l=-0.05 N_l=-4931.25 Mx_l=-0.00 My_l=-0.80 Mz_l=-0.00
Tirafondi:LT=0.45 (0.31) σ_{cR}=0.00 σ_{fR}=0.00
Compressione nel calcestruzzo: σ_c=10.23
CC 20 SLD (Collegamento 0023_-380)
Azioni sul collegamento: N=-4931.25 Ty=-0.53 Tz=-5.26 Mx=-0.00 Mz=-1.20
Sollecitazioni agenti localmente: Tx_l=-0.53 Ty_l=-5.26 N_l=-4931.25 Mx_l=-0.00 My_l=-1.20 Mz_l=-0.00
Taglio nei bulloni: Fv,Ed=0.89 Fv,Rd=9650.97
Rifollamento lato piastra: Fb,Ed,p=0.88 Fb,Rd,p=7576.70
Tirafondi:LT=0.45 (0.31) σ_{cR}=0.00 σ_{fR}=0.00
Compressione nel calcestruzzo: σ_c=10.26
CC 20 SLD (Collegamento 0023_-380)
Azioni sul collegamento: N=-4931.25 Ty=-0.33 Tz=-5.26 Mx=-0.00 Mz=-0.80
Sollecitazioni agenti localmente: Tx_l=-0.33 Ty_l=-5.26 N_l=-4931.25 Mx_l=-0.00 My_l=-0.80 Mz_l=-0.00
Taglio nei bulloni: Fv,Ed=0.88 Fv,Rd=9650.97

Rifollamento lato piastra: Fb,Ed,p=0.88 Fb,Rd,p=7510.11
Tirafondi:LT=0.45 (0.31) σ_{cR}=0.00 σ_{fR}=0.00
Compressione nel calcestruzzo: σ_c=10.23
CC 20 SLD (Collegamento 0023_-380)
Azioni sul collegamento: N=-6335.90 Ty=-0.53 Tz=-0.05 Mx=-0.00 Mz=-1.20
Sollecitazioni agenti localmente: Tx_l=-0.53 Ty_l=-0.05 N_l=-6335.90 Mx_l=-0.00 My_l=-1.20 Mz_l=-0.00
Rifollamento lato piastra: Fb,Ed,p=0.09 Fb,Rd,p=7667.12
Tirafondi:LT=0.45 (0.31) σ_{cR}=0.00 σ_{fR}=0.00
Compressione nel calcestruzzo: σ_c=13.16
CC 20 SLD (Collegamento 0023_-380)
Azioni sul collegamento: N=-6335.90 Ty=-0.33 Tz=-0.05 Mx=-0.00 Mz=-0.80
Sollecitazioni agenti localmente: Tx_l=-0.33 Ty_l=-0.05 N_l=-6335.90 Mx_l=-0.00 My_l=-0.80 Mz_l=-0.00
Tirafondi:LT=0.45 (0.31) σ_{cR}=0.00 σ_{fR}=0.00
Compressione nel calcestruzzo: σ_c=13.14
CC 20 SLD (Collegamento 0023_-380)
Azioni sul collegamento: N=-6335.90 Ty=-0.53 Tz=-5.26 Mx=-0.00 Mz=-1.20
Sollecitazioni agenti localmente: Tx_l=-0.53 Ty_l=-5.26 N_l=-6335.90 Mx_l=-0.00 My_l=-1.20 Mz_l=-0.00
Taglio nei bulloni: Fv,Ed=0.89 Fv,Rd=9650.97
Rifollamento lato piastra: Fb,Ed,p=0.88 Fb,Rd,p=7576.70
Tirafondi:LT=0.45 (0.31) σ_{cR}=0.00 σ_{fR}=0.00
Compressione nel calcestruzzo: σ_c=13.16
CC 20 SLD (Collegamento 0023_-380)
Azioni sul collegamento: N=-6335.90 Ty=-0.33 Tz=-5.26 Mx=-0.00 Mz=-0.80
Sollecitazioni agenti localmente: Tx_l=-0.33 Ty_l=-5.26 N_l=-6335.90 Mx_l=-0.00 My_l=-0.80 Mz_l=-0.00
Taglio nei bulloni: Fv,Ed=0.88 Fv,Rd=9650.97
Rifollamento lato piastra: Fb,Ed,p=0.88 Fb,Rd,p=7510.11
Tirafondi:LT=0.45 (0.31) σ_{cR}=0.00 σ_{fR}=0.00
Compressione nel calcestruzzo: σ_c=13.14
CC 21 SLV (Collegamento 0023_-380)
Azioni sul collegamento: N=-7936.97 Ty=-0.90 Tz=-11.19 Mx=-0.02 Mz=-2.40
Sollecitazioni agenti localmente: Tx_l=-0.90 Ty_l=-11.19 N_l=-7936.97 Mx_l=-0.00 My_l=-2.40 Mz_l=-0.02
Taglio nei bulloni: Fv,Ed=1.89 Fv,Rd=7720.78
Rifollamento lato piastra: Fb,Ed,p=1.89 Fb,Rd,p=6022.53
Tirafondi:LT=0.45 (0.31) σ_{cR}=0.00 σ_{fR}=0.00
Compressione nel calcestruzzo: σ_c=16.53
CC 21 SLV (Collegamento 0023_-380)
Azioni sul collegamento: N=-7936.97 Ty=-1.58 Tz=-11.19 Mx=-0.02 Mz=-3.71
Sollecitazioni agenti localmente: Tx_l=-1.58 Ty_l=-11.19 N_l=-7936.97 Mx_l=-0.00 My_l=-3.71 Mz_l=-0.02
Taglio nei bulloni: Fv,Ed=1.90 Fv,Rd=7720.78
Rifollamento lato piastra: Fb,Ed,p=1.90 Fb,Rd,p=6129.03
Tirafondi:LT=0.45 (0.31) σ_{cR}=0.00 σ_{fR}=0.00
Compressione nel calcestruzzo: σ_c=16.61
CC 21 SLV (Collegamento 0023_-380)
Azioni sul collegamento: N=-7936.97 Ty=-0.90 Tz=5.89 Mx=-0.02 Mz=-2.40
Sollecitazioni agenti localmente: Tx_l=-0.90 Ty_l=5.89 N_l=-7936.97 Mx_l=-0.00 My_l=-2.40 Mz_l=-0.02
Taglio nei bulloni: Fv,Ed=1.01 Fv,Rd=7720.78
Rifollamento lato piastra: Fb,Ed,p=1.01 Fb,Rd,p=6229.51
Tirafondi:LT=0.45 (0.31) σ_{cR}=0.00 σ_{fR}=0.00
Compressione nel calcestruzzo: σ_c=16.53
CC 21 SLV (Collegamento 0023_-380)
Azioni sul collegamento: N=-7936.97 Ty=-1.58 Tz=5.89 Mx=-0.02 Mz=-3.71
Sollecitazioni agenti localmente: Tx_l=-1.58 Ty_l=5.89 N_l=-7936.97 Mx_l=-0.00 My_l=-3.71 Mz_l=-0.02
Taglio nei bulloni: Fv,Ed=1.04 Fv,Rd=7720.78
Rifollamento lato piastra: Fb,Ed,p=1.04 Fb,Rd,p=6683.33
Tirafondi:LT=0.45 (0.31) σ_{cR}=0.00 σ_{fR}=0.00
Compressione nel calcestruzzo: σ_c=16.61
CC 21 SLV (Collegamento 0023_-380)
Azioni sul collegamento: N=-3330.55 Ty=-0.90 Tz=-11.19 Mx=-0.02 Mz=-2.40
Sollecitazioni agenti localmente: Tx_l=-0.90 Ty_l=-11.19 N_l=-3330.55 Mx_l=-0.00 My_l=-2.40 Mz_l=-0.02
Taglio nei bulloni: Fv,Ed=1.89 Fv,Rd=7720.78
Rifollamento lato piastra: Fb,Ed,p=1.89 Fb,Rd,p=6022.53
Tirafondi:LT=0.45 (0.31) σ_{cR}=0.00 σ_{fR}=0.00
Compressione nel calcestruzzo: σ_c=7.02
CC 21 SLV (Collegamento 0023_-380)
Azioni sul collegamento: N=-3330.55 Ty=-1.58 Tz=-11.19 Mx=-0.02 Mz=-3.71
Sollecitazioni agenti localmente: Tx_l=-1.58 Ty_l=-11.19 N_l=-3330.55 Mx_l=-0.00 My_l=-3.71 Mz_l=-0.02
Taglio nei bulloni: Fv,Ed=1.90 Fv,Rd=7720.78
Rifollamento lato piastra: Fb,Ed,p=1.90 Fb,Rd,p=6129.03
Tirafondi:LT=0.45 (0.31) σ_{cR}=0.00 σ_{fR}=0.00
Compressione nel calcestruzzo: σ_c=7.09
CC 21 SLV (Collegamento 0023_-380)
Azioni sul collegamento: N=-3330.55 Ty=-0.90 Tz=5.89 Mx=-0.02 Mz=-2.40
Sollecitazioni agenti localmente: Tx_l=-0.90 Ty_l=5.89 N_l=-3330.55 Mx_l=-0.00 My_l=-2.40 Mz_l=-0.02
Taglio nei bulloni: Fv,Ed=1.01 Fv,Rd=7720.78
Rifollamento lato piastra: Fb,Ed,p=1.01 Fb,Rd,p=6229.53
Tirafondi:LT=0.45 (0.31) σ_{cR}=0.00 σ_{fR}=0.00
Compressione nel calcestruzzo: σ_c=7.02
CC 21 SLV (Collegamento 0023_-380)

Azioni sul collegamento: N=-3330.55 Ty=-1.58 Tz=5.89 Mx=-0.02 Mz=-3.71
Sollecitazioni agenti localmente: Tx_l=-1.58 Ty_l=5.89 N_l=-3330.55 Mx_l=-0.00 My_l=-3.71 Mz_l=-0.02
Taglio nei bulloni: Fv,Ed=1.04 Fv,Rd=7720.78
Rifollamento lato piastra: Fb,Ed,p=1.04 Fb,Rd,p=6683.39
Tirafondi:LT=0.45 (0.31) σ_{cR}=0.00 σ_{fR}=0.00
Compressione nel calcestruzzo: σ_c=7.09
CC 22 SLD (Collegamento 0023_-380)
Azioni sul collegamento: N=-6335.90 Ty=-0.33 Tz=-5.26 Mx=-0.01 Mz=-0.80
Sollecitazioni agenti localmente: Tx_l=-0.33 Ty_l=-5.26 N_l=-6335.90 Mx_l=-0.00 My_l=-0.80 Mz_l=-0.01
Taglio nei bulloni: Fv,Ed=0.88 Fv,Rd=9650.97
Rifollamento lato piastra: Fb,Ed,p=0.88 Fb,Rd,p=7507.57
Tirafondi:LT=0.45 (0.31) σ_{cR}=0.00 σ_{fR}=0.00
Compressione nel calcestruzzo: σ_c=13.14
CC 22 SLD (Collegamento 0023_-380)
Azioni sul collegamento: N=-6335.90 Ty=-0.53 Tz=-5.26 Mx=-0.01 Mz=-1.20
Sollecitazioni agenti localmente: Tx_l=-0.53 Ty_l=-5.26 N_l=-6335.90 Mx_l=-0.00 My_l=-1.20 Mz_l=-0.01
Taglio nei bulloni: Fv,Ed=0.89 Fv,Rd=9650.97
Rifollamento lato piastra: Fb,Ed,p=0.89 Fb,Rd,p=7572.22
Tirafondi:LT=0.45 (0.31) σ_{cR}=0.00 σ_{fR}=0.00
Compressione nel calcestruzzo: σ_c=13.16
CC 22 SLD (Collegamento 0023_-380)
Azioni sul collegamento: N=-6335.90 Ty=-0.33 Tz=-0.05 Mx=-0.01 Mz=-0.80
Sollecitazioni agenti localmente: Tx_l=-0.33 Ty_l=-0.05 N_l=-6335.90 Mx_l=-0.00 My_l=-0.80 Mz_l=-0.01
Tirafondi:LT=0.45 (0.31) σ_{cR}=0.00 σ_{fR}=0.00
Compressione nel calcestruzzo: σ_c=13.14
CC 22 SLD (Collegamento 0023_-380)
Azioni sul collegamento: N=-6335.90 Ty=-0.53 Tz=-0.05 Mx=-0.01 Mz=-1.20
Sollecitazioni agenti localmente: Tx_l=-0.53 Ty_l=-0.05 N_l=-6335.90 Mx_l=-0.00 My_l=-1.20 Mz_l=-0.01
Rifollamento lato piastra: Fb,Ed,p=0.10 Fb,Rd,p=7715.86
Tirafondi:LT=0.45 (0.31) σ_{cR}=0.00 σ_{fR}=0.00
Compressione nel calcestruzzo: σ_c=13.16
CC 22 SLD (Collegamento 0023_-380)
Azioni sul collegamento: N=-4931.25 Ty=-0.33 Tz=-5.26 Mx=-0.01 Mz=-0.80
Sollecitazioni agenti localmente: Tx_l=-0.33 Ty_l=-5.26 N_l=-4931.25 Mx_l=-0.00 My_l=-0.80 Mz_l=-0.01
Taglio nei bulloni: Fv,Ed=0.88 Fv,Rd=9650.97
Rifollamento lato piastra: Fb,Ed,p=0.88 Fb,Rd,p=7507.57
Tirafondi:LT=0.45 (0.31) σ_{cR}=0.00 σ_{fR}=0.00
Compressione nel calcestruzzo: σ_c=10.23
CC 22 SLD (Collegamento 0023_-380)
Azioni sul collegamento: N=-4931.25 Ty=-0.53 Tz=-5.26 Mx=-0.01 Mz=-1.20
Sollecitazioni agenti localmente: Tx_l=-0.53 Ty_l=-5.26 N_l=-4931.25 Mx_l=-0.00 My_l=-1.20 Mz_l=-0.01
Taglio nei bulloni: Fv,Ed=0.89 Fv,Rd=9650.97
Rifollamento lato piastra: Fb,Ed,p=0.89 Fb,Rd,p=7572.22
Tirafondi:LT=0.45 (0.31) σ_{cR}=0.00 σ_{fR}=0.00
Compressione nel calcestruzzo: σ_c=10.26
CC 22 SLD (Collegamento 0023_-380)
Azioni sul collegamento: N=-4931.25 Ty=-0.33 Tz=-0.05 Mx=-0.01 Mz=-0.80
Sollecitazioni agenti localmente: Tx_l=-0.33 Ty_l=-0.05 N_l=-4931.25 Mx_l=-0.00 My_l=-0.80 Mz_l=-0.01
Tirafondi:LT=0.45 (0.31) σ_{cR}=0.00 σ_{fR}=0.00
Compressione nel calcestruzzo: σ_c=10.23
CC 22 SLD (Collegamento 0023_-380)
Azioni sul collegamento: N=-4931.25 Ty=-0.53 Tz=-0.05 Mx=-0.01 Mz=-1.20
Sollecitazioni agenti localmente: Tx_l=-0.53 Ty_l=-0.05 N_l=-4931.25 Mx_l=-0.00 My_l=-1.20 Mz_l=-0.01
Rifollamento lato piastra: Fb,Ed,p=0.10 Fb,Rd,p=7717.25
Tirafondi:LT=0.45 (0.31) σ_{cR}=0.00 σ_{fR}=0.00
Compressione nel calcestruzzo: σ_c=10.26
CC 23 SLV (Collegamento 0023_-380)
Azioni sul collegamento: N=-7936.99 Ty=-1.59 Tz=-11.19 Mx=-0.01 Mz=-3.75
Sollecitazioni agenti localmente: Tx_l=-1.59 Ty_l=-11.19 N_l=-7936.99 Mx_l=-0.00 My_l=-3.75 Mz_l=-0.01
Taglio nei bulloni: Fv,Ed=1.90 Fv,Rd=7720.78
Rifollamento lato piastra: Fb,Ed,p=1.89 Fb,Rd,p=6140.07
Tirafondi:LT=0.45 (0.31) σ_{cR}=0.00 σ_{fR}=0.00
Compressione nel calcestruzzo: σ_c=16.61
CC 23 SLV (Collegamento 0023_-380)
Azioni sul collegamento: N=-7936.99 Ty=-0.88 Tz=-11.19 Mx=-0.01 Mz=-2.36
Sollecitazioni agenti localmente: Tx_l=-0.88 Ty_l=-11.19 N_l=-7936.99 Mx_l=-0.00 My_l=-2.36 Mz_l=-0.01
Taglio nei bulloni: Fv,Ed=1.88 Fv,Rd=7720.78
Rifollamento lato piastra: Fb,Ed,p=1.88 Fb,Rd,p=6025.19
Tirafondi:LT=0.45 (0.31) σ_{cR}=0.00 σ_{fR}=0.00
Compressione nel calcestruzzo: σ_c=16.53
CC 23 SLV (Collegamento 0023_-380)
Azioni sul collegamento: N=-7936.99 Ty=-1.59 Tz=5.89 Mx=-0.01 Mz=-3.75
Sollecitazioni agenti localmente: Tx_l=-1.59 Ty_l=5.89 N_l=-7936.99 Mx_l=-0.00 My_l=-3.75 Mz_l=-0.01
Taglio nei bulloni: Fv,Ed=1.03 Fv,Rd=7720.78
Rifollamento lato piastra: Fb,Ed,p=1.03 Fb,Rd,p=6673.54
Tirafondi:LT=0.45 (0.31) σ_{cR}=0.00 σ_{fR}=0.00
Compressione nel calcestruzzo: σ_c=16.61
CC 23 SLV (Collegamento 0023_-380)

Azioni sul collegamento: N=-7936.99 Ty=-0.88 Tz=5.89 Mx=-0.01 Mz=-2.36
Sollecitazioni agenti localmente: Tx_l=-0.88 Ty_l=5.89 N_l=-7936.99 Mx_l=-0.00 My_l=-2.36 Mz_l=-0.01
Taglio nei bulloni: Fv,Ed=1.01 Fv,Rd=7720.78
Rifollamento lato piastra: Fb,Ed,p=1.01 Fb,Rd,p=6208.60
Tirafondi:LT=0.45 (0.31) σ_{cR}=0.00 σ_{fR}=0.00
Compressione nel calcestruzzo: σ_c=16.53
CC 23 SLV (Collegamento 0023_-380)
Azioni sul collegamento: N=-3330.52 Ty=-1.59 Tz=-11.19 Mx=-0.01 Mz=-3.75
Sollecitazioni agenti localmente: Tx_l=-1.59 Ty_l=-11.19 N_l=-3330.52 Mx_l=-0.00 My_l=-3.75 Mz_l=-0.01
Taglio nei bulloni: Fv,Ed=1.90 Fv,Rd=7720.78
Rifollamento lato piastra: Fb,Ed,p=1.89 Fb,Rd,p=6140.08
Tirafondi:LT=0.45 (0.31) σ_{cR}=0.00 σ_{fR}=0.00
Compressione nel calcestruzzo: σ_c=7.09
CC 23 SLV (Collegamento 0023_-380)
Azioni sul collegamento: N=-3330.52 Ty=-0.88 Tz=-11.19 Mx=-0.01 Mz=-2.36
Sollecitazioni agenti localmente: Tx_l=-0.88 Ty_l=-11.19 N_l=-3330.52 Mx_l=-0.00 My_l=-2.36 Mz_l=-0.01
Taglio nei bulloni: Fv,Ed=1.88 Fv,Rd=7720.78
Rifollamento lato piastra: Fb,Ed,p=1.88 Fb,Rd,p=6025.19
Tirafondi:LT=0.45 (0.31) σ_{cR}=0.00 σ_{fR}=0.00
Compressione nel calcestruzzo: σ_c=7.01
CC 23 SLV (Collegamento 0023_-380)
Azioni sul collegamento: N=-3330.52 Ty=-1.59 Tz=5.89 Mx=-0.01 Mz=-3.75
Sollecitazioni agenti localmente: Tx_l=-1.59 Ty_l=5.89 N_l=-3330.52 Mx_l=-0.00 My_l=-3.75 Mz_l=-0.01
Taglio nei bulloni: Fv,Ed=1.03 Fv,Rd=7720.78
Rifollamento lato piastra: Fb,Ed,p=1.03 Fb,Rd,p=6673.56
Tirafondi:LT=0.45 (0.31) σ_{cR}=0.00 σ_{fR}=0.00
Compressione nel calcestruzzo: σ_c=7.09
CC 23 SLV (Collegamento 0023_-380)
Azioni sul collegamento: N=-3330.52 Ty=-0.88 Tz=5.89 Mx=-0.01 Mz=-2.36
Sollecitazioni agenti localmente: Tx_l=-0.88 Ty_l=5.89 N_l=-3330.52 Mx_l=-0.00 My_l=-2.36 Mz_l=-0.01
Taglio nei bulloni: Fv,Ed=1.01 Fv,Rd=7720.78
Rifollamento lato piastra: Fb,Ed,p=1.01 Fb,Rd,p=6208.60
Tirafondi:LT=0.45 (0.31) σ_{cR}=0.00 σ_{fR}=0.00
Compressione nel calcestruzzo: σ_c=7.01
CC 24 SLD (Collegamento 0023_-380)
Azioni sul collegamento: N=-6335.90 Ty=-0.54 Tz=-5.26 Mx=-0.00 Mz=-1.22
Sollecitazioni agenti localmente: Tx_l=-0.54 Ty_l=-5.26 N_l=-6335.90 Mx_l=-0.00 My_l=-1.22 Mz_l=-0.00
Taglio nei bulloni: Fv,Ed=0.89 Fv,Rd=9650.97
Rifollamento lato piastra: Fb,Ed,p=0.88 Fb,Rd,p=7578.57
Tirafondi:LT=0.45 (0.31) σ_{cR}=0.00 σ_{fR}=0.00
Compressione nel calcestruzzo: σ_c=13.16
CC 24 SLD (Collegamento 0023_-380)
Azioni sul collegamento: N=-6335.90 Ty=-0.32 Tz=-5.26 Mx=-0.00 Mz=-0.79
Sollecitazioni agenti localmente: Tx_l=-0.32 Ty_l=-5.26 N_l=-6335.90 Mx_l=-0.00 My_l=-0.79 Mz_l=-0.00
Taglio nei bulloni: Fv,Ed=0.88 Fv,Rd=9650.97
Rifollamento lato piastra: Fb,Ed,p=0.88 Fb,Rd,p=7509.22
Tirafondi:LT=0.45 (0.31) σ_{cR}=0.00 σ_{fR}=0.00
Compressione nel calcestruzzo: σ_c=13.14
CC 24 SLD (Collegamento 0023_-380)
Azioni sul collegamento: N=-6335.90 Ty=-0.54 Tz=-0.05 Mx=-0.00 Mz=-1.22
Sollecitazioni agenti localmente: Tx_l=-0.54 Ty_l=-0.05 N_l=-6335.90 Mx_l=-0.00 My_l=-1.22 Mz_l=-0.00
Rifollamento lato piastra: Fb,Ed,p=0.09 Fb,Rd,p=7661.87
Tirafondi:LT=0.45 (0.31) σ_{cR}=0.00 σ_{fR}=0.00
Compressione nel calcestruzzo: σ_c=13.16
CC 24 SLD (Collegamento 0023_-380)
Azioni sul collegamento: N=-6335.90 Ty=-0.32 Tz=-0.05 Mx=-0.00 Mz=-0.79
Sollecitazioni agenti localmente: Tx_l=-0.32 Ty_l=-0.05 N_l=-6335.90 Mx_l=-0.00 My_l=-0.79 Mz_l=-0.00
Tirafondi:LT=0.45 (0.31) σ_{cR}=0.00 σ_{fR}=0.00
Compressione nel calcestruzzo: σ_c=13.14
CC 24 SLD (Collegamento 0023_-380)
Azioni sul collegamento: N=-4931.25 Ty=-0.54 Tz=-5.26 Mx=-0.00 Mz=-1.22
Sollecitazioni agenti localmente: Tx_l=-0.54 Ty_l=-5.26 N_l=-4931.25 Mx_l=-0.00 My_l=-1.22 Mz_l=-0.00
Taglio nei bulloni: Fv,Ed=0.89 Fv,Rd=9650.97
Rifollamento lato piastra: Fb,Ed,p=0.88 Fb,Rd,p=7578.57
Tirafondi:LT=0.45 (0.31) σ_{cR}=0.00 σ_{fR}=0.00
Compressione nel calcestruzzo: σ_c=10.26
CC 24 SLD (Collegamento 0023_-380)
Azioni sul collegamento: N=-4931.25 Ty=-0.32 Tz=-5.26 Mx=-0.00 Mz=-0.79
Sollecitazioni agenti localmente: Tx_l=-0.32 Ty_l=-5.26 N_l=-4931.25 Mx_l=-0.00 My_l=-0.79 Mz_l=-0.00
Taglio nei bulloni: Fv,Ed=0.88 Fv,Rd=9650.97
Rifollamento lato piastra: Fb,Ed,p=0.88 Fb,Rd,p=7509.22
Tirafondi:LT=0.45 (0.31) σ_{cR}=0.00 σ_{fR}=0.00
Compressione nel calcestruzzo: σ_c=10.23
CC 24 SLD (Collegamento 0023_-380)
Azioni sul collegamento: N=-4931.25 Ty=-0.54 Tz=-0.05 Mx=-0.00 Mz=-1.22
Sollecitazioni agenti localmente: Tx_l=-0.54 Ty_l=-0.05 N_l=-4931.25 Mx_l=-0.00 My_l=-1.22 Mz_l=-0.00
Rifollamento lato piastra: Fb,Ed,p=0.09 Fb,Rd,p=7662.55
Tirafondi:LT=0.45 (0.31) σ_{cR}=0.00 σ_{fR}=0.00

Compressione nel calcestruzzo: σ_c=10.26
CC 24 SLD (Collegamento 0023_-380)
Azioni sul collegamento: N=-4931.25 Ty=-0.32 Tz=-0.05 Mx=-0.00 Mz=-0.79
Sollecitazioni agenti localmente: Tx_l=-0.32 Ty_l=-0.05 N_l=-4931.25 Mx_l=-0.00 My_l=-0.79 Mz_l=-0.00
Tirafondi:LT=0.45 (0.31) σ_{cR}=0.00 σ_{fR}=0.00
Compressione nel calcestruzzo: σ_c=10.23
CC 25 SLV (Collegamento 0023_-380)
Azioni sul collegamento: N=-4942.75 Ty=-0.08 Tz=-0.09 Mx=-0.02 Mz=-0.80
Sollecitazioni agenti localmente: Tx_l=-0.08 Ty_l=-0.09 N_l=-4942.75 Mx_l=-0.00 My_l=-0.80 Mz_l=-0.02
Tirafondi:LT=0.45 (0.31) σ_{cR}=0.00 σ_{fR}=0.00
Compressione nel calcestruzzo: σ_c=10.26
CC 25 SLV (Collegamento 0023_-380)
Azioni sul collegamento: N=-4942.75 Ty=-2.39 Tz=-0.09 Mx=-0.02 Mz=-5.32
Sollecitazioni agenti localmente: Tx_l=-2.39 Ty_l=-0.09 N_l=-4942.75 Mx_l=-0.00 My_l=-5.32 Mz_l=-0.02
Taglio nei bulloni: Fv,Ed=0.43 Fv,Rd=7720.78
Rifollamento lato piastra: Fb,Ed,p=0.43 Fb,Rd,p=6058.15
Tirafondi:LT=0.45 (0.31) σ_{cR}=0.00 σ_{fR}=0.00
Compressione nel calcestruzzo: σ_c=10.51
CC 25 SLV (Collegamento 0023_-380)
Azioni sul collegamento: N=-4942.75 Ty=-0.08 Tz=-5.22 Mx=-0.02 Mz=-0.80
Sollecitazioni agenti localmente: Tx_l=-0.08 Ty_l=-5.22 N_l=-4942.75 Mx_l=-0.00 My_l=-0.80 Mz_l=-0.02
Taglio nei bulloni: Fv,Ed=0.90 Fv,Rd=7720.78
Rifollamento lato piastra: Fb,Ed,p=0.89 Fb,Rd,p=5980.55
Tirafondi:LT=0.45 (0.31) σ_{cR}=0.00 σ_{fR}=0.00
Compressione nel calcestruzzo: σ_c=10.26
CC 25 SLV (Collegamento 0023_-380)
Azioni sul collegamento: N=-4942.75 Ty=-2.39 Tz=-5.22 Mx=-0.02 Mz=-5.32
Sollecitazioni agenti localmente: Tx_l=-2.39 Ty_l=-5.22 N_l=-4942.75 Mx_l=-0.00 My_l=-5.32 Mz_l=-0.02
Taglio nei bulloni: Fv,Ed=0.99 Fv,Rd=7720.78
Rifollamento lato piastra: Fb,Ed,p=0.97 Fb,Rd,p=7548.00
Tirafondi:LT=0.45 (0.31) σ_{cR}=0.00 σ_{fR}=0.00
Compressione nel calcestruzzo: σ_c=10.51
CC 25 SLV (Collegamento 0023_-380)
Azioni sul collegamento: N=-6324.76 Ty=-0.08 Tz=-0.09 Mx=-0.02 Mz=-0.80
Sollecitazioni agenti localmente: Tx_l=-0.08 Ty_l=-0.09 N_l=-6324.76 Mx_l=-0.00 My_l=-0.80 Mz_l=-0.02
Tirafondi:LT=0.45 (0.31) σ_{cR}=0.00 σ_{fR}=0.00
Compressione nel calcestruzzo: σ_c=13.11
CC 25 SLV (Collegamento 0023_-380)
Azioni sul collegamento: N=-6324.76 Ty=-2.39 Tz=-0.09 Mx=-0.02 Mz=-5.32
Sollecitazioni agenti localmente: Tx_l=-2.39 Ty_l=-0.09 N_l=-6324.76 Mx_l=-0.00 My_l=-5.32 Mz_l=-0.02
Taglio nei bulloni: Fv,Ed=0.43 Fv,Rd=7720.78
Rifollamento lato piastra: Fb,Ed,p=0.43 Fb,Rd,p=6058.00
Tirafondi:LT=0.45 (0.31) σ_{cR}=0.00 σ_{fR}=0.00
Compressione nel calcestruzzo: σ_c=13.37
CC 25 SLV (Collegamento 0023_-380)
Azioni sul collegamento: N=-6324.76 Ty=-0.08 Tz=-5.22 Mx=-0.02 Mz=-0.80
Sollecitazioni agenti localmente: Tx_l=-0.08 Ty_l=-5.22 N_l=-6324.76 Mx_l=-0.00 My_l=-0.80 Mz_l=-0.02
Taglio nei bulloni: Fv,Ed=0.90 Fv,Rd=7720.78
Rifollamento lato piastra: Fb,Ed,p=0.89 Fb,Rd,p=5980.55
Tirafondi:LT=0.45 (0.31) σ_{cR}=0.00 σ_{fR}=0.00
Compressione nel calcestruzzo: σ_c=13.11
CC 25 SLV (Collegamento 0023_-380)
Azioni sul collegamento: N=-6324.76 Ty=-2.39 Tz=-5.22 Mx=-0.02 Mz=-5.32
Sollecitazioni agenti localmente: Tx_l=-2.39 Ty_l=-5.22 N_l=-6324.76 Mx_l=-0.00 My_l=-5.32 Mz_l=-0.02
Taglio nei bulloni: Fv,Ed=0.99 Fv,Rd=7720.78
Rifollamento lato piastra: Fb,Ed,p=0.97 Fb,Rd,p=7548.16
Tirafondi:LT=0.45 (0.31) σ_{cR}=0.00 σ_{fR}=0.00
Compressione nel calcestruzzo: σ_c=13.37
CC 26 SLD (Collegamento 0023_-380)
Azioni sul collegamento: N=-5422.87 Ty=-0.08 Tz=-1.87 Mx=-0.01 Mz=-0.31
Sollecitazioni agenti localmente: Tx_l=-0.08 Ty_l=-1.87 N_l=-5422.87 Mx_l=-0.00 My_l=-0.31 Mz_l=-0.01
Taglio nei bulloni: Fv,Ed=0.32 Fv,Rd=9650.97
Rifollamento lato piastra: Fb,Ed,p=0.32 Fb,Rd,p=7476.66
Tirafondi:LT=0.45 (0.31) σ_{cR}=0.00 σ_{fR}=0.00
Compressione nel calcestruzzo: σ_c=11.22
CC 26 SLD (Collegamento 0023_-380)
Azioni sul collegamento: N=-5422.87 Ty=-0.78 Tz=-1.87 Mx=-0.01 Mz=-1.69
Sollecitazioni agenti localmente: Tx_l=-0.78 Ty_l=-1.87 N_l=-5422.87 Mx_l=-0.00 My_l=-1.69 Mz_l=-0.01
Taglio nei bulloni: Fv,Ed=0.35 Fv,Rd=9650.97
Rifollamento lato piastra: Fb,Ed,p=0.34 Fb,Rd,p=9114.93
Tirafondi:LT=0.45 (0.31) σ_{cR}=0.00 σ_{fR}=0.00
Compressione nel calcestruzzo: σ_c=11.30
CC 26 SLD (Collegamento 0023_-380)
Azioni sul collegamento: N=-5422.87 Ty=-0.08 Tz=-3.44 Mx=-0.01 Mz=-0.31
Sollecitazioni agenti localmente: Tx_l=-0.08 Ty_l=-3.44 N_l=-5422.87 Mx_l=-0.00 My_l=-0.31 Mz_l=-0.01
Taglio nei bulloni: Fv,Ed=0.58 Fv,Rd=9650.97
Rifollamento lato piastra: Fb,Ed,p=0.58 Fb,Rd,p=7474.78
Tirafondi:LT=0.45 (0.31) σ_{cR}=0.00 σ_{fR}=0.00

Compressione nel calcestruzzo: σ_c=11.22
CC 26 SLD (Collegamento 0023_-380)
Azioni sul collegamento: N=-5422.87 Ty=-0.78 Tz=-3.44 Mx=-0.01 Mz=-1.69
Sollecitazioni agenti localmente: Tx_l=-0.78 Ty_l=-3.44 N_l=-5422.87 Mx_l=-0.00 My_l=-1.69 Mz_l=-0.01
Taglio nei bulloni: Fv,Ed=0.60 Fv,Rd=9650.97
Rifollamento lato piastra: Fb,Ed,p=0.59 Fb,Rd,p=7968.46
Tirafondi:LT=0.45 (0.31) σ_{cR}=0.00 σ_{fR}=0.00
Compressione nel calcestruzzo: σ_c=11.30
CC 26 SLD (Collegamento 0023_-380)
Azioni sul collegamento: N=-5844.28 Ty=-0.08 Tz=-1.87 Mx=-0.01 Mz=-0.31
Sollecitazioni agenti localmente: Tx_l=-0.08 Ty_l=-1.87 N_l=-5844.28 Mx_l=-0.00 My_l=-0.31 Mz_l=-0.01
Taglio nei bulloni: Fv,Ed=0.32 Fv,Rd=9650.97
Rifollamento lato piastra: Fb,Ed,p=0.32 Fb,Rd,p=7476.66
Tirafondi:LT=0.45 (0.31) σ_{cR}=0.00 σ_{fR}=0.00
Compressione nel calcestruzzo: σ_c=12.09
CC 26 SLD (Collegamento 0023_-380)
Azioni sul collegamento: N=-5844.28 Ty=-0.78 Tz=-1.87 Mx=-0.01 Mz=-1.69
Sollecitazioni agenti localmente: Tx_l=-0.78 Ty_l=-1.87 N_l=-5844.28 Mx_l=-0.00 My_l=-1.69 Mz_l=-0.01
Taglio nei bulloni: Fv,Ed=0.35 Fv,Rd=9650.97
Rifollamento lato piastra: Fb,Ed,p=0.34 Fb,Rd,p=9114.55
Tirafondi:LT=0.45 (0.31) σ_{cR}=0.00 σ_{fR}=0.00
Compressione nel calcestruzzo: σ_c=12.17
CC 26 SLD (Collegamento 0023_-380)
Azioni sul collegamento: N=-5844.28 Ty=-0.08 Tz=-3.44 Mx=-0.01 Mz=-0.31
Sollecitazioni agenti localmente: Tx_l=-0.08 Ty_l=-3.44 N_l=-5844.28 Mx_l=-0.00 My_l=-0.31 Mz_l=-0.01
Taglio nei bulloni: Fv,Ed=0.58 Fv,Rd=9650.97
Rifollamento lato piastra: Fb,Ed,p=0.58 Fb,Rd,p=7474.78
Tirafondi:LT=0.45 (0.31) σ_{cR}=0.00 σ_{fR}=0.00
Compressione nel calcestruzzo: σ_c=12.09
CC 26 SLD (Collegamento 0023_-380)
Azioni sul collegamento: N=-5844.28 Ty=-0.78 Tz=-3.44 Mx=-0.01 Mz=-1.69
Sollecitazioni agenti localmente: Tx_l=-0.78 Ty_l=-3.44 N_l=-5844.28 Mx_l=-0.00 My_l=-1.69 Mz_l=-0.01
Taglio nei bulloni: Fv,Ed=0.60 Fv,Rd=9650.97
Rifollamento lato piastra: Fb,Ed,p=0.59 Fb,Rd,p=7968.49
Tirafondi:LT=0.45 (0.31) σ_{cR}=0.00 σ_{fR}=0.00
Compressione nel calcestruzzo: σ_c=12.17
CC 27 SLV (Collegamento 0023_-380)
Azioni sul collegamento: N=-6324.69 Ty=-0.09 Tz=-5.21 Mx=-0.02 Mz=-0.81
Sollecitazioni agenti localmente: Tx_l=-0.09 Ty_l=-5.21 N_l=-6324.69 Mx_l=-0.00 My_l=-0.81 Mz_l=-0.02
Taglio nei bulloni: Fv,Ed=0.89 Fv,Rd=7720.78
Rifollamento lato piastra: Fb,Ed,p=0.89 Fb,Rd,p=5980.38
Tirafondi:LT=0.45 (0.31) σ_{cR}=0.00 σ_{fR}=0.00
Compressione nel calcestruzzo: σ_c=13.11
CC 27 SLV (Collegamento 0023_-380)
Azioni sul collegamento: N=-6324.69 Ty=-2.39 Tz=-5.21 Mx=-0.02 Mz=-5.31
Sollecitazioni agenti localmente: Tx_l=-2.39 Ty_l=-5.21 N_l=-6324.69 Mx_l=-0.00 My_l=-5.31 Mz_l=-0.02
Taglio nei bulloni: Fv,Ed=0.99 Fv,Rd=7720.78
Rifollamento lato piastra: Fb,Ed,p=0.97 Fb,Rd,p=7544.26
Tirafondi:LT=0.45 (0.31) σ_{cR}=0.00 σ_{fR}=0.00
Compressione nel calcestruzzo: σ_c=13.37
CC 27 SLV (Collegamento 0023_-380)
Azioni sul collegamento: N=-6324.69 Ty=-0.09 Tz=-0.09 Mx=-0.02 Mz=-0.81
Sollecitazioni agenti localmente: Tx_l=-0.09 Ty_l=-0.09 N_l=-6324.69 Mx_l=-0.00 My_l=-0.81 Mz_l=-0.02
Tirafondi:LT=0.45 (0.31) σ_{cR}=0.00 σ_{fR}=0.00
Compressione nel calcestruzzo: σ_c=13.11
CC 27 SLV (Collegamento 0023_-380)
Azioni sul collegamento: N=-6324.69 Ty=-2.39 Tz=-0.09 Mx=-0.02 Mz=-5.31
Sollecitazioni agenti localmente: Tx_l=-2.39 Ty_l=-0.09 N_l=-6324.69 Mx_l=-0.00 My_l=-5.31 Mz_l=-0.02
Taglio nei bulloni: Fv,Ed=0.42 Fv,Rd=7720.78
Rifollamento lato piastra: Fb,Ed,p=0.42 Fb,Rd,p=6059.10
Tirafondi:LT=0.45 (0.31) σ_{cR}=0.00 σ_{fR}=0.00
Compressione nel calcestruzzo: σ_c=13.37
CC 27 SLV (Collegamento 0023_-380)
Azioni sul collegamento: N=-4942.83 Ty=-0.09 Tz=-5.21 Mx=-0.02 Mz=-0.81
Sollecitazioni agenti localmente: Tx_l=-0.09 Ty_l=-5.21 N_l=-4942.83 Mx_l=-0.00 My_l=-0.81 Mz_l=-0.02
Taglio nei bulloni: Fv,Ed=0.89 Fv,Rd=7720.78
Rifollamento lato piastra: Fb,Ed,p=0.89 Fb,Rd,p=5980.38
Tirafondi:LT=0.45 (0.31) σ_{cR}=0.00 σ_{fR}=0.00
Compressione nel calcestruzzo: σ_c=10.26
CC 27 SLV (Collegamento 0023_-380)
Azioni sul collegamento: N=-4942.83 Ty=-2.39 Tz=-5.21 Mx=-0.02 Mz=-5.31
Sollecitazioni agenti localmente: Tx_l=-2.39 Ty_l=-5.21 N_l=-4942.83 Mx_l=-0.00 My_l=-5.31 Mz_l=-0.02
Taglio nei bulloni: Fv,Ed=0.99 Fv,Rd=7720.78
Rifollamento lato piastra: Fb,Ed,p=0.97 Fb,Rd,p=7544.12
Tirafondi:LT=0.45 (0.31) σ_{cR}=0.00 σ_{fR}=0.00
Compressione nel calcestruzzo: σ_c=10.51
CC 27 SLV (Collegamento 0023_-380)
Azioni sul collegamento: N=-4942.83 Ty=-0.09 Tz=-0.09 Mx=-0.02 Mz=-0.81

Sollecitazioni agenti localmente: Tx_l=-0.09 Ty_l=-0.09 N_l=-4942.83 Mx_l=-0.00 My_l=-0.81 Mz_l=-0.02
Tirafondi:LT=0.45 (0.31) σ_{cR}=0.00 σ_{fR}=0.00
Compressione nel calcestruzzo: σ_c=10.26
CC 27 SLV (Collegamento 0023_-380)
Azioni sul collegamento: N=-4942.83 Ty=-2.39 Tz=-0.09 Mx=-0.02 Mz=-5.31
Sollecitazioni agenti localmente: Tx_l=-2.39 Ty_l=-0.09 N_l=-4942.83 Mx_l=-0.00 My_l=-5.31 Mz_l=-0.02
Taglio nei bulloni: Fv,Ed=0.42 Fv,Rd=7720.78
Rifollamento lato piastra: Fb,Ed,p=0.42 Fb,Rd,p=6059.39
Tirafondi:LT=0.45 (0.31) σ_{cR}=0.00 σ_{fR}=0.00
Compressione nel calcestruzzo: σ_c=10.51
CC 28 SLD (Collegamento 0023_-380)
Azioni sul collegamento: N=-5844.26 Ty=-0.08 Tz=-3.43 Mx=-0.01 Mz=-0.32
Sollecitazioni agenti localmente: Tx_l=-0.08 Ty_l=-3.43 N_l=-5844.26 Mx_l=-0.00 My_l=-0.32 Mz_l=-0.01
Taglio nei bulloni: Fv,Ed=0.58 Fv,Rd=9650.97
Rifollamento lato piastra: Fb,Ed,p=0.58 Fb,Rd,p=7474.86
Tirafondi:LT=0.45 (0.31) σ_{cR}=0.00 σ_{fR}=0.00
Compressione nel calcestruzzo: σ_c=12.09
CC 28 SLD (Collegamento 0023_-380)
Azioni sul collegamento: N=-5844.26 Ty=-0.78 Tz=-3.43 Mx=-0.01 Mz=-1.69
Sollecitazioni agenti localmente: Tx_l=-0.78 Ty_l=-3.43 N_l=-5844.26 Mx_l=-0.00 My_l=-1.69 Mz_l=-0.01
Taglio nei bulloni: Fv,Ed=0.60 Fv,Rd=9650.97
Rifollamento lato piastra: Fb,Ed,p=0.59 Fb,Rd,p=7967.11
Tirafondi:LT=0.45 (0.31) σ_{cR}=0.00 σ_{fR}=0.00
Compressione nel calcestruzzo: σ_c=12.17
CC 28 SLD (Collegamento 0023_-380)
Azioni sul collegamento: N=-5844.26 Ty=-0.08 Tz=-1.87 Mx=-0.01 Mz=-0.32
Sollecitazioni agenti localmente: Tx_l=-0.08 Ty_l=-1.87 N_l=-5844.26 Mx_l=-0.00 My_l=-0.32 Mz_l=-0.01
Taglio nei bulloni: Fv,Ed=0.32 Fv,Rd=9650.97
Rifollamento lato piastra: Fb,Ed,p=0.32 Fb,Rd,p=7476.91
Tirafondi:LT=0.45 (0.31) σ_{cR}=0.00 σ_{fR}=0.00
Compressione nel calcestruzzo: σ_c=12.09
CC 28 SLD (Collegamento 0023_-380)
Azioni sul collegamento: N=-5844.26 Ty=-0.78 Tz=-1.87 Mx=-0.01 Mz=-1.69
Sollecitazioni agenti localmente: Tx_l=-0.78 Ty_l=-1.87 N_l=-5844.26 Mx_l=-0.00 My_l=-1.69 Mz_l=-0.01
Taglio nei bulloni: Fv,Ed=0.35 Fv,Rd=9650.97
Rifollamento lato piastra: Fb,Ed,p=0.34 Fb,Rd,p=9108.84
Tirafondi:LT=0.45 (0.31) σ_{cR}=0.00 σ_{fR}=0.00
Compressione nel calcestruzzo: σ_c=12.17
CC 28 SLD (Collegamento 0023_-380)
Azioni sul collegamento: N=-5422.89 Ty=-0.08 Tz=-3.43 Mx=-0.01 Mz=-0.32
Sollecitazioni agenti localmente: Tx_l=-0.08 Ty_l=-3.43 N_l=-5422.89 Mx_l=-0.00 My_l=-0.32 Mz_l=-0.01
Taglio nei bulloni: Fv,Ed=0.58 Fv,Rd=9650.97
Rifollamento lato piastra: Fb,Ed,p=0.58 Fb,Rd,p=7474.86
Tirafondi:LT=0.45 (0.31) σ_{cR}=0.00 σ_{fR}=0.00
Compressione nel calcestruzzo: σ_c=11.22
CC 28 SLD (Collegamento 0023_-380)
Azioni sul collegamento: N=-5422.89 Ty=-0.78 Tz=-3.43 Mx=-0.01 Mz=-1.69
Sollecitazioni agenti localmente: Tx_l=-0.78 Ty_l=-3.43 N_l=-5422.89 Mx_l=-0.00 My_l=-1.69 Mz_l=-0.01
Taglio nei bulloni: Fv,Ed=0.60 Fv,Rd=9650.97
Rifollamento lato piastra: Fb,Ed,p=0.59 Fb,Rd,p=7967.17
Tirafondi:LT=0.45 (0.31) σ_{cR}=0.00 σ_{fR}=0.00
Compressione nel calcestruzzo: σ_c=11.30
CC 28 SLD (Collegamento 0023_-380)
Azioni sul collegamento: N=-5422.89 Ty=-0.08 Tz=-1.87 Mx=-0.01 Mz=-0.32
Sollecitazioni agenti localmente: Tx_l=-0.08 Ty_l=-1.87 N_l=-5422.89 Mx_l=-0.00 My_l=-0.32 Mz_l=-0.01
Taglio nei bulloni: Fv,Ed=0.32 Fv,Rd=9650.97
Rifollamento lato piastra: Fb,Ed,p=0.32 Fb,Rd,p=7476.91
Tirafondi:LT=0.45 (0.31) σ_{cR}=0.00 σ_{fR}=0.00
Compressione nel calcestruzzo: σ_c=11.22
CC 28 SLD (Collegamento 0023_-380)
Azioni sul collegamento: N=-5422.89 Ty=-0.78 Tz=-1.87 Mx=-0.01 Mz=-1.69
Sollecitazioni agenti localmente: Tx_l=-0.78 Ty_l=-1.87 N_l=-5422.89 Mx_l=-0.00 My_l=-1.69 Mz_l=-0.01
Taglio nei bulloni: Fv,Ed=0.35 Fv,Rd=9650.97
Rifollamento lato piastra: Fb,Ed,p=0.34 Fb,Rd,p=9108.39
Tirafondi:LT=0.45 (0.31) σ_{cR}=0.00 σ_{fR}=0.00
Compressione nel calcestruzzo: σ_c=11.30
CC 29 SLV (Collegamento 0023_-380)
Azioni sul collegamento: N=-4942.83 Ty=-2.39 Tz=-0.09 Mx=-0.00 Mz=-5.31
Sollecitazioni agenti localmente: Tx_l=-2.39 Ty_l=-0.09 N_l=-4942.83 Mx_l=-0.00 My_l=-5.31 Mz_l=-0.00
Taglio nei bulloni: Fv,Ed=0.40 Fv,Rd=7720.78
Rifollamento lato piastra: Fb,Ed,p=0.40 Fb,Rd,p=6002.94
Tirafondi:LT=0.45 (0.31) σ_{cR}=0.00 σ_{fR}=0.00
Compressione nel calcestruzzo: σ_c=10.51
CC 29 SLV (Collegamento 0023_-380)
Azioni sul collegamento: N=-4942.83 Ty=-0.09 Tz=-0.09 Mx=-0.00 Mz=-0.81
Sollecitazioni agenti localmente: Tx_l=-0.09 Ty_l=-0.09 N_l=-4942.83 Mx_l=-0.00 My_l=-0.81 Mz_l=-0.00
Tirafondi:LT=0.45 (0.31) σ_{cR}=0.00 σ_{fR}=0.00
Compressione nel calcestruzzo: σ_c=10.26

CC 29 SLV (Collegamento 0023_-380)
Azioni sul collegamento: N=-4942.83 Ty=-2.39 Tz=-5.21 Mx=-0.00 Mz=-5.31
Sollecitazioni agenti localmente: Tx_l=-2.39 Ty_l=-5.21 N_l=-4942.83 Mx_l=-0.00 My_l=-5.31 Mz_l=-0.00
Taglio nei bulloni: Fv,Ed=0.96 Fv,Rd=7720.78
Rifollamento lato piastra: Fb,Ed,p=0.96 Fb,Rd,p=7790.90
Tirafondi:LT=0.45 (0.31) σ_{cR}=0.00 σ_{fR}=0.00
Compressione nel calcestruzzo: σ_c=10.51
CC 29 SLV (Collegamento 0023_-380)
Azioni sul collegamento: N=-4942.83 Ty=-0.09 Tz=-5.21 Mx=-0.00 Mz=-0.81
Sollecitazioni agenti localmente: Tx_l=-0.09 Ty_l=-5.21 N_l=-4942.83 Mx_l=-0.00 My_l=-0.81 Mz_l=-0.00
Taglio nei bulloni: Fv,Ed=0.87 Fv,Rd=7720.78
Rifollamento lato piastra: Fb,Ed,p=0.87 Fb,Rd,p=5980.08
Tirafondi:LT=0.45 (0.31) σ_{cR}=0.00 σ_{fR}=0.00
Compressione nel calcestruzzo: σ_c=10.26
CC 29 SLV (Collegamento 0023_-380)
Azioni sul collegamento: N=-6324.69 Ty=-2.39 Tz=-0.09 Mx=-0.00 Mz=-5.31
Sollecitazioni agenti localmente: Tx_l=-2.39 Ty_l=-0.09 N_l=-6324.69 Mx_l=-0.00 My_l=-5.31 Mz_l=-0.00
Taglio nei bulloni: Fv,Ed=0.40 Fv,Rd=7720.78
Rifollamento lato piastra: Fb,Ed,p=0.40 Fb,Rd,p=6002.78
Tirafondi:LT=0.45 (0.31) σ_{cR}=0.00 σ_{fR}=0.00
Compressione nel calcestruzzo: σ_c=13.37
CC 29 SLV (Collegamento 0023_-380)
Azioni sul collegamento: N=-6324.69 Ty=-0.09 Tz=-0.09 Mx=-0.00 Mz=-0.81
Sollecitazioni agenti localmente: Tx_l=-0.09 Ty_l=-0.09 N_l=-6324.69 Mx_l=-0.00 My_l=-0.81 Mz_l=-0.00
Tirafondi:LT=0.45 (0.31) σ_{cR}=0.00 σ_{fR}=0.00
Compressione nel calcestruzzo: σ_c=13.11
CC 29 SLV (Collegamento 0023_-380)
Azioni sul collegamento: N=-6324.69 Ty=-2.39 Tz=-5.21 Mx=-0.00 Mz=-5.31
Sollecitazioni agenti localmente: Tx_l=-2.39 Ty_l=-5.21 N_l=-6324.69 Mx_l=-0.00 My_l=-5.31 Mz_l=-0.00
Taglio nei bulloni: Fv,Ed=0.96 Fv,Rd=7720.78
Rifollamento lato piastra: Fb,Ed,p=0.96 Fb,Rd,p=7791.07
Tirafondi:LT=0.45 (0.31) σ_{cR}=0.00 σ_{fR}=0.00
Compressione nel calcestruzzo: σ_c=13.37
CC 29 SLV (Collegamento 0023_-380)
Azioni sul collegamento: N=-6324.69 Ty=-0.09 Tz=-5.21 Mx=-0.00 Mz=-0.81
Sollecitazioni agenti localmente: Tx_l=-0.09 Ty_l=-5.21 N_l=-6324.69 Mx_l=-0.00 My_l=-0.81 Mz_l=-0.00
Taglio nei bulloni: Fv,Ed=0.87 Fv,Rd=7720.78
Rifollamento lato piastra: Fb,Ed,p=0.87 Fb,Rd,p=5980.08
Tirafondi:LT=0.45 (0.31) σ_{cR}=0.00 σ_{fR}=0.00
Compressione nel calcestruzzo: σ_c=13.11
CC 30 SLD (Collegamento 0023_-380)
Azioni sul collegamento: N=-5422.89 Ty=-0.78 Tz=-1.87 Mx=-0.00 Mz=-1.69
Sollecitazioni agenti localmente: Tx_l=-0.78 Ty_l=-1.87 N_l=-5422.89 Mx_l=-0.00 My_l=-1.69 Mz_l=-0.00
Taglio nei bulloni: Fv,Ed=0.34 Fv,Rd=9650.97
Rifollamento lato piastra: Fb,Ed,p=0.34 Fb,Rd,p=9340.39
Tirafondi:LT=0.45 (0.31) σ_{cR}=0.00 σ_{fR}=0.00
Compressione nel calcestruzzo: σ_c=11.30
CC 30 SLD (Collegamento 0023_-380)
Azioni sul collegamento: N=-5422.89 Ty=-0.08 Tz=-1.87 Mx=-0.00 Mz=-0.32
Sollecitazioni agenti localmente: Tx_l=-0.08 Ty_l=-1.87 N_l=-5422.89 Mx_l=-0.00 My_l=-0.32 Mz_l=-0.00
Taglio nei bulloni: Fv,Ed=0.31 Fv,Rd=9650.97
Rifollamento lato piastra: Fb,Ed,p=0.31 Fb,Rd,p=7487.84
Tirafondi:LT=0.45 (0.31) σ_{cR}=0.00 σ_{fR}=0.00
Compressione nel calcestruzzo: σ_c=11.22
CC 30 SLD (Collegamento 0023_-380)
Azioni sul collegamento: N=-5422.89 Ty=-0.78 Tz=-3.43 Mx=-0.00 Mz=-1.69
Sollecitazioni agenti localmente: Tx_l=-0.78 Ty_l=-3.43 N_l=-5422.89 Mx_l=-0.00 My_l=-1.69 Mz_l=-0.00
Taglio nei bulloni: Fv,Ed=0.59 Fv,Rd=9650.97
Rifollamento lato piastra: Fb,Ed,p=0.59 Fb,Rd,p=8027.27
Tirafondi:LT=0.45 (0.31) σ_{cR}=0.00 σ_{fR}=0.00
Compressione nel calcestruzzo: σ_c=11.30
CC 30 SLD (Collegamento 0023_-380)
Azioni sul collegamento: N=-5422.89 Ty=-0.08 Tz=-3.43 Mx=-0.00 Mz=-0.32
Sollecitazioni agenti localmente: Tx_l=-0.08 Ty_l=-3.43 N_l=-5422.89 Mx_l=-0.00 My_l=-0.32 Mz_l=-0.00
Taglio nei bulloni: Fv,Ed=0.57 Fv,Rd=9650.97
Rifollamento lato piastra: Fb,Ed,p=0.57 Fb,Rd,p=7478.11
Tirafondi:LT=0.45 (0.31) σ_{cR}=0.00 σ_{fR}=0.00
Compressione nel calcestruzzo: σ_c=11.22
CC 30 SLD (Collegamento 0023_-380)
Azioni sul collegamento: N=-5844.26 Ty=-0.78 Tz=-1.87 Mx=-0.00 Mz=-1.69
Sollecitazioni agenti localmente: Tx_l=-0.78 Ty_l=-1.87 N_l=-5844.26 Mx_l=-0.00 My_l=-1.69 Mz_l=-0.00
Taglio nei bulloni: Fv,Ed=0.34 Fv,Rd=9650.97
Rifollamento lato piastra: Fb,Ed,p=0.34 Fb,Rd,p=9340.90
Tirafondi:LT=0.45 (0.31) σ_{cR}=0.00 σ_{fR}=0.00
Compressione nel calcestruzzo: σ_c=12.17
CC 30 SLD (Collegamento 0023_-380)
Azioni sul collegamento: N=-5844.26 Ty=-0.08 Tz=-1.87 Mx=-0.00 Mz=-0.32
Sollecitazioni agenti localmente: Tx_l=-0.08 Ty_l=-1.87 N_l=-5844.26 Mx_l=-0.00 My_l=-0.32 Mz_l=-0.00

Taglio nei bulloni: Fv,Ed=0.31 Fv,Rd=9650.97
Rifollamento lato piastra: Fb,Ed,p=0.31 Fb,Rd,p=7487.84
Tirafondi:LT=0.45 (0.31) σ_{cR}=0.00 σ_{fR}=0.00
Compressione nel calcestruzzo: σ_c=12.09
CC 30 SLD (Collegamento 0023_-380)
Azioni sul collegamento: N=-5844.26 Ty=-0.78 Tz=-3.43 Mx=-0.00 Mz=-1.69
Sollecitazioni agenti localmente: Tx_l=-0.78 Ty_l=-3.43 N_l=-5844.26 Mx_l=-0.00 My_l=-1.69 Mz_l=-0.00
Taglio nei bulloni: Fv,Ed=0.59 Fv,Rd=9650.97
Rifollamento lato piastra: Fb,Ed,p=0.59 Fb,Rd,p=8027.19
Tirafondi:LT=0.45 (0.31) σ_{cR}=0.00 σ_{fR}=0.00
Compressione nel calcestruzzo: σ_c=12.17
CC 30 SLD (Collegamento 0023_-380)
Azioni sul collegamento: N=-5844.26 Ty=-0.08 Tz=-3.43 Mx=-0.00 Mz=-0.32
Sollecitazioni agenti localmente: Tx_l=-0.08 Ty_l=-3.43 N_l=-5844.26 Mx_l=-0.00 My_l=-0.32 Mz_l=-0.00
Taglio nei bulloni: Fv,Ed=0.57 Fv,Rd=9650.97
Rifollamento lato piastra: Fb,Ed,p=0.57 Fb,Rd,p=7478.11
Tirafondi:LT=0.45 (0.31) σ_{cR}=0.00 σ_{fR}=0.00
Compressione nel calcestruzzo: σ_c=12.09
CC 31 SLV (Collegamento 0023_-380)
Azioni sul collegamento: N=-6324.76 Ty=-2.39 Tz=-5.22 Mx=-0.00 Mz=-5.32
Sollecitazioni agenti localmente: Tx_l=-2.39 Ty_l=-5.22 N_l=-6324.76 Mx_l=-0.00 My_l=-5.32 Mz_l=-0.00
Taglio nei bulloni: Fv,Ed=0.96 Fv,Rd=7720.78
Rifollamento lato piastra: Fb,Ed,p=0.96 Fb,Rd,p=7797.05
Tirafondi:LT=0.45 (0.31) σ_{cR}=0.00 σ_{fR}=0.00
Compressione nel calcestruzzo: σ_c=13.37
CC 31 SLV (Collegamento 0023_-380)
Azioni sul collegamento: N=-6324.76 Ty=-0.08 Tz=-5.22 Mx=-0.00 Mz=-0.80
Sollecitazioni agenti localmente: Tx_l=-0.08 Ty_l=-5.22 N_l=-6324.76 Mx_l=-0.00 My_l=-0.80 Mz_l=-0.00
Taglio nei bulloni: Fv,Ed=0.87 Fv,Rd=7720.78
Rifollamento lato piastra: Fb,Ed,p=0.87 Fb,Rd,p=5979.96
Tirafondi:LT=0.45 (0.31) σ_{cR}=0.00 σ_{fR}=0.00
Compressione nel calcestruzzo: σ_c=13.11
CC 31 SLV (Collegamento 0023_-380)
Azioni sul collegamento: N=-6324.76 Ty=-2.39 Tz=-0.09 Mx=-0.00 Mz=-5.32
Sollecitazioni agenti localmente: Tx_l=-2.39 Ty_l=-0.09 N_l=-6324.76 Mx_l=-0.00 My_l=-5.32 Mz_l=-0.00
Taglio nei bulloni: Fv,Ed=0.40 Fv,Rd=7720.78
Rifollamento lato piastra: Fb,Ed,p=0.40 Fb,Rd,p=6001.94
Tirafondi:LT=0.45 (0.31) σ_{cR}=0.00 σ_{fR}=0.00
Compressione nel calcestruzzo: σ_c=13.37
CC 31 SLV (Collegamento 0023_-380)
Azioni sul collegamento: N=-6324.76 Ty=-0.08 Tz=-0.09 Mx=-0.00 Mz=-0.80
Sollecitazioni agenti localmente: Tx_l=-0.08 Ty_l=-0.09 N_l=-6324.76 Mx_l=-0.00 My_l=-0.80 Mz_l=-0.00
Tirafondi:LT=0.45 (0.31) σ_{cR}=0.00 σ_{fR}=0.00
Compressione nel calcestruzzo: σ_c=13.11
CC 31 SLV (Collegamento 0023_-380)
Azioni sul collegamento: N=-4942.75 Ty=-2.39 Tz=-5.22 Mx=-0.00 Mz=-5.32
Sollecitazioni agenti localmente: Tx_l=-2.39 Ty_l=-5.22 N_l=-4942.75 Mx_l=-0.00 My_l=-5.32 Mz_l=-0.00
Taglio nei bulloni: Fv,Ed=0.96 Fv,Rd=7720.78
Rifollamento lato piastra: Fb,Ed,p=0.96 Fb,Rd,p=7796.86
Tirafondi:LT=0.45 (0.31) σ_{cR}=0.00 σ_{fR}=0.00
Compressione nel calcestruzzo: σ_c=10.51
CC 31 SLV (Collegamento 0023_-380)
Azioni sul collegamento: N=-4942.75 Ty=-0.08 Tz=-5.22 Mx=-0.00 Mz=-0.80
Sollecitazioni agenti localmente: Tx_l=-0.08 Ty_l=-5.22 N_l=-4942.75 Mx_l=-0.00 My_l=-0.80 Mz_l=-0.00
Taglio nei bulloni: Fv,Ed=0.88 Fv,Rd=7720.78
Rifollamento lato piastra: Fb,Ed,p=0.87 Fb,Rd,p=5979.96
Tirafondi:LT=0.45 (0.31) σ_{cR}=0.00 σ_{fR}=0.00
Compressione nel calcestruzzo: σ_c=10.26
CC 31 SLV (Collegamento 0023_-380)
Azioni sul collegamento: N=-4942.75 Ty=-2.39 Tz=-0.09 Mx=-0.00 Mz=-5.32
Sollecitazioni agenti localmente: Tx_l=-2.39 Ty_l=-0.09 N_l=-4942.75 Mx_l=-0.00 My_l=-5.32 Mz_l=-0.00
Taglio nei bulloni: Fv,Ed=0.40 Fv,Rd=7720.78
Rifollamento lato piastra: Fb,Ed,p=0.40 Fb,Rd,p=6002.03
Tirafondi:LT=0.45 (0.31) σ_{cR}=0.00 σ_{fR}=0.00
Compressione nel calcestruzzo: σ_c=10.51
CC 31 SLV (Collegamento 0023_-380)
Azioni sul collegamento: N=-4942.75 Ty=-0.08 Tz=-0.09 Mx=-0.00 Mz=-0.80
Sollecitazioni agenti localmente: Tx_l=-0.08 Ty_l=-0.09 N_l=-4942.75 Mx_l=-0.00 My_l=-0.80 Mz_l=-0.00
Tirafondi:LT=0.45 (0.31) σ_{cR}=0.00 σ_{fR}=0.00
Compressione nel calcestruzzo: σ_c=10.26
CC 32 SLD (Collegamento 0023_-380)
Azioni sul collegamento: N=-5844.28 Ty=-0.78 Tz=-3.44 Mx=-0.00 Mz=-1.69
Sollecitazioni agenti localmente: Tx_l=-0.78 Ty_l=-3.44 N_l=-5844.28 Mx_l=-0.00 My_l=-1.69 Mz_l=-0.00
Taglio nei bulloni: Fv,Ed=0.59 Fv,Rd=9650.97
Rifollamento lato piastra: Fb,Ed,p=0.59 Fb,Rd,p=8029.08
Tirafondi:LT=0.45 (0.31) σ_{cR}=0.00 σ_{fR}=0.00
Compressione nel calcestruzzo: σ_c=12.17
CC 32 SLD (Collegamento 0023_-380)

Azioni sul collegamento: N=-5844.28 Ty=-0.08 Tz=-3.44 Mx=-0.00 Mz=-0.31
Sollecitazioni agenti localmente: Tx_l=-0.08 Ty_l=-3.44 N_l=-5844.28 Mx_l=-0.00 My_l=-0.31 Mz_l=-0.00
Taglio nei bulloni: Fv,Ed=0.57 Fv,Rd=9650.97
Rifollamento lato piastra: Fb,Ed,p=0.57 Fb,Rd,p=7477.97
Tirafondi:LT=0.45 (0.31) σ_{cR}=0.00 σ_{fR}=0.00
Compressione nel calcestruzzo: σ_c=12.09
CC 32 SLD (Collegamento 0023_-380)
Azioni sul collegamento: N=-5844.28 Ty=-0.78 Tz=-1.87 Mx=-0.00 Mz=-1.69
Sollecitazioni agenti localmente: Tx_l=-0.78 Ty_l=-1.87 N_l=-5844.28 Mx_l=-0.00 My_l=-1.69 Mz_l=-0.00
Taglio nei bulloni: Fv,Ed=0.34 Fv,Rd=9650.97
Rifollamento lato piastra: Fb,Ed,p=0.34 Fb,Rd,p=9348.82
Tirafondi:LT=0.45 (0.31) σ_{cR}=0.00 σ_{fR}=0.00
Compressione nel calcestruzzo: σ_c=12.17
CC 32 SLD (Collegamento 0023_-380)
Azioni sul collegamento: N=-5844.28 Ty=-0.08 Tz=-1.87 Mx=-0.00 Mz=-0.31
Sollecitazioni agenti localmente: Tx_l=-0.08 Ty_l=-1.87 N_l=-5844.28 Mx_l=-0.00 My_l=-0.31 Mz_l=-0.00
Taglio nei bulloni: Fv,Ed=0.31 Fv,Rd=9650.97
Rifollamento lato piastra: Fb,Ed,p=0.31 Fb,Rd,p=7487.38
Tirafondi:LT=0.45 (0.31) σ_{cR}=0.00 σ_{fR}=0.00
Compressione nel calcestruzzo: σ_c=12.09
CC 32 SLD (Collegamento 0023_-380)
Azioni sul collegamento: N=-5422.87 Ty=-0.78 Tz=-3.44 Mx=-0.00 Mz=-1.69
Sollecitazioni agenti localmente: Tx_l=-0.78 Ty_l=-3.44 N_l=-5422.87 Mx_l=-0.00 My_l=-1.69 Mz_l=-0.00
Taglio nei bulloni: Fv,Ed=0.59 Fv,Rd=9650.97
Rifollamento lato piastra: Fb,Ed,p=0.59 Fb,Rd,p=8029.05
Tirafondi:LT=0.45 (0.31) σ_{cR}=0.00 σ_{fR}=0.00
Compressione nel calcestruzzo: σ_c=11.30
CC 32 SLD (Collegamento 0023_-380)
Azioni sul collegamento: N=-5422.87 Ty=-0.08 Tz=-3.44 Mx=-0.00 Mz=-0.31
Sollecitazioni agenti localmente: Tx_l=-0.08 Ty_l=-3.44 N_l=-5422.87 Mx_l=-0.00 My_l=-0.31 Mz_l=-0.00
Taglio nei bulloni: Fv,Ed=0.57 Fv,Rd=9650.97
Rifollamento lato piastra: Fb,Ed,p=0.57 Fb,Rd,p=7477.96
Tirafondi:LT=0.45 (0.31) σ_{cR}=0.00 σ_{fR}=0.00
Compressione nel calcestruzzo: σ_c=11.22
CC 32 SLD (Collegamento 0023_-380)
Azioni sul collegamento: N=-5422.87 Ty=-0.78 Tz=-1.87 Mx=-0.00 Mz=-1.69
Sollecitazioni agenti localmente: Tx_l=-0.78 Ty_l=-1.87 N_l=-5422.87 Mx_l=-0.00 My_l=-1.69 Mz_l=-0.00
Taglio nei bulloni: Fv,Ed=0.34 Fv,Rd=9650.97
Rifollamento lato piastra: Fb,Ed,p=0.34 Fb,Rd,p=9349.27
Tirafondi:LT=0.45 (0.31) σ_{cR}=0.00 σ_{fR}=0.00
Compressione nel calcestruzzo: σ_c=11.30
CC 32 SLD (Collegamento 0023_-380)
Azioni sul collegamento: N=-5422.87 Ty=-0.08 Tz=-1.87 Mx=-0.00 Mz=-0.31
Sollecitazioni agenti localmente: Tx_l=-0.08 Ty_l=-1.87 N_l=-5422.87 Mx_l=-0.00 My_l=-0.31 Mz_l=-0.00
Taglio nei bulloni: Fv,Ed=0.31 Fv,Rd=9650.97
Rifollamento lato piastra: Fb,Ed,p=0.31 Fb,Rd,p=7487.39
Tirafondi:LT=0.45 (0.31) σ_{cR}=0.00 σ_{fR}=0.00
Compressione nel calcestruzzo: σ_c=11.22
CC 33 SLU (Collegamento 0023_-380)
Azioni sul collegamento: N=-29447.20 Ty=-0.05 Tz=76.67 Mx=-0.00 Mz=-0.12
Sollecitazioni agenti localmente: Tx_l=-0.05 Ty_l=76.67 N_l=-29447.20 Mx_l=-0.00 My_l=-0.12 Mz_l=-0.00
Taglio nei bulloni: Fv,Ed=12.78 Fv,Rd=7720.78
Rifollamento lato piastra: Fb,Ed,p=12.78 Fb,Rd,p=5979.17
Tirafondi:LT=0.45 (0.31) σ_{cR}=0.00 σ_{fR}=0.00
Compressione nel calcestruzzo: σ_c=60.85
CC 34 SLU (Collegamento 0023_-380)
Azioni sul collegamento: N=-28967.90 Ty=-0.05 Tz=74.90 Mx=-0.00 Mz=-0.12
Sollecitazioni agenti localmente: Tx_l=-0.05 Ty_l=74.90 N_l=-28967.90 Mx_l=-0.00 My_l=-0.12 Mz_l=-0.00
Taglio nei bulloni: Fv,Ed=12.48 Fv,Rd=7720.78
Rifollamento lato piastra: Fb,Ed,p=12.48 Fb,Rd,p=5979.18
Tirafondi:LT=0.45 (0.31) σ_{cR}=0.00 σ_{fR}=0.00
Compressione nel calcestruzzo: σ_c=59.86
CC 35 SLU (Collegamento 0023_-380)
Azioni sul collegamento: N=-29207.50 Ty=-0.17 Tz=75.78 Mx=0.00 Mz=-0.35
Sollecitazioni agenti localmente: Tx_l=-0.17 Ty_l=75.78 N_l=-29207.50 Mx_l=-0.00 My_l=-0.35 Mz_l=0.00
Taglio nei bulloni: Fv,Ed=12.63 Fv,Rd=7720.78
Rifollamento lato piastra: Fb,Ed,p=12.63 Fb,Rd,p=5979.21
Tirafondi:LT=0.45 (0.31) σ_{cR}=0.00 σ_{fR}=0.00
Compressione nel calcestruzzo: σ_c=60.37
CC 36 SLU (Collegamento 0023_-380)
Azioni sul collegamento: N=-29207.50 Ty=0.07 Tz=75.79 Mx=-0.00 Mz=0.12
Sollecitazioni agenti localmente: Tx_l=0.07 Ty_l=75.79 N_l=-29207.50 Mx_l=-0.00 My_l=0.12 Mz_l=-0.00
Taglio nei bulloni: Fv,Ed=12.63 Fv,Rd=7720.78
Rifollamento lato piastra: Fb,Ed,p=12.63 Fb,Rd,p=5979.18
Tirafondi:LT=0.45 (0.31) σ_{cR}=0.00 σ_{fR}=0.00
Compressione nel calcestruzzo: σ_c=60.35
CC 37 SLU (Collegamento 0023_-380)
Azioni sul collegamento: N=-19933.90 Ty=-0.08 Tz=41.69 Mx=-0.00 Mz=-0.13

Sollecitazioni agenti localmente: Tx_l=-0.08 Ty_l=41.69 N_l=-19933.90 Mx_l=-0.00 My_l=-0.13 Mz_l=-0.00
Taglio nei bulloni: Fv,Ed=6.95 Fv,Rd=7720.78
Rifollamento lato piastra: Fb,Ed,p=6.95 Fb,Rd,p=5979.20
Tirafondi:LT=0.45 (0.31) σ_{cR}=0.00 σ_{fR}=0.00
Compressione nel calcestruzzo: σ_c=41.19
CC 38 SLU (Collegamento 0023_-380)
Azioni sul collegamento: N=-19454.60 Ty=-0.08 Tz=39.91 Mx=-0.00 Mz=-0.13
Sollecitazioni agenti localmente: Tx_l=-0.08 Ty_l=39.91 N_l=-19454.60 Mx_l=-0.00 My_l=-0.13 Mz_l=-0.00
Taglio nei bulloni: Fv,Ed=6.65 Fv,Rd=7720.78
Rifollamento lato piastra: Fb,Ed,p=6.65 Fb,Rd,p=5979.21
Tirafondi:LT=0.45 (0.31) σ_{cR}=0.00 σ_{fR}=0.00
Compressione nel calcestruzzo: σ_c=40.20
CC 39 SLU (Collegamento 0023_-380)
Azioni sul collegamento: N=-19694.20 Ty=-0.20 Tz=40.80 Mx=0.00 Mz=-0.36
Sollecitazioni agenti localmente: Tx_l=-0.20 Ty_l=40.80 N_l=-19694.20 Mx_l=-0.00 My_l=-0.36 Mz_l=0.00
Taglio nei bulloni: Fv,Ed=6.80 Fv,Rd=7720.78
Rifollamento lato piastra: Fb,Ed,p=6.80 Fb,Rd,p=5979.37
Tirafondi:LT=0.45 (0.31) σ_{cR}=0.00 σ_{fR}=0.00
Compressione nel calcestruzzo: σ_c=40.71
CC 40 SLU (Collegamento 0023_-380)
Azioni sul collegamento: N=-19694.20 Ty=0.04 Tz=40.80 Mx=-0.00 Mz=0.10
Sollecitazioni agenti localmente: Tx_l=0.04 Ty_l=40.80 N_l=-19694.20 Mx_l=-0.00 My_l=0.10 Mz_l=-0.00
Taglio nei bulloni: Fv,Ed=6.80 Fv,Rd=7720.78
Rifollamento lato piastra: Fb,Ed,p=6.80 Fb,Rd,p=5979.18
Tirafondi:LT=0.45 (0.31) σ_{cR}=0.00 σ_{fR}=0.00
Compressione nel calcestruzzo: σ_c=40.70
CC 41 SLU (Collegamento 0023_-380)
Azioni sul collegamento: N=-29632.10 Ty=-0.07 Tz=76.65 Mx=-0.00 Mz=-0.13
Sollecitazioni agenti localmente: Tx_l=-0.07 Ty_l=76.65 N_l=-29632.10 Mx_l=-0.00 My_l=-0.13 Mz_l=-0.00
Taglio nei bulloni: Fv,Ed=12.78 Fv,Rd=7720.78
Rifollamento lato piastra: Fb,Ed,p=12.78 Fb,Rd,p=5979.18
Tirafondi:LT=0.45 (0.31) σ_{cR}=0.00 σ_{fR}=0.00
Compressione nel calcestruzzo: σ_c=61.23
CC 42 SLU (Collegamento 0023_-380)
Azioni sul collegamento: N=-29152.80 Ty=-0.07 Tz=74.88 Mx=-0.00 Mz=-0.13
Sollecitazioni agenti localmente: Tx_l=-0.07 Ty_l=74.88 N_l=-29152.80 Mx_l=-0.00 My_l=-0.13 Mz_l=-0.00
Taglio nei bulloni: Fv,Ed=12.48 Fv,Rd=7720.78
Rifollamento lato piastra: Fb,Ed,p=12.48 Fb,Rd,p=5979.18
Tirafondi:LT=0.45 (0.31) σ_{cR}=0.00 σ_{fR}=0.00
Compressione nel calcestruzzo: σ_c=60.24
CC 43 SLU (Collegamento 0023_-380)
Azioni sul collegamento: N=-29392.40 Ty=-0.19 Tz=75.77 Mx=0.00 Mz=-0.36
Sollecitazioni agenti localmente: Tx_l=-0.19 Ty_l=75.77 N_l=-29392.40 Mx_l=-0.00 My_l=-0.36 Mz_l=0.00
Taglio nei bulloni: Fv,Ed=12.63 Fv,Rd=7720.78
Rifollamento lato piastra: Fb,Ed,p=12.63 Fb,Rd,p=5979.23
Tirafondi:LT=0.45 (0.31) σ_{cR}=0.00 σ_{fR}=0.00
Compressione nel calcestruzzo: σ_c=60.75
CC 44 SLU (Collegamento 0023_-380)
Azioni sul collegamento: N=-29392.40 Ty=0.05 Tz=75.77 Mx=-0.00 Mz=0.10
Sollecitazioni agenti localmente: Tx_l=0.05 Ty_l=75.77 N_l=-29392.40 Mx_l=-0.00 My_l=0.10 Mz_l=-0.00
Taglio nei bulloni: Fv,Ed=12.63 Fv,Rd=7720.78
Rifollamento lato piastra: Fb,Ed,p=12.63 Fb,Rd,p=5979.17
Tirafondi:LT=0.45 (0.31) σ_{cR}=0.00 σ_{fR}=0.00
Compressione nel calcestruzzo: σ_c=60.73
CC 45 SLU (Collegamento 0023_-380)
Azioni sul collegamento: N=-22108.00 Ty=-0.08 Tz=49.75 Mx=-0.00 Mz=-0.14
Sollecitazioni agenti localmente: Tx_l=-0.08 Ty_l=49.75 N_l=-22108.00 Mx_l=-0.00 My_l=-0.14 Mz_l=-0.00
Taglio nei bulloni: Fv,Ed=8.29 Fv,Rd=7720.78
Rifollamento lato piastra: Fb,Ed,p=8.29 Fb,Rd,p=5979.19
Tirafondi:LT=0.45 (0.31) σ_{cR}=0.00 σ_{fR}=0.00
Compressione nel calcestruzzo: σ_c=45.69
CC 46 SLU (Collegamento 0023_-380)
Azioni sul collegamento: N=-21628.70 Ty=-0.08 Tz=47.97 Mx=-0.00 Mz=-0.14
Sollecitazioni agenti localmente: Tx_l=-0.08 Ty_l=47.97 N_l=-21628.70 Mx_l=-0.00 My_l=-0.14 Mz_l=-0.00
Taglio nei bulloni: Fv,Ed=8.00 Fv,Rd=7720.78
Rifollamento lato piastra: Fb,Ed,p=8.00 Fb,Rd,p=5979.19
Tirafondi:LT=0.45 (0.31) σ_{cR}=0.00 σ_{fR}=0.00
Compressione nel calcestruzzo: σ_c=44.70
CC 47 SLU (Collegamento 0023_-380)
Azioni sul collegamento: N=-21868.40 Ty=-0.20 Tz=48.86 Mx=0.00 Mz=-0.37
Sollecitazioni agenti localmente: Tx_l=-0.20 Ty_l=48.86 N_l=-21868.40 Mx_l=-0.00 My_l=-0.37 Mz_l=0.00
Taglio nei bulloni: Fv,Ed=8.14 Fv,Rd=7720.78
Rifollamento lato piastra: Fb,Ed,p=8.14 Fb,Rd,p=5979.31
Tirafondi:LT=0.45 (0.31) σ_{cR}=0.00 σ_{fR}=0.00
Compressione nel calcestruzzo: σ_c=45.20
CC 48 SLU (Collegamento 0023_-380)
Azioni sul collegamento: N=-21868.40 Ty=0.04 Tz=48.86 Mx=-0.00 Mz=0.10
Sollecitazioni agenti localmente: Tx_l=0.04 Ty_l=48.86 N_l=-21868.40 Mx_l=-0.00 My_l=0.10 Mz_l=-0.00

Taglio nei bulloni: Fv,Ed=8.14 Fv,Rd=7720.78
Rifollamento lato piastra: Fb,Ed,p=8.14 Fb,Rd,p=5979.18
Tirafondi:LT=0.45 (0.31) σ_{cR}=0.00 σ_{fR}=0.00
Compressione nel calcestruzzo: σ_c=45.19
CC 49 SLU (Collegamento 0023_-380)
Azioni sul collegamento: N=-14990.70 Ty=-0.10 Tz=23.57 Mx=-0.00 Mz=-0.15
Sollecitazioni agenti localmente: Tx_l=-0.10 Ty_l=23.57 N_l=-14990.70 Mx_l=-0.00 My_l=-0.15 Mz_l=-0.00
Taglio nei bulloni: Fv,Ed=3.93 Fv,Rd=7720.78
Rifollamento lato piastra: Fb,Ed,p=3.93 Fb,Rd,p=5979.34
Tirafondi:LT=0.45 (0.31) σ_{cR}=0.00 σ_{fR}=0.00
Compressione nel calcestruzzo: σ_c=30.98
CC 50 SLU (Collegamento 0023_-380)
Azioni sul collegamento: N=-14511.40 Ty=-0.10 Tz=21.80 Mx=-0.00 Mz=-0.15
Sollecitazioni agenti localmente: Tx_l=-0.10 Ty_l=21.80 N_l=-14511.40 Mx_l=-0.00 My_l=-0.15 Mz_l=-0.00
Taglio nei bulloni: Fv,Ed=3.63 Fv,Rd=7720.78
Rifollamento lato piastra: Fb,Ed,p=3.63 Fb,Rd,p=5979.37
Tirafondi:LT=0.45 (0.31) σ_{cR}=0.00 σ_{fR}=0.00
Compressione nel calcestruzzo: σ_c=29.99
CC 51 SLU (Collegamento 0023_-380)
Azioni sul collegamento: N=-14751.00 Ty=-0.22 Tz=22.68 Mx=0.00 Mz=-0.38
Sollecitazioni agenti localmente: Tx_l=-0.22 Ty_l=22.68 N_l=-14751.00 Mx_l=-0.00 My_l=-0.38 Mz_l=0.00
Taglio nei bulloni: Fv,Ed=3.78 Fv,Rd=7720.78
Rifollamento lato piastra: Fb,Ed,p=3.78 Fb,Rd,p=5979.97
Tirafondi:LT=0.45 (0.31) σ_{cR}=0.00 σ_{fR}=0.00
Compressione nel calcestruzzo: σ_c=30.50
CC 52 SLU (Collegamento 0023_-380)
Azioni sul collegamento: N=-14751.00 Ty=0.02 Tz=22.69 Mx=-0.00 Mz=0.09
Sollecitazioni agenti localmente: Tx_l=0.02 Ty_l=22.69 N_l=-14751.00 Mx_l=-0.00 My_l=0.09 Mz_l=-0.00
Taglio nei bulloni: Fv,Ed=3.78 Fv,Rd=7720.78
Rifollamento lato piastra: Fb,Ed,p=3.78 Fb,Rd,p=5979.17
Tirafondi:LT=0.45 (0.31) σ_{cR}=0.00 σ_{fR}=0.00
Compressione nel calcestruzzo: σ_c=30.48
CC 53 SLU (Collegamento 0023_-380)
Azioni sul collegamento: N=-22246.40 Ty=-0.10 Tz=49.73 Mx=-0.00 Mz=-0.15
Sollecitazioni agenti localmente: Tx_l=-0.10 Ty_l=49.73 N_l=-22246.40 Mx_l=-0.00 My_l=-0.15 Mz_l=-0.00
Taglio nei bulloni: Fv,Ed=8.29 Fv,Rd=7720.78
Rifollamento lato piastra: Fb,Ed,p=8.29 Fb,Rd,p=5979.21
Tirafondi:LT=0.45 (0.31) σ_{cR}=0.00 σ_{fR}=0.00
Compressione nel calcestruzzo: σ_c=45.97
CC 54 SLU (Collegamento 0023_-380)
Azioni sul collegamento: N=-21767.10 Ty=-0.10 Tz=47.96 Mx=-0.00 Mz=-0.15
Sollecitazioni agenti localmente: Tx_l=-0.10 Ty_l=47.96 N_l=-21767.10 Mx_l=-0.00 My_l=-0.15 Mz_l=-0.00
Taglio nei bulloni: Fv,Ed=7.99 Fv,Rd=7720.78
Rifollamento lato piastra: Fb,Ed,p=7.99 Fb,Rd,p=5979.21
Tirafondi:LT=0.45 (0.31) σ_{cR}=0.00 σ_{fR}=0.00
Compressione nel calcestruzzo: σ_c=44.98
CC 55 SLU (Collegamento 0023_-380)
Azioni sul collegamento: N=-22006.70 Ty=-0.22 Tz=48.85 Mx=0.00 Mz=-0.38
Sollecitazioni agenti localmente: Tx_l=-0.22 Ty_l=48.85 N_l=-22006.70 Mx_l=-0.00 My_l=-0.38 Mz_l=0.00
Taglio nei bulloni: Fv,Ed=8.14 Fv,Rd=7720.78
Rifollamento lato piastra: Fb,Ed,p=8.14 Fb,Rd,p=5979.34
Tirafondi:LT=0.45 (0.31) σ_{cR}=0.00 σ_{fR}=0.00
Compressione nel calcestruzzo: σ_c=45.49
CC 56 SLU (Collegamento 0023_-380)
Azioni sul collegamento: N=-22006.70 Ty=0.02 Tz=48.85 Mx=-0.00 Mz=0.09
Sollecitazioni agenti localmente: Tx_l=0.02 Ty_l=48.85 N_l=-22006.70 Mx_l=-0.00 My_l=0.09 Mz_l=-0.00
Taglio nei bulloni: Fv,Ed=8.14 Fv,Rd=7720.78
Rifollamento lato piastra: Fb,Ed,p=8.14 Fb,Rd,p=5979.17
Tirafondi:LT=0.45 (0.31) σ_{cR}=0.00 σ_{fR}=0.00
Compressione nel calcestruzzo: σ_c=45.47
CC 57 SLU (Collegamento 0023_-380)
Azioni sul collegamento: N=-20646.20 Ty=-0.07 Tz=44.37 Mx=-0.00 Mz=-0.13
Sollecitazioni agenti localmente: Tx_l=-0.07 Ty_l=44.37 N_l=-20646.20 Mx_l=-0.00 My_l=-0.13 Mz_l=-0.00
Taglio nei bulloni: Fv,Ed=7.39 Fv,Rd=7720.78
Rifollamento lato piastra: Fb,Ed,p=7.39 Fb,Rd,p=5979.20
Tirafondi:LT=0.45 (0.31) σ_{cR}=0.00 σ_{fR}=0.00
Compressione nel calcestruzzo: σ_c=42.66
CC 58 SLU (Collegamento 0023_-380)
Azioni sul collegamento: N=-20166.90 Ty=-0.07 Tz=42.59 Mx=-0.00 Mz=-0.13
Sollecitazioni agenti localmente: Tx_l=-0.07 Ty_l=42.59 N_l=-20166.90 Mx_l=-0.00 My_l=-0.13 Mz_l=-0.00
Taglio nei bulloni: Fv,Ed=7.10 Fv,Rd=7720.78
Rifollamento lato piastra: Fb,Ed,p=7.10 Fb,Rd,p=5979.20
Tirafondi:LT=0.45 (0.31) σ_{cR}=0.00 σ_{fR}=0.00
Compressione nel calcestruzzo: σ_c=41.67
CC 59 SLU (Collegamento 0023_-380)
Azioni sul collegamento: N=-20406.60 Ty=-0.19 Tz=43.48 Mx=0.00 Mz=-0.36
Sollecitazioni agenti localmente: Tx_l=-0.19 Ty_l=43.48 N_l=-20406.60 Mx_l=-0.00 My_l=-0.36 Mz_l=0.00
Taglio nei bulloni: Fv,Ed=7.25 Fv,Rd=7720.78

Rifollamento lato piastra: Fb,Ed,p=7.25 Fb,Rd,p=5979.34
Tirafondi:LT=0.45 (0.31) σ_{cR}=0.00 σ_{fR}=0.00
Compressione nel calcestruzzo: σ_c=42.18
CC 60 SLU (Collegamento 0023_-380)
Azioni sul collegamento: N=-20406.60 Ty=0.05 Tz=43.48 Mx=-0.00 Mz=0.10
Sollecitazioni agenti localmente: Tx_l=0.05 Ty_l=43.48 N_l=-20406.60 Mx_l=-0.00 My_l=0.10 Mz_l=-0.00
Taglio nei bulloni: Fv,Ed=7.25 Fv,Rd=7720.78
Rifollamento lato piastra: Fb,Ed,p=7.25 Fb,Rd,p=5979.18
Tirafondi:LT=0.45 (0.31) σ_{cR}=0.00 σ_{fR}=0.00
Compressione nel calcestruzzo: σ_c=42.17
CC 61 SLU (Collegamento 0023_-380)
Azioni sul collegamento: N=-13528.90 Ty=-0.09 Tz=18.19 Mx=-0.00 Mz=-0.14
Sollecitazioni agenti localmente: Tx_l=-0.09 Ty_l=18.19 N_l=-13528.90 Mx_l=-0.00 My_l=-0.14 Mz_l=-0.00
Taglio nei bulloni: Fv,Ed=3.03 Fv,Rd=7720.78
Rifollamento lato piastra: Fb,Ed,p=3.03 Fb,Rd,p=5979.42
Tirafondi:LT=0.45 (0.31) σ_{cR}=0.00 σ_{fR}=0.00
Compressione nel calcestruzzo: σ_c=27.96
CC 62 SLU (Collegamento 0023_-380)
Azioni sul collegamento: N=-13049.60 Ty=-0.10 Tz=16.41 Mx=-0.00 Mz=-0.14
Sollecitazioni agenti localmente: Tx_l=-0.10 Ty_l=16.41 N_l=-13049.60 Mx_l=-0.00 My_l=-0.14 Mz_l=-0.00
Taglio nei bulloni: Fv,Ed=2.74 Fv,Rd=7720.78
Rifollamento lato piastra: Fb,Ed,p=2.74 Fb,Rd,p=5979.49
Tirafondi:LT=0.45 (0.31) σ_{cR}=0.00 σ_{fR}=0.00
Compressione nel calcestruzzo: σ_c=26.97
CC 63 SLU (Collegamento 0023_-380)
Azioni sul collegamento: N=-13289.20 Ty=-0.21 Tz=17.30 Mx=0.00 Mz=-0.37
Sollecitazioni agenti localmente: Tx_l=-0.21 Ty_l=17.30 N_l=-13289.20 Mx_l=-0.00 My_l=-0.37 Mz_l=0.00
Taglio nei bulloni: Fv,Ed=2.88 Fv,Rd=7720.78
Rifollamento lato piastra: Fb,Ed,p=2.88 Fb,Rd,p=5980.49
Tirafondi:LT=0.45 (0.31) σ_{cR}=0.00 σ_{fR}=0.00
Compressione nel calcestruzzo: σ_c=27.48
CC 64 SLU (Collegamento 0023_-380)
Azioni sul collegamento: N=-13289.20 Ty=0.02 Tz=17.30 Mx=-0.00 Mz=0.10
Sollecitazioni agenti localmente: Tx_l=0.02 Ty_l=17.30 N_l=-13289.20 Mx_l=-0.00 My_l=0.10 Mz_l=-0.00
Taglio nei bulloni: Fv,Ed=2.88 Fv,Rd=7720.78
Rifollamento lato piastra: Fb,Ed,p=2.88 Fb,Rd,p=5979.18
Tirafondi:LT=0.45 (0.31) σ_{cR}=0.00 σ_{fR}=0.00
Compressione nel calcestruzzo: σ_c=27.46
CC 65 SLU (Collegamento 0023_-380)
Azioni sul collegamento: N=-20784.60 Ty=-0.09 Tz=44.35 Mx=-0.00 Mz=-0.14
Sollecitazioni agenti localmente: Tx_l=-0.09 Ty_l=44.35 N_l=-20784.60 Mx_l=-0.00 My_l=-0.14 Mz_l=-0.00
Taglio nei bulloni: Fv,Ed=7.39 Fv,Rd=7720.78
Rifollamento lato piastra: Fb,Ed,p=7.39 Fb,Rd,p=5979.21
Tirafondi:LT=0.45 (0.31) σ_{cR}=0.00 σ_{fR}=0.00
Compressione nel calcestruzzo: σ_c=42.95
CC 66 SLU (Collegamento 0023_-380)
Azioni sul collegamento: N=-20305.30 Ty=-0.09 Tz=42.57 Mx=-0.00 Mz=-0.14
Sollecitazioni agenti localmente: Tx_l=-0.09 Ty_l=42.57 N_l=-20305.30 Mx_l=-0.00 My_l=-0.14 Mz_l=-0.00
Taglio nei bulloni: Fv,Ed=7.10 Fv,Rd=7720.78
Rifollamento lato piastra: Fb,Ed,p=7.10 Fb,Rd,p=5979.22
Tirafondi:LT=0.45 (0.31) σ_{cR}=0.00 σ_{fR}=0.00
Compressione nel calcestruzzo: σ_c=41.96
CC 67 SLU (Collegamento 0023_-380)
Azioni sul collegamento: N=-20544.90 Ty=-0.21 Tz=43.46 Mx=0.00 Mz=-0.37
Sollecitazioni agenti localmente: Tx_l=-0.21 Ty_l=43.46 N_l=-20544.90 Mx_l=-0.00 My_l=-0.37 Mz_l=0.00
Taglio nei bulloni: Fv,Ed=7.24 Fv,Rd=7720.78
Rifollamento lato piastra: Fb,Ed,p=7.24 Fb,Rd,p=5979.37
Tirafondi:LT=0.45 (0.31) σ_{cR}=0.00 σ_{fR}=0.00
Compressione nel calcestruzzo: σ_c=42.47
CC 68 SLU (Collegamento 0023_-380)
Azioni sul collegamento: N=-20544.90 Ty=0.03 Tz=43.46 Mx=-0.00 Mz=0.10
Sollecitazioni agenti localmente: Tx_l=0.03 Ty_l=43.46 N_l=-20544.90 Mx_l=-0.00 My_l=0.10 Mz_l=-0.00
Taglio nei bulloni: Fv,Ed=7.25 Fv,Rd=7720.78
Rifollamento lato piastra: Fb,Ed,p=7.25 Fb,Rd,p=5979.17
Tirafondi:LT=0.45 (0.31) σ_{cR}=0.00 σ_{fR}=0.00
Compressione nel calcestruzzo: σ_c=42.45
CC 97 SLU (Collegamento 0023_-380)
Azioni sul collegamento: N=-12582.10 Ty=-12.27 Tz=22.98 Mx=-0.04 Mz=-17.61
Sollecitazioni agenti localmente: Tx_l=-12.27 Ty_l=22.98 N_l=-12582.10 Mx_l=-0.00 My_l=-17.61 Mz_l=-0.04
Taglio nei bulloni: Fv,Ed=4.41 Fv,Rd=7720.78
Rifollamento lato piastra: Fb,Ed,p=4.41 Fb,Rd,p=8614.24
Tirafondi:LT=0.45 (0.31) σ_{cR}=0.00 σ_{fR}=0.00
Compressione nel calcestruzzo: σ_c=26.99
CC 98 SLU (Collegamento 0023_-380)
Azioni sul collegamento: N=-12102.80 Ty=-12.27 Tz=21.21 Mx=-0.04 Mz=-17.61
Sollecitazioni agenti localmente: Tx_l=-12.27 Ty_l=21.21 N_l=-12102.80 Mx_l=-0.00 My_l=-17.61 Mz_l=-0.04
Taglio nei bulloni: Fv,Ed=4.15 Fv,Rd=7720.78
Rifollamento lato piastra: Fb,Ed,p=4.15 Fb,Rd,p=9078.24

Tirafondi:LT=0.45 (0.31) σ_{cR}=0.00 σ_{fR}=0.00
Compressione nel calcestruzzo: σ_c=26.00
CC 99 SLU (Collegamento 0023_-380)
Azioni sul collegamento: N=-12342.50 Ty=-12.39 Tz=22.09 Mx=-0.04 Mz=-17.84
Sollecitazioni agenti localmente: Tx_l=-12.39 Ty_l=22.09 N_l=-12342.50 Mx_l=-0.00 My_l=-17.84 Mz_l=-0.04
Taglio nei bulloni: Fv,Ed=4.28 Fv,Rd=7720.78
Rifollamento lato piastra: Fb,Ed,p=4.28 Fb,Rd,p=8886.50
Tirafondi:LT=0.45 (0.31) σ_{cR}=0.00 σ_{fR}=0.00
Compressione nel calcestruzzo: σ_c=26.51
CC 100 SLU (Collegamento 0023_-380)
Azioni sul collegamento: N=-12342.50 Ty=-12.15 Tz=22.09 Mx=-0.04 Mz=-17.38
Sollecitazioni agenti localmente: Tx_l=-12.15 Ty_l=22.09 N_l=-12342.50 Mx_l=-0.00 My_l=-17.38 Mz_l=-0.04
Taglio nei bulloni: Fv,Ed=4.27 Fv,Rd=7720.78
Rifollamento lato piastra: Fb,Ed,p=4.27 Fb,Rd,p=8778.47
Tirafondi:LT=0.45 (0.31) σ_{cR}=0.00 σ_{fR}=0.00
Compressione nel calcestruzzo: σ_c=26.48
CC 101 SLU (Collegamento 0023_-380)
Azioni sul collegamento: N=-6366.46 Ty=2.01 Tz=0.04 Mx=0.00 Mz=2.22
Sollecitazioni agenti localmente: Tx_l=2.01 Ty_l=0.04 N_l=-6366.46 Mx_l=-0.00 My_l=2.22 Mz_l=0.00
Taglio nei bulloni: Fv,Ed=0.34 Fv,Rd=7720.78
Rifollamento lato piastra: Fb,Ed,p=0.34 Fb,Rd,p=5979.37
Tirafondi:LT=0.45 (0.31) σ_{cR}=0.00 σ_{fR}=0.00
Compressione nel calcestruzzo: σ_c=13.28
CC 102 SLU (Collegamento 0023_-380)
Azioni sul collegamento: N=-5887.16 Ty=2.00 Tz=-1.73 Mx=0.00 Mz=2.22
Sollecitazioni agenti localmente: Tx_l=2.00 Ty_l=-1.73 N_l=-5887.16 Mx_l=-0.00 My_l=2.22 Mz_l=0.00
Taglio nei bulloni: Fv,Ed=0.45 Fv,Rd=7720.78
Rifollamento lato piastra: Fb,Ed,p=0.45 Fb,Rd,p=11248.30
Tirafondi:LT=0.45 (0.31) σ_{cR}=0.00 σ_{fR}=0.00
Compressione nel calcestruzzo: σ_c=12.29
CC 103 SLU (Collegamento 0023_-380)
Azioni sul collegamento: N=-6126.81 Ty=1.89 Tz=-0.85 Mx=0.01 Mz=1.98
Sollecitazioni agenti localmente: Tx_l=1.89 Ty_l=-0.85 N_l=-6126.81 Mx_l=-0.00 My_l=1.98 Mz_l=0.01
Taglio nei bulloni: Fv,Ed=0.35 Fv,Rd=7720.78
Rifollamento lato piastra: Fb,Ed,p=0.35 Fb,Rd,p=7880.22
Tirafondi:LT=0.45 (0.31) σ_{cR}=0.00 σ_{fR}=0.00
Compressione nel calcestruzzo: σ_c=12.77
CC 104 SLU (Collegamento 0023_-380)
Azioni sul collegamento: N=-6126.80 Ty=2.12 Tz=-0.84 Mx=0.00 Mz=2.45
Sollecitazioni agenti localmente: Tx_l=2.12 Ty_l=-0.84 N_l=-6126.80 Mx_l=-0.00 My_l=2.45 Mz_l=0.00
Taglio nei bulloni: Fv,Ed=0.39 Fv,Rd=7720.78
Rifollamento lato piastra: Fb,Ed,p=0.39 Fb,Rd,p=7454.80
Tirafondi:LT=0.45 (0.31) σ_{cR}=0.00 σ_{fR}=0.00
Compressione nel calcestruzzo: σ_c=12.80

Saldatura profilo-piastra

CC 1 SLV (Collegamento 0023_-380)
Azioni sul collegamento: N=-3330.00 Ty=1.44 Tz=5.89 Mx=0.02 Mz=3.55
Sollecitazioni agenti localmente: Tx_l=1.44 Ty_l=5.89 N_l=-3330.00 My_l=-3.55 Mz_l=0.02
Azioni sul cordone: TP=0.09 TO=0.45 NO=-246.15
Tensioni nel cordone: τ_P= 0.03 τ_O=0.14 σ_O=83.42 σ_{ID}=83.42 Σ_T=83.56
CC 1 SLV (Collegamento 0023_-380)
Azioni sul collegamento: N=-3330.00 Ty=0.74 Tz=5.89 Mx=0.02 Mz=2.16
Sollecitazioni agenti localmente: Tx_l=0.74 Ty_l=5.89 N_l=-3330.00 My_l=-2.16 Mz_l=0.02
Azioni sul cordone: TP=0.04 TO=0.45 NO=-246.15
Tensioni nel cordone: τ_P= 0.01 τ_O=0.14 σ_O=81.39 σ_{ID}=81.39 Σ_T=81.53
CC 1 SLV (Collegamento 0023_-380)
Azioni sul collegamento: N=-3330.00 Ty=1.44 Tz=-11.20 Mx=0.02 Mz=3.55
Sollecitazioni agenti localmente: Tx_l=1.44 Ty_l=-11.20 N_l=-3330.00 My_l=-3.55 Mz_l=0.02
Azioni sul cordone: TP=0.09 TO=-0.81 NO=-246.15
Tensioni nel cordone: τ_P= 0.03 τ_O=0.26 σ_O=83.42 σ_{ID}=83.42 Σ_T=83.68
CC 1 SLV (Collegamento 0023_-380)
Azioni sul collegamento: N=-3330.00 Ty=0.74 Tz=-11.20 Mx=0.02 Mz=2.16
Sollecitazioni agenti localmente: Tx_l=0.74 Ty_l=-11.20 N_l=-3330.00 My_l=-2.16 Mz_l=0.02
Azioni sul cordone: TP=0.04 TO=-0.81 NO=-246.15
Tensioni nel cordone: τ_P= 0.01 τ_O=0.26 σ_O=81.39 σ_{ID}=81.39 Σ_T=81.65
CC 1 SLV (Collegamento 0023_-380)
Azioni sul collegamento: N=-7936.47 Ty=1.44 Tz=5.89 Mx=0.02 Mz=3.55
Sollecitazioni agenti localmente: Tx_l=1.44 Ty_l=5.89 N_l=-7936.47 My_l=-3.55 Mz_l=0.02
Azioni sul cordone: TP=0.09 TO=0.45 NO=-586.67
Tensioni nel cordone: τ_P= 0.03 τ_O=0.14 σ_O=191.65 σ_{ID}=191.65 Σ_T=191.80
CC 1 SLV (Collegamento 0023_-380)
Azioni sul collegamento: N=-7936.47 Ty=0.74 Tz=5.89 Mx=0.02 Mz=2.16
Sollecitazioni agenti localmente: Tx_l=0.74 Ty_l=5.89 N_l=-7936.47 My_l=-2.16 Mz_l=0.02
Azioni sul cordone: TP=0.04 TO=0.45 NO=-586.67
Tensioni nel cordone: τ_P= 0.01 τ_O=0.14 σ_O=189.62 σ_{ID}=189.62 Σ_T=189.76
CC 1 SLV (Collegamento 0023_-380)
Azioni sul collegamento: N=-7936.47 Ty=1.44 Tz=-11.20 Mx=0.02 Mz=3.55

Sollecitazioni agenti localmente: Tx_l=1.44 Ty_l=-11.20 N_l=-7936.47 My_l=-3.55 Mz_l=0.02
Azioni sul cordone: TP=0.09 TO=-0.81 NO=-586.67
Tensioni nel cordone: τ_P= 0.03 τ_O=0.26 σ_O=191.65 σ_{ID}=191.65 Σ_T=191.91
CC 1 SLV (Collegamento 0023_-380)
Azioni sul collegamento: N=-7936.47 Ty=0.74 Tz=-11.20 Mx=0.02 Mz=2.16
Sollecitazioni agenti localmente: Tx_l=0.74 Ty_l=-11.20 N_l=-7936.47 My_l=-2.16 Mz_l=0.02
Azioni sul cordone: TP=0.04 TO=-0.81 NO=-586.67
Tensioni nel cordone: τ_P= 0.01 τ_O=0.26 σ_O=189.62 σ_{ID}=189.62 Σ_T=189.88
CC 2 SLD (Collegamento 0023_-380)
Azioni sul collegamento: N=-4931.09 Ty=0.39 Tz=-0.05 Mx=0.00 Mz=1.01
Sollecitazioni agenti localmente: Tx_l=0.39 Ty_l=-0.05 N_l=-4931.09 My_l=-1.01 Mz_l=0.00
Azioni sul cordone: TP=0.02 TO=0.00 NO=-364.51
Tensioni nel cordone: τ_P=7.41E-03 τ_O=2.47E-06 σ_O=117.33 σ_{ID}=117.33 Σ_T=117.33
CC 2 SLD (Collegamento 0023_-380)
Azioni sul collegamento: N=-4931.09 Ty=0.17 Tz=-0.05 Mx=0.00 Mz=0.59
Sollecitazioni agenti localmente: Tx_l=0.17 Ty_l=-0.05 N_l=-4931.09 My_l=-0.59 Mz_l=0.00
Azioni sul cordone: TP=0.01 TO=0.00 NO=-364.51
Tensioni nel cordone: τ_P=2.36E-03 τ_O=2.47E-06 σ_O=116.71 σ_{ID}=116.71 Σ_T=116.71
CC 2 SLD (Collegamento 0023_-380)
Azioni sul collegamento: N=-4931.09 Ty=0.39 Tz=-5.26 Mx=0.00 Mz=1.01
Sollecitazioni agenti localmente: Tx_l=0.39 Ty_l=-5.26 N_l=-4931.09 My_l=-1.01 Mz_l=0.00
Azioni sul cordone: TP=0.02 TO=-0.38 NO=-364.51
Tensioni nel cordone: τ_P=7.41E-03 τ_O=0.12 σ_O=117.33 σ_{ID}=117.33 Σ_T=117.46
CC 2 SLD (Collegamento 0023_-380)
Azioni sul collegamento: N=-4931.09 Ty=0.17 Tz=-5.26 Mx=0.00 Mz=0.59
Sollecitazioni agenti localmente: Tx_l=0.17 Ty_l=-5.26 N_l=-4931.09 My_l=-0.59 Mz_l=0.00
Azioni sul cordone: TP=0.01 TO=-0.38 NO=-364.51
Tensioni nel cordone: τ_P=2.36E-03 τ_O=0.12 σ_O=116.71 σ_{ID}=116.71 Σ_T=116.84
CC 2 SLD (Collegamento 0023_-380)
Azioni sul collegamento: N=-6335.74 Ty=0.39 Tz=-0.05 Mx=0.00 Mz=1.01
Sollecitazioni agenti localmente: Tx_l=0.39 Ty_l=-0.05 N_l=-6335.74 My_l=-1.01 Mz_l=0.00
Azioni sul cordone: TP=0.02 TO=0.00 NO=-468.34
Tensioni nel cordone: τ_P=7.41E-03 τ_O=9.91E-06 σ_O=150.34 σ_{ID}=150.34 Σ_T=150.34
CC 2 SLD (Collegamento 0023_-380)
Azioni sul collegamento: N=-6335.74 Ty=0.17 Tz=-0.05 Mx=0.00 Mz=0.59
Sollecitazioni agenti localmente: Tx_l=0.17 Ty_l=-0.05 N_l=-6335.74 My_l=-0.59 Mz_l=0.00
Azioni sul cordone: TP=0.01 TO=0.00 NO=-468.34
Tensioni nel cordone: τ_P=2.36E-03 τ_O=9.91E-06 σ_O=149.72 σ_{ID}=149.72 Σ_T=149.72
CC 2 SLD (Collegamento 0023_-380)
Azioni sul collegamento: N=-6335.74 Ty=0.39 Tz=-5.26 Mx=0.00 Mz=1.01
Sollecitazioni agenti localmente: Tx_l=0.39 Ty_l=-5.26 N_l=-6335.74 My_l=-1.01 Mz_l=0.00
Azioni sul cordone: TP=0.02 TO=-0.38 NO=-468.34
Tensioni nel cordone: τ_P=7.41E-03 τ_O=0.12 σ_O=150.34 σ_{ID}=150.34 Σ_T=150.46
CC 2 SLD (Collegamento 0023_-380)
Azioni sul collegamento: N=-6335.74 Ty=0.17 Tz=-5.26 Mx=0.00 Mz=0.59
Sollecitazioni agenti localmente: Tx_l=0.17 Ty_l=-5.26 N_l=-6335.74 My_l=-0.59 Mz_l=0.00
Azioni sul cordone: TP=0.01 TO=-0.38 NO=-468.34
Tensioni nel cordone: τ_P=2.36E-03 τ_O=0.12 σ_O=149.72 σ_{ID}=149.72 Σ_T=149.84
CC 3 SLV (Collegamento 0023_-380)
Azioni sul collegamento: N=-3330.02 Ty=0.75 Tz=5.88 Mx=0.01 Mz=2.19
Sollecitazioni agenti localmente: Tx_l=0.75 Ty_l=5.88 N_l=-3330.02 My_l=-2.19 Mz_l=0.01
Azioni sul cordone: TP=0.04 TO=0.44 NO=-246.16
Tensioni nel cordone: τ_P= 0.01 τ_O=0.14 σ_O=81.45 σ_{ID}=81.45 Σ_T=81.59
CC 3 SLV (Collegamento 0023_-380)
Azioni sul collegamento: N=-3330.02 Ty=1.43 Tz=5.88 Mx=0.01 Mz=3.51
Sollecitazioni agenti localmente: Tx_l=1.43 Ty_l=5.88 N_l=-3330.02 My_l=-3.51 Mz_l=0.01
Azioni sul cordone: TP=0.09 TO=0.44 NO=-246.16
Tensioni nel cordone: τ_P= 0.03 τ_O=0.14 σ_O=83.37 σ_{ID}=83.37 Σ_T=83.51
CC 3 SLV (Collegamento 0023_-380)
Azioni sul collegamento: N=-3330.02 Ty=0.75 Tz=-11.19 Mx=0.01 Mz=2.19
Sollecitazioni agenti localmente: Tx_l=0.75 Ty_l=-11.19 N_l=-3330.02 My_l=-2.19 Mz_l=0.01
Azioni sul cordone: TP=0.04 TO=-0.82 NO=-246.16
Tensioni nel cordone: τ_P= 0.01 τ_O=0.26 σ_O=81.45 σ_{ID}=81.45 Σ_T=81.71
CC 3 SLV (Collegamento 0023_-380)
Azioni sul collegamento: N=-3330.02 Ty=1.43 Tz=-11.19 Mx=0.01 Mz=3.51
Sollecitazioni agenti localmente: Tx_l=1.43 Ty_l=-11.19 N_l=-3330.02 My_l=-3.51 Mz_l=0.01
Azioni sul cordone: TP=0.09 TO=-0.82 NO=-246.16
Tensioni nel cordone: τ_P= 0.03 τ_O=0.26 σ_O=83.37 σ_{ID}=83.37 Σ_T=83.63
CC 3 SLV (Collegamento 0023_-380)
Azioni sul collegamento: N=-7936.44 Ty=0.75 Tz=5.88 Mx=0.01 Mz=2.19
Sollecitazioni agenti localmente: Tx_l=0.75 Ty_l=5.88 N_l=-7936.44 My_l=-2.19 Mz_l=0.01
Azioni sul cordone: TP=0.04 TO=0.44 NO=-586.66
Tensioni nel cordone: τ_P= 0.01 τ_O=0.14 σ_O=189.68 σ_{ID}=189.68 Σ_T=189.82
CC 3 SLV (Collegamento 0023_-380)
Azioni sul collegamento: N=-7936.44 Ty=1.43 Tz=5.88 Mx=0.01 Mz=3.51
Sollecitazioni agenti localmente: Tx_l=1.43 Ty_l=5.88 N_l=-7936.44 My_l=-3.51 Mz_l=0.01
Azioni sul cordone: TP=0.09 TO=0.44 NO=-586.66
Tensioni nel cordone: τ_P= 0.03 τ_O=0.14 σ_O=191.60 σ_{ID}=191.60 Σ_T=191.74
CC 3 SLV (Collegamento 0023_-380)

Azioni sul collegamento: N=-7936.44 Ty=0.75 Tz=-11.19 Mx=0.01 Mz=2.19
Sollecitazioni agenti localmente: Tx_l=0.75 Ty_l=-11.19 N_l=-7936.44 My_l=-2.19 Mz_l=0.01
Azioni sul cordone: TP=0.04 TO=-0.82 NO=-586.66
Tensioni nel cordone: τ_P= 0.01 τ_O=0.26 σ_O=189.68 σ_{ID}=189.68 Σ_T=189.94
CC 3 SLV (Collegamento 0023_-380)
Azioni sul collegamento: N=-7936.44 Ty=1.43 Tz=-11.19 Mx=0.01 Mz=3.51
Sollecitazioni agenti localmente: Tx_l=1.43 Ty_l=-11.19 N_l=-7936.44 My_l=-3.51 Mz_l=0.01
Azioni sul cordone: TP=0.09 TO=-0.82 NO=-586.66
Tensioni nel cordone: τ_P= 0.03 τ_O=0.26 σ_O=191.60 σ_{ID}=191.60 Σ_T=191.86
CC 4 SLD (Collegamento 0023_-380)
Azioni sul collegamento: N=-4931.09 Ty=0.18 Tz=-0.05 Mx=0.00 Mz=0.60
Sollecitazioni agenti localmente: Tx_l=0.18 Ty_l=-0.05 N_l=-4931.09 My_l=-0.60 Mz_l=0.00
Azioni sul cordone: TP=0.01 TO=-0.00 NO=-364.51
Tensioni nel cordone: τ_P=3.04E-03 τ_O=4.06E-04 σ_O=116.73 σ_{ID}=116.73 Σ_T=116.73
CC 4 SLD (Collegamento 0023_-380)
Azioni sul collegamento: N=-4931.09 Ty=0.38 Tz=-0.05 Mx=0.00 Mz=1.00
Sollecitazioni agenti localmente: Tx_l=0.38 Ty_l=-0.05 N_l=-4931.09 My_l=-1.00 Mz_l=0.00
Azioni sul cordone: TP=0.02 TO=-0.00 NO=-364.51
Tensioni nel cordone: τ_P=7.89E-03 τ_O=4.06E-04 σ_O=117.32 σ_{ID}=117.32 Σ_T=117.32
CC 4 SLD (Collegamento 0023_-380)
Azioni sul collegamento: N=-4931.09 Ty=0.18 Tz=-5.26 Mx=0.00 Mz=0.60
Sollecitazioni agenti localmente: Tx_l=0.18 Ty_l=-5.26 N_l=-4931.09 My_l=-0.60 Mz_l=0.00
Azioni sul cordone: TP=0.01 TO=-0.39 NO=-364.51
Tensioni nel cordone: τ_P=3.04E-03 τ_O=0.12 σ_O=116.73 σ_{ID}=116.73 Σ_T=116.85
CC 4 SLD (Collegamento 0023_-380)
Azioni sul collegamento: N=-4931.09 Ty=0.38 Tz=-5.26 Mx=0.00 Mz=1.00
Sollecitazioni agenti localmente: Tx_l=0.38 Ty_l=-5.26 N_l=-4931.09 My_l=-1.00 Mz_l=0.00
Azioni sul cordone: TP=0.02 TO=-0.39 NO=-364.51
Tensioni nel cordone: τ_P=7.89E-03 τ_O=0.12 σ_O=117.32 σ_{ID}=117.32 Σ_T=117.44
CC 4 SLD (Collegamento 0023_-380)
Azioni sul collegamento: N=-6335.74 Ty=0.18 Tz=-0.05 Mx=0.00 Mz=0.60
Sollecitazioni agenti localmente: Tx_l=0.18 Ty_l=-0.05 N_l=-6335.74 My_l=-0.60 Mz_l=0.00
Azioni sul cordone: TP=0.01 TO=-0.00 NO=-468.34
Tensioni nel cordone: τ_P=3.04E-03 τ_O=4.05E-04 σ_O=149.73 σ_{ID}=149.73 Σ_T=149.74
CC 4 SLD (Collegamento 0023_-380)
Azioni sul collegamento: N=-6335.74 Ty=0.38 Tz=-0.05 Mx=0.00 Mz=1.00
Sollecitazioni agenti localmente: Tx_l=0.38 Ty_l=-0.05 N_l=-6335.74 My_l=-1.00 Mz_l=0.00
Azioni sul cordone: TP=0.02 TO=-0.00 NO=-468.34
Tensioni nel cordone: τ_P=7.89E-03 τ_O=4.05E-04 σ_O=150.32 σ_{ID}=150.32 Σ_T=150.32
CC 4 SLD (Collegamento 0023_-380)
Azioni sul collegamento: N=-6335.74 Ty=0.18 Tz=-5.26 Mx=0.00 Mz=0.60
Sollecitazioni agenti localmente: Tx_l=0.18 Ty_l=-5.26 N_l=-6335.74 My_l=-0.60 Mz_l=0.00
Azioni sul cordone: TP=0.01 TO=-0.39 NO=-468.34
Tensioni nel cordone: τ_P=3.04E-03 τ_O=0.12 σ_O=149.73 σ_{ID}=149.73 Σ_T=149.86
CC 4 SLD (Collegamento 0023_-380)
Azioni sul collegamento: N=-6335.74 Ty=0.38 Tz=-5.26 Mx=0.00 Mz=1.00
Sollecitazioni agenti localmente: Tx_l=0.38 Ty_l=-5.26 N_l=-6335.74 My_l=-1.00 Mz_l=0.00
Azioni sul cordone: TP=0.02 TO=-0.39 NO=-468.34
Tensioni nel cordone: τ_P=7.89E-03 τ_O=0.12 σ_O=150.32 σ_{ID}=150.32 Σ_T=150.44
CC 5 SLV (Collegamento 0023_-380)
Azioni sul collegamento: N=-7936.44 Ty=1.43 Tz=-11.19 Mx=0.02 Mz=3.51
Sollecitazioni agenti localmente: Tx_l=1.43 Ty_l=-11.19 N_l=-7936.44 My_l=-3.51 Mz_l=0.02
Azioni sul cordone: TP=0.09 TO=-0.82 NO=-586.66
Tensioni nel cordone: τ_P= 0.03 τ_O=0.26 σ_O=191.60 σ_{ID}=191.60 Σ_T=191.86
CC 5 SLV (Collegamento 0023_-380)
Azioni sul collegamento: N=-7936.44 Ty=0.75 Tz=-11.19 Mx=0.02 Mz=2.19
Sollecitazioni agenti localmente: Tx_l=0.75 Ty_l=-11.19 N_l=-7936.44 My_l=-2.19 Mz_l=0.02
Azioni sul cordone: TP=0.04 TO=-0.82 NO=-586.66
Tensioni nel cordone: τ_P= 0.01 τ_O=0.26 σ_O=189.68 σ_{ID}=189.68 Σ_T=189.94
CC 5 SLV (Collegamento 0023_-380)
Azioni sul collegamento: N=-7936.44 Ty=1.43 Tz=5.88 Mx=0.02 Mz=3.51
Sollecitazioni agenti localmente: Tx_l=1.43 Ty_l=5.88 N_l=-7936.44 My_l=-3.51 Mz_l=0.02
Azioni sul cordone: TP=0.09 TO=0.45 NO=-586.66
Tensioni nel cordone: τ_P= 0.03 τ_O=0.14 σ_O=191.60 σ_{ID}=191.60 Σ_T=191.74
CC 5 SLV (Collegamento 0023_-380)
Azioni sul collegamento: N=-7936.44 Ty=0.75 Tz=5.88 Mx=0.02 Mz=2.19
Sollecitazioni agenti localmente: Tx_l=0.75 Ty_l=5.88 N_l=-7936.44 My_l=-2.19 Mz_l=0.02
Azioni sul cordone: TP=0.04 TO=0.45 NO=-586.66
Tensioni nel cordone: τ_P= 0.01 τ_O=0.14 σ_O=189.68 σ_{ID}=189.68 Σ_T=189.82
CC 5 SLV (Collegamento 0023_-380)
Azioni sul collegamento: N=-3330.02 Ty=1.43 Tz=-11.19 Mx=0.02 Mz=3.51
Sollecitazioni agenti localmente: Tx_l=1.43 Ty_l=-11.19 N_l=-3330.02 My_l=-3.51 Mz_l=0.02
Azioni sul cordone: TP=0.09 TO=-0.82 NO=-246.16
Tensioni nel cordone: τ_P= 0.03 τ_O=0.26 σ_O=83.37 σ_{ID}=83.37 Σ_T=83.63
CC 5 SLV (Collegamento 0023_-380)
Azioni sul collegamento: N=-3330.02 Ty=0.75 Tz=-11.19 Mx=0.02 Mz=2.19
Sollecitazioni agenti localmente: Tx_l=0.75 Ty_l=-11.19 N_l=-3330.02 My_l=-2.19 Mz_l=0.02
Azioni sul cordone: TP=0.04 TO=-0.82 NO=-246.16
Tensioni nel cordone: τ_P= 0.01 τ_O=0.26 σ_O=81.45 σ_{ID}=81.45 Σ_T=81.71

CC 5 SLV (Collegamento 0023_-380)
Azioni sul collegamento: N=-3330.02 Ty=1.43 Tz=5.88 Mx=0.02 Mz=3.51
Sollecitazioni agenti localmente: Tx_l=1.43 Ty_l=5.88 N_l=-3330.02 My_l=-3.51 Mz_l=0.02
Azioni sul cordone: TP=0.09 TO=0.45 NO=-246.16
Tensioni nel cordone: τ_P= 0.03 τ_0=0.14 σ_0=83.37 σ_{ID}=83.37 Σ_T=83.51
CC 5 SLV (Collegamento 0023_-380)
Azioni sul collegamento: N=-3330.02 Ty=0.75 Tz=5.88 Mx=0.02 Mz=2.19
Sollecitazioni agenti localmente: Tx_l=0.75 Ty_l=5.88 N_l=-3330.02 My_l=-2.19 Mz_l=0.02
Azioni sul cordone: TP=0.04 TO=0.45 NO=-246.16
Tensioni nel cordone: τ_P= 0.01 τ_0=0.14 σ_0=81.45 σ_{ID}=81.45 Σ_T=81.59
CC 6 SLD (Collegamento 0023_-380)
Azioni sul collegamento: N=-6335.74 Ty=0.38 Tz=-5.26 Mx=0.00 Mz=1.00
Sollecitazioni agenti localmente: Tx_l=0.38 Ty_l=-5.26 N_l=-6335.74 My_l=-1.00 Mz_l=0.00
Azioni sul cordone: TP=0.02 TO=-0.39 NO=-468.34
Tensioni nel cordone: τ_P=7.33E-03 τ_0=0.12 σ_0=150.32 σ_{ID}=150.32 Σ_T=150.44
CC 6 SLD (Collegamento 0023_-380)
Azioni sul collegamento: N=-6335.74 Ty=0.18 Tz=-5.26 Mx=0.00 Mz=0.60
Sollecitazioni agenti localmente: Tx_l=0.18 Ty_l=-5.26 N_l=-6335.74 My_l=-0.60 Mz_l=0.00
Azioni sul cordone: TP=0.01 TO=-0.39 NO=-468.34
Tensioni nel cordone: τ_P=2.48E-03 τ_0=0.12 σ_0=149.73 σ_{ID}=149.73 Σ_T=149.86
CC 6 SLD (Collegamento 0023_-380)
Azioni sul collegamento: N=-6335.74 Ty=0.38 Tz=-0.05 Mx=0.00 Mz=1.00
Sollecitazioni agenti localmente: Tx_l=0.38 Ty_l=-0.05 N_l=-6335.74 My_l=-1.00 Mz_l=0.00
Azioni sul cordone: TP=0.02 TO=-0.00 NO=-468.34
Tensioni nel cordone: τ_P=7.33E-03 τ_0=1.66E-05 σ_0=150.32 σ_{ID}=150.32 Σ_T=150.32
CC 6 SLD (Collegamento 0023_-380)
Azioni sul collegamento: N=-6335.74 Ty=0.18 Tz=-0.05 Mx=0.00 Mz=0.60
Sollecitazioni agenti localmente: Tx_l=0.18 Ty_l=-0.05 N_l=-6335.74 My_l=-0.60 Mz_l=0.00
Azioni sul cordone: TP=0.01 TO=-0.00 NO=-468.34
Tensioni nel cordone: τ_P=2.48E-03 τ_0=1.64E-05 σ_0=149.73 σ_{ID}=149.73 Σ_T=149.73
CC 6 SLD (Collegamento 0023_-380)
Azioni sul collegamento: N=-4931.09 Ty=0.38 Tz=-5.26 Mx=0.00 Mz=1.00
Sollecitazioni agenti localmente: Tx_l=0.38 Ty_l=-5.26 N_l=-4931.09 My_l=-1.00 Mz_l=0.00
Azioni sul cordone: TP=0.02 TO=-0.39 NO=-364.51
Tensioni nel cordone: τ_P=7.33E-03 τ_0=0.12 σ_0=117.32 σ_{ID}=117.32 Σ_T=117.44
CC 6 SLD (Collegamento 0023_-380)
Azioni sul collegamento: N=-4931.09 Ty=0.18 Tz=-5.26 Mx=0.00 Mz=0.60
Sollecitazioni agenti localmente: Tx_l=0.18 Ty_l=-5.26 N_l=-4931.09 My_l=-0.60 Mz_l=0.00
Azioni sul cordone: TP=0.01 TO=-0.39 NO=-364.51
Tensioni nel cordone: τ_P=2.48E-03 τ_0=0.12 σ_0=116.73 σ_{ID}=116.73 Σ_T=116.85
CC 6 SLD (Collegamento 0023_-380)
Azioni sul collegamento: N=-4931.09 Ty=0.38 Tz=-0.05 Mx=0.00 Mz=1.00
Sollecitazioni agenti localmente: Tx_l=0.38 Ty_l=-0.05 N_l=-4931.09 My_l=-1.00 Mz_l=0.00
Azioni sul cordone: TP=0.02 TO=-0.00 NO=-364.51
Tensioni nel cordone: τ_P=7.33E-03 τ_0=1.79E-05 σ_0=117.32 σ_{ID}=117.32 Σ_T=117.32
CC 6 SLD (Collegamento 0023_-380)
Azioni sul collegamento: N=-4931.09 Ty=0.18 Tz=-0.05 Mx=0.00 Mz=0.60
Sollecitazioni agenti localmente: Tx_l=0.18 Ty_l=-0.05 N_l=-4931.09 My_l=-0.60 Mz_l=0.00
Azioni sul cordone: TP=0.01 TO=-0.00 NO=-364.51
Tensioni nel cordone: τ_P=2.48E-03 τ_0=1.76E-05 σ_0=116.73 σ_{ID}=116.73 Σ_T=116.73
CC 7 SLV (Collegamento 0023_-380)
Azioni sul collegamento: N=-7936.47 Ty=0.74 Tz=-11.20 Mx=0.01 Mz=2.16
Sollecitazioni agenti localmente: Tx_l=0.74 Ty_l=-11.20 N_l=-7936.47 My_l=-2.16 Mz_l=0.01
Azioni sul cordone: TP=0.04 TO=-0.82 NO=-586.67
Tensioni nel cordone: τ_P= 0.01 τ_0=0.26 σ_0=189.62 σ_{ID}=189.62 Σ_T=189.88
CC 7 SLV (Collegamento 0023_-380)
Azioni sul collegamento: N=-7936.47 Ty=1.44 Tz=-11.20 Mx=0.01 Mz=3.55
Sollecitazioni agenti localmente: Tx_l=1.44 Ty_l=-11.20 N_l=-7936.47 My_l=-3.55 Mz_l=0.01
Azioni sul cordone: TP=0.09 TO=-0.82 NO=-586.67
Tensioni nel cordone: τ_P= 0.03 τ_0=0.26 σ_0=191.65 σ_{ID}=191.65 Σ_T=191.91
CC 7 SLV (Collegamento 0023_-380)
Azioni sul collegamento: N=-7936.47 Ty=0.74 Tz=5.89 Mx=0.01 Mz=2.16
Sollecitazioni agenti localmente: Tx_l=0.74 Ty_l=5.89 N_l=-7936.47 My_l=-2.16 Mz_l=0.01
Azioni sul cordone: TP=0.04 TO=0.44 NO=-586.67
Tensioni nel cordone: τ_P= 0.01 τ_0=0.14 σ_0=189.62 σ_{ID}=189.62 Σ_T=189.76
CC 7 SLV (Collegamento 0023_-380)
Azioni sul collegamento: N=-7936.47 Ty=1.44 Tz=5.89 Mx=0.01 Mz=3.55
Sollecitazioni agenti localmente: Tx_l=1.44 Ty_l=5.89 N_l=-7936.47 My_l=-3.55 Mz_l=0.01
Azioni sul cordone: TP=0.09 TO=0.44 NO=-586.67
Tensioni nel cordone: τ_P= 0.03 τ_0=0.14 σ_0=191.65 σ_{ID}=191.65 Σ_T=191.79
CC 7 SLV (Collegamento 0023_-380)
Azioni sul collegamento: N=-3330.00 Ty=0.74 Tz=-11.20 Mx=0.01 Mz=2.16
Sollecitazioni agenti localmente: Tx_l=0.74 Ty_l=-11.20 N_l=-3330.00 My_l=-2.16 Mz_l=0.01
Azioni sul cordone: TP=0.04 TO=-0.82 NO=-246.15
Tensioni nel cordone: τ_P= 0.01 τ_0=0.26 σ_0=81.39 σ_{ID}=81.39 Σ_T=81.65
CC 7 SLV (Collegamento 0023_-380)
Azioni sul collegamento: N=-3330.00 Ty=1.44 Tz=-11.20 Mx=0.01 Mz=3.55
Sollecitazioni agenti localmente: Tx_l=1.44 Ty_l=-11.20 N_l=-3330.00 My_l=-3.55 Mz_l=0.01
Azioni sul cordone: TP=0.09 TO=-0.82 NO=-246.15

Tensioni nel cordone: τ_P= 0.03 τ_0=0.26 σ_0=83.42 σ_{ID}=83.42 Σ_T=83.68
CC 7 SLV (Collegamento 0023_-380)
Azioni sul collegamento: N=-3330.00 Ty=0.74 Tz=5.89 Mx=0.01 Mz=2.16
Sollecitazioni agenti localmente: Tx_l=0.74 Ty_l=5.89 N_l=-3330.00 My_l=-2.16 Mz_l=0.01
Azioni sul cordone: TP=0.04 TO=0.44 NO=-246.15
Tensioni nel cordone: τ_P= 0.01 τ_0=0.14 σ_0=81.39 σ_{ID}=81.39 Σ_T=81.53
CC 7 SLV (Collegamento 0023_-380)
Azioni sul collegamento: N=-3330.00 Ty=1.44 Tz=5.89 Mx=0.01 Mz=3.55
Sollecitazioni agenti localmente: Tx_l=1.44 Ty_l=5.89 N_l=-3330.00 My_l=-3.55 Mz_l=0.01
Azioni sul cordone: TP=0.09 TO=0.44 NO=-246.15
Tensioni nel cordone: τ_P= 0.03 τ_0=0.14 σ_0=83.42 σ_{ID}=83.42 Σ_T=83.56
CC 8 SLD (Collegamento 0023_-380)
Azioni sul collegamento: N=-6335.74 Ty=0.17 Tz=-5.26 Mx=0.00 Mz=0.59
Sollecitazioni agenti localmente: Tx_l=0.17 Ty_l=-5.26 N_l=-6335.74 My_l=-0.59 Mz_l=0.00
Azioni sul cordone: TP=0.01 TO=-0.39 NO=-468.34
Tensioni nel cordone: τ_P=2.96E-03 τ_0=0.12 σ_0=149.72 σ_{ID}=149.72 Σ_T=149.84
CC 8 SLD (Collegamento 0023_-380)
Azioni sul collegamento: N=-6335.74 Ty=0.39 Tz=-5.26 Mx=0.00 Mz=1.01
Sollecitazioni agenti localmente: Tx_l=0.39 Ty_l=-5.26 N_l=-6335.74 My_l=-1.01 Mz_l=0.00
Azioni sul cordone: TP=0.03 TO=-0.39 NO=-468.34
Tensioni nel cordone: τ_P=8.01E-03 τ_0=0.12 σ_0=150.34 σ_{ID}=150.34 Σ_T=150.46
CC 8 SLD (Collegamento 0023_-380)
Azioni sul collegamento: N=-6335.74 Ty=0.17 Tz=-0.05 Mx=0.00 Mz=0.59
Sollecitazioni agenti localmente: Tx_l=0.17 Ty_l=-0.05 N_l=-6335.74 My_l=-0.59 Mz_l=0.00
Azioni sul cordone: TP=0.01 TO=-0.00 NO=-468.34
Tensioni nel cordone: τ_P=2.96E-03 τ_0=4.08E-04 σ_0=149.72 σ_{ID}=149.72 Σ_T=149.72
CC 8 SLD (Collegamento 0023_-380)
Azioni sul collegamento: N=-6335.74 Ty=0.39 Tz=-0.05 Mx=0.00 Mz=1.01
Sollecitazioni agenti localmente: Tx_l=0.39 Ty_l=-0.05 N_l=-6335.74 My_l=-1.01 Mz_l=0.00
Azioni sul cordone: TP=0.03 TO=-0.00 NO=-468.34
Tensioni nel cordone: τ_P=8.01E-03 τ_0=4.09E-04 σ_0=150.34 σ_{ID}=150.34 Σ_T=150.34
CC 8 SLD (Collegamento 0023_-380)
Azioni sul collegamento: N=-4931.09 Ty=0.17 Tz=-5.26 Mx=0.00 Mz=0.59
Sollecitazioni agenti localmente: Tx_l=0.17 Ty_l=-5.26 N_l=-4931.09 My_l=-0.59 Mz_l=0.00
Azioni sul cordone: TP=0.01 TO=-0.39 NO=-364.51
Tensioni nel cordone: τ_P=2.96E-03 τ_0=0.12 σ_0=116.71 σ_{ID}=116.71 Σ_T=116.84
CC 8 SLD (Collegamento 0023_-380)
Azioni sul collegamento: N=-4931.09 Ty=0.39 Tz=-5.26 Mx=0.00 Mz=1.01
Sollecitazioni agenti localmente: Tx_l=0.39 Ty_l=-5.26 N_l=-4931.09 My_l=-1.01 Mz_l=0.00
Azioni sul cordone: TP=0.03 TO=-0.39 NO=-364.51
Tensioni nel cordone: τ_P=8.01E-03 τ_0=0.12 σ_0=117.33 σ_{ID}=117.33 Σ_T=117.46
CC 8 SLD (Collegamento 0023_-380)
Azioni sul collegamento: N=-4931.09 Ty=0.17 Tz=-0.05 Mx=0.00 Mz=0.59
Sollecitazioni agenti localmente: Tx_l=0.17 Ty_l=-0.05 N_l=-4931.09 My_l=-0.59 Mz_l=0.00
Azioni sul cordone: TP=0.01 TO=-0.00 NO=-364.51
Tensioni nel cordone: τ_P=2.96E-03 τ_0=4.16E-04 σ_0=116.71 σ_{ID}=116.71 Σ_T=116.71
CC 8 SLD (Collegamento 0023_-380)
Azioni sul collegamento: N=-4931.09 Ty=0.39 Tz=-0.05 Mx=0.00 Mz=1.01
Sollecitazioni agenti localmente: Tx_l=0.39 Ty_l=-0.05 N_l=-4931.09 My_l=-1.01 Mz_l=0.00
Azioni sul cordone: TP=0.03 TO=-0.00 NO=-364.51
Tensioni nel cordone: τ_P=8.01E-03 τ_0=4.16E-04 σ_0=117.33 σ_{ID}=117.33 Σ_T=117.33
CC 9 SLV (Collegamento 0023_-380)
Azioni sul collegamento: N=-4942.23 Ty=2.24 Tz=-0.09 Mx=0.02 Mz=5.11
Sollecitazioni agenti localmente: Tx_l=2.24 Ty_l=-0.09 N_l=-4942.23 My_l=-5.11 Mz_l=0.02
Azioni sul cordone: TP=0.14 TO=0.01 NO=-365.33
Tensioni nel cordone: τ_P= 0.04 τ_0=3.38E-03 σ_0=123.59 σ_{ID}=123.59 Σ_T=123.59
CC 9 SLV (Collegamento 0023_-380)
Azioni sul collegamento: N=-4942.23 Ty=-0.07 Tz=-0.09 Mx=0.02 Mz=0.59
Sollecitazioni agenti localmente: Tx_l=-0.07 Ty_l=-0.09 N_l=-4942.23 My_l=-0.59 Mz_l=0.02
Azioni sul cordone: TP=-0.03 TO=0.01 NO=-365.33
Tensioni nel cordone: τ_P=9.55E-03 τ_0=3.38E-03 σ_0=116.98 σ_{ID}=116.98 Σ_T=116.99
CC 9 SLV (Collegamento 0023_-380)
Azioni sul collegamento: N=-4942.23 Ty=2.24 Tz=-5.22 Mx=0.02 Mz=5.11
Sollecitazioni agenti localmente: Tx_l=2.24 Ty_l=-5.22 N_l=-4942.23 My_l=-5.11 Mz_l=0.02
Azioni sul cordone: TP=0.14 TO=-0.37 NO=-365.33
Tensioni nel cordone: τ_P= 0.04 τ_0=0.12 σ_0=123.59 σ_{ID}=123.59 Σ_T=123.71
CC 9 SLV (Collegamento 0023_-380)
Azioni sul collegamento: N=-4942.23 Ty=-0.07 Tz=-5.22 Mx=0.02 Mz=0.59
Sollecitazioni agenti localmente: Tx_l=-0.07 Ty_l=-5.22 N_l=-4942.23 My_l=-0.59 Mz_l=0.02
Azioni sul cordone: TP=-0.03 TO=-0.37 NO=-365.33
Tensioni nel cordone: τ_P=9.55E-03 τ_0=0.12 σ_0=116.98 σ_{ID}=116.98 Σ_T=117.10
CC 9 SLV (Collegamento 0023_-380)
Azioni sul collegamento: N=-6324.24 Ty=2.24 Tz=-0.09 Mx=0.02 Mz=5.11
Sollecitazioni agenti localmente: Tx_l=2.24 Ty_l=-0.09 N_l=-6324.24 My_l=-5.11 Mz_l=0.02
Azioni sul cordone: TP=0.14 TO=0.01 NO=-467.49
Tensioni nel cordone: τ_P= 0.04 τ_0=3.38E-03 σ_0=156.06 σ_{ID}=156.06 Σ_T=156.06
CC 9 SLV (Collegamento 0023_-380)
Azioni sul collegamento: N=-6324.24 Ty=-0.07 Tz=-0.09 Mx=0.02 Mz=0.59
Sollecitazioni agenti localmente: Tx_l=-0.07 Ty_l=-0.09 N_l=-6324.24 My_l=-0.59 Mz_l=0.02

Azioni sul cordone: TP=-0.03 TO=0.01 NO=-467.49
Tensioni nel cordone: τ_P=9.55E-03 τ_O=3.38E-03 σ_O=149.45 σ_{ID}=149.45 Σ_T=149.46
CC 9 SLV (Collegamento 0023_-380)
Azioni sul collegamento: N=-6324.24 Ty=2.24 Tz=-5.22 Mx=0.02 Mz=5.11
Sollecitazioni agenti localmente: Tx_l=2.24 Ty_l=-5.22 N_l=-6324.24 My_l=-5.11 Mz_l=0.02
Azioni sul cordone: TP=0.14 TO=-0.37 NO=-467.49
Tensioni nel cordone: τ_P= 0.04 τ_O=0.12 σ_O=156.06 σ_{ID}=156.06 Σ_T=156.18
CC 9 SLV (Collegamento 0023_-380)
Azioni sul collegamento: N=-6324.24 Ty=-0.07 Tz=-5.22 Mx=0.02 Mz=0.59
Sollecitazioni agenti localmente: Tx_l=-0.07 Ty_l=-5.22 N_l=-6324.24 My_l=-0.59 Mz_l=0.02
Azioni sul cordone: TP=-0.03 TO=-0.37 NO=-467.49
Tensioni nel cordone: τ_P=9.55E-03 τ_O=0.12 σ_O=149.45 σ_{ID}=149.45 Σ_T=149.57
CC 10 SLD (Collegamento 0023_-380)
Azioni sul collegamento: N=-5422.71 Ty=0.63 Tz=-1.87 Mx=0.01 Mz=1.49
Sollecitazioni agenti localmente: Tx_l=0.63 Ty_l=-1.87 N_l=-5422.71 My_l=-1.49 Mz_l=0.01
Azioni sul cordone: TP=0.04 TO=-0.13 NO=-400.85
Tensioni nel cordone: τ_P= 0.01 τ_O= 0.04 σ_O=129.58 σ_{ID}=129.58 Σ_T=129.62
CC 10 SLD (Collegamento 0023_-380)
Azioni sul collegamento: N=-5422.71 Ty=-0.07 Tz=-1.87 Mx=0.01 Mz=0.11
Sollecitazioni agenti localmente: Tx_l=-0.07 Ty_l=-1.87 N_l=-5422.71 My_l=-0.11 Mz_l=0.01
Azioni sul cordone: TP=-0.01 TO=-0.13 NO=-400.85
Tensioni nel cordone: τ_P=4.06E-03 τ_O= 0.04 σ_O=127.57 σ_{ID}=127.57 Σ_T=127.61
CC 10 SLD (Collegamento 0023_-380)
Azioni sul collegamento: N=-5422.71 Ty=0.63 Tz=-3.44 Mx=0.01 Mz=1.49
Sollecitazioni agenti localmente: Tx_l=0.63 Ty_l=-3.44 N_l=-5422.71 My_l=-1.49 Mz_l=0.01
Azioni sul cordone: TP=0.04 TO=-0.25 NO=-400.85
Tensioni nel cordone: τ_P= 0.01 τ_O= 0.08 σ_O=129.58 σ_{ID}=129.58 Σ_T=129.66
CC 10 SLD (Collegamento 0023_-380)
Azioni sul collegamento: N=-5422.71 Ty=-0.07 Tz=-3.44 Mx=0.01 Mz=0.11
Sollecitazioni agenti localmente: Tx_l=-0.07 Ty_l=-3.44 N_l=-5422.71 My_l=-0.11 Mz_l=0.01
Azioni sul cordone: TP=-0.01 TO=-0.25 NO=-400.85
Tensioni nel cordone: τ_P=4.06E-03 τ_O= 0.08 σ_O=127.57 σ_{ID}=127.57 Σ_T=127.65
CC 10 SLD (Collegamento 0023_-380)
Azioni sul collegamento: N=-5844.12 Ty=0.63 Tz=-1.87 Mx=0.01 Mz=1.49
Sollecitazioni agenti localmente: Tx_l=0.63 Ty_l=-1.87 N_l=-5844.12 My_l=-1.49 Mz_l=0.01
Azioni sul cordone: TP=0.04 TO=-0.13 NO=-432.00
Tensioni nel cordone: τ_P= 0.01 τ_O= 0.04 σ_O=139.48 σ_{ID}=139.48 Σ_T=139.53
CC 10 SLD (Collegamento 0023_-380)
Azioni sul collegamento: N=-5844.12 Ty=-0.07 Tz=-1.87 Mx=0.01 Mz=0.11
Sollecitazioni agenti localmente: Tx_l=-0.07 Ty_l=-1.87 N_l=-5844.12 My_l=-0.11 Mz_l=0.01
Azioni sul cordone: TP=-0.01 TO=-0.13 NO=-432.00
Tensioni nel cordone: τ_P=4.06E-03 τ_O= 0.04 σ_O=137.47 σ_{ID}=137.47 Σ_T=137.51
CC 10 SLD (Collegamento 0023_-380)
Azioni sul collegamento: N=-5844.12 Ty=0.63 Tz=-3.44 Mx=0.01 Mz=1.49
Sollecitazioni agenti localmente: Tx_l=0.63 Ty_l=-3.44 N_l=-5844.12 My_l=-1.49 Mz_l=0.01
Azioni sul cordone: TP=0.04 TO=-0.25 NO=-432.00
Tensioni nel cordone: τ_P= 0.01 τ_O= 0.08 σ_O=139.48 σ_{ID}=139.48 Σ_T=139.56
CC 10 SLD (Collegamento 0023_-380)
Azioni sul collegamento: N=-5844.12 Ty=-0.07 Tz=-3.44 Mx=0.01 Mz=0.11
Sollecitazioni agenti localmente: Tx_l=-0.07 Ty_l=-3.44 N_l=-5844.12 My_l=-0.11 Mz_l=0.01
Azioni sul cordone: TP=-0.01 TO=-0.25 NO=-432.00
Tensioni nel cordone: τ_P=4.06E-03 τ_O= 0.08 σ_O=137.47 σ_{ID}=137.47 Σ_T=137.55
CC 11 SLV (Collegamento 0023_-380)
Azioni sul collegamento: N=-6324.16 Ty=2.24 Tz=-5.22 Mx=0.02 Mz=5.10
Sollecitazioni agenti localmente: Tx_l=2.24 Ty_l=-5.22 N_l=-6324.16 My_l=-5.10 Mz_l=0.02
Azioni sul cordone: TP=0.14 TO=-0.37 NO=-467.48
Tensioni nel cordone: τ_P= 0.04 τ_O=0.12 σ_O=156.04 σ_{ID}=156.04 Σ_T=156.16
CC 11 SLV (Collegamento 0023_-380)
Azioni sul collegamento: N=-6324.16 Ty=-0.06 Tz=-5.22 Mx=0.02 Mz=0.60
Sollecitazioni agenti localmente: Tx_l=-0.06 Ty_l=-5.22 N_l=-6324.16 My_l=-0.60 Mz_l=0.02
Azioni sul cordone: TP=-0.03 TO=-0.37 NO=-467.48
Tensioni nel cordone: τ_P=9.43E-03 τ_O=0.12 σ_O=149.47 σ_{ID}=149.47 Σ_T=149.59
CC 11 SLV (Collegamento 0023_-380)
Azioni sul collegamento: N=-6324.16 Ty=2.24 Tz=-0.09 Mx=0.02 Mz=5.10
Sollecitazioni agenti localmente: Tx_l=2.24 Ty_l=-0.09 N_l=-6324.16 My_l=-5.10 Mz_l=0.02
Azioni sul cordone: TP=0.14 TO=0.01 NO=-467.48
Tensioni nel cordone: τ_P= 0.04 τ_O=3.33E-03 σ_O=156.04 σ_{ID}=156.04 Σ_T=156.04
CC 11 SLV (Collegamento 0023_-380)
Azioni sul collegamento: N=-6324.16 Ty=-0.06 Tz=-0.09 Mx=0.02 Mz=0.60
Sollecitazioni agenti localmente: Tx_l=-0.06 Ty_l=-0.09 N_l=-6324.16 My_l=-0.60 Mz_l=0.02
Azioni sul cordone: TP=-0.03 TO=0.01 NO=-467.48
Tensioni nel cordone: τ_P=9.43E-03 τ_O=3.33E-03 σ_O=149.47 σ_{ID}=149.47 Σ_T=149.47
CC 11 SLV (Collegamento 0023_-380)
Azioni sul collegamento: N=-4942.30 Ty=2.24 Tz=-5.22 Mx=0.02 Mz=5.10
Sollecitazioni agenti localmente: Tx_l=2.24 Ty_l=-5.22 N_l=-4942.30 My_l=-5.10 Mz_l=0.02
Azioni sul cordone: TP=0.14 TO=-0.37 NO=-365.34
Tensioni nel cordone: τ_P= 0.04 τ_O=0.12 σ_O=123.57 σ_{ID}=123.57 Σ_T=123.69
CC 11 SLV (Collegamento 0023_-380)
Azioni sul collegamento: N=-4942.30 Ty=-0.06 Tz=-5.22 Mx=0.02 Mz=0.60

Sollecitazioni agenti localmente: Tx_l=-0.06 Ty_l=-5.22 N_l=-4942.30 My_l=-0.60 Mz_l=0.02
Azioni sul cordone: TP=-0.03 TO=-0.37 NO=-365.34
Tensioni nel cordone: τ_P=9.43E-03 τ_O=0.12 σ_O=117.00 σ_{ID}=117.00 Σ_T=117.12
CC 11 SLV (Collegamento 0023_-380)
Azioni sul collegamento: N=-4942.30 Ty=2.24 Tz=-0.09 Mx=0.02 Mz=5.10
Sollecitazioni agenti localmente: Tx_l=2.24 Ty_l=-0.09 N_l=-4942.30 My_l=-5.10 Mz_l=0.02
Azioni sul cordone: TP=0.14 TO=0.01 NO=-365.34
Tensioni nel cordone: τ_P= 0.04 τ_O=3.32E-03 σ_O=123.57 σ_{ID}=123.57 Σ_T=123.58
CC 11 SLV (Collegamento 0023_-380)
Azioni sul collegamento: N=-4942.30 Ty=-0.06 Tz=-0.09 Mx=0.02 Mz=0.60
Sollecitazioni agenti localmente: Tx_l=-0.06 Ty_l=-0.09 N_l=-4942.30 My_l=-0.60 Mz_l=0.02
Azioni sul cordone: TP=-0.03 TO=0.01 NO=-365.34
Tensioni nel cordone: τ_P=9.43E-03 τ_O=3.32E-03 σ_O=117.00 σ_{ID}=117.00 Σ_T=117.00
CC 12 SLD (Collegamento 0023_-380)
Azioni sul collegamento: N=-5844.10 Ty=0.63 Tz=-3.44 Mx=0.01 Mz=1.48
Sollecitazioni agenti localmente: Tx_l=0.63 Ty_l=-3.44 N_l=-5844.10 My_l=-1.48 Mz_l=0.01
Azioni sul cordone: TP=0.04 TO=-0.25 NO=-432.00
Tensioni nel cordone: τ_P= 0.01 τ_O= 0.08 σ_O=139.48 σ_{ID}=139.48 Σ_T=139.56
CC 12 SLD (Collegamento 0023_-380)
Azioni sul collegamento: N=-5844.10 Ty=-0.07 Tz=-3.44 Mx=0.01 Mz=0.11
Sollecitazioni agenti localmente: Tx_l=-0.07 Ty_l=-3.44 N_l=-5844.10 My_l=-0.11 Mz_l=0.01
Azioni sul cordone: TP=-0.01 TO=-0.25 NO=-432.00
Tensioni nel cordone: τ_P=4.02E-03 τ_O= 0.08 σ_O=137.47 σ_{ID}=137.47 Σ_T=137.55
CC 12 SLD (Collegamento 0023_-380)
Azioni sul collegamento: N=-5844.10 Ty=0.63 Tz=-1.87 Mx=0.01 Mz=1.48
Sollecitazioni agenti localmente: Tx_l=0.63 Ty_l=-1.87 N_l=-5844.10 My_l=-1.48 Mz_l=0.01
Azioni sul cordone: TP=0.04 TO=-0.13 NO=-432.00
Tensioni nel cordone: τ_P= 0.01 τ_O= 0.04 σ_O=139.48 σ_{ID}=139.48 Σ_T=139.52
CC 12 SLD (Collegamento 0023_-380)
Azioni sul collegamento: N=-5844.10 Ty=-0.07 Tz=-1.87 Mx=0.01 Mz=0.11
Sollecitazioni agenti localmente: Tx_l=-0.07 Ty_l=-1.87 N_l=-5844.10 My_l=-0.11 Mz_l=0.01
Azioni sul cordone: TP=-0.01 TO=-0.13 NO=-432.00
Tensioni nel cordone: τ_P=4.02E-03 τ_O= 0.04 σ_O=137.47 σ_{ID}=137.47 Σ_T=137.52
CC 12 SLD (Collegamento 0023_-380)
Azioni sul collegamento: N=-5422.73 Ty=0.63 Tz=-3.44 Mx=0.01 Mz=1.48
Sollecitazioni agenti localmente: Tx_l=0.63 Ty_l=-3.44 N_l=-5422.73 My_l=-1.48 Mz_l=0.01
Azioni sul cordone: TP=0.04 TO=-0.25 NO=-400.85
Tensioni nel cordone: τ_P= 0.01 τ_O= 0.08 σ_O=129.58 σ_{ID}=129.58 Σ_T=129.66
CC 12 SLD (Collegamento 0023_-380)
Azioni sul collegamento: N=-5422.73 Ty=-0.07 Tz=-3.44 Mx=0.01 Mz=0.11
Sollecitazioni agenti localmente: Tx_l=-0.07 Ty_l=-3.44 N_l=-5422.73 My_l=-0.11 Mz_l=0.01
Azioni sul cordone: TP=-0.01 TO=-0.25 NO=-400.85
Tensioni nel cordone: τ_P=4.02E-03 τ_O= 0.08 σ_O=127.57 σ_{ID}=127.57 Σ_T=127.65
CC 12 SLD (Collegamento 0023_-380)
Azioni sul collegamento: N=-5422.73 Ty=0.63 Tz=-1.87 Mx=0.01 Mz=1.48
Sollecitazioni agenti localmente: Tx_l=0.63 Ty_l=-1.87 N_l=-5422.73 My_l=-1.48 Mz_l=0.01
Azioni sul cordone: TP=0.04 TO=-0.13 NO=-400.85
Tensioni nel cordone: τ_P= 0.01 τ_O= 0.04 σ_O=129.58 σ_{ID}=129.58 Σ_T=129.62
CC 12 SLD (Collegamento 0023_-380)
Azioni sul collegamento: N=-5422.73 Ty=-0.07 Tz=-1.87 Mx=0.01 Mz=0.11
Sollecitazioni agenti localmente: Tx_l=-0.07 Ty_l=-1.87 N_l=-5422.73 My_l=-0.11 Mz_l=0.01
Azioni sul cordone: TP=-0.01 TO=-0.13 NO=-400.85
Tensioni nel cordone: τ_P=4.02E-03 τ_O= 0.04 σ_O=127.57 σ_{ID}=127.57 Σ_T=127.62
CC 13 SLV (Collegamento 0023_-380)
Azioni sul collegamento: N=-4942.30 Ty=-0.06 Tz=-0.09 Mx=0.00 Mz=0.60
Sollecitazioni agenti localmente: Tx_l=-0.06 Ty_l=-0.09 N_l=-4942.30 My_l=-0.60 Mz_l=0.00
Azioni sul cordone: TP=-0.01 TO=-0.00 NO=-365.34
Tensioni nel cordone: τ_P=3.09E-03 τ_O=1.07E-03 σ_O=117.00 σ_{ID}=117.00 Σ_T=117.00
CC 13 SLV (Collegamento 0023_-380)
Azioni sul collegamento: N=-4942.30 Ty=2.24 Tz=-0.09 Mx=0.00 Mz=5.10
Sollecitazioni agenti localmente: Tx_l=2.24 Ty_l=-0.09 N_l=-4942.30 My_l=-5.10 Mz_l=0.00
Azioni sul cordone: TP=0.16 TO=-0.00 NO=-365.34
Tensioni nel cordone: τ_P= 0.05 τ_O=1.07E-03 σ_O=123.57 σ_{ID}=123.57 Σ_T=123.58
CC 13 SLV (Collegamento 0023_-380)
Azioni sul collegamento: N=-4942.30 Ty=-0.06 Tz=-5.22 Mx=0.00 Mz=0.60
Sollecitazioni agenti localmente: Tx_l=-0.06 Ty_l=-5.22 N_l=-4942.30 My_l=-0.60 Mz_l=0.00
Azioni sul cordone: TP=-0.01 TO=-0.38 NO=-365.34
Tensioni nel cordone: τ_P=3.09E-03 τ_O=0.12 σ_O=117.00 σ_{ID}=117.00 Σ_T=117.12
CC 13 SLV (Collegamento 0023_-380)
Azioni sul collegamento: N=-4942.30 Ty=2.24 Tz=-5.22 Mx=0.00 Mz=5.10
Sollecitazioni agenti localmente: Tx_l=2.24 Ty_l=-5.22 N_l=-4942.30 My_l=-5.10 Mz_l=0.00
Azioni sul cordone: TP=0.16 TO=-0.38 NO=-365.34
Tensioni nel cordone: τ_P= 0.05 τ_O=0.12 σ_O=123.57 σ_{ID}=123.57 Σ_T=123.69
CC 13 SLV (Collegamento 0023_-380)
Azioni sul collegamento: N=-6324.16 Ty=-0.06 Tz=-0.09 Mx=0.00 Mz=0.60
Sollecitazioni agenti localmente: Tx_l=-0.06 Ty_l=-0.09 N_l=-6324.16 My_l=-0.60 Mz_l=0.00
Azioni sul cordone: TP=-0.01 TO=-0.00 NO=-467.48
Tensioni nel cordone: τ_P=3.09E-03 τ_O=1.07E-03 σ_O=149.47 σ_{ID}=149.47 Σ_T=149.47
CC 13 SLV (Collegamento 0023_-380)

Azioni sul collegamento: N=-6324.16 Ty=2.24 Tz=-0.09 Mx=0.00 Mz=5.10
Sollecitazioni agenti localmente: Tx_l=2.24 Ty_l=-0.09 N_l=-6324.16 My_l=-5.10 Mz_l=0.00
Azioni sul cordone: TP=0.16 TO=-0.00 NO=-467.48
Tensioni nel cordone: τ_P= 0.05 τ_0=1.07E-03 σ_0=156.04 σ_{ID}=156.04 Σ_T=156.04
CC 13 SLV (Collegamento 0023_-380)
Azioni sul collegamento: N=-6324.16 Ty=-0.06 Tz=-5.22 Mx=0.00 Mz=0.60
Sollecitazioni agenti localmente: Tx_l=-0.06 Ty_l=-5.22 N_l=-6324.16 My_l=-0.60 Mz_l=0.00
Azioni sul cordone: TP=-0.01 TO=-0.38 NO=-467.48
Tensioni nel cordone: τ_P=3.09E-03 τ_0=0.12 σ_0=149.47 σ_{ID}=149.47 Σ_T=149.59
CC 13 SLV (Collegamento 0023_-380)
Azioni sul collegamento: N=-6324.16 Ty=2.24 Tz=-5.22 Mx=0.00 Mz=5.10
Sollecitazioni agenti localmente: Tx_l=2.24 Ty_l=-5.22 N_l=-6324.16 My_l=-5.10 Mz_l=0.00
Azioni sul cordone: TP=0.16 TO=-0.38 NO=-467.48
Tensioni nel cordone: τ_P= 0.05 τ_0=0.12 σ_0=156.04 σ_{ID}=156.04 Σ_T=156.16
CC 14 SLD (Collegamento 0023_-380)
Azioni sul collegamento: N=-5422.73 Ty=-0.07 Tz=-1.87 Mx=0.00 Mz=0.11
Sollecitazioni agenti localmente: Tx_l=-0.07 Ty_l=-1.87 N_l=-5422.73 My_l=-0.11 Mz_l=0.00
Azioni sul cordone: TP=-0.01 TO=-0.14 NO=-400.85
Tensioni nel cordone: τ_P=2.09E-03 τ_0= 0.04 σ_0=127.57 σ_{ID}=127.57 Σ_T=127.62
CC 14 SLD (Collegamento 0023_-380)
Azioni sul collegamento: N=-5422.73 Ty=0.63 Tz=-1.87 Mx=0.00 Mz=1.48
Sollecitazioni agenti localmente: Tx_l=0.63 Ty_l=-1.87 N_l=-5422.73 My_l=-1.48 Mz_l=0.00
Azioni sul cordone: TP=0.05 TO=-0.14 NO=-400.85
Tensioni nel cordone: τ_P= 0.01 τ_0= 0.04 σ_0=129.58 σ_{ID}=129.58 Σ_T=129.62
CC 14 SLD (Collegamento 0023_-380)
Azioni sul collegamento: N=-5422.73 Ty=-0.07 Tz=-3.44 Mx=0.00 Mz=0.11
Sollecitazioni agenti localmente: Tx_l=-0.07 Ty_l=-3.44 N_l=-5422.73 My_l=-0.11 Mz_l=0.00
Azioni sul cordone: TP=-0.01 TO=-0.25 NO=-400.85
Tensioni nel cordone: τ_P=2.09E-03 τ_0= 0.08 σ_0=127.57 σ_{ID}=127.57 Σ_T=127.65
CC 14 SLD (Collegamento 0023_-380)
Azioni sul collegamento: N=-5422.73 Ty=0.63 Tz=-3.44 Mx=0.00 Mz=1.48
Sollecitazioni agenti localmente: Tx_l=0.63 Ty_l=-3.44 N_l=-5422.73 My_l=-1.48 Mz_l=0.00
Azioni sul cordone: TP=0.05 TO=-0.25 NO=-400.85
Tensioni nel cordone: τ_P= 0.01 τ_0= 0.08 σ_0=129.58 σ_{ID}=129.58 Σ_T=129.66
CC 14 SLD (Collegamento 0023_-380)
Azioni sul collegamento: N=-5844.10 Ty=-0.07 Tz=-1.87 Mx=0.00 Mz=0.11
Sollecitazioni agenti localmente: Tx_l=-0.07 Ty_l=-1.87 N_l=-5844.10 My_l=-0.11 Mz_l=0.00
Azioni sul cordone: TP=-0.01 TO=-0.14 NO=-432.00
Tensioni nel cordone: τ_P=2.09E-03 τ_0= 0.04 σ_0=137.47 σ_{ID}=137.47 Σ_T=137.52
CC 14 SLD (Collegamento 0023_-380)
Azioni sul collegamento: N=-5844.10 Ty=0.63 Tz=-1.87 Mx=0.00 Mz=1.48
Sollecitazioni agenti localmente: Tx_l=0.63 Ty_l=-1.87 N_l=-5844.10 My_l=-1.48 Mz_l=0.00
Azioni sul cordone: TP=0.05 TO=-0.14 NO=-432.00
Tensioni nel cordone: τ_P= 0.01 τ_0= 0.04 σ_0=139.48 σ_{ID}=139.48 Σ_T=139.52
CC 14 SLD (Collegamento 0023_-380)
Azioni sul collegamento: N=-5844.10 Ty=-0.07 Tz=-3.44 Mx=0.00 Mz=0.11
Sollecitazioni agenti localmente: Tx_l=-0.07 Ty_l=-3.44 N_l=-5844.10 My_l=-0.11 Mz_l=0.00
Azioni sul cordone: TP=-0.01 TO=-0.25 NO=-432.00
Tensioni nel cordone: τ_P=2.09E-03 τ_0= 0.08 σ_0=137.47 σ_{ID}=137.47 Σ_T=137.55
CC 14 SLD (Collegamento 0023_-380)
Azioni sul collegamento: N=-5844.10 Ty=0.63 Tz=-3.44 Mx=0.00 Mz=1.48
Sollecitazioni agenti localmente: Tx_l=0.63 Ty_l=-3.44 N_l=-5844.10 My_l=-1.48 Mz_l=0.00
Azioni sul cordone: TP=0.05 TO=-0.25 NO=-432.00
Tensioni nel cordone: τ_P= 0.01 τ_0= 0.08 σ_0=139.48 σ_{ID}=139.48 Σ_T=139.56
CC 15 SLV (Collegamento 0023_-380)
Azioni sul collegamento: N=-6324.24 Ty=-0.07 Tz=-5.22 Mx=0.00 Mz=0.59
Sollecitazioni agenti localmente: Tx_l=-0.07 Ty_l=-5.22 N_l=-6324.24 My_l=-0.59 Mz_l=0.00
Azioni sul cordone: TP=-0.01 TO=-0.38 NO=-467.49
Tensioni nel cordone: τ_P=3.17E-03 τ_0=0.12 σ_0=149.45 σ_{ID}=149.45 Σ_T=149.58
CC 15 SLV (Collegamento 0023_-380)
Azioni sul collegamento: N=-6324.24 Ty=2.24 Tz=-5.22 Mx=0.00 Mz=5.11
Sollecitazioni agenti localmente: Tx_l=2.24 Ty_l=-5.22 N_l=-6324.24 My_l=-5.11 Mz_l=0.00
Azioni sul cordone: TP=0.16 TO=-0.38 NO=-467.49
Tensioni nel cordone: τ_P= 0.05 τ_0=0.12 σ_0=156.06 σ_{ID}=156.06 Σ_T=156.18
CC 15 SLV (Collegamento 0023_-380)
Azioni sul collegamento: N=-6324.24 Ty=-0.07 Tz=-0.09 Mx=0.00 Mz=0.59
Sollecitazioni agenti localmente: Tx_l=-0.07 Ty_l=-0.09 N_l=-6324.24 My_l=-0.59 Mz_l=0.00
Azioni sul cordone: TP=-0.01 TO=-0.00 NO=-467.49
Tensioni nel cordone: τ_P=3.17E-03 τ_0=1.04E-03 σ_0=149.45 σ_{ID}=149.45 Σ_T=149.46
CC 15 SLV (Collegamento 0023_-380)
Azioni sul collegamento: N=-6324.24 Ty=2.24 Tz=-0.09 Mx=0.00 Mz=5.11
Sollecitazioni agenti localmente: Tx_l=2.24 Ty_l=-0.09 N_l=-6324.24 My_l=-5.11 Mz_l=0.00
Azioni sul cordone: TP=0.16 TO=-0.00 NO=-467.49
Tensioni nel cordone: τ_P= 0.05 τ_0=1.04E-03 σ_0=156.06 σ_{ID}=156.06 Σ_T=156.06
CC 15 SLV (Collegamento 0023_-380)
Azioni sul collegamento: N=-4942.23 Ty=-0.07 Tz=-5.22 Mx=0.00 Mz=0.59
Sollecitazioni agenti localmente: Tx_l=-0.07 Ty_l=-5.22 N_l=-4942.23 My_l=-0.59 Mz_l=0.00
Azioni sul cordone: TP=-0.01 TO=-0.38 NO=-365.33
Tensioni nel cordone: τ_P=3.17E-03 τ_0=0.12 σ_0=116.98 σ_{ID}=116.98 Σ_T=117.11

CC 15 SLV (Collegamento 0023_-380)
Azioni sul collegamento: N=-4942.23 Ty=2.24 Tz=-5.22 Mx=0.00 Mz=5.11
Sollecitazioni agenti localmente: Tx_l=2.24 Ty_l=-5.22 N_l=-4942.23 My_l=-5.11 Mz_l=0.00
Azioni sul cordone: TP=0.16 TO=-0.38 NO=-365.33
Tensioni nel cordone: τ_P= 0.05 τ_O=0.12 σ_O=123.59 σ_{ID}=123.59 Σ_T=123.71
CC 15 SLV (Collegamento 0023_-380)
Azioni sul collegamento: N=-4942.23 Ty=-0.07 Tz=-0.09 Mx=0.00 Mz=0.59
Sollecitazioni agenti localmente: Tx_l=-0.07 Ty_l=-0.09 N_l=-4942.23 My_l=-0.59 Mz_l=0.00
Azioni sul cordone: TP=-0.01 TO=-0.00 NO=-365.33
Tensioni nel cordone: τ_P=3.17E-03 τ_O=1.05E-03 σ_O=116.98 σ_{ID}=116.98 Σ_T=116.98
CC 15 SLV (Collegamento 0023_-380)
Azioni sul collegamento: N=-4942.23 Ty=2.24 Tz=-0.09 Mx=0.00 Mz=5.11
Sollecitazioni agenti localmente: Tx_l=2.24 Ty_l=-0.09 N_l=-4942.23 My_l=-5.11 Mz_l=0.00
Azioni sul cordone: TP=0.16 TO=-0.00 NO=-365.33
Tensioni nel cordone: τ_P= 0.05 τ_O=1.05E-03 σ_O=123.59 σ_{ID}=123.59 Σ_T=123.59
CC 16 SLD (Collegamento 0023_-380)
Azioni sul collegamento: N=-5844.12 Ty=-0.07 Tz=-3.44 Mx=0.00 Mz=0.11
Sollecitazioni agenti localmente: Tx_l=-0.07 Ty_l=-3.44 N_l=-5844.12 My_l=-0.11 Mz_l=0.00
Azioni sul cordone: TP=-0.01 TO=-0.25 NO=-432.00
Tensioni nel cordone: τ_P=2.11E-03 τ_O= 0.08 σ_O=137.47 σ_{ID}=137.47 Σ_T=137.55
CC 16 SLD (Collegamento 0023_-380)
Azioni sul collegamento: N=-5844.12 Ty=0.63 Tz=-3.44 Mx=0.00 Mz=1.49
Sollecitazioni agenti localmente: Tx_l=0.63 Ty_l=-3.44 N_l=-5844.12 My_l=-1.49 Mz_l=0.00
Azioni sul cordone: TP=0.05 TO=-0.25 NO=-432.00
Tensioni nel cordone: τ_P= 0.01 τ_O= 0.08 σ_O=139.48 σ_{ID}=139.48 Σ_T=139.56
CC 16 SLD (Collegamento 0023_-380)
Azioni sul collegamento: N=-5844.12 Ty=-0.07 Tz=-1.87 Mx=0.00 Mz=0.11
Sollecitazioni agenti localmente: Tx_l=-0.07 Ty_l=-1.87 N_l=-5844.12 My_l=-0.11 Mz_l=0.00
Azioni sul cordone: TP=-0.01 TO=-0.14 NO=-432.00
Tensioni nel cordone: τ_P=2.11E-03 τ_O= 0.04 σ_O=137.47 σ_{ID}=137.47 Σ_T=137.51
CC 16 SLD (Collegamento 0023_-380)
Azioni sul collegamento: N=-5844.12 Ty=0.63 Tz=-1.87 Mx=0.00 Mz=1.49
Sollecitazioni agenti localmente: Tx_l=0.63 Ty_l=-1.87 N_l=-5844.12 My_l=-1.49 Mz_l=0.00
Azioni sul cordone: TP=0.05 TO=-0.14 NO=-432.00
Tensioni nel cordone: τ_P= 0.01 τ_O= 0.04 σ_O=139.48 σ_{ID}=139.48 Σ_T=139.53
CC 16 SLD (Collegamento 0023_-380)
Azioni sul collegamento: N=-5422.71 Ty=-0.07 Tz=-3.44 Mx=0.00 Mz=0.11
Sollecitazioni agenti localmente: Tx_l=-0.07 Ty_l=-3.44 N_l=-5422.71 My_l=-0.11 Mz_l=0.00
Azioni sul cordone: TP=-0.01 TO=-0.25 NO=-400.85
Tensioni nel cordone: τ_P=2.11E-03 τ_O= 0.08 σ_O=127.57 σ_{ID}=127.57 Σ_T=127.65
CC 16 SLD (Collegamento 0023_-380)
Azioni sul collegamento: N=-5422.71 Ty=0.63 Tz=-3.44 Mx=0.00 Mz=1.49
Sollecitazioni agenti localmente: Tx_l=0.63 Ty_l=-3.44 N_l=-5422.71 My_l=-1.49 Mz_l=0.00
Azioni sul cordone: TP=0.05 TO=-0.25 NO=-400.85
Tensioni nel cordone: τ_P= 0.01 τ_O= 0.08 σ_O=129.58 σ_{ID}=129.58 Σ_T=129.66
CC 16 SLD (Collegamento 0023_-380)
Azioni sul collegamento: N=-5422.71 Ty=-0.07 Tz=-1.87 Mx=0.00 Mz=0.11
Sollecitazioni agenti localmente: Tx_l=-0.07 Ty_l=-1.87 N_l=-5422.71 My_l=-0.11 Mz_l=0.00
Azioni sul cordone: TP=-0.01 TO=-0.14 NO=-400.85
Tensioni nel cordone: τ_P=2.11E-03 τ_O= 0.04 σ_O=127.57 σ_{ID}=127.57 Σ_T=127.61
CC 16 SLD (Collegamento 0023_-380)
Azioni sul collegamento: N=-5422.71 Ty=0.63 Tz=-1.87 Mx=0.00 Mz=1.49
Sollecitazioni agenti localmente: Tx_l=0.63 Ty_l=-1.87 N_l=-5422.71 My_l=-1.49 Mz_l=0.00
Azioni sul cordone: TP=0.05 TO=-0.14 NO=-400.85
Tensioni nel cordone: τ_P= 0.01 τ_O= 0.04 σ_O=129.58 σ_{ID}=129.58 Σ_T=129.63
CC 17 SLV (Collegamento 0023_-380)
Azioni sul collegamento: N=-3330.52 Ty=-0.88 Tz=5.89 Mx=-0.02 Mz=-2.36
Sollecitazioni agenti localmente: Tx_l=-0.88 Ty_l=5.89 N_l=-3330.52 My_l=2.36 Mz_l=-0.02
Azioni sul cordone: TP=-0.05 TO=0.45 NO=-246.19
Tensioni nel cordone: τ_P= 0.01 τ_O=0.14 σ_O=81.70 σ_{ID}=81.70 Σ_T=81.85
CC 17 SLV (Collegamento 0023_-380)
Azioni sul collegamento: N=-3330.52 Ty=-1.59 Tz=5.89 Mx=-0.02 Mz=-3.75
Sollecitazioni agenti localmente: Tx_l=-1.59 Ty_l=5.89 N_l=-3330.52 My_l=3.75 Mz_l=-0.02
Azioni sul cordone: TP=-0.10 TO=0.45 NO=-246.19
Tensioni nel cordone: τ_P= 0.03 τ_O=0.14 σ_O=83.74 σ_{ID}=83.74 Σ_T=83.88
CC 17 SLV (Collegamento 0023_-380)
Azioni sul collegamento: N=-3330.52 Ty=-0.88 Tz=-11.19 Mx=-0.02 Mz=-2.36
Sollecitazioni agenti localmente: Tx_l=-0.88 Ty_l=-11.19 N_l=-3330.52 My_l=2.36 Mz_l=-0.02
Azioni sul cordone: TP=-0.05 TO=-0.81 NO=-246.19
Tensioni nel cordone: τ_P= 0.01 τ_O=0.26 σ_O=81.70 σ_{ID}=81.70 Σ_T=81.96
CC 17 SLV (Collegamento 0023_-380)
Azioni sul collegamento: N=-3330.52 Ty=-1.59 Tz=-11.19 Mx=-0.02 Mz=-3.75
Sollecitazioni agenti localmente: Tx_l=-1.59 Ty_l=-11.19 N_l=-3330.52 My_l=3.75 Mz_l=-0.02
Azioni sul cordone: TP=-0.10 TO=-0.81 NO=-246.19
Tensioni nel cordone: τ_P= 0.03 τ_O=0.26 σ_O=83.74 σ_{ID}=83.74 Σ_T=83.99
CC 17 SLV (Collegamento 0023_-380)
Azioni sul collegamento: N=-7936.99 Ty=-0.88 Tz=5.89 Mx=-0.02 Mz=-2.36
Sollecitazioni agenti localmente: Tx_l=-0.88 Ty_l=5.89 N_l=-7936.99 My_l=2.36 Mz_l=-0.02
Azioni sul cordone: TP=-0.05 TO=0.45 NO=-586.71

Tensioni nel cordone: τ_P= 0.01 τ_0=0.14 σ_0=189.93 σ_{ID}=189.93 Σ_T=190.08
CC 17 SLV (Collegamento 0023_-380)
Azioni sul collegamento: N=-7936.99 Ty=-1.59 Tz=5.89 Mx=-0.02 Mz=-3.75
Sollecitazioni agenti localmente: Tx_l=-1.59 Ty_l=5.89 N_l=-7936.99 My_l=3.75 Mz_l=-0.02
Azioni sul cordone: TP=-0.10 TO=0.45 NO=-586.71
Tensioni nel cordone: τ_P= 0.03 τ_0=0.14 σ_0=191.97 σ_{ID}=191.97 Σ_T=192.11
CC 17 SLV (Collegamento 0023_-380)
Azioni sul collegamento: N=-7936.99 Ty=-0.88 Tz=-11.19 Mx=-0.02 Mz=-2.36
Sollecitazioni agenti localmente: Tx_l=-0.88 Ty_l=-11.19 N_l=-7936.99 My_l=2.36 Mz_l=-0.02
Azioni sul cordone: TP=-0.05 TO=-0.81 NO=-586.71
Tensioni nel cordone: τ_P= 0.01 τ_0=0.26 σ_0=189.93 σ_{ID}=189.93 Σ_T=190.19
CC 17 SLV (Collegamento 0023_-380)
Azioni sul collegamento: N=-7936.99 Ty=-1.59 Tz=-11.19 Mx=-0.02 Mz=-3.75
Sollecitazioni agenti localmente: Tx_l=-1.59 Ty_l=-11.19 N_l=-7936.99 My_l=3.75 Mz_l=-0.02
Azioni sul cordone: TP=-0.10 TO=-0.81 NO=-586.71
Tensioni nel cordone: τ_P= 0.03 τ_0=0.26 σ_0=191.97 σ_{ID}=191.97 Σ_T=192.22
CC 18 SLD (Collegamento 0023_-380)
Azioni sul collegamento: N=-4931.25 Ty=-0.32 Tz=-0.05 Mx=-0.01 Mz=-0.79
Sollecitazioni agenti localmente: Tx_l=-0.32 Ty_l=-0.05 N_l=-4931.25 My_l=0.79 Mz_l=-0.01
Azioni sul cordone: TP=-0.02 TO=0.00 NO=-364.52
Tensioni nel cordone: τ_P=5.66E-03 τ_0=1.46E-04 σ_0=117.02 σ_{ID}=117.02 Σ_T=117.02
CC 18 SLD (Collegamento 0023_-380)
Azioni sul collegamento: N=-4931.25 Ty=-0.54 Tz=-0.05 Mx=-0.01 Mz=-1.22
Sollecitazioni agenti localmente: Tx_l=-0.54 Ty_l=-0.05 N_l=-4931.25 My_l=1.22 Mz_l=-0.01
Azioni sul cordone: TP=-0.03 TO=0.00 NO=-364.52
Tensioni nel cordone: τ_P= 0.01 τ_0=1.46E-04 σ_0=117.64 σ_{ID}=117.64 Σ_T=117.64
CC 18 SLD (Collegamento 0023_-380)
Azioni sul collegamento: N=-4931.25 Ty=-0.32 Tz=-5.26 Mx=-0.01 Mz=-0.79
Sollecitazioni agenti localmente: Tx_l=-0.32 Ty_l=-5.26 N_l=-4931.25 My_l=0.79 Mz_l=-0.01
Azioni sul cordone: TP=-0.02 TO=-0.38 NO=-364.52
Tensioni nel cordone: τ_P=5.66E-03 τ_0=0.12 σ_0=117.02 σ_{ID}=117.02 Σ_T=117.14
CC 18 SLD (Collegamento 0023_-380)
Azioni sul collegamento: N=-4931.25 Ty=-0.54 Tz=-5.26 Mx=-0.01 Mz=-1.22
Sollecitazioni agenti localmente: Tx_l=-0.54 Ty_l=-5.26 N_l=-4931.25 My_l=1.22 Mz_l=-0.01
Azioni sul cordone: TP=-0.03 TO=-0.38 NO=-364.52
Tensioni nel cordone: τ_P= 0.01 τ_0=0.12 σ_0=117.64 σ_{ID}=117.64 Σ_T=117.76
CC 18 SLD (Collegamento 0023_-380)
Azioni sul collegamento: N=-6335.90 Ty=-0.32 Tz=-0.05 Mx=-0.01 Mz=-0.79
Sollecitazioni agenti localmente: Tx_l=-0.32 Ty_l=-0.05 N_l=-6335.90 My_l=0.79 Mz_l=-0.01
Azioni sul cordone: TP=-0.02 TO=0.00 NO=-468.35
Tensioni nel cordone: τ_P=5.66E-03 τ_0=1.49E-04 σ_0=150.02 σ_{ID}=150.02 Σ_T=150.02
CC 18 SLD (Collegamento 0023_-380)
Azioni sul collegamento: N=-6335.90 Ty=-0.54 Tz=-0.05 Mx=-0.01 Mz=-1.22
Sollecitazioni agenti localmente: Tx_l=-0.54 Ty_l=-0.05 N_l=-6335.90 My_l=1.22 Mz_l=-0.01
Azioni sul cordone: TP=-0.03 TO=0.00 NO=-468.35
Tensioni nel cordone: τ_P= 0.01 τ_0=1.49E-04 σ_0=150.64 σ_{ID}=150.64 Σ_T=150.64
CC 18 SLD (Collegamento 0023_-380)
Azioni sul collegamento: N=-6335.90 Ty=-0.32 Tz=-5.26 Mx=-0.01 Mz=-0.79
Sollecitazioni agenti localmente: Tx_l=-0.32 Ty_l=-5.26 N_l=-6335.90 My_l=0.79 Mz_l=-0.01
Azioni sul cordone: TP=-0.02 TO=-0.38 NO=-468.35
Tensioni nel cordone: τ_P=5.66E-03 τ_0=0.12 σ_0=150.02 σ_{ID}=150.02 Σ_T=150.14
CC 18 SLD (Collegamento 0023_-380)
Azioni sul collegamento: N=-6335.90 Ty=-0.54 Tz=-5.26 Mx=-0.01 Mz=-1.22
Sollecitazioni agenti localmente: Tx_l=-0.54 Ty_l=-5.26 N_l=-6335.90 My_l=1.22 Mz_l=-0.01
Azioni sul cordone: TP=-0.03 TO=-0.38 NO=-468.35
Tensioni nel cordone: τ_P= 0.01 τ_0=0.12 σ_0=150.64 σ_{ID}=150.64 Σ_T=150.76
CC 19 SLV (Collegamento 0023_-380)
Azioni sul collegamento: N=-3330.55 Ty=-1.58 Tz=5.89 Mx=-0.01 Mz=-3.71
Sollecitazioni agenti localmente: Tx_l=-1.58 Ty_l=5.89 N_l=-3330.55 My_l=3.71 Mz_l=-0.01
Azioni sul cordone: TP=-0.10 TO=0.44 NO=-246.19
Tensioni nel cordone: τ_P= 0.03 τ_0=0.14 σ_0=83.68 σ_{ID}=83.68 Σ_T=83.82
CC 19 SLV (Collegamento 0023_-380)
Azioni sul collegamento: N=-3330.55 Ty=-0.90 Tz=5.89 Mx=-0.01 Mz=-2.40
Sollecitazioni agenti localmente: Tx_l=-0.90 Ty_l=5.89 N_l=-3330.55 My_l=2.40 Mz_l=-0.01
Azioni sul cordone: TP=-0.05 TO=0.44 NO=-246.19
Tensioni nel cordone: τ_P= 0.02 τ_0=0.14 σ_0=81.76 σ_{ID}=81.76 Σ_T=81.90
CC 19 SLV (Collegamento 0023_-380)
Azioni sul collegamento: N=-3330.55 Ty=-1.58 Tz=-11.19 Mx=-0.01 Mz=-3.71
Sollecitazioni agenti localmente: Tx_l=-1.58 Ty_l=-11.19 N_l=-3330.55 My_l=3.71 Mz_l=-0.01
Azioni sul cordone: TP=-0.10 TO=-0.82 NO=-246.19
Tensioni nel cordone: τ_P= 0.03 τ_0=0.26 σ_0=83.68 σ_{ID}=83.68 Σ_T=83.94
CC 19 SLV (Collegamento 0023_-380)
Azioni sul collegamento: N=-3330.55 Ty=-0.90 Tz=-11.19 Mx=-0.01 Mz=-2.40
Sollecitazioni agenti localmente: Tx_l=-0.90 Ty_l=-11.19 N_l=-3330.55 My_l=2.40 Mz_l=-0.01
Azioni sul cordone: TP=-0.05 TO=-0.82 NO=-246.19
Tensioni nel cordone: τ_P= 0.02 τ_0=0.26 σ_0=81.76 σ_{ID}=81.76 Σ_T=82.02
CC 19 SLV (Collegamento 0023_-380)
Azioni sul collegamento: N=-7936.97 Ty=-1.58 Tz=5.89 Mx=-0.01 Mz=-3.71
Sollecitazioni agenti localmente: Tx_l=-1.58 Ty_l=5.89 N_l=-7936.97 My_l=3.71 Mz_l=-0.01

Azioni sul cordone: TP=-0.10 TO=0.44 NO=-586.70
Tensioni nel cordone: τ_P= 0.03 τ_O=0.14 σ_O=191.91 σ_{ID}=191.91 Σ_T=192.05
CC 19 SLV (Collegamento 0023_-380)
Azioni sul collegamento: N=-7936.97 Ty=-0.90 Tz=5.89 Mx=-0.01 Mz=-2.40
Sollecitazioni agenti localmente: Tx_l=-0.90 Ty_l=5.89 N_l=-7936.97 My_l=2.40 Mz_l=-0.01
Azioni sul cordone: TP=-0.05 TO=0.44 NO=-586.70
Tensioni nel cordone: τ_P= 0.02 τ_O=0.14 σ_O=189.99 σ_{ID}=189.99 Σ_T=190.13
CC 19 SLV (Collegamento 0023_-380)
Azioni sul collegamento: N=-7936.97 Ty=-1.58 Tz=-11.19 Mx=-0.01 Mz=-3.71
Sollecitazioni agenti localmente: Tx_l=-1.58 Ty_l=-11.19 N_l=-7936.97 My_l=3.71 Mz_l=-0.01
Azioni sul cordone: TP=-0.10 TO=-0.82 NO=-586.70
Tensioni nel cordone: τ_P= 0.03 τ_O=0.26 σ_O=191.91 σ_{ID}=191.91 Σ_T=192.17
CC 19 SLV (Collegamento 0023_-380)
Azioni sul collegamento: N=-7936.97 Ty=-0.90 Tz=-11.19 Mx=-0.01 Mz=-2.40
Sollecitazioni agenti localmente: Tx_l=-0.90 Ty_l=-11.19 N_l=-7936.97 My_l=2.40 Mz_l=-0.01
Azioni sul cordone: TP=-0.05 TO=-0.82 NO=-586.70
Tensioni nel cordone: τ_P= 0.02 τ_O=0.26 σ_O=189.99 σ_{ID}=189.99 Σ_T=190.25
CC 20 SLD (Collegamento 0023_-380)
Azioni sul collegamento: N=-4931.25 Ty=-0.53 Tz=-0.05 Mx=-0.00 Mz=-1.20
Sollecitazioni agenti localmente: Tx_l=-0.53 Ty_l=-0.05 N_l=-4931.25 My_l=1.20 Mz_l=-0.00
Azioni sul cordone: TP=-0.04 TO=-0.00 NO=-364.52
Tensioni nel cordone: τ_P= 0.01 τ_O=2.62E-04 σ_O=117.62 σ_{ID}=117.62 Σ_T=117.62
CC 20 SLD (Collegamento 0023_-380)
Azioni sul collegamento: N=-4931.25 Ty=-0.33 Tz=-0.05 Mx=-0.00 Mz=-0.80
Sollecitazioni agenti localmente: Tx_l=-0.33 Ty_l=-0.05 N_l=-4931.25 My_l=0.80 Mz_l=-0.00
Azioni sul cordone: TP=-0.02 TO=-0.00 NO=-364.52
Tensioni nel cordone: τ_P=6.34E-03 τ_O=2.62E-04 σ_O=117.04 σ_{ID}=117.04 Σ_T=117.04
CC 20 SLD (Collegamento 0023_-380)
Azioni sul collegamento: N=-4931.25 Ty=-0.53 Tz=-5.26 Mx=-0.00 Mz=-1.20
Sollecitazioni agenti localmente: Tx_l=-0.53 Ty_l=-5.26 N_l=-4931.25 My_l=1.20 Mz_l=-0.00
Azioni sul cordone: TP=-0.04 TO=-0.39 NO=-364.52
Tensioni nel cordone: τ_P= 0.01 τ_O=0.12 σ_O=117.62 σ_{ID}=117.62 Σ_T=117.74
CC 20 SLD (Collegamento 0023_-380)
Azioni sul collegamento: N=-4931.25 Ty=-0.33 Tz=-5.26 Mx=-0.00 Mz=-0.80
Sollecitazioni agenti localmente: Tx_l=-0.33 Ty_l=-5.26 N_l=-4931.25 My_l=0.80 Mz_l=-0.00
Azioni sul cordone: TP=-0.02 TO=-0.39 NO=-364.52
Tensioni nel cordone: τ_P=6.34E-03 τ_O=0.12 σ_O=117.04 σ_{ID}=117.04 Σ_T=117.16
CC 20 SLD (Collegamento 0023_-380)
Azioni sul collegamento: N=-6335.90 Ty=-0.53 Tz=-0.05 Mx=-0.00 Mz=-1.20
Sollecitazioni agenti localmente: Tx_l=-0.53 Ty_l=-0.05 N_l=-6335.90 My_l=1.20 Mz_l=-0.00
Azioni sul cordone: TP=-0.04 TO=-0.00 NO=-468.35
Tensioni nel cordone: τ_P= 0.01 τ_O=2.57E-04 σ_O=150.62 σ_{ID}=150.62 Σ_T=150.63
CC 20 SLD (Collegamento 0023_-380)
Azioni sul collegamento: N=-6335.90 Ty=-0.33 Tz=-0.05 Mx=-0.00 Mz=-0.80
Sollecitazioni agenti localmente: Tx_l=-0.33 Ty_l=-0.05 N_l=-6335.90 My_l=0.80 Mz_l=-0.00
Azioni sul cordone: TP=-0.02 TO=-0.00 NO=-468.35
Tensioni nel cordone: τ_P=6.34E-03 τ_O=2.57E-04 σ_O=150.04 σ_{ID}=150.04 Σ_T=150.04
CC 20 SLD (Collegamento 0023_-380)
Azioni sul collegamento: N=-6335.90 Ty=-0.53 Tz=-5.26 Mx=-0.00 Mz=-1.20
Sollecitazioni agenti localmente: Tx_l=-0.53 Ty_l=-5.26 N_l=-6335.90 My_l=1.20 Mz_l=-0.00
Azioni sul cordone: TP=-0.04 TO=-0.39 NO=-468.35
Tensioni nel cordone: τ_P= 0.01 τ_O=0.12 σ_O=150.62 σ_{ID}=150.62 Σ_T=150.75
CC 20 SLD (Collegamento 0023_-380)
Azioni sul collegamento: N=-6335.90 Ty=-0.33 Tz=-5.26 Mx=-0.00 Mz=-0.80
Sollecitazioni agenti localmente: Tx_l=-0.33 Ty_l=-5.26 N_l=-6335.90 My_l=0.80 Mz_l=-0.00
Azioni sul cordone: TP=-0.02 TO=-0.39 NO=-468.35
Tensioni nel cordone: τ_P=6.34E-03 τ_O=0.12 σ_O=150.04 σ_{ID}=150.04 Σ_T=150.16
CC 21 SLV (Collegamento 0023_-380)
Azioni sul collegamento: N=-7936.97 Ty=-0.90 Tz=-11.19 Mx=-0.02 Mz=-2.40
Sollecitazioni agenti localmente: Tx_l=-0.90 Ty_l=-11.19 N_l=-7936.97 My_l=2.40 Mz_l=-0.02
Azioni sul cordone: TP=-0.05 TO=-0.81 NO=-586.70
Tensioni nel cordone: τ_P= 0.02 τ_O=0.26 σ_O=189.99 σ_{ID}=189.99 Σ_T=190.25
CC 21 SLV (Collegamento 0023_-380)
Azioni sul collegamento: N=-7936.97 Ty=-1.58 Tz=-11.19 Mx=-0.02 Mz=-3.71
Sollecitazioni agenti localmente: Tx_l=-1.58 Ty_l=-11.19 N_l=-7936.97 My_l=3.71 Mz_l=-0.02
Azioni sul cordone: TP=-0.10 TO=-0.81 NO=-586.70
Tensioni nel cordone: τ_P= 0.03 τ_O=0.26 σ_O=191.91 σ_{ID}=191.91 Σ_T=192.17
CC 21 SLV (Collegamento 0023_-380)
Azioni sul collegamento: N=-7936.97 Ty=-0.90 Tz=5.89 Mx=-0.02 Mz=-2.40
Sollecitazioni agenti localmente: Tx_l=-0.90 Ty_l=5.89 N_l=-7936.97 My_l=2.40 Mz_l=-0.02
Azioni sul cordone: TP=-0.05 TO=0.45 NO=-586.70
Tensioni nel cordone: τ_P= 0.02 τ_O=0.14 σ_O=189.99 σ_{ID}=189.99 Σ_T=190.13
CC 21 SLV (Collegamento 0023_-380)
Azioni sul collegamento: N=-7936.97 Ty=-1.58 Tz=5.89 Mx=-0.02 Mz=-3.71
Sollecitazioni agenti localmente: Tx_l=-1.58 Ty_l=5.89 N_l=-7936.97 My_l=3.71 Mz_l=-0.02
Azioni sul cordone: TP=-0.10 TO=0.45 NO=-586.70
Tensioni nel cordone: τ_P= 0.03 τ_O=0.14 σ_O=191.91 σ_{ID}=191.91 Σ_T=192.05
CC 21 SLV (Collegamento 0023_-380)
Azioni sul collegamento: N=-3330.55 Ty=-0.90 Tz=-11.19 Mx=-0.02 Mz=-2.40

Sollecitazioni agenti localmente: Tx_l=-0.90 Ty_l=-11.19 N_l=-3330.55 My_l=2.40 Mz_l=-0.02
Azioni sul cordone: TP=-0.05 TO=-0.81 NO=-246.19
Tensioni nel cordone: τ_P= 0.02 τ_0=0.26 σ_0=81.76 σ_{ID}=81.76 Σ_T=82.02
CC 21 SLV (Collegamento 0023_-380)
Azioni sul collegamento: N=-3330.55 Ty=-1.58 Tz=-11.19 Mx=-0.02 Mz=-3.71
Sollecitazioni agenti localmente: Tx_l=-1.58 Ty_l=-11.19 N_l=-3330.55 My_l=3.71 Mz_l=-0.02
Azioni sul cordone: TP=-0.10 TO=-0.81 NO=-246.19
Tensioni nel cordone: τ_P= 0.03 τ_0=0.26 σ_0=83.68 σ_{ID}=83.68 Σ_T=83.94
CC 21 SLV (Collegamento 0023_-380)
Azioni sul collegamento: N=-3330.55 Ty=-0.90 Tz=5.89 Mx=-0.02 Mz=-2.40
Sollecitazioni agenti localmente: Tx_l=-0.90 Ty_l=5.89 N_l=-3330.55 My_l=2.40 Mz_l=-0.02
Azioni sul cordone: TP=-0.05 TO=0.45 NO=-246.19
Tensioni nel cordone: τ_P= 0.02 τ_0=0.14 σ_0=81.76 σ_{ID}=81.76 Σ_T=81.90
CC 21 SLV (Collegamento 0023_-380)
Azioni sul collegamento: N=-3330.55 Ty=-1.58 Tz=5.89 Mx=-0.02 Mz=-3.71
Sollecitazioni agenti localmente: Tx_l=-1.58 Ty_l=5.89 N_l=-3330.55 My_l=3.71 Mz_l=-0.02
Azioni sul cordone: TP=-0.10 TO=0.45 NO=-246.19
Tensioni nel cordone: τ_P= 0.03 τ_0=0.14 σ_0=83.68 σ_{ID}=83.68 Σ_T=83.82
CC 22 SLD (Collegamento 0023_-380)
Azioni sul collegamento: N=-6335.90 Ty=-0.33 Tz=-5.26 Mx=-0.01 Mz=-0.80
Sollecitazioni agenti localmente: Tx_l=-0.33 Ty_l=-5.26 N_l=-6335.90 My_l=0.80 Mz_l=-0.01
Azioni sul cordone: TP=-0.02 TO=-0.38 NO=-468.35
Tensioni nel cordone: τ_P=5.78E-03 τ_0=0.12 σ_0=150.04 σ_{ID}=150.04 Σ_T=150.16
CC 22 SLD (Collegamento 0023_-380)
Azioni sul collegamento: N=-6335.90 Ty=-0.53 Tz=-5.26 Mx=-0.01 Mz=-1.20
Sollecitazioni agenti localmente: Tx_l=-0.53 Ty_l=-5.26 N_l=-6335.90 My_l=1.20 Mz_l=-0.01
Azioni sul cordone: TP=-0.03 TO=-0.38 NO=-468.35
Tensioni nel cordone: τ_P= 0.01 τ_0=0.12 σ_0=150.62 σ_{ID}=150.62 Σ_T=150.75
CC 22 SLD (Collegamento 0023_-380)
Azioni sul collegamento: N=-6335.90 Ty=-0.33 Tz=-0.05 Mx=-0.01 Mz=-0.80
Sollecitazioni agenti localmente: Tx_l=-0.33 Ty_l=-0.05 N_l=-6335.90 My_l=0.80 Mz_l=-0.01
Azioni sul cordone: TP=-0.02 TO=0.00 NO=-468.35
Tensioni nel cordone: τ_P=5.78E-03 τ_0=1.31E-04 σ_0=150.04 σ_{ID}=150.04 Σ_T=150.04
CC 22 SLD (Collegamento 0023_-380)
Azioni sul collegamento: N=-6335.90 Ty=-0.53 Tz=-0.05 Mx=-0.01 Mz=-1.20
Sollecitazioni agenti localmente: Tx_l=-0.53 Ty_l=-0.05 N_l=-6335.90 My_l=1.20 Mz_l=-0.01
Azioni sul cordone: TP=-0.03 TO=0.00 NO=-468.35
Tensioni nel cordone: τ_P= 0.01 τ_0=1.31E-04 σ_0=150.62 σ_{ID}=150.62 Σ_T=150.62
CC 22 SLD (Collegamento 0023_-380)
Azioni sul collegamento: N=-4931.25 Ty=-0.33 Tz=-5.26 Mx=-0.01 Mz=-0.80
Sollecitazioni agenti localmente: Tx_l=-0.33 Ty_l=-5.26 N_l=-4931.25 My_l=0.80 Mz_l=-0.01
Azioni sul cordone: TP=-0.02 TO=-0.38 NO=-364.52
Tensioni nel cordone: τ_P=5.78E-03 τ_0=0.12 σ_0=117.04 σ_{ID}=117.04 Σ_T=117.16
CC 22 SLD (Collegamento 0023_-380)
Azioni sul collegamento: N=-4931.25 Ty=-0.53 Tz=-5.26 Mx=-0.01 Mz=-1.20
Sollecitazioni agenti localmente: Tx_l=-0.53 Ty_l=-5.26 N_l=-4931.25 My_l=1.20 Mz_l=-0.01
Azioni sul cordone: TP=-0.03 TO=-0.38 NO=-364.52
Tensioni nel cordone: τ_P= 0.01 τ_0=0.12 σ_0=117.62 σ_{ID}=117.62 Σ_T=117.74
CC 22 SLD (Collegamento 0023_-380)
Azioni sul collegamento: N=-4931.25 Ty=-0.33 Tz=-0.05 Mx=-0.01 Mz=-0.80
Sollecitazioni agenti localmente: Tx_l=-0.33 Ty_l=-0.05 N_l=-4931.25 My_l=0.80 Mz_l=-0.01
Azioni sul cordone: TP=-0.02 TO=0.00 NO=-364.52
Tensioni nel cordone: τ_P=5.78E-03 τ_0=1.26E-04 σ_0=117.04 σ_{ID}=117.04 Σ_T=117.04
CC 22 SLD (Collegamento 0023_-380)
Azioni sul collegamento: N=-4931.25 Ty=-0.53 Tz=-0.05 Mx=-0.01 Mz=-1.20
Sollecitazioni agenti localmente: Tx_l=-0.53 Ty_l=-0.05 N_l=-4931.25 My_l=1.20 Mz_l=-0.01
Azioni sul cordone: TP=-0.03 TO=0.00 NO=-364.52
Tensioni nel cordone: τ_P= 0.01 τ_0=1.26E-04 σ_0=117.62 σ_{ID}=117.62 Σ_T=117.62
CC 23 SLV (Collegamento 0023_-380)
Azioni sul collegamento: N=-7936.99 Ty=-1.59 Tz=-11.19 Mx=-0.01 Mz=-3.75
Sollecitazioni agenti localmente: Tx_l=-1.59 Ty_l=-11.19 N_l=-7936.99 My_l=3.75 Mz_l=-0.01
Azioni sul cordone: TP=-0.10 TO=-0.82 NO=-586.71
Tensioni nel cordone: τ_P= 0.03 τ_0=0.26 σ_0=191.97 σ_{ID}=191.97 Σ_T=192.23
CC 23 SLV (Collegamento 0023_-380)
Azioni sul collegamento: N=-7936.99 Ty=-0.88 Tz=-11.19 Mx=-0.01 Mz=-2.36
Sollecitazioni agenti localmente: Tx_l=-0.88 Ty_l=-11.19 N_l=-7936.99 My_l=2.36 Mz_l=-0.01
Azioni sul cordone: TP=-0.05 TO=-0.82 NO=-586.71
Tensioni nel cordone: τ_P= 0.02 τ_0=0.26 σ_0=189.93 σ_{ID}=189.93 Σ_T=190.19
CC 23 SLV (Collegamento 0023_-380)
Azioni sul collegamento: N=-7936.99 Ty=-1.59 Tz=5.89 Mx=-0.01 Mz=-3.75
Sollecitazioni agenti localmente: Tx_l=-1.59 Ty_l=5.89 N_l=-7936.99 My_l=3.75 Mz_l=-0.01
Azioni sul cordone: TP=-0.10 TO=0.44 NO=-586.71
Tensioni nel cordone: τ_P= 0.03 τ_0=0.14 σ_0=191.97 σ_{ID}=191.97 Σ_T=192.11
CC 23 SLV (Collegamento 0023_-380)
Azioni sul collegamento: N=-7936.99 Ty=-0.88 Tz=5.89 Mx=-0.01 Mz=-2.36
Sollecitazioni agenti localmente: Tx_l=-0.88 Ty_l=5.89 N_l=-7936.99 My_l=2.36 Mz_l=-0.01
Azioni sul cordone: TP=-0.05 TO=0.44 NO=-586.71
Tensioni nel cordone: τ_P= 0.02 τ_0=0.14 σ_0=189.93 σ_{ID}=189.93 Σ_T=190.07
CC 23 SLV (Collegamento 0023_-380)

Azioni sul collegamento: N=-3330.52 Ty=-1.59 Tz=-11.19 Mx=-0.01 Mz=-3.75
Sollecitazioni agenti localmente: Tx_l=-1.59 Ty_l=-11.19 N_l=-3330.52 My_l=3.75 Mz_l=-0.01
Azioni sul cordone: TP=-0.10 TO=-0.82 NO=-246.19
Tensioni nel cordone: τ_P= 0.03 τ_0=0.26 σ_0=83.74 σ_{ID}=83.74 Σ_T=84.00
CC 23 SLV (Collegamento 0023_-380)
Azioni sul collegamento: N=-3330.52 Ty=-0.88 Tz=-11.19 Mx=-0.01 Mz=-2.36
Sollecitazioni agenti localmente: Tx_l=-0.88 Ty_l=-11.19 N_l=-3330.52 My_l=2.36 Mz_l=-0.01
Azioni sul cordone: TP=-0.05 TO=-0.82 NO=-246.19
Tensioni nel cordone: τ_P= 0.02 τ_0=0.26 σ_0=81.70 σ_{ID}=81.70 Σ_T=81.96
CC 23 SLV (Collegamento 0023_-380)
Azioni sul collegamento: N=-3330.52 Ty=-1.59 Tz=5.89 Mx=-0.01 Mz=-3.75
Sollecitazioni agenti localmente: Tx_l=-1.59 Ty_l=5.89 N_l=-3330.52 My_l=3.75 Mz_l=-0.01
Azioni sul cordone: TP=-0.10 TO=0.44 NO=-246.19
Tensioni nel cordone: τ_P= 0.03 τ_0=0.14 σ_0=83.74 σ_{ID}=83.74 Σ_T=83.88
CC 23 SLV (Collegamento 0023_-380)
Azioni sul collegamento: N=-3330.52 Ty=-0.88 Tz=5.89 Mx=-0.01 Mz=-2.36
Sollecitazioni agenti localmente: Tx_l=-0.88 Ty_l=5.89 N_l=-3330.52 My_l=2.36 Mz_l=-0.01
Azioni sul cordone: TP=-0.05 TO=0.44 NO=-246.19
Tensioni nel cordone: τ_P= 0.02 τ_0=0.14 σ_0=81.70 σ_{ID}=81.70 Σ_T=81.84
CC 24 SLD (Collegamento 0023_-380)
Azioni sul collegamento: N=-6335.90 Ty=-0.54 Tz=-5.26 Mx=-0.00 Mz=-1.22
Sollecitazioni agenti localmente: Tx_l=-0.54 Ty_l=-5.26 N_l=-6335.90 My_l=1.22 Mz_l=-0.00
Azioni sul cordone: TP=-0.04 TO=-0.39 NO=-468.35
Tensioni nel cordone: τ_P= 0.01 τ_0=0.12 σ_0=150.64 σ_{ID}=150.64 Σ_T=150.76
CC 24 SLD (Collegamento 0023_-380)
Azioni sul collegamento: N=-6335.90 Ty=-0.32 Tz=-5.26 Mx=-0.00 Mz=-0.79
Sollecitazioni agenti localmente: Tx_l=-0.32 Ty_l=-5.26 N_l=-6335.90 My_l=0.79 Mz_l=-0.00
Azioni sul cordone: TP=-0.02 TO=-0.39 NO=-468.35
Tensioni nel cordone: τ_P=6.26E-03 τ_0=0.12 σ_0=150.02 σ_{ID}=150.02 Σ_T=150.14
CC 24 SLD (Collegamento 0023_-380)
Azioni sul collegamento: N=-6335.90 Ty=-0.54 Tz=-0.05 Mx=-0.00 Mz=-1.22
Sollecitazioni agenti localmente: Tx_l=-0.54 Ty_l=-0.05 N_l=-6335.90 My_l=1.22 Mz_l=-0.00
Azioni sul cordone: TP=-0.04 TO=-0.00 NO=-468.35
Tensioni nel cordone: τ_P= 0.01 τ_0=2.70E-04 σ_0=150.64 σ_{ID}=150.64 Σ_T=150.64
CC 24 SLD (Collegamento 0023_-380)
Azioni sul collegamento: N=-6335.90 Ty=-0.32 Tz=-0.05 Mx=-0.00 Mz=-0.79
Sollecitazioni agenti localmente: Tx_l=-0.32 Ty_l=-0.05 N_l=-6335.90 My_l=0.79 Mz_l=-0.00
Azioni sul cordone: TP=-0.02 TO=-0.00 NO=-468.35
Tensioni nel cordone: τ_P=6.26E-03 τ_0=2.70E-04 σ_0=150.02 σ_{ID}=150.02 Σ_T=150.02
CC 24 SLD (Collegamento 0023_-380)
Azioni sul collegamento: N=-4931.25 Ty=-0.54 Tz=-5.26 Mx=-0.00 Mz=-1.22
Sollecitazioni agenti localmente: Tx_l=-0.54 Ty_l=-5.26 N_l=-4931.25 My_l=1.22 Mz_l=-0.00
Azioni sul cordone: TP=-0.04 TO=-0.39 NO=-364.52
Tensioni nel cordone: τ_P= 0.01 τ_0=0.12 σ_0=117.64 σ_{ID}=117.64 Σ_T=117.76
CC 24 SLD (Collegamento 0023_-380)
Azioni sul collegamento: N=-4931.25 Ty=-0.32 Tz=-5.26 Mx=-0.00 Mz=-0.79
Sollecitazioni agenti localmente: Tx_l=-0.32 Ty_l=-5.26 N_l=-4931.25 My_l=0.79 Mz_l=-0.00
Azioni sul cordone: TP=-0.02 TO=-0.39 NO=-364.52
Tensioni nel cordone: τ_P=6.26E-03 τ_0=0.12 σ_0=117.02 σ_{ID}=117.02 Σ_T=117.14
CC 24 SLD (Collegamento 0023_-380)
Azioni sul collegamento: N=-4931.25 Ty=-0.54 Tz=-0.05 Mx=-0.00 Mz=-1.22
Sollecitazioni agenti localmente: Tx_l=-0.54 Ty_l=-0.05 N_l=-4931.25 My_l=1.22 Mz_l=-0.00
Azioni sul cordone: TP=-0.04 TO=-0.00 NO=-364.52
Tensioni nel cordone: τ_P= 0.01 τ_0=2.73E-04 σ_0=117.64 σ_{ID}=117.64 Σ_T=117.64
CC 24 SLD (Collegamento 0023_-380)
Azioni sul collegamento: N=-4931.25 Ty=-0.32 Tz=-0.05 Mx=-0.00 Mz=-0.79
Sollecitazioni agenti localmente: Tx_l=-0.32 Ty_l=-0.05 N_l=-4931.25 My_l=0.79 Mz_l=-0.00
Azioni sul cordone: TP=-0.02 TO=-0.00 NO=-364.52
Tensioni nel cordone: τ_P=6.26E-03 τ_0=2.73E-04 σ_0=117.02 σ_{ID}=117.02 Σ_T=117.02
CC 25 SLV (Collegamento 0023_-380)
Azioni sul collegamento: N=-4942.75 Ty=-0.08 Tz=-0.09 Mx=-0.02 Mz=-0.80
Sollecitazioni agenti localmente: Tx_l=-0.08 Ty_l=-0.09 N_l=-4942.75 My_l=0.80 Mz_l=-0.02
Azioni sul cordone: TP=0.02 TO=0.01 NO=-365.37
Tensioni nel cordone: τ_P=6.24E-03 τ_0=3.55E-03 σ_0=117.30 σ_{ID}=117.30 Σ_T=117.30
CC 25 SLV (Collegamento 0023_-380)
Azioni sul collegamento: N=-4942.75 Ty=-2.39 Tz=-0.09 Mx=-0.02 Mz=-5.32
Sollecitazioni agenti localmente: Tx_l=-2.39 Ty_l=-0.09 N_l=-4942.75 My_l=5.32 Mz_l=-0.02
Azioni sul cordone: TP=-0.15 TO=0.01 NO=-365.37
Tensioni nel cordone: τ_P= 0.05 τ_0=3.55E-03 σ_0=123.90 σ_{ID}=123.90 Σ_T=123.91
CC 25 SLV (Collegamento 0023_-380)
Azioni sul collegamento: N=-4942.75 Ty=-0.08 Tz=-5.22 Mx=-0.02 Mz=-0.80
Sollecitazioni agenti localmente: Tx_l=-0.08 Ty_l=-5.22 N_l=-4942.75 My_l=0.80 Mz_l=-0.02
Azioni sul cordone: TP=0.02 TO=-0.37 NO=-365.37
Tensioni nel cordone: τ_P=6.24E-03 τ_0=0.12 σ_0=117.30 σ_{ID}=117.30 Σ_T=117.41
CC 25 SLV (Collegamento 0023_-380)
Azioni sul collegamento: N=-4942.75 Ty=-2.39 Tz=-5.22 Mx=-0.02 Mz=-5.32
Sollecitazioni agenti localmente: Tx_l=-2.39 Ty_l=-5.22 N_l=-4942.75 My_l=5.32 Mz_l=-0.02
Azioni sul cordone: TP=-0.15 TO=-0.37 NO=-365.37
Tensioni nel cordone: τ_P= 0.05 τ_0=0.12 σ_0=123.90 σ_{ID}=123.90 Σ_T=124.02

CC 25 SLV (Collegamento 0023_-380)
Azioni sul collegamento: N=-6324.76 Ty=-0.08 Tz=-0.09 Mx=-0.02 Mz=-0.80
Sollecitazioni agenti localmente: Tx_l=-0.08 Ty_l=-0.09 N_l=-6324.76 My_l=0.80 Mz_l=-0.02
Azioni sul cordone: TP=0.02 TO=0.01 NO=-467.53
Tensioni nel cordone: τ_P=6.24E-03 τ_0=3.56E-03 σ_0=149.77 σ_{ID}=149.77 Σ_T=149.77
CC 25 SLV (Collegamento 0023_-380)
Azioni sul collegamento: N=-6324.76 Ty=-2.39 Tz=-0.09 Mx=-0.02 Mz=-5.32
Sollecitazioni agenti localmente: Tx_l=-2.39 Ty_l=-0.09 N_l=-6324.76 My_l=5.32 Mz_l=-0.02
Azioni sul cordone: TP=-0.15 TO=0.01 NO=-467.53
Tensioni nel cordone: τ_P= 0.05 τ_0=3.56E-03 σ_0=156.37 σ_{ID}=156.37 Σ_T=156.38
CC 25 SLV (Collegamento 0023_-380)
Azioni sul collegamento: N=-6324.76 Ty=-0.08 Tz=-5.22 Mx=-0.02 Mz=-0.80
Sollecitazioni agenti localmente: Tx_l=-0.08 Ty_l=-5.22 N_l=-6324.76 My_l=0.80 Mz_l=-0.02
Azioni sul cordone: TP=0.02 TO=-0.37 NO=-467.53
Tensioni nel cordone: τ_P=6.24E-03 τ_0=0.12 σ_0=149.77 σ_{ID}=149.77 Σ_T=149.88
CC 25 SLV (Collegamento 0023_-380)
Azioni sul collegamento: N=-6324.76 Ty=-2.39 Tz=-5.22 Mx=-0.02 Mz=-5.32
Sollecitazioni agenti localmente: Tx_l=-2.39 Ty_l=-5.22 N_l=-6324.76 My_l=5.32 Mz_l=-0.02
Azioni sul cordone: TP=-0.15 TO=-0.37 NO=-467.53
Tensioni nel cordone: τ_P= 0.05 τ_0=0.12 σ_0=156.37 σ_{ID}=156.37 Σ_T=156.49
CC 26 SLD (Collegamento 0023_-380)
Azioni sul collegamento: N=-5422.87 Ty=-0.08 Tz=-1.87 Mx=-0.01 Mz=-0.31
Sollecitazioni agenti localmente: Tx_l=-0.08 Ty_l=-1.87 N_l=-5422.87 My_l=0.31 Mz_l=-0.01
Azioni sul cordone: TP=0.00 TO=-0.13 NO=-400.86
Tensioni nel cordone: τ_P=7.56E-04 τ_0= 0.04 σ_0=127.87 σ_{ID}=127.87 Σ_T=127.92
CC 26 SLD (Collegamento 0023_-380)
Azioni sul collegamento: N=-5422.87 Ty=-0.78 Tz=-1.87 Mx=-0.01 Mz=-1.69
Sollecitazioni agenti localmente: Tx_l=-0.78 Ty_l=-1.87 N_l=-5422.87 My_l=1.69 Mz_l=-0.01
Azioni sul cordone: TP=-0.05 TO=-0.13 NO=-400.86
Tensioni nel cordone: τ_P= 0.02 τ_0= 0.04 σ_0=129.89 σ_{ID}=129.89 Σ_T=129.93
CC 26 SLD (Collegamento 0023_-380)
Azioni sul collegamento: N=-5422.87 Ty=-0.08 Tz=-3.44 Mx=-0.01 Mz=-0.31
Sollecitazioni agenti localmente: Tx_l=-0.08 Ty_l=-3.44 N_l=-5422.87 My_l=0.31 Mz_l=-0.01
Azioni sul cordone: TP=0.00 TO=-0.25 NO=-400.86
Tensioni nel cordone: τ_P=7.56E-04 τ_0= 0.08 σ_0=127.87 σ_{ID}=127.87 Σ_T=127.95
CC 26 SLD (Collegamento 0023_-380)
Azioni sul collegamento: N=-5422.87 Ty=-0.78 Tz=-3.44 Mx=-0.01 Mz=-1.69
Sollecitazioni agenti localmente: Tx_l=-0.78 Ty_l=-3.44 N_l=-5422.87 My_l=1.69 Mz_l=-0.01
Azioni sul cordone: TP=-0.05 TO=-0.25 NO=-400.86
Tensioni nel cordone: τ_P= 0.02 τ_0= 0.08 σ_0=129.89 σ_{ID}=129.89 Σ_T=129.97
CC 26 SLD (Collegamento 0023_-380)
Azioni sul collegamento: N=-5844.28 Ty=-0.08 Tz=-1.87 Mx=-0.01 Mz=-0.31
Sollecitazioni agenti localmente: Tx_l=-0.08 Ty_l=-1.87 N_l=-5844.28 My_l=0.31 Mz_l=-0.01
Azioni sul cordone: TP=0.00 TO=-0.13 NO=-432.01
Tensioni nel cordone: τ_P=7.56E-04 τ_0= 0.04 σ_0=137.77 σ_{ID}=137.77 Σ_T=137.82
CC 26 SLD (Collegamento 0023_-380)
Azioni sul collegamento: N=-5844.28 Ty=-0.78 Tz=-1.87 Mx=-0.01 Mz=-1.69
Sollecitazioni agenti localmente: Tx_l=-0.78 Ty_l=-1.87 N_l=-5844.28 My_l=1.69 Mz_l=-0.01
Azioni sul cordone: TP=-0.05 TO=-0.13 NO=-432.01
Tensioni nel cordone: τ_P= 0.02 τ_0= 0.04 σ_0=139.79 σ_{ID}=139.79 Σ_T=139.83
CC 26 SLD (Collegamento 0023_-380)
Azioni sul collegamento: N=-5844.28 Ty=-0.08 Tz=-3.44 Mx=-0.01 Mz=-0.31
Sollecitazioni agenti localmente: Tx_l=-0.08 Ty_l=-3.44 N_l=-5844.28 My_l=0.31 Mz_l=-0.01
Azioni sul cordone: TP=0.00 TO=-0.25 NO=-432.01
Tensioni nel cordone: τ_P=7.56E-04 τ_0= 0.08 σ_0=137.77 σ_{ID}=137.77 Σ_T=137.85
CC 26 SLD (Collegamento 0023_-380)
Azioni sul collegamento: N=-5844.28 Ty=-0.78 Tz=-3.44 Mx=-0.01 Mz=-1.69
Sollecitazioni agenti localmente: Tx_l=-0.78 Ty_l=-3.44 N_l=-5844.28 My_l=1.69 Mz_l=-0.01
Azioni sul cordone: TP=-0.05 TO=-0.25 NO=-432.01
Tensioni nel cordone: τ_P= 0.02 τ_0= 0.08 σ_0=139.79 σ_{ID}=139.79 Σ_T=139.87
CC 27 SLV (Collegamento 0023_-380)
Azioni sul collegamento: N=-6324.69 Ty=-0.09 Tz=-5.21 Mx=-0.02 Mz=-0.81
Sollecitazioni agenti localmente: Tx_l=-0.09 Ty_l=-5.21 N_l=-6324.69 My_l=0.81 Mz_l=-0.02
Azioni sul cordone: TP=0.02 TO=-0.37 NO=-467.52
Tensioni nel cordone: τ_P=6.13E-03 τ_0=0.12 σ_0=149.78 σ_{ID}=149.78 Σ_T=149.90
CC 27 SLV (Collegamento 0023_-380)
Azioni sul collegamento: N=-6324.69 Ty=-2.39 Tz=-5.21 Mx=-0.02 Mz=-5.31
Sollecitazioni agenti localmente: Tx_l=-2.39 Ty_l=-5.21 N_l=-6324.69 My_l=5.31 Mz_l=-0.02
Azioni sul cordone: TP=-0.15 TO=-0.37 NO=-467.52
Tensioni nel cordone: τ_P= 0.05 τ_0=0.12 σ_0=156.35 σ_{ID}=156.35 Σ_T=156.47
CC 27 SLV (Collegamento 0023_-380)
Azioni sul collegamento: N=-6324.69 Ty=-0.09 Tz=-0.09 Mx=-0.02 Mz=-0.81
Sollecitazioni agenti localmente: Tx_l=-0.09 Ty_l=-0.09 N_l=-6324.69 My_l=0.81 Mz_l=-0.02
Azioni sul cordone: TP=0.02 TO=0.01 NO=-467.52
Tensioni nel cordone: τ_P=6.13E-03 τ_0=3.50E-03 σ_0=149.78 σ_{ID}=149.78 Σ_T=149.79
CC 27 SLV (Collegamento 0023_-380)
Azioni sul collegamento: N=-6324.69 Ty=-2.39 Tz=-0.09 Mx=-0.02 Mz=-5.31
Sollecitazioni agenti localmente: Tx_l=-2.39 Ty_l=-0.09 N_l=-6324.69 My_l=5.31 Mz_l=-0.02
Azioni sul cordone: TP=-0.15 TO=0.01 NO=-467.52

Tensioni nel cordone: τ_P= 0.05 τ_0=3.50E-03 σ_0=156.35 σ_{ID}=156.35 Σ_T=156.36
CC 27 SLV (Collegamento 0023_-380)
Azioni sul collegamento: N=-4942.83 Ty=-0.09 Tz=-5.21 Mx=-0.02 Mz=-0.81
Sollecitazioni agenti localmente: Tx_l=-0.09 Ty_l=-5.21 N_l=-4942.83 My_l=0.81 Mz_l=-0.02
Azioni sul cordone: TP=0.02 TO=-0.37 NO=-365.38
Tensioni nel cordone: τ_P=6.13E-03 τ_0=0.12 σ_0=117.31 σ_{ID}=117.31 Σ_T=117.43
CC 27 SLV (Collegamento 0023_-380)
Azioni sul collegamento: N=-4942.83 Ty=-2.39 Tz=-5.21 Mx=-0.02 Mz=-5.31
Sollecitazioni agenti localmente: Tx_l=-2.39 Ty_l=-5.21 N_l=-4942.83 My_l=5.31 Mz_l=-0.02
Azioni sul cordone: TP=-0.15 TO=-0.37 NO=-365.38
Tensioni nel cordone: τ_P= 0.05 τ_0=0.12 σ_0=123.89 σ_{ID}=123.89 Σ_T=124.00
CC 27 SLV (Collegamento 0023_-380)
Azioni sul collegamento: N=-4942.83 Ty=-0.09 Tz=-0.09 Mx=-0.02 Mz=-0.81
Sollecitazioni agenti localmente: Tx_l=-0.09 Ty_l=-0.09 N_l=-4942.83 My_l=0.81 Mz_l=-0.02
Azioni sul cordone: TP=0.02 TO=0.01 NO=-365.38
Tensioni nel cordone: τ_P=6.13E-03 τ_0=3.49E-03 σ_0=117.31 σ_{ID}=117.31 Σ_T=117.32
CC 27 SLV (Collegamento 0023_-380)
Azioni sul collegamento: N=-4942.83 Ty=-2.39 Tz=-0.09 Mx=-0.02 Mz=-5.31
Sollecitazioni agenti localmente: Tx_l=-2.39 Ty_l=-0.09 N_l=-4942.83 My_l=5.31 Mz_l=-0.02
Azioni sul cordone: TP=-0.15 TO=0.01 NO=-365.38
Tensioni nel cordone: τ_P= 0.05 τ_0=3.49E-03 σ_0=123.89 σ_{ID}=123.89 Σ_T=123.89
CC 28 SLD (Collegamento 0023_-380)
Azioni sul collegamento: N=-5844.26 Ty=-0.08 Tz=-3.43 Mx=-0.01 Mz=-0.32
Sollecitazioni agenti localmente: Tx_l=-0.08 Ty_l=-3.43 N_l=-5844.26 My_l=0.32 Mz_l=-0.01
Azioni sul cordone: TP=0.00 TO=-0.25 NO=-432.01
Tensioni nel cordone: τ_P=7.20E-04 τ_0= 0.08 σ_0=137.78 σ_{ID}=137.78 Σ_T=137.86
CC 28 SLD (Collegamento 0023_-380)
Azioni sul collegamento: N=-5844.26 Ty=-0.78 Tz=-3.43 Mx=-0.01 Mz=-1.69
Sollecitazioni agenti localmente: Tx_l=-0.78 Ty_l=-3.43 N_l=-5844.26 My_l=1.69 Mz_l=-0.01
Azioni sul cordone: TP=-0.05 TO=-0.25 NO=-432.01
Tensioni nel cordone: τ_P= 0.02 τ_0= 0.08 σ_0=139.78 σ_{ID}=139.78 Σ_T=139.86
CC 28 SLD (Collegamento 0023_-380)
Azioni sul collegamento: N=-5844.26 Ty=-0.08 Tz=-1.87 Mx=-0.01 Mz=-0.32
Sollecitazioni agenti localmente: Tx_l=-0.08 Ty_l=-1.87 N_l=-5844.26 My_l=0.32 Mz_l=-0.01
Azioni sul cordone: TP=0.00 TO=-0.13 NO=-432.01
Tensioni nel cordone: τ_P=7.20E-04 τ_0= 0.04 σ_0=137.78 σ_{ID}=137.78 Σ_T=137.82
CC 28 SLD (Collegamento 0023_-380)
Azioni sul collegamento: N=-5844.26 Ty=-0.78 Tz=-1.87 Mx=-0.01 Mz=-1.69
Sollecitazioni agenti localmente: Tx_l=-0.78 Ty_l=-1.87 N_l=-5844.26 My_l=1.69 Mz_l=-0.01
Azioni sul cordone: TP=-0.05 TO=-0.13 NO=-432.01
Tensioni nel cordone: τ_P= 0.02 τ_0= 0.04 σ_0=139.78 σ_{ID}=139.78 Σ_T=139.82
CC 28 SLD (Collegamento 0023_-380)
Azioni sul collegamento: N=-5422.89 Ty=-0.08 Tz=-3.43 Mx=-0.01 Mz=-0.32
Sollecitazioni agenti localmente: Tx_l=-0.08 Ty_l=-3.43 N_l=-5422.89 My_l=0.32 Mz_l=-0.01
Azioni sul cordone: TP=0.00 TO=-0.25 NO=-400.86
Tensioni nel cordone: τ_P=7.20E-04 τ_0= 0.08 σ_0=127.88 σ_{ID}=127.88 Σ_T=127.96
CC 28 SLD (Collegamento 0023_-380)
Azioni sul collegamento: N=-5422.89 Ty=-0.78 Tz=-3.43 Mx=-0.01 Mz=-1.69
Sollecitazioni agenti localmente: Tx_l=-0.78 Ty_l=-3.43 N_l=-5422.89 My_l=1.69 Mz_l=-0.01
Azioni sul cordone: TP=-0.05 TO=-0.25 NO=-400.86
Tensioni nel cordone: τ_P= 0.02 τ_0= 0.08 σ_0=129.88 σ_{ID}=129.88 Σ_T=129.96
CC 28 SLD (Collegamento 0023_-380)
Azioni sul collegamento: N=-5422.89 Ty=-0.08 Tz=-1.87 Mx=-0.01 Mz=-0.32
Sollecitazioni agenti localmente: Tx_l=-0.08 Ty_l=-1.87 N_l=-5422.89 My_l=0.32 Mz_l=-0.01
Azioni sul cordone: TP=0.00 TO=-0.13 NO=-400.86
Tensioni nel cordone: τ_P=7.20E-04 τ_0= 0.04 σ_0=127.88 σ_{ID}=127.88 Σ_T=127.92
CC 28 SLD (Collegamento 0023_-380)
Azioni sul collegamento: N=-5422.89 Ty=-0.78 Tz=-1.87 Mx=-0.01 Mz=-1.69
Sollecitazioni agenti localmente: Tx_l=-0.78 Ty_l=-1.87 N_l=-5422.89 My_l=1.69 Mz_l=-0.01
Azioni sul cordone: TP=-0.05 TO=-0.13 NO=-400.86
Tensioni nel cordone: τ_P= 0.02 τ_0= 0.04 σ_0=129.88 σ_{ID}=129.88 Σ_T=129.92
CC 29 SLV (Collegamento 0023_-380)
Azioni sul collegamento: N=-4942.83 Ty=-2.39 Tz=-0.09 Mx=-0.00 Mz=-5.31
Sollecitazioni agenti localmente: Tx_l=-2.39 Ty_l=-0.09 N_l=-4942.83 My_l=5.31 Mz_l=-0.00
Azioni sul cordone: TP=-0.17 TO=-0.00 NO=-365.38
Tensioni nel cordone: τ_P= 0.05 τ_0=8.98E-04 σ_0=123.89 σ_{ID}=123.89 Σ_T=123.89
CC 29 SLV (Collegamento 0023_-380)
Azioni sul collegamento: N=-4942.83 Ty=-0.09 Tz=-0.09 Mx=-0.00 Mz=-0.81
Sollecitazioni agenti localmente: Tx_l=-0.09 Ty_l=-0.09 N_l=-4942.83 My_l=0.81 Mz_l=-0.00
Azioni sul cordone: TP=-0.00 TO=-0.00 NO=-365.38
Tensioni nel cordone: τ_P=2.12E-04 τ_0=8.98E-04 σ_0=117.31 σ_{ID}=117.31 Σ_T=117.32
CC 29 SLV (Collegamento 0023_-380)
Azioni sul collegamento: N=-4942.83 Ty=-2.39 Tz=-5.21 Mx=-0.00 Mz=-5.31
Sollecitazioni agenti localmente: Tx_l=-2.39 Ty_l=-5.21 N_l=-4942.83 My_l=5.31 Mz_l=-0.00
Azioni sul cordone: TP=-0.17 TO=-0.38 NO=-365.38
Tensioni nel cordone: τ_P= 0.05 τ_0=0.12 σ_0=123.89 σ_{ID}=123.89 Σ_T=124.01
CC 29 SLV (Collegamento 0023_-380)
Azioni sul collegamento: N=-4942.83 Ty=-0.09 Tz=-5.21 Mx=-0.00 Mz=-0.81
Sollecitazioni agenti localmente: Tx_l=-0.09 Ty_l=-5.21 N_l=-4942.83 My_l=0.81 Mz_l=-0.00

Azioni sul cordone: TP=-0.00 TO=-0.38 NO=-365.38
Tensioni nel cordone: τ_P=2.12E-04 τ_0=0.12 σ_0=117.31 σ_{ID}=117.31 Σ_T=117.44
CC 29 SLV (Collegamento 0023_-380)
Azioni sul collegamento: N=-6324.69 Ty=-2.39 Tz=-0.09 Mx=-0.00 Mz=-5.31
Sollecitazioni agenti localmente: Tx_l=-2.39 Ty_l=-0.09 N_l=-6324.69 My_l=5.31 Mz_l=-0.00
Azioni sul cordone: TP=-0.17 TO=-0.00 NO=-467.52
Tensioni nel cordone: τ_P= 0.05 τ_0=8.88E-04 σ_0=156.35 σ_{ID}=156.35 Σ_T=156.35
CC 29 SLV (Collegamento 0023_-380)
Azioni sul collegamento: N=-6324.69 Ty=-0.09 Tz=-0.09 Mx=-0.00 Mz=-0.81
Sollecitazioni agenti localmente: Tx_l=-0.09 Ty_l=-0.09 N_l=-6324.69 My_l=0.81 Mz_l=-0.00
Azioni sul cordone: TP=-0.00 TO=-0.00 NO=-467.52
Tensioni nel cordone: τ_P=2.12E-04 τ_0=8.88E-04 σ_0=149.78 σ_{ID}=149.78 Σ_T=149.78
CC 29 SLV (Collegamento 0023_-380)
Azioni sul collegamento: N=-6324.69 Ty=-2.39 Tz=-5.21 Mx=-0.00 Mz=-5.31
Sollecitazioni agenti localmente: Tx_l=-2.39 Ty_l=-5.21 N_l=-6324.69 My_l=5.31 Mz_l=-0.00
Azioni sul cordone: TP=-0.17 TO=-0.38 NO=-467.52
Tensioni nel cordone: τ_P= 0.05 τ_0=0.12 σ_0=156.35 σ_{ID}=156.35 Σ_T=156.47
CC 29 SLV (Collegamento 0023_-380)
Azioni sul collegamento: N=-6324.69 Ty=-0.09 Tz=-5.21 Mx=-0.00 Mz=-0.81
Sollecitazioni agenti localmente: Tx_l=-0.09 Ty_l=-5.21 N_l=-6324.69 My_l=0.81 Mz_l=-0.00
Azioni sul cordone: TP=-0.00 TO=-0.38 NO=-467.52
Tensioni nel cordone: τ_P=2.12E-04 τ_0=0.12 σ_0=149.78 σ_{ID}=149.78 Σ_T=149.90
CC 30 SLD (Collegamento 0023_-380)
Azioni sul collegamento: N=-5422.89 Ty=-0.78 Tz=-1.87 Mx=-0.00 Mz=-1.69
Sollecitazioni agenti localmente: Tx_l=-0.78 Ty_l=-1.87 N_l=-5422.89 My_l=1.69 Mz_l=-0.00
Azioni sul cordone: TP=-0.06 TO=-0.14 NO=-400.86
Tensioni nel cordone: τ_P= 0.02 τ_0= 0.04 σ_0=129.88 σ_{ID}=129.88 Σ_T=129.93
CC 30 SLD (Collegamento 0023_-380)
Azioni sul collegamento: N=-5422.89 Ty=-0.08 Tz=-1.87 Mx=-0.00 Mz=-0.32
Sollecitazioni agenti localmente: Tx_l=-0.08 Ty_l=-1.87 N_l=-5422.89 My_l=0.32 Mz_l=-0.00
Azioni sul cordone: TP=-0.00 TO=-0.14 NO=-400.86
Tensioni nel cordone: τ_P=1.21E-03 τ_0= 0.04 σ_0=127.88 σ_{ID}=127.88 Σ_T=127.92
CC 30 SLD (Collegamento 0023_-380)
Azioni sul collegamento: N=-5422.89 Ty=-0.78 Tz=-3.43 Mx=-0.00 Mz=-1.69
Sollecitazioni agenti localmente: Tx_l=-0.78 Ty_l=-3.43 N_l=-5422.89 My_l=1.69 Mz_l=-0.00
Azioni sul cordone: TP=-0.06 TO=-0.25 NO=-400.86
Tensioni nel cordone: τ_P= 0.02 τ_0= 0.08 σ_0=129.88 σ_{ID}=129.88 Σ_T=129.96
CC 30 SLD (Collegamento 0023_-380)
Azioni sul collegamento: N=-5422.89 Ty=-0.08 Tz=-3.43 Mx=-0.00 Mz=-0.32
Sollecitazioni agenti localmente: Tx_l=-0.08 Ty_l=-3.43 N_l=-5422.89 My_l=0.32 Mz_l=-0.00
Azioni sul cordone: TP=-0.00 TO=-0.25 NO=-400.86
Tensioni nel cordone: τ_P=1.21E-03 τ_0= 0.08 σ_0=127.88 σ_{ID}=127.88 Σ_T=127.96
CC 30 SLD (Collegamento 0023_-380)
Azioni sul collegamento: N=-5844.26 Ty=-0.78 Tz=-1.87 Mx=-0.00 Mz=-1.69
Sollecitazioni agenti localmente: Tx_l=-0.78 Ty_l=-1.87 N_l=-5844.26 My_l=1.69 Mz_l=-0.00
Azioni sul cordone: TP=-0.06 TO=-0.14 NO=-432.01
Tensioni nel cordone: τ_P= 0.02 τ_0= 0.04 σ_0=139.78 σ_{ID}=139.78 Σ_T=139.83
CC 30 SLD (Collegamento 0023_-380)
Azioni sul collegamento: N=-5844.26 Ty=-0.08 Tz=-1.87 Mx=-0.00 Mz=-0.32
Sollecitazioni agenti localmente: Tx_l=-0.08 Ty_l=-1.87 N_l=-5844.26 My_l=0.32 Mz_l=-0.00
Azioni sul cordone: TP=-0.00 TO=-0.14 NO=-432.01
Tensioni nel cordone: τ_P=1.21E-03 τ_0= 0.04 σ_0=137.78 σ_{ID}=137.78 Σ_T=137.82
CC 30 SLD (Collegamento 0023_-380)
Azioni sul collegamento: N=-5844.26 Ty=-0.78 Tz=-3.43 Mx=-0.00 Mz=-1.69
Sollecitazioni agenti localmente: Tx_l=-0.78 Ty_l=-3.43 N_l=-5844.26 My_l=1.69 Mz_l=-0.00
Azioni sul cordone: TP=-0.06 TO=-0.25 NO=-432.01
Tensioni nel cordone: τ_P= 0.02 τ_0= 0.08 σ_0=139.78 σ_{ID}=139.78 Σ_T=139.86
CC 30 SLD (Collegamento 0023_-380)
Azioni sul collegamento: N=-5844.26 Ty=-0.08 Tz=-3.43 Mx=-0.00 Mz=-0.32
Sollecitazioni agenti localmente: Tx_l=-0.08 Ty_l=-3.43 N_l=-5844.26 My_l=0.32 Mz_l=-0.00
Azioni sul cordone: TP=-0.00 TO=-0.25 NO=-432.01
Tensioni nel cordone: τ_P=1.21E-03 τ_0= 0.08 σ_0=137.78 σ_{ID}=137.78 Σ_T=137.86
CC 31 SLV (Collegamento 0023_-380)
Azioni sul collegamento: N=-6324.76 Ty=-2.39 Tz=-5.22 Mx=-0.00 Mz=-5.32
Sollecitazioni agenti localmente: Tx_l=-2.39 Ty_l=-5.22 N_l=-6324.76 My_l=5.32 Mz_l=-0.00
Azioni sul cordone: TP=-0.17 TO=-0.38 NO=-467.53
Tensioni nel cordone: τ_P= 0.05 τ_0=0.12 σ_0=156.37 σ_{ID}=156.37 Σ_T=156.49
CC 31 SLV (Collegamento 0023_-380)
Azioni sul collegamento: N=-6324.76 Ty=-0.08 Tz=-5.22 Mx=-0.00 Mz=-0.80
Sollecitazioni agenti localmente: Tx_l=-0.08 Ty_l=-5.22 N_l=-6324.76 My_l=0.80 Mz_l=-0.00
Azioni sul cordone: TP=-0.00 TO=-0.38 NO=-467.53
Tensioni nel cordone: τ_P=1.37E-04 τ_0=0.12 σ_0=149.77 σ_{ID}=149.77 Σ_T=149.89
CC 31 SLV (Collegamento 0023_-380)
Azioni sul collegamento: N=-6324.76 Ty=-2.39 Tz=-0.09 Mx=-0.00 Mz=-5.32
Sollecitazioni agenti localmente: Tx_l=-2.39 Ty_l=-0.09 N_l=-6324.76 My_l=5.32 Mz_l=-0.00
Azioni sul cordone: TP=-0.17 TO=-0.00 NO=-467.53
Tensioni nel cordone: τ_P= 0.05 τ_0=8.65E-04 σ_0=156.37 σ_{ID}=156.37 Σ_T=156.37
CC 31 SLV (Collegamento 0023_-380)
Azioni sul collegamento: N=-6324.76 Ty=-0.08 Tz=-0.09 Mx=-0.00 Mz=-0.80

Sollecitazioni agenti localmente: Tx_l=-0.08 Ty_l=-0.09 N_l=-6324.76 My_l=0.80 Mz_l=-0.00
Azioni sul cordone: TP=-0.00 TO=-0.00 NO=-467.53
Tensioni nel cordone: τ_P=1.37E-04 τ_O=8.65E-04 σ_O=149.77 σ_{ID}=149.77 Σ_T=149.77
CC 31 SLV (Collegamento 0023_-380)
Azioni sul collegamento: N=-4942.75 Ty=-2.39 Tz=-5.22 Mx=-0.00 Mz=-5.32
Sollecitazioni agenti localmente: Tx_l=-2.39 Ty_l=-5.22 N_l=-4942.75 My_l=5.32 Mz_l=-0.00
Azioni sul cordone: TP=-0.17 TO=-0.38 NO=-365.37
Tensioni nel cordone: τ_P= 0.05 τ_O=0.12 σ_O=123.90 σ_{ID}=123.90 Σ_T=124.02
CC 31 SLV (Collegamento 0023_-380)
Azioni sul collegamento: N=-4942.75 Ty=-0.08 Tz=-5.22 Mx=-0.00 Mz=-0.80
Sollecitazioni agenti localmente: Tx_l=-0.08 Ty_l=-5.22 N_l=-4942.75 My_l=0.80 Mz_l=-0.00
Azioni sul cordone: TP=-0.00 TO=-0.38 NO=-365.37
Tensioni nel cordone: τ_P=1.37E-04 τ_O=0.12 σ_O=117.30 σ_{ID}=117.30 Σ_T=117.42
CC 31 SLV (Collegamento 0023_-380)
Azioni sul collegamento: N=-4942.75 Ty=-2.39 Tz=-0.09 Mx=-0.00 Mz=-5.32
Sollecitazioni agenti localmente: Tx_l=-2.39 Ty_l=-0.09 N_l=-4942.75 My_l=5.32 Mz_l=-0.00
Azioni sul cordone: TP=-0.17 TO=-0.00 NO=-365.37
Tensioni nel cordone: τ_P= 0.05 τ_O=8.70E-04 σ_O=123.90 σ_{ID}=123.90 Σ_T=123.90
CC 31 SLV (Collegamento 0023_-380)
Azioni sul collegamento: N=-4942.75 Ty=-0.08 Tz=-0.09 Mx=-0.00 Mz=-0.80
Sollecitazioni agenti localmente: Tx_l=-0.08 Ty_l=-0.09 N_l=-4942.75 My_l=0.80 Mz_l=-0.00
Azioni sul cordone: TP=-0.00 TO=-0.00 NO=-365.37
Tensioni nel cordone: τ_P=1.37E-04 τ_O=8.70E-04 σ_O=117.30 σ_{ID}=117.30 Σ_T=117.30
CC 32 SLD (Collegamento 0023_-380)
Azioni sul collegamento: N=-5844.28 Ty=-0.78 Tz=-3.44 Mx=-0.00 Mz=-1.69
Sollecitazioni agenti localmente: Tx_l=-0.78 Ty_l=-3.44 N_l=-5844.28 My_l=1.69 Mz_l=-0.00
Azioni sul cordone: TP=-0.06 TO=-0.25 NO=-432.01
Tensioni nel cordone: τ_P= 0.02 τ_O= 0.08 σ_O=139.79 σ_{ID}=139.79 Σ_T=139.87
CC 32 SLD (Collegamento 0023_-380)
Azioni sul collegamento: N=-5844.28 Ty=-0.08 Tz=-3.44 Mx=-0.00 Mz=-0.31
Sollecitazioni agenti localmente: Tx_l=-0.08 Ty_l=-3.44 N_l=-5844.28 My_l=0.31 Mz_l=-0.00
Azioni sul cordone: TP=-0.00 TO=-0.25 NO=-432.01
Tensioni nel cordone: τ_P=1.19E-03 τ_O= 0.08 σ_O=137.77 σ_{ID}=137.77 Σ_T=137.85
CC 32 SLD (Collegamento 0023_-380)
Azioni sul collegamento: N=-5844.28 Ty=-0.78 Tz=-1.87 Mx=-0.00 Mz=-1.69
Sollecitazioni agenti localmente: Tx_l=-0.78 Ty_l=-1.87 N_l=-5844.28 My_l=1.69 Mz_l=-0.00
Azioni sul cordone: TP=-0.06 TO=-0.14 NO=-432.01
Tensioni nel cordone: τ_P= 0.02 τ_O= 0.04 σ_O=139.79 σ_{ID}=139.79 Σ_T=139.83
CC 32 SLD (Collegamento 0023_-380)
Azioni sul collegamento: N=-5844.28 Ty=-0.08 Tz=-1.87 Mx=-0.00 Mz=-0.31
Sollecitazioni agenti localmente: Tx_l=-0.08 Ty_l=-1.87 N_l=-5844.28 My_l=0.31 Mz_l=-0.00
Azioni sul cordone: TP=-0.00 TO=-0.14 NO=-432.01
Tensioni nel cordone: τ_P=1.19E-03 τ_O= 0.04 σ_O=137.77 σ_{ID}=137.77 Σ_T=137.82
CC 32 SLD (Collegamento 0023_-380)
Azioni sul collegamento: N=-5422.87 Ty=-0.78 Tz=-3.44 Mx=-0.00 Mz=-1.69
Sollecitazioni agenti localmente: Tx_l=-0.78 Ty_l=-3.44 N_l=-5422.87 My_l=1.69 Mz_l=-0.00
Azioni sul cordone: TP=-0.06 TO=-0.25 NO=-400.86
Tensioni nel cordone: τ_P= 0.02 τ_O= 0.08 σ_O=129.89 σ_{ID}=129.89 Σ_T=129.97
CC 32 SLD (Collegamento 0023_-380)
Azioni sul collegamento: N=-5422.87 Ty=-0.08 Tz=-3.44 Mx=-0.00 Mz=-0.31
Sollecitazioni agenti localmente: Tx_l=-0.08 Ty_l=-3.44 N_l=-5422.87 My_l=0.31 Mz_l=-0.00
Azioni sul cordone: TP=-0.00 TO=-0.25 NO=-400.86
Tensioni nel cordone: τ_P=1.19E-03 τ_O= 0.08 σ_O=127.87 σ_{ID}=127.87 Σ_T=127.95
CC 32 SLD (Collegamento 0023_-380)
Azioni sul collegamento: N=-5422.87 Ty=-0.78 Tz=-1.87 Mx=-0.00 Mz=-1.69
Sollecitazioni agenti localmente: Tx_l=-0.78 Ty_l=-1.87 N_l=-5422.87 My_l=1.69 Mz_l=-0.00
Azioni sul cordone: TP=-0.06 TO=-0.14 NO=-400.86
Tensioni nel cordone: τ_P= 0.02 τ_O= 0.04 σ_O=129.89 σ_{ID}=129.89 Σ_T=129.93
CC 32 SLD (Collegamento 0023_-380)
Azioni sul collegamento: N=-5422.87 Ty=-0.08 Tz=-1.87 Mx=-0.00 Mz=-0.31
Sollecitazioni agenti localmente: Tx_l=-0.08 Ty_l=-1.87 N_l=-5422.87 My_l=0.31 Mz_l=-0.00
Azioni sul cordone: TP=-0.00 TO=-0.14 NO=-400.86
Tensioni nel cordone: τ_P=1.19E-03 τ_O= 0.04 σ_O=127.87 σ_{ID}=127.87 Σ_T=127.92
CC 33 SLU (Collegamento 0023_-380)
Azioni sul collegamento: N=-29447.20 Ty=-0.05 Tz=76.67 Mx=-0.00 Mz=-0.12
Sollecitazioni agenti localmente: Tx_l=-0.05 Ty_l=76.67 N_l=-29447.20 My_l=0.12 Mz_l=-0.00
Azioni sul cordone: TP=-0.00 TO=5.67 NO=-2176.74
Tensioni nel cordone: τ_P=9.22E-04 τ_O=1.80 σ_O=692.04 σ_{ID}=692.05 Σ_T=693.85
CC 34 SLU (Collegamento 0023_-380)
Azioni sul collegamento: N=-28967.90 Ty=-0.05 Tz=74.90 Mx=-0.00 Mz=-0.12
Sollecitazioni agenti localmente: Tx_l=-0.05 Ty_l=74.90 N_l=-28967.90 My_l=0.12 Mz_l=-0.00
Azioni sul cordone: TP=-0.00 TO=5.54 NO=-2141.31
Tensioni nel cordone: τ_P=9.40E-04 τ_O=1.76 σ_O=680.79 σ_{ID}=680.79 Σ_T=682.55
CC 35 SLU (Collegamento 0023_-380)
Azioni sul collegamento: N=-29207.50 Ty=-0.17 Tz=75.78 Mx=0.00 Mz=-0.35
Sollecitazioni agenti localmente: Tx_l=-0.17 Ty_l=75.78 N_l=-29207.50 My_l=0.35 Mz_l=0.00
Azioni sul cordone: TP=-0.01 TO=5.60 NO=-2159.03
Tensioni nel cordone: τ_P=4.07E-03 τ_O=1.78 σ_O=686.76 σ_{ID}=686.76 Σ_T=688.54
CC 36 SLU (Collegamento 0023_-380)

Azioni sul collegamento: N=-29207.50 Ty=0.07 Tz=75.79 Mx=-0.00 Mz=0.12
Sollecitazioni agenti localmente: Tx_l=0.07 Ty_l=75.79 N_l=-29207.50 My_l=-0.12 Mz_l=-0.00
Azioni sul cordone: TP=0.01 TO=5.60 NO=-2159.03
Tensioni nel cordone: τ_P=2.20E-03 τ_O=1.78 σ_O=686.41 σ_{ID}=686.42 Σ_T=688.20
CC 37 SLU (Collegamento 0023_-380)
Azioni sul collegamento: N=-19933.90 Ty=-0.08 Tz=41.69 Mx=-0.00 Mz=-0.13
Sollecitazioni agenti localmente: Tx_l=-0.08 Ty_l=41.69 N_l=-19933.90 My_l=0.13 Mz_l=-0.00
Azioni sul cordone: TP=-0.01 TO=3.08 NO=-1473.52
Tensioni nel cordone: τ_P=1.67E-03 τ_O=0.98 σ_O=468.54 σ_{ID}=468.54 Σ_T=469.52
CC 38 SLU (Collegamento 0023_-380)
Azioni sul collegamento: N=-19454.60 Ty=-0.08 Tz=39.91 Mx=-0.00 Mz=-0.13
Sollecitazioni agenti localmente: Tx_l=-0.08 Ty_l=39.91 N_l=-19454.60 My_l=0.13 Mz_l=-0.00
Azioni sul cordone: TP=-0.01 TO=2.95 NO=-1438.09
Tensioni nel cordone: τ_P=1.68E-03 τ_O=0.94 σ_O=457.29 σ_{ID}=457.29 Σ_T=458.22
CC 39 SLU (Collegamento 0023_-380)
Azioni sul collegamento: N=-19694.20 Ty=-0.20 Tz=40.80 Mx=0.00 Mz=-0.36
Sollecitazioni agenti localmente: Tx_l=-0.20 Ty_l=40.80 N_l=-19694.20 My_l=0.36 Mz_l=0.00
Azioni sul cordone: TP=-0.02 TO=3.02 NO=-1455.80
Tensioni nel cordone: τ_P=4.81E-03 τ_O=0.96 σ_O=463.26 σ_{ID}=463.26 Σ_T=464.21
CC 40 SLU (Collegamento 0023_-380)
Azioni sul collegamento: N=-19694.20 Ty=0.04 Tz=40.80 Mx=-0.00 Mz=0.10
Sollecitazioni agenti localmente: Tx_l=0.04 Ty_l=40.80 N_l=-19694.20 My_l=-0.10 Mz_l=-0.00
Azioni sul cordone: TP=0.00 TO=3.01 NO=-1455.80
Tensioni nel cordone: τ_P=1.46E-03 τ_O=0.96 σ_O=462.88 σ_{ID}=462.88 Σ_T=463.84
CC 41 SLU (Collegamento 0023_-380)
Azioni sul collegamento: N=-29632.10 Ty=-0.07 Tz=76.65 Mx=-0.00 Mz=-0.13
Sollecitazioni agenti localmente: Tx_l=-0.07 Ty_l=76.65 N_l=-29632.10 My_l=0.13 Mz_l=-0.00
Azioni sul cordone: TP=-0.00 TO=5.67 NO=-2190.41
Tensioni nel cordone: τ_P=1.55E-03 τ_O=1.80 σ_O=696.41 σ_{ID}=696.41 Σ_T=698.21
CC 42 SLU (Collegamento 0023_-380)
Azioni sul collegamento: N=-29152.80 Ty=-0.07 Tz=74.88 Mx=-0.00 Mz=-0.13
Sollecitazioni agenti localmente: Tx_l=-0.07 Ty_l=74.88 N_l=-29152.80 My_l=0.13 Mz_l=-0.00
Azioni sul cordone: TP=-0.00 TO=5.54 NO=-2154.98
Tensioni nel cordone: τ_P=1.57E-03 τ_O=1.76 σ_O=685.15 σ_{ID}=685.15 Σ_T=686.91
CC 43 SLU (Collegamento 0023_-380)
Azioni sul collegamento: N=-29392.40 Ty=-0.19 Tz=75.77 Mx=0.00 Mz=-0.36
Sollecitazioni agenti localmente: Tx_l=-0.19 Ty_l=75.77 N_l=-29392.40 My_l=0.36 Mz_l=0.00
Azioni sul cordone: TP=-0.01 TO=5.60 NO=-2172.70
Tensioni nel cordone: τ_P=4.69E-03 τ_O=1.78 σ_O=691.12 σ_{ID}=691.12 Σ_T=692.90
CC 44 SLU (Collegamento 0023_-380)
Azioni sul collegamento: N=-29392.40 Ty=0.05 Tz=75.77 Mx=-0.00 Mz=0.10
Sollecitazioni agenti localmente: Tx_l=0.05 Ty_l=75.77 N_l=-29392.40 My_l=-0.10 Mz_l=-0.00
Azioni sul cordone: TP=0.00 TO=5.60 NO=-2172.70
Tensioni nel cordone: τ_P=1.58E-03 τ_O=1.78 σ_O=690.74 σ_{ID}=690.75 Σ_T=692.52
CC 45 SLU (Collegamento 0023_-380)
Azioni sul collegamento: N=-22108.00 Ty=-0.08 Tz=49.75 Mx=-0.00 Mz=-0.14
Sollecitazioni agenti localmente: Tx_l=-0.08 Ty_l=49.75 N_l=-22108.00 My_l=0.14 Mz_l=-0.00
Azioni sul cordone: TP=-0.01 TO=3.68 NO=-1634.23
Tensioni nel cordone: τ_P=1.64E-03 τ_O=1.17 σ_O=519.64 σ_{ID}=519.64 Σ_T=520.81
CC 46 SLU (Collegamento 0023_-380)
Azioni sul collegamento: N=-21628.70 Ty=-0.08 Tz=47.97 Mx=-0.00 Mz=-0.14
Sollecitazioni agenti localmente: Tx_l=-0.08 Ty_l=47.97 N_l=-21628.70 My_l=0.14 Mz_l=-0.00
Azioni sul cordone: TP=-0.01 TO=3.55 NO=-1598.80
Tensioni nel cordone: τ_P=1.66E-03 τ_O=1.13 σ_O=508.38 σ_{ID}=508.38 Σ_T=509.51
CC 47 SLU (Collegamento 0023_-380)
Azioni sul collegamento: N=-21868.40 Ty=-0.20 Tz=48.86 Mx=0.00 Mz=-0.37
Sollecitazioni agenti localmente: Tx_l=-0.20 Ty_l=48.86 N_l=-21868.40 My_l=0.37 Mz_l=0.00
Azioni sul cordone: TP=-0.02 TO=3.61 NO=-1616.52
Tensioni nel cordone: τ_P=4.78E-03 τ_O=1.15 σ_O=514.35 σ_{ID}=514.35 Σ_T=515.50
CC 48 SLU (Collegamento 0023_-380)
Azioni sul collegamento: N=-21868.40 Ty=0.04 Tz=48.86 Mx=-0.00 Mz=0.10
Sollecitazioni agenti localmente: Tx_l=0.04 Ty_l=48.86 N_l=-21868.40 My_l=-0.10 Mz_l=-0.00
Azioni sul cordone: TP=0.00 TO=3.61 NO=-1616.52
Tensioni nel cordone: τ_P=1.49E-03 τ_O=1.15 σ_O=513.95 σ_{ID}=513.95 Σ_T=515.10
CC 49 SLU (Collegamento 0023_-380)
Azioni sul collegamento: N=-14990.70 Ty=-0.10 Tz=23.57 Mx=-0.00 Mz=-0.15
Sollecitazioni agenti localmente: Tx_l=-0.10 Ty_l=23.57 N_l=-14990.70 My_l=0.15 Mz_l=-0.00
Azioni sul cordone: TP=-0.01 TO=1.74 NO=-1108.11
Tensioni nel cordone: τ_P=2.20E-03 τ_O=0.55 σ_O=352.43 σ_{ID}=352.43 Σ_T=352.98
CC 50 SLU (Collegamento 0023_-380)
Azioni sul collegamento: N=-14511.40 Ty=-0.10 Tz=21.80 Mx=-0.00 Mz=-0.15
Sollecitazioni agenti localmente: Tx_l=-0.10 Ty_l=21.80 N_l=-14511.40 My_l=0.15 Mz_l=-0.00
Azioni sul cordone: TP=-0.01 TO=1.61 NO=-1072.68
Tensioni nel cordone: τ_P=2.21E-03 τ_O=0.51 σ_O=341.17 σ_{ID}=341.17 Σ_T=341.68
CC 51 SLU (Collegamento 0023_-380)
Azioni sul collegamento: N=-14751.00 Ty=-0.22 Tz=22.68 Mx=0.00 Mz=-0.38
Sollecitazioni agenti localmente: Tx_l=-0.22 Ty_l=22.68 N_l=-14751.00 My_l=0.38 Mz_l=0.00
Azioni sul cordone: TP=-0.02 TO=1.68 NO=-1090.40
Tensioni nel cordone: τ_P=5.34E-03 τ_O=0.53 σ_O=347.14 σ_{ID}=347.14 Σ_T=347.67

CC 52 SLU (Collegamento 0023_-380)
Azioni sul collegamento: N=-14751.00 Ty=0.02 Tz=22.69 Mx=-0.00 Mz=0.09
Sollecitazioni agenti localmente: Tx_l=0.02 Ty_l=22.69 N_l=-14751.00 My_l=-0.09 Mz_l=-0.00
Azioni sul cordone: TP=0.00 TO=1.68 NO=-1090.40
Tensioni nel cordone: τ_P=9.29E-04 τ_o=0.53 σ_o=346.71 σ_{ID}=346.71 Σ_T=347.24
CC 53 SLU (Collegamento 0023_-380)
Azioni sul collegamento: N=-22246.40 Ty=-0.10 Tz=49.73 Mx=-0.00 Mz=-0.15
Sollecitazioni agenti localmente: Tx_l=-0.10 Ty_l=49.73 N_l=-22246.40 My_l=0.15 Mz_l=-0.00
Azioni sul cordone: TP=-0.01 TO=3.68 NO=-1644.46
Tensioni nel cordone: τ_P=2.11E-03 τ_o=1.17 σ_o=522.90 σ_{ID}=522.90 Σ_T=524.07
CC 54 SLU (Collegamento 0023_-380)
Azioni sul collegamento: N=-21767.10 Ty=-0.10 Tz=47.96 Mx=-0.00 Mz=-0.15
Sollecitazioni agenti localmente: Tx_l=-0.10 Ty_l=47.96 N_l=-21767.10 My_l=0.15 Mz_l=-0.00
Azioni sul cordone: TP=-0.01 TO=3.55 NO=-1609.03
Tensioni nel cordone: τ_P=2.13E-03 τ_o=1.13 σ_o=511.65 σ_{ID}=511.65 Σ_T=512.77
CC 55 SLU (Collegamento 0023_-380)
Azioni sul collegamento: N=-22006.70 Ty=-0.22 Tz=48.85 Mx=0.00 Mz=-0.38
Sollecitazioni agenti localmente: Tx_l=-0.22 Ty_l=48.85 N_l=-22006.70 My_l=0.38 Mz_l=0.00
Azioni sul cordone: TP=-0.02 TO=3.61 NO=-1626.74
Tensioni nel cordone: τ_P=5.25E-03 τ_o=1.15 σ_o=517.62 σ_{ID}=517.62 Σ_T=518.76
CC 56 SLU (Collegamento 0023_-380)
Azioni sul collegamento: N=-22006.70 Ty=0.02 Tz=48.85 Mx=-0.00 Mz=0.09
Sollecitazioni agenti localmente: Tx_l=0.02 Ty_l=48.85 N_l=-22006.70 My_l=-0.09 Mz_l=-0.00
Azioni sul cordone: TP=0.00 TO=3.61 NO=-1626.74
Tensioni nel cordone: τ_P=1.02E-03 τ_o=1.15 σ_o=517.19 σ_{ID}=517.19 Σ_T=518.33
CC 57 SLU (Collegamento 0023_-380)
Azioni sul collegamento: N=-20646.20 Ty=-0.07 Tz=44.37 Mx=-0.00 Mz=-0.13
Sollecitazioni agenti localmente: Tx_l=-0.07 Ty_l=44.37 N_l=-20646.20 My_l=0.13 Mz_l=-0.00
Azioni sul cordone: TP=-0.00 TO=3.28 NO=-1526.18
Tensioni nel cordone: τ_P=1.54E-03 τ_o=1.04 σ_o=485.28 σ_{ID}=485.28 Σ_T=486.32
CC 58 SLU (Collegamento 0023_-380)
Azioni sul collegamento: N=-20166.90 Ty=-0.07 Tz=42.59 Mx=-0.00 Mz=-0.13
Sollecitazioni agenti localmente: Tx_l=-0.07 Ty_l=42.59 N_l=-20166.90 My_l=0.13 Mz_l=-0.00
Azioni sul cordone: TP=-0.00 TO=3.15 NO=-1490.75
Tensioni nel cordone: τ_P=1.55E-03 τ_o=1.00 σ_o=474.02 σ_{ID}=474.02 Σ_T=475.02
CC 59 SLU (Collegamento 0023_-380)
Azioni sul collegamento: N=-20406.60 Ty=-0.19 Tz=43.48 Mx=0.00 Mz=-0.36
Sollecitazioni agenti localmente: Tx_l=-0.19 Ty_l=43.48 N_l=-20406.60 My_l=0.36 Mz_l=0.00
Azioni sul cordone: TP=-0.01 TO=3.21 NO=-1508.46
Tensioni nel cordone: τ_P=4.68E-03 τ_o=1.02 σ_o=480.00 σ_{ID}=480.00 Σ_T=481.02
CC 60 SLU (Collegamento 0023_-380)
Azioni sul collegamento: N=-20406.60 Ty=0.05 Tz=43.48 Mx=-0.00 Mz=0.10
Sollecitazioni agenti localmente: Tx_l=0.05 Ty_l=43.48 N_l=-20406.60 My_l=-0.10 Mz_l=-0.00
Azioni sul cordone: TP=0.01 TO=3.21 NO=-1508.46
Tensioni nel cordone: τ_P=1.59E-03 τ_o=1.02 σ_o=479.62 σ_{ID}=479.62 Σ_T=480.64
CC 61 SLU (Collegamento 0023_-380)
Azioni sul collegamento: N=-13528.90 Ty=-0.09 Tz=18.19 Mx=-0.00 Mz=-0.14
Sollecitazioni agenti localmente: Tx_l=-0.09 Ty_l=18.19 N_l=-13528.90 My_l=0.14 Mz_l=-0.00
Azioni sul cordone: TP=-0.01 TO=1.34 NO=-1000.06
Tensioni nel cordone: τ_P=2.09E-03 τ_o=0.43 σ_o=318.07 σ_{ID}=318.07 Σ_T=318.50
CC 62 SLU (Collegamento 0023_-380)
Azioni sul collegamento: N=-13049.60 Ty=-0.10 Tz=16.41 Mx=-0.00 Mz=-0.14
Sollecitazioni agenti localmente: Tx_l=-0.10 Ty_l=16.41 N_l=-13049.60 My_l=0.14 Mz_l=-0.00
Azioni sul cordone: TP=-0.01 TO=1.21 NO=-964.63
Tensioni nel cordone: τ_P=2.11E-03 τ_o=0.39 σ_o=306.81 σ_{ID}=306.81 Σ_T=307.20
CC 63 SLU (Collegamento 0023_-380)
Azioni sul collegamento: N=-13289.20 Ty=-0.21 Tz=17.30 Mx=0.00 Mz=-0.37
Sollecitazioni agenti localmente: Tx_l=-0.21 Ty_l=17.30 N_l=-13289.20 My_l=0.37 Mz_l=0.00
Azioni sul cordone: TP=-0.02 TO=1.28 NO=-982.34
Tensioni nel cordone: τ_P=5.24E-03 τ_o=0.41 σ_o=312.78 σ_{ID}=312.78 Σ_T=313.19
CC 64 SLU (Collegamento 0023_-380)
Azioni sul collegamento: N=-13289.20 Ty=0.02 Tz=17.30 Mx=-0.00 Mz=0.10
Sollecitazioni agenti localmente: Tx_l=0.02 Ty_l=17.30 N_l=-13289.20 My_l=-0.10 Mz_l=-0.00
Azioni sul cordone: TP=0.00 TO=1.28 NO=-982.34
Tensioni nel cordone: τ_P=1.03E-03 τ_o=0.41 σ_o=312.38 σ_{ID}=312.38 Σ_T=312.78
CC 65 SLU (Collegamento 0023_-380)
Azioni sul collegamento: N=-20784.60 Ty=-0.09 Tz=44.35 Mx=-0.00 Mz=-0.14
Sollecitazioni agenti localmente: Tx_l=-0.09 Ty_l=44.35 N_l=-20784.60 My_l=0.14 Mz_l=-0.00
Azioni sul cordone: TP=-0.01 TO=3.28 NO=-1536.40
Tensioni nel cordone: τ_P=2.00E-03 τ_o=1.04 σ_o=488.55 σ_{ID}=488.55 Σ_T=489.59
CC 66 SLU (Collegamento 0023_-380)
Azioni sul collegamento: N=-20305.30 Ty=-0.09 Tz=42.57 Mx=-0.00 Mz=-0.14
Sollecitazioni agenti localmente: Tx_l=-0.09 Ty_l=42.57 N_l=-20305.30 My_l=0.14 Mz_l=-0.00
Azioni sul cordone: TP=-0.01 TO=3.15 NO=-1500.97
Tensioni nel cordone: τ_P=2.02E-03 τ_o=1.00 σ_o=477.29 σ_{ID}=477.29 Σ_T=478.29
CC 67 SLU (Collegamento 0023_-380)
Azioni sul collegamento: N=-20544.90 Ty=-0.21 Tz=43.46 Mx=0.00 Mz=-0.37
Sollecitazioni agenti localmente: Tx_l=-0.21 Ty_l=43.46 N_l=-20544.90 My_l=0.37 Mz_l=0.00
Azioni sul cordone: TP=-0.02 TO=3.21 NO=-1518.69

Tensioni nel cordone: τ_P=5.15E-03 τ_0=1.02 σ_0=483.26 σ_{ID}=483.26 Σ_T=484.28
CC 68 SLU (Collegamento 0023_-380)
Azioni sul collegamento: N=-20544.90 Ty=0.03 Tz=43.46 Mx=-0.00 Mz=0.10
Sollecitazioni agenti localmente: Tx_l=0.03 Ty_l=43.46 N_l=-20544.90 My_l=-0.10 Mz_l=-0.00
Azioni sul cordone: TP=0.00 TO=3.21 NO=-1518.69
Tensioni nel cordone: τ_P=1.12E-03 τ_0=1.02 σ_0=482.85 σ_{ID}=482.85 Σ_T=483.87
CC 97 SLU (Collegamento 0023_-380)
Azioni sul collegamento: N=-12582.10 Ty=-12.27 Tz=22.98 Mx=-0.04 Mz=-17.61
Sollecitazioni agenti localmente: Tx_l=-12.27 Ty_l=22.98 N_l=-12582.10 My_l=17.61 Mz_l=-0.04
Azioni sul cordone: TP=-0.86 TO=1.73 NO=-930.08
Tensioni nel cordone: τ_P=0.27 τ_0=0.55 σ_0=321.35 σ_{ID}=321.35 Σ_T=321.90
CC 98 SLU (Collegamento 0023_-380)
Azioni sul collegamento: N=-12102.80 Ty=-12.27 Tz=21.21 Mx=-0.04 Mz=-17.61
Sollecitazioni agenti localmente: Tx_l=-12.27 Ty_l=21.21 N_l=-12102.80 My_l=17.61 Mz_l=-0.04
Azioni sul cordone: TP=-0.86 TO=1.60 NO=-894.64
Tensioni nel cordone: τ_P=0.27 τ_0=0.51 σ_0=310.09 σ_{ID}=310.09 Σ_T=310.60
CC 99 SLU (Collegamento 0023_-380)
Azioni sul collegamento: N=-12342.50 Ty=-12.39 Tz=22.09 Mx=-0.04 Mz=-17.84
Sollecitazioni agenti localmente: Tx_l=-12.39 Ty_l=22.09 N_l=-12342.50 My_l=17.84 Mz_l=-0.04
Azioni sul cordone: TP=-0.87 TO=1.67 NO=-912.36
Tensioni nel cordone: τ_P=0.28 τ_0=0.53 σ_0=316.06 σ_{ID}=316.06 Σ_T=316.59
CC 100 SLU (Collegamento 0023_-380)
Azioni sul collegamento: N=-12342.50 Ty=-12.15 Tz=22.09 Mx=-0.04 Mz=-17.38
Sollecitazioni agenti localmente: Tx_l=-12.15 Ty_l=22.09 N_l=-12342.50 My_l=17.38 Mz_l=-0.04
Azioni sul cordone: TP=-0.85 TO=1.67 NO=-912.36
Tensioni nel cordone: τ_P=0.27 τ_0=0.53 σ_0=315.38 σ_{ID}=315.38 Σ_T=315.91
CC 101 SLU (Collegamento 0023_-380)
Azioni sul collegamento: N=-6366.46 Ty=2.01 Tz=0.04 Mx=0.00 Mz=2.22
Sollecitazioni agenti localmente: Tx_l=2.01 Ty_l=0.04 N_l=-6366.46 My_l=-2.22 Mz_l=0.00
Azioni sul cordone: TP=0.14 TO=0.01 NO=-470.61
Tensioni nel cordone: τ_P= 0.05 τ_0=2.29E-03 σ_0=152.83 σ_{ID}=152.83 Σ_T=152.83
CC 102 SLU (Collegamento 0023_-380)
Azioni sul collegamento: N=-5887.16 Ty=2.00 Tz=-1.73 Mx=0.00 Mz=2.22
Sollecitazioni agenti localmente: Tx_l=2.00 Ty_l=-1.73 N_l=-5887.16 My_l=-2.22 Mz_l=0.00
Azioni sul cordone: TP=0.14 TO=-0.12 NO=-435.18
Tensioni nel cordone: τ_P= 0.05 τ_0= 0.04 σ_0=141.56 σ_{ID}=141.56 Σ_T=141.60
CC 103 SLU (Collegamento 0023_-380)
Azioni sul collegamento: N=-6126.81 Ty=1.89 Tz=-0.85 Mx=0.01 Mz=1.98
Sollecitazioni agenti localmente: Tx_l=1.89 Ty_l=-0.85 N_l=-6126.81 My_l=-1.98 Mz_l=0.01
Azioni sul cordone: TP=0.13 TO=-0.06 NO=-452.90
Tensioni nel cordone: τ_P= 0.04 τ_0= 0.02 σ_0=146.85 σ_{ID}=146.85 Σ_T=146.87
CC 104 SLU (Collegamento 0023_-380)
Azioni sul collegamento: N=-6126.80 Ty=2.12 Tz=-0.84 Mx=0.00 Mz=2.45
Sollecitazioni agenti localmente: Tx_l=2.12 Ty_l=-0.84 N_l=-6126.80 My_l=-2.45 Mz_l=0.00
Azioni sul cordone: TP=0.15 TO=-0.06 NO=-452.89
Tensioni nel cordone: τ_P= 0.05 τ_0= 0.02 σ_0=147.53 σ_{ID}=147.53 Σ_T=147.55

Flessione attacco superiore piastra

Bnetta=220.00 Hnetta=15.00
CC 1 SLV (Collegamento 0023_-380)
Azioni sul collegamento: N=-3330.00 Ty=1.44 Tz=5.89 Mx=0.02 Mz=3.55
Sollecitazioni agenti localmente: Ty_l=-605.45 Mx_l=-12.11
Tensioni nella sezione: σ=146.78 τ=18.35
CC 1 SLV (Collegamento 0023_-380)
Azioni sul collegamento: N=-3330.00 Ty=0.74 Tz=5.89 Mx=0.02 Mz=2.16
Sollecitazioni agenti localmente: Ty_l=-605.45 Mx_l=-12.11
Tensioni nella sezione: σ=146.78 τ=18.35
CC 1 SLV (Collegamento 0023_-380)
Azioni sul collegamento: N=-3330.00 Ty=1.44 Tz=-11.20 Mx=0.02 Mz=3.55
Sollecitazioni agenti localmente: Ty_l=-605.45 Mx_l=-12.11
Tensioni nella sezione: σ=146.78 τ=18.35
CC 1 SLV (Collegamento 0023_-380)
Azioni sul collegamento: N=-3330.00 Ty=0.74 Tz=-11.20 Mx=0.02 Mz=2.16
Sollecitazioni agenti localmente: Ty_l=-605.45 Mx_l=-12.11
Tensioni nella sezione: σ=146.78 τ=18.35
CC 1 SLV (Collegamento 0023_-380)
Azioni sul collegamento: N=-7936.47 Ty=1.44 Tz=5.89 Mx=0.02 Mz=3.55
Sollecitazioni agenti localmente: Ty_l=-1442.99 Mx_l=-28.86
Tensioni nella sezione: σ=349.82 τ=43.73
CC 1 SLV (Collegamento 0023_-380)
Azioni sul collegamento: N=-7936.47 Ty=0.74 Tz=5.89 Mx=0.02 Mz=2.16
Sollecitazioni agenti localmente: Ty_l=-1442.99 Mx_l=-28.86
Tensioni nella sezione: σ=349.82 τ=43.73
CC 1 SLV (Collegamento 0023_-380)
Azioni sul collegamento: N=-7936.47 Ty=1.44 Tz=-11.20 Mx=0.02 Mz=3.55
Sollecitazioni agenti localmente: Ty_l=-1442.99 Mx_l=-28.86
Tensioni nella sezione: σ=349.82 τ=43.73
CC 1 SLV (Collegamento 0023_-380)

Azioni sul collegamento: N=-7936.47 Ty=0.74 Tz=-11.20 Mx=0.02 Mz=2.16
Sollecitazioni agenti localmente: Ty_l=-1442.99 Mx_l=-28.86
Tensioni nella sezione: σ=349.82 τ=43.73
CC 2 SLD (Collegamento 0023_-380)
Azioni sul collegamento: N=-4931.09 Ty=0.39 Tz=-0.05 Mx=0.00 Mz=1.01
Sollecitazioni agenti localmente: Ty_l=-896.56 Mx_l=-17.93
Tensioni nella sezione: σ=217.35 τ=27.17
CC 2 SLD (Collegamento 0023_-380)
Azioni sul collegamento: N=-4931.09 Ty=0.17 Tz=-0.05 Mx=0.00 Mz=0.59
Sollecitazioni agenti localmente: Ty_l=-896.56 Mx_l=-17.93
Tensioni nella sezione: σ=217.35 τ=27.17
CC 2 SLD (Collegamento 0023_-380)
Azioni sul collegamento: N=-4931.09 Ty=0.39 Tz=-5.26 Mx=0.00 Mz=1.01
Sollecitazioni agenti localmente: Ty_l=-896.56 Mx_l=-17.93
Tensioni nella sezione: σ=217.35 τ=27.17
CC 2 SLD (Collegamento 0023_-380)
Azioni sul collegamento: N=-4931.09 Ty=0.17 Tz=-5.26 Mx=0.00 Mz=0.59
Sollecitazioni agenti localmente: Ty_l=-896.56 Mx_l=-17.93
Tensioni nella sezione: σ=217.35 τ=27.17
CC 2 SLD (Collegamento 0023_-380)
Azioni sul collegamento: N=-6335.74 Ty=0.39 Tz=-0.05 Mx=0.00 Mz=1.01
Sollecitazioni agenti localmente: Ty_l=-1151.95 Mx_l=-23.04
Tensioni nella sezione: σ=279.26 τ=34.91
CC 2 SLD (Collegamento 0023_-380)
Azioni sul collegamento: N=-6335.74 Ty=0.17 Tz=-0.05 Mx=0.00 Mz=0.59
Sollecitazioni agenti localmente: Ty_l=-1151.95 Mx_l=-23.04
Tensioni nella sezione: σ=279.26 τ=34.91
CC 2 SLD (Collegamento 0023_-380)
Azioni sul collegamento: N=-6335.74 Ty=0.39 Tz=-5.26 Mx=0.00 Mz=1.01
Sollecitazioni agenti localmente: Ty_l=-1151.95 Mx_l=-23.04
Tensioni nella sezione: σ=279.26 τ=34.91
CC 2 SLD (Collegamento 0023_-380)
Azioni sul collegamento: N=-6335.74 Ty=0.17 Tz=-5.26 Mx=0.00 Mz=0.59
Sollecitazioni agenti localmente: Ty_l=-1151.95 Mx_l=-23.04
Tensioni nella sezione: σ=279.26 τ=34.91
CC 3 SLV (Collegamento 0023_-380)
Azioni sul collegamento: N=-3330.02 Ty=0.75 Tz=5.88 Mx=0.01 Mz=2.19
Sollecitazioni agenti localmente: Ty_l=-605.46 Mx_l=-12.11
Tensioni nella sezione: σ=146.78 τ=18.35
CC 3 SLV (Collegamento 0023_-380)
Azioni sul collegamento: N=-3330.02 Ty=1.43 Tz=5.88 Mx=0.01 Mz=3.51
Sollecitazioni agenti localmente: Ty_l=-605.46 Mx_l=-12.11
Tensioni nella sezione: σ=146.78 τ=18.35
CC 3 SLV (Collegamento 0023_-380)
Azioni sul collegamento: N=-3330.02 Ty=0.75 Tz=-11.19 Mx=0.01 Mz=2.19
Sollecitazioni agenti localmente: Ty_l=-605.46 Mx_l=-12.11
Tensioni nella sezione: σ=146.78 τ=18.35
CC 3 SLV (Collegamento 0023_-380)
Azioni sul collegamento: N=-3330.02 Ty=1.43 Tz=-11.19 Mx=0.01 Mz=3.51
Sollecitazioni agenti localmente: Ty_l=-605.46 Mx_l=-12.11
Tensioni nella sezione: σ=146.78 τ=18.35
CC 3 SLV (Collegamento 0023_-380)
Azioni sul collegamento: N=-7936.44 Ty=0.75 Tz=5.88 Mx=0.01 Mz=2.19
Sollecitazioni agenti localmente: Ty_l=-1442.99 Mx_l=-28.86
Tensioni nella sezione: σ=349.81 τ=43.73
CC 3 SLV (Collegamento 0023_-380)
Azioni sul collegamento: N=-7936.44 Ty=1.43 Tz=5.88 Mx=0.01 Mz=3.51
Sollecitazioni agenti localmente: Ty_l=-1442.99 Mx_l=-28.86
Tensioni nella sezione: σ=349.81 τ=43.73
CC 3 SLV (Collegamento 0023_-380)
Azioni sul collegamento: N=-7936.44 Ty=0.75 Tz=-11.19 Mx=0.01 Mz=2.19
Sollecitazioni agenti localmente: Ty_l=-1442.99 Mx_l=-28.86
Tensioni nella sezione: σ=349.81 τ=43.73
CC 3 SLV (Collegamento 0023_-380)
Azioni sul collegamento: N=-7936.44 Ty=1.43 Tz=-11.19 Mx=0.01 Mz=3.51
Sollecitazioni agenti localmente: Ty_l=-1442.99 Mx_l=-28.86
Tensioni nella sezione: σ=349.81 τ=43.73
CC 4 SLD (Collegamento 0023_-380)
Azioni sul collegamento: N=-4931.09 Ty=0.18 Tz=-0.05 Mx=0.00 Mz=0.60
Sollecitazioni agenti localmente: Ty_l=-896.56 Mx_l=-17.93
Tensioni nella sezione: σ=217.35 τ=27.17
CC 4 SLD (Collegamento 0023_-380)
Azioni sul collegamento: N=-4931.09 Ty=0.38 Tz=-0.05 Mx=0.00 Mz=1.00
Sollecitazioni agenti localmente: Ty_l=-896.56 Mx_l=-17.93
Tensioni nella sezione: σ=217.35 τ=27.17
CC 4 SLD (Collegamento 0023_-380)
Azioni sul collegamento: N=-4931.09 Ty=0.18 Tz=-5.26 Mx=0.00 Mz=0.60
Sollecitazioni agenti localmente: Ty_l=-896.56 Mx_l=-17.93
Tensioni nella sezione: σ=217.35 τ=27.17

CC 4 SLD (Collegamento 0023_-380)
Azioni sul collegamento: N=-4931.09 Ty=0.38 Tz=-5.26 Mx=0.00 Mz=1.00
Sollecitazioni agenti localmente: Ty_l=-896.56 Mx_l=-17.93
Tensioni nella sezione: σ=217.35 τ=27.17
CC 4 SLD (Collegamento 0023_-380)
Azioni sul collegamento: N=-6335.74 Ty=0.18 Tz=-0.05 Mx=0.00 Mz=0.60
Sollecitazioni agenti localmente: Ty_l=-1151.95 Mx_l=-23.04
Tensioni nella sezione: σ=279.26 τ=34.91
CC 4 SLD (Collegamento 0023_-380)
Azioni sul collegamento: N=-6335.74 Ty=0.38 Tz=-0.05 Mx=0.00 Mz=1.00
Sollecitazioni agenti localmente: Ty_l=-1151.95 Mx_l=-23.04
Tensioni nella sezione: σ=279.26 τ=34.91
CC 4 SLD (Collegamento 0023_-380)
Azioni sul collegamento: N=-6335.74 Ty=0.18 Tz=-5.26 Mx=0.00 Mz=0.60
Sollecitazioni agenti localmente: Ty_l=-1151.95 Mx_l=-23.04
Tensioni nella sezione: σ=279.26 τ=34.91
CC 4 SLD (Collegamento 0023_-380)
Azioni sul collegamento: N=-6335.74 Ty=0.38 Tz=-5.26 Mx=0.00 Mz=1.00
Sollecitazioni agenti localmente: Ty_l=-1151.95 Mx_l=-23.04
Tensioni nella sezione: σ=279.26 τ=34.91
CC 5 SLV (Collegamento 0023_-380)
Azioni sul collegamento: N=-7936.44 Ty=1.43 Tz=-11.19 Mx=0.02 Mz=3.51
Sollecitazioni agenti localmente: Ty_l=-1442.99 Mx_l=-28.86
Tensioni nella sezione: σ=349.81 τ=43.73
CC 5 SLV (Collegamento 0023_-380)
Azioni sul collegamento: N=-7936.44 Ty=0.75 Tz=-11.19 Mx=0.02 Mz=2.19
Sollecitazioni agenti localmente: Ty_l=-1442.99 Mx_l=-28.86
Tensioni nella sezione: σ=349.81 τ=43.73
CC 5 SLV (Collegamento 0023_-380)
Azioni sul collegamento: N=-7936.44 Ty=1.43 Tz=5.88 Mx=0.02 Mz=3.51
Sollecitazioni agenti localmente: Ty_l=-1442.99 Mx_l=-28.86
Tensioni nella sezione: σ=349.81 τ=43.73
CC 5 SLV (Collegamento 0023_-380)
Azioni sul collegamento: N=-7936.44 Ty=0.75 Tz=5.88 Mx=0.02 Mz=2.19
Sollecitazioni agenti localmente: Ty_l=-1442.99 Mx_l=-28.86
Tensioni nella sezione: σ=349.81 τ=43.73
CC 5 SLV (Collegamento 0023_-380)
Azioni sul collegamento: N=-3330.02 Ty=1.43 Tz=-11.19 Mx=0.02 Mz=3.51
Sollecitazioni agenti localmente: Ty_l=-605.46 Mx_l=-12.11
Tensioni nella sezione: σ=146.78 τ=18.35
CC 5 SLV (Collegamento 0023_-380)
Azioni sul collegamento: N=-3330.02 Ty=0.75 Tz=-11.19 Mx=0.02 Mz=2.19
Sollecitazioni agenti localmente: Ty_l=-605.46 Mx_l=-12.11
Tensioni nella sezione: σ=146.78 τ=18.35
CC 5 SLV (Collegamento 0023_-380)
Azioni sul collegamento: N=-3330.02 Ty=1.43 Tz=5.88 Mx=0.02 Mz=3.51
Sollecitazioni agenti localmente: Ty_l=-605.46 Mx_l=-12.11
Tensioni nella sezione: σ=146.78 τ=18.35
CC 5 SLV (Collegamento 0023_-380)
Azioni sul collegamento: N=-3330.02 Ty=0.75 Tz=5.88 Mx=0.02 Mz=2.19
Sollecitazioni agenti localmente: Ty_l=-605.46 Mx_l=-12.11
Tensioni nella sezione: σ=146.78 τ=18.35
CC 6 SLD (Collegamento 0023_-380)
Azioni sul collegamento: N=-6335.74 Ty=0.38 Tz=-5.26 Mx=0.00 Mz=1.00
Sollecitazioni agenti localmente: Ty_l=-1151.95 Mx_l=-23.04
Tensioni nella sezione: σ=279.26 τ=34.91
CC 6 SLD (Collegamento 0023_-380)
Azioni sul collegamento: N=-6335.74 Ty=0.18 Tz=-5.26 Mx=0.00 Mz=0.60
Sollecitazioni agenti localmente: Ty_l=-1151.95 Mx_l=-23.04
Tensioni nella sezione: σ=279.26 τ=34.91
CC 6 SLD (Collegamento 0023_-380)
Azioni sul collegamento: N=-6335.74 Ty=0.38 Tz=-0.05 Mx=0.00 Mz=1.00
Sollecitazioni agenti localmente: Ty_l=-1151.95 Mx_l=-23.04
Tensioni nella sezione: σ=279.26 τ=34.91
CC 6 SLD (Collegamento 0023_-380)
Azioni sul collegamento: N=-6335.74 Ty=0.18 Tz=-0.05 Mx=0.00 Mz=0.60
Sollecitazioni agenti localmente: Ty_l=-1151.95 Mx_l=-23.04
Tensioni nella sezione: σ=279.26 τ=34.91
CC 6 SLD (Collegamento 0023_-380)
Azioni sul collegamento: N=-4931.09 Ty=0.38 Tz=-5.26 Mx=0.00 Mz=1.00
Sollecitazioni agenti localmente: Ty_l=-896.56 Mx_l=-17.93
Tensioni nella sezione: σ=217.35 τ=27.17
CC 6 SLD (Collegamento 0023_-380)
Azioni sul collegamento: N=-4931.09 Ty=0.18 Tz=-5.26 Mx=0.00 Mz=0.60
Sollecitazioni agenti localmente: Ty_l=-896.56 Mx_l=-17.93
Tensioni nella sezione: σ=217.35 τ=27.17
CC 6 SLD (Collegamento 0023_-380)
Azioni sul collegamento: N=-4931.09 Ty=0.38 Tz=-0.05 Mx=0.00 Mz=1.00
Sollecitazioni agenti localmente: Ty_l=-896.56 Mx_l=-17.93

Tensioni nella sezione: σ=217.35 τ=27.17
CC 6 SLD (Collegamento 0023_-380)
Azioni sul collegamento: N=-4931.09 Ty=0.18 Tz=-0.05 Mx=0.00 Mz=0.60
Sollecitazioni agenti localmente: Ty_l=-896.56 Mx_l=-17.93
Tensioni nella sezione: σ=217.35 τ=27.17
CC 7 SLV (Collegamento 0023_-380)
Azioni sul collegamento: N=-7936.47 Ty=0.74 Tz=-11.20 Mx=0.01 Mz=2.16
Sollecitazioni agenti localmente: Ty_l=-1442.99 Mx_l=-28.86
Tensioni nella sezione: σ=349.82 τ=43.73
CC 7 SLV (Collegamento 0023_-380)
Azioni sul collegamento: N=-7936.47 Ty=1.44 Tz=-11.20 Mx=0.01 Mz=3.55
Sollecitazioni agenti localmente: Ty_l=-1442.99 Mx_l=-28.86
Tensioni nella sezione: σ=349.82 τ=43.73
CC 7 SLV (Collegamento 0023_-380)
Azioni sul collegamento: N=-7936.47 Ty=0.74 Tz=5.89 Mx=0.01 Mz=2.16
Sollecitazioni agenti localmente: Ty_l=-1442.99 Mx_l=-28.86
Tensioni nella sezione: σ=349.82 τ=43.73
CC 7 SLV (Collegamento 0023_-380)
Azioni sul collegamento: N=-7936.47 Ty=1.44 Tz=5.89 Mx=0.01 Mz=3.55
Sollecitazioni agenti localmente: Ty_l=-1442.99 Mx_l=-28.86
Tensioni nella sezione: σ=349.82 τ=43.73
CC 7 SLV (Collegamento 0023_-380)
Azioni sul collegamento: N=-3330.00 Ty=0.74 Tz=-11.20 Mx=0.01 Mz=2.16
Sollecitazioni agenti localmente: Ty_l=-605.45 Mx_l=-12.11
Tensioni nella sezione: σ=146.78 τ=18.35
CC 7 SLV (Collegamento 0023_-380)
Azioni sul collegamento: N=-3330.00 Ty=1.44 Tz=-11.20 Mx=0.01 Mz=3.55
Sollecitazioni agenti localmente: Ty_l=-605.45 Mx_l=-12.11
Tensioni nella sezione: σ=146.78 τ=18.35
CC 7 SLV (Collegamento 0023_-380)
Azioni sul collegamento: N=-3330.00 Ty=0.74 Tz=5.89 Mx=0.01 Mz=2.16
Sollecitazioni agenti localmente: Ty_l=-605.45 Mx_l=-12.11
Tensioni nella sezione: σ=146.78 τ=18.35
CC 7 SLV (Collegamento 0023_-380)
Azioni sul collegamento: N=-3330.00 Ty=1.44 Tz=5.89 Mx=0.01 Mz=3.55
Sollecitazioni agenti localmente: Ty_l=-605.45 Mx_l=-12.11
Tensioni nella sezione: σ=146.78 τ=18.35
CC 8 SLD (Collegamento 0023_-380)
Azioni sul collegamento: N=-6335.74 Ty=0.17 Tz=-5.26 Mx=0.00 Mz=0.59
Sollecitazioni agenti localmente: Ty_l=-1151.95 Mx_l=-23.04
Tensioni nella sezione: σ=279.26 τ=34.91
CC 8 SLD (Collegamento 0023_-380)
Azioni sul collegamento: N=-6335.74 Ty=0.39 Tz=-5.26 Mx=0.00 Mz=1.01
Sollecitazioni agenti localmente: Ty_l=-1151.95 Mx_l=-23.04
Tensioni nella sezione: σ=279.26 τ=34.91
CC 8 SLD (Collegamento 0023_-380)
Azioni sul collegamento: N=-6335.74 Ty=0.17 Tz=-0.05 Mx=0.00 Mz=0.59
Sollecitazioni agenti localmente: Ty_l=-1151.95 Mx_l=-23.04
Tensioni nella sezione: σ=279.26 τ=34.91
CC 8 SLD (Collegamento 0023_-380)
Azioni sul collegamento: N=-6335.74 Ty=0.39 Tz=-0.05 Mx=0.00 Mz=1.01
Sollecitazioni agenti localmente: Ty_l=-1151.95 Mx_l=-23.04
Tensioni nella sezione: σ=279.26 τ=34.91
CC 8 SLD (Collegamento 0023_-380)
Azioni sul collegamento: N=-4931.09 Ty=0.17 Tz=-5.26 Mx=0.00 Mz=0.59
Sollecitazioni agenti localmente: Ty_l=-896.56 Mx_l=-17.93
Tensioni nella sezione: σ=217.35 τ=27.17
CC 8 SLD (Collegamento 0023_-380)
Azioni sul collegamento: N=-4931.09 Ty=0.39 Tz=-5.26 Mx=0.00 Mz=1.01
Sollecitazioni agenti localmente: Ty_l=-896.56 Mx_l=-17.93
Tensioni nella sezione: σ=217.35 τ=27.17
CC 8 SLD (Collegamento 0023_-380)
Azioni sul collegamento: N=-4931.09 Ty=0.17 Tz=-0.05 Mx=0.00 Mz=0.59
Sollecitazioni agenti localmente: Ty_l=-896.56 Mx_l=-17.93
Tensioni nella sezione: σ=217.35 τ=27.17
CC 8 SLD (Collegamento 0023_-380)
Azioni sul collegamento: N=-4931.09 Ty=0.39 Tz=-0.05 Mx=0.00 Mz=1.01
Sollecitazioni agenti localmente: Ty_l=-896.56 Mx_l=-17.93
Tensioni nella sezione: σ=217.35 τ=27.17
CC 9 SLV (Collegamento 0023_-380)
Azioni sul collegamento: N=-4942.23 Ty=2.24 Tz=-0.09 Mx=0.02 Mz=5.11
Sollecitazioni agenti localmente: Ty_l=-898.59 Mx_l=-17.97
Tensioni nella sezione: σ=217.84 τ=27.23
CC 9 SLV (Collegamento 0023_-380)
Azioni sul collegamento: N=-4942.23 Ty=-0.07 Tz=-0.09 Mx=0.02 Mz=0.59
Sollecitazioni agenti localmente: Ty_l=-898.59 Mx_l=-17.97
Tensioni nella sezione: σ=217.84 τ=27.23
CC 9 SLV (Collegamento 0023_-380)
Azioni sul collegamento: N=-4942.23 Ty=2.24 Tz=-5.22 Mx=0.02 Mz=5.11

Sollecitazioni agenti localmente: Ty_l=-898.59 Mx_l=-17.97
Tensioni nella sezione: σ=217.84 τ=27.23
CC 9 SLV (Collegamento 0023_-380)
Azioni sul collegamento: N=-4942.23 Ty=-0.07 Tz=-5.22 Mx=0.02 Mz=0.59
Sollecitazioni agenti localmente: Ty_l=-898.59 Mx_l=-17.97
Tensioni nella sezione: σ=217.84 τ=27.23
CC 9 SLV (Collegamento 0023_-380)
Azioni sul collegamento: N=-6324.24 Ty=2.24 Tz=-0.09 Mx=0.02 Mz=5.11
Sollecitazioni agenti localmente: Ty_l=-1149.86 Mx_l=-23.00
Tensioni nella sezione: σ=278.75 τ=34.84
CC 9 SLV (Collegamento 0023_-380)
Azioni sul collegamento: N=-6324.24 Ty=-0.07 Tz=-0.09 Mx=0.02 Mz=0.59
Sollecitazioni agenti localmente: Ty_l=-1149.86 Mx_l=-23.00
Tensioni nella sezione: σ=278.75 τ=34.84
CC 9 SLV (Collegamento 0023_-380)
Azioni sul collegamento: N=-6324.24 Ty=2.24 Tz=-5.22 Mx=0.02 Mz=5.11
Sollecitazioni agenti localmente: Ty_l=-1149.86 Mx_l=-23.00
Tensioni nella sezione: σ=278.75 τ=34.84
CC 9 SLV (Collegamento 0023_-380)
Azioni sul collegamento: N=-6324.24 Ty=-0.07 Tz=-5.22 Mx=0.02 Mz=0.59
Sollecitazioni agenti localmente: Ty_l=-1149.86 Mx_l=-23.00
Tensioni nella sezione: σ=278.75 τ=34.84
CC 10 SLD (Collegamento 0023_-380)
Azioni sul collegamento: N=-5422.71 Ty=0.63 Tz=-1.87 Mx=0.01 Mz=1.49
Sollecitazioni agenti localmente: Ty_l=-985.95 Mx_l=-19.72
Tensioni nella sezione: σ=239.02 τ=29.88
CC 10 SLD (Collegamento 0023_-380)
Azioni sul collegamento: N=-5422.71 Ty=-0.07 Tz=-1.87 Mx=0.01 Mz=0.11
Sollecitazioni agenti localmente: Ty_l=-985.95 Mx_l=-19.72
Tensioni nella sezione: σ=239.02 τ=29.88
CC 10 SLD (Collegamento 0023_-380)
Azioni sul collegamento: N=-5422.71 Ty=0.63 Tz=-3.44 Mx=0.01 Mz=1.49
Sollecitazioni agenti localmente: Ty_l=-985.95 Mx_l=-19.72
Tensioni nella sezione: σ=239.02 τ=29.88
CC 10 SLD (Collegamento 0023_-380)
Azioni sul collegamento: N=-5422.71 Ty=-0.07 Tz=-3.44 Mx=0.01 Mz=0.11
Sollecitazioni agenti localmente: Ty_l=-985.95 Mx_l=-19.72
Tensioni nella sezione: σ=239.02 τ=29.88
CC 10 SLD (Collegamento 0023_-380)
Azioni sul collegamento: N=-5844.12 Ty=0.63 Tz=-1.87 Mx=0.01 Mz=1.49
Sollecitazioni agenti localmente: Ty_l=-1062.57 Mx_l=-21.25
Tensioni nella sezione: σ=257.59 τ=32.20
CC 10 SLD (Collegamento 0023_-380)
Azioni sul collegamento: N=-5844.12 Ty=-0.07 Tz=-1.87 Mx=0.01 Mz=0.11
Sollecitazioni agenti localmente: Ty_l=-1062.57 Mx_l=-21.25
Tensioni nella sezione: σ=257.59 τ=32.20
CC 10 SLD (Collegamento 0023_-380)
Azioni sul collegamento: N=-5844.12 Ty=0.63 Tz=-3.44 Mx=0.01 Mz=1.49
Sollecitazioni agenti localmente: Ty_l=-1062.57 Mx_l=-21.25
Tensioni nella sezione: σ=257.59 τ=32.20
CC 10 SLD (Collegamento 0023_-380)
Azioni sul collegamento: N=-5844.12 Ty=-0.07 Tz=-3.44 Mx=0.01 Mz=0.11
Sollecitazioni agenti localmente: Ty_l=-1062.57 Mx_l=-21.25
Tensioni nella sezione: σ=257.59 τ=32.20
CC 11 SLV (Collegamento 0023_-380)
Azioni sul collegamento: N=-6324.16 Ty=2.24 Tz=-5.22 Mx=0.02 Mz=5.10
Sollecitazioni agenti localmente: Ty_l=-1149.85 Mx_l=-23.00
Tensioni nella sezione: σ=278.75 τ=34.84
CC 11 SLV (Collegamento 0023_-380)
Azioni sul collegamento: N=-6324.16 Ty=-0.06 Tz=-5.22 Mx=0.02 Mz=0.60
Sollecitazioni agenti localmente: Ty_l=-1149.85 Mx_l=-23.00
Tensioni nella sezione: σ=278.75 τ=34.84
CC 11 SLV (Collegamento 0023_-380)
Azioni sul collegamento: N=-6324.16 Ty=2.24 Tz=-0.09 Mx=0.02 Mz=5.10
Sollecitazioni agenti localmente: Ty_l=-1149.85 Mx_l=-23.00
Tensioni nella sezione: σ=278.75 τ=34.84
CC 11 SLV (Collegamento 0023_-380)
Azioni sul collegamento: N=-6324.16 Ty=-0.06 Tz=-0.09 Mx=0.02 Mz=0.60
Sollecitazioni agenti localmente: Ty_l=-1149.85 Mx_l=-23.00
Tensioni nella sezione: σ=278.75 τ=34.84
CC 11 SLV (Collegamento 0023_-380)
Azioni sul collegamento: N=-4942.30 Ty=2.24 Tz=-5.22 Mx=0.02 Mz=5.10
Sollecitazioni agenti localmente: Ty_l=-898.60 Mx_l=-17.97
Tensioni nella sezione: σ=217.84 τ=27.23
CC 11 SLV (Collegamento 0023_-380)
Azioni sul collegamento: N=-4942.30 Ty=-0.06 Tz=-5.22 Mx=0.02 Mz=0.60
Sollecitazioni agenti localmente: Ty_l=-898.60 Mx_l=-17.97
Tensioni nella sezione: σ=217.84 τ=27.23
CC 11 SLV (Collegamento 0023_-380)

Azioni sul collegamento: N=-4942.30 Ty=2.24 Tz=-0.09 Mx=0.02 Mz=5.10
Sollecitazioni agenti localmente: Ty_l=-898.60 Mx_l=-17.97
Tensioni nella sezione: σ=217.84 τ=27.23
CC 11 SLV (Collegamento 0023_-380)
Azioni sul collegamento: N=-4942.30 Ty=-0.06 Tz=-0.09 Mx=0.02 Mz=0.60
Sollecitazioni agenti localmente: Ty_l=-898.60 Mx_l=-17.97
Tensioni nella sezione: σ=217.84 τ=27.23
CC 12 SLD (Collegamento 0023_-380)
Azioni sul collegamento: N=-5844.10 Ty=0.63 Tz=-3.44 Mx=0.01 Mz=1.48
Sollecitazioni agenti localmente: Ty_l=-1062.56 Mx_l=-21.25
Tensioni nella sezione: σ=257.59 τ=32.20
CC 12 SLD (Collegamento 0023_-380)
Azioni sul collegamento: N=-5844.10 Ty=-0.07 Tz=-3.44 Mx=0.01 Mz=0.11
Sollecitazioni agenti localmente: Ty_l=-1062.56 Mx_l=-21.25
Tensioni nella sezione: σ=257.59 τ=32.20
CC 12 SLD (Collegamento 0023_-380)
Azioni sul collegamento: N=-5844.10 Ty=0.63 Tz=-1.87 Mx=0.01 Mz=1.48
Sollecitazioni agenti localmente: Ty_l=-1062.56 Mx_l=-21.25
Tensioni nella sezione: σ=257.59 τ=32.20
CC 12 SLD (Collegamento 0023_-380)
Azioni sul collegamento: N=-5844.10 Ty=-0.07 Tz=-1.87 Mx=0.01 Mz=0.11
Sollecitazioni agenti localmente: Ty_l=-1062.56 Mx_l=-21.25
Tensioni nella sezione: σ=257.59 τ=32.20
CC 12 SLD (Collegamento 0023_-380)
Azioni sul collegamento: N=-5422.73 Ty=0.63 Tz=-3.44 Mx=0.01 Mz=1.48
Sollecitazioni agenti localmente: Ty_l=-985.95 Mx_l=-19.72
Tensioni nella sezione: σ=239.02 τ=29.88
CC 12 SLD (Collegamento 0023_-380)
Azioni sul collegamento: N=-5422.73 Ty=-0.07 Tz=-3.44 Mx=0.01 Mz=0.11
Sollecitazioni agenti localmente: Ty_l=-985.95 Mx_l=-19.72
Tensioni nella sezione: σ=239.02 τ=29.88
CC 12 SLD (Collegamento 0023_-380)
Azioni sul collegamento: N=-5422.73 Ty=0.63 Tz=-1.87 Mx=0.01 Mz=1.48
Sollecitazioni agenti localmente: Ty_l=-985.95 Mx_l=-19.72
Tensioni nella sezione: σ=239.02 τ=29.88
CC 12 SLD (Collegamento 0023_-380)
Azioni sul collegamento: N=-5422.73 Ty=-0.07 Tz=-1.87 Mx=0.01 Mz=0.11
Sollecitazioni agenti localmente: Ty_l=-985.95 Mx_l=-19.72
Tensioni nella sezione: σ=239.02 τ=29.88
CC 13 SLV (Collegamento 0023_-380)
Azioni sul collegamento: N=-4942.30 Ty=-0.06 Tz=-0.09 Mx=0.00 Mz=0.60
Sollecitazioni agenti localmente: Ty_l=-898.60 Mx_l=-17.97
Tensioni nella sezione: σ=217.84 τ=27.23
CC 13 SLV (Collegamento 0023_-380)
Azioni sul collegamento: N=-4942.30 Ty=2.24 Tz=-0.09 Mx=0.00 Mz=5.10
Sollecitazioni agenti localmente: Ty_l=-898.60 Mx_l=-17.97
Tensioni nella sezione: σ=217.84 τ=27.23
CC 13 SLV (Collegamento 0023_-380)
Azioni sul collegamento: N=-4942.30 Ty=-0.06 Tz=-5.22 Mx=0.00 Mz=0.60
Sollecitazioni agenti localmente: Ty_l=-898.60 Mx_l=-17.97
Tensioni nella sezione: σ=217.84 τ=27.23
CC 13 SLV (Collegamento 0023_-380)
Azioni sul collegamento: N=-4942.30 Ty=2.24 Tz=-5.22 Mx=0.00 Mz=5.10
Sollecitazioni agenti localmente: Ty_l=-898.60 Mx_l=-17.97
Tensioni nella sezione: σ=217.84 τ=27.23
CC 13 SLV (Collegamento 0023_-380)
Azioni sul collegamento: N=-6324.16 Ty=-0.06 Tz=-0.09 Mx=0.00 Mz=0.60
Sollecitazioni agenti localmente: Ty_l=-1149.85 Mx_l=-23.00
Tensioni nella sezione: σ=278.75 τ=34.84
CC 13 SLV (Collegamento 0023_-380)
Azioni sul collegamento: N=-6324.16 Ty=2.24 Tz=-0.09 Mx=0.00 Mz=5.10
Sollecitazioni agenti localmente: Ty_l=-1149.85 Mx_l=-23.00
Tensioni nella sezione: σ=278.75 τ=34.84
CC 13 SLV (Collegamento 0023_-380)
Azioni sul collegamento: N=-6324.16 Ty=-0.06 Tz=-5.22 Mx=0.00 Mz=0.60
Sollecitazioni agenti localmente: Ty_l=-1149.85 Mx_l=-23.00
Tensioni nella sezione: σ=278.75 τ=34.84
CC 13 SLV (Collegamento 0023_-380)
Azioni sul collegamento: N=-6324.16 Ty=2.24 Tz=-5.22 Mx=0.00 Mz=5.10
Sollecitazioni agenti localmente: Ty_l=-1149.85 Mx_l=-23.00
Tensioni nella sezione: σ=278.75 τ=34.84
CC 14 SLD (Collegamento 0023_-380)
Azioni sul collegamento: N=-5422.73 Ty=-0.07 Tz=-1.87 Mx=0.00 Mz=0.11
Sollecitazioni agenti localmente: Ty_l=-985.95 Mx_l=-19.72
Tensioni nella sezione: σ=239.02 τ=29.88
CC 14 SLD (Collegamento 0023_-380)
Azioni sul collegamento: N=-5422.73 Ty=0.63 Tz=-1.87 Mx=0.00 Mz=1.48
Sollecitazioni agenti localmente: Ty_l=-985.95 Mx_l=-19.72
Tensioni nella sezione: σ=239.02 τ=29.88

CC 14 SLD (Collegamento 0023_-380)
Azioni sul collegamento: N=-5422.73 Ty=-0.07 Tz=-3.44 Mx=0.00 Mz=0.11
Sollecitazioni agenti localmente: Ty_l=-985.95 Mx_l=-19.72
Tensioni nella sezione: σ=239.02 τ=29.88
CC 14 SLD (Collegamento 0023_-380)
Azioni sul collegamento: N=-5422.73 Ty=0.63 Tz=-3.44 Mx=0.00 Mz=1.48
Sollecitazioni agenti localmente: Ty_l=-985.95 Mx_l=-19.72
Tensioni nella sezione: σ=239.02 τ=29.88
CC 14 SLD (Collegamento 0023_-380)
Azioni sul collegamento: N=-5844.10 Ty=-0.07 Tz=-1.87 Mx=0.00 Mz=0.11
Sollecitazioni agenti localmente: Ty_l=-1062.56 Mx_l=-21.25
Tensioni nella sezione: σ=257.59 τ=32.20
CC 14 SLD (Collegamento 0023_-380)
Azioni sul collegamento: N=-5844.10 Ty=0.63 Tz=-1.87 Mx=0.00 Mz=1.48
Sollecitazioni agenti localmente: Ty_l=-1062.56 Mx_l=-21.25
Tensioni nella sezione: σ=257.59 τ=32.20
CC 14 SLD (Collegamento 0023_-380)
Azioni sul collegamento: N=-5844.10 Ty=-0.07 Tz=-3.44 Mx=0.00 Mz=0.11
Sollecitazioni agenti localmente: Ty_l=-1062.56 Mx_l=-21.25
Tensioni nella sezione: σ=257.59 τ=32.20
CC 14 SLD (Collegamento 0023_-380)
Azioni sul collegamento: N=-5844.10 Ty=0.63 Tz=-3.44 Mx=0.00 Mz=1.48
Sollecitazioni agenti localmente: Ty_l=-1062.56 Mx_l=-21.25
Tensioni nella sezione: σ=257.59 τ=32.20
CC 15 SLV (Collegamento 0023_-380)
Azioni sul collegamento: N=-6324.24 Ty=-0.07 Tz=-5.22 Mx=0.00 Mz=0.59
Sollecitazioni agenti localmente: Ty_l=-1149.86 Mx_l=-23.00
Tensioni nella sezione: σ=278.75 τ=34.84
CC 15 SLV (Collegamento 0023_-380)
Azioni sul collegamento: N=-6324.24 Ty=2.24 Tz=-5.22 Mx=0.00 Mz=5.11
Sollecitazioni agenti localmente: Ty_l=-1149.86 Mx_l=-23.00
Tensioni nella sezione: σ=278.75 τ=34.84
CC 15 SLV (Collegamento 0023_-380)
Azioni sul collegamento: N=-6324.24 Ty=-0.07 Tz=-0.09 Mx=0.00 Mz=0.59
Sollecitazioni agenti localmente: Ty_l=-1149.86 Mx_l=-23.00
Tensioni nella sezione: σ=278.75 τ=34.84
CC 15 SLV (Collegamento 0023_-380)
Azioni sul collegamento: N=-6324.24 Ty=2.24 Tz=-0.09 Mx=0.00 Mz=5.11
Sollecitazioni agenti localmente: Ty_l=-1149.86 Mx_l=-23.00
Tensioni nella sezione: σ=278.75 τ=34.84
CC 15 SLV (Collegamento 0023_-380)
Azioni sul collegamento: N=-4942.23 Ty=-0.07 Tz=-5.22 Mx=0.00 Mz=0.59
Sollecitazioni agenti localmente: Ty_l=-898.59 Mx_l=-17.97
Tensioni nella sezione: σ=217.84 τ=27.23
CC 15 SLV (Collegamento 0023_-380)
Azioni sul collegamento: N=-4942.23 Ty=2.24 Tz=-5.22 Mx=0.00 Mz=5.11
Sollecitazioni agenti localmente: Ty_l=-898.59 Mx_l=-17.97
Tensioni nella sezione: σ=217.84 τ=27.23
CC 15 SLV (Collegamento 0023_-380)
Azioni sul collegamento: N=-4942.23 Ty=-0.07 Tz=-0.09 Mx=0.00 Mz=0.59
Sollecitazioni agenti localmente: Ty_l=-898.59 Mx_l=-17.97
Tensioni nella sezione: σ=217.84 τ=27.23
CC 15 SLV (Collegamento 0023_-380)
Azioni sul collegamento: N=-4942.23 Ty=2.24 Tz=-0.09 Mx=0.00 Mz=5.11
Sollecitazioni agenti localmente: Ty_l=-898.59 Mx_l=-17.97
Tensioni nella sezione: σ=217.84 τ=27.23
CC 16 SLD (Collegamento 0023_-380)
Azioni sul collegamento: N=-5844.12 Ty=-0.07 Tz=-3.44 Mx=0.00 Mz=0.11
Sollecitazioni agenti localmente: Ty_l=-1062.57 Mx_l=-21.25
Tensioni nella sezione: σ=257.59 τ=32.20
CC 16 SLD (Collegamento 0023_-380)
Azioni sul collegamento: N=-5844.12 Ty=0.63 Tz=-3.44 Mx=0.00 Mz=1.49
Sollecitazioni agenti localmente: Ty_l=-1062.57 Mx_l=-21.25
Tensioni nella sezione: σ=257.59 τ=32.20
CC 16 SLD (Collegamento 0023_-380)
Azioni sul collegamento: N=-5844.12 Ty=-0.07 Tz=-1.87 Mx=0.00 Mz=0.11
Sollecitazioni agenti localmente: Ty_l=-1062.57 Mx_l=-21.25
Tensioni nella sezione: σ=257.59 τ=32.20
CC 16 SLD (Collegamento 0023_-380)
Azioni sul collegamento: N=-5844.12 Ty=0.63 Tz=-1.87 Mx=0.00 Mz=1.49
Sollecitazioni agenti localmente: Ty_l=-1062.57 Mx_l=-21.25
Tensioni nella sezione: σ=257.59 τ=32.20
CC 16 SLD (Collegamento 0023_-380)
Azioni sul collegamento: N=-5422.71 Ty=-0.07 Tz=-3.44 Mx=0.00 Mz=0.11
Sollecitazioni agenti localmente: Ty_l=-985.95 Mx_l=-19.72
Tensioni nella sezione: σ=239.02 τ=29.88
CC 16 SLD (Collegamento 0023_-380)
Azioni sul collegamento: N=-5422.71 Ty=0.63 Tz=-3.44 Mx=0.00 Mz=1.49
Sollecitazioni agenti localmente: Ty_l=-985.95 Mx_l=-19.72

Tensioni nella sezione: σ=239.02 τ=29.88
CC 16 SLD (Collegamento 0023_-380)
Azioni sul collegamento: N=-5422.71 Ty=-0.07 Tz=-1.87 Mx=0.00 Mz=0.11
Sollecitazioni agenti localmente: Ty_l=-985.95 Mx_l=-19.72
Tensioni nella sezione: σ=239.02 τ=29.88
CC 16 SLD (Collegamento 0023_-380)
Azioni sul collegamento: N=-5422.71 Ty=0.63 Tz=-1.87 Mx=0.00 Mz=1.49
Sollecitazioni agenti localmente: Ty_l=-985.95 Mx_l=-19.72
Tensioni nella sezione: σ=239.02 τ=29.88
CC 17 SLV (Collegamento 0023_-380)
Azioni sul collegamento: N=-3330.52 Ty=-0.88 Tz=5.89 Mx=-0.02 Mz=-2.36
Sollecitazioni agenti localmente: Ty_l=-605.55 Mx_l=-12.11
Tensioni nella sezione: σ=146.80 τ=18.35
CC 17 SLV (Collegamento 0023_-380)
Azioni sul collegamento: N=-3330.52 Ty=-1.59 Tz=5.89 Mx=-0.02 Mz=-3.75
Sollecitazioni agenti localmente: Ty_l=-605.55 Mx_l=-12.11
Tensioni nella sezione: σ=146.80 τ=18.35
CC 17 SLV (Collegamento 0023_-380)
Azioni sul collegamento: N=-3330.52 Ty=-0.88 Tz=-11.19 Mx=-0.02 Mz=-2.36
Sollecitazioni agenti localmente: Ty_l=-605.55 Mx_l=-12.11
Tensioni nella sezione: σ=146.80 τ=18.35
CC 17 SLV (Collegamento 0023_-380)
Azioni sul collegamento: N=-3330.52 Ty=-1.59 Tz=-11.19 Mx=-0.02 Mz=-3.75
Sollecitazioni agenti localmente: Ty_l=-605.55 Mx_l=-12.11
Tensioni nella sezione: σ=146.80 τ=18.35
CC 17 SLV (Collegamento 0023_-380)
Azioni sul collegamento: N=-7936.99 Ty=-0.88 Tz=5.89 Mx=-0.02 Mz=-2.36
Sollecitazioni agenti localmente: Ty_l=-1443.09 Mx_l=-28.86
Tensioni nella sezione: σ=349.84 τ=43.73
CC 17 SLV (Collegamento 0023_-380)
Azioni sul collegamento: N=-7936.99 Ty=-1.59 Tz=5.89 Mx=-0.02 Mz=-3.75
Sollecitazioni agenti localmente: Ty_l=-1443.09 Mx_l=-28.86
Tensioni nella sezione: σ=349.84 τ=43.73
CC 17 SLV (Collegamento 0023_-380)
Azioni sul collegamento: N=-7936.99 Ty=-0.88 Tz=-11.19 Mx=-0.02 Mz=-2.36
Sollecitazioni agenti localmente: Ty_l=-1443.09 Mx_l=-28.86
Tensioni nella sezione: σ=349.84 τ=43.73
CC 17 SLV (Collegamento 0023_-380)
Azioni sul collegamento: N=-7936.99 Ty=-1.59 Tz=-11.19 Mx=-0.02 Mz=-3.75
Sollecitazioni agenti localmente: Ty_l=-1443.09 Mx_l=-28.86
Tensioni nella sezione: σ=349.84 τ=43.73
CC 18 SLD (Collegamento 0023_-380)
Azioni sul collegamento: N=-4931.25 Ty=-0.32 Tz=-0.05 Mx=-0.01 Mz=-0.79
Sollecitazioni agenti localmente: Ty_l=-896.59 Mx_l=-17.93
Tensioni nella sezione: σ=217.35 τ=27.17
CC 18 SLD (Collegamento 0023_-380)
Azioni sul collegamento: N=-4931.25 Ty=-0.54 Tz=-0.05 Mx=-0.01 Mz=-1.22
Sollecitazioni agenti localmente: Ty_l=-896.59 Mx_l=-17.93
Tensioni nella sezione: σ=217.35 τ=27.17
CC 18 SLD (Collegamento 0023_-380)
Azioni sul collegamento: N=-4931.25 Ty=-0.32 Tz=-5.26 Mx=-0.01 Mz=-0.79
Sollecitazioni agenti localmente: Ty_l=-896.59 Mx_l=-17.93
Tensioni nella sezione: σ=217.35 τ=27.17
CC 18 SLD (Collegamento 0023_-380)
Azioni sul collegamento: N=-4931.25 Ty=-0.54 Tz=-5.26 Mx=-0.01 Mz=-1.22
Sollecitazioni agenti localmente: Ty_l=-896.59 Mx_l=-17.93
Tensioni nella sezione: σ=217.35 τ=27.17
CC 18 SLD (Collegamento 0023_-380)
Azioni sul collegamento: N=-6335.90 Ty=-0.32 Tz=-0.05 Mx=-0.01 Mz=-0.79
Sollecitazioni agenti localmente: Ty_l=-1151.98 Mx_l=-23.04
Tensioni nella sezione: σ=279.27 τ=34.91
CC 18 SLD (Collegamento 0023_-380)
Azioni sul collegamento: N=-6335.90 Ty=-0.54 Tz=-0.05 Mx=-0.01 Mz=-1.22
Sollecitazioni agenti localmente: Ty_l=-1151.98 Mx_l=-23.04
Tensioni nella sezione: σ=279.27 τ=34.91
CC 18 SLD (Collegamento 0023_-380)
Azioni sul collegamento: N=-6335.90 Ty=-0.32 Tz=-5.26 Mx=-0.01 Mz=-0.79
Sollecitazioni agenti localmente: Ty_l=-1151.98 Mx_l=-23.04
Tensioni nella sezione: σ=279.27 τ=34.91
CC 18 SLD (Collegamento 0023_-380)
Azioni sul collegamento: N=-6335.90 Ty=-0.54 Tz=-5.26 Mx=-0.01 Mz=-1.22
Sollecitazioni agenti localmente: Ty_l=-1151.98 Mx_l=-23.04
Tensioni nella sezione: σ=279.27 τ=34.91
CC 19 SLV (Collegamento 0023_-380)
Azioni sul collegamento: N=-3330.55 Ty=-1.58 Tz=5.89 Mx=-0.01 Mz=-3.71
Sollecitazioni agenti localmente: Ty_l=-605.55 Mx_l=-12.11
Tensioni nella sezione: σ=146.80 τ=18.35
CC 19 SLV (Collegamento 0023_-380)
Azioni sul collegamento: N=-3330.55 Ty=-0.90 Tz=5.89 Mx=-0.01 Mz=-2.40

Sollecitazioni agenti localmente: Ty_l=-605.55 Mx_l=-12.11
Tensioni nella sezione: σ=146.80 τ=18.35
CC 19 SLV (Collegamento 0023_-380)
Azioni sul collegamento: N=-3330.55 Ty=-1.58 Tz=-11.19 Mx=-0.01 Mz=-3.71
Sollecitazioni agenti localmente: Ty_l=-605.55 Mx_l=-12.11
Tensioni nella sezione: σ=146.80 τ=18.35
CC 19 SLV (Collegamento 0023_-380)
Azioni sul collegamento: N=-3330.55 Ty=-0.90 Tz=-11.19 Mx=-0.01 Mz=-2.40
Sollecitazioni agenti localmente: Ty_l=-605.55 Mx_l=-12.11
Tensioni nella sezione: σ=146.80 τ=18.35
CC 19 SLV (Collegamento 0023_-380)
Azioni sul collegamento: N=-7936.97 Ty=-1.58 Tz=5.89 Mx=-0.01 Mz=-3.71
Sollecitazioni agenti localmente: Ty_l=-1443.09 Mx_l=-28.86
Tensioni nella sezione: σ=349.84 τ=43.73
CC 19 SLV (Collegamento 0023_-380)
Azioni sul collegamento: N=-7936.97 Ty=-0.90 Tz=5.89 Mx=-0.01 Mz=-2.40
Sollecitazioni agenti localmente: Ty_l=-1443.09 Mx_l=-28.86
Tensioni nella sezione: σ=349.84 τ=43.73
CC 19 SLV (Collegamento 0023_-380)
Azioni sul collegamento: N=-7936.97 Ty=-1.58 Tz=-11.19 Mx=-0.01 Mz=-3.71
Sollecitazioni agenti localmente: Ty_l=-1443.09 Mx_l=-28.86
Tensioni nella sezione: σ=349.84 τ=43.73
CC 19 SLV (Collegamento 0023_-380)
Azioni sul collegamento: N=-7936.97 Ty=-0.90 Tz=-11.19 Mx=-0.01 Mz=-2.40
Sollecitazioni agenti localmente: Ty_l=-1443.09 Mx_l=-28.86
Tensioni nella sezione: σ=349.84 τ=43.73
CC 20 SLD (Collegamento 0023_-380)
Azioni sul collegamento: N=-4931.25 Ty=-0.53 Tz=-0.05 Mx=-0.00 Mz=-1.20
Sollecitazioni agenti localmente: Ty_l=-896.59 Mx_l=-17.93
Tensioni nella sezione: σ=217.35 τ=27.17
CC 20 SLD (Collegamento 0023_-380)
Azioni sul collegamento: N=-4931.25 Ty=-0.33 Tz=-0.05 Mx=-0.00 Mz=-0.80
Sollecitazioni agenti localmente: Ty_l=-896.59 Mx_l=-17.93
Tensioni nella sezione: σ=217.35 τ=27.17
CC 20 SLD (Collegamento 0023_-380)
Azioni sul collegamento: N=-4931.25 Ty=-0.53 Tz=-5.26 Mx=-0.00 Mz=-1.20
Sollecitazioni agenti localmente: Ty_l=-896.59 Mx_l=-17.93
Tensioni nella sezione: σ=217.35 τ=27.17
CC 20 SLD (Collegamento 0023_-380)
Azioni sul collegamento: N=-4931.25 Ty=-0.33 Tz=-5.26 Mx=-0.00 Mz=-0.80
Sollecitazioni agenti localmente: Ty_l=-896.59 Mx_l=-17.93
Tensioni nella sezione: σ=217.35 τ=27.17
CC 20 SLD (Collegamento 0023_-380)
Azioni sul collegamento: N=-6335.90 Ty=-0.53 Tz=-0.05 Mx=-0.00 Mz=-1.20
Sollecitazioni agenti localmente: Ty_l=-1151.98 Mx_l=-23.04
Tensioni nella sezione: σ=279.27 τ=34.91
CC 20 SLD (Collegamento 0023_-380)
Azioni sul collegamento: N=-6335.90 Ty=-0.33 Tz=-0.05 Mx=-0.00 Mz=-0.80
Sollecitazioni agenti localmente: Ty_l=-1151.98 Mx_l=-23.04
Tensioni nella sezione: σ=279.27 τ=34.91
CC 20 SLD (Collegamento 0023_-380)
Azioni sul collegamento: N=-6335.90 Ty=-0.53 Tz=-5.26 Mx=-0.00 Mz=-1.20
Sollecitazioni agenti localmente: Ty_l=-1151.98 Mx_l=-23.04
Tensioni nella sezione: σ=279.27 τ=34.91
CC 20 SLD (Collegamento 0023_-380)
Azioni sul collegamento: N=-6335.90 Ty=-0.33 Tz=-5.26 Mx=-0.00 Mz=-0.80
Sollecitazioni agenti localmente: Ty_l=-1151.98 Mx_l=-23.04
Tensioni nella sezione: σ=279.27 τ=34.91
CC 21 SLV (Collegamento 0023_-380)
Azioni sul collegamento: N=-7936.97 Ty=-0.90 Tz=-11.19 Mx=-0.02 Mz=-2.40
Sollecitazioni agenti localmente: Ty_l=-1443.09 Mx_l=-28.86
Tensioni nella sezione: σ=349.84 τ=43.73
CC 21 SLV (Collegamento 0023_-380)
Azioni sul collegamento: N=-7936.97 Ty=-1.58 Tz=-11.19 Mx=-0.02 Mz=-3.71
Sollecitazioni agenti localmente: Ty_l=-1443.09 Mx_l=-28.86
Tensioni nella sezione: σ=349.84 τ=43.73
CC 21 SLV (Collegamento 0023_-380)
Azioni sul collegamento: N=-7936.97 Ty=-0.90 Tz=5.89 Mx=-0.02 Mz=-2.40
Sollecitazioni agenti localmente: Ty_l=-1443.09 Mx_l=-28.86
Tensioni nella sezione: σ=349.84 τ=43.73
CC 21 SLV (Collegamento 0023_-380)
Azioni sul collegamento: N=-7936.97 Ty=-1.58 Tz=5.89 Mx=-0.02 Mz=-3.71
Sollecitazioni agenti localmente: Ty_l=-1443.09 Mx_l=-28.86
Tensioni nella sezione: σ=349.84 τ=43.73
CC 21 SLV (Collegamento 0023_-380)
Azioni sul collegamento: N=-3330.55 Ty=-0.90 Tz=-11.19 Mx=-0.02 Mz=-2.40
Sollecitazioni agenti localmente: Ty_l=-605.55 Mx_l=-12.11
Tensioni nella sezione: σ=146.80 τ=18.35
CC 21 SLV (Collegamento 0023_-380)

Azioni sul collegamento: N=-3330.55 Ty=-1.58 Tz=-11.19 Mx=-0.02 Mz=-3.71
Sollecitazioni agenti localmente: Ty_l=-605.55 Mx_l=-12.11
Tensioni nella sezione: σ=146.80 τ=18.35
CC 21 SLV (Collegamento 0023_-380)
Azioni sul collegamento: N=-3330.55 Ty=-0.90 Tz=5.89 Mx=-0.02 Mz=-2.40
Sollecitazioni agenti localmente: Ty_l=-605.55 Mx_l=-12.11
Tensioni nella sezione: σ=146.80 τ=18.35
CC 21 SLV (Collegamento 0023_-380)
Azioni sul collegamento: N=-3330.55 Ty=-1.58 Tz=5.89 Mx=-0.02 Mz=-3.71
Sollecitazioni agenti localmente: Ty_l=-605.55 Mx_l=-12.11
Tensioni nella sezione: σ=146.80 τ=18.35
CC 22 SLD (Collegamento 0023_-380)
Azioni sul collegamento: N=-6335.90 Ty=-0.33 Tz=-5.26 Mx=-0.01 Mz=-0.80
Sollecitazioni agenti localmente: Ty_l=-1151.98 Mx_l=-23.04
Tensioni nella sezione: σ=279.27 τ=34.91
CC 22 SLD (Collegamento 0023_-380)
Azioni sul collegamento: N=-6335.90 Ty=-0.53 Tz=-5.26 Mx=-0.01 Mz=-1.20
Sollecitazioni agenti localmente: Ty_l=-1151.98 Mx_l=-23.04
Tensioni nella sezione: σ=279.27 τ=34.91
CC 22 SLD (Collegamento 0023_-380)
Azioni sul collegamento: N=-6335.90 Ty=-0.33 Tz=-0.05 Mx=-0.01 Mz=-0.80
Sollecitazioni agenti localmente: Ty_l=-1151.98 Mx_l=-23.04
Tensioni nella sezione: σ=279.27 τ=34.91
CC 22 SLD (Collegamento 0023_-380)
Azioni sul collegamento: N=-6335.90 Ty=-0.53 Tz=-0.05 Mx=-0.01 Mz=-1.20
Sollecitazioni agenti localmente: Ty_l=-1151.98 Mx_l=-23.04
Tensioni nella sezione: σ=279.27 τ=34.91
CC 22 SLD (Collegamento 0023_-380)
Azioni sul collegamento: N=-4931.25 Ty=-0.33 Tz=-5.26 Mx=-0.01 Mz=-0.80
Sollecitazioni agenti localmente: Ty_l=-896.59 Mx_l=-17.93
Tensioni nella sezione: σ=217.35 τ=27.17
CC 22 SLD (Collegamento 0023_-380)
Azioni sul collegamento: N=-4931.25 Ty=-0.53 Tz=-5.26 Mx=-0.01 Mz=-1.20
Sollecitazioni agenti localmente: Ty_l=-896.59 Mx_l=-17.93
Tensioni nella sezione: σ=217.35 τ=27.17
CC 22 SLD (Collegamento 0023_-380)
Azioni sul collegamento: N=-4931.25 Ty=-0.33 Tz=-0.05 Mx=-0.01 Mz=-0.80
Sollecitazioni agenti localmente: Ty_l=-896.59 Mx_l=-17.93
Tensioni nella sezione: σ=217.35 τ=27.17
CC 22 SLD (Collegamento 0023_-380)
Azioni sul collegamento: N=-4931.25 Ty=-0.53 Tz=-0.05 Mx=-0.01 Mz=-1.20
Sollecitazioni agenti localmente: Ty_l=-896.59 Mx_l=-17.93
Tensioni nella sezione: σ=217.35 τ=27.17
CC 23 SLV (Collegamento 0023_-380)
Azioni sul collegamento: N=-7936.99 Ty=-1.59 Tz=-11.19 Mx=-0.01 Mz=-3.75
Sollecitazioni agenti localmente: Ty_l=-1443.09 Mx_l=-28.86
Tensioni nella sezione: σ=349.84 τ=43.73
CC 23 SLV (Collegamento 0023_-380)
Azioni sul collegamento: N=-7936.99 Ty=-0.88 Tz=-11.19 Mx=-0.01 Mz=-2.36
Sollecitazioni agenti localmente: Ty_l=-1443.09 Mx_l=-28.86
Tensioni nella sezione: σ=349.84 τ=43.73
CC 23 SLV (Collegamento 0023_-380)
Azioni sul collegamento: N=-7936.99 Ty=-1.59 Tz=5.89 Mx=-0.01 Mz=-3.75
Sollecitazioni agenti localmente: Ty_l=-1443.09 Mx_l=-28.86
Tensioni nella sezione: σ=349.84 τ=43.73
CC 23 SLV (Collegamento 0023_-380)
Azioni sul collegamento: N=-7936.99 Ty=-0.88 Tz=5.89 Mx=-0.01 Mz=-2.36
Sollecitazioni agenti localmente: Ty_l=-1443.09 Mx_l=-28.86
Tensioni nella sezione: σ=349.84 τ=43.73
CC 23 SLV (Collegamento 0023_-380)
Azioni sul collegamento: N=-3330.52 Ty=-1.59 Tz=-11.19 Mx=-0.01 Mz=-3.75
Sollecitazioni agenti localmente: Ty_l=-605.55 Mx_l=-12.11
Tensioni nella sezione: σ=146.80 τ=18.35
CC 23 SLV (Collegamento 0023_-380)
Azioni sul collegamento: N=-3330.52 Ty=-0.88 Tz=-11.19 Mx=-0.01 Mz=-2.36
Sollecitazioni agenti localmente: Ty_l=-605.55 Mx_l=-12.11
Tensioni nella sezione: σ=146.80 τ=18.35
CC 23 SLV (Collegamento 0023_-380)
Azioni sul collegamento: N=-3330.52 Ty=-1.59 Tz=5.89 Mx=-0.01 Mz=-3.75
Sollecitazioni agenti localmente: Ty_l=-605.55 Mx_l=-12.11
Tensioni nella sezione: σ=146.80 τ=18.35
CC 23 SLV (Collegamento 0023_-380)
Azioni sul collegamento: N=-3330.52 Ty=-0.88 Tz=5.89 Mx=-0.01 Mz=-2.36
Sollecitazioni agenti localmente: Ty_l=-605.55 Mx_l=-12.11
Tensioni nella sezione: σ=146.80 τ=18.35
CC 24 SLD (Collegamento 0023_-380)
Azioni sul collegamento: N=-6335.90 Ty=-0.54 Tz=-5.26 Mx=-0.00 Mz=-1.22
Sollecitazioni agenti localmente: Ty_l=-1151.98 Mx_l=-23.04
Tensioni nella sezione: σ=279.27 τ=34.91

CC 24 SLD (Collegamento 0023_-380)
Azioni sul collegamento: N=-6335.90 Ty=-0.32 Tz=-5.26 Mx=-0.00 Mz=-0.79
Sollecitazioni agenti localmente: Ty_l=-1151.98 Mx_l=-23.04
Tensioni nella sezione: σ=279.27 τ=34.91
CC 24 SLD (Collegamento 0023_-380)
Azioni sul collegamento: N=-6335.90 Ty=-0.54 Tz=-0.05 Mx=-0.00 Mz=-1.22
Sollecitazioni agenti localmente: Ty_l=-1151.98 Mx_l=-23.04
Tensioni nella sezione: σ=279.27 τ=34.91
CC 24 SLD (Collegamento 0023_-380)
Azioni sul collegamento: N=-6335.90 Ty=-0.32 Tz=-0.05 Mx=-0.00 Mz=-0.79
Sollecitazioni agenti localmente: Ty_l=-1151.98 Mx_l=-23.04
Tensioni nella sezione: σ=279.27 τ=34.91
CC 24 SLD (Collegamento 0023_-380)
Azioni sul collegamento: N=-4931.25 Ty=-0.54 Tz=-5.26 Mx=-0.00 Mz=-1.22
Sollecitazioni agenti localmente: Ty_l=-896.59 Mx_l=-17.93
Tensioni nella sezione: σ=217.35 τ=27.17
CC 24 SLD (Collegamento 0023_-380)
Azioni sul collegamento: N=-4931.25 Ty=-0.32 Tz=-5.26 Mx=-0.00 Mz=-0.79
Sollecitazioni agenti localmente: Ty_l=-896.59 Mx_l=-17.93
Tensioni nella sezione: σ=217.35 τ=27.17
CC 24 SLD (Collegamento 0023_-380)
Azioni sul collegamento: N=-4931.25 Ty=-0.54 Tz=-0.05 Mx=-0.00 Mz=-1.22
Sollecitazioni agenti localmente: Ty_l=-896.59 Mx_l=-17.93
Tensioni nella sezione: σ=217.35 τ=27.17
CC 24 SLD (Collegamento 0023_-380)
Azioni sul collegamento: N=-4931.25 Ty=-0.32 Tz=-0.05 Mx=-0.00 Mz=-0.79
Sollecitazioni agenti localmente: Ty_l=-896.59 Mx_l=-17.93
Tensioni nella sezione: σ=217.35 τ=27.17
CC 25 SLV (Collegamento 0023_-380)
Azioni sul collegamento: N=-4942.75 Ty=-0.08 Tz=-0.09 Mx=-0.02 Mz=-0.80
Sollecitazioni agenti localmente: Ty_l=-898.68 Mx_l=-17.97
Tensioni nella sezione: σ=217.86 τ=27.23
CC 25 SLV (Collegamento 0023_-380)
Azioni sul collegamento: N=-4942.75 Ty=-2.39 Tz=-0.09 Mx=-0.02 Mz=-5.32
Sollecitazioni agenti localmente: Ty_l=-898.68 Mx_l=-17.97
Tensioni nella sezione: σ=217.86 τ=27.23
CC 25 SLV (Collegamento 0023_-380)
Azioni sul collegamento: N=-4942.75 Ty=-0.08 Tz=-5.22 Mx=-0.02 Mz=-0.80
Sollecitazioni agenti localmente: Ty_l=-898.68 Mx_l=-17.97
Tensioni nella sezione: σ=217.86 τ=27.23
CC 25 SLV (Collegamento 0023_-380)
Azioni sul collegamento: N=-4942.75 Ty=-2.39 Tz=-5.22 Mx=-0.02 Mz=-5.32
Sollecitazioni agenti localmente: Ty_l=-898.68 Mx_l=-17.97
Tensioni nella sezione: σ=217.86 τ=27.23
CC 25 SLV (Collegamento 0023_-380)
Azioni sul collegamento: N=-6324.76 Ty=-0.08 Tz=-0.09 Mx=-0.02 Mz=-0.80
Sollecitazioni agenti localmente: Ty_l=-1149.96 Mx_l=-23.00
Tensioni nella sezione: σ=278.78 τ=34.85
CC 25 SLV (Collegamento 0023_-380)
Azioni sul collegamento: N=-6324.76 Ty=-2.39 Tz=-0.09 Mx=-0.02 Mz=-5.32
Sollecitazioni agenti localmente: Ty_l=-1149.96 Mx_l=-23.00
Tensioni nella sezione: σ=278.78 τ=34.85
CC 25 SLV (Collegamento 0023_-380)
Azioni sul collegamento: N=-6324.76 Ty=-0.08 Tz=-5.22 Mx=-0.02 Mz=-0.80
Sollecitazioni agenti localmente: Ty_l=-1149.96 Mx_l=-23.00
Tensioni nella sezione: σ=278.78 τ=34.85
CC 25 SLV (Collegamento 0023_-380)
Azioni sul collegamento: N=-6324.76 Ty=-2.39 Tz=-5.22 Mx=-0.02 Mz=-5.32
Sollecitazioni agenti localmente: Ty_l=-1149.96 Mx_l=-23.00
Tensioni nella sezione: σ=278.78 τ=34.85
CC 26 SLD (Collegamento 0023_-380)
Azioni sul collegamento: N=-5422.87 Ty=-0.08 Tz=-1.87 Mx=-0.01 Mz=-0.31
Sollecitazioni agenti localmente: Ty_l=-985.98 Mx_l=-19.72
Tensioni nella sezione: σ=239.02 τ=29.88
CC 26 SLD (Collegamento 0023_-380)
Azioni sul collegamento: N=-5422.87 Ty=-0.78 Tz=-1.87 Mx=-0.01 Mz=-1.69
Sollecitazioni agenti localmente: Ty_l=-985.98 Mx_l=-19.72
Tensioni nella sezione: σ=239.02 τ=29.88
CC 26 SLD (Collegamento 0023_-380)
Azioni sul collegamento: N=-5422.87 Ty=-0.08 Tz=-3.44 Mx=-0.01 Mz=-0.31
Sollecitazioni agenti localmente: Ty_l=-985.98 Mx_l=-19.72
Tensioni nella sezione: σ=239.02 τ=29.88
CC 26 SLD (Collegamento 0023_-380)
Azioni sul collegamento: N=-5422.87 Ty=-0.78 Tz=-3.44 Mx=-0.01 Mz=-1.69
Sollecitazioni agenti localmente: Ty_l=-985.98 Mx_l=-19.72
Tensioni nella sezione: σ=239.02 τ=29.88
CC 26 SLD (Collegamento 0023_-380)
Azioni sul collegamento: N=-5844.28 Ty=-0.08 Tz=-1.87 Mx=-0.01 Mz=-0.31
Sollecitazioni agenti localmente: Ty_l=-1062.60 Mx_l=-21.25

Tensioni nella sezione: σ=257.60 τ=32.20
CC 26 SLD (Collegamento 0023_-380)
Azioni sul collegamento: N=-5844.28 Ty=-0.78 Tz=-1.87 Mx=-0.01 Mz=-1.69
Sollecitazioni agenti localmente: Ty_l=-1062.60 Mx_l=-21.25
Tensioni nella sezione: σ=257.60 τ=32.20
CC 26 SLD (Collegamento 0023_-380)
Azioni sul collegamento: N=-5844.28 Ty=-0.08 Tz=-3.44 Mx=-0.01 Mz=-0.31
Sollecitazioni agenti localmente: Ty_l=-1062.60 Mx_l=-21.25
Tensioni nella sezione: σ=257.60 τ=32.20
CC 26 SLD (Collegamento 0023_-380)
Azioni sul collegamento: N=-5844.28 Ty=-0.78 Tz=-3.44 Mx=-0.01 Mz=-1.69
Sollecitazioni agenti localmente: Ty_l=-1062.60 Mx_l=-21.25
Tensioni nella sezione: σ=257.60 τ=32.20
CC 27 SLV (Collegamento 0023_-380)
Azioni sul collegamento: N=-6324.69 Ty=-0.09 Tz=-5.21 Mx=-0.02 Mz=-0.81
Sollecitazioni agenti localmente: Ty_l=-1149.94 Mx_l=-23.00
Tensioni nella sezione: σ=278.77 τ=34.85
CC 27 SLV (Collegamento 0023_-380)
Azioni sul collegamento: N=-6324.69 Ty=-2.39 Tz=-5.21 Mx=-0.02 Mz=-5.31
Sollecitazioni agenti localmente: Ty_l=-1149.94 Mx_l=-23.00
Tensioni nella sezione: σ=278.77 τ=34.85
CC 27 SLV (Collegamento 0023_-380)
Azioni sul collegamento: N=-6324.69 Ty=-0.09 Tz=-0.09 Mx=-0.02 Mz=-0.81
Sollecitazioni agenti localmente: Ty_l=-1149.94 Mx_l=-23.00
Tensioni nella sezione: σ=278.77 τ=34.85
CC 27 SLV (Collegamento 0023_-380)
Azioni sul collegamento: N=-6324.69 Ty=-2.39 Tz=-0.09 Mx=-0.02 Mz=-5.31
Sollecitazioni agenti localmente: Ty_l=-1149.94 Mx_l=-23.00
Tensioni nella sezione: σ=278.77 τ=34.85
CC 27 SLV (Collegamento 0023_-380)
Azioni sul collegamento: N=-4942.83 Ty=-0.09 Tz=-5.21 Mx=-0.02 Mz=-0.81
Sollecitazioni agenti localmente: Ty_l=-898.70 Mx_l=-17.97
Tensioni nella sezione: σ=217.87 τ=27.23
CC 27 SLV (Collegamento 0023_-380)
Azioni sul collegamento: N=-4942.83 Ty=-2.39 Tz=-5.21 Mx=-0.02 Mz=-5.31
Sollecitazioni agenti localmente: Ty_l=-898.70 Mx_l=-17.97
Tensioni nella sezione: σ=217.87 τ=27.23
CC 27 SLV (Collegamento 0023_-380)
Azioni sul collegamento: N=-4942.83 Ty=-0.09 Tz=-0.09 Mx=-0.02 Mz=-0.81
Sollecitazioni agenti localmente: Ty_l=-898.70 Mx_l=-17.97
Tensioni nella sezione: σ=217.87 τ=27.23
CC 27 SLV (Collegamento 0023_-380)
Azioni sul collegamento: N=-4942.83 Ty=-2.39 Tz=-0.09 Mx=-0.02 Mz=-5.31
Sollecitazioni agenti localmente: Ty_l=-898.70 Mx_l=-17.97
Tensioni nella sezione: σ=217.87 τ=27.23
CC 28 SLD (Collegamento 0023_-380)
Azioni sul collegamento: N=-5844.26 Ty=-0.08 Tz=-3.43 Mx=-0.01 Mz=-0.32
Sollecitazioni agenti localmente: Ty_l=-1062.59 Mx_l=-21.25
Tensioni nella sezione: σ=257.60 τ=32.20
CC 28 SLD (Collegamento 0023_-380)
Azioni sul collegamento: N=-5844.26 Ty=-0.78 Tz=-3.43 Mx=-0.01 Mz=-1.69
Sollecitazioni agenti localmente: Ty_l=-1062.59 Mx_l=-21.25
Tensioni nella sezione: σ=257.60 τ=32.20
CC 28 SLD (Collegamento 0023_-380)
Azioni sul collegamento: N=-5844.26 Ty=-0.08 Tz=-1.87 Mx=-0.01 Mz=-0.32
Sollecitazioni agenti localmente: Ty_l=-1062.59 Mx_l=-21.25
Tensioni nella sezione: σ=257.60 τ=32.20
CC 28 SLD (Collegamento 0023_-380)
Azioni sul collegamento: N=-5844.26 Ty=-0.78 Tz=-1.87 Mx=-0.01 Mz=-1.69
Sollecitazioni agenti localmente: Ty_l=-1062.59 Mx_l=-21.25
Tensioni nella sezione: σ=257.60 τ=32.20
CC 28 SLD (Collegamento 0023_-380)
Azioni sul collegamento: N=-5422.89 Ty=-0.08 Tz=-3.43 Mx=-0.01 Mz=-0.32
Sollecitazioni agenti localmente: Ty_l=-985.98 Mx_l=-19.72
Tensioni nella sezione: σ=239.03 τ=29.88
CC 28 SLD (Collegamento 0023_-380)
Azioni sul collegamento: N=-5422.89 Ty=-0.78 Tz=-3.43 Mx=-0.01 Mz=-1.69
Sollecitazioni agenti localmente: Ty_l=-985.98 Mx_l=-19.72
Tensioni nella sezione: σ=239.03 τ=29.88
CC 28 SLD (Collegamento 0023_-380)
Azioni sul collegamento: N=-5422.89 Ty=-0.08 Tz=-1.87 Mx=-0.01 Mz=-0.32
Sollecitazioni agenti localmente: Ty_l=-985.98 Mx_l=-19.72
Tensioni nella sezione: σ=239.03 τ=29.88
CC 28 SLD (Collegamento 0023_-380)
Azioni sul collegamento: N=-5422.89 Ty=-0.78 Tz=-1.87 Mx=-0.01 Mz=-1.69
Sollecitazioni agenti localmente: Ty_l=-985.98 Mx_l=-19.72
Tensioni nella sezione: σ=239.03 τ=29.88
CC 29 SLV (Collegamento 0023_-380)
Azioni sul collegamento: N=-4942.83 Ty=-2.39 Tz=-0.09 Mx=-0.00 Mz=-5.31

Sollecitazioni agenti localmente: T_{y_l}=-898.70 M_{x_l}=-17.97
Tensioni nella sezione: σ=217.87 τ=27.23
CC 29 SLV (Collegamento 0023_-380)
Azioni sul collegamento: N=-4942.83 Ty=-0.09 Tz=-0.09 Mx=-0.00 Mz=-0.81
Sollecitazioni agenti localmente: T_{y_l}=-898.70 M_{x_l}=-17.97
Tensioni nella sezione: σ=217.87 τ=27.23
CC 29 SLV (Collegamento 0023_-380)
Azioni sul collegamento: N=-4942.83 Ty=-2.39 Tz=-5.21 Mx=-0.00 Mz=-5.31
Sollecitazioni agenti localmente: T_{y_l}=-898.70 M_{x_l}=-17.97
Tensioni nella sezione: σ=217.87 τ=27.23
CC 29 SLV (Collegamento 0023_-380)
Azioni sul collegamento: N=-4942.83 Ty=-0.09 Tz=-5.21 Mx=-0.00 Mz=-0.81
Sollecitazioni agenti localmente: T_{y_l}=-898.70 M_{x_l}=-17.97
Tensioni nella sezione: σ=217.87 τ=27.23
CC 29 SLV (Collegamento 0023_-380)
Azioni sul collegamento: N=-6324.69 Ty=-2.39 Tz=-0.09 Mx=-0.00 Mz=-5.31
Sollecitazioni agenti localmente: T_{y_l}=-1149.94 M_{x_l}=-23.00
Tensioni nella sezione: σ=278.77 τ=34.85
CC 29 SLV (Collegamento 0023_-380)
Azioni sul collegamento: N=-6324.69 Ty=-0.09 Tz=-0.09 Mx=-0.00 Mz=-0.81
Sollecitazioni agenti localmente: T_{y_l}=-1149.94 M_{x_l}=-23.00
Tensioni nella sezione: σ=278.77 τ=34.85
CC 29 SLV (Collegamento 0023_-380)
Azioni sul collegamento: N=-6324.69 Ty=-2.39 Tz=-5.21 Mx=-0.00 Mz=-5.31
Sollecitazioni agenti localmente: T_{y_l}=-1149.94 M_{x_l}=-23.00
Tensioni nella sezione: σ=278.77 τ=34.85
CC 29 SLV (Collegamento 0023_-380)
Azioni sul collegamento: N=-6324.69 Ty=-0.09 Tz=-5.21 Mx=-0.00 Mz=-0.81
Sollecitazioni agenti localmente: T_{y_l}=-1149.94 M_{x_l}=-23.00
Tensioni nella sezione: σ=278.77 τ=34.85
CC 30 SLD (Collegamento 0023_-380)
Azioni sul collegamento: N=-5422.89 Ty=-0.78 Tz=-1.87 Mx=-0.00 Mz=-1.69
Sollecitazioni agenti localmente: T_{y_l}=-985.98 M_{x_l}=-19.72
Tensioni nella sezione: σ=239.03 τ=29.88
CC 30 SLD (Collegamento 0023_-380)
Azioni sul collegamento: N=-5422.89 Ty=-0.08 Tz=-1.87 Mx=-0.00 Mz=-0.32
Sollecitazioni agenti localmente: T_{y_l}=-985.98 M_{x_l}=-19.72
Tensioni nella sezione: σ=239.03 τ=29.88
CC 30 SLD (Collegamento 0023_-380)
Azioni sul collegamento: N=-5422.89 Ty=-0.78 Tz=-3.43 Mx=-0.00 Mz=-1.69
Sollecitazioni agenti localmente: T_{y_l}=-985.98 M_{x_l}=-19.72
Tensioni nella sezione: σ=239.03 τ=29.88
CC 30 SLD (Collegamento 0023_-380)
Azioni sul collegamento: N=-5422.89 Ty=-0.08 Tz=-3.43 Mx=-0.00 Mz=-0.32
Sollecitazioni agenti localmente: T_{y_l}=-985.98 M_{x_l}=-19.72
Tensioni nella sezione: σ=239.03 τ=29.88
CC 30 SLD (Collegamento 0023_-380)
Azioni sul collegamento: N=-5844.26 Ty=-0.78 Tz=-1.87 Mx=-0.00 Mz=-1.69
Sollecitazioni agenti localmente: T_{y_l}=-1062.59 M_{x_l}=-21.25
Tensioni nella sezione: σ=257.60 τ=32.20
CC 30 SLD (Collegamento 0023_-380)
Azioni sul collegamento: N=-5844.26 Ty=-0.08 Tz=-1.87 Mx=-0.00 Mz=-0.32
Sollecitazioni agenti localmente: T_{y_l}=-1062.59 M_{x_l}=-21.25
Tensioni nella sezione: σ=257.60 τ=32.20
CC 30 SLD (Collegamento 0023_-380)
Azioni sul collegamento: N=-5844.26 Ty=-0.78 Tz=-3.43 Mx=-0.00 Mz=-1.69
Sollecitazioni agenti localmente: T_{y_l}=-1062.59 M_{x_l}=-21.25
Tensioni nella sezione: σ=257.60 τ=32.20
CC 30 SLD (Collegamento 0023_-380)
Azioni sul collegamento: N=-5844.26 Ty=-0.08 Tz=-3.43 Mx=-0.00 Mz=-0.32
Sollecitazioni agenti localmente: T_{y_l}=-1062.59 M_{x_l}=-21.25
Tensioni nella sezione: σ=257.60 τ=32.20
CC 31 SLV (Collegamento 0023_-380)
Azioni sul collegamento: N=-6324.76 Ty=-2.39 Tz=-5.22 Mx=-0.00 Mz=-5.32
Sollecitazioni agenti localmente: T_{y_l}=-1149.96 M_{x_l}=-23.00
Tensioni nella sezione: σ=278.78 τ=34.85
CC 31 SLV (Collegamento 0023_-380)
Azioni sul collegamento: N=-6324.76 Ty=-0.08 Tz=-5.22 Mx=-0.00 Mz=-0.80
Sollecitazioni agenti localmente: T_{y_l}=-1149.96 M_{x_l}=-23.00
Tensioni nella sezione: σ=278.78 τ=34.85
CC 31 SLV (Collegamento 0023_-380)
Azioni sul collegamento: N=-6324.76 Ty=-2.39 Tz=-0.09 Mx=-0.00 Mz=-5.32
Sollecitazioni agenti localmente: T_{y_l}=-1149.96 M_{x_l}=-23.00
Tensioni nella sezione: σ=278.78 τ=34.85
CC 31 SLV (Collegamento 0023_-380)
Azioni sul collegamento: N=-6324.76 Ty=-0.08 Tz=-0.09 Mx=-0.00 Mz=-0.80
Sollecitazioni agenti localmente: T_{y_l}=-1149.96 M_{x_l}=-23.00
Tensioni nella sezione: σ=278.78 τ=34.85
CC 31 SLV (Collegamento 0023_-380)

Azioni sul collegamento: N=-4942.75 Ty=-2.39 Tz=-5.22 Mx=-0.00 Mz=-5.32
Sollecitazioni agenti localmente: Ty_l=-898.68 Mx_l=-17.97
Tensioni nella sezione: σ=217.86 τ=27.23
CC 31 SLV (Collegamento 0023_-380)
Azioni sul collegamento: N=-4942.75 Ty=-0.08 Tz=-5.22 Mx=-0.00 Mz=-0.80
Sollecitazioni agenti localmente: Ty_l=-898.68 Mx_l=-17.97
Tensioni nella sezione: σ=217.86 τ=27.23
CC 31 SLV (Collegamento 0023_-380)
Azioni sul collegamento: N=-4942.75 Ty=-2.39 Tz=-0.09 Mx=-0.00 Mz=-5.32
Sollecitazioni agenti localmente: Ty_l=-898.68 Mx_l=-17.97
Tensioni nella sezione: σ=217.86 τ=27.23
CC 31 SLV (Collegamento 0023_-380)
Azioni sul collegamento: N=-4942.75 Ty=-0.08 Tz=-0.09 Mx=-0.00 Mz=-0.80
Sollecitazioni agenti localmente: Ty_l=-898.68 Mx_l=-17.97
Tensioni nella sezione: σ=217.86 τ=27.23
CC 32 SLD (Collegamento 0023_-380)
Azioni sul collegamento: N=-5844.28 Ty=-0.78 Tz=-3.44 Mx=-0.00 Mz=-1.69
Sollecitazioni agenti localmente: Ty_l=-1062.60 Mx_l=-21.25
Tensioni nella sezione: σ=257.60 τ=32.20
CC 32 SLD (Collegamento 0023_-380)
Azioni sul collegamento: N=-5844.28 Ty=-0.08 Tz=-3.44 Mx=-0.00 Mz=-0.31
Sollecitazioni agenti localmente: Ty_l=-1062.60 Mx_l=-21.25
Tensioni nella sezione: σ=257.60 τ=32.20
CC 32 SLD (Collegamento 0023_-380)
Azioni sul collegamento: N=-5844.28 Ty=-0.78 Tz=-1.87 Mx=-0.00 Mz=-1.69
Sollecitazioni agenti localmente: Ty_l=-1062.60 Mx_l=-21.25
Tensioni nella sezione: σ=257.60 τ=32.20
CC 32 SLD (Collegamento 0023_-380)
Azioni sul collegamento: N=-5844.28 Ty=-0.08 Tz=-1.87 Mx=-0.00 Mz=-0.31
Sollecitazioni agenti localmente: Ty_l=-1062.60 Mx_l=-21.25
Tensioni nella sezione: σ=257.60 τ=32.20
CC 32 SLD (Collegamento 0023_-380)
Azioni sul collegamento: N=-5422.87 Ty=-0.78 Tz=-3.44 Mx=-0.00 Mz=-1.69
Sollecitazioni agenti localmente: Ty_l=-985.98 Mx_l=-19.72
Tensioni nella sezione: σ=239.02 τ=29.88
CC 32 SLD (Collegamento 0023_-380)
Azioni sul collegamento: N=-5422.87 Ty=-0.08 Tz=-3.44 Mx=-0.00 Mz=-0.31
Sollecitazioni agenti localmente: Ty_l=-985.98 Mx_l=-19.72
Tensioni nella sezione: σ=239.02 τ=29.88
CC 32 SLD (Collegamento 0023_-380)
Azioni sul collegamento: N=-5422.87 Ty=-0.78 Tz=-1.87 Mx=-0.00 Mz=-1.69
Sollecitazioni agenti localmente: Ty_l=-985.98 Mx_l=-19.72
Tensioni nella sezione: σ=239.02 τ=29.88
CC 32 SLD (Collegamento 0023_-380)
Azioni sul collegamento: N=-5422.87 Ty=-0.08 Tz=-1.87 Mx=-0.00 Mz=-0.31
Sollecitazioni agenti localmente: Ty_l=-985.98 Mx_l=-19.72
Tensioni nella sezione: σ=239.02 τ=29.88
CC 33 SLU (Collegamento 0023_-380)
Azioni sul collegamento: N=-29447.20 Ty=-0.05 Tz=76.67 Mx=-0.00 Mz=-0.12
Sollecitazioni agenti localmente: Ty_l=-5354.03 Mx_l=-107.08
Tensioni nella sezione: σ=1297.94 τ=162.24
CC 34 SLU (Collegamento 0023_-380)
Azioni sul collegamento: N=-28967.90 Ty=-0.05 Tz=74.90 Mx=-0.00 Mz=-0.12
Sollecitazioni agenti localmente: Ty_l=-5266.89 Mx_l=-105.34
Tensioni nella sezione: σ=1276.82 τ=159.60
CC 35 SLU (Collegamento 0023_-380)
Azioni sul collegamento: N=-29207.50 Ty=-0.17 Tz=75.78 Mx=0.00 Mz=-0.35
Sollecitazioni agenti localmente: Ty_l=-5310.46 Mx_l=-106.21
Tensioni nella sezione: σ=1287.38 τ=160.92
CC 36 SLU (Collegamento 0023_-380)
Azioni sul collegamento: N=-29207.50 Ty=0.07 Tz=75.79 Mx=-0.00 Mz=0.12
Sollecitazioni agenti localmente: Ty_l=-5310.46 Mx_l=-106.21
Tensioni nella sezione: σ=1287.38 τ=160.92
CC 37 SLU (Collegamento 0023_-380)
Azioni sul collegamento: N=-19933.90 Ty=-0.08 Tz=41.69 Mx=-0.00 Mz=-0.13
Sollecitazioni agenti localmente: Ty_l=-3624.34 Mx_l=-72.49
Tensioni nella sezione: σ=878.63 τ=109.83
CC 38 SLU (Collegamento 0023_-380)
Azioni sul collegamento: N=-19454.60 Ty=-0.08 Tz=39.91 Mx=-0.00 Mz=-0.13
Sollecitazioni agenti localmente: Ty_l=-3537.19 Mx_l=-70.74
Tensioni nella sezione: σ=857.50 τ=107.19
CC 39 SLU (Collegamento 0023_-380)
Azioni sul collegamento: N=-19694.20 Ty=-0.20 Tz=40.80 Mx=0.00 Mz=-0.36
Sollecitazioni agenti localmente: Ty_l=-3580.76 Mx_l=-71.62
Tensioni nella sezione: σ=868.06 τ=108.51
CC 40 SLU (Collegamento 0023_-380)
Azioni sul collegamento: N=-19694.20 Ty=0.04 Tz=40.80 Mx=-0.00 Mz=0.10
Sollecitazioni agenti localmente: Ty_l=-3580.76 Mx_l=-71.62
Tensioni nella sezione: σ=868.06 τ=108.51

CC 41 SLU (Collegamento 0023_-380)
Azioni sul collegamento: N=-29632.10 Ty=-0.07 Tz=76.65 Mx=-0.00 Mz=-0.13
Sollecitazioni agenti localmente: Ty_l=-5387.65 Mx_l=-107.75
Tensioni nella sezione: σ=1306.09 τ=163.26
CC 42 SLU (Collegamento 0023_-380)
Azioni sul collegamento: N=-29152.80 Ty=-0.07 Tz=74.88 Mx=-0.00 Mz=-0.13
Sollecitazioni agenti localmente: Ty_l=-5300.51 Mx_l=-106.01
Tensioni nella sezione: σ=1284.97 τ=160.62
CC 43 SLU (Collegamento 0023_-380)
Azioni sul collegamento: N=-29392.40 Ty=-0.19 Tz=75.77 Mx=0.00 Mz=-0.36
Sollecitazioni agenti localmente: Ty_l=-5344.08 Mx_l=-106.88
Tensioni nella sezione: σ=1295.53 τ=161.94
CC 44 SLU (Collegamento 0023_-380)
Azioni sul collegamento: N=-29392.40 Ty=0.05 Tz=75.77 Mx=-0.00 Mz=0.10
Sollecitazioni agenti localmente: Ty_l=-5344.08 Mx_l=-106.88
Tensioni nella sezione: σ=1295.53 τ=161.94
CC 45 SLU (Collegamento 0023_-380)
Azioni sul collegamento: N=-22108.00 Ty=-0.08 Tz=49.75 Mx=-0.00 Mz=-0.14
Sollecitazioni agenti localmente: Ty_l=-4019.65 Mx_l=-80.39
Tensioni nella sezione: σ=974.46 τ=121.81
CC 46 SLU (Collegamento 0023_-380)
Azioni sul collegamento: N=-21628.70 Ty=-0.08 Tz=47.97 Mx=-0.00 Mz=-0.14
Sollecitazioni agenti localmente: Ty_l=-3932.50 Mx_l=-78.65
Tensioni nella sezione: σ=953.33 τ=119.17
CC 47 SLU (Collegamento 0023_-380)
Azioni sul collegamento: N=-21868.40 Ty=-0.20 Tz=48.86 Mx=0.00 Mz=-0.37
Sollecitazioni agenti localmente: Ty_l=-3976.07 Mx_l=-79.52
Tensioni nella sezione: σ=963.89 τ=120.49
CC 48 SLU (Collegamento 0023_-380)
Azioni sul collegamento: N=-21868.40 Ty=0.04 Tz=48.86 Mx=-0.00 Mz=0.10
Sollecitazioni agenti localmente: Ty_l=-3976.07 Mx_l=-79.52
Tensioni nella sezione: σ=963.89 τ=120.49
CC 49 SLU (Collegamento 0023_-380)
Azioni sul collegamento: N=-14990.70 Ty=-0.10 Tz=23.57 Mx=-0.00 Mz=-0.15
Sollecitazioni agenti localmente: Ty_l=-2725.58 Mx_l=-54.51
Tensioni nella sezione: σ=660.74 τ=82.59
CC 50 SLU (Collegamento 0023_-380)
Azioni sul collegamento: N=-14511.40 Ty=-0.10 Tz=21.80 Mx=-0.00 Mz=-0.15
Sollecitazioni agenti localmente: Ty_l=-2638.43 Mx_l=-52.77
Tensioni nella sezione: σ=639.62 τ=79.95
CC 51 SLU (Collegamento 0023_-380)
Azioni sul collegamento: N=-14751.00 Ty=-0.22 Tz=22.68 Mx=0.00 Mz=-0.38
Sollecitazioni agenti localmente: Ty_l=-2682.00 Mx_l=-53.64
Tensioni nella sezione: σ=650.18 τ=81.27
CC 52 SLU (Collegamento 0023_-380)
Azioni sul collegamento: N=-14751.00 Ty=0.02 Tz=22.69 Mx=-0.00 Mz=0.09
Sollecitazioni agenti localmente: Ty_l=-2682.00 Mx_l=-53.64
Tensioni nella sezione: σ=650.18 τ=81.27
CC 53 SLU (Collegamento 0023_-380)
Azioni sul collegamento: N=-22246.40 Ty=-0.10 Tz=49.73 Mx=-0.00 Mz=-0.15
Sollecitazioni agenti localmente: Ty_l=-4044.80 Mx_l=-80.90
Tensioni nella sezione: σ=980.55 τ=122.57
CC 54 SLU (Collegamento 0023_-380)
Azioni sul collegamento: N=-21767.10 Ty=-0.10 Tz=47.96 Mx=-0.00 Mz=-0.15
Sollecitazioni agenti localmente: Ty_l=-3957.65 Mx_l=-79.15
Tensioni nella sezione: σ=959.43 τ=119.93
CC 55 SLU (Collegamento 0023_-380)
Azioni sul collegamento: N=-22006.70 Ty=-0.22 Tz=48.85 Mx=0.00 Mz=-0.38
Sollecitazioni agenti localmente: Ty_l=-4001.22 Mx_l=-80.02
Tensioni nella sezione: σ=969.99 τ=121.25
CC 56 SLU (Collegamento 0023_-380)
Azioni sul collegamento: N=-22006.70 Ty=0.02 Tz=48.85 Mx=-0.00 Mz=0.09
Sollecitazioni agenti localmente: Ty_l=-4001.22 Mx_l=-80.02
Tensioni nella sezione: σ=969.99 τ=121.25
CC 57 SLU (Collegamento 0023_-380)
Azioni sul collegamento: N=-20646.20 Ty=-0.07 Tz=44.37 Mx=-0.00 Mz=-0.13
Sollecitazioni agenti localmente: Ty_l=-3753.86 Mx_l=-75.08
Tensioni nella sezione: σ=910.02 τ=113.75
CC 58 SLU (Collegamento 0023_-380)
Azioni sul collegamento: N=-20166.90 Ty=-0.07 Tz=42.59 Mx=-0.00 Mz=-0.13
Sollecitazioni agenti localmente: Ty_l=-3666.72 Mx_l=-73.33
Tensioni nella sezione: σ=888.90 τ=111.11
CC 59 SLU (Collegamento 0023_-380)
Azioni sul collegamento: N=-20406.60 Ty=-0.19 Tz=43.48 Mx=0.00 Mz=-0.36
Sollecitazioni agenti localmente: Ty_l=-3710.29 Mx_l=-74.21
Tensioni nella sezione: σ=899.46 τ=112.43
CC 60 SLU (Collegamento 0023_-380)
Azioni sul collegamento: N=-20406.60 Ty=0.05 Tz=43.48 Mx=-0.00 Mz=0.10
Sollecitazioni agenti localmente: Ty_l=-3710.29 Mx_l=-74.21

Tensioni nella sezione: σ=899.46 τ=112.43
CC 61 SLU (Collegamento 0023_-380)
Azioni sul collegamento: N=-13528.90 Ty=-0.09 Tz=18.19 Mx=-0.00 Mz=-0.14
Sollecitazioni agenti localmente: Ty_l=-2459.79 Mx_l=-49.20
Tensioni nella sezione: σ=596.31 τ=74.54
CC 62 SLU (Collegamento 0023_-380)
Azioni sul collegamento: N=-13049.60 Ty=-0.10 Tz=16.41 Mx=-0.00 Mz=-0.14
Sollecitazioni agenti localmente: Ty_l=-2372.65 Mx_l=-47.45
Tensioni nella sezione: σ=575.19 τ=71.90
CC 63 SLU (Collegamento 0023_-380)
Azioni sul collegamento: N=-13289.20 Ty=-0.21 Tz=17.30 Mx=0.00 Mz=-0.37
Sollecitazioni agenti localmente: Ty_l=-2416.22 Mx_l=-48.32
Tensioni nella sezione: σ=585.75 τ=73.22
CC 64 SLU (Collegamento 0023_-380)
Azioni sul collegamento: N=-13289.20 Ty=0.02 Tz=17.30 Mx=-0.00 Mz=0.10
Sollecitazioni agenti localmente: Ty_l=-2416.22 Mx_l=-48.32
Tensioni nella sezione: σ=585.75 τ=73.22
CC 65 SLU (Collegamento 0023_-380)
Azioni sul collegamento: N=-20784.60 Ty=-0.09 Tz=44.35 Mx=-0.00 Mz=-0.14
Sollecitazioni agenti localmente: Ty_l=-3779.02 Mx_l=-75.58
Tensioni nella sezione: σ=916.12 τ=114.52
CC 66 SLU (Collegamento 0023_-380)
Azioni sul collegamento: N=-20305.30 Ty=-0.09 Tz=42.57 Mx=-0.00 Mz=-0.14
Sollecitazioni agenti localmente: Ty_l=-3691.87 Mx_l=-73.84
Tensioni nella sezione: σ=895.00 τ=111.88
CC 67 SLU (Collegamento 0023_-380)
Azioni sul collegamento: N=-20544.90 Ty=-0.21 Tz=43.46 Mx=0.00 Mz=-0.37
Sollecitazioni agenti localmente: Ty_l=-3735.44 Mx_l=-74.71
Tensioni nella sezione: σ=905.56 τ=113.19
CC 68 SLU (Collegamento 0023_-380)
Azioni sul collegamento: N=-20544.90 Ty=0.03 Tz=43.46 Mx=-0.00 Mz=0.10
Sollecitazioni agenti localmente: Ty_l=-3735.44 Mx_l=-74.71
Tensioni nella sezione: σ=905.56 τ=113.19
CC 97 SLU (Collegamento 0023_-380)
Azioni sul collegamento: N=-12582.10 Ty=-12.27 Tz=22.98 Mx=-0.04 Mz=-17.61
Sollecitazioni agenti localmente: Ty_l=-2287.66 Mx_l=-45.75
Tensioni nella sezione: σ=554.58 τ=69.32
CC 98 SLU (Collegamento 0023_-380)
Azioni sul collegamento: N=-12102.80 Ty=-12.27 Tz=21.21 Mx=-0.04 Mz=-17.61
Sollecitazioni agenti localmente: Ty_l=-2200.51 Mx_l=-44.01
Tensioni nella sezione: σ=533.46 τ=66.68
CC 99 SLU (Collegamento 0023_-380)
Azioni sul collegamento: N=-12342.50 Ty=-12.39 Tz=22.09 Mx=-0.04 Mz=-17.84
Sollecitazioni agenti localmente: Ty_l=-2244.09 Mx_l=-44.88
Tensioni nella sezione: σ=544.02 τ=68.00
CC 100 SLU (Collegamento 0023_-380)
Azioni sul collegamento: N=-12342.50 Ty=-12.15 Tz=22.09 Mx=-0.04 Mz=-17.38
Sollecitazioni agenti localmente: Ty_l=-2244.09 Mx_l=-44.88
Tensioni nella sezione: σ=544.02 τ=68.00
CC 101 SLU (Collegamento 0023_-380)
Azioni sul collegamento: N=-6366.46 Ty=2.01 Tz=0.04 Mx=0.00 Mz=2.22
Sollecitazioni agenti localmente: Ty_l=-1157.54 Mx_l=-23.15
Tensioni nella sezione: σ=280.62 τ=35.08
CC 102 SLU (Collegamento 0023_-380)
Azioni sul collegamento: N=-5887.16 Ty=2.00 Tz=-1.73 Mx=0.00 Mz=2.22
Sollecitazioni agenti localmente: Ty_l=-1070.39 Mx_l=-21.41
Tensioni nella sezione: σ=259.49 τ=32.44
CC 103 SLU (Collegamento 0023_-380)
Azioni sul collegamento: N=-6126.81 Ty=1.89 Tz=-0.85 Mx=0.01 Mz=1.98
Sollecitazioni agenti localmente: Ty_l=-1113.96 Mx_l=-22.28
Tensioni nella sezione: σ=270.05 τ=33.76
CC 104 SLU (Collegamento 0023_-380)
Azioni sul collegamento: N=-6126.80 Ty=2.12 Tz=-0.84 Mx=0.00 Mz=2.45
Sollecitazioni agenti localmente: Ty_l=-1113.96 Mx_l=-22.28
Tensioni nella sezione: σ=270.05 τ=33.76

Flessione attacco inferiore piastra

Bnetta=220.00 Hnetta=15.00
CC 1 SLV (Collegamento 0023_-380)
Azioni sul collegamento: N=-3330.00 Ty=1.44 Tz=5.89 Mx=0.02 Mz=3.55
Sollecitazioni agenti localmente: Ty_l=-605.45 Mx_l=-12.11
Tensioni nella sezione: σ=146.78 τ=18.35
CC 1 SLV (Collegamento 0023_-380)
Azioni sul collegamento: N=-3330.00 Ty=0.74 Tz=5.89 Mx=0.02 Mz=2.16
Sollecitazioni agenti localmente: Ty_l=-605.45 Mx_l=-12.11
Tensioni nella sezione: σ=146.78 τ=18.35
CC 1 SLV (Collegamento 0023_-380)
Azioni sul collegamento: N=-3330.00 Ty=1.44 Tz=-11.20 Mx=0.02 Mz=3.55

Sollecitazioni agenti localmente: Ty_l=-605.45 Mx_l=-12.11
Tensioni nella sezione: σ=146.78 τ=18.35
CC 1 SLV (Collegamento 0023_-380)
Azioni sul collegamento: N=-3330.00 Ty=0.74 Tz=-11.20 Mx=0.02 Mz=2.16
Sollecitazioni agenti localmente: Ty_l=-605.45 Mx_l=-12.11
Tensioni nella sezione: σ=146.78 τ=18.35
CC 1 SLV (Collegamento 0023_-380)
Azioni sul collegamento: N=-7936.47 Ty=1.44 Tz=5.89 Mx=0.02 Mz=3.55
Sollecitazioni agenti localmente: Ty_l=-1442.99 Mx_l=-28.86
Tensioni nella sezione: σ=349.82 τ=43.73
CC 1 SLV (Collegamento 0023_-380)
Azioni sul collegamento: N=-7936.47 Ty=0.74 Tz=5.89 Mx=0.02 Mz=2.16
Sollecitazioni agenti localmente: Ty_l=-1442.99 Mx_l=-28.86
Tensioni nella sezione: σ=349.82 τ=43.73
CC 1 SLV (Collegamento 0023_-380)
Azioni sul collegamento: N=-7936.47 Ty=1.44 Tz=-11.20 Mx=0.02 Mz=3.55
Sollecitazioni agenti localmente: Ty_l=-1442.99 Mx_l=-28.86
Tensioni nella sezione: σ=349.82 τ=43.73
CC 1 SLV (Collegamento 0023_-380)
Azioni sul collegamento: N=-7936.47 Ty=0.74 Tz=-11.20 Mx=0.02 Mz=2.16
Sollecitazioni agenti localmente: Ty_l=-1442.99 Mx_l=-28.86
Tensioni nella sezione: σ=349.82 τ=43.73
CC 2 SLD (Collegamento 0023_-380)
Azioni sul collegamento: N=-4931.09 Ty=0.39 Tz=-0.05 Mx=0.00 Mz=1.01
Sollecitazioni agenti localmente: Ty_l=-896.56 Mx_l=-17.93
Tensioni nella sezione: σ=217.35 τ=27.17
CC 2 SLD (Collegamento 0023_-380)
Azioni sul collegamento: N=-4931.09 Ty=0.17 Tz=-0.05 Mx=0.00 Mz=0.59
Sollecitazioni agenti localmente: Ty_l=-896.56 Mx_l=-17.93
Tensioni nella sezione: σ=217.35 τ=27.17
CC 2 SLD (Collegamento 0023_-380)
Azioni sul collegamento: N=-4931.09 Ty=0.39 Tz=-5.26 Mx=0.00 Mz=1.01
Sollecitazioni agenti localmente: Ty_l=-896.56 Mx_l=-17.93
Tensioni nella sezione: σ=217.35 τ=27.17
CC 2 SLD (Collegamento 0023_-380)
Azioni sul collegamento: N=-4931.09 Ty=0.17 Tz=-5.26 Mx=0.00 Mz=0.59
Sollecitazioni agenti localmente: Ty_l=-896.56 Mx_l=-17.93
Tensioni nella sezione: σ=217.35 τ=27.17
CC 2 SLD (Collegamento 0023_-380)
Azioni sul collegamento: N=-6335.74 Ty=0.39 Tz=-0.05 Mx=0.00 Mz=1.01
Sollecitazioni agenti localmente: Ty_l=-1151.95 Mx_l=-23.04
Tensioni nella sezione: σ=279.26 τ=34.91
CC 2 SLD (Collegamento 0023_-380)
Azioni sul collegamento: N=-6335.74 Ty=0.17 Tz=-0.05 Mx=0.00 Mz=0.59
Sollecitazioni agenti localmente: Ty_l=-1151.95 Mx_l=-23.04
Tensioni nella sezione: σ=279.26 τ=34.91
CC 2 SLD (Collegamento 0023_-380)
Azioni sul collegamento: N=-6335.74 Ty=0.39 Tz=-5.26 Mx=0.00 Mz=1.01
Sollecitazioni agenti localmente: Ty_l=-1151.95 Mx_l=-23.04
Tensioni nella sezione: σ=279.26 τ=34.91
CC 2 SLD (Collegamento 0023_-380)
Azioni sul collegamento: N=-6335.74 Ty=0.17 Tz=-5.26 Mx=0.00 Mz=0.59
Sollecitazioni agenti localmente: Ty_l=-1151.95 Mx_l=-23.04
Tensioni nella sezione: σ=279.26 τ=34.91
CC 3 SLV (Collegamento 0023_-380)
Azioni sul collegamento: N=-3330.02 Ty=0.75 Tz=5.88 Mx=0.01 Mz=2.19
Sollecitazioni agenti localmente: Ty_l=-605.46 Mx_l=-12.11
Tensioni nella sezione: σ=146.78 τ=18.35
CC 3 SLV (Collegamento 0023_-380)
Azioni sul collegamento: N=-3330.02 Ty=1.43 Tz=5.88 Mx=0.01 Mz=3.51
Sollecitazioni agenti localmente: Ty_l=-605.46 Mx_l=-12.11
Tensioni nella sezione: σ=146.78 τ=18.35
CC 3 SLV (Collegamento 0023_-380)
Azioni sul collegamento: N=-3330.02 Ty=0.75 Tz=-11.19 Mx=0.01 Mz=2.19
Sollecitazioni agenti localmente: Ty_l=-605.46 Mx_l=-12.11
Tensioni nella sezione: σ=146.78 τ=18.35
CC 3 SLV (Collegamento 0023_-380)
Azioni sul collegamento: N=-3330.02 Ty=1.43 Tz=-11.19 Mx=0.01 Mz=3.51
Sollecitazioni agenti localmente: Ty_l=-605.46 Mx_l=-12.11
Tensioni nella sezione: σ=146.78 τ=18.35
CC 3 SLV (Collegamento 0023_-380)
Azioni sul collegamento: N=-7936.44 Ty=0.75 Tz=5.88 Mx=0.01 Mz=2.19
Sollecitazioni agenti localmente: Ty_l=-1442.99 Mx_l=-28.86
Tensioni nella sezione: σ=349.81 τ=43.73
CC 3 SLV (Collegamento 0023_-380)
Azioni sul collegamento: N=-7936.44 Ty=1.43 Tz=5.88 Mx=0.01 Mz=3.51
Sollecitazioni agenti localmente: Ty_l=-1442.99 Mx_l=-28.86
Tensioni nella sezione: σ=349.81 τ=43.73
CC 3 SLV (Collegamento 0023_-380)

Azioni sul collegamento: N=-7936.44 Ty=0.75 Tz=-11.19 Mx=0.01 Mz=2.19
Sollecitazioni agenti localmente: Ty_l=-1442.99 Mx_l=-28.86
Tensioni nella sezione: σ=349.81 τ=43.73
CC 3 SLV (Collegamento 0023_-380)
Azioni sul collegamento: N=-7936.44 Ty=1.43 Tz=-11.19 Mx=0.01 Mz=3.51
Sollecitazioni agenti localmente: Ty_l=-1442.99 Mx_l=-28.86
Tensioni nella sezione: σ=349.81 τ=43.73
CC 4 SLD (Collegamento 0023_-380)
Azioni sul collegamento: N=-4931.09 Ty=0.18 Tz=-0.05 Mx=0.00 Mz=0.60
Sollecitazioni agenti localmente: Ty_l=-896.56 Mx_l=-17.93
Tensioni nella sezione: σ=217.35 τ=27.17
CC 4 SLD (Collegamento 0023_-380)
Azioni sul collegamento: N=-4931.09 Ty=0.38 Tz=-0.05 Mx=0.00 Mz=1.00
Sollecitazioni agenti localmente: Ty_l=-896.56 Mx_l=-17.93
Tensioni nella sezione: σ=217.35 τ=27.17
CC 4 SLD (Collegamento 0023_-380)
Azioni sul collegamento: N=-4931.09 Ty=0.18 Tz=-5.26 Mx=0.00 Mz=0.60
Sollecitazioni agenti localmente: Ty_l=-896.56 Mx_l=-17.93
Tensioni nella sezione: σ=217.35 τ=27.17
CC 4 SLD (Collegamento 0023_-380)
Azioni sul collegamento: N=-4931.09 Ty=0.38 Tz=-5.26 Mx=0.00 Mz=1.00
Sollecitazioni agenti localmente: Ty_l=-896.56 Mx_l=-17.93
Tensioni nella sezione: σ=217.35 τ=27.17
CC 4 SLD (Collegamento 0023_-380)
Azioni sul collegamento: N=-6335.74 Ty=0.18 Tz=-0.05 Mx=0.00 Mz=0.60
Sollecitazioni agenti localmente: Ty_l=-1151.95 Mx_l=-23.04
Tensioni nella sezione: σ=279.26 τ=34.91
CC 4 SLD (Collegamento 0023_-380)
Azioni sul collegamento: N=-6335.74 Ty=0.38 Tz=-0.05 Mx=0.00 Mz=1.00
Sollecitazioni agenti localmente: Ty_l=-1151.95 Mx_l=-23.04
Tensioni nella sezione: σ=279.26 τ=34.91
CC 4 SLD (Collegamento 0023_-380)
Azioni sul collegamento: N=-6335.74 Ty=0.18 Tz=-5.26 Mx=0.00 Mz=0.60
Sollecitazioni agenti localmente: Ty_l=-1151.95 Mx_l=-23.04
Tensioni nella sezione: σ=279.26 τ=34.91
CC 4 SLD (Collegamento 0023_-380)
Azioni sul collegamento: N=-6335.74 Ty=0.38 Tz=-5.26 Mx=0.00 Mz=1.00
Sollecitazioni agenti localmente: Ty_l=-1151.95 Mx_l=-23.04
Tensioni nella sezione: σ=279.26 τ=34.91
CC 5 SLV (Collegamento 0023_-380)
Azioni sul collegamento: N=-7936.44 Ty=1.43 Tz=-11.19 Mx=0.02 Mz=3.51
Sollecitazioni agenti localmente: Ty_l=-1442.99 Mx_l=-28.86
Tensioni nella sezione: σ=349.81 τ=43.73
CC 5 SLV (Collegamento 0023_-380)
Azioni sul collegamento: N=-7936.44 Ty=0.75 Tz=-11.19 Mx=0.02 Mz=2.19
Sollecitazioni agenti localmente: Ty_l=-1442.99 Mx_l=-28.86
Tensioni nella sezione: σ=349.81 τ=43.73
CC 5 SLV (Collegamento 0023_-380)
Azioni sul collegamento: N=-7936.44 Ty=1.43 Tz=5.88 Mx=0.02 Mz=3.51
Sollecitazioni agenti localmente: Ty_l=-1442.99 Mx_l=-28.86
Tensioni nella sezione: σ=349.81 τ=43.73
CC 5 SLV (Collegamento 0023_-380)
Azioni sul collegamento: N=-7936.44 Ty=0.75 Tz=5.88 Mx=0.02 Mz=2.19
Sollecitazioni agenti localmente: Ty_l=-1442.99 Mx_l=-28.86
Tensioni nella sezione: σ=349.81 τ=43.73
CC 5 SLV (Collegamento 0023_-380)
Azioni sul collegamento: N=-3330.02 Ty=1.43 Tz=-11.19 Mx=0.02 Mz=3.51
Sollecitazioni agenti localmente: Ty_l=-605.46 Mx_l=-12.11
Tensioni nella sezione: σ=146.78 τ=18.35
CC 5 SLV (Collegamento 0023_-380)
Azioni sul collegamento: N=-3330.02 Ty=0.75 Tz=-11.19 Mx=0.02 Mz=2.19
Sollecitazioni agenti localmente: Ty_l=-605.46 Mx_l=-12.11
Tensioni nella sezione: σ=146.78 τ=18.35
CC 5 SLV (Collegamento 0023_-380)
Azioni sul collegamento: N=-3330.02 Ty=1.43 Tz=5.88 Mx=0.02 Mz=3.51
Sollecitazioni agenti localmente: Ty_l=-605.46 Mx_l=-12.11
Tensioni nella sezione: σ=146.78 τ=18.35
CC 5 SLV (Collegamento 0023_-380)
Azioni sul collegamento: N=-3330.02 Ty=0.75 Tz=5.88 Mx=0.02 Mz=2.19
Sollecitazioni agenti localmente: Ty_l=-605.46 Mx_l=-12.11
Tensioni nella sezione: σ=146.78 τ=18.35
CC 6 SLD (Collegamento 0023_-380)
Azioni sul collegamento: N=-6335.74 Ty=0.38 Tz=-5.26 Mx=0.00 Mz=1.00
Sollecitazioni agenti localmente: Ty_l=-1151.95 Mx_l=-23.04
Tensioni nella sezione: σ=279.26 τ=34.91
CC 6 SLD (Collegamento 0023_-380)
Azioni sul collegamento: N=-6335.74 Ty=0.18 Tz=-5.26 Mx=0.00 Mz=0.60
Sollecitazioni agenti localmente: Ty_l=-1151.95 Mx_l=-23.04
Tensioni nella sezione: σ=279.26 τ=34.91

CC 6 SLD (Collegamento 0023_-380)
Azioni sul collegamento: N=-6335.74 Ty=0.38 Tz=-0.05 Mx=0.00 Mz=1.00
Sollecitazioni agenti localmente: Ty_l=-1151.95 Mx_l=-23.04
Tensioni nella sezione: σ=279.26 τ=34.91
CC 6 SLD (Collegamento 0023_-380)
Azioni sul collegamento: N=-6335.74 Ty=0.18 Tz=-0.05 Mx=0.00 Mz=0.60
Sollecitazioni agenti localmente: Ty_l=-1151.95 Mx_l=-23.04
Tensioni nella sezione: σ=279.26 τ=34.91
CC 6 SLD (Collegamento 0023_-380)
Azioni sul collegamento: N=-4931.09 Ty=0.38 Tz=-5.26 Mx=0.00 Mz=1.00
Sollecitazioni agenti localmente: Ty_l=-896.56 Mx_l=-17.93
Tensioni nella sezione: σ=217.35 τ=27.17
CC 6 SLD (Collegamento 0023_-380)
Azioni sul collegamento: N=-4931.09 Ty=0.18 Tz=-5.26 Mx=0.00 Mz=0.60
Sollecitazioni agenti localmente: Ty_l=-896.56 Mx_l=-17.93
Tensioni nella sezione: σ=217.35 τ=27.17
CC 6 SLD (Collegamento 0023_-380)
Azioni sul collegamento: N=-4931.09 Ty=0.38 Tz=-0.05 Mx=0.00 Mz=1.00
Sollecitazioni agenti localmente: Ty_l=-896.56 Mx_l=-17.93
Tensioni nella sezione: σ=217.35 τ=27.17
CC 6 SLD (Collegamento 0023_-380)
Azioni sul collegamento: N=-4931.09 Ty=0.18 Tz=-0.05 Mx=0.00 Mz=0.60
Sollecitazioni agenti localmente: Ty_l=-896.56 Mx_l=-17.93
Tensioni nella sezione: σ=217.35 τ=27.17
CC 7 SLV (Collegamento 0023_-380)
Azioni sul collegamento: N=-7936.47 Ty=0.74 Tz=-11.20 Mx=0.01 Mz=2.16
Sollecitazioni agenti localmente: Ty_l=-1442.99 Mx_l=-28.86
Tensioni nella sezione: σ=349.82 τ=43.73
CC 7 SLV (Collegamento 0023_-380)
Azioni sul collegamento: N=-7936.47 Ty=1.44 Tz=-11.20 Mx=0.01 Mz=3.55
Sollecitazioni agenti localmente: Ty_l=-1442.99 Mx_l=-28.86
Tensioni nella sezione: σ=349.82 τ=43.73
CC 7 SLV (Collegamento 0023_-380)
Azioni sul collegamento: N=-7936.47 Ty=0.74 Tz=5.89 Mx=0.01 Mz=2.16
Sollecitazioni agenti localmente: Ty_l=-1442.99 Mx_l=-28.86
Tensioni nella sezione: σ=349.82 τ=43.73
CC 7 SLV (Collegamento 0023_-380)
Azioni sul collegamento: N=-7936.47 Ty=1.44 Tz=5.89 Mx=0.01 Mz=3.55
Sollecitazioni agenti localmente: Ty_l=-1442.99 Mx_l=-28.86
Tensioni nella sezione: σ=349.82 τ=43.73
CC 7 SLV (Collegamento 0023_-380)
Azioni sul collegamento: N=-3330.00 Ty=0.74 Tz=-11.20 Mx=0.01 Mz=2.16
Sollecitazioni agenti localmente: Ty_l=-605.45 Mx_l=-12.11
Tensioni nella sezione: σ=146.78 τ=18.35
CC 7 SLV (Collegamento 0023_-380)
Azioni sul collegamento: N=-3330.00 Ty=1.44 Tz=-11.20 Mx=0.01 Mz=3.55
Sollecitazioni agenti localmente: Ty_l=-605.45 Mx_l=-12.11
Tensioni nella sezione: σ=146.78 τ=18.35
CC 7 SLV (Collegamento 0023_-380)
Azioni sul collegamento: N=-3330.00 Ty=0.74 Tz=5.89 Mx=0.01 Mz=2.16
Sollecitazioni agenti localmente: Ty_l=-605.45 Mx_l=-12.11
Tensioni nella sezione: σ=146.78 τ=18.35
CC 7 SLV (Collegamento 0023_-380)
Azioni sul collegamento: N=-3330.00 Ty=1.44 Tz=5.89 Mx=0.01 Mz=3.55
Sollecitazioni agenti localmente: Ty_l=-605.45 Mx_l=-12.11
Tensioni nella sezione: σ=146.78 τ=18.35
CC 8 SLD (Collegamento 0023_-380)
Azioni sul collegamento: N=-6335.74 Ty=0.17 Tz=-5.26 Mx=0.00 Mz=0.59
Sollecitazioni agenti localmente: Ty_l=-1151.95 Mx_l=-23.04
Tensioni nella sezione: σ=279.26 τ=34.91
CC 8 SLD (Collegamento 0023_-380)
Azioni sul collegamento: N=-6335.74 Ty=0.39 Tz=-5.26 Mx=0.00 Mz=1.01
Sollecitazioni agenti localmente: Ty_l=-1151.95 Mx_l=-23.04
Tensioni nella sezione: σ=279.26 τ=34.91
CC 8 SLD (Collegamento 0023_-380)
Azioni sul collegamento: N=-6335.74 Ty=0.17 Tz=-0.05 Mx=0.00 Mz=0.59
Sollecitazioni agenti localmente: Ty_l=-1151.95 Mx_l=-23.04
Tensioni nella sezione: σ=279.26 τ=34.91
CC 8 SLD (Collegamento 0023_-380)
Azioni sul collegamento: N=-6335.74 Ty=0.39 Tz=-0.05 Mx=0.00 Mz=1.01
Sollecitazioni agenti localmente: Ty_l=-1151.95 Mx_l=-23.04
Tensioni nella sezione: σ=279.26 τ=34.91
CC 8 SLD (Collegamento 0023_-380)
Azioni sul collegamento: N=-4931.09 Ty=0.17 Tz=-5.26 Mx=0.00 Mz=0.59
Sollecitazioni agenti localmente: Ty_l=-896.56 Mx_l=-17.93
Tensioni nella sezione: σ=217.35 τ=27.17
CC 8 SLD (Collegamento 0023_-380)
Azioni sul collegamento: N=-4931.09 Ty=0.39 Tz=-5.26 Mx=0.00 Mz=1.01
Sollecitazioni agenti localmente: Ty_l=-896.56 Mx_l=-17.93

Tensioni nella sezione: σ=217.35 τ=27.17
CC 8 SLD (Collegamento 0023_-380)
Azioni sul collegamento: N=-4931.09 Ty=0.17 Tz=-0.05 Mx=0.00 Mz=0.59
Sollecitazioni agenti localmente: Ty_l=-896.56 Mx_l=-17.93
Tensioni nella sezione: σ=217.35 τ=27.17
CC 8 SLD (Collegamento 0023_-380)
Azioni sul collegamento: N=-4931.09 Ty=0.39 Tz=-0.05 Mx=0.00 Mz=1.01
Sollecitazioni agenti localmente: Ty_l=-896.56 Mx_l=-17.93
Tensioni nella sezione: σ=217.35 τ=27.17
CC 9 SLV (Collegamento 0023_-380)
Azioni sul collegamento: N=-4942.23 Ty=2.24 Tz=-0.09 Mx=0.02 Mz=5.11
Sollecitazioni agenti localmente: Ty_l=-898.59 Mx_l=-17.97
Tensioni nella sezione: σ=217.84 τ=27.23
CC 9 SLV (Collegamento 0023_-380)
Azioni sul collegamento: N=-4942.23 Ty=-0.07 Tz=-0.09 Mx=0.02 Mz=0.59
Sollecitazioni agenti localmente: Ty_l=-898.59 Mx_l=-17.97
Tensioni nella sezione: σ=217.84 τ=27.23
CC 9 SLV (Collegamento 0023_-380)
Azioni sul collegamento: N=-4942.23 Ty=2.24 Tz=-5.22 Mx=0.02 Mz=5.11
Sollecitazioni agenti localmente: Ty_l=-898.59 Mx_l=-17.97
Tensioni nella sezione: σ=217.84 τ=27.23
CC 9 SLV (Collegamento 0023_-380)
Azioni sul collegamento: N=-4942.23 Ty=-0.07 Tz=-5.22 Mx=0.02 Mz=0.59
Sollecitazioni agenti localmente: Ty_l=-898.59 Mx_l=-17.97
Tensioni nella sezione: σ=217.84 τ=27.23
CC 9 SLV (Collegamento 0023_-380)
Azioni sul collegamento: N=-6324.24 Ty=2.24 Tz=-0.09 Mx=0.02 Mz=5.11
Sollecitazioni agenti localmente: Ty_l=-1149.86 Mx_l=-23.00
Tensioni nella sezione: σ=278.75 τ=34.84
CC 9 SLV (Collegamento 0023_-380)
Azioni sul collegamento: N=-6324.24 Ty=-0.07 Tz=-0.09 Mx=0.02 Mz=0.59
Sollecitazioni agenti localmente: Ty_l=-1149.86 Mx_l=-23.00
Tensioni nella sezione: σ=278.75 τ=34.84
CC 9 SLV (Collegamento 0023_-380)
Azioni sul collegamento: N=-6324.24 Ty=2.24 Tz=-5.22 Mx=0.02 Mz=5.11
Sollecitazioni agenti localmente: Ty_l=-1149.86 Mx_l=-23.00
Tensioni nella sezione: σ=278.75 τ=34.84
CC 9 SLV (Collegamento 0023_-380)
Azioni sul collegamento: N=-6324.24 Ty=-0.07 Tz=-5.22 Mx=0.02 Mz=0.59
Sollecitazioni agenti localmente: Ty_l=-1149.86 Mx_l=-23.00
Tensioni nella sezione: σ=278.75 τ=34.84
CC 10 SLD (Collegamento 0023_-380)
Azioni sul collegamento: N=-5422.71 Ty=0.63 Tz=-1.87 Mx=0.01 Mz=1.49
Sollecitazioni agenti localmente: Ty_l=-985.95 Mx_l=-19.72
Tensioni nella sezione: σ=239.02 τ=29.88
CC 10 SLD (Collegamento 0023_-380)
Azioni sul collegamento: N=-5422.71 Ty=-0.07 Tz=-1.87 Mx=0.01 Mz=0.11
Sollecitazioni agenti localmente: Ty_l=-985.95 Mx_l=-19.72
Tensioni nella sezione: σ=239.02 τ=29.88
CC 10 SLD (Collegamento 0023_-380)
Azioni sul collegamento: N=-5422.71 Ty=0.63 Tz=-3.44 Mx=0.01 Mz=1.49
Sollecitazioni agenti localmente: Ty_l=-985.95 Mx_l=-19.72
Tensioni nella sezione: σ=239.02 τ=29.88
CC 10 SLD (Collegamento 0023_-380)
Azioni sul collegamento: N=-5422.71 Ty=-0.07 Tz=-3.44 Mx=0.01 Mz=0.11
Sollecitazioni agenti localmente: Ty_l=-985.95 Mx_l=-19.72
Tensioni nella sezione: σ=239.02 τ=29.88
CC 10 SLD (Collegamento 0023_-380)
Azioni sul collegamento: N=-5844.12 Ty=0.63 Tz=-1.87 Mx=0.01 Mz=1.49
Sollecitazioni agenti localmente: Ty_l=-1062.57 Mx_l=-21.25
Tensioni nella sezione: σ=257.59 τ=32.20
CC 10 SLD (Collegamento 0023_-380)
Azioni sul collegamento: N=-5844.12 Ty=-0.07 Tz=-1.87 Mx=0.01 Mz=0.11
Sollecitazioni agenti localmente: Ty_l=-1062.57 Mx_l=-21.25
Tensioni nella sezione: σ=257.59 τ=32.20
CC 10 SLD (Collegamento 0023_-380)
Azioni sul collegamento: N=-5844.12 Ty=0.63 Tz=-3.44 Mx=0.01 Mz=1.49
Sollecitazioni agenti localmente: Ty_l=-1062.57 Mx_l=-21.25
Tensioni nella sezione: σ=257.59 τ=32.20
CC 10 SLD (Collegamento 0023_-380)
Azioni sul collegamento: N=-5844.12 Ty=-0.07 Tz=-3.44 Mx=0.01 Mz=0.11
Sollecitazioni agenti localmente: Ty_l=-1062.57 Mx_l=-21.25
Tensioni nella sezione: σ=257.59 τ=32.20
CC 11 SLV (Collegamento 0023_-380)
Azioni sul collegamento: N=-6324.16 Ty=2.24 Tz=-5.22 Mx=0.02 Mz=5.10
Sollecitazioni agenti localmente: Ty_l=-1149.85 Mx_l=-23.00
Tensioni nella sezione: σ=278.75 τ=34.84
CC 11 SLV (Collegamento 0023_-380)
Azioni sul collegamento: N=-6324.16 Ty=-0.06 Tz=-5.22 Mx=0.02 Mz=0.60

Sollecitazioni agenti localmente: Ty_l=-1149.85 Mx_l=-23.00
Tensioni nella sezione: σ=278.75 τ=34.84
CC 11 SLV (Collegamento 0023_-380)
Azioni sul collegamento: N=-6324.16 Ty=2.24 Tz=-0.09 Mx=0.02 Mz=5.10
Sollecitazioni agenti localmente: Ty_l=-1149.85 Mx_l=-23.00
Tensioni nella sezione: σ=278.75 τ=34.84
CC 11 SLV (Collegamento 0023_-380)
Azioni sul collegamento: N=-6324.16 Ty=-0.06 Tz=-0.09 Mx=0.02 Mz=0.60
Sollecitazioni agenti localmente: Ty_l=-1149.85 Mx_l=-23.00
Tensioni nella sezione: σ=278.75 τ=34.84
CC 11 SLV (Collegamento 0023_-380)
Azioni sul collegamento: N=-4942.30 Ty=2.24 Tz=-5.22 Mx=0.02 Mz=5.10
Sollecitazioni agenti localmente: Ty_l=-898.60 Mx_l=-17.97
Tensioni nella sezione: σ=217.84 τ=27.23
CC 11 SLV (Collegamento 0023_-380)
Azioni sul collegamento: N=-4942.30 Ty=-0.06 Tz=-5.22 Mx=0.02 Mz=0.60
Sollecitazioni agenti localmente: Ty_l=-898.60 Mx_l=-17.97
Tensioni nella sezione: σ=217.84 τ=27.23
CC 11 SLV (Collegamento 0023_-380)
Azioni sul collegamento: N=-4942.30 Ty=2.24 Tz=-0.09 Mx=0.02 Mz=5.10
Sollecitazioni agenti localmente: Ty_l=-898.60 Mx_l=-17.97
Tensioni nella sezione: σ=217.84 τ=27.23
CC 11 SLV (Collegamento 0023_-380)
Azioni sul collegamento: N=-4942.30 Ty=-0.06 Tz=-0.09 Mx=0.02 Mz=0.60
Sollecitazioni agenti localmente: Ty_l=-898.60 Mx_l=-17.97
Tensioni nella sezione: σ=217.84 τ=27.23
CC 12 SLD (Collegamento 0023_-380)
Azioni sul collegamento: N=-5844.10 Ty=0.63 Tz=-3.44 Mx=0.01 Mz=1.48
Sollecitazioni agenti localmente: Ty_l=-1062.56 Mx_l=-21.25
Tensioni nella sezione: σ=257.59 τ=32.20
CC 12 SLD (Collegamento 0023_-380)
Azioni sul collegamento: N=-5844.10 Ty=-0.07 Tz=-3.44 Mx=0.01 Mz=0.11
Sollecitazioni agenti localmente: Ty_l=-1062.56 Mx_l=-21.25
Tensioni nella sezione: σ=257.59 τ=32.20
CC 12 SLD (Collegamento 0023_-380)
Azioni sul collegamento: N=-5844.10 Ty=0.63 Tz=-1.87 Mx=0.01 Mz=1.48
Sollecitazioni agenti localmente: Ty_l=-1062.56 Mx_l=-21.25
Tensioni nella sezione: σ=257.59 τ=32.20
CC 12 SLD (Collegamento 0023_-380)
Azioni sul collegamento: N=-5844.10 Ty=-0.07 Tz=-1.87 Mx=0.01 Mz=0.11
Sollecitazioni agenti localmente: Ty_l=-1062.56 Mx_l=-21.25
Tensioni nella sezione: σ=257.59 τ=32.20
CC 12 SLD (Collegamento 0023_-380)
Azioni sul collegamento: N=-5422.73 Ty=0.63 Tz=-3.44 Mx=0.01 Mz=1.48
Sollecitazioni agenti localmente: Ty_l=-985.95 Mx_l=-19.72
Tensioni nella sezione: σ=239.02 τ=29.88
CC 12 SLD (Collegamento 0023_-380)
Azioni sul collegamento: N=-5422.73 Ty=-0.07 Tz=-3.44 Mx=0.01 Mz=0.11
Sollecitazioni agenti localmente: Ty_l=-985.95 Mx_l=-19.72
Tensioni nella sezione: σ=239.02 τ=29.88
CC 12 SLD (Collegamento 0023_-380)
Azioni sul collegamento: N=-5422.73 Ty=0.63 Tz=-1.87 Mx=0.01 Mz=1.48
Sollecitazioni agenti localmente: Ty_l=-985.95 Mx_l=-19.72
Tensioni nella sezione: σ=239.02 τ=29.88
CC 12 SLD (Collegamento 0023_-380)
Azioni sul collegamento: N=-5422.73 Ty=-0.07 Tz=-1.87 Mx=0.01 Mz=0.11
Sollecitazioni agenti localmente: Ty_l=-985.95 Mx_l=-19.72
Tensioni nella sezione: σ=239.02 τ=29.88
CC 13 SLV (Collegamento 0023_-380)
Azioni sul collegamento: N=-4942.30 Ty=-0.06 Tz=-0.09 Mx=0.00 Mz=0.60
Sollecitazioni agenti localmente: Ty_l=-898.60 Mx_l=-17.97
Tensioni nella sezione: σ=217.84 τ=27.23
CC 13 SLV (Collegamento 0023_-380)
Azioni sul collegamento: N=-4942.30 Ty=2.24 Tz=-0.09 Mx=0.00 Mz=5.10
Sollecitazioni agenti localmente: Ty_l=-898.60 Mx_l=-17.97
Tensioni nella sezione: σ=217.84 τ=27.23
CC 13 SLV (Collegamento 0023_-380)
Azioni sul collegamento: N=-4942.30 Ty=-0.06 Tz=-5.22 Mx=0.00 Mz=0.60
Sollecitazioni agenti localmente: Ty_l=-898.60 Mx_l=-17.97
Tensioni nella sezione: σ=217.84 τ=27.23
CC 13 SLV (Collegamento 0023_-380)
Azioni sul collegamento: N=-4942.30 Ty=2.24 Tz=-5.22 Mx=0.00 Mz=5.10
Sollecitazioni agenti localmente: Ty_l=-898.60 Mx_l=-17.97
Tensioni nella sezione: σ=217.84 τ=27.23
CC 13 SLV (Collegamento 0023_-380)
Azioni sul collegamento: N=-6324.16 Ty=-0.06 Tz=-0.09 Mx=0.00 Mz=0.60
Sollecitazioni agenti localmente: Ty_l=-1149.85 Mx_l=-23.00
Tensioni nella sezione: σ=278.75 τ=34.84
CC 13 SLV (Collegamento 0023_-380)

Azioni sul collegamento: N=-6324.16 Ty=2.24 Tz=-0.09 Mx=0.00 Mz=5.10
Sollecitazioni agenti localmente: Ty_l=-1149.85 Mx_l=-23.00
Tensioni nella sezione: σ=278.75 τ=34.84
CC 13 SLV (Collegamento 0023_-380)
Azioni sul collegamento: N=-6324.16 Ty=-0.06 Tz=-5.22 Mx=0.00 Mz=0.60
Sollecitazioni agenti localmente: Ty_l=-1149.85 Mx_l=-23.00
Tensioni nella sezione: σ=278.75 τ=34.84
CC 13 SLV (Collegamento 0023_-380)
Azioni sul collegamento: N=-6324.16 Ty=2.24 Tz=-5.22 Mx=0.00 Mz=5.10
Sollecitazioni agenti localmente: Ty_l=-1149.85 Mx_l=-23.00
Tensioni nella sezione: σ=278.75 τ=34.84
CC 14 SLD (Collegamento 0023_-380)
Azioni sul collegamento: N=-5422.73 Ty=-0.07 Tz=-1.87 Mx=0.00 Mz=0.11
Sollecitazioni agenti localmente: Ty_l=-985.95 Mx_l=-19.72
Tensioni nella sezione: σ=239.02 τ=29.88
CC 14 SLD (Collegamento 0023_-380)
Azioni sul collegamento: N=-5422.73 Ty=0.63 Tz=-1.87 Mx=0.00 Mz=1.48
Sollecitazioni agenti localmente: Ty_l=-985.95 Mx_l=-19.72
Tensioni nella sezione: σ=239.02 τ=29.88
CC 14 SLD (Collegamento 0023_-380)
Azioni sul collegamento: N=-5422.73 Ty=-0.07 Tz=-3.44 Mx=0.00 Mz=0.11
Sollecitazioni agenti localmente: Ty_l=-985.95 Mx_l=-19.72
Tensioni nella sezione: σ=239.02 τ=29.88
CC 14 SLD (Collegamento 0023_-380)
Azioni sul collegamento: N=-5422.73 Ty=0.63 Tz=-3.44 Mx=0.00 Mz=1.48
Sollecitazioni agenti localmente: Ty_l=-985.95 Mx_l=-19.72
Tensioni nella sezione: σ=239.02 τ=29.88
CC 14 SLD (Collegamento 0023_-380)
Azioni sul collegamento: N=-5844.10 Ty=-0.07 Tz=-1.87 Mx=0.00 Mz=0.11
Sollecitazioni agenti localmente: Ty_l=-1062.56 Mx_l=-21.25
Tensioni nella sezione: σ=257.59 τ=32.20
CC 14 SLD (Collegamento 0023_-380)
Azioni sul collegamento: N=-5844.10 Ty=0.63 Tz=-1.87 Mx=0.00 Mz=1.48
Sollecitazioni agenti localmente: Ty_l=-1062.56 Mx_l=-21.25
Tensioni nella sezione: σ=257.59 τ=32.20
CC 14 SLD (Collegamento 0023_-380)
Azioni sul collegamento: N=-5844.10 Ty=-0.07 Tz=-3.44 Mx=0.00 Mz=0.11
Sollecitazioni agenti localmente: Ty_l=-1062.56 Mx_l=-21.25
Tensioni nella sezione: σ=257.59 τ=32.20
CC 14 SLD (Collegamento 0023_-380)
Azioni sul collegamento: N=-5844.10 Ty=0.63 Tz=-3.44 Mx=0.00 Mz=1.48
Sollecitazioni agenti localmente: Ty_l=-1062.56 Mx_l=-21.25
Tensioni nella sezione: σ=257.59 τ=32.20
CC 15 SLV (Collegamento 0023_-380)
Azioni sul collegamento: N=-6324.24 Ty=-0.07 Tz=-5.22 Mx=0.00 Mz=0.59
Sollecitazioni agenti localmente: Ty_l=-1149.86 Mx_l=-23.00
Tensioni nella sezione: σ=278.75 τ=34.84
CC 15 SLV (Collegamento 0023_-380)
Azioni sul collegamento: N=-6324.24 Ty=2.24 Tz=-5.22 Mx=0.00 Mz=5.11
Sollecitazioni agenti localmente: Ty_l=-1149.86 Mx_l=-23.00
Tensioni nella sezione: σ=278.75 τ=34.84
CC 15 SLV (Collegamento 0023_-380)
Azioni sul collegamento: N=-6324.24 Ty=-0.07 Tz=-0.09 Mx=0.00 Mz=0.59
Sollecitazioni agenti localmente: Ty_l=-1149.86 Mx_l=-23.00
Tensioni nella sezione: σ=278.75 τ=34.84
CC 15 SLV (Collegamento 0023_-380)
Azioni sul collegamento: N=-6324.24 Ty=2.24 Tz=-0.09 Mx=0.00 Mz=5.11
Sollecitazioni agenti localmente: Ty_l=-1149.86 Mx_l=-23.00
Tensioni nella sezione: σ=278.75 τ=34.84
CC 15 SLV (Collegamento 0023_-380)
Azioni sul collegamento: N=-4942.23 Ty=-0.07 Tz=-5.22 Mx=0.00 Mz=0.59
Sollecitazioni agenti localmente: Ty_l=-898.59 Mx_l=-17.97
Tensioni nella sezione: σ=217.84 τ=27.23
CC 15 SLV (Collegamento 0023_-380)
Azioni sul collegamento: N=-4942.23 Ty=2.24 Tz=-5.22 Mx=0.00 Mz=5.11
Sollecitazioni agenti localmente: Ty_l=-898.59 Mx_l=-17.97
Tensioni nella sezione: σ=217.84 τ=27.23
CC 15 SLV (Collegamento 0023_-380)
Azioni sul collegamento: N=-4942.23 Ty=-0.07 Tz=-0.09 Mx=0.00 Mz=0.59
Sollecitazioni agenti localmente: Ty_l=-898.59 Mx_l=-17.97
Tensioni nella sezione: σ=217.84 τ=27.23
CC 15 SLV (Collegamento 0023_-380)
Azioni sul collegamento: N=-4942.23 Ty=2.24 Tz=-0.09 Mx=0.00 Mz=5.11
Sollecitazioni agenti localmente: Ty_l=-898.59 Mx_l=-17.97
Tensioni nella sezione: σ=217.84 τ=27.23
CC 16 SLD (Collegamento 0023_-380)
Azioni sul collegamento: N=-5844.12 Ty=-0.07 Tz=-3.44 Mx=0.00 Mz=0.11
Sollecitazioni agenti localmente: Ty_l=-1062.57 Mx_l=-21.25
Tensioni nella sezione: σ=257.59 τ=32.20

CC 16 SLD (Collegamento 0023_-380)
Azioni sul collegamento: N=-5844.12 Ty=0.63 Tz=-3.44 Mx=0.00 Mz=1.49
Sollecitazioni agenti localmente: Ty_l=-1062.57 Mx_l=-21.25
Tensioni nella sezione: σ=257.59 τ=32.20
CC 16 SLD (Collegamento 0023_-380)
Azioni sul collegamento: N=-5844.12 Ty=-0.07 Tz=-1.87 Mx=0.00 Mz=0.11
Sollecitazioni agenti localmente: Ty_l=-1062.57 Mx_l=-21.25
Tensioni nella sezione: σ=257.59 τ=32.20
CC 16 SLD (Collegamento 0023_-380)
Azioni sul collegamento: N=-5844.12 Ty=0.63 Tz=-1.87 Mx=0.00 Mz=1.49
Sollecitazioni agenti localmente: Ty_l=-1062.57 Mx_l=-21.25
Tensioni nella sezione: σ=257.59 τ=32.20
CC 16 SLD (Collegamento 0023_-380)
Azioni sul collegamento: N=-5422.71 Ty=-0.07 Tz=-3.44 Mx=0.00 Mz=0.11
Sollecitazioni agenti localmente: Ty_l=-985.95 Mx_l=-19.72
Tensioni nella sezione: σ=239.02 τ=29.88
CC 16 SLD (Collegamento 0023_-380)
Azioni sul collegamento: N=-5422.71 Ty=0.63 Tz=-3.44 Mx=0.00 Mz=1.49
Sollecitazioni agenti localmente: Ty_l=-985.95 Mx_l=-19.72
Tensioni nella sezione: σ=239.02 τ=29.88
CC 16 SLD (Collegamento 0023_-380)
Azioni sul collegamento: N=-5422.71 Ty=-0.07 Tz=-1.87 Mx=0.00 Mz=0.11
Sollecitazioni agenti localmente: Ty_l=-985.95 Mx_l=-19.72
Tensioni nella sezione: σ=239.02 τ=29.88
CC 16 SLD (Collegamento 0023_-380)
Azioni sul collegamento: N=-5422.71 Ty=0.63 Tz=-1.87 Mx=0.00 Mz=1.49
Sollecitazioni agenti localmente: Ty_l=-985.95 Mx_l=-19.72
Tensioni nella sezione: σ=239.02 τ=29.88
CC 17 SLV (Collegamento 0023_-380)
Azioni sul collegamento: N=-3330.52 Ty=-0.88 Tz=5.89 Mx=-0.02 Mz=-2.36
Sollecitazioni agenti localmente: Ty_l=-605.55 Mx_l=-12.11
Tensioni nella sezione: σ=146.80 τ=18.35
CC 17 SLV (Collegamento 0023_-380)
Azioni sul collegamento: N=-3330.52 Ty=-1.59 Tz=5.89 Mx=-0.02 Mz=-3.75
Sollecitazioni agenti localmente: Ty_l=-605.55 Mx_l=-12.11
Tensioni nella sezione: σ=146.80 τ=18.35
CC 17 SLV (Collegamento 0023_-380)
Azioni sul collegamento: N=-3330.52 Ty=-0.88 Tz=-11.19 Mx=-0.02 Mz=-2.36
Sollecitazioni agenti localmente: Ty_l=-605.55 Mx_l=-12.11
Tensioni nella sezione: σ=146.80 τ=18.35
CC 17 SLV (Collegamento 0023_-380)
Azioni sul collegamento: N=-3330.52 Ty=-1.59 Tz=-11.19 Mx=-0.02 Mz=-3.75
Sollecitazioni agenti localmente: Ty_l=-605.55 Mx_l=-12.11
Tensioni nella sezione: σ=146.80 τ=18.35
CC 17 SLV (Collegamento 0023_-380)
Azioni sul collegamento: N=-7936.99 Ty=-0.88 Tz=5.89 Mx=-0.02 Mz=-2.36
Sollecitazioni agenti localmente: Ty_l=-1443.09 Mx_l=-28.86
Tensioni nella sezione: σ=349.84 τ=43.73
CC 17 SLV (Collegamento 0023_-380)
Azioni sul collegamento: N=-7936.99 Ty=-1.59 Tz=5.89 Mx=-0.02 Mz=-3.75
Sollecitazioni agenti localmente: Ty_l=-1443.09 Mx_l=-28.86
Tensioni nella sezione: σ=349.84 τ=43.73
CC 17 SLV (Collegamento 0023_-380)
Azioni sul collegamento: N=-7936.99 Ty=-0.88 Tz=-11.19 Mx=-0.02 Mz=-2.36
Sollecitazioni agenti localmente: Ty_l=-1443.09 Mx_l=-28.86
Tensioni nella sezione: σ=349.84 τ=43.73
CC 17 SLV (Collegamento 0023_-380)
Azioni sul collegamento: N=-7936.99 Ty=-1.59 Tz=-11.19 Mx=-0.02 Mz=-3.75
Sollecitazioni agenti localmente: Ty_l=-1443.09 Mx_l=-28.86
Tensioni nella sezione: σ=349.84 τ=43.73
CC 18 SLD (Collegamento 0023_-380)
Azioni sul collegamento: N=-4931.25 Ty=-0.32 Tz=-0.05 Mx=-0.01 Mz=-0.79
Sollecitazioni agenti localmente: Ty_l=-896.59 Mx_l=-17.93
Tensioni nella sezione: σ=217.35 τ=27.17
CC 18 SLD (Collegamento 0023_-380)
Azioni sul collegamento: N=-4931.25 Ty=-0.54 Tz=-0.05 Mx=-0.01 Mz=-1.22
Sollecitazioni agenti localmente: Ty_l=-896.59 Mx_l=-17.93
Tensioni nella sezione: σ=217.35 τ=27.17
CC 18 SLD (Collegamento 0023_-380)
Azioni sul collegamento: N=-4931.25 Ty=-0.32 Tz=-5.26 Mx=-0.01 Mz=-0.79
Sollecitazioni agenti localmente: Ty_l=-896.59 Mx_l=-17.93
Tensioni nella sezione: σ=217.35 τ=27.17
CC 18 SLD (Collegamento 0023_-380)
Azioni sul collegamento: N=-4931.25 Ty=-0.54 Tz=-5.26 Mx=-0.01 Mz=-1.22
Sollecitazioni agenti localmente: Ty_l=-896.59 Mx_l=-17.93
Tensioni nella sezione: σ=217.35 τ=27.17
CC 18 SLD (Collegamento 0023_-380)
Azioni sul collegamento: N=-6335.90 Ty=-0.32 Tz=-0.05 Mx=-0.01 Mz=-0.79
Sollecitazioni agenti localmente: Ty_l=-1151.98 Mx_l=-23.04

Tensioni nella sezione: σ=279.27 τ=34.91
CC 18 SLD (Collegamento 0023_-380)
Azioni sul collegamento: N=-6335.90 Ty=-0.54 Tz=-0.05 Mx=-0.01 Mz=-1.22
Sollecitazioni agenti localmente: Ty_l=-1151.98 Mx_l=-23.04
Tensioni nella sezione: σ=279.27 τ=34.91
CC 18 SLD (Collegamento 0023_-380)
Azioni sul collegamento: N=-6335.90 Ty=-0.32 Tz=-5.26 Mx=-0.01 Mz=-0.79
Sollecitazioni agenti localmente: Ty_l=-1151.98 Mx_l=-23.04
Tensioni nella sezione: σ=279.27 τ=34.91
CC 18 SLD (Collegamento 0023_-380)
Azioni sul collegamento: N=-6335.90 Ty=-0.54 Tz=-5.26 Mx=-0.01 Mz=-1.22
Sollecitazioni agenti localmente: Ty_l=-1151.98 Mx_l=-23.04
Tensioni nella sezione: σ=279.27 τ=34.91
CC 19 SLV (Collegamento 0023_-380)
Azioni sul collegamento: N=-3330.55 Ty=-1.58 Tz=5.89 Mx=-0.01 Mz=-3.71
Sollecitazioni agenti localmente: Ty_l=-605.55 Mx_l=-12.11
Tensioni nella sezione: σ=146.80 τ=18.35
CC 19 SLV (Collegamento 0023_-380)
Azioni sul collegamento: N=-3330.55 Ty=-0.90 Tz=5.89 Mx=-0.01 Mz=-2.40
Sollecitazioni agenti localmente: Ty_l=-605.55 Mx_l=-12.11
Tensioni nella sezione: σ=146.80 τ=18.35
CC 19 SLV (Collegamento 0023_-380)
Azioni sul collegamento: N=-3330.55 Ty=-1.58 Tz=-11.19 Mx=-0.01 Mz=-3.71
Sollecitazioni agenti localmente: Ty_l=-605.55 Mx_l=-12.11
Tensioni nella sezione: σ=146.80 τ=18.35
CC 19 SLV (Collegamento 0023_-380)
Azioni sul collegamento: N=-3330.55 Ty=-0.90 Tz=-11.19 Mx=-0.01 Mz=-2.40
Sollecitazioni agenti localmente: Ty_l=-605.55 Mx_l=-12.11
Tensioni nella sezione: σ=146.80 τ=18.35
CC 19 SLV (Collegamento 0023_-380)
Azioni sul collegamento: N=-7936.97 Ty=-1.58 Tz=5.89 Mx=-0.01 Mz=-3.71
Sollecitazioni agenti localmente: Ty_l=-1443.09 Mx_l=-28.86
Tensioni nella sezione: σ=349.84 τ=43.73
CC 19 SLV (Collegamento 0023_-380)
Azioni sul collegamento: N=-7936.97 Ty=-0.90 Tz=5.89 Mx=-0.01 Mz=-2.40
Sollecitazioni agenti localmente: Ty_l=-1443.09 Mx_l=-28.86
Tensioni nella sezione: σ=349.84 τ=43.73
CC 19 SLV (Collegamento 0023_-380)
Azioni sul collegamento: N=-7936.97 Ty=-1.58 Tz=-11.19 Mx=-0.01 Mz=-3.71
Sollecitazioni agenti localmente: Ty_l=-1443.09 Mx_l=-28.86
Tensioni nella sezione: σ=349.84 τ=43.73
CC 19 SLV (Collegamento 0023_-380)
Azioni sul collegamento: N=-7936.97 Ty=-0.90 Tz=-11.19 Mx=-0.01 Mz=-2.40
Sollecitazioni agenti localmente: Ty_l=-1443.09 Mx_l=-28.86
Tensioni nella sezione: σ=349.84 τ=43.73
CC 20 SLD (Collegamento 0023_-380)
Azioni sul collegamento: N=-4931.25 Ty=-0.53 Tz=-0.05 Mx=-0.00 Mz=-1.20
Sollecitazioni agenti localmente: Ty_l=-896.59 Mx_l=-17.93
Tensioni nella sezione: σ=217.35 τ=27.17
CC 20 SLD (Collegamento 0023_-380)
Azioni sul collegamento: N=-4931.25 Ty=-0.33 Tz=-0.05 Mx=-0.00 Mz=-0.80
Sollecitazioni agenti localmente: Ty_l=-896.59 Mx_l=-17.93
Tensioni nella sezione: σ=217.35 τ=27.17
CC 20 SLD (Collegamento 0023_-380)
Azioni sul collegamento: N=-4931.25 Ty=-0.53 Tz=-5.26 Mx=-0.00 Mz=-1.20
Sollecitazioni agenti localmente: Ty_l=-896.59 Mx_l=-17.93
Tensioni nella sezione: σ=217.35 τ=27.17
CC 20 SLD (Collegamento 0023_-380)
Azioni sul collegamento: N=-4931.25 Ty=-0.33 Tz=-5.26 Mx=-0.00 Mz=-0.80
Sollecitazioni agenti localmente: Ty_l=-896.59 Mx_l=-17.93
Tensioni nella sezione: σ=217.35 τ=27.17
CC 20 SLD (Collegamento 0023_-380)
Azioni sul collegamento: N=-6335.90 Ty=-0.53 Tz=-0.05 Mx=-0.00 Mz=-1.20
Sollecitazioni agenti localmente: Ty_l=-1151.98 Mx_l=-23.04
Tensioni nella sezione: σ=279.27 τ=34.91
CC 20 SLD (Collegamento 0023_-380)
Azioni sul collegamento: N=-6335.90 Ty=-0.33 Tz=-0.05 Mx=-0.00 Mz=-0.80
Sollecitazioni agenti localmente: Ty_l=-1151.98 Mx_l=-23.04
Tensioni nella sezione: σ=279.27 τ=34.91
CC 20 SLD (Collegamento 0023_-380)
Azioni sul collegamento: N=-6335.90 Ty=-0.53 Tz=-5.26 Mx=-0.00 Mz=-1.20
Sollecitazioni agenti localmente: Ty_l=-1151.98 Mx_l=-23.04
Tensioni nella sezione: σ=279.27 τ=34.91
CC 20 SLD (Collegamento 0023_-380)
Azioni sul collegamento: N=-6335.90 Ty=-0.33 Tz=-5.26 Mx=-0.00 Mz=-0.80
Sollecitazioni agenti localmente: Ty_l=-1151.98 Mx_l=-23.04
Tensioni nella sezione: σ=279.27 τ=34.91
CC 21 SLV (Collegamento 0023_-380)
Azioni sul collegamento: N=-7936.97 Ty=-0.90 Tz=-11.19 Mx=-0.02 Mz=-2.40

Sollecitazioni agenti localmente: Ty_l=-1443.09 Mx_l=-28.86
Tensioni nella sezione: σ=349.84 τ=43.73
CC 21 SLV (Collegamento 0023_-380)
Azioni sul collegamento: N=-7936.97 Ty=-1.58 Tz=-11.19 Mx=-0.02 Mz=-3.71
Sollecitazioni agenti localmente: Ty_l=-1443.09 Mx_l=-28.86
Tensioni nella sezione: σ=349.84 τ=43.73
CC 21 SLV (Collegamento 0023_-380)
Azioni sul collegamento: N=-7936.97 Ty=-0.90 Tz=5.89 Mx=-0.02 Mz=-2.40
Sollecitazioni agenti localmente: Ty_l=-1443.09 Mx_l=-28.86
Tensioni nella sezione: σ=349.84 τ=43.73
CC 21 SLV (Collegamento 0023_-380)
Azioni sul collegamento: N=-7936.97 Ty=-1.58 Tz=5.89 Mx=-0.02 Mz=-3.71
Sollecitazioni agenti localmente: Ty_l=-1443.09 Mx_l=-28.86
Tensioni nella sezione: σ=349.84 τ=43.73
CC 21 SLV (Collegamento 0023_-380)
Azioni sul collegamento: N=-3330.55 Ty=-0.90 Tz=-11.19 Mx=-0.02 Mz=-2.40
Sollecitazioni agenti localmente: Ty_l=-605.55 Mx_l=-12.11
Tensioni nella sezione: σ=146.80 τ=18.35
CC 21 SLV (Collegamento 0023_-380)
Azioni sul collegamento: N=-3330.55 Ty=-1.58 Tz=-11.19 Mx=-0.02 Mz=-3.71
Sollecitazioni agenti localmente: Ty_l=-605.55 Mx_l=-12.11
Tensioni nella sezione: σ=146.80 τ=18.35
CC 21 SLV (Collegamento 0023_-380)
Azioni sul collegamento: N=-3330.55 Ty=-0.90 Tz=5.89 Mx=-0.02 Mz=-2.40
Sollecitazioni agenti localmente: Ty_l=-605.55 Mx_l=-12.11
Tensioni nella sezione: σ=146.80 τ=18.35
CC 21 SLV (Collegamento 0023_-380)
Azioni sul collegamento: N=-3330.55 Ty=-1.58 Tz=5.89 Mx=-0.02 Mz=-3.71
Sollecitazioni agenti localmente: Ty_l=-605.55 Mx_l=-12.11
Tensioni nella sezione: σ=146.80 τ=18.35
CC 22 SLD (Collegamento 0023_-380)
Azioni sul collegamento: N=-6335.90 Ty=-0.33 Tz=-5.26 Mx=-0.01 Mz=-0.80
Sollecitazioni agenti localmente: Ty_l=-1151.98 Mx_l=-23.04
Tensioni nella sezione: σ=279.27 τ=34.91
CC 22 SLD (Collegamento 0023_-380)
Azioni sul collegamento: N=-6335.90 Ty=-0.53 Tz=-5.26 Mx=-0.01 Mz=-1.20
Sollecitazioni agenti localmente: Ty_l=-1151.98 Mx_l=-23.04
Tensioni nella sezione: σ=279.27 τ=34.91
CC 22 SLD (Collegamento 0023_-380)
Azioni sul collegamento: N=-6335.90 Ty=-0.33 Tz=-0.05 Mx=-0.01 Mz=-0.80
Sollecitazioni agenti localmente: Ty_l=-1151.98 Mx_l=-23.04
Tensioni nella sezione: σ=279.27 τ=34.91
CC 22 SLD (Collegamento 0023_-380)
Azioni sul collegamento: N=-6335.90 Ty=-0.53 Tz=-0.05 Mx=-0.01 Mz=-1.20
Sollecitazioni agenti localmente: Ty_l=-1151.98 Mx_l=-23.04
Tensioni nella sezione: σ=279.27 τ=34.91
CC 22 SLD (Collegamento 0023_-380)
Azioni sul collegamento: N=-4931.25 Ty=-0.33 Tz=-5.26 Mx=-0.01 Mz=-0.80
Sollecitazioni agenti localmente: Ty_l=-896.59 Mx_l=-17.93
Tensioni nella sezione: σ=217.35 τ=27.17
CC 22 SLD (Collegamento 0023_-380)
Azioni sul collegamento: N=-4931.25 Ty=-0.53 Tz=-5.26 Mx=-0.01 Mz=-1.20
Sollecitazioni agenti localmente: Ty_l=-896.59 Mx_l=-17.93
Tensioni nella sezione: σ=217.35 τ=27.17
CC 22 SLD (Collegamento 0023_-380)
Azioni sul collegamento: N=-4931.25 Ty=-0.33 Tz=-0.05 Mx=-0.01 Mz=-0.80
Sollecitazioni agenti localmente: Ty_l=-896.59 Mx_l=-17.93
Tensioni nella sezione: σ=217.35 τ=27.17
CC 22 SLD (Collegamento 0023_-380)
Azioni sul collegamento: N=-4931.25 Ty=-0.53 Tz=-0.05 Mx=-0.01 Mz=-1.20
Sollecitazioni agenti localmente: Ty_l=-896.59 Mx_l=-17.93
Tensioni nella sezione: σ=217.35 τ=27.17
CC 23 SLV (Collegamento 0023_-380)
Azioni sul collegamento: N=-7936.99 Ty=-1.59 Tz=-11.19 Mx=-0.01 Mz=-3.75
Sollecitazioni agenti localmente: Ty_l=-1443.09 Mx_l=-28.86
Tensioni nella sezione: σ=349.84 τ=43.73
CC 23 SLV (Collegamento 0023_-380)
Azioni sul collegamento: N=-7936.99 Ty=-0.88 Tz=-11.19 Mx=-0.01 Mz=-2.36
Sollecitazioni agenti localmente: Ty_l=-1443.09 Mx_l=-28.86
Tensioni nella sezione: σ=349.84 τ=43.73
CC 23 SLV (Collegamento 0023_-380)
Azioni sul collegamento: N=-7936.99 Ty=-1.59 Tz=5.89 Mx=-0.01 Mz=-3.75
Sollecitazioni agenti localmente: Ty_l=-1443.09 Mx_l=-28.86
Tensioni nella sezione: σ=349.84 τ=43.73
CC 23 SLV (Collegamento 0023_-380)
Azioni sul collegamento: N=-7936.99 Ty=-0.88 Tz=5.89 Mx=-0.01 Mz=-2.36
Sollecitazioni agenti localmente: Ty_l=-1443.09 Mx_l=-28.86
Tensioni nella sezione: σ=349.84 τ=43.73
CC 23 SLV (Collegamento 0023_-380)

Azioni sul collegamento: N=-3330.52 Ty=-1.59 Tz=-11.19 Mx=-0.01 Mz=-3.75
Sollecitazioni agenti localmente: Ty_l=-605.55 Mx_l=-12.11
Tensioni nella sezione: σ=146.80 τ=18.35
CC 23 SLV (Collegamento 0023_-380)
Azioni sul collegamento: N=-3330.52 Ty=-0.88 Tz=-11.19 Mx=-0.01 Mz=-2.36
Sollecitazioni agenti localmente: Ty_l=-605.55 Mx_l=-12.11
Tensioni nella sezione: σ=146.80 τ=18.35
CC 23 SLV (Collegamento 0023_-380)
Azioni sul collegamento: N=-3330.52 Ty=-1.59 Tz=5.89 Mx=-0.01 Mz=-3.75
Sollecitazioni agenti localmente: Ty_l=-605.55 Mx_l=-12.11
Tensioni nella sezione: σ=146.80 τ=18.35
CC 23 SLV (Collegamento 0023_-380)
Azioni sul collegamento: N=-3330.52 Ty=-0.88 Tz=5.89 Mx=-0.01 Mz=-2.36
Sollecitazioni agenti localmente: Ty_l=-605.55 Mx_l=-12.11
Tensioni nella sezione: σ=146.80 τ=18.35
CC 24 SLD (Collegamento 0023_-380)
Azioni sul collegamento: N=-6335.90 Ty=-0.54 Tz=-5.26 Mx=-0.00 Mz=-1.22
Sollecitazioni agenti localmente: Ty_l=-1151.98 Mx_l=-23.04
Tensioni nella sezione: σ=279.27 τ=34.91
CC 24 SLD (Collegamento 0023_-380)
Azioni sul collegamento: N=-6335.90 Ty=-0.32 Tz=-5.26 Mx=-0.00 Mz=-0.79
Sollecitazioni agenti localmente: Ty_l=-1151.98 Mx_l=-23.04
Tensioni nella sezione: σ=279.27 τ=34.91
CC 24 SLD (Collegamento 0023_-380)
Azioni sul collegamento: N=-6335.90 Ty=-0.54 Tz=-0.05 Mx=-0.00 Mz=-1.22
Sollecitazioni agenti localmente: Ty_l=-1151.98 Mx_l=-23.04
Tensioni nella sezione: σ=279.27 τ=34.91
CC 24 SLD (Collegamento 0023_-380)
Azioni sul collegamento: N=-6335.90 Ty=-0.32 Tz=-0.05 Mx=-0.00 Mz=-0.79
Sollecitazioni agenti localmente: Ty_l=-1151.98 Mx_l=-23.04
Tensioni nella sezione: σ=279.27 τ=34.91
CC 24 SLD (Collegamento 0023_-380)
Azioni sul collegamento: N=-4931.25 Ty=-0.54 Tz=-5.26 Mx=-0.00 Mz=-1.22
Sollecitazioni agenti localmente: Ty_l=-896.59 Mx_l=-17.93
Tensioni nella sezione: σ=217.35 τ=27.17
CC 24 SLD (Collegamento 0023_-380)
Azioni sul collegamento: N=-4931.25 Ty=-0.32 Tz=-5.26 Mx=-0.00 Mz=-0.79
Sollecitazioni agenti localmente: Ty_l=-896.59 Mx_l=-17.93
Tensioni nella sezione: σ=217.35 τ=27.17
CC 24 SLD (Collegamento 0023_-380)
Azioni sul collegamento: N=-4931.25 Ty=-0.54 Tz=-0.05 Mx=-0.00 Mz=-1.22
Sollecitazioni agenti localmente: Ty_l=-896.59 Mx_l=-17.93
Tensioni nella sezione: σ=217.35 τ=27.17
CC 24 SLD (Collegamento 0023_-380)
Azioni sul collegamento: N=-4931.25 Ty=-0.32 Tz=-0.05 Mx=-0.00 Mz=-0.79
Sollecitazioni agenti localmente: Ty_l=-896.59 Mx_l=-17.93
Tensioni nella sezione: σ=217.35 τ=27.17
CC 25 SLV (Collegamento 0023_-380)
Azioni sul collegamento: N=-4942.75 Ty=-0.08 Tz=-0.09 Mx=-0.02 Mz=-0.80
Sollecitazioni agenti localmente: Ty_l=-898.68 Mx_l=-17.97
Tensioni nella sezione: σ=217.86 τ=27.23
CC 25 SLV (Collegamento 0023_-380)
Azioni sul collegamento: N=-4942.75 Ty=-2.39 Tz=-0.09 Mx=-0.02 Mz=-5.32
Sollecitazioni agenti localmente: Ty_l=-898.68 Mx_l=-17.97
Tensioni nella sezione: σ=217.86 τ=27.23
CC 25 SLV (Collegamento 0023_-380)
Azioni sul collegamento: N=-4942.75 Ty=-0.08 Tz=-5.22 Mx=-0.02 Mz=-0.80
Sollecitazioni agenti localmente: Ty_l=-898.68 Mx_l=-17.97
Tensioni nella sezione: σ=217.86 τ=27.23
CC 25 SLV (Collegamento 0023_-380)
Azioni sul collegamento: N=-4942.75 Ty=-2.39 Tz=-5.22 Mx=-0.02 Mz=-5.32
Sollecitazioni agenti localmente: Ty_l=-898.68 Mx_l=-17.97
Tensioni nella sezione: σ=217.86 τ=27.23
CC 25 SLV (Collegamento 0023_-380)
Azioni sul collegamento: N=-6324.76 Ty=-0.08 Tz=-0.09 Mx=-0.02 Mz=-0.80
Sollecitazioni agenti localmente: Ty_l=-1149.96 Mx_l=-23.00
Tensioni nella sezione: σ=278.78 τ=34.85
CC 25 SLV (Collegamento 0023_-380)
Azioni sul collegamento: N=-6324.76 Ty=-2.39 Tz=-0.09 Mx=-0.02 Mz=-5.32
Sollecitazioni agenti localmente: Ty_l=-1149.96 Mx_l=-23.00
Tensioni nella sezione: σ=278.78 τ=34.85
CC 25 SLV (Collegamento 0023_-380)
Azioni sul collegamento: N=-6324.76 Ty=-0.08 Tz=-5.22 Mx=-0.02 Mz=-0.80
Sollecitazioni agenti localmente: Ty_l=-1149.96 Mx_l=-23.00
Tensioni nella sezione: σ=278.78 τ=34.85
CC 25 SLV (Collegamento 0023_-380)
Azioni sul collegamento: N=-6324.76 Ty=-2.39 Tz=-5.22 Mx=-0.02 Mz=-5.32
Sollecitazioni agenti localmente: Ty_l=-1149.96 Mx_l=-23.00
Tensioni nella sezione: σ=278.78 τ=34.85

CC 26 SLD (Collegamento 0023_-380)
Azioni sul collegamento: N=-5422.87 Ty=-0.08 Tz=-1.87 Mx=-0.01 Mz=-0.31
Sollecitazioni agenti localmente: Ty_l=-985.98 Mx_l=-19.72
Tensioni nella sezione: σ=239.02 τ=29.88
CC 26 SLD (Collegamento 0023_-380)
Azioni sul collegamento: N=-5422.87 Ty=-0.78 Tz=-1.87 Mx=-0.01 Mz=-1.69
Sollecitazioni agenti localmente: Ty_l=-985.98 Mx_l=-19.72
Tensioni nella sezione: σ=239.02 τ=29.88
CC 26 SLD (Collegamento 0023_-380)
Azioni sul collegamento: N=-5422.87 Ty=-0.08 Tz=-3.44 Mx=-0.01 Mz=-0.31
Sollecitazioni agenti localmente: Ty_l=-985.98 Mx_l=-19.72
Tensioni nella sezione: σ=239.02 τ=29.88
CC 26 SLD (Collegamento 0023_-380)
Azioni sul collegamento: N=-5422.87 Ty=-0.78 Tz=-3.44 Mx=-0.01 Mz=-1.69
Sollecitazioni agenti localmente: Ty_l=-985.98 Mx_l=-19.72
Tensioni nella sezione: σ=239.02 τ=29.88
CC 26 SLD (Collegamento 0023_-380)
Azioni sul collegamento: N=-5844.28 Ty=-0.08 Tz=-1.87 Mx=-0.01 Mz=-0.31
Sollecitazioni agenti localmente: Ty_l=-1062.60 Mx_l=-21.25
Tensioni nella sezione: σ=257.60 τ=32.20
CC 26 SLD (Collegamento 0023_-380)
Azioni sul collegamento: N=-5844.28 Ty=-0.78 Tz=-1.87 Mx=-0.01 Mz=-1.69
Sollecitazioni agenti localmente: Ty_l=-1062.60 Mx_l=-21.25
Tensioni nella sezione: σ=257.60 τ=32.20
CC 26 SLD (Collegamento 0023_-380)
Azioni sul collegamento: N=-5844.28 Ty=-0.08 Tz=-3.44 Mx=-0.01 Mz=-0.31
Sollecitazioni agenti localmente: Ty_l=-1062.60 Mx_l=-21.25
Tensioni nella sezione: σ=257.60 τ=32.20
CC 26 SLD (Collegamento 0023_-380)
Azioni sul collegamento: N=-5844.28 Ty=-0.78 Tz=-3.44 Mx=-0.01 Mz=-1.69
Sollecitazioni agenti localmente: Ty_l=-1062.60 Mx_l=-21.25
Tensioni nella sezione: σ=257.60 τ=32.20
CC 27 SLV (Collegamento 0023_-380)
Azioni sul collegamento: N=-6324.69 Ty=-0.09 Tz=-5.21 Mx=-0.02 Mz=-0.81
Sollecitazioni agenti localmente: Ty_l=-1149.94 Mx_l=-23.00
Tensioni nella sezione: σ=278.77 τ=34.85
CC 27 SLV (Collegamento 0023_-380)
Azioni sul collegamento: N=-6324.69 Ty=-2.39 Tz=-5.21 Mx=-0.02 Mz=-5.31
Sollecitazioni agenti localmente: Ty_l=-1149.94 Mx_l=-23.00
Tensioni nella sezione: σ=278.77 τ=34.85
CC 27 SLV (Collegamento 0023_-380)
Azioni sul collegamento: N=-6324.69 Ty=-0.09 Tz=-0.09 Mx=-0.02 Mz=-0.81
Sollecitazioni agenti localmente: Ty_l=-1149.94 Mx_l=-23.00
Tensioni nella sezione: σ=278.77 τ=34.85
CC 27 SLV (Collegamento 0023_-380)
Azioni sul collegamento: N=-6324.69 Ty=-2.39 Tz=-0.09 Mx=-0.02 Mz=-5.31
Sollecitazioni agenti localmente: Ty_l=-1149.94 Mx_l=-23.00
Tensioni nella sezione: σ=278.77 τ=34.85
CC 27 SLV (Collegamento 0023_-380)
Azioni sul collegamento: N=-4942.83 Ty=-0.09 Tz=-5.21 Mx=-0.02 Mz=-0.81
Sollecitazioni agenti localmente: Ty_l=-898.70 Mx_l=-17.97
Tensioni nella sezione: σ=217.87 τ=27.23
CC 27 SLV (Collegamento 0023_-380)
Azioni sul collegamento: N=-4942.83 Ty=-2.39 Tz=-5.21 Mx=-0.02 Mz=-5.31
Sollecitazioni agenti localmente: Ty_l=-898.70 Mx_l=-17.97
Tensioni nella sezione: σ=217.87 τ=27.23
CC 27 SLV (Collegamento 0023_-380)
Azioni sul collegamento: N=-4942.83 Ty=-0.09 Tz=-0.09 Mx=-0.02 Mz=-0.81
Sollecitazioni agenti localmente: Ty_l=-898.70 Mx_l=-17.97
Tensioni nella sezione: σ=217.87 τ=27.23
CC 27 SLV (Collegamento 0023_-380)
Azioni sul collegamento: N=-4942.83 Ty=-2.39 Tz=-0.09 Mx=-0.02 Mz=-5.31
Sollecitazioni agenti localmente: Ty_l=-898.70 Mx_l=-17.97
Tensioni nella sezione: σ=217.87 τ=27.23
CC 28 SLD (Collegamento 0023_-380)
Azioni sul collegamento: N=-5844.26 Ty=-0.08 Tz=-3.43 Mx=-0.01 Mz=-0.32
Sollecitazioni agenti localmente: Ty_l=-1062.59 Mx_l=-21.25
Tensioni nella sezione: σ=257.60 τ=32.20
CC 28 SLD (Collegamento 0023_-380)
Azioni sul collegamento: N=-5844.26 Ty=-0.78 Tz=-3.43 Mx=-0.01 Mz=-1.69
Sollecitazioni agenti localmente: Ty_l=-1062.59 Mx_l=-21.25
Tensioni nella sezione: σ=257.60 τ=32.20
CC 28 SLD (Collegamento 0023_-380)
Azioni sul collegamento: N=-5844.26 Ty=-0.08 Tz=-1.87 Mx=-0.01 Mz=-0.32
Sollecitazioni agenti localmente: Ty_l=-1062.59 Mx_l=-21.25
Tensioni nella sezione: σ=257.60 τ=32.20
CC 28 SLD (Collegamento 0023_-380)
Azioni sul collegamento: N=-5844.26 Ty=-0.78 Tz=-1.87 Mx=-0.01 Mz=-1.69
Sollecitazioni agenti localmente: Ty_l=-1062.59 Mx_l=-21.25

Tensioni nella sezione: σ=257.60 τ=32.20
CC 28 SLD (Collegamento 0023_-380)
Azioni sul collegamento: N=-5422.89 Ty=-0.08 Tz=-3.43 Mx=-0.01 Mz=-0.32
Sollecitazioni agenti localmente: Ty_l=-985.98 Mx_l=-19.72
Tensioni nella sezione: σ=239.03 τ=29.88
CC 28 SLD (Collegamento 0023_-380)
Azioni sul collegamento: N=-5422.89 Ty=-0.78 Tz=-3.43 Mx=-0.01 Mz=-1.69
Sollecitazioni agenti localmente: Ty_l=-985.98 Mx_l=-19.72
Tensioni nella sezione: σ=239.03 τ=29.88
CC 28 SLD (Collegamento 0023_-380)
Azioni sul collegamento: N=-5422.89 Ty=-0.08 Tz=-1.87 Mx=-0.01 Mz=-0.32
Sollecitazioni agenti localmente: Ty_l=-985.98 Mx_l=-19.72
Tensioni nella sezione: σ=239.03 τ=29.88
CC 28 SLD (Collegamento 0023_-380)
Azioni sul collegamento: N=-5422.89 Ty=-0.78 Tz=-1.87 Mx=-0.01 Mz=-1.69
Sollecitazioni agenti localmente: Ty_l=-985.98 Mx_l=-19.72
Tensioni nella sezione: σ=239.03 τ=29.88
CC 29 SLV (Collegamento 0023_-380)
Azioni sul collegamento: N=-4942.83 Ty=-2.39 Tz=-0.09 Mx=-0.00 Mz=-5.31
Sollecitazioni agenti localmente: Ty_l=-898.70 Mx_l=-17.97
Tensioni nella sezione: σ=217.87 τ=27.23
CC 29 SLV (Collegamento 0023_-380)
Azioni sul collegamento: N=-4942.83 Ty=-0.09 Tz=-0.09 Mx=-0.00 Mz=-0.81
Sollecitazioni agenti localmente: Ty_l=-898.70 Mx_l=-17.97
Tensioni nella sezione: σ=217.87 τ=27.23
CC 29 SLV (Collegamento 0023_-380)
Azioni sul collegamento: N=-4942.83 Ty=-2.39 Tz=-5.21 Mx=-0.00 Mz=-5.31
Sollecitazioni agenti localmente: Ty_l=-898.70 Mx_l=-17.97
Tensioni nella sezione: σ=217.87 τ=27.23
CC 29 SLV (Collegamento 0023_-380)
Azioni sul collegamento: N=-4942.83 Ty=-0.09 Tz=-5.21 Mx=-0.00 Mz=-0.81
Sollecitazioni agenti localmente: Ty_l=-898.70 Mx_l=-17.97
Tensioni nella sezione: σ=217.87 τ=27.23
CC 29 SLV (Collegamento 0023_-380)
Azioni sul collegamento: N=-6324.69 Ty=-2.39 Tz=-0.09 Mx=-0.00 Mz=-5.31
Sollecitazioni agenti localmente: Ty_l=-1149.94 Mx_l=-23.00
Tensioni nella sezione: σ=278.77 τ=34.85
CC 29 SLV (Collegamento 0023_-380)
Azioni sul collegamento: N=-6324.69 Ty=-0.09 Tz=-0.09 Mx=-0.00 Mz=-0.81
Sollecitazioni agenti localmente: Ty_l=-1149.94 Mx_l=-23.00
Tensioni nella sezione: σ=278.77 τ=34.85
CC 29 SLV (Collegamento 0023_-380)
Azioni sul collegamento: N=-6324.69 Ty=-2.39 Tz=-5.21 Mx=-0.00 Mz=-5.31
Sollecitazioni agenti localmente: Ty_l=-1149.94 Mx_l=-23.00
Tensioni nella sezione: σ=278.77 τ=34.85
CC 29 SLV (Collegamento 0023_-380)
Azioni sul collegamento: N=-6324.69 Ty=-0.09 Tz=-5.21 Mx=-0.00 Mz=-0.81
Sollecitazioni agenti localmente: Ty_l=-1149.94 Mx_l=-23.00
Tensioni nella sezione: σ=278.77 τ=34.85
CC 30 SLD (Collegamento 0023_-380)
Azioni sul collegamento: N=-5422.89 Ty=-0.78 Tz=-1.87 Mx=-0.00 Mz=-1.69
Sollecitazioni agenti localmente: Ty_l=-985.98 Mx_l=-19.72
Tensioni nella sezione: σ=239.03 τ=29.88
CC 30 SLD (Collegamento 0023_-380)
Azioni sul collegamento: N=-5422.89 Ty=-0.08 Tz=-1.87 Mx=-0.00 Mz=-0.32
Sollecitazioni agenti localmente: Ty_l=-985.98 Mx_l=-19.72
Tensioni nella sezione: σ=239.03 τ=29.88
CC 30 SLD (Collegamento 0023_-380)
Azioni sul collegamento: N=-5422.89 Ty=-0.78 Tz=-3.43 Mx=-0.00 Mz=-1.69
Sollecitazioni agenti localmente: Ty_l=-985.98 Mx_l=-19.72
Tensioni nella sezione: σ=239.03 τ=29.88
CC 30 SLD (Collegamento 0023_-380)
Azioni sul collegamento: N=-5422.89 Ty=-0.08 Tz=-3.43 Mx=-0.00 Mz=-0.32
Sollecitazioni agenti localmente: Ty_l=-985.98 Mx_l=-19.72
Tensioni nella sezione: σ=239.03 τ=29.88
CC 30 SLD (Collegamento 0023_-380)
Azioni sul collegamento: N=-5844.26 Ty=-0.78 Tz=-1.87 Mx=-0.00 Mz=-1.69
Sollecitazioni agenti localmente: Ty_l=-1062.59 Mx_l=-21.25
Tensioni nella sezione: σ=257.60 τ=32.20
CC 30 SLD (Collegamento 0023_-380)
Azioni sul collegamento: N=-5844.26 Ty=-0.08 Tz=-1.87 Mx=-0.00 Mz=-0.32
Sollecitazioni agenti localmente: Ty_l=-1062.59 Mx_l=-21.25
Tensioni nella sezione: σ=257.60 τ=32.20
CC 30 SLD (Collegamento 0023_-380)
Azioni sul collegamento: N=-5844.26 Ty=-0.78 Tz=-3.43 Mx=-0.00 Mz=-1.69
Sollecitazioni agenti localmente: Ty_l=-1062.59 Mx_l=-21.25
Tensioni nella sezione: σ=257.60 τ=32.20
CC 30 SLD (Collegamento 0023_-380)
Azioni sul collegamento: N=-5844.26 Ty=-0.08 Tz=-3.43 Mx=-0.00 Mz=-0.32

Sollecitazioni agenti localmente: Ty_l=-1062.59 Mx_l=-21.25
Tensioni nella sezione: σ=257.60 τ=32.20
CC 31 SLV (Collegamento 0023_-380)
Azioni sul collegamento: N=-6324.76 Ty=-2.39 Tz=-5.22 Mx=-0.00 Mz=-5.32
Sollecitazioni agenti localmente: Ty_l=-1149.96 Mx_l=-23.00
Tensioni nella sezione: σ=278.78 τ=34.85
CC 31 SLV (Collegamento 0023_-380)
Azioni sul collegamento: N=-6324.76 Ty=-0.08 Tz=-5.22 Mx=-0.00 Mz=-0.80
Sollecitazioni agenti localmente: Ty_l=-1149.96 Mx_l=-23.00
Tensioni nella sezione: σ=278.78 τ=34.85
CC 31 SLV (Collegamento 0023_-380)
Azioni sul collegamento: N=-6324.76 Ty=-2.39 Tz=-0.09 Mx=-0.00 Mz=-5.32
Sollecitazioni agenti localmente: Ty_l=-1149.96 Mx_l=-23.00
Tensioni nella sezione: σ=278.78 τ=34.85
CC 31 SLV (Collegamento 0023_-380)
Azioni sul collegamento: N=-6324.76 Ty=-0.08 Tz=-0.09 Mx=-0.00 Mz=-0.80
Sollecitazioni agenti localmente: Ty_l=-1149.96 Mx_l=-23.00
Tensioni nella sezione: σ=278.78 τ=34.85
CC 31 SLV (Collegamento 0023_-380)
Azioni sul collegamento: N=-4942.75 Ty=-2.39 Tz=-5.22 Mx=-0.00 Mz=-5.32
Sollecitazioni agenti localmente: Ty_l=-898.68 Mx_l=-17.97
Tensioni nella sezione: σ=217.86 τ=27.23
CC 31 SLV (Collegamento 0023_-380)
Azioni sul collegamento: N=-4942.75 Ty=-0.08 Tz=-5.22 Mx=-0.00 Mz=-0.80
Sollecitazioni agenti localmente: Ty_l=-898.68 Mx_l=-17.97
Tensioni nella sezione: σ=217.86 τ=27.23
CC 31 SLV (Collegamento 0023_-380)
Azioni sul collegamento: N=-4942.75 Ty=-2.39 Tz=-0.09 Mx=-0.00 Mz=-5.32
Sollecitazioni agenti localmente: Ty_l=-898.68 Mx_l=-17.97
Tensioni nella sezione: σ=217.86 τ=27.23
CC 31 SLV (Collegamento 0023_-380)
Azioni sul collegamento: N=-4942.75 Ty=-0.08 Tz=-0.09 Mx=-0.00 Mz=-0.80
Sollecitazioni agenti localmente: Ty_l=-898.68 Mx_l=-17.97
Tensioni nella sezione: σ=217.86 τ=27.23
CC 32 SLD (Collegamento 0023_-380)
Azioni sul collegamento: N=-5844.28 Ty=-0.78 Tz=-3.44 Mx=-0.00 Mz=-1.69
Sollecitazioni agenti localmente: Ty_l=-1062.60 Mx_l=-21.25
Tensioni nella sezione: σ=257.60 τ=32.20
CC 32 SLD (Collegamento 0023_-380)
Azioni sul collegamento: N=-5844.28 Ty=-0.08 Tz=-3.44 Mx=-0.00 Mz=-0.31
Sollecitazioni agenti localmente: Ty_l=-1062.60 Mx_l=-21.25
Tensioni nella sezione: σ=257.60 τ=32.20
CC 32 SLD (Collegamento 0023_-380)
Azioni sul collegamento: N=-5844.28 Ty=-0.78 Tz=-1.87 Mx=-0.00 Mz=-1.69
Sollecitazioni agenti localmente: Ty_l=-1062.60 Mx_l=-21.25
Tensioni nella sezione: σ=257.60 τ=32.20
CC 32 SLD (Collegamento 0023_-380)
Azioni sul collegamento: N=-5844.28 Ty=-0.08 Tz=-1.87 Mx=-0.00 Mz=-0.31
Sollecitazioni agenti localmente: Ty_l=-1062.60 Mx_l=-21.25
Tensioni nella sezione: σ=257.60 τ=32.20
CC 32 SLD (Collegamento 0023_-380)
Azioni sul collegamento: N=-5422.87 Ty=-0.78 Tz=-3.44 Mx=-0.00 Mz=-1.69
Sollecitazioni agenti localmente: Ty_l=-985.98 Mx_l=-19.72
Tensioni nella sezione: σ=239.02 τ=29.88
CC 32 SLD (Collegamento 0023_-380)
Azioni sul collegamento: N=-5422.87 Ty=-0.08 Tz=-3.44 Mx=-0.00 Mz=-0.31
Sollecitazioni agenti localmente: Ty_l=-985.98 Mx_l=-19.72
Tensioni nella sezione: σ=239.02 τ=29.88
CC 32 SLD (Collegamento 0023_-380)
Azioni sul collegamento: N=-5422.87 Ty=-0.78 Tz=-1.87 Mx=-0.00 Mz=-1.69
Sollecitazioni agenti localmente: Ty_l=-985.98 Mx_l=-19.72
Tensioni nella sezione: σ=239.02 τ=29.88
CC 32 SLD (Collegamento 0023_-380)
Azioni sul collegamento: N=-5422.87 Ty=-0.08 Tz=-1.87 Mx=-0.00 Mz=-0.31
Sollecitazioni agenti localmente: Ty_l=-985.98 Mx_l=-19.72
Tensioni nella sezione: σ=239.02 τ=29.88
CC 33 SLU (Collegamento 0023_-380)
Azioni sul collegamento: N=-29447.20 Ty=-0.05 Tz=76.67 Mx=-0.00 Mz=-0.12
Sollecitazioni agenti localmente: Ty_l=-5354.03 Mx_l=-107.08
Tensioni nella sezione: σ=1297.94 τ=162.24
CC 34 SLU (Collegamento 0023_-380)
Azioni sul collegamento: N=-28967.90 Ty=-0.05 Tz=74.90 Mx=-0.00 Mz=-0.12
Sollecitazioni agenti localmente: Ty_l=-5266.89 Mx_l=-105.34
Tensioni nella sezione: σ=1276.82 τ=159.60
CC 35 SLU (Collegamento 0023_-380)
Azioni sul collegamento: N=-29207.50 Ty=-0.17 Tz=75.78 Mx=0.00 Mz=-0.35
Sollecitazioni agenti localmente: Ty_l=-5310.46 Mx_l=-106.21
Tensioni nella sezione: σ=1287.38 τ=160.92
CC 36 SLU (Collegamento 0023_-380)

Azioni sul collegamento: N=-29207.50 Ty=0.07 Tz=75.79 Mx=-0.00 Mz=0.12
Sollecitazioni agenti localmente: Ty_l=-5310.46 Mx_l=-106.21
Tensioni nella sezione: σ=1287.38 τ=160.92
CC 37 SLU (Collegamento 0023_-380)
Azioni sul collegamento: N=-19933.90 Ty=-0.08 Tz=41.69 Mx=-0.00 Mz=-0.13
Sollecitazioni agenti localmente: Ty_l=-3624.34 Mx_l=-72.49
Tensioni nella sezione: σ=878.63 τ=109.83
CC 38 SLU (Collegamento 0023_-380)
Azioni sul collegamento: N=-19454.60 Ty=-0.08 Tz=39.91 Mx=-0.00 Mz=-0.13
Sollecitazioni agenti localmente: Ty_l=-3537.19 Mx_l=-70.74
Tensioni nella sezione: σ=857.50 τ=107.19
CC 39 SLU (Collegamento 0023_-380)
Azioni sul collegamento: N=-19694.20 Ty=-0.20 Tz=40.80 Mx=0.00 Mz=-0.36
Sollecitazioni agenti localmente: Ty_l=-3580.76 Mx_l=-71.62
Tensioni nella sezione: σ=868.06 τ=108.51
CC 40 SLU (Collegamento 0023_-380)
Azioni sul collegamento: N=-19694.20 Ty=0.04 Tz=40.80 Mx=-0.00 Mz=0.10
Sollecitazioni agenti localmente: Ty_l=-3580.76 Mx_l=-71.62
Tensioni nella sezione: σ=868.06 τ=108.51
CC 41 SLU (Collegamento 0023_-380)
Azioni sul collegamento: N=-29632.10 Ty=-0.07 Tz=76.65 Mx=-0.00 Mz=-0.13
Sollecitazioni agenti localmente: Ty_l=-5387.66 Mx_l=-107.75
Tensioni nella sezione: σ=1306.10 τ=163.26
CC 42 SLU (Collegamento 0023_-380)
Azioni sul collegamento: N=-29152.80 Ty=-0.07 Tz=74.88 Mx=-0.00 Mz=-0.13
Sollecitazioni agenti localmente: Ty_l=-5300.51 Mx_l=-106.01
Tensioni nella sezione: σ=1284.97 τ=160.62
CC 43 SLU (Collegamento 0023_-380)
Azioni sul collegamento: N=-29392.40 Ty=-0.19 Tz=75.77 Mx=0.00 Mz=-0.36
Sollecitazioni agenti localmente: Ty_l=-5344.08 Mx_l=-106.88
Tensioni nella sezione: σ=1295.53 τ=161.94
CC 44 SLU (Collegamento 0023_-380)
Azioni sul collegamento: N=-29392.40 Ty=0.05 Tz=75.77 Mx=-0.00 Mz=0.10
Sollecitazioni agenti localmente: Ty_l=-5344.08 Mx_l=-106.88
Tensioni nella sezione: σ=1295.53 τ=161.94
CC 45 SLU (Collegamento 0023_-380)
Azioni sul collegamento: N=-22108.00 Ty=-0.08 Tz=49.75 Mx=-0.00 Mz=-0.14
Sollecitazioni agenti localmente: Ty_l=-4019.65 Mx_l=-80.39
Tensioni nella sezione: σ=974.46 τ=121.81
CC 46 SLU (Collegamento 0023_-380)
Azioni sul collegamento: N=-21628.70 Ty=-0.08 Tz=47.97 Mx=-0.00 Mz=-0.14
Sollecitazioni agenti localmente: Ty_l=-3932.50 Mx_l=-78.65
Tensioni nella sezione: σ=953.33 τ=119.17
CC 47 SLU (Collegamento 0023_-380)
Azioni sul collegamento: N=-21868.40 Ty=-0.20 Tz=48.86 Mx=0.00 Mz=-0.37
Sollecitazioni agenti localmente: Ty_l=-3976.07 Mx_l=-79.52
Tensioni nella sezione: σ=963.89 τ=120.49
CC 48 SLU (Collegamento 0023_-380)
Azioni sul collegamento: N=-21868.40 Ty=0.04 Tz=48.86 Mx=-0.00 Mz=0.10
Sollecitazioni agenti localmente: Ty_l=-3976.07 Mx_l=-79.52
Tensioni nella sezione: σ=963.89 τ=120.49
CC 49 SLU (Collegamento 0023_-380)
Azioni sul collegamento: N=-14990.70 Ty=-0.10 Tz=23.57 Mx=-0.00 Mz=-0.15
Sollecitazioni agenti localmente: Ty_l=-2725.58 Mx_l=-54.51
Tensioni nella sezione: σ=660.74 τ=82.59
CC 50 SLU (Collegamento 0023_-380)
Azioni sul collegamento: N=-14511.40 Ty=-0.10 Tz=21.80 Mx=-0.00 Mz=-0.15
Sollecitazioni agenti localmente: Ty_l=-2638.43 Mx_l=-52.77
Tensioni nella sezione: σ=639.62 τ=79.95
CC 51 SLU (Collegamento 0023_-380)
Azioni sul collegamento: N=-14751.00 Ty=-0.22 Tz=22.68 Mx=0.00 Mz=-0.38
Sollecitazioni agenti localmente: Ty_l=-2682.00 Mx_l=-53.64
Tensioni nella sezione: σ=650.18 τ=81.27
CC 52 SLU (Collegamento 0023_-380)
Azioni sul collegamento: N=-14751.00 Ty=0.02 Tz=22.69 Mx=-0.00 Mz=0.09
Sollecitazioni agenti localmente: Ty_l=-2682.00 Mx_l=-53.64
Tensioni nella sezione: σ=650.18 τ=81.27
CC 53 SLU (Collegamento 0023_-380)
Azioni sul collegamento: N=-22246.40 Ty=-0.10 Tz=49.73 Mx=-0.00 Mz=-0.15
Sollecitazioni agenti localmente: Ty_l=-4044.80 Mx_l=-80.90
Tensioni nella sezione: σ=980.55 τ=122.57
CC 54 SLU (Collegamento 0023_-380)
Azioni sul collegamento: N=-21767.10 Ty=-0.10 Tz=47.96 Mx=-0.00 Mz=-0.15
Sollecitazioni agenti localmente: Ty_l=-3957.65 Mx_l=-79.15
Tensioni nella sezione: σ=959.43 τ=119.93
CC 55 SLU (Collegamento 0023_-380)
Azioni sul collegamento: N=-22006.70 Ty=-0.22 Tz=48.85 Mx=0.00 Mz=-0.38
Sollecitazioni agenti localmente: Ty_l=-4001.23 Mx_l=-80.02
Tensioni nella sezione: σ=969.99 τ=121.25

CC 56 SLU (Collegamento 0023_-380)
Azioni sul collegamento: N=-22006.70 Ty=0.02 Tz=48.85 Mx=-0.00 Mz=0.09
Sollecitazioni agenti localmente: Ty_l=-4001.22 Mx_l=-80.02
Tensioni nella sezione: σ=969.99 τ=121.25
CC 57 SLU (Collegamento 0023_-380)
Azioni sul collegamento: N=-20646.20 Ty=-0.07 Tz=44.37 Mx=-0.00 Mz=-0.13
Sollecitazioni agenti localmente: Ty_l=-3753.86 Mx_l=-75.08
Tensioni nella sezione: σ=910.03 τ=113.75
CC 58 SLU (Collegamento 0023_-380)
Azioni sul collegamento: N=-20166.90 Ty=-0.07 Tz=42.59 Mx=-0.00 Mz=-0.13
Sollecitazioni agenti localmente: Ty_l=-3666.72 Mx_l=-73.33
Tensioni nella sezione: σ=888.90 τ=111.11
CC 59 SLU (Collegamento 0023_-380)
Azioni sul collegamento: N=-20406.60 Ty=-0.19 Tz=43.48 Mx=0.00 Mz=-0.36
Sollecitazioni agenti localmente: Ty_l=-3710.29 Mx_l=-74.21
Tensioni nella sezione: σ=899.46 τ=112.43
CC 60 SLU (Collegamento 0023_-380)
Azioni sul collegamento: N=-20406.60 Ty=0.05 Tz=43.48 Mx=-0.00 Mz=0.10
Sollecitazioni agenti localmente: Ty_l=-3710.29 Mx_l=-74.21
Tensioni nella sezione: σ=899.46 τ=112.43
CC 61 SLU (Collegamento 0023_-380)
Azioni sul collegamento: N=-13528.90 Ty=-0.09 Tz=18.19 Mx=-0.00 Mz=-0.14
Sollecitazioni agenti localmente: Ty_l=-2459.80 Mx_l=-49.20
Tensioni nella sezione: σ=596.31 τ=74.54
CC 62 SLU (Collegamento 0023_-380)
Azioni sul collegamento: N=-13049.60 Ty=-0.10 Tz=16.41 Mx=-0.00 Mz=-0.14
Sollecitazioni agenti localmente: Ty_l=-2372.65 Mx_l=-47.45
Tensioni nella sezione: σ=575.19 τ=71.90
CC 63 SLU (Collegamento 0023_-380)
Azioni sul collegamento: N=-13289.20 Ty=-0.21 Tz=17.30 Mx=0.00 Mz=-0.37
Sollecitazioni agenti localmente: Ty_l=-2416.22 Mx_l=-48.32
Tensioni nella sezione: σ=585.75 τ=73.22
CC 64 SLU (Collegamento 0023_-380)
Azioni sul collegamento: N=-13289.20 Ty=0.02 Tz=17.30 Mx=-0.00 Mz=0.10
Sollecitazioni agenti localmente: Ty_l=-2416.22 Mx_l=-48.32
Tensioni nella sezione: σ=585.75 τ=73.22
CC 65 SLU (Collegamento 0023_-380)
Azioni sul collegamento: N=-20784.60 Ty=-0.09 Tz=44.35 Mx=-0.00 Mz=-0.14
Sollecitazioni agenti localmente: Ty_l=-3779.02 Mx_l=-75.58
Tensioni nella sezione: σ=916.12 τ=114.52
CC 66 SLU (Collegamento 0023_-380)
Azioni sul collegamento: N=-20305.30 Ty=-0.09 Tz=42.57 Mx=-0.00 Mz=-0.14
Sollecitazioni agenti localmente: Ty_l=-3691.87 Mx_l=-73.84
Tensioni nella sezione: σ=895.00 τ=111.88
CC 67 SLU (Collegamento 0023_-380)
Azioni sul collegamento: N=-20544.90 Ty=-0.21 Tz=43.46 Mx=0.00 Mz=-0.37
Sollecitazioni agenti localmente: Ty_l=-3735.45 Mx_l=-74.71
Tensioni nella sezione: σ=905.56 τ=113.19
CC 68 SLU (Collegamento 0023_-380)
Azioni sul collegamento: N=-20544.90 Ty=0.03 Tz=43.46 Mx=-0.00 Mz=0.10
Sollecitazioni agenti localmente: Ty_l=-3735.44 Mx_l=-74.71
Tensioni nella sezione: σ=905.56 τ=113.19
CC 97 SLU (Collegamento 0023_-380)
Azioni sul collegamento: N=-12582.10 Ty=-12.27 Tz=22.98 Mx=-0.04 Mz=-17.61
Sollecitazioni agenti localmente: Ty_l=-2287.66 Mx_l=-45.75
Tensioni nella sezione: σ=554.58 τ=69.32
CC 98 SLU (Collegamento 0023_-380)
Azioni sul collegamento: N=-12102.80 Ty=-12.27 Tz=21.21 Mx=-0.04 Mz=-17.61
Sollecitazioni agenti localmente: Ty_l=-2200.51 Mx_l=-44.01
Tensioni nella sezione: σ=533.46 τ=66.68
CC 99 SLU (Collegamento 0023_-380)
Azioni sul collegamento: N=-12342.50 Ty=-12.39 Tz=22.09 Mx=-0.04 Mz=-17.84
Sollecitazioni agenti localmente: Ty_l=-2244.09 Mx_l=-44.88
Tensioni nella sezione: σ=544.02 τ=68.00
CC 100 SLU (Collegamento 0023_-380)
Azioni sul collegamento: N=-12342.50 Ty=-12.15 Tz=22.09 Mx=-0.04 Mz=-17.38
Sollecitazioni agenti localmente: Ty_l=-2244.09 Mx_l=-44.88
Tensioni nella sezione: σ=544.02 τ=68.00
CC 101 SLU (Collegamento 0023_-380)
Azioni sul collegamento: N=-6366.46 Ty=2.01 Tz=0.04 Mx=0.00 Mz=2.22
Sollecitazioni agenti localmente: Ty_l=-1157.54 Mx_l=-23.15
Tensioni nella sezione: σ=280.62 τ=35.08
CC 102 SLU (Collegamento 0023_-380)
Azioni sul collegamento: N=-5887.16 Ty=2.00 Tz=-1.73 Mx=0.00 Mz=2.22
Sollecitazioni agenti localmente: Ty_l=-1070.39 Mx_l=-21.41
Tensioni nella sezione: σ=259.49 τ=32.44
CC 103 SLU (Collegamento 0023_-380)
Azioni sul collegamento: N=-6126.81 Ty=1.89 Tz=-0.85 Mx=0.01 Mz=1.98
Sollecitazioni agenti localmente: Ty_l=-1113.97 Mx_l=-22.28

Tensioni nella sezione: σ=270.05 τ=33.76
CC 104 SLU (Collegamento 0023_-380)
Azioni sul collegamento: N=-6126.80 Ty=2.12 Tz=-0.84 Mx=0.00 Mz=2.45
Sollecitazioni agenti localmente: Ty_l=-1113.96 Mx_l=-22.28
Tensioni nella sezione: σ=270.05 τ=33.76

Flessione attacco destro piastra

Bnetta=220.00 Hnetta=15.00
CC 1 SLV (Collegamento 0023_-380)
Azioni sul collegamento: N=-3330.00 Ty=1.44 Tz=5.89 Mx=0.02 Mz=3.55
Sollecitazioni agenti localmente: Ty_l=-604.43 My_l=-12.41
Tensioni nella sezione: σ=150.43 τ=18.32
CC 1 SLV (Collegamento 0023_-380)
Azioni sul collegamento: N=-3330.00 Ty=0.74 Tz=5.89 Mx=0.02 Mz=2.16
Sollecitazioni agenti localmente: Ty_l=-598.89 My_l=-12.29
Tensioni nella sezione: σ=148.96 τ=18.15
CC 1 SLV (Collegamento 0023_-380)
Azioni sul collegamento: N=-3330.00 Ty=1.44 Tz=-11.20 Mx=0.02 Mz=3.55
Sollecitazioni agenti localmente: Ty_l=-604.43 My_l=-12.41
Tensioni nella sezione: σ=150.43 τ=18.32
CC 1 SLV (Collegamento 0023_-380)
Azioni sul collegamento: N=-3330.00 Ty=0.74 Tz=-11.20 Mx=0.02 Mz=2.16
Sollecitazioni agenti localmente: Ty_l=-598.89 My_l=-12.29
Tensioni nella sezione: σ=148.96 τ=18.15
CC 1 SLV (Collegamento 0023_-380)
Azioni sul collegamento: N=-7936.47 Ty=1.44 Tz=5.89 Mx=0.02 Mz=3.55
Sollecitazioni agenti localmente: Ty_l=-1421.03 My_l=-29.15
Tensioni nella sezione: σ=353.34 τ=43.06
CC 1 SLV (Collegamento 0023_-380)
Azioni sul collegamento: N=-7936.47 Ty=0.74 Tz=5.89 Mx=0.02 Mz=2.16
Sollecitazioni agenti localmente: Ty_l=-1415.49 My_l=-29.03
Tensioni nella sezione: σ=351.87 τ=42.89
CC 1 SLV (Collegamento 0023_-380)
Azioni sul collegamento: N=-7936.47 Ty=1.44 Tz=-11.20 Mx=0.02 Mz=3.55
Sollecitazioni agenti localmente: Ty_l=-1421.03 My_l=-29.15
Tensioni nella sezione: σ=353.34 τ=43.06
CC 1 SLV (Collegamento 0023_-380)
Azioni sul collegamento: N=-7936.47 Ty=0.74 Tz=-11.20 Mx=0.02 Mz=2.16
Sollecitazioni agenti localmente: Ty_l=-1415.49 My_l=-29.03
Tensioni nella sezione: σ=351.87 τ=42.89
CC 2 SLD (Collegamento 0023_-380)
Azioni sul collegamento: N=-4931.09 Ty=0.39 Tz=-0.05 Mx=0.00 Mz=1.01
Sollecitazioni agenti localmente: Ty_l=-878.16 My_l=-18.01
Tensioni nella sezione: σ=218.28 τ=26.61
CC 2 SLD (Collegamento 0023_-380)
Azioni sul collegamento: N=-4931.09 Ty=0.17 Tz=-0.05 Mx=0.00 Mz=0.59
Sollecitazioni agenti localmente: Ty_l=-876.48 My_l=-17.97
Tensioni nella sezione: σ=217.83 τ=26.56
CC 2 SLD (Collegamento 0023_-380)
Azioni sul collegamento: N=-4931.09 Ty=0.39 Tz=-5.26 Mx=0.00 Mz=1.01
Sollecitazioni agenti localmente: Ty_l=-878.16 My_l=-18.01
Tensioni nella sezione: σ=218.28 τ=26.61
CC 2 SLD (Collegamento 0023_-380)
Azioni sul collegamento: N=-4931.09 Ty=0.17 Tz=-5.26 Mx=0.00 Mz=0.59
Sollecitazioni agenti localmente: Ty_l=-876.48 My_l=-17.97
Tensioni nella sezione: σ=217.83 τ=26.56
CC 2 SLD (Collegamento 0023_-380)
Azioni sul collegamento: N=-6335.74 Ty=0.39 Tz=-0.05 Mx=0.00 Mz=1.01
Sollecitazioni agenti localmente: Ty_l=-1127.17 My_l=-23.11
Tensioni nella sezione: σ=280.15 τ=34.16
CC 2 SLD (Collegamento 0023_-380)
Azioni sul collegamento: N=-6335.74 Ty=0.17 Tz=-0.05 Mx=0.00 Mz=0.59
Sollecitazioni agenti localmente: Ty_l=-1125.48 My_l=-23.08
Tensioni nella sezione: σ=279.70 τ=34.11
CC 2 SLD (Collegamento 0023_-380)
Azioni sul collegamento: N=-6335.74 Ty=0.39 Tz=-5.26 Mx=0.00 Mz=1.01
Sollecitazioni agenti localmente: Ty_l=-1127.17 My_l=-23.11
Tensioni nella sezione: σ=280.15 τ=34.16
CC 2 SLD (Collegamento 0023_-380)
Azioni sul collegamento: N=-6335.74 Ty=0.17 Tz=-5.26 Mx=0.00 Mz=0.59
Sollecitazioni agenti localmente: Ty_l=-1125.48 My_l=-23.08
Tensioni nella sezione: σ=279.70 τ=34.11
CC 3 SLV (Collegamento 0023_-380)
Azioni sul collegamento: N=-3330.02 Ty=0.75 Tz=5.88 Mx=0.01 Mz=2.19
Sollecitazioni agenti localmente: Ty_l=-599.05 My_l=-12.29
Tensioni nella sezione: σ=149.00 τ=18.15
CC 3 SLV (Collegamento 0023_-380)
Azioni sul collegamento: N=-3330.02 Ty=1.43 Tz=5.88 Mx=0.01 Mz=3.51

Sollecitazioni agenti localmente: Ty_l=-604.28 My_l=-12.41
Tensioni nella sezione: σ=150.39 τ=18.31
CC 3 SLV (Collegamento 0023_-380)
Azioni sul collegamento: N=-3330.02 Ty=0.75 Tz=-11.19 Mx=0.01 Mz=2.19
Sollecitazioni agenti localmente: Ty_l=-599.05 My_l=-12.29
Tensioni nella sezione: σ=149.00 τ=18.15
CC 3 SLV (Collegamento 0023_-380)
Azioni sul collegamento: N=-3330.02 Ty=1.43 Tz=-11.19 Mx=0.01 Mz=3.51
Sollecitazioni agenti localmente: Ty_l=-604.28 My_l=-12.41
Tensioni nella sezione: σ=150.39 τ=18.31
CC 3 SLV (Collegamento 0023_-380)
Azioni sul collegamento: N=-7936.44 Ty=0.75 Tz=5.88 Mx=0.01 Mz=2.19
Sollecitazioni agenti localmente: Ty_l=-1415.64 My_l=-29.03
Tensioni nella sezione: σ=351.91 τ=42.90
CC 3 SLV (Collegamento 0023_-380)
Azioni sul collegamento: N=-7936.44 Ty=1.43 Tz=5.88 Mx=0.01 Mz=3.51
Sollecitazioni agenti localmente: Ty_l=-1420.87 My_l=-29.15
Tensioni nella sezione: σ=353.30 τ=43.06
CC 3 SLV (Collegamento 0023_-380)
Azioni sul collegamento: N=-7936.44 Ty=0.75 Tz=-11.19 Mx=0.01 Mz=2.19
Sollecitazioni agenti localmente: Ty_l=-1415.64 My_l=-29.03
Tensioni nella sezione: σ=351.91 τ=42.90
CC 3 SLV (Collegamento 0023_-380)
Azioni sul collegamento: N=-7936.44 Ty=1.43 Tz=-11.19 Mx=0.01 Mz=3.51
Sollecitazioni agenti localmente: Ty_l=-1420.87 My_l=-29.15
Tensioni nella sezione: σ=353.30 τ=43.06
CC 4 SLD (Collegamento 0023_-380)
Azioni sul collegamento: N=-4931.09 Ty=0.18 Tz=-0.05 Mx=0.00 Mz=0.60
Sollecitazioni agenti localmente: Ty_l=-876.52 My_l=-17.97
Tensioni nella sezione: σ=217.84 τ=26.56
CC 4 SLD (Collegamento 0023_-380)
Azioni sul collegamento: N=-4931.09 Ty=0.38 Tz=-0.05 Mx=0.00 Mz=1.00
Sollecitazioni agenti localmente: Ty_l=-878.12 My_l=-18.01
Tensioni nella sezione: σ=218.27 τ=26.61
CC 4 SLD (Collegamento 0023_-380)
Azioni sul collegamento: N=-4931.09 Ty=0.18 Tz=-5.26 Mx=0.00 Mz=0.60
Sollecitazioni agenti localmente: Ty_l=-876.52 My_l=-17.97
Tensioni nella sezione: σ=217.84 τ=26.56
CC 4 SLD (Collegamento 0023_-380)
Azioni sul collegamento: N=-4931.09 Ty=0.38 Tz=-5.26 Mx=0.00 Mz=1.00
Sollecitazioni agenti localmente: Ty_l=-878.12 My_l=-18.01
Tensioni nella sezione: σ=218.27 τ=26.61
CC 4 SLD (Collegamento 0023_-380)
Azioni sul collegamento: N=-6335.74 Ty=0.18 Tz=-0.05 Mx=0.00 Mz=0.60
Sollecitazioni agenti localmente: Ty_l=-1125.53 My_l=-23.08
Tensioni nella sezione: σ=279.72 τ=34.11
CC 4 SLD (Collegamento 0023_-380)
Azioni sul collegamento: N=-6335.74 Ty=0.38 Tz=-0.05 Mx=0.00 Mz=1.00
Sollecitazioni agenti localmente: Ty_l=-1127.12 My_l=-23.11
Tensioni nella sezione: σ=280.14 τ=34.16
CC 4 SLD (Collegamento 0023_-380)
Azioni sul collegamento: N=-6335.74 Ty=0.18 Tz=-5.26 Mx=0.00 Mz=0.60
Sollecitazioni agenti localmente: Ty_l=-1125.53 My_l=-23.08
Tensioni nella sezione: σ=279.72 τ=34.11
CC 4 SLD (Collegamento 0023_-380)
Azioni sul collegamento: N=-6335.74 Ty=0.38 Tz=-5.26 Mx=0.00 Mz=1.00
Sollecitazioni agenti localmente: Ty_l=-1127.12 My_l=-23.11
Tensioni nella sezione: σ=280.14 τ=34.16
CC 5 SLV (Collegamento 0023_-380)
Azioni sul collegamento: N=-7936.44 Ty=1.43 Tz=-11.19 Mx=0.02 Mz=3.51
Sollecitazioni agenti localmente: Ty_l=-1420.87 My_l=-29.15
Tensioni nella sezione: σ=353.30 τ=43.06
CC 5 SLV (Collegamento 0023_-380)
Azioni sul collegamento: N=-7936.44 Ty=0.75 Tz=-11.19 Mx=0.02 Mz=2.19
Sollecitazioni agenti localmente: Ty_l=-1415.64 My_l=-29.03
Tensioni nella sezione: σ=351.91 τ=42.90
CC 5 SLV (Collegamento 0023_-380)
Azioni sul collegamento: N=-7936.44 Ty=1.43 Tz=5.88 Mx=0.02 Mz=3.51
Sollecitazioni agenti localmente: Ty_l=-1420.87 My_l=-29.15
Tensioni nella sezione: σ=353.30 τ=43.06
CC 5 SLV (Collegamento 0023_-380)
Azioni sul collegamento: N=-7936.44 Ty=0.75 Tz=5.88 Mx=0.02 Mz=2.19
Sollecitazioni agenti localmente: Ty_l=-1415.64 My_l=-29.03
Tensioni nella sezione: σ=351.91 τ=42.90
CC 5 SLV (Collegamento 0023_-380)
Azioni sul collegamento: N=-3330.02 Ty=1.43 Tz=-11.19 Mx=0.02 Mz=3.51
Sollecitazioni agenti localmente: Ty_l=-604.28 My_l=-12.41
Tensioni nella sezione: σ=150.39 τ=18.31
CC 5 SLV (Collegamento 0023_-380)

Azioni sul collegamento: N=-3330.02 Ty=0.75 Tz=-11.19 Mx=0.02 Mz=2.19
Sollecitazioni agenti localmente: Ty_l=-599.05 My_l=-12.29
Tensioni nella sezione: σ=149.00 τ=18.15
CC 5 SLV (Collegamento 0023_-380)
Azioni sul collegamento: N=-3330.02 Ty=1.43 Tz=5.88 Mx=0.02 Mz=3.51
Sollecitazioni agenti localmente: Ty_l=-604.28 My_l=-12.41
Tensioni nella sezione: σ=150.39 τ=18.31
CC 5 SLV (Collegamento 0023_-380)
Azioni sul collegamento: N=-3330.02 Ty=0.75 Tz=5.88 Mx=0.02 Mz=2.19
Sollecitazioni agenti localmente: Ty_l=-599.05 My_l=-12.29
Tensioni nella sezione: σ=149.00 τ=18.15
CC 6 SLD (Collegamento 0023_-380)
Azioni sul collegamento: N=-6335.74 Ty=0.38 Tz=-5.26 Mx=0.00 Mz=1.00
Sollecitazioni agenti localmente: Ty_l=-1127.12 My_l=-23.11
Tensioni nella sezione: σ=280.14 τ=34.16
CC 6 SLD (Collegamento 0023_-380)
Azioni sul collegamento: N=-6335.74 Ty=0.18 Tz=-5.26 Mx=0.00 Mz=0.60
Sollecitazioni agenti localmente: Ty_l=-1125.53 My_l=-23.08
Tensioni nella sezione: σ=279.72 τ=34.11
CC 6 SLD (Collegamento 0023_-380)
Azioni sul collegamento: N=-6335.74 Ty=0.38 Tz=-0.05 Mx=0.00 Mz=1.00
Sollecitazioni agenti localmente: Ty_l=-1127.12 My_l=-23.11
Tensioni nella sezione: σ=280.14 τ=34.16
CC 6 SLD (Collegamento 0023_-380)
Azioni sul collegamento: N=-6335.74 Ty=0.18 Tz=-0.05 Mx=0.00 Mz=0.60
Sollecitazioni agenti localmente: Ty_l=-1125.53 My_l=-23.08
Tensioni nella sezione: σ=279.72 τ=34.11
CC 6 SLD (Collegamento 0023_-380)
Azioni sul collegamento: N=-4931.09 Ty=0.38 Tz=-5.26 Mx=0.00 Mz=1.00
Sollecitazioni agenti localmente: Ty_l=-878.12 My_l=-18.01
Tensioni nella sezione: σ=218.27 τ=26.61
CC 6 SLD (Collegamento 0023_-380)
Azioni sul collegamento: N=-4931.09 Ty=0.18 Tz=-5.26 Mx=0.00 Mz=0.60
Sollecitazioni agenti localmente: Ty_l=-876.52 My_l=-17.97
Tensioni nella sezione: σ=217.84 τ=26.56
CC 6 SLD (Collegamento 0023_-380)
Azioni sul collegamento: N=-4931.09 Ty=0.38 Tz=-0.05 Mx=0.00 Mz=1.00
Sollecitazioni agenti localmente: Ty_l=-878.12 My_l=-18.01
Tensioni nella sezione: σ=218.27 τ=26.61
CC 6 SLD (Collegamento 0023_-380)
Azioni sul collegamento: N=-4931.09 Ty=0.18 Tz=-0.05 Mx=0.00 Mz=0.60
Sollecitazioni agenti localmente: Ty_l=-876.52 My_l=-17.97
Tensioni nella sezione: σ=217.84 τ=26.56
CC 7 SLV (Collegamento 0023_-380)
Azioni sul collegamento: N=-7936.47 Ty=0.74 Tz=-11.20 Mx=0.01 Mz=2.16
Sollecitazioni agenti localmente: Ty_l=-1415.49 My_l=-29.03
Tensioni nella sezione: σ=351.87 τ=42.89
CC 7 SLV (Collegamento 0023_-380)
Azioni sul collegamento: N=-7936.47 Ty=1.44 Tz=-11.20 Mx=0.01 Mz=3.55
Sollecitazioni agenti localmente: Ty_l=-1421.03 My_l=-29.15
Tensioni nella sezione: σ=353.34 τ=43.06
CC 7 SLV (Collegamento 0023_-380)
Azioni sul collegamento: N=-7936.47 Ty=0.74 Tz=5.89 Mx=0.01 Mz=2.16
Sollecitazioni agenti localmente: Ty_l=-1415.49 My_l=-29.03
Tensioni nella sezione: σ=351.87 τ=42.89
CC 7 SLV (Collegamento 0023_-380)
Azioni sul collegamento: N=-7936.47 Ty=1.44 Tz=5.89 Mx=0.01 Mz=3.55
Sollecitazioni agenti localmente: Ty_l=-1421.03 My_l=-29.15
Tensioni nella sezione: σ=353.34 τ=43.06
CC 7 SLV (Collegamento 0023_-380)
Azioni sul collegamento: N=-3330.00 Ty=0.74 Tz=-11.20 Mx=0.01 Mz=2.16
Sollecitazioni agenti localmente: Ty_l=-598.89 My_l=-12.29
Tensioni nella sezione: σ=148.96 τ=18.15
CC 7 SLV (Collegamento 0023_-380)
Azioni sul collegamento: N=-3330.00 Ty=1.44 Tz=-11.20 Mx=0.01 Mz=3.55
Sollecitazioni agenti localmente: Ty_l=-604.43 My_l=-12.41
Tensioni nella sezione: σ=150.43 τ=18.32
CC 7 SLV (Collegamento 0023_-380)
Azioni sul collegamento: N=-3330.00 Ty=0.74 Tz=5.89 Mx=0.01 Mz=2.16
Sollecitazioni agenti localmente: Ty_l=-598.89 My_l=-12.29
Tensioni nella sezione: σ=148.96 τ=18.15
CC 7 SLV (Collegamento 0023_-380)
Azioni sul collegamento: N=-3330.00 Ty=1.44 Tz=5.89 Mx=0.01 Mz=3.55
Sollecitazioni agenti localmente: Ty_l=-604.43 My_l=-12.41
Tensioni nella sezione: σ=150.43 τ=18.32
CC 8 SLD (Collegamento 0023_-380)
Azioni sul collegamento: N=-6335.74 Ty=0.17 Tz=-5.26 Mx=0.00 Mz=0.59
Sollecitazioni agenti localmente: Ty_l=-1125.48 My_l=-23.08
Tensioni nella sezione: σ=279.70 τ=34.11

CC 8 SLD (Collegamento 0023_-380)
Azioni sul collegamento: N=-6335.74 Ty=0.39 Tz=-5.26 Mx=0.00 Mz=1.01
Sollecitazioni agenti localmente: Ty_l=-1127.17 My_l=-23.11
Tensioni nella sezione: σ=280.15 τ=34.16
CC 8 SLD (Collegamento 0023_-380)
Azioni sul collegamento: N=-6335.74 Ty=0.17 Tz=-0.05 Mx=0.00 Mz=0.59
Sollecitazioni agenti localmente: Ty_l=-1125.48 My_l=-23.08
Tensioni nella sezione: σ=279.70 τ=34.11
CC 8 SLD (Collegamento 0023_-380)
Azioni sul collegamento: N=-6335.74 Ty=0.39 Tz=-0.05 Mx=0.00 Mz=1.01
Sollecitazioni agenti localmente: Ty_l=-1127.17 My_l=-23.11
Tensioni nella sezione: σ=280.15 τ=34.16
CC 8 SLD (Collegamento 0023_-380)
Azioni sul collegamento: N=-4931.09 Ty=0.17 Tz=-5.26 Mx=0.00 Mz=0.59
Sollecitazioni agenti localmente: Ty_l=-876.48 My_l=-17.97
Tensioni nella sezione: σ=217.83 τ=26.56
CC 8 SLD (Collegamento 0023_-380)
Azioni sul collegamento: N=-4931.09 Ty=0.39 Tz=-5.26 Mx=0.00 Mz=1.01
Sollecitazioni agenti localmente: Ty_l=-878.16 My_l=-18.01
Tensioni nella sezione: σ=218.28 τ=26.61
CC 8 SLD (Collegamento 0023_-380)
Azioni sul collegamento: N=-4931.09 Ty=0.17 Tz=-0.05 Mx=0.00 Mz=0.59
Sollecitazioni agenti localmente: Ty_l=-876.48 My_l=-17.97
Tensioni nella sezione: σ=217.83 τ=26.56
CC 8 SLD (Collegamento 0023_-380)
Azioni sul collegamento: N=-4931.09 Ty=0.39 Tz=-0.05 Mx=0.00 Mz=1.01
Sollecitazioni agenti localmente: Ty_l=-878.16 My_l=-18.01
Tensioni nella sezione: σ=218.28 τ=26.61
CC 9 SLV (Collegamento 0023_-380)
Azioni sul collegamento: N=-4942.23 Ty=2.24 Tz=-0.09 Mx=0.02 Mz=5.11
Sollecitazioni agenti localmente: Ty_l=-896.46 My_l=-18.41
Tensioni nella sezione: σ=223.10 τ=27.17
CC 9 SLV (Collegamento 0023_-380)
Azioni sul collegamento: N=-4942.23 Ty=-0.07 Tz=-0.09 Mx=0.02 Mz=0.59
Sollecitazioni agenti localmente: Ty_l=-878.47 My_l=-18.01
Tensioni nella sezione: σ=218.33 τ=26.62
CC 9 SLV (Collegamento 0023_-380)
Azioni sul collegamento: N=-4942.23 Ty=2.24 Tz=-5.22 Mx=0.02 Mz=5.11
Sollecitazioni agenti localmente: Ty_l=-896.46 My_l=-18.41
Tensioni nella sezione: σ=223.10 τ=27.17
CC 9 SLV (Collegamento 0023_-380)
Azioni sul collegamento: N=-4942.23 Ty=-0.07 Tz=-5.22 Mx=0.02 Mz=0.59
Sollecitazioni agenti localmente: Ty_l=-878.47 My_l=-18.01
Tensioni nella sezione: σ=218.33 τ=26.62
CC 9 SLV (Collegamento 0023_-380)
Azioni sul collegamento: N=-6324.24 Ty=2.24 Tz=-0.09 Mx=0.02 Mz=5.11
Sollecitazioni agenti localmente: Ty_l=-1141.45 My_l=-23.43
Tensioni nella sezione: σ=283.98 τ=34.59
CC 9 SLV (Collegamento 0023_-380)
Azioni sul collegamento: N=-6324.24 Ty=-0.07 Tz=-0.09 Mx=0.02 Mz=0.59
Sollecitazioni agenti localmente: Ty_l=-1123.47 My_l=-23.03
Tensioni nella sezione: σ=279.20 τ=34.04
CC 9 SLV (Collegamento 0023_-380)
Azioni sul collegamento: N=-6324.24 Ty=2.24 Tz=-5.22 Mx=0.02 Mz=5.11
Sollecitazioni agenti localmente: Ty_l=-1141.45 My_l=-23.43
Tensioni nella sezione: σ=283.98 τ=34.59
CC 9 SLV (Collegamento 0023_-380)
Azioni sul collegamento: N=-6324.24 Ty=-0.07 Tz=-5.22 Mx=0.02 Mz=0.59
Sollecitazioni agenti localmente: Ty_l=-1123.47 My_l=-23.03
Tensioni nella sezione: σ=279.20 τ=34.04
CC 10 SLD (Collegamento 0023_-380)
Azioni sul collegamento: N=-5422.71 Ty=0.63 Tz=-1.87 Mx=0.01 Mz=1.49
Sollecitazioni agenti localmente: Ty_l=-967.21 My_l=-19.84
Tensioni nella sezione: σ=240.44 τ=29.31
CC 10 SLD (Collegamento 0023_-380)
Azioni sul collegamento: N=-5422.71 Ty=-0.07 Tz=-1.87 Mx=0.01 Mz=0.11
Sollecitazioni agenti localmente: Ty_l=-961.73 My_l=-19.72
Tensioni nella sezione: σ=238.98 τ=29.14
CC 10 SLD (Collegamento 0023_-380)
Azioni sul collegamento: N=-5422.71 Ty=0.63 Tz=-3.44 Mx=0.01 Mz=1.49
Sollecitazioni agenti localmente: Ty_l=-967.21 My_l=-19.84
Tensioni nella sezione: σ=240.44 τ=29.31
CC 10 SLD (Collegamento 0023_-380)
Azioni sul collegamento: N=-5422.71 Ty=-0.07 Tz=-3.44 Mx=0.01 Mz=0.11
Sollecitazioni agenti localmente: Ty_l=-961.73 My_l=-19.72
Tensioni nella sezione: σ=238.98 τ=29.14
CC 10 SLD (Collegamento 0023_-380)
Azioni sul collegamento: N=-5844.12 Ty=0.63 Tz=-1.87 Mx=0.01 Mz=1.49
Sollecitazioni agenti localmente: Ty_l=-1041.92 My_l=-21.37

Tensioni nella sezione: σ=259.00 τ=31.57
CC 10 SLD (Collegamento 0023_-380)
Azioni sul collegamento: N=-5844.12 Ty=-0.07 Tz=-1.87 Mx=0.01 Mz=0.11
Sollecitazioni agenti localmente: Ty_l=-1036.44 My_l=-21.25
Tensioni nella sezione: σ=257.55 τ=31.41
CC 10 SLD (Collegamento 0023_-380)
Azioni sul collegamento: N=-5844.12 Ty=0.63 Tz=-3.44 Mx=0.01 Mz=1.49
Sollecitazioni agenti localmente: Ty_l=-1041.92 My_l=-21.37
Tensioni nella sezione: σ=259.00 τ=31.57
CC 10 SLD (Collegamento 0023_-380)
Azioni sul collegamento: N=-5844.12 Ty=-0.07 Tz=-3.44 Mx=0.01 Mz=0.11
Sollecitazioni agenti localmente: Ty_l=-1036.44 My_l=-21.25
Tensioni nella sezione: σ=257.55 τ=31.41
CC 11 SLV (Collegamento 0023_-380)
Azioni sul collegamento: N=-6324.16 Ty=2.24 Tz=-5.22 Mx=0.02 Mz=5.10
Sollecitazioni agenti localmente: Ty_l=-1141.39 My_l=-23.43
Tensioni nella sezione: σ=283.96 τ=34.59
CC 11 SLV (Collegamento 0023_-380)
Azioni sul collegamento: N=-6324.16 Ty=-0.06 Tz=-5.22 Mx=0.02 Mz=0.60
Sollecitazioni agenti localmente: Ty_l=-1123.50 My_l=-23.04
Tensioni nella sezione: σ=279.21 τ=34.05
CC 11 SLV (Collegamento 0023_-380)
Azioni sul collegamento: N=-6324.16 Ty=2.24 Tz=-0.09 Mx=0.02 Mz=5.10
Sollecitazioni agenti localmente: Ty_l=-1141.39 My_l=-23.43
Tensioni nella sezione: σ=283.96 τ=34.59
CC 11 SLV (Collegamento 0023_-380)
Azioni sul collegamento: N=-6324.16 Ty=-0.06 Tz=-0.09 Mx=0.02 Mz=0.60
Sollecitazioni agenti localmente: Ty_l=-1123.50 My_l=-23.04
Tensioni nella sezione: σ=279.21 τ=34.05
CC 11 SLV (Collegamento 0023_-380)
Azioni sul collegamento: N=-4942.30 Ty=2.24 Tz=-5.22 Mx=0.02 Mz=5.10
Sollecitazioni agenti localmente: Ty_l=-896.42 My_l=-18.41
Tensioni nella sezione: σ=223.09 τ=27.16
CC 11 SLV (Collegamento 0023_-380)
Azioni sul collegamento: N=-4942.30 Ty=-0.06 Tz=-5.22 Mx=0.02 Mz=0.60
Sollecitazioni agenti localmente: Ty_l=-878.53 My_l=-18.01
Tensioni nella sezione: σ=218.34 τ=26.62
CC 11 SLV (Collegamento 0023_-380)
Azioni sul collegamento: N=-4942.30 Ty=2.24 Tz=-0.09 Mx=0.02 Mz=5.10
Sollecitazioni agenti localmente: Ty_l=-896.42 My_l=-18.41
Tensioni nella sezione: σ=223.09 τ=27.16
CC 11 SLV (Collegamento 0023_-380)
Azioni sul collegamento: N=-4942.30 Ty=-0.06 Tz=-0.09 Mx=0.02 Mz=0.60
Sollecitazioni agenti localmente: Ty_l=-878.53 My_l=-18.01
Tensioni nella sezione: σ=218.34 τ=26.62
CC 12 SLD (Collegamento 0023_-380)
Azioni sul collegamento: N=-5844.10 Ty=0.63 Tz=-3.44 Mx=0.01 Mz=1.48
Sollecitazioni agenti localmente: Ty_l=-1041.90 My_l=-21.37
Tensioni nella sezione: σ=259.00 τ=31.57
CC 12 SLD (Collegamento 0023_-380)
Azioni sul collegamento: N=-5844.10 Ty=-0.07 Tz=-3.44 Mx=0.01 Mz=0.11
Sollecitazioni agenti localmente: Ty_l=-1036.45 My_l=-21.25
Tensioni nella sezione: σ=257.55 τ=31.41
CC 12 SLD (Collegamento 0023_-380)
Azioni sul collegamento: N=-5844.10 Ty=0.63 Tz=-1.87 Mx=0.01 Mz=1.48
Sollecitazioni agenti localmente: Ty_l=-1041.90 My_l=-21.37
Tensioni nella sezione: σ=259.00 τ=31.57
CC 12 SLD (Collegamento 0023_-380)
Azioni sul collegamento: N=-5844.10 Ty=-0.07 Tz=-1.87 Mx=0.01 Mz=0.11
Sollecitazioni agenti localmente: Ty_l=-1036.45 My_l=-21.25
Tensioni nella sezione: σ=257.55 τ=31.41
CC 12 SLD (Collegamento 0023_-380)
Azioni sul collegamento: N=-5422.73 Ty=0.63 Tz=-3.44 Mx=0.01 Mz=1.48
Sollecitazioni agenti localmente: Ty_l=-967.20 My_l=-19.84
Tensioni nella sezione: σ=240.44 τ=29.31
CC 12 SLD (Collegamento 0023_-380)
Azioni sul collegamento: N=-5422.73 Ty=-0.07 Tz=-3.44 Mx=0.01 Mz=0.11
Sollecitazioni agenti localmente: Ty_l=-961.75 My_l=-19.72
Tensioni nella sezione: σ=238.99 τ=29.14
CC 12 SLD (Collegamento 0023_-380)
Azioni sul collegamento: N=-5422.73 Ty=0.63 Tz=-1.87 Mx=0.01 Mz=1.48
Sollecitazioni agenti localmente: Ty_l=-967.20 My_l=-19.84
Tensioni nella sezione: σ=240.44 τ=29.31
CC 12 SLD (Collegamento 0023_-380)
Azioni sul collegamento: N=-5422.73 Ty=-0.07 Tz=-1.87 Mx=0.01 Mz=0.11
Sollecitazioni agenti localmente: Ty_l=-961.75 My_l=-19.72
Tensioni nella sezione: σ=238.99 τ=29.14
CC 13 SLV (Collegamento 0023_-380)
Azioni sul collegamento: N=-4942.30 Ty=-0.06 Tz=-0.09 Mx=0.00 Mz=0.60

Sollecitazioni agenti localmente: Ty_l=-878.53 My_l=-18.01
Tensioni nella sezione: σ=218.34 τ=26.62
CC 13 SLV (Collegamento 0023_-380)
Azioni sul collegamento: N=-4942.30 Ty=2.24 Tz=-0.09 Mx=0.00 Mz=5.10
Sollecitazioni agenti localmente: Ty_l=-896.42 My_l=-18.41
Tensioni nella sezione: σ=223.09 τ=27.16
CC 13 SLV (Collegamento 0023_-380)
Azioni sul collegamento: N=-4942.30 Ty=-0.06 Tz=-5.22 Mx=0.00 Mz=0.60
Sollecitazioni agenti localmente: Ty_l=-878.53 My_l=-18.01
Tensioni nella sezione: σ=218.34 τ=26.62
CC 13 SLV (Collegamento 0023_-380)
Azioni sul collegamento: N=-4942.30 Ty=2.24 Tz=-5.22 Mx=0.00 Mz=5.10
Sollecitazioni agenti localmente: Ty_l=-896.42 My_l=-18.41
Tensioni nella sezione: σ=223.09 τ=27.16
CC 13 SLV (Collegamento 0023_-380)
Azioni sul collegamento: N=-6324.16 Ty=-0.06 Tz=-0.09 Mx=0.00 Mz=0.60
Sollecitazioni agenti localmente: Ty_l=-1123.50 My_l=-23.04
Tensioni nella sezione: σ=279.21 τ=34.05
CC 13 SLV (Collegamento 0023_-380)
Azioni sul collegamento: N=-6324.16 Ty=2.24 Tz=-0.09 Mx=0.00 Mz=5.10
Sollecitazioni agenti localmente: Ty_l=-1141.39 My_l=-23.43
Tensioni nella sezione: σ=283.96 τ=34.59
CC 13 SLV (Collegamento 0023_-380)
Azioni sul collegamento: N=-6324.16 Ty=-0.06 Tz=-5.22 Mx=0.00 Mz=0.60
Sollecitazioni agenti localmente: Ty_l=-1123.50 My_l=-23.04
Tensioni nella sezione: σ=279.21 τ=34.05
CC 13 SLV (Collegamento 0023_-380)
Azioni sul collegamento: N=-6324.16 Ty=2.24 Tz=-5.22 Mx=0.00 Mz=5.10
Sollecitazioni agenti localmente: Ty_l=-1141.39 My_l=-23.43
Tensioni nella sezione: σ=283.96 τ=34.59
CC 14 SLD (Collegamento 0023_-380)
Azioni sul collegamento: N=-5422.73 Ty=-0.07 Tz=-1.87 Mx=0.00 Mz=0.11
Sollecitazioni agenti localmente: Ty_l=-961.75 My_l=-19.72
Tensioni nella sezione: σ=238.99 τ=29.14
CC 14 SLD (Collegamento 0023_-380)
Azioni sul collegamento: N=-5422.73 Ty=0.63 Tz=-1.87 Mx=0.00 Mz=1.48
Sollecitazioni agenti localmente: Ty_l=-967.20 My_l=-19.84
Tensioni nella sezione: σ=240.44 τ=29.31
CC 14 SLD (Collegamento 0023_-380)
Azioni sul collegamento: N=-5422.73 Ty=-0.07 Tz=-3.44 Mx=0.00 Mz=0.11
Sollecitazioni agenti localmente: Ty_l=-961.75 My_l=-19.72
Tensioni nella sezione: σ=238.99 τ=29.14
CC 14 SLD (Collegamento 0023_-380)
Azioni sul collegamento: N=-5422.73 Ty=0.63 Tz=-3.44 Mx=0.00 Mz=1.48
Sollecitazioni agenti localmente: Ty_l=-967.20 My_l=-19.84
Tensioni nella sezione: σ=240.44 τ=29.31
CC 14 SLD (Collegamento 0023_-380)
Azioni sul collegamento: N=-5844.10 Ty=-0.07 Tz=-1.87 Mx=0.00 Mz=0.11
Sollecitazioni agenti localmente: Ty_l=-1036.45 My_l=-21.25
Tensioni nella sezione: σ=257.55 τ=31.41
CC 14 SLD (Collegamento 0023_-380)
Azioni sul collegamento: N=-5844.10 Ty=0.63 Tz=-1.87 Mx=0.00 Mz=1.48
Sollecitazioni agenti localmente: Ty_l=-1041.90 My_l=-21.37
Tensioni nella sezione: σ=259.00 τ=31.57
CC 14 SLD (Collegamento 0023_-380)
Azioni sul collegamento: N=-5844.10 Ty=-0.07 Tz=-3.44 Mx=0.00 Mz=0.11
Sollecitazioni agenti localmente: Ty_l=-1036.45 My_l=-21.25
Tensioni nella sezione: σ=257.55 τ=31.41
CC 14 SLD (Collegamento 0023_-380)
Azioni sul collegamento: N=-5844.10 Ty=0.63 Tz=-3.44 Mx=0.00 Mz=1.48
Sollecitazioni agenti localmente: Ty_l=-1041.90 My_l=-21.37
Tensioni nella sezione: σ=259.00 τ=31.57
CC 15 SLV (Collegamento 0023_-380)
Azioni sul collegamento: N=-6324.24 Ty=-0.07 Tz=-5.22 Mx=0.00 Mz=0.59
Sollecitazioni agenti localmente: Ty_l=-1123.47 My_l=-23.03
Tensioni nella sezione: σ=279.20 τ=34.04
CC 15 SLV (Collegamento 0023_-380)
Azioni sul collegamento: N=-6324.24 Ty=2.24 Tz=-5.22 Mx=0.00 Mz=5.11
Sollecitazioni agenti localmente: Ty_l=-1141.45 My_l=-23.43
Tensioni nella sezione: σ=283.98 τ=34.59
CC 15 SLV (Collegamento 0023_-380)
Azioni sul collegamento: N=-6324.24 Ty=-0.07 Tz=-0.09 Mx=0.00 Mz=0.59
Sollecitazioni agenti localmente: Ty_l=-1123.47 My_l=-23.03
Tensioni nella sezione: σ=279.20 τ=34.04
CC 15 SLV (Collegamento 0023_-380)
Azioni sul collegamento: N=-6324.24 Ty=2.24 Tz=-0.09 Mx=0.00 Mz=5.11
Sollecitazioni agenti localmente: Ty_l=-1141.45 My_l=-23.43
Tensioni nella sezione: σ=283.98 τ=34.59
CC 15 SLV (Collegamento 0023_-380)

Azioni sul collegamento: N=-4942.23 Ty=-0.07 Tz=-5.22 Mx=0.00 Mz=0.59
Sollecitazioni agenti localmente: Ty_l=-878.47 My_l=-18.01
Tensioni nella sezione: σ=218.33 τ=26.62
CC 15 SLV (Collegamento 0023_-380)
Azioni sul collegamento: N=-4942.23 Ty=2.24 Tz=-5.22 Mx=0.00 Mz=5.11
Sollecitazioni agenti localmente: Ty_l=-896.46 My_l=-18.41
Tensioni nella sezione: σ=223.10 τ=27.17
CC 15 SLV (Collegamento 0023_-380)
Azioni sul collegamento: N=-4942.23 Ty=-0.07 Tz=-0.09 Mx=0.00 Mz=0.59
Sollecitazioni agenti localmente: Ty_l=-878.47 My_l=-18.01
Tensioni nella sezione: σ=218.33 τ=26.62
CC 15 SLV (Collegamento 0023_-380)
Azioni sul collegamento: N=-4942.23 Ty=2.24 Tz=-0.09 Mx=0.00 Mz=5.11
Sollecitazioni agenti localmente: Ty_l=-896.46 My_l=-18.41
Tensioni nella sezione: σ=223.10 τ=27.17
CC 16 SLD (Collegamento 0023_-380)
Azioni sul collegamento: N=-5844.12 Ty=-0.07 Tz=-3.44 Mx=0.00 Mz=0.11
Sollecitazioni agenti localmente: Ty_l=-1036.44 My_l=-21.25
Tensioni nella sezione: σ=257.55 τ=31.41
CC 16 SLD (Collegamento 0023_-380)
Azioni sul collegamento: N=-5844.12 Ty=0.63 Tz=-3.44 Mx=0.00 Mz=1.49
Sollecitazioni agenti localmente: Ty_l=-1041.92 My_l=-21.37
Tensioni nella sezione: σ=259.00 τ=31.57
CC 16 SLD (Collegamento 0023_-380)
Azioni sul collegamento: N=-5844.12 Ty=-0.07 Tz=-1.87 Mx=0.00 Mz=0.11
Sollecitazioni agenti localmente: Ty_l=-1036.44 My_l=-21.25
Tensioni nella sezione: σ=257.55 τ=31.41
CC 16 SLD (Collegamento 0023_-380)
Azioni sul collegamento: N=-5844.12 Ty=0.63 Tz=-1.87 Mx=0.00 Mz=1.49
Sollecitazioni agenti localmente: Ty_l=-1041.92 My_l=-21.37
Tensioni nella sezione: σ=259.00 τ=31.57
CC 16 SLD (Collegamento 0023_-380)
Azioni sul collegamento: N=-5422.71 Ty=-0.07 Tz=-3.44 Mx=0.00 Mz=0.11
Sollecitazioni agenti localmente: Ty_l=-961.73 My_l=-19.72
Tensioni nella sezione: σ=238.98 τ=29.14
CC 16 SLD (Collegamento 0023_-380)
Azioni sul collegamento: N=-5422.71 Ty=0.63 Tz=-3.44 Mx=0.00 Mz=1.49
Sollecitazioni agenti localmente: Ty_l=-967.21 My_l=-19.84
Tensioni nella sezione: σ=240.44 τ=29.31
CC 16 SLD (Collegamento 0023_-380)
Azioni sul collegamento: N=-5422.71 Ty=-0.07 Tz=-1.87 Mx=0.00 Mz=0.11
Sollecitazioni agenti localmente: Ty_l=-961.73 My_l=-19.72
Tensioni nella sezione: σ=238.98 τ=29.14
CC 16 SLD (Collegamento 0023_-380)
Azioni sul collegamento: N=-5422.71 Ty=0.63 Tz=-1.87 Mx=0.00 Mz=1.49
Sollecitazioni agenti localmente: Ty_l=-967.21 My_l=-19.84
Tensioni nella sezione: σ=240.44 τ=29.31
CC 17 SLV (Collegamento 0023_-380)
Azioni sul collegamento: N=-3330.52 Ty=-0.88 Tz=5.89 Mx=-0.02 Mz=-2.36
Sollecitazioni agenti localmente: Ty_l=-581.02 My_l=-11.90
Tensioni nella sezione: σ=144.21 τ=17.61
CC 17 SLV (Collegamento 0023_-380)
Azioni sul collegamento: N=-3330.52 Ty=-1.59 Tz=5.89 Mx=-0.02 Mz=-3.75
Sollecitazioni agenti localmente: Ty_l=-575.48 My_l=-11.78
Tensioni nella sezione: σ=142.75 τ=17.44
CC 17 SLV (Collegamento 0023_-380)
Azioni sul collegamento: N=-3330.52 Ty=-0.88 Tz=-11.19 Mx=-0.02 Mz=-2.36
Sollecitazioni agenti localmente: Ty_l=-581.02 My_l=-11.90
Tensioni nella sezione: σ=144.21 τ=17.61
CC 17 SLV (Collegamento 0023_-380)
Azioni sul collegamento: N=-3330.52 Ty=-1.59 Tz=-11.19 Mx=-0.02 Mz=-3.75
Sollecitazioni agenti localmente: Ty_l=-575.48 My_l=-11.78
Tensioni nella sezione: σ=142.75 τ=17.44
CC 17 SLV (Collegamento 0023_-380)
Azioni sul collegamento: N=-7936.99 Ty=-0.88 Tz=5.89 Mx=-0.02 Mz=-2.36
Sollecitazioni agenti localmente: Ty_l=-1397.62 My_l=-28.64
Tensioni nella sezione: σ=347.13 τ=42.35
CC 17 SLV (Collegamento 0023_-380)
Azioni sul collegamento: N=-7936.99 Ty=-1.59 Tz=5.89 Mx=-0.02 Mz=-3.75
Sollecitazioni agenti localmente: Ty_l=-1392.08 My_l=-28.52
Tensioni nella sezione: σ=345.66 τ=42.18
CC 17 SLV (Collegamento 0023_-380)
Azioni sul collegamento: N=-7936.99 Ty=-0.88 Tz=-11.19 Mx=-0.02 Mz=-2.36
Sollecitazioni agenti localmente: Ty_l=-1397.62 My_l=-28.64
Tensioni nella sezione: σ=347.13 τ=42.35
CC 17 SLV (Collegamento 0023_-380)
Azioni sul collegamento: N=-7936.99 Ty=-1.59 Tz=-11.19 Mx=-0.02 Mz=-3.75
Sollecitazioni agenti localmente: Ty_l=-1392.08 My_l=-28.52
Tensioni nella sezione: σ=345.66 τ=42.18

CC 18 SLD (Collegamento 0023_-380)
Azioni sul collegamento: N=-4931.25 Ty=-0.32 Tz=-0.05 Mx=-0.01 Mz=-0.79
Sollecitazioni agenti localmente: Ty_l=-871.03 My_l=-17.85
Tensioni nella sezione: σ=216.38 τ=26.39
CC 18 SLD (Collegamento 0023_-380)
Azioni sul collegamento: N=-4931.25 Ty=-0.54 Tz=-0.05 Mx=-0.01 Mz=-1.22
Sollecitazioni agenti localmente: Ty_l=-869.34 My_l=-17.81
Tensioni nella sezione: σ=215.94 τ=26.34
CC 18 SLD (Collegamento 0023_-380)
Azioni sul collegamento: N=-4931.25 Ty=-0.32 Tz=-5.26 Mx=-0.01 Mz=-0.79
Sollecitazioni agenti localmente: Ty_l=-871.03 My_l=-17.85
Tensioni nella sezione: σ=216.38 τ=26.39
CC 18 SLD (Collegamento 0023_-380)
Azioni sul collegamento: N=-4931.25 Ty=-0.54 Tz=-5.26 Mx=-0.01 Mz=-1.22
Sollecitazioni agenti localmente: Ty_l=-869.34 My_l=-17.81
Tensioni nella sezione: σ=215.94 τ=26.34
CC 18 SLD (Collegamento 0023_-380)
Azioni sul collegamento: N=-6335.90 Ty=-0.32 Tz=-0.05 Mx=-0.01 Mz=-0.79
Sollecitazioni agenti localmente: Ty_l=-1120.03 My_l=-22.96
Tensioni nella sezione: σ=278.26 τ=33.94
CC 18 SLD (Collegamento 0023_-380)
Azioni sul collegamento: N=-6335.90 Ty=-0.54 Tz=-0.05 Mx=-0.01 Mz=-1.22
Sollecitazioni agenti localmente: Ty_l=-1118.35 My_l=-22.92
Tensioni nella sezione: σ=277.81 τ=33.89
CC 18 SLD (Collegamento 0023_-380)
Azioni sul collegamento: N=-6335.90 Ty=-0.32 Tz=-5.26 Mx=-0.01 Mz=-0.79
Sollecitazioni agenti localmente: Ty_l=-1120.03 My_l=-22.96
Tensioni nella sezione: σ=278.26 τ=33.94
CC 18 SLD (Collegamento 0023_-380)
Azioni sul collegamento: N=-6335.90 Ty=-0.54 Tz=-5.26 Mx=-0.01 Mz=-1.22
Sollecitazioni agenti localmente: Ty_l=-1118.35 My_l=-22.92
Tensioni nella sezione: σ=277.81 τ=33.89
CC 19 SLV (Collegamento 0023_-380)
Azioni sul collegamento: N=-3330.55 Ty=-1.58 Tz=5.89 Mx=-0.01 Mz=-3.71
Sollecitazioni agenti localmente: Ty_l=-575.64 My_l=-11.78
Tensioni nella sezione: σ=142.79 τ=17.44
CC 19 SLV (Collegamento 0023_-380)
Azioni sul collegamento: N=-3330.55 Ty=-0.90 Tz=5.89 Mx=-0.01 Mz=-2.40
Sollecitazioni agenti localmente: Ty_l=-580.87 My_l=-11.89
Tensioni nella sezione: σ=144.18 τ=17.60
CC 19 SLV (Collegamento 0023_-380)
Azioni sul collegamento: N=-3330.55 Ty=-1.58 Tz=-11.19 Mx=-0.01 Mz=-3.71
Sollecitazioni agenti localmente: Ty_l=-575.64 My_l=-11.78
Tensioni nella sezione: σ=142.79 τ=17.44
CC 19 SLV (Collegamento 0023_-380)
Azioni sul collegamento: N=-3330.55 Ty=-0.90 Tz=-11.19 Mx=-0.01 Mz=-2.40
Sollecitazioni agenti localmente: Ty_l=-580.87 My_l=-11.89
Tensioni nella sezione: σ=144.18 τ=17.60
CC 19 SLV (Collegamento 0023_-380)
Azioni sul collegamento: N=-7936.97 Ty=-1.58 Tz=5.89 Mx=-0.01 Mz=-3.71
Sollecitazioni agenti localmente: Ty_l=-1392.23 My_l=-28.52
Tensioni nella sezione: σ=345.70 τ=42.19
CC 19 SLV (Collegamento 0023_-380)
Azioni sul collegamento: N=-7936.97 Ty=-0.90 Tz=5.89 Mx=-0.01 Mz=-2.40
Sollecitazioni agenti localmente: Ty_l=-1397.46 My_l=-28.63
Tensioni nella sezione: σ=347.09 τ=42.35
CC 19 SLV (Collegamento 0023_-380)
Azioni sul collegamento: N=-7936.97 Ty=-1.58 Tz=-11.19 Mx=-0.01 Mz=-3.71
Sollecitazioni agenti localmente: Ty_l=-1392.23 My_l=-28.52
Tensioni nella sezione: σ=345.70 τ=42.19
CC 19 SLV (Collegamento 0023_-380)
Azioni sul collegamento: N=-7936.97 Ty=-0.90 Tz=-11.19 Mx=-0.01 Mz=-2.40
Sollecitazioni agenti localmente: Ty_l=-1397.46 My_l=-28.63
Tensioni nella sezione: σ=347.09 τ=42.35
CC 20 SLD (Collegamento 0023_-380)
Azioni sul collegamento: N=-4931.25 Ty=-0.53 Tz=-0.05 Mx=-0.00 Mz=-1.20
Sollecitazioni agenti localmente: Ty_l=-869.39 My_l=-17.82
Tensioni nella sezione: σ=215.95 τ=26.34
CC 20 SLD (Collegamento 0023_-380)
Azioni sul collegamento: N=-4931.25 Ty=-0.33 Tz=-0.05 Mx=-0.00 Mz=-0.80
Sollecitazioni agenti localmente: Ty_l=-870.98 My_l=-17.85
Tensioni nella sezione: σ=216.37 τ=26.39
CC 20 SLD (Collegamento 0023_-380)
Azioni sul collegamento: N=-4931.25 Ty=-0.53 Tz=-5.26 Mx=-0.00 Mz=-1.20
Sollecitazioni agenti localmente: Ty_l=-869.39 My_l=-17.82
Tensioni nella sezione: σ=215.95 τ=26.34
CC 20 SLD (Collegamento 0023_-380)
Azioni sul collegamento: N=-4931.25 Ty=-0.33 Tz=-5.26 Mx=-0.00 Mz=-0.80
Sollecitazioni agenti localmente: Ty_l=-870.98 My_l=-17.85

Tensioni nella sezione: σ=216.37 τ=26.39
CC 20 SLD (Collegamento 0023_-380)
Azioni sul collegamento: N=-6335.90 Ty=-0.53 Tz=-0.05 Mx=-0.00 Mz=-1.20
Sollecitazioni agenti localmente: Ty_l=-1118.39 My_l=-22.92
Tensioni nella sezione: σ=277.82 τ=33.89
CC 20 SLD (Collegamento 0023_-380)
Azioni sul collegamento: N=-6335.90 Ty=-0.33 Tz=-0.05 Mx=-0.00 Mz=-0.80
Sollecitazioni agenti localmente: Ty_l=-1119.99 My_l=-22.96
Tensioni nella sezione: σ=278.25 τ=33.94
CC 20 SLD (Collegamento 0023_-380)
Azioni sul collegamento: N=-6335.90 Ty=-0.53 Tz=-5.26 Mx=-0.00 Mz=-1.20
Sollecitazioni agenti localmente: Ty_l=-1118.39 My_l=-22.92
Tensioni nella sezione: σ=277.82 τ=33.89
CC 20 SLD (Collegamento 0023_-380)
Azioni sul collegamento: N=-6335.90 Ty=-0.33 Tz=-5.26 Mx=-0.00 Mz=-0.80
Sollecitazioni agenti localmente: Ty_l=-1119.99 My_l=-22.96
Tensioni nella sezione: σ=278.25 τ=33.94
CC 21 SLV (Collegamento 0023_-380)
Azioni sul collegamento: N=-7936.97 Ty=-0.90 Tz=-11.19 Mx=-0.02 Mz=-2.40
Sollecitazioni agenti localmente: Ty_l=-1397.46 My_l=-28.63
Tensioni nella sezione: σ=347.09 τ=42.35
CC 21 SLV (Collegamento 0023_-380)
Azioni sul collegamento: N=-7936.97 Ty=-1.58 Tz=-11.19 Mx=-0.02 Mz=-3.71
Sollecitazioni agenti localmente: Ty_l=-1392.23 My_l=-28.52
Tensioni nella sezione: σ=345.70 τ=42.19
CC 21 SLV (Collegamento 0023_-380)
Azioni sul collegamento: N=-7936.97 Ty=-0.90 Tz=5.89 Mx=-0.02 Mz=-2.40
Sollecitazioni agenti localmente: Ty_l=-1397.46 My_l=-28.63
Tensioni nella sezione: σ=347.09 τ=42.35
CC 21 SLV (Collegamento 0023_-380)
Azioni sul collegamento: N=-7936.97 Ty=-1.58 Tz=5.89 Mx=-0.02 Mz=-3.71
Sollecitazioni agenti localmente: Ty_l=-1392.23 My_l=-28.52
Tensioni nella sezione: σ=345.70 τ=42.19
CC 21 SLV (Collegamento 0023_-380)
Azioni sul collegamento: N=-3330.55 Ty=-0.90 Tz=-11.19 Mx=-0.02 Mz=-2.40
Sollecitazioni agenti localmente: Ty_l=-580.87 My_l=-11.89
Tensioni nella sezione: σ=144.18 τ=17.60
CC 21 SLV (Collegamento 0023_-380)
Azioni sul collegamento: N=-3330.55 Ty=-1.58 Tz=-11.19 Mx=-0.02 Mz=-3.71
Sollecitazioni agenti localmente: Ty_l=-575.64 My_l=-11.78
Tensioni nella sezione: σ=142.79 τ=17.44
CC 21 SLV (Collegamento 0023_-380)
Azioni sul collegamento: N=-3330.55 Ty=-0.90 Tz=5.89 Mx=-0.02 Mz=-2.40
Sollecitazioni agenti localmente: Ty_l=-580.87 My_l=-11.89
Tensioni nella sezione: σ=144.18 τ=17.60
CC 21 SLV (Collegamento 0023_-380)
Azioni sul collegamento: N=-3330.55 Ty=-1.58 Tz=5.89 Mx=-0.02 Mz=-3.71
Sollecitazioni agenti localmente: Ty_l=-575.64 My_l=-11.78
Tensioni nella sezione: σ=142.79 τ=17.44
CC 22 SLD (Collegamento 0023_-380)
Azioni sul collegamento: N=-6335.90 Ty=-0.33 Tz=-5.26 Mx=-0.01 Mz=-0.80
Sollecitazioni agenti localmente: Ty_l=-1119.99 My_l=-22.96
Tensioni nella sezione: σ=278.25 τ=33.94
CC 22 SLD (Collegamento 0023_-380)
Azioni sul collegamento: N=-6335.90 Ty=-0.53 Tz=-5.26 Mx=-0.01 Mz=-1.20
Sollecitazioni agenti localmente: Ty_l=-1118.39 My_l=-22.92
Tensioni nella sezione: σ=277.82 τ=33.89
CC 22 SLD (Collegamento 0023_-380)
Azioni sul collegamento: N=-6335.90 Ty=-0.33 Tz=-0.05 Mx=-0.01 Mz=-0.80
Sollecitazioni agenti localmente: Ty_l=-1119.99 My_l=-22.96
Tensioni nella sezione: σ=278.25 τ=33.94
CC 22 SLD (Collegamento 0023_-380)
Azioni sul collegamento: N=-6335.90 Ty=-0.53 Tz=-0.05 Mx=-0.01 Mz=-1.20
Sollecitazioni agenti localmente: Ty_l=-1118.39 My_l=-22.92
Tensioni nella sezione: σ=277.82 τ=33.89
CC 22 SLD (Collegamento 0023_-380)
Azioni sul collegamento: N=-4931.25 Ty=-0.33 Tz=-5.26 Mx=-0.01 Mz=-0.80
Sollecitazioni agenti localmente: Ty_l=-870.98 My_l=-17.85
Tensioni nella sezione: σ=216.37 τ=26.39
CC 22 SLD (Collegamento 0023_-380)
Azioni sul collegamento: N=-4931.25 Ty=-0.53 Tz=-5.26 Mx=-0.01 Mz=-1.20
Sollecitazioni agenti localmente: Ty_l=-869.39 My_l=-17.82
Tensioni nella sezione: σ=215.95 τ=26.34
CC 22 SLD (Collegamento 0023_-380)
Azioni sul collegamento: N=-4931.25 Ty=-0.33 Tz=-0.05 Mx=-0.01 Mz=-0.80
Sollecitazioni agenti localmente: Ty_l=-870.98 My_l=-17.85
Tensioni nella sezione: σ=216.37 τ=26.39
CC 22 SLD (Collegamento 0023_-380)
Azioni sul collegamento: N=-4931.25 Ty=-0.53 Tz=-0.05 Mx=-0.01 Mz=-1.20

Sollecitazioni agenti localmente: Ty_l=-869.39 My_l=-17.82
Tensioni nella sezione: σ=215.95 τ=26.34
CC 23 SLV (Collegamento 0023_-380)
Azioni sul collegamento: N=-7936.99 Ty=-1.59 Tz=-11.19 Mx=-0.01 Mz=-3.75
Sollecitazioni agenti localmente: Ty_l=-1392.08 My_l=-28.52
Tensioni nella sezione: σ=345.66 τ=42.18
CC 23 SLV (Collegamento 0023_-380)
Azioni sul collegamento: N=-7936.99 Ty=-0.88 Tz=-11.19 Mx=-0.01 Mz=-2.36
Sollecitazioni agenti localmente: Ty_l=-1397.62 My_l=-28.64
Tensioni nella sezione: σ=347.13 τ=42.35
CC 23 SLV (Collegamento 0023_-380)
Azioni sul collegamento: N=-7936.99 Ty=-1.59 Tz=5.89 Mx=-0.01 Mz=-3.75
Sollecitazioni agenti localmente: Ty_l=-1392.08 My_l=-28.52
Tensioni nella sezione: σ=345.66 τ=42.18
CC 23 SLV (Collegamento 0023_-380)
Azioni sul collegamento: N=-7936.99 Ty=-0.88 Tz=5.89 Mx=-0.01 Mz=-2.36
Sollecitazioni agenti localmente: Ty_l=-1397.62 My_l=-28.64
Tensioni nella sezione: σ=347.13 τ=42.35
CC 23 SLV (Collegamento 0023_-380)
Azioni sul collegamento: N=-3330.52 Ty=-1.59 Tz=-11.19 Mx=-0.01 Mz=-3.75
Sollecitazioni agenti localmente: Ty_l=-575.48 My_l=-11.78
Tensioni nella sezione: σ=142.75 τ=17.44
CC 23 SLV (Collegamento 0023_-380)
Azioni sul collegamento: N=-3330.52 Ty=-0.88 Tz=-11.19 Mx=-0.01 Mz=-2.36
Sollecitazioni agenti localmente: Ty_l=-581.02 My_l=-11.90
Tensioni nella sezione: σ=144.21 τ=17.61
CC 23 SLV (Collegamento 0023_-380)
Azioni sul collegamento: N=-3330.52 Ty=-1.59 Tz=5.89 Mx=-0.01 Mz=-3.75
Sollecitazioni agenti localmente: Ty_l=-575.48 My_l=-11.78
Tensioni nella sezione: σ=142.75 τ=17.44
CC 23 SLV (Collegamento 0023_-380)
Azioni sul collegamento: N=-3330.52 Ty=-0.88 Tz=5.89 Mx=-0.01 Mz=-2.36
Sollecitazioni agenti localmente: Ty_l=-581.02 My_l=-11.90
Tensioni nella sezione: σ=144.21 τ=17.61
CC 24 SLD (Collegamento 0023_-380)
Azioni sul collegamento: N=-6335.90 Ty=-0.54 Tz=-5.26 Mx=-0.00 Mz=-1.22
Sollecitazioni agenti localmente: Ty_l=-1118.35 My_l=-22.92
Tensioni nella sezione: σ=277.81 τ=33.89
CC 24 SLD (Collegamento 0023_-380)
Azioni sul collegamento: N=-6335.90 Ty=-0.32 Tz=-5.26 Mx=-0.00 Mz=-0.79
Sollecitazioni agenti localmente: Ty_l=-1120.03 My_l=-22.96
Tensioni nella sezione: σ=278.26 τ=33.94
CC 24 SLD (Collegamento 0023_-380)
Azioni sul collegamento: N=-6335.90 Ty=-0.54 Tz=-0.05 Mx=-0.00 Mz=-1.22
Sollecitazioni agenti localmente: Ty_l=-1118.35 My_l=-22.92
Tensioni nella sezione: σ=277.81 τ=33.89
CC 24 SLD (Collegamento 0023_-380)
Azioni sul collegamento: N=-6335.90 Ty=-0.32 Tz=-0.05 Mx=-0.00 Mz=-0.79
Sollecitazioni agenti localmente: Ty_l=-1120.03 My_l=-22.96
Tensioni nella sezione: σ=278.26 τ=33.94
CC 24 SLD (Collegamento 0023_-380)
Azioni sul collegamento: N=-4931.25 Ty=-0.54 Tz=-5.26 Mx=-0.00 Mz=-1.22
Sollecitazioni agenti localmente: Ty_l=-869.34 My_l=-17.81
Tensioni nella sezione: σ=215.94 τ=26.34
CC 24 SLD (Collegamento 0023_-380)
Azioni sul collegamento: N=-4931.25 Ty=-0.32 Tz=-5.26 Mx=-0.00 Mz=-0.79
Sollecitazioni agenti localmente: Ty_l=-871.03 My_l=-17.85
Tensioni nella sezione: σ=216.38 τ=26.39
CC 24 SLD (Collegamento 0023_-380)
Azioni sul collegamento: N=-4931.25 Ty=-0.54 Tz=-0.05 Mx=-0.00 Mz=-1.22
Sollecitazioni agenti localmente: Ty_l=-869.34 My_l=-17.81
Tensioni nella sezione: σ=215.94 τ=26.34
CC 24 SLD (Collegamento 0023_-380)
Azioni sul collegamento: N=-4931.25 Ty=-0.32 Tz=-0.05 Mx=-0.00 Mz=-0.79
Sollecitazioni agenti localmente: Ty_l=-871.03 My_l=-17.85
Tensioni nella sezione: σ=216.38 τ=26.39
CC 25 SLV (Collegamento 0023_-380)
Azioni sul collegamento: N=-4942.75 Ty=-0.08 Tz=-0.09 Mx=-0.02 Mz=-0.80
Sollecitazioni agenti localmente: Ty_l=-873.05 My_l=-17.89
Tensioni nella sezione: σ=216.88 τ=26.46
CC 25 SLV (Collegamento 0023_-380)
Azioni sul collegamento: N=-4942.75 Ty=-2.39 Tz=-0.09 Mx=-0.02 Mz=-5.32
Sollecitazioni agenti localmente: Ty_l=-855.06 My_l=-17.50
Tensioni nella sezione: σ=212.11 τ=25.91
CC 25 SLV (Collegamento 0023_-380)
Azioni sul collegamento: N=-4942.75 Ty=-0.08 Tz=-5.22 Mx=-0.02 Mz=-0.80
Sollecitazioni agenti localmente: Ty_l=-873.05 My_l=-17.89
Tensioni nella sezione: σ=216.88 τ=26.46
CC 25 SLV (Collegamento 0023_-380)

Azioni sul collegamento: N=-4942.75 Ty=-2.39 Tz=-5.22 Mx=-0.02 Mz=-5.32
Sollecitazioni agenti localmente: Ty_l=-855.06 My_l=-17.50
Tensioni nella sezione: σ=212.11 τ=25.91
CC 25 SLV (Collegamento 0023_-380)
Azioni sul collegamento: N=-6324.76 Ty=-0.08 Tz=-0.09 Mx=-0.02 Mz=-0.80
Sollecitazioni agenti localmente: Ty_l=-1118.04 My_l=-22.92
Tensioni nella sezione: σ=277.76 τ=33.88
CC 25 SLV (Collegamento 0023_-380)
Azioni sul collegamento: N=-6324.76 Ty=-2.39 Tz=-0.09 Mx=-0.02 Mz=-5.32
Sollecitazioni agenti localmente: Ty_l=-1100.05 My_l=-22.52
Tensioni nella sezione: σ=272.99 τ=33.34
CC 25 SLV (Collegamento 0023_-380)
Azioni sul collegamento: N=-6324.76 Ty=-0.08 Tz=-5.22 Mx=-0.02 Mz=-0.80
Sollecitazioni agenti localmente: Ty_l=-1118.04 My_l=-22.92
Tensioni nella sezione: σ=277.76 τ=33.88
CC 25 SLV (Collegamento 0023_-380)
Azioni sul collegamento: N=-6324.76 Ty=-2.39 Tz=-5.22 Mx=-0.02 Mz=-5.32
Sollecitazioni agenti localmente: Ty_l=-1100.05 My_l=-22.52
Tensioni nella sezione: σ=272.99 τ=33.34
CC 26 SLD (Collegamento 0023_-380)
Azioni sul collegamento: N=-5422.87 Ty=-0.08 Tz=-1.87 Mx=-0.01 Mz=-0.31
Sollecitazioni agenti localmente: Ty_l=-960.08 My_l=-19.68
Tensioni nella sezione: σ=238.54 τ=29.09
CC 26 SLD (Collegamento 0023_-380)
Azioni sul collegamento: N=-5422.87 Ty=-0.78 Tz=-1.87 Mx=-0.01 Mz=-1.69
Sollecitazioni agenti localmente: Ty_l=-954.59 My_l=-19.56
Tensioni nella sezione: σ=237.09 τ=28.93
CC 26 SLD (Collegamento 0023_-380)
Azioni sul collegamento: N=-5422.87 Ty=-0.08 Tz=-3.44 Mx=-0.01 Mz=-0.31
Sollecitazioni agenti localmente: Ty_l=-960.08 My_l=-19.68
Tensioni nella sezione: σ=238.54 τ=29.09
CC 26 SLD (Collegamento 0023_-380)
Azioni sul collegamento: N=-5422.87 Ty=-0.78 Tz=-3.44 Mx=-0.01 Mz=-1.69
Sollecitazioni agenti localmente: Ty_l=-954.59 My_l=-19.56
Tensioni nella sezione: σ=237.09 τ=28.93
CC 26 SLD (Collegamento 0023_-380)
Azioni sul collegamento: N=-5844.28 Ty=-0.08 Tz=-1.87 Mx=-0.01 Mz=-0.31
Sollecitazioni agenti localmente: Ty_l=-1034.78 My_l=-21.21
Tensioni nella sezione: σ=257.11 τ=31.36
CC 26 SLD (Collegamento 0023_-380)
Azioni sul collegamento: N=-5844.28 Ty=-0.78 Tz=-1.87 Mx=-0.01 Mz=-1.69
Sollecitazioni agenti localmente: Ty_l=-1029.30 My_l=-21.09
Tensioni nella sezione: σ=255.65 τ=31.19
CC 26 SLD (Collegamento 0023_-380)
Azioni sul collegamento: N=-5844.28 Ty=-0.08 Tz=-3.44 Mx=-0.01 Mz=-0.31
Sollecitazioni agenti localmente: Ty_l=-1034.78 My_l=-21.21
Tensioni nella sezione: σ=257.11 τ=31.36
CC 26 SLD (Collegamento 0023_-380)
Azioni sul collegamento: N=-5844.28 Ty=-0.78 Tz=-3.44 Mx=-0.01 Mz=-1.69
Sollecitazioni agenti localmente: Ty_l=-1029.30 My_l=-21.09
Tensioni nella sezione: σ=255.65 τ=31.19
CC 27 SLV (Collegamento 0023_-380)
Azioni sul collegamento: N=-6324.69 Ty=-0.09 Tz=-5.21 Mx=-0.02 Mz=-0.81
Sollecitazioni agenti localmente: Ty_l=-1117.98 My_l=-22.91
Tensioni nella sezione: σ=277.75 τ=33.88
CC 27 SLV (Collegamento 0023_-380)
Azioni sul collegamento: N=-6324.69 Ty=-2.39 Tz=-5.21 Mx=-0.02 Mz=-5.31
Sollecitazioni agenti localmente: Ty_l=-1100.09 My_l=-22.52
Tensioni nella sezione: σ=273.00 τ=33.34
CC 27 SLV (Collegamento 0023_-380)
Azioni sul collegamento: N=-6324.69 Ty=-0.09 Tz=-0.09 Mx=-0.02 Mz=-0.81
Sollecitazioni agenti localmente: Ty_l=-1117.98 My_l=-22.91
Tensioni nella sezione: σ=277.75 τ=33.88
CC 27 SLV (Collegamento 0023_-380)
Azioni sul collegamento: N=-6324.69 Ty=-2.39 Tz=-0.09 Mx=-0.02 Mz=-5.31
Sollecitazioni agenti localmente: Ty_l=-1100.09 My_l=-22.52
Tensioni nella sezione: σ=273.00 τ=33.34
CC 27 SLV (Collegamento 0023_-380)
Azioni sul collegamento: N=-4942.83 Ty=-0.09 Tz=-5.21 Mx=-0.02 Mz=-0.81
Sollecitazioni agenti localmente: Ty_l=-873.01 My_l=-17.89
Tensioni nella sezione: σ=216.88 τ=26.45
CC 27 SLV (Collegamento 0023_-380)
Azioni sul collegamento: N=-4942.83 Ty=-2.39 Tz=-5.21 Mx=-0.02 Mz=-5.31
Sollecitazioni agenti localmente: Ty_l=-855.12 My_l=-17.50
Tensioni nella sezione: σ=212.13 τ=25.91
CC 27 SLV (Collegamento 0023_-380)
Azioni sul collegamento: N=-4942.83 Ty=-0.09 Tz=-0.09 Mx=-0.02 Mz=-0.81
Sollecitazioni agenti localmente: Ty_l=-873.01 My_l=-17.89
Tensioni nella sezione: σ=216.88 τ=26.45

CC 27 SLV (Collegamento 0023_-380)
Azioni sul collegamento: N=-4942.83 Ty=-2.39 Tz=-0.09 Mx=-0.02 Mz=-5.31
Sollecitazioni agenti localmente: Ty_l=-855.12 My_l=-17.50
Tensioni nella sezione: σ=212.13 τ=25.91
CC 28 SLD (Collegamento 0023_-380)
Azioni sul collegamento: N=-5844.26 Ty=-0.08 Tz=-3.43 Mx=-0.01 Mz=-0.32
Sollecitazioni agenti localmente: Ty_l=-1034.76 My_l=-21.21
Tensioni nella sezione: σ=257.10 τ=31.36
CC 28 SLD (Collegamento 0023_-380)
Azioni sul collegamento: N=-5844.26 Ty=-0.78 Tz=-3.43 Mx=-0.01 Mz=-1.69
Sollecitazioni agenti localmente: Ty_l=-1029.31 My_l=-21.09
Tensioni nella sezione: σ=255.65 τ=31.19
CC 28 SLD (Collegamento 0023_-380)
Azioni sul collegamento: N=-5844.26 Ty=-0.08 Tz=-1.87 Mx=-0.01 Mz=-0.32
Sollecitazioni agenti localmente: Ty_l=-1034.76 My_l=-21.21
Tensioni nella sezione: σ=257.10 τ=31.36
CC 28 SLD (Collegamento 0023_-380)
Azioni sul collegamento: N=-5844.26 Ty=-0.78 Tz=-1.87 Mx=-0.01 Mz=-1.69
Sollecitazioni agenti localmente: Ty_l=-1029.31 My_l=-21.09
Tensioni nella sezione: σ=255.65 τ=31.19
CC 28 SLD (Collegamento 0023_-380)
Azioni sul collegamento: N=-5422.89 Ty=-0.08 Tz=-3.43 Mx=-0.01 Mz=-0.32
Sollecitazioni agenti localmente: Ty_l=-960.07 My_l=-19.68
Tensioni nella sezione: σ=238.54 τ=29.09
CC 28 SLD (Collegamento 0023_-380)
Azioni sul collegamento: N=-5422.89 Ty=-0.78 Tz=-3.43 Mx=-0.01 Mz=-1.69
Sollecitazioni agenti localmente: Ty_l=-954.61 My_l=-19.56
Tensioni nella sezione: σ=237.09 τ=28.93
CC 28 SLD (Collegamento 0023_-380)
Azioni sul collegamento: N=-5422.89 Ty=-0.08 Tz=-1.87 Mx=-0.01 Mz=-0.32
Sollecitazioni agenti localmente: Ty_l=-960.07 My_l=-19.68
Tensioni nella sezione: σ=238.54 τ=29.09
CC 28 SLD (Collegamento 0023_-380)
Azioni sul collegamento: N=-5422.89 Ty=-0.78 Tz=-1.87 Mx=-0.01 Mz=-1.69
Sollecitazioni agenti localmente: Ty_l=-954.61 My_l=-19.56
Tensioni nella sezione: σ=237.09 τ=28.93
CC 29 SLV (Collegamento 0023_-380)
Azioni sul collegamento: N=-4942.83 Ty=-2.39 Tz=-0.09 Mx=-0.00 Mz=-5.31
Sollecitazioni agenti localmente: Ty_l=-855.12 My_l=-17.50
Tensioni nella sezione: σ=212.13 τ=25.91
CC 29 SLV (Collegamento 0023_-380)
Azioni sul collegamento: N=-4942.83 Ty=-0.09 Tz=-0.09 Mx=-0.00 Mz=-0.81
Sollecitazioni agenti localmente: Ty_l=-873.01 My_l=-17.89
Tensioni nella sezione: σ=216.88 τ=26.45
CC 29 SLV (Collegamento 0023_-380)
Azioni sul collegamento: N=-4942.83 Ty=-2.39 Tz=-5.21 Mx=-0.00 Mz=-5.31
Sollecitazioni agenti localmente: Ty_l=-855.12 My_l=-17.50
Tensioni nella sezione: σ=212.13 τ=25.91
CC 29 SLV (Collegamento 0023_-380)
Azioni sul collegamento: N=-4942.83 Ty=-0.09 Tz=-5.21 Mx=-0.00 Mz=-0.81
Sollecitazioni agenti localmente: Ty_l=-873.01 My_l=-17.89
Tensioni nella sezione: σ=216.88 τ=26.45
CC 29 SLV (Collegamento 0023_-380)
Azioni sul collegamento: N=-6324.69 Ty=-2.39 Tz=-0.09 Mx=-0.00 Mz=-5.31
Sollecitazioni agenti localmente: Ty_l=-1100.09 My_l=-22.52
Tensioni nella sezione: σ=273.00 τ=33.34
CC 29 SLV (Collegamento 0023_-380)
Azioni sul collegamento: N=-6324.69 Ty=-0.09 Tz=-0.09 Mx=-0.00 Mz=-0.81
Sollecitazioni agenti localmente: Ty_l=-1117.98 My_l=-22.91
Tensioni nella sezione: σ=277.75 τ=33.88
CC 29 SLV (Collegamento 0023_-380)
Azioni sul collegamento: N=-6324.69 Ty=-2.39 Tz=-5.21 Mx=-0.00 Mz=-5.31
Sollecitazioni agenti localmente: Ty_l=-1100.09 My_l=-22.52
Tensioni nella sezione: σ=273.00 τ=33.34
CC 29 SLV (Collegamento 0023_-380)
Azioni sul collegamento: N=-6324.69 Ty=-0.09 Tz=-5.21 Mx=-0.00 Mz=-0.81
Sollecitazioni agenti localmente: Ty_l=-1117.98 My_l=-22.91
Tensioni nella sezione: σ=277.75 τ=33.88
CC 30 SLD (Collegamento 0023_-380)
Azioni sul collegamento: N=-5422.89 Ty=-0.78 Tz=-1.87 Mx=-0.00 Mz=-1.69
Sollecitazioni agenti localmente: Ty_l=-954.61 My_l=-19.56
Tensioni nella sezione: σ=237.09 τ=28.93
CC 30 SLD (Collegamento 0023_-380)
Azioni sul collegamento: N=-5422.89 Ty=-0.08 Tz=-1.87 Mx=-0.00 Mz=-0.32
Sollecitazioni agenti localmente: Ty_l=-960.07 My_l=-19.68
Tensioni nella sezione: σ=238.54 τ=29.09
CC 30 SLD (Collegamento 0023_-380)
Azioni sul collegamento: N=-5422.89 Ty=-0.78 Tz=-3.43 Mx=-0.00 Mz=-1.69
Sollecitazioni agenti localmente: Ty_l=-954.61 My_l=-19.56

Tensioni nella sezione: σ=237.09 τ=28.93
CC 30 SLD (Collegamento 0023_-380)
Azioni sul collegamento: N=-5422.89 Ty=-0.08 Tz=-3.43 Mx=-0.00 Mz=-0.32
Sollecitazioni agenti localmente: Ty_l=-960.07 My_l=-19.68
Tensioni nella sezione: σ=238.54 τ=29.09
CC 30 SLD (Collegamento 0023_-380)
Azioni sul collegamento: N=-5844.26 Ty=-0.78 Tz=-1.87 Mx=-0.00 Mz=-1.69
Sollecitazioni agenti localmente: Ty_l=-1029.31 My_l=-21.09
Tensioni nella sezione: σ=255.65 τ=31.19
CC 30 SLD (Collegamento 0023_-380)
Azioni sul collegamento: N=-5844.26 Ty=-0.08 Tz=-1.87 Mx=-0.00 Mz=-0.32
Sollecitazioni agenti localmente: Ty_l=-1034.76 My_l=-21.21
Tensioni nella sezione: σ=257.10 τ=31.36
CC 30 SLD (Collegamento 0023_-380)
Azioni sul collegamento: N=-5844.26 Ty=-0.78 Tz=-3.43 Mx=-0.00 Mz=-1.69
Sollecitazioni agenti localmente: Ty_l=-1029.31 My_l=-21.09
Tensioni nella sezione: σ=255.65 τ=31.19
CC 30 SLD (Collegamento 0023_-380)
Azioni sul collegamento: N=-5844.26 Ty=-0.08 Tz=-3.43 Mx=-0.00 Mz=-0.32
Sollecitazioni agenti localmente: Ty_l=-1034.76 My_l=-21.21
Tensioni nella sezione: σ=257.10 τ=31.36
CC 31 SLV (Collegamento 0023_-380)
Azioni sul collegamento: N=-6324.76 Ty=-2.39 Tz=-5.22 Mx=-0.00 Mz=-5.32
Sollecitazioni agenti localmente: Ty_l=-1100.05 My_l=-22.52
Tensioni nella sezione: σ=272.99 τ=33.34
CC 31 SLV (Collegamento 0023_-380)
Azioni sul collegamento: N=-6324.76 Ty=-0.08 Tz=-5.22 Mx=-0.00 Mz=-0.80
Sollecitazioni agenti localmente: Ty_l=-1118.04 My_l=-22.92
Tensioni nella sezione: σ=277.76 τ=33.88
CC 31 SLV (Collegamento 0023_-380)
Azioni sul collegamento: N=-6324.76 Ty=-2.39 Tz=-0.09 Mx=-0.00 Mz=-5.32
Sollecitazioni agenti localmente: Ty_l=-1100.05 My_l=-22.52
Tensioni nella sezione: σ=272.99 τ=33.34
CC 31 SLV (Collegamento 0023_-380)
Azioni sul collegamento: N=-6324.76 Ty=-0.08 Tz=-0.09 Mx=-0.00 Mz=-0.80
Sollecitazioni agenti localmente: Ty_l=-1118.04 My_l=-22.92
Tensioni nella sezione: σ=277.76 τ=33.88
CC 31 SLV (Collegamento 0023_-380)
Azioni sul collegamento: N=-4942.75 Ty=-2.39 Tz=-5.22 Mx=-0.00 Mz=-5.32
Sollecitazioni agenti localmente: Ty_l=-855.06 My_l=-17.50
Tensioni nella sezione: σ=212.11 τ=25.91
CC 31 SLV (Collegamento 0023_-380)
Azioni sul collegamento: N=-4942.75 Ty=-0.08 Tz=-5.22 Mx=-0.00 Mz=-0.80
Sollecitazioni agenti localmente: Ty_l=-873.05 My_l=-17.89
Tensioni nella sezione: σ=216.88 τ=26.46
CC 31 SLV (Collegamento 0023_-380)
Azioni sul collegamento: N=-4942.75 Ty=-2.39 Tz=-0.09 Mx=-0.00 Mz=-5.32
Sollecitazioni agenti localmente: Ty_l=-855.06 My_l=-17.50
Tensioni nella sezione: σ=212.11 τ=25.91
CC 31 SLV (Collegamento 0023_-380)
Azioni sul collegamento: N=-4942.75 Ty=-0.08 Tz=-0.09 Mx=-0.00 Mz=-0.80
Sollecitazioni agenti localmente: Ty_l=-873.05 My_l=-17.89
Tensioni nella sezione: σ=216.88 τ=26.46
CC 32 SLD (Collegamento 0023_-380)
Azioni sul collegamento: N=-5844.28 Ty=-0.78 Tz=-3.44 Mx=-0.00 Mz=-1.69
Sollecitazioni agenti localmente: Ty_l=-1029.30 My_l=-21.09
Tensioni nella sezione: σ=255.65 τ=31.19
CC 32 SLD (Collegamento 0023_-380)
Azioni sul collegamento: N=-5844.28 Ty=-0.08 Tz=-3.44 Mx=-0.00 Mz=-0.31
Sollecitazioni agenti localmente: Ty_l=-1034.78 My_l=-21.21
Tensioni nella sezione: σ=257.11 τ=31.36
CC 32 SLD (Collegamento 0023_-380)
Azioni sul collegamento: N=-5844.28 Ty=-0.78 Tz=-1.87 Mx=-0.00 Mz=-1.69
Sollecitazioni agenti localmente: Ty_l=-1029.30 My_l=-21.09
Tensioni nella sezione: σ=255.65 τ=31.19
CC 32 SLD (Collegamento 0023_-380)
Azioni sul collegamento: N=-5844.28 Ty=-0.08 Tz=-1.87 Mx=-0.00 Mz=-0.31
Sollecitazioni agenti localmente: Ty_l=-1034.78 My_l=-21.21
Tensioni nella sezione: σ=257.11 τ=31.36
CC 32 SLD (Collegamento 0023_-380)
Azioni sul collegamento: N=-5422.87 Ty=-0.78 Tz=-3.44 Mx=-0.00 Mz=-1.69
Sollecitazioni agenti localmente: Ty_l=-954.59 My_l=-19.56
Tensioni nella sezione: σ=237.09 τ=28.93
CC 32 SLD (Collegamento 0023_-380)
Azioni sul collegamento: N=-5422.87 Ty=-0.08 Tz=-3.44 Mx=-0.00 Mz=-0.31
Sollecitazioni agenti localmente: Ty_l=-960.08 My_l=-19.68
Tensioni nella sezione: σ=238.54 τ=29.09
CC 32 SLD (Collegamento 0023_-380)
Azioni sul collegamento: N=-5422.87 Ty=-0.78 Tz=-1.87 Mx=-0.00 Mz=-1.69

Sollecitazioni agenti localmente: Ty_l=-954.59 My_l=-19.56
Tensioni nella sezione: σ=237.09 τ=28.93
CC 32 SLD (Collegamento 0023_-380)
Azioni sul collegamento: N=-5422.87 Ty=-0.08 Tz=-1.87 Mx=-0.00 Mz=-0.31
Sollecitazioni agenti localmente: Ty_l=-960.08 My_l=-19.68
Tensioni nella sezione: σ=238.54 τ=29.09
CC 33 SLU (Collegamento 0023_-380)
Azioni sul collegamento: N=-29447.20 Ty=-0.05 Tz=76.67 Mx=-0.00 Mz=-0.12
Sollecitazioni agenti localmente: Ty_l=-5219.72 My_l=-107.00
Tensioni nella sezione: σ=1297.01 τ=158.17
CC 34 SLU (Collegamento 0023_-380)
Azioni sul collegamento: N=-28967.90 Ty=-0.05 Tz=74.90 Mx=-0.00 Mz=-0.12
Sollecitazioni agenti localmente: Ty_l=-5134.74 My_l=-105.26
Tensioni nella sezione: σ=1275.90 τ=155.60
CC 35 SLU (Collegamento 0023_-380)
Azioni sul collegamento: N=-29207.50 Ty=-0.17 Tz=75.78 Mx=0.00 Mz=-0.35
Sollecitazioni agenti localmente: Ty_l=-5176.30 My_l=-106.11
Tensioni nella sezione: σ=1286.21 τ=156.86
CC 36 SLU (Collegamento 0023_-380)
Azioni sul collegamento: N=-29207.50 Ty=0.07 Tz=75.79 Mx=-0.00 Mz=0.12
Sollecitazioni agenti localmente: Ty_l=-5178.16 My_l=-106.15
Tensioni nella sezione: σ=1286.70 τ=156.91
CC 37 SLU (Collegamento 0023_-380)
Azioni sul collegamento: N=-19933.90 Ty=-0.08 Tz=41.69 Mx=-0.00 Mz=-0.13
Sollecitazioni agenti localmente: Ty_l=-3533.22 My_l=-72.43
Tensioni nella sezione: σ=877.94 τ=107.07
CC 38 SLU (Collegamento 0023_-380)
Azioni sul collegamento: N=-19454.60 Ty=-0.08 Tz=39.91 Mx=-0.00 Mz=-0.13
Sollecitazioni agenti localmente: Ty_l=-3448.24 My_l=-70.69
Tensioni nella sezione: σ=856.83 τ=104.49
CC 39 SLU (Collegamento 0023_-380)
Azioni sul collegamento: N=-19694.20 Ty=-0.20 Tz=40.80 Mx=0.00 Mz=-0.36
Sollecitazioni agenti localmente: Ty_l=-3489.80 My_l=-71.54
Tensioni nella sezione: σ=867.14 τ=105.75
CC 40 SLU (Collegamento 0023_-380)
Azioni sul collegamento: N=-19694.20 Ty=0.04 Tz=40.80 Mx=-0.00 Mz=0.10
Sollecitazioni agenti localmente: Ty_l=-3491.66 My_l=-71.58
Tensioni nella sezione: σ=867.63 τ=105.81
CC 41 SLU (Collegamento 0023_-380)
Azioni sul collegamento: N=-29632.10 Ty=-0.07 Tz=76.65 Mx=-0.00 Mz=-0.13
Sollecitazioni agenti localmente: Ty_l=-5252.45 My_l=-107.67
Tensioni nella sezione: σ=1305.15 τ=159.16
CC 42 SLU (Collegamento 0023_-380)
Azioni sul collegamento: N=-29152.80 Ty=-0.07 Tz=74.88 Mx=-0.00 Mz=-0.13
Sollecitazioni agenti localmente: Ty_l=-5167.47 My_l=-105.93
Tensioni nella sezione: σ=1284.03 τ=156.59
CC 43 SLU (Collegamento 0023_-380)
Azioni sul collegamento: N=-29392.40 Ty=-0.19 Tz=75.77 Mx=0.00 Mz=-0.36
Sollecitazioni agenti localmente: Ty_l=-5209.03 My_l=-106.78
Tensioni nella sezione: σ=1294.34 τ=157.85
CC 44 SLU (Collegamento 0023_-380)
Azioni sul collegamento: N=-29392.40 Ty=0.05 Tz=75.77 Mx=-0.00 Mz=0.10
Sollecitazioni agenti localmente: Ty_l=-5210.90 My_l=-106.82
Tensioni nella sezione: σ=1294.84 τ=157.91
CC 45 SLU (Collegamento 0023_-380)
Azioni sul collegamento: N=-22108.00 Ty=-0.08 Tz=49.75 Mx=-0.00 Mz=-0.14
Sollecitazioni agenti localmente: Ty_l=-3918.61 My_l=-80.33
Tensioni nella sezione: σ=973.71 τ=118.75
CC 46 SLU (Collegamento 0023_-380)
Azioni sul collegamento: N=-21628.70 Ty=-0.08 Tz=47.97 Mx=-0.00 Mz=-0.14
Sollecitazioni agenti localmente: Ty_l=-3833.63 My_l=-78.59
Tensioni nella sezione: σ=952.59 τ=116.17
CC 47 SLU (Collegamento 0023_-380)
Azioni sul collegamento: N=-21868.40 Ty=-0.20 Tz=48.86 Mx=0.00 Mz=-0.37
Sollecitazioni agenti localmente: Ty_l=-3875.19 My_l=-79.44
Tensioni nella sezione: σ=962.90 τ=117.43
CC 48 SLU (Collegamento 0023_-380)
Azioni sul collegamento: N=-21868.40 Ty=0.04 Tz=48.86 Mx=-0.00 Mz=0.10
Sollecitazioni agenti localmente: Ty_l=-3877.05 My_l=-79.48
Tensioni nella sezione: σ=963.39 τ=117.49
CC 49 SLU (Collegamento 0023_-380)
Azioni sul collegamento: N=-14990.70 Ty=-0.10 Tz=23.57 Mx=-0.00 Mz=-0.15
Sollecitazioni agenti localmente: Ty_l=-2656.86 My_l=-54.46
Tensioni nella sezione: σ=660.18 τ=80.51
CC 50 SLU (Collegamento 0023_-380)
Azioni sul collegamento: N=-14511.40 Ty=-0.10 Tz=21.80 Mx=-0.00 Mz=-0.15
Sollecitazioni agenti localmente: Ty_l=-2571.88 My_l=-52.72
Tensioni nella sezione: σ=639.06 τ=77.94
CC 51 SLU (Collegamento 0023_-380)

Azioni sul collegamento: N=-14751.00 Ty=-0.22 Tz=22.68 Mx=0.00 Mz=-0.38
Sollecitazioni agenti localmente: Ty_l=-2613.44 My_l=-53.57
Tensioni nella sezione: σ=649.37 τ=79.19
CC 52 SLU (Collegamento 0023_-380)
Azioni sul collegamento: N=-14751.00 Ty=0.02 Tz=22.69 Mx=-0.00 Mz=0.09
Sollecitazioni agenti localmente: Ty_l=-2615.30 My_l=-53.61
Tensioni nella sezione: σ=649.87 τ=79.25
CC 53 SLU (Collegamento 0023_-380)
Azioni sul collegamento: N=-22246.40 Ty=-0.10 Tz=49.73 Mx=-0.00 Mz=-0.15
Sollecitazioni agenti localmente: Ty_l=-3943.10 My_l=-80.83
Tensioni nella sezione: σ=979.79 τ=119.49
CC 54 SLU (Collegamento 0023_-380)
Azioni sul collegamento: N=-21767.10 Ty=-0.10 Tz=47.96 Mx=-0.00 Mz=-0.15
Sollecitazioni agenti localmente: Ty_l=-3858.12 My_l=-79.09
Tensioni nella sezione: σ=958.67 τ=116.91
CC 55 SLU (Collegamento 0023_-380)
Azioni sul collegamento: N=-22006.70 Ty=-0.22 Tz=48.85 Mx=0.00 Mz=-0.38
Sollecitazioni agenti localmente: Ty_l=-3899.68 My_l=-79.94
Tensioni nella sezione: σ=968.99 τ=118.17
CC 56 SLU (Collegamento 0023_-380)
Azioni sul collegamento: N=-22006.70 Ty=0.02 Tz=48.85 Mx=-0.00 Mz=0.09
Sollecitazioni agenti localmente: Ty_l=-3901.54 My_l=-79.98
Tensioni nella sezione: σ=969.48 τ=118.23
CC 57 SLU (Collegamento 0023_-380)
Azioni sul collegamento: N=-20646.20 Ty=-0.07 Tz=44.37 Mx=-0.00 Mz=-0.13
Sollecitazioni agenti localmente: Ty_l=-3659.50 My_l=-75.02
Tensioni nella sezione: σ=909.32 τ=110.89
CC 58 SLU (Collegamento 0023_-380)
Azioni sul collegamento: N=-20166.90 Ty=-0.07 Tz=42.59 Mx=-0.00 Mz=-0.13
Sollecitazioni agenti localmente: Ty_l=-3574.52 My_l=-73.28
Tensioni nella sezione: σ=888.21 τ=108.32
CC 59 SLU (Collegamento 0023_-380)
Azioni sul collegamento: N=-20406.60 Ty=-0.19 Tz=43.48 Mx=0.00 Mz=-0.36
Sollecitazioni agenti localmente: Ty_l=-3616.08 My_l=-74.13
Tensioni nella sezione: σ=898.52 τ=109.58
CC 60 SLU (Collegamento 0023_-380)
Azioni sul collegamento: N=-20406.60 Ty=0.05 Tz=43.48 Mx=-0.00 Mz=0.10
Sollecitazioni agenti localmente: Ty_l=-3617.95 My_l=-74.17
Tensioni nella sezione: σ=899.01 τ=109.64
CC 61 SLU (Collegamento 0023_-380)
Azioni sul collegamento: N=-13528.90 Ty=-0.09 Tz=18.19 Mx=-0.00 Mz=-0.14
Sollecitazioni agenti localmente: Ty_l=-2397.75 My_l=-49.15
Tensioni nella sezione: σ=595.80 τ=72.66
CC 62 SLU (Collegamento 0023_-380)
Azioni sul collegamento: N=-13049.60 Ty=-0.10 Tz=16.41 Mx=-0.00 Mz=-0.14
Sollecitazioni agenti localmente: Ty_l=-2312.77 My_l=-47.41
Tensioni nella sezione: σ=574.68 τ=70.08
CC 63 SLU (Collegamento 0023_-380)
Azioni sul collegamento: N=-13289.20 Ty=-0.21 Tz=17.30 Mx=0.00 Mz=-0.37
Sollecitazioni agenti localmente: Ty_l=-2354.33 My_l=-48.26
Tensioni nella sezione: σ=584.99 τ=71.34
CC 64 SLU (Collegamento 0023_-380)
Azioni sul collegamento: N=-13289.20 Ty=0.02 Tz=17.30 Mx=-0.00 Mz=0.10
Sollecitazioni agenti localmente: Ty_l=-2356.19 My_l=-48.30
Tensioni nella sezione: σ=585.49 τ=71.40
CC 65 SLU (Collegamento 0023_-380)
Azioni sul collegamento: N=-20784.60 Ty=-0.09 Tz=44.35 Mx=-0.00 Mz=-0.14
Sollecitazioni agenti localmente: Ty_l=-3683.99 My_l=-75.52
Tensioni nella sezione: σ=915.41 τ=111.64
CC 66 SLU (Collegamento 0023_-380)
Azioni sul collegamento: N=-20305.30 Ty=-0.09 Tz=42.57 Mx=-0.00 Mz=-0.14
Sollecitazioni agenti localmente: Ty_l=-3599.01 My_l=-73.78
Tensioni nella sezione: σ=894.29 τ=109.06
CC 67 SLU (Collegamento 0023_-380)
Azioni sul collegamento: N=-20544.90 Ty=-0.21 Tz=43.46 Mx=0.00 Mz=-0.37
Sollecitazioni agenti localmente: Ty_l=-3640.57 My_l=-74.63
Tensioni nella sezione: σ=904.60 τ=110.32
CC 68 SLU (Collegamento 0023_-380)
Azioni sul collegamento: N=-20544.90 Ty=0.03 Tz=43.46 Mx=-0.00 Mz=0.10
Sollecitazioni agenti localmente: Ty_l=-3642.44 My_l=-74.67
Tensioni nella sezione: σ=905.10 τ=110.38
CC 97 SLU (Collegamento 0023_-380)
Azioni sul collegamento: N=-12582.10 Ty=-12.27 Tz=22.98 Mx=-0.04 Mz=-17.61
Sollecitazioni agenti localmente: Ty_l=-2160.43 My_l=-44.19
Tensioni nella sezione: σ=535.65 τ=65.47
CC 98 SLU (Collegamento 0023_-380)
Azioni sul collegamento: N=-12102.80 Ty=-12.27 Tz=21.21 Mx=-0.04 Mz=-17.61
Sollecitazioni agenti localmente: Ty_l=-2075.45 My_l=-42.45
Tensioni nella sezione: σ=514.53 τ=62.89

CC 99 SLU (Collegamento 0023_-380)
Azioni sul collegamento: N=-12342.50 Ty=-12.39 Tz=22.09 Mx=-0.04 Mz=-17.84
Sollecitazioni agenti localmente: Ty_l=-2117.01 My_l=-43.30
Tensioni nella sezione: σ=524.84 τ=64.15
CC 100 SLU (Collegamento 0023_-380)
Azioni sul collegamento: N=-12342.50 Ty=-12.15 Tz=22.09 Mx=-0.04 Mz=-17.38
Sollecitazioni agenti localmente: Ty_l=-2118.87 My_l=-43.34
Tensioni nella sezione: σ=525.34 τ=64.21
CC 101 SLU (Collegamento 0023_-380)
Azioni sul collegamento: N=-6366.46 Ty=2.01 Tz=0.04 Mx=0.00 Mz=2.22
Sollecitazioni agenti localmente: Ty_l=-1137.43 My_l=-23.33
Tensioni nella sezione: σ=282.78 τ=34.47
CC 102 SLU (Collegamento 0023_-380)
Azioni sul collegamento: N=-5887.16 Ty=2.00 Tz=-1.73 Mx=0.00 Mz=2.22
Sollecitazioni agenti localmente: Ty_l=-1052.45 My_l=-21.59
Tensioni nella sezione: σ=261.67 τ=31.89
CC 103 SLU (Collegamento 0023_-380)
Azioni sul collegamento: N=-6126.81 Ty=1.89 Tz=-0.85 Mx=0.01 Mz=1.98
Sollecitazioni agenti localmente: Ty_l=-1094.01 My_l=-22.44
Tensioni nella sezione: σ=271.98 τ=33.15
CC 104 SLU (Collegamento 0023_-380)
Azioni sul collegamento: N=-6126.80 Ty=2.12 Tz=-0.84 Mx=0.00 Mz=2.45
Sollecitazioni agenti localmente: Ty_l=-1095.87 My_l=-22.48
Tensioni nella sezione: σ=272.47 τ=33.21

Flessione attacco sinistro piastra

Bnetta=220.00 Hnetta=15.00
CC 1 SLV (Collegamento 0023_-380)
Azioni sul collegamento: N=-3330.00 Ty=1.44 Tz=5.89 Mx=0.02 Mz=3.55
Sollecitazioni agenti localmente: Ty_l=-576.21 My_l=-11.79
Tensioni nella sezione: σ=142.94 τ=17.46
CC 1 SLV (Collegamento 0023_-380)
Azioni sul collegamento: N=-3330.00 Ty=0.74 Tz=5.89 Mx=0.02 Mz=2.16
Sollecitazioni agenti localmente: Ty_l=-581.74 My_l=-11.91
Tensioni nella sezione: σ=144.41 τ=17.63
CC 1 SLV (Collegamento 0023_-380)
Azioni sul collegamento: N=-3330.00 Ty=1.44 Tz=-11.20 Mx=0.02 Mz=3.55
Sollecitazioni agenti localmente: Ty_l=-576.21 My_l=-11.79
Tensioni nella sezione: σ=142.94 τ=17.46
CC 1 SLV (Collegamento 0023_-380)
Azioni sul collegamento: N=-3330.00 Ty=0.74 Tz=-11.20 Mx=0.02 Mz=2.16
Sollecitazioni agenti localmente: Ty_l=-581.74 My_l=-11.91
Tensioni nella sezione: σ=144.41 τ=17.63
CC 1 SLV (Collegamento 0023_-380)
Azioni sul collegamento: N=-7936.47 Ty=1.44 Tz=5.89 Mx=0.02 Mz=3.55
Sollecitazioni agenti localmente: Ty_l=-1392.81 My_l=-28.53
Tensioni nella sezione: σ=345.85 τ=42.21
CC 1 SLV (Collegamento 0023_-380)
Azioni sul collegamento: N=-7936.47 Ty=0.74 Tz=5.89 Mx=0.02 Mz=2.16
Sollecitazioni agenti localmente: Ty_l=-1398.34 My_l=-28.65
Tensioni nella sezione: σ=347.32 τ=42.37
CC 1 SLV (Collegamento 0023_-380)
Azioni sul collegamento: N=-7936.47 Ty=1.44 Tz=-11.20 Mx=0.02 Mz=3.55
Sollecitazioni agenti localmente: Ty_l=-1392.81 My_l=-28.53
Tensioni nella sezione: σ=345.85 τ=42.21
CC 1 SLV (Collegamento 0023_-380)
Azioni sul collegamento: N=-7936.47 Ty=0.74 Tz=-11.20 Mx=0.02 Mz=2.16
Sollecitazioni agenti localmente: Ty_l=-1398.34 My_l=-28.65
Tensioni nella sezione: σ=347.32 τ=42.37
CC 2 SLD (Collegamento 0023_-380)
Azioni sul collegamento: N=-4931.09 Ty=0.39 Tz=-0.05 Mx=0.00 Mz=1.01
Sollecitazioni agenti localmente: Ty_l=-870.13 My_l=-17.83
Tensioni nella sezione: σ=216.15 τ=26.37
CC 2 SLD (Collegamento 0023_-380)
Azioni sul collegamento: N=-4931.09 Ty=0.17 Tz=-0.05 Mx=0.00 Mz=0.59
Sollecitazioni agenti localmente: Ty_l=-871.82 My_l=-17.87
Tensioni nella sezione: σ=216.59 τ=26.42
CC 2 SLD (Collegamento 0023_-380)
Azioni sul collegamento: N=-4931.09 Ty=0.39 Tz=-5.26 Mx=0.00 Mz=1.01
Sollecitazioni agenti localmente: Ty_l=-870.13 My_l=-17.83
Tensioni nella sezione: σ=216.15 τ=26.37
CC 2 SLD (Collegamento 0023_-380)
Azioni sul collegamento: N=-4931.09 Ty=0.17 Tz=-5.26 Mx=0.00 Mz=0.59
Sollecitazioni agenti localmente: Ty_l=-871.82 My_l=-17.87
Tensioni nella sezione: σ=216.59 τ=26.42
CC 2 SLD (Collegamento 0023_-380)
Azioni sul collegamento: N=-6335.74 Ty=0.39 Tz=-0.05 Mx=0.00 Mz=1.01
Sollecitazioni agenti localmente: Ty_l=-1119.14 My_l=-22.94

Tensioni nella sezione: σ=278.02 τ=33.91
CC 2 SLD (Collegamento 0023_-380)
Azioni sul collegamento: N=-6335.74 Ty=0.17 Tz=-0.05 Mx=0.00 Mz=0.59
Sollecitazioni agenti localmente: Ty_l=-1120.82 My_l=-22.97
Tensioni nella sezione: σ=278.47 τ=33.96
CC 2 SLD (Collegamento 0023_-380)
Azioni sul collegamento: N=-6335.74 Ty=0.39 Tz=-5.26 Mx=0.00 Mz=1.01
Sollecitazioni agenti localmente: Ty_l=-1119.14 My_l=-22.94
Tensioni nella sezione: σ=278.02 τ=33.91
CC 2 SLD (Collegamento 0023_-380)
Azioni sul collegamento: N=-6335.74 Ty=0.17 Tz=-5.26 Mx=0.00 Mz=0.59
Sollecitazioni agenti localmente: Ty_l=-1120.82 My_l=-22.97
Tensioni nella sezione: σ=278.47 τ=33.96
CC 3 SLV (Collegamento 0023_-380)
Azioni sul collegamento: N=-3330.02 Ty=0.75 Tz=5.88 Mx=0.01 Mz=2.19
Sollecitazioni agenti localmente: Ty_l=-581.59 My_l=-11.91
Tensioni nella sezione: σ=144.37 τ=17.62
CC 3 SLV (Collegamento 0023_-380)
Azioni sul collegamento: N=-3330.02 Ty=1.43 Tz=5.88 Mx=0.01 Mz=3.51
Sollecitazioni agenti localmente: Ty_l=-576.37 My_l=-11.80
Tensioni nella sezione: σ=142.98 τ=17.47
CC 3 SLV (Collegamento 0023_-380)
Azioni sul collegamento: N=-3330.02 Ty=0.75 Tz=-11.19 Mx=0.01 Mz=2.19
Sollecitazioni agenti localmente: Ty_l=-581.59 My_l=-11.91
Tensioni nella sezione: σ=144.37 τ=17.62
CC 3 SLV (Collegamento 0023_-380)
Azioni sul collegamento: N=-3330.02 Ty=1.43 Tz=-11.19 Mx=0.01 Mz=3.51
Sollecitazioni agenti localmente: Ty_l=-576.37 My_l=-11.80
Tensioni nella sezione: σ=142.98 τ=17.47
CC 3 SLV (Collegamento 0023_-380)
Azioni sul collegamento: N=-7936.44 Ty=0.75 Tz=5.88 Mx=0.01 Mz=2.19
Sollecitazioni agenti localmente: Ty_l=-1398.19 My_l=-28.65
Tensioni nella sezione: σ=347.28 τ=42.37
CC 3 SLV (Collegamento 0023_-380)
Azioni sul collegamento: N=-7936.44 Ty=1.43 Tz=5.88 Mx=0.01 Mz=3.51
Sollecitazioni agenti localmente: Ty_l=-1392.96 My_l=-28.54
Tensioni nella sezione: σ=345.89 τ=42.21
CC 3 SLV (Collegamento 0023_-380)
Azioni sul collegamento: N=-7936.44 Ty=0.75 Tz=-11.19 Mx=0.01 Mz=2.19
Sollecitazioni agenti localmente: Ty_l=-1398.19 My_l=-28.65
Tensioni nella sezione: σ=347.28 τ=42.37
CC 3 SLV (Collegamento 0023_-380)
Azioni sul collegamento: N=-7936.44 Ty=1.43 Tz=-11.19 Mx=0.01 Mz=3.51
Sollecitazioni agenti localmente: Ty_l=-1392.96 My_l=-28.54
Tensioni nella sezione: σ=345.89 τ=42.21
CC 4 SLD (Collegamento 0023_-380)
Azioni sul collegamento: N=-4931.09 Ty=0.18 Tz=-0.05 Mx=0.00 Mz=0.60
Sollecitazioni agenti localmente: Ty_l=-871.77 My_l=-17.87
Tensioni nella sezione: σ=216.58 τ=26.42
CC 4 SLD (Collegamento 0023_-380)
Azioni sul collegamento: N=-4931.09 Ty=0.38 Tz=-0.05 Mx=0.00 Mz=1.00
Sollecitazioni agenti localmente: Ty_l=-870.18 My_l=-17.83
Tensioni nella sezione: σ=216.16 τ=26.37
CC 4 SLD (Collegamento 0023_-380)
Azioni sul collegamento: N=-4931.09 Ty=0.18 Tz=-5.26 Mx=0.00 Mz=0.60
Sollecitazioni agenti localmente: Ty_l=-871.77 My_l=-17.87
Tensioni nella sezione: σ=216.58 τ=26.42
CC 4 SLD (Collegamento 0023_-380)
Azioni sul collegamento: N=-4931.09 Ty=0.38 Tz=-5.26 Mx=0.00 Mz=1.00
Sollecitazioni agenti localmente: Ty_l=-870.18 My_l=-17.83
Tensioni nella sezione: σ=216.16 τ=26.37
CC 4 SLD (Collegamento 0023_-380)
Azioni sul collegamento: N=-6335.74 Ty=0.18 Tz=-0.05 Mx=0.00 Mz=0.60
Sollecitazioni agenti localmente: Ty_l=-1120.78 My_l=-22.97
Tensioni nella sezione: σ=278.46 τ=33.96
CC 4 SLD (Collegamento 0023_-380)
Azioni sul collegamento: N=-6335.74 Ty=0.38 Tz=-0.05 Mx=0.00 Mz=1.00
Sollecitazioni agenti localmente: Ty_l=-1119.18 My_l=-22.94
Tensioni nella sezione: σ=278.03 τ=33.91
CC 4 SLD (Collegamento 0023_-380)
Azioni sul collegamento: N=-6335.74 Ty=0.18 Tz=-5.26 Mx=0.00 Mz=0.60
Sollecitazioni agenti localmente: Ty_l=-1120.78 My_l=-22.97
Tensioni nella sezione: σ=278.46 τ=33.96
CC 4 SLD (Collegamento 0023_-380)
Azioni sul collegamento: N=-6335.74 Ty=0.38 Tz=-5.26 Mx=0.00 Mz=1.00
Sollecitazioni agenti localmente: Ty_l=-1119.18 My_l=-22.94
Tensioni nella sezione: σ=278.03 τ=33.91
CC 5 SLV (Collegamento 0023_-380)
Azioni sul collegamento: N=-7936.44 Ty=1.43 Tz=-11.19 Mx=0.02 Mz=3.51

Sollecitazioni agenti localmente: Ty_l=-1392.96 My_l=-28.54
Tensioni nella sezione: σ=345.89 τ=42.21
CC 5 SLV (Collegamento 0023_-380)
Azioni sul collegamento: N=-7936.44 Ty=0.75 Tz=-11.19 Mx=0.02 Mz=2.19
Sollecitazioni agenti localmente: Ty_l=-1398.19 My_l=-28.65
Tensioni nella sezione: σ=347.28 τ=42.37
CC 5 SLV (Collegamento 0023_-380)
Azioni sul collegamento: N=-7936.44 Ty=1.43 Tz=5.88 Mx=0.02 Mz=3.51
Sollecitazioni agenti localmente: Ty_l=-1392.96 My_l=-28.54
Tensioni nella sezione: σ=345.89 τ=42.21
CC 5 SLV (Collegamento 0023_-380)
Azioni sul collegamento: N=-7936.44 Ty=0.75 Tz=5.88 Mx=0.02 Mz=2.19
Sollecitazioni agenti localmente: Ty_l=-1398.19 My_l=-28.65
Tensioni nella sezione: σ=347.28 τ=42.37
CC 5 SLV (Collegamento 0023_-380)
Azioni sul collegamento: N=-3330.02 Ty=1.43 Tz=-11.19 Mx=0.02 Mz=3.51
Sollecitazioni agenti localmente: Ty_l=-576.37 My_l=-11.80
Tensioni nella sezione: σ=142.98 τ=17.47
CC 5 SLV (Collegamento 0023_-380)
Azioni sul collegamento: N=-3330.02 Ty=0.75 Tz=-11.19 Mx=0.02 Mz=2.19
Sollecitazioni agenti localmente: Ty_l=-581.59 My_l=-11.91
Tensioni nella sezione: σ=144.37 τ=17.62
CC 5 SLV (Collegamento 0023_-380)
Azioni sul collegamento: N=-3330.02 Ty=1.43 Tz=5.88 Mx=0.02 Mz=3.51
Sollecitazioni agenti localmente: Ty_l=-576.37 My_l=-11.80
Tensioni nella sezione: σ=142.98 τ=17.47
CC 5 SLV (Collegamento 0023_-380)
Azioni sul collegamento: N=-3330.02 Ty=0.75 Tz=5.88 Mx=0.02 Mz=2.19
Sollecitazioni agenti localmente: Ty_l=-581.59 My_l=-11.91
Tensioni nella sezione: σ=144.37 τ=17.62
CC 6 SLD (Collegamento 0023_-380)
Azioni sul collegamento: N=-6335.74 Ty=0.38 Tz=-5.26 Mx=0.00 Mz=1.00
Sollecitazioni agenti localmente: Ty_l=-1119.18 My_l=-22.94
Tensioni nella sezione: σ=278.03 τ=33.91
CC 6 SLD (Collegamento 0023_-380)
Azioni sul collegamento: N=-6335.74 Ty=0.18 Tz=-5.26 Mx=0.00 Mz=0.60
Sollecitazioni agenti localmente: Ty_l=-1120.78 My_l=-22.97
Tensioni nella sezione: σ=278.46 τ=33.96
CC 6 SLD (Collegamento 0023_-380)
Azioni sul collegamento: N=-6335.74 Ty=0.38 Tz=-0.05 Mx=0.00 Mz=1.00
Sollecitazioni agenti localmente: Ty_l=-1119.18 My_l=-22.94
Tensioni nella sezione: σ=278.03 τ=33.91
CC 6 SLD (Collegamento 0023_-380)
Azioni sul collegamento: N=-6335.74 Ty=0.18 Tz=-0.05 Mx=0.00 Mz=0.60
Sollecitazioni agenti localmente: Ty_l=-1120.78 My_l=-22.97
Tensioni nella sezione: σ=278.46 τ=33.96
CC 6 SLD (Collegamento 0023_-380)
Azioni sul collegamento: N=-4931.09 Ty=0.38 Tz=-5.26 Mx=0.00 Mz=1.00
Sollecitazioni agenti localmente: Ty_l=-870.18 My_l=-17.83
Tensioni nella sezione: σ=216.16 τ=26.37
CC 6 SLD (Collegamento 0023_-380)
Azioni sul collegamento: N=-4931.09 Ty=0.18 Tz=-5.26 Mx=0.00 Mz=0.60
Sollecitazioni agenti localmente: Ty_l=-871.77 My_l=-17.87
Tensioni nella sezione: σ=216.58 τ=26.42
CC 6 SLD (Collegamento 0023_-380)
Azioni sul collegamento: N=-4931.09 Ty=0.38 Tz=-0.05 Mx=0.00 Mz=1.00
Sollecitazioni agenti localmente: Ty_l=-870.18 My_l=-17.83
Tensioni nella sezione: σ=216.16 τ=26.37
CC 6 SLD (Collegamento 0023_-380)
Azioni sul collegamento: N=-4931.09 Ty=0.18 Tz=-0.05 Mx=0.00 Mz=0.60
Sollecitazioni agenti localmente: Ty_l=-871.77 My_l=-17.87
Tensioni nella sezione: σ=216.58 τ=26.42
CC 7 SLV (Collegamento 0023_-380)
Azioni sul collegamento: N=-7936.47 Ty=0.74 Tz=-11.20 Mx=0.01 Mz=2.16
Sollecitazioni agenti localmente: Ty_l=-1398.34 My_l=-28.65
Tensioni nella sezione: σ=347.32 τ=42.37
CC 7 SLV (Collegamento 0023_-380)
Azioni sul collegamento: N=-7936.47 Ty=1.44 Tz=-11.20 Mx=0.01 Mz=3.55
Sollecitazioni agenti localmente: Ty_l=-1392.81 My_l=-28.53
Tensioni nella sezione: σ=345.85 τ=42.21
CC 7 SLV (Collegamento 0023_-380)
Azioni sul collegamento: N=-7936.47 Ty=0.74 Tz=5.89 Mx=0.01 Mz=2.16
Sollecitazioni agenti localmente: Ty_l=-1398.34 My_l=-28.65
Tensioni nella sezione: σ=347.32 τ=42.37
CC 7 SLV (Collegamento 0023_-380)
Azioni sul collegamento: N=-7936.47 Ty=1.44 Tz=5.89 Mx=0.01 Mz=3.55
Sollecitazioni agenti localmente: Ty_l=-1392.81 My_l=-28.53
Tensioni nella sezione: σ=345.85 τ=42.21
CC 7 SLV (Collegamento 0023_-380)

Azioni sul collegamento: N=-3330.00 Ty=0.74 Tz=-11.20 Mx=0.01 Mz=2.16
Sollecitazioni agenti localmente: Ty_l=-581.74 My_l=-11.91
Tensioni nella sezione: σ=144.41 τ=17.63
CC 7 SLV (Collegamento 0023_-380)
Azioni sul collegamento: N=-3330.00 Ty=1.44 Tz=-11.20 Mx=0.01 Mz=3.55
Sollecitazioni agenti localmente: Ty_l=-576.21 My_l=-11.79
Tensioni nella sezione: σ=142.94 τ=17.46
CC 7 SLV (Collegamento 0023_-380)
Azioni sul collegamento: N=-3330.00 Ty=0.74 Tz=5.89 Mx=0.01 Mz=2.16
Sollecitazioni agenti localmente: Ty_l=-581.74 My_l=-11.91
Tensioni nella sezione: σ=144.41 τ=17.63
CC 7 SLV (Collegamento 0023_-380)
Azioni sul collegamento: N=-3330.00 Ty=1.44 Tz=5.89 Mx=0.01 Mz=3.55
Sollecitazioni agenti localmente: Ty_l=-576.21 My_l=-11.79
Tensioni nella sezione: σ=142.94 τ=17.46
CC 8 SLD (Collegamento 0023_-380)
Azioni sul collegamento: N=-6335.74 Ty=0.17 Tz=-5.26 Mx=0.00 Mz=0.59
Sollecitazioni agenti localmente: Ty_l=-1120.82 My_l=-22.97
Tensioni nella sezione: σ=278.47 τ=33.96
CC 8 SLD (Collegamento 0023_-380)
Azioni sul collegamento: N=-6335.74 Ty=0.39 Tz=-5.26 Mx=0.00 Mz=1.01
Sollecitazioni agenti localmente: Ty_l=-1119.14 My_l=-22.94
Tensioni nella sezione: σ=278.02 τ=33.91
CC 8 SLD (Collegamento 0023_-380)
Azioni sul collegamento: N=-6335.74 Ty=0.17 Tz=-0.05 Mx=0.00 Mz=0.59
Sollecitazioni agenti localmente: Ty_l=-1120.82 My_l=-22.97
Tensioni nella sezione: σ=278.47 τ=33.96
CC 8 SLD (Collegamento 0023_-380)
Azioni sul collegamento: N=-6335.74 Ty=0.39 Tz=-0.05 Mx=0.00 Mz=1.01
Sollecitazioni agenti localmente: Ty_l=-1119.14 My_l=-22.94
Tensioni nella sezione: σ=278.02 τ=33.91
CC 8 SLD (Collegamento 0023_-380)
Azioni sul collegamento: N=-4931.09 Ty=0.17 Tz=-5.26 Mx=0.00 Mz=0.59
Sollecitazioni agenti localmente: Ty_l=-871.82 My_l=-17.87
Tensioni nella sezione: σ=216.59 τ=26.42
CC 8 SLD (Collegamento 0023_-380)
Azioni sul collegamento: N=-4931.09 Ty=0.39 Tz=-5.26 Mx=0.00 Mz=1.01
Sollecitazioni agenti localmente: Ty_l=-870.13 My_l=-17.83
Tensioni nella sezione: σ=216.15 τ=26.37
CC 8 SLD (Collegamento 0023_-380)
Azioni sul collegamento: N=-4931.09 Ty=0.17 Tz=-0.05 Mx=0.00 Mz=0.59
Sollecitazioni agenti localmente: Ty_l=-871.82 My_l=-17.87
Tensioni nella sezione: σ=216.59 τ=26.42
CC 8 SLD (Collegamento 0023_-380)
Azioni sul collegamento: N=-4931.09 Ty=0.39 Tz=-0.05 Mx=0.00 Mz=1.01
Sollecitazioni agenti localmente: Ty_l=-870.13 My_l=-17.83
Tensioni nella sezione: σ=216.15 τ=26.37
CC 9 SLV (Collegamento 0023_-380)
Azioni sul collegamento: N=-4942.23 Ty=2.24 Tz=-0.09 Mx=0.02 Mz=5.11
Sollecitazioni agenti localmente: Ty_l=-855.79 My_l=-17.52
Tensioni nella sezione: σ=212.31 τ=25.93
CC 9 SLV (Collegamento 0023_-380)
Azioni sul collegamento: N=-4942.23 Ty=-0.07 Tz=-0.09 Mx=0.02 Mz=0.59
Sollecitazioni agenti localmente: Ty_l=-873.77 My_l=-17.91
Tensioni nella sezione: σ=217.08 τ=26.48
CC 9 SLV (Collegamento 0023_-380)
Azioni sul collegamento: N=-4942.23 Ty=2.24 Tz=-5.22 Mx=0.02 Mz=5.11
Sollecitazioni agenti localmente: Ty_l=-855.79 My_l=-17.52
Tensioni nella sezione: σ=212.31 τ=25.93
CC 9 SLV (Collegamento 0023_-380)
Azioni sul collegamento: N=-4942.23 Ty=-0.07 Tz=-5.22 Mx=0.02 Mz=0.59
Sollecitazioni agenti localmente: Ty_l=-873.77 My_l=-17.91
Tensioni nella sezione: σ=217.08 τ=26.48
CC 9 SLV (Collegamento 0023_-380)
Azioni sul collegamento: N=-6324.24 Ty=2.24 Tz=-0.09 Mx=0.02 Mz=5.11
Sollecitazioni agenti localmente: Ty_l=-1100.78 My_l=-22.54
Tensioni nella sezione: σ=273.18 τ=33.36
CC 9 SLV (Collegamento 0023_-380)
Azioni sul collegamento: N=-6324.24 Ty=-0.07 Tz=-0.09 Mx=0.02 Mz=0.59
Sollecitazioni agenti localmente: Ty_l=-1118.76 My_l=-22.93
Tensioni nella sezione: σ=277.96 τ=33.90
CC 9 SLV (Collegamento 0023_-380)
Azioni sul collegamento: N=-6324.24 Ty=2.24 Tz=-5.22 Mx=0.02 Mz=5.11
Sollecitazioni agenti localmente: Ty_l=-1100.78 My_l=-22.54
Tensioni nella sezione: σ=273.18 τ=33.36
CC 9 SLV (Collegamento 0023_-380)
Azioni sul collegamento: N=-6324.24 Ty=-0.07 Tz=-5.22 Mx=0.02 Mz=0.59
Sollecitazioni agenti localmente: Ty_l=-1118.76 My_l=-22.93
Tensioni nella sezione: σ=277.96 τ=33.90

CC 10 SLD (Collegamento 0023_-380)
Azioni sul collegamento: N=-5422.71 Ty=0.63 Tz=-1.87 Mx=0.01 Mz=1.49
Sollecitazioni agenti localmente: Ty_l=-955.38 My_l=-19.58
Tensioni nella sezione: σ=237.30 τ=28.95
CC 10 SLD (Collegamento 0023_-380)
Azioni sul collegamento: N=-5422.71 Ty=-0.07 Tz=-1.87 Mx=0.01 Mz=0.11
Sollecitazioni agenti localmente: Ty_l=-960.87 My_l=-19.70
Tensioni nella sezione: σ=238.75 τ=29.12
CC 10 SLD (Collegamento 0023_-380)
Azioni sul collegamento: N=-5422.71 Ty=0.63 Tz=-3.44 Mx=0.01 Mz=1.49
Sollecitazioni agenti localmente: Ty_l=-955.38 My_l=-19.58
Tensioni nella sezione: σ=237.30 τ=28.95
CC 10 SLD (Collegamento 0023_-380)
Azioni sul collegamento: N=-5422.71 Ty=-0.07 Tz=-3.44 Mx=0.01 Mz=0.11
Sollecitazioni agenti localmente: Ty_l=-960.87 My_l=-19.70
Tensioni nella sezione: σ=238.75 τ=29.12
CC 10 SLD (Collegamento 0023_-380)
Azioni sul collegamento: N=-5844.12 Ty=0.63 Tz=-1.87 Mx=0.01 Mz=1.49
Sollecitazioni agenti localmente: Ty_l=-1030.09 My_l=-21.11
Tensioni nella sezione: σ=255.86 τ=31.21
CC 10 SLD (Collegamento 0023_-380)
Azioni sul collegamento: N=-5844.12 Ty=-0.07 Tz=-1.87 Mx=0.01 Mz=0.11
Sollecitazioni agenti localmente: Ty_l=-1035.57 My_l=-21.23
Tensioni nella sezione: σ=257.32 τ=31.38
CC 10 SLD (Collegamento 0023_-380)
Azioni sul collegamento: N=-5844.12 Ty=0.63 Tz=-3.44 Mx=0.01 Mz=1.49
Sollecitazioni agenti localmente: Ty_l=-1030.09 My_l=-21.11
Tensioni nella sezione: σ=255.86 τ=31.21
CC 10 SLD (Collegamento 0023_-380)
Azioni sul collegamento: N=-5844.12 Ty=-0.07 Tz=-3.44 Mx=0.01 Mz=0.11
Sollecitazioni agenti localmente: Ty_l=-1035.57 My_l=-21.23
Tensioni nella sezione: σ=257.32 τ=31.38
CC 11 SLV (Collegamento 0023_-380)
Azioni sul collegamento: N=-6324.16 Ty=2.24 Tz=-5.22 Mx=0.02 Mz=5.10
Sollecitazioni agenti localmente: Ty_l=-1100.81 My_l=-22.54
Tensioni nella sezione: σ=273.19 τ=33.36
CC 11 SLV (Collegamento 0023_-380)
Azioni sul collegamento: N=-6324.16 Ty=-0.06 Tz=-5.22 Mx=0.02 Mz=0.60
Sollecitazioni agenti localmente: Ty_l=-1118.70 My_l=-22.93
Tensioni nella sezione: σ=277.94 τ=33.90
CC 11 SLV (Collegamento 0023_-380)
Azioni sul collegamento: N=-6324.16 Ty=2.24 Tz=-0.09 Mx=0.02 Mz=5.10
Sollecitazioni agenti localmente: Ty_l=-1100.81 My_l=-22.54
Tensioni nella sezione: σ=273.19 τ=33.36
CC 11 SLV (Collegamento 0023_-380)
Azioni sul collegamento: N=-6324.16 Ty=-0.06 Tz=-0.09 Mx=0.02 Mz=0.60
Sollecitazioni agenti localmente: Ty_l=-1118.70 My_l=-22.93
Tensioni nella sezione: σ=277.94 τ=33.90
CC 11 SLV (Collegamento 0023_-380)
Azioni sul collegamento: N=-4942.30 Ty=2.24 Tz=-5.22 Mx=0.02 Mz=5.10
Sollecitazioni agenti localmente: Ty_l=-855.85 My_l=-17.52
Tensioni nella sezione: σ=212.32 τ=25.93
CC 11 SLV (Collegamento 0023_-380)
Azioni sul collegamento: N=-4942.30 Ty=-0.06 Tz=-5.22 Mx=0.02 Mz=0.60
Sollecitazioni agenti localmente: Ty_l=-873.74 My_l=-17.91
Tensioni nella sezione: σ=217.07 τ=26.48
CC 11 SLV (Collegamento 0023_-380)
Azioni sul collegamento: N=-4942.30 Ty=2.24 Tz=-0.09 Mx=0.02 Mz=5.10
Sollecitazioni agenti localmente: Ty_l=-855.85 My_l=-17.52
Tensioni nella sezione: σ=212.32 τ=25.93
CC 11 SLV (Collegamento 0023_-380)
Azioni sul collegamento: N=-4942.30 Ty=-0.06 Tz=-0.09 Mx=0.02 Mz=0.60
Sollecitazioni agenti localmente: Ty_l=-873.74 My_l=-17.91
Tensioni nella sezione: σ=217.07 τ=26.48
CC 12 SLD (Collegamento 0023_-380)
Azioni sul collegamento: N=-5844.10 Ty=0.63 Tz=-3.44 Mx=0.01 Mz=1.48
Sollecitazioni agenti localmente: Ty_l=-1030.10 My_l=-21.11
Tensioni nella sezione: σ=255.86 τ=31.22
CC 12 SLD (Collegamento 0023_-380)
Azioni sul collegamento: N=-5844.10 Ty=-0.07 Tz=-3.44 Mx=0.01 Mz=0.11
Sollecitazioni agenti localmente: Ty_l=-1035.55 My_l=-21.23
Tensioni nella sezione: σ=257.31 τ=31.38
CC 12 SLD (Collegamento 0023_-380)
Azioni sul collegamento: N=-5844.10 Ty=0.63 Tz=-1.87 Mx=0.01 Mz=1.48
Sollecitazioni agenti localmente: Ty_l=-1030.10 My_l=-21.11
Tensioni nella sezione: σ=255.86 τ=31.22
CC 12 SLD (Collegamento 0023_-380)
Azioni sul collegamento: N=-5844.10 Ty=-0.07 Tz=-1.87 Mx=0.01 Mz=0.11
Sollecitazioni agenti localmente: Ty_l=-1035.55 My_l=-21.23

Tensioni nella sezione: σ=257.31 τ=31.38
CC 12 SLD (Collegamento 0023_-380)
Azioni sul collegamento: N=-5422.73 Ty=0.63 Tz=-3.44 Mx=0.01 Mz=1.48
Sollecitazioni agenti localmente: Ty_l=-955.40 My_l=-19.58
Tensioni nella sezione: σ=237.30 τ=28.95
CC 12 SLD (Collegamento 0023_-380)
Azioni sul collegamento: N=-5422.73 Ty=-0.07 Tz=-3.44 Mx=0.01 Mz=0.11
Sollecitazioni agenti localmente: Ty_l=-960.86 My_l=-19.70
Tensioni nella sezione: σ=238.75 τ=29.12
CC 12 SLD (Collegamento 0023_-380)
Azioni sul collegamento: N=-5422.73 Ty=0.63 Tz=-1.87 Mx=0.01 Mz=1.48
Sollecitazioni agenti localmente: Ty_l=-955.40 My_l=-19.58
Tensioni nella sezione: σ=237.30 τ=28.95
CC 12 SLD (Collegamento 0023_-380)
Azioni sul collegamento: N=-5422.73 Ty=-0.07 Tz=-1.87 Mx=0.01 Mz=0.11
Sollecitazioni agenti localmente: Ty_l=-960.86 My_l=-19.70
Tensioni nella sezione: σ=238.75 τ=29.12
CC 13 SLV (Collegamento 0023_-380)
Azioni sul collegamento: N=-4942.30 Ty=-0.06 Tz=-0.09 Mx=0.00 Mz=0.60
Sollecitazioni agenti localmente: Ty_l=-873.74 My_l=-17.91
Tensioni nella sezione: σ=217.07 τ=26.48
CC 13 SLV (Collegamento 0023_-380)
Azioni sul collegamento: N=-4942.30 Ty=2.24 Tz=-0.09 Mx=0.00 Mz=5.10
Sollecitazioni agenti localmente: Ty_l=-855.85 My_l=-17.52
Tensioni nella sezione: σ=212.32 τ=25.93
CC 13 SLV (Collegamento 0023_-380)
Azioni sul collegamento: N=-4942.30 Ty=-0.06 Tz=-5.22 Mx=0.00 Mz=0.60
Sollecitazioni agenti localmente: Ty_l=-873.74 My_l=-17.91
Tensioni nella sezione: σ=217.07 τ=26.48
CC 13 SLV (Collegamento 0023_-380)
Azioni sul collegamento: N=-4942.30 Ty=2.24 Tz=-5.22 Mx=0.00 Mz=5.10
Sollecitazioni agenti localmente: Ty_l=-855.85 My_l=-17.52
Tensioni nella sezione: σ=212.32 τ=25.93
CC 13 SLV (Collegamento 0023_-380)
Azioni sul collegamento: N=-6324.16 Ty=-0.06 Tz=-0.09 Mx=0.00 Mz=0.60
Sollecitazioni agenti localmente: Ty_l=-1118.70 My_l=-22.93
Tensioni nella sezione: σ=277.94 τ=33.90
CC 13 SLV (Collegamento 0023_-380)
Azioni sul collegamento: N=-6324.16 Ty=2.24 Tz=-0.09 Mx=0.00 Mz=5.10
Sollecitazioni agenti localmente: Ty_l=-1100.81 My_l=-22.54
Tensioni nella sezione: σ=273.19 τ=33.36
CC 13 SLV (Collegamento 0023_-380)
Azioni sul collegamento: N=-6324.16 Ty=-0.06 Tz=-5.22 Mx=0.00 Mz=0.60
Sollecitazioni agenti localmente: Ty_l=-1118.70 My_l=-22.93
Tensioni nella sezione: σ=277.94 τ=33.90
CC 13 SLV (Collegamento 0023_-380)
Azioni sul collegamento: N=-6324.16 Ty=2.24 Tz=-5.22 Mx=0.00 Mz=5.10
Sollecitazioni agenti localmente: Ty_l=-1100.81 My_l=-22.54
Tensioni nella sezione: σ=273.19 τ=33.36
CC 14 SLD (Collegamento 0023_-380)
Azioni sul collegamento: N=-5422.73 Ty=-0.07 Tz=-1.87 Mx=0.00 Mz=0.11
Sollecitazioni agenti localmente: Ty_l=-960.86 My_l=-19.70
Tensioni nella sezione: σ=238.75 τ=29.12
CC 14 SLD (Collegamento 0023_-380)
Azioni sul collegamento: N=-5422.73 Ty=0.63 Tz=-1.87 Mx=0.00 Mz=1.48
Sollecitazioni agenti localmente: Ty_l=-955.40 My_l=-19.58
Tensioni nella sezione: σ=237.30 τ=28.95
CC 14 SLD (Collegamento 0023_-380)
Azioni sul collegamento: N=-5422.73 Ty=-0.07 Tz=-3.44 Mx=0.00 Mz=0.11
Sollecitazioni agenti localmente: Ty_l=-960.86 My_l=-19.70
Tensioni nella sezione: σ=238.75 τ=29.12
CC 14 SLD (Collegamento 0023_-380)
Azioni sul collegamento: N=-5422.73 Ty=0.63 Tz=-3.44 Mx=0.00 Mz=1.48
Sollecitazioni agenti localmente: Ty_l=-955.40 My_l=-19.58
Tensioni nella sezione: σ=237.30 τ=28.95
CC 14 SLD (Collegamento 0023_-380)
Azioni sul collegamento: N=-5844.10 Ty=-0.07 Tz=-1.87 Mx=0.00 Mz=0.11
Sollecitazioni agenti localmente: Ty_l=-1035.55 My_l=-21.23
Tensioni nella sezione: σ=257.31 τ=31.38
CC 14 SLD (Collegamento 0023_-380)
Azioni sul collegamento: N=-5844.10 Ty=0.63 Tz=-1.87 Mx=0.00 Mz=1.48
Sollecitazioni agenti localmente: Ty_l=-1030.10 My_l=-21.11
Tensioni nella sezione: σ=255.86 τ=31.22
CC 14 SLD (Collegamento 0023_-380)
Azioni sul collegamento: N=-5844.10 Ty=-0.07 Tz=-3.44 Mx=0.00 Mz=0.11
Sollecitazioni agenti localmente: Ty_l=-1035.55 My_l=-21.23
Tensioni nella sezione: σ=257.31 τ=31.38
CC 14 SLD (Collegamento 0023_-380)
Azioni sul collegamento: N=-5844.10 Ty=0.63 Tz=-3.44 Mx=0.00 Mz=1.48

Sollecitazioni agenti localmente: Ty_l=-1030.10 My_l=-21.11
Tensioni nella sezione: σ=255.86 τ=31.22
CC 15 SLV (Collegamento 0023_-380)
Azioni sul collegamento: N=-6324.24 Ty=-0.07 Tz=-5.22 Mx=0.00 Mz=0.59
Sollecitazioni agenti localmente: Ty_l=-1118.76 My_l=-22.93
Tensioni nella sezione: σ=277.96 τ=33.90
CC 15 SLV (Collegamento 0023_-380)
Azioni sul collegamento: N=-6324.24 Ty=2.24 Tz=-5.22 Mx=0.00 Mz=5.11
Sollecitazioni agenti localmente: Ty_l=-1100.78 My_l=-22.54
Tensioni nella sezione: σ=273.18 τ=33.36
CC 15 SLV (Collegamento 0023_-380)
Azioni sul collegamento: N=-6324.24 Ty=-0.07 Tz=-0.09 Mx=0.00 Mz=0.59
Sollecitazioni agenti localmente: Ty_l=-1118.76 My_l=-22.93
Tensioni nella sezione: σ=277.96 τ=33.90
CC 15 SLV (Collegamento 0023_-380)
Azioni sul collegamento: N=-6324.24 Ty=2.24 Tz=-0.09 Mx=0.00 Mz=5.11
Sollecitazioni agenti localmente: Ty_l=-1100.78 My_l=-22.54
Tensioni nella sezione: σ=273.18 τ=33.36
CC 15 SLV (Collegamento 0023_-380)
Azioni sul collegamento: N=-4942.23 Ty=-0.07 Tz=-5.22 Mx=0.00 Mz=0.59
Sollecitazioni agenti localmente: Ty_l=-873.77 My_l=-17.91
Tensioni nella sezione: σ=217.08 τ=26.48
CC 15 SLV (Collegamento 0023_-380)
Azioni sul collegamento: N=-4942.23 Ty=2.24 Tz=-5.22 Mx=0.00 Mz=5.11
Sollecitazioni agenti localmente: Ty_l=-855.79 My_l=-17.52
Tensioni nella sezione: σ=212.31 τ=25.93
CC 15 SLV (Collegamento 0023_-380)
Azioni sul collegamento: N=-4942.23 Ty=-0.07 Tz=-0.09 Mx=0.00 Mz=0.59
Sollecitazioni agenti localmente: Ty_l=-873.77 My_l=-17.91
Tensioni nella sezione: σ=217.08 τ=26.48
CC 15 SLV (Collegamento 0023_-380)
Azioni sul collegamento: N=-4942.23 Ty=2.24 Tz=-0.09 Mx=0.00 Mz=5.11
Sollecitazioni agenti localmente: Ty_l=-855.79 My_l=-17.52
Tensioni nella sezione: σ=212.31 τ=25.93
CC 16 SLD (Collegamento 0023_-380)
Azioni sul collegamento: N=-5844.12 Ty=-0.07 Tz=-3.44 Mx=0.00 Mz=0.11
Sollecitazioni agenti localmente: Ty_l=-1035.57 My_l=-21.23
Tensioni nella sezione: σ=257.32 τ=31.38
CC 16 SLD (Collegamento 0023_-380)
Azioni sul collegamento: N=-5844.12 Ty=0.63 Tz=-3.44 Mx=0.00 Mz=1.49
Sollecitazioni agenti localmente: Ty_l=-1030.09 My_l=-21.11
Tensioni nella sezione: σ=255.86 τ=31.21
CC 16 SLD (Collegamento 0023_-380)
Azioni sul collegamento: N=-5844.12 Ty=-0.07 Tz=-1.87 Mx=0.00 Mz=0.11
Sollecitazioni agenti localmente: Ty_l=-1035.57 My_l=-21.23
Tensioni nella sezione: σ=257.32 τ=31.38
CC 16 SLD (Collegamento 0023_-380)
Azioni sul collegamento: N=-5844.12 Ty=0.63 Tz=-1.87 Mx=0.00 Mz=1.49
Sollecitazioni agenti localmente: Ty_l=-1030.09 My_l=-21.11
Tensioni nella sezione: σ=255.86 τ=31.21
CC 16 SLD (Collegamento 0023_-380)
Azioni sul collegamento: N=-5422.71 Ty=-0.07 Tz=-3.44 Mx=0.00 Mz=0.11
Sollecitazioni agenti localmente: Ty_l=-960.87 My_l=-19.70
Tensioni nella sezione: σ=238.75 τ=29.12
CC 16 SLD (Collegamento 0023_-380)
Azioni sul collegamento: N=-5422.71 Ty=0.63 Tz=-3.44 Mx=0.00 Mz=1.49
Sollecitazioni agenti localmente: Ty_l=-955.38 My_l=-19.58
Tensioni nella sezione: σ=237.30 τ=28.95
CC 16 SLD (Collegamento 0023_-380)
Azioni sul collegamento: N=-5422.71 Ty=-0.07 Tz=-1.87 Mx=0.00 Mz=0.11
Sollecitazioni agenti localmente: Ty_l=-960.87 My_l=-19.70
Tensioni nella sezione: σ=238.75 τ=29.12
CC 16 SLD (Collegamento 0023_-380)
Azioni sul collegamento: N=-5422.71 Ty=0.63 Tz=-1.87 Mx=0.00 Mz=1.49
Sollecitazioni agenti localmente: Ty_l=-955.38 My_l=-19.58
Tensioni nella sezione: σ=237.30 τ=28.95
CC 17 SLV (Collegamento 0023_-380)
Azioni sul collegamento: N=-3330.52 Ty=-0.88 Tz=5.89 Mx=-0.02 Mz=-2.36
Sollecitazioni agenti localmente: Ty_l=-599.80 My_l=-12.31
Tensioni nella sezione: σ=149.20 τ=18.18
CC 17 SLV (Collegamento 0023_-380)
Azioni sul collegamento: N=-3330.52 Ty=-1.59 Tz=5.89 Mx=-0.02 Mz=-3.75
Sollecitazioni agenti localmente: Ty_l=-605.34 My_l=-12.43
Tensioni nella sezione: σ=150.67 τ=18.34
CC 17 SLV (Collegamento 0023_-380)
Azioni sul collegamento: N=-3330.52 Ty=-0.88 Tz=-11.19 Mx=-0.02 Mz=-2.36
Sollecitazioni agenti localmente: Ty_l=-599.80 My_l=-12.31
Tensioni nella sezione: σ=149.20 τ=18.18
CC 17 SLV (Collegamento 0023_-380)

Azioni sul collegamento: N=-3330.52 Ty=-1.59 Tz=-11.19 Mx=-0.02 Mz=-3.75
Sollecitazioni agenti localmente: Ty_l=-605.34 My_l=-12.43
Tensioni nella sezione: σ=150.67 τ=18.34
CC 17 SLV (Collegamento 0023_-380)
Azioni sul collegamento: N=-7936.99 Ty=-0.88 Tz=5.89 Mx=-0.02 Mz=-2.36
Sollecitazioni agenti localmente: Ty_l=-1416.41 My_l=-29.05
Tensioni nella sezione: σ=352.12 τ=42.92
CC 17 SLV (Collegamento 0023_-380)
Azioni sul collegamento: N=-7936.99 Ty=-1.59 Tz=5.89 Mx=-0.02 Mz=-3.75
Sollecitazioni agenti localmente: Ty_l=-1421.94 My_l=-29.17
Tensioni nella sezione: σ=353.58 τ=43.09
CC 17 SLV (Collegamento 0023_-380)
Azioni sul collegamento: N=-7936.99 Ty=-0.88 Tz=-11.19 Mx=-0.02 Mz=-2.36
Sollecitazioni agenti localmente: Ty_l=-1416.41 My_l=-29.05
Tensioni nella sezione: σ=352.12 τ=42.92
CC 17 SLV (Collegamento 0023_-380)
Azioni sul collegamento: N=-7936.99 Ty=-1.59 Tz=-11.19 Mx=-0.02 Mz=-3.75
Sollecitazioni agenti localmente: Ty_l=-1421.94 My_l=-29.17
Tensioni nella sezione: σ=353.58 τ=43.09
CC 18 SLD (Collegamento 0023_-380)
Azioni sul collegamento: N=-4931.25 Ty=-0.32 Tz=-0.05 Mx=-0.01 Mz=-0.79
Sollecitazioni agenti localmente: Ty_l=-877.32 My_l=-17.99
Tensioni nella sezione: σ=218.06 τ=26.59
CC 18 SLD (Collegamento 0023_-380)
Azioni sul collegamento: N=-4931.25 Ty=-0.54 Tz=-0.05 Mx=-0.01 Mz=-1.22
Sollecitazioni agenti localmente: Ty_l=-879.01 My_l=-18.03
Tensioni nella sezione: σ=218.50 τ=26.64
CC 18 SLD (Collegamento 0023_-380)
Azioni sul collegamento: N=-4931.25 Ty=-0.32 Tz=-5.26 Mx=-0.01 Mz=-0.79
Sollecitazioni agenti localmente: Ty_l=-877.32 My_l=-17.99
Tensioni nella sezione: σ=218.06 τ=26.59
CC 18 SLD (Collegamento 0023_-380)
Azioni sul collegamento: N=-4931.25 Ty=-0.54 Tz=-5.26 Mx=-0.01 Mz=-1.22
Sollecitazioni agenti localmente: Ty_l=-879.01 My_l=-18.03
Tensioni nella sezione: σ=218.50 τ=26.64
CC 18 SLD (Collegamento 0023_-380)
Azioni sul collegamento: N=-6335.90 Ty=-0.32 Tz=-0.05 Mx=-0.01 Mz=-0.79
Sollecitazioni agenti localmente: Ty_l=-1126.33 My_l=-23.09
Tensioni nella sezione: σ=279.93 τ=34.13
CC 18 SLD (Collegamento 0023_-380)
Azioni sul collegamento: N=-6335.90 Ty=-0.54 Tz=-0.05 Mx=-0.01 Mz=-1.22
Sollecitazioni agenti localmente: Ty_l=-1128.02 My_l=-23.13
Tensioni nella sezione: σ=280.38 τ=34.18
CC 18 SLD (Collegamento 0023_-380)
Azioni sul collegamento: N=-6335.90 Ty=-0.32 Tz=-5.26 Mx=-0.01 Mz=-0.79
Sollecitazioni agenti localmente: Ty_l=-1126.33 My_l=-23.09
Tensioni nella sezione: σ=279.93 τ=34.13
CC 18 SLD (Collegamento 0023_-380)
Azioni sul collegamento: N=-6335.90 Ty=-0.54 Tz=-5.26 Mx=-0.01 Mz=-1.22
Sollecitazioni agenti localmente: Ty_l=-1128.02 My_l=-23.13
Tensioni nella sezione: σ=280.38 τ=34.18
CC 19 SLV (Collegamento 0023_-380)
Azioni sul collegamento: N=-3330.55 Ty=-1.58 Tz=5.89 Mx=-0.01 Mz=-3.71
Sollecitazioni agenti localmente: Ty_l=-605.19 My_l=-12.43
Tensioni nella sezione: σ=150.63 τ=18.34
CC 19 SLV (Collegamento 0023_-380)
Azioni sul collegamento: N=-3330.55 Ty=-0.90 Tz=5.89 Mx=-0.01 Mz=-2.40
Sollecitazioni agenti localmente: Ty_l=-599.96 My_l=-12.31
Tensioni nella sezione: σ=149.24 τ=18.18
CC 19 SLV (Collegamento 0023_-380)
Azioni sul collegamento: N=-3330.55 Ty=-1.58 Tz=-11.19 Mx=-0.01 Mz=-3.71
Sollecitazioni agenti localmente: Ty_l=-605.19 My_l=-12.43
Tensioni nella sezione: σ=150.63 τ=18.34
CC 19 SLV (Collegamento 0023_-380)
Azioni sul collegamento: N=-3330.55 Ty=-0.90 Tz=-11.19 Mx=-0.01 Mz=-2.40
Sollecitazioni agenti localmente: Ty_l=-599.96 My_l=-12.31
Tensioni nella sezione: σ=149.24 τ=18.18
CC 19 SLV (Collegamento 0023_-380)
Azioni sul collegamento: N=-7936.97 Ty=-1.58 Tz=5.89 Mx=-0.01 Mz=-3.71
Sollecitazioni agenti localmente: Ty_l=-1421.78 My_l=-29.17
Tensioni nella sezione: σ=353.54 τ=43.08
CC 19 SLV (Collegamento 0023_-380)
Azioni sul collegamento: N=-7936.97 Ty=-0.90 Tz=5.89 Mx=-0.01 Mz=-2.40
Sollecitazioni agenti localmente: Ty_l=-1416.56 My_l=-29.05
Tensioni nella sezione: σ=352.15 τ=42.93
CC 19 SLV (Collegamento 0023_-380)
Azioni sul collegamento: N=-7936.97 Ty=-1.58 Tz=-11.19 Mx=-0.01 Mz=-3.71
Sollecitazioni agenti localmente: Ty_l=-1421.78 My_l=-29.17
Tensioni nella sezione: σ=353.54 τ=43.08

CC 19 SLV (Collegamento 0023_-380)
Azioni sul collegamento: N=-7936.97 Ty=-0.90 Tz=-11.19 Mx=-0.01 Mz=-2.40
Sollecitazioni agenti localmente: Ty_l=-1416.56 My_l=-29.05
Tensioni nella sezione: σ=352.15 τ=42.93
CC 20 SLD (Collegamento 0023_-380)
Azioni sul collegamento: N=-4931.25 Ty=-0.53 Tz=-0.05 Mx=-0.00 Mz=-1.20
Sollecitazioni agenti localmente: Ty_l=-878.97 My_l=-18.03
Tensioni nella sezione: σ=218.49 τ=26.64
CC 20 SLD (Collegamento 0023_-380)
Azioni sul collegamento: N=-4931.25 Ty=-0.33 Tz=-0.05 Mx=-0.00 Mz=-0.80
Sollecitazioni agenti localmente: Ty_l=-877.37 My_l=-17.99
Tensioni nella sezione: σ=218.07 τ=26.59
CC 20 SLD (Collegamento 0023_-380)
Azioni sul collegamento: N=-4931.25 Ty=-0.53 Tz=-5.26 Mx=-0.00 Mz=-1.20
Sollecitazioni agenti localmente: Ty_l=-878.97 My_l=-18.03
Tensioni nella sezione: σ=218.49 τ=26.64
CC 20 SLD (Collegamento 0023_-380)
Azioni sul collegamento: N=-4931.25 Ty=-0.33 Tz=-5.26 Mx=-0.00 Mz=-0.80
Sollecitazioni agenti localmente: Ty_l=-877.37 My_l=-17.99
Tensioni nella sezione: σ=218.07 τ=26.59
CC 20 SLD (Collegamento 0023_-380)
Azioni sul collegamento: N=-6335.90 Ty=-0.53 Tz=-0.05 Mx=-0.00 Mz=-1.20
Sollecitazioni agenti localmente: Ty_l=-1127.97 My_l=-23.13
Tensioni nella sezione: σ=280.37 τ=34.18
CC 20 SLD (Collegamento 0023_-380)
Azioni sul collegamento: N=-6335.90 Ty=-0.33 Tz=-0.05 Mx=-0.00 Mz=-0.80
Sollecitazioni agenti localmente: Ty_l=-1126.38 My_l=-23.10
Tensioni nella sezione: σ=279.94 τ=34.13
CC 20 SLD (Collegamento 0023_-380)
Azioni sul collegamento: N=-6335.90 Ty=-0.53 Tz=-5.26 Mx=-0.00 Mz=-1.20
Sollecitazioni agenti localmente: Ty_l=-1127.97 My_l=-23.13
Tensioni nella sezione: σ=280.37 τ=34.18
CC 20 SLD (Collegamento 0023_-380)
Azioni sul collegamento: N=-6335.90 Ty=-0.33 Tz=-5.26 Mx=-0.00 Mz=-0.80
Sollecitazioni agenti localmente: Ty_l=-1126.38 My_l=-23.10
Tensioni nella sezione: σ=279.94 τ=34.13
CC 21 SLV (Collegamento 0023_-380)
Azioni sul collegamento: N=-7936.97 Ty=-0.90 Tz=-11.19 Mx=-0.02 Mz=-2.40
Sollecitazioni agenti localmente: Ty_l=-1416.56 My_l=-29.05
Tensioni nella sezione: σ=352.15 τ=42.93
CC 21 SLV (Collegamento 0023_-380)
Azioni sul collegamento: N=-7936.97 Ty=-1.58 Tz=-11.19 Mx=-0.02 Mz=-3.71
Sollecitazioni agenti localmente: Ty_l=-1421.78 My_l=-29.17
Tensioni nella sezione: σ=353.54 τ=43.08
CC 21 SLV (Collegamento 0023_-380)
Azioni sul collegamento: N=-7936.97 Ty=-0.90 Tz=5.89 Mx=-0.02 Mz=-2.40
Sollecitazioni agenti localmente: Ty_l=-1416.56 My_l=-29.05
Tensioni nella sezione: σ=352.15 τ=42.93
CC 21 SLV (Collegamento 0023_-380)
Azioni sul collegamento: N=-7936.97 Ty=-1.58 Tz=5.89 Mx=-0.02 Mz=-3.71
Sollecitazioni agenti localmente: Ty_l=-1421.78 My_l=-29.17
Tensioni nella sezione: σ=353.54 τ=43.08
CC 21 SLV (Collegamento 0023_-380)
Azioni sul collegamento: N=-3330.55 Ty=-0.90 Tz=-11.19 Mx=-0.02 Mz=-2.40
Sollecitazioni agenti localmente: Ty_l=-599.96 My_l=-12.31
Tensioni nella sezione: σ=149.24 τ=18.18
CC 21 SLV (Collegamento 0023_-380)
Azioni sul collegamento: N=-3330.55 Ty=-1.58 Tz=-11.19 Mx=-0.02 Mz=-3.71
Sollecitazioni agenti localmente: Ty_l=-605.19 My_l=-12.43
Tensioni nella sezione: σ=150.63 τ=18.34
CC 21 SLV (Collegamento 0023_-380)
Azioni sul collegamento: N=-3330.55 Ty=-0.90 Tz=5.89 Mx=-0.02 Mz=-2.40
Sollecitazioni agenti localmente: Ty_l=-599.96 My_l=-12.31
Tensioni nella sezione: σ=149.24 τ=18.18
CC 21 SLV (Collegamento 0023_-380)
Azioni sul collegamento: N=-3330.55 Ty=-1.58 Tz=5.89 Mx=-0.02 Mz=-3.71
Sollecitazioni agenti localmente: Ty_l=-605.19 My_l=-12.43
Tensioni nella sezione: σ=150.63 τ=18.34
CC 22 SLD (Collegamento 0023_-380)
Azioni sul collegamento: N=-6335.90 Ty=-0.33 Tz=-5.26 Mx=-0.01 Mz=-0.80
Sollecitazioni agenti localmente: Ty_l=-1126.38 My_l=-23.10
Tensioni nella sezione: σ=279.94 τ=34.13
CC 22 SLD (Collegamento 0023_-380)
Azioni sul collegamento: N=-6335.90 Ty=-0.53 Tz=-5.26 Mx=-0.01 Mz=-1.20
Sollecitazioni agenti localmente: Ty_l=-1127.97 My_l=-23.13
Tensioni nella sezione: σ=280.37 τ=34.18
CC 22 SLD (Collegamento 0023_-380)
Azioni sul collegamento: N=-6335.90 Ty=-0.33 Tz=-0.05 Mx=-0.01 Mz=-0.80
Sollecitazioni agenti localmente: Ty_l=-1126.38 My_l=-23.10

Tensioni nella sezione: σ=279.94 τ=34.13
CC 22 SLD (Collegamento 0023_-380)
Azioni sul collegamento: N=-6335.90 Ty=-0.53 Tz=-0.05 Mx=-0.01 Mz=-1.20
Sollecitazioni agenti localmente: Ty_l=-1127.97 My_l=-23.13
Tensioni nella sezione: σ=280.37 τ=34.18
CC 22 SLD (Collegamento 0023_-380)
Azioni sul collegamento: N=-4931.25 Ty=-0.33 Tz=-5.26 Mx=-0.01 Mz=-0.80
Sollecitazioni agenti localmente: Ty_l=-877.37 My_l=-17.99
Tensioni nella sezione: σ=218.07 τ=26.59
CC 22 SLD (Collegamento 0023_-380)
Azioni sul collegamento: N=-4931.25 Ty=-0.53 Tz=-5.26 Mx=-0.01 Mz=-1.20
Sollecitazioni agenti localmente: Ty_l=-878.97 My_l=-18.03
Tensioni nella sezione: σ=218.49 τ=26.64
CC 22 SLD (Collegamento 0023_-380)
Azioni sul collegamento: N=-4931.25 Ty=-0.33 Tz=-0.05 Mx=-0.01 Mz=-0.80
Sollecitazioni agenti localmente: Ty_l=-877.37 My_l=-17.99
Tensioni nella sezione: σ=218.07 τ=26.59
CC 22 SLD (Collegamento 0023_-380)
Azioni sul collegamento: N=-4931.25 Ty=-0.53 Tz=-0.05 Mx=-0.01 Mz=-1.20
Sollecitazioni agenti localmente: Ty_l=-878.97 My_l=-18.03
Tensioni nella sezione: σ=218.49 τ=26.64
CC 23 SLV (Collegamento 0023_-380)
Azioni sul collegamento: N=-7936.99 Ty=-1.59 Tz=-11.19 Mx=-0.01 Mz=-3.75
Sollecitazioni agenti localmente: Ty_l=-1421.94 My_l=-29.17
Tensioni nella sezione: σ=353.58 τ=43.09
CC 23 SLV (Collegamento 0023_-380)
Azioni sul collegamento: N=-7936.99 Ty=-0.88 Tz=-11.19 Mx=-0.01 Mz=-2.36
Sollecitazioni agenti localmente: Ty_l=-1416.41 My_l=-29.05
Tensioni nella sezione: σ=352.12 τ=42.92
CC 23 SLV (Collegamento 0023_-380)
Azioni sul collegamento: N=-7936.99 Ty=-1.59 Tz=5.89 Mx=-0.01 Mz=-3.75
Sollecitazioni agenti localmente: Ty_l=-1421.94 My_l=-29.17
Tensioni nella sezione: σ=353.58 τ=43.09
CC 23 SLV (Collegamento 0023_-380)
Azioni sul collegamento: N=-7936.99 Ty=-0.88 Tz=5.89 Mx=-0.01 Mz=-2.36
Sollecitazioni agenti localmente: Ty_l=-1416.41 My_l=-29.05
Tensioni nella sezione: σ=352.12 τ=42.92
CC 23 SLV (Collegamento 0023_-380)
Azioni sul collegamento: N=-3330.52 Ty=-1.59 Tz=-11.19 Mx=-0.01 Mz=-3.75
Sollecitazioni agenti localmente: Ty_l=-605.34 My_l=-12.43
Tensioni nella sezione: σ=150.67 τ=18.34
CC 23 SLV (Collegamento 0023_-380)
Azioni sul collegamento: N=-3330.52 Ty=-0.88 Tz=-11.19 Mx=-0.01 Mz=-2.36
Sollecitazioni agenti localmente: Ty_l=-599.80 My_l=-12.31
Tensioni nella sezione: σ=149.20 τ=18.18
CC 23 SLV (Collegamento 0023_-380)
Azioni sul collegamento: N=-3330.52 Ty=-1.59 Tz=5.89 Mx=-0.01 Mz=-3.75
Sollecitazioni agenti localmente: Ty_l=-605.34 My_l=-12.43
Tensioni nella sezione: σ=150.67 τ=18.34
CC 23 SLV (Collegamento 0023_-380)
Azioni sul collegamento: N=-3330.52 Ty=-0.88 Tz=5.89 Mx=-0.01 Mz=-2.36
Sollecitazioni agenti localmente: Ty_l=-599.80 My_l=-12.31
Tensioni nella sezione: σ=149.20 τ=18.18
CC 24 SLD (Collegamento 0023_-380)
Azioni sul collegamento: N=-6335.90 Ty=-0.54 Tz=-5.26 Mx=-0.00 Mz=-1.22
Sollecitazioni agenti localmente: Ty_l=-1128.02 My_l=-23.13
Tensioni nella sezione: σ=280.38 τ=34.18
CC 24 SLD (Collegamento 0023_-380)
Azioni sul collegamento: N=-6335.90 Ty=-0.32 Tz=-5.26 Mx=-0.00 Mz=-0.79
Sollecitazioni agenti localmente: Ty_l=-1126.33 My_l=-23.09
Tensioni nella sezione: σ=279.93 τ=34.13
CC 24 SLD (Collegamento 0023_-380)
Azioni sul collegamento: N=-6335.90 Ty=-0.54 Tz=-0.05 Mx=-0.00 Mz=-1.22
Sollecitazioni agenti localmente: Ty_l=-1128.02 My_l=-23.13
Tensioni nella sezione: σ=280.38 τ=34.18
CC 24 SLD (Collegamento 0023_-380)
Azioni sul collegamento: N=-6335.90 Ty=-0.32 Tz=-0.05 Mx=-0.00 Mz=-0.79
Sollecitazioni agenti localmente: Ty_l=-1126.33 My_l=-23.09
Tensioni nella sezione: σ=279.93 τ=34.13
CC 24 SLD (Collegamento 0023_-380)
Azioni sul collegamento: N=-4931.25 Ty=-0.54 Tz=-5.26 Mx=-0.00 Mz=-1.22
Sollecitazioni agenti localmente: Ty_l=-879.01 My_l=-18.03
Tensioni nella sezione: σ=218.50 τ=26.64
CC 24 SLD (Collegamento 0023_-380)
Azioni sul collegamento: N=-4931.25 Ty=-0.32 Tz=-5.26 Mx=-0.00 Mz=-0.79
Sollecitazioni agenti localmente: Ty_l=-877.32 My_l=-17.99
Tensioni nella sezione: σ=218.06 τ=26.59
CC 24 SLD (Collegamento 0023_-380)
Azioni sul collegamento: N=-4931.25 Ty=-0.54 Tz=-0.05 Mx=-0.00 Mz=-1.22

Sollecitazioni agenti localmente: Ty_l=-879.01 My_l=-18.03
Tensioni nella sezione: σ=218.50 τ=26.64
CC 24 SLD (Collegamento 0023_-380)
Azioni sul collegamento: N=-4931.25 Ty=-0.32 Tz=-0.05 Mx=-0.00 Mz=-0.79
Sollecitazioni agenti localmente: Ty_l=-877.32 My_l=-17.99
Tensioni nella sezione: σ=218.06 τ=26.59
CC 25 SLV (Collegamento 0023_-380)
Azioni sul collegamento: N=-4942.75 Ty=-0.08 Tz=-0.09 Mx=-0.02 Mz=-0.80
Sollecitazioni agenti localmente: Ty_l=-879.38 My_l=-18.03
Tensioni nella sezione: σ=218.57 τ=26.65
CC 25 SLV (Collegamento 0023_-380)
Azioni sul collegamento: N=-4942.75 Ty=-2.39 Tz=-0.09 Mx=-0.02 Mz=-5.32
Sollecitazioni agenti localmente: Ty_l=-897.37 My_l=-18.43
Tensioni nella sezione: σ=223.34 τ=27.19
CC 25 SLV (Collegamento 0023_-380)
Azioni sul collegamento: N=-4942.75 Ty=-0.08 Tz=-5.22 Mx=-0.02 Mz=-0.80
Sollecitazioni agenti localmente: Ty_l=-879.38 My_l=-18.03
Tensioni nella sezione: σ=218.57 τ=26.65
CC 25 SLV (Collegamento 0023_-380)
Azioni sul collegamento: N=-4942.75 Ty=-2.39 Tz=-5.22 Mx=-0.02 Mz=-5.32
Sollecitazioni agenti localmente: Ty_l=-897.37 My_l=-18.43
Tensioni nella sezione: σ=223.34 τ=27.19
CC 25 SLV (Collegamento 0023_-380)
Azioni sul collegamento: N=-6324.76 Ty=-0.08 Tz=-0.09 Mx=-0.02 Mz=-0.80
Sollecitazioni agenti localmente: Ty_l=-1124.38 My_l=-23.05
Tensioni nella sezione: σ=279.44 τ=34.07
CC 25 SLV (Collegamento 0023_-380)
Azioni sul collegamento: N=-6324.76 Ty=-2.39 Tz=-0.09 Mx=-0.02 Mz=-5.32
Sollecitazioni agenti localmente: Ty_l=-1142.36 My_l=-23.45
Tensioni nella sezione: σ=284.22 τ=34.62
CC 25 SLV (Collegamento 0023_-380)
Azioni sul collegamento: N=-6324.76 Ty=-0.08 Tz=-5.22 Mx=-0.02 Mz=-0.80
Sollecitazioni agenti localmente: Ty_l=-1124.38 My_l=-23.05
Tensioni nella sezione: σ=279.44 τ=34.07
CC 25 SLV (Collegamento 0023_-380)
Azioni sul collegamento: N=-6324.76 Ty=-2.39 Tz=-5.22 Mx=-0.02 Mz=-5.32
Sollecitazioni agenti localmente: Ty_l=-1142.36 My_l=-23.45
Tensioni nella sezione: σ=284.22 τ=34.62
CC 26 SLD (Collegamento 0023_-380)
Azioni sul collegamento: N=-5422.87 Ty=-0.08 Tz=-1.87 Mx=-0.01 Mz=-0.31
Sollecitazioni agenti localmente: Ty_l=-962.58 My_l=-19.73
Tensioni nella sezione: σ=239.21 τ=29.17
CC 26 SLD (Collegamento 0023_-380)
Azioni sul collegamento: N=-5422.87 Ty=-0.78 Tz=-1.87 Mx=-0.01 Mz=-1.69
Sollecitazioni agenti localmente: Ty_l=-968.06 My_l=-19.85
Tensioni nella sezione: σ=240.66 τ=29.34
CC 26 SLD (Collegamento 0023_-380)
Azioni sul collegamento: N=-5422.87 Ty=-0.08 Tz=-3.44 Mx=-0.01 Mz=-0.31
Sollecitazioni agenti localmente: Ty_l=-962.58 My_l=-19.73
Tensioni nella sezione: σ=239.21 τ=29.17
CC 26 SLD (Collegamento 0023_-380)
Azioni sul collegamento: N=-5422.87 Ty=-0.78 Tz=-3.44 Mx=-0.01 Mz=-1.69
Sollecitazioni agenti localmente: Ty_l=-968.06 My_l=-19.85
Tensioni nella sezione: σ=240.66 τ=29.34
CC 26 SLD (Collegamento 0023_-380)
Azioni sul collegamento: N=-5844.28 Ty=-0.08 Tz=-1.87 Mx=-0.01 Mz=-0.31
Sollecitazioni agenti localmente: Ty_l=-1037.28 My_l=-21.27
Tensioni nella sezione: σ=257.77 τ=31.43
CC 26 SLD (Collegamento 0023_-380)
Azioni sul collegamento: N=-5844.28 Ty=-0.78 Tz=-1.87 Mx=-0.01 Mz=-1.69
Sollecitazioni agenti localmente: Ty_l=-1042.77 My_l=-21.39
Tensioni nella sezione: σ=259.23 τ=31.60
CC 26 SLD (Collegamento 0023_-380)
Azioni sul collegamento: N=-5844.28 Ty=-0.08 Tz=-3.44 Mx=-0.01 Mz=-0.31
Sollecitazioni agenti localmente: Ty_l=-1037.28 My_l=-21.27
Tensioni nella sezione: σ=257.77 τ=31.43
CC 26 SLD (Collegamento 0023_-380)
Azioni sul collegamento: N=-5844.28 Ty=-0.78 Tz=-3.44 Mx=-0.01 Mz=-1.69
Sollecitazioni agenti localmente: Ty_l=-1042.77 My_l=-21.39
Tensioni nella sezione: σ=259.23 τ=31.60
CC 27 SLV (Collegamento 0023_-380)
Azioni sul collegamento: N=-6324.69 Ty=-0.09 Tz=-5.21 Mx=-0.02 Mz=-0.81
Sollecitazioni agenti localmente: Ty_l=-1124.41 My_l=-23.05
Tensioni nella sezione: σ=279.45 τ=34.07
CC 27 SLV (Collegamento 0023_-380)
Azioni sul collegamento: N=-6324.69 Ty=-2.39 Tz=-5.21 Mx=-0.02 Mz=-5.31
Sollecitazioni agenti localmente: Ty_l=-1142.30 My_l=-23.45
Tensioni nella sezione: σ=284.20 τ=34.62
CC 27 SLV (Collegamento 0023_-380)

Azioni sul collegamento: N=-6324.69 Ty=-0.09 Tz=-0.09 Mx=-0.02 Mz=-0.81
Sollecitazioni agenti localmente: Ty_l=-1124.41 My_l=-23.05
Tensioni nella sezione: σ=279.45 τ=34.07
CC 27 SLV (Collegamento 0023_-380)
Azioni sul collegamento: N=-6324.69 Ty=-2.39 Tz=-0.09 Mx=-0.02 Mz=-5.31
Sollecitazioni agenti localmente: Ty_l=-1142.30 My_l=-23.45
Tensioni nella sezione: σ=284.20 τ=34.62
CC 27 SLV (Collegamento 0023_-380)
Azioni sul collegamento: N=-4942.83 Ty=-0.09 Tz=-5.21 Mx=-0.02 Mz=-0.81
Sollecitazioni agenti localmente: Ty_l=-879.44 My_l=-18.03
Tensioni nella sezione: σ=218.58 τ=26.65
CC 27 SLV (Collegamento 0023_-380)
Azioni sul collegamento: N=-4942.83 Ty=-2.39 Tz=-5.21 Mx=-0.02 Mz=-5.31
Sollecitazioni agenti localmente: Ty_l=-897.34 My_l=-18.43
Tensioni nella sezione: σ=223.33 τ=27.19
CC 27 SLV (Collegamento 0023_-380)
Azioni sul collegamento: N=-4942.83 Ty=-0.09 Tz=-0.09 Mx=-0.02 Mz=-0.81
Sollecitazioni agenti localmente: Ty_l=-879.44 My_l=-18.03
Tensioni nella sezione: σ=218.58 τ=26.65
CC 27 SLV (Collegamento 0023_-380)
Azioni sul collegamento: N=-4942.83 Ty=-2.39 Tz=-0.09 Mx=-0.02 Mz=-5.31
Sollecitazioni agenti localmente: Ty_l=-897.34 My_l=-18.43
Tensioni nella sezione: σ=223.33 τ=27.19
CC 28 SLD (Collegamento 0023_-380)
Azioni sul collegamento: N=-5844.26 Ty=-0.08 Tz=-3.43 Mx=-0.01 Mz=-0.32
Sollecitazioni agenti localmente: Ty_l=-1037.29 My_l=-21.27
Tensioni nella sezione: σ=257.77 τ=31.43
CC 28 SLD (Collegamento 0023_-380)
Azioni sul collegamento: N=-5844.26 Ty=-0.78 Tz=-3.43 Mx=-0.01 Mz=-1.69
Sollecitazioni agenti localmente: Ty_l=-1042.75 My_l=-21.39
Tensioni nella sezione: σ=259.22 τ=31.60
CC 28 SLD (Collegamento 0023_-380)
Azioni sul collegamento: N=-5844.26 Ty=-0.08 Tz=-1.87 Mx=-0.01 Mz=-0.32
Sollecitazioni agenti localmente: Ty_l=-1037.29 My_l=-21.27
Tensioni nella sezione: σ=257.77 τ=31.43
CC 28 SLD (Collegamento 0023_-380)
Azioni sul collegamento: N=-5844.26 Ty=-0.78 Tz=-1.87 Mx=-0.01 Mz=-1.69
Sollecitazioni agenti localmente: Ty_l=-1042.75 My_l=-21.39
Tensioni nella sezione: σ=259.22 τ=31.60
CC 28 SLD (Collegamento 0023_-380)
Azioni sul collegamento: N=-5422.89 Ty=-0.08 Tz=-3.43 Mx=-0.01 Mz=-0.32
Sollecitazioni agenti localmente: Ty_l=-962.60 My_l=-19.73
Tensioni nella sezione: σ=239.21 τ=29.17
CC 28 SLD (Collegamento 0023_-380)
Azioni sul collegamento: N=-5422.89 Ty=-0.78 Tz=-3.43 Mx=-0.01 Mz=-1.69
Sollecitazioni agenti localmente: Ty_l=-968.05 My_l=-19.85
Tensioni nella sezione: σ=240.66 τ=29.33
CC 28 SLD (Collegamento 0023_-380)
Azioni sul collegamento: N=-5422.89 Ty=-0.08 Tz=-1.87 Mx=-0.01 Mz=-0.32
Sollecitazioni agenti localmente: Ty_l=-962.60 My_l=-19.73
Tensioni nella sezione: σ=239.21 τ=29.17
CC 28 SLD (Collegamento 0023_-380)
Azioni sul collegamento: N=-5422.89 Ty=-0.78 Tz=-1.87 Mx=-0.01 Mz=-1.69
Sollecitazioni agenti localmente: Ty_l=-968.05 My_l=-19.85
Tensioni nella sezione: σ=240.66 τ=29.33
CC 29 SLV (Collegamento 0023_-380)
Azioni sul collegamento: N=-4942.83 Ty=-2.39 Tz=-0.09 Mx=-0.00 Mz=-5.31
Sollecitazioni agenti localmente: Ty_l=-897.34 My_l=-18.43
Tensioni nella sezione: σ=223.33 τ=27.19
CC 29 SLV (Collegamento 0023_-380)
Azioni sul collegamento: N=-4942.83 Ty=-0.09 Tz=-0.09 Mx=-0.00 Mz=-0.81
Sollecitazioni agenti localmente: Ty_l=-879.44 My_l=-18.03
Tensioni nella sezione: σ=218.58 τ=26.65
CC 29 SLV (Collegamento 0023_-380)
Azioni sul collegamento: N=-4942.83 Ty=-2.39 Tz=-5.21 Mx=-0.00 Mz=-5.31
Sollecitazioni agenti localmente: Ty_l=-897.34 My_l=-18.43
Tensioni nella sezione: σ=223.33 τ=27.19
CC 29 SLV (Collegamento 0023_-380)
Azioni sul collegamento: N=-4942.83 Ty=-0.09 Tz=-5.21 Mx=-0.00 Mz=-0.81
Sollecitazioni agenti localmente: Ty_l=-879.44 My_l=-18.03
Tensioni nella sezione: σ=218.58 τ=26.65
CC 29 SLV (Collegamento 0023_-380)
Azioni sul collegamento: N=-6324.69 Ty=-2.39 Tz=-0.09 Mx=-0.00 Mz=-5.31
Sollecitazioni agenti localmente: Ty_l=-1142.30 My_l=-23.45
Tensioni nella sezione: σ=284.20 τ=34.62
CC 29 SLV (Collegamento 0023_-380)
Azioni sul collegamento: N=-6324.69 Ty=-0.09 Tz=-0.09 Mx=-0.00 Mz=-0.81
Sollecitazioni agenti localmente: Ty_l=-1124.41 My_l=-23.05
Tensioni nella sezione: σ=279.45 τ=34.07

CC 29 SLV (Collegamento 0023_-380)
Azioni sul collegamento: N=-6324.69 Ty=-2.39 Tz=-5.21 Mx=-0.00 Mz=-5.31
Sollecitazioni agenti localmente: Ty_l=-1142.30 My_l=-23.45
Tensioni nella sezione: σ=284.20 τ=34.62
CC 29 SLV (Collegamento 0023_-380)
Azioni sul collegamento: N=-6324.69 Ty=-0.09 Tz=-5.21 Mx=-0.00 Mz=-0.81
Sollecitazioni agenti localmente: Ty_l=-1124.41 My_l=-23.05
Tensioni nella sezione: σ=279.45 τ=34.07
CC 30 SLD (Collegamento 0023_-380)
Azioni sul collegamento: N=-5422.89 Ty=-0.78 Tz=-1.87 Mx=-0.00 Mz=-1.69
Sollecitazioni agenti localmente: Ty_l=-968.05 My_l=-19.85
Tensioni nella sezione: σ=240.66 τ=29.33
CC 30 SLD (Collegamento 0023_-380)
Azioni sul collegamento: N=-5422.89 Ty=-0.08 Tz=-1.87 Mx=-0.00 Mz=-0.32
Sollecitazioni agenti localmente: Ty_l=-962.60 My_l=-19.73
Tensioni nella sezione: σ=239.21 τ=29.17
CC 30 SLD (Collegamento 0023_-380)
Azioni sul collegamento: N=-5422.89 Ty=-0.78 Tz=-3.43 Mx=-0.00 Mz=-1.69
Sollecitazioni agenti localmente: Ty_l=-968.05 My_l=-19.85
Tensioni nella sezione: σ=240.66 τ=29.33
CC 30 SLD (Collegamento 0023_-380)
Azioni sul collegamento: N=-5422.89 Ty=-0.08 Tz=-3.43 Mx=-0.00 Mz=-0.32
Sollecitazioni agenti localmente: Ty_l=-962.60 My_l=-19.73
Tensioni nella sezione: σ=239.21 τ=29.17
CC 30 SLD (Collegamento 0023_-380)
Azioni sul collegamento: N=-5844.26 Ty=-0.78 Tz=-1.87 Mx=-0.00 Mz=-1.69
Sollecitazioni agenti localmente: Ty_l=-1042.75 My_l=-21.39
Tensioni nella sezione: σ=259.22 τ=31.60
CC 30 SLD (Collegamento 0023_-380)
Azioni sul collegamento: N=-5844.26 Ty=-0.08 Tz=-1.87 Mx=-0.00 Mz=-0.32
Sollecitazioni agenti localmente: Ty_l=-1037.29 My_l=-21.27
Tensioni nella sezione: σ=257.77 τ=31.43
CC 30 SLD (Collegamento 0023_-380)
Azioni sul collegamento: N=-5844.26 Ty=-0.78 Tz=-3.43 Mx=-0.00 Mz=-1.69
Sollecitazioni agenti localmente: Ty_l=-1042.75 My_l=-21.39
Tensioni nella sezione: σ=259.22 τ=31.60
CC 30 SLD (Collegamento 0023_-380)
Azioni sul collegamento: N=-5844.26 Ty=-0.08 Tz=-3.43 Mx=-0.00 Mz=-0.32
Sollecitazioni agenti localmente: Ty_l=-1037.29 My_l=-21.27
Tensioni nella sezione: σ=257.77 τ=31.43
CC 31 SLV (Collegamento 0023_-380)
Azioni sul collegamento: N=-6324.76 Ty=-2.39 Tz=-5.22 Mx=-0.00 Mz=-5.32
Sollecitazioni agenti localmente: Ty_l=-1142.36 My_l=-23.45
Tensioni nella sezione: σ=284.22 τ=34.62
CC 31 SLV (Collegamento 0023_-380)
Azioni sul collegamento: N=-6324.76 Ty=-0.08 Tz=-5.22 Mx=-0.00 Mz=-0.80
Sollecitazioni agenti localmente: Ty_l=-1124.38 My_l=-23.05
Tensioni nella sezione: σ=279.44 τ=34.07
CC 31 SLV (Collegamento 0023_-380)
Azioni sul collegamento: N=-6324.76 Ty=-2.39 Tz=-0.09 Mx=-0.00 Mz=-5.32
Sollecitazioni agenti localmente: Ty_l=-1142.36 My_l=-23.45
Tensioni nella sezione: σ=284.22 τ=34.62
CC 31 SLV (Collegamento 0023_-380)
Azioni sul collegamento: N=-6324.76 Ty=-0.08 Tz=-0.09 Mx=-0.00 Mz=-0.80
Sollecitazioni agenti localmente: Ty_l=-1124.38 My_l=-23.05
Tensioni nella sezione: σ=279.44 τ=34.07
CC 31 SLV (Collegamento 0023_-380)
Azioni sul collegamento: N=-4942.75 Ty=-2.39 Tz=-5.22 Mx=-0.00 Mz=-5.32
Sollecitazioni agenti localmente: Ty_l=-897.37 My_l=-18.43
Tensioni nella sezione: σ=223.34 τ=27.19
CC 31 SLV (Collegamento 0023_-380)
Azioni sul collegamento: N=-4942.75 Ty=-0.08 Tz=-5.22 Mx=-0.00 Mz=-0.80
Sollecitazioni agenti localmente: Ty_l=-879.38 My_l=-18.03
Tensioni nella sezione: σ=218.57 τ=26.65
CC 31 SLV (Collegamento 0023_-380)
Azioni sul collegamento: N=-4942.75 Ty=-2.39 Tz=-0.09 Mx=-0.00 Mz=-5.32
Sollecitazioni agenti localmente: Ty_l=-897.37 My_l=-18.43
Tensioni nella sezione: σ=223.34 τ=27.19
CC 31 SLV (Collegamento 0023_-380)
Azioni sul collegamento: N=-4942.75 Ty=-0.08 Tz=-0.09 Mx=-0.00 Mz=-0.80
Sollecitazioni agenti localmente: Ty_l=-879.38 My_l=-18.03
Tensioni nella sezione: σ=218.57 τ=26.65
CC 32 SLD (Collegamento 0023_-380)
Azioni sul collegamento: N=-5844.28 Ty=-0.78 Tz=-3.44 Mx=-0.00 Mz=-1.69
Sollecitazioni agenti localmente: Ty_l=-1042.77 My_l=-21.39
Tensioni nella sezione: σ=259.23 τ=31.60
CC 32 SLD (Collegamento 0023_-380)
Azioni sul collegamento: N=-5844.28 Ty=-0.08 Tz=-3.44 Mx=-0.00 Mz=-0.31
Sollecitazioni agenti localmente: Ty_l=-1037.28 My_l=-21.27

Tensioni nella sezione: σ=257.77 τ=31.43
CC 32 SLD (Collegamento 0023_-380)
Azioni sul collegamento: N=-5844.28 Ty=-0.78 Tz=-1.87 Mx=-0.00 Mz=-1.69
Sollecitazioni agenti localmente: Ty_l=-1042.77 My_l=-21.39
Tensioni nella sezione: σ=259.23 τ=31.60
CC 32 SLD (Collegamento 0023_-380)
Azioni sul collegamento: N=-5844.28 Ty=-0.08 Tz=-1.87 Mx=-0.00 Mz=-0.31
Sollecitazioni agenti localmente: Ty_l=-1037.28 My_l=-21.27
Tensioni nella sezione: σ=257.77 τ=31.43
CC 32 SLD (Collegamento 0023_-380)
Azioni sul collegamento: N=-5422.87 Ty=-0.78 Tz=-3.44 Mx=-0.00 Mz=-1.69
Sollecitazioni agenti localmente: Ty_l=-968.06 My_l=-19.85
Tensioni nella sezione: σ=240.66 τ=29.34
CC 32 SLD (Collegamento 0023_-380)
Azioni sul collegamento: N=-5422.87 Ty=-0.08 Tz=-3.44 Mx=-0.00 Mz=-0.31
Sollecitazioni agenti localmente: Ty_l=-962.58 My_l=-19.73
Tensioni nella sezione: σ=239.21 τ=29.17
CC 32 SLD (Collegamento 0023_-380)
Azioni sul collegamento: N=-5422.87 Ty=-0.78 Tz=-1.87 Mx=-0.00 Mz=-1.69
Sollecitazioni agenti localmente: Ty_l=-968.06 My_l=-19.85
Tensioni nella sezione: σ=240.66 τ=29.34
CC 32 SLD (Collegamento 0023_-380)
Azioni sul collegamento: N=-5422.87 Ty=-0.08 Tz=-1.87 Mx=-0.00 Mz=-0.31
Sollecitazioni agenti localmente: Ty_l=-962.58 My_l=-19.73
Tensioni nella sezione: σ=239.21 τ=29.17
CC 33 SLU (Collegamento 0023_-380)
Azioni sul collegamento: N=-29447.20 Ty=-0.05 Tz=76.67 Mx=-0.00 Mz=-0.12
Sollecitazioni agenti localmente: Ty_l=-5220.64 My_l=-107.02
Tensioni nella sezione: σ=1297.26 τ=158.20
CC 34 SLU (Collegamento 0023_-380)
Azioni sul collegamento: N=-28967.90 Ty=-0.05 Tz=74.90 Mx=-0.00 Mz=-0.12
Sollecitazioni agenti localmente: Ty_l=-5135.69 My_l=-105.28
Tensioni nella sezione: σ=1276.15 τ=155.63
CC 35 SLU (Collegamento 0023_-380)
Azioni sul collegamento: N=-29207.50 Ty=-0.17 Tz=75.78 Mx=0.00 Mz=-0.35
Sollecitazioni agenti localmente: Ty_l=-5179.10 My_l=-106.17
Tensioni nella sezione: σ=1286.95 τ=156.94
CC 36 SLU (Collegamento 0023_-380)
Azioni sul collegamento: N=-29207.50 Ty=0.07 Tz=75.79 Mx=-0.00 Mz=0.12
Sollecitazioni agenti localmente: Ty_l=-5177.23 My_l=-106.13
Tensioni nella sezione: σ=1286.46 τ=156.89
CC 37 SLU (Collegamento 0023_-380)
Azioni sul collegamento: N=-19933.90 Ty=-0.08 Tz=41.69 Mx=-0.00 Mz=-0.13
Sollecitazioni agenti localmente: Ty_l=-3534.24 My_l=-72.45
Tensioni nella sezione: σ=878.21 τ=107.10
CC 38 SLU (Collegamento 0023_-380)
Azioni sul collegamento: N=-19454.60 Ty=-0.08 Tz=39.91 Mx=-0.00 Mz=-0.13
Sollecitazioni agenti localmente: Ty_l=-3449.28 My_l=-70.71
Tensioni nella sezione: σ=857.10 τ=104.52
CC 39 SLU (Collegamento 0023_-380)
Azioni sul collegamento: N=-19694.20 Ty=-0.20 Tz=40.80 Mx=0.00 Mz=-0.36
Sollecitazioni agenti localmente: Ty_l=-3492.69 My_l=-71.60
Tensioni nella sezione: σ=867.91 τ=105.84
CC 40 SLU (Collegamento 0023_-380)
Azioni sul collegamento: N=-19694.20 Ty=0.04 Tz=40.80 Mx=-0.00 Mz=0.10
Sollecitazioni agenti localmente: Ty_l=-3490.83 My_l=-71.56
Tensioni nella sezione: σ=867.41 τ=105.78
CC 41 SLU (Collegamento 0023_-380)
Azioni sul collegamento: N=-29632.10 Ty=-0.07 Tz=76.65 Mx=-0.00 Mz=-0.13
Sollecitazioni agenti localmente: Ty_l=-5253.47 My_l=-107.70
Tensioni nella sezione: σ=1305.42 τ=159.20
CC 42 SLU (Collegamento 0023_-380)
Azioni sul collegamento: N=-29152.80 Ty=-0.07 Tz=74.88 Mx=-0.00 Mz=-0.13
Sollecitazioni agenti localmente: Ty_l=-5168.52 My_l=-105.95
Tensioni nella sezione: σ=1284.31 τ=156.62
CC 43 SLU (Collegamento 0023_-380)
Azioni sul collegamento: N=-29392.40 Ty=-0.19 Tz=75.77 Mx=0.00 Mz=-0.36
Sollecitazioni agenti localmente: Ty_l=-5211.93 My_l=-106.85
Tensioni nella sezione: σ=1295.11 τ=157.94
CC 44 SLU (Collegamento 0023_-380)
Azioni sul collegamento: N=-29392.40 Ty=0.05 Tz=75.77 Mx=-0.00 Mz=0.10
Sollecitazioni agenti localmente: Ty_l=-5210.06 My_l=-106.81
Tensioni nella sezione: σ=1294.61 τ=157.88
CC 45 SLU (Collegamento 0023_-380)
Azioni sul collegamento: N=-22108.00 Ty=-0.08 Tz=49.75 Mx=-0.00 Mz=-0.14
Sollecitazioni agenti localmente: Ty_l=-3919.70 My_l=-80.35
Tensioni nella sezione: σ=974.00 τ=118.78
CC 46 SLU (Collegamento 0023_-380)
Azioni sul collegamento: N=-21628.70 Ty=-0.08 Tz=47.97 Mx=-0.00 Mz=-0.14

Sollecitazioni agenti localmente: Ty_l=-3834.74 My_l=-78.61
Tensioni nella sezione: σ=952.88 τ=116.20
CC 47 SLU (Collegamento 0023_-380)
Azioni sul collegamento: N=-21868.40 Ty=-0.20 Tz=48.86 Mx=0.00 Mz=-0.37
Sollecitazioni agenti localmente: Ty_l=-3878.15 My_l=-79.50
Tensioni nella sezione: σ=963.69 τ=117.52
CC 48 SLU (Collegamento 0023_-380)
Azioni sul collegamento: N=-21868.40 Ty=0.04 Tz=48.86 Mx=-0.00 Mz=0.10
Sollecitazioni agenti localmente: Ty_l=-3876.29 My_l=-79.46
Tensioni nella sezione: σ=963.19 τ=117.46
CC 49 SLU (Collegamento 0023_-380)
Azioni sul collegamento: N=-14990.70 Ty=-0.10 Tz=23.57 Mx=-0.00 Mz=-0.15
Sollecitazioni agenti localmente: Ty_l=-2658.02 My_l=-54.49
Tensioni nella sezione: σ=660.49 τ=80.55
CC 50 SLU (Collegamento 0023_-380)
Azioni sul collegamento: N=-14511.40 Ty=-0.10 Tz=21.80 Mx=-0.00 Mz=-0.15
Sollecitazioni agenti localmente: Ty_l=-2573.06 My_l=-52.75
Tensioni nella sezione: σ=639.38 τ=77.97
CC 51 SLU (Collegamento 0023_-380)
Azioni sul collegamento: N=-14751.00 Ty=-0.22 Tz=22.68 Mx=0.00 Mz=-0.38
Sollecitazioni agenti localmente: Ty_l=-2616.47 My_l=-53.64
Tensioni nella sezione: σ=650.18 τ=79.29
CC 52 SLU (Collegamento 0023_-380)
Azioni sul collegamento: N=-14751.00 Ty=0.02 Tz=22.69 Mx=-0.00 Mz=0.09
Sollecitazioni agenti localmente: Ty_l=-2614.61 My_l=-53.60
Tensioni nella sezione: σ=649.68 τ=79.23
CC 53 SLU (Collegamento 0023_-380)
Azioni sul collegamento: N=-22246.40 Ty=-0.10 Tz=49.73 Mx=-0.00 Mz=-0.15
Sollecitazioni agenti localmente: Ty_l=-3944.26 My_l=-80.86
Tensioni nella sezione: σ=980.10 τ=119.52
CC 54 SLU (Collegamento 0023_-380)
Azioni sul collegamento: N=-21767.10 Ty=-0.10 Tz=47.96 Mx=-0.00 Mz=-0.15
Sollecitazioni agenti localmente: Ty_l=-3859.30 My_l=-79.12
Tensioni nella sezione: σ=958.99 τ=116.95
CC 55 SLU (Collegamento 0023_-380)
Azioni sul collegamento: N=-22006.70 Ty=-0.22 Tz=48.85 Mx=0.00 Mz=-0.38
Sollecitazioni agenti localmente: Ty_l=-3902.71 My_l=-80.01
Tensioni nella sezione: σ=969.79 τ=118.26
CC 56 SLU (Collegamento 0023_-380)
Azioni sul collegamento: N=-22006.70 Ty=0.02 Tz=48.85 Mx=-0.00 Mz=0.09
Sollecitazioni agenti localmente: Ty_l=-3900.85 My_l=-79.97
Tensioni nella sezione: σ=969.30 τ=118.21
CC 57 SLU (Collegamento 0023_-380)
Azioni sul collegamento: N=-20646.20 Ty=-0.07 Tz=44.37 Mx=-0.00 Mz=-0.13
Sollecitazioni agenti localmente: Ty_l=-3660.53 My_l=-75.04
Tensioni nella sezione: σ=909.59 τ=110.92
CC 58 SLU (Collegamento 0023_-380)
Azioni sul collegamento: N=-20166.90 Ty=-0.07 Tz=42.59 Mx=-0.00 Mz=-0.13
Sollecitazioni agenti localmente: Ty_l=-3575.57 My_l=-73.30
Tensioni nella sezione: σ=888.49 τ=108.35
CC 59 SLU (Collegamento 0023_-380)
Azioni sul collegamento: N=-20406.60 Ty=-0.19 Tz=43.48 Mx=0.00 Mz=-0.36
Sollecitazioni agenti localmente: Ty_l=-3618.98 My_l=-74.19
Tensioni nella sezione: σ=899.29 τ=109.67
CC 60 SLU (Collegamento 0023_-380)
Azioni sul collegamento: N=-20406.60 Ty=0.05 Tz=43.48 Mx=-0.00 Mz=0.10
Sollecitazioni agenti localmente: Ty_l=-3617.12 My_l=-74.15
Tensioni nella sezione: σ=898.79 τ=109.61
CC 61 SLU (Collegamento 0023_-380)
Azioni sul collegamento: N=-13528.90 Ty=-0.09 Tz=18.19 Mx=-0.00 Mz=-0.14
Sollecitazioni agenti localmente: Ty_l=-2398.85 My_l=-49.18
Tensioni nella sezione: σ=596.09 τ=72.69
CC 62 SLU (Collegamento 0023_-380)
Azioni sul collegamento: N=-13049.60 Ty=-0.10 Tz=16.41 Mx=-0.00 Mz=-0.14
Sollecitazioni agenti localmente: Ty_l=-2313.89 My_l=-47.44
Tensioni nella sezione: σ=574.98 τ=70.12
CC 63 SLU (Collegamento 0023_-380)
Azioni sul collegamento: N=-13289.20 Ty=-0.21 Tz=17.30 Mx=0.00 Mz=-0.37
Sollecitazioni agenti localmente: Ty_l=-2357.30 My_l=-48.33
Tensioni nella sezione: σ=585.78 τ=71.43
CC 64 SLU (Collegamento 0023_-380)
Azioni sul collegamento: N=-13289.20 Ty=0.02 Tz=17.30 Mx=-0.00 Mz=0.10
Sollecitazioni agenti localmente: Ty_l=-2355.44 My_l=-48.29
Tensioni nella sezione: σ=585.28 τ=71.38
CC 65 SLU (Collegamento 0023_-380)
Azioni sul collegamento: N=-20784.60 Ty=-0.09 Tz=44.35 Mx=-0.00 Mz=-0.14
Sollecitazioni agenti localmente: Ty_l=-3685.09 My_l=-75.55
Tensioni nella sezione: σ=915.70 τ=111.67
CC 66 SLU (Collegamento 0023_-380)

Azioni sul collegamento: N=-20305.30 Ty=-0.09 Tz=42.57 Mx=-0.00 Mz=-0.14
Sollecitazioni agenti localmente: Ty_l=-3600.13 My_l=-73.80
Tensioni nella sezione: σ=894.59 τ=109.09
CC 67 SLU (Collegamento 0023_-380)
Azioni sul collegamento: N=-20544.90 Ty=-0.21 Tz=43.46 Mx=0.00 Mz=-0.37
Sollecitazioni agenti localmente: Ty_l=-3643.54 My_l=-74.69
Tensioni nella sezione: σ=905.39 τ=110.41
CC 68 SLU (Collegamento 0023_-380)
Azioni sul collegamento: N=-20544.90 Ty=0.03 Tz=43.46 Mx=-0.00 Mz=0.10
Sollecitazioni agenti localmente: Ty_l=-3641.68 My_l=-74.65
Tensioni nella sezione: σ=904.89 τ=110.35
CC 97 SLU (Collegamento 0023_-380)
Azioni sul collegamento: N=-12582.10 Ty=-12.27 Tz=22.98 Mx=-0.04 Mz=-17.61
Sollecitazioni agenti localmente: Ty_l=-2300.51 My_l=-47.26
Tensioni nella sezione: σ=572.83 τ=69.71
CC 98 SLU (Collegamento 0023_-380)
Azioni sul collegamento: N=-12102.80 Ty=-12.27 Tz=21.21 Mx=-0.04 Mz=-17.61
Sollecitazioni agenti localmente: Ty_l=-2215.55 My_l=-45.52
Tensioni nella sezione: σ=551.72 τ=67.14
CC 99 SLU (Collegamento 0023_-380)
Azioni sul collegamento: N=-12342.50 Ty=-12.39 Tz=22.09 Mx=-0.04 Mz=-17.84
Sollecitazioni agenti localmente: Ty_l=-2258.96 My_l=-46.41
Tensioni nella sezione: σ=562.52 τ=68.45
CC 100 SLU (Collegamento 0023_-380)
Azioni sul collegamento: N=-12342.50 Ty=-12.15 Tz=22.09 Mx=-0.04 Mz=-17.38
Sollecitazioni agenti localmente: Ty_l=-2257.10 My_l=-46.37
Tensioni nella sezione: σ=562.03 τ=68.40
CC 101 SLU (Collegamento 0023_-380)
Azioni sul collegamento: N=-6366.46 Ty=2.01 Tz=0.04 Mx=0.00 Mz=2.22
Sollecitazioni agenti localmente: Ty_l=-1119.77 My_l=-22.94
Tensioni nella sezione: σ=278.10 τ=33.93
CC 102 SLU (Collegamento 0023_-380)
Azioni sul collegamento: N=-5887.16 Ty=2.00 Tz=-1.73 Mx=0.00 Mz=2.22
Sollecitazioni agenti localmente: Ty_l=-1034.82 My_l=-21.20
Tensioni nella sezione: σ=256.99 τ=31.36
CC 103 SLU (Collegamento 0023_-380)
Azioni sul collegamento: N=-6126.81 Ty=1.89 Tz=-0.85 Mx=0.01 Mz=1.98
Sollecitazioni agenti localmente: Ty_l=-1078.23 My_l=-22.09
Tensioni nella sezione: σ=267.79 τ=32.67
CC 104 SLU (Collegamento 0023_-380)
Azioni sul collegamento: N=-6126.80 Ty=2.12 Tz=-0.84 Mx=0.00 Mz=2.45
Sollecitazioni agenti localmente: Ty_l=-1076.36 My_l=-22.05
Tensioni nella sezione: σ=267.29 τ=32.62

Collegamento 0024_-381

Piastra 220.00 x 220.00 s=15.00 - 6 Tirafondi ϕ 16 - Profondità di infissione: 350.00
3 righe ad interasse 89.00
2 colonne ad interasse 178.00
Altezza di gola saldature: anima 7.07 - ala 7.07

Tirafondi e calcestruzzo

CC 1 SLV (Collegamento 0024_-381)
Azioni sul collegamento: N=-3931.62 Ty=6.55 Tz=-8.98 Mx=0.01 Mz=7.22
Sollecitazioni agenti localmente: Tx_l=6.55 Ty_l=-8.98 N_l=-3931.62 Mx_l=-0.00 My_l=7.22 Mz_l=0.01
Taglio nei bulloni: Fv,Ed=1.87 Fv,Rd=7720.78
Rifollamento lato piastra: Fb,Ed,p=1.86 Fb,Rd,p=10428.60
Tirafondi:LT=0.45 (0.31) $σ_{cR}$=0.00 $σ_{fR}$=0.00
Compressione nel calcestruzzo: $σ_c$=8.53
CC 1 SLV (Collegamento 0024_-381)
Azioni sul collegamento: N=-3931.62 Ty=3.19 Tz=-8.98 Mx=0.01 Mz=4.04
Sollecitazioni agenti localmente: Tx_l=3.19 Ty_l=-8.98 N_l=-3931.62 Mx_l=-0.00 My_l=4.04 Mz_l=0.01
Taglio nei bulloni: Fv,Ed=1.61 Fv,Rd=7720.78
Rifollamento lato piastra: Fb,Ed,p=1.60 Fb,Rd,p=7019.31
Tirafondi:LT=0.45 (0.31) $σ_{cR}$=0.00 $σ_{fR}$=0.00
Compressione nel calcestruzzo: $σ_c$=8.35
CC 1 SLV (Collegamento 0024_-381)
Azioni sul collegamento: N=-3931.62 Ty=6.55 Tz=10.69 Mx=0.01 Mz=7.22
Sollecitazioni agenti localmente: Tx_l=6.55 Ty_l=10.69 N_l=-3931.62 Mx_l=-0.00 My_l=7.22 Mz_l=0.01
Taglio nei bulloni: Fv,Ed=2.11 Fv,Rd=7720.78
Rifollamento lato piastra: Fb,Ed,p=2.11 Fb,Rd,p=9431.52
Tirafondi:LT=0.45 (0.31) $σ_{cR}$=0.00 $σ_{fR}$=0.00
Compressione nel calcestruzzo: $σ_c$=8.53
CC 1 SLV (Collegamento 0024_-381)
Azioni sul collegamento: N=-3931.62 Ty=3.19 Tz=10.69 Mx=0.01 Mz=4.04
Sollecitazioni agenti localmente: Tx_l=3.19 Ty_l=10.69 N_l=-3931.62 Mx_l=-0.00 My_l=4.04 Mz_l=0.01
Taglio nei bulloni: Fv,Ed=1.88 Fv,Rd=7720.78
Rifollamento lato piastra: Fb,Ed,p=1.88 Fb,Rd,p=6806.97

Tirafondi:LT=0.45 (0.31) σ_{cR}=0.00 σ_{fR}=0.00
Compressione nel calcestruzzo: σ_c=8.35
CC 1 SLV (Collegamento 0024_-381)
Azioni sul collegamento: N=-9217.12 Ty=6.55 Tz=-8.98 Mx=0.01 Mz=7.22
Sollecitazioni agenti localmente: Tx_l=6.55 Ty_l=-8.98 N_l=-9217.12 Mx_l=-0.00 My_l=7.22 Mz_l=0.01
Taglio nei bulloni: Fv,Ed=1.87 Fv,Rd=7720.78
Rifollamento lato piastra: Fb,Ed,p=1.86 Fb,Rd,p=10428.70
Tirafondi:LT=0.45 (0.31) σ_{cR}=0.00 σ_{fR}=0.00
Compressione nel calcestruzzo: σ_c=19.45
CC 1 SLV (Collegamento 0024_-381)
Azioni sul collegamento: N=-9217.12 Ty=3.19 Tz=-8.98 Mx=0.01 Mz=4.04
Sollecitazioni agenti localmente: Tx_l=3.19 Ty_l=-8.98 N_l=-9217.12 Mx_l=-0.00 My_l=4.04 Mz_l=0.01
Taglio nei bulloni: Fv,Ed=1.61 Fv,Rd=7720.78
Rifollamento lato piastra: Fb,Ed,p=1.60 Fb,Rd,p=7019.36
Tirafondi:LT=0.45 (0.31) σ_{cR}=0.00 σ_{fR}=0.00
Compressione nel calcestruzzo: σ_c=19.27
CC 1 SLV (Collegamento 0024_-381)
Azioni sul collegamento: N=-9217.12 Ty=6.55 Tz=10.69 Mx=0.01 Mz=7.22
Sollecitazioni agenti localmente: Tx_l=6.55 Ty_l=10.69 N_l=-9217.12 Mx_l=-0.00 My_l=7.22 Mz_l=0.01
Taglio nei bulloni: Fv,Ed=2.11 Fv,Rd=7720.78
Rifollamento lato piastra: Fb,Ed,p=2.11 Fb,Rd,p=9431.26
Tirafondi:LT=0.45 (0.31) σ_{cR}=0.00 σ_{fR}=0.00
Compressione nel calcestruzzo: σ_c=19.45
CC 1 SLV (Collegamento 0024_-381)
Azioni sul collegamento: N=-9217.12 Ty=3.19 Tz=10.69 Mx=0.01 Mz=4.04
Sollecitazioni agenti localmente: Tx_l=3.19 Ty_l=10.69 N_l=-9217.12 Mx_l=-0.00 My_l=4.04 Mz_l=0.01
Taglio nei bulloni: Fv,Ed=1.88 Fv,Rd=7720.78
Rifollamento lato piastra: Fb,Ed,p=1.88 Fb,Rd,p=6806.91
Tirafondi:LT=0.45 (0.31) σ_{cR}=0.00 σ_{fR}=0.00
Compressione nel calcestruzzo: σ_c=19.27
CC 2 SLD (Collegamento 0024_-381)
Azioni sul collegamento: N=-5736.03 Ty=4.54 Tz=-2.27 Mx=0.00 Mz=4.03
Sollecitazioni agenti localmente: Tx_l=4.54 Ty_l=-2.27 N_l=-5736.03 Mx_l=-0.00 My_l=4.03 Mz_l=0.00
Taglio nei bulloni: Fv,Ed=0.85 Fv,Rd=9650.97
Rifollamento lato piastra: Fb,Ed,p=0.85 Fb,Rd,p=10321.90
Tirafondi:LT=0.45 (0.31) σ_{cR}=0.00 σ_{fR}=0.00
Compressione nel calcestruzzo: σ_c=12.08
CC 2 SLD (Collegamento 0024_-381)
Azioni sul collegamento: N=-5736.03 Ty=3.51 Tz=-2.27 Mx=0.00 Mz=3.06
Sollecitazioni agenti localmente: Tx_l=3.51 Ty_l=-2.27 N_l=-5736.03 Mx_l=-0.00 My_l=3.06 Mz_l=0.00
Taglio nei bulloni: Fv,Ed=0.70 Fv,Rd=9650.97
Rifollamento lato piastra: Fb,Ed,p=0.70 Fb,Rd,p=12265.00
Tirafondi:LT=0.45 (0.31) σ_{cR}=0.00 σ_{fR}=0.00
Compressione nel calcestruzzo: σ_c=12.02
CC 2 SLD (Collegamento 0024_-381)
Azioni sul collegamento: N=-5736.03 Ty=4.54 Tz=3.73 Mx=0.00 Mz=4.03
Sollecitazioni agenti localmente: Tx_l=4.54 Ty_l=3.73 N_l=-5736.03 Mx_l=-0.00 My_l=4.03 Mz_l=0.00
Taglio nei bulloni: Fv,Ed=0.98 Fv,Rd=9650.97
Rifollamento lato piastra: Fb,Ed,p=0.98 Fb,Rd,p=13712.20
Tirafondi:LT=0.45 (0.31) σ_{cR}=0.00 σ_{fR}=0.00
Compressione nel calcestruzzo: σ_c=12.08
CC 2 SLD (Collegamento 0024_-381)
Azioni sul collegamento: N=-5736.03 Ty=3.51 Tz=3.73 Mx=0.00 Mz=3.06
Sollecitazioni agenti localmente: Tx_l=3.51 Ty_l=3.73 N_l=-5736.03 Mx_l=-0.00 My_l=3.06 Mz_l=0.00
Taglio nei bulloni: Fv,Ed=0.86 Fv,Rd=9650.97
Rifollamento lato piastra: Fb,Ed,p=0.86 Fb,Rd,p=14599.70
Tirafondi:LT=0.45 (0.31) σ_{cR}=0.00 σ_{fR}=0.00
Compressione nel calcestruzzo: σ_c=12.02
CC 2 SLD (Collegamento 0024_-381)
Azioni sul collegamento: N=-7347.75 Ty=4.54 Tz=-2.27 Mx=0.00 Mz=4.03
Sollecitazioni agenti localmente: Tx_l=4.54 Ty_l=-2.27 N_l=-7347.75 Mx_l=-0.00 My_l=4.03 Mz_l=0.00
Taglio nei bulloni: Fv,Ed=0.85 Fv,Rd=9650.97
Rifollamento lato piastra: Fb,Ed,p=0.85 Fb,Rd,p=10322.10
Tirafondi:LT=0.45 (0.31) σ_{cR}=0.00 σ_{fR}=0.00
Compressione nel calcestruzzo: σ_c=15.41
CC 2 SLD (Collegamento 0024_-381)
Azioni sul collegamento: N=-7347.75 Ty=3.51 Tz=-2.27 Mx=0.00 Mz=3.06
Sollecitazioni agenti localmente: Tx_l=3.51 Ty_l=-2.27 N_l=-7347.75 Mx_l=-0.00 My_l=3.06 Mz_l=0.00
Taglio nei bulloni: Fv,Ed=0.70 Fv,Rd=9650.97
Rifollamento lato piastra: Fb,Ed,p=0.70 Fb,Rd,p=12265.30
Tirafondi:LT=0.45 (0.31) σ_{cR}=0.00 σ_{fR}=0.00
Compressione nel calcestruzzo: σ_c=15.35
CC 2 SLD (Collegamento 0024_-381)
Azioni sul collegamento: N=-7347.75 Ty=4.54 Tz=3.73 Mx=0.00 Mz=4.03
Sollecitazioni agenti localmente: Tx_l=4.54 Ty_l=3.73 N_l=-7347.75 Mx_l=-0.00 My_l=4.03 Mz_l=0.00
Taglio nei bulloni: Fv,Ed=0.98 Fv,Rd=9650.97
Rifollamento lato piastra: Fb,Ed,p=0.98 Fb,Rd,p=13712.40
Tirafondi:LT=0.45 (0.31) σ_{cR}=0.00 σ_{fR}=0.00

Compressione nel calcestruzzo: σ_c=15.41
CC 2 SLD (Collegamento 0024_-381)
Azioni sul collegamento: N=-7347.75 Ty=3.51 Tz=3.73 Mx=0.00 Mz=3.06
Sollecitazioni agenti localmente: Tx_l=3.51 Ty_l=3.73 N_l=-7347.75 Mx_l=-0.00 My_l=3.06 Mz_l=0.00
Taglio nei bulloni: Fv,Ed=0.86 Fv,Rd=9650.97
Rifollamento lato piastra: Fb,Ed,p=0.86 Fb,Rd,p=14599.50
Tirafondi:LT=0.45 (0.31) σ_{cR}=0.00 σ_{fR}=0.00
Compressione nel calcestruzzo: σ_c=15.35
CC 3 SLV (Collegamento 0024_-381)
Azioni sul collegamento: N=-3937.31 Ty=5.92 Tz=-8.85 Mx=0.01 Mz=5.96
Sollecitazioni agenti localmente: Tx_l=5.92 Ty_l=-8.85 N_l=-3937.31 Mx_l=-0.00 My_l=5.96 Mz_l=0.01
Taglio nei bulloni: Fv,Ed=1.79 Fv,Rd=7720.78
Rifollamento lato piastra: Fb,Ed,p=1.78 Fb,Rd,p=9910.88
Tirafondi:LT=0.45 (0.31) σ_{cR}=0.00 σ_{fR}=0.00
Compressione nel calcestruzzo: σ_c=8.47
CC 3 SLV (Collegamento 0024_-381)
Azioni sul collegamento: N=-3937.31 Ty=3.82 Tz=-8.85 Mx=0.01 Mz=5.30
Sollecitazioni agenti localmente: Tx_l=3.82 Ty_l=-8.85 N_l=-3937.31 Mx_l=-0.00 My_l=5.30 Mz_l=0.01
Taglio nei bulloni: Fv,Ed=1.62 Fv,Rd=7720.78
Rifollamento lato piastra: Fb,Ed,p=1.61 Fb,Rd,p=7578.35
Tirafondi:LT=0.45 (0.31) σ_{cR}=0.00 σ_{fR}=0.00
Compressione nel calcestruzzo: σ_c=8.43
CC 3 SLV (Collegamento 0024_-381)
Azioni sul collegamento: N=-3937.31 Ty=5.92 Tz=10.56 Mx=0.01 Mz=5.96
Sollecitazioni agenti localmente: Tx_l=5.92 Ty_l=10.56 N_l=-3937.31 Mx_l=-0.00 My_l=5.96 Mz_l=0.01
Taglio nei bulloni: Fv,Ed=2.03 Fv,Rd=7720.78
Rifollamento lato piastra: Fb,Ed,p=2.03 Fb,Rd,p=8847.90
Tirafondi:LT=0.45 (0.31) σ_{cR}=0.00 σ_{fR}=0.00
Compressione nel calcestruzzo: σ_c=8.47
CC 3 SLV (Collegamento 0024_-381)
Azioni sul collegamento: N=-3937.31 Ty=3.82 Tz=10.56 Mx=0.01 Mz=5.30
Sollecitazioni agenti localmente: Tx_l=3.82 Ty_l=10.56 N_l=-3937.31 Mx_l=-0.00 My_l=5.30 Mz_l=0.01
Taglio nei bulloni: Fv,Ed=1.89 Fv,Rd=7720.78
Rifollamento lato piastra: Fb,Ed,p=1.89 Fb,Rd,p=7177.46
Tirafondi:LT=0.45 (0.31) σ_{cR}=0.00 σ_{fR}=0.00
Compressione nel calcestruzzo: σ_c=8.43
CC 3 SLV (Collegamento 0024_-381)
Azioni sul collegamento: N=-9211.43 Ty=5.92 Tz=-8.85 Mx=0.01 Mz=5.96
Sollecitazioni agenti localmente: Tx_l=5.92 Ty_l=-8.85 N_l=-9211.43 Mx_l=-0.00 My_l=5.96 Mz_l=0.01
Taglio nei bulloni: Fv,Ed=1.79 Fv,Rd=7720.78
Rifollamento lato piastra: Fb,Ed,p=1.78 Fb,Rd,p=9910.90
Tirafondi:LT=0.45 (0.31) σ_{cR}=0.00 σ_{fR}=0.00
Compressione nel calcestruzzo: σ_c=19.37
CC 3 SLV (Collegamento 0024_-381)
Azioni sul collegamento: N=-9211.43 Ty=3.82 Tz=-8.85 Mx=0.01 Mz=5.30
Sollecitazioni agenti localmente: Tx_l=3.82 Ty_l=-8.85 N_l=-9211.43 Mx_l=-0.00 My_l=5.30 Mz_l=0.01
Taglio nei bulloni: Fv,Ed=1.62 Fv,Rd=7720.78
Rifollamento lato piastra: Fb,Ed,p=1.61 Fb,Rd,p=7578.35
Tirafondi:LT=0.45 (0.31) σ_{cR}=0.00 σ_{fR}=0.00
Compressione nel calcestruzzo: σ_c=19.33
CC 3 SLV (Collegamento 0024_-381)
Azioni sul collegamento: N=-9211.43 Ty=5.92 Tz=10.56 Mx=0.01 Mz=5.96
Sollecitazioni agenti localmente: Tx_l=5.92 Ty_l=10.56 N_l=-9211.43 Mx_l=-0.00 My_l=5.96 Mz_l=0.01
Taglio nei bulloni: Fv,Ed=2.03 Fv,Rd=7720.78
Rifollamento lato piastra: Fb,Ed,p=2.03 Fb,Rd,p=8847.87
Tirafondi:LT=0.45 (0.31) σ_{cR}=0.00 σ_{fR}=0.00
Compressione nel calcestruzzo: σ_c=19.37
CC 3 SLV (Collegamento 0024_-381)
Azioni sul collegamento: N=-9211.43 Ty=3.82 Tz=10.56 Mx=0.01 Mz=5.30
Sollecitazioni agenti localmente: Tx_l=3.82 Ty_l=10.56 N_l=-9211.43 Mx_l=-0.00 My_l=5.30 Mz_l=0.01
Taglio nei bulloni: Fv,Ed=1.89 Fv,Rd=7720.78
Rifollamento lato piastra: Fb,Ed,p=1.89 Fb,Rd,p=7177.45
Tirafondi:LT=0.45 (0.31) σ_{cR}=0.00 σ_{fR}=0.00
Compressione nel calcestruzzo: σ_c=19.33
CC 4 SLD (Collegamento 0024_-381)
Azioni sul collegamento: N=-5737.77 Ty=4.34 Tz=-2.23 Mx=0.00 Mz=3.65
Sollecitazioni agenti localmente: Tx_l=4.34 Ty_l=-2.23 N_l=-5737.77 Mx_l=-0.00 My_l=3.65 Mz_l=0.00
Taglio nei bulloni: Fv,Ed=0.81 Fv,Rd=9650.97
Rifollamento lato piastra: Fb,Ed,p=0.81 Fb,Rd,p=10464.90
Tirafondi:LT=0.45 (0.31) σ_{cR}=0.00 σ_{fR}=0.00
Compressione nel calcestruzzo: σ_c=12.06
CC 4 SLD (Collegamento 0024_-381)
Azioni sul collegamento: N=-5737.77 Ty=3.71 Tz=-2.23 Mx=0.00 Mz=3.45
Sollecitazioni agenti localmente: Tx_l=3.71 Ty_l=-2.23 N_l=-5737.77 Mx_l=-0.00 My_l=3.45 Mz_l=0.00
Taglio nei bulloni: Fv,Ed=0.72 Fv,Rd=9650.97
Rifollamento lato piastra: Fb,Ed,p=0.72 Fb,Rd,p=11605.90
Tirafondi:LT=0.45 (0.31) σ_{cR}=0.00 σ_{fR}=0.00
Compressione nel calcestruzzo: σ_c=12.05

CC 4 SLD (Collegamento 0024_-381)
Azioni sul collegamento: N=-5737.77 Ty=4.34 Tz=3.69 Mx=0.00 Mz=3.65
Sollecitazioni agenti localmente: Tx_l=4.34 Ty_l=3.69 N_l=-5737.77 Mx_l=-0.00 My_l=3.65 Mz_l=0.00
Taglio nei bulloni: Fv,Ed=0.95 Fv,Rd=9650.97
Rifollamento lato piastra: Fb,Ed,p=0.95 Fb,Rd,p=13925.50
Tirafondi:LT=0.45 (0.31) σ_{cR}=0.00 σ_{fR}=0.00
Compressione nel calcestruzzo: σ_c=12.06
CC 4 SLD (Collegamento 0024_-381)
Azioni sul collegamento: N=-5737.77 Ty=3.71 Tz=3.69 Mx=0.00 Mz=3.45
Sollecitazioni agenti localmente: Tx_l=3.71 Ty_l=3.69 N_l=-5737.77 Mx_l=-0.00 My_l=3.45 Mz_l=0.00
Taglio nei bulloni: Fv,Ed=0.87 Fv,Rd=9650.97
Rifollamento lato piastra: Fb,Ed,p=0.87 Fb,Rd,p=14972.50
Tirafondi:LT=0.45 (0.31) σ_{cR}=0.00 σ_{fR}=0.00
Compressione nel calcestruzzo: σ_c=12.05
CC 4 SLD (Collegamento 0024_-381)
Azioni sul collegamento: N=-7346.01 Ty=4.34 Tz=-2.23 Mx=0.00 Mz=3.65
Sollecitazioni agenti localmente: Tx_l=4.34 Ty_l=-2.23 N_l=-7346.01 Mx_l=-0.00 My_l=3.65 Mz_l=0.00
Taglio nei bulloni: Fv,Ed=0.81 Fv,Rd=9650.97
Rifollamento lato piastra: Fb,Ed,p=0.81 Fb,Rd,p=10464.80
Tirafondi:LT=0.45 (0.31) σ_{cR}=0.00 σ_{fR}=0.00
Compressione nel calcestruzzo: σ_c=15.38
CC 4 SLD (Collegamento 0024_-381)
Azioni sul collegamento: N=-7346.01 Ty=3.71 Tz=-2.23 Mx=0.00 Mz=3.45
Sollecitazioni agenti localmente: Tx_l=3.71 Ty_l=-2.23 N_l=-7346.01 Mx_l=-0.00 My_l=3.45 Mz_l=0.00
Taglio nei bulloni: Fv,Ed=0.72 Fv,Rd=9650.97
Rifollamento lato piastra: Fb,Ed,p=0.72 Fb,Rd,p=11605.80
Tirafondi:LT=0.45 (0.31) σ_{cR}=0.00 σ_{fR}=0.00
Compressione nel calcestruzzo: σ_c=15.37
CC 4 SLD (Collegamento 0024_-381)
Azioni sul collegamento: N=-7346.01 Ty=4.34 Tz=3.69 Mx=0.00 Mz=3.65
Sollecitazioni agenti localmente: Tx_l=4.34 Ty_l=3.69 N_l=-7346.01 Mx_l=-0.00 My_l=3.65 Mz_l=0.00
Taglio nei bulloni: Fv,Ed=0.95 Fv,Rd=9650.97
Rifollamento lato piastra: Fb,Ed,p=0.95 Fb,Rd,p=13925.30
Tirafondi:LT=0.45 (0.31) σ_{cR}=0.00 σ_{fR}=0.00
Compressione nel calcestruzzo: σ_c=15.38
CC 4 SLD (Collegamento 0024_-381)
Azioni sul collegamento: N=-7346.01 Ty=3.71 Tz=3.69 Mx=0.00 Mz=3.45
Sollecitazioni agenti localmente: Tx_l=3.71 Ty_l=3.69 N_l=-7346.01 Mx_l=-0.00 My_l=3.45 Mz_l=0.00
Taglio nei bulloni: Fv,Ed=0.87 Fv,Rd=9650.97
Rifollamento lato piastra: Fb,Ed,p=0.87 Fb,Rd,p=14972.30
Tirafondi:LT=0.45 (0.31) σ_{cR}=0.00 σ_{fR}=0.00
Compressione nel calcestruzzo: σ_c=15.37
CC 5 SLV (Collegamento 0024_-381)
Azioni sul collegamento: N=-9211.43 Ty=3.82 Tz=10.56 Mx=0.01 Mz=5.30
Sollecitazioni agenti localmente: Tx_l=3.82 Ty_l=10.56 N_l=-9211.43 Mx_l=-0.00 My_l=5.30 Mz_l=0.01
Taglio nei bulloni: Fv,Ed=1.89 Fv,Rd=7720.78
Rifollamento lato piastra: Fb,Ed,p=1.89 Fb,Rd,p=7181.59
Tirafondi:LT=0.45 (0.31) σ_{cR}=0.00 σ_{fR}=0.00
Compressione nel calcestruzzo: σ_c=19.33
CC 5 SLV (Collegamento 0024_-381)
Azioni sul collegamento: N=-9211.43 Ty=5.92 Tz=10.56 Mx=0.01 Mz=5.96
Sollecitazioni agenti localmente: Tx_l=5.92 Ty_l=10.56 N_l=-9211.43 Mx_l=-0.00 My_l=5.96 Mz_l=0.01
Taglio nei bulloni: Fv,Ed=2.03 Fv,Rd=7720.78
Rifollamento lato piastra: Fb,Ed,p=2.03 Fb,Rd,p=8852.36
Tirafondi:LT=0.45 (0.31) σ_{cR}=0.00 σ_{fR}=0.00
Compressione nel calcestruzzo: σ_c=19.37
CC 5 SLV (Collegamento 0024_-381)
Azioni sul collegamento: N=-9211.43 Ty=3.82 Tz=-8.85 Mx=0.01 Mz=5.30
Sollecitazioni agenti localmente: Tx_l=3.82 Ty_l=-8.85 N_l=-9211.43 Mx_l=-0.00 My_l=5.30 Mz_l=0.01
Taglio nei bulloni: Fv,Ed=1.62 Fv,Rd=7720.78
Rifollamento lato piastra: Fb,Ed,p=1.61 Fb,Rd,p=7565.54
Tirafondi:LT=0.45 (0.31) σ_{cR}=0.00 σ_{fR}=0.00
Compressione nel calcestruzzo: σ_c=19.33
CC 5 SLV (Collegamento 0024_-381)
Azioni sul collegamento: N=-9211.43 Ty=5.92 Tz=-8.85 Mx=0.01 Mz=5.96
Sollecitazioni agenti localmente: Tx_l=5.92 Ty_l=-8.85 N_l=-9211.43 Mx_l=-0.00 My_l=5.96 Mz_l=0.01
Taglio nei bulloni: Fv,Ed=1.79 Fv,Rd=7720.78
Rifollamento lato piastra: Fb,Ed,p=1.78 Fb,Rd,p=9887.04
Tirafondi:LT=0.45 (0.31) σ_{cR}=0.00 σ_{fR}=0.00
Compressione nel calcestruzzo: σ_c=19.37
CC 5 SLV (Collegamento 0024_-381)
Azioni sul collegamento: N=-3937.31 Ty=3.82 Tz=10.56 Mx=0.01 Mz=5.30
Sollecitazioni agenti localmente: Tx_l=3.82 Ty_l=10.56 N_l=-3937.31 Mx_l=-0.00 My_l=5.30 Mz_l=0.01
Taglio nei bulloni: Fv,Ed=1.89 Fv,Rd=7720.78
Rifollamento lato piastra: Fb,Ed,p=1.89 Fb,Rd,p=7181.61
Tirafondi:LT=0.45 (0.31) σ_{cR}=0.00 σ_{fR}=0.00
Compressione nel calcestruzzo: σ_c=8.43
CC 5 SLV (Collegamento 0024_-381)

Azioni sul collegamento: N=-3937.31 Ty=5.92 Tz=10.56 Mx=0.01 Mz=5.96
Sollecitazioni agenti localmente: Tx_l=5.92 Ty_l=10.56 N_l=-3937.31 Mx_l=-0.00 My_l=5.96 Mz_l=0.01
Taglio nei bulloni: Fv,Ed=2.03 Fv,Rd=7720.78
Rifollamento lato piastra: Fb,Ed,p=2.03 Fb,Rd,p=8852.39
Tirafondi:LT=0.45 (0.31) σ_{cR}=0.00 σ_{fR}=0.00
Compressione nel calcestruzzo: σ_c=8.47
CC 5 SLV (Collegamento 0024_-381)
Azioni sul collegamento: N=-3937.31 Ty=3.82 Tz=-8.85 Mx=0.01 Mz=5.30
Sollecitazioni agenti localmente: Tx_l=3.82 Ty_l=-8.85 N_l=-3937.31 Mx_l=-0.00 My_l=5.30 Mz_l=0.01
Taglio nei bulloni: Fv,Ed=1.62 Fv,Rd=7720.78
Rifollamento lato piastra: Fb,Ed,p=1.61 Fb,Rd,p=7565.53
Tirafondi:LT=0.45 (0.31) σ_{cR}=0.00 σ_{fR}=0.00
Compressione nel calcestruzzo: σ_c=8.43
CC 5 SLV (Collegamento 0024_-381)
Azioni sul collegamento: N=-3937.31 Ty=5.92 Tz=-8.85 Mx=0.01 Mz=5.96
Sollecitazioni agenti localmente: Tx_l=5.92 Ty_l=-8.85 N_l=-3937.31 Mx_l=-0.00 My_l=5.96 Mz_l=0.01
Taglio nei bulloni: Fv,Ed=1.79 Fv,Rd=7720.78
Rifollamento lato piastra: Fb,Ed,p=1.78 Fb,Rd,p=9887.02
Tirafondi:LT=0.45 (0.31) σ_{cR}=0.00 σ_{fR}=0.00
Compressione nel calcestruzzo: σ_c=8.47
CC 6 SLD (Collegamento 0024_-381)
Azioni sul collegamento: N=-7346.01 Ty=3.71 Tz=3.69 Mx=0.00 Mz=3.45
Sollecitazioni agenti localmente: Tx_l=3.71 Ty_l=3.69 N_l=-7346.01 Mx_l=-0.00 My_l=3.45 Mz_l=0.00
Taglio nei bulloni: Fv,Ed=0.87 Fv,Rd=9650.97
Rifollamento lato piastra: Fb,Ed,p=0.87 Fb,Rd,p=14959.40
Tirafondi:LT=0.45 (0.31) σ_{cR}=0.00 σ_{fR}=0.00
Compressione nel calcestruzzo: σ_c=15.37
CC 6 SLD (Collegamento 0024_-381)
Azioni sul collegamento: N=-7346.01 Ty=4.34 Tz=3.69 Mx=0.00 Mz=3.65
Sollecitazioni agenti localmente: Tx_l=4.34 Ty_l=3.69 N_l=-7346.01 Mx_l=-0.00 My_l=3.65 Mz_l=0.00
Taglio nei bulloni: Fv,Ed=0.95 Fv,Rd=9650.97
Rifollamento lato piastra: Fb,Ed,p=0.95 Fb,Rd,p=13916.00
Tirafondi:LT=0.45 (0.31) σ_{cR}=0.00 σ_{fR}=0.00
Compressione nel calcestruzzo: σ_c=15.38
CC 6 SLD (Collegamento 0024_-381)
Azioni sul collegamento: N=-7346.01 Ty=3.71 Tz=-2.23 Mx=0.00 Mz=3.45
Sollecitazioni agenti localmente: Tx_l=3.71 Ty_l=-2.23 N_l=-7346.01 Mx_l=-0.00 My_l=3.45 Mz_l=0.00
Taglio nei bulloni: Fv,Ed=0.72 Fv,Rd=9650.97
Rifollamento lato piastra: Fb,Ed,p=0.72 Fb,Rd,p=11610.60
Tirafondi:LT=0.45 (0.31) σ_{cR}=0.00 σ_{fR}=0.00
Compressione nel calcestruzzo: σ_c=15.37
CC 6 SLD (Collegamento 0024_-381)
Azioni sul collegamento: N=-7346.01 Ty=4.34 Tz=-2.23 Mx=0.00 Mz=3.65
Sollecitazioni agenti localmente: Tx_l=4.34 Ty_l=-2.23 N_l=-7346.01 Mx_l=-0.00 My_l=3.65 Mz_l=0.00
Taglio nei bulloni: Fv,Ed=0.82 Fv,Rd=9650.97
Rifollamento lato piastra: Fb,Ed,p=0.82 Fb,Rd,p=10469.00
Tirafondi:LT=0.45 (0.31) σ_{cR}=0.00 σ_{fR}=0.00
Compressione nel calcestruzzo: σ_c=15.38
CC 6 SLD (Collegamento 0024_-381)
Azioni sul collegamento: N=-5737.77 Ty=3.71 Tz=3.69 Mx=0.00 Mz=3.45
Sollecitazioni agenti localmente: Tx_l=3.71 Ty_l=3.69 N_l=-5737.77 Mx_l=-0.00 My_l=3.45 Mz_l=0.00
Taglio nei bulloni: Fv,Ed=0.87 Fv,Rd=9650.97
Rifollamento lato piastra: Fb,Ed,p=0.87 Fb,Rd,p=14959.70
Tirafondi:LT=0.45 (0.31) σ_{cR}=0.00 σ_{fR}=0.00
Compressione nel calcestruzzo: σ_c=12.05
CC 6 SLD (Collegamento 0024_-381)
Azioni sul collegamento: N=-5737.77 Ty=4.34 Tz=3.69 Mx=0.00 Mz=3.65
Sollecitazioni agenti localmente: Tx_l=4.34 Ty_l=3.69 N_l=-5737.77 Mx_l=-0.00 My_l=3.65 Mz_l=0.00
Taglio nei bulloni: Fv,Ed=0.95 Fv,Rd=9650.97
Rifollamento lato piastra: Fb,Ed,p=0.95 Fb,Rd,p=13916.10
Tirafondi:LT=0.45 (0.31) σ_{cR}=0.00 σ_{fR}=0.00
Compressione nel calcestruzzo: σ_c=12.06
CC 6 SLD (Collegamento 0024_-381)
Azioni sul collegamento: N=-5737.77 Ty=3.71 Tz=-2.23 Mx=0.00 Mz=3.45
Sollecitazioni agenti localmente: Tx_l=3.71 Ty_l=-2.23 N_l=-5737.77 Mx_l=-0.00 My_l=3.45 Mz_l=0.00
Taglio nei bulloni: Fv,Ed=0.72 Fv,Rd=9650.97
Rifollamento lato piastra: Fb,Ed,p=0.72 Fb,Rd,p=11610.70
Tirafondi:LT=0.45 (0.31) σ_{cR}=0.00 σ_{fR}=0.00
Compressione nel calcestruzzo: σ_c=12.05
CC 6 SLD (Collegamento 0024_-381)
Azioni sul collegamento: N=-5737.77 Ty=4.34 Tz=-2.23 Mx=0.00 Mz=3.65
Sollecitazioni agenti localmente: Tx_l=4.34 Ty_l=-2.23 N_l=-5737.77 Mx_l=-0.00 My_l=3.65 Mz_l=0.00
Taglio nei bulloni: Fv,Ed=0.82 Fv,Rd=9650.97
Rifollamento lato piastra: Fb,Ed,p=0.82 Fb,Rd,p=10469.10
Tirafondi:LT=0.45 (0.31) σ_{cR}=0.00 σ_{fR}=0.00
Compressione nel calcestruzzo: σ_c=12.06
CC 7 SLV (Collegamento 0024_-381)
Azioni sul collegamento: N=-9217.12 Ty=3.19 Tz=10.69 Mx=0.01 Mz=4.04

Sollecitazioni agenti localmente: Tx_l=3.19 Ty_l=10.69 N_l=-9217.12 Mx_l=-0.00 My_l=4.04 Mz_l=0.01
Taglio nei bulloni: Fv,Ed=1.87 Fv,Rd=7720.78
Rifollamento lato piastra: Fb,Ed,p=1.87 Fb,Rd,p=6788.01
Tirafondi:LT=0.45 (0.31) σ_{cR}=0.00 σ_{fR}=0.00
Compressione nel calcestruzzo: σ_c=19.27
CC 7 SLV (Collegamento 0024_-381)
Azioni sul collegamento: N=-9217.12 Ty=6.55 Tz=10.69 Mx=0.01 Mz=7.22
Sollecitazioni agenti localmente: Tx_l=6.55 Ty_l=10.69 N_l=-9217.12 Mx_l=-0.00 My_l=7.22 Mz_l=0.01
Taglio nei bulloni: Fv,Ed=2.10 Fv,Rd=7720.78
Rifollamento lato piastra: Fb,Ed,p=2.10 Fb,Rd,p=9409.35
Tirafondi:LT=0.45 (0.31) σ_{cR}=0.00 σ_{fR}=0.00
Compressione nel calcestruzzo: σ_c=19.45
CC 7 SLV (Collegamento 0024_-381)
Azioni sul collegamento: N=-9217.12 Ty=3.19 Tz=-8.98 Mx=0.01 Mz=4.04
Sollecitazioni agenti localmente: Tx_l=3.19 Ty_l=-8.98 N_l=-9217.12 Mx_l=-0.00 My_l=4.04 Mz_l=0.01
Taglio nei bulloni: Fv,Ed=1.60 Fv,Rd=7720.78
Rifollamento lato piastra: Fb,Ed,p=1.59 Fb,Rd,p=7068.93
Tirafondi:LT=0.45 (0.31) σ_{cR}=0.00 σ_{fR}=0.00
Compressione nel calcestruzzo: σ_c=19.27
CC 7 SLV (Collegamento 0024_-381)
Azioni sul collegamento: N=-9217.12 Ty=6.55 Tz=-8.98 Mx=0.01 Mz=7.22
Sollecitazioni agenti localmente: Tx_l=6.55 Ty_l=-8.98 N_l=-9217.12 Mx_l=-0.00 My_l=7.22 Mz_l=0.01
Taglio nei bulloni: Fv,Ed=1.86 Fv,Rd=7720.78
Rifollamento lato piastra: Fb,Ed,p=1.85 Fb,Rd,p=10479.00
Tirafondi:LT=0.45 (0.31) σ_{cR}=0.00 σ_{fR}=0.00
Compressione nel calcestruzzo: σ_c=19.45
CC 7 SLV (Collegamento 0024_-381)
Azioni sul collegamento: N=-3931.62 Ty=3.19 Tz=10.69 Mx=0.01 Mz=4.04
Sollecitazioni agenti localmente: Tx_l=3.19 Ty_l=10.69 N_l=-3931.62 Mx_l=-0.00 My_l=4.04 Mz_l=0.01
Taglio nei bulloni: Fv,Ed=1.87 Fv,Rd=7720.78
Rifollamento lato piastra: Fb,Ed,p=1.87 Fb,Rd,p=6788.07
Tirafondi:LT=0.45 (0.31) σ_{cR}=0.00 σ_{fR}=0.00
Compressione nel calcestruzzo: σ_c=8.35
CC 7 SLV (Collegamento 0024_-381)
Azioni sul collegamento: N=-3931.62 Ty=6.55 Tz=10.69 Mx=0.01 Mz=7.22
Sollecitazioni agenti localmente: Tx_l=6.55 Ty_l=10.69 N_l=-3931.62 Mx_l=-0.00 My_l=7.22 Mz_l=0.01
Taglio nei bulloni: Fv,Ed=2.10 Fv,Rd=7720.78
Rifollamento lato piastra: Fb,Ed,p=2.10 Fb,Rd,p=9409.61
Tirafondi:LT=0.45 (0.31) σ_{cR}=0.00 σ_{fR}=0.00
Compressione nel calcestruzzo: σ_c=8.53
CC 7 SLV (Collegamento 0024_-381)
Azioni sul collegamento: N=-3931.62 Ty=3.19 Tz=-8.98 Mx=0.01 Mz=4.04
Sollecitazioni agenti localmente: Tx_l=3.19 Ty_l=-8.98 N_l=-3931.62 Mx_l=-0.00 My_l=4.04 Mz_l=0.01
Taglio nei bulloni: Fv,Ed=1.60 Fv,Rd=7720.78
Rifollamento lato piastra: Fb,Ed,p=1.59 Fb,Rd,p=7068.87
Tirafondi:LT=0.45 (0.31) σ_{cR}=0.00 σ_{fR}=0.00
Compressione nel calcestruzzo: σ_c=8.35
CC 7 SLV (Collegamento 0024_-381)
Azioni sul collegamento: N=-3931.62 Ty=6.55 Tz=-8.98 Mx=0.01 Mz=7.22
Sollecitazioni agenti localmente: Tx_l=6.55 Ty_l=-8.98 N_l=-3931.62 Mx_l=-0.00 My_l=7.22 Mz_l=0.01
Taglio nei bulloni: Fv,Ed=1.86 Fv,Rd=7720.78
Rifollamento lato piastra: Fb,Ed,p=1.85 Fb,Rd,p=10478.90
Tirafondi:LT=0.45 (0.31) σ_{cR}=0.00 σ_{fR}=0.00
Compressione nel calcestruzzo: σ_c=8.53
CC 8 SLD (Collegamento 0024_-381)
Azioni sul collegamento: N=-7347.75 Ty=3.51 Tz=3.73 Mx=-0.00 Mz=3.06
Sollecitazioni agenti localmente: Tx_l=3.51 Ty_l=3.73 N_l=-7347.75 Mx_l=-0.00 My_l=3.06 Mz_l=-0.00
Taglio nei bulloni: Fv,Ed=0.85 Fv,Rd=9650.97
Rifollamento lato piastra: Fb,Ed,p=0.85 Fb,Rd,p=14586.70
Tirafondi:LT=0.45 (0.31) σ_{cR}=0.00 σ_{fR}=0.00
Compressione nel calcestruzzo: σ_c=15.35
CC 8 SLD (Collegamento 0024_-381)
Azioni sul collegamento: N=-7347.75 Ty=4.54 Tz=3.73 Mx=-0.00 Mz=4.03
Sollecitazioni agenti localmente: Tx_l=4.54 Ty_l=3.73 N_l=-7347.75 Mx_l=-0.00 My_l=4.03 Mz_l=-0.00
Taglio nei bulloni: Fv,Ed=0.98 Fv,Rd=9650.97
Rifollamento lato piastra: Fb,Ed,p=0.98 Fb,Rd,p=13749.10
Tirafondi:LT=0.45 (0.31) σ_{cR}=0.00 σ_{fR}=0.00
Compressione nel calcestruzzo: σ_c=15.41
CC 8 SLD (Collegamento 0024_-381)
Azioni sul collegamento: N=-7347.75 Ty=3.51 Tz=-2.27 Mx=-0.00 Mz=3.06
Sollecitazioni agenti localmente: Tx_l=3.51 Ty_l=-2.27 N_l=-7347.75 Mx_l=-0.00 My_l=3.06 Mz_l=-0.00
Taglio nei bulloni: Fv,Ed=0.70 Fv,Rd=9650.97
Rifollamento lato piastra: Fb,Ed,p=0.70 Fb,Rd,p=12224.10
Tirafondi:LT=0.45 (0.31) σ_{cR}=0.00 σ_{fR}=0.00
Compressione nel calcestruzzo: σ_c=15.35
CC 8 SLD (Collegamento 0024_-381)
Azioni sul collegamento: N=-7347.75 Ty=4.54 Tz=-2.27 Mx=-0.00 Mz=4.03
Sollecitazioni agenti localmente: Tx_l=4.54 Ty_l=-2.27 N_l=-7347.75 Mx_l=-0.00 My_l=4.03 Mz_l=-0.00

Taglio nei bulloni: Fv,Ed=0.85 Fv,Rd=9650.97
Rifollamento lato piastra: Fb,Ed,p=0.85 Fb,Rd,p=10294.00
Tirafondi:LT=0.45 (0.31) σ_{cR}=0.00 σ_{fR}=0.00
Compressione nel calcestruzzo: σ_c=15.41
CC 8 SLD (Collegamento 0024_-381)
Azioni sul collegamento: N=-5736.03 Ty=3.51 Tz=3.73 Mx=-0.00 Mz=3.06
Sollecitazioni agenti localmente: Tx_l=3.51 Ty_l=3.73 N_l=-5736.03 Mx_l=-0.00 My_l=3.06 Mz_l=-0.00
Taglio nei bulloni: Fv,Ed=0.85 Fv,Rd=9650.97
Rifollamento lato piastra: Fb,Ed,p=0.85 Fb,Rd,p=14586.90
Tirafondi:LT=0.45 (0.31) σ_{cR}=0.00 σ_{fR}=0.00
Compressione nel calcestruzzo: σ_c=12.02
CC 8 SLD (Collegamento 0024_-381)
Azioni sul collegamento: N=-5736.03 Ty=4.54 Tz=3.73 Mx=-0.00 Mz=4.03
Sollecitazioni agenti localmente: Tx_l=4.54 Ty_l=3.73 N_l=-5736.03 Mx_l=-0.00 My_l=4.03 Mz_l=-0.00
Taglio nei bulloni: Fv,Ed=0.98 Fv,Rd=9650.97
Rifollamento lato piastra: Fb,Ed,p=0.98 Fb,Rd,p=13749.00
Tirafondi:LT=0.45 (0.31) σ_{cR}=0.00 σ_{fR}=0.00
Compressione nel calcestruzzo: σ_c=12.08
CC 8 SLD (Collegamento 0024_-381)
Azioni sul collegamento: N=-5736.03 Ty=3.51 Tz=-2.27 Mx=-0.00 Mz=3.06
Sollecitazioni agenti localmente: Tx_l=3.51 Ty_l=-2.27 N_l=-5736.03 Mx_l=-0.00 My_l=3.06 Mz_l=-0.00
Taglio nei bulloni: Fv,Ed=0.70 Fv,Rd=9650.97
Rifollamento lato piastra: Fb,Ed,p=0.70 Fb,Rd,p=12223.70
Tirafondi:LT=0.45 (0.31) σ_{cR}=0.00 σ_{fR}=0.00
Compressione nel calcestruzzo: σ_c=12.02
CC 8 SLD (Collegamento 0024_-381)
Azioni sul collegamento: N=-5736.03 Ty=4.54 Tz=-2.27 Mx=-0.00 Mz=4.03
Sollecitazioni agenti localmente: Tx_l=4.54 Ty_l=-2.27 N_l=-5736.03 Mx_l=-0.00 My_l=4.03 Mz_l=-0.00
Taglio nei bulloni: Fv,Ed=0.85 Fv,Rd=9650.97
Rifollamento lato piastra: Fb,Ed,p=0.85 Fb,Rd,p=10293.80
Tirafondi:LT=0.45 (0.31) σ_{cR}=0.00 σ_{fR}=0.00
Compressione nel calcestruzzo: σ_c=12.08
CC 9 SLV (Collegamento 0024_-381)
Azioni sul collegamento: N=-5772.92 Ty=6.34 Tz=-2.29 Mx=0.02 Mz=8.01
Sollecitazioni agenti localmente: Tx_l=6.34 Ty_l=-2.29 N_l=-5772.92 Mx_l=-0.00 My_l=8.01 Mz_l=0.02
Taglio nei bulloni: Fv,Ed=1.15 Fv,Rd=7720.78
Rifollamento lato piastra: Fb,Ed,p=1.15 Fb,Rd,p=7231.86
Tirafondi:LT=0.45 (0.31) σ_{cR}=0.00 σ_{fR}=0.00
Compressione nel calcestruzzo: σ_c=12.38
CC 9 SLV (Collegamento 0024_-381)
Azioni sul collegamento: N=-5772.92 Ty=3.40 Tz=-2.29 Mx=0.02 Mz=3.25
Sollecitazioni agenti localmente: Tx_l=3.40 Ty_l=-2.29 N_l=-5772.92 Mx_l=-0.00 My_l=3.25 Mz_l=0.02
Taglio nei bulloni: Fv,Ed=0.71 Fv,Rd=7720.78
Rifollamento lato piastra: Fb,Ed,p=0.71 Fb,Rd,p=10266.70
Tirafondi:LT=0.45 (0.31) σ_{cR}=0.00 σ_{fR}=0.00
Compressione nel calcestruzzo: σ_c=12.11
CC 9 SLV (Collegamento 0024_-381)
Azioni sul collegamento: N=-5772.92 Ty=6.34 Tz=4.00 Mx=0.02 Mz=8.01
Sollecitazioni agenti localmente: Tx_l=6.34 Ty_l=4.00 N_l=-5772.92 Mx_l=-0.00 My_l=8.01 Mz_l=0.02
Taglio nei bulloni: Fv,Ed=1.28 Fv,Rd=7720.78
Rifollamento lato piastra: Fb,Ed,p=1.26 Fb,Rd,p=9252.84
Tirafondi:LT=0.45 (0.31) σ_{cR}=0.00 σ_{fR}=0.00
Compressione nel calcestruzzo: σ_c=12.38
CC 9 SLV (Collegamento 0024_-381)
Azioni sul collegamento: N=-5772.92 Ty=3.40 Tz=4.00 Mx=0.02 Mz=3.25
Sollecitazioni agenti localmente: Tx_l=3.40 Ty_l=4.00 N_l=-5772.92 Mx_l=-0.00 My_l=3.25 Mz_l=0.02
Taglio nei bulloni: Fv,Ed=0.90 Fv,Rd=7720.78
Rifollamento lato piastra: Fb,Ed,p=0.90 Fb,Rd,p=11181.70
Tirafondi:LT=0.45 (0.31) σ_{cR}=0.00 σ_{fR}=0.00
Compressione nel calcestruzzo: σ_c=12.11
CC 9 SLV (Collegamento 0024_-381)
Azioni sul collegamento: N=-7375.82 Ty=6.34 Tz=-2.29 Mx=0.02 Mz=8.01
Sollecitazioni agenti localmente: Tx_l=6.34 Ty_l=-2.29 N_l=-7375.82 Mx_l=-0.00 My_l=8.01 Mz_l=0.02
Taglio nei bulloni: Fv,Ed=1.15 Fv,Rd=7720.78
Rifollamento lato piastra: Fb,Ed,p=1.15 Fb,Rd,p=7232.03
Tirafondi:LT=0.45 (0.31) σ_{cR}=0.00 σ_{fR}=0.00
Compressione nel calcestruzzo: σ_c=15.69
CC 9 SLV (Collegamento 0024_-381)
Azioni sul collegamento: N=-7375.82 Ty=3.40 Tz=-2.29 Mx=0.02 Mz=3.25
Sollecitazioni agenti localmente: Tx_l=3.40 Ty_l=-2.29 N_l=-7375.82 Mx_l=-0.00 My_l=3.25 Mz_l=0.02
Taglio nei bulloni: Fv,Ed=0.71 Fv,Rd=7720.78
Rifollamento lato piastra: Fb,Ed,p=0.71 Fb,Rd,p=10267.30
Tirafondi:LT=0.45 (0.31) σ_{cR}=0.00 σ_{fR}=0.00
Compressione nel calcestruzzo: σ_c=15.42
CC 9 SLV (Collegamento 0024_-381)
Azioni sul collegamento: N=-7375.82 Ty=6.34 Tz=4.00 Mx=0.02 Mz=8.01
Sollecitazioni agenti localmente: Tx_l=6.34 Ty_l=4.00 N_l=-7375.82 Mx_l=-0.00 My_l=8.01 Mz_l=0.02
Taglio nei bulloni: Fv,Ed=1.28 Fv,Rd=7720.78

Rifollamento lato piastra: Fb,Ed,p=1.26 Fb,Rd,p=9253.11
Tirafondi:LT=0.45 (0.31) σ_{cR}=0.00 σ_{fR}=0.00
Compressione nel calcestruzzo: σ_c=15.69
CC 9 SLV (Collegamento 0024_-381)
Azioni sul collegamento: N=-7375.82 Ty=3.40 Tz=4.00 Mx=0.02 Mz=3.25
Sollecitazioni agenti localmente: Tx_l=3.40 Ty_l=4.00 N_l=-7375.82 Mx_l=-0.00 My_l=3.25 Mz_l=0.02
Taglio nei bulloni: Fv,Ed=0.90 Fv,Rd=7720.78
Rifollamento lato piastra: Fb,Ed,p=0.90 Fb,Rd,p=11181.60
Tirafondi:LT=0.45 (0.31) σ_{cR}=0.00 σ_{fR}=0.00
Compressione nel calcestruzzo: σ_c=15.42
CC 10 SLD (Collegamento 0024_-381)
Azioni sul collegamento: N=-6297.50 Ty=4.47 Tz=-0.23 Mx=0.00 Mz=4.27
Sollecitazioni agenti localmente: Tx_l=4.47 Ty_l=-0.23 N_l=-6297.50 Mx_l=-0.00 My_l=4.27 Mz_l=0.00
Taglio nei bulloni: Fv,Ed=0.75 Fv,Rd=9650.97
Rifollamento lato piastra: Fb,Ed,p=0.75 Fb,Rd,p=7509.46
Tirafondi:LT=0.45 (0.31) σ_{cR}=0.00 σ_{fR}=0.00
Compressione nel calcestruzzo: σ_c=13.25
CC 10 SLD (Collegamento 0024_-381)
Azioni sul collegamento: N=-6297.50 Ty=3.58 Tz=-0.23 Mx=0.00 Mz=2.82
Sollecitazioni agenti localmente: Tx_l=3.58 Ty_l=-0.23 N_l=-6297.50 Mx_l=-0.00 My_l=2.82 Mz_l=0.00
Taglio nei bulloni: Fv,Ed=0.60 Fv,Rd=9650.97
Rifollamento lato piastra: Fb,Ed,p=0.60 Fb,Rd,p=7529.29
Tirafondi:LT=0.45 (0.31) σ_{cR}=0.00 σ_{fR}=0.00
Compressione nel calcestruzzo: σ_c=13.17
CC 10 SLD (Collegamento 0024_-381)
Azioni sul collegamento: N=-6297.50 Ty=4.47 Tz=1.69 Mx=0.00 Mz=4.27
Sollecitazioni agenti localmente: Tx_l=4.47 Ty_l=1.69 N_l=-6297.50 Mx_l=-0.00 My_l=4.27 Mz_l=0.00
Taglio nei bulloni: Fv,Ed=0.80 Fv,Rd=9650.97
Rifollamento lato piastra: Fb,Ed,p=0.80 Fb,Rd,p=9009.90
Tirafondi:LT=0.45 (0.31) σ_{cR}=0.00 σ_{fR}=0.00
Compressione nel calcestruzzo: σ_c=13.25
CC 10 SLD (Collegamento 0024_-381)
Azioni sul collegamento: N=-6297.50 Ty=3.58 Tz=1.69 Mx=0.00 Mz=2.82
Sollecitazioni agenti localmente: Tx_l=3.58 Ty_l=1.69 N_l=-6297.50 Mx_l=-0.00 My_l=2.82 Mz_l=0.00
Taglio nei bulloni: Fv,Ed=0.66 Fv,Rd=9650.97
Rifollamento lato piastra: Fb,Ed,p=0.66 Fb,Rd,p=9880.27
Tirafondi:LT=0.45 (0.31) σ_{cR}=0.00 σ_{fR}=0.00
Compressione nel calcestruzzo: σ_c=13.17
CC 10 SLD (Collegamento 0024_-381)
Azioni sul collegamento: N=-6786.28 Ty=4.47 Tz=-0.23 Mx=0.00 Mz=4.27
Sollecitazioni agenti localmente: Tx_l=4.47 Ty_l=-0.23 N_l=-6786.28 Mx_l=-0.00 My_l=4.27 Mz_l=0.00
Taglio nei bulloni: Fv,Ed=0.75 Fv,Rd=9650.97
Rifollamento lato piastra: Fb,Ed,p=0.75 Fb,Rd,p=7509.46
Tirafondi:LT=0.45 (0.31) σ_{cR}=0.00 σ_{fR}=0.00
Compressione nel calcestruzzo: σ_c=14.26
CC 10 SLD (Collegamento 0024_-381)
Azioni sul collegamento: N=-6786.28 Ty=3.58 Tz=-0.23 Mx=0.00 Mz=2.82
Sollecitazioni agenti localmente: Tx_l=3.58 Ty_l=-0.23 N_l=-6786.28 Mx_l=-0.00 My_l=2.82 Mz_l=0.00
Taglio nei bulloni: Fv,Ed=0.60 Fv,Rd=9650.97
Rifollamento lato piastra: Fb,Ed,p=0.60 Fb,Rd,p=7529.30
Tirafondi:LT=0.45 (0.31) σ_{cR}=0.00 σ_{fR}=0.00
Compressione nel calcestruzzo: σ_c=14.18
CC 10 SLD (Collegamento 0024_-381)
Azioni sul collegamento: N=-6786.28 Ty=4.47 Tz=1.69 Mx=0.00 Mz=4.27
Sollecitazioni agenti localmente: Tx_l=4.47 Ty_l=1.69 N_l=-6786.28 Mx_l=-0.00 My_l=4.27 Mz_l=0.00
Taglio nei bulloni: Fv,Ed=0.80 Fv,Rd=9650.97
Rifollamento lato piastra: Fb,Ed,p=0.80 Fb,Rd,p=9009.29
Tirafondi:LT=0.45 (0.31) σ_{cR}=0.00 σ_{fR}=0.00
Compressione nel calcestruzzo: σ_c=14.26
CC 10 SLD (Collegamento 0024_-381)
Azioni sul collegamento: N=-6786.28 Ty=3.58 Tz=1.69 Mx=0.00 Mz=2.82
Sollecitazioni agenti localmente: Tx_l=3.58 Ty_l=1.69 N_l=-6786.28 Mx_l=-0.00 My_l=2.82 Mz_l=0.00
Taglio nei bulloni: Fv,Ed=0.66 Fv,Rd=9650.97
Rifollamento lato piastra: Fb,Ed,p=0.66 Fb,Rd,p=9879.31
Tirafondi:LT=0.45 (0.31) σ_{cR}=0.00 σ_{fR}=0.00
Compressione nel calcestruzzo: σ_c=14.18
CC 11 SLV (Collegamento 0024_-381)
Azioni sul collegamento: N=-7356.86 Ty=5.52 Tz=3.57 Mx=0.02 Mz=7.44
Sollecitazioni agenti localmente: Tx_l=5.52 Ty_l=3.57 N_l=-7356.86 Mx_l=-0.00 My_l=7.44 Mz_l=0.02
Taglio nei bulloni: Fv,Ed=1.12 Fv,Rd=7720.78
Rifollamento lato piastra: Fb,Ed,p=1.10 Fb,Rd,p=9399.22
Tirafondi:LT=0.45 (0.31) σ_{cR}=0.00 σ_{fR}=0.00
Compressione nel calcestruzzo: σ_c=15.62
CC 11 SLV (Collegamento 0024_-381)
Azioni sul collegamento: N=-7356.86 Ty=4.22 Tz=3.57 Mx=0.02 Mz=3.82
Sollecitazioni agenti localmente: Tx_l=4.22 Ty_l=3.57 N_l=-7356.86 Mx_l=-0.00 My_l=3.82 Mz_l=0.02
Taglio nei bulloni: Fv,Ed=0.95 Fv,Rd=7720.78
Rifollamento lato piastra: Fb,Ed,p=0.92 Fb,Rd,p=10865.00

Tirafondi:LT=0.45 (0.31) σ_{cR}=0.00 σ_{fR}=0.00
Compressione nel calcestruzzo: σ_c=15.42
CC 11 SLV (Collegamento 0024_-381)
Azioni sul collegamento: N=-7356.86 Ty=5.52 Tz=-1.86 Mx=0.02 Mz=7.44
Sollecitazioni agenti localmente: Tx_l=5.52 Ty_l=-1.86 N_l=-7356.86 Mx_l=-0.00 My_l=7.44 Mz_l=0.02
Taglio nei bulloni: Fv,Ed=1.00 Fv,Rd=7720.78
Rifollamento lato piastra: Fb,Ed,p=1.00 Fb,Rd,p=7084.99
Tirafondi:LT=0.45 (0.31) σ_{cR}=0.00 σ_{fR}=0.00
Compressione nel calcestruzzo: σ_c=15.62
CC 11 SLV (Collegamento 0024_-381)
Azioni sul collegamento: N=-7356.86 Ty=4.22 Tz=-1.86 Mx=0.02 Mz=3.82
Sollecitazioni agenti localmente: Tx_l=4.22 Ty_l=-1.86 N_l=-7356.86 Mx_l=-0.00 My_l=3.82 Mz_l=0.02
Taglio nei bulloni: Fv,Ed=0.79 Fv,Rd=7720.78
Rifollamento lato piastra: Fb,Ed,p=0.79 Fb,Rd,p=7856.32
Tirafondi:LT=0.45 (0.31) σ_{cR}=0.00 σ_{fR}=0.00
Compressione nel calcestruzzo: σ_c=15.42
CC 11 SLV (Collegamento 0024_-381)
Azioni sul collegamento: N=-5791.88 Ty=5.52 Tz=3.57 Mx=0.02 Mz=7.44
Sollecitazioni agenti localmente: Tx_l=5.52 Ty_l=3.57 N_l=-5791.88 Mx_l=-0.00 My_l=7.44 Mz_l=0.02
Taglio nei bulloni: Fv,Ed=1.12 Fv,Rd=7720.78
Rifollamento lato piastra: Fb,Ed,p=1.10 Fb,Rd,p=9399.18
Tirafondi:LT=0.45 (0.31) σ_{cR}=0.00 σ_{fR}=0.00
Compressione nel calcestruzzo: σ_c=12.39
CC 11 SLV (Collegamento 0024_-381)
Azioni sul collegamento: N=-5791.88 Ty=4.22 Tz=3.57 Mx=0.02 Mz=3.82
Sollecitazioni agenti localmente: Tx_l=4.22 Ty_l=3.57 N_l=-5791.88 Mx_l=-0.00 My_l=3.82 Mz_l=0.02
Taglio nei bulloni: Fv,Ed=0.95 Fv,Rd=7720.78
Rifollamento lato piastra: Fb,Ed,p=0.92 Fb,Rd,p=10865.00
Tirafondi:LT=0.45 (0.31) σ_{cR}=0.00 σ_{fR}=0.00
Compressione nel calcestruzzo: σ_c=12.18
CC 11 SLV (Collegamento 0024_-381)
Azioni sul collegamento: N=-5791.88 Ty=5.52 Tz=-1.86 Mx=0.02 Mz=7.44
Sollecitazioni agenti localmente: Tx_l=5.52 Ty_l=-1.86 N_l=-5791.88 Mx_l=-0.00 My_l=7.44 Mz_l=0.02
Taglio nei bulloni: Fv,Ed=1.00 Fv,Rd=7720.78
Rifollamento lato piastra: Fb,Ed,p=1.00 Fb,Rd,p=7084.86
Tirafondi:LT=0.45 (0.31) σ_{cR}=0.00 σ_{fR}=0.00
Compressione nel calcestruzzo: σ_c=12.39
CC 11 SLV (Collegamento 0024_-381)
Azioni sul collegamento: N=-5791.88 Ty=4.22 Tz=-1.86 Mx=0.02 Mz=3.82
Sollecitazioni agenti localmente: Tx_l=4.22 Ty_l=-1.86 N_l=-5791.88 Mx_l=-0.00 My_l=3.82 Mz_l=0.02
Taglio nei bulloni: Fv,Ed=0.79 Fv,Rd=7720.78
Rifollamento lato piastra: Fb,Ed,p=0.79 Fb,Rd,p=7856.11
Tirafondi:LT=0.45 (0.31) σ_{cR}=0.00 σ_{fR}=0.00
Compressione nel calcestruzzo: σ_c=12.18
CC 12 SLD (Collegamento 0024_-381)
Azioni sul collegamento: N=-6780.50 Ty=4.22 Tz=1.56 Mx=0.00 Mz=4.10
Sollecitazioni agenti localmente: Tx_l=4.22 Ty_l=1.56 N_l=-6780.50 Mx_l=-0.00 My_l=4.10 Mz_l=0.00
Taglio nei bulloni: Fv,Ed=0.75 Fv,Rd=9650.97
Rifollamento lato piastra: Fb,Ed,p=0.75 Fb,Rd,p=8940.69
Tirafondi:LT=0.45 (0.31) σ_{cR}=0.00 σ_{fR}=0.00
Compressione nel calcestruzzo: σ_c=14.24
CC 12 SLD (Collegamento 0024_-381)
Azioni sul collegamento: N=-6780.50 Ty=3.83 Tz=1.56 Mx=0.00 Mz=3.00
Sollecitazioni agenti localmente: Tx_l=3.83 Ty_l=1.56 N_l=-6780.50 Mx_l=-0.00 My_l=3.00 Mz_l=0.00
Taglio nei bulloni: Fv,Ed=0.69 Fv,Rd=9650.97
Rifollamento lato piastra: Fb,Ed,p=0.69 Fb,Rd,p=9261.40
Tirafondi:LT=0.45 (0.31) σ_{cR}=0.00 σ_{fR}=0.00
Compressione nel calcestruzzo: σ_c=14.18
CC 12 SLD (Collegamento 0024_-381)
Azioni sul collegamento: N=-6780.50 Ty=4.22 Tz=-0.10 Mx=0.00 Mz=4.10
Sollecitazioni agenti localmente: Tx_l=4.22 Ty_l=-0.10 N_l=-6780.50 Mx_l=-0.00 My_l=4.10 Mz_l=0.00
Taglio nei bulloni: Fv,Ed=0.71 Fv,Rd=9650.97
Rifollamento lato piastra: Fb,Ed,p=0.71 Fb,Rd,p=7483.15
Tirafondi:LT=0.45 (0.31) σ_{cR}=0.00 σ_{fR}=0.00
Compressione nel calcestruzzo: σ_c=14.24
CC 12 SLD (Collegamento 0024_-381)
Azioni sul collegamento: N=-6780.50 Ty=3.83 Tz=-0.10 Mx=0.00 Mz=3.00
Sollecitazioni agenti localmente: Tx_l=3.83 Ty_l=-0.10 N_l=-6780.50 Mx_l=-0.00 My_l=3.00 Mz_l=0.00
Taglio nei bulloni: Fv,Ed=0.64 Fv,Rd=9650.97
Rifollamento lato piastra: Fb,Ed,p=0.64 Fb,Rd,p=7485.13
Tirafondi:LT=0.45 (0.31) σ_{cR}=0.00 σ_{fR}=0.00
Compressione nel calcestruzzo: σ_c=14.18
CC 12 SLD (Collegamento 0024_-381)
Azioni sul collegamento: N=-6303.28 Ty=4.22 Tz=1.56 Mx=0.00 Mz=4.10
Sollecitazioni agenti localmente: Tx_l=4.22 Ty_l=1.56 N_l=-6303.28 Mx_l=-0.00 My_l=4.10 Mz_l=0.00
Taglio nei bulloni: Fv,Ed=0.75 Fv,Rd=9650.97
Rifollamento lato piastra: Fb,Ed,p=0.75 Fb,Rd,p=8940.61
Tirafondi:LT=0.45 (0.31) σ_{cR}=0.00 σ_{fR}=0.00

Compressione nel calcestruzzo: σ_c=13.25
CC 12 SLD (Collegamento 0024_-381)
Azioni sul collegamento: N=-6303.28 Ty=3.83 Tz=1.56 Mx=0.00 Mz=3.00
Sollecitazioni agenti localmente: Tx_l=3.83 Ty_l=1.56 N_l=-6303.28 Mx_l=-0.00 My_l=3.00 Mz_l=0.00
Taglio nei bulloni: Fv,Ed=0.69 Fv,Rd=9650.97
Rifollamento lato piastra: Fb,Ed,p=0.69 Fb,Rd,p=9261.29
Tirafondi:LT=0.45 (0.31) σ_{cR}=0.00 σ_{fR}=0.00
Compressione nel calcestruzzo: σ_c=13.19
CC 12 SLD (Collegamento 0024_-381)
Azioni sul collegamento: N=-6303.28 Ty=4.22 Tz=-0.10 Mx=0.00 Mz=4.10
Sollecitazioni agenti localmente: Tx_l=4.22 Ty_l=-0.10 N_l=-6303.28 Mx_l=-0.00 My_l=4.10 Mz_l=0.00
Taglio nei bulloni: Fv,Ed=0.71 Fv,Rd=9650.97
Rifollamento lato piastra: Fb,Ed,p=0.71 Fb,Rd,p=7483.11
Tirafondi:LT=0.45 (0.31) σ_{cR}=0.00 σ_{fR}=0.00
Compressione nel calcestruzzo: σ_c=13.25
CC 12 SLD (Collegamento 0024_-381)
Azioni sul collegamento: N=-6303.28 Ty=3.83 Tz=-0.10 Mx=0.00 Mz=3.00
Sollecitazioni agenti localmente: Tx_l=3.83 Ty_l=-0.10 N_l=-6303.28 Mx_l=-0.00 My_l=3.00 Mz_l=0.00
Taglio nei bulloni: Fv,Ed=0.64 Fv,Rd=9650.97
Rifollamento lato piastra: Fb,Ed,p=0.64 Fb,Rd,p=7485.08
Tirafondi:LT=0.45 (0.31) σ_{cR}=0.00 σ_{fR}=0.00
Compressione nel calcestruzzo: σ_c=13.19
CC 13 SLV (Collegamento 0024_-381)
Azioni sul collegamento: N=-5791.88 Ty=4.22 Tz=-1.86 Mx=0.00 Mz=3.82
Sollecitazioni agenti localmente: Tx_l=4.22 Ty_l=-1.86 N_l=-5791.88 Mx_l=-0.00 My_l=3.82 Mz_l=0.00
Taglio nei bulloni: Fv,Ed=0.77 Fv,Rd=7720.78
Rifollamento lato piastra: Fb,Ed,p=0.77 Fb,Rd,p=7750.47
Tirafondi:LT=0.45 (0.31) σ_{cR}=0.00 σ_{fR}=0.00
Compressione nel calcestruzzo: σ_c=12.18
CC 13 SLV (Collegamento 0024_-381)
Azioni sul collegamento: N=-5791.88 Ty=5.52 Tz=-1.86 Mx=0.00 Mz=7.44
Sollecitazioni agenti localmente: Tx_l=5.52 Ty_l=-1.86 N_l=-5791.88 Mx_l=-0.00 My_l=7.44 Mz_l=0.00
Taglio nei bulloni: Fv,Ed=0.97 Fv,Rd=7720.78
Rifollamento lato piastra: Fb,Ed,p=0.97 Fb,Rd,p=7011.54
Tirafondi:LT=0.45 (0.31) σ_{cR}=0.00 σ_{fR}=0.00
Compressione nel calcestruzzo: σ_c=12.39
CC 13 SLV (Collegamento 0024_-381)
Azioni sul collegamento: N=-5791.88 Ty=4.22 Tz=3.57 Mx=0.00 Mz=3.82
Sollecitazioni agenti localmente: Tx_l=4.22 Ty_l=3.57 N_l=-5791.88 Mx_l=-0.00 My_l=3.82 Mz_l=0.00
Taglio nei bulloni: Fv,Ed=0.93 Fv,Rd=7720.78
Rifollamento lato piastra: Fb,Ed,p=0.92 Fb,Rd,p=11093.70
Tirafondi:LT=0.45 (0.31) σ_{cR}=0.00 σ_{fR}=0.00
Compressione nel calcestruzzo: σ_c=12.18
CC 13 SLV (Collegamento 0024_-381)
Azioni sul collegamento: N=-5791.88 Ty=5.52 Tz=3.57 Mx=0.00 Mz=7.44
Sollecitazioni agenti localmente: Tx_l=5.52 Ty_l=3.57 N_l=-5791.88 Mx_l=-0.00 My_l=7.44 Mz_l=0.00
Taglio nei bulloni: Fv,Ed=1.10 Fv,Rd=7720.78
Rifollamento lato piastra: Fb,Ed,p=1.10 Fb,Rd,p=9740.87
Tirafondi:LT=0.45 (0.31) σ_{cR}=0.00 σ_{fR}=0.00
Compressione nel calcestruzzo: σ_c=12.39
CC 13 SLV (Collegamento 0024_-381)
Azioni sul collegamento: N=-7356.86 Ty=4.22 Tz=-1.86 Mx=0.00 Mz=3.82
Sollecitazioni agenti localmente: Tx_l=4.22 Ty_l=-1.86 N_l=-7356.86 Mx_l=-0.00 My_l=3.82 Mz_l=0.00
Taglio nei bulloni: Fv,Ed=0.77 Fv,Rd=7720.78
Rifollamento lato piastra: Fb,Ed,p=0.77 Fb,Rd,p=7750.68
Tirafondi:LT=0.45 (0.31) σ_{cR}=0.00 σ_{fR}=0.00
Compressione nel calcestruzzo: σ_c=15.42
CC 13 SLV (Collegamento 0024_-381)
Azioni sul collegamento: N=-7356.86 Ty=5.52 Tz=-1.86 Mx=0.00 Mz=7.44
Sollecitazioni agenti localmente: Tx_l=5.52 Ty_l=-1.86 N_l=-7356.86 Mx_l=-0.00 My_l=7.44 Mz_l=0.00
Taglio nei bulloni: Fv,Ed=0.97 Fv,Rd=7720.78
Rifollamento lato piastra: Fb,Ed,p=0.97 Fb,Rd,p=7011.66
Tirafondi:LT=0.45 (0.31) σ_{cR}=0.00 σ_{fR}=0.00
Compressione nel calcestruzzo: σ_c=15.62
CC 13 SLV (Collegamento 0024_-381)
Azioni sul collegamento: N=-7356.86 Ty=4.22 Tz=3.57 Mx=0.00 Mz=3.82
Sollecitazioni agenti localmente: Tx_l=4.22 Ty_l=3.57 N_l=-7356.86 Mx_l=-0.00 My_l=3.82 Mz_l=0.00
Taglio nei bulloni: Fv,Ed=0.93 Fv,Rd=7720.78
Rifollamento lato piastra: Fb,Ed,p=0.92 Fb,Rd,p=11093.80
Tirafondi:LT=0.45 (0.31) σ_{cR}=0.00 σ_{fR}=0.00
Compressione nel calcestruzzo: σ_c=15.42
CC 13 SLV (Collegamento 0024_-381)
Azioni sul collegamento: N=-7356.86 Ty=5.52 Tz=3.57 Mx=0.00 Mz=7.44
Sollecitazioni agenti localmente: Tx_l=5.52 Ty_l=3.57 N_l=-7356.86 Mx_l=-0.00 My_l=7.44 Mz_l=0.00
Taglio nei bulloni: Fv,Ed=1.10 Fv,Rd=7720.78
Rifollamento lato piastra: Fb,Ed,p=1.10 Fb,Rd,p=9740.91
Tirafondi:LT=0.45 (0.31) σ_{cR}=0.00 σ_{fR}=0.00
Compressione nel calcestruzzo: σ_c=15.62

CC 14 SLD (Collegamento 0024_-381)
Azioni sul collegamento: N=-6303.28 Ty=3.83 Tz=-0.10 Mx=-0.00 Mz=3.00
Sollecitazioni agenti localmente: Tx_l=3.83 Ty_l=-0.10 N_l=-6303.28 Mx_l=-0.00 My_l=3.00 Mz_l=-0.00
Taglio nei bulloni: Fv,Ed=0.64 Fv,Rd=9650.97
Rifollamento lato piastra: Fb,Ed,p=0.64 Fb,Rd,p=7480.22
Tirafondi:LT=0.45 (0.31) σ_{cR}=0.00 σ_{fR}=0.00
Compressione nel calcestruzzo: σ_c=13.19
CC 14 SLD (Collegamento 0024_-381)
Azioni sul collegamento: N=-6303.28 Ty=4.22 Tz=-0.10 Mx=-0.00 Mz=4.10
Sollecitazioni agenti localmente: Tx_l=4.22 Ty_l=-0.10 N_l=-6303.28 Mx_l=-0.00 My_l=4.10 Mz_l=-0.00
Taglio nei bulloni: Fv,Ed=0.71 Fv,Rd=9650.97
Rifollamento lato piastra: Fb,Ed,p=0.71 Fb,Rd,p=7479.11
Tirafondi:LT=0.45 (0.31) σ_{cR}=0.00 σ_{fR}=0.00
Compressione nel calcestruzzo: σ_c=13.25
CC 14 SLD (Collegamento 0024_-381)
Azioni sul collegamento: N=-6303.28 Ty=3.83 Tz=1.56 Mx=-0.00 Mz=3.00
Sollecitazioni agenti localmente: Tx_l=3.83 Ty_l=1.56 N_l=-6303.28 Mx_l=-0.00 My_l=3.00 Mz_l=-0.00
Taglio nei bulloni: Fv,Ed=0.69 Fv,Rd=9650.97
Rifollamento lato piastra: Fb,Ed,p=0.69 Fb,Rd,p=9344.20
Tirafondi:LT=0.45 (0.31) σ_{cR}=0.00 σ_{fR}=0.00
Compressione nel calcestruzzo: σ_c=13.19
CC 14 SLD (Collegamento 0024_-381)
Azioni sul collegamento: N=-6303.28 Ty=4.22 Tz=1.56 Mx=-0.00 Mz=4.10
Sollecitazioni agenti localmente: Tx_l=4.22 Ty_l=1.56 N_l=-6303.28 Mx_l=-0.00 My_l=4.10 Mz_l=-0.00
Taglio nei bulloni: Fv,Ed=0.75 Fv,Rd=9650.97
Rifollamento lato piastra: Fb,Ed,p=0.75 Fb,Rd,p=9007.73
Tirafondi:LT=0.45 (0.31) σ_{cR}=0.00 σ_{fR}=0.00
Compressione nel calcestruzzo: σ_c=13.25
CC 14 SLD (Collegamento 0024_-381)
Azioni sul collegamento: N=-6780.50 Ty=3.83 Tz=-0.10 Mx=-0.00 Mz=3.00
Sollecitazioni agenti localmente: Tx_l=3.83 Ty_l=-0.10 N_l=-6780.50 Mx_l=-0.00 My_l=3.00 Mz_l=-0.00
Taglio nei bulloni: Fv,Ed=0.64 Fv,Rd=9650.97
Rifollamento lato piastra: Fb,Ed,p=0.64 Fb,Rd,p=7480.27
Tirafondi:LT=0.45 (0.31) σ_{cR}=0.00 σ_{fR}=0.00
Compressione nel calcestruzzo: σ_c=14.18
CC 14 SLD (Collegamento 0024_-381)
Azioni sul collegamento: N=-6780.50 Ty=4.22 Tz=-0.10 Mx=-0.00 Mz=4.10
Sollecitazioni agenti localmente: Tx_l=4.22 Ty_l=-0.10 N_l=-6780.50 Mx_l=-0.00 My_l=4.10 Mz_l=-0.00
Taglio nei bulloni: Fv,Ed=0.71 Fv,Rd=9650.97
Rifollamento lato piastra: Fb,Ed,p=0.71 Fb,Rd,p=7479.14
Tirafondi:LT=0.45 (0.31) σ_{cR}=0.00 σ_{fR}=0.00
Compressione nel calcestruzzo: σ_c=14.24
CC 14 SLD (Collegamento 0024_-381)
Azioni sul collegamento: N=-6780.50 Ty=3.83 Tz=1.56 Mx=-0.00 Mz=3.00
Sollecitazioni agenti localmente: Tx_l=3.83 Ty_l=1.56 N_l=-6780.50 Mx_l=-0.00 My_l=3.00 Mz_l=-0.00
Taglio nei bulloni: Fv,Ed=0.69 Fv,Rd=9650.97
Rifollamento lato piastra: Fb,Ed,p=0.69 Fb,Rd,p=9344.30
Tirafondi:LT=0.45 (0.31) σ_{cR}=0.00 σ_{fR}=0.00
Compressione nel calcestruzzo: σ_c=14.18
CC 14 SLD (Collegamento 0024_-381)
Azioni sul collegamento: N=-6780.50 Ty=4.22 Tz=1.56 Mx=-0.00 Mz=4.10
Sollecitazioni agenti localmente: Tx_l=4.22 Ty_l=1.56 N_l=-6780.50 Mx_l=-0.00 My_l=4.10 Mz_l=-0.00
Taglio nei bulloni: Fv,Ed=0.75 Fv,Rd=9650.97
Rifollamento lato piastra: Fb,Ed,p=0.75 Fb,Rd,p=9007.82
Tirafondi:LT=0.45 (0.31) σ_{cR}=0.00 σ_{fR}=0.00
Compressione nel calcestruzzo: σ_c=14.24
CC 15 SLV (Collegamento 0024_-381)
Azioni sul collegamento: N=-7375.82 Ty=3.40 Tz=4.00 Mx=0.00 Mz=3.25
Sollecitazioni agenti localmente: Tx_l=3.40 Ty_l=4.00 N_l=-7375.82 Mx_l=-0.00 My_l=3.25 Mz_l=0.00
Taglio nei bulloni: Fv,Ed=0.88 Fv,Rd=7720.78
Rifollamento lato piastra: Fb,Ed,p=0.88 Fb,Rd,p=11159.00
Tirafondi:LT=0.45 (0.31) σ_{cR}=0.00 σ_{fR}=0.00
Compressione nel calcestruzzo: σ_c=15.42
CC 15 SLV (Collegamento 0024_-381)
Azioni sul collegamento: N=-7375.82 Ty=6.34 Tz=4.00 Mx=0.00 Mz=8.01
Sollecitazioni agenti localmente: Tx_l=6.34 Ty_l=4.00 N_l=-7375.82 Mx_l=-0.00 My_l=8.01 Mz_l=0.00
Taglio nei bulloni: Fv,Ed=1.25 Fv,Rd=7720.78
Rifollamento lato piastra: Fb,Ed,p=1.25 Fb,Rd,p=9579.22
Tirafondi:LT=0.45 (0.31) σ_{cR}=0.00 σ_{fR}=0.00
Compressione nel calcestruzzo: σ_c=15.69
CC 15 SLV (Collegamento 0024_-381)
Azioni sul collegamento: N=-7375.82 Ty=3.40 Tz=-2.29 Mx=0.00 Mz=3.25
Sollecitazioni agenti localmente: Tx_l=3.40 Ty_l=-2.29 N_l=-7375.82 Mx_l=-0.00 My_l=3.25 Mz_l=0.00
Taglio nei bulloni: Fv,Ed=0.69 Fv,Rd=7720.78
Rifollamento lato piastra: Fb,Ed,p=0.69 Fb,Rd,p=10134.20
Tirafondi:LT=0.45 (0.31) σ_{cR}=0.00 σ_{fR}=0.00
Compressione nel calcestruzzo: σ_c=15.42
CC 15 SLV (Collegamento 0024_-381)

Azioni sul collegamento: N=-7375.82 Ty=6.34 Tz=-2.29 Mx=0.00 Mz=8.01
Sollecitazioni agenti localmente: Tx_l=6.34 Ty_l=-2.29 N_l=-7375.82 Mx_l=-0.00 My_l=8.01 Mz_l=0.00
Taglio nei bulloni: Fv,Ed=1.13 Fv,Rd=7720.78
Rifollamento lato piastra: Fb,Ed,p=1.13 Fb,Rd,p=7157.59
Tirafondi:LT=0.45 (0.31) σ_{cR}=0.00 σ_{fR}=0.00
Compressione nel calcestruzzo: σ_c=15.69
CC 15 SLV (Collegamento 0024_-381)
Azioni sul collegamento: N=-5772.92 Ty=3.40 Tz=4.00 Mx=0.00 Mz=3.25
Sollecitazioni agenti localmente: Tx_l=3.40 Ty_l=4.00 N_l=-5772.92 Mx_l=-0.00 My_l=3.25 Mz_l=0.00
Taglio nei bulloni: Fv,Ed=0.88 Fv,Rd=7720.78
Rifollamento lato piastra: Fb,Ed,p=0.88 Fb,Rd,p=11159.20
Tirafondi:LT=0.45 (0.31) σ_{cR}=0.00 σ_{fR}=0.00
Compressione nel calcestruzzo: σ_c=12.11
CC 15 SLV (Collegamento 0024_-381)
Azioni sul collegamento: N=-5772.92 Ty=6.34 Tz=4.00 Mx=0.00 Mz=8.01
Sollecitazioni agenti localmente: Tx_l=6.34 Ty_l=4.00 N_l=-5772.92 Mx_l=-0.00 My_l=8.01 Mz_l=0.00
Taglio nei bulloni: Fv,Ed=1.25 Fv,Rd=7720.78
Rifollamento lato piastra: Fb,Ed,p=1.25 Fb,Rd,p=9578.94
Tirafondi:LT=0.45 (0.31) σ_{cR}=0.00 σ_{fR}=0.00
Compressione nel calcestruzzo: σ_c=12.38
CC 15 SLV (Collegamento 0024_-381)
Azioni sul collegamento: N=-5772.92 Ty=3.40 Tz=-2.29 Mx=0.00 Mz=3.25
Sollecitazioni agenti localmente: Tx_l=3.40 Ty_l=-2.29 N_l=-5772.92 Mx_l=-0.00 My_l=3.25 Mz_l=0.00
Taglio nei bulloni: Fv,Ed=0.69 Fv,Rd=7720.78
Rifollamento lato piastra: Fb,Ed,p=0.69 Fb,Rd,p=10133.60
Tirafondi:LT=0.45 (0.31) σ_{cR}=0.00 σ_{fR}=0.00
Compressione nel calcestruzzo: σ_c=12.11
CC 15 SLV (Collegamento 0024_-381)
Azioni sul collegamento: N=-5772.92 Ty=6.34 Tz=-2.29 Mx=0.00 Mz=8.01
Sollecitazioni agenti localmente: Tx_l=6.34 Ty_l=-2.29 N_l=-5772.92 Mx_l=-0.00 My_l=8.01 Mz_l=0.00
Taglio nei bulloni: Fv,Ed=1.13 Fv,Rd=7720.78
Rifollamento lato piastra: Fb,Ed,p=1.13 Fb,Rd,p=7157.42
Tirafondi:LT=0.45 (0.31) σ_{cR}=0.00 σ_{fR}=0.00
Compressione nel calcestruzzo: σ_c=12.38
CC 16 SLD (Collegamento 0024_-381)
Azioni sul collegamento: N=-6786.28 Ty=3.58 Tz=1.69 Mx=-0.00 Mz=2.82
Sollecitazioni agenti localmente: Tx_l=3.58 Ty_l=1.69 N_l=-6786.28 Mx_l=-0.00 My_l=2.82 Mz_l=-0.00
Taglio nei bulloni: Fv,Ed=0.66 Fv,Rd=9650.97
Rifollamento lato piastra: Fb,Ed,p=0.66 Fb,Rd,p=9996.35
Tirafondi:LT=0.45 (0.31) σ_{cR}=0.00 σ_{fR}=0.00
Compressione nel calcestruzzo: σ_c=14.18
CC 16 SLD (Collegamento 0024_-381)
Azioni sul collegamento: N=-6786.28 Ty=4.47 Tz=1.69 Mx=-0.00 Mz=4.27
Sollecitazioni agenti localmente: Tx_l=4.47 Ty_l=1.69 N_l=-6786.28 Mx_l=-0.00 My_l=4.27 Mz_l=-0.00
Taglio nei bulloni: Fv,Ed=0.80 Fv,Rd=9650.97
Rifollamento lato piastra: Fb,Ed,p=0.80 Fb,Rd,p=9081.79
Tirafondi:LT=0.45 (0.31) σ_{cR}=0.00 σ_{fR}=0.00
Compressione nel calcestruzzo: σ_c=14.26
CC 16 SLD (Collegamento 0024_-381)
Azioni sul collegamento: N=-6786.28 Ty=3.58 Tz=-0.23 Mx=-0.00 Mz=2.82
Sollecitazioni agenti localmente: Tx_l=3.58 Ty_l=-0.23 N_l=-6786.28 Mx_l=-0.00 My_l=2.82 Mz_l=-0.00
Taglio nei bulloni: Fv,Ed=0.60 Fv,Rd=9650.97
Rifollamento lato piastra: Fb,Ed,p=0.60 Fb,Rd,p=7515.52
Tirafondi:LT=0.45 (0.31) σ_{cR}=0.00 σ_{fR}=0.00
Compressione nel calcestruzzo: σ_c=14.18
CC 16 SLD (Collegamento 0024_-381)
Azioni sul collegamento: N=-6786.28 Ty=4.47 Tz=-0.23 Mx=-0.00 Mz=4.27
Sollecitazioni agenti localmente: Tx_l=4.47 Ty_l=-0.23 N_l=-6786.28 Mx_l=-0.00 My_l=4.27 Mz_l=-0.00
Taglio nei bulloni: Fv,Ed=0.75 Fv,Rd=9650.97
Rifollamento lato piastra: Fb,Ed,p=0.75 Fb,Rd,p=7500.59
Tirafondi:LT=0.45 (0.31) σ_{cR}=0.00 σ_{fR}=0.00
Compressione nel calcestruzzo: σ_c=14.26
CC 16 SLD (Collegamento 0024_-381)
Azioni sul collegamento: N=-6297.50 Ty=3.58 Tz=1.69 Mx=-0.00 Mz=2.82
Sollecitazioni agenti localmente: Tx_l=3.58 Ty_l=1.69 N_l=-6297.50 Mx_l=-0.00 My_l=2.82 Mz_l=-0.00
Taglio nei bulloni: Fv,Ed=0.66 Fv,Rd=9650.97
Rifollamento lato piastra: Fb,Ed,p=0.66 Fb,Rd,p=9997.33
Tirafondi:LT=0.45 (0.31) σ_{cR}=0.00 σ_{fR}=0.00
Compressione nel calcestruzzo: σ_c=13.17
CC 16 SLD (Collegamento 0024_-381)
Azioni sul collegamento: N=-6297.50 Ty=4.47 Tz=1.69 Mx=-0.00 Mz=4.27
Sollecitazioni agenti localmente: Tx_l=4.47 Ty_l=1.69 N_l=-6297.50 Mx_l=-0.00 My_l=4.27 Mz_l=-0.00
Taglio nei bulloni: Fv,Ed=0.80 Fv,Rd=9650.97
Rifollamento lato piastra: Fb,Ed,p=0.80 Fb,Rd,p=9082.42
Tirafondi:LT=0.45 (0.31) σ_{cR}=0.00 σ_{fR}=0.00
Compressione nel calcestruzzo: σ_c=13.25
CC 16 SLD (Collegamento 0024_-381)
Azioni sul collegamento: N=-6297.50 Ty=3.58 Tz=-0.23 Mx=-0.00 Mz=2.82

Sollecitazioni agenti localmente: T_{x_l}=3.58 T_{y_l}=-0.23 N_l=-6297.50 M_{x_l}=-0.00 M_{y_l}=2.82 M_{z_l}=-0.00
Taglio nei bulloni: Fv,Ed=0.60 Fv,Rd=9650.97
Rifollamento lato piastra: Fb,Ed,p=0.60 Fb,Rd,p=7515.51
Tirafondi:LT=0.45 (0.31) σ_{cR}=0.00 σ_{fR}=0.00
Compressione nel calcestruzzo: σ_c=13.17
CC 16 SLD (Collegamento 0024_-381)
Azioni sul collegamento: N=-6297.50 Ty=4.47 Tz=-0.23 Mx=-0.00 Mz=4.27
Sollecitazioni agenti localmente: T_{x_l}=4.47 T_{y_l}=-0.23 N_l=-6297.50 M_{x_l}=-0.00 M_{y_l}=4.27 M_{z_l}=-0.00
Taglio nei bulloni: Fv,Ed=0.75 Fv,Rd=9650.97
Rifollamento lato piastra: Fb,Ed,p=0.75 Fb,Rd,p=7500.59
Tirafondi:LT=0.45 (0.31) σ_{cR}=0.00 σ_{fR}=0.00
Compressione nel calcestruzzo: σ_c=13.25
CC 17 SLV (Collegamento 0024_-381)
Azioni sul collegamento: N=-3838.16 Ty=0.76 Tz=-9.35 Mx=-0.02 Mz=1.23
Sollecitazioni agenti localmente: T_{x_l}=0.76 T_{y_l}=-9.35 N_l=-3838.16 M_{x_l}=-0.00 M_{y_l}=1.23 M_{z_l}=-0.02
Taglio nei bulloni: Fv,Ed=1.59 Fv,Rd=7720.78
Rifollamento lato piastra: Fb,Ed,p=1.59 Fb,Rd,p=6058.88
Tirafondi:LT=0.45 (0.31) σ_{cR}=0.00 σ_{fR}=0.00
Compressione nel calcestruzzo: σ_c=8.00
CC 17 SLV (Collegamento 0024_-381)
Azioni sul collegamento: N=-3838.16 Ty=4.12 Tz=-9.35 Mx=-0.02 Mz=-1.95
Sollecitazioni agenti localmente: T_{x_l}=4.12 T_{y_l}=-9.35 N_l=-3838.16 M_{x_l}=-0.00 M_{y_l}=-1.95 M_{z_l}=-0.02
Taglio nei bulloni: Fv,Ed=1.73 Fv,Rd=7720.78
Rifollamento lato piastra: Fb,Ed,p=1.73 Fb,Rd,p=7792.84
Tirafondi:LT=0.45 (0.31) σ_{cR}=0.00 σ_{fR}=0.00
Compressione nel calcestruzzo: σ_c=8.04
CC 17 SLV (Collegamento 0024_-381)
Azioni sul collegamento: N=-3838.16 Ty=0.76 Tz=10.33 Mx=-0.02 Mz=1.23
Sollecitazioni agenti localmente: T_{x_l}=0.76 T_{y_l}=10.33 N_l=-3838.16 M_{x_l}=-0.00 M_{y_l}=1.23 M_{z_l}=-0.02
Taglio nei bulloni: Fv,Ed=1.75 Fv,Rd=7720.78
Rifollamento lato piastra: Fb,Ed,p=1.75 Fb,Rd,p=6010.44
Tirafondi:LT=0.45 (0.31) σ_{cR}=0.00 σ_{fR}=0.00
Compressione nel calcestruzzo: σ_c=8.00
CC 17 SLV (Collegamento 0024_-381)
Azioni sul collegamento: N=-3838.16 Ty=4.12 Tz=10.33 Mx=-0.02 Mz=-1.95
Sollecitazioni agenti localmente: T_{x_l}=4.12 T_{y_l}=10.33 N_l=-3838.16 M_{x_l}=-0.00 M_{y_l}=-1.95 M_{z_l}=-0.02
Taglio nei bulloni: Fv,Ed=1.88 Fv,Rd=7720.78
Rifollamento lato piastra: Fb,Ed,p=1.87 Fb,Rd,p=7277.26
Tirafondi:LT=0.45 (0.31) σ_{cR}=0.00 σ_{fR}=0.00
Compressione nel calcestruzzo: σ_c=8.04
CC 17 SLV (Collegamento 0024_-381)
Azioni sul collegamento: N=-9123.66 Ty=0.76 Tz=-9.35 Mx=-0.02 Mz=1.23
Sollecitazioni agenti localmente: T_{x_l}=0.76 T_{y_l}=-9.35 N_l=-9123.66 M_{x_l}=-0.00 M_{y_l}=1.23 M_{z_l}=-0.02
Taglio nei bulloni: Fv,Ed=1.59 Fv,Rd=7720.78
Rifollamento lato piastra: Fb,Ed,p=1.59 Fb,Rd,p=6058.88
Tirafondi:LT=0.45 (0.31) σ_{cR}=0.00 σ_{fR}=0.00
Compressione nel calcestruzzo: σ_c=18.92
CC 17 SLV (Collegamento 0024_-381)
Azioni sul collegamento: N=-9123.66 Ty=4.12 Tz=-9.35 Mx=-0.02 Mz=-1.95
Sollecitazioni agenti localmente: T_{x_l}=4.12 T_{y_l}=-9.35 N_l=-9123.66 M_{x_l}=-0.00 M_{y_l}=-1.95 M_{z_l}=-0.02
Taglio nei bulloni: Fv,Ed=1.73 Fv,Rd=7720.78
Rifollamento lato piastra: Fb,Ed,p=1.73 Fb,Rd,p=7792.88
Tirafondi:LT=0.45 (0.31) σ_{cR}=0.00 σ_{fR}=0.00
Compressione nel calcestruzzo: σ_c=18.96
CC 17 SLV (Collegamento 0024_-381)
Azioni sul collegamento: N=-9123.66 Ty=0.76 Tz=10.33 Mx=-0.02 Mz=1.23
Sollecitazioni agenti localmente: T_{x_l}=0.76 T_{y_l}=10.33 N_l=-9123.66 M_{x_l}=-0.00 M_{y_l}=1.23 M_{z_l}=-0.02
Taglio nei bulloni: Fv,Ed=1.75 Fv,Rd=7720.78
Rifollamento lato piastra: Fb,Ed,p=1.75 Fb,Rd,p=6010.44
Tirafondi:LT=0.45 (0.31) σ_{cR}=0.00 σ_{fR}=0.00
Compressione nel calcestruzzo: σ_c=18.92
CC 17 SLV (Collegamento 0024_-381)
Azioni sul collegamento: N=-9123.66 Ty=4.12 Tz=10.33 Mx=-0.02 Mz=-1.95
Sollecitazioni agenti localmente: T_{x_l}=4.12 T_{y_l}=10.33 N_l=-9123.66 M_{x_l}=-0.00 M_{y_l}=-1.95 M_{z_l}=-0.02
Taglio nei bulloni: Fv,Ed=1.88 Fv,Rd=7720.78
Rifollamento lato piastra: Fb,Ed,p=1.87 Fb,Rd,p=7277.16
Tirafondi:LT=0.45 (0.31) σ_{cR}=0.00 σ_{fR}=0.00
Compressione nel calcestruzzo: σ_c=18.96
CC 18 SLD (Collegamento 0024_-381)
Azioni sul collegamento: N=-5707.53 Ty=3.80 Tz=-2.38 Mx=-0.01 Mz=2.21
Sollecitazioni agenti localmente: T_{x_l}=3.80 T_{y_l}=-2.38 N_l=-5707.53 M_{x_l}=-0.00 M_{y_l}=2.21 M_{z_l}=-0.01
Taglio nei bulloni: Fv,Ed=0.76 Fv,Rd=9650.97
Rifollamento lato piastra: Fb,Ed,p=0.75 Fb,Rd,p=11614.40
Tirafondi:LT=0.45 (0.31) σ_{cR}=0.00 σ_{fR}=0.00
Compressione nel calcestruzzo: σ_c=11.92
CC 18 SLD (Collegamento 0024_-381)
Azioni sul collegamento: N=-5707.53 Ty=2.77 Tz=-2.38 Mx=-0.01 Mz=1.24
Sollecitazioni agenti localmente: T_{x_l}=2.77 T_{y_l}=-2.38 N_l=-5707.53 M_{x_l}=-0.00 M_{y_l}=1.24 M_{z_l}=-0.01

Taglio nei bulloni: Fv,Ed=0.62 Fv,Rd=9650.97
Rifollamento lato piastra: Fb,Ed,p=0.61 Fb,Rd,p=13752.50
Tirafondi:LT=0.45 (0.31) σ_{cR}=0.00 σ_{fR}=0.00
Compressione nel calcestruzzo: σ_c=11.86
CC 18 SLD (Collegamento 0024_-381)
Azioni sul collegamento: N=-5707.53 Ty=3.80 Tz=3.62 Mx=-0.01 Mz=2.21
Sollecitazioni agenti localmente: Tx_l=3.80 Ty_l=3.62 N_l=-5707.53 Mx_l=-0.00 My_l=2.21 Mz_l=-0.01
Taglio nei bulloni: Fv,Ed=0.89 Fv,Rd=9650.97
Rifollamento lato piastra: Fb,Ed,p=0.89 Fb,Rd,p=14673.90
Tirafondi:LT=0.45 (0.31) σ_{cR}=0.00 σ_{fR}=0.00
Compressione nel calcestruzzo: σ_c=11.92
CC 18 SLD (Collegamento 0024_-381)
Azioni sul collegamento: N=-5707.53 Ty=2.77 Tz=3.62 Mx=-0.01 Mz=1.24
Sollecitazioni agenti localmente: Tx_l=2.77 Ty_l=3.62 N_l=-5707.53 Mx_l=-0.00 My_l=1.24 Mz_l=-0.01
Taglio nei bulloni: Fv,Ed=0.77 Fv,Rd=9650.97
Rifollamento lato piastra: Fb,Ed,p=0.76 Fb,Rd,p=13209.80
Tirafondi:LT=0.45 (0.31) σ_{cR}=0.00 σ_{fR}=0.00
Compressione nel calcestruzzo: σ_c=11.86
CC 18 SLD (Collegamento 0024_-381)
Azioni sul collegamento: N=-7319.25 Ty=3.80 Tz=-2.38 Mx=-0.01 Mz=2.21
Sollecitazioni agenti localmente: Tx_l=3.80 Ty_l=-2.38 N_l=-7319.25 Mx_l=-0.00 My_l=2.21 Mz_l=-0.01
Taglio nei bulloni: Fv,Ed=0.76 Fv,Rd=9650.97
Rifollamento lato piastra: Fb,Ed,p=0.75 Fb,Rd,p=11614.70
Tirafondi:LT=0.45 (0.31) σ_{cR}=0.00 σ_{fR}=0.00
Compressione nel calcestruzzo: σ_c=15.25
CC 18 SLD (Collegamento 0024_-381)
Azioni sul collegamento: N=-7319.25 Ty=2.77 Tz=-2.38 Mx=-0.01 Mz=1.24
Sollecitazioni agenti localmente: Tx_l=2.77 Ty_l=-2.38 N_l=-7319.25 Mx_l=-0.00 My_l=1.24 Mz_l=-0.01
Taglio nei bulloni: Fv,Ed=0.62 Fv,Rd=9650.97
Rifollamento lato piastra: Fb,Ed,p=0.61 Fb,Rd,p=13752.70
Tirafondi:LT=0.45 (0.31) σ_{cR}=0.00 σ_{fR}=0.00
Compressione nel calcestruzzo: σ_c=15.19
CC 18 SLD (Collegamento 0024_-381)
Azioni sul collegamento: N=-7319.25 Ty=3.80 Tz=3.62 Mx=-0.01 Mz=2.21
Sollecitazioni agenti localmente: Tx_l=3.80 Ty_l=3.62 N_l=-7319.25 Mx_l=-0.00 My_l=2.21 Mz_l=-0.01
Taglio nei bulloni: Fv,Ed=0.89 Fv,Rd=9650.97
Rifollamento lato piastra: Fb,Ed,p=0.89 Fb,Rd,p=14674.00
Tirafondi:LT=0.45 (0.31) σ_{cR}=0.00 σ_{fR}=0.00
Compressione nel calcestruzzo: σ_c=15.25
CC 18 SLD (Collegamento 0024_-381)
Azioni sul collegamento: N=-7319.25 Ty=2.77 Tz=3.62 Mx=-0.01 Mz=1.24
Sollecitazioni agenti localmente: Tx_l=2.77 Ty_l=3.62 N_l=-7319.25 Mx_l=-0.00 My_l=1.24 Mz_l=-0.01
Taglio nei bulloni: Fv,Ed=0.77 Fv,Rd=9650.97
Rifollamento lato piastra: Fb,Ed,p=0.76 Fb,Rd,p=13209.70
Tirafondi:LT=0.45 (0.31) σ_{cR}=0.00 σ_{fR}=0.00
Compressione nel calcestruzzo: σ_c=15.19
CC 19 SLV (Collegamento 0024_-381)
Azioni sul collegamento: N=-3843.85 Ty=1.39 Tz=-9.22 Mx=-0.02 Mz=-0.03
Sollecitazioni agenti localmente: Tx_l=1.39 Ty_l=-9.22 N_l=-3843.85 Mx_l=-0.00 My_l=-0.03 Mz_l=-0.02
Taglio nei bulloni: Fv,Ed=1.57 Fv,Rd=7720.78
Rifollamento lato piastra: Fb,Ed,p=1.57 Fb,Rd,p=6209.50
Tirafondi:LT=0.45 (0.31) σ_{cR}=0.00 σ_{fR}=0.00
Compressione nel calcestruzzo: σ_c=7.94
CC 19 SLV (Collegamento 0024_-381)
Azioni sul collegamento: N=-3843.85 Ty=3.49 Tz=-9.22 Mx=-0.02 Mz=-0.69
Sollecitazioni agenti localmente: Tx_l=3.49 Ty_l=-9.22 N_l=-3843.85 Mx_l=-0.00 My_l=-0.69 Mz_l=-0.02
Taglio nei bulloni: Fv,Ed=1.67 Fv,Rd=7720.78
Rifollamento lato piastra: Fb,Ed,p=1.67 Fb,Rd,p=7309.50
Tirafondi:LT=0.45 (0.31) σ_{cR}=0.00 σ_{fR}=0.00
Compressione nel calcestruzzo: σ_c=7.98
CC 19 SLV (Collegamento 0024_-381)
Azioni sul collegamento: N=-3843.85 Ty=1.39 Tz=10.20 Mx=-0.02 Mz=-0.03
Sollecitazioni agenti localmente: Tx_l=1.39 Ty_l=10.20 N_l=-3843.85 Mx_l=-0.00 My_l=-0.03 Mz_l=-0.02
Taglio nei bulloni: Fv,Ed=1.74 Fv,Rd=7720.78
Rifollamento lato piastra: Fb,Ed,p=1.73 Fb,Rd,p=6117.90
Tirafondi:LT=0.45 (0.31) σ_{cR}=0.00 σ_{fR}=0.00
Compressione nel calcestruzzo: σ_c=7.94
CC 19 SLV (Collegamento 0024_-381)
Azioni sul collegamento: N=-3843.85 Ty=3.49 Tz=10.20 Mx=-0.02 Mz=-0.69
Sollecitazioni agenti localmente: Tx_l=3.49 Ty_l=10.20 N_l=-3843.85 Mx_l=-0.00 My_l=-0.69 Mz_l=-0.02
Taglio nei bulloni: Fv,Ed=1.82 Fv,Rd=7720.78
Rifollamento lato piastra: Fb,Ed,p=1.81 Fb,Rd,p=6940.86
Tirafondi:LT=0.45 (0.31) σ_{cR}=0.00 σ_{fR}=0.00
Compressione nel calcestruzzo: σ_c=7.98
CC 19 SLV (Collegamento 0024_-381)
Azioni sul collegamento: N=-9117.97 Ty=1.39 Tz=-9.22 Mx=-0.02 Mz=-0.03
Sollecitazioni agenti localmente: Tx_l=1.39 Ty_l=-9.22 N_l=-9117.97 Mx_l=-0.00 My_l=-0.03 Mz_l=-0.02
Taglio nei bulloni: Fv,Ed=1.57 Fv,Rd=7720.78

Rifollamento lato piastra: Fb,Ed,p=1.57 Fb,Rd,p=6209.51
Tirafondi:LT=0.45 (0.31) σ_{cR}=0.00 σ_{fR}=0.00
Compressione nel calcestruzzo: σ_c=18.84
CC 19 SLV (Collegamento 0024_-381)
Azioni sul collegamento: N=-9117.97 Ty=3.49 Tz=-9.22 Mx=-0.02 Mz=-0.69
Sollecitazioni agenti localmente: Tx_l=3.49 Ty_l=-9.22 N_l=-9117.97 Mx_l=-0.00 My_l=-0.69 Mz_l=-0.02
Taglio nei bulloni: Fv,Ed=1.67 Fv,Rd=7720.78
Rifollamento lato piastra: Fb,Ed,p=1.67 Fb,Rd,p=7309.57
Tirafondi:LT=0.45 (0.31) σ_{cR}=0.00 σ_{fR}=0.00
Compressione nel calcestruzzo: σ_c=18.88
CC 19 SLV (Collegamento 0024_-381)
Azioni sul collegamento: N=-9117.97 Ty=1.39 Tz=10.20 Mx=-0.02 Mz=-0.03
Sollecitazioni agenti localmente: Tx_l=1.39 Ty_l=10.20 N_l=-9117.97 Mx_l=-0.00 My_l=-0.03 Mz_l=-0.02
Taglio nei bulloni: Fv,Ed=1.74 Fv,Rd=7720.78
Rifollamento lato piastra: Fb,Ed,p=1.73 Fb,Rd,p=6117.90
Tirafondi:LT=0.45 (0.31) σ_{cR}=0.00 σ_{fR}=0.00
Compressione nel calcestruzzo: σ_c=18.84
CC 19 SLV (Collegamento 0024_-381)
Azioni sul collegamento: N=-9117.97 Ty=3.49 Tz=10.20 Mx=-0.02 Mz=-0.69
Sollecitazioni agenti localmente: Tx_l=3.49 Ty_l=10.20 N_l=-9117.97 Mx_l=-0.00 My_l=-0.69 Mz_l=-0.02
Taglio nei bulloni: Fv,Ed=1.82 Fv,Rd=7720.78
Rifollamento lato piastra: Fb,Ed,p=1.81 Fb,Rd,p=6940.85
Tirafondi:LT=0.45 (0.31) σ_{cR}=0.00 σ_{fR}=0.00
Compressione nel calcestruzzo: σ_c=18.88
CC 20 SLD (Collegamento 0024_-381)
Azioni sul collegamento: N=-5709.27 Ty=3.60 Tz=-2.35 Mx=-0.01 Mz=1.82
Sollecitazioni agenti localmente: Tx_l=3.60 Ty_l=-2.35 N_l=-5709.27 Mx_l=-0.00 My_l=1.82 Mz_l=-0.01
Taglio nei bulloni: Fv,Ed=0.73 Fv,Rd=9650.97
Rifollamento lato piastra: Fb,Ed,p=0.72 Fb,Rd,p=11980.70
Tirafondi:LT=0.45 (0.31) σ_{cR}=0.00 σ_{fR}=0.00
Compressione nel calcestruzzo: σ_c=11.90
CC 20 SLD (Collegamento 0024_-381)
Azioni sul collegamento: N=-5709.27 Ty=2.97 Tz=-2.35 Mx=-0.01 Mz=1.62
Sollecitazioni agenti localmente: Tx_l=2.97 Ty_l=-2.35 N_l=-5709.27 Mx_l=-0.00 My_l=1.62 Mz_l=-0.01
Taglio nei bulloni: Fv,Ed=0.64 Fv,Rd=9650.97
Rifollamento lato piastra: Fb,Ed,p=0.63 Fb,Rd,p=13357.80
Tirafondi:LT=0.45 (0.31) σ_{cR}=0.00 σ_{fR}=0.00
Compressione nel calcestruzzo: σ_c=11.89
CC 20 SLD (Collegamento 0024_-381)
Azioni sul collegamento: N=-5709.27 Ty=3.60 Tz=3.58 Mx=-0.01 Mz=1.82
Sollecitazioni agenti localmente: Tx_l=3.60 Ty_l=3.58 N_l=-5709.27 Mx_l=-0.00 My_l=1.82 Mz_l=-0.01
Taglio nei bulloni: Fv,Ed=0.86 Fv,Rd=9650.97
Rifollamento lato piastra: Fb,Ed,p=0.86 Fb,Rd,p=14967.50
Tirafondi:LT=0.45 (0.31) σ_{cR}=0.00 σ_{fR}=0.00
Compressione nel calcestruzzo: σ_c=11.90
CC 20 SLD (Collegamento 0024_-381)
Azioni sul collegamento: N=-5709.27 Ty=2.97 Tz=3.58 Mx=-0.01 Mz=1.62
Sollecitazioni agenti localmente: Tx_l=2.97 Ty_l=3.58 N_l=-5709.27 Mx_l=-0.00 My_l=1.62 Mz_l=-0.01
Taglio nei bulloni: Fv,Ed=0.79 Fv,Rd=9650.97
Rifollamento lato piastra: Fb,Ed,p=0.78 Fb,Rd,p=13638.60
Tirafondi:LT=0.45 (0.31) σ_{cR}=0.00 σ_{fR}=0.00
Compressione nel calcestruzzo: σ_c=11.89
CC 20 SLD (Collegamento 0024_-381)
Azioni sul collegamento: N=-7317.51 Ty=3.60 Tz=-2.35 Mx=-0.01 Mz=1.82
Sollecitazioni agenti localmente: Tx_l=3.60 Ty_l=-2.35 N_l=-7317.51 Mx_l=-0.00 My_l=1.82 Mz_l=-0.01
Taglio nei bulloni: Fv,Ed=0.73 Fv,Rd=9650.97
Rifollamento lato piastra: Fb,Ed,p=0.72 Fb,Rd,p=11980.60
Tirafondi:LT=0.45 (0.31) σ_{cR}=0.00 σ_{fR}=0.00
Compressione nel calcestruzzo: σ_c=15.22
CC 20 SLD (Collegamento 0024_-381)
Azioni sul collegamento: N=-7317.51 Ty=2.97 Tz=-2.35 Mx=-0.01 Mz=1.62
Sollecitazioni agenti localmente: Tx_l=2.97 Ty_l=-2.35 N_l=-7317.51 Mx_l=-0.00 My_l=1.62 Mz_l=-0.01
Taglio nei bulloni: Fv,Ed=0.64 Fv,Rd=9650.97
Rifollamento lato piastra: Fb,Ed,p=0.63 Fb,Rd,p=13357.80
Tirafondi:LT=0.45 (0.31) σ_{cR}=0.00 σ_{fR}=0.00
Compressione nel calcestruzzo: σ_c=15.21
CC 20 SLD (Collegamento 0024_-381)
Azioni sul collegamento: N=-7317.51 Ty=3.60 Tz=3.58 Mx=-0.01 Mz=1.82
Sollecitazioni agenti localmente: Tx_l=3.60 Ty_l=3.58 N_l=-7317.51 Mx_l=-0.00 My_l=1.82 Mz_l=-0.01
Taglio nei bulloni: Fv,Ed=0.86 Fv,Rd=9650.97
Rifollamento lato piastra: Fb,Ed,p=0.86 Fb,Rd,p=14967.90
Tirafondi:LT=0.45 (0.31) σ_{cR}=0.00 σ_{fR}=0.00
Compressione nel calcestruzzo: σ_c=15.22
CC 20 SLD (Collegamento 0024_-381)
Azioni sul collegamento: N=-7317.51 Ty=2.97 Tz=3.58 Mx=-0.01 Mz=1.62
Sollecitazioni agenti localmente: Tx_l=2.97 Ty_l=3.58 N_l=-7317.51 Mx_l=-0.00 My_l=1.62 Mz_l=-0.01
Taglio nei bulloni: Fv,Ed=0.79 Fv,Rd=9650.97
Rifollamento lato piastra: Fb,Ed,p=0.78 Fb,Rd,p=13638.30

Tirafondi:LT=0.45 (0.31) σ_{cR}=0.00 σ_{fR}=0.00
Compressione nel calcestruzzo: σ_c=15.21
CC 21 SLV (Collegamento 0024_-381)
Azioni sul collegamento: N=-9117.97 Ty=3.49 Tz=10.20 Mx=-0.02 Mz=-0.69
Sollecitazioni agenti localmente: Tx_l=3.49 Ty_l=10.20 N_l=-9117.97 Mx_l=-0.00 My_l=-0.69 Mz_l=-0.02
Taglio nei bulloni: Fv,Ed=1.82 Fv,Rd=7720.78
Rifollamento lato piastra: Fb,Ed,p=1.81 Fb,Rd,p=6932.88
Tirafondi:LT=0.45 (0.31) σ_{cR}=0.00 σ_{fR}=0.00
Compressione nel calcestruzzo: σ_c=18.88
CC 21 SLV (Collegamento 0024_-381)
Azioni sul collegamento: N=-9117.97 Ty=1.39 Tz=10.20 Mx=-0.02 Mz=-0.03
Sollecitazioni agenti localmente: Tx_l=1.39 Ty_l=10.20 N_l=-9117.97 Mx_l=-0.00 My_l=-0.03 Mz_l=-0.02
Taglio nei bulloni: Fv,Ed=1.74 Fv,Rd=7720.78
Rifollamento lato piastra: Fb,Ed,p=1.73 Fb,Rd,p=6115.36
Tirafondi:LT=0.45 (0.31) σ_{cR}=0.00 σ_{fR}=0.00
Compressione nel calcestruzzo: σ_c=18.84
CC 21 SLV (Collegamento 0024_-381)
Azioni sul collegamento: N=-9117.97 Ty=3.49 Tz=-9.22 Mx=-0.02 Mz=-0.69
Sollecitazioni agenti localmente: Tx_l=3.49 Ty_l=-9.22 N_l=-9117.97 Mx_l=-0.00 My_l=-0.69 Mz_l=-0.02
Taglio nei bulloni: Fv,Ed=1.67 Fv,Rd=7720.78
Rifollamento lato piastra: Fb,Ed,p=1.67 Fb,Rd,p=7314.40
Tirafondi:LT=0.45 (0.31) σ_{cR}=0.00 σ_{fR}=0.00
Compressione nel calcestruzzo: σ_c=18.88
CC 21 SLV (Collegamento 0024_-381)
Azioni sul collegamento: N=-9117.97 Ty=1.39 Tz=-9.22 Mx=-0.02 Mz=-0.03
Sollecitazioni agenti localmente: Tx_l=1.39 Ty_l=-9.22 N_l=-9117.97 Mx_l=-0.00 My_l=-0.03 Mz_l=-0.02
Taglio nei bulloni: Fv,Ed=1.58 Fv,Rd=7720.78
Rifollamento lato piastra: Fb,Ed,p=1.58 Fb,Rd,p=6212.22
Tirafondi:LT=0.45 (0.31) σ_{cR}=0.00 σ_{fR}=0.00
Compressione nel calcestruzzo: σ_c=18.84
CC 21 SLV (Collegamento 0024_-381)
Azioni sul collegamento: N=-3843.85 Ty=3.49 Tz=10.20 Mx=-0.02 Mz=-0.69
Sollecitazioni agenti localmente: Tx_l=3.49 Ty_l=10.20 N_l=-3843.85 Mx_l=-0.00 My_l=-0.69 Mz_l=-0.02
Taglio nei bulloni: Fv,Ed=1.82 Fv,Rd=7720.78
Rifollamento lato piastra: Fb,Ed,p=1.81 Fb,Rd,p=6932.89
Tirafondi:LT=0.45 (0.31) σ_{cR}=0.00 σ_{fR}=0.00
Compressione nel calcestruzzo: σ_c=7.98
CC 21 SLV (Collegamento 0024_-381)
Azioni sul collegamento: N=-3843.85 Ty=1.39 Tz=10.20 Mx=-0.02 Mz=-0.03
Sollecitazioni agenti localmente: Tx_l=1.39 Ty_l=10.20 N_l=-3843.85 Mx_l=-0.00 My_l=-0.03 Mz_l=-0.02
Taglio nei bulloni: Fv,Ed=1.74 Fv,Rd=7720.78
Rifollamento lato piastra: Fb,Ed,p=1.73 Fb,Rd,p=6115.36
Tirafondi:LT=0.45 (0.31) σ_{cR}=0.00 σ_{fR}=0.00
Compressione nel calcestruzzo: σ_c=7.94
CC 21 SLV (Collegamento 0024_-381)
Azioni sul collegamento: N=-3843.85 Ty=3.49 Tz=-9.22 Mx=-0.02 Mz=-0.69
Sollecitazioni agenti localmente: Tx_l=3.49 Ty_l=-9.22 N_l=-3843.85 Mx_l=-0.00 My_l=-0.69 Mz_l=-0.02
Taglio nei bulloni: Fv,Ed=1.67 Fv,Rd=7720.78
Rifollamento lato piastra: Fb,Ed,p=1.67 Fb,Rd,p=7314.33
Tirafondi:LT=0.45 (0.31) σ_{cR}=0.00 σ_{fR}=0.00
Compressione nel calcestruzzo: σ_c=7.98
CC 21 SLV (Collegamento 0024_-381)
Azioni sul collegamento: N=-3843.85 Ty=1.39 Tz=-9.22 Mx=-0.02 Mz=-0.03
Sollecitazioni agenti localmente: Tx_l=1.39 Ty_l=-9.22 N_l=-3843.85 Mx_l=-0.00 My_l=-0.03 Mz_l=-0.02
Taglio nei bulloni: Fv,Ed=1.58 Fv,Rd=7720.78
Rifollamento lato piastra: Fb,Ed,p=1.58 Fb,Rd,p=6212.21
Tirafondi:LT=0.45 (0.31) σ_{cR}=0.00 σ_{fR}=0.00
Compressione nel calcestruzzo: σ_c=7.94
CC 22 SLD (Collegamento 0024_-381)
Azioni sul collegamento: N=-7317.51 Ty=2.97 Tz=3.58 Mx=-0.01 Mz=1.62
Sollecitazioni agenti localmente: Tx_l=2.97 Ty_l=3.58 N_l=-7317.51 Mx_l=-0.00 My_l=1.62 Mz_l=-0.01
Taglio nei bulloni: Fv,Ed=0.79 Fv,Rd=9650.97
Rifollamento lato piastra: Fb,Ed,p=0.78 Fb,Rd,p=13627.70
Tirafondi:LT=0.45 (0.31) σ_{cR}=0.00 σ_{fR}=0.00
Compressione nel calcestruzzo: σ_c=15.21
CC 22 SLD (Collegamento 0024_-381)
Azioni sul collegamento: N=-7317.51 Ty=3.60 Tz=3.58 Mx=-0.01 Mz=1.82
Sollecitazioni agenti localmente: Tx_l=3.60 Ty_l=3.58 N_l=-7317.51 Mx_l=-0.00 My_l=1.82 Mz_l=-0.01
Taglio nei bulloni: Fv,Ed=0.86 Fv,Rd=9650.97
Rifollamento lato piastra: Fb,Ed,p=0.86 Fb,Rd,p=14968.00
Tirafondi:LT=0.45 (0.31) σ_{cR}=0.00 σ_{fR}=0.00
Compressione nel calcestruzzo: σ_c=15.22
CC 22 SLD (Collegamento 0024_-381)
Azioni sul collegamento: N=-7317.51 Ty=2.97 Tz=-2.35 Mx=-0.01 Mz=1.62
Sollecitazioni agenti localmente: Tx_l=2.97 Ty_l=-2.35 N_l=-7317.51 Mx_l=-0.00 My_l=1.62 Mz_l=-0.01
Taglio nei bulloni: Fv,Ed=0.64 Fv,Rd=9650.97
Rifollamento lato piastra: Fb,Ed,p=0.63 Fb,Rd,p=13345.70
Tirafondi:LT=0.45 (0.31) σ_{cR}=0.00 σ_{fR}=0.00

Compressione nel calcestruzzo: σ_c=15.21
CC 22 SLD (Collegamento 0024_-381)
Azioni sul collegamento: N=-7317.51 Ty=3.60 Tz=-2.35 Mx=-0.01 Mz=1.82
Sollecitazioni agenti localmente: Tx_l=3.60 Ty_l=-2.35 N_l=-7317.51 Mx_l=-0.00 My_l=1.82 Mz_l=-0.01
Taglio nei bulloni: Fv,Ed=0.73 Fv,Rd=9650.97
Rifollamento lato piastra: Fb,Ed,p=0.72 Fb,Rd,p=11959.80
Tirafondi:LT=0.45 (0.31) σ_{cR}=0.00 σ_{fR}=0.00
Compressione nel calcestruzzo: σ_c=15.22
CC 22 SLD (Collegamento 0024_-381)
Azioni sul collegamento: N=-5709.27 Ty=2.97 Tz=3.58 Mx=-0.01 Mz=1.62
Sollecitazioni agenti localmente: Tx_l=2.97 Ty_l=3.58 N_l=-5709.27 Mx_l=-0.00 My_l=1.62 Mz_l=-0.01
Taglio nei bulloni: Fv,Ed=0.79 Fv,Rd=9650.97
Rifollamento lato piastra: Fb,Ed,p=0.78 Fb,Rd,p=13628.00
Tirafondi:LT=0.45 (0.31) σ_{cR}=0.00 σ_{fR}=0.00
Compressione nel calcestruzzo: σ_c=11.89
CC 22 SLD (Collegamento 0024_-381)
Azioni sul collegamento: N=-5709.27 Ty=3.60 Tz=3.58 Mx=-0.01 Mz=1.82
Sollecitazioni agenti localmente: Tx_l=3.60 Ty_l=3.58 N_l=-5709.27 Mx_l=-0.00 My_l=1.82 Mz_l=-0.01
Taglio nei bulloni: Fv,Ed=0.86 Fv,Rd=9650.97
Rifollamento lato piastra: Fb,Ed,p=0.86 Fb,Rd,p=14967.50
Tirafondi:LT=0.45 (0.31) σ_{cR}=0.00 σ_{fR}=0.00
Compressione nel calcestruzzo: σ_c=11.90
CC 22 SLD (Collegamento 0024_-381)
Azioni sul collegamento: N=-5709.27 Ty=2.97 Tz=-2.35 Mx=-0.01 Mz=1.62
Sollecitazioni agenti localmente: Tx_l=2.97 Ty_l=-2.35 N_l=-5709.27 Mx_l=-0.00 My_l=1.62 Mz_l=-0.01
Taglio nei bulloni: Fv,Ed=0.64 Fv,Rd=9650.97
Rifollamento lato piastra: Fb,Ed,p=0.63 Fb,Rd,p=13345.80
Tirafondi:LT=0.45 (0.31) σ_{cR}=0.00 σ_{fR}=0.00
Compressione nel calcestruzzo: σ_c=11.89
CC 22 SLD (Collegamento 0024_-381)
Azioni sul collegamento: N=-5709.27 Ty=3.60 Tz=-2.35 Mx=-0.01 Mz=1.82
Sollecitazioni agenti localmente: Tx_l=3.60 Ty_l=-2.35 N_l=-5709.27 Mx_l=-0.00 My_l=1.82 Mz_l=-0.01
Taglio nei bulloni: Fv,Ed=0.73 Fv,Rd=9650.97
Rifollamento lato piastra: Fb,Ed,p=0.72 Fb,Rd,p=11959.90
Tirafondi:LT=0.45 (0.31) σ_{cR}=0.00 σ_{fR}=0.00
Compressione nel calcestruzzo: σ_c=11.90
CC 23 SLV (Collegamento 0024_-381)
Azioni sul collegamento: N=-9123.66 Ty=4.12 Tz=10.33 Mx=-0.01 Mz=-1.95
Sollecitazioni agenti localmente: Tx_l=4.12 Ty_l=10.33 N_l=-9123.66 Mx_l=-0.00 My_l=-1.95 Mz_l=-0.01
Taglio nei bulloni: Fv,Ed=1.87 Fv,Rd=7720.78
Rifollamento lato piastra: Fb,Ed,p=1.86 Fb,Rd,p=7326.59
Tirafondi:LT=0.45 (0.31) σ_{cR}=0.00 σ_{fR}=0.00
Compressione nel calcestruzzo: σ_c=18.96
CC 23 SLV (Collegamento 0024_-381)
Azioni sul collegamento: N=-9123.66 Ty=0.76 Tz=10.33 Mx=-0.01 Mz=1.23
Sollecitazioni agenti localmente: Tx_l=0.76 Ty_l=10.33 N_l=-9123.66 Mx_l=-0.00 My_l=1.23 Mz_l=-0.01
Taglio nei bulloni: Fv,Ed=1.74 Fv,Rd=7720.78
Rifollamento lato piastra: Fb,Ed,p=1.74 Fb,Rd,p=6016.44
Tirafondi:LT=0.45 (0.31) σ_{cR}=0.00 σ_{fR}=0.00
Compressione nel calcestruzzo: σ_c=18.92
CC 23 SLV (Collegamento 0024_-381)
Azioni sul collegamento: N=-9123.66 Ty=4.12 Tz=-9.35 Mx=-0.01 Mz=-1.95
Sollecitazioni agenti localmente: Tx_l=4.12 Ty_l=-9.35 N_l=-9123.66 Mx_l=-0.00 My_l=-1.95 Mz_l=-0.01
Taglio nei bulloni: Fv,Ed=1.72 Fv,Rd=7720.78
Rifollamento lato piastra: Fb,Ed,p=1.72 Fb,Rd,p=7767.35
Tirafondi:LT=0.45 (0.31) σ_{cR}=0.00 σ_{fR}=0.00
Compressione nel calcestruzzo: σ_c=18.96
CC 23 SLV (Collegamento 0024_-381)
Azioni sul collegamento: N=-9123.66 Ty=0.76 Tz=-9.35 Mx=-0.01 Mz=1.23
Sollecitazioni agenti localmente: Tx_l=0.76 Ty_l=-9.35 N_l=-9123.66 Mx_l=-0.00 My_l=1.23 Mz_l=-0.01
Taglio nei bulloni: Fv,Ed=1.58 Fv,Rd=7720.78
Rifollamento lato piastra: Fb,Ed,p=1.58 Fb,Rd,p=6050.46
Tirafondi:LT=0.45 (0.31) σ_{cR}=0.00 σ_{fR}=0.00
Compressione nel calcestruzzo: σ_c=18.92
CC 23 SLV (Collegamento 0024_-381)
Azioni sul collegamento: N=-3838.16 Ty=4.12 Tz=10.33 Mx=-0.01 Mz=-1.95
Sollecitazioni agenti localmente: Tx_l=4.12 Ty_l=10.33 N_l=-3838.16 Mx_l=-0.00 My_l=-1.95 Mz_l=-0.01
Taglio nei bulloni: Fv,Ed=1.87 Fv,Rd=7720.78
Rifollamento lato piastra: Fb,Ed,p=1.86 Fb,Rd,p=7326.69
Tirafondi:LT=0.45 (0.31) σ_{cR}=0.00 σ_{fR}=0.00
Compressione nel calcestruzzo: σ_c=8.04
CC 23 SLV (Collegamento 0024_-381)
Azioni sul collegamento: N=-3838.16 Ty=0.76 Tz=10.33 Mx=-0.01 Mz=1.23
Sollecitazioni agenti localmente: Tx_l=0.76 Ty_l=10.33 N_l=-3838.16 Mx_l=-0.00 My_l=1.23 Mz_l=-0.01
Taglio nei bulloni: Fv,Ed=1.74 Fv,Rd=7720.78
Rifollamento lato piastra: Fb,Ed,p=1.74 Fb,Rd,p=6016.45
Tirafondi:LT=0.45 (0.31) σ_{cR}=0.00 σ_{fR}=0.00
Compressione nel calcestruzzo: σ_c=8.00

CC 23 SLV (Collegamento 0024_-381)
Azioni sul collegamento: N=-3838.16 Ty=4.12 Tz=-9.35 Mx=-0.01 Mz=-1.95
Sollecitazioni agenti localmente: Tx_l=4.12 Ty_l=-9.35 N_l=-3838.16 Mx_l=-0.00 My_l=-1.95 Mz_l=-0.01
Taglio nei bulloni: Fv,Ed=1.72 Fv,Rd=7720.78
Rifollamento lato piastra: Fb,Ed,p=1.72 Fb,Rd,p=7767.31
Tirafondi:LT=0.45 (0.31) σ_{cR}=0.00 σ_{fR}=0.00
Compressione nel calcestruzzo: σ_c=8.04
CC 23 SLV (Collegamento 0024_-381)
Azioni sul collegamento: N=-3838.16 Ty=0.76 Tz=-9.35 Mx=-0.01 Mz=1.23
Sollecitazioni agenti localmente: Tx_l=0.76 Ty_l=-9.35 N_l=-3838.16 Mx_l=-0.00 My_l=1.23 Mz_l=-0.01
Taglio nei bulloni: Fv,Ed=1.58 Fv,Rd=7720.78
Rifollamento lato piastra: Fb,Ed,p=1.58 Fb,Rd,p=6050.46
Tirafondi:LT=0.45 (0.31) σ_{cR}=0.00 σ_{fR}=0.00
Compressione nel calcestruzzo: σ_c=8.00
CC 24 SLD (Collegamento 0024_-381)
Azioni sul collegamento: N=-7319.25 Ty=2.77 Tz=3.62 Mx=-0.01 Mz=1.24
Sollecitazioni agenti localmente: Tx_l=2.77 Ty_l=3.62 N_l=-7319.25 Mx_l=-0.00 My_l=1.24 Mz_l=-0.01
Taglio nei bulloni: Fv,Ed=0.77 Fv,Rd=9650.97
Rifollamento lato piastra: Fb,Ed,p=0.76 Fb,Rd,p=13258.90
Tirafondi:LT=0.45 (0.31) σ_{cR}=0.00 σ_{fR}=0.00
Compressione nel calcestruzzo: σ_c=15.19
CC 24 SLD (Collegamento 0024_-381)
Azioni sul collegamento: N=-7319.25 Ty=3.80 Tz=3.62 Mx=-0.01 Mz=2.21
Sollecitazioni agenti localmente: Tx_l=3.80 Ty_l=3.62 N_l=-7319.25 Mx_l=-0.00 My_l=2.21 Mz_l=-0.01
Taglio nei bulloni: Fv,Ed=0.88 Fv,Rd=9650.97
Rifollamento lato piastra: Fb,Ed,p=0.88 Fb,Rd,p=14672.50
Tirafondi:LT=0.45 (0.31) σ_{cR}=0.00 σ_{fR}=0.00
Compressione nel calcestruzzo: σ_c=15.25
CC 24 SLD (Collegamento 0024_-381)
Azioni sul collegamento: N=-7319.25 Ty=2.77 Tz=-2.38 Mx=-0.01 Mz=1.24
Sollecitazioni agenti localmente: Tx_l=2.77 Ty_l=-2.38 N_l=-7319.25 Mx_l=-0.00 My_l=1.24 Mz_l=-0.01
Taglio nei bulloni: Fv,Ed=0.62 Fv,Rd=9650.97
Rifollamento lato piastra: Fb,Ed,p=0.61 Fb,Rd,p=13824.30
Tirafondi:LT=0.45 (0.31) σ_{cR}=0.00 σ_{fR}=0.00
Compressione nel calcestruzzo: σ_c=15.19
CC 24 SLD (Collegamento 0024_-381)
Azioni sul collegamento: N=-7319.25 Ty=3.80 Tz=-2.38 Mx=-0.01 Mz=2.21
Sollecitazioni agenti localmente: Tx_l=3.80 Ty_l=-2.38 N_l=-7319.25 Mx_l=-0.00 My_l=2.21 Mz_l=-0.01
Taglio nei bulloni: Fv,Ed=0.76 Fv,Rd=9650.97
Rifollamento lato piastra: Fb,Ed,p=0.75 Fb,Rd,p=11710.80
Tirafondi:LT=0.45 (0.31) σ_{cR}=0.00 σ_{fR}=0.00
Compressione nel calcestruzzo: σ_c=15.25
CC 24 SLD (Collegamento 0024_-381)
Azioni sul collegamento: N=-5707.53 Ty=2.77 Tz=3.62 Mx=-0.01 Mz=1.24
Sollecitazioni agenti localmente: Tx_l=2.77 Ty_l=3.62 N_l=-5707.53 Mx_l=-0.00 My_l=1.24 Mz_l=-0.01
Taglio nei bulloni: Fv,Ed=0.77 Fv,Rd=9650.97
Rifollamento lato piastra: Fb,Ed,p=0.76 Fb,Rd,p=13259.00
Tirafondi:LT=0.45 (0.31) σ_{cR}=0.00 σ_{fR}=0.00
Compressione nel calcestruzzo: σ_c=11.86
CC 24 SLD (Collegamento 0024_-381)
Azioni sul collegamento: N=-5707.53 Ty=3.80 Tz=3.62 Mx=-0.01 Mz=2.21
Sollecitazioni agenti localmente: Tx_l=3.80 Ty_l=3.62 N_l=-5707.53 Mx_l=-0.00 My_l=2.21 Mz_l=-0.01
Taglio nei bulloni: Fv,Ed=0.88 Fv,Rd=9650.97
Rifollamento lato piastra: Fb,Ed,p=0.88 Fb,Rd,p=14672.50
Tirafondi:LT=0.45 (0.31) σ_{cR}=0.00 σ_{fR}=0.00
Compressione nel calcestruzzo: σ_c=11.92
CC 24 SLD (Collegamento 0024_-381)
Azioni sul collegamento: N=-5707.53 Ty=2.77 Tz=-2.38 Mx=-0.01 Mz=1.24
Sollecitazioni agenti localmente: Tx_l=2.77 Ty_l=-2.38 N_l=-5707.53 Mx_l=-0.00 My_l=1.24 Mz_l=-0.01
Taglio nei bulloni: Fv,Ed=0.62 Fv,Rd=9650.97
Rifollamento lato piastra: Fb,Ed,p=0.61 Fb,Rd,p=13824.10
Tirafondi:LT=0.45 (0.31) σ_{cR}=0.00 σ_{fR}=0.00
Compressione nel calcestruzzo: σ_c=11.86
CC 24 SLD (Collegamento 0024_-381)
Azioni sul collegamento: N=-5707.53 Ty=3.80 Tz=-2.38 Mx=-0.01 Mz=2.21
Sollecitazioni agenti localmente: Tx_l=3.80 Ty_l=-2.38 N_l=-5707.53 Mx_l=-0.00 My_l=2.21 Mz_l=-0.01
Taglio nei bulloni: Fv,Ed=0.76 Fv,Rd=9650.97
Rifollamento lato piastra: Fb,Ed,p=0.75 Fb,Rd,p=11710.50
Tirafondi:LT=0.45 (0.31) σ_{cR}=0.00 σ_{fR}=0.00
Compressione nel calcestruzzo: σ_c=11.92
CC 25 SLV (Collegamento 0024_-381)
Azioni sul collegamento: N=-5679.46 Ty=0.97 Tz=-2.66 Mx=-0.03 Mz=2.02
Sollecitazioni agenti localmente: Tx_l=0.97 Ty_l=-2.66 N_l=-5679.46 Mx_l=-0.00 My_l=2.02 Mz_l=-0.03
Taglio nei bulloni: Fv,Ed=0.51 Fv,Rd=7720.78
Rifollamento lato piastra: Fb,Ed,p=0.51 Fb,Rd,p=7445.83
Tirafondi:LT=0.45 (0.31) σ_{cR}=0.00 σ_{fR}=0.00
Compressione nel calcestruzzo: σ_c=11.85
CC 25 SLV (Collegamento 0024_-381)

Azioni sul collegamento: N=-5679.46 Ty=3.91 Tz=-2.66 Mx=-0.03 Mz=-2.74
Sollecitazioni agenti localmente: Tx_l=3.91 Ty_l=-2.66 N_l=-5679.46 Mx_l=-0.00 My_l=-2.74 Mz_l=-0.03
Taglio nei bulloni: Fv,Ed=0.83 Fv,Rd=7720.78
Rifollamento lato piastra: Fb,Ed,p=0.80 Fb,Rd,p=9373.59
Tirafondi:LT=0.45 (0.31) σ_{cR}=0.00 σ_{fR}=0.00
Compressione nel calcestruzzo: σ_c=11.89
CC 25 SLV (Collegamento 0024_-381)
Azioni sul collegamento: N=-5679.46 Ty=0.97 Tz=3.63 Mx=-0.03 Mz=2.02
Sollecitazioni agenti localmente: Tx_l=0.97 Ty_l=3.63 N_l=-5679.46 Mx_l=-0.00 My_l=2.02 Mz_l=-0.03
Taglio nei bulloni: Fv,Ed=0.66 Fv,Rd=7720.78
Rifollamento lato piastra: Fb,Ed,p=0.65 Fb,Rd,p=6378.14
Tirafondi:LT=0.45 (0.31) σ_{cR}=0.00 σ_{fR}=0.00
Compressione nel calcestruzzo: σ_c=11.85
CC 25 SLV (Collegamento 0024_-381)
Azioni sul collegamento: N=-5679.46 Ty=3.91 Tz=3.63 Mx=-0.03 Mz=-2.74
Sollecitazioni agenti localmente: Tx_l=3.91 Ty_l=3.63 N_l=-5679.46 Mx_l=-0.00 My_l=-2.74 Mz_l=-0.03
Taglio nei bulloni: Fv,Ed=0.93 Fv,Rd=7720.78
Rifollamento lato piastra: Fb,Ed,p=0.93 Fb,Rd,p=11623.00
Tirafondi:LT=0.45 (0.31) σ_{cR}=0.00 σ_{fR}=0.00
Compressione nel calcestruzzo: σ_c=11.89
CC 25 SLV (Collegamento 0024_-381)
Azioni sul collegamento: N=-7282.36 Ty=0.97 Tz=-2.66 Mx=-0.03 Mz=2.02
Sollecitazioni agenti localmente: Tx_l=0.97 Ty_l=-2.66 N_l=-7282.36 Mx_l=-0.00 My_l=2.02 Mz_l=-0.03
Taglio nei bulloni: Fv,Ed=0.51 Fv,Rd=7720.78
Rifollamento lato piastra: Fb,Ed,p=0.51 Fb,Rd,p=7445.66
Tirafondi:LT=0.45 (0.31) σ_{cR}=0.00 σ_{fR}=0.00
Compressione nel calcestruzzo: σ_c=15.16
CC 25 SLV (Collegamento 0024_-381)
Azioni sul collegamento: N=-7282.36 Ty=3.91 Tz=-2.66 Mx=-0.03 Mz=-2.74
Sollecitazioni agenti localmente: Tx_l=3.91 Ty_l=-2.66 N_l=-7282.36 Mx_l=-0.00 My_l=-2.74 Mz_l=-0.03
Taglio nei bulloni: Fv,Ed=0.83 Fv,Rd=7720.78
Rifollamento lato piastra: Fb,Ed,p=0.80 Fb,Rd,p=9374.04
Tirafondi:LT=0.45 (0.31) σ_{cR}=0.00 σ_{fR}=0.00
Compressione nel calcestruzzo: σ_c=15.20
CC 25 SLV (Collegamento 0024_-381)
Azioni sul collegamento: N=-7282.36 Ty=0.97 Tz=3.63 Mx=-0.03 Mz=2.02
Sollecitazioni agenti localmente: Tx_l=0.97 Ty_l=3.63 N_l=-7282.36 Mx_l=-0.00 My_l=2.02 Mz_l=-0.03
Taglio nei bulloni: Fv,Ed=0.66 Fv,Rd=7720.78
Rifollamento lato piastra: Fb,Ed,p=0.65 Fb,Rd,p=6378.11
Tirafondi:LT=0.45 (0.31) σ_{cR}=0.00 σ_{fR}=0.00
Compressione nel calcestruzzo: σ_c=15.16
CC 25 SLV (Collegamento 0024_-381)
Azioni sul collegamento: N=-7282.36 Ty=3.91 Tz=3.63 Mx=-0.03 Mz=-2.74
Sollecitazioni agenti localmente: Tx_l=3.91 Ty_l=3.63 N_l=-7282.36 Mx_l=-0.00 My_l=-2.74 Mz_l=-0.03
Taglio nei bulloni: Fv,Ed=0.93 Fv,Rd=7720.78
Rifollamento lato piastra: Fb,Ed,p=0.93 Fb,Rd,p=11623.20
Tirafondi:LT=0.45 (0.31) σ_{cR}=0.00 σ_{fR}=0.00
Compressione nel calcestruzzo: σ_c=15.20
CC 26 SLD (Collegamento 0024_-381)
Azioni sul collegamento: N=-6269.00 Ty=3.73 Tz=-0.34 Mx=-0.01 Mz=2.45
Sollecitazioni agenti localmente: Tx_l=3.73 Ty_l=-0.34 N_l=-6269.00 Mx_l=-0.00 My_l=2.45 Mz_l=-0.01
Taglio nei bulloni: Fv,Ed=0.64 Fv,Rd=9650.97
Rifollamento lato piastra: Fb,Ed,p=0.63 Fb,Rd,p=7532.95
Tirafondi:LT=0.45 (0.31) σ_{cR}=0.00 σ_{fR}=0.00
Compressione nel calcestruzzo: σ_c=13.09
CC 26 SLD (Collegamento 0024_-381)
Azioni sul collegamento: N=-6269.00 Ty=2.84 Tz=-0.34 Mx=-0.01 Mz=0.99
Sollecitazioni agenti localmente: Tx_l=2.84 Ty_l=-0.34 N_l=-6269.00 Mx_l=-0.00 My_l=0.99 Mz_l=-0.01
Taglio nei bulloni: Fv,Ed=0.49 Fv,Rd=9650.97
Rifollamento lato piastra: Fb,Ed,p=0.49 Fb,Rd,p=7574.90
Tirafondi:LT=0.45 (0.31) σ_{cR}=0.00 σ_{fR}=0.00
Compressione nel calcestruzzo: σ_c=13.01
CC 26 SLD (Collegamento 0024_-381)
Azioni sul collegamento: N=-6269.00 Ty=3.73 Tz=1.57 Mx=-0.01 Mz=2.45
Sollecitazioni agenti localmente: Tx_l=3.73 Ty_l=1.57 N_l=-6269.00 Mx_l=-0.00 My_l=2.45 Mz_l=-0.01
Taglio nei bulloni: Fv,Ed=0.69 Fv,Rd=9650.97
Rifollamento lato piastra: Fb,Ed,p=0.69 Fb,Rd,p=9572.98
Tirafondi:LT=0.45 (0.31) σ_{cR}=0.00 σ_{fR}=0.00
Compressione nel calcestruzzo: σ_c=13.09
CC 26 SLD (Collegamento 0024_-381)
Azioni sul collegamento: N=-6269.00 Ty=2.84 Tz=1.57 Mx=-0.01 Mz=0.99
Sollecitazioni agenti localmente: Tx_l=2.84 Ty_l=1.57 N_l=-6269.00 Mx_l=-0.00 My_l=0.99 Mz_l=-0.01
Taglio nei bulloni: Fv,Ed=0.56 Fv,Rd=9650.97
Rifollamento lato piastra: Fb,Ed,p=0.56 Fb,Rd,p=11095.20
Tirafondi:LT=0.45 (0.31) σ_{cR}=0.00 σ_{fR}=0.00
Compressione nel calcestruzzo: σ_c=13.01
CC 26 SLD (Collegamento 0024_-381)
Azioni sul collegamento: N=-6757.78 Ty=3.73 Tz=-0.34 Mx=-0.01 Mz=2.45

Sollecitazioni agenti localmente: Tx_l=3.73 Ty_l=-0.34 N_l=-6757.78 Mx_l=-0.00 My_l=2.45 Mz_l=-0.01
Taglio nei bulloni: Fv,Ed=0.64 Fv,Rd=9650.97
Rifollamento lato piastra: Fb,Ed,p=0.63 Fb,Rd,p=7532.87
Tirafondi:LT=0.45 (0.31) σ_{cR}=0.00 σ_{fR}=0.00
Compressione nel calcestruzzo: σ_c=14.10
CC 26 SLD (Collegamento 0024_-381)
Azioni sul collegamento: N=-6757.78 Ty=2.84 Tz=-0.34 Mx=-0.01 Mz=0.99
Sollecitazioni agenti localmente: Tx_l=2.84 Ty_l=-0.34 N_l=-6757.78 Mx_l=-0.00 My_l=0.99 Mz_l=-0.01
Taglio nei bulloni: Fv,Ed=0.49 Fv,Rd=9650.97
Rifollamento lato piastra: Fb,Ed,p=0.49 Fb,Rd,p=7574.77
Tirafondi:LT=0.45 (0.31) σ_{cR}=0.00 σ_{fR}=0.00
Compressione nel calcestruzzo: σ_c=14.02
CC 26 SLD (Collegamento 0024_-381)
Azioni sul collegamento: N=-6757.78 Ty=3.73 Tz=1.57 Mx=-0.01 Mz=2.45
Sollecitazioni agenti localmente: Tx_l=3.73 Ty_l=1.57 N_l=-6757.78 Mx_l=-0.00 My_l=2.45 Mz_l=-0.01
Taglio nei bulloni: Fv,Ed=0.69 Fv,Rd=9650.97
Rifollamento lato piastra: Fb,Ed,p=0.69 Fb,Rd,p=9572.94
Tirafondi:LT=0.45 (0.31) σ_{cR}=0.00 σ_{fR}=0.00
Compressione nel calcestruzzo: σ_c=14.10
CC 26 SLD (Collegamento 0024_-381)
Azioni sul collegamento: N=-6757.78 Ty=2.84 Tz=1.57 Mx=-0.01 Mz=0.99
Sollecitazioni agenti localmente: Tx_l=2.84 Ty_l=1.57 N_l=-6757.78 Mx_l=-0.00 My_l=0.99 Mz_l=-0.01
Taglio nei bulloni: Fv,Ed=0.56 Fv,Rd=9650.97
Rifollamento lato piastra: Fb,Ed,p=0.56 Fb,Rd,p=11095.20
Tirafondi:LT=0.45 (0.31) σ_{cR}=0.00 σ_{fR}=0.00
Compressione nel calcestruzzo: σ_c=14.02
CC 27 SLV (Collegamento 0024_-381)
Azioni sul collegamento: N=-7263.40 Ty=1.79 Tz=3.21 Mx=-0.02 Mz=1.45
Sollecitazioni agenti localmente: Tx_l=1.79 Ty_l=3.21 N_l=-7263.40 Mx_l=-0.00 My_l=1.45 Mz_l=-0.02
Taglio nei bulloni: Fv,Ed=0.65 Fv,Rd=7720.78
Rifollamento lato piastra: Fb,Ed,p=0.62 Fb,Rd,p=8089.83
Tirafondi:LT=0.45 (0.31) σ_{cR}=0.00 σ_{fR}=0.00
Compressione nel calcestruzzo: σ_c=15.09
CC 27 SLV (Collegamento 0024_-381)
Azioni sul collegamento: N=-7263.40 Ty=3.09 Tz=3.21 Mx=-0.02 Mz=-2.17
Sollecitazioni agenti localmente: Tx_l=3.09 Ty_l=3.21 N_l=-7263.40 Mx_l=-0.00 My_l=-2.17 Mz_l=-0.02
Taglio nei bulloni: Fv,Ed=0.78 Fv,Rd=7720.78
Rifollamento lato piastra: Fb,Ed,p=0.74 Fb,Rd,p=11259.40
Tirafondi:LT=0.45 (0.31) σ_{cR}=0.00 σ_{fR}=0.00
Compressione nel calcestruzzo: σ_c=15.13
CC 27 SLV (Collegamento 0024_-381)
Azioni sul collegamento: N=-7263.40 Ty=1.79 Tz=-2.23 Mx=-0.02 Mz=1.45
Sollecitazioni agenti localmente: Tx_l=1.79 Ty_l=-2.23 N_l=-7263.40 Mx_l=-0.00 My_l=1.45 Mz_l=-0.02
Taglio nei bulloni: Fv,Ed=0.51 Fv,Rd=7720.78
Rifollamento lato piastra: Fb,Ed,p=0.51 Fb,Rd,p=10972.80
Tirafondi:LT=0.45 (0.31) σ_{cR}=0.00 σ_{fR}=0.00
Compressione nel calcestruzzo: σ_c=15.09
CC 27 SLV (Collegamento 0024_-381)
Azioni sul collegamento: N=-7263.40 Ty=3.09 Tz=-2.23 Mx=-0.02 Mz=-2.17
Sollecitazioni agenti localmente: Tx_l=3.09 Ty_l=-2.23 N_l=-7263.40 Mx_l=-0.00 My_l=-2.17 Mz_l=-0.02
Taglio nei bulloni: Fv,Ed=0.67 Fv,Rd=7720.78
Rifollamento lato piastra: Fb,Ed,p=0.64 Fb,Rd,p=9665.15
Tirafondi:LT=0.45 (0.31) σ_{cR}=0.00 σ_{fR}=0.00
Compressione nel calcestruzzo: σ_c=15.13
CC 27 SLV (Collegamento 0024_-381)
Azioni sul collegamento: N=-5698.42 Ty=1.79 Tz=3.21 Mx=-0.02 Mz=1.45
Sollecitazioni agenti localmente: Tx_l=1.79 Ty_l=3.21 N_l=-5698.42 Mx_l=-0.00 My_l=1.45 Mz_l=-0.02
Taglio nei bulloni: Fv,Ed=0.65 Fv,Rd=7720.78
Rifollamento lato piastra: Fb,Ed,p=0.62 Fb,Rd,p=8089.87
Tirafondi:LT=0.45 (0.31) σ_{cR}=0.00 σ_{fR}=0.00
Compressione nel calcestruzzo: σ_c=11.86
CC 27 SLV (Collegamento 0024_-381)
Azioni sul collegamento: N=-5698.42 Ty=3.09 Tz=3.21 Mx=-0.02 Mz=-2.17
Sollecitazioni agenti localmente: Tx_l=3.09 Ty_l=3.21 N_l=-5698.42 Mx_l=-0.00 My_l=-2.17 Mz_l=-0.02
Taglio nei bulloni: Fv,Ed=0.78 Fv,Rd=7720.78
Rifollamento lato piastra: Fb,Ed,p=0.74 Fb,Rd,p=11259.40
Tirafondi:LT=0.45 (0.31) σ_{cR}=0.00 σ_{fR}=0.00
Compressione nel calcestruzzo: σ_c=11.90
CC 27 SLV (Collegamento 0024_-381)
Azioni sul collegamento: N=-5698.42 Ty=1.79 Tz=-2.23 Mx=-0.02 Mz=1.45
Sollecitazioni agenti localmente: Tx_l=1.79 Ty_l=-2.23 N_l=-5698.42 Mx_l=-0.00 My_l=1.45 Mz_l=-0.02
Taglio nei bulloni: Fv,Ed=0.51 Fv,Rd=7720.78
Rifollamento lato piastra: Fb,Ed,p=0.51 Fb,Rd,p=10972.40
Tirafondi:LT=0.45 (0.31) σ_{cR}=0.00 σ_{fR}=0.00
Compressione nel calcestruzzo: σ_c=11.86
CC 27 SLV (Collegamento 0024_-381)
Azioni sul collegamento: N=-5698.42 Ty=3.09 Tz=-2.23 Mx=-0.02 Mz=-2.17
Sollecitazioni agenti localmente: Tx_l=3.09 Ty_l=-2.23 N_l=-5698.42 Mx_l=-0.00 My_l=-2.17 Mz_l=-0.02

Taglio nei bulloni: Fv,Ed=0.67 Fv,Rd=7720.78
Rifollamento lato piastra: Fb,Ed,p=0.64 Fb,Rd,p=9665.91
Tirafondi:LT=0.45 (0.31) σ_{cR}=0.00 σ_{fR}=0.00
Compressione nel calcestruzzo: σ_c=11.90
CC 28 SLD (Collegamento 0024_-381)
Azioni sul collegamento: N=-6752.00 Ty=3.48 Tz=1.44 Mx=-0.01 Mz=2.27
Sollecitazioni agenti localmente: Tx_l=3.48 Ty_l=1.44 N_l=-6752.00 Mx_l=-0.00 My_l=2.27 Mz_l=-0.01
Taglio nei bulloni: Fv,Ed=0.64 Fv,Rd=9650.97
Rifollamento lato piastra: Fb,Ed,p=0.64 Fb,Rd,p=9508.17
Tirafondi:LT=0.45 (0.31) σ_{cR}=0.00 σ_{fR}=0.00
Compressione nel calcestruzzo: σ_c=14.08
CC 28 SLD (Collegamento 0024_-381)
Azioni sul collegamento: N=-6752.00 Ty=3.09 Tz=1.44 Mx=-0.01 Mz=1.17
Sollecitazioni agenti localmente: Tx_l=3.09 Ty_l=1.44 N_l=-6752.00 Mx_l=-0.00 My_l=1.17 Mz_l=-0.01
Taglio nei bulloni: Fv,Ed=0.58 Fv,Rd=9650.97
Rifollamento lato piastra: Fb,Ed,p=0.58 Fb,Rd,p=10059.30
Tirafondi:LT=0.45 (0.31) σ_{cR}=0.00 σ_{fR}=0.00
Compressione nel calcestruzzo: σ_c=14.02
CC 28 SLD (Collegamento 0024_-381)
Azioni sul collegamento: N=-6752.00 Ty=3.48 Tz=-0.21 Mx=-0.01 Mz=2.27
Sollecitazioni agenti localmente: Tx_l=3.48 Ty_l=-0.21 N_l=-6752.00 Mx_l=-0.00 My_l=2.27 Mz_l=-0.01
Taglio nei bulloni: Fv,Ed=0.59 Fv,Rd=9650.97
Rifollamento lato piastra: Fb,Ed,p=0.59 Fb,Rd,p=7493.41
Tirafondi:LT=0.45 (0.31) σ_{cR}=0.00 σ_{fR}=0.00
Compressione nel calcestruzzo: σ_c=14.08
CC 28 SLD (Collegamento 0024_-381)
Azioni sul collegamento: N=-6752.00 Ty=3.09 Tz=-0.21 Mx=-0.01 Mz=1.17
Sollecitazioni agenti localmente: Tx_l=3.09 Ty_l=-0.21 N_l=-6752.00 Mx_l=-0.00 My_l=1.17 Mz_l=-0.01
Taglio nei bulloni: Fv,Ed=0.53 Fv,Rd=9650.97
Rifollamento lato piastra: Fb,Ed,p=0.53 Fb,Rd,p=7498.61
Tirafondi:LT=0.45 (0.31) σ_{cR}=0.00 σ_{fR}=0.00
Compressione nel calcestruzzo: σ_c=14.02
CC 28 SLD (Collegamento 0024_-381)
Azioni sul collegamento: N=-6274.78 Ty=3.48 Tz=1.44 Mx=-0.01 Mz=2.27
Sollecitazioni agenti localmente: Tx_l=3.48 Ty_l=1.44 N_l=-6274.78 Mx_l=-0.00 My_l=2.27 Mz_l=-0.01
Taglio nei bulloni: Fv,Ed=0.64 Fv,Rd=9650.97
Rifollamento lato piastra: Fb,Ed,p=0.64 Fb,Rd,p=9507.54
Tirafondi:LT=0.45 (0.31) σ_{cR}=0.00 σ_{fR}=0.00
Compressione nel calcestruzzo: σ_c=13.09
CC 28 SLD (Collegamento 0024_-381)
Azioni sul collegamento: N=-6274.78 Ty=3.09 Tz=1.44 Mx=-0.01 Mz=1.17
Sollecitazioni agenti localmente: Tx_l=3.09 Ty_l=1.44 N_l=-6274.78 Mx_l=-0.00 My_l=1.17 Mz_l=-0.01
Taglio nei bulloni: Fv,Ed=0.58 Fv,Rd=9650.97
Rifollamento lato piastra: Fb,Ed,p=0.58 Fb,Rd,p=10058.50
Tirafondi:LT=0.45 (0.31) σ_{cR}=0.00 σ_{fR}=0.00
Compressione nel calcestruzzo: σ_c=13.03
CC 28 SLD (Collegamento 0024_-381)
Azioni sul collegamento: N=-6274.78 Ty=3.48 Tz=-0.21 Mx=-0.01 Mz=2.27
Sollecitazioni agenti localmente: Tx_l=3.48 Ty_l=-0.21 N_l=-6274.78 Mx_l=-0.00 My_l=2.27 Mz_l=-0.01
Taglio nei bulloni: Fv,Ed=0.59 Fv,Rd=9650.97
Rifollamento lato piastra: Fb,Ed,p=0.59 Fb,Rd,p=7493.39
Tirafondi:LT=0.45 (0.31) σ_{cR}=0.00 σ_{fR}=0.00
Compressione nel calcestruzzo: σ_c=13.09
CC 28 SLD (Collegamento 0024_-381)
Azioni sul collegamento: N=-6274.78 Ty=3.09 Tz=-0.21 Mx=-0.01 Mz=1.17
Sollecitazioni agenti localmente: Tx_l=3.09 Ty_l=-0.21 N_l=-6274.78 Mx_l=-0.00 My_l=1.17 Mz_l=-0.01
Taglio nei bulloni: Fv,Ed=0.53 Fv,Rd=9650.97
Rifollamento lato piastra: Fb,Ed,p=0.53 Fb,Rd,p=7498.58
Tirafondi:LT=0.45 (0.31) σ_{cR}=0.00 σ_{fR}=0.00
Compressione nel calcestruzzo: σ_c=13.03
CC 29 SLV (Collegamento 0024_-381)
Azioni sul collegamento: N=-5698.42 Ty=3.09 Tz=-2.23 Mx=-0.01 Mz=-2.17
Sollecitazioni agenti localmente: Tx_l=3.09 Ty_l=-2.23 N_l=-5698.42 Mx_l=-0.00 My_l=-2.17 Mz_l=-0.01
Taglio nei bulloni: Fv,Ed=0.65 Fv,Rd=7720.78
Rifollamento lato piastra: Fb,Ed,p=0.64 Fb,Rd,p=10310.70
Tirafondi:LT=0.45 (0.31) σ_{cR}=0.00 σ_{fR}=0.00
Compressione nel calcestruzzo: σ_c=11.90
CC 29 SLV (Collegamento 0024_-381)
Azioni sul collegamento: N=-5698.42 Ty=1.79 Tz=-2.23 Mx=-0.01 Mz=1.45
Sollecitazioni agenti localmente: Tx_l=1.79 Ty_l=-2.23 N_l=-5698.42 Mx_l=-0.00 My_l=1.45 Mz_l=-0.01
Taglio nei bulloni: Fv,Ed=0.49 Fv,Rd=7720.78
Rifollamento lato piastra: Fb,Ed,p=0.49 Fb,Rd,p=10929.40
Tirafondi:LT=0.45 (0.31) σ_{cR}=0.00 σ_{fR}=0.00
Compressione nel calcestruzzo: σ_c=11.86
CC 29 SLV (Collegamento 0024_-381)
Azioni sul collegamento: N=-5698.42 Ty=3.09 Tz=3.21 Mx=-0.01 Mz=-2.17
Sollecitazioni agenti localmente: Tx_l=3.09 Ty_l=3.21 N_l=-5698.42 Mx_l=-0.00 My_l=-2.17 Mz_l=-0.01
Taglio nei bulloni: Fv,Ed=0.76 Fv,Rd=7720.78

Rifollamento lato piastra: Fb,Ed,p=0.74 Fb,Rd,p=11585.10
Tirafondi:LT=0.45 (0.31) σ_{cR}=0.00 σ_{fR}=0.00
Compressione nel calcestruzzo: σ_c=11.90
CC 29 SLV (Collegamento 0024_-381)
Azioni sul collegamento: N=-5698.42 Ty=1.79 Tz=3.21 Mx=-0.01 Mz=1.45
Sollecitazioni agenti localmente: Tx_l=1.79 Ty_l=3.21 N_l=-5698.42 Mx_l=-0.00 My_l=1.45 Mz_l=-0.01
Taglio nei bulloni: Fv,Ed=0.63 Fv,Rd=7720.78
Rifollamento lato piastra: Fb,Ed,p=0.62 Fb,Rd,p=8513.49
Tirafondi:LT=0.45 (0.31) σ_{cR}=0.00 σ_{fR}=0.00
Compressione nel calcestruzzo: σ_c=11.86
CC 29 SLV (Collegamento 0024_-381)
Azioni sul collegamento: N=-7263.40 Ty=3.09 Tz=-2.23 Mx=-0.01 Mz=-2.17
Sollecitazioni agenti localmente: Tx_l=3.09 Ty_l=-2.23 N_l=-7263.40 Mx_l=-0.00 My_l=-2.17 Mz_l=-0.01
Taglio nei bulloni: Fv,Ed=0.65 Fv,Rd=7720.78
Rifollamento lato piastra: Fb,Ed,p=0.64 Fb,Rd,p=10309.80
Tirafondi:LT=0.45 (0.31) σ_{cR}=0.00 σ_{fR}=0.00
Compressione nel calcestruzzo: σ_c=15.13
CC 29 SLV (Collegamento 0024_-381)
Azioni sul collegamento: N=-7263.40 Ty=1.79 Tz=-2.23 Mx=-0.01 Mz=1.45
Sollecitazioni agenti localmente: Tx_l=1.79 Ty_l=-2.23 N_l=-7263.40 Mx_l=-0.00 My_l=1.45 Mz_l=-0.01
Taglio nei bulloni: Fv,Ed=0.49 Fv,Rd=7720.78
Rifollamento lato piastra: Fb,Ed,p=0.49 Fb,Rd,p=10929.70
Tirafondi:LT=0.45 (0.31) σ_{cR}=0.00 σ_{fR}=0.00
Compressione nel calcestruzzo: σ_c=15.09
CC 29 SLV (Collegamento 0024_-381)
Azioni sul collegamento: N=-7263.40 Ty=3.09 Tz=3.21 Mx=-0.01 Mz=-2.17
Sollecitazioni agenti localmente: Tx_l=3.09 Ty_l=3.21 N_l=-7263.40 Mx_l=-0.00 My_l=-2.17 Mz_l=-0.01
Taglio nei bulloni: Fv,Ed=0.76 Fv,Rd=7720.78
Rifollamento lato piastra: Fb,Ed,p=0.74 Fb,Rd,p=11585.10
Tirafondi:LT=0.45 (0.31) σ_{cR}=0.00 σ_{fR}=0.00
Compressione nel calcestruzzo: σ_c=15.13
CC 29 SLV (Collegamento 0024_-381)
Azioni sul collegamento: N=-7263.40 Ty=1.79 Tz=3.21 Mx=-0.01 Mz=1.45
Sollecitazioni agenti localmente: Tx_l=1.79 Ty_l=3.21 N_l=-7263.40 Mx_l=-0.00 My_l=1.45 Mz_l=-0.01
Taglio nei bulloni: Fv,Ed=0.63 Fv,Rd=7720.78
Rifollamento lato piastra: Fb,Ed,p=0.62 Fb,Rd,p=8513.45
Tirafondi:LT=0.45 (0.31) σ_{cR}=0.00 σ_{fR}=0.00
Compressione nel calcestruzzo: σ_c=15.09
CC 30 SLD (Collegamento 0024_-381)
Azioni sul collegamento: N=-6274.78 Ty=3.09 Tz=-0.21 Mx=-0.01 Mz=1.17
Sollecitazioni agenti localmente: Tx_l=3.09 Ty_l=-0.21 N_l=-6274.78 Mx_l=-0.00 My_l=1.17 Mz_l=-0.01
Taglio nei bulloni: Fv,Ed=0.52 Fv,Rd=9650.97
Rifollamento lato piastra: Fb,Ed,p=0.52 Fb,Rd,p=7510.47
Tirafondi:LT=0.45 (0.31) σ_{cR}=0.00 σ_{fR}=0.00
Compressione nel calcestruzzo: σ_c=13.03
CC 30 SLD (Collegamento 0024_-381)
Azioni sul collegamento: N=-6274.78 Ty=3.48 Tz=-0.21 Mx=-0.01 Mz=2.27
Sollecitazioni agenti localmente: Tx_l=3.48 Ty_l=-0.21 N_l=-6274.78 Mx_l=-0.00 My_l=2.27 Mz_l=-0.01
Taglio nei bulloni: Fv,Ed=0.59 Fv,Rd=9650.97
Rifollamento lato piastra: Fb,Ed,p=0.59 Fb,Rd,p=7502.72
Tirafondi:LT=0.45 (0.31) σ_{cR}=0.00 σ_{fR}=0.00
Compressione nel calcestruzzo: σ_c=13.09
CC 30 SLD (Collegamento 0024_-381)
Azioni sul collegamento: N=-6274.78 Ty=3.09 Tz=1.44 Mx=-0.01 Mz=1.17
Sollecitazioni agenti localmente: Tx_l=3.09 Ty_l=1.44 N_l=-6274.78 Mx_l=-0.00 My_l=1.17 Mz_l=-0.01
Taglio nei bulloni: Fv,Ed=0.58 Fv,Rd=9650.97
Rifollamento lato piastra: Fb,Ed,p=0.58 Fb,Rd,p=10002.80
Tirafondi:LT=0.45 (0.31) σ_{cR}=0.00 σ_{fR}=0.00
Compressione nel calcestruzzo: σ_c=13.03
CC 30 SLD (Collegamento 0024_-381)
Azioni sul collegamento: N=-6274.78 Ty=3.48 Tz=1.44 Mx=-0.01 Mz=2.27
Sollecitazioni agenti localmente: Tx_l=3.48 Ty_l=1.44 N_l=-6274.78 Mx_l=-0.00 My_l=2.27 Mz_l=-0.01
Taglio nei bulloni: Fv,Ed=0.64 Fv,Rd=9650.97
Rifollamento lato piastra: Fb,Ed,p=0.64 Fb,Rd,p=9459.47
Tirafondi:LT=0.45 (0.31) σ_{cR}=0.00 σ_{fR}=0.00
Compressione nel calcestruzzo: σ_c=13.09
CC 30 SLD (Collegamento 0024_-381)
Azioni sul collegamento: N=-6752.00 Ty=3.09 Tz=-0.21 Mx=-0.01 Mz=1.17
Sollecitazioni agenti localmente: Tx_l=3.09 Ty_l=-0.21 N_l=-6752.00 Mx_l=-0.00 My_l=1.17 Mz_l=-0.01
Taglio nei bulloni: Fv,Ed=0.52 Fv,Rd=9650.97
Rifollamento lato piastra: Fb,Ed,p=0.52 Fb,Rd,p=7510.51
Tirafondi:LT=0.45 (0.31) σ_{cR}=0.00 σ_{fR}=0.00
Compressione nel calcestruzzo: σ_c=14.02
CC 30 SLD (Collegamento 0024_-381)
Azioni sul collegamento: N=-6752.00 Ty=3.48 Tz=-0.21 Mx=-0.01 Mz=2.27
Sollecitazioni agenti localmente: Tx_l=3.48 Ty_l=-0.21 N_l=-6752.00 Mx_l=-0.00 My_l=2.27 Mz_l=-0.01
Taglio nei bulloni: Fv,Ed=0.59 Fv,Rd=9650.97
Rifollamento lato piastra: Fb,Ed,p=0.59 Fb,Rd,p=7502.74

Tirafondi:LT=0.45 (0.31) σ_{cR}=0.00 σ_{fR}=0.00
Compressione nel calcestruzzo: σ_c=14.08
CC 30 SLD (Collegamento 0024_-381)
Azioni sul collegamento: N=-6752.00 Ty=3.09 Tz=1.44 Mx=-0.01 Mz=1.17
Sollecitazioni agenti localmente: Tx_l=3.09 Ty_l=1.44 N_l=-6752.00 Mx_l=-0.00 My_l=1.17 Mz_l=-0.01
Taglio nei bulloni: Fv,Ed=0.58 Fv,Rd=9650.97
Rifollamento lato piastra: Fb,Ed,p=0.58 Fb,Rd,p=10003.60
Tirafondi:LT=0.45 (0.31) σ_{cR}=0.00 σ_{fR}=0.00
Compressione nel calcestruzzo: σ_c=14.02
CC 30 SLD (Collegamento 0024_-381)
Azioni sul collegamento: N=-6752.00 Ty=3.48 Tz=1.44 Mx=-0.01 Mz=2.27
Sollecitazioni agenti localmente: Tx_l=3.48 Ty_l=1.44 N_l=-6752.00 Mx_l=-0.00 My_l=2.27 Mz_l=-0.01
Taglio nei bulloni: Fv,Ed=0.64 Fv,Rd=9650.97
Rifollamento lato piastra: Fb,Ed,p=0.64 Fb,Rd,p=9460.09
Tirafondi:LT=0.45 (0.31) σ_{cR}=0.00 σ_{fR}=0.00
Compressione nel calcestruzzo: σ_c=14.08
CC 31 SLV (Collegamento 0024_-381)
Azioni sul collegamento: N=-7282.36 Ty=3.91 Tz=3.63 Mx=-0.01 Mz=-2.74
Sollecitazioni agenti localmente: Tx_l=3.91 Ty_l=3.63 N_l=-7282.36 Mx_l=-0.00 My_l=-2.74 Mz_l=-0.01
Taglio nei bulloni: Fv,Ed=0.90 Fv,Rd=7720.78
Rifollamento lato piastra: Fb,Ed,p=0.90 Fb,Rd,p=11612.10
Tirafondi:LT=0.45 (0.31) σ_{cR}=0.00 σ_{fR}=0.00
Compressione nel calcestruzzo: σ_c=15.20
CC 31 SLV (Collegamento 0024_-381)
Azioni sul collegamento: N=-7282.36 Ty=0.97 Tz=3.63 Mx=-0.01 Mz=2.02
Sollecitazioni agenti localmente: Tx_l=0.97 Ty_l=3.63 N_l=-7282.36 Mx_l=-0.00 My_l=2.02 Mz_l=-0.01
Taglio nei bulloni: Fv,Ed=0.64 Fv,Rd=7720.78
Rifollamento lato piastra: Fb,Ed,p=0.63 Fb,Rd,p=6531.31
Tirafondi:LT=0.45 (0.31) σ_{cR}=0.00 σ_{fR}=0.00
Compressione nel calcestruzzo: σ_c=15.16
CC 31 SLV (Collegamento 0024_-381)
Azioni sul collegamento: N=-7282.36 Ty=3.91 Tz=-2.66 Mx=-0.01 Mz=-2.74
Sollecitazioni agenti localmente: Tx_l=3.91 Ty_l=-2.66 N_l=-7282.36 Mx_l=-0.00 My_l=-2.74 Mz_l=-0.01
Taglio nei bulloni: Fv,Ed=0.80 Fv,Rd=7720.78
Rifollamento lato piastra: Fb,Ed,p=0.79 Fb,Rd,p=9917.86
Tirafondi:LT=0.45 (0.31) σ_{cR}=0.00 σ_{fR}=0.00
Compressione nel calcestruzzo: σ_c=15.20
CC 31 SLV (Collegamento 0024_-381)
Azioni sul collegamento: N=-7282.36 Ty=0.97 Tz=-2.66 Mx=-0.01 Mz=2.02
Sollecitazioni agenti localmente: Tx_l=0.97 Ty_l=-2.66 N_l=-7282.36 Mx_l=-0.00 My_l=2.02 Mz_l=-0.01
Taglio nei bulloni: Fv,Ed=0.48 Fv,Rd=7720.78
Rifollamento lato piastra: Fb,Ed,p=0.48 Fb,Rd,p=7269.06
Tirafondi:LT=0.45 (0.31) σ_{cR}=0.00 σ_{fR}=0.00
Compressione nel calcestruzzo: σ_c=15.16
CC 31 SLV (Collegamento 0024_-381)
Azioni sul collegamento: N=-5679.46 Ty=3.91 Tz=3.63 Mx=-0.01 Mz=-2.74
Sollecitazioni agenti localmente: Tx_l=3.91 Ty_l=3.63 N_l=-5679.46 Mx_l=-0.00 My_l=-2.74 Mz_l=-0.01
Taglio nei bulloni: Fv,Ed=0.90 Fv,Rd=7720.78
Rifollamento lato piastra: Fb,Ed,p=0.90 Fb,Rd,p=11611.90
Tirafondi:LT=0.45 (0.31) σ_{cR}=0.00 σ_{fR}=0.00
Compressione nel calcestruzzo: σ_c=11.89
CC 31 SLV (Collegamento 0024_-381)
Azioni sul collegamento: N=-5679.46 Ty=0.97 Tz=3.63 Mx=-0.01 Mz=2.02
Sollecitazioni agenti localmente: Tx_l=0.97 Ty_l=3.63 N_l=-5679.46 Mx_l=-0.00 My_l=2.02 Mz_l=-0.01
Taglio nei bulloni: Fv,Ed=0.64 Fv,Rd=7720.78
Rifollamento lato piastra: Fb,Ed,p=0.63 Fb,Rd,p=6531.36
Tirafondi:LT=0.45 (0.31) σ_{cR}=0.00 σ_{fR}=0.00
Compressione nel calcestruzzo: σ_c=11.85
CC 31 SLV (Collegamento 0024_-381)
Azioni sul collegamento: N=-5679.46 Ty=3.91 Tz=-2.66 Mx=-0.01 Mz=-2.74
Sollecitazioni agenti localmente: Tx_l=3.91 Ty_l=-2.66 N_l=-5679.46 Mx_l=-0.00 My_l=-2.74 Mz_l=-0.01
Taglio nei bulloni: Fv,Ed=0.80 Fv,Rd=7720.78
Rifollamento lato piastra: Fb,Ed,p=0.79 Fb,Rd,p=9917.35
Tirafondi:LT=0.45 (0.31) σ_{cR}=0.00 σ_{fR}=0.00
Compressione nel calcestruzzo: σ_c=11.89
CC 31 SLV (Collegamento 0024_-381)
Azioni sul collegamento: N=-5679.46 Ty=0.97 Tz=-2.66 Mx=-0.01 Mz=2.02
Sollecitazioni agenti localmente: Tx_l=0.97 Ty_l=-2.66 N_l=-5679.46 Mx_l=-0.00 My_l=2.02 Mz_l=-0.01
Taglio nei bulloni: Fv,Ed=0.48 Fv,Rd=7720.78
Rifollamento lato piastra: Fb,Ed,p=0.48 Fb,Rd,p=7269.21
Tirafondi:LT=0.45 (0.31) σ_{cR}=0.00 σ_{fR}=0.00
Compressione nel calcestruzzo: σ_c=11.85
CC 32 SLD (Collegamento 0024_-381)
Azioni sul collegamento: N=-6757.78 Ty=2.84 Tz=1.57 Mx=-0.00 Mz=0.99
Sollecitazioni agenti localmente: Tx_l=2.84 Ty_l=1.57 N_l=-6757.78 Mx_l=-0.00 My_l=0.99 Mz_l=-0.00
Taglio nei bulloni: Fv,Ed=0.55 Fv,Rd=9650.97
Rifollamento lato piastra: Fb,Ed,p=0.55 Fb,Rd,p=11027.20
Tirafondi:LT=0.45 (0.31) σ_{cR}=0.00 σ_{fR}=0.00

Compressione nel calcestruzzo: σ_c=14.02
CC 32 SLD (Collegamento 0024_-381)
Azioni sul collegamento: N=-6757.78 Ty=3.73 Tz=1.57 Mx=-0.00 Mz=2.45
Sollecitazioni agenti localmente: Tx_l=3.73 Ty_l=1.57 N_l=-6757.78 Mx_l=-0.00 My_l=2.45 Mz_l=-0.00
Taglio nei bulloni: Fv,Ed=0.68 Fv,Rd=9650.97
Rifollamento lato piastra: Fb,Ed,p=0.68 Fb,Rd,p=9522.02
Tirafondi:LT=0.45 (0.31) σ_{cR}=0.00 σ_{fR}=0.00
Compressione nel calcestruzzo: σ_c=14.10
CC 32 SLD (Collegamento 0024_-381)
Azioni sul collegamento: N=-6757.78 Ty=2.84 Tz=-0.34 Mx=-0.00 Mz=0.99
Sollecitazioni agenti localmente: Tx_l=2.84 Ty_l=-0.34 N_l=-6757.78 Mx_l=-0.00 My_l=0.99 Mz_l=-0.00
Taglio nei bulloni: Fv,Ed=0.48 Fv,Rd=9650.97
Rifollamento lato piastra: Fb,Ed,p=0.48 Fb,Rd,p=7604.60
Tirafondi:LT=0.45 (0.31) σ_{cR}=0.00 σ_{fR}=0.00
Compressione nel calcestruzzo: σ_c=14.02
CC 32 SLD (Collegamento 0024_-381)
Azioni sul collegamento: N=-6757.78 Ty=3.73 Tz=-0.34 Mx=-0.00 Mz=2.45
Sollecitazioni agenti localmente: Tx_l=3.73 Ty_l=-0.34 N_l=-6757.78 Mx_l=-0.00 My_l=2.45 Mz_l=-0.00
Taglio nei bulloni: Fv,Ed=0.63 Fv,Rd=9650.97
Rifollamento lato piastra: Fb,Ed,p=0.63 Fb,Rd,p=7549.86
Tirafondi:LT=0.45 (0.31) σ_{cR}=0.00 σ_{fR}=0.00
Compressione nel calcestruzzo: σ_c=14.10
CC 32 SLD (Collegamento 0024_-381)
Azioni sul collegamento: N=-6269.00 Ty=2.84 Tz=1.57 Mx=-0.00 Mz=0.99
Sollecitazioni agenti localmente: Tx_l=2.84 Ty_l=1.57 N_l=-6269.00 Mx_l=-0.00 My_l=0.99 Mz_l=-0.00
Taglio nei bulloni: Fv,Ed=0.55 Fv,Rd=9650.97
Rifollamento lato piastra: Fb,Ed,p=0.55 Fb,Rd,p=11027.20
Tirafondi:LT=0.45 (0.31) σ_{cR}=0.00 σ_{fR}=0.00
Compressione nel calcestruzzo: σ_c=13.01
CC 32 SLD (Collegamento 0024_-381)
Azioni sul collegamento: N=-6269.00 Ty=3.73 Tz=1.57 Mx=-0.00 Mz=2.45
Sollecitazioni agenti localmente: Tx_l=3.73 Ty_l=1.57 N_l=-6269.00 Mx_l=-0.00 My_l=2.45 Mz_l=-0.00
Taglio nei bulloni: Fv,Ed=0.68 Fv,Rd=9650.97
Rifollamento lato piastra: Fb,Ed,p=0.68 Fb,Rd,p=9522.05
Tirafondi:LT=0.45 (0.31) σ_{cR}=0.00 σ_{fR}=0.00
Compressione nel calcestruzzo: σ_c=13.09
CC 32 SLD (Collegamento 0024_-381)
Azioni sul collegamento: N=-6269.00 Ty=2.84 Tz=-0.34 Mx=-0.00 Mz=0.99
Sollecitazioni agenti localmente: Tx_l=2.84 Ty_l=-0.34 N_l=-6269.00 Mx_l=-0.00 My_l=0.99 Mz_l=-0.00
Taglio nei bulloni: Fv,Ed=0.48 Fv,Rd=9650.97
Rifollamento lato piastra: Fb,Ed,p=0.48 Fb,Rd,p=7604.76
Tirafondi:LT=0.45 (0.31) σ_{cR}=0.00 σ_{fR}=0.00
Compressione nel calcestruzzo: σ_c=13.01
CC 32 SLD (Collegamento 0024_-381)
Azioni sul collegamento: N=-6269.00 Ty=3.73 Tz=-0.34 Mx=-0.00 Mz=2.45
Sollecitazioni agenti localmente: Tx_l=3.73 Ty_l=-0.34 N_l=-6269.00 Mx_l=-0.00 My_l=2.45 Mz_l=-0.00
Taglio nei bulloni: Fv,Ed=0.63 Fv,Rd=9650.97
Rifollamento lato piastra: Fb,Ed,p=0.63 Fb,Rd,p=7549.95
Tirafondi:LT=0.45 (0.31) σ_{cR}=0.00 σ_{fR}=0.00
Compressione nel calcestruzzo: σ_c=13.09
CC 33 SLU (Collegamento 0024_-381)
Azioni sul collegamento: N=-30229.20 Ty=5.39 Tz=79.58 Mx=-0.01 Mz=3.85
Sollecitazioni agenti localmente: Tx_l=5.39 Ty_l=79.58 N_l=-30229.20 Mx_l=-0.00 My_l=3.85 Mz_l=-0.01
Taglio nei bulloni: Fv,Ed=13.30 Fv,Rd=7720.78
Rifollamento lato piastra: Fb,Ed,p=13.30 Fb,Rd,p=6019.16
Tirafondi:LT=0.45 (0.31) σ_{cR}=0.00 σ_{fR}=0.00
Compressione nel calcestruzzo: σ_c=62.67
CC 34 SLU (Collegamento 0024_-381)
Azioni sul collegamento: N=-30778.60 Ty=5.67 Tz=81.62 Mx=-0.01 Mz=4.05
Sollecitazioni agenti localmente: Tx_l=5.67 Ty_l=81.62 N_l=-30778.60 Mx_l=-0.00 My_l=4.05 Mz_l=-0.01
Taglio nei bulloni: Fv,Ed=13.64 Fv,Rd=7720.78
Rifollamento lato piastra: Fb,Ed,p=13.64 Fb,Rd,p=6021.31
Tirafondi:LT=0.45 (0.31) σ_{cR}=0.00 σ_{fR}=0.00
Compressione nel calcestruzzo: σ_c=63.82
CC 35 SLU (Collegamento 0024_-381)
Azioni sul collegamento: N=-30504.90 Ty=5.64 Tz=80.58 Mx=-0.01 Mz=4.16
Sollecitazioni agenti localmente: Tx_l=5.64 Ty_l=80.58 N_l=-30504.90 Mx_l=-0.00 My_l=4.16 Mz_l=-0.01
Taglio nei bulloni: Fv,Ed=13.47 Fv,Rd=7720.78
Rifollamento lato piastra: Fb,Ed,p=13.47 Fb,Rd,p=6021.83
Tirafondi:LT=0.45 (0.31) σ_{cR}=0.00 σ_{fR}=0.00
Compressione nel calcestruzzo: σ_c=63.26
CC 36 SLU (Collegamento 0024_-381)
Azioni sul collegamento: N=-30502.90 Ty=5.42 Tz=80.62 Mx=-0.01 Mz=3.73
Sollecitazioni agenti localmente: Tx_l=5.42 Ty_l=80.62 N_l=-30502.90 Mx_l=-0.00 My_l=3.73 Mz_l=-0.01
Taglio nei bulloni: Fv,Ed=13.47 Fv,Rd=7720.78
Rifollamento lato piastra: Fb,Ed,p=13.47 Fb,Rd,p=6018.68
Tirafondi:LT=0.45 (0.31) σ_{cR}=0.00 σ_{fR}=0.00
Compressione nel calcestruzzo: σ_c=63.23

CC 37 SLU (Collegamento 0024_-381)
Azioni sul collegamento: N=-32152.70 Ty=5.24 Tz=86.01 Mx=0.00 Mz=3.86
Sollecitazioni agenti localmente: Tx_l=5.24 Ty_l=86.01 N_l=-32152.70 Mx_l=-0.00 My_l=3.86 Mz_l=0.00
Taglio nei bulloni: Fv,Ed=14.36 Fv,Rd=7720.78
Rifollamento lato piastra: Fb,Ed,p=14.36 Fb,Rd,p=6012.39
Tirafondi:LT=0.45 (0.31) σ_{cR}=0.00 σ_{fR}=0.00
Compressione nel calcestruzzo: σ_c=66.65
CC 38 SLU (Collegamento 0024_-381)
Azioni sul collegamento: N=-32702.10 Ty=5.53 Tz=88.04 Mx=0.00 Mz=4.06
Sollecitazioni agenti localmente: Tx_l=5.53 Ty_l=88.04 N_l=-32702.10 Mx_l=-0.00 My_l=4.06 Mz_l=0.00
Taglio nei bulloni: Fv,Ed=14.71 Fv,Rd=7720.78
Rifollamento lato piastra: Fb,Ed,p=14.71 Fb,Rd,p=6014.37
Tirafondi:LT=0.45 (0.31) σ_{cR}=0.00 σ_{fR}=0.00
Compressione nel calcestruzzo: σ_c=67.80
CC 39 SLU (Collegamento 0024_-381)
Azioni sul collegamento: N=-32428.40 Ty=5.50 Tz=87.00 Mx=0.00 Mz=4.18
Sollecitazioni agenti localmente: Tx_l=5.50 Ty_l=87.00 N_l=-32428.40 Mx_l=-0.00 My_l=4.18 Mz_l=0.00
Taglio nei bulloni: Fv,Ed=14.53 Fv,Rd=7720.78
Rifollamento lato piastra: Fb,Ed,p=14.53 Fb,Rd,p=6014.74
Tirafondi:LT=0.45 (0.31) σ_{cR}=0.00 σ_{fR}=0.00
Compressione nel calcestruzzo: σ_c=67.24
CC 40 SLU (Collegamento 0024_-381)
Azioni sul collegamento: N=-32426.40 Ty=5.28 Tz=87.05 Mx=0.00 Mz=3.74
Sollecitazioni agenti localmente: Tx_l=5.28 Ty_l=87.05 N_l=-32426.40 Mx_l=-0.00 My_l=3.74 Mz_l=0.00
Taglio nei bulloni: Fv,Ed=14.54 Fv,Rd=7720.78
Rifollamento lato piastra: Fb,Ed,p=14.54 Fb,Rd,p=6012.06
Tirafondi:LT=0.45 (0.31) σ_{cR}=0.00 σ_{fR}=0.00
Compressione nel calcestruzzo: σ_c=67.21
CC 41 SLU (Collegamento 0024_-381)
Azioni sul collegamento: N=-20958.20 Ty=6.23 Tz=45.50 Mx=-0.01 Mz=4.43
Sollecitazioni agenti localmente: Tx_l=6.23 Ty_l=45.50 N_l=-20958.20 Mx_l=-0.00 My_l=4.43 Mz_l=-0.01
Taglio nei bulloni: Fv,Ed=7.66 Fv,Rd=7720.78
Rifollamento lato piastra: Fb,Ed,p=7.66 Fb,Rd,p=6143.22
Tirafondi:LT=0.45 (0.31) σ_{cR}=0.00 σ_{fR}=0.00
Compressione nel calcestruzzo: σ_c=43.55
CC 42 SLU (Collegamento 0024_-381)
Azioni sul collegamento: N=-21507.60 Ty=6.52 Tz=47.54 Mx=-0.01 Mz=4.63
Sollecitazioni agenti localmente: Tx_l=6.52 Ty_l=47.54 N_l=-21507.60 Mx_l=-0.00 My_l=4.63 Mz_l=-0.01
Taglio nei bulloni: Fv,Ed=8.01 Fv,Rd=7720.78
Rifollamento lato piastra: Fb,Ed,p=8.00 Fb,Rd,p=6143.51
Tirafondi:LT=0.45 (0.31) σ_{cR}=0.00 σ_{fR}=0.00
Compressione nel calcestruzzo: σ_c=44.70
CC 43 SLU (Collegamento 0024_-381)
Azioni sul collegamento: N=-21233.90 Ty=6.48 Tz=46.50 Mx=-0.01 Mz=4.75
Sollecitazioni agenti localmente: Tx_l=6.48 Ty_l=46.50 N_l=-21233.90 Mx_l=-0.00 My_l=4.75 Mz_l=-0.01
Taglio nei bulloni: Fv,Ed=7.83 Fv,Rd=7720.78
Rifollamento lato piastra: Fb,Ed,p=7.83 Fb,Rd,p=6148.94
Tirafondi:LT=0.45 (0.31) σ_{cR}=0.00 σ_{fR}=0.00
Compressione nel calcestruzzo: σ_c=44.14
CC 44 SLU (Collegamento 0024_-381)
Azioni sul collegamento: N=-21231.90 Ty=6.26 Tz=46.54 Mx=-0.01 Mz=4.31
Sollecitazioni agenti localmente: Tx_l=6.26 Ty_l=46.54 N_l=-21231.90 Mx_l=-0.00 My_l=4.31 Mz_l=-0.01
Taglio nei bulloni: Fv,Ed=7.83 Fv,Rd=7720.78
Rifollamento lato piastra: Fb,Ed,p=7.83 Fb,Rd,p=6137.89
Tirafondi:LT=0.45 (0.31) σ_{cR}=0.00 σ_{fR}=0.00
Compressione nel calcestruzzo: σ_c=44.11
CC 45 SLU (Collegamento 0024_-381)
Azioni sul collegamento: N=-23044.60 Ty=5.94 Tz=53.22 Mx=-0.01 Mz=4.28
Sollecitazioni agenti localmente: Tx_l=5.94 Ty_l=53.22 N_l=-23044.60 Mx_l=-0.00 My_l=4.28 Mz_l=-0.01
Taglio nei bulloni: Fv,Ed=8.93 Fv,Rd=7720.78
Rifollamento lato piastra: Fb,Ed,p=8.93 Fb,Rd,p=6088.00
Tirafondi:LT=0.45 (0.31) σ_{cR}=0.00 σ_{fR}=0.00
Compressione nel calcestruzzo: σ_c=47.85
CC 46 SLU (Collegamento 0024_-381)
Azioni sul collegamento: N=-23594.00 Ty=6.22 Tz=55.25 Mx=-0.01 Mz=4.49
Sollecitazioni agenti localmente: Tx_l=6.22 Ty_l=55.25 N_l=-23594.00 Mx_l=-0.00 My_l=4.49 Mz_l=-0.01
Taglio nei bulloni: Fv,Ed=9.28 Fv,Rd=7720.78
Rifollamento lato piastra: Fb,Ed,p=9.27 Fb,Rd,p=6090.04
Tirafondi:LT=0.45 (0.31) σ_{cR}=0.00 σ_{fR}=0.00
Compressione nel calcestruzzo: σ_c=49.00
CC 47 SLU (Collegamento 0024_-381)
Azioni sul collegamento: N=-23320.30 Ty=6.19 Tz=54.21 Mx=-0.01 Mz=4.60
Sollecitazioni agenti localmente: Tx_l=6.19 Ty_l=54.21 N_l=-23320.30 Mx_l=-0.00 My_l=4.60 Mz_l=-0.01
Taglio nei bulloni: Fv,Ed=9.10 Fv,Rd=7720.78
Rifollamento lato piastra: Fb,Ed,p=9.10 Fb,Rd,p=6092.93
Tirafondi:LT=0.45 (0.31) σ_{cR}=0.00 σ_{fR}=0.00
Compressione nel calcestruzzo: σ_c=48.44
CC 48 SLU (Collegamento 0024_-381)

Azioni sul collegamento: N=-23318.30 Ty=5.97 Tz=54.26 Mx=-0.01 Mz=4.17
Sollecitazioni agenti localmente: Tx_l=5.97 Ty_l=54.26 N_l=-23318.30 Mx_l=-0.00 My_l=4.17 Mz_l=-0.01
Taglio nei bulloni: Fv,Ed=9.10 Fv,Rd=7720.78
Rifollamento lato piastra: Fb,Ed,p=9.10 Fb,Rd,p=6085.22
Tirafondi:LT=0.45 (0.31) σ_{cR}=0.00 σ_{fR}=0.00
Compressione nel calcestruzzo: σ_c=48.41
CC 49 SLU (Collegamento 0024_-381)
Azioni sul collegamento: N=-24483.70 Ty=5.83 Tz=58.03 Mx=0.00 Mz=4.29
Sollecitazioni agenti localmente: Tx_l=5.83 Ty_l=58.03 N_l=-24483.70 Mx_l=-0.00 My_l=4.29 Mz_l=0.00
Taglio nei bulloni: Fv,Ed=9.72 Fv,Rd=7720.78
Rifollamento lato piastra: Fb,Ed,p=9.72 Fb,Rd,p=6068.96
Tirafondi:LT=0.45 (0.31) σ_{cR}=0.00 σ_{fR}=0.00
Compressione nel calcestruzzo: σ_c=50.83
CC 50 SLU (Collegamento 0024_-381)
Azioni sul collegamento: N=-25033.00 Ty=6.12 Tz=60.06 Mx=0.00 Mz=4.50
Sollecitazioni agenti localmente: Tx_l=6.12 Ty_l=60.06 N_l=-25033.00 Mx_l=-0.00 My_l=4.50 Mz_l=0.00
Taglio nei bulloni: Fv,Ed=10.06 Fv,Rd=7720.78
Rifollamento lato piastra: Fb,Ed,p=10.06 Fb,Rd,p=6071.30
Tirafondi:LT=0.45 (0.31) σ_{cR}=0.00 σ_{fR}=0.00
Compressione nel calcestruzzo: σ_c=51.97
CC 51 SLU (Collegamento 0024_-381)
Azioni sul collegamento: N=-24759.30 Ty=6.08 Tz=59.02 Mx=-0.00 Mz=4.61
Sollecitazioni agenti localmente: Tx_l=6.08 Ty_l=59.02 N_l=-24759.30 Mx_l=-0.00 My_l=4.61 Mz_l=-0.00
Taglio nei bulloni: Fv,Ed=9.89 Fv,Rd=7720.78
Rifollamento lato piastra: Fb,Ed,p=9.89 Fb,Rd,p=6073.41
Tirafondi:LT=0.45 (0.31) σ_{cR}=0.00 σ_{fR}=0.00
Compressione nel calcestruzzo: σ_c=51.42
CC 52 SLU (Collegamento 0024_-381)
Azioni sul collegamento: N=-24757.40 Ty=5.87 Tz=59.07 Mx=0.00 Mz=4.18
Sollecitazioni agenti localmente: Tx_l=5.87 Ty_l=59.07 N_l=-24757.40 Mx_l=-0.00 My_l=4.18 Mz_l=0.00
Taglio nei bulloni: Fv,Ed=9.89 Fv,Rd=7720.78
Rifollamento lato piastra: Fb,Ed,p=9.89 Fb,Rd,p=6066.92
Tirafondi:LT=0.45 (0.31) σ_{cR}=0.00 σ_{fR}=0.00
Compressione nel calcestruzzo: σ_c=51.39
CC 53 SLU (Collegamento 0024_-381)
Azioni sul collegamento: N=-16108.60 Ty=6.57 Tz=27.72 Mx=-0.01 Mz=4.72
Sollecitazioni agenti localmente: Tx_l=6.57 Ty_l=27.72 N_l=-16108.60 Mx_l=-0.00 My_l=4.72 Mz_l=-0.01
Taglio nei bulloni: Fv,Ed=4.76 Fv,Rd=7720.78
Rifollamento lato piastra: Fb,Ed,p=4.75 Fb,Rd,p=6471.62
Tirafondi:LT=0.45 (0.31) σ_{cR}=0.00 σ_{fR}=0.00
Compressione nel calcestruzzo: σ_c=33.55
CC 54 SLU (Collegamento 0024_-381)
Azioni sul collegamento: N=-16657.90 Ty=6.86 Tz=29.76 Mx=-0.01 Mz=4.92
Sollecitazioni agenti localmente: Tx_l=6.86 Ty_l=29.76 N_l=-16657.90 Mx_l=-0.00 My_l=4.92 Mz_l=-0.01
Taglio nei bulloni: Fv,Ed=5.10 Fv,Rd=7720.78
Rifollamento lato piastra: Fb,Ed,p=5.10 Fb,Rd,p=6444.30
Tirafondi:LT=0.45 (0.31) σ_{cR}=0.00 σ_{fR}=0.00
Compressione nel calcestruzzo: σ_c=34.69
CC 55 SLU (Collegamento 0024_-381)
Azioni sul collegamento: N=-16384.20 Ty=6.82 Tz=28.72 Mx=-0.01 Mz=5.04
Sollecitazioni agenti localmente: Tx_l=6.82 Ty_l=28.72 N_l=-16384.20 Mx_l=-0.00 My_l=5.04 Mz_l=-0.01
Taglio nei bulloni: Fv,Ed=4.93 Fv,Rd=7720.78
Rifollamento lato piastra: Fb,Ed,p=4.93 Fb,Rd,p=6473.06
Tirafondi:LT=0.45 (0.31) σ_{cR}=0.00 σ_{fR}=0.00
Compressione nel calcestruzzo: σ_c=34.14
CC 56 SLU (Collegamento 0024_-381)
Azioni sul collegamento: N=-16382.30 Ty=6.60 Tz=28.76 Mx=-0.01 Mz=4.60
Sollecitazioni agenti localmente: Tx_l=6.60 Ty_l=28.76 N_l=-16382.30 Mx_l=-0.00 My_l=4.60 Mz_l=-0.01
Taglio nei bulloni: Fv,Ed=4.93 Fv,Rd=7720.78
Rifollamento lato piastra: Fb,Ed,p=4.92 Fb,Rd,p=6441.97
Tirafondi:LT=0.45 (0.31) σ_{cR}=0.00 σ_{fR}=0.00
Compressione nel calcestruzzo: σ_c=34.11
CC 57 SLU (Collegamento 0024_-381)
Azioni sul collegamento: N=-23426.90 Ty=6.35 Tz=54.67 Mx=-0.01 Mz=4.58
Sollecitazioni agenti localmente: Tx_l=6.35 Ty_l=54.67 N_l=-23426.90 Mx_l=-0.00 My_l=4.58 Mz_l=-0.01
Taglio nei bulloni: Fv,Ed=9.18 Fv,Rd=7720.78
Rifollamento lato piastra: Fb,Ed,p=9.18 Fb,Rd,p=6097.21
Tirafondi:LT=0.45 (0.31) σ_{cR}=0.00 σ_{fR}=0.00
Compressione nel calcestruzzo: σ_c=48.66
CC 58 SLU (Collegamento 0024_-381)
Azioni sul collegamento: N=-23976.20 Ty=6.64 Tz=56.70 Mx=-0.01 Mz=4.78
Sollecitazioni agenti localmente: Tx_l=6.64 Ty_l=56.70 N_l=-23976.20 Mx_l=-0.00 My_l=4.78 Mz_l=-0.01
Taglio nei bulloni: Fv,Ed=9.52 Fv,Rd=7720.78
Rifollamento lato piastra: Fb,Ed,p=9.52 Fb,Rd,p=6098.94
Tirafondi:LT=0.45 (0.31) σ_{cR}=0.00 σ_{fR}=0.00
Compressione nel calcestruzzo: σ_c=49.81
CC 59 SLU (Collegamento 0024_-381)
Azioni sul collegamento: N=-23702.50 Ty=6.61 Tz=55.66 Mx=-0.01 Mz=4.90

Sollecitazioni agenti localmente: Tx_l=6.61 Ty_l=55.66 N_l=-23702.50 Mx_l=-0.00 My_l=4.90 Mz_l=-0.01
Taglio nei bulloni: Fv,Ed=9.35 Fv,Rd=7720.78
Rifollamento lato piastra: Fb,Ed,p=9.35 Fb,Rd,p=6102.04
Tirafondi:LT=0.45 (0.31) σ_{cR}=0.00 σ_{fR}=0.00
Compressione nel calcestruzzo: σ_c=49.25
CC 60 SLU (Collegamento 0024_-381)
Azioni sul collegamento: N=-23700.60 Ty=6.39 Tz=55.71 Mx=-0.01 Mz=4.46
Sollecitazioni agenti localmente: Tx_l=6.39 Ty_l=55.71 N_l=-23700.60 Mx_l=-0.00 My_l=4.46 Mz_l=-0.01
Taglio nei bulloni: Fv,Ed=9.35 Fv,Rd=7720.78
Rifollamento lato piastra: Fb,Ed,p=9.35 Fb,Rd,p=6094.22
Tirafondi:LT=0.45 (0.31) σ_{cR}=0.00 σ_{fR}=0.00
Compressione nel calcestruzzo: σ_c=49.22
CC 61 SLU (Collegamento 0024_-381)
Azioni sul collegamento: N=-24865.90 Ty=6.25 Tz=59.47 Mx=0.00 Mz=4.59
Sollecitazioni agenti localmente: Tx_l=6.25 Ty_l=59.47 N_l=-24865.90 Mx_l=-0.00 My_l=4.59 Mz_l=0.00
Taglio nei bulloni: Fv,Ed=9.97 Fv,Rd=7720.78
Rifollamento lato piastra: Fb,Ed,p=9.97 Fb,Rd,p=6077.14
Tirafondi:LT=0.45 (0.31) σ_{cR}=0.00 σ_{fR}=0.00
Compressione nel calcestruzzo: σ_c=51.63
CC 62 SLU (Collegamento 0024_-381)
Azioni sul collegamento: N=-25415.30 Ty=6.53 Tz=61.51 Mx=-0.00 Mz=4.79
Sollecitazioni agenti localmente: Tx_l=6.53 Ty_l=61.51 N_l=-25415.30 Mx_l=-0.00 My_l=4.79 Mz_l=-0.00
Taglio nei bulloni: Fv,Ed=10.31 Fv,Rd=7720.78
Rifollamento lato piastra: Fb,Ed,p=10.31 Fb,Rd,p=6079.24
Tirafondi:LT=0.45 (0.31) σ_{cR}=0.00 σ_{fR}=0.00
Compressione nel calcestruzzo: σ_c=52.78
CC 63 SLU (Collegamento 0024_-381)
Azioni sul collegamento: N=-25141.60 Ty=6.50 Tz=60.47 Mx=-0.00 Mz=4.91
Sollecitazioni agenti localmente: Tx_l=6.50 Ty_l=60.47 N_l=-25141.60 Mx_l=-0.00 My_l=4.91 Mz_l=-0.00
Taglio nei bulloni: Fv,Ed=10.14 Fv,Rd=7720.78
Rifollamento lato piastra: Fb,Ed,p=10.14 Fb,Rd,p=6081.52
Tirafondi:LT=0.45 (0.31) σ_{cR}=0.00 σ_{fR}=0.00
Compressione nel calcestruzzo: σ_c=52.22
CC 64 SLU (Collegamento 0024_-381)
Azioni sul collegamento: N=-25139.60 Ty=6.28 Tz=60.51 Mx=0.00 Mz=4.47
Sollecitazioni agenti localmente: Tx_l=6.28 Ty_l=60.51 N_l=-25139.60 Mx_l=-0.00 My_l=4.47 Mz_l=0.00
Taglio nei bulloni: Fv,Ed=10.14 Fv,Rd=7720.78
Rifollamento lato piastra: Fb,Ed,p=10.14 Fb,Rd,p=6074.92
Tirafondi:LT=0.45 (0.31) σ_{cR}=0.00 σ_{fR}=0.00
Compressione nel calcestruzzo: σ_c=52.19
CC 65 SLU (Collegamento 0024_-381)
Azioni sul collegamento: N=-16490.80 Ty=6.99 Tz=29.17 Mx=-0.01 Mz=5.02
Sollecitazioni agenti localmente: Tx_l=6.99 Ty_l=29.17 N_l=-16490.80 Mx_l=-0.00 My_l=5.02 Mz_l=-0.01
Taglio nei bulloni: Fv,Ed=5.01 Fv,Rd=7720.78
Rifollamento lato piastra: Fb,Ed,p=5.00 Fb,Rd,p=6481.85
Tirafondi:LT=0.45 (0.31) σ_{cR}=0.00 σ_{fR}=0.00
Compressione nel calcestruzzo: σ_c=34.35
CC 66 SLU (Collegamento 0024_-381)
Azioni sul collegamento: N=-17040.20 Ty=7.27 Tz=31.20 Mx=-0.01 Mz=5.22
Sollecitazioni agenti localmente: Tx_l=7.27 Ty_l=31.20 N_l=-17040.20 Mx_l=-0.00 My_l=5.22 Mz_l=-0.01
Taglio nei bulloni: Fv,Ed=5.35 Fv,Rd=7720.78
Rifollamento lato piastra: Fb,Ed,p=5.35 Fb,Rd,p=6454.85
Tirafondi:LT=0.45 (0.31) σ_{cR}=0.00 σ_{fR}=0.00
Compressione nel calcestruzzo: σ_c=35.50
CC 67 SLU (Collegamento 0024_-381)
Azioni sul collegamento: N=-16766.50 Ty=7.24 Tz=30.16 Mx=-0.01 Mz=5.34
Sollecitazioni agenti localmente: Tx_l=7.24 Ty_l=30.16 N_l=-16766.50 Mx_l=-0.00 My_l=5.34 Mz_l=-0.01
Taglio nei bulloni: Fv,Ed=5.18 Fv,Rd=7720.78
Rifollamento lato piastra: Fb,Ed,p=5.18 Fb,Rd,p=6482.90
Tirafondi:LT=0.45 (0.31) σ_{cR}=0.00 σ_{fR}=0.00
Compressione nel calcestruzzo: σ_c=34.94
CC 68 SLU (Collegamento 0024_-381)
Azioni sul collegamento: N=-16764.50 Ty=7.02 Tz=30.21 Mx=-0.01 Mz=4.90
Sollecitazioni agenti localmente: Tx_l=7.02 Ty_l=30.21 N_l=-16764.50 Mx_l=-0.00 My_l=4.90 Mz_l=-0.01
Taglio nei bulloni: Fv,Ed=5.18 Fv,Rd=7720.78
Rifollamento lato piastra: Fb,Ed,p=5.17 Fb,Rd,p=6452.96
Tirafondi:LT=0.45 (0.31) σ_{cR}=0.00 σ_{fR}=0.00
Compressione nel calcestruzzo: σ_c=34.91
CC 97 SLU (Collegamento 0024_-381)
Azioni sul collegamento: N=-10609.80 Ty=16.63 Tz=15.80 Mx=0.03 Mz=19.66
Sollecitazioni agenti localmente: Tx_l=16.63 Ty_l=15.80 N_l=-10609.80 Mx_l=-0.00 My_l=19.66 Mz_l=0.03
Taglio nei bulloni: Fv,Ed=3.87 Fv,Rd=7720.78
Rifollamento lato piastra: Fb,Ed,p=3.83 Fb,Rd,p=11592.50
Tirafondi:LT=0.45 (0.31) σ_{cR}=0.00 σ_{fR}=0.00
Compressione nel calcestruzzo: σ_c=23.03
CC 98 SLU (Collegamento 0024_-381)
Azioni sul collegamento: N=-11159.10 Ty=16.91 Tz=17.84 Mx=0.03 Mz=19.86
Sollecitazioni agenti localmente: Tx_l=16.91 Ty_l=17.84 N_l=-11159.10 Mx_l=-0.00 My_l=19.86 Mz_l=0.03

Taglio nei bulloni: Fv,Ed=4.14 Fv,Rd=7720.78
Rifollamento lato piastra: Fb,Ed,p=4.14 Fb,Rd,p=11715.30
Tirafondi:LT=0.45 (0.31) σ_{cR}=0.00 σ_{fR}=0.00
Compressione nel calcestruzzo: σ_c=24.18
CC 99 SLU (Collegamento 0024_-381)
Azioni sul collegamento: N=-10885.40 Ty=16.88 Tz=16.80 Mx=0.03 Mz=19.98
Sollecitazioni agenti localmente: Tx_l=16.88 Ty_l=16.80 N_l=-10885.40 Mx_l=-0.00 My_l=19.98 Mz_l=0.03
Taglio nei bulloni: Fv,Ed=4.01 Fv,Rd=7720.78
Rifollamento lato piastra: Fb,Ed,p=3.97 Fb,Rd,p=11857.70
Tirafondi:LT=0.45 (0.31) σ_{cR}=0.00 σ_{fR}=0.00
Compressione nel calcestruzzo: σ_c=23.62
CC 100 SLU (Collegamento 0024_-381)
Azioni sul collegamento: N=-10883.50 Ty=16.66 Tz=16.84 Mx=0.03 Mz=19.55
Sollecitazioni agenti localmente: Tx_l=16.66 Ty_l=16.84 N_l=-10883.50 Mx_l=-0.00 My_l=19.55 Mz_l=0.03
Taglio nei bulloni: Fv,Ed=4.00 Fv,Rd=7720.78
Rifollamento lato piastra: Fb,Ed,p=4.00 Fb,Rd,p=11955.10
Tirafondi:LT=0.45 (0.31) σ_{cR}=0.00 σ_{fR}=0.00
Compressione nel calcestruzzo: σ_c=23.59
CC 101 SLU (Collegamento 0024_-381)
Azioni sul collegamento: N=-6606.14 Ty=1.32 Tz=0.91 Mx=-0.01 Mz=0.13
Sollecitazioni agenti localmente: Tx_l=1.32 Ty_l=0.91 N_l=-6606.14 Mx_l=-0.00 My_l=0.13 Mz_l=-0.01
Taglio nei bulloni: Fv,Ed=0.28 Fv,Rd=7720.78
Rifollamento lato piastra: Fb,Ed,p=0.28 Fb,Rd,p=10354.90
Tirafondi:LT=0.45 (0.31) σ_{cR}=0.00 σ_{fR}=0.00
Compressione nel calcestruzzo: σ_c=13.66
CC 102 SLU (Collegamento 0024_-381)
Azioni sul collegamento: N=-7155.53 Ty=1.61 Tz=2.94 Mx=-0.01 Mz=0.33
Sollecitazioni agenti localmente: Tx_l=1.61 Ty_l=2.94 N_l=-7155.53 Mx_l=-0.00 My_l=0.33 Mz_l=-0.01
Taglio nei bulloni: Fv,Ed=0.57 Fv,Rd=7720.78
Rifollamento lato piastra: Fb,Ed,p=0.56 Fb,Rd,p=8413.08
Tirafondi:LT=0.45 (0.31) σ_{cR}=0.00 σ_{fR}=0.00
Compressione nel calcestruzzo: σ_c=14.80
CC 103 SLU (Collegamento 0024_-381)
Azioni sul collegamento: N=-6881.82 Ty=1.58 Tz=1.90 Mx=-0.01 Mz=0.45
Sollecitazioni agenti localmente: Tx_l=1.58 Ty_l=1.90 N_l=-6881.82 Mx_l=-0.00 My_l=0.45 Mz_l=-0.01
Taglio nei bulloni: Fv,Ed=0.43 Fv,Rd=7720.78
Rifollamento lato piastra: Fb,Ed,p=0.41 Fb,Rd,p=10746.50
Tirafondi:LT=0.45 (0.31) σ_{cR}=0.00 σ_{fR}=0.00
Compressione nel calcestruzzo: σ_c=14.24
CC 104 SLU (Collegamento 0024_-381)
Azioni sul collegamento: N=-6879.85 Ty=1.36 Tz=1.95 Mx=-0.01 Mz=0.01
Sollecitazioni agenti localmente: Tx_l=1.36 Ty_l=1.95 N_l=-6879.85 Mx_l=-0.00 My_l=0.01 Mz_l=-0.01
Taglio nei bulloni: Fv,Ed=0.41 Fv,Rd=7720.78
Rifollamento lato piastra: Fb,Ed,p=0.40 Fb,Rd,p=9910.27
Tirafondi:LT=0.45 (0.31) σ_{cR}=0.00 σ_{fR}=0.00
Compressione nel calcestruzzo: σ_c=14.22

Saldatura profilo-piastra

CC 1 SLV (Collegamento 0024_-381)
Azioni sul collegamento: N=-3931.62 Ty=6.55 Tz=-8.98 Mx=0.01 Mz=7.22
Sollecitazioni agenti localmente: Tx_l=6.55 Ty_l=-8.98 N_l=-3931.62 My_l=-7.22 Mz_l=0.01
Azioni sul cordone: TP=0.47 TO=-0.65 NO=-290.63
Tensioni nel cordone: τ_P=0.15 τ_0=0.21 σ_0=102.92 σ_{ID}=102.92 Σ_T=103.13
CC 1 SLV (Collegamento 0024_-381)
Azioni sul collegamento: N=-3931.62 Ty=3.19 Tz=-8.98 Mx=0.01 Mz=4.04
Sollecitazioni agenti localmente: Tx_l=3.19 Ty_l=-8.98 N_l=-3931.62 My_l=-4.04 Mz_l=0.01
Azioni sul cordone: TP=0.22 TO=-0.65 NO=-290.63
Tensioni nel cordone: τ_P= 0.07 τ_0=0.21 σ_0=98.27 σ_{ID}=98.28 Σ_T=98.48
CC 1 SLV (Collegamento 0024_-381)
Azioni sul collegamento: N=-3931.62 Ty=6.55 Tz=10.69 Mx=0.01 Mz=7.22
Sollecitazioni agenti localmente: Tx_l=6.55 Ty_l=10.69 N_l=-3931.62 My_l=-7.22 Mz_l=0.01
Azioni sul cordone: TP=0.47 TO=0.80 NO=-290.63
Tensioni nel cordone: τ_P=0.15 τ_0=0.25 σ_0=102.92 σ_{ID}=102.92 Σ_T=103.18
CC 1 SLV (Collegamento 0024_-381)
Azioni sul collegamento: N=-3931.62 Ty=3.19 Tz=10.69 Mx=0.01 Mz=4.04
Sollecitazioni agenti localmente: Tx_l=3.19 Ty_l=10.69 N_l=-3931.62 My_l=-4.04 Mz_l=0.01
Azioni sul cordone: TP=0.22 TO=0.80 NO=-290.63
Tensioni nel cordone: τ_P= 0.07 τ_0=0.25 σ_0=98.27 σ_{ID}=98.28 Σ_T=98.53
CC 1 SLV (Collegamento 0024_-381)
Azioni sul collegamento: N=-9217.12 Ty=6.55 Tz=-8.98 Mx=0.01 Mz=7.22
Sollecitazioni agenti localmente: Tx_l=6.55 Ty_l=-8.98 N_l=-9217.12 My_l=-7.22 Mz_l=0.01
Azioni sul cordone: TP=0.47 TO=-0.65 NO=-681.33
Tensioni nel cordone: τ_P=0.15 τ_0=0.21 σ_0=227.11 σ_{ID}=227.11 Σ_T=227.32
CC 1 SLV (Collegamento 0024_-381)
Azioni sul collegamento: N=-9217.12 Ty=3.19 Tz=-8.98 Mx=0.01 Mz=4.04
Sollecitazioni agenti localmente: Tx_l=3.19 Ty_l=-8.98 N_l=-9217.12 My_l=-4.04 Mz_l=0.01
Azioni sul cordone: TP=0.22 TO=-0.65 NO=-681.33
Tensioni nel cordone: τ_P= 0.07 τ_0=0.21 σ_0=222.46 σ_{ID}=222.46 Σ_T=222.67

CC 1 SLV (Collegamento 0024_-381)
Azioni sul collegamento: N=-9217.12 Ty=6.55 Tz=10.69 Mx=0.01 Mz=7.22
Sollecitazioni agenti localmente: Tx_l=6.55 Ty_l=10.69 N_l=-9217.12 My_l=-7.22 Mz_l=0.01
Azioni sul cordone: TP=0.47 TO=0.80 NO=-681.33
Tensioni nel cordone: τ_P=0.15 τ_0=0.25 σ_0=227.11 σ_{ID}=227.11 Σ_T=227.36
CC 1 SLV (Collegamento 0024_-381)
Azioni sul collegamento: N=-9217.12 Ty=3.19 Tz=10.69 Mx=0.01 Mz=4.04
Sollecitazioni agenti localmente: Tx_l=3.19 Ty_l=10.69 N_l=-9217.12 My_l=-4.04 Mz_l=0.01
Azioni sul cordone: TP=0.22 TO=0.80 NO=-681.33
Tensioni nel cordone: τ_P= 0.07 τ_0=0.25 σ_0=222.46 σ_{ID}=222.46 Σ_T=222.72
CC 2 SLD (Collegamento 0024_-381)
Azioni sul collegamento: N=-5736.03 Ty=4.54 Tz=-2.27 Mx=0.00 Mz=4.03
Sollecitazioni agenti localmente: Tx_l=4.54 Ty_l=-2.27 N_l=-5736.03 My_l=-4.03 Mz_l=0.00
Azioni sul cordone: TP=0.33 TO=-0.17 NO=-424.01
Tensioni nel cordone: τ_P=0.11 τ_0= 0.05 σ_0=140.66 σ_{ID}=140.66 Σ_T=140.72
CC 2 SLD (Collegamento 0024_-381)
Azioni sul collegamento: N=-5736.03 Ty=3.51 Tz=-2.27 Mx=0.00 Mz=3.06
Sollecitazioni agenti localmente: Tx_l=3.51 Ty_l=-2.27 N_l=-5736.03 My_l=-3.06 Mz_l=0.00
Azioni sul cordone: TP=0.26 TO=-0.17 NO=-424.01
Tensioni nel cordone: τ_P= 0.08 τ_0= 0.05 σ_0=139.25 σ_{ID}=139.25 Σ_T=139.30
CC 2 SLD (Collegamento 0024_-381)
Azioni sul collegamento: N=-5736.03 Ty=4.54 Tz=3.73 Mx=0.00 Mz=4.03
Sollecitazioni agenti localmente: Tx_l=4.54 Ty_l=3.73 N_l=-5736.03 My_l=-4.03 Mz_l=0.00
Azioni sul cordone: TP=0.33 TO=0.28 NO=-424.01
Tensioni nel cordone: τ_P=0.11 τ_0= 0.09 σ_0=140.66 σ_{ID}=140.66 Σ_T=140.75
CC 2 SLD (Collegamento 0024_-381)
Azioni sul collegamento: N=-5736.03 Ty=3.51 Tz=3.73 Mx=0.00 Mz=3.06
Sollecitazioni agenti localmente: Tx_l=3.51 Ty_l=3.73 N_l=-5736.03 My_l=-3.06 Mz_l=0.00
Azioni sul cordone: TP=0.26 TO=0.28 NO=-424.01
Tensioni nel cordone: τ_P= 0.08 τ_0= 0.09 σ_0=139.25 σ_{ID}=139.25 Σ_T=139.33
CC 2 SLD (Collegamento 0024_-381)
Azioni sul collegamento: N=-7347.75 Ty=4.54 Tz=-2.27 Mx=0.00 Mz=4.03
Sollecitazioni agenti localmente: Tx_l=4.54 Ty_l=-2.27 N_l=-7347.75 My_l=-4.03 Mz_l=0.00
Azioni sul cordone: TP=0.33 TO=-0.17 NO=-543.15
Tensioni nel cordone: τ_P=0.11 τ_0= 0.05 σ_0=178.53 σ_{ID}=178.53 Σ_T=178.58
CC 2 SLD (Collegamento 0024_-381)
Azioni sul collegamento: N=-7347.75 Ty=3.51 Tz=-2.27 Mx=0.00 Mz=3.06
Sollecitazioni agenti localmente: Tx_l=3.51 Ty_l=-2.27 N_l=-7347.75 My_l=-3.06 Mz_l=0.00
Azioni sul cordone: TP=0.26 TO=-0.17 NO=-543.15
Tensioni nel cordone: τ_P= 0.08 τ_0= 0.05 σ_0=177.11 σ_{ID}=177.11 Σ_T=177.17
CC 2 SLD (Collegamento 0024_-381)
Azioni sul collegamento: N=-7347.75 Ty=4.54 Tz=3.73 Mx=0.00 Mz=4.03
Sollecitazioni agenti localmente: Tx_l=4.54 Ty_l=3.73 N_l=-7347.75 My_l=-4.03 Mz_l=0.00
Azioni sul cordone: TP=0.33 TO=0.28 NO=-543.15
Tensioni nel cordone: τ_P=0.11 τ_0= 0.09 σ_0=178.53 σ_{ID}=178.53 Σ_T=178.62
CC 2 SLD (Collegamento 0024_-381)
Azioni sul collegamento: N=-7347.75 Ty=3.51 Tz=3.73 Mx=0.00 Mz=3.06
Sollecitazioni agenti localmente: Tx_l=3.51 Ty_l=3.73 N_l=-7347.75 My_l=-3.06 Mz_l=0.00
Azioni sul cordone: TP=0.26 TO=0.28 NO=-543.15
Tensioni nel cordone: τ_P= 0.08 τ_0= 0.09 σ_0=177.11 σ_{ID}=177.11 Σ_T=177.20
CC 3 SLV (Collegamento 0024_-381)
Azioni sul collegamento: N=-3937.31 Ty=5.92 Tz=-8.85 Mx=0.01 Mz=5.96
Sollecitazioni agenti localmente: Tx_l=5.92 Ty_l=-8.85 N_l=-3937.31 My_l=-5.96 Mz_l=0.01
Azioni sul cordone: TP=0.43 TO=-0.65 NO=-291.05
Tensioni nel cordone: τ_P=0.14 τ_0=0.21 σ_0=101.22 σ_{ID}=101.22 Σ_T=101.43
CC 3 SLV (Collegamento 0024_-381)
Azioni sul collegamento: N=-3937.31 Ty=3.82 Tz=-8.85 Mx=0.01 Mz=5.30
Sollecitazioni agenti localmente: Tx_l=3.82 Ty_l=-8.85 N_l=-3937.31 My_l=-5.30 Mz_l=0.01
Azioni sul cordone: TP=0.27 TO=-0.65 NO=-291.05
Tensioni nel cordone: τ_P= 0.09 τ_0=0.21 σ_0=100.25 σ_{ID}=100.25 Σ_T=100.45
CC 3 SLV (Collegamento 0024_-381)
Azioni sul collegamento: N=-3937.31 Ty=5.92 Tz=10.56 Mx=0.01 Mz=5.96
Sollecitazioni agenti localmente: Tx_l=5.92 Ty_l=10.56 N_l=-3937.31 My_l=-5.96 Mz_l=0.01
Azioni sul cordone: TP=0.43 TO=0.79 NO=-291.05
Tensioni nel cordone: τ_P=0.14 τ_0=0.25 σ_0=101.22 σ_{ID}=101.22 Σ_T=101.47
CC 3 SLV (Collegamento 0024_-381)
Azioni sul collegamento: N=-3937.31 Ty=3.82 Tz=10.56 Mx=0.01 Mz=5.30
Sollecitazioni agenti localmente: Tx_l=3.82 Ty_l=10.56 N_l=-3937.31 My_l=-5.30 Mz_l=0.01
Azioni sul cordone: TP=0.27 TO=0.79 NO=-291.05
Tensioni nel cordone: τ_P= 0.09 τ_0=0.25 σ_0=100.25 σ_{ID}=100.25 Σ_T=100.50
CC 3 SLV (Collegamento 0024_-381)
Azioni sul collegamento: N=-9211.43 Ty=5.92 Tz=-8.85 Mx=0.01 Mz=5.96
Sollecitazioni agenti localmente: Tx_l=5.92 Ty_l=-8.85 N_l=-9211.43 My_l=-5.96 Mz_l=0.01
Azioni sul cordone: TP=0.43 TO=-0.65 NO=-680.91
Tensioni nel cordone: τ_P=0.14 τ_0=0.21 σ_0=225.14 σ_{ID}=225.14 Σ_T=225.34
CC 3 SLV (Collegamento 0024_-381)
Azioni sul collegamento: N=-9211.43 Ty=3.82 Tz=-8.85 Mx=0.01 Mz=5.30
Sollecitazioni agenti localmente: Tx_l=3.82 Ty_l=-8.85 N_l=-9211.43 My_l=-5.30 Mz_l=0.01
Azioni sul cordone: TP=0.27 TO=-0.65 NO=-680.91

Tensioni nel cordone: τ_P= 0.09 τ_0=0.21 σ_0=224.16 σ_{ID}=224.16 Σ_T=224.37
CC 3 SLV (Collegamento 0024_-381)
Azioni sul collegamento: N=-9211.43 Ty=5.92 Tz=10.56 Mx=0.01 Mz=5.96
Sollecitazioni agenti localmente: Tx_l=5.92 Ty_l=10.56 N_l=-9211.43 My_l=-5.96 Mz_l=0.01
Azioni sul cordone: TP=0.43 TO=0.79 NO=-680.91
Tensioni nel cordone: τ_P=0.14 τ_0=0.25 σ_0=225.14 σ_{ID}=225.14 Σ_T=225.39
CC 3 SLV (Collegamento 0024_-381)
Azioni sul collegamento: N=-9211.43 Ty=3.82 Tz=10.56 Mx=0.01 Mz=5.30
Sollecitazioni agenti localmente: Tx_l=3.82 Ty_l=10.56 N_l=-9211.43 My_l=-5.30 Mz_l=0.01
Azioni sul cordone: TP=0.27 TO=0.79 NO=-680.91
Tensioni nel cordone: τ_P= 0.09 τ_0=0.25 σ_0=224.16 σ_{ID}=224.16 Σ_T=224.41
CC 4 SLD (Collegamento 0024_-381)
Azioni sul collegamento: N=-5737.77 Ty=4.34 Tz=-2.23 Mx=0.00 Mz=3.65
Sollecitazioni agenti localmente: Tx_l=4.34 Ty_l=-2.23 N_l=-5737.77 My_l=-3.65 Mz_l=0.00
Azioni sul cordone: TP=0.32 TO=-0.16 NO=-424.14
Tensioni nel cordone: τ_P=0.10 τ_0= 0.05 σ_0=140.14 σ_{ID}=140.14 Σ_T=140.19
CC 4 SLD (Collegamento 0024_-381)
Azioni sul collegamento: N=-5737.77 Ty=3.71 Tz=-2.23 Mx=0.00 Mz=3.45
Sollecitazioni agenti localmente: Tx_l=3.71 Ty_l=-2.23 N_l=-5737.77 My_l=-3.45 Mz_l=0.00
Azioni sul cordone: TP=0.27 TO=-0.16 NO=-424.14
Tensioni nel cordone: τ_P= 0.09 τ_0= 0.05 σ_0=139.84 σ_{ID}=139.84 Σ_T=139.90
CC 4 SLD (Collegamento 0024_-381)
Azioni sul collegamento: N=-5737.77 Ty=4.34 Tz=3.69 Mx=0.00 Mz=3.65
Sollecitazioni agenti localmente: Tx_l=4.34 Ty_l=3.69 N_l=-5737.77 My_l=-3.65 Mz_l=0.00
Azioni sul cordone: TP=0.32 TO=0.27 NO=-424.14
Tensioni nel cordone: τ_P=0.10 τ_0= 0.09 σ_0=140.14 σ_{ID}=140.14 Σ_T=140.23
CC 4 SLD (Collegamento 0024_-381)
Azioni sul collegamento: N=-5737.77 Ty=3.71 Tz=3.69 Mx=0.00 Mz=3.45
Sollecitazioni agenti localmente: Tx_l=3.71 Ty_l=3.69 N_l=-5737.77 My_l=-3.45 Mz_l=0.00
Azioni sul cordone: TP=0.27 TO=0.27 NO=-424.14
Tensioni nel cordone: τ_P= 0.09 τ_0= 0.09 σ_0=139.84 σ_{ID}=139.84 Σ_T=139.93
CC 4 SLD (Collegamento 0024_-381)
Azioni sul collegamento: N=-7346.01 Ty=4.34 Tz=-2.23 Mx=0.00 Mz=3.65
Sollecitazioni agenti localmente: Tx_l=4.34 Ty_l=-2.23 N_l=-7346.01 My_l=-3.65 Mz_l=0.00
Azioni sul cordone: TP=0.32 TO=-0.16 NO=-543.02
Tensioni nel cordone: τ_P=0.10 τ_0= 0.05 σ_0=177.93 σ_{ID}=177.93 Σ_T=177.98
CC 4 SLD (Collegamento 0024_-381)
Azioni sul collegamento: N=-7346.01 Ty=3.71 Tz=-2.23 Mx=0.00 Mz=3.45
Sollecitazioni agenti localmente: Tx_l=3.71 Ty_l=-2.23 N_l=-7346.01 My_l=-3.45 Mz_l=0.00
Azioni sul cordone: TP=0.27 TO=-0.16 NO=-543.02
Tensioni nel cordone: τ_P= 0.09 τ_0= 0.05 σ_0=177.63 σ_{ID}=177.63 Σ_T=177.68
CC 4 SLD (Collegamento 0024_-381)
Azioni sul collegamento: N=-7346.01 Ty=4.34 Tz=3.69 Mx=0.00 Mz=3.65
Sollecitazioni agenti localmente: Tx_l=4.34 Ty_l=3.69 N_l=-7346.01 My_l=-3.65 Mz_l=0.00
Azioni sul cordone: TP=0.32 TO=0.27 NO=-543.02
Tensioni nel cordone: τ_P=0.10 τ_0= 0.09 σ_0=177.93 σ_{ID}=177.93 Σ_T=178.02
CC 4 SLD (Collegamento 0024_-381)
Azioni sul collegamento: N=-7346.01 Ty=3.71 Tz=3.69 Mx=0.00 Mz=3.45
Sollecitazioni agenti localmente: Tx_l=3.71 Ty_l=3.69 N_l=-7346.01 My_l=-3.45 Mz_l=0.00
Azioni sul cordone: TP=0.27 TO=0.27 NO=-543.02
Tensioni nel cordone: τ_P= 0.09 τ_0= 0.09 σ_0=177.63 σ_{ID}=177.63 Σ_T=177.72
CC 5 SLV (Collegamento 0024_-381)
Azioni sul collegamento: N=-9211.43 Ty=3.82 Tz=10.56 Mx=0.01 Mz=5.30
Sollecitazioni agenti localmente: Tx_l=3.82 Ty_l=10.56 N_l=-9211.43 My_l=-5.30 Mz_l=0.01
Azioni sul cordone: TP=0.27 TO=0.79 NO=-680.91
Tensioni nel cordone: τ_P= 0.09 τ_0=0.25 σ_0=224.16 σ_{ID}=224.16 Σ_T=224.41
CC 5 SLV (Collegamento 0024_-381)
Azioni sul collegamento: N=-9211.43 Ty=5.92 Tz=10.56 Mx=0.01 Mz=5.96
Sollecitazioni agenti localmente: Tx_l=5.92 Ty_l=10.56 N_l=-9211.43 My_l=-5.96 Mz_l=0.01
Azioni sul cordone: TP=0.42 TO=0.79 NO=-680.91
Tensioni nel cordone: τ_P=0.13 τ_0=0.25 σ_0=225.14 σ_{ID}=225.14 Σ_T=225.39
CC 5 SLV (Collegamento 0024_-381)
Azioni sul collegamento: N=-9211.43 Ty=3.82 Tz=-8.85 Mx=0.01 Mz=5.30
Sollecitazioni agenti localmente: Tx_l=3.82 Ty_l=-8.85 N_l=-9211.43 My_l=-5.30 Mz_l=0.01
Azioni sul cordone: TP=0.27 TO=-0.65 NO=-680.91
Tensioni nel cordone: τ_P= 0.09 τ_0=0.21 σ_0=224.16 σ_{ID}=224.16 Σ_T=224.37
CC 5 SLV (Collegamento 0024_-381)
Azioni sul collegamento: N=-9211.43 Ty=5.92 Tz=-8.85 Mx=0.01 Mz=5.96
Sollecitazioni agenti localmente: Tx_l=5.92 Ty_l=-8.85 N_l=-9211.43 My_l=-5.96 Mz_l=0.01
Azioni sul cordone: TP=0.42 TO=-0.65 NO=-680.91
Tensioni nel cordone: τ_P=0.13 τ_0=0.21 σ_0=225.14 σ_{ID}=225.14 Σ_T=225.34
CC 5 SLV (Collegamento 0024_-381)
Azioni sul collegamento: N=-3937.31 Ty=3.82 Tz=10.56 Mx=0.01 Mz=5.30
Sollecitazioni agenti localmente: Tx_l=3.82 Ty_l=10.56 N_l=-3937.31 My_l=-5.30 Mz_l=0.01
Azioni sul cordone: TP=0.27 TO=0.79 NO=-291.05
Tensioni nel cordone: τ_P= 0.09 τ_0=0.25 σ_0=100.25 σ_{ID}=100.25 Σ_T=100.50
CC 5 SLV (Collegamento 0024_-381)
Azioni sul collegamento: N=-3937.31 Ty=5.92 Tz=10.56 Mx=0.01 Mz=5.96
Sollecitazioni agenti localmente: Tx_l=5.92 Ty_l=10.56 N_l=-3937.31 My_l=-5.96 Mz_l=0.01

Azioni sul cordone: TP=0.42 TO=0.79 NO=-291.05
Tensioni nel cordone: τ_P=0.13 τ_0=0.25 σ_0=101.22 σ_{ID}=101.22 Σ_T=101.47
CC 5 SLV (Collegamento 0024_-381)
Azioni sul collegamento: N=-3937.31 Ty=3.82 Tz=-8.85 Mx=0.01 Mz=5.30
Sollecitazioni agenti localmente: Tx_l=3.82 Ty_l=-8.85 N_l=-3937.31 My_l=-5.30 Mz_l=0.01
Azioni sul cordone: TP=0.27 TO=-0.65 NO=-291.05
Tensioni nel cordone: τ_P= 0.09 τ_0=0.21 σ_0=100.25 σ_{ID}=100.25 Σ_T=100.45
CC 5 SLV (Collegamento 0024_-381)
Azioni sul collegamento: N=-3937.31 Ty=5.92 Tz=-8.85 Mx=0.01 Mz=5.96
Sollecitazioni agenti localmente: Tx_l=5.92 Ty_l=-8.85 N_l=-3937.31 My_l=-5.96 Mz_l=0.01
Azioni sul cordone: TP=0.42 TO=-0.65 NO=-291.05
Tensioni nel cordone: τ_P=0.13 τ_0=0.21 σ_0=101.22 σ_{ID}=101.22 Σ_T=101.43
CC 6 SLD (Collegamento 0024_-381)
Azioni sul collegamento: N=-7346.01 Ty=3.71 Tz=3.69 Mx=0.00 Mz=3.45
Sollecitazioni agenti localmente: Tx_l=3.71 Ty_l=3.69 N_l=-7346.01 My_l=-3.45 Mz_l=0.00
Azioni sul cordone: TP=0.27 TO=0.27 NO=-543.02
Tensioni nel cordone: τ_P= 0.09 τ_0= 0.09 σ_0=177.63 σ_{ID}=177.63 Σ_T=177.72
CC 6 SLD (Collegamento 0024_-381)
Azioni sul collegamento: N=-7346.01 Ty=4.34 Tz=3.69 Mx=0.00 Mz=3.65
Sollecitazioni agenti localmente: Tx_l=4.34 Ty_l=3.69 N_l=-7346.01 My_l=-3.65 Mz_l=0.00
Azioni sul cordone: TP=0.32 TO=0.27 NO=-543.02
Tensioni nel cordone: τ_P=0.10 τ_0= 0.09 σ_0=177.93 σ_{ID}=177.93 Σ_T=178.02
CC 6 SLD (Collegamento 0024_-381)
Azioni sul collegamento: N=-7346.01 Ty=3.71 Tz=-2.23 Mx=0.00 Mz=3.45
Sollecitazioni agenti localmente: Tx_l=3.71 Ty_l=-2.23 N_l=-7346.01 My_l=-3.45 Mz_l=0.00
Azioni sul cordone: TP=0.27 TO=-0.16 NO=-543.02
Tensioni nel cordone: τ_P= 0.09 τ_0= 0.05 σ_0=177.63 σ_{ID}=177.63 Σ_T=177.68
CC 6 SLD (Collegamento 0024_-381)
Azioni sul collegamento: N=-7346.01 Ty=4.34 Tz=-2.23 Mx=0.00 Mz=3.65
Sollecitazioni agenti localmente: Tx_l=4.34 Ty_l=-2.23 N_l=-7346.01 My_l=-3.65 Mz_l=0.00
Azioni sul cordone: TP=0.32 TO=-0.16 NO=-543.02
Tensioni nel cordone: τ_P=0.10 τ_0= 0.05 σ_0=177.93 σ_{ID}=177.93 Σ_T=177.98
CC 6 SLD (Collegamento 0024_-381)
Azioni sul collegamento: N=-5737.77 Ty=3.71 Tz=3.69 Mx=0.00 Mz=3.45
Sollecitazioni agenti localmente: Tx_l=3.71 Ty_l=3.69 N_l=-5737.77 My_l=-3.45 Mz_l=0.00
Azioni sul cordone: TP=0.27 TO=0.27 NO=-424.14
Tensioni nel cordone: τ_P= 0.09 τ_0= 0.09 σ_0=139.84 σ_{ID}=139.84 Σ_T=139.93
CC 6 SLD (Collegamento 0024_-381)
Azioni sul collegamento: N=-5737.77 Ty=4.34 Tz=3.69 Mx=0.00 Mz=3.65
Sollecitazioni agenti localmente: Tx_l=4.34 Ty_l=3.69 N_l=-5737.77 My_l=-3.65 Mz_l=0.00
Azioni sul cordone: TP=0.32 TO=0.27 NO=-424.14
Tensioni nel cordone: τ_P=0.10 τ_0= 0.09 σ_0=140.14 σ_{ID}=140.14 Σ_T=140.23
CC 6 SLD (Collegamento 0024_-381)
Azioni sul collegamento: N=-5737.77 Ty=3.71 Tz=-2.23 Mx=0.00 Mz=3.45
Sollecitazioni agenti localmente: Tx_l=3.71 Ty_l=-2.23 N_l=-5737.77 My_l=-3.45 Mz_l=0.00
Azioni sul cordone: TP=0.27 TO=-0.16 NO=-424.14
Tensioni nel cordone: τ_P= 0.09 τ_0= 0.05 σ_0=139.84 σ_{ID}=139.84 Σ_T=139.90
CC 6 SLD (Collegamento 0024_-381)
Azioni sul collegamento: N=-5737.77 Ty=4.34 Tz=-2.23 Mx=0.00 Mz=3.65
Sollecitazioni agenti localmente: Tx_l=4.34 Ty_l=-2.23 N_l=-5737.77 My_l=-3.65 Mz_l=0.00
Azioni sul cordone: TP=0.32 TO=-0.16 NO=-424.14
Tensioni nel cordone: τ_P=0.10 τ_0= 0.05 σ_0=140.14 σ_{ID}=140.14 Σ_T=140.19
CC 7 SLV (Collegamento 0024_-381)
Azioni sul collegamento: N=-9217.12 Ty=3.19 Tz=10.69 Mx=0.01 Mz=4.04
Sollecitazioni agenti localmente: Tx_l=3.19 Ty_l=10.69 N_l=-9217.12 My_l=-4.04 Mz_l=0.01
Azioni sul cordone: TP=0.23 TO=0.80 NO=-681.33
Tensioni nel cordone: τ_P= 0.07 τ_0=0.25 σ_0=222.46 σ_{ID}=222.46 Σ_T=222.71
CC 7 SLV (Collegamento 0024_-381)
Azioni sul collegamento: N=-9217.12 Ty=6.55 Tz=10.69 Mx=0.01 Mz=7.22
Sollecitazioni agenti localmente: Tx_l=6.55 Ty_l=10.69 N_l=-9217.12 My_l=-7.22 Mz_l=0.01
Azioni sul cordone: TP=0.48 TO=0.80 NO=-681.33
Tensioni nel cordone: τ_P=0.15 τ_0=0.25 σ_0=227.11 σ_{ID}=227.11 Σ_T=227.36
CC 7 SLV (Collegamento 0024_-381)
Azioni sul collegamento: N=-9217.12 Ty=3.19 Tz=-8.98 Mx=0.01 Mz=4.04
Sollecitazioni agenti localmente: Tx_l=3.19 Ty_l=-8.98 N_l=-9217.12 My_l=-4.04 Mz_l=0.01
Azioni sul cordone: TP=0.23 TO=-0.66 NO=-681.33
Tensioni nel cordone: τ_P= 0.07 τ_0=0.21 σ_0=222.46 σ_{ID}=222.46 Σ_T=222.67
CC 7 SLV (Collegamento 0024_-381)
Azioni sul collegamento: N=-9217.12 Ty=6.55 Tz=-8.98 Mx=0.01 Mz=7.22
Sollecitazioni agenti localmente: Tx_l=6.55 Ty_l=-8.98 N_l=-9217.12 My_l=-7.22 Mz_l=0.01
Azioni sul cordone: TP=0.48 TO=-0.66 NO=-681.33
Tensioni nel cordone: τ_P=0.15 τ_0=0.21 σ_0=227.11 σ_{ID}=227.11 Σ_T=227.32
CC 7 SLV (Collegamento 0024_-381)
Azioni sul collegamento: N=-3931.62 Ty=3.19 Tz=10.69 Mx=0.01 Mz=4.04
Sollecitazioni agenti localmente: Tx_l=3.19 Ty_l=10.69 N_l=-3931.62 My_l=-4.04 Mz_l=0.01
Azioni sul cordone: TP=0.23 TO=0.80 NO=-290.63
Tensioni nel cordone: τ_P= 0.07 τ_0=0.25 σ_0=98.27 σ_{ID}=98.28 Σ_T=98.53
CC 7 SLV (Collegamento 0024_-381)
Azioni sul collegamento: N=-3931.62 Ty=6.55 Tz=10.69 Mx=0.01 Mz=7.22

Sollecitazioni agenti localmente: Tx_l=6.55 Ty_l=10.69 N_l=-3931.62 My_l=-7.22 Mz_l=0.01
Azioni sul cordone: TP=0.48 TO=0.80 NO=-290.63
Tensioni nel cordone: τ_P=0.15 τ_0=0.25 σ_0=102.92 σ_{ID}=102.92 Σ_T=103.18
CC 7 SLV (Collegamento 0024_-381)
Azioni sul collegamento: N=-3931.62 Ty=3.19 Tz=-8.98 Mx=0.01 Mz=4.04
Sollecitazioni agenti localmente: Tx_l=3.19 Ty_l=-8.98 N_l=-3931.62 My_l=-4.04 Mz_l=0.01
Azioni sul cordone: TP=0.23 TO=-0.66 NO=-290.63
Tensioni nel cordone: τ_P= 0.07 τ_0=0.21 σ_0=98.27 σ_{ID}=98.28 Σ_T=98.48
CC 7 SLV (Collegamento 0024_-381)
Azioni sul collegamento: N=-3931.62 Ty=6.55 Tz=-8.98 Mx=0.01 Mz=7.22
Sollecitazioni agenti localmente: Tx_l=6.55 Ty_l=-8.98 N_l=-3931.62 My_l=-7.22 Mz_l=0.01
Azioni sul cordone: TP=0.48 TO=-0.66 NO=-290.63
Tensioni nel cordone: τ_P=0.15 τ_0=0.21 σ_0=102.92 σ_{ID}=102.92 Σ_T=103.13
CC 8 SLD (Collegamento 0024_-381)
Azioni sul collegamento: N=-7347.75 Ty=3.51 Tz=3.73 Mx=-0.00 Mz=3.06
Sollecitazioni agenti localmente: Tx_l=3.51 Ty_l=3.73 N_l=-7347.75 My_l=-3.06 Mz_l=-0.00
Azioni sul cordone: TP=0.26 TO=0.28 NO=-543.15
Tensioni nel cordone: τ_P= 0.08 τ_0= 0.09 σ_0=177.11 σ_{ID}=177.11 Σ_T=177.20
CC 8 SLD (Collegamento 0024_-381)
Azioni sul collegamento: N=-7347.75 Ty=4.54 Tz=3.73 Mx=-0.00 Mz=4.03
Sollecitazioni agenti localmente: Tx_l=4.54 Ty_l=3.73 N_l=-7347.75 My_l=-4.03 Mz_l=-0.00
Azioni sul cordone: TP=0.34 TO=0.28 NO=-543.15
Tensioni nel cordone: τ_P=0.11 τ_0= 0.09 σ_0=178.53 σ_{ID}=178.53 Σ_T=178.62
CC 8 SLD (Collegamento 0024_-381)
Azioni sul collegamento: N=-7347.75 Ty=3.51 Tz=-2.27 Mx=-0.00 Mz=3.06
Sollecitazioni agenti localmente: Tx_l=3.51 Ty_l=-2.27 N_l=-7347.75 My_l=-3.06 Mz_l=-0.00
Azioni sul cordone: TP=0.26 TO=-0.17 NO=-543.15
Tensioni nel cordone: τ_P= 0.08 τ_0= 0.05 σ_0=177.11 σ_{ID}=177.11 Σ_T=177.17
CC 8 SLD (Collegamento 0024_-381)
Azioni sul collegamento: N=-7347.75 Ty=4.54 Tz=-2.27 Mx=-0.00 Mz=4.03
Sollecitazioni agenti localmente: Tx_l=4.54 Ty_l=-2.27 N_l=-7347.75 My_l=-4.03 Mz_l=-0.00
Azioni sul cordone: TP=0.34 TO=-0.17 NO=-543.15
Tensioni nel cordone: τ_P=0.11 τ_0= 0.05 σ_0=178.53 σ_{ID}=178.53 Σ_T=178.58
CC 8 SLD (Collegamento 0024_-381)
Azioni sul collegamento: N=-5736.03 Ty=3.51 Tz=3.73 Mx=-0.00 Mz=3.06
Sollecitazioni agenti localmente: Tx_l=3.51 Ty_l=3.73 N_l=-5736.03 My_l=-3.06 Mz_l=-0.00
Azioni sul cordone: TP=0.26 TO=0.28 NO=-424.01
Tensioni nel cordone: τ_P= 0.08 τ_0= 0.09 σ_0=139.25 σ_{ID}=139.25 Σ_T=139.33
CC 8 SLD (Collegamento 0024_-381)
Azioni sul collegamento: N=-5736.03 Ty=4.54 Tz=3.73 Mx=-0.00 Mz=4.03
Sollecitazioni agenti localmente: Tx_l=4.54 Ty_l=3.73 N_l=-5736.03 My_l=-4.03 Mz_l=-0.00
Azioni sul cordone: TP=0.34 TO=0.28 NO=-424.01
Tensioni nel cordone: τ_P=0.11 τ_0= 0.09 σ_0=140.66 σ_{ID}=140.66 Σ_T=140.75
CC 8 SLD (Collegamento 0024_-381)
Azioni sul collegamento: N=-5736.03 Ty=3.51 Tz=-2.27 Mx=-0.00 Mz=3.06
Sollecitazioni agenti localmente: Tx_l=3.51 Ty_l=-2.27 N_l=-5736.03 My_l=-3.06 Mz_l=-0.00
Azioni sul cordone: TP=0.26 TO=-0.17 NO=-424.01
Tensioni nel cordone: τ_P= 0.08 τ_0= 0.05 σ_0=139.25 σ_{ID}=139.25 Σ_T=139.30
CC 8 SLD (Collegamento 0024_-381)
Azioni sul collegamento: N=-5736.03 Ty=4.54 Tz=-2.27 Mx=-0.00 Mz=4.03
Sollecitazioni agenti localmente: Tx_l=4.54 Ty_l=-2.27 N_l=-5736.03 My_l=-4.03 Mz_l=-0.00
Azioni sul cordone: TP=0.34 TO=-0.17 NO=-424.01
Tensioni nel cordone: τ_P=0.11 τ_0= 0.05 σ_0=140.66 σ_{ID}=140.66 Σ_T=140.72
CC 9 SLV (Collegamento 0024_-381)
Azioni sul collegamento: N=-5772.92 Ty=6.34 Tz=-2.29 Mx=0.02 Mz=8.01
Sollecitazioni agenti localmente: Tx_l=6.34 Ty_l=-2.29 N_l=-5772.92 My_l=-8.01 Mz_l=0.02
Azioni sul cordone: TP=0.45 TO=-0.15 NO=-426.74
Tensioni nel cordone: τ_P=0.14 τ_0= 0.05 σ_0=147.34 σ_{ID}=147.34 Σ_T=147.39
CC 9 SLV (Collegamento 0024_-381)
Azioni sul collegamento: N=-5772.92 Ty=3.40 Tz=-2.29 Mx=0.02 Mz=3.25
Sollecitazioni agenti localmente: Tx_l=3.40 Ty_l=-2.29 N_l=-5772.92 My_l=-3.25 Mz_l=0.02
Azioni sul cordone: TP=0.23 TO=-0.15 NO=-426.74
Tensioni nel cordone: τ_P= 0.07 τ_0= 0.05 σ_0=140.38 σ_{ID}=140.38 Σ_T=140.43
CC 9 SLV (Collegamento 0024_-381)
Azioni sul collegamento: N=-5772.92 Ty=6.34 Tz=4.00 Mx=0.02 Mz=8.01
Sollecitazioni agenti localmente: Tx_l=6.34 Ty_l=4.00 N_l=-5772.92 My_l=-8.01 Mz_l=0.02
Azioni sul cordone: TP=0.45 TO=0.31 NO=-426.74
Tensioni nel cordone: τ_P=0.14 τ_0= 0.10 σ_0=147.34 σ_{ID}=147.34 Σ_T=147.44
CC 9 SLV (Collegamento 0024_-381)
Azioni sul collegamento: N=-5772.92 Ty=3.40 Tz=4.00 Mx=0.02 Mz=3.25
Sollecitazioni agenti localmente: Tx_l=3.40 Ty_l=4.00 N_l=-5772.92 My_l=-3.25 Mz_l=0.02
Azioni sul cordone: TP=0.23 TO=0.31 NO=-426.74
Tensioni nel cordone: τ_P= 0.07 τ_0= 0.10 σ_0=140.38 σ_{ID}=140.38 Σ_T=140.48
CC 9 SLV (Collegamento 0024_-381)
Azioni sul collegamento: N=-7375.82 Ty=6.34 Tz=-2.29 Mx=0.02 Mz=8.01
Sollecitazioni agenti localmente: Tx_l=6.34 Ty_l=-2.29 N_l=-7375.82 My_l=-8.01 Mz_l=0.02
Azioni sul cordone: TP=0.45 TO=-0.15 NO=-545.22
Tensioni nel cordone: τ_P=0.14 τ_0= 0.05 σ_0=185.00 σ_{ID}=185.00 Σ_T=185.05
CC 9 SLV (Collegamento 0024_-381)

Azioni sul collegamento: N=-7375.82 Ty=3.40 Tz=-2.29 Mx=0.02 Mz=3.25
Sollecitazioni agenti localmente: Tx_l=3.40 Ty_l=-2.29 N_l=-7375.82 My_l=-3.25 Mz_l=0.02
Azioni sul cordone: TP=0.23 TO=-0.15 NO=-545.22
Tensioni nel cordone: τ_P= 0.07 τ_0= 0.05 σ_0=178.04 σ_{ID}=178.04 Σ_T=178.09
CC 9 SLV (Collegamento 0024_-381)
Azioni sul collegamento: N=-7375.82 Ty=6.34 Tz=4.00 Mx=0.02 Mz=8.01
Sollecitazioni agenti localmente: Tx_l=6.34 Ty_l=4.00 N_l=-7375.82 My_l=-8.01 Mz_l=0.02
Azioni sul cordone: TP=0.45 TO=0.31 NO=-545.22
Tensioni nel cordone: τ_P=0.14 τ_0= 0.10 σ_0=185.00 σ_{ID}=185.00 Σ_T=185.10
CC 9 SLV (Collegamento 0024_-381)
Azioni sul collegamento: N=-7375.82 Ty=3.40 Tz=4.00 Mx=0.02 Mz=3.25
Sollecitazioni agenti localmente: Tx_l=3.40 Ty_l=4.00 N_l=-7375.82 My_l=-3.25 Mz_l=0.02
Azioni sul cordone: TP=0.23 TO=0.31 NO=-545.22
Tensioni nel cordone: τ_P= 0.07 τ_0= 0.10 σ_0=178.04 σ_{ID}=178.04 Σ_T=178.14
CC 10 SLD (Collegamento 0024_-381)
Azioni sul collegamento: N=-6297.50 Ty=4.47 Tz=-0.23 Mx=0.00 Mz=4.27
Sollecitazioni agenti localmente: Tx_l=4.47 Ty_l=-0.23 N_l=-6297.50 My_l=-4.27 Mz_l=0.00
Azioni sul cordone: TP=0.33 TO=-0.01 NO=-465.51
Tensioni nel cordone: τ_P=0.10 τ_0=4.60E-03 σ_0=154.21 σ_{ID}=154.21 Σ_T=154.21
CC 10 SLD (Collegamento 0024_-381)
Azioni sul collegamento: N=-6297.50 Ty=3.58 Tz=-0.23 Mx=0.00 Mz=2.82
Sollecitazioni agenti localmente: Tx_l=3.58 Ty_l=-0.23 N_l=-6297.50 My_l=-2.82 Mz_l=0.00
Azioni sul cordone: TP=0.26 TO=-0.01 NO=-465.51
Tensioni nel cordone: τ_P= 0.08 τ_0=4.60E-03 σ_0=152.08 σ_{ID}=152.08 Σ_T=152.09
CC 10 SLD (Collegamento 0024_-381)
Azioni sul collegamento: N=-6297.50 Ty=4.47 Tz=1.69 Mx=0.00 Mz=4.27
Sollecitazioni agenti localmente: Tx_l=4.47 Ty_l=1.69 N_l=-6297.50 My_l=-4.27 Mz_l=0.00
Azioni sul cordone: TP=0.33 TO=0.13 NO=-465.51
Tensioni nel cordone: τ_P=0.10 τ_0= 0.04 σ_0=154.21 σ_{ID}=154.21 Σ_T=154.25
CC 10 SLD (Collegamento 0024_-381)
Azioni sul collegamento: N=-6297.50 Ty=3.58 Tz=1.69 Mx=0.00 Mz=2.82
Sollecitazioni agenti localmente: Tx_l=3.58 Ty_l=1.69 N_l=-6297.50 My_l=-2.82 Mz_l=0.00
Azioni sul cordone: TP=0.26 TO=0.13 NO=-465.51
Tensioni nel cordone: τ_P= 0.08 τ_0= 0.04 σ_0=152.08 σ_{ID}=152.08 Σ_T=152.12
CC 10 SLD (Collegamento 0024_-381)
Azioni sul collegamento: N=-6786.28 Ty=4.47 Tz=-0.23 Mx=0.00 Mz=4.27
Sollecitazioni agenti localmente: Tx_l=4.47 Ty_l=-0.23 N_l=-6786.28 My_l=-4.27 Mz_l=0.00
Azioni sul cordone: TP=0.33 TO=-0.01 NO=-501.64
Tensioni nel cordone: τ_P=0.10 τ_0=4.60E-03 σ_0=165.69 σ_{ID}=165.69 Σ_T=165.70
CC 10 SLD (Collegamento 0024_-381)
Azioni sul collegamento: N=-6786.28 Ty=3.58 Tz=-0.23 Mx=0.00 Mz=2.82
Sollecitazioni agenti localmente: Tx_l=3.58 Ty_l=-0.23 N_l=-6786.28 My_l=-2.82 Mz_l=0.00
Azioni sul cordone: TP=0.26 TO=-0.01 NO=-501.64
Tensioni nel cordone: τ_P= 0.08 τ_0=4.60E-03 σ_0=163.57 σ_{ID}=163.57 Σ_T=163.57
CC 10 SLD (Collegamento 0024_-381)
Azioni sul collegamento: N=-6786.28 Ty=4.47 Tz=1.69 Mx=0.00 Mz=4.27
Sollecitazioni agenti localmente: Tx_l=4.47 Ty_l=1.69 N_l=-6786.28 My_l=-4.27 Mz_l=0.00
Azioni sul cordone: TP=0.33 TO=0.13 NO=-501.64
Tensioni nel cordone: τ_P=0.10 τ_0= 0.04 σ_0=165.69 σ_{ID}=165.69 Σ_T=165.73
CC 10 SLD (Collegamento 0024_-381)
Azioni sul collegamento: N=-6786.28 Ty=3.58 Tz=1.69 Mx=0.00 Mz=2.82
Sollecitazioni agenti localmente: Tx_l=3.58 Ty_l=1.69 N_l=-6786.28 My_l=-2.82 Mz_l=0.00
Azioni sul cordone: TP=0.26 TO=0.13 NO=-501.64
Tensioni nel cordone: τ_P= 0.08 τ_0= 0.04 σ_0=163.57 σ_{ID}=163.57 Σ_T=163.61
CC 11 SLV (Collegamento 0024_-381)
Azioni sul collegamento: N=-7356.86 Ty=5.52 Tz=3.57 Mx=0.02 Mz=7.44
Sollecitazioni agenti localmente: Tx_l=5.52 Ty_l=3.57 N_l=-7356.86 My_l=-7.44 Mz_l=0.02
Azioni sul cordone: TP=0.39 TO=0.28 NO=-543.82
Tensioni nel cordone: τ_P=0.12 τ_0= 0.09 σ_0=183.72 σ_{ID}=183.72 Σ_T=183.81
CC 11 SLV (Collegamento 0024_-381)
Azioni sul collegamento: N=-7356.86 Ty=4.22 Tz=3.57 Mx=0.02 Mz=3.82
Sollecitazioni agenti localmente: Tx_l=4.22 Ty_l=3.57 N_l=-7356.86 My_l=-3.82 Mz_l=0.02
Azioni sul cordone: TP=0.29 TO=0.28 NO=-543.82
Tensioni nel cordone: τ_P= 0.09 τ_0= 0.09 σ_0=178.44 σ_{ID}=178.44 Σ_T=178.53
CC 11 SLV (Collegamento 0024_-381)
Azioni sul collegamento: N=-7356.86 Ty=5.52 Tz=-1.86 Mx=0.02 Mz=7.44
Sollecitazioni agenti localmente: Tx_l=5.52 Ty_l=-1.86 N_l=-7356.86 My_l=-7.44 Mz_l=0.02
Azioni sul cordone: TP=0.39 TO=-0.12 NO=-543.82
Tensioni nel cordone: τ_P=0.12 τ_0= 0.04 σ_0=183.72 σ_{ID}=183.72 Σ_T=183.76
CC 11 SLV (Collegamento 0024_-381)
Azioni sul collegamento: N=-7356.86 Ty=4.22 Tz=-1.86 Mx=0.02 Mz=3.82
Sollecitazioni agenti localmente: Tx_l=4.22 Ty_l=-1.86 N_l=-7356.86 My_l=-3.82 Mz_l=0.02
Azioni sul cordone: TP=0.29 TO=-0.12 NO=-543.82
Tensioni nel cordone: τ_P= 0.09 τ_0= 0.04 σ_0=178.44 σ_{ID}=178.44 Σ_T=178.48
CC 11 SLV (Collegamento 0024_-381)
Azioni sul collegamento: N=-5791.88 Ty=5.52 Tz=3.57 Mx=0.02 Mz=7.44
Sollecitazioni agenti localmente: Tx_l=5.52 Ty_l=3.57 N_l=-5791.88 My_l=-7.44 Mz_l=0.02
Azioni sul cordone: TP=0.39 TO=0.28 NO=-428.14
Tensioni nel cordone: τ_P=0.12 τ_0= 0.09 σ_0=146.95 σ_{ID}=146.95 Σ_T=147.03

CC 11 SLV (Collegamento 0024_-381)
Azioni sul collegamento: N=-5791.88 Ty=4.22 Tz=3.57 Mx=0.02 Mz=3.82
Sollecitazioni agenti localmente: Tx_l=4.22 Ty_l=3.57 N_l=-5791.88 My_l=-3.82 Mz_l=0.02
Azioni sul cordone: TP=0.29 TO=0.28 NO=-428.14
Tensioni nel cordone: τ_P= 0.09 τ_0= 0.09 σ_0=141.67 σ_{ID}=141.67 Σ_T=141.76
CC 11 SLV (Collegamento 0024_-381)
Azioni sul collegamento: N=-5791.88 Ty=5.52 Tz=-1.86 Mx=0.02 Mz=7.44
Sollecitazioni agenti localmente: Tx_l=5.52 Ty_l=-1.86 N_l=-5791.88 My_l=-7.44 Mz_l=0.02
Azioni sul cordone: TP=0.39 TO=-0.12 NO=-428.14
Tensioni nel cordone: τ_P=0.12 τ_0= 0.04 σ_0=146.95 σ_{ID}=146.95 Σ_T=146.99
CC 11 SLV (Collegamento 0024_-381)
Azioni sul collegamento: N=-5791.88 Ty=4.22 Tz=-1.86 Mx=0.02 Mz=3.82
Sollecitazioni agenti localmente: Tx_l=4.22 Ty_l=-1.86 N_l=-5791.88 My_l=-3.82 Mz_l=0.02
Azioni sul cordone: TP=0.29 TO=-0.12 NO=-428.14
Tensioni nel cordone: τ_P= 0.09 τ_0= 0.04 σ_0=141.67 σ_{ID}=141.67 Σ_T=141.71
CC 12 SLD (Collegamento 0024_-381)
Azioni sul collegamento: N=-6780.50 Ty=4.22 Tz=1.56 Mx=0.00 Mz=4.10
Sollecitazioni agenti localmente: Tx_l=4.22 Ty_l=1.56 N_l=-6780.50 My_l=-4.10 Mz_l=0.00
Azioni sul cordone: TP=0.31 TO=0.12 NO=-501.22
Tensioni nel cordone: τ_P= 0.10 τ_0= 0.04 σ_0=165.30 σ_{ID}=165.30 Σ_T=165.34
CC 12 SLD (Collegamento 0024_-381)
Azioni sul collegamento: N=-6780.50 Ty=3.83 Tz=1.56 Mx=0.00 Mz=3.00
Sollecitazioni agenti localmente: Tx_l=3.83 Ty_l=1.56 N_l=-6780.50 My_l=-3.00 Mz_l=0.00
Azioni sul cordone: TP=0.28 TO=0.12 NO=-501.22
Tensioni nel cordone: τ_P= 0.09 τ_0= 0.04 σ_0=163.69 σ_{ID}=163.69 Σ_T=163.73
CC 12 SLD (Collegamento 0024_-381)
Azioni sul collegamento: N=-6780.50 Ty=4.22 Tz=-0.10 Mx=0.00 Mz=4.10
Sollecitazioni agenti localmente: Tx_l=4.22 Ty_l=-0.10 N_l=-6780.50 My_l=-4.10 Mz_l=0.00
Azioni sul cordone: TP=0.31 TO=-0.01 NO=-501.22
Tensioni nel cordone: τ_P= 0.10 τ_0=1.61E-03 σ_0=165.30 σ_{ID}=165.30 Σ_T=165.30
CC 12 SLD (Collegamento 0024_-381)
Azioni sul collegamento: N=-6780.50 Ty=3.83 Tz=-0.10 Mx=0.00 Mz=3.00
Sollecitazioni agenti localmente: Tx_l=3.83 Ty_l=-0.10 N_l=-6780.50 My_l=-3.00 Mz_l=0.00
Azioni sul cordone: TP=0.28 TO=-0.01 NO=-501.22
Tensioni nel cordone: τ_P= 0.09 τ_0=1.61E-03 σ_0=163.69 σ_{ID}=163.69 Σ_T=163.69
CC 12 SLD (Collegamento 0024_-381)
Azioni sul collegamento: N=-6303.28 Ty=4.22 Tz=1.56 Mx=0.00 Mz=4.10
Sollecitazioni agenti localmente: Tx_l=4.22 Ty_l=1.56 N_l=-6303.28 My_l=-4.10 Mz_l=0.00
Azioni sul cordone: TP=0.31 TO=0.12 NO=-465.94
Tensioni nel cordone: τ_P= 0.10 τ_0= 0.04 σ_0=154.09 σ_{ID}=154.09 Σ_T=154.12
CC 12 SLD (Collegamento 0024_-381)
Azioni sul collegamento: N=-6303.28 Ty=3.83 Tz=1.56 Mx=0.00 Mz=3.00
Sollecitazioni agenti localmente: Tx_l=3.83 Ty_l=1.56 N_l=-6303.28 My_l=-3.00 Mz_l=0.00
Azioni sul cordone: TP=0.28 TO=0.12 NO=-465.94
Tensioni nel cordone: τ_P= 0.09 τ_0= 0.04 σ_0=152.48 σ_{ID}=152.48 Σ_T=152.51
CC 12 SLD (Collegamento 0024_-381)
Azioni sul collegamento: N=-6303.28 Ty=4.22 Tz=-0.10 Mx=0.00 Mz=4.10
Sollecitazioni agenti localmente: Tx_l=4.22 Ty_l=-0.10 N_l=-6303.28 My_l=-4.10 Mz_l=0.00
Azioni sul cordone: TP=0.31 TO=-0.01 NO=-465.94
Tensioni nel cordone: τ_P= 0.10 τ_0=1.60E-03 σ_0=154.09 σ_{ID}=154.09 Σ_T=154.09
CC 12 SLD (Collegamento 0024_-381)
Azioni sul collegamento: N=-6303.28 Ty=3.83 Tz=-0.10 Mx=0.00 Mz=3.00
Sollecitazioni agenti localmente: Tx_l=3.83 Ty_l=-0.10 N_l=-6303.28 My_l=-3.00 Mz_l=0.00
Azioni sul cordone: TP=0.28 TO=-0.01 NO=-465.94
Tensioni nel cordone: τ_P= 0.09 τ_0=1.60E-03 σ_0=152.48 σ_{ID}=152.48 Σ_T=152.48
CC 13 SLV (Collegamento 0024_-381)
Azioni sul collegamento: N=-5791.88 Ty=4.22 Tz=-1.86 Mx=0.00 Mz=3.82
Sollecitazioni agenti localmente: Tx_l=4.22 Ty_l=-1.86 N_l=-5791.88 My_l=-3.82 Mz_l=0.00
Azioni sul cordone: TP=0.31 TO=-0.14 NO=-428.14
Tensioni nel cordone: τ_P= 0.10 τ_0= 0.04 σ_0=141.67 σ_{ID}=141.67 Σ_T=141.71
CC 13 SLV (Collegamento 0024_-381)
Azioni sul collegamento: N=-5791.88 Ty=5.52 Tz=-1.86 Mx=0.00 Mz=7.44
Sollecitazioni agenti localmente: Tx_l=5.52 Ty_l=-1.86 N_l=-5791.88 My_l=-7.44 Mz_l=0.00
Azioni sul cordone: TP=0.40 TO=-0.14 NO=-428.14
Tensioni nel cordone: τ_P=0.13 τ_0= 0.04 σ_0=146.95 σ_{ID}=146.95 Σ_T=146.99
CC 13 SLV (Collegamento 0024_-381)
Azioni sul collegamento: N=-5791.88 Ty=4.22 Tz=3.57 Mx=0.00 Mz=3.82
Sollecitazioni agenti localmente: Tx_l=4.22 Ty_l=3.57 N_l=-5791.88 My_l=-3.82 Mz_l=0.00
Azioni sul cordone: TP=0.31 TO=0.27 NO=-428.14
Tensioni nel cordone: τ_P= 0.10 τ_0= 0.08 σ_0=141.67 σ_{ID}=141.67 Σ_T=141.75
CC 13 SLV (Collegamento 0024_-381)
Azioni sul collegamento: N=-5791.88 Ty=5.52 Tz=3.57 Mx=0.00 Mz=7.44
Sollecitazioni agenti localmente: Tx_l=5.52 Ty_l=3.57 N_l=-5791.88 My_l=-7.44 Mz_l=0.00
Azioni sul cordone: TP=0.40 TO=0.27 NO=-428.14
Tensioni nel cordone: τ_P=0.13 τ_0= 0.08 σ_0=146.95 σ_{ID}=146.95 Σ_T=147.03
CC 13 SLV (Collegamento 0024_-381)
Azioni sul collegamento: N=-7356.86 Ty=4.22 Tz=-1.86 Mx=0.00 Mz=3.82
Sollecitazioni agenti localmente: Tx_l=4.22 Ty_l=-1.86 N_l=-7356.86 My_l=-3.82 Mz_l=0.00
Azioni sul cordone: TP=0.31 TO=-0.14 NO=-543.82

Tensioni nel cordone: τ_P= 0.10 τ_0= 0.04 σ_0=178.44 σ_{ID}=178.44 Σ_T=178.48
CC 13 SLV (Collegamento 0024_-381)
Azioni sul collegamento: N=-7356.86 Ty=5.52 Tz=-1.86 Mx=0.00 Mz=7.44
Sollecitazioni agenti localmente: Tx_l=5.52 Ty_l=-1.86 N_l=-7356.86 My_l=-7.44 Mz_l=0.00
Azioni sul cordone: TP=0.40 TO=-0.14 NO=-543.82
Tensioni nel cordone: τ_P=0.13 τ_0= 0.04 σ_0=183.72 σ_{ID}=183.72 Σ_T=183.76
CC 13 SLV (Collegamento 0024_-381)
Azioni sul collegamento: N=-7356.86 Ty=4.22 Tz=3.57 Mx=0.00 Mz=3.82
Sollecitazioni agenti localmente: Tx_l=4.22 Ty_l=3.57 N_l=-7356.86 My_l=-3.82 Mz_l=0.00
Azioni sul cordone: TP=0.31 TO=0.27 NO=-543.82
Tensioni nel cordone: τ_P= 0.10 τ_0= 0.08 σ_0=178.44 σ_{ID}=178.44 Σ_T=178.52
CC 13 SLV (Collegamento 0024_-381)
Azioni sul collegamento: N=-7356.86 Ty=5.52 Tz=3.57 Mx=0.00 Mz=7.44
Sollecitazioni agenti localmente: Tx_l=5.52 Ty_l=3.57 N_l=-7356.86 My_l=-7.44 Mz_l=0.00
Azioni sul cordone: TP=0.40 TO=0.27 NO=-543.82
Tensioni nel cordone: τ_P=0.13 τ_0= 0.08 σ_0=183.72 σ_{ID}=183.72 Σ_T=183.80
CC 14 SLD (Collegamento 0024_-381)
Azioni sul collegamento: N=-6303.28 Ty=3.83 Tz=-0.10 Mx=-0.00 Mz=3.00
Sollecitazioni agenti localmente: Tx_l=3.83 Ty_l=-0.10 N_l=-6303.28 My_l=-3.00 Mz_l=-0.00
Azioni sul cordone: TP=0.28 TO=-0.01 NO=-465.94
Tensioni nel cordone: τ_P= 0.09 τ_0=2.76E-03 σ_0=152.48 σ_{ID}=152.48 Σ_T=152.48
CC 14 SLD (Collegamento 0024_-381)
Azioni sul collegamento: N=-6303.28 Ty=4.22 Tz=-0.10 Mx=-0.00 Mz=4.10
Sollecitazioni agenti localmente: Tx_l=4.22 Ty_l=-0.10 N_l=-6303.28 My_l=-4.10 Mz_l=-0.00
Azioni sul cordone: TP=0.31 TO=-0.01 NO=-465.94
Tensioni nel cordone: τ_P= 0.10 τ_0=2.76E-03 σ_0=154.09 σ_{ID}=154.09 Σ_T=154.09
CC 14 SLD (Collegamento 0024_-381)
Azioni sul collegamento: N=-6303.28 Ty=3.83 Tz=1.56 Mx=-0.00 Mz=3.00
Sollecitazioni agenti localmente: Tx_l=3.83 Ty_l=1.56 N_l=-6303.28 My_l=-3.00 Mz_l=-0.00
Azioni sul cordone: TP=0.28 TO=0.11 NO=-465.94
Tensioni nel cordone: τ_P= 0.09 τ_0= 0.04 σ_0=152.48 σ_{ID}=152.48 Σ_T=152.51
CC 14 SLD (Collegamento 0024_-381)
Azioni sul collegamento: N=-6303.28 Ty=4.22 Tz=1.56 Mx=-0.00 Mz=4.10
Sollecitazioni agenti localmente: Tx_l=4.22 Ty_l=1.56 N_l=-6303.28 My_l=-4.10 Mz_l=-0.00
Azioni sul cordone: TP=0.31 TO=0.11 NO=-465.94
Tensioni nel cordone: τ_P= 0.10 τ_0= 0.04 σ_0=154.09 σ_{ID}=154.09 Σ_T=154.12
CC 14 SLD (Collegamento 0024_-381)
Azioni sul collegamento: N=-6780.50 Ty=3.83 Tz=-0.10 Mx=-0.00 Mz=3.00
Sollecitazioni agenti localmente: Tx_l=3.83 Ty_l=-0.10 N_l=-6780.50 My_l=-3.00 Mz_l=-0.00
Azioni sul cordone: TP=0.28 TO=-0.01 NO=-501.22
Tensioni nel cordone: τ_P= 0.09 τ_0=2.77E-03 σ_0=163.69 σ_{ID}=163.69 Σ_T=163.69
CC 14 SLD (Collegamento 0024_-381)
Azioni sul collegamento: N=-6780.50 Ty=4.22 Tz=-0.10 Mx=-0.00 Mz=4.10
Sollecitazioni agenti localmente: Tx_l=4.22 Ty_l=-0.10 N_l=-6780.50 My_l=-4.10 Mz_l=-0.00
Azioni sul cordone: TP=0.31 TO=-0.01 NO=-501.22
Tensioni nel cordone: τ_P= 0.10 τ_0=2.77E-03 σ_0=165.30 σ_{ID}=165.30 Σ_T=165.30
CC 14 SLD (Collegamento 0024_-381)
Azioni sul collegamento: N=-6780.50 Ty=3.83 Tz=1.56 Mx=-0.00 Mz=3.00
Sollecitazioni agenti localmente: Tx_l=3.83 Ty_l=1.56 N_l=-6780.50 My_l=-3.00 Mz_l=-0.00
Azioni sul cordone: TP=0.28 TO=0.11 NO=-501.22
Tensioni nel cordone: τ_P= 0.09 τ_0= 0.04 σ_0=163.69 σ_{ID}=163.69 Σ_T=163.72
CC 14 SLD (Collegamento 0024_-381)
Azioni sul collegamento: N=-6780.50 Ty=4.22 Tz=1.56 Mx=-0.00 Mz=4.10
Sollecitazioni agenti localmente: Tx_l=4.22 Ty_l=1.56 N_l=-6780.50 My_l=-4.10 Mz_l=-0.00
Azioni sul cordone: TP=0.31 TO=0.11 NO=-501.22
Tensioni nel cordone: τ_P= 0.10 τ_0= 0.04 σ_0=165.30 σ_{ID}=165.30 Σ_T=165.34
CC 15 SLV (Collegamento 0024_-381)
Azioni sul collegamento: N=-7375.82 Ty=3.40 Tz=4.00 Mx=0.00 Mz=3.25
Sollecitazioni agenti localmente: Tx_l=3.40 Ty_l=4.00 N_l=-7375.82 My_l=-3.25 Mz_l=0.00
Azioni sul cordone: TP=0.25 TO=0.30 NO=-545.22
Tensioni nel cordone: τ_P= 0.08 τ_0= 0.09 σ_0=178.04 σ_{ID}=178.04 Σ_T=178.13
CC 15 SLV (Collegamento 0024_-381)
Azioni sul collegamento: N=-7375.82 Ty=6.34 Tz=4.00 Mx=0.00 Mz=8.01
Sollecitazioni agenti localmente: Tx_l=6.34 Ty_l=4.00 N_l=-7375.82 My_l=-8.01 Mz_l=0.00
Azioni sul cordone: TP=0.47 TO=0.30 NO=-545.22
Tensioni nel cordone: τ_P=0.15 τ_0= 0.09 σ_0=185.00 σ_{ID}=185.00 Σ_T=185.10
CC 15 SLV (Collegamento 0024_-381)
Azioni sul collegamento: N=-7375.82 Ty=3.40 Tz=-2.29 Mx=0.00 Mz=3.25
Sollecitazioni agenti localmente: Tx_l=3.40 Ty_l=-2.29 N_l=-7375.82 My_l=-3.25 Mz_l=0.00
Azioni sul cordone: TP=0.25 TO=-0.17 NO=-545.22
Tensioni nel cordone: τ_P= 0.08 τ_0= 0.05 σ_0=178.04 σ_{ID}=178.04 Σ_T=178.09
CC 15 SLV (Collegamento 0024_-381)
Azioni sul collegamento: N=-7375.82 Ty=6.34 Tz=-2.29 Mx=0.00 Mz=8.01
Sollecitazioni agenti localmente: Tx_l=6.34 Ty_l=-2.29 N_l=-7375.82 My_l=-8.01 Mz_l=0.00
Azioni sul cordone: TP=0.47 TO=-0.17 NO=-545.22
Tensioni nel cordone: τ_P=0.15 τ_0= 0.05 σ_0=185.00 σ_{ID}=185.00 Σ_T=185.06
CC 15 SLV (Collegamento 0024_-381)
Azioni sul collegamento: N=-5772.92 Ty=3.40 Tz=4.00 Mx=0.00 Mz=3.25
Sollecitazioni agenti localmente: Tx_l=3.40 Ty_l=4.00 N_l=-5772.92 My_l=-3.25 Mz_l=0.00

Azioni sul cordone: TP=0.25 TO=0.30 NO=-426.74
Tensioni nel cordone: τ_P= 0.08 τ_O= 0.09 σ_O=140.38 σ_{ID}=140.38 Σ_T=140.47
CC 15 SLV (Collegamento 0024_-381)
Azioni sul collegamento: N=-5772.92 Ty=6.34 Tz=4.00 Mx=0.00 Mz=8.01
Sollecitazioni agenti localmente: Tx_l=6.34 Ty_l=4.00 N_l=-5772.92 My_l=-8.01 Mz_l=0.00
Azioni sul cordone: TP=0.47 TO=0.30 NO=-426.74
Tensioni nel cordone: τ_P=0.15 τ_O= 0.09 σ_O=147.34 σ_{ID}=147.34 Σ_T=147.44
CC 15 SLV (Collegamento 0024_-381)
Azioni sul collegamento: N=-5772.92 Ty=3.40 Tz=-2.29 Mx=0.00 Mz=3.25
Sollecitazioni agenti localmente: Tx_l=3.40 Ty_l=-2.29 N_l=-5772.92 My_l=-3.25 Mz_l=0.00
Azioni sul cordone: TP=0.25 TO=-0.17 NO=-426.74
Tensioni nel cordone: τ_P= 0.08 τ_O= 0.05 σ_O=140.38 σ_{ID}=140.38 Σ_T=140.43
CC 15 SLV (Collegamento 0024_-381)
Azioni sul collegamento: N=-5772.92 Ty=6.34 Tz=-2.29 Mx=0.00 Mz=8.01
Sollecitazioni agenti localmente: Tx_l=6.34 Ty_l=-2.29 N_l=-5772.92 My_l=-8.01 Mz_l=0.00
Azioni sul cordone: TP=0.47 TO=-0.17 NO=-426.74
Tensioni nel cordone: τ_P=0.15 τ_O= 0.05 σ_O=147.34 σ_{ID}=147.34 Σ_T=147.40
CC 16 SLD (Collegamento 0024_-381)
Azioni sul collegamento: N=-6786.28 Ty=3.58 Tz=1.69 Mx=-0.00 Mz=2.82
Sollecitazioni agenti localmente: Tx_l=3.58 Ty_l=1.69 N_l=-6786.28 My_l=-2.82 Mz_l=-0.00
Azioni sul cordone: TP=0.27 TO=0.12 NO=-501.64
Tensioni nel cordone: τ_P= 0.08 τ_O= 0.04 σ_O=163.57 σ_{ID}=163.57 Σ_T=163.61
CC 16 SLD (Collegamento 0024_-381)
Azioni sul collegamento: N=-6786.28 Ty=4.47 Tz=1.69 Mx=-0.00 Mz=4.27
Sollecitazioni agenti localmente: Tx_l=4.47 Ty_l=1.69 N_l=-6786.28 My_l=-4.27 Mz_l=-0.00
Azioni sul cordone: TP=0.33 TO=0.12 NO=-501.64
Tensioni nel cordone: τ_P=0.11 τ_O= 0.04 σ_O=165.69 σ_{ID}=165.69 Σ_T=165.73
CC 16 SLD (Collegamento 0024_-381)
Azioni sul collegamento: N=-6786.28 Ty=3.58 Tz=-0.23 Mx=-0.00 Mz=2.82
Sollecitazioni agenti localmente: Tx_l=3.58 Ty_l=-0.23 N_l=-6786.28 My_l=-2.82 Mz_l=-0.00
Azioni sul cordone: TP=0.27 TO=-0.02 NO=-501.64
Tensioni nel cordone: τ_P= 0.08 τ_O=5.91E-03 σ_O=163.57 σ_{ID}=163.57 Σ_T=163.57
CC 16 SLD (Collegamento 0024_-381)
Azioni sul collegamento: N=-6786.28 Ty=4.47 Tz=-0.23 Mx=-0.00 Mz=4.27
Sollecitazioni agenti localmente: Tx_l=4.47 Ty_l=-0.23 N_l=-6786.28 My_l=-4.27 Mz_l=-0.00
Azioni sul cordone: TP=0.33 TO=-0.02 NO=-501.64
Tensioni nel cordone: τ_P=0.11 τ_O=5.91E-03 σ_O=165.69 σ_{ID}=165.69 Σ_T=165.70
CC 16 SLD (Collegamento 0024_-381)
Azioni sul collegamento: N=-6297.50 Ty=3.58 Tz=1.69 Mx=-0.00 Mz=2.82
Sollecitazioni agenti localmente: Tx_l=3.58 Ty_l=1.69 N_l=-6297.50 My_l=-2.82 Mz_l=-0.00
Azioni sul cordone: TP=0.27 TO=0.12 NO=-465.51
Tensioni nel cordone: τ_P= 0.08 τ_O= 0.04 σ_O=152.08 σ_{ID}=152.08 Σ_T=152.12
CC 16 SLD (Collegamento 0024_-381)
Azioni sul collegamento: N=-6297.50 Ty=4.47 Tz=1.69 Mx=-0.00 Mz=4.27
Sollecitazioni agenti localmente: Tx_l=4.47 Ty_l=1.69 N_l=-6297.50 My_l=-4.27 Mz_l=-0.00
Azioni sul cordone: TP=0.33 TO=0.12 NO=-465.51
Tensioni nel cordone: τ_P=0.11 τ_O= 0.04 σ_O=154.21 σ_{ID}=154.21 Σ_T=154.25
CC 16 SLD (Collegamento 0024_-381)
Azioni sul collegamento: N=-6297.50 Ty=3.58 Tz=-0.23 Mx=-0.00 Mz=2.82
Sollecitazioni agenti localmente: Tx_l=3.58 Ty_l=-0.23 N_l=-6297.50 My_l=-2.82 Mz_l=-0.00
Azioni sul cordone: TP=0.27 TO=-0.02 NO=-465.51
Tensioni nel cordone: τ_P= 0.08 τ_O=5.91E-03 σ_O=152.08 σ_{ID}=152.08 Σ_T=152.09
CC 16 SLD (Collegamento 0024_-381)
Azioni sul collegamento: N=-6297.50 Ty=4.47 Tz=-0.23 Mx=-0.00 Mz=4.27
Sollecitazioni agenti localmente: Tx_l=4.47 Ty_l=-0.23 N_l=-6297.50 My_l=-4.27 Mz_l=-0.00
Azioni sul cordone: TP=0.33 TO=-0.02 NO=-465.51
Tensioni nel cordone: τ_P=0.11 τ_O=5.91E-03 σ_O=154.21 σ_{ID}=154.21 Σ_T=154.21
CC 17 SLV (Collegamento 0024_-381)
Azioni sul collegamento: N=-3838.16 Ty=0.76 Tz=-9.35 Mx=-0.02 Mz=1.23
Sollecitazioni agenti localmente: Tx_l=0.76 Ty_l=-9.35 N_l=-3838.16 My_l=-1.23 Mz_l=-0.02
Azioni sul cordone: TP=0.08 TO=-0.71 NO=-283.72
Tensioni nel cordone: τ_P= 0.03 τ_O=0.22 σ_O=91.98 σ_{ID}=91.98 Σ_T=92.20
CC 17 SLV (Collegamento 0024_-381)
Azioni sul collegamento: N=-3838.16 Ty=4.12 Tz=-9.35 Mx=-0.02 Mz=-1.95
Sollecitazioni agenti localmente: Tx_l=4.12 Ty_l=-9.35 N_l=-3838.16 My_l=1.95 Mz_l=-0.02
Azioni sul cordone: TP=0.33 TO=-0.67 NO=-283.72
Tensioni nel cordone: τ_P=0.10 τ_O=0.21 σ_O=93.03 σ_{ID}=93.03 Σ_T=93.25
CC 17 SLV (Collegamento 0024_-381)
Azioni sul collegamento: N=-3838.16 Ty=0.76 Tz=10.33 Mx=-0.02 Mz=1.23
Sollecitazioni agenti localmente: Tx_l=0.76 Ty_l=10.33 N_l=-3838.16 My_l=-1.23 Mz_l=-0.02
Azioni sul cordone: TP=0.08 TO=0.75 NO=-283.72
Tensioni nel cordone: τ_P= 0.03 τ_O=0.24 σ_O=91.98 σ_{ID}=91.98 Σ_T=92.21
CC 17 SLV (Collegamento 0024_-381)
Azioni sul collegamento: N=-3838.16 Ty=4.12 Tz=10.33 Mx=-0.02 Mz=-1.95
Sollecitazioni agenti localmente: Tx_l=4.12 Ty_l=10.33 N_l=-3838.16 My_l=1.95 Mz_l=-0.02
Azioni sul cordone: TP=0.33 TO=0.78 NO=-283.72
Tensioni nel cordone: τ_P=0.10 τ_O=0.25 σ_O=93.03 σ_{ID}=93.03 Σ_T=93.28
CC 17 SLV (Collegamento 0024_-381)
Azioni sul collegamento: N=-9123.66 Ty=0.76 Tz=-9.35 Mx=-0.02 Mz=1.23

Sollecitazioni agenti localmente: Tx_l=0.76 Ty_l=-9.35 N_l=-9123.66 My_l=-1.23 Mz_l=-0.02
Azioni sul cordone: TP=0.08 TO=-0.71 NO=-674.42
Tensioni nel cordone: τ_P= 0.03 τ_O=0.22 σ_O=216.16 σ_{ID}=216.16 Σ_T=216.39
CC 17 SLV (Collegamento 0024_-381)
Azioni sul collegamento: N=-9123.66 Ty=4.12 Tz=-9.35 Mx=-0.02 Mz=-1.95
Sollecitazioni agenti localmente: Tx_l=4.12 Ty_l=-9.35 N_l=-9123.66 My_l=1.95 Mz_l=-0.02
Azioni sul cordone: TP=0.33 TO=-0.67 NO=-674.42
Tensioni nel cordone: τ_P=0.10 τ_O=0.21 σ_O=217.22 σ_{ID}=217.22 Σ_T=217.43
CC 17 SLV (Collegamento 0024_-381)
Azioni sul collegamento: N=-9123.66 Ty=0.76 Tz=10.33 Mx=-0.02 Mz=1.23
Sollecitazioni agenti localmente: Tx_l=0.76 Ty_l=10.33 N_l=-9123.66 My_l=-1.23 Mz_l=-0.02
Azioni sul cordone: TP=0.08 TO=0.75 NO=-674.42
Tensioni nel cordone: τ_P= 0.03 τ_O=0.24 σ_O=216.16 σ_{ID}=216.16 Σ_T=216.40
CC 17 SLV (Collegamento 0024_-381)
Azioni sul collegamento: N=-9123.66 Ty=4.12 Tz=10.33 Mx=-0.02 Mz=-1.95
Sollecitazioni agenti localmente: Tx_l=4.12 Ty_l=10.33 N_l=-9123.66 My_l=1.95 Mz_l=-0.02
Azioni sul cordone: TP=0.33 TO=0.78 NO=-674.42
Tensioni nel cordone: τ_P=0.10 τ_O=0.25 σ_O=217.22 σ_{ID}=217.22 Σ_T=217.46
CC 18 SLD (Collegamento 0024_-381)
Azioni sul collegamento: N=-5707.53 Ty=3.80 Tz=-2.38 Mx=-0.01 Mz=2.21
Sollecitazioni agenti localmente: Tx_l=3.80 Ty_l=-2.38 N_l=-5707.53 My_l=-2.21 Mz_l=-0.01
Azioni sul cordone: TP=0.29 TO=-0.18 NO=-421.90
Tensioni nel cordone: τ_P= 0.09 τ_O= 0.06 σ_O=137.32 σ_{ID}=137.32 Σ_T=137.38
CC 18 SLD (Collegamento 0024_-381)
Azioni sul collegamento: N=-5707.53 Ty=2.77 Tz=-2.38 Mx=-0.01 Mz=1.24
Sollecitazioni agenti localmente: Tx_l=2.77 Ty_l=-2.38 N_l=-5707.53 My_l=-1.24 Mz_l=-0.01
Azioni sul cordone: TP=0.21 TO=-0.18 NO=-421.90
Tensioni nel cordone: τ_P= 0.07 τ_O= 0.06 σ_O=135.91 σ_{ID}=135.91 Σ_T=135.97
CC 18 SLD (Collegamento 0024_-381)
Azioni sul collegamento: N=-5707.53 Ty=3.80 Tz=3.62 Mx=-0.01 Mz=2.21
Sollecitazioni agenti localmente: Tx_l=3.80 Ty_l=3.62 N_l=-5707.53 My_l=-2.21 Mz_l=-0.01
Azioni sul cordone: TP=0.29 TO=0.26 NO=-421.90
Tensioni nel cordone: τ_P= 0.09 τ_O= 0.08 σ_O=137.32 σ_{ID}=137.32 Σ_T=137.41
CC 18 SLD (Collegamento 0024_-381)
Azioni sul collegamento: N=-5707.53 Ty=2.77 Tz=3.62 Mx=-0.01 Mz=1.24
Sollecitazioni agenti localmente: Tx_l=2.77 Ty_l=3.62 N_l=-5707.53 My_l=-1.24 Mz_l=-0.01
Azioni sul cordone: TP=0.21 TO=0.26 NO=-421.90
Tensioni nel cordone: τ_P= 0.07 τ_O= 0.08 σ_O=135.91 σ_{ID}=135.91 Σ_T=135.99
CC 18 SLD (Collegamento 0024_-381)
Azioni sul collegamento: N=-7319.25 Ty=3.80 Tz=-2.38 Mx=-0.01 Mz=2.21
Sollecitazioni agenti localmente: Tx_l=3.80 Ty_l=-2.38 N_l=-7319.25 My_l=-2.21 Mz_l=-0.01
Azioni sul cordone: TP=0.29 TO=-0.18 NO=-541.04
Tensioni nel cordone: τ_P= 0.09 τ_O= 0.06 σ_O=175.19 σ_{ID}=175.19 Σ_T=175.25
CC 18 SLD (Collegamento 0024_-381)
Azioni sul collegamento: N=-7319.25 Ty=2.77 Tz=-2.38 Mx=-0.01 Mz=1.24
Sollecitazioni agenti localmente: Tx_l=2.77 Ty_l=-2.38 N_l=-7319.25 My_l=-1.24 Mz_l=-0.01
Azioni sul cordone: TP=0.21 TO=-0.18 NO=-541.04
Tensioni nel cordone: τ_P= 0.07 τ_O= 0.06 σ_O=173.78 σ_{ID}=173.78 Σ_T=173.83
CC 18 SLD (Collegamento 0024_-381)
Azioni sul collegamento: N=-7319.25 Ty=3.80 Tz=3.62 Mx=-0.01 Mz=2.21
Sollecitazioni agenti localmente: Tx_l=3.80 Ty_l=3.62 N_l=-7319.25 My_l=-2.21 Mz_l=-0.01
Azioni sul cordone: TP=0.29 TO=0.26 NO=-541.04
Tensioni nel cordone: τ_P= 0.09 τ_O= 0.08 σ_O=175.19 σ_{ID}=175.19 Σ_T=175.28
CC 18 SLD (Collegamento 0024_-381)
Azioni sul collegamento: N=-7319.25 Ty=2.77 Tz=3.62 Mx=-0.01 Mz=1.24
Sollecitazioni agenti localmente: Tx_l=2.77 Ty_l=3.62 N_l=-7319.25 My_l=-1.24 Mz_l=-0.01
Azioni sul cordone: TP=0.21 TO=0.26 NO=-541.04
Tensioni nel cordone: τ_P= 0.07 τ_O= 0.08 σ_O=173.78 σ_{ID}=173.78 Σ_T=173.86
CC 19 SLV (Collegamento 0024_-381)
Azioni sul collegamento: N=-3843.85 Ty=1.39 Tz=-9.22 Mx=-0.02 Mz=-0.03
Sollecitazioni agenti localmente: Tx_l=1.39 Ty_l=-9.22 N_l=-3843.85 My_l=0.03 Mz_l=-0.02
Azioni sul cordone: TP=0.12 TO=-0.67 NO=-284.14
Tensioni nel cordone: τ_P= 0.04 τ_O=0.21 σ_O=90.35 σ_{ID}=90.35 Σ_T=90.57
CC 19 SLV (Collegamento 0024_-381)
Azioni sul collegamento: N=-3843.85 Ty=3.49 Tz=-9.22 Mx=-0.02 Mz=-0.69
Sollecitazioni agenti localmente: Tx_l=3.49 Ty_l=-9.22 N_l=-3843.85 My_l=0.69 Mz_l=-0.02
Azioni sul cordone: TP=0.28 TO=-0.67 NO=-284.14
Tensioni nel cordone: τ_P= 0.09 τ_O=0.21 σ_O=91.33 σ_{ID}=91.33 Σ_T=91.54
CC 19 SLV (Collegamento 0024_-381)
Azioni sul collegamento: N=-3843.85 Ty=1.39 Tz=10.20 Mx=-0.02 Mz=-0.03
Sollecitazioni agenti localmente: Tx_l=1.39 Ty_l=10.20 N_l=-3843.85 My_l=0.03 Mz_l=-0.02
Azioni sul cordone: TP=0.12 TO=0.77 NO=-284.14
Tensioni nel cordone: τ_P= 0.04 τ_O=0.24 σ_O=90.35 σ_{ID}=90.35 Σ_T=90.60
CC 19 SLV (Collegamento 0024_-381)
Azioni sul collegamento: N=-3843.85 Ty=3.49 Tz=10.20 Mx=-0.02 Mz=-0.69
Sollecitazioni agenti localmente: Tx_l=3.49 Ty_l=10.20 N_l=-3843.85 My_l=0.69 Mz_l=-0.02
Azioni sul cordone: TP=0.28 TO=0.77 NO=-284.14
Tensioni nel cordone: τ_P= 0.09 τ_O=0.24 σ_O=91.33 σ_{ID}=91.33 Σ_T=91.57
CC 19 SLV (Collegamento 0024_-381)

Azioni sul collegamento: N=-9117.97 Ty=1.39 Tz=-9.22 Mx=-0.02 Mz=-0.03
Sollecitazioni agenti localmente: Tx_l=1.39 Ty_l=-9.22 N_l=-9117.97 My_l=0.03 Mz_l=-0.02
Azioni sul cordone: TP=0.12 TO=-0.67 NO=-674.00
Tensioni nel cordone: τ_P= 0.04 τ_O=0.21 σ_O=214.27 σ_{ID}=214.27 Σ_T=214.48
CC 19 SLV (Collegamento 0024_-381)
Azioni sul collegamento: N=-9117.97 Ty=3.49 Tz=-9.22 Mx=-0.02 Mz=-0.69
Sollecitazioni agenti localmente: Tx_l=3.49 Ty_l=-9.22 N_l=-9117.97 My_l=0.69 Mz_l=-0.02
Azioni sul cordone: TP=0.28 TO=-0.67 NO=-674.00
Tensioni nel cordone: τ_P= 0.09 τ_O=0.21 σ_O=215.25 σ_{ID}=215.25 Σ_T=215.46
CC 19 SLV (Collegamento 0024_-381)
Azioni sul collegamento: N=-9117.97 Ty=1.39 Tz=10.20 Mx=-0.02 Mz=-0.03
Sollecitazioni agenti localmente: Tx_l=1.39 Ty_l=10.20 N_l=-9117.97 My_l=0.03 Mz_l=-0.02
Azioni sul cordone: TP=0.12 TO=0.77 NO=-674.00
Tensioni nel cordone: τ_P= 0.04 τ_O=0.24 σ_O=214.27 σ_{ID}=214.27 Σ_T=214.51
CC 19 SLV (Collegamento 0024_-381)
Azioni sul collegamento: N=-9117.97 Ty=3.49 Tz=10.20 Mx=-0.02 Mz=-0.69
Sollecitazioni agenti localmente: Tx_l=3.49 Ty_l=10.20 N_l=-9117.97 My_l=0.69 Mz_l=-0.02
Azioni sul cordone: TP=0.28 TO=0.77 NO=-674.00
Tensioni nel cordone: τ_P= 0.09 τ_O=0.24 σ_O=215.25 σ_{ID}=215.25 Σ_T=215.49
CC 20 SLD (Collegamento 0024_-381)
Azioni sul collegamento: N=-5709.27 Ty=3.60 Tz=-2.35 Mx=-0.01 Mz=1.82
Sollecitazioni agenti localmente: Tx_l=3.60 Ty_l=-2.35 N_l=-5709.27 My_l=-1.82 Mz_l=-0.01
Azioni sul cordone: TP=0.27 TO=-0.18 NO=-422.03
Tensioni nel cordone: τ_P= 0.09 τ_O= 0.06 σ_O=136.81 σ_{ID}=136.81 Σ_T=136.86
CC 20 SLD (Collegamento 0024_-381)
Azioni sul collegamento: N=-5709.27 Ty=2.97 Tz=-2.35 Mx=-0.01 Mz=1.62
Sollecitazioni agenti localmente: Tx_l=2.97 Ty_l=-2.35 N_l=-5709.27 My_l=-1.62 Mz_l=-0.01
Azioni sul cordone: TP=0.23 TO=-0.18 NO=-422.03
Tensioni nel cordone: τ_P= 0.07 τ_O= 0.06 σ_O=136.51 σ_{ID}=136.51 Σ_T=136.56
CC 20 SLD (Collegamento 0024_-381)
Azioni sul collegamento: N=-5709.27 Ty=3.60 Tz=3.58 Mx=-0.01 Mz=1.82
Sollecitazioni agenti localmente: Tx_l=3.60 Ty_l=3.58 N_l=-5709.27 My_l=-1.82 Mz_l=-0.01
Azioni sul cordone: TP=0.27 TO=0.26 NO=-422.03
Tensioni nel cordone: τ_P= 0.09 τ_O= 0.08 σ_O=136.81 σ_{ID}=136.81 Σ_T=136.89
CC 20 SLD (Collegamento 0024_-381)
Azioni sul collegamento: N=-5709.27 Ty=2.97 Tz=3.58 Mx=-0.01 Mz=1.62
Sollecitazioni agenti localmente: Tx_l=2.97 Ty_l=3.58 N_l=-5709.27 My_l=-1.62 Mz_l=-0.01
Azioni sul cordone: TP=0.23 TO=0.26 NO=-422.03
Tensioni nel cordone: τ_P= 0.07 τ_O= 0.08 σ_O=136.51 σ_{ID}=136.51 Σ_T=136.59
CC 20 SLD (Collegamento 0024_-381)
Azioni sul collegamento: N=-7317.51 Ty=3.60 Tz=-2.35 Mx=-0.01 Mz=1.82
Sollecitazioni agenti localmente: Tx_l=3.60 Ty_l=-2.35 N_l=-7317.51 My_l=-1.82 Mz_l=-0.01
Azioni sul cordone: TP=0.27 TO=-0.18 NO=-540.91
Tensioni nel cordone: τ_P= 0.09 τ_O= 0.06 σ_O=174.59 σ_{ID}=174.59 Σ_T=174.65
CC 20 SLD (Collegamento 0024_-381)
Azioni sul collegamento: N=-7317.51 Ty=2.97 Tz=-2.35 Mx=-0.01 Mz=1.62
Sollecitazioni agenti localmente: Tx_l=2.97 Ty_l=-2.35 N_l=-7317.51 My_l=-1.62 Mz_l=-0.01
Azioni sul cordone: TP=0.23 TO=-0.18 NO=-540.91
Tensioni nel cordone: τ_P= 0.07 τ_O= 0.06 σ_O=174.29 σ_{ID}=174.29 Σ_T=174.35
CC 20 SLD (Collegamento 0024_-381)
Azioni sul collegamento: N=-7317.51 Ty=3.60 Tz=3.58 Mx=-0.01 Mz=1.82
Sollecitazioni agenti localmente: Tx_l=3.60 Ty_l=3.58 N_l=-7317.51 My_l=-1.82 Mz_l=-0.01
Azioni sul cordone: TP=0.27 TO=0.26 NO=-540.91
Tensioni nel cordone: τ_P= 0.09 τ_O= 0.08 σ_O=174.59 σ_{ID}=174.59 Σ_T=174.67
CC 20 SLD (Collegamento 0024_-381)
Azioni sul collegamento: N=-7317.51 Ty=2.97 Tz=3.58 Mx=-0.01 Mz=1.62
Sollecitazioni agenti localmente: Tx_l=2.97 Ty_l=3.58 N_l=-7317.51 My_l=-1.62 Mz_l=-0.01
Azioni sul cordone: TP=0.23 TO=0.26 NO=-540.91
Tensioni nel cordone: τ_P= 0.07 τ_O= 0.08 σ_O=174.29 σ_{ID}=174.29 Σ_T=174.38
CC 21 SLV (Collegamento 0024_-381)
Azioni sul collegamento: N=-9117.97 Ty=3.49 Tz=10.20 Mx=-0.02 Mz=-0.69
Sollecitazioni agenti localmente: Tx_l=3.49 Ty_l=10.20 N_l=-9117.97 My_l=0.69 Mz_l=-0.02
Azioni sul cordone: TP=0.28 TO=0.77 NO=-674.00
Tensioni nel cordone: τ_P= 0.09 τ_O=0.24 σ_O=215.25 σ_{ID}=215.25 Σ_T=215.49
CC 21 SLV (Collegamento 0024_-381)
Azioni sul collegamento: N=-9117.97 Ty=1.39 Tz=10.20 Mx=-0.02 Mz=-0.03
Sollecitazioni agenti localmente: Tx_l=1.39 Ty_l=10.20 N_l=-9117.97 My_l=0.03 Mz_l=-0.02
Azioni sul cordone: TP=0.12 TO=0.77 NO=-674.00
Tensioni nel cordone: τ_P= 0.04 τ_O=0.24 σ_O=214.27 σ_{ID}=214.27 Σ_T=214.51
CC 21 SLV (Collegamento 0024_-381)
Azioni sul collegamento: N=-9117.97 Ty=3.49 Tz=-9.22 Mx=-0.02 Mz=-0.69
Sollecitazioni agenti localmente: Tx_l=3.49 Ty_l=-9.22 N_l=-9117.97 My_l=0.69 Mz_l=-0.02
Azioni sul cordone: TP=0.28 TO=-0.67 NO=-674.00
Tensioni nel cordone: τ_P= 0.09 τ_O=0.21 σ_O=215.25 σ_{ID}=215.25 Σ_T=215.46
CC 21 SLV (Collegamento 0024_-381)
Azioni sul collegamento: N=-9117.97 Ty=1.39 Tz=-9.22 Mx=-0.02 Mz=-0.03
Sollecitazioni agenti localmente: Tx_l=1.39 Ty_l=-9.22 N_l=-9117.97 My_l=0.03 Mz_l=-0.02
Azioni sul cordone: TP=0.12 TO=-0.67 NO=-674.00
Tensioni nel cordone: τ_P= 0.04 τ_O=0.21 σ_O=214.27 σ_{ID}=214.27 Σ_T=214.48

CC 21 SLV (Collegamento 0024_-381)
Azioni sul collegamento: N=-3843.85 Ty=3.49 Tz=10.20 Mx=-0.02 Mz=-0.69
Sollecitazioni agenti localmente: Tx_l=3.49 Ty_l=10.20 N_l=-3843.85 My_l=0.69 Mz_l=-0.02
Azioni sul cordone: TP=0.28 TO=0.77 NO=-284.14
Tensioni nel cordone: τ_P= 0.09 τ_O=0.24 σ_O=91.33 σ_{ID}=91.33 Σ_T=91.57
CC 21 SLV (Collegamento 0024_-381)
Azioni sul collegamento: N=-3843.85 Ty=1.39 Tz=10.20 Mx=-0.02 Mz=-0.03
Sollecitazioni agenti localmente: Tx_l=1.39 Ty_l=10.20 N_l=-3843.85 My_l=0.03 Mz_l=-0.02
Azioni sul cordone: TP=0.12 TO=0.77 NO=-284.14
Tensioni nel cordone: τ_P= 0.04 τ_O=0.24 σ_O=90.35 σ_{ID}=90.35 Σ_T=90.60
CC 21 SLV (Collegamento 0024_-381)
Azioni sul collegamento: N=-3843.85 Ty=3.49 Tz=-9.22 Mx=-0.02 Mz=-0.69
Sollecitazioni agenti localmente: Tx_l=3.49 Ty_l=-9.22 N_l=-3843.85 My_l=0.69 Mz_l=-0.02
Azioni sul cordone: TP=0.28 TO=-0.67 NO=-284.14
Tensioni nel cordone: τ_P= 0.09 τ_O=0.21 σ_O=91.33 σ_{ID}=91.33 Σ_T=91.54
CC 21 SLV (Collegamento 0024_-381)
Azioni sul collegamento: N=-3843.85 Ty=1.39 Tz=-9.22 Mx=-0.02 Mz=-0.03
Sollecitazioni agenti localmente: Tx_l=1.39 Ty_l=-9.22 N_l=-3843.85 My_l=0.03 Mz_l=-0.02
Azioni sul cordone: TP=0.12 TO=-0.67 NO=-284.14
Tensioni nel cordone: τ_P= 0.04 τ_O=0.21 σ_O=90.35 σ_{ID}=90.35 Σ_T=90.56
CC 22 SLD (Collegamento 0024_-381)
Azioni sul collegamento: N=-7317.51 Ty=2.97 Tz=3.58 Mx=-0.01 Mz=1.62
Sollecitazioni agenti localmente: Tx_l=2.97 Ty_l=3.58 N_l=-7317.51 My_l=-1.62 Mz_l=-0.01
Azioni sul cordone: TP=0.23 TO=0.26 NO=-540.91
Tensioni nel cordone: τ_P= 0.07 τ_O= 0.08 σ_O=174.29 σ_{ID}=174.29 Σ_T=174.38
CC 22 SLD (Collegamento 0024_-381)
Azioni sul collegamento: N=-7317.51 Ty=3.60 Tz=3.58 Mx=-0.01 Mz=1.82
Sollecitazioni agenti localmente: Tx_l=3.60 Ty_l=3.58 N_l=-7317.51 My_l=-1.82 Mz_l=-0.01
Azioni sul cordone: TP=0.28 TO=0.26 NO=-540.91
Tensioni nel cordone: τ_P= 0.09 τ_O= 0.08 σ_O=174.59 σ_{ID}=174.59 Σ_T=174.67
CC 22 SLD (Collegamento 0024_-381)
Azioni sul collegamento: N=-7317.51 Ty=2.97 Tz=-2.35 Mx=-0.01 Mz=1.62
Sollecitazioni agenti localmente: Tx_l=2.97 Ty_l=-2.35 N_l=-7317.51 My_l=-1.62 Mz_l=-0.01
Azioni sul cordone: TP=0.23 TO=-0.18 NO=-540.91
Tensioni nel cordone: τ_P= 0.07 τ_O= 0.06 σ_O=174.29 σ_{ID}=174.29 Σ_T=174.35
CC 22 SLD (Collegamento 0024_-381)
Azioni sul collegamento: N=-7317.51 Ty=3.60 Tz=-2.35 Mx=-0.01 Mz=1.82
Sollecitazioni agenti localmente: Tx_l=3.60 Ty_l=-2.35 N_l=-7317.51 My_l=-1.82 Mz_l=-0.01
Azioni sul cordone: TP=0.28 TO=-0.18 NO=-540.91
Tensioni nel cordone: τ_P= 0.09 τ_O= 0.06 σ_O=174.59 σ_{ID}=174.59 Σ_T=174.65
CC 22 SLD (Collegamento 0024_-381)
Azioni sul collegamento: N=-5709.27 Ty=2.97 Tz=3.58 Mx=-0.01 Mz=1.62
Sollecitazioni agenti localmente: Tx_l=2.97 Ty_l=3.58 N_l=-5709.27 My_l=-1.62 Mz_l=-0.01
Azioni sul cordone: TP=0.23 TO=0.26 NO=-422.03
Tensioni nel cordone: τ_P= 0.07 τ_O= 0.08 σ_O=136.51 σ_{ID}=136.51 Σ_T=136.59
CC 22 SLD (Collegamento 0024_-381)
Azioni sul collegamento: N=-5709.27 Ty=3.60 Tz=3.58 Mx=-0.01 Mz=1.82
Sollecitazioni agenti localmente: Tx_l=3.60 Ty_l=3.58 N_l=-5709.27 My_l=-1.82 Mz_l=-0.01
Azioni sul cordone: TP=0.28 TO=0.26 NO=-422.03
Tensioni nel cordone: τ_P= 0.09 τ_O= 0.08 σ_O=136.81 σ_{ID}=136.81 Σ_T=136.89
CC 22 SLD (Collegamento 0024_-381)
Azioni sul collegamento: N=-5709.27 Ty=2.97 Tz=-2.35 Mx=-0.01 Mz=1.62
Sollecitazioni agenti localmente: Tx_l=2.97 Ty_l=-2.35 N_l=-5709.27 My_l=-1.62 Mz_l=-0.01
Azioni sul cordone: TP=0.23 TO=-0.18 NO=-422.03
Tensioni nel cordone: τ_P= 0.07 τ_O= 0.06 σ_O=136.51 σ_{ID}=136.51 Σ_T=136.56
CC 22 SLD (Collegamento 0024_-381)
Azioni sul collegamento: N=-5709.27 Ty=3.60 Tz=-2.35 Mx=-0.01 Mz=1.82
Sollecitazioni agenti localmente: Tx_l=3.60 Ty_l=-2.35 N_l=-5709.27 My_l=-1.82 Mz_l=-0.01
Azioni sul cordone: TP=0.28 TO=-0.18 NO=-422.03
Tensioni nel cordone: τ_P= 0.09 τ_O= 0.06 σ_O=136.81 σ_{ID}=136.81 Σ_T=136.86
CC 23 SLV (Collegamento 0024_-381)
Azioni sul collegamento: N=-9123.66 Ty=4.12 Tz=10.33 Mx=-0.01 Mz=-1.95
Sollecitazioni agenti localmente: Tx_l=4.12 Ty_l=10.33 N_l=-9123.66 My_l=1.95 Mz_l=-0.01
Azioni sul cordone: TP=0.32 TO=0.77 NO=-674.42
Tensioni nel cordone: τ_P=0.10 τ_O=0.25 σ_O=217.22 σ_{ID}=217.22 Σ_T=217.46
CC 23 SLV (Collegamento 0024_-381)
Azioni sul collegamento: N=-9123.66 Ty=0.76 Tz=10.33 Mx=-0.01 Mz=1.23
Sollecitazioni agenti localmente: Tx_l=0.76 Ty_l=10.33 N_l=-9123.66 My_l=-1.23 Mz_l=-0.01
Azioni sul cordone: TP=0.07 TO=0.75 NO=-674.42
Tensioni nel cordone: τ_P= 0.02 τ_O=0.24 σ_O=216.16 σ_{ID}=216.16 Σ_T=216.40
CC 23 SLV (Collegamento 0024_-381)
Azioni sul collegamento: N=-9123.66 Ty=4.12 Tz=-9.35 Mx=-0.01 Mz=-1.95
Sollecitazioni agenti localmente: Tx_l=4.12 Ty_l=-9.35 N_l=-9123.66 My_l=1.95 Mz_l=-0.01
Azioni sul cordone: TP=0.32 TO=-0.68 NO=-674.42
Tensioni nel cordone: τ_P=0.10 τ_O=0.22 σ_O=217.22 σ_{ID}=217.22 Σ_T=217.43
CC 23 SLV (Collegamento 0024_-381)
Azioni sul collegamento: N=-9123.66 Ty=0.76 Tz=-9.35 Mx=-0.01 Mz=1.23
Sollecitazioni agenti localmente: Tx_l=0.76 Ty_l=-9.35 N_l=-9123.66 My_l=-1.23 Mz_l=-0.01
Azioni sul cordone: TP=0.07 TO=-0.70 NO=-674.42

Tensioni nel cordone: τ_P= 0.02 τ_0=0.22 σ_0=216.16 σ_{ID}=216.16 Σ_T=216.38
CC 23 SLV (Collegamento 0024_-381)
Azioni sul collegamento: N=-3838.16 Ty=4.12 Tz=10.33 Mx=-0.01 Mz=-1.95
Sollecitazioni agenti localmente: Tx_l=4.12 Ty_l=10.33 N_l=-3838.16 My_l=1.95 Mz_l=-0.01
Azioni sul cordone: TP=0.32 TO=0.77 NO=-283.72
Tensioni nel cordone: τ_P=0.10 τ_0=0.25 σ_0=93.03 σ_{ID}=93.03 Σ_T=93.28
CC 23 SLV (Collegamento 0024_-381)
Azioni sul collegamento: N=-3838.16 Ty=0.76 Tz=10.33 Mx=-0.01 Mz=1.23
Sollecitazioni agenti localmente: Tx_l=0.76 Ty_l=10.33 N_l=-3838.16 My_l=-1.23 Mz_l=-0.01
Azioni sul cordone: TP=0.07 TO=0.75 NO=-283.72
Tensioni nel cordone: τ_P= 0.02 τ_0=0.24 σ_0=91.98 σ_{ID}=91.98 Σ_T=92.22
CC 23 SLV (Collegamento 0024_-381)
Azioni sul collegamento: N=-3838.16 Ty=4.12 Tz=-9.35 Mx=-0.01 Mz=-1.95
Sollecitazioni agenti localmente: Tx_l=4.12 Ty_l=-9.35 N_l=-3838.16 My_l=1.95 Mz_l=-0.01
Azioni sul cordone: TP=0.32 TO=-0.68 NO=-283.72
Tensioni nel cordone: τ_P=0.10 τ_0=0.22 σ_0=93.03 σ_{ID}=93.03 Σ_T=93.25
CC 23 SLV (Collegamento 0024_-381)
Azioni sul collegamento: N=-3838.16 Ty=0.76 Tz=-9.35 Mx=-0.01 Mz=1.23
Sollecitazioni agenti localmente: Tx_l=0.76 Ty_l=-9.35 N_l=-3838.16 My_l=-1.23 Mz_l=-0.01
Azioni sul cordone: TP=0.07 TO=-0.70 NO=-283.72
Tensioni nel cordone: τ_P= 0.02 τ_0=0.22 σ_0=91.98 σ_{ID}=91.98 Σ_T=92.20
CC 24 SLD (Collegamento 0024_-381)
Azioni sul collegamento: N=-7319.25 Ty=2.77 Tz=3.62 Mx=-0.01 Mz=1.24
Sollecitazioni agenti localmente: Tx_l=2.77 Ty_l=3.62 N_l=-7319.25 My_l=-1.24 Mz_l=-0.01
Azioni sul cordone: TP=0.21 TO=0.26 NO=-541.04
Tensioni nel cordone: τ_P= 0.07 τ_0= 0.08 σ_0=173.78 σ_{ID}=173.78 Σ_T=173.86
CC 24 SLD (Collegamento 0024_-381)
Azioni sul collegamento: N=-7319.25 Ty=3.80 Tz=3.62 Mx=-0.01 Mz=2.21
Sollecitazioni agenti localmente: Tx_l=3.80 Ty_l=3.62 N_l=-7319.25 My_l=-2.21 Mz_l=-0.01
Azioni sul cordone: TP=0.29 TO=0.26 NO=-541.04
Tensioni nel cordone: τ_P= 0.09 τ_0= 0.08 σ_0=175.19 σ_{ID}=175.19 Σ_T=175.28
CC 24 SLD (Collegamento 0024_-381)
Azioni sul collegamento: N=-7319.25 Ty=2.77 Tz=-2.38 Mx=-0.01 Mz=1.24
Sollecitazioni agenti localmente: Tx_l=2.77 Ty_l=-2.38 N_l=-7319.25 My_l=-1.24 Mz_l=-0.01
Azioni sul cordone: TP=0.21 TO=-0.18 NO=-541.04
Tensioni nel cordone: τ_P= 0.07 τ_0= 0.06 σ_0=173.78 σ_{ID}=173.78 Σ_T=173.83
CC 24 SLD (Collegamento 0024_-381)
Azioni sul collegamento: N=-7319.25 Ty=3.80 Tz=-2.38 Mx=-0.01 Mz=2.21
Sollecitazioni agenti localmente: Tx_l=3.80 Ty_l=-2.38 N_l=-7319.25 My_l=-2.21 Mz_l=-0.01
Azioni sul cordone: TP=0.29 TO=-0.18 NO=-541.04
Tensioni nel cordone: τ_P= 0.09 τ_0= 0.06 σ_0=175.19 σ_{ID}=175.19 Σ_T=175.25
CC 24 SLD (Collegamento 0024_-381)
Azioni sul collegamento: N=-5707.53 Ty=2.77 Tz=3.62 Mx=-0.01 Mz=1.24
Sollecitazioni agenti localmente: Tx_l=2.77 Ty_l=3.62 N_l=-5707.53 My_l=-1.24 Mz_l=-0.01
Azioni sul cordone: TP=0.21 TO=0.26 NO=-421.90
Tensioni nel cordone: τ_P= 0.07 τ_0= 0.08 σ_0=135.91 σ_{ID}=135.91 Σ_T=135.99
CC 24 SLD (Collegamento 0024_-381)
Azioni sul collegamento: N=-5707.53 Ty=3.80 Tz=3.62 Mx=-0.01 Mz=2.21
Sollecitazioni agenti localmente: Tx_l=3.80 Ty_l=3.62 N_l=-5707.53 My_l=-2.21 Mz_l=-0.01
Azioni sul cordone: TP=0.29 TO=0.26 NO=-421.90
Tensioni nel cordone: τ_P= 0.09 τ_0= 0.08 σ_0=137.32 σ_{ID}=137.32 Σ_T=137.41
CC 24 SLD (Collegamento 0024_-381)
Azioni sul collegamento: N=-5707.53 Ty=2.77 Tz=-2.38 Mx=-0.01 Mz=1.24
Sollecitazioni agenti localmente: Tx_l=2.77 Ty_l=-2.38 N_l=-5707.53 My_l=-1.24 Mz_l=-0.01
Azioni sul cordone: TP=0.21 TO=-0.18 NO=-421.90
Tensioni nel cordone: τ_P= 0.07 τ_0= 0.06 σ_0=135.91 σ_{ID}=135.91 Σ_T=135.96
CC 24 SLD (Collegamento 0024_-381)
Azioni sul collegamento: N=-5707.53 Ty=3.80 Tz=-2.38 Mx=-0.01 Mz=2.21
Sollecitazioni agenti localmente: Tx_l=3.80 Ty_l=-2.38 N_l=-5707.53 My_l=-2.21 Mz_l=-0.01
Azioni sul cordone: TP=0.29 TO=-0.18 NO=-421.90
Tensioni nel cordone: τ_P= 0.09 τ_0= 0.06 σ_0=137.32 σ_{ID}=137.32 Σ_T=137.38
CC 25 SLV (Collegamento 0024_-381)
Azioni sul collegamento: N=-5679.46 Ty=0.97 Tz=-2.66 Mx=-0.03 Mz=2.02
Sollecitazioni agenti localmente: Tx_l=0.97 Ty_l=-2.66 N_l=-5679.46 My_l=-2.02 Mz_l=-0.03
Azioni sul cordone: TP=0.10 TO=-0.22 NO=-419.83
Tensioni nel cordone: τ_P= 0.03 τ_0= 0.07 σ_0=136.40 σ_{ID}=136.40 Σ_T=136.47
CC 25 SLV (Collegamento 0024_-381)
Azioni sul collegamento: N=-5679.46 Ty=3.91 Tz=-2.66 Mx=-0.03 Mz=-2.74
Sollecitazioni agenti localmente: Tx_l=3.91 Ty_l=-2.66 N_l=-5679.46 My_l=2.74 Mz_l=-0.03
Azioni sul cordone: TP=0.32 TO=-0.18 NO=-419.83
Tensioni nel cordone: τ_P=0.10 τ_0= 0.06 σ_0=137.45 σ_{ID}=137.45 Σ_T=137.51
CC 25 SLV (Collegamento 0024_-381)
Azioni sul collegamento: N=-5679.46 Ty=0.97 Tz=3.63 Mx=-0.03 Mz=2.02
Sollecitazioni agenti localmente: Tx_l=0.97 Ty_l=3.63 N_l=-5679.46 My_l=-2.02 Mz_l=-0.03
Azioni sul cordone: TP=0.10 TO=0.25 NO=-419.83
Tensioni nel cordone: τ_P= 0.03 τ_0= 0.08 σ_0=136.40 σ_{ID}=136.40 Σ_T=136.48
CC 25 SLV (Collegamento 0024_-381)
Azioni sul collegamento: N=-5679.46 Ty=3.91 Tz=3.63 Mx=-0.03 Mz=-2.74
Sollecitazioni agenti localmente: Tx_l=3.91 Ty_l=3.63 N_l=-5679.46 My_l=2.74 Mz_l=-0.03

Azioni sul cordone: TP=0.32 TO=0.29 NO=-419.83
Tensioni nel cordone: τ_P=0.10 τ_0= 0.09 σ_0=137.45 σ_{ID}=137.45 Σ_T=137.54
CC 25 SLV (Collegamento 0024_-381)
Azioni sul collegamento: N=-7282.36 Ty=0.97 Tz=-2.66 Mx=-0.03 Mz=2.02
Sollecitazioni agenti localmente: Tx_l=0.97 Ty_l=-2.66 N_l=-7282.36 My_l=-2.02 Mz_l=-0.03
Azioni sul cordone: TP=0.10 TO=-0.22 NO=-538.31
Tensioni nel cordone: τ_P= 0.03 τ_0= 0.07 σ_0=174.06 σ_{ID}=174.06 Σ_T=174.13
CC 25 SLV (Collegamento 0024_-381)
Azioni sul collegamento: N=-7282.36 Ty=3.91 Tz=-2.66 Mx=-0.03 Mz=-2.74
Sollecitazioni agenti localmente: Tx_l=3.91 Ty_l=-2.66 N_l=-7282.36 My_l=2.74 Mz_l=-0.03
Azioni sul cordone: TP=0.32 TO=-0.18 NO=-538.31
Tensioni nel cordone: τ_P=0.10 τ_0= 0.06 σ_0=175.11 σ_{ID}=175.11 Σ_T=175.17
CC 25 SLV (Collegamento 0024_-381)
Azioni sul collegamento: N=-7282.36 Ty=0.97 Tz=3.63 Mx=-0.03 Mz=2.02
Sollecitazioni agenti localmente: Tx_l=0.97 Ty_l=3.63 N_l=-7282.36 My_l=-2.02 Mz_l=-0.03
Azioni sul cordone: TP=0.10 TO=0.25 NO=-538.31
Tensioni nel cordone: τ_P= 0.03 τ_0= 0.08 σ_0=174.06 σ_{ID}=174.06 Σ_T=174.14
CC 25 SLV (Collegamento 0024_-381)
Azioni sul collegamento: N=-7282.36 Ty=3.91 Tz=3.63 Mx=-0.03 Mz=-2.74
Sollecitazioni agenti localmente: Tx_l=3.91 Ty_l=3.63 N_l=-7282.36 My_l=2.74 Mz_l=-0.03
Azioni sul cordone: TP=0.32 TO=0.29 NO=-538.31
Tensioni nel cordone: τ_P=0.10 τ_0= 0.09 σ_0=175.11 σ_{ID}=175.11 Σ_T=175.20
CC 26 SLD (Collegamento 0024_-381)
Azioni sul collegamento: N=-6269.00 Ty=3.73 Tz=-0.34 Mx=-0.01 Mz=2.45
Sollecitazioni agenti localmente: Tx_l=3.73 Ty_l=-0.34 N_l=-6269.00 My_l=-2.45 Mz_l=-0.01
Azioni sul cordone: TP=0.29 TO=-0.03 NO=-463.41
Tensioni nel cordone: τ_P= 0.09 τ_0= 0.01 σ_0=150.87 σ_{ID}=150.87 Σ_T=150.88
CC 26 SLD (Collegamento 0024_-381)
Azioni sul collegamento: N=-6269.00 Ty=2.84 Tz=-0.34 Mx=-0.01 Mz=0.99
Sollecitazioni agenti localmente: Tx_l=2.84 Ty_l=-0.34 N_l=-6269.00 My_l=-0.99 Mz_l=-0.01
Azioni sul cordone: TP=0.22 TO=-0.03 NO=-463.41
Tensioni nel cordone: τ_P= 0.07 τ_0= 0.01 σ_0=148.75 σ_{ID}=148.75 Σ_T=148.76
CC 26 SLD (Collegamento 0024_-381)
Azioni sul collegamento: N=-6269.00 Ty=3.73 Tz=1.57 Mx=-0.01 Mz=2.45
Sollecitazioni agenti localmente: Tx_l=3.73 Ty_l=1.57 N_l=-6269.00 My_l=-2.45 Mz_l=-0.01
Azioni sul cordone: TP=0.29 TO=0.11 NO=-463.41
Tensioni nel cordone: τ_P= 0.09 τ_0= 0.03 σ_0=150.87 σ_{ID}=150.87 Σ_T=150.90
CC 26 SLD (Collegamento 0024_-381)
Azioni sul collegamento: N=-6269.00 Ty=2.84 Tz=1.57 Mx=-0.01 Mz=0.99
Sollecitazioni agenti localmente: Tx_l=2.84 Ty_l=1.57 N_l=-6269.00 My_l=-0.99 Mz_l=-0.01
Azioni sul cordone: TP=0.22 TO=0.11 NO=-463.41
Tensioni nel cordone: τ_P= 0.07 τ_0= 0.03 σ_0=148.75 σ_{ID}=148.75 Σ_T=148.78
CC 26 SLD (Collegamento 0024_-381)
Azioni sul collegamento: N=-6757.78 Ty=3.73 Tz=-0.34 Mx=-0.01 Mz=2.45
Sollecitazioni agenti localmente: Tx_l=3.73 Ty_l=-0.34 N_l=-6757.78 My_l=-2.45 Mz_l=-0.01
Azioni sul cordone: TP=0.29 TO=-0.03 NO=-499.54
Tensioni nel cordone: τ_P= 0.09 τ_0= 0.01 σ_0=162.35 σ_{ID}=162.35 Σ_T=162.36
CC 26 SLD (Collegamento 0024_-381)
Azioni sul collegamento: N=-6757.78 Ty=2.84 Tz=-0.34 Mx=-0.01 Mz=0.99
Sollecitazioni agenti localmente: Tx_l=2.84 Ty_l=-0.34 N_l=-6757.78 My_l=-0.99 Mz_l=-0.01
Azioni sul cordone: TP=0.22 TO=-0.03 NO=-499.54
Tensioni nel cordone: τ_P= 0.07 τ_0= 0.01 σ_0=160.23 σ_{ID}=160.23 Σ_T=160.24
CC 26 SLD (Collegamento 0024_-381)
Azioni sul collegamento: N=-6757.78 Ty=3.73 Tz=1.57 Mx=-0.01 Mz=2.45
Sollecitazioni agenti localmente: Tx_l=3.73 Ty_l=1.57 N_l=-6757.78 My_l=-2.45 Mz_l=-0.01
Azioni sul cordone: TP=0.29 TO=0.11 NO=-499.54
Tensioni nel cordone: τ_P= 0.09 τ_0= 0.03 σ_0=162.35 σ_{ID}=162.35 Σ_T=162.39
CC 26 SLD (Collegamento 0024_-381)
Azioni sul collegamento: N=-6757.78 Ty=2.84 Tz=1.57 Mx=-0.01 Mz=0.99
Sollecitazioni agenti localmente: Tx_l=2.84 Ty_l=1.57 N_l=-6757.78 My_l=-0.99 Mz_l=-0.01
Azioni sul cordone: TP=0.22 TO=0.11 NO=-499.54
Tensioni nel cordone: τ_P= 0.07 τ_0= 0.03 σ_0=160.23 σ_{ID}=160.23 Σ_T=160.26
CC 27 SLV (Collegamento 0024_-381)
Azioni sul collegamento: N=-7263.40 Ty=1.79 Tz=3.21 Mx=-0.02 Mz=1.45
Sollecitazioni agenti localmente: Tx_l=1.79 Ty_l=3.21 N_l=-7263.40 My_l=-1.45 Mz_l=-0.02
Azioni sul cordone: TP=0.16 TO=0.22 NO=-536.91
Tensioni nel cordone: τ_P= 0.05 τ_0= 0.07 σ_0=172.77 σ_{ID}=172.77 Σ_T=172.84
CC 27 SLV (Collegamento 0024_-381)
Azioni sul collegamento: N=-7263.40 Ty=3.09 Tz=3.21 Mx=-0.02 Mz=-2.17
Sollecitazioni agenti localmente: Tx_l=3.09 Ty_l=3.21 N_l=-7263.40 My_l=2.17 Mz_l=-0.02
Azioni sul cordone: TP=0.26 TO=0.26 NO=-536.91
Tensioni nel cordone: τ_P= 0.08 τ_0= 0.08 σ_0=173.82 σ_{ID}=173.82 Σ_T=173.91
CC 27 SLV (Collegamento 0024_-381)
Azioni sul collegamento: N=-7263.40 Ty=1.79 Tz=-2.23 Mx=-0.02 Mz=1.45
Sollecitazioni agenti localmente: Tx_l=1.79 Ty_l=-2.23 N_l=-7263.40 My_l=-1.45 Mz_l=-0.02
Azioni sul cordone: TP=0.16 TO=-0.18 NO=-536.91
Tensioni nel cordone: τ_P= 0.05 τ_0= 0.06 σ_0=172.77 σ_{ID}=172.77 Σ_T=172.83
CC 27 SLV (Collegamento 0024_-381)
Azioni sul collegamento: N=-7263.40 Ty=3.09 Tz=-2.23 Mx=-0.02 Mz=-2.17

Sollecitazioni agenti localmente: Tx_l=3.09 Ty_l=-2.23 N_l=-7263.40 My_l=2.17 Mz_l=-0.02
Azioni sul cordone: TP=0.26 TO=-0.15 NO=-536.91
Tensioni nel cordone: τ_P= 0.08 τ_O= 0.05 σ_O=173.82 σ_{ID}=173.82 Σ_T=173.87
CC 27 SLV (Collegamento 0024_-381)
Azioni sul collegamento: N=-5698.42 Ty=1.79 Tz=3.21 Mx=-0.02 Mz=1.45
Sollecitazioni agenti localmente: Tx_l=1.79 Ty_l=3.21 N_l=-5698.42 My_l=-1.45 Mz_l=-0.02
Azioni sul cordone: TP=0.16 TO=0.22 NO=-421.23
Tensioni nel cordone: τ_P= 0.05 τ_O= 0.07 σ_O=136.00 σ_{ID}=136.00 Σ_T=136.07
CC 27 SLV (Collegamento 0024_-381)
Azioni sul collegamento: N=-5698.42 Ty=3.09 Tz=3.21 Mx=-0.02 Mz=-2.17
Sollecitazioni agenti localmente: Tx_l=3.09 Ty_l=3.21 N_l=-5698.42 My_l=2.17 Mz_l=-0.02
Azioni sul cordone: TP=0.26 TO=0.26 NO=-421.23
Tensioni nel cordone: τ_P= 0.08 τ_O= 0.08 σ_O=137.05 σ_{ID}=137.05 Σ_T=137.13
CC 27 SLV (Collegamento 0024_-381)
Azioni sul collegamento: N=-5698.42 Ty=1.79 Tz=-2.23 Mx=-0.02 Mz=1.45
Sollecitazioni agenti localmente: Tx_l=1.79 Ty_l=-2.23 N_l=-5698.42 My_l=-1.45 Mz_l=-0.02
Azioni sul cordone: TP=0.16 TO=-0.18 NO=-421.23
Tensioni nel cordone: τ_P= 0.05 τ_O= 0.06 σ_O=136.00 σ_{ID}=136.00 Σ_T=136.06
CC 27 SLV (Collegamento 0024_-381)
Azioni sul collegamento: N=-5698.42 Ty=3.09 Tz=-2.23 Mx=-0.02 Mz=-2.17
Sollecitazioni agenti localmente: Tx_l=3.09 Ty_l=-2.23 N_l=-5698.42 My_l=2.17 Mz_l=-0.02
Azioni sul cordone: TP=0.26 TO=-0.15 NO=-421.23
Tensioni nel cordone: τ_P= 0.08 τ_O= 0.05 σ_O=137.05 σ_{ID}=137.05 Σ_T=137.10
CC 28 SLD (Collegamento 0024_-381)
Azioni sul collegamento: N=-6752.00 Ty=3.48 Tz=1.44 Mx=-0.01 Mz=2.27
Sollecitazioni agenti localmente: Tx_l=3.48 Ty_l=1.44 N_l=-6752.00 My_l=-2.27 Mz_l=-0.01
Azioni sul cordone: TP=0.27 TO=0.10 NO=-499.11
Tensioni nel cordone: τ_P= 0.09 τ_O= 0.03 σ_O=161.96 σ_{ID}=161.96 Σ_T=161.99
CC 28 SLD (Collegamento 0024_-381)
Azioni sul collegamento: N=-6752.00 Ty=3.09 Tz=1.44 Mx=-0.01 Mz=1.17
Sollecitazioni agenti localmente: Tx_l=3.09 Ty_l=1.44 N_l=-6752.00 My_l=-1.17 Mz_l=-0.01
Azioni sul cordone: TP=0.24 TO=0.10 NO=-499.11
Tensioni nel cordone: τ_P= 0.08 τ_O= 0.03 σ_O=160.35 σ_{ID}=160.35 Σ_T=160.38
CC 28 SLD (Collegamento 0024_-381)
Azioni sul collegamento: N=-6752.00 Ty=3.48 Tz=-0.21 Mx=-0.01 Mz=2.27
Sollecitazioni agenti localmente: Tx_l=3.48 Ty_l=-0.21 N_l=-6752.00 My_l=-2.27 Mz_l=-0.01
Azioni sul cordone: TP=0.27 TO=-0.02 NO=-499.11
Tensioni nel cordone: τ_P= 0.09 τ_O=7.48E-03 σ_O=161.96 σ_{ID}=161.96 Σ_T=161.97
CC 28 SLD (Collegamento 0024_-381)
Azioni sul collegamento: N=-6752.00 Ty=3.09 Tz=-0.21 Mx=-0.01 Mz=1.17
Sollecitazioni agenti localmente: Tx_l=3.09 Ty_l=-0.21 N_l=-6752.00 My_l=-1.17 Mz_l=-0.01
Azioni sul cordone: TP=0.24 TO=-0.02 NO=-499.11
Tensioni nel cordone: τ_P= 0.08 τ_O=7.48E-03 σ_O=160.35 σ_{ID}=160.35 Σ_T=160.36
CC 28 SLD (Collegamento 0024_-381)
Azioni sul collegamento: N=-6274.78 Ty=3.48 Tz=1.44 Mx=-0.01 Mz=2.27
Sollecitazioni agenti localmente: Tx_l=3.48 Ty_l=1.44 N_l=-6274.78 My_l=-2.27 Mz_l=-0.01
Azioni sul cordone: TP=0.27 TO=0.10 NO=-463.83
Tensioni nel cordone: τ_P= 0.09 τ_O= 0.03 σ_O=150.75 σ_{ID}=150.75 Σ_T=150.78
CC 28 SLD (Collegamento 0024_-381)
Azioni sul collegamento: N=-6274.78 Ty=3.09 Tz=1.44 Mx=-0.01 Mz=1.17
Sollecitazioni agenti localmente: Tx_l=3.09 Ty_l=1.44 N_l=-6274.78 My_l=-1.17 Mz_l=-0.01
Azioni sul cordone: TP=0.24 TO=0.10 NO=-463.83
Tensioni nel cordone: τ_P= 0.08 τ_O= 0.03 σ_O=149.14 σ_{ID}=149.14 Σ_T=149.17
CC 28 SLD (Collegamento 0024_-381)
Azioni sul collegamento: N=-6274.78 Ty=3.48 Tz=-0.21 Mx=-0.01 Mz=2.27
Sollecitazioni agenti localmente: Tx_l=3.48 Ty_l=-0.21 N_l=-6274.78 My_l=-2.27 Mz_l=-0.01
Azioni sul cordone: TP=0.27 TO=-0.02 NO=-463.83
Tensioni nel cordone: τ_P= 0.09 τ_O=7.48E-03 σ_O=150.75 σ_{ID}=150.75 Σ_T=150.75
CC 28 SLD (Collegamento 0024_-381)
Azioni sul collegamento: N=-6274.78 Ty=3.09 Tz=-0.21 Mx=-0.01 Mz=1.17
Sollecitazioni agenti localmente: Tx_l=3.09 Ty_l=-0.21 N_l=-6274.78 My_l=-1.17 Mz_l=-0.01
Azioni sul cordone: TP=0.24 TO=-0.02 NO=-463.83
Tensioni nel cordone: τ_P= 0.08 τ_O=7.48E-03 σ_O=149.14 σ_{ID}=149.14 Σ_T=149.15
CC 29 SLV (Collegamento 0024_-381)
Azioni sul collegamento: N=-5698.42 Ty=3.09 Tz=-2.23 Mx=-0.01 Mz=-2.17
Sollecitazioni agenti localmente: Tx_l=3.09 Ty_l=-2.23 N_l=-5698.42 My_l=2.17 Mz_l=-0.01
Azioni sul cordone: TP=0.24 TO=-0.16 NO=-421.23
Tensioni nel cordone: τ_P= 0.08 τ_O= 0.05 σ_O=137.05 σ_{ID}=137.05 Σ_T=137.10
CC 29 SLV (Collegamento 0024_-381)
Azioni sul collegamento: N=-5698.42 Ty=1.79 Tz=-2.23 Mx=-0.01 Mz=1.45
Sollecitazioni agenti localmente: Tx_l=1.79 Ty_l=-2.23 N_l=-5698.42 My_l=-1.45 Mz_l=-0.01
Azioni sul cordone: TP=0.14 TO=-0.17 NO=-421.23
Tensioni nel cordone: τ_P= 0.05 τ_O= 0.05 σ_O=136.00 σ_{ID}=136.00 Σ_T=136.05
CC 29 SLV (Collegamento 0024_-381)
Azioni sul collegamento: N=-5698.42 Ty=3.09 Tz=3.21 Mx=-0.01 Mz=-2.17
Sollecitazioni agenti localmente: Tx_l=3.09 Ty_l=3.21 N_l=-5698.42 My_l=2.17 Mz_l=-0.01
Azioni sul cordone: TP=0.24 TO=0.24 NO=-421.23
Tensioni nel cordone: τ_P= 0.08 τ_O= 0.08 σ_O=137.05 σ_{ID}=137.05 Σ_T=137.13
CC 29 SLV (Collegamento 0024_-381)

Azioni sul collegamento: N=-5698.42 Ty=1.79 Tz=3.21 Mx=-0.01 Mz=1.45
Sollecitazioni agenti localmente: Tx_l=1.79 Ty_l=3.21 N_l=-5698.42 My_l=-1.45 Mz_l=-0.01
Azioni sul cordone: TP=0.14 TO=0.23 NO=-421.23
Tensioni nel cordone: τ_P= 0.05 τ_0= 0.07 σ_0=136.00 σ_{ID}=136.00 Σ_T=136.07
CC 29 SLV (Collegamento 0024_-381)
Azioni sul collegamento: N=-7263.40 Ty=3.09 Tz=-2.23 Mx=-0.01 Mz=-2.17
Sollecitazioni agenti localmente: Tx_l=3.09 Ty_l=-2.23 N_l=-7263.40 My_l=2.17 Mz_l=-0.01
Azioni sul cordone: TP=0.24 TO=-0.16 NO=-536.91
Tensioni nel cordone: τ_P= 0.08 τ_0= 0.05 σ_0=173.82 σ_{ID}=173.82 Σ_T=173.87
CC 29 SLV (Collegamento 0024_-381)
Azioni sul collegamento: N=-7263.40 Ty=1.79 Tz=-2.23 Mx=-0.01 Mz=1.45
Sollecitazioni agenti localmente: Tx_l=1.79 Ty_l=-2.23 N_l=-7263.40 My_l=-1.45 Mz_l=-0.01
Azioni sul cordone: TP=0.14 TO=-0.17 NO=-536.91
Tensioni nel cordone: τ_P= 0.05 τ_0= 0.05 σ_0=172.77 σ_{ID}=172.77 Σ_T=172.82
CC 29 SLV (Collegamento 0024_-381)
Azioni sul collegamento: N=-7263.40 Ty=3.09 Tz=3.21 Mx=-0.01 Mz=-2.17
Sollecitazioni agenti localmente: Tx_l=3.09 Ty_l=3.21 N_l=-7263.40 My_l=2.17 Mz_l=-0.01
Azioni sul cordone: TP=0.24 TO=0.24 NO=-536.91
Tensioni nel cordone: τ_P= 0.08 τ_0= 0.08 σ_0=173.82 σ_{ID}=173.82 Σ_T=173.90
CC 29 SLV (Collegamento 0024_-381)
Azioni sul collegamento: N=-7263.40 Ty=1.79 Tz=3.21 Mx=-0.01 Mz=1.45
Sollecitazioni agenti localmente: Tx_l=1.79 Ty_l=3.21 N_l=-7263.40 My_l=-1.45 Mz_l=-0.01
Azioni sul cordone: TP=0.14 TO=0.23 NO=-536.91
Tensioni nel cordone: τ_P= 0.05 τ_0= 0.07 σ_0=172.77 σ_{ID}=172.77 Σ_T=172.84
CC 30 SLD (Collegamento 0024_-381)
Azioni sul collegamento: N=-6274.78 Ty=3.09 Tz=-0.21 Mx=-0.01 Mz=1.17
Sollecitazioni agenti localmente: Tx_l=3.09 Ty_l=-0.21 N_l=-6274.78 My_l=-1.17 Mz_l=-0.01
Azioni sul cordone: TP=0.23 TO=-0.02 NO=-463.83
Tensioni nel cordone: τ_P= 0.07 τ_0=6.32E-03 σ_0=149.14 σ_{ID}=149.14 Σ_T=149.15
CC 30 SLD (Collegamento 0024_-381)
Azioni sul collegamento: N=-6274.78 Ty=3.48 Tz=-0.21 Mx=-0.01 Mz=2.27
Sollecitazioni agenti localmente: Tx_l=3.48 Ty_l=-0.21 N_l=-6274.78 My_l=-2.27 Mz_l=-0.01
Azioni sul cordone: TP=0.26 TO=-0.02 NO=-463.83
Tensioni nel cordone: τ_P= 0.08 τ_0=6.32E-03 σ_0=150.75 σ_{ID}=150.75 Σ_T=150.75
CC 30 SLD (Collegamento 0024_-381)
Azioni sul collegamento: N=-6274.78 Ty=3.09 Tz=1.44 Mx=-0.01 Mz=1.17
Sollecitazioni agenti localmente: Tx_l=3.09 Ty_l=1.44 N_l=-6274.78 My_l=-1.17 Mz_l=-0.01
Azioni sul cordone: TP=0.23 TO=0.10 NO=-463.83
Tensioni nel cordone: τ_P= 0.07 τ_0= 0.03 σ_0=149.14 σ_{ID}=149.14 Σ_T=149.17
CC 30 SLD (Collegamento 0024_-381)
Azioni sul collegamento: N=-6274.78 Ty=3.48 Tz=1.44 Mx=-0.01 Mz=2.27
Sollecitazioni agenti localmente: Tx_l=3.48 Ty_l=1.44 N_l=-6274.78 My_l=-2.27 Mz_l=-0.01
Azioni sul cordone: TP=0.26 TO=0.10 NO=-463.83
Tensioni nel cordone: τ_P= 0.08 τ_0= 0.03 σ_0=150.75 σ_{ID}=150.75 Σ_T=150.78
CC 30 SLD (Collegamento 0024_-381)
Azioni sul collegamento: N=-6752.00 Ty=3.09 Tz=-0.21 Mx=-0.01 Mz=1.17
Sollecitazioni agenti localmente: Tx_l=3.09 Ty_l=-0.21 N_l=-6752.00 My_l=-1.17 Mz_l=-0.01
Azioni sul cordone: TP=0.23 TO=-0.02 NO=-499.11
Tensioni nel cordone: τ_P= 0.07 τ_0=6.32E-03 σ_0=160.35 σ_{ID}=160.35 Σ_T=160.36
CC 30 SLD (Collegamento 0024_-381)
Azioni sul collegamento: N=-6752.00 Ty=3.48 Tz=-0.21 Mx=-0.01 Mz=2.27
Sollecitazioni agenti localmente: Tx_l=3.48 Ty_l=-0.21 N_l=-6752.00 My_l=-2.27 Mz_l=-0.01
Azioni sul cordone: TP=0.26 TO=-0.02 NO=-499.11
Tensioni nel cordone: τ_P= 0.08 τ_0=6.32E-03 σ_0=161.96 σ_{ID}=161.96 Σ_T=161.97
CC 30 SLD (Collegamento 0024_-381)
Azioni sul collegamento: N=-6752.00 Ty=3.09 Tz=1.44 Mx=-0.01 Mz=1.17
Sollecitazioni agenti localmente: Tx_l=3.09 Ty_l=1.44 N_l=-6752.00 My_l=-1.17 Mz_l=-0.01
Azioni sul cordone: TP=0.23 TO=0.10 NO=-499.11
Tensioni nel cordone: τ_P= 0.07 τ_0= 0.03 σ_0=160.35 σ_{ID}=160.35 Σ_T=160.38
CC 30 SLD (Collegamento 0024_-381)
Azioni sul collegamento: N=-6752.00 Ty=3.48 Tz=1.44 Mx=-0.01 Mz=2.27
Sollecitazioni agenti localmente: Tx_l=3.48 Ty_l=1.44 N_l=-6752.00 My_l=-2.27 Mz_l=-0.01
Azioni sul cordone: TP=0.26 TO=0.10 NO=-499.11
Tensioni nel cordone: τ_P= 0.08 τ_0= 0.03 σ_0=161.96 σ_{ID}=161.96 Σ_T=161.99
CC 31 SLV (Collegamento 0024_-381)
Azioni sul collegamento: N=-7282.36 Ty=3.91 Tz=3.63 Mx=-0.01 Mz=-2.74
Sollecitazioni agenti localmente: Tx_l=3.91 Ty_l=3.63 N_l=-7282.36 My_l=2.74 Mz_l=-0.01
Azioni sul cordone: TP=0.30 TO=0.28 NO=-538.31
Tensioni nel cordone: τ_P= 0.09 τ_0= 0.09 σ_0=175.11 σ_{ID}=175.11 Σ_T=175.20
CC 31 SLV (Collegamento 0024_-381)
Azioni sul collegamento: N=-7282.36 Ty=0.97 Tz=3.63 Mx=-0.01 Mz=2.02
Sollecitazioni agenti localmente: Tx_l=0.97 Ty_l=3.63 N_l=-7282.36 My_l=-2.02 Mz_l=-0.01
Azioni sul cordone: TP=0.08 TO=0.26 NO=-538.31
Tensioni nel cordone: τ_P= 0.03 τ_0= 0.08 σ_0=174.06 σ_{ID}=174.06 Σ_T=174.14
CC 31 SLV (Collegamento 0024_-381)
Azioni sul collegamento: N=-7282.36 Ty=3.91 Tz=-2.66 Mx=-0.01 Mz=-2.74
Sollecitazioni agenti localmente: Tx_l=3.91 Ty_l=-2.66 N_l=-7282.36 My_l=2.74 Mz_l=-0.01
Azioni sul cordone: TP=0.30 TO=-0.19 NO=-538.31
Tensioni nel cordone: τ_P= 0.09 τ_0= 0.06 σ_0=175.11 σ_{ID}=175.11 Σ_T=175.17

CC 31 SLV (Collegamento 0024_-381)
Azioni sul collegamento: N=-7282.36 Ty=0.97 Tz=-2.66 Mx=-0.01 Mz=2.02
Sollecitazioni agenti localmente: Tx_l=0.97 Ty_l=-2.66 N_l=-7282.36 My_l=-2.02 Mz_l=-0.01
Azioni sul cordone: TP=0.08 TO=-0.20 NO=-538.31
Tensioni nel cordone: τ_P= 0.03 τ_O= 0.06 σ_O=174.06 σ_{ID}=174.06 Σ_T=174.12
CC 31 SLV (Collegamento 0024_-381)
Azioni sul collegamento: N=-5679.46 Ty=3.91 Tz=3.63 Mx=-0.01 Mz=-2.74
Sollecitazioni agenti localmente: Tx_l=3.91 Ty_l=3.63 N_l=-5679.46 My_l=2.74 Mz_l=-0.01
Azioni sul cordone: TP=0.30 TO=0.28 NO=-419.83
Tensioni nel cordone: τ_P= 0.09 τ_O= 0.09 σ_O=137.45 σ_{ID}=137.45 Σ_T=137.54
CC 31 SLV (Collegamento 0024_-381)
Azioni sul collegamento: N=-5679.46 Ty=0.97 Tz=3.63 Mx=-0.01 Mz=2.02
Sollecitazioni agenti localmente: Tx_l=0.97 Ty_l=3.63 N_l=-5679.46 My_l=-2.02 Mz_l=-0.01
Azioni sul cordone: TP=0.08 TO=0.26 NO=-419.83
Tensioni nel cordone: τ_P= 0.03 τ_O= 0.08 σ_O=136.40 σ_{ID}=136.40 Σ_T=136.48
CC 31 SLV (Collegamento 0024_-381)
Azioni sul collegamento: N=-5679.46 Ty=3.91 Tz=-2.66 Mx=-0.01 Mz=-2.74
Sollecitazioni agenti localmente: Tx_l=3.91 Ty_l=-2.66 N_l=-5679.46 My_l=2.74 Mz_l=-0.01
Azioni sul cordone: TP=0.30 TO=-0.19 NO=-419.83
Tensioni nel cordone: τ_P= 0.09 τ_O= 0.06 σ_O=137.45 σ_{ID}=137.45 Σ_T=137.51
CC 31 SLV (Collegamento 0024_-381)
Azioni sul collegamento: N=-5679.46 Ty=0.97 Tz=-2.66 Mx=-0.01 Mz=2.02
Sollecitazioni agenti localmente: Tx_l=0.97 Ty_l=-2.66 N_l=-5679.46 My_l=-2.02 Mz_l=-0.01
Azioni sul cordone: TP=0.08 TO=-0.20 NO=-419.83
Tensioni nel cordone: τ_P= 0.03 τ_O= 0.06 σ_O=136.40 σ_{ID}=136.40 Σ_T=136.46
CC 32 SLD (Collegamento 0024_-381)
Azioni sul collegamento: N=-6757.78 Ty=2.84 Tz=1.57 Mx=-0.00 Mz=0.99
Sollecitazioni agenti localmente: Tx_l=2.84 Ty_l=1.57 N_l=-6757.78 My_l=-0.99 Mz_l=-0.00
Azioni sul cordone: TP=0.22 TO=0.11 NO=-499.54
Tensioni nel cordone: τ_P= 0.07 τ_O= 0.04 σ_O=160.23 σ_{ID}=160.23 Σ_T=160.26
CC 32 SLD (Collegamento 0024_-381)
Azioni sul collegamento: N=-6757.78 Ty=3.73 Tz=1.57 Mx=-0.00 Mz=2.45
Sollecitazioni agenti localmente: Tx_l=3.73 Ty_l=1.57 N_l=-6757.78 My_l=-2.45 Mz_l=-0.00
Azioni sul cordone: TP=0.28 TO=0.11 NO=-499.54
Tensioni nel cordone: τ_P= 0.09 τ_O= 0.04 σ_O=162.35 σ_{ID}=162.35 Σ_T=162.39
CC 32 SLD (Collegamento 0024_-381)
Azioni sul collegamento: N=-6757.78 Ty=2.84 Tz=-0.34 Mx=-0.00 Mz=0.99
Sollecitazioni agenti localmente: Tx_l=2.84 Ty_l=-0.34 N_l=-6757.78 My_l=-0.99 Mz_l=-0.00
Azioni sul cordone: TP=0.22 TO=-0.03 NO=-499.54
Tensioni nel cordone: τ_P= 0.07 τ_O=9.31E-03 σ_O=160.23 σ_{ID}=160.23 Σ_T=160.24
CC 32 SLD (Collegamento 0024_-381)
Azioni sul collegamento: N=-6757.78 Ty=3.73 Tz=-0.34 Mx=-0.00 Mz=2.45
Sollecitazioni agenti localmente: Tx_l=3.73 Ty_l=-0.34 N_l=-6757.78 My_l=-2.45 Mz_l=-0.00
Azioni sul cordone: TP=0.28 TO=-0.03 NO=-499.54
Tensioni nel cordone: τ_P= 0.09 τ_O=9.31E-03 σ_O=162.35 σ_{ID}=162.35 Σ_T=162.36
CC 32 SLD (Collegamento 0024_-381)
Azioni sul collegamento: N=-6269.00 Ty=2.84 Tz=1.57 Mx=-0.00 Mz=0.99
Sollecitazioni agenti localmente: Tx_l=2.84 Ty_l=1.57 N_l=-6269.00 My_l=-0.99 Mz_l=-0.00
Azioni sul cordone: TP=0.22 TO=0.11 NO=-463.41
Tensioni nel cordone: τ_P= 0.07 τ_O= 0.04 σ_O=148.75 σ_{ID}=148.75 Σ_T=148.78
CC 32 SLD (Collegamento 0024_-381)
Azioni sul collegamento: N=-6269.00 Ty=3.73 Tz=1.57 Mx=-0.00 Mz=2.45
Sollecitazioni agenti localmente: Tx_l=3.73 Ty_l=1.57 N_l=-6269.00 My_l=-2.45 Mz_l=-0.00
Azioni sul cordone: TP=0.28 TO=0.11 NO=-463.41
Tensioni nel cordone: τ_P= 0.09 τ_O= 0.04 σ_O=150.87 σ_{ID}=150.87 Σ_T=150.91
CC 32 SLD (Collegamento 0024_-381)
Azioni sul collegamento: N=-6269.00 Ty=2.84 Tz=-0.34 Mx=-0.00 Mz=0.99
Sollecitazioni agenti localmente: Tx_l=2.84 Ty_l=-0.34 N_l=-6269.00 My_l=-0.99 Mz_l=-0.00
Azioni sul cordone: TP=0.22 TO=-0.03 NO=-463.41
Tensioni nel cordone: τ_P= 0.07 τ_O=9.31E-03 σ_O=148.75 σ_{ID}=148.75 Σ_T=148.75
CC 32 SLD (Collegamento 0024_-381)
Azioni sul collegamento: N=-6269.00 Ty=3.73 Tz=-0.34 Mx=-0.00 Mz=2.45
Sollecitazioni agenti localmente: Tx_l=3.73 Ty_l=-0.34 N_l=-6269.00 My_l=-2.45 Mz_l=-0.00
Azioni sul cordone: TP=0.28 TO=-0.03 NO=-463.41
Tensioni nel cordone: τ_P= 0.09 τ_O=9.31E-03 σ_O=150.87 σ_{ID}=150.87 Σ_T=150.88
CC 33 SLU (Collegamento 0024_-381)
Azioni sul collegamento: N=-30229.20 Ty=5.39 Tz=79.58 Mx=-0.01 Mz=3.85
Sollecitazioni agenti localmente: Tx_l=5.39 Ty_l=79.58 N_l=-30229.20 My_l=-3.85 Mz_l=-0.01
Azioni sul cordone: TP=0.41 TO=5.88 NO=-2234.55
Tensioni nel cordone: τ_P=0.13 τ_O=1.87 σ_O=715.87 σ_{ID}=715.87 Σ_T=717.74
CC 34 SLU (Collegamento 0024_-381)
Azioni sul collegamento: N=-30778.60 Ty=5.67 Tz=81.62 Mx=-0.01 Mz=4.05
Sollecitazioni agenti localmente: Tx_l=5.67 Ty_l=81.62 N_l=-30778.60 My_l=-4.05 Mz_l=-0.01
Azioni sul cordone: TP=0.43 TO=6.03 NO=-2275.16
Tensioni nel cordone: τ_P=0.14 τ_O=1.92 σ_O=729.07 σ_{ID}=729.07 Σ_T=730.99
CC 35 SLU (Collegamento 0024_-381)
Azioni sul collegamento: N=-30504.90 Ty=5.64 Tz=80.58 Mx=-0.01 Mz=4.16
Sollecitazioni agenti localmente: Tx_l=5.64 Ty_l=80.58 N_l=-30504.90 My_l=-4.16 Mz_l=-0.01
Azioni sul cordone: TP=0.43 TO=5.95 NO=-2254.93

Tensioni nel cordone: τ_P=0.14 τ_0=1.89 σ_0=722.81 σ_{ID}=722.81 Σ_T=724.70
CC 36 SLU (Collegamento 0024_-381)
Azioni sul collegamento: N=-30502.90 Ty=5.42 Tz=80.62 Mx=-0.01 Mz=3.73
Sollecitazioni agenti localmente: Tx_l=5.42 Ty_l=80.62 N_l=-30502.90 My_l=-3.73 Mz_l=-0.01
Azioni sul cordone: TP=0.41 TO=5.96 NO=-2254.79
Tensioni nel cordone: τ_P=0.13 τ_0=1.89 σ_0=722.13 σ_{ID}=722.13 Σ_T=724.02
CC 37 SLU (Collegamento 0024_-381)
Azioni sul collegamento: N=-32152.70 Ty=5.24 Tz=86.01 Mx=0.00 Mz=3.86
Sollecitazioni agenti localmente: Tx_l=5.24 Ty_l=86.01 N_l=-32152.70 My_l=-3.86 Mz_l=0.00
Azioni sul cordone: TP=0.38 TO=6.36 NO=-2376.74
Tensioni nel cordone: τ_P=0.12 τ_0=2.02 σ_0=761.08 σ_{ID}=761.08 Σ_T=763.10
CC 38 SLU (Collegamento 0024_-381)
Azioni sul collegamento: N=-32702.10 Ty=5.53 Tz=88.04 Mx=0.00 Mz=4.06
Sollecitazioni agenti localmente: Tx_l=5.53 Ty_l=88.04 N_l=-32702.10 My_l=-4.06 Mz_l=0.00
Azioni sul cordone: TP=0.41 TO=6.51 NO=-2417.35
Tensioni nel cordone: τ_P=0.13 τ_0=2.07 σ_0=774.28 σ_{ID}=774.28 Σ_T=776.35
CC 39 SLU (Collegamento 0024_-381)
Azioni sul collegamento: N=-32428.40 Ty=5.50 Tz=87.00 Mx=0.00 Mz=4.18
Sollecitazioni agenti localmente: Tx_l=5.50 Ty_l=87.00 N_l=-32428.40 My_l=-4.18 Mz_l=0.00
Azioni sul cordone: TP=0.40 TO=6.43 NO=-2397.11
Tensioni nel cordone: τ_P=0.13 τ_0=2.04 σ_0=768.02 σ_{ID}=768.02 Σ_T=770.07
CC 40 SLU (Collegamento 0024_-381)
Azioni sul collegamento: N=-32426.40 Ty=5.28 Tz=87.05 Mx=0.00 Mz=3.74
Sollecitazioni agenti localmente: Tx_l=5.28 Ty_l=87.05 N_l=-32426.40 My_l=-3.74 Mz_l=0.00
Azioni sul cordone: TP=0.39 TO=6.44 NO=-2396.97
Tensioni nel cordone: τ_P=0.12 τ_0=2.05 σ_0=767.34 σ_{ID}=767.34 Σ_T=769.38
CC 41 SLU (Collegamento 0024_-381)
Azioni sul collegamento: N=-20958.20 Ty=6.23 Tz=45.50 Mx=-0.01 Mz=4.43
Sollecitazioni agenti localmente: Tx_l=6.23 Ty_l=45.50 N_l=-20958.20 My_l=-4.43 Mz_l=-0.01
Azioni sul cordone: TP=0.47 TO=3.36 NO=-1549.24
Tensioni nel cordone: τ_P=0.15 τ_0=1.07 σ_0=498.89 σ_{ID}=498.90 Σ_T=499.96
CC 42 SLU (Collegamento 0024_-381)
Azioni sul collegamento: N=-21507.60 Ty=6.52 Tz=47.54 Mx=-0.01 Mz=4.63
Sollecitazioni agenti localmente: Tx_l=6.52 Ty_l=47.54 N_l=-21507.60 My_l=-4.63 Mz_l=-0.01
Azioni sul cordone: TP=0.49 TO=3.51 NO=-1589.85
Tensioni nel cordone: τ_P=0.16 τ_0=1.12 σ_0=512.10 σ_{ID}=512.10 Σ_T=513.21
CC 43 SLU (Collegamento 0024_-381)
Azioni sul collegamento: N=-21233.90 Ty=6.48 Tz=46.50 Mx=-0.01 Mz=4.75
Sollecitazioni agenti localmente: Tx_l=6.48 Ty_l=46.50 N_l=-21233.90 My_l=-4.75 Mz_l=-0.01
Azioni sul cordone: TP=0.49 TO=3.43 NO=-1569.62
Tensioni nel cordone: τ_P=0.15 τ_0=1.09 σ_0=505.84 σ_{ID}=505.84 Σ_T=506.93
CC 44 SLU (Collegamento 0024_-381)
Azioni sul collegamento: N=-21231.90 Ty=6.26 Tz=46.54 Mx=-0.01 Mz=4.31
Sollecitazioni agenti localmente: Tx_l=6.26 Ty_l=46.54 N_l=-21231.90 My_l=-4.31 Mz_l=-0.01
Azioni sul cordone: TP=0.47 TO=3.44 NO=-1569.47
Tensioni nel cordone: τ_P=0.15 τ_0=1.09 σ_0=505.15 σ_{ID}=505.16 Σ_T=506.25
CC 45 SLU (Collegamento 0024_-381)
Azioni sul collegamento: N=-23044.60 Ty=5.94 Tz=53.22 Mx=-0.01 Mz=4.28
Sollecitazioni agenti localmente: Tx_l=5.94 Ty_l=53.22 N_l=-23044.60 My_l=-4.28 Mz_l=-0.01
Azioni sul cordone: TP=0.45 TO=3.93 NO=-1703.46
Tensioni nel cordone: τ_P=0.14 τ_0=1.25 σ_0=547.70 σ_{ID}=547.71 Σ_T=548.95
CC 46 SLU (Collegamento 0024_-381)
Azioni sul collegamento: N=-23594.00 Ty=6.22 Tz=55.25 Mx=-0.01 Mz=4.49
Sollecitazioni agenti localmente: Tx_l=6.22 Ty_l=55.25 N_l=-23594.00 My_l=-4.49 Mz_l=-0.01
Azioni sul cordone: TP=0.47 TO=4.08 NO=-1744.08
Tensioni nel cordone: τ_P=0.15 τ_0=1.30 σ_0=560.91 σ_{ID}=560.91 Σ_T=562.20
CC 47 SLU (Collegamento 0024_-381)
Azioni sul collegamento: N=-23320.30 Ty=6.19 Tz=54.21 Mx=-0.01 Mz=4.60
Sollecitazioni agenti localmente: Tx_l=6.19 Ty_l=54.21 N_l=-23320.30 My_l=-4.60 Mz_l=-0.01
Azioni sul cordone: TP=0.47 TO=4.00 NO=-1723.84
Tensioni nel cordone: τ_P=0.15 τ_0=1.27 σ_0=554.65 σ_{ID}=554.65 Σ_T=555.92
CC 48 SLU (Collegamento 0024_-381)
Azioni sul collegamento: N=-23318.30 Ty=5.97 Tz=54.26 Mx=-0.01 Mz=4.17
Sollecitazioni agenti localmente: Tx_l=5.97 Ty_l=54.26 N_l=-23318.30 My_l=-4.17 Mz_l=-0.01
Azioni sul cordone: TP=0.45 TO=4.01 NO=-1723.70
Tensioni nel cordone: τ_P=0.14 τ_0=1.27 σ_0=553.96 σ_{ID}=553.97 Σ_T=555.24
CC 49 SLU (Collegamento 0024_-381)
Azioni sul collegamento: N=-24483.70 Ty=5.83 Tz=58.03 Mx=0.00 Mz=4.29
Sollecitazioni agenti localmente: Tx_l=5.83 Ty_l=58.03 N_l=-24483.70 My_l=-4.29 Mz_l=0.00
Azioni sul cordone: TP=0.43 TO=4.29 NO=-1809.84
Tensioni nel cordone: τ_P=0.14 τ_0=1.36 σ_0=581.53 σ_{ID}=581.53 Σ_T=582.89
CC 50 SLU (Collegamento 0024_-381)
Azioni sul collegamento: N=-25033.00 Ty=6.12 Tz=60.06 Mx=0.00 Mz=4.50
Sollecitazioni agenti localmente: Tx_l=6.12 Ty_l=60.06 N_l=-25033.00 My_l=-4.50 Mz_l=0.00
Azioni sul cordone: TP=0.45 TO=4.44 NO=-1850.45
Tensioni nel cordone: τ_P=0.14 τ_0=1.41 σ_0=594.73 σ_{ID}=594.73 Σ_T=596.14
CC 51 SLU (Collegamento 0024_-381)
Azioni sul collegamento: N=-24759.30 Ty=6.08 Tz=59.02 Mx=-0.00 Mz=4.61
Sollecitazioni agenti localmente: Tx_l=6.08 Ty_l=59.02 N_l=-24759.30 My_l=-4.61 Mz_l=-0.00

Azioni sul cordone: TP=0.45 TO=4.36 NO=-1830.22
Tensioni nel cordone: τ_P=0.14 τ_0=1.39 σ_0=588.47 σ_{ID}=588.47 Σ_T=589.86
CC 52 SLU (Collegamento 0024_-381)
Azioni sul collegamento: N=-24757.40 Ty=5.87 Tz=59.07 Mx=0.00 Mz=4.18
Sollecitazioni agenti localmente: Tx_l=5.87 Ty_l=59.07 N_l=-24757.40 My_l=-4.18 Mz_l=0.00
Azioni sul cordone: TP=0.43 TO=4.37 NO=-1830.07
Tensioni nel cordone: τ_P=0.14 τ_0=1.39 σ_0=587.79 σ_{ID}=587.79 Σ_T=589.18
CC 53 SLU (Collegamento 0024_-381)
Azioni sul collegamento: N=-16108.60 Ty=6.57 Tz=27.72 Mx=-0.01 Mz=4.72
Sollecitazioni agenti localmente: Tx_l=6.57 Ty_l=27.72 N_l=-16108.60 My_l=-4.72 Mz_l=-0.01
Azioni sul cordone: TP=0.49 TO=2.04 NO=-1190.75
Tensioni nel cordone: τ_P=0.16 τ_0=0.65 σ_0=385.38 σ_{ID}=385.38 Σ_T=386.03
CC 54 SLU (Collegamento 0024_-381)
Azioni sul collegamento: N=-16657.90 Ty=6.86 Tz=29.76 Mx=-0.01 Mz=4.92
Sollecitazioni agenti localmente: Tx_l=6.86 Ty_l=29.76 N_l=-16657.90 My_l=-4.92 Mz_l=-0.01
Azioni sul cordone: TP=0.51 TO=2.19 NO=-1231.36
Tensioni nel cordone: τ_P=0.16 τ_0=0.70 σ_0=398.58 σ_{ID}=398.58 Σ_T=399.28
CC 55 SLU (Collegamento 0024_-381)
Azioni sul collegamento: N=-16384.20 Ty=6.82 Tz=28.72 Mx=-0.01 Mz=5.04
Sollecitazioni agenti localmente: Tx_l=6.82 Ty_l=28.72 N_l=-16384.20 My_l=-5.04 Mz_l=-0.01
Azioni sul cordone: TP=0.51 TO=2.12 NO=-1211.13
Tensioni nel cordone: τ_P=0.16 τ_0=0.67 σ_0=392.32 σ_{ID}=392.32 Σ_T=392.99
CC 56 SLU (Collegamento 0024_-381)
Azioni sul collegamento: N=-16382.30 Ty=6.60 Tz=28.76 Mx=-0.01 Mz=4.60
Sollecitazioni agenti localmente: Tx_l=6.60 Ty_l=28.76 N_l=-16382.30 My_l=-4.60 Mz_l=-0.01
Azioni sul cordone: TP=0.49 TO=2.12 NO=-1210.98
Tensioni nel cordone: τ_P=0.16 τ_0=0.67 σ_0=391.64 σ_{ID}=391.64 Σ_T=392.31
CC 57 SLU (Collegamento 0024_-381)
Azioni sul collegamento: N=-23426.90 Ty=6.35 Tz=54.67 Mx=-0.01 Mz=4.58
Sollecitazioni agenti localmente: Tx_l=6.35 Ty_l=54.67 N_l=-23426.90 My_l=-4.58 Mz_l=-0.01
Azioni sul cordone: TP=0.48 TO=4.04 NO=-1731.72
Tensioni nel cordone: τ_P=0.15 τ_0=1.28 σ_0=557.12 σ_{ID}=557.12 Σ_T=558.40
CC 58 SLU (Collegamento 0024_-381)
Azioni sul collegamento: N=-23976.20 Ty=6.64 Tz=56.70 Mx=-0.01 Mz=4.78
Sollecitazioni agenti localmente: Tx_l=6.64 Ty_l=56.70 N_l=-23976.20 My_l=-4.78 Mz_l=-0.01
Azioni sul cordone: TP=0.50 TO=4.19 NO=-1772.33
Tensioni nel cordone: τ_P=0.16 τ_0=1.33 σ_0=570.32 σ_{ID}=570.32 Σ_T=571.65
CC 59 SLU (Collegamento 0024_-381)
Azioni sul collegamento: N=-23702.50 Ty=6.61 Tz=55.66 Mx=-0.01 Mz=4.90
Sollecitazioni agenti localmente: Tx_l=6.61 Ty_l=55.66 N_l=-23702.50 My_l=-4.90 Mz_l=-0.01
Azioni sul cordone: TP=0.50 TO=4.11 NO=-1752.10
Tensioni nel cordone: τ_P=0.16 τ_0=1.31 σ_0=564.06 σ_{ID}=564.06 Σ_T=565.37
CC 60 SLU (Collegamento 0024_-381)
Azioni sul collegamento: N=-23700.60 Ty=6.39 Tz=55.71 Mx=-0.01 Mz=4.46
Sollecitazioni agenti localmente: Tx_l=6.39 Ty_l=55.71 N_l=-23700.60 My_l=-4.46 Mz_l=-0.01
Azioni sul cordone: TP=0.48 TO=4.11 NO=-1751.95
Tensioni nel cordone: τ_P=0.15 τ_0=1.31 σ_0=563.38 σ_{ID}=563.38 Σ_T=564.68
CC 61 SLU (Collegamento 0024_-381)
Azioni sul collegamento: N=-24865.90 Ty=6.25 Tz=59.47 Mx=0.00 Mz=4.59
Sollecitazioni agenti localmente: Tx_l=6.25 Ty_l=59.47 N_l=-24865.90 My_l=-4.59 Mz_l=0.00
Azioni sul cordone: TP=0.46 TO=4.40 NO=-1838.10
Tensioni nel cordone: τ_P=0.15 τ_0=1.40 σ_0=590.94 σ_{ID}=590.94 Σ_T=592.34
CC 62 SLU (Collegamento 0024_-381)
Azioni sul collegamento: N=-25415.30 Ty=6.53 Tz=61.51 Mx=-0.00 Mz=4.79
Sollecitazioni agenti localmente: Tx_l=6.53 Ty_l=61.51 N_l=-25415.30 My_l=-4.79 Mz_l=-0.00
Azioni sul cordone: TP=0.48 TO=4.55 NO=-1878.71
Tensioni nel cordone: τ_P=0.15 τ_0=1.45 σ_0=604.14 σ_{ID}=604.14 Σ_T=605.59
CC 63 SLU (Collegamento 0024_-381)
Azioni sul collegamento: N=-25141.60 Ty=6.50 Tz=60.47 Mx=-0.00 Mz=4.91
Sollecitazioni agenti localmente: Tx_l=6.50 Ty_l=60.47 N_l=-25141.60 My_l=-4.91 Mz_l=-0.00
Azioni sul cordone: TP=0.48 TO=4.47 NO=-1858.47
Tensioni nel cordone: τ_P=0.15 τ_0=1.42 σ_0=597.88 σ_{ID}=597.89 Σ_T=599.30
CC 64 SLU (Collegamento 0024_-381)
Azioni sul collegamento: N=-25139.60 Ty=6.28 Tz=60.51 Mx=0.00 Mz=4.47
Sollecitazioni agenti localmente: Tx_l=6.28 Ty_l=60.51 N_l=-25139.60 My_l=-4.47 Mz_l=0.00
Azioni sul cordone: TP=0.46 TO=4.47 NO=-1858.33
Tensioni nel cordone: τ_P=0.15 τ_0=1.42 σ_0=597.20 σ_{ID}=597.20 Σ_T=598.62
CC 65 SLU (Collegamento 0024_-381)
Azioni sul collegamento: N=-16490.80 Ty=6.99 Tz=29.17 Mx=-0.01 Mz=5.02
Sollecitazioni agenti localmente: Tx_l=6.99 Ty_l=29.17 N_l=-16490.80 My_l=-5.02 Mz_l=-0.01
Azioni sul cordone: TP=0.52 TO=2.15 NO=-1219.00
Tensioni nel cordone: τ_P=0.17 τ_0=0.68 σ_0=394.79 σ_{ID}=394.79 Σ_T=395.47
CC 66 SLU (Collegamento 0024_-381)
Azioni sul collegamento: N=-17040.20 Ty=7.27 Tz=31.20 Mx=-0.01 Mz=5.22
Sollecitazioni agenti localmente: Tx_l=7.27 Ty_l=31.20 N_l=-17040.20 My_l=-5.22 Mz_l=-0.01
Azioni sul cordone: TP=0.55 TO=2.30 NO=-1259.62
Tensioni nel cordone: τ_P=0.17 τ_0=0.73 σ_0=407.99 σ_{ID}=407.99 Σ_T=408.72
CC 67 SLU (Collegamento 0024_-381)
Azioni sul collegamento: N=-16766.50 Ty=7.24 Tz=30.16 Mx=-0.01 Mz=5.34

Sollecitazioni agenti localmente: Tx_l=7.24 Ty_l=30.16 N_l=-16766.50 My_l=-5.34 Mz_l=-0.01
Azioni sul cordone: TP=0.54 TO=2.22 NO=-1239.38
Tensioni nel cordone: τ_P=0.17 τ_O=0.71 σ_O=401.73 σ_{ID}=401.73 Σ_T=402.44
CC 68 SLU (Collegamento 0024_-381)
Azioni sul collegamento: N=-16764.50 Ty=7.02 Tz=30.21 Mx=-0.01 Mz=4.90
Sollecitazioni agenti localmente: Tx_l=7.02 Ty_l=30.21 N_l=-16764.50 My_l=-4.90 Mz_l=-0.01
Azioni sul cordone: TP=0.53 TO=2.23 NO=-1239.24
Tensioni nel cordone: τ_P=0.17 τ_O=0.71 σ_O=401.05 σ_{ID}=401.05 Σ_T=401.76
CC 97 SLU (Collegamento 0024_-381)
Azioni sul collegamento: N=-10609.80 Ty=16.63 Tz=15.80 Mx=0.03 Mz=19.66
Sollecitazioni agenti localmente: Tx_l=16.63 Ty_l=15.80 N_l=-10609.80 My_l=-19.66 Mz_l=0.03
Azioni sul cordone: TP=1.20 TO=1.19 NO=-784.28
Tensioni nel cordone: τ_P=0.38 τ_O=0.38 σ_O=278.01 σ_{ID}=278.01 Σ_T=278.38
CC 98 SLU (Collegamento 0024_-381)
Azioni sul collegamento: N=-11159.10 Ty=16.91 Tz=17.84 Mx=0.03 Mz=19.86
Sollecitazioni agenti localmente: Tx_l=16.91 Ty_l=17.84 N_l=-11159.10 My_l=-19.86 Mz_l=0.03
Azioni sul cordone: TP=1.22 TO=1.34 NO=-824.89
Tensioni nel cordone: τ_P=0.39 τ_O=0.43 σ_O=291.21 σ_{ID}=291.21 Σ_T=291.63
CC 99 SLU (Collegamento 0024_-381)
Azioni sul collegamento: N=-10885.40 Ty=16.88 Tz=16.80 Mx=0.03 Mz=19.98
Sollecitazioni agenti localmente: Tx_l=16.88 Ty_l=16.80 N_l=-10885.40 My_l=-19.98 Mz_l=0.03
Azioni sul cordone: TP=1.22 TO=1.26 NO=-804.65
Tensioni nel cordone: τ_P=0.39 τ_O=0.40 σ_O=284.95 σ_{ID}=284.95 Σ_T=285.35
CC 100 SLU (Collegamento 0024_-381)
Azioni sul collegamento: N=-10883.50 Ty=16.66 Tz=16.84 Mx=0.03 Mz=19.55
Sollecitazioni agenti localmente: Tx_l=16.66 Ty_l=16.84 N_l=-10883.50 My_l=-19.55 Mz_l=0.03
Azioni sul cordone: TP=1.20 TO=1.27 NO=-804.51
Tensioni nel cordone: τ_P=0.38 τ_O=0.40 σ_O=284.27 σ_{ID}=284.27 Σ_T=284.67
CC 101 SLU (Collegamento 0024_-381)
Azioni sul collegamento: N=-6606.14 Ty=1.32 Tz=0.91 Mx=-0.01 Mz=0.13
Sollecitazioni agenti localmente: Tx_l=1.32 Ty_l=0.91 N_l=-6606.14 My_l=-0.13 Mz_l=-0.01
Azioni sul cordone: TP=0.11 TO=0.06 NO=-488.33
Tensioni nel cordone: τ_P= 0.03 τ_O= 0.02 σ_O=155.41 σ_{ID}=155.41 Σ_T=155.42
CC 102 SLU (Collegamento 0024_-381)
Azioni sul collegamento: N=-7155.53 Ty=1.61 Tz=2.94 Mx=-0.01 Mz=0.33
Sollecitazioni agenti localmente: Tx_l=1.61 Ty_l=2.94 N_l=-7155.53 My_l=-0.33 Mz_l=-0.01
Azioni sul cordone: TP=0.13 TO=0.21 NO=-528.94
Tensioni nel cordone: τ_P= 0.04 τ_O= 0.07 σ_O=168.61 σ_{ID}=168.61 Σ_T=168.67
CC 103 SLU (Collegamento 0024_-381)
Azioni sul collegamento: N=-6881.82 Ty=1.58 Tz=1.90 Mx=-0.01 Mz=0.45
Sollecitazioni agenti localmente: Tx_l=1.58 Ty_l=1.90 N_l=-6881.82 My_l=-0.45 Mz_l=-0.01
Azioni sul cordone: TP=0.13 TO=0.13 NO=-508.71
Tensioni nel cordone: τ_P= 0.04 τ_O= 0.04 σ_O=162.35 σ_{ID}=162.35 Σ_T=162.39
CC 104 SLU (Collegamento 0024_-381)
Azioni sul collegamento: N=-6879.85 Ty=1.36 Tz=1.95 Mx=-0.01 Mz=0.01
Sollecitazioni agenti localmente: Tx_l=1.36 Ty_l=1.95 N_l=-6879.85 My_l=-0.01 Mz_l=-0.01
Azioni sul cordone: TP=0.11 TO=0.14 NO=-508.56
Tensioni nel cordone: τ_P= 0.03 τ_O= 0.04 σ_O=161.66 σ_{ID}=161.66 Σ_T=161.71

Flessione attacco superiore piastra

Bnetta=220.00 Hnetta=15.00
CC 1 SLV (Collegamento 0024_-381)
Azioni sul collegamento: N=-3931.62 Ty=6.55 Tz=-8.98 Mx=0.01 Mz=7.22
Sollecitazioni agenti localmente: Ty_l=-714.84 Mx_l=-14.30
Tensioni nella sezione: σ=173.29 τ=21.66
CC 1 SLV (Collegamento 0024_-381)
Azioni sul collegamento: N=-3931.62 Ty=3.19 Tz=-8.98 Mx=0.01 Mz=4.04
Sollecitazioni agenti localmente: Ty_l=-714.84 Mx_l=-14.30
Tensioni nella sezione: σ=173.29 τ=21.66
CC 1 SLV (Collegamento 0024_-381)
Azioni sul collegamento: N=-3931.62 Ty=6.55 Tz=10.69 Mx=0.01 Mz=7.22
Sollecitazioni agenti localmente: Ty_l=-714.84 Mx_l=-14.30
Tensioni nella sezione: σ=173.29 τ=21.66
CC 1 SLV (Collegamento 0024_-381)
Azioni sul collegamento: N=-3931.62 Ty=3.19 Tz=10.69 Mx=0.01 Mz=4.04
Sollecitazioni agenti localmente: Ty_l=-714.84 Mx_l=-14.30
Tensioni nella sezione: σ=173.29 τ=21.66
CC 1 SLV (Collegamento 0024_-381)
Azioni sul collegamento: N=-9217.12 Ty=6.55 Tz=-8.98 Mx=0.01 Mz=7.22
Sollecitazioni agenti localmente: Ty_l=-1675.84 Mx_l=-33.52
Tensioni nella sezione: σ=406.26 τ=50.78
CC 1 SLV (Collegamento 0024_-381)
Azioni sul collegamento: N=-9217.12 Ty=3.19 Tz=-8.98 Mx=0.01 Mz=4.04
Sollecitazioni agenti localmente: Ty_l=-1675.84 Mx_l=-33.52
Tensioni nella sezione: σ=406.26 τ=50.78
CC 1 SLV (Collegamento 0024_-381)
Azioni sul collegamento: N=-9217.12 Ty=6.55 Tz=10.69 Mx=0.01 Mz=7.22
Sollecitazioni agenti localmente: Ty_l=-1675.84 Mx_l=-33.52

Tensioni nella sezione: σ=406.26 τ=50.78
CC 1 SLV (Collegamento 0024_-381)
Azioni sul collegamento: N=-9217.12 Ty=3.19 Tz=10.69 Mx=0.01 Mz=4.04
Sollecitazioni agenti localmente: Ty_l=-1675.84 Mx_l=-33.52
Tensioni nella sezione: σ=406.26 τ=50.78
CC 2 SLD (Collegamento 0024_-381)
Azioni sul collegamento: N=-5736.03 Ty=4.54 Tz=-2.27 Mx=0.00 Mz=4.03
Sollecitazioni agenti localmente: Ty_l=-1042.91 Mx_l=-20.86
Tensioni nella sezione: σ=252.83 τ=31.60
CC 2 SLD (Collegamento 0024_-381)
Azioni sul collegamento: N=-5736.03 Ty=3.51 Tz=-2.27 Mx=0.00 Mz=3.06
Sollecitazioni agenti localmente: Ty_l=-1042.91 Mx_l=-20.86
Tensioni nella sezione: σ=252.83 τ=31.60
CC 2 SLD (Collegamento 0024_-381)
Azioni sul collegamento: N=-5736.03 Ty=4.54 Tz=3.73 Mx=0.00 Mz=4.03
Sollecitazioni agenti localmente: Ty_l=-1042.91 Mx_l=-20.86
Tensioni nella sezione: σ=252.83 τ=31.60
CC 2 SLD (Collegamento 0024_-381)
Azioni sul collegamento: N=-5736.03 Ty=3.51 Tz=3.73 Mx=0.00 Mz=3.06
Sollecitazioni agenti localmente: Ty_l=-1042.91 Mx_l=-20.86
Tensioni nella sezione: σ=252.83 τ=31.60
CC 2 SLD (Collegamento 0024_-381)
Azioni sul collegamento: N=-7347.75 Ty=4.54 Tz=-2.27 Mx=0.00 Mz=4.03
Sollecitazioni agenti localmente: Ty_l=-1335.95 Mx_l=-26.72
Tensioni nella sezione: σ=323.87 τ=40.48
CC 2 SLD (Collegamento 0024_-381)
Azioni sul collegamento: N=-7347.75 Ty=3.51 Tz=-2.27 Mx=0.00 Mz=3.06
Sollecitazioni agenti localmente: Ty_l=-1335.95 Mx_l=-26.72
Tensioni nella sezione: σ=323.87 τ=40.48
CC 2 SLD (Collegamento 0024_-381)
Azioni sul collegamento: N=-7347.75 Ty=4.54 Tz=3.73 Mx=0.00 Mz=4.03
Sollecitazioni agenti localmente: Ty_l=-1335.95 Mx_l=-26.72
Tensioni nella sezione: σ=323.87 τ=40.48
CC 2 SLD (Collegamento 0024_-381)
Azioni sul collegamento: N=-7347.75 Ty=3.51 Tz=3.73 Mx=0.00 Mz=3.06
Sollecitazioni agenti localmente: Ty_l=-1335.95 Mx_l=-26.72
Tensioni nella sezione: σ=323.87 τ=40.48
CC 3 SLV (Collegamento 0024_-381)
Azioni sul collegamento: N=-3937.31 Ty=5.92 Tz=-8.85 Mx=0.01 Mz=5.96
Sollecitazioni agenti localmente: Ty_l=-715.87 Mx_l=-14.32
Tensioni nella sezione: σ=173.54 τ=21.69
CC 3 SLV (Collegamento 0024_-381)
Azioni sul collegamento: N=-3937.31 Ty=3.82 Tz=-8.85 Mx=0.01 Mz=5.30
Sollecitazioni agenti localmente: Ty_l=-715.87 Mx_l=-14.32
Tensioni nella sezione: σ=173.54 τ=21.69
CC 3 SLV (Collegamento 0024_-381)
Azioni sul collegamento: N=-3937.31 Ty=5.92 Tz=10.56 Mx=0.01 Mz=5.96
Sollecitazioni agenti localmente: Ty_l=-715.87 Mx_l=-14.32
Tensioni nella sezione: σ=173.54 τ=21.69
CC 3 SLV (Collegamento 0024_-381)
Azioni sul collegamento: N=-3937.31 Ty=3.82 Tz=10.56 Mx=0.01 Mz=5.30
Sollecitazioni agenti localmente: Ty_l=-715.87 Mx_l=-14.32
Tensioni nella sezione: σ=173.54 τ=21.69
CC 3 SLV (Collegamento 0024_-381)
Azioni sul collegamento: N=-9211.43 Ty=5.92 Tz=-8.85 Mx=0.01 Mz=5.96
Sollecitazioni agenti localmente: Ty_l=-1674.80 Mx_l=-33.50
Tensioni nella sezione: σ=406.01 τ=50.75
CC 3 SLV (Collegamento 0024_-381)
Azioni sul collegamento: N=-9211.43 Ty=3.82 Tz=-8.85 Mx=0.01 Mz=5.30
Sollecitazioni agenti localmente: Ty_l=-1674.80 Mx_l=-33.50
Tensioni nella sezione: σ=406.01 τ=50.75
CC 3 SLV (Collegamento 0024_-381)
Azioni sul collegamento: N=-9211.43 Ty=5.92 Tz=10.56 Mx=0.01 Mz=5.96
Sollecitazioni agenti localmente: Ty_l=-1674.80 Mx_l=-33.50
Tensioni nella sezione: σ=406.01 τ=50.75
CC 3 SLV (Collegamento 0024_-381)
Azioni sul collegamento: N=-9211.43 Ty=3.82 Tz=10.56 Mx=0.01 Mz=5.30
Sollecitazioni agenti localmente: Ty_l=-1674.80 Mx_l=-33.50
Tensioni nella sezione: σ=406.01 τ=50.75
CC 4 SLD (Collegamento 0024_-381)
Azioni sul collegamento: N=-5737.77 Ty=4.34 Tz=-2.23 Mx=0.00 Mz=3.65
Sollecitazioni agenti localmente: Ty_l=-1043.23 Mx_l=-20.86
Tensioni nella sezione: σ=252.90 τ=31.61
CC 4 SLD (Collegamento 0024_-381)
Azioni sul collegamento: N=-5737.77 Ty=3.71 Tz=-2.23 Mx=0.00 Mz=3.45
Sollecitazioni agenti localmente: Ty_l=-1043.23 Mx_l=-20.86
Tensioni nella sezione: σ=252.90 τ=31.61
CC 4 SLD (Collegamento 0024_-381)
Azioni sul collegamento: N=-5737.77 Ty=4.34 Tz=3.69 Mx=0.00 Mz=3.65

Sollecitazioni agenti localmente: Ty_l=-1043.23 Mx_l=-20.86
Tensioni nella sezione: σ=252.90 τ=31.61
CC 4 SLD (Collegamento 0024_-381)
Azioni sul collegamento: N=-5737.77 Ty=3.71 Tz=3.69 Mx=0.00 Mz=3.45
Sollecitazioni agenti localmente: Ty_l=-1043.23 Mx_l=-20.86
Tensioni nella sezione: σ=252.90 τ=31.61
CC 4 SLD (Collegamento 0024_-381)
Azioni sul collegamento: N=-7346.01 Ty=4.34 Tz=-2.23 Mx=0.00 Mz=3.65
Sollecitazioni agenti localmente: Ty_l=-1335.64 Mx_l=-26.71
Tensioni nella sezione: σ=323.79 τ=40.47
CC 4 SLD (Collegamento 0024_-381)
Azioni sul collegamento: N=-7346.01 Ty=3.71 Tz=-2.23 Mx=0.00 Mz=3.45
Sollecitazioni agenti localmente: Ty_l=-1335.64 Mx_l=-26.71
Tensioni nella sezione: σ=323.79 τ=40.47
CC 4 SLD (Collegamento 0024_-381)
Azioni sul collegamento: N=-7346.01 Ty=4.34 Tz=3.69 Mx=0.00 Mz=3.65
Sollecitazioni agenti localmente: Ty_l=-1335.64 Mx_l=-26.71
Tensioni nella sezione: σ=323.79 τ=40.47
CC 4 SLD (Collegamento 0024_-381)
Azioni sul collegamento: N=-7346.01 Ty=3.71 Tz=3.69 Mx=0.00 Mz=3.45
Sollecitazioni agenti localmente: Ty_l=-1335.64 Mx_l=-26.71
Tensioni nella sezione: σ=323.79 τ=40.47
CC 5 SLV (Collegamento 0024_-381)
Azioni sul collegamento: N=-9211.43 Ty=3.82 Tz=10.56 Mx=0.01 Mz=5.30
Sollecitazioni agenti localmente: Ty_l=-1674.80 Mx_l=-33.50
Tensioni nella sezione: σ=406.01 τ=50.75
CC 5 SLV (Collegamento 0024_-381)
Azioni sul collegamento: N=-9211.43 Ty=5.92 Tz=10.56 Mx=0.01 Mz=5.96
Sollecitazioni agenti localmente: Ty_l=-1674.80 Mx_l=-33.50
Tensioni nella sezione: σ=406.01 τ=50.75
CC 5 SLV (Collegamento 0024_-381)
Azioni sul collegamento: N=-9211.43 Ty=3.82 Tz=-8.85 Mx=0.01 Mz=5.30
Sollecitazioni agenti localmente: Ty_l=-1674.80 Mx_l=-33.50
Tensioni nella sezione: σ=406.01 τ=50.75
CC 5 SLV (Collegamento 0024_-381)
Azioni sul collegamento: N=-9211.43 Ty=5.92 Tz=-8.85 Mx=0.01 Mz=5.96
Sollecitazioni agenti localmente: Ty_l=-1674.80 Mx_l=-33.50
Tensioni nella sezione: σ=406.01 τ=50.75
CC 5 SLV (Collegamento 0024_-381)
Azioni sul collegamento: N=-3937.31 Ty=3.82 Tz=10.56 Mx=0.01 Mz=5.30
Sollecitazioni agenti localmente: Ty_l=-715.87 Mx_l=-14.32
Tensioni nella sezione: σ=173.54 τ=21.69
CC 5 SLV (Collegamento 0024_-381)
Azioni sul collegamento: N=-3937.31 Ty=5.92 Tz=10.56 Mx=0.01 Mz=5.96
Sollecitazioni agenti localmente: Ty_l=-715.87 Mx_l=-14.32
Tensioni nella sezione: σ=173.54 τ=21.69
CC 5 SLV (Collegamento 0024_-381)
Azioni sul collegamento: N=-3937.31 Ty=3.82 Tz=-8.85 Mx=0.01 Mz=5.30
Sollecitazioni agenti localmente: Ty_l=-715.87 Mx_l=-14.32
Tensioni nella sezione: σ=173.54 τ=21.69
CC 5 SLV (Collegamento 0024_-381)
Azioni sul collegamento: N=-3937.31 Ty=5.92 Tz=-8.85 Mx=0.01 Mz=5.96
Sollecitazioni agenti localmente: Ty_l=-715.87 Mx_l=-14.32
Tensioni nella sezione: σ=173.54 τ=21.69
CC 6 SLD (Collegamento 0024_-381)
Azioni sul collegamento: N=-7346.01 Ty=3.71 Tz=3.69 Mx=0.00 Mz=3.45
Sollecitazioni agenti localmente: Ty_l=-1335.64 Mx_l=-26.71
Tensioni nella sezione: σ=323.79 τ=40.47
CC 6 SLD (Collegamento 0024_-381)
Azioni sul collegamento: N=-7346.01 Ty=4.34 Tz=3.69 Mx=0.00 Mz=3.65
Sollecitazioni agenti localmente: Ty_l=-1335.64 Mx_l=-26.71
Tensioni nella sezione: σ=323.79 τ=40.47
CC 6 SLD (Collegamento 0024_-381)
Azioni sul collegamento: N=-7346.01 Ty=3.71 Tz=-2.23 Mx=0.00 Mz=3.45
Sollecitazioni agenti localmente: Ty_l=-1335.64 Mx_l=-26.71
Tensioni nella sezione: σ=323.79 τ=40.47
CC 6 SLD (Collegamento 0024_-381)
Azioni sul collegamento: N=-7346.01 Ty=4.34 Tz=-2.23 Mx=0.00 Mz=3.65
Sollecitazioni agenti localmente: Ty_l=-1335.64 Mx_l=-26.71
Tensioni nella sezione: σ=323.79 τ=40.47
CC 6 SLD (Collegamento 0024_-381)
Azioni sul collegamento: N=-5737.77 Ty=3.71 Tz=3.69 Mx=0.00 Mz=3.45
Sollecitazioni agenti localmente: Ty_l=-1043.23 Mx_l=-20.86
Tensioni nella sezione: σ=252.90 τ=31.61
CC 6 SLD (Collegamento 0024_-381)
Azioni sul collegamento: N=-5737.77 Ty=4.34 Tz=3.69 Mx=0.00 Mz=3.65
Sollecitazioni agenti localmente: Ty_l=-1043.23 Mx_l=-20.86
Tensioni nella sezione: σ=252.90 τ=31.61
CC 6 SLD (Collegamento 0024_-381)

Azioni sul collegamento: N=-5737.77 Ty=3.71 Tz=-2.23 Mx=0.00 Mz=3.45
Sollecitazioni agenti localmente: Ty_l=-1043.23 Mx_l=-20.86
Tensioni nella sezione: σ=252.90 τ=31.61
CC 6 SLD (Collegamento 0024_-381)
Azioni sul collegamento: N=-5737.77 Ty=4.34 Tz=-2.23 Mx=0.00 Mz=3.65
Sollecitazioni agenti localmente: Ty_l=-1043.23 Mx_l=-20.86
Tensioni nella sezione: σ=252.90 τ=31.61
CC 7 SLV (Collegamento 0024_-381)
Azioni sul collegamento: N=-9217.12 Ty=3.19 Tz=10.69 Mx=0.01 Mz=4.04
Sollecitazioni agenti localmente: Ty_l=-1675.84 Mx_l=-33.52
Tensioni nella sezione: σ=406.26 τ=50.78
CC 7 SLV (Collegamento 0024_-381)
Azioni sul collegamento: N=-9217.12 Ty=6.55 Tz=10.69 Mx=0.01 Mz=7.22
Sollecitazioni agenti localmente: Ty_l=-1675.84 Mx_l=-33.52
Tensioni nella sezione: σ=406.26 τ=50.78
CC 7 SLV (Collegamento 0024_-381)
Azioni sul collegamento: N=-9217.12 Ty=3.19 Tz=-8.98 Mx=0.01 Mz=4.04
Sollecitazioni agenti localmente: Ty_l=-1675.84 Mx_l=-33.52
Tensioni nella sezione: σ=406.26 τ=50.78
CC 7 SLV (Collegamento 0024_-381)
Azioni sul collegamento: N=-9217.12 Ty=6.55 Tz=-8.98 Mx=0.01 Mz=7.22
Sollecitazioni agenti localmente: Ty_l=-1675.84 Mx_l=-33.52
Tensioni nella sezione: σ=406.26 τ=50.78
CC 7 SLV (Collegamento 0024_-381)
Azioni sul collegamento: N=-3931.62 Ty=3.19 Tz=10.69 Mx=0.01 Mz=4.04
Sollecitazioni agenti localmente: Ty_l=-714.84 Mx_l=-14.30
Tensioni nella sezione: σ=173.29 τ=21.66
CC 7 SLV (Collegamento 0024_-381)
Azioni sul collegamento: N=-3931.62 Ty=6.55 Tz=10.69 Mx=0.01 Mz=7.22
Sollecitazioni agenti localmente: Ty_l=-714.84 Mx_l=-14.30
Tensioni nella sezione: σ=173.29 τ=21.66
CC 7 SLV (Collegamento 0024_-381)
Azioni sul collegamento: N=-3931.62 Ty=3.19 Tz=-8.98 Mx=0.01 Mz=4.04
Sollecitazioni agenti localmente: Ty_l=-714.84 Mx_l=-14.30
Tensioni nella sezione: σ=173.29 τ=21.66
CC 7 SLV (Collegamento 0024_-381)
Azioni sul collegamento: N=-3931.62 Ty=6.55 Tz=-8.98 Mx=0.01 Mz=7.22
Sollecitazioni agenti localmente: Ty_l=-714.84 Mx_l=-14.30
Tensioni nella sezione: σ=173.29 τ=21.66
CC 8 SLD (Collegamento 0024_-381)
Azioni sul collegamento: N=-7347.75 Ty=3.51 Tz=3.73 Mx=-0.00 Mz=3.06
Sollecitazioni agenti localmente: Ty_l=-1335.95 Mx_l=-26.72
Tensioni nella sezione: σ=323.87 τ=40.48
CC 8 SLD (Collegamento 0024_-381)
Azioni sul collegamento: N=-7347.75 Ty=4.54 Tz=3.73 Mx=-0.00 Mz=4.03
Sollecitazioni agenti localmente: Ty_l=-1335.95 Mx_l=-26.72
Tensioni nella sezione: σ=323.87 τ=40.48
CC 8 SLD (Collegamento 0024_-381)
Azioni sul collegamento: N=-7347.75 Ty=3.51 Tz=-2.27 Mx=-0.00 Mz=3.06
Sollecitazioni agenti localmente: Ty_l=-1335.95 Mx_l=-26.72
Tensioni nella sezione: σ=323.87 τ=40.48
CC 8 SLD (Collegamento 0024_-381)
Azioni sul collegamento: N=-7347.75 Ty=4.54 Tz=-2.27 Mx=-0.00 Mz=4.03
Sollecitazioni agenti localmente: Ty_l=-1335.95 Mx_l=-26.72
Tensioni nella sezione: σ=323.87 τ=40.48
CC 8 SLD (Collegamento 0024_-381)
Azioni sul collegamento: N=-5736.03 Ty=3.51 Tz=3.73 Mx=-0.00 Mz=3.06
Sollecitazioni agenti localmente: Ty_l=-1042.91 Mx_l=-20.86
Tensioni nella sezione: σ=252.83 τ=31.60
CC 8 SLD (Collegamento 0024_-381)
Azioni sul collegamento: N=-5736.03 Ty=4.54 Tz=3.73 Mx=-0.00 Mz=4.03
Sollecitazioni agenti localmente: Ty_l=-1042.91 Mx_l=-20.86
Tensioni nella sezione: σ=252.83 τ=31.60
CC 8 SLD (Collegamento 0024_-381)
Azioni sul collegamento: N=-5736.03 Ty=3.51 Tz=-2.27 Mx=-0.00 Mz=3.06
Sollecitazioni agenti localmente: Ty_l=-1042.91 Mx_l=-20.86
Tensioni nella sezione: σ=252.83 τ=31.60
CC 8 SLD (Collegamento 0024_-381)
Azioni sul collegamento: N=-5736.03 Ty=4.54 Tz=-2.27 Mx=-0.00 Mz=4.03
Sollecitazioni agenti localmente: Ty_l=-1042.91 Mx_l=-20.86
Tensioni nella sezione: σ=252.83 τ=31.60
CC 9 SLV (Collegamento 0024_-381)
Azioni sul collegamento: N=-5772.92 Ty=6.34 Tz=-2.29 Mx=0.02 Mz=8.01
Sollecitazioni agenti localmente: Ty_l=-1049.62 Mx_l=-20.99
Tensioni nella sezione: σ=254.45 τ=31.81
CC 9 SLV (Collegamento 0024_-381)
Azioni sul collegamento: N=-5772.92 Ty=3.40 Tz=-2.29 Mx=0.02 Mz=3.25
Sollecitazioni agenti localmente: Ty_l=-1049.62 Mx_l=-20.99
Tensioni nella sezione: σ=254.45 τ=31.81

CC 9 SLV (Collegamento 0024_-381)
Azioni sul collegamento: N=-5772.92 Ty=6.34 Tz=4.00 Mx=0.02 Mz=8.01
Sollecitazioni agenti localmente: Ty_l=-1049.62 Mx_l=-20.99
Tensioni nella sezione: σ=254.45 τ=31.81
CC 9 SLV (Collegamento 0024_-381)
Azioni sul collegamento: N=-5772.92 Ty=3.40 Tz=4.00 Mx=0.02 Mz=3.25
Sollecitazioni agenti localmente: Ty_l=-1049.62 Mx_l=-20.99
Tensioni nella sezione: σ=254.45 τ=31.81
CC 9 SLV (Collegamento 0024_-381)
Azioni sul collegamento: N=-7375.82 Ty=6.34 Tz=-2.29 Mx=0.02 Mz=8.01
Sollecitazioni agenti localmente: Ty_l=-1341.06 Mx_l=-26.82
Tensioni nella sezione: σ=325.10 τ=40.64
CC 9 SLV (Collegamento 0024_-381)
Azioni sul collegamento: N=-7375.82 Ty=3.40 Tz=-2.29 Mx=0.02 Mz=3.25
Sollecitazioni agenti localmente: Ty_l=-1341.06 Mx_l=-26.82
Tensioni nella sezione: σ=325.10 τ=40.64
CC 9 SLV (Collegamento 0024_-381)
Azioni sul collegamento: N=-7375.82 Ty=6.34 Tz=4.00 Mx=0.02 Mz=8.01
Sollecitazioni agenti localmente: Ty_l=-1341.06 Mx_l=-26.82
Tensioni nella sezione: σ=325.10 τ=40.64
CC 9 SLV (Collegamento 0024_-381)
Azioni sul collegamento: N=-7375.82 Ty=3.40 Tz=4.00 Mx=0.02 Mz=3.25
Sollecitazioni agenti localmente: Ty_l=-1341.06 Mx_l=-26.82
Tensioni nella sezione: σ=325.10 τ=40.64
CC 10 SLD (Collegamento 0024_-381)
Azioni sul collegamento: N=-6297.50 Ty=4.47 Tz=-0.23 Mx=0.00 Mz=4.27
Sollecitazioni agenti localmente: Ty_l=-1145.00 Mx_l=-22.90
Tensioni nella sezione: σ=277.57 τ=34.70
CC 10 SLD (Collegamento 0024_-381)
Azioni sul collegamento: N=-6297.50 Ty=3.58 Tz=-0.23 Mx=0.00 Mz=2.82
Sollecitazioni agenti localmente: Ty_l=-1145.00 Mx_l=-22.90
Tensioni nella sezione: σ=277.57 τ=34.70
CC 10 SLD (Collegamento 0024_-381)
Azioni sul collegamento: N=-6297.50 Ty=4.47 Tz=1.69 Mx=0.00 Mz=4.27
Sollecitazioni agenti localmente: Ty_l=-1145.00 Mx_l=-22.90
Tensioni nella sezione: σ=277.57 τ=34.70
CC 10 SLD (Collegamento 0024_-381)
Azioni sul collegamento: N=-6297.50 Ty=3.58 Tz=1.69 Mx=0.00 Mz=2.82
Sollecitazioni agenti localmente: Ty_l=-1145.00 Mx_l=-22.90
Tensioni nella sezione: σ=277.57 τ=34.70
CC 10 SLD (Collegamento 0024_-381)
Azioni sul collegamento: N=-6786.28 Ty=4.47 Tz=-0.23 Mx=0.00 Mz=4.27
Sollecitazioni agenti localmente: Ty_l=-1233.87 Mx_l=-24.68
Tensioni nella sezione: σ=299.12 τ=37.39
CC 10 SLD (Collegamento 0024_-381)
Azioni sul collegamento: N=-6786.28 Ty=3.58 Tz=-0.23 Mx=0.00 Mz=2.82
Sollecitazioni agenti localmente: Ty_l=-1233.87 Mx_l=-24.68
Tensioni nella sezione: σ=299.12 τ=37.39
CC 10 SLD (Collegamento 0024_-381)
Azioni sul collegamento: N=-6786.28 Ty=4.47 Tz=1.69 Mx=0.00 Mz=4.27
Sollecitazioni agenti localmente: Ty_l=-1233.87 Mx_l=-24.68
Tensioni nella sezione: σ=299.12 τ=37.39
CC 10 SLD (Collegamento 0024_-381)
Azioni sul collegamento: N=-6786.28 Ty=3.58 Tz=1.69 Mx=0.00 Mz=2.82
Sollecitazioni agenti localmente: Ty_l=-1233.87 Mx_l=-24.68
Tensioni nella sezione: σ=299.12 τ=37.39
CC 11 SLV (Collegamento 0024_-381)
Azioni sul collegamento: N=-7356.86 Ty=5.52 Tz=3.57 Mx=0.02 Mz=7.44
Sollecitazioni agenti localmente: Ty_l=-1337.61 Mx_l=-26.75
Tensioni nella sezione: σ=324.27 τ=40.53
CC 11 SLV (Collegamento 0024_-381)
Azioni sul collegamento: N=-7356.86 Ty=4.22 Tz=3.57 Mx=0.02 Mz=3.82
Sollecitazioni agenti localmente: Ty_l=-1337.61 Mx_l=-26.75
Tensioni nella sezione: σ=324.27 τ=40.53
CC 11 SLV (Collegamento 0024_-381)
Azioni sul collegamento: N=-7356.86 Ty=5.52 Tz=-1.86 Mx=0.02 Mz=7.44
Sollecitazioni agenti localmente: Ty_l=-1337.61 Mx_l=-26.75
Tensioni nella sezione: σ=324.27 τ=40.53
CC 11 SLV (Collegamento 0024_-381)
Azioni sul collegamento: N=-7356.86 Ty=4.22 Tz=-1.86 Mx=0.02 Mz=3.82
Sollecitazioni agenti localmente: Ty_l=-1337.61 Mx_l=-26.75
Tensioni nella sezione: σ=324.27 τ=40.53
CC 11 SLV (Collegamento 0024_-381)
Azioni sul collegamento: N=-5791.88 Ty=5.52 Tz=3.57 Mx=0.02 Mz=7.44
Sollecitazioni agenti localmente: Ty_l=-1053.07 Mx_l=-21.06
Tensioni nella sezione: σ=255.29 τ=31.91
CC 11 SLV (Collegamento 0024_-381)
Azioni sul collegamento: N=-5791.88 Ty=4.22 Tz=3.57 Mx=0.02 Mz=3.82
Sollecitazioni agenti localmente: Ty_l=-1053.07 Mx_l=-21.06

Tensioni nella sezione: σ=255.29 τ=31.91
CC 11 SLV (Collegamento 0024_-381)
Azioni sul collegamento: N=-5791.88 Ty=5.52 Tz=-1.86 Mx=0.02 Mz=7.44
Sollecitazioni agenti localmente: Ty_l=-1053.07 Mx_l=-21.06
Tensioni nella sezione: σ=255.29 τ=31.91
CC 11 SLV (Collegamento 0024_-381)
Azioni sul collegamento: N=-5791.88 Ty=4.22 Tz=-1.86 Mx=0.02 Mz=3.82
Sollecitazioni agenti localmente: Ty_l=-1053.07 Mx_l=-21.06
Tensioni nella sezione: σ=255.29 τ=31.91
CC 12 SLD (Collegamento 0024_-381)
Azioni sul collegamento: N=-6780.50 Ty=4.22 Tz=1.56 Mx=0.00 Mz=4.10
Sollecitazioni agenti localmente: Ty_l=-1232.82 Mx_l=-24.66
Tensioni nella sezione: σ=298.86 τ=37.36
CC 12 SLD (Collegamento 0024_-381)
Azioni sul collegamento: N=-6780.50 Ty=3.83 Tz=1.56 Mx=0.00 Mz=3.00
Sollecitazioni agenti localmente: Ty_l=-1232.82 Mx_l=-24.66
Tensioni nella sezione: σ=298.86 τ=37.36
CC 12 SLD (Collegamento 0024_-381)
Azioni sul collegamento: N=-6780.50 Ty=4.22 Tz=-0.10 Mx=0.00 Mz=4.10
Sollecitazioni agenti localmente: Ty_l=-1232.82 Mx_l=-24.66
Tensioni nella sezione: σ=298.86 τ=37.36
CC 12 SLD (Collegamento 0024_-381)
Azioni sul collegamento: N=-6780.50 Ty=3.83 Tz=-0.10 Mx=0.00 Mz=3.00
Sollecitazioni agenti localmente: Ty_l=-1232.82 Mx_l=-24.66
Tensioni nella sezione: σ=298.86 τ=37.36
CC 12 SLD (Collegamento 0024_-381)
Azioni sul collegamento: N=-6303.28 Ty=4.22 Tz=1.56 Mx=0.00 Mz=4.10
Sollecitazioni agenti localmente: Ty_l=-1146.05 Mx_l=-22.92
Tensioni nella sezione: σ=277.83 τ=34.73
CC 12 SLD (Collegamento 0024_-381)
Azioni sul collegamento: N=-6303.28 Ty=3.83 Tz=1.56 Mx=0.00 Mz=3.00
Sollecitazioni agenti localmente: Ty_l=-1146.05 Mx_l=-22.92
Tensioni nella sezione: σ=277.83 τ=34.73
CC 12 SLD (Collegamento 0024_-381)
Azioni sul collegamento: N=-6303.28 Ty=4.22 Tz=-0.10 Mx=0.00 Mz=4.10
Sollecitazioni agenti localmente: Ty_l=-1146.05 Mx_l=-22.92
Tensioni nella sezione: σ=277.83 τ=34.73
CC 12 SLD (Collegamento 0024_-381)
Azioni sul collegamento: N=-6303.28 Ty=3.83 Tz=-0.10 Mx=0.00 Mz=3.00
Sollecitazioni agenti localmente: Ty_l=-1146.05 Mx_l=-22.92
Tensioni nella sezione: σ=277.83 τ=34.73
CC 13 SLV (Collegamento 0024_-381)
Azioni sul collegamento: N=-5791.88 Ty=4.22 Tz=-1.86 Mx=0.00 Mz=3.82
Sollecitazioni agenti localmente: Ty_l=-1053.07 Mx_l=-21.06
Tensioni nella sezione: σ=255.29 τ=31.91
CC 13 SLV (Collegamento 0024_-381)
Azioni sul collegamento: N=-5791.88 Ty=5.52 Tz=-1.86 Mx=0.00 Mz=7.44
Sollecitazioni agenti localmente: Ty_l=-1053.07 Mx_l=-21.06
Tensioni nella sezione: σ=255.29 τ=31.91
CC 13 SLV (Collegamento 0024_-381)
Azioni sul collegamento: N=-5791.88 Ty=4.22 Tz=3.57 Mx=0.00 Mz=3.82
Sollecitazioni agenti localmente: Ty_l=-1053.07 Mx_l=-21.06
Tensioni nella sezione: σ=255.29 τ=31.91
CC 13 SLV (Collegamento 0024_-381)
Azioni sul collegamento: N=-5791.88 Ty=5.52 Tz=3.57 Mx=0.00 Mz=7.44
Sollecitazioni agenti localmente: Ty_l=-1053.07 Mx_l=-21.06
Tensioni nella sezione: σ=255.29 τ=31.91
CC 13 SLV (Collegamento 0024_-381)
Azioni sul collegamento: N=-7356.86 Ty=4.22 Tz=-1.86 Mx=0.00 Mz=3.82
Sollecitazioni agenti localmente: Ty_l=-1337.61 Mx_l=-26.75
Tensioni nella sezione: σ=324.27 τ=40.53
CC 13 SLV (Collegamento 0024_-381)
Azioni sul collegamento: N=-7356.86 Ty=5.52 Tz=-1.86 Mx=0.00 Mz=7.44
Sollecitazioni agenti localmente: Ty_l=-1337.61 Mx_l=-26.75
Tensioni nella sezione: σ=324.27 τ=40.53
CC 13 SLV (Collegamento 0024_-381)
Azioni sul collegamento: N=-7356.86 Ty=4.22 Tz=3.57 Mx=0.00 Mz=3.82
Sollecitazioni agenti localmente: Ty_l=-1337.61 Mx_l=-26.75
Tensioni nella sezione: σ=324.27 τ=40.53
CC 13 SLV (Collegamento 0024_-381)
Azioni sul collegamento: N=-7356.86 Ty=5.52 Tz=3.57 Mx=0.00 Mz=7.44
Sollecitazioni agenti localmente: Ty_l=-1337.61 Mx_l=-26.75
Tensioni nella sezione: σ=324.27 τ=40.53
CC 14 SLD (Collegamento 0024_-381)
Azioni sul collegamento: N=-6303.28 Ty=3.83 Tz=-0.10 Mx=-0.00 Mz=3.00
Sollecitazioni agenti localmente: Ty_l=-1146.05 Mx_l=-22.92
Tensioni nella sezione: σ=277.83 τ=34.73
CC 14 SLD (Collegamento 0024_-381)
Azioni sul collegamento: N=-6303.28 Ty=4.22 Tz=-0.10 Mx=-0.00 Mz=4.10

Sollecitazioni agenti localmente: Ty_l=-1146.05 Mx_l=-22.92
Tensioni nella sezione: σ=277.83 τ=34.73
CC 14 SLD (Collegamento 0024_-381)
Azioni sul collegamento: N=-6303.28 Ty=3.83 Tz=1.56 Mx=-0.00 Mz=3.00
Sollecitazioni agenti localmente: Ty_l=-1146.05 Mx_l=-22.92
Tensioni nella sezione: σ=277.83 τ=34.73
CC 14 SLD (Collegamento 0024_-381)
Azioni sul collegamento: N=-6303.28 Ty=4.22 Tz=1.56 Mx=-0.00 Mz=4.10
Sollecitazioni agenti localmente: Ty_l=-1146.05 Mx_l=-22.92
Tensioni nella sezione: σ=277.83 τ=34.73
CC 14 SLD (Collegamento 0024_-381)
Azioni sul collegamento: N=-6780.50 Ty=3.83 Tz=-0.10 Mx=-0.00 Mz=3.00
Sollecitazioni agenti localmente: Ty_l=-1232.82 Mx_l=-24.66
Tensioni nella sezione: σ=298.86 τ=37.36
CC 14 SLD (Collegamento 0024_-381)
Azioni sul collegamento: N=-6780.50 Ty=4.22 Tz=-0.10 Mx=-0.00 Mz=4.10
Sollecitazioni agenti localmente: Ty_l=-1232.82 Mx_l=-24.66
Tensioni nella sezione: σ=298.86 τ=37.36
CC 14 SLD (Collegamento 0024_-381)
Azioni sul collegamento: N=-6780.50 Ty=3.83 Tz=1.56 Mx=-0.00 Mz=3.00
Sollecitazioni agenti localmente: Ty_l=-1232.82 Mx_l=-24.66
Tensioni nella sezione: σ=298.86 τ=37.36
CC 14 SLD (Collegamento 0024_-381)
Azioni sul collegamento: N=-6780.50 Ty=4.22 Tz=1.56 Mx=-0.00 Mz=4.10
Sollecitazioni agenti localmente: Ty_l=-1232.82 Mx_l=-24.66
Tensioni nella sezione: σ=298.86 τ=37.36
CC 15 SLV (Collegamento 0024_-381)
Azioni sul collegamento: N=-7375.82 Ty=3.40 Tz=4.00 Mx=0.00 Mz=3.25
Sollecitazioni agenti localmente: Ty_l=-1341.06 Mx_l=-26.82
Tensioni nella sezione: σ=325.10 τ=40.64
CC 15 SLV (Collegamento 0024_-381)
Azioni sul collegamento: N=-7375.82 Ty=6.34 Tz=4.00 Mx=0.00 Mz=8.01
Sollecitazioni agenti localmente: Ty_l=-1341.06 Mx_l=-26.82
Tensioni nella sezione: σ=325.10 τ=40.64
CC 15 SLV (Collegamento 0024_-381)
Azioni sul collegamento: N=-7375.82 Ty=3.40 Tz=-2.29 Mx=0.00 Mz=3.25
Sollecitazioni agenti localmente: Ty_l=-1341.06 Mx_l=-26.82
Tensioni nella sezione: σ=325.10 τ=40.64
CC 15 SLV (Collegamento 0024_-381)
Azioni sul collegamento: N=-7375.82 Ty=6.34 Tz=-2.29 Mx=0.00 Mz=8.01
Sollecitazioni agenti localmente: Ty_l=-1341.06 Mx_l=-26.82
Tensioni nella sezione: σ=325.10 τ=40.64
CC 15 SLV (Collegamento 0024_-381)
Azioni sul collegamento: N=-5772.92 Ty=3.40 Tz=4.00 Mx=0.00 Mz=3.25
Sollecitazioni agenti localmente: Ty_l=-1049.62 Mx_l=-20.99
Tensioni nella sezione: σ=254.45 τ=31.81
CC 15 SLV (Collegamento 0024_-381)
Azioni sul collegamento: N=-5772.92 Ty=6.34 Tz=4.00 Mx=0.00 Mz=8.01
Sollecitazioni agenti localmente: Ty_l=-1049.62 Mx_l=-20.99
Tensioni nella sezione: σ=254.45 τ=31.81
CC 15 SLV (Collegamento 0024_-381)
Azioni sul collegamento: N=-5772.92 Ty=3.40 Tz=-2.29 Mx=0.00 Mz=3.25
Sollecitazioni agenti localmente: Ty_l=-1049.62 Mx_l=-20.99
Tensioni nella sezione: σ=254.45 τ=31.81
CC 15 SLV (Collegamento 0024_-381)
Azioni sul collegamento: N=-5772.92 Ty=6.34 Tz=-2.29 Mx=0.00 Mz=8.01
Sollecitazioni agenti localmente: Ty_l=-1049.62 Mx_l=-20.99
Tensioni nella sezione: σ=254.45 τ=31.81
CC 16 SLD (Collegamento 0024_-381)
Azioni sul collegamento: N=-6786.28 Ty=3.58 Tz=1.69 Mx=-0.00 Mz=2.82
Sollecitazioni agenti localmente: Ty_l=-1233.87 Mx_l=-24.68
Tensioni nella sezione: σ=299.12 τ=37.39
CC 16 SLD (Collegamento 0024_-381)
Azioni sul collegamento: N=-6786.28 Ty=4.47 Tz=1.69 Mx=-0.00 Mz=4.27
Sollecitazioni agenti localmente: Ty_l=-1233.87 Mx_l=-24.68
Tensioni nella sezione: σ=299.12 τ=37.39
CC 16 SLD (Collegamento 0024_-381)
Azioni sul collegamento: N=-6786.28 Ty=3.58 Tz=-0.23 Mx=-0.00 Mz=2.82
Sollecitazioni agenti localmente: Ty_l=-1233.87 Mx_l=-24.68
Tensioni nella sezione: σ=299.12 τ=37.39
CC 16 SLD (Collegamento 0024_-381)
Azioni sul collegamento: N=-6786.28 Ty=4.47 Tz=-0.23 Mx=-0.00 Mz=4.27
Sollecitazioni agenti localmente: Ty_l=-1233.87 Mx_l=-24.68
Tensioni nella sezione: σ=299.12 τ=37.39
CC 16 SLD (Collegamento 0024_-381)
Azioni sul collegamento: N=-6297.50 Ty=3.58 Tz=1.69 Mx=-0.00 Mz=2.82
Sollecitazioni agenti localmente: Ty_l=-1145.00 Mx_l=-22.90
Tensioni nella sezione: σ=277.57 τ=34.70
CC 16 SLD (Collegamento 0024_-381)

Azioni sul collegamento: N=-6297.50 Ty=4.47 Tz=1.69 Mx=-0.00 Mz=4.27
Sollecitazioni agenti localmente: Ty_l=-1145.00 Mx_l=-22.90
Tensioni nella sezione: σ=277.57 τ=34.70
CC 16 SLD (Collegamento 0024_-381)
Azioni sul collegamento: N=-6297.50 Ty=3.58 Tz=-0.23 Mx=-0.00 Mz=2.82
Sollecitazioni agenti localmente: Ty_l=-1145.00 Mx_l=-22.90
Tensioni nella sezione: σ=277.57 τ=34.70
CC 16 SLD (Collegamento 0024_-381)
Azioni sul collegamento: N=-6297.50 Ty=4.47 Tz=-0.23 Mx=-0.00 Mz=4.27
Sollecitazioni agenti localmente: Ty_l=-1145.00 Mx_l=-22.90
Tensioni nella sezione: σ=277.57 τ=34.70
CC 17 SLV (Collegamento 0024_-381)
Azioni sul collegamento: N=-3838.16 Ty=0.76 Tz=-9.35 Mx=-0.02 Mz=1.23
Sollecitazioni agenti localmente: Ty_l=-697.85 Mx_l=-13.96
Tensioni nella sezione: σ=169.18 τ=21.15
CC 17 SLV (Collegamento 0024_-381)
Azioni sul collegamento: N=-3838.16 Ty=4.12 Tz=-9.35 Mx=-0.02 Mz=-1.95
Sollecitazioni agenti localmente: Ty_l=-697.85 Mx_l=-13.96
Tensioni nella sezione: σ=169.18 τ=21.15
CC 17 SLV (Collegamento 0024_-381)
Azioni sul collegamento: N=-3838.16 Ty=0.76 Tz=10.33 Mx=-0.02 Mz=1.23
Sollecitazioni agenti localmente: Ty_l=-697.85 Mx_l=-13.96
Tensioni nella sezione: σ=169.18 τ=21.15
CC 17 SLV (Collegamento 0024_-381)
Azioni sul collegamento: N=-3838.16 Ty=4.12 Tz=10.33 Mx=-0.02 Mz=-1.95
Sollecitazioni agenti localmente: Ty_l=-697.85 Mx_l=-13.96
Tensioni nella sezione: σ=169.18 τ=21.15
CC 17 SLV (Collegamento 0024_-381)
Azioni sul collegamento: N=-9123.66 Ty=0.76 Tz=-9.35 Mx=-0.02 Mz=1.23
Sollecitazioni agenti localmente: Ty_l=-1658.85 Mx_l=-33.18
Tensioni nella sezione: σ=402.14 τ=50.27
CC 17 SLV (Collegamento 0024_-381)
Azioni sul collegamento: N=-9123.66 Ty=4.12 Tz=-9.35 Mx=-0.02 Mz=-1.95
Sollecitazioni agenti localmente: Ty_l=-1658.85 Mx_l=-33.18
Tensioni nella sezione: σ=402.14 τ=50.27
CC 17 SLV (Collegamento 0024_-381)
Azioni sul collegamento: N=-9123.66 Ty=0.76 Tz=10.33 Mx=-0.02 Mz=1.23
Sollecitazioni agenti localmente: Ty_l=-1658.85 Mx_l=-33.18
Tensioni nella sezione: σ=402.14 τ=50.27
CC 17 SLV (Collegamento 0024_-381)
Azioni sul collegamento: N=-9123.66 Ty=4.12 Tz=10.33 Mx=-0.02 Mz=-1.95
Sollecitazioni agenti localmente: Ty_l=-1658.85 Mx_l=-33.18
Tensioni nella sezione: σ=402.14 τ=50.27
CC 18 SLD (Collegamento 0024_-381)
Azioni sul collegamento: N=-5707.53 Ty=3.80 Tz=-2.38 Mx=-0.01 Mz=2.21
Sollecitazioni agenti localmente: Ty_l=-1037.73 Mx_l=-20.75
Tensioni nella sezione: σ=251.57 τ=31.45
CC 18 SLD (Collegamento 0024_-381)
Azioni sul collegamento: N=-5707.53 Ty=2.77 Tz=-2.38 Mx=-0.01 Mz=1.24
Sollecitazioni agenti localmente: Ty_l=-1037.73 Mx_l=-20.75
Tensioni nella sezione: σ=251.57 τ=31.45
CC 18 SLD (Collegamento 0024_-381)
Azioni sul collegamento: N=-5707.53 Ty=3.80 Tz=3.62 Mx=-0.01 Mz=2.21
Sollecitazioni agenti localmente: Ty_l=-1037.73 Mx_l=-20.75
Tensioni nella sezione: σ=251.57 τ=31.45
CC 18 SLD (Collegamento 0024_-381)
Azioni sul collegamento: N=-5707.53 Ty=2.77 Tz=3.62 Mx=-0.01 Mz=1.24
Sollecitazioni agenti localmente: Ty_l=-1037.73 Mx_l=-20.75
Tensioni nella sezione: σ=251.57 τ=31.45
CC 18 SLD (Collegamento 0024_-381)
Azioni sul collegamento: N=-7319.25 Ty=3.80 Tz=-2.38 Mx=-0.01 Mz=2.21
Sollecitazioni agenti localmente: Ty_l=-1330.77 Mx_l=-26.62
Tensioni nella sezione: σ=322.61 τ=40.33
CC 18 SLD (Collegamento 0024_-381)
Azioni sul collegamento: N=-7319.25 Ty=2.77 Tz=-2.38 Mx=-0.01 Mz=1.24
Sollecitazioni agenti localmente: Ty_l=-1330.77 Mx_l=-26.62
Tensioni nella sezione: σ=322.61 τ=40.33
CC 18 SLD (Collegamento 0024_-381)
Azioni sul collegamento: N=-7319.25 Ty=3.80 Tz=3.62 Mx=-0.01 Mz=2.21
Sollecitazioni agenti localmente: Ty_l=-1330.77 Mx_l=-26.62
Tensioni nella sezione: σ=322.61 τ=40.33
CC 18 SLD (Collegamento 0024_-381)
Azioni sul collegamento: N=-7319.25 Ty=2.77 Tz=3.62 Mx=-0.01 Mz=1.24
Sollecitazioni agenti localmente: Ty_l=-1330.77 Mx_l=-26.62
Tensioni nella sezione: σ=322.61 τ=40.33
CC 19 SLV (Collegamento 0024_-381)
Azioni sul collegamento: N=-3843.85 Ty=1.39 Tz=-9.22 Mx=-0.02 Mz=-0.03
Sollecitazioni agenti localmente: Ty_l=-698.88 Mx_l=-13.98
Tensioni nella sezione: σ=169.43 τ=21.18

CC 19 SLV (Collegamento 0024_-381)
Azioni sul collegamento: N=-3843.85 Ty=3.49 Tz=-9.22 Mx=-0.02 Mz=-0.69
Sollecitazioni agenti localmente: Ty_l=-698.88 Mx_l=-13.98
Tensioni nella sezione: σ=169.43 τ=21.18
CC 19 SLV (Collegamento 0024_-381)
Azioni sul collegamento: N=-3843.85 Ty=1.39 Tz=10.20 Mx=-0.02 Mz=-0.03
Sollecitazioni agenti localmente: Ty_l=-698.88 Mx_l=-13.98
Tensioni nella sezione: σ=169.43 τ=21.18
CC 19 SLV (Collegamento 0024_-381)
Azioni sul collegamento: N=-3843.85 Ty=3.49 Tz=10.20 Mx=-0.02 Mz=-0.69
Sollecitazioni agenti localmente: Ty_l=-698.88 Mx_l=-13.98
Tensioni nella sezione: σ=169.43 τ=21.18
CC 19 SLV (Collegamento 0024_-381)
Azioni sul collegamento: N=-9117.97 Ty=1.39 Tz=-9.22 Mx=-0.02 Mz=-0.03
Sollecitazioni agenti localmente: Ty_l=-1657.81 Mx_l=-33.16
Tensioni nella sezione: σ=401.89 τ=50.24
CC 19 SLV (Collegamento 0024_-381)
Azioni sul collegamento: N=-9117.97 Ty=3.49 Tz=-9.22 Mx=-0.02 Mz=-0.69
Sollecitazioni agenti localmente: Ty_l=-1657.81 Mx_l=-33.16
Tensioni nella sezione: σ=401.89 τ=50.24
CC 19 SLV (Collegamento 0024_-381)
Azioni sul collegamento: N=-9117.97 Ty=1.39 Tz=10.20 Mx=-0.02 Mz=-0.03
Sollecitazioni agenti localmente: Ty_l=-1657.81 Mx_l=-33.16
Tensioni nella sezione: σ=401.89 τ=50.24
CC 19 SLV (Collegamento 0024_-381)
Azioni sul collegamento: N=-9117.97 Ty=3.49 Tz=10.20 Mx=-0.02 Mz=-0.69
Sollecitazioni agenti localmente: Ty_l=-1657.81 Mx_l=-33.16
Tensioni nella sezione: σ=401.89 τ=50.24
CC 20 SLD (Collegamento 0024_-381)
Azioni sul collegamento: N=-5709.27 Ty=3.60 Tz=-2.35 Mx=-0.01 Mz=1.82
Sollecitazioni agenti localmente: Ty_l=-1038.05 Mx_l=-20.76
Tensioni nella sezione: σ=251.65 τ=31.46
CC 20 SLD (Collegamento 0024_-381)
Azioni sul collegamento: N=-5709.27 Ty=2.97 Tz=-2.35 Mx=-0.01 Mz=1.62
Sollecitazioni agenti localmente: Ty_l=-1038.05 Mx_l=-20.76
Tensioni nella sezione: σ=251.65 τ=31.46
CC 20 SLD (Collegamento 0024_-381)
Azioni sul collegamento: N=-5709.27 Ty=3.60 Tz=3.58 Mx=-0.01 Mz=1.82
Sollecitazioni agenti localmente: Ty_l=-1038.05 Mx_l=-20.76
Tensioni nella sezione: σ=251.65 τ=31.46
CC 20 SLD (Collegamento 0024_-381)
Azioni sul collegamento: N=-5709.27 Ty=2.97 Tz=3.58 Mx=-0.01 Mz=1.62
Sollecitazioni agenti localmente: Ty_l=-1038.05 Mx_l=-20.76
Tensioni nella sezione: σ=251.65 τ=31.46
CC 20 SLD (Collegamento 0024_-381)
Azioni sul collegamento: N=-7317.51 Ty=3.60 Tz=-2.35 Mx=-0.01 Mz=1.82
Sollecitazioni agenti localmente: Ty_l=-1330.46 Mx_l=-26.61
Tensioni nella sezione: σ=322.53 τ=40.32
CC 20 SLD (Collegamento 0024_-381)
Azioni sul collegamento: N=-7317.51 Ty=2.97 Tz=-2.35 Mx=-0.01 Mz=1.62
Sollecitazioni agenti localmente: Ty_l=-1330.46 Mx_l=-26.61
Tensioni nella sezione: σ=322.53 τ=40.32
CC 20 SLD (Collegamento 0024_-381)
Azioni sul collegamento: N=-7317.51 Ty=3.60 Tz=3.58 Mx=-0.01 Mz=1.82
Sollecitazioni agenti localmente: Ty_l=-1330.46 Mx_l=-26.61
Tensioni nella sezione: σ=322.53 τ=40.32
CC 20 SLD (Collegamento 0024_-381)
Azioni sul collegamento: N=-7317.51 Ty=2.97 Tz=3.58 Mx=-0.01 Mz=1.62
Sollecitazioni agenti localmente: Ty_l=-1330.46 Mx_l=-26.61
Tensioni nella sezione: σ=322.53 τ=40.32
CC 21 SLV (Collegamento 0024_-381)
Azioni sul collegamento: N=-9117.97 Ty=3.49 Tz=10.20 Mx=-0.02 Mz=-0.69
Sollecitazioni agenti localmente: Ty_l=-1657.81 Mx_l=-33.16
Tensioni nella sezione: σ=401.89 τ=50.24
CC 21 SLV (Collegamento 0024_-381)
Azioni sul collegamento: N=-9117.97 Ty=1.39 Tz=10.20 Mx=-0.02 Mz=-0.03
Sollecitazioni agenti localmente: Ty_l=-1657.81 Mx_l=-33.16
Tensioni nella sezione: σ=401.89 τ=50.24
CC 21 SLV (Collegamento 0024_-381)
Azioni sul collegamento: N=-9117.97 Ty=3.49 Tz=-9.22 Mx=-0.02 Mz=-0.69
Sollecitazioni agenti localmente: Ty_l=-1657.81 Mx_l=-33.16
Tensioni nella sezione: σ=401.89 τ=50.24
CC 21 SLV (Collegamento 0024_-381)
Azioni sul collegamento: N=-9117.97 Ty=1.39 Tz=-9.22 Mx=-0.02 Mz=-0.03
Sollecitazioni agenti localmente: Ty_l=-1657.81 Mx_l=-33.16
Tensioni nella sezione: σ=401.89 τ=50.24
CC 21 SLV (Collegamento 0024_-381)
Azioni sul collegamento: N=-3843.85 Ty=3.49 Tz=10.20 Mx=-0.02 Mz=-0.69
Sollecitazioni agenti localmente: Ty_l=-698.88 Mx_l=-13.98

Tensioni nella sezione: σ=169.43 τ=21.18
CC 21 SLV (Collegamento 0024_-381)
Azioni sul collegamento: N=-3843.85 Ty=1.39 Tz=10.20 Mx=-0.02 Mz=-0.03
Sollecitazioni agenti localmente: Ty_l=-698.88 Mx_l=-13.98
Tensioni nella sezione: σ=169.43 τ=21.18
CC 21 SLV (Collegamento 0024_-381)
Azioni sul collegamento: N=-3843.85 Ty=3.49 Tz=-9.22 Mx=-0.02 Mz=-0.69
Sollecitazioni agenti localmente: Ty_l=-698.88 Mx_l=-13.98
Tensioni nella sezione: σ=169.43 τ=21.18
CC 21 SLV (Collegamento 0024_-381)
Azioni sul collegamento: N=-3843.85 Ty=1.39 Tz=-9.22 Mx=-0.02 Mz=-0.03
Sollecitazioni agenti localmente: Ty_l=-698.88 Mx_l=-13.98
Tensioni nella sezione: σ=169.43 τ=21.18
CC 22 SLD (Collegamento 0024_-381)
Azioni sul collegamento: N=-7317.51 Ty=2.97 Tz=3.58 Mx=-0.01 Mz=1.62
Sollecitazioni agenti localmente: Ty_l=-1330.46 Mx_l=-26.61
Tensioni nella sezione: σ=322.53 τ=40.32
CC 22 SLD (Collegamento 0024_-381)
Azioni sul collegamento: N=-7317.51 Ty=3.60 Tz=3.58 Mx=-0.01 Mz=1.82
Sollecitazioni agenti localmente: Ty_l=-1330.46 Mx_l=-26.61
Tensioni nella sezione: σ=322.53 τ=40.32
CC 22 SLD (Collegamento 0024_-381)
Azioni sul collegamento: N=-7317.51 Ty=2.97 Tz=-2.35 Mx=-0.01 Mz=1.62
Sollecitazioni agenti localmente: Ty_l=-1330.46 Mx_l=-26.61
Tensioni nella sezione: σ=322.53 τ=40.32
CC 22 SLD (Collegamento 0024_-381)
Azioni sul collegamento: N=-7317.51 Ty=3.60 Tz=-2.35 Mx=-0.01 Mz=1.82
Sollecitazioni agenti localmente: Ty_l=-1330.46 Mx_l=-26.61
Tensioni nella sezione: σ=322.53 τ=40.32
CC 22 SLD (Collegamento 0024_-381)
Azioni sul collegamento: N=-5709.27 Ty=2.97 Tz=3.58 Mx=-0.01 Mz=1.62
Sollecitazioni agenti localmente: Ty_l=-1038.05 Mx_l=-20.76
Tensioni nella sezione: σ=251.65 τ=31.46
CC 22 SLD (Collegamento 0024_-381)
Azioni sul collegamento: N=-5709.27 Ty=3.60 Tz=3.58 Mx=-0.01 Mz=1.82
Sollecitazioni agenti localmente: Ty_l=-1038.05 Mx_l=-20.76
Tensioni nella sezione: σ=251.65 τ=31.46
CC 22 SLD (Collegamento 0024_-381)
Azioni sul collegamento: N=-5709.27 Ty=2.97 Tz=-2.35 Mx=-0.01 Mz=1.62
Sollecitazioni agenti localmente: Ty_l=-1038.05 Mx_l=-20.76
Tensioni nella sezione: σ=251.65 τ=31.46
CC 22 SLD (Collegamento 0024_-381)
Azioni sul collegamento: N=-5709.27 Ty=3.60 Tz=-2.35 Mx=-0.01 Mz=1.82
Sollecitazioni agenti localmente: Ty_l=-1038.05 Mx_l=-20.76
Tensioni nella sezione: σ=251.65 τ=31.46
CC 23 SLV (Collegamento 0024_-381)
Azioni sul collegamento: N=-9123.66 Ty=4.12 Tz=10.33 Mx=-0.01 Mz=-1.95
Sollecitazioni agenti localmente: Ty_l=-1658.85 Mx_l=-33.18
Tensioni nella sezione: σ=402.14 τ=50.27
CC 23 SLV (Collegamento 0024_-381)
Azioni sul collegamento: N=-9123.66 Ty=0.76 Tz=10.33 Mx=-0.01 Mz=1.23
Sollecitazioni agenti localmente: Ty_l=-1658.85 Mx_l=-33.18
Tensioni nella sezione: σ=402.14 τ=50.27
CC 23 SLV (Collegamento 0024_-381)
Azioni sul collegamento: N=-9123.66 Ty=4.12 Tz=-9.35 Mx=-0.01 Mz=-1.95
Sollecitazioni agenti localmente: Ty_l=-1658.85 Mx_l=-33.18
Tensioni nella sezione: σ=402.14 τ=50.27
CC 23 SLV (Collegamento 0024_-381)
Azioni sul collegamento: N=-9123.66 Ty=0.76 Tz=-9.35 Mx=-0.01 Mz=1.23
Sollecitazioni agenti localmente: Ty_l=-1658.85 Mx_l=-33.18
Tensioni nella sezione: σ=402.14 τ=50.27
CC 23 SLV (Collegamento 0024_-381)
Azioni sul collegamento: N=-3838.16 Ty=4.12 Tz=10.33 Mx=-0.01 Mz=-1.95
Sollecitazioni agenti localmente: Ty_l=-697.85 Mx_l=-13.96
Tensioni nella sezione: σ=169.18 τ=21.15
CC 23 SLV (Collegamento 0024_-381)
Azioni sul collegamento: N=-3838.16 Ty=0.76 Tz=10.33 Mx=-0.01 Mz=1.23
Sollecitazioni agenti localmente: Ty_l=-697.85 Mx_l=-13.96
Tensioni nella sezione: σ=169.18 τ=21.15
CC 23 SLV (Collegamento 0024_-381)
Azioni sul collegamento: N=-3838.16 Ty=4.12 Tz=-9.35 Mx=-0.01 Mz=-1.95
Sollecitazioni agenti localmente: Ty_l=-697.85 Mx_l=-13.96
Tensioni nella sezione: σ=169.18 τ=21.15
CC 23 SLV (Collegamento 0024_-381)
Azioni sul collegamento: N=-3838.16 Ty=0.76 Tz=-9.35 Mx=-0.01 Mz=1.23
Sollecitazioni agenti localmente: Ty_l=-697.85 Mx_l=-13.96
Tensioni nella sezione: σ=169.18 τ=21.15
CC 24 SLD (Collegamento 0024_-381)
Azioni sul collegamento: N=-7319.25 Ty=2.77 Tz=3.62 Mx=-0.01 Mz=1.24

Sollecitazioni agenti localmente: Ty_l=-1330.77 Mx_l=-26.62
Tensioni nella sezione: σ=322.61 τ=40.33
CC 24 SLD (Collegamento 0024_-381)
Azioni sul collegamento: N=-7319.25 Ty=3.80 Tz=3.62 Mx=-0.01 Mz=2.21
Sollecitazioni agenti localmente: Ty_l=-1330.77 Mx_l=-26.62
Tensioni nella sezione: σ=322.61 τ=40.33
CC 24 SLD (Collegamento 0024_-381)
Azioni sul collegamento: N=-7319.25 Ty=2.77 Tz=-2.38 Mx=-0.01 Mz=1.24
Sollecitazioni agenti localmente: Ty_l=-1330.77 Mx_l=-26.62
Tensioni nella sezione: σ=322.61 τ=40.33
CC 24 SLD (Collegamento 0024_-381)
Azioni sul collegamento: N=-7319.25 Ty=3.80 Tz=-2.38 Mx=-0.01 Mz=2.21
Sollecitazioni agenti localmente: Ty_l=-1330.77 Mx_l=-26.62
Tensioni nella sezione: σ=322.61 τ=40.33
CC 24 SLD (Collegamento 0024_-381)
Azioni sul collegamento: N=-5707.53 Ty=2.77 Tz=3.62 Mx=-0.01 Mz=1.24
Sollecitazioni agenti localmente: Ty_l=-1037.73 Mx_l=-20.75
Tensioni nella sezione: σ=251.57 τ=31.45
CC 24 SLD (Collegamento 0024_-381)
Azioni sul collegamento: N=-5707.53 Ty=3.80 Tz=3.62 Mx=-0.01 Mz=2.21
Sollecitazioni agenti localmente: Ty_l=-1037.73 Mx_l=-20.75
Tensioni nella sezione: σ=251.57 τ=31.45
CC 24 SLD (Collegamento 0024_-381)
Azioni sul collegamento: N=-5707.53 Ty=2.77 Tz=-2.38 Mx=-0.01 Mz=1.24
Sollecitazioni agenti localmente: Ty_l=-1037.73 Mx_l=-20.75
Tensioni nella sezione: σ=251.57 τ=31.45
CC 24 SLD (Collegamento 0024_-381)
Azioni sul collegamento: N=-5707.53 Ty=3.80 Tz=-2.38 Mx=-0.01 Mz=2.21
Sollecitazioni agenti localmente: Ty_l=-1037.73 Mx_l=-20.75
Tensioni nella sezione: σ=251.57 τ=31.45
CC 25 SLV (Collegamento 0024_-381)
Azioni sul collegamento: N=-5679.46 Ty=0.97 Tz=-2.66 Mx=-0.03 Mz=2.02
Sollecitazioni agenti localmente: Ty_l=-1032.63 Mx_l=-20.65
Tensioni nella sezione: σ=250.33 τ=31.29
CC 25 SLV (Collegamento 0024_-381)
Azioni sul collegamento: N=-5679.46 Ty=3.91 Tz=-2.66 Mx=-0.03 Mz=-2.74
Sollecitazioni agenti localmente: Ty_l=-1032.63 Mx_l=-20.65
Tensioni nella sezione: σ=250.33 τ=31.29
CC 25 SLV (Collegamento 0024_-381)
Azioni sul collegamento: N=-5679.46 Ty=0.97 Tz=3.63 Mx=-0.03 Mz=2.02
Sollecitazioni agenti localmente: Ty_l=-1032.63 Mx_l=-20.65
Tensioni nella sezione: σ=250.33 τ=31.29
CC 25 SLV (Collegamento 0024_-381)
Azioni sul collegamento: N=-5679.46 Ty=3.91 Tz=3.63 Mx=-0.03 Mz=-2.74
Sollecitazioni agenti localmente: Ty_l=-1032.63 Mx_l=-20.65
Tensioni nella sezione: σ=250.33 τ=31.29
CC 25 SLV (Collegamento 0024_-381)
Azioni sul collegamento: N=-7282.36 Ty=0.97 Tz=-2.66 Mx=-0.03 Mz=2.02
Sollecitazioni agenti localmente: Ty_l=-1324.06 Mx_l=-26.48
Tensioni nella sezione: σ=320.99 τ=40.12
CC 25 SLV (Collegamento 0024_-381)
Azioni sul collegamento: N=-7282.36 Ty=3.91 Tz=-2.66 Mx=-0.03 Mz=-2.74
Sollecitazioni agenti localmente: Ty_l=-1324.06 Mx_l=-26.48
Tensioni nella sezione: σ=320.99 τ=40.12
CC 25 SLV (Collegamento 0024_-381)
Azioni sul collegamento: N=-7282.36 Ty=0.97 Tz=3.63 Mx=-0.03 Mz=2.02
Sollecitazioni agenti localmente: Ty_l=-1324.06 Mx_l=-26.48
Tensioni nella sezione: σ=320.99 τ=40.12
CC 25 SLV (Collegamento 0024_-381)
Azioni sul collegamento: N=-7282.36 Ty=3.91 Tz=3.63 Mx=-0.03 Mz=-2.74
Sollecitazioni agenti localmente: Ty_l=-1324.06 Mx_l=-26.48
Tensioni nella sezione: σ=320.99 τ=40.12
CC 26 SLD (Collegamento 0024_-381)
Azioni sul collegamento: N=-6269.00 Ty=3.73 Tz=-0.34 Mx=-0.01 Mz=2.45
Sollecitazioni agenti localmente: Ty_l=-1139.82 Mx_l=-22.80
Tensioni nella sezione: σ=276.32 τ=34.54
CC 26 SLD (Collegamento 0024_-381)
Azioni sul collegamento: N=-6269.00 Ty=2.84 Tz=-0.34 Mx=-0.01 Mz=0.99
Sollecitazioni agenti localmente: Ty_l=-1139.82 Mx_l=-22.80
Tensioni nella sezione: σ=276.32 τ=34.54
CC 26 SLD (Collegamento 0024_-381)
Azioni sul collegamento: N=-6269.00 Ty=3.73 Tz=1.57 Mx=-0.01 Mz=2.45
Sollecitazioni agenti localmente: Ty_l=-1139.82 Mx_l=-22.80
Tensioni nella sezione: σ=276.32 τ=34.54
CC 26 SLD (Collegamento 0024_-381)
Azioni sul collegamento: N=-6269.00 Ty=2.84 Tz=1.57 Mx=-0.01 Mz=0.99
Sollecitazioni agenti localmente: Ty_l=-1139.82 Mx_l=-22.80
Tensioni nella sezione: σ=276.32 τ=34.54
CC 26 SLD (Collegamento 0024_-381)

Azioni sul collegamento: N=-6757.78 Ty=3.73 Tz=-0.34 Mx=-0.01 Mz=2.45
Sollecitazioni agenti localmente: Ty_l=-1228.69 Mx_l=-24.57
Tensioni nella sezione: σ=297.86 τ=37.23
CC 26 SLD (Collegamento 0024_-381)
Azioni sul collegamento: N=-6757.78 Ty=2.84 Tz=-0.34 Mx=-0.01 Mz=0.99
Sollecitazioni agenti localmente: Ty_l=-1228.69 Mx_l=-24.57
Tensioni nella sezione: σ=297.86 τ=37.23
CC 26 SLD (Collegamento 0024_-381)
Azioni sul collegamento: N=-6757.78 Ty=3.73 Tz=1.57 Mx=-0.01 Mz=2.45
Sollecitazioni agenti localmente: Ty_l=-1228.69 Mx_l=-24.57
Tensioni nella sezione: σ=297.86 τ=37.23
CC 26 SLD (Collegamento 0024_-381)
Azioni sul collegamento: N=-6757.78 Ty=2.84 Tz=1.57 Mx=-0.01 Mz=0.99
Sollecitazioni agenti localmente: Ty_l=-1228.69 Mx_l=-24.57
Tensioni nella sezione: σ=297.86 τ=37.23
CC 27 SLV (Collegamento 0024_-381)
Azioni sul collegamento: N=-7263.40 Ty=1.79 Tz=3.21 Mx=-0.02 Mz=1.45
Sollecitazioni agenti localmente: Ty_l=-1320.62 Mx_l=-26.41
Tensioni nella sezione: σ=320.15 τ=40.02
CC 27 SLV (Collegamento 0024_-381)
Azioni sul collegamento: N=-7263.40 Ty=3.09 Tz=3.21 Mx=-0.02 Mz=-2.17
Sollecitazioni agenti localmente: Ty_l=-1320.62 Mx_l=-26.41
Tensioni nella sezione: σ=320.15 τ=40.02
CC 27 SLV (Collegamento 0024_-381)
Azioni sul collegamento: N=-7263.40 Ty=1.79 Tz=-2.23 Mx=-0.02 Mz=1.45
Sollecitazioni agenti localmente: Ty_l=-1320.62 Mx_l=-26.41
Tensioni nella sezione: σ=320.15 τ=40.02
CC 27 SLV (Collegamento 0024_-381)
Azioni sul collegamento: N=-7263.40 Ty=3.09 Tz=-2.23 Mx=-0.02 Mz=-2.17
Sollecitazioni agenti localmente: Ty_l=-1320.62 Mx_l=-26.41
Tensioni nella sezione: σ=320.15 τ=40.02
CC 27 SLV (Collegamento 0024_-381)
Azioni sul collegamento: N=-5698.42 Ty=1.79 Tz=3.21 Mx=-0.02 Mz=1.45
Sollecitazioni agenti localmente: Ty_l=-1036.07 Mx_l=-20.72
Tensioni nella sezione: σ=251.17 τ=31.40
CC 27 SLV (Collegamento 0024_-381)
Azioni sul collegamento: N=-5698.42 Ty=3.09 Tz=3.21 Mx=-0.02 Mz=-2.17
Sollecitazioni agenti localmente: Ty_l=-1036.07 Mx_l=-20.72
Tensioni nella sezione: σ=251.17 τ=31.40
CC 27 SLV (Collegamento 0024_-381)
Azioni sul collegamento: N=-5698.42 Ty=1.79 Tz=-2.23 Mx=-0.02 Mz=1.45
Sollecitazioni agenti localmente: Ty_l=-1036.07 Mx_l=-20.72
Tensioni nella sezione: σ=251.17 τ=31.40
CC 27 SLV (Collegamento 0024_-381)
Azioni sul collegamento: N=-5698.42 Ty=3.09 Tz=-2.23 Mx=-0.02 Mz=-2.17
Sollecitazioni agenti localmente: Ty_l=-1036.07 Mx_l=-20.72
Tensioni nella sezione: σ=251.17 τ=31.40
CC 28 SLD (Collegamento 0024_-381)
Azioni sul collegamento: N=-6752.00 Ty=3.48 Tz=1.44 Mx=-0.01 Mz=2.27
Sollecitazioni agenti localmente: Ty_l=-1227.64 Mx_l=-24.55
Tensioni nella sezione: σ=297.61 τ=37.20
CC 28 SLD (Collegamento 0024_-381)
Azioni sul collegamento: N=-6752.00 Ty=3.09 Tz=1.44 Mx=-0.01 Mz=1.17
Sollecitazioni agenti localmente: Ty_l=-1227.64 Mx_l=-24.55
Tensioni nella sezione: σ=297.61 τ=37.20
CC 28 SLD (Collegamento 0024_-381)
Azioni sul collegamento: N=-6752.00 Ty=3.48 Tz=-0.21 Mx=-0.01 Mz=2.27
Sollecitazioni agenti localmente: Ty_l=-1227.64 Mx_l=-24.55
Tensioni nella sezione: σ=297.61 τ=37.20
CC 28 SLD (Collegamento 0024_-381)
Azioni sul collegamento: N=-6752.00 Ty=3.09 Tz=-0.21 Mx=-0.01 Mz=1.17
Sollecitazioni agenti localmente: Ty_l=-1227.64 Mx_l=-24.55
Tensioni nella sezione: σ=297.61 τ=37.20
CC 28 SLD (Collegamento 0024_-381)
Azioni sul collegamento: N=-6274.78 Ty=3.48 Tz=1.44 Mx=-0.01 Mz=2.27
Sollecitazioni agenti localmente: Ty_l=-1140.87 Mx_l=-22.82
Tensioni nella sezione: σ=276.57 τ=34.57
CC 28 SLD (Collegamento 0024_-381)
Azioni sul collegamento: N=-6274.78 Ty=3.09 Tz=1.44 Mx=-0.01 Mz=1.17
Sollecitazioni agenti localmente: Ty_l=-1140.87 Mx_l=-22.82
Tensioni nella sezione: σ=276.57 τ=34.57
CC 28 SLD (Collegamento 0024_-381)
Azioni sul collegamento: N=-6274.78 Ty=3.48 Tz=-0.21 Mx=-0.01 Mz=2.27
Sollecitazioni agenti localmente: Ty_l=-1140.87 Mx_l=-22.82
Tensioni nella sezione: σ=276.57 τ=34.57
CC 28 SLD (Collegamento 0024_-381)
Azioni sul collegamento: N=-6274.78 Ty=3.09 Tz=-0.21 Mx=-0.01 Mz=1.17
Sollecitazioni agenti localmente: Ty_l=-1140.87 Mx_l=-22.82
Tensioni nella sezione: σ=276.57 τ=34.57

CC 29 SLV (Collegamento 0024_-381)
Azioni sul collegamento: N=-5698.42 Ty=3.09 Tz=-2.23 Mx=-0.01 Mz=-2.17
Sollecitazioni agenti localmente: Ty_l=-1036.07 Mx_l=-20.72
Tensioni nella sezione: σ=251.17 τ=31.40
CC 29 SLV (Collegamento 0024_-381)
Azioni sul collegamento: N=-5698.42 Ty=1.79 Tz=-2.23 Mx=-0.01 Mz=1.45
Sollecitazioni agenti localmente: Ty_l=-1036.07 Mx_l=-20.72
Tensioni nella sezione: σ=251.17 τ=31.40
CC 29 SLV (Collegamento 0024_-381)
Azioni sul collegamento: N=-5698.42 Ty=3.09 Tz=3.21 Mx=-0.01 Mz=-2.17
Sollecitazioni agenti localmente: Ty_l=-1036.07 Mx_l=-20.72
Tensioni nella sezione: σ=251.17 τ=31.40
CC 29 SLV (Collegamento 0024_-381)
Azioni sul collegamento: N=-5698.42 Ty=1.79 Tz=3.21 Mx=-0.01 Mz=1.45
Sollecitazioni agenti localmente: Ty_l=-1036.07 Mx_l=-20.72
Tensioni nella sezione: σ=251.17 τ=31.40
CC 29 SLV (Collegamento 0024_-381)
Azioni sul collegamento: N=-7263.40 Ty=3.09 Tz=-2.23 Mx=-0.01 Mz=-2.17
Sollecitazioni agenti localmente: Ty_l=-1320.62 Mx_l=-26.41
Tensioni nella sezione: σ=320.15 τ=40.02
CC 29 SLV (Collegamento 0024_-381)
Azioni sul collegamento: N=-7263.40 Ty=1.79 Tz=-2.23 Mx=-0.01 Mz=1.45
Sollecitazioni agenti localmente: Ty_l=-1320.62 Mx_l=-26.41
Tensioni nella sezione: σ=320.15 τ=40.02
CC 29 SLV (Collegamento 0024_-381)
Azioni sul collegamento: N=-7263.40 Ty=3.09 Tz=3.21 Mx=-0.01 Mz=-2.17
Sollecitazioni agenti localmente: Ty_l=-1320.62 Mx_l=-26.41
Tensioni nella sezione: σ=320.15 τ=40.02
CC 29 SLV (Collegamento 0024_-381)
Azioni sul collegamento: N=-7263.40 Ty=1.79 Tz=3.21 Mx=-0.01 Mz=1.45
Sollecitazioni agenti localmente: Ty_l=-1320.62 Mx_l=-26.41
Tensioni nella sezione: σ=320.15 τ=40.02
CC 30 SLD (Collegamento 0024_-381)
Azioni sul collegamento: N=-6274.78 Ty=3.09 Tz=-0.21 Mx=-0.01 Mz=1.17
Sollecitazioni agenti localmente: Ty_l=-1140.87 Mx_l=-22.82
Tensioni nella sezione: σ=276.57 τ=34.57
CC 30 SLD (Collegamento 0024_-381)
Azioni sul collegamento: N=-6274.78 Ty=3.48 Tz=-0.21 Mx=-0.01 Mz=2.27
Sollecitazioni agenti localmente: Ty_l=-1140.87 Mx_l=-22.82
Tensioni nella sezione: σ=276.57 τ=34.57
CC 30 SLD (Collegamento 0024_-381)
Azioni sul collegamento: N=-6274.78 Ty=3.09 Tz=1.44 Mx=-0.01 Mz=1.17
Sollecitazioni agenti localmente: Ty_l=-1140.87 Mx_l=-22.82
Tensioni nella sezione: σ=276.57 τ=34.57
CC 30 SLD (Collegamento 0024_-381)
Azioni sul collegamento: N=-6274.78 Ty=3.48 Tz=1.44 Mx=-0.01 Mz=2.27
Sollecitazioni agenti localmente: Ty_l=-1140.87 Mx_l=-22.82
Tensioni nella sezione: σ=276.57 τ=34.57
CC 30 SLD (Collegamento 0024_-381)
Azioni sul collegamento: N=-6752.00 Ty=3.09 Tz=-0.21 Mx=-0.01 Mz=1.17
Sollecitazioni agenti localmente: Ty_l=-1227.64 Mx_l=-24.55
Tensioni nella sezione: σ=297.61 τ=37.20
CC 30 SLD (Collegamento 0024_-381)
Azioni sul collegamento: N=-6752.00 Ty=3.48 Tz=-0.21 Mx=-0.01 Mz=2.27
Sollecitazioni agenti localmente: Ty_l=-1227.64 Mx_l=-24.55
Tensioni nella sezione: σ=297.61 τ=37.20
CC 30 SLD (Collegamento 0024_-381)
Azioni sul collegamento: N=-6752.00 Ty=3.09 Tz=1.44 Mx=-0.01 Mz=1.17
Sollecitazioni agenti localmente: Ty_l=-1227.64 Mx_l=-24.55
Tensioni nella sezione: σ=297.61 τ=37.20
CC 30 SLD (Collegamento 0024_-381)
Azioni sul collegamento: N=-6752.00 Ty=3.48 Tz=1.44 Mx=-0.01 Mz=2.27
Sollecitazioni agenti localmente: Ty_l=-1227.64 Mx_l=-24.55
Tensioni nella sezione: σ=297.61 τ=37.20
CC 31 SLV (Collegamento 0024_-381)
Azioni sul collegamento: N=-7282.36 Ty=3.91 Tz=3.63 Mx=-0.01 Mz=-2.74
Sollecitazioni agenti localmente: Ty_l=-1324.06 Mx_l=-26.48
Tensioni nella sezione: σ=320.99 τ=40.12
CC 31 SLV (Collegamento 0024_-381)
Azioni sul collegamento: N=-7282.36 Ty=0.97 Tz=3.63 Mx=-0.01 Mz=2.02
Sollecitazioni agenti localmente: Ty_l=-1324.06 Mx_l=-26.48
Tensioni nella sezione: σ=320.99 τ=40.12
CC 31 SLV (Collegamento 0024_-381)
Azioni sul collegamento: N=-7282.36 Ty=3.91 Tz=-2.66 Mx=-0.01 Mz=-2.74
Sollecitazioni agenti localmente: Ty_l=-1324.06 Mx_l=-26.48
Tensioni nella sezione: σ=320.99 τ=40.12
CC 31 SLV (Collegamento 0024_-381)
Azioni sul collegamento: N=-7282.36 Ty=0.97 Tz=-2.66 Mx=-0.01 Mz=2.02
Sollecitazioni agenti localmente: Ty_l=-1324.06 Mx_l=-26.48

Tensioni nella sezione: σ=320.99 τ=40.12
CC 31 SLV (Collegamento 0024_-381)
Azioni sul collegamento: N=-5679.46 Ty=3.91 Tz=3.63 Mx=-0.01 Mz=-2.74
Sollecitazioni agenti localmente: Ty_l=-1032.63 Mx_l=-20.65
Tensioni nella sezione: σ=250.33 τ=31.29
CC 31 SLV (Collegamento 0024_-381)
Azioni sul collegamento: N=-5679.46 Ty=0.97 Tz=3.63 Mx=-0.01 Mz=2.02
Sollecitazioni agenti localmente: Ty_l=-1032.63 Mx_l=-20.65
Tensioni nella sezione: σ=250.33 τ=31.29
CC 31 SLV (Collegamento 0024_-381)
Azioni sul collegamento: N=-5679.46 Ty=3.91 Tz=-2.66 Mx=-0.01 Mz=-2.74
Sollecitazioni agenti localmente: Ty_l=-1032.63 Mx_l=-20.65
Tensioni nella sezione: σ=250.33 τ=31.29
CC 31 SLV (Collegamento 0024_-381)
Azioni sul collegamento: N=-5679.46 Ty=0.97 Tz=-2.66 Mx=-0.01 Mz=2.02
Sollecitazioni agenti localmente: Ty_l=-1032.63 Mx_l=-20.65
Tensioni nella sezione: σ=250.33 τ=31.29
CC 32 SLD (Collegamento 0024_-381)
Azioni sul collegamento: N=-6757.78 Ty=2.84 Tz=1.57 Mx=-0.00 Mz=0.99
Sollecitazioni agenti localmente: Ty_l=-1228.69 Mx_l=-24.57
Tensioni nella sezione: σ=297.86 τ=37.23
CC 32 SLD (Collegamento 0024_-381)
Azioni sul collegamento: N=-6757.78 Ty=3.73 Tz=1.57 Mx=-0.00 Mz=2.45
Sollecitazioni agenti localmente: Ty_l=-1228.69 Mx_l=-24.57
Tensioni nella sezione: σ=297.86 τ=37.23
CC 32 SLD (Collegamento 0024_-381)
Azioni sul collegamento: N=-6757.78 Ty=2.84 Tz=-0.34 Mx=-0.00 Mz=0.99
Sollecitazioni agenti localmente: Ty_l=-1228.69 Mx_l=-24.57
Tensioni nella sezione: σ=297.86 τ=37.23
CC 32 SLD (Collegamento 0024_-381)
Azioni sul collegamento: N=-6757.78 Ty=3.73 Tz=-0.34 Mx=-0.00 Mz=2.45
Sollecitazioni agenti localmente: Ty_l=-1228.69 Mx_l=-24.57
Tensioni nella sezione: σ=297.86 τ=37.23
CC 32 SLD (Collegamento 0024_-381)
Azioni sul collegamento: N=-6269.00 Ty=2.84 Tz=1.57 Mx=-0.00 Mz=0.99
Sollecitazioni agenti localmente: Ty_l=-1139.82 Mx_l=-22.80
Tensioni nella sezione: σ=276.32 τ=34.54
CC 32 SLD (Collegamento 0024_-381)
Azioni sul collegamento: N=-6269.00 Ty=3.73 Tz=1.57 Mx=-0.00 Mz=2.45
Sollecitazioni agenti localmente: Ty_l=-1139.82 Mx_l=-22.80
Tensioni nella sezione: σ=276.32 τ=34.54
CC 32 SLD (Collegamento 0024_-381)
Azioni sul collegamento: N=-6269.00 Ty=2.84 Tz=-0.34 Mx=-0.00 Mz=0.99
Sollecitazioni agenti localmente: Ty_l=-1139.82 Mx_l=-22.80
Tensioni nella sezione: σ=276.32 τ=34.54
CC 32 SLD (Collegamento 0024_-381)
Azioni sul collegamento: N=-6269.00 Ty=3.73 Tz=-0.34 Mx=-0.00 Mz=2.45
Sollecitazioni agenti localmente: Ty_l=-1139.82 Mx_l=-22.80
Tensioni nella sezione: σ=276.32 τ=34.54
CC 33 SLU (Collegamento 0024_-381)
Azioni sul collegamento: N=-30229.20 Ty=5.39 Tz=79.58 Mx=-0.01 Mz=3.85
Sollecitazioni agenti localmente: Ty_l=-5496.22 Mx_l=-109.92
Tensioni nella sezione: σ=1332.41 τ=166.55
CC 34 SLU (Collegamento 0024_-381)
Azioni sul collegamento: N=-30778.60 Ty=5.67 Tz=81.62 Mx=-0.01 Mz=4.05
Sollecitazioni agenti localmente: Ty_l=-5596.11 Mx_l=-111.92
Tensioni nella sezione: σ=1356.63 τ=169.58
CC 35 SLU (Collegamento 0024_-381)
Azioni sul collegamento: N=-30504.90 Ty=5.64 Tz=80.58 Mx=-0.01 Mz=4.16
Sollecitazioni agenti localmente: Ty_l=-5546.34 Mx_l=-110.93
Tensioni nella sezione: σ=1344.57 τ=168.07
CC 36 SLU (Collegamento 0024_-381)
Azioni sul collegamento: N=-30502.90 Ty=5.42 Tz=80.62 Mx=-0.01 Mz=3.73
Sollecitazioni agenti localmente: Ty_l=-5545.98 Mx_l=-110.92
Tensioni nella sezione: σ=1344.48 τ=168.06
CC 37 SLU (Collegamento 0024_-381)
Azioni sul collegamento: N=-32152.70 Ty=5.24 Tz=86.01 Mx=0.00 Mz=3.86
Sollecitazioni agenti localmente: Ty_l=-5845.94 Mx_l=-116.92
Tensioni nella sezione: σ=1417.20 τ=177.15
CC 38 SLU (Collegamento 0024_-381)
Azioni sul collegamento: N=-32702.10 Ty=5.53 Tz=88.04 Mx=0.00 Mz=4.06
Sollecitazioni agenti localmente: Ty_l=-5945.83 Mx_l=-118.92
Tensioni nella sezione: σ=1441.41 τ=180.18
CC 39 SLU (Collegamento 0024_-381)
Azioni sul collegamento: N=-32428.40 Ty=5.50 Tz=87.00 Mx=0.00 Mz=4.18
Sollecitazioni agenti localmente: Ty_l=-5896.07 Mx_l=-117.92
Tensioni nella sezione: σ=1429.35 τ=178.67
CC 40 SLU (Collegamento 0024_-381)
Azioni sul collegamento: N=-32426.40 Ty=5.28 Tz=87.05 Mx=0.00 Mz=3.74

Sollecitazioni agenti localmente: Ty_l=-5895.71 Mx_l=-117.91
Tensioni nella sezione: σ=1429.26 τ=178.66
CC 41 SLU (Collegamento 0024_-381)
Azioni sul collegamento: N=-20958.20 Ty=6.23 Tz=45.50 Mx=-0.01 Mz=4.43
Sollecitazioni agenti localmente: Ty_l=-3810.59 Mx_l=-76.21
Tensioni nella sezione: σ=923.78 τ=115.47
CC 42 SLU (Collegamento 0024_-381)
Azioni sul collegamento: N=-21507.60 Ty=6.52 Tz=47.54 Mx=-0.01 Mz=4.63
Sollecitazioni agenti localmente: Ty_l=-3910.48 Mx_l=-78.21
Tensioni nella sezione: σ=947.99 τ=118.50
CC 43 SLU (Collegamento 0024_-381)
Azioni sul collegamento: N=-21233.90 Ty=6.48 Tz=46.50 Mx=-0.01 Mz=4.75
Sollecitazioni agenti localmente: Ty_l=-3860.71 Mx_l=-77.21
Tensioni nella sezione: σ=935.93 τ=116.99
CC 44 SLU (Collegamento 0024_-381)
Azioni sul collegamento: N=-21231.90 Ty=6.26 Tz=46.54 Mx=-0.01 Mz=4.31
Sollecitazioni agenti localmente: Ty_l=-3860.35 Mx_l=-77.21
Tensioni nella sezione: σ=935.84 τ=116.98
CC 45 SLU (Collegamento 0024_-381)
Azioni sul collegamento: N=-23044.60 Ty=5.94 Tz=53.22 Mx=-0.01 Mz=4.28
Sollecitazioni agenti localmente: Ty_l=-4189.93 Mx_l=-83.80
Tensioni nella sezione: σ=1015.74 τ=126.97
CC 46 SLU (Collegamento 0024_-381)
Azioni sul collegamento: N=-23594.00 Ty=6.22 Tz=55.25 Mx=-0.01 Mz=4.49
Sollecitazioni agenti localmente: Ty_l=-4289.82 Mx_l=-85.80
Tensioni nella sezione: σ=1039.95 τ=129.99
CC 47 SLU (Collegamento 0024_-381)
Azioni sul collegamento: N=-23320.30 Ty=6.19 Tz=54.21 Mx=-0.01 Mz=4.60
Sollecitazioni agenti localmente: Ty_l=-4240.05 Mx_l=-84.80
Tensioni nella sezione: σ=1027.89 τ=128.49
CC 48 SLU (Collegamento 0024_-381)
Azioni sul collegamento: N=-23318.30 Ty=5.97 Tz=54.26 Mx=-0.01 Mz=4.17
Sollecitazioni agenti localmente: Ty_l=-4239.69 Mx_l=-84.79
Tensioni nella sezione: σ=1027.80 τ=128.48
CC 49 SLU (Collegamento 0024_-381)
Azioni sul collegamento: N=-24483.70 Ty=5.83 Tz=58.03 Mx=0.00 Mz=4.29
Sollecitazioni agenti localmente: Ty_l=-4451.57 Mx_l=-89.03
Tensioni nella sezione: σ=1079.17 τ=134.90
CC 50 SLU (Collegamento 0024_-381)
Azioni sul collegamento: N=-25033.00 Ty=6.12 Tz=60.06 Mx=0.00 Mz=4.50
Sollecitazioni agenti localmente: Ty_l=-4551.46 Mx_l=-91.03
Tensioni nella sezione: σ=1103.38 τ=137.92
CC 51 SLU (Collegamento 0024_-381)
Azioni sul collegamento: N=-24759.30 Ty=6.08 Tz=59.02 Mx=-0.00 Mz=4.61
Sollecitazioni agenti localmente: Ty_l=-4501.70 Mx_l=-90.03
Tensioni nella sezione: σ=1091.32 τ=136.41
CC 52 SLU (Collegamento 0024_-381)
Azioni sul collegamento: N=-24757.40 Ty=5.87 Tz=59.07 Mx=0.00 Mz=4.18
Sollecitazioni agenti localmente: Ty_l=-4501.34 Mx_l=-90.03
Tensioni nella sezione: σ=1091.23 τ=136.40
CC 53 SLU (Collegamento 0024_-381)
Azioni sul collegamento: N=-16108.60 Ty=6.57 Tz=27.72 Mx=-0.01 Mz=4.72
Sollecitazioni agenti localmente: Ty_l=-2928.83 Mx_l=-58.58
Tensioni nella sezione: σ=710.02 τ=88.75
CC 54 SLU (Collegamento 0024_-381)
Azioni sul collegamento: N=-16657.90 Ty=6.86 Tz=29.76 Mx=-0.01 Mz=4.92
Sollecitazioni agenti localmente: Ty_l=-3028.71 Mx_l=-60.57
Tensioni nella sezione: σ=734.23 τ=91.78
CC 55 SLU (Collegamento 0024_-381)
Azioni sul collegamento: N=-16384.20 Ty=6.82 Tz=28.72 Mx=-0.01 Mz=5.04
Sollecitazioni agenti localmente: Ty_l=-2978.95 Mx_l=-59.58
Tensioni nella sezione: σ=722.17 τ=90.27
CC 56 SLU (Collegamento 0024_-381)
Azioni sul collegamento: N=-16382.30 Ty=6.60 Tz=28.76 Mx=-0.01 Mz=4.60
Sollecitazioni agenti localmente: Ty_l=-2978.59 Mx_l=-59.57
Tensioni nella sezione: σ=722.08 τ=90.26
CC 57 SLU (Collegamento 0024_-381)
Azioni sul collegamento: N=-23426.90 Ty=6.35 Tz=54.67 Mx=-0.01 Mz=4.58
Sollecitazioni agenti localmente: Ty_l=-4259.43 Mx_l=-85.19
Tensioni nella sezione: σ=1032.59 τ=129.07
CC 58 SLU (Collegamento 0024_-381)
Azioni sul collegamento: N=-23976.20 Ty=6.64 Tz=56.70 Mx=-0.01 Mz=4.78
Sollecitazioni agenti localmente: Ty_l=-4359.32 Mx_l=-87.19
Tensioni nella sezione: σ=1056.80 τ=132.10
CC 59 SLU (Collegamento 0024_-381)
Azioni sul collegamento: N=-23702.50 Ty=6.61 Tz=55.66 Mx=-0.01 Mz=4.90
Sollecitazioni agenti localmente: Ty_l=-4309.55 Mx_l=-86.19
Tensioni nella sezione: σ=1044.74 τ=130.59
CC 60 SLU (Collegamento 0024_-381)

Azioni sul collegamento: N=-23700.60 Ty=6.39 Tz=55.71 Mx=-0.01 Mz=4.46
Sollecitazioni agenti localmente: Ty_l=-4309.19 Mx_l=-86.18
Tensioni nella sezione: σ=1044.65 τ=130.58
CC 61 SLU (Collegamento 0024_-381)
Azioni sul collegamento: N=-24865.90 Ty=6.25 Tz=59.47 Mx=0.00 Mz=4.59
Sollecitazioni agenti localmente: Ty_l=-4521.07 Mx_l=-90.42
Tensioni nella sezione: σ=1096.02 τ=137.00
CC 62 SLU (Collegamento 0024_-381)
Azioni sul collegamento: N=-25415.30 Ty=6.53 Tz=61.51 Mx=-0.00 Mz=4.79
Sollecitazioni agenti localmente: Ty_l=-4620.96 Mx_l=-92.42
Tensioni nella sezione: σ=1120.23 τ=140.03
CC 63 SLU (Collegamento 0024_-381)
Azioni sul collegamento: N=-25141.60 Ty=6.50 Tz=60.47 Mx=-0.00 Mz=4.91
Sollecitazioni agenti localmente: Ty_l=-4571.20 Mx_l=-91.42
Tensioni nella sezione: σ=1108.17 τ=138.52
CC 64 SLU (Collegamento 0024_-381)
Azioni sul collegamento: N=-25139.60 Ty=6.28 Tz=60.51 Mx=0.00 Mz=4.47
Sollecitazioni agenti localmente: Ty_l=-4570.84 Mx_l=-91.42
Tensioni nella sezione: σ=1108.08 τ=138.51
CC 65 SLU (Collegamento 0024_-381)
Azioni sul collegamento: N=-16490.80 Ty=6.99 Tz=29.17 Mx=-0.01 Mz=5.02
Sollecitazioni agenti localmente: Ty_l=-2998.33 Mx_l=-59.97
Tensioni nella sezione: σ=726.87 τ=90.86
CC 66 SLU (Collegamento 0024_-381)
Azioni sul collegamento: N=-17040.20 Ty=7.27 Tz=31.20 Mx=-0.01 Mz=5.22
Sollecitazioni agenti localmente: Ty_l=-3098.21 Mx_l=-61.96
Tensioni nella sezione: σ=751.08 τ=93.89
CC 67 SLU (Collegamento 0024_-381)
Azioni sul collegamento: N=-16766.50 Ty=7.24 Tz=30.16 Mx=-0.01 Mz=5.34
Sollecitazioni agenti localmente: Ty_l=-3048.45 Mx_l=-60.97
Tensioni nella sezione: σ=739.02 τ=92.38
CC 68 SLU (Collegamento 0024_-381)
Azioni sul collegamento: N=-16764.50 Ty=7.02 Tz=30.21 Mx=-0.01 Mz=4.90
Sollecitazioni agenti localmente: Ty_l=-3048.09 Mx_l=-60.96
Tensioni nella sezione: σ=738.93 τ=92.37
CC 97 SLU (Collegamento 0024_-381)
Azioni sul collegamento: N=-10609.80 Ty=16.63 Tz=15.80 Mx=0.03 Mz=19.66
Sollecitazioni agenti localmente: Ty_l=-1929.04 Mx_l=-38.58
Tensioni nella sezione: σ=467.65 τ=58.46
CC 98 SLU (Collegamento 0024_-381)
Azioni sul collegamento: N=-11159.10 Ty=16.91 Tz=17.84 Mx=0.03 Mz=19.86
Sollecitazioni agenti localmente: Ty_l=-2028.93 Mx_l=-40.58
Tensioni nella sezione: σ=491.86 τ=61.48
CC 99 SLU (Collegamento 0024_-381)
Azioni sul collegamento: N=-10885.40 Ty=16.88 Tz=16.80 Mx=0.03 Mz=19.98
Sollecitazioni agenti localmente: Ty_l=-1979.17 Mx_l=-39.58
Tensioni nella sezione: σ=479.80 τ=59.97
CC 100 SLU (Collegamento 0024_-381)
Azioni sul collegamento: N=-10883.50 Ty=16.66 Tz=16.84 Mx=0.03 Mz=19.55
Sollecitazioni agenti localmente: Ty_l=-1978.81 Mx_l=-39.58
Tensioni nella sezione: σ=479.71 τ=59.96
CC 101 SLU (Collegamento 0024_-381)
Azioni sul collegamento: N=-6606.14 Ty=1.32 Tz=0.91 Mx=-0.01 Mz=0.13
Sollecitazioni agenti localmente: Ty_l=-1201.12 Mx_l=-24.02
Tensioni nella sezione: σ=291.18 τ=36.40
CC 102 SLU (Collegamento 0024_-381)
Azioni sul collegamento: N=-7155.53 Ty=1.61 Tz=2.94 Mx=-0.01 Mz=0.33
Sollecitazioni agenti localmente: Ty_l=-1301.00 Mx_l=-26.02
Tensioni nella sezione: σ=315.39 τ=39.42
CC 103 SLU (Collegamento 0024_-381)
Azioni sul collegamento: N=-6881.82 Ty=1.58 Tz=1.90 Mx=-0.01 Mz=0.45
Sollecitazioni agenti localmente: Ty_l=-1251.24 Mx_l=-25.02
Tensioni nella sezione: σ=303.33 τ=37.92
CC 104 SLU (Collegamento 0024_-381)
Azioni sul collegamento: N=-6879.85 Ty=1.36 Tz=1.95 Mx=-0.01 Mz=0.01
Sollecitazioni agenti localmente: Ty_l=-1250.88 Mx_l=-25.02
Tensioni nella sezione: σ=303.24 τ=37.91

Flessione attacco inferiore piastra

Bnetta=220.00 Hnetta=15.00
CC 1 SLV (Collegamento 0024_-381)
Azioni sul collegamento: N=-3931.62 Ty=6.55 Tz=-8.98 Mx=0.01 Mz=7.22
Sollecitazioni agenti localmente: Ty_l=-714.84 Mx_l=-14.30
Tensioni nella sezione: σ=173.29 τ=21.66
CC 1 SLV (Collegamento 0024_-381)
Azioni sul collegamento: N=-3931.62 Ty=3.19 Tz=-8.98 Mx=0.01 Mz=4.04
Sollecitazioni agenti localmente: Ty_l=-714.84 Mx_l=-14.30
Tensioni nella sezione: σ=173.29 τ=21.66

CC 1 SLV (Collegamento 0024_-381)
Azioni sul collegamento: N=-3931.62 Ty=6.55 Tz=10.69 Mx=0.01 Mz=7.22
Sollecitazioni agenti localmente: Ty_l=-714.84 Mx_l=-14.30
Tensioni nella sezione: σ=173.29 τ=21.66
CC 1 SLV (Collegamento 0024_-381)
Azioni sul collegamento: N=-3931.62 Ty=3.19 Tz=10.69 Mx=0.01 Mz=4.04
Sollecitazioni agenti localmente: Ty_l=-714.84 Mx_l=-14.30
Tensioni nella sezione: σ=173.29 τ=21.66
CC 1 SLV (Collegamento 0024_-381)
Azioni sul collegamento: N=-9217.12 Ty=6.55 Tz=-8.98 Mx=0.01 Mz=7.22
Sollecitazioni agenti localmente: Ty_l=-1675.84 Mx_l=-33.52
Tensioni nella sezione: σ=406.26 τ=50.78
CC 1 SLV (Collegamento 0024_-381)
Azioni sul collegamento: N=-9217.12 Ty=3.19 Tz=-8.98 Mx=0.01 Mz=4.04
Sollecitazioni agenti localmente: Ty_l=-1675.84 Mx_l=-33.52
Tensioni nella sezione: σ=406.26 τ=50.78
CC 1 SLV (Collegamento 0024_-381)
Azioni sul collegamento: N=-9217.12 Ty=6.55 Tz=10.69 Mx=0.01 Mz=7.22
Sollecitazioni agenti localmente: Ty_l=-1675.84 Mx_l=-33.52
Tensioni nella sezione: σ=406.26 τ=50.78
CC 1 SLV (Collegamento 0024_-381)
Azioni sul collegamento: N=-9217.12 Ty=3.19 Tz=10.69 Mx=0.01 Mz=4.04
Sollecitazioni agenti localmente: Ty_l=-1675.84 Mx_l=-33.52
Tensioni nella sezione: σ=406.26 τ=50.78
CC 2 SLD (Collegamento 0024_-381)
Azioni sul collegamento: N=-5736.03 Ty=4.54 Tz=-2.27 Mx=0.00 Mz=4.03
Sollecitazioni agenti localmente: Ty_l=-1042.91 Mx_l=-20.86
Tensioni nella sezione: σ=252.83 τ=31.60
CC 2 SLD (Collegamento 0024_-381)
Azioni sul collegamento: N=-5736.03 Ty=3.51 Tz=-2.27 Mx=0.00 Mz=3.06
Sollecitazioni agenti localmente: Ty_l=-1042.91 Mx_l=-20.86
Tensioni nella sezione: σ=252.83 τ=31.60
CC 2 SLD (Collegamento 0024_-381)
Azioni sul collegamento: N=-5736.03 Ty=4.54 Tz=3.73 Mx=0.00 Mz=4.03
Sollecitazioni agenti localmente: Ty_l=-1042.91 Mx_l=-20.86
Tensioni nella sezione: σ=252.83 τ=31.60
CC 2 SLD (Collegamento 0024_-381)
Azioni sul collegamento: N=-5736.03 Ty=3.51 Tz=3.73 Mx=0.00 Mz=3.06
Sollecitazioni agenti localmente: Ty_l=-1042.91 Mx_l=-20.86
Tensioni nella sezione: σ=252.83 τ=31.60
CC 2 SLD (Collegamento 0024_-381)
Azioni sul collegamento: N=-7347.75 Ty=4.54 Tz=-2.27 Mx=0.00 Mz=4.03
Sollecitazioni agenti localmente: Ty_l=-1335.95 Mx_l=-26.72
Tensioni nella sezione: σ=323.87 τ=40.48
CC 2 SLD (Collegamento 0024_-381)
Azioni sul collegamento: N=-7347.75 Ty=3.51 Tz=-2.27 Mx=0.00 Mz=3.06
Sollecitazioni agenti localmente: Ty_l=-1335.95 Mx_l=-26.72
Tensioni nella sezione: σ=323.87 τ=40.48
CC 2 SLD (Collegamento 0024_-381)
Azioni sul collegamento: N=-7347.75 Ty=4.54 Tz=3.73 Mx=0.00 Mz=4.03
Sollecitazioni agenti localmente: Ty_l=-1335.95 Mx_l=-26.72
Tensioni nella sezione: σ=323.87 τ=40.48
CC 2 SLD (Collegamento 0024_-381)
Azioni sul collegamento: N=-7347.75 Ty=3.51 Tz=3.73 Mx=0.00 Mz=3.06
Sollecitazioni agenti localmente: Ty_l=-1335.95 Mx_l=-26.72
Tensioni nella sezione: σ=323.87 τ=40.48
CC 3 SLV (Collegamento 0024_-381)
Azioni sul collegamento: N=-3937.31 Ty=5.92 Tz=-8.85 Mx=0.01 Mz=5.96
Sollecitazioni agenti localmente: Ty_l=-715.87 Mx_l=-14.32
Tensioni nella sezione: σ=173.54 τ=21.69
CC 3 SLV (Collegamento 0024_-381)
Azioni sul collegamento: N=-3937.31 Ty=3.82 Tz=-8.85 Mx=0.01 Mz=5.30
Sollecitazioni agenti localmente: Ty_l=-715.87 Mx_l=-14.32
Tensioni nella sezione: σ=173.54 τ=21.69
CC 3 SLV (Collegamento 0024_-381)
Azioni sul collegamento: N=-3937.31 Ty=5.92 Tz=10.56 Mx=0.01 Mz=5.96
Sollecitazioni agenti localmente: Ty_l=-715.87 Mx_l=-14.32
Tensioni nella sezione: σ=173.54 τ=21.69
CC 3 SLV (Collegamento 0024_-381)
Azioni sul collegamento: N=-3937.31 Ty=3.82 Tz=10.56 Mx=0.01 Mz=5.30
Sollecitazioni agenti localmente: Ty_l=-715.87 Mx_l=-14.32
Tensioni nella sezione: σ=173.54 τ=21.69
CC 3 SLV (Collegamento 0024_-381)
Azioni sul collegamento: N=-9211.43 Ty=5.92 Tz=-8.85 Mx=0.01 Mz=5.96
Sollecitazioni agenti localmente: Ty_l=-1674.81 Mx_l=-33.50
Tensioni nella sezione: σ=406.01 τ=50.75
CC 3 SLV (Collegamento 0024_-381)
Azioni sul collegamento: N=-9211.43 Ty=3.82 Tz=-8.85 Mx=0.01 Mz=5.30
Sollecitazioni agenti localmente: Ty_l=-1674.81 Mx_l=-33.50

Tensioni nella sezione: σ=406.01 τ=50.75
CC 3 SLV (Collegamento 0024_-381)
Azioni sul collegamento: N=-9211.43 Ty=5.92 Tz=10.56 Mx=0.01 Mz=5.96
Sollecitazioni agenti localmente: Ty_l=-1674.81 Mx_l=-33.50
Tensioni nella sezione: σ=406.01 τ=50.75
CC 3 SLV (Collegamento 0024_-381)
Azioni sul collegamento: N=-9211.43 Ty=3.82 Tz=10.56 Mx=0.01 Mz=5.30
Sollecitazioni agenti localmente: Ty_l=-1674.81 Mx_l=-33.50
Tensioni nella sezione: σ=406.01 τ=50.75
CC 4 SLD (Collegamento 0024_-381)
Azioni sul collegamento: N=-5737.77 Ty=4.34 Tz=-2.23 Mx=0.00 Mz=3.65
Sollecitazioni agenti localmente: Ty_l=-1043.23 Mx_l=-20.86
Tensioni nella sezione: σ=252.90 τ=31.61
CC 4 SLD (Collegamento 0024_-381)
Azioni sul collegamento: N=-5737.77 Ty=3.71 Tz=-2.23 Mx=0.00 Mz=3.45
Sollecitazioni agenti localmente: Ty_l=-1043.23 Mx_l=-20.86
Tensioni nella sezione: σ=252.90 τ=31.61
CC 4 SLD (Collegamento 0024_-381)
Azioni sul collegamento: N=-5737.77 Ty=4.34 Tz=3.69 Mx=0.00 Mz=3.65
Sollecitazioni agenti localmente: Ty_l=-1043.23 Mx_l=-20.86
Tensioni nella sezione: σ=252.90 τ=31.61
CC 4 SLD (Collegamento 0024_-381)
Azioni sul collegamento: N=-5737.77 Ty=3.71 Tz=3.69 Mx=0.00 Mz=3.45
Sollecitazioni agenti localmente: Ty_l=-1043.23 Mx_l=-20.86
Tensioni nella sezione: σ=252.90 τ=31.61
CC 4 SLD (Collegamento 0024_-381)
Azioni sul collegamento: N=-7346.01 Ty=4.34 Tz=-2.23 Mx=0.00 Mz=3.65
Sollecitazioni agenti localmente: Ty_l=-1335.64 Mx_l=-26.71
Tensioni nella sezione: σ=323.79 τ=40.47
CC 4 SLD (Collegamento 0024_-381)
Azioni sul collegamento: N=-7346.01 Ty=3.71 Tz=-2.23 Mx=0.00 Mz=3.45
Sollecitazioni agenti localmente: Ty_l=-1335.64 Mx_l=-26.71
Tensioni nella sezione: σ=323.79 τ=40.47
CC 4 SLD (Collegamento 0024_-381)
Azioni sul collegamento: N=-7346.01 Ty=4.34 Tz=3.69 Mx=0.00 Mz=3.65
Sollecitazioni agenti localmente: Ty_l=-1335.64 Mx_l=-26.71
Tensioni nella sezione: σ=323.79 τ=40.47
CC 4 SLD (Collegamento 0024_-381)
Azioni sul collegamento: N=-7346.01 Ty=3.71 Tz=3.69 Mx=0.00 Mz=3.45
Sollecitazioni agenti localmente: Ty_l=-1335.64 Mx_l=-26.71
Tensioni nella sezione: σ=323.79 τ=40.47
CC 5 SLV (Collegamento 0024_-381)
Azioni sul collegamento: N=-9211.43 Ty=3.82 Tz=10.56 Mx=0.01 Mz=5.30
Sollecitazioni agenti localmente: Ty_l=-1674.81 Mx_l=-33.50
Tensioni nella sezione: σ=406.01 τ=50.75
CC 5 SLV (Collegamento 0024_-381)
Azioni sul collegamento: N=-9211.43 Ty=5.92 Tz=10.56 Mx=0.01 Mz=5.96
Sollecitazioni agenti localmente: Ty_l=-1674.81 Mx_l=-33.50
Tensioni nella sezione: σ=406.01 τ=50.75
CC 5 SLV (Collegamento 0024_-381)
Azioni sul collegamento: N=-9211.43 Ty=3.82 Tz=-8.85 Mx=0.01 Mz=5.30
Sollecitazioni agenti localmente: Ty_l=-1674.81 Mx_l=-33.50
Tensioni nella sezione: σ=406.01 τ=50.75
CC 5 SLV (Collegamento 0024_-381)
Azioni sul collegamento: N=-9211.43 Ty=5.92 Tz=-8.85 Mx=0.01 Mz=5.96
Sollecitazioni agenti localmente: Ty_l=-1674.81 Mx_l=-33.50
Tensioni nella sezione: σ=406.01 τ=50.75
CC 5 SLV (Collegamento 0024_-381)
Azioni sul collegamento: N=-3937.31 Ty=3.82 Tz=10.56 Mx=0.01 Mz=5.30
Sollecitazioni agenti localmente: Ty_l=-715.87 Mx_l=-14.32
Tensioni nella sezione: σ=173.54 τ=21.69
CC 5 SLV (Collegamento 0024_-381)
Azioni sul collegamento: N=-3937.31 Ty=5.92 Tz=10.56 Mx=0.01 Mz=5.96
Sollecitazioni agenti localmente: Ty_l=-715.87 Mx_l=-14.32
Tensioni nella sezione: σ=173.54 τ=21.69
CC 5 SLV (Collegamento 0024_-381)
Azioni sul collegamento: N=-3937.31 Ty=3.82 Tz=-8.85 Mx=0.01 Mz=5.30
Sollecitazioni agenti localmente: Ty_l=-715.87 Mx_l=-14.32
Tensioni nella sezione: σ=173.54 τ=21.69
CC 5 SLV (Collegamento 0024_-381)
Azioni sul collegamento: N=-3937.31 Ty=5.92 Tz=-8.85 Mx=0.01 Mz=5.96
Sollecitazioni agenti localmente: Ty_l=-715.87 Mx_l=-14.32
Tensioni nella sezione: σ=173.54 τ=21.69
CC 6 SLD (Collegamento 0024_-381)
Azioni sul collegamento: N=-7346.01 Ty=3.71 Tz=3.69 Mx=0.00 Mz=3.45
Sollecitazioni agenti localmente: Ty_l=-1335.64 Mx_l=-26.71
Tensioni nella sezione: σ=323.79 τ=40.47
CC 6 SLD (Collegamento 0024_-381)
Azioni sul collegamento: N=-7346.01 Ty=4.34 Tz=3.69 Mx=0.00 Mz=3.65

Sollecitazioni agenti localmente: Ty_l=-1335.64 Mx_l=-26.71
Tensioni nella sezione: σ=323.79 τ=40.47
CC 6 SLD (Collegamento 0024_-381)
Azioni sul collegamento: N=-7346.01 Ty=3.71 Tz=-2.23 Mx=0.00 Mz=3.45
Sollecitazioni agenti localmente: Ty_l=-1335.64 Mx_l=-26.71
Tensioni nella sezione: σ=323.79 τ=40.47
CC 6 SLD (Collegamento 0024_-381)
Azioni sul collegamento: N=-7346.01 Ty=4.34 Tz=-2.23 Mx=0.00 Mz=3.65
Sollecitazioni agenti localmente: Ty_l=-1335.64 Mx_l=-26.71
Tensioni nella sezione: σ=323.79 τ=40.47
CC 6 SLD (Collegamento 0024_-381)
Azioni sul collegamento: N=-5737.77 Ty=3.71 Tz=3.69 Mx=0.00 Mz=3.45
Sollecitazioni agenti localmente: Ty_l=-1043.23 Mx_l=-20.86
Tensioni nella sezione: σ=252.90 τ=31.61
CC 6 SLD (Collegamento 0024_-381)
Azioni sul collegamento: N=-5737.77 Ty=4.34 Tz=3.69 Mx=0.00 Mz=3.65
Sollecitazioni agenti localmente: Ty_l=-1043.23 Mx_l=-20.86
Tensioni nella sezione: σ=252.90 τ=31.61
CC 6 SLD (Collegamento 0024_-381)
Azioni sul collegamento: N=-5737.77 Ty=3.71 Tz=-2.23 Mx=0.00 Mz=3.45
Sollecitazioni agenti localmente: Ty_l=-1043.23 Mx_l=-20.86
Tensioni nella sezione: σ=252.90 τ=31.61
CC 6 SLD (Collegamento 0024_-381)
Azioni sul collegamento: N=-5737.77 Ty=4.34 Tz=-2.23 Mx=0.00 Mz=3.65
Sollecitazioni agenti localmente: Ty_l=-1043.23 Mx_l=-20.86
Tensioni nella sezione: σ=252.90 τ=31.61
CC 7 SLV (Collegamento 0024_-381)
Azioni sul collegamento: N=-9217.12 Ty=3.19 Tz=10.69 Mx=0.01 Mz=4.04
Sollecitazioni agenti localmente: Ty_l=-1675.84 Mx_l=-33.52
Tensioni nella sezione: σ=406.26 τ=50.78
CC 7 SLV (Collegamento 0024_-381)
Azioni sul collegamento: N=-9217.12 Ty=6.55 Tz=10.69 Mx=0.01 Mz=7.22
Sollecitazioni agenti localmente: Ty_l=-1675.84 Mx_l=-33.52
Tensioni nella sezione: σ=406.26 τ=50.78
CC 7 SLV (Collegamento 0024_-381)
Azioni sul collegamento: N=-9217.12 Ty=3.19 Tz=-8.98 Mx=0.01 Mz=4.04
Sollecitazioni agenti localmente: Ty_l=-1675.84 Mx_l=-33.52
Tensioni nella sezione: σ=406.26 τ=50.78
CC 7 SLV (Collegamento 0024_-381)
Azioni sul collegamento: N=-9217.12 Ty=6.55 Tz=-8.98 Mx=0.01 Mz=7.22
Sollecitazioni agenti localmente: Ty_l=-1675.84 Mx_l=-33.52
Tensioni nella sezione: σ=406.26 τ=50.78
CC 7 SLV (Collegamento 0024_-381)
Azioni sul collegamento: N=-3931.62 Ty=3.19 Tz=10.69 Mx=0.01 Mz=4.04
Sollecitazioni agenti localmente: Ty_l=-714.84 Mx_l=-14.30
Tensioni nella sezione: σ=173.29 τ=21.66
CC 7 SLV (Collegamento 0024_-381)
Azioni sul collegamento: N=-3931.62 Ty=6.55 Tz=10.69 Mx=0.01 Mz=7.22
Sollecitazioni agenti localmente: Ty_l=-714.84 Mx_l=-14.30
Tensioni nella sezione: σ=173.29 τ=21.66
CC 7 SLV (Collegamento 0024_-381)
Azioni sul collegamento: N=-3931.62 Ty=3.19 Tz=-8.98 Mx=0.01 Mz=4.04
Sollecitazioni agenti localmente: Ty_l=-714.84 Mx_l=-14.30
Tensioni nella sezione: σ=173.29 τ=21.66
CC 7 SLV (Collegamento 0024_-381)
Azioni sul collegamento: N=-3931.62 Ty=6.55 Tz=-8.98 Mx=0.01 Mz=7.22
Sollecitazioni agenti localmente: Ty_l=-714.84 Mx_l=-14.30
Tensioni nella sezione: σ=173.29 τ=21.66
CC 8 SLD (Collegamento 0024_-381)
Azioni sul collegamento: N=-7347.75 Ty=3.51 Tz=3.73 Mx=-0.00 Mz=3.06
Sollecitazioni agenti localmente: Ty_l=-1335.95 Mx_l=-26.72
Tensioni nella sezione: σ=323.87 τ=40.48
CC 8 SLD (Collegamento 0024_-381)
Azioni sul collegamento: N=-7347.75 Ty=4.54 Tz=3.73 Mx=-0.00 Mz=4.03
Sollecitazioni agenti localmente: Ty_l=-1335.95 Mx_l=-26.72
Tensioni nella sezione: σ=323.87 τ=40.48
CC 8 SLD (Collegamento 0024_-381)
Azioni sul collegamento: N=-7347.75 Ty=3.51 Tz=-2.27 Mx=-0.00 Mz=3.06
Sollecitazioni agenti localmente: Ty_l=-1335.95 Mx_l=-26.72
Tensioni nella sezione: σ=323.87 τ=40.48
CC 8 SLD (Collegamento 0024_-381)
Azioni sul collegamento: N=-7347.75 Ty=4.54 Tz=-2.27 Mx=-0.00 Mz=4.03
Sollecitazioni agenti localmente: Ty_l=-1335.95 Mx_l=-26.72
Tensioni nella sezione: σ=323.87 τ=40.48
CC 8 SLD (Collegamento 0024_-381)
Azioni sul collegamento: N=-5736.03 Ty=3.51 Tz=3.73 Mx=-0.00 Mz=3.06
Sollecitazioni agenti localmente: Ty_l=-1042.91 Mx_l=-20.86
Tensioni nella sezione: σ=252.83 τ=31.60
CC 8 SLD (Collegamento 0024_-381)

Azioni sul collegamento: N=-5736.03 Ty=4.54 Tz=3.73 Mx=-0.00 Mz=4.03
Sollecitazioni agenti localmente: Ty_l=-1042.91 Mx_l=-20.86
Tensioni nella sezione: σ=252.83 τ=31.60
CC 8 SLD (Collegamento 0024_-381)
Azioni sul collegamento: N=-5736.03 Ty=3.51 Tz=-2.27 Mx=-0.00 Mz=3.06
Sollecitazioni agenti localmente: Ty_l=-1042.91 Mx_l=-20.86
Tensioni nella sezione: σ=252.83 τ=31.60
CC 8 SLD (Collegamento 0024_-381)
Azioni sul collegamento: N=-5736.03 Ty=4.54 Tz=-2.27 Mx=-0.00 Mz=4.03
Sollecitazioni agenti localmente: Ty_l=-1042.91 Mx_l=-20.86
Tensioni nella sezione: σ=252.83 τ=31.60
CC 9 SLV (Collegamento 0024_-381)
Azioni sul collegamento: N=-5772.92 Ty=6.34 Tz=-2.29 Mx=0.02 Mz=8.01
Sollecitazioni agenti localmente: Ty_l=-1049.62 Mx_l=-20.99
Tensioni nella sezione: σ=254.45 τ=31.81
CC 9 SLV (Collegamento 0024_-381)
Azioni sul collegamento: N=-5772.92 Ty=3.40 Tz=-2.29 Mx=0.02 Mz=3.25
Sollecitazioni agenti localmente: Ty_l=-1049.62 Mx_l=-20.99
Tensioni nella sezione: σ=254.45 τ=31.81
CC 9 SLV (Collegamento 0024_-381)
Azioni sul collegamento: N=-5772.92 Ty=6.34 Tz=4.00 Mx=0.02 Mz=8.01
Sollecitazioni agenti localmente: Ty_l=-1049.62 Mx_l=-20.99
Tensioni nella sezione: σ=254.45 τ=31.81
CC 9 SLV (Collegamento 0024_-381)
Azioni sul collegamento: N=-5772.92 Ty=3.40 Tz=4.00 Mx=0.02 Mz=3.25
Sollecitazioni agenti localmente: Ty_l=-1049.62 Mx_l=-20.99
Tensioni nella sezione: σ=254.45 τ=31.81
CC 9 SLV (Collegamento 0024_-381)
Azioni sul collegamento: N=-7375.82 Ty=6.34 Tz=-2.29 Mx=0.02 Mz=8.01
Sollecitazioni agenti localmente: Ty_l=-1341.06 Mx_l=-26.82
Tensioni nella sezione: σ=325.10 τ=40.64
CC 9 SLV (Collegamento 0024_-381)
Azioni sul collegamento: N=-7375.82 Ty=3.40 Tz=-2.29 Mx=0.02 Mz=3.25
Sollecitazioni agenti localmente: Ty_l=-1341.06 Mx_l=-26.82
Tensioni nella sezione: σ=325.10 τ=40.64
CC 9 SLV (Collegamento 0024_-381)
Azioni sul collegamento: N=-7375.82 Ty=6.34 Tz=4.00 Mx=0.02 Mz=8.01
Sollecitazioni agenti localmente: Ty_l=-1341.06 Mx_l=-26.82
Tensioni nella sezione: σ=325.10 τ=40.64
CC 9 SLV (Collegamento 0024_-381)
Azioni sul collegamento: N=-7375.82 Ty=3.40 Tz=4.00 Mx=0.02 Mz=3.25
Sollecitazioni agenti localmente: Ty_l=-1341.06 Mx_l=-26.82
Tensioni nella sezione: σ=325.10 τ=40.64
CC 10 SLD (Collegamento 0024_-381)
Azioni sul collegamento: N=-6297.50 Ty=4.47 Tz=-0.23 Mx=0.00 Mz=4.27
Sollecitazioni agenti localmente: Ty_l=-1145.00 Mx_l=-22.90
Tensioni nella sezione: σ=277.57 τ=34.70
CC 10 SLD (Collegamento 0024_-381)
Azioni sul collegamento: N=-6297.50 Ty=3.58 Tz=-0.23 Mx=0.00 Mz=2.82
Sollecitazioni agenti localmente: Ty_l=-1145.00 Mx_l=-22.90
Tensioni nella sezione: σ=277.57 τ=34.70
CC 10 SLD (Collegamento 0024_-381)
Azioni sul collegamento: N=-6297.50 Ty=4.47 Tz=1.69 Mx=0.00 Mz=4.27
Sollecitazioni agenti localmente: Ty_l=-1145.00 Mx_l=-22.90
Tensioni nella sezione: σ=277.57 τ=34.70
CC 10 SLD (Collegamento 0024_-381)
Azioni sul collegamento: N=-6297.50 Ty=3.58 Tz=1.69 Mx=0.00 Mz=2.82
Sollecitazioni agenti localmente: Ty_l=-1145.00 Mx_l=-22.90
Tensioni nella sezione: σ=277.57 τ=34.70
CC 10 SLD (Collegamento 0024_-381)
Azioni sul collegamento: N=-6786.28 Ty=4.47 Tz=-0.23 Mx=0.00 Mz=4.27
Sollecitazioni agenti localmente: Ty_l=-1233.87 Mx_l=-24.68
Tensioni nella sezione: σ=299.12 τ=37.39
CC 10 SLD (Collegamento 0024_-381)
Azioni sul collegamento: N=-6786.28 Ty=3.58 Tz=-0.23 Mx=0.00 Mz=2.82
Sollecitazioni agenti localmente: Ty_l=-1233.87 Mx_l=-24.68
Tensioni nella sezione: σ=299.12 τ=37.39
CC 10 SLD (Collegamento 0024_-381)
Azioni sul collegamento: N=-6786.28 Ty=4.47 Tz=1.69 Mx=0.00 Mz=4.27
Sollecitazioni agenti localmente: Ty_l=-1233.87 Mx_l=-24.68
Tensioni nella sezione: σ=299.12 τ=37.39
CC 10 SLD (Collegamento 0024_-381)
Azioni sul collegamento: N=-6786.28 Ty=3.58 Tz=1.69 Mx=0.00 Mz=2.82
Sollecitazioni agenti localmente: Ty_l=-1233.87 Mx_l=-24.68
Tensioni nella sezione: σ=299.12 τ=37.39
CC 11 SLV (Collegamento 0024_-381)
Azioni sul collegamento: N=-7356.86 Ty=5.52 Tz=3.57 Mx=0.02 Mz=7.44
Sollecitazioni agenti localmente: Ty_l=-1337.61 Mx_l=-26.75
Tensioni nella sezione: σ=324.27 τ=40.53

CC 11 SLV (Collegamento 0024_-381)
Azioni sul collegamento: N=-7356.86 Ty=4.22 Tz=3.57 Mx=0.02 Mz=3.82
Sollecitazioni agenti localmente: Ty_l=-1337.61 Mx_l=-26.75
Tensioni nella sezione: σ=324.27 τ=40.53
CC 11 SLV (Collegamento 0024_-381)
Azioni sul collegamento: N=-7356.86 Ty=5.52 Tz=-1.86 Mx=0.02 Mz=7.44
Sollecitazioni agenti localmente: Ty_l=-1337.61 Mx_l=-26.75
Tensioni nella sezione: σ=324.27 τ=40.53
CC 11 SLV (Collegamento 0024_-381)
Azioni sul collegamento: N=-7356.86 Ty=4.22 Tz=-1.86 Mx=0.02 Mz=3.82
Sollecitazioni agenti localmente: Ty_l=-1337.61 Mx_l=-26.75
Tensioni nella sezione: σ=324.27 τ=40.53
CC 11 SLV (Collegamento 0024_-381)
Azioni sul collegamento: N=-5791.88 Ty=5.52 Tz=3.57 Mx=0.02 Mz=7.44
Sollecitazioni agenti localmente: Ty_l=-1053.07 Mx_l=-21.06
Tensioni nella sezione: σ=255.29 τ=31.91
CC 11 SLV (Collegamento 0024_-381)
Azioni sul collegamento: N=-5791.88 Ty=4.22 Tz=3.57 Mx=0.02 Mz=3.82
Sollecitazioni agenti localmente: Ty_l=-1053.07 Mx_l=-21.06
Tensioni nella sezione: σ=255.29 τ=31.91
CC 11 SLV (Collegamento 0024_-381)
Azioni sul collegamento: N=-5791.88 Ty=5.52 Tz=-1.86 Mx=0.02 Mz=7.44
Sollecitazioni agenti localmente: Ty_l=-1053.07 Mx_l=-21.06
Tensioni nella sezione: σ=255.29 τ=31.91
CC 11 SLV (Collegamento 0024_-381)
Azioni sul collegamento: N=-5791.88 Ty=4.22 Tz=-1.86 Mx=0.02 Mz=3.82
Sollecitazioni agenti localmente: Ty_l=-1053.07 Mx_l=-21.06
Tensioni nella sezione: σ=255.29 τ=31.91
CC 12 SLD (Collegamento 0024_-381)
Azioni sul collegamento: N=-6780.50 Ty=4.22 Tz=1.56 Mx=0.00 Mz=4.10
Sollecitazioni agenti localmente: Ty_l=-1232.82 Mx_l=-24.66
Tensioni nella sezione: σ=298.86 τ=37.36
CC 12 SLD (Collegamento 0024_-381)
Azioni sul collegamento: N=-6780.50 Ty=3.83 Tz=1.56 Mx=0.00 Mz=3.00
Sollecitazioni agenti localmente: Ty_l=-1232.82 Mx_l=-24.66
Tensioni nella sezione: σ=298.86 τ=37.36
CC 12 SLD (Collegamento 0024_-381)
Azioni sul collegamento: N=-6780.50 Ty=4.22 Tz=-0.10 Mx=0.00 Mz=4.10
Sollecitazioni agenti localmente: Ty_l=-1232.82 Mx_l=-24.66
Tensioni nella sezione: σ=298.86 τ=37.36
CC 12 SLD (Collegamento 0024_-381)
Azioni sul collegamento: N=-6780.50 Ty=3.83 Tz=-0.10 Mx=0.00 Mz=3.00
Sollecitazioni agenti localmente: Ty_l=-1232.82 Mx_l=-24.66
Tensioni nella sezione: σ=298.86 τ=37.36
CC 12 SLD (Collegamento 0024_-381)
Azioni sul collegamento: N=-6303.28 Ty=4.22 Tz=1.56 Mx=0.00 Mz=4.10
Sollecitazioni agenti localmente: Ty_l=-1146.05 Mx_l=-22.92
Tensioni nella sezione: σ=277.83 τ=34.73
CC 12 SLD (Collegamento 0024_-381)
Azioni sul collegamento: N=-6303.28 Ty=3.83 Tz=1.56 Mx=0.00 Mz=3.00
Sollecitazioni agenti localmente: Ty_l=-1146.05 Mx_l=-22.92
Tensioni nella sezione: σ=277.83 τ=34.73
CC 12 SLD (Collegamento 0024_-381)
Azioni sul collegamento: N=-6303.28 Ty=4.22 Tz=-0.10 Mx=0.00 Mz=4.10
Sollecitazioni agenti localmente: Ty_l=-1146.05 Mx_l=-22.92
Tensioni nella sezione: σ=277.83 τ=34.73
CC 12 SLD (Collegamento 0024_-381)
Azioni sul collegamento: N=-6303.28 Ty=3.83 Tz=-0.10 Mx=0.00 Mz=3.00
Sollecitazioni agenti localmente: Ty_l=-1146.05 Mx_l=-22.92
Tensioni nella sezione: σ=277.83 τ=34.73
CC 13 SLV (Collegamento 0024_-381)
Azioni sul collegamento: N=-5791.88 Ty=4.22 Tz=-1.86 Mx=0.00 Mz=3.82
Sollecitazioni agenti localmente: Ty_l=-1053.07 Mx_l=-21.06
Tensioni nella sezione: σ=255.29 τ=31.91
CC 13 SLV (Collegamento 0024_-381)
Azioni sul collegamento: N=-5791.88 Ty=5.52 Tz=-1.86 Mx=0.00 Mz=7.44
Sollecitazioni agenti localmente: Ty_l=-1053.07 Mx_l=-21.06
Tensioni nella sezione: σ=255.29 τ=31.91
CC 13 SLV (Collegamento 0024_-381)
Azioni sul collegamento: N=-5791.88 Ty=4.22 Tz=3.57 Mx=0.00 Mz=3.82
Sollecitazioni agenti localmente: Ty_l=-1053.07 Mx_l=-21.06
Tensioni nella sezione: σ=255.29 τ=31.91
CC 13 SLV (Collegamento 0024_-381)
Azioni sul collegamento: N=-5791.88 Ty=5.52 Tz=3.57 Mx=0.00 Mz=7.44
Sollecitazioni agenti localmente: Ty_l=-1053.07 Mx_l=-21.06
Tensioni nella sezione: σ=255.29 τ=31.91
CC 13 SLV (Collegamento 0024_-381)
Azioni sul collegamento: N=-7356.86 Ty=4.22 Tz=-1.86 Mx=0.00 Mz=3.82
Sollecitazioni agenti localmente: Ty_l=-1337.61 Mx_l=-26.75

Tensioni nella sezione: σ=324.27 τ=40.53
CC 13 SLV (Collegamento 0024_-381)
Azioni sul collegamento: N=-7356.86 Ty=5.52 Tz=-1.86 Mx=0.00 Mz=7.44
Sollecitazioni agenti localmente: Ty_l=-1337.61 Mx_l=-26.75
Tensioni nella sezione: σ=324.27 τ=40.53
CC 13 SLV (Collegamento 0024_-381)
Azioni sul collegamento: N=-7356.86 Ty=4.22 Tz=3.57 Mx=0.00 Mz=3.82
Sollecitazioni agenti localmente: Ty_l=-1337.61 Mx_l=-26.75
Tensioni nella sezione: σ=324.27 τ=40.53
CC 13 SLV (Collegamento 0024_-381)
Azioni sul collegamento: N=-7356.86 Ty=5.52 Tz=3.57 Mx=0.00 Mz=7.44
Sollecitazioni agenti localmente: Ty_l=-1337.61 Mx_l=-26.75
Tensioni nella sezione: σ=324.27 τ=40.53
CC 14 SLD (Collegamento 0024_-381)
Azioni sul collegamento: N=-6303.28 Ty=3.83 Tz=-0.10 Mx=-0.00 Mz=3.00
Sollecitazioni agenti localmente: Ty_l=-1146.05 Mx_l=-22.92
Tensioni nella sezione: σ=277.83 τ=34.73
CC 14 SLD (Collegamento 0024_-381)
Azioni sul collegamento: N=-6303.28 Ty=4.22 Tz=-0.10 Mx=-0.00 Mz=4.10
Sollecitazioni agenti localmente: Ty_l=-1146.05 Mx_l=-22.92
Tensioni nella sezione: σ=277.83 τ=34.73
CC 14 SLD (Collegamento 0024_-381)
Azioni sul collegamento: N=-6303.28 Ty=3.83 Tz=1.56 Mx=-0.00 Mz=3.00
Sollecitazioni agenti localmente: Ty_l=-1146.05 Mx_l=-22.92
Tensioni nella sezione: σ=277.83 τ=34.73
CC 14 SLD (Collegamento 0024_-381)
Azioni sul collegamento: N=-6303.28 Ty=4.22 Tz=1.56 Mx=-0.00 Mz=4.10
Sollecitazioni agenti localmente: Ty_l=-1146.05 Mx_l=-22.92
Tensioni nella sezione: σ=277.83 τ=34.73
CC 14 SLD (Collegamento 0024_-381)
Azioni sul collegamento: N=-6780.50 Ty=3.83 Tz=-0.10 Mx=-0.00 Mz=3.00
Sollecitazioni agenti localmente: Ty_l=-1232.82 Mx_l=-24.66
Tensioni nella sezione: σ=298.86 τ=37.36
CC 14 SLD (Collegamento 0024_-381)
Azioni sul collegamento: N=-6780.50 Ty=4.22 Tz=-0.10 Mx=-0.00 Mz=4.10
Sollecitazioni agenti localmente: Ty_l=-1232.82 Mx_l=-24.66
Tensioni nella sezione: σ=298.86 τ=37.36
CC 14 SLD (Collegamento 0024_-381)
Azioni sul collegamento: N=-6780.50 Ty=3.83 Tz=1.56 Mx=-0.00 Mz=3.00
Sollecitazioni agenti localmente: Ty_l=-1232.82 Mx_l=-24.66
Tensioni nella sezione: σ=298.86 τ=37.36
CC 14 SLD (Collegamento 0024_-381)
Azioni sul collegamento: N=-6780.50 Ty=4.22 Tz=1.56 Mx=-0.00 Mz=4.10
Sollecitazioni agenti localmente: Ty_l=-1232.82 Mx_l=-24.66
Tensioni nella sezione: σ=298.86 τ=37.36
CC 15 SLV (Collegamento 0024_-381)
Azioni sul collegamento: N=-7375.82 Ty=3.40 Tz=4.00 Mx=0.00 Mz=3.25
Sollecitazioni agenti localmente: Ty_l=-1341.06 Mx_l=-26.82
Tensioni nella sezione: σ=325.10 τ=40.64
CC 15 SLV (Collegamento 0024_-381)
Azioni sul collegamento: N=-7375.82 Ty=6.34 Tz=4.00 Mx=0.00 Mz=8.01
Sollecitazioni agenti localmente: Ty_l=-1341.06 Mx_l=-26.82
Tensioni nella sezione: σ=325.10 τ=40.64
CC 15 SLV (Collegamento 0024_-381)
Azioni sul collegamento: N=-7375.82 Ty=3.40 Tz=-2.29 Mx=0.00 Mz=3.25
Sollecitazioni agenti localmente: Ty_l=-1341.06 Mx_l=-26.82
Tensioni nella sezione: σ=325.10 τ=40.64
CC 15 SLV (Collegamento 0024_-381)
Azioni sul collegamento: N=-7375.82 Ty=6.34 Tz=-2.29 Mx=0.00 Mz=8.01
Sollecitazioni agenti localmente: Ty_l=-1341.06 Mx_l=-26.82
Tensioni nella sezione: σ=325.10 τ=40.64
CC 15 SLV (Collegamento 0024_-381)
Azioni sul collegamento: N=-5772.92 Ty=3.40 Tz=4.00 Mx=0.00 Mz=3.25
Sollecitazioni agenti localmente: Ty_l=-1049.62 Mx_l=-20.99
Tensioni nella sezione: σ=254.45 τ=31.81
CC 15 SLV (Collegamento 0024_-381)
Azioni sul collegamento: N=-5772.92 Ty=6.34 Tz=4.00 Mx=0.00 Mz=8.01
Sollecitazioni agenti localmente: Ty_l=-1049.62 Mx_l=-20.99
Tensioni nella sezione: σ=254.45 τ=31.81
CC 15 SLV (Collegamento 0024_-381)
Azioni sul collegamento: N=-5772.92 Ty=3.40 Tz=-2.29 Mx=0.00 Mz=3.25
Sollecitazioni agenti localmente: Ty_l=-1049.62 Mx_l=-20.99
Tensioni nella sezione: σ=254.45 τ=31.81
CC 15 SLV (Collegamento 0024_-381)
Azioni sul collegamento: N=-5772.92 Ty=6.34 Tz=-2.29 Mx=0.00 Mz=8.01
Sollecitazioni agenti localmente: Ty_l=-1049.62 Mx_l=-20.99
Tensioni nella sezione: σ=254.45 τ=31.81
CC 16 SLD (Collegamento 0024_-381)
Azioni sul collegamento: N=-6786.28 Ty=3.58 Tz=1.69 Mx=-0.00 Mz=2.82

Sollecitazioni agenti localmente: Ty_l=-1233.87 Mx_l=-24.68
Tensioni nella sezione: σ=299.12 τ=37.39
CC 16 SLD (Collegamento 0024_-381)
Azioni sul collegamento: N=-6786.28 Ty=4.47 Tz=1.69 Mx=-0.00 Mz=4.27
Sollecitazioni agenti localmente: Ty_l=-1233.87 Mx_l=-24.68
Tensioni nella sezione: σ=299.12 τ=37.39
CC 16 SLD (Collegamento 0024_-381)
Azioni sul collegamento: N=-6786.28 Ty=3.58 Tz=-0.23 Mx=-0.00 Mz=2.82
Sollecitazioni agenti localmente: Ty_l=-1233.87 Mx_l=-24.68
Tensioni nella sezione: σ=299.12 τ=37.39
CC 16 SLD (Collegamento 0024_-381)
Azioni sul collegamento: N=-6786.28 Ty=4.47 Tz=-0.23 Mx=-0.00 Mz=4.27
Sollecitazioni agenti localmente: Ty_l=-1233.87 Mx_l=-24.68
Tensioni nella sezione: σ=299.12 τ=37.39
CC 16 SLD (Collegamento 0024_-381)
Azioni sul collegamento: N=-6297.50 Ty=3.58 Tz=1.69 Mx=-0.00 Mz=2.82
Sollecitazioni agenti localmente: Ty_l=-1145.00 Mx_l=-22.90
Tensioni nella sezione: σ=277.57 τ=34.70
CC 16 SLD (Collegamento 0024_-381)
Azioni sul collegamento: N=-6297.50 Ty=4.47 Tz=1.69 Mx=-0.00 Mz=4.27
Sollecitazioni agenti localmente: Ty_l=-1145.00 Mx_l=-22.90
Tensioni nella sezione: σ=277.57 τ=34.70
CC 16 SLD (Collegamento 0024_-381)
Azioni sul collegamento: N=-6297.50 Ty=3.58 Tz=-0.23 Mx=-0.00 Mz=2.82
Sollecitazioni agenti localmente: Ty_l=-1145.00 Mx_l=-22.90
Tensioni nella sezione: σ=277.57 τ=34.70
CC 16 SLD (Collegamento 0024_-381)
Azioni sul collegamento: N=-6297.50 Ty=4.47 Tz=-0.23 Mx=-0.00 Mz=4.27
Sollecitazioni agenti localmente: Ty_l=-1145.00 Mx_l=-22.90
Tensioni nella sezione: σ=277.57 τ=34.70
CC 17 SLV (Collegamento 0024_-381)
Azioni sul collegamento: N=-3838.16 Ty=0.76 Tz=-9.35 Mx=-0.02 Mz=1.23
Sollecitazioni agenti localmente: Ty_l=-697.85 Mx_l=-13.96
Tensioni nella sezione: σ=169.18 τ=21.15
CC 17 SLV (Collegamento 0024_-381)
Azioni sul collegamento: N=-3838.16 Ty=4.12 Tz=-9.35 Mx=-0.02 Mz=-1.95
Sollecitazioni agenti localmente: Ty_l=-697.85 Mx_l=-13.96
Tensioni nella sezione: σ=169.18 τ=21.15
CC 17 SLV (Collegamento 0024_-381)
Azioni sul collegamento: N=-3838.16 Ty=0.76 Tz=10.33 Mx=-0.02 Mz=1.23
Sollecitazioni agenti localmente: Ty_l=-697.85 Mx_l=-13.96
Tensioni nella sezione: σ=169.18 τ=21.15
CC 17 SLV (Collegamento 0024_-381)
Azioni sul collegamento: N=-3838.16 Ty=4.12 Tz=10.33 Mx=-0.02 Mz=-1.95
Sollecitazioni agenti localmente: Ty_l=-697.85 Mx_l=-13.96
Tensioni nella sezione: σ=169.18 τ=21.15
CC 17 SLV (Collegamento 0024_-381)
Azioni sul collegamento: N=-9123.66 Ty=0.76 Tz=-9.35 Mx=-0.02 Mz=1.23
Sollecitazioni agenti localmente: Ty_l=-1658.85 Mx_l=-33.18
Tensioni nella sezione: σ=402.14 τ=50.27
CC 17 SLV (Collegamento 0024_-381)
Azioni sul collegamento: N=-9123.66 Ty=4.12 Tz=-9.35 Mx=-0.02 Mz=-1.95
Sollecitazioni agenti localmente: Ty_l=-1658.85 Mx_l=-33.18
Tensioni nella sezione: σ=402.14 τ=50.27
CC 17 SLV (Collegamento 0024_-381)
Azioni sul collegamento: N=-9123.66 Ty=0.76 Tz=10.33 Mx=-0.02 Mz=1.23
Sollecitazioni agenti localmente: Ty_l=-1658.85 Mx_l=-33.18
Tensioni nella sezione: σ=402.14 τ=50.27
CC 17 SLV (Collegamento 0024_-381)
Azioni sul collegamento: N=-9123.66 Ty=4.12 Tz=10.33 Mx=-0.02 Mz=-1.95
Sollecitazioni agenti localmente: Ty_l=-1658.85 Mx_l=-33.18
Tensioni nella sezione: σ=402.14 τ=50.27
CC 18 SLD (Collegamento 0024_-381)
Azioni sul collegamento: N=-5707.53 Ty=3.80 Tz=-2.38 Mx=-0.01 Mz=2.21
Sollecitazioni agenti localmente: Ty_l=-1037.73 Mx_l=-20.75
Tensioni nella sezione: σ=251.57 τ=31.45
CC 18 SLD (Collegamento 0024_-381)
Azioni sul collegamento: N=-5707.53 Ty=2.77 Tz=-2.38 Mx=-0.01 Mz=1.24
Sollecitazioni agenti localmente: Ty_l=-1037.73 Mx_l=-20.75
Tensioni nella sezione: σ=251.57 τ=31.45
CC 18 SLD (Collegamento 0024_-381)
Azioni sul collegamento: N=-5707.53 Ty=3.80 Tz=3.62 Mx=-0.01 Mz=2.21
Sollecitazioni agenti localmente: Ty_l=-1037.73 Mx_l=-20.75
Tensioni nella sezione: σ=251.57 τ=31.45
CC 18 SLD (Collegamento 0024_-381)
Azioni sul collegamento: N=-5707.53 Ty=2.77 Tz=3.62 Mx=-0.01 Mz=1.24
Sollecitazioni agenti localmente: Ty_l=-1037.73 Mx_l=-20.75
Tensioni nella sezione: σ=251.57 τ=31.45
CC 18 SLD (Collegamento 0024_-381)

Azioni sul collegamento: N=-7319.25 Ty=3.80 Tz=-2.38 Mx=-0.01 Mz=2.21
Sollecitazioni agenti localmente: Ty_l=-1330.77 Mx_l=-26.62
Tensioni nella sezione: σ=322.61 τ=40.33
CC 18 SLD (Collegamento 0024_-381)
Azioni sul collegamento: N=-7319.25 Ty=2.77 Tz=-2.38 Mx=-0.01 Mz=1.24
Sollecitazioni agenti localmente: Ty_l=-1330.77 Mx_l=-26.62
Tensioni nella sezione: σ=322.61 τ=40.33
CC 18 SLD (Collegamento 0024_-381)
Azioni sul collegamento: N=-7319.25 Ty=3.80 Tz=3.62 Mx=-0.01 Mz=2.21
Sollecitazioni agenti localmente: Ty_l=-1330.77 Mx_l=-26.62
Tensioni nella sezione: σ=322.61 τ=40.33
CC 18 SLD (Collegamento 0024_-381)
Azioni sul collegamento: N=-7319.25 Ty=2.77 Tz=3.62 Mx=-0.01 Mz=1.24
Sollecitazioni agenti localmente: Ty_l=-1330.77 Mx_l=-26.62
Tensioni nella sezione: σ=322.61 τ=40.33
CC 19 SLV (Collegamento 0024_-381)
Azioni sul collegamento: N=-3843.85 Ty=1.39 Tz=-9.22 Mx=-0.02 Mz=-0.03
Sollecitazioni agenti localmente: Ty_l=-698.88 Mx_l=-13.98
Tensioni nella sezione: σ=169.43 τ=21.18
CC 19 SLV (Collegamento 0024_-381)
Azioni sul collegamento: N=-3843.85 Ty=3.49 Tz=-9.22 Mx=-0.02 Mz=-0.69
Sollecitazioni agenti localmente: Ty_l=-698.88 Mx_l=-13.98
Tensioni nella sezione: σ=169.43 τ=21.18
CC 19 SLV (Collegamento 0024_-381)
Azioni sul collegamento: N=-3843.85 Ty=1.39 Tz=10.20 Mx=-0.02 Mz=-0.03
Sollecitazioni agenti localmente: Ty_l=-698.88 Mx_l=-13.98
Tensioni nella sezione: σ=169.43 τ=21.18
CC 19 SLV (Collegamento 0024_-381)
Azioni sul collegamento: N=-3843.85 Ty=3.49 Tz=10.20 Mx=-0.02 Mz=-0.69
Sollecitazioni agenti localmente: Ty_l=-698.88 Mx_l=-13.98
Tensioni nella sezione: σ=169.43 τ=21.18
CC 19 SLV (Collegamento 0024_-381)
Azioni sul collegamento: N=-9117.97 Ty=1.39 Tz=-9.22 Mx=-0.02 Mz=-0.03
Sollecitazioni agenti localmente: Ty_l=-1657.81 Mx_l=-33.16
Tensioni nella sezione: σ=401.89 τ=50.24
CC 19 SLV (Collegamento 0024_-381)
Azioni sul collegamento: N=-9117.97 Ty=3.49 Tz=-9.22 Mx=-0.02 Mz=-0.69
Sollecitazioni agenti localmente: Ty_l=-1657.81 Mx_l=-33.16
Tensioni nella sezione: σ=401.89 τ=50.24
CC 19 SLV (Collegamento 0024_-381)
Azioni sul collegamento: N=-9117.97 Ty=1.39 Tz=10.20 Mx=-0.02 Mz=-0.03
Sollecitazioni agenti localmente: Ty_l=-1657.81 Mx_l=-33.16
Tensioni nella sezione: σ=401.89 τ=50.24
CC 19 SLV (Collegamento 0024_-381)
Azioni sul collegamento: N=-9117.97 Ty=3.49 Tz=10.20 Mx=-0.02 Mz=-0.69
Sollecitazioni agenti localmente: Ty_l=-1657.81 Mx_l=-33.16
Tensioni nella sezione: σ=401.89 τ=50.24
CC 20 SLD (Collegamento 0024_-381)
Azioni sul collegamento: N=-5709.27 Ty=3.60 Tz=-2.35 Mx=-0.01 Mz=1.82
Sollecitazioni agenti localmente: Ty_l=-1038.05 Mx_l=-20.76
Tensioni nella sezione: σ=251.65 τ=31.46
CC 20 SLD (Collegamento 0024_-381)
Azioni sul collegamento: N=-5709.27 Ty=2.97 Tz=-2.35 Mx=-0.01 Mz=1.62
Sollecitazioni agenti localmente: Ty_l=-1038.05 Mx_l=-20.76
Tensioni nella sezione: σ=251.65 τ=31.46
CC 20 SLD (Collegamento 0024_-381)
Azioni sul collegamento: N=-5709.27 Ty=3.60 Tz=3.58 Mx=-0.01 Mz=1.82
Sollecitazioni agenti localmente: Ty_l=-1038.05 Mx_l=-20.76
Tensioni nella sezione: σ=251.65 τ=31.46
CC 20 SLD (Collegamento 0024_-381)
Azioni sul collegamento: N=-5709.27 Ty=2.97 Tz=3.58 Mx=-0.01 Mz=1.62
Sollecitazioni agenti localmente: Ty_l=-1038.05 Mx_l=-20.76
Tensioni nella sezione: σ=251.65 τ=31.46
CC 20 SLD (Collegamento 0024_-381)
Azioni sul collegamento: N=-7317.51 Ty=3.60 Tz=-2.35 Mx=-0.01 Mz=1.82
Sollecitazioni agenti localmente: Ty_l=-1330.46 Mx_l=-26.61
Tensioni nella sezione: σ=322.53 τ=40.32
CC 20 SLD (Collegamento 0024_-381)
Azioni sul collegamento: N=-7317.51 Ty=2.97 Tz=-2.35 Mx=-0.01 Mz=1.62
Sollecitazioni agenti localmente: Ty_l=-1330.46 Mx_l=-26.61
Tensioni nella sezione: σ=322.53 τ=40.32
CC 20 SLD (Collegamento 0024_-381)
Azioni sul collegamento: N=-7317.51 Ty=3.60 Tz=3.58 Mx=-0.01 Mz=1.82
Sollecitazioni agenti localmente: Ty_l=-1330.46 Mx_l=-26.61
Tensioni nella sezione: σ=322.53 τ=40.32
CC 20 SLD (Collegamento 0024_-381)
Azioni sul collegamento: N=-7317.51 Ty=2.97 Tz=3.58 Mx=-0.01 Mz=1.62
Sollecitazioni agenti localmente: Ty_l=-1330.46 Mx_l=-26.61
Tensioni nella sezione: σ=322.53 τ=40.32

CC 21 SLV (Collegamento 0024_-381)
Azioni sul collegamento: N=-9117.97 Ty=3.49 Tz=10.20 Mx=-0.02 Mz=-0.69
Sollecitazioni agenti localmente: Ty_l=-1657.81 Mx_l=-33.16
Tensioni nella sezione: σ=401.89 τ=50.24
CC 21 SLV (Collegamento 0024_-381)
Azioni sul collegamento: N=-9117.97 Ty=1.39 Tz=10.20 Mx=-0.02 Mz=-0.03
Sollecitazioni agenti localmente: Ty_l=-1657.81 Mx_l=-33.16
Tensioni nella sezione: σ=401.89 τ=50.24
CC 21 SLV (Collegamento 0024_-381)
Azioni sul collegamento: N=-9117.97 Ty=3.49 Tz=-9.22 Mx=-0.02 Mz=-0.69
Sollecitazioni agenti localmente: Ty_l=-1657.81 Mx_l=-33.16
Tensioni nella sezione: σ=401.89 τ=50.24
CC 21 SLV (Collegamento 0024_-381)
Azioni sul collegamento: N=-9117.97 Ty=1.39 Tz=-9.22 Mx=-0.02 Mz=-0.03
Sollecitazioni agenti localmente: Ty_l=-1657.81 Mx_l=-33.16
Tensioni nella sezione: σ=401.89 τ=50.24
CC 21 SLV (Collegamento 0024_-381)
Azioni sul collegamento: N=-3843.85 Ty=3.49 Tz=10.20 Mx=-0.02 Mz=-0.69
Sollecitazioni agenti localmente: Ty_l=-698.88 Mx_l=-13.98
Tensioni nella sezione: σ=169.43 τ=21.18
CC 21 SLV (Collegamento 0024_-381)
Azioni sul collegamento: N=-3843.85 Ty=1.39 Tz=10.20 Mx=-0.02 Mz=-0.03
Sollecitazioni agenti localmente: Ty_l=-698.88 Mx_l=-13.98
Tensioni nella sezione: σ=169.43 τ=21.18
CC 21 SLV (Collegamento 0024_-381)
Azioni sul collegamento: N=-3843.85 Ty=3.49 Tz=-9.22 Mx=-0.02 Mz=-0.69
Sollecitazioni agenti localmente: Ty_l=-698.88 Mx_l=-13.98
Tensioni nella sezione: σ=169.43 τ=21.18
CC 21 SLV (Collegamento 0024_-381)
Azioni sul collegamento: N=-3843.85 Ty=1.39 Tz=-9.22 Mx=-0.02 Mz=-0.03
Sollecitazioni agenti localmente: Ty_l=-698.88 Mx_l=-13.98
Tensioni nella sezione: σ=169.43 τ=21.18
CC 22 SLD (Collegamento 0024_-381)
Azioni sul collegamento: N=-7317.51 Ty=2.97 Tz=3.58 Mx=-0.01 Mz=1.62
Sollecitazioni agenti localmente: Ty_l=-1330.46 Mx_l=-26.61
Tensioni nella sezione: σ=322.53 τ=40.32
CC 22 SLD (Collegamento 0024_-381)
Azioni sul collegamento: N=-7317.51 Ty=3.60 Tz=3.58 Mx=-0.01 Mz=1.82
Sollecitazioni agenti localmente: Ty_l=-1330.46 Mx_l=-26.61
Tensioni nella sezione: σ=322.53 τ=40.32
CC 22 SLD (Collegamento 0024_-381)
Azioni sul collegamento: N=-7317.51 Ty=2.97 Tz=-2.35 Mx=-0.01 Mz=1.62
Sollecitazioni agenti localmente: Ty_l=-1330.46 Mx_l=-26.61
Tensioni nella sezione: σ=322.53 τ=40.32
CC 22 SLD (Collegamento 0024_-381)
Azioni sul collegamento: N=-7317.51 Ty=3.60 Tz=-2.35 Mx=-0.01 Mz=1.82
Sollecitazioni agenti localmente: Ty_l=-1330.46 Mx_l=-26.61
Tensioni nella sezione: σ=322.53 τ=40.32
CC 22 SLD (Collegamento 0024_-381)
Azioni sul collegamento: N=-5709.27 Ty=2.97 Tz=3.58 Mx=-0.01 Mz=1.62
Sollecitazioni agenti localmente: Ty_l=-1038.05 Mx_l=-20.76
Tensioni nella sezione: σ=251.65 τ=31.46
CC 22 SLD (Collegamento 0024_-381)
Azioni sul collegamento: N=-5709.27 Ty=3.60 Tz=3.58 Mx=-0.01 Mz=1.82
Sollecitazioni agenti localmente: Ty_l=-1038.05 Mx_l=-20.76
Tensioni nella sezione: σ=251.65 τ=31.46
CC 22 SLD (Collegamento 0024_-381)
Azioni sul collegamento: N=-5709.27 Ty=2.97 Tz=-2.35 Mx=-0.01 Mz=1.62
Sollecitazioni agenti localmente: Ty_l=-1038.05 Mx_l=-20.76
Tensioni nella sezione: σ=251.65 τ=31.46
CC 22 SLD (Collegamento 0024_-381)
Azioni sul collegamento: N=-5709.27 Ty=3.60 Tz=-2.35 Mx=-0.01 Mz=1.82
Sollecitazioni agenti localmente: Ty_l=-1038.05 Mx_l=-20.76
Tensioni nella sezione: σ=251.65 τ=31.46
CC 23 SLV (Collegamento 0024_-381)
Azioni sul collegamento: N=-9123.66 Ty=4.12 Tz=10.33 Mx=-0.01 Mz=-1.95
Sollecitazioni agenti localmente: Ty_l=-1658.85 Mx_l=-33.18
Tensioni nella sezione: σ=402.14 τ=50.27
CC 23 SLV (Collegamento 0024_-381)
Azioni sul collegamento: N=-9123.66 Ty=0.76 Tz=10.33 Mx=-0.01 Mz=1.23
Sollecitazioni agenti localmente: Ty_l=-1658.85 Mx_l=-33.18
Tensioni nella sezione: σ=402.14 τ=50.27
CC 23 SLV (Collegamento 0024_-381)
Azioni sul collegamento: N=-9123.66 Ty=4.12 Tz=-9.35 Mx=-0.01 Mz=-1.95
Sollecitazioni agenti localmente: Ty_l=-1658.85 Mx_l=-33.18
Tensioni nella sezione: σ=402.14 τ=50.27
CC 23 SLV (Collegamento 0024_-381)
Azioni sul collegamento: N=-9123.66 Ty=0.76 Tz=-9.35 Mx=-0.01 Mz=1.23
Sollecitazioni agenti localmente: Ty_l=-1658.85 Mx_l=-33.18

Tensioni nella sezione: σ=402.14 τ=50.27
CC 23 SLV (Collegamento 0024_-381)
Azioni sul collegamento: N=-3838.16 Ty=4.12 Tz=10.33 Mx=-0.01 Mz=-1.95
Sollecitazioni agenti localmente: Ty_l=-697.85 Mx_l=-13.96
Tensioni nella sezione: σ=169.18 τ=21.15
CC 23 SLV (Collegamento 0024_-381)
Azioni sul collegamento: N=-3838.16 Ty=0.76 Tz=10.33 Mx=-0.01 Mz=1.23
Sollecitazioni agenti localmente: Ty_l=-697.85 Mx_l=-13.96
Tensioni nella sezione: σ=169.18 τ=21.15
CC 23 SLV (Collegamento 0024_-381)
Azioni sul collegamento: N=-3838.16 Ty=4.12 Tz=-9.35 Mx=-0.01 Mz=-1.95
Sollecitazioni agenti localmente: Ty_l=-697.85 Mx_l=-13.96
Tensioni nella sezione: σ=169.18 τ=21.15
CC 23 SLV (Collegamento 0024_-381)
Azioni sul collegamento: N=-3838.16 Ty=0.76 Tz=-9.35 Mx=-0.01 Mz=1.23
Sollecitazioni agenti localmente: Ty_l=-697.85 Mx_l=-13.96
Tensioni nella sezione: σ=169.18 τ=21.15
CC 24 SLD (Collegamento 0024_-381)
Azioni sul collegamento: N=-7319.25 Ty=2.77 Tz=3.62 Mx=-0.01 Mz=1.24
Sollecitazioni agenti localmente: Ty_l=-1330.77 Mx_l=-26.62
Tensioni nella sezione: σ=322.61 τ=40.33
CC 24 SLD (Collegamento 0024_-381)
Azioni sul collegamento: N=-7319.25 Ty=3.80 Tz=3.62 Mx=-0.01 Mz=2.21
Sollecitazioni agenti localmente: Ty_l=-1330.77 Mx_l=-26.62
Tensioni nella sezione: σ=322.61 τ=40.33
CC 24 SLD (Collegamento 0024_-381)
Azioni sul collegamento: N=-7319.25 Ty=2.77 Tz=-2.38 Mx=-0.01 Mz=1.24
Sollecitazioni agenti localmente: Ty_l=-1330.77 Mx_l=-26.62
Tensioni nella sezione: σ=322.61 τ=40.33
CC 24 SLD (Collegamento 0024_-381)
Azioni sul collegamento: N=-7319.25 Ty=3.80 Tz=-2.38 Mx=-0.01 Mz=2.21
Sollecitazioni agenti localmente: Ty_l=-1330.77 Mx_l=-26.62
Tensioni nella sezione: σ=322.61 τ=40.33
CC 24 SLD (Collegamento 0024_-381)
Azioni sul collegamento: N=-5707.53 Ty=2.77 Tz=3.62 Mx=-0.01 Mz=1.24
Sollecitazioni agenti localmente: Ty_l=-1037.73 Mx_l=-20.75
Tensioni nella sezione: σ=251.57 τ=31.45
CC 24 SLD (Collegamento 0024_-381)
Azioni sul collegamento: N=-5707.53 Ty=3.80 Tz=3.62 Mx=-0.01 Mz=2.21
Sollecitazioni agenti localmente: Ty_l=-1037.73 Mx_l=-20.75
Tensioni nella sezione: σ=251.57 τ=31.45
CC 24 SLD (Collegamento 0024_-381)
Azioni sul collegamento: N=-5707.53 Ty=2.77 Tz=-2.38 Mx=-0.01 Mz=1.24
Sollecitazioni agenti localmente: Ty_l=-1037.73 Mx_l=-20.75
Tensioni nella sezione: σ=251.57 τ=31.45
CC 24 SLD (Collegamento 0024_-381)
Azioni sul collegamento: N=-5707.53 Ty=3.80 Tz=-2.38 Mx=-0.01 Mz=2.21
Sollecitazioni agenti localmente: Ty_l=-1037.73 Mx_l=-20.75
Tensioni nella sezione: σ=251.57 τ=31.45
CC 25 SLV (Collegamento 0024_-381)
Azioni sul collegamento: N=-5679.46 Ty=0.97 Tz=-2.66 Mx=-0.03 Mz=2.02
Sollecitazioni agenti localmente: Ty_l=-1032.63 Mx_l=-20.65
Tensioni nella sezione: σ=250.33 τ=31.29
CC 25 SLV (Collegamento 0024_-381)
Azioni sul collegamento: N=-5679.46 Ty=3.91 Tz=-2.66 Mx=-0.03 Mz=-2.74
Sollecitazioni agenti localmente: Ty_l=-1032.63 Mx_l=-20.65
Tensioni nella sezione: σ=250.33 τ=31.29
CC 25 SLV (Collegamento 0024_-381)
Azioni sul collegamento: N=-5679.46 Ty=0.97 Tz=3.63 Mx=-0.03 Mz=2.02
Sollecitazioni agenti localmente: Ty_l=-1032.63 Mx_l=-20.65
Tensioni nella sezione: σ=250.33 τ=31.29
CC 25 SLV (Collegamento 0024_-381)
Azioni sul collegamento: N=-5679.46 Ty=3.91 Tz=3.63 Mx=-0.03 Mz=-2.74
Sollecitazioni agenti localmente: Ty_l=-1032.63 Mx_l=-20.65
Tensioni nella sezione: σ=250.33 τ=31.29
CC 25 SLV (Collegamento 0024_-381)
Azioni sul collegamento: N=-7282.36 Ty=0.97 Tz=-2.66 Mx=-0.03 Mz=2.02
Sollecitazioni agenti localmente: Ty_l=-1324.07 Mx_l=-26.48
Tensioni nella sezione: σ=320.99 τ=40.12
CC 25 SLV (Collegamento 0024_-381)
Azioni sul collegamento: N=-7282.36 Ty=3.91 Tz=-2.66 Mx=-0.03 Mz=-2.74
Sollecitazioni agenti localmente: Ty_l=-1324.07 Mx_l=-26.48
Tensioni nella sezione: σ=320.99 τ=40.12
CC 25 SLV (Collegamento 0024_-381)
Azioni sul collegamento: N=-7282.36 Ty=0.97 Tz=3.63 Mx=-0.03 Mz=2.02
Sollecitazioni agenti localmente: Ty_l=-1324.07 Mx_l=-26.48
Tensioni nella sezione: σ=320.99 τ=40.12
CC 25 SLV (Collegamento 0024_-381)
Azioni sul collegamento: N=-7282.36 Ty=3.91 Tz=3.63 Mx=-0.03 Mz=-2.74

Sollecitazioni agenti localmente: Ty_l=-1324.07 Mx_l=-26.48
Tensioni nella sezione: σ=320.99 τ=40.12
CC 26 SLD (Collegamento 0024_-381)
Azioni sul collegamento: N=-6269.00 Ty=3.73 Tz=-0.34 Mx=-0.01 Mz=2.45
Sollecitazioni agenti localmente: Ty_l=-1139.82 Mx_l=-22.80
Tensioni nella sezione: σ=276.32 τ=34.54
CC 26 SLD (Collegamento 0024_-381)
Azioni sul collegamento: N=-6269.00 Ty=2.84 Tz=-0.34 Mx=-0.01 Mz=0.99
Sollecitazioni agenti localmente: Ty_l=-1139.82 Mx_l=-22.80
Tensioni nella sezione: σ=276.32 τ=34.54
CC 26 SLD (Collegamento 0024_-381)
Azioni sul collegamento: N=-6269.00 Ty=3.73 Tz=1.57 Mx=-0.01 Mz=2.45
Sollecitazioni agenti localmente: Ty_l=-1139.82 Mx_l=-22.80
Tensioni nella sezione: σ=276.32 τ=34.54
CC 26 SLD (Collegamento 0024_-381)
Azioni sul collegamento: N=-6269.00 Ty=2.84 Tz=1.57 Mx=-0.01 Mz=0.99
Sollecitazioni agenti localmente: Ty_l=-1139.82 Mx_l=-22.80
Tensioni nella sezione: σ=276.32 τ=34.54
CC 26 SLD (Collegamento 0024_-381)
Azioni sul collegamento: N=-6757.78 Ty=3.73 Tz=-0.34 Mx=-0.01 Mz=2.45
Sollecitazioni agenti localmente: Ty_l=-1228.69 Mx_l=-24.57
Tensioni nella sezione: σ=297.86 τ=37.23
CC 26 SLD (Collegamento 0024_-381)
Azioni sul collegamento: N=-6757.78 Ty=2.84 Tz=-0.34 Mx=-0.01 Mz=0.99
Sollecitazioni agenti localmente: Ty_l=-1228.69 Mx_l=-24.57
Tensioni nella sezione: σ=297.86 τ=37.23
CC 26 SLD (Collegamento 0024_-381)
Azioni sul collegamento: N=-6757.78 Ty=3.73 Tz=1.57 Mx=-0.01 Mz=2.45
Sollecitazioni agenti localmente: Ty_l=-1228.69 Mx_l=-24.57
Tensioni nella sezione: σ=297.86 τ=37.23
CC 26 SLD (Collegamento 0024_-381)
Azioni sul collegamento: N=-6757.78 Ty=2.84 Tz=1.57 Mx=-0.01 Mz=0.99
Sollecitazioni agenti localmente: Ty_l=-1228.69 Mx_l=-24.57
Tensioni nella sezione: σ=297.86 τ=37.23
CC 27 SLV (Collegamento 0024_-381)
Azioni sul collegamento: N=-7263.40 Ty=1.79 Tz=3.21 Mx=-0.02 Mz=1.45
Sollecitazioni agenti localmente: Ty_l=-1320.62 Mx_l=-26.41
Tensioni nella sezione: σ=320.15 τ=40.02
CC 27 SLV (Collegamento 0024_-381)
Azioni sul collegamento: N=-7263.40 Ty=3.09 Tz=3.21 Mx=-0.02 Mz=-2.17
Sollecitazioni agenti localmente: Ty_l=-1320.62 Mx_l=-26.41
Tensioni nella sezione: σ=320.15 τ=40.02
CC 27 SLV (Collegamento 0024_-381)
Azioni sul collegamento: N=-7263.40 Ty=1.79 Tz=-2.23 Mx=-0.02 Mz=1.45
Sollecitazioni agenti localmente: Ty_l=-1320.62 Mx_l=-26.41
Tensioni nella sezione: σ=320.15 τ=40.02
CC 27 SLV (Collegamento 0024_-381)
Azioni sul collegamento: N=-7263.40 Ty=3.09 Tz=-2.23 Mx=-0.02 Mz=-2.17
Sollecitazioni agenti localmente: Ty_l=-1320.62 Mx_l=-26.41
Tensioni nella sezione: σ=320.15 τ=40.02
CC 27 SLV (Collegamento 0024_-381)
Azioni sul collegamento: N=-5698.42 Ty=1.79 Tz=3.21 Mx=-0.02 Mz=1.45
Sollecitazioni agenti localmente: Ty_l=-1036.08 Mx_l=-20.72
Tensioni nella sezione: σ=251.17 τ=31.40
CC 27 SLV (Collegamento 0024_-381)
Azioni sul collegamento: N=-5698.42 Ty=3.09 Tz=3.21 Mx=-0.02 Mz=-2.17
Sollecitazioni agenti localmente: Ty_l=-1036.08 Mx_l=-20.72
Tensioni nella sezione: σ=251.17 τ=31.40
CC 27 SLV (Collegamento 0024_-381)
Azioni sul collegamento: N=-5698.42 Ty=1.79 Tz=-2.23 Mx=-0.02 Mz=1.45
Sollecitazioni agenti localmente: Ty_l=-1036.08 Mx_l=-20.72
Tensioni nella sezione: σ=251.17 τ=31.40
CC 27 SLV (Collegamento 0024_-381)
Azioni sul collegamento: N=-5698.42 Ty=3.09 Tz=-2.23 Mx=-0.02 Mz=-2.17
Sollecitazioni agenti localmente: Ty_l=-1036.08 Mx_l=-20.72
Tensioni nella sezione: σ=251.17 τ=31.40
CC 28 SLD (Collegamento 0024_-381)
Azioni sul collegamento: N=-6752.00 Ty=3.48 Tz=1.44 Mx=-0.01 Mz=2.27
Sollecitazioni agenti localmente: Ty_l=-1227.64 Mx_l=-24.55
Tensioni nella sezione: σ=297.61 τ=37.20
CC 28 SLD (Collegamento 0024_-381)
Azioni sul collegamento: N=-6752.00 Ty=3.09 Tz=1.44 Mx=-0.01 Mz=1.17
Sollecitazioni agenti localmente: Ty_l=-1227.64 Mx_l=-24.55
Tensioni nella sezione: σ=297.61 τ=37.20
CC 28 SLD (Collegamento 0024_-381)
Azioni sul collegamento: N=-6752.00 Ty=3.48 Tz=-0.21 Mx=-0.01 Mz=2.27
Sollecitazioni agenti localmente: Ty_l=-1227.64 Mx_l=-24.55
Tensioni nella sezione: σ=297.61 τ=37.20
CC 28 SLD (Collegamento 0024_-381)

Azioni sul collegamento: N=-6752.00 Ty=3.09 Tz=-0.21 Mx=-0.01 Mz=1.17
Sollecitazioni agenti localmente: Ty_l=-1227.64 Mx_l=-24.55
Tensioni nella sezione: σ=297.61 τ=37.20
CC 28 SLD (Collegamento 0024_-381)
Azioni sul collegamento: N=-6274.78 Ty=3.48 Tz=1.44 Mx=-0.01 Mz=2.27
Sollecitazioni agenti localmente: Ty_l=-1140.87 Mx_l=-22.82
Tensioni nella sezione: σ=276.57 τ=34.57
CC 28 SLD (Collegamento 0024_-381)
Azioni sul collegamento: N=-6274.78 Ty=3.09 Tz=1.44 Mx=-0.01 Mz=1.17
Sollecitazioni agenti localmente: Ty_l=-1140.87 Mx_l=-22.82
Tensioni nella sezione: σ=276.57 τ=34.57
CC 28 SLD (Collegamento 0024_-381)
Azioni sul collegamento: N=-6274.78 Ty=3.48 Tz=-0.21 Mx=-0.01 Mz=2.27
Sollecitazioni agenti localmente: Ty_l=-1140.87 Mx_l=-22.82
Tensioni nella sezione: σ=276.57 τ=34.57
CC 28 SLD (Collegamento 0024_-381)
Azioni sul collegamento: N=-6274.78 Ty=3.09 Tz=-0.21 Mx=-0.01 Mz=1.17
Sollecitazioni agenti localmente: Ty_l=-1140.87 Mx_l=-22.82
Tensioni nella sezione: σ=276.57 τ=34.57
CC 29 SLV (Collegamento 0024_-381)
Azioni sul collegamento: N=-5698.42 Ty=3.09 Tz=-2.23 Mx=-0.01 Mz=-2.17
Sollecitazioni agenti localmente: Ty_l=-1036.08 Mx_l=-20.72
Tensioni nella sezione: σ=251.17 τ=31.40
CC 29 SLV (Collegamento 0024_-381)
Azioni sul collegamento: N=-5698.42 Ty=1.79 Tz=-2.23 Mx=-0.01 Mz=1.45
Sollecitazioni agenti localmente: Ty_l=-1036.08 Mx_l=-20.72
Tensioni nella sezione: σ=251.17 τ=31.40
CC 29 SLV (Collegamento 0024_-381)
Azioni sul collegamento: N=-5698.42 Ty=3.09 Tz=3.21 Mx=-0.01 Mz=-2.17
Sollecitazioni agenti localmente: Ty_l=-1036.08 Mx_l=-20.72
Tensioni nella sezione: σ=251.17 τ=31.40
CC 29 SLV (Collegamento 0024_-381)
Azioni sul collegamento: N=-5698.42 Ty=1.79 Tz=3.21 Mx=-0.01 Mz=1.45
Sollecitazioni agenti localmente: Ty_l=-1036.08 Mx_l=-20.72
Tensioni nella sezione: σ=251.17 τ=31.40
CC 29 SLV (Collegamento 0024_-381)
Azioni sul collegamento: N=-7263.40 Ty=3.09 Tz=-2.23 Mx=-0.01 Mz=-2.17
Sollecitazioni agenti localmente: Ty_l=-1320.62 Mx_l=-26.41
Tensioni nella sezione: σ=320.15 τ=40.02
CC 29 SLV (Collegamento 0024_-381)
Azioni sul collegamento: N=-7263.40 Ty=1.79 Tz=-2.23 Mx=-0.01 Mz=1.45
Sollecitazioni agenti localmente: Ty_l=-1320.62 Mx_l=-26.41
Tensioni nella sezione: σ=320.15 τ=40.02
CC 29 SLV (Collegamento 0024_-381)
Azioni sul collegamento: N=-7263.40 Ty=3.09 Tz=3.21 Mx=-0.01 Mz=-2.17
Sollecitazioni agenti localmente: Ty_l=-1320.62 Mx_l=-26.41
Tensioni nella sezione: σ=320.15 τ=40.02
CC 29 SLV (Collegamento 0024_-381)
Azioni sul collegamento: N=-7263.40 Ty=1.79 Tz=3.21 Mx=-0.01 Mz=1.45
Sollecitazioni agenti localmente: Ty_l=-1320.62 Mx_l=-26.41
Tensioni nella sezione: σ=320.15 τ=40.02
CC 30 SLD (Collegamento 0024_-381)
Azioni sul collegamento: N=-6274.78 Ty=3.09 Tz=-0.21 Mx=-0.01 Mz=1.17
Sollecitazioni agenti localmente: Ty_l=-1140.87 Mx_l=-22.82
Tensioni nella sezione: σ=276.57 τ=34.57
CC 30 SLD (Collegamento 0024_-381)
Azioni sul collegamento: N=-6274.78 Ty=3.48 Tz=-0.21 Mx=-0.01 Mz=2.27
Sollecitazioni agenti localmente: Ty_l=-1140.87 Mx_l=-22.82
Tensioni nella sezione: σ=276.57 τ=34.57
CC 30 SLD (Collegamento 0024_-381)
Azioni sul collegamento: N=-6274.78 Ty=3.09 Tz=1.44 Mx=-0.01 Mz=1.17
Sollecitazioni agenti localmente: Ty_l=-1140.87 Mx_l=-22.82
Tensioni nella sezione: σ=276.57 τ=34.57
CC 30 SLD (Collegamento 0024_-381)
Azioni sul collegamento: N=-6274.78 Ty=3.48 Tz=1.44 Mx=-0.01 Mz=2.27
Sollecitazioni agenti localmente: Ty_l=-1140.87 Mx_l=-22.82
Tensioni nella sezione: σ=276.57 τ=34.57
CC 30 SLD (Collegamento 0024_-381)
Azioni sul collegamento: N=-6752.00 Ty=3.09 Tz=-0.21 Mx=-0.01 Mz=1.17
Sollecitazioni agenti localmente: Ty_l=-1227.64 Mx_l=-24.55
Tensioni nella sezione: σ=297.61 τ=37.20
CC 30 SLD (Collegamento 0024_-381)
Azioni sul collegamento: N=-6752.00 Ty=3.48 Tz=-0.21 Mx=-0.01 Mz=2.27
Sollecitazioni agenti localmente: Ty_l=-1227.64 Mx_l=-24.55
Tensioni nella sezione: σ=297.61 τ=37.20
CC 30 SLD (Collegamento 0024_-381)
Azioni sul collegamento: N=-6752.00 Ty=3.09 Tz=1.44 Mx=-0.01 Mz=1.17
Sollecitazioni agenti localmente: Ty_l=-1227.64 Mx_l=-24.55
Tensioni nella sezione: σ=297.61 τ=37.20

CC 30 SLD (Collegamento 0024_-381)
Azioni sul collegamento: N=-6752.00 Ty=3.48 Tz=1.44 Mx=-0.01 Mz=2.27
Sollecitazioni agenti localmente: Ty_l=-1227.64 Mx_l=-24.55
Tensioni nella sezione: σ=297.61 τ=37.20
CC 31 SLV (Collegamento 0024_-381)
Azioni sul collegamento: N=-7282.36 Ty=3.91 Tz=3.63 Mx=-0.01 Mz=-2.74
Sollecitazioni agenti localmente: Ty_l=-1324.07 Mx_l=-26.48
Tensioni nella sezione: σ=320.99 τ=40.12
CC 31 SLV (Collegamento 0024_-381)
Azioni sul collegamento: N=-7282.36 Ty=0.97 Tz=3.63 Mx=-0.01 Mz=2.02
Sollecitazioni agenti localmente: Ty_l=-1324.07 Mx_l=-26.48
Tensioni nella sezione: σ=320.99 τ=40.12
CC 31 SLV (Collegamento 0024_-381)
Azioni sul collegamento: N=-7282.36 Ty=3.91 Tz=-2.66 Mx=-0.01 Mz=-2.74
Sollecitazioni agenti localmente: Ty_l=-1324.07 Mx_l=-26.48
Tensioni nella sezione: σ=320.99 τ=40.12
CC 31 SLV (Collegamento 0024_-381)
Azioni sul collegamento: N=-7282.36 Ty=0.97 Tz=-2.66 Mx=-0.01 Mz=2.02
Sollecitazioni agenti localmente: Ty_l=-1324.07 Mx_l=-26.48
Tensioni nella sezione: σ=320.99 τ=40.12
CC 31 SLV (Collegamento 0024_-381)
Azioni sul collegamento: N=-5679.46 Ty=3.91 Tz=3.63 Mx=-0.01 Mz=-2.74
Sollecitazioni agenti localmente: Ty_l=-1032.63 Mx_l=-20.65
Tensioni nella sezione: σ=250.33 τ=31.29
CC 31 SLV (Collegamento 0024_-381)
Azioni sul collegamento: N=-5679.46 Ty=0.97 Tz=3.63 Mx=-0.01 Mz=2.02
Sollecitazioni agenti localmente: Ty_l=-1032.63 Mx_l=-20.65
Tensioni nella sezione: σ=250.33 τ=31.29
CC 31 SLV (Collegamento 0024_-381)
Azioni sul collegamento: N=-5679.46 Ty=3.91 Tz=-2.66 Mx=-0.01 Mz=-2.74
Sollecitazioni agenti localmente: Ty_l=-1032.63 Mx_l=-20.65
Tensioni nella sezione: σ=250.33 τ=31.29
CC 31 SLV (Collegamento 0024_-381)
Azioni sul collegamento: N=-5679.46 Ty=0.97 Tz=-2.66 Mx=-0.01 Mz=2.02
Sollecitazioni agenti localmente: Ty_l=-1032.63 Mx_l=-20.65
Tensioni nella sezione: σ=250.33 τ=31.29
CC 32 SLD (Collegamento 0024_-381)
Azioni sul collegamento: N=-6757.78 Ty=2.84 Tz=1.57 Mx=-0.00 Mz=0.99
Sollecitazioni agenti localmente: Ty_l=-1228.69 Mx_l=-24.57
Tensioni nella sezione: σ=297.86 τ=37.23
CC 32 SLD (Collegamento 0024_-381)
Azioni sul collegamento: N=-6757.78 Ty=3.73 Tz=1.57 Mx=-0.00 Mz=2.45
Sollecitazioni agenti localmente: Ty_l=-1228.69 Mx_l=-24.57
Tensioni nella sezione: σ=297.86 τ=37.23
CC 32 SLD (Collegamento 0024_-381)
Azioni sul collegamento: N=-6757.78 Ty=2.84 Tz=-0.34 Mx=-0.00 Mz=0.99
Sollecitazioni agenti localmente: Ty_l=-1228.69 Mx_l=-24.57
Tensioni nella sezione: σ=297.86 τ=37.23
CC 32 SLD (Collegamento 0024_-381)
Azioni sul collegamento: N=-6757.78 Ty=3.73 Tz=-0.34 Mx=-0.00 Mz=2.45
Sollecitazioni agenti localmente: Ty_l=-1228.69 Mx_l=-24.57
Tensioni nella sezione: σ=297.86 τ=37.23
CC 32 SLD (Collegamento 0024_-381)
Azioni sul collegamento: N=-6269.00 Ty=2.84 Tz=1.57 Mx=-0.00 Mz=0.99
Sollecitazioni agenti localmente: Ty_l=-1139.82 Mx_l=-22.80
Tensioni nella sezione: σ=276.32 τ=34.54
CC 32 SLD (Collegamento 0024_-381)
Azioni sul collegamento: N=-6269.00 Ty=3.73 Tz=1.57 Mx=-0.00 Mz=2.45
Sollecitazioni agenti localmente: Ty_l=-1139.82 Mx_l=-22.80
Tensioni nella sezione: σ=276.32 τ=34.54
CC 32 SLD (Collegamento 0024_-381)
Azioni sul collegamento: N=-6269.00 Ty=2.84 Tz=-0.34 Mx=-0.00 Mz=0.99
Sollecitazioni agenti localmente: Ty_l=-1139.82 Mx_l=-22.80
Tensioni nella sezione: σ=276.32 τ=34.54
CC 32 SLD (Collegamento 0024_-381)
Azioni sul collegamento: N=-6269.00 Ty=3.73 Tz=-0.34 Mx=-0.00 Mz=2.45
Sollecitazioni agenti localmente: Ty_l=-1139.82 Mx_l=-22.80
Tensioni nella sezione: σ=276.32 τ=34.54
CC 33 SLU (Collegamento 0024_-381)
Azioni sul collegamento: N=-30229.20 Ty=5.39 Tz=79.58 Mx=-0.01 Mz=3.85
Sollecitazioni agenti localmente: Ty_l=-5496.22 Mx_l=-109.92
Tensioni nella sezione: σ=1332.41 τ=166.55
CC 34 SLU (Collegamento 0024_-381)
Azioni sul collegamento: N=-30778.60 Ty=5.67 Tz=81.62 Mx=-0.01 Mz=4.05
Sollecitazioni agenti localmente: Ty_l=-5596.11 Mx_l=-111.92
Tensioni nella sezione: σ=1356.63 τ=169.58
CC 35 SLU (Collegamento 0024_-381)
Azioni sul collegamento: N=-30504.90 Ty=5.64 Tz=80.58 Mx=-0.01 Mz=4.16
Sollecitazioni agenti localmente: Ty_l=-5546.35 Mx_l=-110.93

Tensioni nella sezione: σ=1344.57 τ=168.07
CC 36 SLU (Collegamento 0024_-381)
Azioni sul collegamento: N=-30502.90 Ty=5.42 Tz=80.62 Mx=-0.01 Mz=3.73
Sollecitazioni agenti localmente: Ty_l=-5545.98 Mx_l=-110.92
Tensioni nella sezione: σ=1344.48 τ=168.06
CC 37 SLU (Collegamento 0024_-381)
Azioni sul collegamento: N=-32152.70 Ty=5.24 Tz=86.01 Mx=0.00 Mz=3.86
Sollecitazioni agenti localmente: Ty_l=-5845.94 Mx_l=-116.92
Tensioni nella sezione: σ=1417.20 τ=177.15
CC 38 SLU (Collegamento 0024_-381)
Azioni sul collegamento: N=-32702.10 Ty=5.53 Tz=88.04 Mx=0.00 Mz=4.06
Sollecitazioni agenti localmente: Ty_l=-5945.83 Mx_l=-118.92
Tensioni nella sezione: σ=1441.41 τ=180.18
CC 39 SLU (Collegamento 0024_-381)
Azioni sul collegamento: N=-32428.40 Ty=5.50 Tz=87.00 Mx=0.00 Mz=4.18
Sollecitazioni agenti localmente: Ty_l=-5896.07 Mx_l=-117.92
Tensioni nella sezione: σ=1429.35 τ=178.67
CC 40 SLU (Collegamento 0024_-381)
Azioni sul collegamento: N=-32426.40 Ty=5.28 Tz=87.05 Mx=0.00 Mz=3.74
Sollecitazioni agenti localmente: Ty_l=-5895.71 Mx_l=-117.91
Tensioni nella sezione: σ=1429.26 τ=178.66
CC 41 SLU (Collegamento 0024_-381)
Azioni sul collegamento: N=-20958.20 Ty=6.23 Tz=45.50 Mx=-0.01 Mz=4.43
Sollecitazioni agenti localmente: Ty_l=-3810.59 Mx_l=-76.21
Tensioni nella sezione: σ=923.78 τ=115.47
CC 42 SLU (Collegamento 0024_-381)
Azioni sul collegamento: N=-21507.60 Ty=6.52 Tz=47.54 Mx=-0.01 Mz=4.63
Sollecitazioni agenti localmente: Ty_l=-3910.48 Mx_l=-78.21
Tensioni nella sezione: σ=947.99 τ=118.50
CC 43 SLU (Collegamento 0024_-381)
Azioni sul collegamento: N=-21233.90 Ty=6.48 Tz=46.50 Mx=-0.01 Mz=4.75
Sollecitazioni agenti localmente: Ty_l=-3860.71 Mx_l=-77.21
Tensioni nella sezione: σ=935.93 τ=116.99
CC 44 SLU (Collegamento 0024_-381)
Azioni sul collegamento: N=-21231.90 Ty=6.26 Tz=46.54 Mx=-0.01 Mz=4.31
Sollecitazioni agenti localmente: Ty_l=-3860.35 Mx_l=-77.21
Tensioni nella sezione: σ=935.84 τ=116.98
CC 45 SLU (Collegamento 0024_-381)
Azioni sul collegamento: N=-23044.60 Ty=5.94 Tz=53.22 Mx=-0.01 Mz=4.28
Sollecitazioni agenti localmente: Ty_l=-4189.93 Mx_l=-83.80
Tensioni nella sezione: σ=1015.74 τ=126.97
CC 46 SLU (Collegamento 0024_-381)
Azioni sul collegamento: N=-23594.00 Ty=6.22 Tz=55.25 Mx=-0.01 Mz=4.49
Sollecitazioni agenti localmente: Ty_l=-4289.82 Mx_l=-85.80
Tensioni nella sezione: σ=1039.95 τ=129.99
CC 47 SLU (Collegamento 0024_-381)
Azioni sul collegamento: N=-23320.30 Ty=6.19 Tz=54.21 Mx=-0.01 Mz=4.60
Sollecitazioni agenti localmente: Ty_l=-4240.05 Mx_l=-84.80
Tensioni nella sezione: σ=1027.89 τ=128.49
CC 48 SLU (Collegamento 0024_-381)
Azioni sul collegamento: N=-23318.30 Ty=5.97 Tz=54.26 Mx=-0.01 Mz=4.17
Sollecitazioni agenti localmente: Ty_l=-4239.70 Mx_l=-84.79
Tensioni nella sezione: σ=1027.80 τ=128.48
CC 49 SLU (Collegamento 0024_-381)
Azioni sul collegamento: N=-24483.70 Ty=5.83 Tz=58.03 Mx=0.00 Mz=4.29
Sollecitazioni agenti localmente: Ty_l=-4451.58 Mx_l=-89.03
Tensioni nella sezione: σ=1079.17 τ=134.90
CC 50 SLU (Collegamento 0024_-381)
Azioni sul collegamento: N=-25033.00 Ty=6.12 Tz=60.06 Mx=0.00 Mz=4.50
Sollecitazioni agenti localmente: Ty_l=-4551.46 Mx_l=-91.03
Tensioni nella sezione: σ=1103.38 τ=137.92
CC 51 SLU (Collegamento 0024_-381)
Azioni sul collegamento: N=-24759.30 Ty=6.08 Tz=59.02 Mx=-0.00 Mz=4.61
Sollecitazioni agenti localmente: Ty_l=-4501.70 Mx_l=-90.03
Tensioni nella sezione: σ=1091.32 τ=136.41
CC 52 SLU (Collegamento 0024_-381)
Azioni sul collegamento: N=-24757.40 Ty=5.87 Tz=59.07 Mx=0.00 Mz=4.18
Sollecitazioni agenti localmente: Ty_l=-4501.34 Mx_l=-90.03
Tensioni nella sezione: σ=1091.23 τ=136.40
CC 53 SLU (Collegamento 0024_-381)
Azioni sul collegamento: N=-16108.60 Ty=6.57 Tz=27.72 Mx=-0.01 Mz=4.72
Sollecitazioni agenti localmente: Ty_l=-2928.83 Mx_l=-58.58
Tensioni nella sezione: σ=710.02 τ=88.75
CC 54 SLU (Collegamento 0024_-381)
Azioni sul collegamento: N=-16657.90 Ty=6.86 Tz=29.76 Mx=-0.01 Mz=4.92
Sollecitazioni agenti localmente: Ty_l=-3028.71 Mx_l=-60.57
Tensioni nella sezione: σ=734.23 τ=91.78
CC 55 SLU (Collegamento 0024_-381)
Azioni sul collegamento: N=-16384.20 Ty=6.82 Tz=28.72 Mx=-0.01 Mz=5.04

Sollecitazioni agenti localmente: Ty_l=-2978.95 Mx_l=-59.58
Tensioni nella sezione: σ=722.17 τ=90.27
CC 56 SLU (Collegamento 0024_-381)
Azioni sul collegamento: N=-16382.30 Ty=6.60 Tz=28.76 Mx=-0.01 Mz=4.60
Sollecitazioni agenti localmente: Ty_l=-2978.59 Mx_l=-59.57
Tensioni nella sezione: σ=722.08 τ=90.26
CC 57 SLU (Collegamento 0024_-381)
Azioni sul collegamento: N=-23426.90 Ty=6.35 Tz=54.67 Mx=-0.01 Mz=4.58
Sollecitazioni agenti localmente: Ty_l=-4259.43 Mx_l=-85.19
Tensioni nella sezione: σ=1032.59 τ=129.07
CC 58 SLU (Collegamento 0024_-381)
Azioni sul collegamento: N=-23976.20 Ty=6.64 Tz=56.70 Mx=-0.01 Mz=4.78
Sollecitazioni agenti localmente: Ty_l=-4359.32 Mx_l=-87.19
Tensioni nella sezione: σ=1056.80 τ=132.10
CC 59 SLU (Collegamento 0024_-381)
Azioni sul collegamento: N=-23702.50 Ty=6.61 Tz=55.66 Mx=-0.01 Mz=4.90
Sollecitazioni agenti localmente: Ty_l=-4309.55 Mx_l=-86.19
Tensioni nella sezione: σ=1044.74 τ=130.59
CC 60 SLU (Collegamento 0024_-381)
Azioni sul collegamento: N=-23700.60 Ty=6.39 Tz=55.71 Mx=-0.01 Mz=4.46
Sollecitazioni agenti localmente: Ty_l=-4309.20 Mx_l=-86.18
Tensioni nella sezione: σ=1044.65 τ=130.58
CC 61 SLU (Collegamento 0024_-381)
Azioni sul collegamento: N=-24865.90 Ty=6.25 Tz=59.47 Mx=0.00 Mz=4.59
Sollecitazioni agenti localmente: Ty_l=-4521.07 Mx_l=-90.42
Tensioni nella sezione: σ=1096.02 τ=137.00
CC 62 SLU (Collegamento 0024_-381)
Azioni sul collegamento: N=-25415.30 Ty=6.53 Tz=61.51 Mx=-0.00 Mz=4.79
Sollecitazioni agenti localmente: Ty_l=-4620.96 Mx_l=-92.42
Tensioni nella sezione: σ=1120.23 τ=140.03
CC 63 SLU (Collegamento 0024_-381)
Azioni sul collegamento: N=-25141.60 Ty=6.50 Tz=60.47 Mx=-0.00 Mz=4.91
Sollecitazioni agenti localmente: Ty_l=-4571.20 Mx_l=-91.42
Tensioni nella sezione: σ=1108.17 τ=138.52
CC 64 SLU (Collegamento 0024_-381)
Azioni sul collegamento: N=-25139.60 Ty=6.28 Tz=60.51 Mx=0.00 Mz=4.47
Sollecitazioni agenti localmente: Ty_l=-4570.84 Mx_l=-91.42
Tensioni nella sezione: σ=1108.08 τ=138.51
CC 65 SLU (Collegamento 0024_-381)
Azioni sul collegamento: N=-16490.80 Ty=6.99 Tz=29.17 Mx=-0.01 Mz=5.02
Sollecitazioni agenti localmente: Ty_l=-2998.33 Mx_l=-59.97
Tensioni nella sezione: σ=726.87 τ=90.86
CC 66 SLU (Collegamento 0024_-381)
Azioni sul collegamento: N=-17040.20 Ty=7.27 Tz=31.20 Mx=-0.01 Mz=5.22
Sollecitazioni agenti localmente: Ty_l=-3098.22 Mx_l=-61.96
Tensioni nella sezione: σ=751.08 τ=93.89
CC 67 SLU (Collegamento 0024_-381)
Azioni sul collegamento: N=-16766.50 Ty=7.24 Tz=30.16 Mx=-0.01 Mz=5.34
Sollecitazioni agenti localmente: Ty_l=-3048.45 Mx_l=-60.97
Tensioni nella sezione: σ=739.02 τ=92.38
CC 68 SLU (Collegamento 0024_-381)
Azioni sul collegamento: N=-16764.50 Ty=7.02 Tz=30.21 Mx=-0.01 Mz=4.90
Sollecitazioni agenti localmente: Ty_l=-3048.09 Mx_l=-60.96
Tensioni nella sezione: σ=738.93 τ=92.37
CC 97 SLU (Collegamento 0024_-381)
Azioni sul collegamento: N=-10609.80 Ty=16.63 Tz=15.80 Mx=0.03 Mz=19.66
Sollecitazioni agenti localmente: Ty_l=-1929.05 Mx_l=-38.58
Tensioni nella sezione: σ=467.65 τ=58.46
CC 98 SLU (Collegamento 0024_-381)
Azioni sul collegamento: N=-11159.10 Ty=16.91 Tz=17.84 Mx=0.03 Mz=19.86
Sollecitazioni agenti localmente: Ty_l=-2028.93 Mx_l=-40.58
Tensioni nella sezione: σ=491.86 τ=61.48
CC 99 SLU (Collegamento 0024_-381)
Azioni sul collegamento: N=-10885.40 Ty=16.88 Tz=16.80 Mx=0.03 Mz=19.98
Sollecitazioni agenti localmente: Ty_l=-1979.17 Mx_l=-39.58
Tensioni nella sezione: σ=479.80 τ=59.97
CC 100 SLU (Collegamento 0024_-381)
Azioni sul collegamento: N=-10883.50 Ty=16.66 Tz=16.84 Mx=0.03 Mz=19.55
Sollecitazioni agenti localmente: Ty_l=-1978.81 Mx_l=-39.58
Tensioni nella sezione: σ=479.71 τ=59.96
CC 101 SLU (Collegamento 0024_-381)
Azioni sul collegamento: N=-6606.14 Ty=1.32 Tz=0.91 Mx=-0.01 Mz=0.13
Sollecitazioni agenti localmente: Ty_l=-1201.12 Mx_l=-24.02
Tensioni nella sezione: σ=291.18 τ=36.40
CC 102 SLU (Collegamento 0024_-381)
Azioni sul collegamento: N=-7155.53 Ty=1.61 Tz=2.94 Mx=-0.01 Mz=0.33
Sollecitazioni agenti localmente: Ty_l=-1301.01 Mx_l=-26.02
Tensioni nella sezione: σ=315.39 τ=39.42
CC 103 SLU (Collegamento 0024_-381)

Azioni sul collegamento: N=-6881.82 Ty=1.58 Tz=1.90 Mx=-0.01 Mz=0.45
Sollecitazioni agenti localmente: Ty_l=-1251.24 Mx_l=-25.02
Tensioni nella sezione: σ=303.33 τ=37.92
CC 104 SLU (Collegamento 0024_-381)
Azioni sul collegamento: N=-6879.85 Ty=1.36 Tz=1.95 Mx=-0.01 Mz=0.01
Sollecitazioni agenti localmente: Ty_l=-1250.88 Mx_l=-25.02
Tensioni nella sezione: σ=303.24 τ=37.91

Flessione attacco destro piastra

Bnetta=220.00 Hnetta=15.00
CC 1 SLV (Collegamento 0024_-381)
Azioni sul collegamento: N=-3931.62 Ty=6.55 Tz=-8.98 Mx=0.01 Mz=7.22
Sollecitazioni agenti localmente: Ty_l=-725.69 My_l=-14.92
Tensioni nella sezione: σ=180.81 τ=21.99
CC 1 SLV (Collegamento 0024_-381)
Azioni sul collegamento: N=-3931.62 Ty=3.19 Tz=-8.98 Mx=0.01 Mz=4.04
Sollecitazioni agenti localmente: Ty_l=-713.03 My_l=-14.64
Tensioni nella sezione: σ=177.45 τ=21.61
CC 1 SLV (Collegamento 0024_-381)
Azioni sul collegamento: N=-3931.62 Ty=6.55 Tz=10.69 Mx=0.01 Mz=7.22
Sollecitazioni agenti localmente: Ty_l=-725.69 My_l=-14.92
Tensioni nella sezione: σ=180.81 τ=21.99
CC 1 SLV (Collegamento 0024_-381)
Azioni sul collegamento: N=-3931.62 Ty=3.19 Tz=10.69 Mx=0.01 Mz=4.04
Sollecitazioni agenti localmente: Ty_l=-713.03 My_l=-14.64
Tensioni nella sezione: σ=177.45 τ=21.61
CC 1 SLV (Collegamento 0024_-381)
Azioni sul collegamento: N=-9217.12 Ty=6.55 Tz=-8.98 Mx=0.01 Mz=7.22
Sollecitazioni agenti localmente: Ty_l=-1662.66 My_l=-34.12
Tensioni nella sezione: σ=413.63 τ=50.38
CC 1 SLV (Collegamento 0024_-381)
Azioni sul collegamento: N=-9217.12 Ty=3.19 Tz=-8.98 Mx=0.01 Mz=4.04
Sollecitazioni agenti localmente: Ty_l=-1650.01 My_l=-33.85
Tensioni nella sezione: σ=410.27 τ=50.00
CC 1 SLV (Collegamento 0024_-381)
Azioni sul collegamento: N=-9217.12 Ty=6.55 Tz=10.69 Mx=0.01 Mz=7.22
Sollecitazioni agenti localmente: Ty_l=-1662.66 My_l=-34.12
Tensioni nella sezione: σ=413.63 τ=50.38
CC 1 SLV (Collegamento 0024_-381)
Azioni sul collegamento: N=-9217.12 Ty=3.19 Tz=10.69 Mx=0.01 Mz=4.04
Sollecitazioni agenti localmente: Ty_l=-1650.01 My_l=-33.85
Tensioni nella sezione: σ=410.27 τ=50.00
CC 2 SLD (Collegamento 0024_-381)
Azioni sul collegamento: N=-5736.03 Ty=4.54 Tz=-2.27 Mx=0.00 Mz=4.03
Sollecitazioni agenti localmente: Ty_l=-1032.88 My_l=-21.20
Tensioni nella sezione: σ=256.93 τ=31.30
CC 2 SLD (Collegamento 0024_-381)
Azioni sul collegamento: N=-5736.03 Ty=3.51 Tz=-2.27 Mx=0.00 Mz=3.06
Sollecitazioni agenti localmente: Ty_l=-1029.02 My_l=-21.11
Tensioni nella sezione: σ=255.90 τ=31.18
CC 2 SLD (Collegamento 0024_-381)
Azioni sul collegamento: N=-5736.03 Ty=4.54 Tz=3.73 Mx=0.00 Mz=4.03
Sollecitazioni agenti localmente: Ty_l=-1032.88 My_l=-21.20
Tensioni nella sezione: σ=256.93 τ=31.30
CC 2 SLD (Collegamento 0024_-381)
Azioni sul collegamento: N=-5736.03 Ty=3.51 Tz=3.73 Mx=0.00 Mz=3.06
Sollecitazioni agenti localmente: Ty_l=-1029.02 My_l=-21.11
Tensioni nella sezione: σ=255.90 τ=31.18
CC 2 SLD (Collegamento 0024_-381)
Azioni sul collegamento: N=-7347.75 Ty=4.54 Tz=-2.27 Mx=0.00 Mz=4.03
Sollecitazioni agenti localmente: Ty_l=-1318.60 My_l=-27.05
Tensioni nella sezione: σ=327.92 τ=39.96
CC 2 SLD (Collegamento 0024_-381)
Azioni sul collegamento: N=-7347.75 Ty=3.51 Tz=-2.27 Mx=0.00 Mz=3.06
Sollecitazioni agenti localmente: Ty_l=-1314.74 My_l=-26.97
Tensioni nella sezione: σ=326.90 τ=39.84
CC 2 SLD (Collegamento 0024_-381)
Azioni sul collegamento: N=-7347.75 Ty=4.54 Tz=3.73 Mx=0.00 Mz=4.03
Sollecitazioni agenti localmente: Ty_l=-1318.60 My_l=-27.05
Tensioni nella sezione: σ=327.92 τ=39.96
CC 2 SLD (Collegamento 0024_-381)
Azioni sul collegamento: N=-7347.75 Ty=3.51 Tz=3.73 Mx=0.00 Mz=3.06
Sollecitazioni agenti localmente: Ty_l=-1314.74 My_l=-26.97
Tensioni nella sezione: σ=326.90 τ=39.84
CC 3 SLV (Collegamento 0024_-381)
Azioni sul collegamento: N=-3937.31 Ty=5.92 Tz=-8.85 Mx=0.01 Mz=5.96
Sollecitazioni agenti localmente: Ty_l=-721.70 My_l=-14.83
Tensioni nella sezione: σ=179.73 τ=21.87

CC 3 SLV (Collegamento 0024_-381)
Azioni sul collegamento: N=-3937.31 Ty=3.82 Tz=-8.85 Mx=0.01 Mz=5.30
Sollecitazioni agenti localmente: Ty_l=-719.04 My_l=-14.77
Tensioni nella sezione: σ=179.03 τ=21.79
CC 3 SLV (Collegamento 0024_-381)
Azioni sul collegamento: N=-3937.31 Ty=5.92 Tz=10.56 Mx=0.01 Mz=5.96
Sollecitazioni agenti localmente: Ty_l=-721.70 My_l=-14.83
Tensioni nella sezione: σ=179.73 τ=21.87
CC 3 SLV (Collegamento 0024_-381)
Azioni sul collegamento: N=-3937.31 Ty=3.82 Tz=10.56 Mx=0.01 Mz=5.30
Sollecitazioni agenti localmente: Ty_l=-719.04 My_l=-14.77
Tensioni nella sezione: σ=179.03 τ=21.79
CC 3 SLV (Collegamento 0024_-381)
Azioni sul collegamento: N=-9211.43 Ty=5.92 Tz=-8.85 Mx=0.01 Mz=5.96
Sollecitazioni agenti localmente: Ty_l=-1656.65 My_l=-33.99
Tensioni nella sezione: σ=412.06 τ=50.20
CC 3 SLV (Collegamento 0024_-381)
Azioni sul collegamento: N=-9211.43 Ty=3.82 Tz=-8.85 Mx=0.01 Mz=5.30
Sollecitazioni agenti localmente: Ty_l=-1654.00 My_l=-33.94
Tensioni nella sezione: σ=411.35 τ=50.12
CC 3 SLV (Collegamento 0024_-381)
Azioni sul collegamento: N=-9211.43 Ty=5.92 Tz=10.56 Mx=0.01 Mz=5.96
Sollecitazioni agenti localmente: Ty_l=-1656.65 My_l=-33.99
Tensioni nella sezione: σ=412.06 τ=50.20
CC 3 SLV (Collegamento 0024_-381)
Azioni sul collegamento: N=-9211.43 Ty=3.82 Tz=10.56 Mx=0.01 Mz=5.30
Sollecitazioni agenti localmente: Ty_l=-1654.00 My_l=-33.94
Tensioni nella sezione: σ=411.35 τ=50.12
CC 4 SLD (Collegamento 0024_-381)
Azioni sul collegamento: N=-5737.77 Ty=4.34 Tz=-2.23 Mx=0.00 Mz=3.65
Sollecitazioni agenti localmente: Ty_l=-1031.66 My_l=-21.17
Tensioni nella sezione: σ=256.60 τ=31.26
CC 4 SLD (Collegamento 0024_-381)
Azioni sul collegamento: N=-5737.77 Ty=3.71 Tz=-2.23 Mx=0.00 Mz=3.45
Sollecitazioni agenti localmente: Ty_l=-1030.86 My_l=-21.15
Tensioni nella sezione: σ=256.38 τ=31.24
CC 4 SLD (Collegamento 0024_-381)
Azioni sul collegamento: N=-5737.77 Ty=4.34 Tz=3.69 Mx=0.00 Mz=3.65
Sollecitazioni agenti localmente: Ty_l=-1031.66 My_l=-21.17
Tensioni nella sezione: σ=256.60 τ=31.26
CC 4 SLD (Collegamento 0024_-381)
Azioni sul collegamento: N=-5737.77 Ty=3.71 Tz=3.69 Mx=0.00 Mz=3.45
Sollecitazioni agenti localmente: Ty_l=-1030.86 My_l=-21.15
Tensioni nella sezione: σ=256.38 τ=31.24
CC 4 SLD (Collegamento 0024_-381)
Azioni sul collegamento: N=-7346.01 Ty=4.34 Tz=-2.23 Mx=0.00 Mz=3.65
Sollecitazioni agenti localmente: Ty_l=-1316.76 My_l=-27.01
Tensioni nella sezione: σ=327.44 τ=39.90
CC 4 SLD (Collegamento 0024_-381)
Azioni sul collegamento: N=-7346.01 Ty=3.71 Tz=-2.23 Mx=0.00 Mz=3.45
Sollecitazioni agenti localmente: Ty_l=-1315.95 My_l=-27.00
Tensioni nella sezione: σ=327.23 τ=39.88
CC 4 SLD (Collegamento 0024_-381)
Azioni sul collegamento: N=-7346.01 Ty=4.34 Tz=3.69 Mx=0.00 Mz=3.65
Sollecitazioni agenti localmente: Ty_l=-1316.76 My_l=-27.01
Tensioni nella sezione: σ=327.44 τ=39.90
CC 4 SLD (Collegamento 0024_-381)
Azioni sul collegamento: N=-7346.01 Ty=3.71 Tz=3.69 Mx=0.00 Mz=3.45
Sollecitazioni agenti localmente: Ty_l=-1315.95 My_l=-27.00
Tensioni nella sezione: σ=327.23 τ=39.88
CC 5 SLV (Collegamento 0024_-381)
Azioni sul collegamento: N=-9211.43 Ty=3.82 Tz=10.56 Mx=0.01 Mz=5.30
Sollecitazioni agenti localmente: Ty_l=-1654.00 My_l=-33.94
Tensioni nella sezione: σ=411.35 τ=50.12
CC 5 SLV (Collegamento 0024_-381)
Azioni sul collegamento: N=-9211.43 Ty=5.92 Tz=10.56 Mx=0.01 Mz=5.96
Sollecitazioni agenti localmente: Ty_l=-1656.65 My_l=-33.99
Tensioni nella sezione: σ=412.06 τ=50.20
CC 5 SLV (Collegamento 0024_-381)
Azioni sul collegamento: N=-9211.43 Ty=3.82 Tz=-8.85 Mx=0.01 Mz=5.30
Sollecitazioni agenti localmente: Ty_l=-1654.00 My_l=-33.94
Tensioni nella sezione: σ=411.35 τ=50.12
CC 5 SLV (Collegamento 0024_-381)
Azioni sul collegamento: N=-9211.43 Ty=5.92 Tz=-8.85 Mx=0.01 Mz=5.96
Sollecitazioni agenti localmente: Ty_l=-1656.65 My_l=-33.99
Tensioni nella sezione: σ=412.06 τ=50.20
CC 5 SLV (Collegamento 0024_-381)
Azioni sul collegamento: N=-3937.31 Ty=3.82 Tz=10.56 Mx=0.01 Mz=5.30
Sollecitazioni agenti localmente: Ty_l=-719.04 My_l=-14.77

Tensioni nella sezione: σ=179.03 τ=21.79
CC 5 SLV (Collegamento 0024_-381)
Azioni sul collegamento: N=-3937.31 Ty=5.92 Tz=10.56 Mx=0.01 Mz=5.96
Sollecitazioni agenti localmente: Ty_l=-721.70 My_l=-14.83
Tensioni nella sezione: σ=179.73 τ=21.87
CC 5 SLV (Collegamento 0024_-381)
Azioni sul collegamento: N=-3937.31 Ty=3.82 Tz=-8.85 Mx=0.01 Mz=5.30
Sollecitazioni agenti localmente: Ty_l=-719.04 My_l=-14.77
Tensioni nella sezione: σ=179.03 τ=21.79
CC 5 SLV (Collegamento 0024_-381)
Azioni sul collegamento: N=-3937.31 Ty=5.92 Tz=-8.85 Mx=0.01 Mz=5.96
Sollecitazioni agenti localmente: Ty_l=-721.70 My_l=-14.83
Tensioni nella sezione: σ=179.73 τ=21.87
CC 6 SLD (Collegamento 0024_-381)
Azioni sul collegamento: N=-7346.01 Ty=3.71 Tz=3.69 Mx=0.00 Mz=3.45
Sollecitazioni agenti localmente: Ty_l=-1315.95 My_l=-27.00
Tensioni nella sezione: σ=327.23 τ=39.88
CC 6 SLD (Collegamento 0024_-381)
Azioni sul collegamento: N=-7346.01 Ty=4.34 Tz=3.69 Mx=0.00 Mz=3.65
Sollecitazioni agenti localmente: Ty_l=-1316.76 My_l=-27.01
Tensioni nella sezione: σ=327.44 τ=39.90
CC 6 SLD (Collegamento 0024_-381)
Azioni sul collegamento: N=-7346.01 Ty=3.71 Tz=-2.23 Mx=0.00 Mz=3.45
Sollecitazioni agenti localmente: Ty_l=-1315.95 My_l=-27.00
Tensioni nella sezione: σ=327.23 τ=39.88
CC 6 SLD (Collegamento 0024_-381)
Azioni sul collegamento: N=-7346.01 Ty=4.34 Tz=-2.23 Mx=0.00 Mz=3.65
Sollecitazioni agenti localmente: Ty_l=-1316.76 My_l=-27.01
Tensioni nella sezione: σ=327.44 τ=39.90
CC 6 SLD (Collegamento 0024_-381)
Azioni sul collegamento: N=-5737.77 Ty=3.71 Tz=3.69 Mx=0.00 Mz=3.45
Sollecitazioni agenti localmente: Ty_l=-1030.86 My_l=-21.15
Tensioni nella sezione: σ=256.38 τ=31.24
CC 6 SLD (Collegamento 0024_-381)
Azioni sul collegamento: N=-5737.77 Ty=4.34 Tz=3.69 Mx=0.00 Mz=3.65
Sollecitazioni agenti localmente: Ty_l=-1031.66 My_l=-21.17
Tensioni nella sezione: σ=256.60 τ=31.26
CC 6 SLD (Collegamento 0024_-381)
Azioni sul collegamento: N=-5737.77 Ty=3.71 Tz=-2.23 Mx=0.00 Mz=3.45
Sollecitazioni agenti localmente: Ty_l=-1030.86 My_l=-21.15
Tensioni nella sezione: σ=256.38 τ=31.24
CC 6 SLD (Collegamento 0024_-381)
Azioni sul collegamento: N=-5737.77 Ty=4.34 Tz=-2.23 Mx=0.00 Mz=3.65
Sollecitazioni agenti localmente: Ty_l=-1031.66 My_l=-21.17
Tensioni nella sezione: σ=256.60 τ=31.26
CC 7 SLV (Collegamento 0024_-381)
Azioni sul collegamento: N=-9217.12 Ty=3.19 Tz=10.69 Mx=0.01 Mz=4.04
Sollecitazioni agenti localmente: Ty_l=-1650.01 My_l=-33.85
Tensioni nella sezione: σ=410.27 τ=50.00
CC 7 SLV (Collegamento 0024_-381)
Azioni sul collegamento: N=-9217.12 Ty=6.55 Tz=10.69 Mx=0.01 Mz=7.22
Sollecitazioni agenti localmente: Ty_l=-1662.66 My_l=-34.12
Tensioni nella sezione: σ=413.63 τ=50.38
CC 7 SLV (Collegamento 0024_-381)
Azioni sul collegamento: N=-9217.12 Ty=3.19 Tz=-8.98 Mx=0.01 Mz=4.04
Sollecitazioni agenti localmente: Ty_l=-1650.01 My_l=-33.85
Tensioni nella sezione: σ=410.27 τ=50.00
CC 7 SLV (Collegamento 0024_-381)
Azioni sul collegamento: N=-9217.12 Ty=6.55 Tz=-8.98 Mx=0.01 Mz=7.22
Sollecitazioni agenti localmente: Ty_l=-1662.66 My_l=-34.12
Tensioni nella sezione: σ=413.63 τ=50.38
CC 7 SLV (Collegamento 0024_-381)
Azioni sul collegamento: N=-3931.62 Ty=3.19 Tz=10.69 Mx=0.01 Mz=4.04
Sollecitazioni agenti localmente: Ty_l=-713.03 My_l=-14.64
Tensioni nella sezione: σ=177.45 τ=21.61
CC 7 SLV (Collegamento 0024_-381)
Azioni sul collegamento: N=-3931.62 Ty=6.55 Tz=10.69 Mx=0.01 Mz=7.22
Sollecitazioni agenti localmente: Ty_l=-725.69 My_l=-14.92
Tensioni nella sezione: σ=180.81 τ=21.99
CC 7 SLV (Collegamento 0024_-381)
Azioni sul collegamento: N=-3931.62 Ty=3.19 Tz=-8.98 Mx=0.01 Mz=4.04
Sollecitazioni agenti localmente: Ty_l=-713.03 My_l=-14.64
Tensioni nella sezione: σ=177.45 τ=21.61
CC 7 SLV (Collegamento 0024_-381)
Azioni sul collegamento: N=-3931.62 Ty=6.55 Tz=-8.98 Mx=0.01 Mz=7.22
Sollecitazioni agenti localmente: Ty_l=-725.69 My_l=-14.92
Tensioni nella sezione: σ=180.81 τ=21.99
CC 8 SLD (Collegamento 0024_-381)
Azioni sul collegamento: N=-7347.75 Ty=3.51 Tz=3.73 Mx=-0.00 Mz=3.06

Sollecitazioni agenti localmente: Ty_l=-1314.74 My_l=-26.97
Tensioni nella sezione: σ=326.90 τ=39.84
CC 8 SLD (Collegamento 0024_-381)
Azioni sul collegamento: N=-7347.75 Ty=4.54 Tz=3.73 Mx=-0.00 Mz=4.03
Sollecitazioni agenti localmente: Ty_l=-1318.60 My_l=-27.05
Tensioni nella sezione: σ=327.92 τ=39.96
CC 8 SLD (Collegamento 0024_-381)
Azioni sul collegamento: N=-7347.75 Ty=3.51 Tz=-2.27 Mx=-0.00 Mz=3.06
Sollecitazioni agenti localmente: Ty_l=-1314.74 My_l=-26.97
Tensioni nella sezione: σ=326.90 τ=39.84
CC 8 SLD (Collegamento 0024_-381)
Azioni sul collegamento: N=-7347.75 Ty=4.54 Tz=-2.27 Mx=-0.00 Mz=4.03
Sollecitazioni agenti localmente: Ty_l=-1318.60 My_l=-27.05
Tensioni nella sezione: σ=327.92 τ=39.96
CC 8 SLD (Collegamento 0024_-381)
Azioni sul collegamento: N=-5736.03 Ty=3.51 Tz=3.73 Mx=-0.00 Mz=3.06
Sollecitazioni agenti localmente: Ty_l=-1029.02 My_l=-21.11
Tensioni nella sezione: σ=255.90 τ=31.18
CC 8 SLD (Collegamento 0024_-381)
Azioni sul collegamento: N=-5736.03 Ty=4.54 Tz=3.73 Mx=-0.00 Mz=4.03
Sollecitazioni agenti localmente: Ty_l=-1032.88 My_l=-21.20
Tensioni nella sezione: σ=256.93 τ=31.30
CC 8 SLD (Collegamento 0024_-381)
Azioni sul collegamento: N=-5736.03 Ty=3.51 Tz=-2.27 Mx=-0.00 Mz=3.06
Sollecitazioni agenti localmente: Ty_l=-1029.02 My_l=-21.11
Tensioni nella sezione: σ=255.90 τ=31.18
CC 8 SLD (Collegamento 0024_-381)
Azioni sul collegamento: N=-5736.03 Ty=4.54 Tz=-2.27 Mx=-0.00 Mz=4.03
Sollecitazioni agenti localmente: Ty_l=-1032.88 My_l=-21.20
Tensioni nella sezione: σ=256.93 τ=31.30
CC 9 SLV (Collegamento 0024_-381)
Azioni sul collegamento: N=-5772.92 Ty=6.34 Tz=-2.29 Mx=0.02 Mz=8.01
Sollecitazioni agenti localmente: Ty_l=-1055.26 My_l=-21.68
Tensioni nella sezione: σ=262.76 τ=31.98
CC 9 SLV (Collegamento 0024_-381)
Azioni sul collegamento: N=-5772.92 Ty=3.40 Tz=-2.29 Mx=0.02 Mz=3.25
Sollecitazioni agenti localmente: Ty_l=-1036.29 My_l=-21.26
Tensioni nella sezione: σ=257.72 τ=31.40
CC 9 SLV (Collegamento 0024_-381)
Azioni sul collegamento: N=-5772.92 Ty=6.34 Tz=4.00 Mx=0.02 Mz=8.01
Sollecitazioni agenti localmente: Ty_l=-1055.26 My_l=-21.68
Tensioni nella sezione: σ=262.76 τ=31.98
CC 9 SLV (Collegamento 0024_-381)
Azioni sul collegamento: N=-5772.92 Ty=3.40 Tz=4.00 Mx=0.02 Mz=3.25
Sollecitazioni agenti localmente: Ty_l=-1036.29 My_l=-21.26
Tensioni nella sezione: σ=257.72 τ=31.40
CC 9 SLV (Collegamento 0024_-381)
Azioni sul collegamento: N=-7375.82 Ty=6.34 Tz=-2.29 Mx=0.02 Mz=8.01
Sollecitazioni agenti localmente: Ty_l=-1339.41 My_l=-27.50
Tensioni nella sezione: σ=333.36 τ=40.59
CC 9 SLV (Collegamento 0024_-381)
Azioni sul collegamento: N=-7375.82 Ty=3.40 Tz=-2.29 Mx=0.02 Mz=3.25
Sollecitazioni agenti localmente: Ty_l=-1320.44 My_l=-27.09
Tensioni nella sezione: σ=328.33 τ=40.01
CC 9 SLV (Collegamento 0024_-381)
Azioni sul collegamento: N=-7375.82 Ty=6.34 Tz=4.00 Mx=0.02 Mz=8.01
Sollecitazioni agenti localmente: Ty_l=-1339.41 My_l=-27.50
Tensioni nella sezione: σ=333.36 τ=40.59
CC 9 SLV (Collegamento 0024_-381)
Azioni sul collegamento: N=-7375.82 Ty=3.40 Tz=4.00 Mx=0.02 Mz=3.25
Sollecitazioni agenti localmente: Ty_l=-1320.44 My_l=-27.09
Tensioni nella sezione: σ=328.33 τ=40.01
CC 10 SLD (Collegamento 0024_-381)
Azioni sul collegamento: N=-6297.50 Ty=4.47 Tz=-0.23 Mx=0.00 Mz=4.27
Sollecitazioni agenti localmente: Ty_l=-1133.38 My_l=-23.26
Tensioni nella sezione: σ=281.92 τ=34.34
CC 10 SLD (Collegamento 0024_-381)
Azioni sul collegamento: N=-6297.50 Ty=3.58 Tz=-0.23 Mx=0.00 Mz=2.82
Sollecitazioni agenti localmente: Ty_l=-1127.59 My_l=-23.13
Tensioni nella sezione: σ=280.38 τ=34.17
CC 10 SLD (Collegamento 0024_-381)
Azioni sul collegamento: N=-6297.50 Ty=4.47 Tz=1.69 Mx=0.00 Mz=4.27
Sollecitazioni agenti localmente: Ty_l=-1133.38 My_l=-23.26
Tensioni nella sezione: σ=281.92 τ=34.34
CC 10 SLD (Collegamento 0024_-381)
Azioni sul collegamento: N=-6297.50 Ty=3.58 Tz=1.69 Mx=0.00 Mz=2.82
Sollecitazioni agenti localmente: Ty_l=-1127.59 My_l=-23.13
Tensioni nella sezione: σ=280.38 τ=34.17
CC 10 SLD (Collegamento 0024_-381)

Azioni sul collegamento: N=-6786.28 Ty=4.47 Tz=-0.23 Mx=0.00 Mz=4.27
Sollecitazioni agenti localmente: Ty_l=-1220.02 My_l=-25.03
Tensioni nella sezione: σ=303.45 τ=36.97
CC 10 SLD (Collegamento 0024_-381)
Azioni sul collegamento: N=-6786.28 Ty=3.58 Tz=-0.23 Mx=0.00 Mz=2.82
Sollecitazioni agenti localmente: Ty_l=-1214.24 My_l=-24.91
Tensioni nella sezione: σ=301.91 τ=36.80
CC 10 SLD (Collegamento 0024_-381)
Azioni sul collegamento: N=-6786.28 Ty=4.47 Tz=1.69 Mx=0.00 Mz=4.27
Sollecitazioni agenti localmente: Ty_l=-1220.02 My_l=-25.03
Tensioni nella sezione: σ=303.45 τ=36.97
CC 10 SLD (Collegamento 0024_-381)
Azioni sul collegamento: N=-6786.28 Ty=3.58 Tz=1.69 Mx=0.00 Mz=2.82
Sollecitazioni agenti localmente: Ty_l=-1214.24 My_l=-24.91
Tensioni nella sezione: σ=301.91 τ=36.80
CC 11 SLV (Collegamento 0024_-381)
Azioni sul collegamento: N=-7356.86 Ty=5.52 Tz=3.57 Mx=0.02 Mz=7.44
Sollecitazioni agenti localmente: Ty_l=-1333.75 My_l=-27.38
Tensioni nella sezione: σ=331.92 τ=40.42
CC 11 SLV (Collegamento 0024_-381)
Azioni sul collegamento: N=-7356.86 Ty=4.22 Tz=3.57 Mx=0.02 Mz=3.82
Sollecitazioni agenti localmente: Ty_l=-1319.38 My_l=-27.07
Tensioni nella sezione: σ=328.10 τ=39.98
CC 11 SLV (Collegamento 0024_-381)
Azioni sul collegamento: N=-7356.86 Ty=5.52 Tz=-1.86 Mx=0.02 Mz=7.44
Sollecitazioni agenti localmente: Ty_l=-1333.75 My_l=-27.38
Tensioni nella sezione: σ=331.92 τ=40.42
CC 11 SLV (Collegamento 0024_-381)
Azioni sul collegamento: N=-7356.86 Ty=4.22 Tz=-1.86 Mx=0.02 Mz=3.82
Sollecitazioni agenti localmente: Ty_l=-1319.38 My_l=-27.07
Tensioni nella sezione: σ=328.10 τ=39.98
CC 11 SLV (Collegamento 0024_-381)
Azioni sul collegamento: N=-5791.88 Ty=5.52 Tz=3.57 Mx=0.02 Mz=7.44
Sollecitazioni agenti localmente: Ty_l=-1056.32 My_l=-21.70
Tensioni nella sezione: σ=262.98 τ=32.01
CC 11 SLV (Collegamento 0024_-381)
Azioni sul collegamento: N=-5791.88 Ty=4.22 Tz=3.57 Mx=0.02 Mz=3.82
Sollecitazioni agenti localmente: Ty_l=-1041.95 My_l=-21.38
Tensioni nella sezione: σ=259.17 τ=31.57
CC 11 SLV (Collegamento 0024_-381)
Azioni sul collegamento: N=-5791.88 Ty=5.52 Tz=-1.86 Mx=0.02 Mz=7.44
Sollecitazioni agenti localmente: Ty_l=-1056.32 My_l=-21.70
Tensioni nella sezione: σ=262.98 τ=32.01
CC 11 SLV (Collegamento 0024_-381)
Azioni sul collegamento: N=-5791.88 Ty=4.22 Tz=-1.86 Mx=0.02 Mz=3.82
Sollecitazioni agenti localmente: Ty_l=-1041.95 My_l=-21.38
Tensioni nella sezione: σ=259.17 τ=31.57
CC 12 SLD (Collegamento 0024_-381)
Azioni sul collegamento: N=-6780.50 Ty=4.22 Tz=1.56 Mx=0.00 Mz=4.10
Sollecitazioni agenti localmente: Ty_l=-1218.30 My_l=-25.00
Tensioni nella sezione: σ=303.00 τ=36.92
CC 12 SLD (Collegamento 0024_-381)
Azioni sul collegamento: N=-6780.50 Ty=3.83 Tz=1.56 Mx=0.00 Mz=3.00
Sollecitazioni agenti localmente: Ty_l=-1213.92 My_l=-24.90
Tensioni nella sezione: σ=301.84 τ=36.79
CC 12 SLD (Collegamento 0024_-381)
Azioni sul collegamento: N=-6780.50 Ty=4.22 Tz=-0.10 Mx=0.00 Mz=4.10
Sollecitazioni agenti localmente: Ty_l=-1218.30 My_l=-25.00
Tensioni nella sezione: σ=303.00 τ=36.92
CC 12 SLD (Collegamento 0024_-381)
Azioni sul collegamento: N=-6780.50 Ty=3.83 Tz=-0.10 Mx=0.00 Mz=3.00
Sollecitazioni agenti localmente: Ty_l=-1213.92 My_l=-24.90
Tensioni nella sezione: σ=301.84 τ=36.79
CC 12 SLD (Collegamento 0024_-381)
Azioni sul collegamento: N=-6303.28 Ty=4.22 Tz=1.56 Mx=0.00 Mz=4.10
Sollecitazioni agenti localmente: Ty_l=-1133.70 My_l=-23.26
Tensioni nella sezione: σ=281.98 τ=34.35
CC 12 SLD (Collegamento 0024_-381)
Azioni sul collegamento: N=-6303.28 Ty=3.83 Tz=1.56 Mx=0.00 Mz=3.00
Sollecitazioni agenti localmente: Ty_l=-1129.32 My_l=-23.17
Tensioni nella sezione: σ=280.82 τ=34.22
CC 12 SLD (Collegamento 0024_-381)
Azioni sul collegamento: N=-6303.28 Ty=4.22 Tz=-0.10 Mx=0.00 Mz=4.10
Sollecitazioni agenti localmente: Ty_l=-1133.70 My_l=-23.26
Tensioni nella sezione: σ=281.98 τ=34.35
CC 12 SLD (Collegamento 0024_-381)
Azioni sul collegamento: N=-6303.28 Ty=3.83 Tz=-0.10 Mx=0.00 Mz=3.00
Sollecitazioni agenti localmente: Ty_l=-1129.32 My_l=-23.17
Tensioni nella sezione: σ=280.82 τ=34.22

CC 13 SLV (Collegamento 0024_-381)
Azioni sul collegamento: N=-5791.88 Ty=4.22 Tz=-1.86 Mx=0.00 Mz=3.82
Sollecitazioni agenti localmente: Ty_l=-1041.95 My_l=-21.38
Tensioni nella sezione: σ=259.17 τ=31.57
CC 13 SLV (Collegamento 0024_-381)
Azioni sul collegamento: N=-5791.88 Ty=5.52 Tz=-1.86 Mx=0.00 Mz=7.44
Sollecitazioni agenti localmente: Ty_l=-1056.32 My_l=-21.70
Tensioni nella sezione: σ=262.98 τ=32.01
CC 13 SLV (Collegamento 0024_-381)
Azioni sul collegamento: N=-5791.88 Ty=4.22 Tz=3.57 Mx=0.00 Mz=3.82
Sollecitazioni agenti localmente: Ty_l=-1041.95 My_l=-21.38
Tensioni nella sezione: σ=259.17 τ=31.57
CC 13 SLV (Collegamento 0024_-381)
Azioni sul collegamento: N=-5791.88 Ty=5.52 Tz=3.57 Mx=0.00 Mz=7.44
Sollecitazioni agenti localmente: Ty_l=-1056.32 My_l=-21.70
Tensioni nella sezione: σ=262.98 τ=32.01
CC 13 SLV (Collegamento 0024_-381)
Azioni sul collegamento: N=-7356.86 Ty=4.22 Tz=-1.86 Mx=0.00 Mz=3.82
Sollecitazioni agenti localmente: Ty_l=-1319.38 My_l=-27.07
Tensioni nella sezione: σ=328.10 τ=39.98
CC 13 SLV (Collegamento 0024_-381)
Azioni sul collegamento: N=-7356.86 Ty=5.52 Tz=-1.86 Mx=0.00 Mz=7.44
Sollecitazioni agenti localmente: Ty_l=-1333.75 My_l=-27.38
Tensioni nella sezione: σ=331.92 τ=40.42
CC 13 SLV (Collegamento 0024_-381)
Azioni sul collegamento: N=-7356.86 Ty=4.22 Tz=3.57 Mx=0.00 Mz=3.82
Sollecitazioni agenti localmente: Ty_l=-1319.38 My_l=-27.07
Tensioni nella sezione: σ=328.10 τ=39.98
CC 13 SLV (Collegamento 0024_-381)
Azioni sul collegamento: N=-7356.86 Ty=5.52 Tz=3.57 Mx=0.00 Mz=7.44
Sollecitazioni agenti localmente: Ty_l=-1333.75 My_l=-27.38
Tensioni nella sezione: σ=331.92 τ=40.42
CC 14 SLD (Collegamento 0024_-381)
Azioni sul collegamento: N=-6303.28 Ty=3.83 Tz=-0.10 Mx=-0.00 Mz=3.00
Sollecitazioni agenti localmente: Ty_l=-1129.32 My_l=-23.17
Tensioni nella sezione: σ=280.82 τ=34.22
CC 14 SLD (Collegamento 0024_-381)
Azioni sul collegamento: N=-6303.28 Ty=4.22 Tz=-0.10 Mx=-0.00 Mz=4.10
Sollecitazioni agenti localmente: Ty_l=-1133.70 My_l=-23.26
Tensioni nella sezione: σ=281.98 τ=34.35
CC 14 SLD (Collegamento 0024_-381)
Azioni sul collegamento: N=-6303.28 Ty=3.83 Tz=1.56 Mx=-0.00 Mz=3.00
Sollecitazioni agenti localmente: Ty_l=-1129.32 My_l=-23.17
Tensioni nella sezione: σ=280.82 τ=34.22
CC 14 SLD (Collegamento 0024_-381)
Azioni sul collegamento: N=-6303.28 Ty=4.22 Tz=1.56 Mx=-0.00 Mz=4.10
Sollecitazioni agenti localmente: Ty_l=-1133.70 My_l=-23.26
Tensioni nella sezione: σ=281.98 τ=34.35
CC 14 SLD (Collegamento 0024_-381)
Azioni sul collegamento: N=-6780.50 Ty=3.83 Tz=-0.10 Mx=-0.00 Mz=3.00
Sollecitazioni agenti localmente: Ty_l=-1213.92 My_l=-24.90
Tensioni nella sezione: σ=301.84 τ=36.79
CC 14 SLD (Collegamento 0024_-381)
Azioni sul collegamento: N=-6780.50 Ty=4.22 Tz=-0.10 Mx=-0.00 Mz=4.10
Sollecitazioni agenti localmente: Ty_l=-1218.30 My_l=-25.00
Tensioni nella sezione: σ=303.00 τ=36.92
CC 14 SLD (Collegamento 0024_-381)
Azioni sul collegamento: N=-6780.50 Ty=3.83 Tz=1.56 Mx=-0.00 Mz=3.00
Sollecitazioni agenti localmente: Ty_l=-1213.92 My_l=-24.90
Tensioni nella sezione: σ=301.84 τ=36.79
CC 14 SLD (Collegamento 0024_-381)
Azioni sul collegamento: N=-6780.50 Ty=4.22 Tz=1.56 Mx=-0.00 Mz=4.10
Sollecitazioni agenti localmente: Ty_l=-1218.30 My_l=-25.00
Tensioni nella sezione: σ=303.00 τ=36.92
CC 15 SLV (Collegamento 0024_-381)
Azioni sul collegamento: N=-7375.82 Ty=3.40 Tz=4.00 Mx=0.00 Mz=3.25
Sollecitazioni agenti localmente: Ty_l=-1320.44 My_l=-27.09
Tensioni nella sezione: σ=328.33 τ=40.01
CC 15 SLV (Collegamento 0024_-381)
Azioni sul collegamento: N=-7375.82 Ty=6.34 Tz=4.00 Mx=0.00 Mz=8.01
Sollecitazioni agenti localmente: Ty_l=-1339.41 My_l=-27.50
Tensioni nella sezione: σ=333.36 τ=40.59
CC 15 SLV (Collegamento 0024_-381)
Azioni sul collegamento: N=-7375.82 Ty=3.40 Tz=-2.29 Mx=0.00 Mz=3.25
Sollecitazioni agenti localmente: Ty_l=-1320.44 My_l=-27.09
Tensioni nella sezione: σ=328.33 τ=40.01
CC 15 SLV (Collegamento 0024_-381)
Azioni sul collegamento: N=-7375.82 Ty=6.34 Tz=-2.29 Mx=0.00 Mz=8.01
Sollecitazioni agenti localmente: Ty_l=-1339.41 My_l=-27.50

Tensioni nella sezione: σ=333.36 τ=40.59
CC 15 SLV (Collegamento 0024_-381)
Azioni sul collegamento: N=-5772.92 Ty=3.40 Tz=4.00 Mx=0.00 Mz=3.25
Sollecitazioni agenti localmente: Ty_l=-1036.29 My_l=-21.26
Tensioni nella sezione: σ=257.72 τ=31.40
CC 15 SLV (Collegamento 0024_-381)
Azioni sul collegamento: N=-5772.92 Ty=6.34 Tz=4.00 Mx=0.00 Mz=8.01
Sollecitazioni agenti localmente: Ty_l=-1055.26 My_l=-21.68
Tensioni nella sezione: σ=262.76 τ=31.98
CC 15 SLV (Collegamento 0024_-381)
Azioni sul collegamento: N=-5772.92 Ty=3.40 Tz=-2.29 Mx=0.00 Mz=3.25
Sollecitazioni agenti localmente: Ty_l=-1036.29 My_l=-21.26
Tensioni nella sezione: σ=257.72 τ=31.40
CC 15 SLV (Collegamento 0024_-381)
Azioni sul collegamento: N=-5772.92 Ty=6.34 Tz=-2.29 Mx=0.00 Mz=8.01
Sollecitazioni agenti localmente: Ty_l=-1055.26 My_l=-21.68
Tensioni nella sezione: σ=262.76 τ=31.98
CC 16 SLD (Collegamento 0024_-381)
Azioni sul collegamento: N=-6786.28 Ty=3.58 Tz=1.69 Mx=-0.00 Mz=2.82
Sollecitazioni agenti localmente: Ty_l=-1214.24 My_l=-24.91
Tensioni nella sezione: σ=301.91 τ=36.80
CC 16 SLD (Collegamento 0024_-381)
Azioni sul collegamento: N=-6786.28 Ty=4.47 Tz=1.69 Mx=-0.00 Mz=4.27
Sollecitazioni agenti localmente: Ty_l=-1220.02 My_l=-25.03
Tensioni nella sezione: σ=303.45 τ=36.97
CC 16 SLD (Collegamento 0024_-381)
Azioni sul collegamento: N=-6786.28 Ty=3.58 Tz=-0.23 Mx=-0.00 Mz=2.82
Sollecitazioni agenti localmente: Ty_l=-1214.24 My_l=-24.91
Tensioni nella sezione: σ=301.91 τ=36.80
CC 16 SLD (Collegamento 0024_-381)
Azioni sul collegamento: N=-6786.28 Ty=4.47 Tz=-0.23 Mx=-0.00 Mz=4.27
Sollecitazioni agenti localmente: Ty_l=-1220.02 My_l=-25.03
Tensioni nella sezione: σ=303.45 τ=36.97
CC 16 SLD (Collegamento 0024_-381)
Azioni sul collegamento: N=-6297.50 Ty=3.58 Tz=1.69 Mx=-0.00 Mz=2.82
Sollecitazioni agenti localmente: Ty_l=-1127.59 My_l=-23.13
Tensioni nella sezione: σ=280.38 τ=34.17
CC 16 SLD (Collegamento 0024_-381)
Azioni sul collegamento: N=-6297.50 Ty=4.47 Tz=1.69 Mx=-0.00 Mz=4.27
Sollecitazioni agenti localmente: Ty_l=-1133.38 My_l=-23.26
Tensioni nella sezione: σ=281.92 τ=34.34
CC 16 SLD (Collegamento 0024_-381)
Azioni sul collegamento: N=-6297.50 Ty=3.58 Tz=-0.23 Mx=-0.00 Mz=2.82
Sollecitazioni agenti localmente: Ty_l=-1127.59 My_l=-23.13
Tensioni nella sezione: σ=280.38 τ=34.17
CC 16 SLD (Collegamento 0024_-381)
Azioni sul collegamento: N=-6297.50 Ty=4.47 Tz=-0.23 Mx=-0.00 Mz=4.27
Sollecitazioni agenti localmente: Ty_l=-1133.38 My_l=-23.26
Tensioni nella sezione: σ=281.92 τ=34.34
CC 17 SLV (Collegamento 0024_-381)
Azioni sul collegamento: N=-3838.16 Ty=0.76 Tz=-9.35 Mx=-0.02 Mz=1.23
Sollecitazioni agenti localmente: Ty_l=-685.29 My_l=-14.06
Tensioni nella sezione: σ=170.37 τ=20.77
CC 17 SLV (Collegamento 0024_-381)
Azioni sul collegamento: N=-3838.16 Ty=4.12 Tz=-9.35 Mx=-0.02 Mz=-1.95
Sollecitazioni agenti localmente: Ty_l=-672.64 My_l=-13.78
Tensioni nella sezione: σ=167.01 τ=20.38
CC 17 SLV (Collegamento 0024_-381)
Azioni sul collegamento: N=-3838.16 Ty=0.76 Tz=10.33 Mx=-0.02 Mz=1.23
Sollecitazioni agenti localmente: Ty_l=-685.29 My_l=-14.06
Tensioni nella sezione: σ=170.37 τ=20.77
CC 17 SLV (Collegamento 0024_-381)
Azioni sul collegamento: N=-3838.16 Ty=4.12 Tz=10.33 Mx=-0.02 Mz=-1.95
Sollecitazioni agenti localmente: Ty_l=-672.64 My_l=-13.78
Tensioni nella sezione: σ=167.01 τ=20.38
CC 17 SLV (Collegamento 0024_-381)
Azioni sul collegamento: N=-9123.66 Ty=0.76 Tz=-9.35 Mx=-0.02 Mz=1.23
Sollecitazioni agenti localmente: Ty_l=-1622.27 My_l=-33.26
Tensioni nella sezione: σ=403.19 τ=49.16
CC 17 SLV (Collegamento 0024_-381)
Azioni sul collegamento: N=-9123.66 Ty=4.12 Tz=-9.35 Mx=-0.02 Mz=-1.95
Sollecitazioni agenti localmente: Ty_l=-1609.61 My_l=-32.99
Tensioni nella sezione: σ=399.83 τ=48.78
CC 17 SLV (Collegamento 0024_-381)
Azioni sul collegamento: N=-9123.66 Ty=0.76 Tz=10.33 Mx=-0.02 Mz=1.23
Sollecitazioni agenti localmente: Ty_l=-1622.27 My_l=-33.26
Tensioni nella sezione: σ=403.19 τ=49.16
CC 17 SLV (Collegamento 0024_-381)
Azioni sul collegamento: N=-9123.66 Ty=4.12 Tz=10.33 Mx=-0.02 Mz=-1.95

Sollecitazioni agenti localmente: Ty_l=-1609.61 My_l=-32.99
Tensioni nella sezione: σ=399.83 τ=48.78
CC 18 SLD (Collegamento 0024_-381)
Azioni sul collegamento: N=-5707.53 Ty=3.80 Tz=-2.38 Mx=-0.01 Mz=2.21
Sollecitazioni agenti localmente: Ty_l=-1020.56 My_l=-20.93
Tensioni nella sezione: σ=253.74 τ=30.93
CC 18 SLD (Collegamento 0024_-381)
Azioni sul collegamento: N=-5707.53 Ty=2.77 Tz=-2.38 Mx=-0.01 Mz=1.24
Sollecitazioni agenti localmente: Ty_l=-1016.71 My_l=-20.85
Tensioni nella sezione: σ=252.72 τ=30.81
CC 18 SLD (Collegamento 0024_-381)
Azioni sul collegamento: N=-5707.53 Ty=3.80 Tz=3.62 Mx=-0.01 Mz=2.21
Sollecitazioni agenti localmente: Ty_l=-1020.56 My_l=-20.93
Tensioni nella sezione: σ=253.74 τ=30.93
CC 18 SLD (Collegamento 0024_-381)
Azioni sul collegamento: N=-5707.53 Ty=2.77 Tz=3.62 Mx=-0.01 Mz=1.24
Sollecitazioni agenti localmente: Ty_l=-1016.71 My_l=-20.85
Tensioni nella sezione: σ=252.72 τ=30.81
CC 18 SLD (Collegamento 0024_-381)
Azioni sul collegamento: N=-7319.25 Ty=3.80 Tz=-2.38 Mx=-0.01 Mz=2.21
Sollecitazioni agenti localmente: Ty_l=-1306.28 My_l=-26.79
Tensioni nella sezione: σ=324.74 τ=39.58
CC 18 SLD (Collegamento 0024_-381)
Azioni sul collegamento: N=-7319.25 Ty=2.77 Tz=-2.38 Mx=-0.01 Mz=1.24
Sollecitazioni agenti localmente: Ty_l=-1302.42 My_l=-26.71
Tensioni nella sezione: σ=323.71 τ=39.47
CC 18 SLD (Collegamento 0024_-381)
Azioni sul collegamento: N=-7319.25 Ty=3.80 Tz=3.62 Mx=-0.01 Mz=2.21
Sollecitazioni agenti localmente: Ty_l=-1306.28 My_l=-26.79
Tensioni nella sezione: σ=324.74 τ=39.58
CC 18 SLD (Collegamento 0024_-381)
Azioni sul collegamento: N=-7319.25 Ty=2.77 Tz=3.62 Mx=-0.01 Mz=1.24
Sollecitazioni agenti localmente: Ty_l=-1302.42 My_l=-26.71
Tensioni nella sezione: σ=323.71 τ=39.47
CC 19 SLV (Collegamento 0024_-381)
Azioni sul collegamento: N=-3843.85 Ty=1.39 Tz=-9.22 Mx=-0.02 Mz=-0.03
Sollecitazioni agenti localmente: Ty_l=-681.30 My_l=-13.97
Tensioni nella sezione: σ=169.29 τ=20.65
CC 19 SLV (Collegamento 0024_-381)
Azioni sul collegamento: N=-3843.85 Ty=3.49 Tz=-9.22 Mx=-0.02 Mz=-0.69
Sollecitazioni agenti localmente: Ty_l=-678.65 My_l=-13.91
Tensioni nella sezione: σ=168.59 τ=20.57
CC 19 SLV (Collegamento 0024_-381)
Azioni sul collegamento: N=-3843.85 Ty=1.39 Tz=10.20 Mx=-0.02 Mz=-0.03
Sollecitazioni agenti localmente: Ty_l=-681.30 My_l=-13.97
Tensioni nella sezione: σ=169.29 τ=20.65
CC 19 SLV (Collegamento 0024_-381)
Azioni sul collegamento: N=-3843.85 Ty=3.49 Tz=10.20 Mx=-0.02 Mz=-0.69
Sollecitazioni agenti localmente: Ty_l=-678.65 My_l=-13.91
Tensioni nella sezione: σ=168.59 τ=20.57
CC 19 SLV (Collegamento 0024_-381)
Azioni sul collegamento: N=-9117.97 Ty=1.39 Tz=-9.22 Mx=-0.02 Mz=-0.03
Sollecitazioni agenti localmente: Ty_l=-1616.26 My_l=-33.13
Tensioni nella sezione: σ=401.61 τ=48.98
CC 19 SLV (Collegamento 0024_-381)
Azioni sul collegamento: N=-9117.97 Ty=3.49 Tz=-9.22 Mx=-0.02 Mz=-0.69
Sollecitazioni agenti localmente: Ty_l=-1613.60 My_l=-33.08
Tensioni nella sezione: σ=400.91 τ=48.90
CC 19 SLV (Collegamento 0024_-381)
Azioni sul collegamento: N=-9117.97 Ty=1.39 Tz=10.20 Mx=-0.02 Mz=-0.03
Sollecitazioni agenti localmente: Ty_l=-1616.26 My_l=-33.13
Tensioni nella sezione: σ=401.61 τ=48.98
CC 19 SLV (Collegamento 0024_-381)
Azioni sul collegamento: N=-9117.97 Ty=3.49 Tz=10.20 Mx=-0.02 Mz=-0.69
Sollecitazioni agenti localmente: Ty_l=-1613.60 My_l=-33.08
Tensioni nella sezione: σ=400.91 τ=48.90
CC 20 SLD (Collegamento 0024_-381)
Azioni sul collegamento: N=-5709.27 Ty=3.60 Tz=-2.35 Mx=-0.01 Mz=1.82
Sollecitazioni agenti localmente: Ty_l=-1019.35 My_l=-20.91
Tensioni nella sezione: σ=253.41 τ=30.89
CC 20 SLD (Collegamento 0024_-381)
Azioni sul collegamento: N=-5709.27 Ty=2.97 Tz=-2.35 Mx=-0.01 Mz=1.62
Sollecitazioni agenti localmente: Ty_l=-1018.54 My_l=-20.89
Tensioni nella sezione: σ=253.20 τ=30.86
CC 20 SLD (Collegamento 0024_-381)
Azioni sul collegamento: N=-5709.27 Ty=3.60 Tz=3.58 Mx=-0.01 Mz=1.82
Sollecitazioni agenti localmente: Ty_l=-1019.35 My_l=-20.91
Tensioni nella sezione: σ=253.41 τ=30.89
CC 20 SLD (Collegamento 0024_-381)

Azioni sul collegamento: N=-5709.27 Ty=2.97 Tz=3.58 Mx=-0.01 Mz=1.62
Sollecitazioni agenti localmente: Ty_l=-1018.54 My_l=-20.89
Tensioni nella sezione: σ=253.20 τ=30.86
CC 20 SLD (Collegamento 0024_-381)
Azioni sul collegamento: N=-7317.51 Ty=3.60 Tz=-2.35 Mx=-0.01 Mz=1.82
Sollecitazioni agenti localmente: Ty_l=-1304.45 My_l=-26.75
Tensioni nella sezione: σ=324.26 τ=39.53
CC 20 SLD (Collegamento 0024_-381)
Azioni sul collegamento: N=-7317.51 Ty=2.97 Tz=-2.35 Mx=-0.01 Mz=1.62
Sollecitazioni agenti localmente: Ty_l=-1303.64 My_l=-26.73
Tensioni nella sezione: σ=324.04 τ=39.50
CC 20 SLD (Collegamento 0024_-381)
Azioni sul collegamento: N=-7317.51 Ty=3.60 Tz=3.58 Mx=-0.01 Mz=1.82
Sollecitazioni agenti localmente: Ty_l=-1304.45 My_l=-26.75
Tensioni nella sezione: σ=324.26 τ=39.53
CC 20 SLD (Collegamento 0024_-381)
Azioni sul collegamento: N=-7317.51 Ty=2.97 Tz=3.58 Mx=-0.01 Mz=1.62
Sollecitazioni agenti localmente: Ty_l=-1303.64 My_l=-26.73
Tensioni nella sezione: σ=324.04 τ=39.50
CC 21 SLV (Collegamento 0024_-381)
Azioni sul collegamento: N=-9117.97 Ty=3.49 Tz=10.20 Mx=-0.02 Mz=-0.69
Sollecitazioni agenti localmente: Ty_l=-1613.60 My_l=-33.08
Tensioni nella sezione: σ=400.91 τ=48.90
CC 21 SLV (Collegamento 0024_-381)
Azioni sul collegamento: N=-9117.97 Ty=1.39 Tz=10.20 Mx=-0.02 Mz=-0.03
Sollecitazioni agenti localmente: Ty_l=-1616.26 My_l=-33.13
Tensioni nella sezione: σ=401.61 τ=48.98
CC 21 SLV (Collegamento 0024_-381)
Azioni sul collegamento: N=-9117.97 Ty=3.49 Tz=-9.22 Mx=-0.02 Mz=-0.69
Sollecitazioni agenti localmente: Ty_l=-1613.60 My_l=-33.08
Tensioni nella sezione: σ=400.91 τ=48.90
CC 21 SLV (Collegamento 0024_-381)
Azioni sul collegamento: N=-9117.97 Ty=1.39 Tz=-9.22 Mx=-0.02 Mz=-0.03
Sollecitazioni agenti localmente: Ty_l=-1616.26 My_l=-33.13
Tensioni nella sezione: σ=401.61 τ=48.98
CC 21 SLV (Collegamento 0024_-381)
Azioni sul collegamento: N=-3843.85 Ty=3.49 Tz=10.20 Mx=-0.02 Mz=-0.69
Sollecitazioni agenti localmente: Ty_l=-678.65 My_l=-13.91
Tensioni nella sezione: σ=168.59 τ=20.57
CC 21 SLV (Collegamento 0024_-381)
Azioni sul collegamento: N=-3843.85 Ty=1.39 Tz=10.20 Mx=-0.02 Mz=-0.03
Sollecitazioni agenti localmente: Ty_l=-681.30 My_l=-13.97
Tensioni nella sezione: σ=169.29 τ=20.65
CC 21 SLV (Collegamento 0024_-381)
Azioni sul collegamento: N=-3843.85 Ty=3.49 Tz=-9.22 Mx=-0.02 Mz=-0.69
Sollecitazioni agenti localmente: Ty_l=-678.65 My_l=-13.91
Tensioni nella sezione: σ=168.59 τ=20.57
CC 21 SLV (Collegamento 0024_-381)
Azioni sul collegamento: N=-3843.85 Ty=1.39 Tz=-9.22 Mx=-0.02 Mz=-0.03
Sollecitazioni agenti localmente: Ty_l=-681.30 My_l=-13.97
Tensioni nella sezione: σ=169.29 τ=20.65
CC 22 SLD (Collegamento 0024_-381)
Azioni sul collegamento: N=-7317.51 Ty=2.97 Tz=3.58 Mx=-0.01 Mz=1.62
Sollecitazioni agenti localmente: Ty_l=-1303.64 My_l=-26.73
Tensioni nella sezione: σ=324.04 τ=39.50
CC 22 SLD (Collegamento 0024_-381)
Azioni sul collegamento: N=-7317.51 Ty=3.60 Tz=3.58 Mx=-0.01 Mz=1.82
Sollecitazioni agenti localmente: Ty_l=-1304.45 My_l=-26.75
Tensioni nella sezione: σ=324.26 τ=39.53
CC 22 SLD (Collegamento 0024_-381)
Azioni sul collegamento: N=-7317.51 Ty=2.97 Tz=-2.35 Mx=-0.01 Mz=1.62
Sollecitazioni agenti localmente: Ty_l=-1303.64 My_l=-26.73
Tensioni nella sezione: σ=324.04 τ=39.50
CC 22 SLD (Collegamento 0024_-381)
Azioni sul collegamento: N=-7317.51 Ty=3.60 Tz=-2.35 Mx=-0.01 Mz=1.82
Sollecitazioni agenti localmente: Ty_l=-1304.45 My_l=-26.75
Tensioni nella sezione: σ=324.26 τ=39.53
CC 22 SLD (Collegamento 0024_-381)
Azioni sul collegamento: N=-5709.27 Ty=2.97 Tz=3.58 Mx=-0.01 Mz=1.62
Sollecitazioni agenti localmente: Ty_l=-1018.54 My_l=-20.89
Tensioni nella sezione: σ=253.20 τ=30.86
CC 22 SLD (Collegamento 0024_-381)
Azioni sul collegamento: N=-5709.27 Ty=3.60 Tz=3.58 Mx=-0.01 Mz=1.82
Sollecitazioni agenti localmente: Ty_l=-1019.35 My_l=-20.91
Tensioni nella sezione: σ=253.41 τ=30.89
CC 22 SLD (Collegamento 0024_-381)
Azioni sul collegamento: N=-5709.27 Ty=2.97 Tz=-2.35 Mx=-0.01 Mz=1.62
Sollecitazioni agenti localmente: Ty_l=-1018.54 My_l=-20.89
Tensioni nella sezione: σ=253.20 τ=30.86

CC 22 SLD (Collegamento 0024_-381)
Azioni sul collegamento: N=-5709.27 Ty=3.60 Tz=-2.35 Mx=-0.01 Mz=1.82
Sollecitazioni agenti localmente: Ty_l=-1019.35 My_l=-20.91
Tensioni nella sezione: σ=253.41 τ=30.89
CC 23 SLV (Collegamento 0024_-381)
Azioni sul collegamento: N=-9123.66 Ty=4.12 Tz=10.33 Mx=-0.01 Mz=-1.95
Sollecitazioni agenti localmente: Ty_l=-1609.61 My_l=-32.99
Tensioni nella sezione: σ=399.83 τ=48.78
CC 23 SLV (Collegamento 0024_-381)
Azioni sul collegamento: N=-9123.66 Ty=0.76 Tz=10.33 Mx=-0.01 Mz=1.23
Sollecitazioni agenti localmente: Ty_l=-1622.27 My_l=-33.26
Tensioni nella sezione: σ=403.19 τ=49.16
CC 23 SLV (Collegamento 0024_-381)
Azioni sul collegamento: N=-9123.66 Ty=4.12 Tz=-9.35 Mx=-0.01 Mz=-1.95
Sollecitazioni agenti localmente: Ty_l=-1609.61 My_l=-32.99
Tensioni nella sezione: σ=399.83 τ=48.78
CC 23 SLV (Collegamento 0024_-381)
Azioni sul collegamento: N=-9123.66 Ty=0.76 Tz=-9.35 Mx=-0.01 Mz=1.23
Sollecitazioni agenti localmente: Ty_l=-1622.27 My_l=-33.26
Tensioni nella sezione: σ=403.19 τ=49.16
CC 23 SLV (Collegamento 0024_-381)
Azioni sul collegamento: N=-3838.16 Ty=4.12 Tz=10.33 Mx=-0.01 Mz=-1.95
Sollecitazioni agenti localmente: Ty_l=-672.64 My_l=-13.78
Tensioni nella sezione: σ=167.01 τ=20.38
CC 23 SLV (Collegamento 0024_-381)
Azioni sul collegamento: N=-3838.16 Ty=0.76 Tz=10.33 Mx=-0.01 Mz=1.23
Sollecitazioni agenti localmente: Ty_l=-685.29 My_l=-14.06
Tensioni nella sezione: σ=170.37 τ=20.77
CC 23 SLV (Collegamento 0024_-381)
Azioni sul collegamento: N=-3838.16 Ty=4.12 Tz=-9.35 Mx=-0.01 Mz=-1.95
Sollecitazioni agenti localmente: Ty_l=-672.64 My_l=-13.78
Tensioni nella sezione: σ=167.01 τ=20.38
CC 23 SLV (Collegamento 0024_-381)
Azioni sul collegamento: N=-3838.16 Ty=0.76 Tz=-9.35 Mx=-0.01 Mz=1.23
Sollecitazioni agenti localmente: Ty_l=-685.29 My_l=-14.06
Tensioni nella sezione: σ=170.37 τ=20.77
CC 24 SLD (Collegamento 0024_-381)
Azioni sul collegamento: N=-7319.25 Ty=2.77 Tz=3.62 Mx=-0.01 Mz=1.24
Sollecitazioni agenti localmente: Ty_l=-1302.42 My_l=-26.71
Tensioni nella sezione: σ=323.71 τ=39.47
CC 24 SLD (Collegamento 0024_-381)
Azioni sul collegamento: N=-7319.25 Ty=3.80 Tz=3.62 Mx=-0.01 Mz=2.21
Sollecitazioni agenti localmente: Ty_l=-1306.28 My_l=-26.79
Tensioni nella sezione: σ=324.74 τ=39.58
CC 24 SLD (Collegamento 0024_-381)
Azioni sul collegamento: N=-7319.25 Ty=2.77 Tz=-2.38 Mx=-0.01 Mz=1.24
Sollecitazioni agenti localmente: Ty_l=-1302.42 My_l=-26.71
Tensioni nella sezione: σ=323.71 τ=39.47
CC 24 SLD (Collegamento 0024_-381)
Azioni sul collegamento: N=-7319.25 Ty=3.80 Tz=-2.38 Mx=-0.01 Mz=2.21
Sollecitazioni agenti localmente: Ty_l=-1306.28 My_l=-26.79
Tensioni nella sezione: σ=324.74 τ=39.58
CC 24 SLD (Collegamento 0024_-381)
Azioni sul collegamento: N=-5707.53 Ty=2.77 Tz=3.62 Mx=-0.01 Mz=1.24
Sollecitazioni agenti localmente: Ty_l=-1016.71 My_l=-20.85
Tensioni nella sezione: σ=252.72 τ=30.81
CC 24 SLD (Collegamento 0024_-381)
Azioni sul collegamento: N=-5707.53 Ty=3.80 Tz=3.62 Mx=-0.01 Mz=2.21
Sollecitazioni agenti localmente: Ty_l=-1020.56 My_l=-20.93
Tensioni nella sezione: σ=253.74 τ=30.93
CC 24 SLD (Collegamento 0024_-381)
Azioni sul collegamento: N=-5707.53 Ty=2.77 Tz=-2.38 Mx=-0.01 Mz=1.24
Sollecitazioni agenti localmente: Ty_l=-1016.71 My_l=-20.85
Tensioni nella sezione: σ=252.72 τ=30.81
CC 24 SLD (Collegamento 0024_-381)
Azioni sul collegamento: N=-5707.53 Ty=3.80 Tz=-2.38 Mx=-0.01 Mz=2.21
Sollecitazioni agenti localmente: Ty_l=-1020.56 My_l=-20.93
Tensioni nella sezione: σ=253.74 τ=30.93
CC 25 SLV (Collegamento 0024_-381)
Azioni sul collegamento: N=-5679.46 Ty=0.97 Tz=-2.66 Mx=-0.03 Mz=2.02
Sollecitazioni agenti localmente: Ty_l=-1014.86 My_l=-20.82
Tensioni nella sezione: σ=252.31 τ=30.75
CC 25 SLV (Collegamento 0024_-381)
Azioni sul collegamento: N=-5679.46 Ty=3.91 Tz=-2.66 Mx=-0.03 Mz=-2.74
Sollecitazioni agenti localmente: Ty_l=-995.89 My_l=-20.40
Tensioni nella sezione: σ=247.28 τ=30.18
CC 25 SLV (Collegamento 0024_-381)
Azioni sul collegamento: N=-5679.46 Ty=0.97 Tz=3.63 Mx=-0.03 Mz=2.02
Sollecitazioni agenti localmente: Ty_l=-1014.86 My_l=-20.82

Tensioni nella sezione: σ=252.31 τ=30.75
CC 25 SLV (Collegamento 0024_-381)
Azioni sul collegamento: N=-5679.46 Ty=3.91 Tz=3.63 Mx=-0.03 Mz=-2.74
Sollecitazioni agenti localmente: Ty_l=-995.89 My_l=-20.40
Tensioni nella sezione: σ=247.28 τ=30.18
CC 25 SLV (Collegamento 0024_-381)
Azioni sul collegamento: N=-7282.36 Ty=0.97 Tz=-2.66 Mx=-0.03 Mz=2.02
Sollecitazioni agenti localmente: Ty_l=-1299.01 My_l=-26.64
Tensioni nella sezione: σ=322.92 τ=39.36
CC 25 SLV (Collegamento 0024_-381)
Azioni sul collegamento: N=-7282.36 Ty=3.91 Tz=-2.66 Mx=-0.03 Mz=-2.74
Sollecitazioni agenti localmente: Ty_l=-1280.05 My_l=-26.23
Tensioni nella sezione: σ=317.89 τ=38.79
CC 25 SLV (Collegamento 0024_-381)
Azioni sul collegamento: N=-7282.36 Ty=0.97 Tz=3.63 Mx=-0.03 Mz=2.02
Sollecitazioni agenti localmente: Ty_l=-1299.01 My_l=-26.64
Tensioni nella sezione: σ=322.92 τ=39.36
CC 25 SLV (Collegamento 0024_-381)
Azioni sul collegamento: N=-7282.36 Ty=3.91 Tz=3.63 Mx=-0.03 Mz=-2.74
Sollecitazioni agenti localmente: Ty_l=-1280.05 My_l=-26.23
Tensioni nella sezione: σ=317.89 τ=38.79
CC 26 SLD (Collegamento 0024_-381)
Azioni sul collegamento: N=-6269.00 Ty=3.73 Tz=-0.34 Mx=-0.01 Mz=2.45
Sollecitazioni agenti localmente: Ty_l=-1121.06 My_l=-23.00
Tensioni nella sezione: σ=278.73 τ=33.97
CC 26 SLD (Collegamento 0024_-381)
Azioni sul collegamento: N=-6269.00 Ty=2.84 Tz=-0.34 Mx=-0.01 Mz=0.99
Sollecitazioni agenti localmente: Ty_l=-1115.28 My_l=-22.87
Tensioni nella sezione: σ=277.20 τ=33.80
CC 26 SLD (Collegamento 0024_-381)
Azioni sul collegamento: N=-6269.00 Ty=3.73 Tz=1.57 Mx=-0.01 Mz=2.45
Sollecitazioni agenti localmente: Ty_l=-1121.06 My_l=-23.00
Tensioni nella sezione: σ=278.73 τ=33.97
CC 26 SLD (Collegamento 0024_-381)
Azioni sul collegamento: N=-6269.00 Ty=2.84 Tz=1.57 Mx=-0.01 Mz=0.99
Sollecitazioni agenti localmente: Ty_l=-1115.28 My_l=-22.87
Tensioni nella sezione: σ=277.20 τ=33.80
CC 26 SLD (Collegamento 0024_-381)
Azioni sul collegamento: N=-6757.78 Ty=3.73 Tz=-0.34 Mx=-0.01 Mz=2.45
Sollecitazioni agenti localmente: Ty_l=-1207.71 My_l=-24.77
Tensioni nella sezione: σ=300.26 τ=36.60
CC 26 SLD (Collegamento 0024_-381)
Azioni sul collegamento: N=-6757.78 Ty=2.84 Tz=-0.34 Mx=-0.01 Mz=0.99
Sollecitazioni agenti localmente: Ty_l=-1201.92 My_l=-24.64
Tensioni nella sezione: σ=298.73 τ=36.42
CC 26 SLD (Collegamento 0024_-381)
Azioni sul collegamento: N=-6757.78 Ty=3.73 Tz=1.57 Mx=-0.01 Mz=2.45
Sollecitazioni agenti localmente: Ty_l=-1207.71 My_l=-24.77
Tensioni nella sezione: σ=300.26 τ=36.60
CC 26 SLD (Collegamento 0024_-381)
Azioni sul collegamento: N=-6757.78 Ty=2.84 Tz=1.57 Mx=-0.01 Mz=0.99
Sollecitazioni agenti localmente: Ty_l=-1201.92 My_l=-24.64
Tensioni nella sezione: σ=298.73 τ=36.42
CC 27 SLV (Collegamento 0024_-381)
Azioni sul collegamento: N=-7263.40 Ty=1.79 Tz=3.21 Mx=-0.02 Mz=1.45
Sollecitazioni agenti localmente: Ty_l=-1293.35 My_l=-26.52
Tensioni nella sezione: σ=321.48 τ=39.19
CC 27 SLV (Collegamento 0024_-381)
Azioni sul collegamento: N=-7263.40 Ty=3.09 Tz=3.21 Mx=-0.02 Mz=-2.17
Sollecitazioni agenti localmente: Ty_l=-1278.98 My_l=-26.21
Tensioni nella sezione: σ=317.66 τ=38.76
CC 27 SLV (Collegamento 0024_-381)
Azioni sul collegamento: N=-7263.40 Ty=1.79 Tz=-2.23 Mx=-0.02 Mz=1.45
Sollecitazioni agenti localmente: Ty_l=-1293.35 My_l=-26.52
Tensioni nella sezione: σ=321.48 τ=39.19
CC 27 SLV (Collegamento 0024_-381)
Azioni sul collegamento: N=-7263.40 Ty=3.09 Tz=-2.23 Mx=-0.02 Mz=-2.17
Sollecitazioni agenti localmente: Ty_l=-1278.98 My_l=-26.21
Tensioni nella sezione: σ=317.66 τ=38.76
CC 27 SLV (Collegamento 0024_-381)
Azioni sul collegamento: N=-5698.42 Ty=1.79 Tz=3.21 Mx=-0.02 Mz=1.45
Sollecitazioni agenti localmente: Ty_l=-1015.92 My_l=-20.83
Tensioni nella sezione: σ=252.54 τ=30.79
CC 27 SLV (Collegamento 0024_-381)
Azioni sul collegamento: N=-5698.42 Ty=3.09 Tz=3.21 Mx=-0.02 Mz=-2.17
Sollecitazioni agenti localmente: Ty_l=-1001.55 My_l=-20.52
Tensioni nella sezione: σ=248.72 τ=30.35
CC 27 SLV (Collegamento 0024_-381)
Azioni sul collegamento: N=-5698.42 Ty=1.79 Tz=-2.23 Mx=-0.02 Mz=1.45

Sollecitazioni agenti localmente: Ty_l=-1015.92 My_l=-20.83
Tensioni nella sezione: σ=252.54 τ=30.79
CC 27 SLV (Collegamento 0024_-381)
Azioni sul collegamento: N=-5698.42 Ty=3.09 Tz=-2.23 Mx=-0.02 Mz=-2.17
Sollecitazioni agenti localmente: Ty_l=-1001.55 My_l=-20.52
Tensioni nella sezione: σ=248.72 τ=30.35
CC 28 SLD (Collegamento 0024_-381)
Azioni sul collegamento: N=-6752.00 Ty=3.48 Tz=1.44 Mx=-0.01 Mz=2.27
Sollecitazioni agenti localmente: Ty_l=-1205.98 My_l=-24.74
Tensioni nella sezione: σ=299.82 τ=36.54
CC 28 SLD (Collegamento 0024_-381)
Azioni sul collegamento: N=-6752.00 Ty=3.09 Tz=1.44 Mx=-0.01 Mz=1.17
Sollecitazioni agenti localmente: Ty_l=-1201.60 My_l=-24.64
Tensioni nella sezione: σ=298.66 τ=36.41
CC 28 SLD (Collegamento 0024_-381)
Azioni sul collegamento: N=-6752.00 Ty=3.48 Tz=-0.21 Mx=-0.01 Mz=2.27
Sollecitazioni agenti localmente: Ty_l=-1205.98 My_l=-24.74
Tensioni nella sezione: σ=299.82 τ=36.54
CC 28 SLD (Collegamento 0024_-381)
Azioni sul collegamento: N=-6752.00 Ty=3.09 Tz=-0.21 Mx=-0.01 Mz=1.17
Sollecitazioni agenti localmente: Ty_l=-1201.60 My_l=-24.64
Tensioni nella sezione: σ=298.66 τ=36.41
CC 28 SLD (Collegamento 0024_-381)
Azioni sul collegamento: N=-6274.78 Ty=3.48 Tz=1.44 Mx=-0.01 Mz=2.27
Sollecitazioni agenti localmente: Ty_l=-1121.38 My_l=-23.00
Tensioni nella sezione: σ=278.80 τ=33.98
CC 28 SLD (Collegamento 0024_-381)
Azioni sul collegamento: N=-6274.78 Ty=3.09 Tz=1.44 Mx=-0.01 Mz=1.17
Sollecitazioni agenti localmente: Ty_l=-1117.00 My_l=-22.91
Tensioni nella sezione: σ=277.64 τ=33.85
CC 28 SLD (Collegamento 0024_-381)
Azioni sul collegamento: N=-6274.78 Ty=3.48 Tz=-0.21 Mx=-0.01 Mz=2.27
Sollecitazioni agenti localmente: Ty_l=-1121.38 My_l=-23.00
Tensioni nella sezione: σ=278.80 τ=33.98
CC 28 SLD (Collegamento 0024_-381)
Azioni sul collegamento: N=-6274.78 Ty=3.09 Tz=-0.21 Mx=-0.01 Mz=1.17
Sollecitazioni agenti localmente: Ty_l=-1117.00 My_l=-22.91
Tensioni nella sezione: σ=277.64 τ=33.85
CC 29 SLV (Collegamento 0024_-381)
Azioni sul collegamento: N=-5698.42 Ty=3.09 Tz=-2.23 Mx=-0.01 Mz=-2.17
Sollecitazioni agenti localmente: Ty_l=-1001.55 My_l=-20.52
Tensioni nella sezione: σ=248.72 τ=30.35
CC 29 SLV (Collegamento 0024_-381)
Azioni sul collegamento: N=-5698.42 Ty=1.79 Tz=-2.23 Mx=-0.01 Mz=1.45
Sollecitazioni agenti localmente: Ty_l=-1015.92 My_l=-20.83
Tensioni nella sezione: σ=252.54 τ=30.79
CC 29 SLV (Collegamento 0024_-381)
Azioni sul collegamento: N=-5698.42 Ty=3.09 Tz=3.21 Mx=-0.01 Mz=-2.17
Sollecitazioni agenti localmente: Ty_l=-1001.55 My_l=-20.52
Tensioni nella sezione: σ=248.72 τ=30.35
CC 29 SLV (Collegamento 0024_-381)
Azioni sul collegamento: N=-5698.42 Ty=1.79 Tz=3.21 Mx=-0.01 Mz=1.45
Sollecitazioni agenti localmente: Ty_l=-1015.92 My_l=-20.83
Tensioni nella sezione: σ=252.54 τ=30.79
CC 29 SLV (Collegamento 0024_-381)
Azioni sul collegamento: N=-7263.40 Ty=3.09 Tz=-2.23 Mx=-0.01 Mz=-2.17
Sollecitazioni agenti localmente: Ty_l=-1278.98 My_l=-26.21
Tensioni nella sezione: σ=317.66 τ=38.76
CC 29 SLV (Collegamento 0024_-381)
Azioni sul collegamento: N=-7263.40 Ty=1.79 Tz=-2.23 Mx=-0.01 Mz=1.45
Sollecitazioni agenti localmente: Ty_l=-1293.35 My_l=-26.52
Tensioni nella sezione: σ=321.48 τ=39.19
CC 29 SLV (Collegamento 0024_-381)
Azioni sul collegamento: N=-7263.40 Ty=3.09 Tz=3.21 Mx=-0.01 Mz=-2.17
Sollecitazioni agenti localmente: Ty_l=-1278.98 My_l=-26.21
Tensioni nella sezione: σ=317.66 τ=38.76
CC 29 SLV (Collegamento 0024_-381)
Azioni sul collegamento: N=-7263.40 Ty=1.79 Tz=3.21 Mx=-0.01 Mz=1.45
Sollecitazioni agenti localmente: Ty_l=-1293.35 My_l=-26.52
Tensioni nella sezione: σ=321.48 τ=39.19
CC 30 SLD (Collegamento 0024_-381)
Azioni sul collegamento: N=-6274.78 Ty=3.09 Tz=-0.21 Mx=-0.01 Mz=1.17
Sollecitazioni agenti localmente: Ty_l=-1117.00 My_l=-22.91
Tensioni nella sezione: σ=277.64 τ=33.85
CC 30 SLD (Collegamento 0024_-381)
Azioni sul collegamento: N=-6274.78 Ty=3.48 Tz=-0.21 Mx=-0.01 Mz=2.27
Sollecitazioni agenti localmente: Ty_l=-1121.38 My_l=-23.00
Tensioni nella sezione: σ=278.80 τ=33.98
CC 30 SLD (Collegamento 0024_-381)

Azioni sul collegamento: N=-6274.78 Ty=3.09 Tz=1.44 Mx=-0.01 Mz=1.17
Sollecitazioni agenti localmente: Ty_l=-1117.00 My_l=-22.91
Tensioni nella sezione: σ=277.64 τ=33.85
CC 30 SLD (Collegamento 0024_-381)
Azioni sul collegamento: N=-6274.78 Ty=3.48 Tz=1.44 Mx=-0.01 Mz=2.27
Sollecitazioni agenti localmente: Ty_l=-1121.38 My_l=-23.00
Tensioni nella sezione: σ=278.80 τ=33.98
CC 30 SLD (Collegamento 0024_-381)
Azioni sul collegamento: N=-6752.00 Ty=3.09 Tz=-0.21 Mx=-0.01 Mz=1.17
Sollecitazioni agenti localmente: Ty_l=-1201.60 My_l=-24.64
Tensioni nella sezione: σ=298.66 τ=36.41
CC 30 SLD (Collegamento 0024_-381)
Azioni sul collegamento: N=-6752.00 Ty=3.48 Tz=-0.21 Mx=-0.01 Mz=2.27
Sollecitazioni agenti localmente: Ty_l=-1205.98 My_l=-24.74
Tensioni nella sezione: σ=299.82 τ=36.54
CC 30 SLD (Collegamento 0024_-381)
Azioni sul collegamento: N=-6752.00 Ty=3.09 Tz=1.44 Mx=-0.01 Mz=1.17
Sollecitazioni agenti localmente: Ty_l=-1201.60 My_l=-24.64
Tensioni nella sezione: σ=298.66 τ=36.41
CC 30 SLD (Collegamento 0024_-381)
Azioni sul collegamento: N=-6752.00 Ty=3.48 Tz=1.44 Mx=-0.01 Mz=2.27
Sollecitazioni agenti localmente: Ty_l=-1205.98 My_l=-24.74
Tensioni nella sezione: σ=299.82 τ=36.54
CC 31 SLV (Collegamento 0024_-381)
Azioni sul collegamento: N=-7282.36 Ty=3.91 Tz=3.63 Mx=-0.01 Mz=-2.74
Sollecitazioni agenti localmente: Ty_l=-1280.05 My_l=-26.23
Tensioni nella sezione: σ=317.89 τ=38.79
CC 31 SLV (Collegamento 0024_-381)
Azioni sul collegamento: N=-7282.36 Ty=0.97 Tz=3.63 Mx=-0.01 Mz=2.02
Sollecitazioni agenti localmente: Ty_l=-1299.01 My_l=-26.64
Tensioni nella sezione: σ=322.92 τ=39.36
CC 31 SLV (Collegamento 0024_-381)
Azioni sul collegamento: N=-7282.36 Ty=3.91 Tz=-2.66 Mx=-0.01 Mz=-2.74
Sollecitazioni agenti localmente: Ty_l=-1280.05 My_l=-26.23
Tensioni nella sezione: σ=317.89 τ=38.79
CC 31 SLV (Collegamento 0024_-381)
Azioni sul collegamento: N=-7282.36 Ty=0.97 Tz=-2.66 Mx=-0.01 Mz=2.02
Sollecitazioni agenti localmente: Ty_l=-1299.01 My_l=-26.64
Tensioni nella sezione: σ=322.92 τ=39.36
CC 31 SLV (Collegamento 0024_-381)
Azioni sul collegamento: N=-5679.46 Ty=3.91 Tz=3.63 Mx=-0.01 Mz=-2.74
Sollecitazioni agenti localmente: Ty_l=-995.89 My_l=-20.40
Tensioni nella sezione: σ=247.28 τ=30.18
CC 31 SLV (Collegamento 0024_-381)
Azioni sul collegamento: N=-5679.46 Ty=0.97 Tz=3.63 Mx=-0.01 Mz=2.02
Sollecitazioni agenti localmente: Ty_l=-1014.86 My_l=-20.82
Tensioni nella sezione: σ=252.31 τ=30.75
CC 31 SLV (Collegamento 0024_-381)
Azioni sul collegamento: N=-5679.46 Ty=3.91 Tz=-2.66 Mx=-0.01 Mz=-2.74
Sollecitazioni agenti localmente: Ty_l=-995.89 My_l=-20.40
Tensioni nella sezione: σ=247.28 τ=30.18
CC 31 SLV (Collegamento 0024_-381)
Azioni sul collegamento: N=-5679.46 Ty=0.97 Tz=-2.66 Mx=-0.01 Mz=2.02
Sollecitazioni agenti localmente: Ty_l=-1014.86 My_l=-20.82
Tensioni nella sezione: σ=252.31 τ=30.75
CC 32 SLD (Collegamento 0024_-381)
Azioni sul collegamento: N=-6757.78 Ty=2.84 Tz=1.57 Mx=-0.00 Mz=0.99
Sollecitazioni agenti localmente: Ty_l=-1201.92 My_l=-24.64
Tensioni nella sezione: σ=298.73 τ=36.42
CC 32 SLD (Collegamento 0024_-381)
Azioni sul collegamento: N=-6757.78 Ty=3.73 Tz=1.57 Mx=-0.00 Mz=2.45
Sollecitazioni agenti localmente: Ty_l=-1207.71 My_l=-24.77
Tensioni nella sezione: σ=300.26 τ=36.60
CC 32 SLD (Collegamento 0024_-381)
Azioni sul collegamento: N=-6757.78 Ty=2.84 Tz=-0.34 Mx=-0.00 Mz=0.99
Sollecitazioni agenti localmente: Ty_l=-1201.92 My_l=-24.64
Tensioni nella sezione: σ=298.73 τ=36.42
CC 32 SLD (Collegamento 0024_-381)
Azioni sul collegamento: N=-6757.78 Ty=3.73 Tz=-0.34 Mx=-0.00 Mz=2.45
Sollecitazioni agenti localmente: Ty_l=-1207.71 My_l=-24.77
Tensioni nella sezione: σ=300.26 τ=36.60
CC 32 SLD (Collegamento 0024_-381)
Azioni sul collegamento: N=-6269.00 Ty=2.84 Tz=1.57 Mx=-0.00 Mz=0.99
Sollecitazioni agenti localmente: Ty_l=-1115.28 My_l=-22.87
Tensioni nella sezione: σ=277.20 τ=33.80
CC 32 SLD (Collegamento 0024_-381)
Azioni sul collegamento: N=-6269.00 Ty=3.73 Tz=1.57 Mx=-0.00 Mz=2.45
Sollecitazioni agenti localmente: Ty_l=-1121.06 My_l=-23.00
Tensioni nella sezione: σ=278.73 τ=33.97

CC 32 SLD (Collegamento 0024_-381)
Azioni sul collegamento: N=-6269.00 Ty=2.84 Tz=-0.34 Mx=-0.00 Mz=0.99
Sollecitazioni agenti localmente: Ty_l=-1115.28 My_l=-22.87
Tensioni nella sezione: σ=277.20 τ=33.80
CC 32 SLD (Collegamento 0024_-381)
Azioni sul collegamento: N=-6269.00 Ty=3.73 Tz=-0.34 Mx=-0.00 Mz=2.45
Sollecitazioni agenti localmente: Ty_l=-1121.06 My_l=-23.00
Tensioni nella sezione: σ=278.73 τ=33.97
CC 33 SLU (Collegamento 0024_-381)
Azioni sul collegamento: N=-30229.20 Ty=5.39 Tz=79.58 Mx=-0.01 Mz=3.85
Sollecitazioni agenti localmente: Ty_l=-5374.11 My_l=-110.19
Tensioni nella sezione: σ=1335.64 τ=162.85
CC 34 SLU (Collegamento 0024_-381)
Azioni sul collegamento: N=-30778.60 Ty=5.67 Tz=81.62 Mx=-0.01 Mz=4.05
Sollecitazioni agenti localmente: Ty_l=-5472.30 My_l=-112.20
Tensioni nella sezione: σ=1360.06 τ=165.83
CC 35 SLU (Collegamento 0024_-381)
Azioni sul collegamento: N=-30504.90 Ty=5.64 Tz=80.58 Mx=-0.01 Mz=4.16
Sollecitazioni agenti localmente: Ty_l=-5424.25 My_l=-111.22
Tensioni nella sezione: σ=1348.13 τ=164.37
CC 36 SLU (Collegamento 0024_-381)
Azioni sul collegamento: N=-30502.90 Ty=5.42 Tz=80.62 Mx=-0.01 Mz=3.73
Sollecitazioni agenti localmente: Ty_l=-5422.17 My_l=-111.17
Tensioni nella sezione: σ=1347.58 τ=164.31
CC 37 SLU (Collegamento 0024_-381)
Azioni sul collegamento: N=-32152.70 Ty=5.24 Tz=86.01 Mx=0.00 Mz=3.86
Sollecitazioni agenti localmente: Ty_l=-5715.14 My_l=-117.18
Tensioni nella sezione: σ=1420.39 τ=173.19
CC 38 SLU (Collegamento 0024_-381)
Azioni sul collegamento: N=-32702.10 Ty=5.53 Tz=88.04 Mx=0.00 Mz=4.06
Sollecitazioni agenti localmente: Ty_l=-5813.33 My_l=-119.20
Tensioni nella sezione: σ=1444.80 τ=176.16
CC 39 SLU (Collegamento 0024_-381)
Azioni sul collegamento: N=-32428.40 Ty=5.50 Tz=87.00 Mx=0.00 Mz=4.18
Sollecitazioni agenti localmente: Ty_l=-5765.28 My_l=-118.21
Tensioni nella sezione: σ=1432.87 τ=174.71
CC 40 SLU (Collegamento 0024_-381)
Azioni sul collegamento: N=-32426.40 Ty=5.28 Tz=87.05 Mx=0.00 Mz=3.74
Sollecitazioni agenti localmente: Ty_l=-5763.20 My_l=-118.17
Tensioni nella sezione: σ=1432.32 τ=174.64
CC 41 SLU (Collegamento 0024_-381)
Azioni sul collegamento: N=-20958.20 Ty=6.23 Tz=45.50 Mx=-0.01 Mz=4.43
Sollecitazioni agenti localmente: Ty_l=-3732.94 My_l=-76.55
Tensioni nella sezione: σ=927.88 τ=113.12
CC 42 SLU (Collegamento 0024_-381)
Azioni sul collegamento: N=-21507.60 Ty=6.52 Tz=47.54 Mx=-0.01 Mz=4.63
Sollecitazioni agenti localmente: Ty_l=-3831.14 My_l=-78.56
Tensioni nella sezione: σ=952.29 τ=116.09
CC 43 SLU (Collegamento 0024_-381)
Azioni sul collegamento: N=-21233.90 Ty=6.48 Tz=46.50 Mx=-0.01 Mz=4.75
Sollecitazioni agenti localmente: Ty_l=-3783.08 My_l=-77.58
Tensioni nella sezione: σ=940.36 τ=114.64
CC 44 SLU (Collegamento 0024_-381)
Azioni sul collegamento: N=-21231.90 Ty=6.26 Tz=46.54 Mx=-0.01 Mz=4.31
Sollecitazioni agenti localmente: Ty_l=-3781.00 My_l=-77.53
Tensioni nella sezione: σ=939.81 τ=114.58
CC 45 SLU (Collegamento 0024_-381)
Azioni sul collegamento: N=-23044.60 Ty=5.94 Tz=53.22 Mx=-0.01 Mz=4.28
Sollecitazioni agenti localmente: Ty_l=-4102.22 My_l=-84.12
Tensioni nella sezione: σ=1019.63 τ=124.31
CC 46 SLU (Collegamento 0024_-381)
Azioni sul collegamento: N=-23594.00 Ty=6.22 Tz=55.25 Mx=-0.01 Mz=4.49
Sollecitazioni agenti localmente: Ty_l=-4200.42 My_l=-86.13
Tensioni nella sezione: σ=1044.04 τ=127.28
CC 47 SLU (Collegamento 0024_-381)
Azioni sul collegamento: N=-23320.30 Ty=6.19 Tz=54.21 Mx=-0.01 Mz=4.60
Sollecitazioni agenti localmente: Ty_l=-4152.36 My_l=-85.15
Tensioni nella sezione: σ=1032.11 τ=125.83
CC 48 SLU (Collegamento 0024_-381)
Azioni sul collegamento: N=-23318.30 Ty=5.97 Tz=54.26 Mx=-0.01 Mz=4.17
Sollecitazioni agenti localmente: Ty_l=-4150.28 My_l=-85.10
Tensioni nella sezione: σ=1031.56 τ=125.77
CC 49 SLU (Collegamento 0024_-381)
Azioni sul collegamento: N=-24483.70 Ty=5.83 Tz=58.03 Mx=0.00 Mz=4.29
Sollecitazioni agenti localmente: Ty_l=-4357.36 My_l=-89.35
Tensioni nella sezione: σ=1083.03 τ=132.04
CC 50 SLU (Collegamento 0024_-381)
Azioni sul collegamento: N=-25033.00 Ty=6.12 Tz=60.06 Mx=0.00 Mz=4.50
Sollecitazioni agenti localmente: Ty_l=-4455.56 My_l=-91.36

Tensioni nella sezione: σ=1107.44 τ=135.02
CC 51 SLU (Collegamento 0024_-381)
Azioni sul collegamento: N=-24759.30 Ty=6.08 Tz=59.02 Mx=-0.00 Mz=4.61
Sollecitazioni agenti localmente: Ty_l=-4407.50 My_l=-90.38
Tensioni nella sezione: σ=1095.51 τ=133.56
CC 52 SLU (Collegamento 0024_-381)
Azioni sul collegamento: N=-24757.40 Ty=5.87 Tz=59.07 Mx=0.00 Mz=4.18
Sollecitazioni agenti localmente: Ty_l=-4405.42 My_l=-90.33
Tensioni nella sezione: σ=1094.96 τ=133.50
CC 53 SLU (Collegamento 0024_-381)
Azioni sul collegamento: N=-16108.60 Ty=6.57 Tz=27.72 Mx=-0.01 Mz=4.72
Sollecitazioni agenti localmente: Ty_l=-2874.39 My_l=-58.95
Tensioni nella sezione: σ=714.56 τ=87.10
CC 54 SLU (Collegamento 0024_-381)
Azioni sul collegamento: N=-16657.90 Ty=6.86 Tz=29.76 Mx=-0.01 Mz=4.92
Sollecitazioni agenti localmente: Ty_l=-2972.58 My_l=-60.97
Tensioni nella sezione: σ=738.97 τ=90.08
CC 55 SLU (Collegamento 0024_-381)
Azioni sul collegamento: N=-16384.20 Ty=6.82 Tz=28.72 Mx=-0.01 Mz=5.04
Sollecitazioni agenti localmente: Ty_l=-2924.53 My_l=-59.98
Tensioni nella sezione: σ=727.04 τ=88.62
CC 56 SLU (Collegamento 0024_-381)
Azioni sul collegamento: N=-16382.30 Ty=6.60 Tz=28.76 Mx=-0.01 Mz=4.60
Sollecitazioni agenti localmente: Ty_l=-2922.44 My_l=-59.94
Tensioni nella sezione: σ=726.49 τ=88.56
CC 57 SLU (Collegamento 0024_-381)
Azioni sul collegamento: N=-23426.90 Ty=6.35 Tz=54.67 Mx=-0.01 Mz=4.58
Sollecitazioni agenti localmente: Ty_l=-4171.16 My_l=-85.53
Tensioni nella sezione: σ=1036.78 τ=126.40
CC 58 SLU (Collegamento 0024_-381)
Azioni sul collegamento: N=-23976.20 Ty=6.64 Tz=56.70 Mx=-0.01 Mz=4.78
Sollecitazioni agenti localmente: Ty_l=-4269.36 My_l=-87.55
Tensioni nella sezione: σ=1061.19 τ=129.37
CC 59 SLU (Collegamento 0024_-381)
Azioni sul collegamento: N=-23702.50 Ty=6.61 Tz=55.66 Mx=-0.01 Mz=4.90
Sollecitazioni agenti localmente: Ty_l=-4221.30 My_l=-86.56
Tensioni nella sezione: σ=1049.26 τ=127.92
CC 60 SLU (Collegamento 0024_-381)
Azioni sul collegamento: N=-23700.60 Ty=6.39 Tz=55.71 Mx=-0.01 Mz=4.46
Sollecitazioni agenti localmente: Ty_l=-4219.22 My_l=-86.52
Tensioni nella sezione: σ=1048.71 τ=127.86
CC 61 SLU (Collegamento 0024_-381)
Azioni sul collegamento: N=-24865.90 Ty=6.25 Tz=59.47 Mx=0.00 Mz=4.59
Sollecitazioni agenti localmente: Ty_l=-4426.30 My_l=-90.76
Tensioni nella sezione: σ=1100.18 τ=134.13
CC 62 SLU (Collegamento 0024_-381)
Azioni sul collegamento: N=-25415.30 Ty=6.53 Tz=61.51 Mx=-0.00 Mz=4.79
Sollecitazioni agenti localmente: Ty_l=-4524.50 My_l=-92.78
Tensioni nella sezione: σ=1124.59 τ=137.11
CC 63 SLU (Collegamento 0024_-381)
Azioni sul collegamento: N=-25141.60 Ty=6.50 Tz=60.47 Mx=-0.00 Mz=4.91
Sollecitazioni agenti localmente: Ty_l=-4476.44 My_l=-91.79
Tensioni nella sezione: σ=1112.66 τ=135.65
CC 64 SLU (Collegamento 0024_-381)
Azioni sul collegamento: N=-25139.60 Ty=6.28 Tz=60.51 Mx=0.00 Mz=4.47
Sollecitazioni agenti localmente: Ty_l=-4474.36 My_l=-91.75
Tensioni nella sezione: σ=1112.11 τ=135.59
CC 65 SLU (Collegamento 0024_-381)
Azioni sul collegamento: N=-16490.80 Ty=6.99 Tz=29.17 Mx=-0.01 Mz=5.02
Sollecitazioni agenti localmente: Ty_l=-2943.33 My_l=-60.37
Tensioni nella sezione: σ=731.71 τ=89.19
CC 66 SLU (Collegamento 0024_-381)
Azioni sul collegamento: N=-17040.20 Ty=7.27 Tz=31.20 Mx=-0.01 Mz=5.22
Sollecitazioni agenti localmente: Ty_l=-3041.52 My_l=-62.38
Tensioni nella sezione: σ=756.12 τ=92.17
CC 67 SLU (Collegamento 0024_-381)
Azioni sul collegamento: N=-16766.50 Ty=7.24 Tz=30.16 Mx=-0.01 Mz=5.34
Sollecitazioni agenti localmente: Ty_l=-2993.46 My_l=-61.40
Tensioni nella sezione: σ=744.19 τ=90.71
CC 68 SLU (Collegamento 0024_-381)
Azioni sul collegamento: N=-16764.50 Ty=7.02 Tz=30.21 Mx=-0.01 Mz=4.90
Sollecitazioni agenti localmente: Ty_l=-2991.38 My_l=-61.35
Tensioni nella sezione: σ=743.64 τ=90.65
CC 97 SLU (Collegamento 0024_-381)
Azioni sul collegamento: N=-10609.80 Ty=16.63 Tz=15.80 Mx=0.03 Mz=19.66
Sollecitazioni agenti localmente: Ty_l=-1959.03 My_l=-40.27
Tensioni nella sezione: σ=488.12 τ=59.36
CC 98 SLU (Collegamento 0024_-381)
Azioni sul collegamento: N=-11159.10 Ty=16.91 Tz=17.84 Mx=0.03 Mz=19.86

Sollecitazioni agenti localmente: Ty_l=-2057.22 My_l=-42.28
Tensioni nella sezione: σ=512.53 τ=62.34
CC 99 SLU (Collegamento 0024_-381)
Azioni sul collegamento: N=-10885.40 Ty=16.88 Tz=16.80 Mx=0.03 Mz=19.98
Sollecitazioni agenti localmente: Ty_l=-2009.17 My_l=-41.30
Tensioni nella sezione: σ=500.60 τ=60.88
CC 100 SLU (Collegamento 0024_-381)
Azioni sul collegamento: N=-10883.50 Ty=16.66 Tz=16.84 Mx=0.03 Mz=19.55
Sollecitazioni agenti localmente: Ty_l=-2007.08 My_l=-41.25
Tensioni nella sezione: σ=500.05 τ=60.82
CC 101 SLU (Collegamento 0024_-381)
Azioni sul collegamento: N=-6606.14 Ty=1.32 Tz=0.91 Mx=-0.01 Mz=0.13
Sollecitazioni agenti localmente: Ty_l=-1171.61 My_l=-24.02
Tensioni nella sezione: σ=291.13 τ=35.50
CC 102 SLU (Collegamento 0024_-381)
Azioni sul collegamento: N=-7155.53 Ty=1.61 Tz=2.94 Mx=-0.01 Mz=0.33
Sollecitazioni agenti localmente: Ty_l=-1269.80 My_l=-26.03
Tensioni nella sezione: σ=315.55 τ=38.48
CC 103 SLU (Collegamento 0024_-381)
Azioni sul collegamento: N=-6881.82 Ty=1.58 Tz=1.90 Mx=-0.01 Mz=0.45
Sollecitazioni agenti localmente: Ty_l=-1221.74 My_l=-25.05
Tensioni nella sezione: σ=303.62 τ=37.02
CC 104 SLU (Collegamento 0024_-381)
Azioni sul collegamento: N=-6879.85 Ty=1.36 Tz=1.95 Mx=-0.01 Mz=0.01
Sollecitazioni agenti localmente: Ty_l=-1219.66 My_l=-25.00
Tensioni nella sezione: σ=303.07 τ=36.96

Flessione attacco sinistro piastra

Bnetta=220.00 Hnetta=15.00
CC 1 SLV (Collegamento 0024_-381)
Azioni sul collegamento: N=-3931.62 Ty=6.55 Tz=-8.98 Mx=0.01 Mz=7.22
Sollecitazioni agenti localmente: Ty_l=-668.25 My_l=-13.66
Tensioni nella sezione: σ=165.56 τ=20.25
CC 1 SLV (Collegamento 0024_-381)
Azioni sul collegamento: N=-3931.62 Ty=3.19 Tz=-8.98 Mx=0.01 Mz=4.04
Sollecitazioni agenti localmente: Ty_l=-680.91 My_l=-13.94
Tensioni nella sezione: σ=168.92 τ=20.63
CC 1 SLV (Collegamento 0024_-381)
Azioni sul collegamento: N=-3931.62 Ty=6.55 Tz=10.69 Mx=0.01 Mz=7.22
Sollecitazioni agenti localmente: Ty_l=-668.25 My_l=-13.66
Tensioni nella sezione: σ=165.56 τ=20.25
CC 1 SLV (Collegamento 0024_-381)
Azioni sul collegamento: N=-3931.62 Ty=3.19 Tz=10.69 Mx=0.01 Mz=4.04
Sollecitazioni agenti localmente: Ty_l=-680.91 My_l=-13.94
Tensioni nella sezione: σ=168.92 τ=20.63
CC 1 SLV (Collegamento 0024_-381)
Azioni sul collegamento: N=-9217.12 Ty=6.55 Tz=-8.98 Mx=0.01 Mz=7.22
Sollecitazioni agenti localmente: Ty_l=-1605.22 My_l=-32.87
Tensioni nella sezione: σ=398.39 τ=48.64
CC 1 SLV (Collegamento 0024_-381)
Azioni sul collegamento: N=-9217.12 Ty=3.19 Tz=-8.98 Mx=0.01 Mz=4.04
Sollecitazioni agenti localmente: Ty_l=-1617.88 My_l=-33.14
Tensioni nella sezione: σ=401.75 τ=49.03
CC 1 SLV (Collegamento 0024_-381)
Azioni sul collegamento: N=-9217.12 Ty=6.55 Tz=10.69 Mx=0.01 Mz=7.22
Sollecitazioni agenti localmente: Ty_l=-1605.22 My_l=-32.87
Tensioni nella sezione: σ=398.39 τ=48.64
CC 1 SLV (Collegamento 0024_-381)
Azioni sul collegamento: N=-9217.12 Ty=3.19 Tz=10.69 Mx=0.01 Mz=4.04
Sollecitazioni agenti localmente: Ty_l=-1617.88 My_l=-33.14
Tensioni nella sezione: σ=401.75 τ=49.03
CC 2 SLD (Collegamento 0024_-381)
Azioni sul collegamento: N=-5736.03 Ty=4.54 Tz=-2.27 Mx=0.00 Mz=4.03
Sollecitazioni agenti localmente: Ty_l=-1000.80 My_l=-20.49
Tensioni nella sezione: σ=248.41 τ=30.33
CC 2 SLD (Collegamento 0024_-381)
Azioni sul collegamento: N=-5736.03 Ty=3.51 Tz=-2.27 Mx=0.00 Mz=3.06
Sollecitazioni agenti localmente: Ty_l=-1004.66 My_l=-20.58
Tensioni nella sezione: σ=249.44 τ=30.44
CC 2 SLD (Collegamento 0024_-381)
Azioni sul collegamento: N=-5736.03 Ty=4.54 Tz=3.73 Mx=0.00 Mz=4.03
Sollecitazioni agenti localmente: Ty_l=-1000.80 My_l=-20.49
Tensioni nella sezione: σ=248.41 τ=30.33
CC 2 SLD (Collegamento 0024_-381)
Azioni sul collegamento: N=-5736.03 Ty=3.51 Tz=3.73 Mx=0.00 Mz=3.06
Sollecitazioni agenti localmente: Ty_l=-1004.66 My_l=-20.58
Tensioni nella sezione: σ=249.44 τ=30.44
CC 2 SLD (Collegamento 0024_-381)

Azioni sul collegamento: N=-7347.75 Ty=4.54 Tz=-2.27 Mx=0.00 Mz=4.03
Sollecitazioni agenti localmente: Ty_l=-1286.51 My_l=-26.35
Tensioni nella sezione: σ=319.41 τ=38.99
CC 2 SLD (Collegamento 0024_-381)
Azioni sul collegamento: N=-7347.75 Ty=3.51 Tz=-2.27 Mx=0.00 Mz=3.06
Sollecitazioni agenti localmente: Ty_l=-1290.37 My_l=-26.44
Tensioni nella sezione: σ=320.43 τ=39.10
CC 2 SLD (Collegamento 0024_-381)
Azioni sul collegamento: N=-7347.75 Ty=4.54 Tz=3.73 Mx=0.00 Mz=4.03
Sollecitazioni agenti localmente: Ty_l=-1286.51 My_l=-26.35
Tensioni nella sezione: σ=319.41 τ=38.99
CC 2 SLD (Collegamento 0024_-381)
Azioni sul collegamento: N=-7347.75 Ty=3.51 Tz=3.73 Mx=0.00 Mz=3.06
Sollecitazioni agenti localmente: Ty_l=-1290.37 My_l=-26.44
Tensioni nella sezione: σ=320.43 τ=39.10
CC 3 SLV (Collegamento 0024_-381)
Azioni sul collegamento: N=-3937.31 Ty=5.92 Tz=-8.85 Mx=0.01 Mz=5.96
Sollecitazioni agenti localmente: Ty_l=-674.26 My_l=-13.79
Tensioni nella sezione: σ=167.14 τ=20.43
CC 3 SLV (Collegamento 0024_-381)
Azioni sul collegamento: N=-3937.31 Ty=3.82 Tz=-8.85 Mx=0.01 Mz=5.30
Sollecitazioni agenti localmente: Ty_l=-676.91 My_l=-13.85
Tensioni nella sezione: σ=167.84 τ=20.51
CC 3 SLV (Collegamento 0024_-381)
Azioni sul collegamento: N=-3937.31 Ty=5.92 Tz=10.56 Mx=0.01 Mz=5.96
Sollecitazioni agenti localmente: Ty_l=-674.26 My_l=-13.79
Tensioni nella sezione: σ=167.14 τ=20.43
CC 3 SLV (Collegamento 0024_-381)
Azioni sul collegamento: N=-3937.31 Ty=3.82 Tz=10.56 Mx=0.01 Mz=5.30
Sollecitazioni agenti localmente: Ty_l=-676.91 My_l=-13.85
Tensioni nella sezione: σ=167.84 τ=20.51
CC 3 SLV (Collegamento 0024_-381)
Azioni sul collegamento: N=-9211.43 Ty=5.92 Tz=-8.85 Mx=0.01 Mz=5.96
Sollecitazioni agenti localmente: Ty_l=-1609.22 My_l=-32.96
Tensioni nella sezione: σ=399.46 τ=48.76
CC 3 SLV (Collegamento 0024_-381)
Azioni sul collegamento: N=-9211.43 Ty=3.82 Tz=-8.85 Mx=0.01 Mz=5.30
Sollecitazioni agenti localmente: Ty_l=-1611.87 My_l=-33.01
Tensioni nella sezione: σ=400.17 τ=48.84
CC 3 SLV (Collegamento 0024_-381)
Azioni sul collegamento: N=-9211.43 Ty=5.92 Tz=10.56 Mx=0.01 Mz=5.96
Sollecitazioni agenti localmente: Ty_l=-1609.22 My_l=-32.96
Tensioni nella sezione: σ=399.46 τ=48.76
CC 3 SLV (Collegamento 0024_-381)
Azioni sul collegamento: N=-9211.43 Ty=3.82 Tz=10.56 Mx=0.01 Mz=5.30
Sollecitazioni agenti localmente: Ty_l=-1611.87 My_l=-33.01
Tensioni nella sezione: σ=400.17 τ=48.84
CC 4 SLD (Collegamento 0024_-381)
Azioni sul collegamento: N=-5737.77 Ty=4.34 Tz=-2.23 Mx=0.00 Mz=3.65
Sollecitazioni agenti localmente: Ty_l=-1002.63 My_l=-20.53
Tensioni nella sezione: σ=248.89 τ=30.38
CC 4 SLD (Collegamento 0024_-381)
Azioni sul collegamento: N=-5737.77 Ty=3.71 Tz=-2.23 Mx=0.00 Mz=3.45
Sollecitazioni agenti localmente: Ty_l=-1003.44 My_l=-20.55
Tensioni nella sezione: σ=249.11 τ=30.41
CC 4 SLD (Collegamento 0024_-381)
Azioni sul collegamento: N=-5737.77 Ty=4.34 Tz=3.69 Mx=0.00 Mz=3.65
Sollecitazioni agenti localmente: Ty_l=-1002.63 My_l=-20.53
Tensioni nella sezione: σ=248.89 τ=30.38
CC 4 SLD (Collegamento 0024_-381)
Azioni sul collegamento: N=-5737.77 Ty=3.71 Tz=3.69 Mx=0.00 Mz=3.45
Sollecitazioni agenti localmente: Ty_l=-1003.44 My_l=-20.55
Tensioni nella sezione: σ=249.11 τ=30.41
CC 4 SLD (Collegamento 0024_-381)
Azioni sul collegamento: N=-7346.01 Ty=4.34 Tz=-2.23 Mx=0.00 Mz=3.65
Sollecitazioni agenti localmente: Ty_l=-1287.73 My_l=-26.38
Tensioni nella sezione: σ=319.74 τ=39.02
CC 4 SLD (Collegamento 0024_-381)
Azioni sul collegamento: N=-7346.01 Ty=3.71 Tz=-2.23 Mx=0.00 Mz=3.45
Sollecitazioni agenti localmente: Ty_l=-1288.54 My_l=-26.40
Tensioni nella sezione: σ=319.95 τ=39.05
CC 4 SLD (Collegamento 0024_-381)
Azioni sul collegamento: N=-7346.01 Ty=4.34 Tz=3.69 Mx=0.00 Mz=3.65
Sollecitazioni agenti localmente: Ty_l=-1287.73 My_l=-26.38
Tensioni nella sezione: σ=319.74 τ=39.02
CC 4 SLD (Collegamento 0024_-381)
Azioni sul collegamento: N=-7346.01 Ty=3.71 Tz=3.69 Mx=0.00 Mz=3.45
Sollecitazioni agenti localmente: Ty_l=-1288.54 My_l=-26.40
Tensioni nella sezione: σ=319.95 τ=39.05

CC 5 SLV (Collegamento 0024_-381)
Azioni sul collegamento: N=-9211.43 Ty=3.82 Tz=10.56 Mx=0.01 Mz=5.30
Sollecitazioni agenti localmente: Ty_l=-1611.87 My_l=-33.01
Tensioni nella sezione: σ=400.17 τ=48.84
CC 5 SLV (Collegamento 0024_-381)
Azioni sul collegamento: N=-9211.43 Ty=5.92 Tz=10.56 Mx=0.01 Mz=5.96
Sollecitazioni agenti localmente: Ty_l=-1609.22 My_l=-32.96
Tensioni nella sezione: σ=399.46 τ=48.76
CC 5 SLV (Collegamento 0024_-381)
Azioni sul collegamento: N=-9211.43 Ty=3.82 Tz=-8.85 Mx=0.01 Mz=5.30
Sollecitazioni agenti localmente: Ty_l=-1611.87 My_l=-33.01
Tensioni nella sezione: σ=400.17 τ=48.84
CC 5 SLV (Collegamento 0024_-381)
Azioni sul collegamento: N=-9211.43 Ty=5.92 Tz=-8.85 Mx=0.01 Mz=5.96
Sollecitazioni agenti localmente: Ty_l=-1609.22 My_l=-32.96
Tensioni nella sezione: σ=399.46 τ=48.76
CC 5 SLV (Collegamento 0024_-381)
Azioni sul collegamento: N=-3937.31 Ty=3.82 Tz=10.56 Mx=0.01 Mz=5.30
Sollecitazioni agenti localmente: Ty_l=-676.91 My_l=-13.85
Tensioni nella sezione: σ=167.84 τ=20.51
CC 5 SLV (Collegamento 0024_-381)
Azioni sul collegamento: N=-3937.31 Ty=5.92 Tz=10.56 Mx=0.01 Mz=5.96
Sollecitazioni agenti localmente: Ty_l=-674.26 My_l=-13.79
Tensioni nella sezione: σ=167.14 τ=20.43
CC 5 SLV (Collegamento 0024_-381)
Azioni sul collegamento: N=-3937.31 Ty=3.82 Tz=-8.85 Mx=0.01 Mz=5.30
Sollecitazioni agenti localmente: Ty_l=-676.91 My_l=-13.85
Tensioni nella sezione: σ=167.84 τ=20.51
CC 5 SLV (Collegamento 0024_-381)
Azioni sul collegamento: N=-3937.31 Ty=5.92 Tz=-8.85 Mx=0.01 Mz=5.96
Sollecitazioni agenti localmente: Ty_l=-674.26 My_l=-13.79
Tensioni nella sezione: σ=167.14 τ=20.43
CC 6 SLD (Collegamento 0024_-381)
Azioni sul collegamento: N=-7346.01 Ty=3.71 Tz=3.69 Mx=0.00 Mz=3.45
Sollecitazioni agenti localmente: Ty_l=-1288.54 My_l=-26.40
Tensioni nella sezione: σ=319.95 τ=39.05
CC 6 SLD (Collegamento 0024_-381)
Azioni sul collegamento: N=-7346.01 Ty=4.34 Tz=3.69 Mx=0.00 Mz=3.65
Sollecitazioni agenti localmente: Ty_l=-1287.73 My_l=-26.38
Tensioni nella sezione: σ=319.74 τ=39.02
CC 6 SLD (Collegamento 0024_-381)
Azioni sul collegamento: N=-7346.01 Ty=3.71 Tz=-2.23 Mx=0.00 Mz=3.45
Sollecitazioni agenti localmente: Ty_l=-1288.54 My_l=-26.40
Tensioni nella sezione: σ=319.95 τ=39.05
CC 6 SLD (Collegamento 0024_-381)
Azioni sul collegamento: N=-7346.01 Ty=4.34 Tz=-2.23 Mx=0.00 Mz=3.65
Sollecitazioni agenti localmente: Ty_l=-1287.73 My_l=-26.38
Tensioni nella sezione: σ=319.74 τ=39.02
CC 6 SLD (Collegamento 0024_-381)
Azioni sul collegamento: N=-5737.77 Ty=3.71 Tz=3.69 Mx=0.00 Mz=3.45
Sollecitazioni agenti localmente: Ty_l=-1003.44 My_l=-20.55
Tensioni nella sezione: σ=249.11 τ=30.41
CC 6 SLD (Collegamento 0024_-381)
Azioni sul collegamento: N=-5737.77 Ty=4.34 Tz=3.69 Mx=0.00 Mz=3.65
Sollecitazioni agenti localmente: Ty_l=-1002.63 My_l=-20.53
Tensioni nella sezione: σ=248.89 τ=30.38
CC 6 SLD (Collegamento 0024_-381)
Azioni sul collegamento: N=-5737.77 Ty=3.71 Tz=-2.23 Mx=0.00 Mz=3.45
Sollecitazioni agenti localmente: Ty_l=-1003.44 My_l=-20.55
Tensioni nella sezione: σ=249.11 τ=30.41
CC 6 SLD (Collegamento 0024_-381)
Azioni sul collegamento: N=-5737.77 Ty=4.34 Tz=-2.23 Mx=0.00 Mz=3.65
Sollecitazioni agenti localmente: Ty_l=-1002.63 My_l=-20.53
Tensioni nella sezione: σ=248.89 τ=30.38
CC 7 SLV (Collegamento 0024_-381)
Azioni sul collegamento: N=-9217.12 Ty=3.19 Tz=10.69 Mx=0.01 Mz=4.04
Sollecitazioni agenti localmente: Ty_l=-1617.88 My_l=-33.14
Tensioni nella sezione: σ=401.75 τ=49.03
CC 7 SLV (Collegamento 0024_-381)
Azioni sul collegamento: N=-9217.12 Ty=6.55 Tz=10.69 Mx=0.01 Mz=7.22
Sollecitazioni agenti localmente: Ty_l=-1605.22 My_l=-32.87
Tensioni nella sezione: σ=398.39 τ=48.64
CC 7 SLV (Collegamento 0024_-381)
Azioni sul collegamento: N=-9217.12 Ty=3.19 Tz=-8.98 Mx=0.01 Mz=4.04
Sollecitazioni agenti localmente: Ty_l=-1617.88 My_l=-33.14
Tensioni nella sezione: σ=401.75 τ=49.03
CC 7 SLV (Collegamento 0024_-381)
Azioni sul collegamento: N=-9217.12 Ty=6.55 Tz=-8.98 Mx=0.01 Mz=7.22
Sollecitazioni agenti localmente: Ty_l=-1605.22 My_l=-32.87

Tensioni nella sezione: σ=398.39 τ=48.64
CC 7 SLV (Collegamento 0024_-381)
Azioni sul collegamento: N=-3931.62 Ty=3.19 Tz=10.69 Mx=0.01 Mz=4.04
Sollecitazioni agenti localmente: Ty_l=-680.91 My_l=-13.94
Tensioni nella sezione: σ=168.92 τ=20.63
CC 7 SLV (Collegamento 0024_-381)
Azioni sul collegamento: N=-3931.62 Ty=6.55 Tz=10.69 Mx=0.01 Mz=7.22
Sollecitazioni agenti localmente: Ty_l=-668.25 My_l=-13.66
Tensioni nella sezione: σ=165.56 τ=20.25
CC 7 SLV (Collegamento 0024_-381)
Azioni sul collegamento: N=-3931.62 Ty=3.19 Tz=-8.98 Mx=0.01 Mz=4.04
Sollecitazioni agenti localmente: Ty_l=-680.91 My_l=-13.94
Tensioni nella sezione: σ=168.92 τ=20.63
CC 7 SLV (Collegamento 0024_-381)
Azioni sul collegamento: N=-3931.62 Ty=6.55 Tz=-8.98 Mx=0.01 Mz=7.22
Sollecitazioni agenti localmente: Ty_l=-668.25 My_l=-13.66
Tensioni nella sezione: σ=165.56 τ=20.25
CC 8 SLD (Collegamento 0024_-381)
Azioni sul collegamento: N=-7347.75 Ty=3.51 Tz=3.73 Mx=-0.00 Mz=3.06
Sollecitazioni agenti localmente: Ty_l=-1290.37 My_l=-26.44
Tensioni nella sezione: σ=320.43 τ=39.10
CC 8 SLD (Collegamento 0024_-381)
Azioni sul collegamento: N=-7347.75 Ty=4.54 Tz=3.73 Mx=-0.00 Mz=4.03
Sollecitazioni agenti localmente: Ty_l=-1286.51 My_l=-26.35
Tensioni nella sezione: σ=319.41 τ=38.99
CC 8 SLD (Collegamento 0024_-381)
Azioni sul collegamento: N=-7347.75 Ty=3.51 Tz=-2.27 Mx=-0.00 Mz=3.06
Sollecitazioni agenti localmente: Ty_l=-1290.37 My_l=-26.44
Tensioni nella sezione: σ=320.43 τ=39.10
CC 8 SLD (Collegamento 0024_-381)
Azioni sul collegamento: N=-7347.75 Ty=4.54 Tz=-2.27 Mx=-0.00 Mz=4.03
Sollecitazioni agenti localmente: Ty_l=-1286.51 My_l=-26.35
Tensioni nella sezione: σ=319.41 τ=38.99
CC 8 SLD (Collegamento 0024_-381)
Azioni sul collegamento: N=-5736.03 Ty=3.51 Tz=3.73 Mx=-0.00 Mz=3.06
Sollecitazioni agenti localmente: Ty_l=-1004.66 My_l=-20.58
Tensioni nella sezione: σ=249.44 τ=30.44
CC 8 SLD (Collegamento 0024_-381)
Azioni sul collegamento: N=-5736.03 Ty=4.54 Tz=3.73 Mx=-0.00 Mz=4.03
Sollecitazioni agenti localmente: Ty_l=-1000.80 My_l=-20.49
Tensioni nella sezione: σ=248.41 τ=30.33
CC 8 SLD (Collegamento 0024_-381)
Azioni sul collegamento: N=-5736.03 Ty=3.51 Tz=-2.27 Mx=-0.00 Mz=3.06
Sollecitazioni agenti localmente: Ty_l=-1004.66 My_l=-20.58
Tensioni nella sezione: σ=249.44 τ=30.44
CC 8 SLD (Collegamento 0024_-381)
Azioni sul collegamento: N=-5736.03 Ty=4.54 Tz=-2.27 Mx=-0.00 Mz=4.03
Sollecitazioni agenti localmente: Ty_l=-1000.80 My_l=-20.49
Tensioni nella sezione: σ=248.41 τ=30.33
CC 9 SLV (Collegamento 0024_-381)
Azioni sul collegamento: N=-5772.92 Ty=6.34 Tz=-2.29 Mx=0.02 Mz=8.01
Sollecitazioni agenti localmente: Ty_l=-991.51 My_l=-20.28
Tensioni nella sezione: σ=245.83 τ=30.05
CC 9 SLV (Collegamento 0024_-381)
Azioni sul collegamento: N=-5772.92 Ty=3.40 Tz=-2.29 Mx=0.02 Mz=3.25
Sollecitazioni agenti localmente: Ty_l=-1010.47 My_l=-20.70
Tensioni nella sezione: σ=250.87 τ=30.62
CC 9 SLV (Collegamento 0024_-381)
Azioni sul collegamento: N=-5772.92 Ty=6.34 Tz=4.00 Mx=0.02 Mz=8.01
Sollecitazioni agenti localmente: Ty_l=-991.51 My_l=-20.28
Tensioni nella sezione: σ=245.83 τ=30.05
CC 9 SLV (Collegamento 0024_-381)
Azioni sul collegamento: N=-5772.92 Ty=3.40 Tz=4.00 Mx=0.02 Mz=3.25
Sollecitazioni agenti localmente: Ty_l=-1010.47 My_l=-20.70
Tensioni nella sezione: σ=250.87 τ=30.62
CC 9 SLV (Collegamento 0024_-381)
Azioni sul collegamento: N=-7375.82 Ty=6.34 Tz=-2.29 Mx=0.02 Mz=8.01
Sollecitazioni agenti localmente: Ty_l=-1275.66 My_l=-26.11
Tensioni nella sezione: σ=316.44 τ=38.66
CC 9 SLV (Collegamento 0024_-381)
Azioni sul collegamento: N=-7375.82 Ty=3.40 Tz=-2.29 Mx=0.02 Mz=3.25
Sollecitazioni agenti localmente: Ty_l=-1294.62 My_l=-26.52
Tensioni nella sezione: σ=321.48 τ=39.23
CC 9 SLV (Collegamento 0024_-381)
Azioni sul collegamento: N=-7375.82 Ty=6.34 Tz=4.00 Mx=0.02 Mz=8.01
Sollecitazioni agenti localmente: Ty_l=-1275.66 My_l=-26.11
Tensioni nella sezione: σ=316.44 τ=38.66
CC 9 SLV (Collegamento 0024_-381)
Azioni sul collegamento: N=-7375.82 Ty=3.40 Tz=4.00 Mx=0.02 Mz=3.25

Sollecitazioni agenti localmente: Ty_l=-1294.62 My_l=-26.52
Tensioni nella sezione: σ=321.48 τ=39.23
CC 10 SLD (Collegamento 0024_-381)
Azioni sul collegamento: N=-6297.50 Ty=4.47 Tz=-0.23 Mx=0.00 Mz=4.27
Sollecitazioni agenti localmente: Ty_l=-1099.37 My_l=-22.51
Tensioni nella sezione: σ=272.89 τ=33.31
CC 10 SLD (Collegamento 0024_-381)
Azioni sul collegamento: N=-6297.50 Ty=3.58 Tz=-0.23 Mx=0.00 Mz=2.82
Sollecitazioni agenti localmente: Ty_l=-1105.16 My_l=-22.64
Tensioni nella sezione: σ=274.42 τ=33.49
CC 10 SLD (Collegamento 0024_-381)
Azioni sul collegamento: N=-6297.50 Ty=4.47 Tz=1.69 Mx=0.00 Mz=4.27
Sollecitazioni agenti localmente: Ty_l=-1099.37 My_l=-22.51
Tensioni nella sezione: σ=272.89 τ=33.31
CC 10 SLD (Collegamento 0024_-381)
Azioni sul collegamento: N=-6297.50 Ty=3.58 Tz=1.69 Mx=0.00 Mz=2.82
Sollecitazioni agenti localmente: Ty_l=-1105.16 My_l=-22.64
Tensioni nella sezione: σ=274.42 τ=33.49
CC 10 SLD (Collegamento 0024_-381)
Azioni sul collegamento: N=-6786.28 Ty=4.47 Tz=-0.23 Mx=0.00 Mz=4.27
Sollecitazioni agenti localmente: Ty_l=-1186.02 My_l=-24.29
Tensioni nella sezione: σ=294.42 τ=35.94
CC 10 SLD (Collegamento 0024_-381)
Azioni sul collegamento: N=-6786.28 Ty=3.58 Tz=-0.23 Mx=0.00 Mz=2.82
Sollecitazioni agenti localmente: Ty_l=-1191.80 My_l=-24.42
Tensioni nella sezione: σ=295.95 τ=36.12
CC 10 SLD (Collegamento 0024_-381)
Azioni sul collegamento: N=-6786.28 Ty=4.47 Tz=1.69 Mx=0.00 Mz=4.27
Sollecitazioni agenti localmente: Ty_l=-1186.02 My_l=-24.29
Tensioni nella sezione: σ=294.42 τ=35.94
CC 10 SLD (Collegamento 0024_-381)
Azioni sul collegamento: N=-6786.28 Ty=3.58 Tz=1.69 Mx=0.00 Mz=2.82
Sollecitazioni agenti localmente: Ty_l=-1191.80 My_l=-24.42
Tensioni nella sezione: σ=295.95 τ=36.12
CC 11 SLV (Collegamento 0024_-381)
Azioni sul collegamento: N=-7356.86 Ty=5.52 Tz=3.57 Mx=0.02 Mz=7.44
Sollecitazioni agenti localmente: Ty_l=-1274.59 My_l=-26.09
Tensioni nella sezione: σ=316.21 τ=38.62
CC 11 SLV (Collegamento 0024_-381)
Azioni sul collegamento: N=-7356.86 Ty=4.22 Tz=3.57 Mx=0.02 Mz=3.82
Sollecitazioni agenti localmente: Ty_l=-1288.97 My_l=-26.40
Tensioni nella sezione: σ=320.03 τ=39.06
CC 11 SLV (Collegamento 0024_-381)
Azioni sul collegamento: N=-7356.86 Ty=5.52 Tz=-1.86 Mx=0.02 Mz=7.44
Sollecitazioni agenti localmente: Ty_l=-1274.59 My_l=-26.09
Tensioni nella sezione: σ=316.21 τ=38.62
CC 11 SLV (Collegamento 0024_-381)
Azioni sul collegamento: N=-7356.86 Ty=4.22 Tz=-1.86 Mx=0.02 Mz=3.82
Sollecitazioni agenti localmente: Ty_l=-1288.97 My_l=-26.40
Tensioni nella sezione: σ=320.03 τ=39.06
CC 11 SLV (Collegamento 0024_-381)
Azioni sul collegamento: N=-5791.88 Ty=5.52 Tz=3.57 Mx=0.02 Mz=7.44
Sollecitazioni agenti localmente: Ty_l=-997.16 My_l=-20.40
Tensioni nella sezione: σ=247.28 τ=30.22
CC 11 SLV (Collegamento 0024_-381)
Azioni sul collegamento: N=-5791.88 Ty=4.22 Tz=3.57 Mx=0.02 Mz=3.82
Sollecitazioni agenti localmente: Ty_l=-1011.54 My_l=-20.72
Tensioni nella sezione: σ=251.09 τ=30.65
CC 11 SLV (Collegamento 0024_-381)
Azioni sul collegamento: N=-5791.88 Ty=5.52 Tz=-1.86 Mx=0.02 Mz=7.44
Sollecitazioni agenti localmente: Ty_l=-997.16 My_l=-20.40
Tensioni nella sezione: σ=247.28 τ=30.22
CC 11 SLV (Collegamento 0024_-381)
Azioni sul collegamento: N=-5791.88 Ty=4.22 Tz=-1.86 Mx=0.02 Mz=3.82
Sollecitazioni agenti localmente: Ty_l=-1011.54 My_l=-20.72
Tensioni nella sezione: σ=251.09 τ=30.65
CC 12 SLD (Collegamento 0024_-381)
Azioni sul collegamento: N=-6780.50 Ty=4.22 Tz=1.56 Mx=0.00 Mz=4.10
Sollecitazioni agenti localmente: Ty_l=-1185.69 My_l=-24.28
Tensioni nella sezione: σ=294.35 τ=35.93
CC 12 SLD (Collegamento 0024_-381)
Azioni sul collegamento: N=-6780.50 Ty=3.83 Tz=1.56 Mx=0.00 Mz=3.00
Sollecitazioni agenti localmente: Ty_l=-1190.08 My_l=-24.38
Tensioni nella sezione: σ=295.51 τ=36.06
CC 12 SLD (Collegamento 0024_-381)
Azioni sul collegamento: N=-6780.50 Ty=4.22 Tz=-0.10 Mx=0.00 Mz=4.10
Sollecitazioni agenti localmente: Ty_l=-1185.69 My_l=-24.28
Tensioni nella sezione: σ=294.35 τ=35.93
CC 12 SLD (Collegamento 0024_-381)

Azioni sul collegamento: N=-6780.50 Ty=3.83 Tz=-0.10 Mx=0.00 Mz=3.00
Sollecitazioni agenti localmente: Ty_l=-1190.08 My_l=-24.38
Tensioni nella sezione: σ=295.51 τ=36.06
CC 12 SLD (Collegamento 0024_-381)
Azioni sul collegamento: N=-6303.28 Ty=4.22 Tz=1.56 Mx=0.00 Mz=4.10
Sollecitazioni agenti localmente: Ty_l=-1101.10 My_l=-22.55
Tensioni nella sezione: σ=273.33 τ=33.37
CC 12 SLD (Collegamento 0024_-381)
Azioni sul collegamento: N=-6303.28 Ty=3.83 Tz=1.56 Mx=0.00 Mz=3.00
Sollecitazioni agenti localmente: Ty_l=-1105.48 My_l=-22.65
Tensioni nella sezione: σ=274.49 τ=33.50
CC 12 SLD (Collegamento 0024_-381)
Azioni sul collegamento: N=-6303.28 Ty=4.22 Tz=-0.10 Mx=0.00 Mz=4.10
Sollecitazioni agenti localmente: Ty_l=-1101.10 My_l=-22.55
Tensioni nella sezione: σ=273.33 τ=33.37
CC 12 SLD (Collegamento 0024_-381)
Azioni sul collegamento: N=-6303.28 Ty=3.83 Tz=-0.10 Mx=0.00 Mz=3.00
Sollecitazioni agenti localmente: Ty_l=-1105.48 My_l=-22.65
Tensioni nella sezione: σ=274.49 τ=33.50
CC 13 SLV (Collegamento 0024_-381)
Azioni sul collegamento: N=-5791.88 Ty=4.22 Tz=-1.86 Mx=0.00 Mz=3.82
Sollecitazioni agenti localmente: Ty_l=-1011.54 My_l=-20.72
Tensioni nella sezione: σ=251.09 τ=30.65
CC 13 SLV (Collegamento 0024_-381)
Azioni sul collegamento: N=-5791.88 Ty=5.52 Tz=-1.86 Mx=0.00 Mz=7.44
Sollecitazioni agenti localmente: Ty_l=-997.16 My_l=-20.40
Tensioni nella sezione: σ=247.28 τ=30.22
CC 13 SLV (Collegamento 0024_-381)
Azioni sul collegamento: N=-5791.88 Ty=4.22 Tz=3.57 Mx=0.00 Mz=3.82
Sollecitazioni agenti localmente: Ty_l=-1011.54 My_l=-20.72
Tensioni nella sezione: σ=251.09 τ=30.65
CC 13 SLV (Collegamento 0024_-381)
Azioni sul collegamento: N=-5791.88 Ty=5.52 Tz=3.57 Mx=0.00 Mz=7.44
Sollecitazioni agenti localmente: Ty_l=-997.16 My_l=-20.40
Tensioni nella sezione: σ=247.28 τ=30.22
CC 13 SLV (Collegamento 0024_-381)
Azioni sul collegamento: N=-7356.86 Ty=4.22 Tz=-1.86 Mx=0.00 Mz=3.82
Sollecitazioni agenti localmente: Ty_l=-1288.97 My_l=-26.40
Tensioni nella sezione: σ=320.03 τ=39.06
CC 13 SLV (Collegamento 0024_-381)
Azioni sul collegamento: N=-7356.86 Ty=5.52 Tz=-1.86 Mx=0.00 Mz=7.44
Sollecitazioni agenti localmente: Ty_l=-1274.59 My_l=-26.09
Tensioni nella sezione: σ=316.21 τ=38.62
CC 13 SLV (Collegamento 0024_-381)
Azioni sul collegamento: N=-7356.86 Ty=4.22 Tz=3.57 Mx=0.00 Mz=3.82
Sollecitazioni agenti localmente: Ty_l=-1288.97 My_l=-26.40
Tensioni nella sezione: σ=320.03 τ=39.06
CC 13 SLV (Collegamento 0024_-381)
Azioni sul collegamento: N=-7356.86 Ty=5.52 Tz=3.57 Mx=0.00 Mz=7.44
Sollecitazioni agenti localmente: Ty_l=-1274.59 My_l=-26.09
Tensioni nella sezione: σ=316.21 τ=38.62
CC 14 SLD (Collegamento 0024_-381)
Azioni sul collegamento: N=-6303.28 Ty=3.83 Tz=-0.10 Mx=-0.00 Mz=3.00
Sollecitazioni agenti localmente: Ty_l=-1105.48 My_l=-22.65
Tensioni nella sezione: σ=274.49 τ=33.50
CC 14 SLD (Collegamento 0024_-381)
Azioni sul collegamento: N=-6303.28 Ty=4.22 Tz=-0.10 Mx=-0.00 Mz=4.10
Sollecitazioni agenti localmente: Ty_l=-1101.10 My_l=-22.55
Tensioni nella sezione: σ=273.33 τ=33.37
CC 14 SLD (Collegamento 0024_-381)
Azioni sul collegamento: N=-6303.28 Ty=3.83 Tz=1.56 Mx=-0.00 Mz=3.00
Sollecitazioni agenti localmente: Ty_l=-1105.48 My_l=-22.65
Tensioni nella sezione: σ=274.49 τ=33.50
CC 14 SLD (Collegamento 0024_-381)
Azioni sul collegamento: N=-6303.28 Ty=4.22 Tz=1.56 Mx=-0.00 Mz=4.10
Sollecitazioni agenti localmente: Ty_l=-1101.10 My_l=-22.55
Tensioni nella sezione: σ=273.33 τ=33.37
CC 14 SLD (Collegamento 0024_-381)
Azioni sul collegamento: N=-6780.50 Ty=3.83 Tz=-0.10 Mx=-0.00 Mz=3.00
Sollecitazioni agenti localmente: Ty_l=-1190.08 My_l=-24.38
Tensioni nella sezione: σ=295.51 τ=36.06
CC 14 SLD (Collegamento 0024_-381)
Azioni sul collegamento: N=-6780.50 Ty=4.22 Tz=-0.10 Mx=-0.00 Mz=4.10
Sollecitazioni agenti localmente: Ty_l=-1185.69 My_l=-24.28
Tensioni nella sezione: σ=294.35 τ=35.93
CC 14 SLD (Collegamento 0024_-381)
Azioni sul collegamento: N=-6780.50 Ty=3.83 Tz=1.56 Mx=-0.00 Mz=3.00
Sollecitazioni agenti localmente: Ty_l=-1190.08 My_l=-24.38
Tensioni nella sezione: σ=295.51 τ=36.06

CC 14 SLD (Collegamento 0024_-381)
Azioni sul collegamento: N=-6780.50 Ty=4.22 Tz=1.56 Mx=-0.00 Mz=4.10
Sollecitazioni agenti localmente: Ty_l=-1185.69 My_l=-24.28
Tensioni nella sezione: σ=294.35 τ=35.93
CC 15 SLV (Collegamento 0024_-381)
Azioni sul collegamento: N=-7375.82 Ty=3.40 Tz=4.00 Mx=0.00 Mz=3.25
Sollecitazioni agenti localmente: Ty_l=-1294.62 My_l=-26.52
Tensioni nella sezione: σ=321.48 τ=39.23
CC 15 SLV (Collegamento 0024_-381)
Azioni sul collegamento: N=-7375.82 Ty=6.34 Tz=4.00 Mx=0.00 Mz=8.01
Sollecitazioni agenti localmente: Ty_l=-1275.66 My_l=-26.11
Tensioni nella sezione: σ=316.44 τ=38.66
CC 15 SLV (Collegamento 0024_-381)
Azioni sul collegamento: N=-7375.82 Ty=3.40 Tz=-2.29 Mx=0.00 Mz=3.25
Sollecitazioni agenti localmente: Ty_l=-1294.62 My_l=-26.52
Tensioni nella sezione: σ=321.48 τ=39.23
CC 15 SLV (Collegamento 0024_-381)
Azioni sul collegamento: N=-7375.82 Ty=6.34 Tz=-2.29 Mx=0.00 Mz=8.01
Sollecitazioni agenti localmente: Ty_l=-1275.66 My_l=-26.11
Tensioni nella sezione: σ=316.44 τ=38.66
CC 15 SLV (Collegamento 0024_-381)
Azioni sul collegamento: N=-5772.92 Ty=3.40 Tz=4.00 Mx=0.00 Mz=3.25
Sollecitazioni agenti localmente: Ty_l=-1010.47 My_l=-20.70
Tensioni nella sezione: σ=250.87 τ=30.62
CC 15 SLV (Collegamento 0024_-381)
Azioni sul collegamento: N=-5772.92 Ty=6.34 Tz=4.00 Mx=0.00 Mz=8.01
Sollecitazioni agenti localmente: Ty_l=-991.51 My_l=-20.28
Tensioni nella sezione: σ=245.83 τ=30.05
CC 15 SLV (Collegamento 0024_-381)
Azioni sul collegamento: N=-5772.92 Ty=3.40 Tz=-2.29 Mx=0.00 Mz=3.25
Sollecitazioni agenti localmente: Ty_l=-1010.47 My_l=-20.70
Tensioni nella sezione: σ=250.87 τ=30.62
CC 15 SLV (Collegamento 0024_-381)
Azioni sul collegamento: N=-5772.92 Ty=6.34 Tz=-2.29 Mx=0.00 Mz=8.01
Sollecitazioni agenti localmente: Ty_l=-991.51 My_l=-20.28
Tensioni nella sezione: σ=245.83 τ=30.05
CC 16 SLD (Collegamento 0024_-381)
Azioni sul collegamento: N=-6786.28 Ty=3.58 Tz=1.69 Mx=-0.00 Mz=2.82
Sollecitazioni agenti localmente: Ty_l=-1191.80 My_l=-24.42
Tensioni nella sezione: σ=295.95 τ=36.12
CC 16 SLD (Collegamento 0024_-381)
Azioni sul collegamento: N=-6786.28 Ty=4.47 Tz=1.69 Mx=-0.00 Mz=4.27
Sollecitazioni agenti localmente: Ty_l=-1186.02 My_l=-24.29
Tensioni nella sezione: σ=294.42 τ=35.94
CC 16 SLD (Collegamento 0024_-381)
Azioni sul collegamento: N=-6786.28 Ty=3.58 Tz=-0.23 Mx=-0.00 Mz=2.82
Sollecitazioni agenti localmente: Ty_l=-1191.80 My_l=-24.42
Tensioni nella sezione: σ=295.95 τ=36.12
CC 16 SLD (Collegamento 0024_-381)
Azioni sul collegamento: N=-6786.28 Ty=4.47 Tz=-0.23 Mx=-0.00 Mz=4.27
Sollecitazioni agenti localmente: Ty_l=-1186.02 My_l=-24.29
Tensioni nella sezione: σ=294.42 τ=35.94
CC 16 SLD (Collegamento 0024_-381)
Azioni sul collegamento: N=-6297.50 Ty=3.58 Tz=1.69 Mx=-0.00 Mz=2.82
Sollecitazioni agenti localmente: Ty_l=-1105.16 My_l=-22.64
Tensioni nella sezione: σ=274.42 τ=33.49
CC 16 SLD (Collegamento 0024_-381)
Azioni sul collegamento: N=-6297.50 Ty=4.47 Tz=1.69 Mx=-0.00 Mz=4.27
Sollecitazioni agenti localmente: Ty_l=-1099.37 My_l=-22.51
Tensioni nella sezione: σ=272.89 τ=33.31
CC 16 SLD (Collegamento 0024_-381)
Azioni sul collegamento: N=-6297.50 Ty=3.58 Tz=-0.23 Mx=-0.00 Mz=2.82
Sollecitazioni agenti localmente: Ty_l=-1105.16 My_l=-22.64
Tensioni nella sezione: σ=274.42 τ=33.49
CC 16 SLD (Collegamento 0024_-381)
Azioni sul collegamento: N=-6297.50 Ty=4.47 Tz=-0.23 Mx=-0.00 Mz=4.27
Sollecitazioni agenti localmente: Ty_l=-1099.37 My_l=-22.51
Tensioni nella sezione: σ=272.89 τ=33.31
CC 17 SLV (Collegamento 0024_-381)
Azioni sul collegamento: N=-3838.16 Ty=0.76 Tz=-9.35 Mx=-0.02 Mz=1.23
Sollecitazioni agenti localmente: Ty_l=-675.51 My_l=-13.84
Tensioni nella sezione: σ=167.77 τ=20.47
CC 17 SLV (Collegamento 0024_-381)
Azioni sul collegamento: N=-3838.16 Ty=4.12 Tz=-9.35 Mx=-0.02 Mz=-1.95
Sollecitazioni agenti localmente: Ty_l=-688.16 My_l=-14.12
Tensioni nella sezione: σ=171.13 τ=20.85
CC 17 SLV (Collegamento 0024_-381)
Azioni sul collegamento: N=-3838.16 Ty=0.76 Tz=10.33 Mx=-0.02 Mz=1.23
Sollecitazioni agenti localmente: Ty_l=-675.51 My_l=-13.84

Tensioni nella sezione: σ=167.77 τ=20.47
CC 17 SLV (Collegamento 0024_-381)
Azioni sul collegamento: N=-3838.16 Ty=4.12 Tz=10.33 Mx=-0.02 Mz=-1.95
Sollecitazioni agenti localmente: Ty_l=-688.16 My_l=-14.12
Tensioni nella sezione: σ=171.13 τ=20.85
CC 17 SLV (Collegamento 0024_-381)
Azioni sul collegamento: N=-9123.66 Ty=0.76 Tz=-9.35 Mx=-0.02 Mz=1.23
Sollecitazioni agenti localmente: Ty_l=-1612.48 My_l=-33.05
Tensioni nella sezione: σ=400.59 τ=48.86
CC 17 SLV (Collegamento 0024_-381)
Azioni sul collegamento: N=-9123.66 Ty=4.12 Tz=-9.35 Mx=-0.02 Mz=-1.95
Sollecitazioni agenti localmente: Ty_l=-1625.14 My_l=-33.33
Tensioni nella sezione: σ=403.95 τ=49.25
CC 17 SLV (Collegamento 0024_-381)
Azioni sul collegamento: N=-9123.66 Ty=0.76 Tz=10.33 Mx=-0.02 Mz=1.23
Sollecitazioni agenti localmente: Ty_l=-1612.48 My_l=-33.05
Tensioni nella sezione: σ=400.59 τ=48.86
CC 17 SLV (Collegamento 0024_-381)
Azioni sul collegamento: N=-9123.66 Ty=4.12 Tz=10.33 Mx=-0.02 Mz=-1.95
Sollecitazioni agenti localmente: Ty_l=-1625.14 My_l=-33.33
Tensioni nella sezione: σ=403.95 τ=49.25
CC 18 SLD (Collegamento 0024_-381)
Azioni sul collegamento: N=-5707.53 Ty=3.80 Tz=-2.38 Mx=-0.01 Mz=2.21
Sollecitazioni agenti localmente: Ty_l=-1003.01 My_l=-20.55
Tensioni nella sezione: σ=249.09 τ=30.39
CC 18 SLD (Collegamento 0024_-381)
Azioni sul collegamento: N=-5707.53 Ty=2.77 Tz=-2.38 Mx=-0.01 Mz=1.24
Sollecitazioni agenti localmente: Ty_l=-1006.87 My_l=-20.63
Tensioni nella sezione: σ=250.11 τ=30.51
CC 18 SLD (Collegamento 0024_-381)
Azioni sul collegamento: N=-5707.53 Ty=3.80 Tz=3.62 Mx=-0.01 Mz=2.21
Sollecitazioni agenti localmente: Ty_l=-1003.01 My_l=-20.55
Tensioni nella sezione: σ=249.09 τ=30.39
CC 18 SLD (Collegamento 0024_-381)
Azioni sul collegamento: N=-5707.53 Ty=2.77 Tz=3.62 Mx=-0.01 Mz=1.24
Sollecitazioni agenti localmente: Ty_l=-1006.87 My_l=-20.63
Tensioni nella sezione: σ=250.11 τ=30.51
CC 18 SLD (Collegamento 0024_-381)
Azioni sul collegamento: N=-7319.25 Ty=3.80 Tz=-2.38 Mx=-0.01 Mz=2.21
Sollecitazioni agenti localmente: Ty_l=-1288.73 My_l=-26.41
Tensioni nella sezione: σ=320.08 τ=39.05
CC 18 SLD (Collegamento 0024_-381)
Azioni sul collegamento: N=-7319.25 Ty=2.77 Tz=-2.38 Mx=-0.01 Mz=1.24
Sollecitazioni agenti localmente: Ty_l=-1292.59 My_l=-26.49
Tensioni nella sezione: σ=321.11 τ=39.17
CC 18 SLD (Collegamento 0024_-381)
Azioni sul collegamento: N=-7319.25 Ty=3.80 Tz=3.62 Mx=-0.01 Mz=2.21
Sollecitazioni agenti localmente: Ty_l=-1288.73 My_l=-26.41
Tensioni nella sezione: σ=320.08 τ=39.05
CC 18 SLD (Collegamento 0024_-381)
Azioni sul collegamento: N=-7319.25 Ty=2.77 Tz=3.62 Mx=-0.01 Mz=1.24
Sollecitazioni agenti localmente: Ty_l=-1292.59 My_l=-26.49
Tensioni nella sezione: σ=321.11 τ=39.17
CC 19 SLV (Collegamento 0024_-381)
Azioni sul collegamento: N=-3843.85 Ty=1.39 Tz=-9.22 Mx=-0.02 Mz=-0.03
Sollecitazioni agenti localmente: Ty_l=-681.52 My_l=-13.97
Tensioni nella sezione: σ=169.35 τ=20.65
CC 19 SLV (Collegamento 0024_-381)
Azioni sul collegamento: N=-3843.85 Ty=3.49 Tz=-9.22 Mx=-0.02 Mz=-0.69
Sollecitazioni agenti localmente: Ty_l=-684.17 My_l=-14.03
Tensioni nella sezione: σ=170.05 τ=20.73
CC 19 SLV (Collegamento 0024_-381)
Azioni sul collegamento: N=-3843.85 Ty=1.39 Tz=10.20 Mx=-0.02 Mz=-0.03
Sollecitazioni agenti localmente: Ty_l=-681.52 My_l=-13.97
Tensioni nella sezione: σ=169.35 τ=20.65
CC 19 SLV (Collegamento 0024_-381)
Azioni sul collegamento: N=-3843.85 Ty=3.49 Tz=10.20 Mx=-0.02 Mz=-0.69
Sollecitazioni agenti localmente: Ty_l=-684.17 My_l=-14.03
Tensioni nella sezione: σ=170.05 τ=20.73
CC 19 SLV (Collegamento 0024_-381)
Azioni sul collegamento: N=-9117.97 Ty=1.39 Tz=-9.22 Mx=-0.02 Mz=-0.03
Sollecitazioni agenti localmente: Ty_l=-1616.47 My_l=-33.14
Tensioni nella sezione: σ=401.67 τ=48.98
CC 19 SLV (Collegamento 0024_-381)
Azioni sul collegamento: N=-9117.97 Ty=3.49 Tz=-9.22 Mx=-0.02 Mz=-0.69
Sollecitazioni agenti localmente: Ty_l=-1619.13 My_l=-33.20
Tensioni nella sezione: σ=402.38 τ=49.06
CC 19 SLV (Collegamento 0024_-381)
Azioni sul collegamento: N=-9117.97 Ty=1.39 Tz=10.20 Mx=-0.02 Mz=-0.03

Sollecitazioni agenti localmente: Ty_l=-1616.47 My_l=-33.14
Tensioni nella sezione: σ=401.67 τ=48.98
CC 19 SLV (Collegamento 0024_-381)
Azioni sul collegamento: N=-9117.97 Ty=3.49 Tz=10.20 Mx=-0.02 Mz=-0.69
Sollecitazioni agenti localmente: Ty_l=-1619.13 My_l=-33.20
Tensioni nella sezione: σ=402.38 τ=49.06
CC 20 SLD (Collegamento 0024_-381)
Azioni sul collegamento: N=-5709.27 Ty=3.60 Tz=-2.35 Mx=-0.01 Mz=1.82
Sollecitazioni agenti localmente: Ty_l=-1004.85 My_l=-20.59
Tensioni nella sezione: σ=249.57 τ=30.45
CC 20 SLD (Collegamento 0024_-381)
Azioni sul collegamento: N=-5709.27 Ty=2.97 Tz=-2.35 Mx=-0.01 Mz=1.62
Sollecitazioni agenti localmente: Ty_l=-1005.66 My_l=-20.61
Tensioni nella sezione: σ=249.78 τ=30.47
CC 20 SLD (Collegamento 0024_-381)
Azioni sul collegamento: N=-5709.27 Ty=3.60 Tz=3.58 Mx=-0.01 Mz=1.82
Sollecitazioni agenti localmente: Ty_l=-1004.85 My_l=-20.59
Tensioni nella sezione: σ=249.57 τ=30.45
CC 20 SLD (Collegamento 0024_-381)
Azioni sul collegamento: N=-5709.27 Ty=2.97 Tz=3.58 Mx=-0.01 Mz=1.62
Sollecitazioni agenti localmente: Ty_l=-1005.66 My_l=-20.61
Tensioni nella sezione: σ=249.78 τ=30.47
CC 20 SLD (Collegamento 0024_-381)
Azioni sul collegamento: N=-7317.51 Ty=3.60 Tz=-2.35 Mx=-0.01 Mz=1.82
Sollecitazioni agenti localmente: Ty_l=-1289.95 My_l=-26.43
Tensioni nella sezione: σ=320.41 τ=39.09
CC 20 SLD (Collegamento 0024_-381)
Azioni sul collegamento: N=-7317.51 Ty=2.97 Tz=-2.35 Mx=-0.01 Mz=1.62
Sollecitazioni agenti localmente: Ty_l=-1290.76 My_l=-26.45
Tensioni nella sezione: σ=320.62 τ=39.11
CC 20 SLD (Collegamento 0024_-381)
Azioni sul collegamento: N=-7317.51 Ty=3.60 Tz=3.58 Mx=-0.01 Mz=1.82
Sollecitazioni agenti localmente: Ty_l=-1289.95 My_l=-26.43
Tensioni nella sezione: σ=320.41 τ=39.09
CC 20 SLD (Collegamento 0024_-381)
Azioni sul collegamento: N=-7317.51 Ty=2.97 Tz=3.58 Mx=-0.01 Mz=1.62
Sollecitazioni agenti localmente: Ty_l=-1290.76 My_l=-26.45
Tensioni nella sezione: σ=320.62 τ=39.11
CC 21 SLV (Collegamento 0024_-381)
Azioni sul collegamento: N=-9117.97 Ty=3.49 Tz=10.20 Mx=-0.02 Mz=-0.69
Sollecitazioni agenti localmente: Ty_l=-1619.13 My_l=-33.20
Tensioni nella sezione: σ=402.38 τ=49.06
CC 21 SLV (Collegamento 0024_-381)
Azioni sul collegamento: N=-9117.97 Ty=1.39 Tz=10.20 Mx=-0.02 Mz=-0.03
Sollecitazioni agenti localmente: Ty_l=-1616.47 My_l=-33.14
Tensioni nella sezione: σ=401.67 τ=48.98
CC 21 SLV (Collegamento 0024_-381)
Azioni sul collegamento: N=-9117.97 Ty=3.49 Tz=-9.22 Mx=-0.02 Mz=-0.69
Sollecitazioni agenti localmente: Ty_l=-1619.13 My_l=-33.20
Tensioni nella sezione: σ=402.38 τ=49.06
CC 21 SLV (Collegamento 0024_-381)
Azioni sul collegamento: N=-9117.97 Ty=1.39 Tz=-9.22 Mx=-0.02 Mz=-0.03
Sollecitazioni agenti localmente: Ty_l=-1616.47 My_l=-33.14
Tensioni nella sezione: σ=401.67 τ=48.98
CC 21 SLV (Collegamento 0024_-381)
Azioni sul collegamento: N=-3843.85 Ty=3.49 Tz=10.20 Mx=-0.02 Mz=-0.69
Sollecitazioni agenti localmente: Ty_l=-684.17 My_l=-14.03
Tensioni nella sezione: σ=170.05 τ=20.73
CC 21 SLV (Collegamento 0024_-381)
Azioni sul collegamento: N=-3843.85 Ty=1.39 Tz=10.20 Mx=-0.02 Mz=-0.03
Sollecitazioni agenti localmente: Ty_l=-681.52 My_l=-13.97
Tensioni nella sezione: σ=169.35 τ=20.65
CC 21 SLV (Collegamento 0024_-381)
Azioni sul collegamento: N=-3843.85 Ty=3.49 Tz=-9.22 Mx=-0.02 Mz=-0.69
Sollecitazioni agenti localmente: Ty_l=-684.17 My_l=-14.03
Tensioni nella sezione: σ=170.05 τ=20.73
CC 21 SLV (Collegamento 0024_-381)
Azioni sul collegamento: N=-3843.85 Ty=1.39 Tz=-9.22 Mx=-0.02 Mz=-0.03
Sollecitazioni agenti localmente: Ty_l=-681.52 My_l=-13.97
Tensioni nella sezione: σ=169.35 τ=20.65
CC 22 SLD (Collegamento 0024_-381)
Azioni sul collegamento: N=-7317.51 Ty=2.97 Tz=3.58 Mx=-0.01 Mz=1.62
Sollecitazioni agenti localmente: Ty_l=-1290.76 My_l=-26.45
Tensioni nella sezione: σ=320.62 τ=39.11
CC 22 SLD (Collegamento 0024_-381)
Azioni sul collegamento: N=-7317.51 Ty=3.60 Tz=3.58 Mx=-0.01 Mz=1.82
Sollecitazioni agenti localmente: Ty_l=-1289.95 My_l=-26.43
Tensioni nella sezione: σ=320.41 τ=39.09
CC 22 SLD (Collegamento 0024_-381)

Azioni sul collegamento: N=-7317.51 Ty=2.97 Tz=-2.35 Mx=-0.01 Mz=1.62
Sollecitazioni agenti localmente: Ty_l=-1290.76 My_l=-26.45
Tensioni nella sezione: σ=320.62 τ=39.11
CC 22 SLD (Collegamento 0024_-381)
Azioni sul collegamento: N=-7317.51 Ty=3.60 Tz=-2.35 Mx=-0.01 Mz=1.82
Sollecitazioni agenti localmente: Ty_l=-1289.95 My_l=-26.43
Tensioni nella sezione: σ=320.41 τ=39.09
CC 22 SLD (Collegamento 0024_-381)
Azioni sul collegamento: N=-5709.27 Ty=2.97 Tz=3.58 Mx=-0.01 Mz=1.62
Sollecitazioni agenti localmente: Ty_l=-1005.66 My_l=-20.61
Tensioni nella sezione: σ=249.78 τ=30.47
CC 22 SLD (Collegamento 0024_-381)
Azioni sul collegamento: N=-5709.27 Ty=3.60 Tz=3.58 Mx=-0.01 Mz=1.82
Sollecitazioni agenti localmente: Ty_l=-1004.85 My_l=-20.59
Tensioni nella sezione: σ=249.57 τ=30.45
CC 22 SLD (Collegamento 0024_-381)
Azioni sul collegamento: N=-5709.27 Ty=2.97 Tz=-2.35 Mx=-0.01 Mz=1.62
Sollecitazioni agenti localmente: Ty_l=-1005.66 My_l=-20.61
Tensioni nella sezione: σ=249.78 τ=30.47
CC 22 SLD (Collegamento 0024_-381)
Azioni sul collegamento: N=-5709.27 Ty=3.60 Tz=-2.35 Mx=-0.01 Mz=1.82
Sollecitazioni agenti localmente: Ty_l=-1004.85 My_l=-20.59
Tensioni nella sezione: σ=249.57 τ=30.45
CC 23 SLV (Collegamento 0024_-381)
Azioni sul collegamento: N=-9123.66 Ty=4.12 Tz=10.33 Mx=-0.01 Mz=-1.95
Sollecitazioni agenti localmente: Ty_l=-1625.14 My_l=-33.33
Tensioni nella sezione: σ=403.95 τ=49.25
CC 23 SLV (Collegamento 0024_-381)
Azioni sul collegamento: N=-9123.66 Ty=0.76 Tz=10.33 Mx=-0.01 Mz=1.23
Sollecitazioni agenti localmente: Ty_l=-1612.48 My_l=-33.05
Tensioni nella sezione: σ=400.59 τ=48.86
CC 23 SLV (Collegamento 0024_-381)
Azioni sul collegamento: N=-9123.66 Ty=4.12 Tz=-9.35 Mx=-0.01 Mz=-1.95
Sollecitazioni agenti localmente: Ty_l=-1625.14 My_l=-33.33
Tensioni nella sezione: σ=403.95 τ=49.25
CC 23 SLV (Collegamento 0024_-381)
Azioni sul collegamento: N=-9123.66 Ty=0.76 Tz=-9.35 Mx=-0.01 Mz=1.23
Sollecitazioni agenti localmente: Ty_l=-1612.48 My_l=-33.05
Tensioni nella sezione: σ=400.59 τ=48.86
CC 23 SLV (Collegamento 0024_-381)
Azioni sul collegamento: N=-3838.16 Ty=4.12 Tz=10.33 Mx=-0.01 Mz=-1.95
Sollecitazioni agenti localmente: Ty_l=-688.16 My_l=-14.12
Tensioni nella sezione: σ=171.13 τ=20.85
CC 23 SLV (Collegamento 0024_-381)
Azioni sul collegamento: N=-3838.16 Ty=0.76 Tz=10.33 Mx=-0.01 Mz=1.23
Sollecitazioni agenti localmente: Ty_l=-675.51 My_l=-13.84
Tensioni nella sezione: σ=167.77 τ=20.47
CC 23 SLV (Collegamento 0024_-381)
Azioni sul collegamento: N=-3838.16 Ty=4.12 Tz=-9.35 Mx=-0.01 Mz=-1.95
Sollecitazioni agenti localmente: Ty_l=-688.16 My_l=-14.12
Tensioni nella sezione: σ=171.13 τ=20.85
CC 23 SLV (Collegamento 0024_-381)
Azioni sul collegamento: N=-3838.16 Ty=0.76 Tz=-9.35 Mx=-0.01 Mz=1.23
Sollecitazioni agenti localmente: Ty_l=-675.51 My_l=-13.84
Tensioni nella sezione: σ=167.77 τ=20.47
CC 24 SLD (Collegamento 0024_-381)
Azioni sul collegamento: N=-7319.25 Ty=2.77 Tz=3.62 Mx=-0.01 Mz=1.24
Sollecitazioni agenti localmente: Ty_l=-1292.59 My_l=-26.49
Tensioni nella sezione: σ=321.11 τ=39.17
CC 24 SLD (Collegamento 0024_-381)
Azioni sul collegamento: N=-7319.25 Ty=3.80 Tz=3.62 Mx=-0.01 Mz=2.21
Sollecitazioni agenti localmente: Ty_l=-1288.73 My_l=-26.41
Tensioni nella sezione: σ=320.08 τ=39.05
CC 24 SLD (Collegamento 0024_-381)
Azioni sul collegamento: N=-7319.25 Ty=2.77 Tz=-2.38 Mx=-0.01 Mz=1.24
Sollecitazioni agenti localmente: Ty_l=-1292.59 My_l=-26.49
Tensioni nella sezione: σ=321.11 τ=39.17
CC 24 SLD (Collegamento 0024_-381)
Azioni sul collegamento: N=-7319.25 Ty=3.80 Tz=-2.38 Mx=-0.01 Mz=2.21
Sollecitazioni agenti localmente: Ty_l=-1288.73 My_l=-26.41
Tensioni nella sezione: σ=320.08 τ=39.05
CC 24 SLD (Collegamento 0024_-381)
Azioni sul collegamento: N=-5707.53 Ty=2.77 Tz=3.62 Mx=-0.01 Mz=1.24
Sollecitazioni agenti localmente: Ty_l=-1006.87 My_l=-20.63
Tensioni nella sezione: σ=250.11 τ=30.51
CC 24 SLD (Collegamento 0024_-381)
Azioni sul collegamento: N=-5707.53 Ty=3.80 Tz=3.62 Mx=-0.01 Mz=2.21
Sollecitazioni agenti localmente: Ty_l=-1003.01 My_l=-20.55
Tensioni nella sezione: σ=249.09 τ=30.39

CC 24 SLD (Collegamento 0024_-381)
Azioni sul collegamento: N=-5707.53 Ty=2.77 Tz=-2.38 Mx=-0.01 Mz=1.24
Sollecitazioni agenti localmente: Ty_l=-1006.87 My_l=-20.63
Tensioni nella sezione: σ=250.11 τ=30.51
CC 24 SLD (Collegamento 0024_-381)
Azioni sul collegamento: N=-5707.53 Ty=3.80 Tz=-2.38 Mx=-0.01 Mz=2.21
Sollecitazioni agenti localmente: Ty_l=-1003.01 My_l=-20.55
Tensioni nella sezione: σ=249.09 τ=30.39
CC 25 SLV (Collegamento 0024_-381)
Azioni sul collegamento: N=-5679.46 Ty=0.97 Tz=-2.66 Mx=-0.03 Mz=2.02
Sollecitazioni agenti localmente: Ty_l=-998.77 My_l=-20.46
Tensioni nella sezione: σ=248.04 τ=30.27
CC 25 SLV (Collegamento 0024_-381)
Azioni sul collegamento: N=-5679.46 Ty=3.91 Tz=-2.66 Mx=-0.03 Mz=-2.74
Sollecitazioni agenti localmente: Ty_l=-1017.73 My_l=-20.88
Tensioni nella sezione: σ=253.08 τ=30.84
CC 25 SLV (Collegamento 0024_-381)
Azioni sul collegamento: N=-5679.46 Ty=0.97 Tz=3.63 Mx=-0.03 Mz=2.02
Sollecitazioni agenti localmente: Ty_l=-998.77 My_l=-20.46
Tensioni nella sezione: σ=248.04 τ=30.27
CC 25 SLV (Collegamento 0024_-381)
Azioni sul collegamento: N=-5679.46 Ty=3.91 Tz=3.63 Mx=-0.03 Mz=-2.74
Sollecitazioni agenti localmente: Ty_l=-1017.73 My_l=-20.88
Tensioni nella sezione: σ=253.08 τ=30.84
CC 25 SLV (Collegamento 0024_-381)
Azioni sul collegamento: N=-7282.36 Ty=0.97 Tz=-2.66 Mx=-0.03 Mz=2.02
Sollecitazioni agenti localmente: Ty_l=-1282.92 My_l=-26.29
Tensioni nella sezione: σ=318.65 τ=38.88
CC 25 SLV (Collegamento 0024_-381)
Azioni sul collegamento: N=-7282.36 Ty=3.91 Tz=-2.66 Mx=-0.03 Mz=-2.74
Sollecitazioni agenti localmente: Ty_l=-1301.88 My_l=-26.70
Tensioni nella sezione: σ=323.68 τ=39.45
CC 25 SLV (Collegamento 0024_-381)
Azioni sul collegamento: N=-7282.36 Ty=0.97 Tz=3.63 Mx=-0.03 Mz=2.02
Sollecitazioni agenti localmente: Ty_l=-1282.92 My_l=-26.29
Tensioni nella sezione: σ=318.65 τ=38.88
CC 25 SLV (Collegamento 0024_-381)
Azioni sul collegamento: N=-7282.36 Ty=3.91 Tz=3.63 Mx=-0.03 Mz=-2.74
Sollecitazioni agenti localmente: Ty_l=-1301.88 My_l=-26.70
Tensioni nella sezione: σ=323.68 τ=39.45
CC 26 SLD (Collegamento 0024_-381)
Azioni sul collegamento: N=-6269.00 Ty=3.73 Tz=-0.34 Mx=-0.01 Mz=2.45
Sollecitazioni agenti localmente: Ty_l=-1101.59 My_l=-22.57
Tensioni nella sezione: σ=273.56 τ=33.38
CC 26 SLD (Collegamento 0024_-381)
Azioni sul collegamento: N=-6269.00 Ty=2.84 Tz=-0.34 Mx=-0.01 Mz=0.99
Sollecitazioni agenti localmente: Ty_l=-1107.37 My_l=-22.70
Tensioni nella sezione: σ=275.10 τ=33.56
CC 26 SLD (Collegamento 0024_-381)
Azioni sul collegamento: N=-6269.00 Ty=3.73 Tz=1.57 Mx=-0.01 Mz=2.45
Sollecitazioni agenti localmente: Ty_l=-1101.59 My_l=-22.57
Tensioni nella sezione: σ=273.56 τ=33.38
CC 26 SLD (Collegamento 0024_-381)
Azioni sul collegamento: N=-6269.00 Ty=2.84 Tz=1.57 Mx=-0.01 Mz=0.99
Sollecitazioni agenti localmente: Ty_l=-1107.37 My_l=-22.70
Tensioni nella sezione: σ=275.10 τ=33.56
CC 26 SLD (Collegamento 0024_-381)
Azioni sul collegamento: N=-6757.78 Ty=3.73 Tz=-0.34 Mx=-0.01 Mz=2.45
Sollecitazioni agenti localmente: Ty_l=-1188.23 My_l=-24.35
Tensioni nella sezione: σ=295.09 τ=36.01
CC 26 SLD (Collegamento 0024_-381)
Azioni sul collegamento: N=-6757.78 Ty=2.84 Tz=-0.34 Mx=-0.01 Mz=0.99
Sollecitazioni agenti localmente: Ty_l=-1194.02 My_l=-24.47
Tensioni nella sezione: σ=296.63 τ=36.18
CC 26 SLD (Collegamento 0024_-381)
Azioni sul collegamento: N=-6757.78 Ty=3.73 Tz=1.57 Mx=-0.01 Mz=2.45
Sollecitazioni agenti localmente: Ty_l=-1188.23 My_l=-24.35
Tensioni nella sezione: σ=295.09 τ=36.01
CC 26 SLD (Collegamento 0024_-381)
Azioni sul collegamento: N=-6757.78 Ty=2.84 Tz=1.57 Mx=-0.01 Mz=0.99
Sollecitazioni agenti localmente: Ty_l=-1194.02 My_l=-24.47
Tensioni nella sezione: σ=296.63 τ=36.18
CC 27 SLV (Collegamento 0024_-381)
Azioni sul collegamento: N=-7263.40 Ty=1.79 Tz=3.21 Mx=-0.02 Mz=1.45
Sollecitazioni agenti localmente: Ty_l=-1281.85 My_l=-26.27
Tensioni nella sezione: σ=318.42 τ=38.84
CC 27 SLV (Collegamento 0024_-381)
Azioni sul collegamento: N=-7263.40 Ty=3.09 Tz=3.21 Mx=-0.02 Mz=-2.17
Sollecitazioni agenti localmente: Ty_l=-1296.22 My_l=-26.58

Tensioni nella sezione: σ=322.24 τ=39.28
CC 27 SLV (Collegamento 0024_-381)
Azioni sul collegamento: N=-7263.40 Ty=1.79 Tz=-2.23 Mx=-0.02 Mz=1.45
Sollecitazioni agenti localmente: Ty_l=-1281.85 My_l=-26.27
Tensioni nella sezione: σ=318.42 τ=38.84
CC 27 SLV (Collegamento 0024_-381)
Azioni sul collegamento: N=-7263.40 Ty=3.09 Tz=-2.23 Mx=-0.02 Mz=-2.17
Sollecitazioni agenti localmente: Ty_l=-1296.22 My_l=-26.58
Tensioni nella sezione: σ=322.24 τ=39.28
CC 27 SLV (Collegamento 0024_-381)
Azioni sul collegamento: N=-5698.42 Ty=1.79 Tz=3.21 Mx=-0.02 Mz=1.45
Sollecitazioni agenti localmente: Ty_l=-1004.42 My_l=-20.58
Tensioni nella sezione: σ=249.49 τ=30.44
CC 27 SLV (Collegamento 0024_-381)
Azioni sul collegamento: N=-5698.42 Ty=3.09 Tz=3.21 Mx=-0.02 Mz=-2.17
Sollecitazioni agenti localmente: Ty_l=-1018.79 My_l=-20.90
Tensioni nella sezione: σ=253.30 τ=30.87
CC 27 SLV (Collegamento 0024_-381)
Azioni sul collegamento: N=-5698.42 Ty=1.79 Tz=-2.23 Mx=-0.02 Mz=1.45
Sollecitazioni agenti localmente: Ty_l=-1004.42 My_l=-20.58
Tensioni nella sezione: σ=249.49 τ=30.44
CC 27 SLV (Collegamento 0024_-381)
Azioni sul collegamento: N=-5698.42 Ty=3.09 Tz=-2.23 Mx=-0.02 Mz=-2.17
Sollecitazioni agenti localmente: Ty_l=-1018.79 My_l=-20.90
Tensioni nella sezione: σ=253.30 τ=30.87
CC 28 SLD (Collegamento 0024_-381)
Azioni sul collegamento: N=-6752.00 Ty=3.48 Tz=1.44 Mx=-0.01 Mz=2.27
Sollecitazioni agenti localmente: Ty_l=-1187.91 My_l=-24.34
Tensioni nella sezione: σ=295.02 τ=36.00
CC 28 SLD (Collegamento 0024_-381)
Azioni sul collegamento: N=-6752.00 Ty=3.09 Tz=1.44 Mx=-0.01 Mz=1.17
Sollecitazioni agenti localmente: Ty_l=-1192.29 My_l=-24.44
Tensioni nella sezione: σ=296.19 τ=36.13
CC 28 SLD (Collegamento 0024_-381)
Azioni sul collegamento: N=-6752.00 Ty=3.48 Tz=-0.21 Mx=-0.01 Mz=2.27
Sollecitazioni agenti localmente: Ty_l=-1187.91 My_l=-24.34
Tensioni nella sezione: σ=295.02 τ=36.00
CC 28 SLD (Collegamento 0024_-381)
Azioni sul collegamento: N=-6752.00 Ty=3.09 Tz=-0.21 Mx=-0.01 Mz=1.17
Sollecitazioni agenti localmente: Ty_l=-1192.29 My_l=-24.44
Tensioni nella sezione: σ=296.19 τ=36.13
CC 28 SLD (Collegamento 0024_-381)
Azioni sul collegamento: N=-6274.78 Ty=3.48 Tz=1.44 Mx=-0.01 Mz=2.27
Sollecitazioni agenti localmente: Ty_l=-1103.31 My_l=-22.61
Tensioni nella sezione: σ=274.00 τ=33.43
CC 28 SLD (Collegamento 0024_-381)
Azioni sul collegamento: N=-6274.78 Ty=3.09 Tz=1.44 Mx=-0.01 Mz=1.17
Sollecitazioni agenti localmente: Ty_l=-1107.69 My_l=-22.70
Tensioni nella sezione: σ=275.17 τ=33.57
CC 28 SLD (Collegamento 0024_-381)
Azioni sul collegamento: N=-6274.78 Ty=3.48 Tz=-0.21 Mx=-0.01 Mz=2.27
Sollecitazioni agenti localmente: Ty_l=-1103.31 My_l=-22.61
Tensioni nella sezione: σ=274.00 τ=33.43
CC 28 SLD (Collegamento 0024_-381)
Azioni sul collegamento: N=-6274.78 Ty=3.09 Tz=-0.21 Mx=-0.01 Mz=1.17
Sollecitazioni agenti localmente: Ty_l=-1107.69 My_l=-22.70
Tensioni nella sezione: σ=275.17 τ=33.57
CC 29 SLV (Collegamento 0024_-381)
Azioni sul collegamento: N=-5698.42 Ty=3.09 Tz=-2.23 Mx=-0.01 Mz=-2.17
Sollecitazioni agenti localmente: Ty_l=-1018.79 My_l=-20.90
Tensioni nella sezione: σ=253.30 τ=30.87
CC 29 SLV (Collegamento 0024_-381)
Azioni sul collegamento: N=-5698.42 Ty=1.79 Tz=-2.23 Mx=-0.01 Mz=1.45
Sollecitazioni agenti localmente: Ty_l=-1004.42 My_l=-20.58
Tensioni nella sezione: σ=249.49 τ=30.44
CC 29 SLV (Collegamento 0024_-381)
Azioni sul collegamento: N=-5698.42 Ty=3.09 Tz=3.21 Mx=-0.01 Mz=-2.17
Sollecitazioni agenti localmente: Ty_l=-1018.79 My_l=-20.90
Tensioni nella sezione: σ=253.30 τ=30.87
CC 29 SLV (Collegamento 0024_-381)
Azioni sul collegamento: N=-5698.42 Ty=1.79 Tz=3.21 Mx=-0.01 Mz=1.45
Sollecitazioni agenti localmente: Ty_l=-1004.42 My_l=-20.58
Tensioni nella sezione: σ=249.49 τ=30.44
CC 29 SLV (Collegamento 0024_-381)
Azioni sul collegamento: N=-7263.40 Ty=3.09 Tz=-2.23 Mx=-0.01 Mz=-2.17
Sollecitazioni agenti localmente: Ty_l=-1296.22 My_l=-26.58
Tensioni nella sezione: σ=322.24 τ=39.28
CC 29 SLV (Collegamento 0024_-381)
Azioni sul collegamento: N=-7263.40 Ty=1.79 Tz=-2.23 Mx=-0.01 Mz=1.45

Sollecitazioni agenti localmente: Ty_l=-1281.85 My_l=-26.27
Tensioni nella sezione: σ=318.42 τ=38.84
CC 29 SLV (Collegamento 0024_-381)
Azioni sul collegamento: N=-7263.40 Ty=3.09 Tz=3.21 Mx=-0.01 Mz=-2.17
Sollecitazioni agenti localmente: Ty_l=-1296.22 My_l=-26.58
Tensioni nella sezione: σ=322.24 τ=39.28
CC 29 SLV (Collegamento 0024_-381)
Azioni sul collegamento: N=-7263.40 Ty=1.79 Tz=3.21 Mx=-0.01 Mz=1.45
Sollecitazioni agenti localmente: Ty_l=-1281.85 My_l=-26.27
Tensioni nella sezione: σ=318.42 τ=38.84
CC 30 SLD (Collegamento 0024_-381)
Azioni sul collegamento: N=-6274.78 Ty=3.09 Tz=-0.21 Mx=-0.01 Mz=1.17
Sollecitazioni agenti localmente: Ty_l=-1107.69 My_l=-22.70
Tensioni nella sezione: σ=275.17 τ=33.57
CC 30 SLD (Collegamento 0024_-381)
Azioni sul collegamento: N=-6274.78 Ty=3.48 Tz=-0.21 Mx=-0.01 Mz=2.27
Sollecitazioni agenti localmente: Ty_l=-1103.31 My_l=-22.61
Tensioni nella sezione: σ=274.00 τ=33.43
CC 30 SLD (Collegamento 0024_-381)
Azioni sul collegamento: N=-6274.78 Ty=3.09 Tz=1.44 Mx=-0.01 Mz=1.17
Sollecitazioni agenti localmente: Ty_l=-1107.69 My_l=-22.70
Tensioni nella sezione: σ=275.17 τ=33.57
CC 30 SLD (Collegamento 0024_-381)
Azioni sul collegamento: N=-6274.78 Ty=3.48 Tz=1.44 Mx=-0.01 Mz=2.27
Sollecitazioni agenti localmente: Ty_l=-1103.31 My_l=-22.61
Tensioni nella sezione: σ=274.00 τ=33.43
CC 30 SLD (Collegamento 0024_-381)
Azioni sul collegamento: N=-6752.00 Ty=3.09 Tz=-0.21 Mx=-0.01 Mz=1.17
Sollecitazioni agenti localmente: Ty_l=-1192.29 My_l=-24.44
Tensioni nella sezione: σ=296.19 τ=36.13
CC 30 SLD (Collegamento 0024_-381)
Azioni sul collegamento: N=-6752.00 Ty=3.48 Tz=-0.21 Mx=-0.01 Mz=2.27
Sollecitazioni agenti localmente: Ty_l=-1187.91 My_l=-24.34
Tensioni nella sezione: σ=295.02 τ=36.00
CC 30 SLD (Collegamento 0024_-381)
Azioni sul collegamento: N=-6752.00 Ty=3.09 Tz=1.44 Mx=-0.01 Mz=1.17
Sollecitazioni agenti localmente: Ty_l=-1192.29 My_l=-24.44
Tensioni nella sezione: σ=296.19 τ=36.13
CC 30 SLD (Collegamento 0024_-381)
Azioni sul collegamento: N=-6752.00 Ty=3.48 Tz=1.44 Mx=-0.01 Mz=2.27
Sollecitazioni agenti localmente: Ty_l=-1187.91 My_l=-24.34
Tensioni nella sezione: σ=295.02 τ=36.00
CC 31 SLV (Collegamento 0024_-381)
Azioni sul collegamento: N=-7282.36 Ty=3.91 Tz=3.63 Mx=-0.01 Mz=-2.74
Sollecitazioni agenti localmente: Ty_l=-1301.88 My_l=-26.70
Tensioni nella sezione: σ=323.68 τ=39.45
CC 31 SLV (Collegamento 0024_-381)
Azioni sul collegamento: N=-7282.36 Ty=0.97 Tz=3.63 Mx=-0.01 Mz=2.02
Sollecitazioni agenti localmente: Ty_l=-1282.92 My_l=-26.29
Tensioni nella sezione: σ=318.65 τ=38.88
CC 31 SLV (Collegamento 0024_-381)
Azioni sul collegamento: N=-7282.36 Ty=3.91 Tz=-2.66 Mx=-0.01 Mz=-2.74
Sollecitazioni agenti localmente: Ty_l=-1301.88 My_l=-26.70
Tensioni nella sezione: σ=323.68 τ=39.45
CC 31 SLV (Collegamento 0024_-381)
Azioni sul collegamento: N=-7282.36 Ty=0.97 Tz=-2.66 Mx=-0.01 Mz=2.02
Sollecitazioni agenti localmente: Ty_l=-1282.92 My_l=-26.29
Tensioni nella sezione: σ=318.65 τ=38.88
CC 31 SLV (Collegamento 0024_-381)
Azioni sul collegamento: N=-5679.46 Ty=3.91 Tz=3.63 Mx=-0.01 Mz=-2.74
Sollecitazioni agenti localmente: Ty_l=-1017.73 My_l=-20.88
Tensioni nella sezione: σ=253.08 τ=30.84
CC 31 SLV (Collegamento 0024_-381)
Azioni sul collegamento: N=-5679.46 Ty=0.97 Tz=3.63 Mx=-0.01 Mz=2.02
Sollecitazioni agenti localmente: Ty_l=-998.77 My_l=-20.46
Tensioni nella sezione: σ=248.04 τ=30.27
CC 31 SLV (Collegamento 0024_-381)
Azioni sul collegamento: N=-5679.46 Ty=3.91 Tz=-2.66 Mx=-0.01 Mz=-2.74
Sollecitazioni agenti localmente: Ty_l=-1017.73 My_l=-20.88
Tensioni nella sezione: σ=253.08 τ=30.84
CC 31 SLV (Collegamento 0024_-381)
Azioni sul collegamento: N=-5679.46 Ty=0.97 Tz=-2.66 Mx=-0.01 Mz=2.02
Sollecitazioni agenti localmente: Ty_l=-998.77 My_l=-20.46
Tensioni nella sezione: σ=248.04 τ=30.27
CC 32 SLD (Collegamento 0024_-381)
Azioni sul collegamento: N=-6757.78 Ty=2.84 Tz=1.57 Mx=-0.00 Mz=0.99
Sollecitazioni agenti localmente: Ty_l=-1194.02 My_l=-24.47
Tensioni nella sezione: σ=296.63 τ=36.18
CC 32 SLD (Collegamento 0024_-381)

Azioni sul collegamento: N=-6757.78 Ty=3.73 Tz=1.57 Mx=-0.00 Mz=2.45
Sollecitazioni agenti localmente: Ty_l=-1188.23 My_l=-24.35
Tensioni nella sezione: σ=295.09 τ=36.01
CC 32 SLD (Collegamento 0024_-381)
Azioni sul collegamento: N=-6757.78 Ty=2.84 Tz=-0.34 Mx=-0.00 Mz=0.99
Sollecitazioni agenti localmente: Ty_l=-1194.02 My_l=-24.47
Tensioni nella sezione: σ=296.63 τ=36.18
CC 32 SLD (Collegamento 0024_-381)
Azioni sul collegamento: N=-6757.78 Ty=3.73 Tz=-0.34 Mx=-0.00 Mz=2.45
Sollecitazioni agenti localmente: Ty_l=-1188.23 My_l=-24.35
Tensioni nella sezione: σ=295.09 τ=36.01
CC 32 SLD (Collegamento 0024_-381)
Azioni sul collegamento: N=-6269.00 Ty=2.84 Tz=1.57 Mx=-0.00 Mz=0.99
Sollecitazioni agenti localmente: Ty_l=-1107.37 My_l=-22.70
Tensioni nella sezione: σ=275.10 τ=33.56
CC 32 SLD (Collegamento 0024_-381)
Azioni sul collegamento: N=-6269.00 Ty=3.73 Tz=1.57 Mx=-0.00 Mz=2.45
Sollecitazioni agenti localmente: Ty_l=-1101.59 My_l=-22.57
Tensioni nella sezione: σ=273.56 τ=33.38
CC 32 SLD (Collegamento 0024_-381)
Azioni sul collegamento: N=-6269.00 Ty=2.84 Tz=-0.34 Mx=-0.00 Mz=0.99
Sollecitazioni agenti localmente: Ty_l=-1107.37 My_l=-22.70
Tensioni nella sezione: σ=275.10 τ=33.56
CC 32 SLD (Collegamento 0024_-381)
Azioni sul collegamento: N=-6269.00 Ty=3.73 Tz=-0.34 Mx=-0.00 Mz=2.45
Sollecitazioni agenti localmente: Ty_l=-1101.59 My_l=-22.57
Tensioni nella sezione: σ=273.56 τ=33.38
CC 33 SLU (Collegamento 0024_-381)
Azioni sul collegamento: N=-30229.20 Ty=5.39 Tz=79.58 Mx=-0.01 Mz=3.85
Sollecitazioni agenti localmente: Ty_l=-5343.52 My_l=-109.52
Tensioni nella sezione: σ=1327.52 τ=161.93
CC 34 SLU (Collegamento 0024_-381)
Azioni sul collegamento: N=-30778.60 Ty=5.67 Tz=81.62 Mx=-0.01 Mz=4.05
Sollecitazioni agenti localmente: Ty_l=-5440.11 My_l=-111.50
Tensioni nella sezione: σ=1351.51 τ=164.85
CC 35 SLU (Collegamento 0024_-381)
Azioni sul collegamento: N=-30504.90 Ty=5.64 Tz=80.58 Mx=-0.01 Mz=4.16
Sollecitazioni agenti localmente: Ty_l=-5391.12 My_l=-110.50
Tensioni nella sezione: σ=1339.33 τ=163.37
CC 36 SLU (Collegamento 0024_-381)
Azioni sul collegamento: N=-30502.90 Ty=5.42 Tz=80.62 Mx=-0.01 Mz=3.73
Sollecitazioni agenti localmente: Ty_l=-5392.50 My_l=-110.53
Tensioni nella sezione: σ=1339.70 τ=163.41
CC 37 SLU (Collegamento 0024_-381)
Azioni sul collegamento: N=-32152.70 Ty=5.24 Tz=86.01 Mx=0.00 Mz=3.86
Sollecitazioni agenti localmente: Ty_l=-5684.45 My_l=-116.51
Tensioni nella sezione: σ=1412.24 τ=172.26
CC 38 SLU (Collegamento 0024_-381)
Azioni sul collegamento: N=-32702.10 Ty=5.53 Tz=88.04 Mx=0.00 Mz=4.06
Sollecitazioni agenti localmente: Ty_l=-5781.04 My_l=-118.49
Tensioni nella sezione: σ=1436.23 τ=175.18
CC 39 SLU (Collegamento 0024_-381)
Azioni sul collegamento: N=-32428.40 Ty=5.50 Tz=87.00 Mx=0.00 Mz=4.18
Sollecitazioni agenti localmente: Ty_l=-5732.05 My_l=-117.48
Tensioni nella sezione: σ=1424.05 τ=173.70
CC 40 SLU (Collegamento 0024_-381)
Azioni sul collegamento: N=-32426.40 Ty=5.28 Tz=87.05 Mx=0.00 Mz=3.74
Sollecitazioni agenti localmente: Ty_l=-5733.44 My_l=-117.52
Tensioni nella sezione: σ=1424.42 τ=173.74
CC 41 SLU (Collegamento 0024_-381)
Azioni sul collegamento: N=-20958.20 Ty=6.23 Tz=45.50 Mx=-0.01 Mz=4.43
Sollecitazioni agenti localmente: Ty_l=-3697.70 My_l=-75.78
Tensioni nella sezione: σ=918.52 τ=112.05
CC 42 SLU (Collegamento 0024_-381)
Azioni sul collegamento: N=-21507.60 Ty=6.52 Tz=47.54 Mx=-0.01 Mz=4.63
Sollecitazioni agenti localmente: Ty_l=-3794.29 My_l=-77.76
Tensioni nella sezione: σ=942.51 τ=114.98
CC 43 SLU (Collegamento 0024_-381)
Azioni sul collegamento: N=-21233.90 Ty=6.48 Tz=46.50 Mx=-0.01 Mz=4.75
Sollecitazioni agenti localmente: Ty_l=-3745.31 My_l=-76.75
Tensioni nella sezione: σ=930.33 τ=113.49
CC 44 SLU (Collegamento 0024_-381)
Azioni sul collegamento: N=-21231.90 Ty=6.26 Tz=46.54 Mx=-0.01 Mz=4.31
Sollecitazioni agenti localmente: Ty_l=-3746.69 My_l=-76.78
Tensioni nella sezione: σ=930.71 τ=113.54
CC 45 SLU (Collegamento 0024_-381)
Azioni sul collegamento: N=-23044.60 Ty=5.94 Tz=53.22 Mx=-0.01 Mz=4.28
Sollecitazioni agenti localmente: Ty_l=-4068.14 My_l=-83.37
Tensioni nella sezione: σ=1010.58 τ=123.28

CC 46 SLU (Collegamento 0024_-381)
Azioni sul collegamento: N=-23594.00 Ty=6.22 Tz=55.25 Mx=-0.01 Mz=4.49
Sollecitazioni agenti localmente: Ty_l=-4164.73 My_l=-85.35
Tensioni nella sezione: σ=1034.57 τ=126.20
CC 47 SLU (Collegamento 0024_-381)
Azioni sul collegamento: N=-23320.30 Ty=6.19 Tz=54.21 Mx=-0.01 Mz=4.60
Sollecitazioni agenti localmente: Ty_l=-4115.74 My_l=-84.35
Tensioni nella sezione: σ=1022.39 τ=124.72
CC 48 SLU (Collegamento 0024_-381)
Azioni sul collegamento: N=-23318.30 Ty=5.97 Tz=54.26 Mx=-0.01 Mz=4.17
Sollecitazioni agenti localmente: Ty_l=-4117.13 My_l=-84.38
Tensioni nella sezione: σ=1022.76 τ=124.76
CC 49 SLU (Collegamento 0024_-381)
Azioni sul collegamento: N=-24483.70 Ty=5.83 Tz=58.03 Mx=0.00 Mz=4.29
Sollecitazioni agenti localmente: Ty_l=-4323.21 My_l=-88.60
Tensioni nella sezione: σ=1073.96 τ=131.01
CC 50 SLU (Collegamento 0024_-381)
Azioni sul collegamento: N=-25033.00 Ty=6.12 Tz=60.06 Mx=0.00 Mz=4.50
Sollecitazioni agenti localmente: Ty_l=-4419.80 My_l=-90.58
Tensioni nella sezione: σ=1097.95 τ=133.93
CC 51 SLU (Collegamento 0024_-381)
Azioni sul collegamento: N=-24759.30 Ty=6.08 Tz=59.02 Mx=-0.00 Mz=4.61
Sollecitazioni agenti localmente: Ty_l=-4370.81 My_l=-89.58
Tensioni nella sezione: σ=1085.77 τ=132.45
CC 52 SLU (Collegamento 0024_-381)
Azioni sul collegamento: N=-24757.40 Ty=5.87 Tz=59.07 Mx=0.00 Mz=4.18
Sollecitazioni agenti localmente: Ty_l=-4372.19 My_l=-89.61
Tensioni nella sezione: σ=1086.14 τ=132.49
CC 53 SLU (Collegamento 0024_-381)
Azioni sul collegamento: N=-16108.60 Ty=6.57 Tz=27.72 Mx=-0.01 Mz=4.72
Sollecitazioni agenti localmente: Ty_l=-2836.83 My_l=-58.13
Tensioni nella sezione: σ=704.59 τ=85.96
CC 54 SLU (Collegamento 0024_-381)
Azioni sul collegamento: N=-16657.90 Ty=6.86 Tz=29.76 Mx=-0.01 Mz=4.92
Sollecitazioni agenti localmente: Ty_l=-2933.41 My_l=-60.11
Tensioni nella sezione: σ=728.58 τ=88.89
CC 55 SLU (Collegamento 0024_-381)
Azioni sul collegamento: N=-16384.20 Ty=6.82 Tz=28.72 Mx=-0.01 Mz=5.04
Sollecitazioni agenti localmente: Ty_l=-2884.43 My_l=-59.10
Tensioni nella sezione: σ=716.40 τ=87.41
CC 56 SLU (Collegamento 0024_-381)
Azioni sul collegamento: N=-16382.30 Ty=6.60 Tz=28.76 Mx=-0.01 Mz=4.60
Sollecitazioni agenti localmente: Ty_l=-2885.81 My_l=-59.13
Tensioni nella sezione: σ=716.77 τ=87.45
CC 57 SLU (Collegamento 0024_-381)
Azioni sul collegamento: N=-23426.90 Ty=6.35 Tz=54.67 Mx=-0.01 Mz=4.58
Sollecitazioni agenti localmente: Ty_l=-4134.72 My_l=-84.74
Tensioni nella sezione: σ=1027.11 τ=125.30
CC 58 SLU (Collegamento 0024_-381)
Azioni sul collegamento: N=-23976.20 Ty=6.64 Tz=56.70 Mx=-0.01 Mz=4.78
Sollecitazioni agenti localmente: Ty_l=-4231.31 My_l=-86.72
Tensioni nella sezione: σ=1051.09 τ=128.22
CC 59 SLU (Collegamento 0024_-381)
Azioni sul collegamento: N=-23702.50 Ty=6.61 Tz=55.66 Mx=-0.01 Mz=4.90
Sollecitazioni agenti localmente: Ty_l=-4182.33 My_l=-85.71
Tensioni nella sezione: σ=1038.91 τ=126.74
CC 60 SLU (Collegamento 0024_-381)
Azioni sul collegamento: N=-23700.60 Ty=6.39 Tz=55.71 Mx=-0.01 Mz=4.46
Sollecitazioni agenti localmente: Ty_l=-4183.71 My_l=-85.74
Tensioni nella sezione: σ=1039.29 τ=126.78
CC 61 SLU (Collegamento 0024_-381)
Azioni sul collegamento: N=-24865.90 Ty=6.25 Tz=59.47 Mx=0.00 Mz=4.59
Sollecitazioni agenti localmente: Ty_l=-4389.79 My_l=-89.97
Tensioni nella sezione: σ=1090.49 τ=133.02
CC 62 SLU (Collegamento 0024_-381)
Azioni sul collegamento: N=-25415.30 Ty=6.53 Tz=61.51 Mx=-0.00 Mz=4.79
Sollecitazioni agenti localmente: Ty_l=-4486.38 My_l=-91.94
Tensioni nella sezione: σ=1114.47 τ=135.95
CC 63 SLU (Collegamento 0024_-381)
Azioni sul collegamento: N=-25141.60 Ty=6.50 Tz=60.47 Mx=-0.00 Mz=4.91
Sollecitazioni agenti localmente: Ty_l=-4437.39 My_l=-90.94
Tensioni nella sezione: σ=1102.29 τ=134.47
CC 64 SLU (Collegamento 0024_-381)
Azioni sul collegamento: N=-25139.60 Ty=6.28 Tz=60.51 Mx=0.00 Mz=4.47
Sollecitazioni agenti localmente: Ty_l=-4438.78 My_l=-90.97
Tensioni nella sezione: σ=1102.67 τ=134.51
CC 65 SLU (Collegamento 0024_-381)
Azioni sul collegamento: N=-16490.80 Ty=6.99 Tz=29.17 Mx=-0.01 Mz=5.02
Sollecitazioni agenti localmente: Ty_l=-2903.41 My_l=-59.49

Tensioni nella sezione: σ=721.12 τ=87.98
CC 66 SLU (Collegamento 0024_-381)
Azioni sul collegamento: N=-17040.20 Ty=7.27 Tz=31.20 Mx=-0.01 Mz=5.22
Sollecitazioni agenti localmente: Ty_l=-3000.00 My_l=-61.47
Tensioni nella sezione: σ=745.10 τ=90.91
CC 67 SLU (Collegamento 0024_-381)
Azioni sul collegamento: N=-16766.50 Ty=7.24 Tz=30.16 Mx=-0.01 Mz=5.34
Sollecitazioni agenti localmente: Ty_l=-2951.01 My_l=-60.47
Tensioni nella sezione: σ=732.92 τ=89.42
CC 68 SLU (Collegamento 0024_-381)
Azioni sul collegamento: N=-16764.50 Ty=7.02 Tz=30.21 Mx=-0.01 Mz=4.90
Sollecitazioni agenti localmente: Ty_l=-2952.40 My_l=-60.50
Tensioni nella sezione: σ=733.30 τ=89.47
CC 97 SLU (Collegamento 0024_-381)
Azioni sul collegamento: N=-10609.80 Ty=16.63 Tz=15.80 Mx=0.03 Mz=19.66
Sollecitazioni agenti localmente: Ty_l=-1802.61 My_l=-36.84
Tensioni nella sezione: σ=446.59 τ=54.62
CC 98 SLU (Collegamento 0024_-381)
Azioni sul collegamento: N=-11159.10 Ty=16.91 Tz=17.84 Mx=0.03 Mz=19.86
Sollecitazioni agenti localmente: Ty_l=-1899.20 My_l=-38.82
Tensioni nella sezione: σ=470.58 τ=57.55
CC 99 SLU (Collegamento 0024_-381)
Azioni sul collegamento: N=-10885.40 Ty=16.88 Tz=16.80 Mx=0.03 Mz=19.98
Sollecitazioni agenti localmente: Ty_l=-1850.21 My_l=-37.82
Tensioni nella sezione: σ=458.40 τ=56.07
CC 100 SLU (Collegamento 0024_-381)
Azioni sul collegamento: N=-10883.50 Ty=16.66 Tz=16.84 Mx=0.03 Mz=19.55
Sollecitazioni agenti localmente: Ty_l=-1851.60 My_l=-37.85
Tensioni nella sezione: σ=458.77 τ=56.11
CC 101 SLU (Collegamento 0024_-381)
Azioni sul collegamento: N=-6606.14 Ty=1.32 Tz=0.91 Mx=-0.01 Mz=0.13
Sollecitazioni agenti localmente: Ty_l=-1170.57 My_l=-24.00
Tensioni nella sezione: σ=290.86 τ=35.47
CC 102 SLU (Collegamento 0024_-381)
Azioni sul collegamento: N=-7155.53 Ty=1.61 Tz=2.94 Mx=-0.01 Mz=0.33
Sollecitazioni agenti localmente: Ty_l=-1267.16 My_l=-25.97
Tensioni nella sezione: σ=314.85 τ=38.40
CC 103 SLU (Collegamento 0024_-381)
Azioni sul collegamento: N=-6881.82 Ty=1.58 Tz=1.90 Mx=-0.01 Mz=0.45
Sollecitazioni agenti localmente: Ty_l=-1218.17 My_l=-24.97
Tensioni nella sezione: σ=302.67 τ=36.91
CC 104 SLU (Collegamento 0024_-381)
Azioni sul collegamento: N=-6879.85 Ty=1.36 Tz=1.95 Mx=-0.01 Mz=0.01
Sollecitazioni agenti localmente: Ty_l=-1219.56 My_l=-25.00
Tensioni nella sezione: σ=303.04 τ=36.96

Collegamento 0025_-382

Piastra 220.00 x 220.00 s=15.00 - 6 Tirafondi ϕ 16 - Profondità di infissione: 350.00
3 righe ad interasse 89.00
2 colonne ad interasse 178.00
Altezza di gola saldature: anima 7.07 - ala 7.07

Tirafondi e calcestruzzo

CC 1 SLV (Collegamento 0025_-382)
Azioni sul collegamento: N=-3838.16 Ty=-4.12 Tz=-9.35 Mx=0.02 Mz=1.95
Sollecitazioni agenti localmente: Tx_l=-4.12 Ty_l=-9.35 N_l=-3838.16 Mx_l=-0.00 My_l=1.95 Mz_l=0.02
Taglio nei bulloni: Fv,Ed=1.73 Fv,Rd=7720.78
Rifollamento lato piastra: Fb,Ed,p=1.73 Fb,Rd,p=7792.79
Tirafondi:LT=0.45 (0.31) σ_{cR}=0.00 σ_{fR}=0.00
Compressione nel calcestruzzo: σ_c=8.04
CC 1 SLV (Collegamento 0025_-382)
Azioni sul collegamento: N=-3838.16 Ty=-0.76 Tz=-9.35 Mx=0.02 Mz=-1.23
Sollecitazioni agenti localmente: Tx_l=-0.76 Ty_l=-9.35 N_l=-3838.16 Mx_l=-0.00 My_l=-1.23 Mz_l=0.02
Taglio nei bulloni: Fv,Ed=1.59 Fv,Rd=7720.78
Rifollamento lato piastra: Fb,Ed,p=1.59 Fb,Rd,p=6058.88
Tirafondi:LT=0.45 (0.31) σ_{cR}=0.00 σ_{fR}=0.00
Compressione nel calcestruzzo: σ_c=8.00
CC 1 SLV (Collegamento 0025_-382)
Azioni sul collegamento: N=-3838.16 Ty=-4.12 Tz=10.33 Mx=0.02 Mz=1.95
Sollecitazioni agenti localmente: Tx_l=-4.12 Ty_l=10.33 N_l=-3838.16 Mx_l=-0.00 My_l=1.95 Mz_l=0.02
Taglio nei bulloni: Fv,Ed=1.88 Fv,Rd=7720.78
Rifollamento lato piastra: Fb,Ed,p=1.87 Fb,Rd,p=7277.24
Tirafondi:LT=0.45 (0.31) σ_{cR}=0.00 σ_{fR}=0.00
Compressione nel calcestruzzo: σ_c=8.04
CC 1 SLV (Collegamento 0025_-382)
Azioni sul collegamento: N=-3838.16 Ty=-0.76 Tz=10.33 Mx=0.02 Mz=-1.23

Sollecitazioni agenti localmente: T_{x_l}=-0.76 T_{y_l}=10.33 N_l=-3838.16 M_{x_l}=-0.00 M_{y_l}=-1.23 M_{z_l}=0.02
Taglio nei bulloni: Fv,Ed=1.75 Fv,Rd=7720.78
Rifollamento lato piastra: Fb,Ed,p=1.75 Fb,Rd,p=6010.44
Tirafondi:LT=0.45 (0.31) σ_{cR}=0.00 σ_{fR}=0.00
Compressione nel calcestruzzo: σ_c=8.00
CC 1 SLV (Collegamento 0025_-382)
Azioni sul collegamento: N=-9123.66 Ty=-4.12 Tz=-9.35 Mx=0.02 Mz=1.95
Sollecitazioni agenti localmente: T_{x_l}=-4.12 T_{y_l}=-9.35 N_l=-9123.66 M_{x_l}=-0.00 M_{y_l}=1.95 M_{z_l}=0.02
Taglio nei bulloni: Fv,Ed=1.73 Fv,Rd=7720.78
Rifollamento lato piastra: Fb,Ed,p=1.73 Fb,Rd,p=7792.84
Tirafondi:LT=0.45 (0.31) σ_{cR}=0.00 σ_{fR}=0.00
Compressione nel calcestruzzo: σ_c=18.96
CC 1 SLV (Collegamento 0025_-382)
Azioni sul collegamento: N=-9123.66 Ty=-0.76 Tz=-9.35 Mx=0.02 Mz=-1.23
Sollecitazioni agenti localmente: T_{x_l}=-0.76 T_{y_l}=-9.35 N_l=-9123.66 M_{x_l}=-0.00 M_{y_l}=-1.23 M_{z_l}=0.02
Taglio nei bulloni: Fv,Ed=1.59 Fv,Rd=7720.78
Rifollamento lato piastra: Fb,Ed,p=1.59 Fb,Rd,p=6058.89
Tirafondi:LT=0.45 (0.31) σ_{cR}=0.00 σ_{fR}=0.00
Compressione nel calcestruzzo: σ_c=18.92
CC 1 SLV (Collegamento 0025_-382)
Azioni sul collegamento: N=-9123.66 Ty=-4.12 Tz=10.33 Mx=0.02 Mz=1.95
Sollecitazioni agenti localmente: T_{x_l}=-4.12 T_{y_l}=10.33 N_l=-9123.66 M_{x_l}=-0.00 M_{y_l}=1.95 M_{z_l}=0.02
Taglio nei bulloni: Fv,Ed=1.88 Fv,Rd=7720.78
Rifollamento lato piastra: Fb,Ed,p=1.87 Fb,Rd,p=7277.13
Tirafondi:LT=0.45 (0.31) σ_{cR}=0.00 σ_{fR}=0.00
Compressione nel calcestruzzo: σ_c=18.96
CC 1 SLV (Collegamento 0025_-382)
Azioni sul collegamento: N=-9123.66 Ty=-0.76 Tz=10.33 Mx=0.02 Mz=-1.23
Sollecitazioni agenti localmente: T_{x_l}=-0.76 T_{y_l}=10.33 N_l=-9123.66 M_{x_l}=-0.00 M_{y_l}=-1.23 M_{z_l}=0.02
Taglio nei bulloni: Fv,Ed=1.75 Fv,Rd=7720.78
Rifollamento lato piastra: Fb,Ed,p=1.75 Fb,Rd,p=6010.44
Tirafondi:LT=0.45 (0.31) σ_{cR}=0.00 σ_{fR}=0.00
Compressione nel calcestruzzo: σ_c=18.92
CC 2 SLD (Collegamento 0025_-382)
Azioni sul collegamento: N=-5707.53 Ty=-2.77 Tz=-2.38 Mx=0.01 Mz=-1.24
Sollecitazioni agenti localmente: T_{x_l}=-2.77 T_{y_l}=-2.38 N_l=-5707.53 M_{x_l}=-0.00 M_{y_l}=-1.24 M_{z_l}=0.01
Taglio nei bulloni: Fv,Ed=0.62 Fv,Rd=9650.97
Rifollamento lato piastra: Fb,Ed,p=0.61 Fb,Rd,p=13753.00
Tirafondi:LT=0.45 (0.31) σ_{cR}=0.00 σ_{fR}=0.00
Compressione nel calcestruzzo: σ_c=11.86
CC 2 SLD (Collegamento 0025_-382)
Azioni sul collegamento: N=-5707.53 Ty=-3.80 Tz=-2.38 Mx=0.01 Mz=-2.21
Sollecitazioni agenti localmente: T_{x_l}=-3.80 T_{y_l}=-2.38 N_l=-5707.53 M_{x_l}=-0.00 M_{y_l}=-2.21 M_{z_l}=0.01
Taglio nei bulloni: Fv,Ed=0.76 Fv,Rd=9650.97
Rifollamento lato piastra: Fb,Ed,p=0.75 Fb,Rd,p=11615.30
Tirafondi:LT=0.45 (0.31) σ_{cR}=0.00 σ_{fR}=0.00
Compressione nel calcestruzzo: σ_c=11.92
CC 2 SLD (Collegamento 0025_-382)
Azioni sul collegamento: N=-5707.53 Ty=-2.77 Tz=3.62 Mx=0.01 Mz=-1.24
Sollecitazioni agenti localmente: T_{x_l}=-2.77 T_{y_l}=3.62 N_l=-5707.53 M_{x_l}=-0.00 M_{y_l}=-1.24 M_{z_l}=0.01
Taglio nei bulloni: Fv,Ed=0.77 Fv,Rd=9650.97
Rifollamento lato piastra: Fb,Ed,p=0.76 Fb,Rd,p=13209.70
Tirafondi:LT=0.45 (0.31) σ_{cR}=0.00 σ_{fR}=0.00
Compressione nel calcestruzzo: σ_c=11.86
CC 2 SLD (Collegamento 0025_-382)
Azioni sul collegamento: N=-5707.53 Ty=-3.80 Tz=3.62 Mx=0.01 Mz=-2.21
Sollecitazioni agenti localmente: T_{x_l}=-3.80 T_{y_l}=3.62 N_l=-5707.53 M_{x_l}=-0.00 M_{y_l}=-2.21 M_{z_l}=0.01
Taglio nei bulloni: Fv,Ed=0.89 Fv,Rd=9650.97
Rifollamento lato piastra: Fb,Ed,p=0.89 Fb,Rd,p=14674.10
Tirafondi:LT=0.45 (0.31) σ_{cR}=0.00 σ_{fR}=0.00
Compressione nel calcestruzzo: σ_c=11.92
CC 2 SLD (Collegamento 0025_-382)
Azioni sul collegamento: N=-7319.25 Ty=-2.77 Tz=-2.38 Mx=0.01 Mz=-1.24
Sollecitazioni agenti localmente: T_{x_l}=-2.77 T_{y_l}=-2.38 N_l=-7319.25 M_{x_l}=-0.00 M_{y_l}=-1.24 M_{z_l}=0.01
Taglio nei bulloni: Fv,Ed=0.62 Fv,Rd=9650.97
Rifollamento lato piastra: Fb,Ed,p=0.61 Fb,Rd,p=13752.80
Tirafondi:LT=0.45 (0.31) σ_{cR}=0.00 σ_{fR}=0.00
Compressione nel calcestruzzo: σ_c=15.19
CC 2 SLD (Collegamento 0025_-382)
Azioni sul collegamento: N=-7319.25 Ty=-3.80 Tz=-2.38 Mx=0.01 Mz=-2.21
Sollecitazioni agenti localmente: T_{x_l}=-3.80 T_{y_l}=-2.38 N_l=-7319.25 M_{x_l}=-0.00 M_{y_l}=-2.21 M_{z_l}=0.01
Taglio nei bulloni: Fv,Ed=0.76 Fv,Rd=9650.97
Rifollamento lato piastra: Fb,Ed,p=0.75 Fb,Rd,p=11614.90
Tirafondi:LT=0.45 (0.31) σ_{cR}=0.00 σ_{fR}=0.00
Compressione nel calcestruzzo: σ_c=15.25
CC 2 SLD (Collegamento 0025_-382)
Azioni sul collegamento: N=-7319.25 Ty=-2.77 Tz=3.62 Mx=0.01 Mz=-1.24
Sollecitazioni agenti localmente: T_{x_l}=-2.77 T_{y_l}=3.62 N_l=-7319.25 M_{x_l}=-0.00 M_{y_l}=-1.24 M_{z_l}=0.01

Taglio nei bulloni: Fv,Ed=0.77 Fv,Rd=9650.97
Rifollamento lato piastra: Fb,Ed,p=0.76 Fb,Rd,p=13209.80
Tirafondi:LT=0.45 (0.31) σ_{cR}=0.00 σ_{fR}=0.00
Compressione nel calcestruzzo: σ_c=15.19
CC 2 SLD (Collegamento 0025_-382)
Azioni sul collegamento: N=-7319.25 Ty=-3.80 Tz=3.62 Mx=0.01 Mz=-2.21
Sollecitazioni agenti localmente: Tx_l=-3.80 Ty_l=3.62 N_l=-7319.25 Mx_l=-0.00 My_l=-2.21 Mz_l=0.01
Taglio nei bulloni: Fv,Ed=0.89 Fv,Rd=9650.97
Rifollamento lato piastra: Fb,Ed,p=0.89 Fb,Rd,p=14673.90
Tirafondi:LT=0.45 (0.31) σ_{cR}=0.00 σ_{fR}=0.00
Compressione nel calcestruzzo: σ_c=15.25
CC 3 SLV (Collegamento 0025_-382)
Azioni sul collegamento: N=-3843.85 Ty=-3.49 Tz=-9.22 Mx=0.02 Mz=0.69
Sollecitazioni agenti localmente: Tx_l=-3.49 Ty_l=-9.22 N_l=-3843.85 Mx_l=-0.00 My_l=0.69 Mz_l=0.02
Taglio nei bulloni: Fv,Ed=1.67 Fv,Rd=7720.78
Rifollamento lato piastra: Fb,Ed,p=1.67 Fb,Rd,p=7309.56
Tirafondi:LT=0.45 (0.31) σ_{cR}=0.00 σ_{fR}=0.00
Compressione nel calcestruzzo: σ_c=7.98
CC 3 SLV (Collegamento 0025_-382)
Azioni sul collegamento: N=-3843.85 Ty=-1.39 Tz=-9.22 Mx=0.02 Mz=0.03
Sollecitazioni agenti localmente: Tx_l=-1.39 Ty_l=-9.22 N_l=-3843.85 Mx_l=-0.00 My_l=0.03 Mz_l=0.02
Taglio nei bulloni: Fv,Ed=1.57 Fv,Rd=7720.78
Rifollamento lato piastra: Fb,Ed,p=1.57 Fb,Rd,p=6209.49
Tirafondi:LT=0.45 (0.31) σ_{cR}=0.00 σ_{fR}=0.00
Compressione nel calcestruzzo: σ_c=7.94
CC 3 SLV (Collegamento 0025_-382)
Azioni sul collegamento: N=-3843.85 Ty=-3.49 Tz=10.20 Mx=0.02 Mz=0.69
Sollecitazioni agenti localmente: Tx_l=-3.49 Ty_l=10.20 N_l=-3843.85 Mx_l=-0.00 My_l=0.69 Mz_l=0.02
Taglio nei bulloni: Fv,Ed=1.82 Fv,Rd=7720.78
Rifollamento lato piastra: Fb,Ed,p=1.81 Fb,Rd,p=6940.89
Tirafondi:LT=0.45 (0.31) σ_{cR}=0.00 σ_{fR}=0.00
Compressione nel calcestruzzo: σ_c=7.98
CC 3 SLV (Collegamento 0025_-382)
Azioni sul collegamento: N=-3843.85 Ty=-1.39 Tz=10.20 Mx=0.02 Mz=0.03
Sollecitazioni agenti localmente: Tx_l=-1.39 Ty_l=10.20 N_l=-3843.85 Mx_l=-0.00 My_l=0.03 Mz_l=0.02
Taglio nei bulloni: Fv,Ed=1.74 Fv,Rd=7720.78
Rifollamento lato piastra: Fb,Ed,p=1.73 Fb,Rd,p=6117.89
Tirafondi:LT=0.45 (0.31) σ_{cR}=0.00 σ_{fR}=0.00
Compressione nel calcestruzzo: σ_c=7.94
CC 3 SLV (Collegamento 0025_-382)
Azioni sul collegamento: N=-9117.97 Ty=-3.49 Tz=-9.22 Mx=0.02 Mz=0.69
Sollecitazioni agenti localmente: Tx_l=-3.49 Ty_l=-9.22 N_l=-9117.97 Mx_l=-0.00 My_l=0.69 Mz_l=0.02
Taglio nei bulloni: Fv,Ed=1.67 Fv,Rd=7720.78
Rifollamento lato piastra: Fb,Ed,p=1.67 Fb,Rd,p=7309.64
Tirafondi:LT=0.45 (0.31) σ_{cR}=0.00 σ_{fR}=0.00
Compressione nel calcestruzzo: σ_c=18.88
CC 3 SLV (Collegamento 0025_-382)
Azioni sul collegamento: N=-9117.97 Ty=-1.39 Tz=-9.22 Mx=0.02 Mz=0.03
Sollecitazioni agenti localmente: Tx_l=-1.39 Ty_l=-9.22 N_l=-9117.97 Mx_l=-0.00 My_l=0.03 Mz_l=0.02
Taglio nei bulloni: Fv,Ed=1.57 Fv,Rd=7720.78
Rifollamento lato piastra: Fb,Ed,p=1.57 Fb,Rd,p=6209.50
Tirafondi:LT=0.45 (0.31) σ_{cR}=0.00 σ_{fR}=0.00
Compressione nel calcestruzzo: σ_c=18.84
CC 3 SLV (Collegamento 0025_-382)
Azioni sul collegamento: N=-9117.97 Ty=-3.49 Tz=10.20 Mx=0.02 Mz=0.69
Sollecitazioni agenti localmente: Tx_l=-3.49 Ty_l=10.20 N_l=-9117.97 Mx_l=-0.00 My_l=0.69 Mz_l=0.02
Taglio nei bulloni: Fv,Ed=1.82 Fv,Rd=7720.78
Rifollamento lato piastra: Fb,Ed,p=1.81 Fb,Rd,p=6940.88
Tirafondi:LT=0.45 (0.31) σ_{cR}=0.00 σ_{fR}=0.00
Compressione nel calcestruzzo: σ_c=18.88
CC 3 SLV (Collegamento 0025_-382)
Azioni sul collegamento: N=-9117.97 Ty=-1.39 Tz=10.20 Mx=0.02 Mz=0.03
Sollecitazioni agenti localmente: Tx_l=-1.39 Ty_l=10.20 N_l=-9117.97 Mx_l=-0.00 My_l=0.03 Mz_l=0.02
Taglio nei bulloni: Fv,Ed=1.74 Fv,Rd=7720.78
Rifollamento lato piastra: Fb,Ed,p=1.73 Fb,Rd,p=6117.88
Tirafondi:LT=0.45 (0.31) σ_{cR}=0.00 σ_{fR}=0.00
Compressione nel calcestruzzo: σ_c=18.84
CC 4 SLD (Collegamento 0025_-382)
Azioni sul collegamento: N=-5709.27 Ty=-2.97 Tz=-2.35 Mx=0.01 Mz=-1.62
Sollecitazioni agenti localmente: Tx_l=-2.97 Ty_l=-2.35 N_l=-5709.27 Mx_l=-0.00 My_l=-1.62 Mz_l=0.01
Taglio nei bulloni: Fv,Ed=0.64 Fv,Rd=9650.97
Rifollamento lato piastra: Fb,Ed,p=0.63 Fb,Rd,p=13357.90
Tirafondi:LT=0.45 (0.31) σ_{cR}=0.00 σ_{fR}=0.00
Compressione nel calcestruzzo: σ_c=11.89
CC 4 SLD (Collegamento 0025_-382)
Azioni sul collegamento: N=-5709.27 Ty=-3.60 Tz=-2.35 Mx=0.01 Mz=-1.82
Sollecitazioni agenti localmente: Tx_l=-3.60 Ty_l=-2.35 N_l=-5709.27 Mx_l=-0.00 My_l=-1.82 Mz_l=0.01
Taglio nei bulloni: Fv,Ed=0.73 Fv,Rd=9650.97

Rifollamento lato piastra: Fb,Ed,p=0.72 Fb,Rd,p=11980.90
Tirafondi:LT=0.45 (0.31) σ_{cR}=0.00 σ_{fR}=0.00
Compressione nel calcestruzzo: σ_c=11.90
CC 4 SLD (Collegamento 0025_-382)
Azioni sul collegamento: N=-5709.27 Ty=-2.97 Tz=3.58 Mx=0.01 Mz=-1.62
Sollecitazioni agenti localmente: Tx_l=-2.97 Ty_l=3.58 N_l=-5709.27 Mx_l=-0.00 My_l=-1.62 Mz_l=0.01
Taglio nei bulloni: Fv,Ed=0.79 Fv,Rd=9650.97
Rifollamento lato piastra: Fb,Ed,p=0.78 Fb,Rd,p=13638.40
Tirafondi:LT=0.45 (0.31) σ_{cR}=0.00 σ_{fR}=0.00
Compressione nel calcestruzzo: σ_c=11.89
CC 4 SLD (Collegamento 0025_-382)
Azioni sul collegamento: N=-5709.27 Ty=-3.60 Tz=3.58 Mx=0.01 Mz=-1.82
Sollecitazioni agenti localmente: Tx_l=-3.60 Ty_l=3.58 N_l=-5709.27 Mx_l=-0.00 My_l=-1.82 Mz_l=0.01
Taglio nei bulloni: Fv,Ed=0.86 Fv,Rd=9650.97
Rifollamento lato piastra: Fb,Ed,p=0.86 Fb,Rd,p=14967.70
Tirafondi:LT=0.45 (0.31) σ_{cR}=0.00 σ_{fR}=0.00
Compressione nel calcestruzzo: σ_c=11.90
CC 4 SLD (Collegamento 0025_-382)
Azioni sul collegamento: N=-7317.51 Ty=-2.97 Tz=-2.35 Mx=0.01 Mz=-1.62
Sollecitazioni agenti localmente: Tx_l=-2.97 Ty_l=-2.35 N_l=-7317.51 Mx_l=-0.00 My_l=-1.62 Mz_l=0.01
Taglio nei bulloni: Fv,Ed=0.64 Fv,Rd=9650.97
Rifollamento lato piastra: Fb,Ed,p=0.63 Fb,Rd,p=13358.00
Tirafondi:LT=0.45 (0.31) σ_{cR}=0.00 σ_{fR}=0.00
Compressione nel calcestruzzo: σ_c=15.21
CC 4 SLD (Collegamento 0025_-382)
Azioni sul collegamento: N=-7317.51 Ty=-3.60 Tz=-2.35 Mx=0.01 Mz=-1.82
Sollecitazioni agenti localmente: Tx_l=-3.60 Ty_l=-2.35 N_l=-7317.51 Mx_l=-0.00 My_l=-1.82 Mz_l=0.01
Taglio nei bulloni: Fv,Ed=0.73 Fv,Rd=9650.97
Rifollamento lato piastra: Fb,Ed,p=0.72 Fb,Rd,p=11981.00
Tirafondi:LT=0.45 (0.31) σ_{cR}=0.00 σ_{fR}=0.00
Compressione nel calcestruzzo: σ_c=15.22
CC 4 SLD (Collegamento 0025_-382)
Azioni sul collegamento: N=-7317.51 Ty=-2.97 Tz=3.58 Mx=0.01 Mz=-1.62
Sollecitazioni agenti localmente: Tx_l=-2.97 Ty_l=3.58 N_l=-7317.51 Mx_l=-0.00 My_l=-1.62 Mz_l=0.01
Taglio nei bulloni: Fv,Ed=0.79 Fv,Rd=9650.97
Rifollamento lato piastra: Fb,Ed,p=0.78 Fb,Rd,p=13638.00
Tirafondi:LT=0.45 (0.31) σ_{cR}=0.00 σ_{fR}=0.00
Compressione nel calcestruzzo: σ_c=15.21
CC 4 SLD (Collegamento 0025_-382)
Azioni sul collegamento: N=-7317.51 Ty=-3.60 Tz=3.58 Mx=0.01 Mz=-1.82
Sollecitazioni agenti localmente: Tx_l=-3.60 Ty_l=3.58 N_l=-7317.51 Mx_l=-0.00 My_l=-1.82 Mz_l=0.01
Taglio nei bulloni: Fv,Ed=0.86 Fv,Rd=9650.97
Rifollamento lato piastra: Fb,Ed,p=0.86 Fb,Rd,p=14968.30
Tirafondi:LT=0.45 (0.31) σ_{cR}=0.00 σ_{fR}=0.00
Compressione nel calcestruzzo: σ_c=15.22
CC 5 SLV (Collegamento 0025_-382)
Azioni sul collegamento: N=-9117.97 Ty=-1.39 Tz=10.20 Mx=0.02 Mz=0.03
Sollecitazioni agenti localmente: Tx_l=-1.39 Ty_l=10.20 N_l=-9117.97 Mx_l=-0.00 My_l=0.03 Mz_l=0.02
Taglio nei bulloni: Fv,Ed=1.74 Fv,Rd=7720.78
Rifollamento lato piastra: Fb,Ed,p=1.73 Fb,Rd,p=6115.35
Tirafondi:LT=0.45 (0.31) σ_{cR}=0.00 σ_{fR}=0.00
Compressione nel calcestruzzo: σ_c=18.84
CC 5 SLV (Collegamento 0025_-382)
Azioni sul collegamento: N=-9117.97 Ty=-3.49 Tz=10.20 Mx=0.02 Mz=0.69
Sollecitazioni agenti localmente: Tx_l=-3.49 Ty_l=10.20 N_l=-9117.97 Mx_l=-0.00 My_l=0.69 Mz_l=0.02
Taglio nei bulloni: Fv,Ed=1.82 Fv,Rd=7720.78
Rifollamento lato piastra: Fb,Ed,p=1.81 Fb,Rd,p=6932.89
Tirafondi:LT=0.45 (0.31) σ_{cR}=0.00 σ_{fR}=0.00
Compressione nel calcestruzzo: σ_c=18.88
CC 5 SLV (Collegamento 0025_-382)
Azioni sul collegamento: N=-9117.97 Ty=-1.39 Tz=-9.22 Mx=0.02 Mz=0.03
Sollecitazioni agenti localmente: Tx_l=-1.39 Ty_l=-9.22 N_l=-9117.97 Mx_l=-0.00 My_l=0.03 Mz_l=0.02
Taglio nei bulloni: Fv,Ed=1.58 Fv,Rd=7720.78
Rifollamento lato piastra: Fb,Ed,p=1.58 Fb,Rd,p=6212.22
Tirafondi:LT=0.45 (0.31) σ_{cR}=0.00 σ_{fR}=0.00
Compressione nel calcestruzzo: σ_c=18.84
CC 5 SLV (Collegamento 0025_-382)
Azioni sul collegamento: N=-9117.97 Ty=-3.49 Tz=-9.22 Mx=0.02 Mz=0.69
Sollecitazioni agenti localmente: Tx_l=-3.49 Ty_l=-9.22 N_l=-9117.97 Mx_l=-0.00 My_l=0.69 Mz_l=0.02
Taglio nei bulloni: Fv,Ed=1.67 Fv,Rd=7720.78
Rifollamento lato piastra: Fb,Ed,p=1.67 Fb,Rd,p=7314.48
Tirafondi:LT=0.45 (0.31) σ_{cR}=0.00 σ_{fR}=0.00
Compressione nel calcestruzzo: σ_c=18.88
CC 5 SLV (Collegamento 0025_-382)
Azioni sul collegamento: N=-3843.85 Ty=-1.39 Tz=10.20 Mx=0.02 Mz=0.03
Sollecitazioni agenti localmente: Tx_l=-1.39 Ty_l=10.20 N_l=-3843.85 Mx_l=-0.00 My_l=0.03 Mz_l=0.02
Taglio nei bulloni: Fv,Ed=1.74 Fv,Rd=7720.78
Rifollamento lato piastra: Fb,Ed,p=1.73 Fb,Rd,p=6115.35

Tirafondi:LT=0.45 (0.31) σ_{cR}=0.00 σ_{fR}=0.00
Compressione nel calcestruzzo: σ_c=7.94
CC 5 SLV (Collegamento 0025_-382)
Azioni sul collegamento: N=-3843.85 Ty=-3.49 Tz=10.20 Mx=0.02 Mz=0.69
Sollecitazioni agenti localmente: Tx_l=-3.49 Ty_l=10.20 N_l=-3843.85 Mx_l=-0.00 My_l=0.69 Mz_l=0.02
Taglio nei bulloni: Fv,Ed=1.82 Fv,Rd=7720.78
Rifollamento lato piastra: Fb,Ed,p=1.81 Fb,Rd,p=6932.90
Tirafondi:LT=0.45 (0.31) σ_{cR}=0.00 σ_{fR}=0.00
Compressione nel calcestruzzo: σ_c=7.98
CC 5 SLV (Collegamento 0025_-382)
Azioni sul collegamento: N=-3843.85 Ty=-1.39 Tz=-9.22 Mx=0.02 Mz=0.03
Sollecitazioni agenti localmente: Tx_l=-1.39 Ty_l=-9.22 N_l=-3843.85 Mx_l=-0.00 My_l=0.03 Mz_l=0.02
Taglio nei bulloni: Fv,Ed=1.58 Fv,Rd=7720.78
Rifollamento lato piastra: Fb,Ed,p=1.58 Fb,Rd,p=6212.20
Tirafondi:LT=0.45 (0.31) σ_{cR}=0.00 σ_{fR}=0.00
Compressione nel calcestruzzo: σ_c=7.94
CC 5 SLV (Collegamento 0025_-382)
Azioni sul collegamento: N=-3843.85 Ty=-3.49 Tz=-9.22 Mx=0.02 Mz=0.69
Sollecitazioni agenti localmente: Tx_l=-3.49 Ty_l=-9.22 N_l=-3843.85 Mx_l=-0.00 My_l=0.69 Mz_l=0.02
Taglio nei bulloni: Fv,Ed=1.67 Fv,Rd=7720.78
Rifollamento lato piastra: Fb,Ed,p=1.67 Fb,Rd,p=7314.40
Tirafondi:LT=0.45 (0.31) σ_{cR}=0.00 σ_{fR}=0.00
Compressione nel calcestruzzo: σ_c=7.98
CC 6 SLD (Collegamento 0025_-382)
Azioni sul collegamento: N=-7317.51 Ty=-3.60 Tz=3.58 Mx=0.01 Mz=-1.82
Sollecitazioni agenti localmente: Tx_l=-3.60 Ty_l=3.58 N_l=-7317.51 Mx_l=-0.00 My_l=-1.82 Mz_l=0.01
Taglio nei bulloni: Fv,Ed=0.86 Fv,Rd=9650.97
Rifollamento lato piastra: Fb,Ed,p=0.86 Fb,Rd,p=14968.40
Tirafondi:LT=0.45 (0.31) σ_{cR}=0.00 σ_{fR}=0.00
Compressione nel calcestruzzo: σ_c=15.22
CC 6 SLD (Collegamento 0025_-382)
Azioni sul collegamento: N=-7317.51 Ty=-2.97 Tz=3.58 Mx=0.01 Mz=-1.62
Sollecitazioni agenti localmente: Tx_l=-2.97 Ty_l=3.58 N_l=-7317.51 Mx_l=-0.00 My_l=-1.62 Mz_l=0.01
Taglio nei bulloni: Fv,Ed=0.79 Fv,Rd=9650.97
Rifollamento lato piastra: Fb,Ed,p=0.78 Fb,Rd,p=13627.40
Tirafondi:LT=0.45 (0.31) σ_{cR}=0.00 σ_{fR}=0.00
Compressione nel calcestruzzo: σ_c=15.21
CC 6 SLD (Collegamento 0025_-382)
Azioni sul collegamento: N=-7317.51 Ty=-3.60 Tz=-2.35 Mx=0.01 Mz=-1.82
Sollecitazioni agenti localmente: Tx_l=-3.60 Ty_l=-2.35 N_l=-7317.51 Mx_l=-0.00 My_l=-1.82 Mz_l=0.01
Taglio nei bulloni: Fv,Ed=0.73 Fv,Rd=9650.97
Rifollamento lato piastra: Fb,Ed,p=0.72 Fb,Rd,p=11960.20
Tirafondi:LT=0.45 (0.31) σ_{cR}=0.00 σ_{fR}=0.00
Compressione nel calcestruzzo: σ_c=15.22
CC 6 SLD (Collegamento 0025_-382)
Azioni sul collegamento: N=-7317.51 Ty=-2.97 Tz=-2.35 Mx=0.01 Mz=-1.62
Sollecitazioni agenti localmente: Tx_l=-2.97 Ty_l=-2.35 N_l=-7317.51 Mx_l=-0.00 My_l=-1.62 Mz_l=0.01
Taglio nei bulloni: Fv,Ed=0.64 Fv,Rd=9650.97
Rifollamento lato piastra: Fb,Ed,p=0.63 Fb,Rd,p=13346.00
Tirafondi:LT=0.45 (0.31) σ_{cR}=0.00 σ_{fR}=0.00
Compressione nel calcestruzzo: σ_c=15.21
CC 6 SLD (Collegamento 0025_-382)
Azioni sul collegamento: N=-5709.27 Ty=-3.60 Tz=3.58 Mx=0.01 Mz=-1.82
Sollecitazioni agenti localmente: Tx_l=-3.60 Ty_l=3.58 N_l=-5709.27 Mx_l=-0.00 My_l=-1.82 Mz_l=0.01
Taglio nei bulloni: Fv,Ed=0.86 Fv,Rd=9650.97
Rifollamento lato piastra: Fb,Ed,p=0.86 Fb,Rd,p=14967.80
Tirafondi:LT=0.45 (0.31) σ_{cR}=0.00 σ_{fR}=0.00
Compressione nel calcestruzzo: σ_c=11.90
CC 6 SLD (Collegamento 0025_-382)
Azioni sul collegamento: N=-5709.27 Ty=-2.97 Tz=3.58 Mx=0.01 Mz=-1.62
Sollecitazioni agenti localmente: Tx_l=-2.97 Ty_l=3.58 N_l=-5709.27 Mx_l=-0.00 My_l=-1.62 Mz_l=0.01
Taglio nei bulloni: Fv,Ed=0.79 Fv,Rd=9650.97
Rifollamento lato piastra: Fb,Ed,p=0.78 Fb,Rd,p=13627.80
Tirafondi:LT=0.45 (0.31) σ_{cR}=0.00 σ_{fR}=0.00
Compressione nel calcestruzzo: σ_c=11.89
CC 6 SLD (Collegamento 0025_-382)
Azioni sul collegamento: N=-5709.27 Ty=-3.60 Tz=-2.35 Mx=0.01 Mz=-1.82
Sollecitazioni agenti localmente: Tx_l=-3.60 Ty_l=-2.35 N_l=-5709.27 Mx_l=-0.00 My_l=-1.82 Mz_l=0.01
Taglio nei bulloni: Fv,Ed=0.73 Fv,Rd=9650.97
Rifollamento lato piastra: Fb,Ed,p=0.72 Fb,Rd,p=11960.00
Tirafondi:LT=0.45 (0.31) σ_{cR}=0.00 σ_{fR}=0.00
Compressione nel calcestruzzo: σ_c=11.90
CC 6 SLD (Collegamento 0025_-382)
Azioni sul collegamento: N=-5709.27 Ty=-2.97 Tz=-2.35 Mx=0.01 Mz=-1.62
Sollecitazioni agenti localmente: Tx_l=-2.97 Ty_l=-2.35 N_l=-5709.27 Mx_l=-0.00 My_l=-1.62 Mz_l=0.01
Taglio nei bulloni: Fv,Ed=0.64 Fv,Rd=9650.97
Rifollamento lato piastra: Fb,Ed,p=0.63 Fb,Rd,p=13345.90
Tirafondi:LT=0.45 (0.31) σ_{cR}=0.00 σ_{fR}=0.00

Compressione nel calcestruzzo: σ_c=11.89
CC 7 SLV (Collegamento 0025_-382)
Azioni sul collegamento: N=-9123.66 Ty=-0.76 Tz=10.33 Mx=0.01 Mz=-1.23
Sollecitazioni agenti localmente: Tx_l=-0.76 Ty_l=10.33 N_l=-9123.66 Mx_l=-0.00 My_l=-1.23 Mz_l=0.01
Taglio nei bulloni: Fv,Ed=1.74 Fv,Rd=7720.78
Rifollamento lato piastra: Fb,Ed,p=1.74 Fb,Rd,p=6016.45
Tirafondi:LT=0.45 (0.31) σ_{cR}=0.00 σ_{fR}=0.00
Compressione nel calcestruzzo: σ_c=18.92
CC 7 SLV (Collegamento 0025_-382)
Azioni sul collegamento: N=-9123.66 Ty=-4.12 Tz=10.33 Mx=0.01 Mz=1.95
Sollecitazioni agenti localmente: Tx_l=-4.12 Ty_l=10.33 N_l=-9123.66 Mx_l=-0.00 My_l=1.95 Mz_l=0.01
Taglio nei bulloni: Fv,Ed=1.87 Fv,Rd=7720.78
Rifollamento lato piastra: Fb,Ed,p=1.86 Fb,Rd,p=7326.56
Tirafondi:LT=0.45 (0.31) σ_{cR}=0.00 σ_{fR}=0.00
Compressione nel calcestruzzo: σ_c=18.96
CC 7 SLV (Collegamento 0025_-382)
Azioni sul collegamento: N=-9123.66 Ty=-0.76 Tz=-9.35 Mx=0.01 Mz=-1.23
Sollecitazioni agenti localmente: Tx_l=-0.76 Ty_l=-9.35 N_l=-9123.66 Mx_l=-0.00 My_l=-1.23 Mz_l=0.01
Taglio nei bulloni: Fv,Ed=1.58 Fv,Rd=7720.78
Rifollamento lato piastra: Fb,Ed,p=1.58 Fb,Rd,p=6050.47
Tirafondi:LT=0.45 (0.31) σ_{cR}=0.00 σ_{fR}=0.00
Compressione nel calcestruzzo: σ_c=18.92
CC 7 SLV (Collegamento 0025_-382)
Azioni sul collegamento: N=-9123.66 Ty=-4.12 Tz=-9.35 Mx=0.01 Mz=1.95
Sollecitazioni agenti localmente: Tx_l=-4.12 Ty_l=-9.35 N_l=-9123.66 Mx_l=-0.00 My_l=1.95 Mz_l=0.01
Taglio nei bulloni: Fv,Ed=1.72 Fv,Rd=7720.78
Rifollamento lato piastra: Fb,Ed,p=1.72 Fb,Rd,p=7767.30
Tirafondi:LT=0.45 (0.31) σ_{cR}=0.00 σ_{fR}=0.00
Compressione nel calcestruzzo: σ_c=18.96
CC 7 SLV (Collegamento 0025_-382)
Azioni sul collegamento: N=-3838.16 Ty=-0.76 Tz=10.33 Mx=0.01 Mz=-1.23
Sollecitazioni agenti localmente: Tx_l=-0.76 Ty_l=10.33 N_l=-3838.16 Mx_l=-0.00 My_l=-1.23 Mz_l=0.01
Taglio nei bulloni: Fv,Ed=1.74 Fv,Rd=7720.78
Rifollamento lato piastra: Fb,Ed,p=1.74 Fb,Rd,p=6016.45
Tirafondi:LT=0.45 (0.31) σ_{cR}=0.00 σ_{fR}=0.00
Compressione nel calcestruzzo: σ_c=8.00
CC 7 SLV (Collegamento 0025_-382)
Azioni sul collegamento: N=-3838.16 Ty=-4.12 Tz=10.33 Mx=0.01 Mz=1.95
Sollecitazioni agenti localmente: Tx_l=-4.12 Ty_l=10.33 N_l=-3838.16 Mx_l=-0.00 My_l=1.95 Mz_l=0.01
Taglio nei bulloni: Fv,Ed=1.87 Fv,Rd=7720.78
Rifollamento lato piastra: Fb,Ed,p=1.86 Fb,Rd,p=7326.68
Tirafondi:LT=0.45 (0.31) σ_{cR}=0.00 σ_{fR}=0.00
Compressione nel calcestruzzo: σ_c=8.04
CC 7 SLV (Collegamento 0025_-382)
Azioni sul collegamento: N=-3838.16 Ty=-0.76 Tz=-9.35 Mx=0.01 Mz=-1.23
Sollecitazioni agenti localmente: Tx_l=-0.76 Ty_l=-9.35 N_l=-3838.16 Mx_l=-0.00 My_l=-1.23 Mz_l=0.01
Taglio nei bulloni: Fv,Ed=1.58 Fv,Rd=7720.78
Rifollamento lato piastra: Fb,Ed,p=1.58 Fb,Rd,p=6050.47
Tirafondi:LT=0.45 (0.31) σ_{cR}=0.00 σ_{fR}=0.00
Compressione nel calcestruzzo: σ_c=8.00
CC 7 SLV (Collegamento 0025_-382)
Azioni sul collegamento: N=-3838.16 Ty=-4.12 Tz=-9.35 Mx=0.01 Mz=1.95
Sollecitazioni agenti localmente: Tx_l=-4.12 Ty_l=-9.35 N_l=-3838.16 Mx_l=-0.00 My_l=1.95 Mz_l=0.01
Taglio nei bulloni: Fv,Ed=1.72 Fv,Rd=7720.78
Rifollamento lato piastra: Fb,Ed,p=1.72 Fb,Rd,p=7767.25
Tirafondi:LT=0.45 (0.31) σ_{cR}=0.00 σ_{fR}=0.00
Compressione nel calcestruzzo: σ_c=8.04
CC 8 SLD (Collegamento 0025_-382)
Azioni sul collegamento: N=-7319.25 Ty=-3.80 Tz=3.62 Mx=0.01 Mz=-2.21
Sollecitazioni agenti localmente: Tx_l=-3.80 Ty_l=3.62 N_l=-7319.25 Mx_l=-0.00 My_l=-2.21 Mz_l=0.01
Taglio nei bulloni: Fv,Ed=0.88 Fv,Rd=9650.97
Rifollamento lato piastra: Fb,Ed,p=0.88 Fb,Rd,p=14672.50
Tirafondi:LT=0.45 (0.31) σ_{cR}=0.00 σ_{fR}=0.00
Compressione nel calcestruzzo: σ_c=15.25
CC 8 SLD (Collegamento 0025_-382)
Azioni sul collegamento: N=-7319.25 Ty=-2.77 Tz=3.62 Mx=0.01 Mz=-1.24
Sollecitazioni agenti localmente: Tx_l=-2.77 Ty_l=3.62 N_l=-7319.25 Mx_l=-0.00 My_l=-1.24 Mz_l=0.01
Taglio nei bulloni: Fv,Ed=0.77 Fv,Rd=9650.97
Rifollamento lato piastra: Fb,Ed,p=0.76 Fb,Rd,p=13259.00
Tirafondi:LT=0.45 (0.31) σ_{cR}=0.00 σ_{fR}=0.00
Compressione nel calcestruzzo: σ_c=15.19
CC 8 SLD (Collegamento 0025_-382)
Azioni sul collegamento: N=-7319.25 Ty=-3.80 Tz=-2.38 Mx=0.01 Mz=-2.21
Sollecitazioni agenti localmente: Tx_l=-3.80 Ty_l=-2.38 N_l=-7319.25 Mx_l=-0.00 My_l=-2.21 Mz_l=0.01
Taglio nei bulloni: Fv,Ed=0.76 Fv,Rd=9650.97
Rifollamento lato piastra: Fb,Ed,p=0.75 Fb,Rd,p=11711.10
Tirafondi:LT=0.45 (0.31) σ_{cR}=0.00 σ_{fR}=0.00
Compressione nel calcestruzzo: σ_c=15.25

CC 8 SLD (Collegamento 0025_-382)
Azioni sul collegamento: N=-7319.25 Ty=-2.77 Tz=-2.38 Mx=0.01 Mz=-1.24
Sollecitazioni agenti localmente: Tx_l=-2.77 Ty_l=-2.38 N_l=-7319.25 Mx_l=-0.00 My_l=-1.24 Mz_l=0.01
Taglio nei bulloni: Fv,Ed=0.62 Fv,Rd=9650.97
Rifollamento lato piastra: Fb,Ed,p=0.61 Fb,Rd,p=13824.40
Tirafondi:LT=0.45 (0.31) σ_{cR}=0.00 σ_{fR}=0.00
Compressione nel calcestruzzo: σ_c=15.19
CC 8 SLD (Collegamento 0025_-382)
Azioni sul collegamento: N=-5707.53 Ty=-3.80 Tz=3.62 Mx=0.01 Mz=-2.21
Sollecitazioni agenti localmente: Tx_l=-3.80 Ty_l=3.62 N_l=-5707.53 Mx_l=-0.00 My_l=-2.21 Mz_l=0.01
Taglio nei bulloni: Fv,Ed=0.88 Fv,Rd=9650.97
Rifollamento lato piastra: Fb,Ed,p=0.88 Fb,Rd,p=14672.60
Tirafondi:LT=0.45 (0.31) σ_{cR}=0.00 σ_{fR}=0.00
Compressione nel calcestruzzo: σ_c=11.92
CC 8 SLD (Collegamento 0025_-382)
Azioni sul collegamento: N=-5707.53 Ty=-2.77 Tz=3.62 Mx=0.01 Mz=-1.24
Sollecitazioni agenti localmente: Tx_l=-2.77 Ty_l=3.62 N_l=-5707.53 Mx_l=-0.00 My_l=-1.24 Mz_l=0.01
Taglio nei bulloni: Fv,Ed=0.77 Fv,Rd=9650.97
Rifollamento lato piastra: Fb,Ed,p=0.76 Fb,Rd,p=13258.90
Tirafondi:LT=0.45 (0.31) σ_{cR}=0.00 σ_{fR}=0.00
Compressione nel calcestruzzo: σ_c=11.86
CC 8 SLD (Collegamento 0025_-382)
Azioni sul collegamento: N=-5707.53 Ty=-3.80 Tz=-2.38 Mx=0.01 Mz=-2.21
Sollecitazioni agenti localmente: Tx_l=-3.80 Ty_l=-2.38 N_l=-5707.53 Mx_l=-0.00 My_l=-2.21 Mz_l=0.01
Taglio nei bulloni: Fv,Ed=0.76 Fv,Rd=9650.97
Rifollamento lato piastra: Fb,Ed,p=0.75 Fb,Rd,p=11711.50
Tirafondi:LT=0.45 (0.31) σ_{cR}=0.00 σ_{fR}=0.00
Compressione nel calcestruzzo: σ_c=11.92
CC 8 SLD (Collegamento 0025_-382)
Azioni sul collegamento: N=-5707.53 Ty=-2.77 Tz=-2.38 Mx=0.01 Mz=-1.24
Sollecitazioni agenti localmente: Tx_l=-2.77 Ty_l=-2.38 N_l=-5707.53 Mx_l=-0.00 My_l=-1.24 Mz_l=0.01
Taglio nei bulloni: Fv,Ed=0.62 Fv,Rd=9650.97
Rifollamento lato piastra: Fb,Ed,p=0.61 Fb,Rd,p=13824.70
Tirafondi:LT=0.45 (0.31) σ_{cR}=0.00 σ_{fR}=0.00
Compressione nel calcestruzzo: σ_c=11.86
CC 9 SLV (Collegamento 0025_-382)
Azioni sul collegamento: N=-5679.47 Ty=-3.91 Tz=-2.66 Mx=0.03 Mz=2.74
Sollecitazioni agenti localmente: Tx_l=-3.91 Ty_l=-2.66 N_l=-5679.47 Mx_l=-0.00 My_l=2.74 Mz_l=0.03
Taglio nei bulloni: Fv,Ed=0.83 Fv,Rd=7720.78
Rifollamento lato piastra: Fb,Ed,p=0.80 Fb,Rd,p=9374.40
Tirafondi:LT=0.45 (0.31) σ_{cR}=0.00 σ_{fR}=0.00
Compressione nel calcestruzzo: σ_c=11.89
CC 9 SLV (Collegamento 0025_-382)
Azioni sul collegamento: N=-5679.47 Ty=-0.97 Tz=-2.66 Mx=0.03 Mz=-2.02
Sollecitazioni agenti localmente: Tx_l=-0.97 Ty_l=-2.66 N_l=-5679.47 Mx_l=-0.00 My_l=-2.02 Mz_l=0.03
Taglio nei bulloni: Fv,Ed=0.51 Fv,Rd=7720.78
Rifollamento lato piastra: Fb,Ed,p=0.51 Fb,Rd,p=7446.08
Tirafondi:LT=0.45 (0.31) σ_{cR}=0.00 σ_{fR}=0.00
Compressione nel calcestruzzo: σ_c=11.85
CC 9 SLV (Collegamento 0025_-382)
Azioni sul collegamento: N=-5679.47 Ty=-3.91 Tz=3.63 Mx=0.03 Mz=2.74
Sollecitazioni agenti localmente: Tx_l=-3.91 Ty_l=3.63 N_l=-5679.47 Mx_l=-0.00 My_l=2.74 Mz_l=0.03
Taglio nei bulloni: Fv,Ed=0.93 Fv,Rd=7720.78
Rifollamento lato piastra: Fb,Ed,p=0.93 Fb,Rd,p=11623.60
Tirafondi:LT=0.45 (0.31) σ_{cR}=0.00 σ_{fR}=0.00
Compressione nel calcestruzzo: σ_c=11.89
CC 9 SLV (Collegamento 0025_-382)
Azioni sul collegamento: N=-5679.47 Ty=-0.97 Tz=3.63 Mx=0.03 Mz=-2.02
Sollecitazioni agenti localmente: Tx_l=-0.97 Ty_l=3.63 N_l=-5679.47 Mx_l=-0.00 My_l=-2.02 Mz_l=0.03
Taglio nei bulloni: Fv,Ed=0.66 Fv,Rd=7720.78
Rifollamento lato piastra: Fb,Ed,p=0.65 Fb,Rd,p=6378.24
Tirafondi:LT=0.45 (0.31) σ_{cR}=0.00 σ_{fR}=0.00
Compressione nel calcestruzzo: σ_c=11.85
CC 9 SLV (Collegamento 0025_-382)
Azioni sul collegamento: N=-7282.35 Ty=-3.91 Tz=-2.66 Mx=0.03 Mz=2.74
Sollecitazioni agenti localmente: Tx_l=-3.91 Ty_l=-2.66 N_l=-7282.35 Mx_l=-0.00 My_l=2.74 Mz_l=0.03
Taglio nei bulloni: Fv,Ed=0.83 Fv,Rd=7720.78
Rifollamento lato piastra: Fb,Ed,p=0.80 Fb,Rd,p=9374.12
Tirafondi:LT=0.45 (0.31) σ_{cR}=0.00 σ_{fR}=0.00
Compressione nel calcestruzzo: σ_c=15.20
CC 9 SLV (Collegamento 0025_-382)
Azioni sul collegamento: N=-7282.35 Ty=-0.97 Tz=-2.66 Mx=0.03 Mz=-2.02
Sollecitazioni agenti localmente: Tx_l=-0.97 Ty_l=-2.66 N_l=-7282.35 Mx_l=-0.00 My_l=-2.02 Mz_l=0.03
Taglio nei bulloni: Fv,Ed=0.51 Fv,Rd=7720.78
Rifollamento lato piastra: Fb,Ed,p=0.51 Fb,Rd,p=7446.18
Tirafondi:LT=0.45 (0.31) σ_{cR}=0.00 σ_{fR}=0.00
Compressione nel calcestruzzo: σ_c=15.16
CC 9 SLV (Collegamento 0025_-382)

Azioni sul collegamento: N=-7282.35 Ty=-3.91 Tz=3.63 Mx=0.03 Mz=2.74
Sollecitazioni agenti localmente: Tx_l=-3.91 Ty_l=3.63 N_l=-7282.35 Mx_l=-0.00 My_l=2.74 Mz_l=0.03
Taglio nei bulloni: Fv,Ed=0.93 Fv,Rd=7720.78
Rifollamento lato piastra: Fb,Ed,p=0.93 Fb,Rd,p=11623.50
Tirafondi:LT=0.45 (0.31) σ_{cR}=0.00 σ_{fR}=0.00
Compressione nel calcestruzzo: σ_c=15.20
CC 9 SLV (Collegamento 0025_-382)
Azioni sul collegamento: N=-7282.35 Ty=-0.97 Tz=3.63 Mx=0.03 Mz=-2.02
Sollecitazioni agenti localmente: Tx_l=-0.97 Ty_l=3.63 N_l=-7282.35 Mx_l=-0.00 My_l=-2.02 Mz_l=0.03
Taglio nei bulloni: Fv,Ed=0.66 Fv,Rd=7720.78
Rifollamento lato piastra: Fb,Ed,p=0.65 Fb,Rd,p=6378.26
Tirafondi:LT=0.45 (0.31) σ_{cR}=0.00 σ_{fR}=0.00
Compressione nel calcestruzzo: σ_c=15.16
CC 10 SLD (Collegamento 0025_-382)
Azioni sul collegamento: N=-6269.01 Ty=-2.84 Tz=-0.34 Mx=0.01 Mz=-0.99
Sollecitazioni agenti localmente: Tx_l=-2.84 Ty_l=-0.34 N_l=-6269.01 Mx_l=-0.00 My_l=-0.99 Mz_l=0.01
Taglio nei bulloni: Fv,Ed=0.49 Fv,Rd=9650.97
Rifollamento lato piastra: Fb,Ed,p=0.49 Fb,Rd,p=7574.82
Tirafondi:LT=0.45 (0.31) σ_{cR}=0.00 σ_{fR}=0.00
Compressione nel calcestruzzo: σ_c=13.01
CC 10 SLD (Collegamento 0025_-382)
Azioni sul collegamento: N=-6269.01 Ty=-3.73 Tz=-0.34 Mx=0.01 Mz=-2.45
Sollecitazioni agenti localmente: Tx_l=-3.73 Ty_l=-0.34 N_l=-6269.01 Mx_l=-0.00 My_l=-2.45 Mz_l=0.01
Taglio nei bulloni: Fv,Ed=0.64 Fv,Rd=9650.97
Rifollamento lato piastra: Fb,Ed,p=0.63 Fb,Rd,p=7532.90
Tirafondi:LT=0.45 (0.31) σ_{cR}=0.00 σ_{fR}=0.00
Compressione nel calcestruzzo: σ_c=13.09
CC 10 SLD (Collegamento 0025_-382)
Azioni sul collegamento: N=-6269.00 Ty=-2.84 Tz=1.57 Mx=0.01 Mz=-0.99
Sollecitazioni agenti localmente: Tx_l=-2.84 Ty_l=1.57 N_l=-6269.00 Mx_l=-0.00 My_l=-0.99 Mz_l=0.01
Taglio nei bulloni: Fv,Ed=0.56 Fv,Rd=9650.97
Rifollamento lato piastra: Fb,Ed,p=0.56 Fb,Rd,p=11095.60
Tirafondi:LT=0.45 (0.31) σ_{cR}=0.00 σ_{fR}=0.00
Compressione nel calcestruzzo: σ_c=13.01
CC 10 SLD (Collegamento 0025_-382)
Azioni sul collegamento: N=-6269.00 Ty=-3.73 Tz=1.57 Mx=0.01 Mz=-2.45
Sollecitazioni agenti localmente: Tx_l=-3.73 Ty_l=1.57 N_l=-6269.00 Mx_l=-0.00 My_l=-2.45 Mz_l=0.01
Taglio nei bulloni: Fv,Ed=0.69 Fv,Rd=9650.97
Rifollamento lato piastra: Fb,Ed,p=0.69 Fb,Rd,p=9573.30
Tirafondi:LT=0.45 (0.31) σ_{cR}=0.00 σ_{fR}=0.00
Compressione nel calcestruzzo: σ_c=13.09
CC 10 SLD (Collegamento 0025_-382)
Azioni sul collegamento: N=-6757.78 Ty=-2.84 Tz=-0.34 Mx=0.01 Mz=-0.99
Sollecitazioni agenti localmente: Tx_l=-2.84 Ty_l=-0.34 N_l=-6757.78 Mx_l=-0.00 My_l=-0.99 Mz_l=0.01
Taglio nei bulloni: Fv,Ed=0.49 Fv,Rd=9650.97
Rifollamento lato piastra: Fb,Ed,p=0.49 Fb,Rd,p=7574.72
Tirafondi:LT=0.45 (0.31) σ_{cR}=0.00 σ_{fR}=0.00
Compressione nel calcestruzzo: σ_c=14.02
CC 10 SLD (Collegamento 0025_-382)
Azioni sul collegamento: N=-6757.78 Ty=-3.73 Tz=-0.34 Mx=0.01 Mz=-2.45
Sollecitazioni agenti localmente: Tx_l=-3.73 Ty_l=-0.34 N_l=-6757.78 Mx_l=-0.00 My_l=-2.45 Mz_l=0.01
Taglio nei bulloni: Fv,Ed=0.64 Fv,Rd=9650.97
Rifollamento lato piastra: Fb,Ed,p=0.63 Fb,Rd,p=7532.85
Tirafondi:LT=0.45 (0.31) σ_{cR}=0.00 σ_{fR}=0.00
Compressione nel calcestruzzo: σ_c=14.10
CC 10 SLD (Collegamento 0025_-382)
Azioni sul collegamento: N=-6757.78 Ty=-2.84 Tz=1.57 Mx=0.01 Mz=-0.99
Sollecitazioni agenti localmente: Tx_l=-2.84 Ty_l=1.57 N_l=-6757.78 Mx_l=-0.00 My_l=-0.99 Mz_l=0.01
Taglio nei bulloni: Fv,Ed=0.56 Fv,Rd=9650.97
Rifollamento lato piastra: Fb,Ed,p=0.56 Fb,Rd,p=11095.30
Tirafondi:LT=0.45 (0.31) σ_{cR}=0.00 σ_{fR}=0.00
Compressione nel calcestruzzo: σ_c=14.02
CC 10 SLD (Collegamento 0025_-382)
Azioni sul collegamento: N=-6757.78 Ty=-3.73 Tz=1.57 Mx=0.01 Mz=-2.45
Sollecitazioni agenti localmente: Tx_l=-3.73 Ty_l=1.57 N_l=-6757.78 Mx_l=-0.00 My_l=-2.45 Mz_l=0.01
Taglio nei bulloni: Fv,Ed=0.69 Fv,Rd=9650.97
Rifollamento lato piastra: Fb,Ed,p=0.69 Fb,Rd,p=9573.14
Tirafondi:LT=0.45 (0.31) σ_{cR}=0.00 σ_{fR}=0.00
Compressione nel calcestruzzo: σ_c=14.10
CC 11 SLV (Collegamento 0025_-382)
Azioni sul collegamento: N=-7263.41 Ty=-3.09 Tz=3.21 Mx=0.02 Mz=2.17
Sollecitazioni agenti localmente: Tx_l=-3.09 Ty_l=3.21 N_l=-7263.41 Mx_l=-0.00 My_l=2.17 Mz_l=0.02
Taglio nei bulloni: Fv,Ed=0.78 Fv,Rd=7720.78
Rifollamento lato piastra: Fb,Ed,p=0.74 Fb,Rd,p=11258.90
Tirafondi:LT=0.45 (0.31) σ_{cR}=0.00 σ_{fR}=0.00
Compressione nel calcestruzzo: σ_c=15.13
CC 11 SLV (Collegamento 0025_-382)
Azioni sul collegamento: N=-7263.41 Ty=-1.79 Tz=3.21 Mx=0.02 Mz=-1.45

Sollecitazioni agenti localmente: T_{x_l}=-1.79 T_{y_l}=3.21 N_l=-7263.41 M_{x_l}=-0.00 M_{y_l}=-1.45 M_{z_l}=0.02
Taglio nei bulloni: Fv,Ed=0.65 Fv,Rd=7720.78
Rifollamento lato piastra: Fb,Ed,p=0.62 Fb,Rd,p=8090.12
Tirafondi:LT=0.45 (0.31) σ_{cR}=0.00 σ_{fR}=0.00
Compressione nel calcestruzzo: σ_c=15.09
CC 11 SLV (Collegamento 0025_-382)
Azioni sul collegamento: N=-7263.41 Ty=-3.09 Tz=-2.23 Mx=0.02 Mz=2.17
Sollecitazioni agenti localmente: T_{x_l}=-3.09 T_{y_l}=-2.23 N_l=-7263.41 M_{x_l}=-0.00 M_{y_l}=2.17 M_{z_l}=0.02
Taglio nei bulloni: Fv,Ed=0.67 Fv,Rd=7720.78
Rifollamento lato piastra: Fb,Ed,p=0.64 Fb,Rd,p=9665.12
Tirafondi:LT=0.45 (0.31) σ_{cR}=0.00 σ_{fR}=0.00
Compressione nel calcestruzzo: σ_c=15.13
CC 11 SLV (Collegamento 0025_-382)
Azioni sul collegamento: N=-7263.41 Ty=-1.79 Tz=-2.23 Mx=0.02 Mz=-1.45
Sollecitazioni agenti localmente: T_{x_l}=-1.79 T_{y_l}=-2.23 N_l=-7263.41 M_{x_l}=-0.00 M_{y_l}=-1.45 M_{z_l}=0.02
Taglio nei bulloni: Fv,Ed=0.51 Fv,Rd=7720.78
Rifollamento lato piastra: Fb,Ed,p=0.51 Fb,Rd,p=10973.30
Tirafondi:LT=0.45 (0.31) σ_{cR}=0.00 σ_{fR}=0.00
Compressione nel calcestruzzo: σ_c=15.09
CC 11 SLV (Collegamento 0025_-382)
Azioni sul collegamento: N=-5698.41 Ty=-3.09 Tz=3.21 Mx=0.02 Mz=2.17
Sollecitazioni agenti localmente: T_{x_l}=-3.09 T_{y_l}=3.21 N_l=-5698.41 M_{x_l}=-0.00 M_{y_l}=2.17 M_{z_l}=0.02
Taglio nei bulloni: Fv,Ed=0.78 Fv,Rd=7720.78
Rifollamento lato piastra: Fb,Ed,p=0.74 Fb,Rd,p=11259.20
Tirafondi:LT=0.45 (0.31) σ_{cR}=0.00 σ_{fR}=0.00
Compressione nel calcestruzzo: σ_c=11.90
CC 11 SLV (Collegamento 0025_-382)
Azioni sul collegamento: N=-5698.41 Ty=-1.79 Tz=3.21 Mx=0.02 Mz=-1.45
Sollecitazioni agenti localmente: T_{x_l}=-1.79 T_{y_l}=3.21 N_l=-5698.41 M_{x_l}=-0.00 M_{y_l}=-1.45 M_{z_l}=0.02
Taglio nei bulloni: Fv,Ed=0.65 Fv,Rd=7720.78
Rifollamento lato piastra: Fb,Ed,p=0.62 Fb,Rd,p=8090.39
Tirafondi:LT=0.45 (0.31) σ_{cR}=0.00 σ_{fR}=0.00
Compressione nel calcestruzzo: σ_c=11.86
CC 11 SLV (Collegamento 0025_-382)
Azioni sul collegamento: N=-5698.41 Ty=-3.09 Tz=-2.23 Mx=0.02 Mz=2.17
Sollecitazioni agenti localmente: T_{x_l}=-3.09 T_{y_l}=-2.23 N_l=-5698.41 M_{x_l}=-0.00 M_{y_l}=2.17 M_{z_l}=0.02
Taglio nei bulloni: Fv,Ed=0.67 Fv,Rd=7720.78
Rifollamento lato piastra: Fb,Ed,p=0.64 Fb,Rd,p=9665.87
Tirafondi:LT=0.45 (0.31) σ_{cR}=0.00 σ_{fR}=0.00
Compressione nel calcestruzzo: σ_c=11.90
CC 11 SLV (Collegamento 0025_-382)
Azioni sul collegamento: N=-5698.41 Ty=-1.79 Tz=-2.23 Mx=0.02 Mz=-1.45
Sollecitazioni agenti localmente: T_{x_l}=-1.79 T_{y_l}=-2.23 N_l=-5698.41 M_{x_l}=-0.00 M_{y_l}=-1.45 M_{z_l}=0.02
Taglio nei bulloni: Fv,Ed=0.51 Fv,Rd=7720.78
Rifollamento lato piastra: Fb,Ed,p=0.51 Fb,Rd,p=10973.00
Tirafondi:LT=0.45 (0.31) σ_{cR}=0.00 σ_{fR}=0.00
Compressione nel calcestruzzo: σ_c=11.86
CC 12 SLD (Collegamento 0025_-382)
Azioni sul collegamento: N=-6752.00 Ty=-3.09 Tz=1.44 Mx=0.01 Mz=-1.17
Sollecitazioni agenti localmente: T_{x_l}=-3.09 T_{y_l}=1.44 N_l=-6752.00 M_{x_l}=-0.00 M_{y_l}=-1.17 M_{z_l}=0.01
Taglio nei bulloni: Fv,Ed=0.58 Fv,Rd=9650.97
Rifollamento lato piastra: Fb,Ed,p=0.58 Fb,Rd,p=10058.50
Tirafondi:LT=0.45 (0.31) σ_{cR}=0.00 σ_{fR}=0.00
Compressione nel calcestruzzo: σ_c=14.02
CC 12 SLD (Collegamento 0025_-382)
Azioni sul collegamento: N=-6752.00 Ty=-3.48 Tz=1.44 Mx=0.01 Mz=-2.27
Sollecitazioni agenti localmente: T_{x_l}=-3.48 T_{y_l}=1.44 N_l=-6752.00 M_{x_l}=-0.00 M_{y_l}=-2.27 M_{z_l}=0.01
Taglio nei bulloni: Fv,Ed=0.64 Fv,Rd=9650.97
Rifollamento lato piastra: Fb,Ed,p=0.64 Fb,Rd,p=9507.66
Tirafondi:LT=0.45 (0.31) σ_{cR}=0.00 σ_{fR}=0.00
Compressione nel calcestruzzo: σ_c=14.08
CC 12 SLD (Collegamento 0025_-382)
Azioni sul collegamento: N=-6752.00 Ty=-3.09 Tz=-0.21 Mx=0.01 Mz=-1.17
Sollecitazioni agenti localmente: T_{x_l}=-3.09 T_{y_l}=-0.21 N_l=-6752.00 M_{x_l}=-0.00 M_{y_l}=-1.17 M_{z_l}=0.01
Taglio nei bulloni: Fv,Ed=0.53 Fv,Rd=9650.97
Rifollamento lato piastra: Fb,Ed,p=0.53 Fb,Rd,p=7498.57
Tirafondi:LT=0.45 (0.31) σ_{cR}=0.00 σ_{fR}=0.00
Compressione nel calcestruzzo: σ_c=14.02
CC 12 SLD (Collegamento 0025_-382)
Azioni sul collegamento: N=-6752.00 Ty=-3.48 Tz=-0.21 Mx=0.01 Mz=-2.27
Sollecitazioni agenti localmente: T_{x_l}=-3.48 T_{y_l}=-0.21 N_l=-6752.00 M_{x_l}=-0.00 M_{y_l}=-2.27 M_{z_l}=0.01
Taglio nei bulloni: Fv,Ed=0.59 Fv,Rd=9650.97
Rifollamento lato piastra: Fb,Ed,p=0.59 Fb,Rd,p=7493.39
Tirafondi:LT=0.45 (0.31) σ_{cR}=0.00 σ_{fR}=0.00
Compressione nel calcestruzzo: σ_c=14.08
CC 12 SLD (Collegamento 0025_-382)
Azioni sul collegamento: N=-6274.78 Ty=-3.09 Tz=1.44 Mx=0.01 Mz=-1.17
Sollecitazioni agenti localmente: T_{x_l}=-3.09 T_{y_l}=1.44 N_l=-6274.78 M_{x_l}=-0.00 M_{y_l}=-1.17 M_{z_l}=0.01

Taglio nei bulloni: Fv,Ed=0.58 Fv,Rd=9650.97
Rifollamento lato piastra: Fb,Ed,p=0.58 Fb,Rd,p=10058.60
Tirafondi:LT=0.45 (0.31) σ_{cR}=0.00 σ_{fR}=0.00
Compressione nel calcestruzzo: σ_c=13.03
CC 12 SLD (Collegamento 0025_-382)
Azioni sul collegamento: N=-6274.78 Ty=-3.48 Tz=1.44 Mx=0.01 Mz=-2.27
Sollecitazioni agenti localmente: Tx_l=-3.48 Ty_l=1.44 N_l=-6274.78 Mx_l=-0.00 My_l=-2.27 Mz_l=0.01
Taglio nei bulloni: Fv,Ed=0.64 Fv,Rd=9650.97
Rifollamento lato piastra: Fb,Ed,p=0.64 Fb,Rd,p=9507.75
Tirafondi:LT=0.45 (0.31) σ_{cR}=0.00 σ_{fR}=0.00
Compressione nel calcestruzzo: σ_c=13.09
CC 12 SLD (Collegamento 0025_-382)
Azioni sul collegamento: N=-6274.78 Ty=-3.09 Tz=-0.21 Mx=0.01 Mz=-1.17
Sollecitazioni agenti localmente: Tx_l=-3.09 Ty_l=-0.21 N_l=-6274.78 Mx_l=-0.00 My_l=-1.17 Mz_l=0.01
Taglio nei bulloni: Fv,Ed=0.53 Fv,Rd=9650.97
Rifollamento lato piastra: Fb,Ed,p=0.53 Fb,Rd,p=7498.60
Tirafondi:LT=0.45 (0.31) σ_{cR}=0.00 σ_{fR}=0.00
Compressione nel calcestruzzo: σ_c=13.03
CC 12 SLD (Collegamento 0025_-382)
Azioni sul collegamento: N=-6274.78 Ty=-3.48 Tz=-0.21 Mx=0.01 Mz=-2.27
Sollecitazioni agenti localmente: Tx_l=-3.48 Ty_l=-0.21 N_l=-6274.78 Mx_l=-0.00 My_l=-2.27 Mz_l=0.01
Taglio nei bulloni: Fv,Ed=0.59 Fv,Rd=9650.97
Rifollamento lato piastra: Fb,Ed,p=0.59 Fb,Rd,p=7493.41
Tirafondi:LT=0.45 (0.31) σ_{cR}=0.00 σ_{fR}=0.00
Compressione nel calcestruzzo: σ_c=13.09
CC 13 SLV (Collegamento 0025_-382)
Azioni sul collegamento: N=-5698.41 Ty=-1.79 Tz=-2.23 Mx=0.01 Mz=-1.45
Sollecitazioni agenti localmente: Tx_l=-1.79 Ty_l=-2.23 N_l=-5698.41 Mx_l=-0.00 My_l=-1.45 Mz_l=0.01
Taglio nei bulloni: Fv,Ed=0.49 Fv,Rd=7720.78
Rifollamento lato piastra: Fb,Ed,p=0.49 Fb,Rd,p=10930.00
Tirafondi:LT=0.45 (0.31) σ_{cR}=0.00 σ_{fR}=0.00
Compressione nel calcestruzzo: σ_c=11.86
CC 13 SLV (Collegamento 0025_-382)
Azioni sul collegamento: N=-5698.41 Ty=-3.09 Tz=-2.23 Mx=0.01 Mz=2.17
Sollecitazioni agenti localmente: Tx_l=-3.09 Ty_l=-2.23 N_l=-5698.41 Mx_l=-0.00 My_l=2.17 Mz_l=0.01
Taglio nei bulloni: Fv,Ed=0.65 Fv,Rd=7720.78
Rifollamento lato piastra: Fb,Ed,p=0.64 Fb,Rd,p=10310.80
Tirafondi:LT=0.45 (0.31) σ_{cR}=0.00 σ_{fR}=0.00
Compressione nel calcestruzzo: σ_c=11.90
CC 13 SLV (Collegamento 0025_-382)
Azioni sul collegamento: N=-5698.41 Ty=-1.79 Tz=3.21 Mx=0.01 Mz=-1.45
Sollecitazioni agenti localmente: Tx_l=-1.79 Ty_l=3.21 N_l=-5698.41 Mx_l=-0.00 My_l=-1.45 Mz_l=0.01
Taglio nei bulloni: Fv,Ed=0.63 Fv,Rd=7720.78
Rifollamento lato piastra: Fb,Ed,p=0.62 Fb,Rd,p=8514.20
Tirafondi:LT=0.45 (0.31) σ_{cR}=0.00 σ_{fR}=0.00
Compressione nel calcestruzzo: σ_c=11.86
CC 13 SLV (Collegamento 0025_-382)
Azioni sul collegamento: N=-5698.41 Ty=-3.09 Tz=3.21 Mx=0.01 Mz=2.17
Sollecitazioni agenti localmente: Tx_l=-3.09 Ty_l=3.21 N_l=-5698.41 Mx_l=-0.00 My_l=2.17 Mz_l=0.01
Taglio nei bulloni: Fv,Ed=0.76 Fv,Rd=7720.78
Rifollamento lato piastra: Fb,Ed,p=0.74 Fb,Rd,p=11585.00
Tirafondi:LT=0.45 (0.31) σ_{cR}=0.00 σ_{fR}=0.00
Compressione nel calcestruzzo: σ_c=11.90
CC 13 SLV (Collegamento 0025_-382)
Azioni sul collegamento: N=-7263.41 Ty=-1.79 Tz=-2.23 Mx=0.01 Mz=-1.45
Sollecitazioni agenti localmente: Tx_l=-1.79 Ty_l=-2.23 N_l=-7263.41 Mx_l=-0.00 My_l=-1.45 Mz_l=0.01
Taglio nei bulloni: Fv,Ed=0.49 Fv,Rd=7720.78
Rifollamento lato piastra: Fb,Ed,p=0.49 Fb,Rd,p=10930.40
Tirafondi:LT=0.45 (0.31) σ_{cR}=0.00 σ_{fR}=0.00
Compressione nel calcestruzzo: σ_c=15.09
CC 13 SLV (Collegamento 0025_-382)
Azioni sul collegamento: N=-7263.41 Ty=-3.09 Tz=-2.23 Mx=0.01 Mz=2.17
Sollecitazioni agenti localmente: Tx_l=-3.09 Ty_l=-2.23 N_l=-7263.41 Mx_l=-0.00 My_l=2.17 Mz_l=0.01
Taglio nei bulloni: Fv,Ed=0.65 Fv,Rd=7720.78
Rifollamento lato piastra: Fb,Ed,p=0.64 Fb,Rd,p=10309.90
Tirafondi:LT=0.45 (0.31) σ_{cR}=0.00 σ_{fR}=0.00
Compressione nel calcestruzzo: σ_c=15.13
CC 13 SLV (Collegamento 0025_-382)
Azioni sul collegamento: N=-7263.41 Ty=-1.79 Tz=3.21 Mx=0.01 Mz=-1.45
Sollecitazioni agenti localmente: Tx_l=-1.79 Ty_l=3.21 N_l=-7263.41 Mx_l=-0.00 My_l=-1.45 Mz_l=0.01
Taglio nei bulloni: Fv,Ed=0.63 Fv,Rd=7720.78
Rifollamento lato piastra: Fb,Ed,p=0.62 Fb,Rd,p=8513.87
Tirafondi:LT=0.45 (0.31) σ_{cR}=0.00 σ_{fR}=0.00
Compressione nel calcestruzzo: σ_c=15.09
CC 13 SLV (Collegamento 0025_-382)
Azioni sul collegamento: N=-7263.41 Ty=-3.09 Tz=3.21 Mx=0.01 Mz=2.17
Sollecitazioni agenti localmente: Tx_l=-3.09 Ty_l=3.21 N_l=-7263.41 Mx_l=-0.00 My_l=2.17 Mz_l=0.01
Taglio nei bulloni: Fv,Ed=0.76 Fv,Rd=7720.78

Rifollamento lato piastra: Fb,Ed,p=0.74 Fb,Rd,p=11584.60
Tirafondi:LT=0.45 (0.31) σ_{cR}=0.00 σ_{fR}=0.00
Compressione nel calcestruzzo: σ_c=15.13
CC 14 SLD (Collegamento 0025_-382)
Azioni sul collegamento: N=-6274.78 Ty=-3.48 Tz=-0.21 Mx=0.01 Mz=-2.27
Sollecitazioni agenti localmente: Tx_l=-3.48 Ty_l=-0.21 N_l=-6274.78 Mx_l=-0.00 My_l=-2.27 Mz_l=0.01
Taglio nei bulloni: Fv,Ed=0.59 Fv,Rd=9650.97
Rifollamento lato piastra: Fb,Ed,p=0.59 Fb,Rd,p=7502.75
Tirafondi:LT=0.45 (0.31) σ_{cR}=0.00 σ_{fR}=0.00
Compressione nel calcestruzzo: σ_c=13.09
CC 14 SLD (Collegamento 0025_-382)
Azioni sul collegamento: N=-6274.78 Ty=-3.09 Tz=-0.21 Mx=0.01 Mz=-1.17
Sollecitazioni agenti localmente: Tx_l=-3.09 Ty_l=-0.21 N_l=-6274.78 Mx_l=-0.00 My_l=-1.17 Mz_l=0.01
Taglio nei bulloni: Fv,Ed=0.52 Fv,Rd=9650.97
Rifollamento lato piastra: Fb,Ed,p=0.52 Fb,Rd,p=7510.51
Tirafondi:LT=0.45 (0.31) σ_{cR}=0.00 σ_{fR}=0.00
Compressione nel calcestruzzo: σ_c=13.03
CC 14 SLD (Collegamento 0025_-382)
Azioni sul collegamento: N=-6274.78 Ty=-3.48 Tz=1.44 Mx=0.01 Mz=-2.27
Sollecitazioni agenti localmente: Tx_l=-3.48 Ty_l=1.44 N_l=-6274.78 Mx_l=-0.00 My_l=-2.27 Mz_l=0.01
Taglio nei bulloni: Fv,Ed=0.64 Fv,Rd=9650.97
Rifollamento lato piastra: Fb,Ed,p=0.64 Fb,Rd,p=9459.66
Tirafondi:LT=0.45 (0.31) σ_{cR}=0.00 σ_{fR}=0.00
Compressione nel calcestruzzo: σ_c=13.09
CC 14 SLD (Collegamento 0025_-382)
Azioni sul collegamento: N=-6274.78 Ty=-3.09 Tz=1.44 Mx=0.01 Mz=-1.17
Sollecitazioni agenti localmente: Tx_l=-3.09 Ty_l=1.44 N_l=-6274.78 Mx_l=-0.00 My_l=-1.17 Mz_l=0.01
Taglio nei bulloni: Fv,Ed=0.58 Fv,Rd=9650.97
Rifollamento lato piastra: Fb,Ed,p=0.58 Fb,Rd,p=10002.90
Tirafondi:LT=0.45 (0.31) σ_{cR}=0.00 σ_{fR}=0.00
Compressione nel calcestruzzo: σ_c=13.03
CC 14 SLD (Collegamento 0025_-382)
Azioni sul collegamento: N=-6752.00 Ty=-3.48 Tz=-0.21 Mx=0.01 Mz=-2.27
Sollecitazioni agenti localmente: Tx_l=-3.48 Ty_l=-0.21 N_l=-6752.00 Mx_l=-0.00 My_l=-2.27 Mz_l=0.01
Taglio nei bulloni: Fv,Ed=0.59 Fv,Rd=9650.97
Rifollamento lato piastra: Fb,Ed,p=0.59 Fb,Rd,p=7502.72
Tirafondi:LT=0.45 (0.31) σ_{cR}=0.00 σ_{fR}=0.00
Compressione nel calcestruzzo: σ_c=14.08
CC 14 SLD (Collegamento 0025_-382)
Azioni sul collegamento: N=-6752.00 Ty=-3.09 Tz=-0.21 Mx=0.01 Mz=-1.17
Sollecitazioni agenti localmente: Tx_l=-3.09 Ty_l=-0.21 N_l=-6752.00 Mx_l=-0.00 My_l=-1.17 Mz_l=0.01
Taglio nei bulloni: Fv,Ed=0.52 Fv,Rd=9650.97
Rifollamento lato piastra: Fb,Ed,p=0.52 Fb,Rd,p=7510.47
Tirafondi:LT=0.45 (0.31) σ_{cR}=0.00 σ_{fR}=0.00
Compressione nel calcestruzzo: σ_c=14.02
CC 14 SLD (Collegamento 0025_-382)
Azioni sul collegamento: N=-6752.00 Ty=-3.48 Tz=1.44 Mx=0.01 Mz=-2.27
Sollecitazioni agenti localmente: Tx_l=-3.48 Ty_l=1.44 N_l=-6752.00 Mx_l=-0.00 My_l=-2.27 Mz_l=0.01
Taglio nei bulloni: Fv,Ed=0.64 Fv,Rd=9650.97
Rifollamento lato piastra: Fb,Ed,p=0.64 Fb,Rd,p=9459.58
Tirafondi:LT=0.45 (0.31) σ_{cR}=0.00 σ_{fR}=0.00
Compressione nel calcestruzzo: σ_c=14.08
CC 14 SLD (Collegamento 0025_-382)
Azioni sul collegamento: N=-6752.00 Ty=-3.09 Tz=1.44 Mx=0.01 Mz=-1.17
Sollecitazioni agenti localmente: Tx_l=-3.09 Ty_l=1.44 N_l=-6752.00 Mx_l=-0.00 My_l=-1.17 Mz_l=0.01
Taglio nei bulloni: Fv,Ed=0.58 Fv,Rd=9650.97
Rifollamento lato piastra: Fb,Ed,p=0.58 Fb,Rd,p=10002.80
Tirafondi:LT=0.45 (0.31) σ_{cR}=0.00 σ_{fR}=0.00
Compressione nel calcestruzzo: σ_c=14.02
CC 15 SLV (Collegamento 0025_-382)
Azioni sul collegamento: N=-7282.35 Ty=-0.97 Tz=3.63 Mx=0.01 Mz=-2.02
Sollecitazioni agenti localmente: Tx_l=-0.97 Ty_l=3.63 N_l=-7282.35 Mx_l=-0.00 My_l=-2.02 Mz_l=0.01
Taglio nei bulloni: Fv,Ed=0.64 Fv,Rd=7720.78
Rifollamento lato piastra: Fb,Ed,p=0.63 Fb,Rd,p=6531.54
Tirafondi:LT=0.45 (0.31) σ_{cR}=0.00 σ_{fR}=0.00
Compressione nel calcestruzzo: σ_c=15.16
CC 15 SLV (Collegamento 0025_-382)
Azioni sul collegamento: N=-7282.35 Ty=-3.91 Tz=3.63 Mx=0.01 Mz=2.74
Sollecitazioni agenti localmente: Tx_l=-3.91 Ty_l=3.63 N_l=-7282.35 Mx_l=-0.00 My_l=2.74 Mz_l=0.01
Taglio nei bulloni: Fv,Ed=0.90 Fv,Rd=7720.78
Rifollamento lato piastra: Fb,Ed,p=0.90 Fb,Rd,p=11612.40
Tirafondi:LT=0.45 (0.31) σ_{cR}=0.00 σ_{fR}=0.00
Compressione nel calcestruzzo: σ_c=15.20
CC 15 SLV (Collegamento 0025_-382)
Azioni sul collegamento: N=-7282.35 Ty=-0.97 Tz=-2.66 Mx=0.01 Mz=-2.02
Sollecitazioni agenti localmente: Tx_l=-0.97 Ty_l=-2.66 N_l=-7282.35 Mx_l=-0.00 My_l=-2.02 Mz_l=0.01
Taglio nei bulloni: Fv,Ed=0.48 Fv,Rd=7720.78
Rifollamento lato piastra: Fb,Ed,p=0.48 Fb,Rd,p=7269.52

Tirafondi:LT=0.45 (0.31) σ_{cR}=0.00 σ_{fR}=0.00
Compressione nel calcestruzzo: σ_c=15.16
CC 15 SLV (Collegamento 0025_-382)
Azioni sul collegamento: N=-7282.35 Ty=-3.91 Tz=-2.66 Mx=0.01 Mz=2.74
Sollecitazioni agenti localmente: Tx_l=-3.91 Ty_l=-2.66 N_l=-7282.35 Mx_l=-0.00 My_l=2.74 Mz_l=0.01
Taglio nei bulloni: Fv,Ed=0.80 Fv,Rd=7720.78
Rifollamento lato piastra: Fb,Ed,p=0.79 Fb,Rd,p=9918.10
Tirafondi:LT=0.45 (0.31) σ_{cR}=0.00 σ_{fR}=0.00
Compressione nel calcestruzzo: σ_c=15.20
CC 15 SLV (Collegamento 0025_-382)
Azioni sul collegamento: N=-5679.47 Ty=-0.97 Tz=3.63 Mx=0.01 Mz=-2.02
Sollecitazioni agenti localmente: Tx_l=-0.97 Ty_l=3.63 N_l=-5679.47 Mx_l=-0.00 My_l=-2.02 Mz_l=0.01
Taglio nei bulloni: Fv,Ed=0.64 Fv,Rd=7720.78
Rifollamento lato piastra: Fb,Ed,p=0.63 Fb,Rd,p=6531.51
Tirafondi:LT=0.45 (0.31) σ_{cR}=0.00 σ_{fR}=0.00
Compressione nel calcestruzzo: σ_c=11.85
CC 15 SLV (Collegamento 0025_-382)
Azioni sul collegamento: N=-5679.47 Ty=-3.91 Tz=3.63 Mx=0.01 Mz=2.74
Sollecitazioni agenti localmente: Tx_l=-3.91 Ty_l=3.63 N_l=-5679.47 Mx_l=-0.00 My_l=2.74 Mz_l=0.01
Taglio nei bulloni: Fv,Ed=0.90 Fv,Rd=7720.78
Rifollamento lato piastra: Fb,Ed,p=0.90 Fb,Rd,p=11612.50
Tirafondi:LT=0.45 (0.31) σ_{cR}=0.00 σ_{fR}=0.00
Compressione nel calcestruzzo: σ_c=11.89
CC 15 SLV (Collegamento 0025_-382)
Azioni sul collegamento: N=-5679.47 Ty=-0.97 Tz=-2.66 Mx=0.01 Mz=-2.02
Sollecitazioni agenti localmente: Tx_l=-0.97 Ty_l=-2.66 N_l=-5679.47 Mx_l=-0.00 My_l=-2.02 Mz_l=0.01
Taglio nei bulloni: Fv,Ed=0.48 Fv,Rd=7720.78
Rifollamento lato piastra: Fb,Ed,p=0.48 Fb,Rd,p=7269.43
Tirafondi:LT=0.45 (0.31) σ_{cR}=0.00 σ_{fR}=0.00
Compressione nel calcestruzzo: σ_c=11.85
CC 15 SLV (Collegamento 0025_-382)
Azioni sul collegamento: N=-5679.47 Ty=-3.91 Tz=-2.66 Mx=0.01 Mz=2.74
Sollecitazioni agenti localmente: Tx_l=-3.91 Ty_l=-2.66 N_l=-5679.47 Mx_l=-0.00 My_l=2.74 Mz_l=0.01
Taglio nei bulloni: Fv,Ed=0.80 Fv,Rd=7720.78
Rifollamento lato piastra: Fb,Ed,p=0.79 Fb,Rd,p=9918.42
Tirafondi:LT=0.45 (0.31) σ_{cR}=0.00 σ_{fR}=0.00
Compressione nel calcestruzzo: σ_c=11.89
CC 16 SLD (Collegamento 0025_-382)
Azioni sul collegamento: N=-6757.78 Ty=-3.73 Tz=1.57 Mx=0.00 Mz=-2.45
Sollecitazioni agenti localmente: Tx_l=-3.73 Ty_l=1.57 N_l=-6757.78 Mx_l=-0.00 My_l=-2.45 Mz_l=0.00
Taglio nei bulloni: Fv,Ed=0.68 Fv,Rd=9650.97
Rifollamento lato piastra: Fb,Ed,p=0.68 Fb,Rd,p=9522.20
Tirafondi:LT=0.45 (0.31) σ_{cR}=0.00 σ_{fR}=0.00
Compressione nel calcestruzzo: σ_c=14.10
CC 16 SLD (Collegamento 0025_-382)
Azioni sul collegamento: N=-6757.78 Ty=-2.84 Tz=1.57 Mx=0.00 Mz=-0.99
Sollecitazioni agenti localmente: Tx_l=-2.84 Ty_l=1.57 N_l=-6757.78 Mx_l=-0.00 My_l=-0.99 Mz_l=0.00
Taglio nei bulloni: Fv,Ed=0.55 Fv,Rd=9650.97
Rifollamento lato piastra: Fb,Ed,p=0.55 Fb,Rd,p=11027.30
Tirafondi:LT=0.45 (0.31) σ_{cR}=0.00 σ_{fR}=0.00
Compressione nel calcestruzzo: σ_c=14.02
CC 16 SLD (Collegamento 0025_-382)
Azioni sul collegamento: N=-6757.78 Ty=-3.73 Tz=-0.34 Mx=0.00 Mz=-2.45
Sollecitazioni agenti localmente: Tx_l=-3.73 Ty_l=-0.34 N_l=-6757.78 Mx_l=-0.00 My_l=-2.45 Mz_l=0.00
Taglio nei bulloni: Fv,Ed=0.63 Fv,Rd=9650.97
Rifollamento lato piastra: Fb,Ed,p=0.63 Fb,Rd,p=7549.85
Tirafondi:LT=0.45 (0.31) σ_{cR}=0.00 σ_{fR}=0.00
Compressione nel calcestruzzo: σ_c=14.10
CC 16 SLD (Collegamento 0025_-382)
Azioni sul collegamento: N=-6757.78 Ty=-2.84 Tz=-0.34 Mx=0.00 Mz=-0.99
Sollecitazioni agenti localmente: Tx_l=-2.84 Ty_l=-0.34 N_l=-6757.78 Mx_l=-0.00 My_l=-0.99 Mz_l=0.00
Taglio nei bulloni: Fv,Ed=0.48 Fv,Rd=9650.97
Rifollamento lato piastra: Fb,Ed,p=0.48 Fb,Rd,p=7604.57
Tirafondi:LT=0.45 (0.31) σ_{cR}=0.00 σ_{fR}=0.00
Compressione nel calcestruzzo: σ_c=14.02
CC 16 SLD (Collegamento 0025_-382)
Azioni sul collegamento: N=-6269.00 Ty=-3.73 Tz=1.57 Mx=0.00 Mz=-2.45
Sollecitazioni agenti localmente: Tx_l=-3.73 Ty_l=1.57 N_l=-6269.00 Mx_l=-0.00 My_l=-2.45 Mz_l=0.00
Taglio nei bulloni: Fv,Ed=0.68 Fv,Rd=9650.97
Rifollamento lato piastra: Fb,Ed,p=0.68 Fb,Rd,p=9522.36
Tirafondi:LT=0.45 (0.31) σ_{cR}=0.00 σ_{fR}=0.00
Compressione nel calcestruzzo: σ_c=13.09
CC 16 SLD (Collegamento 0025_-382)
Azioni sul collegamento: N=-6269.00 Ty=-2.84 Tz=1.57 Mx=0.00 Mz=-0.99
Sollecitazioni agenti localmente: Tx_l=-2.84 Ty_l=1.57 N_l=-6269.00 Mx_l=-0.00 My_l=-0.99 Mz_l=0.00
Taglio nei bulloni: Fv,Ed=0.55 Fv,Rd=9650.97
Rifollamento lato piastra: Fb,Ed,p=0.55 Fb,Rd,p=11027.60
Tirafondi:LT=0.45 (0.31) σ_{cR}=0.00 σ_{fR}=0.00

Compressione nel calcestruzzo: σ_c=13.01
CC 16 SLD (Collegamento 0025_-382)
Azioni sul collegamento: N=-6269.01 Ty=-3.73 Tz=-0.34 Mx=0.00 Mz=-2.45
Sollecitazioni agenti localmente: Tx_l=-3.73 Ty_l=-0.34 N_l=-6269.01 Mx_l=-0.00 My_l=-2.45 Mz_l=0.00
Taglio nei bulloni: Fv,Ed=0.63 Fv,Rd=9650.97
Rifollamento lato piastra: Fb,Ed,p=0.63 Fb,Rd,p=7549.90
Tirafondi:LT=0.45 (0.31) σ_{cR}=0.00 σ_{fR}=0.00
Compressione nel calcestruzzo: σ_c=13.09
CC 16 SLD (Collegamento 0025_-382)
Azioni sul collegamento: N=-6269.01 Ty=-2.84 Tz=-0.34 Mx=0.00 Mz=-0.99
Sollecitazioni agenti localmente: Tx_l=-2.84 Ty_l=-0.34 N_l=-6269.01 Mx_l=-0.00 My_l=-0.99 Mz_l=0.00
Taglio nei bulloni: Fv,Ed=0.48 Fv,Rd=9650.97
Rifollamento lato piastra: Fb,Ed,p=0.48 Fb,Rd,p=7604.67
Tirafondi:LT=0.45 (0.31) σ_{cR}=0.00 σ_{fR}=0.00
Compressione nel calcestruzzo: σ_c=13.01
CC 17 SLV (Collegamento 0025_-382)
Azioni sul collegamento: N=-3931.62 Ty=-3.19 Tz=-8.98 Mx=-0.01 Mz=-4.04
Sollecitazioni agenti localmente: Tx_l=-3.19 Ty_l=-8.98 N_l=-3931.62 Mx_l=-0.00 My_l=-4.04 Mz_l=-0.01
Taglio nei bulloni: Fv,Ed=1.61 Fv,Rd=7720.78
Rifollamento lato piastra: Fb,Ed,p=1.60 Fb,Rd,p=7019.32
Tirafondi:LT=0.45 (0.31) σ_{cR}=0.00 σ_{fR}=0.00
Compressione nel calcestruzzo: σ_c=8.35
CC 17 SLV (Collegamento 0025_-382)
Azioni sul collegamento: N=-3931.62 Ty=-6.55 Tz=-8.98 Mx=-0.01 Mz=-7.22
Sollecitazioni agenti localmente: Tx_l=-6.55 Ty_l=-8.98 N_l=-3931.62 Mx_l=-0.00 My_l=-7.22 Mz_l=-0.01
Taglio nei bulloni: Fv,Ed=1.87 Fv,Rd=7720.78
Rifollamento lato piastra: Fb,Ed,p=1.86 Fb,Rd,p=10428.60
Tirafondi:LT=0.45 (0.31) σ_{cR}=0.00 σ_{fR}=0.00
Compressione nel calcestruzzo: σ_c=8.53
CC 17 SLV (Collegamento 0025_-382)
Azioni sul collegamento: N=-3931.62 Ty=-3.19 Tz=10.69 Mx=-0.01 Mz=-4.04
Sollecitazioni agenti localmente: Tx_l=-3.19 Ty_l=10.69 N_l=-3931.62 Mx_l=-0.00 My_l=-4.04 Mz_l=-0.01
Taglio nei bulloni: Fv,Ed=1.88 Fv,Rd=7720.78
Rifollamento lato piastra: Fb,Ed,p=1.88 Fb,Rd,p=6807.00
Tirafondi:LT=0.45 (0.31) σ_{cR}=0.00 σ_{fR}=0.00
Compressione nel calcestruzzo: σ_c=8.35
CC 17 SLV (Collegamento 0025_-382)
Azioni sul collegamento: N=-3931.62 Ty=-6.55 Tz=10.69 Mx=-0.01 Mz=-7.22
Sollecitazioni agenti localmente: Tx_l=-6.55 Ty_l=10.69 N_l=-3931.62 Mx_l=-0.00 My_l=-7.22 Mz_l=-0.01
Taglio nei bulloni: Fv,Ed=2.11 Fv,Rd=7720.78
Rifollamento lato piastra: Fb,Ed,p=2.11 Fb,Rd,p=9431.51
Tirafondi:LT=0.45 (0.31) σ_{cR}=0.00 σ_{fR}=0.00
Compressione nel calcestruzzo: σ_c=8.53
CC 17 SLV (Collegamento 0025_-382)
Azioni sul collegamento: N=-9217.12 Ty=-3.19 Tz=-8.98 Mx=-0.01 Mz=-4.04
Sollecitazioni agenti localmente: Tx_l=-3.19 Ty_l=-8.98 N_l=-9217.12 Mx_l=-0.00 My_l=-4.04 Mz_l=-0.01
Taglio nei bulloni: Fv,Ed=1.61 Fv,Rd=7720.78
Rifollamento lato piastra: Fb,Ed,p=1.60 Fb,Rd,p=7019.39
Tirafondi:LT=0.45 (0.31) σ_{cR}=0.00 σ_{fR}=0.00
Compressione nel calcestruzzo: σ_c=19.27
CC 17 SLV (Collegamento 0025_-382)
Azioni sul collegamento: N=-9217.12 Ty=-6.55 Tz=-8.98 Mx=-0.01 Mz=-7.22
Sollecitazioni agenti localmente: Tx_l=-6.55 Ty_l=-8.98 N_l=-9217.12 Mx_l=-0.00 My_l=-7.22 Mz_l=-0.01
Taglio nei bulloni: Fv,Ed=1.87 Fv,Rd=7720.78
Rifollamento lato piastra: Fb,Ed,p=1.86 Fb,Rd,p=10428.70
Tirafondi:LT=0.45 (0.31) σ_{cR}=0.00 σ_{fR}=0.00
Compressione nel calcestruzzo: σ_c=19.45
CC 17 SLV (Collegamento 0025_-382)
Azioni sul collegamento: N=-9217.12 Ty=-3.19 Tz=10.69 Mx=-0.01 Mz=-4.04
Sollecitazioni agenti localmente: Tx_l=-3.19 Ty_l=10.69 N_l=-9217.12 Mx_l=-0.00 My_l=-4.04 Mz_l=-0.01
Taglio nei bulloni: Fv,Ed=1.88 Fv,Rd=7720.78
Rifollamento lato piastra: Fb,Ed,p=1.88 Fb,Rd,p=6806.94
Tirafondi:LT=0.45 (0.31) σ_{cR}=0.00 σ_{fR}=0.00
Compressione nel calcestruzzo: σ_c=19.27
CC 17 SLV (Collegamento 0025_-382)
Azioni sul collegamento: N=-9217.12 Ty=-6.55 Tz=10.69 Mx=-0.01 Mz=-7.22
Sollecitazioni agenti localmente: Tx_l=-6.55 Ty_l=10.69 N_l=-9217.12 Mx_l=-0.00 My_l=-7.22 Mz_l=-0.01
Taglio nei bulloni: Fv,Ed=2.11 Fv,Rd=7720.78
Rifollamento lato piastra: Fb,Ed,p=2.11 Fb,Rd,p=9431.21
Tirafondi:LT=0.45 (0.31) σ_{cR}=0.00 σ_{fR}=0.00
Compressione nel calcestruzzo: σ_c=19.45
CC 18 SLD (Collegamento 0025_-382)
Azioni sul collegamento: N=-5736.03 Ty=-3.51 Tz=-2.27 Mx=-0.00 Mz=-3.06
Sollecitazioni agenti localmente: Tx_l=-3.51 Ty_l=-2.27 N_l=-5736.03 Mx_l=-0.00 My_l=-3.06 Mz_l=-0.00
Taglio nei bulloni: Fv,Ed=0.70 Fv,Rd=9650.97
Rifollamento lato piastra: Fb,Ed,p=0.70 Fb,Rd,p=12263.80
Tirafondi:LT=0.45 (0.31) σ_{cR}=0.00 σ_{fR}=0.00
Compressione nel calcestruzzo: σ_c=12.02

CC 18 SLD (Collegamento 0025_-382)
Azioni sul collegamento: N=-5736.03 Ty=-4.54 Tz=-2.27 Mx=-0.00 Mz=-4.03
Sollecitazioni agenti localmente: Tx_l=-4.54 Ty_l=-2.27 N_l=-5736.03 Mx_l=-0.00 My_l=-4.03 Mz_l=-0.00
Taglio nei bulloni: Fv,Ed=0.85 Fv,Rd=9650.97
Rifollamento lato piastra: Fb,Ed,p=0.85 Fb,Rd,p=10321.30
Tirafondi:LT=0.45 (0.31) σ_{cR}=0.00 σ_{fR}=0.00
Compressione nel calcestruzzo: σ_c=12.08
CC 18 SLD (Collegamento 0025_-382)
Azioni sul collegamento: N=-5736.03 Ty=-3.51 Tz=3.73 Mx=-0.00 Mz=-3.06
Sollecitazioni agenti localmente: Tx_l=-3.51 Ty_l=3.73 N_l=-5736.03 Mx_l=-0.00 My_l=-3.06 Mz_l=-0.00
Taglio nei bulloni: Fv,Ed=0.86 Fv,Rd=9650.97
Rifollamento lato piastra: Fb,Ed,p=0.86 Fb,Rd,p=14599.80
Tirafondi:LT=0.45 (0.31) σ_{cR}=0.00 σ_{fR}=0.00
Compressione nel calcestruzzo: σ_c=12.02
CC 18 SLD (Collegamento 0025_-382)
Azioni sul collegamento: N=-5736.03 Ty=-4.54 Tz=3.73 Mx=-0.00 Mz=-4.03
Sollecitazioni agenti localmente: Tx_l=-4.54 Ty_l=3.73 N_l=-5736.03 Mx_l=-0.00 My_l=-4.03 Mz_l=-0.00
Taglio nei bulloni: Fv,Ed=0.98 Fv,Rd=9650.97
Rifollamento lato piastra: Fb,Ed,p=0.98 Fb,Rd,p=13712.20
Tirafondi:LT=0.45 (0.31) σ_{cR}=0.00 σ_{fR}=0.00
Compressione nel calcestruzzo: σ_c=12.08
CC 18 SLD (Collegamento 0025_-382)
Azioni sul collegamento: N=-7347.75 Ty=-3.51 Tz=-2.27 Mx=-0.00 Mz=-3.06
Sollecitazioni agenti localmente: Tx_l=-3.51 Ty_l=-2.27 N_l=-7347.75 Mx_l=-0.00 My_l=-3.06 Mz_l=-0.00
Taglio nei bulloni: Fv,Ed=0.70 Fv,Rd=9650.97
Rifollamento lato piastra: Fb,Ed,p=0.70 Fb,Rd,p=12264.20
Tirafondi:LT=0.45 (0.31) σ_{cR}=0.00 σ_{fR}=0.00
Compressione nel calcestruzzo: σ_c=15.35
CC 18 SLD (Collegamento 0025_-382)
Azioni sul collegamento: N=-7347.75 Ty=-4.54 Tz=-2.27 Mx=-0.00 Mz=-4.03
Sollecitazioni agenti localmente: Tx_l=-4.54 Ty_l=-2.27 N_l=-7347.75 Mx_l=-0.00 My_l=-4.03 Mz_l=-0.00
Taglio nei bulloni: Fv,Ed=0.85 Fv,Rd=9650.97
Rifollamento lato piastra: Fb,Ed,p=0.85 Fb,Rd,p=10321.50
Tirafondi:LT=0.45 (0.31) σ_{cR}=0.00 σ_{fR}=0.00
Compressione nel calcestruzzo: σ_c=15.41
CC 18 SLD (Collegamento 0025_-382)
Azioni sul collegamento: N=-7347.75 Ty=-3.51 Tz=3.73 Mx=-0.00 Mz=-3.06
Sollecitazioni agenti localmente: Tx_l=-3.51 Ty_l=3.73 N_l=-7347.75 Mx_l=-0.00 My_l=-3.06 Mz_l=-0.00
Taglio nei bulloni: Fv,Ed=0.86 Fv,Rd=9650.97
Rifollamento lato piastra: Fb,Ed,p=0.86 Fb,Rd,p=14600.30
Tirafondi:LT=0.45 (0.31) σ_{cR}=0.00 σ_{fR}=0.00
Compressione nel calcestruzzo: σ_c=15.35
CC 18 SLD (Collegamento 0025_-382)
Azioni sul collegamento: N=-7347.75 Ty=-4.54 Tz=3.73 Mx=-0.00 Mz=-4.03
Sollecitazioni agenti localmente: Tx_l=-4.54 Ty_l=3.73 N_l=-7347.75 Mx_l=-0.00 My_l=-4.03 Mz_l=-0.00
Taglio nei bulloni: Fv,Ed=0.98 Fv,Rd=9650.97
Rifollamento lato piastra: Fb,Ed,p=0.98 Fb,Rd,p=13711.80
Tirafondi:LT=0.45 (0.31) σ_{cR}=0.00 σ_{fR}=0.00
Compressione nel calcestruzzo: σ_c=15.41
CC 19 SLV (Collegamento 0025_-382)
Azioni sul collegamento: N=-3937.31 Ty=-3.82 Tz=-8.85 Mx=-0.01 Mz=-5.30
Sollecitazioni agenti localmente: Tx_l=-3.82 Ty_l=-8.85 N_l=-3937.31 Mx_l=-0.00 My_l=-5.30 Mz_l=-0.01
Taglio nei bulloni: Fv,Ed=1.62 Fv,Rd=7720.78
Rifollamento lato piastra: Fb,Ed,p=1.61 Fb,Rd,p=7578.33
Tirafondi:LT=0.45 (0.31) σ_{cR}=0.00 σ_{fR}=0.00
Compressione nel calcestruzzo: σ_c=8.43
CC 19 SLV (Collegamento 0025_-382)
Azioni sul collegamento: N=-3937.31 Ty=-5.92 Tz=-8.85 Mx=-0.01 Mz=-5.96
Sollecitazioni agenti localmente: Tx_l=-5.92 Ty_l=-8.85 N_l=-3937.31 Mx_l=-0.00 My_l=-5.96 Mz_l=-0.01
Taglio nei bulloni: Fv,Ed=1.79 Fv,Rd=7720.78
Rifollamento lato piastra: Fb,Ed,p=1.78 Fb,Rd,p=9911.03
Tirafondi:LT=0.45 (0.31) σ_{cR}=0.00 σ_{fR}=0.00
Compressione nel calcestruzzo: σ_c=8.47
CC 19 SLV (Collegamento 0025_-382)
Azioni sul collegamento: N=-3937.31 Ty=-3.82 Tz=10.56 Mx=-0.01 Mz=-5.30
Sollecitazioni agenti localmente: Tx_l=-3.82 Ty_l=10.56 N_l=-3937.31 Mx_l=-0.00 My_l=-5.30 Mz_l=-0.01
Taglio nei bulloni: Fv,Ed=1.89 Fv,Rd=7720.78
Rifollamento lato piastra: Fb,Ed,p=1.89 Fb,Rd,p=7177.41
Tirafondi:LT=0.45 (0.31) σ_{cR}=0.00 σ_{fR}=0.00
Compressione nel calcestruzzo: σ_c=8.43
CC 19 SLV (Collegamento 0025_-382)
Azioni sul collegamento: N=-3937.31 Ty=-5.92 Tz=10.56 Mx=-0.01 Mz=-5.96
Sollecitazioni agenti localmente: Tx_l=-5.92 Ty_l=10.56 N_l=-3937.31 Mx_l=-0.00 My_l=-5.96 Mz_l=-0.01
Taglio nei bulloni: Fv,Ed=2.03 Fv,Rd=7720.78
Rifollamento lato piastra: Fb,Ed,p=2.03 Fb,Rd,p=8847.91
Tirafondi:LT=0.45 (0.31) σ_{cR}=0.00 σ_{fR}=0.00
Compressione nel calcestruzzo: σ_c=8.47
CC 19 SLV (Collegamento 0025_-382)

Azioni sul collegamento: N=-9211.43 Ty=-3.82 Tz=-8.85 Mx=-0.01 Mz=-5.30
Sollecitazioni agenti localmente: Tx_l=-3.82 Ty_l=-8.85 N_l=-9211.43 Mx_l=-0.00 My_l=-5.30 Mz_l=-0.01
Taglio nei bulloni: Fv,Ed=1.62 Fv,Rd=7720.78
Rifollamento lato piastra: Fb,Ed,p=1.61 Fb,Rd,p=7578.49
Tirafondi:LT=0.45 (0.31) σ_{cR}=0.00 σ_{fR}=0.00
Compressione nel calcestruzzo: σ_c=19.33
CC 19 SLV (Collegamento 0025_-382)
Azioni sul collegamento: N=-9211.43 Ty=-5.92 Tz=-8.85 Mx=-0.01 Mz=-5.96
Sollecitazioni agenti localmente: Tx_l=-5.92 Ty_l=-8.85 N_l=-9211.43 Mx_l=-0.00 My_l=-5.96 Mz_l=-0.01
Taglio nei bulloni: Fv,Ed=1.79 Fv,Rd=7720.78
Rifollamento lato piastra: Fb,Ed,p=1.78 Fb,Rd,p=9911.42
Tirafondi:LT=0.45 (0.31) σ_{cR}=0.00 σ_{fR}=0.00
Compressione nel calcestruzzo: σ_c=19.37
CC 19 SLV (Collegamento 0025_-382)
Azioni sul collegamento: N=-9211.43 Ty=-3.82 Tz=10.56 Mx=-0.01 Mz=-5.30
Sollecitazioni agenti localmente: Tx_l=-3.82 Ty_l=10.56 N_l=-9211.43 Mx_l=-0.00 My_l=-5.30 Mz_l=-0.01
Taglio nei bulloni: Fv,Ed=1.89 Fv,Rd=7720.78
Rifollamento lato piastra: Fb,Ed,p=1.89 Fb,Rd,p=7177.39
Tirafondi:LT=0.45 (0.31) σ_{cR}=0.00 σ_{fR}=0.00
Compressione nel calcestruzzo: σ_c=19.33
CC 19 SLV (Collegamento 0025_-382)
Azioni sul collegamento: N=-9211.43 Ty=-5.92 Tz=10.56 Mx=-0.01 Mz=-5.96
Sollecitazioni agenti localmente: Tx_l=-5.92 Ty_l=10.56 N_l=-9211.43 Mx_l=-0.00 My_l=-5.96 Mz_l=-0.01
Taglio nei bulloni: Fv,Ed=2.03 Fv,Rd=7720.78
Rifollamento lato piastra: Fb,Ed,p=2.03 Fb,Rd,p=8847.86
Tirafondi:LT=0.45 (0.31) σ_{cR}=0.00 σ_{fR}=0.00
Compressione nel calcestruzzo: σ_c=19.37
CC 20 SLD (Collegamento 0025_-382)
Azioni sul collegamento: N=-5737.77 Ty=-3.71 Tz=-2.23 Mx=-0.00 Mz=-3.45
Sollecitazioni agenti localmente: Tx_l=-3.71 Ty_l=-2.23 N_l=-5737.77 Mx_l=-0.00 My_l=-3.45 Mz_l=-0.00
Taglio nei bulloni: Fv,Ed=0.72 Fv,Rd=9650.97
Rifollamento lato piastra: Fb,Ed,p=0.72 Fb,Rd,p=11605.40
Tirafondi:LT=0.45 (0.31) σ_{cR}=0.00 σ_{fR}=0.00
Compressione nel calcestruzzo: σ_c=12.05
CC 20 SLD (Collegamento 0025_-382)
Azioni sul collegamento: N=-5737.77 Ty=-4.34 Tz=-2.23 Mx=-0.00 Mz=-3.65
Sollecitazioni agenti localmente: Tx_l=-4.34 Ty_l=-2.23 N_l=-5737.77 Mx_l=-0.00 My_l=-3.65 Mz_l=-0.00
Taglio nei bulloni: Fv,Ed=0.81 Fv,Rd=9650.97
Rifollamento lato piastra: Fb,Ed,p=0.81 Fb,Rd,p=10464.50
Tirafondi:LT=0.45 (0.31) σ_{cR}=0.00 σ_{fR}=0.00
Compressione nel calcestruzzo: σ_c=12.06
CC 20 SLD (Collegamento 0025_-382)
Azioni sul collegamento: N=-5737.77 Ty=-3.71 Tz=3.69 Mx=-0.00 Mz=-3.45
Sollecitazioni agenti localmente: Tx_l=-3.71 Ty_l=3.69 N_l=-5737.77 Mx_l=-0.00 My_l=-3.45 Mz_l=-0.00
Taglio nei bulloni: Fv,Ed=0.87 Fv,Rd=9650.97
Rifollamento lato piastra: Fb,Ed,p=0.87 Fb,Rd,p=14972.20
Tirafondi:LT=0.45 (0.31) σ_{cR}=0.00 σ_{fR}=0.00
Compressione nel calcestruzzo: σ_c=12.05
CC 20 SLD (Collegamento 0025_-382)
Azioni sul collegamento: N=-5737.77 Ty=-4.34 Tz=3.69 Mx=-0.00 Mz=-3.65
Sollecitazioni agenti localmente: Tx_l=-4.34 Ty_l=3.69 N_l=-5737.77 Mx_l=-0.00 My_l=-3.65 Mz_l=-0.00
Taglio nei bulloni: Fv,Ed=0.95 Fv,Rd=9650.97
Rifollamento lato piastra: Fb,Ed,p=0.95 Fb,Rd,p=13925.10
Tirafondi:LT=0.45 (0.31) σ_{cR}=0.00 σ_{fR}=0.00
Compressione nel calcestruzzo: σ_c=12.06
CC 20 SLD (Collegamento 0025_-382)
Azioni sul collegamento: N=-7346.01 Ty=-3.71 Tz=-2.23 Mx=-0.00 Mz=-3.45
Sollecitazioni agenti localmente: Tx_l=-3.71 Ty_l=-2.23 N_l=-7346.01 Mx_l=-0.00 My_l=-3.45 Mz_l=-0.00
Taglio nei bulloni: Fv,Ed=0.72 Fv,Rd=9650.97
Rifollamento lato piastra: Fb,Ed,p=0.72 Fb,Rd,p=11606.20
Tirafondi:LT=0.45 (0.31) σ_{cR}=0.00 σ_{fR}=0.00
Compressione nel calcestruzzo: σ_c=15.37
CC 20 SLD (Collegamento 0025_-382)
Azioni sul collegamento: N=-7346.01 Ty=-4.34 Tz=-2.23 Mx=-0.00 Mz=-3.65
Sollecitazioni agenti localmente: Tx_l=-4.34 Ty_l=-2.23 N_l=-7346.01 Mx_l=-0.00 My_l=-3.65 Mz_l=-0.00
Taglio nei bulloni: Fv,Ed=0.81 Fv,Rd=9650.97
Rifollamento lato piastra: Fb,Ed,p=0.81 Fb,Rd,p=10465.10
Tirafondi:LT=0.45 (0.31) σ_{cR}=0.00 σ_{fR}=0.00
Compressione nel calcestruzzo: σ_c=15.38
CC 20 SLD (Collegamento 0025_-382)
Azioni sul collegamento: N=-7346.01 Ty=-3.71 Tz=3.69 Mx=-0.00 Mz=-3.45
Sollecitazioni agenti localmente: Tx_l=-3.71 Ty_l=3.69 N_l=-7346.01 Mx_l=-0.00 My_l=-3.45 Mz_l=-0.00
Taglio nei bulloni: Fv,Ed=0.87 Fv,Rd=9650.97
Rifollamento lato piastra: Fb,Ed,p=0.87 Fb,Rd,p=14972.70
Tirafondi:LT=0.45 (0.31) σ_{cR}=0.00 σ_{fR}=0.00
Compressione nel calcestruzzo: σ_c=15.37
CC 20 SLD (Collegamento 0025_-382)
Azioni sul collegamento: N=-7346.01 Ty=-4.34 Tz=3.69 Mx=-0.00 Mz=-3.65

Sollecitazioni agenti localmente: Tx_l=-4.34 Ty_l=3.69 N_l=-7346.01 Mx_l=-0.00 My_l=-3.65 Mz_l=-0.00
Taglio nei bulloni: Fv,Ed=0.95 Fv,Rd=9650.97
Rifollamento lato piastra: Fb,Ed,p=0.95 Fb,Rd,p=13925.60
Tirafondi:LT=0.45 (0.31) σ_{cR}=0.00 σ_{fR}=0.00
Compressione nel calcestruzzo: σ_c=15.38
CC 21 SLV (Collegamento 0025_-382)
Azioni sul collegamento: N=-9211.43 Ty=-5.92 Tz=10.56 Mx=-0.01 Mz=-5.96
Sollecitazioni agenti localmente: Tx_l=-5.92 Ty_l=10.56 N_l=-9211.43 Mx_l=-0.00 My_l=-5.96 Mz_l=-0.01
Taglio nei bulloni: Fv,Ed=2.03 Fv,Rd=7720.78
Rifollamento lato piastra: Fb,Ed,p=2.03 Fb,Rd,p=8852.35
Tirafondi:LT=0.45 (0.31) σ_{cR}=0.00 σ_{fR}=0.00
Compressione nel calcestruzzo: σ_c=19.37
CC 21 SLV (Collegamento 0025_-382)
Azioni sul collegamento: N=-9211.43 Ty=-3.82 Tz=10.56 Mx=-0.01 Mz=-5.30
Sollecitazioni agenti localmente: Tx_l=-3.82 Ty_l=10.56 N_l=-9211.43 Mx_l=-0.00 My_l=-5.30 Mz_l=-0.01
Taglio nei bulloni: Fv,Ed=1.89 Fv,Rd=7720.78
Rifollamento lato piastra: Fb,Ed,p=1.89 Fb,Rd,p=7181.54
Tirafondi:LT=0.45 (0.31) σ_{cR}=0.00 σ_{fR}=0.00
Compressione nel calcestruzzo: σ_c=19.33
CC 21 SLV (Collegamento 0025_-382)
Azioni sul collegamento: N=-9211.43 Ty=-5.92 Tz=-8.85 Mx=-0.01 Mz=-5.96
Sollecitazioni agenti localmente: Tx_l=-5.92 Ty_l=-8.85 N_l=-9211.43 Mx_l=-0.00 My_l=-5.96 Mz_l=-0.01
Taglio nei bulloni: Fv,Ed=1.79 Fv,Rd=7720.78
Rifollamento lato piastra: Fb,Ed,p=1.78 Fb,Rd,p=9887.53
Tirafondi:LT=0.45 (0.31) σ_{cR}=0.00 σ_{fR}=0.00
Compressione nel calcestruzzo: σ_c=19.37
CC 21 SLV (Collegamento 0025_-382)
Azioni sul collegamento: N=-9211.43 Ty=-3.82 Tz=-8.85 Mx=-0.01 Mz=-5.30
Sollecitazioni agenti localmente: Tx_l=-3.82 Ty_l=-8.85 N_l=-9211.43 Mx_l=-0.00 My_l=-5.30 Mz_l=-0.01
Taglio nei bulloni: Fv,Ed=1.62 Fv,Rd=7720.78
Rifollamento lato piastra: Fb,Ed,p=1.61 Fb,Rd,p=7565.67
Tirafondi:LT=0.45 (0.31) σ_{cR}=0.00 σ_{fR}=0.00
Compressione nel calcestruzzo: σ_c=19.33
CC 21 SLV (Collegamento 0025_-382)
Azioni sul collegamento: N=-3937.31 Ty=-5.92 Tz=10.56 Mx=-0.01 Mz=-5.96
Sollecitazioni agenti localmente: Tx_l=-5.92 Ty_l=10.56 N_l=-3937.31 Mx_l=-0.00 My_l=-5.96 Mz_l=-0.01
Taglio nei bulloni: Fv,Ed=2.03 Fv,Rd=7720.78
Rifollamento lato piastra: Fb,Ed,p=2.03 Fb,Rd,p=8852.40
Tirafondi:LT=0.45 (0.31) σ_{cR}=0.00 σ_{fR}=0.00
Compressione nel calcestruzzo: σ_c=8.47
CC 21 SLV (Collegamento 0025_-382)
Azioni sul collegamento: N=-3937.31 Ty=-3.82 Tz=10.56 Mx=-0.01 Mz=-5.30
Sollecitazioni agenti localmente: Tx_l=-3.82 Ty_l=10.56 N_l=-3937.31 Mx_l=-0.00 My_l=-5.30 Mz_l=-0.01
Taglio nei bulloni: Fv,Ed=1.89 Fv,Rd=7720.78
Rifollamento lato piastra: Fb,Ed,p=1.89 Fb,Rd,p=7181.56
Tirafondi:LT=0.45 (0.31) σ_{cR}=0.00 σ_{fR}=0.00
Compressione nel calcestruzzo: σ_c=8.43
CC 21 SLV (Collegamento 0025_-382)
Azioni sul collegamento: N=-3937.31 Ty=-5.92 Tz=-8.85 Mx=-0.01 Mz=-5.96
Sollecitazioni agenti localmente: Tx_l=-5.92 Ty_l=-8.85 N_l=-3937.31 Mx_l=-0.00 My_l=-5.96 Mz_l=-0.01
Taglio nei bulloni: Fv,Ed=1.79 Fv,Rd=7720.78
Rifollamento lato piastra: Fb,Ed,p=1.78 Fb,Rd,p=9887.15
Tirafondi:LT=0.45 (0.31) σ_{cR}=0.00 σ_{fR}=0.00
Compressione nel calcestruzzo: σ_c=8.47
CC 21 SLV (Collegamento 0025_-382)
Azioni sul collegamento: N=-3937.31 Ty=-3.82 Tz=-8.85 Mx=-0.01 Mz=-5.30
Sollecitazioni agenti localmente: Tx_l=-3.82 Ty_l=-8.85 N_l=-3937.31 Mx_l=-0.00 My_l=-5.30 Mz_l=-0.01
Taglio nei bulloni: Fv,Ed=1.62 Fv,Rd=7720.78
Rifollamento lato piastra: Fb,Ed,p=1.61 Fb,Rd,p=7565.51
Tirafondi:LT=0.45 (0.31) σ_{cR}=0.00 σ_{fR}=0.00
Compressione nel calcestruzzo: σ_c=8.43
CC 22 SLD (Collegamento 0025_-382)
Azioni sul collegamento: N=-7346.01 Ty=-4.34 Tz=3.69 Mx=-0.00 Mz=-3.65
Sollecitazioni agenti localmente: Tx_l=-4.34 Ty_l=3.69 N_l=-7346.01 Mx_l=-0.00 My_l=-3.65 Mz_l=-0.00
Taglio nei bulloni: Fv,Ed=0.95 Fv,Rd=9650.97
Rifollamento lato piastra: Fb,Ed,p=0.95 Fb,Rd,p=13916.30
Tirafondi:LT=0.45 (0.31) σ_{cR}=0.00 σ_{fR}=0.00
Compressione nel calcestruzzo: σ_c=15.38
CC 22 SLD (Collegamento 0025_-382)
Azioni sul collegamento: N=-7346.01 Ty=-3.71 Tz=3.69 Mx=-0.00 Mz=-3.45
Sollecitazioni agenti localmente: Tx_l=-3.71 Ty_l=3.69 N_l=-7346.01 Mx_l=-0.00 My_l=-3.45 Mz_l=-0.00
Taglio nei bulloni: Fv,Ed=0.87 Fv,Rd=9650.97
Rifollamento lato piastra: Fb,Ed,p=0.87 Fb,Rd,p=14959.90
Tirafondi:LT=0.45 (0.31) σ_{cR}=0.00 σ_{fR}=0.00
Compressione nel calcestruzzo: σ_c=15.37
CC 22 SLD (Collegamento 0025_-382)
Azioni sul collegamento: N=-7346.01 Ty=-4.34 Tz=-2.23 Mx=-0.00 Mz=-3.65
Sollecitazioni agenti localmente: Tx_l=-4.34 Ty_l=-2.23 N_l=-7346.01 Mx_l=-0.00 My_l=-3.65 Mz_l=-0.00

Taglio nei bulloni: Fv,Ed=0.82 Fv,Rd=9650.97
Rifollamento lato piastra: Fb,Ed,p=0.82 Fb,Rd,p=10469.30
Tirafondi:LT=0.45 (0.31) σ_{cR}=0.00 σ_{fR}=0.00
Compressione nel calcestruzzo: σ_c=15.38
CC 22 SLD (Collegamento 0025_-382)
Azioni sul collegamento: N=-7346.01 Ty=-3.71 Tz=-2.23 Mx=-0.00 Mz=-3.45
Sollecitazioni agenti localmente: Tx_l=-3.71 Ty_l=-2.23 N_l=-7346.01 Mx_l=-0.00 My_l=-3.45 Mz_l=-0.00
Taglio nei bulloni: Fv,Ed=0.72 Fv,Rd=9650.97
Rifollamento lato piastra: Fb,Ed,p=0.72 Fb,Rd,p=11611.00
Tirafondi:LT=0.45 (0.31) σ_{cR}=0.00 σ_{fR}=0.00
Compressione nel calcestruzzo: σ_c=15.37
CC 22 SLD (Collegamento 0025_-382)
Azioni sul collegamento: N=-5737.77 Ty=-4.34 Tz=3.69 Mx=-0.00 Mz=-3.65
Sollecitazioni agenti localmente: Tx_l=-4.34 Ty_l=3.69 N_l=-5737.77 Mx_l=-0.00 My_l=-3.65 Mz_l=-0.00
Taglio nei bulloni: Fv,Ed=0.95 Fv,Rd=9650.97
Rifollamento lato piastra: Fb,Ed,p=0.95 Fb,Rd,p=13915.80
Tirafondi:LT=0.45 (0.31) σ_{cR}=0.00 σ_{fR}=0.00
Compressione nel calcestruzzo: σ_c=12.06
CC 22 SLD (Collegamento 0025_-382)
Azioni sul collegamento: N=-5737.77 Ty=-3.71 Tz=3.69 Mx=-0.00 Mz=-3.45
Sollecitazioni agenti localmente: Tx_l=-3.71 Ty_l=3.69 N_l=-5737.77 Mx_l=-0.00 My_l=-3.45 Mz_l=-0.00
Taglio nei bulloni: Fv,Ed=0.87 Fv,Rd=9650.97
Rifollamento lato piastra: Fb,Ed,p=0.87 Fb,Rd,p=14959.30
Tirafondi:LT=0.45 (0.31) σ_{cR}=0.00 σ_{fR}=0.00
Compressione nel calcestruzzo: σ_c=12.05
CC 22 SLD (Collegamento 0025_-382)
Azioni sul collegamento: N=-5737.77 Ty=-4.34 Tz=-2.23 Mx=-0.00 Mz=-3.65
Sollecitazioni agenti localmente: Tx_l=-4.34 Ty_l=-2.23 N_l=-5737.77 Mx_l=-0.00 My_l=-3.65 Mz_l=-0.00
Taglio nei bulloni: Fv,Ed=0.82 Fv,Rd=9650.97
Rifollamento lato piastra: Fb,Ed,p=0.82 Fb,Rd,p=10468.70
Tirafondi:LT=0.45 (0.31) σ_{cR}=0.00 σ_{fR}=0.00
Compressione nel calcestruzzo: σ_c=12.06
CC 22 SLD (Collegamento 0025_-382)
Azioni sul collegamento: N=-5737.77 Ty=-3.71 Tz=-2.23 Mx=-0.00 Mz=-3.45
Sollecitazioni agenti localmente: Tx_l=-3.71 Ty_l=-2.23 N_l=-5737.77 Mx_l=-0.00 My_l=-3.45 Mz_l=-0.00
Taglio nei bulloni: Fv,Ed=0.72 Fv,Rd=9650.97
Rifollamento lato piastra: Fb,Ed,p=0.72 Fb,Rd,p=11610.20
Tirafondi:LT=0.45 (0.31) σ_{cR}=0.00 σ_{fR}=0.00
Compressione nel calcestruzzo: σ_c=12.05
CC 23 SLV (Collegamento 0025_-382)
Azioni sul collegamento: N=-9217.12 Ty=-6.55 Tz=10.69 Mx=-0.01 Mz=-7.22
Sollecitazioni agenti localmente: Tx_l=-6.55 Ty_l=10.69 N_l=-9217.12 Mx_l=-0.00 My_l=-7.22 Mz_l=-0.01
Taglio nei bulloni: Fv,Ed=2.10 Fv,Rd=7720.78
Rifollamento lato piastra: Fb,Ed,p=2.10 Fb,Rd,p=9409.29
Tirafondi:LT=0.45 (0.31) σ_{cR}=0.00 σ_{fR}=0.00
Compressione nel calcestruzzo: σ_c=19.45
CC 23 SLV (Collegamento 0025_-382)
Azioni sul collegamento: N=-9217.12 Ty=-3.19 Tz=10.69 Mx=-0.01 Mz=-4.04
Sollecitazioni agenti localmente: Tx_l=-3.19 Ty_l=10.69 N_l=-9217.12 Mx_l=-0.00 My_l=-4.04 Mz_l=-0.01
Taglio nei bulloni: Fv,Ed=1.87 Fv,Rd=7720.78
Rifollamento lato piastra: Fb,Ed,p=1.87 Fb,Rd,p=6788.04
Tirafondi:LT=0.45 (0.31) σ_{cR}=0.00 σ_{fR}=0.00
Compressione nel calcestruzzo: σ_c=19.27
CC 23 SLV (Collegamento 0025_-382)
Azioni sul collegamento: N=-9217.12 Ty=-6.55 Tz=-8.98 Mx=-0.01 Mz=-7.22
Sollecitazioni agenti localmente: Tx_l=-6.55 Ty_l=-8.98 N_l=-9217.12 Mx_l=-0.00 My_l=-7.22 Mz_l=-0.01
Taglio nei bulloni: Fv,Ed=1.86 Fv,Rd=7720.78
Rifollamento lato piastra: Fb,Ed,p=1.85 Fb,Rd,p=10479.00
Tirafondi:LT=0.45 (0.31) σ_{cR}=0.00 σ_{fR}=0.00
Compressione nel calcestruzzo: σ_c=19.45
CC 23 SLV (Collegamento 0025_-382)
Azioni sul collegamento: N=-9217.12 Ty=-3.19 Tz=-8.98 Mx=-0.01 Mz=-4.04
Sollecitazioni agenti localmente: Tx_l=-3.19 Ty_l=-8.98 N_l=-9217.12 Mx_l=-0.00 My_l=-4.04 Mz_l=-0.01
Taglio nei bulloni: Fv,Ed=1.60 Fv,Rd=7720.78
Rifollamento lato piastra: Fb,Ed,p=1.59 Fb,Rd,p=7068.96
Tirafondi:LT=0.45 (0.31) σ_{cR}=0.00 σ_{fR}=0.00
Compressione nel calcestruzzo: σ_c=19.27
CC 23 SLV (Collegamento 0025_-382)
Azioni sul collegamento: N=-3931.62 Ty=-6.55 Tz=10.69 Mx=-0.01 Mz=-7.22
Sollecitazioni agenti localmente: Tx_l=-6.55 Ty_l=10.69 N_l=-3931.62 Mx_l=-0.00 My_l=-7.22 Mz_l=-0.01
Taglio nei bulloni: Fv,Ed=2.10 Fv,Rd=7720.78
Rifollamento lato piastra: Fb,Ed,p=2.10 Fb,Rd,p=9409.59
Tirafondi:LT=0.45 (0.31) σ_{cR}=0.00 σ_{fR}=0.00
Compressione nel calcestruzzo: σ_c=8.53
CC 23 SLV (Collegamento 0025_-382)
Azioni sul collegamento: N=-3931.62 Ty=-3.19 Tz=10.69 Mx=-0.01 Mz=-4.04
Sollecitazioni agenti localmente: Tx_l=-3.19 Ty_l=10.69 N_l=-3931.62 Mx_l=-0.00 My_l=-4.04 Mz_l=-0.01
Taglio nei bulloni: Fv,Ed=1.87 Fv,Rd=7720.78

Rifollamento lato piastra: Fb,Ed,p=1.87 Fb,Rd,p=6788.11
Tirafondi:LT=0.45 (0.31) σ_{cR}=0.00 σ_{fR}=0.00
Compressione nel calcestruzzo: σ_c=8.35
CC 23 SLV (Collegamento 0025_-382)
Azioni sul collegamento: N=-3931.62 Ty=-6.55 Tz=-8.98 Mx=-0.01 Mz=-7.22
Sollecitazioni agenti localmente: Tx_l=-6.55 Ty_l=-8.98 N_l=-3931.62 Mx_l=-0.00 My_l=-7.22 Mz_l=-0.01
Taglio nei bulloni: Fv,Ed=1.86 Fv,Rd=7720.78
Rifollamento lato piastra: Fb,Ed,p=1.85 Fb,Rd,p=10478.90
Tirafondi:LT=0.45 (0.31) σ_{cR}=0.00 σ_{fR}=0.00
Compressione nel calcestruzzo: σ_c=8.53
CC 23 SLV (Collegamento 0025_-382)
Azioni sul collegamento: N=-3931.62 Ty=-3.19 Tz=-8.98 Mx=-0.01 Mz=-4.04
Sollecitazioni agenti localmente: Tx_l=-3.19 Ty_l=-8.98 N_l=-3931.62 Mx_l=-0.00 My_l=-4.04 Mz_l=-0.01
Taglio nei bulloni: Fv,Ed=1.60 Fv,Rd=7720.78
Rifollamento lato piastra: Fb,Ed,p=1.59 Fb,Rd,p=7068.89
Tirafondi:LT=0.45 (0.31) σ_{cR}=0.00 σ_{fR}=0.00
Compressione nel calcestruzzo: σ_c=8.35
CC 24 SLD (Collegamento 0025_-382)
Azioni sul collegamento: N=-7347.75 Ty=-4.54 Tz=3.73 Mx=0.00 Mz=-4.03
Sollecitazioni agenti localmente: Tx_l=-4.54 Ty_l=3.73 N_l=-7347.75 Mx_l=-0.00 My_l=-4.03 Mz_l=0.00
Taglio nei bulloni: Fv,Ed=0.98 Fv,Rd=9650.97
Rifollamento lato piastra: Fb,Ed,p=0.98 Fb,Rd,p=13748.50
Tirafondi:LT=0.45 (0.31) σ_{cR}=0.00 σ_{fR}=0.00
Compressione nel calcestruzzo: σ_c=15.41
CC 24 SLD (Collegamento 0025_-382)
Azioni sul collegamento: N=-7347.75 Ty=-3.51 Tz=3.73 Mx=0.00 Mz=-3.06
Sollecitazioni agenti localmente: Tx_l=-3.51 Ty_l=3.73 N_l=-7347.75 Mx_l=-0.00 My_l=-3.06 Mz_l=0.00
Taglio nei bulloni: Fv,Ed=0.85 Fv,Rd=9650.97
Rifollamento lato piastra: Fb,Ed,p=0.85 Fb,Rd,p=14587.50
Tirafondi:LT=0.45 (0.31) σ_{cR}=0.00 σ_{fR}=0.00
Compressione nel calcestruzzo: σ_c=15.35
CC 24 SLD (Collegamento 0025_-382)
Azioni sul collegamento: N=-7347.75 Ty=-4.54 Tz=-2.27 Mx=0.00 Mz=-4.03
Sollecitazioni agenti localmente: Tx_l=-4.54 Ty_l=-2.27 N_l=-7347.75 Mx_l=-0.00 My_l=-4.03 Mz_l=0.00
Taglio nei bulloni: Fv,Ed=0.85 Fv,Rd=9650.97
Rifollamento lato piastra: Fb,Ed,p=0.85 Fb,Rd,p=10293.40
Tirafondi:LT=0.45 (0.31) σ_{cR}=0.00 σ_{fR}=0.00
Compressione nel calcestruzzo: σ_c=15.41
CC 24 SLD (Collegamento 0025_-382)
Azioni sul collegamento: N=-7347.75 Ty=-3.51 Tz=-2.27 Mx=0.00 Mz=-3.06
Sollecitazioni agenti localmente: Tx_l=-3.51 Ty_l=-2.27 N_l=-7347.75 Mx_l=-0.00 My_l=-3.06 Mz_l=0.00
Taglio nei bulloni: Fv,Ed=0.70 Fv,Rd=9650.97
Rifollamento lato piastra: Fb,Ed,p=0.70 Fb,Rd,p=12222.90
Tirafondi:LT=0.45 (0.31) σ_{cR}=0.00 σ_{fR}=0.00
Compressione nel calcestruzzo: σ_c=15.35
CC 24 SLD (Collegamento 0025_-382)
Azioni sul collegamento: N=-5736.03 Ty=-4.54 Tz=3.73 Mx=0.00 Mz=-4.03
Sollecitazioni agenti localmente: Tx_l=-4.54 Ty_l=3.73 N_l=-5736.03 Mx_l=-0.00 My_l=-4.03 Mz_l=0.00
Taglio nei bulloni: Fv,Ed=0.98 Fv,Rd=9650.97
Rifollamento lato piastra: Fb,Ed,p=0.98 Fb,Rd,p=13748.90
Tirafondi:LT=0.45 (0.31) σ_{cR}=0.00 σ_{fR}=0.00
Compressione nel calcestruzzo: σ_c=12.08
CC 24 SLD (Collegamento 0025_-382)
Azioni sul collegamento: N=-5736.03 Ty=-3.51 Tz=3.73 Mx=0.00 Mz=-3.06
Sollecitazioni agenti localmente: Tx_l=-3.51 Ty_l=3.73 N_l=-5736.03 Mx_l=-0.00 My_l=-3.06 Mz_l=0.00
Taglio nei bulloni: Fv,Ed=0.85 Fv,Rd=9650.97
Rifollamento lato piastra: Fb,Ed,p=0.85 Fb,Rd,p=14587.00
Tirafondi:LT=0.45 (0.31) σ_{cR}=0.00 σ_{fR}=0.00
Compressione nel calcestruzzo: σ_c=12.02
CC 24 SLD (Collegamento 0025_-382)
Azioni sul collegamento: N=-5736.03 Ty=-4.54 Tz=-2.27 Mx=0.00 Mz=-4.03
Sollecitazioni agenti localmente: Tx_l=-4.54 Ty_l=-2.27 N_l=-5736.03 Mx_l=-0.00 My_l=-4.03 Mz_l=0.00
Taglio nei bulloni: Fv,Ed=0.85 Fv,Rd=9650.97
Rifollamento lato piastra: Fb,Ed,p=0.85 Fb,Rd,p=10293.10
Tirafondi:LT=0.45 (0.31) σ_{cR}=0.00 σ_{fR}=0.00
Compressione nel calcestruzzo: σ_c=12.08
CC 24 SLD (Collegamento 0025_-382)
Azioni sul collegamento: N=-5736.03 Ty=-3.51 Tz=-2.27 Mx=0.00 Mz=-3.06
Sollecitazioni agenti localmente: Tx_l=-3.51 Ty_l=-2.27 N_l=-5736.03 Mx_l=-0.00 My_l=-3.06 Mz_l=0.00
Taglio nei bulloni: Fv,Ed=0.70 Fv,Rd=9650.97
Rifollamento lato piastra: Fb,Ed,p=0.70 Fb,Rd,p=12222.60
Tirafondi:LT=0.45 (0.31) σ_{cR}=0.00 σ_{fR}=0.00
Compressione nel calcestruzzo: σ_c=12.02
CC 25 SLV (Collegamento 0025_-382)
Azioni sul collegamento: N=-5772.93 Ty=-3.40 Tz=-2.29 Mx=-0.02 Mz=-3.25
Sollecitazioni agenti localmente: Tx_l=-3.40 Ty_l=-2.29 N_l=-5772.93 Mx_l=-0.00 My_l=-3.25 Mz_l=-0.02
Taglio nei bulloni: Fv,Ed=0.71 Fv,Rd=7720.78
Rifollamento lato piastra: Fb,Ed,p=0.71 Fb,Rd,p=10267.10

Tirafondi:LT=0.45 (0.31) σ_{cR}=0.00 σ_{fR}=0.00
Compressione nel calcestruzzo: σ_c=12.11
CC 25 SLV (Collegamento 0025_-382)
Azioni sul collegamento: N=-5772.93 Ty=-6.34 Tz=-2.29 Mx=-0.02 Mz=-8.01
Sollecitazioni agenti localmente: Tx_l=-6.34 Ty_l=-2.29 N_l=-5772.93 Mx_l=-0.00 My_l=-8.01 Mz_l=-0.02
Taglio nei bulloni: Fv,Ed=1.15 Fv,Rd=7720.78
Rifollamento lato piastra: Fb,Ed,p=1.15 Fb,Rd,p=7232.15
Tirafondi:LT=0.45 (0.31) σ_{cR}=0.00 σ_{fR}=0.00
Compressione nel calcestruzzo: σ_c=12.38
CC 25 SLV (Collegamento 0025_-382)
Azioni sul collegamento: N=-5772.93 Ty=-3.40 Tz=4.00 Mx=-0.02 Mz=-3.25
Sollecitazioni agenti localmente: Tx_l=-3.40 Ty_l=4.00 N_l=-5772.93 Mx_l=-0.00 My_l=-3.25 Mz_l=-0.02
Taglio nei bulloni: Fv,Ed=0.90 Fv,Rd=7720.78
Rifollamento lato piastra: Fb,Ed,p=0.90 Fb,Rd,p=11181.60
Tirafondi:LT=0.45 (0.31) σ_{cR}=0.00 σ_{fR}=0.00
Compressione nel calcestruzzo: σ_c=12.11
CC 25 SLV (Collegamento 0025_-382)
Azioni sul collegamento: N=-5772.93 Ty=-6.34 Tz=4.00 Mx=-0.02 Mz=-8.01
Sollecitazioni agenti localmente: Tx_l=-6.34 Ty_l=4.00 N_l=-5772.93 Mx_l=-0.00 My_l=-8.01 Mz_l=-0.02
Taglio nei bulloni: Fv,Ed=1.28 Fv,Rd=7720.78
Rifollamento lato piastra: Fb,Ed,p=1.26 Fb,Rd,p=9253.49
Tirafondi:LT=0.45 (0.31) σ_{cR}=0.00 σ_{fR}=0.00
Compressione nel calcestruzzo: σ_c=12.38
CC 25 SLV (Collegamento 0025_-382)
Azioni sul collegamento: N=-7375.81 Ty=-3.40 Tz=-2.29 Mx=-0.02 Mz=-3.25
Sollecitazioni agenti localmente: Tx_l=-3.40 Ty_l=-2.29 N_l=-7375.81 Mx_l=-0.00 My_l=-3.25 Mz_l=-0.02
Taglio nei bulloni: Fv,Ed=0.71 Fv,Rd=7720.78
Rifollamento lato piastra: Fb,Ed,p=0.71 Fb,Rd,p=10266.70
Tirafondi:LT=0.45 (0.31) σ_{cR}=0.00 σ_{fR}=0.00
Compressione nel calcestruzzo: σ_c=15.42
CC 25 SLV (Collegamento 0025_-382)
Azioni sul collegamento: N=-7375.81 Ty=-6.34 Tz=-2.29 Mx=-0.02 Mz=-8.01
Sollecitazioni agenti localmente: Tx_l=-6.34 Ty_l=-2.29 N_l=-7375.81 Mx_l=-0.00 My_l=-8.01 Mz_l=-0.02
Taglio nei bulloni: Fv,Ed=1.15 Fv,Rd=7720.78
Rifollamento lato piastra: Fb,Ed,p=1.15 Fb,Rd,p=7232.05
Tirafondi:LT=0.45 (0.31) σ_{cR}=0.00 σ_{fR}=0.00
Compressione nel calcestruzzo: σ_c=15.69
CC 25 SLV (Collegamento 0025_-382)
Azioni sul collegamento: N=-7375.81 Ty=-3.40 Tz=4.00 Mx=-0.02 Mz=-3.25
Sollecitazioni agenti localmente: Tx_l=-3.40 Ty_l=4.00 N_l=-7375.81 Mx_l=-0.00 My_l=-3.25 Mz_l=-0.02
Taglio nei bulloni: Fv,Ed=0.90 Fv,Rd=7720.78
Rifollamento lato piastra: Fb,Ed,p=0.90 Fb,Rd,p=11182.10
Tirafondi:LT=0.45 (0.31) σ_{cR}=0.00 σ_{fR}=0.00
Compressione nel calcestruzzo: σ_c=15.42
CC 25 SLV (Collegamento 0025_-382)
Azioni sul collegamento: N=-7375.81 Ty=-6.34 Tz=4.00 Mx=-0.02 Mz=-8.01
Sollecitazioni agenti localmente: Tx_l=-6.34 Ty_l=4.00 N_l=-7375.81 Mx_l=-0.00 My_l=-8.01 Mz_l=-0.02
Taglio nei bulloni: Fv,Ed=1.28 Fv,Rd=7720.78
Rifollamento lato piastra: Fb,Ed,p=1.26 Fb,Rd,p=9252.79
Tirafondi:LT=0.45 (0.31) σ_{cR}=0.00 σ_{fR}=0.00
Compressione nel calcestruzzo: σ_c=15.69
CC 26 SLD (Collegamento 0025_-382)
Azioni sul collegamento: N=-6297.50 Ty=-3.58 Tz=-0.23 Mx=-0.00 Mz=-2.82
Sollecitazioni agenti localmente: Tx_l=-3.58 Ty_l=-0.23 N_l=-6297.50 Mx_l=-0.00 My_l=-2.82 Mz_l=-0.00
Taglio nei bulloni: Fv,Ed=0.60 Fv,Rd=9650.97
Rifollamento lato piastra: Fb,Ed,p=0.60 Fb,Rd,p=7529.25
Tirafondi:LT=0.45 (0.31) σ_{cR}=0.00 σ_{fR}=0.00
Compressione nel calcestruzzo: σ_c=13.17
CC 26 SLD (Collegamento 0025_-382)
Azioni sul collegamento: N=-6297.50 Ty=-4.47 Tz=-0.23 Mx=-0.00 Mz=-4.27
Sollecitazioni agenti localmente: Tx_l=-4.47 Ty_l=-0.23 N_l=-6297.50 Mx_l=-0.00 My_l=-4.27 Mz_l=-0.00
Taglio nei bulloni: Fv,Ed=0.75 Fv,Rd=9650.97
Rifollamento lato piastra: Fb,Ed,p=0.75 Fb,Rd,p=7509.43
Tirafondi:LT=0.45 (0.31) σ_{cR}=0.00 σ_{fR}=0.00
Compressione nel calcestruzzo: σ_c=13.25
CC 26 SLD (Collegamento 0025_-382)
Azioni sul collegamento: N=-6297.50 Ty=-3.58 Tz=1.69 Mx=-0.00 Mz=-2.82
Sollecitazioni agenti localmente: Tx_l=-3.58 Ty_l=1.69 N_l=-6297.50 Mx_l=-0.00 My_l=-2.82 Mz_l=-0.00
Taglio nei bulloni: Fv,Ed=0.66 Fv,Rd=9650.97
Rifollamento lato piastra: Fb,Ed,p=0.66 Fb,Rd,p=9879.54
Tirafondi:LT=0.45 (0.31) σ_{cR}=0.00 σ_{fR}=0.00
Compressione nel calcestruzzo: σ_c=13.17
CC 26 SLD (Collegamento 0025_-382)
Azioni sul collegamento: N=-6297.50 Ty=-4.47 Tz=1.69 Mx=-0.00 Mz=-4.27
Sollecitazioni agenti localmente: Tx_l=-4.47 Ty_l=1.69 N_l=-6297.50 Mx_l=-0.00 My_l=-4.27 Mz_l=-0.00
Taglio nei bulloni: Fv,Ed=0.80 Fv,Rd=9650.97
Rifollamento lato piastra: Fb,Ed,p=0.80 Fb,Rd,p=9009.52
Tirafondi:LT=0.45 (0.31) σ_{cR}=0.00 σ_{fR}=0.00

Compressione nel calcestruzzo: σ_c=13.25
CC 26 SLD (Collegamento 0025_-382)
Azioni sul collegamento: N=-6786.28 Ty=-3.58 Tz=-0.23 Mx=-0.00 Mz=-2.82
Sollecitazioni agenti localmente: Tx_l=-3.58 Ty_l=-0.23 N_l=-6786.28 Mx_l=-0.00 My_l=-2.82 Mz_l=-0.00
Taglio nei bulloni: Fv,Ed=0.60 Fv,Rd=9650.97
Rifollamento lato piastra: Fb,Ed,p=0.60 Fb,Rd,p=7529.28
Tirafondi:LT=0.45 (0.31) σ_{cR}=0.00 σ_{fR}=0.00
Compressione nel calcestruzzo: σ_c=14.18
CC 26 SLD (Collegamento 0025_-382)
Azioni sul collegamento: N=-6786.28 Ty=-4.47 Tz=-0.23 Mx=-0.00 Mz=-4.27
Sollecitazioni agenti localmente: Tx_l=-4.47 Ty_l=-0.23 N_l=-6786.28 Mx_l=-0.00 My_l=-4.27 Mz_l=-0.00
Taglio nei bulloni: Fv,Ed=0.75 Fv,Rd=9650.97
Rifollamento lato piastra: Fb,Ed,p=0.75 Fb,Rd,p=7509.45
Tirafondi:LT=0.45 (0.31) σ_{cR}=0.00 σ_{fR}=0.00
Compressione nel calcestruzzo: σ_c=14.26
CC 26 SLD (Collegamento 0025_-382)
Azioni sul collegamento: N=-6786.28 Ty=-3.58 Tz=1.69 Mx=-0.00 Mz=-2.82
Sollecitazioni agenti localmente: Tx_l=-3.58 Ty_l=1.69 N_l=-6786.28 Mx_l=-0.00 My_l=-2.82 Mz_l=-0.00
Taglio nei bulloni: Fv,Ed=0.66 Fv,Rd=9650.97
Rifollamento lato piastra: Fb,Ed,p=0.66 Fb,Rd,p=9880.45
Tirafondi:LT=0.45 (0.31) σ_{cR}=0.00 σ_{fR}=0.00
Compressione nel calcestruzzo: σ_c=14.18
CC 26 SLD (Collegamento 0025_-382)
Azioni sul collegamento: N=-6786.28 Ty=-4.47 Tz=1.69 Mx=-0.00 Mz=-4.27
Sollecitazioni agenti localmente: Tx_l=-4.47 Ty_l=1.69 N_l=-6786.28 Mx_l=-0.00 My_l=-4.27 Mz_l=-0.00
Taglio nei bulloni: Fv,Ed=0.80 Fv,Rd=9650.97
Rifollamento lato piastra: Fb,Ed,p=0.80 Fb,Rd,p=9010.10
Tirafondi:LT=0.45 (0.31) σ_{cR}=0.00 σ_{fR}=0.00
Compressione nel calcestruzzo: σ_c=14.26
CC 27 SLV (Collegamento 0025_-382)
Azioni sul collegamento: N=-7356.87 Ty=-4.22 Tz=3.57 Mx=-0.02 Mz=-3.82
Sollecitazioni agenti localmente: Tx_l=-4.22 Ty_l=3.57 N_l=-7356.87 Mx_l=-0.00 My_l=-3.82 Mz_l=-0.02
Taglio nei bulloni: Fv,Ed=0.95 Fv,Rd=7720.78
Rifollamento lato piastra: Fb,Ed,p=0.92 Fb,Rd,p=10864.90
Tirafondi:LT=0.45 (0.31) σ_{cR}=0.00 σ_{fR}=0.00
Compressione nel calcestruzzo: σ_c=15.42
CC 27 SLV (Collegamento 0025_-382)
Azioni sul collegamento: N=-7356.87 Ty=-5.52 Tz=3.57 Mx=-0.02 Mz=-7.44
Sollecitazioni agenti localmente: Tx_l=-5.52 Ty_l=3.57 N_l=-7356.87 Mx_l=-0.00 My_l=-7.44 Mz_l=-0.02
Taglio nei bulloni: Fv,Ed=1.12 Fv,Rd=7720.78
Rifollamento lato piastra: Fb,Ed,p=1.10 Fb,Rd,p=9399.59
Tirafondi:LT=0.45 (0.31) σ_{cR}=0.00 σ_{fR}=0.00
Compressione nel calcestruzzo: σ_c=15.62
CC 27 SLV (Collegamento 0025_-382)
Azioni sul collegamento: N=-7356.87 Ty=-4.22 Tz=-1.86 Mx=-0.02 Mz=-3.82
Sollecitazioni agenti localmente: Tx_l=-4.22 Ty_l=-1.86 N_l=-7356.87 Mx_l=-0.00 My_l=-3.82 Mz_l=-0.02
Taglio nei bulloni: Fv,Ed=0.79 Fv,Rd=7720.78
Rifollamento lato piastra: Fb,Ed,p=0.79 Fb,Rd,p=7856.70
Tirafondi:LT=0.45 (0.31) σ_{cR}=0.00 σ_{fR}=0.00
Compressione nel calcestruzzo: σ_c=15.42
CC 27 SLV (Collegamento 0025_-382)
Azioni sul collegamento: N=-7356.87 Ty=-5.52 Tz=-1.86 Mx=-0.02 Mz=-7.44
Sollecitazioni agenti localmente: Tx_l=-5.52 Ty_l=-1.86 N_l=-7356.87 Mx_l=-0.00 My_l=-7.44 Mz_l=-0.02
Taglio nei bulloni: Fv,Ed=1.00 Fv,Rd=7720.78
Rifollamento lato piastra: Fb,Ed,p=1.00 Fb,Rd,p=7085.37
Tirafondi:LT=0.45 (0.31) σ_{cR}=0.00 σ_{fR}=0.00
Compressione nel calcestruzzo: σ_c=15.62
CC 27 SLV (Collegamento 0025_-382)
Azioni sul collegamento: N=-5791.87 Ty=-4.22 Tz=3.57 Mx=-0.02 Mz=-3.82
Sollecitazioni agenti localmente: Tx_l=-4.22 Ty_l=3.57 N_l=-5791.87 Mx_l=-0.00 My_l=-3.82 Mz_l=-0.02
Taglio nei bulloni: Fv,Ed=0.95 Fv,Rd=7720.78
Rifollamento lato piastra: Fb,Ed,p=0.92 Fb,Rd,p=10864.70
Tirafondi:LT=0.45 (0.31) σ_{cR}=0.00 σ_{fR}=0.00
Compressione nel calcestruzzo: σ_c=12.18
CC 27 SLV (Collegamento 0025_-382)
Azioni sul collegamento: N=-5791.87 Ty=-5.52 Tz=3.57 Mx=-0.02 Mz=-7.44
Sollecitazioni agenti localmente: Tx_l=-5.52 Ty_l=3.57 N_l=-5791.87 Mx_l=-0.00 My_l=-7.44 Mz_l=-0.02
Taglio nei bulloni: Fv,Ed=1.12 Fv,Rd=7720.78
Rifollamento lato piastra: Fb,Ed,p=1.10 Fb,Rd,p=9399.17
Tirafondi:LT=0.45 (0.31) σ_{cR}=0.00 σ_{fR}=0.00
Compressione nel calcestruzzo: σ_c=12.39
CC 27 SLV (Collegamento 0025_-382)
Azioni sul collegamento: N=-5791.87 Ty=-4.22 Tz=-1.86 Mx=-0.02 Mz=-3.82
Sollecitazioni agenti localmente: Tx_l=-4.22 Ty_l=-1.86 N_l=-5791.87 Mx_l=-0.00 My_l=-3.82 Mz_l=-0.02
Taglio nei bulloni: Fv,Ed=0.79 Fv,Rd=7720.78
Rifollamento lato piastra: Fb,Ed,p=0.79 Fb,Rd,p=7856.38
Tirafondi:LT=0.45 (0.31) σ_{cR}=0.00 σ_{fR}=0.00
Compressione nel calcestruzzo: σ_c=12.18

CC 27 SLV (Collegamento 0025_-382)
Azioni sul collegamento: N=-5791.87 Ty=-5.52 Tz=-1.86 Mx=-0.02 Mz=-7.44
Sollecitazioni agenti localmente: Tx_l=-5.52 Ty_l=-1.86 N_l=-5791.87 Mx_l=-0.00 My_l=-7.44 Mz_l=-0.02
Taglio nei bulloni: Fv,Ed=1.00 Fv,Rd=7720.78
Rifollamento lato piastra: Fb,Ed,p=1.00 Fb,Rd,p=7085.18
Tirafondi:LT=0.45 (0.31) σ_{cR}=0.00 σ_{fR}=0.00
Compressione nel calcestruzzo: σ_c=12.39
CC 28 SLD (Collegamento 0025_-382)
Azioni sul collegamento: N=-6780.50 Ty=-3.83 Tz=1.56 Mx=-0.00 Mz=-3.00
Sollecitazioni agenti localmente: Tx_l=-3.83 Ty_l=1.56 N_l=-6780.50 Mx_l=-0.00 My_l=-3.00 Mz_l=-0.00
Taglio nei bulloni: Fv,Ed=0.69 Fv,Rd=9650.97
Rifollamento lato piastra: Fb,Ed,p=0.69 Fb,Rd,p=9260.82
Tirafondi:LT=0.45 (0.31) σ_{cR}=0.00 σ_{fR}=0.00
Compressione nel calcestruzzo: σ_c=14.18
CC 28 SLD (Collegamento 0025_-382)
Azioni sul collegamento: N=-6780.50 Ty=-4.22 Tz=1.56 Mx=-0.00 Mz=-4.10
Sollecitazioni agenti localmente: Tx_l=-4.22 Ty_l=1.56 N_l=-6780.50 Mx_l=-0.00 My_l=-4.10 Mz_l=-0.00
Taglio nei bulloni: Fv,Ed=0.75 Fv,Rd=9650.97
Rifollamento lato piastra: Fb,Ed,p=0.75 Fb,Rd,p=8940.29
Tirafondi:LT=0.45 (0.31) σ_{cR}=0.00 σ_{fR}=0.00
Compressione nel calcestruzzo: σ_c=14.24
CC 28 SLD (Collegamento 0025_-382)
Azioni sul collegamento: N=-6780.50 Ty=-3.83 Tz=-0.10 Mx=-0.00 Mz=-3.00
Sollecitazioni agenti localmente: Tx_l=-3.83 Ty_l=-0.10 N_l=-6780.50 Mx_l=-0.00 My_l=-3.00 Mz_l=-0.00
Taglio nei bulloni: Fv,Ed=0.64 Fv,Rd=9650.97
Rifollamento lato piastra: Fb,Ed,p=0.64 Fb,Rd,p=7485.12
Tirafondi:LT=0.45 (0.31) σ_{cR}=0.00 σ_{fR}=0.00
Compressione nel calcestruzzo: σ_c=14.18
CC 28 SLD (Collegamento 0025_-382)
Azioni sul collegamento: N=-6780.50 Ty=-4.22 Tz=-0.10 Mx=-0.00 Mz=-4.10
Sollecitazioni agenti localmente: Tx_l=-4.22 Ty_l=-0.10 N_l=-6780.50 Mx_l=-0.00 My_l=-4.10 Mz_l=-0.00
Taglio nei bulloni: Fv,Ed=0.71 Fv,Rd=9650.97
Rifollamento lato piastra: Fb,Ed,p=0.71 Fb,Rd,p=7483.13
Tirafondi:LT=0.45 (0.31) σ_{cR}=0.00 σ_{fR}=0.00
Compressione nel calcestruzzo: σ_c=14.24
CC 28 SLD (Collegamento 0025_-382)
Azioni sul collegamento: N=-6303.28 Ty=-3.83 Tz=1.56 Mx=-0.00 Mz=-3.00
Sollecitazioni agenti localmente: Tx_l=-3.83 Ty_l=1.56 N_l=-6303.28 Mx_l=-0.00 My_l=-3.00 Mz_l=-0.00
Taglio nei bulloni: Fv,Ed=0.69 Fv,Rd=9650.97
Rifollamento lato piastra: Fb,Ed,p=0.69 Fb,Rd,p=9261.34
Tirafondi:LT=0.45 (0.31) σ_{cR}=0.00 σ_{fR}=0.00
Compressione nel calcestruzzo: σ_c=13.19
CC 28 SLD (Collegamento 0025_-382)
Azioni sul collegamento: N=-6303.28 Ty=-4.22 Tz=1.56 Mx=-0.00 Mz=-4.10
Sollecitazioni agenti localmente: Tx_l=-4.22 Ty_l=1.56 N_l=-6303.28 Mx_l=-0.00 My_l=-4.10 Mz_l=-0.00
Taglio nei bulloni: Fv,Ed=0.75 Fv,Rd=9650.97
Rifollamento lato piastra: Fb,Ed,p=0.75 Fb,Rd,p=8940.72
Tirafondi:LT=0.45 (0.31) σ_{cR}=0.00 σ_{fR}=0.00
Compressione nel calcestruzzo: σ_c=13.25
CC 28 SLD (Collegamento 0025_-382)
Azioni sul collegamento: N=-6303.28 Ty=-3.83 Tz=-0.10 Mx=-0.00 Mz=-3.00
Sollecitazioni agenti localmente: Tx_l=-3.83 Ty_l=-0.10 N_l=-6303.28 Mx_l=-0.00 My_l=-3.00 Mz_l=-0.00
Taglio nei bulloni: Fv,Ed=0.64 Fv,Rd=9650.97
Rifollamento lato piastra: Fb,Ed,p=0.64 Fb,Rd,p=7485.07
Tirafondi:LT=0.45 (0.31) σ_{cR}=0.00 σ_{fR}=0.00
Compressione nel calcestruzzo: σ_c=13.19
CC 28 SLD (Collegamento 0025_-382)
Azioni sul collegamento: N=-6303.28 Ty=-4.22 Tz=-0.10 Mx=-0.00 Mz=-4.10
Sollecitazioni agenti localmente: Tx_l=-4.22 Ty_l=-0.10 N_l=-6303.28 Mx_l=-0.00 My_l=-4.10 Mz_l=-0.00
Taglio nei bulloni: Fv,Ed=0.71 Fv,Rd=9650.97
Rifollamento lato piastra: Fb,Ed,p=0.71 Fb,Rd,p=7483.10
Tirafondi:LT=0.45 (0.31) σ_{cR}=0.00 σ_{fR}=0.00
Compressione nel calcestruzzo: σ_c=13.25
CC 29 SLV (Collegamento 0025_-382)
Azioni sul collegamento: N=-5791.87 Ty=-5.52 Tz=-1.86 Mx=-0.00 Mz=-7.44
Sollecitazioni agenti localmente: Tx_l=-5.52 Ty_l=-1.86 N_l=-5791.87 Mx_l=-0.00 My_l=-7.44 Mz_l=-0.00
Taglio nei bulloni: Fv,Ed=0.97 Fv,Rd=7720.78
Rifollamento lato piastra: Fb,Ed,p=0.97 Fb,Rd,p=7011.83
Tirafondi:LT=0.45 (0.31) σ_{cR}=0.00 σ_{fR}=0.00
Compressione nel calcestruzzo: σ_c=12.39
CC 29 SLV (Collegamento 0025_-382)
Azioni sul collegamento: N=-5791.87 Ty=-4.22 Tz=-1.86 Mx=-0.00 Mz=-3.82
Sollecitazioni agenti localmente: Tx_l=-4.22 Ty_l=-1.86 N_l=-5791.87 Mx_l=-0.00 My_l=-3.82 Mz_l=-0.00
Taglio nei bulloni: Fv,Ed=0.77 Fv,Rd=7720.78
Rifollamento lato piastra: Fb,Ed,p=0.77 Fb,Rd,p=7750.71
Tirafondi:LT=0.45 (0.31) σ_{cR}=0.00 σ_{fR}=0.00
Compressione nel calcestruzzo: σ_c=12.18
CC 29 SLV (Collegamento 0025_-382)

Azioni sul collegamento: N=-5791.87 Ty=-5.52 Tz=3.57 Mx=-0.00 Mz=-7.44
Sollecitazioni agenti localmente: Tx_l=-5.52 Ty_l=3.57 N_l=-5791.87 Mx_l=-0.00 My_l=-7.44 Mz_l=-0.00
Taglio nei bulloni: Fv,Ed=1.10 Fv,Rd=7720.78
Rifollamento lato piastra: Fb,Ed,p=1.10 Fb,Rd,p=9740.98
Tirafondi:LT=0.45 (0.31) σ_{cR}=0.00 σ_{fR}=0.00
Compressione nel calcestruzzo: σ_c=12.39
CC 29 SLV (Collegamento 0025_-382)
Azioni sul collegamento: N=-5791.87 Ty=-4.22 Tz=3.57 Mx=-0.00 Mz=-3.82
Sollecitazioni agenti localmente: Tx_l=-4.22 Ty_l=3.57 N_l=-5791.87 Mx_l=-0.00 My_l=-3.82 Mz_l=-0.00
Taglio nei bulloni: Fv,Ed=0.93 Fv,Rd=7720.78
Rifollamento lato piastra: Fb,Ed,p=0.92 Fb,Rd,p=11093.50
Tirafondi:LT=0.45 (0.31) σ_{cR}=0.00 σ_{fR}=0.00
Compressione nel calcestruzzo: σ_c=12.18
CC 29 SLV (Collegamento 0025_-382)
Azioni sul collegamento: N=-7356.87 Ty=-5.52 Tz=-1.86 Mx=-0.00 Mz=-7.44
Sollecitazioni agenti localmente: Tx_l=-5.52 Ty_l=-1.86 N_l=-7356.87 Mx_l=-0.00 My_l=-7.44 Mz_l=-0.00
Taglio nei bulloni: Fv,Ed=0.97 Fv,Rd=7720.78
Rifollamento lato piastra: Fb,Ed,p=0.97 Fb,Rd,p=7012.01
Tirafondi:LT=0.45 (0.31) σ_{cR}=0.00 σ_{fR}=0.00
Compressione nel calcestruzzo: σ_c=15.62
CC 29 SLV (Collegamento 0025_-382)
Azioni sul collegamento: N=-7356.87 Ty=-4.22 Tz=-1.86 Mx=-0.00 Mz=-3.82
Sollecitazioni agenti localmente: Tx_l=-4.22 Ty_l=-1.86 N_l=-7356.87 Mx_l=-0.00 My_l=-3.82 Mz_l=-0.00
Taglio nei bulloni: Fv,Ed=0.77 Fv,Rd=7720.78
Rifollamento lato piastra: Fb,Ed,p=0.77 Fb,Rd,p=7751.02
Tirafondi:LT=0.45 (0.31) σ_{cR}=0.00 σ_{fR}=0.00
Compressione nel calcestruzzo: σ_c=15.42
CC 29 SLV (Collegamento 0025_-382)
Azioni sul collegamento: N=-7356.87 Ty=-5.52 Tz=3.57 Mx=-0.00 Mz=-7.44
Sollecitazioni agenti localmente: Tx_l=-5.52 Ty_l=3.57 N_l=-7356.87 Mx_l=-0.00 My_l=-7.44 Mz_l=-0.00
Taglio nei bulloni: Fv,Ed=1.10 Fv,Rd=7720.78
Rifollamento lato piastra: Fb,Ed,p=1.10 Fb,Rd,p=9741.43
Tirafondi:LT=0.45 (0.31) σ_{cR}=0.00 σ_{fR}=0.00
Compressione nel calcestruzzo: σ_c=15.62
CC 29 SLV (Collegamento 0025_-382)
Azioni sul collegamento: N=-7356.87 Ty=-4.22 Tz=3.57 Mx=-0.00 Mz=-3.82
Sollecitazioni agenti localmente: Tx_l=-4.22 Ty_l=3.57 N_l=-7356.87 Mx_l=-0.00 My_l=-3.82 Mz_l=-0.00
Taglio nei bulloni: Fv,Ed=0.93 Fv,Rd=7720.78
Rifollamento lato piastra: Fb,Ed,p=0.92 Fb,Rd,p=11093.70
Tirafondi:LT=0.45 (0.31) σ_{cR}=0.00 σ_{fR}=0.00
Compressione nel calcestruzzo: σ_c=15.42
CC 30 SLD (Collegamento 0025_-382)
Azioni sul collegamento: N=-6303.28 Ty=-4.22 Tz=-0.10 Mx=0.00 Mz=-4.10
Sollecitazioni agenti localmente: Tx_l=-4.22 Ty_l=-0.10 N_l=-6303.28 Mx_l=-0.00 My_l=-4.10 Mz_l=0.00
Taglio nei bulloni: Fv,Ed=0.71 Fv,Rd=9650.97
Rifollamento lato piastra: Fb,Ed,p=0.71 Fb,Rd,p=7479.10
Tirafondi:LT=0.45 (0.31) σ_{cR}=0.00 σ_{fR}=0.00
Compressione nel calcestruzzo: σ_c=13.25
CC 30 SLD (Collegamento 0025_-382)
Azioni sul collegamento: N=-6303.28 Ty=-3.83 Tz=-0.10 Mx=0.00 Mz=-3.00
Sollecitazioni agenti localmente: Tx_l=-3.83 Ty_l=-0.10 N_l=-6303.28 Mx_l=-0.00 My_l=-3.00 Mz_l=0.00
Taglio nei bulloni: Fv,Ed=0.64 Fv,Rd=9650.97
Rifollamento lato piastra: Fb,Ed,p=0.64 Fb,Rd,p=7480.22
Tirafondi:LT=0.45 (0.31) σ_{cR}=0.00 σ_{fR}=0.00
Compressione nel calcestruzzo: σ_c=13.19
CC 30 SLD (Collegamento 0025_-382)
Azioni sul collegamento: N=-6303.28 Ty=-4.22 Tz=1.56 Mx=0.00 Mz=-4.10
Sollecitazioni agenti localmente: Tx_l=-4.22 Ty_l=1.56 N_l=-6303.28 Mx_l=-0.00 My_l=-4.10 Mz_l=0.00
Taglio nei bulloni: Fv,Ed=0.75 Fv,Rd=9650.97
Rifollamento lato piastra: Fb,Ed,p=0.75 Fb,Rd,p=9007.88
Tirafondi:LT=0.45 (0.31) σ_{cR}=0.00 σ_{fR}=0.00
Compressione nel calcestruzzo: σ_c=13.25
CC 30 SLD (Collegamento 0025_-382)
Azioni sul collegamento: N=-6303.28 Ty=-3.83 Tz=1.56 Mx=0.00 Mz=-3.00
Sollecitazioni agenti localmente: Tx_l=-3.83 Ty_l=1.56 N_l=-6303.28 Mx_l=-0.00 My_l=-3.00 Mz_l=0.00
Taglio nei bulloni: Fv,Ed=0.69 Fv,Rd=9650.97
Rifollamento lato piastra: Fb,Ed,p=0.69 Fb,Rd,p=9344.27
Tirafondi:LT=0.45 (0.31) σ_{cR}=0.00 σ_{fR}=0.00
Compressione nel calcestruzzo: σ_c=13.19
CC 30 SLD (Collegamento 0025_-382)
Azioni sul collegamento: N=-6780.50 Ty=-4.22 Tz=-0.10 Mx=0.00 Mz=-4.10
Sollecitazioni agenti localmente: Tx_l=-4.22 Ty_l=-0.10 N_l=-6780.50 Mx_l=-0.00 My_l=-4.10 Mz_l=0.00
Taglio nei bulloni: Fv,Ed=0.71 Fv,Rd=9650.97
Rifollamento lato piastra: Fb,Ed,p=0.71 Fb,Rd,p=7479.13
Tirafondi:LT=0.45 (0.31) σ_{cR}=0.00 σ_{fR}=0.00
Compressione nel calcestruzzo: σ_c=14.24
CC 30 SLD (Collegamento 0025_-382)
Azioni sul collegamento: N=-6780.50 Ty=-3.83 Tz=-0.10 Mx=0.00 Mz=-3.00

Sollecitazioni agenti localmente: Tx_l=-3.83 Ty_l=-0.10 N_l=-6780.50 Mx_l=-0.00 My_l=-3.00 Mz_l=0.00
Taglio nei bulloni: Fv,Ed=0.64 Fv,Rd=9650.97
Rifollamento lato piastra: Fb,Ed,p=0.64 Fb,Rd,p=7480.24
Tirafondi:LT=0.45 (0.31) σ_{cR}=0.00 σ_{fR}=0.00
Compressione nel calcestruzzo: σ_c=14.18
CC 30 SLD (Collegamento 0025_-382)
Azioni sul collegamento: N=-6780.50 Ty=-4.22 Tz=1.56 Mx=0.00 Mz=-4.10
Sollecitazioni agenti localmente: Tx_l=-4.22 Ty_l=1.56 N_l=-6780.50 Mx_l=-0.00 My_l=-4.10 Mz_l=0.00
Taglio nei bulloni: Fv,Ed=0.75 Fv,Rd=9650.97
Rifollamento lato piastra: Fb,Ed,p=0.75 Fb,Rd,p=9007.45
Tirafondi:LT=0.45 (0.31) σ_{cR}=0.00 σ_{fR}=0.00
Compressione nel calcestruzzo: σ_c=14.24
CC 30 SLD (Collegamento 0025_-382)
Azioni sul collegamento: N=-6780.50 Ty=-3.83 Tz=1.56 Mx=0.00 Mz=-3.00
Sollecitazioni agenti localmente: Tx_l=-3.83 Ty_l=1.56 N_l=-6780.50 Mx_l=-0.00 My_l=-3.00 Mz_l=0.00
Taglio nei bulloni: Fv,Ed=0.69 Fv,Rd=9650.97
Rifollamento lato piastra: Fb,Ed,p=0.69 Fb,Rd,p=9343.73
Tirafondi:LT=0.45 (0.31) σ_{cR}=0.00 σ_{fR}=0.00
Compressione nel calcestruzzo: σ_c=14.18
CC 31 SLV (Collegamento 0025_-382)
Azioni sul collegamento: N=-7375.81 Ty=-6.34 Tz=4.00 Mx=-0.00 Mz=-8.01
Sollecitazioni agenti localmente: Tx_l=-6.34 Ty_l=4.00 N_l=-7375.81 Mx_l=-0.00 My_l=-8.01 Mz_l=-0.00
Taglio nei bulloni: Fv,Ed=1.25 Fv,Rd=7720.78
Rifollamento lato piastra: Fb,Ed,p=1.25 Fb,Rd,p=9578.97
Tirafondi:LT=0.45 (0.31) σ_{cR}=0.00 σ_{fR}=0.00
Compressione nel calcestruzzo: σ_c=15.69
CC 31 SLV (Collegamento 0025_-382)
Azioni sul collegamento: N=-7375.81 Ty=-3.40 Tz=4.00 Mx=-0.00 Mz=-3.25
Sollecitazioni agenti localmente: Tx_l=-3.40 Ty_l=4.00 N_l=-7375.81 Mx_l=-0.00 My_l=-3.25 Mz_l=-0.00
Taglio nei bulloni: Fv,Ed=0.88 Fv,Rd=7720.78
Rifollamento lato piastra: Fb,Ed,p=0.88 Fb,Rd,p=11159.50
Tirafondi:LT=0.45 (0.31) σ_{cR}=0.00 σ_{fR}=0.00
Compressione nel calcestruzzo: σ_c=15.42
CC 31 SLV (Collegamento 0025_-382)
Azioni sul collegamento: N=-7375.81 Ty=-6.34 Tz=-2.29 Mx=-0.00 Mz=-8.01
Sollecitazioni agenti localmente: Tx_l=-6.34 Ty_l=-2.29 N_l=-7375.81 Mx_l=-0.00 My_l=-8.01 Mz_l=-0.00
Taglio nei bulloni: Fv,Ed=1.13 Fv,Rd=7720.78
Rifollamento lato piastra: Fb,Ed,p=1.13 Fb,Rd,p=7157.59
Tirafondi:LT=0.45 (0.31) σ_{cR}=0.00 σ_{fR}=0.00
Compressione nel calcestruzzo: σ_c=15.69
CC 31 SLV (Collegamento 0025_-382)
Azioni sul collegamento: N=-7375.81 Ty=-3.40 Tz=-2.29 Mx=-0.00 Mz=-3.25
Sollecitazioni agenti localmente: Tx_l=-3.40 Ty_l=-2.29 N_l=-7375.81 Mx_l=-0.00 My_l=-3.25 Mz_l=-0.00
Taglio nei bulloni: Fv,Ed=0.69 Fv,Rd=7720.78
Rifollamento lato piastra: Fb,Ed,p=0.69 Fb,Rd,p=10133.50
Tirafondi:LT=0.45 (0.31) σ_{cR}=0.00 σ_{fR}=0.00
Compressione nel calcestruzzo: σ_c=15.42
CC 31 SLV (Collegamento 0025_-382)
Azioni sul collegamento: N=-5772.93 Ty=-6.34 Tz=4.00 Mx=-0.00 Mz=-8.01
Sollecitazioni agenti localmente: Tx_l=-6.34 Ty_l=4.00 N_l=-5772.93 Mx_l=-0.00 My_l=-8.01 Mz_l=-0.00
Taglio nei bulloni: Fv,Ed=1.25 Fv,Rd=7720.78
Rifollamento lato piastra: Fb,Ed,p=1.25 Fb,Rd,p=9579.71
Tirafondi:LT=0.45 (0.31) σ_{cR}=0.00 σ_{fR}=0.00
Compressione nel calcestruzzo: σ_c=12.38
CC 31 SLV (Collegamento 0025_-382)
Azioni sul collegamento: N=-5772.93 Ty=-3.40 Tz=4.00 Mx=-0.00 Mz=-3.25
Sollecitazioni agenti localmente: Tx_l=-3.40 Ty_l=4.00 N_l=-5772.93 Mx_l=-0.00 My_l=-3.25 Mz_l=-0.00
Taglio nei bulloni: Fv,Ed=0.88 Fv,Rd=7720.78
Rifollamento lato piastra: Fb,Ed,p=0.88 Fb,Rd,p=11159.10
Tirafondi:LT=0.45 (0.31) σ_{cR}=0.00 σ_{fR}=0.00
Compressione nel calcestruzzo: σ_c=12.11
CC 31 SLV (Collegamento 0025_-382)
Azioni sul collegamento: N=-5772.93 Ty=-6.34 Tz=-2.29 Mx=-0.00 Mz=-8.01
Sollecitazioni agenti localmente: Tx_l=-6.34 Ty_l=-2.29 N_l=-5772.93 Mx_l=-0.00 My_l=-8.01 Mz_l=-0.00
Taglio nei bulloni: Fv,Ed=1.13 Fv,Rd=7720.78
Rifollamento lato piastra: Fb,Ed,p=1.13 Fb,Rd,p=7157.69
Tirafondi:LT=0.45 (0.31) σ_{cR}=0.00 σ_{fR}=0.00
Compressione nel calcestruzzo: σ_c=12.38
CC 31 SLV (Collegamento 0025_-382)
Azioni sul collegamento: N=-5772.93 Ty=-3.40 Tz=-2.29 Mx=-0.00 Mz=-3.25
Sollecitazioni agenti localmente: Tx_l=-3.40 Ty_l=-2.29 N_l=-5772.93 Mx_l=-0.00 My_l=-3.25 Mz_l=-0.00
Taglio nei bulloni: Fv,Ed=0.69 Fv,Rd=7720.78
Rifollamento lato piastra: Fb,Ed,p=0.69 Fb,Rd,p=10133.90
Tirafondi:LT=0.45 (0.31) σ_{cR}=0.00 σ_{fR}=0.00
Compressione nel calcestruzzo: σ_c=12.11
CC 32 SLD (Collegamento 0025_-382)
Azioni sul collegamento: N=-6786.28 Ty=-4.47 Tz=1.69 Mx=0.00 Mz=-4.27
Sollecitazioni agenti localmente: Tx_l=-4.47 Ty_l=1.69 N_l=-6786.28 Mx_l=-0.00 My_l=-4.27 Mz_l=0.00

Taglio nei bulloni: Fv,Ed=0.80 Fv,Rd=9650.97
Rifollamento lato piastra: Fb,Ed,p=0.80 Fb,Rd,p=9082.64
Tirafondi:LT=0.45 (0.31) σ_{cR}=0.00 σ_{fR}=0.00
Compressione nel calcestruzzo: σ_c=14.26
CC 32 SLD (Collegamento 0025_-382)
Azioni sul collegamento: N=-6786.28 Ty=-3.58 Tz=1.69 Mx=0.00 Mz=-2.82
Sollecitazioni agenti localmente: Tx_l=-3.58 Ty_l=1.69 N_l=-6786.28 Mx_l=-0.00 My_l=-2.82 Mz_l=0.00
Taglio nei bulloni: Fv,Ed=0.66 Fv,Rd=9650.97
Rifollamento lato piastra: Fb,Ed,p=0.66 Fb,Rd,p=9997.55
Tirafondi:LT=0.45 (0.31) σ_{cR}=0.00 σ_{fR}=0.00
Compressione nel calcestruzzo: σ_c=14.18
CC 32 SLD (Collegamento 0025_-382)
Azioni sul collegamento: N=-6786.28 Ty=-4.47 Tz=-0.23 Mx=0.00 Mz=-4.27
Sollecitazioni agenti localmente: Tx_l=-4.47 Ty_l=-0.23 N_l=-6786.28 Mx_l=-0.00 My_l=-4.27 Mz_l=0.00
Taglio nei bulloni: Fv,Ed=0.75 Fv,Rd=9650.97
Rifollamento lato piastra: Fb,Ed,p=0.75 Fb,Rd,p=7500.57
Tirafondi:LT=0.45 (0.31) σ_{cR}=0.00 σ_{fR}=0.00
Compressione nel calcestruzzo: σ_c=14.26
CC 32 SLD (Collegamento 0025_-382)
Azioni sul collegamento: N=-6786.28 Ty=-3.58 Tz=-0.23 Mx=0.00 Mz=-2.82
Sollecitazioni agenti localmente: Tx_l=-3.58 Ty_l=-0.23 N_l=-6786.28 Mx_l=-0.00 My_l=-2.82 Mz_l=0.00
Taglio nei bulloni: Fv,Ed=0.60 Fv,Rd=9650.97
Rifollamento lato piastra: Fb,Ed,p=0.60 Fb,Rd,p=7515.50
Tirafondi:LT=0.45 (0.31) σ_{cR}=0.00 σ_{fR}=0.00
Compressione nel calcestruzzo: σ_c=14.18
CC 32 SLD (Collegamento 0025_-382)
Azioni sul collegamento: N=-6297.50 Ty=-4.47 Tz=1.69 Mx=0.00 Mz=-4.27
Sollecitazioni agenti localmente: Tx_l=-4.47 Ty_l=1.69 N_l=-6297.50 Mx_l=-0.00 My_l=-4.27 Mz_l=0.00
Taglio nei bulloni: Fv,Ed=0.80 Fv,Rd=9650.97
Rifollamento lato piastra: Fb,Ed,p=0.80 Fb,Rd,p=9082.05
Tirafondi:LT=0.45 (0.31) σ_{cR}=0.00 σ_{fR}=0.00
Compressione nel calcestruzzo: σ_c=13.25
CC 32 SLD (Collegamento 0025_-382)
Azioni sul collegamento: N=-6297.50 Ty=-3.58 Tz=1.69 Mx=0.00 Mz=-2.82
Sollecitazioni agenti localmente: Tx_l=-3.58 Ty_l=1.69 N_l=-6297.50 Mx_l=-0.00 My_l=-2.82 Mz_l=0.00
Taglio nei bulloni: Fv,Ed=0.66 Fv,Rd=9650.97
Rifollamento lato piastra: Fb,Ed,p=0.66 Fb,Rd,p=9996.62
Tirafondi:LT=0.45 (0.31) σ_{cR}=0.00 σ_{fR}=0.00
Compressione nel calcestruzzo: σ_c=13.17
CC 32 SLD (Collegamento 0025_-382)
Azioni sul collegamento: N=-6297.50 Ty=-4.47 Tz=-0.23 Mx=0.00 Mz=-4.27
Sollecitazioni agenti localmente: Tx_l=-4.47 Ty_l=-0.23 N_l=-6297.50 Mx_l=-0.00 My_l=-4.27 Mz_l=0.00
Taglio nei bulloni: Fv,Ed=0.75 Fv,Rd=9650.97
Rifollamento lato piastra: Fb,Ed,p=0.75 Fb,Rd,p=7500.56
Tirafondi:LT=0.45 (0.31) σ_{cR}=0.00 σ_{fR}=0.00
Compressione nel calcestruzzo: σ_c=13.25
CC 32 SLD (Collegamento 0025_-382)
Azioni sul collegamento: N=-6297.50 Ty=-3.58 Tz=-0.23 Mx=0.00 Mz=-2.82
Sollecitazioni agenti localmente: Tx_l=-3.58 Ty_l=-0.23 N_l=-6297.50 Mx_l=-0.00 My_l=-2.82 Mz_l=0.00
Taglio nei bulloni: Fv,Ed=0.60 Fv,Rd=9650.97
Rifollamento lato piastra: Fb,Ed,p=0.60 Fb,Rd,p=7515.47
Tirafondi:LT=0.45 (0.31) σ_{cR}=0.00 σ_{fR}=0.00
Compressione nel calcestruzzo: σ_c=13.17
CC 33 SLU (Collegamento 0025_-382)
Azioni sul collegamento: N=-30778.60 Ty=-5.67 Tz=81.62 Mx=0.01 Mz=-4.05
Sollecitazioni agenti localmente: Tx_l=-5.67 Ty_l=81.62 N_l=-30778.60 Mx_l=-0.00 My_l=-4.05 Mz_l=0.01
Taglio nei bulloni: Fv,Ed=13.64 Fv,Rd=7720.78
Rifollamento lato piastra: Fb,Ed,p=13.64 Fb,Rd,p=6021.31
Tirafondi:LT=0.45 (0.31) σ_{cR}=0.00 σ_{fR}=0.00
Compressione nel calcestruzzo: σ_c=63.82
CC 34 SLU (Collegamento 0025_-382)
Azioni sul collegamento: N=-30229.20 Ty=-5.39 Tz=79.58 Mx=0.01 Mz=-3.85
Sollecitazioni agenti localmente: Tx_l=-5.39 Ty_l=79.58 N_l=-30229.20 Mx_l=-0.00 My_l=-3.85 Mz_l=0.01
Taglio nei bulloni: Fv,Ed=13.30 Fv,Rd=7720.78
Rifollamento lato piastra: Fb,Ed,p=13.30 Fb,Rd,p=6019.16
Tirafondi:LT=0.45 (0.31) σ_{cR}=0.00 σ_{fR}=0.00
Compressione nel calcestruzzo: σ_c=62.67
CC 35 SLU (Collegamento 0025_-382)
Azioni sul collegamento: N=-30504.90 Ty=-5.64 Tz=80.58 Mx=0.01 Mz=-4.16
Sollecitazioni agenti localmente: Tx_l=-5.64 Ty_l=80.58 N_l=-30504.90 Mx_l=-0.00 My_l=-4.16 Mz_l=0.01
Taglio nei bulloni: Fv,Ed=13.47 Fv,Rd=7720.78
Rifollamento lato piastra: Fb,Ed,p=13.47 Fb,Rd,p=6021.83
Tirafondi:LT=0.45 (0.31) σ_{cR}=0.00 σ_{fR}=0.00
Compressione nel calcestruzzo: σ_c=63.26
CC 36 SLU (Collegamento 0025_-382)
Azioni sul collegamento: N=-30502.90 Ty=-5.42 Tz=80.62 Mx=0.01 Mz=-3.73
Sollecitazioni agenti localmente: Tx_l=-5.42 Ty_l=80.62 N_l=-30502.90 Mx_l=-0.00 My_l=-3.73 Mz_l=0.01
Taglio nei bulloni: Fv,Ed=13.47 Fv,Rd=7720.78

Rifollamento lato piastra: Fb,Ed,p=13.47 Fb,Rd,p=6018.69
Tirafondi:LT=0.45 (0.31) σ_{cR}=0.00 σ_{fR}=0.00
Compressione nel calcestruzzo: σ_c=63.23
CC 37 SLU (Collegamento 0025_-382)
Azioni sul collegamento: N=-21507.60 Ty=-6.52 Tz=47.54 Mx=0.01 Mz=-4.63
Sollecitazioni agenti localmente: Tx_l=-6.52 Ty_l=47.54 N_l=-21507.60 Mx_l=-0.00 My_l=-4.63 Mz_l=0.01
Taglio nei bulloni: Fv,Ed=8.01 Fv,Rd=7720.78
Rifollamento lato piastra: Fb,Ed,p=8.00 Fb,Rd,p=6143.51
Tirafondi:LT=0.45 (0.31) σ_{cR}=0.00 σ_{fR}=0.00
Compressione nel calcestruzzo: σ_c=44.70
CC 38 SLU (Collegamento 0025_-382)
Azioni sul collegamento: N=-20958.20 Ty=-6.23 Tz=45.50 Mx=0.01 Mz=-4.43
Sollecitazioni agenti localmente: Tx_l=-6.23 Ty_l=45.50 N_l=-20958.20 Mx_l=-0.00 My_l=-4.43 Mz_l=0.01
Taglio nei bulloni: Fv,Ed=7.66 Fv,Rd=7720.78
Rifollamento lato piastra: Fb,Ed,p=7.66 Fb,Rd,p=6143.22
Tirafondi:LT=0.45 (0.31) σ_{cR}=0.00 σ_{fR}=0.00
Compressione nel calcestruzzo: σ_c=43.55
CC 39 SLU (Collegamento 0025_-382)
Azioni sul collegamento: N=-21233.90 Ty=-6.48 Tz=46.50 Mx=0.01 Mz=-4.75
Sollecitazioni agenti localmente: Tx_l=-6.48 Ty_l=46.50 N_l=-21233.90 Mx_l=-0.00 My_l=-4.75 Mz_l=0.01
Taglio nei bulloni: Fv,Ed=7.83 Fv,Rd=7720.78
Rifollamento lato piastra: Fb,Ed,p=7.83 Fb,Rd,p=6148.94
Tirafondi:LT=0.45 (0.31) σ_{cR}=0.00 σ_{fR}=0.00
Compressione nel calcestruzzo: σ_c=44.14
CC 40 SLU (Collegamento 0025_-382)
Azioni sul collegamento: N=-21231.90 Ty=-6.26 Tz=46.54 Mx=0.01 Mz=-4.31
Sollecitazioni agenti localmente: Tx_l=-6.26 Ty_l=46.54 N_l=-21231.90 Mx_l=-0.00 My_l=-4.31 Mz_l=0.01
Taglio nei bulloni: Fv,Ed=7.83 Fv,Rd=7720.78
Rifollamento lato piastra: Fb,Ed,p=7.83 Fb,Rd,p=6137.89
Tirafondi:LT=0.45 (0.31) σ_{cR}=0.00 σ_{fR}=0.00
Compressione nel calcestruzzo: σ_c=44.11
CC 41 SLU (Collegamento 0025_-382)
Azioni sul collegamento: N=-32702.20 Ty=-5.53 Tz=88.04 Mx=-0.00 Mz=-4.06
Sollecitazioni agenti localmente: Tx_l=-5.53 Ty_l=88.04 N_l=-32702.20 Mx_l=-0.00 My_l=-4.06 Mz_l=-0.00
Taglio nei bulloni: Fv,Ed=14.71 Fv,Rd=7720.78
Rifollamento lato piastra: Fb,Ed,p=14.71 Fb,Rd,p=6014.38
Tirafondi:LT=0.45 (0.31) σ_{cR}=0.00 σ_{fR}=0.00
Compressione nel calcestruzzo: σ_c=67.80
CC 42 SLU (Collegamento 0025_-382)
Azioni sul collegamento: N=-32152.80 Ty=-5.24 Tz=86.01 Mx=-0.00 Mz=-3.86
Sollecitazioni agenti localmente: Tx_l=-5.24 Ty_l=86.01 N_l=-32152.80 Mx_l=-0.00 My_l=-3.86 Mz_l=-0.00
Taglio nei bulloni: Fv,Ed=14.36 Fv,Rd=7720.78
Rifollamento lato piastra: Fb,Ed,p=14.36 Fb,Rd,p=6012.40
Tirafondi:LT=0.45 (0.31) σ_{cR}=0.00 σ_{fR}=0.00
Compressione nel calcestruzzo: σ_c=66.65
CC 43 SLU (Collegamento 0025_-382)
Azioni sul collegamento: N=-32428.50 Ty=-5.50 Tz=87.00 Mx=-0.00 Mz=-4.18
Sollecitazioni agenti localmente: Tx_l=-5.50 Ty_l=87.00 N_l=-32428.50 Mx_l=-0.00 My_l=-4.18 Mz_l=-0.00
Taglio nei bulloni: Fv,Ed=14.53 Fv,Rd=7720.78
Rifollamento lato piastra: Fb,Ed,p=14.53 Fb,Rd,p=6014.74
Tirafondi:LT=0.45 (0.31) σ_{cR}=0.00 σ_{fR}=0.00
Compressione nel calcestruzzo: σ_c=67.24
CC 44 SLU (Collegamento 0025_-382)
Azioni sul collegamento: N=-32426.50 Ty=-5.28 Tz=87.05 Mx=-0.00 Mz=-3.74
Sollecitazioni agenti localmente: Tx_l=-5.28 Ty_l=87.05 N_l=-32426.50 Mx_l=-0.00 My_l=-3.74 Mz_l=-0.00
Taglio nei bulloni: Fv,Ed=14.54 Fv,Rd=7720.78
Rifollamento lato piastra: Fb,Ed,p=14.54 Fb,Rd,p=6012.06
Tirafondi:LT=0.45 (0.31) σ_{cR}=0.00 σ_{fR}=0.00
Compressione nel calcestruzzo: σ_c=67.21
CC 45 SLU (Collegamento 0025_-382)
Azioni sul collegamento: N=-23594.00 Ty=-6.22 Tz=55.25 Mx=0.01 Mz=-4.49
Sollecitazioni agenti localmente: Tx_l=-6.22 Ty_l=55.25 N_l=-23594.00 Mx_l=-0.00 My_l=-4.49 Mz_l=0.01
Taglio nei bulloni: Fv,Ed=9.28 Fv,Rd=7720.78
Rifollamento lato piastra: Fb,Ed,p=9.27 Fb,Rd,p=6090.04
Tirafondi:LT=0.45 (0.31) σ_{cR}=0.00 σ_{fR}=0.00
Compressione nel calcestruzzo: σ_c=49.00
CC 46 SLU (Collegamento 0025_-382)
Azioni sul collegamento: N=-23044.60 Ty=-5.94 Tz=53.22 Mx=0.01 Mz=-4.28
Sollecitazioni agenti localmente: Tx_l=-5.94 Ty_l=53.22 N_l=-23044.60 Mx_l=-0.00 My_l=-4.28 Mz_l=0.01
Taglio nei bulloni: Fv,Ed=8.93 Fv,Rd=7720.78
Rifollamento lato piastra: Fb,Ed,p=8.93 Fb,Rd,p=6088.00
Tirafondi:LT=0.45 (0.31) σ_{cR}=0.00 σ_{fR}=0.00
Compressione nel calcestruzzo: σ_c=47.85
CC 47 SLU (Collegamento 0025_-382)
Azioni sul collegamento: N=-23320.30 Ty=-6.19 Tz=54.21 Mx=0.01 Mz=-4.60
Sollecitazioni agenti localmente: Tx_l=-6.19 Ty_l=54.21 N_l=-23320.30 Mx_l=-0.00 My_l=-4.60 Mz_l=0.01
Taglio nei bulloni: Fv,Ed=9.10 Fv,Rd=7720.78
Rifollamento lato piastra: Fb,Ed,p=9.10 Fb,Rd,p=6092.92

Tirafondi:LT=0.45 (0.31) σ_{cR}=0.00 σ_{fR}=0.00
Compressione nel calcestruzzo: σ_c=48.44
CC 48 SLU (Collegamento 0025_-382)
Azioni sul collegamento: N=-23318.30 Ty=-5.97 Tz=54.26 Mx=0.01 Mz=-4.17
Sollecitazioni agenti localmente: Tx_l=-5.97 Ty_l=54.26 N_l=-23318.30 Mx_l=-0.00 My_l=-4.17 Mz_l=0.01
Taglio nei bulloni: Fv,Ed=9.11 Fv,Rd=7720.78
Rifollamento lato piastra: Fb,Ed,p=9.10 Fb,Rd,p=6085.22
Tirafondi:LT=0.45 (0.31) σ_{cR}=0.00 σ_{fR}=0.00
Compressione nel calcestruzzo: σ_c=48.41
CC 49 SLU (Collegamento 0025_-382)
Azioni sul collegamento: N=-16657.90 Ty=-6.86 Tz=29.76 Mx=0.01 Mz=-4.92
Sollecitazioni agenti localmente: Tx_l=-6.86 Ty_l=29.76 N_l=-16657.90 Mx_l=-0.00 My_l=-4.92 Mz_l=0.01
Taglio nei bulloni: Fv,Ed=5.10 Fv,Rd=7720.78
Rifollamento lato piastra: Fb,Ed,p=5.10 Fb,Rd,p=6444.31
Tirafondi:LT=0.45 (0.31) σ_{cR}=0.00 σ_{fR}=0.00
Compressione nel calcestruzzo: σ_c=34.69
CC 50 SLU (Collegamento 0025_-382)
Azioni sul collegamento: N=-16108.50 Ty=-6.57 Tz=27.72 Mx=0.01 Mz=-4.72
Sollecitazioni agenti localmente: Tx_l=-6.57 Ty_l=27.72 N_l=-16108.50 Mx_l=-0.00 My_l=-4.72 Mz_l=0.01
Taglio nei bulloni: Fv,Ed=4.76 Fv,Rd=7720.78
Rifollamento lato piastra: Fb,Ed,p=4.75 Fb,Rd,p=6471.63
Tirafondi:LT=0.45 (0.31) σ_{cR}=0.00 σ_{fR}=0.00
Compressione nel calcestruzzo: σ_c=33.55
CC 51 SLU (Collegamento 0025_-382)
Azioni sul collegamento: N=-16384.20 Ty=-6.82 Tz=28.72 Mx=0.01 Mz=-5.04
Sollecitazioni agenti localmente: Tx_l=-6.82 Ty_l=28.72 N_l=-16384.20 Mx_l=-0.00 My_l=-5.04 Mz_l=0.01
Taglio nei bulloni: Fv,Ed=4.93 Fv,Rd=7720.78
Rifollamento lato piastra: Fb,Ed,p=4.93 Fb,Rd,p=6473.07
Tirafondi:LT=0.45 (0.31) σ_{cR}=0.00 σ_{fR}=0.00
Compressione nel calcestruzzo: σ_c=34.14
CC 52 SLU (Collegamento 0025_-382)
Azioni sul collegamento: N=-16382.20 Ty=-6.60 Tz=28.76 Mx=0.01 Mz=-4.60
Sollecitazioni agenti localmente: Tx_l=-6.60 Ty_l=28.76 N_l=-16382.20 Mx_l=-0.00 My_l=-4.60 Mz_l=0.01
Taglio nei bulloni: Fv,Ed=4.93 Fv,Rd=7720.78
Rifollamento lato piastra: Fb,Ed,p=4.92 Fb,Rd,p=6441.98
Tirafondi:LT=0.45 (0.31) σ_{cR}=0.00 σ_{fR}=0.00
Compressione nel calcestruzzo: σ_c=34.11
CC 53 SLU (Collegamento 0025_-382)
Azioni sul collegamento: N=-25033.10 Ty=-6.12 Tz=60.06 Mx=-0.00 Mz=-4.50
Sollecitazioni agenti localmente: Tx_l=-6.12 Ty_l=60.06 N_l=-25033.10 Mx_l=-0.00 My_l=-4.50 Mz_l=-0.00
Taglio nei bulloni: Fv,Ed=10.06 Fv,Rd=7720.78
Rifollamento lato piastra: Fb,Ed,p=10.06 Fb,Rd,p=6071.30
Tirafondi:LT=0.45 (0.31) σ_{cR}=0.00 σ_{fR}=0.00
Compressione nel calcestruzzo: σ_c=51.97
CC 54 SLU (Collegamento 0025_-382)
Azioni sul collegamento: N=-24483.80 Ty=-5.83 Tz=58.03 Mx=-0.00 Mz=-4.29
Sollecitazioni agenti localmente: Tx_l=-5.83 Ty_l=58.03 N_l=-24483.80 Mx_l=-0.00 My_l=-4.29 Mz_l=-0.00
Taglio nei bulloni: Fv,Ed=9.72 Fv,Rd=7720.78
Rifollamento lato piastra: Fb,Ed,p=9.72 Fb,Rd,p=6068.97
Tirafondi:LT=0.45 (0.31) σ_{cR}=0.00 σ_{fR}=0.00
Compressione nel calcestruzzo: σ_c=50.83
CC 55 SLU (Collegamento 0025_-382)
Azioni sul collegamento: N=-24759.40 Ty=-6.08 Tz=59.02 Mx=0.00 Mz=-4.61
Sollecitazioni agenti localmente: Tx_l=-6.08 Ty_l=59.02 N_l=-24759.40 Mx_l=-0.00 My_l=-4.61 Mz_l=0.00
Taglio nei bulloni: Fv,Ed=9.89 Fv,Rd=7720.78
Rifollamento lato piastra: Fb,Ed,p=9.89 Fb,Rd,p=6073.42
Tirafondi:LT=0.45 (0.31) σ_{cR}=0.00 σ_{fR}=0.00
Compressione nel calcestruzzo: σ_c=51.42
CC 56 SLU (Collegamento 0025_-382)
Azioni sul collegamento: N=-24757.50 Ty=-5.87 Tz=59.07 Mx=-0.00 Mz=-4.18
Sollecitazioni agenti localmente: Tx_l=-5.87 Ty_l=59.07 N_l=-24757.50 Mx_l=-0.00 My_l=-4.18 Mz_l=-0.00
Taglio nei bulloni: Fv,Ed=9.89 Fv,Rd=7720.78
Rifollamento lato piastra: Fb,Ed,p=9.89 Fb,Rd,p=6066.93
Tirafondi:LT=0.45 (0.31) σ_{cR}=0.00 σ_{fR}=0.00
Compressione nel calcestruzzo: σ_c=51.39
CC 57 SLU (Collegamento 0025_-382)
Azioni sul collegamento: N=-21981.50 Ty=-5.60 Tz=49.32 Mx=0.01 Mz=-4.03
Sollecitazioni agenti localmente: Tx_l=-5.60 Ty_l=49.32 N_l=-21981.50 Mx_l=-0.00 My_l=-4.03 Mz_l=0.01
Taglio nei bulloni: Fv,Ed=8.28 Fv,Rd=7720.78
Rifollamento lato piastra: Fb,Ed,p=8.28 Fb,Rd,p=6091.76
Tirafondi:LT=0.45 (0.31) σ_{cR}=0.00 σ_{fR}=0.00
Compressione nel calcestruzzo: σ_c=45.64
CC 58 SLU (Collegamento 0025_-382)
Azioni sul collegamento: N=-21432.10 Ty=-5.31 Tz=47.28 Mx=0.01 Mz=-3.83
Sollecitazioni agenti localmente: Tx_l=-5.31 Ty_l=47.28 N_l=-21432.10 Mx_l=-0.00 My_l=-3.83 Mz_l=0.01
Taglio nei bulloni: Fv,Ed=7.94 Fv,Rd=7720.78
Rifollamento lato piastra: Fb,Ed,p=7.94 Fb,Rd,p=6089.52
Tirafondi:LT=0.45 (0.31) σ_{cR}=0.00 σ_{fR}=0.00

Compressione nel calcestruzzo: σ_c=44.50
CC 59 SLU (Collegamento 0025_-382)
Azioni sul collegamento: N=-21707.80 Ty=-5.57 Tz=48.28 Mx=0.01 Mz=-4.15
Sollecitazioni agenti localmente: Tx_l=-5.57 Ty_l=48.28 N_l=-21707.80 Mx_l=-0.00 My_l=-4.15 Mz_l=0.01
Taglio nei bulloni: Fv,Ed=8.11 Fv,Rd=7720.78
Rifollamento lato piastra: Fb,Ed,p=8.11 Fb,Rd,p=6095.07
Tirafondi:LT=0.45 (0.31) σ_{cR}=0.00 σ_{fR}=0.00
Compressione nel calcestruzzo: σ_c=45.08
CC 60 SLU (Collegamento 0025_-382)
Azioni sul collegamento: N=-21705.80 Ty=-5.35 Tz=48.32 Mx=0.01 Mz=-3.72
Sollecitazioni agenti localmente: Tx_l=-5.35 Ty_l=48.32 N_l=-21705.80 Mx_l=-0.00 My_l=-3.72 Mz_l=0.01
Taglio nei bulloni: Fv,Ed=8.11 Fv,Rd=7720.78
Rifollamento lato piastra: Fb,Ed,p=8.11 Fb,Rd,p=6086.34
Tirafondi:LT=0.45 (0.31) σ_{cR}=0.00 σ_{fR}=0.00
Compressione nel calcestruzzo: σ_c=45.06
CC 61 SLU (Collegamento 0025_-382)
Azioni sul collegamento: N=-15045.40 Ty=-6.23 Tz=23.82 Mx=0.01 Mz=-4.47
Sollecitazioni agenti localmente: Tx_l=-6.23 Ty_l=23.82 N_l=-15045.40 Mx_l=-0.00 My_l=-4.47 Mz_l=0.01
Taglio nei bulloni: Fv,Ed=4.11 Fv,Rd=7720.78
Rifollamento lato piastra: Fb,Ed,p=4.11 Fb,Rd,p=6579.15
Tirafondi:LT=0.45 (0.31) σ_{cR}=0.00 σ_{fR}=0.00
Compressione nel calcestruzzo: σ_c=31.34
CC 62 SLU (Collegamento 0025_-382)
Azioni sul collegamento: N=-14496.00 Ty=-5.95 Tz=21.79 Mx=0.01 Mz=-4.27
Sollecitazioni agenti localmente: Tx_l=-5.95 Ty_l=21.79 N_l=-14496.00 Mx_l=-0.00 My_l=-4.27 Mz_l=0.01
Taglio nei bulloni: Fv,Ed=3.77 Fv,Rd=7720.78
Rifollamento lato piastra: Fb,Ed,p=3.77 Fb,Rd,p=6632.64
Tirafondi:LT=0.45 (0.31) σ_{cR}=0.00 σ_{fR}=0.00
Compressione nel calcestruzzo: σ_c=30.19
CC 63 SLU (Collegamento 0025_-382)
Azioni sul collegamento: N=-14771.70 Ty=-6.20 Tz=22.78 Mx=0.01 Mz=-4.59
Sollecitazioni agenti localmente: Tx_l=-6.20 Ty_l=22.78 N_l=-14771.70 Mx_l=-0.00 My_l=-4.59 Mz_l=0.01
Taglio nei bulloni: Fv,Ed=3.94 Fv,Rd=7720.78
Rifollamento lato piastra: Fb,Ed,p=3.94 Fb,Rd,p=6627.17
Tirafondi:LT=0.45 (0.31) σ_{cR}=0.00 σ_{fR}=0.00
Compressione nel calcestruzzo: σ_c=30.78
CC 64 SLU (Collegamento 0025_-382)
Azioni sul collegamento: N=-14769.70 Ty=-5.98 Tz=22.82 Mx=0.01 Mz=-4.15
Sollecitazioni agenti localmente: Tx_l=-5.98 Ty_l=22.82 N_l=-14769.70 Mx_l=-0.00 My_l=-4.15 Mz_l=0.01
Taglio nei bulloni: Fv,Ed=3.94 Fv,Rd=7720.78
Rifollamento lato piastra: Fb,Ed,p=3.94 Fb,Rd,p=6582.10
Tirafondi:LT=0.45 (0.31) σ_{cR}=0.00 σ_{fR}=0.00
Compressione nel calcestruzzo: σ_c=30.75
CC 65 SLU (Collegamento 0025_-382)
Azioni sul collegamento: N=-23420.60 Ty=-5.49 Tz=54.12 Mx=-0.00 Mz=-4.04
Sollecitazioni agenti localmente: Tx_l=-5.49 Ty_l=54.12 N_l=-23420.60 Mx_l=-0.00 My_l=-4.04 Mz_l=-0.00
Taglio nei bulloni: Fv,Ed=9.07 Fv,Rd=7720.78
Rifollamento lato piastra: Fb,Ed,p=9.07 Fb,Rd,p=6070.73
Tirafondi:LT=0.45 (0.31) σ_{cR}=0.00 σ_{fR}=0.00
Compressione nel calcestruzzo: σ_c=48.62
CC 66 SLU (Collegamento 0025_-382)
Azioni sul collegamento: N=-22871.20 Ty=-5.21 Tz=52.09 Mx=-0.00 Mz=-3.84
Sollecitazioni agenti localmente: Tx_l=-5.21 Ty_l=52.09 N_l=-22871.20 Mx_l=-0.00 My_l=-3.84 Mz_l=-0.00
Taglio nei bulloni: Fv,Ed=8.73 Fv,Rd=7720.78
Rifollamento lato piastra: Fb,Ed,p=8.73 Fb,Rd,p=6068.12
Tirafondi:LT=0.45 (0.31) σ_{cR}=0.00 σ_{fR}=0.00
Compressione nel calcestruzzo: σ_c=47.47
CC 67 SLU (Collegamento 0025_-382)
Azioni sul collegamento: N=-23146.90 Ty=-5.46 Tz=53.08 Mx=-0.00 Mz=-4.16
Sollecitazioni agenti localmente: Tx_l=-5.46 Ty_l=53.08 N_l=-23146.90 Mx_l=-0.00 My_l=-4.16 Mz_l=-0.00
Taglio nei bulloni: Fv,Ed=8.89 Fv,Rd=7720.78
Rifollamento lato piastra: Fb,Ed,p=8.89 Fb,Rd,p=6073.08
Tirafondi:LT=0.45 (0.31) σ_{cR}=0.00 σ_{fR}=0.00
Compressione nel calcestruzzo: σ_c=48.06
CC 68 SLU (Collegamento 0025_-382)
Azioni sul collegamento: N=-23144.90 Ty=-5.24 Tz=53.13 Mx=-0.00 Mz=-3.72
Sollecitazioni agenti localmente: Tx_l=-5.24 Ty_l=53.13 N_l=-23144.90 Mx_l=-0.00 My_l=-3.72 Mz_l=-0.00
Taglio nei bulloni: Fv,Ed=8.90 Fv,Rd=7720.78
Rifollamento lato piastra: Fb,Ed,p=8.90 Fb,Rd,p=6065.88
Tirafondi:LT=0.45 (0.31) σ_{cR}=0.00 σ_{fR}=0.00
Compressione nel calcestruzzo: σ_c=48.03
CC 97 SLU (Collegamento 0025_-382)
Azioni sul collegamento: N=-11444.50 Ty=-17.52 Tz=18.88 Mx=-0.03 Mz=-21.34
Sollecitazioni agenti localmente: Tx_l=-17.52 Ty_l=18.88 N_l=-11444.50 Mx_l=-0.00 My_l=-21.34 Mz_l=-0.03
Taglio nei bulloni: Fv,Ed=4.35 Fv,Rd=7720.78
Rifollamento lato piastra: Fb,Ed,p=4.35 Fb,Rd,p=11600.30
Tirafondi:LT=0.45 (0.31) σ_{cR}=0.00 σ_{fR}=0.00
Compressione nel calcestruzzo: σ_c=24.85

CC 98 SLU (Collegamento 0025_-382)
Azioni sul collegamento: N=-10895.20 Ty=-17.24 Tz=16.84 Mx=-0.03 Mz=-21.13
Sollecitazioni agenti localmente: Tx_l=-17.24 Ty_l=16.84 N_l=-10895.20 Mx_l=-0.00 My_l=-21.13 Mz_l=-0.03
Taglio nei bulloni: Fv,Ed=4.07 Fv,Rd=7720.78
Rifollamento lato piastra: Fb,Ed,p=4.02 Fb,Rd,p=11726.40
Tirafondi:LT=0.45 (0.31) σ_{cR}=0.00 σ_{fR}=0.00
Compressione nel calcestruzzo: σ_c=23.70
CC 99 SLU (Collegamento 0025_-382)
Azioni sul collegamento: N=-11170.80 Ty=-17.49 Tz=17.84 Mx=-0.03 Mz=-21.45
Sollecitazioni agenti localmente: Tx_l=-17.49 Ty_l=17.84 N_l=-11170.80 Mx_l=-0.00 My_l=-21.45 Mz_l=-0.03
Taglio nei bulloni: Fv,Ed=4.22 Fv,Rd=7720.78
Rifollamento lato piastra: Fb,Ed,p=4.22 Fb,Rd,p=11903.30
Tirafondi:LT=0.45 (0.31) σ_{cR}=0.00 σ_{fR}=0.00
Compressione nel calcestruzzo: σ_c=24.29
CC 100 SLU (Collegamento 0025_-382)
Azioni sul collegamento: N=-11168.90 Ty=-17.27 Tz=17.88 Mx=-0.04 Mz=-21.02
Sollecitazioni agenti localmente: Tx_l=-17.27 Ty_l=17.88 N_l=-11168.90 Mx_l=-0.00 My_l=-21.02 Mz_l=-0.04
Taglio nei bulloni: Fv,Ed=4.20 Fv,Rd=7720.78
Rifollamento lato piastra: Fb,Ed,p=4.20 Fb,Rd,p=11817.30
Tirafondi:LT=0.45 (0.31) σ_{cR}=0.00 σ_{fR}=0.00
Compressione nel calcestruzzo: σ_c=24.26
CC 101 SLU (Collegamento 0025_-382)
Azioni sul collegamento: N=-7155.53 Ty=-1.61 Tz=2.94 Mx=0.01 Mz=-0.33
Sollecitazioni agenti localmente: Tx_l=-1.61 Ty_l=2.94 N_l=-7155.53 Mx_l=-0.00 My_l=-0.33 Mz_l=0.01
Taglio nei bulloni: Fv,Ed=0.57 Fv,Rd=7720.78
Rifollamento lato piastra: Fb,Ed,p=0.56 Fb,Rd,p=8412.66
Tirafondi:LT=0.45 (0.31) σ_{cR}=0.00 σ_{fR}=0.00
Compressione nel calcestruzzo: σ_c=14.80
CC 102 SLU (Collegamento 0025_-382)
Azioni sul collegamento: N=-6606.15 Ty=-1.32 Tz=0.91 Mx=0.01 Mz=-0.13
Sollecitazioni agenti localmente: Tx_l=-1.32 Ty_l=0.91 N_l=-6606.15 Mx_l=-0.00 My_l=-0.13 Mz_l=0.01
Taglio nei bulloni: Fv,Ed=0.28 Fv,Rd=7720.78
Rifollamento lato piastra: Fb,Ed,p=0.28 Fb,Rd,p=10354.70
Tirafondi:LT=0.45 (0.31) σ_{cR}=0.00 σ_{fR}=0.00
Compressione nel calcestruzzo: σ_c=13.66
CC 103 SLU (Collegamento 0025_-382)
Azioni sul collegamento: N=-6881.82 Ty=-1.58 Tz=1.90 Mx=0.01 Mz=-0.45
Sollecitazioni agenti localmente: Tx_l=-1.58 Ty_l=1.90 N_l=-6881.82 Mx_l=-0.00 My_l=-0.45 Mz_l=0.01
Taglio nei bulloni: Fv,Ed=0.43 Fv,Rd=7720.78
Rifollamento lato piastra: Fb,Ed,p=0.41 Fb,Rd,p=10745.90
Tirafondi:LT=0.45 (0.31) σ_{cR}=0.00 σ_{fR}=0.00
Compressione nel calcestruzzo: σ_c=14.24
CC 104 SLU (Collegamento 0025_-382)
Azioni sul collegamento: N=-6879.85 Ty=-1.36 Tz=1.95 Mx=0.01 Mz=-0.01
Sollecitazioni agenti localmente: Tx_l=-1.36 Ty_l=1.95 N_l=-6879.85 Mx_l=-0.00 My_l=-0.01 Mz_l=0.01
Taglio nei bulloni: Fv,Ed=0.41 Fv,Rd=7720.78
Rifollamento lato piastra: Fb,Ed,p=0.40 Fb,Rd,p=9910.85
Tirafondi:LT=0.45 (0.31) σ_{cR}=0.00 σ_{fR}=0.00
Compressione nel calcestruzzo: σ_c=14.22

Saldatura profilo-piastra

CC 1 SLV (Collegamento 0025_-382)
Azioni sul collegamento: N=-3838.16 Ty=-4.12 Tz=-9.35 Mx=0.02 Mz=1.95
Sollecitazioni agenti localmente: Tx_l=-4.12 Ty_l=-9.35 N_l=-3838.16 My_l=-1.95 Mz_l=0.02
Azioni sul cordone: TP=-0.33 TO=-0.67 NO=-283.72
Tensioni nel cordone: τ_P=0.10 τ_0=0.21 σ_0=93.03 σ_{ID}=93.03 Σ_T=93.25
CC 1 SLV (Collegamento 0025_-382)
Azioni sul collegamento: N=-3838.16 Ty=-0.76 Tz=-9.35 Mx=0.02 Mz=-1.23
Sollecitazioni agenti localmente: Tx_l=-0.76 Ty_l=-9.35 N_l=-3838.16 My_l=1.23 Mz_l=0.02
Azioni sul cordone: TP=-0.08 TO=-0.71 NO=-283.72
Tensioni nel cordone: τ_P= 0.03 τ_0=0.22 σ_0=91.98 σ_{ID}=91.98 Σ_T=92.20
CC 1 SLV (Collegamento 0025_-382)
Azioni sul collegamento: N=-3838.16 Ty=-4.12 Tz=10.33 Mx=0.02 Mz=1.95
Sollecitazioni agenti localmente: Tx_l=-4.12 Ty_l=10.33 N_l=-3838.16 My_l=-1.95 Mz_l=0.02
Azioni sul cordone: TP=-0.33 TO=0.78 NO=-283.72
Tensioni nel cordone: τ_P=0.10 τ_0=0.25 σ_0=93.03 σ_{ID}=93.03 Σ_T=93.28
CC 1 SLV (Collegamento 0025_-382)
Azioni sul collegamento: N=-3838.16 Ty=-0.76 Tz=10.33 Mx=0.02 Mz=-1.23
Sollecitazioni agenti localmente: Tx_l=-0.76 Ty_l=10.33 N_l=-3838.16 My_l=1.23 Mz_l=0.02
Azioni sul cordone: TP=-0.08 TO=0.75 NO=-283.72
Tensioni nel cordone: τ_P= 0.03 τ_0=0.24 σ_0=91.98 σ_{ID}=91.98 Σ_T=92.21
CC 1 SLV (Collegamento 0025_-382)
Azioni sul collegamento: N=-9123.66 Ty=-4.12 Tz=-9.35 Mx=0.02 Mz=1.95
Sollecitazioni agenti localmente: Tx_l=-4.12 Ty_l=-9.35 N_l=-9123.66 My_l=-1.95 Mz_l=0.02
Azioni sul cordone: TP=-0.33 TO=-0.67 NO=-674.42
Tensioni nel cordone: τ_P=0.10 τ_0=0.21 σ_0=217.22 σ_{ID}=217.22 Σ_T=217.43
CC 1 SLV (Collegamento 0025_-382)
Azioni sul collegamento: N=-9123.66 Ty=-0.76 Tz=-9.35 Mx=0.02 Mz=-1.23

Sollecitazioni agenti localmente: Tx_l=-0.76 Ty_l=-9.35 N_l=-9123.66 My_l=1.23 Mz_l=0.02
Azioni sul cordone: TP=-0.08 TO=-0.71 NO=-674.42
Tensioni nel cordone: τ_P= 0.03 τ_O=0.22 σ_O=216.16 σ_{ID}=216.16 Σ_T=216.39
CC 1 SLV (Collegamento 0025_-382)
Azioni sul collegamento: N=-9123.66 Ty=-4.12 Tz=10.33 Mx=0.02 Mz=1.95
Sollecitazioni agenti localmente: Tx_l=-4.12 Ty_l=10.33 N_l=-9123.66 My_l=-1.95 Mz_l=0.02
Azioni sul cordone: TP=-0.33 TO=0.78 NO=-674.42
Tensioni nel cordone: τ_P=0.10 τ_O=0.25 σ_O=217.22 σ_{ID}=217.22 Σ_T=217.46
CC 1 SLV (Collegamento 0025_-382)
Azioni sul collegamento: N=-9123.66 Ty=-0.76 Tz=10.33 Mx=0.02 Mz=-1.23
Sollecitazioni agenti localmente: Tx_l=-0.76 Ty_l=10.33 N_l=-9123.66 My_l=1.23 Mz_l=0.02
Azioni sul cordone: TP=-0.08 TO=0.75 NO=-674.42
Tensioni nel cordone: τ_P= 0.03 τ_O=0.24 σ_O=216.16 σ_{ID}=216.16 Σ_T=216.40
CC 2 SLD (Collegamento 0025_-382)
Azioni sul collegamento: N=-5707.53 Ty=-2.77 Tz=-2.38 Mx=0.01 Mz=-1.24
Sollecitazioni agenti localmente: Tx_l=-2.77 Ty_l=-2.38 N_l=-5707.53 My_l=1.24 Mz_l=0.01
Azioni sul cordone: TP=-0.21 TO=-0.18 NO=-421.90
Tensioni nel cordone: τ_P= 0.07 τ_O= 0.06 σ_O=135.91 σ_{ID}=135.91 Σ_T=135.97
CC 2 SLD (Collegamento 0025_-382)
Azioni sul collegamento: N=-5707.53 Ty=-3.80 Tz=-2.38 Mx=0.01 Mz=-2.21
Sollecitazioni agenti localmente: Tx_l=-3.80 Ty_l=-2.38 N_l=-5707.53 My_l=2.21 Mz_l=0.01
Azioni sul cordone: TP=-0.29 TO=-0.18 NO=-421.90
Tensioni nel cordone: τ_P= 0.09 τ_O= 0.06 σ_O=137.32 σ_{ID}=137.32 Σ_T=137.38
CC 2 SLD (Collegamento 0025_-382)
Azioni sul collegamento: N=-5707.53 Ty=-2.77 Tz=3.62 Mx=0.01 Mz=-1.24
Sollecitazioni agenti localmente: Tx_l=-2.77 Ty_l=3.62 N_l=-5707.53 My_l=1.24 Mz_l=0.01
Azioni sul cordone: TP=-0.21 TO=0.26 NO=-421.90
Tensioni nel cordone: τ_P= 0.07 τ_O= 0.08 σ_O=135.91 σ_{ID}=135.91 Σ_T=135.99
CC 2 SLD (Collegamento 0025_-382)
Azioni sul collegamento: N=-5707.53 Ty=-3.80 Tz=3.62 Mx=0.01 Mz=-2.21
Sollecitazioni agenti localmente: Tx_l=-3.80 Ty_l=3.62 N_l=-5707.53 My_l=2.21 Mz_l=0.01
Azioni sul cordone: TP=-0.29 TO=0.26 NO=-421.90
Tensioni nel cordone: τ_P= 0.09 τ_O= 0.08 σ_O=137.32 σ_{ID}=137.32 Σ_T=137.41
CC 2 SLD (Collegamento 0025_-382)
Azioni sul collegamento: N=-7319.25 Ty=-2.77 Tz=-2.38 Mx=0.01 Mz=-1.24
Sollecitazioni agenti localmente: Tx_l=-2.77 Ty_l=-2.38 N_l=-7319.25 My_l=1.24 Mz_l=0.01
Azioni sul cordone: TP=-0.21 TO=-0.18 NO=-541.04
Tensioni nel cordone: τ_P= 0.07 τ_O= 0.06 σ_O=173.78 σ_{ID}=173.78 Σ_T=173.83
CC 2 SLD (Collegamento 0025_-382)
Azioni sul collegamento: N=-7319.25 Ty=-3.80 Tz=-2.38 Mx=0.01 Mz=-2.21
Sollecitazioni agenti localmente: Tx_l=-3.80 Ty_l=-2.38 N_l=-7319.25 My_l=2.21 Mz_l=0.01
Azioni sul cordone: TP=-0.29 TO=-0.18 NO=-541.04
Tensioni nel cordone: τ_P= 0.09 τ_O= 0.06 σ_O=175.19 σ_{ID}=175.19 Σ_T=175.25
CC 2 SLD (Collegamento 0025_-382)
Azioni sul collegamento: N=-7319.25 Ty=-2.77 Tz=3.62 Mx=0.01 Mz=-1.24
Sollecitazioni agenti localmente: Tx_l=-2.77 Ty_l=3.62 N_l=-7319.25 My_l=1.24 Mz_l=0.01
Azioni sul cordone: TP=-0.21 TO=0.26 NO=-541.04
Tensioni nel cordone: τ_P= 0.07 τ_O= 0.08 σ_O=173.78 σ_{ID}=173.78 Σ_T=173.86
CC 2 SLD (Collegamento 0025_-382)
Azioni sul collegamento: N=-7319.25 Ty=-3.80 Tz=3.62 Mx=0.01 Mz=-2.21
Sollecitazioni agenti localmente: Tx_l=-3.80 Ty_l=3.62 N_l=-7319.25 My_l=2.21 Mz_l=0.01
Azioni sul cordone: TP=-0.29 TO=0.26 NO=-541.04
Tensioni nel cordone: τ_P= 0.09 τ_O= 0.08 σ_O=175.19 σ_{ID}=175.19 Σ_T=175.28
CC 3 SLV (Collegamento 0025_-382)
Azioni sul collegamento: N=-3843.85 Ty=-3.49 Tz=-9.22 Mx=0.02 Mz=0.69
Sollecitazioni agenti localmente: Tx_l=-3.49 Ty_l=-9.22 N_l=-3843.85 My_l=-0.69 Mz_l=0.02
Azioni sul cordone: TP=-0.28 TO=-0.67 NO=-284.14
Tensioni nel cordone: τ_P= 0.09 τ_O=0.21 σ_O=91.33 σ_{ID}=91.33 Σ_T=91.54
CC 3 SLV (Collegamento 0025_-382)
Azioni sul collegamento: N=-3843.85 Ty=-1.39 Tz=-9.22 Mx=0.02 Mz=0.03
Sollecitazioni agenti localmente: Tx_l=-1.39 Ty_l=-9.22 N_l=-3843.85 My_l=-0.03 Mz_l=0.02
Azioni sul cordone: TP=-0.12 TO=-0.67 NO=-284.14
Tensioni nel cordone: τ_P= 0.04 τ_O=0.21 σ_O=90.35 σ_{ID}=90.35 Σ_T=90.56
CC 3 SLV (Collegamento 0025_-382)
Azioni sul collegamento: N=-3843.85 Ty=-3.49 Tz=10.20 Mx=0.02 Mz=0.69
Sollecitazioni agenti localmente: Tx_l=-3.49 Ty_l=10.20 N_l=-3843.85 My_l=-0.69 Mz_l=0.02
Azioni sul cordone: TP=-0.28 TO=0.77 NO=-284.14
Tensioni nel cordone: τ_P= 0.09 τ_O=0.24 σ_O=91.33 σ_{ID}=91.33 Σ_T=91.57
CC 3 SLV (Collegamento 0025_-382)
Azioni sul collegamento: N=-3843.85 Ty=-1.39 Tz=10.20 Mx=0.02 Mz=0.03
Sollecitazioni agenti localmente: Tx_l=-1.39 Ty_l=10.20 N_l=-3843.85 My_l=-0.03 Mz_l=0.02
Azioni sul cordone: TP=-0.12 TO=0.77 NO=-284.14
Tensioni nel cordone: τ_P= 0.04 τ_O=0.24 σ_O=90.35 σ_{ID}=90.35 Σ_T=90.60
CC 3 SLV (Collegamento 0025_-382)
Azioni sul collegamento: N=-9117.97 Ty=-3.49 Tz=-9.22 Mx=0.02 Mz=0.69
Sollecitazioni agenti localmente: Tx_l=-3.49 Ty_l=-9.22 N_l=-9117.97 My_l=-0.69 Mz_l=0.02
Azioni sul cordone: TP=-0.28 TO=-0.67 NO=-674.00
Tensioni nel cordone: τ_P= 0.09 τ_O=0.21 σ_O=215.25 σ_{ID}=215.25 Σ_T=215.46
CC 3 SLV (Collegamento 0025_-382)

Azioni sul collegamento: N=-9117.97 Ty=-1.39 Tz=-9.22 Mx=0.02 Mz=0.03
Sollecitazioni agenti localmente: Tx_l=-1.39 Ty_l=-9.22 N_l=-9117.97 My_l=-0.03 Mz_l=0.02
Azioni sul cordone: TP=-0.12 TO=-0.67 NO=-674.00
Tensioni nel cordone: τ_P= 0.04 τ_O=0.21 σ_O=214.27 σ_{ID}=214.27 Σ_T=214.48
CC 3 SLV (Collegamento 0025_-382)
Azioni sul collegamento: N=-9117.97 Ty=-3.49 Tz=10.20 Mx=0.02 Mz=0.69
Sollecitazioni agenti localmente: Tx_l=-3.49 Ty_l=10.20 N_l=-9117.97 My_l=-0.69 Mz_l=0.02
Azioni sul cordone: TP=-0.28 TO=0.77 NO=-674.00
Tensioni nel cordone: τ_P= 0.09 τ_O=0.24 σ_O=215.25 σ_{ID}=215.25 Σ_T=215.49
CC 3 SLV (Collegamento 0025_-382)
Azioni sul collegamento: N=-9117.97 Ty=-1.39 Tz=10.20 Mx=0.02 Mz=0.03
Sollecitazioni agenti localmente: Tx_l=-1.39 Ty_l=10.20 N_l=-9117.97 My_l=-0.03 Mz_l=0.02
Azioni sul cordone: TP=-0.12 TO=0.77 NO=-674.00
Tensioni nel cordone: τ_P= 0.04 τ_O=0.24 σ_O=214.27 σ_{ID}=214.27 Σ_T=214.51
CC 4 SLD (Collegamento 0025_-382)
Azioni sul collegamento: N=-5709.27 Ty=-2.97 Tz=-2.35 Mx=0.01 Mz=-1.62
Sollecitazioni agenti localmente: Tx_l=-2.97 Ty_l=-2.35 N_l=-5709.27 My_l=1.62 Mz_l=0.01
Azioni sul cordone: TP=-0.23 TO=-0.18 NO=-422.03
Tensioni nel cordone: τ_P= 0.07 τ_O= 0.06 σ_O=136.51 σ_{ID}=136.51 Σ_T=136.56
CC 4 SLD (Collegamento 0025_-382)
Azioni sul collegamento: N=-5709.27 Ty=-3.60 Tz=-2.35 Mx=0.01 Mz=-1.82
Sollecitazioni agenti localmente: Tx_l=-3.60 Ty_l=-2.35 N_l=-5709.27 My_l=1.82 Mz_l=0.01
Azioni sul cordone: TP=-0.27 TO=-0.18 NO=-422.03
Tensioni nel cordone: τ_P= 0.09 τ_O= 0.06 σ_O=136.81 σ_{ID}=136.81 Σ_T=136.86
CC 4 SLD (Collegamento 0025_-382)
Azioni sul collegamento: N=-5709.27 Ty=-2.97 Tz=3.58 Mx=0.01 Mz=-1.62
Sollecitazioni agenti localmente: Tx_l=-2.97 Ty_l=3.58 N_l=-5709.27 My_l=1.62 Mz_l=0.01
Azioni sul cordone: TP=-0.23 TO=0.26 NO=-422.03
Tensioni nel cordone: τ_P= 0.07 τ_O= 0.08 σ_O=136.51 σ_{ID}=136.51 Σ_T=136.59
CC 4 SLD (Collegamento 0025_-382)
Azioni sul collegamento: N=-5709.27 Ty=-3.60 Tz=3.58 Mx=0.01 Mz=-1.82
Sollecitazioni agenti localmente: Tx_l=-3.60 Ty_l=3.58 N_l=-5709.27 My_l=1.82 Mz_l=0.01
Azioni sul cordone: TP=-0.27 TO=0.26 NO=-422.03
Tensioni nel cordone: τ_P= 0.09 τ_O= 0.08 σ_O=136.81 σ_{ID}=136.81 Σ_T=136.89
CC 4 SLD (Collegamento 0025_-382)
Azioni sul collegamento: N=-7317.51 Ty=-2.97 Tz=-2.35 Mx=0.01 Mz=-1.62
Sollecitazioni agenti localmente: Tx_l=-2.97 Ty_l=-2.35 N_l=-7317.51 My_l=1.62 Mz_l=0.01
Azioni sul cordone: TP=-0.23 TO=-0.18 NO=-540.91
Tensioni nel cordone: τ_P= 0.07 τ_O= 0.06 σ_O=174.29 σ_{ID}=174.29 Σ_T=174.35
CC 4 SLD (Collegamento 0025_-382)
Azioni sul collegamento: N=-7317.51 Ty=-3.60 Tz=-2.35 Mx=0.01 Mz=-1.82
Sollecitazioni agenti localmente: Tx_l=-3.60 Ty_l=-2.35 N_l=-7317.51 My_l=1.82 Mz_l=0.01
Azioni sul cordone: TP=-0.27 TO=-0.18 NO=-540.91
Tensioni nel cordone: τ_P= 0.09 τ_O= 0.06 σ_O=174.59 σ_{ID}=174.59 Σ_T=174.65
CC 4 SLD (Collegamento 0025_-382)
Azioni sul collegamento: N=-7317.51 Ty=-2.97 Tz=3.58 Mx=0.01 Mz=-1.62
Sollecitazioni agenti localmente: Tx_l=-2.97 Ty_l=3.58 N_l=-7317.51 My_l=1.62 Mz_l=0.01
Azioni sul cordone: TP=-0.23 TO=0.26 NO=-540.91
Tensioni nel cordone: τ_P= 0.07 τ_O= 0.08 σ_O=174.29 σ_{ID}=174.29 Σ_T=174.38
CC 4 SLD (Collegamento 0025_-382)
Azioni sul collegamento: N=-7317.51 Ty=-3.60 Tz=3.58 Mx=0.01 Mz=-1.82
Sollecitazioni agenti localmente: Tx_l=-3.60 Ty_l=3.58 N_l=-7317.51 My_l=1.82 Mz_l=0.01
Azioni sul cordone: TP=-0.27 TO=0.26 NO=-540.91
Tensioni nel cordone: τ_P= 0.09 τ_O= 0.08 σ_O=174.59 σ_{ID}=174.59 Σ_T=174.67
CC 5 SLV (Collegamento 0025_-382)
Azioni sul collegamento: N=-9117.97 Ty=-1.39 Tz=10.20 Mx=0.02 Mz=0.03
Sollecitazioni agenti localmente: Tx_l=-1.39 Ty_l=10.20 N_l=-9117.97 My_l=-0.03 Mz_l=0.02
Azioni sul cordone: TP=-0.12 TO=0.77 NO=-674.00
Tensioni nel cordone: τ_P= 0.04 τ_O=0.24 σ_O=214.27 σ_{ID}=214.27 Σ_T=214.51
CC 5 SLV (Collegamento 0025_-382)
Azioni sul collegamento: N=-9117.97 Ty=-3.49 Tz=10.20 Mx=0.02 Mz=0.69
Sollecitazioni agenti localmente: Tx_l=-3.49 Ty_l=10.20 N_l=-9117.97 My_l=-0.69 Mz_l=0.02
Azioni sul cordone: TP=-0.28 TO=0.77 NO=-674.00
Tensioni nel cordone: τ_P= 0.09 τ_O=0.24 σ_O=215.25 σ_{ID}=215.25 Σ_T=215.49
CC 5 SLV (Collegamento 0025_-382)
Azioni sul collegamento: N=-9117.97 Ty=-1.39 Tz=-9.22 Mx=0.02 Mz=0.03
Sollecitazioni agenti localmente: Tx_l=-1.39 Ty_l=-9.22 N_l=-9117.97 My_l=-0.03 Mz_l=0.02
Azioni sul cordone: TP=-0.12 TO=-0.67 NO=-674.00
Tensioni nel cordone: τ_P= 0.04 τ_O=0.21 σ_O=214.27 σ_{ID}=214.27 Σ_T=214.48
CC 5 SLV (Collegamento 0025_-382)
Azioni sul collegamento: N=-9117.97 Ty=-3.49 Tz=-9.22 Mx=0.02 Mz=0.69
Sollecitazioni agenti localmente: Tx_l=-3.49 Ty_l=-9.22 N_l=-9117.97 My_l=-0.69 Mz_l=0.02
Azioni sul cordone: TP=-0.28 TO=-0.67 NO=-674.00
Tensioni nel cordone: τ_P= 0.09 τ_O=0.21 σ_O=215.25 σ_{ID}=215.25 Σ_T=215.46
CC 5 SLV (Collegamento 0025_-382)
Azioni sul collegamento: N=-3843.85 Ty=-1.39 Tz=10.20 Mx=0.02 Mz=0.03
Sollecitazioni agenti localmente: Tx_l=-1.39 Ty_l=10.20 N_l=-3843.85 My_l=-0.03 Mz_l=0.02
Azioni sul cordone: TP=-0.12 TO=0.77 NO=-284.14
Tensioni nel cordone: τ_P= 0.04 τ_O=0.24 σ_O=90.35 σ_{ID}=90.35 Σ_T=90.60

CC 5 SLV (Collegamento 0025_-382)
Azioni sul collegamento: N=-3843.85 Ty=-3.49 Tz=10.20 Mx=0.02 Mz=0.69
Sollecitazioni agenti localmente: Tx_l=-3.49 Ty_l=10.20 N_l=-3843.85 My_l=-0.69 Mz_l=0.02
Azioni sul cordone: TP=-0.28 TO=0.77 NO=-284.14
Tensioni nel cordone: τ_P= 0.09 τ_0=0.24 σ_0=91.33 σ_{ID}=91.33 Σ_T=91.57
CC 5 SLV (Collegamento 0025_-382)
Azioni sul collegamento: N=-3843.85 Ty=-1.39 Tz=-9.22 Mx=0.02 Mz=0.03
Sollecitazioni agenti localmente: Tx_l=-1.39 Ty_l=-9.22 N_l=-3843.85 My_l=-0.03 Mz_l=0.02
Azioni sul cordone: TP=-0.12 TO=-0.67 NO=-284.14
Tensioni nel cordone: τ_P= 0.04 τ_0=0.21 σ_0=90.35 σ_{ID}=90.35 Σ_T=90.56
CC 5 SLV (Collegamento 0025_-382)
Azioni sul collegamento: N=-3843.85 Ty=-3.49 Tz=-9.22 Mx=0.02 Mz=0.69
Sollecitazioni agenti localmente: Tx_l=-3.49 Ty_l=-9.22 N_l=-3843.85 My_l=-0.69 Mz_l=0.02
Azioni sul cordone: TP=-0.28 TO=-0.67 NO=-284.14
Tensioni nel cordone: τ_P= 0.09 τ_0=0.21 σ_0=91.33 σ_{ID}=91.33 Σ_T=91.54
CC 6 SLD (Collegamento 0025_-382)
Azioni sul collegamento: N=-7317.51 Ty=-3.60 Tz=3.58 Mx=0.01 Mz=-1.82
Sollecitazioni agenti localmente: Tx_l=-3.60 Ty_l=3.58 N_l=-7317.51 My_l=1.82 Mz_l=0.01
Azioni sul cordone: TP=-0.28 TO=0.26 NO=-540.91
Tensioni nel cordone: τ_P= 0.09 τ_0= 0.08 σ_0=174.59 σ_{ID}=174.59 Σ_T=174.67
CC 6 SLD (Collegamento 0025_-382)
Azioni sul collegamento: N=-7317.51 Ty=-2.97 Tz=3.58 Mx=0.01 Mz=-1.62
Sollecitazioni agenti localmente: Tx_l=-2.97 Ty_l=3.58 N_l=-7317.51 My_l=1.62 Mz_l=0.01
Azioni sul cordone: TP=-0.23 TO=0.26 NO=-540.91
Tensioni nel cordone: τ_P= 0.07 τ_0= 0.08 σ_0=174.29 σ_{ID}=174.29 Σ_T=174.38
CC 6 SLD (Collegamento 0025_-382)
Azioni sul collegamento: N=-7317.51 Ty=-3.60 Tz=-2.35 Mx=0.01 Mz=-1.82
Sollecitazioni agenti localmente: Tx_l=-3.60 Ty_l=-2.35 N_l=-7317.51 My_l=1.82 Mz_l=0.01
Azioni sul cordone: TP=-0.28 TO=-0.18 NO=-540.91
Tensioni nel cordone: τ_P= 0.09 τ_0= 0.06 σ_0=174.59 σ_{ID}=174.59 Σ_T=174.65
CC 6 SLD (Collegamento 0025_-382)
Azioni sul collegamento: N=-7317.51 Ty=-2.97 Tz=-2.35 Mx=0.01 Mz=-1.62
Sollecitazioni agenti localmente: Tx_l=-2.97 Ty_l=-2.35 N_l=-7317.51 My_l=1.62 Mz_l=0.01
Azioni sul cordone: TP=-0.23 TO=-0.18 NO=-540.91
Tensioni nel cordone: τ_P= 0.07 τ_0= 0.06 σ_0=174.29 σ_{ID}=174.29 Σ_T=174.35
CC 6 SLD (Collegamento 0025_-382)
Azioni sul collegamento: N=-5709.27 Ty=-3.60 Tz=3.58 Mx=0.01 Mz=-1.82
Sollecitazioni agenti localmente: Tx_l=-3.60 Ty_l=3.58 N_l=-5709.27 My_l=1.82 Mz_l=0.01
Azioni sul cordone: TP=-0.28 TO=0.26 NO=-422.03
Tensioni nel cordone: τ_P= 0.09 τ_0= 0.08 σ_0=136.81 σ_{ID}=136.81 Σ_T=136.89
CC 6 SLD (Collegamento 0025_-382)
Azioni sul collegamento: N=-5709.27 Ty=-2.97 Tz=3.58 Mx=0.01 Mz=-1.62
Sollecitazioni agenti localmente: Tx_l=-2.97 Ty_l=3.58 N_l=-5709.27 My_l=1.62 Mz_l=0.01
Azioni sul cordone: TP=-0.23 TO=0.26 NO=-422.03
Tensioni nel cordone: τ_P= 0.07 τ_0= 0.08 σ_0=136.51 σ_{ID}=136.51 Σ_T=136.59
CC 6 SLD (Collegamento 0025_-382)
Azioni sul collegamento: N=-5709.27 Ty=-3.60 Tz=-2.35 Mx=0.01 Mz=-1.82
Sollecitazioni agenti localmente: Tx_l=-3.60 Ty_l=-2.35 N_l=-5709.27 My_l=1.82 Mz_l=0.01
Azioni sul cordone: TP=-0.28 TO=-0.18 NO=-422.03
Tensioni nel cordone: τ_P= 0.09 τ_0= 0.06 σ_0=136.81 σ_{ID}=136.81 Σ_T=136.86
CC 6 SLD (Collegamento 0025_-382)
Azioni sul collegamento: N=-5709.27 Ty=-2.97 Tz=-2.35 Mx=0.01 Mz=-1.62
Sollecitazioni agenti localmente: Tx_l=-2.97 Ty_l=-2.35 N_l=-5709.27 My_l=1.62 Mz_l=0.01
Azioni sul cordone: TP=-0.23 TO=-0.18 NO=-422.03
Tensioni nel cordone: τ_P= 0.07 τ_0= 0.06 σ_0=136.51 σ_{ID}=136.51 Σ_T=136.56
CC 7 SLV (Collegamento 0025_-382)
Azioni sul collegamento: N=-9123.66 Ty=-0.76 Tz=10.33 Mx=0.01 Mz=-1.23
Sollecitazioni agenti localmente: Tx_l=-0.76 Ty_l=10.33 N_l=-9123.66 My_l=1.23 Mz_l=0.01
Azioni sul cordone: TP=-0.07 TO=0.75 NO=-674.42
Tensioni nel cordone: τ_P= 0.02 τ_0=0.24 σ_0=216.16 σ_{ID}=216.16 Σ_T=216.40
CC 7 SLV (Collegamento 0025_-382)
Azioni sul collegamento: N=-9123.66 Ty=-4.12 Tz=10.33 Mx=0.01 Mz=1.95
Sollecitazioni agenti localmente: Tx_l=-4.12 Ty_l=10.33 N_l=-9123.66 My_l=-1.95 Mz_l=0.01
Azioni sul cordone: TP=-0.32 TO=0.77 NO=-674.42
Tensioni nel cordone: τ_P=0.10 τ_0=0.25 σ_0=217.22 σ_{ID}=217.22 Σ_T=217.46
CC 7 SLV (Collegamento 0025_-382)
Azioni sul collegamento: N=-9123.66 Ty=-0.76 Tz=-9.35 Mx=0.01 Mz=-1.23
Sollecitazioni agenti localmente: Tx_l=-0.76 Ty_l=-9.35 N_l=-9123.66 My_l=1.23 Mz_l=0.01
Azioni sul cordone: TP=-0.07 TO=-0.70 NO=-674.42
Tensioni nel cordone: τ_P= 0.02 τ_0=0.22 σ_0=216.16 σ_{ID}=216.16 Σ_T=216.38
CC 7 SLV (Collegamento 0025_-382)
Azioni sul collegamento: N=-9123.66 Ty=-4.12 Tz=-9.35 Mx=0.01 Mz=1.95
Sollecitazioni agenti localmente: Tx_l=-4.12 Ty_l=-9.35 N_l=-9123.66 My_l=-1.95 Mz_l=0.01
Azioni sul cordone: TP=-0.32 TO=-0.68 NO=-674.42
Tensioni nel cordone: τ_P=0.10 τ_0=0.22 σ_0=217.22 σ_{ID}=217.22 Σ_T=217.43
CC 7 SLV (Collegamento 0025_-382)
Azioni sul collegamento: N=-3838.16 Ty=-0.76 Tz=10.33 Mx=0.01 Mz=-1.23
Sollecitazioni agenti localmente: Tx_l=-0.76 Ty_l=10.33 N_l=-3838.16 My_l=1.23 Mz_l=0.01
Azioni sul cordone: TP=-0.07 TO=0.75 NO=-283.72

Tensioni nel cordone: τ_P= 0.02 τ_0=0.24 σ_0=91.98 σ_{ID}=91.98 Σ_T=92.22
CC 7 SLV (Collegamento 0025_-382)
Azioni sul collegamento: N=-3838.16 Ty=-4.12 Tz=10.33 Mx=0.01 Mz=1.95
Sollecitazioni agenti localmente: Tx_l=-4.12 Ty_l=10.33 N_l=-3838.16 My_l=-1.95 Mz_l=0.01
Azioni sul cordone: TP=-0.32 TO=0.77 NO=-283.72
Tensioni nel cordone: τ_P=0.10 τ_0=0.25 σ_0=93.03 σ_{ID}=93.03 Σ_T=93.28
CC 7 SLV (Collegamento 0025_-382)
Azioni sul collegamento: N=-3838.16 Ty=-0.76 Tz=-9.35 Mx=0.01 Mz=-1.23
Sollecitazioni agenti localmente: Tx_l=-0.76 Ty_l=-9.35 N_l=-3838.16 My_l=1.23 Mz_l=0.01
Azioni sul cordone: TP=-0.07 TO=-0.70 NO=-283.72
Tensioni nel cordone: τ_P= 0.02 τ_0=0.22 σ_0=91.98 σ_{ID}=91.98 Σ_T=92.20
CC 7 SLV (Collegamento 0025_-382)
Azioni sul collegamento: N=-3838.16 Ty=-4.12 Tz=-9.35 Mx=0.01 Mz=1.95
Sollecitazioni agenti localmente: Tx_l=-4.12 Ty_l=-9.35 N_l=-3838.16 My_l=-1.95 Mz_l=0.01
Azioni sul cordone: TP=-0.32 TO=-0.68 NO=-283.72
Tensioni nel cordone: τ_P=0.10 τ_0=0.22 σ_0=93.03 σ_{ID}=93.03 Σ_T=93.25
CC 8 SLD (Collegamento 0025_-382)
Azioni sul collegamento: N=-7319.25 Ty=-3.80 Tz=3.62 Mx=0.01 Mz=-2.21
Sollecitazioni agenti localmente: Tx_l=-3.80 Ty_l=3.62 N_l=-7319.25 My_l=2.21 Mz_l=0.01
Azioni sul cordone: TP=-0.29 TO=0.26 NO=-541.04
Tensioni nel cordone: τ_P= 0.09 τ_0= 0.08 σ_0=175.19 σ_{ID}=175.19 Σ_T=175.28
CC 8 SLD (Collegamento 0025_-382)
Azioni sul collegamento: N=-7319.25 Ty=-2.77 Tz=3.62 Mx=0.01 Mz=-1.24
Sollecitazioni agenti localmente: Tx_l=-2.77 Ty_l=3.62 N_l=-7319.25 My_l=1.24 Mz_l=0.01
Azioni sul cordone: TP=-0.21 TO=0.26 NO=-541.04
Tensioni nel cordone: τ_P= 0.07 τ_0= 0.08 σ_0=173.78 σ_{ID}=173.78 Σ_T=173.86
CC 8 SLD (Collegamento 0025_-382)
Azioni sul collegamento: N=-7319.25 Ty=-3.80 Tz=-2.38 Mx=0.01 Mz=-2.21
Sollecitazioni agenti localmente: Tx_l=-3.80 Ty_l=-2.38 N_l=-7319.25 My_l=2.21 Mz_l=0.01
Azioni sul cordone: TP=-0.29 TO=-0.18 NO=-541.04
Tensioni nel cordone: τ_P= 0.09 τ_0= 0.06 σ_0=175.19 σ_{ID}=175.19 Σ_T=175.25
CC 8 SLD (Collegamento 0025_-382)
Azioni sul collegamento: N=-7319.25 Ty=-2.77 Tz=-2.38 Mx=0.01 Mz=-1.24
Sollecitazioni agenti localmente: Tx_l=-2.77 Ty_l=-2.38 N_l=-7319.25 My_l=1.24 Mz_l=0.01
Azioni sul cordone: TP=-0.21 TO=-0.18 NO=-541.04
Tensioni nel cordone: τ_P= 0.07 τ_0= 0.06 σ_0=173.78 σ_{ID}=173.78 Σ_T=173.83
CC 8 SLD (Collegamento 0025_-382)
Azioni sul collegamento: N=-5707.53 Ty=-3.80 Tz=3.62 Mx=0.01 Mz=-2.21
Sollecitazioni agenti localmente: Tx_l=-3.80 Ty_l=3.62 N_l=-5707.53 My_l=2.21 Mz_l=0.01
Azioni sul cordone: TP=-0.29 TO=0.26 NO=-421.90
Tensioni nel cordone: τ_P= 0.09 τ_0= 0.08 σ_0=137.32 σ_{ID}=137.32 Σ_T=137.41
CC 8 SLD (Collegamento 0025_-382)
Azioni sul collegamento: N=-5707.53 Ty=-2.77 Tz=3.62 Mx=0.01 Mz=-1.24
Sollecitazioni agenti localmente: Tx_l=-2.77 Ty_l=3.62 N_l=-5707.53 My_l=1.24 Mz_l=0.01
Azioni sul cordone: TP=-0.21 TO=0.26 NO=-421.90
Tensioni nel cordone: τ_P= 0.07 τ_0= 0.08 σ_0=135.91 σ_{ID}=135.91 Σ_T=135.99
CC 8 SLD (Collegamento 0025_-382)
Azioni sul collegamento: N=-5707.53 Ty=-3.80 Tz=-2.38 Mx=0.01 Mz=-2.21
Sollecitazioni agenti localmente: Tx_l=-3.80 Ty_l=-2.38 N_l=-5707.53 My_l=2.21 Mz_l=0.01
Azioni sul cordone: TP=-0.29 TO=-0.18 NO=-421.90
Tensioni nel cordone: τ_P= 0.09 τ_0= 0.06 σ_0=137.32 σ_{ID}=137.32 Σ_T=137.38
CC 8 SLD (Collegamento 0025_-382)
Azioni sul collegamento: N=-5707.53 Ty=-2.77 Tz=-2.38 Mx=0.01 Mz=-1.24
Sollecitazioni agenti localmente: Tx_l=-2.77 Ty_l=-2.38 N_l=-5707.53 My_l=1.24 Mz_l=0.01
Azioni sul cordone: TP=-0.21 TO=-0.18 NO=-421.90
Tensioni nel cordone: τ_P= 0.07 τ_0= 0.06 σ_0=135.91 σ_{ID}=135.91 Σ_T=135.96
CC 9 SLV (Collegamento 0025_-382)
Azioni sul collegamento: N=-5679.47 Ty=-3.91 Tz=-2.66 Mx=0.03 Mz=2.74
Sollecitazioni agenti localmente: Tx_l=-3.91 Ty_l=-2.66 N_l=-5679.47 My_l=-2.74 Mz_l=0.03
Azioni sul cordone: TP=-0.32 TO=-0.18 NO=-419.83
Tensioni nel cordone: τ_P=0.10 τ_0= 0.06 σ_0=137.45 σ_{ID}=137.45 Σ_T=137.51
CC 9 SLV (Collegamento 0025_-382)
Azioni sul collegamento: N=-5679.47 Ty=-0.97 Tz=-2.66 Mx=0.03 Mz=-2.02
Sollecitazioni agenti localmente: Tx_l=-0.97 Ty_l=-2.66 N_l=-5679.47 My_l=2.02 Mz_l=0.03
Azioni sul cordone: TP=-0.10 TO=-0.22 NO=-419.83
Tensioni nel cordone: τ_P= 0.03 τ_0= 0.07 σ_0=136.40 σ_{ID}=136.40 Σ_T=136.47
CC 9 SLV (Collegamento 0025_-382)
Azioni sul collegamento: N=-5679.47 Ty=-3.91 Tz=3.63 Mx=0.03 Mz=2.74
Sollecitazioni agenti localmente: Tx_l=-3.91 Ty_l=3.63 N_l=-5679.47 My_l=-2.74 Mz_l=0.03
Azioni sul cordone: TP=-0.32 TO=0.29 NO=-419.83
Tensioni nel cordone: τ_P=0.10 τ_0= 0.09 σ_0=137.45 σ_{ID}=137.45 Σ_T=137.54
CC 9 SLV (Collegamento 0025_-382)
Azioni sul collegamento: N=-5679.47 Ty=-0.97 Tz=3.63 Mx=0.03 Mz=-2.02
Sollecitazioni agenti localmente: Tx_l=-0.97 Ty_l=3.63 N_l=-5679.47 My_l=2.02 Mz_l=0.03
Azioni sul cordone: TP=-0.10 TO=0.25 NO=-419.83
Tensioni nel cordone: τ_P= 0.03 τ_0= 0.08 σ_0=136.40 σ_{ID}=136.40 Σ_T=136.48
CC 9 SLV (Collegamento 0025_-382)
Azioni sul collegamento: N=-7282.35 Ty=-3.91 Tz=-2.66 Mx=0.03 Mz=2.74
Sollecitazioni agenti localmente: Tx_l=-3.91 Ty_l=-2.66 N_l=-7282.35 My_l=-2.74 Mz_l=0.03

Azioni sul cordone: TP=-0.32 TO=-0.18 NO=-538.31
Tensioni nel cordone: τ_P=0.10 τ_O= 0.06 σ_O=175.11 σ_{ID}=175.11 Σ_T=175.17
CC 9 SLV (Collegamento 0025_-382)
Azioni sul collegamento: N=-7282.35 Ty=-0.97 Tz=-2.66 Mx=0.03 Mz=-2.02
Sollecitazioni agenti localmente: Tx_l=-0.97 Ty_l=-2.66 N_l=-7282.35 My_l=2.02 Mz_l=0.03
Azioni sul cordone: TP=-0.10 TO=-0.22 NO=-538.31
Tensioni nel cordone: τ_P= 0.03 τ_O= 0.07 σ_O=174.06 σ_{ID}=174.06 Σ_T=174.13
CC 9 SLV (Collegamento 0025_-382)
Azioni sul collegamento: N=-7282.35 Ty=-3.91 Tz=3.63 Mx=0.03 Mz=2.74
Sollecitazioni agenti localmente: Tx_l=-3.91 Ty_l=3.63 N_l=-7282.35 My_l=-2.74 Mz_l=0.03
Azioni sul cordone: TP=-0.32 TO=0.29 NO=-538.31
Tensioni nel cordone: τ_P=0.10 τ_O= 0.09 σ_O=175.11 σ_{ID}=175.11 Σ_T=175.20
CC 9 SLV (Collegamento 0025_-382)
Azioni sul collegamento: N=-7282.35 Ty=-0.97 Tz=3.63 Mx=0.03 Mz=-2.02
Sollecitazioni agenti localmente: Tx_l=-0.97 Ty_l=3.63 N_l=-7282.35 My_l=2.02 Mz_l=0.03
Azioni sul cordone: TP=-0.10 TO=0.25 NO=-538.31
Tensioni nel cordone: τ_P= 0.03 τ_O= 0.08 σ_O=174.06 σ_{ID}=174.06 Σ_T=174.14
CC 10 SLD (Collegamento 0025_-382)
Azioni sul collegamento: N=-6269.01 Ty=-2.84 Tz=-0.34 Mx=0.01 Mz=-0.99
Sollecitazioni agenti localmente: Tx_l=-2.84 Ty_l=-0.34 N_l=-6269.01 My_l=0.99 Mz_l=0.01
Azioni sul cordone: TP=-0.22 TO=-0.03 NO=-463.41
Tensioni nel cordone: τ_P= 0.07 τ_O= 0.01 σ_O=148.75 σ_{ID}=148.75 Σ_T=148.76
CC 10 SLD (Collegamento 0025_-382)
Azioni sul collegamento: N=-6269.01 Ty=-3.73 Tz=-0.34 Mx=0.01 Mz=-2.45
Sollecitazioni agenti localmente: Tx_l=-3.73 Ty_l=-0.34 N_l=-6269.01 My_l=2.45 Mz_l=0.01
Azioni sul cordone: TP=-0.29 TO=-0.03 NO=-463.41
Tensioni nel cordone: τ_P= 0.09 τ_O= 0.01 σ_O=150.87 σ_{ID}=150.87 Σ_T=150.88
CC 10 SLD (Collegamento 0025_-382)
Azioni sul collegamento: N=-6269.00 Ty=-2.84 Tz=1.57 Mx=0.01 Mz=-0.99
Sollecitazioni agenti localmente: Tx_l=-2.84 Ty_l=1.57 N_l=-6269.00 My_l=0.99 Mz_l=0.01
Azioni sul cordone: TP=-0.22 TO=0.11 NO=-463.41
Tensioni nel cordone: τ_P= 0.07 τ_O= 0.03 σ_O=148.75 σ_{ID}=148.75 Σ_T=148.78
CC 10 SLD (Collegamento 0025_-382)
Azioni sul collegamento: N=-6269.00 Ty=-3.73 Tz=1.57 Mx=0.01 Mz=-2.45
Sollecitazioni agenti localmente: Tx_l=-3.73 Ty_l=1.57 N_l=-6269.00 My_l=2.45 Mz_l=0.01
Azioni sul cordone: TP=-0.29 TO=0.11 NO=-463.41
Tensioni nel cordone: τ_P= 0.09 τ_O= 0.03 σ_O=150.87 σ_{ID}=150.87 Σ_T=150.90
CC 10 SLD (Collegamento 0025_-382)
Azioni sul collegamento: N=-6757.78 Ty=-2.84 Tz=-0.34 Mx=0.01 Mz=-0.99
Sollecitazioni agenti localmente: Tx_l=-2.84 Ty_l=-0.34 N_l=-6757.78 My_l=0.99 Mz_l=0.01
Azioni sul cordone: TP=-0.22 TO=-0.03 NO=-499.54
Tensioni nel cordone: τ_P= 0.07 τ_O= 0.01 σ_O=160.23 σ_{ID}=160.23 Σ_T=160.24
CC 10 SLD (Collegamento 0025_-382)
Azioni sul collegamento: N=-6757.78 Ty=-3.73 Tz=-0.34 Mx=0.01 Mz=-2.45
Sollecitazioni agenti localmente: Tx_l=-3.73 Ty_l=-0.34 N_l=-6757.78 My_l=2.45 Mz_l=0.01
Azioni sul cordone: TP=-0.29 TO=-0.03 NO=-499.54
Tensioni nel cordone: τ_P= 0.09 τ_O= 0.01 σ_O=162.35 σ_{ID}=162.35 Σ_T=162.36
CC 10 SLD (Collegamento 0025_-382)
Azioni sul collegamento: N=-6757.78 Ty=-2.84 Tz=1.57 Mx=0.01 Mz=-0.99
Sollecitazioni agenti localmente: Tx_l=-2.84 Ty_l=1.57 N_l=-6757.78 My_l=0.99 Mz_l=0.01
Azioni sul cordone: TP=-0.22 TO=0.11 NO=-499.54
Tensioni nel cordone: τ_P= 0.07 τ_O= 0.03 σ_O=160.23 σ_{ID}=160.23 Σ_T=160.26
CC 10 SLD (Collegamento 0025_-382)
Azioni sul collegamento: N=-6757.78 Ty=-3.73 Tz=1.57 Mx=0.01 Mz=-2.45
Sollecitazioni agenti localmente: Tx_l=-3.73 Ty_l=1.57 N_l=-6757.78 My_l=2.45 Mz_l=0.01
Azioni sul cordone: TP=-0.29 TO=0.11 NO=-499.54
Tensioni nel cordone: τ_P= 0.09 τ_O= 0.03 σ_O=162.35 σ_{ID}=162.35 Σ_T=162.39
CC 11 SLV (Collegamento 0025_-382)
Azioni sul collegamento: N=-7263.41 Ty=-3.09 Tz=3.21 Mx=0.02 Mz=2.17
Sollecitazioni agenti localmente: Tx_l=-3.09 Ty_l=3.21 N_l=-7263.41 My_l=-2.17 Mz_l=0.02
Azioni sul cordone: TP=-0.26 TO=0.26 NO=-536.91
Tensioni nel cordone: τ_P= 0.08 τ_O= 0.08 σ_O=173.82 σ_{ID}=173.82 Σ_T=173.91
CC 11 SLV (Collegamento 0025_-382)
Azioni sul collegamento: N=-7263.41 Ty=-1.79 Tz=3.21 Mx=0.02 Mz=-1.45
Sollecitazioni agenti localmente: Tx_l=-1.79 Ty_l=3.21 N_l=-7263.41 My_l=1.45 Mz_l=0.02
Azioni sul cordone: TP=-0.16 TO=0.22 NO=-536.91
Tensioni nel cordone: τ_P= 0.05 τ_O= 0.07 σ_O=172.77 σ_{ID}=172.77 Σ_T=172.84
CC 11 SLV (Collegamento 0025_-382)
Azioni sul collegamento: N=-7263.41 Ty=-3.09 Tz=-2.23 Mx=0.02 Mz=2.17
Sollecitazioni agenti localmente: Tx_l=-3.09 Ty_l=-2.23 N_l=-7263.41 My_l=-2.17 Mz_l=0.02
Azioni sul cordone: TP=-0.26 TO=-0.15 NO=-536.91
Tensioni nel cordone: τ_P= 0.08 τ_O= 0.05 σ_O=173.82 σ_{ID}=173.82 Σ_T=173.87
CC 11 SLV (Collegamento 0025_-382)
Azioni sul collegamento: N=-7263.41 Ty=-1.79 Tz=-2.23 Mx=0.02 Mz=-1.45
Sollecitazioni agenti localmente: Tx_l=-1.79 Ty_l=-2.23 N_l=-7263.41 My_l=1.45 Mz_l=0.02
Azioni sul cordone: TP=-0.16 TO=-0.18 NO=-536.91
Tensioni nel cordone: τ_P= 0.05 τ_O= 0.06 σ_O=172.77 σ_{ID}=172.77 Σ_T=172.83
CC 11 SLV (Collegamento 0025_-382)
Azioni sul collegamento: N=-5698.41 Ty=-3.09 Tz=3.21 Mx=0.02 Mz=2.17

Sollecitazioni agenti localmente: Tx_l=-3.09 Ty_l=3.21 N_l=-5698.41 My_l=-2.17 Mz_l=0.02
Azioni sul cordone: TP=-0.26 TO=0.26 NO=-421.23
Tensioni nel cordone: τ_P= 0.08 τ_O= 0.08 σ_O=137.05 σ_{ID}=137.05 Σ_T=137.13
CC 11 SLV (Collegamento 0025_-382)
Azioni sul collegamento: N=-5698.41 Ty=-1.79 Tz=3.21 Mx=0.02 Mz=-1.45
Sollecitazioni agenti localmente: Tx_l=-1.79 Ty_l=3.21 N_l=-5698.41 My_l=1.45 Mz_l=0.02
Azioni sul cordone: TP=-0.16 TO=0.22 NO=-421.23
Tensioni nel cordone: τ_P= 0.05 τ_O= 0.07 σ_O=136.00 σ_{ID}=136.00 Σ_T=136.07
CC 11 SLV (Collegamento 0025_-382)
Azioni sul collegamento: N=-5698.41 Ty=-3.09 Tz=-2.23 Mx=0.02 Mz=2.17
Sollecitazioni agenti localmente: Tx_l=-3.09 Ty_l=-2.23 N_l=-5698.41 My_l=-2.17 Mz_l=0.02
Azioni sul cordone: TP=-0.26 TO=-0.15 NO=-421.23
Tensioni nel cordone: τ_P= 0.08 τ_O= 0.05 σ_O=137.05 σ_{ID}=137.05 Σ_T=137.10
CC 11 SLV (Collegamento 0025_-382)
Azioni sul collegamento: N=-5698.41 Ty=-1.79 Tz=-2.23 Mx=0.02 Mz=-1.45
Sollecitazioni agenti localmente: Tx_l=-1.79 Ty_l=-2.23 N_l=-5698.41 My_l=1.45 Mz_l=0.02
Azioni sul cordone: TP=-0.16 TO=-0.18 NO=-421.23
Tensioni nel cordone: τ_P= 0.05 τ_O= 0.06 σ_O=136.00 σ_{ID}=136.00 Σ_T=136.06
CC 12 SLD (Collegamento 0025_-382)
Azioni sul collegamento: N=-6752.00 Ty=-3.09 Tz=1.44 Mx=0.01 Mz=-1.17
Sollecitazioni agenti localmente: Tx_l=-3.09 Ty_l=1.44 N_l=-6752.00 My_l=1.17 Mz_l=0.01
Azioni sul cordone: TP=-0.24 TO=0.10 NO=-499.11
Tensioni nel cordone: τ_P= 0.08 τ_O= 0.03 σ_O=160.35 σ_{ID}=160.35 Σ_T=160.38
CC 12 SLD (Collegamento 0025_-382)
Azioni sul collegamento: N=-6752.00 Ty=-3.48 Tz=1.44 Mx=0.01 Mz=-2.27
Sollecitazioni agenti localmente: Tx_l=-3.48 Ty_l=1.44 N_l=-6752.00 My_l=2.27 Mz_l=0.01
Azioni sul cordone: TP=-0.27 TO=0.10 NO=-499.11
Tensioni nel cordone: τ_P= 0.09 τ_O= 0.03 σ_O=161.96 σ_{ID}=161.96 Σ_T=161.99
CC 12 SLD (Collegamento 0025_-382)
Azioni sul collegamento: N=-6752.00 Ty=-3.09 Tz=-0.21 Mx=0.01 Mz=-1.17
Sollecitazioni agenti localmente: Tx_l=-3.09 Ty_l=-0.21 N_l=-6752.00 My_l=1.17 Mz_l=0.01
Azioni sul cordone: TP=-0.24 TO=-0.02 NO=-499.11
Tensioni nel cordone: τ_P= 0.08 τ_O=7.48E-03 σ_O=160.35 σ_{ID}=160.35 Σ_T=160.36
CC 12 SLD (Collegamento 0025_-382)
Azioni sul collegamento: N=-6752.00 Ty=-3.48 Tz=-0.21 Mx=0.01 Mz=-2.27
Sollecitazioni agenti localmente: Tx_l=-3.48 Ty_l=-0.21 N_l=-6752.00 My_l=2.27 Mz_l=0.01
Azioni sul cordone: TP=-0.27 TO=-0.02 NO=-499.11
Tensioni nel cordone: τ_P= 0.09 τ_O=7.48E-03 σ_O=161.96 σ_{ID}=161.96 Σ_T=161.97
CC 12 SLD (Collegamento 0025_-382)
Azioni sul collegamento: N=-6274.78 Ty=-3.09 Tz=1.44 Mx=0.01 Mz=-1.17
Sollecitazioni agenti localmente: Tx_l=-3.09 Ty_l=1.44 N_l=-6274.78 My_l=1.17 Mz_l=0.01
Azioni sul cordone: TP=-0.24 TO=0.10 NO=-463.83
Tensioni nel cordone: τ_P= 0.08 τ_O= 0.03 σ_O=149.14 σ_{ID}=149.14 Σ_T=149.17
CC 12 SLD (Collegamento 0025_-382)
Azioni sul collegamento: N=-6274.78 Ty=-3.48 Tz=1.44 Mx=0.01 Mz=-2.27
Sollecitazioni agenti localmente: Tx_l=-3.48 Ty_l=1.44 N_l=-6274.78 My_l=2.27 Mz_l=0.01
Azioni sul cordone: TP=-0.27 TO=0.10 NO=-463.83
Tensioni nel cordone: τ_P= 0.09 τ_O= 0.03 σ_O=150.75 σ_{ID}=150.75 Σ_T=150.78
CC 12 SLD (Collegamento 0025_-382)
Azioni sul collegamento: N=-6274.78 Ty=-3.09 Tz=-0.21 Mx=0.01 Mz=-1.17
Sollecitazioni agenti localmente: Tx_l=-3.09 Ty_l=-0.21 N_l=-6274.78 My_l=1.17 Mz_l=0.01
Azioni sul cordone: TP=-0.24 TO=-0.02 NO=-463.83
Tensioni nel cordone: τ_P= 0.08 τ_O=7.48E-03 σ_O=149.14 σ_{ID}=149.14 Σ_T=149.15
CC 12 SLD (Collegamento 0025_-382)
Azioni sul collegamento: N=-6274.78 Ty=-3.48 Tz=-0.21 Mx=0.01 Mz=-2.27
Sollecitazioni agenti localmente: Tx_l=-3.48 Ty_l=-0.21 N_l=-6274.78 My_l=2.27 Mz_l=0.01
Azioni sul cordone: TP=-0.27 TO=-0.02 NO=-463.83
Tensioni nel cordone: τ_P= 0.09 τ_O=7.48E-03 σ_O=150.75 σ_{ID}=150.75 Σ_T=150.75
CC 13 SLV (Collegamento 0025_-382)
Azioni sul collegamento: N=-5698.41 Ty=-1.79 Tz=-2.23 Mx=0.01 Mz=-1.45
Sollecitazioni agenti localmente: Tx_l=-1.79 Ty_l=-2.23 N_l=-5698.41 My_l=1.45 Mz_l=0.01
Azioni sul cordone: TP=-0.14 TO=-0.17 NO=-421.23
Tensioni nel cordone: τ_P= 0.05 τ_O= 0.05 σ_O=136.00 σ_{ID}=136.00 Σ_T=136.05
CC 13 SLV (Collegamento 0025_-382)
Azioni sul collegamento: N=-5698.41 Ty=-3.09 Tz=-2.23 Mx=0.01 Mz=2.17
Sollecitazioni agenti localmente: Tx_l=-3.09 Ty_l=-2.23 N_l=-5698.41 My_l=-2.17 Mz_l=0.01
Azioni sul cordone: TP=-0.24 TO=-0.16 NO=-421.23
Tensioni nel cordone: τ_P= 0.08 τ_O= 0.05 σ_O=137.05 σ_{ID}=137.05 Σ_T=137.10
CC 13 SLV (Collegamento 0025_-382)
Azioni sul collegamento: N=-5698.41 Ty=-1.79 Tz=3.21 Mx=0.01 Mz=-1.45
Sollecitazioni agenti localmente: Tx_l=-1.79 Ty_l=3.21 N_l=-5698.41 My_l=1.45 Mz_l=0.01
Azioni sul cordone: TP=-0.14 TO=0.23 NO=-421.23
Tensioni nel cordone: τ_P= 0.05 τ_O= 0.07 σ_O=136.00 σ_{ID}=136.00 Σ_T=136.07
CC 13 SLV (Collegamento 0025_-382)
Azioni sul collegamento: N=-5698.41 Ty=-3.09 Tz=3.21 Mx=0.01 Mz=2.17
Sollecitazioni agenti localmente: Tx_l=-3.09 Ty_l=3.21 N_l=-5698.41 My_l=-2.17 Mz_l=0.01
Azioni sul cordone: TP=-0.24 TO=0.24 NO=-421.23
Tensioni nel cordone: τ_P= 0.08 τ_O= 0.08 σ_O=137.05 σ_{ID}=137.05 Σ_T=137.13
CC 13 SLV (Collegamento 0025_-382)

Azioni sul collegamento: N=-7263.41 Ty=-1.79 Tz=-2.23 Mx=0.01 Mz=-1.45
Sollecitazioni agenti localmente: Tx_l=-1.79 Ty_l=-2.23 N_l=-7263.41 My_l=1.45 Mz_l=0.01
Azioni sul cordone: TP=-0.14 TO=-0.17 NO=-536.91
Tensioni nel cordone: τ_P= 0.05 τ_0= 0.05 σ_0=172.77 σ_{ID}=172.77 Σ_T=172.82
CC 13 SLV (Collegamento 0025_-382)
Azioni sul collegamento: N=-7263.41 Ty=-3.09 Tz=-2.23 Mx=0.01 Mz=2.17
Sollecitazioni agenti localmente: Tx_l=-3.09 Ty_l=-2.23 N_l=-7263.41 My_l=-2.17 Mz_l=0.01
Azioni sul cordone: TP=-0.24 TO=-0.16 NO=-536.91
Tensioni nel cordone: τ_P= 0.08 τ_0= 0.05 σ_0=173.82 σ_{ID}=173.82 Σ_T=173.87
CC 13 SLV (Collegamento 0025_-382)
Azioni sul collegamento: N=-7263.41 Ty=-1.79 Tz=3.21 Mx=0.01 Mz=-1.45
Sollecitazioni agenti localmente: Tx_l=-1.79 Ty_l=3.21 N_l=-7263.41 My_l=1.45 Mz_l=0.01
Azioni sul cordone: TP=-0.14 TO=0.23 NO=-536.91
Tensioni nel cordone: τ_P= 0.05 τ_0= 0.07 σ_0=172.77 σ_{ID}=172.77 Σ_T=172.84
CC 13 SLV (Collegamento 0025_-382)
Azioni sul collegamento: N=-7263.41 Ty=-3.09 Tz=3.21 Mx=0.01 Mz=2.17
Sollecitazioni agenti localmente: Tx_l=-3.09 Ty_l=3.21 N_l=-7263.41 My_l=-2.17 Mz_l=0.01
Azioni sul cordone: TP=-0.24 TO=0.24 NO=-536.91
Tensioni nel cordone: τ_P= 0.08 τ_0= 0.08 σ_0=173.82 σ_{ID}=173.82 Σ_T=173.90
CC 14 SLD (Collegamento 0025_-382)
Azioni sul collegamento: N=-6274.78 Ty=-3.48 Tz=-0.21 Mx=0.01 Mz=-2.27
Sollecitazioni agenti localmente: Tx_l=-3.48 Ty_l=-0.21 N_l=-6274.78 My_l=2.27 Mz_l=0.01
Azioni sul cordone: TP=-0.26 TO=-0.02 NO=-463.83
Tensioni nel cordone: τ_P= 0.08 τ_0=6.32E-03 σ_0=150.75 σ_{ID}=150.75 Σ_T=150.75
CC 14 SLD (Collegamento 0025_-382)
Azioni sul collegamento: N=-6274.78 Ty=-3.09 Tz=-0.21 Mx=0.01 Mz=-1.17
Sollecitazioni agenti localmente: Tx_l=-3.09 Ty_l=-0.21 N_l=-6274.78 My_l=1.17 Mz_l=0.01
Azioni sul cordone: TP=-0.23 TO=-0.02 NO=-463.83
Tensioni nel cordone: τ_P= 0.07 τ_0=6.32E-03 σ_0=149.14 σ_{ID}=149.14 Σ_T=149.15
CC 14 SLD (Collegamento 0025_-382)
Azioni sul collegamento: N=-6274.78 Ty=-3.48 Tz=1.44 Mx=0.01 Mz=-2.27
Sollecitazioni agenti localmente: Tx_l=-3.48 Ty_l=1.44 N_l=-6274.78 My_l=2.27 Mz_l=0.01
Azioni sul cordone: TP=-0.26 TO=0.10 NO=-463.83
Tensioni nel cordone: τ_P= 0.08 τ_0= 0.03 σ_0=150.75 σ_{ID}=150.75 Σ_T=150.78
CC 14 SLD (Collegamento 0025_-382)
Azioni sul collegamento: N=-6274.78 Ty=-3.09 Tz=1.44 Mx=0.01 Mz=-1.17
Sollecitazioni agenti localmente: Tx_l=-3.09 Ty_l=1.44 N_l=-6274.78 My_l=1.17 Mz_l=0.01
Azioni sul cordone: TP=-0.23 TO=0.10 NO=-463.83
Tensioni nel cordone: τ_P= 0.07 τ_0= 0.03 σ_0=149.14 σ_{ID}=149.14 Σ_T=149.17
CC 14 SLD (Collegamento 0025_-382)
Azioni sul collegamento: N=-6752.00 Ty=-3.48 Tz=-0.21 Mx=0.01 Mz=-2.27
Sollecitazioni agenti localmente: Tx_l=-3.48 Ty_l=-0.21 N_l=-6752.00 My_l=2.27 Mz_l=0.01
Azioni sul cordone: TP=-0.26 TO=-0.02 NO=-499.11
Tensioni nel cordone: τ_P= 0.08 τ_0=6.32E-03 σ_0=161.96 σ_{ID}=161.96 Σ_T=161.97
CC 14 SLD (Collegamento 0025_-382)
Azioni sul collegamento: N=-6752.00 Ty=-3.09 Tz=-0.21 Mx=0.01 Mz=-1.17
Sollecitazioni agenti localmente: Tx_l=-3.09 Ty_l=-0.21 N_l=-6752.00 My_l=1.17 Mz_l=0.01
Azioni sul cordone: TP=-0.23 TO=-0.02 NO=-499.11
Tensioni nel cordone: τ_P= 0.07 τ_0=6.32E-03 σ_0=160.35 σ_{ID}=160.35 Σ_T=160.36
CC 14 SLD (Collegamento 0025_-382)
Azioni sul collegamento: N=-6752.00 Ty=-3.48 Tz=1.44 Mx=0.01 Mz=-2.27
Sollecitazioni agenti localmente: Tx_l=-3.48 Ty_l=1.44 N_l=-6752.00 My_l=2.27 Mz_l=0.01
Azioni sul cordone: TP=-0.26 TO=0.10 NO=-499.11
Tensioni nel cordone: τ_P= 0.08 τ_0= 0.03 σ_0=161.96 σ_{ID}=161.96 Σ_T=161.99
CC 14 SLD (Collegamento 0025_-382)
Azioni sul collegamento: N=-6752.00 Ty=-3.09 Tz=1.44 Mx=0.01 Mz=-1.17
Sollecitazioni agenti localmente: Tx_l=-3.09 Ty_l=1.44 N_l=-6752.00 My_l=1.17 Mz_l=0.01
Azioni sul cordone: TP=-0.23 TO=0.10 NO=-499.11
Tensioni nel cordone: τ_P= 0.07 τ_0= 0.03 σ_0=160.35 σ_{ID}=160.35 Σ_T=160.38
CC 15 SLV (Collegamento 0025_-382)
Azioni sul collegamento: N=-7282.35 Ty=-0.97 Tz=3.63 Mx=0.01 Mz=-2.02
Sollecitazioni agenti localmente: Tx_l=-0.97 Ty_l=3.63 N_l=-7282.35 My_l=2.02 Mz_l=0.01
Azioni sul cordone: TP=-0.08 TO=0.26 NO=-538.31
Tensioni nel cordone: τ_P= 0.03 τ_0= 0.08 σ_0=174.06 σ_{ID}=174.06 Σ_T=174.14
CC 15 SLV (Collegamento 0025_-382)
Azioni sul collegamento: N=-7282.35 Ty=-3.91 Tz=3.63 Mx=0.01 Mz=2.74
Sollecitazioni agenti localmente: Tx_l=-3.91 Ty_l=3.63 N_l=-7282.35 My_l=-2.74 Mz_l=0.01
Azioni sul cordone: TP=-0.30 TO=0.28 NO=-538.31
Tensioni nel cordone: τ_P= 0.09 τ_0= 0.09 σ_0=175.11 σ_{ID}=175.11 Σ_T=175.20
CC 15 SLV (Collegamento 0025_-382)
Azioni sul collegamento: N=-7282.35 Ty=-0.97 Tz=-2.66 Mx=0.01 Mz=-2.02
Sollecitazioni agenti localmente: Tx_l=-0.97 Ty_l=-2.66 N_l=-7282.35 My_l=2.02 Mz_l=0.01
Azioni sul cordone: TP=-0.08 TO=-0.20 NO=-538.31
Tensioni nel cordone: τ_P= 0.03 τ_0= 0.06 σ_0=174.06 σ_{ID}=174.06 Σ_T=174.12
CC 15 SLV (Collegamento 0025_-382)
Azioni sul collegamento: N=-7282.35 Ty=-3.91 Tz=-2.66 Mx=0.01 Mz=2.74
Sollecitazioni agenti localmente: Tx_l=-3.91 Ty_l=-2.66 N_l=-7282.35 My_l=-2.74 Mz_l=0.01
Azioni sul cordone: TP=-0.30 TO=-0.19 NO=-538.31
Tensioni nel cordone: τ_P= 0.09 τ_0= 0.06 σ_0=175.11 σ_{ID}=175.11 Σ_T=175.17

CC 15 SLV (Collegamento 0025_-382)
Azioni sul collegamento: N=-5679.47 Ty=-0.97 Tz=3.63 Mx=0.01 Mz=-2.02
Sollecitazioni agenti localmente: Tx_l=-0.97 Ty_l=3.63 N_l=-5679.47 My_l=2.02 Mz_l=0.01
Azioni sul cordone: TP=-0.08 TO=0.26 NO=-419.83
Tensioni nel cordone: τ_P= 0.03 τ_0= 0.08 σ_0=136.40 σ_{ID}=136.40 Σ_T=136.48
CC 15 SLV (Collegamento 0025_-382)
Azioni sul collegamento: N=-5679.47 Ty=-3.91 Tz=3.63 Mx=0.01 Mz=2.74
Sollecitazioni agenti localmente: Tx_l=-3.91 Ty_l=3.63 N_l=-5679.47 My_l=-2.74 Mz_l=0.01
Azioni sul cordone: TP=-0.30 TO=0.28 NO=-419.83
Tensioni nel cordone: τ_P= 0.09 τ_0= 0.09 σ_0=137.45 σ_{ID}=137.45 Σ_T=137.54
CC 15 SLV (Collegamento 0025_-382)
Azioni sul collegamento: N=-5679.47 Ty=-0.97 Tz=-2.66 Mx=0.01 Mz=-2.02
Sollecitazioni agenti localmente: Tx_l=-0.97 Ty_l=-2.66 N_l=-5679.47 My_l=2.02 Mz_l=0.01
Azioni sul cordone: TP=-0.08 TO=-0.20 NO=-419.83
Tensioni nel cordone: τ_P= 0.03 τ_0= 0.06 σ_0=136.40 σ_{ID}=136.40 Σ_T=136.46
CC 15 SLV (Collegamento 0025_-382)
Azioni sul collegamento: N=-5679.47 Ty=-3.91 Tz=-2.66 Mx=0.01 Mz=2.74
Sollecitazioni agenti localmente: Tx_l=-3.91 Ty_l=-2.66 N_l=-5679.47 My_l=-2.74 Mz_l=0.01
Azioni sul cordone: TP=-0.30 TO=-0.19 NO=-419.83
Tensioni nel cordone: τ_P= 0.09 τ_0= 0.06 σ_0=137.45 σ_{ID}=137.45 Σ_T=137.51
CC 16 SLD (Collegamento 0025_-382)
Azioni sul collegamento: N=-6757.78 Ty=-3.73 Tz=1.57 Mx=0.00 Mz=-2.45
Sollecitazioni agenti localmente: Tx_l=-3.73 Ty_l=1.57 N_l=-6757.78 My_l=2.45 Mz_l=0.00
Azioni sul cordone: TP=-0.28 TO=0.11 NO=-499.54
Tensioni nel cordone: τ_P= 0.09 τ_0= 0.04 σ_0=162.35 σ_{ID}=162.35 Σ_T=162.39
CC 16 SLD (Collegamento 0025_-382)
Azioni sul collegamento: N=-6757.78 Ty=-2.84 Tz=1.57 Mx=0.00 Mz=-0.99
Sollecitazioni agenti localmente: Tx_l=-2.84 Ty_l=1.57 N_l=-6757.78 My_l=0.99 Mz_l=0.00
Azioni sul cordone: TP=-0.22 TO=0.11 NO=-499.54
Tensioni nel cordone: τ_P= 0.07 τ_0= 0.04 σ_0=160.23 σ_{ID}=160.23 Σ_T=160.26
CC 16 SLD (Collegamento 0025_-382)
Azioni sul collegamento: N=-6757.78 Ty=-3.73 Tz=-0.34 Mx=0.00 Mz=-2.45
Sollecitazioni agenti localmente: Tx_l=-3.73 Ty_l=-0.34 N_l=-6757.78 My_l=2.45 Mz_l=0.00
Azioni sul cordone: TP=-0.28 TO=-0.03 NO=-499.54
Tensioni nel cordone: τ_P= 0.09 τ_0=9.31E-03 σ_0=162.35 σ_{ID}=162.35 Σ_T=162.36
CC 16 SLD (Collegamento 0025_-382)
Azioni sul collegamento: N=-6757.78 Ty=-2.84 Tz=-0.34 Mx=0.00 Mz=-0.99
Sollecitazioni agenti localmente: Tx_l=-2.84 Ty_l=-0.34 N_l=-6757.78 My_l=0.99 Mz_l=0.00
Azioni sul cordone: TP=-0.22 TO=-0.03 NO=-499.54
Tensioni nel cordone: τ_P= 0.07 τ_0=9.31E-03 σ_0=160.23 σ_{ID}=160.23 Σ_T=160.24
CC 16 SLD (Collegamento 0025_-382)
Azioni sul collegamento: N=-6269.00 Ty=-3.73 Tz=1.57 Mx=0.00 Mz=-2.45
Sollecitazioni agenti localmente: Tx_l=-3.73 Ty_l=1.57 N_l=-6269.00 My_l=2.45 Mz_l=0.00
Azioni sul cordone: TP=-0.28 TO=0.11 NO=-463.41
Tensioni nel cordone: τ_P= 0.09 τ_0= 0.04 σ_0=150.87 σ_{ID}=150.87 Σ_T=150.91
CC 16 SLD (Collegamento 0025_-382)
Azioni sul collegamento: N=-6269.00 Ty=-2.84 Tz=1.57 Mx=0.00 Mz=-0.99
Sollecitazioni agenti localmente: Tx_l=-2.84 Ty_l=1.57 N_l=-6269.00 My_l=0.99 Mz_l=0.00
Azioni sul cordone: TP=-0.22 TO=0.11 NO=-463.41
Tensioni nel cordone: τ_P= 0.07 τ_0= 0.04 σ_0=148.75 σ_{ID}=148.75 Σ_T=148.78
CC 16 SLD (Collegamento 0025_-382)
Azioni sul collegamento: N=-6269.01 Ty=-3.73 Tz=-0.34 Mx=0.00 Mz=-2.45
Sollecitazioni agenti localmente: Tx_l=-3.73 Ty_l=-0.34 N_l=-6269.01 My_l=2.45 Mz_l=0.00
Azioni sul cordone: TP=-0.28 TO=-0.03 NO=-463.41
Tensioni nel cordone: τ_P= 0.09 τ_0=9.31E-03 σ_0=150.87 σ_{ID}=150.87 Σ_T=150.88
CC 16 SLD (Collegamento 0025_-382)
Azioni sul collegamento: N=-6269.01 Ty=-2.84 Tz=-0.34 Mx=0.00 Mz=-0.99
Sollecitazioni agenti localmente: Tx_l=-2.84 Ty_l=-0.34 N_l=-6269.01 My_l=0.99 Mz_l=0.00
Azioni sul cordone: TP=-0.22 TO=-0.03 NO=-463.41
Tensioni nel cordone: τ_P= 0.07 τ_0=9.31E-03 σ_0=148.75 σ_{ID}=148.75 Σ_T=148.75
CC 17 SLV (Collegamento 0025_-382)
Azioni sul collegamento: N=-3931.62 Ty=-3.19 Tz=-8.98 Mx=-0.01 Mz=-4.04
Sollecitazioni agenti localmente: Tx_l=-3.19 Ty_l=-8.98 N_l=-3931.62 My_l=4.04 Mz_l=-0.01
Azioni sul cordone: TP=-0.22 TO=-0.65 NO=-290.63
Tensioni nel cordone: τ_P= 0.07 τ_0=0.21 σ_0=98.28 σ_{ID}=98.28 Σ_T=98.48
CC 17 SLV (Collegamento 0025_-382)
Azioni sul collegamento: N=-3931.62 Ty=-6.55 Tz=-8.98 Mx=-0.01 Mz=-7.22
Sollecitazioni agenti localmente: Tx_l=-6.55 Ty_l=-8.98 N_l=-3931.62 My_l=7.22 Mz_l=-0.01
Azioni sul cordone: TP=-0.47 TO=-0.65 NO=-290.63
Tensioni nel cordone: τ_P=0.15 τ_0=0.21 σ_0=102.92 σ_{ID}=102.92 Σ_T=103.13
CC 17 SLV (Collegamento 0025_-382)
Azioni sul collegamento: N=-3931.62 Ty=-3.19 Tz=10.69 Mx=-0.01 Mz=-4.04
Sollecitazioni agenti localmente: Tx_l=-3.19 Ty_l=10.69 N_l=-3931.62 My_l=4.04 Mz_l=-0.01
Azioni sul cordone: TP=-0.22 TO=0.80 NO=-290.63
Tensioni nel cordone: τ_P= 0.07 τ_0=0.25 σ_0=98.28 σ_{ID}=98.28 Σ_T=98.53
CC 17 SLV (Collegamento 0025_-382)
Azioni sul collegamento: N=-3931.62 Ty=-6.55 Tz=10.69 Mx=-0.01 Mz=-7.22
Sollecitazioni agenti localmente: Tx_l=-6.55 Ty_l=10.69 N_l=-3931.62 My_l=7.22 Mz_l=-0.01
Azioni sul cordone: TP=-0.47 TO=0.80 NO=-290.63

Tensioni nel cordone: τ_P=0.15 τ_0=0.25 σ_0=102.92 σ_{ID}=102.92 Σ_T=103.18
CC 17 SLV (Collegamento 0025_-382)
Azioni sul collegamento: N=-9217.12 Ty=-3.19 Tz=-8.98 Mx=-0.01 Mz=-4.04
Sollecitazioni agenti localmente: Tx_l=-3.19 Ty_l=-8.98 N_l=-9217.12 My_l=4.04 Mz_l=-0.01
Azioni sul cordone: TP=-0.22 TO=-0.65 NO=-681.33
Tensioni nel cordone: τ_P= 0.07 τ_0=0.21 σ_0=222.46 σ_{ID}=222.46 Σ_T=222.67
CC 17 SLV (Collegamento 0025_-382)
Azioni sul collegamento: N=-9217.12 Ty=-6.55 Tz=-8.98 Mx=-0.01 Mz=-7.22
Sollecitazioni agenti localmente: Tx_l=-6.55 Ty_l=-8.98 N_l=-9217.12 My_l=7.22 Mz_l=-0.01
Azioni sul cordone: TP=-0.47 TO=-0.65 NO=-681.33
Tensioni nel cordone: τ_P=0.15 τ_0=0.21 σ_0=227.11 σ_{ID}=227.11 Σ_T=227.32
CC 17 SLV (Collegamento 0025_-382)
Azioni sul collegamento: N=-9217.12 Ty=-3.19 Tz=10.69 Mx=-0.01 Mz=-4.04
Sollecitazioni agenti localmente: Tx_l=-3.19 Ty_l=10.69 N_l=-9217.12 My_l=4.04 Mz_l=-0.01
Azioni sul cordone: TP=-0.22 TO=0.80 NO=-681.33
Tensioni nel cordone: τ_P= 0.07 τ_0=0.25 σ_0=222.46 σ_{ID}=222.46 Σ_T=222.72
CC 17 SLV (Collegamento 0025_-382)
Azioni sul collegamento: N=-9217.12 Ty=-6.55 Tz=10.69 Mx=-0.01 Mz=-7.22
Sollecitazioni agenti localmente: Tx_l=-6.55 Ty_l=10.69 N_l=-9217.12 My_l=7.22 Mz_l=-0.01
Azioni sul cordone: TP=-0.47 TO=0.80 NO=-681.33
Tensioni nel cordone: τ_P=0.15 τ_0=0.25 σ_0=227.11 σ_{ID}=227.11 Σ_T=227.36
CC 18 SLD (Collegamento 0025_-382)
Azioni sul collegamento: N=-5736.03 Ty=-3.51 Tz=-2.27 Mx=-0.00 Mz=-3.06
Sollecitazioni agenti localmente: Tx_l=-3.51 Ty_l=-2.27 N_l=-5736.03 My_l=3.06 Mz_l=-0.00
Azioni sul cordone: TP=-0.26 TO=-0.17 NO=-424.01
Tensioni nel cordone: τ_P= 0.08 τ_0= 0.05 σ_0=139.25 σ_{ID}=139.25 Σ_T=139.30
CC 18 SLD (Collegamento 0025_-382)
Azioni sul collegamento: N=-5736.03 Ty=-4.54 Tz=-2.27 Mx=-0.00 Mz=-4.03
Sollecitazioni agenti localmente: Tx_l=-4.54 Ty_l=-2.27 N_l=-5736.03 My_l=4.03 Mz_l=-0.00
Azioni sul cordone: TP=-0.33 TO=-0.17 NO=-424.01
Tensioni nel cordone: τ_P=0.11 τ_0= 0.05 σ_0=140.66 σ_{ID}=140.66 Σ_T=140.72
CC 18 SLD (Collegamento 0025_-382)
Azioni sul collegamento: N=-5736.03 Ty=-3.51 Tz=3.73 Mx=-0.00 Mz=-3.06
Sollecitazioni agenti localmente: Tx_l=-3.51 Ty_l=3.73 N_l=-5736.03 My_l=3.06 Mz_l=-0.00
Azioni sul cordone: TP=-0.26 TO=0.28 NO=-424.01
Tensioni nel cordone: τ_P= 0.08 τ_0= 0.09 σ_0=139.25 σ_{ID}=139.25 Σ_T=139.33
CC 18 SLD (Collegamento 0025_-382)
Azioni sul collegamento: N=-5736.03 Ty=-4.54 Tz=3.73 Mx=-0.00 Mz=-4.03
Sollecitazioni agenti localmente: Tx_l=-4.54 Ty_l=3.73 N_l=-5736.03 My_l=4.03 Mz_l=-0.00
Azioni sul cordone: TP=-0.33 TO=0.28 NO=-424.01
Tensioni nel cordone: τ_P=0.11 τ_0= 0.09 σ_0=140.66 σ_{ID}=140.66 Σ_T=140.75
CC 18 SLD (Collegamento 0025_-382)
Azioni sul collegamento: N=-7347.75 Ty=-3.51 Tz=-2.27 Mx=-0.00 Mz=-3.06
Sollecitazioni agenti localmente: Tx_l=-3.51 Ty_l=-2.27 N_l=-7347.75 My_l=3.06 Mz_l=-0.00
Azioni sul cordone: TP=-0.26 TO=-0.17 NO=-543.15
Tensioni nel cordone: τ_P= 0.08 τ_0= 0.05 σ_0=177.11 σ_{ID}=177.11 Σ_T=177.17
CC 18 SLD (Collegamento 0025_-382)
Azioni sul collegamento: N=-7347.75 Ty=-4.54 Tz=-2.27 Mx=-0.00 Mz=-4.03
Sollecitazioni agenti localmente: Tx_l=-4.54 Ty_l=-2.27 N_l=-7347.75 My_l=4.03 Mz_l=-0.00
Azioni sul cordone: TP=-0.33 TO=-0.17 NO=-543.15
Tensioni nel cordone: τ_P=0.11 τ_0= 0.05 σ_0=178.53 σ_{ID}=178.53 Σ_T=178.58
CC 18 SLD (Collegamento 0025_-382)
Azioni sul collegamento: N=-7347.75 Ty=-3.51 Tz=3.73 Mx=-0.00 Mz=-3.06
Sollecitazioni agenti localmente: Tx_l=-3.51 Ty_l=3.73 N_l=-7347.75 My_l=3.06 Mz_l=-0.00
Azioni sul cordone: TP=-0.26 TO=0.28 NO=-543.15
Tensioni nel cordone: τ_P= 0.08 τ_0= 0.09 σ_0=177.11 σ_{ID}=177.11 Σ_T=177.20
CC 18 SLD (Collegamento 0025_-382)
Azioni sul collegamento: N=-7347.75 Ty=-4.54 Tz=3.73 Mx=-0.00 Mz=-4.03
Sollecitazioni agenti localmente: Tx_l=-4.54 Ty_l=3.73 N_l=-7347.75 My_l=4.03 Mz_l=-0.00
Azioni sul cordone: TP=-0.33 TO=0.28 NO=-543.15
Tensioni nel cordone: τ_P=0.11 τ_0= 0.09 σ_0=178.53 σ_{ID}=178.53 Σ_T=178.62
CC 19 SLV (Collegamento 0025_-382)
Azioni sul collegamento: N=-3937.31 Ty=-3.82 Tz=-8.85 Mx=-0.01 Mz=-5.30
Sollecitazioni agenti localmente: Tx_l=-3.82 Ty_l=-8.85 N_l=-3937.31 My_l=5.30 Mz_l=-0.01
Azioni sul cordone: TP=-0.27 TO=-0.65 NO=-291.05
Tensioni nel cordone: τ_P= 0.09 τ_0=0.21 σ_0=100.25 σ_{ID}=100.25 Σ_T=100.45
CC 19 SLV (Collegamento 0025_-382)
Azioni sul collegamento: N=-3937.31 Ty=-5.92 Tz=-8.85 Mx=-0.01 Mz=-5.96
Sollecitazioni agenti localmente: Tx_l=-5.92 Ty_l=-8.85 N_l=-3937.31 My_l=5.96 Mz_l=-0.01
Azioni sul cordone: TP=-0.43 TO=-0.65 NO=-291.05
Tensioni nel cordone: τ_P=0.14 τ_0=0.21 σ_0=101.22 σ_{ID}=101.22 Σ_T=101.43
CC 19 SLV (Collegamento 0025_-382)
Azioni sul collegamento: N=-3937.31 Ty=-3.82 Tz=10.56 Mx=-0.01 Mz=-5.30
Sollecitazioni agenti localmente: Tx_l=-3.82 Ty_l=10.56 N_l=-3937.31 My_l=5.30 Mz_l=-0.01
Azioni sul cordone: TP=-0.27 TO=0.79 NO=-291.05
Tensioni nel cordone: τ_P= 0.09 τ_0=0.25 σ_0=100.25 σ_{ID}=100.25 Σ_T=100.50
CC 19 SLV (Collegamento 0025_-382)
Azioni sul collegamento: N=-3937.31 Ty=-5.92 Tz=10.56 Mx=-0.01 Mz=-5.96
Sollecitazioni agenti localmente: Tx_l=-5.92 Ty_l=10.56 N_l=-3937.31 My_l=5.96 Mz_l=-0.01

Azioni sul cordone: TP=-0.43 TO=0.79 NO=-291.05
Tensioni nel cordone: τ_P=0.14 τ_0=0.25 σ_0=101.22 σ_{ID}=101.22 Σ_T=101.47
CC 19 SLV (Collegamento 0025_-382)
Azioni sul collegamento: N=-9211.43 Ty=-3.82 Tz=-8.85 Mx=-0.01 Mz=-5.30
Sollecitazioni agenti localmente: Tx_l=-3.82 Ty_l=-8.85 N_l=-9211.43 My_l=5.30 Mz_l=-0.01
Azioni sul cordone: TP=-0.27 TO=-0.65 NO=-680.91
Tensioni nel cordone: τ_P= 0.09 τ_0=0.21 σ_0=224.16 σ_{ID}=224.16 Σ_T=224.37
CC 19 SLV (Collegamento 0025_-382)
Azioni sul collegamento: N=-9211.43 Ty=-5.92 Tz=-8.85 Mx=-0.01 Mz=-5.96
Sollecitazioni agenti localmente: Tx_l=-5.92 Ty_l=-8.85 N_l=-9211.43 My_l=5.96 Mz_l=-0.01
Azioni sul cordone: TP=-0.43 TO=-0.65 NO=-680.91
Tensioni nel cordone: τ_P=0.14 τ_0=0.21 σ_0=225.14 σ_{ID}=225.14 Σ_T=225.34
CC 19 SLV (Collegamento 0025_-382)
Azioni sul collegamento: N=-9211.43 Ty=-3.82 Tz=10.56 Mx=-0.01 Mz=-5.30
Sollecitazioni agenti localmente: Tx_l=-3.82 Ty_l=10.56 N_l=-9211.43 My_l=5.30 Mz_l=-0.01
Azioni sul cordone: TP=-0.27 TO=0.79 NO=-680.91
Tensioni nel cordone: τ_P= 0.09 τ_0=0.25 σ_0=224.16 σ_{ID}=224.16 Σ_T=224.41
CC 19 SLV (Collegamento 0025_-382)
Azioni sul collegamento: N=-9211.43 Ty=-5.92 Tz=10.56 Mx=-0.01 Mz=-5.96
Sollecitazioni agenti localmente: Tx_l=-5.92 Ty_l=10.56 N_l=-9211.43 My_l=5.96 Mz_l=-0.01
Azioni sul cordone: TP=-0.43 TO=0.79 NO=-680.91
Tensioni nel cordone: τ_P=0.14 τ_0=0.25 σ_0=225.14 σ_{ID}=225.14 Σ_T=225.39
CC 20 SLD (Collegamento 0025_-382)
Azioni sul collegamento: N=-5737.77 Ty=-3.71 Tz=-2.23 Mx=-0.00 Mz=-3.45
Sollecitazioni agenti localmente: Tx_l=-3.71 Ty_l=-2.23 N_l=-5737.77 My_l=3.45 Mz_l=-0.00
Azioni sul cordone: TP=-0.27 TO=-0.16 NO=-424.14
Tensioni nel cordone: τ_P= 0.09 τ_0= 0.05 σ_0=139.84 σ_{ID}=139.84 Σ_T=139.90
CC 20 SLD (Collegamento 0025_-382)
Azioni sul collegamento: N=-5737.77 Ty=-4.34 Tz=-2.23 Mx=-0.00 Mz=-3.65
Sollecitazioni agenti localmente: Tx_l=-4.34 Ty_l=-2.23 N_l=-5737.77 My_l=3.65 Mz_l=-0.00
Azioni sul cordone: TP=-0.32 TO=-0.16 NO=-424.14
Tensioni nel cordone: τ_P=0.10 τ_0= 0.05 σ_0=140.14 σ_{ID}=140.14 Σ_T=140.19
CC 20 SLD (Collegamento 0025_-382)
Azioni sul collegamento: N=-5737.77 Ty=-3.71 Tz=3.69 Mx=-0.00 Mz=-3.45
Sollecitazioni agenti localmente: Tx_l=-3.71 Ty_l=3.69 N_l=-5737.77 My_l=3.45 Mz_l=-0.00
Azioni sul cordone: TP=-0.27 TO=0.27 NO=-424.14
Tensioni nel cordone: τ_P= 0.09 τ_0= 0.09 σ_0=139.84 σ_{ID}=139.84 Σ_T=139.93
CC 20 SLD (Collegamento 0025_-382)
Azioni sul collegamento: N=-5737.77 Ty=-4.34 Tz=3.69 Mx=-0.00 Mz=-3.65
Sollecitazioni agenti localmente: Tx_l=-4.34 Ty_l=3.69 N_l=-5737.77 My_l=3.65 Mz_l=-0.00
Azioni sul cordone: TP=-0.32 TO=0.27 NO=-424.14
Tensioni nel cordone: τ_P=0.10 τ_0= 0.09 σ_0=140.14 σ_{ID}=140.14 Σ_T=140.23
CC 20 SLD (Collegamento 0025_-382)
Azioni sul collegamento: N=-7346.01 Ty=-3.71 Tz=-2.23 Mx=-0.00 Mz=-3.45
Sollecitazioni agenti localmente: Tx_l=-3.71 Ty_l=-2.23 N_l=-7346.01 My_l=3.45 Mz_l=-0.00
Azioni sul cordone: TP=-0.27 TO=-0.16 NO=-543.02
Tensioni nel cordone: τ_P= 0.09 τ_0= 0.05 σ_0=177.63 σ_{ID}=177.63 Σ_T=177.68
CC 20 SLD (Collegamento 0025_-382)
Azioni sul collegamento: N=-7346.01 Ty=-4.34 Tz=-2.23 Mx=-0.00 Mz=-3.65
Sollecitazioni agenti localmente: Tx_l=-4.34 Ty_l=-2.23 N_l=-7346.01 My_l=3.65 Mz_l=-0.00
Azioni sul cordone: TP=-0.32 TO=-0.16 NO=-543.02
Tensioni nel cordone: τ_P=0.10 τ_0= 0.05 σ_0=177.93 σ_{ID}=177.93 Σ_T=177.98
CC 20 SLD (Collegamento 0025_-382)
Azioni sul collegamento: N=-7346.01 Ty=-3.71 Tz=3.69 Mx=-0.00 Mz=-3.45
Sollecitazioni agenti localmente: Tx_l=-3.71 Ty_l=3.69 N_l=-7346.01 My_l=3.45 Mz_l=-0.00
Azioni sul cordone: TP=-0.27 TO=0.27 NO=-543.02
Tensioni nel cordone: τ_P= 0.09 τ_0= 0.09 σ_0=177.63 σ_{ID}=177.63 Σ_T=177.72
CC 20 SLD (Collegamento 0025_-382)
Azioni sul collegamento: N=-7346.01 Ty=-4.34 Tz=3.69 Mx=-0.00 Mz=-3.65
Sollecitazioni agenti localmente: Tx_l=-4.34 Ty_l=3.69 N_l=-7346.01 My_l=3.65 Mz_l=-0.00
Azioni sul cordone: TP=-0.32 TO=0.27 NO=-543.02
Tensioni nel cordone: τ_P=0.10 τ_0= 0.09 σ_0=177.93 σ_{ID}=177.93 Σ_T=178.02
CC 21 SLV (Collegamento 0025_-382)
Azioni sul collegamento: N=-9211.43 Ty=-5.92 Tz=10.56 Mx=-0.01 Mz=-5.96
Sollecitazioni agenti localmente: Tx_l=-5.92 Ty_l=10.56 N_l=-9211.43 My_l=5.96 Mz_l=-0.01
Azioni sul cordone: TP=-0.42 TO=0.79 NO=-680.91
Tensioni nel cordone: τ_P=0.13 τ_0=0.25 σ_0=225.14 σ_{ID}=225.14 Σ_T=225.39
CC 21 SLV (Collegamento 0025_-382)
Azioni sul collegamento: N=-9211.43 Ty=-3.82 Tz=10.56 Mx=-0.01 Mz=-5.30
Sollecitazioni agenti localmente: Tx_l=-3.82 Ty_l=10.56 N_l=-9211.43 My_l=5.30 Mz_l=-0.01
Azioni sul cordone: TP=-0.27 TO=0.79 NO=-680.91
Tensioni nel cordone: τ_P= 0.09 τ_0=0.25 σ_0=224.16 σ_{ID}=224.16 Σ_T=224.41
CC 21 SLV (Collegamento 0025_-382)
Azioni sul collegamento: N=-9211.43 Ty=-5.92 Tz=-8.85 Mx=-0.01 Mz=-5.96
Sollecitazioni agenti localmente: Tx_l=-5.92 Ty_l=-8.85 N_l=-9211.43 My_l=5.96 Mz_l=-0.01
Azioni sul cordone: TP=-0.42 TO=-0.65 NO=-680.91
Tensioni nel cordone: τ_P=0.13 τ_0=0.21 σ_0=225.14 σ_{ID}=225.14 Σ_T=225.34
CC 21 SLV (Collegamento 0025_-382)
Azioni sul collegamento: N=-9211.43 Ty=-3.82 Tz=-8.85 Mx=-0.01 Mz=-5.30

Sollecitazioni agenti localmente: Tx_l=-3.82 Ty_l=-8.85 N_l=-9211.43 My_l=5.30 Mz_l=-0.01
Azioni sul cordone: TP=-0.27 TO=-0.65 NO=-680.91
Tensioni nel cordone: τ_P= 0.09 τ_O=0.21 σ_O=224.16 σ_{ID}=224.16 Σ_T=224.37
CC 21 SLV (Collegamento 0025_-382)
Azioni sul collegamento: N=-3937.31 Ty=-5.92 Tz=10.56 Mx=-0.01 Mz=-5.96
Sollecitazioni agenti localmente: Tx_l=-5.92 Ty_l=10.56 N_l=-3937.31 My_l=5.96 Mz_l=-0.01
Azioni sul cordone: TP=-0.42 TO=0.79 NO=-291.05
Tensioni nel cordone: τ_P=0.13 τ_O=0.25 σ_O=101.22 σ_{ID}=101.22 Σ_T=101.47
CC 21 SLV (Collegamento 0025_-382)
Azioni sul collegamento: N=-3937.31 Ty=-3.82 Tz=10.56 Mx=-0.01 Mz=-5.30
Sollecitazioni agenti localmente: Tx_l=-3.82 Ty_l=10.56 N_l=-3937.31 My_l=5.30 Mz_l=-0.01
Azioni sul cordone: TP=-0.27 TO=0.79 NO=-291.05
Tensioni nel cordone: τ_P= 0.09 τ_O=0.25 σ_O=100.25 σ_{ID}=100.25 Σ_T=100.50
CC 21 SLV (Collegamento 0025_-382)
Azioni sul collegamento: N=-3937.31 Ty=-5.92 Tz=-8.85 Mx=-0.01 Mz=-5.96
Sollecitazioni agenti localmente: Tx_l=-5.92 Ty_l=-8.85 N_l=-3937.31 My_l=5.96 Mz_l=-0.01
Azioni sul cordone: TP=-0.42 TO=-0.65 NO=-291.05
Tensioni nel cordone: τ_P=0.13 τ_O=0.21 σ_O=101.22 σ_{ID}=101.22 Σ_T=101.43
CC 21 SLV (Collegamento 0025_-382)
Azioni sul collegamento: N=-3937.31 Ty=-3.82 Tz=-8.85 Mx=-0.01 Mz=-5.30
Sollecitazioni agenti localmente: Tx_l=-3.82 Ty_l=-8.85 N_l=-3937.31 My_l=5.30 Mz_l=-0.01
Azioni sul cordone: TP=-0.27 TO=-0.65 NO=-291.05
Tensioni nel cordone: τ_P= 0.09 τ_O=0.21 σ_O=100.25 σ_{ID}=100.25 Σ_T=100.45
CC 22 SLD (Collegamento 0025_-382)
Azioni sul collegamento: N=-7346.01 Ty=-4.34 Tz=3.69 Mx=-0.00 Mz=-3.65
Sollecitazioni agenti localmente: Tx_l=-4.34 Ty_l=3.69 N_l=-7346.01 My_l=3.65 Mz_l=-0.00
Azioni sul cordone: TP=-0.32 TO=0.27 NO=-543.02
Tensioni nel cordone: τ_P=0.10 τ_O= 0.09 σ_O=177.93 σ_{ID}=177.93 Σ_T=178.02
CC 22 SLD (Collegamento 0025_-382)
Azioni sul collegamento: N=-7346.01 Ty=-3.71 Tz=3.69 Mx=-0.00 Mz=-3.45
Sollecitazioni agenti localmente: Tx_l=-3.71 Ty_l=3.69 N_l=-7346.01 My_l=3.45 Mz_l=-0.00
Azioni sul cordone: TP=-0.27 TO=0.27 NO=-543.02
Tensioni nel cordone: τ_P= 0.09 τ_O= 0.09 σ_O=177.63 σ_{ID}=177.63 Σ_T=177.72
CC 22 SLD (Collegamento 0025_-382)
Azioni sul collegamento: N=-7346.01 Ty=-4.34 Tz=-2.23 Mx=-0.00 Mz=-3.65
Sollecitazioni agenti localmente: Tx_l=-4.34 Ty_l=-2.23 N_l=-7346.01 My_l=3.65 Mz_l=-0.00
Azioni sul cordone: TP=-0.32 TO=-0.16 NO=-543.02
Tensioni nel cordone: τ_P=0.10 τ_O= 0.05 σ_O=177.93 σ_{ID}=177.93 Σ_T=177.98
CC 22 SLD (Collegamento 0025_-382)
Azioni sul collegamento: N=-7346.01 Ty=-3.71 Tz=-2.23 Mx=-0.00 Mz=-3.45
Sollecitazioni agenti localmente: Tx_l=-3.71 Ty_l=-2.23 N_l=-7346.01 My_l=3.45 Mz_l=-0.00
Azioni sul cordone: TP=-0.27 TO=-0.16 NO=-543.02
Tensioni nel cordone: τ_P= 0.09 τ_O= 0.05 σ_O=177.63 σ_{ID}=177.63 Σ_T=177.68
CC 22 SLD (Collegamento 0025_-382)
Azioni sul collegamento: N=-5737.77 Ty=-4.34 Tz=3.69 Mx=-0.00 Mz=-3.65
Sollecitazioni agenti localmente: Tx_l=-4.34 Ty_l=3.69 N_l=-5737.77 My_l=3.65 Mz_l=-0.00
Azioni sul cordone: TP=-0.32 TO=0.27 NO=-424.14
Tensioni nel cordone: τ_P=0.10 τ_O= 0.09 σ_O=140.14 σ_{ID}=140.14 Σ_T=140.23
CC 22 SLD (Collegamento 0025_-382)
Azioni sul collegamento: N=-5737.77 Ty=-3.71 Tz=3.69 Mx=-0.00 Mz=-3.45
Sollecitazioni agenti localmente: Tx_l=-3.71 Ty_l=3.69 N_l=-5737.77 My_l=3.45 Mz_l=-0.00
Azioni sul cordone: TP=-0.27 TO=0.27 NO=-424.14
Tensioni nel cordone: τ_P= 0.09 τ_O= 0.09 σ_O=139.84 σ_{ID}=139.84 Σ_T=139.93
CC 22 SLD (Collegamento 0025_-382)
Azioni sul collegamento: N=-5737.77 Ty=-4.34 Tz=-2.23 Mx=-0.00 Mz=-3.65
Sollecitazioni agenti localmente: Tx_l=-4.34 Ty_l=-2.23 N_l=-5737.77 My_l=3.65 Mz_l=-0.00
Azioni sul cordone: TP=-0.32 TO=-0.16 NO=-424.14
Tensioni nel cordone: τ_P=0.10 τ_O= 0.05 σ_O=140.14 σ_{ID}=140.14 Σ_T=140.19
CC 22 SLD (Collegamento 0025_-382)
Azioni sul collegamento: N=-5737.77 Ty=-3.71 Tz=-2.23 Mx=-0.00 Mz=-3.45
Sollecitazioni agenti localmente: Tx_l=-3.71 Ty_l=-2.23 N_l=-5737.77 My_l=3.45 Mz_l=-0.00
Azioni sul cordone: TP=-0.27 TO=-0.16 NO=-424.14
Tensioni nel cordone: τ_P= 0.09 τ_O= 0.05 σ_O=139.84 σ_{ID}=139.84 Σ_T=139.90
CC 23 SLV (Collegamento 0025_-382)
Azioni sul collegamento: N=-9217.12 Ty=-6.55 Tz=10.69 Mx=-0.01 Mz=-7.22
Sollecitazioni agenti localmente: Tx_l=-6.55 Ty_l=10.69 N_l=-9217.12 My_l=7.22 Mz_l=-0.01
Azioni sul cordone: TP=-0.48 TO=0.80 NO=-681.33
Tensioni nel cordone: τ_P=0.15 τ_O=0.25 σ_O=227.11 σ_{ID}=227.11 Σ_T=227.36
CC 23 SLV (Collegamento 0025_-382)
Azioni sul collegamento: N=-9217.12 Ty=-3.19 Tz=10.69 Mx=-0.01 Mz=-4.04
Sollecitazioni agenti localmente: Tx_l=-3.19 Ty_l=10.69 N_l=-9217.12 My_l=4.04 Mz_l=-0.01
Azioni sul cordone: TP=-0.23 TO=0.80 NO=-681.33
Tensioni nel cordone: τ_P= 0.07 τ_O=0.25 σ_O=222.46 σ_{ID}=222.46 Σ_T=222.71
CC 23 SLV (Collegamento 0025_-382)
Azioni sul collegamento: N=-9217.12 Ty=-6.55 Tz=-8.98 Mx=-0.01 Mz=-7.22
Sollecitazioni agenti localmente: Tx_l=-6.55 Ty_l=-8.98 N_l=-9217.12 My_l=7.22 Mz_l=-0.01
Azioni sul cordone: TP=-0.48 TO=-0.66 NO=-681.33
Tensioni nel cordone: τ_P=0.15 τ_O=0.21 σ_O=227.11 σ_{ID}=227.11 Σ_T=227.32
CC 23 SLV (Collegamento 0025_-382)

Azioni sul collegamento: N=-9217.12 Ty=-3.19 Tz=-8.98 Mx=-0.01 Mz=-4.04
Sollecitazioni agenti localmente: Tx_l=-3.19 Ty_l=-8.98 N_l=-9217.12 My_l=4.04 Mz_l=-0.01
Azioni sul cordone: TP=-0.23 TO=-0.66 NO=-681.33
Tensioni nel cordone: τ_P= 0.07 τ_0=0.21 σ_0=222.46 σ_{ID}=222.46 Σ_T=222.67
CC 23 SLV (Collegamento 0025_-382)
Azioni sul collegamento: N=-3931.62 Ty=-6.55 Tz=10.69 Mx=-0.01 Mz=-7.22
Sollecitazioni agenti localmente: Tx_l=-6.55 Ty_l=10.69 N_l=-3931.62 My_l=7.22 Mz_l=-0.01
Azioni sul cordone: TP=-0.48 TO=0.80 NO=-290.63
Tensioni nel cordone: τ_P=0.15 τ_0=0.25 σ_0=102.92 σ_{ID}=102.92 Σ_T=103.18
CC 23 SLV (Collegamento 0025_-382)
Azioni sul collegamento: N=-3931.62 Ty=-3.19 Tz=10.69 Mx=-0.01 Mz=-4.04
Sollecitazioni agenti localmente: Tx_l=-3.19 Ty_l=10.69 N_l=-3931.62 My_l=4.04 Mz_l=-0.01
Azioni sul cordone: TP=-0.23 TO=0.80 NO=-290.63
Tensioni nel cordone: τ_P= 0.07 τ_0=0.25 σ_0=98.28 σ_{ID}=98.28 Σ_T=98.53
CC 23 SLV (Collegamento 0025_-382)
Azioni sul collegamento: N=-3931.62 Ty=-6.55 Tz=-8.98 Mx=-0.01 Mz=-7.22
Sollecitazioni agenti localmente: Tx_l=-6.55 Ty_l=-8.98 N_l=-3931.62 My_l=7.22 Mz_l=-0.01
Azioni sul cordone: TP=-0.48 TO=-0.66 NO=-290.63
Tensioni nel cordone: τ_P=0.15 τ_0=0.21 σ_0=102.92 σ_{ID}=102.92 Σ_T=103.13
CC 23 SLV (Collegamento 0025_-382)
Azioni sul collegamento: N=-3931.62 Ty=-3.19 Tz=-8.98 Mx=-0.01 Mz=-4.04
Sollecitazioni agenti localmente: Tx_l=-3.19 Ty_l=-8.98 N_l=-3931.62 My_l=4.04 Mz_l=-0.01
Azioni sul cordone: TP=-0.23 TO=-0.66 NO=-290.63
Tensioni nel cordone: τ_P= 0.07 τ_0=0.21 σ_0=98.28 σ_{ID}=98.28 Σ_T=98.48
CC 24 SLD (Collegamento 0025_-382)
Azioni sul collegamento: N=-7347.75 Ty=-4.54 Tz=3.73 Mx=0.00 Mz=-4.03
Sollecitazioni agenti localmente: Tx_l=-4.54 Ty_l=3.73 N_l=-7347.75 My_l=4.03 Mz_l=0.00
Azioni sul cordone: TP=-0.34 TO=0.28 NO=-543.15
Tensioni nel cordone: τ_P=0.11 τ_0= 0.09 σ_0=178.53 σ_{ID}=178.53 Σ_T=178.62
CC 24 SLD (Collegamento 0025_-382)
Azioni sul collegamento: N=-7347.75 Ty=-3.51 Tz=3.73 Mx=0.00 Mz=-3.06
Sollecitazioni agenti localmente: Tx_l=-3.51 Ty_l=3.73 N_l=-7347.75 My_l=3.06 Mz_l=0.00
Azioni sul cordone: TP=-0.26 TO=0.28 NO=-543.15
Tensioni nel cordone: τ_P= 0.08 τ_0= 0.09 σ_0=177.11 σ_{ID}=177.11 Σ_T=177.20
CC 24 SLD (Collegamento 0025_-382)
Azioni sul collegamento: N=-7347.75 Ty=-4.54 Tz=-2.27 Mx=0.00 Mz=-4.03
Sollecitazioni agenti localmente: Tx_l=-4.54 Ty_l=-2.27 N_l=-7347.75 My_l=4.03 Mz_l=0.00
Azioni sul cordone: TP=-0.34 TO=-0.17 NO=-543.15
Tensioni nel cordone: τ_P=0.11 τ_0= 0.05 σ_0=178.53 σ_{ID}=178.53 Σ_T=178.58
CC 24 SLD (Collegamento 0025_-382)
Azioni sul collegamento: N=-7347.75 Ty=-3.51 Tz=-2.27 Mx=0.00 Mz=-3.06
Sollecitazioni agenti localmente: Tx_l=-3.51 Ty_l=-2.27 N_l=-7347.75 My_l=3.06 Mz_l=0.00
Azioni sul cordone: TP=-0.26 TO=-0.17 NO=-543.15
Tensioni nel cordone: τ_P= 0.08 τ_0= 0.05 σ_0=177.11 σ_{ID}=177.11 Σ_T=177.17
CC 24 SLD (Collegamento 0025_-382)
Azioni sul collegamento: N=-5736.03 Ty=-4.54 Tz=3.73 Mx=0.00 Mz=-4.03
Sollecitazioni agenti localmente: Tx_l=-4.54 Ty_l=3.73 N_l=-5736.03 My_l=4.03 Mz_l=0.00
Azioni sul cordone: TP=-0.34 TO=0.28 NO=-424.01
Tensioni nel cordone: τ_P=0.11 τ_0= 0.09 σ_0=140.66 σ_{ID}=140.66 Σ_T=140.75
CC 24 SLD (Collegamento 0025_-382)
Azioni sul collegamento: N=-5736.03 Ty=-3.51 Tz=3.73 Mx=0.00 Mz=-3.06
Sollecitazioni agenti localmente: Tx_l=-3.51 Ty_l=3.73 N_l=-5736.03 My_l=3.06 Mz_l=0.00
Azioni sul cordone: TP=-0.26 TO=0.28 NO=-424.01
Tensioni nel cordone: τ_P= 0.08 τ_0= 0.09 σ_0=139.25 σ_{ID}=139.25 Σ_T=139.33
CC 24 SLD (Collegamento 0025_-382)
Azioni sul collegamento: N=-5736.03 Ty=-4.54 Tz=-2.27 Mx=0.00 Mz=-4.03
Sollecitazioni agenti localmente: Tx_l=-4.54 Ty_l=-2.27 N_l=-5736.03 My_l=4.03 Mz_l=0.00
Azioni sul cordone: TP=-0.34 TO=-0.17 NO=-424.01
Tensioni nel cordone: τ_P=0.11 τ_0= 0.05 σ_0=140.66 σ_{ID}=140.66 Σ_T=140.72
CC 24 SLD (Collegamento 0025_-382)
Azioni sul collegamento: N=-5736.03 Ty=-3.51 Tz=-2.27 Mx=0.00 Mz=-3.06
Sollecitazioni agenti localmente: Tx_l=-3.51 Ty_l=-2.27 N_l=-5736.03 My_l=3.06 Mz_l=0.00
Azioni sul cordone: TP=-0.26 TO=-0.17 NO=-424.01
Tensioni nel cordone: τ_P= 0.08 τ_0= 0.05 σ_0=139.25 σ_{ID}=139.25 Σ_T=139.30
CC 25 SLV (Collegamento 0025_-382)
Azioni sul collegamento: N=-5772.93 Ty=-3.40 Tz=-2.29 Mx=-0.02 Mz=-3.25
Sollecitazioni agenti localmente: Tx_l=-3.40 Ty_l=-2.29 N_l=-5772.93 My_l=3.25 Mz_l=-0.02
Azioni sul cordone: TP=-0.23 TO=-0.15 NO=-426.74
Tensioni nel cordone: τ_P= 0.07 τ_0= 0.05 σ_0=140.38 σ_{ID}=140.38 Σ_T=140.43
CC 25 SLV (Collegamento 0025_-382)
Azioni sul collegamento: N=-5772.93 Ty=-6.34 Tz=-2.29 Mx=-0.02 Mz=-8.01
Sollecitazioni agenti localmente: Tx_l=-6.34 Ty_l=-2.29 N_l=-5772.93 My_l=8.01 Mz_l=-0.02
Azioni sul cordone: TP=-0.45 TO=-0.15 NO=-426.74
Tensioni nel cordone: τ_P=0.14 τ_0= 0.05 σ_0=147.34 σ_{ID}=147.34 Σ_T=147.39
CC 25 SLV (Collegamento 0025_-382)
Azioni sul collegamento: N=-5772.93 Ty=-3.40 Tz=4.00 Mx=-0.02 Mz=-3.25
Sollecitazioni agenti localmente: Tx_l=-3.40 Ty_l=4.00 N_l=-5772.93 My_l=3.25 Mz_l=-0.02
Azioni sul cordone: TP=-0.23 TO=0.31 NO=-426.74
Tensioni nel cordone: τ_P= 0.07 τ_0= 0.10 σ_0=140.38 σ_{ID}=140.38 Σ_T=140.48

CC 25 SLV (Collegamento 0025_-382)
Azioni sul collegamento: N=-5772.93 Ty=-6.34 Tz=4.00 Mx=-0.02 Mz=-8.01
Sollecitazioni agenti localmente: Tx_l=-6.34 Ty_l=4.00 N_l=-5772.93 My_l=8.01 Mz_l=-0.02
Azioni sul cordone: TP=-0.45 TO=0.31 NO=-426.74
Tensioni nel cordone: τ_P=0.14 τ_0= 0.10 σ_0=147.34 σ_{ID}=147.34 Σ_T=147.44
CC 25 SLV (Collegamento 0025_-382)
Azioni sul collegamento: N=-7375.81 Ty=-3.40 Tz=-2.29 Mx=-0.02 Mz=-3.25
Sollecitazioni agenti localmente: Tx_l=-3.40 Ty_l=-2.29 N_l=-7375.81 My_l=3.25 Mz_l=-0.02
Azioni sul cordone: TP=-0.23 TO=-0.15 NO=-545.22
Tensioni nel cordone: τ_P= 0.07 τ_0= 0.05 σ_0=178.04 σ_{ID}=178.04 Σ_T=178.09
CC 25 SLV (Collegamento 0025_-382)
Azioni sul collegamento: N=-7375.81 Ty=-6.34 Tz=-2.29 Mx=-0.02 Mz=-8.01
Sollecitazioni agenti localmente: Tx_l=-6.34 Ty_l=-2.29 N_l=-7375.81 My_l=8.01 Mz_l=-0.02
Azioni sul cordone: TP=-0.45 TO=-0.15 NO=-545.22
Tensioni nel cordone: τ_P=0.14 τ_0= 0.05 σ_0=185.00 σ_{ID}=185.00 Σ_T=185.05
CC 25 SLV (Collegamento 0025_-382)
Azioni sul collegamento: N=-7375.81 Ty=-3.40 Tz=4.00 Mx=-0.02 Mz=-3.25
Sollecitazioni agenti localmente: Tx_l=-3.40 Ty_l=4.00 N_l=-7375.81 My_l=3.25 Mz_l=-0.02
Azioni sul cordone: TP=-0.23 TO=0.31 NO=-545.22
Tensioni nel cordone: τ_P= 0.07 τ_0= 0.10 σ_0=178.04 σ_{ID}=178.04 Σ_T=178.14
CC 25 SLV (Collegamento 0025_-382)
Azioni sul collegamento: N=-7375.81 Ty=-6.34 Tz=4.00 Mx=-0.02 Mz=-8.01
Sollecitazioni agenti localmente: Tx_l=-6.34 Ty_l=4.00 N_l=-7375.81 My_l=8.01 Mz_l=-0.02
Azioni sul cordone: TP=-0.45 TO=0.31 NO=-545.22
Tensioni nel cordone: τ_P=0.14 τ_0= 0.10 σ_0=185.00 σ_{ID}=185.00 Σ_T=185.10
CC 26 SLD (Collegamento 0025_-382)
Azioni sul collegamento: N=-6297.50 Ty=-3.58 Tz=-0.23 Mx=-0.00 Mz=-2.82
Sollecitazioni agenti localmente: Tx_l=-3.58 Ty_l=-0.23 N_l=-6297.50 My_l=2.82 Mz_l=-0.00
Azioni sul cordone: TP=-0.26 TO=-0.01 NO=-465.51
Tensioni nel cordone: τ_P= 0.08 τ_0=4.59E-03 σ_0=152.08 σ_{ID}=152.08 Σ_T=152.09
CC 26 SLD (Collegamento 0025_-382)
Azioni sul collegamento: N=-6297.50 Ty=-4.47 Tz=-0.23 Mx=-0.00 Mz=-4.27
Sollecitazioni agenti localmente: Tx_l=-4.47 Ty_l=-0.23 N_l=-6297.50 My_l=4.27 Mz_l=-0.00
Azioni sul cordone: TP=-0.33 TO=-0.01 NO=-465.51
Tensioni nel cordone: τ_P=0.10 τ_0=4.59E-03 σ_0=154.21 σ_{ID}=154.21 Σ_T=154.21
CC 26 SLD (Collegamento 0025_-382)
Azioni sul collegamento: N=-6297.50 Ty=-3.58 Tz=1.69 Mx=-0.00 Mz=-2.82
Sollecitazioni agenti localmente: Tx_l=-3.58 Ty_l=1.69 N_l=-6297.50 My_l=2.82 Mz_l=-0.00
Azioni sul cordone: TP=-0.26 TO=0.13 NO=-465.51
Tensioni nel cordone: τ_P= 0.08 τ_0= 0.04 σ_0=152.08 σ_{ID}=152.08 Σ_T=152.12
CC 26 SLD (Collegamento 0025_-382)
Azioni sul collegamento: N=-6297.50 Ty=-4.47 Tz=1.69 Mx=-0.00 Mz=-4.27
Sollecitazioni agenti localmente: Tx_l=-4.47 Ty_l=1.69 N_l=-6297.50 My_l=4.27 Mz_l=-0.00
Azioni sul cordone: TP=-0.33 TO=0.13 NO=-465.51
Tensioni nel cordone: τ_P=0.10 τ_0= 0.04 σ_0=154.21 σ_{ID}=154.21 Σ_T=154.25
CC 26 SLD (Collegamento 0025_-382)
Azioni sul collegamento: N=-6786.28 Ty=-3.58 Tz=-0.23 Mx=-0.00 Mz=-2.82
Sollecitazioni agenti localmente: Tx_l=-3.58 Ty_l=-0.23 N_l=-6786.28 My_l=2.82 Mz_l=-0.00
Azioni sul cordone: TP=-0.26 TO=-0.01 NO=-501.64
Tensioni nel cordone: τ_P= 0.08 τ_0=4.60E-03 σ_0=163.57 σ_{ID}=163.57 Σ_T=163.57
CC 26 SLD (Collegamento 0025_-382)
Azioni sul collegamento: N=-6786.28 Ty=-4.47 Tz=-0.23 Mx=-0.00 Mz=-4.27
Sollecitazioni agenti localmente: Tx_l=-4.47 Ty_l=-0.23 N_l=-6786.28 My_l=4.27 Mz_l=-0.00
Azioni sul cordone: TP=-0.33 TO=-0.01 NO=-501.64
Tensioni nel cordone: τ_P=0.10 τ_0=4.60E-03 σ_0=165.69 σ_{ID}=165.69 Σ_T=165.70
CC 26 SLD (Collegamento 0025_-382)
Azioni sul collegamento: N=-6786.28 Ty=-3.58 Tz=1.69 Mx=-0.00 Mz=-2.82
Sollecitazioni agenti localmente: Tx_l=-3.58 Ty_l=1.69 N_l=-6786.28 My_l=2.82 Mz_l=-0.00
Azioni sul cordone: TP=-0.26 TO=0.13 NO=-501.64
Tensioni nel cordone: τ_P= 0.08 τ_0= 0.04 σ_0=163.57 σ_{ID}=163.57 Σ_T=163.61
CC 26 SLD (Collegamento 0025_-382)
Azioni sul collegamento: N=-6786.28 Ty=-4.47 Tz=1.69 Mx=-0.00 Mz=-4.27
Sollecitazioni agenti localmente: Tx_l=-4.47 Ty_l=1.69 N_l=-6786.28 My_l=4.27 Mz_l=-0.00
Azioni sul cordone: TP=-0.33 TO=0.13 NO=-501.64
Tensioni nel cordone: τ_P=0.10 τ_0= 0.04 σ_0=165.69 σ_{ID}=165.69 Σ_T=165.73
CC 27 SLV (Collegamento 0025_-382)
Azioni sul collegamento: N=-7356.87 Ty=-4.22 Tz=3.57 Mx=-0.02 Mz=-3.82
Sollecitazioni agenti localmente: Tx_l=-4.22 Ty_l=3.57 N_l=-7356.87 My_l=3.82 Mz_l=-0.02
Azioni sul cordone: TP=-0.29 TO=0.28 NO=-543.82
Tensioni nel cordone: τ_P= 0.09 τ_0= 0.09 σ_0=178.44 σ_{ID}=178.44 Σ_T=178.53
CC 27 SLV (Collegamento 0025_-382)
Azioni sul collegamento: N=-7356.87 Ty=-5.52 Tz=3.57 Mx=-0.02 Mz=-7.44
Sollecitazioni agenti localmente: Tx_l=-5.52 Ty_l=3.57 N_l=-7356.87 My_l=7.44 Mz_l=-0.02
Azioni sul cordone: TP=-0.39 TO=0.28 NO=-543.82
Tensioni nel cordone: τ_P=0.12 τ_0= 0.09 σ_0=183.72 σ_{ID}=183.72 Σ_T=183.80
CC 27 SLV (Collegamento 0025_-382)
Azioni sul collegamento: N=-7356.87 Ty=-4.22 Tz=-1.86 Mx=-0.02 Mz=-3.82
Sollecitazioni agenti localmente: Tx_l=-4.22 Ty_l=-1.86 N_l=-7356.87 My_l=3.82 Mz_l=-0.02
Azioni sul cordone: TP=-0.29 TO=-0.12 NO=-543.82

Tensioni nel cordone: τ_P= 0.09 τ_0= 0.04 σ_0=178.44 σ_{ID}=178.44 Σ_T=178.48
CC 27 SLV (Collegamento 0025_-382)
Azioni sul collegamento: N=-7356.87 Ty=-5.52 Tz=-1.86 Mx=-0.02 Mz=-7.44
Sollecitazioni agenti localmente: Tx_l=-5.52 Ty_l=-1.86 N_l=-7356.87 My_l=7.44 Mz_l=-0.02
Azioni sul cordone: TP=-0.39 TO=-0.12 NO=-543.82
Tensioni nel cordone: τ_P=0.12 τ_0= 0.04 σ_0=183.72 σ_{ID}=183.72 Σ_T=183.75
CC 27 SLV (Collegamento 0025_-382)
Azioni sul collegamento: N=-5791.87 Ty=-4.22 Tz=3.57 Mx=-0.02 Mz=-3.82
Sollecitazioni agenti localmente: Tx_l=-4.22 Ty_l=3.57 N_l=-5791.87 My_l=3.82 Mz_l=-0.02
Azioni sul cordone: TP=-0.29 TO=0.28 NO=-428.14
Tensioni nel cordone: τ_P= 0.09 τ_0= 0.09 σ_0=141.67 σ_{ID}=141.67 Σ_T=141.76
CC 27 SLV (Collegamento 0025_-382)
Azioni sul collegamento: N=-5791.87 Ty=-5.52 Tz=3.57 Mx=-0.02 Mz=-7.44
Sollecitazioni agenti localmente: Tx_l=-5.52 Ty_l=3.57 N_l=-5791.87 My_l=7.44 Mz_l=-0.02
Azioni sul cordone: TP=-0.39 TO=0.28 NO=-428.14
Tensioni nel cordone: τ_P=0.12 τ_0= 0.09 σ_0=146.94 σ_{ID}=146.94 Σ_T=147.03
CC 27 SLV (Collegamento 0025_-382)
Azioni sul collegamento: N=-5791.87 Ty=-4.22 Tz=-1.86 Mx=-0.02 Mz=-3.82
Sollecitazioni agenti localmente: Tx_l=-4.22 Ty_l=-1.86 N_l=-5791.87 My_l=3.82 Mz_l=-0.02
Azioni sul cordone: TP=-0.29 TO=-0.12 NO=-428.14
Tensioni nel cordone: τ_P= 0.09 τ_0= 0.04 σ_0=141.67 σ_{ID}=141.67 Σ_T=141.71
CC 27 SLV (Collegamento 0025_-382)
Azioni sul collegamento: N=-5791.87 Ty=-5.52 Tz=-1.86 Mx=-0.02 Mz=-7.44
Sollecitazioni agenti localmente: Tx_l=-5.52 Ty_l=-1.86 N_l=-5791.87 My_l=7.44 Mz_l=-0.02
Azioni sul cordone: TP=-0.39 TO=-0.12 NO=-428.14
Tensioni nel cordone: τ_P=0.12 τ_0= 0.04 σ_0=146.94 σ_{ID}=146.94 Σ_T=146.99
CC 28 SLD (Collegamento 0025_-382)
Azioni sul collegamento: N=-6780.50 Ty=-3.83 Tz=1.56 Mx=-0.00 Mz=-3.00
Sollecitazioni agenti localmente: Tx_l=-3.83 Ty_l=1.56 N_l=-6780.50 My_l=3.00 Mz_l=-0.00
Azioni sul cordone: TP=-0.28 TO=0.12 NO=-501.22
Tensioni nel cordone: τ_P= 0.09 τ_0= 0.04 σ_0=163.69 σ_{ID}=163.69 Σ_T=163.73
CC 28 SLD (Collegamento 0025_-382)
Azioni sul collegamento: N=-6780.50 Ty=-4.22 Tz=1.56 Mx=-0.00 Mz=-4.10
Sollecitazioni agenti localmente: Tx_l=-4.22 Ty_l=1.56 N_l=-6780.50 My_l=4.10 Mz_l=-0.00
Azioni sul cordone: TP=-0.31 TO=0.12 NO=-501.22
Tensioni nel cordone: τ_P= 0.10 τ_0= 0.04 σ_0=165.30 σ_{ID}=165.30 Σ_T=165.34
CC 28 SLD (Collegamento 0025_-382)
Azioni sul collegamento: N=-6780.50 Ty=-3.83 Tz=-0.10 Mx=-0.00 Mz=-3.00
Sollecitazioni agenti localmente: Tx_l=-3.83 Ty_l=-0.10 N_l=-6780.50 My_l=3.00 Mz_l=-0.00
Azioni sul cordone: TP=-0.28 TO=-0.01 NO=-501.22
Tensioni nel cordone: τ_P= 0.09 τ_0=1.61E-03 σ_0=163.69 σ_{ID}=163.69 Σ_T=163.69
CC 28 SLD (Collegamento 0025_-382)
Azioni sul collegamento: N=-6780.50 Ty=-4.22 Tz=-0.10 Mx=-0.00 Mz=-4.10
Sollecitazioni agenti localmente: Tx_l=-4.22 Ty_l=-0.10 N_l=-6780.50 My_l=4.10 Mz_l=-0.00
Azioni sul cordone: TP=-0.31 TO=-0.01 NO=-501.22
Tensioni nel cordone: τ_P= 0.10 τ_0=1.61E-03 σ_0=165.30 σ_{ID}=165.30 Σ_T=165.30
CC 28 SLD (Collegamento 0025_-382)
Azioni sul collegamento: N=-6303.28 Ty=-3.83 Tz=1.56 Mx=-0.00 Mz=-3.00
Sollecitazioni agenti localmente: Tx_l=-3.83 Ty_l=1.56 N_l=-6303.28 My_l=3.00 Mz_l=-0.00
Azioni sul cordone: TP=-0.28 TO=0.12 NO=-465.94
Tensioni nel cordone: τ_P= 0.09 τ_0= 0.04 σ_0=152.48 σ_{ID}=152.48 Σ_T=152.51
CC 28 SLD (Collegamento 0025_-382)
Azioni sul collegamento: N=-6303.28 Ty=-4.22 Tz=1.56 Mx=-0.00 Mz=-4.10
Sollecitazioni agenti localmente: Tx_l=-4.22 Ty_l=1.56 N_l=-6303.28 My_l=4.10 Mz_l=-0.00
Azioni sul cordone: TP=-0.31 TO=0.12 NO=-465.94
Tensioni nel cordone: τ_P= 0.10 τ_0= 0.04 σ_0=154.09 σ_{ID}=154.09 Σ_T=154.12
CC 28 SLD (Collegamento 0025_-382)
Azioni sul collegamento: N=-6303.28 Ty=-3.83 Tz=-0.10 Mx=-0.00 Mz=-3.00
Sollecitazioni agenti localmente: Tx_l=-3.83 Ty_l=-0.10 N_l=-6303.28 My_l=3.00 Mz_l=-0.00
Azioni sul cordone: TP=-0.28 TO=-0.01 NO=-465.94
Tensioni nel cordone: τ_P= 0.09 τ_0=1.60E-03 σ_0=152.48 σ_{ID}=152.48 Σ_T=152.48
CC 28 SLD (Collegamento 0025_-382)
Azioni sul collegamento: N=-6303.28 Ty=-4.22 Tz=-0.10 Mx=-0.00 Mz=-4.10
Sollecitazioni agenti localmente: Tx_l=-4.22 Ty_l=-0.10 N_l=-6303.28 My_l=4.10 Mz_l=-0.00
Azioni sul cordone: TP=-0.31 TO=-0.01 NO=-465.94
Tensioni nel cordone: τ_P= 0.10 τ_0=1.60E-03 σ_0=154.09 σ_{ID}=154.09 Σ_T=154.09
CC 29 SLV (Collegamento 0025_-382)
Azioni sul collegamento: N=-5791.87 Ty=-5.52 Tz=-1.86 Mx=-0.00 Mz=-7.44
Sollecitazioni agenti localmente: Tx_l=-5.52 Ty_l=-1.86 N_l=-5791.87 My_l=7.44 Mz_l=-0.00
Azioni sul cordone: TP=-0.40 TO=-0.14 NO=-428.14
Tensioni nel cordone: τ_P=0.13 τ_0= 0.04 σ_0=146.94 σ_{ID}=146.94 Σ_T=146.99
CC 29 SLV (Collegamento 0025_-382)
Azioni sul collegamento: N=-5791.87 Ty=-4.22 Tz=-1.86 Mx=-0.00 Mz=-3.82
Sollecitazioni agenti localmente: Tx_l=-4.22 Ty_l=-1.86 N_l=-5791.87 My_l=3.82 Mz_l=-0.00
Azioni sul cordone: TP=-0.31 TO=-0.14 NO=-428.14
Tensioni nel cordone: τ_P= 0.10 τ_0= 0.04 σ_0=141.67 σ_{ID}=141.67 Σ_T=141.71
CC 29 SLV (Collegamento 0025_-382)
Azioni sul collegamento: N=-5791.87 Ty=-5.52 Tz=3.57 Mx=-0.00 Mz=-7.44
Sollecitazioni agenti localmente: Tx_l=-5.52 Ty_l=3.57 N_l=-5791.87 My_l=7.44 Mz_l=-0.00

Azioni sul cordone: TP=-0.40 TO=0.27 NO=-428.14
Tensioni nel cordone: τ_P=0.13 τ_0= 0.08 σ_0=146.94 σ_{ID}=146.94 Σ_T=147.03
CC 29 SLV (Collegamento 0025_-382)
Azioni sul collegamento: N=-5791.87 Ty=-4.22 Tz=3.57 Mx=-0.00 Mz=-3.82
Sollecitazioni agenti localmente: Tx_l=-4.22 Ty_l=3.57 N_l=-5791.87 My_l=3.82 Mz_l=-0.00
Azioni sul cordone: TP=-0.31 TO=0.27 NO=-428.14
Tensioni nel cordone: τ_P= 0.10 τ_0= 0.08 σ_0=141.67 σ_{ID}=141.67 Σ_T=141.75
CC 29 SLV (Collegamento 0025_-382)
Azioni sul collegamento: N=-7356.87 Ty=-5.52 Tz=-1.86 Mx=-0.00 Mz=-7.44
Sollecitazioni agenti localmente: Tx_l=-5.52 Ty_l=-1.86 N_l=-7356.87 My_l=7.44 Mz_l=-0.00
Azioni sul cordone: TP=-0.40 TO=-0.14 NO=-543.82
Tensioni nel cordone: τ_P=0.13 τ_0= 0.04 σ_0=183.72 σ_{ID}=183.72 Σ_T=183.76
CC 29 SLV (Collegamento 0025_-382)
Azioni sul collegamento: N=-7356.87 Ty=-4.22 Tz=-1.86 Mx=-0.00 Mz=-3.82
Sollecitazioni agenti localmente: Tx_l=-4.22 Ty_l=-1.86 N_l=-7356.87 My_l=3.82 Mz_l=-0.00
Azioni sul cordone: TP=-0.31 TO=-0.14 NO=-543.82
Tensioni nel cordone: τ_P= 0.10 τ_0= 0.04 σ_0=178.44 σ_{ID}=178.44 Σ_T=178.48
CC 29 SLV (Collegamento 0025_-382)
Azioni sul collegamento: N=-7356.87 Ty=-5.52 Tz=3.57 Mx=-0.00 Mz=-7.44
Sollecitazioni agenti localmente: Tx_l=-5.52 Ty_l=3.57 N_l=-7356.87 My_l=7.44 Mz_l=-0.00
Azioni sul cordone: TP=-0.40 TO=0.27 NO=-543.82
Tensioni nel cordone: τ_P=0.13 τ_0= 0.08 σ_0=183.72 σ_{ID}=183.72 Σ_T=183.80
CC 29 SLV (Collegamento 0025_-382)
Azioni sul collegamento: N=-7356.87 Ty=-4.22 Tz=3.57 Mx=-0.00 Mz=-3.82
Sollecitazioni agenti localmente: Tx_l=-4.22 Ty_l=3.57 N_l=-7356.87 My_l=3.82 Mz_l=-0.00
Azioni sul cordone: TP=-0.31 TO=0.27 NO=-543.82
Tensioni nel cordone: τ_P= 0.10 τ_0= 0.08 σ_0=178.44 σ_{ID}=178.44 Σ_T=178.52
CC 30 SLD (Collegamento 0025_-382)
Azioni sul collegamento: N=-6303.28 Ty=-4.22 Tz=-0.10 Mx=0.00 Mz=-4.10
Sollecitazioni agenti localmente: Tx_l=-4.22 Ty_l=-0.10 N_l=-6303.28 My_l=4.10 Mz_l=0.00
Azioni sul cordone: TP=-0.31 TO=-0.01 NO=-465.94
Tensioni nel cordone: τ_P= 0.10 τ_0=2.76E-03 σ_0=154.09 σ_{ID}=154.09 Σ_T=154.09
CC 30 SLD (Collegamento 0025_-382)
Azioni sul collegamento: N=-6303.28 Ty=-3.83 Tz=-0.10 Mx=0.00 Mz=-3.00
Sollecitazioni agenti localmente: Tx_l=-3.83 Ty_l=-0.10 N_l=-6303.28 My_l=3.00 Mz_l=0.00
Azioni sul cordone: TP=-0.28 TO=-0.01 NO=-465.94
Tensioni nel cordone: τ_P= 0.09 τ_0=2.76E-03 σ_0=152.48 σ_{ID}=152.48 Σ_T=152.48
CC 30 SLD (Collegamento 0025_-382)
Azioni sul collegamento: N=-6303.28 Ty=-4.22 Tz=1.56 Mx=0.00 Mz=-4.10
Sollecitazioni agenti localmente: Tx_l=-4.22 Ty_l=1.56 N_l=-6303.28 My_l=4.10 Mz_l=0.00
Azioni sul cordone: TP=-0.31 TO=0.11 NO=-465.94
Tensioni nel cordone: τ_P= 0.10 τ_0= 0.04 σ_0=154.09 σ_{ID}=154.09 Σ_T=154.12
CC 30 SLD (Collegamento 0025_-382)
Azioni sul collegamento: N=-6303.28 Ty=-3.83 Tz=1.56 Mx=0.00 Mz=-3.00
Sollecitazioni agenti localmente: Tx_l=-3.83 Ty_l=1.56 N_l=-6303.28 My_l=3.00 Mz_l=0.00
Azioni sul cordone: TP=-0.28 TO=0.11 NO=-465.94
Tensioni nel cordone: τ_P= 0.09 τ_0= 0.04 σ_0=152.48 σ_{ID}=152.48 Σ_T=152.51
CC 30 SLD (Collegamento 0025_-382)
Azioni sul collegamento: N=-6780.50 Ty=-4.22 Tz=-0.10 Mx=0.00 Mz=-4.10
Sollecitazioni agenti localmente: Tx_l=-4.22 Ty_l=-0.10 N_l=-6780.50 My_l=4.10 Mz_l=0.00
Azioni sul cordone: TP=-0.31 TO=-0.01 NO=-501.22
Tensioni nel cordone: τ_P= 0.10 τ_0=2.77E-03 σ_0=165.30 σ_{ID}=165.30 Σ_T=165.30
CC 30 SLD (Collegamento 0025_-382)
Azioni sul collegamento: N=-6780.50 Ty=-3.83 Tz=-0.10 Mx=0.00 Mz=-3.00
Sollecitazioni agenti localmente: Tx_l=-3.83 Ty_l=-0.10 N_l=-6780.50 My_l=3.00 Mz_l=0.00
Azioni sul cordone: TP=-0.28 TO=-0.01 NO=-501.22
Tensioni nel cordone: τ_P= 0.09 τ_0=2.77E-03 σ_0=163.69 σ_{ID}=163.69 Σ_T=163.69
CC 30 SLD (Collegamento 0025_-382)
Azioni sul collegamento: N=-6780.50 Ty=-4.22 Tz=1.56 Mx=0.00 Mz=-4.10
Sollecitazioni agenti localmente: Tx_l=-4.22 Ty_l=1.56 N_l=-6780.50 My_l=4.10 Mz_l=0.00
Azioni sul cordone: TP=-0.31 TO=0.11 NO=-501.22
Tensioni nel cordone: τ_P= 0.10 τ_0= 0.04 σ_0=165.30 σ_{ID}=165.30 Σ_T=165.33
CC 30 SLD (Collegamento 0025_-382)
Azioni sul collegamento: N=-6780.50 Ty=-3.83 Tz=1.56 Mx=0.00 Mz=-3.00
Sollecitazioni agenti localmente: Tx_l=-3.83 Ty_l=1.56 N_l=-6780.50 My_l=3.00 Mz_l=0.00
Azioni sul cordone: TP=-0.28 TO=0.11 NO=-501.22
Tensioni nel cordone: τ_P= 0.09 τ_0= 0.04 σ_0=163.69 σ_{ID}=163.69 Σ_T=163.72
CC 31 SLV (Collegamento 0025_-382)
Azioni sul collegamento: N=-7375.81 Ty=-6.34 Tz=4.00 Mx=-0.00 Mz=-8.01
Sollecitazioni agenti localmente: Tx_l=-6.34 Ty_l=4.00 N_l=-7375.81 My_l=8.01 Mz_l=-0.00
Azioni sul cordone: TP=-0.47 TO=0.30 NO=-545.22
Tensioni nel cordone: τ_P=0.15 τ_0= 0.09 σ_0=185.00 σ_{ID}=185.00 Σ_T=185.10
CC 31 SLV (Collegamento 0025_-382)
Azioni sul collegamento: N=-7375.81 Ty=-3.40 Tz=4.00 Mx=-0.00 Mz=-3.25
Sollecitazioni agenti localmente: Tx_l=-3.40 Ty_l=4.00 N_l=-7375.81 My_l=3.25 Mz_l=-0.00
Azioni sul cordone: TP=-0.25 TO=0.30 NO=-545.22
Tensioni nel cordone: τ_P= 0.08 τ_0= 0.09 σ_0=178.04 σ_{ID}=178.04 Σ_T=178.13
CC 31 SLV (Collegamento 0025_-382)
Azioni sul collegamento: N=-7375.81 Ty=-6.34 Tz=-2.29 Mx=-0.00 Mz=-8.01

Sollecitazioni agenti localmente: Tx_l=-6.34 Ty_l=-2.29 N_l=-7375.81 My_l=8.01 Mz_l=-0.00
Azioni sul cordone: TP=-0.47 TO=-0.17 NO=-545.22
Tensioni nel cordone: τ_P=0.15 τ_0= 0.05 σ_0=185.00 σ_{ID}=185.00 Σ_T=185.06
CC 31 SLV (Collegamento 0025_-382)
Azioni sul collegamento: N=-7375.81 Ty=-3.40 Tz=-2.29 Mx=-0.00 Mz=-3.25
Sollecitazioni agenti localmente: Tx_l=-3.40 Ty_l=-2.29 N_l=-7375.81 My_l=3.25 Mz_l=-0.00
Azioni sul cordone: TP=-0.25 TO=-0.17 NO=-545.22
Tensioni nel cordone: τ_P= 0.08 τ_0= 0.05 σ_0=178.04 σ_{ID}=178.04 Σ_T=178.09
CC 31 SLV (Collegamento 0025_-382)
Azioni sul collegamento: N=-5772.93 Ty=-6.34 Tz=4.00 Mx=-0.00 Mz=-8.01
Sollecitazioni agenti localmente: Tx_l=-6.34 Ty_l=4.00 N_l=-5772.93 My_l=8.01 Mz_l=-0.00
Azioni sul cordone: TP=-0.47 TO=0.30 NO=-426.74
Tensioni nel cordone: τ_P=0.15 τ_0= 0.09 σ_0=147.34 σ_{ID}=147.34 Σ_T=147.44
CC 31 SLV (Collegamento 0025_-382)
Azioni sul collegamento: N=-5772.93 Ty=-3.40 Tz=4.00 Mx=-0.00 Mz=-3.25
Sollecitazioni agenti localmente: Tx_l=-3.40 Ty_l=4.00 N_l=-5772.93 My_l=3.25 Mz_l=-0.00
Azioni sul cordone: TP=-0.25 TO=0.30 NO=-426.74
Tensioni nel cordone: τ_P= 0.08 τ_0= 0.09 σ_0=140.38 σ_{ID}=140.38 Σ_T=140.47
CC 31 SLV (Collegamento 0025_-382)
Azioni sul collegamento: N=-5772.93 Ty=-6.34 Tz=-2.29 Mx=-0.00 Mz=-8.01
Sollecitazioni agenti localmente: Tx_l=-6.34 Ty_l=-2.29 N_l=-5772.93 My_l=8.01 Mz_l=-0.00
Azioni sul cordone: TP=-0.47 TO=-0.17 NO=-426.74
Tensioni nel cordone: τ_P=0.15 τ_0= 0.05 σ_0=147.34 σ_{ID}=147.34 Σ_T=147.40
CC 31 SLV (Collegamento 0025_-382)
Azioni sul collegamento: N=-5772.93 Ty=-3.40 Tz=-2.29 Mx=-0.00 Mz=-3.25
Sollecitazioni agenti localmente: Tx_l=-3.40 Ty_l=-2.29 N_l=-5772.93 My_l=3.25 Mz_l=-0.00
Azioni sul cordone: TP=-0.25 TO=-0.17 NO=-426.74
Tensioni nel cordone: τ_P= 0.08 τ_0= 0.05 σ_0=140.38 σ_{ID}=140.38 Σ_T=140.43
CC 32 SLD (Collegamento 0025_-382)
Azioni sul collegamento: N=-6786.28 Ty=-4.47 Tz=1.69 Mx=0.00 Mz=-4.27
Sollecitazioni agenti localmente: Tx_l=-4.47 Ty_l=1.69 N_l=-6786.28 My_l=4.27 Mz_l=0.00
Azioni sul cordone: TP=-0.33 TO=0.12 NO=-501.64
Tensioni nel cordone: τ_P=0.11 τ_0= 0.04 σ_0=165.69 σ_{ID}=165.69 Σ_T=165.73
CC 32 SLD (Collegamento 0025_-382)
Azioni sul collegamento: N=-6786.28 Ty=-3.58 Tz=1.69 Mx=0.00 Mz=-2.82
Sollecitazioni agenti localmente: Tx_l=-3.58 Ty_l=1.69 N_l=-6786.28 My_l=2.82 Mz_l=0.00
Azioni sul cordone: TP=-0.27 TO=0.12 NO=-501.64
Tensioni nel cordone: τ_P= 0.08 τ_0= 0.04 σ_0=163.57 σ_{ID}=163.57 Σ_T=163.61
CC 32 SLD (Collegamento 0025_-382)
Azioni sul collegamento: N=-6786.28 Ty=-4.47 Tz=-0.23 Mx=0.00 Mz=-4.27
Sollecitazioni agenti localmente: Tx_l=-4.47 Ty_l=-0.23 N_l=-6786.28 My_l=4.27 Mz_l=0.00
Azioni sul cordone: TP=-0.33 TO=-0.02 NO=-501.64
Tensioni nel cordone: τ_P=0.11 τ_0=5.90E-03 σ_0=165.69 σ_{ID}=165.69 Σ_T=165.70
CC 32 SLD (Collegamento 0025_-382)
Azioni sul collegamento: N=-6786.28 Ty=-3.58 Tz=-0.23 Mx=0.00 Mz=-2.82
Sollecitazioni agenti localmente: Tx_l=-3.58 Ty_l=-0.23 N_l=-6786.28 My_l=2.82 Mz_l=0.00
Azioni sul cordone: TP=-0.27 TO=-0.02 NO=-501.64
Tensioni nel cordone: τ_P= 0.08 τ_0=5.90E-03 σ_0=163.57 σ_{ID}=163.57 Σ_T=163.57
CC 32 SLD (Collegamento 0025_-382)
Azioni sul collegamento: N=-6297.50 Ty=-4.47 Tz=1.69 Mx=0.00 Mz=-4.27
Sollecitazioni agenti localmente: Tx_l=-4.47 Ty_l=1.69 N_l=-6297.50 My_l=4.27 Mz_l=0.00
Azioni sul cordone: TP=-0.33 TO=0.12 NO=-465.51
Tensioni nel cordone: τ_P=0.11 τ_0= 0.04 σ_0=154.21 σ_{ID}=154.21 Σ_T=154.25
CC 32 SLD (Collegamento 0025_-382)
Azioni sul collegamento: N=-6297.50 Ty=-3.58 Tz=1.69 Mx=0.00 Mz=-2.82
Sollecitazioni agenti localmente: Tx_l=-3.58 Ty_l=1.69 N_l=-6297.50 My_l=2.82 Mz_l=0.00
Azioni sul cordone: TP=-0.27 TO=0.12 NO=-465.51
Tensioni nel cordone: τ_P= 0.08 τ_0= 0.04 σ_0=152.08 σ_{ID}=152.08 Σ_T=152.12
CC 32 SLD (Collegamento 0025_-382)
Azioni sul collegamento: N=-6297.50 Ty=-4.47 Tz=-0.23 Mx=0.00 Mz=-4.27
Sollecitazioni agenti localmente: Tx_l=-4.47 Ty_l=-0.23 N_l=-6297.50 My_l=4.27 Mz_l=0.00
Azioni sul cordone: TP=-0.33 TO=-0.02 NO=-465.51
Tensioni nel cordone: τ_P=0.11 τ_0=5.90E-03 σ_0=154.21 σ_{ID}=154.21 Σ_T=154.21
CC 32 SLD (Collegamento 0025_-382)
Azioni sul collegamento: N=-6297.50 Ty=-3.58 Tz=-0.23 Mx=0.00 Mz=-2.82
Sollecitazioni agenti localmente: Tx_l=-3.58 Ty_l=-0.23 N_l=-6297.50 My_l=2.82 Mz_l=0.00
Azioni sul cordone: TP=-0.27 TO=-0.02 NO=-465.51
Tensioni nel cordone: τ_P= 0.08 τ_0=5.90E-03 σ_0=152.08 σ_{ID}=152.08 Σ_T=152.09
CC 33 SLU (Collegamento 0025_-382)
Azioni sul collegamento: N=-30778.60 Ty=-5.67 Tz=81.62 Mx=0.01 Mz=-4.05
Sollecitazioni agenti localmente: Tx_l=-5.67 Ty_l=81.62 N_l=-30778.60 My_l=4.05 Mz_l=0.01
Azioni sul cordone: TP=-0.43 TO=6.03 NO=-2275.16
Tensioni nel cordone: τ_P=0.14 τ_0=1.92 σ_0=729.07 σ_{ID}=729.07 Σ_T=730.99
CC 34 SLU (Collegamento 0025_-382)
Azioni sul collegamento: N=-30229.20 Ty=-5.39 Tz=79.58 Mx=0.01 Mz=-3.85
Sollecitazioni agenti localmente: Tx_l=-5.39 Ty_l=79.58 N_l=-30229.20 My_l=3.85 Mz_l=0.01
Azioni sul cordone: TP=-0.41 TO=5.88 NO=-2234.55
Tensioni nel cordone: τ_P=0.13 τ_0=1.87 σ_0=715.87 σ_{ID}=715.87 Σ_T=717.74
CC 35 SLU (Collegamento 0025_-382)

Azioni sul collegamento: N=-30504.90 Ty=-5.64 Tz=80.58 Mx=0.01 Mz=-4.16
Sollecitazioni agenti localmente: Tx_l=-5.64 Ty_l=80.58 N_l=-30504.90 My_l=4.16 Mz_l=0.01
Azioni sul cordone: TP=-0.43 TO=5.95 NO=-2254.93
Tensioni nel cordone: τ_P=0.14 τ_0=1.89 σ_0=722.81 σ_{ID}=722.81 Σ_T=724.70
CC 36 SLU (Collegamento 0025_-382)
Azioni sul collegamento: N=-30502.90 Ty=-5.42 Tz=80.62 Mx=0.01 Mz=-3.73
Sollecitazioni agenti localmente: Tx_l=-5.42 Ty_l=80.62 N_l=-30502.90 My_l=3.73 Mz_l=0.01
Azioni sul cordone: TP=-0.41 TO=5.96 NO=-2254.79
Tensioni nel cordone: τ_P=0.13 τ_0=1.89 σ_0=722.13 σ_{ID}=722.13 Σ_T=724.02
CC 37 SLU (Collegamento 0025_-382)
Azioni sul collegamento: N=-21507.60 Ty=-6.52 Tz=47.54 Mx=0.01 Mz=-4.63
Sollecitazioni agenti localmente: Tx_l=-6.52 Ty_l=47.54 N_l=-21507.60 My_l=4.63 Mz_l=0.01
Azioni sul cordone: TP=-0.49 TO=3.51 NO=-1589.85
Tensioni nel cordone: τ_P=0.16 τ_0=1.12 σ_0=512.10 σ_{ID}=512.10 Σ_T=513.21
CC 38 SLU (Collegamento 0025_-382)
Azioni sul collegamento: N=-20958.20 Ty=-6.23 Tz=45.50 Mx=0.01 Mz=-4.43
Sollecitazioni agenti localmente: Tx_l=-6.23 Ty_l=45.50 N_l=-20958.20 My_l=4.43 Mz_l=0.01
Azioni sul cordone: TP=-0.47 TO=3.36 NO=-1549.24
Tensioni nel cordone: τ_P=0.15 τ_0=1.07 σ_0=498.89 σ_{ID}=498.90 Σ_T=499.96
CC 39 SLU (Collegamento 0025_-382)
Azioni sul collegamento: N=-21233.90 Ty=-6.48 Tz=46.50 Mx=0.01 Mz=-4.75
Sollecitazioni agenti localmente: Tx_l=-6.48 Ty_l=46.50 N_l=-21233.90 My_l=4.75 Mz_l=0.01
Azioni sul cordone: TP=-0.49 TO=3.43 NO=-1569.62
Tensioni nel cordone: τ_P=0.15 τ_0=1.09 σ_0=505.84 σ_{ID}=505.84 Σ_T=506.93
CC 40 SLU (Collegamento 0025_-382)
Azioni sul collegamento: N=-21231.90 Ty=-6.26 Tz=46.54 Mx=0.01 Mz=-4.31
Sollecitazioni agenti localmente: Tx_l=-6.26 Ty_l=46.54 N_l=-21231.90 My_l=4.31 Mz_l=0.01
Azioni sul cordone: TP=-0.47 TO=3.44 NO=-1569.47
Tensioni nel cordone: τ_P=0.15 τ_0=1.09 σ_0=505.15 σ_{ID}=505.16 Σ_T=506.25
CC 41 SLU (Collegamento 0025_-382)
Azioni sul collegamento: N=-32702.20 Ty=-5.53 Tz=88.04 Mx=-0.00 Mz=-4.06
Sollecitazioni agenti localmente: Tx_l=-5.53 Ty_l=88.04 N_l=-32702.20 My_l=4.06 Mz_l=-0.00
Azioni sul cordone: TP=-0.41 TO=6.51 NO=-2417.36
Tensioni nel cordone: τ_P=0.13 τ_0=2.07 σ_0=774.28 σ_{ID}=774.29 Σ_T=776.35
CC 42 SLU (Collegamento 0025_-382)
Azioni sul collegamento: N=-32152.80 Ty=-5.24 Tz=86.01 Mx=-0.00 Mz=-3.86
Sollecitazioni agenti localmente: Tx_l=-5.24 Ty_l=86.01 N_l=-32152.80 My_l=3.86 Mz_l=-0.00
Azioni sul cordone: TP=-0.38 TO=6.36 NO=-2376.75
Tensioni nel cordone: τ_P=0.12 τ_0=2.02 σ_0=761.08 σ_{ID}=761.09 Σ_T=763.10
CC 43 SLU (Collegamento 0025_-382)
Azioni sul collegamento: N=-32428.50 Ty=-5.50 Tz=87.00 Mx=-0.00 Mz=-4.18
Sollecitazioni agenti localmente: Tx_l=-5.50 Ty_l=87.00 N_l=-32428.50 My_l=4.18 Mz_l=-0.00
Azioni sul cordone: TP=-0.40 TO=6.43 NO=-2397.12
Tensioni nel cordone: τ_P=0.13 τ_0=2.04 σ_0=768.02 σ_{ID}=768.03 Σ_T=770.07
CC 44 SLU (Collegamento 0025_-382)
Azioni sul collegamento: N=-32426.50 Ty=-5.28 Tz=87.05 Mx=-0.00 Mz=-3.74
Sollecitazioni agenti localmente: Tx_l=-5.28 Ty_l=87.05 N_l=-32426.50 My_l=3.74 Mz_l=-0.00
Azioni sul cordone: TP=-0.39 TO=6.44 NO=-2396.98
Tensioni nel cordone: τ_P=0.12 τ_0=2.05 σ_0=767.34 σ_{ID}=767.35 Σ_T=769.39
CC 45 SLU (Collegamento 0025_-382)
Azioni sul collegamento: N=-23594.00 Ty=-6.22 Tz=55.25 Mx=0.01 Mz=-4.49
Sollecitazioni agenti localmente: Tx_l=-6.22 Ty_l=55.25 N_l=-23594.00 My_l=4.49 Mz_l=0.01
Azioni sul cordone: TP=-0.47 TO=4.08 NO=-1744.08
Tensioni nel cordone: τ_P=0.15 τ_0=1.30 σ_0=560.91 σ_{ID}=560.91 Σ_T=562.20
CC 46 SLU (Collegamento 0025_-382)
Azioni sul collegamento: N=-23044.60 Ty=-5.94 Tz=53.22 Mx=0.01 Mz=-4.28
Sollecitazioni agenti localmente: Tx_l=-5.94 Ty_l=53.22 N_l=-23044.60 My_l=4.28 Mz_l=0.01
Azioni sul cordone: TP=-0.45 TO=3.93 NO=-1703.47
Tensioni nel cordone: τ_P=0.14 τ_0=1.25 σ_0=547.70 σ_{ID}=547.71 Σ_T=548.95
CC 47 SLU (Collegamento 0025_-382)
Azioni sul collegamento: N=-23320.30 Ty=-6.19 Tz=54.21 Mx=0.01 Mz=-4.60
Sollecitazioni agenti localmente: Tx_l=-6.19 Ty_l=54.21 N_l=-23320.30 My_l=4.60 Mz_l=0.01
Azioni sul cordone: TP=-0.47 TO=4.00 NO=-1723.84
Tensioni nel cordone: τ_P=0.15 τ_0=1.27 σ_0=554.65 σ_{ID}=554.65 Σ_T=555.92
CC 48 SLU (Collegamento 0025_-382)
Azioni sul collegamento: N=-23318.30 Ty=-5.97 Tz=54.26 Mx=0.01 Mz=-4.17
Sollecitazioni agenti localmente: Tx_l=-5.97 Ty_l=54.26 N_l=-23318.30 My_l=4.17 Mz_l=0.01
Azioni sul cordone: TP=-0.45 TO=4.01 NO=-1723.70
Tensioni nel cordone: τ_P=0.14 τ_0=1.27 σ_0=553.96 σ_{ID}=553.97 Σ_T=555.24
CC 49 SLU (Collegamento 0025_-382)
Azioni sul collegamento: N=-16657.90 Ty=-6.86 Tz=29.76 Mx=0.01 Mz=-4.92
Sollecitazioni agenti localmente: Tx_l=-6.86 Ty_l=29.76 N_l=-16657.90 My_l=4.92 Mz_l=0.01
Azioni sul cordone: TP=-0.51 TO=2.19 NO=-1231.36
Tensioni nel cordone: τ_P=0.16 τ_0=0.70 σ_0=398.58 σ_{ID}=398.58 Σ_T=399.28
CC 50 SLU (Collegamento 0025_-382)
Azioni sul collegamento: N=-16108.50 Ty=-6.57 Tz=27.72 Mx=0.01 Mz=-4.72
Sollecitazioni agenti localmente: Tx_l=-6.57 Ty_l=27.72 N_l=-16108.50 My_l=4.72 Mz_l=0.01
Azioni sul cordone: TP=-0.49 TO=2.04 NO=-1190.75
Tensioni nel cordone: τ_P=0.16 τ_0=0.65 σ_0=385.38 σ_{ID}=385.38 Σ_T=386.02

CC 51 SLU (Collegamento 0025_-382)
Azioni sul collegamento: N=-16384.20 Ty=-6.82 Tz=28.72 Mx=0.01 Mz=-5.04
Sollecitazioni agenti localmente: Tx_l=-6.82 Ty_l=28.72 N_l=-16384.20 My_l=5.04 Mz_l=0.01
Azioni sul cordone: TP=-0.51 TO=2.12 NO=-1211.13
Tensioni nel cordone: τ_P=0.16 τ_0=0.67 σ_0=392.32 σ_{ID}=392.32 Σ_T=392.99
CC 52 SLU (Collegamento 0025_-382)
Azioni sul collegamento: N=-16382.20 Ty=-6.60 Tz=28.76 Mx=0.01 Mz=-4.60
Sollecitazioni agenti localmente: Tx_l=-6.60 Ty_l=28.76 N_l=-16382.20 My_l=4.60 Mz_l=0.01
Azioni sul cordone: TP=-0.49 TO=2.12 NO=-1210.98
Tensioni nel cordone: τ_P=0.16 τ_0=0.67 σ_0=391.64 σ_{ID}=391.64 Σ_T=392.31
CC 53 SLU (Collegamento 0025_-382)
Azioni sul collegamento: N=-25033.10 Ty=-6.12 Tz=60.06 Mx=-0.00 Mz=-4.50
Sollecitazioni agenti localmente: Tx_l=-6.12 Ty_l=60.06 N_l=-25033.10 My_l=4.50 Mz_l=-0.00
Azioni sul cordone: TP=-0.45 TO=4.44 NO=-1850.46
Tensioni nel cordone: τ_P=0.14 τ_0=1.41 σ_0=594.73 σ_{ID}=594.74 Σ_T=596.14
CC 54 SLU (Collegamento 0025_-382)
Azioni sul collegamento: N=-24483.80 Ty=-5.83 Tz=58.03 Mx=-0.00 Mz=-4.29
Sollecitazioni agenti localmente: Tx_l=-5.83 Ty_l=58.03 N_l=-24483.80 My_l=4.29 Mz_l=-0.00
Azioni sul cordone: TP=-0.43 TO=4.29 NO=-1809.85
Tensioni nel cordone: τ_P=0.14 τ_0=1.36 σ_0=581.53 σ_{ID}=581.53 Σ_T=582.89
CC 55 SLU (Collegamento 0025_-382)
Azioni sul collegamento: N=-24759.40 Ty=-6.08 Tz=59.02 Mx=0.00 Mz=-4.61
Sollecitazioni agenti localmente: Tx_l=-6.08 Ty_l=59.02 N_l=-24759.40 My_l=4.61 Mz_l=0.00
Azioni sul cordone: TP=-0.45 TO=4.36 NO=-1830.22
Tensioni nel cordone: τ_P=0.14 τ_0=1.39 σ_0=588.47 σ_{ID}=588.48 Σ_T=589.86
CC 56 SLU (Collegamento 0025_-382)
Azioni sul collegamento: N=-24757.50 Ty=-5.87 Tz=59.07 Mx=-0.00 Mz=-4.18
Sollecitazioni agenti localmente: Tx_l=-5.87 Ty_l=59.07 N_l=-24757.50 My_l=4.18 Mz_l=-0.00
Azioni sul cordone: TP=-0.43 TO=4.37 NO=-1830.08
Tensioni nel cordone: τ_P=0.14 τ_0=1.39 σ_0=587.79 σ_{ID}=587.79 Σ_T=589.18
CC 57 SLU (Collegamento 0025_-382)
Azioni sul collegamento: N=-21981.50 Ty=-5.60 Tz=49.32 Mx=0.01 Mz=-4.03
Sollecitazioni agenti localmente: Tx_l=-5.60 Ty_l=49.32 N_l=-21981.50 My_l=4.03 Mz_l=0.01
Azioni sul cordone: TP=-0.42 TO=3.64 NO=-1624.88
Tensioni nel cordone: τ_P=0.13 τ_0=1.16 σ_0=522.36 σ_{ID}=522.36 Σ_T=523.52
CC 58 SLU (Collegamento 0025_-382)
Azioni sul collegamento: N=-21432.10 Ty=-5.31 Tz=47.28 Mx=0.01 Mz=-3.83
Sollecitazioni agenti localmente: Tx_l=-5.31 Ty_l=47.28 N_l=-21432.10 My_l=3.83 Mz_l=0.01
Azioni sul cordone: TP=-0.40 TO=3.49 NO=-1584.27
Tensioni nel cordone: τ_P=0.13 τ_0=1.11 σ_0=509.16 σ_{ID}=509.16 Σ_T=510.26
CC 59 SLU (Collegamento 0025_-382)
Azioni sul collegamento: N=-21707.80 Ty=-5.57 Tz=48.28 Mx=0.01 Mz=-4.15
Sollecitazioni agenti localmente: Tx_l=-5.57 Ty_l=48.28 N_l=-21707.80 My_l=4.15 Mz_l=0.01
Azioni sul cordone: TP=-0.42 TO=3.56 NO=-1604.64
Tensioni nel cordone: τ_P=0.13 τ_0=1.13 σ_0=516.10 σ_{ID}=516.10 Σ_T=517.23
CC 60 SLU (Collegamento 0025_-382)
Azioni sul collegamento: N=-21705.80 Ty=-5.35 Tz=48.32 Mx=0.01 Mz=-3.72
Sollecitazioni agenti localmente: Tx_l=-5.35 Ty_l=48.32 N_l=-21705.80 My_l=3.72 Mz_l=0.01
Azioni sul cordone: TP=-0.40 TO=3.57 NO=-1604.50
Tensioni nel cordone: τ_P=0.13 τ_0=1.13 σ_0=515.42 σ_{ID}=515.42 Σ_T=516.55
CC 61 SLU (Collegamento 0025_-382)
Azioni sul collegamento: N=-15045.40 Ty=-6.23 Tz=23.82 Mx=0.01 Mz=-4.47
Sollecitazioni agenti localmente: Tx_l=-6.23 Ty_l=23.82 N_l=-15045.40 My_l=4.47 Mz_l=0.01
Azioni sul cordone: TP=-0.47 TO=1.76 NO=-1112.16
Tensioni nel cordone: τ_P=0.15 τ_0=0.56 σ_0=360.03 σ_{ID}=360.03 Σ_T=360.59
CC 62 SLU (Collegamento 0025_-382)
Azioni sul collegamento: N=-14496.00 Ty=-5.95 Tz=21.79 Mx=0.01 Mz=-4.27
Sollecitazioni agenti localmente: Tx_l=-5.95 Ty_l=21.79 N_l=-14496.00 My_l=4.27 Mz_l=0.01
Azioni sul cordone: TP=-0.45 TO=1.61 NO=-1071.55
Tensioni nel cordone: τ_P=0.14 τ_0=0.51 σ_0=346.83 σ_{ID}=346.83 Σ_T=347.34
CC 63 SLU (Collegamento 0025_-382)
Azioni sul collegamento: N=-14771.70 Ty=-6.20 Tz=22.78 Mx=0.01 Mz=-4.59
Sollecitazioni agenti localmente: Tx_l=-6.20 Ty_l=22.78 N_l=-14771.70 My_l=4.59 Mz_l=0.01
Azioni sul cordone: TP=-0.47 TO=1.68 NO=-1091.93
Tensioni nel cordone: τ_P=0.15 τ_0=0.53 σ_0=353.77 σ_{ID}=353.77 Σ_T=354.30
CC 64 SLU (Collegamento 0025_-382)
Azioni sul collegamento: N=-14769.70 Ty=-5.98 Tz=22.82 Mx=0.01 Mz=-4.15
Sollecitazioni agenti localmente: Tx_l=-5.98 Ty_l=22.82 N_l=-14769.70 My_l=4.15 Mz_l=0.01
Azioni sul cordone: TP=-0.45 TO=1.68 NO=-1091.78
Tensioni nel cordone: τ_P=0.14 τ_0=0.54 σ_0=353.09 σ_{ID}=353.09 Σ_T=353.62
CC 65 SLU (Collegamento 0025_-382)
Azioni sul collegamento: N=-23420.60 Ty=-5.49 Tz=54.12 Mx=-0.00 Mz=-4.04
Sollecitazioni agenti localmente: Tx_l=-5.49 Ty_l=54.12 N_l=-23420.60 My_l=4.04 Mz_l=-0.00
Azioni sul cordone: TP=-0.40 TO=4.00 NO=-1731.26
Tensioni nel cordone: τ_P=0.13 τ_0=1.27 σ_0=556.18 σ_{ID}=556.19 Σ_T=557.46
CC 66 SLU (Collegamento 0025_-382)
Azioni sul collegamento: N=-22871.20 Ty=-5.21 Tz=52.09 Mx=-0.00 Mz=-3.84
Sollecitazioni agenti localmente: Tx_l=-5.21 Ty_l=52.09 N_l=-22871.20 My_l=3.84 Mz_l=-0.00
Azioni sul cordone: TP=-0.38 TO=3.85 NO=-1690.65

Tensioni nel cordone: τ_P=0.12 τ_0=1.22 σ_0=542.98 σ_{ID}=542.98 Σ_T=544.21
CC 67 SLU (Collegamento 0025_-382)
Azioni sul collegamento: N=-23146.90 Ty=-5.46 Tz=53.08 Mx=-0.00 Mz=-4.16
Sollecitazioni agenti localmente: Tx_l=-5.46 Ty_l=53.08 N_l=-23146.90 My_l=4.16 Mz_l=-0.00
Azioni sul cordone: TP=-0.40 TO=3.92 NO=-1711.03
Tensioni nel cordone: τ_P=0.13 τ_0=1.25 σ_0=549.92 σ_{ID}=549.93 Σ_T=551.17
CC 68 SLU (Collegamento 0025_-382)
Azioni sul collegamento: N=-23144.90 Ty=-5.24 Tz=53.13 Mx=-0.00 Mz=-3.72
Sollecitazioni agenti localmente: Tx_l=-5.24 Ty_l=53.13 N_l=-23144.90 My_l=3.72 Mz_l=-0.00
Azioni sul cordone: TP=-0.39 TO=3.93 NO=-1710.88
Tensioni nel cordone: τ_P=0.12 τ_0=1.25 σ_0=549.24 σ_{ID}=549.24 Σ_T=550.49
CC 97 SLU (Collegamento 0025_-382)
Azioni sul collegamento: N=-11444.50 Ty=-17.52 Tz=18.88 Mx=-0.03 Mz=-21.34
Sollecitazioni agenti localmente: Tx_l=-17.52 Ty_l=18.88 N_l=-11444.50 My_l=21.34 Mz_l=-0.03
Azioni sul cordone: TP=-1.26 TO=1.42 NO=-845.98
Tensioni nel cordone: τ_P=0.40 τ_0=0.45 σ_0=300.06 σ_{ID}=300.06 Σ_T=300.52
CC 98 SLU (Collegamento 0025_-382)
Azioni sul collegamento: N=-10895.20 Ty=-17.24 Tz=16.84 Mx=-0.03 Mz=-21.13
Sollecitazioni agenti localmente: Tx_l=-17.24 Ty_l=16.84 N_l=-10895.20 My_l=21.13 Mz_l=-0.03
Azioni sul cordone: TP=-1.23 TO=1.27 NO=-805.37
Tensioni nel cordone: τ_P=0.39 τ_0=0.40 σ_0=286.86 σ_{ID}=286.86 Σ_T=287.27
CC 99 SLU (Collegamento 0025_-382)
Azioni sul collegamento: N=-11170.80 Ty=-17.49 Tz=17.84 Mx=-0.03 Mz=-21.45
Sollecitazioni agenti localmente: Tx_l=-17.49 Ty_l=17.84 N_l=-11170.80 My_l=21.45 Mz_l=-0.03
Azioni sul cordone: TP=-1.25 TO=1.35 NO=-825.75
Tensioni nel cordone: τ_P=0.40 τ_0=0.43 σ_0=293.81 σ_{ID}=293.81 Σ_T=294.23
CC 100 SLU (Collegamento 0025_-382)
Azioni sul collegamento: N=-11168.90 Ty=-17.27 Tz=17.88 Mx=-0.04 Mz=-21.02
Sollecitazioni agenti localmente: Tx_l=-17.27 Ty_l=17.88 N_l=-11168.90 My_l=21.02 Mz_l=-0.04
Azioni sul cordone: TP=-1.24 TO=1.35 NO=-825.61
Tensioni nel cordone: τ_P=0.39 τ_0=0.43 σ_0=293.12 σ_{ID}=293.12 Σ_T=293.55
CC 101 SLU (Collegamento 0025_-382)
Azioni sul collegamento: N=-7155.53 Ty=-1.61 Tz=2.94 Mx=0.01 Mz=-0.33
Sollecitazioni agenti localmente: Tx_l=-1.61 Ty_l=2.94 N_l=-7155.53 My_l=0.33 Mz_l=0.01
Azioni sul cordone: TP=-0.13 TO=0.21 NO=-528.94
Tensioni nel cordone: τ_P= 0.04 τ_0= 0.07 σ_0=168.61 σ_{ID}=168.61 Σ_T=168.67
CC 102 SLU (Collegamento 0025_-382)
Azioni sul collegamento: N=-6606.15 Ty=-1.32 Tz=0.91 Mx=0.01 Mz=-0.13
Sollecitazioni agenti localmente: Tx_l=-1.32 Ty_l=0.91 N_l=-6606.15 My_l=0.13 Mz_l=0.01
Azioni sul cordone: TP=-0.11 TO=0.06 NO=-488.33
Tensioni nel cordone: τ_P= 0.03 τ_0= 0.02 σ_0=155.41 σ_{ID}=155.41 Σ_T=155.42
CC 103 SLU (Collegamento 0025_-382)
Azioni sul collegamento: N=-6881.82 Ty=-1.58 Tz=1.90 Mx=0.01 Mz=-0.45
Sollecitazioni agenti localmente: Tx_l=-1.58 Ty_l=1.90 N_l=-6881.82 My_l=0.45 Mz_l=0.01
Azioni sul cordone: TP=-0.13 TO=0.13 NO=-508.71
Tensioni nel cordone: τ_P= 0.04 τ_0= 0.04 σ_0=162.35 σ_{ID}=162.35 Σ_T=162.39
CC 104 SLU (Collegamento 0025_-382)
Azioni sul collegamento: N=-6879.85 Ty=-1.36 Tz=1.95 Mx=0.01 Mz=-0.01
Sollecitazioni agenti localmente: Tx_l=-1.36 Ty_l=1.95 N_l=-6879.85 My_l=0.01 Mz_l=0.01
Azioni sul cordone: TP=-0.11 TO=0.14 NO=-508.56
Tensioni nel cordone: τ_P= 0.03 τ_0= 0.04 σ_0=161.66 σ_{ID}=161.66 Σ_T=161.71

Flessione attacco superiore piastra

Bnetta=220.00 Hnetta=15.00
CC 1 SLV (Collegamento 0025_-382)
Azioni sul collegamento: N=-3838.16 Ty=-4.12 Tz=-9.35 Mx=0.02 Mz=1.95
Sollecitazioni agenti localmente: Ty_l=-697.85 Mx_l=-13.96
Tensioni nella sezione: σ=169.18 τ=21.15
CC 1 SLV (Collegamento 0025_-382)
Azioni sul collegamento: N=-3838.16 Ty=-0.76 Tz=-9.35 Mx=0.02 Mz=-1.23
Sollecitazioni agenti localmente: Ty_l=-697.85 Mx_l=-13.96
Tensioni nella sezione: σ=169.18 τ=21.15
CC 1 SLV (Collegamento 0025_-382)
Azioni sul collegamento: N=-3838.16 Ty=-4.12 Tz=10.33 Mx=0.02 Mz=1.95
Sollecitazioni agenti localmente: Ty_l=-697.85 Mx_l=-13.96
Tensioni nella sezione: σ=169.18 τ=21.15
CC 1 SLV (Collegamento 0025_-382)
Azioni sul collegamento: N=-3838.16 Ty=-0.76 Tz=10.33 Mx=0.02 Mz=-1.23
Sollecitazioni agenti localmente: Ty_l=-697.85 Mx_l=-13.96
Tensioni nella sezione: σ=169.18 τ=21.15
CC 1 SLV (Collegamento 0025_-382)
Azioni sul collegamento: N=-9123.66 Ty=-4.12 Tz=-9.35 Mx=0.02 Mz=1.95
Sollecitazioni agenti localmente: Ty_l=-1658.85 Mx_l=-33.18
Tensioni nella sezione: σ=402.14 τ=50.27
CC 1 SLV (Collegamento 0025_-382)
Azioni sul collegamento: N=-9123.66 Ty=-0.76 Tz=-9.35 Mx=0.02 Mz=-1.23
Sollecitazioni agenti localmente: Ty_l=-1658.85 Mx_l=-33.18
Tensioni nella sezione: σ=402.14 τ=50.27

CC 1 SLV (Collegamento 0025_-382)
Azioni sul collegamento: N=-9123.66 Ty=-4.12 Tz=10.33 Mx=0.02 Mz=1.95
Sollecitazioni agenti localmente: Ty_l=-1658.85 Mx_l=-33.18
Tensioni nella sezione: σ=402.14 τ=50.27
CC 1 SLV (Collegamento 0025_-382)
Azioni sul collegamento: N=-9123.66 Ty=-0.76 Tz=10.33 Mx=0.02 Mz=-1.23
Sollecitazioni agenti localmente: Ty_l=-1658.85 Mx_l=-33.18
Tensioni nella sezione: σ=402.14 τ=50.27
CC 2 SLD (Collegamento 0025_-382)
Azioni sul collegamento: N=-5707.53 Ty=-2.77 Tz=-2.38 Mx=0.01 Mz=-1.24
Sollecitazioni agenti localmente: Ty_l=-1037.73 Mx_l=-20.75
Tensioni nella sezione: σ=251.57 τ=31.45
CC 2 SLD (Collegamento 0025_-382)
Azioni sul collegamento: N=-5707.53 Ty=-3.80 Tz=-2.38 Mx=0.01 Mz=-2.21
Sollecitazioni agenti localmente: Ty_l=-1037.73 Mx_l=-20.75
Tensioni nella sezione: σ=251.57 τ=31.45
CC 2 SLD (Collegamento 0025_-382)
Azioni sul collegamento: N=-5707.53 Ty=-2.77 Tz=3.62 Mx=0.01 Mz=-1.24
Sollecitazioni agenti localmente: Ty_l=-1037.73 Mx_l=-20.75
Tensioni nella sezione: σ=251.57 τ=31.45
CC 2 SLD (Collegamento 0025_-382)
Azioni sul collegamento: N=-5707.53 Ty=-3.80 Tz=3.62 Mx=0.01 Mz=-2.21
Sollecitazioni agenti localmente: Ty_l=-1037.73 Mx_l=-20.75
Tensioni nella sezione: σ=251.57 τ=31.45
CC 2 SLD (Collegamento 0025_-382)
Azioni sul collegamento: N=-7319.25 Ty=-2.77 Tz=-2.38 Mx=0.01 Mz=-1.24
Sollecitazioni agenti localmente: Ty_l=-1330.77 Mx_l=-26.62
Tensioni nella sezione: σ=322.61 τ=40.33
CC 2 SLD (Collegamento 0025_-382)
Azioni sul collegamento: N=-7319.25 Ty=-3.80 Tz=-2.38 Mx=0.01 Mz=-2.21
Sollecitazioni agenti localmente: Ty_l=-1330.77 Mx_l=-26.62
Tensioni nella sezione: σ=322.61 τ=40.33
CC 2 SLD (Collegamento 0025_-382)
Azioni sul collegamento: N=-7319.25 Ty=-2.77 Tz=3.62 Mx=0.01 Mz=-1.24
Sollecitazioni agenti localmente: Ty_l=-1330.77 Mx_l=-26.62
Tensioni nella sezione: σ=322.61 τ=40.33
CC 2 SLD (Collegamento 0025_-382)
Azioni sul collegamento: N=-7319.25 Ty=-3.80 Tz=3.62 Mx=0.01 Mz=-2.21
Sollecitazioni agenti localmente: Ty_l=-1330.77 Mx_l=-26.62
Tensioni nella sezione: σ=322.61 τ=40.33
CC 3 SLV (Collegamento 0025_-382)
Azioni sul collegamento: N=-3843.85 Ty=-3.49 Tz=-9.22 Mx=0.02 Mz=0.69
Sollecitazioni agenti localmente: Ty_l=-698.88 Mx_l=-13.98
Tensioni nella sezione: σ=169.43 τ=21.18
CC 3 SLV (Collegamento 0025_-382)
Azioni sul collegamento: N=-3843.85 Ty=-1.39 Tz=-9.22 Mx=0.02 Mz=0.03
Sollecitazioni agenti localmente: Ty_l=-698.88 Mx_l=-13.98
Tensioni nella sezione: σ=169.43 τ=21.18
CC 3 SLV (Collegamento 0025_-382)
Azioni sul collegamento: N=-3843.85 Ty=-3.49 Tz=10.20 Mx=0.02 Mz=0.69
Sollecitazioni agenti localmente: Ty_l=-698.88 Mx_l=-13.98
Tensioni nella sezione: σ=169.43 τ=21.18
CC 3 SLV (Collegamento 0025_-382)
Azioni sul collegamento: N=-3843.85 Ty=-1.39 Tz=10.20 Mx=0.02 Mz=0.03
Sollecitazioni agenti localmente: Ty_l=-698.88 Mx_l=-13.98
Tensioni nella sezione: σ=169.43 τ=21.18
CC 3 SLV (Collegamento 0025_-382)
Azioni sul collegamento: N=-9117.97 Ty=-3.49 Tz=-9.22 Mx=0.02 Mz=0.69
Sollecitazioni agenti localmente: Ty_l=-1657.81 Mx_l=-33.16
Tensioni nella sezione: σ=401.89 τ=50.24
CC 3 SLV (Collegamento 0025_-382)
Azioni sul collegamento: N=-9117.97 Ty=-1.39 Tz=-9.22 Mx=0.02 Mz=0.03
Sollecitazioni agenti localmente: Ty_l=-1657.81 Mx_l=-33.16
Tensioni nella sezione: σ=401.89 τ=50.24
CC 3 SLV (Collegamento 0025_-382)
Azioni sul collegamento: N=-9117.97 Ty=-3.49 Tz=10.20 Mx=0.02 Mz=0.69
Sollecitazioni agenti localmente: Ty_l=-1657.81 Mx_l=-33.16
Tensioni nella sezione: σ=401.89 τ=50.24
CC 3 SLV (Collegamento 0025_-382)
Azioni sul collegamento: N=-9117.97 Ty=-1.39 Tz=10.20 Mx=0.02 Mz=0.03
Sollecitazioni agenti localmente: Ty_l=-1657.81 Mx_l=-33.16
Tensioni nella sezione: σ=401.89 τ=50.24
CC 4 SLD (Collegamento 0025_-382)
Azioni sul collegamento: N=-5709.27 Ty=-2.97 Tz=-2.35 Mx=0.01 Mz=-1.62
Sollecitazioni agenti localmente: Ty_l=-1038.05 Mx_l=-20.76
Tensioni nella sezione: σ=251.65 τ=31.46
CC 4 SLD (Collegamento 0025_-382)
Azioni sul collegamento: N=-5709.27 Ty=-3.60 Tz=-2.35 Mx=0.01 Mz=-1.82
Sollecitazioni agenti localmente: Ty_l=-1038.05 Mx_l=-20.76

Tensioni nella sezione: σ=251.65 τ=31.46
CC 4 SLD (Collegamento 0025_-382)
Azioni sul collegamento: N=-5709.27 Ty=-2.97 Tz=3.58 Mx=0.01 Mz=-1.62
Sollecitazioni agenti localmente: Ty_l=-1038.05 Mx_l=-20.76
Tensioni nella sezione: σ=251.65 τ=31.46
CC 4 SLD (Collegamento 0025_-382)
Azioni sul collegamento: N=-5709.27 Ty=-3.60 Tz=3.58 Mx=0.01 Mz=-1.82
Sollecitazioni agenti localmente: Ty_l=-1038.05 Mx_l=-20.76
Tensioni nella sezione: σ=251.65 τ=31.46
CC 4 SLD (Collegamento 0025_-382)
Azioni sul collegamento: N=-7317.51 Ty=-2.97 Tz=-2.35 Mx=0.01 Mz=-1.62
Sollecitazioni agenti localmente: Ty_l=-1330.46 Mx_l=-26.61
Tensioni nella sezione: σ=322.53 τ=40.32
CC 4 SLD (Collegamento 0025_-382)
Azioni sul collegamento: N=-7317.51 Ty=-3.60 Tz=-2.35 Mx=0.01 Mz=-1.82
Sollecitazioni agenti localmente: Ty_l=-1330.46 Mx_l=-26.61
Tensioni nella sezione: σ=322.53 τ=40.32
CC 4 SLD (Collegamento 0025_-382)
Azioni sul collegamento: N=-7317.51 Ty=-2.97 Tz=3.58 Mx=0.01 Mz=-1.62
Sollecitazioni agenti localmente: Ty_l=-1330.46 Mx_l=-26.61
Tensioni nella sezione: σ=322.53 τ=40.32
CC 4 SLD (Collegamento 0025_-382)
Azioni sul collegamento: N=-7317.51 Ty=-3.60 Tz=3.58 Mx=0.01 Mz=-1.82
Sollecitazioni agenti localmente: Ty_l=-1330.46 Mx_l=-26.61
Tensioni nella sezione: σ=322.53 τ=40.32
CC 5 SLV (Collegamento 0025_-382)
Azioni sul collegamento: N=-9117.97 Ty=-1.39 Tz=10.20 Mx=0.02 Mz=0.03
Sollecitazioni agenti localmente: Ty_l=-1657.81 Mx_l=-33.16
Tensioni nella sezione: σ=401.89 τ=50.24
CC 5 SLV (Collegamento 0025_-382)
Azioni sul collegamento: N=-9117.97 Ty=-3.49 Tz=10.20 Mx=0.02 Mz=0.69
Sollecitazioni agenti localmente: Ty_l=-1657.81 Mx_l=-33.16
Tensioni nella sezione: σ=401.89 τ=50.24
CC 5 SLV (Collegamento 0025_-382)
Azioni sul collegamento: N=-9117.97 Ty=-1.39 Tz=-9.22 Mx=0.02 Mz=0.03
Sollecitazioni agenti localmente: Ty_l=-1657.81 Mx_l=-33.16
Tensioni nella sezione: σ=401.89 τ=50.24
CC 5 SLV (Collegamento 0025_-382)
Azioni sul collegamento: N=-9117.97 Ty=-3.49 Tz=-9.22 Mx=0.02 Mz=0.69
Sollecitazioni agenti localmente: Ty_l=-1657.81 Mx_l=-33.16
Tensioni nella sezione: σ=401.89 τ=50.24
CC 5 SLV (Collegamento 0025_-382)
Azioni sul collegamento: N=-3843.85 Ty=-1.39 Tz=10.20 Mx=0.02 Mz=0.03
Sollecitazioni agenti localmente: Ty_l=-698.88 Mx_l=-13.98
Tensioni nella sezione: σ=169.43 τ=21.18
CC 5 SLV (Collegamento 0025_-382)
Azioni sul collegamento: N=-3843.85 Ty=-3.49 Tz=10.20 Mx=0.02 Mz=0.69
Sollecitazioni agenti localmente: Ty_l=-698.88 Mx_l=-13.98
Tensioni nella sezione: σ=169.43 τ=21.18
CC 5 SLV (Collegamento 0025_-382)
Azioni sul collegamento: N=-3843.85 Ty=-1.39 Tz=-9.22 Mx=0.02 Mz=0.03
Sollecitazioni agenti localmente: Ty_l=-698.88 Mx_l=-13.98
Tensioni nella sezione: σ=169.43 τ=21.18
CC 5 SLV (Collegamento 0025_-382)
Azioni sul collegamento: N=-3843.85 Ty=-3.49 Tz=-9.22 Mx=0.02 Mz=0.69
Sollecitazioni agenti localmente: Ty_l=-698.88 Mx_l=-13.98
Tensioni nella sezione: σ=169.43 τ=21.18
CC 6 SLD (Collegamento 0025_-382)
Azioni sul collegamento: N=-7317.51 Ty=-3.60 Tz=3.58 Mx=0.01 Mz=-1.82
Sollecitazioni agenti localmente: Ty_l=-1330.46 Mx_l=-26.61
Tensioni nella sezione: σ=322.53 τ=40.32
CC 6 SLD (Collegamento 0025_-382)
Azioni sul collegamento: N=-7317.51 Ty=-2.97 Tz=3.58 Mx=0.01 Mz=-1.62
Sollecitazioni agenti localmente: Ty_l=-1330.46 Mx_l=-26.61
Tensioni nella sezione: σ=322.53 τ=40.32
CC 6 SLD (Collegamento 0025_-382)
Azioni sul collegamento: N=-7317.51 Ty=-3.60 Tz=-2.35 Mx=0.01 Mz=-1.82
Sollecitazioni agenti localmente: Ty_l=-1330.46 Mx_l=-26.61
Tensioni nella sezione: σ=322.53 τ=40.32
CC 6 SLD (Collegamento 0025_-382)
Azioni sul collegamento: N=-7317.51 Ty=-2.97 Tz=-2.35 Mx=0.01 Mz=-1.62
Sollecitazioni agenti localmente: Ty_l=-1330.46 Mx_l=-26.61
Tensioni nella sezione: σ=322.53 τ=40.32
CC 6 SLD (Collegamento 0025_-382)
Azioni sul collegamento: N=-5709.27 Ty=-3.60 Tz=3.58 Mx=0.01 Mz=-1.82
Sollecitazioni agenti localmente: Ty_l=-1038.05 Mx_l=-20.76
Tensioni nella sezione: σ=251.65 τ=31.46
CC 6 SLD (Collegamento 0025_-382)
Azioni sul collegamento: N=-5709.27 Ty=-2.97 Tz=3.58 Mx=0.01 Mz=-1.62

Sollecitazioni agenti localmente: Ty_l=-1038.05 Mx_l=-20.76
Tensioni nella sezione: σ=251.65 τ=31.46
CC 6 SLD (Collegamento 0025_-382)
Azioni sul collegamento: N=-5709.27 Ty=-3.60 Tz=-2.35 Mx=0.01 Mz=-1.82
Sollecitazioni agenti localmente: Ty_l=-1038.05 Mx_l=-20.76
Tensioni nella sezione: σ=251.65 τ=31.46
CC 6 SLD (Collegamento 0025_-382)
Azioni sul collegamento: N=-5709.27 Ty=-2.97 Tz=-2.35 Mx=0.01 Mz=-1.62
Sollecitazioni agenti localmente: Ty_l=-1038.05 Mx_l=-20.76
Tensioni nella sezione: σ=251.65 τ=31.46
CC 7 SLV (Collegamento 0025_-382)
Azioni sul collegamento: N=-9123.66 Ty=-0.76 Tz=10.33 Mx=0.01 Mz=-1.23
Sollecitazioni agenti localmente: Ty_l=-1658.85 Mx_l=-33.18
Tensioni nella sezione: σ=402.14 τ=50.27
CC 7 SLV (Collegamento 0025_-382)
Azioni sul collegamento: N=-9123.66 Ty=-4.12 Tz=10.33 Mx=0.01 Mz=1.95
Sollecitazioni agenti localmente: Ty_l=-1658.85 Mx_l=-33.18
Tensioni nella sezione: σ=402.14 τ=50.27
CC 7 SLV (Collegamento 0025_-382)
Azioni sul collegamento: N=-9123.66 Ty=-0.76 Tz=-9.35 Mx=0.01 Mz=-1.23
Sollecitazioni agenti localmente: Ty_l=-1658.85 Mx_l=-33.18
Tensioni nella sezione: σ=402.14 τ=50.27
CC 7 SLV (Collegamento 0025_-382)
Azioni sul collegamento: N=-9123.66 Ty=-4.12 Tz=-9.35 Mx=0.01 Mz=1.95
Sollecitazioni agenti localmente: Ty_l=-1658.85 Mx_l=-33.18
Tensioni nella sezione: σ=402.14 τ=50.27
CC 7 SLV (Collegamento 0025_-382)
Azioni sul collegamento: N=-3838.16 Ty=-0.76 Tz=10.33 Mx=0.01 Mz=-1.23
Sollecitazioni agenti localmente: Ty_l=-697.85 Mx_l=-13.96
Tensioni nella sezione: σ=169.18 τ=21.15
CC 7 SLV (Collegamento 0025_-382)
Azioni sul collegamento: N=-3838.16 Ty=-4.12 Tz=10.33 Mx=0.01 Mz=1.95
Sollecitazioni agenti localmente: Ty_l=-697.85 Mx_l=-13.96
Tensioni nella sezione: σ=169.18 τ=21.15
CC 7 SLV (Collegamento 0025_-382)
Azioni sul collegamento: N=-3838.16 Ty=-0.76 Tz=-9.35 Mx=0.01 Mz=-1.23
Sollecitazioni agenti localmente: Ty_l=-697.85 Mx_l=-13.96
Tensioni nella sezione: σ=169.18 τ=21.15
CC 7 SLV (Collegamento 0025_-382)
Azioni sul collegamento: N=-3838.16 Ty=-4.12 Tz=-9.35 Mx=0.01 Mz=1.95
Sollecitazioni agenti localmente: Ty_l=-697.85 Mx_l=-13.96
Tensioni nella sezione: σ=169.18 τ=21.15
CC 8 SLD (Collegamento 0025_-382)
Azioni sul collegamento: N=-7319.25 Ty=-3.80 Tz=3.62 Mx=0.01 Mz=-2.21
Sollecitazioni agenti localmente: Ty_l=-1330.77 Mx_l=-26.62
Tensioni nella sezione: σ=322.61 τ=40.33
CC 8 SLD (Collegamento 0025_-382)
Azioni sul collegamento: N=-7319.25 Ty=-2.77 Tz=3.62 Mx=0.01 Mz=-1.24
Sollecitazioni agenti localmente: Ty_l=-1330.77 Mx_l=-26.62
Tensioni nella sezione: σ=322.61 τ=40.33
CC 8 SLD (Collegamento 0025_-382)
Azioni sul collegamento: N=-7319.25 Ty=-3.80 Tz=-2.38 Mx=0.01 Mz=-2.21
Sollecitazioni agenti localmente: Ty_l=-1330.77 Mx_l=-26.62
Tensioni nella sezione: σ=322.61 τ=40.33
CC 8 SLD (Collegamento 0025_-382)
Azioni sul collegamento: N=-7319.25 Ty=-2.77 Tz=-2.38 Mx=0.01 Mz=-1.24
Sollecitazioni agenti localmente: Ty_l=-1330.77 Mx_l=-26.62
Tensioni nella sezione: σ=322.61 τ=40.33
CC 8 SLD (Collegamento 0025_-382)
Azioni sul collegamento: N=-5707.53 Ty=-3.80 Tz=3.62 Mx=0.01 Mz=-2.21
Sollecitazioni agenti localmente: Ty_l=-1037.73 Mx_l=-20.75
Tensioni nella sezione: σ=251.57 τ=31.45
CC 8 SLD (Collegamento 0025_-382)
Azioni sul collegamento: N=-5707.53 Ty=-2.77 Tz=3.62 Mx=0.01 Mz=-1.24
Sollecitazioni agenti localmente: Ty_l=-1037.73 Mx_l=-20.75
Tensioni nella sezione: σ=251.57 τ=31.45
CC 8 SLD (Collegamento 0025_-382)
Azioni sul collegamento: N=-5707.53 Ty=-3.80 Tz=-2.38 Mx=0.01 Mz=-2.21
Sollecitazioni agenti localmente: Ty_l=-1037.73 Mx_l=-20.75
Tensioni nella sezione: σ=251.57 τ=31.45
CC 8 SLD (Collegamento 0025_-382)
Azioni sul collegamento: N=-5707.53 Ty=-2.77 Tz=-2.38 Mx=0.01 Mz=-1.24
Sollecitazioni agenti localmente: Ty_l=-1037.73 Mx_l=-20.75
Tensioni nella sezione: σ=251.57 τ=31.45
CC 9 SLV (Collegamento 0025_-382)
Azioni sul collegamento: N=-5679.47 Ty=-3.91 Tz=-2.66 Mx=0.03 Mz=2.74
Sollecitazioni agenti localmente: Ty_l=-1032.63 Mx_l=-20.65
Tensioni nella sezione: σ=250.33 τ=31.29
CC 9 SLV (Collegamento 0025_-382)

Azioni sul collegamento: N=-5679.47 Ty=-0.97 Tz=-2.66 Mx=0.03 Mz=-2.02
Sollecitazioni agenti localmente: Ty_l=-1032.63 Mx_l=-20.65
Tensioni nella sezione: σ=250.33 τ=31.29
CC 9 SLV (Collegamento 0025_-382)
Azioni sul collegamento: N=-5679.47 Ty=-3.91 Tz=3.63 Mx=0.03 Mz=2.74
Sollecitazioni agenti localmente: Ty_l=-1032.63 Mx_l=-20.65
Tensioni nella sezione: σ=250.33 τ=31.29
CC 9 SLV (Collegamento 0025_-382)
Azioni sul collegamento: N=-5679.47 Ty=-0.97 Tz=3.63 Mx=0.03 Mz=-2.02
Sollecitazioni agenti localmente: Ty_l=-1032.63 Mx_l=-20.65
Tensioni nella sezione: σ=250.33 τ=31.29
CC 9 SLV (Collegamento 0025_-382)
Azioni sul collegamento: N=-7282.35 Ty=-3.91 Tz=-2.66 Mx=0.03 Mz=2.74
Sollecitazioni agenti localmente: Ty_l=-1324.06 Mx_l=-26.48
Tensioni nella sezione: σ=320.99 τ=40.12
CC 9 SLV (Collegamento 0025_-382)
Azioni sul collegamento: N=-7282.35 Ty=-0.97 Tz=-2.66 Mx=0.03 Mz=-2.02
Sollecitazioni agenti localmente: Ty_l=-1324.06 Mx_l=-26.48
Tensioni nella sezione: σ=320.99 τ=40.12
CC 9 SLV (Collegamento 0025_-382)
Azioni sul collegamento: N=-7282.35 Ty=-3.91 Tz=3.63 Mx=0.03 Mz=2.74
Sollecitazioni agenti localmente: Ty_l=-1324.06 Mx_l=-26.48
Tensioni nella sezione: σ=320.99 τ=40.12
CC 9 SLV (Collegamento 0025_-382)
Azioni sul collegamento: N=-7282.35 Ty=-0.97 Tz=3.63 Mx=0.03 Mz=-2.02
Sollecitazioni agenti localmente: Ty_l=-1324.06 Mx_l=-26.48
Tensioni nella sezione: σ=320.99 τ=40.12
CC 10 SLD (Collegamento 0025_-382)
Azioni sul collegamento: N=-6269.01 Ty=-2.84 Tz=-0.34 Mx=0.01 Mz=-0.99
Sollecitazioni agenti localmente: Ty_l=-1139.82 Mx_l=-22.80
Tensioni nella sezione: σ=276.32 τ=34.54
CC 10 SLD (Collegamento 0025_-382)
Azioni sul collegamento: N=-6269.01 Ty=-3.73 Tz=-0.34 Mx=0.01 Mz=-2.45
Sollecitazioni agenti localmente: Ty_l=-1139.82 Mx_l=-22.80
Tensioni nella sezione: σ=276.32 τ=34.54
CC 10 SLD (Collegamento 0025_-382)
Azioni sul collegamento: N=-6269.00 Ty=-2.84 Tz=1.57 Mx=0.01 Mz=-0.99
Sollecitazioni agenti localmente: Ty_l=-1139.82 Mx_l=-22.80
Tensioni nella sezione: σ=276.32 τ=34.54
CC 10 SLD (Collegamento 0025_-382)
Azioni sul collegamento: N=-6269.00 Ty=-3.73 Tz=1.57 Mx=0.01 Mz=-2.45
Sollecitazioni agenti localmente: Ty_l=-1139.82 Mx_l=-22.80
Tensioni nella sezione: σ=276.32 τ=34.54
CC 10 SLD (Collegamento 0025_-382)
Azioni sul collegamento: N=-6757.78 Ty=-2.84 Tz=-0.34 Mx=0.01 Mz=-0.99
Sollecitazioni agenti localmente: Ty_l=-1228.69 Mx_l=-24.57
Tensioni nella sezione: σ=297.86 τ=37.23
CC 10 SLD (Collegamento 0025_-382)
Azioni sul collegamento: N=-6757.78 Ty=-3.73 Tz=-0.34 Mx=0.01 Mz=-2.45
Sollecitazioni agenti localmente: Ty_l=-1228.69 Mx_l=-24.57
Tensioni nella sezione: σ=297.86 τ=37.23
CC 10 SLD (Collegamento 0025_-382)
Azioni sul collegamento: N=-6757.78 Ty=-2.84 Tz=1.57 Mx=0.01 Mz=-0.99
Sollecitazioni agenti localmente: Ty_l=-1228.69 Mx_l=-24.57
Tensioni nella sezione: σ=297.86 τ=37.23
CC 10 SLD (Collegamento 0025_-382)
Azioni sul collegamento: N=-6757.78 Ty=-3.73 Tz=1.57 Mx=0.01 Mz=-2.45
Sollecitazioni agenti localmente: Ty_l=-1228.69 Mx_l=-24.57
Tensioni nella sezione: σ=297.86 τ=37.23
CC 11 SLV (Collegamento 0025_-382)
Azioni sul collegamento: N=-7263.41 Ty=-3.09 Tz=3.21 Mx=0.02 Mz=2.17
Sollecitazioni agenti localmente: Ty_l=-1320.62 Mx_l=-26.41
Tensioni nella sezione: σ=320.15 τ=40.02
CC 11 SLV (Collegamento 0025_-382)
Azioni sul collegamento: N=-7263.41 Ty=-1.79 Tz=3.21 Mx=0.02 Mz=-1.45
Sollecitazioni agenti localmente: Ty_l=-1320.62 Mx_l=-26.41
Tensioni nella sezione: σ=320.15 τ=40.02
CC 11 SLV (Collegamento 0025_-382)
Azioni sul collegamento: N=-7263.41 Ty=-3.09 Tz=-2.23 Mx=0.02 Mz=2.17
Sollecitazioni agenti localmente: Ty_l=-1320.62 Mx_l=-26.41
Tensioni nella sezione: σ=320.15 τ=40.02
CC 11 SLV (Collegamento 0025_-382)
Azioni sul collegamento: N=-7263.41 Ty=-1.79 Tz=-2.23 Mx=0.02 Mz=-1.45
Sollecitazioni agenti localmente: Ty_l=-1320.62 Mx_l=-26.41
Tensioni nella sezione: σ=320.15 τ=40.02
CC 11 SLV (Collegamento 0025_-382)
Azioni sul collegamento: N=-5698.41 Ty=-3.09 Tz=3.21 Mx=0.02 Mz=2.17
Sollecitazioni agenti localmente: Ty_l=-1036.07 Mx_l=-20.72
Tensioni nella sezione: σ=251.17 τ=31.40

CC 11 SLV (Collegamento 0025_-382)
Azioni sul collegamento: N=-5698.41 Ty=-1.79 Tz=3.21 Mx=0.02 Mz=-1.45
Sollecitazioni agenti localmente: Ty_l=-1036.07 Mx_l=-20.72
Tensioni nella sezione: σ=251.17 τ=31.40
CC 11 SLV (Collegamento 0025_-382)
Azioni sul collegamento: N=-5698.41 Ty=-3.09 Tz=-2.23 Mx=0.02 Mz=2.17
Sollecitazioni agenti localmente: Ty_l=-1036.07 Mx_l=-20.72
Tensioni nella sezione: σ=251.17 τ=31.40
CC 11 SLV (Collegamento 0025_-382)
Azioni sul collegamento: N=-5698.41 Ty=-1.79 Tz=-2.23 Mx=0.02 Mz=-1.45
Sollecitazioni agenti localmente: Ty_l=-1036.07 Mx_l=-20.72
Tensioni nella sezione: σ=251.17 τ=31.40
CC 12 SLD (Collegamento 0025_-382)
Azioni sul collegamento: N=-6752.00 Ty=-3.09 Tz=1.44 Mx=0.01 Mz=-1.17
Sollecitazioni agenti localmente: Ty_l=-1227.64 Mx_l=-24.55
Tensioni nella sezione: σ=297.61 τ=37.20
CC 12 SLD (Collegamento 0025_-382)
Azioni sul collegamento: N=-6752.00 Ty=-3.48 Tz=1.44 Mx=0.01 Mz=-2.27
Sollecitazioni agenti localmente: Ty_l=-1227.64 Mx_l=-24.55
Tensioni nella sezione: σ=297.61 τ=37.20
CC 12 SLD (Collegamento 0025_-382)
Azioni sul collegamento: N=-6752.00 Ty=-3.09 Tz=-0.21 Mx=0.01 Mz=-1.17
Sollecitazioni agenti localmente: Ty_l=-1227.64 Mx_l=-24.55
Tensioni nella sezione: σ=297.61 τ=37.20
CC 12 SLD (Collegamento 0025_-382)
Azioni sul collegamento: N=-6752.00 Ty=-3.48 Tz=-0.21 Mx=0.01 Mz=-2.27
Sollecitazioni agenti localmente: Ty_l=-1227.64 Mx_l=-24.55
Tensioni nella sezione: σ=297.61 τ=37.20
CC 12 SLD (Collegamento 0025_-382)
Azioni sul collegamento: N=-6274.78 Ty=-3.09 Tz=1.44 Mx=0.01 Mz=-1.17
Sollecitazioni agenti localmente: Ty_l=-1140.87 Mx_l=-22.82
Tensioni nella sezione: σ=276.57 τ=34.57
CC 12 SLD (Collegamento 0025_-382)
Azioni sul collegamento: N=-6274.78 Ty=-3.48 Tz=1.44 Mx=0.01 Mz=-2.27
Sollecitazioni agenti localmente: Ty_l=-1140.87 Mx_l=-22.82
Tensioni nella sezione: σ=276.57 τ=34.57
CC 12 SLD (Collegamento 0025_-382)
Azioni sul collegamento: N=-6274.78 Ty=-3.09 Tz=-0.21 Mx=0.01 Mz=-1.17
Sollecitazioni agenti localmente: Ty_l=-1140.87 Mx_l=-22.82
Tensioni nella sezione: σ=276.57 τ=34.57
CC 12 SLD (Collegamento 0025_-382)
Azioni sul collegamento: N=-6274.78 Ty=-3.48 Tz=-0.21 Mx=0.01 Mz=-2.27
Sollecitazioni agenti localmente: Ty_l=-1140.87 Mx_l=-22.82
Tensioni nella sezione: σ=276.57 τ=34.57
CC 13 SLV (Collegamento 0025_-382)
Azioni sul collegamento: N=-5698.41 Ty=-1.79 Tz=-2.23 Mx=0.01 Mz=-1.45
Sollecitazioni agenti localmente: Ty_l=-1036.07 Mx_l=-20.72
Tensioni nella sezione: σ=251.17 τ=31.40
CC 13 SLV (Collegamento 0025_-382)
Azioni sul collegamento: N=-5698.41 Ty=-3.09 Tz=-2.23 Mx=0.01 Mz=2.17
Sollecitazioni agenti localmente: Ty_l=-1036.07 Mx_l=-20.72
Tensioni nella sezione: σ=251.17 τ=31.40
CC 13 SLV (Collegamento 0025_-382)
Azioni sul collegamento: N=-5698.41 Ty=-1.79 Tz=3.21 Mx=0.01 Mz=-1.45
Sollecitazioni agenti localmente: Ty_l=-1036.07 Mx_l=-20.72
Tensioni nella sezione: σ=251.17 τ=31.40
CC 13 SLV (Collegamento 0025_-382)
Azioni sul collegamento: N=-5698.41 Ty=-3.09 Tz=3.21 Mx=0.01 Mz=2.17
Sollecitazioni agenti localmente: Ty_l=-1036.07 Mx_l=-20.72
Tensioni nella sezione: σ=251.17 τ=31.40
CC 13 SLV (Collegamento 0025_-382)
Azioni sul collegamento: N=-7263.41 Ty=-1.79 Tz=-2.23 Mx=0.01 Mz=-1.45
Sollecitazioni agenti localmente: Ty_l=-1320.62 Mx_l=-26.41
Tensioni nella sezione: σ=320.15 τ=40.02
CC 13 SLV (Collegamento 0025_-382)
Azioni sul collegamento: N=-7263.41 Ty=-3.09 Tz=-2.23 Mx=0.01 Mz=2.17
Sollecitazioni agenti localmente: Ty_l=-1320.62 Mx_l=-26.41
Tensioni nella sezione: σ=320.15 τ=40.02
CC 13 SLV (Collegamento 0025_-382)
Azioni sul collegamento: N=-7263.41 Ty=-1.79 Tz=3.21 Mx=0.01 Mz=-1.45
Sollecitazioni agenti localmente: Ty_l=-1320.62 Mx_l=-26.41
Tensioni nella sezione: σ=320.15 τ=40.02
CC 13 SLV (Collegamento 0025_-382)
Azioni sul collegamento: N=-7263.41 Ty=-3.09 Tz=3.21 Mx=0.01 Mz=2.17
Sollecitazioni agenti localmente: Ty_l=-1320.62 Mx_l=-26.41
Tensioni nella sezione: σ=320.15 τ=40.02
CC 14 SLD (Collegamento 0025_-382)
Azioni sul collegamento: N=-6274.78 Ty=-3.48 Tz=-0.21 Mx=0.01 Mz=-2.27
Sollecitazioni agenti localmente: Ty_l=-1140.87 Mx_l=-22.82

Tensioni nella sezione: σ=276.57 τ=34.57
CC 14 SLD (Collegamento 0025_-382)
Azioni sul collegamento: N=-6274.78 Ty=-3.09 Tz=-0.21 Mx=0.01 Mz=-1.17
Sollecitazioni agenti localmente: Ty_l=-1140.87 Mx_l=-22.82
Tensioni nella sezione: σ=276.57 τ=34.57
CC 14 SLD (Collegamento 0025_-382)
Azioni sul collegamento: N=-6274.78 Ty=-3.48 Tz=1.44 Mx=0.01 Mz=-2.27
Sollecitazioni agenti localmente: Ty_l=-1140.87 Mx_l=-22.82
Tensioni nella sezione: σ=276.57 τ=34.57
CC 14 SLD (Collegamento 0025_-382)
Azioni sul collegamento: N=-6274.78 Ty=-3.09 Tz=1.44 Mx=0.01 Mz=-1.17
Sollecitazioni agenti localmente: Ty_l=-1140.87 Mx_l=-22.82
Tensioni nella sezione: σ=276.57 τ=34.57
CC 14 SLD (Collegamento 0025_-382)
Azioni sul collegamento: N=-6752.00 Ty=-3.48 Tz=-0.21 Mx=0.01 Mz=-2.27
Sollecitazioni agenti localmente: Ty_l=-1227.64 Mx_l=-24.55
Tensioni nella sezione: σ=297.61 τ=37.20
CC 14 SLD (Collegamento 0025_-382)
Azioni sul collegamento: N=-6752.00 Ty=-3.09 Tz=-0.21 Mx=0.01 Mz=-1.17
Sollecitazioni agenti localmente: Ty_l=-1227.64 Mx_l=-24.55
Tensioni nella sezione: σ=297.61 τ=37.20
CC 14 SLD (Collegamento 0025_-382)
Azioni sul collegamento: N=-6752.00 Ty=-3.48 Tz=1.44 Mx=0.01 Mz=-2.27
Sollecitazioni agenti localmente: Ty_l=-1227.64 Mx_l=-24.55
Tensioni nella sezione: σ=297.61 τ=37.20
CC 14 SLD (Collegamento 0025_-382)
Azioni sul collegamento: N=-6752.00 Ty=-3.09 Tz=1.44 Mx=0.01 Mz=-1.17
Sollecitazioni agenti localmente: Ty_l=-1227.64 Mx_l=-24.55
Tensioni nella sezione: σ=297.61 τ=37.20
CC 15 SLV (Collegamento 0025_-382)
Azioni sul collegamento: N=-7282.35 Ty=-0.97 Tz=3.63 Mx=0.01 Mz=-2.02
Sollecitazioni agenti localmente: Ty_l=-1324.06 Mx_l=-26.48
Tensioni nella sezione: σ=320.99 τ=40.12
CC 15 SLV (Collegamento 0025_-382)
Azioni sul collegamento: N=-7282.35 Ty=-3.91 Tz=3.63 Mx=0.01 Mz=2.74
Sollecitazioni agenti localmente: Ty_l=-1324.06 Mx_l=-26.48
Tensioni nella sezione: σ=320.99 τ=40.12
CC 15 SLV (Collegamento 0025_-382)
Azioni sul collegamento: N=-7282.35 Ty=-0.97 Tz=-2.66 Mx=0.01 Mz=-2.02
Sollecitazioni agenti localmente: Ty_l=-1324.06 Mx_l=-26.48
Tensioni nella sezione: σ=320.99 τ=40.12
CC 15 SLV (Collegamento 0025_-382)
Azioni sul collegamento: N=-7282.35 Ty=-3.91 Tz=-2.66 Mx=0.01 Mz=2.74
Sollecitazioni agenti localmente: Ty_l=-1324.06 Mx_l=-26.48
Tensioni nella sezione: σ=320.99 τ=40.12
CC 15 SLV (Collegamento 0025_-382)
Azioni sul collegamento: N=-5679.47 Ty=-0.97 Tz=3.63 Mx=0.01 Mz=-2.02
Sollecitazioni agenti localmente: Ty_l=-1032.63 Mx_l=-20.65
Tensioni nella sezione: σ=250.33 τ=31.29
CC 15 SLV (Collegamento 0025_-382)
Azioni sul collegamento: N=-5679.47 Ty=-3.91 Tz=3.63 Mx=0.01 Mz=2.74
Sollecitazioni agenti localmente: Ty_l=-1032.63 Mx_l=-20.65
Tensioni nella sezione: σ=250.33 τ=31.29
CC 15 SLV (Collegamento 0025_-382)
Azioni sul collegamento: N=-5679.47 Ty=-0.97 Tz=-2.66 Mx=0.01 Mz=-2.02
Sollecitazioni agenti localmente: Ty_l=-1032.63 Mx_l=-20.65
Tensioni nella sezione: σ=250.33 τ=31.29
CC 15 SLV (Collegamento 0025_-382)
Azioni sul collegamento: N=-5679.47 Ty=-3.91 Tz=-2.66 Mx=0.01 Mz=2.74
Sollecitazioni agenti localmente: Ty_l=-1032.63 Mx_l=-20.65
Tensioni nella sezione: σ=250.33 τ=31.29
CC 16 SLD (Collegamento 0025_-382)
Azioni sul collegamento: N=-6757.78 Ty=-3.73 Tz=1.57 Mx=0.00 Mz=-2.45
Sollecitazioni agenti localmente: Ty_l=-1228.69 Mx_l=-24.57
Tensioni nella sezione: σ=297.86 τ=37.23
CC 16 SLD (Collegamento 0025_-382)
Azioni sul collegamento: N=-6757.78 Ty=-2.84 Tz=1.57 Mx=0.00 Mz=-0.99
Sollecitazioni agenti localmente: Ty_l=-1228.69 Mx_l=-24.57
Tensioni nella sezione: σ=297.86 τ=37.23
CC 16 SLD (Collegamento 0025_-382)
Azioni sul collegamento: N=-6757.78 Ty=-3.73 Tz=-0.34 Mx=0.00 Mz=-2.45
Sollecitazioni agenti localmente: Ty_l=-1228.69 Mx_l=-24.57
Tensioni nella sezione: σ=297.86 τ=37.23
CC 16 SLD (Collegamento 0025_-382)
Azioni sul collegamento: N=-6757.78 Ty=-2.84 Tz=-0.34 Mx=0.00 Mz=-0.99
Sollecitazioni agenti localmente: Ty_l=-1228.69 Mx_l=-24.57
Tensioni nella sezione: σ=297.86 τ=37.23
CC 16 SLD (Collegamento 0025_-382)
Azioni sul collegamento: N=-6269.00 Ty=-3.73 Tz=1.57 Mx=0.00 Mz=-2.45

Sollecitazioni agenti localmente: Ty_l=-1139.82 Mx_l=-22.80
Tensioni nella sezione: σ=276.32 τ=34.54
CC 16 SLD (Collegamento 0025_-382)
Azioni sul collegamento: N=-6269.00 Ty=-2.84 Tz=1.57 Mx=0.00 Mz=-0.99
Sollecitazioni agenti localmente: Ty_l=-1139.82 Mx_l=-22.80
Tensioni nella sezione: σ=276.32 τ=34.54
CC 16 SLD (Collegamento 0025_-382)
Azioni sul collegamento: N=-6269.01 Ty=-3.73 Tz=-0.34 Mx=0.00 Mz=-2.45
Sollecitazioni agenti localmente: Ty_l=-1139.82 Mx_l=-22.80
Tensioni nella sezione: σ=276.32 τ=34.54
CC 16 SLD (Collegamento 0025_-382)
Azioni sul collegamento: N=-6269.01 Ty=-2.84 Tz=-0.34 Mx=0.00 Mz=-0.99
Sollecitazioni agenti localmente: Ty_l=-1139.82 Mx_l=-22.80
Tensioni nella sezione: σ=276.32 τ=34.54
CC 17 SLV (Collegamento 0025_-382)
Azioni sul collegamento: N=-3931.62 Ty=-3.19 Tz=-8.98 Mx=-0.01 Mz=-4.04
Sollecitazioni agenti localmente: Ty_l=-714.84 Mx_l=-14.30
Tensioni nella sezione: σ=173.29 τ=21.66
CC 17 SLV (Collegamento 0025_-382)
Azioni sul collegamento: N=-3931.62 Ty=-6.55 Tz=-8.98 Mx=-0.01 Mz=-7.22
Sollecitazioni agenti localmente: Ty_l=-714.84 Mx_l=-14.30
Tensioni nella sezione: σ=173.29 τ=21.66
CC 17 SLV (Collegamento 0025_-382)
Azioni sul collegamento: N=-3931.62 Ty=-3.19 Tz=10.69 Mx=-0.01 Mz=-4.04
Sollecitazioni agenti localmente: Ty_l=-714.84 Mx_l=-14.30
Tensioni nella sezione: σ=173.29 τ=21.66
CC 17 SLV (Collegamento 0025_-382)
Azioni sul collegamento: N=-3931.62 Ty=-6.55 Tz=10.69 Mx=-0.01 Mz=-7.22
Sollecitazioni agenti localmente: Ty_l=-714.84 Mx_l=-14.30
Tensioni nella sezione: σ=173.29 τ=21.66
CC 17 SLV (Collegamento 0025_-382)
Azioni sul collegamento: N=-9217.12 Ty=-3.19 Tz=-8.98 Mx=-0.01 Mz=-4.04
Sollecitazioni agenti localmente: Ty_l=-1675.84 Mx_l=-33.52
Tensioni nella sezione: σ=406.26 τ=50.78
CC 17 SLV (Collegamento 0025_-382)
Azioni sul collegamento: N=-9217.12 Ty=-6.55 Tz=-8.98 Mx=-0.01 Mz=-7.22
Sollecitazioni agenti localmente: Ty_l=-1675.84 Mx_l=-33.52
Tensioni nella sezione: σ=406.26 τ=50.78
CC 17 SLV (Collegamento 0025_-382)
Azioni sul collegamento: N=-9217.12 Ty=-3.19 Tz=10.69 Mx=-0.01 Mz=-4.04
Sollecitazioni agenti localmente: Ty_l=-1675.84 Mx_l=-33.52
Tensioni nella sezione: σ=406.26 τ=50.78
CC 17 SLV (Collegamento 0025_-382)
Azioni sul collegamento: N=-9217.12 Ty=-6.55 Tz=10.69 Mx=-0.01 Mz=-7.22
Sollecitazioni agenti localmente: Ty_l=-1675.84 Mx_l=-33.52
Tensioni nella sezione: σ=406.26 τ=50.78
CC 18 SLD (Collegamento 0025_-382)
Azioni sul collegamento: N=-5736.03 Ty=-3.51 Tz=-2.27 Mx=-0.00 Mz=-3.06
Sollecitazioni agenti localmente: Ty_l=-1042.91 Mx_l=-20.86
Tensioni nella sezione: σ=252.83 τ=31.60
CC 18 SLD (Collegamento 0025_-382)
Azioni sul collegamento: N=-5736.03 Ty=-4.54 Tz=-2.27 Mx=-0.00 Mz=-4.03
Sollecitazioni agenti localmente: Ty_l=-1042.91 Mx_l=-20.86
Tensioni nella sezione: σ=252.83 τ=31.60
CC 18 SLD (Collegamento 0025_-382)
Azioni sul collegamento: N=-5736.03 Ty=-3.51 Tz=3.73 Mx=-0.00 Mz=-3.06
Sollecitazioni agenti localmente: Ty_l=-1042.91 Mx_l=-20.86
Tensioni nella sezione: σ=252.83 τ=31.60
CC 18 SLD (Collegamento 0025_-382)
Azioni sul collegamento: N=-5736.03 Ty=-4.54 Tz=3.73 Mx=-0.00 Mz=-4.03
Sollecitazioni agenti localmente: Ty_l=-1042.91 Mx_l=-20.86
Tensioni nella sezione: σ=252.83 τ=31.60
CC 18 SLD (Collegamento 0025_-382)
Azioni sul collegamento: N=-7347.75 Ty=-3.51 Tz=-2.27 Mx=-0.00 Mz=-3.06
Sollecitazioni agenti localmente: Ty_l=-1335.95 Mx_l=-26.72
Tensioni nella sezione: σ=323.87 τ=40.48
CC 18 SLD (Collegamento 0025_-382)
Azioni sul collegamento: N=-7347.75 Ty=-4.54 Tz=-2.27 Mx=-0.00 Mz=-4.03
Sollecitazioni agenti localmente: Ty_l=-1335.95 Mx_l=-26.72
Tensioni nella sezione: σ=323.87 τ=40.48
CC 18 SLD (Collegamento 0025_-382)
Azioni sul collegamento: N=-7347.75 Ty=-3.51 Tz=3.73 Mx=-0.00 Mz=-3.06
Sollecitazioni agenti localmente: Ty_l=-1335.95 Mx_l=-26.72
Tensioni nella sezione: σ=323.87 τ=40.48
CC 18 SLD (Collegamento 0025_-382)
Azioni sul collegamento: N=-7347.75 Ty=-4.54 Tz=3.73 Mx=-0.00 Mz=-4.03
Sollecitazioni agenti localmente: Ty_l=-1335.95 Mx_l=-26.72
Tensioni nella sezione: σ=323.87 τ=40.48
CC 19 SLV (Collegamento 0025_-382)

Azioni sul collegamento: N=-3937.31 Ty=-3.82 Tz=-8.85 Mx=-0.01 Mz=-5.30
Sollecitazioni agenti localmente: Ty_l=-715.87 Mx_l=-14.32
Tensioni nella sezione: σ=173.54 τ=21.69
CC 19 SLV (Collegamento 0025_-382)
Azioni sul collegamento: N=-3937.31 Ty=-5.92 Tz=-8.85 Mx=-0.01 Mz=-5.96
Sollecitazioni agenti localmente: Ty_l=-715.87 Mx_l=-14.32
Tensioni nella sezione: σ=173.54 τ=21.69
CC 19 SLV (Collegamento 0025_-382)
Azioni sul collegamento: N=-3937.31 Ty=-3.82 Tz=10.56 Mx=-0.01 Mz=-5.30
Sollecitazioni agenti localmente: Ty_l=-715.87 Mx_l=-14.32
Tensioni nella sezione: σ=173.54 τ=21.69
CC 19 SLV (Collegamento 0025_-382)
Azioni sul collegamento: N=-3937.31 Ty=-5.92 Tz=10.56 Mx=-0.01 Mz=-5.96
Sollecitazioni agenti localmente: Ty_l=-715.87 Mx_l=-14.32
Tensioni nella sezione: σ=173.54 τ=21.69
CC 19 SLV (Collegamento 0025_-382)
Azioni sul collegamento: N=-9211.43 Ty=-3.82 Tz=-8.85 Mx=-0.01 Mz=-5.30
Sollecitazioni agenti localmente: Ty_l=-1674.81 Mx_l=-33.50
Tensioni nella sezione: σ=406.01 τ=50.75
CC 19 SLV (Collegamento 0025_-382)
Azioni sul collegamento: N=-9211.43 Ty=-5.92 Tz=-8.85 Mx=-0.01 Mz=-5.96
Sollecitazioni agenti localmente: Ty_l=-1674.81 Mx_l=-33.50
Tensioni nella sezione: σ=406.01 τ=50.75
CC 19 SLV (Collegamento 0025_-382)
Azioni sul collegamento: N=-9211.43 Ty=-3.82 Tz=10.56 Mx=-0.01 Mz=-5.30
Sollecitazioni agenti localmente: Ty_l=-1674.81 Mx_l=-33.50
Tensioni nella sezione: σ=406.01 τ=50.75
CC 19 SLV (Collegamento 0025_-382)
Azioni sul collegamento: N=-9211.43 Ty=-5.92 Tz=10.56 Mx=-0.01 Mz=-5.96
Sollecitazioni agenti localmente: Ty_l=-1674.81 Mx_l=-33.50
Tensioni nella sezione: σ=406.01 τ=50.75
CC 20 SLD (Collegamento 0025_-382)
Azioni sul collegamento: N=-5737.77 Ty=-3.71 Tz=-2.23 Mx=-0.00 Mz=-3.45
Sollecitazioni agenti localmente: Ty_l=-1043.23 Mx_l=-20.86
Tensioni nella sezione: σ=252.90 τ=31.61
CC 20 SLD (Collegamento 0025_-382)
Azioni sul collegamento: N=-5737.77 Ty=-4.34 Tz=-2.23 Mx=-0.00 Mz=-3.65
Sollecitazioni agenti localmente: Ty_l=-1043.23 Mx_l=-20.86
Tensioni nella sezione: σ=252.90 τ=31.61
CC 20 SLD (Collegamento 0025_-382)
Azioni sul collegamento: N=-5737.77 Ty=-3.71 Tz=3.69 Mx=-0.00 Mz=-3.45
Sollecitazioni agenti localmente: Ty_l=-1043.23 Mx_l=-20.86
Tensioni nella sezione: σ=252.90 τ=31.61
CC 20 SLD (Collegamento 0025_-382)
Azioni sul collegamento: N=-5737.77 Ty=-4.34 Tz=3.69 Mx=-0.00 Mz=-3.65
Sollecitazioni agenti localmente: Ty_l=-1043.23 Mx_l=-20.86
Tensioni nella sezione: σ=252.90 τ=31.61
CC 20 SLD (Collegamento 0025_-382)
Azioni sul collegamento: N=-7346.01 Ty=-3.71 Tz=-2.23 Mx=-0.00 Mz=-3.45
Sollecitazioni agenti localmente: Ty_l=-1335.64 Mx_l=-26.71
Tensioni nella sezione: σ=323.79 τ=40.47
CC 20 SLD (Collegamento 0025_-382)
Azioni sul collegamento: N=-7346.01 Ty=-4.34 Tz=-2.23 Mx=-0.00 Mz=-3.65
Sollecitazioni agenti localmente: Ty_l=-1335.64 Mx_l=-26.71
Tensioni nella sezione: σ=323.79 τ=40.47
CC 20 SLD (Collegamento 0025_-382)
Azioni sul collegamento: N=-7346.01 Ty=-3.71 Tz=3.69 Mx=-0.00 Mz=-3.45
Sollecitazioni agenti localmente: Ty_l=-1335.64 Mx_l=-26.71
Tensioni nella sezione: σ=323.79 τ=40.47
CC 20 SLD (Collegamento 0025_-382)
Azioni sul collegamento: N=-7346.01 Ty=-4.34 Tz=3.69 Mx=-0.00 Mz=-3.65
Sollecitazioni agenti localmente: Ty_l=-1335.64 Mx_l=-26.71
Tensioni nella sezione: σ=323.79 τ=40.47
CC 21 SLV (Collegamento 0025_-382)
Azioni sul collegamento: N=-9211.43 Ty=-5.92 Tz=10.56 Mx=-0.01 Mz=-5.96
Sollecitazioni agenti localmente: Ty_l=-1674.81 Mx_l=-33.50
Tensioni nella sezione: σ=406.01 τ=50.75
CC 21 SLV (Collegamento 0025_-382)
Azioni sul collegamento: N=-9211.43 Ty=-3.82 Tz=10.56 Mx=-0.01 Mz=-5.30
Sollecitazioni agenti localmente: Ty_l=-1674.81 Mx_l=-33.50
Tensioni nella sezione: σ=406.01 τ=50.75
CC 21 SLV (Collegamento 0025_-382)
Azioni sul collegamento: N=-9211.43 Ty=-5.92 Tz=-8.85 Mx=-0.01 Mz=-5.96
Sollecitazioni agenti localmente: Ty_l=-1674.81 Mx_l=-33.50
Tensioni nella sezione: σ=406.01 τ=50.75
CC 21 SLV (Collegamento 0025_-382)
Azioni sul collegamento: N=-9211.43 Ty=-3.82 Tz=-8.85 Mx=-0.01 Mz=-5.30
Sollecitazioni agenti localmente: Ty_l=-1674.81 Mx_l=-33.50
Tensioni nella sezione: σ=406.01 τ=50.75

CC 21 SLV (Collegamento 0025_-382)
Azioni sul collegamento: N=-3937.31 Ty=-5.92 Tz=10.56 Mx=-0.01 Mz=-5.96
Sollecitazioni agenti localmente: Ty_l=-715.87 Mx_l=-14.32
Tensioni nella sezione: σ=173.54 τ=21.69
CC 21 SLV (Collegamento 0025_-382)
Azioni sul collegamento: N=-3937.31 Ty=-3.82 Tz=10.56 Mx=-0.01 Mz=-5.30
Sollecitazioni agenti localmente: Ty_l=-715.87 Mx_l=-14.32
Tensioni nella sezione: σ=173.54 τ=21.69
CC 21 SLV (Collegamento 0025_-382)
Azioni sul collegamento: N=-3937.31 Ty=-5.92 Tz=-8.85 Mx=-0.01 Mz=-5.96
Sollecitazioni agenti localmente: Ty_l=-715.87 Mx_l=-14.32
Tensioni nella sezione: σ=173.54 τ=21.69
CC 21 SLV (Collegamento 0025_-382)
Azioni sul collegamento: N=-3937.31 Ty=-3.82 Tz=-8.85 Mx=-0.01 Mz=-5.30
Sollecitazioni agenti localmente: Ty_l=-715.87 Mx_l=-14.32
Tensioni nella sezione: σ=173.54 τ=21.69
CC 22 SLD (Collegamento 0025_-382)
Azioni sul collegamento: N=-7346.01 Ty=-4.34 Tz=3.69 Mx=-0.00 Mz=-3.65
Sollecitazioni agenti localmente: Ty_l=-1335.64 Mx_l=-26.71
Tensioni nella sezione: σ=323.79 τ=40.47
CC 22 SLD (Collegamento 0025_-382)
Azioni sul collegamento: N=-7346.01 Ty=-3.71 Tz=3.69 Mx=-0.00 Mz=-3.45
Sollecitazioni agenti localmente: Ty_l=-1335.64 Mx_l=-26.71
Tensioni nella sezione: σ=323.79 τ=40.47
CC 22 SLD (Collegamento 0025_-382)
Azioni sul collegamento: N=-7346.01 Ty=-4.34 Tz=-2.23 Mx=-0.00 Mz=-3.65
Sollecitazioni agenti localmente: Ty_l=-1335.64 Mx_l=-26.71
Tensioni nella sezione: σ=323.79 τ=40.47
CC 22 SLD (Collegamento 0025_-382)
Azioni sul collegamento: N=-7346.01 Ty=-3.71 Tz=-2.23 Mx=-0.00 Mz=-3.45
Sollecitazioni agenti localmente: Ty_l=-1335.64 Mx_l=-26.71
Tensioni nella sezione: σ=323.79 τ=40.47
CC 22 SLD (Collegamento 0025_-382)
Azioni sul collegamento: N=-5737.77 Ty=-4.34 Tz=3.69 Mx=-0.00 Mz=-3.65
Sollecitazioni agenti localmente: Ty_l=-1043.23 Mx_l=-20.86
Tensioni nella sezione: σ=252.90 τ=31.61
CC 22 SLD (Collegamento 0025_-382)
Azioni sul collegamento: N=-5737.77 Ty=-3.71 Tz=3.69 Mx=-0.00 Mz=-3.45
Sollecitazioni agenti localmente: Ty_l=-1043.23 Mx_l=-20.86
Tensioni nella sezione: σ=252.90 τ=31.61
CC 22 SLD (Collegamento 0025_-382)
Azioni sul collegamento: N=-5737.77 Ty=-4.34 Tz=-2.23 Mx=-0.00 Mz=-3.65
Sollecitazioni agenti localmente: Ty_l=-1043.23 Mx_l=-20.86
Tensioni nella sezione: σ=252.90 τ=31.61
CC 22 SLD (Collegamento 0025_-382)
Azioni sul collegamento: N=-5737.77 Ty=-3.71 Tz=-2.23 Mx=-0.00 Mz=-3.45
Sollecitazioni agenti localmente: Ty_l=-1043.23 Mx_l=-20.86
Tensioni nella sezione: σ=252.90 τ=31.61
CC 23 SLV (Collegamento 0025_-382)
Azioni sul collegamento: N=-9217.12 Ty=-6.55 Tz=10.69 Mx=-0.01 Mz=-7.22
Sollecitazioni agenti localmente: Ty_l=-1675.84 Mx_l=-33.52
Tensioni nella sezione: σ=406.26 τ=50.78
CC 23 SLV (Collegamento 0025_-382)
Azioni sul collegamento: N=-9217.12 Ty=-3.19 Tz=10.69 Mx=-0.01 Mz=-4.04
Sollecitazioni agenti localmente: Ty_l=-1675.84 Mx_l=-33.52
Tensioni nella sezione: σ=406.26 τ=50.78
CC 23 SLV (Collegamento 0025_-382)
Azioni sul collegamento: N=-9217.12 Ty=-6.55 Tz=-8.98 Mx=-0.01 Mz=-7.22
Sollecitazioni agenti localmente: Ty_l=-1675.84 Mx_l=-33.52
Tensioni nella sezione: σ=406.26 τ=50.78
CC 23 SLV (Collegamento 0025_-382)
Azioni sul collegamento: N=-9217.12 Ty=-3.19 Tz=-8.98 Mx=-0.01 Mz=-4.04
Sollecitazioni agenti localmente: Ty_l=-1675.84 Mx_l=-33.52
Tensioni nella sezione: σ=406.26 τ=50.78
CC 23 SLV (Collegamento 0025_-382)
Azioni sul collegamento: N=-3931.62 Ty=-6.55 Tz=10.69 Mx=-0.01 Mz=-7.22
Sollecitazioni agenti localmente: Ty_l=-714.84 Mx_l=-14.30
Tensioni nella sezione: σ=173.29 τ=21.66
CC 23 SLV (Collegamento 0025_-382)
Azioni sul collegamento: N=-3931.62 Ty=-3.19 Tz=10.69 Mx=-0.01 Mz=-4.04
Sollecitazioni agenti localmente: Ty_l=-714.84 Mx_l=-14.30
Tensioni nella sezione: σ=173.29 τ=21.66
CC 23 SLV (Collegamento 0025_-382)
Azioni sul collegamento: N=-3931.62 Ty=-6.55 Tz=-8.98 Mx=-0.01 Mz=-7.22
Sollecitazioni agenti localmente: Ty_l=-714.84 Mx_l=-14.30
Tensioni nella sezione: σ=173.29 τ=21.66
CC 23 SLV (Collegamento 0025_-382)
Azioni sul collegamento: N=-3931.62 Ty=-3.19 Tz=-8.98 Mx=-0.01 Mz=-4.04
Sollecitazioni agenti localmente: Ty_l=-714.84 Mx_l=-14.30

Tensioni nella sezione: σ=173.29 τ=21.66
CC 24 SLD (Collegamento 0025_-382)
Azioni sul collegamento: N=-7347.75 Ty=-4.54 Tz=3.73 Mx=0.00 Mz=-4.03
Sollecitazioni agenti localmente: Ty_l=-1335.95 Mx_l=-26.72
Tensioni nella sezione: σ=323.87 τ=40.48
CC 24 SLD (Collegamento 0025_-382)
Azioni sul collegamento: N=-7347.75 Ty=-3.51 Tz=3.73 Mx=0.00 Mz=-3.06
Sollecitazioni agenti localmente: Ty_l=-1335.95 Mx_l=-26.72
Tensioni nella sezione: σ=323.87 τ=40.48
CC 24 SLD (Collegamento 0025_-382)
Azioni sul collegamento: N=-7347.75 Ty=-4.54 Tz=-2.27 Mx=0.00 Mz=-4.03
Sollecitazioni agenti localmente: Ty_l=-1335.95 Mx_l=-26.72
Tensioni nella sezione: σ=323.87 τ=40.48
CC 24 SLD (Collegamento 0025_-382)
Azioni sul collegamento: N=-7347.75 Ty=-3.51 Tz=-2.27 Mx=0.00 Mz=-3.06
Sollecitazioni agenti localmente: Ty_l=-1335.95 Mx_l=-26.72
Tensioni nella sezione: σ=323.87 τ=40.48
CC 24 SLD (Collegamento 0025_-382)
Azioni sul collegamento: N=-5736.03 Ty=-4.54 Tz=3.73 Mx=0.00 Mz=-4.03
Sollecitazioni agenti localmente: Ty_l=-1042.91 Mx_l=-20.86
Tensioni nella sezione: σ=252.83 τ=31.60
CC 24 SLD (Collegamento 0025_-382)
Azioni sul collegamento: N=-5736.03 Ty=-3.51 Tz=3.73 Mx=0.00 Mz=-3.06
Sollecitazioni agenti localmente: Ty_l=-1042.91 Mx_l=-20.86
Tensioni nella sezione: σ=252.83 τ=31.60
CC 24 SLD (Collegamento 0025_-382)
Azioni sul collegamento: N=-5736.03 Ty=-4.54 Tz=-2.27 Mx=0.00 Mz=-4.03
Sollecitazioni agenti localmente: Ty_l=-1042.91 Mx_l=-20.86
Tensioni nella sezione: σ=252.83 τ=31.60
CC 24 SLD (Collegamento 0025_-382)
Azioni sul collegamento: N=-5736.03 Ty=-3.51 Tz=-2.27 Mx=0.00 Mz=-3.06
Sollecitazioni agenti localmente: Ty_l=-1042.91 Mx_l=-20.86
Tensioni nella sezione: σ=252.83 τ=31.60
CC 25 SLV (Collegamento 0025_-382)
Azioni sul collegamento: N=-5772.93 Ty=-3.40 Tz=-2.29 Mx=-0.02 Mz=-3.25
Sollecitazioni agenti localmente: Ty_l=-1049.62 Mx_l=-20.99
Tensioni nella sezione: σ=254.45 τ=31.81
CC 25 SLV (Collegamento 0025_-382)
Azioni sul collegamento: N=-5772.93 Ty=-6.34 Tz=-2.29 Mx=-0.02 Mz=-8.01
Sollecitazioni agenti localmente: Ty_l=-1049.62 Mx_l=-20.99
Tensioni nella sezione: σ=254.45 τ=31.81
CC 25 SLV (Collegamento 0025_-382)
Azioni sul collegamento: N=-5772.93 Ty=-3.40 Tz=4.00 Mx=-0.02 Mz=-3.25
Sollecitazioni agenti localmente: Ty_l=-1049.62 Mx_l=-20.99
Tensioni nella sezione: σ=254.45 τ=31.81
CC 25 SLV (Collegamento 0025_-382)
Azioni sul collegamento: N=-5772.93 Ty=-6.34 Tz=4.00 Mx=-0.02 Mz=-8.01
Sollecitazioni agenti localmente: Ty_l=-1049.62 Mx_l=-20.99
Tensioni nella sezione: σ=254.45 τ=31.81
CC 25 SLV (Collegamento 0025_-382)
Azioni sul collegamento: N=-7375.81 Ty=-3.40 Tz=-2.29 Mx=-0.02 Mz=-3.25
Sollecitazioni agenti localmente: Ty_l=-1341.06 Mx_l=-26.82
Tensioni nella sezione: σ=325.10 τ=40.64
CC 25 SLV (Collegamento 0025_-382)
Azioni sul collegamento: N=-7375.81 Ty=-6.34 Tz=-2.29 Mx=-0.02 Mz=-8.01
Sollecitazioni agenti localmente: Ty_l=-1341.06 Mx_l=-26.82
Tensioni nella sezione: σ=325.10 τ=40.64
CC 25 SLV (Collegamento 0025_-382)
Azioni sul collegamento: N=-7375.81 Ty=-3.40 Tz=4.00 Mx=-0.02 Mz=-3.25
Sollecitazioni agenti localmente: Ty_l=-1341.06 Mx_l=-26.82
Tensioni nella sezione: σ=325.10 τ=40.64
CC 25 SLV (Collegamento 0025_-382)
Azioni sul collegamento: N=-7375.81 Ty=-6.34 Tz=4.00 Mx=-0.02 Mz=-8.01
Sollecitazioni agenti localmente: Ty_l=-1341.06 Mx_l=-26.82
Tensioni nella sezione: σ=325.10 τ=40.64
CC 26 SLD (Collegamento 0025_-382)
Azioni sul collegamento: N=-6297.50 Ty=-3.58 Tz=-0.23 Mx=-0.00 Mz=-2.82
Sollecitazioni agenti localmente: Ty_l=-1145.00 Mx_l=-22.90
Tensioni nella sezione: σ=277.57 τ=34.70
CC 26 SLD (Collegamento 0025_-382)
Azioni sul collegamento: N=-6297.50 Ty=-4.47 Tz=-0.23 Mx=-0.00 Mz=-4.27
Sollecitazioni agenti localmente: Ty_l=-1145.00 Mx_l=-22.90
Tensioni nella sezione: σ=277.57 τ=34.70
CC 26 SLD (Collegamento 0025_-382)
Azioni sul collegamento: N=-6297.50 Ty=-3.58 Tz=1.69 Mx=-0.00 Mz=-2.82
Sollecitazioni agenti localmente: Ty_l=-1145.00 Mx_l=-22.90
Tensioni nella sezione: σ=277.57 τ=34.70
CC 26 SLD (Collegamento 0025_-382)
Azioni sul collegamento: N=-6297.50 Ty=-4.47 Tz=1.69 Mx=-0.00 Mz=-4.27

Sollecitazioni agenti localmente: Ty_l=-1145.00 Mx_l=-22.90
Tensioni nella sezione: σ=277.57 τ=34.70
CC 26 SLD (Collegamento 0025_-382)
Azioni sul collegamento: N=-6786.28 Ty=-3.58 Tz=-0.23 Mx=-0.00 Mz=-2.82
Sollecitazioni agenti localmente: Ty_l=-1233.87 Mx_l=-24.68
Tensioni nella sezione: σ=299.12 τ=37.39
CC 26 SLD (Collegamento 0025_-382)
Azioni sul collegamento: N=-6786.28 Ty=-4.47 Tz=-0.23 Mx=-0.00 Mz=-4.27
Sollecitazioni agenti localmente: Ty_l=-1233.87 Mx_l=-24.68
Tensioni nella sezione: σ=299.12 τ=37.39
CC 26 SLD (Collegamento 0025_-382)
Azioni sul collegamento: N=-6786.28 Ty=-3.58 Tz=1.69 Mx=-0.00 Mz=-2.82
Sollecitazioni agenti localmente: Ty_l=-1233.87 Mx_l=-24.68
Tensioni nella sezione: σ=299.12 τ=37.39
CC 26 SLD (Collegamento 0025_-382)
Azioni sul collegamento: N=-6786.28 Ty=-4.47 Tz=1.69 Mx=-0.00 Mz=-4.27
Sollecitazioni agenti localmente: Ty_l=-1233.87 Mx_l=-24.68
Tensioni nella sezione: σ=299.12 τ=37.39
CC 27 SLV (Collegamento 0025_-382)
Azioni sul collegamento: N=-7356.87 Ty=-4.22 Tz=3.57 Mx=-0.02 Mz=-3.82
Sollecitazioni agenti localmente: Ty_l=-1337.61 Mx_l=-26.75
Tensioni nella sezione: σ=324.27 τ=40.53
CC 27 SLV (Collegamento 0025_-382)
Azioni sul collegamento: N=-7356.87 Ty=-5.52 Tz=3.57 Mx=-0.02 Mz=-7.44
Sollecitazioni agenti localmente: Ty_l=-1337.61 Mx_l=-26.75
Tensioni nella sezione: σ=324.27 τ=40.53
CC 27 SLV (Collegamento 0025_-382)
Azioni sul collegamento: N=-7356.87 Ty=-4.22 Tz=-1.86 Mx=-0.02 Mz=-3.82
Sollecitazioni agenti localmente: Ty_l=-1337.61 Mx_l=-26.75
Tensioni nella sezione: σ=324.27 τ=40.53
CC 27 SLV (Collegamento 0025_-382)
Azioni sul collegamento: N=-7356.87 Ty=-5.52 Tz=-1.86 Mx=-0.02 Mz=-7.44
Sollecitazioni agenti localmente: Ty_l=-1337.61 Mx_l=-26.75
Tensioni nella sezione: σ=324.27 τ=40.53
CC 27 SLV (Collegamento 0025_-382)
Azioni sul collegamento: N=-5791.87 Ty=-4.22 Tz=3.57 Mx=-0.02 Mz=-3.82
Sollecitazioni agenti localmente: Ty_l=-1053.07 Mx_l=-21.06
Tensioni nella sezione: σ=255.29 τ=31.91
CC 27 SLV (Collegamento 0025_-382)
Azioni sul collegamento: N=-5791.87 Ty=-5.52 Tz=3.57 Mx=-0.02 Mz=-7.44
Sollecitazioni agenti localmente: Ty_l=-1053.07 Mx_l=-21.06
Tensioni nella sezione: σ=255.29 τ=31.91
CC 27 SLV (Collegamento 0025_-382)
Azioni sul collegamento: N=-5791.87 Ty=-4.22 Tz=-1.86 Mx=-0.02 Mz=-3.82
Sollecitazioni agenti localmente: Ty_l=-1053.07 Mx_l=-21.06
Tensioni nella sezione: σ=255.29 τ=31.91
CC 27 SLV (Collegamento 0025_-382)
Azioni sul collegamento: N=-5791.87 Ty=-5.52 Tz=-1.86 Mx=-0.02 Mz=-7.44
Sollecitazioni agenti localmente: Ty_l=-1053.07 Mx_l=-21.06
Tensioni nella sezione: σ=255.29 τ=31.91
CC 28 SLD (Collegamento 0025_-382)
Azioni sul collegamento: N=-6780.50 Ty=-3.83 Tz=1.56 Mx=-0.00 Mz=-3.00
Sollecitazioni agenti localmente: Ty_l=-1232.82 Mx_l=-24.66
Tensioni nella sezione: σ=298.86 τ=37.36
CC 28 SLD (Collegamento 0025_-382)
Azioni sul collegamento: N=-6780.50 Ty=-4.22 Tz=1.56 Mx=-0.00 Mz=-4.10
Sollecitazioni agenti localmente: Ty_l=-1232.82 Mx_l=-24.66
Tensioni nella sezione: σ=298.86 τ=37.36
CC 28 SLD (Collegamento 0025_-382)
Azioni sul collegamento: N=-6780.50 Ty=-3.83 Tz=-0.10 Mx=-0.00 Mz=-3.00
Sollecitazioni agenti localmente: Ty_l=-1232.82 Mx_l=-24.66
Tensioni nella sezione: σ=298.86 τ=37.36
CC 28 SLD (Collegamento 0025_-382)
Azioni sul collegamento: N=-6780.50 Ty=-4.22 Tz=-0.10 Mx=-0.00 Mz=-4.10
Sollecitazioni agenti localmente: Ty_l=-1232.82 Mx_l=-24.66
Tensioni nella sezione: σ=298.86 τ=37.36
CC 28 SLD (Collegamento 0025_-382)
Azioni sul collegamento: N=-6303.28 Ty=-3.83 Tz=1.56 Mx=-0.00 Mz=-3.00
Sollecitazioni agenti localmente: Ty_l=-1146.05 Mx_l=-22.92
Tensioni nella sezione: σ=277.83 τ=34.73
CC 28 SLD (Collegamento 0025_-382)
Azioni sul collegamento: N=-6303.28 Ty=-4.22 Tz=1.56 Mx=-0.00 Mz=-4.10
Sollecitazioni agenti localmente: Ty_l=-1146.05 Mx_l=-22.92
Tensioni nella sezione: σ=277.83 τ=34.73
CC 28 SLD (Collegamento 0025_-382)
Azioni sul collegamento: N=-6303.28 Ty=-3.83 Tz=-0.10 Mx=-0.00 Mz=-3.00
Sollecitazioni agenti localmente: Ty_l=-1146.05 Mx_l=-22.92
Tensioni nella sezione: σ=277.83 τ=34.73
CC 28 SLD (Collegamento 0025_-382)

Azioni sul collegamento: N=-6303.28 Ty=-4.22 Tz=-0.10 Mx=-0.00 Mz=-4.10
Sollecitazioni agenti localmente: Ty_l=-1146.05 Mx_l=-22.92
Tensioni nella sezione: σ=277.83 τ=34.73
CC 29 SLV (Collegamento 0025_-382)
Azioni sul collegamento: N=-5791.87 Ty=-5.52 Tz=-1.86 Mx=-0.00 Mz=-7.44
Sollecitazioni agenti localmente: Ty_l=-1053.07 Mx_l=-21.06
Tensioni nella sezione: σ=255.29 τ=31.91
CC 29 SLV (Collegamento 0025_-382)
Azioni sul collegamento: N=-5791.87 Ty=-4.22 Tz=-1.86 Mx=-0.00 Mz=-3.82
Sollecitazioni agenti localmente: Ty_l=-1053.07 Mx_l=-21.06
Tensioni nella sezione: σ=255.29 τ=31.91
CC 29 SLV (Collegamento 0025_-382)
Azioni sul collegamento: N=-5791.87 Ty=-5.52 Tz=3.57 Mx=-0.00 Mz=-7.44
Sollecitazioni agenti localmente: Ty_l=-1053.07 Mx_l=-21.06
Tensioni nella sezione: σ=255.29 τ=31.91
CC 29 SLV (Collegamento 0025_-382)
Azioni sul collegamento: N=-5791.87 Ty=-4.22 Tz=3.57 Mx=-0.00 Mz=-3.82
Sollecitazioni agenti localmente: Ty_l=-1053.07 Mx_l=-21.06
Tensioni nella sezione: σ=255.29 τ=31.91
CC 29 SLV (Collegamento 0025_-382)
Azioni sul collegamento: N=-7356.87 Ty=-5.52 Tz=-1.86 Mx=-0.00 Mz=-7.44
Sollecitazioni agenti localmente: Ty_l=-1337.61 Mx_l=-26.75
Tensioni nella sezione: σ=324.27 τ=40.53
CC 29 SLV (Collegamento 0025_-382)
Azioni sul collegamento: N=-7356.87 Ty=-4.22 Tz=-1.86 Mx=-0.00 Mz=-3.82
Sollecitazioni agenti localmente: Ty_l=-1337.61 Mx_l=-26.75
Tensioni nella sezione: σ=324.27 τ=40.53
CC 29 SLV (Collegamento 0025_-382)
Azioni sul collegamento: N=-7356.87 Ty=-5.52 Tz=3.57 Mx=-0.00 Mz=-7.44
Sollecitazioni agenti localmente: Ty_l=-1337.61 Mx_l=-26.75
Tensioni nella sezione: σ=324.27 τ=40.53
CC 29 SLV (Collegamento 0025_-382)
Azioni sul collegamento: N=-7356.87 Ty=-4.22 Tz=3.57 Mx=-0.00 Mz=-3.82
Sollecitazioni agenti localmente: Ty_l=-1337.61 Mx_l=-26.75
Tensioni nella sezione: σ=324.27 τ=40.53
CC 30 SLD (Collegamento 0025_-382)
Azioni sul collegamento: N=-6303.28 Ty=-4.22 Tz=-0.10 Mx=0.00 Mz=-4.10
Sollecitazioni agenti localmente: Ty_l=-1146.05 Mx_l=-22.92
Tensioni nella sezione: σ=277.83 τ=34.73
CC 30 SLD (Collegamento 0025_-382)
Azioni sul collegamento: N=-6303.28 Ty=-3.83 Tz=-0.10 Mx=0.00 Mz=-3.00
Sollecitazioni agenti localmente: Ty_l=-1146.05 Mx_l=-22.92
Tensioni nella sezione: σ=277.83 τ=34.73
CC 30 SLD (Collegamento 0025_-382)
Azioni sul collegamento: N=-6303.28 Ty=-4.22 Tz=1.56 Mx=0.00 Mz=-4.10
Sollecitazioni agenti localmente: Ty_l=-1146.05 Mx_l=-22.92
Tensioni nella sezione: σ=277.83 τ=34.73
CC 30 SLD (Collegamento 0025_-382)
Azioni sul collegamento: N=-6303.28 Ty=-3.83 Tz=1.56 Mx=0.00 Mz=-3.00
Sollecitazioni agenti localmente: Ty_l=-1146.05 Mx_l=-22.92
Tensioni nella sezione: σ=277.83 τ=34.73
CC 30 SLD (Collegamento 0025_-382)
Azioni sul collegamento: N=-6780.50 Ty=-4.22 Tz=-0.10 Mx=0.00 Mz=-4.10
Sollecitazioni agenti localmente: Ty_l=-1232.82 Mx_l=-24.66
Tensioni nella sezione: σ=298.86 τ=37.36
CC 30 SLD (Collegamento 0025_-382)
Azioni sul collegamento: N=-6780.50 Ty=-3.83 Tz=-0.10 Mx=0.00 Mz=-3.00
Sollecitazioni agenti localmente: Ty_l=-1232.82 Mx_l=-24.66
Tensioni nella sezione: σ=298.86 τ=37.36
CC 30 SLD (Collegamento 0025_-382)
Azioni sul collegamento: N=-6780.50 Ty=-4.22 Tz=1.56 Mx=0.00 Mz=-4.10
Sollecitazioni agenti localmente: Ty_l=-1232.82 Mx_l=-24.66
Tensioni nella sezione: σ=298.86 τ=37.36
CC 30 SLD (Collegamento 0025_-382)
Azioni sul collegamento: N=-6780.50 Ty=-3.83 Tz=1.56 Mx=0.00 Mz=-3.00
Sollecitazioni agenti localmente: Ty_l=-1232.82 Mx_l=-24.66
Tensioni nella sezione: σ=298.86 τ=37.36
CC 31 SLV (Collegamento 0025_-382)
Azioni sul collegamento: N=-7375.81 Ty=-6.34 Tz=4.00 Mx=-0.00 Mz=-8.01
Sollecitazioni agenti localmente: Ty_l=-1341.06 Mx_l=-26.82
Tensioni nella sezione: σ=325.10 τ=40.64
CC 31 SLV (Collegamento 0025_-382)
Azioni sul collegamento: N=-7375.81 Ty=-3.40 Tz=4.00 Mx=-0.00 Mz=-3.25
Sollecitazioni agenti localmente: Ty_l=-1341.06 Mx_l=-26.82
Tensioni nella sezione: σ=325.10 τ=40.64
CC 31 SLV (Collegamento 0025_-382)
Azioni sul collegamento: N=-7375.81 Ty=-6.34 Tz=-2.29 Mx=-0.00 Mz=-8.01
Sollecitazioni agenti localmente: Ty_l=-1341.06 Mx_l=-26.82
Tensioni nella sezione: σ=325.10 τ=40.64

CC 31 SLV (Collegamento 0025_-382)
Azioni sul collegamento: N=-7375.81 Ty=-3.40 Tz=-2.29 Mx=-0.00 Mz=-3.25
Sollecitazioni agenti localmente: Ty_l=-1341.06 Mx_l=-26.82
Tensioni nella sezione: σ=325.10 τ=40.64
CC 31 SLV (Collegamento 0025_-382)
Azioni sul collegamento: N=-5772.93 Ty=-6.34 Tz=4.00 Mx=-0.00 Mz=-8.01
Sollecitazioni agenti localmente: Ty_l=-1049.62 Mx_l=-20.99
Tensioni nella sezione: σ=254.45 τ=31.81
CC 31 SLV (Collegamento 0025_-382)
Azioni sul collegamento: N=-5772.93 Ty=-3.40 Tz=4.00 Mx=-0.00 Mz=-3.25
Sollecitazioni agenti localmente: Ty_l=-1049.62 Mx_l=-20.99
Tensioni nella sezione: σ=254.45 τ=31.81
CC 31 SLV (Collegamento 0025_-382)
Azioni sul collegamento: N=-5772.93 Ty=-6.34 Tz=-2.29 Mx=-0.00 Mz=-8.01
Sollecitazioni agenti localmente: Ty_l=-1049.62 Mx_l=-20.99
Tensioni nella sezione: σ=254.45 τ=31.81
CC 31 SLV (Collegamento 0025_-382)
Azioni sul collegamento: N=-5772.93 Ty=-3.40 Tz=-2.29 Mx=-0.00 Mz=-3.25
Sollecitazioni agenti localmente: Ty_l=-1049.62 Mx_l=-20.99
Tensioni nella sezione: σ=254.45 τ=31.81
CC 32 SLD (Collegamento 0025_-382)
Azioni sul collegamento: N=-6786.28 Ty=-4.47 Tz=1.69 Mx=0.00 Mz=-4.27
Sollecitazioni agenti localmente: Ty_l=-1233.87 Mx_l=-24.68
Tensioni nella sezione: σ=299.12 τ=37.39
CC 32 SLD (Collegamento 0025_-382)
Azioni sul collegamento: N=-6786.28 Ty=-3.58 Tz=1.69 Mx=0.00 Mz=-2.82
Sollecitazioni agenti localmente: Ty_l=-1233.87 Mx_l=-24.68
Tensioni nella sezione: σ=299.12 τ=37.39
CC 32 SLD (Collegamento 0025_-382)
Azioni sul collegamento: N=-6786.28 Ty=-4.47 Tz=-0.23 Mx=0.00 Mz=-4.27
Sollecitazioni agenti localmente: Ty_l=-1233.87 Mx_l=-24.68
Tensioni nella sezione: σ=299.12 τ=37.39
CC 32 SLD (Collegamento 0025_-382)
Azioni sul collegamento: N=-6786.28 Ty=-3.58 Tz=-0.23 Mx=0.00 Mz=-2.82
Sollecitazioni agenti localmente: Ty_l=-1233.87 Mx_l=-24.68
Tensioni nella sezione: σ=299.12 τ=37.39
CC 32 SLD (Collegamento 0025_-382)
Azioni sul collegamento: N=-6297.50 Ty=-4.47 Tz=1.69 Mx=0.00 Mz=-4.27
Sollecitazioni agenti localmente: Ty_l=-1145.00 Mx_l=-22.90
Tensioni nella sezione: σ=277.57 τ=34.70
CC 32 SLD (Collegamento 0025_-382)
Azioni sul collegamento: N=-6297.50 Ty=-3.58 Tz=1.69 Mx=0.00 Mz=-2.82
Sollecitazioni agenti localmente: Ty_l=-1145.00 Mx_l=-22.90
Tensioni nella sezione: σ=277.57 τ=34.70
CC 32 SLD (Collegamento 0025_-382)
Azioni sul collegamento: N=-6297.50 Ty=-4.47 Tz=-0.23 Mx=0.00 Mz=-4.27
Sollecitazioni agenti localmente: Ty_l=-1145.00 Mx_l=-22.90
Tensioni nella sezione: σ=277.57 τ=34.70
CC 32 SLD (Collegamento 0025_-382)
Azioni sul collegamento: N=-6297.50 Ty=-3.58 Tz=-0.23 Mx=0.00 Mz=-2.82
Sollecitazioni agenti localmente: Ty_l=-1145.00 Mx_l=-22.90
Tensioni nella sezione: σ=277.57 τ=34.70
CC 33 SLU (Collegamento 0025_-382)
Azioni sul collegamento: N=-30778.60 Ty=-5.67 Tz=81.62 Mx=0.01 Mz=-4.05
Sollecitazioni agenti localmente: Ty_l=-5596.11 Mx_l=-111.92
Tensioni nella sezione: σ=1356.63 τ=169.58
CC 34 SLU (Collegamento 0025_-382)
Azioni sul collegamento: N=-30229.20 Ty=-5.39 Tz=79.58 Mx=0.01 Mz=-3.85
Sollecitazioni agenti localmente: Ty_l=-5496.22 Mx_l=-109.92
Tensioni nella sezione: σ=1332.41 τ=166.55
CC 35 SLU (Collegamento 0025_-382)
Azioni sul collegamento: N=-30504.90 Ty=-5.64 Tz=80.58 Mx=0.01 Mz=-4.16
Sollecitazioni agenti localmente: Ty_l=-5546.34 Mx_l=-110.93
Tensioni nella sezione: σ=1344.57 τ=168.07
CC 36 SLU (Collegamento 0025_-382)
Azioni sul collegamento: N=-30502.90 Ty=-5.42 Tz=80.62 Mx=0.01 Mz=-3.73
Sollecitazioni agenti localmente: Ty_l=-5545.98 Mx_l=-110.92
Tensioni nella sezione: σ=1344.48 τ=168.06
CC 37 SLU (Collegamento 0025_-382)
Azioni sul collegamento: N=-21507.60 Ty=-6.52 Tz=47.54 Mx=0.01 Mz=-4.63
Sollecitazioni agenti localmente: Ty_l=-3910.47 Mx_l=-78.21
Tensioni nella sezione: σ=947.99 τ=118.50
CC 38 SLU (Collegamento 0025_-382)
Azioni sul collegamento: N=-20958.20 Ty=-6.23 Tz=45.50 Mx=0.01 Mz=-4.43
Sollecitazioni agenti localmente: Ty_l=-3810.59 Mx_l=-76.21
Tensioni nella sezione: σ=923.78 τ=115.47
CC 39 SLU (Collegamento 0025_-382)
Azioni sul collegamento: N=-21233.90 Ty=-6.48 Tz=46.50 Mx=0.01 Mz=-4.75
Sollecitazioni agenti localmente: Ty_l=-3860.71 Mx_l=-77.21

Tensioni nella sezione: σ=935.93 τ=116.99
CC 40 SLU (Collegamento 0025_-382)
Azioni sul collegamento: N=-21231.90 Ty=-6.26 Tz=46.54 Mx=0.01 Mz=-4.31
Sollecitazioni agenti localmente: Ty_l=-3860.35 Mx_l=-77.21
Tensioni nella sezione: σ=935.84 τ=116.98
CC 41 SLU (Collegamento 0025_-382)
Azioni sul collegamento: N=-32702.20 Ty=-5.53 Tz=88.04 Mx=-0.00 Mz=-4.06
Sollecitazioni agenti localmente: Ty_l=-5945.85 Mx_l=-118.92
Tensioni nella sezione: σ=1441.42 τ=180.18
CC 42 SLU (Collegamento 0025_-382)
Azioni sul collegamento: N=-32152.80 Ty=-5.24 Tz=86.01 Mx=-0.00 Mz=-3.86
Sollecitazioni agenti localmente: Ty_l=-5845.96 Mx_l=-116.92
Tensioni nella sezione: σ=1417.20 τ=177.15
CC 43 SLU (Collegamento 0025_-382)
Azioni sul collegamento: N=-32428.50 Ty=-5.50 Tz=87.00 Mx=-0.00 Mz=-4.18
Sollecitazioni agenti localmente: Ty_l=-5896.09 Mx_l=-117.92
Tensioni nella sezione: σ=1429.35 τ=178.67
CC 44 SLU (Collegamento 0025_-382)
Azioni sul collegamento: N=-32426.50 Ty=-5.28 Tz=87.05 Mx=-0.00 Mz=-3.74
Sollecitazioni agenti localmente: Ty_l=-5895.73 Mx_l=-117.91
Tensioni nella sezione: σ=1429.27 τ=178.66
CC 45 SLU (Collegamento 0025_-382)
Azioni sul collegamento: N=-23594.00 Ty=-6.22 Tz=55.25 Mx=0.01 Mz=-4.49
Sollecitazioni agenti localmente: Ty_l=-4289.82 Mx_l=-85.80
Tensioni nella sezione: σ=1039.95 τ=129.99
CC 46 SLU (Collegamento 0025_-382)
Azioni sul collegamento: N=-23044.60 Ty=-5.94 Tz=53.22 Mx=0.01 Mz=-4.28
Sollecitazioni agenti localmente: Ty_l=-4189.93 Mx_l=-83.80
Tensioni nella sezione: σ=1015.74 τ=126.97
CC 47 SLU (Collegamento 0025_-382)
Azioni sul collegamento: N=-23320.30 Ty=-6.19 Tz=54.21 Mx=0.01 Mz=-4.60
Sollecitazioni agenti localmente: Ty_l=-4240.05 Mx_l=-84.80
Tensioni nella sezione: σ=1027.89 τ=128.49
CC 48 SLU (Collegamento 0025_-382)
Azioni sul collegamento: N=-23318.30 Ty=-5.97 Tz=54.26 Mx=0.01 Mz=-4.17
Sollecitazioni agenti localmente: Ty_l=-4239.70 Mx_l=-84.79
Tensioni nella sezione: σ=1027.80 τ=128.48
CC 49 SLU (Collegamento 0025_-382)
Azioni sul collegamento: N=-16657.90 Ty=-6.86 Tz=29.76 Mx=0.01 Mz=-4.92
Sollecitazioni agenti localmente: Ty_l=-3028.71 Mx_l=-60.57
Tensioni nella sezione: σ=734.23 τ=91.78
CC 50 SLU (Collegamento 0025_-382)
Azioni sul collegamento: N=-16108.50 Ty=-6.57 Tz=27.72 Mx=0.01 Mz=-4.72
Sollecitazioni agenti localmente: Ty_l=-2928.83 Mx_l=-58.58
Tensioni nella sezione: σ=710.02 τ=88.75
CC 51 SLU (Collegamento 0025_-382)
Azioni sul collegamento: N=-16384.20 Ty=-6.82 Tz=28.72 Mx=0.01 Mz=-5.04
Sollecitazioni agenti localmente: Ty_l=-2978.95 Mx_l=-59.58
Tensioni nella sezione: σ=722.17 τ=90.27
CC 52 SLU (Collegamento 0025_-382)
Azioni sul collegamento: N=-16382.20 Ty=-6.60 Tz=28.76 Mx=0.01 Mz=-4.60
Sollecitazioni agenti localmente: Ty_l=-2978.59 Mx_l=-59.57
Tensioni nella sezione: σ=722.08 τ=90.26
CC 53 SLU (Collegamento 0025_-382)
Azioni sul collegamento: N=-25033.10 Ty=-6.12 Tz=60.06 Mx=-0.00 Mz=-4.50
Sollecitazioni agenti localmente: Ty_l=-4551.48 Mx_l=-91.03
Tensioni nella sezione: σ=1103.39 τ=137.92
CC 54 SLU (Collegamento 0025_-382)
Azioni sul collegamento: N=-24483.80 Ty=-5.83 Tz=58.03 Mx=-0.00 Mz=-4.29
Sollecitazioni agenti localmente: Ty_l=-4451.59 Mx_l=-89.03
Tensioni nella sezione: σ=1079.17 τ=134.90
CC 55 SLU (Collegamento 0025_-382)
Azioni sul collegamento: N=-24759.40 Ty=-6.08 Tz=59.02 Mx=0.00 Mz=-4.61
Sollecitazioni agenti localmente: Ty_l=-4501.71 Mx_l=-90.03
Tensioni nella sezione: σ=1091.32 τ=136.42
CC 56 SLU (Collegamento 0025_-382)
Azioni sul collegamento: N=-24757.50 Ty=-5.87 Tz=59.07 Mx=-0.00 Mz=-4.18
Sollecitazioni agenti localmente: Ty_l=-4501.36 Mx_l=-90.03
Tensioni nella sezione: σ=1091.24 τ=136.41
CC 57 SLU (Collegamento 0025_-382)
Azioni sul collegamento: N=-21981.50 Ty=-5.60 Tz=49.32 Mx=0.01 Mz=-4.03
Sollecitazioni agenti localmente: Ty_l=-3996.63 Mx_l=-79.93
Tensioni nella sezione: σ=968.88 τ=121.11
CC 58 SLU (Collegamento 0025_-382)
Azioni sul collegamento: N=-21432.10 Ty=-5.31 Tz=47.28 Mx=0.01 Mz=-3.83
Sollecitazioni agenti localmente: Ty_l=-3896.75 Mx_l=-77.93
Tensioni nella sezione: σ=944.66 τ=118.08
CC 59 SLU (Collegamento 0025_-382)
Azioni sul collegamento: N=-21707.80 Ty=-5.57 Tz=48.28 Mx=0.01 Mz=-4.15

Sollecitazioni agenti localmente: Ty_l=-3946.87 Mx_l=-78.94
Tensioni nella sezione: σ=956.81 τ=119.60
CC 60 SLU (Collegamento 0025_-382)
Azioni sul collegamento: N=-21705.80 Ty=-5.35 Tz=48.32 Mx=0.01 Mz=-3.72
Sollecitazioni agenti localmente: Ty_l=-3946.51 Mx_l=-78.93
Tensioni nella sezione: σ=956.73 τ=119.59
CC 61 SLU (Collegamento 0025_-382)
Azioni sul collegamento: N=-15045.40 Ty=-6.23 Tz=23.82 Mx=0.01 Mz=-4.47
Sollecitazioni agenti localmente: Ty_l=-2735.53 Mx_l=-54.71
Tensioni nella sezione: σ=663.16 τ=82.89
CC 62 SLU (Collegamento 0025_-382)
Azioni sul collegamento: N=-14496.00 Ty=-5.95 Tz=21.79 Mx=0.01 Mz=-4.27
Sollecitazioni agenti localmente: Ty_l=-2635.64 Mx_l=-52.71
Tensioni nella sezione: σ=638.94 τ=79.87
CC 63 SLU (Collegamento 0025_-382)
Azioni sul collegamento: N=-14771.70 Ty=-6.20 Tz=22.78 Mx=0.01 Mz=-4.59
Sollecitazioni agenti localmente: Ty_l=-2685.76 Mx_l=-53.72
Tensioni nella sezione: σ=651.09 τ=81.39
CC 64 SLU (Collegamento 0025_-382)
Azioni sul collegamento: N=-14769.70 Ty=-5.98 Tz=22.82 Mx=0.01 Mz=-4.15
Sollecitazioni agenti localmente: Ty_l=-2685.40 Mx_l=-53.71
Tensioni nella sezione: σ=651.01 τ=81.38
CC 65 SLU (Collegamento 0025_-382)
Azioni sul collegamento: N=-23420.60 Ty=-5.49 Tz=54.12 Mx=-0.00 Mz=-4.04
Sollecitazioni agenti localmente: Ty_l=-4258.29 Mx_l=-85.17
Tensioni nella sezione: σ=1032.31 τ=129.04
CC 66 SLU (Collegamento 0025_-382)
Azioni sul collegamento: N=-22871.20 Ty=-5.21 Tz=52.09 Mx=-0.00 Mz=-3.84
Sollecitazioni agenti localmente: Ty_l=-4158.41 Mx_l=-83.17
Tensioni nella sezione: σ=1008.10 τ=126.01
CC 67 SLU (Collegamento 0025_-382)
Azioni sul collegamento: N=-23146.90 Ty=-5.46 Tz=53.08 Mx=-0.00 Mz=-4.16
Sollecitazioni agenti localmente: Ty_l=-4208.53 Mx_l=-84.17
Tensioni nella sezione: σ=1020.25 τ=127.53
CC 68 SLU (Collegamento 0025_-382)
Azioni sul collegamento: N=-23144.90 Ty=-5.24 Tz=53.13 Mx=-0.00 Mz=-3.72
Sollecitazioni agenti localmente: Ty_l=-4208.17 Mx_l=-84.16
Tensioni nella sezione: σ=1020.16 τ=127.52
CC 97 SLU (Collegamento 0025_-382)
Azioni sul collegamento: N=-11444.50 Ty=-17.52 Tz=18.88 Mx=-0.03 Mz=-21.34
Sollecitazioni agenti localmente: Ty_l=-2080.82 Mx_l=-41.62
Tensioni nella sezione: σ=504.44 τ=63.06
CC 98 SLU (Collegamento 0025_-382)
Azioni sul collegamento: N=-10895.20 Ty=-17.24 Tz=16.84 Mx=-0.03 Mz=-21.13
Sollecitazioni agenti localmente: Ty_l=-1980.94 Mx_l=-39.62
Tensioni nella sezione: σ=480.23 τ=60.03
CC 99 SLU (Collegamento 0025_-382)
Azioni sul collegamento: N=-11170.80 Ty=-17.49 Tz=17.84 Mx=-0.03 Mz=-21.45
Sollecitazioni agenti localmente: Ty_l=-2031.06 Mx_l=-40.62
Tensioni nella sezione: σ=492.38 τ=61.55
CC 100 SLU (Collegamento 0025_-382)
Azioni sul collegamento: N=-11168.90 Ty=-17.27 Tz=17.88 Mx=-0.04 Mz=-21.02
Sollecitazioni agenti localmente: Ty_l=-2030.70 Mx_l=-40.61
Tensioni nella sezione: σ=492.29 τ=61.54
CC 101 SLU (Collegamento 0025_-382)
Azioni sul collegamento: N=-7155.53 Ty=-1.61 Tz=2.94 Mx=0.01 Mz=-0.33
Sollecitazioni agenti localmente: Ty_l=-1301.01 Mx_l=-26.02
Tensioni nella sezione: σ=315.39 τ=39.42
CC 102 SLU (Collegamento 0025_-382)
Azioni sul collegamento: N=-6606.15 Ty=-1.32 Tz=0.91 Mx=0.01 Mz=-0.13
Sollecitazioni agenti localmente: Ty_l=-1201.12 Mx_l=-24.02
Tensioni nella sezione: σ=291.18 τ=36.40
CC 103 SLU (Collegamento 0025_-382)
Azioni sul collegamento: N=-6881.82 Ty=-1.58 Tz=1.90 Mx=0.01 Mz=-0.45
Sollecitazioni agenti localmente: Ty_l=-1251.24 Mx_l=-25.02
Tensioni nella sezione: σ=303.33 τ=37.92
CC 104 SLU (Collegamento 0025_-382)
Azioni sul collegamento: N=-6879.85 Ty=-1.36 Tz=1.95 Mx=0.01 Mz=-0.01
Sollecitazioni agenti localmente: Ty_l=-1250.88 Mx_l=-25.02
Tensioni nella sezione: σ=303.24 τ=37.91

Flessione attacco inferiore piastra

Bnetta=220.00 Hnetta=15.00
CC 1 SLV (Collegamento 0025_-382)
Azioni sul collegamento: N=-3838.16 Ty=-4.12 Tz=-9.35 Mx=0.02 Mz=1.95
Sollecitazioni agenti localmente: Ty_l=-697.85 Mx_l=-13.96
Tensioni nella sezione: σ=169.18 τ=21.15
CC 1 SLV (Collegamento 0025_-382)

Azioni sul collegamento: N=-3838.16 Ty=-0.76 Tz=-9.35 Mx=0.02 Mz=-1.23
Sollecitazioni agenti localmente: Ty_l=-697.85 Mx_l=-13.96
Tensioni nella sezione: σ=169.18 τ=21.15
CC 1 SLV (Collegamento 0025_-382)
Azioni sul collegamento: N=-3838.16 Ty=-4.12 Tz=10.33 Mx=0.02 Mz=1.95
Sollecitazioni agenti localmente: Ty_l=-697.85 Mx_l=-13.96
Tensioni nella sezione: σ=169.18 τ=21.15
CC 1 SLV (Collegamento 0025_-382)
Azioni sul collegamento: N=-3838.16 Ty=-0.76 Tz=10.33 Mx=0.02 Mz=-1.23
Sollecitazioni agenti localmente: Ty_l=-697.85 Mx_l=-13.96
Tensioni nella sezione: σ=169.18 τ=21.15
CC 1 SLV (Collegamento 0025_-382)
Azioni sul collegamento: N=-9123.66 Ty=-4.12 Tz=-9.35 Mx=0.02 Mz=1.95
Sollecitazioni agenti localmente: Ty_l=-1658.85 Mx_l=-33.18
Tensioni nella sezione: σ=402.14 τ=50.27
CC 1 SLV (Collegamento 0025_-382)
Azioni sul collegamento: N=-9123.66 Ty=-0.76 Tz=-9.35 Mx=0.02 Mz=-1.23
Sollecitazioni agenti localmente: Ty_l=-1658.85 Mx_l=-33.18
Tensioni nella sezione: σ=402.14 τ=50.27
CC 1 SLV (Collegamento 0025_-382)
Azioni sul collegamento: N=-9123.66 Ty=-4.12 Tz=10.33 Mx=0.02 Mz=1.95
Sollecitazioni agenti localmente: Ty_l=-1658.85 Mx_l=-33.18
Tensioni nella sezione: σ=402.14 τ=50.27
CC 1 SLV (Collegamento 0025_-382)
Azioni sul collegamento: N=-9123.66 Ty=-0.76 Tz=10.33 Mx=0.02 Mz=-1.23
Sollecitazioni agenti localmente: Ty_l=-1658.85 Mx_l=-33.18
Tensioni nella sezione: σ=402.14 τ=50.27
CC 2 SLD (Collegamento 0025_-382)
Azioni sul collegamento: N=-5707.53 Ty=-2.77 Tz=-2.38 Mx=0.01 Mz=-1.24
Sollecitazioni agenti localmente: Ty_l=-1037.73 Mx_l=-20.75
Tensioni nella sezione: σ=251.57 τ=31.45
CC 2 SLD (Collegamento 0025_-382)
Azioni sul collegamento: N=-5707.53 Ty=-3.80 Tz=-2.38 Mx=0.01 Mz=-2.21
Sollecitazioni agenti localmente: Ty_l=-1037.73 Mx_l=-20.75
Tensioni nella sezione: σ=251.57 τ=31.45
CC 2 SLD (Collegamento 0025_-382)
Azioni sul collegamento: N=-5707.53 Ty=-2.77 Tz=3.62 Mx=0.01 Mz=-1.24
Sollecitazioni agenti localmente: Ty_l=-1037.73 Mx_l=-20.75
Tensioni nella sezione: σ=251.57 τ=31.45
CC 2 SLD (Collegamento 0025_-382)
Azioni sul collegamento: N=-5707.53 Ty=-3.80 Tz=3.62 Mx=0.01 Mz=-2.21
Sollecitazioni agenti localmente: Ty_l=-1037.73 Mx_l=-20.75
Tensioni nella sezione: σ=251.57 τ=31.45
CC 2 SLD (Collegamento 0025_-382)
Azioni sul collegamento: N=-7319.25 Ty=-2.77 Tz=-2.38 Mx=0.01 Mz=-1.24
Sollecitazioni agenti localmente: Ty_l=-1330.77 Mx_l=-26.62
Tensioni nella sezione: σ=322.61 τ=40.33
CC 2 SLD (Collegamento 0025_-382)
Azioni sul collegamento: N=-7319.25 Ty=-3.80 Tz=-2.38 Mx=0.01 Mz=-2.21
Sollecitazioni agenti localmente: Ty_l=-1330.77 Mx_l=-26.62
Tensioni nella sezione: σ=322.61 τ=40.33
CC 2 SLD (Collegamento 0025_-382)
Azioni sul collegamento: N=-7319.25 Ty=-2.77 Tz=3.62 Mx=0.01 Mz=-1.24
Sollecitazioni agenti localmente: Ty_l=-1330.77 Mx_l=-26.62
Tensioni nella sezione: σ=322.61 τ=40.33
CC 2 SLD (Collegamento 0025_-382)
Azioni sul collegamento: N=-7319.25 Ty=-3.80 Tz=3.62 Mx=0.01 Mz=-2.21
Sollecitazioni agenti localmente: Ty_l=-1330.77 Mx_l=-26.62
Tensioni nella sezione: σ=322.61 τ=40.33
CC 3 SLV (Collegamento 0025_-382)
Azioni sul collegamento: N=-3843.85 Ty=-3.49 Tz=-9.22 Mx=0.02 Mz=0.69
Sollecitazioni agenti localmente: Ty_l=-698.88 Mx_l=-13.98
Tensioni nella sezione: σ=169.43 τ=21.18
CC 3 SLV (Collegamento 0025_-382)
Azioni sul collegamento: N=-3843.85 Ty=-1.39 Tz=-9.22 Mx=0.02 Mz=0.03
Sollecitazioni agenti localmente: Ty_l=-698.88 Mx_l=-13.98
Tensioni nella sezione: σ=169.43 τ=21.18
CC 3 SLV (Collegamento 0025_-382)
Azioni sul collegamento: N=-3843.85 Ty=-3.49 Tz=10.20 Mx=0.02 Mz=0.69
Sollecitazioni agenti localmente: Ty_l=-698.88 Mx_l=-13.98
Tensioni nella sezione: σ=169.43 τ=21.18
CC 3 SLV (Collegamento 0025_-382)
Azioni sul collegamento: N=-3843.85 Ty=-1.39 Tz=10.20 Mx=0.02 Mz=0.03
Sollecitazioni agenti localmente: Ty_l=-698.88 Mx_l=-13.98
Tensioni nella sezione: σ=169.43 τ=21.18
CC 3 SLV (Collegamento 0025_-382)
Azioni sul collegamento: N=-9117.97 Ty=-3.49 Tz=-9.22 Mx=0.02 Mz=0.69
Sollecitazioni agenti localmente: Ty_l=-1657.81 Mx_l=-33.16
Tensioni nella sezione: σ=401.89 τ=50.24

CC 3 SLV (Collegamento 0025_-382)
Azioni sul collegamento: N=-9117.97 Ty=-1.39 Tz=-9.22 Mx=0.02 Mz=0.03
Sollecitazioni agenti localmente: Ty_l=-1657.81 Mx_l=-33.16
Tensioni nella sezione: σ=401.89 τ=50.24
CC 3 SLV (Collegamento 0025_-382)
Azioni sul collegamento: N=-9117.97 Ty=-3.49 Tz=10.20 Mx=0.02 Mz=0.69
Sollecitazioni agenti localmente: Ty_l=-1657.81 Mx_l=-33.16
Tensioni nella sezione: σ=401.89 τ=50.24
CC 3 SLV (Collegamento 0025_-382)
Azioni sul collegamento: N=-9117.97 Ty=-1.39 Tz=10.20 Mx=0.02 Mz=0.03
Sollecitazioni agenti localmente: Ty_l=-1657.81 Mx_l=-33.16
Tensioni nella sezione: σ=401.89 τ=50.24
CC 4 SLD (Collegamento 0025_-382)
Azioni sul collegamento: N=-5709.27 Ty=-2.97 Tz=-2.35 Mx=0.01 Mz=-1.62
Sollecitazioni agenti localmente: Ty_l=-1038.05 Mx_l=-20.76
Tensioni nella sezione: σ=251.65 τ=31.46
CC 4 SLD (Collegamento 0025_-382)
Azioni sul collegamento: N=-5709.27 Ty=-3.60 Tz=-2.35 Mx=0.01 Mz=-1.82
Sollecitazioni agenti localmente: Ty_l=-1038.05 Mx_l=-20.76
Tensioni nella sezione: σ=251.65 τ=31.46
CC 4 SLD (Collegamento 0025_-382)
Azioni sul collegamento: N=-5709.27 Ty=-2.97 Tz=3.58 Mx=0.01 Mz=-1.62
Sollecitazioni agenti localmente: Ty_l=-1038.05 Mx_l=-20.76
Tensioni nella sezione: σ=251.65 τ=31.46
CC 4 SLD (Collegamento 0025_-382)
Azioni sul collegamento: N=-5709.27 Ty=-3.60 Tz=3.58 Mx=0.01 Mz=-1.82
Sollecitazioni agenti localmente: Ty_l=-1038.05 Mx_l=-20.76
Tensioni nella sezione: σ=251.65 τ=31.46
CC 4 SLD (Collegamento 0025_-382)
Azioni sul collegamento: N=-7317.51 Ty=-2.97 Tz=-2.35 Mx=0.01 Mz=-1.62
Sollecitazioni agenti localmente: Ty_l=-1330.46 Mx_l=-26.61
Tensioni nella sezione: σ=322.53 τ=40.32
CC 4 SLD (Collegamento 0025_-382)
Azioni sul collegamento: N=-7317.51 Ty=-3.60 Tz=-2.35 Mx=0.01 Mz=-1.82
Sollecitazioni agenti localmente: Ty_l=-1330.46 Mx_l=-26.61
Tensioni nella sezione: σ=322.53 τ=40.32
CC 4 SLD (Collegamento 0025_-382)
Azioni sul collegamento: N=-7317.51 Ty=-2.97 Tz=3.58 Mx=0.01 Mz=-1.62
Sollecitazioni agenti localmente: Ty_l=-1330.46 Mx_l=-26.61
Tensioni nella sezione: σ=322.53 τ=40.32
CC 4 SLD (Collegamento 0025_-382)
Azioni sul collegamento: N=-7317.51 Ty=-3.60 Tz=3.58 Mx=0.01 Mz=-1.82
Sollecitazioni agenti localmente: Ty_l=-1330.46 Mx_l=-26.61
Tensioni nella sezione: σ=322.53 τ=40.32
CC 5 SLV (Collegamento 0025_-382)
Azioni sul collegamento: N=-9117.97 Ty=-1.39 Tz=10.20 Mx=0.02 Mz=0.03
Sollecitazioni agenti localmente: Ty_l=-1657.81 Mx_l=-33.16
Tensioni nella sezione: σ=401.89 τ=50.24
CC 5 SLV (Collegamento 0025_-382)
Azioni sul collegamento: N=-9117.97 Ty=-3.49 Tz=10.20 Mx=0.02 Mz=0.69
Sollecitazioni agenti localmente: Ty_l=-1657.81 Mx_l=-33.16
Tensioni nella sezione: σ=401.89 τ=50.24
CC 5 SLV (Collegamento 0025_-382)
Azioni sul collegamento: N=-9117.97 Ty=-1.39 Tz=-9.22 Mx=0.02 Mz=0.03
Sollecitazioni agenti localmente: Ty_l=-1657.81 Mx_l=-33.16
Tensioni nella sezione: σ=401.89 τ=50.24
CC 5 SLV (Collegamento 0025_-382)
Azioni sul collegamento: N=-9117.97 Ty=-3.49 Tz=-9.22 Mx=0.02 Mz=0.69
Sollecitazioni agenti localmente: Ty_l=-1657.81 Mx_l=-33.16
Tensioni nella sezione: σ=401.89 τ=50.24
CC 5 SLV (Collegamento 0025_-382)
Azioni sul collegamento: N=-3843.85 Ty=-1.39 Tz=10.20 Mx=0.02 Mz=0.03
Sollecitazioni agenti localmente: Ty_l=-698.88 Mx_l=-13.98
Tensioni nella sezione: σ=169.43 τ=21.18
CC 5 SLV (Collegamento 0025_-382)
Azioni sul collegamento: N=-3843.85 Ty=-3.49 Tz=10.20 Mx=0.02 Mz=0.69
Sollecitazioni agenti localmente: Ty_l=-698.88 Mx_l=-13.98
Tensioni nella sezione: σ=169.43 τ=21.18
CC 5 SLV (Collegamento 0025_-382)
Azioni sul collegamento: N=-3843.85 Ty=-1.39 Tz=-9.22 Mx=0.02 Mz=0.03
Sollecitazioni agenti localmente: Ty_l=-698.88 Mx_l=-13.98
Tensioni nella sezione: σ=169.43 τ=21.18
CC 5 SLV (Collegamento 0025_-382)
Azioni sul collegamento: N=-3843.85 Ty=-3.49 Tz=-9.22 Mx=0.02 Mz=0.69
Sollecitazioni agenti localmente: Ty_l=-698.88 Mx_l=-13.98
Tensioni nella sezione: σ=169.43 τ=21.18
CC 6 SLD (Collegamento 0025_-382)
Azioni sul collegamento: N=-7317.51 Ty=-3.60 Tz=3.58 Mx=0.01 Mz=-1.82
Sollecitazioni agenti localmente: Ty_l=-1330.46 Mx_l=-26.61

Tensioni nella sezione: σ=322.53 τ=40.32
CC 6 SLD (Collegamento 0025_-382)
Azioni sul collegamento: N=-7317.51 Ty=-2.97 Tz=3.58 Mx=0.01 Mz=-1.62
Sollecitazioni agenti localmente: Ty_l=-1330.46 Mx_l=-26.61
Tensioni nella sezione: σ=322.53 τ=40.32
CC 6 SLD (Collegamento 0025_-382)
Azioni sul collegamento: N=-7317.51 Ty=-3.60 Tz=-2.35 Mx=0.01 Mz=-1.82
Sollecitazioni agenti localmente: Ty_l=-1330.46 Mx_l=-26.61
Tensioni nella sezione: σ=322.53 τ=40.32
CC 6 SLD (Collegamento 0025_-382)
Azioni sul collegamento: N=-7317.51 Ty=-2.97 Tz=-2.35 Mx=0.01 Mz=-1.62
Sollecitazioni agenti localmente: Ty_l=-1330.46 Mx_l=-26.61
Tensioni nella sezione: σ=322.53 τ=40.32
CC 6 SLD (Collegamento 0025_-382)
Azioni sul collegamento: N=-5709.27 Ty=-3.60 Tz=3.58 Mx=0.01 Mz=-1.82
Sollecitazioni agenti localmente: Ty_l=-1038.05 Mx_l=-20.76
Tensioni nella sezione: σ=251.65 τ=31.46
CC 6 SLD (Collegamento 0025_-382)
Azioni sul collegamento: N=-5709.27 Ty=-2.97 Tz=3.58 Mx=0.01 Mz=-1.62
Sollecitazioni agenti localmente: Ty_l=-1038.05 Mx_l=-20.76
Tensioni nella sezione: σ=251.65 τ=31.46
CC 6 SLD (Collegamento 0025_-382)
Azioni sul collegamento: N=-5709.27 Ty=-3.60 Tz=-2.35 Mx=0.01 Mz=-1.82
Sollecitazioni agenti localmente: Ty_l=-1038.05 Mx_l=-20.76
Tensioni nella sezione: σ=251.65 τ=31.46
CC 6 SLD (Collegamento 0025_-382)
Azioni sul collegamento: N=-5709.27 Ty=-2.97 Tz=-2.35 Mx=0.01 Mz=-1.62
Sollecitazioni agenti localmente: Ty_l=-1038.05 Mx_l=-20.76
Tensioni nella sezione: σ=251.65 τ=31.46
CC 7 SLV (Collegamento 0025_-382)
Azioni sul collegamento: N=-9123.66 Ty=-0.76 Tz=10.33 Mx=0.01 Mz=-1.23
Sollecitazioni agenti localmente: Ty_l=-1658.85 Mx_l=-33.18
Tensioni nella sezione: σ=402.14 τ=50.27
CC 7 SLV (Collegamento 0025_-382)
Azioni sul collegamento: N=-9123.66 Ty=-4.12 Tz=10.33 Mx=0.01 Mz=1.95
Sollecitazioni agenti localmente: Ty_l=-1658.85 Mx_l=-33.18
Tensioni nella sezione: σ=402.14 τ=50.27
CC 7 SLV (Collegamento 0025_-382)
Azioni sul collegamento: N=-9123.66 Ty=-0.76 Tz=-9.35 Mx=0.01 Mz=-1.23
Sollecitazioni agenti localmente: Ty_l=-1658.85 Mx_l=-33.18
Tensioni nella sezione: σ=402.14 τ=50.27
CC 7 SLV (Collegamento 0025_-382)
Azioni sul collegamento: N=-9123.66 Ty=-4.12 Tz=-9.35 Mx=0.01 Mz=1.95
Sollecitazioni agenti localmente: Ty_l=-1658.85 Mx_l=-33.18
Tensioni nella sezione: σ=402.14 τ=50.27
CC 7 SLV (Collegamento 0025_-382)
Azioni sul collegamento: N=-3838.16 Ty=-0.76 Tz=10.33 Mx=0.01 Mz=-1.23
Sollecitazioni agenti localmente: Ty_l=-697.85 Mx_l=-13.96
Tensioni nella sezione: σ=169.18 τ=21.15
CC 7 SLV (Collegamento 0025_-382)
Azioni sul collegamento: N=-3838.16 Ty=-4.12 Tz=10.33 Mx=0.01 Mz=1.95
Sollecitazioni agenti localmente: Ty_l=-697.85 Mx_l=-13.96
Tensioni nella sezione: σ=169.18 τ=21.15
CC 7 SLV (Collegamento 0025_-382)
Azioni sul collegamento: N=-3838.16 Ty=-0.76 Tz=-9.35 Mx=0.01 Mz=-1.23
Sollecitazioni agenti localmente: Ty_l=-697.85 Mx_l=-13.96
Tensioni nella sezione: σ=169.18 τ=21.15
CC 7 SLV (Collegamento 0025_-382)
Azioni sul collegamento: N=-3838.16 Ty=-4.12 Tz=-9.35 Mx=0.01 Mz=1.95
Sollecitazioni agenti localmente: Ty_l=-697.85 Mx_l=-13.96
Tensioni nella sezione: σ=169.18 τ=21.15
CC 8 SLD (Collegamento 0025_-382)
Azioni sul collegamento: N=-7319.25 Ty=-3.80 Tz=3.62 Mx=0.01 Mz=-2.21
Sollecitazioni agenti localmente: Ty_l=-1330.77 Mx_l=-26.62
Tensioni nella sezione: σ=322.61 τ=40.33
CC 8 SLD (Collegamento 0025_-382)
Azioni sul collegamento: N=-7319.25 Ty=-2.77 Tz=3.62 Mx=0.01 Mz=-1.24
Sollecitazioni agenti localmente: Ty_l=-1330.77 Mx_l=-26.62
Tensioni nella sezione: σ=322.61 τ=40.33
CC 8 SLD (Collegamento 0025_-382)
Azioni sul collegamento: N=-7319.25 Ty=-3.80 Tz=-2.38 Mx=0.01 Mz=-2.21
Sollecitazioni agenti localmente: Ty_l=-1330.77 Mx_l=-26.62
Tensioni nella sezione: σ=322.61 τ=40.33
CC 8 SLD (Collegamento 0025_-382)
Azioni sul collegamento: N=-7319.25 Ty=-2.77 Tz=-2.38 Mx=0.01 Mz=-1.24
Sollecitazioni agenti localmente: Ty_l=-1330.77 Mx_l=-26.62
Tensioni nella sezione: σ=322.61 τ=40.33
CC 8 SLD (Collegamento 0025_-382)
Azioni sul collegamento: N=-5707.53 Ty=-3.80 Tz=3.62 Mx=0.01 Mz=-2.21

Sollecitazioni agenti localmente: Ty_l=-1037.73 Mx_l=-20.75
Tensioni nella sezione: σ=251.57 τ=31.45
CC 8 SLD (Collegamento 0025_-382)
Azioni sul collegamento: N=-5707.53 Ty=-2.77 Tz=3.62 Mx=0.01 Mz=-1.24
Sollecitazioni agenti localmente: Ty_l=-1037.73 Mx_l=-20.75
Tensioni nella sezione: σ=251.57 τ=31.45
CC 8 SLD (Collegamento 0025_-382)
Azioni sul collegamento: N=-5707.53 Ty=-3.80 Tz=-2.38 Mx=0.01 Mz=-2.21
Sollecitazioni agenti localmente: Ty_l=-1037.73 Mx_l=-20.75
Tensioni nella sezione: σ=251.57 τ=31.45
CC 8 SLD (Collegamento 0025_-382)
Azioni sul collegamento: N=-5707.53 Ty=-2.77 Tz=-2.38 Mx=0.01 Mz=-1.24
Sollecitazioni agenti localmente: Ty_l=-1037.73 Mx_l=-20.75
Tensioni nella sezione: σ=251.57 τ=31.45
CC 9 SLV (Collegamento 0025_-382)
Azioni sul collegamento: N=-5679.47 Ty=-3.91 Tz=-2.66 Mx=0.03 Mz=2.74
Sollecitazioni agenti localmente: Ty_l=-1032.63 Mx_l=-20.65
Tensioni nella sezione: σ=250.33 τ=31.29
CC 9 SLV (Collegamento 0025_-382)
Azioni sul collegamento: N=-5679.47 Ty=-0.97 Tz=-2.66 Mx=0.03 Mz=-2.02
Sollecitazioni agenti localmente: Ty_l=-1032.63 Mx_l=-20.65
Tensioni nella sezione: σ=250.33 τ=31.29
CC 9 SLV (Collegamento 0025_-382)
Azioni sul collegamento: N=-5679.47 Ty=-3.91 Tz=3.63 Mx=0.03 Mz=2.74
Sollecitazioni agenti localmente: Ty_l=-1032.63 Mx_l=-20.65
Tensioni nella sezione: σ=250.33 τ=31.29
CC 9 SLV (Collegamento 0025_-382)
Azioni sul collegamento: N=-5679.47 Ty=-0.97 Tz=3.63 Mx=0.03 Mz=-2.02
Sollecitazioni agenti localmente: Ty_l=-1032.63 Mx_l=-20.65
Tensioni nella sezione: σ=250.33 τ=31.29
CC 9 SLV (Collegamento 0025_-382)
Azioni sul collegamento: N=-7282.35 Ty=-3.91 Tz=-2.66 Mx=0.03 Mz=2.74
Sollecitazioni agenti localmente: Ty_l=-1324.06 Mx_l=-26.48
Tensioni nella sezione: σ=320.99 τ=40.12
CC 9 SLV (Collegamento 0025_-382)
Azioni sul collegamento: N=-7282.35 Ty=-0.97 Tz=-2.66 Mx=0.03 Mz=-2.02
Sollecitazioni agenti localmente: Ty_l=-1324.06 Mx_l=-26.48
Tensioni nella sezione: σ=320.99 τ=40.12
CC 9 SLV (Collegamento 0025_-382)
Azioni sul collegamento: N=-7282.35 Ty=-3.91 Tz=3.63 Mx=0.03 Mz=2.74
Sollecitazioni agenti localmente: Ty_l=-1324.06 Mx_l=-26.48
Tensioni nella sezione: σ=320.99 τ=40.12
CC 9 SLV (Collegamento 0025_-382)
Azioni sul collegamento: N=-7282.35 Ty=-0.97 Tz=3.63 Mx=0.03 Mz=-2.02
Sollecitazioni agenti localmente: Ty_l=-1324.06 Mx_l=-26.48
Tensioni nella sezione: σ=320.99 τ=40.12
CC 10 SLD (Collegamento 0025_-382)
Azioni sul collegamento: N=-6269.01 Ty=-2.84 Tz=-0.34 Mx=0.01 Mz=-0.99
Sollecitazioni agenti localmente: Ty_l=-1139.82 Mx_l=-22.80
Tensioni nella sezione: σ=276.32 τ=34.54
CC 10 SLD (Collegamento 0025_-382)
Azioni sul collegamento: N=-6269.01 Ty=-3.73 Tz=-0.34 Mx=0.01 Mz=-2.45
Sollecitazioni agenti localmente: Ty_l=-1139.82 Mx_l=-22.80
Tensioni nella sezione: σ=276.32 τ=34.54
CC 10 SLD (Collegamento 0025_-382)
Azioni sul collegamento: N=-6269.00 Ty=-2.84 Tz=1.57 Mx=0.01 Mz=-0.99
Sollecitazioni agenti localmente: Ty_l=-1139.82 Mx_l=-22.80
Tensioni nella sezione: σ=276.32 τ=34.54
CC 10 SLD (Collegamento 0025_-382)
Azioni sul collegamento: N=-6269.00 Ty=-3.73 Tz=1.57 Mx=0.01 Mz=-2.45
Sollecitazioni agenti localmente: Ty_l=-1139.82 Mx_l=-22.80
Tensioni nella sezione: σ=276.32 τ=34.54
CC 10 SLD (Collegamento 0025_-382)
Azioni sul collegamento: N=-6757.78 Ty=-2.84 Tz=-0.34 Mx=0.01 Mz=-0.99
Sollecitazioni agenti localmente: Ty_l=-1228.69 Mx_l=-24.57
Tensioni nella sezione: σ=297.86 τ=37.23
CC 10 SLD (Collegamento 0025_-382)
Azioni sul collegamento: N=-6757.78 Ty=-3.73 Tz=-0.34 Mx=0.01 Mz=-2.45
Sollecitazioni agenti localmente: Ty_l=-1228.69 Mx_l=-24.57
Tensioni nella sezione: σ=297.86 τ=37.23
CC 10 SLD (Collegamento 0025_-382)
Azioni sul collegamento: N=-6757.78 Ty=-2.84 Tz=1.57 Mx=0.01 Mz=-0.99
Sollecitazioni agenti localmente: Ty_l=-1228.69 Mx_l=-24.57
Tensioni nella sezione: σ=297.86 τ=37.23
CC 10 SLD (Collegamento 0025_-382)
Azioni sul collegamento: N=-6757.78 Ty=-3.73 Tz=1.57 Mx=0.01 Mz=-2.45
Sollecitazioni agenti localmente: Ty_l=-1228.69 Mx_l=-24.57
Tensioni nella sezione: σ=297.86 τ=37.23
CC 11 SLV (Collegamento 0025_-382)

Azioni sul collegamento: N=-7263.41 Ty=-3.09 Tz=3.21 Mx=0.02 Mz=2.17
Sollecitazioni agenti localmente: Ty_l=-1320.62 Mx_l=-26.41
Tensioni nella sezione: σ=320.15 τ=40.02
CC 11 SLV (Collegamento 0025_-382)
Azioni sul collegamento: N=-7263.41 Ty=-1.79 Tz=3.21 Mx=0.02 Mz=-1.45
Sollecitazioni agenti localmente: Ty_l=-1320.62 Mx_l=-26.41
Tensioni nella sezione: σ=320.15 τ=40.02
CC 11 SLV (Collegamento 0025_-382)
Azioni sul collegamento: N=-7263.41 Ty=-3.09 Tz=-2.23 Mx=0.02 Mz=2.17
Sollecitazioni agenti localmente: Ty_l=-1320.62 Mx_l=-26.41
Tensioni nella sezione: σ=320.15 τ=40.02
CC 11 SLV (Collegamento 0025_-382)
Azioni sul collegamento: N=-7263.41 Ty=-1.79 Tz=-2.23 Mx=0.02 Mz=-1.45
Sollecitazioni agenti localmente: Ty_l=-1320.62 Mx_l=-26.41
Tensioni nella sezione: σ=320.15 τ=40.02
CC 11 SLV (Collegamento 0025_-382)
Azioni sul collegamento: N=-5698.41 Ty=-3.09 Tz=3.21 Mx=0.02 Mz=2.17
Sollecitazioni agenti localmente: Ty_l=-1036.07 Mx_l=-20.72
Tensioni nella sezione: σ=251.17 τ=31.40
CC 11 SLV (Collegamento 0025_-382)
Azioni sul collegamento: N=-5698.41 Ty=-1.79 Tz=3.21 Mx=0.02 Mz=-1.45
Sollecitazioni agenti localmente: Ty_l=-1036.07 Mx_l=-20.72
Tensioni nella sezione: σ=251.17 τ=31.40
CC 11 SLV (Collegamento 0025_-382)
Azioni sul collegamento: N=-5698.41 Ty=-3.09 Tz=-2.23 Mx=0.02 Mz=2.17
Sollecitazioni agenti localmente: Ty_l=-1036.07 Mx_l=-20.72
Tensioni nella sezione: σ=251.17 τ=31.40
CC 11 SLV (Collegamento 0025_-382)
Azioni sul collegamento: N=-5698.41 Ty=-1.79 Tz=-2.23 Mx=0.02 Mz=-1.45
Sollecitazioni agenti localmente: Ty_l=-1036.07 Mx_l=-20.72
Tensioni nella sezione: σ=251.17 τ=31.40
CC 12 SLD (Collegamento 0025_-382)
Azioni sul collegamento: N=-6752.00 Ty=-3.09 Tz=1.44 Mx=0.01 Mz=-1.17
Sollecitazioni agenti localmente: Ty_l=-1227.64 Mx_l=-24.55
Tensioni nella sezione: σ=297.61 τ=37.20
CC 12 SLD (Collegamento 0025_-382)
Azioni sul collegamento: N=-6752.00 Ty=-3.48 Tz=1.44 Mx=0.01 Mz=-2.27
Sollecitazioni agenti localmente: Ty_l=-1227.64 Mx_l=-24.55
Tensioni nella sezione: σ=297.61 τ=37.20
CC 12 SLD (Collegamento 0025_-382)
Azioni sul collegamento: N=-6752.00 Ty=-3.09 Tz=-0.21 Mx=0.01 Mz=-1.17
Sollecitazioni agenti localmente: Ty_l=-1227.64 Mx_l=-24.55
Tensioni nella sezione: σ=297.61 τ=37.20
CC 12 SLD (Collegamento 0025_-382)
Azioni sul collegamento: N=-6752.00 Ty=-3.48 Tz=-0.21 Mx=0.01 Mz=-2.27
Sollecitazioni agenti localmente: Ty_l=-1227.64 Mx_l=-24.55
Tensioni nella sezione: σ=297.61 τ=37.20
CC 12 SLD (Collegamento 0025_-382)
Azioni sul collegamento: N=-6274.78 Ty=-3.09 Tz=1.44 Mx=0.01 Mz=-1.17
Sollecitazioni agenti localmente: Ty_l=-1140.87 Mx_l=-22.82
Tensioni nella sezione: σ=276.57 τ=34.57
CC 12 SLD (Collegamento 0025_-382)
Azioni sul collegamento: N=-6274.78 Ty=-3.48 Tz=1.44 Mx=0.01 Mz=-2.27
Sollecitazioni agenti localmente: Ty_l=-1140.87 Mx_l=-22.82
Tensioni nella sezione: σ=276.57 τ=34.57
CC 12 SLD (Collegamento 0025_-382)
Azioni sul collegamento: N=-6274.78 Ty=-3.09 Tz=-0.21 Mx=0.01 Mz=-1.17
Sollecitazioni agenti localmente: Ty_l=-1140.87 Mx_l=-22.82
Tensioni nella sezione: σ=276.57 τ=34.57
CC 12 SLD (Collegamento 0025_-382)
Azioni sul collegamento: N=-6274.78 Ty=-3.48 Tz=-0.21 Mx=0.01 Mz=-2.27
Sollecitazioni agenti localmente: Ty_l=-1140.87 Mx_l=-22.82
Tensioni nella sezione: σ=276.57 τ=34.57
CC 13 SLV (Collegamento 0025_-382)
Azioni sul collegamento: N=-5698.41 Ty=-1.79 Tz=-2.23 Mx=0.01 Mz=-1.45
Sollecitazioni agenti localmente: Ty_l=-1036.07 Mx_l=-20.72
Tensioni nella sezione: σ=251.17 τ=31.40
CC 13 SLV (Collegamento 0025_-382)
Azioni sul collegamento: N=-5698.41 Ty=-3.09 Tz=-2.23 Mx=0.01 Mz=2.17
Sollecitazioni agenti localmente: Ty_l=-1036.07 Mx_l=-20.72
Tensioni nella sezione: σ=251.17 τ=31.40
CC 13 SLV (Collegamento 0025_-382)
Azioni sul collegamento: N=-5698.41 Ty=-1.79 Tz=3.21 Mx=0.01 Mz=-1.45
Sollecitazioni agenti localmente: Ty_l=-1036.07 Mx_l=-20.72
Tensioni nella sezione: σ=251.17 τ=31.40
CC 13 SLV (Collegamento 0025_-382)
Azioni sul collegamento: N=-5698.41 Ty=-3.09 Tz=3.21 Mx=0.01 Mz=2.17
Sollecitazioni agenti localmente: Ty_l=-1036.07 Mx_l=-20.72
Tensioni nella sezione: σ=251.17 τ=31.40

CC 13 SLV (Collegamento 0025_-382)
Azioni sul collegamento: N=-7263.41 Ty=-1.79 Tz=-2.23 Mx=0.01 Mz=-1.45
Sollecitazioni agenti localmente: Ty_l=-1320.62 Mx_l=-26.41
Tensioni nella sezione: σ=320.15 τ=40.02
CC 13 SLV (Collegamento 0025_-382)
Azioni sul collegamento: N=-7263.41 Ty=-3.09 Tz=-2.23 Mx=0.01 Mz=2.17
Sollecitazioni agenti localmente: Ty_l=-1320.62 Mx_l=-26.41
Tensioni nella sezione: σ=320.15 τ=40.02
CC 13 SLV (Collegamento 0025_-382)
Azioni sul collegamento: N=-7263.41 Ty=-1.79 Tz=3.21 Mx=0.01 Mz=-1.45
Sollecitazioni agenti localmente: Ty_l=-1320.62 Mx_l=-26.41
Tensioni nella sezione: σ=320.15 τ=40.02
CC 13 SLV (Collegamento 0025_-382)
Azioni sul collegamento: N=-7263.41 Ty=-3.09 Tz=3.21 Mx=0.01 Mz=2.17
Sollecitazioni agenti localmente: Ty_l=-1320.62 Mx_l=-26.41
Tensioni nella sezione: σ=320.15 τ=40.02
CC 14 SLD (Collegamento 0025_-382)
Azioni sul collegamento: N=-6274.78 Ty=-3.48 Tz=-0.21 Mx=0.01 Mz=-2.27
Sollecitazioni agenti localmente: Ty_l=-1140.87 Mx_l=-22.82
Tensioni nella sezione: σ=276.57 τ=34.57
CC 14 SLD (Collegamento 0025_-382)
Azioni sul collegamento: N=-6274.78 Ty=-3.09 Tz=-0.21 Mx=0.01 Mz=-1.17
Sollecitazioni agenti localmente: Ty_l=-1140.87 Mx_l=-22.82
Tensioni nella sezione: σ=276.57 τ=34.57
CC 14 SLD (Collegamento 0025_-382)
Azioni sul collegamento: N=-6274.78 Ty=-3.48 Tz=1.44 Mx=0.01 Mz=-2.27
Sollecitazioni agenti localmente: Ty_l=-1140.87 Mx_l=-22.82
Tensioni nella sezione: σ=276.57 τ=34.57
CC 14 SLD (Collegamento 0025_-382)
Azioni sul collegamento: N=-6274.78 Ty=-3.09 Tz=1.44 Mx=0.01 Mz=-1.17
Sollecitazioni agenti localmente: Ty_l=-1140.87 Mx_l=-22.82
Tensioni nella sezione: σ=276.57 τ=34.57
CC 14 SLD (Collegamento 0025_-382)
Azioni sul collegamento: N=-6752.00 Ty=-3.48 Tz=-0.21 Mx=0.01 Mz=-2.27
Sollecitazioni agenti localmente: Ty_l=-1227.64 Mx_l=-24.55
Tensioni nella sezione: σ=297.61 τ=37.20
CC 14 SLD (Collegamento 0025_-382)
Azioni sul collegamento: N=-6752.00 Ty=-3.09 Tz=-0.21 Mx=0.01 Mz=-1.17
Sollecitazioni agenti localmente: Ty_l=-1227.64 Mx_l=-24.55
Tensioni nella sezione: σ=297.61 τ=37.20
CC 14 SLD (Collegamento 0025_-382)
Azioni sul collegamento: N=-6752.00 Ty=-3.48 Tz=1.44 Mx=0.01 Mz=-2.27
Sollecitazioni agenti localmente: Ty_l=-1227.64 Mx_l=-24.55
Tensioni nella sezione: σ=297.61 τ=37.20
CC 14 SLD (Collegamento 0025_-382)
Azioni sul collegamento: N=-6752.00 Ty=-3.09 Tz=1.44 Mx=0.01 Mz=-1.17
Sollecitazioni agenti localmente: Ty_l=-1227.64 Mx_l=-24.55
Tensioni nella sezione: σ=297.61 τ=37.20
CC 15 SLV (Collegamento 0025_-382)
Azioni sul collegamento: N=-7282.35 Ty=-0.97 Tz=3.63 Mx=0.01 Mz=-2.02
Sollecitazioni agenti localmente: Ty_l=-1324.06 Mx_l=-26.48
Tensioni nella sezione: σ=320.99 τ=40.12
CC 15 SLV (Collegamento 0025_-382)
Azioni sul collegamento: N=-7282.35 Ty=-3.91 Tz=3.63 Mx=0.01 Mz=2.74
Sollecitazioni agenti localmente: Ty_l=-1324.06 Mx_l=-26.48
Tensioni nella sezione: σ=320.99 τ=40.12
CC 15 SLV (Collegamento 0025_-382)
Azioni sul collegamento: N=-7282.35 Ty=-0.97 Tz=-2.66 Mx=0.01 Mz=-2.02
Sollecitazioni agenti localmente: Ty_l=-1324.06 Mx_l=-26.48
Tensioni nella sezione: σ=320.99 τ=40.12
CC 15 SLV (Collegamento 0025_-382)
Azioni sul collegamento: N=-7282.35 Ty=-3.91 Tz=-2.66 Mx=0.01 Mz=2.74
Sollecitazioni agenti localmente: Ty_l=-1324.06 Mx_l=-26.48
Tensioni nella sezione: σ=320.99 τ=40.12
CC 15 SLV (Collegamento 0025_-382)
Azioni sul collegamento: N=-5679.47 Ty=-0.97 Tz=3.63 Mx=0.01 Mz=-2.02
Sollecitazioni agenti localmente: Ty_l=-1032.63 Mx_l=-20.65
Tensioni nella sezione: σ=250.33 τ=31.29
CC 15 SLV (Collegamento 0025_-382)
Azioni sul collegamento: N=-5679.47 Ty=-3.91 Tz=3.63 Mx=0.01 Mz=2.74
Sollecitazioni agenti localmente: Ty_l=-1032.63 Mx_l=-20.65
Tensioni nella sezione: σ=250.33 τ=31.29
CC 15 SLV (Collegamento 0025_-382)
Azioni sul collegamento: N=-5679.47 Ty=-0.97 Tz=-2.66 Mx=0.01 Mz=-2.02
Sollecitazioni agenti localmente: Ty_l=-1032.63 Mx_l=-20.65
Tensioni nella sezione: σ=250.33 τ=31.29
CC 15 SLV (Collegamento 0025_-382)
Azioni sul collegamento: N=-5679.47 Ty=-3.91 Tz=-2.66 Mx=0.01 Mz=2.74
Sollecitazioni agenti localmente: Ty_l=-1032.63 Mx_l=-20.65

Tensioni nella sezione: σ=250.33 τ=31.29
CC 16 SLD (Collegamento 0025_-382)
Azioni sul collegamento: N=-6757.78 Ty=-3.73 Tz=1.57 Mx=0.00 Mz=-2.45
Sollecitazioni agenti localmente: Ty_l=-1228.69 Mx_l=-24.57
Tensioni nella sezione: σ=297.86 τ=37.23
CC 16 SLD (Collegamento 0025_-382)
Azioni sul collegamento: N=-6757.78 Ty=-2.84 Tz=1.57 Mx=0.00 Mz=-0.99
Sollecitazioni agenti localmente: Ty_l=-1228.69 Mx_l=-24.57
Tensioni nella sezione: σ=297.86 τ=37.23
CC 16 SLD (Collegamento 0025_-382)
Azioni sul collegamento: N=-6757.78 Ty=-3.73 Tz=-0.34 Mx=0.00 Mz=-2.45
Sollecitazioni agenti localmente: Ty_l=-1228.69 Mx_l=-24.57
Tensioni nella sezione: σ=297.86 τ=37.23
CC 16 SLD (Collegamento 0025_-382)
Azioni sul collegamento: N=-6757.78 Ty=-2.84 Tz=-0.34 Mx=0.00 Mz=-0.99
Sollecitazioni agenti localmente: Ty_l=-1228.69 Mx_l=-24.57
Tensioni nella sezione: σ=297.86 τ=37.23
CC 16 SLD (Collegamento 0025_-382)
Azioni sul collegamento: N=-6269.00 Ty=-3.73 Tz=1.57 Mx=0.00 Mz=-2.45
Sollecitazioni agenti localmente: Ty_l=-1139.82 Mx_l=-22.80
Tensioni nella sezione: σ=276.32 τ=34.54
CC 16 SLD (Collegamento 0025_-382)
Azioni sul collegamento: N=-6269.00 Ty=-2.84 Tz=1.57 Mx=0.00 Mz=-0.99
Sollecitazioni agenti localmente: Ty_l=-1139.82 Mx_l=-22.80
Tensioni nella sezione: σ=276.32 τ=34.54
CC 16 SLD (Collegamento 0025_-382)
Azioni sul collegamento: N=-6269.01 Ty=-3.73 Tz=-0.34 Mx=0.00 Mz=-2.45
Sollecitazioni agenti localmente: Ty_l=-1139.82 Mx_l=-22.80
Tensioni nella sezione: σ=276.32 τ=34.54
CC 16 SLD (Collegamento 0025_-382)
Azioni sul collegamento: N=-6269.01 Ty=-2.84 Tz=-0.34 Mx=0.00 Mz=-0.99
Sollecitazioni agenti localmente: Ty_l=-1139.82 Mx_l=-22.80
Tensioni nella sezione: σ=276.32 τ=34.54
CC 17 SLV (Collegamento 0025_-382)
Azioni sul collegamento: N=-3931.62 Ty=-3.19 Tz=-8.98 Mx=-0.01 Mz=-4.04
Sollecitazioni agenti localmente: Ty_l=-714.84 Mx_l=-14.30
Tensioni nella sezione: σ=173.29 τ=21.66
CC 17 SLV (Collegamento 0025_-382)
Azioni sul collegamento: N=-3931.62 Ty=-6.55 Tz=-8.98 Mx=-0.01 Mz=-7.22
Sollecitazioni agenti localmente: Ty_l=-714.84 Mx_l=-14.30
Tensioni nella sezione: σ=173.29 τ=21.66
CC 17 SLV (Collegamento 0025_-382)
Azioni sul collegamento: N=-3931.62 Ty=-3.19 Tz=10.69 Mx=-0.01 Mz=-4.04
Sollecitazioni agenti localmente: Ty_l=-714.84 Mx_l=-14.30
Tensioni nella sezione: σ=173.29 τ=21.66
CC 17 SLV (Collegamento 0025_-382)
Azioni sul collegamento: N=-3931.62 Ty=-6.55 Tz=10.69 Mx=-0.01 Mz=-7.22
Sollecitazioni agenti localmente: Ty_l=-714.84 Mx_l=-14.30
Tensioni nella sezione: σ=173.29 τ=21.66
CC 17 SLV (Collegamento 0025_-382)
Azioni sul collegamento: N=-9217.12 Ty=-3.19 Tz=-8.98 Mx=-0.01 Mz=-4.04
Sollecitazioni agenti localmente: Ty_l=-1675.84 Mx_l=-33.52
Tensioni nella sezione: σ=406.26 τ=50.78
CC 17 SLV (Collegamento 0025_-382)
Azioni sul collegamento: N=-9217.12 Ty=-6.55 Tz=-8.98 Mx=-0.01 Mz=-7.22
Sollecitazioni agenti localmente: Ty_l=-1675.84 Mx_l=-33.52
Tensioni nella sezione: σ=406.26 τ=50.78
CC 17 SLV (Collegamento 0025_-382)
Azioni sul collegamento: N=-9217.12 Ty=-3.19 Tz=10.69 Mx=-0.01 Mz=-4.04
Sollecitazioni agenti localmente: Ty_l=-1675.84 Mx_l=-33.52
Tensioni nella sezione: σ=406.26 τ=50.78
CC 17 SLV (Collegamento 0025_-382)
Azioni sul collegamento: N=-9217.12 Ty=-6.55 Tz=10.69 Mx=-0.01 Mz=-7.22
Sollecitazioni agenti localmente: Ty_l=-1675.84 Mx_l=-33.52
Tensioni nella sezione: σ=406.26 τ=50.78
CC 18 SLD (Collegamento 0025_-382)
Azioni sul collegamento: N=-5736.03 Ty=-3.51 Tz=-2.27 Mx=-0.00 Mz=-3.06
Sollecitazioni agenti localmente: Ty_l=-1042.92 Mx_l=-20.86
Tensioni nella sezione: σ=252.83 τ=31.60
CC 18 SLD (Collegamento 0025_-382)
Azioni sul collegamento: N=-5736.03 Ty=-4.54 Tz=-2.27 Mx=-0.00 Mz=-4.03
Sollecitazioni agenti localmente: Ty_l=-1042.92 Mx_l=-20.86
Tensioni nella sezione: σ=252.83 τ=31.60
CC 18 SLD (Collegamento 0025_-382)
Azioni sul collegamento: N=-5736.03 Ty=-3.51 Tz=3.73 Mx=-0.00 Mz=-3.06
Sollecitazioni agenti localmente: Ty_l=-1042.92 Mx_l=-20.86
Tensioni nella sezione: σ=252.83 τ=31.60
CC 18 SLD (Collegamento 0025_-382)
Azioni sul collegamento: N=-5736.03 Ty=-4.54 Tz=3.73 Mx=-0.00 Mz=-4.03

Sollecitazioni agenti localmente: Ty_l=-1042.92 Mx_l=-20.86
Tensioni nella sezione: σ=252.83 τ=31.60
CC 18 SLD (Collegamento 0025_-382)
Azioni sul collegamento: N=-7347.75 Ty=-3.51 Tz=-2.27 Mx=-0.00 Mz=-3.06
Sollecitazioni agenti localmente: Ty_l=-1335.95 Mx_l=-26.72
Tensioni nella sezione: σ=323.87 τ=40.48
CC 18 SLD (Collegamento 0025_-382)
Azioni sul collegamento: N=-7347.75 Ty=-4.54 Tz=-2.27 Mx=-0.00 Mz=-4.03
Sollecitazioni agenti localmente: Ty_l=-1335.95 Mx_l=-26.72
Tensioni nella sezione: σ=323.87 τ=40.48
CC 18 SLD (Collegamento 0025_-382)
Azioni sul collegamento: N=-7347.75 Ty=-3.51 Tz=3.73 Mx=-0.00 Mz=-3.06
Sollecitazioni agenti localmente: Ty_l=-1335.95 Mx_l=-26.72
Tensioni nella sezione: σ=323.87 τ=40.48
CC 18 SLD (Collegamento 0025_-382)
Azioni sul collegamento: N=-7347.75 Ty=-4.54 Tz=3.73 Mx=-0.00 Mz=-4.03
Sollecitazioni agenti localmente: Ty_l=-1335.95 Mx_l=-26.72
Tensioni nella sezione: σ=323.87 τ=40.48
CC 19 SLV (Collegamento 0025_-382)
Azioni sul collegamento: N=-3937.31 Ty=-3.82 Tz=-8.85 Mx=-0.01 Mz=-5.30
Sollecitazioni agenti localmente: Ty_l=-715.87 Mx_l=-14.32
Tensioni nella sezione: σ=173.54 τ=21.69
CC 19 SLV (Collegamento 0025_-382)
Azioni sul collegamento: N=-3937.31 Ty=-5.92 Tz=-8.85 Mx=-0.01 Mz=-5.96
Sollecitazioni agenti localmente: Ty_l=-715.87 Mx_l=-14.32
Tensioni nella sezione: σ=173.54 τ=21.69
CC 19 SLV (Collegamento 0025_-382)
Azioni sul collegamento: N=-3937.31 Ty=-3.82 Tz=10.56 Mx=-0.01 Mz=-5.30
Sollecitazioni agenti localmente: Ty_l=-715.87 Mx_l=-14.32
Tensioni nella sezione: σ=173.54 τ=21.69
CC 19 SLV (Collegamento 0025_-382)
Azioni sul collegamento: N=-3937.31 Ty=-5.92 Tz=10.56 Mx=-0.01 Mz=-5.96
Sollecitazioni agenti localmente: Ty_l=-715.87 Mx_l=-14.32
Tensioni nella sezione: σ=173.54 τ=21.69
CC 19 SLV (Collegamento 0025_-382)
Azioni sul collegamento: N=-9211.43 Ty=-3.82 Tz=-8.85 Mx=-0.01 Mz=-5.30
Sollecitazioni agenti localmente: Ty_l=-1674.81 Mx_l=-33.50
Tensioni nella sezione: σ=406.01 τ=50.75
CC 19 SLV (Collegamento 0025_-382)
Azioni sul collegamento: N=-9211.43 Ty=-5.92 Tz=-8.85 Mx=-0.01 Mz=-5.96
Sollecitazioni agenti localmente: Ty_l=-1674.81 Mx_l=-33.50
Tensioni nella sezione: σ=406.01 τ=50.75
CC 19 SLV (Collegamento 0025_-382)
Azioni sul collegamento: N=-9211.43 Ty=-3.82 Tz=10.56 Mx=-0.01 Mz=-5.30
Sollecitazioni agenti localmente: Ty_l=-1674.81 Mx_l=-33.50
Tensioni nella sezione: σ=406.01 τ=50.75
CC 19 SLV (Collegamento 0025_-382)
Azioni sul collegamento: N=-9211.43 Ty=-5.92 Tz=10.56 Mx=-0.01 Mz=-5.96
Sollecitazioni agenti localmente: Ty_l=-1674.81 Mx_l=-33.50
Tensioni nella sezione: σ=406.01 τ=50.75
CC 20 SLD (Collegamento 0025_-382)
Azioni sul collegamento: N=-5737.77 Ty=-3.71 Tz=-2.23 Mx=-0.00 Mz=-3.45
Sollecitazioni agenti localmente: Ty_l=-1043.23 Mx_l=-20.86
Tensioni nella sezione: σ=252.90 τ=31.61
CC 20 SLD (Collegamento 0025_-382)
Azioni sul collegamento: N=-5737.77 Ty=-4.34 Tz=-2.23 Mx=-0.00 Mz=-3.65
Sollecitazioni agenti localmente: Ty_l=-1043.23 Mx_l=-20.86
Tensioni nella sezione: σ=252.90 τ=31.61
CC 20 SLD (Collegamento 0025_-382)
Azioni sul collegamento: N=-5737.77 Ty=-3.71 Tz=3.69 Mx=-0.00 Mz=-3.45
Sollecitazioni agenti localmente: Ty_l=-1043.23 Mx_l=-20.86
Tensioni nella sezione: σ=252.90 τ=31.61
CC 20 SLD (Collegamento 0025_-382)
Azioni sul collegamento: N=-5737.77 Ty=-4.34 Tz=3.69 Mx=-0.00 Mz=-3.65
Sollecitazioni agenti localmente: Ty_l=-1043.23 Mx_l=-20.86
Tensioni nella sezione: σ=252.90 τ=31.61
CC 20 SLD (Collegamento 0025_-382)
Azioni sul collegamento: N=-7346.01 Ty=-3.71 Tz=-2.23 Mx=-0.00 Mz=-3.45
Sollecitazioni agenti localmente: Ty_l=-1335.64 Mx_l=-26.71
Tensioni nella sezione: σ=323.79 τ=40.47
CC 20 SLD (Collegamento 0025_-382)
Azioni sul collegamento: N=-7346.01 Ty=-4.34 Tz=-2.23 Mx=-0.00 Mz=-3.65
Sollecitazioni agenti localmente: Ty_l=-1335.64 Mx_l=-26.71
Tensioni nella sezione: σ=323.79 τ=40.47
CC 20 SLD (Collegamento 0025_-382)
Azioni sul collegamento: N=-7346.01 Ty=-3.71 Tz=3.69 Mx=-0.00 Mz=-3.45
Sollecitazioni agenti localmente: Ty_l=-1335.64 Mx_l=-26.71
Tensioni nella sezione: σ=323.79 τ=40.47
CC 20 SLD (Collegamento 0025_-382)

Azioni sul collegamento: N=-7346.01 Ty=-4.34 Tz=3.69 Mx=-0.00 Mz=-3.65
Sollecitazioni agenti localmente: Ty_l=-1335.64 Mx_l=-26.71
Tensioni nella sezione: σ=323.79 τ=40.47
CC 21 SLV (Collegamento 0025_-382)
Azioni sul collegamento: N=-9211.43 Ty=-5.92 Tz=10.56 Mx=-0.01 Mz=-5.96
Sollecitazioni agenti localmente: Ty_l=-1674.81 Mx_l=-33.50
Tensioni nella sezione: σ=406.01 τ=50.75
CC 21 SLV (Collegamento 0025_-382)
Azioni sul collegamento: N=-9211.43 Ty=-3.82 Tz=10.56 Mx=-0.01 Mz=-5.30
Sollecitazioni agenti localmente: Ty_l=-1674.81 Mx_l=-33.50
Tensioni nella sezione: σ=406.01 τ=50.75
CC 21 SLV (Collegamento 0025_-382)
Azioni sul collegamento: N=-9211.43 Ty=-5.92 Tz=-8.85 Mx=-0.01 Mz=-5.96
Sollecitazioni agenti localmente: Ty_l=-1674.81 Mx_l=-33.50
Tensioni nella sezione: σ=406.01 τ=50.75
CC 21 SLV (Collegamento 0025_-382)
Azioni sul collegamento: N=-9211.43 Ty=-3.82 Tz=-8.85 Mx=-0.01 Mz=-5.30
Sollecitazioni agenti localmente: Ty_l=-1674.81 Mx_l=-33.50
Tensioni nella sezione: σ=406.01 τ=50.75
CC 21 SLV (Collegamento 0025_-382)
Azioni sul collegamento: N=-3937.31 Ty=-5.92 Tz=10.56 Mx=-0.01 Mz=-5.96
Sollecitazioni agenti localmente: Ty_l=-715.87 Mx_l=-14.32
Tensioni nella sezione: σ=173.54 τ=21.69
CC 21 SLV (Collegamento 0025_-382)
Azioni sul collegamento: N=-3937.31 Ty=-3.82 Tz=10.56 Mx=-0.01 Mz=-5.30
Sollecitazioni agenti localmente: Ty_l=-715.87 Mx_l=-14.32
Tensioni nella sezione: σ=173.54 τ=21.69
CC 21 SLV (Collegamento 0025_-382)
Azioni sul collegamento: N=-3937.31 Ty=-5.92 Tz=-8.85 Mx=-0.01 Mz=-5.96
Sollecitazioni agenti localmente: Ty_l=-715.87 Mx_l=-14.32
Tensioni nella sezione: σ=173.54 τ=21.69
CC 21 SLV (Collegamento 0025_-382)
Azioni sul collegamento: N=-3937.31 Ty=-3.82 Tz=-8.85 Mx=-0.01 Mz=-5.30
Sollecitazioni agenti localmente: Ty_l=-715.87 Mx_l=-14.32
Tensioni nella sezione: σ=173.54 τ=21.69
CC 22 SLD (Collegamento 0025_-382)
Azioni sul collegamento: N=-7346.01 Ty=-4.34 Tz=3.69 Mx=-0.00 Mz=-3.65
Sollecitazioni agenti localmente: Ty_l=-1335.64 Mx_l=-26.71
Tensioni nella sezione: σ=323.79 τ=40.47
CC 22 SLD (Collegamento 0025_-382)
Azioni sul collegamento: N=-7346.01 Ty=-3.71 Tz=3.69 Mx=-0.00 Mz=-3.45
Sollecitazioni agenti localmente: Ty_l=-1335.64 Mx_l=-26.71
Tensioni nella sezione: σ=323.79 τ=40.47
CC 22 SLD (Collegamento 0025_-382)
Azioni sul collegamento: N=-7346.01 Ty=-4.34 Tz=-2.23 Mx=-0.00 Mz=-3.65
Sollecitazioni agenti localmente: Ty_l=-1335.64 Mx_l=-26.71
Tensioni nella sezione: σ=323.79 τ=40.47
CC 22 SLD (Collegamento 0025_-382)
Azioni sul collegamento: N=-7346.01 Ty=-3.71 Tz=-2.23 Mx=-0.00 Mz=-3.45
Sollecitazioni agenti localmente: Ty_l=-1335.64 Mx_l=-26.71
Tensioni nella sezione: σ=323.79 τ=40.47
CC 22 SLD (Collegamento 0025_-382)
Azioni sul collegamento: N=-5737.77 Ty=-4.34 Tz=3.69 Mx=-0.00 Mz=-3.65
Sollecitazioni agenti localmente: Ty_l=-1043.23 Mx_l=-20.86
Tensioni nella sezione: σ=252.90 τ=31.61
CC 22 SLD (Collegamento 0025_-382)
Azioni sul collegamento: N=-5737.77 Ty=-3.71 Tz=3.69 Mx=-0.00 Mz=-3.45
Sollecitazioni agenti localmente: Ty_l=-1043.23 Mx_l=-20.86
Tensioni nella sezione: σ=252.90 τ=31.61
CC 22 SLD (Collegamento 0025_-382)
Azioni sul collegamento: N=-5737.77 Ty=-4.34 Tz=-2.23 Mx=-0.00 Mz=-3.65
Sollecitazioni agenti localmente: Ty_l=-1043.23 Mx_l=-20.86
Tensioni nella sezione: σ=252.90 τ=31.61
CC 22 SLD (Collegamento 0025_-382)
Azioni sul collegamento: N=-5737.77 Ty=-3.71 Tz=-2.23 Mx=-0.00 Mz=-3.45
Sollecitazioni agenti localmente: Ty_l=-1043.23 Mx_l=-20.86
Tensioni nella sezione: σ=252.90 τ=31.61
CC 23 SLV (Collegamento 0025_-382)
Azioni sul collegamento: N=-9217.12 Ty=-6.55 Tz=10.69 Mx=-0.01 Mz=-7.22
Sollecitazioni agenti localmente: Ty_l=-1675.84 Mx_l=-33.52
Tensioni nella sezione: σ=406.26 τ=50.78
CC 23 SLV (Collegamento 0025_-382)
Azioni sul collegamento: N=-9217.12 Ty=-3.19 Tz=10.69 Mx=-0.01 Mz=-4.04
Sollecitazioni agenti localmente: Ty_l=-1675.84 Mx_l=-33.52
Tensioni nella sezione: σ=406.26 τ=50.78
CC 23 SLV (Collegamento 0025_-382)
Azioni sul collegamento: N=-9217.12 Ty=-6.55 Tz=-8.98 Mx=-0.01 Mz=-7.22
Sollecitazioni agenti localmente: Ty_l=-1675.84 Mx_l=-33.52
Tensioni nella sezione: σ=406.26 τ=50.78

CC 23 SLV (Collegamento 0025_-382)
Azioni sul collegamento: N=-9217.12 Ty=-3.19 Tz=-8.98 Mx=-0.01 Mz=-4.04
Sollecitazioni agenti localmente: Ty_l=-1675.84 Mx_l=-33.52
Tensioni nella sezione: σ=406.26 τ=50.78
CC 23 SLV (Collegamento 0025_-382)
Azioni sul collegamento: N=-3931.62 Ty=-6.55 Tz=10.69 Mx=-0.01 Mz=-7.22
Sollecitazioni agenti localmente: Ty_l=-714.84 Mx_l=-14.30
Tensioni nella sezione: σ=173.29 τ=21.66
CC 23 SLV (Collegamento 0025_-382)
Azioni sul collegamento: N=-3931.62 Ty=-3.19 Tz=10.69 Mx=-0.01 Mz=-4.04
Sollecitazioni agenti localmente: Ty_l=-714.84 Mx_l=-14.30
Tensioni nella sezione: σ=173.29 τ=21.66
CC 23 SLV (Collegamento 0025_-382)
Azioni sul collegamento: N=-3931.62 Ty=-6.55 Tz=-8.98 Mx=-0.01 Mz=-7.22
Sollecitazioni agenti localmente: Ty_l=-714.84 Mx_l=-14.30
Tensioni nella sezione: σ=173.29 τ=21.66
CC 23 SLV (Collegamento 0025_-382)
Azioni sul collegamento: N=-3931.62 Ty=-3.19 Tz=-8.98 Mx=-0.01 Mz=-4.04
Sollecitazioni agenti localmente: Ty_l=-714.84 Mx_l=-14.30
Tensioni nella sezione: σ=173.29 τ=21.66
CC 24 SLD (Collegamento 0025_-382)
Azioni sul collegamento: N=-7347.75 Ty=-4.54 Tz=3.73 Mx=0.00 Mz=-4.03
Sollecitazioni agenti localmente: Ty_l=-1335.95 Mx_l=-26.72
Tensioni nella sezione: σ=323.87 τ=40.48
CC 24 SLD (Collegamento 0025_-382)
Azioni sul collegamento: N=-7347.75 Ty=-3.51 Tz=3.73 Mx=0.00 Mz=-3.06
Sollecitazioni agenti localmente: Ty_l=-1335.95 Mx_l=-26.72
Tensioni nella sezione: σ=323.87 τ=40.48
CC 24 SLD (Collegamento 0025_-382)
Azioni sul collegamento: N=-7347.75 Ty=-4.54 Tz=-2.27 Mx=0.00 Mz=-4.03
Sollecitazioni agenti localmente: Ty_l=-1335.95 Mx_l=-26.72
Tensioni nella sezione: σ=323.87 τ=40.48
CC 24 SLD (Collegamento 0025_-382)
Azioni sul collegamento: N=-7347.75 Ty=-3.51 Tz=-2.27 Mx=0.00 Mz=-3.06
Sollecitazioni agenti localmente: Ty_l=-1335.95 Mx_l=-26.72
Tensioni nella sezione: σ=323.87 τ=40.48
CC 24 SLD (Collegamento 0025_-382)
Azioni sul collegamento: N=-5736.03 Ty=-4.54 Tz=3.73 Mx=0.00 Mz=-4.03
Sollecitazioni agenti localmente: Ty_l=-1042.92 Mx_l=-20.86
Tensioni nella sezione: σ=252.83 τ=31.60
CC 24 SLD (Collegamento 0025_-382)
Azioni sul collegamento: N=-5736.03 Ty=-3.51 Tz=3.73 Mx=0.00 Mz=-3.06
Sollecitazioni agenti localmente: Ty_l=-1042.92 Mx_l=-20.86
Tensioni nella sezione: σ=252.83 τ=31.60
CC 24 SLD (Collegamento 0025_-382)
Azioni sul collegamento: N=-5736.03 Ty=-4.54 Tz=-2.27 Mx=0.00 Mz=-4.03
Sollecitazioni agenti localmente: Ty_l=-1042.92 Mx_l=-20.86
Tensioni nella sezione: σ=252.83 τ=31.60
CC 24 SLD (Collegamento 0025_-382)
Azioni sul collegamento: N=-5736.03 Ty=-3.51 Tz=-2.27 Mx=0.00 Mz=-3.06
Sollecitazioni agenti localmente: Ty_l=-1042.92 Mx_l=-20.86
Tensioni nella sezione: σ=252.83 τ=31.60
CC 25 SLV (Collegamento 0025_-382)
Azioni sul collegamento: N=-5772.93 Ty=-3.40 Tz=-2.29 Mx=-0.02 Mz=-3.25
Sollecitazioni agenti localmente: Ty_l=-1049.62 Mx_l=-20.99
Tensioni nella sezione: σ=254.45 τ=31.81
CC 25 SLV (Collegamento 0025_-382)
Azioni sul collegamento: N=-5772.93 Ty=-6.34 Tz=-2.29 Mx=-0.02 Mz=-8.01
Sollecitazioni agenti localmente: Ty_l=-1049.62 Mx_l=-20.99
Tensioni nella sezione: σ=254.45 τ=31.81
CC 25 SLV (Collegamento 0025_-382)
Azioni sul collegamento: N=-5772.93 Ty=-3.40 Tz=4.00 Mx=-0.02 Mz=-3.25
Sollecitazioni agenti localmente: Ty_l=-1049.62 Mx_l=-20.99
Tensioni nella sezione: σ=254.45 τ=31.81
CC 25 SLV (Collegamento 0025_-382)
Azioni sul collegamento: N=-5772.93 Ty=-6.34 Tz=4.00 Mx=-0.02 Mz=-8.01
Sollecitazioni agenti localmente: Ty_l=-1049.62 Mx_l=-20.99
Tensioni nella sezione: σ=254.45 τ=31.81
CC 25 SLV (Collegamento 0025_-382)
Azioni sul collegamento: N=-7375.81 Ty=-3.40 Tz=-2.29 Mx=-0.02 Mz=-3.25
Sollecitazioni agenti localmente: Ty_l=-1341.06 Mx_l=-26.82
Tensioni nella sezione: σ=325.10 τ=40.64
CC 25 SLV (Collegamento 0025_-382)
Azioni sul collegamento: N=-7375.81 Ty=-6.34 Tz=-2.29 Mx=-0.02 Mz=-8.01
Sollecitazioni agenti localmente: Ty_l=-1341.06 Mx_l=-26.82
Tensioni nella sezione: σ=325.10 τ=40.64
CC 25 SLV (Collegamento 0025_-382)
Azioni sul collegamento: N=-7375.81 Ty=-3.40 Tz=4.00 Mx=-0.02 Mz=-3.25
Sollecitazioni agenti localmente: Ty_l=-1341.06 Mx_l=-26.82

Tensioni nella sezione: σ=325.10 τ=40.64
CC 25 SLV (Collegamento 0025_-382)
Azioni sul collegamento: N=-7375.81 Ty=-6.34 Tz=4.00 Mx=-0.02 Mz=-8.01
Sollecitazioni agenti localmente: Ty_l=-1341.06 Mx_l=-26.82
Tensioni nella sezione: σ=325.10 τ=40.64
CC 26 SLD (Collegamento 0025_-382)
Azioni sul collegamento: N=-6297.50 Ty=-3.58 Tz=-0.23 Mx=-0.00 Mz=-2.82
Sollecitazioni agenti localmente: Ty_l=-1145.00 Mx_l=-22.90
Tensioni nella sezione: σ=277.57 τ=34.70
CC 26 SLD (Collegamento 0025_-382)
Azioni sul collegamento: N=-6297.50 Ty=-4.47 Tz=-0.23 Mx=-0.00 Mz=-4.27
Sollecitazioni agenti localmente: Ty_l=-1145.00 Mx_l=-22.90
Tensioni nella sezione: σ=277.57 τ=34.70
CC 26 SLD (Collegamento 0025_-382)
Azioni sul collegamento: N=-6297.50 Ty=-3.58 Tz=1.69 Mx=-0.00 Mz=-2.82
Sollecitazioni agenti localmente: Ty_l=-1145.00 Mx_l=-22.90
Tensioni nella sezione: σ=277.57 τ=34.70
CC 26 SLD (Collegamento 0025_-382)
Azioni sul collegamento: N=-6297.50 Ty=-4.47 Tz=1.69 Mx=-0.00 Mz=-4.27
Sollecitazioni agenti localmente: Ty_l=-1145.00 Mx_l=-22.90
Tensioni nella sezione: σ=277.57 τ=34.70
CC 26 SLD (Collegamento 0025_-382)
Azioni sul collegamento: N=-6786.28 Ty=-3.58 Tz=-0.23 Mx=-0.00 Mz=-2.82
Sollecitazioni agenti localmente: Ty_l=-1233.87 Mx_l=-24.68
Tensioni nella sezione: σ=299.12 τ=37.39
CC 26 SLD (Collegamento 0025_-382)
Azioni sul collegamento: N=-6786.28 Ty=-4.47 Tz=-0.23 Mx=-0.00 Mz=-4.27
Sollecitazioni agenti localmente: Ty_l=-1233.87 Mx_l=-24.68
Tensioni nella sezione: σ=299.12 τ=37.39
CC 26 SLD (Collegamento 0025_-382)
Azioni sul collegamento: N=-6786.28 Ty=-3.58 Tz=1.69 Mx=-0.00 Mz=-2.82
Sollecitazioni agenti localmente: Ty_l=-1233.87 Mx_l=-24.68
Tensioni nella sezione: σ=299.12 τ=37.39
CC 26 SLD (Collegamento 0025_-382)
Azioni sul collegamento: N=-6786.28 Ty=-4.47 Tz=1.69 Mx=-0.00 Mz=-4.27
Sollecitazioni agenti localmente: Ty_l=-1233.87 Mx_l=-24.68
Tensioni nella sezione: σ=299.12 τ=37.39
CC 27 SLV (Collegamento 0025_-382)
Azioni sul collegamento: N=-7356.87 Ty=-4.22 Tz=3.57 Mx=-0.02 Mz=-3.82
Sollecitazioni agenti localmente: Ty_l=-1337.61 Mx_l=-26.75
Tensioni nella sezione: σ=324.27 τ=40.53
CC 27 SLV (Collegamento 0025_-382)
Azioni sul collegamento: N=-7356.87 Ty=-5.52 Tz=3.57 Mx=-0.02 Mz=-7.44
Sollecitazioni agenti localmente: Ty_l=-1337.61 Mx_l=-26.75
Tensioni nella sezione: σ=324.27 τ=40.53
CC 27 SLV (Collegamento 0025_-382)
Azioni sul collegamento: N=-7356.87 Ty=-4.22 Tz=-1.86 Mx=-0.02 Mz=-3.82
Sollecitazioni agenti localmente: Ty_l=-1337.61 Mx_l=-26.75
Tensioni nella sezione: σ=324.27 τ=40.53
CC 27 SLV (Collegamento 0025_-382)
Azioni sul collegamento: N=-7356.87 Ty=-5.52 Tz=-1.86 Mx=-0.02 Mz=-7.44
Sollecitazioni agenti localmente: Ty_l=-1337.61 Mx_l=-26.75
Tensioni nella sezione: σ=324.27 τ=40.53
CC 27 SLV (Collegamento 0025_-382)
Azioni sul collegamento: N=-5791.87 Ty=-4.22 Tz=3.57 Mx=-0.02 Mz=-3.82
Sollecitazioni agenti localmente: Ty_l=-1053.07 Mx_l=-21.06
Tensioni nella sezione: σ=255.29 τ=31.91
CC 27 SLV (Collegamento 0025_-382)
Azioni sul collegamento: N=-5791.87 Ty=-5.52 Tz=3.57 Mx=-0.02 Mz=-7.44
Sollecitazioni agenti localmente: Ty_l=-1053.07 Mx_l=-21.06
Tensioni nella sezione: σ=255.29 τ=31.91
CC 27 SLV (Collegamento 0025_-382)
Azioni sul collegamento: N=-5791.87 Ty=-4.22 Tz=-1.86 Mx=-0.02 Mz=-3.82
Sollecitazioni agenti localmente: Ty_l=-1053.07 Mx_l=-21.06
Tensioni nella sezione: σ=255.29 τ=31.91
CC 27 SLV (Collegamento 0025_-382)
Azioni sul collegamento: N=-5791.87 Ty=-5.52 Tz=-1.86 Mx=-0.02 Mz=-7.44
Sollecitazioni agenti localmente: Ty_l=-1053.07 Mx_l=-21.06
Tensioni nella sezione: σ=255.29 τ=31.91
CC 28 SLD (Collegamento 0025_-382)
Azioni sul collegamento: N=-6780.50 Ty=-3.83 Tz=1.56 Mx=-0.00 Mz=-3.00
Sollecitazioni agenti localmente: Ty_l=-1232.82 Mx_l=-24.66
Tensioni nella sezione: σ=298.86 τ=37.36
CC 28 SLD (Collegamento 0025_-382)
Azioni sul collegamento: N=-6780.50 Ty=-4.22 Tz=1.56 Mx=-0.00 Mz=-4.10
Sollecitazioni agenti localmente: Ty_l=-1232.82 Mx_l=-24.66
Tensioni nella sezione: σ=298.86 τ=37.36
CC 28 SLD (Collegamento 0025_-382)
Azioni sul collegamento: N=-6780.50 Ty=-3.83 Tz=-0.10 Mx=-0.00 Mz=-3.00

Sollecitazioni agenti localmente: Ty_l=-1232.82 Mx_l=-24.66
Tensioni nella sezione: σ=298.86 τ=37.36
CC 28 SLD (Collegamento 0025_-382)
Azioni sul collegamento: N=-6780.50 Ty=-4.22 Tz=-0.10 Mx=-0.00 Mz=-4.10
Sollecitazioni agenti localmente: Ty_l=-1232.82 Mx_l=-24.66
Tensioni nella sezione: σ=298.86 τ=37.36
CC 28 SLD (Collegamento 0025_-382)
Azioni sul collegamento: N=-6303.28 Ty=-3.83 Tz=1.56 Mx=-0.00 Mz=-3.00
Sollecitazioni agenti localmente: Ty_l=-1146.05 Mx_l=-22.92
Tensioni nella sezione: σ=277.83 τ=34.73
CC 28 SLD (Collegamento 0025_-382)
Azioni sul collegamento: N=-6303.28 Ty=-4.22 Tz=1.56 Mx=-0.00 Mz=-4.10
Sollecitazioni agenti localmente: Ty_l=-1146.05 Mx_l=-22.92
Tensioni nella sezione: σ=277.83 τ=34.73
CC 28 SLD (Collegamento 0025_-382)
Azioni sul collegamento: N=-6303.28 Ty=-3.83 Tz=-0.10 Mx=-0.00 Mz=-3.00
Sollecitazioni agenti localmente: Ty_l=-1146.05 Mx_l=-22.92
Tensioni nella sezione: σ=277.83 τ=34.73
CC 28 SLD (Collegamento 0025_-382)
Azioni sul collegamento: N=-6303.28 Ty=-4.22 Tz=-0.10 Mx=-0.00 Mz=-4.10
Sollecitazioni agenti localmente: Ty_l=-1146.05 Mx_l=-22.92
Tensioni nella sezione: σ=277.83 τ=34.73
CC 29 SLV (Collegamento 0025_-382)
Azioni sul collegamento: N=-5791.87 Ty=-5.52 Tz=-1.86 Mx=-0.00 Mz=-7.44
Sollecitazioni agenti localmente: Ty_l=-1053.07 Mx_l=-21.06
Tensioni nella sezione: σ=255.29 τ=31.91
CC 29 SLV (Collegamento 0025_-382)
Azioni sul collegamento: N=-5791.87 Ty=-4.22 Tz=-1.86 Mx=-0.00 Mz=-3.82
Sollecitazioni agenti localmente: Ty_l=-1053.07 Mx_l=-21.06
Tensioni nella sezione: σ=255.29 τ=31.91
CC 29 SLV (Collegamento 0025_-382)
Azioni sul collegamento: N=-5791.87 Ty=-5.52 Tz=3.57 Mx=-0.00 Mz=-7.44
Sollecitazioni agenti localmente: Ty_l=-1053.07 Mx_l=-21.06
Tensioni nella sezione: σ=255.29 τ=31.91
CC 29 SLV (Collegamento 0025_-382)
Azioni sul collegamento: N=-5791.87 Ty=-4.22 Tz=3.57 Mx=-0.00 Mz=-3.82
Sollecitazioni agenti localmente: Ty_l=-1053.07 Mx_l=-21.06
Tensioni nella sezione: σ=255.29 τ=31.91
CC 29 SLV (Collegamento 0025_-382)
Azioni sul collegamento: N=-7356.87 Ty=-5.52 Tz=-1.86 Mx=-0.00 Mz=-7.44
Sollecitazioni agenti localmente: Ty_l=-1337.61 Mx_l=-26.75
Tensioni nella sezione: σ=324.27 τ=40.53
CC 29 SLV (Collegamento 0025_-382)
Azioni sul collegamento: N=-7356.87 Ty=-4.22 Tz=-1.86 Mx=-0.00 Mz=-3.82
Sollecitazioni agenti localmente: Ty_l=-1337.61 Mx_l=-26.75
Tensioni nella sezione: σ=324.27 τ=40.53
CC 29 SLV (Collegamento 0025_-382)
Azioni sul collegamento: N=-7356.87 Ty=-5.52 Tz=3.57 Mx=-0.00 Mz=-7.44
Sollecitazioni agenti localmente: Ty_l=-1337.61 Mx_l=-26.75
Tensioni nella sezione: σ=324.27 τ=40.53
CC 29 SLV (Collegamento 0025_-382)
Azioni sul collegamento: N=-7356.87 Ty=-4.22 Tz=3.57 Mx=-0.00 Mz=-3.82
Sollecitazioni agenti localmente: Ty_l=-1337.61 Mx_l=-26.75
Tensioni nella sezione: σ=324.27 τ=40.53
CC 30 SLD (Collegamento 0025_-382)
Azioni sul collegamento: N=-6303.28 Ty=-4.22 Tz=-0.10 Mx=0.00 Mz=-4.10
Sollecitazioni agenti localmente: Ty_l=-1146.05 Mx_l=-22.92
Tensioni nella sezione: σ=277.83 τ=34.73
CC 30 SLD (Collegamento 0025_-382)
Azioni sul collegamento: N=-6303.28 Ty=-3.83 Tz=-0.10 Mx=0.00 Mz=-3.00
Sollecitazioni agenti localmente: Ty_l=-1146.05 Mx_l=-22.92
Tensioni nella sezione: σ=277.83 τ=34.73
CC 30 SLD (Collegamento 0025_-382)
Azioni sul collegamento: N=-6303.28 Ty=-4.22 Tz=1.56 Mx=0.00 Mz=-4.10
Sollecitazioni agenti localmente: Ty_l=-1146.05 Mx_l=-22.92
Tensioni nella sezione: σ=277.83 τ=34.73
CC 30 SLD (Collegamento 0025_-382)
Azioni sul collegamento: N=-6303.28 Ty=-3.83 Tz=1.56 Mx=0.00 Mz=-3.00
Sollecitazioni agenti localmente: Ty_l=-1146.05 Mx_l=-22.92
Tensioni nella sezione: σ=277.83 τ=34.73
CC 30 SLD (Collegamento 0025_-382)
Azioni sul collegamento: N=-6780.50 Ty=-4.22 Tz=-0.10 Mx=0.00 Mz=-4.10
Sollecitazioni agenti localmente: Ty_l=-1232.82 Mx_l=-24.66
Tensioni nella sezione: σ=298.86 τ=37.36
CC 30 SLD (Collegamento 0025_-382)
Azioni sul collegamento: N=-6780.50 Ty=-3.83 Tz=-0.10 Mx=0.00 Mz=-3.00
Sollecitazioni agenti localmente: Ty_l=-1232.82 Mx_l=-24.66
Tensioni nella sezione: σ=298.86 τ=37.36
CC 30 SLD (Collegamento 0025_-382)

Azioni sul collegamento: N=-6780.50 Ty=-4.22 Tz=1.56 Mx=0.00 Mz=-4.10
Sollecitazioni agenti localmente: Ty_l=-1232.82 Mx_l=-24.66
Tensioni nella sezione: σ=298.86 τ=37.36
CC 30 SLD (Collegamento 0025_-382)
Azioni sul collegamento: N=-6780.50 Ty=-3.83 Tz=1.56 Mx=0.00 Mz=-3.00
Sollecitazioni agenti localmente: Ty_l=-1232.82 Mx_l=-24.66
Tensioni nella sezione: σ=298.86 τ=37.36
CC 31 SLV (Collegamento 0025_-382)
Azioni sul collegamento: N=-7375.81 Ty=-6.34 Tz=4.00 Mx=-0.00 Mz=-8.01
Sollecitazioni agenti localmente: Ty_l=-1341.06 Mx_l=-26.82
Tensioni nella sezione: σ=325.10 τ=40.64
CC 31 SLV (Collegamento 0025_-382)
Azioni sul collegamento: N=-7375.81 Ty=-3.40 Tz=4.00 Mx=-0.00 Mz=-3.25
Sollecitazioni agenti localmente: Ty_l=-1341.06 Mx_l=-26.82
Tensioni nella sezione: σ=325.10 τ=40.64
CC 31 SLV (Collegamento 0025_-382)
Azioni sul collegamento: N=-7375.81 Ty=-6.34 Tz=-2.29 Mx=-0.00 Mz=-8.01
Sollecitazioni agenti localmente: Ty_l=-1341.06 Mx_l=-26.82
Tensioni nella sezione: σ=325.10 τ=40.64
CC 31 SLV (Collegamento 0025_-382)
Azioni sul collegamento: N=-7375.81 Ty=-3.40 Tz=-2.29 Mx=-0.00 Mz=-3.25
Sollecitazioni agenti localmente: Ty_l=-1341.06 Mx_l=-26.82
Tensioni nella sezione: σ=325.10 τ=40.64
CC 31 SLV (Collegamento 0025_-382)
Azioni sul collegamento: N=-5772.93 Ty=-6.34 Tz=4.00 Mx=-0.00 Mz=-8.01
Sollecitazioni agenti localmente: Ty_l=-1049.62 Mx_l=-20.99
Tensioni nella sezione: σ=254.45 τ=31.81
CC 31 SLV (Collegamento 0025_-382)
Azioni sul collegamento: N=-5772.93 Ty=-3.40 Tz=4.00 Mx=-0.00 Mz=-3.25
Sollecitazioni agenti localmente: Ty_l=-1049.62 Mx_l=-20.99
Tensioni nella sezione: σ=254.45 τ=31.81
CC 31 SLV (Collegamento 0025_-382)
Azioni sul collegamento: N=-5772.93 Ty=-6.34 Tz=-2.29 Mx=-0.00 Mz=-8.01
Sollecitazioni agenti localmente: Ty_l=-1049.62 Mx_l=-20.99
Tensioni nella sezione: σ=254.45 τ=31.81
CC 31 SLV (Collegamento 0025_-382)
Azioni sul collegamento: N=-5772.93 Ty=-3.40 Tz=-2.29 Mx=-0.00 Mz=-3.25
Sollecitazioni agenti localmente: Ty_l=-1049.62 Mx_l=-20.99
Tensioni nella sezione: σ=254.45 τ=31.81
CC 32 SLD (Collegamento 0025_-382)
Azioni sul collegamento: N=-6786.28 Ty=-4.47 Tz=1.69 Mx=0.00 Mz=-4.27
Sollecitazioni agenti localmente: Ty_l=-1233.87 Mx_l=-24.68
Tensioni nella sezione: σ=299.12 τ=37.39
CC 32 SLD (Collegamento 0025_-382)
Azioni sul collegamento: N=-6786.28 Ty=-3.58 Tz=1.69 Mx=0.00 Mz=-2.82
Sollecitazioni agenti localmente: Ty_l=-1233.87 Mx_l=-24.68
Tensioni nella sezione: σ=299.12 τ=37.39
CC 32 SLD (Collegamento 0025_-382)
Azioni sul collegamento: N=-6786.28 Ty=-4.47 Tz=-0.23 Mx=0.00 Mz=-4.27
Sollecitazioni agenti localmente: Ty_l=-1233.87 Mx_l=-24.68
Tensioni nella sezione: σ=299.12 τ=37.39
CC 32 SLD (Collegamento 0025_-382)
Azioni sul collegamento: N=-6786.28 Ty=-3.58 Tz=-0.23 Mx=0.00 Mz=-2.82
Sollecitazioni agenti localmente: Ty_l=-1233.87 Mx_l=-24.68
Tensioni nella sezione: σ=299.12 τ=37.39
CC 32 SLD (Collegamento 0025_-382)
Azioni sul collegamento: N=-6297.50 Ty=-4.47 Tz=1.69 Mx=0.00 Mz=-4.27
Sollecitazioni agenti localmente: Ty_l=-1145.00 Mx_l=-22.90
Tensioni nella sezione: σ=277.57 τ=34.70
CC 32 SLD (Collegamento 0025_-382)
Azioni sul collegamento: N=-6297.50 Ty=-3.58 Tz=1.69 Mx=0.00 Mz=-2.82
Sollecitazioni agenti localmente: Ty_l=-1145.00 Mx_l=-22.90
Tensioni nella sezione: σ=277.57 τ=34.70
CC 32 SLD (Collegamento 0025_-382)
Azioni sul collegamento: N=-6297.50 Ty=-4.47 Tz=-0.23 Mx=0.00 Mz=-4.27
Sollecitazioni agenti localmente: Ty_l=-1145.00 Mx_l=-22.90
Tensioni nella sezione: σ=277.57 τ=34.70
CC 32 SLD (Collegamento 0025_-382)
Azioni sul collegamento: N=-6297.50 Ty=-3.58 Tz=-0.23 Mx=0.00 Mz=-2.82
Sollecitazioni agenti localmente: Ty_l=-1145.00 Mx_l=-22.90
Tensioni nella sezione: σ=277.57 τ=34.70
CC 33 SLU (Collegamento 0025_-382)
Azioni sul collegamento: N=-30778.60 Ty=-5.67 Tz=81.62 Mx=0.01 Mz=-4.05
Sollecitazioni agenti localmente: Ty_l=-5596.11 Mx_l=-111.92
Tensioni nella sezione: σ=1356.63 τ=169.58
CC 34 SLU (Collegamento 0025_-382)
Azioni sul collegamento: N=-30229.20 Ty=-5.39 Tz=79.58 Mx=0.01 Mz=-3.85
Sollecitazioni agenti localmente: Ty_l=-5496.22 Mx_l=-109.92
Tensioni nella sezione: σ=1332.41 τ=166.55

CC 35 SLU (Collegamento 0025_-382)
Azioni sul collegamento: N=-30504.90 Ty=-5.64 Tz=80.58 Mx=0.01 Mz=-4.16
Sollecitazioni agenti localmente: Ty_l=-5546.35 Mx_l=-110.93
Tensioni nella sezione: σ=1344.57 τ=168.07
CC 36 SLU (Collegamento 0025_-382)
Azioni sul collegamento: N=-30502.90 Ty=-5.42 Tz=80.62 Mx=0.01 Mz=-3.73
Sollecitazioni agenti localmente: Ty_l=-5545.98 Mx_l=-110.92
Tensioni nella sezione: σ=1344.48 τ=168.06
CC 37 SLU (Collegamento 0025_-382)
Azioni sul collegamento: N=-21507.60 Ty=-6.52 Tz=47.54 Mx=0.01 Mz=-4.63
Sollecitazioni agenti localmente: Ty_l=-3910.47 Mx_l=-78.21
Tensioni nella sezione: σ=947.99 τ=118.50
CC 38 SLU (Collegamento 0025_-382)
Azioni sul collegamento: N=-20958.20 Ty=-6.23 Tz=45.50 Mx=0.01 Mz=-4.43
Sollecitazioni agenti localmente: Ty_l=-3810.59 Mx_l=-76.21
Tensioni nella sezione: σ=923.78 τ=115.47
CC 39 SLU (Collegamento 0025_-382)
Azioni sul collegamento: N=-21233.90 Ty=-6.48 Tz=46.50 Mx=0.01 Mz=-4.75
Sollecitazioni agenti localmente: Ty_l=-3860.71 Mx_l=-77.21
Tensioni nella sezione: σ=935.93 τ=116.99
CC 40 SLU (Collegamento 0025_-382)
Azioni sul collegamento: N=-21231.90 Ty=-6.26 Tz=46.54 Mx=0.01 Mz=-4.31
Sollecitazioni agenti localmente: Ty_l=-3860.35 Mx_l=-77.21
Tensioni nella sezione: σ=935.84 τ=116.98
CC 41 SLU (Collegamento 0025_-382)
Azioni sul collegamento: N=-32702.20 Ty=-5.53 Tz=88.04 Mx=-0.00 Mz=-4.06
Sollecitazioni agenti localmente: Ty_l=-5945.86 Mx_l=-118.92
Tensioni nella sezione: σ=1441.42 τ=180.18
CC 42 SLU (Collegamento 0025_-382)
Azioni sul collegamento: N=-32152.80 Ty=-5.24 Tz=86.01 Mx=-0.00 Mz=-3.86
Sollecitazioni agenti localmente: Ty_l=-5845.97 Mx_l=-116.92
Tensioni nella sezione: σ=1417.20 τ=177.15
CC 43 SLU (Collegamento 0025_-382)
Azioni sul collegamento: N=-32428.50 Ty=-5.50 Tz=87.00 Mx=-0.00 Mz=-4.18
Sollecitazioni agenti localmente: Ty_l=-5896.09 Mx_l=-117.92
Tensioni nella sezione: σ=1429.35 τ=178.67
CC 44 SLU (Collegamento 0025_-382)
Azioni sul collegamento: N=-32426.50 Ty=-5.28 Tz=87.05 Mx=-0.00 Mz=-3.74
Sollecitazioni agenti localmente: Ty_l=-5895.73 Mx_l=-117.91
Tensioni nella sezione: σ=1429.27 τ=178.66
CC 45 SLU (Collegamento 0025_-382)
Azioni sul collegamento: N=-23594.00 Ty=-6.22 Tz=55.25 Mx=0.01 Mz=-4.49
Sollecitazioni agenti localmente: Ty_l=-4289.82 Mx_l=-85.80
Tensioni nella sezione: σ=1039.95 τ=129.99
CC 46 SLU (Collegamento 0025_-382)
Azioni sul collegamento: N=-23044.60 Ty=-5.94 Tz=53.22 Mx=0.01 Mz=-4.28
Sollecitazioni agenti localmente: Ty_l=-4189.93 Mx_l=-83.80
Tensioni nella sezione: σ=1015.74 τ=126.97
CC 47 SLU (Collegamento 0025_-382)
Azioni sul collegamento: N=-23320.30 Ty=-6.19 Tz=54.21 Mx=0.01 Mz=-4.60
Sollecitazioni agenti localmente: Ty_l=-4240.06 Mx_l=-84.80
Tensioni nella sezione: σ=1027.89 τ=128.49
CC 48 SLU (Collegamento 0025_-382)
Azioni sul collegamento: N=-23318.30 Ty=-5.97 Tz=54.26 Mx=0.01 Mz=-4.17
Sollecitazioni agenti localmente: Ty_l=-4239.70 Mx_l=-84.79
Tensioni nella sezione: σ=1027.80 τ=128.48
CC 49 SLU (Collegamento 0025_-382)
Azioni sul collegamento: N=-16657.90 Ty=-6.86 Tz=29.76 Mx=0.01 Mz=-4.92
Sollecitazioni agenti localmente: Ty_l=-3028.71 Mx_l=-60.57
Tensioni nella sezione: σ=734.23 τ=91.78
CC 50 SLU (Collegamento 0025_-382)
Azioni sul collegamento: N=-16108.50 Ty=-6.57 Tz=27.72 Mx=0.01 Mz=-4.72
Sollecitazioni agenti localmente: Ty_l=-2928.83 Mx_l=-58.58
Tensioni nella sezione: σ=710.02 τ=88.75
CC 51 SLU (Collegamento 0025_-382)
Azioni sul collegamento: N=-16384.20 Ty=-6.82 Tz=28.72 Mx=0.01 Mz=-5.04
Sollecitazioni agenti localmente: Ty_l=-2978.95 Mx_l=-59.58
Tensioni nella sezione: σ=722.17 τ=90.27
CC 52 SLU (Collegamento 0025_-382)
Azioni sul collegamento: N=-16382.20 Ty=-6.60 Tz=28.76 Mx=0.01 Mz=-4.60
Sollecitazioni agenti localmente: Ty_l=-2978.59 Mx_l=-59.57
Tensioni nella sezione: σ=722.08 τ=90.26
CC 53 SLU (Collegamento 0025_-382)
Azioni sul collegamento: N=-25033.10 Ty=-6.12 Tz=60.06 Mx=-0.00 Mz=-4.50
Sollecitazioni agenti localmente: Ty_l=-4551.48 Mx_l=-91.03
Tensioni nella sezione: σ=1103.39 τ=137.92
CC 54 SLU (Collegamento 0025_-382)
Azioni sul collegamento: N=-24483.80 Ty=-5.83 Tz=58.03 Mx=-0.00 Mz=-4.29
Sollecitazioni agenti localmente: Ty_l=-4451.59 Mx_l=-89.03

Tensioni nella sezione: σ=1079.17 τ=134.90
CC 55 SLU (Collegamento 0025_-382)
Azioni sul collegamento: N=-24759.40 Ty=-6.08 Tz=59.02 Mx=0.00 Mz=-4.61
Sollecitazioni agenti localmente: Ty_l=-4501.72 Mx_l=-90.03
Tensioni nella sezione: σ=1091.32 τ=136.42
CC 56 SLU (Collegamento 0025_-382)
Azioni sul collegamento: N=-24757.50 Ty=-5.87 Tz=59.07 Mx=-0.00 Mz=-4.18
Sollecitazioni agenti localmente: Ty_l=-4501.36 Mx_l=-90.03
Tensioni nella sezione: σ=1091.24 τ=136.41
CC 57 SLU (Collegamento 0025_-382)
Azioni sul collegamento: N=-21981.50 Ty=-5.60 Tz=49.32 Mx=0.01 Mz=-4.03
Sollecitazioni agenti localmente: Ty_l=-3996.63 Mx_l=-79.93
Tensioni nella sezione: σ=968.88 τ=121.11
CC 58 SLU (Collegamento 0025_-382)
Azioni sul collegamento: N=-21432.10 Ty=-5.31 Tz=47.28 Mx=0.01 Mz=-3.83
Sollecitazioni agenti localmente: Ty_l=-3896.75 Mx_l=-77.93
Tensioni nella sezione: σ=944.66 τ=118.08
CC 59 SLU (Collegamento 0025_-382)
Azioni sul collegamento: N=-21707.80 Ty=-5.57 Tz=48.28 Mx=0.01 Mz=-4.15
Sollecitazioni agenti localmente: Ty_l=-3946.87 Mx_l=-78.94
Tensioni nella sezione: σ=956.82 τ=119.60
CC 60 SLU (Collegamento 0025_-382)
Azioni sul collegamento: N=-21705.80 Ty=-5.35 Tz=48.32 Mx=0.01 Mz=-3.72
Sollecitazioni agenti localmente: Ty_l=-3946.51 Mx_l=-78.93
Tensioni nella sezione: σ=956.73 τ=119.59
CC 61 SLU (Collegamento 0025_-382)
Azioni sul collegamento: N=-15045.40 Ty=-6.23 Tz=23.82 Mx=0.01 Mz=-4.47
Sollecitazioni agenti localmente: Ty_l=-2735.53 Mx_l=-54.71
Tensioni nella sezione: σ=663.16 τ=82.89
CC 62 SLU (Collegamento 0025_-382)
Azioni sul collegamento: N=-14496.00 Ty=-5.95 Tz=21.79 Mx=0.01 Mz=-4.27
Sollecitazioni agenti localmente: Ty_l=-2635.64 Mx_l=-52.71
Tensioni nella sezione: σ=638.94 τ=79.87
CC 63 SLU (Collegamento 0025_-382)
Azioni sul collegamento: N=-14771.70 Ty=-6.20 Tz=22.78 Mx=0.01 Mz=-4.59
Sollecitazioni agenti localmente: Ty_l=-2685.76 Mx_l=-53.72
Tensioni nella sezione: σ=651.09 τ=81.39
CC 64 SLU (Collegamento 0025_-382)
Azioni sul collegamento: N=-14769.70 Ty=-5.98 Tz=22.82 Mx=0.01 Mz=-4.15
Sollecitazioni agenti localmente: Ty_l=-2685.41 Mx_l=-53.71
Tensioni nella sezione: σ=651.01 τ=81.38
CC 65 SLU (Collegamento 0025_-382)
Azioni sul collegamento: N=-23420.60 Ty=-5.49 Tz=54.12 Mx=-0.00 Mz=-4.04
Sollecitazioni agenti localmente: Ty_l=-4258.29 Mx_l=-85.17
Tensioni nella sezione: σ=1032.31 τ=129.04
CC 66 SLU (Collegamento 0025_-382)
Azioni sul collegamento: N=-22871.20 Ty=-5.21 Tz=52.09 Mx=-0.00 Mz=-3.84
Sollecitazioni agenti localmente: Ty_l=-4158.41 Mx_l=-83.17
Tensioni nella sezione: σ=1008.10 τ=126.01
CC 67 SLU (Collegamento 0025_-382)
Azioni sul collegamento: N=-23146.90 Ty=-5.46 Tz=53.08 Mx=-0.00 Mz=-4.16
Sollecitazioni agenti localmente: Ty_l=-4208.53 Mx_l=-84.17
Tensioni nella sezione: σ=1020.25 τ=127.53
CC 68 SLU (Collegamento 0025_-382)
Azioni sul collegamento: N=-23144.90 Ty=-5.24 Tz=53.13 Mx=-0.00 Mz=-3.72
Sollecitazioni agenti localmente: Ty_l=-4208.17 Mx_l=-84.16
Tensioni nella sezione: σ=1020.16 τ=127.52
CC 97 SLU (Collegamento 0025_-382)
Azioni sul collegamento: N=-11444.50 Ty=-17.52 Tz=18.88 Mx=-0.03 Mz=-21.34
Sollecitazioni agenti localmente: Ty_l=-2080.82 Mx_l=-41.62
Tensioni nella sezione: σ=504.44 τ=63.06
CC 98 SLU (Collegamento 0025_-382)
Azioni sul collegamento: N=-10895.20 Ty=-17.24 Tz=16.84 Mx=-0.03 Mz=-21.13
Sollecitazioni agenti localmente: Ty_l=-1980.94 Mx_l=-39.62
Tensioni nella sezione: σ=480.23 τ=60.03
CC 99 SLU (Collegamento 0025_-382)
Azioni sul collegamento: N=-11170.80 Ty=-17.49 Tz=17.84 Mx=-0.03 Mz=-21.45
Sollecitazioni agenti localmente: Ty_l=-2031.06 Mx_l=-40.62
Tensioni nella sezione: σ=492.38 τ=61.55
CC 100 SLU (Collegamento 0025_-382)
Azioni sul collegamento: N=-11168.90 Ty=-17.27 Tz=17.88 Mx=-0.04 Mz=-21.02
Sollecitazioni agenti localmente: Ty_l=-2030.70 Mx_l=-40.61
Tensioni nella sezione: σ=492.29 τ=61.54
CC 101 SLU (Collegamento 0025_-382)
Azioni sul collegamento: N=-7155.53 Ty=-1.61 Tz=2.94 Mx=0.01 Mz=-0.33
Sollecitazioni agenti localmente: Ty_l=-1301.01 Mx_l=-26.02
Tensioni nella sezione: σ=315.39 τ=39.42
CC 102 SLU (Collegamento 0025_-382)
Azioni sul collegamento: N=-6606.15 Ty=-1.32 Tz=0.91 Mx=0.01 Mz=-0.13

Sollecitazioni agenti localmente: Ty_l=-1201.12 Mx_l=-24.02
Tensioni nella sezione: σ=291.18 τ=36.40
CC 103 SLU (Collegamento 0025_-382)
Azioni sul collegamento: N=-6881.82 Ty=-1.58 Tz=1.90 Mx=0.01 Mz=-0.45
Sollecitazioni agenti localmente: Ty_l=-1251.24 Mx_l=-25.02
Tensioni nella sezione: σ=303.33 τ=37.92
CC 104 SLU (Collegamento 0025_-382)
Azioni sul collegamento: N=-6879.85 Ty=-1.36 Tz=1.95 Mx=0.01 Mz=-0.01
Sollecitazioni agenti localmente: Ty_l=-1250.88 Mx_l=-25.02
Tensioni nella sezione: σ=303.24 τ=37.91

Flessione attacco destro piastra

Bnetta=220.00 Hnetta=15.00
CC 1 SLV (Collegamento 0025_-382)
Azioni sul collegamento: N=-3838.16 Ty=-4.12 Tz=-9.35 Mx=0.02 Mz=1.95
Sollecitazioni agenti localmente: Ty_l=-688.16 My_l=-14.12
Tensioni nella sezione: σ=171.13 τ=20.85
CC 1 SLV (Collegamento 0025_-382)
Azioni sul collegamento: N=-3838.16 Ty=-0.76 Tz=-9.35 Mx=0.02 Mz=-1.23
Sollecitazioni agenti localmente: Ty_l=-675.51 My_l=-13.84
Tensioni nella sezione: σ=167.77 τ=20.47
CC 1 SLV (Collegamento 0025_-382)
Azioni sul collegamento: N=-3838.16 Ty=-4.12 Tz=10.33 Mx=0.02 Mz=1.95
Sollecitazioni agenti localmente: Ty_l=-688.16 My_l=-14.12
Tensioni nella sezione: σ=171.13 τ=20.85
CC 1 SLV (Collegamento 0025_-382)
Azioni sul collegamento: N=-3838.16 Ty=-0.76 Tz=10.33 Mx=0.02 Mz=-1.23
Sollecitazioni agenti localmente: Ty_l=-675.51 My_l=-13.84
Tensioni nella sezione: σ=167.77 τ=20.47
CC 1 SLV (Collegamento 0025_-382)
Azioni sul collegamento: N=-9123.66 Ty=-4.12 Tz=-9.35 Mx=0.02 Mz=1.95
Sollecitazioni agenti localmente: Ty_l=-1625.14 My_l=-33.33
Tensioni nella sezione: σ=403.95 τ=49.25
CC 1 SLV (Collegamento 0025_-382)
Azioni sul collegamento: N=-9123.66 Ty=-0.76 Tz=-9.35 Mx=0.02 Mz=-1.23
Sollecitazioni agenti localmente: Ty_l=-1612.48 My_l=-33.05
Tensioni nella sezione: σ=400.60 τ=48.86
CC 1 SLV (Collegamento 0025_-382)
Azioni sul collegamento: N=-9123.66 Ty=-4.12 Tz=10.33 Mx=0.02 Mz=1.95
Sollecitazioni agenti localmente: Ty_l=-1625.14 My_l=-33.33
Tensioni nella sezione: σ=403.95 τ=49.25
CC 1 SLV (Collegamento 0025_-382)
Azioni sul collegamento: N=-9123.66 Ty=-0.76 Tz=10.33 Mx=0.02 Mz=-1.23
Sollecitazioni agenti localmente: Ty_l=-1612.48 My_l=-33.05
Tensioni nella sezione: σ=400.60 τ=48.86
CC 2 SLD (Collegamento 0025_-382)
Azioni sul collegamento: N=-5707.53 Ty=-2.77 Tz=-2.38 Mx=0.01 Mz=-1.24
Sollecitazioni agenti localmente: Ty_l=-1006.87 My_l=-20.63
Tensioni nella sezione: σ=250.11 τ=30.51
CC 2 SLD (Collegamento 0025_-382)
Azioni sul collegamento: N=-5707.53 Ty=-3.80 Tz=-2.38 Mx=0.01 Mz=-2.21
Sollecitazioni agenti localmente: Ty_l=-1003.02 My_l=-20.55
Tensioni nella sezione: σ=249.09 τ=30.39
CC 2 SLD (Collegamento 0025_-382)
Azioni sul collegamento: N=-5707.53 Ty=-2.77 Tz=3.62 Mx=0.01 Mz=-1.24
Sollecitazioni agenti localmente: Ty_l=-1006.87 My_l=-20.63
Tensioni nella sezione: σ=250.11 τ=30.51
CC 2 SLD (Collegamento 0025_-382)
Azioni sul collegamento: N=-5707.53 Ty=-3.80 Tz=3.62 Mx=0.01 Mz=-2.21
Sollecitazioni agenti localmente: Ty_l=-1003.02 My_l=-20.55
Tensioni nella sezione: σ=249.09 τ=30.39
CC 2 SLD (Collegamento 0025_-382)
Azioni sul collegamento: N=-7319.25 Ty=-2.77 Tz=-2.38 Mx=0.01 Mz=-1.24
Sollecitazioni agenti localmente: Ty_l=-1292.59 My_l=-26.49
Tensioni nella sezione: σ=321.11 τ=39.17
CC 2 SLD (Collegamento 0025_-382)
Azioni sul collegamento: N=-7319.25 Ty=-3.80 Tz=-2.38 Mx=0.01 Mz=-2.21
Sollecitazioni agenti localmente: Ty_l=-1288.73 My_l=-26.41
Tensioni nella sezione: σ=320.08 τ=39.05
CC 2 SLD (Collegamento 0025_-382)
Azioni sul collegamento: N=-7319.25 Ty=-2.77 Tz=3.62 Mx=0.01 Mz=-1.24
Sollecitazioni agenti localmente: Ty_l=-1292.59 My_l=-26.49
Tensioni nella sezione: σ=321.11 τ=39.17
CC 2 SLD (Collegamento 0025_-382)
Azioni sul collegamento: N=-7319.25 Ty=-3.80 Tz=3.62 Mx=0.01 Mz=-2.21
Sollecitazioni agenti localmente: Ty_l=-1288.73 My_l=-26.41
Tensioni nella sezione: σ=320.08 τ=39.05
CC 3 SLV (Collegamento 0025_-382)

Azioni sul collegamento: N=-3843.85 Ty=-3.49 Tz=-9.22 Mx=0.02 Mz=0.69
Sollecitazioni agenti localmente: Ty_l=-684.17 My_l=-14.03
Tensioni nella sezione: σ=170.05 τ=20.73
CC 3 SLV (Collegamento 0025_-382)
Azioni sul collegamento: N=-3843.85 Ty=-1.39 Tz=-9.22 Mx=0.02 Mz=0.03
Sollecitazioni agenti localmente: Ty_l=-681.52 My_l=-13.97
Tensioni nella sezione: σ=169.35 τ=20.65
CC 3 SLV (Collegamento 0025_-382)
Azioni sul collegamento: N=-3843.85 Ty=-3.49 Tz=10.20 Mx=0.02 Mz=0.69
Sollecitazioni agenti localmente: Ty_l=-684.17 My_l=-14.03
Tensioni nella sezione: σ=170.05 τ=20.73
CC 3 SLV (Collegamento 0025_-382)
Azioni sul collegamento: N=-3843.85 Ty=-1.39 Tz=10.20 Mx=0.02 Mz=0.03
Sollecitazioni agenti localmente: Ty_l=-681.52 My_l=-13.97
Tensioni nella sezione: σ=169.35 τ=20.65
CC 3 SLV (Collegamento 0025_-382)
Azioni sul collegamento: N=-9117.97 Ty=-3.49 Tz=-9.22 Mx=0.02 Mz=0.69
Sollecitazioni agenti localmente: Ty_l=-1619.13 My_l=-33.20
Tensioni nella sezione: σ=402.38 τ=49.06
CC 3 SLV (Collegamento 0025_-382)
Azioni sul collegamento: N=-9117.97 Ty=-1.39 Tz=-9.22 Mx=0.02 Mz=0.03
Sollecitazioni agenti localmente: Ty_l=-1616.47 My_l=-33.14
Tensioni nella sezione: σ=401.67 τ=48.98
CC 3 SLV (Collegamento 0025_-382)
Azioni sul collegamento: N=-9117.97 Ty=-3.49 Tz=10.20 Mx=0.02 Mz=0.69
Sollecitazioni agenti localmente: Ty_l=-1619.13 My_l=-33.20
Tensioni nella sezione: σ=402.38 τ=49.06
CC 3 SLV (Collegamento 0025_-382)
Azioni sul collegamento: N=-9117.97 Ty=-1.39 Tz=10.20 Mx=0.02 Mz=0.03
Sollecitazioni agenti localmente: Ty_l=-1616.47 My_l=-33.14
Tensioni nella sezione: σ=401.67 τ=48.98
CC 4 SLD (Collegamento 0025_-382)
Azioni sul collegamento: N=-5709.27 Ty=-2.97 Tz=-2.35 Mx=0.01 Mz=-1.62
Sollecitazioni agenti localmente: Ty_l=-1005.66 My_l=-20.61
Tensioni nella sezione: σ=249.78 τ=30.47
CC 4 SLD (Collegamento 0025_-382)
Azioni sul collegamento: N=-5709.27 Ty=-3.60 Tz=-2.35 Mx=0.01 Mz=-1.82
Sollecitazioni agenti localmente: Ty_l=-1004.85 My_l=-20.59
Tensioni nella sezione: σ=249.57 τ=30.45
CC 4 SLD (Collegamento 0025_-382)
Azioni sul collegamento: N=-5709.27 Ty=-2.97 Tz=3.58 Mx=0.01 Mz=-1.62
Sollecitazioni agenti localmente: Ty_l=-1005.66 My_l=-20.61
Tensioni nella sezione: σ=249.78 τ=30.47
CC 4 SLD (Collegamento 0025_-382)
Azioni sul collegamento: N=-5709.27 Ty=-3.60 Tz=3.58 Mx=0.01 Mz=-1.82
Sollecitazioni agenti localmente: Ty_l=-1004.85 My_l=-20.59
Tensioni nella sezione: σ=249.57 τ=30.45
CC 4 SLD (Collegamento 0025_-382)
Azioni sul collegamento: N=-7317.51 Ty=-2.97 Tz=-2.35 Mx=0.01 Mz=-1.62
Sollecitazioni agenti localmente: Ty_l=-1290.76 My_l=-26.45
Tensioni nella sezione: σ=320.62 τ=39.11
CC 4 SLD (Collegamento 0025_-382)
Azioni sul collegamento: N=-7317.51 Ty=-3.60 Tz=-2.35 Mx=0.01 Mz=-1.82
Sollecitazioni agenti localmente: Ty_l=-1289.95 My_l=-26.43
Tensioni nella sezione: σ=320.41 τ=39.09
CC 4 SLD (Collegamento 0025_-382)
Azioni sul collegamento: N=-7317.51 Ty=-2.97 Tz=3.58 Mx=0.01 Mz=-1.62
Sollecitazioni agenti localmente: Ty_l=-1290.76 My_l=-26.45
Tensioni nella sezione: σ=320.62 τ=39.11
CC 4 SLD (Collegamento 0025_-382)
Azioni sul collegamento: N=-7317.51 Ty=-3.60 Tz=3.58 Mx=0.01 Mz=-1.82
Sollecitazioni agenti localmente: Ty_l=-1289.95 My_l=-26.43
Tensioni nella sezione: σ=320.41 τ=39.09
CC 5 SLV (Collegamento 0025_-382)
Azioni sul collegamento: N=-9117.97 Ty=-1.39 Tz=10.20 Mx=0.02 Mz=0.03
Sollecitazioni agenti localmente: Ty_l=-1616.47 My_l=-33.14
Tensioni nella sezione: σ=401.67 τ=48.98
CC 5 SLV (Collegamento 0025_-382)
Azioni sul collegamento: N=-9117.97 Ty=-3.49 Tz=10.20 Mx=0.02 Mz=0.69
Sollecitazioni agenti localmente: Ty_l=-1619.13 My_l=-33.20
Tensioni nella sezione: σ=402.38 τ=49.06
CC 5 SLV (Collegamento 0025_-382)
Azioni sul collegamento: N=-9117.97 Ty=-1.39 Tz=-9.22 Mx=0.02 Mz=0.03
Sollecitazioni agenti localmente: Ty_l=-1616.47 My_l=-33.14
Tensioni nella sezione: σ=401.67 τ=48.98
CC 5 SLV (Collegamento 0025_-382)
Azioni sul collegamento: N=-9117.97 Ty=-3.49 Tz=-9.22 Mx=0.02 Mz=0.69
Sollecitazioni agenti localmente: Ty_l=-1619.13 My_l=-33.20
Tensioni nella sezione: σ=402.38 τ=49.06

CC 5 SLV (Collegamento 0025_-382)
Azioni sul collegamento: N=-3843.85 Ty=-1.39 Tz=10.20 Mx=0.02 Mz=0.03
Sollecitazioni agenti localmente: Ty_l=-681.52 My_l=-13.97
Tensioni nella sezione: σ=169.35 τ=20.65
CC 5 SLV (Collegamento 0025_-382)
Azioni sul collegamento: N=-3843.85 Ty=-3.49 Tz=10.20 Mx=0.02 Mz=0.69
Sollecitazioni agenti localmente: Ty_l=-684.17 My_l=-14.03
Tensioni nella sezione: σ=170.05 τ=20.73
CC 5 SLV (Collegamento 0025_-382)
Azioni sul collegamento: N=-3843.85 Ty=-1.39 Tz=-9.22 Mx=0.02 Mz=0.03
Sollecitazioni agenti localmente: Ty_l=-681.52 My_l=-13.97
Tensioni nella sezione: σ=169.35 τ=20.65
CC 5 SLV (Collegamento 0025_-382)
Azioni sul collegamento: N=-3843.85 Ty=-3.49 Tz=-9.22 Mx=0.02 Mz=0.69
Sollecitazioni agenti localmente: Ty_l=-684.17 My_l=-14.03
Tensioni nella sezione: σ=170.05 τ=20.73
CC 6 SLD (Collegamento 0025_-382)
Azioni sul collegamento: N=-7317.51 Ty=-3.60 Tz=3.58 Mx=0.01 Mz=-1.82
Sollecitazioni agenti localmente: Ty_l=-1289.95 My_l=-26.43
Tensioni nella sezione: σ=320.41 τ=39.09
CC 6 SLD (Collegamento 0025_-382)
Azioni sul collegamento: N=-7317.51 Ty=-2.97 Tz=3.58 Mx=0.01 Mz=-1.62
Sollecitazioni agenti localmente: Ty_l=-1290.76 My_l=-26.45
Tensioni nella sezione: σ=320.62 τ=39.11
CC 6 SLD (Collegamento 0025_-382)
Azioni sul collegamento: N=-7317.51 Ty=-3.60 Tz=-2.35 Mx=0.01 Mz=-1.82
Sollecitazioni agenti localmente: Ty_l=-1289.95 My_l=-26.43
Tensioni nella sezione: σ=320.41 τ=39.09
CC 6 SLD (Collegamento 0025_-382)
Azioni sul collegamento: N=-7317.51 Ty=-2.97 Tz=-2.35 Mx=0.01 Mz=-1.62
Sollecitazioni agenti localmente: Ty_l=-1290.76 My_l=-26.45
Tensioni nella sezione: σ=320.62 τ=39.11
CC 6 SLD (Collegamento 0025_-382)
Azioni sul collegamento: N=-5709.27 Ty=-3.60 Tz=3.58 Mx=0.01 Mz=-1.82
Sollecitazioni agenti localmente: Ty_l=-1004.85 My_l=-20.59
Tensioni nella sezione: σ=249.57 τ=30.45
CC 6 SLD (Collegamento 0025_-382)
Azioni sul collegamento: N=-5709.27 Ty=-2.97 Tz=3.58 Mx=0.01 Mz=-1.62
Sollecitazioni agenti localmente: Ty_l=-1005.66 My_l=-20.61
Tensioni nella sezione: σ=249.78 τ=30.47
CC 6 SLD (Collegamento 0025_-382)
Azioni sul collegamento: N=-5709.27 Ty=-3.60 Tz=-2.35 Mx=0.01 Mz=-1.82
Sollecitazioni agenti localmente: Ty_l=-1004.85 My_l=-20.59
Tensioni nella sezione: σ=249.57 τ=30.45
CC 6 SLD (Collegamento 0025_-382)
Azioni sul collegamento: N=-5709.27 Ty=-2.97 Tz=-2.35 Mx=0.01 Mz=-1.62
Sollecitazioni agenti localmente: Ty_l=-1005.66 My_l=-20.61
Tensioni nella sezione: σ=249.78 τ=30.47
CC 7 SLV (Collegamento 0025_-382)
Azioni sul collegamento: N=-9123.66 Ty=-0.76 Tz=10.33 Mx=0.01 Mz=-1.23
Sollecitazioni agenti localmente: Ty_l=-1612.48 My_l=-33.05
Tensioni nella sezione: σ=400.60 τ=48.86
CC 7 SLV (Collegamento 0025_-382)
Azioni sul collegamento: N=-9123.66 Ty=-4.12 Tz=10.33 Mx=0.01 Mz=1.95
Sollecitazioni agenti localmente: Ty_l=-1625.14 My_l=-33.33
Tensioni nella sezione: σ=403.95 τ=49.25
CC 7 SLV (Collegamento 0025_-382)
Azioni sul collegamento: N=-9123.66 Ty=-0.76 Tz=-9.35 Mx=0.01 Mz=-1.23
Sollecitazioni agenti localmente: Ty_l=-1612.48 My_l=-33.05
Tensioni nella sezione: σ=400.60 τ=48.86
CC 7 SLV (Collegamento 0025_-382)
Azioni sul collegamento: N=-9123.66 Ty=-4.12 Tz=-9.35 Mx=0.01 Mz=1.95
Sollecitazioni agenti localmente: Ty_l=-1625.14 My_l=-33.33
Tensioni nella sezione: σ=403.95 τ=49.25
CC 7 SLV (Collegamento 0025_-382)
Azioni sul collegamento: N=-3838.16 Ty=-0.76 Tz=10.33 Mx=0.01 Mz=-1.23
Sollecitazioni agenti localmente: Ty_l=-675.51 My_l=-13.84
Tensioni nella sezione: σ=167.77 τ=20.47
CC 7 SLV (Collegamento 0025_-382)
Azioni sul collegamento: N=-3838.16 Ty=-4.12 Tz=10.33 Mx=0.01 Mz=1.95
Sollecitazioni agenti localmente: Ty_l=-688.16 My_l=-14.12
Tensioni nella sezione: σ=171.13 τ=20.85
CC 7 SLV (Collegamento 0025_-382)
Azioni sul collegamento: N=-3838.16 Ty=-0.76 Tz=-9.35 Mx=0.01 Mz=-1.23
Sollecitazioni agenti localmente: Ty_l=-675.51 My_l=-13.84
Tensioni nella sezione: σ=167.77 τ=20.47
CC 7 SLV (Collegamento 0025_-382)
Azioni sul collegamento: N=-3838.16 Ty=-4.12 Tz=-9.35 Mx=0.01 Mz=1.95
Sollecitazioni agenti localmente: Ty_l=-688.16 My_l=-14.12

Tensioni nella sezione: σ=171.13 τ=20.85
CC 8 SLD (Collegamento 0025_-382)
Azioni sul collegamento: N=-7319.25 Ty=-3.80 Tz=3.62 Mx=0.01 Mz=-2.21
Sollecitazioni agenti localmente: Ty_l=-1288.73 My_l=-26.41
Tensioni nella sezione: σ=320.08 τ=39.05
CC 8 SLD (Collegamento 0025_-382)
Azioni sul collegamento: N=-7319.25 Ty=-2.77 Tz=3.62 Mx=0.01 Mz=-1.24
Sollecitazioni agenti localmente: Ty_l=-1292.59 My_l=-26.49
Tensioni nella sezione: σ=321.11 τ=39.17
CC 8 SLD (Collegamento 0025_-382)
Azioni sul collegamento: N=-7319.25 Ty=-3.80 Tz=-2.38 Mx=0.01 Mz=-2.21
Sollecitazioni agenti localmente: Ty_l=-1288.73 My_l=-26.41
Tensioni nella sezione: σ=320.08 τ=39.05
CC 8 SLD (Collegamento 0025_-382)
Azioni sul collegamento: N=-7319.25 Ty=-2.77 Tz=-2.38 Mx=0.01 Mz=-1.24
Sollecitazioni agenti localmente: Ty_l=-1292.59 My_l=-26.49
Tensioni nella sezione: σ=321.11 τ=39.17
CC 8 SLD (Collegamento 0025_-382)
Azioni sul collegamento: N=-5707.53 Ty=-3.80 Tz=3.62 Mx=0.01 Mz=-2.21
Sollecitazioni agenti localmente: Ty_l=-1003.02 My_l=-20.55
Tensioni nella sezione: σ=249.09 τ=30.39
CC 8 SLD (Collegamento 0025_-382)
Azioni sul collegamento: N=-5707.53 Ty=-2.77 Tz=3.62 Mx=0.01 Mz=-1.24
Sollecitazioni agenti localmente: Ty_l=-1006.87 My_l=-20.63
Tensioni nella sezione: σ=250.11 τ=30.51
CC 8 SLD (Collegamento 0025_-382)
Azioni sul collegamento: N=-5707.53 Ty=-3.80 Tz=-2.38 Mx=0.01 Mz=-2.21
Sollecitazioni agenti localmente: Ty_l=-1003.02 My_l=-20.55
Tensioni nella sezione: σ=249.09 τ=30.39
CC 8 SLD (Collegamento 0025_-382)
Azioni sul collegamento: N=-5707.53 Ty=-2.77 Tz=-2.38 Mx=0.01 Mz=-1.24
Sollecitazioni agenti localmente: Ty_l=-1006.87 My_l=-20.63
Tensioni nella sezione: σ=250.11 τ=30.51
CC 9 SLV (Collegamento 0025_-382)
Azioni sul collegamento: N=-5679.47 Ty=-3.91 Tz=-2.66 Mx=0.03 Mz=2.74
Sollecitazioni agenti localmente: Ty_l=-1017.73 My_l=-20.88
Tensioni nella sezione: σ=253.08 τ=30.84
CC 9 SLV (Collegamento 0025_-382)
Azioni sul collegamento: N=-5679.47 Ty=-0.97 Tz=-2.66 Mx=0.03 Mz=-2.02
Sollecitazioni agenti localmente: Ty_l=-998.77 My_l=-20.46
Tensioni nella sezione: σ=248.04 τ=30.27
CC 9 SLV (Collegamento 0025_-382)
Azioni sul collegamento: N=-5679.47 Ty=-3.91 Tz=3.63 Mx=0.03 Mz=2.74
Sollecitazioni agenti localmente: Ty_l=-1017.73 My_l=-20.88
Tensioni nella sezione: σ=253.08 τ=30.84
CC 9 SLV (Collegamento 0025_-382)
Azioni sul collegamento: N=-5679.47 Ty=-0.97 Tz=3.63 Mx=0.03 Mz=-2.02
Sollecitazioni agenti localmente: Ty_l=-998.77 My_l=-20.46
Tensioni nella sezione: σ=248.04 τ=30.27
CC 9 SLV (Collegamento 0025_-382)
Azioni sul collegamento: N=-7282.35 Ty=-3.91 Tz=-2.66 Mx=0.03 Mz=2.74
Sollecitazioni agenti localmente: Ty_l=-1301.88 My_l=-26.70
Tensioni nella sezione: σ=323.68 τ=39.45
CC 9 SLV (Collegamento 0025_-382)
Azioni sul collegamento: N=-7282.35 Ty=-0.97 Tz=-2.66 Mx=0.03 Mz=-2.02
Sollecitazioni agenti localmente: Ty_l=-1282.92 My_l=-26.29
Tensioni nella sezione: σ=318.65 τ=38.88
CC 9 SLV (Collegamento 0025_-382)
Azioni sul collegamento: N=-7282.35 Ty=-3.91 Tz=3.63 Mx=0.03 Mz=2.74
Sollecitazioni agenti localmente: Ty_l=-1301.88 My_l=-26.70
Tensioni nella sezione: σ=323.68 τ=39.45
CC 9 SLV (Collegamento 0025_-382)
Azioni sul collegamento: N=-7282.35 Ty=-0.97 Tz=3.63 Mx=0.03 Mz=-2.02
Sollecitazioni agenti localmente: Ty_l=-1282.92 My_l=-26.29
Tensioni nella sezione: σ=318.65 τ=38.88
CC 10 SLD (Collegamento 0025_-382)
Azioni sul collegamento: N=-6269.01 Ty=-2.84 Tz=-0.34 Mx=0.01 Mz=-0.99
Sollecitazioni agenti localmente: Ty_l=-1107.37 My_l=-22.70
Tensioni nella sezione: σ=275.10 τ=33.56
CC 10 SLD (Collegamento 0025_-382)
Azioni sul collegamento: N=-6269.01 Ty=-3.73 Tz=-0.34 Mx=0.01 Mz=-2.45
Sollecitazioni agenti localmente: Ty_l=-1101.59 My_l=-22.57
Tensioni nella sezione: σ=273.56 τ=33.38
CC 10 SLD (Collegamento 0025_-382)
Azioni sul collegamento: N=-6269.00 Ty=-2.84 Tz=1.57 Mx=0.01 Mz=-0.99
Sollecitazioni agenti localmente: Ty_l=-1107.37 My_l=-22.70
Tensioni nella sezione: σ=275.10 τ=33.56
CC 10 SLD (Collegamento 0025_-382)
Azioni sul collegamento: N=-6269.00 Ty=-3.73 Tz=1.57 Mx=0.01 Mz=-2.45

Sollecitazioni agenti localmente: Ty_l=-1101.59 My_l=-22.57
Tensioni nella sezione: σ=273.56 τ=33.38
CC 10 SLD (Collegamento 0025_-382)
Azioni sul collegamento: N=-6757.78 Ty=-2.84 Tz=-0.34 Mx=0.01 Mz=-0.99
Sollecitazioni agenti localmente: Ty_l=-1194.02 My_l=-24.47
Tensioni nella sezione: σ=296.63 τ=36.18
CC 10 SLD (Collegamento 0025_-382)
Azioni sul collegamento: N=-6757.78 Ty=-3.73 Tz=-0.34 Mx=0.01 Mz=-2.45
Sollecitazioni agenti localmente: Ty_l=-1188.23 My_l=-24.35
Tensioni nella sezione: σ=295.09 τ=36.01
CC 10 SLD (Collegamento 0025_-382)
Azioni sul collegamento: N=-6757.78 Ty=-2.84 Tz=1.57 Mx=0.01 Mz=-0.99
Sollecitazioni agenti localmente: Ty_l=-1194.02 My_l=-24.47
Tensioni nella sezione: σ=296.63 τ=36.18
CC 10 SLD (Collegamento 0025_-382)
Azioni sul collegamento: N=-6757.78 Ty=-3.73 Tz=1.57 Mx=0.01 Mz=-2.45
Sollecitazioni agenti localmente: Ty_l=-1188.23 My_l=-24.35
Tensioni nella sezione: σ=295.09 τ=36.01
CC 11 SLV (Collegamento 0025_-382)
Azioni sul collegamento: N=-7263.41 Ty=-3.09 Tz=3.21 Mx=0.02 Mz=2.17
Sollecitazioni agenti localmente: Ty_l=-1296.22 My_l=-26.58
Tensioni nella sezione: σ=322.24 τ=39.28
CC 11 SLV (Collegamento 0025_-382)
Azioni sul collegamento: N=-7263.41 Ty=-1.79 Tz=3.21 Mx=0.02 Mz=-1.45
Sollecitazioni agenti localmente: Ty_l=-1281.86 My_l=-26.27
Tensioni nella sezione: σ=318.42 τ=38.84
CC 11 SLV (Collegamento 0025_-382)
Azioni sul collegamento: N=-7263.41 Ty=-3.09 Tz=-2.23 Mx=0.02 Mz=2.17
Sollecitazioni agenti localmente: Ty_l=-1296.22 My_l=-26.58
Tensioni nella sezione: σ=322.24 τ=39.28
CC 11 SLV (Collegamento 0025_-382)
Azioni sul collegamento: N=-7263.41 Ty=-1.79 Tz=-2.23 Mx=0.02 Mz=-1.45
Sollecitazioni agenti localmente: Ty_l=-1281.86 My_l=-26.27
Tensioni nella sezione: σ=318.42 τ=38.84
CC 11 SLV (Collegamento 0025_-382)
Azioni sul collegamento: N=-5698.41 Ty=-3.09 Tz=3.21 Mx=0.02 Mz=2.17
Sollecitazioni agenti localmente: Ty_l=-1018.79 My_l=-20.90
Tensioni nella sezione: σ=253.30 τ=30.87
CC 11 SLV (Collegamento 0025_-382)
Azioni sul collegamento: N=-5698.41 Ty=-1.79 Tz=3.21 Mx=0.02 Mz=-1.45
Sollecitazioni agenti localmente: Ty_l=-1004.42 My_l=-20.58
Tensioni nella sezione: σ=249.49 τ=30.44
CC 11 SLV (Collegamento 0025_-382)
Azioni sul collegamento: N=-5698.41 Ty=-3.09 Tz=-2.23 Mx=0.02 Mz=2.17
Sollecitazioni agenti localmente: Ty_l=-1018.79 My_l=-20.90
Tensioni nella sezione: σ=253.30 τ=30.87
CC 11 SLV (Collegamento 0025_-382)
Azioni sul collegamento: N=-5698.41 Ty=-1.79 Tz=-2.23 Mx=0.02 Mz=-1.45
Sollecitazioni agenti localmente: Ty_l=-1004.42 My_l=-20.58
Tensioni nella sezione: σ=249.49 τ=30.44
CC 12 SLD (Collegamento 0025_-382)
Azioni sul collegamento: N=-6752.00 Ty=-3.09 Tz=1.44 Mx=0.01 Mz=-1.17
Sollecitazioni agenti localmente: Ty_l=-1192.29 My_l=-24.44
Tensioni nella sezione: σ=296.19 τ=36.13
CC 12 SLD (Collegamento 0025_-382)
Azioni sul collegamento: N=-6752.00 Ty=-3.48 Tz=1.44 Mx=0.01 Mz=-2.27
Sollecitazioni agenti localmente: Ty_l=-1187.91 My_l=-24.34
Tensioni nella sezione: σ=295.02 τ=36.00
CC 12 SLD (Collegamento 0025_-382)
Azioni sul collegamento: N=-6752.00 Ty=-3.09 Tz=-0.21 Mx=0.01 Mz=-1.17
Sollecitazioni agenti localmente: Ty_l=-1192.29 My_l=-24.44
Tensioni nella sezione: σ=296.19 τ=36.13
CC 12 SLD (Collegamento 0025_-382)
Azioni sul collegamento: N=-6752.00 Ty=-3.48 Tz=-0.21 Mx=0.01 Mz=-2.27
Sollecitazioni agenti localmente: Ty_l=-1187.91 My_l=-24.34
Tensioni nella sezione: σ=295.02 τ=36.00
CC 12 SLD (Collegamento 0025_-382)
Azioni sul collegamento: N=-6274.78 Ty=-3.09 Tz=1.44 Mx=0.01 Mz=-1.17
Sollecitazioni agenti localmente: Ty_l=-1107.69 My_l=-22.70
Tensioni nella sezione: σ=275.17 τ=33.57
CC 12 SLD (Collegamento 0025_-382)
Azioni sul collegamento: N=-6274.78 Ty=-3.48 Tz=1.44 Mx=0.01 Mz=-2.27
Sollecitazioni agenti localmente: Ty_l=-1103.31 My_l=-22.61
Tensioni nella sezione: σ=274.00 τ=33.43
CC 12 SLD (Collegamento 0025_-382)
Azioni sul collegamento: N=-6274.78 Ty=-3.09 Tz=-0.21 Mx=0.01 Mz=-1.17
Sollecitazioni agenti localmente: Ty_l=-1107.69 My_l=-22.70
Tensioni nella sezione: σ=275.17 τ=33.57
CC 12 SLD (Collegamento 0025_-382)

Azioni sul collegamento: N=-6274.78 Ty=-3.48 Tz=-0.21 Mx=0.01 Mz=-2.27
Sollecitazioni agenti localmente: Ty_l=-1103.31 My_l=-22.61
Tensioni nella sezione: σ=274.00 τ=33.43
CC 13 SLV (Collegamento 0025_-382)
Azioni sul collegamento: N=-5698.41 Ty=-1.79 Tz=-2.23 Mx=0.01 Mz=-1.45
Sollecitazioni agenti localmente: Ty_l=-1004.42 My_l=-20.58
Tensioni nella sezione: σ=249.49 τ=30.44
CC 13 SLV (Collegamento 0025_-382)
Azioni sul collegamento: N=-5698.41 Ty=-3.09 Tz=-2.23 Mx=0.01 Mz=2.17
Sollecitazioni agenti localmente: Ty_l=-1018.79 My_l=-20.90
Tensioni nella sezione: σ=253.30 τ=30.87
CC 13 SLV (Collegamento 0025_-382)
Azioni sul collegamento: N=-5698.41 Ty=-1.79 Tz=3.21 Mx=0.01 Mz=-1.45
Sollecitazioni agenti localmente: Ty_l=-1004.42 My_l=-20.58
Tensioni nella sezione: σ=249.49 τ=30.44
CC 13 SLV (Collegamento 0025_-382)
Azioni sul collegamento: N=-5698.41 Ty=-3.09 Tz=3.21 Mx=0.01 Mz=2.17
Sollecitazioni agenti localmente: Ty_l=-1018.79 My_l=-20.90
Tensioni nella sezione: σ=253.30 τ=30.87
CC 13 SLV (Collegamento 0025_-382)
Azioni sul collegamento: N=-7263.41 Ty=-1.79 Tz=-2.23 Mx=0.01 Mz=-1.45
Sollecitazioni agenti localmente: Ty_l=-1281.86 My_l=-26.27
Tensioni nella sezione: σ=318.42 τ=38.84
CC 13 SLV (Collegamento 0025_-382)
Azioni sul collegamento: N=-7263.41 Ty=-3.09 Tz=-2.23 Mx=0.01 Mz=2.17
Sollecitazioni agenti localmente: Ty_l=-1296.22 My_l=-26.58
Tensioni nella sezione: σ=322.24 τ=39.28
CC 13 SLV (Collegamento 0025_-382)
Azioni sul collegamento: N=-7263.41 Ty=-1.79 Tz=3.21 Mx=0.01 Mz=-1.45
Sollecitazioni agenti localmente: Ty_l=-1281.86 My_l=-26.27
Tensioni nella sezione: σ=318.42 τ=38.84
CC 13 SLV (Collegamento 0025_-382)
Azioni sul collegamento: N=-7263.41 Ty=-3.09 Tz=3.21 Mx=0.01 Mz=2.17
Sollecitazioni agenti localmente: Ty_l=-1296.22 My_l=-26.58
Tensioni nella sezione: σ=322.24 τ=39.28
CC 14 SLD (Collegamento 0025_-382)
Azioni sul collegamento: N=-6274.78 Ty=-3.48 Tz=-0.21 Mx=0.01 Mz=-2.27
Sollecitazioni agenti localmente: Ty_l=-1103.31 My_l=-22.61
Tensioni nella sezione: σ=274.00 τ=33.43
CC 14 SLD (Collegamento 0025_-382)
Azioni sul collegamento: N=-6274.78 Ty=-3.09 Tz=-0.21 Mx=0.01 Mz=-1.17
Sollecitazioni agenti localmente: Ty_l=-1107.69 My_l=-22.70
Tensioni nella sezione: σ=275.17 τ=33.57
CC 14 SLD (Collegamento 0025_-382)
Azioni sul collegamento: N=-6274.78 Ty=-3.48 Tz=1.44 Mx=0.01 Mz=-2.27
Sollecitazioni agenti localmente: Ty_l=-1103.31 My_l=-22.61
Tensioni nella sezione: σ=274.00 τ=33.43
CC 14 SLD (Collegamento 0025_-382)
Azioni sul collegamento: N=-6274.78 Ty=-3.09 Tz=1.44 Mx=0.01 Mz=-1.17
Sollecitazioni agenti localmente: Ty_l=-1107.69 My_l=-22.70
Tensioni nella sezione: σ=275.17 τ=33.57
CC 14 SLD (Collegamento 0025_-382)
Azioni sul collegamento: N=-6752.00 Ty=-3.48 Tz=-0.21 Mx=0.01 Mz=-2.27
Sollecitazioni agenti localmente: Ty_l=-1187.91 My_l=-24.34
Tensioni nella sezione: σ=295.02 τ=36.00
CC 14 SLD (Collegamento 0025_-382)
Azioni sul collegamento: N=-6752.00 Ty=-3.09 Tz=-0.21 Mx=0.01 Mz=-1.17
Sollecitazioni agenti localmente: Ty_l=-1192.29 My_l=-24.44
Tensioni nella sezione: σ=296.19 τ=36.13
CC 14 SLD (Collegamento 0025_-382)
Azioni sul collegamento: N=-6752.00 Ty=-3.48 Tz=1.44 Mx=0.01 Mz=-2.27
Sollecitazioni agenti localmente: Ty_l=-1187.91 My_l=-24.34
Tensioni nella sezione: σ=295.02 τ=36.00
CC 14 SLD (Collegamento 0025_-382)
Azioni sul collegamento: N=-6752.00 Ty=-3.09 Tz=1.44 Mx=0.01 Mz=-1.17
Sollecitazioni agenti localmente: Ty_l=-1192.29 My_l=-24.44
Tensioni nella sezione: σ=296.19 τ=36.13
CC 15 SLV (Collegamento 0025_-382)
Azioni sul collegamento: N=-7282.35 Ty=-0.97 Tz=3.63 Mx=0.01 Mz=-2.02
Sollecitazioni agenti localmente: Ty_l=-1282.92 My_l=-26.29
Tensioni nella sezione: σ=318.65 τ=38.88
CC 15 SLV (Collegamento 0025_-382)
Azioni sul collegamento: N=-7282.35 Ty=-3.91 Tz=3.63 Mx=0.01 Mz=2.74
Sollecitazioni agenti localmente: Ty_l=-1301.88 My_l=-26.70
Tensioni nella sezione: σ=323.68 τ=39.45
CC 15 SLV (Collegamento 0025_-382)
Azioni sul collegamento: N=-7282.35 Ty=-0.97 Tz=-2.66 Mx=0.01 Mz=-2.02
Sollecitazioni agenti localmente: Ty_l=-1282.92 My_l=-26.29
Tensioni nella sezione: σ=318.65 τ=38.88

CC 15 SLV (Collegamento 0025_-382)
Azioni sul collegamento: N=-7282.35 Ty=-3.91 Tz=-2.66 Mx=0.01 Mz=2.74
Sollecitazioni agenti localmente: Ty_l=-1301.88 My_l=-26.70
Tensioni nella sezione: σ=323.68 τ=39.45
CC 15 SLV (Collegamento 0025_-382)
Azioni sul collegamento: N=-5679.47 Ty=-0.97 Tz=3.63 Mx=0.01 Mz=-2.02
Sollecitazioni agenti localmente: Ty_l=-998.77 My_l=-20.46
Tensioni nella sezione: σ=248.04 τ=30.27
CC 15 SLV (Collegamento 0025_-382)
Azioni sul collegamento: N=-5679.47 Ty=-3.91 Tz=3.63 Mx=0.01 Mz=2.74
Sollecitazioni agenti localmente: Ty_l=-1017.73 My_l=-20.88
Tensioni nella sezione: σ=253.08 τ=30.84
CC 15 SLV (Collegamento 0025_-382)
Azioni sul collegamento: N=-5679.47 Ty=-0.97 Tz=-2.66 Mx=0.01 Mz=-2.02
Sollecitazioni agenti localmente: Ty_l=-998.77 My_l=-20.46
Tensioni nella sezione: σ=248.04 τ=30.27
CC 15 SLV (Collegamento 0025_-382)
Azioni sul collegamento: N=-5679.47 Ty=-3.91 Tz=-2.66 Mx=0.01 Mz=2.74
Sollecitazioni agenti localmente: Ty_l=-1017.73 My_l=-20.88
Tensioni nella sezione: σ=253.08 τ=30.84
CC 16 SLD (Collegamento 0025_-382)
Azioni sul collegamento: N=-6757.78 Ty=-3.73 Tz=1.57 Mx=0.00 Mz=-2.45
Sollecitazioni agenti localmente: Ty_l=-1188.23 My_l=-24.35
Tensioni nella sezione: σ=295.09 τ=36.01
CC 16 SLD (Collegamento 0025_-382)
Azioni sul collegamento: N=-6757.78 Ty=-2.84 Tz=1.57 Mx=0.00 Mz=-0.99
Sollecitazioni agenti localmente: Ty_l=-1194.02 My_l=-24.47
Tensioni nella sezione: σ=296.63 τ=36.18
CC 16 SLD (Collegamento 0025_-382)
Azioni sul collegamento: N=-6757.78 Ty=-3.73 Tz=-0.34 Mx=0.00 Mz=-2.45
Sollecitazioni agenti localmente: Ty_l=-1188.23 My_l=-24.35
Tensioni nella sezione: σ=295.09 τ=36.01
CC 16 SLD (Collegamento 0025_-382)
Azioni sul collegamento: N=-6757.78 Ty=-2.84 Tz=-0.34 Mx=0.00 Mz=-0.99
Sollecitazioni agenti localmente: Ty_l=-1194.02 My_l=-24.47
Tensioni nella sezione: σ=296.63 τ=36.18
CC 16 SLD (Collegamento 0025_-382)
Azioni sul collegamento: N=-6269.00 Ty=-3.73 Tz=1.57 Mx=0.00 Mz=-2.45
Sollecitazioni agenti localmente: Ty_l=-1101.59 My_l=-22.57
Tensioni nella sezione: σ=273.56 τ=33.38
CC 16 SLD (Collegamento 0025_-382)
Azioni sul collegamento: N=-6269.00 Ty=-2.84 Tz=1.57 Mx=0.00 Mz=-0.99
Sollecitazioni agenti localmente: Ty_l=-1107.37 My_l=-22.70
Tensioni nella sezione: σ=275.10 τ=33.56
CC 16 SLD (Collegamento 0025_-382)
Azioni sul collegamento: N=-6269.01 Ty=-3.73 Tz=-0.34 Mx=0.00 Mz=-2.45
Sollecitazioni agenti localmente: Ty_l=-1101.59 My_l=-22.57
Tensioni nella sezione: σ=273.56 τ=33.38
CC 16 SLD (Collegamento 0025_-382)
Azioni sul collegamento: N=-6269.01 Ty=-2.84 Tz=-0.34 Mx=0.00 Mz=-0.99
Sollecitazioni agenti localmente: Ty_l=-1107.37 My_l=-22.70
Tensioni nella sezione: σ=275.10 τ=33.56
CC 17 SLV (Collegamento 0025_-382)
Azioni sul collegamento: N=-3931.62 Ty=-3.19 Tz=-8.98 Mx=-0.01 Mz=-4.04
Sollecitazioni agenti localmente: Ty_l=-680.91 My_l=-13.94
Tensioni nella sezione: σ=168.92 τ=20.63
CC 17 SLV (Collegamento 0025_-382)
Azioni sul collegamento: N=-3931.62 Ty=-6.55 Tz=-8.98 Mx=-0.01 Mz=-7.22
Sollecitazioni agenti localmente: Ty_l=-668.25 My_l=-13.66
Tensioni nella sezione: σ=165.56 τ=20.25
CC 17 SLV (Collegamento 0025_-382)
Azioni sul collegamento: N=-3931.62 Ty=-3.19 Tz=10.69 Mx=-0.01 Mz=-4.04
Sollecitazioni agenti localmente: Ty_l=-680.91 My_l=-13.94
Tensioni nella sezione: σ=168.92 τ=20.63
CC 17 SLV (Collegamento 0025_-382)
Azioni sul collegamento: N=-3931.62 Ty=-6.55 Tz=10.69 Mx=-0.01 Mz=-7.22
Sollecitazioni agenti localmente: Ty_l=-668.25 My_l=-13.66
Tensioni nella sezione: σ=165.56 τ=20.25
CC 17 SLV (Collegamento 0025_-382)
Azioni sul collegamento: N=-9217.12 Ty=-3.19 Tz=-8.98 Mx=-0.01 Mz=-4.04
Sollecitazioni agenti localmente: Ty_l=-1617.88 My_l=-33.14
Tensioni nella sezione: σ=401.75 τ=49.03
CC 17 SLV (Collegamento 0025_-382)
Azioni sul collegamento: N=-9217.12 Ty=-6.55 Tz=-8.98 Mx=-0.01 Mz=-7.22
Sollecitazioni agenti localmente: Ty_l=-1605.22 My_l=-32.87
Tensioni nella sezione: σ=398.39 τ=48.64
CC 17 SLV (Collegamento 0025_-382)
Azioni sul collegamento: N=-9217.12 Ty=-3.19 Tz=10.69 Mx=-0.01 Mz=-4.04
Sollecitazioni agenti localmente: Ty_l=-1617.88 My_l=-33.14

Tensioni nella sezione: σ=401.75 τ=49.03
CC 17 SLV (Collegamento 0025_-382)
Azioni sul collegamento: N=-9217.12 Ty=-6.55 Tz=10.69 Mx=-0.01 Mz=-7.22
Sollecitazioni agenti localmente: Ty_l=-1605.22 My_l=-32.87
Tensioni nella sezione: σ=398.39 τ=48.64
CC 18 SLD (Collegamento 0025_-382)
Azioni sul collegamento: N=-5736.03 Ty=-3.51 Tz=-2.27 Mx=-0.00 Mz=-3.06
Sollecitazioni agenti localmente: Ty_l=-1004.66 My_l=-20.58
Tensioni nella sezione: σ=249.44 τ=30.44
CC 18 SLD (Collegamento 0025_-382)
Azioni sul collegamento: N=-5736.03 Ty=-4.54 Tz=-2.27 Mx=-0.00 Mz=-4.03
Sollecitazioni agenti localmente: Ty_l=-1000.80 My_l=-20.49
Tensioni nella sezione: σ=248.41 τ=30.33
CC 18 SLD (Collegamento 0025_-382)
Azioni sul collegamento: N=-5736.03 Ty=-3.51 Tz=3.73 Mx=-0.00 Mz=-3.06
Sollecitazioni agenti localmente: Ty_l=-1004.66 My_l=-20.58
Tensioni nella sezione: σ=249.44 τ=30.44
CC 18 SLD (Collegamento 0025_-382)
Azioni sul collegamento: N=-5736.03 Ty=-4.54 Tz=3.73 Mx=-0.00 Mz=-4.03
Sollecitazioni agenti localmente: Ty_l=-1000.80 My_l=-20.49
Tensioni nella sezione: σ=248.41 τ=30.33
CC 18 SLD (Collegamento 0025_-382)
Azioni sul collegamento: N=-7347.75 Ty=-3.51 Tz=-2.27 Mx=-0.00 Mz=-3.06
Sollecitazioni agenti localmente: Ty_l=-1290.37 My_l=-26.44
Tensioni nella sezione: σ=320.43 τ=39.10
CC 18 SLD (Collegamento 0025_-382)
Azioni sul collegamento: N=-7347.75 Ty=-4.54 Tz=-2.27 Mx=-0.00 Mz=-4.03
Sollecitazioni agenti localmente: Ty_l=-1286.51 My_l=-26.35
Tensioni nella sezione: σ=319.41 τ=38.99
CC 18 SLD (Collegamento 0025_-382)
Azioni sul collegamento: N=-7347.75 Ty=-3.51 Tz=3.73 Mx=-0.00 Mz=-3.06
Sollecitazioni agenti localmente: Ty_l=-1290.37 My_l=-26.44
Tensioni nella sezione: σ=320.43 τ=39.10
CC 18 SLD (Collegamento 0025_-382)
Azioni sul collegamento: N=-7347.75 Ty=-4.54 Tz=3.73 Mx=-0.00 Mz=-4.03
Sollecitazioni agenti localmente: Ty_l=-1286.51 My_l=-26.35
Tensioni nella sezione: σ=319.41 τ=38.99
CC 19 SLV (Collegamento 0025_-382)
Azioni sul collegamento: N=-3937.31 Ty=-3.82 Tz=-8.85 Mx=-0.01 Mz=-5.30
Sollecitazioni agenti localmente: Ty_l=-676.91 My_l=-13.85
Tensioni nella sezione: σ=167.85 τ=20.51
CC 19 SLV (Collegamento 0025_-382)
Azioni sul collegamento: N=-3937.31 Ty=-5.92 Tz=-8.85 Mx=-0.01 Mz=-5.96
Sollecitazioni agenti localmente: Ty_l=-674.26 My_l=-13.79
Tensioni nella sezione: σ=167.14 τ=20.43
CC 19 SLV (Collegamento 0025_-382)
Azioni sul collegamento: N=-3937.31 Ty=-3.82 Tz=10.56 Mx=-0.01 Mz=-5.30
Sollecitazioni agenti localmente: Ty_l=-676.91 My_l=-13.85
Tensioni nella sezione: σ=167.85 τ=20.51
CC 19 SLV (Collegamento 0025_-382)
Azioni sul collegamento: N=-3937.31 Ty=-5.92 Tz=10.56 Mx=-0.01 Mz=-5.96
Sollecitazioni agenti localmente: Ty_l=-674.26 My_l=-13.79
Tensioni nella sezione: σ=167.14 τ=20.43
CC 19 SLV (Collegamento 0025_-382)
Azioni sul collegamento: N=-9211.43 Ty=-3.82 Tz=-8.85 Mx=-0.01 Mz=-5.30
Sollecitazioni agenti localmente: Ty_l=-1611.87 My_l=-33.01
Tensioni nella sezione: σ=400.17 τ=48.84
CC 19 SLV (Collegamento 0025_-382)
Azioni sul collegamento: N=-9211.43 Ty=-5.92 Tz=-8.85 Mx=-0.01 Mz=-5.96
Sollecitazioni agenti localmente: Ty_l=-1609.22 My_l=-32.96
Tensioni nella sezione: σ=399.46 τ=48.76
CC 19 SLV (Collegamento 0025_-382)
Azioni sul collegamento: N=-9211.43 Ty=-3.82 Tz=10.56 Mx=-0.01 Mz=-5.30
Sollecitazioni agenti localmente: Ty_l=-1611.87 My_l=-33.01
Tensioni nella sezione: σ=400.17 τ=48.84
CC 19 SLV (Collegamento 0025_-382)
Azioni sul collegamento: N=-9211.43 Ty=-5.92 Tz=10.56 Mx=-0.01 Mz=-5.96
Sollecitazioni agenti localmente: Ty_l=-1609.22 My_l=-32.96
Tensioni nella sezione: σ=399.46 τ=48.76
CC 20 SLD (Collegamento 0025_-382)
Azioni sul collegamento: N=-5737.77 Ty=-3.71 Tz=-2.23 Mx=-0.00 Mz=-3.45
Sollecitazioni agenti localmente: Ty_l=-1003.44 My_l=-20.55
Tensioni nella sezione: σ=249.11 τ=30.41
CC 20 SLD (Collegamento 0025_-382)
Azioni sul collegamento: N=-5737.77 Ty=-4.34 Tz=-2.23 Mx=-0.00 Mz=-3.65
Sollecitazioni agenti localmente: Ty_l=-1002.63 My_l=-20.53
Tensioni nella sezione: σ=248.89 τ=30.38
CC 20 SLD (Collegamento 0025_-382)
Azioni sul collegamento: N=-5737.77 Ty=-3.71 Tz=3.69 Mx=-0.00 Mz=-3.45

Sollecitazioni agenti localmente: Ty_l=-1003.44 My_l=-20.55
Tensioni nella sezione: σ=249.11 τ=30.41
CC 20 SLD (Collegamento 0025_-382)
Azioni sul collegamento: N=-5737.77 Ty=-4.34 Tz=3.69 Mx=-0.00 Mz=-3.65
Sollecitazioni agenti localmente: Ty_l=-1002.63 My_l=-20.53
Tensioni nella sezione: σ=248.89 τ=30.38
CC 20 SLD (Collegamento 0025_-382)
Azioni sul collegamento: N=-7346.01 Ty=-3.71 Tz=-2.23 Mx=-0.00 Mz=-3.45
Sollecitazioni agenti localmente: Ty_l=-1288.54 My_l=-26.40
Tensioni nella sezione: σ=319.95 τ=39.05
CC 20 SLD (Collegamento 0025_-382)
Azioni sul collegamento: N=-7346.01 Ty=-4.34 Tz=-2.23 Mx=-0.00 Mz=-3.65
Sollecitazioni agenti localmente: Ty_l=-1287.73 My_l=-26.38
Tensioni nella sezione: σ=319.74 τ=39.02
CC 20 SLD (Collegamento 0025_-382)
Azioni sul collegamento: N=-7346.01 Ty=-3.71 Tz=3.69 Mx=-0.00 Mz=-3.45
Sollecitazioni agenti localmente: Ty_l=-1288.54 My_l=-26.40
Tensioni nella sezione: σ=319.95 τ=39.05
CC 20 SLD (Collegamento 0025_-382)
Azioni sul collegamento: N=-7346.01 Ty=-4.34 Tz=3.69 Mx=-0.00 Mz=-3.65
Sollecitazioni agenti localmente: Ty_l=-1287.73 My_l=-26.38
Tensioni nella sezione: σ=319.74 τ=39.02
CC 21 SLV (Collegamento 0025_-382)
Azioni sul collegamento: N=-9211.43 Ty=-5.92 Tz=10.56 Mx=-0.01 Mz=-5.96
Sollecitazioni agenti localmente: Ty_l=-1609.22 My_l=-32.96
Tensioni nella sezione: σ=399.46 τ=48.76
CC 21 SLV (Collegamento 0025_-382)
Azioni sul collegamento: N=-9211.43 Ty=-3.82 Tz=10.56 Mx=-0.01 Mz=-5.30
Sollecitazioni agenti localmente: Ty_l=-1611.87 My_l=-33.01
Tensioni nella sezione: σ=400.17 τ=48.84
CC 21 SLV (Collegamento 0025_-382)
Azioni sul collegamento: N=-9211.43 Ty=-5.92 Tz=-8.85 Mx=-0.01 Mz=-5.96
Sollecitazioni agenti localmente: Ty_l=-1609.22 My_l=-32.96
Tensioni nella sezione: σ=399.46 τ=48.76
CC 21 SLV (Collegamento 0025_-382)
Azioni sul collegamento: N=-9211.43 Ty=-3.82 Tz=-8.85 Mx=-0.01 Mz=-5.30
Sollecitazioni agenti localmente: Ty_l=-1611.87 My_l=-33.01
Tensioni nella sezione: σ=400.17 τ=48.84
CC 21 SLV (Collegamento 0025_-382)
Azioni sul collegamento: N=-3937.31 Ty=-5.92 Tz=10.56 Mx=-0.01 Mz=-5.96
Sollecitazioni agenti localmente: Ty_l=-674.26 My_l=-13.79
Tensioni nella sezione: σ=167.14 τ=20.43
CC 21 SLV (Collegamento 0025_-382)
Azioni sul collegamento: N=-3937.31 Ty=-3.82 Tz=10.56 Mx=-0.01 Mz=-5.30
Sollecitazioni agenti localmente: Ty_l=-676.91 My_l=-13.85
Tensioni nella sezione: σ=167.85 τ=20.51
CC 21 SLV (Collegamento 0025_-382)
Azioni sul collegamento: N=-3937.31 Ty=-5.92 Tz=-8.85 Mx=-0.01 Mz=-5.96
Sollecitazioni agenti localmente: Ty_l=-674.26 My_l=-13.79
Tensioni nella sezione: σ=167.14 τ=20.43
CC 21 SLV (Collegamento 0025_-382)
Azioni sul collegamento: N=-3937.31 Ty=-3.82 Tz=-8.85 Mx=-0.01 Mz=-5.30
Sollecitazioni agenti localmente: Ty_l=-676.91 My_l=-13.85
Tensioni nella sezione: σ=167.85 τ=20.51
CC 22 SLD (Collegamento 0025_-382)
Azioni sul collegamento: N=-7346.01 Ty=-4.34 Tz=3.69 Mx=-0.00 Mz=-3.65
Sollecitazioni agenti localmente: Ty_l=-1287.73 My_l=-26.38
Tensioni nella sezione: σ=319.74 τ=39.02
CC 22 SLD (Collegamento 0025_-382)
Azioni sul collegamento: N=-7346.01 Ty=-3.71 Tz=3.69 Mx=-0.00 Mz=-3.45
Sollecitazioni agenti localmente: Ty_l=-1288.54 My_l=-26.40
Tensioni nella sezione: σ=319.95 τ=39.05
CC 22 SLD (Collegamento 0025_-382)
Azioni sul collegamento: N=-7346.01 Ty=-4.34 Tz=-2.23 Mx=-0.00 Mz=-3.65
Sollecitazioni agenti localmente: Ty_l=-1287.73 My_l=-26.38
Tensioni nella sezione: σ=319.74 τ=39.02
CC 22 SLD (Collegamento 0025_-382)
Azioni sul collegamento: N=-7346.01 Ty=-3.71 Tz=-2.23 Mx=-0.00 Mz=-3.45
Sollecitazioni agenti localmente: Ty_l=-1288.54 My_l=-26.40
Tensioni nella sezione: σ=319.95 τ=39.05
CC 22 SLD (Collegamento 0025_-382)
Azioni sul collegamento: N=-5737.77 Ty=-4.34 Tz=3.69 Mx=-0.00 Mz=-3.65
Sollecitazioni agenti localmente: Ty_l=-1002.63 My_l=-20.53
Tensioni nella sezione: σ=248.89 τ=30.38
CC 22 SLD (Collegamento 0025_-382)
Azioni sul collegamento: N=-5737.77 Ty=-3.71 Tz=3.69 Mx=-0.00 Mz=-3.45
Sollecitazioni agenti localmente: Ty_l=-1003.44 My_l=-20.55
Tensioni nella sezione: σ=249.11 τ=30.41
CC 22 SLD (Collegamento 0025_-382)

Azioni sul collegamento: N=-5737.77 Ty=-4.34 Tz=-2.23 Mx=-0.00 Mz=-3.65
Sollecitazioni agenti localmente: Ty_l=-1002.63 My_l=-20.53
Tensioni nella sezione: σ=248.89 τ=30.38
CC 22 SLD (Collegamento 0025_-382)
Azioni sul collegamento: N=-5737.77 Ty=-3.71 Tz=-2.23 Mx=-0.00 Mz=-3.45
Sollecitazioni agenti localmente: Ty_l=-1003.44 My_l=-20.55
Tensioni nella sezione: σ=249.11 τ=30.41
CC 23 SLV (Collegamento 0025_-382)
Azioni sul collegamento: N=-9217.12 Ty=-6.55 Tz=10.69 Mx=-0.01 Mz=-7.22
Sollecitazioni agenti localmente: Ty_l=-1605.22 My_l=-32.87
Tensioni nella sezione: σ=398.39 τ=48.64
CC 23 SLV (Collegamento 0025_-382)
Azioni sul collegamento: N=-9217.12 Ty=-3.19 Tz=10.69 Mx=-0.01 Mz=-4.04
Sollecitazioni agenti localmente: Ty_l=-1617.88 My_l=-33.14
Tensioni nella sezione: σ=401.75 τ=49.03
CC 23 SLV (Collegamento 0025_-382)
Azioni sul collegamento: N=-9217.12 Ty=-6.55 Tz=-8.98 Mx=-0.01 Mz=-7.22
Sollecitazioni agenti localmente: Ty_l=-1605.22 My_l=-32.87
Tensioni nella sezione: σ=398.39 τ=48.64
CC 23 SLV (Collegamento 0025_-382)
Azioni sul collegamento: N=-9217.12 Ty=-3.19 Tz=-8.98 Mx=-0.01 Mz=-4.04
Sollecitazioni agenti localmente: Ty_l=-1617.88 My_l=-33.14
Tensioni nella sezione: σ=401.75 τ=49.03
CC 23 SLV (Collegamento 0025_-382)
Azioni sul collegamento: N=-3931.62 Ty=-6.55 Tz=10.69 Mx=-0.01 Mz=-7.22
Sollecitazioni agenti localmente: Ty_l=-668.25 My_l=-13.66
Tensioni nella sezione: σ=165.56 τ=20.25
CC 23 SLV (Collegamento 0025_-382)
Azioni sul collegamento: N=-3931.62 Ty=-3.19 Tz=10.69 Mx=-0.01 Mz=-4.04
Sollecitazioni agenti localmente: Ty_l=-680.91 My_l=-13.94
Tensioni nella sezione: σ=168.92 τ=20.63
CC 23 SLV (Collegamento 0025_-382)
Azioni sul collegamento: N=-3931.62 Ty=-6.55 Tz=-8.98 Mx=-0.01 Mz=-7.22
Sollecitazioni agenti localmente: Ty_l=-668.25 My_l=-13.66
Tensioni nella sezione: σ=165.56 τ=20.25
CC 23 SLV (Collegamento 0025_-382)
Azioni sul collegamento: N=-3931.62 Ty=-3.19 Tz=-8.98 Mx=-0.01 Mz=-4.04
Sollecitazioni agenti localmente: Ty_l=-680.91 My_l=-13.94
Tensioni nella sezione: σ=168.92 τ=20.63
CC 24 SLD (Collegamento 0025_-382)
Azioni sul collegamento: N=-7347.75 Ty=-4.54 Tz=3.73 Mx=0.00 Mz=-4.03
Sollecitazioni agenti localmente: Ty_l=-1286.51 My_l=-26.35
Tensioni nella sezione: σ=319.41 τ=38.99
CC 24 SLD (Collegamento 0025_-382)
Azioni sul collegamento: N=-7347.75 Ty=-3.51 Tz=3.73 Mx=0.00 Mz=-3.06
Sollecitazioni agenti localmente: Ty_l=-1290.37 My_l=-26.44
Tensioni nella sezione: σ=320.43 τ=39.10
CC 24 SLD (Collegamento 0025_-382)
Azioni sul collegamento: N=-7347.75 Ty=-4.54 Tz=-2.27 Mx=0.00 Mz=-4.03
Sollecitazioni agenti localmente: Ty_l=-1286.51 My_l=-26.35
Tensioni nella sezione: σ=319.41 τ=38.99
CC 24 SLD (Collegamento 0025_-382)
Azioni sul collegamento: N=-7347.75 Ty=-3.51 Tz=-2.27 Mx=0.00 Mz=-3.06
Sollecitazioni agenti localmente: Ty_l=-1290.37 My_l=-26.44
Tensioni nella sezione: σ=320.43 τ=39.10
CC 24 SLD (Collegamento 0025_-382)
Azioni sul collegamento: N=-5736.03 Ty=-4.54 Tz=3.73 Mx=0.00 Mz=-4.03
Sollecitazioni agenti localmente: Ty_l=-1000.80 My_l=-20.49
Tensioni nella sezione: σ=248.41 τ=30.33
CC 24 SLD (Collegamento 0025_-382)
Azioni sul collegamento: N=-5736.03 Ty=-3.51 Tz=3.73 Mx=0.00 Mz=-3.06
Sollecitazioni agenti localmente: Ty_l=-1004.66 My_l=-20.58
Tensioni nella sezione: σ=249.44 τ=30.44
CC 24 SLD (Collegamento 0025_-382)
Azioni sul collegamento: N=-5736.03 Ty=-4.54 Tz=-2.27 Mx=0.00 Mz=-4.03
Sollecitazioni agenti localmente: Ty_l=-1000.80 My_l=-20.49
Tensioni nella sezione: σ=248.41 τ=30.33
CC 24 SLD (Collegamento 0025_-382)
Azioni sul collegamento: N=-5736.03 Ty=-3.51 Tz=-2.27 Mx=0.00 Mz=-3.06
Sollecitazioni agenti localmente: Ty_l=-1004.66 My_l=-20.58
Tensioni nella sezione: σ=249.44 τ=30.44
CC 25 SLV (Collegamento 0025_-382)
Azioni sul collegamento: N=-5772.93 Ty=-3.40 Tz=-2.29 Mx=-0.02 Mz=-3.25
Sollecitazioni agenti localmente: Ty_l=-1010.47 My_l=-20.70
Tensioni nella sezione: σ=250.87 τ=30.62
CC 25 SLV (Collegamento 0025_-382)
Azioni sul collegamento: N=-5772.93 Ty=-6.34 Tz=-2.29 Mx=-0.02 Mz=-8.01
Sollecitazioni agenti localmente: Ty_l=-991.51 My_l=-20.28
Tensioni nella sezione: σ=245.83 τ=30.05

CC 25 SLV (Collegamento 0025_-382)
Azioni sul collegamento: N=-5772.93 Ty=-3.40 Tz=4.00 Mx=-0.02 Mz=-3.25
Sollecitazioni agenti localmente: Ty_l=-1010.47 My_l=-20.70
Tensioni nella sezione: σ=250.87 τ=30.62
CC 25 SLV (Collegamento 0025_-382)
Azioni sul collegamento: N=-5772.93 Ty=-6.34 Tz=4.00 Mx=-0.02 Mz=-8.01
Sollecitazioni agenti localmente: Ty_l=-991.51 My_l=-20.28
Tensioni nella sezione: σ=245.83 τ=30.05
CC 25 SLV (Collegamento 0025_-382)
Azioni sul collegamento: N=-7375.81 Ty=-3.40 Tz=-2.29 Mx=-0.02 Mz=-3.25
Sollecitazioni agenti localmente: Ty_l=-1294.62 My_l=-26.52
Tensioni nella sezione: σ=321.48 τ=39.23
CC 25 SLV (Collegamento 0025_-382)
Azioni sul collegamento: N=-7375.81 Ty=-6.34 Tz=-2.29 Mx=-0.02 Mz=-8.01
Sollecitazioni agenti localmente: Ty_l=-1275.66 My_l=-26.11
Tensioni nella sezione: σ=316.44 τ=38.66
CC 25 SLV (Collegamento 0025_-382)
Azioni sul collegamento: N=-7375.81 Ty=-3.40 Tz=4.00 Mx=-0.02 Mz=-3.25
Sollecitazioni agenti localmente: Ty_l=-1294.62 My_l=-26.52
Tensioni nella sezione: σ=321.48 τ=39.23
CC 25 SLV (Collegamento 0025_-382)
Azioni sul collegamento: N=-7375.81 Ty=-6.34 Tz=4.00 Mx=-0.02 Mz=-8.01
Sollecitazioni agenti localmente: Ty_l=-1275.66 My_l=-26.11
Tensioni nella sezione: σ=316.44 τ=38.66
CC 26 SLD (Collegamento 0025_-382)
Azioni sul collegamento: N=-6297.50 Ty=-3.58 Tz=-0.23 Mx=-0.00 Mz=-2.82
Sollecitazioni agenti localmente: Ty_l=-1105.16 My_l=-22.64
Tensioni nella sezione: σ=274.42 τ=33.49
CC 26 SLD (Collegamento 0025_-382)
Azioni sul collegamento: N=-6297.50 Ty=-4.47 Tz=-0.23 Mx=-0.00 Mz=-4.27
Sollecitazioni agenti localmente: Ty_l=-1099.37 My_l=-22.51
Tensioni nella sezione: σ=272.89 τ=33.31
CC 26 SLD (Collegamento 0025_-382)
Azioni sul collegamento: N=-6297.50 Ty=-3.58 Tz=1.69 Mx=-0.00 Mz=-2.82
Sollecitazioni agenti localmente: Ty_l=-1105.16 My_l=-22.64
Tensioni nella sezione: σ=274.42 τ=33.49
CC 26 SLD (Collegamento 0025_-382)
Azioni sul collegamento: N=-6297.50 Ty=-4.47 Tz=1.69 Mx=-0.00 Mz=-4.27
Sollecitazioni agenti localmente: Ty_l=-1099.37 My_l=-22.51
Tensioni nella sezione: σ=272.89 τ=33.31
CC 26 SLD (Collegamento 0025_-382)
Azioni sul collegamento: N=-6786.28 Ty=-3.58 Tz=-0.23 Mx=-0.00 Mz=-2.82
Sollecitazioni agenti localmente: Ty_l=-1191.80 My_l=-24.42
Tensioni nella sezione: σ=295.95 τ=36.12
CC 26 SLD (Collegamento 0025_-382)
Azioni sul collegamento: N=-6786.28 Ty=-4.47 Tz=-0.23 Mx=-0.00 Mz=-4.27
Sollecitazioni agenti localmente: Ty_l=-1186.02 My_l=-24.29
Tensioni nella sezione: σ=294.42 τ=35.94
CC 26 SLD (Collegamento 0025_-382)
Azioni sul collegamento: N=-6786.28 Ty=-3.58 Tz=1.69 Mx=-0.00 Mz=-2.82
Sollecitazioni agenti localmente: Ty_l=-1191.80 My_l=-24.42
Tensioni nella sezione: σ=295.95 τ=36.12
CC 26 SLD (Collegamento 0025_-382)
Azioni sul collegamento: N=-6786.28 Ty=-4.47 Tz=1.69 Mx=-0.00 Mz=-4.27
Sollecitazioni agenti localmente: Ty_l=-1186.02 My_l=-24.29
Tensioni nella sezione: σ=294.42 τ=35.94
CC 27 SLV (Collegamento 0025_-382)
Azioni sul collegamento: N=-7356.87 Ty=-4.22 Tz=3.57 Mx=-0.02 Mz=-3.82
Sollecitazioni agenti localmente: Ty_l=-1288.97 My_l=-26.40
Tensioni nella sezione: σ=320.03 τ=39.06
CC 27 SLV (Collegamento 0025_-382)
Azioni sul collegamento: N=-7356.87 Ty=-5.52 Tz=3.57 Mx=-0.02 Mz=-7.44
Sollecitazioni agenti localmente: Ty_l=-1274.60 My_l=-26.09
Tensioni nella sezione: σ=316.22 τ=38.62
CC 27 SLV (Collegamento 0025_-382)
Azioni sul collegamento: N=-7356.87 Ty=-4.22 Tz=-1.86 Mx=-0.02 Mz=-3.82
Sollecitazioni agenti localmente: Ty_l=-1288.97 My_l=-26.40
Tensioni nella sezione: σ=320.03 τ=39.06
CC 27 SLV (Collegamento 0025_-382)
Azioni sul collegamento: N=-7356.87 Ty=-5.52 Tz=-1.86 Mx=-0.02 Mz=-7.44
Sollecitazioni agenti localmente: Ty_l=-1274.60 My_l=-26.09
Tensioni nella sezione: σ=316.22 τ=38.62
CC 27 SLV (Collegamento 0025_-382)
Azioni sul collegamento: N=-5791.87 Ty=-4.22 Tz=3.57 Mx=-0.02 Mz=-3.82
Sollecitazioni agenti localmente: Ty_l=-1011.53 My_l=-20.72
Tensioni nella sezione: σ=251.09 τ=30.65
CC 27 SLV (Collegamento 0025_-382)
Azioni sul collegamento: N=-5791.87 Ty=-5.52 Tz=3.57 Mx=-0.02 Mz=-7.44
Sollecitazioni agenti localmente: Ty_l=-997.16 My_l=-20.40

Tensioni nella sezione: σ=247.28 τ=30.22
CC 27 SLV (Collegamento 0025_-382)
Azioni sul collegamento: N=-5791.87 Ty=-4.22 Tz=-1.86 Mx=-0.02 Mz=-3.82
Sollecitazioni agenti localmente: Ty_l=-1011.53 My_l=-20.72
Tensioni nella sezione: σ=251.09 τ=30.65
CC 27 SLV (Collegamento 0025_-382)
Azioni sul collegamento: N=-5791.87 Ty=-5.52 Tz=-1.86 Mx=-0.02 Mz=-7.44
Sollecitazioni agenti localmente: Ty_l=-997.16 My_l=-20.40
Tensioni nella sezione: σ=247.28 τ=30.22
CC 28 SLD (Collegamento 0025_-382)
Azioni sul collegamento: N=-6780.50 Ty=-3.83 Tz=1.56 Mx=-0.00 Mz=-3.00
Sollecitazioni agenti localmente: Ty_l=-1190.08 My_l=-24.38
Tensioni nella sezione: σ=295.51 τ=36.06
CC 28 SLD (Collegamento 0025_-382)
Azioni sul collegamento: N=-6780.50 Ty=-4.22 Tz=1.56 Mx=-0.00 Mz=-4.10
Sollecitazioni agenti localmente: Ty_l=-1185.70 My_l=-24.28
Tensioni nella sezione: σ=294.35 τ=35.93
CC 28 SLD (Collegamento 0025_-382)
Azioni sul collegamento: N=-6780.50 Ty=-3.83 Tz=-0.10 Mx=-0.00 Mz=-3.00
Sollecitazioni agenti localmente: Ty_l=-1190.08 My_l=-24.38
Tensioni nella sezione: σ=295.51 τ=36.06
CC 28 SLD (Collegamento 0025_-382)
Azioni sul collegamento: N=-6780.50 Ty=-4.22 Tz=-0.10 Mx=-0.00 Mz=-4.10
Sollecitazioni agenti localmente: Ty_l=-1185.70 My_l=-24.28
Tensioni nella sezione: σ=294.35 τ=35.93
CC 28 SLD (Collegamento 0025_-382)
Azioni sul collegamento: N=-6303.28 Ty=-3.83 Tz=1.56 Mx=-0.00 Mz=-3.00
Sollecitazioni agenti localmente: Ty_l=-1105.48 My_l=-22.65
Tensioni nella sezione: σ=274.49 τ=33.50
CC 28 SLD (Collegamento 0025_-382)
Azioni sul collegamento: N=-6303.28 Ty=-4.22 Tz=1.56 Mx=-0.00 Mz=-4.10
Sollecitazioni agenti localmente: Ty_l=-1101.10 My_l=-22.55
Tensioni nella sezione: σ=273.33 τ=33.37
CC 28 SLD (Collegamento 0025_-382)
Azioni sul collegamento: N=-6303.28 Ty=-3.83 Tz=-0.10 Mx=-0.00 Mz=-3.00
Sollecitazioni agenti localmente: Ty_l=-1105.48 My_l=-22.65
Tensioni nella sezione: σ=274.49 τ=33.50
CC 28 SLD (Collegamento 0025_-382)
Azioni sul collegamento: N=-6303.28 Ty=-4.22 Tz=-0.10 Mx=-0.00 Mz=-4.10
Sollecitazioni agenti localmente: Ty_l=-1101.10 My_l=-22.55
Tensioni nella sezione: σ=273.33 τ=33.37
CC 29 SLV (Collegamento 0025_-382)
Azioni sul collegamento: N=-5791.87 Ty=-5.52 Tz=-1.86 Mx=-0.00 Mz=-7.44
Sollecitazioni agenti localmente: Ty_l=-997.16 My_l=-20.40
Tensioni nella sezione: σ=247.28 τ=30.22
CC 29 SLV (Collegamento 0025_-382)
Azioni sul collegamento: N=-5791.87 Ty=-4.22 Tz=-1.86 Mx=-0.00 Mz=-3.82
Sollecitazioni agenti localmente: Ty_l=-1011.53 My_l=-20.72
Tensioni nella sezione: σ=251.09 τ=30.65
CC 29 SLV (Collegamento 0025_-382)
Azioni sul collegamento: N=-5791.87 Ty=-5.52 Tz=3.57 Mx=-0.00 Mz=-7.44
Sollecitazioni agenti localmente: Ty_l=-997.16 My_l=-20.40
Tensioni nella sezione: σ=247.28 τ=30.22
CC 29 SLV (Collegamento 0025_-382)
Azioni sul collegamento: N=-5791.87 Ty=-4.22 Tz=3.57 Mx=-0.00 Mz=-3.82
Sollecitazioni agenti localmente: Ty_l=-1011.53 My_l=-20.72
Tensioni nella sezione: σ=251.09 τ=30.65
CC 29 SLV (Collegamento 0025_-382)
Azioni sul collegamento: N=-7356.87 Ty=-5.52 Tz=-1.86 Mx=-0.00 Mz=-7.44
Sollecitazioni agenti localmente: Ty_l=-1274.60 My_l=-26.09
Tensioni nella sezione: σ=316.22 τ=38.62
CC 29 SLV (Collegamento 0025_-382)
Azioni sul collegamento: N=-7356.87 Ty=-4.22 Tz=-1.86 Mx=-0.00 Mz=-3.82
Sollecitazioni agenti localmente: Ty_l=-1288.97 My_l=-26.40
Tensioni nella sezione: σ=320.03 τ=39.06
CC 29 SLV (Collegamento 0025_-382)
Azioni sul collegamento: N=-7356.87 Ty=-5.52 Tz=3.57 Mx=-0.00 Mz=-7.44
Sollecitazioni agenti localmente: Ty_l=-1274.60 My_l=-26.09
Tensioni nella sezione: σ=316.22 τ=38.62
CC 29 SLV (Collegamento 0025_-382)
Azioni sul collegamento: N=-7356.87 Ty=-4.22 Tz=3.57 Mx=-0.00 Mz=-3.82
Sollecitazioni agenti localmente: Ty_l=-1288.97 My_l=-26.40
Tensioni nella sezione: σ=320.03 τ=39.06
CC 30 SLD (Collegamento 0025_-382)
Azioni sul collegamento: N=-6303.28 Ty=-4.22 Tz=-0.10 Mx=0.00 Mz=-4.10
Sollecitazioni agenti localmente: Ty_l=-1101.10 My_l=-22.55
Tensioni nella sezione: σ=273.33 τ=33.37
CC 30 SLD (Collegamento 0025_-382)
Azioni sul collegamento: N=-6303.28 Ty=-3.83 Tz=-0.10 Mx=0.00 Mz=-3.00

Sollecitazioni agenti localmente: Ty_l=-1105.48 My_l=-22.65
Tensioni nella sezione: σ=274.49 τ=33.50
CC 30 SLD (Collegamento 0025_-382)
Azioni sul collegamento: N=-6303.28 Ty=-4.22 Tz=1.56 Mx=0.00 Mz=-4.10
Sollecitazioni agenti localmente: Ty_l=-1101.10 My_l=-22.55
Tensioni nella sezione: σ=273.33 τ=33.37
CC 30 SLD (Collegamento 0025_-382)
Azioni sul collegamento: N=-6303.28 Ty=-3.83 Tz=1.56 Mx=0.00 Mz=-3.00
Sollecitazioni agenti localmente: Ty_l=-1105.48 My_l=-22.65
Tensioni nella sezione: σ=274.49 τ=33.50
CC 30 SLD (Collegamento 0025_-382)
Azioni sul collegamento: N=-6780.50 Ty=-4.22 Tz=-0.10 Mx=0.00 Mz=-4.10
Sollecitazioni agenti localmente: Ty_l=-1185.70 My_l=-24.28
Tensioni nella sezione: σ=294.35 τ=35.93
CC 30 SLD (Collegamento 0025_-382)
Azioni sul collegamento: N=-6780.50 Ty=-3.83 Tz=-0.10 Mx=0.00 Mz=-3.00
Sollecitazioni agenti localmente: Ty_l=-1190.08 My_l=-24.38
Tensioni nella sezione: σ=295.51 τ=36.06
CC 30 SLD (Collegamento 0025_-382)
Azioni sul collegamento: N=-6780.50 Ty=-4.22 Tz=1.56 Mx=0.00 Mz=-4.10
Sollecitazioni agenti localmente: Ty_l=-1185.70 My_l=-24.28
Tensioni nella sezione: σ=294.35 τ=35.93
CC 30 SLD (Collegamento 0025_-382)
Azioni sul collegamento: N=-6780.50 Ty=-3.83 Tz=1.56 Mx=0.00 Mz=-3.00
Sollecitazioni agenti localmente: Ty_l=-1190.08 My_l=-24.38
Tensioni nella sezione: σ=295.51 τ=36.06
CC 31 SLV (Collegamento 0025_-382)
Azioni sul collegamento: N=-7375.81 Ty=-6.34 Tz=4.00 Mx=-0.00 Mz=-8.01
Sollecitazioni agenti localmente: Ty_l=-1275.66 My_l=-26.11
Tensioni nella sezione: σ=316.44 τ=38.66
CC 31 SLV (Collegamento 0025_-382)
Azioni sul collegamento: N=-7375.81 Ty=-3.40 Tz=4.00 Mx=-0.00 Mz=-3.25
Sollecitazioni agenti localmente: Ty_l=-1294.62 My_l=-26.52
Tensioni nella sezione: σ=321.48 τ=39.23
CC 31 SLV (Collegamento 0025_-382)
Azioni sul collegamento: N=-7375.81 Ty=-6.34 Tz=-2.29 Mx=-0.00 Mz=-8.01
Sollecitazioni agenti localmente: Ty_l=-1275.66 My_l=-26.11
Tensioni nella sezione: σ=316.44 τ=38.66
CC 31 SLV (Collegamento 0025_-382)
Azioni sul collegamento: N=-7375.81 Ty=-3.40 Tz=-2.29 Mx=-0.00 Mz=-3.25
Sollecitazioni agenti localmente: Ty_l=-1294.62 My_l=-26.52
Tensioni nella sezione: σ=321.48 τ=39.23
CC 31 SLV (Collegamento 0025_-382)
Azioni sul collegamento: N=-5772.93 Ty=-6.34 Tz=4.00 Mx=-0.00 Mz=-8.01
Sollecitazioni agenti localmente: Ty_l=-991.51 My_l=-20.28
Tensioni nella sezione: σ=245.83 τ=30.05
CC 31 SLV (Collegamento 0025_-382)
Azioni sul collegamento: N=-5772.93 Ty=-3.40 Tz=4.00 Mx=-0.00 Mz=-3.25
Sollecitazioni agenti localmente: Ty_l=-1010.47 My_l=-20.70
Tensioni nella sezione: σ=250.87 τ=30.62
CC 31 SLV (Collegamento 0025_-382)
Azioni sul collegamento: N=-5772.93 Ty=-6.34 Tz=-2.29 Mx=-0.00 Mz=-8.01
Sollecitazioni agenti localmente: Ty_l=-991.51 My_l=-20.28
Tensioni nella sezione: σ=245.83 τ=30.05
CC 31 SLV (Collegamento 0025_-382)
Azioni sul collegamento: N=-5772.93 Ty=-3.40 Tz=-2.29 Mx=-0.00 Mz=-3.25
Sollecitazioni agenti localmente: Ty_l=-1010.47 My_l=-20.70
Tensioni nella sezione: σ=250.87 τ=30.62
CC 32 SLD (Collegamento 0025_-382)
Azioni sul collegamento: N=-6786.28 Ty=-4.47 Tz=1.69 Mx=0.00 Mz=-4.27
Sollecitazioni agenti localmente: Ty_l=-1186.02 My_l=-24.29
Tensioni nella sezione: σ=294.42 τ=35.94
CC 32 SLD (Collegamento 0025_-382)
Azioni sul collegamento: N=-6786.28 Ty=-3.58 Tz=1.69 Mx=0.00 Mz=-2.82
Sollecitazioni agenti localmente: Ty_l=-1191.80 My_l=-24.42
Tensioni nella sezione: σ=295.95 τ=36.12
CC 32 SLD (Collegamento 0025_-382)
Azioni sul collegamento: N=-6786.28 Ty=-4.47 Tz=-0.23 Mx=0.00 Mz=-4.27
Sollecitazioni agenti localmente: Ty_l=-1186.02 My_l=-24.29
Tensioni nella sezione: σ=294.42 τ=35.94
CC 32 SLD (Collegamento 0025_-382)
Azioni sul collegamento: N=-6786.28 Ty=-3.58 Tz=-0.23 Mx=0.00 Mz=-2.82
Sollecitazioni agenti localmente: Ty_l=-1191.80 My_l=-24.42
Tensioni nella sezione: σ=295.95 τ=36.12
CC 32 SLD (Collegamento 0025_-382)
Azioni sul collegamento: N=-6297.50 Ty=-4.47 Tz=1.69 Mx=0.00 Mz=-4.27
Sollecitazioni agenti localmente: Ty_l=-1099.37 My_l=-22.51
Tensioni nella sezione: σ=272.89 τ=33.31
CC 32 SLD (Collegamento 0025_-382)

Azioni sul collegamento: N=-6297.50 Ty=-3.58 Tz=1.69 Mx=0.00 Mz=-2.82
Sollecitazioni agenti localmente: Ty_l=-1105.16 My_l=-22.64
Tensioni nella sezione: σ=274.42 τ=33.49
CC 32 SLD (Collegamento 0025_-382)
Azioni sul collegamento: N=-6297.50 Ty=-4.47 Tz=-0.23 Mx=0.00 Mz=-4.27
Sollecitazioni agenti localmente: Ty_l=-1099.37 My_l=-22.51
Tensioni nella sezione: σ=272.89 τ=33.31
CC 32 SLD (Collegamento 0025_-382)
Azioni sul collegamento: N=-6297.50 Ty=-3.58 Tz=-0.23 Mx=0.00 Mz=-2.82
Sollecitazioni agenti localmente: Ty_l=-1105.16 My_l=-22.64
Tensioni nella sezione: σ=274.42 τ=33.49
CC 33 SLU (Collegamento 0025_-382)
Azioni sul collegamento: N=-30778.60 Ty=-5.67 Tz=81.62 Mx=0.01 Mz=-4.05
Sollecitazioni agenti localmente: Ty_l=-5440.11 My_l=-111.50
Tensioni nella sezione: σ=1351.51 τ=164.85
CC 34 SLU (Collegamento 0025_-382)
Azioni sul collegamento: N=-30229.20 Ty=-5.39 Tz=79.58 Mx=0.01 Mz=-3.85
Sollecitazioni agenti localmente: Ty_l=-5343.52 My_l=-109.52
Tensioni nella sezione: σ=1327.52 τ=161.93
CC 35 SLU (Collegamento 0025_-382)
Azioni sul collegamento: N=-30504.90 Ty=-5.64 Tz=80.58 Mx=0.01 Mz=-4.16
Sollecitazioni agenti localmente: Ty_l=-5391.12 My_l=-110.50
Tensioni nella sezione: σ=1339.33 τ=163.37
CC 36 SLU (Collegamento 0025_-382)
Azioni sul collegamento: N=-30502.90 Ty=-5.42 Tz=80.62 Mx=0.01 Mz=-3.73
Sollecitazioni agenti localmente: Ty_l=-5392.50 My_l=-110.53
Tensioni nella sezione: σ=1339.70 τ=163.41
CC 37 SLU (Collegamento 0025_-382)
Azioni sul collegamento: N=-21507.60 Ty=-6.52 Tz=47.54 Mx=0.01 Mz=-4.63
Sollecitazioni agenti localmente: Ty_l=-3794.29 My_l=-77.76
Tensioni nella sezione: σ=942.51 τ=114.98
CC 38 SLU (Collegamento 0025_-382)
Azioni sul collegamento: N=-20958.20 Ty=-6.23 Tz=45.50 Mx=0.01 Mz=-4.43
Sollecitazioni agenti localmente: Ty_l=-3697.70 My_l=-75.78
Tensioni nella sezione: σ=918.52 τ=112.05
CC 39 SLU (Collegamento 0025_-382)
Azioni sul collegamento: N=-21233.90 Ty=-6.48 Tz=46.50 Mx=0.01 Mz=-4.75
Sollecitazioni agenti localmente: Ty_l=-3745.30 My_l=-76.75
Tensioni nella sezione: σ=930.33 τ=113.49
CC 40 SLU (Collegamento 0025_-382)
Azioni sul collegamento: N=-21231.90 Ty=-6.26 Tz=46.54 Mx=0.01 Mz=-4.31
Sollecitazioni agenti localmente: Ty_l=-3746.69 My_l=-76.78
Tensioni nella sezione: σ=930.70 τ=113.54
CC 41 SLU (Collegamento 0025_-382)
Azioni sul collegamento: N=-32702.20 Ty=-5.53 Tz=88.04 Mx=-0.00 Mz=-4.06
Sollecitazioni agenti localmente: Ty_l=-5781.06 My_l=-118.49
Tensioni nella sezione: σ=1436.23 τ=175.18
CC 42 SLU (Collegamento 0025_-382)
Azioni sul collegamento: N=-32152.80 Ty=-5.24 Tz=86.01 Mx=-0.00 Mz=-3.86
Sollecitazioni agenti localmente: Ty_l=-5684.47 My_l=-116.51
Tensioni nella sezione: σ=1412.24 τ=172.26
CC 43 SLU (Collegamento 0025_-382)
Azioni sul collegamento: N=-32428.50 Ty=-5.50 Tz=87.00 Mx=-0.00 Mz=-4.18
Sollecitazioni agenti localmente: Ty_l=-5732.07 My_l=-117.48
Tensioni nella sezione: σ=1424.05 τ=173.70
CC 44 SLU (Collegamento 0025_-382)
Azioni sul collegamento: N=-32426.50 Ty=-5.28 Tz=87.05 Mx=-0.00 Mz=-3.74
Sollecitazioni agenti localmente: Ty_l=-5733.46 My_l=-117.52
Tensioni nella sezione: σ=1424.42 τ=173.74
CC 45 SLU (Collegamento 0025_-382)
Azioni sul collegamento: N=-23594.00 Ty=-6.22 Tz=55.25 Mx=0.01 Mz=-4.49
Sollecitazioni agenti localmente: Ty_l=-4164.73 My_l=-85.35
Tensioni nella sezione: σ=1034.57 τ=126.20
CC 46 SLU (Collegamento 0025_-382)
Azioni sul collegamento: N=-23044.60 Ty=-5.94 Tz=53.22 Mx=0.01 Mz=-4.28
Sollecitazioni agenti localmente: Ty_l=-4068.14 My_l=-83.37
Tensioni nella sezione: σ=1010.58 τ=123.28
CC 47 SLU (Collegamento 0025_-382)
Azioni sul collegamento: N=-23320.30 Ty=-6.19 Tz=54.21 Mx=0.01 Mz=-4.60
Sollecitazioni agenti localmente: Ty_l=-4115.74 My_l=-84.35
Tensioni nella sezione: σ=1022.39 τ=124.72
CC 48 SLU (Collegamento 0025_-382)
Azioni sul collegamento: N=-23318.30 Ty=-5.97 Tz=54.26 Mx=0.01 Mz=-4.17
Sollecitazioni agenti localmente: Ty_l=-4117.13 My_l=-84.38
Tensioni nella sezione: σ=1022.76 τ=124.76
CC 49 SLU (Collegamento 0025_-382)
Azioni sul collegamento: N=-16657.90 Ty=-6.86 Tz=29.76 Mx=0.01 Mz=-4.92
Sollecitazioni agenti localmente: Ty_l=-2933.41 My_l=-60.11
Tensioni nella sezione: σ=728.58 τ=88.89

CC 50 SLU (Collegamento 0025_-382)
Azioni sul collegamento: N=-16108.50 Ty=-6.57 Tz=27.72 Mx=0.01 Mz=-4.72
Sollecitazioni agenti localmente: Ty_l=-2836.82 My_l=-58.13
Tensioni nella sezione: σ=704.59 τ=85.96
CC 51 SLU (Collegamento 0025_-382)
Azioni sul collegamento: N=-16384.20 Ty=-6.82 Tz=28.72 Mx=0.01 Mz=-5.04
Sollecitazioni agenti localmente: Ty_l=-2884.43 My_l=-59.10
Tensioni nella sezione: σ=716.40 τ=87.41
CC 52 SLU (Collegamento 0025_-382)
Azioni sul collegamento: N=-16382.20 Ty=-6.60 Tz=28.76 Mx=0.01 Mz=-4.60
Sollecitazioni agenti localmente: Ty_l=-2885.81 My_l=-59.13
Tensioni nella sezione: σ=716.77 τ=87.45
CC 53 SLU (Collegamento 0025_-382)
Azioni sul collegamento: N=-25033.10 Ty=-6.12 Tz=60.06 Mx=-0.00 Mz=-4.50
Sollecitazioni agenti localmente: Ty_l=-4419.81 My_l=-90.58
Tensioni nella sezione: σ=1097.95 τ=133.93
CC 54 SLU (Collegamento 0025_-382)
Azioni sul collegamento: N=-24483.80 Ty=-5.83 Tz=58.03 Mx=-0.00 Mz=-4.29
Sollecitazioni agenti localmente: Ty_l=-4323.22 My_l=-88.60
Tensioni nella sezione: σ=1073.97 τ=131.01
CC 55 SLU (Collegamento 0025_-382)
Azioni sul collegamento: N=-24759.40 Ty=-6.08 Tz=59.02 Mx=0.00 Mz=-4.61
Sollecitazioni agenti localmente: Ty_l=-4370.82 My_l=-89.58
Tensioni nella sezione: σ=1085.77 τ=132.45
CC 56 SLU (Collegamento 0025_-382)
Azioni sul collegamento: N=-24757.50 Ty=-5.87 Tz=59.07 Mx=-0.00 Mz=-4.18
Sollecitazioni agenti localmente: Ty_l=-4372.21 My_l=-89.61
Tensioni nella sezione: σ=1086.15 τ=132.49
CC 57 SLU (Collegamento 0025_-382)
Azioni sul collegamento: N=-21981.50 Ty=-5.60 Tz=49.32 Mx=0.01 Mz=-4.03
Sollecitazioni agenti localmente: Ty_l=-3880.67 My_l=-79.53
Tensioni nella sezione: σ=964.02 τ=117.60
CC 58 SLU (Collegamento 0025_-382)
Azioni sul collegamento: N=-21432.10 Ty=-5.31 Tz=47.28 Mx=0.01 Mz=-3.83
Sollecitazioni agenti localmente: Ty_l=-3784.08 My_l=-77.55
Tensioni nella sezione: σ=940.03 τ=114.67
CC 59 SLU (Collegamento 0025_-382)
Azioni sul collegamento: N=-21707.80 Ty=-5.57 Tz=48.28 Mx=0.01 Mz=-4.15
Sollecitazioni agenti localmente: Ty_l=-3831.68 My_l=-78.53
Tensioni nella sezione: σ=951.84 τ=116.11
CC 60 SLU (Collegamento 0025_-382)
Azioni sul collegamento: N=-21705.80 Ty=-5.35 Tz=48.32 Mx=0.01 Mz=-3.72
Sollecitazioni agenti localmente: Ty_l=-3833.07 My_l=-78.56
Tensioni nella sezione: σ=952.21 τ=116.15
CC 61 SLU (Collegamento 0025_-382)
Azioni sul collegamento: N=-15045.40 Ty=-6.23 Tz=23.82 Mx=0.01 Mz=-4.47
Sollecitazioni agenti localmente: Ty_l=-2649.36 My_l=-54.29
Tensioni nella sezione: σ=658.02 τ=80.28
CC 62 SLU (Collegamento 0025_-382)
Azioni sul collegamento: N=-14496.00 Ty=-5.95 Tz=21.79 Mx=0.01 Mz=-4.27
Sollecitazioni agenti localmente: Ty_l=-2552.77 My_l=-52.31
Tensioni nella sezione: σ=634.04 τ=77.36
CC 63 SLU (Collegamento 0025_-382)
Azioni sul collegamento: N=-14771.70 Ty=-6.20 Tz=22.78 Mx=0.01 Mz=-4.59
Sollecitazioni agenti localmente: Ty_l=-2600.37 My_l=-53.28
Tensioni nella sezione: σ=645.84 τ=78.80
CC 64 SLU (Collegamento 0025_-382)
Azioni sul collegamento: N=-14769.70 Ty=-5.98 Tz=22.82 Mx=0.01 Mz=-4.15
Sollecitazioni agenti localmente: Ty_l=-2601.75 My_l=-53.31
Tensioni nella sezione: σ=646.22 τ=78.84
CC 65 SLU (Collegamento 0025_-382)
Azioni sul collegamento: N=-23420.60 Ty=-5.49 Tz=54.12 Mx=-0.00 Mz=-4.04
Sollecitazioni agenti localmente: Ty_l=-4135.75 My_l=-84.76
Tensioni nella sezione: σ=1027.40 τ=125.33
CC 66 SLU (Collegamento 0025_-382)
Azioni sul collegamento: N=-22871.20 Ty=-5.21 Tz=52.09 Mx=-0.00 Mz=-3.84
Sollecitazioni agenti localmente: Ty_l=-4039.17 My_l=-82.78
Tensioni nella sezione: σ=1003.41 τ=122.40
CC 67 SLU (Collegamento 0025_-382)
Azioni sul collegamento: N=-23146.90 Ty=-5.46 Tz=53.08 Mx=-0.00 Mz=-4.16
Sollecitazioni agenti localmente: Ty_l=-4086.77 My_l=-83.76
Tensioni nella sezione: σ=1015.22 τ=123.84
CC 68 SLU (Collegamento 0025_-382)
Azioni sul collegamento: N=-23144.90 Ty=-5.24 Tz=53.13 Mx=-0.00 Mz=-3.72
Sollecitazioni agenti localmente: Ty_l=-4088.15 My_l=-83.79
Tensioni nella sezione: σ=1015.59 τ=123.88
CC 97 SLU (Collegamento 0025_-382)
Azioni sul collegamento: N=-11444.50 Ty=-17.52 Tz=18.88 Mx=-0.03 Mz=-21.34
Sollecitazioni agenti localmente: Ty_l=-1943.94 My_l=-39.73

Tensioni nella sezione: σ=481.60 τ=58.91
CC 98 SLU (Collegamento 0025_-382)
Azioni sul collegamento: N=-10895.20 Ty=-17.24 Tz=16.84 Mx=-0.03 Mz=-21.13
Sollecitazioni agenti localmente: Ty_l=-1847.35 My_l=-37.75
Tensioni nella sezione: σ=457.61 τ=55.98
CC 99 SLU (Collegamento 0025_-382)
Azioni sul collegamento: N=-11170.80 Ty=-17.49 Tz=17.84 Mx=-0.03 Mz=-21.45
Sollecitazioni agenti localmente: Ty_l=-1894.95 My_l=-38.73
Tensioni nella sezione: σ=469.42 τ=57.42
CC 100 SLU (Collegamento 0025_-382)
Azioni sul collegamento: N=-11168.90 Ty=-17.27 Tz=17.88 Mx=-0.04 Mz=-21.02
Sollecitazioni agenti localmente: Ty_l=-1896.34 My_l=-38.76
Tensioni nella sezione: σ=469.79 τ=57.46
CC 101 SLU (Collegamento 0025_-382)
Azioni sul collegamento: N=-7155.53 Ty=-1.61 Tz=2.94 Mx=0.01 Mz=-0.33
Sollecitazioni agenti localmente: Ty_l=-1267.16 My_l=-25.97
Tensioni nella sezione: σ=314.85 τ=38.40
CC 102 SLU (Collegamento 0025_-382)
Azioni sul collegamento: N=-6606.15 Ty=-1.32 Tz=0.91 Mx=0.01 Mz=-0.13
Sollecitazioni agenti localmente: Ty_l=-1170.57 My_l=-24.00
Tensioni nella sezione: σ=290.86 τ=35.47
CC 103 SLU (Collegamento 0025_-382)
Azioni sul collegamento: N=-6881.82 Ty=-1.58 Tz=1.90 Mx=0.01 Mz=-0.45
Sollecitazioni agenti localmente: Ty_l=-1218.17 My_l=-24.97
Tensioni nella sezione: σ=302.67 τ=36.91
CC 104 SLU (Collegamento 0025_-382)
Azioni sul collegamento: N=-6879.85 Ty=-1.36 Tz=1.95 Mx=0.01 Mz=-0.01
Sollecitazioni agenti localmente: Ty_l=-1219.56 My_l=-25.00
Tensioni nella sezione: σ=303.04 τ=36.96

Flessione attacco sinistro piastra

Bnetta=220.00 Hnetta=15.00
CC 1 SLV (Collegamento 0025_-382)
Azioni sul collegamento: N=-3838.16 Ty=-4.12 Tz=-9.35 Mx=0.02 Mz=1.95
Sollecitazioni agenti localmente: Ty_l=-672.64 My_l=-13.78
Tensioni nella sezione: σ=167.01 τ=20.38
CC 1 SLV (Collegamento 0025_-382)
Azioni sul collegamento: N=-3838.16 Ty=-0.76 Tz=-9.35 Mx=0.02 Mz=-1.23
Sollecitazioni agenti localmente: Ty_l=-685.29 My_l=-14.06
Tensioni nella sezione: σ=170.37 τ=20.77
CC 1 SLV (Collegamento 0025_-382)
Azioni sul collegamento: N=-3838.16 Ty=-4.12 Tz=10.33 Mx=0.02 Mz=1.95
Sollecitazioni agenti localmente: Ty_l=-672.64 My_l=-13.78
Tensioni nella sezione: σ=167.01 τ=20.38
CC 1 SLV (Collegamento 0025_-382)
Azioni sul collegamento: N=-3838.16 Ty=-0.76 Tz=10.33 Mx=0.02 Mz=-1.23
Sollecitazioni agenti localmente: Ty_l=-685.29 My_l=-14.06
Tensioni nella sezione: σ=170.37 τ=20.77
CC 1 SLV (Collegamento 0025_-382)
Azioni sul collegamento: N=-9123.66 Ty=-4.12 Tz=-9.35 Mx=0.02 Mz=1.95
Sollecitazioni agenti localmente: Ty_l=-1609.61 My_l=-32.99
Tensioni nella sezione: σ=399.83 τ=48.78
CC 1 SLV (Collegamento 0025_-382)
Azioni sul collegamento: N=-9123.66 Ty=-0.76 Tz=-9.35 Mx=0.02 Mz=-1.23
Sollecitazioni agenti localmente: Ty_l=-1622.27 My_l=-33.26
Tensioni nella sezione: σ=403.19 τ=49.16
CC 1 SLV (Collegamento 0025_-382)
Azioni sul collegamento: N=-9123.66 Ty=-4.12 Tz=10.33 Mx=0.02 Mz=1.95
Sollecitazioni agenti localmente: Ty_l=-1609.61 My_l=-32.99
Tensioni nella sezione: σ=399.83 τ=48.78
CC 1 SLV (Collegamento 0025_-382)
Azioni sul collegamento: N=-9123.66 Ty=-0.76 Tz=10.33 Mx=0.02 Mz=-1.23
Sollecitazioni agenti localmente: Ty_l=-1622.27 My_l=-33.26
Tensioni nella sezione: σ=403.19 τ=49.16
CC 2 SLD (Collegamento 0025_-382)
Azioni sul collegamento: N=-5707.53 Ty=-2.77 Tz=-2.38 Mx=0.01 Mz=-1.24
Sollecitazioni agenti localmente: Ty_l=-1016.71 My_l=-20.85
Tensioni nella sezione: σ=252.72 τ=30.81
CC 2 SLD (Collegamento 0025_-382)
Azioni sul collegamento: N=-5707.53 Ty=-3.80 Tz=-2.38 Mx=0.01 Mz=-2.21
Sollecitazioni agenti localmente: Ty_l=-1020.56 My_l=-20.93
Tensioni nella sezione: σ=253.74 τ=30.93
CC 2 SLD (Collegamento 0025_-382)
Azioni sul collegamento: N=-5707.53 Ty=-2.77 Tz=3.62 Mx=0.01 Mz=-1.24
Sollecitazioni agenti localmente: Ty_l=-1016.71 My_l=-20.85
Tensioni nella sezione: σ=252.72 τ=30.81
CC 2 SLD (Collegamento 0025_-382)
Azioni sul collegamento: N=-5707.53 Ty=-3.80 Tz=3.62 Mx=0.01 Mz=-2.21

Sollecitazioni agenti localmente: Ty_l=-1020.56 My_l=-20.93
Tensioni nella sezione: σ=253.74 τ=30.93
CC 2 SLD (Collegamento 0025_-382)
Azioni sul collegamento: N=-7319.25 Ty=-2.77 Tz=-2.38 Mx=0.01 Mz=-1.24
Sollecitazioni agenti localmente: Ty_l=-1302.42 My_l=-26.71
Tensioni nella sezione: σ=323.71 τ=39.47
CC 2 SLD (Collegamento 0025_-382)
Azioni sul collegamento: N=-7319.25 Ty=-3.80 Tz=-2.38 Mx=0.01 Mz=-2.21
Sollecitazioni agenti localmente: Ty_l=-1306.28 My_l=-26.79
Tensioni nella sezione: σ=324.74 τ=39.58
CC 2 SLD (Collegamento 0025_-382)
Azioni sul collegamento: N=-7319.25 Ty=-2.77 Tz=3.62 Mx=0.01 Mz=-1.24
Sollecitazioni agenti localmente: Ty_l=-1302.42 My_l=-26.71
Tensioni nella sezione: σ=323.71 τ=39.47
CC 2 SLD (Collegamento 0025_-382)
Azioni sul collegamento: N=-7319.25 Ty=-3.80 Tz=3.62 Mx=0.01 Mz=-2.21
Sollecitazioni agenti localmente: Ty_l=-1306.28 My_l=-26.79
Tensioni nella sezione: σ=324.74 τ=39.58
CC 3 SLV (Collegamento 0025_-382)
Azioni sul collegamento: N=-3843.85 Ty=-3.49 Tz=-9.22 Mx=0.02 Mz=0.69
Sollecitazioni agenti localmente: Ty_l=-678.65 My_l=-13.91
Tensioni nella sezione: σ=168.59 τ=20.57
CC 3 SLV (Collegamento 0025_-382)
Azioni sul collegamento: N=-3843.85 Ty=-1.39 Tz=-9.22 Mx=0.02 Mz=0.03
Sollecitazioni agenti localmente: Ty_l=-681.30 My_l=-13.97
Tensioni nella sezione: σ=169.29 τ=20.65
CC 3 SLV (Collegamento 0025_-382)
Azioni sul collegamento: N=-3843.85 Ty=-3.49 Tz=10.20 Mx=0.02 Mz=0.69
Sollecitazioni agenti localmente: Ty_l=-678.65 My_l=-13.91
Tensioni nella sezione: σ=168.59 τ=20.57
CC 3 SLV (Collegamento 0025_-382)
Azioni sul collegamento: N=-3843.85 Ty=-1.39 Tz=10.20 Mx=0.02 Mz=0.03
Sollecitazioni agenti localmente: Ty_l=-681.30 My_l=-13.97
Tensioni nella sezione: σ=169.29 τ=20.65
CC 3 SLV (Collegamento 0025_-382)
Azioni sul collegamento: N=-9117.97 Ty=-3.49 Tz=-9.22 Mx=0.02 Mz=0.69
Sollecitazioni agenti localmente: Ty_l=-1613.60 My_l=-33.08
Tensioni nella sezione: σ=400.91 τ=48.90
CC 3 SLV (Collegamento 0025_-382)
Azioni sul collegamento: N=-9117.97 Ty=-1.39 Tz=-9.22 Mx=0.02 Mz=0.03
Sollecitazioni agenti localmente: Ty_l=-1616.26 My_l=-33.13
Tensioni nella sezione: σ=401.61 τ=48.98
CC 3 SLV (Collegamento 0025_-382)
Azioni sul collegamento: N=-9117.97 Ty=-3.49 Tz=10.20 Mx=0.02 Mz=0.69
Sollecitazioni agenti localmente: Ty_l=-1613.60 My_l=-33.08
Tensioni nella sezione: σ=400.91 τ=48.90
CC 3 SLV (Collegamento 0025_-382)
Azioni sul collegamento: N=-9117.97 Ty=-1.39 Tz=10.20 Mx=0.02 Mz=0.03
Sollecitazioni agenti localmente: Ty_l=-1616.26 My_l=-33.13
Tensioni nella sezione: σ=401.61 τ=48.98
CC 4 SLD (Collegamento 0025_-382)
Azioni sul collegamento: N=-5709.27 Ty=-2.97 Tz=-2.35 Mx=0.01 Mz=-1.62
Sollecitazioni agenti localmente: Ty_l=-1018.54 My_l=-20.89
Tensioni nella sezione: σ=253.20 τ=30.86
CC 4 SLD (Collegamento 0025_-382)
Azioni sul collegamento: N=-5709.27 Ty=-3.60 Tz=-2.35 Mx=0.01 Mz=-1.82
Sollecitazioni agenti localmente: Ty_l=-1019.35 My_l=-20.91
Tensioni nella sezione: σ=253.41 τ=30.89
CC 4 SLD (Collegamento 0025_-382)
Azioni sul collegamento: N=-5709.27 Ty=-2.97 Tz=3.58 Mx=0.01 Mz=-1.62
Sollecitazioni agenti localmente: Ty_l=-1018.54 My_l=-20.89
Tensioni nella sezione: σ=253.20 τ=30.86
CC 4 SLD (Collegamento 0025_-382)
Azioni sul collegamento: N=-5709.27 Ty=-3.60 Tz=3.58 Mx=0.01 Mz=-1.82
Sollecitazioni agenti localmente: Ty_l=-1019.35 My_l=-20.91
Tensioni nella sezione: σ=253.41 τ=30.89
CC 4 SLD (Collegamento 0025_-382)
Azioni sul collegamento: N=-7317.51 Ty=-2.97 Tz=-2.35 Mx=0.01 Mz=-1.62
Sollecitazioni agenti localmente: Ty_l=-1303.64 My_l=-26.73
Tensioni nella sezione: σ=324.04 τ=39.50
CC 4 SLD (Collegamento 0025_-382)
Azioni sul collegamento: N=-7317.51 Ty=-3.60 Tz=-2.35 Mx=0.01 Mz=-1.82
Sollecitazioni agenti localmente: Ty_l=-1304.45 My_l=-26.75
Tensioni nella sezione: σ=324.26 τ=39.53
CC 4 SLD (Collegamento 0025_-382)
Azioni sul collegamento: N=-7317.51 Ty=-2.97 Tz=3.58 Mx=0.01 Mz=-1.62
Sollecitazioni agenti localmente: Ty_l=-1303.64 My_l=-26.73
Tensioni nella sezione: σ=324.04 τ=39.50
CC 4 SLD (Collegamento 0025_-382)

Azioni sul collegamento: N=-7317.51 Ty=-3.60 Tz=3.58 Mx=0.01 Mz=-1.82
Sollecitazioni agenti localmente: Ty_l=-1304.45 My_l=-26.75
Tensioni nella sezione: σ=324.26 τ=39.53
CC 5 SLV (Collegamento 0025_-382)
Azioni sul collegamento: N=-9117.97 Ty=-1.39 Tz=10.20 Mx=0.02 Mz=0.03
Sollecitazioni agenti localmente: Ty_l=-1616.26 My_l=-33.13
Tensioni nella sezione: σ=401.61 τ=48.98
CC 5 SLV (Collegamento 0025_-382)
Azioni sul collegamento: N=-9117.97 Ty=-3.49 Tz=10.20 Mx=0.02 Mz=0.69
Sollecitazioni agenti localmente: Ty_l=-1613.60 My_l=-33.08
Tensioni nella sezione: σ=400.91 τ=48.90
CC 5 SLV (Collegamento 0025_-382)
Azioni sul collegamento: N=-9117.97 Ty=-1.39 Tz=-9.22 Mx=0.02 Mz=0.03
Sollecitazioni agenti localmente: Ty_l=-1616.26 My_l=-33.13
Tensioni nella sezione: σ=401.61 τ=48.98
CC 5 SLV (Collegamento 0025_-382)
Azioni sul collegamento: N=-9117.97 Ty=-3.49 Tz=-9.22 Mx=0.02 Mz=0.69
Sollecitazioni agenti localmente: Ty_l=-1613.60 My_l=-33.08
Tensioni nella sezione: σ=400.91 τ=48.90
CC 5 SLV (Collegamento 0025_-382)
Azioni sul collegamento: N=-3843.85 Ty=-1.39 Tz=10.20 Mx=0.02 Mz=0.03
Sollecitazioni agenti localmente: Ty_l=-681.30 My_l=-13.97
Tensioni nella sezione: σ=169.29 τ=20.65
CC 5 SLV (Collegamento 0025_-382)
Azioni sul collegamento: N=-3843.85 Ty=-3.49 Tz=10.20 Mx=0.02 Mz=0.69
Sollecitazioni agenti localmente: Ty_l=-678.65 My_l=-13.91
Tensioni nella sezione: σ=168.59 τ=20.57
CC 5 SLV (Collegamento 0025_-382)
Azioni sul collegamento: N=-3843.85 Ty=-1.39 Tz=-9.22 Mx=0.02 Mz=0.03
Sollecitazioni agenti localmente: Ty_l=-681.30 My_l=-13.97
Tensioni nella sezione: σ=169.29 τ=20.65
CC 5 SLV (Collegamento 0025_-382)
Azioni sul collegamento: N=-3843.85 Ty=-3.49 Tz=-9.22 Mx=0.02 Mz=0.69
Sollecitazioni agenti localmente: Ty_l=-678.65 My_l=-13.91
Tensioni nella sezione: σ=168.59 τ=20.57
CC 6 SLD (Collegamento 0025_-382)
Azioni sul collegamento: N=-7317.51 Ty=-3.60 Tz=3.58 Mx=0.01 Mz=-1.82
Sollecitazioni agenti localmente: Ty_l=-1304.45 My_l=-26.75
Tensioni nella sezione: σ=324.26 τ=39.53
CC 6 SLD (Collegamento 0025_-382)
Azioni sul collegamento: N=-7317.51 Ty=-2.97 Tz=3.58 Mx=0.01 Mz=-1.62
Sollecitazioni agenti localmente: Ty_l=-1303.64 My_l=-26.73
Tensioni nella sezione: σ=324.04 τ=39.50
CC 6 SLD (Collegamento 0025_-382)
Azioni sul collegamento: N=-7317.51 Ty=-3.60 Tz=-2.35 Mx=0.01 Mz=-1.82
Sollecitazioni agenti localmente: Ty_l=-1304.45 My_l=-26.75
Tensioni nella sezione: σ=324.26 τ=39.53
CC 6 SLD (Collegamento 0025_-382)
Azioni sul collegamento: N=-7317.51 Ty=-2.97 Tz=-2.35 Mx=0.01 Mz=-1.62
Sollecitazioni agenti localmente: Ty_l=-1303.64 My_l=-26.73
Tensioni nella sezione: σ=324.04 τ=39.50
CC 6 SLD (Collegamento 0025_-382)
Azioni sul collegamento: N=-5709.27 Ty=-3.60 Tz=3.58 Mx=0.01 Mz=-1.82
Sollecitazioni agenti localmente: Ty_l=-1019.35 My_l=-20.91
Tensioni nella sezione: σ=253.41 τ=30.89
CC 6 SLD (Collegamento 0025_-382)
Azioni sul collegamento: N=-5709.27 Ty=-2.97 Tz=3.58 Mx=0.01 Mz=-1.62
Sollecitazioni agenti localmente: Ty_l=-1018.54 My_l=-20.89
Tensioni nella sezione: σ=253.20 τ=30.86
CC 6 SLD (Collegamento 0025_-382)
Azioni sul collegamento: N=-5709.27 Ty=-3.60 Tz=-2.35 Mx=0.01 Mz=-1.82
Sollecitazioni agenti localmente: Ty_l=-1019.35 My_l=-20.91
Tensioni nella sezione: σ=253.41 τ=30.89
CC 6 SLD (Collegamento 0025_-382)
Azioni sul collegamento: N=-5709.27 Ty=-2.97 Tz=-2.35 Mx=0.01 Mz=-1.62
Sollecitazioni agenti localmente: Ty_l=-1018.54 My_l=-20.89
Tensioni nella sezione: σ=253.20 τ=30.86
CC 7 SLV (Collegamento 0025_-382)
Azioni sul collegamento: N=-9123.66 Ty=-0.76 Tz=10.33 Mx=0.01 Mz=-1.23
Sollecitazioni agenti localmente: Ty_l=-1622.27 My_l=-33.26
Tensioni nella sezione: σ=403.19 τ=49.16
CC 7 SLV (Collegamento 0025_-382)
Azioni sul collegamento: N=-9123.66 Ty=-4.12 Tz=10.33 Mx=0.01 Mz=1.95
Sollecitazioni agenti localmente: Ty_l=-1609.61 My_l=-32.99
Tensioni nella sezione: σ=399.83 τ=48.78
CC 7 SLV (Collegamento 0025_-382)
Azioni sul collegamento: N=-9123.66 Ty=-0.76 Tz=-9.35 Mx=0.01 Mz=-1.23
Sollecitazioni agenti localmente: Ty_l=-1622.27 My_l=-33.26
Tensioni nella sezione: σ=403.19 τ=49.16

CC 7 SLV (Collegamento 0025_-382)
Azioni sul collegamento: N=-9123.66 Ty=-4.12 Tz=-9.35 Mx=0.01 Mz=1.95
Sollecitazioni agenti localmente: Ty_l=-1609.61 My_l=-32.99
Tensioni nella sezione: σ=399.83 τ=48.78
CC 7 SLV (Collegamento 0025_-382)
Azioni sul collegamento: N=-3838.16 Ty=-0.76 Tz=10.33 Mx=0.01 Mz=-1.23
Sollecitazioni agenti localmente: Ty_l=-685.29 My_l=-14.06
Tensioni nella sezione: σ=170.37 τ=20.77
CC 7 SLV (Collegamento 0025_-382)
Azioni sul collegamento: N=-3838.16 Ty=-4.12 Tz=10.33 Mx=0.01 Mz=1.95
Sollecitazioni agenti localmente: Ty_l=-672.64 My_l=-13.78
Tensioni nella sezione: σ=167.01 τ=20.38
CC 7 SLV (Collegamento 0025_-382)
Azioni sul collegamento: N=-3838.16 Ty=-0.76 Tz=-9.35 Mx=0.01 Mz=-1.23
Sollecitazioni agenti localmente: Ty_l=-685.29 My_l=-14.06
Tensioni nella sezione: σ=170.37 τ=20.77
CC 7 SLV (Collegamento 0025_-382)
Azioni sul collegamento: N=-3838.16 Ty=-4.12 Tz=-9.35 Mx=0.01 Mz=1.95
Sollecitazioni agenti localmente: Ty_l=-672.64 My_l=-13.78
Tensioni nella sezione: σ=167.01 τ=20.38
CC 8 SLD (Collegamento 0025_-382)
Azioni sul collegamento: N=-7319.25 Ty=-3.80 Tz=3.62 Mx=0.01 Mz=-2.21
Sollecitazioni agenti localmente: Ty_l=-1306.28 My_l=-26.79
Tensioni nella sezione: σ=324.74 τ=39.58
CC 8 SLD (Collegamento 0025_-382)
Azioni sul collegamento: N=-7319.25 Ty=-2.77 Tz=3.62 Mx=0.01 Mz=-1.24
Sollecitazioni agenti localmente: Ty_l=-1302.42 My_l=-26.71
Tensioni nella sezione: σ=323.71 τ=39.47
CC 8 SLD (Collegamento 0025_-382)
Azioni sul collegamento: N=-7319.25 Ty=-3.80 Tz=-2.38 Mx=0.01 Mz=-2.21
Sollecitazioni agenti localmente: Ty_l=-1306.28 My_l=-26.79
Tensioni nella sezione: σ=324.74 τ=39.58
CC 8 SLD (Collegamento 0025_-382)
Azioni sul collegamento: N=-7319.25 Ty=-2.77 Tz=-2.38 Mx=0.01 Mz=-1.24
Sollecitazioni agenti localmente: Ty_l=-1302.42 My_l=-26.71
Tensioni nella sezione: σ=323.71 τ=39.47
CC 8 SLD (Collegamento 0025_-382)
Azioni sul collegamento: N=-5707.53 Ty=-3.80 Tz=3.62 Mx=0.01 Mz=-2.21
Sollecitazioni agenti localmente: Ty_l=-1020.56 My_l=-20.93
Tensioni nella sezione: σ=253.74 τ=30.93
CC 8 SLD (Collegamento 0025_-382)
Azioni sul collegamento: N=-5707.53 Ty=-2.77 Tz=3.62 Mx=0.01 Mz=-1.24
Sollecitazioni agenti localmente: Ty_l=-1016.71 My_l=-20.85
Tensioni nella sezione: σ=252.72 τ=30.81
CC 8 SLD (Collegamento 0025_-382)
Azioni sul collegamento: N=-5707.53 Ty=-3.80 Tz=-2.38 Mx=0.01 Mz=-2.21
Sollecitazioni agenti localmente: Ty_l=-1020.56 My_l=-20.93
Tensioni nella sezione: σ=253.74 τ=30.93
CC 8 SLD (Collegamento 0025_-382)
Azioni sul collegamento: N=-5707.53 Ty=-2.77 Tz=-2.38 Mx=0.01 Mz=-1.24
Sollecitazioni agenti localmente: Ty_l=-1016.71 My_l=-20.85
Tensioni nella sezione: σ=252.72 τ=30.81
CC 9 SLV (Collegamento 0025_-382)
Azioni sul collegamento: N=-5679.47 Ty=-3.91 Tz=-2.66 Mx=0.03 Mz=2.74
Sollecitazioni agenti localmente: Ty_l=-995.90 My_l=-20.40
Tensioni nella sezione: σ=247.28 τ=30.18
CC 9 SLV (Collegamento 0025_-382)
Azioni sul collegamento: N=-5679.47 Ty=-0.97 Tz=-2.66 Mx=0.03 Mz=-2.02
Sollecitazioni agenti localmente: Ty_l=-1014.86 My_l=-20.82
Tensioni nella sezione: σ=252.31 τ=30.75
CC 9 SLV (Collegamento 0025_-382)
Azioni sul collegamento: N=-5679.47 Ty=-3.91 Tz=3.63 Mx=0.03 Mz=2.74
Sollecitazioni agenti localmente: Ty_l=-995.90 My_l=-20.40
Tensioni nella sezione: σ=247.28 τ=30.18
CC 9 SLV (Collegamento 0025_-382)
Azioni sul collegamento: N=-5679.47 Ty=-0.97 Tz=3.63 Mx=0.03 Mz=-2.02
Sollecitazioni agenti localmente: Ty_l=-1014.86 My_l=-20.82
Tensioni nella sezione: σ=252.31 τ=30.75
CC 9 SLV (Collegamento 0025_-382)
Azioni sul collegamento: N=-7282.35 Ty=-3.91 Tz=-2.66 Mx=0.03 Mz=2.74
Sollecitazioni agenti localmente: Ty_l=-1280.05 My_l=-26.23
Tensioni nella sezione: σ=317.89 τ=38.79
CC 9 SLV (Collegamento 0025_-382)
Azioni sul collegamento: N=-7282.35 Ty=-0.97 Tz=-2.66 Mx=0.03 Mz=-2.02
Sollecitazioni agenti localmente: Ty_l=-1299.01 My_l=-26.64
Tensioni nella sezione: σ=322.92 τ=39.36
CC 9 SLV (Collegamento 0025_-382)
Azioni sul collegamento: N=-7282.35 Ty=-3.91 Tz=3.63 Mx=0.03 Mz=2.74
Sollecitazioni agenti localmente: Ty_l=-1280.05 My_l=-26.23

Tensioni nella sezione: σ=317.89 τ=38.79
CC 9 SLV (Collegamento 0025_-382)
Azioni sul collegamento: N=-7282.35 Ty=-0.97 Tz=3.63 Mx=0.03 Mz=-2.02
Sollecitazioni agenti localmente: Ty_l=-1299.01 My_l=-26.64
Tensioni nella sezione: σ=322.92 τ=39.36
CC 10 SLD (Collegamento 0025_-382)
Azioni sul collegamento: N=-6269.01 Ty=-2.84 Tz=-0.34 Mx=0.01 Mz=-0.99
Sollecitazioni agenti localmente: Ty_l=-1115.28 My_l=-22.87
Tensioni nella sezione: σ=277.20 τ=33.80
CC 10 SLD (Collegamento 0025_-382)
Azioni sul collegamento: N=-6269.01 Ty=-3.73 Tz=-0.34 Mx=0.01 Mz=-2.45
Sollecitazioni agenti localmente: Ty_l=-1121.06 My_l=-23.00
Tensioni nella sezione: σ=278.73 τ=33.97
CC 10 SLD (Collegamento 0025_-382)
Azioni sul collegamento: N=-6269.00 Ty=-2.84 Tz=1.57 Mx=0.01 Mz=-0.99
Sollecitazioni agenti localmente: Ty_l=-1115.28 My_l=-22.87
Tensioni nella sezione: σ=277.20 τ=33.80
CC 10 SLD (Collegamento 0025_-382)
Azioni sul collegamento: N=-6269.00 Ty=-3.73 Tz=1.57 Mx=0.01 Mz=-2.45
Sollecitazioni agenti localmente: Ty_l=-1121.06 My_l=-23.00
Tensioni nella sezione: σ=278.73 τ=33.97
CC 10 SLD (Collegamento 0025_-382)
Azioni sul collegamento: N=-6757.78 Ty=-2.84 Tz=-0.34 Mx=0.01 Mz=-0.99
Sollecitazioni agenti localmente: Ty_l=-1201.92 My_l=-24.64
Tensioni nella sezione: σ=298.73 τ=36.42
CC 10 SLD (Collegamento 0025_-382)
Azioni sul collegamento: N=-6757.78 Ty=-3.73 Tz=-0.34 Mx=0.01 Mz=-2.45
Sollecitazioni agenti localmente: Ty_l=-1207.71 My_l=-24.77
Tensioni nella sezione: σ=300.26 τ=36.60
CC 10 SLD (Collegamento 0025_-382)
Azioni sul collegamento: N=-6757.78 Ty=-2.84 Tz=1.57 Mx=0.01 Mz=-0.99
Sollecitazioni agenti localmente: Ty_l=-1201.92 My_l=-24.64
Tensioni nella sezione: σ=298.73 τ=36.42
CC 10 SLD (Collegamento 0025_-382)
Azioni sul collegamento: N=-6757.78 Ty=-3.73 Tz=1.57 Mx=0.01 Mz=-2.45
Sollecitazioni agenti localmente: Ty_l=-1207.71 My_l=-24.77
Tensioni nella sezione: σ=300.26 τ=36.60
CC 11 SLV (Collegamento 0025_-382)
Azioni sul collegamento: N=-7263.41 Ty=-3.09 Tz=3.21 Mx=0.02 Mz=2.17
Sollecitazioni agenti localmente: Ty_l=-1278.98 My_l=-26.21
Tensioni nella sezione: σ=317.66 τ=38.76
CC 11 SLV (Collegamento 0025_-382)
Azioni sul collegamento: N=-7263.41 Ty=-1.79 Tz=3.21 Mx=0.02 Mz=-1.45
Sollecitazioni agenti localmente: Ty_l=-1293.35 My_l=-26.52
Tensioni nella sezione: σ=321.48 τ=39.19
CC 11 SLV (Collegamento 0025_-382)
Azioni sul collegamento: N=-7263.41 Ty=-3.09 Tz=-2.23 Mx=0.02 Mz=2.17
Sollecitazioni agenti localmente: Ty_l=-1278.98 My_l=-26.21
Tensioni nella sezione: σ=317.66 τ=38.76
CC 11 SLV (Collegamento 0025_-382)
Azioni sul collegamento: N=-7263.41 Ty=-1.79 Tz=-2.23 Mx=0.02 Mz=-1.45
Sollecitazioni agenti localmente: Ty_l=-1293.35 My_l=-26.52
Tensioni nella sezione: σ=321.48 τ=39.19
CC 11 SLV (Collegamento 0025_-382)
Azioni sul collegamento: N=-5698.41 Ty=-3.09 Tz=3.21 Mx=0.02 Mz=2.17
Sollecitazioni agenti localmente: Ty_l=-1001.55 My_l=-20.52
Tensioni nella sezione: σ=248.72 τ=30.35
CC 11 SLV (Collegamento 0025_-382)
Azioni sul collegamento: N=-5698.41 Ty=-1.79 Tz=3.21 Mx=0.02 Mz=-1.45
Sollecitazioni agenti localmente: Ty_l=-1015.92 My_l=-20.83
Tensioni nella sezione: σ=252.54 τ=30.79
CC 11 SLV (Collegamento 0025_-382)
Azioni sul collegamento: N=-5698.41 Ty=-3.09 Tz=-2.23 Mx=0.02 Mz=2.17
Sollecitazioni agenti localmente: Ty_l=-1001.55 My_l=-20.52
Tensioni nella sezione: σ=248.72 τ=30.35
CC 11 SLV (Collegamento 0025_-382)
Azioni sul collegamento: N=-5698.41 Ty=-1.79 Tz=-2.23 Mx=0.02 Mz=-1.45
Sollecitazioni agenti localmente: Ty_l=-1015.92 My_l=-20.83
Tensioni nella sezione: σ=252.54 τ=30.79
CC 12 SLD (Collegamento 0025_-382)
Azioni sul collegamento: N=-6752.00 Ty=-3.09 Tz=1.44 Mx=0.01 Mz=-1.17
Sollecitazioni agenti localmente: Ty_l=-1201.60 My_l=-24.64
Tensioni nella sezione: σ=298.66 τ=36.41
CC 12 SLD (Collegamento 0025_-382)
Azioni sul collegamento: N=-6752.00 Ty=-3.48 Tz=1.44 Mx=0.01 Mz=-2.27
Sollecitazioni agenti localmente: Ty_l=-1205.98 My_l=-24.74
Tensioni nella sezione: σ=299.82 τ=36.54
CC 12 SLD (Collegamento 0025_-382)
Azioni sul collegamento: N=-6752.00 Ty=-3.09 Tz=-0.21 Mx=0.01 Mz=-1.17

Sollecitazioni agenti localmente: Ty_l=-1201.60 My_l=-24.64
Tensioni nella sezione: σ=298.66 τ=36.41
CC 12 SLD (Collegamento 0025_-382)
Azioni sul collegamento: N=-6752.00 Ty=-3.48 Tz=-0.21 Mx=0.01 Mz=-2.27
Sollecitazioni agenti localmente: Ty_l=-1205.98 My_l=-24.74
Tensioni nella sezione: σ=299.82 τ=36.54
CC 12 SLD (Collegamento 0025_-382)
Azioni sul collegamento: N=-6274.78 Ty=-3.09 Tz=1.44 Mx=0.01 Mz=-1.17
Sollecitazioni agenti localmente: Ty_l=-1117.00 My_l=-22.91
Tensioni nella sezione: σ=277.64 τ=33.85
CC 12 SLD (Collegamento 0025_-382)
Azioni sul collegamento: N=-6274.78 Ty=-3.48 Tz=1.44 Mx=0.01 Mz=-2.27
Sollecitazioni agenti localmente: Ty_l=-1121.38 My_l=-23.00
Tensioni nella sezione: σ=278.80 τ=33.98
CC 12 SLD (Collegamento 0025_-382)
Azioni sul collegamento: N=-6274.78 Ty=-3.09 Tz=-0.21 Mx=0.01 Mz=-1.17
Sollecitazioni agenti localmente: Ty_l=-1117.00 My_l=-22.91
Tensioni nella sezione: σ=277.64 τ=33.85
CC 12 SLD (Collegamento 0025_-382)
Azioni sul collegamento: N=-6274.78 Ty=-3.48 Tz=-0.21 Mx=0.01 Mz=-2.27
Sollecitazioni agenti localmente: Ty_l=-1121.38 My_l=-23.00
Tensioni nella sezione: σ=278.80 τ=33.98
CC 13 SLV (Collegamento 0025_-382)
Azioni sul collegamento: N=-5698.41 Ty=-1.79 Tz=-2.23 Mx=0.01 Mz=-1.45
Sollecitazioni agenti localmente: Ty_l=-1015.92 My_l=-20.83
Tensioni nella sezione: σ=252.54 τ=30.79
CC 13 SLV (Collegamento 0025_-382)
Azioni sul collegamento: N=-5698.41 Ty=-3.09 Tz=-2.23 Mx=0.01 Mz=2.17
Sollecitazioni agenti localmente: Ty_l=-1001.55 My_l=-20.52
Tensioni nella sezione: σ=248.72 τ=30.35
CC 13 SLV (Collegamento 0025_-382)
Azioni sul collegamento: N=-5698.41 Ty=-1.79 Tz=3.21 Mx=0.01 Mz=-1.45
Sollecitazioni agenti localmente: Ty_l=-1015.92 My_l=-20.83
Tensioni nella sezione: σ=252.54 τ=30.79
CC 13 SLV (Collegamento 0025_-382)
Azioni sul collegamento: N=-5698.41 Ty=-3.09 Tz=3.21 Mx=0.01 Mz=2.17
Sollecitazioni agenti localmente: Ty_l=-1001.55 My_l=-20.52
Tensioni nella sezione: σ=248.72 τ=30.35
CC 13 SLV (Collegamento 0025_-382)
Azioni sul collegamento: N=-7263.41 Ty=-1.79 Tz=-2.23 Mx=0.01 Mz=-1.45
Sollecitazioni agenti localmente: Ty_l=-1293.35 My_l=-26.52
Tensioni nella sezione: σ=321.48 τ=39.19
CC 13 SLV (Collegamento 0025_-382)
Azioni sul collegamento: N=-7263.41 Ty=-3.09 Tz=-2.23 Mx=0.01 Mz=2.17
Sollecitazioni agenti localmente: Ty_l=-1278.98 My_l=-26.21
Tensioni nella sezione: σ=317.66 τ=38.76
CC 13 SLV (Collegamento 0025_-382)
Azioni sul collegamento: N=-7263.41 Ty=-1.79 Tz=3.21 Mx=0.01 Mz=-1.45
Sollecitazioni agenti localmente: Ty_l=-1293.35 My_l=-26.52
Tensioni nella sezione: σ=321.48 τ=39.19
CC 13 SLV (Collegamento 0025_-382)
Azioni sul collegamento: N=-7263.41 Ty=-3.09 Tz=3.21 Mx=0.01 Mz=2.17
Sollecitazioni agenti localmente: Ty_l=-1278.98 My_l=-26.21
Tensioni nella sezione: σ=317.66 τ=38.76
CC 14 SLD (Collegamento 0025_-382)
Azioni sul collegamento: N=-6274.78 Ty=-3.48 Tz=-0.21 Mx=0.01 Mz=-2.27
Sollecitazioni agenti localmente: Ty_l=-1121.38 My_l=-23.00
Tensioni nella sezione: σ=278.80 τ=33.98
CC 14 SLD (Collegamento 0025_-382)
Azioni sul collegamento: N=-6274.78 Ty=-3.09 Tz=-0.21 Mx=0.01 Mz=-1.17
Sollecitazioni agenti localmente: Ty_l=-1117.00 My_l=-22.91
Tensioni nella sezione: σ=277.64 τ=33.85
CC 14 SLD (Collegamento 0025_-382)
Azioni sul collegamento: N=-6274.78 Ty=-3.48 Tz=1.44 Mx=0.01 Mz=-2.27
Sollecitazioni agenti localmente: Ty_l=-1121.38 My_l=-23.00
Tensioni nella sezione: σ=278.80 τ=33.98
CC 14 SLD (Collegamento 0025_-382)
Azioni sul collegamento: N=-6274.78 Ty=-3.09 Tz=1.44 Mx=0.01 Mz=-1.17
Sollecitazioni agenti localmente: Ty_l=-1117.00 My_l=-22.91
Tensioni nella sezione: σ=277.64 τ=33.85
CC 14 SLD (Collegamento 0025_-382)
Azioni sul collegamento: N=-6752.00 Ty=-3.48 Tz=-0.21 Mx=0.01 Mz=-2.27
Sollecitazioni agenti localmente: Ty_l=-1205.98 My_l=-24.74
Tensioni nella sezione: σ=299.82 τ=36.54
CC 14 SLD (Collegamento 0025_-382)
Azioni sul collegamento: N=-6752.00 Ty=-3.09 Tz=-0.21 Mx=0.01 Mz=-1.17
Sollecitazioni agenti localmente: Ty_l=-1201.60 My_l=-24.64
Tensioni nella sezione: σ=298.66 τ=36.41
CC 14 SLD (Collegamento 0025_-382)

Azioni sul collegamento: N=-6752.00 Ty=-3.48 Tz=1.44 Mx=0.01 Mz=-2.27
Sollecitazioni agenti localmente: Ty_l=-1205.98 My_l=-24.74
Tensioni nella sezione: σ=299.82 τ=36.54
CC 14 SLD (Collegamento 0025_-382)
Azioni sul collegamento: N=-6752.00 Ty=-3.09 Tz=1.44 Mx=0.01 Mz=-1.17
Sollecitazioni agenti localmente: Ty_l=-1201.60 My_l=-24.64
Tensioni nella sezione: σ=298.66 τ=36.41
CC 15 SLV (Collegamento 0025_-382)
Azioni sul collegamento: N=-7282.35 Ty=-0.97 Tz=3.63 Mx=0.01 Mz=-2.02
Sollecitazioni agenti localmente: Ty_l=-1299.01 My_l=-26.64
Tensioni nella sezione: σ=322.92 τ=39.36
CC 15 SLV (Collegamento 0025_-382)
Azioni sul collegamento: N=-7282.35 Ty=-3.91 Tz=3.63 Mx=0.01 Mz=2.74
Sollecitazioni agenti localmente: Ty_l=-1280.05 My_l=-26.23
Tensioni nella sezione: σ=317.89 τ=38.79
CC 15 SLV (Collegamento 0025_-382)
Azioni sul collegamento: N=-7282.35 Ty=-0.97 Tz=-2.66 Mx=0.01 Mz=-2.02
Sollecitazioni agenti localmente: Ty_l=-1299.01 My_l=-26.64
Tensioni nella sezione: σ=322.92 τ=39.36
CC 15 SLV (Collegamento 0025_-382)
Azioni sul collegamento: N=-7282.35 Ty=-3.91 Tz=-2.66 Mx=0.01 Mz=2.74
Sollecitazioni agenti localmente: Ty_l=-1280.05 My_l=-26.23
Tensioni nella sezione: σ=317.89 τ=38.79
CC 15 SLV (Collegamento 0025_-382)
Azioni sul collegamento: N=-5679.47 Ty=-0.97 Tz=3.63 Mx=0.01 Mz=-2.02
Sollecitazioni agenti localmente: Ty_l=-1014.86 My_l=-20.82
Tensioni nella sezione: σ=252.31 τ=30.75
CC 15 SLV (Collegamento 0025_-382)
Azioni sul collegamento: N=-5679.47 Ty=-3.91 Tz=3.63 Mx=0.01 Mz=2.74
Sollecitazioni agenti localmente: Ty_l=-995.90 My_l=-20.40
Tensioni nella sezione: σ=247.28 τ=30.18
CC 15 SLV (Collegamento 0025_-382)
Azioni sul collegamento: N=-5679.47 Ty=-0.97 Tz=-2.66 Mx=0.01 Mz=-2.02
Sollecitazioni agenti localmente: Ty_l=-1014.86 My_l=-20.82
Tensioni nella sezione: σ=252.31 τ=30.75
CC 15 SLV (Collegamento 0025_-382)
Azioni sul collegamento: N=-5679.47 Ty=-3.91 Tz=-2.66 Mx=0.01 Mz=2.74
Sollecitazioni agenti localmente: Ty_l=-995.90 My_l=-20.40
Tensioni nella sezione: σ=247.28 τ=30.18
CC 16 SLD (Collegamento 0025_-382)
Azioni sul collegamento: N=-6757.78 Ty=-3.73 Tz=1.57 Mx=0.00 Mz=-2.45
Sollecitazioni agenti localmente: Ty_l=-1207.71 My_l=-24.77
Tensioni nella sezione: σ=300.26 τ=36.60
CC 16 SLD (Collegamento 0025_-382)
Azioni sul collegamento: N=-6757.78 Ty=-2.84 Tz=1.57 Mx=0.00 Mz=-0.99
Sollecitazioni agenti localmente: Ty_l=-1201.92 My_l=-24.64
Tensioni nella sezione: σ=298.73 τ=36.42
CC 16 SLD (Collegamento 0025_-382)
Azioni sul collegamento: N=-6757.78 Ty=-3.73 Tz=-0.34 Mx=0.00 Mz=-2.45
Sollecitazioni agenti localmente: Ty_l=-1207.71 My_l=-24.77
Tensioni nella sezione: σ=300.26 τ=36.60
CC 16 SLD (Collegamento 0025_-382)
Azioni sul collegamento: N=-6757.78 Ty=-2.84 Tz=-0.34 Mx=0.00 Mz=-0.99
Sollecitazioni agenti localmente: Ty_l=-1201.92 My_l=-24.64
Tensioni nella sezione: σ=298.73 τ=36.42
CC 16 SLD (Collegamento 0025_-382)
Azioni sul collegamento: N=-6269.00 Ty=-3.73 Tz=1.57 Mx=0.00 Mz=-2.45
Sollecitazioni agenti localmente: Ty_l=-1121.06 My_l=-23.00
Tensioni nella sezione: σ=278.73 τ=33.97
CC 16 SLD (Collegamento 0025_-382)
Azioni sul collegamento: N=-6269.00 Ty=-2.84 Tz=1.57 Mx=0.00 Mz=-0.99
Sollecitazioni agenti localmente: Ty_l=-1115.28 My_l=-22.87
Tensioni nella sezione: σ=277.20 τ=33.80
CC 16 SLD (Collegamento 0025_-382)
Azioni sul collegamento: N=-6269.01 Ty=-3.73 Tz=-0.34 Mx=0.00 Mz=-2.45
Sollecitazioni agenti localmente: Ty_l=-1121.06 My_l=-23.00
Tensioni nella sezione: σ=278.73 τ=33.97
CC 16 SLD (Collegamento 0025_-382)
Azioni sul collegamento: N=-6269.01 Ty=-2.84 Tz=-0.34 Mx=0.00 Mz=-0.99
Sollecitazioni agenti localmente: Ty_l=-1115.28 My_l=-22.87
Tensioni nella sezione: σ=277.20 τ=33.80
CC 17 SLV (Collegamento 0025_-382)
Azioni sul collegamento: N=-3931.62 Ty=-3.19 Tz=-8.98 Mx=-0.01 Mz=-4.04
Sollecitazioni agenti localmente: Ty_l=-713.03 My_l=-14.64
Tensioni nella sezione: σ=177.45 τ=21.61
CC 17 SLV (Collegamento 0025_-382)
Azioni sul collegamento: N=-3931.62 Ty=-6.55 Tz=-8.98 Mx=-0.01 Mz=-7.22
Sollecitazioni agenti localmente: Ty_l=-725.69 My_l=-14.92
Tensioni nella sezione: σ=180.81 τ=21.99

CC 17 SLV (Collegamento 0025_-382)
Azioni sul collegamento: N=-3931.62 Ty=-3.19 Tz=10.69 Mx=-0.01 Mz=-4.04
Sollecitazioni agenti localmente: Ty_l=-713.03 My_l=-14.64
Tensioni nella sezione: σ=177.45 τ=21.61
CC 17 SLV (Collegamento 0025_-382)
Azioni sul collegamento: N=-3931.62 Ty=-6.55 Tz=10.69 Mx=-0.01 Mz=-7.22
Sollecitazioni agenti localmente: Ty_l=-725.69 My_l=-14.92
Tensioni nella sezione: σ=180.81 τ=21.99
CC 17 SLV (Collegamento 0025_-382)
Azioni sul collegamento: N=-9217.12 Ty=-3.19 Tz=-8.98 Mx=-0.01 Mz=-4.04
Sollecitazioni agenti localmente: Ty_l=-1650.01 My_l=-33.85
Tensioni nella sezione: σ=410.27 τ=50.00
CC 17 SLV (Collegamento 0025_-382)
Azioni sul collegamento: N=-9217.12 Ty=-6.55 Tz=-8.98 Mx=-0.01 Mz=-7.22
Sollecitazioni agenti localmente: Ty_l=-1662.66 My_l=-34.12
Tensioni nella sezione: σ=413.63 τ=50.38
CC 17 SLV (Collegamento 0025_-382)
Azioni sul collegamento: N=-9217.12 Ty=-3.19 Tz=10.69 Mx=-0.01 Mz=-4.04
Sollecitazioni agenti localmente: Ty_l=-1650.01 My_l=-33.85
Tensioni nella sezione: σ=410.27 τ=50.00
CC 17 SLV (Collegamento 0025_-382)
Azioni sul collegamento: N=-9217.12 Ty=-6.55 Tz=10.69 Mx=-0.01 Mz=-7.22
Sollecitazioni agenti localmente: Ty_l=-1662.66 My_l=-34.12
Tensioni nella sezione: σ=413.63 τ=50.38
CC 18 SLD (Collegamento 0025_-382)
Azioni sul collegamento: N=-5736.03 Ty=-3.51 Tz=-2.27 Mx=-0.00 Mz=-3.06
Sollecitazioni agenti localmente: Ty_l=-1029.02 My_l=-21.11
Tensioni nella sezione: σ=255.90 τ=31.18
CC 18 SLD (Collegamento 0025_-382)
Azioni sul collegamento: N=-5736.03 Ty=-4.54 Tz=-2.27 Mx=-0.00 Mz=-4.03
Sollecitazioni agenti localmente: Ty_l=-1032.88 My_l=-21.20
Tensioni nella sezione: σ=256.93 τ=31.30
CC 18 SLD (Collegamento 0025_-382)
Azioni sul collegamento: N=-5736.03 Ty=-3.51 Tz=3.73 Mx=-0.00 Mz=-3.06
Sollecitazioni agenti localmente: Ty_l=-1029.02 My_l=-21.11
Tensioni nella sezione: σ=255.90 τ=31.18
CC 18 SLD (Collegamento 0025_-382)
Azioni sul collegamento: N=-5736.03 Ty=-4.54 Tz=3.73 Mx=-0.00 Mz=-4.03
Sollecitazioni agenti localmente: Ty_l=-1032.88 My_l=-21.20
Tensioni nella sezione: σ=256.93 τ=31.30
CC 18 SLD (Collegamento 0025_-382)
Azioni sul collegamento: N=-7347.75 Ty=-3.51 Tz=-2.27 Mx=-0.00 Mz=-3.06
Sollecitazioni agenti localmente: Ty_l=-1314.74 My_l=-26.97
Tensioni nella sezione: σ=326.90 τ=39.84
CC 18 SLD (Collegamento 0025_-382)
Azioni sul collegamento: N=-7347.75 Ty=-4.54 Tz=-2.27 Mx=-0.00 Mz=-4.03
Sollecitazioni agenti localmente: Ty_l=-1318.60 My_l=-27.05
Tensioni nella sezione: σ=327.92 τ=39.96
CC 18 SLD (Collegamento 0025_-382)
Azioni sul collegamento: N=-7347.75 Ty=-3.51 Tz=3.73 Mx=-0.00 Mz=-3.06
Sollecitazioni agenti localmente: Ty_l=-1314.74 My_l=-26.97
Tensioni nella sezione: σ=326.90 τ=39.84
CC 18 SLD (Collegamento 0025_-382)
Azioni sul collegamento: N=-7347.75 Ty=-4.54 Tz=3.73 Mx=-0.00 Mz=-4.03
Sollecitazioni agenti localmente: Ty_l=-1318.60 My_l=-27.05
Tensioni nella sezione: σ=327.92 τ=39.96
CC 19 SLV (Collegamento 0025_-382)
Azioni sul collegamento: N=-3937.31 Ty=-3.82 Tz=-8.85 Mx=-0.01 Mz=-5.30
Sollecitazioni agenti localmente: Ty_l=-719.04 My_l=-14.77
Tensioni nella sezione: σ=179.03 τ=21.79
CC 19 SLV (Collegamento 0025_-382)
Azioni sul collegamento: N=-3937.31 Ty=-5.92 Tz=-8.85 Mx=-0.01 Mz=-5.96
Sollecitazioni agenti localmente: Ty_l=-721.70 My_l=-14.83
Tensioni nella sezione: σ=179.73 τ=21.87
CC 19 SLV (Collegamento 0025_-382)
Azioni sul collegamento: N=-3937.31 Ty=-3.82 Tz=10.56 Mx=-0.01 Mz=-5.30
Sollecitazioni agenti localmente: Ty_l=-719.04 My_l=-14.77
Tensioni nella sezione: σ=179.03 τ=21.79
CC 19 SLV (Collegamento 0025_-382)
Azioni sul collegamento: N=-3937.31 Ty=-5.92 Tz=10.56 Mx=-0.01 Mz=-5.96
Sollecitazioni agenti localmente: Ty_l=-721.70 My_l=-14.83
Tensioni nella sezione: σ=179.73 τ=21.87
CC 19 SLV (Collegamento 0025_-382)
Azioni sul collegamento: N=-9211.43 Ty=-3.82 Tz=-8.85 Mx=-0.01 Mz=-5.30
Sollecitazioni agenti localmente: Ty_l=-1654.00 My_l=-33.94
Tensioni nella sezione: σ=411.35 τ=50.12
CC 19 SLV (Collegamento 0025_-382)
Azioni sul collegamento: N=-9211.43 Ty=-5.92 Tz=-8.85 Mx=-0.01 Mz=-5.96
Sollecitazioni agenti localmente: Ty_l=-1656.66 My_l=-33.99

Tensioni nella sezione: σ=412.06 τ=50.20
CC 19 SLV (Collegamento 0025_-382)
Azioni sul collegamento: N=-9211.43 Ty=-3.82 Tz=10.56 Mx=-0.01 Mz=-5.30
Sollecitazioni agenti localmente: Ty_l=-1654.00 My_l=-33.94
Tensioni nella sezione: σ=411.35 τ=50.12
CC 19 SLV (Collegamento 0025_-382)
Azioni sul collegamento: N=-9211.43 Ty=-5.92 Tz=10.56 Mx=-0.01 Mz=-5.96
Sollecitazioni agenti localmente: Ty_l=-1656.66 My_l=-33.99
Tensioni nella sezione: σ=412.06 τ=50.20
CC 20 SLD (Collegamento 0025_-382)
Azioni sul collegamento: N=-5737.77 Ty=-3.71 Tz=-2.23 Mx=-0.00 Mz=-3.45
Sollecitazioni agenti localmente: Ty_l=-1030.86 My_l=-21.15
Tensioni nella sezione: σ=256.38 τ=31.24
CC 20 SLD (Collegamento 0025_-382)
Azioni sul collegamento: N=-5737.77 Ty=-4.34 Tz=-2.23 Mx=-0.00 Mz=-3.65
Sollecitazioni agenti localmente: Ty_l=-1031.67 My_l=-21.17
Tensioni nella sezione: σ=256.60 τ=31.26
CC 20 SLD (Collegamento 0025_-382)
Azioni sul collegamento: N=-5737.77 Ty=-3.71 Tz=3.69 Mx=-0.00 Mz=-3.45
Sollecitazioni agenti localmente: Ty_l=-1030.86 My_l=-21.15
Tensioni nella sezione: σ=256.38 τ=31.24
CC 20 SLD (Collegamento 0025_-382)
Azioni sul collegamento: N=-5737.77 Ty=-4.34 Tz=3.69 Mx=-0.00 Mz=-3.65
Sollecitazioni agenti localmente: Ty_l=-1031.67 My_l=-21.17
Tensioni nella sezione: σ=256.60 τ=31.26
CC 20 SLD (Collegamento 0025_-382)
Azioni sul collegamento: N=-7346.01 Ty=-3.71 Tz=-2.23 Mx=-0.00 Mz=-3.45
Sollecitazioni agenti localmente: Ty_l=-1315.95 My_l=-27.00
Tensioni nella sezione: σ=327.23 τ=39.88
CC 20 SLD (Collegamento 0025_-382)
Azioni sul collegamento: N=-7346.01 Ty=-4.34 Tz=-2.23 Mx=-0.00 Mz=-3.65
Sollecitazioni agenti localmente: Ty_l=-1316.76 My_l=-27.01
Tensioni nella sezione: σ=327.44 τ=39.90
CC 20 SLD (Collegamento 0025_-382)
Azioni sul collegamento: N=-7346.01 Ty=-3.71 Tz=3.69 Mx=-0.00 Mz=-3.45
Sollecitazioni agenti localmente: Ty_l=-1315.95 My_l=-27.00
Tensioni nella sezione: σ=327.23 τ=39.88
CC 20 SLD (Collegamento 0025_-382)
Azioni sul collegamento: N=-7346.01 Ty=-4.34 Tz=3.69 Mx=-0.00 Mz=-3.65
Sollecitazioni agenti localmente: Ty_l=-1316.76 My_l=-27.01
Tensioni nella sezione: σ=327.44 τ=39.90
CC 21 SLV (Collegamento 0025_-382)
Azioni sul collegamento: N=-9211.43 Ty=-5.92 Tz=10.56 Mx=-0.01 Mz=-5.96
Sollecitazioni agenti localmente: Ty_l=-1656.66 My_l=-33.99
Tensioni nella sezione: σ=412.06 τ=50.20
CC 21 SLV (Collegamento 0025_-382)
Azioni sul collegamento: N=-9211.43 Ty=-3.82 Tz=10.56 Mx=-0.01 Mz=-5.30
Sollecitazioni agenti localmente: Ty_l=-1654.00 My_l=-33.94
Tensioni nella sezione: σ=411.35 τ=50.12
CC 21 SLV (Collegamento 0025_-382)
Azioni sul collegamento: N=-9211.43 Ty=-5.92 Tz=-8.85 Mx=-0.01 Mz=-5.96
Sollecitazioni agenti localmente: Ty_l=-1656.66 My_l=-33.99
Tensioni nella sezione: σ=412.06 τ=50.20
CC 21 SLV (Collegamento 0025_-382)
Azioni sul collegamento: N=-9211.43 Ty=-3.82 Tz=-8.85 Mx=-0.01 Mz=-5.30
Sollecitazioni agenti localmente: Ty_l=-1654.00 My_l=-33.94
Tensioni nella sezione: σ=411.35 τ=50.12
CC 21 SLV (Collegamento 0025_-382)
Azioni sul collegamento: N=-3937.31 Ty=-5.92 Tz=10.56 Mx=-0.01 Mz=-5.96
Sollecitazioni agenti localmente: Ty_l=-721.70 My_l=-14.83
Tensioni nella sezione: σ=179.73 τ=21.87
CC 21 SLV (Collegamento 0025_-382)
Azioni sul collegamento: N=-3937.31 Ty=-3.82 Tz=10.56 Mx=-0.01 Mz=-5.30
Sollecitazioni agenti localmente: Ty_l=-719.04 My_l=-14.77
Tensioni nella sezione: σ=179.03 τ=21.79
CC 21 SLV (Collegamento 0025_-382)
Azioni sul collegamento: N=-3937.31 Ty=-5.92 Tz=-8.85 Mx=-0.01 Mz=-5.96
Sollecitazioni agenti localmente: Ty_l=-721.70 My_l=-14.83
Tensioni nella sezione: σ=179.73 τ=21.87
CC 21 SLV (Collegamento 0025_-382)
Azioni sul collegamento: N=-3937.31 Ty=-3.82 Tz=-8.85 Mx=-0.01 Mz=-5.30
Sollecitazioni agenti localmente: Ty_l=-719.04 My_l=-14.77
Tensioni nella sezione: σ=179.03 τ=21.79
CC 22 SLD (Collegamento 0025_-382)
Azioni sul collegamento: N=-7346.01 Ty=-4.34 Tz=3.69 Mx=-0.00 Mz=-3.65
Sollecitazioni agenti localmente: Ty_l=-1316.76 My_l=-27.01
Tensioni nella sezione: σ=327.44 τ=39.90
CC 22 SLD (Collegamento 0025_-382)
Azioni sul collegamento: N=-7346.01 Ty=-3.71 Tz=3.69 Mx=-0.00 Mz=-3.45

Sollecitazioni agenti localmente: Ty_l=-1315.95 My_l=-27.00
Tensioni nella sezione: σ=327.23 τ=39.88
CC 22 SLD (Collegamento 0025_-382)
Azioni sul collegamento: N=-7346.01 Ty=-4.34 Tz=-2.23 Mx=-0.00 Mz=-3.65
Sollecitazioni agenti localmente: Ty_l=-1316.76 My_l=-27.01
Tensioni nella sezione: σ=327.44 τ=39.90
CC 22 SLD (Collegamento 0025_-382)
Azioni sul collegamento: N=-7346.01 Ty=-3.71 Tz=-2.23 Mx=-0.00 Mz=-3.45
Sollecitazioni agenti localmente: Ty_l=-1315.95 My_l=-27.00
Tensioni nella sezione: σ=327.23 τ=39.88
CC 22 SLD (Collegamento 0025_-382)
Azioni sul collegamento: N=-5737.77 Ty=-4.34 Tz=3.69 Mx=-0.00 Mz=-3.65
Sollecitazioni agenti localmente: Ty_l=-1031.67 My_l=-21.17
Tensioni nella sezione: σ=256.60 τ=31.26
CC 22 SLD (Collegamento 0025_-382)
Azioni sul collegamento: N=-5737.77 Ty=-3.71 Tz=3.69 Mx=-0.00 Mz=-3.45
Sollecitazioni agenti localmente: Ty_l=-1030.86 My_l=-21.15
Tensioni nella sezione: σ=256.38 τ=31.24
CC 22 SLD (Collegamento 0025_-382)
Azioni sul collegamento: N=-5737.77 Ty=-4.34 Tz=-2.23 Mx=-0.00 Mz=-3.65
Sollecitazioni agenti localmente: Ty_l=-1031.67 My_l=-21.17
Tensioni nella sezione: σ=256.60 τ=31.26
CC 22 SLD (Collegamento 0025_-382)
Azioni sul collegamento: N=-5737.77 Ty=-3.71 Tz=-2.23 Mx=-0.00 Mz=-3.45
Sollecitazioni agenti localmente: Ty_l=-1030.86 My_l=-21.15
Tensioni nella sezione: σ=256.38 τ=31.24
CC 23 SLV (Collegamento 0025_-382)
Azioni sul collegamento: N=-9217.12 Ty=-6.55 Tz=10.69 Mx=-0.01 Mz=-7.22
Sollecitazioni agenti localmente: Ty_l=-1662.66 My_l=-34.12
Tensioni nella sezione: σ=413.63 τ=50.38
CC 23 SLV (Collegamento 0025_-382)
Azioni sul collegamento: N=-9217.12 Ty=-3.19 Tz=10.69 Mx=-0.01 Mz=-4.04
Sollecitazioni agenti localmente: Ty_l=-1650.01 My_l=-33.85
Tensioni nella sezione: σ=410.27 τ=50.00
CC 23 SLV (Collegamento 0025_-382)
Azioni sul collegamento: N=-9217.12 Ty=-6.55 Tz=-8.98 Mx=-0.01 Mz=-7.22
Sollecitazioni agenti localmente: Ty_l=-1662.66 My_l=-34.12
Tensioni nella sezione: σ=413.63 τ=50.38
CC 23 SLV (Collegamento 0025_-382)
Azioni sul collegamento: N=-9217.12 Ty=-3.19 Tz=-8.98 Mx=-0.01 Mz=-4.04
Sollecitazioni agenti localmente: Ty_l=-1650.01 My_l=-33.85
Tensioni nella sezione: σ=410.27 τ=50.00
CC 23 SLV (Collegamento 0025_-382)
Azioni sul collegamento: N=-3931.62 Ty=-6.55 Tz=10.69 Mx=-0.01 Mz=-7.22
Sollecitazioni agenti localmente: Ty_l=-725.69 My_l=-14.92
Tensioni nella sezione: σ=180.81 τ=21.99
CC 23 SLV (Collegamento 0025_-382)
Azioni sul collegamento: N=-3931.62 Ty=-3.19 Tz=10.69 Mx=-0.01 Mz=-4.04
Sollecitazioni agenti localmente: Ty_l=-713.03 My_l=-14.64
Tensioni nella sezione: σ=177.45 τ=21.61
CC 23 SLV (Collegamento 0025_-382)
Azioni sul collegamento: N=-3931.62 Ty=-6.55 Tz=-8.98 Mx=-0.01 Mz=-7.22
Sollecitazioni agenti localmente: Ty_l=-725.69 My_l=-14.92
Tensioni nella sezione: σ=180.81 τ=21.99
CC 23 SLV (Collegamento 0025_-382)
Azioni sul collegamento: N=-3931.62 Ty=-3.19 Tz=-8.98 Mx=-0.01 Mz=-4.04
Sollecitazioni agenti localmente: Ty_l=-713.03 My_l=-14.64
Tensioni nella sezione: σ=177.45 τ=21.61
CC 24 SLD (Collegamento 0025_-382)
Azioni sul collegamento: N=-7347.75 Ty=-4.54 Tz=3.73 Mx=0.00 Mz=-4.03
Sollecitazioni agenti localmente: Ty_l=-1318.60 My_l=-27.05
Tensioni nella sezione: σ=327.92 τ=39.96
CC 24 SLD (Collegamento 0025_-382)
Azioni sul collegamento: N=-7347.75 Ty=-3.51 Tz=3.73 Mx=0.00 Mz=-3.06
Sollecitazioni agenti localmente: Ty_l=-1314.74 My_l=-26.97
Tensioni nella sezione: σ=326.90 τ=39.84
CC 24 SLD (Collegamento 0025_-382)
Azioni sul collegamento: N=-7347.75 Ty=-4.54 Tz=-2.27 Mx=0.00 Mz=-4.03
Sollecitazioni agenti localmente: Ty_l=-1318.60 My_l=-27.05
Tensioni nella sezione: σ=327.92 τ=39.96
CC 24 SLD (Collegamento 0025_-382)
Azioni sul collegamento: N=-7347.75 Ty=-3.51 Tz=-2.27 Mx=0.00 Mz=-3.06
Sollecitazioni agenti localmente: Ty_l=-1314.74 My_l=-26.97
Tensioni nella sezione: σ=326.90 τ=39.84
CC 24 SLD (Collegamento 0025_-382)
Azioni sul collegamento: N=-5736.03 Ty=-4.54 Tz=3.73 Mx=0.00 Mz=-4.03
Sollecitazioni agenti localmente: Ty_l=-1032.88 My_l=-21.20
Tensioni nella sezione: σ=256.93 τ=31.30
CC 24 SLD (Collegamento 0025_-382)

Azioni sul collegamento: N=-5736.03 Ty=-3.51 Tz=3.73 Mx=0.00 Mz=-3.06
Sollecitazioni agenti localmente: Ty_l=-1029.02 My_l=-21.11
Tensioni nella sezione: σ=255.90 τ=31.18
CC 24 SLD (Collegamento 0025_-382)
Azioni sul collegamento: N=-5736.03 Ty=-4.54 Tz=-2.27 Mx=0.00 Mz=-4.03
Sollecitazioni agenti localmente: Ty_l=-1032.88 My_l=-21.20
Tensioni nella sezione: σ=256.93 τ=31.30
CC 24 SLD (Collegamento 0025_-382)
Azioni sul collegamento: N=-5736.03 Ty=-3.51 Tz=-2.27 Mx=0.00 Mz=-3.06
Sollecitazioni agenti localmente: Ty_l=-1029.02 My_l=-21.11
Tensioni nella sezione: σ=255.90 τ=31.18
CC 25 SLV (Collegamento 0025_-382)
Azioni sul collegamento: N=-5772.93 Ty=-3.40 Tz=-2.29 Mx=-0.02 Mz=-3.25
Sollecitazioni agenti localmente: Ty_l=-1036.29 My_l=-21.26
Tensioni nella sezione: σ=257.72 τ=31.40
CC 25 SLV (Collegamento 0025_-382)
Azioni sul collegamento: N=-5772.93 Ty=-6.34 Tz=-2.29 Mx=-0.02 Mz=-8.01
Sollecitazioni agenti localmente: Ty_l=-1055.26 My_l=-21.68
Tensioni nella sezione: σ=262.76 τ=31.98
CC 25 SLV (Collegamento 0025_-382)
Azioni sul collegamento: N=-5772.93 Ty=-3.40 Tz=4.00 Mx=-0.02 Mz=-3.25
Sollecitazioni agenti localmente: Ty_l=-1036.29 My_l=-21.26
Tensioni nella sezione: σ=257.72 τ=31.40
CC 25 SLV (Collegamento 0025_-382)
Azioni sul collegamento: N=-5772.93 Ty=-6.34 Tz=4.00 Mx=-0.02 Mz=-8.01
Sollecitazioni agenti localmente: Ty_l=-1055.26 My_l=-21.68
Tensioni nella sezione: σ=262.76 τ=31.98
CC 25 SLV (Collegamento 0025_-382)
Azioni sul collegamento: N=-7375.81 Ty=-3.40 Tz=-2.29 Mx=-0.02 Mz=-3.25
Sollecitazioni agenti localmente: Ty_l=-1320.44 My_l=-27.09
Tensioni nella sezione: σ=328.33 τ=40.01
CC 25 SLV (Collegamento 0025_-382)
Azioni sul collegamento: N=-7375.81 Ty=-6.34 Tz=-2.29 Mx=-0.02 Mz=-8.01
Sollecitazioni agenti localmente: Ty_l=-1339.40 My_l=-27.50
Tensioni nella sezione: σ=333.36 τ=40.59
CC 25 SLV (Collegamento 0025_-382)
Azioni sul collegamento: N=-7375.81 Ty=-3.40 Tz=4.00 Mx=-0.02 Mz=-3.25
Sollecitazioni agenti localmente: Ty_l=-1320.44 My_l=-27.09
Tensioni nella sezione: σ=328.33 τ=40.01
CC 25 SLV (Collegamento 0025_-382)
Azioni sul collegamento: N=-7375.81 Ty=-6.34 Tz=4.00 Mx=-0.02 Mz=-8.01
Sollecitazioni agenti localmente: Ty_l=-1339.40 My_l=-27.50
Tensioni nella sezione: σ=333.36 τ=40.59
CC 26 SLD (Collegamento 0025_-382)
Azioni sul collegamento: N=-6297.50 Ty=-3.58 Tz=-0.23 Mx=-0.00 Mz=-2.82
Sollecitazioni agenti localmente: Ty_l=-1127.60 My_l=-23.13
Tensioni nella sezione: σ=280.38 τ=34.17
CC 26 SLD (Collegamento 0025_-382)
Azioni sul collegamento: N=-6297.50 Ty=-4.47 Tz=-0.23 Mx=-0.00 Mz=-4.27
Sollecitazioni agenti localmente: Ty_l=-1133.38 My_l=-23.26
Tensioni nella sezione: σ=281.92 τ=34.34
CC 26 SLD (Collegamento 0025_-382)
Azioni sul collegamento: N=-6297.50 Ty=-3.58 Tz=1.69 Mx=-0.00 Mz=-2.82
Sollecitazioni agenti localmente: Ty_l=-1127.60 My_l=-23.13
Tensioni nella sezione: σ=280.38 τ=34.17
CC 26 SLD (Collegamento 0025_-382)
Azioni sul collegamento: N=-6297.50 Ty=-4.47 Tz=1.69 Mx=-0.00 Mz=-4.27
Sollecitazioni agenti localmente: Ty_l=-1133.38 My_l=-23.26
Tensioni nella sezione: σ=281.92 τ=34.34
CC 26 SLD (Collegamento 0025_-382)
Azioni sul collegamento: N=-6786.28 Ty=-3.58 Tz=-0.23 Mx=-0.00 Mz=-2.82
Sollecitazioni agenti localmente: Ty_l=-1214.24 My_l=-24.91
Tensioni nella sezione: σ=301.91 τ=36.80
CC 26 SLD (Collegamento 0025_-382)
Azioni sul collegamento: N=-6786.28 Ty=-4.47 Tz=-0.23 Mx=-0.00 Mz=-4.27
Sollecitazioni agenti localmente: Ty_l=-1220.02 My_l=-25.03
Tensioni nella sezione: σ=303.45 τ=36.97
CC 26 SLD (Collegamento 0025_-382)
Azioni sul collegamento: N=-6786.28 Ty=-3.58 Tz=1.69 Mx=-0.00 Mz=-2.82
Sollecitazioni agenti localmente: Ty_l=-1214.24 My_l=-24.91
Tensioni nella sezione: σ=301.91 τ=36.80
CC 26 SLD (Collegamento 0025_-382)
Azioni sul collegamento: N=-6786.28 Ty=-4.47 Tz=1.69 Mx=-0.00 Mz=-4.27
Sollecitazioni agenti localmente: Ty_l=-1220.02 My_l=-25.03
Tensioni nella sezione: σ=303.45 τ=36.97
CC 27 SLV (Collegamento 0025_-382)
Azioni sul collegamento: N=-7356.87 Ty=-4.22 Tz=3.57 Mx=-0.02 Mz=-3.82
Sollecitazioni agenti localmente: Ty_l=-1319.38 My_l=-27.07
Tensioni nella sezione: σ=328.10 τ=39.98

CC 27 SLV (Collegamento 0025_-382)
Azioni sul collegamento: N=-7356.87 Ty=-5.52 Tz=3.57 Mx=-0.02 Mz=-7.44
Sollecitazioni agenti localmente: Ty_l=-1333.75 My_l=-27.38
Tensioni nella sezione: σ=331.92 τ=40.42
CC 27 SLV (Collegamento 0025_-382)
Azioni sul collegamento: N=-7356.87 Ty=-4.22 Tz=-1.86 Mx=-0.02 Mz=-3.82
Sollecitazioni agenti localmente: Ty_l=-1319.38 My_l=-27.07
Tensioni nella sezione: σ=328.10 τ=39.98
CC 27 SLV (Collegamento 0025_-382)
Azioni sul collegamento: N=-7356.87 Ty=-5.52 Tz=-1.86 Mx=-0.02 Mz=-7.44
Sollecitazioni agenti localmente: Ty_l=-1333.75 My_l=-27.38
Tensioni nella sezione: σ=331.92 τ=40.42
CC 27 SLV (Collegamento 0025_-382)
Azioni sul collegamento: N=-5791.87 Ty=-4.22 Tz=3.57 Mx=-0.02 Mz=-3.82
Sollecitazioni agenti localmente: Ty_l=-1041.95 My_l=-21.38
Tensioni nella sezione: σ=259.17 τ=31.57
CC 27 SLV (Collegamento 0025_-382)
Azioni sul collegamento: N=-5791.87 Ty=-5.52 Tz=3.57 Mx=-0.02 Mz=-7.44
Sollecitazioni agenti localmente: Ty_l=-1056.32 My_l=-21.70
Tensioni nella sezione: σ=262.98 τ=32.01
CC 27 SLV (Collegamento 0025_-382)
Azioni sul collegamento: N=-5791.87 Ty=-4.22 Tz=-1.86 Mx=-0.02 Mz=-3.82
Sollecitazioni agenti localmente: Ty_l=-1041.95 My_l=-21.38
Tensioni nella sezione: σ=259.17 τ=31.57
CC 27 SLV (Collegamento 0025_-382)
Azioni sul collegamento: N=-5791.87 Ty=-5.52 Tz=-1.86 Mx=-0.02 Mz=-7.44
Sollecitazioni agenti localmente: Ty_l=-1056.32 My_l=-21.70
Tensioni nella sezione: σ=262.98 τ=32.01
CC 28 SLD (Collegamento 0025_-382)
Azioni sul collegamento: N=-6780.50 Ty=-3.83 Tz=1.56 Mx=-0.00 Mz=-3.00
Sollecitazioni agenti localmente: Ty_l=-1213.92 My_l=-24.90
Tensioni nella sezione: σ=301.84 τ=36.79
CC 28 SLD (Collegamento 0025_-382)
Azioni sul collegamento: N=-6780.50 Ty=-4.22 Tz=1.56 Mx=-0.00 Mz=-4.10
Sollecitazioni agenti localmente: Ty_l=-1218.30 My_l=-25.00
Tensioni nella sezione: σ=303.00 τ=36.92
CC 28 SLD (Collegamento 0025_-382)
Azioni sul collegamento: N=-6780.50 Ty=-3.83 Tz=-0.10 Mx=-0.00 Mz=-3.00
Sollecitazioni agenti localmente: Ty_l=-1213.92 My_l=-24.90
Tensioni nella sezione: σ=301.84 τ=36.79
CC 28 SLD (Collegamento 0025_-382)
Azioni sul collegamento: N=-6780.50 Ty=-4.22 Tz=-0.10 Mx=-0.00 Mz=-4.10
Sollecitazioni agenti localmente: Ty_l=-1218.30 My_l=-25.00
Tensioni nella sezione: σ=303.00 τ=36.92
CC 28 SLD (Collegamento 0025_-382)
Azioni sul collegamento: N=-6303.28 Ty=-3.83 Tz=1.56 Mx=-0.00 Mz=-3.00
Sollecitazioni agenti localmente: Ty_l=-1129.32 My_l=-23.17
Tensioni nella sezione: σ=280.82 τ=34.22
CC 28 SLD (Collegamento 0025_-382)
Azioni sul collegamento: N=-6303.28 Ty=-4.22 Tz=1.56 Mx=-0.00 Mz=-4.10
Sollecitazioni agenti localmente: Ty_l=-1133.70 My_l=-23.26
Tensioni nella sezione: σ=281.98 τ=34.35
CC 28 SLD (Collegamento 0025_-382)
Azioni sul collegamento: N=-6303.28 Ty=-3.83 Tz=-0.10 Mx=-0.00 Mz=-3.00
Sollecitazioni agenti localmente: Ty_l=-1129.32 My_l=-23.17
Tensioni nella sezione: σ=280.82 τ=34.22
CC 28 SLD (Collegamento 0025_-382)
Azioni sul collegamento: N=-6303.28 Ty=-4.22 Tz=-0.10 Mx=-0.00 Mz=-4.10
Sollecitazioni agenti localmente: Ty_l=-1133.70 My_l=-23.26
Tensioni nella sezione: σ=281.98 τ=34.35
CC 29 SLV (Collegamento 0025_-382)
Azioni sul collegamento: N=-5791.87 Ty=-5.52 Tz=-1.86 Mx=-0.00 Mz=-7.44
Sollecitazioni agenti localmente: Ty_l=-1056.32 My_l=-21.70
Tensioni nella sezione: σ=262.98 τ=32.01
CC 29 SLV (Collegamento 0025_-382)
Azioni sul collegamento: N=-5791.87 Ty=-4.22 Tz=-1.86 Mx=-0.00 Mz=-3.82
Sollecitazioni agenti localmente: Ty_l=-1041.95 My_l=-21.38
Tensioni nella sezione: σ=259.17 τ=31.57
CC 29 SLV (Collegamento 0025_-382)
Azioni sul collegamento: N=-5791.87 Ty=-5.52 Tz=3.57 Mx=-0.00 Mz=-7.44
Sollecitazioni agenti localmente: Ty_l=-1056.32 My_l=-21.70
Tensioni nella sezione: σ=262.98 τ=32.01
CC 29 SLV (Collegamento 0025_-382)
Azioni sul collegamento: N=-5791.87 Ty=-4.22 Tz=3.57 Mx=-0.00 Mz=-3.82
Sollecitazioni agenti localmente: Ty_l=-1041.95 My_l=-21.38
Tensioni nella sezione: σ=259.17 τ=31.57
CC 29 SLV (Collegamento 0025_-382)
Azioni sul collegamento: N=-7356.87 Ty=-5.52 Tz=-1.86 Mx=-0.00 Mz=-7.44
Sollecitazioni agenti localmente: Ty_l=-1333.75 My_l=-27.38

Tensioni nella sezione: σ=331.92 τ=40.42
CC 29 SLV (Collegamento 0025_-382)
Azioni sul collegamento: N=-7356.87 Ty=-4.22 Tz=-1.86 Mx=-0.00 Mz=-3.82
Sollecitazioni agenti localmente: Ty_l=-1319.38 My_l=-27.07
Tensioni nella sezione: σ=328.10 τ=39.98
CC 29 SLV (Collegamento 0025_-382)
Azioni sul collegamento: N=-7356.87 Ty=-5.52 Tz=3.57 Mx=-0.00 Mz=-7.44
Sollecitazioni agenti localmente: Ty_l=-1333.75 My_l=-27.38
Tensioni nella sezione: σ=331.92 τ=40.42
CC 29 SLV (Collegamento 0025_-382)
Azioni sul collegamento: N=-7356.87 Ty=-4.22 Tz=3.57 Mx=-0.00 Mz=-3.82
Sollecitazioni agenti localmente: Ty_l=-1319.38 My_l=-27.07
Tensioni nella sezione: σ=328.10 τ=39.98
CC 30 SLD (Collegamento 0025_-382)
Azioni sul collegamento: N=-6303.28 Ty=-4.22 Tz=-0.10 Mx=0.00 Mz=-4.10
Sollecitazioni agenti localmente: Ty_l=-1133.70 My_l=-23.26
Tensioni nella sezione: σ=281.98 τ=34.35
CC 30 SLD (Collegamento 0025_-382)
Azioni sul collegamento: N=-6303.28 Ty=-3.83 Tz=-0.10 Mx=0.00 Mz=-3.00
Sollecitazioni agenti localmente: Ty_l=-1129.32 My_l=-23.17
Tensioni nella sezione: σ=280.82 τ=34.22
CC 30 SLD (Collegamento 0025_-382)
Azioni sul collegamento: N=-6303.28 Ty=-4.22 Tz=1.56 Mx=0.00 Mz=-4.10
Sollecitazioni agenti localmente: Ty_l=-1133.70 My_l=-23.26
Tensioni nella sezione: σ=281.98 τ=34.35
CC 30 SLD (Collegamento 0025_-382)
Azioni sul collegamento: N=-6303.28 Ty=-3.83 Tz=1.56 Mx=0.00 Mz=-3.00
Sollecitazioni agenti localmente: Ty_l=-1129.32 My_l=-23.17
Tensioni nella sezione: σ=280.82 τ=34.22
CC 30 SLD (Collegamento 0025_-382)
Azioni sul collegamento: N=-6780.50 Ty=-4.22 Tz=-0.10 Mx=0.00 Mz=-4.10
Sollecitazioni agenti localmente: Ty_l=-1218.30 My_l=-25.00
Tensioni nella sezione: σ=303.00 τ=36.92
CC 30 SLD (Collegamento 0025_-382)
Azioni sul collegamento: N=-6780.50 Ty=-3.83 Tz=-0.10 Mx=0.00 Mz=-3.00
Sollecitazioni agenti localmente: Ty_l=-1213.92 My_l=-24.90
Tensioni nella sezione: σ=301.84 τ=36.79
CC 30 SLD (Collegamento 0025_-382)
Azioni sul collegamento: N=-6780.50 Ty=-4.22 Tz=1.56 Mx=0.00 Mz=-4.10
Sollecitazioni agenti localmente: Ty_l=-1218.30 My_l=-25.00
Tensioni nella sezione: σ=303.00 τ=36.92
CC 30 SLD (Collegamento 0025_-382)
Azioni sul collegamento: N=-6780.50 Ty=-3.83 Tz=1.56 Mx=0.00 Mz=-3.00
Sollecitazioni agenti localmente: Ty_l=-1213.92 My_l=-24.90
Tensioni nella sezione: σ=301.84 τ=36.79
CC 31 SLV (Collegamento 0025_-382)
Azioni sul collegamento: N=-7375.81 Ty=-6.34 Tz=4.00 Mx=-0.00 Mz=-8.01
Sollecitazioni agenti localmente: Ty_l=-1339.40 My_l=-27.50
Tensioni nella sezione: σ=333.36 τ=40.59
CC 31 SLV (Collegamento 0025_-382)
Azioni sul collegamento: N=-7375.81 Ty=-3.40 Tz=4.00 Mx=-0.00 Mz=-3.25
Sollecitazioni agenti localmente: Ty_l=-1320.44 My_l=-27.09
Tensioni nella sezione: σ=328.33 τ=40.01
CC 31 SLV (Collegamento 0025_-382)
Azioni sul collegamento: N=-7375.81 Ty=-6.34 Tz=-2.29 Mx=-0.00 Mz=-8.01
Sollecitazioni agenti localmente: Ty_l=-1339.40 My_l=-27.50
Tensioni nella sezione: σ=333.36 τ=40.59
CC 31 SLV (Collegamento 0025_-382)
Azioni sul collegamento: N=-7375.81 Ty=-3.40 Tz=-2.29 Mx=-0.00 Mz=-3.25
Sollecitazioni agenti localmente: Ty_l=-1320.44 My_l=-27.09
Tensioni nella sezione: σ=328.33 τ=40.01
CC 31 SLV (Collegamento 0025_-382)
Azioni sul collegamento: N=-5772.93 Ty=-6.34 Tz=4.00 Mx=-0.00 Mz=-8.01
Sollecitazioni agenti localmente: Ty_l=-1055.26 My_l=-21.68
Tensioni nella sezione: σ=262.76 τ=31.98
CC 31 SLV (Collegamento 0025_-382)
Azioni sul collegamento: N=-5772.93 Ty=-3.40 Tz=4.00 Mx=-0.00 Mz=-3.25
Sollecitazioni agenti localmente: Ty_l=-1036.29 My_l=-21.26
Tensioni nella sezione: σ=257.72 τ=31.40
CC 31 SLV (Collegamento 0025_-382)
Azioni sul collegamento: N=-5772.93 Ty=-6.34 Tz=-2.29 Mx=-0.00 Mz=-8.01
Sollecitazioni agenti localmente: Ty_l=-1055.26 My_l=-21.68
Tensioni nella sezione: σ=262.76 τ=31.98
CC 31 SLV (Collegamento 0025_-382)
Azioni sul collegamento: N=-5772.93 Ty=-3.40 Tz=-2.29 Mx=-0.00 Mz=-3.25
Sollecitazioni agenti localmente: Ty_l=-1036.29 My_l=-21.26
Tensioni nella sezione: σ=257.72 τ=31.40
CC 32 SLD (Collegamento 0025_-382)
Azioni sul collegamento: N=-6786.28 Ty=-4.47 Tz=1.69 Mx=0.00 Mz=-4.27

Sollecitazioni agenti localmente: Ty_l=-1220.02 My_l=-25.03
Tensioni nella sezione: σ=303.45 τ=36.97
CC 32 SLD (Collegamento 0025_-382)
Azioni sul collegamento: N=-6786.28 Ty=-3.58 Tz=1.69 Mx=0.00 Mz=-2.82
Sollecitazioni agenti localmente: Ty_l=-1214.24 My_l=-24.91
Tensioni nella sezione: σ=301.91 τ=36.80
CC 32 SLD (Collegamento 0025_-382)
Azioni sul collegamento: N=-6786.28 Ty=-4.47 Tz=-0.23 Mx=0.00 Mz=-4.27
Sollecitazioni agenti localmente: Ty_l=-1220.02 My_l=-25.03
Tensioni nella sezione: σ=303.45 τ=36.97
CC 32 SLD (Collegamento 0025_-382)
Azioni sul collegamento: N=-6786.28 Ty=-3.58 Tz=-0.23 Mx=0.00 Mz=-2.82
Sollecitazioni agenti localmente: Ty_l=-1214.24 My_l=-24.91
Tensioni nella sezione: σ=301.91 τ=36.80
CC 32 SLD (Collegamento 0025_-382)
Azioni sul collegamento: N=-6297.50 Ty=-4.47 Tz=1.69 Mx=0.00 Mz=-4.27
Sollecitazioni agenti localmente: Ty_l=-1133.38 My_l=-23.26
Tensioni nella sezione: σ=281.92 τ=34.34
CC 32 SLD (Collegamento 0025_-382)
Azioni sul collegamento: N=-6297.50 Ty=-3.58 Tz=1.69 Mx=0.00 Mz=-2.82
Sollecitazioni agenti localmente: Ty_l=-1127.60 My_l=-23.13
Tensioni nella sezione: σ=280.38 τ=34.17
CC 32 SLD (Collegamento 0025_-382)
Azioni sul collegamento: N=-6297.50 Ty=-4.47 Tz=-0.23 Mx=0.00 Mz=-4.27
Sollecitazioni agenti localmente: Ty_l=-1133.38 My_l=-23.26
Tensioni nella sezione: σ=281.92 τ=34.34
CC 32 SLD (Collegamento 0025_-382)
Azioni sul collegamento: N=-6297.50 Ty=-3.58 Tz=-0.23 Mx=0.00 Mz=-2.82
Sollecitazioni agenti localmente: Ty_l=-1127.60 My_l=-23.13
Tensioni nella sezione: σ=280.38 τ=34.17
CC 33 SLU (Collegamento 0025_-382)
Azioni sul collegamento: N=-30778.60 Ty=-5.67 Tz=81.62 Mx=0.01 Mz=-4.05
Sollecitazioni agenti localmente: Ty_l=-5472.30 My_l=-112.20
Tensioni nella sezione: σ=1360.06 τ=165.83
CC 34 SLU (Collegamento 0025_-382)
Azioni sul collegamento: N=-30229.20 Ty=-5.39 Tz=79.58 Mx=0.01 Mz=-3.85
Sollecitazioni agenti localmente: Ty_l=-5374.11 My_l=-110.19
Tensioni nella sezione: σ=1335.64 τ=162.85
CC 35 SLU (Collegamento 0025_-382)
Azioni sul collegamento: N=-30504.90 Ty=-5.64 Tz=80.58 Mx=0.01 Mz=-4.16
Sollecitazioni agenti localmente: Ty_l=-5424.25 My_l=-111.22
Tensioni nella sezione: σ=1348.12 τ=164.37
CC 36 SLU (Collegamento 0025_-382)
Azioni sul collegamento: N=-30502.90 Ty=-5.42 Tz=80.62 Mx=0.01 Mz=-3.73
Sollecitazioni agenti localmente: Ty_l=-5422.17 My_l=-111.17
Tensioni nella sezione: σ=1347.58 τ=164.31
CC 37 SLU (Collegamento 0025_-382)
Azioni sul collegamento: N=-21507.60 Ty=-6.52 Tz=47.54 Mx=0.01 Mz=-4.63
Sollecitazioni agenti localmente: Ty_l=-3831.13 My_l=-78.56
Tensioni nella sezione: σ=952.29 τ=116.09
CC 38 SLU (Collegamento 0025_-382)
Azioni sul collegamento: N=-20958.20 Ty=-6.23 Tz=45.50 Mx=0.01 Mz=-4.43
Sollecitazioni agenti localmente: Ty_l=-3732.94 My_l=-76.55
Tensioni nella sezione: σ=927.88 τ=113.12
CC 39 SLU (Collegamento 0025_-382)
Azioni sul collegamento: N=-21233.90 Ty=-6.48 Tz=46.50 Mx=0.01 Mz=-4.75
Sollecitazioni agenti localmente: Ty_l=-3783.08 My_l=-77.58
Tensioni nella sezione: σ=940.36 τ=114.64
CC 40 SLU (Collegamento 0025_-382)
Azioni sul collegamento: N=-21231.90 Ty=-6.26 Tz=46.54 Mx=0.01 Mz=-4.31
Sollecitazioni agenti localmente: Ty_l=-3781.00 My_l=-77.53
Tensioni nella sezione: σ=939.81 τ=114.58
CC 41 SLU (Collegamento 0025_-382)
Azioni sul collegamento: N=-32702.20 Ty=-5.53 Tz=88.04 Mx=-0.00 Mz=-4.06
Sollecitazioni agenti localmente: Ty_l=-5813.36 My_l=-119.20
Tensioni nella sezione: σ=1444.80 τ=176.16
CC 42 SLU (Collegamento 0025_-382)
Azioni sul collegamento: N=-32152.80 Ty=-5.24 Tz=86.01 Mx=-0.00 Mz=-3.86
Sollecitazioni agenti localmente: Ty_l=-5715.16 My_l=-117.18
Tensioni nella sezione: σ=1420.39 τ=173.19
CC 43 SLU (Collegamento 0025_-382)
Azioni sul collegamento: N=-32428.50 Ty=-5.50 Tz=87.00 Mx=-0.00 Mz=-4.18
Sollecitazioni agenti localmente: Ty_l=-5765.30 My_l=-118.21
Tensioni nella sezione: σ=1432.87 τ=174.71
CC 44 SLU (Collegamento 0025_-382)
Azioni sul collegamento: N=-32426.50 Ty=-5.28 Tz=87.05 Mx=-0.00 Mz=-3.74
Sollecitazioni agenti localmente: Ty_l=-5763.22 My_l=-118.17
Tensioni nella sezione: σ=1432.32 τ=174.64
CC 45 SLU (Collegamento 0025_-382)

Azioni sul collegamento: N=-23594.00 Ty=-6.22 Tz=55.25 Mx=0.01 Mz=-4.49
Sollecitazioni agenti localmente: Ty_l=-4200.42 My_l=-86.13
Tensioni nella sezione: σ=1044.04 τ=127.28
CC 46 SLU (Collegamento 0025_-382)
Azioni sul collegamento: N=-23044.60 Ty=-5.94 Tz=53.22 Mx=0.01 Mz=-4.28
Sollecitazioni agenti localmente: Ty_l=-4102.23 My_l=-84.12
Tensioni nella sezione: σ=1019.63 τ=124.31
CC 47 SLU (Collegamento 0025_-382)
Azioni sul collegamento: N=-23320.30 Ty=-6.19 Tz=54.21 Mx=0.01 Mz=-4.60
Sollecitazioni agenti localmente: Ty_l=-4152.36 My_l=-85.15
Tensioni nella sezione: σ=1032.11 τ=125.83
CC 48 SLU (Collegamento 0025_-382)
Azioni sul collegamento: N=-23318.30 Ty=-5.97 Tz=54.26 Mx=0.01 Mz=-4.17
Sollecitazioni agenti localmente: Ty_l=-4150.28 My_l=-85.10
Tensioni nella sezione: σ=1031.56 τ=125.77
CC 49 SLU (Collegamento 0025_-382)
Azioni sul collegamento: N=-16657.90 Ty=-6.86 Tz=29.76 Mx=0.01 Mz=-4.92
Sollecitazioni agenti localmente: Ty_l=-2972.58 My_l=-60.97
Tensioni nella sezione: σ=738.97 τ=90.08
CC 50 SLU (Collegamento 0025_-382)
Azioni sul collegamento: N=-16108.50 Ty=-6.57 Tz=27.72 Mx=0.01 Mz=-4.72
Sollecitazioni agenti localmente: Ty_l=-2874.39 My_l=-58.95
Tensioni nella sezione: σ=714.56 τ=87.10
CC 51 SLU (Collegamento 0025_-382)
Azioni sul collegamento: N=-16384.20 Ty=-6.82 Tz=28.72 Mx=0.01 Mz=-5.04
Sollecitazioni agenti localmente: Ty_l=-2924.52 My_l=-59.98
Tensioni nella sezione: σ=727.04 τ=88.62
CC 52 SLU (Collegamento 0025_-382)
Azioni sul collegamento: N=-16382.20 Ty=-6.60 Tz=28.76 Mx=0.01 Mz=-4.60
Sollecitazioni agenti localmente: Ty_l=-2922.44 My_l=-59.94
Tensioni nella sezione: σ=726.49 τ=88.56
CC 53 SLU (Collegamento 0025_-382)
Azioni sul collegamento: N=-25033.10 Ty=-6.12 Tz=60.06 Mx=-0.00 Mz=-4.50
Sollecitazioni agenti localmente: Ty_l=-4455.57 My_l=-91.36
Tensioni nella sezione: σ=1107.45 τ=135.02
CC 54 SLU (Collegamento 0025_-382)
Azioni sul collegamento: N=-24483.80 Ty=-5.83 Tz=58.03 Mx=-0.00 Mz=-4.29
Sollecitazioni agenti localmente: Ty_l=-4357.38 My_l=-89.35
Tensioni nella sezione: σ=1083.03 τ=132.04
CC 55 SLU (Collegamento 0025_-382)
Azioni sul collegamento: N=-24759.40 Ty=-6.08 Tz=59.02 Mx=0.00 Mz=-4.61
Sollecitazioni agenti localmente: Ty_l=-4407.52 My_l=-90.38
Tensioni nella sezione: σ=1095.51 τ=133.56
CC 56 SLU (Collegamento 0025_-382)
Azioni sul collegamento: N=-24757.50 Ty=-5.87 Tz=59.07 Mx=-0.00 Mz=-4.18
Sollecitazioni agenti localmente: Ty_l=-4405.44 My_l=-90.33
Tensioni nella sezione: σ=1094.97 τ=133.50
CC 57 SLU (Collegamento 0025_-382)
Azioni sul collegamento: N=-21981.50 Ty=-5.60 Tz=49.32 Mx=0.01 Mz=-4.03
Sollecitazioni agenti localmente: Ty_l=-3912.76 My_l=-80.23
Tensioni nella sezione: σ=972.53 τ=118.57
CC 58 SLU (Collegamento 0025_-382)
Azioni sul collegamento: N=-21432.10 Ty=-5.31 Tz=47.28 Mx=0.01 Mz=-3.83
Sollecitazioni agenti localmente: Ty_l=-3814.57 My_l=-78.22
Tensioni nella sezione: σ=948.12 τ=115.59
CC 59 SLU (Collegamento 0025_-382)
Azioni sul collegamento: N=-21707.80 Ty=-5.57 Tz=48.28 Mx=0.01 Mz=-4.15
Sollecitazioni agenti localmente: Ty_l=-3864.71 My_l=-79.25
Tensioni nella sezione: σ=960.60 τ=117.11
CC 60 SLU (Collegamento 0025_-382)
Azioni sul collegamento: N=-21705.80 Ty=-5.35 Tz=48.32 Mx=0.01 Mz=-3.72
Sollecitazioni agenti localmente: Ty_l=-3862.62 My_l=-79.20
Tensioni nella sezione: σ=960.05 τ=117.05
CC 61 SLU (Collegamento 0025_-382)
Azioni sul collegamento: N=-15045.40 Ty=-6.23 Tz=23.82 Mx=0.01 Mz=-4.47
Sollecitazioni agenti localmente: Ty_l=-2684.92 My_l=-55.07
Tensioni nella sezione: σ=667.46 τ=81.36
CC 62 SLU (Collegamento 0025_-382)
Azioni sul collegamento: N=-14496.00 Ty=-5.95 Tz=21.79 Mx=0.01 Mz=-4.27
Sollecitazioni agenti localmente: Ty_l=-2586.73 My_l=-53.05
Tensioni nella sezione: σ=643.05 τ=78.39
CC 63 SLU (Collegamento 0025_-382)
Azioni sul collegamento: N=-14771.70 Ty=-6.20 Tz=22.78 Mx=0.01 Mz=-4.59
Sollecitazioni agenti localmente: Ty_l=-2636.87 My_l=-54.08
Tensioni nella sezione: σ=655.53 τ=79.91
CC 64 SLU (Collegamento 0025_-382)
Azioni sul collegamento: N=-14769.70 Ty=-5.98 Tz=22.82 Mx=0.01 Mz=-4.15
Sollecitazioni agenti localmente: Ty_l=-2634.78 My_l=-54.04
Tensioni nella sezione: σ=654.98 τ=79.84

CC 65 SLU (Collegamento 0025_-382)
Azioni sul collegamento: N=-23420.60 Ty=-5.49 Tz=54.12 Mx=-0.00 Mz=-4.04
Sollecitazioni agenti localmente: Ty_l=-4167.92 My_l=-85.46
Tensioni nella sezione: σ=1035.94 τ=126.30
CC 66 SLU (Collegamento 0025_-382)
Azioni sul collegamento: N=-22871.20 Ty=-5.21 Tz=52.09 Mx=-0.00 Mz=-3.84
Sollecitazioni agenti localmente: Ty_l=-4069.73 My_l=-83.45
Tensioni nella sezione: σ=1011.52 τ=123.33
CC 67 SLU (Collegamento 0025_-382)
Azioni sul collegamento: N=-23146.90 Ty=-5.46 Tz=53.08 Mx=-0.00 Mz=-4.16
Sollecitazioni agenti localmente: Ty_l=-4119.86 My_l=-84.48
Tensioni nella sezione: σ=1024.00 τ=124.84
CC 68 SLU (Collegamento 0025_-382)
Azioni sul collegamento: N=-23144.90 Ty=-5.24 Tz=53.13 Mx=-0.00 Mz=-3.72
Sollecitazioni agenti localmente: Ty_l=-4117.78 My_l=-84.44
Tensioni nella sezione: σ=1023.46 τ=124.78
CC 97 SLU (Collegamento 0025_-382)
Azioni sul collegamento: N=-11444.50 Ty=-17.52 Tz=18.88 Mx=-0.03 Mz=-21.34
Sollecitazioni agenti localmente: Ty_l=-2113.67 My_l=-43.45
Tensioni nella sezione: σ=526.65 τ=64.05
CC 98 SLU (Collegamento 0025_-382)
Azioni sul collegamento: N=-10895.20 Ty=-17.24 Tz=16.84 Mx=-0.03 Mz=-21.13
Sollecitazioni agenti localmente: Ty_l=-2015.48 My_l=-41.43
Tensioni nella sezione: σ=502.24 τ=61.08
CC 99 SLU (Collegamento 0025_-382)
Azioni sul collegamento: N=-11170.80 Ty=-17.49 Tz=17.84 Mx=-0.03 Mz=-21.45
Sollecitazioni agenti localmente: Ty_l=-2065.62 My_l=-42.46
Tensioni nella sezione: σ=514.72 τ=62.59
CC 100 SLU (Collegamento 0025_-382)
Azioni sul collegamento: N=-11168.90 Ty=-17.27 Tz=17.88 Mx=-0.04 Mz=-21.02
Sollecitazioni agenti localmente: Ty_l=-2063.53 My_l=-42.42
Tensioni nella sezione: σ=514.17 τ=62.53
CC 101 SLU (Collegamento 0025_-382)
Azioni sul collegamento: N=-7155.53 Ty=-1.61 Tz=2.94 Mx=0.01 Mz=-0.33
Sollecitazioni agenti localmente: Ty_l=-1269.80 My_l=-26.03
Tensioni nella sezione: σ=315.55 τ=38.48
CC 102 SLU (Collegamento 0025_-382)
Azioni sul collegamento: N=-6606.15 Ty=-1.32 Tz=0.91 Mx=0.01 Mz=-0.13
Sollecitazioni agenti localmente: Ty_l=-1171.61 My_l=-24.02
Tensioni nella sezione: σ=291.13 τ=35.50
CC 103 SLU (Collegamento 0025_-382)
Azioni sul collegamento: N=-6881.82 Ty=-1.58 Tz=1.90 Mx=0.01 Mz=-0.45
Sollecitazioni agenti localmente: Ty_l=-1221.74 My_l=-25.05
Tensioni nella sezione: σ=303.62 τ=37.02
CC 104 SLU (Collegamento 0025_-382)
Azioni sul collegamento: N=-6879.85 Ty=-1.36 Tz=1.95 Mx=0.01 Mz=-0.01
Sollecitazioni agenti localmente: Ty_l=-1219.66 My_l=-25.00
Tensioni nella sezione: σ=303.07 τ=36.96